Spolufinancováno Evropskou unií

Nástroj pro propojení Evropy

Projekt „Modernizace trati Praha hl. n. - Praha Smíchov“ je spolufinancovaný EU z programu Nástroj pro propojení Evropy (CEF)

Za tuto publikaci odpovídá pouze její autor. Evropská unie nenese odpovědnost za jakékoli využití informací v ní obsažených.

NÁVRH PD k projednání

Číslo změny:	Obsah změny:	Datum změny:
01	-	-
02	-	-
03	-	-

Investor:

Správa železniční dopravní cesty, s.o.
Dlážděná 1003/7, 110 00 Praha 1

Stavební správa západ
Sokolovská 278/1955, 190 00 Praha 9

Účastníci Společnosti "SP+MTP+SPEU_Praha hl. - Praha-Smíchov"

SUDOP PRAHA | METROPROJEKT | SUDOP EU

Správce: SUDOP PRAHA

SUDOP PRAHA a.s.
Olšanská 1a, 130 80 Praha 3
tel.: +420 267 094 111
e-mail: praha@sudop.cz

Vedoucí týmu:	Asistent vedoucího týmu:
ING. MICHAL MEČL	ING. TOMÁŠ MARTINEK
	Specialista profese: ING. MARTIN VLASÁK

Středisko: SUDOP PRAHA a.s., STŘEDISKO - MOSTŮ

Vedoucí střediska:	Odpovědný projektant SO, IO, PS:	Vypracoval:	Kontroloval:
ING. DANA WANGLER	ING. MARTIN VLASÁK	ING. MARTIN VLASÁK	ING. TOMÁŠ MARTINEK

Název akce:

REKONSTRUKCE ŽELEZNIČNÍCH MOSTŮ POD VYŠEHRADEM

Číslo smlouvy: 16 354 201

Projektový stupeň: PD

Část: STAVEBNÍ ČÁST

MOSTY, PROPUSTKY A ZDI

Datum: 04/2020

Číslo části: E.1.4

Název přílohy:

SO 20-20-05 ŽEL. M. V EV. KM 3,706
STATICKÝ PŘEPOČET NK - PŘÍLOHY

Měřítko: -

Počet formátů: A4

Číslo přílohy: **012.2**

DOKUMENT LZE UŽÍVAT POUZE VE SMYSLU PŘÍSLUŠNÉ SMLOUVY O DÍLO. ŽÁDNÁ JEHO ČÁST NEMŮŽE BÝT DLE ZÁKONA č.121/2000 Sb. KOPÍROVÁNA NEBO JINÝM ZPŮSOBEM ROZŠIŘOVÁNA BEZ SOUHLASU SUDOP PRAHA a.s.

PŘÍLOHY

OBSAH

PŘÍLOHA	POPIS	STRANA	
PŘÍLOHA P1	TABULKA ZATÍŽITELNOSTI	1	3
PŘÍLOHA P2	PŘÍČINKOVÉ ČÁRY	1	30
PŘÍLOHA P3	POSOUZENÍ - MEZNÍ STAV ÚNOSNOSTI	1	450
PŘÍLOHA P4	POSOUZENÍ PŘECHODNOSTI	1	91
PŘÍLOHA P5	POSOUZENÍ - MEZNÍ STAV ÚNAVY	1	33
PŘÍLOHA P6	VÝPOČETNÍ MODEL - VSTUPNÍ DATA	1	515

Příloha P1

Tabulka zatížitelnosti

Přehled zatížitelnosti částí mostu

Most v ev. km 3.706 - Pod Vyšehradem, TÚ Praha hl.n. - Praha-Smíchov **nosná konstrukce NK1 - NK3 - stávající stav**

A. Identifikace mostu

TÚ: **TÚ 0201 Praha hl. n. (mimo) – Praha - Smíchov-v. 1,2,3 (mimo)** DÚ: **B1** km: **ev. 3.706**

B. Identifikace části mostu

Část mostu: **nosná konstr. NK1 - NK3** poř. č.: **1, 2, 3** pod kolejí č.: **1 a 2**

C. Doplňující údaje části mostu

Kat. zatížitelnosti: **D** Výpočtový model: **prostorový prutový**

Geometrie koleje, uvažovaná v přepočtu části mostu (ve směru staničení): *(kolej č.1 / kolej č.2)*

		na zač.	uprostřed	na konci	
poloměr oblouku	[m]	**- / -**	**- / -**	**- / -**	**(v přímé)**
převýšení koleje	[mm]	**0 / 0**	**0 / 0**	**0 / 0**	
excentricita osy koleje	[m]	**-1.90 /+1.90**	**-1.90 /+1.90**	**-1.90 /+1.90**	

Popis závad uvažovaných v přepočtu části mostu:
- korozní oslabení dle Vyhodnocení průzkumu korozního oslabení prvků OK (2018)
- horní pásnice podélníku L4.2 - oslabení trhlinou uvažováno absencí horní pásnice, trhlina dle místního šetření (2018/04)

…

Datum zjištění technického stavu mostu: SŽDC s.o. **2017**
zpracovatelem přepočtu **2017**

Poznámka k části mostu:
- dílčí součinitele spolehlivosti při výpočtu zatížitelnosti uvažovány dle MP 2015, Příloha F pro zbytkovou životnost 30 let

…

Poř. čís.	Prvek	Detail	Namáhání	ki	typ	L_p	Φ_i	L_Φ	$\gamma_{Q,LM71}$	$\gamma_{Q,LM71,E}$	viz str. přepočtu	Z_{LM71}	$Z_{LM71,E}$	Poznámky
1	2	3	4	5	6	7	8	9	10	11	12	13	14	15
1	NK - HL. NOSNÍK HORNÍ PÁS O1	BOD K4 -SP	MSÚ σ_x N - kolej 1	0.24	S		1.00	72.00	1.30		P3-10	**1.44**		1)
			MSÚ σ_x MY - kolej 1	0.06	S		1.00	72.00	1.30					
			MSÚ σ_x MZ - kolej 1	0.02	S		1.00	72.00	1.30					
			MSÚ σ_x N - kolej 2	0.54	S		1.00	72.00	1.30					
			MSÚ σ_x MY - kolej 2	0.12	S		1.00	72.00	1.30					
			MSÚ σ_x MZ - kolej 2	0.02	S		1.00	72.00	1.30					
2	NK - HL. NOSNÍK DOLNÍ PÁS U3	BOD K4 -SP	MSÚ σ_x N - kolej 1	0.26	S		1.00	72.00	1.30		P3-51	**0.87**		2)
			MSÚ σ_x MY - kolej 1	0.07	S		1.00	72.00	1.30					
			MSÚ σ_x MZ - kolej 1	0.07	S		1.00	72.00	1.30					
			MSÚ σ_x N - kolej 2	0.39	S		1.00	72.00	1.30					
			MSÚ σ_x MY - kolej 2	0.14	S		1.00	72.00	1.30					
			MSÚ σ_x MZ - kolej 2	0.07	S		1.00	72.00	1.30					
3	NK - HL. NOSNÍK DIAGONÁLA D2	BOD K4 -SP	MSÚ σ_x N - kolej 1	0.22	S		1.00	72.00	1.30		P3-87	**0.98**		2)
			MSÚ σ_x MY - kolej 1	0.04	S		1.00	72.00	1.30					
			MSÚ σ_x MZ - kolej 1	0.04	S		1.00	72.00	1.30					
			MSÚ σ_x N - kolej 2	0.51	S		1.00	72.00	1.30					
			MSÚ σ_x MY - kolej 2	0.10	S		1.00	72.00	1.30					
			MSÚ σ_x MZ - kolej 2	0.09	S		1.00	72.00	1.30					
4	NK - HL. NOSNÍK DIAGONÁLA D7 D7.2	BOD K3 -SL	MSÚ σ_x N - kolej 1	0.24	S		1.00	72.00	1.30		P3-123	**1.26**		1)
			MSÚ σ_x MY - kolej 1	0.18	S		1.00	72.00	1.30					
			MSÚ σ_x MZ - kolej 1	0.01	S		1.00	72.00	1.30					
			MSÚ σ_x N - kolej 2	0.57	S		1.00	72.00	1.30					
			MSÚ σ_x MY - kolej 2	-0.01	S		1.00	72.00	1.30					
			MSÚ σ_x MZ - kolej 2	0.02	S		1.00	72.00	1.30					

5	NK - HL. NOSNÍK SVISLICE V7 V7.2	BOD K2 -HP	MSÚ σ_x N - kolej 1	0.09	S		1.00	72.00	1.30		P3-243	**0.96**		2)
			MSÚ σ_x MY - kolej 1	0.45	S		1.00	72.00	1.30					
			MSÚ σ_x MZ - kolej 1	0.01	S		1.00	72.00	1.30					
			MSÚ σ_x N - kolej 2	0.23	S		1.00	72.00	1.30					
			MSÚ σ_x MY - kolej 2	0.22	S		1.00	72.00	1.30					
			MSÚ σ_x MZ - kolej 2	0.01	S		1.00	72.00	1.30					
6	NK - HL. NOSNÍK SVISLICE V8 V8.2	BOD K2 -HP	MSÚ σ_x N - kolej 1	0.08	S		1.00	72.00	1.30		P3-255	**0.77**		3)
			MSÚ σ_x MY - kolej 1	0.46	S		1.00	72.00	1.30					
			MSÚ σ_x MZ - kolej 1	0.00	S		1.00	72.00	1.30					
			MSÚ σ_x N - kolej 2	0.23	S		1.00	72.00	1.30					
			MSÚ σ_x MY - kolej 2	0.23	S		1.00	72.00	1.30					
			MSÚ σ_x MZ - kolej 2	0.00	S		1.00	72.00	1.30					
7	NK - MOSTOVKA PODÉLNÍK L2.E - KRAJ L2.1	BOD K1 -HL	MSÚ σ_x N - kolej 1	0.19	S		1.61	7.00	1.30		P3-285	**0.86**		2)
			MSÚ σ_x MY - kolej 1	0.08	S		1.61	7.00	1.30					
			MSÚ σ_x MZ - kolej 1	0.11	S		1.61	7.00	1.30					
			MSÚ σ_x N - kolej 2	0.24	S		1.61	7.00	1.30					
			MSÚ σ_x MY - kolej 2	0.22	S		1.61	7.00	1.30					
			MSÚ σ_x MZ - kolej 2	0.17	S		1.61	7.00	1.30					
8	NK - MOSTOVKA PODÉLNÍK L2.E - STŘED L2.2	BOD K4 -SP	MSÚ σ_x N - kolej 1	0.07	S		1.61	7.00	1.30		P3-292	**0.74**		3)
			MSÚ σ_x MY - kolej 1	0.08	S		1.61	7.00	1.30					
			MSÚ σ_x MZ - kolej 1	0.05	S		1.61	7.00	1.30					
			MSÚ σ_x N - kolej 2	0.08	S		1.61	7.00	1.30					
			MSÚ σ_x MY - kolej 2	0.64	S		1.61	7.00	1.30					
			MSÚ σ_x MZ - kolej 2	0.08	S		1.61	7.00	1.30					
9	NK - MOSTOVKA PODÉLNÍK L4.E - STŘED L4.2	BOD K4 -SP	MSÚ σ_x N - kolej 1	0.05	S		1.56	7.80	1.30		P3-334	**0.72**		2)
			MSÚ σ_x MY - kolej 1	0.03	S		1.56	7.80	1.30					
			MSÚ σ_x MZ - kolej 1	0.01	S		1.56	7.80	1.30					
			MSÚ σ_x N - kolej 2	0.08	S		1.56	7.80	1.30					
			MSÚ σ_x MY - kolej 2	0.82	S		1.56	7.80	1.30					
			MSÚ σ_x MZ - kolej 2	0.01	S		1.56	7.80	1.30					
10	NK - MOSTOVKA PŘÍČNÍK P0 - VNĚJŠÍ PODÉLNÍK P0.1	BOD K3 -SL	MSÚ σ_x N - kolej 1	-0.01	S		2.00	3.60	1.30		P3-340	**0.69**		3)
			MSÚ σ_x MY - kolej 1	0.26	S		2.00	3.60	1.30					
			MSÚ σ_x MZ - kolej 1	0.23	S		1.00	72.00	1.30					
			MSÚ σ_x N - kolej 2	-0.03	S		2.00	3.60	1.30					
			MSÚ σ_x MY - kolej 2	0.57	S		2.00	3.60	1.30					
			MSÚ σ_x MZ - kolej 2	-0.02	S		1.00	72.00	1.30					
11	NK - MOSTOVKA PŘÍČNÍK P1 - VNĚJŠÍ PODÉLNÍK P1.1	BOD K2 -HP	MSÚ σ_x N - kolej 1	0.00	S		1.27	17.60	1.30		P3-359	**0.91**		2)
			MSÚ σ_x MY - kolej 1	0.19	S		1.27	17.60	1.30					
			MSÚ σ_x MZ - kolej 1	0.01	S		1.00	72.00	1.30					
			MSÚ σ_x N - kolej 2	0.00	S		1.27	17.60	1.30					
			MSÚ σ_x MY - kolej 2	0.80	S		1.27	17.60	1.30					
			MSÚ σ_x MZ - kolej 2	0.00	S		1.00	72.00	1.30					
12	NK - MOSTOVKA PŘÍČNÍK P2 - VNĚJŠÍ PODÉLNÍK P2.1	BOD K2 -HP	MSÚ σ_x N - kolej 1	0.02	S		1.27	17.60	1.30		P3-374	**0.72**		3)
			MSÚ σ_x MY - kolej 1	0.15	S		1.27	17.60	1.30					
			MSÚ σ_x MZ - kolej 1	0.19	S		1.00	72.00	1.30					
			MSÚ σ_x N - kolej 2	0.01	S		1.27	17.60	1.30					
			MSÚ σ_x MY - kolej 2	0.57	S		1.27	17.60	1.30					
			MSÚ σ_x MZ - kolej 2	0.05	S		1.00	72.00	1.30					

13	NK - MOSTOVKA PŘÍČNÍK P3 - ZÁKLADNÍ ČÁST P3.1	BOD K3 -SL	MSÚ σ_x N - kolej 1	0.01	S		1.27	17.60	1.30		P3-394	**0.62**		4)
			MSÚ σ_x MY - kolej 1	0.16	S		1.27	17.60	1.30					
			MSÚ σ_x MZ - kolej 1	0.15	S		1.00	72.00	1.30					
			MSÚ σ_x N - kolej 2	0.00	S		1.27	17.60	1.30					
			MSÚ σ_x MY - kolej 2	0.63	S		1.27	17.60	1.30					
			MSÚ σ_x MZ - kolej 2	0.05	S		1.00	72.00	1.30					
14	NK - MOSTOVKA PŘÍČNÍK P4 - ZÁKLADNÍ ČÁST P4.1	BOD K2 -HP	MSÚ σ_x N - kolej 1	0.03	S		1.27	17.60	1.30		P3-413	**0.61**		3)
			MSÚ σ_x MY - kolej 1	0.14	S		1.27	17.60	1.30					
			MSÚ σ_x MZ - kolej 1	0.04	S		1.00	72.00	1.30					
			MSÚ σ_x N - kolej 2	0.04	S		1.27	17.60	1.30					
			MSÚ σ_x MY - kolej 2	0.60	S		1.27	17.60	1.30					
			MSÚ σ_x MZ - kolej 2	0.15	S		1.00	72.00	1.30					
15	NK - MOSTOVKA PŘÍČNÍK P5 - ZÁKLADNÍ ČÁST P5.1	BOD K3 -SL	MSÚ σ_x N - kolej 1	0.00	S		1.27	17.60	1.30		P3-434	**0.64**		2)
			MSÚ σ_x MY - kolej 1	0.19	S		1.27	17.60	1.30					
			MSÚ σ_x MZ - kolej 1	0.03	S		1.00	72.00	1.30					
			MSÚ σ_x N - kolej 2	0.00	S		1.27	17.60	1.30					
			MSÚ σ_x MY - kolej 2	0.68	S		1.27	17.60	1.30					
			MSÚ σ_x MZ - kolej 2	0.10	S		1.00	72.00	1.30					
16	NK - MOSTOVKA PODĚLNÍK L2.E - KRAJ L2.1	BOD S5 -HL	MSÚ τ_x VZ - kolej 1	0.06	S		1.61	7.00	1.30		P3-287	**1.34**		1)
			MSÚ τ_x VZ - kolej 2	0.94	S		1.61	7.00	1.30					
17	NK - MOSTOVKA PŘÍČNÍK P0 - VNĚJŠÍ PODĚLNÍK P0.1	BOD S6 -HP	MSÚ τ_x VZ - kolej 1	0.27	S		2.00	3.60	1.30		P3-341	**0.92**		2)
			MSÚ τ_x VZ - kolej 2	0.73	S		2.00	3.60	1.30					
18	NK - MOSTOVKA PŘÍČNÍK P4 - ZÁKLADNÍ ČÁST P4.1	BOD S5 -HL	MSÚ τ_x VZ - kolej 1	0.29	S		1.27	17.60	1.30		P3-415	**1.04**		1)
			MSÚ τ_x VZ - kolej 2	0.71	S		1.27	17.60	1.30					

Minimální zatížitelnost části mostu: **nosná konstr. NK1 - NK3** Z_{LM71} = **0.61**

Poznámky:

1) Z_{LM71} > 1.00, tzn. C3-60km/h-30 let je přechodné

2) přechodné pro C3-60km/h-30 let

3) přechodné pro C3-60km/h-5 let

4) přechodné pro C3-40km/h-5 let

Zpracovatel přepočtu: **Ing. Martin Vlasák, SUDOP PRAHA a.s.**

Dne: **04.05.2018** , zatížitelnost určil: **Ing. Jaroslav Voříšek, SUDOP PRAHA a.s.**

Příloha P2

Příčinkové čáry

POŘADNICE PŘÍČINKOVÉ ČÁRY PRVKU NK

Prvek: TR_O1 Element: 34 Tabulka Z_{LM71} - poř. číslo: 1

Popis: HORNÍ PÁS O1 Part: 3/4

P. č.	Staničení	PŘÍČINKY OD KOLEJE Č. 1					PŘÍČINKY OD KOLEJE Č. 2				Poznámka
		Nx	Vz	My	Mz		Nx	Vz	My	Mz	
	[m]	[kN/kN]	[kN/kN]	[kNm/kN]	[kNm/kN]		[kN/kN]	[kN/kN]	[kNm/kN]	[kNm/kN]	
1	-0.500	-0.003222	0.000044	0.000010	-0.000389		0.008339	-0.000156	0.000134	0.000387	
2	0.000	-0.004288	0.000073	-0.000044	-0.000328		0.004278	-0.000072	0.000040	0.000330	STYČNÍK 0
3	0.355	-0.005048	0.000094	-0.000083	-0.000286		0.001398	-0.000012	-0.000027	0.000289	
4	0.905	-0.006269	0.000128	-0.000146	-0.000222		-0.003035	0.000079	-0.000129	0.000229	
5	1.455	-0.007536	0.000163	-0.000211	-0.000160		-0.007426	0.000167	-0.000231	0.000172	
6	2.005	-0.008801	0.000198	-0.000275	-0.000098		-0.011817	0.000256	-0.000332	0.000114	
7	2.555	-0.010065	0.000233	-0.000339	-0.000037		-0.016206	0.000345	-0.000434	0.000057	
8	3.105	-0.011358	0.000269	-0.000404	0.000022		-0.020568	0.000433	-0.000535	0.000003	
9	3.460	-0.012315	0.000295	-0.000446	0.000048		-0.023237	0.000490	-0.000600	-0.000023	STYČNÍK 1
10	3.810	-0.013268	0.000321	-0.000487	0.000073		-0.025857	0.000546	-0.000664	-0.000047	
11	4.360	-0.014971	0.000367	-0.000552	0.000091		-0.029748	0.000633	-0.000763	-0.000066	
12	4.910	-0.016651	0.000412	-0.000614	0.000110		-0.033650	0.000723	-0.000866	-0.000087	
13	5.460	-0.018351	0.000458	-0.000677	0.000127		-0.037535	0.000812	-0.000967	-0.000107	
14	6.010	-0.020095	0.000505	-0.000743	0.000142		-0.041385	0.000898	-0.001066	-0.000122	
15	6.560	-0.021868	0.000552	-0.000810	0.000155		-0.045214	0.000982	-0.001164	-0.000135	
16	7.110	-0.023651	0.000599	-0.000877	0.000167		-0.049035	0.001065	-0.001261	-0.000145	
17	7.460	-0.024755	0.000627	-0.000917	0.000177		-0.051502	0.001120	-0.001324	-0.000155	STYČNÍK 2
18	7.805	-0.025842	0.000655	-0.000957	0.000186		-0.053935	0.001174	-0.001387	-0.000164	
19	8.335	-0.027520	0.000695	-0.001017	0.000200		-0.057683	0.001257	-0.001485	-0.000177	
20	8.865	-0.029203	0.000737	-0.001078	0.000215		-0.061427	0.001339	-0.001582	-0.000190	
21	9.395	-0.030892	0.000778	-0.001139	0.000229		-0.065166	0.001421	-0.001680	-0.000203	
22	9.925	-0.032567	0.000819	-0.001199	0.000243		-0.068917	0.001504	-0.001777	-0.000216	
23	10.455	-0.034232	0.000859	-0.001258	0.000258		-0.072677	0.001588	-0.001876	-0.000230	
24	10.985	-0.035902	0.000899	-0.001317	0.000273		-0.076431	0.001671	-0.001974	-0.000244	
25	11.515	-0.037589	0.000940	-0.001377	0.000286		-0.080172	0.001754	-0.002072	-0.000256	
26	11.860	-0.038700	0.000968	-0.001417	0.000292		-0.082588	0.001807	-0.002134	-0.000262	STYČNÍK 3
27	12.230	-0.039892	0.000997	-0.001459	0.000298		-0.085179	0.001864	-0.002201	-0.000267	
28	12.810	-0.041760	0.001043	-0.001524	0.000304		-0.089237	0.001955	-0.002308	-0.000272	
29	13.390	-0.043611	0.001089	-0.001587	0.000311		-0.093310	0.002046	-0.002415	-0.000278	
30	13.970	-0.045456	0.001134	-0.001650	0.000318		-0.097388	0.002138	-0.002523	-0.000285	
31	14.550	-0.047309	0.001179	-0.001714	0.000325		-0.101458	0.002229	-0.002630	-0.000290	
32	15.130	-0.049172	0.001225	-0.001778	0.000330		-0.105521	0.002320	-0.002736	-0.000295	
33	15.710	-0.051029	0.001270	-0.001842	0.000336		-0.109588	0.002411	-0.002843	-0.000301	
34	16.290	-0.052867	0.001315	-0.001904	0.000343		-0.113672	0.002503	-0.002951	-0.000307	
35	16.660	-0.054035	0.001343	-0.001944	0.000348		-0.116281	0.002562	-0.003020	-0.000312	STYČNÍK 4
36	17.030	-0.055202	0.001371	-0.001983	0.000352		-0.118890	0.002622	-0.003089	-0.000316	
37	17.610	-0.057029	0.001415	-0.002044	0.000357		-0.122988	0.002715	-0.003199	-0.000323	
38	18.190	-0.058873	0.001460	-0.002107	0.000361		-0.127069	0.002807	-0.003307	-0.000328	
39	18.770	-0.060719	0.001504	-0.002169	0.000365		-0.131148	0.002899	-0.003415	-0.000333	
40	19.350	-0.062548	0.001548	-0.002231	0.000370		-0.135242	0.002992	-0.003524	-0.000339	
41	19.930	-0.064361	0.001591	-0.002291	0.000376		-0.139349	0.003086	-0.003634	-0.000347	
42	20.510	-0.066175	0.001635	-0.002352	0.000382		-0.143453	0.003180	-0.003743	-0.000355	
43	21.090	-0.068003	0.001679	-0.002413	0.000387		-0.147548	0.003273	-0.003852	-0.000362	
44	21.460	-0.069139	0.001706	-0.002452	0.000391		-0.150185	0.003333	-0.003921	-0.000366	STYČNÍK 5
45	21.830	-0.070271	0.001734	-0.002490	0.000395		-0.152826	0.003394	-0.003991	-0.000371	
46	22.410	-0.071955	0.001773	-0.002545	0.000406		-0.157054	0.003492	-0.004103	-0.000383	
47	22.990	-0.073617	0.001811	-0.002600	0.000420		-0.161301	0.003592	-0.004216	-0.000397	
48	23.570	-0.075271	0.001849	-0.002653	0.000433		-0.165556	0.003693	-0.004330	-0.000411	
49	24.150	-0.076941	0.001888	-0.002708	0.000446		-0.169797	0.003792	-0.004442	-0.000424	
50	24.730	-0.078628	0.001927	-0.002764	0.000456		-0.174023	0.003891	-0.004554	-0.000435	
51	25.310	-0.080310	0.001966	-0.002820	0.000467		-0.178252	0.003989	-0.004666	-0.000446	
52	25.890	-0.081969	0.002004	-0.002873	0.000480		-0.182504	0.004089	-0.004780	-0.000459	
53	26.260	-0.083068	0.002029	-0.002909	0.000483		-0.185177	0.004151	-0.004851	-0.000462	STYČNÍK 6
54	26.630	-0.084170	0.002054	-0.002944	0.000485		-0.187848	0.004213	-0.004923	-0.000463	
55	27.210	-0.085962	0.002095	-0.003002	0.000482		-0.191984	0.004305	-0.005035	-0.000457	
56	27.790	-0.087787	0.002138	-0.003061	0.000476		-0.196089	0.004396	-0.005146	-0.000447	
57	28.370	-0.089621	0.002181	-0.003121	0.000468		-0.200185	0.004487	-0.005256	-0.000436	
58	28.950	-0.091436	0.002223	-0.003179	0.000462		-0.204295	0.004578	-0.005367	-0.000427	
59	29.530	-0.093234	0.002265	-0.003236	0.000457		-0.208419	0.004672	-0.005479	-0.000420	
60	30.110	-0.095042	0.002307	-0.003293	0.000451		-0.212532	0.004765	-0.005591	-0.000412	
61	30.690	-0.096888	0.002351	-0.003353	0.000442		-0.216614	0.004855	-0.005700	-0.000400	
62	31.060	-0.098054	0.002380	-0.003391	0.000434		-0.219215	0.004917	-0.005770	-0.000391	STYČNÍK 7
63	31.430	-0.099217	0.002409	-0.003428	0.000425		-0.221819	0.004978	-0.005840	-0.000382	
64	32.010	-0.101009	0.002455	-0.003483	0.000413		-0.225929	0.005080	-0.005953	-0.000370	
65	32.590	-0.102747	0.002499	-0.003535	0.000403		-0.230080	0.005185	-0.006069	-0.000362	
66	33.170	-0.104457	0.002542	-0.003584	0.000395		-0.234250	0.005293	-0.006185	-0.000357	
67	33.750	-0.106174	0.002585	-0.003635	0.000383		-0.238408	0.005401	-0.006300	-0.000349	
68	34.330	-0.107888	0.002628	-0.003685	0.000370		-0.242559	0.005511	-0.006415	-0.000341	
69	34.910	-0.109606	0.002671	-0.003735	0.000354		-0.246702	0.005620	-0.006529	-0.000330	
70	35.490	-0.111338	0.002714	-0.003787	0.000336		-0.250839	0.005727	-0.006641	-0.000318	
71	35.860	-0.112434	0.002741	-0.003820	0.000320		-0.253491	0.005792	-0.006710	-0.000307	STYČNÍK 8
72	36.230	-0.113529	0.002767	-0.003853	0.000304		-0.256144	0.005856	-0.006779	-0.000295	
73	36.810	-0.115267	0.002805	-0.003905	0.000275		-0.260334	0.005945	-0.006885	-0.000272	
74	37.390	-0.116993	0.002844	-0.003957	0.000246		-0.264529	0.006035	-0.006992	-0.000249	
75	37.970	-0.118713	0.002881	-0.004008	0.000219		-0.268733	0.006123	-0.007099	-0.000227	
76	38.550	-0.120432	0.002918	-0.004058	0.000195		-0.272953	0.006210	-0.007209	-0.000207	
77	39.130	-0.122140	0.002953	-0.004107	0.000174		-0.277193	0.006295	-0.007321	-0.000189	
78	39.710	-0.123871	0.002989	-0.004157	0.000152		-0.281419	0.006377	-0.007434	-0.000168	
79	40.290	-0.125653	0.003026	-0.004210	0.000128		-0.285615	0.006452	-0.007545	-0.000141	

POŘADNICE PŘÍČINKOVÉ ČÁRY PRVKU NK

Prvek: TR_O1 Element: 34 Tabulka Z_{LM71} - poř. číslo: 1
Popis: HORNÍ PÁS O1 Part: 3/4

P. č.	Staničení	PŘÍČINKY OD KOLEJE Č. 1					PŘÍČINKY OD KOLEJE Č. 2				Poznámka
		Nx	Vz	My	Mz		Nx	Vz	My	Mz	
	[m]	[kN/kN]	[kN/kN]	[kNm/kN]	[kNm/kN]		[kN/kN]	[kN/kN]	[kNm/kN]	[kNm/kN]	
80	40.660	-0.126784	0.003050	-0.004245	0.000106		-0.288256	0.006492	-0.007616	-0.000118	STYČNÍK 9
81	41.030	-0.127915	0.003073	-0.004280	0.000084		-0.290896	0.006531	-0.007687	-0.000094	
82	41.610	-0.129664	0.003107	-0.004334	0.000051		-0.295036	0.006572	-0.007805	-0.000052	
83	42.190	-0.131371	0.003140	-0.004386	0.000020		-0.299196	0.006618	-0.007924	-0.000013	
84	42.770	-0.133064	0.003175	-0.004437	-0.000010		-0.303358	0.006669	-0.008044	0.000024	
85	43.350	-0.134772	0.003211	-0.004489	-0.000043		-0.307497	0.006725	-0.008164	0.000065	
86	43.930	-0.136496	0.003250	-0.004543	-0.000079		-0.311610	0.006788	-0.008282	0.000110	
87	44.510	-0.138206	0.003292	-0.004597	-0.000115		-0.315717	0.006861	-0.008400	0.000154	
88	45.090	-0.139876	0.003338	-0.004648	-0.000147		-0.319827	0.006954	-0.008522	0.000194	
89	45.460	-0.140869	0.003393	-0.004680	-0.000173		-0.322359	0.007122	-0.008601	0.000223	STYČNÍK 10
90	45.830	-0.141855	0.003451	-0.004712	-0.000200		-0.324883	0.007300	-0.008679	0.000253	
91	46.410	-0.143278	0.003593	-0.004762	-0.000245		-0.328659	0.007783	-0.008810	0.000305	
92	46.990	-0.144730	0.003733	-0.004814	-0.000297		-0.332435	0.008258	-0.008938	0.000362	
93	47.570	-0.146192	0.003872	-0.004865	-0.000350		-0.336232	0.008725	-0.009064	0.000420	
94	48.150	-0.147643	0.004005	-0.004914	-0.000400		-0.340082	0.009176	-0.009190	0.000474	
95	48.730	-0.149089	0.004132	-0.004961	-0.000449		-0.344000	0.009604	-0.009314	0.000525	
96	49.310	-0.150560	0.004249	-0.005007	-0.000499		-0.347983	0.009997	-0.009435	0.000577	
97	49.890	-0.152093	0.004350	-0.005054	-0.000553		-0.352097	0.010332	-0.009551	0.000634	
98	50.260	-0.153314	0.004297	-0.005075	-0.000601		-0.355498	0.010138	-0.009596	0.000677	STYČNÍK 11
99	50.630	-0.154557	0.004232	-0.005096	-0.000649		-0.358973	0.009909	-0.009638	0.000720	
100	51.210	-0.156931	0.003919	-0.005111	-0.000733		-0.365965	0.008832	-0.009657	0.000790	
101	51.790	-0.159275	0.003605	-0.005124	-0.000816		-0.372932	0.007754	-0.009678	0.000857	
102	52.370	-0.161601	0.003293	-0.005137	-0.000897		-0.379873	0.006679	-0.009702	0.000922	
103	52.950	-0.163912	0.002992	-0.005152	-0.000982		-0.386718	0.005626	-0.009730	0.000991	
104	53.530	-0.166190	0.002709	-0.005171	-0.001070		-0.393411	0.004615	-0.009763	0.001063	
105	54.110	-0.168403	0.002449	-0.005193	-0.001157		-0.399910	0.003673	-0.009805	0.001133	
106	54.690	-0.170506	0.002225	-0.005218	-0.001237		-0.406110	0.002846	-0.009868	0.001203	
107	55.060	-0.171072	0.002374	-0.005263	-0.001296		-0.407441	0.003278	-0.010017	0.001251	STYČNÍK 12
108	55.430	-0.171570	0.002548	-0.005312	-0.001355		-0.408546	0.003794	-0.010176	0.001299	
109	56.010	-0.171083	0.003317	-0.005446	-0.001443		-0.405892	0.006225	-0.010638	0.001396	
110	56.590	-0.170594	0.004096	-0.005581	-0.001545		-0.403165	0.008695	-0.011095	0.001493	
111	57.170	-0.170110	0.004883	-0.005714	-0.001653		-0.400463	0.011187	-0.011548	0.001582	
112	57.750	-0.169647	0.005670	-0.005842	-0.001766		-0.397948	0.013659	-0.011989	0.001653	
113	58.330	-0.169245	0.006445	-0.005963	-0.001884		-0.395761	0.016069	-0.012413	0.001705	
114	58.910	-0.168965	0.007192	-0.006077	-0.002017		-0.394019	0.018385	-0.012811	0.001741	
115	59.490	-0.168949	0.007904	-0.006183	-0.002171		-0.393073	0.020588	-0.013182	0.001766	
116	59.860	-0.170658	0.007857	-0.006136	-0.002415		-0.398509	0.020443	-0.013082	0.001586	STYČNÍK 13
117	60.205	-0.172394	0.007775	-0.006083	-0.002653		-0.404078	0.020188	-0.012963	0.001402	
118	60.735	-0.178104	0.006914	-0.005831	-0.003232		-0.422981	0.017513	-0.012294	0.000810	
119	61.265	-0.183800	0.006008	-0.005566	-0.003829		-0.441997	0.014709	-0.011597	0.000170	
120	61.795	-0.189473	0.005083	-0.005295	-0.004451		-0.461089	0.011838	-0.010884	-0.000520	
121	62.325	-0.195020	0.004157	-0.005023	-0.005111		-0.479999	0.008938	-0.010160	-0.001255	
122	62.855	-0.200355	0.003245	-0.004753	-0.005811		-0.498458	0.006057	-0.009435	-0.002045	
123	63.385	-0.205406	0.002357	-0.004486	-0.006549		-0.516186	0.003245	-0.008720	-0.002908	
124	63.915	-0.210228	0.001510	-0.004226	-0.007404		-0.533241	0.000572	-0.008036	-0.003979	
125	64.260	-0.209098	0.001454	-0.004142	-0.008289		-0.531799	0.000440	-0.007881	-0.005246	STYČNÍK 14
126	64.610	-0.207615	0.001438	-0.004063	-0.009221		-0.529351	0.000436	-0.007747	-0.006590	
127	65.160	-0.199186	0.002233	-0.004097	-0.011608		-0.507256	0.003072	-0.008029	-0.010175	
128	65.710	-0.190096	0.003057	-0.004131	-0.013892		-0.483345	0.005803	-0.008315	-0.013599	
129	66.260	-0.180436	0.003899	-0.004159	-0.016081		-0.458076	0.008579	-0.008600	-0.016928	
130	66.810	-0.170191	0.004741	-0.004174	-0.018113		-0.431569	0.011336	-0.008870	-0.020099	
131	67.360	-0.159484	0.005569	-0.004179	-0.019947		-0.403812	0.014037	-0.009114	-0.023063	
132	67.910	-0.148308	0.006380	-0.004181	-0.021538		-0.374226	0.016681	-0.009316	-0.025753	
133	68.260	-0.138378	0.006345	-0.003999	-0.020163		-0.348075	0.016715	-0.008955	-0.023884	STYČNÍK 15
134	68.615	-0.128046	0.006266	-0.003799	-0.018570		-0.320860	0.016618	-0.008550	-0.021689	
135	69.165	-0.106754	0.005326	-0.003208	-0.012337		-0.264649	0.014031	-0.007148	-0.012554	
136	69.715	-0.085226	0.004319	-0.002592	-0.005897		-0.208218	0.011251	-0.005705	-0.003016	
137	70.265	-0.063500	0.003275	-0.001965	0.000797		-0.151034	0.008332	-0.004211	0.006735	
138	70.815	-0.041648	0.002207	-0.001332	0.007686		-0.093289	0.005312	-0.002681	0.016624	
139	71.365	-0.019321	0.001087	-0.000672	0.014604		-0.035126	0.002216	-0.001158	0.026974	
140	71.720	-0.005024	0.000379	-0.000244	0.018775		0.001286	0.000341	-0.000259	0.033596	STYČNÍK 16
141	72.220	0.015155	-0.000622	0.000361	0.024647		0.052602	-0.002304	0.001004	0.042963	

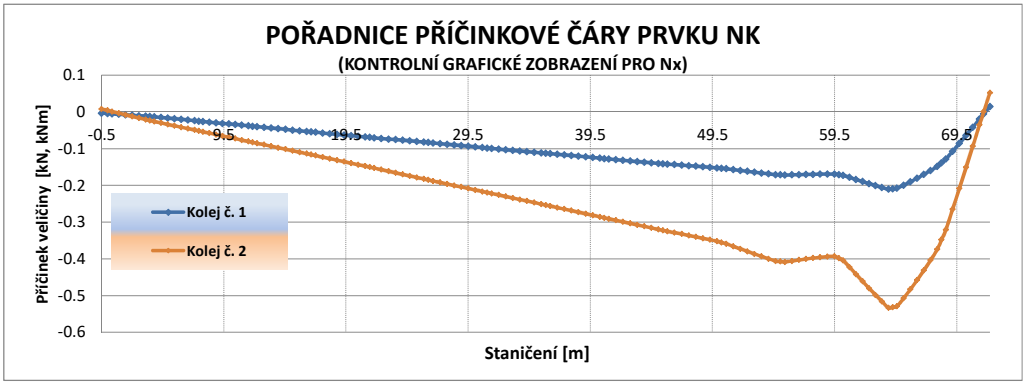

POŘADNICE PŘÍČINKOVÉ ČÁRY PRVKU NK

Prvek: TR_U3 Element: 112 Tabulka Z_{LM71} - poř. číslo: 2
Popis: DOLNÍ PÁS U3 Part: J[115]

P. č.	Staničení	PŘÍČINKY OD KOLEJE Č. 1					PŘÍČINKY OD KOLEJE Č. 2				Poznámka
		Nx	Vz	My	Mz		Nx	Vz	My	Mz	
	[m]	[kN/kN]	[kN/kN]	[kNm/kN]	[kNm/kN]		[kN/kN]	[kN/kN]	[kNm/kN]	[kNm/kN]	
1	-0.500	-0.003040	0.000008	-0.000107	0.000010		0.000607	-0.000044	0.000048	-0.000014	
2	0.000	-0.001601	0.000015	-0.000066	0.000012		0.001559	-0.000018	0.000063	-0.000012	STYČNÍK 0
3	0.355	-0.000578	0.000020	-0.000037	0.000014		0.002224	0.000001	0.000073	-0.000011	
4	0.905	0.000910	0.000025	0.000004	0.000017		0.002907	0.000021	0.000077	-0.000010	
5	1.455	0.002416	0.000032	0.000045	0.000020		0.003448	0.000036	0.000077	-0.000009	
6	2.005	0.003935	0.000039	0.000086	0.000023		0.004046	0.000053	0.000079	-0.000008	
7	2.555	0.005477	0.000046	0.000128	0.000026		0.004712	0.000072	0.000083	-0.000008	
8	3.105	0.007007	0.000053	0.000169	0.000029		0.005303	0.000088	0.000085	-0.000007	
9	3.460	0.008222	0.000065	0.000204	0.000032		0.006125	0.000106	0.000102	-0.000007	STYČNÍK 1
10	3.810	0.009433	0.000077	0.000238	0.000034		0.006967	0.000123	0.000120	-0.000006	
11	4.360	0.011450	0.000101	0.000297	0.000039		0.008769	0.000156	0.000165	-0.000006	
12	4.910	0.013552	0.000128	0.000360	0.000043		0.010802	0.000194	0.000217	-0.000006	
13	5.460	0.015620	0.000153	0.000422	0.000047		0.012801	0.000231	0.000269	-0.000005	
14	6.010	0.017580	0.000177	0.000479	0.000052		0.014607	0.000264	0.000314	-0.000005	
15	6.560	0.019458	0.000199	0.000532	0.000056		0.016298	0.000295	0.000356	-0.000005	
16	7.110	0.021240	0.000220	0.000582	0.000061		0.017969	0.000325	0.000397	-0.000005	
17	7.460	0.022333	0.000232	0.000613	0.000063		0.019100	0.000347	0.000425	-0.000004	STYČNÍK 2
18	7.805	0.023398	0.000244	0.000644	0.000066		0.020209	0.000368	0.000452	-0.000004	
19	8.335	0.024796	0.000258	0.000682	0.000069		0.021779	0.000398	0.000488	-0.000003	
20	8.865	0.026225	0.000272	0.000722	0.000073		0.023312	0.000427	0.000524	-0.000003	
21	9.395	0.027649	0.000287	0.000761	0.000077		0.024823	0.000456	0.000559	-0.000002	
22	9.925	0.029071	0.000301	0.000801	0.000081		0.026399	0.000486	0.000595	-0.000002	
23	10.455	0.030495	0.000315	0.000841	0.000084		0.028044	0.000517	0.000634	-0.000001	
24	10.985	0.031928	0.000330	0.000881	0.000088		0.029679	0.000548	0.000673	0.000000	
25	11.515	0.033357	0.000345	0.000920	0.000092		0.031250	0.000578	0.000710	0.000000	
26	11.860	0.034356	0.000356	0.000948	0.000095		0.032355	0.000599	0.000737	0.000000	STYČNÍK 3
27	12.230	0.035426	0.000368	0.000978	0.000098		0.033543	0.000621	0.000766	0.000001	
28	12.810	0.037110	0.000389	0.001026	0.000102		0.035535	0.000658	0.000816	0.000001	
29	13.390	0.038800	0.000409	0.001074	0.000106		0.037614	0.000697	0.000869	0.000001	
30	13.970	0.040485	0.000430	0.001123	0.000111		0.039721	0.000736	0.000922	0.000002	
31	14.550	0.042167	0.000450	0.001171	0.000115		0.041795	0.000774	0.000974	0.000003	
32	15.130	0.043848	0.000471	0.001218	0.000119		0.043834	0.000812	0.001026	0.000003	
33	15.710	0.045527	0.000491	0.001266	0.000124		0.045903	0.000850	0.001078	0.000003	
34	16.290	0.047191	0.000511	0.001314	0.000128		0.048040	0.000890	0.001132	0.000004	
35	16.660	0.048249	0.000524	0.001344	0.000131		0.049455	0.000917	0.001169	0.000005	STYČNÍK 4
36	17.030	0.049297	0.000537	0.001375	0.000133		0.050867	0.000944	0.001205	0.000005	
37	17.610	0.050848	0.000556	0.001419	0.000137		0.053034	0.000984	0.001260	0.000006	
38	18.190	0.052412	0.000574	0.001463	0.000142		0.055144	0.001024	0.001314	0.000007	
39	18.770	0.053979	0.000593	0.001507	0.000146		0.057248	0.001063	0.001367	0.000007	
40	19.350	0.055559	0.000612	0.001553	0.000150		0.059434	0.001104	0.001423	0.000008	
41	19.930	0.057155	0.000631	0.001599	0.000154		0.061704	0.001148	0.001482	0.000009	
42	20.510	0.058767	0.000651	0.001646	0.000158		0.063978	0.001191	0.001541	0.000011	
43	21.090	0.060380	0.000671	0.001692	0.000162		0.066175	0.001233	0.001598	0.000011	
44	21.460	0.061488	0.000684	0.001725	0.000165		0.067666	0.001263	0.001638	0.000012	STYČNÍK 5
45	21.830	0.062594	0.000698	0.001758	0.000168		0.069157	0.001293	0.001678	0.000012	
46	22.410	0.064363	0.000720	0.001813	0.000172		0.071590	0.001344	0.001744	0.000013	
47	22.990	0.066138	0.000741	0.001869	0.000177		0.074118	0.001397	0.001813	0.000014	
48	23.570	0.067907	0.000763	0.001925	0.000181		0.076668	0.001451	0.001882	0.000016	
49	24.150	0.069667	0.000784	0.001980	0.000185		0.079166	0.001503	0.001950	0.000017	
50	24.730	0.071418	0.000805	0.002034	0.000189		0.081614	0.001555	0.002016	0.000017	
51	25.310	0.073165	0.000826	0.002088	0.000194		0.084090	0.001606	0.002083	0.000018	
52	25.890	0.074892	0.000847	0.002142	0.000198		0.086619	0.001659	0.002151	0.000019	
53	26.260	0.075906	0.000859	0.002172	0.000200		0.088256	0.001690	0.002192	0.000020	STYČNÍK 6
54	26.630	0.076902	0.000872	0.002202	0.000203		0.089880	0.001720	0.002233	0.000021	
55	27.210	0.078233	0.000887	0.002237	0.000207		0.092186	0.001757	0.002282	0.000021	
56	27.790	0.079562	0.000903	0.002272	0.000211		0.094427	0.001792	0.002331	0.000021	
57	28.370	0.080888	0.000918	0.002307	0.000215		0.096652	0.001828	0.002379	0.000022	
58	28.950	0.082234	0.000935	0.002343	0.000219		0.098978	0.001865	0.002431	0.000022	
59	29.530	0.083604	0.000952	0.002380	0.000223		0.101408	0.001906	0.002488	0.000023	
60	30.110	0.084986	0.000970	0.002419	0.000227		0.103830	0.001947	0.002545	0.000023	
61	30.690	0.086347	0.000988	0.002456	0.000232		0.106034	0.001985	0.002598	0.000024	
62	31.060	0.087337	0.001005	0.002489	0.000234		0.107636	0.002022	0.002654	0.000024	STYČNÍK 7
63	31.430	0.088326	0.001023	0.002522	0.000237		0.109238	0.002060	0.002711	0.000024	
64	32.010	0.089943	0.001058	0.002587	0.000241		0.111516	0.002130	0.002815	0.000024	
65	32.590	0.091615	0.001094	0.002655	0.000244		0.114180	0.002208	0.002934	0.000025	
66	33.170	0.093312	0.001130	0.002725	0.000248		0.117102	0.002292	0.003061	0.000026	
67	33.750	0.095022	0.001167	0.002794	0.000251		0.120249	0.002380	0.003198	0.000027	
68	34.330	0.096752	0.001204	0.002863	0.000256		0.123711	0.002474	0.003345	0.000029	
69	34.910	0.098505	0.001240	0.002931	0.000261		0.127318	0.002571	0.003498	0.000030	
70	35.490	0.100253	0.001276	0.002999	0.000265		0.130797	0.002665	0.003648	0.000031	
71	35.860	0.101494	0.001296	0.003038	0.000270		0.133529	0.002724	0.003747	0.000032	STYČNÍK 8
72	36.230	0.102734	0.001315	0.003077	0.000275		0.136258	0.002781	0.003845	0.000034	
73	36.810	0.104730	0.001336	0.003126	0.000283		0.140153	0.002844	0.003970	0.000039	
74	37.390	0.106786	0.001358	0.003176	0.000293		0.144290	0.002909	0.004097	0.000043	
75	37.970	0.108834	0.001378	0.003224	0.000302		0.148336	0.002968	0.004215	0.000048	
76	38.550	0.110805	0.001396	0.003267	0.000311		0.152004	0.003014	0.004309	0.000054	
77	39.130	0.112724	0.001411	0.003307	0.000320		0.155421	0.003048	0.004383	0.000060	
78	39.710	0.114563	0.001423	0.003341	0.000329		0.158543	0.003070	0.004434	0.000066	
79	40.290	0.116286	0.001429	0.003363	0.000339		0.161201	0.003065	0.004442	0.000071	

POŘADNICE PŘÍČINKOVÉ ČÁRY PRVKU NK

Prvek: TR_U3 Element: 112 Tabulka Z_{LM71} - poř. číslo: 2
Popis: DOLNÍ PÁS U3 Part: J[115]

P. č.	Staničení	PŘÍČINKY OD KOLEJE Č. 1					PŘÍČINKY OD KOLEJE Č. 2				Poznámka
		Nx	Vz	My	Mz		Nx	Vz	My	Mz	
	[m]	[kN/kN]	[kN/kN]	[kNm/kN]	[kNm/kN]		[kN/kN]	[kN/kN]	[kNm/kN]	[kNm/kN]	
80	40.660	0.117372	0.001423	0.003352	0.000347		0.163260	0.003013	0.004345	0.000077	STYČNÍK 9
81	41.030	0.118441	0.001414	0.003338	0.000355		0.165292	0.002954	0.004236	0.000082	
82	41.610	0.120026	0.001373	0.003257	0.000371		0.168256	0.002729	0.003811	0.000093	
83	42.190	0.121672	0.001336	0.003186	0.000386		0.171486	0.002522	0.003414	0.000106	
84	42.770	0.123308	0.001305	0.003123	0.000401		0.174753	0.002329	0.003038	0.000119	
85	43.350	0.124867	0.001278	0.003067	0.000417		0.177994	0.002157	0.002696	0.000131	
86	43.930	0.126350	0.001260	0.003024	0.000435		0.181209	0.002013	0.002403	0.000142	
87	44.510	0.127829	0.001253	0.003000	0.000454		0.184463	0.001908	0.002172	0.000153	
88	45.090	0.129367	0.001269	0.003015	0.000472		0.187697	0.001874	0.002057	0.000166	
89	45.460	0.130187	0.001398	0.003225	0.000480		0.189711	0.002288	0.002720	0.000184	STYČNÍK 10
90	45.830	0.130980	0.001538	0.003453	0.000488		0.191669	0.002741	0.003447	0.000202	
91	46.410	0.131946	0.001979	0.004183	0.000498		0.193994	0.004244	0.005917	0.000246	
92	46.990	0.132795	0.002413	0.004899	0.000506		0.196329	0.005734	0.008372	0.000288	
93	47.570	0.133613	0.002842	0.005606	0.000514		0.198674	0.007204	0.010800	0.000327	
94	48.150	0.134505	0.003262	0.006299	0.000521		0.201165	0.008622	0.013148	0.000360	
95	48.730	0.135466	0.003665	0.006963	0.000528		0.203832	0.009960	0.015369	0.000385	
96	49.310	0.136377	0.004038	0.007575	0.000533		0.206602	0.011190	0.017421	0.000402	
97	49.890	0.137135	0.004355	0.008093	0.000530		0.209353	0.012230	0.019182	0.000404	
98	50.260	0.137287	0.004152	0.007731	0.000479		0.211707	0.011523	0.018132	0.000356	STYČNÍK 11
99	50.630	0.137401	0.003912	0.007308	0.000424		0.214057	0.010694	0.016888	0.000304	
100	51.210	0.137108	0.002825	0.005442	0.000230		0.218144	0.006995	0.011158	0.000110	
101	51.790	0.136929	0.001734	0.003563	0.000044		0.222284	0.003277	0.005379	-0.000066	
102	52.370	0.136745	0.000645	0.001685	-0.000130		0.226425	-0.000448	-0.000429	-0.000234	
103	52.950	0.136391	-0.000412	-0.000153	-0.000274		0.230633	-0.004115	-0.006173	-0.000395	
104	53.530	0.135888	-0.001416	-0.001917	-0.000382		0.234887	-0.007657	-0.011749	-0.000542	
105	54.110	0.135436	-0.002354	-0.003581	-0.000454		0.239085	-0.010999	-0.017050	-0.000658	
106	54.690	0.135188	-0.003186	-0.005095	-0.000474		0.242973	-0.014010	-0.021918	-0.000707	
107	55.060	0.135449	-0.002837	-0.004701	-0.000207		0.244552	-0.012995	-0.020793	-0.000263	STYČNÍK 12
108	55.430	0.135733	-0.002412	-0.004190	0.000085		0.245987	-0.011727	-0.019306	0.000224	
109	56.010	0.136693	-0.000268	-0.001171	0.001044		0.245976	-0.004836	-0.010072	0.001854	
110	56.590	0.137564	0.001912	0.001926	0.001988		0.246209	0.002204	-0.000554	0.003498	
111	57.170	0.138550	0.004120	0.005094	0.002941		0.246538	0.009333	0.009146	0.005130	
112	57.750	0.139929	0.006335	0.008311	0.003922		0.246947	0.016417	0.018859	0.006690	
113	58.330	0.141726	0.008520	0.011533	0.004916		0.247549	0.023346	0.028447	0.008154	
114	58.910	0.143717	0.010631	0.014695	0.005873		0.248594	0.030031	0.037808	0.009533	
115	59.490	0.145899	0.012646	0.017787	0.006761		0.250478	0.036447	0.046967	0.010834	
116	59.860	0.147635	0.012575	0.018203	0.006598		0.257277	0.036260	0.048166	0.010584	STYČNÍK 13
117	60.205	0.149285	0.012405	0.018473	0.006390		0.264020	0.035755	0.048933	0.010267	
118	60.735	0.152911	0.010177	0.016734	0.004996		0.283764	0.028764	0.043694	0.008158	
119	61.265	0.156284	0.007829	0.014812	0.003542		0.303553	0.021363	0.037930	0.005952	
120	61.795	0.159631	0.005417	0.012797	0.002062		0.323286	0.013742	0.031873	0.003684	
121	62.325	0.163214	0.002975	0.010747	0.000590		0.342606	0.006024	0.025600	0.001370	
122	62.855	0.166949	0.000538	0.008689	-0.000856		0.361271	-0.001679	0.019207	-0.000957	
123	63.385	0.170400	-0.001857	0.006627	-0.002278		0.379150	-0.009268	0.012811	-0.003252	
124	63.915	0.173450	-0.004180	0.004549	-0.003680		0.396785	-0.016658	0.006455	-0.005490	
125	64.260	0.171935	-0.004584	0.003867	-0.003979		0.396469	-0.017835	0.004587	-0.005974	STYČNÍK 14
126	64.610	0.170124	-0.004907	0.003225	-0.004234		0.395198	-0.018741	0.002864	-0.006389	
127	65.160	0.162912	-0.003716	0.003179	-0.003702		0.378056	-0.014486	0.003427	-0.005589	
128	65.710	0.155222	-0.002429	0.003228	-0.003092		0.358223	-0.009875	0.004234	-0.004694	
129	66.260	0.146641	-0.001062	0.003307	-0.002441		0.336037	-0.005074	0.005162	-0.003725	
130	66.810	0.136822	0.000368	0.003391	-0.001771		0.311140	-0.000208	0.006150	-0.002696	
131	67.360	0.126454	0.001819	0.003483	-0.001089		0.284867	0.004656	0.007176	-0.001637	
132	67.910	0.116540	0.003261	0.003618	-0.000383		0.258761	0.009562	0.008266	-0.000563	
133	68.260	0.108913	0.003536	0.003514	-0.000143		0.237893	0.010569	0.008145	-0.000225	STYČNÍK 15
134	68.615	0.101063	0.003765	0.003395	0.000085		0.216405	0.011430	0.007965	0.000094	
135	69.165	0.086457	0.003246	0.002976	0.000176		0.177429	0.009835	0.006672	0.000169	
136	69.715	0.071351	0.002649	0.002514	0.000230		0.137884	0.007938	0.005254	0.000196	
137	70.265	0.056190	0.002019	0.002038	0.000264		0.098227	0.005872	0.003789	0.000205	
138	70.815	0.041030	0.001365	0.001552	0.000284		0.058480	0.003684	0.002290	0.000203	
139	71.365	0.025110	0.000667	0.001045	0.000298		0.017865	0.001382	0.000739	0.000183	
140	71.720	0.014435	0.000226	0.000713	0.000317		-0.008958	-0.000006	-0.000261	0.000171	STYČNÍK 16
141	72.220	-0.000670	-0.000397	0.000244	0.000344		-0.046820	-0.001968	-0.001674	0.000153	

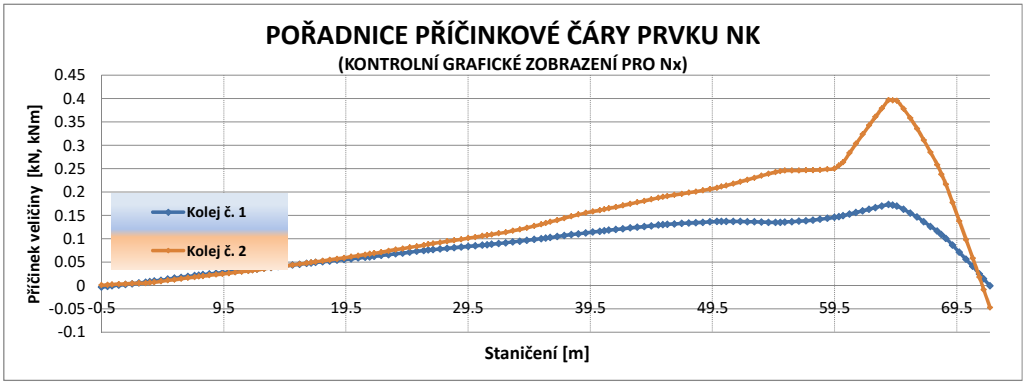

POŘADNICE PŘÍČINKOVÉ ČÁRY PRVKU NK

Prvek: TR_D2 Element: 259 Tabulka Z_{LM71} - poř. číslo: 3
Popis: DIAGONÁLA D2 Part: I[2714]

P. č.	Staničení	PŘÍČINKY OD KOLEJE Č. 1					PŘÍČINKY OD KOLEJE Č. 2				Poznámka
		Nx	Vz	My	Mz		Nx	Vz	My	Mz	
	[m]	[kN/kN]	[kN/kN]	[kNm/kN]	[kNm/kN]		[kN/kN]	[kN/kN]	[kNm/kN]	[kNm/kN]	
1	-0.500	0.002911	0.000155	0.000234	0.000008		-0.007271	-0.000149	-0.000210	-0.000048	
2	0.000	0.003777	0.000125	0.000170	0.000020		-0.003777	-0.000126	-0.000171	-0.000020	STYČNÍK 0
3	0.355	0.004395	0.000105	0.000125	0.000030		-0.001299	-0.000109	-0.000143	0.000000	
4	0.905	0.005387	0.000073	0.000056	0.000044		0.002519	-0.000085	-0.000104	0.000031	
5	1.455	0.006416	0.000043	-0.000012	0.000059		0.006302	-0.000062	-0.000066	0.000062	
6	2.005	0.007445	0.000012	-0.000079	0.000074		0.010084	-0.000038	-0.000029	0.000092	
7	2.555	0.008473	-0.000018	-0.000146	0.000089		0.013862	-0.000015	0.000009	0.000123	
8	3.105	0.009525	-0.000047	-0.000211	0.000104		0.017619	0.000007	0.000046	0.000154	
9	3.460	0.010311	-0.000061	-0.000246	0.000114		0.019907	0.000018	0.000066	0.000173	STYČNÍK 1
10	3.810	0.011094	-0.000074	-0.000279	0.000124		0.022153	0.000028	0.000085	0.000192	
11	4.360	0.012504	-0.000086	-0.000315	0.000141		0.025472	0.000038	0.000106	0.000222	
12	4.910	0.013898	-0.000098	-0.000351	0.000158		0.028794	0.000048	0.000129	0.000252	
13	5.460	0.015308	-0.000109	-0.000386	0.000174		0.032103	0.000058	0.000150	0.000282	
14	6.010	0.016754	-0.000119	-0.000420	0.000191		0.035389	0.000065	0.000167	0.000311	
15	6.560	0.018224	-0.000129	-0.000453	0.000208		0.038662	0.000072	0.000182	0.000340	
16	7.110	0.019705	-0.000138	-0.000486	0.000225		0.041931	0.000077	0.000195	0.000368	
17	7.460	0.020624	-0.000145	-0.000509	0.000236		0.044038	0.000081	0.000205	0.000387	STYČNÍK 2
18	7.805	0.021530	-0.000152	-0.000532	0.000246		0.046116	0.000086	0.000216	0.000405	
19	8.335	0.022934	-0.000163	-0.000567	0.000262		0.049319	0.000092	0.000229	0.000433	
20	8.865	0.024341	-0.000174	-0.000603	0.000278		0.052518	0.000098	0.000243	0.000461	
21	9.395	0.025752	-0.000185	-0.000639	0.000294		0.055715	0.000104	0.000257	0.000489	
22	9.925	0.027154	-0.000196	-0.000675	0.000309		0.058919	0.000110	0.000272	0.000517	
23	10.455	0.028547	-0.000207	-0.000711	0.000325		0.062130	0.000117	0.000286	0.000545	
24	10.985	0.029945	-0.000218	-0.000747	0.000340		0.065336	0.000123	0.000301	0.000573	
25	11.515	0.031356	-0.000228	-0.000782	0.000356		0.068532	0.000129	0.000315	0.000601	
26	11.860	0.032284	-0.000234	-0.000804	0.000366		0.070598	0.000132	0.000323	0.000619	STYČNÍK 3
27	12.230	0.033281	-0.000240	-0.000826	0.000377		0.072812	0.000135	0.000331	0.000638	
28	12.810	0.034845	-0.000247	-0.000859	0.000394		0.076277	0.000138	0.000341	0.000669	
29	13.390	0.036396	-0.000255	-0.000892	0.000411		0.079753	0.000142	0.000353	0.000699	
30	13.970	0.037942	-0.000263	-0.000924	0.000428		0.083232	0.000145	0.000364	0.000730	
31	14.550	0.039495	-0.000271	-0.000957	0.000445		0.086707	0.000149	0.000375	0.000761	
32	15.130	0.041055	-0.000278	-0.000990	0.000462		0.090175	0.000152	0.000386	0.000791	
33	15.710	0.042611	-0.000286	-0.001022	0.000478		0.093647	0.000155	0.000397	0.000822	
34	16.290	0.044152	-0.000294	-0.001055	0.000495		0.097131	0.000159	0.000408	0.000853	
35	16.660	0.045132	-0.000299	-0.001076	0.000506		0.099356	0.000162	0.000416	0.000872	STYČNÍK 4
36	17.030	0.046111	-0.000304	-0.001097	0.000516		0.101582	0.000164	0.000423	0.000892	
37	17.610	0.047645	-0.000311	-0.001129	0.000532		0.105074	0.000168	0.000433	0.000923	
38	18.190	0.049192	-0.000318	-0.001161	0.000549		0.108556	0.000171	0.000443	0.000954	
39	18.770	0.050740	-0.000324	-0.001193	0.000566		0.112035	0.000174	0.000453	0.000984	
40	19.350	0.052275	-0.000331	-0.001225	0.000582		0.115525	0.000178	0.000463	0.001015	
41	19.930	0.053797	-0.000339	-0.001258	0.000598		0.119025	0.000183	0.000475	0.001046	
42	20.510	0.055321	-0.000346	-0.001290	0.000615		0.122523	0.000187	0.000486	0.001077	
43	21.090	0.056854	-0.000354	-0.001323	0.000631		0.126014	0.000191	0.000497	0.001108	
44	21.460	0.057807	-0.000359	-0.001346	0.000641		0.128264	0.000194	0.000508	0.001128	STYČNÍK 5
45	21.830	0.058756	-0.000364	-0.001370	0.000652		0.130517	0.000198	0.000518	0.001148	
46	22.410	0.060173	-0.000375	-0.001412	0.000667		0.134121	0.000205	0.000540	0.001179	
47	22.990	0.061572	-0.000387	-0.001455	0.000682		0.137739	0.000214	0.000563	0.001211	
48	23.570	0.062964	-0.000399	-0.001498	0.000697		0.141363	0.000223	0.000587	0.001242	
49	24.150	0.064369	-0.000410	-0.001541	0.000712		0.144977	0.000231	0.000609	0.001274	
50	24.730	0.065787	-0.000421	-0.001583	0.000727		0.148580	0.000238	0.000631	0.001305	
51	25.310	0.067202	-0.000432	-0.001625	0.000742		0.152185	0.000246	0.000653	0.001336	
52	25.890	0.068599	-0.000443	-0.001668	0.000757		0.155807	0.000254	0.000675	0.001368	
53	26.260	0.069524	-0.000448	-0.001690	0.000767		0.158085	0.000256	0.000684	0.001388	STYČNÍK 6
54	26.630	0.070453	-0.000453	-0.001712	0.000776		0.160361	0.000258	0.000693	0.001408	
55	27.210	0.071963	-0.000457	-0.001738	0.000792		0.163887	0.000256	0.000696	0.001439	
56	27.790	0.073499	-0.000460	-0.001764	0.000808		0.167389	0.000253	0.000697	0.001470	
57	28.370	0.075042	-0.000462	-0.001789	0.000824		0.170884	0.000249	0.000697	0.001501	
58	28.950	0.076571	-0.000465	-0.001813	0.000840		0.174388	0.000246	0.000698	0.001533	
59	29.530	0.078086	-0.000468	-0.001838	0.000855		0.177901	0.000244	0.000700	0.001564	
60	30.110	0.079609	-0.000470	-0.001862	0.000871		0.181405	0.000241	0.000701	0.001595	
61	30.690	0.081161	-0.000472	-0.001885	0.000887		0.184887	0.000237	0.000699	0.001626	
62	31.060	0.082140	-0.000471	-0.001899	0.000897		0.187100	0.000234	0.000699	0.001646	STYČNÍK 7
63	31.430	0.083117	-0.000471	-0.001912	0.000907		0.189315	0.000231	0.000698	0.001666	
64	32.010	0.084622	-0.000470	-0.001931	0.000922		0.192802	0.000226	0.000692	0.001699	
65	32.590	0.086085	-0.000470	-0.001952	0.000937		0.196316	0.000224	0.000691	0.001731	
66	33.170	0.087527	-0.000470	-0.001973	0.000951		0.199843	0.000223	0.000692	0.001764	
67	33.750	0.088973	-0.000469	-0.001994	0.000966		0.203359	0.000222	0.000695	0.001797	
68	34.330	0.090418	-0.000468	-0.002014	0.000980		0.206867	0.000221	0.000700	0.001830	
69	34.910	0.091867	-0.000466	-0.002034	0.000995		0.210371	0.000219	0.000706	0.001863	
70	35.490	0.093326	-0.000464	-0.002054	0.001009		0.213877	0.000217	0.000710	0.001895	
71	35.860	0.094254	-0.000461	-0.002066	0.001018		0.216146	0.000216	0.000716	0.001914	STYČNÍK 8
72	36.230	0.095182	-0.000458	-0.002078	0.001027		0.218418	0.000214	0.000723	0.001933	
73	36.810	0.096665	-0.000452	-0.002094	0.001041		0.222055	0.000208	0.000729	0.001961	
74	37.390	0.098136	-0.000446	-0.002110	0.001054		0.225693	0.000204	0.000738	0.001988	
75	37.970	0.099605	-0.000441	-0.002126	0.001067		0.229339	0.000199	0.000746	0.002016	
76	38.550	0.101074	-0.000436	-0.002141	0.001080		0.233002	0.000194	0.000750	0.002044	
77	39.130	0.102537	-0.000432	-0.002155	0.001093		0.236679	0.000189	0.000751	0.002073	
78	39.710	0.104018	-0.000428	-0.002168	0.001106		0.240348	0.000182	0.000748	0.002101	
79	40.290	0.105539	-0.000422	-0.002178	0.001120		0.243997	0.000172	0.000740	0.002129	

POŘADNICE PŘÍČINKOVÉ ČÁRY PRVKU NK

Prvek: TR_D2 Element: 259 Tabulka Z_{LM71} - poř. číslo: 3
Popis: DIAGONÁLA D2 Part: I[2714]

P. č.	Staničení	PŘÍČINKY OD KOLEJE Č. 1					PŘÍČINKY OD KOLEJE Č. 2				Poznámka
		Nx	Vz	My	Mz		Nx	Vz	My	Mz	
	[m]	[kN/kN]	[kN/kN]	[kNm/kN]	[kNm/kN]		[kN/kN]	[kN/kN]	[kNm/kN]	[kNm/kN]	
80	40.660	0.106488	-0.000417	-0.002181	0.001129		0.246259	0.000163	0.000735	0.002148	STYČNÍK 9
81	41.030	0.107435	-0.000411	-0.002183	0.001139		0.248518	0.000154	0.000730	0.002167	
82	41.610	0.108880	-0.000403	-0.002180	0.001155		0.252015	0.000136	0.000718	0.002199	
83	42.190	0.110289	-0.000396	-0.002178	0.001170		0.255514	0.000119	0.000708	0.002232	
84	42.770	0.111685	-0.000389	-0.002176	0.001186		0.259006	0.000103	0.000699	0.002266	
85	43.350	0.113089	-0.000381	-0.002174	0.001202		0.262466	0.000086	0.000689	0.002300	
86	43.930	0.114503	-0.000372	-0.002172	0.001218		0.265892	0.000068	0.000678	0.002334	
87	44.510	0.115902	-0.000364	-0.002170	0.001234		0.269297	0.000050	0.000668	0.002370	
88	45.090	0.117259	-0.000357	-0.002170	0.001251		0.272665	0.000033	0.000659	0.002408	
89	45.460	0.118037	-0.000351	-0.002176	0.001263		0.274592	0.000021	0.000653	0.002442	STYČNÍK 10
90	45.830	0.118808	-0.000346	-0.002183	0.001275		0.276500	0.000010	0.000648	0.002477	
91	46.410	0.119843	-0.000337	-0.002206	0.001297		0.279020	-0.000010	0.000637	0.002551	
92	46.990	0.120912	-0.000327	-0.002228	0.001319		0.281574	-0.000032	0.000624	0.002624	
93	47.570	0.121998	-0.000316	-0.002251	0.001341		0.284179	-0.000053	0.000610	0.002695	
94	48.150	0.123092	-0.000306	-0.002275	0.001361		0.286882	-0.000074	0.000597	0.002762	
95	48.730	0.124202	-0.000296	-0.002299	0.001380		0.289715	-0.000092	0.000584	0.002826	
96	49.310	0.125359	-0.000285	-0.002323	0.001397		0.292699	-0.000111	0.000569	0.002884	
97	49.890	0.126615	-0.000273	-0.002350	0.001412		0.295977	-0.000132	0.000549	0.002931	
98	50.260	0.127915	-0.000257	-0.002363	0.001402		0.299799	-0.000145	0.000518	0.002899	STYČNÍK 11
99	50.630	0.129259	-0.000241	-0.002376	0.001391		0.303782	-0.000157	0.000486	0.002861	
100	51.210	0.132278	-0.000208	-0.002406	0.001339		0.313324	-0.000177	0.000398	0.002687	
101	51.790	0.135259	-0.000175	-0.002433	0.001287		0.322799	-0.000194	0.000310	0.002516	
102	52.370	0.138207	-0.000142	-0.002460	0.001236		0.332201	-0.000212	0.000219	0.002347	
103	52.950	0.141095	-0.000108	-0.002488	0.001187		0.341400	-0.000231	0.000127	0.002185	
104	53.530	0.143887	-0.000073	-0.002515	0.001143		0.350271	-0.000251	0.000031	0.002033	
105	54.110	0.146539	-0.000038	-0.002542	0.001103		0.358700	-0.000272	-0.000066	0.001897	
106	54.690	0.148949	-0.000007	-0.002578	0.001072		0.366371	-0.000295	-0.000175	0.001790	
107	55.060	0.148809	0.000018	-0.002582	0.001112		0.365426	-0.000318	-0.000256	0.001921	STYČNÍK 12
108	55.430	0.148522	0.000043	-0.002585	0.001157		0.363970	-0.000342	-0.000339	0.002071	
109	56.010	0.145195	0.000077	-0.002607	0.001333		0.351593	-0.000410	-0.000539	0.002662	
110	56.590	0.141870	0.000118	-0.002609	0.001509		0.339141	-0.000474	-0.000724	0.003253	
111	57.170	0.138558	0.000164	-0.002599	0.001685		0.326761	-0.000534	-0.000898	0.003842	
112	57.750	0.135317	0.000213	-0.002573	0.001858		0.314817	-0.000585	-0.001052	0.004415	
113	58.330	0.132238	0.000267	-0.002528	0.002025		0.303633	-0.000624	-0.001179	0.004961	
114	58.910	0.129442	0.000331	-0.002457	0.002182		0.293483	-0.000654	-0.001279	0.005471	
115	59.490	0.127156	0.000401	-0.002368	0.002325		0.284987	-0.000678	-0.001366	0.005931	
116	59.860	0.129817	0.000547	-0.002000	0.002261		0.293732	-0.000567	-0.001101	0.005727	STYČNÍK 13
117	60.205	0.132631	0.000691	-0.001633	0.002189		0.303032	-0.000453	-0.000830	0.005498	
118	60.735	0.143812	0.001045	-0.000652	0.001837		0.340530	-0.000105	-0.000005	0.004374	
119	61.265	0.155070	0.001417	0.000388	0.001475		0.378444	0.000276	0.000902	0.003227	
120	61.795	0.166300	0.001808	0.001474	0.001110		0.416486	0.000691	0.001892	0.002068	
121	62.325	0.177253	0.002220	0.002608	0.000753		0.454060	0.001144	0.002986	0.000913	
122	62.855	0.187729	0.002656	0.003795	0.000409		0.490532	0.001641	0.004201	-0.000219	
123	63.385	0.197582	0.003118	0.005042	0.000080		0.525237	0.002190	0.005545	-0.001305	
124	63.915	0.206579	0.003648	0.006439	-0.000224		0.557265	0.002862	0.007171	-0.002302	
125	64.260	0.203300	0.004260	0.008022	-0.000176		0.549203	0.003717	0.009233	-0.002152	STYČNÍK 14
126	64.610	0.199226	0.004908	0.009692	-0.000107		0.538658	0.004625	0.011420	-0.001933	
127	65.160	0.178110	0.006553	0.013830	0.000422		0.475052	0.007011	0.017076	-0.000234	
128	65.710	0.156222	0.008162	0.017914	0.000964		0.409112	0.009319	0.022568	0.001499	
129	66.260	0.133625	0.009727	0.021894	0.001514		0.341565	0.011594	0.028024	0.003250	
130	66.810	0.110500	0.011210	0.025676	0.002062		0.273344	0.013803	0.033389	0.004986	
131	67.360	0.087189	0.012599	0.029257	0.002600		0.204972	0.015915	0.038570	0.006685	
132	67.910	0.063844	0.013891	0.032677	0.003127		0.136066	0.017886	0.043438	0.008342	
133	68.260	0.053791	0.013567	0.032502	0.003158		0.108807	0.017303	0.042674	0.008462	STYČNÍK 15
134	68.615	0.043949	0.013145	0.032131	0.003165		0.082396	0.016559	0.041582	0.008510	
135	69.165	0.034942	0.010693	0.027861	0.002722		0.063644	0.012510	0.033877	0.007188	
136	69.715	0.026553	0.008129	0.023335	0.002243		0.047356	0.008264	0.025776	0.005760	
137	70.265	0.018497	0.005447	0.018574	0.001741		0.032322	0.003900	0.017421	0.004254	
138	70.815	0.010686	0.002678	0.013638	0.001225		0.018187	-0.000543	0.008890	0.002692	
139	71.365	0.003020	-0.000124	0.008599	0.000683		0.004899	-0.005181	0.000015	0.001081	
140	71.720	-0.002133	-0.001807	0.005571	0.000345		-0.004295	-0.008114	-0.005549	0.000106	STYČNÍK 16
141	72.220	-0.009387	-0.004178	0.001304	-0.000133		-0.017203	-0.012262	-0.013412	-0.001271	

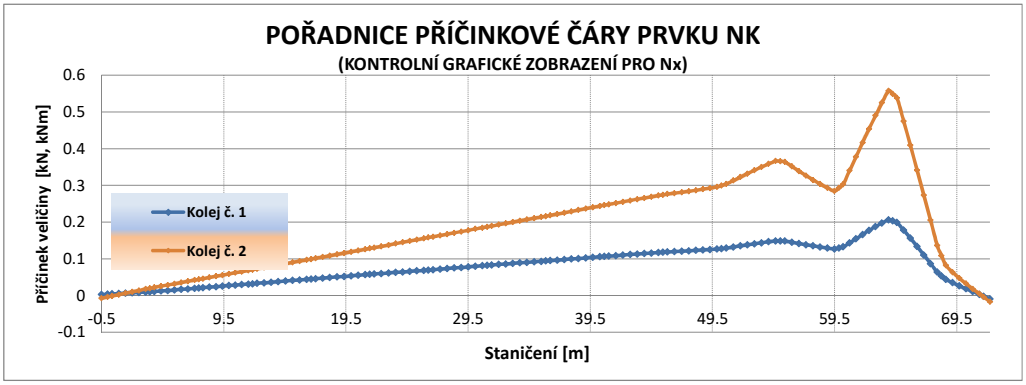

POŘADNICE PŘÍČINKOVÉ ČÁRY PRVKU NK

Prvek: TR_D7.2 Element: 235 Tabulka Z_{LM71} - poř. číslo: 4
Popis: DIAGONÁLA D7 Part: J[2703]

P. č.	Staničení	PŘÍČINKY OD KOLEJE Č. 1					PŘÍČINKY OD KOLEJE Č. 2				Poznámka
		Nx	Vz	My	Mz		Nx	Vz	My	Mz	
	[m]	[kN/kN]	[kN/kN]	[kNm/kN]	[kNm/kN]		[kN/kN]	[kN/kN]	[kNm/kN]	[kNm/kN]	
1	-0.500	0.001386	-0.000009	0.000053	0.000000		-0.004418	0.000007	-0.000048	0.000004	
2	0.000	0.002035	-0.000010	0.000084	-0.000002		-0.002036	0.000010	-0.000083	0.000001	STYČNÍK 0
3	0.355	0.002496	-0.000011	0.000105	-0.000003		-0.000345	0.000011	-0.000108	-0.000001	
4	0.905	0.003223	-0.000012	0.000140	-0.000005		0.002260	0.000014	-0.000148	-0.000005	
5	1.455	0.003965	-0.000013	0.000175	-0.000008		0.004848	0.000017	-0.000188	-0.000010	
6	2.005	0.004708	-0.000015	0.000211	-0.000010		0.007437	0.000020	-0.000228	-0.000014	
7	2.555	0.005453	-0.000016	0.000246	-0.000012		0.010025	0.000022	-0.000269	-0.000019	
8	3.105	0.006207	-0.000018	0.000282	-0.000014		0.012602	0.000025	-0.000310	-0.000023	
9	3.460	0.006761	-0.000019	0.000306	-0.000015		0.014205	0.000027	-0.000338	-0.000025	STYČNÍK 1
10	3.810	0.007313	-0.000020	0.000330	-0.000016		0.015780	0.000030	-0.000367	-0.000027	
11	4.360	0.008286	-0.000022	0.000369	-0.000017		0.018155	0.000034	-0.000414	-0.000029	
12	4.910	0.009259	-0.000024	0.000407	-0.000017		0.020533	0.000039	-0.000460	-0.000031	
13	5.460	0.010239	-0.000025	0.000445	-0.000018		0.022904	0.000043	-0.000506	-0.000033	
14	6.010	0.011231	-0.000027	0.000484	-0.000018		0.025259	0.000047	-0.000553	-0.000035	
15	6.560	0.012230	-0.000029	0.000524	-0.000019		0.027605	0.000052	-0.000600	-0.000037	
16	7.110	0.013232	-0.000031	0.000563	-0.000020		0.029944	0.000056	-0.000648	-0.000040	
17	7.460	0.013858	-0.000032	0.000588	-0.000021		0.031444	0.000059	-0.000678	-0.000041	STYČNÍK 2
18	7.805	0.014475	-0.000034	0.000613	-0.000022		0.032921	0.000062	-0.000707	-0.000043	
19	8.335	0.015422	-0.000036	0.000652	-0.000023		0.035184	0.000066	-0.000753	-0.000045	
20	8.865	0.016369	-0.000038	0.000691	-0.000024		0.037446	0.000070	-0.000799	-0.000048	
21	9.395	0.017318	-0.000040	0.000730	-0.000026		0.039708	0.000074	-0.000845	-0.000050	
22	9.925	0.018264	-0.000042	0.000768	-0.000027		0.041973	0.000078	-0.000890	-0.000053	
23	10.455	0.019208	-0.000044	0.000806	-0.000028		0.044242	0.000082	-0.000935	-0.000055	
24	10.985	0.020153	-0.000046	0.000845	-0.000030		0.046510	0.000086	-0.000980	-0.000057	
25	11.515	0.021103	-0.000048	0.000883	-0.000031		0.048776	0.000090	-0.001026	-0.000060	
26	11.860	0.021727	-0.000050	0.000910	-0.000032		0.050260	0.000093	-0.001057	-0.000061	STYČNÍK 3
27	12.230	0.022395	-0.000051	0.000938	-0.000033		0.051853	0.000096	-0.001091	-0.000063	
28	12.810	0.023448	-0.000054	0.000983	-0.000034		0.054372	0.000101	-0.001144	-0.000066	
29	13.390	0.024497	-0.000056	0.001028	-0.000035		0.056895	0.000106	-0.001196	-0.000070	
30	13.970	0.025543	-0.000059	0.001072	-0.000036		0.059420	0.000111	-0.001249	-0.000073	
31	14.550	0.026591	-0.000061	0.001116	-0.000038		0.061942	0.000116	-0.001301	-0.000076	
32	15.130	0.027639	-0.000064	0.001161	-0.000039		0.064461	0.000121	-0.001354	-0.000079	
33	15.710	0.028685	-0.000066	0.001206	-0.000040		0.066978	0.000126	-0.001407	-0.000082	
34	16.290	0.029726	-0.000068	0.001250	-0.000041		0.069495	0.000131	-0.001459	-0.000085	
35	16.660	0.030377	-0.000070	0.001278	-0.000042		0.071068	0.000134	-0.001492	-0.000086	STYČNÍK 4
36	17.030	0.031028	-0.000072	0.001306	-0.000042		0.072638	0.000137	-0.001524	-0.000086	
37	17.610	0.032028	-0.000074	0.001351	-0.000042		0.075039	0.000142	-0.001575	-0.000086	
38	18.190	0.033031	-0.000077	0.001397	-0.000043		0.077437	0.000147	-0.001627	-0.000086	
39	18.770	0.034034	-0.000080	0.001443	-0.000043		0.079835	0.000152	-0.001679	-0.000086	
40	19.350	0.035034	-0.000083	0.001488	-0.000044		0.082240	0.000157	-0.001730	-0.000085	
41	19.930	0.036034	-0.000086	0.001533	-0.000044		0.084654	0.000161	-0.001780	-0.000085	
42	20.510	0.037034	-0.000089	0.001578	-0.000044		0.087075	0.000166	-0.001830	-0.000085	
43	21.090	0.038039	-0.000092	0.001624	-0.000044		0.089508	0.000171	-0.001882	-0.000085	
44	21.460	0.038686	-0.000094	0.001657	-0.000045		0.091170	0.000174	-0.001918	-0.000086	STYČNÍK 5
45	21.830	0.039334	-0.000097	0.001691	-0.000046		0.092841	0.000176	-0.001954	-0.000088	
46	22.410	0.040358	-0.000102	0.001746	-0.000047		0.095658	0.000179	-0.002013	-0.000093	
47	22.990	0.041377	-0.000107	0.001800	-0.000049		0.098481	0.000182	-0.002072	-0.000099	
48	23.570	0.042393	-0.000112	0.001854	-0.000050		0.101308	0.000185	-0.002130	-0.000104	
49	24.150	0.043408	-0.000117	0.001909	-0.000052		0.104130	0.000188	-0.002189	-0.000110	
50	24.730	0.044421	-0.000122	0.001965	-0.000053		0.106941	0.000192	-0.002249	-0.000115	
51	25.310	0.045429	-0.000127	0.002021	-0.000055		0.109740	0.000195	-0.002310	-0.000120	
52	25.890	0.046425	-0.000132	0.002073	-0.000056		0.112525	0.000198	-0.002370	-0.000125	
53	26.260	0.047009	-0.000134	0.002105	-0.000056		0.114096	0.000202	-0.002408	-0.000125	STYČNÍK 6
54	26.630	0.047587	-0.000135	0.002136	-0.000055		0.115651	0.000205	-0.002447	-0.000125	
55	27.210	0.048408	-0.000138	0.002178	-0.000053		0.117759	0.000212	-0.002512	-0.000122	
56	27.790	0.049230	-0.000139	0.002222	-0.000051		0.119846	0.000219	-0.002579	-0.000118	
57	28.370	0.050054	-0.000140	0.002266	-0.000049		0.121919	0.000228	-0.002646	-0.000113	
58	28.950	0.050877	-0.000139	0.002308	-0.000047		0.123989	0.000238	-0.002712	-0.000108	
59	29.530	0.051703	-0.000136	0.002348	-0.000044		0.126061	0.000250	-0.002776	-0.000102	
60	30.110	0.052537	-0.000132	0.002388	-0.000041		0.128134	0.000265	-0.002841	-0.000095	
61	30.690	0.053387	-0.000125	0.002426	-0.000038		0.130189	0.000283	-0.002912	-0.000086	
62	31.060	0.054032	-0.000101	0.002454	-0.000035		0.131633	0.000318	-0.002954	-0.000075	STYČNÍK 7
63	31.430	0.054687	-0.000075	0.002481	-0.000032		0.133087	0.000356	-0.002996	-0.000063	
64	32.010	0.055884	0.000000	0.002508	-0.000023		0.135493	0.000457	-0.003076	-0.000032	
65	32.590	0.057104	0.000076	0.002539	-0.000015		0.138005	0.000561	-0.003146	-0.000003	
66	33.170	0.058354	0.000156	0.002575	-0.000007		0.140636	0.000668	-0.003208	0.000026	
67	33.750	0.059646	0.000236	0.002618	0.000000		0.143423	0.000778	-0.003261	0.000053	
68	34.330	0.060986	0.000319	0.002670	0.000006		0.146405	0.000890	-0.003302	0.000077	
69	34.910	0.062388	0.000403	0.002734	0.000011		0.149590	0.001008	-0.003334	0.000099	
70	35.490	0.063962	0.000496	0.002805	0.000014		0.153250	0.001140	-0.003365	0.000114	
71	35.860	0.065438	0.000565	0.002953	0.000005		0.157540	0.001257	-0.003249	0.000089	STYČNÍK 8
72	36.230	0.066962	0.000635	0.003109	-0.000004		0.162021	0.001377	-0.003122	0.000060	
73	36.810	0.070548	0.000790	0.003490	-0.000038		0.173346	0.001656	-0.002736	-0.000048	
74	37.390	0.073996	0.000934	0.003892	-0.000071		0.184408	0.001922	-0.002316	-0.000154	
75	37.970	0.077366	0.001069	0.004316	-0.000103		0.195275	0.002175	-0.001866	-0.000260	
76	38.550	0.080631	0.001190	0.004769	-0.000135		0.205763	0.002410	-0.001378	-0.000365	
77	39.130	0.083727	0.001294	0.005255	-0.000166		0.215680	0.002620	-0.000850	-0.000468	
78	39.710	0.086580	0.001375	0.005779	-0.000195		0.224871	0.002799	-0.000282	-0.000564	
79	40.290	0.089138	0.001421	0.006372	-0.000220		0.233224	0.002930	0.000367	-0.000651	

POŘADNICE PŘÍČINKOVÉ ČÁRY PRVKU NK

Prvek: TR_D7.2 Element: 235 Tabulka Z_{LM71} - poř. číslo: 4
Popis: DIAGONÁLA D7 Part: J[2703]

P. č.	Staničení	PŘÍČINKY OD KOLEJE Č. 1					PŘÍČINKY OD KOLEJE Č. 2				Poznámka
		Nx	Vz	My	Mz		Nx	Vz	My	Mz	
	[m]	[kN/kN]	[kN/kN]	[kNm/kN]	[kNm/kN]		[kN/kN]	[kN/kN]	[kNm/kN]	[kNm/kN]	
80	40.660	0.087410	0.001213	0.007004	-0.000207		0.229313	0.002648	0.001239	-0.000620	STYČNÍK 9
81	41.030	0.085394	0.000983	0.007660	-0.000192		0.224615	0.002334	0.002156	-0.000581	
82	41.610	0.077021	0.000213	0.009191	-0.000120		0.203041	0.001208	0.004516	-0.000376	
83	42.190	0.068236	-0.000564	0.010690	-0.000046		0.180423	0.000065	0.006875	-0.000167	
84	42.770	0.059128	-0.001349	0.012180	0.000029		0.156889	-0.001089	0.009214	0.000046	
85	43.350	0.049783	-0.002136	0.013673	0.000103		0.132483	-0.002233	0.011465	0.000262	
86	43.930	0.040240	-0.002915	0.015149	0.000175		0.107324	-0.003352	0.013597	0.000479	
87	44.510	0.030486	-0.003675	0.016563	0.000246		0.081604	-0.004439	0.015620	0.000692	
88	45.090	0.020309	-0.004407	0.017874	0.000314		0.054919	-0.005488	0.017522	0.000898	
89	45.460	0.013373	-0.004516	0.017783	0.000321		0.036678	-0.005635	0.017430	0.000920	STYČNÍK 10
90	45.830	0.006372	-0.004596	0.017612	0.000326		0.018258	-0.005738	0.017226	0.000932	
91	46.410	-0.006274	-0.004178	0.015871	0.000277		-0.015360	-0.005101	0.014827	0.000787	
92	46.990	-0.018622	-0.003724	0.014052	0.000225		-0.048365	-0.004410	0.012315	0.000630	
93	47.570	-0.030848	-0.003245	0.012180	0.000171		-0.081037	-0.003681	0.009704	0.000465	
94	48.150	-0.042934	-0.002748	0.010288	0.000114		-0.113057	-0.002918	0.007003	0.000293	
95	48.730	-0.054798	-0.002242	0.008395	0.000057		-0.144188	-0.002135	0.004245	0.000119	
96	49.310	-0.066304	-0.001731	0.006509	0.000000		-0.174281	-0.001346	0.001492	-0.000056	
97	49.890	-0.077341	-0.001214	0.004616	-0.000056		-0.203168	-0.000554	-0.001239	-0.000227	
98	50.260	-0.079801	-0.001018	0.003918	-0.000071		-0.209103	-0.000272	-0.002156	-0.000272	STYČNÍK 11
99	50.630	-0.081871	-0.000832	0.003259	-0.000085		-0.213970	-0.000007	-0.003008	-0.000311	
100	51.210	-0.078005	-0.000710	0.002919	-0.000077		-0.202059	0.000121	-0.003236	-0.000279	
101	51.790	-0.073694	-0.000609	0.002662	-0.000067		-0.188929	0.000218	-0.003363	-0.000240	
102	52.370	-0.069047	-0.000520	0.002450	-0.000055		-0.174820	0.000297	-0.003428	-0.000196	
103	52.950	-0.064179	-0.000440	0.002271	-0.000042		-0.159942	0.000360	-0.003433	-0.000148	
104	53.530	-0.059175	-0.000368	0.002115	-0.000029		-0.144559	0.000410	-0.003388	-0.000097	
105	54.110	-0.054092	-0.000302	0.001984	-0.000015		-0.128975	0.000450	-0.003311	-0.000045	
106	54.690	-0.048886	-0.000244	0.001884	-0.000001		-0.113182	0.000480	-0.003206	0.000008	
107	55.060	-0.046880	-0.000223	0.001838	0.000004		-0.107553	0.000486	-0.003135	0.000023	STYČNÍK 12
108	55.430	-0.044969	-0.000204	0.001795	0.000008		-0.102253	0.000490	-0.003061	0.000037	
109	56.010	-0.043514	-0.000207	0.001796	0.000010		-0.099452	0.000460	-0.002874	0.000037	
110	56.590	-0.042291	-0.000210	0.001786	0.000010		-0.097316	0.000431	-0.002692	0.000035	
111	57.170	-0.041163	-0.000215	0.001776	0.000010		-0.095473	0.000399	-0.002508	0.000031	
112	57.750	-0.040108	-0.000221	0.001770	0.000010		-0.093852	0.000367	-0.002324	0.000026	
113	58.330	-0.039102	-0.000228	0.001769	0.000010		-0.092381	0.000334	-0.002142	0.000020	
114	58.910	-0.038125	-0.000235	0.001765	0.000009		-0.090985	0.000300	-0.001959	0.000014	
115	59.490	-0.037167	-0.000243	0.001759	0.000009		-0.089645	0.000265	-0.001771	0.000007	
116	59.860	-0.036308	-0.000241	0.001729	0.000008		-0.087788	0.000250	-0.001685	0.000005	STYČNÍK 13
117	60.205	-0.035488	-0.000240	0.001699	0.000008		-0.085986	0.000236	-0.001607	0.000003	
118	60.735	-0.033896	-0.000233	0.001636	0.000007		-0.081927	0.000222	-0.001528	0.000003	
119	61.265	-0.032270	-0.000225	0.001572	0.000007		-0.077730	0.000210	-0.001458	0.000003	
120	61.795	-0.030627	-0.000217	0.001507	0.000007		-0.073462	0.000199	-0.001392	0.000003	
121	62.325	-0.028971	-0.000208	0.001438	0.000006		-0.069137	0.000188	-0.001325	0.000003	
122	62.855	-0.027307	-0.000199	0.001364	0.000006		-0.064771	0.000176	-0.001256	0.000003	
123	63.385	-0.025637	-0.000189	0.001291	0.000005		-0.060382	0.000166	-0.001190	0.000003	
124	63.915	-0.023955	-0.000180	0.001221	0.000005		-0.055969	0.000155	-0.001128	0.000003	
125	64.260	-0.022903	-0.000174	0.001174	0.000005		-0.053305	0.000149	-0.001087	0.000004	STYČNÍK 14
126	64.610	-0.021837	-0.000167	0.001127	0.000005		-0.050616	0.000143	-0.001047	0.000004	
127	65.160	-0.020186	-0.000156	0.001048	0.000006		-0.046623	0.000134	-0.000982	0.000005	
128	65.710	-0.018550	-0.000144	0.000968	0.000007		-0.042665	0.000125	-0.000915	0.000007	
129	66.260	-0.016922	-0.000133	0.000890	0.000009		-0.038720	0.000117	-0.000851	0.000008	
130	66.810	-0.015303	-0.000122	0.000818	0.000010		-0.034786	0.000109	-0.000790	0.000011	
131	67.360	-0.013691	-0.000111	0.000747	0.000012		-0.030855	0.000101	-0.000731	0.000014	
132	67.910	-0.012083	-0.000100	0.000672	0.000013		-0.026915	0.000092	-0.000667	0.000016	
133	68.260	-0.011123	-0.000094	0.000635	0.000013		-0.024322	0.000088	-0.000634	0.000017	STYČNÍK 15
134	68.615	-0.010154	-0.000088	0.000598	0.000012		-0.021685	0.000083	-0.000602	0.000017	
135	69.165	-0.008747	-0.000082	0.000564	0.000010		-0.017452	0.000078	-0.000570	0.000014	
136	69.715	-0.007348	-0.000077	0.000535	0.000008		-0.013213	0.000074	-0.000543	0.000011	
137	70.265	-0.005948	-0.000071	0.000507	0.000006		-0.008972	0.000069	-0.000515	0.000007	
138	70.815	-0.004547	-0.000065	0.000478	0.000004		-0.004729	0.000065	-0.000488	0.000004	
139	71.365	-0.003161	-0.000061	0.000457	0.000002		-0.000474	0.000061	-0.000467	0.000000	
140	71.720	-0.002274	-0.000058	0.000447	0.000001		0.002271	0.000059	-0.000457	-0.000001	STYČNÍK 16
141	72.220	-0.001026	-0.000055	0.000433	0.000000		0.006138	0.000057	-0.000442	-0.000003	

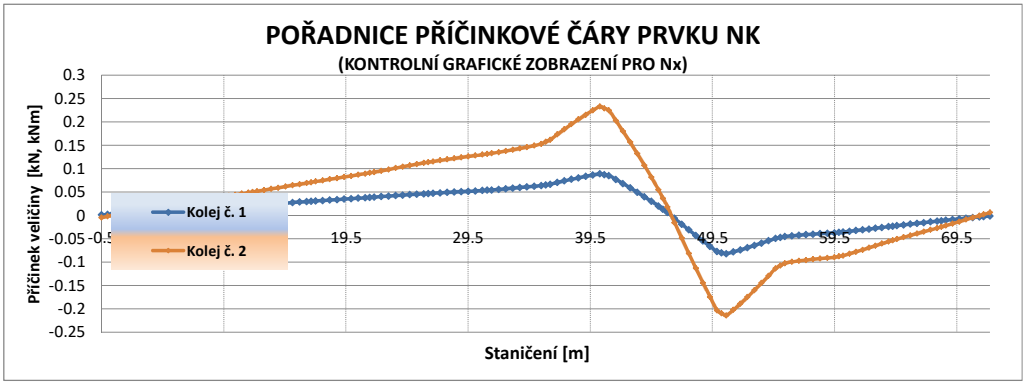

POŘADNICE PŘÍČINKOVÉ ČÁRY PRVKU NK

Prvek: TR_V7.2 Element: 406 Tabulka Z_{LM71} - poř. číslo: 5
Popis: SVISLICE V7 Part: I[346]

P. č.	Staničení	PŘÍČINKY OD KOLEJE Č. 1					PŘÍČINKY OD KOLEJE Č. 2				Poznámka
		Nx	Vz	My	Mz		Nx	Vz	My	Mz	
	[m]	[kN/kN]	[kN/kN]	[kNm/kN]	[kNm/kN]		[kN/kN]	[kN/kN]	[kNm/kN]	[kNm/kN]	
1	-0.500	-0.000404	-0.000065	-0.000378	0.000002		0.001640	0.000060	0.000356	-0.000019	
2	0.000	-0.000659	-0.000081	-0.000456	0.000009		0.000664	0.000081	0.000458	-0.000006	STYČNÍK 0
3	0.355	-0.000841	-0.000092	-0.000513	0.000014		-0.000029	0.000096	0.000531	0.000003	
4	0.905	-0.001129	-0.000110	-0.000602	0.000024		-0.001096	0.000121	0.000649	0.000021	
5	1.455	-0.001425	-0.000128	-0.000698	0.000035		-0.002154	0.000146	0.000775	0.000041	
6	2.005	-0.001720	-0.000147	-0.000794	0.000045		-0.003212	0.000172	0.000899	0.000060	
7	2.555	-0.002016	-0.000165	-0.000890	0.000055		-0.004268	0.000197	0.001024	0.000078	
8	3.105	-0.002315	-0.000184	-0.000989	0.000066		-0.005322	0.000223	0.001153	0.000097	
9	3.460	-0.002527	-0.000199	-0.001066	0.000069		-0.005973	0.000242	0.001244	0.000102	STYČNÍK 1
10	3.810	-0.002738	-0.000214	-0.001143	0.000072		-0.006612	0.000260	0.001334	0.000107	
11	4.360	-0.003098	-0.000240	-0.001277	0.000072		-0.007577	0.000289	0.001486	0.000110	
12	4.910	-0.003455	-0.000265	-0.001409	0.000070		-0.008537	0.000318	0.001631	0.000111	
13	5.460	-0.003815	-0.000290	-0.001541	0.000069		-0.009496	0.000347	0.001778	0.000112	
14	6.010	-0.004180	-0.000316	-0.001676	0.000069		-0.010458	0.000377	0.001931	0.000116	
15	6.560	-0.004548	-0.000342	-0.001813	0.000070		-0.011424	0.000407	0.002088	0.000122	
16	7.110	-0.004918	-0.000368	-0.001948	0.000072		-0.012394	0.000438	0.002244	0.000129	
17	7.460	-0.005149	-0.000385	-0.002034	0.000073		-0.013015	0.000457	0.002341	0.000133	STYČNÍK 2
18	7.805	-0.005378	-0.000401	-0.002118	0.000075		-0.013628	0.000476	0.002436	0.000137	
19	8.335	-0.005731	-0.000425	-0.002247	0.000080		-0.014577	0.000505	0.002583	0.000146	
20	8.865	-0.006086	-0.000450	-0.002380	0.000085		-0.015524	0.000535	0.002733	0.000155	
21	9.395	-0.006440	-0.000475	-0.002513	0.000090		-0.016470	0.000565	0.002884	0.000164	
22	9.925	-0.006793	-0.000500	-0.002643	0.000095		-0.017415	0.000594	0.003031	0.000172	
23	10.455	-0.007145	-0.000524	-0.002770	0.000100		-0.018360	0.000622	0.003175	0.000180	
24	10.985	-0.007497	-0.000548	-0.002899	0.000104		-0.019302	0.000651	0.003320	0.000188	
25	11.515	-0.007850	-0.000573	-0.003030	0.000109		-0.020240	0.000681	0.003469	0.000196	
26	11.860	-0.008074	-0.000591	-0.003122	0.000112		-0.020831	0.000701	0.003572	0.000200	STYČNÍK 3
27	12.230	-0.008315	-0.000609	-0.003220	0.000114		-0.021464	0.000723	0.003683	0.000204	
28	12.810	-0.008681	-0.000639	-0.003375	0.000117		-0.022421	0.000758	0.003861	0.000211	
29	13.390	-0.009046	-0.000668	-0.003527	0.000119		-0.023381	0.000792	0.004034	0.000217	
30	13.970	-0.009411	-0.000697	-0.003678	0.000121		-0.024345	0.000826	0.004205	0.000223	
31	14.550	-0.009778	-0.000726	-0.003831	0.000123		-0.025313	0.000860	0.004379	0.000229	
32	15.130	-0.010148	-0.000755	-0.003986	0.000126		-0.026288	0.000895	0.004556	0.000235	
33	15.710	-0.010520	-0.000785	-0.004139	0.000128		-0.027273	0.000929	0.004730	0.000241	
34	16.290	-0.010897	-0.000813	-0.004287	0.000130		-0.028279	0.000962	0.004899	0.000246	
35	16.660	-0.011161	-0.000832	-0.004383	0.000131		-0.029029	0.000983	0.005005	0.000248	STYČNÍK 4
36	17.030	-0.011426	-0.000850	-0.004479	0.000132		-0.029788	0.001003	0.005110	0.000250	
37	17.610	-0.011895	-0.000879	-0.004626	0.000134		-0.031194	0.001034	0.005269	0.000254	
38	18.190	-0.012361	-0.000908	-0.004780	0.000137		-0.032592	0.001065	0.005435	0.000257	
39	18.770	-0.012824	-0.000938	-0.004934	0.000140		-0.033981	0.001097	0.005602	0.000260	
40	19.350	-0.013284	-0.000967	-0.005084	0.000141		-0.035353	0.001128	0.005764	0.000262	
41	19.930	-0.013737	-0.000996	-0.005230	0.000142		-0.036698	0.001159	0.005921	0.000264	
42	20.510	-0.014181	-0.001024	-0.005378	0.000144		-0.038010	0.001189	0.006081	0.000266	
43	21.090	-0.014612	-0.001055	-0.005532	0.000145		-0.039272	0.001221	0.006250	0.000267	
44	21.460	-0.014763	-0.001076	-0.005642	0.000145		-0.039661	0.001246	0.006377	0.000267	STYČNÍK 5
45	21.830	-0.014903	-0.001097	-0.005753	0.000146		-0.040014	0.001272	0.006505	0.000267	
46	22.410	-0.014918	-0.001133	-0.005932	0.000144		-0.039882	0.001316	0.006726	0.000268	
47	22.990	-0.014931	-0.001166	-0.006103	0.000142		-0.039746	0.001360	0.006944	0.000269	
48	23.570	-0.014951	-0.001198	-0.006270	0.000139		-0.039621	0.001405	0.007165	0.000270	
49	24.150	-0.014989	-0.001230	-0.006438	0.000137		-0.039530	0.001454	0.007398	0.000271	
50	24.730	-0.015053	-0.001260	-0.006605	0.000136		-0.039499	0.001505	0.007643	0.000270	
51	25.310	-0.015149	-0.001288	-0.006763	0.000134		-0.039554	0.001560	0.007894	0.000269	
52	25.890	-0.015322	-0.001309	-0.006894	0.000132		-0.039807	0.001618	0.008155	0.000269	
53	26.260	-0.015783	-0.001297	-0.006909	0.000130		-0.041069	0.001680	0.008389	0.000267	STYČNÍK 6
54	26.630	-0.016277	-0.001283	-0.006916	0.000128		-0.042433	0.001746	0.008629	0.000264	
55	27.210	-0.017781	-0.001211	-0.006772	0.000125		-0.046731	0.001901	0.009165	0.000257	
56	27.790	-0.019257	-0.001141	-0.006642	0.000122		-0.051007	0.002059	0.009707	0.000248	
57	28.370	-0.020725	-0.001070	-0.006513	0.000119		-0.055281	0.002220	0.010254	0.000238	
58	28.950	-0.022167	-0.000996	-0.006380	0.000116		-0.059482	0.002381	0.010792	0.000229	
59	29.530	-0.023558	-0.000921	-0.006246	0.000112		-0.063553	0.002543	0.011320	0.000220	
60	30.110	-0.024871	-0.000848	-0.006125	0.000108		-0.067448	0.002708	0.011846	0.000210	
61	30.690	-0.026143	-0.000769	-0.006000	0.000104		-0.071327	0.002891	0.012430	0.000196	
62	31.060	-0.025740	-0.000755	-0.006121	0.000102		-0.071183	0.003008	0.012683	0.000185	STYČNÍK 7
63	31.430	-0.025239	-0.000743	-0.006256	0.000099		-0.070831	0.003125	0.012929	0.000173	
64	32.010	-0.022841	-0.000739	-0.006632	0.000094		-0.067151	0.003377	0.013360	0.000147	
65	32.590	-0.020157	-0.000756	-0.007084	0.000087		-0.062748	0.003592	0.013643	0.000125	
66	33.170	-0.017224	-0.000791	-0.007611	0.000081		-0.057681	0.003772	0.013790	0.000107	
67	33.750	-0.014018	-0.000853	-0.008246	0.000076		-0.051790	0.003904	0.013763	0.000089	
68	34.330	-0.010499	-0.000947	-0.009009	0.000072		-0.044946	0.003974	0.013515	0.000073	
69	34.910	-0.006648	-0.001080	-0.009918	0.000070		-0.037101	0.003982	0.013034	0.000061	
70	35.490	-0.002217	-0.001279	-0.011080	0.000069		-0.027533	0.003890	0.012170	0.000056	
71	35.860	0.003471	-0.001807	-0.013277	0.000073		-0.012206	0.003187	0.009250	0.000081	STYČNÍK 8
72	36.230	0.009426	-0.002372	-0.015607	0.000079		0.003973	0.002425	0.006115	0.000109	
73	36.810	0.024268	-0.003995	-0.021973	0.000096		0.046874	0.000071	-0.003122	0.000189	
74	37.390	0.039006	-0.005619	-0.028326	0.000112		0.089517	-0.002284	-0.012347	0.000261	
75	37.970	0.053735	-0.007242	-0.034670	0.000127		0.132101	-0.004653	-0.021611	0.000326	
76	38.550	0.068355	-0.008837	-0.040912	0.000142		0.174240	-0.007027	-0.030864	0.000389	
77	39.130	0.082698	-0.010384	-0.046970	0.000155		0.215363	-0.009373	-0.039980	0.000447	
78	39.710	0.096525	-0.011871	-0.052792	0.000168		0.255025	-0.011645	-0.048798	0.000492	
79	40.290	0.109598	-0.013284	-0.058317	0.000180		0.292711	-0.013806	-0.057179	0.000512	

POŘADNICE PŘÍČINKOVÉ ČÁRY PRVKU NK

Prvek: TR_V7.2 Element: 406 Tabulka Z_{LM71} - poř. číslo: 5
Popis: SVISLICE V7 Part: I[346]

P. č.	Staničení	PŘÍČINKY OD KOLEJE Č. 1					PŘÍČINKY OD KOLEJE Č. 2				Poznámka
		Nx	Vz	My	Mz		Nx	Vz	My	Mz	
	[m]	[kN/kN]	[kN/kN]	[kNm/kN]	[kNm/kN]		[kN/kN]	[kN/kN]	[kNm/kN]	[kNm/kN]	
80	40.660	0.110247	-0.013327	-0.058484	0.000173		0.294332	-0.013882	-0.057485	0.000476	STYČNÍK 9
81	41.030	0.110240	-0.013297	-0.058365	0.000165		0.294049	-0.013848	-0.057365	0.000437	
82	41.610	0.098080	-0.011902	-0.052916	0.000127		0.258311	-0.011767	-0.049317	0.000308	
83	42.190	0.085260	-0.010427	-0.047158	0.000087		0.220629	-0.009568	-0.040805	0.000195	
84	42.770	0.071978	-0.008892	-0.041157	0.000047		0.181492	-0.007288	-0.031972	0.000090	
85	43.350	0.058474	-0.007310	-0.034975	0.000006		0.141378	-0.004967	-0.022959	-0.000011	
86	43.930	0.044936	-0.005702	-0.028690	-0.000034		0.100865	-0.002636	-0.013884	-0.000111	
87	44.510	0.031494	-0.004095	-0.022397	-0.000073		0.060608	-0.000315	-0.004832	-0.000205	
88	45.090	0.018131	-0.002491	-0.016101	-0.000114		0.020775	0.002002	0.004226	-0.000291	
89	45.460	0.014279	-0.001937	-0.013794	-0.000129		0.010092	0.002739	0.007266	-0.000319	STYČNÍK 10
90	45.830	0.010799	-0.001419	-0.011618	-0.000144		0.000590	0.003418	0.010090	-0.000345	
91	46.410	0.011895	-0.001238	-0.010460	-0.000151		0.006545	0.003463	0.010806	-0.000352	
92	46.990	0.013591	-0.001121	-0.009541	-0.000157		0.014275	0.003402	0.011117	-0.000358	
93	47.570	0.015651	-0.001040	-0.008761	-0.000161		0.023039	0.003279	0.011197	-0.000364	
94	48.150	0.018014	-0.000994	-0.008114	-0.000165		0.032549	0.003107	0.011095	-0.000365	
95	48.730	0.020594	-0.000974	-0.007577	-0.000169		0.042531	0.002897	0.010851	-0.000363	
96	49.310	0.023272	-0.000973	-0.007112	-0.000173		0.052727	0.002659	0.010495	-0.000360	
97	49.890	0.026023	-0.000990	-0.006716	-0.000175		0.063120	0.002392	0.010013	-0.000358	
98	50.260	0.026543	-0.000993	-0.006529	-0.000176		0.065375	0.002277	0.009772	-0.000359	STYČNÍK 11
99	50.630	0.026973	-0.000996	-0.006354	-0.000176		0.067299	0.002165	0.009528	-0.000359	
100	51.210	0.026099	-0.001034	-0.006334	-0.000174		0.064590	0.002019	0.009051	-0.000358	
101	51.790	0.025051	-0.001066	-0.006309	-0.000172		0.061245	0.001891	0.008632	-0.000356	
102	52.370	0.023923	-0.001098	-0.006297	-0.000170		0.057581	0.001768	0.008215	-0.000353	
103	52.950	0.022728	-0.001128	-0.006280	-0.000168		0.053665	0.001645	0.007790	-0.000351	
104	53.530	0.021485	-0.001155	-0.006256	-0.000165		0.049573	0.001524	0.007356	-0.000348	
105	54.110	0.020218	-0.001181	-0.006235	-0.000162		0.045391	0.001406	0.006927	-0.000345	
106	54.690	0.018937	-0.001209	-0.006232	-0.000159		0.041136	0.001291	0.006506	-0.000341	
107	55.060	0.018337	-0.001206	-0.006163	-0.000158		0.039388	0.001239	0.006300	-0.000339	STYČNÍK 12
108	55.430	0.017753	-0.001200	-0.006089	-0.000157		0.037714	0.001189	0.006098	-0.000336	
109	56.010	0.017115	-0.001166	-0.005911	-0.000155		0.036314	0.001137	0.005841	-0.000330	
110	56.590	0.016503	-0.001126	-0.005709	-0.000153		0.035058	0.001086	0.005588	-0.000325	
111	57.170	0.015906	-0.001084	-0.005498	-0.000151		0.033871	0.001037	0.005336	-0.000319	
112	57.750	0.015329	-0.001042	-0.005290	-0.000149		0.032738	0.000991	0.005094	-0.000312	
113	58.330	0.014770	-0.000999	-0.005084	-0.000148		0.031647	0.000946	0.004861	-0.000305	
114	58.910	0.014216	-0.000955	-0.004872	-0.000146		0.030585	0.000902	0.004628	-0.000298	
115	59.490	0.013661	-0.000909	-0.004652	-0.000144		0.029551	0.000858	0.004388	-0.000291	
116	59.860	0.013286	-0.000880	-0.004509	-0.000141		0.028803	0.000830	0.004245	-0.000285	STYČNÍK 13
117	60.205	0.012935	-0.000853	-0.004375	-0.000138		0.028101	0.000805	0.004113	-0.000280	
118	60.735	0.012389	-0.000815	-0.004183	-0.000132		0.026939	0.000771	0.003934	-0.000268	
119	61.265	0.011845	-0.000778	-0.003997	-0.000126		0.025756	0.000739	0.003764	-0.000256	
120	61.795	0.011302	-0.000741	-0.003814	-0.000120		0.024563	0.000708	0.003597	-0.000244	
121	62.325	0.010751	-0.000704	-0.003624	-0.000114		0.023361	0.000675	0.003426	-0.000232	
122	62.855	0.010192	-0.000665	-0.003429	-0.000107		0.022150	0.000642	0.003248	-0.000219	
123	63.385	0.009635	-0.000626	-0.003235	-0.000101		0.020933	0.000608	0.003072	-0.000206	
124	63.915	0.009081	-0.000589	-0.003048	-0.000095		0.019702	0.000576	0.002903	-0.000192	
125	64.260	0.008717	-0.000566	-0.002928	-0.000092		0.018870	0.000554	0.002788	-0.000186	STYČNÍK 14
126	64.610	0.008347	-0.000542	-0.002807	-0.000090		0.018023	0.000531	0.002671	-0.000181	
127	65.160	0.007740	-0.000504	-0.002612	-0.000088		0.016590	0.000493	0.002476	-0.000169	
128	65.710	0.007133	-0.000466	-0.002414	-0.000087		0.015174	0.000453	0.002277	-0.000160	
129	66.260	0.006539	-0.000430	-0.002224	-0.000086		0.013776	0.000414	0.002082	-0.000154	
130	66.810	0.005967	-0.000396	-0.002047	-0.000087		0.012407	0.000377	0.001896	-0.000151	
131	67.360	0.005400	-0.000362	-0.001874	-0.000089		0.011044	0.000341	0.001713	-0.000149	
132	67.910	0.004813	-0.000327	-0.001688	-0.000088		0.009647	0.000303	0.001522	-0.000144	
133	68.260	0.004448	-0.000307	-0.001582	-0.000084		0.008732	0.000283	0.001421	-0.000137	STYČNÍK 15
134	68.615	0.004078	-0.000287	-0.001476	-0.000079		0.007800	0.000263	0.001320	-0.000130	
135	69.165	0.003515	-0.000261	-0.001336	-0.000066		0.006239	0.000241	0.001207	-0.000105	
136	69.715	0.002964	-0.000236	-0.001205	-0.000054		0.004687	0.000221	0.001101	-0.000081	
137	70.265	0.002411	-0.000212	-0.001073	-0.000041		0.003127	0.000201	0.000997	-0.000055	
138	70.815	0.001854	-0.000188	-0.000941	-0.000028		0.001560	0.000181	0.000893	-0.000029	
139	71.365	0.001316	-0.000166	-0.000822	-0.000016		-0.000005	0.000163	0.000801	-0.000004	
140	71.720	0.000985	-0.000154	-0.000752	-0.000009		-0.000993	0.000153	0.000746	0.000009	STYČNÍK 16
141	72.220	0.000521	-0.000136	-0.000655	-0.000001		-0.002384	0.000138	0.000669	0.000026	

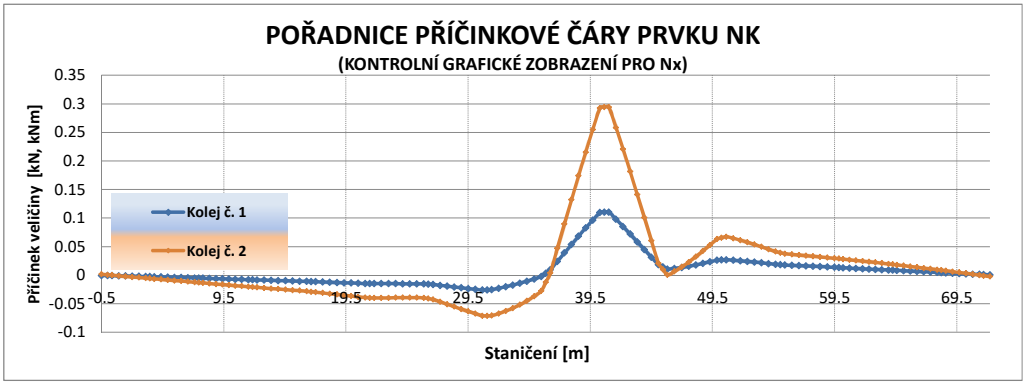

POŘADNICE PŘÍČINKOVÉ ČÁRY PRVKU NK

Prvek: TR_V8.2 Element: 401 Tabulka Z_{LM71} - poř. číslo: 6
Popis: SVISLICE V8 Part: I[343]

P. č.	Staničení	PŘÍČINKY OD KOLEJE Č. 1					PŘÍČINKY OD KOLEJE Č. 2				Poznámka
		Nx	Vz	My	Mz		Nx	Vz	My	Mz	
	[m]	[kN/kN]	[kN/kN]	[kNm/kN]	[kNm/kN]		[kN/kN]	[kN/kN]	[kNm/kN]	[kNm/kN]	
1	-0.500	0.000090	-0.000089	-0.000414	0.000002		-0.000029	0.000082	0.000391	-0.000004	
2	0.000	0.000090	-0.000104	-0.000488	0.000003		-0.000078	0.000104	0.000487	-0.000002	STYČNÍK 0
3	0.355	0.000090	-0.000115	-0.000541	0.000003		-0.000113	0.000120	0.000555	0.000000	
4	0.905	0.000101	-0.000132	-0.000628	0.000004		-0.000146	0.000146	0.000667	0.000003	
5	1.455	0.000115	-0.000151	-0.000722	0.000004		-0.000174	0.000173	0.000786	0.000007	
6	2.005	0.000127	-0.000170	-0.000816	0.000005		-0.000206	0.000200	0.000904	0.000010	
7	2.555	0.000136	-0.000189	-0.000909	0.000005		-0.000243	0.000228	0.001023	0.000014	
8	3.105	0.000147	-0.000209	-0.001007	0.000006		-0.000280	0.000256	0.001145	0.000018	
9	3.460	0.000133	-0.000224	-0.001080	0.000007		-0.000347	0.000276	0.001235	0.000021	STYČNÍK 1
10	3.810	0.000119	-0.000239	-0.001153	0.000007		-0.000417	0.000296	0.001323	0.000024	
11	4.360	0.000071	-0.000265	-0.001279	0.000010		-0.000580	0.000330	0.001475	0.000030	
12	4.910	0.000014	-0.000290	-0.001400	0.000012		-0.000752	0.000363	0.001621	0.000036	
13	5.460	-0.000040	-0.000315	-0.001522	0.000015		-0.000920	0.000395	0.001768	0.000043	
14	6.010	-0.000083	-0.000341	-0.001649	0.000018		-0.001075	0.000430	0.001920	0.000048	
15	6.560	-0.000119	-0.000368	-0.001778	0.000020		-0.001220	0.000465	0.002076	0.000053	
16	7.110	-0.000149	-0.000394	-0.001906	0.000022		-0.001352	0.000500	0.002231	0.000057	
17	7.460	-0.000151	-0.000411	-0.001987	0.000024		-0.001381	0.000521	0.002327	0.000060	STYČNÍK 2
18	7.805	-0.000152	-0.000428	-0.002066	0.000025		-0.001405	0.000542	0.002421	0.000062	
19	8.335	-0.000114	-0.000454	-0.002191	0.000026		-0.001329	0.000575	0.002565	0.000066	
20	8.865	-0.000075	-0.000481	-0.002319	0.000028		-0.001254	0.000608	0.002712	0.000069	
21	9.395	-0.000036	-0.000508	-0.002448	0.000029		-0.001180	0.000641	0.002859	0.000072	
22	9.925	-0.000001	-0.000534	-0.002573	0.000030		-0.001114	0.000673	0.003003	0.000075	
23	10.455	0.000030	-0.000559	-0.002695	0.000032		-0.001060	0.000705	0.003143	0.000079	
24	10.985	0.000058	-0.000585	-0.002819	0.000033		-0.001018	0.000736	0.003284	0.000082	
25	11.515	0.000081	-0.000612	-0.002947	0.000034		-0.001000	0.000768	0.003429	0.000085	
26	11.860	0.000046	-0.000631	-0.003036	0.000035		-0.001148	0.000790	0.003527	0.000087	STYČNÍK 3
27	12.230	0.000006	-0.000652	-0.003132	0.000036		-0.001322	0.000813	0.003631	0.000090	
28	12.810	-0.000153	-0.000685	-0.003284	0.000038		-0.001893	0.000847	0.003792	0.000093	
29	13.390	-0.000314	-0.000717	-0.003432	0.000039		-0.002464	0.000880	0.003950	0.000097	
30	13.970	-0.000475	-0.000749	-0.003579	0.000041		-0.003034	0.000913	0.004106	0.000101	
31	14.550	-0.000629	-0.000781	-0.003727	0.000042		-0.003596	0.000946	0.004265	0.000105	
32	15.130	-0.000774	-0.000814	-0.003878	0.000044		-0.004139	0.000981	0.004426	0.000108	
33	15.710	-0.000910	-0.000846	-0.004027	0.000045		-0.004657	0.001015	0.004586	0.000112	
34	16.290	-0.001038	-0.000877	-0.004170	0.000046		-0.005135	0.001048	0.004742	0.000115	
35	16.660	-0.001001	-0.000895	-0.004258	0.000047		-0.005056	0.001072	0.004849	0.000117	STYČNÍK 4
36	17.030	-0.000953	-0.000913	-0.004345	0.000048		-0.004944	0.001097	0.004957	0.000119	
37	17.610	-0.000686	-0.000939	-0.004476	0.000049		-0.004134	0.001139	0.005135	0.000120	
38	18.190	-0.000409	-0.000966	-0.004610	0.000050		-0.003301	0.001184	0.005322	0.000122	
39	18.770	-0.000128	-0.000991	-0.004743	0.000050		-0.002458	0.001230	0.005514	0.000123	
40	19.350	0.000149	-0.001014	-0.004865	0.000051		-0.001626	0.001277	0.005706	0.000125	
41	19.930	0.000416	-0.001033	-0.004977	0.000052		-0.000819	0.001326	0.005899	0.000126	
42	20.510	0.000673	-0.001050	-0.005085	0.000053		-0.000049	0.001378	0.006101	0.000128	
43	21.090	0.000908	-0.001064	-0.005186	0.000054		0.000658	0.001437	0.006324	0.000129	
44	21.460	0.000869	-0.001051	-0.005201	0.000054		0.000568	0.001505	0.006545	0.000130	STYČNÍK 5
45	21.830	0.000813	-0.001035	-0.005211	0.000054		0.000431	0.001576	0.006772	0.000131	
46	22.410	0.000374	-0.000962	-0.005099	0.000054		-0.000706	0.001745	0.007282	0.000132	
47	22.990	-0.000079	-0.000888	-0.004984	0.000055		-0.001887	0.001915	0.007785	0.000133	
48	23.570	-0.000542	-0.000812	-0.004866	0.000055		-0.003123	0.002087	0.008292	0.000135	
49	24.150	-0.000999	-0.000736	-0.004758	0.000055		-0.004408	0.002263	0.008804	0.000135	
50	24.730	-0.001444	-0.000661	-0.004661	0.000055		-0.005734	0.002442	0.009318	0.000136	
51	25.310	-0.001883	-0.000587	-0.004572	0.000055		-0.007092	0.002622	0.009829	0.000136	
52	25.890	-0.002375	-0.000503	-0.004460	0.000055		-0.008644	0.002817	0.010371	0.000137	
53	26.260	-0.002471	-0.000478	-0.004538	0.000056		-0.009553	0.002940	0.010626	0.000137	STYČNÍK 6
54	26.630	-0.002553	-0.000455	-0.004628	0.000056		-0.010469	0.003064	0.010876	0.000136	
55	27.210	-0.002591	-0.000425	-0.004893	0.000057		-0.012586	0.003319	0.011313	0.000131	
56	27.790	-0.002478	-0.000419	-0.005240	0.000058		-0.014309	0.003547	0.011658	0.000126	
57	28.370	-0.002236	-0.000433	-0.005655	0.000059		-0.015658	0.003748	0.011910	0.000120	
58	28.950	-0.001833	-0.000470	-0.006144	0.000060		-0.016477	0.003910	0.012027	0.000116	
59	29.530	-0.001232	-0.000538	-0.006729	0.000061		-0.016619	0.004022	0.011975	0.000113	
60	30.110	-0.000383	-0.000645	-0.007437	0.000062		-0.015951	0.004076	0.011735	0.000111	
61	30.690	0.000907	-0.000821	-0.008372	0.000062		-0.013873	0.004027	0.011156	0.000111	
62	31.060	0.004431	-0.001317	-0.010155	0.000060		-0.004142	0.003333	0.008685	0.000115	STYČNÍK 7
63	31.430	0.008201	-0.001848	-0.012047	0.000058		0.006354	0.002578	0.006020	0.000121	
64	32.010	0.019094	-0.003379	-0.017220	0.000051		0.038145	0.000172	-0.002078	0.000146	
65	32.590	0.029996	-0.004902	-0.022351	0.000043		0.069862	-0.002234	-0.010160	0.000162	
66	33.170	0.040879	-0.006423	-0.027465	0.000036		0.101555	-0.004627	-0.018192	0.000167	
67	33.750	0.051541	-0.007929	-0.032515	0.000028		0.132839	-0.006953	-0.025999	0.000156	
68	34.330	0.061842	-0.009400	-0.037431	0.000020		0.163257	-0.009175	-0.033452	0.000122	
69	34.910	0.071723	-0.010817	-0.042162	0.000011		0.192549	-0.011306	-0.040600	0.000077	
70	35.490	0.081100	-0.012162	-0.046651	0.000002		0.220392	-0.013342	-0.047425	0.000029	
71	35.860	0.081345	-0.012198	-0.046769	-0.000004		0.221121	-0.013396	-0.047604	-0.000004	STYČNÍK 8
72	36.230	0.081103	-0.012164	-0.046653	-0.000010		0.220412	-0.013345	-0.047433	-0.000038	
73	36.810	0.071731	-0.010821	-0.042168	-0.000019		0.192601	-0.011314	-0.040621	-0.000084	
74	37.390	0.061854	-0.009407	-0.037441	-0.000027		0.163340	-0.009187	-0.033485	-0.000127	
75	37.970	0.051559	-0.007939	-0.032530	-0.000034		0.132952	-0.006971	-0.026044	-0.000159	
76	38.550	0.040902	-0.006436	-0.027485	-0.000042		0.101697	-0.004649	-0.018249	-0.000169	
77	39.130	0.030026	-0.004917	-0.022377	-0.000048		0.070031	-0.002260	-0.010227	-0.000162	
78	39.710	0.019130	-0.003397	-0.017250	-0.000055		0.038341	0.000142	-0.002156	-0.000144	
79	40.290	0.008240	-0.001868	-0.012080	-0.000062		0.006579	0.002543	0.005931	-0.000117	

POŘADNICE PŘÍČINKOVÉ ČÁRY PRVKU NK

Prvek: TR_V8.2 Element: 401 Tabulka Z_{LM71} - poř. číslo: 6
Popis: SVISLICE V8 Part: I[343]

P. č.	Staničení	PŘÍČINKY OD KOLEJE Č. 1					PŘÍČINKY OD KOLEJE Č. 2				Poznámka
		Nx	Vz	My	Mz		Nx	Vz	My	Mz	
	[m]	[kN/kN]	[kN/kN]	[kNm/kN]	[kNm/kN]		[kN/kN]	[kN/kN]	[kNm/kN]	[kNm/kN]	
80	40.660	0.004468	-0.001337	-0.010187	-0.000064		-0.003907	0.003297	0.008591	-0.000111	STYČNÍK 9
81	41.030	0.000941	-0.000841	-0.008402	-0.000066		-0.013629	0.003991	0.011059	-0.000106	
82	41.610	-0.000357	-0.000663	-0.007460	-0.000065		-0.015707	0.004041	0.011638	-0.000106	
83	42.190	-0.001213	-0.000554	-0.006746	-0.000065		-0.016378	0.003988	0.011881	-0.000108	
84	42.770	-0.001822	-0.000484	-0.006156	-0.000064		-0.016240	0.003878	0.011934	-0.000111	
85	43.350	-0.002232	-0.000445	-0.005659	-0.000063		-0.015425	0.003717	0.011820	-0.000116	
86	43.930	-0.002484	-0.000428	-0.005237	-0.000062		-0.014079	0.003518	0.011569	-0.000121	
87	44.510	-0.002606	-0.000432	-0.004882	-0.000061		-0.012360	0.003291	0.011225	-0.000127	
88	45.090	-0.002577	-0.000459	-0.004609	-0.000060		-0.010248	0.003038	0.010790	-0.000132	
89	45.460	-0.002500	-0.000481	-0.004515	-0.000059		-0.009332	0.002914	0.010541	-0.000133	STYČNÍK 10
90	45.830	-0.002409	-0.000504	-0.004432	-0.000059		-0.008423	0.002792	0.010287	-0.000134	
91	46.410	-0.001925	-0.000585	-0.004537	-0.000059		-0.006868	0.002598	0.009745	-0.000133	
92	46.990	-0.001496	-0.000657	-0.004618	-0.000059		-0.005506	0.002419	0.009233	-0.000132	
93	47.570	-0.001061	-0.000729	-0.004706	-0.000059		-0.004173	0.002241	0.008717	-0.000132	
94	48.150	-0.000613	-0.000803	-0.004807	-0.000059		-0.002884	0.002066	0.008204	-0.000131	
95	48.730	-0.000158	-0.000877	-0.004918	-0.000058		-0.001645	0.001894	0.007697	-0.000130	
96	49.310	0.000287	-0.000949	-0.005026	-0.000058		-0.000460	0.001725	0.007192	-0.000129	
97	49.890	0.000717	-0.001019	-0.005131	-0.000058		0.000682	0.001557	0.006682	-0.000128	
98	50.260	0.000767	-0.001034	-0.005117	-0.000058		0.000823	0.001485	0.006452	-0.000127	STYČNÍK 11
99	50.630	0.000800	-0.001046	-0.005097	-0.000058		0.000916	0.001417	0.006230	-0.000126	
100	51.210	0.000559	-0.001031	-0.004992	-0.000057		0.000211	0.001358	0.006003	-0.000125	
101	51.790	0.000296	-0.001013	-0.004881	-0.000056		-0.000557	0.001305	0.005799	-0.000123	
102	52.370	0.000024	-0.000993	-0.004766	-0.000055		-0.001362	0.001256	0.005603	-0.000122	
103	52.950	-0.000259	-0.000970	-0.004640	-0.000054		-0.002193	0.001208	0.005409	-0.000120	
104	53.530	-0.000546	-0.000944	-0.004504	-0.000053		-0.003033	0.001161	0.005214	-0.000119	
105	54.110	-0.000830	-0.000916	-0.004366	-0.000052		-0.003864	0.001116	0.005024	-0.000117	
106	54.690	-0.001102	-0.000890	-0.004233	-0.000051		-0.004673	0.001073	0.004844	-0.000115	
107	55.060	-0.001152	-0.000871	-0.004144	-0.000050		-0.004786	0.001048	0.004734	-0.000114	STYČNÍK 12
108	55.430	-0.001193	-0.000853	-0.004055	-0.000050		-0.004864	0.001024	0.004626	-0.000112	
109	56.010	-0.001069	-0.000821	-0.003910	-0.000048		-0.004386	0.000990	0.004468	-0.000108	
110	56.590	-0.000938	-0.000788	-0.003759	-0.000047		-0.003867	0.000955	0.004305	-0.000105	
111	57.170	-0.000799	-0.000755	-0.003605	-0.000045		-0.003323	0.000921	0.004141	-0.000101	
112	57.750	-0.000649	-0.000722	-0.003454	-0.000044		-0.002761	0.000886	0.003980	-0.000098	
113	58.330	-0.000492	-0.000690	-0.003306	-0.000042		-0.002192	0.000853	0.003823	-0.000094	
114	58.910	-0.000335	-0.000658	-0.003157	-0.000041		-0.001622	0.000819	0.003663	-0.000091	
115	59.490	-0.000180	-0.000624	-0.003002	-0.000039		-0.001051	0.000785	0.003500	-0.000087	
116	59.860	-0.000142	-0.000603	-0.002905	-0.000038		-0.000877	0.000762	0.003394	-0.000085	STYČNÍK 13
117	60.205	-0.000110	-0.000584	-0.002815	-0.000037		-0.000729	0.000740	0.003295	-0.000083	
118	60.735	-0.000134	-0.000557	-0.002687	-0.000036		-0.000749	0.000708	0.003150	-0.000079	
119	61.265	-0.000162	-0.000531	-0.002564	-0.000034		-0.000794	0.000676	0.003009	-0.000076	
120	61.795	-0.000193	-0.000506	-0.002442	-0.000033		-0.000852	0.000645	0.002870	-0.000073	
121	62.325	-0.000229	-0.000480	-0.002317	-0.000031		-0.000922	0.000613	0.002727	-0.000070	
122	62.855	-0.000268	-0.000453	-0.002189	-0.000030		-0.000999	0.000579	0.002579	-0.000066	
123	63.385	-0.000307	-0.000426	-0.002061	-0.000029		-0.001077	0.000546	0.002433	-0.000063	
124	63.915	-0.000345	-0.000400	-0.001938	-0.000027		-0.001157	0.000514	0.002290	-0.000060	
125	64.260	-0.000343	-0.000384	-0.001859	-0.000026		-0.001137	0.000493	0.002197	-0.000057	STYČNÍK 14
126	64.610	-0.000340	-0.000367	-0.001779	-0.000024		-0.001111	0.000472	0.002103	-0.000055	
127	65.160	-0.000312	-0.000341	-0.001651	-0.000022		-0.000981	0.000437	0.001947	-0.000051	
128	65.710	-0.000277	-0.000314	-0.001521	-0.000020		-0.000840	0.000402	0.001791	-0.000046	
129	66.260	-0.000232	-0.000288	-0.001397	-0.000017		-0.000691	0.000368	0.001641	-0.000041	
130	66.810	-0.000171	-0.000264	-0.001280	-0.000014		-0.000535	0.000337	0.001499	-0.000035	
131	67.360	-0.000105	-0.000241	-0.001165	-0.000011		-0.000376	0.000305	0.001360	-0.000028	
132	67.910	-0.000052	-0.000216	-0.001044	-0.000009		-0.000224	0.000273	0.001214	-0.000022	
133	68.260	-0.000028	-0.000202	-0.000977	-0.000008		-0.000166	0.000254	0.001131	-0.000019	STYČNÍK 15
134	68.615	-0.000005	-0.000188	-0.000910	-0.000007		-0.000110	0.000235	0.001048	-0.000016	
135	69.165	0.000002	-0.000171	-0.000825	-0.000006		-0.000095	0.000209	0.000937	-0.000013	
136	69.715	0.000012	-0.000155	-0.000745	-0.000005		-0.000082	0.000185	0.000832	-0.000009	
137	70.265	0.000021	-0.000140	-0.000665	-0.000005		-0.000074	0.000161	0.000727	-0.000006	
138	70.815	0.000028	-0.000124	-0.000585	-0.000004		-0.000071	0.000136	0.000622	-0.000003	
139	71.365	0.000039	-0.000109	-0.000512	-0.000003		-0.000065	0.000114	0.000524	0.000000	
140	71.720	0.000054	-0.000101	-0.000469	-0.000002		-0.000047	0.000100	0.000466	0.000002	STYČNÍK 16
141	72.220	0.000075	-0.000089	-0.000409	-0.000001		-0.000023	0.000081	0.000384	0.000004	

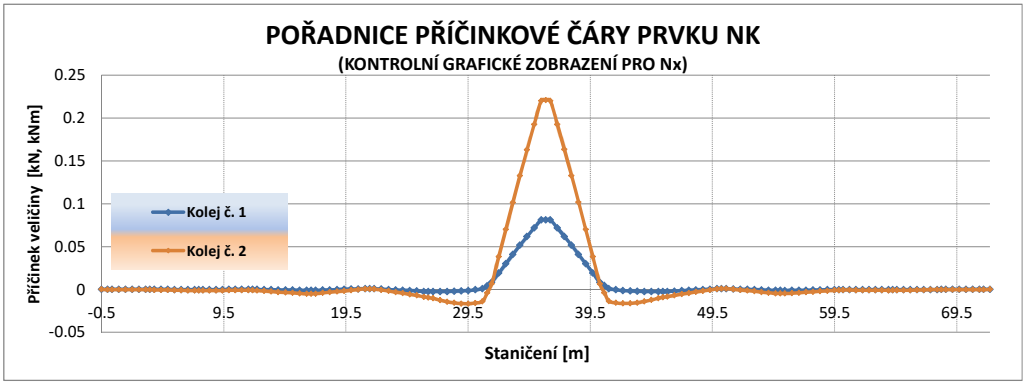

POŘADNICE PŘÍČINKOVÉ ČÁRY PRVKU NK

Prvek: TR_L2.1 Element: 866 Tabulka Z_{LM71} - poř. číslo: 7, 16
Popis: PODÉLNÍK L2.E - KRAJ Part: I[568]

P. č.	Staničení	PŘÍČINKY OD KOLEJE Č. 1					PŘÍČINKY OD KOLEJE Č. 2				Poznámka
		Nx	Vz	My	Mz		Nx	Vz	My	Mz	
	[m]	[kN/kN]	[kN/kN]	[kNm/kN]	[kNm/kN]		[kN/kN]	[kN/kN]	[kNm/kN]	[kNm/kN]	
1	-0.500	-0.000487	0.000041	0.000011	0.000002		-0.000724	0.000072	0.000031	0.000007	
2	0.000	0.000088	-0.000013	-0.000011	-0.000002		-0.000044	0.000011	0.000009	0.000002	STYČNÍK 0
3	0.355	0.000501	-0.000053	-0.000027	-0.000005		0.000440	-0.000033	-0.000008	-0.000002	
4	0.905	0.001268	-0.000127	-0.000057	-0.000010		0.001321	-0.000113	-0.000038	-0.000008	
5	1.455	0.002093	-0.000205	-0.000088	-0.000015		0.002207	-0.000193	-0.000070	-0.000015	
6	2.005	0.002893	-0.000281	-0.000118	-0.000021		0.003065	-0.000271	-0.000102	-0.000022	
7	2.555	0.003666	-0.000354	-0.000147	-0.000026		0.003883	-0.000346	-0.000132	-0.000028	
8	3.105	0.004473	-0.000430	-0.000177	-0.000031		0.004730	-0.000423	-0.000163	-0.000034	
9	3.460	0.004787	-0.000457	-0.000187	-0.000033		0.004964	-0.000444	-0.000175	-0.000036	STYČNÍK 1
10	3.810	0.005080	-0.000482	-0.000197	-0.000034		0.005174	-0.000463	-0.000185	-0.000038	
11	4.360	0.005269	-0.000495	-0.000204	-0.000035		0.005271	-0.000468	-0.000194	-0.000039	
12	4.910	0.005344	-0.000496	-0.000206	-0.000035		0.005223	-0.000460	-0.000198	-0.000040	
13	5.460	0.005435	-0.000499	-0.000209	-0.000035		0.005216	-0.000455	-0.000203	-0.000040	
14	6.010	0.005628	-0.000514	-0.000218	-0.000036		0.005374	-0.000465	-0.000212	-0.000041	
15	6.560	0.005886	-0.000537	-0.000230	-0.000037		0.005649	-0.000485	-0.000222	-0.000043	
16	7.110	0.006159	-0.000563	-0.000245	-0.000039		0.006020	-0.000513	-0.000234	-0.000046	
17	7.460	0.006359	-0.000581	-0.000253	-0.000041		0.006239	-0.000531	-0.000242	-0.000048	STYČNÍK 2
18	7.805	0.006563	-0.000600	-0.000262	-0.000042		0.006465	-0.000549	-0.000250	-0.000049	
19	8.335	0.007001	-0.000642	-0.000281	-0.000045		0.006999	-0.000594	-0.000268	-0.000053	
20	8.865	0.007462	-0.000686	-0.000300	-0.000048		0.007511	-0.000639	-0.000285	-0.000057	
21	9.395	0.007937	-0.000731	-0.000319	-0.000051		0.008030	-0.000683	-0.000303	-0.000060	
22	9.925	0.008385	-0.000774	-0.000337	-0.000054		0.008534	-0.000727	-0.000321	-0.000064	
23	10.455	0.008804	-0.000814	-0.000355	-0.000057		0.009020	-0.000768	-0.000337	-0.000067	
24	10.985	0.009229	-0.000854	-0.000372	-0.000059		0.009502	-0.000809	-0.000354	-0.000071	
25	11.515	0.009683	-0.000897	-0.000391	-0.000062		0.010001	-0.000852	-0.000371	-0.000074	
26	11.860	0.009944	-0.000922	-0.000401	-0.000064		0.010264	-0.000875	-0.000380	-0.000076	STYČNÍK 3
27	12.230	0.010223	-0.000948	-0.000412	-0.000066		0.010549	-0.000900	-0.000390	-0.000078	
28	12.810	0.010587	-0.000983	-0.000428	-0.000068		0.010976	-0.000934	-0.000404	-0.000081	
29	13.390	0.010913	-0.001015	-0.000442	-0.000070		0.011381	-0.000967	-0.000417	-0.000084	
30	13.970	0.011229	-0.001045	-0.000456	-0.000072		0.011781	-0.000999	-0.000429	-0.000087	
31	14.550	0.011571	-0.001078	-0.000471	-0.000074		0.012181	-0.001032	-0.000442	-0.000089	
32	15.130	0.011938	-0.001113	-0.000486	-0.000077		0.012580	-0.001065	-0.000455	-0.000092	
33	15.710	0.012297	-0.001147	-0.000501	-0.000079		0.012972	-0.001097	-0.000468	-0.000095	
34	16.290	0.012619	-0.001178	-0.000515	-0.000081		0.013366	-0.001129	-0.000480	-0.000097	
35	16.660	0.012825	-0.001198	-0.000524	-0.000082		0.013598	-0.001148	-0.000488	-0.000099	STYČNÍK 4
36	17.030	0.013033	-0.001217	-0.000533	-0.000083		0.013835	-0.001168	-0.000495	-0.000101	
37	17.610	0.013378	-0.001251	-0.000548	-0.000086		0.014277	-0.001204	-0.000509	-0.000104	
38	18.190	0.013761	-0.001288	-0.000564	-0.000088		0.014714	-0.001241	-0.000523	-0.000106	
39	18.770	0.014146	-0.001325	-0.000580	-0.000091		0.015148	-0.001277	-0.000537	-0.000109	
40	19.350	0.014492	-0.001359	-0.000595	-0.000093		0.015563	-0.001312	-0.000550	-0.000112	
41	19.930	0.014797	-0.001388	-0.000609	-0.000095		0.015953	-0.001344	-0.000562	-0.000115	
42	20.510	0.015103	-0.001418	-0.000623	-0.000097		0.016331	-0.001375	-0.000574	-0.000117	
43	21.090	0.015440	-0.001450	-0.000637	-0.000099		0.016726	-0.001407	-0.000587	-0.000120	
44	21.460	0.015633	-0.001468	-0.000644	-0.000100		0.016913	-0.001423	-0.000593	-0.000121	STYČNÍK 5
45	21.830	0.015824	-0.001486	-0.000652	-0.000101		0.017103	-0.001439	-0.000599	-0.000123	
46	22.410	0.016035	-0.001507	-0.000661	-0.000102		0.017424	-0.001465	-0.000608	-0.000125	
47	22.990	0.016208	-0.001525	-0.000669	-0.000103		0.017722	-0.001488	-0.000616	-0.000127	
48	23.570	0.016374	-0.001542	-0.000677	-0.000104		0.018020	-0.001511	-0.000623	-0.000128	
49	24.150	0.016579	-0.001562	-0.000686	-0.000105		0.018319	-0.001534	-0.000631	-0.000130	
50	24.730	0.016825	-0.001586	-0.000696	-0.000106		0.018618	-0.001559	-0.000640	-0.000132	
51	25.310	0.017065	-0.001609	-0.000706	-0.000107		0.018912	-0.001583	-0.000649	-0.000134	
52	25.890	0.017257	-0.001629	-0.000715	-0.000108		0.019232	-0.001609	-0.000657	-0.000136	
53	26.260	0.017432	-0.001645	-0.000722	-0.000109		0.019434	-0.001626	-0.000663	-0.000138	STYČNÍK 6
54	26.630	0.017612	-0.001663	-0.000729	-0.000110		0.019648	-0.001643	-0.000669	-0.000139	
55	27.210	0.017979	-0.001702	-0.000747	-0.000113		0.020199	-0.001688	-0.000683	-0.000143	
56	27.790	0.018405	-0.001746	-0.000766	-0.000116		0.020734	-0.001734	-0.000698	-0.000146	
57	28.370	0.018839	-0.001790	-0.000786	-0.000119		0.021271	-0.001779	-0.000713	-0.000149	
58	28.950	0.019218	-0.001830	-0.000804	-0.000121		0.021788	-0.001822	-0.000727	-0.000153	
59	29.530	0.019541	-0.001864	-0.000820	-0.000124		0.022278	-0.001861	-0.000739	-0.000156	
60	30.110	0.019870	-0.001899	-0.000836	-0.000126		0.022761	-0.001900	-0.000751	-0.000159	
61	30.690	0.020234	-0.001940	-0.000856	-0.000129		0.023369	-0.001949	-0.000766	-0.000162	
62	31.060	0.020388	-0.001958	-0.000865	-0.000130		0.023634	-0.001970	-0.000772	-0.000164	STYČNÍK 7
63	31.430	0.020533	-0.001975	-0.000874	-0.000131		0.023910	-0.001990	-0.000778	-0.000165	
64	32.010	0.020495	-0.001992	-0.000892	-0.000132		0.024738	-0.002045	-0.000789	-0.000169	
65	32.590	0.020403	-0.001998	-0.000903	-0.000132		0.025321	-0.002081	-0.000795	-0.000171	
66	33.170	0.020306	-0.001999	-0.000909	-0.000132		0.025707	-0.002102	-0.000798	-0.000172	
67	33.750	0.020295	-0.002000	-0.000912	-0.000132		0.025831	-0.002107	-0.000799	-0.000173	
68	34.330	0.020376	-0.001999	-0.000910	-0.000131		0.025617	-0.002089	-0.000797	-0.000171	
69	34.910	0.020508	-0.001998	-0.000904	-0.000130		0.025257	-0.002061	-0.000793	-0.000169	
70	35.490	0.020647	-0.002000	-0.000901	-0.000130		0.025029	-0.002042	-0.000788	-0.000168	
71	35.860	0.020807	-0.001995	-0.000890	-0.000129		0.024405	-0.001996	-0.000777	-0.000164	STYČNÍK 8
72	36.230	0.020965	-0.001990	-0.000879	-0.000128		0.023785	-0.001951	-0.000766	-0.000161	
73	36.810	0.021073	-0.001983	-0.000868	-0.000127		0.023183	-0.001905	-0.000750	-0.000158	
74	37.390	0.021184	-0.001972	-0.000852	-0.000125		0.022328	-0.001842	-0.000731	-0.000153	
75	37.970	0.021239	-0.001960	-0.000839	-0.000124		0.021583	-0.001787	-0.000714	-0.000150	
76	38.550	0.021171	-0.001949	-0.000832	-0.000122		0.021312	-0.001762	-0.000701	-0.000148	
77	39.130	0.020994	-0.001939	-0.000829	-0.000121		0.021393	-0.001758	-0.000690	-0.000148	
78	39.710	0.020812	-0.001934	-0.000832	-0.000121		0.021743	-0.001773	-0.000682	-0.000149	
79	40.290	0.020674	-0.001942	-0.000844	-0.000121		0.022433	-0.001816	-0.000680	-0.000152	

POŘADNICE PŘÍČINKOVÉ ČÁRY PRVKU NK

Prvek: TR_L2.1 Element: 866 Tabulka Z_{LM71} - poř. číslo: 7, 16
Popis: PODÉLNÍK L2.E - KRAJ Part: I[568]

P. č.	Staničení	PŘÍČINKY OD KOLEJE Č. 1					PŘÍČINKY OD KOLEJE Č. 2				Poznámka
		Nx	Vz	My	Mz		Nx	Vz	My	Mz	
	[m]	[kN/kN]	[kN/kN]	[kNm/kN]	[kNm/kN]		[kN/kN]	[kN/kN]	[kNm/kN]	[kNm/kN]	
80	40.660	0.020741	-0.001951	-0.000846	-0.000122		0.022558	-0.001821	-0.000676	-0.000152	STYČNÍK 9
81	41.030	0.020811	-0.001960	-0.000850	-0.000122		0.022717	-0.001828	-0.000673	-0.000153	
82	41.610	0.020906	-0.001978	-0.000858	-0.000123		0.023324	-0.001865	-0.000667	-0.000155	
83	42.190	0.020958	-0.001989	-0.000860	-0.000124		0.023792	-0.001887	-0.000657	-0.000156	
84	42.770	0.021002	-0.001998	-0.000862	-0.000124		0.024248	-0.001908	-0.000647	-0.000157	
85	43.350	0.021136	-0.002013	-0.000867	-0.000125		0.024636	-0.001929	-0.000641	-0.000158	
86	43.930	0.021362	-0.002036	-0.000873	-0.000126		0.024951	-0.001950	-0.000639	-0.000159	
87	44.510	0.021585	-0.002058	-0.000879	-0.000127		0.025241	-0.001968	-0.000637	-0.000160	
88	45.090	0.021708	-0.002071	-0.000882	-0.000127		0.025602	-0.001992	-0.000633	-0.000161	
89	45.460	0.021823	-0.002083	-0.000890	-0.000128		0.025686	-0.001997	-0.000650	-0.000160	STYČNÍK 10
90	45.830	0.021932	-0.002095	-0.000898	-0.000128		0.025801	-0.002005	-0.000669	-0.000160	
91	46.410	0.022061	-0.002122	-0.000926	-0.000129		0.026063	-0.002058	-0.000738	-0.000161	
92	46.990	0.022292	-0.002159	-0.000958	-0.000131		0.026210	-0.002104	-0.000811	-0.000163	
93	47.570	0.022529	-0.002196	-0.000991	-0.000133		0.026322	-0.002147	-0.000883	-0.000164	
94	48.150	0.022680	-0.002222	-0.001018	-0.000134		0.026434	-0.002182	-0.000946	-0.000164	
95	48.730	0.022747	-0.002238	-0.001040	-0.000134		0.026524	-0.002206	-0.000998	-0.000164	
96	49.310	0.022825	-0.002255	-0.001062	-0.000134		0.026513	-0.002223	-0.001044	-0.000164	
97	49.890	0.022955	-0.002277	-0.001084	-0.000135		0.026256	-0.002251	-0.001078	-0.000164	
98	50.260	0.023034	-0.002282	-0.001090	-0.000136		0.026196	-0.002202	-0.001025	-0.000163	STYČNÍK 11
99	50.630	0.023100	-0.002285	-0.001095	-0.000136		0.026186	-0.002153	-0.000966	-0.000162	
100	51.210	0.022973	-0.002256	-0.001070	-0.000135		0.026202	-0.002058	-0.000701	-0.000161	
101	51.790	0.022782	-0.002220	-0.001052	-0.000133		0.026522	-0.001947	-0.000446	-0.000160	
102	52.370	0.022575	-0.002186	-0.001047	-0.000130		0.026886	-0.001841	-0.000208	-0.000158	
103	52.950	0.022450	-0.002167	-0.001068	-0.000129		0.027018	-0.001741	-0.000010	-0.000156	
104	53.530	0.022412	-0.002166	-0.001120	-0.000128		0.026922	-0.001652	0.000139	-0.000155	
105	54.110	0.022381	-0.002171	-0.001203	-0.000128		0.026885	-0.001575	0.000238	-0.000153	
106	54.690	0.022299	-0.002182	-0.001345	-0.000126		0.026630	-0.001578	0.000265	-0.000150	
107	55.060	0.022250	-0.002285	-0.001760	-0.000125		0.027262	-0.001694	-0.000354	-0.000148	STYČNÍK 12
108	55.430	0.022191	-0.002398	-0.002206	-0.000124		0.027944	-0.001830	-0.001031	-0.000146	
109	56.010	0.022105	-0.002762	-0.003558	-0.000124		0.027425	-0.002567	-0.003220	-0.000144	
110	56.590	0.022030	-0.003131	-0.004890	-0.000125		0.026982	-0.003258	-0.005469	-0.000143	
111	57.170	0.021924	-0.003493	-0.006195	-0.000126		0.026417	-0.003952	-0.007764	-0.000143	
112	57.750	0.021740	-0.003824	-0.007437	-0.000125		0.026181	-0.004631	-0.010056	-0.000141	
113	58.330	0.021462	-0.004116	-0.008587	-0.000123		0.026195	-0.005287	-0.012329	-0.000138	
114	58.910	0.021098	-0.004376	-0.009630	-0.000122		0.025830	-0.005920	-0.014605	-0.000134	
115	59.490	0.020665	-0.004600	-0.010530	-0.000121		0.022155	-0.006855	-0.017419	-0.000132	
116	59.860	0.019801	-0.004309	-0.009663	-0.000118		0.023121	-0.006960	-0.019145	-0.000136	STYČNÍK 13
117	60.205	0.018942	-0.004003	-0.008740	-0.000115		0.024088	-0.007047	-0.020758	-0.000140	
118	60.735	0.016871	-0.002810	-0.005024	-0.000106		0.019397	-0.007955	-0.025232	-0.000150	
119	61.265	0.014774	-0.001588	-0.001215	-0.000094		0.018060	-0.008121	-0.027616	-0.000156	
120	61.795	0.012642	-0.000360	0.002639	-0.000083		0.016860	-0.007596	-0.027408	-0.000157	
121	62.325	0.010413	0.000836	0.006466	-0.000074		0.014388	-0.006085	-0.023522	-0.000152	
122	62.855	0.008099	0.001979	0.010212	-0.000067		0.010632	-0.003336	-0.014980	-0.000141	
123	63.385	0.005803	0.003066	0.013832	-0.000060		0.007021	0.000844	-0.000962	-0.000118	
124	63.915	0.003717	0.004063	0.017265	-0.000054		0.003871	-0.137388	0.019358	-0.000073	
125	64.260	0.003408	0.003882	0.017398	-0.000047		0.004669	-0.219922	0.020123	-0.000058	STYČNÍK 14
126	64.610	0.003192	0.003628	0.017362	-0.000040		0.004481	-0.302259	0.019496	-0.000044	
127	65.160	0.005254	0.001803	0.013962	-0.000025		0.006289	-0.382101	-0.000620	-0.000043	
128	65.710	0.007264	-0.000059	0.010408	-0.000008		0.009821	-0.316704	-0.013266	-0.000076	
129	66.260	0.009237	-0.001948	0.006741	0.000006		0.015611	-0.251119	-0.020035	-0.000113	
130	66.810	0.011106	-0.003834	0.003012	0.000017		0.024584	-0.186215	-0.022325	-0.000141	
131	67.360	0.012885	-0.005690	-0.000720	0.000023		0.033514	-0.121989	-0.021314	-0.000164	
132	67.910	0.014701	-0.007504	-0.004451	0.000023		0.041554	-0.057577	-0.017489	-0.000173	
133	68.260	0.014473	-0.007583	-0.005389	0.000018		0.038376	-0.034917	-0.016002	-0.000160	STYČNÍK 15
134	68.615	0.014147	-0.007578	-0.006231	0.000013		0.034809	-0.013358	-0.014463	-0.000147	
135	69.165	0.011987	-0.005979	-0.005534	0.000005		0.029565	-0.006166	-0.011489	-0.000112	
136	69.715	0.009695	-0.004252	-0.004649	0.000002		0.022304	-0.001704	-0.009141	-0.000083	
137	70.265	0.007527	-0.002469	-0.003681	-0.000001		0.016259	0.001151	-0.006857	-0.000062	
138	70.815	0.005481	-0.000648	-0.002658	-0.000005		0.011275	0.002850	-0.004624	-0.000047	
139	71.365	0.003240	0.001284	-0.001517	-0.000003		0.005706	0.003400	-0.002322	-0.000027	
140	71.720	0.001670	0.002518	-0.000806	0.000001		-0.001093	0.004656	-0.000834	-0.000004	STYČNÍK 16
141	72.220	-0.000562	0.004265	0.000206	0.000008		-0.010715	0.006361	0.001272	0.000029	

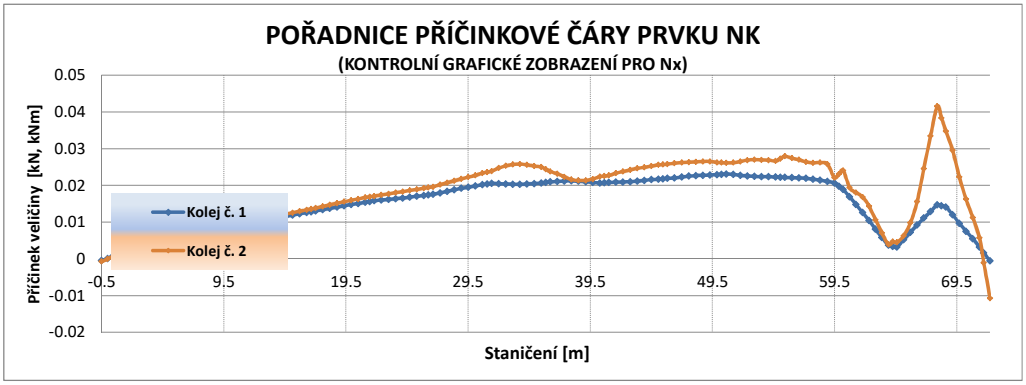

POŘADNICE PŘÍČINKOVÉ ČÁRY PRVKU NK

Prvek: TR_L2.2 Element: 871 Tabulka Z_{LM71} - poř. číslo: 8
Popis: PODÉLNÍK L2.E - STŘED Part: 2/4

P. č.	Staničení	PŘÍČINKY OD KOLEJE Č. 1					PŘÍČINKY OD KOLEJE Č. 2				Poznámka
		Nx	Vz	My	Mz		Nx	Vz	My	Mz	
	[m]	[kN/kN]	[kN/kN]	[kNm/kN]	[kNm/kN]		[kN/kN]	[kN/kN]	[kNm/kN]	[kNm/kN]	
1	-0.500	-0.000488	0.000042	-0.000080	-0.000007		-0.000728	0.000074	-0.000136	-0.000014	
2	0.000	0.000089	-0.000014	0.000021	0.000003		-0.000044	0.000011	-0.000017	-0.000002	STYČNÍK 0
3	0.355	0.000504	-0.000054	0.000093	0.000010		0.000441	-0.000034	0.000067	0.000006	
4	0.905	0.001273	-0.000129	0.000229	0.000023		0.001326	-0.000114	0.000218	0.000021	
5	1.455	0.002102	-0.000208	0.000375	0.000037		0.002217	-0.000196	0.000370	0.000036	
6	2.005	0.002906	-0.000285	0.000515	0.000050		0.003079	-0.000275	0.000517	0.000050	
7	2.555	0.003681	-0.000359	0.000650	0.000063		0.003902	-0.000351	0.000657	0.000064	
8	3.105	0.004492	-0.000437	0.000792	0.000076		0.004752	-0.000429	0.000801	0.000079	
9	3.460	0.004807	-0.000464	0.000841	0.000080		0.004987	-0.000451	0.000839	0.000083	STYČNÍK 1
10	3.810	0.005101	-0.000489	0.000886	0.000084		0.005199	-0.000470	0.000872	0.000087	
11	4.360	0.005292	-0.000502	0.000907	0.000086		0.005297	-0.000475	0.000876	0.000088	
12	4.910	0.005367	-0.000503	0.000905	0.000085		0.005250	-0.000467	0.000853	0.000087	
13	5.460	0.005459	-0.000506	0.000907	0.000085		0.005243	-0.000461	0.000837	0.000087	
14	6.010	0.005653	-0.000521	0.000931	0.000087		0.005403	-0.000471	0.000851	0.000089	
15	6.560	0.005912	-0.000544	0.000969	0.000091		0.005679	-0.000492	0.000887	0.000092	
16	7.110	0.006186	-0.000570	0.001013	0.000095		0.006053	-0.000520	0.000940	0.000098	
17	7.460	0.006387	-0.000589	0.001044	0.000098		0.006273	-0.000538	0.000973	0.000101	STYČNÍK 2
18	7.805	0.006592	-0.000608	0.001077	0.000101		0.006500	-0.000557	0.001007	0.000104	
19	8.335	0.007031	-0.000651	0.001153	0.000108		0.007037	-0.000603	0.001093	0.000113	
20	8.865	0.007495	-0.000695	0.001232	0.000116		0.007551	-0.000647	0.001176	0.000121	
21	9.395	0.007972	-0.000741	0.001314	0.000123		0.008073	-0.000693	0.001261	0.000130	
22	9.925	0.008421	-0.000784	0.001391	0.000131		0.008579	-0.000737	0.001342	0.000138	
23	10.455	0.008843	-0.000825	0.001463	0.000137		0.009068	-0.000779	0.001421	0.000146	
24	10.985	0.009270	-0.000866	0.001536	0.000144		0.009552	-0.000821	0.001499	0.000153	
25	11.515	0.009725	-0.000909	0.001613	0.000151		0.010053	-0.000865	0.001580	0.000161	
26	11.860	0.009988	-0.000934	0.001657	0.000155		0.010318	-0.000888	0.001622	0.000166	STYČNÍK 3
27	12.230	0.010268	-0.000960	0.001704	0.000160		0.010604	-0.000912	0.001668	0.000170	
28	12.810	0.010633	-0.000996	0.001767	0.000166		0.011034	-0.000948	0.001735	0.000177	
29	13.390	0.010961	-0.001028	0.001823	0.000171		0.011441	-0.000981	0.001797	0.000183	
30	13.970	0.011278	-0.001059	0.001877	0.000176		0.011843	-0.001013	0.001858	0.000189	
31	14.550	0.011621	-0.001092	0.001935	0.000181		0.012245	-0.001046	0.001920	0.000195	
32	15.130	0.011991	-0.001128	0.001998	0.000187		0.012647	-0.001080	0.001983	0.000201	
33	15.710	0.012351	-0.001162	0.002058	0.000192		0.013040	-0.001113	0.002044	0.000207	
34	16.290	0.012674	-0.001193	0.002113	0.000197		0.013437	-0.001145	0.002105	0.000213	
35	16.660	0.012881	-0.001213	0.002148	0.000200		0.013669	-0.001165	0.002142	0.000217	STYČNÍK 4
36	17.030	0.013090	-0.001233	0.002183	0.000203		0.013908	-0.001185	0.002179	0.000221	
37	17.610	0.013437	-0.001268	0.002243	0.000209		0.014352	-0.001221	0.002249	0.000228	
38	18.190	0.013821	-0.001305	0.002309	0.000215		0.014791	-0.001259	0.002319	0.000234	
39	18.770	0.014209	-0.001342	0.002375	0.000221		0.015228	-0.001296	0.002388	0.000241	
40	19.350	0.014556	-0.001376	0.002435	0.000227		0.015644	-0.001331	0.002454	0.000248	
41	19.930	0.014862	-0.001406	0.002487	0.000231		0.016037	-0.001363	0.002515	0.000254	
42	20.510	0.015170	-0.001436	0.002539	0.000236		0.016417	-0.001394	0.002575	0.000260	
43	21.090	0.015508	-0.001469	0.002596	0.000241		0.016814	-0.001428	0.002637	0.000266	
44	21.460	0.015702	-0.001487	0.002628	0.000244		0.017002	-0.001444	0.002668	0.000269	STYČNÍK 5
45	21.830	0.015894	-0.001504	0.002659	0.000246		0.017193	-0.001460	0.002699	0.000272	
46	22.410	0.016106	-0.001526	0.002696	0.000249		0.017516	-0.001486	0.002749	0.000277	
47	22.990	0.016279	-0.001544	0.002726	0.000252		0.017815	-0.001510	0.002795	0.000282	
48	23.570	0.016446	-0.001561	0.002756	0.000254		0.018115	-0.001533	0.002841	0.000286	
49	24.150	0.016652	-0.001582	0.002791	0.000256		0.018416	-0.001557	0.002888	0.000291	
50	24.730	0.016899	-0.001605	0.002833	0.000260		0.018717	-0.001582	0.002937	0.000296	
51	25.310	0.017140	-0.001628	0.002873	0.000263		0.019012	-0.001607	0.002985	0.000301	
52	25.890	0.017333	-0.001648	0.002907	0.000265		0.019334	-0.001633	0.003035	0.000306	
53	26.260	0.017509	-0.001665	0.002937	0.000268		0.019536	-0.001650	0.003069	0.000309	STYČNÍK 6
54	26.630	0.017690	-0.001683	0.002968	0.000271		0.019752	-0.001668	0.003104	0.000313	
55	27.210	0.018058	-0.001723	0.003038	0.000277		0.020305	-0.001714	0.003193	0.000321	
56	27.790	0.018486	-0.001767	0.003116	0.000285		0.020843	-0.001760	0.003281	0.000329	
57	28.370	0.018922	-0.001812	0.003196	0.000292		0.021383	-0.001806	0.003370	0.000338	
58	28.950	0.019302	-0.001852	0.003266	0.000299		0.021902	-0.001849	0.003453	0.000345	
59	29.530	0.019627	-0.001887	0.003327	0.000305		0.022395	-0.001889	0.003532	0.000353	
60	30.110	0.019958	-0.001923	0.003389	0.000310		0.022881	-0.001929	0.003609	0.000360	
61	30.690	0.020323	-0.001964	0.003461	0.000318		0.023492	-0.001978	0.003706	0.000368	
62	31.060	0.020478	-0.001982	0.003491	0.000320		0.023758	-0.001999	0.003746	0.000372	STYČNÍK 7
63	31.430	0.020623	-0.001999	0.003520	0.000323		0.024035	-0.002020	0.003788	0.000376	
64	32.010	0.020584	-0.002017	0.003540	0.000327		0.024868	-0.002075	0.003901	0.000384	
65	32.590	0.020492	-0.002023	0.003542	0.000328		0.025454	-0.002111	0.003976	0.000390	
66	33.170	0.020395	-0.002024	0.003537	0.000328		0.025843	-0.002133	0.004021	0.000393	
67	33.750	0.020384	-0.002025	0.003534	0.000327		0.025967	-0.002137	0.004031	0.000394	
68	34.330	0.020465	-0.002024	0.003533	0.000325		0.025752	-0.002119	0.003994	0.000391	
69	34.910	0.020598	-0.002022	0.003533	0.000323		0.025391	-0.002091	0.003937	0.000387	
70	35.490	0.020739	-0.002024	0.003538	0.000322		0.025163	-0.002072	0.003899	0.000384	
71	35.860	0.020900	-0.002018	0.003536	0.000319		0.024535	-0.002026	0.003809	0.000377	STYČNÍK 8
72	36.230	0.021059	-0.002013	0.003534	0.000316		0.023911	-0.001980	0.003719	0.000370	
73	36.810	0.021168	-0.002005	0.003527	0.000313		0.023309	-0.001934	0.003632	0.000363	
74	37.390	0.021280	-0.001994	0.003514	0.000309		0.022450	-0.001871	0.003511	0.000354	
75	37.970	0.021336	-0.001981	0.003497	0.000305		0.021702	-0.001815	0.003406	0.000346	
76	38.550	0.021268	-0.001970	0.003479	0.000302		0.021430	-0.001789	0.003363	0.000342	
77	39.130	0.021090	-0.001959	0.003456	0.000299		0.021511	-0.001785	0.003366	0.000342	
78	39.710	0.020908	-0.001955	0.003442	0.000299		0.021863	-0.001801	0.003409	0.000344	
79	40.290	0.020768	-0.001964	0.003449	0.000301		0.022563	-0.001844	0.003506	0.000351	

POŘADNICE PŘÍČINKOVÉ ČÁRY PRVKU NK

Prvek: TR_L2.2 Element: 871 Tabulka Z_{LM71} - poř. číslo: 8
Popis: PODÉLNÍK L2.E - STŘED Part: 2/4

P. č.	Staničení	PŘÍČINKY OD KOLEJE Č. 1					PŘÍČINKY OD KOLEJE Č. 2				Poznámka
		Nx	Vz	My	Mz		Nx	Vz	My	Mz	
	[m]	[kN/kN]	[kN/kN]	[kNm/kN]	[kNm/kN]		[kN/kN]	[kN/kN]	[kNm/kN]	[kNm/kN]	
80	40.660	0.020836	-0.001972	0.003464	0.000302		0.022683	-0.001849	0.003525	0.000352	STYČNÍK 9
81	41.030	0.020906	-0.001981	0.003481	0.000303		0.022837	-0.001856	0.003548	0.000354	
82	41.610	0.021002	-0.002000	0.003514	0.000307		0.023455	-0.001894	0.003635	0.000360	
83	42.190	0.021055	-0.002011	0.003533	0.000309		0.023926	-0.001916	0.003695	0.000363	
84	42.770	0.021100	-0.002020	0.003550	0.000310		0.024386	-0.001938	0.003752	0.000367	
85	43.350	0.021235	-0.002036	0.003580	0.000312		0.024777	-0.001959	0.003806	0.000370	
86	43.930	0.021462	-0.002059	0.003624	0.000316		0.025095	-0.001980	0.003855	0.000374	
87	44.510	0.021688	-0.002081	0.003665	0.000319		0.025387	-0.001998	0.003898	0.000377	
88	45.090	0.021813	-0.002095	0.003690	0.000321		0.025773	-0.002024	0.003946	0.000380	
89	45.460	0.021930	-0.002107	0.003707	0.000322		0.025838	-0.002027	0.003949	0.000380	STYČNÍK 10
90	45.830	0.022042	-0.002119	0.003724	0.000323		0.025935	-0.002033	0.003956	0.000381	
91	46.410	0.022177	-0.002147	0.003754	0.000326		0.026232	-0.002088	0.003990	0.000385	
92	46.990	0.022414	-0.002184	0.003800	0.000331		0.026391	-0.002134	0.004015	0.000389	
93	47.570	0.022658	-0.002222	0.003847	0.000336		0.026513	-0.002178	0.004036	0.000393	
94	48.150	0.022815	-0.002249	0.003876	0.000339		0.026634	-0.002213	0.004047	0.000395	
95	48.730	0.022889	-0.002266	0.003885	0.000340		0.026732	-0.002236	0.004045	0.000396	
96	49.310	0.022974	-0.002283	0.003895	0.000341		0.026728	-0.002253	0.004034	0.000396	
97	49.890	0.023112	-0.002306	0.003919	0.000344		0.026562	-0.002289	0.004024	0.000397	
98	50.260	0.023198	-0.002311	0.003921	0.000344		0.026426	-0.002235	0.004007	0.000395	STYČNÍK 11
99	50.630	0.023271	-0.002316	0.003921	0.000344		0.026339	-0.002180	0.003996	0.000393	
100	51.210	0.023157	-0.002290	0.003877	0.000341		0.026464	-0.002099	0.004016	0.000391	
101	51.790	0.022980	-0.002256	0.003810	0.000335		0.026807	-0.001994	0.004030	0.000387	
102	52.370	0.022787	-0.002224	0.003732	0.000329		0.027189	-0.001893	0.004036	0.000382	
103	52.950	0.022675	-0.002207	0.003661	0.000325		0.027334	-0.001799	0.004019	0.000378	
104	53.530	0.022651	-0.002208	0.003597	0.000322		0.027246	-0.001713	0.003974	0.000374	
105	54.110	0.022634	-0.002214	0.003515	0.000319		0.027214	-0.001640	0.003905	0.000369	
106	54.690	0.022568	-0.002226	0.003381	0.000314		0.027284	-0.001672	0.003790	0.000364	
107	55.060	0.022523	-0.002326	0.003164	0.000311		0.027624	-0.001758	0.003528	0.000358	STYČNÍK 12
108	55.430	0.022468	-0.002435	0.002935	0.000308		0.028011	-0.001864	0.003253	0.000353	
109	56.010	0.022386	-0.002787	0.002301	0.000307		0.027902	-0.002615	0.002395	0.000350	
110	56.590	0.022313	-0.003145	0.001702	0.000308		0.027532	-0.003290	0.001525	0.000347	
111	57.170	0.022204	-0.003495	0.001113	0.000310		0.027018	-0.003965	0.000619	0.000343	
112	57.750	0.022013	-0.003814	0.000520	0.000307		0.026805	-0.004620	-0.000313	0.000336	
113	58.330	0.021721	-0.004093	-0.000068	0.000299		0.026812	-0.005246	-0.001278	0.000326	
114	58.910	0.021337	-0.004342	-0.000612	0.000292		0.026409	-0.005843	-0.002293	0.000315	
115	59.490	0.020872	-0.004554	-0.001090	0.000285		0.023851	-0.006827	-0.003751	0.000303	
116	59.860	0.019913	-0.004260	-0.000856	0.000263		0.023434	-0.006761	-0.004809	0.000285	STYČNÍK 13
117	60.205	0.018959	-0.003951	-0.000597	0.000242		0.023082	-0.006683	-0.005817	0.000268	
118	60.735	0.016609	-0.002759	0.000583	0.000177		0.019152	-0.007489	-0.009178	0.000230	
119	61.265	0.014234	-0.001539	0.001797	0.000109		0.017368	-0.007474	-0.011453	0.000190	
120	61.795	0.011826	-0.000313	0.003046	0.000042		0.015701	-0.006791	-0.012566	0.000147	
121	62.325	0.009330	0.000877	0.004346	-0.000019		0.012753	-0.005156	-0.012055	0.000101	
122	62.855	0.006761	0.002013	0.005688	-0.000072		0.008533	-0.002332	-0.009471	0.000053	
123	63.385	0.004227	0.003091	0.007028	-0.000121		0.004496	0.001867	-0.004393	0.000000	
124	63.915	0.001932	0.004076	0.008385	-0.000170		-0.003419	0.008348	0.005174	-0.000063	
125	64.260	0.001709	0.003891	0.008977	-0.000178		0.001631	0.029086	0.038524	-0.000033	STYČNÍK 14
126	64.610	0.001599	0.003636	0.009559	-0.000185		0.007109	0.051542	0.074826	0.000005	
127	65.160	0.004219	0.001817	0.010250	-0.000169		0.006382	0.116502	0.183443	0.000183	
128	65.710	0.006793	-0.000029	0.010855	-0.000146		0.011635	0.182045	0.295428	0.000408	
129	66.260	0.009336	-0.001898	0.011397	-0.000108		0.018751	0.247867	0.413214	0.000600	
130	66.810	0.011774	-0.003751	0.011856	-0.000032		0.028419	-0.186919	0.400014	0.000712	
131	67.360	0.014111	-0.005572	0.012239	0.000059		0.037409	-0.122349	0.254643	0.000787	
132	67.910	0.016470	-0.007356	0.012534	0.000163		0.047851	-0.057748	0.110516	0.000808	
133	68.260	0.016301	-0.007440	0.011773	0.000191		0.041583	-0.034895	0.062123	0.000789	STYČNÍK 15
134	68.615	0.016012	-0.007440	0.010921	0.000216		0.034904	-0.013150	0.016301	0.000766	
135	69.165	0.013488	-0.005872	0.008055	0.000195		0.031794	-0.006101	0.001704	0.000628	
136	69.715	0.010803	-0.004174	0.005089	0.000164		0.023921	-0.001663	-0.005817	0.000508	
137	70.265	0.008221	-0.002416	0.002077	0.000133		0.017256	0.001173	-0.009749	0.000395	
138	70.815	0.005748	-0.000619	-0.000965	0.000105		0.011639	0.002859	-0.011101	0.000288	
139	71.365	0.003062	0.001293	-0.004144	0.000061		0.006425	0.003354	-0.010328	0.000162	
140	71.720	0.001219	0.002515	-0.006192	0.000026		-0.002041	0.004647	-0.010818	0.000072	STYČNÍK 16
141	72.220	-0.001400	0.004245	-0.009089	-0.000026		-0.013863	0.006399	-0.011438	-0.000057	

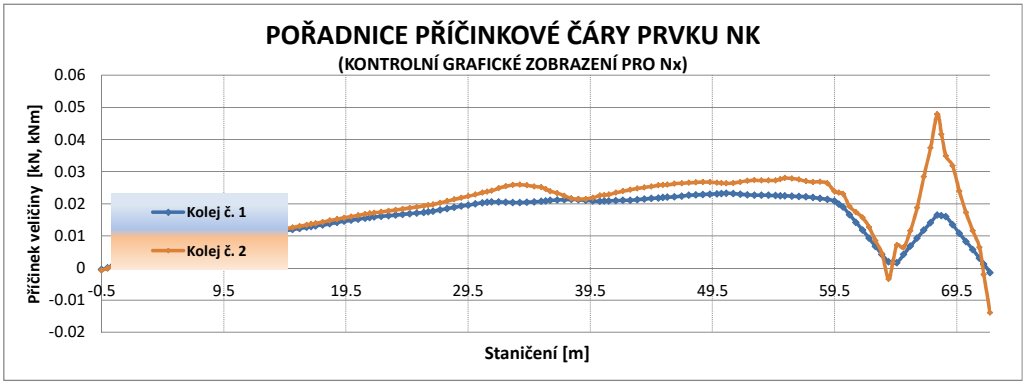

POŘADNICE PŘÍČINKOVÉ ČÁRY PRVKU NK

Prvek: TR_L4.2 Element: 850 Tabulka Z_{LM71} - poř. číslo: 9
Popis: PODÉLNÍK L4.E - STŘED Part: I[712]

P. č.	Staničení	PŘÍČINKY OD KOLEJE Č. 1					PŘÍČINKY OD KOLEJE Č. 2				Poznámka
		Nx	Vz	My	Mz		Nx	Vz	My	Mz	
	[m]	[kN/kN]	[kN/kN]	[kNm/kN]	[kNm/kN]		[kN/kN]	[kN/kN]	[kNm/kN]	[kNm/kN]	
1	-0.500	-0.000308	0.000007	-0.000006	0.000000		-0.000801	0.000012	-0.000010	0.000000	
2	0.000	0.000173	-0.000005	0.000003	0.000000		-0.000115	0.000004	-0.000002	0.000000	STYČNÍK 0
3	0.355	0.000518	-0.000013	0.000010	0.000000		0.000374	-0.000003	0.000003	0.000000	
4	0.905	0.001147	-0.000029	0.000023	0.000000		0.001271	-0.000015	0.000013	-0.000001	
5	1.455	0.001829	-0.000046	0.000036	0.000000		0.002176	-0.000027	0.000023	-0.000001	
6	2.005	0.002493	-0.000062	0.000049	0.000000		0.003055	-0.000040	0.000033	-0.000001	
7	2.555	0.003137	-0.000077	0.000061	0.000000		0.003898	-0.000052	0.000043	-0.000001	
8	3.105	0.003809	-0.000093	0.000073	-0.000001		0.004767	-0.000064	0.000053	-0.000001	
9	3.460	0.004102	-0.000097	0.000077	-0.000001		0.005044	-0.000068	0.000058	-0.000001	STYČNÍK 1
10	3.810	0.004379	-0.000101	0.000080	-0.000001		0.005299	-0.000072	0.000062	-0.000001	
11	4.360	0.004593	-0.000104	0.000082	-0.000001		0.005524	-0.000073	0.000064	-0.000001	
12	4.910	0.004726	-0.000104	0.000082	-0.000001		0.005619	-0.000072	0.000066	-0.000001	
13	5.460	0.004868	-0.000104	0.000082	-0.000001		0.005752	-0.000072	0.000068	-0.000001	
14	6.010	0.005073	-0.000108	0.000086	0.000000		0.006032	-0.000073	0.000070	-0.000001	
15	6.560	0.005316	-0.000114	0.000091	0.000000		0.006413	-0.000075	0.000073	-0.000001	
16	7.110	0.005554	-0.000121	0.000097	0.000000		0.006887	-0.000077	0.000076	-0.000001	
17	7.460	0.005739	-0.000125	0.000101	0.000000		0.007153	-0.000079	0.000078	-0.000001	STYČNÍK 2
18	7.805	0.005927	-0.000129	0.000104	0.000000		0.007424	-0.000081	0.000081	-0.000001	
19	8.335	0.006302	-0.000139	0.000112	0.000000		0.008001	-0.000087	0.000086	-0.000001	
20	8.865	0.006706	-0.000148	0.000119	-0.000001		0.008553	-0.000092	0.000093	-0.000001	
21	9.395	0.007120	-0.000157	0.000127	-0.000001		0.009110	-0.000099	0.000099	-0.000001	
22	9.925	0.007511	-0.000166	0.000134	-0.000001		0.009654	-0.000104	0.000105	-0.000001	
23	10.455	0.007880	-0.000175	0.000141	-0.000001		0.010181	-0.000110	0.000110	-0.000001	
24	10.985	0.008254	-0.000183	0.000148	-0.000001		0.010703	-0.000115	0.000116	-0.000001	
25	11.515	0.008651	-0.000192	0.000155	-0.000001		0.011241	-0.000121	0.000122	-0.000001	
26	11.860	0.008885	-0.000197	0.000159	-0.000001		0.011532	-0.000124	0.000125	-0.000001	STYČNÍK 3
27	12.230	0.009133	-0.000202	0.000163	-0.000001		0.011848	-0.000127	0.000129	-0.000002	
28	12.810	0.009446	-0.000210	0.000170	-0.000001		0.012340	-0.000130	0.000133	-0.000002	
29	13.390	0.009728	-0.000216	0.000175	-0.000001		0.012812	-0.000133	0.000137	-0.000002	
30	13.970	0.010001	-0.000223	0.000181	-0.000001		0.013279	-0.000136	0.000141	-0.000002	
31	14.550	0.010300	-0.000230	0.000187	-0.000001		0.013742	-0.000139	0.000146	-0.000002	
32	15.130	0.010625	-0.000237	0.000193	-0.000001		0.014200	-0.000142	0.000150	-0.000002	
33	15.710	0.010943	-0.000244	0.000198	-0.000001		0.014649	-0.000145	0.000155	-0.000001	
34	16.290	0.011224	-0.000250	0.000204	-0.000001		0.015107	-0.000148	0.000159	-0.000001	
35	16.660	0.011411	-0.000254	0.000207	-0.000001		0.015370	-0.000150	0.000162	-0.000001	STYČNÍK 4
36	17.030	0.011598	-0.000258	0.000210	-0.000001		0.015639	-0.000152	0.000165	-0.000001	
37	17.610	0.011896	-0.000265	0.000216	-0.000001		0.016132	-0.000155	0.000170	-0.000001	
38	18.190	0.012231	-0.000273	0.000223	-0.000001		0.016613	-0.000159	0.000175	-0.000001	
39	18.770	0.012570	-0.000280	0.000229	-0.000001		0.017091	-0.000163	0.000180	-0.000001	
40	19.350	0.012874	-0.000287	0.000234	-0.000001		0.017552	-0.000167	0.000185	-0.000001	
41	19.930	0.013143	-0.000293	0.000240	-0.000001		0.017993	-0.000170	0.000190	-0.000001	
42	20.510	0.013416	-0.000299	0.000245	-0.000001		0.018420	-0.000172	0.000194	-0.000001	
43	21.090	0.013713	-0.000306	0.000250	-0.000001		0.018860	-0.000176	0.000199	-0.000001	
44	21.460	0.013893	-0.000309	0.000252	-0.000001		0.019068	-0.000177	0.000201	-0.000001	STYČNÍK 5
45	21.830	0.014069	-0.000312	0.000255	-0.000001		0.019282	-0.000178	0.000204	-0.000001	
46	22.410	0.014248	-0.000316	0.000258	-0.000001		0.019653	-0.000180	0.000207	-0.000001	
47	22.990	0.014396	-0.000320	0.000261	-0.000001		0.020006	-0.000180	0.000209	-0.000001	
48	23.570	0.014537	-0.000324	0.000264	-0.000001		0.020359	-0.000181	0.000211	-0.000001	
49	24.150	0.014716	-0.000327	0.000267	-0.000001		0.020704	-0.000182	0.000214	-0.000001	
50	24.730	0.014936	-0.000332	0.000270	-0.000001		0.021039	-0.000183	0.000218	-0.000001	
51	25.310	0.015152	-0.000336	0.000273	-0.000001		0.021368	-0.000185	0.000221	-0.000001	
52	25.890	0.015316	-0.000340	0.000276	-0.000001		0.021738	-0.000186	0.000224	0.000000	
53	26.260	0.015474	-0.000342	0.000278	-0.000001		0.021957	-0.000186	0.000227	0.000000	STYČNÍK 6
54	26.630	0.015635	-0.000345	0.000281	-0.000001		0.022191	-0.000187	0.000230	0.000000	
55	27.210	0.015918	-0.000354	0.000289	-0.000001		0.022776	-0.000190	0.000236	0.000000	
56	27.790	0.016261	-0.000363	0.000297	-0.000001		0.023329	-0.000193	0.000243	0.000000	
57	28.370	0.016609	-0.000372	0.000305	-0.000001		0.023886	-0.000197	0.000250	-0.000001	
58	28.950	0.016911	-0.000381	0.000313	-0.000001		0.024432	-0.000199	0.000257	-0.000001	
59	29.530	0.017165	-0.000388	0.000320	-0.000001		0.024964	-0.000201	0.000262	-0.000001	
60	30.110	0.017425	-0.000396	0.000327	-0.000001		0.025485	-0.000203	0.000268	-0.000001	
61	30.690	0.017683	-0.000406	0.000337	-0.000001		0.026130	-0.000207	0.000272	-0.000001	
62	31.060	0.017800	-0.000410	0.000340	-0.000001		0.026441	-0.000208	0.000274	-0.000001	STYČNÍK 7
63	31.430	0.017905	-0.000415	0.000344	-0.000001		0.026767	-0.000208	0.000275	-0.000001	
64	32.010	0.017712	-0.000427	0.000354	-0.000001		0.027800	-0.000211	0.000266	-0.000001	
65	32.590	0.017538	-0.000434	0.000360	-0.000001		0.028584	-0.000211	0.000259	-0.000001	
66	33.170	0.017415	-0.000437	0.000363	0.000000		0.029156	-0.000210	0.000252	0.000000	
67	33.750	0.017447	-0.000437	0.000361	0.000000		0.029407	-0.000210	0.000247	0.000000	
68	34.330	0.017660	-0.000432	0.000354	0.000000		0.029255	-0.000211	0.000245	0.000001	
69	34.910	0.017978	-0.000424	0.000344	0.000000		0.028965	-0.000210	0.000244	0.000001	
70	35.490	0.018305	-0.000417	0.000336	0.000000		0.028888	-0.000210	0.000237	0.000002	
71	35.860	0.018671	-0.000404	0.000327	0.000000		0.028274	-0.000201	0.000243	0.000003	STYČNÍK 8
72	36.230	0.019031	-0.000392	0.000318	0.000000		0.027660	-0.000191	0.000250	0.000003	
73	36.810	0.019295	-0.000377	0.000320	0.000000		0.026999	-0.000184	0.000255	0.000004	
74	37.390	0.019573	-0.000360	0.000318	0.000000		0.025949	-0.000177	0.000268	0.000004	
75	37.970	0.019747	-0.000346	0.000319	0.000000		0.024998	-0.000170	0.000281	0.000004	
76	38.550	0.019702	-0.000337	0.000325	0.000000		0.024674	-0.000159	0.000290	0.000004	
77	39.130	0.019477	-0.000333	0.000336	0.000000		0.024826	-0.000146	0.000295	0.000004	
78	39.710	0.019173	-0.000334	0.000350	0.000001		0.025277	-0.000132	0.000299	0.000004	
79	40.290	0.018813	-0.000341	0.000372	0.000001		0.025988	-0.000135	0.000295	0.000003	

POŘADNICE PŘÍČINKOVÉ ČÁRY PRVKU NK

Prvek: TR_L4.2 Element: 850 Tabulka Z_{LM71} - poř. číslo: 9
Popis: PODÉLNÍK L4.E - STŘED Part: I[712]

P. č.	Staničení	PŘÍČINKY OD KOLEJE Č. 1					PŘÍČINKY OD KOLEJE Č. 2				Poznámka
		Nx	Vz	My	Mz		Nx	Vz	My	Mz	
	[m]	[kN/kN]	[kN/kN]	[kNm/kN]	[kNm/kN]		[kN/kN]	[kN/kN]	[kNm/kN]	[kNm/kN]	
80	40.660	0.018854	-0.000349	0.000366	0.000001		0.026215	-0.000111	0.000313	0.000003	STYČNÍK 9
81	41.030	0.018895	-0.000358	0.000358	0.000002		0.026491	-0.000087	0.000330	0.000003	
82	41.610	0.019036	-0.000380	0.000335	0.000004		0.027361	-0.000076	0.000328	0.000004	
83	42.190	0.019203	-0.000401	0.000300	0.000005		0.028263	-0.000049	0.000326	0.000005	
84	42.770	0.019377	-0.000425	0.000256	0.000007		0.029183	-0.000027	0.000314	0.000006	
85	43.350	0.019609	-0.000456	0.000201	0.000009		0.029897	-0.000018	0.000292	0.000007	
86	43.930	0.019901	-0.000496	0.000134	0.000010		0.030411	-0.000024	0.000257	0.000008	
87	44.510	0.020210	-0.000542	0.000050	0.000012		0.030964	-0.000041	0.000199	0.000009	
88	45.090	0.020508	-0.000602	-0.000069	0.000014		0.031604	-0.000136	0.000043	0.000011	
89	45.460	0.020650	-0.000712	-0.000295	0.000014		0.032116	-0.000251	-0.000211	0.000015	STYČNÍK 10
90	45.830	0.020773	-0.000830	-0.000534	0.000015		0.032657	-0.000379	-0.000487	0.000020	
91	46.410	0.020875	-0.001170	-0.001206	0.000017		0.032702	-0.001034	-0.001491	0.000029	
92	46.990	0.020944	-0.001504	-0.001862	0.000019		0.032510	-0.001640	-0.002452	0.000037	
93	47.570	0.020982	-0.001830	-0.002507	0.000020		0.032204	-0.002249	-0.003438	0.000046	
94	48.150	0.020996	-0.002135	-0.003136	0.000021		0.032179	-0.002840	-0.004455	0.000055	
95	48.730	0.020971	-0.002411	-0.003737	0.000021		0.032379	-0.003406	-0.005502	0.000064	
96	49.310	0.020867	-0.002658	-0.004292	0.000020		0.032276	-0.003961	-0.006568	0.000072	
97	49.890	0.020651	-0.002858	-0.004777	0.000018		0.030466	-0.004857	-0.008123	0.000079	
98	50.260	0.020012	-0.002604	-0.004504	0.000007		0.030574	-0.004888	-0.009049	0.000082	STYČNÍK 11
99	50.630	0.019320	-0.002316	-0.004180	-0.000004		0.030741	-0.004902	-0.010003	0.000085	
100	51.210	0.017569	-0.001182	-0.002729	-0.000038		0.028778	-0.005705	-0.013599	0.000092	
101	51.790	0.015846	-0.000033	-0.001240	-0.000070		0.028614	-0.005754	-0.015962	0.000090	
102	52.370	0.014085	0.001121	0.000286	-0.000097		0.028387	-0.005162	-0.016995	0.000073	
103	52.950	0.012172	0.002249	0.001844	-0.000119		0.026820	-0.003695	-0.016087	0.000030	
104	53.530	0.010114	0.003333	0.003421	-0.000132		0.023892	-0.001124	-0.012723	-0.000043	
105	54.110	0.008058	0.004363	0.004980	-0.000135		0.020879	0.002769	-0.006509	-0.000147	
106	54.690	0.006144	0.005323	0.006510	-0.000124		0.014901	0.008622	0.004298	-0.000294	
107	55.060	0.005697	0.005208	0.007057	-0.000102		0.019088	0.027254	0.040558	-0.000309	STYČNÍK 12
108	55.430	0.005316	0.005030	0.007570	-0.000079		0.023550	0.047214	0.079549	-0.000316	
109	56.010	0.006156	0.003599	0.007814	-0.000027		0.023461	0.104039	0.193924	-0.000149	
110	56.590	0.007037	0.002115	0.008024	0.000008		0.026838	0.161773	0.311523	0.000117	
111	57.170	0.007996	0.000589	0.008222	0.000039		0.029543	0.220254	0.434022	0.000419	
112	57.750	0.009029	-0.000969	0.008409	0.000083		0.030866	0.278837	0.561886	0.000666	
113	58.330	0.010127	-0.002541	0.008619	0.000152		0.030671	-0.162957	0.405330	0.000854	
114	58.910	0.011340	-0.004086	0.008775	0.000243		0.029975	-0.105435	0.254072	0.000944	
115	59.490	0.012714	-0.005591	0.008822	0.000363		0.034845	-0.048211	0.104515	0.000889	
116	59.860	0.013250	-0.005779	0.008286	0.000396		0.029297	-0.027814	0.054109	0.000773	STYČNÍK 13
117	60.205	0.013714	-0.005896	0.007740	0.000424		0.024235	-0.009983	0.010266	0.000659	
118	60.735	0.013761	-0.004987	0.005969	0.000398		0.028434	-0.003749	-0.004883	0.000405	
119	61.265	0.013644	-0.003993	0.004189	0.000351		0.026806	0.000185	-0.012672	0.000224	
120	61.795	0.013436	-0.002957	0.002405	0.000291		0.025047	0.002792	-0.017005	0.000090	
121	62.325	0.013215	-0.001907	0.000653	0.000222		0.024063	0.004281	-0.018467	0.000002	
122	62.855	0.013006	-0.000858	-0.001053	0.000147		0.023893	0.004881	-0.017678	-0.000050	
123	63.385	0.012791	0.000188	-0.002718	0.000067		0.023730	0.004847	-0.015296	-0.000078	
124	63.915	0.012643	0.001237	-0.004349	-0.000016		0.024090	0.004061	-0.011514	-0.000092	
125	64.260	0.012715	0.001526	-0.004719	-0.000041		0.022126	0.004084	-0.010312	-0.000096	STYČNÍK 14
126	64.610	0.012793	0.001789	-0.005039	-0.000065		0.020198	0.004091	-0.009113	-0.000100	
127	65.160	0.013496	0.001633	-0.004477	-0.000064		0.019445	0.003177	-0.007251	-0.000088	
128	65.710	0.013998	0.001424	-0.003836	-0.000058		0.018831	0.002600	-0.005856	-0.000075	
129	66.260	0.014348	0.001195	-0.003152	-0.000052		0.019413	0.002016	-0.004503	-0.000060	
130	66.810	0.014491	0.000961	-0.002452	-0.000044		0.021456	0.001437	-0.003204	-0.000043	
131	67.360	0.014450	0.000719	-0.001738	-0.000035		0.023756	0.000866	-0.001956	-0.000027	
132	67.910	0.014239	0.000450	-0.000988	-0.000025		0.025235	0.000205	-0.000700	-0.000011	
133	68.260	0.013209	0.000357	-0.000723	-0.000021		0.024589	0.000107	-0.000325	-0.000006	STYČNÍK 15
134	68.615	0.012115	0.000266	-0.000469	-0.000017		0.023785	0.000020	0.000027	0.000000	
135	69.165	0.009918	0.000194	-0.000309	-0.000012		0.019810	-0.000102	0.000149	0.000000	
136	69.715	0.007828	0.000141	-0.000190	-0.000009		0.015609	-0.000110	0.000190	0.000000	
137	70.265	0.005798	0.000087	-0.000079	-0.000005		0.011297	-0.000113	0.000214	0.000001	
138	70.815	0.003792	0.000033	0.000028	-0.000001		0.006944	-0.000113	0.000227	0.000002	
139	71.365	0.001965	-0.000009	0.000114	0.000002		0.002505	-0.000120	0.000214	0.000002	
140	71.720	0.000781	-0.000024	0.000157	0.000004		-0.000186	-0.000057	0.000175	0.000001	STYČNÍK 16
141	72.220	-0.000871	-0.000043	0.000216	0.000006		-0.003978	0.000030	0.000119	-0.000001	

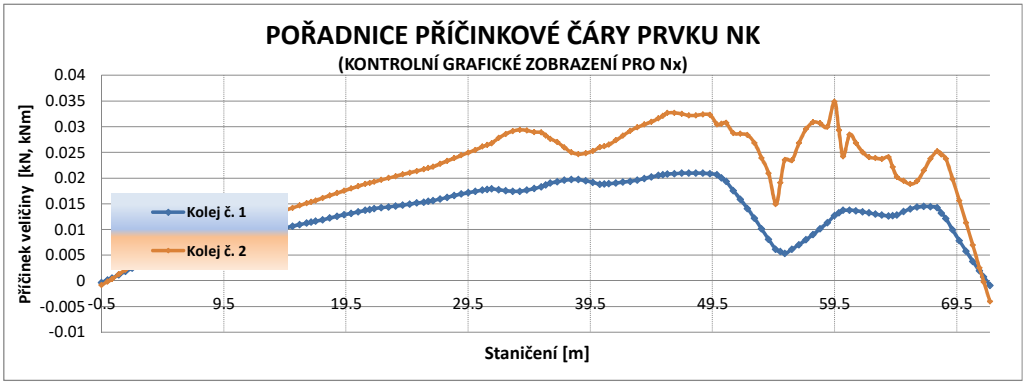

POŘADNICE PŘÍČINKOVÉ ČÁRY PRVKU NK

Prvek: TR_P0.1 Element: 706 Tabulka Z_{LM71} - poř. číslo: 10, 17
Popis: PŘÍČNÍK P0 - VNĚJŠÍ PODÉLNÍK Part: 3/4

P. č.	Staničení	PŘÍČINKY OD KOLEJE Č. 1					PŘÍČINKY OD KOLEJE Č. 2				Poznámka
		Nx	Vz	My	Mz		Nx	Vz	My	Mz	
	[m]	[kN/kN]	[kN/kN]	[kNm/kN]	[kNm/kN]		[kN/kN]	[kN/kN]	[kNm/kN]	[kNm/kN]	
1	-0.500	0.000106	-0.000706	-0.002193	0.000036		-0.000104	0.000691	0.002156	0.000106	
2	0.000	0.000091	-0.000521	-0.001631	-0.000027		-0.000084	0.000521	0.001626	0.000025	STYČNÍK 0
3	0.355	0.000080	-0.000391	-0.001234	-0.000072		-0.000069	0.000401	0.001251	-0.000032	
4	0.905	0.000066	-0.000197	-0.000653	-0.000158		-0.000042	0.000228	0.000697	-0.000133	
5	1.455	0.000051	-0.000010	-0.000096	-0.000251		-0.000013	0.000063	0.000163	-0.000235	
6	2.005	0.000036	0.000176	0.000464	-0.000340		0.000017	-0.000102	-0.000370	-0.000333	
7	2.555	0.000021	0.000363	0.001024	-0.000426		0.000047	-0.000268	-0.000903	-0.000427	
8	3.105	0.000007	0.000544	0.001568	-0.000516		0.000077	-0.000428	-0.001420	-0.000524	
9	3.460	0.000001	0.000640	0.001873	-0.000547		0.000099	-0.000518	-0.001689	-0.000548	STYČNÍK 1
10	3.810	-0.000004	0.000732	0.002169	-0.000575		0.000120	-0.000605	-0.001949	-0.000570	
11	4.360	-0.000001	0.000836	0.002526	-0.000586		0.000153	-0.000707	-0.002229	-0.000571	
12	4.910	0.000003	0.000943	0.002903	-0.000582		0.000190	-0.000816	-0.002521	-0.000553	
13	5.460	0.000008	0.001046	0.003268	-0.000580		0.000225	-0.000921	-0.002802	-0.000541	
14	6.010	0.000013	0.001143	0.003600	-0.000593		0.000253	-0.001015	-0.003059	-0.000548	
15	6.560	0.000019	0.001236	0.003912	-0.000616		0.000276	-0.001103	-0.003302	-0.000571	
16	7.110	0.000026	0.001326	0.004211	-0.000643		0.000294	-0.001186	-0.003536	-0.000604	
17	7.460	0.000027	0.001391	0.004427	-0.000662		0.000306	-0.001248	-0.003714	-0.000625	STYČNÍK 2
18	7.805	0.000028	0.001456	0.004640	-0.000682		0.000318	-0.001310	-0.003889	-0.000647	
19	8.335	0.000028	0.001558	0.004960	-0.000731		0.000331	-0.001403	-0.004166	-0.000703	
20	8.865	0.000027	0.001660	0.005281	-0.000782		0.000346	-0.001496	-0.004443	-0.000757	
21	9.395	0.000026	0.001762	0.005599	-0.000834		0.000361	-0.001588	-0.004719	-0.000813	
22	9.925	0.000025	0.001864	0.005923	-0.000883		0.000375	-0.001683	-0.004999	-0.000866	
23	10.455	0.000024	0.001968	0.006252	-0.000928		0.000390	-0.001779	-0.005283	-0.000917	
24	10.985	0.000023	0.002071	0.006578	-0.000975		0.000404	-0.001874	-0.005564	-0.000968	
25	11.515	0.000022	0.002171	0.006894	-0.001024		0.000418	-0.001966	-0.005836	-0.001021	
26	11.860	0.000021	0.002231	0.007088	-0.001052		0.000426	-0.002022	-0.005998	-0.001049	STYČNÍK 3
27	12.230	0.000020	0.002295	0.007294	-0.001082		0.000435	-0.002082	-0.006169	-0.001078	
28	12.810	0.000020	0.002388	0.007600	-0.001122		0.000446	-0.002169	-0.006415	-0.001121	
29	13.390	0.000021	0.002484	0.007915	-0.001158		0.000457	-0.002259	-0.006668	-0.001161	
30	13.970	0.000021	0.002580	0.008233	-0.001192		0.000468	-0.002351	-0.006922	-0.001200	
31	14.550	0.000020	0.002674	0.008545	-0.001229		0.000480	-0.002440	-0.007172	-0.001240	
32	15.130	0.000020	0.002768	0.008852	-0.001269		0.000491	-0.002528	-0.007418	-0.001280	
33	15.710	0.000019	0.002862	0.009161	-0.001307		0.000502	-0.002617	-0.007667	-0.001320	
34	16.290	0.000019	0.002958	0.009479	-0.001342		0.000513	-0.002709	-0.007922	-0.001359	
35	16.660	0.000018	0.003019	0.009683	-0.001364		0.000519	-0.002769	-0.008087	-0.001382	STYČNÍK 4
36	17.030	0.000017	0.003081	0.009887	-0.001386		0.000525	-0.002828	-0.008253	-0.001407	
37	17.610	0.000018	0.003176	0.010197	-0.001424		0.000534	-0.002919	-0.008507	-0.001451	
38	18.190	0.000018	0.003268	0.010499	-0.001467		0.000543	-0.003007	-0.008755	-0.001497	
39	18.770	0.000018	0.003361	0.010800	-0.001509		0.000553	-0.003095	-0.009002	-0.001542	
40	19.350	0.000017	0.003456	0.011112	-0.001547		0.000562	-0.003187	-0.009258	-0.001584	
41	19.930	0.000017	0.003553	0.011434	-0.001580		0.000570	-0.003282	-0.009522	-0.001623	
42	20.510	0.000016	0.003651	0.011757	-0.001613		0.000579	-0.003378	-0.009786	-0.001662	
43	21.090	0.000016	0.003747	0.012074	-0.001649		0.000588	-0.003471	-0.010047	-0.001702	
44	21.460	0.000013	0.003818	0.012309	-0.001669		0.000593	-0.003541	-0.010241	-0.001722	STYČNÍK 5
45	21.830	0.000009	0.003890	0.012547	-0.001689		0.000598	-0.003613	-0.010437	-0.001742	
46	22.410	0.000002	0.004024	0.012988	-0.001712		0.000605	-0.003746	-0.010809	-0.001775	
47	22.990	-0.000006	0.004161	0.013442	-0.001730		0.000612	-0.003884	-0.011192	-0.001805	
48	23.570	-0.000014	0.004300	0.013901	-0.001747		0.000619	-0.004023	-0.011578	-0.001835	
49	24.150	-0.000022	0.004436	0.014351	-0.001769		0.000626	-0.004159	-0.011958	-0.001866	
50	24.730	-0.000031	0.004570	0.014791	-0.001795		0.000633	-0.004292	-0.012328	-0.001898	
51	25.310	-0.000039	0.004704	0.015231	-0.001820		0.000640	-0.004425	-0.012699	-0.001930	
52	25.890	-0.000047	0.004840	0.015681	-0.001841		0.000646	-0.004561	-0.013078	-0.001963	
53	26.260	-0.000051	0.004911	0.015915	-0.001859		0.000648	-0.004631	-0.013267	-0.001984	STYČNÍK 6
54	26.630	-0.000054	0.004980	0.016143	-0.001879		0.000649	-0.004698	-0.013451	-0.002007	
55	27.210	-0.000053	0.005062	0.016409	-0.001925		0.000648	-0.004773	-0.013658	-0.002065	
56	27.790	-0.000052	0.005139	0.016655	-0.001976		0.000647	-0.004840	-0.013846	-0.002122	
57	28.370	-0.000050	0.005213	0.016892	-0.002028		0.000647	-0.004905	-0.014025	-0.002179	
58	28.950	-0.000049	0.005288	0.017137	-0.002074		0.000645	-0.004972	-0.014210	-0.002233	
59	29.530	-0.000048	0.005365	0.017391	-0.002113		0.000643	-0.005043	-0.014400	-0.002283	
60	30.110	-0.000047	0.005440	0.017637	-0.002154		0.000641	-0.005111	-0.014582	-0.002333	
61	30.690	-0.000043	0.005507	0.017856	-0.002201		0.000637	-0.005170	-0.014743	-0.002396	
62	31.060	-0.000041	0.005548	0.017997	-0.002220		0.000634	-0.005209	-0.014840	-0.002422	STYČNÍK 7
63	31.430	-0.000040	0.005589	0.018137	-0.002239		0.000630	-0.005248	-0.014936	-0.002449	
64	32.010	-0.000029	0.005649	0.018346	-0.002253		0.000617	-0.005303	-0.015081	-0.002522	
65	32.590	-0.000022	0.005717	0.018591	-0.002254		0.000607	-0.005371	-0.015250	-0.002571	
66	33.170	-0.000018	0.005788	0.018854	-0.002250		0.000600	-0.005447	-0.015432	-0.002600	
67	33.750	-0.000017	0.005859	0.019119	-0.002248		0.000598	-0.005525	-0.015610	-0.002605	
68	34.330	-0.000021	0.005930	0.019392	-0.002247		0.000602	-0.005606	-0.015787	-0.002580	
69	34.910	-0.000027	0.005999	0.019665	-0.002247		0.000606	-0.005689	-0.015962	-0.002541	
70	35.490	-0.000032	0.006066	0.019925	-0.002250		0.000607	-0.005767	-0.016126	-0.002514	
71	35.860	-0.000042	0.006110	0.020105	-0.002249		0.000610	-0.005824	-0.016232	-0.002453	STYČNÍK 8
72	36.230	-0.000053	0.006153	0.020284	-0.002247		0.000614	-0.005880	-0.016336	-0.002393	
73	36.810	-0.000063	0.006214	0.020533	-0.002242		0.000612	-0.005955	-0.016479	-0.002333	
74	37.390	-0.000077	0.006278	0.020799	-0.002233		0.000614	-0.006036	-0.016631	-0.002251	
75	37.970	-0.000090	0.006341	0.021063	-0.002222		0.000615	-0.006115	-0.016783	-0.002178	
76	38.550	-0.000096	0.006402	0.021307	-0.002209		0.000608	-0.006186	-0.016928	-0.002147	
77	39.130	-0.000097	0.006461	0.021541	-0.002193		0.000595	-0.006253	-0.017068	-0.002147	
78	39.710	-0.000094	0.006515	0.021747	-0.002183		0.000576	-0.006309	-0.017190	-0.002173	
79	40.290	-0.000087	0.006558	0.021906	-0.002188		0.000552	-0.006347	-0.017280	-0.002235	

POŘADNICE PŘÍČINKOVÉ ČÁRY PRVKU NK

Prvek: TR_P0.1 Element: 706 Tabulka Z_{LM71} - poř. číslo: 10, 17
Popis: PŘÍČNÍK P0 - VNĚJŠÍ PODÉLNÍK Part: 3/4

P. č.	Staničení	PŘÍČINKY OD KOLEJE Č. 1					PŘÍČINKY OD KOLEJE Č. 2				Poznámka
		Nx	Vz	My	Mz		Nx	Vz	My	Mz	
	[m]	[kN/kN]	[kN/kN]	[kNm/kN]	[kNm/kN]		[kN/kN]	[kN/kN]	[kNm/kN]	[kNm/kN]	
80	40.660	-0.000092	0.006578	0.021989	-0.002197		0.000535	-0.006369	-0.017313	-0.002244	STYČNÍK 9
81	41.030	-0.000096	0.006596	0.022067	-0.002208		0.000516	-0.006391	-0.017343	-0.002257	
82	41.610	-0.000107	0.006613	0.022144	-0.002230		0.000472	-0.006407	-0.017357	-0.002310	
83	42.190	-0.000119	0.006635	0.022248	-0.002242		0.000429	-0.006434	-0.017390	-0.002346	
84	42.770	-0.000132	0.006659	0.022358	-0.002253		0.000387	-0.006464	-0.017428	-0.002380	
85	43.350	-0.000145	0.006680	0.022457	-0.002273		0.000347	-0.006490	-0.017457	-0.002411	
86	43.930	-0.000157	0.006699	0.022545	-0.002302		0.000310	-0.006513	-0.017477	-0.002439	
87	44.510	-0.000168	0.006719	0.022641	-0.002329		0.000274	-0.006539	-0.017502	-0.002463	
88	45.090	-0.000175	0.006747	0.022761	-0.002345		0.000239	-0.006570	-0.017551	-0.002493	
89	45.460	-0.000163	0.006773	0.022879	-0.002356		0.000238	-0.006611	-0.017607	-0.002493	STYČNÍK 10
90	45.830	-0.000148	0.006800	0.022998	-0.002368		0.000238	-0.006653	-0.017666	-0.002496	
91	46.410	-0.000089	0.006865	0.023249	-0.002388		0.000276	-0.006729	-0.017826	-0.002520	
92	46.990	-0.000030	0.006923	0.023481	-0.002419		0.000319	-0.006802	-0.017966	-0.002537	
93	47.570	0.000032	0.006981	0.023708	-0.002451		0.000366	-0.006873	-0.018101	-0.002552	
94	48.150	0.000097	0.007039	0.023949	-0.002471		0.000413	-0.006949	-0.018239	-0.002560	
95	48.730	0.000165	0.007098	0.024200	-0.002479		0.000460	-0.007028	-0.018377	-0.002560	
96	49.310	0.000235	0.007154	0.024439	-0.002488		0.000512	-0.007103	-0.018502	-0.002554	
97	49.890	0.000314	0.007208	0.024658	-0.002505		0.000576	-0.007154	-0.018614	-0.002551	
98	50.260	0.000382	0.007201	0.024683	-0.002514		0.000626	-0.007156	-0.018532	-0.002533	STYČNÍK 11
99	50.630	0.000453	0.007190	0.024699	-0.002521		0.000676	-0.007155	-0.018440	-0.002520	
100	51.210	0.000636	0.007140	0.024593	-0.002510		0.000801	-0.007043	-0.018132	-0.002534	
101	51.790	0.000814	0.007085	0.024489	-0.002488		0.000911	-0.006948	-0.017811	-0.002545	
102	52.370	0.000989	0.007028	0.024378	-0.002463		0.001016	-0.006852	-0.017484	-0.002557	
103	52.950	0.001154	0.006967	0.024244	-0.002450		0.001118	-0.006749	-0.017144	-0.002559	
104	53.530	0.001306	0.006903	0.024088	-0.002448		0.001216	-0.006641	-0.016794	-0.002551	
105	54.110	0.001448	0.006839	0.023928	-0.002445		0.001299	-0.006535	-0.016444	-0.002541	
106	54.690	0.001596	0.006795	0.023787	-0.002428		0.001370	-0.006392	-0.016140	-0.002549	
107	55.060	0.001530	0.006734	0.023610	-0.002424		0.001256	-0.006389	-0.015917	-0.002521	STYČNÍK 12
108	55.430	0.001452	0.006672	0.023425	-0.002421		0.001129	-0.006387	-0.015696	-0.002495	
109	56.010	0.001145	0.006612	0.023024	-0.002425		0.000755	-0.006270	-0.015484	-0.002476	
110	56.590	0.000786	0.006532	0.022573	-0.002444		0.000353	-0.006183	-0.015227	-0.002432	
111	57.170	0.000391	0.006459	0.022099	-0.002464		-0.000082	-0.006080	-0.014968	-0.002384	
112	57.750	-0.000039	0.006400	0.021627	-0.002472		-0.000569	-0.005967	-0.014719	-0.002342	
113	58.330	-0.000510	0.006359	0.021153	-0.002467		-0.001116	-0.005839	-0.014479	-0.002304	
114	58.910	-0.001039	0.006332	0.020640	-0.002464		-0.001709	-0.005674	-0.014234	-0.002254	
115	59.490	-0.001643	0.006409	0.020065	-0.002479		-0.002345	-0.005247	-0.014118	-0.002205	
116	59.860	-0.002545	0.006527	0.019374	-0.002506		-0.003271	-0.004894	-0.013812	-0.002201	STYČNÍK 13
117	60.205	-0.003427	0.006653	0.018704	-0.002532		-0.004176	-0.004534	-0.013525	-0.002208	
118	60.735	-0.005571	0.007411	0.017222	-0.002604		-0.006415	-0.002810	-0.013462	-0.002427	
119	61.265	-0.007722	0.008080	0.015763	-0.002659		-0.008713	-0.001294	-0.013240	-0.002659	
120	61.795	-0.009883	0.008722	0.014324	-0.002707		-0.011044	0.000214	-0.012981	-0.002900	
121	62.325	-0.012067	0.009310	0.012893	-0.002758		-0.013360	0.001710	-0.012662	-0.003099	
122	62.855	-0.014250	0.009823	0.011487	-0.002810		-0.015648	0.003174	-0.012267	-0.003251	
123	63.385	-0.016373	0.010254	0.010161	-0.002848		-0.017929	0.004575	-0.011788	-0.003404	
124	63.915	-0.018329	0.010880	0.009053	-0.002862		-0.020220	0.006782	-0.011703	-0.003674	
125	64.260	-0.018874	0.009872	0.009083	-0.002731		-0.021042	0.006441	-0.010052	-0.003565	STYČNÍK 14
126	64.610	-0.019364	0.008760	0.009182	-0.002587		-0.021823	0.006031	-0.008290	-0.003440	
127	65.160	-0.018738	0.006156	0.010947	-0.002161		-0.021970	0.006953	-0.005351	-0.003097	
128	65.710	-0.018188	0.002872	0.012583	-0.001725		-0.022009	0.006080	-0.001356	-0.002339	
129	66.260	-0.017618	-0.000956	0.014218	-0.001264		-0.022094	0.003715	0.003463	-0.001226	
130	66.810	-0.017029	-0.005478	0.015837	-0.000766		-0.022315	-0.000694	0.009365	0.000328	
131	67.360	-0.016286	-0.010755	0.017322	-0.000265		-0.022911	-0.007552	0.016677	0.001929	
132	67.910	-0.015195	-0.016983	0.018512	0.000198		-0.024183	-0.017643	0.026013	0.003296	
133	68.260	-0.016365	-0.030024	0.015951	0.000376		-0.025856	-0.052989	0.048245	0.003621	STYČNÍK 15
134	68.615	-0.017707	-0.044026	0.013079	0.000547		-0.027620	-0.091294	0.072179	0.003892	
135	69.165	-0.022931	-0.080739	0.003414	0.000671		-0.031389	-0.197932	0.135949	0.003699	
136	69.715	-0.028783	-0.118342	-0.006603	0.000798		-0.034705	-0.307137	0.201038	0.003265	
137	70.265	-0.034167	-0.156615	-0.016814	0.000929		-0.038754	-0.418868	0.267590	0.002949	
138	70.815	-0.039074	-0.195352	-0.027152	0.001057		-0.043484	-0.532443	0.335216	0.002672	
139	71.365	-0.045667	-0.235030	-0.037883	0.001125		-0.046375	-0.647772	0.403545	0.001028	
140	71.720	-0.051247	-0.260162	-0.044764	0.001097		-0.046447	-0.719622	0.445938	-0.001643	STYČNÍK 16
141	72.220	-0.059280	-0.295637	-0.054489	0.001053		-0.046356	-0.820938	0.505684	-0.005543	

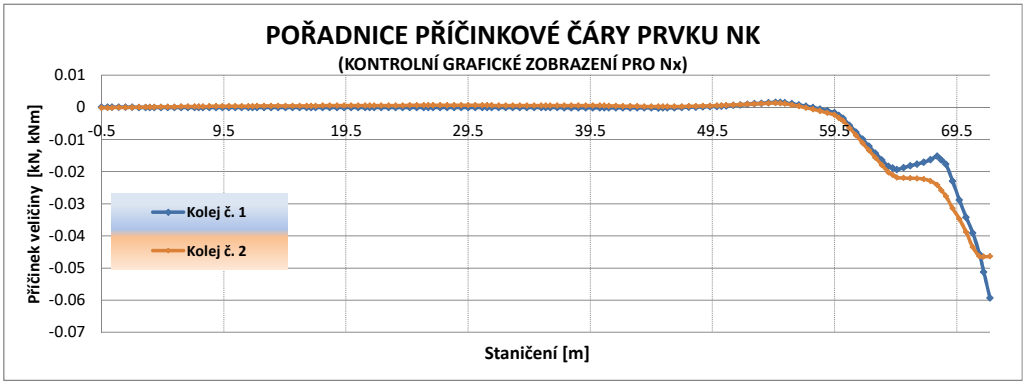

POŘADNICE PŘÍČINKOVÉ ČÁRY PRVKU NK

Prvek: TR_P1.1 Element: 699 Tabulka Z_{LM71} - poř. číslo: 11
Popis: PŘÍČNÍK P1 - VNĚJŠÍ PODÉLNÍK Part: I[575]

P. č.	Staničení	PŘÍČINKY OD KOLEJE Č. 1					PŘÍČINKY OD KOLEJE Č. 2				Poznámka
		Nx	Vz	My	Mz		Nx	Vz	My	Mz	
	[m]	[kN/kN]	[kN/kN]	[kNm/kN]	[kNm/kN]		[kN/kN]	[kN/kN]	[kNm/kN]	[kNm/kN]	
1	-0.500	0.001017	-0.000398	-0.000761	0.000045		0.000620	0.000411	0.001015	0.000135	
2	0.000	0.000168	-0.000324	-0.000712	-0.000039		-0.000200	0.000324	0.000708	0.000032	STYČNÍK 0
3	0.355	-0.000439	-0.000271	-0.000679	-0.000098		-0.000784	0.000263	0.000489	-0.000042	
4	0.905	-0.001561	-0.000196	-0.000668	-0.000211		-0.001863	0.000170	0.000133	-0.000176	
5	1.455	-0.002747	-0.000125	-0.000677	-0.000332		-0.002962	0.000079	-0.000217	-0.000312	
6	2.005	-0.003895	-0.000053	-0.000680	-0.000448		-0.004020	-0.000010	-0.000560	-0.000443	
7	2.555	-0.004999	0.000019	-0.000676	-0.000560		-0.005027	-0.000099	-0.000894	-0.000569	
8	3.105	-0.006150	0.000088	-0.000686	-0.000678		-0.006076	-0.000186	-0.001229	-0.000700	
9	3.460	-0.006546	0.000125	-0.000661	-0.000720		-0.006342	-0.000226	-0.001347	-0.000738	STYČNÍK 1
10	3.810	-0.006911	0.000161	-0.000633	-0.000759		-0.006576	-0.000263	-0.001457	-0.000773	
11	4.360	-0.007086	0.000201	-0.000570	-0.000781		-0.006597	-0.000296	-0.001520	-0.000790	
12	4.910	-0.007083	0.000244	-0.000472	-0.000785		-0.006411	-0.000328	-0.001553	-0.000786	
13	5.460	-0.007112	0.000285	-0.000384	-0.000792		-0.006279	-0.000358	-0.001591	-0.000787	
14	6.010	-0.007310	0.000321	-0.000333	-0.000818		-0.006378	-0.000388	-0.001660	-0.000811	
15	6.560	-0.007617	0.000352	-0.000306	-0.000855		-0.006636	-0.000417	-0.001750	-0.000850	
16	7.110	-0.007975	0.000381	-0.000291	-0.000897		-0.007015	-0.000446	-0.001858	-0.000902	
17	7.460	-0.008231	0.000403	-0.000278	-0.000926		-0.007247	-0.000468	-0.001935	-0.000934	STYČNÍK 2
18	7.805	-0.008495	0.000424	-0.000267	-0.000955		-0.007489	-0.000489	-0.002013	-0.000967	
19	8.335	-0.009106	0.000453	-0.000287	-0.001022		-0.008113	-0.000525	-0.002176	-0.001044	
20	8.865	-0.009737	0.000481	-0.000311	-0.001090		-0.008721	-0.000561	-0.002336	-0.001119	
21	9.395	-0.010383	0.000510	-0.000338	-0.001161		-0.009340	-0.000597	-0.002496	-0.001196	
22	9.925	-0.010996	0.000539	-0.000358	-0.001227		-0.009935	-0.000633	-0.002655	-0.001270	
23	10.455	-0.011573	0.000569	-0.000369	-0.001289		-0.010500	-0.000669	-0.002812	-0.001341	
24	10.985	-0.012154	0.000599	-0.000383	-0.001352		-0.011064	-0.000705	-0.002966	-0.001411	
25	11.515	-0.012772	0.000627	-0.000407	-0.001420		-0.011656	-0.000740	-0.003121	-0.001484	
26	11.860	-0.013115	0.000643	-0.000419	-0.001458		-0.011968	-0.000759	-0.003202	-0.001523	STYČNÍK 3
27	12.230	-0.013482	0.000660	-0.000433	-0.001499		-0.012304	-0.000779	-0.003289	-0.001565	
28	12.810	-0.013972	0.000684	-0.000448	-0.001553		-0.012788	-0.000806	-0.003409	-0.001625	
29	13.390	-0.014415	0.000710	-0.000452	-0.001602		-0.013233	-0.000833	-0.003526	-0.001682	
30	13.970	-0.014847	0.000736	-0.000453	-0.001650		-0.013670	-0.000860	-0.003643	-0.001738	
31	14.550	-0.015305	0.000761	-0.000461	-0.001701		-0.014117	-0.000886	-0.003758	-0.001795	
32	15.130	-0.015791	0.000785	-0.000476	-0.001755		-0.014574	-0.000913	-0.003873	-0.001852	
33	15.710	-0.016264	0.000809	-0.000488	-0.001808		-0.015019	-0.000939	-0.003987	-0.001908	
34	16.290	-0.016700	0.000835	-0.000490	-0.001856		-0.015453	-0.000966	-0.004103	-0.001964	
35	16.660	-0.016972	0.000851	-0.000491	-0.001886		-0.015712	-0.000983	-0.004175	-0.001997	STYČNÍK 4
36	17.030	-0.017248	0.000868	-0.000492	-0.001917		-0.015979	-0.001001	-0.004249	-0.002030	
37	17.610	-0.017725	0.000891	-0.000505	-0.001969		-0.016475	-0.001028	-0.004376	-0.002092	
38	18.190	-0.018240	0.000913	-0.000528	-0.002026		-0.016982	-0.001054	-0.004501	-0.002155	
39	18.770	-0.018757	0.000935	-0.000553	-0.002084		-0.017487	-0.001081	-0.004625	-0.002217	
40	19.350	-0.019224	0.000959	-0.000565	-0.002136		-0.017956	-0.001108	-0.004748	-0.002276	
41	19.930	-0.019641	0.000984	-0.000564	-0.002181		-0.018385	-0.001136	-0.004868	-0.002330	
42	20.510	-0.020056	0.001010	-0.000563	-0.002227		-0.018803	-0.001164	-0.004986	-0.002384	
43	21.090	-0.020508	0.001035	-0.000571	-0.002277		-0.019249	-0.001191	-0.005105	-0.002440	
44	21.460	-0.020755	0.001054	-0.000562	-0.002304		-0.019461	-0.001211	-0.005175	-0.002467	STYČNÍK 5
45	21.830	-0.021002	0.001074	-0.000553	-0.002331		-0.019676	-0.001230	-0.005246	-0.002494	
46	22.410	-0.021313	0.001114	-0.000502	-0.002362		-0.020001	-0.001269	-0.005378	-0.002538	
47	22.990	-0.021577	0.001157	-0.000437	-0.002387		-0.020289	-0.001310	-0.005508	-0.002579	
48	23.570	-0.021834	0.001201	-0.000370	-0.002411		-0.020574	-0.001350	-0.005640	-0.002619	
49	24.150	-0.022133	0.001242	-0.000315	-0.002440		-0.020878	-0.001390	-0.005770	-0.002661	
50	24.730	-0.022475	0.001282	-0.000271	-0.002475		-0.021197	-0.001428	-0.005898	-0.002704	
51	25.310	-0.022808	0.001321	-0.000226	-0.002509		-0.021509	-0.001466	-0.006024	-0.002745	
52	25.890	-0.023101	0.001363	-0.000168	-0.002537		-0.021830	-0.001506	-0.006158	-0.002789	
53	26.260	-0.023337	0.001381	-0.000159	-0.002562		-0.022058	-0.001523	-0.006228	-0.002817	STYČNÍK 6
54	26.630	-0.023584	0.001398	-0.000153	-0.002588		-0.022301	-0.001540	-0.006298	-0.002847	
55	27.210	-0.024130	0.001412	-0.000197	-0.002647		-0.022946	-0.001558	-0.006424	-0.002922	
56	27.790	-0.024732	0.001421	-0.000261	-0.002714		-0.023599	-0.001572	-0.006541	-0.002996	
57	28.370	-0.025342	0.001428	-0.000330	-0.002782		-0.024258	-0.001584	-0.006656	-0.003070	
58	28.950	-0.025886	0.001438	-0.000383	-0.002843		-0.024874	-0.001598	-0.006768	-0.003141	
59	29.530	-0.026362	0.001450	-0.000420	-0.002895		-0.025441	-0.001612	-0.006876	-0.003207	
60	30.110	-0.026841	0.001461	-0.000462	-0.002948		-0.026003	-0.001625	-0.006980	-0.003272	
61	30.690	-0.027401	0.001467	-0.000525	-0.003009		-0.026716	-0.001636	-0.007101	-0.003353	
62	31.060	-0.027628	0.001471	-0.000549	-0.003035		-0.027012	-0.001639	-0.007148	-0.003386	STYČNÍK 7
63	31.430	-0.027848	0.001475	-0.000572	-0.003060		-0.027315	-0.001643	-0.007196	-0.003421	
64	32.010	-0.028050	0.001484	-0.000574	-0.003077		-0.028106	-0.001653	-0.007338	-0.003517	
65	32.590	-0.028106	0.001499	-0.000544	-0.003079		-0.028609	-0.001663	-0.007439	-0.003581	
66	33.170	-0.028087	0.001515	-0.000499	-0.003075		-0.028897	-0.001672	-0.007505	-0.003621	
67	33.750	-0.028064	0.001530	-0.000463	-0.003074		-0.028939	-0.001676	-0.007521	-0.003631	
68	34.330	-0.028016	0.001543	-0.000431	-0.003075		-0.028656	-0.001674	-0.007473	-0.003601	
69	34.910	-0.027963	0.001555	-0.000405	-0.003079		-0.028231	-0.001670	-0.007395	-0.003554	
70	35.490	-0.027949	0.001566	-0.000389	-0.003086		-0.027937	-0.001666	-0.007338	-0.003522	
71	35.860	-0.027851	0.001570	-0.000375	-0.003087		-0.027281	-0.001656	-0.007208	-0.003444	STYČNÍK 8
72	36.230	-0.027755	0.001574	-0.000362	-0.003089		-0.026632	-0.001646	-0.007078	-0.003366	
73	36.810	-0.027609	0.001576	-0.000342	-0.003086		-0.025991	-0.001633	-0.006937	-0.003288	
74	37.390	-0.027400	0.001580	-0.000312	-0.003078		-0.025108	-0.001618	-0.006753	-0.003180	
75	37.970	-0.027180	0.001584	-0.000276	-0.003067		-0.024330	-0.001606	-0.006591	-0.003085	
76	38.550	-0.026987	0.001589	-0.000233	-0.003052		-0.023991	-0.001600	-0.006512	-0.003045	
77	39.130	-0.026795	0.001596	-0.000182	-0.003033		-0.023969	-0.001598	-0.006497	-0.003045	
78	39.710	-0.026694	0.001599	-0.000148	-0.003021		-0.024234	-0.001598	-0.006527	-0.003078	
79	40.290	-0.026770	0.001596	-0.000151	-0.003025		-0.024905	-0.001598	-0.006617	-0.003156	

POŘADNICE PŘÍČINKOVÉ ČÁRY PRVKU NK

Prvek: TR_P1.1 Element: 699 Tabulka Z_{LM71} - poř. číslo: 11
Popis: PŘÍČNÍK P1 - VNĚJŠÍ PODÉLNÍK Part: I[575]

P. č.	Staničení	PŘÍČINKY OD KOLEJE Č. 1					PŘÍČINKY OD KOLEJE Č. 2				Poznámka
		Nx	Vz	My	Mz		Nx	Vz	My	Mz	
	[m]	[kN/kN]	[kN/kN]	[kNm/kN]	[kNm/kN]		[kN/kN]	[kN/kN]	[kNm/kN]	[kNm/kN]	
80	40.660	-0.026851	0.001586	-0.000177	-0.003038		-0.025029	-0.001589	-0.006597	-0.003167	STYČNÍK 9
81	41.030	-0.026945	0.001576	-0.000206	-0.003052		-0.025188	-0.001579	-0.006582	-0.003182	
82	41.610	-0.027162	0.001556	-0.000262	-0.003079		-0.025786	-0.001562	-0.006611	-0.003249	
83	42.190	-0.027262	0.001540	-0.000292	-0.003095		-0.026178	-0.001545	-0.006610	-0.003296	
84	42.770	-0.027347	0.001526	-0.000318	-0.003109		-0.026548	-0.001529	-0.006608	-0.003340	
85	43.350	-0.027524	0.001508	-0.000368	-0.003134		-0.026911	-0.001510	-0.006594	-0.003379	
86	43.930	-0.027791	0.001485	-0.000442	-0.003171		-0.027260	-0.001487	-0.006568	-0.003413	
87	44.510	-0.028038	0.001464	-0.000512	-0.003206		-0.027567	-0.001463	-0.006535	-0.003443	
88	45.090	-0.028178	0.001451	-0.000553	-0.003227		-0.027903	-0.001442	-0.006524	-0.003482	
89	45.460	-0.028269	0.001442	-0.000589	-0.003242		-0.027947	-0.001419	-0.006467	-0.003482	STYČNÍK 10
90	45.830	-0.028368	0.001433	-0.000626	-0.003258		-0.028025	-0.001397	-0.006417	-0.003486	
91	46.410	-0.028593	0.001428	-0.000699	-0.003286		-0.028428	-0.001350	-0.006389	-0.003520	
92	46.990	-0.028930	0.001415	-0.000806	-0.003328		-0.028784	-0.001299	-0.006335	-0.003540	
93	47.570	-0.029271	0.001402	-0.000919	-0.003371		-0.029118	-0.001247	-0.006277	-0.003556	
94	48.150	-0.029472	0.001393	-0.001005	-0.003399		-0.029347	-0.001198	-0.006215	-0.003566	
95	48.730	-0.029533	0.001389	-0.001065	-0.003412		-0.029455	-0.001150	-0.006146	-0.003568	
96	49.310	-0.029596	0.001384	-0.001135	-0.003425		-0.029497	-0.001101	-0.006069	-0.003559	
97	49.890	-0.029752	0.001377	-0.001240	-0.003449		-0.029597	-0.001050	-0.006025	-0.003548	
98	50.260	-0.029753	0.001353	-0.001361	-0.003458		-0.029415	-0.001029	-0.005979	-0.003514	STYČNÍK 11
99	50.630	-0.029747	0.001328	-0.001486	-0.003466		-0.029265	-0.001009	-0.005945	-0.003486	
100	51.210	-0.029404	0.001301	-0.001735	-0.003447		-0.029177	-0.000997	-0.006124	-0.003481	
101	51.790	-0.028934	0.001276	-0.001962	-0.003416		-0.029016	-0.000984	-0.006281	-0.003482	
102	52.370	-0.028437	0.001257	-0.002192	-0.003381		-0.028849	-0.000965	-0.006446	-0.003484	
103	52.950	-0.028071	0.001240	-0.002461	-0.003361		-0.028646	-0.000934	-0.006599	-0.003469	
104	53.530	-0.027838	0.001225	-0.002772	-0.003354		-0.028398	-0.000886	-0.006736	-0.003436	
105	54.110	-0.027589	0.001223	-0.003093	-0.003346		-0.028125	-0.000820	-0.006873	-0.003405	
106	54.690	-0.027202	0.001282	-0.003449	-0.003327		-0.027972	-0.000702	-0.007157	-0.003412	
107	55.060	-0.027071	0.001383	-0.003781	-0.003329		-0.027935	-0.000454	-0.007162	-0.003400	STYČNÍK 12
108	55.430	-0.026956	0.001493	-0.004126	-0.003332		-0.027966	-0.000189	-0.007177	-0.003394	
109	56.010	-0.027020	0.001955	-0.005078	-0.003371		-0.028845	0.000665	-0.007612	-0.003435	
110	56.590	-0.027232	0.002357	-0.005977	-0.003425		-0.029595	0.001488	-0.007846	-0.003429	
111	57.170	-0.027440	0.002734	-0.006800	-0.003481		-0.030282	0.002295	-0.007991	-0.003414	
112	57.750	-0.027448	0.003087	-0.007469	-0.003523		-0.030836	0.003063	-0.008029	-0.003423	
113	58.330	-0.027249	0.003402	-0.007947	-0.003549		-0.031205	0.003777	-0.007922	-0.003449	
114	58.910	-0.027015	0.003647	-0.008245	-0.003577		-0.031358	0.004425	-0.007618	-0.003447	
115	59.490	-0.026865	0.003927	-0.008393	-0.003626		-0.031305	0.005102	-0.007475	-0.003400	
116	59.860	-0.026090	0.003153	-0.006306	-0.003661		-0.030109	0.004577	-0.005065	-0.003382	STYČNÍK 13
117	60.205	-0.025310	0.002363	-0.004184	-0.003695		-0.028968	0.004017	-0.002673	-0.003378	
118	60.735	-0.022881	0.000268	0.002330	-0.003791		-0.025976	0.002150	0.002648	-0.003583	
119	61.265	-0.020231	-0.002219	0.009190	-0.003861		-0.023009	-0.000063	0.009070	-0.003852	
120	61.795	-0.017489	-0.005079	0.016346	-0.003919		-0.019994	-0.002592	0.016530	-0.004139	
121	62.325	-0.014875	-0.008417	0.023769	-0.003971		-0.016697	-0.005503	0.025393	-0.004322	
122	62.855	-0.012400	-0.012339	0.031461	-0.004014		-0.013124	-0.008876	0.035970	-0.004403	
123	63.385	-0.009870	-0.016944	0.039460	-0.004028		-0.009525	-0.012801	0.048505	-0.004501	
124	63.915	-0.007084	-0.022964	0.048156	-0.003997		-0.005098	-0.017876	0.065414	-0.004780	
125	64.260	-0.005451	-0.033455	0.054875	-0.003729		-0.002864	-0.026390	0.098665	-0.004600	STYČNÍK 14
126	64.610	-0.003806	-0.044695	0.061815	-0.003438		-0.000661	-0.035503	0.134407	-0.004391	
127	65.160	-0.001240	-0.075691	0.075954	-0.002582		0.006095	-0.060441	0.236418	-0.003643	
128	65.710	0.000962	-0.106236	0.089500	-0.001716		0.010032	-0.084994	0.337027	-0.002247	
129	66.260	0.002992	-0.136685	0.103046	-0.000817		0.010464	-0.109425	0.435863	-0.000351	
130	66.810	0.004837	-0.166672	0.116615	0.000125		0.005980	-0.133431	0.530774	0.002127	
131	67.360	0.006488	-0.195732	0.129809	0.001071		0.000725	-0.156584	0.621720	0.004326	
132	67.910	0.007910	-0.223384	0.141990	0.001984		-0.000037	-0.178500	0.709333	0.005545	
133	68.260	0.007969	-0.222512	0.140057	0.002207		-0.001320	-0.177277	0.706268	0.005220	STYČNÍK 15
134	68.615	0.007961	-0.220111	0.137288	0.002405		-0.002540	-0.174789	0.698360	0.004811	
135	69.165	0.006756	-0.187770	0.117610	0.002209		-0.003043	-0.147349	0.595286	0.003362	
136	69.715	0.005622	-0.153462	0.096995	0.001976		-0.005447	-0.118389	0.485641	0.002158	
137	70.265	0.004172	-0.117840	0.075917	0.001715		-0.007965	-0.088258	0.370667	0.001478	
138	70.815	0.002421	-0.081260	0.054551	0.001436		-0.010411	-0.057305	0.251792	0.001239	
139	71.365	0.001150	-0.043021	0.031959	0.001200		-0.013134	-0.025132	0.129967	0.000755	
140	71.720	0.000894	-0.019122	0.017469	0.001145		-0.015067	-0.005161	0.056243	-0.000108	STYČNÍK 16
141	72.220	0.000587	0.014667	-0.003049	0.001072		-0.017797	0.023059	-0.047748	-0.001363	

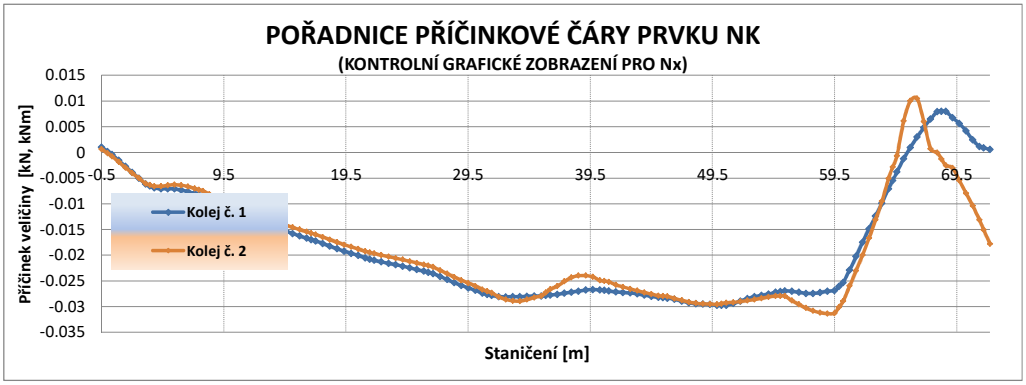

POŘADNICE PŘÍČINKOVÉ ČÁRY PRVKU NK

Prvek: TR_P2.1 Element: 691 Tabulka Z_{LM71} - poř. číslo: 12
Popis: PŘÍČNÍK P2 - VNĚJŠÍ PODÉLNÍK Part: I[568]

P. č.	Staničení	PŘÍČINKY OD KOLEJE Č. 1					PŘÍČINKY OD KOLEJE Č. 2				Poznámka
		Nx	Vz	My	Mz		Nx	Vz	My	Mz	
	[m]	[kN/kN]	[kN/kN]	[kNm/kN]	[kNm/kN]		[kN/kN]	[kN/kN]	[kNm/kN]	[kNm/kN]	
1	-0.500	0.000041	-0.000202	-0.000588	0.000024		0.000029	0.000196	0.000533	0.000221	
2	0.000	0.000009	-0.000177	-0.000497	-0.000082		-0.000003	0.000177	0.000501	0.000072	STYČNÍK 0
3	0.355	-0.000014	-0.000159	-0.000432	-0.000159		-0.000026	0.000163	0.000479	-0.000034	
4	0.905	-0.000038	-0.000132	-0.000327	-0.000305		-0.000049	0.000145	0.000460	-0.000229	
5	1.455	-0.000059	-0.000106	-0.000222	-0.000461		-0.000069	0.000128	0.000447	-0.000428	
6	2.005	-0.000081	-0.000081	-0.000119	-0.000612		-0.000092	0.000111	0.000432	-0.000621	
7	2.555	-0.000107	-0.000055	-0.000019	-0.000757		-0.000117	0.000093	0.000414	-0.000807	
8	3.105	-0.000130	-0.000031	0.000080	-0.000909		-0.000139	0.000078	0.000403	-0.000998	
9	3.460	-0.000165	-0.000023	0.000111	-0.000960		-0.000174	0.000070	0.000389	-0.001057	STYČNÍK 1
10	3.810	-0.000201	-0.000015	0.000140	-0.001008		-0.000210	0.000063	0.000376	-0.001110	
11	4.360	-0.000277	-0.000016	0.000137	-0.001031		-0.000286	0.000059	0.000366	-0.001139	
12	4.910	-0.000363	-0.000016	0.000129	-0.001028		-0.000372	0.000053	0.000343	-0.001139	
13	5.460	-0.000447	-0.000017	0.000120	-0.001030		-0.000456	0.000048	0.000325	-0.001145	
14	6.010	-0.000520	-0.000020	0.000112	-0.001058		-0.000531	0.000048	0.000325	-0.001183	
15	6.560	-0.000587	-0.000023	0.000106	-0.001101		-0.000598	0.000050	0.000338	-0.001242	
16	7.110	-0.000649	-0.000028	0.000098	-0.001153		-0.000662	0.000055	0.000359	-0.001317	
17	7.460	-0.000689	-0.000029	0.000099	-0.001188		-0.000703	0.000056	0.000366	-0.001363	STYČNÍK 2
18	7.805	-0.000728	-0.000030	0.000101	-0.001225		-0.000742	0.000057	0.000374	-0.001410	
19	8.335	-0.000776	-0.000031	0.000111	-0.001311		-0.000791	0.000060	0.000400	-0.001519	
20	8.865	-0.000823	-0.000032	0.000122	-0.001400		-0.000839	0.000063	0.000425	-0.001625	
21	9.395	-0.000870	-0.000033	0.000134	-0.001492		-0.000887	0.000067	0.000451	-0.001733	
22	9.925	-0.000919	-0.000033	0.000145	-0.001578		-0.000937	0.000069	0.000474	-0.001838	
23	10.455	-0.000969	-0.000034	0.000156	-0.001658		-0.000988	0.000071	0.000493	-0.001937	
24	10.985	-0.001020	-0.000034	0.000166	-0.001740		-0.001040	0.000074	0.000514	-0.002036	
25	11.515	-0.001068	-0.000035	0.000176	-0.001827		-0.001089	0.000077	0.000539	-0.002140	
26	11.860	-0.001104	-0.000038	0.000174	-0.001875		-0.001126	0.000081	0.000556	-0.002194	STYČNÍK 3
27	12.230	-0.001142	-0.000041	0.000172	-0.001927		-0.001165	0.000085	0.000575	-0.002253	
28	12.810	-0.001206	-0.000048	0.000159	-0.001996		-0.001230	0.000093	0.000608	-0.002337	
29	13.390	-0.001272	-0.000055	0.000145	-0.002056		-0.001298	0.000101	0.000637	-0.002416	
30	13.970	-0.001339	-0.000061	0.000132	-0.002116		-0.001367	0.000108	0.000666	-0.002493	
31	14.550	-0.001405	-0.000068	0.000118	-0.002179		-0.001434	0.000116	0.000696	-0.002572	
32	15.130	-0.001470	-0.000075	0.000104	-0.002247		-0.001500	0.000124	0.000727	-0.002651	
33	15.710	-0.001535	-0.000082	0.000091	-0.002313		-0.001567	0.000132	0.000758	-0.002729	
34	16.290	-0.001602	-0.000088	0.000078	-0.002373		-0.001636	0.000139	0.000785	-0.002805	
35	16.660	-0.001646	-0.000092	0.000069	-0.002410		-0.001681	0.000143	0.000800	-0.002850	STYČNÍK 4
36	17.030	-0.001689	-0.000096	0.000059	-0.002449		-0.001725	0.000147	0.000816	-0.002896	
37	17.610	-0.001753	-0.000103	0.000046	-0.002515		-0.001791	0.000154	0.000845	-0.002980	
38	18.190	-0.001816	-0.000111	0.000031	-0.002588		-0.001855	0.000162	0.000878	-0.003066	
39	18.770	-0.001879	-0.000119	0.000016	-0.002662		-0.001920	0.000170	0.000911	-0.003151	
40	19.350	-0.001944	-0.000126	0.000001	-0.002727		-0.001987	0.000177	0.000939	-0.003230	
41	19.930	-0.002012	-0.000133	-0.000014	-0.002784		-0.002056	0.000183	0.000962	-0.003304	
42	20.510	-0.002081	-0.000139	-0.000029	-0.002841		-0.002126	0.000189	0.000985	-0.003375	
43	21.090	-0.002148	-0.000147	-0.000046	-0.002904		-0.002194	0.000196	0.001013	-0.003451	
44	21.460	-0.002194	-0.000151	-0.000058	-0.002937		-0.002242	0.000201	0.001026	-0.003487	STYČNÍK 5
45	21.830	-0.002241	-0.000156	-0.000071	-0.002970		-0.002289	0.000205	0.001040	-0.003523	
46	22.410	-0.002316	-0.000161	-0.000087	-0.003005		-0.002367	0.000210	0.001055	-0.003581	
47	22.990	-0.002394	-0.000165	-0.000102	-0.003033		-0.002447	0.000213	0.001065	-0.003632	
48	23.570	-0.002472	-0.000169	-0.000117	-0.003060		-0.002527	0.000216	0.001073	-0.003683	
49	24.150	-0.002549	-0.000174	-0.000133	-0.003093		-0.002606	0.000220	0.001085	-0.003736	
50	24.730	-0.002625	-0.000179	-0.000150	-0.003134		-0.002683	0.000225	0.001102	-0.003791	
51	25.310	-0.002701	-0.000184	-0.000166	-0.003173		-0.002760	0.000230	0.001117	-0.003844	
52	25.890	-0.002777	-0.000188	-0.000181	-0.003206		-0.002839	0.000235	0.001129	-0.003899	
53	26.260	-0.002825	-0.000193	-0.000196	-0.003236		-0.002888	0.000240	0.001146	-0.003935	STYČNÍK 6
54	26.630	-0.002873	-0.000199	-0.000211	-0.003269		-0.002937	0.000246	0.001166	-0.003973	
55	27.210	-0.002936	-0.000211	-0.000239	-0.003346		-0.003002	0.000263	0.001224	-0.004074	
56	27.790	-0.002997	-0.000226	-0.000271	-0.003433		-0.003066	0.000281	0.001289	-0.004173	
57	28.370	-0.003058	-0.000241	-0.000304	-0.003521		-0.003129	0.000301	0.001356	-0.004274	
58	28.950	-0.003122	-0.000255	-0.000337	-0.003599		-0.003196	0.000318	0.001416	-0.004368	
59	29.530	-0.003190	-0.000269	-0.000370	-0.003666		-0.003266	0.000335	0.001471	-0.004455	
60	30.110	-0.003257	-0.000283	-0.000406	-0.003734		-0.003336	0.000352	0.001527	-0.004541	
61	30.690	-0.003319	-0.000300	-0.000445	-0.003813		-0.003401	0.000373	0.001599	-0.004650	
62	31.060	-0.003368	-0.000313	-0.000481	-0.003845		-0.003451	0.000385	0.001637	-0.004694	STYČNÍK 7
63	31.430	-0.003416	-0.000326	-0.000518	-0.003875		-0.003502	0.000398	0.001676	-0.004738	
64	32.010	-0.003488	-0.000350	-0.000588	-0.003892		-0.003579	0.000422	0.001751	-0.004867	
65	32.590	-0.003571	-0.000371	-0.000657	-0.003889		-0.003666	0.000440	0.001801	-0.004950	
66	33.170	-0.003662	-0.000389	-0.000724	-0.003878		-0.003761	0.000455	0.001835	-0.004999	
67	33.750	-0.003760	-0.000408	-0.000793	-0.003871		-0.003862	0.000467	0.001857	-0.005004	
68	34.330	-0.003868	-0.000425	-0.000862	-0.003867		-0.003971	0.000476	0.001863	-0.004954	
69	34.910	-0.003978	-0.000442	-0.000933	-0.003866		-0.004081	0.000485	0.001862	-0.004879	
70	35.490	-0.004079	-0.000459	-0.001007	-0.003871		-0.004183	0.000498	0.001870	-0.004828	
71	35.860	-0.004153	-0.000471	-0.001060	-0.003868		-0.004256	0.000504	0.001863	-0.004713	STYČNÍK 8
72	36.230	-0.004227	-0.000483	-0.001114	-0.003865		-0.004328	0.000511	0.001858	-0.004598	
73	36.810	-0.004316	-0.000507	-0.001208	-0.003852		-0.004418	0.000534	0.001891	-0.004480	
74	37.390	-0.004418	-0.000531	-0.001302	-0.003832		-0.004519	0.000552	0.001913	-0.004318	
75	37.970	-0.004516	-0.000556	-0.001394	-0.003806		-0.004617	0.000571	0.001943	-0.004172	
76	38.550	-0.004593	-0.000582	-0.001484	-0.003777		-0.004695	0.000596	0.001996	-0.004106	
77	39.130	-0.004653	-0.000608	-0.001570	-0.003743		-0.004759	0.000623	0.002066	-0.004097	
78	39.710	-0.004698	-0.000637	-0.001655	-0.003718		-0.004809	0.000655	0.002158	-0.004136	
79	40.290	-0.004716	-0.000668	-0.001740	-0.003718		-0.004833	0.000696	0.002285	-0.004238	

POŘADNICE PŘÍČINKOVÉ ČÁRY PRVKU NK

Prvek: TR_P2.1 Element: 691 Tabulka Z_{LM71} - poř. číslo: 12
Popis: PŘÍČNÍK P2 - VNĚJŠÍ PODÉLNÍK Part: I[568]

P. č.	Staničení	PŘÍČINKY OD KOLEJE Č. 1					PŘÍČINKY OD KOLEJE Č. 2				Poznámka
		Nx	Vz	My	Mz		Nx	Vz	My	Mz	
	[m]	[kN/kN]	[kN/kN]	[kNm/kN]	[kNm/kN]		[kN/kN]	[kN/kN]	[kNm/kN]	[kNm/kN]	
80	40.660	-0.004705	-0.000692	-0.001782	-0.003730		-0.004825	0.000719	0.002379	-0.004250	STYČNÍK 9
81	41.030	-0.004690	-0.000716	-0.001822	-0.003745		-0.004812	0.000743	0.002478	-0.004268	
82	41.610	-0.004562	-0.000753	-0.001861	-0.003780		-0.004689	0.000791	0.002677	-0.004364	
83	42.190	-0.004447	-0.000787	-0.001899	-0.003799		-0.004579	0.000833	0.002857	-0.004432	
84	42.770	-0.004335	-0.000821	-0.001937	-0.003816		-0.004472	0.000875	0.003032	-0.004498	
85	43.350	-0.004231	-0.000857	-0.001979	-0.003847		-0.004372	0.000916	0.003207	-0.004553	
86	43.930	-0.004138	-0.000894	-0.002025	-0.003893		-0.004283	0.000956	0.003381	-0.004598	
87	44.510	-0.004057	-0.000930	-0.002077	-0.003937		-0.004206	0.000994	0.003541	-0.004637	
88	45.090	-0.003968	-0.000956	-0.002139	-0.003964		-0.004122	0.001035	0.003658	-0.004691	
89	45.460	-0.004082	-0.000981	-0.002245	-0.003978		-0.004238	0.001037	0.003647	-0.004678	STYČNÍK 10
90	45.830	-0.004207	-0.001006	-0.002356	-0.003992		-0.004365	0.001038	0.003630	-0.004669	
91	46.410	-0.004581	-0.001028	-0.002655	-0.004017		-0.004743	0.001026	0.003385	-0.004662	
92	46.990	-0.005011	-0.001058	-0.002968	-0.004057		-0.005178	0.001014	0.003156	-0.004631	
93	47.570	-0.005486	-0.001085	-0.003306	-0.004099		-0.005656	0.001008	0.002911	-0.004595	
94	48.150	-0.006008	-0.001103	-0.003678	-0.004122		-0.006181	0.001012	0.002631	-0.004558	
95	48.730	-0.006587	-0.001110	-0.004089	-0.004127		-0.006765	0.001029	0.002315	-0.004517	
96	49.310	-0.007240	-0.001110	-0.004542	-0.004133		-0.007420	0.001061	0.001978	-0.004462	
97	49.890	-0.008008	-0.001067	-0.005117	-0.004155		-0.008191	0.001149	0.001508	-0.004395	
98	50.260	-0.009142	-0.000985	-0.005823	-0.004174		-0.009325	0.001352	0.001151	-0.004379	STYČNÍK 11
99	50.630	-0.010331	-0.000894	-0.006564	-0.004193		-0.010515	0.001571	0.000779	-0.004376	
100	51.210	-0.013315	-0.000462	-0.008633	-0.004224		-0.013500	0.002338	-0.000524	-0.004523	
101	51.790	-0.016292	-0.000068	-0.010599	-0.004238		-0.016478	0.003067	-0.001697	-0.004701	
102	52.370	-0.019279	0.000306	-0.012490	-0.004249		-0.019468	0.003777	-0.002808	-0.004885	
103	52.950	-0.022276	0.000634	-0.014254	-0.004272		-0.022466	0.004445	-0.003799	-0.005024	
104	53.530	-0.025253	0.000905	-0.015841	-0.004307		-0.025442	0.005056	-0.004635	-0.005116	
105	54.110	-0.028144	0.001119	-0.017204	-0.004336		-0.028333	0.005598	-0.005313	-0.005213	
106	54.690	-0.030896	0.001398	-0.018312	-0.004351		-0.031085	0.006152	-0.006244	-0.005361	
107	55.060	-0.031491	0.000800	-0.016317	-0.004330		-0.031682	0.005598	-0.004593	-0.005318	STYČNÍK 12
108	55.430	-0.031985	0.000145	-0.014090	-0.004308		-0.032178	0.004974	-0.002778	-0.005271	
109	56.010	-0.030971	-0.001529	-0.006454	-0.004261		-0.031160	0.003006	0.001652	-0.004945	
110	56.590	-0.029826	-0.003574	0.001530	-0.004222		-0.030016	0.000728	0.007314	-0.004518	
111	57.170	-0.028491	-0.005963	0.009834	-0.004181		-0.028689	-0.001843	0.014126	-0.004066	
112	57.750	-0.026882	-0.008796	0.018453	-0.004116		-0.027102	-0.004785	0.022430	-0.003694	
113	58.330	-0.024988	-0.012167	0.027377	-0.004026		-0.025244	-0.008165	0.032566	-0.003396	
114	58.910	-0.022873	-0.016162	0.036586	-0.003928		-0.023180	-0.012036	0.044865	-0.003047	
115	59.490	-0.020469	-0.021157	0.046338	-0.003835		-0.020846	-0.016692	0.060631	-0.002482	
116	59.860	-0.019497	-0.031255	0.054096	-0.003786		-0.019865	-0.024809	0.094488	-0.002373	STYČNÍK 13
117	60.205	-0.018626	-0.041248	0.061482	-0.003742		-0.018979	-0.032811	0.128043	-0.002299	
118	60.735	-0.018015	-0.068618	0.076470	-0.003717		-0.018229	-0.054165	0.220774	-0.002429	
119	61.265	-0.017769	-0.096100	0.091165	-0.003690		-0.017775	-0.075584	0.313843	-0.002860	
120	61.795	-0.017289	-0.123550	0.105702	-0.003668		-0.017054	-0.097016	0.406811	-0.003392	
121	62.325	-0.015654	-0.150462	0.119961	-0.003658		-0.015221	-0.118134	0.498078	-0.003777	
122	62.855	-0.012828	-0.176469	0.133781	-0.003654		-0.012241	-0.138703	0.586467	-0.004041	
123	63.385	-0.009838	-0.201401	0.147029	-0.003645		-0.009153	-0.158456	0.671346	-0.004511	
124	63.915	-0.007304	-0.224893	0.159554	-0.003597		-0.006580	-0.177077	0.751436	-0.005389	
125	64.260	-0.008050	-0.224604	0.159569	-0.003384		-0.007351	-0.176780	0.750870	-0.005862	STYČNÍK 14
126	64.610	-0.009003	-0.223037	0.158918	-0.003149		-0.008335	-0.175464	0.745989	-0.006302	
127	65.160	-0.014815	-0.195454	0.144959	-0.002349		-0.014276	-0.153457	0.653204	-0.006061	
128	65.710	-0.020808	-0.166559	0.130152	-0.001539		-0.020447	-0.130296	0.556198	-0.005019	
129	66.260	-0.025828	-0.136500	0.114674	-0.000675		-0.025662	-0.106181	0.455559	-0.003345	
130	66.810	-0.029208	-0.105613	0.098675	0.000249		-0.029258	-0.081398	0.352590	-0.001048	
131	67.360	-0.031576	-0.074428	0.082391	0.001181		-0.031838	-0.056506	0.248650	0.001292	
132	67.910	-0.034194	-0.043139	0.065748	0.002043		-0.034594	-0.031852	0.143806	0.003161	
133	68.260	-0.034211	-0.031807	0.057081	0.002215		-0.034626	-0.022943	0.105712	0.003591	STYČNÍK 15
134	68.615	-0.034092	-0.020950	0.048406	0.002360		-0.034516	-0.014410	0.069191	0.003954	
135	69.165	-0.031299	-0.015426	0.036690	0.002044		-0.031647	-0.009986	0.050195	0.003208	
136	69.715	-0.027991	-0.011046	0.025360	0.001725		-0.028277	-0.006280	0.035300	0.002484	
137	70.265	-0.024263	-0.007226	0.014193	0.001380		-0.024494	-0.002974	0.022335	0.001859	
138	70.815	-0.020213	-0.003809	0.003152	0.001017		-0.020396	0.000034	0.010752	0.001333	
139	71.365	-0.016088	-0.000810	-0.007979	0.000697		-0.016222	0.002895	0.000683	0.000616	
140	71.720	-0.013660	0.001377	-0.015231	0.000569		-0.013754	0.005036	-0.006590	0.000043	STYČNÍK 16
141	72.220	-0.010248	0.004435	-0.025461	0.000392		-0.010285	0.008048	-0.016751	-0.000785	

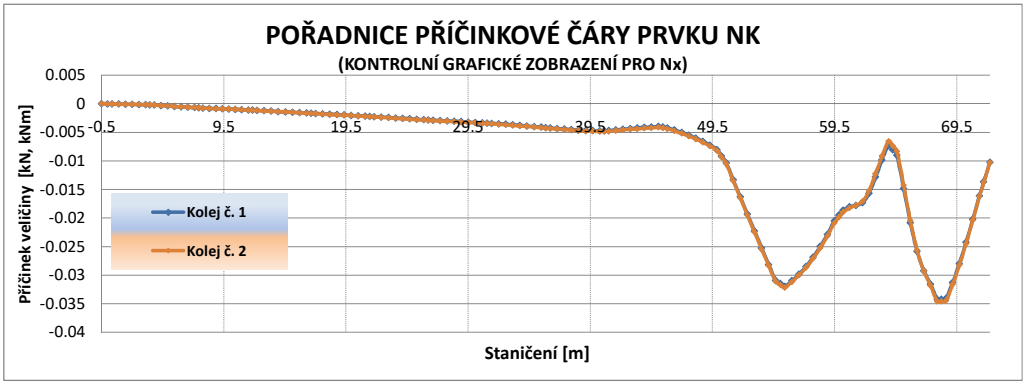

POŘADNICE PŘÍČINKOVÉ ČÁRY PRVKU NK

Prvek: TR_P3.1 Element: 679 Tabulka Z_{LM71} - poř. číslo: 13
Popis: PŘÍČNÍK P3 - ZÁKLADNÍ ČÁST Part: I[557]

P. č.	Staničení	PŘÍČINKY OD KOLEJE Č. 1					PŘÍČINKY OD KOLEJE Č. 2				Poznámka
		Nx	Vz	My	Mz		Nx	Vz	My	Mz	
	[m]	[kN/kN]	[kN/kN]	[kNm/kN]	[kNm/kN]		[kN/kN]	[kN/kN]	[kNm/kN]	[kNm/kN]	
1	-0.500	0.000081	-0.000152	-0.000439	0.000022		-0.000073	0.000154	0.000412	0.000210	
2	0.000	0.000080	-0.000150	-0.000417	-0.000076		-0.000082	0.000151	0.000420	0.000070	STYČNÍK 0
3	0.355	0.000080	-0.000149	-0.000402	-0.000147		-0.000088	0.000149	0.000427	-0.000029	
4	0.905	0.000080	-0.000148	-0.000380	-0.000286		-0.000098	0.000144	0.000443	-0.000212	
5	1.455	0.000081	-0.000149	-0.000360	-0.000437		-0.000108	0.000141	0.000463	-0.000398	
6	2.005	0.000081	-0.000150	-0.000341	-0.000583		-0.000119	0.000139	0.000483	-0.000577	
7	2.555	0.000082	-0.000151	-0.000322	-0.000721		-0.000130	0.000136	0.000502	-0.000746	
8	3.105	0.000083	-0.000153	-0.000306	-0.000868		-0.000141	0.000135	0.000525	-0.000922	
9	3.460	0.000085	-0.000157	-0.000312	-0.000913		-0.000152	0.000141	0.000547	-0.000963	STYČNÍK 1
10	3.810	0.000088	-0.000162	-0.000318	-0.000952		-0.000162	0.000148	0.000569	-0.000998	
11	4.360	0.000094	-0.000175	-0.000354	-0.000957		-0.000185	0.000169	0.000622	-0.000990	
12	4.910	0.000101	-0.000186	-0.000389	-0.000933		-0.000208	0.000191	0.000669	-0.000948	
13	5.460	0.000107	-0.000198	-0.000425	-0.000915		-0.000231	0.000213	0.000719	-0.000915	
14	6.010	0.000115	-0.000212	-0.000464	-0.000923		-0.000254	0.000235	0.000776	-0.000920	
15	6.560	0.000123	-0.000228	-0.000506	-0.000947		-0.000277	0.000256	0.000839	-0.000952	
16	7.110	0.000132	-0.000244	-0.000549	-0.000979		-0.000300	0.000278	0.000905	-0.001003	
17	7.460	0.000138	-0.000254	-0.000573	-0.001005		-0.000315	0.000291	0.000943	-0.001034	STYČNÍK 2
18	7.805	0.000144	-0.000264	-0.000598	-0.001032		-0.000329	0.000304	0.000981	-0.001066	
19	8.335	0.000154	-0.000281	-0.000635	-0.001106		-0.000350	0.000322	0.001042	-0.001158	
20	8.865	0.000164	-0.000299	-0.000672	-0.001184		-0.000372	0.000341	0.001104	-0.001246	
21	9.395	0.000174	-0.000316	-0.000710	-0.001264		-0.000393	0.000360	0.001167	-0.001336	
22	9.925	0.000184	-0.000333	-0.000746	-0.001340		-0.000415	0.000379	0.001228	-0.001422	
23	10.455	0.000194	-0.000350	-0.000782	-0.001409		-0.000436	0.000397	0.001286	-0.001504	
24	10.985	0.000204	-0.000367	-0.000818	-0.001479		-0.000457	0.000416	0.001346	-0.001584	
25	11.515	0.000215	-0.000385	-0.000856	-0.001555		-0.000479	0.000436	0.001408	-0.001669	
26	11.860	0.000222	-0.000398	-0.000886	-0.001596		-0.000494	0.000450	0.001453	-0.001711	STYČNÍK 3
27	12.230	0.000230	-0.000411	-0.000918	-0.001640		-0.000511	0.000466	0.001500	-0.001756	
28	12.810	0.000243	-0.000434	-0.000973	-0.001695		-0.000538	0.000493	0.001580	-0.001820	
29	13.390	0.000257	-0.000456	-0.001027	-0.001743		-0.000565	0.000520	0.001658	-0.001877	
30	13.970	0.000270	-0.000478	-0.001080	-0.001788		-0.000592	0.000547	0.001735	-0.001933	
31	14.550	0.000283	-0.000500	-0.001134	-0.001838		-0.000619	0.000574	0.001814	-0.001990	
32	15.130	0.000296	-0.000523	-0.001190	-0.001894		-0.000646	0.000601	0.001893	-0.002047	
33	15.710	0.000310	-0.000545	-0.001244	-0.001947		-0.000673	0.000628	0.001972	-0.002103	
34	16.290	0.000323	-0.000567	-0.001297	-0.001994		-0.000700	0.000655	0.002048	-0.002158	
35	16.660	0.000331	-0.000581	-0.001331	-0.002023		-0.000717	0.000672	0.002096	-0.002189	STYČNÍK 4
36	17.030	0.000340	-0.000595	-0.001365	-0.002053		-0.000734	0.000689	0.002144	-0.002222	
37	17.610	0.000354	-0.000618	-0.001419	-0.002107		-0.000761	0.000715	0.002219	-0.002287	
38	18.190	0.000368	-0.000642	-0.001476	-0.002167		-0.000789	0.000743	0.002298	-0.002352	
39	18.770	0.000383	-0.000666	-0.001533	-0.002229		-0.000816	0.000770	0.002377	-0.002417	
40	19.350	0.000397	-0.000689	-0.001588	-0.002281		-0.000843	0.000797	0.002453	-0.002476	
41	19.930	0.000410	-0.000711	-0.001642	-0.002325		-0.000870	0.000823	0.002526	-0.002530	
42	20.510	0.000424	-0.000733	-0.001696	-0.002369		-0.000897	0.000850	0.002599	-0.002581	
43	21.090	0.000438	-0.000757	-0.001753	-0.002419		-0.000924	0.000878	0.002676	-0.002637	
44	21.460	0.000448	-0.000773	-0.001793	-0.002444		-0.000943	0.000898	0.002729	-0.002659	STYČNÍK 5
45	21.830	0.000458	-0.000789	-0.001833	-0.002469		-0.000962	0.000918	0.002783	-0.002682	
46	22.410	0.000475	-0.000813	-0.001897	-0.002492		-0.000993	0.000950	0.002867	-0.002720	
47	22.990	0.000491	-0.000836	-0.001958	-0.002507		-0.001023	0.000981	0.002947	-0.002753	
48	23.570	0.000507	-0.000859	-0.002018	-0.002521		-0.001053	0.001012	0.003027	-0.002785	
49	24.150	0.000523	-0.000883	-0.002081	-0.002543		-0.001084	0.001044	0.003111	-0.002819	
50	24.730	0.000540	-0.000908	-0.002146	-0.002572		-0.001116	0.001077	0.003197	-0.002854	
51	25.310	0.000557	-0.000933	-0.002210	-0.002600		-0.001147	0.001110	0.003282	-0.002888	
52	25.890	0.000573	-0.000956	-0.002271	-0.002620		-0.001177	0.001141	0.003363	-0.002925	
53	26.260	0.000584	-0.000974	-0.002313	-0.002644		-0.001197	0.001162	0.003418	-0.002949	STYČNÍK 6
54	26.630	0.000596	-0.000991	-0.002355	-0.002669		-0.001217	0.001182	0.003474	-0.002976	
55	27.210	0.000614	-0.001021	-0.002424	-0.002735		-0.001249	0.001212	0.003568	-0.003061	
56	27.790	0.000634	-0.001053	-0.002498	-0.002812		-0.001281	0.001245	0.003669	-0.003144	
57	28.370	0.000653	-0.001086	-0.002574	-0.002891		-0.001313	0.001277	0.003771	-0.003229	
58	28.950	0.000672	-0.001117	-0.002646	-0.002958		-0.001345	0.001309	0.003869	-0.003307	
59	29.530	0.000691	-0.001147	-0.002716	-0.003014		-0.001376	0.001341	0.003962	-0.003378	
60	30.110	0.000709	-0.001177	-0.002788	-0.003071		-0.001408	0.001373	0.004059	-0.003448	
61	30.690	0.000729	-0.001208	-0.002865	-0.003139		-0.001440	0.001408	0.004163	-0.003544	
62	31.060	0.000743	-0.001229	-0.002919	-0.003164		-0.001462	0.001435	0.004239	-0.003578	STYČNÍK 7
63	31.430	0.000757	-0.001250	-0.002974	-0.003187		-0.001484	0.001463	0.004316	-0.003614	
64	32.010	0.000779	-0.001274	-0.003062	-0.003189		-0.001517	0.001512	0.004448	-0.003741	
65	32.590	0.000799	-0.001297	-0.003143	-0.003171		-0.001551	0.001560	0.004570	-0.003817	
66	33.170	0.000819	-0.001319	-0.003221	-0.003146		-0.001585	0.001608	0.004685	-0.003854	
67	33.750	0.000839	-0.001345	-0.003300	-0.003128		-0.001620	0.001662	0.004797	-0.003841	
68	34.330	0.000859	-0.001375	-0.003380	-0.003115		-0.001656	0.001720	0.004906	-0.003763	
69	34.910	0.000880	-0.001408	-0.003462	-0.003108		-0.001694	0.001780	0.005015	-0.003661	
70	35.490	0.000901	-0.001440	-0.003549	-0.003107		-0.001732	0.001841	0.005127	-0.003591	
71	35.860	0.000915	-0.001473	-0.003611	-0.003101		-0.001764	0.001874	0.005200	-0.003452	STYČNÍK 8
72	36.230	0.000929	-0.001508	-0.003673	-0.003096		-0.001795	0.001906	0.005274	-0.003314	
73	36.810	0.000949	-0.001569	-0.003783	-0.003073		-0.001851	0.001950	0.005389	-0.003159	
74	37.390	0.000968	-0.001633	-0.003893	-0.003042		-0.001908	0.001995	0.005500	-0.002947	
75	37.970	0.000986	-0.001695	-0.004002	-0.003003		-0.001965	0.002037	0.005607	-0.002753	
76	38.550	0.001002	-0.001750	-0.004111	-0.002959		-0.002019	0.002069	0.005716	-0.002650	
77	39.130	0.001016	-0.001799	-0.004219	-0.002906		-0.002071	0.002094	0.005822	-0.002617	
78	39.710	0.001029	-0.001845	-0.004333	-0.002862		-0.002123	0.002116	0.005932	-0.002635	
79	40.290	0.001042	-0.001887	-0.004461	-0.002840		-0.002174	0.002149	0.006029	-0.002720	

POŘADNICE PŘÍČINKOVÉ ČÁRY PRVKU NK

Prvek: TR_P3.1 Element: 679 Tabulka Z_{LM71} - poř. číslo: 13
Popis: PŘÍČNÍK P3 - ZÁKLADNÍ ČÁST Part: I[557]

P. č.	Staničení	PŘÍČINKY OD KOLEJE Č. 1					PŘÍČINKY OD KOLEJE Č. 2				Poznámka
		Nx	Vz	My	Mz		Nx	Vz	My	Mz	
	[m]	[kN/kN]	[kN/kN]	[kNm/kN]	[kNm/kN]		[kN/kN]	[kN/kN]	[kNm/kN]	[kNm/kN]	
80	40.660	0.001048	-0.001905	-0.004572	-0.002844		-0.002213	0.002160	0.006074	-0.002717	STYČNÍK 9
81	41.030	0.001055	-0.001921	-0.004685	-0.002850		-0.002253	0.002171	0.006116	-0.002722	
82	41.610	0.001058	-0.001896	-0.004925	-0.002878		-0.002316	0.002224	0.006056	-0.002803	
83	42.190	0.001059	-0.001865	-0.005165	-0.002892		-0.002385	0.002271	0.006001	-0.002860	
84	42.770	0.001056	-0.001823	-0.005415	-0.002903		-0.002458	0.002331	0.005937	-0.002918	
85	43.350	0.001046	-0.001772	-0.005682	-0.002930		-0.002536	0.002415	0.005866	-0.002960	
86	43.930	0.001029	-0.001709	-0.005968	-0.002971		-0.002621	0.002528	0.005789	-0.002987	
87	44.510	0.001005	-0.001625	-0.006275	-0.003010		-0.002716	0.002671	0.005701	-0.003015	
88	45.090	0.000963	-0.001468	-0.006653	-0.003037		-0.002836	0.002935	0.005506	-0.003069	
89	45.460	0.000902	-0.001240	-0.007057	-0.003054		-0.003049	0.003338	0.005431	-0.003082	STYČNÍK 10
90	45.830	0.000837	-0.000996	-0.007480	-0.003072		-0.003275	0.003770	0.005351	-0.003102	
91	46.410	0.000643	-0.000184	-0.008645	-0.003116		-0.003905	0.005282	0.004831	-0.003167	
92	46.990	0.000464	0.000564	-0.009741	-0.003172		-0.004530	0.006715	0.004432	-0.003192	
93	47.570	0.000288	0.001281	-0.010782	-0.003228		-0.005143	0.008127	0.004077	-0.003206	
94	48.150	0.000107	0.001955	-0.011732	-0.003267		-0.005719	0.009479	0.003783	-0.003230	
95	48.730	-0.000073	0.002567	-0.012561	-0.003287		-0.006248	0.010746	0.003569	-0.003257	
96	49.310	-0.000237	0.003085	-0.013242	-0.003304		-0.006732	0.011920	0.003455	-0.003252	
97	49.890	-0.000376	0.003581	-0.013782	-0.003334		-0.007172	0.013344	0.003117	-0.003181	
98	50.260	-0.000126	0.002643	-0.012358	-0.003331		-0.007007	0.012748	0.004454	-0.003096	STYČNÍK 11
99	50.630	0.000154	0.001605	-0.010782	-0.003326		-0.006804	0.012048	0.005900	-0.003018	
100	51.210	0.001134	-0.001553	-0.005669	-0.003295		-0.005812	0.010237	0.009024	-0.002886	
101	51.790	0.002162	-0.005089	-0.000257	-0.003245		-0.004767	0.007433	0.013123	-0.002837	
102	52.370	0.003212	-0.008983	0.005449	-0.003189		-0.003647	0.003693	0.018122	-0.002804	
103	52.950	0.004248	-0.013313	0.011479	-0.003140		-0.002417	-0.001290	0.024287	-0.002689	
104	53.530	0.005265	-0.018158	0.017854	-0.003096		-0.001075	-0.007811	0.031898	-0.002500	
105	54.110	0.006290	-0.023597	0.024586	-0.003043		0.000343	-0.016142	0.041251	-0.002351	
106	54.690	0.007380	-0.030109	0.031965	-0.002972		0.001880	-0.027688	0.053756	-0.002284	
107	55.060	0.008312	-0.039533	0.038771	-0.002909		0.003027	-0.054043	0.080569	-0.002314	STYČNÍK 12
108	55.430	0.009268	-0.049448	0.045785	-0.002847		0.004195	-0.082140	0.109112	-0.002350	
109	56.010	0.011376	-0.075076	0.061258	-0.002745		0.006544	-0.161443	0.188941	-0.002130	
110	56.590	0.013453	-0.100499	0.076422	-0.002663		0.008777	-0.240713	0.268788	-0.001826	
111	57.170	0.015452	-0.125895	0.091545	-0.002593		0.010991	-0.319949	0.348535	-0.001569	
112	57.750	0.017247	-0.151096	0.106707	-0.002523		0.013258	-0.397961	0.426814	-0.001614	
113	58.330	0.018807	-0.175797	0.121753	-0.002456		0.015544	-0.473744	0.502620	-0.001972	
114	58.910	0.020196	-0.199573	0.136293	-0.002398		0.017710	-0.546497	0.575332	-0.002422	
115	59.490	0.021440	-0.222310	0.150197	-0.002348		0.019654	-0.616148	0.645006	-0.002687	
116	59.860	0.020745	-0.222437	0.150632	-0.002316		0.018729	-0.616469	0.645676	-0.003005	STYČNÍK 13
117	60.205	0.019979	-0.221447	0.150390	-0.002285		0.017696	-0.613367	0.642924	-0.003296	
118	60.735	0.016512	-0.199213	0.137955	-0.002177		0.012771	-0.544969	0.575646	-0.003308	
119	61.265	0.012945	-0.175457	0.124567	-0.002054		0.007674	-0.472076	0.503873	-0.003482	
120	61.795	0.009274	-0.150804	0.110653	-0.001915		0.002523	-0.396327	0.429163	-0.003582	
121	62.325	0.005449	-0.125672	0.096573	-0.001771		-0.002503	-0.318461	0.352082	-0.003407	
122	62.855	0.001520	-0.100350	0.082466	-0.001622		-0.007343	-0.239436	0.273573	-0.002970	
123	63.385	-0.002371	-0.074983	0.068244	-0.001451		-0.012060	-0.160408	0.194945	-0.002496	
124	63.915	-0.006145	-0.049392	0.053636	-0.001241		-0.016681	-0.081361	0.116231	-0.002143	
125	64.260	-0.006998	-0.039263	0.046574	-0.001044		-0.017531	-0.053146	0.087118	-0.001984	STYČNÍK 14
126	64.610	-0.007739	-0.029463	0.039573	-0.000839		-0.018221	-0.026243	0.059207	-0.001810	
127	65.160	-0.006504	-0.022561	0.031189	-0.000416		-0.015977	-0.015353	0.044749	-0.001612	
128	65.710	-0.005120	-0.016754	0.023457	-0.000017		-0.013487	-0.007754	0.033456	-0.001130	
129	66.260	-0.003659	-0.011559	0.016034	0.000395		-0.010795	-0.002028	0.023956	-0.000389	
130	66.810	-0.002161	-0.006885	0.008892	0.000836		-0.007942	0.002176	0.015963	0.000661	
131	67.360	-0.000655	-0.002636	0.002044	0.001263		-0.005001	0.005257	0.009087	0.001749	
132	67.910	0.000883	0.001148	-0.004431	0.001605		-0.002015	0.007133	0.003368	0.002552	
133	68.260	0.001320	0.002434	-0.006509	0.001615		-0.001050	0.008064	0.000959	0.002783	STYČNÍK 15
134	68.615	0.001724	0.003623	-0.008441	0.001609		-0.000139	0.008906	-0.001308	0.002979	
135	69.165	0.001673	0.003077	-0.008120	0.001327		0.000079	0.007537	-0.000745	0.002419	
136	69.715	0.001535	0.002529	-0.007665	0.001077		0.000165	0.006530	-0.000388	0.001903	
137	70.265	0.001352	0.001882	-0.007048	0.000817		0.000198	0.005408	0.000145	0.001372	
138	70.815	0.001137	0.001166	-0.006312	0.000548		0.000191	0.004202	0.000804	0.000837	
139	71.365	0.000905	0.000303	-0.005474	0.000328		0.000137	0.002828	0.001749	0.000252	
140	71.720	0.000777	-0.000126	-0.005106	0.000235		0.000120	0.002278	0.002022	-0.000046	STYČNÍK 16
141	72.220	0.000597	-0.000743	-0.004582	0.000109		0.000094	0.001484	0.002436	-0.000470	

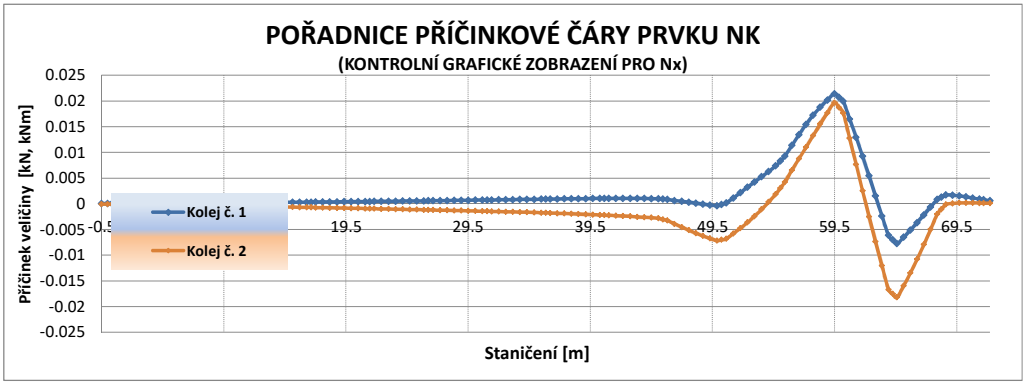

POŘADNICE PŘÍČINKOVÉ ČÁRY PRVKU NK

Prvek: TR_P4.1 Element: 667 Tabulka Z_{LM71} - poř. číslo: 14, 18
Popis: PŘÍČNÍK P4 - ZÁKLADNÍ ČÁST Part: I[546]

P. č.	Staničení	PŘÍČINKY OD KOLEJE Č. 1					PŘÍČINKY OD KOLEJE Č. 2				Poznámka
		Nx	Vz	My	Mz		Nx	Vz	My	Mz	
	[m]	[kN/kN]	[kN/kN]	[kNm/kN]	[kNm/kN]		[kN/kN]	[kN/kN]	[kNm/kN]	[kNm/kN]	
1	-0.500	0.000157	-0.000136	-0.000418	0.000018		0.000078	0.000131	0.000485	0.000232	
2	0.000	0.000044	-0.000144	-0.000480	-0.000089		-0.000035	0.000145	0.000485	0.000080	STYČNÍK 0
3	0.355	-0.000036	-0.000150	-0.000524	-0.000166		-0.000116	0.000154	0.000486	-0.000028	
4	0.905	-0.000147	-0.000160	-0.000592	-0.000320		-0.000228	0.000171	0.000495	-0.000233	
5	1.455	-0.000255	-0.000171	-0.000664	-0.000488		-0.000337	0.000189	0.000509	-0.000442	
6	2.005	-0.000364	-0.000182	-0.000736	-0.000649		-0.000448	0.000207	0.000523	-0.000642	
7	2.555	-0.000476	-0.000193	-0.000809	-0.000803		-0.000561	0.000225	0.000537	-0.000831	
8	3.105	-0.000585	-0.000205	-0.000885	-0.000966		-0.000673	0.000244	0.000555	-0.001028	
9	3.460	-0.000670	-0.000218	-0.000952	-0.001012		-0.000764	0.000260	0.000575	-0.001067	STYČNÍK 1
10	3.810	-0.000755	-0.000230	-0.001020	-0.001053		-0.000855	0.000275	0.000596	-0.001100	
11	4.360	-0.000902	-0.000257	-0.001150	-0.001048		-0.001016	0.000304	0.000645	-0.001078	
12	4.910	-0.001057	-0.000282	-0.001279	-0.001011		-0.001184	0.000332	0.000687	-0.001015	
13	5.460	-0.001211	-0.000309	-0.001410	-0.000980		-0.001351	0.000361	0.000732	-0.000962	
14	6.010	-0.001357	-0.000336	-0.001543	-0.000978		-0.001510	0.000391	0.000785	-0.000955	
15	6.560	-0.001498	-0.000364	-0.001679	-0.000997		-0.001664	0.000424	0.000842	-0.000979	
16	7.110	-0.001636	-0.000393	-0.001814	-0.001023		-0.001815	0.000456	0.000901	-0.001028	
17	7.460	-0.001725	-0.000410	-0.001899	-0.001046		-0.001912	0.000476	0.000935	-0.001056	STYČNÍK 2
18	7.805	-0.001812	-0.000428	-0.001982	-0.001071		-0.002007	0.000495	0.000969	-0.001085	
19	8.335	-0.001937	-0.000454	-0.002109	-0.001148		-0.002143	0.000526	0.001024	-0.001180	
20	8.865	-0.002060	-0.000481	-0.002238	-0.001230		-0.002280	0.000557	0.001080	-0.001271	
21	9.395	-0.002184	-0.000508	-0.002368	-0.001314		-0.002415	0.000588	0.001137	-0.001364	
22	9.925	-0.002308	-0.000535	-0.002495	-0.001393		-0.002553	0.000618	0.001191	-0.001453	
23	10.455	-0.002435	-0.000561	-0.002621	-0.001464		-0.002692	0.000647	0.001242	-0.001535	
24	10.985	-0.002562	-0.000587	-0.002748	-0.001536		-0.002831	0.000677	0.001295	-0.001617	
25	11.515	-0.002687	-0.000615	-0.002878	-0.001616		-0.002969	0.000708	0.001351	-0.001704	
26	11.860	-0.002771	-0.000634	-0.002968	-0.001657		-0.003063	0.000730	0.001392	-0.001744	STYČNÍK 3
27	12.230	-0.002862	-0.000655	-0.003066	-0.001702		-0.003164	0.000753	0.001437	-0.001787	
28	12.810	-0.003007	-0.000688	-0.003223	-0.001755		-0.003327	0.000792	0.001511	-0.001846	
29	13.390	-0.003155	-0.000722	-0.003378	-0.001798		-0.003491	0.000829	0.001582	-0.001898	
30	13.970	-0.003304	-0.000754	-0.003532	-0.001839		-0.003656	0.000866	0.001651	-0.001948	
31	14.550	-0.003452	-0.000788	-0.003689	-0.001887		-0.003821	0.000904	0.001723	-0.002000	
32	15.130	-0.003598	-0.000821	-0.003846	-0.001940		-0.003984	0.000942	0.001797	-0.002052	
33	15.710	-0.003746	-0.000855	-0.004003	-0.001991		-0.004149	0.000980	0.001870	-0.002102	
34	16.290	-0.003895	-0.000887	-0.004156	-0.002034		-0.004315	0.001016	0.001938	-0.002150	
35	16.660	-0.003992	-0.000908	-0.004256	-0.002061		-0.004423	0.001039	0.001980	-0.002176	STYČNÍK 4
36	17.030	-0.004088	-0.000929	-0.004355	-0.002089		-0.004531	0.001063	0.002023	-0.002204	
37	17.610	-0.004238	-0.000962	-0.004510	-0.002140		-0.004697	0.001099	0.002089	-0.002264	
38	18.190	-0.004386	-0.000996	-0.004670	-0.002200		-0.004862	0.001137	0.002159	-0.002324	
39	18.770	-0.004533	-0.001030	-0.004830	-0.002260		-0.005027	0.001174	0.002231	-0.002384	
40	19.350	-0.004684	-0.001064	-0.004987	-0.002310		-0.005195	0.001211	0.002298	-0.002438	
41	19.930	-0.004838	-0.001096	-0.005142	-0.002350		-0.005365	0.001246	0.002360	-0.002484	
42	20.510	-0.004992	-0.001129	-0.005298	-0.002389		-0.005537	0.001281	0.002423	-0.002527	
43	21.090	-0.005144	-0.001163	-0.005459	-0.002436		-0.005706	0.001319	0.002491	-0.002575	
44	21.460	-0.005246	-0.001188	-0.005571	-0.002459		-0.005821	0.001343	0.002542	-0.002589	STYČNÍK 5
45	21.830	-0.005348	-0.001213	-0.005684	-0.002481		-0.005937	0.001368	0.002592	-0.002605	
46	22.410	-0.005514	-0.001254	-0.005864	-0.002495		-0.006123	0.001407	0.002671	-0.002630	
47	22.990	-0.005684	-0.001293	-0.006041	-0.002499		-0.006311	0.001445	0.002745	-0.002650	
48	23.570	-0.005853	-0.001332	-0.006217	-0.002502		-0.006500	0.001482	0.002818	-0.002668	
49	24.150	-0.006020	-0.001372	-0.006397	-0.002514		-0.006687	0.001521	0.002896	-0.002689	
50	24.730	-0.006184	-0.001413	-0.006580	-0.002536		-0.006873	0.001561	0.002980	-0.002710	
51	25.310	-0.006349	-0.001454	-0.006762	-0.002556		-0.007059	0.001601	0.003063	-0.002730	
52	25.890	-0.006514	-0.001493	-0.006938	-0.002566		-0.007243	0.001641	0.003138	-0.002756	
53	26.260	-0.006610	-0.001517	-0.007048	-0.002587		-0.007353	0.001668	0.003197	-0.002772	STYČNÍK 6
54	26.630	-0.006704	-0.001542	-0.007158	-0.002609		-0.007461	0.001696	0.003257	-0.002791	
55	27.210	-0.006829	-0.001577	-0.007322	-0.002674		-0.007602	0.001751	0.003365	-0.002876	
56	27.790	-0.006951	-0.001616	-0.007494	-0.002753		-0.007741	0.001807	0.003483	-0.002957	
57	28.370	-0.007070	-0.001655	-0.007665	-0.002834		-0.007877	0.001863	0.003603	-0.003040	
58	28.950	-0.007190	-0.001693	-0.007831	-0.002901		-0.008014	0.001916	0.003717	-0.003115	
59	29.530	-0.007311	-0.001730	-0.007990	-0.002954		-0.008153	0.001966	0.003825	-0.003183	
60	30.110	-0.007430	-0.001768	-0.008151	-0.003009		-0.008288	0.002016	0.003937	-0.003249	
61	30.690	-0.007534	-0.001809	-0.008314	-0.003075		-0.008406	0.002071	0.004058	-0.003346	
62	31.060	-0.007586	-0.001846	-0.008412	-0.003096		-0.008471	0.002085	0.004146	-0.003375	STYČNÍK 7
63	31.430	-0.007635	-0.001884	-0.008507	-0.003116		-0.008533	0.002097	0.004235	-0.003406	
64	32.010	-0.007651	-0.001953	-0.008619	-0.003100		-0.008553	0.002102	0.004374	-0.003546	
65	32.590	-0.007683	-0.002018	-0.008728	-0.003064		-0.008598	0.002098	0.004498	-0.003624	
66	33.170	-0.007725	-0.002081	-0.008838	-0.003021		-0.008661	0.002092	0.004611	-0.003654	
67	33.750	-0.007780	-0.002143	-0.008962	-0.002990		-0.008745	0.002087	0.004721	-0.003618	
68	34.330	-0.007851	-0.002204	-0.009100	-0.002969		-0.008859	0.002083	0.004823	-0.003499	
69	34.910	-0.007929	-0.002261	-0.009250	-0.002957		-0.008996	0.002081	0.004922	-0.003354	
70	35.490	-0.007992	-0.002307	-0.009410	-0.002954		-0.009138	0.002099	0.005004	-0.003257	
71	35.860	-0.008173	-0.002320	-0.009603	-0.002948		-0.009378	0.002121	0.005023	-0.003072	STYČNÍK 8
72	36.230	-0.008365	-0.002331	-0.009803	-0.002942		-0.009627	0.002146	0.005037	-0.002888	
73	36.810	-0.008838	-0.002291	-0.010255	-0.002910		-0.010143	0.002287	0.004934	-0.002663	
74	37.390	-0.009363	-0.002255	-0.010727	-0.002865		-0.010688	0.002421	0.004833	-0.002353	
75	37.970	-0.009926	-0.002212	-0.011220	-0.002810		-0.011255	0.002568	0.004711	-0.002062	
76	38.550	-0.010523	-0.002153	-0.011732	-0.002745		-0.011854	0.002730	0.004555	-0.001898	
77	39.130	-0.011163	-0.002079	-0.012268	-0.002666		-0.012493	0.002909	0.004361	-0.001830	
78	39.710	-0.011851	-0.001992	-0.012844	-0.002596		-0.013170	0.003113	0.004139	-0.001831	
79	40.290	-0.012626	-0.001848	-0.013538	-0.002550		-0.013909	0.003440	0.003787	-0.001907	

POŘADNICE PŘÍČINKOVÉ ČÁRY PRVKU NK

Prvek: TR_P4.1 Element: 667 Tabulka Z_{LM71} - poř. číslo: 14, 18
Popis: PŘÍČNÍK P4 - ZÁKLADNÍ ČÁST Part: I[546]

P. č.	Staničení	PŘÍČINKY OD KOLEJE Č. 1					PŘÍČINKY OD KOLEJE Č. 2				Poznámka
		Nx	Vz	My	Mz		Nx	Vz	My	Mz	
	[m]	[kN/kN]	[kN/kN]	[kNm/kN]	[kNm/kN]		[kN/kN]	[kN/kN]	[kNm/kN]	[kNm/kN]	
80	40.660	-0.013596	-0.001672	-0.014303	-0.002553		-0.014853	0.003754	0.003359	-0.001913	STYČNÍK 9
81	41.030	-0.014609	-0.001485	-0.015101	-0.002559		-0.015837	0.004088	0.002901	-0.001931	
82	41.610	-0.017093	-0.000816	-0.017160	-0.002614		-0.018232	0.005244	0.001306	-0.002101	
83	42.190	-0.019559	-0.000202	-0.019124	-0.002653		-0.020642	0.006298	-0.000188	-0.002258	
84	42.770	-0.022017	0.000374	-0.021023	-0.002691		-0.023057	0.007322	-0.001639	-0.002417	
85	43.350	-0.024446	0.000881	-0.022829	-0.002742		-0.025440	0.008296	-0.002991	-0.002539	
86	43.930	-0.026816	0.001298	-0.024497	-0.002805		-0.027769	0.009200	-0.004210	-0.002623	
87	44.510	-0.029081	0.001617	-0.025973	-0.002865		-0.030031	0.010009	-0.005285	-0.002711	
88	45.090	-0.031178	0.001921	-0.027227	-0.002911		-0.032188	0.011063	-0.006547	-0.002835	
89	45.460	-0.031252	0.000893	-0.025718	-0.002908		-0.032398	0.010307	-0.005318	-0.002814	STYČNÍK 10
90	45.830	-0.031215	-0.000233	-0.024011	-0.002904		-0.032504	0.009456	-0.003939	-0.002793	
91	46.410	-0.029088	-0.003474	-0.017831	-0.002876		-0.030697	0.007561	-0.000206	-0.002581	
92	46.990	-0.026876	-0.007070	-0.011349	-0.002854		-0.028848	0.004675	0.004564	-0.002289	
93	47.570	-0.024545	-0.010999	-0.004573	-0.002830		-0.027046	0.000833	0.010313	-0.001972	
94	48.150	-0.022069	-0.015337	0.002522	-0.002787		-0.025425	-0.004299	0.017346	-0.001707	
95	48.730	-0.019467	-0.020152	0.009936	-0.002724		-0.024060	-0.011028	0.025945	-0.001486	
96	49.310	-0.016804	-0.025496	0.017636	-0.002654		-0.022965	-0.019630	0.036368	-0.001212	
97	49.890	-0.014106	-0.031799	0.025868	-0.002586		-0.022201	-0.031487	0.049999	-0.000744	
98	50.260	-0.014484	-0.041162	0.032660	-0.002537		-0.022557	-0.057842	0.077142	-0.000637	STYČNÍK 11
99	50.630	-0.015044	-0.051023	0.039615	-0.002489		-0.022974	-0.085915	0.105979	-0.000554	
100	51.210	-0.019499	-0.076711	0.054179	-0.002414		-0.024569	-0.164554	0.185468	-0.000579	
101	51.790	-0.024400	-0.102337	0.068462	-0.002339		-0.025898	-0.243061	0.264833	-0.000889	
102	52.370	-0.029152	-0.127871	0.082651	-0.002272		-0.027503	-0.321647	0.344199	-0.001268	
103	52.950	-0.032897	-0.152865	0.096714	-0.002220		-0.030198	-0.399482	0.422572	-0.001481	
104	53.530	-0.035557	-0.177006	0.110500	-0.002184		-0.033988	-0.475586	0.498966	-0.001551	
105	54.110	-0.037834	-0.200128	0.123750	-0.002162		-0.038062	-0.548851	0.572422	-0.001744	
106	54.690	-0.040177	-0.222012	0.136241	-0.002144		-0.041940	-0.618216	0.641980	-0.002143	
107	55.060	-0.040882	-0.222480	0.136494	-0.002125		-0.042702	-0.619919	0.643734	-0.002637	STYČNÍK 12
108	55.430	-0.041521	-0.221799	0.136088	-0.002103		-0.043323	-0.618000	0.641860	-0.003123	
109	56.010	-0.041427	-0.199574	0.123336	-0.001987		-0.041765	-0.548278	0.572140	-0.003224	
110	56.590	-0.041320	-0.176114	0.109827	-0.001862		-0.039907	-0.474645	0.498495	-0.003102	
111	57.170	-0.040788	-0.151631	0.095783	-0.001718		-0.038280	-0.398155	0.421876	-0.002845	
112	57.750	-0.039102	-0.126284	0.081476	-0.001551		-0.037684	-0.319910	0.343217	-0.002724	
113	58.330	-0.036324	-0.100382	0.067057	-0.001361		-0.038092	-0.240886	0.263491	-0.002766	
114	58.910	-0.033303	-0.074377	0.052551	-0.001164		-0.038665	-0.161903	0.183686	-0.002742	
115	59.490	-0.030602	-0.048182	0.037720	-0.000972		-0.038843	-0.082338	0.103275	-0.002439	
116	59.860	-0.030044	-0.038081	0.030651	-0.000883		-0.038354	-0.053859	0.073726	-0.002254	STYČNÍK 13
117	60.205	-0.029601	-0.029118	0.024210	-0.000803		-0.037860	-0.028872	0.047694	-0.002067	
118	60.735	-0.030311	-0.023073	0.016515	-0.000734		-0.036582	-0.017542	0.033802	-0.001641	
119	61.265	-0.030901	-0.018069	0.009375	-0.000659		-0.035499	-0.009715	0.023357	-0.001398	
120	61.795	-0.031358	-0.013559	0.002509	-0.000588		-0.034580	-0.003630	0.014589	-0.001212	
121	62.325	-0.031649	-0.009483	-0.004024	-0.000535		-0.033845	0.000958	0.007234	-0.000996	
122	62.855	-0.031780	-0.005778	-0.010224	-0.000498		-0.033246	0.004332	0.001038	-0.000739	
123	63.385	-0.031788	-0.002382	-0.016140	-0.000454		-0.032676	0.006817	-0.004239	-0.000503	
124	63.915	-0.031689	0.000659	-0.021764	-0.000384		-0.032054	0.008325	-0.008476	-0.000377	
125	64.260	-0.030710	0.001730	-0.023110	-0.000272		-0.030893	0.008996	-0.010009	-0.000258	STYČNÍK 14
126	64.610	-0.029641	0.002723	-0.024280	-0.000152		-0.029654	0.009585	-0.011402	-0.000129	
127	65.160	-0.026467	0.002336	-0.022256	0.000122		-0.026547	0.008150	-0.009939	-0.000118	
128	65.710	-0.023185	0.001952	-0.020000	0.000383		-0.023389	0.006993	-0.008660	0.000092	
129	66.260	-0.019817	0.001471	-0.017551	0.000664		-0.020171	0.005755	-0.007197	0.000485	
130	66.810	-0.016389	0.000909	-0.014971	0.000981		-0.016890	0.004471	-0.005573	0.001119	
131	67.360	-0.012964	0.000294	-0.012309	0.001292		-0.013594	0.003158	-0.003861	0.001801	
132	67.910	-0.009593	-0.000396	-0.009519	0.001524		-0.010340	0.001708	-0.002007	0.002263	
133	68.260	-0.008075	-0.000557	-0.008384	0.001500		-0.008785	0.001361	-0.001388	0.002404	STYČNÍK 15
134	68.615	-0.006584	-0.000707	-0.007273	0.001463		-0.007250	0.001037	-0.000783	0.002520	
135	69.165	-0.005141	-0.000810	-0.006193	0.001196		-0.005695	0.000818	0.000028	0.002038	
136	69.715	-0.003750	-0.000838	-0.005257	0.000960		-0.004199	0.000763	0.000688	0.001601	
137	70.265	-0.002396	-0.000849	-0.004359	0.000716		-0.002767	0.000735	0.001318	0.001127	
138	70.815	-0.001068	-0.000845	-0.003485	0.000460		-0.001382	0.000726	0.001922	0.000629	
139	71.365	0.000244	-0.000864	-0.002650	0.000257		0.000006	0.000712	0.002601	0.000123	
140	71.720	0.001126	-0.000865	-0.002136	0.000172		0.000985	0.000765	0.003008	-0.000092	STYČNÍK 16
141	72.220	0.002366	-0.000871	-0.001414	0.000057		0.002367	0.000837	0.003592	-0.000396	

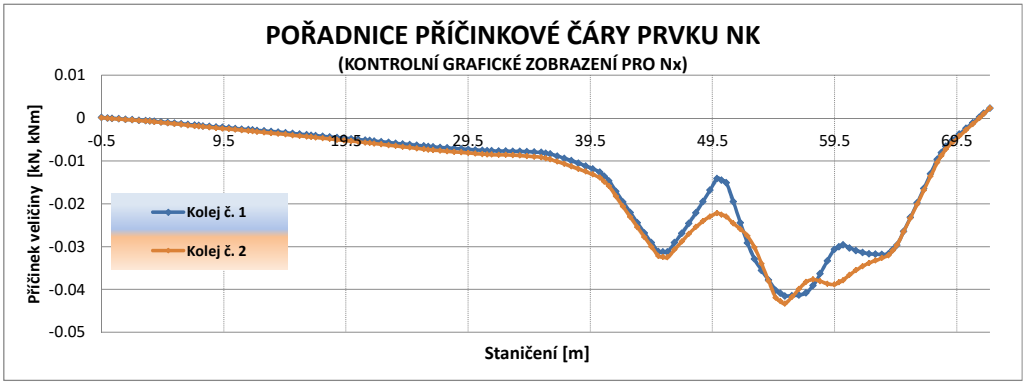

POŘADNICE PŘÍČINKOVÉ ČÁRY PRVKU NK

Prvek: TR_P5.1 Element: 655 Tabulka Z_{LM71} - poř. číslo: 15
Popis: PŘÍČNÍK P5 - ZÁKLADNÍ ČÁST Part: I[535]

P. č.	Staničení	PŘÍČINKY OD KOLEJE Č. 1					PŘÍČINKY OD KOLEJE Č. 2				Poznámka
		Nx	Vz	My	Mz		Nx	Vz	My	Mz	
	[m]	[kN/kN]	[kN/kN]	[kNm/kN]	[kNm/kN]		[kN/kN]	[kN/kN]	[kNm/kN]	[kNm/kN]	
1	-0.500	0.000056	-0.000123	-0.000390	0.000014		-0.000040	0.000147	0.000373	0.000232	
2	0.000	0.000063	-0.000149	-0.000430	-0.000092		-0.000063	0.000149	0.000431	0.000081	STYČNÍK 0
3	0.355	0.000068	-0.000168	-0.000459	-0.000169		-0.000079	0.000151	0.000473	-0.000026	
4	0.905	0.000077	-0.000198	-0.000506	-0.000326		-0.000104	0.000154	0.000543	-0.000236	
5	1.455	0.000086	-0.000229	-0.000557	-0.000498		-0.000128	0.000157	0.000618	-0.000450	
6	2.005	0.000095	-0.000261	-0.000608	-0.000664		-0.000153	0.000162	0.000692	-0.000654	
7	2.555	0.000103	-0.000293	-0.000660	-0.000821		-0.000178	0.000166	0.000766	-0.000845	
8	3.105	0.000113	-0.000325	-0.000715	-0.000988		-0.000203	0.000171	0.000844	-0.001047	
9	3.460	0.000119	-0.000350	-0.000761	-0.001032		-0.000222	0.000181	0.000904	-0.001077	STYČNÍK 1
10	3.810	0.000126	-0.000375	-0.000808	-0.001071		-0.000240	0.000190	0.000963	-0.001101	
11	4.360	0.000138	-0.000419	-0.000897	-0.001055		-0.000272	0.000211	0.001071	-0.001058	
12	4.910	0.000149	-0.000461	-0.000983	-0.001004		-0.000304	0.000233	0.001174	-0.000969	
13	5.460	0.000161	-0.000504	-0.001071	-0.000958		-0.000335	0.000254	0.001279	-0.000891	
14	6.010	0.000174	-0.000548	-0.001163	-0.000945		-0.000368	0.000275	0.001391	-0.000866	
15	6.560	0.000187	-0.000593	-0.001257	-0.000952		-0.000401	0.000297	0.001506	-0.000875	
16	7.110	0.000201	-0.000637	-0.001353	-0.000967		-0.000434	0.000318	0.001622	-0.000913	
17	7.460	0.000210	-0.000666	-0.001411	-0.000984		-0.000455	0.000332	0.001692	-0.000932	STYČNÍK 2
18	7.805	0.000218	-0.000694	-0.001469	-0.001004		-0.000475	0.000345	0.001762	-0.000953	
19	8.335	0.000232	-0.000738	-0.001559	-0.001076		-0.000507	0.000364	0.001869	-0.001041	
20	8.865	0.000247	-0.000782	-0.001651	-0.001153		-0.000538	0.000385	0.001979	-0.001124	
21	9.395	0.000261	-0.000827	-0.001744	-0.001234		-0.000570	0.000405	0.002089	-0.001209	
22	9.925	0.000275	-0.000872	-0.001834	-0.001308		-0.000601	0.000425	0.002196	-0.001289	
23	10.455	0.000289	-0.000915	-0.001922	-0.001374		-0.000632	0.000444	0.002301	-0.001363	
24	10.985	0.000303	-0.000959	-0.002011	-0.001441		-0.000664	0.000464	0.002407	-0.001435	
25	11.515	0.000317	-0.001003	-0.002102	-0.001516		-0.000695	0.000484	0.002516	-0.001513	
26	11.860	0.000327	-0.001034	-0.002167	-0.001555		-0.000717	0.000500	0.002593	-0.001546	STYČNÍK 3
27	12.230	0.000337	-0.001067	-0.002236	-0.001595		-0.000740	0.000517	0.002675	-0.001580	
28	12.810	0.000354	-0.001118	-0.002348	-0.001640		-0.000778	0.000545	0.002808	-0.001626	
29	13.390	0.000371	-0.001169	-0.002457	-0.001673		-0.000816	0.000572	0.002938	-0.001664	
30	13.970	0.000387	-0.001219	-0.002565	-0.001704		-0.000853	0.000599	0.003067	-0.001700	
31	14.550	0.000404	-0.001271	-0.002675	-0.001742		-0.000891	0.000626	0.003197	-0.001737	
32	15.130	0.000420	-0.001323	-0.002787	-0.001788		-0.000929	0.000654	0.003329	-0.001774	
33	15.710	0.000437	-0.001374	-0.002897	-0.001831		-0.000966	0.000682	0.003460	-0.001809	
34	16.290	0.000453	-0.001424	-0.003003	-0.001864		-0.001004	0.000708	0.003586	-0.001843	
35	16.660	0.000464	-0.001457	-0.003072	-0.001885		-0.001027	0.000724	0.003665	-0.001858	STYČNÍK 4
36	17.030	0.000475	-0.001490	-0.003141	-0.001907		-0.001051	0.000739	0.003744	-0.001875	
37	17.610	0.000492	-0.001542	-0.003248	-0.001949		-0.001088	0.000761	0.003864	-0.001921	
38	18.190	0.000510	-0.001596	-0.003360	-0.002001		-0.001125	0.000785	0.003988	-0.001966	
39	18.770	0.000528	-0.001650	-0.003472	-0.002054		-0.001162	0.000808	0.004113	-0.002011	
40	19.350	0.000546	-0.001703	-0.003581	-0.002096		-0.001198	0.000831	0.004234	-0.002049	
41	19.930	0.000563	-0.001755	-0.003687	-0.002126		-0.001235	0.000852	0.004351	-0.002079	
42	20.510	0.000581	-0.001807	-0.003794	-0.002156		-0.001271	0.000875	0.004471	-0.002105	
43	21.090	0.000599	-0.001860	-0.003906	-0.002194		-0.001308	0.000901	0.004595	-0.002137	
44	21.460	0.000612	-0.001897	-0.003986	-0.002210		-0.001334	0.000924	0.004689	-0.002138	STYČNÍK 5
45	21.830	0.000625	-0.001934	-0.004067	-0.002226		-0.001360	0.000947	0.004784	-0.002140	
46	22.410	0.000648	-0.001991	-0.004198	-0.002227		-0.001402	0.000993	0.004943	-0.002148	
47	22.990	0.000669	-0.002046	-0.004325	-0.002218		-0.001443	0.001037	0.005099	-0.002149	
48	23.570	0.000691	-0.002101	-0.004452	-0.002207		-0.001485	0.001080	0.005254	-0.002150	
49	24.150	0.000713	-0.002158	-0.004582	-0.002207		-0.001528	0.001125	0.005414	-0.002152	
50	24.730	0.000735	-0.002218	-0.004715	-0.002218		-0.001571	0.001170	0.005577	-0.002154	
51	25.310	0.000757	-0.002277	-0.004847	-0.002227		-0.001614	0.001214	0.005738	-0.002154	
52	25.890	0.000777	-0.002333	-0.004974	-0.002225		-0.001656	0.001257	0.005888	-0.002162	
53	26.260	0.000789	-0.002376	-0.005049	-0.002239		-0.001686	0.001266	0.005982	-0.002165	STYČNÍK 6
54	26.630	0.000800	-0.002419	-0.005123	-0.002255		-0.001718	0.001274	0.006076	-0.002172	
55	27.210	0.000816	-0.002492	-0.005235	-0.002312		-0.001770	0.001271	0.006198	-0.002243	
56	27.790	0.000833	-0.002568	-0.005354	-0.002383		-0.001824	0.001269	0.006331	-0.002308	
57	28.370	0.000848	-0.002643	-0.005475	-0.002457		-0.001879	0.001268	0.006464	-0.002374	
58	28.950	0.000862	-0.002714	-0.005594	-0.002517		-0.001933	0.001267	0.006589	-0.002435	
59	29.530	0.000873	-0.002780	-0.005710	-0.002562		-0.001986	0.001268	0.006708	-0.002488	
60	30.110	0.000884	-0.002843	-0.005832	-0.002608		-0.002039	0.001276	0.006828	-0.002539	
61	30.690	0.000894	-0.002897	-0.005974	-0.002667		-0.002093	0.001309	0.006938	-0.002624	
62	31.060	0.000896	-0.002901	-0.006101	-0.002684		-0.002136	0.001369	0.007028	-0.002647	STYČNÍK 7
63	31.430	0.000898	-0.002901	-0.006232	-0.002700		-0.002180	0.001434	0.007118	-0.002673	
64	32.010	0.000891	-0.002808	-0.006521	-0.002676		-0.002258	0.001675	0.007193	-0.002838	
65	32.590	0.000880	-0.002712	-0.006803	-0.002633		-0.002340	0.001905	0.007265	-0.002935	
66	33.170	0.000865	-0.002606	-0.007091	-0.002586		-0.002426	0.002146	0.007319	-0.002976	
67	33.750	0.000842	-0.002496	-0.007394	-0.002555		-0.002517	0.002402	0.007356	-0.002935	
68	34.330	0.000812	-0.002379	-0.007714	-0.002541		-0.002614	0.002675	0.007370	-0.002792	
69	34.910	0.000776	-0.002250	-0.008060	-0.002540		-0.002720	0.002961	0.007368	-0.002629	
70	35.490	0.000729	-0.002058	-0.008499	-0.002551		-0.002847	0.003343	0.007246	-0.002552	
71	35.860	0.000675	-0.001882	-0.008932	-0.002553		-0.003035	0.003618	0.007037	-0.002353	STYČNÍK 8
72	36.230	0.000617	-0.001697	-0.009383	-0.002554		-0.003234	0.003905	0.006805	-0.002153	
73	36.810	0.000458	-0.001095	-0.010604	-0.002520		-0.003766	0.004847	0.005695	-0.001887	
74	37.390	0.000309	-0.000562	-0.011735	-0.002468		-0.004287	0.005709	0.004686	-0.001479	
75	37.970	0.000161	-0.000061	-0.012807	-0.002400		-0.004789	0.006545	0.003714	-0.001078	
76	38.550	0.000006	0.000400	-0.013792	-0.002316		-0.005253	0.007318	0.002822	-0.000853	
77	39.130	-0.000152	0.000803	-0.014657	-0.002214		-0.005665	0.008016	0.002037	-0.000760	
78	39.710	-0.000295	0.001121	-0.015376	-0.002115		-0.006031	0.008635	0.001386	-0.000743	
79	40.290	-0.000405	0.001431	-0.015971	-0.002035		-0.006342	0.009530	0.000521	-0.000778	

POŘADNICE PŘÍČINKOVÉ ČÁRY PRVKU NK

Prvek: TR_P5.1 Element: 655 Tabulka Z_{LM71} - poř. číslo: 15
Popis: PŘÍČNÍK P5 - ZÁKLADNÍ ČÁST Part: I[535]

P. č.	Staničení	PŘÍČINKY OD KOLEJE Č. 1					PŘÍČINKY OD KOLEJE Č. 2				Poznámka
		Nx	Vz	My	Mz		Nx	Vz	My	Mz	
	[m]	[kN/kN]	[kN/kN]	[kNm/kN]	[kNm/kN]		[kN/kN]	[kN/kN]	[kNm/kN]	[kNm/kN]	
80	40.660	-0.000122	0.000481	-0.014485	-0.002015		-0.006130	0.008903	0.001880	-0.000728	STYČNÍK 9
81	41.030	0.000193	-0.000561	-0.012840	-0.001998		-0.005883	0.008198	0.003374	-0.000690	
82	41.610	0.001294	-0.003542	-0.007525	-0.002026		-0.004835	0.006875	0.006983	-0.000724	
83	42.190	0.002430	-0.006892	-0.001859	-0.002041		-0.003768	0.004589	0.011648	-0.000797	
84	42.770	0.003566	-0.010595	0.004131	-0.002054		-0.002648	0.001398	0.017297	-0.000882	
85	43.350	0.004641	-0.014732	0.010461	-0.002073		-0.001434	-0.003005	0.024232	-0.000890	
86	43.930	0.005641	-0.019386	0.017163	-0.002099		-0.000131	-0.008915	0.032748	-0.000829	
87	44.510	0.006601	-0.024634	0.024278	-0.002118		0.001200	-0.016617	0.043130	-0.000805	
88	45.090	0.007554	-0.030938	0.032158	-0.002123		0.002544	-0.027467	0.056819	-0.000860	
89	45.460	0.008000	-0.040279	0.040010	-0.002096		0.002970	-0.053407	0.085340	-0.000942	STYČNÍK 10
90	45.830	0.008434	-0.050113	0.048136	-0.002068		0.003362	-0.081085	0.115675	-0.001032	
91	46.410	0.008978	-0.075614	0.066679	-0.002002		0.003368	-0.159505	0.199960	-0.000892	
92	46.990	0.009509	-0.100934	0.084916	-0.001950		0.003269	-0.237965	0.284262	-0.000666	
93	47.570	0.009962	-0.126238	0.103090	-0.001908		0.003169	-0.316424	0.368486	-0.000482	
94	48.150	0.010208	-0.151363	0.121198	-0.001872		0.003200	-0.393708	0.451269	-0.000586	
95	48.730	0.010243	-0.176006	0.139045	-0.001844		0.003363	-0.468827	0.531557	-0.000987	
96	49.310	0.010181	-0.199741	0.156244	-0.001823		0.003530	-0.540999	0.608626	-0.001471	
97	49.890	0.010077	-0.222185	0.172477	-0.001801		0.003598	-0.609368	0.681638	-0.001760	
98	50.260	0.009715	-0.222712	0.172926	-0.001779		0.003134	-0.611081	0.683491	-0.002105	STYČNÍK 11
99	50.630	0.009325	-0.222064	0.172530	-0.001755		0.002624	-0.609227	0.681534	-0.002446	
100	51.210	0.008166	-0.199420	0.156382	-0.001641		0.000921	-0.540633	0.608357	-0.002532	
101	51.790	0.007008	-0.175481	0.139268	-0.001522		-0.000808	-0.468244	0.531120	-0.002800	
102	52.370	0.005783	-0.150633	0.121504	-0.001391		-0.002492	-0.392908	0.450664	-0.002971	
103	52.950	0.004400	-0.125312	0.103474	-0.001255		-0.003998	-0.315399	0.367716	-0.002825	
104	53.530	0.002877	-0.099821	0.085375	-0.001114		-0.005311	-0.236705	0.283329	-0.002376	
105	54.110	0.001342	-0.074317	0.067207	-0.000960		-0.006542	-0.158011	0.198866	-0.001879	
106	54.690	-0.000124	-0.048627	0.048727	-0.000787		-0.007767	-0.079352	0.114419	-0.001463	
107	55.060	-0.000473	-0.038678	0.040612	-0.000696		-0.007995	-0.051542	0.083976	-0.001421	STYČNÍK 12
108	55.430	-0.000775	-0.029224	0.032770	-0.000606		-0.008176	-0.025471	0.055347	-0.001377	
109	56.010	-0.000397	-0.022738	0.024848	-0.000511		-0.007591	-0.014410	0.041476	-0.001253	
110	56.590	0.000017	-0.017313	0.017694	-0.000439		-0.006925	-0.006511	0.030907	-0.001059	
111	57.170	0.000436	-0.012489	0.010951	-0.000375		-0.006178	-0.000411	0.022201	-0.000828	
112	57.750	0.000825	-0.008193	0.004571	-0.000302		-0.005330	0.004174	0.015081	-0.000673	
113	58.330	0.001178	-0.004345	-0.001476	-0.000220		-0.004401	0.007540	0.009249	-0.000600	
114	58.910	0.001517	-0.000857	-0.007197	-0.000144		-0.003447	0.009981	0.004394	-0.000516	
115	59.490	0.001865	0.002279	-0.012600	-0.000090		-0.002495	0.011450	0.000547	-0.000356	
116	59.860	0.001891	0.003315	-0.014212	-0.000074		-0.002224	0.012015	-0.001145	-0.000263	STYČNÍK 13
117	60.205	0.001900	0.004189	-0.015565	-0.000060		-0.001995	0.012454	-0.002602	-0.000171	
118	60.735	0.001656	0.003709	-0.014856	-0.000077		-0.002062	0.011009	-0.002125	-0.000098	
119	61.265	0.001378	0.003193	-0.013991	-0.000076		-0.002165	0.009821	-0.001840	-0.000076	
120	61.795	0.001081	0.002590	-0.012985	-0.000072		-0.002278	0.008555	-0.001432	-0.000082	
121	62.325	0.000761	0.001927	-0.011855	-0.000085		-0.002386	0.007218	-0.000928	-0.000088	
122	62.855	0.000424	0.001225	-0.010632	-0.000111		-0.002485	0.005831	-0.000355	-0.000086	
123	63.385	0.000084	0.000494	-0.009355	-0.000128		-0.002580	0.004430	0.000272	-0.000088	
124	63.915	-0.000249	-0.000302	-0.008001	-0.000119		-0.002678	0.002955	0.001038	-0.000153	
125	64.260	-0.000334	-0.000515	-0.007438	-0.000048		-0.002633	0.002536	0.001193	-0.000083	STYČNÍK 14
126	64.610	-0.000410	-0.000714	-0.006884	0.000029		-0.002580	0.002140	0.001340	-0.000003	
127	65.160	-0.000339	-0.000790	-0.006207	0.000240		-0.002336	0.001899	0.001575	0.000039	
128	65.710	-0.000255	-0.000784	-0.005612	0.000441		-0.002077	0.001776	0.001685	0.000223	
129	66.260	-0.000160	-0.000756	-0.005050	0.000665		-0.001810	0.001678	0.001798	0.000544	
130	66.810	-0.000055	-0.000714	-0.004527	0.000928		-0.001538	0.001599	0.001924	0.001053	
131	67.360	0.000052	-0.000661	-0.004022	0.001189		-0.001264	0.001535	0.002044	0.001604	
132	67.910	0.000158	-0.000606	-0.003500	0.001383		-0.000985	0.001461	0.002158	0.001990	
133	68.260	0.000189	-0.000568	-0.003247	0.001359		-0.000859	0.001409	0.002125	0.002100	STYČNÍK 15
134	68.615	0.000218	-0.000531	-0.002996	0.001323		-0.000736	0.001353	0.002088	0.002189	
135	69.165	0.000217	-0.000524	-0.002692	0.001085		-0.000616	0.001186	0.002015	0.001775	
136	69.715	0.000212	-0.000514	-0.002414	0.000872		-0.000505	0.001035	0.001921	0.001395	
137	70.265	0.000205	-0.000506	-0.002140	0.000649		-0.000396	0.000881	0.001821	0.000974	
138	70.815	0.000195	-0.000497	-0.001866	0.000414		-0.000290	0.000724	0.001716	0.000526	
139	71.365	0.000187	-0.000501	-0.001613	0.000225		-0.000189	0.000567	0.001637	0.000081	
140	71.720	0.000185	-0.000501	-0.001467	0.000146		-0.000122	0.000487	0.001588	-0.000102	STYČNÍK 16
141	72.220	0.000181	-0.000502	-0.001262	0.000039		-0.000028	0.000372	0.001521	-0.000360	

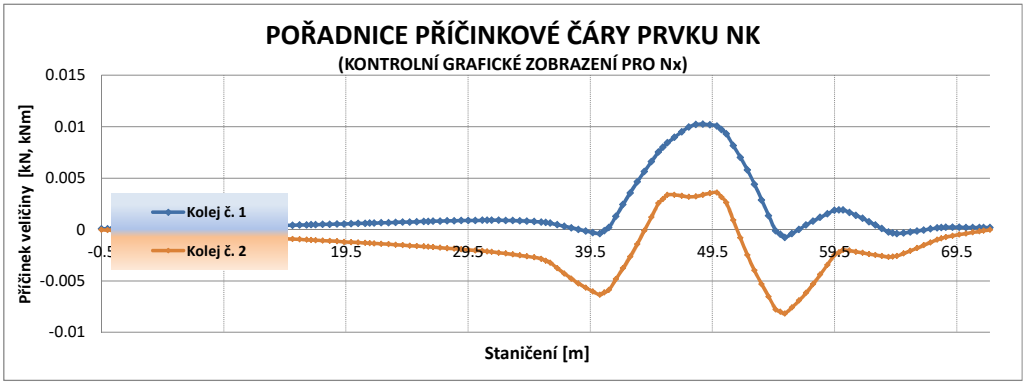

Příloha P3

Posouzení – mezní stav únosnosti

NK1 - MEZNÍ STAV ÚNOSNOSTI VČ. KOROZNÍHO OSLABENÍ

Č. p.	PRŮŘEZ:	PRUT/dx:	POPIS:	VLÁKNO		POPIS VLÁKNA	ŘÍDÍCÍ VELIČINA	KOMB. ZATÍŽENÍ	NAPĚTÍ NORMÁL. [MPa]	MEZ KLUZU [MPa]	VYUŽITÍ η_1 [eff]	NAPĚTÍ SMYK. Vz [MPa]	MEZ KLUZU [MPa]	VYUŽITÍ η_3 [eff]	VYUŽITÍ $(\eta_2 + 0{,}8\,\eta_1)/1{,}4$ [eff]	CELKOVÉ VYUŽITÍ [eff]	ZATÍŽITEL. Z_{UR71}
O1	TR_O1	34 / 3/4	HORNÍ PÁS O1	BOD K2	-HP	horní pásnice	N,min	KZ04	-99.9	191.7	0.52	3.4	110.7	0.03	0.30	0.52	2.43
				BOD K4	-SP	dolní pásnice	N,min	KZ03	-148.7	191.7	0.78	4.0	110.7	0.04	0.44	0.78	1.44
				BOD S6	-HP	stěna	My,min	KZ03	-137.9	191.7	0.72	4.3	110.7	0.04	0.41	0.72	1.58
											0.78			**0.04**		**0.78**	**1.44**
O2	TR_O2	32 / 3/4	HORNÍ PÁS O2	BOD K1	-HL	horní pásnice	N,min	KZ03	-121.6	191.7	0.63	0.6	110.7	0.01	0.36	0.63	1.89
				BOD K3	-SL	dolní pásnice	N,min	KZ03	-124.4	191.7	0.65	0.9	110.7	0.01	0.37	0.65	1.89
				BOD S6	-HP	stěna	Vz,max	KZ03	-109.8	191.7	0.57	1.7	110.7	0.02	0.33	0.57	2.31
											0.65			**0.02**		**0.65**	**1.89**
O3	TR_O3	30 / 3/4	HORNÍ PÁS O3	BOD K2	-HP	horní pásnice	N,min	KZ03	-134.3	191.7	0.70	2.4	110.7	0.02	0.40	0.70	1.65
				BOD K4	-SP	dolní pásnice	N,min	KZ03	-135.1	191.7	0.70	2.3	110.7	0.02	0.40	0.70	1.64
				BOD S6	-HP	stěna	Vz,max	KZ03	-116.9	191.7	0.61	2.9	110.7	0.03	0.35	0.61	2.00
											0.70			**0.03**		**0.70**	**1.64**
O4	TR_O4	26 / 1/4	HORNÍ PÁS O4	BOD K2	-HP	horní pásnice	N,min	KZ03	-131.4	191.7	0.69	-0.3	110.7	0.00	0.39	0.69	1.71
				BOD K4	-SP	dolní pásnice	N,min	KZ03	-118.9	191.7	0.62	-0.3	110.7	0.00	0.35	0.62	1.95
				BOD S6	-HP	stěna	Vz,min	KZ03	-55.0	191.7	0.29	-1.4	110.7	0.01	0.16	0.29	6.52
											0.69			**0.01**		**0.69**	**1.71**
O5	TR_O5	24 / 1/4	HORNÍ PÁS O5	BOD K1	-HL	horní pásnice	N,min	KZ03	-140.6	191.7	0.73	-0.2	110.7	0.00	0.42	0.73	1.57
				BOD K3	-SL	dolní pásnice	N,min	KZ03	-118.6	191.7	0.62	-0.3	110.7	0.00	0.35	0.62	1.98
				BOD S6	-HP	stěna	Vz,min	KZ04	-92.3	191.7	0.48	-1.4	110.7	0.01	0.28	0.48	2.82
											0.73			**0.01**		**0.73**	**1.57**
O8	TR_O8	18 / 1/4	HORNÍ PÁS O8	BOD K2	-HP	horní pásnice	N,min	KZ04	-134.2	191.7	0.70	-0.8	110.7	0.01	0.40	0.70	1.67
				BOD K4	-SP	dolní pásnice	Mz,min	KZ04	-132.2	191.7	0.69	-0.9	110.7	0.01	0.39	0.69	1.70
				BOD S6	-HP	stěna	Vz,min	KZ03	-91.2	191.7	0.48	-1.0	110.7	0.01	0.27	0.48	3.07
											0.70			**0.01**		**0.70**	**1.67**
Rekapitulace posouzení NK - Horní pás - (Mezní stav únosnosti)											**0.78**			**0.04**		**0.78**	**1.44**
U1	TR_U1	118 / 3/4	DOLNÍ PÁS U1	BOD K1	-HL	horní pásnice	My,min	KZ03	99.3	191.7	0.52	7.2	110.7	0.07	0.30	0.52	2.60
				BOD K4	-SP	dolní pásnice	My,min	KZ03	-165.0	191.7	0.86	7.0	110.7	0.06	0.49	0.86	1.24
				BOD S6	-HP	stěna	Vz,max	KZ03	-121.8	191.7	0.64	7.4	110.7	0.07	0.36	0.64	1.66
											0.86			**0.07**		**0.86**	**1.24**
U3	TR_U3	112 / J[115]	DOLNÍ PÁS U3	BOD K2	-HP	horní pásnice	N,max	KZ03	116.8	209.1	0.56	2.0	120.7	0.02	0.32	0.56	2.26
				BOD K4	-SP	dolní pásnice	My,max	KZ03	227.1	209.1	1.09	2.7	120.7	0.02	0.62	1.09	0.87
				BOD S6	-HP	stěna	Vz,max	KZ03	124.2	209.1	0.59	3.5	120.7	0.03	0.34	0.59	1.94
											1.09			**0.03**		**1.09**	**0.87**
U4	TR_U4	109 / 1/4	DOLNÍ PÁS U4	BOD K1	-HL	horní pásnice	N,max	KZ03	137.0	209.1	0.66	0.8	120.7	0.01	0.37	0.66	1.84
				BOD K3	-SL	dolní pásnice	N,max	KZ03	163.6	209.1	0.78	0.6	120.7	0.00	0.45	0.78	1.42
				BOD S6	-HP	stěna	Vz,max	KZ03	135.9	209.1	0.65	2.3	120.7	0.02	0.37	0.65	1.91
											0.78			**0.02**		**0.78**	**1.42**
U5	TR_U5	107 / 3/4	DOLNÍ PÁS U5	BOD K1	-HL	horní pásnice	Mz,min	KZ03	155.1	209.1	0.74	1.9	120.7	0.02	0.42	0.74	1.59
				BOD K3	-SL	dolní pásnice	N,max	KZ03	179.5	209.1	0.86	0.8	120.7	0.01	0.49	0.86	1.29
				BOD S5	-HL	stěna	Vz,max	KZ03	72.5	209.1	0.35	3.1	120.7	0.03	0.20	0.35	3.79
											0.86			**0.03**		**0.86**	**1.29**
U6	TR_U6	104 / 3/4	DOLNÍ PÁS U6	BOD K2	-HP	horní pásnice	N,max	KZ03	158.7	209.1	0.76	1.1	120.7	0.01	0.43	0.76	1.59
				BOD K4	-SP	dolní pásnice	N,max	KZ03	175.8	209.1	0.84	1.1	120.7	0.01	0.48	0.84	1.32
				BOD S5	-HL	stěna	Vz,max	KZ03	126.7	209.1	0.62	3.2	120.7	0.03	0.35	0.62	2.21
											0.84			**0.03**		**0.84**	**1.32**
U8	TR_U8	96 / 3/4	DOLNÍ PÁS U8	BOD K2	-HP	horní pásnice	N,max	KZ04	139.0	209.1	0.66	-0.2	120.7	0.00	0.38	0.66	1.97
				BOD K4	-SP	dolní pásnice	N,max	KZ03	185.9	209.1	0.89	-0.3	120.7	0.00	0.51	0.89	1.22
				BOD S5	-HL	stěna	Vz,max	KZ03	47.5	209.1	0.23	2.1	120.7	0.02	0.13	0.23	6.32
											0.89			**0.02**		**0.89**	**1.22**
Rekapitulace posouzení NK - Dolní pás - (Mezní stav únosnosti)											**1.09**			**0.07**		**1.09**	**0.87**

NK1 - MEZNÍ STAV ÚNOSNOSTI VČ. KOROZNÍHO OSLABENÍ

Č. p.	PRŮŘEZ:	PRUT/dx:	POPIS:	VLÁKNO		POPIS VLÁKNA	ŘÍDÍCÍ VELIČINA	KOMB. ZATÍŽENÍ	NAPĚTÍ NORMÁL. [MPa]	MEZ KLUZU [MPa]	VYUŽITÍ η_1 [eff]	NAPĚTÍ SMYK. Vz [MPa]	MEZ KLUZU [MPa]	VYUŽITÍ η_3 [eff]	VYUŽITÍ $(\eta_2 + 0{,}8\,\eta_1)/1{,}4$ [eff]	CELKOVÉ VYUŽITÍ [eff]	ZATÍŽITEL. Z_{LMT1}
D7.1	TR_D7.1	239 / 2/4	DIAGONÁLA D7	BOD K1	-HL	horní pásnice	N.min	KZ03	-79.0	191.7	0.41	0.2	110.7	0.00	0.24	0.41	2.48
				BOD K3	-SL	dolní pásnice	N.min	KZ03	-48.7	191.7	0.25	-0.7	110.7	0.01	0.15	0.25	3.32
				BOD S6	-HP	stěna	Vz.max	KZ04	82.8	191.7	0.43	2.9	120.7	0.02	0.25	0.43	3.15
											0.43			0.02		0.43	2.48
D7.2	TR_D7.2	235 / J[2703]	DIAGONÁLA D7	BOD K1	-HL	horní pásnice	N.max	KZ04	141.2	209.1	0.68	0.3	120.7	0.00	0.39	0.68	1.82
				BOD K3	-SL	dolní pásnice	N.max	KZ03	177.1	209.1	0.85	0.5	120.7	0.00	0.48	0.85	1.26
				BOD S6	-HP	stěna	Vz.min	KZ04	106.7	209.1	0.51	-4.7	120.7	0.04	0.29	0.51	2.84
											0.85			0.04		0.85	1.26
D.8.1	TR_D8.1	233 / 2/4	DIAGONÁLA D8	BOD K1	-HL	horní pásnice	N.min	KZ04	-72.1	191.7	0.38	1.3	110.7	0.01	0.21	0.38	3.03
				BOD K3	-SL	dolní pásnice	N.min	KZ04	-54.7	191.7	0.29	-0.4	110.7	0.00	0.16	0.29	4.06
				BOD S6	-HP	stěna	Vz.max	KZ04	43.4	191.7	0.23	3.3	120.7	0.03	0.13	0.23	6.09
											0.38			0.03		0.38	3.03
D.8.2	TR_D8.2	224 / J[2701]	DIAGONÁLA D8	BOD K2	-HP	horní pásnice	N.max	KZ03	103.7	209.1	0.50	0.2	120.7	0.00	0.28	0.50	2.42
				BOD K4	-SP	dolní pásnice	N.max	KZ04	76.5	209.1	0.37	1.1	120.7	0.01	0.21	0.37	4.11
				BOD S6	-HP	stěna	Vz.min	KZ04	-43.7	209.1	0.21	-3.3	110.7	0.03	0.12	0.21	7.33
											0.50			0.03		0.50	2.42
D.9.1	TR_D9.1	219 / 2/4	DIAGONÁLA D9	BOD K1	-HL	horní pásnice	N.min	KZ04	-95.1	191.7	0.50	0.1	110.7	0.00	0.28	0.50	2.31
				BOD K3	-SL	dolní pásnice	N.min	KZ03	-72.3	191.7	0.38	-0.5	110.7	0.00	0.22	0.38	3.14
				BOD S6	-HP	stěna	Vz.max	KZ04	24.0	191.7	0.13	1.9	120.7	0.02	0.07	0.13	5.84
											0.50			0.02		0.50	2.31
D.9.2	TR_D9.2	212 / J[2696]	DIAGONÁLA D9	BOD K1	-HL	horní pásnice	N.max	KZ04	116.9	209.1	0.56	2.3	120.7	0.02	0.32	0.56	2.23
				BOD K3	-SL	dolní pásnice	Mz.min	KZ04	134.9	209.1	0.65	-1.8	120.7	0.01	0.37	0.65	1.76
				BOD S6	-HP	stěna	Vz.min	KZ04	66.4	209.1	0.32	-5.9	110.7	0.05	0.18	0.32	4.55
											0.65			0.05		0.65	1.76
D10.1	TR_D10.1	207 / 2/4	DIAGONÁLA D10	BOD K1	-HL	horní pásnice	N.min	KZ04	-128.4	191.7	0.67	0.0	110.7	0.00	0.38	0.67	1.70
				BOD K3	-SL	dolní pásnice	N.min	KZ03	-107.7	191.7	0.56	-0.3	110.7	0.00	0.32	0.56	2.08
				BOD S6	-HP	stěna	Vz.max	KZ04	25.3	191.7	0.13	2.7	120.7	0.02	0.08	0.13	4.61
											0.67			0.02		0.67	1.70
D.10.2	TR_D10.2	200 / J[200]	DIAGONÁLA D10	BOD K2	-HP	horní pásnice	N.max	KZ04	120.7	209.1	0.58	1.7	120.7	0.01	0.33	0.58	1.97
				BOD K4	-SP	dolní pásnice	N.max	KZ03	101.8	209.1	0.49	1.3	120.7	0.01	0.28	0.49	2.38
				BOD S6	-HP	stěna	Vz.min	KZ04	41.7	209.1	0.20	-5.2	110.7	0.05	0.11	0.20	6.40
											0.58			0.05		0.58	1.97
Rekapitulace posouzení NK - Tlačené diagonály - (Mezní stav únosnosti)											**0.85**			**0.05**		**0.85**	**1.26**
D1	TR_D1	260 / [105]	DIAGONÁLA D1	BOD K1	-HL	horní pásnice	Mz.min	KZ04	135.7	209.1	0.65	-0.9	120.7	0.01	0.37	0.65	2.18
				BOD K3	-SL	dolní pásnice	N.max	KZ04	196.9	209.1	0.94	7.5	120.7	0.06	0.54	0.94	1.10
				BOD S6	-HP	stěna	Vz.max	KZ03	160.8	209.1	0.77	9.2	120.7	0.08	0.44	0.77	1.52
											0.94			0.08		0.94	1.10
D2	TR_D2	259 / [2714]	DIAGONÁLA D2	BOD K2	-HP	horní pásnice	N.max	KZ03	169.1	209.1	0.81	0.6	120.7	0.00	0.46	0.81	1.41
				BOD K4	-SP	dolní pásnice	N.max	KZ03	211.1	209.1	1.01	9.6	120.7	0.08	0.58	1.01	0.98
				BOD S6	-HP	stěna	Vz.max	KZ03	147.2	209.1	0.70	14.5	120.7	0.12	0.40	0.70	1.75
											1.01			0.12		1.01	0.98
D3	TR_D3	252 / J[2711]	DIAGONÁLA D3	BOD K1	-HL	horní pásnice	Mz.min	KZ03	131.5	209.1	0.63	2.2	120.7	0.02	0.36	0.63	2.05
				BOD K3	-SL	dolní pásnice	N.max	KZ03	187.0	209.1	0.89	-2.0	120.7	0.02	0.51	0.89	1.19
				BOD S6	-HP	stěna	Vz.min	KZ04	123.5	209.1	0.59	-9.3	120.7	0.08	0.34	0.59	2.27
											0.89			0.08		0.89	1.19
D4	TR_D4	248 / J[2709]	DIAGONÁLA D4	BOD K1	-HL	horní pásnice	N.max	KZ03	134.6	209.1	0.64	1.4	120.7	0.01	0.37	0.64	2.01
				BOD K3	-SL	dolní pásnice	N.max	KZ03	180.4	209.1	0.86	-3.3	120.7	0.03	0.49	0.86	1.26
				BOD S6	-HP	stěna	Vz.min	KZ04	117.0	209.1	0.56	-8.4	120.7	0.07	0.32	0.56	2.52
											0.86			0.07		0.86	1.26
D5	TR_D5	244 / J[2707]	DIAGONÁLA D5	BOD K1	-HL	horní pásnice	N.max	KZ03	124.6	209.1	0.60	0.0	120.7	0.00	0.34	0.60	2.25
				BOD K3	-SL	dolní pásnice	N.max	KZ04	162.1	209.1	0.78	-1.4	120.7	0.01	0.44	0.78	1.46
				BOD S6	-HP	stěna	Vz.min	KZ04	104.2	209.1	0.50	-3.8	120.7	0.03	0.28	0.50	2.93
											0.78			0.03		0.78	1.46
D6	TR_D6	240 / J[2705]	DIAGONÁLA D6	BOD K1	-HL	horní pásnice	N.max	KZ03	129.3	209.1	0.62	0.1	120.7	0.00	0.35	0.62	2.10
				BOD K3	-SL	dolní pásnice	N.max	KZ04	164.7	209.1	0.79	-2.1	120.7	0.02	0.45	0.79	1.42
				BOD S6	-HP	stěna	Vz.min	KZ04	112.8	209.1	0.54	-4.5	120.7	0.04	0.31	0.54	2.55
											0.79			0.04		0.79	1.42
Rekapitulace posouzení NK - Tažené diagonály - (Mezní stav únosnosti)											**1.01**			**0.12**		**1.01**	**0.98**

NK1 - MEZNÍ STAV ÚNOSNOSTI VČ. KOROZNÍHO OSLABENÍ

Č. p.	PRŮŘEZ:	PRUT/dx:	POPIS:	VLÁKNO		POPIS VLÁKNA	ŘÍDÍCÍ VELIČINA	KOMB. ZATÍŽENÍ	NAPĚTÍ NORMÁL. [MPa]	MEZ KLUZU [MPa]	VYUŽITÍ η_1 [eff]	NAPĚTÍ SMYK. Vz [MPa]	MEZ KLUZU [MPa]	VYUŽITÍ η_3 [eff]	VYUŽITÍ $(\eta_2 + 0{,}8\,\eta_1)/1{,}4$ [eff]	CELKOVÉ VYUŽITÍ [eff]	ZATÍŽITEL. Z_{LM71}
V0	TR_V0	442 / J[368]	SVISLICE V0	BOD K1	-HL	horní pásnice	N.min	KZ03	-144.7	191.7	**0.75**	-1.1	110.7	**0.01**	**0.43**	**0.75**	**1.49**
				BOD K3	-SL	dolní pásnice	N.min	KZ03	-183.1	191.7	**0.96**	8.4	110.7	**0.08**	**0.55**	**0.96**	**1.07**
				BOD S6	-HP	stěna	Vz.max	KZ04	-92.3	191.7	**0.48**	10.4	110.7	**0.09**	**0.28**	**0.48**	**3.34**
											0.96			**0.09**		**0.96**	**1.07**
V1.1	TR_V1.1	439 / 2/4	SVISLICE V1	BOD K2	-HP	horní pásnice	N.min	KZ03	-93.1	191.7	**0.49**	1.5	110.7	**0.01**	**0.28**	**0.49**	**2.83**
				BOD K4	-SP	dolní pásnice	N.min	KZ03	-108.7	191.7	**0.57**	0.3	110.7	**0.00**	**0.32**	**0.57**	**2.23**
				BOD S6	-HP	stěna	Vz.min	KZ03	-67.0	191.7	**0.35**	-4.0	110.7	**0.04**	**0.20**	**0.35**	**4.16**
											0.57			**0.04**		**0.57**	**2.23**
V1.2	TR_V1.2	438 / I[365]	SVISLICE V1	BOD K2	-HP	horní pásnice	My.min	KZ03	41.5	191.7	**0.22**	-11.4	110.7	**0.10**	**0.12**	**0.22**	**4.68**
				BOD K3	-SL	dolní pásnice	My.min	KZ03	-119.7	191.7	**0.62**	-11.4	110.7	**0.10**	**0.36**	**0.62**	**2.13**
				BOD S6	-HP	stěna	Vz.min	KZ03	-118.8	191.7	**0.62**	-11.6	110.7	**0.10**	**0.35**	**0.62**	**2.07**
											0.62			**0.10**		**0.62**	**2.07**
V2.1	TR_V2.1	433 / 2/4	SVISLICE V2	BOD K2	-HP	horní pásnice	N.min	KZ03	-93.7	191.7	**0.49**	0.2	110.7	**0.00**	**0.28**	**0.49**	**2.76**
				BOD K4	-SP	dolní pásnice	N.min	KZ04	-100.5	191.7	**0.52**	-0.5	110.7	**0.00**	**0.30**	**0.52**	**2.36**
				BOD S6	-HP	stěna	Vz.min	KZ04	-45.6	191.7	**0.24**	-3.5	110.7	**0.03**	**0.14**	**0.24**	**>10**
											0.52			**0.03**		**0.52**	**2.36**
V2.2	TR_V2.2	432 / I[361]	SVISLICE V2	BOD K2	-HP	horní pásnice	My.min	KZ04	62.8	191.7	**0.33**	-8.6	110.7	**0.08**	**0.19**	**0.33**	**3.21**
				BOD K3	-SL	dolní pásnice	My.min	KZ04	-110.2	191.7	**0.57**	-8.6	110.7	**0.08**	**0.33**	**0.57**	**2.55**
				BOD S6	-HP	stěna	Vz.min	KZ04	-92.0	191.7	**0.48**	-8.8	110.7	**0.08**	**0.27**	**0.48**	**3.38**
											0.57			**0.08**		**0.57**	**2.55**
V3.1	TR_V3.1	428 / 2/4	SVISLICE V3	BOD K2	-HP	horní pásnice	N.min	KZ03	-86.0	191.7	**0.45**	1.1	110.7	**0.01**	**0.26**	**0.45**	**3.05**
				BOD K4	-SP	dolní pásnice	N.min	KZ03	-97.7	191.7	**0.51**	0.3	110.7	**0.00**	**0.29**	**0.51**	**2.45**
				BOD S6	-HP	stěna	Vz.min	KZ04	-30.0	191.7	**0.16**	-2.7	110.7	**0.02**	**0.09**	**0.16**	**>10**
											0.51			**0.02**		**0.51**	**2.45**
V3.2	TR_V3.2	427 / I[358]	SVISLICE V3	BOD K2	-HP	horní pásnice	My.min	KZ04	92.4	191.7	**0.48**	-9.6	110.7	**0.09**	**0.28**	**0.48**	**2.27**
				BOD K3	-SL	dolní pásnice	My.min	KZ04	-117.9	191.7	**0.62**	-9.6	110.7	**0.09**	**0.35**	**0.62**	**2.29**
				BOD S6	-HP	stěna	Vz.min	KZ04	-106.9	191.7	**0.56**	-9.7	110.7	**0.09**	**0.32**	**0.56**	**2.63**
											0.62			**0.09**		**0.62**	**2.27**
V4.1	TR_V4.1	423 / 2/4	SVISLICE V4	BOD K2	-HP	horní pásnice	N.min	KZ03	-96.5	191.7	**0.50**	1.0	110.7	**0.01**	**0.29**	**0.50**	**2.48**
				BOD K4	-SP	dolní pásnice	N.min	KZ03	-95.6	191.7	**0.50**	-0.6	110.7	**0.01**	**0.28**	**0.50**	**2.40**
				BOD S6	-HP	stěna	Vz.min	KZ04	-25.5	191.7	**0.13**	-5.8	120.7	**0.05**	**0.08**	**0.13**	**>10**
											0.50			**0.05**		**0.50**	**2.40**
V4.2	TR_V4.2	422 / I[355]	SVISLICE V4	BOD K2	-HP	horní pásnice	My.min	KZ04	129.2	191.7	**0.67**	-13.4	110.7	**0.12**	**0.39**	**0.67**	**1.60**
				BOD K3	-SL	dolní pásnice	My.min	KZ04	-123.5	191.7	**0.64**	-13.5	110.7	**0.12**	**0.37**	**0.64**	**2.23**
				BOD S6	-HP	stěna	Vz.min	KZ04	-113.8	191.7	**0.59**	-13.6	110.7	**0.12**	**0.34**	**0.59**	**2.51**
											0.67			**0.12**		**0.67**	**1.60**
V5.1	TR_V5.1	418 / 2/4	SVISLICE V5	BOD K2	-HP	horní pásnice	N.min	KZ04	-85.6	191.7	**0.45**	1.5	110.7	**0.01**	**0.26**	**0.45**	**2.74**
				BOD K4	-SP	dolní pásnice	N.min	KZ03	-95.2	191.7	**0.50**	0.2	110.7	**0.00**	**0.28**	**0.50**	**2.39**
				BOD S6	-HP	stěna	Vz.min	KZ04	-6.2	191.7	**0.03**	-3.7	120.7	**0.03**	**0.02**	**0.03**	**>10**
											0.50			**0.03**		**0.50**	**2.39**
V5.2	TR_V5.2	417 / I[352]	SVISLICE V5	BOD K2	-HP	horní pásnice	My.min	KZ04	146.2	209.1	**0.70**	-13.4	120.7	**0.11**	**0.40**	**0.70**	**1.58**
				BOD K3	-SL	dolní pásnice	My.min	KZ04	-112.9	209.1	**0.54**	-13.4	120.7	**0.11**	**0.31**	**0.54**	**2.78**
				BOD S6	-HP	stěna	Vz.min	KZ04	-105.0	209.1	**0.50**	-13.5	120.7	**0.11**	**0.29**	**0.50**	**3.06**
											0.70			**0.11**		**0.70**	**1.58**
V6.1	TR_V6.1	413 / 2/4	SVISLICE V6	BOD K2	-HP	horní pásnice	N.min	KZ04	-83.8	191.7	**0.44**	1.5	110.7	**0.01**	**0.25**	**0.44**	**2.81**
				BOD K4	-SP	dolní pásnice	N.min	KZ03	-83.0	191.7	**0.43**	-1.4	110.7	**0.01**	**0.25**	**0.43**	**2.62**
				BOD S5	-HL	stěna	Vz.min	KZ04	26.2	191.7	**0.14**	-5.9	120.7	**0.05**	**0.08**	**0.14**	**5.46**
											0.44			**0.05**		**0.44**	**2.62**
V6.2	TR_V6.2	412 / I[349]	SVISLICE V6	BOD K2	-HP	horní pásnice	My.min	KZ04	170.8	209.1	**0.82**	-15.2	120.7	**0.13**	**0.47**	**0.82**	**1.32**
				BOD K3	-SL	dolní pásnice	My.min	KZ04	-104.4	209.1	**0.50**	-15.2	120.7	**0.13**	**0.29**	**0.50**	**3.09**
				BOD S6	-HP	stěna	Vz.min	KZ04	-97.8	209.1	**0.47**	-15.3	120.7	**0.13**	**0.27**	**0.47**	**3.34**
											0.82			**0.13**		**0.82**	**1.32**
V7.1	TR_V7.1	408 / 2/4	SVISLICE V7	BOD K2	-HP	horní pásnice	N.max	KZ04	106.6	209.1	**0.51**	-2.0	120.7	**0.02**	**0.29**	**0.51**	**2.40**
				BOD K4	-SP	dolní pásnice	N.max	KZ03	68.0	209.1	**0.33**	0.0	120.7	**0.00**	**0.19**	**0.33**	**4.12**
				BOD S5	-HL	stěna	Vz.min	KZ04	14.3	209.1	**0.07**	-2.6	120.7	**0.02**	**0.04**	**0.07**	**>10**
											0.51			**0.02**		**0.51**	**2.40**
V7.2	TR_V7.2	406 / I[346]	SVISLICE V7	BOD K2	-HP	horní pásnice	My.min	KZ04	214.8	209.1	**1.03**	-17.5	120.7	**0.14**	**0.59**	**1.03**	**0.96**
				BOD K3	-SL	dolní pásnice	My.min	KZ04	-95.7	209.1	**0.46**	-17.5	120.7	**0.14**	**0.26**	**0.46**	**3.36**
				BOD S6	-HP	stěna	Vz.min	KZ04	-91.1	209.1	**0.44**	-17.6	120.7	**0.15**	**0.25**	**0.44**	**3.62**
											1.03			**0.15**		**1.03**	**0.96**
V8.1	TR_V8.1	402 / 2/4	SVISLICE V8	BOD K2	-HP	horní pásnice	N.max	KZ04	111.3	209.1	**0.53**	-4.8	120.7	**0.04**	**0.30**	**0.53**	**2.31**
				BOD K4	-SP	dolní pásnice	N.max	KZ03	79.8	209.1	**0.38**	-1.0	120.7	**0.01**	**0.22**	**0.38**	**4.03**
				BOD S5	-HL	stěna	Vz.min	KZ04	41.3	209.1	**0.20**	-6.0	120.7	**0.05**	**0.11**	**0.20**	**7.04**
											0.53			**0.05**		**0.53**	**2.31**
V8.2	TR_V8.2	401 / I[343]	SVISLICE V8	BOD K2	-HP	horní pásnice	My.min	KZ04	245.7	209.1	**1.17**	-19.0	120.7	**0.16**	**0.67**	**1.17**	**0.77**
				BOD K4	-SP	dolní pásnice	My.min	KZ04	-94.8	209.1	**0.45**	-18.9	120.7	**0.16**	**0.26**	**0.45**	**3.20**
				BOD S6	-HP	stěna	Vz.min	KZ04	-94.7	209.1	**0.45**	-19.0	120.7	**0.16**	**0.26**	**0.45**	**3.15**
											1.17			**0.16**		**1.17**	**0.77**
Rekapitulace posouzení NK - Svislice - (Mezní stav únosnosti)											**1.17**			**0.16**		**1.17**	**0.77**

NK1 - MEZNÍ STAV ÚNOSNOSTI VČ. KOROZNÍHO OSLABENÍ

Č. p.	PRŮŘEZ:	PRUT/dx:	POPIS:	VLÁKNO		POPIS VLÁKNA	ŘÍDÍCÍ VELIČINA	KOMB. ZATÍŽENÍ	NAPĚTÍ NORMÁL. [MPa]	MEZ KLUZU [MPa]	VYUŽITÍ η_1 [eff]	NAPĚTÍ SMYK. Vz [MPa]	MEZ KLUZU [MPa]	VYUŽITÍ η_3 [eff]	VYUŽITÍ $(\eta_2 + 0{,}8\ \eta_1)/1{,}4$ [eff]	CELKOVÉ VYUŽITÍ [eff]	ZATĚŽITEL. Z_{LMT1}
L1.1 a	TR_L1.1	876 / [575]	PODÉLNÍK L1.E - KRAJ	BOD K2	-HP	horní pásnice	My.max	KZ04	-148.5	209.1	**0.71**	-14.1	120.7	**0.12**	**0.41**	**0.71**	**1.53**
				BOD K4	-SP	dolní pásnice	Vz.min	KZ04	-158.3	209.1	**0.76**	-32.1	120.7	**0.27**	**0.43**	**0.76**	**1.38**
				BOD S5	-HL	stěna	Vz.min	KZ03	40.8	209.1	**0.20**	-34.8	120.7	**0.29**	**0.11**	**0.29**	**3.61**
											0.76			**0.29**		**0.76**	**1.38**
L1.1 b	TR_L1.1	876 / [575]	PODÉLNÍK L1.E - KRAJ	BOD K2	-HP	horní pásnice	Mz.min	KZ04	-139.7	209.1	**0.67**	-18.2	120.7	**0.15**	**0.38**	**0.67**	**1.61**
				BOD K4	-SP	dolní pásnice	Vz.min	KZ04	-147.8	209.1	**0.71**	-65.4	120.7	**0.54**	**0.40**	**0.71**	**1.50**
				BOD S6	-HP	stěna	Vz.min	KZ03	-28.9	209.1	**0.14**	-70.9	120.7	**0.59**	**0.08**	**0.59**	**1.74**
											0.71			**0.59**		**0.71**	**1.50**
L1.2	TR_L1.2	880 / [739]	PODÉLNÍK L1.E - STŘED	BOD K1	-HL	horní pásnice	My.max	KZ04	-199.2	209.1	**0.95**	5.5	120.7	**0.05**	**0.54**	**0.95**	**1.05**
				BOD K4	-SP	dolní pásnice	My.max	KZ04	180.6	209.1	**0.86**	5.4	120.7	**0.04**	**0.49**	**0.86**	**1.17**
				BOD S6	-HP	stěna	Vz.min	KZ03	32.1	209.1	**0.15**	-16.4	120.7	**0.14**	**0.09**	**0.15**	**5.99**
											0.95			**0.14**		**0.95**	**1.05**
L2.1 a	TR_L2.1	866 / [568]	PODÉLNÍK L2.E - KRAJ	BOD K1	-HL	horní pásnice	My.min	KZ03	201.4	209.1	**0.96**	-17.6	120.7	**0.15**	**0.55**	**0.96**	**1.05**
				BOD K3	-SL	dolní pásnice	Mz.min	KZ03	115.2	209.1	**0.55**	-19.3	120.7	**0.16**	**0.31**	**0.55**	**2.07**
				BOD S5	-HL	stěna	Vz.min	KZ03	115.4	209.1	**0.55**	-39.8	120.7	**0.33**	**0.32**	**0.55**	**1.96**
											0.96			**0.33**		**0.96**	**1.05**
L2.1 b	TR_L2.1	866 / [568]	PODÉLNÍK L2.E - KRAJ	BOD K1	-HL	horní pásnice	Vz.min	KZ03	234.9	209.1	**1.12**	-87.6	120.7	**0.73**	**0.64**	**1.12**	**0.86**
				BOD K3	-SL	dolní pásnice	Vz.min	KZ03	114.2	209.1	**0.55**	-91.4	120.7	**0.76**	**0.31**	**0.76**	**1.34**
				BOD S5	-HL	stěna	Vz.min	KZ03	141.9	209.1	**0.68**	-91.4	120.7	**0.76**	**0.39**	**0.76**	**1.34**
											1.12			**0.76**		**1.12**	**0.86**
L2.2	TR_L2.2	871 / 2/4	PODÉLNÍK L2.E - STŘED	BOD K1	-HL	horní pásnice	Vy.min	KZ03	-193.1	209.1	**0.92**	-8.9	120.7	**0.07**	**0.53**	**0.92**	**1.10**
				BOD K4	-SP	dolní pásnice	My.max	KZ03	274.5	209.1	**1.31**	-7.8	120.7	**0.06**	**0.75**	**1.31**	**0.74**
				BOD S6	-HP	stěna	Vz.max	KZ03	36.6	209.1	**0.18**	22.5	110.7	**0.20**	**0.10**	**0.20**	**5.20**
											1.31			**0.20**		**1.31**	**0.74**
L3.1 a	TR_L3.1	855 / [558]	PODÉLNÍK L3.E - KRAJ	BOD K1	-HL	horní pásnice	Vz.min	KZ04	160.3	209.1	**0.77**	-36.1	120.7	**0.30**	**0.44**	**0.77**	**1.36**
				BOD K3	-SL	dolní pásnice	Vy.min	KZ04	139.2	209.1	**0.67**	-27.1	120.7	**0.22**	**0.38**	**0.67**	**1.61**
				BOD S5	-HL	stěna	Vz.min	KZ04	67.8	209.1	**0.32**	-37.1	120.7	**0.31**	**0.19**	**0.32**	**3.39**
											0.77			**0.31**		**0.77**	**1.36**
L3.1 b	TR_L3.1	855 / [558]	PODÉLNÍK L3.E - KRAJ	BOD K1	-HL	horní pásnice	Vz.min	KZ04	159.5	209.1	**0.76**	-82.9	120.7	**0.69**	**0.44**	**0.76**	**1.38**
				BOD K3	-SL	dolní pásnice	Vz.min	KZ04	30.2	209.1	**0.14**	-85.2	120.7	**0.71**	**0.08**	**0.71**	**1.44**
				BOD S5	-HL	stěna	Vz.min	KZ04	82.8	209.1	**0.40**	-85.2	120.7	**0.71**	**0.23**	**0.71**	**1.44**
											0.76			**0.71**		**0.76**	**1.38**
L3.2	TR_L3.2	860 / [721]	PODÉLNÍK L3.E - STŘED	BOD K1	-HL	horní pásnice	My.max	KZ04	-227.4	209.1	**1.09**	3.7	120.7	**0.03**	**0.62**	**1.09**	**0.91**
				BOD K4	-SP	dolní pásnice	My.max	KZ04	228.7	209.1	**1.09**	3.0	120.7	**0.03**	**0.62**	**1.09**	**0.90**
				BOD S6	-HP	stěna	Vz.min	KZ03	94.1	209.1	**0.45**	-17.8	120.7	**0.15**	**0.26**	**0.45**	**2.31**
											1.09			**0.15**		**1.09**	**0.90**
L4.1 a	TR_L4.1	844 / [547]	PODÉLNÍK L4.E - KRAJ	BOD K1	-HL	horní pásnice	Vy.min	KZ04	173.6	209.1	**0.83**	-4.2	120.7	**0.03**	**0.47**	**0.83**	**1.25**
				BOD K3	-SL	dolní pásnice	N.max	KZ04	102.7	209.1	**0.49**	-19.2	120.7	**0.16**	**0.28**	**0.49**	**2.42**
				BOD S5	-HL	stěna	Vz.min	KZ04	72.1	209.1	**0.34**	-38.6	120.7	**0.32**	**0.20**	**0.34**	**3.26**
											0.83			**0.32**		**0.83**	**1.25**
L4.1 b	TR_L4.1	844 / [547]	PODÉLNÍK L4.E - KRAJ	BOD K1	-HL	horní pásnice	Vz.min	KZ04	88.6	209.1	**0.42**	-90.4	120.7	**0.75**	**0.24**	**0.75**	**1.36**
				BOD K3	-SL	dolní pásnice	Vz.min	KZ04	25.6	209.1	**0.12**	-90.4	120.7	**0.75**	**0.07**	**0.75**	**1.36**
				BOD S5	-HL	stěna	Vz.min	KZ04	79.8	209.1	**0.38**	-90.4	120.7	**0.75**	**0.22**	**0.75**	**1.36**
											0.42			**0.75**		**0.75**	**1.36**
L4.2	TR_L4.2	850 / [712]	PODÉLNÍK L4.E - STŘED	BOD K1	-HL	horní pásnice	Vy.min	KZ04	-178.6	209.1	**0.85**	12.1	120.7	**0.10**	**0.49**	**0.85**	**1.18**
				BOD K4	-SP	dolní pásnice	My.max	KZ04	221.1	209.1	**1.06**	14.4	120.7	**0.12**	**0.60**	**1.06**	**0.94**
				BOD S6	-HP	stěna	Vz.max	KZ03	97.9	209.1	**0.47**	22.9	120.7	**0.19**	**0.27**	**0.47**	**2.35**
											1.06			**0.19**		**1.06**	**0.94**
L4.2 t	TR_L4.2	850 / [712]	PODÉLNÍK L4.E - STŘED	BOD K2	-HP	horní pásnice	Vy.min	KZ04	-255.8	209.1	**1.22**	10.9	110.7	**0.10**	**0.70**	**1.22**	**0.81**
				BOD K4	-SP	dolní pásnice	My.max	KZ04	277.3	209.1	**1.33**	14.7	120.7	**0.12**	**0.76**	**1.33**	**0.72**
				BOD S5	-HL	stěna	Vz.max	KZ03	-114.7	209.1	**0.55**	23.3	120.7	**0.19**	**0.31**	**0.55**	**1.72**
											1.33			**0.19**		**1.33**	**0.72**
Rekapitulace posouzení NK - Podélníky - (Mezní stav únosnosti)											**1.33**			**0.76**		**1.33**	**0.72**
P0.1	TR_P0.1	706 / 3/4	PŘÍČNÍK P0 - VNĚJŠÍ PODÉLNÍK	BOD K2	-HP	horní pásnice	My.max	KZ03	-247.3	209.1	**1.18**	-59.1	120.7	**0.49**	**0.68**	**1.18**	**0.76**
				BOD K3	-SL	dolní pásnice	My.max	KZ03	259.3	209.1	**1.24**	-59.1	120.7	**0.49**	**0.71**	**1.24**	**0.69**
				BOD S6	-HP	stěna	Vz.min	KZ04	-23.0	209.1	**0.11**	-130.3	120.7	**1.08**	**0.06**	**1.08**	**0.92**
											1.24			**1.08**		**1.24**	**0.69**
P0.2	TR_P0.2	708 / [583]	PŘÍČNÍK P0 - VNITŘNÍ PODÉLNÍK	BOD K2	-HP	horní pásnice	My.max	KZ03	-181.7	209.1	**0.87**	-4.7	120.7	**0.04**	**0.50**	**0.87**	**1.17**
				BOD K4	-SP	dolní pásnice	My.max	KZ03	195.4	209.1	**0.93**	17.8	120.7	**0.15**	**0.53**	**0.93**	**1.08**
				BOD S5	-HL	stěna	Vz.min	KZ04	-36.2	209.1	**0.17**	-51.2	120.7	**0.42**	**0.10**	**0.42**	**2.89**
											0.93			**0.42**		**0.93**	**1.08**
P0.3	TR_P0.3	709 / [584]	PŘÍČNÍK P0 - STŘED	BOD K2	-HP	horní pásnice	N.min	KZ03	-178.0	209.1	**0.85**	-17.4	120.7	**0.14**	**0.49**	**0.85**	**1.19**
				BOD K3	-SL	dolní pásnice	My.max	KZ03	179.0	209.1	**0.86**	20.1	120.7	**0.17**	**0.49**	**0.86**	**1.18**
				BOD S6	-HP	stěna	Vz.max	KZ04	77.6	209.1	**0.37**	76.1	120.7	**0.63**	**0.21**	**0.63**	**1.82**
											0.86			**0.63**		**0.86**	**1.18**
Rekapitulace posouzení NK - Podporové příčníky - (Mezní stav únosnosti)											**1.24**			**1.08**		**1.24**	**0.69**

NK1 - MEZNÍ STAV ÚNOSNOSTI VČ. KOROZNÍHO OSLABENÍ

Č. p.	PRŮŘEZ:	PRUT/dx:	POPIS:	VLÁKNO		POPIS VLÁKNA	ŘÍDÍCÍ VELIČINA	KOMB. ZATÍŽENÍ	NAPĚTÍ NORMÁL. [MPa]	MEZ KLUZU [MPa]	VYUŽITÍ η_1 [eff]	NAPĚTÍ SMYK. Vz [MPa]	MEZ KLUZU [MPa]	VYUŽITÍ η_3 [eff]	VYUŽITÍ $(\eta_2 + 0{,}8\,\eta_1)/1{,}4$ [eff]	CELKOVÉ VYUŽITÍ [eff]	ZATĚŽITEL. Z_{UR71}
P1.1	TR_P1.1	699 / [575]	PŘÍČNÍK P1 - VNĚJŠÍ PODÉLNÍK	BOD K2	-HP	horní pásnice	My.max	KZ03	-223.1	209.1	1.07	-40.3	120.7	0.33	0.61	1.07	0.91
				BOD K4	-SP	dolní pásnice	My.min	KZ03	-204.1	209.1	0.98	-1.3	120.7	0.01	0.56	0.98	1.03
				BOD S5	-HL	stěna	Vz.min	KZ04	-81.3	209.1	0.39	-55.8	120.7	0.46	0.22	0.46	2.34
											1.07			0.46		1.07	0.91
P1.2	TR_P1.2	700 / [576]	PŘÍČNÍK P1 - VNITŘNÍ PODÉLNÍK	BOD K2	-HP	horní pásnice	My.max	KZ03	-171.2	209.1	0.82	-6.9	120.7	0.06	0.47	0.82	1.27
				BOD K4	-SP	dolní pásnice	My.max	KZ03	178.0	209.1	0.85	4.6	120.7	0.04	0.49	0.85	1.19
				BOD S5	-HL	stěna	Vz.min	KZ04	-44.3	209.1	0.21	-34.8	120.7	0.29	0.12	0.29	4.08
											0.85			0.29		0.85	1.19
P1.3	TR_P1.3	701 / [577]	PŘÍČNÍK P1 - STŘED	BOD K2	-HP	horní pásnice	My.max	KZ03	-201.6	209.1	0.96	-6.9	120.7	0.06	0.55	0.96	1.05
				BOD K4	-SP	dolní pásnice	My.max	KZ03	215.2	209.1	1.03	9.4	120.7	0.08	0.59	1.03	0.96
				BOD S5	-HL	stěna	Vz.max	KZ04	-69.4	209.1	0.33	51.1	120.7	0.42	0.19	0.42	2.69
											1.03			0.42		1.03	0.96
P2.1	TR_P2.1	691 / [568]	PŘÍČNÍK P2 - VNĚJŠÍ PODÉLNÍK	BOD K2	-HP	horní pásnice	Vz.min	KZ03	-267.4	209.1	1.28	-55.3	120.7	0.46	0.73	1.28	0.72
				BOD K3	-SL	dolní pásnice	Vz.min	KZ03	268.7	209.1	1.28	-55.3	120.7	0.46	0.73	1.28	0.72
				BOD S6	-HP	stěna	Vz.min	KZ04	101.3	209.1	0.48	-60.0	120.7	0.50	0.28	0.50	1.89
											1.28			0.50		1.28	0.72
P2.2	TR_P2.2	692 / [569]	PŘÍČNÍK P2 - VNITŘNÍ PODÉLNÍK	BOD K2	-HP	horní pásnice	My.max	KZ04	-173.8	209.1	0.83	-3.1	120.7	0.03	0.48	0.83	1.24
				BOD K3	-SL	dolní pásnice	My.max	KZ04	187.1	209.1	0.89	-3.0	120.7	0.02	0.51	0.89	1.14
				BOD S6	-HP	stěna	Vz.min	KZ04	51.7	209.1	0.25	-32.7	120.7	0.27	0.14	0.27	4.03
											0.89			0.27		0.89	1.14
P2.3	TR_P2.3	693 / [570]	PŘÍČNÍK P2 - STŘED	BOD K2	-HP	horní pásnice	My.max	KZ03	-161.1	209.1	0.77	1.0	120.7	0.01	0.44	0.77	1.32
				BOD K3	-SL	dolní pásnice	My.max	KZ03	168.2	209.1	0.80	-1.9	120.7	0.02	0.46	0.80	1.26
				BOD S6	-HP	stěna	Vz.max	KZ03	76.8	209.1	0.37	47.6	120.7	0.39	0.21	0.39	2.71
											0.80			0.39		0.80	1.26
P3.1	TR_P3.1	679 / [557]	PŘÍČNÍK P3 - ZÁKLADNÍ ČÁST	BOD K2	-HP	horní pásnice	Mz.min	KZ03	-259.5	209.1	1.24	-59.5	120.7	0.49	0.71	1.24	0.75
				BOD K3	-SL	dolní pásnice	Vz.min	KZ03	303.2	209.1	1.45	-106.7	120.7	0.88	0.83	1.45	0.62
				BOD S6	-HP	stěna	Vz.min	KZ04	149.0	209.1	0.71	-111.9	120.7	0.93	0.41	0.93	1.09
											1.45			0.93		1.45	0.62
P3.2	TR_P3.2	680 / [558]	PŘÍČNÍK P3 - VNĚJŠÍ PODÉLNÍK	BOD K2	-HP	horní pásnice	Vz.min	KZ03	-209.3	209.1	1.00	-58.4	120.7	0.48	0.57	1.00	1.00
				BOD K3	-SL	dolní pásnice	Vz.min	KZ03	229.4	209.1	1.10	-58.4	120.7	0.48	0.63	1.10	0.89
				BOD S6	-HP	stěna	Vz.min	KZ04	114.8	209.1	0.55	-63.2	120.7	0.52	0.31	0.55	1.72
											1.10			0.52		1.10	0.89
P3.3	TR_P3.3	682 / [560]	PŘÍČNÍK P3 - VNITŘNÍ PODÉLNÍK	BOD K2	-HP	horní pásnice	My.max	KZ03	-187.7	209.1	0.90	-2.7	120.7	0.02	0.51	0.90	1.14
				BOD K3	-SL	dolní pásnice	My.max	KZ03	216.4	209.1	1.03	-2.8	120.7	0.02	0.59	1.03	0.96
				BOD S6	-HP	stěna	Vz.min	KZ04	64.5	209.1	0.31	-35.4	120.7	0.29	0.18	0.31	3.50
											1.03			0.29		1.03	0.96
P3.4	TR_P3.4	683 / [561]	PŘÍČNÍK P3 - STŘED	BOD K2	-HP	horní pásnice	My.max	KZ04	-193.8	209.1	0.93	-1.2	120.7	0.01	0.53	0.93	1.11
				BOD K3	-SL	dolní pásnice	My.max	KZ03	216.0	209.1	1.03	-1.0	120.7	0.01	0.59	1.03	0.96
				BOD S6	-HP	stěna	Vz.max	KZ04	87.2	209.1	0.42	52.8	120.7	0.44	0.24	0.44	2.43
											1.03			0.44		1.03	0.96
P4.1	TR_P4.1	667 / [546]	PŘÍČNÍK P4 - ZÁKLADNÍ ČÁST	BOD K2	-HP	horní pásnice	My.max	KZ03	-306.3	209.1	1.46	-109.6	120.7	0.91	0.84	1.46	0.61
				BOD K3	-SL	dolní pásnice	My.max	KZ03	298.1	209.1	1.43	-109.6	120.7	0.91	0.81	1.43	0.64
				BOD S5	-HL	stěna	Vz.min	KZ04	-129.2	209.1	0.62	-116.1	120.7	0.96	0.35	0.96	1.04
											1.46			0.96		1.46	0.61
P4.2	TR_P4.2	668 / [547]	PŘÍČNÍK P4 - VNĚJŠÍ PODÉLNÍK	BOD K2	-HP	horní pásnice	My.max	KZ03	-225.5	209.1	1.08	-52.1	120.7	0.43	0.62	1.08	0.91
				BOD K3	-SL	dolní pásnice	My.max	KZ03	227.2	209.1	1.09	-52.1	120.7	0.43	0.62	1.09	0.91
				BOD S5	-HL	stěna	Vz.min	KZ04	-96.1	209.1	0.46	-65.7	120.7	0.54	0.26	0.54	1.95
											1.09			0.54		1.09	0.91
P4.3	TR_P4.3	670 / [549]	PŘÍČNÍK P4 - VNITŘNÍ PODÉLNÍK	BOD K2	-HP	horní pásnice	My.max	KZ03	-191.3	209.1	0.91	-1.7	120.7	0.01	0.52	0.91	1.11
				BOD K3	-SL	dolní pásnice	My.max	KZ04	202.7	209.1	0.97	-1.6	120.7	0.01	0.55	0.97	1.04
				BOD S5	-HL	stěna	Vz.min	KZ04	-53.9	209.1	0.26	-35.9	120.7	0.30	0.15	0.30	3.61
											0.97			0.30		0.97	1.04
P4.4	TR_P4.4	671 / [550]	PŘÍČNÍK P4 - STŘED	BOD K2	-HP	horní pásnice	My.max	KZ03	-169.7	209.1	0.81	0.4	120.7	0.00	0.46	0.81	1.26
				BOD K3	-SL	dolní pásnice	My.max	KZ03	177.0	209.1	0.85	-1.3	120.7	0.01	0.48	0.85	1.20
				BOD S5	-HL	stěna	Vz.max	KZ04	-77.1	209.1	0.37	53.5	120.7	0.44	0.21	0.44	2.37
											0.85			0.44		0.85	1.20
P5.1	TR_P5.1	655 / [535]	PŘÍČNÍK P5 - ZÁKLADNÍ ČÁST	BOD K2	-HP	horní pásnice	My.max	KZ03	-280.8	209.1	1.34	-107.7	120.7	0.89	0.77	1.34	0.70
				BOD K3	-SL	dolní pásnice	My.max	KZ03	304.5	209.1	1.46	-107.7	120.7	0.89	0.83	1.46	0.64
				BOD S6	-HP	stěna	My.max	KZ04	173.1	209.1	0.83	-112.4	120.7	0.93	0.47	0.93	1.08
											1.46			0.93		1.46	0.64
P5.2	TR_P5.2	656 / [536]	PŘÍČNÍK P5 - VNĚJŠÍ PODÉLNÍK	BOD K2	-HP	horní pásnice	My.max	KZ03	-209.7	209.1	1.00	-51.2	120.7	0.42	0.57	1.00	1.00
				BOD K3	-SL	dolní pásnice	My.max	KZ03	229.8	209.1	1.10	-51.2	120.7	0.42	0.63	1.10	0.90
				BOD S6	-HP	stěna	Vz.min	KZ04	121.5	209.1	0.58	-65.1	120.7	0.54	0.33	0.58	1.60
											1.10			0.54		1.10	0.90
P5.3	TR_P5.3	658 / [538]	PŘÍČNÍK P5 - VNITŘNÍ PODÉLNÍK	BOD K2	-HP	horní pásnice	My.max	KZ03	-188.8	209.1	0.90	-1.5	120.7	0.01	0.52	0.90	1.13
				BOD K3	-SL	dolní pásnice	My.max	KZ03	217.1	209.1	1.04	-1.5	120.7	0.01	0.59	1.04	0.96
				BOD S6	-HP	stěna	Vz.min	KZ04	67.0	209.1	0.32	-36.6	120.7	0.30	0.18	0.32	3.36
											1.04			0.30		1.04	0.96
P5.4	TR_P5.4	659 / [539]	PŘÍČNÍK P5 - STŘED	BOD K2	-HP	horní pásnice	My.max	KZ03	-184.8	209.1	0.88	-0.4	120.7	0.00	0.50	0.88	1.16
				BOD K3	-SL	dolní pásnice	My.max	KZ04	209.0	209.1	1.00	-0.4	120.7	0.00	0.57	1.00	1.00
				BOD S6	-HP	stěna	Vz.max	KZ04	91.4	209.1	0.44	54.5	120.7	0.45	0.25	0.45	2.33
											1.00			0.45		1.00	1.00
Rekapitulace posouzení NK - Běžné příčníky - (Mezní stav únosnosti)											**1.46**			**0.96**		**1.46**	**0.61**

VÝPOČET PRŮŘEZOVÝCH CHARAKTERISTIK

PRŮŘEZ: O1 **POPIS:** HORNÍ PÁS - PŘÍHRADA 1 **x =** - **m**

DEFINOVÁNÍ PRŮŘEZU

PÁSNICE HORNÍHO LEVÉHO ÚHELNÍKU	b f.t.l.o =	110	mm				
TLOUŠŤKA PÁSNICE ÚHELNÍKU	t f.t.l.o =	14	mm	OSLABENÍ PÁSNICE - TLOUŠŤKA	Δt f.t.l.o =	0	%
VÝŠKA STĚNY ÚHELNÍKU	h w.t.l.o =	96	mm				
TLOUŠŤKA STĚNY ÚHELNÍKU	t w.t.l.o =	14	mm	OSLABENÍ STĚNY - TLOUŠŤKA	Δt w.t.l.o =	0	%
PÁSNICE HORNÍHO PRAVÉHO ÚHELNÍKU	b f.t.r.o =	110	mm				
TLOUŠŤKA PÁSNICE ÚHELNÍKU	t f.t.r.o =	14	mm	OSLABENÍ PÁSNICE - TLOUŠŤKA	Δt f.t.r.o =	0	%
VÝŠKA STĚNY ÚHELNÍKU	h w.t.r.o =	96	mm				
TLOUŠŤKA STĚNY ÚHELNÍKU	t w.t.r.o =	14	mm	OSLABENÍ STĚNY - TLOUŠŤKA	Δt w.t.r.0 =	0	%
PÁSNICE DOLNÍHO LEVÉHO ÚHELNÍKU	b f.b.l.o =	110	mm				
TLOUŠŤKA PÁSNICE ÚHELNÍKU	t f.b.l.o =	14	mm	OSLABENÍ PÁSNICE - TLOUŠŤKA	Δt f.b.l.o =	0	%
VÝŠKA STĚNY ÚHELNÍKU	h w.b.l.o =	96	mm				
TLOUŠŤKA STĚNY ÚHELNÍKU	t w.b.l.o =	14	mm	OSLABENÍ STĚNY - TLOUŠŤKA	Δt w.b.l.o =	0	%
PÁSNICE DOLNÍHO PRAVÉHO ÚHELNÍKU	b f.b.r.o =	110	mm				
TLOUŠŤKA PÁSNICE ÚHELNÍKU	t f.b.r.o =	14	mm	OSLABENÍ PÁSNICE - TLOUŠŤKA	Δt f.b.r.o =	0	%
VÝŠKA STĚNY ÚHELNÍKU	h w.b.r.o =	96	mm				
TLOUŠŤKA STĚNY ÚHELNÍKU	t w.b.r.o =	14	mm	OSLABENÍ STĚNY - TLOUŠŤKA	Δt w.b.r.o =	0	%
PÁSNICE HORNÍHO LEVÉHO ÚHELNÍKU	b f.t.l.i =	110	mm				
TLOUŠŤKA PÁSNICE ÚHELNÍKU	t f.t.l.i =	14	mm	OSLABENÍ PÁSNICE - TLOUŠŤKA	Δt f.t.l.i =	0	%
VÝŠKA STĚNY ÚHELNÍKU	h w.t.l.i =	96	mm				
TLOUŠŤKA STĚNY ÚHELNÍKU	t w.t.l.i =	14	mm	OSLABENÍ STĚNY - TLOUŠŤKA	Δt w.t.l.i =	0	%
PÁSNICE HORNÍHO PRAVÉHO ÚHELNÍKU	b f.t.r.i =	110	mm				
TLOUŠŤKA PÁSNICE ÚHELNÍKU	t f.t.r.i =	14	mm	OSLABENÍ PÁSNICE - TLOUŠŤKA	Δt f.t.r.i =	0	%
VÝŠKA STĚNY ÚHELNÍKU	h w.t.r.i =	96	mm				
TLOUŠŤKA STĚNY ÚHELNÍKU	t w.t.r.i =	14	mm	OSLABENÍ STĚNY - TLOUŠŤKA	Δt w.t.r.i =	0	%
PÁSNICE DOLNÍHO LEVÉHO ÚHELNÍKU	b f.b.l.i =	0	mm				
TLOUŠŤKA PÁSNICE ÚHELNÍKU	t f.b.l.i =	0	mm	OSLABENÍ PÁSNICE - TLOUŠŤKA	Δt f.b.l.i =	0	%
VÝŠKA STĚNY ÚHELNÍKU	h w.b.l.i =	0	mm				
TLOUŠŤKA STĚNY ÚHELNÍKU	t w.b.l.i =	0	mm	OSLABENÍ STĚNY - TLOUŠŤKA	Δt w.b.l.i =	0	%
PÁSNICE DOLNÍHO PRAVÉHO ÚHELNÍKU	b f.b.r.i =	0	mm				
TLOUŠŤKA PÁSNICE ÚHELNÍKU	t f.b.r.i =	0	mm	OSLABENÍ PÁSNICE - TLOUŠŤKA	Δt f.b.r.i =	0	%
VÝŠKA STĚNY ÚHELNÍKU	h w.b.r.i =	0	mm				
TLOUŠŤKA STĚNY ÚHELNÍKU	t w.b.r.i =	0	mm	OSLABENÍ STĚNY - TLOUŠŤKA	Δt w.b.r.i =	0	%
ŠÍŘKA HORNÍ PÁSNICE	b f.t =	700	mm				
TLOUŠŤKA HORNÍ PÁSNICE	t f.t =	10	mm	OSLABENÍ HORNÍ PÁSNICE	Δt f.t =	0	%
PŘESAH HORNÍ PÁSNICE	o f.t =	0	mm	(nepoužito - pásnice symetrická k ose průřezu)			
SVĚTLÁ VZDÁLENOST MEZI STĚNAMI	l w =	416	mm				
VÝŠKA STĚNY	h w =	480	mm	OSLABENÍ LEVÉ STĚNY	Δt w.l =	0	%
TLOUŠŤKA STĚNY	t w =	24	mm	OSLABENÍ PRAVÉ STĚNY	Δt w.r =	0	%
ŠÍŘKA DOLNÍ LEVÉ PÁSNICE	b f.b.l =	0	mm				
TLOUŠŤKA DOLNÍ LEVÉ PÁSNICE	t f.b.l =	0	mm	OSLABENÍ DOLNÍ PÁSNICE	Δt f.b.l =	0	%
PŘESAH DOLNÍ LEVÉ PÁSNICE	o f.b.l =	0	mm	(nepoužito - pásnice symetrická k ose levé stěny)			
ŠÍŘKA DOLNÍ PRAVÉ PÁSNICE	b f.b.r =	0	mm				
TLOUŠŤKA DOLNÍ PRAVÉ PÁSNICE	t f.b.r =	0	mm	OSLABENÍ DOLNÍ PÁSNICE	Δt f.b.r =	0	%
PŘESAH DOLNÍ PRAVÉ PÁSNICE	o f.b.r =	0	mm	(nepoužito - pásnice symetrická k ose pravé stěny)			

NÝT Č.	SKUPINA	ŘEZ	RED.	VELIKOST di [mm]	POLOHA ei [mm]	POPIS	AKTIVITA OTVORU		NAPĚTÍ sc [MPa]
1		-	1.00	0	42	nýt - f.t.l	0	-	
2		-	1.00	24	65	nýt - f.t.l - úhelník	0		-62.96
3		-	1.00	24	65	nýt - f.t.l - úhelník	0		-61.51
4		-	1.00	20	0	nýt - f.t.l	0		-58.87
5		-	1.00	0	50	nýt - f.t.r	0	-	
6		-	1.00	24	65	nýt - f.t.r - úhelník	0		-57.38
7		-	1.00	24	65	nýt - f.t.r - úhelník	0		-55.93
8		-	1.00	0	42	nýt - f.t.r	0	-	
9		-	1.00	22	45	nýt - w.l - úhelník	0		-66.08
10		-	1.00	22	45	nýt - w.p - úhelník	0		-59.83
11		-	1.00	0	425	nýt - w.l	0	-	
12		-	1.00	0	425	nýt - w.p	0	-	
13		-	1.00	20	310	nýt - w.l	0		-75.95
14		-	1.00	20	310	nýt - w.p	0		-70.36
15		-	1.00	20	230	nýt - w.l	0		-82.47
16		-	1.00	20	230	nýt - w.p	0		-76.89
17		-	1.00	20	150	nýt - w.l	0		-89.00
18		-	1.00	20	150	nýt - w.p	0		-83.42
19		-	1.00	22	45	nýt - w.l - úhelník	0		-97.90
20		-	1.00	22	45	nýt - w.p - úhelník	0		-91.66
21		-	1.00	0	0	nýt - f.b.l	0	-	
22		-	1.00	0	0	nýt - f.b.l - úhelník	0	-	
23		-	1.00	0	0	nýt - f.b.l - úhelník	0	-	
24		-	1.00	0	0	nýt - f.b.l	0	-	
25		-	1.00	0	0	nýt - f.b.r	0	-	
26		-	1.00	0	0	nýt - f.b.r - úhelník	0	-	
27		-	1.00	0	0	nýt - f.b.r - úhelník	0	-	
28		-	1.00	0	0	nýt - f.b.r	0	-	
29		-	1.00					-	
30		-	1.00					-	

ZADANÍ ČÁSTI PRŮŘEZU:

č.prvku	b [mm]	h [mm]	y_0 [mm]	z_0 [mm]	popis části	druh oslabení	lokální ultimate	boulení servic.
1	110.0	14.0	-287.0	473.0	pásnice	0	1.000	1.000
2	14.0	96.0	-239.0	418.0	stěna	0	1.000	1.000
3	110.0	14.0	287.0	473.0	pásnice	0	1.000	1.000
4	14.0	96.0	239.0	418.0	stěna	0	1.000	1.000
5	110.0	14.0	-287.0	7.0	pásnice	0	1.000	1.000
6	14.0	96.0	-239.0	62.0	stěna	0	1.000	1.000
7	110.0	14.0	287.0	7.0	pásnice	0	1.000	1.000
8	14.0	96.0	239.0	62.0	stěna	0	1.000	1.000
9	700.0	10.0	0.0	485.0	pásnice	0	1.000	1.000
10	24.0	480.0	-220.0	240.0	stěna	0	1.000	1.000
11	24.0	480.0	220.0	240.0	stěna	0	1.000	1.000
12	110.0	14.0	-153.0	473.0	pásnice	0	1.000	1.000
13	14.0	96.0	-201.0	418.0	stěna	0	1.000	1.000
14	110.0	14.0	153.0	473.0	pásnice	0	1.000	1.000
15	14.0	96.0	201.0	418.0	stěna	0	1.000	1.000
16	0.0	0.0	-208.0	0.0	pásnice	0	1.000	1.000
17	0.0	0.0	-208.0	0.0	stěna	0	1.000	1.000
18	0.0	0.0	208.0	0.0	pásnice	0	1.000	1.000
19	0.0	0.0	208.0	0.0	stěna	0	1.000	1.000
20						0	1.000	1.000
21						0	1.000	1.000
22						0	1.000	1.000
23	0.0	0.0	-220.0	0.0	pásnice	0	1.000	1.000
24	0.0	0.0	220.0	0.0	pásnice	0	1.000	1.000
25						0	1.000	1.000
26						0	1.000	1.000
27						0	1.000	1.000
28						0	1.000	1.000
29						0	1.000	1.000
30						0	1.000	1.000
31						0	1.000	1.000
32						0	1.000	1.000
33						0	1.000	1.000
34						0	1.000	1.000
35						0	1.000	1.000
36						0	1.000	1.000
37						0	1.000	1.000
38						0	1.000	1.000
39						0	1.000	1.000
40						0	1.000	1.000
41						0	1.000	1.000
42						0	1.000	1.000
43						0	1.000	1.000
44						0	1.000	1.000
45						0	1.000	1.000
46						0	1.000	1.000
47						0	1.000	1.000
48						0	1.000	1.000
49						0	1.000	1.000
50						0	1.000	1.000
51	0	0	0	0	nýt - pásnic	0	1.000	1.000
52	0	0	-277.0	478.0	nýt - pásnic	0	1.000	1.000
53	0	0	-163.0	478.0	nýt - pásnic	0	1.000	1.000
54	0	0	0.0	485.0	nýt - pásnic	0	1.000	1.000
55	0	0	0	0	nýt - pásnic	0	1.000	1.000
56	0	0	163.0	478.0	nýt - pásnic	0	1.000	1.000
57	0	0	277.0	478.0	nýt - pásnic	0	1.000	1.000
58	0	0	0	0	nýt - pásnic	0	1.000	1.000
59	0	0	-246.0	435.0	nýt - stěna	0	1.000	1.000
60	0	0	246.0	435.0	nýt - stěna	0	1.000	1.000
61	0	0	0	0	nýt - stěna	0	1.000	1.000
62	0	0	0	0	nýt - stěna	0	1.000	1.000
63	0	0	-220.0	310.0	nýt - stěna	0	1.000	1.000
64	0	0	220.0	310.0	nýt - stěna	0	1.000	1.000
65	0	0	-220.0	230.0	nýt - stěna	0	1.000	1.000
66	0	0	220.0	230.0	nýt - stěna	0	1.000	1.000
67	0	0	-220.0	150.0	nýt - stěna	0	1.000	1.000
68	0	0	220.0	150.0	nýt - stěna	0	1.000	1.000
69	0	0	-246.0	45.0	nýt - stěna	0	1.000	1.000
70	0	0	246.0	45.0	nýt - stěna	0	1.000	1.000
71	0	0	0	0	nýt - pásnic	0	1.000	1.000
72	0	0	0	0	nýt - pásnic	0	1.000	1.000
73	0	0	0	0	nýt - pásnic	0	1.000	1.000
74	0	0	0	0	nýt - pásnic	0	1.000	1.000
75	0	0	0	0	nýt - pásnic	0	1.000	1.000
76	0	0	0	0	nýt - pásnic	0	1.000	1.000
77	0	0	0	0	nýt - pásnic	0	1.000	1.000
78	0	0	0	0	nýt - pásnic	0	1.000	1.000
79						0	1.000	1.000
80						0	1.000	1.000
81								
82								
83								
84								
85								
86								
87								
88								
89								
90								
91								
92								
93								
94								
95								
96								
97								
98								
99								
100								

VÝPOČET PRŮŘEZOVÝCH CHARAKTERISTIK

Properties	Basic	Ultimate		Serviceability	
y_t	0.0	0.0		0.0	[mm]
z_t	301.5	301.5		301.5	[mm]
A_i	4.7344E+04	4.7344E+04		4.7344E+04	[mm²]
A_t	1.6240E+04	1.6240E+04		1.6240E+04	[mm²]
A_b	3.1104E+04	3.1104E+04		3.1104E+04	[mm²]
I_{y1}	1.4471E+09	1.4471E+09		1.4471E+09	[mm⁴]
I_w	2.4067E+09	2.4067E+09		2.4067E+09	[mm⁶]
i_y	174.8	174.8		174.8	[mm]
i_z	225.5	225.5		225.5	[mm]
$W_{y,1}$	7.6763E+06	7.6763E+06		7.6763E+06	[mm³]
$W_{z,1}$	-6.8763E+06	-6.8763E+06		-6.8763E+06	[mm³]
$W_{y,2}$	-4.7998E+06	-4.7998E+06		-4.7998E+06	[mm³]
$W_{z,2}$	-7.0371E+06	-7.0371E+06		-7.0371E+06	[mm³]
KRAJNÍ VLÁKNA PRŮŘEZU					
y_1	-350.0	-350.0		-350.0	[mm]
z_1	490.0	490.0		490.0	[mm]
y_2	-342.0	-342.0		-342.0	[mm]
z_2	0.0	0.0		0.0	[mm]
y_3	350.0	350.0		350.0	[mm]
z_3	490.0	490.0		490.0	[mm]
y_4	342.0	342.0		342.0	[mm]
z_4	0.0	0.0		0.0	[mm]
y_5	-232.0	-232.0		-232.0	[mm]
z_5	480.0	480.0		480.0	[mm]
y_6	-232.0	-232.0		-232.0	[mm]
z_6	0.0	0.0		0.0	[mm]

ÚPRAVA MOMENTŮ SETRVAČNOSTI V DŮSLEDKU ČLENĚNÍ PRŮŘEZU

OSA Y 1.00
OSA Z 1.00

SCHÉMA PROMĚNNÝCH

SCHÉMA ZADANÉHO PRŮŘEZU

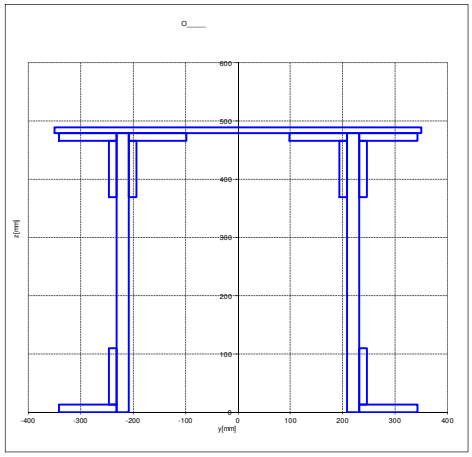

NEUTRÁLNÁ OSA

NAPĚTÍ [MPa]:

-62.91	-54.03
-102.89	-94.01

ZS: SLS_LM_MY MIN

	N [kN]	Vy [kN]	Vz [kN]	Mx [kNm]	My [kNm]	Mz [kNm]
import	-3486	23	105	0	-118	-31

TR_O1 POPIS: **HORNÍ PÁS O1** POSUDEK: **O1**

SKUPINA ZAT. STAVŮ	EXTRÉM	VYHODNOCOVANÉ VELIČINY					
		N	Vy	Vz	Mx	My	Mz
		kN	kN	kN	kNm	kNm	kNm
G0	N.min	**-961.89**	5.2	26.4	-0.01	-23.08	-2.35
	N.max	**-961.89**	5.2	26.4	-0.01	-23.08	-2.35
	Vy.min	-961.89	**5.2**	26.4	-0.01	-23.08	-2.35
	Vy.max	-961.89	**5.2**	26.4	-0.01	-23.08	-2.35
	Vz.min	-961.89	5.2	**26.4**	-0.01	-23.08	-2.35
	Vz.max	-961.89	5.2	**26.4**	-0.01	-23.08	-2.35
	Mx.min	-961.89	5.2	26.4	**-0.01**	-23.08	-2.35
	Mx.max	-961.89	5.2	26.4	**-0.01**	-23.08	-2.35
	My.min	-961.89	5.2	26.4	-0.01	**-23.08**	-2.35
	My.max	-961.89	5.2	26.4	-0.01	**-23.08**	-2.35
	Mz.min	-961.89	5.2	26.4	-0.01	-23.08	**-2.35**
	Mz.max	-961.89	5.2	26.4	-0.01	-23.08	**-2.35**
G1	N.min	**-72.81**	0.33	1.83	0	-2.02	-0.2
	N.max	**-72.81**	0.33	1.83	0	-2.02	-0.2
	Vy.min	-72.81	**0.33**	1.83	0	-2.02	-0.2
	Vy.max	-72.81	**0.33**	1.83	0	-2.02	-0.2
	Vz.min	-72.81	0.33	**1.83**	0	-2.02	-0.2
	Vz.max	-72.81	0.33	**1.83**	0	-2.02	-0.2
	Mx.min	-72.81	0.33	1.83	**0**	-2.02	-0.2
	Mx.max	-72.81	0.33	1.83	**0**	-2.02	-0.2
	My.min	-72.81	0.33	1.83	0	**-2.02**	-0.2
	My.max	-72.81	0.33	1.83	0	**-2.02**	-0.2
	Mz.min	-72.81	0.33	1.83	0	-2.02	**-0.2**
	Mz.max	-72.81	0.33	1.83	0	-2.02	**-0.2**
G2	N.min	**-44.21**	0.27	1.07	0	-1.22	0.19
	N.max	**-44.21**	0.27	1.07	0	-1.22	0.19
	Vy.min	-44.21	**0.27**	1.07	0	-1.22	0.19
	Vy.max	-44.21	**0.27**	1.07	0	-1.22	0.19
	Vz.min	-44.21	0.27	**1.07**	0	-1.22	0.19
	Vz.max	-44.21	0.27	**1.07**	0	-1.22	0.19
	Mx.min	-44.21	0.27	1.07	**0**	-1.22	0.19
	Mx.max	-44.21	0.27	1.07	**0**	-1.22	0.19
	My.min	-44.21	0.27	1.07	0	**-1.22**	0.19
	My.max	-44.21	0.27	1.07	0	**-1.22**	0.19
	Mz.min	-44.21	0.27	1.07	0	-1.22	**0.19**
	Mz.max	-44.21	0.27	1.07	0	-1.22	**0.19**
P1_71	N.min	**-658.08**	5.7	16.12	-0.05	-20.41	-10.49
	N.max	**2**	-0.37	-0.08	0	0.05	3.19
	Vy.min	-90.03	**-1.53**	3.13	-0.01	-2.37	-3.95
	Vy.max	-563.31	**7.43**	13.96	-0.04	-18.59	-3.63
	Vz.min	2	-0.37	**-0.08**	0	0.05	3.19
	Vz.max	-651.15	6.45	**16.85**	-0.05	-20.75	-7.6
	Mx.min	-652.87	5.92	15.92	**-0.05**	-20.25	-12.39
	Mx.max	-1.57	-0.71	0.11	**0.01**	-0.07	4.76
	My.min	-650.99	6.45	16.83	-0.05	**-20.75**	-7.54
	My.max	1.98	-0.37	-0.08	0	**0.05**	3.18
	Mz.min	-409.1	3.64	10.08	-0.05	-11.84	**-13.4**
	Mz.max	-245.13	1.57	5.94	0	-8.47	**5.77**
P2_71	N.min	**-1510.8**	1.59	34.41	-0.02	-37.58	-7.75
	N.max	**7.03**	-0.79	-0.3	0.01	0.13	5.39
	Vy.min	-277.97	**-3.67**	7.54	-0.01	-5.88	-1.71
	Vy.max	-1236.71	**4.39**	29.45	0	-33.1	0.51
	Vz.min	7.02	-0.79	**-0.3**	0.01	0.13	5.39
	Vz.max	-1486.4	2.22	**36.66**	-0.01	-38.36	-3.85
	Mx.min	-721.38	-0.18	17.02	**-0.04**	-16.71	-11.68
	Mx.max	-810.34	0.39	18.94	**0.02**	-21.79	9.49
	My.min	-1486.33	2.2	36.66	-0.01	**-38.36**	-3.72
	My.max	6.81	-0.79	-0.29	0.01	**0.13**	5.43
	Mz.min	-925.79	0.4	19.77	-0.03	-21.75	**-12.25**
	Mz.max	-600.73	-0.24	16.16	0.02	-16.58	**10.1**
P1_C3	N.min	**-559.63**	4.99	13.5	-0.04	-17.5	-9.27
	N.max	**3.2**	-0.6	-0.13	0.01	0.07	5.1
	Vy.min	-41.32	**-1.31**	1.64	0	-1.15	1.62
	Vy.max	-483.35	**5.97**	11.71	-0.03	-15.8	-2.97
	Vz.min	3.2	-0.6	**-0.13**	0.01	0.07	5.1
	Vz.max	-544.27	4.89	**14.58**	-0.04	-17.56	-6
	Mx.min	-526.92	5.29	12.7	**-0.04**	-16.8	-9.58
	Mx.max	-8.61	-1.08	0.48	**0.01**	-0.29	5.7
	My.min	-556.91	4.84	13.81	-0.04	**-17.58**	-7.66
	My.max	3.2	-0.6	-0.13	0.01	**0.07**	5.1
	Mz.min	-341.08	3.1	8.16	-0.04	-9.94	**-10.78**
	Mz.max	-207.36	0.77	5.25	0	-7.18	**6.61**
P2_C3	N.min	**-1280.93**	1.71	28.54	-0.02	-32.06	-7.57
	N.max	**10.68**	-1.26	-0.47	0.01	0.2	8.59
	Vy.min	-192.01	**-3.18**	4.91	0	-4.02	3.29
	Vy.max	-1014.09	**3.61**	25.14	0	-27.48	0.44
	Vz.min	10.68	-1.26	**-0.47**	0.01	0.2	8.59
	Vz.max	-1235.97	1.19	**32**	-0.01	-32.35	-2.76
	Mx.min	-515.78	-0.4	11.54	**-0.03**	-11.67	-9.76
	Mx.max	-698.43	-0.18	15.47	**0.02**	-18.63	11.05
	My.min	-1239.16	1.36	31.87	-0.01	**-32.37**	-4.1
	My.max	10.42	-1.26	-0.46	0.01	**0.21**	8.66
	Mz.min	-808.96	0.61	18.1	-0.03	-19.48	**-10.06**
	Mz.max	-617.3	-0.35	17.06	0.02	-17.07	**11.85**
BR	N.min	**-88.33**	0.78	14.39	0	-24.69	1.71
	N.max	**88.33**	-0.78	-14.39	0	24.69	-1.71
	Vy.min	87.02	**-0.87**	-14.16	0	24.92	-1.38
	Vy.max	-87.02	**0.87**	14.16	0	-24.92	1.38
	Vz.min	88.33	-0.78	**-14.39**	0	24.69	-1.71
	Vz.max	-88.33	0.78	**14.39**	0	-24.69	1.71
	Mx.min	88.33	-0.78	-14.39	**0**	24.69	-1.71
	Mx.max	-88.33	0.78	14.39	**0**	-24.69	1.71
	My.min	-87.02	0.87	14.16	0	**-24.92**	1.38
	My.max	87.02	-0.87	-14.16	0	**24.92**	-1.38
	Mz.min	88.33	-0.78	-14.39	0	24.69	**-1.71**
	Mz.max	-88.33	0.78	14.39	0	-24.69	**1.71**

TR_O1 POPIS: **HORNÍ PÁS O1** POSUDEK: **O1**

SKUPINA ZAT. STAVŮ	EXTRÉM	VYHODNOCOVANÉ VELIČINY					
		N	Vy	Vz	Mx	My	Mz
		kN	kN	kN	kNm	kNm	kNm
S	N.min	**-6.46**	0.63	0.06	-0.01	-0.79	-2.82
	N.max	**6.46**	-0.63	-0.06	0.01	0.79	2.82
	Vy.min	-0.22	**-1.07**	0.38	0.02	0.03	5.55
	Vy.max	0.22	**1.07**	-0.38	-0.02	-0.03	-5.55
	Vz.min	0.22	1.07	**-0.38**	-0.02	-0.03	-5.55
	Vz.max	-0.22	-1.07	**0.38**	0.02	0.03	5.55
	Mx.min	-2.99	0.98	-0.35	**-0.02**	-0.26	-4.56
	Mx.max	2.99	-0.98	0.35	**0.02**	0.26	4.56
	My.min	-5.83	0.48	0.09	-0.01	**-0.8**	-2.24
	My.max	5.83	-0.48	-0.09	0.01	**0.8**	2.24
	Mz.min	0.22	1.07	-0.38	-0.02	-0.03	**-5.55**
	Mz.max	-0.22	-1.07	0.38	0.02	0.03	**5.55**
CH	N.min	**-140.72**	0.87	3.39	0	-3.88	0.69
	N.max	**-27.51**	0.73	0.66	0	-1.17	0.11
	Vy.min	-27.51	**0.73**	0.66	0	-1.17	0.11
	Vy.max	-140.72	**0.87**	3.39	0	-3.88	0.69
	Vz.min	-27.51	0.73	**0.66**	0	-1.17	0.11
	Vz.max	-140.72	0.87	**3.39**	0	-3.88	0.69
	Mx.min	-27.51	0.73	0.66	**0**	-1.17	0.11
	Mx.max	-100.05	0.75	2.51	**0**	-2.92	1
	My.min	-140.72	0.87	3.39	0	**-3.88**	0.69
	My.max	-27.51	0.73	0.66	0	**-1.17**	0.11
	Mz.min	-27.51	0.73	0.66	0	-1.17	**0.11**
	Mz.max	-100.05	0.75	2.51	0	-2.92	**1**
W	N.min	**-78.45**	4.93	3.25	-0.02	-0.71	-8.38
	N.max	**78.44**	-4.93	-3.25	0.02	0.71	8.37
	Vy.min	78.44	**-4.93**	-3.25	0.02	0.71	8.37
	Vy.max	-78.45	**4.93**	3.25	-0.02	-0.71	-8.38
	Vz.min	78.44	-4.93	**-3.25**	0.02	0.71	8.37
	Vz.max	-78.45	4.93	**3.25**	-0.02	-0.71	-8.38
	Mx.min	-78.45	4.93	3.25	**-0.02**	-0.71	-8.38
	Mx.max	78.44	-4.93	-3.25	**0.02**	0.71	8.37
	My.min	-78.45	4.93	3.25	-0.02	**-0.71**	-8.38
	My.max	78.44	-4.93	-3.25	0.02	**0.71**	8.37
	Mz.min	-78.45	4.93	3.25	-0.02	-0.71	**-8.38**
	Mz.max	78.44	-4.93	-3.25	0.02	0.71	**8.37**
WP	N.min	**-61.68**	-2.05	1.87	0.04	0.61	8.75
	N.max	**61.58**	2.08	-1.87	-0.04	-0.61	-8.93
	Vy.min	-61.68	**-2.05**	1.87	0.04	0.61	8.75
	Vy.max	61.58	**2.08**	-1.87	-0.04	-0.61	-8.93
	Vz.min	61.58	2.08	**-1.87**	-0.04	-0.61	-8.93
	Vz.max	-61.68	-2.05	**1.87**	0.04	0.61	8.75
	Mx.min	61.58	2.08	-1.87	**-0.04**	-0.61	-8.93
	Mx.max	-61.68	-2.05	1.87	**0.04**	0.61	8.75
	My.min	61.58	2.08	-1.87	-0.04	**-0.61**	-8.93
	My.max	-61.68	-2.05	1.87	0.04	**0.61**	8.75
	Mz.min	61.58	2.08	-1.87	-0.04	-0.61	**-8.93**
	Mz.max	-61.68	-2.05	1.87	0.04	0.61	**8.75**
TR	N.min	**0**	0	0	0	0	0
	N.max	**0**	0	0	0	0	0
	Vy.min	0	**0**	0	0	0	0
	Vy.max	0	**0**	0	0	0	0
	Vz.min	0	0	**0**	0	0	0
	Vz.max	0	0	**0**	0	0	0
	Mx.min	0	0	0	**0**	0	0
	Mx.max	0	0	0	**0**	0	0
	My.min	0	0	0	0	**0**	0
	My.max	0	0	0	0	**0**	0
	Mz.min	0	0	0	0	0	**0**
	Mz.max	0	0	0	0	0	**0**
TN	N.min	**-24.06**	-1.17	-3.82	-0.03	-7.27	-6.24
	N.max	**28.36**	-7.35	0.2	0.04	0.5	8
	Vy.min	28.36	**-7.35**	0.2	0.04	0.5	8
	Vy.max	-5.43	**0.35**	3.18	0	6.84	-0.02
	Vz.min	-24.06	-1.17	**-3.82**	-0.03	-7.27	-6.24
	Vz.max	-5.43	0.35	**3.18**	0	6.84	-0.02
	Mx.min	-24.06	-1.17	-3.82	**-0.03**	-7.27	-6.24
	Mx.max	28.36	-7.35	0.2	**0.04**	0.5	8
	My.min	-24.06	-1.17	-3.82	-0.03	**-7.27**	-6.24
	My.max	-5.43	0.35	3.18	0	**6.84**	-0.02
	Mz.min	-24.06	-1.17	-3.82	-0.03	-7.27	**-6.24**
	Mz.max	28.36	-7.35	0.2	0.04	0.5	**8**
FR	N.min	**-8.16**	0.05	1.4	0	-2.2	0.06
	N.max	**8.16**	-0.05	-1.4	0	2.2	-0.06
	Vy.min	8.16	**-0.05**	-1.4	0	2.2	-0.06
	Vy.max	-8.16	**0.05**	1.4	0	-2.2	0.06
	Vz.min	8.16	-0.05	**-1.4**	0	2.2	-0.06
	Vz.max	-8.16	0.05	**1.4**	0	-2.2	0.06
	Mx.min	8.16	-0.05	-1.4	**0**	2.2	-0.06
	Mx.max	-8.16	0.05	1.4	**0**	-2.2	0.06
	My.min	-8.16	0.05	1.4	0	**-2.2**	0.06
	My.max	8.16	-0.05	-1.4	0	**2.2**	-0.06
	Mz.min	8.16	-0.05	-1.4	0	2.2	**-0.06**
	Mz.max	-8.16	0.05	1.4	0	-2.2	**0.06**
I	N.min	**-20.04**	1.16	0.84	-0.01	-0.41	**-4.11**
	N.max	**20.04**	-1.16	-0.84	0.01	0.41	**4.11**
	Vy.min	20.04	**-1.16**	-0.84	0.01	0.41	**4.11**
	Vy.max	-20.04	**1.16**	0.84	-0.01	-0.41	**-4.11**
	Vz.min	20.04	-1.16	**-0.84**	0.01	0.41	**4.11**
	Vz.max	-20.04	1.16	**0.84**	-0.01	-0.41	**-4.11**
	Mx.min	-20.04	1.16	0.84	**-0.01**	-0.41	**-4.11**
	Mx.max	20.04	-1.16	-0.84	**0.01**	0.41	**4.11**
	My.min	-20.04	1.16	0.84	-0.01	**-0.41**	**-4.11**
	My.max	20.04	-1.16	-0.84	0.01	**0.41**	**4.11**
	Mz.min	-20.04	1.16	0.84	-0.01	-0.41	**-4.11**
	Mz.max	20.04	-1.16	-0.84	0.01	0.41	**4.11**

TAB. O1.3 POSOUZENÍ - MEZNÍ STAV ÚNOSNOSTI

POPIS	HORNÍ PÁS O1
PRUT / POLOHA BODU	34 / 3/4
NAMÁHÁNÍ	N.min
VLÁKNO	BOD K2 -HP
MEZNÍ STAV	ULS (MSÚ)
VYUŽITÍ VLÁKNA PRŮŘEZU	0.52

Charakteristiky materiálu				
pás. horní	$f_{yf,k}$	230	MPa	
pás. dolní	$f_{yf,k}$	230	MPa	
stojina	$f_{yw,k}$	230	MPa	
výztuž	$f_{ys,k}$	500	MPa	
γ_M =	1.20	γ_s =	1.15	

Excentricita normálové síly				
Exc./Fáze	0	1	2	3
e_y	0.000	0.000	0.000	0.000
e_z	0.000	0.000	0.000	0.000
Ekvivalentní vzdál. stěn - příčný roznos				
b_{Mx}	0.000	0.000	0.000	0.000

Vliv stěny na únosnost průřezu				
Char./Fáze	0	1	2	3
A	0.00	0.00	0.00	0.00
Wy	0.00	0.00	0.00	0.00
Wz	0.00	0.00	0.00	0.00

Charakter. v kroucení			
$t_{w,y}$	0.000	[mm]	
$t_{w,z}$	0.000	[mm]	
κ	1.00		
I_t=	0.00E+00	[mm^4]	
$\Omega=2*A_{pz}$	0.00E+00	[mm^2]	

Součinitele vzpěru a vlivu II.řádu					
Char./Fáze	0	1	2	3	
k_y	1.030	1.000	1.000	1.000	
k_z	1.020	1.000	1.000	1.000	
χ_{LT}	1.000	1.000	1.000	1.000	
χ_{min}	0.850	1.000	1.000	1.000	

Vnitřní síly od jednotlivých skupin zatěžovacích stavů

SKUPINA ZATĚŽOVACÍCH STAVŮ					- CHARAKTERISTICKÉ HODNOTY						DÍLČÍ SOUČINITELÉ ZATÍŽENÍ, DYNAMICKÝ SOUČINITEL						4	- NÁVRHOVÉ HODNOTY									
Č.	SKUP ZS	POPIS ZS	KAT.	FÁZE PRŮŘ.	N.k (kN)	Vy.k (kN)	Vz.k (kN)	Mx.k (kNm)	My.k (kNm)	Mz.k (kNm)	γ_{sr} (-)	γ_{fs} (-)	volba γ_f hledat	γ_f (-)	L_d (m)	δ (-)	γ_{Fc} KZ04	N.d (kN)	Vy.d (kN)	Vz.d (kN)	ΔVz.d (kN)	ΣVz.d (kN)	Mx.d (kNm)	My.d (kNm)	ΔMy.d (kNm)	ΣMy.d (kNm)	Mz.d (kNm)	ΔMz.d (kNm)	ΣMz.d (kNm)
1	G0	Vlastní tíha OK	G	0	-962	5	26	0	-23	-2	1.00	1.20		1.20	-	1.00	0.95	-1 097	6	30	0	30	0	-27	0	-27	-3	0	-3
2	G1	Ostatní stálé - mostní vybavení	G	0	-73	0	2	0	-2	0	1.00	1.20		1.20	-	1.00	0.95	-83	0	2	0	2	0	-2	0	-2	0	0	0
3	G2	Ostatní stálé - cizí zařízení	G	0	-44	0	1	0	-1	0	1.00	1.20		1.20	-	1.00	0.95	-50	0	1	0	1	0	-1	0	-1	0	0	0
4	P1_71	a.LM71 - kolej 1 (bez dyn. souč.)	P	0	-658	6	16	0	-20	-10	1.00	1.30		1.30	-	1.00	1.00	-856	7	21	0	21	0	-27	0	-27	-14	0	-14
5	P2_71	a.LM71 - kolej 2 (bez dyn. souč.)	P	0	-1 511	2	34	0	-38	-8	1.00	1.30		1.30	-	1.00	1.00	-1 964	2	45	0	45	0	-50	0	-50	-10	0	-10
6	P1_C3	TTZ C3 - kolej 1 (bez dyn. souč.)	P	0	-560	5	14	0	-18	-9	1.00	vyp.		0.00	-	1.00	0.00	0	0	0	0	0	0	0	0	0	0	0	0
7	P2_C3	TTZ C3 - kolej 2 (bez dyn. souč.)	P	0	-1 281	2	29	0	-32	-8	1.00	vyp.		0.00	-	1.00	0.00	0	0	0	0	0	0	0	0	0	0	0	0
8	BR	Brzdné a rozjezdové síly	P	0	-88	1	14	0	-25	2	1.00	0.00		0.00	-	1.00	0.40	0	0	0	0	0	0	0	0	0	0	0	0
9	S	Boční ráz	P	0	-6	1	0	0	-1	-3	1.00	1.30		1.30	-	1.00	0.80	-7	1	0	0	0	0	-1	0	-1	-3	0	-3
10	CH	Chodci na lávkách	Q	0	-141	1	3	0	-4	1	1.00	1.30		1.30	-	1.00	1.00	-183	1	4	0	4	0	-5	0	-5	1	0	1
11	W	Vítr na konstrukci	Q	0	-78	5	3	0	-1	-8	1.00	1.35		1.35	-	1.00	0.75	-79	5	3	0	3	0	-1	0	-1	-9	0	-9
12	WP	Vítr na vozidla	Q	0	-62	-2	2	0	1	9	1.00	1.35		1.35	-	1.00	0.75	-62	-2	2	0	2	0	1	0	1	9	0	9
13	TR	Teplota rovnoměrná	Q	0	0	0	0	0	0	0	1.00	1.35		1.35	-	1.00	0.45	0	0	0	0	0	0	0	0	0	0	0	0
14	TN	Teplota nerovnoměrná	Q	0	-24	-1	-4	0	-7	-6	1.00	1.35		1.35	-	1.00	0.60	-19	-1	-3	0	-3	0	-6	0	-6	-5	0	-5
15	FR	Třecí síly v ložiskách	Q	0	-8	0	1	0	-2	0	1.00	-1.20		-1.20	-	1.00	1.00	10	0	-2	0	-2	0	3	0	3	0	0	0
16	I	Imperfekce soustavy	Q	0	-20	1	1	0	0	-4	1.00	1.20		1.20	-	1.00	1.00	-24	1	1	0	1	0	-1	0	-1	-5	0	-5
27	ULS_LM	ULS - LM71 bez dynam	Q	0	-4 547	22	127	0	-152	-35	1.00	vyp.		0.00	-	1.00	0.00	0	0	0	0	0	0	0	0	0	0	0	0
28	SLS_LM	SLS - LM71 bez dynam	Q	0	-3 613	18	104	0	-116	-23	1.00	vyp.	1	0.00	-	1.00	0.00	0	0	0	0	0	0	0	0	0	0	0	0
29	ULS_C3	ULS - C3 bez dynam	Q	0	-4 120	21	116	0	-141	-33	1.00	vyp.	1	0.00	-	1.00	0.00	0	0	0	0	0	0	0	0	0	0	0	0
30	SLS_C3	SLS - C3 bez dynam	Q	0	-3 285	18	95	0	-108	-22	1.00	vyp.	1	0.00	-	1.00	0.00	0	0	0	0	0	0	0	0	0	0	0	0
		CELKEM - FÁZE PRŮŘEZU 0			-4 415	21	105	0	-119	-39								-4 415	21	105	0	105	0	-119	0	-119	-39	0	-39
		CELKEM - FÁZE PRŮŘEZU 1																0	0	0	0	0	0	0	0	0	0	0	0
		CELKEM - FÁZE PRŮŘEZU 2																0	0	0	0	0	0	0	0	0	0	0	0
		CELKEM - FÁZE PRŮŘEZU 3																0	0	0	0	0	0	0	0	0	0	0	0
		CELKEM - PRŮŘEZ																-4 415	21	105	0	105	0			-119			-39

Napětí od jednotlivých zatěžovacích stavů

SKUPINA ZATĚŽOVACÍCH STAVŮ					Posouzení normálového napětí										Posouzení smykového napětí													
					Účinek síly N			Účinek momentu My				Účinek momentu Mz				Účinek kroutícího momentu Mx				Účinek smykové síly Vy				Účinek smykové síly Vz			
Č.	SKUP ZS	Popis ZS	Kat.	fáze prúř.	δ^*N_d [kN]	χ^*A [mm^2]	σ_n [MPa]	$\delta^*M_{y,d}$ [kNm]	$\chi_{lt}*W_{el,y}$ [mm^3]	σ_{my} [MPa]	$\delta^*M_{z,d}$ [kNm]	$W_{el,z}$ [mm^3]	σ_{mz} [MPa]	σ_x [MPa]	$\kappa^*\delta^*M_{x,d}$ [kNm]	$W_{v,y}$ [mm^2]	$\tau_{x,y}$ [MPa]	$W_{v,z}$ [mm^2]	$\tau_{x,z}$ [MPa]	$\delta^*V_{y,d}$ [kN]	$A_{v,y}$ [mm2]	$\tau_{v,y}$ [MPa]	$\tau_{v,y}$ [MPa]	$\delta^*V_{z,d}$ [kN]	$A_{v,z}$ [mm2]	$\tau_{v,z}$ [MPa]	$\tau_{v,z}$ [MPa]
1	G0	Vlastní tíha OK	G	0	-1 096.6	4.02E+04	-27.2	-27.1	-7.68E+06	3.5	-2.7	6.88E+06	-0.4	-24.1	-1.1E-02	-	-	-	-	5.9	1.62E+04	0.4	0.4	30.1	3.11E+04	1.0	1.0
2	G1	Ostatní stálé - mostní vybavení	G	0	-83.0	4.02E+04	-2.1	-2.4	-7.68E+06	0.3	-0.2	6.88E+06	0.0	-1.8	0.0E+00	-	-	-	-	0.4	1.62E+04	0.0	0.0	2.1	3.11E+04	0.1	0.1
3	G2	Ostatní stálé - cizí zařízení	G	0	-50.4	4.02E+04	-1.3	-1.4	-7.68E+06	0.2	0.2	6.88E+06	0.0	-1.0	0.0E+00	-	-	-	-	0.3	1.62E+04	0.0	0.0	1.2	3.11E+04	0.0	0.0
4	P1_71	a.LM71 - kolej 1 (bez dyn. souč.)	P	0	-855.5	4.02E+04	-21.3	-27.3	-7.68E+06	3.6	-13.9	6.88E+06	-2.0	-19.7	-6.5E-02	-	-	-	-	7.4	1.62E+04	0.5	0.5	21.0	3.11E+04	0.7	0.7
5	P2_71	a.LM71 - kolej 2 (bez dyn. souč.)	P	0	-1 964.0	4.02E+04	-48.8	-50.3	-7.68E+06	6.6	-10.3	6.88E+06	-1.5	-43.7	-2.6E-02	-	-	-	-	2.1	1.62E+04	0.1	0.1	44.7	3.11E+04	1.4	1.4
6	P1_C3	TTZ C3 - kolej 1 (bez dyn. souč.)	P	0	0.0	4.02E+04	0.0	0.0	-7.68E+06	0.0	0.0	6.88E+06	0.0	0.0	0.0E+00	-	-	-	-	0.0	1.62E+04	0.0	0.0	0.0	3.11E+04	0.0	0.0
7	P2_C3	TTZ C3 - kolej 2 (bez dyn. souč.)	P	0	0.0	4.02E+04	0.0	0.0	-7.68E+06	0.0	0.0	6.88E+06	0.0	0.0	0.0E+00	-	-	-	-	0.0	1.62E+04	0.0	0.0	0.0	3.11E+04	0.0	0.0
8	BR	Brzdné a rozjezdové síly	P	0	0.0	4.02E+04	0.0	0.0	-7.68E+06	0.0	0.0	6.88E+06	0.0	0.0	0.0E+00	-	-	-	-	0.0	1.62E+04	0.0	0.0	0.0	3.11E+04	0.0	0.0
9	S	Boční ráz	P	0	-6.7	4.02E+04	-0.2	-0.8	-7.68E+06	0.1	-3.0	6.88E+06	-0.4	-0.5	-1.0E-02	-	-	-	-	0.7	1.62E+04	0.0	0.0	0.1	3.11E+04	0.0	0.0
10	CH	Chodci na lávkách	Q	0	-182.9	4.02E+04	-4.5	-5.2	-7.68E+06	0.7	0.9	6.88E+06	0.1	-3.7	0.0E+00	-	-	-	-	1.1	1.62E+04	0.1	0.1	4.4	3.11E+04	0.1	0.1
11	W	Vítr na konstrukci	Q	0	-79.4	4.02E+04	-2.0	-0.7	-7.68E+06	0.1	-8.7	6.88E+06	-1.3	-3.1	-2.0E-02	-	-	-	-	5.0	1.62E+04	0.3	0.3	3.3	3.11E+04	0.1	0.1
12	WP	Vítr na vozidla	Q	0	-62.5	4.02E+04	-1.6	0.6	-7.68E+06	-0.1	9.0	6.88E+06	1.3	-0.3	4.1E-02	-	-	-	-	-2.1	1.62E+04	-0.1	-0.1	1.9	3.11E+04	0.1	0.1
13	TR	Teplota rovnoměrná	Q	0	0.0	4.02E+04	0.0	0.0	-7.68E+06	0.0	0.0	6.88E+06	0.0	0.0	0.0E+00	-	-	-	-	0.0	1.62E+04	0.0	0.0	0.0	3.11E+04	0.0	0.0
14	TN	Teplota nerovnoměrná	Q	0	-19.5	4.02E+04	-0.5	-6.1	-7.68E+06	0.8	-5.2	6.88E+06	-0.7	-0.4	-2.4E-02	-	-	-	-	-0.9	1.62E+04	-0.1	-0.1	-3.1	3.11E+04	-0.1	-0.1
15	FR	Třecí síly v ložiskách	Q	0	9.8	4.02E+04	0.2	2.7	-7.68E+06	-0.4	-0.1	6.88E+06	0.0	-0.1	0.0E+00	-	-	-	-	-0.1	1.62E+04	0.0	0.0	-1.7	3.11E+04	-0.1	-0.1
16	I	Imperfekce soustavy	Q	0	-24.0	4.02E+04	-0.6	-0.5	-7.68E+06	0.1	-5.0	6.88E+06	-0.7	-1.3	-1.2E-02	-	-	-	-	1.4	1.62E+04	0.1	0.1	1.0	3.11E+04	0.0	0.0
27	ULS_LM	ULS - LM71 bez dynam	Q	0	0.0	4.02E+04	0.0	0.0	-7.68E+06	0.0	0.0	6.88E+06	0.0	0.0	0.0E+00	-	-	-	-	0.0	1.62E+04	0.0	0.0	0.0	3.11E+04	0.0	0.0
28	SLS_LM	SLS - LM71 bez dynam	Q	0	0.0	4.02E+04	0.0	0.0	-7.68E+06	0.0	0.0	6.88E+06	0.0	0.0	0.0E+00	-	-	-	-	0.0	1.62E+04	0.0	0.0	0.0	3.11E+04	0.0	0.0
29	ULS_C3	ULS - C3 bez dynam	Q	0	0.0	4.02E+04	0.0	0.0	-7.68E+06	0.0	0.0	6.88E+06	0.0	0.0	0.0E+00	-	-	-	-	0.0	1.62E+04	0.0	0.0	0.0	3.11E+04	0.0	0.0
30	SLS_C3	SLS - C3 bez dynam	Q	0	0.0	4.02E+04	0.0	0.0	-7.68E+06	0.0	0.0	6.88E+06	0.0	0.0	0.0E+00	-	-	-	-	0.0	1.62E+04	0.0	0.0	0.0	3.11E+04	0.0	0.0
NAVÝŠENÍ NAPĚTÍ DO AKTIVACE TLAKU V DESCE MOSTOVKY						$\sigma_{P,red}$	0.0							0.0			0.0		0.0			1.3	1.3			3.4	3.4
NAPĚTÍ OD PRIMÁRNÍCH ÚČINKŮ NEROVNOMĚRNÉHO OTEPLENÍ						σ_T	0.0							0.0													
NAPĚTÍ OD REOLOGICKÝCH ÚČINKŮ BETONU V ČASE				t=0		σ_R	0.0	γ_f=	1.20					0.0													
NAPĚTÍ V KRITICKÝCH VLÁKNECH OD KOMBINACE ZATÍŽENÍ						KZ04		[MPa]					$\Sigma\sigma_x$	-99.9								$\Sigma\tau_y$	1.3			$\Sigma\tau_z$	3.4
NAPĚTÍ OD POHYBLIVÉHO ZATÍŽENÍ								[MPa]					$\sigma_{z,P}$	-64.0								τ_P	0.6			τ_P	2.1
NAPĚTÍ OD OSTATNÍCH ZATÍŽENÍ								[MPa]			Φ_{Vy}	Φ_{Vz}	$\sigma_{z,rs}$	-36.0								τ_{rs}	0.7			τ_{rs}	1.3
NÁVRHOVÁ HODNOTA MEZE KLUZU S REDUKCÍ VLIVEM SMYKOVÉHO NAPĚTÍ								[MPa]			1.00	1.00	$f_{yv,d}$	191.7								$f_{yd}/3^{0,5}$	110.7			$f_{yd}/3^{0,5}$	110.7
NAPĚTÍ OD POHYBLIVÉHO ZATÍŽENÍ V GLOBÁLNÍM SYSTÉMU						$\sigma_{GLOB,P}$	0.0	[MPa]					$\Sigma\sigma_{GLOB}$	0.0													
NAPĚTÍ OD OSTATNÍCH ZATÍŽENÍ V GLOBÁLNÍM SYSTÉMU						$\sigma_{GLOB,rs}$	0.0	[MPa]					$\Sigma\sigma_z + \Sigma\sigma_{GLOB}$	-99.9													
VYUŽITÍ PRŮŘEZU DLE NAPĚTÍ								[%]					η_1	0.52								η_3	0.01			η_3	0.03
NAPĚTÍ V PŘÍČNÉM SMĚRU OD POHYBLIVÉHO ZATÍŽENÍ						$\sigma_{z,P}$	0.0	[MPa]					$\Sigma\sigma_z$	0.0													
NAPĚTÍ V PŘÍČNÉM SMĚRU OD OSTATNÍCH ZATÍŽENÍ						$\sigma_{z,rs}$	0.0	[MPa]					η_2	0.00													
SROVNÁVACÍ NAPĚTÍ													$(\eta2 + 0,8\ \eta1)/1,4 =$	0.30													
VYUŽITÍ PRŮŘEZU CELKEM								[%]					eff	0.52	VYHOVUJE												
													z_{LM71} =	2.43													

TAB. O1.3 POSOUZENÍ - MEZNÍ STAV ÚNOSNOSTI

POPIS	HORNÍ PÁS O1
PRUT / POLOHA BODU	34 / 3/4
NAMÁHÁNÍ	N.min
VLÁKNO	BOD K4 -SP
MEZNÍ STAV	ULS (MSÚ)
VYUŽITÍ VLÁKNA PRŮŘEZU	0.78

Charakteristiky materiálu				
pás. horní	$f_{yf,k}$	230	MPa	
pás. dolní	$f_{yf,k}$	230	MPa	
stojina	$f_{yw,k}$	230	MPa	
výztuž	$f_{ys,k}$	500	MPa	
	γ_{M} =	1.20	γ_{s} =	1.15

Excentricita normálové síly				
Exc./Fáze	0	1	2	3
e_y	0.000	0.000	0.000	0.000
e_z	0.000	0.000	0.000	0.000
Ekvivalentní vzdál. stěn - příčný roznos				
b_{Mx}	0.000	0.000	0.000	0.000

Vliv stěny na únosnost průřezu				
Char./Fáze	0	1	2	3
A	0.00	0.00	0.00	0.00
Wy	0.00	0.00	0.00	0.00
Wz	0.00	0.00	0.00	0.00

Charakter. v kroucení			
$t_{w,y}$	0.000	[mm]	
$t_{w,z}$	0.000	[mm]	
κ	1.00		
I_t=	0.00E+00	[mm^4]	
$\Omega=2*A_{pr}$	0.00E+00	[mm^2]	

Součinitele vzpěru a vlivu II.řádu				
Char./Fáze	0	1	2	3
k_y	1.030	1.000	1.000	1.000
k_z	1.020	1.000	1.000	1.000
χ_{LT}	1.000	1.000	1.000	1.000
χ_{min}	0.850	1.000	1.000	1.000

Vnitřní síly od jednotlivých skupin zatěžovacích stavů — SKUPINA ZATĚŽOVACÍCH STAVŮ — 3

Č.	SKUP ZS	POPIS ZS	KAT.	FÁZE PRŮŘ.	- CHARAKTERISTICKÉ HODNOTY N.k (kN)	Vy.k (kN)	Vz.k (kN)	Mx.k (kNm)	My.k (kNm)	Mz.k (kNm)	γ_{sup} (-)	γ_{inf} (-)	volba ψ_i hledat	ψ_i (-)	L_d (m)	δ (-)	Ψ_s KZ03	- NÁVRHOVÉ HODNOTY N.d (kN)	Vy.d (kN)	Vz.d (kN)	ΔVz.d (kN)	ΣVz.d (kN)	Mx.d (kNm)	My.d (kNm)	ΔMy.d (kNm)	ΣMy.d (kNm)	Mz.d (kNm)	ΔMz.d (kNm)	ΣMz.d (kNm)
1	G0	Vlastní tíha OK	G	0	-962	5	26	0	-23	-2	1.00	1.20		1.20	-	1.00	0.95	-1 097	6	30	0	30	0	-27	0	-27	-3	0	-3
2	G1	Ostatní stálé - mostní vybavení	G	0	-73	0	2	0	-2	0	1.00	1.20		1.20	-	1.00	0.95	-83	0	2	0	2	0	-2	0	-2	0	0	0
3	G2	Ostatní stálé - cizí zařízení	G	0	-44	0	1	0	-1	0	1.00	1.20		1.20	-	1.00	0.95	-50	0	1	0	1	0	-1	0	-1	0	0	0
4	P1_71	a.LM71 - kolej 1 (bez dyn. souč.)	P	0	-658	6	16	0	-20	-10	1.00	1.30		1.30	-	1.00	1.00	-856	7	21	0	21	0	-27	0	-27	-14	0	-14
5	P2_71	a.LM71 - kolej 2 (bez dyn. souč.)	P	0	-1 511	2	34	0	-38	-8	1.00	1.30		1.30	-	1.00	1.00	-1 964	2	45	0	45	0	-50	0	-50	-10	0	-10
6	P1_C3	TTZ C3 - kolej 1 (bez dyn. souč.)	P	0	-560	5	14	0	-18	-9	1.00	vyp.		0.00	-	1.00	0.00	0	0	0	0	0	0	0	0	0	0	0	0
7	P2_C3	TTZ C3 - kolej 2 (bez dyn. souč.)	P	0	-1 281	2	29	0	-32	-8	1.00	vyp.		0.00	-	1.00	0.00	0	0	0	0	0	0	0	0	0	0	0	0
8	BR	Brzdné a rozjezdové síly	P	0	-88	1	14	0	-25	2	1.00	1.30		1.30	-	1.00	0.80	-92	1	15	0	15	0	-26	0	-26	2	0	2
9	S	Boční ráz	P	0	-6	1	0	0	-1	-3	1.00	1.30		1.30	-	1.00	0.40	-3	0	0	0	0	0	0	0	0	-1	0	-1
10	CH	Chodci na lávkách	Q	0	-141	1	3	0	-4	1	1.00	1.30		1.30	-	1.00	1.00	-183	1	4	0	4	0	-5	0	-5	1	0	1
11	W	Vítr na konstrukci	Q	0	-78	5	3	0	-1	-8	1.00	1.35		1.35	-	1.00	0.75	-79	5	3	0	3	0	-1	0	-1	-9	0	-9
12	WP	Vítr na vozidla	Q	0	-62	-2	2	0	1	9	1.00	1.35		1.35	-	1.00	0.75	-62	-2	2	0	2	0	1	0	1	9	0	9
13	TR	Teplota rovnoměrná	Q	0	0	0	0	0	0	0	1.00	1.35		1.35	-	1.00	0.45	0	0	0	0	0	0	0	0	0	0	0	0
14	TN	Teplota nerovnoměrná	Q	0	-24	-1	-4	0	-7	-6	1.00	1.35		1.35	-	1.00	0.60	-19	-1	-3	0	-3	0	-6	0	-6	-5	0	-5
15	FR	Třecí síly v ložiskách	Q	0	-8	0	1	0	-2	0	1.00	1.20		1.20	-	1.00	1.00	-10	0	2	0	2	0	-3	0	-3	0	0	0
16	I	Imperfekce soustavy	Q	0	-20	1	1	0	0	-4	1.00	1.20		1.20	-	1.00	1.00	-24	1	1	0	1	0	-1	0	-1	-5	0	-5
27	ULS_LM	ULS - LM71 bez dynam	Q	0	-4 547	22	127	0	-152	-35	1.00	vyp.		0.00	-	1.00	0.00	0	0	0	0	0	0	0	0	0	0	0	0
28	SLS_LM	SLS - LM71 bez dynam	Q	0	-3 613	18	104	0	-116	-23	1.00	vyp.	1	0.00	-	1.00	0.00	0	0	0	0	0	0	0	0	0	0	0	0
29	ULS_C3	ULS - C3 bez dynam	Q	0	-4 120	21	116	0	-141	-33	1.00	vyp.	1	0.00	-	1.00	0.00	0	0	0	0	0	0	0	0	0	0	0	0
30	SLS_C3	SLS - C3 bez dynam	Q	0	-3 285	18	95	0	-108	-22	1.00	vyp.	1	0.00	-	1.00	0.00	0	0	0	0	0	0	0	0	0	0	0	0
		CELKEM - FÁZE PRŮŘEZU 0			-4 523	22	123	0	-150	-35								123	0	-150	0	-35							
		CELKEM - FÁZE PRŮŘEZU 1			0	0	0	0	0	0								0	0	0	0	0							
		CELKEM - FÁZE PRŮŘEZU 2			0	0	0	0	0	0								0	0	0	0	0							
		CELKEM - FÁZE PRŮŘEZU 3			0	0	0	0	0	0								0	0	0	0	0							
		CELKEM - PRŮŘEZ			-4 523	22	123	0	-150	-35								123	0	-150	0	-35							

Napětí od jednotlivých zatěžovacích stavů — SKUPINA ZATĚŽOVACÍCH STAVŮ

Č.	SKUP ZS	Popis ZS	Kat.	fáze průř.	Posouzení normálového napětí — Účinek síly N: δ^*N_d [kN]	χ^*A [mm^2]	σ_n [MPa]	Účinek momentu My: $\delta^*M_{y,d}$ [kNm]	$\chi_{lt}{}^*W_{el,y}$ [mm^3]	σ_{my} [MPa]	Účinek momentu Mz: $\delta^*M_{z,d}$ [kNm]	$W_{el,z}$ [mm^3]	σ_{mz} [MPa]	σ_x [MPa]	Posouzení smykového napětí — Účinek kroutícího momentu Mx: $\kappa^*\delta^*M_{x,d}$ [kNm]	$W_{v,y}$ [mm^2]	$\tau_{x,y}$ [MPa]	$W_{v,z}$ [mm^2]	$\tau_{x,z}$ [MPa]	Účinek smykové síly Vy: $\delta^*V_{y,d}$ [kN]	$A_{v,y}$ [mm2]	$\tau_{v,y}$ [MPa]	$\tau_{v,y}$ [MPa]	Účinek smykové síly Vz: $\delta^*V_{z,d}$ [kN]	$A_{v,z}$ [mm2]	$\tau_{v,z}$ [MPa]	$\tau_{v,z}$ [MPa]
1	G0	Vlastní tíha OK	G	0	-1 096.6	4.02E+04	-27.2	-27.1	4.80E+06	-5.6	-2.7	7.04E+06	-0.4	-33.3	-1.1E-02	-	-	-	-	5.9	1.62E+04	0.4	0.4	30.1	3.11E+04	1.0	1.0
2	G1	Ostatní stálé - mostní vybavení	G	0	-83.0	4.02E+04	-2.1	-2.4	4.80E+06	-0.5	-0.2	7.04E+06	0.0	-2.6	0.0E+00	-	-	-	-	0.4	1.62E+04	0.0	0.0	2.1	3.11E+04	0.1	0.1
3	G2	Ostatní stálé - cizí zařízení	G	0	-50.4	4.02E+04	-1.3	-1.4	4.80E+06	-0.3	0.2	7.04E+06	0.0	-1.5	0.0E+00	-	-	-	-	0.3	1.62E+04	0.0	0.0	1.2	3.11E+04	0.0	0.0
4	P1_71	a.LM71 - kolej 1 (bez dyn. souč.)	P	0	-855.5	4.02E+04	-21.3	-27.3	4.80E+06	-5.7	-13.9	7.04E+06	-2.0	-28.9	-6.5E-02	-	-	-	-	7.4	1.62E+04	0.5	0.5	21.0	3.11E+04	0.7	0.7
5	P2_71	a.LM71 - kolej 2 (bez dyn. souč.)	P	0	-1 964.0	4.02E+04	-48.8	-50.3	4.80E+06	-10.5	-10.3	7.04E+06	-1.5	-60.7	-2.6E-02	-	-	-	-	2.1	1.62E+04	0.1	0.1	44.7	3.11E+04	1.4	1.4
6	P1_C3	TTZ C3 - kolej 1 (bez dyn. souč.)	P	0	0.0	4.02E+04	0.0	0.0	4.80E+06	0.0	0.0	7.04E+06	0.0	0.0	0.0E+00	-	-	-	-	0.0	1.62E+04	0.0	0.0	0.0	3.11E+04	0.0	0.0
7	P2_C3	TTZ C3 - kolej 2 (bez dyn. souč.)	P	0	0.0	4.02E+04	0.0	0.0	4.80E+06	0.0	0.0	7.04E+06	0.0	0.0	0.0E+00	-	-	-	-	0.0	1.62E+04	0.0	0.0	0.0	3.11E+04	0.0	0.0
8	BR	Brzdné a rozjezdové síly	P	0	-91.9	4.02E+04	-2.3	-26.4	4.80E+06	-5.5	1.8	7.04E+06	0.3	-7.5	0.0E+00	-	-	-	-	0.8	1.62E+04	0.0	0.0	15.0	3.11E+04	0.5	0.5
9	S	Boční ráz	P	0	-3.4	4.02E+04	-0.1	-0.4	4.80E+06	-0.1	-1.5	7.04E+06	-0.2	-0.4	-5.2E-03	-	-	-	-	0.3	1.62E+04	0.0	0.0	0.0	3.11E+04	0.0	0.0
10	CH	Chodci na lávkách	Q	0	-182.9	4.02E+04	-4.5	-5.2	4.80E+06	-1.1	0.9	7.04E+06	0.1	-5.5	0.0E+00	-	-	-	-	1.1	1.62E+04	0.1	0.1	4.4	3.11E+04	0.1	0.1
11	W	Vítr na konstrukci	Q	0	-79.4	4.02E+04	-2.0	-0.7	4.80E+06	-0.2	-8.7	7.04E+06	-1.2	-3.4	-2.0E-02	-	-	-	-	5.0	1.62E+04	0.3	0.3	3.3	3.11E+04	0.1	0.1
12	WP	Vítr na vozidla	Q	0	-62.5	4.02E+04	-1.6	0.6	4.80E+06	0.1	9.0	7.04E+06	1.3	-0.1	4.1E-02	-	-	-	-	-2.1	1.62E+04	-0.1	-0.1	1.9	3.11E+04	0.1	0.1
13	TR	Teplota rovnoměrná	Q	0	0.0	4.02E+04	0.0	0.0	4.80E+06	0.0	0.0	7.04E+06	0.0	0.0	0.0E+00	-	-	-	-	0.0	1.62E+04	0.0	0.0	0.0	3.11E+04	0.0	0.0
14	TN	Teplota nerovnoměrná	Q	0	-19.5	4.02E+04	-0.5	-6.1	4.80E+06	-1.3	-5.2	7.04E+06	-0.7	-2.5	-2.4E-02	-	-	-	-	-0.9	1.62E+04	-0.1	-0.1	-3.1	3.11E+04	-0.1	-0.1
15	FR	Třecí síly v ložiskách	Q	0	-9.8	4.02E+04	-0.2	-2.7	4.80E+06	-0.6	0.1	7.04E+06	0.0	-0.8	0.0E+00	-	-	-	-	0.1	1.62E+04	0.0	0.0	1.7	3.11E+04	0.1	0.1
16	I	Imperfekce soustavy	Q	0	-24.0	4.02E+04	-0.6	-0.5	4.80E+06	-0.1	-5.0	7.04E+06	-0.7	-1.4	-1.2E-02	-	-	-	-	1.4	1.62E+04	0.1	0.1	1.0	3.11E+04	0.0	0.0
27	ULS_LM	ULS - LM71 bez dynam	Q	0	0.0	4.02E+04	0.0	0.0	4.80E+06	0.0	0.0	7.04E+06	0.0	0.0	0.0E+00	-	-	-	-	0.0	1.62E+04	0.0	0.0	0.0	3.11E+04	0.0	0.0
28	SLS_LM	SLS - LM71 bez dynam	Q	0	0.0	4.02E+04	0.0	0.0	4.80E+06	0.0	0.0	7.04E+06	0.0	0.0	0.0E+00	-	-	-	-	0.0	1.62E+04	0.0	0.0	0.0	3.11E+04	0.0	0.0
29	ULS_C3	ULS - C3 bez dynam	Q	0	0.0	4.02E+04	0.0	0.0	4.80E+06	0.0	0.0	7.04E+06	0.0	0.0	0.0E+00	-	-	-	-	0.0	1.62E+04	0.0	0.0	0.0	3.11E+04	0.0	0.0
30	SLS_C3	SLS - C3 bez dynam	Q	0	0.0	4.02E+04	0.0	0.0	4.80E+06	0.0	0.0	7.04E+06	0.0	0.0	0.0E+00	-	-	-	-	0.0	1.62E+04	0.0	0.0	0.0	3.11E+04	0.0	0.0
		NAVÝŠENÍ NAPĚTÍ DO AKTIVACE TLAKU V DESCE MOSTOVKY				$\sigma_{P,red}$	0.0							0.0			0.0		0.0			1.3	1.3			4.0	4.0
		NAPĚTÍ OD PRIMÁRNÍCH ÚČINKŮ NEROVNOMĚRNÉHO OTEPLENÍ				σ_T	0.0							0.0													
		NAPĚTÍ OD REOLOGICKÝCH ÚČINKŮ BETONU V ČASE		t=0		σ_R	0.0	γ_{inf}=	1.20					0.0													
		NAPĚTÍ V KRITICKÝCH VLÁKNECH OD KOMBINACE ZATÍŽENÍ				KZ03		[MPa]					$\Sigma\sigma_x$	-148.7								$\Sigma\tau_y$	1.3			$\Sigma\tau_z$	4.0
		NAPĚTÍ OD POHYBLIVÉHO ZATÍŽENÍ						[MPa]					$\sigma_{x,P}$	-97.6								τ_P	0.7			τ_P	2.6
		NAPĚTÍ OD OSTATNÍCH ZATÍŽENÍ						[MPa]			Φ_{Vy}	Φ_{Vz}	$\sigma_{x,rs}$	-51.1								τ_{rs}	0.7			τ_{rs}	1.4
		NÁVRHOVÁ HODNOTA MEZE KLUZU S REDUKCÍ VLIVEM SMYKOVÉHO NAPĚTÍ						[MPa]			1.00	1.00	$f_{yw,d}$	191.7								$f_{yd}/3^{0,5}$	110.7			$f_{yd}/3^{0,5}$	110.7
		NAPĚTÍ OD POHYBLIVÉHO ZATÍŽENÍ V GLOBÁLNÍM SYSTÉMU				$\sigma_{GLOB,P}$	0.0	[MPa]					$\Sigma\sigma_{GLOB}$	0.0													
		NAPĚTÍ OD OSTATNÍCH ZATÍŽENÍ V GLOBÁLNÍM SYSTÉMU				$\sigma_{GLOB,rs}$	0.0	[MPa]					$\Sigma\sigma_x + \Sigma\sigma_{GLOB}$	-148.7													
		VYUŽITÍ PRŮŘEZU DLE NAPĚTÍ						[%]					η_1	0.78								η_3	0.01			η_3	0.04
		NAPĚTÍ V PŘÍČNÉM SMĚRU OD POHYBLIVÉHO ZATÍŽENÍ				$\sigma_{z,P}$	0.0	[MPa]					$\Sigma\sigma_z$	0.0													
		NAPĚTÍ V PŘÍČNÉM SMĚRU OD OSTATNÍCH ZATÍŽENÍ				$\sigma_{z,rs}$	0.0	[MPa]					η_2	0.00													
		SROVNÁVACÍ NAPĚTÍ											$(\eta 2 + 0{,}8\,\eta 1)/1{,}4$ =	0.44													
		VYUŽITÍ PRŮŘEZU CELKEM						[%]					eff	0.78	VYHOVUJE												
													Z_{LM71} =	1.44													

TAB. O1.3 POSOUZENÍ - MEZNÍ STAV ÚNOSNOSTI

POPIS	HORNÍ PÁS O1
PRUT / POLOHA BODU	34 / 3/4
NAMÁHÁNÍ	My.min
VLÁKNO	BOD S6 -HP
MEZNÍ STAV	ULS (MSÚ)
VYUŽITÍ VLÁKNA PRŮŘEZU	0.72

Charakteristiky materiálu				
pás. horní	$f_{yf,k}$	230	MPa	
pás. dolní	$f_{yf,k}$	230	MPa	
stojina	$f_{yw,k}$	230	MPa	
výztuž	$f_{ys,k}$	500	MPa	
γ_M =	1.20	γ_s =	1.15	

Excentricita normálové síly				
Exc./Fáze	0	1	2	3
e_y	0.000	0.000	0.000	0.000
e_z	0.000	0.000	0.000	0.000
Ekvivalentní vzdál. stěn - příčný roznos				
b_{Mx}	0.000	0.000	0.000	0.000

Vliv stěny na únosnost průřezu				
Char./Fáze	0	1	2	3
A	0.00	0.00	0.00	0.00
Wy	0.00	0.00	0.00	0.00
Wz	0.00	0.00	0.00	0.00

Charakter. v kroucení			
$t_{w,y}$	0.000	[mm]	
$t_{w,z}$	0.000	[mm]	
κ	1.00		
I_t=	0.00E+00	[mm^4]	
$\Omega=2*A_{pz}$	0.00E+00	[mm^2]	

Součinitele vzpěru a vlivu II.řádu				
Char./Fáze	0	1	2	3
k_y	1.030	1.000	1.000	1.000
k_z	1.020	1.000	1.000	1.000
χ_{LT}	1.000	1.000	1.000	1.000
χ_{min}	0.850	1.000	1.000	1.000

Vnitřní síly od jednotlivých skupin zatěžovacích stavů — SKUPINA ZATĚŽOVACÍCH STAVŮ — 3

Č.	SKUP ZS	POPIS ZS	KAT.	FÁZE PRŮŘ.	- CHARAKTERISTICKÉ HODNOTY N,k (kN)	Vy,k (kN)	Vz,k (kN)	Mx,k (kNm)	My,k (kNm)	Mz,k (kNm)	DÍLČÍ SOUČINITELÉ ZATÍŽENÍ, DYNAMICKÝ SOUČINITEL γ_{sr} (-)	γ_{sl} (-)	volba γ_{sl} hledat	ψ_1 (-)	L_d (m)	δ (-)	γ_{Sc} KZ03	- NÁVRHOVÉ HODNOTY N,d (kN)	Vy,d (kN)	Vz,d (kN)	ΔVz,d (kN)	ΣVz,d (kN)	Mx,d (kNm)	My,d (kNm)	ΔMy,d (kNm)	ΣMy,d (kNm)	Mz,d (kNm)	ΔMz,d (kNm)	ΣMz,d (kNm)
1	G0	Vlastní tíha OK	G	0	-962	5	26	0	-23	-2	1.00	1.20		1.20	-	1.00	0.95	-1 097	6	30	0	30	0	-27	0	-27	-3	0	-3
2	G1	Ostatní stálé - mostní vybavení	G	0	-73	0	2	0	-2	0	1.00	1.20		1.20	-	1.00	0.95	-83	0	2	0	2	0	-2	0	-2	0	0	0
3	G2	Ostatní stálé - cizí zařízení	G	0	-44	0	1	0	-1	0	1.00	1.20		1.20	-	1.00	0.95	-50	0	1	0	1	0	-1	0	-1	0	0	0
4	P1_71	a.LM71 - kolej 1 (bez dyn. souč.)	P	0	-651	6	17	0	-21	-8	1.00	1.30		1.30	-	1.00	1.00	-846	8	22	0	22	0	-28	0	-28	-10	0	-10
5	P2_71	a.LM71 - kolej 2 (bez dyn. souč.)	P	0	-1 486	2	37	0	-38	-4	1.00	1.30		1.30	-	1.00	1.00	-1 932	3	48	0	48	0	-51	0	-51	-5	0	-5
6	P1_C3	TTZ C3 - kolej 1 (bez dyn. souč.)	P	0	-557	5	14	0	-18	-8	1.00	vyp.		0.00	-	1.00	0.00	0	0	0	0	0	0	0	0	0	0	0	0
7	P2_C3	TTZ C3 - kolej 2 (bez dyn. souč.)	P	0	-1 239	1	32	0	-32	-4	1.00	vyp.		0.00	-	1.00	0.00	0	0	0	0	0	0	0	0	0	0	0	0
8	BR	Brzdné a rozjezdové síly	P	0	-87	1	14	0	-25	1	1.00	1.30		1.30	-	1.00	0.80	-91	1	15	0	15	0	-27	0	-27	1	0	1
9	S	Boční ráz	P	0	-6	0	0	0	-1	-2	1.00	1.30		1.30	-	1.00	0.40	-3	0	0	0	0	0	0	0	0	-1	0	-1
10	CH	Chodci na lávkách	Q	0	-141	1	3	0	-4	1	1.00	1.30		1.30	-	1.00	1.00	-183	1	4	0	4	0	-5	0	-5	1	0	1
11	W	Vítr na konstrukci	Q	0	-78	5	3	0	-1	-8	1.00	1.35		1.35	-	1.00	0.75	-79	5	3	0	3	0	-1	0	-1	-9	0	-9
12	WP	Vítr na vozidla	Q	0	62	2	-2	0	-1	-9	1.00	-1.35		-1.35	-	1.00	0.75	-62	-2	2	0	2	0	1	0	1	9	0	9
13	TR	Teplota rovnoměrná	Q	0	0	0	0	0	0	0	1.00	1.35		1.35	-	1.00	0.45	0	0	0	0	0	0	0	0	0	0	0	0
14	TN	Teplota nerovnoměrná	Q	0	-24	-1	-4	0	-7	-6	1.00	-1.35		-1.35	-	1.00	0.60	19	1	3	0	3	0	6	0	6	5	0	5
15	FR	Třecí síly v ložiskách	Q	0	-8	0	1	0	-2	0	1.00	1.20		1.20	-	1.00	1.00	-10	0	2	0	2	0	-3	0	-3	0	0	0
16	I	Imperfekce soustavy	Q	0	-20	1	1	0	0	-4	1.00	1.20		1.20	-	1.00	1.00	-24	1	1	0	1	0	-1	0	-1	-5	0	-5
27	ULS_LM	ULS - LM71 bez dynam	Q	0	-4 379	28	127	0	-155	-44	1.00	vyp.		0.00	-	1.00	0.00	0	0	0	0	0	0	0	0	0	0	0	0
28	SLS_LM	SLS - LM71 bez dynam	Q	0	-3 488	23	104	0	-118	-30	1.00	vyp.	1	0.00	-	1.00	0.00	0	0	0	0	0	0	0	0	0	0	0	0
29	ULS_C3	ULS - C3 bez dynam	Q	0	-3 935	25	117	0	-143	-44	1.00	vyp.	1	0.00	-	1.00	0.00	0	0	0	0	0	0	0	0	0	0	0	0
30	SLS_C3	SLS - C3 bez dynam	Q	0	-3 146	20	96	0	-109	-30	1.00	vyp.	1	0.00	-	1.00	0.00	0	0	0	0	0	0	0	0	0	0	0	0
		CELKEM - FÁZE PRŮŘEZU 0			-4 441	25	133	0	-140	-16	0	-16						-4 441	25	133	0	133	0	-140	0	-140	-16	0	-16
		CELKEM - FÁZE PRŮŘEZU 1			0	0	0	0	0	0	0	0						0	0	0	0	0	0	0	0	0	0	0	0
		CELKEM - FÁZE PRŮŘEZU 2			0	0	0	0	0	0	0	0						0	0	0	0	0	0	0	0	0	0	0	0
		CELKEM - FÁZE PRŮŘEZU 3			0	0	0	0	0	0	0	0						0	0	0	0	0	0	0	0	0	0	0	0
		CELKEM - PRŮŘEZ			-4 441	25	133	0	-140	-16								-4 441	25	133	0	133	0			-140			-16

Napětí od jednotlivých zatěžovacích stavů — SKUPINA ZATĚŽOVACÍCH STAVŮ

Č.	SKUP ZS	Popis ZS	Kat.	fáze prúř.	Posouzení normálového napětí — Účinek síly N δ^*N_d [kN]	χ^*A [mm^2]	σ_n [MPa]	Účinek momentu My $\delta^*M_{y,d}$ [kNm]	$\chi_{lt}*W_{el,y}$ [mm^3]	σ_{my} [MPa]	Účinek momentu Mz $\delta^*M_{z,d}$ [kNm]	$W_{el,z}$ [mm^3]	σ_{mz} [MPa]	σ_x [MPa]	Posouzení smykového napětí — Účinek kroutícího momentu Mx $\kappa*\delta^*M_{x,d}$ [kNm]	$W_{v,y}$ [mm^2]	$\tau_{x,y}$ [MPa]	$W_{v,z}$ [mm^2]	$\tau_{x,z}$ [MPa]	Účinek smykové síly Vy $\delta^*V_{y,d}$ [kN]	$A_{v,y}$ [mm2]	$\tau_{v,y}$ [MPa]	$\tau_{v,y}$ [MPa]	Účinek smykové síly Vz $\delta^*V_{z,d}$ [kN]	$A_{v,z}$ [mm2]	$\tau_{v,z}$ [MPa]	$\tau_{v,z}$ [MPa]
1	G0	Vlastní tíha OK	G	0	-1 096.6	4.02E+04	-27.2	-27.1	4.80E+06	-5.6	-2.7	-1.04E+07	0.3	-32.6	-1.1E-02	-	-	-	-	5.9	1.62E+04	0.4	0.4	30.1	3.11E+04	1.0	1.0
2	G1	Ostatní stálé - mostní vybavení	G	0	-83.0	4.02E+04	-2.1	-2.4	4.80E+06	-0.5	-0.2	-1.04E+07	0.0	-2.5	0.0E+00	-	-	-	-	0.4	1.62E+04	0.0	0.0	2.1	3.11E+04	0.1	0.1
3	G2	Ostatní stálé - cizí zařízení	G	0	-50.4	4.02E+04	-1.3	-1.4	4.80E+06	-0.3	0.2	-1.04E+07	0.0	-1.6	0.0E+00	-	-	-	-	0.3	1.62E+04	0.0	0.0	1.2	3.11E+04	0.0	0.0
4	P1_71	a.LM71 - kolej 1 (bez dyn. souč.)	P	0	-846.3	4.02E+04	-21.0	-27.8	4.80E+06	-5.8	-10.0	-1.04E+07	1.0	-25.9	-6.5E-02	-	-	-	-	8.4	1.62E+04	0.5	0.5	21.9	3.11E+04	0.7	0.7
5	P2_71	a.LM71 - kolej 2 (bez dyn. souč.)	P	0	-1 932.2	4.02E+04	-48.0	-51.4	4.80E+06	-10.7	-4.9	-1.04E+07	0.5	-58.2	-1.3E-02	-	-	-	-	2.9	1.62E+04	0.2	0.2	47.7	3.11E+04	1.5	1.5
6	P1_C3	TTZ C3 - kolej 1 (bez dyn. souč.)	P	0	0.0	4.02E+04	0.0	0.0	4.80E+06	0.0	0.0	-1.04E+07	0.0	0.0	0.0E+00	-	-	-	-	0.0	1.62E+04	0.0	0.0	0.0	3.11E+04	0.0	0.0
7	P2_C3	TTZ C3 - kolej 2 (bez dyn. souč.)	P	0	0.0	4.02E+04	0.0	0.0	4.80E+06	0.0	0.0	-1.04E+07	0.0	0.0	0.0E+00	-	-	-	-	0.0	1.62E+04	0.0	0.0	0.0	3.11E+04	0.0	0.0
8	BR	Brzdné a rozjezdové síly	P	0	-90.5	4.02E+04	-2.2	-26.7	4.80E+06	-5.6	1.5	-1.04E+07	-0.1	-8.0	0.0E+00	-	-	-	-	0.9	1.62E+04	0.1	0.1	14.7	3.11E+04	0.5	0.5
9	S	Boční ráz	P	0	-3.0	4.02E+04	-0.1	-0.4	4.80E+06	-0.1	-1.2	-1.04E+07	0.1	-0.1	-5.2E-03	-	-	-	-	0.2	1.62E+04	0.0	0.0	0.0	3.11E+04	0.0	0.0
10	CH	Chodci na lávkách	Q	0	-182.9	4.02E+04	-4.5	-5.2	4.80E+06	-1.1	0.9	-1.04E+07	-0.1	-5.7	0.0E+00	-	-	-	-	1.1	1.62E+04	0.1	0.1	4.4	3.11E+04	0.1	0.1
11	W	Vítr na konstrukci	Q	0	-79.4	4.02E+04	-2.0	-0.7	4.80E+06	-0.2	-8.7	-1.04E+07	0.8	-1.3	-2.0E-02	-	-	-	-	5.0	1.62E+04	0.3	0.3	3.3	3.11E+04	0.1	0.1
12	WP	Vítr na vozidla	Q	0	-62.3	4.02E+04	-1.5	0.6	4.80E+06	0.1	9.2	-1.04E+07	-0.9	-2.3	4.1E-02	-	-	-	-	-2.1	1.62E+04	-0.1	-0.1	1.9	3.11E+04	0.1	0.1
13	TR	Teplota rovnoměrná	Q	0	0.0	4.02E+04	0.0	0.0	4.80E+06	0.0	0.0	-1.04E+07	0.0	0.0	0.0E+00	-	-	-	-	0.0	1.62E+04	0.0	0.0	0.0	3.11E+04	0.0	0.0
14	TN	Teplota nerovnoměrná	Q	0	19.5	4.02E+04	0.5	6.1	4.80E+06	1.3	5.2	-1.04E+07	-0.5	1.3	2.4E-02	-	-	-	-	0.9	1.62E+04	0.1	0.1	3.1	3.11E+04	0.1	0.1
15	FR	Třecí síly v ložiskách	Q	0	-9.8	4.02E+04	-0.2	-2.7	4.80E+06	-0.6	0.1	-1.04E+07	0.0	-0.8	0.0E+00	-	-	-	-	0.1	1.62E+04	0.0	0.0	1.7	3.11E+04	0.1	0.1
16	I	Imperfekce soustavy	Q	0	-24.0	4.02E+04	-0.6	-0.5	4.80E+06	-0.1	-5.0	-1.04E+07	0.5	-0.2	-1.2E-02	-	-	-	-	1.4	1.62E+04	0.1	0.1	1.0	3.11E+04	0.0	0.0
27	ULS_LM	ULS - LM71 bez dynam	Q	0	0.0	4.02E+04	0.0	0.0	4.80E+06	0.0	0.0	-1.04E+07	0.0	0.0	0.0E+00	-	-	-	-	0.0	1.62E+04	0.0	0.0	0.0	3.11E+04	0.0	0.0
28	SLS_LM	SLS - LM71 bez dynam	Q	0	0.0	4.02E+04	0.0	0.0	4.80E+06	0.0	0.0	-1.04E+07	0.0	0.0	0.0E+00	-	-	-	-	0.0	1.62E+04	0.0	0.0	0.0	3.11E+04	0.0	0.0
29	ULS_C3	ULS - C3 bez dynam	Q	0	0.0	4.02E+04	0.0	0.0	4.80E+06	0.0	0.0	-1.04E+07	0.0	0.0	0.0E+00	-	-	-	-	0.0	1.62E+04	0.0	0.0	0.0	3.11E+04	0.0	0.0
30	SLS_C3	SLS - C3 bez dynam	Q	0	0.0	4.02E+04	0.0	0.0	4.80E+06	0.0	0.0	-1.04E+07	0.0	0.0	0.0E+00	-	-	-	-	0.0	1.62E+04	0.0	0.0	0.0	3.11E+04	0.0	0.0
		NAVÝŠENÍ NAPĚTÍ DO AKTIVACE TLAKU V DÉSCE MOSTOVKY				$\sigma_{P,red}$	0.0							0.0			0.0		0.0			1.6	1.6			4.3	4.3
		NAPĚTÍ OD PRIMÁRNÍCH ÚČINKŮ NEROVNOMĚRNÉHO OTEPLENÍ				σ_T	0.0							0.0													
		NAPĚTÍ OD REOLOGICKÝCH ÚČINKŮ BETONU V ČASE		t=0		σ_R	0.0	γ=	1.20					0.0													
		NAPĚTÍ V KRITICKÝCH VLÁKNECH OD KOMBINACE ZATÍŽENÍ				KZ03		[MPa]					$\Sigma\sigma_x$	-137.9								$\Sigma\tau_y$	1.6				$\Sigma\tau_z$	4.3
		NAPĚTÍ OD POHYBLIVÉHO ZATÍŽENÍ						[MPa]					$\sigma_{x,P}$	-92.1								τ_P	0.8				τ_P	2.7
		NAPĚTÍ OD OSTATNÍCH ZATÍŽENÍ						[MPa]			Φ_{Vy}	Φ_{Vz}	$\sigma_{x,rs}$	-45.8								τ_{rs}	0.8				τ_{rs}	1.6
		NÁVRHOVÁ HODNOTA MEZE KLUZU S REDUKCÍ VLIVEM SMYKOVÉHO NAPĚTÍ						[MPa]			1.00	1.00	$f_{yv,d}$	191.7								$f_{yd}/3^{0,5}$	110.7				$f_{yd}/3^{0,5}$	110.7
		NAPĚTÍ OD POHYBLIVÉHO ZATÍŽENÍ V GLOBÁLNÍM SYSTÉMU				$\sigma_{GLOB,P}$	0.0	[MPa]					$\Sigma\sigma_{GLOB}$	0.0														
		NAPĚTÍ OD OSTATNÍCH ZATÍŽENÍ V GLOBÁLNÍM SYSTÉMU				$\sigma_{GLOB,rs}$	0.0	[MPa]					$\Sigma\sigma_x + \Sigma\sigma_{GLOB}$	-137.9														
		VYUŽITÍ PRŮŘEZU DLE NAPĚTÍ						[%]					η_1	0.72								η_3	0.01				η_3	0.04
		NAPĚTÍ V PŘÍČNÉM SMĚRU OD POHYBLIVÉHO ZATÍŽENÍ				$\sigma_{z,P}$	0.0	[MPa]					$\Sigma\sigma_z$	0.0														
		NAPĚTÍ V PŘÍČNÉM SMĚRU OD OSTATNÍCH ZATÍŽENÍ				$\sigma_{z,rs}$	0.0	[MPa]					η_2	0.00														
		SROVNÁVACÍ NAPĚTÍ											$(\eta 2 + 0,8\ \eta 1)/1,4$ =	0.41														
		VYUŽITÍ PRŮŘEZU CELKEM						[%]					eff	0.72	VYHOVUJE													
													Z_{LM71} =	1.58														

VÝPOČET PRŮŘEZOVÝCH CHARAKTERISTIK

PRŮŘEZ: O2 **POPIS:** HORNÍ PÁS - PŘÍHRADA 2 **x =** - **m**

DEFINOVÁNÍ PRŮŘEZU

PÁSNICE HORNÍHO LEVÉHO ÚHELNÍKU	b f.t.l.o =	110	mm				
TLOUŠŤKA PÁSNICE ÚHELNÍKU	t f.t.l.o =	14	mm	OSLABENÍ PÁSNICE - TLOUŠŤKA	Δt f.t.l.o =	0	%
VÝŠKA STĚNY ÚHELNÍKU	h w.t.l.o =	96	mm				
TLOUŠŤKA STĚNY ÚHELNÍKU	t w.t.l.o =	14	mm	OSLABENÍ STĚNY - TLOUŠŤKA	Δt w.t.l.o =	0	%
PÁSNICE HORNÍHO PRAVÉHO ÚHELNÍKU	b f.t.r.o =	110	mm				
TLOUŠŤKA PÁSNICE ÚHELNÍKU	t f.t.r.o =	14	mm	OSLABENÍ PÁSNICE - TLOUŠŤKA	Δt f.t.r.o =	0	%
VÝŠKA STĚNY ÚHELNÍKU	h w.t.r.o =	96	mm				
TLOUŠŤKA STĚNY ÚHELNÍKU	t w.t.r.o =	14	mm	OSLABENÍ STĚNY - TLOUŠŤKA	Δt w.t.r.0 =	0	%
PÁSNICE DOLNÍHO LEVÉHO ÚHELNÍKU	b f.b.l.o =	110	mm				
TLOUŠŤKA PÁSNICE ÚHELNÍKU	t f.b.l.o =	14	mm	OSLABENÍ PÁSNICE - TLOUŠŤKA	Δt f.b.l.o =	0	%
VÝŠKA STĚNY ÚHELNÍKU	h w.b.l.o =	96	mm				
TLOUŠŤKA STĚNY ÚHELNÍKU	t w.b.l.o =	14	mm	OSLABENÍ STĚNY - TLOUŠŤKA	Δt w.b.l.o =	0	%
PÁSNICE DOLNÍHO PRAVÉHO ÚHELNÍKU	b f.b.r.o =	110	mm				
TLOUŠŤKA PÁSNICE ÚHELNÍKU	t f.b.r.o =	14	mm	OSLABENÍ PÁSNICE - TLOUŠŤKA	Δt f.b.r.o =	0	%
VÝŠKA STĚNY ÚHELNÍKU	h w.b.r.o =	96	mm				
TLOUŠŤKA STĚNY ÚHELNÍKU	t w.b.r.o =	14	mm	OSLABENÍ STĚNY - TLOUŠŤKA	Δt w.b.r.o =	0	%
PÁSNICE HORNÍHO LEVÉHO ÚHELNÍKU	b f.t.l.i =	110	mm				
TLOUŠŤKA PÁSNICE ÚHELNÍKU	t f.t.l.i =	14	mm	OSLABENÍ PÁSNICE - TLOUŠŤKA	Δt f.t.l.i =	0	%
VÝŠKA STĚNY ÚHELNÍKU	h w.t.l.i =	96	mm				
TLOUŠŤKA STĚNY ÚHELNÍKU	t w.t.l.i =	14	mm	OSLABENÍ STĚNY - TLOUŠŤKA	Δt w.t.l.i =	0	%
PÁSNICE HORNÍHO PRAVÉHO ÚHELNÍKU	b f.t.r.i =	110	mm				
TLOUŠŤKA PÁSNICE ÚHELNÍKU	t f.t.r.i =	14	mm	OSLABENÍ PÁSNICE - TLOUŠŤKA	Δt f.t.r.i =	0	%
VÝŠKA STĚNY ÚHELNÍKU	h w.t.r.i =	96	mm				
TLOUŠŤKA STĚNY ÚHELNÍKU	t w.t.r.i =	14	mm	OSLABENÍ STĚNY - TLOUŠŤKA	Δt w.t.r.i =	0	%
PÁSNICE DOLNÍHO LEVÉHO ÚHELNÍKU	b f.b.l.i =	0	mm				
TLOUŠŤKA PÁSNICE ÚHELNÍKU	t f.b.l.i =	0	mm	OSLABENÍ PÁSNICE - TLOUŠŤKA	Δt f.b.l.i =	0	%
VÝŠKA STĚNY ÚHELNÍKU	h w.b.l.i =	0	mm				
TLOUŠŤKA STĚNY ÚHELNÍKU	t w.b.l.i =	0	mm	OSLABENÍ STĚNY - TLOUŠŤKA	Δt w.b.l.i =	0	%
PÁSNICE DOLNÍHO PRAVÉHO ÚHELNÍKU	b f.b.r.i =	0	mm				
TLOUŠŤKA PÁSNICE ÚHELNÍKU	t f.b.r.i =	0	mm	OSLABENÍ PÁSNICE - TLOUŠŤKA	Δt f.b.r.i =	0	%
VÝŠKA STĚNY ÚHELNÍKU	h w.b.r.i =	0	mm				
TLOUŠŤKA STĚNY ÚHELNÍKU	t w.b.r.i =	0	mm	OSLABENÍ STĚNY - TLOUŠŤKA	Δt w.b.r.i =	0	%
ŠÍŘKA HORNÍ PÁSNICE	b f.t =	700	mm				
TLOUŠŤKA HORNÍ PÁSNICE	t f.t =	30	mm	OSLABENÍ HORNÍ PÁSNICE	Δt f.t =	0	%
PŘESAH HORNÍ PÁSNICE	o f.t =	0	mm	(nepoužito - pásnice symetrická k ose průřezu)			
SVĚTLÁ VZDÁLENOST MEZI STĚNAMI	l w =	416	mm				
VÝŠKA STĚNY	h w =	480	mm	OSLABENÍ LEVÉ STĚNY	Δt w.l =	0	%
TLOUŠŤKA STĚNY	t w =	24	mm	OSLABENÍ PRAVÉ STĚNY	Δt w.r =	0	%
ŠÍŘKA DOLNÍ LEVÉ PÁSNICE	b f.b.l =	0	mm				
TLOUŠŤKA DOLNÍ LEVÉ PÁSNICE	t f.b.l =	0	mm	OSLABENÍ DOLNÍ PÁSNICE	Δt f.b.l =	0	%
PŘESAH DOLNÍ LEVÉ PÁSNICE	o f.b.l =	0	mm	(nepoužito - pásnice symetrická k ose levé stěny)			
ŠÍŘKA DOLNÍ PRAVÉ PÁSNICE	b f.b.r =	0	mm				
TLOUŠŤKA DOLNÍ PRAVÉ PÁSNICE	t f.b.r =	0	mm	OSLABENÍ DOLNÍ PÁSNICE	Δt f.b.r =	0	%
PŘESAH DOLNÍ PRAVÉ PÁSNICE	o f.b.r =	0	mm	(nepoužito - pásnice symetrická k ose pravé stěny)			

NÝT Č.	SKUPINA	ŘEZ	RED.	VELIKOST di [mm]	POLOHA ei [mm]	POPIS	AKTIVITA OTVORU		NAPĚTÍ sc [MPa]
1		-	1.00	0	42	nýt - f.t.l	0	-	
2		-	1.00	24	65	nýt - f.t.l - úhelník	0		-38.15
3		-	1.00	24	65	nýt - f.t.l - úhelník	0		-36.74
4		-	1.00	20	0	nýt - f.t.l	0		-34.72
5		-	1.00	0	50	nýt - f.t.r	0	-	
6		-	1.00	24	65	nýt - f.t.r - úhelník	0		-32.72
7		-	1.00	24	65	nýt - f.t.r - úhelník	0		-31.31
8		-	1.00	0	42	nýt - f.t.r	0	-	
9		-	1.00	22	45	nýt - w.l - úhelník	0		-37.81
10		-	1.00	22	45	nýt - w.p - úhelník	0		-31.74
11		-	1.00	0	425	nýt - w.l	0	-	
12		-	1.00	0	425	nýt - w.p	0	-	
13		-	1.00	20	310	nýt - w.l	0		-37.61
14		-	1.00	20	310	nýt - w.p	0		-32.18
15		-	1.00	20	230	nýt - w.l	0		-37.69
16		-	1.00	20	230	nýt - w.p	0		-32.26
17		-	1.00	20	150	nýt - w.l	0		-37.77
18		-	1.00	20	150	nýt - w.p	0		-32.34
19		-	1.00	22	45	nýt - w.l - úhelník	0		-38.19
20		-	1.00	22	45	nýt - w.p - úhelník	0		-32.12
21		-	1.00	0	0	nýt - f.b.l	0	-	
22		-	1.00	0	0	nýt - f.b.l - úhelník	0	-	
23		-	1.00	0	0	nýt - f.b.l - úhelník	0	-	
24		-	1.00	0	0	nýt - f.b.l	0	-	
25		-	1.00	0	0	nýt - f.b.r	0	-	
26		-	1.00	0	0	nýt - f.b.r - úhelník	0	-	
27		-	1.00	0	0	nýt - f.b.r - úhelník	0	-	
28		-	1.00	0	0	nýt - f.b.r	0	-	
29		-	1.00					-	
30		-	1.00					-	

ZADÁNÍ ČÁSTÍ PRŮŘEZU:

č.prvku	b [mm]	h [mm]	y_0 [mm]	z_0 [mm]	popis části	druh oslabení	lokální ultimate	boulení servic.
1	110.0	14.0	-287.0	473.0	pásnice	0	1.000	1.000
2	14.0	96.0	-239.0	418.0	stěna	0	1.000	1.000
3	110.0	14.0	287.0	473.0	pásnice	0	1.000	1.000
4	14.0	96.0	239.0	418.0	stěna	0	1.000	1.000
5	110.0	14.0	-287.0	7.0	pásnice	0	1.000	1.000
6	14.0	96.0	-239.0	62.0	stěna	0	1.000	1.000
7	110.0	14.0	287.0	7.0	pásnice	0	1.000	1.000
8	14.0	96.0	239.0	62.0	stěna	0	1.000	1.000
9	700.0	30.0	0.0	495.0	pásnice	0	1.000	1.000
10	24.0	480.0	-220.0	240.0	stěna	0	1.000	1.000
11	24.0	480.0	220.0	240.0	stěna	0	1.000	1.000
12	110.0	14.0	-153.0	473.0	pásnice	0	1.000	1.000
13	14.0	96.0	-201.0	418.0	stěna	0	1.000	1.000
14	110.0	14.0	153.0	473.0	pásnice	0	1.000	1.000
15	14.0	96.0	201.0	418.0	stěna	0	1.000	1.000
16	0.0	0.0	-208.0	0.0	pásnice	0	1.000	1.000
17	0.0	0.0	-208.0	0.0	stěna	0	1.000	1.000
18	0.0	0.0	208.0	0.0	pásnice	0	1.000	1.000
19	0.0	0.0	208.0	0.0	stěna	0	1.000	1.000
20						0	1.000	1.000
21						0	1.000	1.000
22						0	1.000	1.000
23	0.0	0.0	-220.0	0.0	pásnice	0	1.000	1.000
24	0.0	0.0	220.0	0.0	pásnice	0	1.000	1.000
25						0	1.000	1.000
26						0	1.000	1.000
27						0	1.000	1.000
28						0	1.000	1.000
29						0	1.000	1.000
30						0	1.000	1.000
31						0	1.000	1.000
32						0	1.000	1.000
33						0	1.000	1.000
34						0	1.000	1.000
35						0	1.000	1.000
36						0	1.000	1.000
37						0	1.000	1.000
38						0	1.000	1.000
39						0	1.000	1.000
40						0	1.000	1.000
41						0	1.000	1.000
42						0	1.000	1.000
43						0	1.000	1.000
44						0	1.000	1.000
45						0	1.000	1.000
46						0	1.000	1.000
47						0	1.000	1.000
48						0	1.000	1.000
49						0	1.000	1.000
50						0	1.000	1.000
51	0	0	0	0	nýt - pásnic	0	1.000	1.000
52	0	0	-277.0	488.0	nýt - pásnic	0	1.000	1.000
53	0	0	-163.0	488.0	nýt - pásnic	0	1.000	1.000
54	0	0	0.0	495.0	nýt - pásnic	0	1.000	1.000
55	0	0	0	0	nýt - pásnic	0	1.000	1.000
56	0	0	163.0	488.0	nýt - pásnic	0	1.000	1.000
57	0	0	277.0	488.0	nýt - pásnic	0	1.000	1.000
58	0	0	0	0	nýt - pásnic	0	1.000	1.000
59	0	0	-246.0	435.0	nýt - stěna	0	1.000	1.000
60	0	0	246.0	435.0	nýt - stěna	0	1.000	1.000
61	0	0	0	0	nýt - stěna	0	1.000	1.000
62	0	0	0	0	nýt - stěna	0	1.000	1.000
63	0	0	-220.0	310.0	nýt - stěna	0	1.000	1.000
64	0	0	220.0	310.0	nýt - stěna	0	1.000	1.000
65	0	0	-220.0	230.0	nýt - stěna	0	1.000	1.000
66	0	0	220.0	230.0	nýt - stěna	0	1.000	1.000
67	0	0	-220.0	150.0	nýt - stěna	0	1.000	1.000
68	0	0	220.0	150.0	nýt - stěna	0	1.000	1.000
69	0	0	-246.0	45.0	nýt - stěna	0	1.000	1.000
70	0	0	246.0	45.0	nýt - stěna	0	1.000	1.000
71	0	0	0	0	nýt - pásnic	0	1.000	1.000
72	0	0	0	0	nýt - pásnic	0	1.000	1.000
73	0	0	0	0	nýt - pásnic	0	1.000	1.000
74	0	0	0	0	nýt - pásnic	0	1.000	1.000
75	0	0	0	0	nýt - pásnic	0	1.000	1.000
76	0	0	0	0	nýt - pásnic	0	1.000	1.000
77	0	0	0	0	nýt - pásnic	0	1.000	1.000
78	0	0	0	0	nýt - pásnic	0	1.000	1.000
79						0	1.000	1.000
80						0	1.000	1.000
81								
82								
83								
84								
85								
86								
87								
88								
89								
90								
91								
92								
93								
94								
95								
96								
97								
98								
99								
100								

VÝPOČET PRŮŘEZOVÝCH CHARAKTERISTIK

Properties	Basic	Ultimate		Serviceability	
y_t	0.0	0.0		0.0	[mm]
z_t	346.8	346.8		346.8	[mm]
A_i	6.1344E+04	6.1344E+04		6.1344E+04	[mm²]
A_y	3.0240E+04	3.0240E+04		3.0240E+04	[mm²]
A_z	3.1104E+04	3.1104E+04		3.1104E+04	[mm²]
I_{y1}	1.8733E+09	1.8733E+09		1.8733E+09	[mm⁴]
I_w	2.9784E+09	2.9784E+09		2.9784E+09	[mm⁶]
i_y	174.8	174.8		174.8	[mm]
i_z	220.3	220.3		220.3	[mm]
$W_{y,1}$	1.1478E+07	1.1478E+07		1.1478E+07	[mm³]
$W_{z,1}$	-8.5096E+06	-8.5096E+06		-8.5096E+06	[mm³]
$W_{y,2}$	-5.4019E+06	-5.4019E+06		-5.4019E+06	[mm³]
$W_{z,2}$	-8.7087E+06	-8.7087E+06		-8.7087E+06	[mm³]
KRAJNÍ VLÁKNA PRŮŘEZU					
y_1	-350.0	-350.0		-350.0	[mm]
z_1	510.0	510.0		510.0	[mm]
y_2	-342.0	-342.0		-342.0	[mm]
z_2	0.0	0.0		0.0	[mm]
y_3	350.0	350.0		350.0	[mm]
z_3	510.0	510.0		510.0	[mm]
y_4	342.0	342.0		342.0	[mm]
z_4	0.0	0.0		0.0	[mm]
y_5	-232.0	-232.0		-232.0	[mm]
z_5	480.0	480.0		480.0	[mm]
y_6	-232.0	-232.0		-232.0	[mm]
z_6	0.0	0.0		0.0	[mm]

ÚPRAVA MOMENTŮ SETRVAČNOSTI V DŮSLEDKU ČLENĚNÍ PRŮŘEZU

OSA Y 1.00
OSA Z 1.00

SCHÉMA PROMĚNNÝCH

SCHÉMA ZADANÉHO PRŮŘEZU

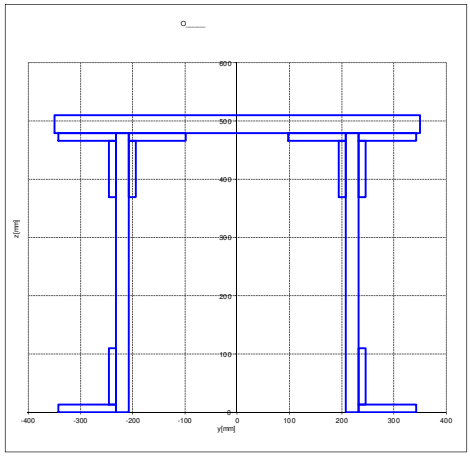

NEUTRÁLNÁ OSA

NAPĚTÍ [MPa]:

-39.09	-30.39
-39.52	-30.88

ZS: SLS_LM_MZ MIN

	N [kN]	Vy [kN]	Vz [kN]	Mx [kNm]	My [kNm]	Mz [kNm]
import	-2139	2	19	0	-2	-37

TR_O2 POPIS: **HORNÍ PÁS O2** POSUDEK: **O2**

SKUPINA ZAT. STAVŮ	EXTRÉM	VYHODNOCOVANÉ VELIČINY					
		N	Vy	Vz	Mx	My	Mz
		kN	kN	kN	kNm	kNm	kNm
G0	N.min	**-1340.65**	-9.11	10.73	0.01	-1.29	9.92
	N.max	**-1340.65**	-9.11	10.73	0.01	-1.29	9.92
	Vy.min	-1340.65	**-9.11**	10.73	0.01	-1.29	9.92
	Vy.max	-1340.65	**-9.11**	10.73	0.01	-1.29	9.92
	Vz.min	-1340.65	-9.11	**10.73**	0.01	-1.29	9.92
	Vz.max	-1340.65	-9.11	**10.73**	0.01	-1.29	9.92
	Mx.min	-1340.65	-9.11	10.73	**0.01**	-1.29	9.92
	Mx.max	-1340.65	-9.11	10.73	**0.01**	-1.29	9.92
	My.min	-1340.65	-9.11	10.73	0.01	**-1.29**	9.92
	My.max	-1340.65	-9.11	10.73	0.01	**-1.29**	9.92
	Mz.min	-1340.65	-9.11	10.73	0.01	-1.29	**9.92**
	Mz.max	-1340.65	-9.11	10.73	0.01	-1.29	**9.92**
G1	N.min	**-101.68**	-0.56	0.12	0	0.09	0.48
	N.max	**-101.68**	-0.56	0.12	0	0.09	0.48
	Vy.min	-101.68	**-0.56**	0.12	0	0.09	0.48
	Vy.max	-101.68	**-0.56**	0.12	0	0.09	0.48
	Vz.min	-101.68	-0.56	**0.12**	0	0.09	0.48
	Vz.max	-101.68	-0.56	**0.12**	0	0.09	0.48
	Mx.min	-101.68	-0.56	0.12	**0**	0.09	0.48
	Mx.max	-101.68	-0.56	0.12	**0**	0.09	0.48
	My.min	-101.68	-0.56	0.12	0	**0.09**	0.48
	My.max	-101.68	-0.56	0.12	0	**0.09**	0.48
	Mz.min	-101.68	-0.56	0.12	0	0.09	**0.48**
	Mz.max	-101.68	-0.56	0.12	0	0.09	**0.48**
G2	N.min	**-61.83**	-0.59	0.16	0	-0.03	0.79
	N.max	**-61.83**	-0.59	0.16	0	-0.03	0.79
	Vy.min	-61.83	**-0.59**	0.16	0	-0.03	0.79
	Vy.max	-61.83	**-0.59**	0.16	0	-0.03	0.79
	Vz.min	-61.83	-0.59	**0.16**	0	-0.03	0.79
	Vz.max	-61.83	-0.59	**0.16**	0	-0.03	0.79
	Mx.min	-61.83	-0.59	0.16	**0**	-0.03	0.79
	Mx.max	-61.83	-0.59	0.16	**0**	-0.03	0.79
	My.min	-61.83	-0.59	0.16	0	**-0.03**	0.79
	My.max	-61.83	-0.59	0.16	0	**-0.03**	0.79
	Mz.min	-61.83	-0.59	0.16	0	-0.03	**0.79**
	Mz.max	-61.83	-0.59	0.16	0	-0.03	**0.79**
P1_71	N.min	**-955.34**	-1.61	0.66	-0.04	4.7	1.62
	N.max	**0.73**	-0.6	-0.02	0	0.03	1.9
	Vy.min	-702.89	**-5.49**	0.63	-0.02	1.36	11.46
	Vy.max	-229.52	**4.23**	1.19	-0.01	2.52	-11.41
	Vz.min	-277.79	-0.05	**-3.32**	-0.01	6.05	2.34
	Vz.max	-710	-0.96	**4.55**	-0.03	-1.33	-2.43
	Mx.min	-866.19	-2.61	1.1	**-0.05**	2.63	4.06
	Mx.max	-62.44	1.27	-1.03	**0.02**	3.88	-1.75
	My.min	-228.59	1.44	4.03	-0.01	**-2.62**	-5.25
	My.max	-697.28	-2.08	-2.43	-0.01	**7.44**	4.36
	Mz.min	-192.31	4.17	1.9	0	1.42	**-11.88**
	Mz.max	-748.67	-5.33	-0.42	-0.02	3.22	**12.05**
P2_71	N.min	**-2065.8**	-8.83	5.65	0.01	-5.07	-0.02
	N.max	**6.48**	-0.85	0.23	0	-0.6	3.12
	Vy.min	-1731.64	**-11.86**	4.27	0.01	-10.08	13.24
	Vy.max	-408.11	**3.19**	5.56	0.01	1.29	-15.53
	Vz.min	-594.87	-1.54	**-9.23**	0	13.09	1.01
	Vz.max	-1550.74	-6.99	**16.71**	0.01	-18.84	-3.12
	Mx.min	-660.25	-0.61	2.03	**-0.03**	1.05	-4.17
	Mx.max	-1450.21	-7.62	3.03	**0.04**	-3.29	2.82
	My.min	-1624.76	-8.77	15.23	0.01	**-20.48**	0.49
	My.max	-423.04	0.84	-6.77	0.01	**14.53**	-3.63
	Mz.min	-453.82	3.12	5.84	0	0.63	**-16.04**
	Mz.max	-1522.01	-11.03	2.65	0.02	-7.05	**14.32**
P1_C3	N.min	**-802.62**	-2.07	0.35	-0.03	3.75	2.7
	N.max	**1.18**	-0.96	-0.02	0	0.05	3.04
	Vy.min	-623.81	**-5.21**	1.39	-0.02	0.13	10.73
	Vy.max	-154.03	**3.27**	1.05	0	1.69	-9
	Vz.min	-230.91	-0.63	**-3.13**	-0.01	5.32	3.64
	Vz.max	-575.89	-1.59	**4.26**	-0.02	-2.07	-0.41
	Mx.min	-738.93	-2.4	0.89	**-0.04**	2	3.15
	Mx.max	-39.62	0.67	-0.98	**0.01**	3.02	-0.38
	My.min	-196.63	1.18	3.96	-0.01	**-2.68**	-4.55
	My.max	-615.51	-2.28	-2.41	-0.02	**6.47**	4.92
	Mz.min	-153.45	3.26	1.16	0	1.55	**-9.05**
	Mz.max	-670.33	-5.11	-0.39	-0.02	2.98	**11.9**
P2_C3	N.min	**-1725.48**	-8.29	4.31	0.01	-5.5	2.13
	N.max	**8.83**	-1	0.39	0	-0.97	3.62
	Vy.min	-1544.23	**-10.56**	1.02	0.01	-4.43	13.3
	Vy.max	-355.83	**2.48**	3.28	0.01	2.23	-12.19
	Vz.min	-511.28	-2.26	**-8.52**	0	11.04	3.84
	Vz.max	-1212.14	-7.19	**15.72**	0.01	-19.3	2.38
	Mx.min	-500.26	-0.02	2.4	**-0.02**	0	-5.13
	Mx.max	-1202	-6.92	-1.04	**0.04**	-1.06	3.75
	My.min	-1315.22	-7.93	15.16	0.01	**-19.55**	2.88
	My.max	-320.47	-0.23	-7.34	0	**12.75**	1.22
	Mz.min	-351.47	2.48	3.57	0.01	1.89	**-12.23**
	Mz.max	-1375.65	-10.26	2.3	0.01	-6.17	**14.18**
BR	N.min	**-65.57**	-1.02	-3.57	0	14.53	1.71
	N.max	**65.57**	1.02	3.57	0	-14.53	-1.71
	Vy.min	-62.03	**-1.26**	-3.56	0	14.49	2.42
	Vy.max	62.03	**1.26**	3.56	0	-14.49	-2.42
	Vz.min	-65.57	-1.02	**-3.57**	0	14.53	1.71
	Vz.max	65.57	1.02	**3.57**	0	-14.53	-1.71
	Mx.min	-65.57	-1.02	-3.57	**0**	14.53	1.71
	Mx.max	65.57	1.02	3.57	**0**	-14.53	-1.71
	My.min	65.57	1.02	3.57	0	**-14.53**	-1.71
	My.max	-65.57	-1.02	-3.57	0	**14.53**	1.71
	Mz.min	62.03	1.26	3.56	0	-14.49	**-2.42**
	Mz.max	-62.03	-1.26	-3.56	0	14.49	**2.42**

TR_O2 POPIS: **HORNÍ PÁS O2** POSUDEK: **O2**

SKUPINA ZAT. STAVŮ	EXTRÉM	VYHODNOCOVANÉ VELIČINY					
		N	Vy	Vz	Mx	My	Mz
		kN	kN	kN	kNm	kNm	kNm
S	N.min	**-16.82**	1.06	-0.28	-0.01	0.72	-3.24
	N.max	**16.82**	-1.06	0.28	0.01	-0.72	3.24
	Vy.min	15.76	**-1.18**	0.23	0.02	-0.5	3.51
	Vy.max	-15.76	**1.18**	-0.23	-0.02	0.5	-3.51
	Vz.min	-14.16	0.84	**-0.36**	-0.01	0.93	-2.5
	Vz.max	14.16	-0.84	**0.36**	0.01	-0.93	2.5
	Mx.min	-12.61	1.16	-0.18	**-0.02**	0.14	-3.83
	Mx.max	12.61	-1.16	0.18	**0.02**	-0.14	3.83
	My.min	14.09	-0.74	0.34	0.01	**-0.93**	2.23
	My.max	-14.09	0.74	-0.34	-0.01	**0.93**	-2.23
	Mz.min	-9.54	1.09	-0.02	-0.01	-0.23	**-4.98**
	Mz.max	9.54	-1.09	0.02	0.01	0.23	**4.98**
CH	N.min	**-196.84**	-1.95	0.5	0	-0.1	2.69
	N.max	**-48.33**	-0.6	-0.07	0	0.36	1.15
	Vy.min	-196.84	**-1.95**	0.5	0	-0.1	2.69
	Vy.max	-48.33	**-0.6**	-0.07	0	0.36	1.15
	Vz.min	-48.33	-0.6	**-0.07**	0	0.36	1.15
	Vz.max	-196.84	-1.95	**0.5**	0	-0.1	2.69
	Mx.min	-48.33	-0.6	-0.07	**0**	0.36	1.15
	Mx.max	-196.84	-1.95	0.5	**0**	-0.1	2.69
	My.min	-196.84	-1.95	0.5	0	**-0.1**	2.69
	My.max	-139.28	-1.54	0.25	0	**0.67**	2.47
	Mz.min	-48.33	-0.6	-0.07	0	0.36	**1.15**
	Mz.max	-196.84	-1.95	0.5	0	-0.1	**2.69**
W	N.min	**-30.12**	-0.27	2.13	0.03	-6.18	8.38
	N.max	**30.09**	0.28	-2.13	-0.03	6.18	-8.39
	Vy.min	-30.12	**-0.27**	2.13	0.03	-6.18	8.38
	Vy.max	30.09	**0.28**	-2.13	-0.03	6.18	-8.39
	Vz.min	30.09	0.28	**-2.13**	-0.03	6.18	-8.39
	Vz.max	-30.12	-0.27	**2.13**	0.03	-6.18	8.38
	Mx.min	30.09	0.28	-2.13	**-0.03**	6.18	-8.39
	Mx.max	-30.12	-0.27	2.13	**0.03**	-6.18	8.38
	My.min	-30.12	-0.27	2.13	0.03	**-6.18**	8.38
	My.max	30.09	0.28	-2.13	-0.03	**6.18**	-8.39
	Mz.min	30.09	0.28	-2.13	-0.03	6.18	**-8.39**
	Mz.max	-30.12	-0.27	2.13	0.03	-6.18	**8.38**
WP	N.min	**-48.31**	-3.83	1.46	0.05	-3.27	10.57
	N.max	**48.22**	3.85	-1.47	-0.05	3.28	-10.66
	Vy.min	-48.31	**-3.83**	1.46	0.05	-3.27	10.57
	Vy.max	48.22	**3.85**	-1.47	-0.05	3.28	-10.66
	Vz.min	48.22	3.85	**-1.47**	-0.05	3.28	-10.66
	Vz.max	-48.31	-3.83	**1.46**	0.05	-3.27	10.57
	Mx.min	48.22	3.85	-1.47	**-0.05**	3.28	-10.66
	Mx.max	-48.31	-3.83	1.46	**0.05**	-3.27	10.57
	My.min	-48.31	-3.83	1.46	0.05	**-3.27**	10.57
	My.max	48.22	3.85	-1.47	-0.05	**3.28**	-10.66
	Mz.min	48.22	3.85	-1.47	-0.05	3.28	**-10.66**
	Mz.max	-48.31	-3.83	1.46	0.05	-3.27	**10.57**
TR	N.min	**0**	0	0	0	0	0
	N.max	**0**	0	0	0	0	0
	Vy.min	0	**0**	0	0	0	0
	Vy.max	0	**0**	0	0	0	0
	Vz.min	0	0	**0**	0	0	0
	Vz.max	0	0	**0**	0	0	0
	Mx.min	0	0	0	**0**	0	0
	Mx.max	0	0	0	**0**	0	0
	My.min	0	0	0	0	**0**	0
	My.max	0	0	0	0	**0**	0
	Mz.min	0	0	0	0	0	**0**
	Mz.max	0	0	0	0	0	**0**
TN	N.min	**-107.41**	15.04	2.24	-0.04	-11.61	-11.12
	N.max	**79.48**	1	0.55	0.03	-2.77	-7.2
	Vy.min	7.03	**-0.82**	-3.22	0	15.79	0.55
	Vy.max	-107.41	**15.04**	2.24	-0.04	-11.61	-11.12
	Vz.min	7.03	-0.82	**-3.22**	0	15.79	0.55
	Vz.max	-7.03	0.82	**3.22**	0	-15.79	-0.55
	Mx.min	-107.41	15.04	2.24	**-0.04**	-11.61	-11.12
	Mx.max	79.48	1	0.55	**0.03**	-2.77	-7.2
	My.min	-7.03	0.82	3.22	0	**-15.79**	-0.55
	My.max	7.03	-0.82	-3.22	0	**15.79**	0.55
	Mz.min	-107.41	15.04	2.24	-0.04	-11.61	**-11.12**
	Mz.max	7.03	-0.82	-3.22	0	15.79	**0.55**
FR	N.min	**-5.91**	-0.09	-0.43	0	1.62	0.16
	N.max	**5.91**	0.09	0.43	0	-1.62	-0.16
	Vy.min	-5.91	**-0.09**	-0.43	0	1.62	0.16
	Vy.max	5.91	**0.09**	0.43	0	-1.62	-0.16
	Vz.min	-5.91	-0.09	**-0.43**	0	1.62	0.16
	Vz.max	5.91	0.09	**0.43**	0	-1.62	-0.16
	Mx.min	-5.91	-0.09	-0.43	**0**	1.62	0.16
	Mx.max	5.91	0.09	0.43	**0**	-1.62	-0.16
	My.min	5.91	0.09	0.43	0	**-1.62**	-0.16
	My.max	-5.91	-0.09	-0.43	0	**1.62**	0.16
	Mz.min	5.91	0.09	0.43	0	-1.62	**-0.16**
	Mz.max	-5.91	-0.09	-0.43	0	1.62	**0.16**
I	N.min	**-8.12**	0.84	0.5	0	-1.57	**-0.18**
	N.max	**8.12**	-0.84	-0.5	0	1.57	**0.18**
	Vy.min	8.12	**-0.84**	-0.5	0	1.57	**0.18**
	Vy.max	-8.12	**0.84**	0.5	0	-1.57	**-0.18**
	Vz.min	8.12	-0.84	**-0.5**	0	1.57	**0.18**
	Vz.max	-8.12	0.84	**0.5**	0	-1.57	**-0.18**
	Mx.min	8.12	-0.84	-0.5	**0**	1.57	**0.18**
	Mx.max	-8.12	0.84	0.5	**0**	-1.57	**-0.18**
	My.min	-8.12	0.84	0.5	0	**-1.57**	**-0.18**
	My.max	8.12	-0.84	-0.5	0	**1.57**	**0.18**
	Mz.min	-8.12	0.84	0.5	0	-1.57	**-0.18**
	Mz.max	8.12	-0.84	-0.5	0	1.57	**0.18**

TAB. O2.3 POSOUZENÍ - MEZNÍ STAV ÚNOSNOSTI

POPIS	HORNÍ PÁS O2
PRUT / POLOHA BODU	32 / 3/4
NAMÁHÁNÍ	N.min
VLÁKNO	BOD K1 -HL
MEZNÍ STAV	ULS (MSÚ)
VYUŽITÍ VLÁKNA PRŮŘEZU	0.63

Charakteristiky materiálu				
pás. horní	$f_{yf,k}$	230	MPa	
pás. dolní	$f_{yf,k}$	230	MPa	
stojina	$f_{yw,k}$	230	MPa	
výztuž	$f_{ys,k}$	500	MPa	
γ_M =	1.20	γ_s =	1.15	

Excentricita normálové síly				
Exc./Fáze	0	1	2	3
e_y	0.000	0.000	0.000	0.000
e_z	0.000	0.000	0.000	0.000
Ekvivalentní vzdál. stěn - příčný roznos				
b_{ekv}	0.000	0.000	0.000	0.000

Vliv stěny na únosnost průřezu				
Char./Fáze	0	1	2	3
A	0.00	0.00	0.00	0.00
Wy	0.00	0.00	0.00	0.00
Wz	0.00	0.00	0.00	0.00

Charakter. v kroucení			
$t_{w,y}$	0.000	[mm]	
$t_{w,z}$	0.000	[mm]	
κ	1.00		
I_t=	0.00E+00	[mm^4]	
$\Omega=2*A_{pr}$	0.00E+00	[mm^2]	

Součinitele vzpěru a vlivu II.řádu				
Char./Fáze	0	1	2	3
k_y	1.030	1.000	1.000	1.000
k_z	1.020	1.000	1.000	1.000
χ_{LT}	1.000	1.000	1.000	1.000
χ_{min}	0.850	1.000	1.000	1.000

Vnitřní síly od jednotlivých skupin zatěžovacích stavů

SKUPINA ZATĚŽOVACÍCH STAVŮ: - CHARAKTERISTICKÉ HODNOTY | DÍLČÍ SOUČINITELÉ ZATÍŽENÍ, DYNAMICKÝ SOUČINITEL | - NÁVRHOVÉ HODNOTY

3

Č.	SKUP ZS	Popis ZS	Kat.	Fáze PRŮŘ.	N.k (kN)	Vy.k (kN)	Vz.k (kN)	Mx.k (kNm)	My.k (kNm)	Mz.k (kNm)	γ_{sd} (-)	γ_{fs} (-)	volba γ_f hledat	γ_f (-)	L_d (m)	δ (-)	γ_z KZ03	N.d (kN)	Vy.d (kN)	Vz.d (kN)	ΔVz.d (kN)	ΣVz.d (kN)	Mx.d (kNm)	My.d (kNm)	ΔMy.d (kNm)	ΣMy.d (kNm)	Mz.d (kNm)	ΔMz.d (kNm)	ΣMz.d (kNm)
1	G0	Vlastní tíha OK	G	0	-1 341	-9	11	0	-1	10	1.00	1.20		1.20	-	1.00	0.95	-1 528	-10	12	0	12	0	-2	0	-2	12	0	12
2	G1	Ostatní stálé - mostní vybavení	G	0	-102	-1	0	0	0	0	1.00	1.20		1.20	-	1.00	0.95	-116	-1	0	0	0	0	0	0	0	1	0	1
3	G2	Ostatní stálé - cizí zařízení	G	0	-62	-1	0	0	0	1	1.00	1.20		1.20	-	1.00	0.95	-70	-1	0	0	0	0	0	0	0	1	0	1
4	P1_71	a.LM71 - kolej 1 (bez dyn. souč.)	P	0	-955	-2	1	0	5	2	1.00	1.30		1.30	-	1.00	1.00	-1 242	-2	1	0	1	0	6	0	6	2	0	2
5	P2_71	a.LM71 - kolej 2 (bez dyn. souč.)	P	0	-2 066	-9	6	0	-5	0	1.00	1.30		1.30	-	1.00	1.00	-2 686	-11	7	0	7	0	-7	0	-7	0	0	0
6	P1_C3	TTZ C3 - kolej 1 (bez dyn. souč.)	P	0	-803	-2	0	0	4	3	1.00	vyp.		0.00	-	1.00	0.00	0	0	0	0	0	0	0	0	0	0	0	0
7	P2_C3	TTZ C3 - kolej 2 (bez dyn. souč.)	P	0	-1 725	-8	4	0	-6	2	1.00	vyp.		0.00	-	1.00	0.00	0	0	0	0	0	0	0	0	0	0	0	0
8	BR	Brzdné a rozjezdové síly	P	0	-66	-1	-4	0	15	2	1.00	1.30		1.30	-	1.00	0.80	-68	-1	-4	0	-4	0	16	0	16	2	0	2
9	S	Boční ráz	P	0	-17	1	0	0	1	-3	1.00	0.00		0.00	-	1.00	0.40	0	0	0	0	0	0	0	0	0	0	0	0
10	CH	Chodci na lávkách	Q	0	-197	-2	1	0	0	3	1.00	1.30		1.30	-	1.00	1.00	-256	-3	1	0	1	0	0	0	0	4	0	4
11	W	Vítr na konstrukci	Q	0	-30	0	2	0	-6	8	1.00	1.35		1.35	-	1.00	0.75	-30	0	2	0	2	0	-6	0	-6	9	0	9
12	WP	Vítr na vozidla	Q	0	-48	-4	1	0	-3	11	1.00	1.35		1.35	-	1.00	0.75	-49	-4	1	0	1	0	-3	0	-3	11	0	11
13	TR	Teplota rovnoměrná	Q	0	0	0	0	0	0	0	1.00	1.35		1.35	-	1.00	0.45	0	0	0	0	0	0	0	0	0	0	0	0
14	TN	Teplota nerovnoměrná	Q	0	-107	15	2	0	-12	-11	1.00	-1.35		-1.35	-	1.00	0.60	87	-12	-2	0	-2	0	10	0	10	9	0	9
15	FR	Třecí síly v ložiskách	Q	0	-6	0	0	0	2	0	1.00	1.20		1.20	-	1.00	1.00	-7	0	-1	0	-1	0	2	0	2	0	0	0
16	I	Imperfekce soustavy	Q	0	-8	1	1	0	-2	0	1.00	-1.20		-1.20	-	1.00	1.00	10	-1	-1	0	-1	0	2	0	2	0	0	0
27	ULS_LM	ULS - LM71 bez dynam	Q	0	-6 178	-20	22	0	-2	29	1.00	vyp.		0.00	-	1.00	0.00	0	0	0	0	0	0	0	0	0	0	0	0
28	SLS_LM	SLS - LM71 bez dynam	Q	0	-4 869	-25	17	0	6	30	1.00	vyp.	1	0.00	-	1.00	0.00	0	0	0	0	0	0	0	0	0	0	0	0
29	ULS_C3	ULS - C3 bez dynam	Q	0	-5 537	-19	20	0	-3	33	1.00	vyp.	1	0.00	-	1.00	0.00	0	0	0	0	0	0	0	0	0	0	0	0
30	SLS_C3	SLS - C3 bez dynam	Q	0	-4 376	-25	15	0	5	33	1.00	vyp.	1	0.00	-	1.00	0.00	0	0	0	0	0	0	0	0	0	0	0	0
		CELKEM - FÁZE PRŮŘEZU 0																-5 956	-46	18	0	18	0	17	0	17	50	0	50
		CELKEM - FÁZE PRŮŘEZU 1																0	0	0	0	0	0	0	0	0	0	0	0
		CELKEM - FÁZE PRŮŘEZU 2																0	0	0	0	0	0	0	0	0	0	0	0
		CELKEM - FÁZE PRŮŘEZU 3																0	0	0	0	0	0	0	0	0	0	0	0
		CELKEM - PRŮŘEZ																-5 956	-46	18	0	18	0			17			50

Napětí od jednotlivých zatěžovacích stavů

SKUPINA ZATĚŽOVACÍCH STAVŮ: Posouzení normálového napětí | Posouzení smykového napětí

Č.	SKUP ZS	Popis ZS	Kat.	fáze průř.	Účinek síly N: δ^*N_d [kN]	χ^*A [mm^2]	σ_n [MPa]	Účinek momentu My: $\delta^*M_{y,d}$ [kNm]	$\chi_{lt}^*W_{el,y}$ [mm^3]	σ_{my} [MPa]	Účinek momentu Mz: $\delta^*M_{z,d}$ [kNm]	$W_{el,z}$ [mm^3]	σ_{mz} [MPa]	σ_x [MPa]	Účinek kroutícího momentu Mx: $\kappa^*\delta^*M_{x,d}$ [kNm]	$W_{v,y}$ [mm^3]	$\tau_{x,y}$ [MPa]	$W_{v,z}$ [mm^3]	$\tau_{x,z}$ [MPa]	Účinek smykové síly Vy: $\delta^*V_{y,d}$ [kN]	$A_{v,y}$ [mm2]	$\tau_{v,y}$ [MPa]	$\tau_{v,y}$ [MPa]	Účinek smykové síly Vz: $\delta^*V_{z,d}$ [kN]	$A_{v,z}$ [mm2]	$\tau_{v,z}$ [MPa]	$\tau_{v,z}$ [MPa]
1	G0	Vlastní tíha OK	G	0	-1 528.3	5.21E+04	-29.3	-1.5	-1.15E+07	0.1	11.5	-8.51E+06	-1.4	-30.5	1.1E-02	-	-	-	-	-10.4	3.02E+04	-0.3	-0.3	12.2	3.11E+04	0.4	0.4
2	G1	Ostatní stálé - mostní vybavení	G	0	-115.9	5.21E+04	-2.2	0.1	-1.15E+07	0.0	0.6	-8.51E+06	-0.1	-2.3	0.0E+00	-	-	-	-	-0.6	3.02E+04	0.0	0.0	0.1	3.11E+04	0.0	0.0
3	G2	Ostatní stálé - cizí zařízení	G	0	-70.5	5.21E+04	-1.4	0.0	-1.15E+07	0.0	0.9	-8.51E+06	-0.1	-1.5	0.0E+00	-	-	-	-	-0.7	3.02E+04	0.0	0.0	0.2	3.11E+04	0.0	0.0
4	P1_71	a.LM71 - kolej 1 (bez dyn. souč.)	P	0	-1 241.9	5.21E+04	-23.8	6.3	-1.15E+07	-0.5	2.1	-8.51E+06	-0.3	-24.6	-5.2E-02	-	-	-	-	-2.1	3.02E+04	-0.1	-0.1	0.9	3.11E+04	0.0	0.0
5	P2_71	a.LM71 - kolej 2 (bez dyn. souč.)	P	0	-2 685.5	5.21E+04	-51.5	-6.8	-1.15E+07	0.6	0.0	-8.51E+06	0.0	-50.9	1.3E-02	-	-	-	-	-11.5	3.02E+04	-0.4	-0.4	7.3	3.11E+04	0.2	0.2
6	P1_C3	TTZ C3 - kolej 1 (bez dyn. souč.)	P	0	0.0	5.21E+04	0.0	0.0	-1.15E+07	0.0	0.0	-8.51E+06	0.0	0.0	0.0E+00	-	-	-	-	0.0	3.02E+04	0.0	0.0	0.0	3.11E+04	0.0	0.0
7	P2_C3	TTZ C3 - kolej 2 (bez dyn. souč.)	P	0	0.0	5.21E+04	0.0	0.0	-1.15E+07	0.0	0.0	-8.51E+06	0.0	0.0	0.0E+00	-	-	-	-	0.0	3.02E+04	0.0	0.0	0.0	3.11E+04	0.0	0.0
8	BR	Brzdné a rozjezdové síly	P	0	-68.2	5.21E+04	-1.3	15.6	-1.15E+07	-1.4	1.8	-8.51E+06	-0.2	-2.9	0.0E+00	-	-	-	-	-1.1	3.02E+04	0.0	0.0	-3.7	3.11E+04	-0.1	-0.1
9	S	Boční ráz	P	0	0.0	5.21E+04	0.0	0.0	-1.15E+07	0.0	0.0	-8.51E+06	0.0	0.0	0.0E+00	-	-	-	-	0.0	3.02E+04	0.0	0.0	0.0	3.11E+04	0.0	0.0
10	CH	Chodci na lávkách	Q	0	-255.9	5.21E+04	-4.9	-0.1	-1.15E+07	0.0	3.6	-8.51E+06	-0.4	-5.3	0.0E+00	-	-	-	-	-2.5	3.02E+04	-0.1	-0.1	0.7	3.11E+04	0.0	0.0
11	W	Vítr na konstrukci	Q	0	-30.5	5.21E+04	-0.6	-6.4	-1.15E+07	0.6	8.7	-8.51E+06	-1.0	-1.0	3.0E-02	-	-	-	-	-0.3	3.02E+04	0.0	0.0	2.2	3.11E+04	0.1	0.1
12	WP	Vítr na vozidla	Q	0	-48.9	5.21E+04	-0.9	-3.4	-1.15E+07	0.3	10.9	-8.51E+06	-1.3	-1.9	5.1E-02	-	-	-	-	-3.9	3.02E+04	-0.1	-0.1	1.5	3.11E+04	0.0	0.0
13	TR	Teplota rovnoměrná	Q	0	0.0	5.21E+04	0.0	0.0	-1.15E+07	0.0	0.0	-8.51E+06	0.0	0.0	0.0E+00	-	-	-	-	0.0	3.02E+04	0.0	0.0	0.0	3.11E+04	0.0	0.0
14	TN	Teplota nerovnoměrná	Q	0	87.0	5.21E+04	1.7	9.7	-1.15E+07	-0.8	9.2	-8.51E+06	-1.1	-0.3	3.2E-02	-	-	-	-	-12.2	3.02E+04	-0.4	-0.4	-1.8	3.11E+04	-0.1	-0.1
15	FR	Třecí síly v ložiskách	Q	0	-7.1	5.21E+04	-0.1	2.0	-1.15E+07	-0.2	0.2	-8.51E+06	0.0	-0.3	0.0E+00	-	-	-	-	-0.1	3.02E+04	0.0	0.0	-0.5	3.11E+04	0.0	0.0
16	I	Imperfekce soustavy	Q	0	9.7	5.21E+04	0.2	1.9	-1.15E+07	-0.2	0.2	-8.51E+06	0.0	0.0	0.0E+00	-	-	-	-	-1.0	3.02E+04	0.0	0.0	-0.6	3.11E+04	0.0	0.0
27	ULS_LM	ULS - LM71 bez dynam	Q	0	0.0	5.21E+04	0.0	0.0	-1.15E+07	0.0	0.0	-8.51E+06	0.0	0.0	0.0E+00	-	-	-	-	0.0	3.02E+04	0.0	0.0	0.0	3.11E+04	0.0	0.0
28	SLS_LM	SLS - LM71 bez dynam	Q	0	0.0	5.21E+04	0.0	0.0	-1.15E+07	0.0	0.0	-8.51E+06	0.0	0.0	0.0E+00	-	-	-	-	0.0	3.02E+04	0.0	0.0	0.0	3.11E+04	0.0	0.0
29	ULS_C3	ULS - C3 bez dynam	Q	0	0.0	5.21E+04	0.0	0.0	-1.15E+07	0.0	0.0	-8.51E+06	0.0	0.0	0.0E+00	-	-	-	-	0.0	3.02E+04	0.0	0.0	0.0	3.11E+04	0.0	0.0
30	SLS_C3	SLS - C3 bez dynam	Q	0	0.0	5.21E+04	0.0	0.0	-1.15E+07	0.0	0.0	-8.51E+06	0.0	0.0	0.0E+00	-	-	-	-	0.0	3.02E+04	0.0	0.0	0.0	3.11E+04	0.0	0.0
		NAVÝŠENÍ NAPĚTÍ DO AKTIVACE TLAKU V DESCE MOSTOVKY				$\sigma_{P,red}$	0.0							0.0			0.0		0.0			-1.5	-1.5			0.6	0.6
		NAPĚTÍ OD PRIMÁRNÍCH ÚČINKŮ NEROVNOMĚRNÉHO OTEPLENÍ				σ_T	0.0							0.0													
		NAPĚTÍ OD REOLOGICKÝCH ÚČINKŮ BETONU V ČASE		t=0		σ_R	0.0	γ_f=	1.20					0.0													
		NAPĚTÍ V KRITICKÝCH VLÁKNECH OD KOMBINACE ZATÍŽENÍ				KZ03		[MPa]					$\Sigma\sigma_x$	-121.6									$\Sigma\tau_y$	-1.5			$\Sigma\tau_z$	0.6
		NAPĚTÍ OD POHYBLIVÉHO ZATÍŽENÍ						[MPa]					$\sigma_{x,P}$	-78.4									τ_P	-0.5			τ_P	0.1
		NAPĚTÍ OD OSTATNÍCH ZATÍŽENÍ						[MPa]			Φ_{vy}	Φ_{vz}	$\sigma_{x,rs}$	-43.2									τ_{rs}	-1.0			τ_{rs}	0.4
		NÁVRHOVÁ HODNOTA MEZE KLUZU S REDUKCÍ VLIVEM SMYKOVÉHO NAPĚTÍ						[MPa]			1.00	1.00	$f_{yv,d}$	191.7									$f_{yd}/3^{0,5}$	110.7			$f_{yd}/3^{0,5}$	110.7
		NAPĚTÍ OD POHYBLIVÉHO ZATÍŽENÍ V GLOBÁLNÍM SYSTÉMU				$\sigma_{GLOB,P}$	0.0	[MPa]					$\Sigma\sigma_{GLOB}$	0.0														
		NAPĚTÍ OD OSTATNÍCH ZATÍŽENÍ V GLOBÁLNÍM SYSTÉMU				$\sigma_{GLOB,rs}$	0.0	[MPa]					$\Sigma\sigma_x + \Sigma\sigma_{GLOB}$	-121.6														
		VYUŽITÍ PRŮŘEZU DLE NAPĚTÍ						[%]					η_1	0.63									η_3	0.01			η_3	0.01
		NAPĚTÍ V PŘÍČNÉM SMĚRU OD POHYBLIVÉHO ZATÍŽENÍ				$\sigma_{z,P}$	0.0	[MPa]					$\Sigma\sigma_z$	0.0														
		NAPĚTÍ V PŘÍČNÉM SMĚRU OD OSTATNÍCH ZATÍŽENÍ				$\sigma_{z,rs}$	0.0	[MPa]					η_2	0.00														
		SROVNÁVACÍ NAPĚTÍ											$(\eta_2 + 0,8\,\eta_1)/1,4$ =	0.36														
		VYUŽITÍ PRŮŘEZU CELKEM						[%]					eff	0.63	VYHOVUJE													
													Z_{LM71} =	1.89														

TAB. O2.3 POSOUZENÍ - MEZNÍ STAV ÚNOSNOSTI

POPIS	HORNÍ PÁS O2
PRUT / POLOHA BODU	32 / 3/4
NAMÁHÁNÍ	N.min
VLÁKNO	BOD K3 -SL
MEZNÍ STAV	ULS (MSÚ)
VYUŽITÍ VLÁKNA PRŮŘEZU	0.65

Charakteristiky materiálu				
pás. horní	$f_{yf,k}$	230	MPa	
pás. dolní	$f_{yf,k}$	230	MPa	
stojina	$f_{yw,k}$	230	MPa	
výztuž	$f_{ys,k}$	500	MPa	
	γ_M =	1.20	γ_s =	1.15

Excentricita normálové síly				
Exc./Fáze	0	1	2	3
e_y	0.000	0.000	0.000	0.000
e_z	0.000	0.000	0.000	0.000
Ekvivalentní vzdál. stěn - příčný roznos				
b_{Mx}	0.000	0.000	0.000	0.000

Vliv stěny na únosnost průřezu				
Char./Fáze	0	1	2	3
A	0.00	0.00	0.00	0.00
Wy	0.00	0.00	0.00	0.00
Wz	0.00	0.00	0.00	0.00

Charakter. v kroucení		
$t_{w,y}$	0.000	[mm]
$t_{w,z}$	0.000	[mm]
κ	1.00	
I_t=	0.00E+00	[mm^4]
Ω=2*A_{pr}	0.00E+00	[mm^2]

Součinitele vzpěru a vlivu II.řádu					
Char./Fáze	0	1	2	3
k_y	1.030	1.000	1.000	1.000
k_z	1.020	1.000	1.000	1.000
χ_{LT}	1.000	1.000	1.000	1.000
χ_{min}	0.850	1.000	1.000	1.000

Vnitřní síly od jednotlivých skupin zatěžovacích stavů

SKUPINA ZATĚŽOVACÍCH STAVŮ — Fáze průř.: 3

Č.	SKUP ZS	POPIS ZS	KAT.	FÁZE PRŮŘ.	- CHARAKTERISTICKÉ HODNOTY N.k (kN)	Vy.k (kN)	Vz.k (kN)	Mx.k (kNm)	My.k (kNm)	Mz.k (kNm)	DÍLČÍ SOUČINITELÉ ZATÍŽENÍ, DYNAMICKÝ SOUČINITEL γ_{sr} (-)	γ_{fs} (-)	volba γ_f hledat	γ_f (-)	L_d (m)	δ (-)	γ_z KZ03	- NÁVRHOVÉ HODNOTY N.d (kN)	Vy.d (kN)	Vz.d (kN)	ΔVz.d (kN)	ΣVz.d (kN)	Mx.d (kNm)	My.d (kNm)	ΔMy.d (kNm)	ΣMy.d (kNm)	Mz.d (kNm)	ΔMz.d (kNm)	ΣMz.d (kNm)
1	G0	Vlastní tíha OK	G	0	-1 341	-9	11	0	-1	10	1.00	1.20		1.20	-	1.00	0.95	-1 528	-10	12	0	12	0	-2	0	-2	12	0	12
2	G1	Ostatní stálé - mostní vybavení	G	0	-102	-1	0	0	0	0	1.00	1.20		1.20	-	1.00	0.95	-116	-1	0	0	0	0	0	0	0	1	0	1
3	G2	Ostatní stálé - cizí zařízení	G	0	-62	-1	0	0	0	1	1.00	1.20		1.20	-	1.00	0.95	-70	-1	0	0	0	0	0	0	0	1	0	1
4	P1_71	a.LM71 - kolej 1 (bez dyn. souč.)	P	0	-955	-2	1	0	5	2	1.00	1.30		1.30	-	1.00	1.00	-1 242	-2	1	0	1	0	6	0	6	2	0	2
5	P2_71	a.LM71 - kolej 2 (bez dyn. souč.)	P	0	-2 066	-9	6	0	-5	0	1.00	1.30		1.30	-	1.00	1.00	-2 686	-11	7	0	7	0	-7	0	-7	0	0	0
6	P1_C3	TTZ C3 - kolej 1 (bez dyn. souč.)	P	0	-803	-2	0	0	4	3	1.00	vyp.		0.00	-	1.00	0.00	0	0	0	0	0	0	0	0	0	0	0	0
7	P2_C3	TTZ C3 - kolej 2 (bez dyn. souč.)	P	0	-1 725	-8	4	0	-6	2	1.00	vyp.		0.00	-	1.00	0.00	0	0	0	0	0	0	0	0	0	0	0	0
8	BR	Brzdné a rozjezdové síly	P	0	-66	-1	-4	0	15	2	1.00	0.00		0.00	-	1.00	0.80	0	0	0	0	0	0	0	0	0	0	0	0
9	S	Boční ráz	P	0	-17	1	0	0	1	-3	1.00	0.00		0.00	-	1.00	0.40	0	0	0	0	0	0	0	0	0	0	0	0
10	CH	Chodci na lávkách	Q	0	-197	-2	1	0	0	3	1.00	1.30		1.30	-	1.00	1.00	-256	-3	1	0	1	0	0	0	0	4	0	4
11	W	Vítr na konstrukci	Q	0	-30	0	2	0	-6	8	1.00	1.35		1.35	-	1.00	0.75	-30	0	2	0	2	0	-6	0	-6	9	0	9
12	WP	Vítr na vozidla	Q	0	-48	-4	1	0	-3	11	1.00	1.35		1.35	-	1.00	0.75	-49	-4	1	0	1	0	-3	0	-3	11	0	11
13	TR	Teplota rovnoměrná	Q	0	0	0	0	0	0	0	1.00	1.35		1.35	-	1.00	0.45	0	0	0	0	0	0	0	0	0	0	0	0
14	TN	Teplota nerovnoměrná	Q	0	-107	15	2	0	-12	-11	1.00	1.35		1.35	-	1.00	0.60	-87	12	2	0	2	0	-10	0	-10	-9	0	-9
15	FR	Třecí síly v ložiskách	Q	0	-6	0	0	0	2	0	1.00	-1.20		-1.20	-	1.00	1.00	7	0	1	0	1	0	-2	0	-2	0	0	0
16	I	Imperfekce soustavy	Q	0	-8	1	1	0	-2	0	1.00	1.20		1.20	-	1.00	1.00	-10	1	1	0	1	0	-2	0	-2	0	0	0
27	ULS_LM	ULS - LM71 bez dynam	Q	0	-6 178	-20	22	0	-2	29	1.00	vyp.	1	0.00	-	1.00	0.00	0	0	0	0	0	0	0	0	0	0	0	0
28	SLS_LM	SLS - LM71 bez dynam	Q	0	-4 869	-25	17	0	6	30	1.00	vyp.	1	0.00	-	1.00	0.00	0	0	0	0	0	0	0	0	0	0	0	0
29	ULS_C3	ULS - C3 bez dynam	Q	0	-5 537	-19	20	0	-3	33	1.00	vyp.	1	0.00	-	1.00	0.00	0	0	0	0	0	0	0	0	0	0	0	0
30	SLS_C3	SLS - C3 bez dynam	Q	0	-4 376	-25	15	0	5	33	1.00	vyp.	1	0.00	-	1.00	0.00	0	0	0	0	0	0	0	0	0	0	0	0
		CELKEM - FÁZE PRŮŘEZU 0																-6 067	-19	28	0	28	0	-26	0	-26	29	0	29
		CELKEM - FÁZE PRŮŘEZU 1																0	0	0	0	0	0	0	0	0	0	0	0
		CELKEM - FÁZE PRŮŘEZU 2																0	0	0	0	0	0	0	0	0	0	0	0
		CELKEM - FÁZE PRŮŘEZU 3																0	0	0	0	0	0	0	0	0	0	0	0
		CELKEM - PRŮŘEZ																-6 067	-19	28	0	28	0			-26			29

Napětí od jednotlivých zatěžovacích stavů

SKUPINA ZATĚŽOVACÍCH STAVŮ

Č.	SKUP ZS	Popis ZS	Kat.	fáze prúř.	Posouzení normálového napětí — Účinek síly N: δ^*N_d [kN]	χ^*A [mm^2]	σ_n [MPa]	Účinek momentu My: $\delta^*M_{y,d}$ [kNm]	$\chi_t{}^*W_{el,y}$ [mm^3]	σ_{my} [MPa]	Účinek momentu Mz: $\delta^*M_{z,d}$ [kNm]	$W_{el,z}$ [mm^3]	σ_{mz} [MPa]	σ_x [MPa]	Posouzení smykového napětí — Účinek kroutícího momentu Mx: $\kappa^*\delta^*M_{x,d}$ [kNm]	$W_{v,y}$ [mm^2]	$\tau_{x,y}$ [MPa]	$W_{v,z}$ [mm^2]	$\tau_{x,z}$ [MPa]	Účinek smykové síly Vy: $\delta^*V_{y,d}$ [kN]	$A_{v,y}$ [mm2]	$\tau_{v,y}$ [MPa]	$\tau_{v,y}$ [MPa]	Účinek smykové síly Vz: $\delta^*V_{z,d}$ [kN]	$A_{v,z}$ [mm2]	$\tau_{v,z}$ [MPa]	$\tau_{v,z}$ [MPa]
1	G0	Vlastní tíha OK	G	0	-1 528.3	5.21E+04	-29.3	-1.5	5.40E+06	-0.3	11.5	-8.71E+06	-1.3	-30.9	1.1E-02	-	-	-	-	-10.4	3.02E+04	-0.3	-0.3	12.2	3.11E+04	0.4	0.4
2	G1	Ostatní stálé - mostní vybavení	G	0	-115.9	5.21E+04	-2.2	0.1	5.40E+06	0.0	0.6	-8.71E+06	-0.1	-2.3	0.0E+00	-	-	-	-	-0.6	3.02E+04	0.0	0.0	0.1	3.11E+04	0.0	0.0
3	G2	Ostatní stálé - cizí zařízení	G	0	-70.5	5.21E+04	-1.4	0.0	5.40E+06	0.0	0.9	-8.71E+06	-0.1	-1.5	0.0E+00	-	-	-	-	-0.7	3.02E+04	0.0	0.0	0.2	3.11E+04	0.0	0.0
4	P1_71	a.LM71 - kolej 1 (bez dyn. souč.)	P	0	-1 241.9	5.21E+04	-23.8	6.3	5.40E+06	1.2	2.1	-8.71E+06	-0.2	-22.9	-5.2E-02	-	-	-	-	-2.1	3.02E+04	-0.1	-0.1	0.9	3.11E+04	0.0	0.0
5	P2_71	a.LM71 - kolej 2 (bez dyn. souč.)	P	0	-2 685.5	5.21E+04	-51.5	-6.8	5.40E+06	-1.3	0.0	-8.71E+06	0.0	-52.8	1.3E-02	-	-	-	-	-11.5	3.02E+04	-0.4	-0.4	7.3	3.11E+04	0.2	0.2
6	P1_C3	TTZ C3 - kolej 1 (bez dyn. souč.)	P	0	0.0	5.21E+04	0.0	0.0	5.40E+06	0.0	0.0	-8.71E+06	0.0	0.0	0.0E+00	-	-	-	-	0.0	3.02E+04	0.0	0.0	0.0	3.11E+04	0.0	0.0
7	P2_C3	TTZ C3 - kolej 2 (bez dyn. souč.)	P	0	0.0	5.21E+04	0.0	0.0	5.40E+06	0.0	0.0	-8.71E+06	0.0	0.0	0.0E+00	-	-	-	-	0.0	3.02E+04	0.0	0.0	0.0	3.11E+04	0.0	0.0
8	BR	Brzdné a rozjezdové síly	P	0	0.0	5.21E+04	0.0	0.0	5.40E+06	0.0	0.0	-8.71E+06	0.0	0.0	0.0E+00	-	-	-	-	0.0	3.02E+04	0.0	0.0	0.0	3.11E+04	0.0	0.0
9	S	Boční ráz	P	0	0.0	5.21E+04	0.0	0.0	5.40E+06	0.0	0.0	-8.71E+06	0.0	0.0	0.0E+00	-	-	-	-	0.0	3.02E+04	0.0	0.0	0.0	3.11E+04	0.0	0.0
10	CH	Chodci na lávkách	Q	0	-255.9	5.21E+04	-4.9	-0.1	5.40E+06	0.0	3.6	-8.71E+06	-0.4	-5.3	0.0E+00	-	-	-	-	-2.5	3.02E+04	-0.1	-0.1	0.7	3.11E+04	0.0	0.0
11	W	Vítr na konstrukci	Q	0	-30.5	5.21E+04	-0.6	-6.4	5.40E+06	-1.2	8.7	-8.71E+06	-1.0	-2.8	3.0E-02	-	-	-	-	-0.3	3.02E+04	0.0	0.0	2.2	3.11E+04	0.1	0.1
12	WP	Vítr na vozidla	Q	0	-48.9	5.21E+04	-0.9	-3.4	5.40E+06	-0.6	10.9	-8.71E+06	-1.3	-2.8	5.1E-02	-	-	-	-	-3.9	3.02E+04	-0.1	-0.1	1.5	3.11E+04	0.0	0.0
13	TR	Teplota rovnoměrná	Q	0	0.0	5.21E+04	0.0	0.0	5.40E+06	0.0	0.0	-8.71E+06	0.0	0.0	0.0E+00	-	-	-	-	0.0	3.02E+04	0.0	0.0	0.0	3.11E+04	0.0	0.0
14	TN	Teplota nerovnoměrná	Q	0	-87.0	5.21E+04	-1.7	-9.7	5.40E+06	-1.8	-9.2	-8.71E+06	1.1	-2.4	-3.2E-02	-	-	-	-	12.2	3.02E+04	0.4	0.4	1.8	3.11E+04	0.1	0.1
15	FR	Třecí síly v ložiskách	Q	0	7.1	5.21E+04	0.1	-2.0	5.40E+06	-0.4	-0.2	-8.71E+06	0.0	-0.2	0.0E+00	-	-	-	-	0.1	3.02E+04	0.0	0.0	0.5	3.11E+04	0.0	0.0
16	I	Imperfekce soustavy	Q	0	-9.7	5.21E+04	-0.2	-1.9	5.40E+06	-0.4	-0.2	-8.71E+06	0.0	-0.5	0.0E+00	-	-	-	-	1.0	3.02E+04	0.0	0.0	0.6	3.11E+04	0.0	0.0
27	ULS_LM	ULS - LM71 bez dynam	Q	0	0.0	5.21E+04	0.0	0.0	5.40E+06	0.0	0.0	-8.71E+06	0.0	0.0	0.0E+00	-	-	-	-	0.0	3.02E+04	0.0	0.0	0.0	3.11E+04	0.0	0.0
28	SLS_LM	SLS - LM71 bez dynam	Q	0	0.0	5.21E+04	0.0	0.0	5.40E+06	0.0	0.0	-8.71E+06	0.0	0.0	0.0E+00	-	-	-	-	0.0	3.02E+04	0.0	0.0	0.0	3.11E+04	0.0	0.0
29	ULS_C3	ULS - C3 bez dynam	Q	0	0.0	5.21E+04	0.0	0.0	5.40E+06	0.0	0.0	-8.71E+06	0.0	0.0	0.0E+00	-	-	-	-	0.0	3.02E+04	0.0	0.0	0.0	3.11E+04	0.0	0.0
30	SLS_C3	SLS - C3 bez dynam	Q	0	0.0	5.21E+04	0.0	0.0	5.40E+06	0.0	0.0	-8.71E+06	0.0	0.0	0.0E+00	-	-	-	-	0.0	3.02E+04	0.0	0.0	0.0	3.11E+04	0.0	0.0
		NAVÝŠENÍ NAPĚTÍ DO AKTIVACE TLAKU V DESCE MOSTOVKY				$\sigma_{P,red}$	0.0							0.0			0.0		0.0			-0.6	-0.6			0.9	0.9
		NAPĚTÍ OD PRIMÁRNÍCH ÚČINKŮ NEROVNOMĚRNÉHO OTEPLENÍ				σ_T	0.0							0.0													
		NAPĚTÍ OD REOLOGICKÝCH ÚČINKŮ BETONU V ČASE		t=0		σ_R	0.0	γ_f=	1.20					0.0													
		NAPĚTÍ V KRITICKÝCH VLÁKNECH OD KOMBINACE ZATÍŽENÍ				KZ03		[MPa]					$\Sigma\sigma_x$	-124.4									$\Sigma\tau_y$	-0.6			$\Sigma\tau_z$	0.9
		NAPĚTÍ OD POHYBLIVÉHO ZATÍŽENÍ						[MPa]					$\sigma_{x,P}$	-75.7									τ_P	-0.4			τ_P	0.3
		NAPĚTÍ OD OSTATNÍCH ZATÍŽENÍ						[MPa]			Φ_{Vy}	Φ_{Vz}	$\sigma_{x,rs}$	-48.7									τ_{rs}	-0.2			τ_{rs}	0.6
		NÁVRHOVÁ HODNOTA MEZE KLUZU S REDUKCÍ VLIVEM SMYKOVÉHO NAPĚTÍ						[MPa]			1.00	1.00	$f_{yv,d}$	191.7									$f_{yd}/3^{0,5}$	110.7			$f_{yd}/3^{0,5}$	110.7
		NAPĚTÍ OD POHYBLIVÉHO ZATÍŽENÍ V GLOBÁLNÍM SYSTÉMU				$\sigma_{GLOB,P}$	0.0	[MPa]					$\Sigma\sigma_{GLOB}$	0.0														
		NAPĚTÍ OD OSTATNÍCH ZATÍŽENÍ V GLOBÁLNÍM SYSTÉMU				$\sigma_{GLOB,rs}$	0.0	[MPa]					$\Sigma\sigma_x + \Sigma\sigma_{GLOB}$	-124.4														
		VYUŽITÍ PRŮŘEZU DLE NAPĚTÍ						[%]					η_1	0.65									η_3	0.01			η_3	0.01
		NAPĚTÍ V PŘÍČNÉM SMĚRU OD POHYBLIVÉHO ZATÍŽENÍ				$\sigma_{z,P}$	0.0	[MPa]					$\Sigma\sigma_z$	0.0														
		NAPĚTÍ V PŘÍČNÉM SMĚRU OD OSTATNÍCH ZATÍŽENÍ				$\sigma_{z,rs}$	0.0	[MPa]					η_2	0.00														
		SROVNÁVACÍ NAPĚTÍ											$(\eta_2 + 0,8\,\eta_1)/1,4$ =	0.37														
		VYUŽITÍ PRŮŘEZU CELKEM						[%]					eff	0.65	VYHOVUJE													
													Z_{LM71} =	1.89														

TAB. O2.3 POSOUZENÍ - MEZNÍ STAV ÚNOSNOSTI

POPIS	HORNÍ PÁS O2
PRUT / POLOHA BODU	32 / 3/4
NAMÁHÁNÍ	Vz.max
VLÁKNO	BOD S6 -HP
MEZNÍ STAV	ULS (MSÚ)
VYUŽITÍ VLÁKNA PRŮŘEZU	0.57

Charakteristiky materiálu				
pás. horní	$f_{yf,k}$	230	MPa	
pás. dolní	$f_{yf,k}$	230	MPa	
stojina	$f_{yw,k}$	230	MPa	
výztuž	$f_{ys,k}$	500	MPa	
γ_M =	1.20	γ_s =	1.15	

Excentricita normálové síly				
Exc./Fáze	0	1	2	3
e_y	0.000	0.000	0.000	0.000
e_z	0.000	0.000	0.000	0.000
Ekvivalentní vzdál. stěn - příčný roznos				
b_{Mx}	0.000	0.000	0.000	0.000

Vliv stěny na únosnost průřezu				
Char./Fáze	0	1	2	3
A	0.00	0.00	0.00	0.00
Wy	0.00	0.00	0.00	0.00
Wz	0.00	0.00	0.00	0.00

Charakter. v kroucení			
$t_{w,y}$	0.000	[mm]	
$t_{w,z}$	0.000	[mm]	
κ	1.00		
I_t=	0.00E+00	[mm^4]	
$\Omega=2*A_{pz}$	0.00E+00	[mm^2]	

Součinitele vzpěru a vlivu II.řádu				
Char./Fáze	0	1	2	3
k_y	1.030	1.000	1.000	1.000
k_z	1.020	1.000	1.000	1.000
χ_{LT}	1.000	1.000	1.000	1.000
χ_{min}	0.850	1.000	1.000	1.000

Vnitřní síly od jednotlivých skupin zatěžovacích stavů

SKUPINA ZATĚŽOVACÍCH STAVŮ: 3

Č.	SKUP ZS	POPIS ZS	KAT.	FÁZE PRŮŘ.	- CHARAKTERISTICKÉ HODNOTY N.k (kN)	Vy.k (kN)	Vz.k (kN)	Mx.k (kNm)	My.k (kNm)	Mz.k (kNm)	DÍLČÍ SOUČINITELÉ ZATÍŽENÍ, DYNAMICKÝ SOUČINITEL γ_{or} (-)	γ_{Q} (-)	volba ψ_i hledat	ψ_i (-)	L_d (m)	δ (-)	$\gamma_{F,z}$ KZ03	- NÁVRHOVÉ HODNOTY N.d (kN)	Vy.d (kN)	Vz.d (kN)	ΔVz.d (kN)	ΣVz.d (kN)	Mx.d (kNm)	My.d (kNm)	ΔMy.d (kNm)	ΣMy.d (kNm)	Mz.d (kNm)	ΔMz.d (kNm)	ΣMz.d (kNm)
1	G0	Vlastní tíha OK	G	0	-1 341	-9	11	0	-1	10	1.00	1.20		1.20	-	1.00	0.95	-1 528	-10	12	0	12	0	-2	0	-2	12	0	12
2	G1	Ostatní stálé - mostní vybavení	G	0	-102	-1	0	0	0	0	1.00	1.20		1.20	-	1.00	0.95	-116	-1	0	0	0	0	0	0	0	1	0	1
3	G2	Ostatní stálé - cizí zařízení	G	0	-62	-1	0	0	0	1	1.00	1.20		1.20	-	1.00	0.95	-70	-1	0	0	0	0	0	0	0	1	0	1
4	P1_71	a.LM71 - kolej 1 (bez dyn. souč.)	P	0	-710	-1	5	0	-1	-2	1.00	1.30		1.30	-	1.00	1.00	-923	-1	6	0	6	0	-2	0	-2	-3	0	-3
5	P2_71	a.LM71 - kolej 2 (bez dyn. souč.)	P	0	-1 551	-7	17	0	-19	-3	1.00	1.30		1.30	-	1.00	1.00	-2 016	-9	22	0	22	0	-25	0	-25	-4	0	-4
6	P1_C3	TTZ C3 - kolej 1 (bez dyn. souč.)	P	0	-576	-2	4	0	-2	0	1.00	vyp.		0.00	-	1.00	0.00	0	0	0	0	0	0	0	0	0	0	0	0
7	P2_C3	TTZ C3 - kolej 2 (bez dyn. souč.)	P	0	-1 212	-7	16	0	-19	2	1.00	vyp.		0.00	-	1.00	0.00	0	0	0	0	0	0	0	0	0	0	0	0
8	BR	Brzdné a rozjezdové síly	P	0	66	1	4	0	-15	-2	1.00	1.30		1.30	-	1.00	0.80	68	1	4	0	4	0	-16	0	-16	-2	0	-2
9	S	Boční ráz	P	0	14	-1	0	0	-1	3	1.00	1.30		1.30	-	1.00	0.40	7	0	0	0	0	0	0	0	0	1	0	1
10	CH	Chodci na lávkách	Q	0	-197	-2	1	0	0	3	1.00	1.30		1.30	-	1.00	1.00	-256	-3	1	0	1	0	0	0	0	4	0	4
11	W	Vítr na konstrukci	Q	0	-30	0	2	0	-6	8	1.00	1.35		1.35	-	1.00	0.75	-30	0	2	0	2	0	-6	0	-6	9	0	9
12	WP	Vítr na vozidla	Q	0	-48	-4	1	0	-3	11	1.00	1.35		1.35	-	1.00	0.75	-49	-4	1	0	1	0	-3	0	-3	11	0	11
13	TR	Teplota rovnoměrná	Q	0	0	0	0	0	0	0	1.00	1.35		1.35	-	1.00	0.45	0	0	0	0	0	0	0	0	0	0	0	0
14	TN	Teplota nerovnoměrná	Q	0	-7	1	3	0	-16	-1	1.00	1.35		1.35	-	1.00	0.60	-6	1	3	0	3	0	-13	0	-13	0	0	0
15	FR	Třecí síly v ložiskách	Q	0	6	0	0	0	-2	0	1.00	1.20		1.20	-	1.00	1.00	7	0	1	0	1	0	-2	0	-2	0	0	0
16	I	Imperfekce soustavy	Q	0	-8	1	1	0	-2	0	1.00	1.20		1.20	-	1.00	1.00	-10	1	1	0	1	0	-2	0	-2	0	0	0
27	ULS_LM	ULS - LM71 bez dynam	Q	0	-4 903	-26	53	0	-73	27	1.00	vyp.		0.00	-	1.00	0.00	0	0	0	0	0	0	0	0	0	0	0	0
28	SLS_LM	SLS - LM71 bez dynam	Q	0	-3 950	-22	40	0	-47	22	1.00	vyp.	1	0.00	-	1.00	0.00	0	0	0	0	0	0	0	0	0	0	0	0
29	ULS_C3	ULS - C3 bez dynam	Q	0	-4 288	-27	51	0	-75	37	1.00	vyp.	1	0.00	-	1.00	0.00	0	0	0	0	0	0	0	0	0	0	0	0
30	SLS_C3	SLS - C3 bez dynam	Q	0	-3 477	-23	39	0	-48	29	1.00	vyp.	1	0.00	-	1.00	0.00	0	0	0	0	0	0	0	0	0	0	0	0
		CELKEM - FÁZE PRŮŘEZU 0																-4 922	-26	52	0	52	0	-72	0	-72	27	0	27
		CELKEM - FÁZE PRŮŘEZU 1																0	0	0	0	0	0	0	0	0	0	0	0
		CELKEM - FÁZE PRŮŘEZU 2																0	0	0	0	0	0	0	0	0	0	0	0
		CELKEM - FÁZE PRŮŘEZU 3																0	0	0	0	0	0	0	0	0	0	0	0
		CELKEM - PRŮŘEZ																-4 922	-26	52	0	52	0			-72			27

Napětí od jednotlivých zatěžovacích stavů

SKUPINA ZATĚŽOVACÍCH STAVŮ

Č.	SKUP ZS	Popis ZS	Kat.	fáze prúř.	Posouzení normálového napětí – Účinek síly N δ^*N_d [kN]	χ^*A [mm^2]	σ_n [MPa]	Účinek momentu My $\delta^*M_{y,d}$ [kNm]	$\chi_{lt}{}^*W_{el,y}$ [mm^3]	σ_{my} [MPa]	Účinek momentu Mz $\delta^*M_{z,d}$ [kNm]	$W_{el,z}$ [mm^3]	σ_{mz} [MPa]	σ_x [MPa]	Posouzení smykového napětí – Účinek kroutícího momentu Mx $\kappa^*\delta^*M_{x,d}$ [kNm]	$W_{v,y}$ [mm^2]	$\tau_{x,y}$ [MPa]	$W_{v,z}$ [mm^2]	$\tau_{x,z}$ [MPa]	Účinek smykové síly Vy $\delta^*V_{y,d}$ [kN]	$A_{v,y}$ [mm2]	$\tau_{v,y}$ [MPa]	$\tau_{v,y}$ [MPa]	Účinek smykové síly Vz $\delta^*V_{z,d}$ [kN]	$A_{v,z}$ [mm2]	$\tau_{v,z}$ [MPa]	$\tau_{v,z}$ [MPa]
1	G0	Vlastní tíha OK	G	0	-1 528.3	5.21E+04	-29.3	-1.5	5.40E+06	-0.3	11.5	-1.28E+07	-0.9	-30.5	1.1E-02	-	-	-	-	-10.4	3.02E+04	-0.3	-0.3	12.2	3.11E+04	0.4	0.4
2	G1	Ostatní stálé - mostní vybavení	G	0	-115.9	5.21E+04	-2.2	0.1	5.40E+06	0.0	0.6	-1.28E+07	0.0	-2.2	0.0E+00	-	-	-	-	-0.6	3.02E+04	0.0	0.0	0.1	3.11E+04	0.0	0.0
3	G2	Ostatní stálé - cizí zařízení	G	0	-70.5	5.21E+04	-1.4	0.0	5.40E+06	0.0	0.9	-1.28E+07	-0.1	-1.4	0.0E+00	-	-	-	-	-0.7	3.02E+04	0.0	0.0	0.2	3.11E+04	0.0	0.0
4	P1_71	a.LM71 - kolej 1 (bez dyn. souč.)	P	0	-923.0	5.21E+04	-17.7	-1.8	5.40E+06	-0.3	-3.2	-1.28E+07	0.3	-17.8	-3.9E-02	-	-	-	-	-1.2	3.02E+04	0.0	0.0	5.9	3.11E+04	0.2	0.2
5	P2_71	a.LM71 - kolej 2 (bez dyn. souč.)	P	0	-2 016.0	5.21E+04	-38.7	-25.2	5.40E+06	-4.7	-4.1	-1.28E+07	0.3	-43.0	1.3E-02	-	-	-	-	-9.1	3.02E+04	-0.3	-0.3	21.7	3.11E+04	0.7	0.7
6	P1_C3	TTZ C3 - kolej 1 (bez dyn. souč.)	P	0	0.0	5.21E+04	0.0	0.0	5.40E+06	0.0	0.0	-1.28E+07	0.0	0.0	0.0E+00	-	-	-	-	0.0	3.02E+04	0.0	0.0	0.0	3.11E+04	0.0	0.0
7	P2_C3	TTZ C3 - kolej 2 (bez dyn. souč.)	P	0	0.0	5.21E+04	0.0	0.0	5.40E+06	0.0	0.0	-1.28E+07	0.0	0.0	0.0E+00	-	-	-	-	0.0	3.02E+04	0.0	0.0	0.0	3.11E+04	0.0	0.0
8	BR	Brzdné a rozjezdové síly	P	0	68.2	5.21E+04	1.3	-15.6	5.40E+06	-2.9	-1.8	-1.28E+07	0.1	-1.4	0.0E+00	-	-	-	-	1.1	3.02E+04	0.0	0.0	3.7	3.11E+04	0.1	0.1
9	S	Boční ráz	P	0	7.4	5.21E+04	0.1	-0.5	5.40E+06	-0.1	1.3	-1.28E+07	-0.1	-0.1	5.2E-03	-	-	-	-	-0.4	3.02E+04	0.0	0.0	0.2	3.11E+04	0.0	0.0
10	CH	Chodci na lávkách	Q	0	-255.9	5.21E+04	-4.9	-0.1	5.40E+06	0.0	3.6	-1.28E+07	-0.3	-5.2	0.0E+00	-	-	-	-	-2.5	3.02E+04	-0.1	-0.1	0.7	3.11E+04	0.0	0.0
11	W	Vítr na konstrukci	Q	0	-30.5	5.21E+04	-0.6	-6.4	5.40E+06	-1.2	8.7	-1.28E+07	-0.7	-2.5	3.0E-02	-	-	-	-	-0.3	3.02E+04	0.0	0.0	2.2	3.11E+04	0.1	0.1
12	WP	Vítr na vozidla	Q	0	-48.9	5.21E+04	-0.9	-3.4	5.40E+06	-0.6	10.9	-1.28E+07	-0.9	-2.4	5.1E-02	-	-	-	-	-3.9	3.02E+04	-0.1	-0.1	1.5	3.11E+04	0.0	0.0
13	TR	Teplota rovnoměrná	Q	0	0.0	5.21E+04	0.0	0.0	5.40E+06	0.0	0.0	-1.28E+07	0.0	0.0	0.0E+00	-	-	-	-	0.0	3.02E+04	0.0	0.0	0.0	3.11E+04	0.0	0.0
14	TN	Teplota nerovnoměrná	Q	0	-5.7	5.21E+04	-0.1	-13.2	5.40E+06	-2.4	-0.5	-1.28E+07	0.0	-2.5	0.0E+00	-	-	-	-	0.7	3.02E+04	0.0	0.0	2.6	3.11E+04	0.1	0.1
15	FR	Třecí síly v ložiskách	Q	0	7.1	5.21E+04	0.1	-2.0	5.40E+06	-0.4	-0.2	-1.28E+07	0.0	-0.2	0.0E+00	-	-	-	-	0.1	3.02E+04	0.0	0.0	0.5	3.11E+04	0.0	0.0
16	I	Imperfekce soustavy	Q	0	-9.7	5.21E+04	-0.2	-1.9	5.40E+06	-0.4	-0.2	-1.28E+07	0.0	-0.5	0.0E+00	-	-	-	-	1.0	3.02E+04	0.0	0.0	0.6	3.11E+04	0.0	0.0
27	ULS_LM	ULS - LM71 bez dynam	Q	0	0.0	5.21E+04	0.0	0.0	5.40E+06	0.0	0.0	-1.28E+07	0.0	0.0	0.0E+00	-	-	-	-	0.0	3.02E+04	0.0	0.0	0.0	3.11E+04	0.0	0.0
28	SLS_LM	SLS - LM71 bez dynam	Q	0	0.0	5.21E+04	0.0	0.0	5.40E+06	0.0	0.0	-1.28E+07	0.0	0.0	0.0E+00	-	-	-	-	0.0	3.02E+04	0.0	0.0	0.0	3.11E+04	0.0	0.0
29	ULS_C3	ULS - C3 bez dynam	Q	0	0.0	5.21E+04	0.0	0.0	5.40E+06	0.0	0.0	-1.28E+07	0.0	0.0	0.0E+00	-	-	-	-	0.0	3.02E+04	0.0	0.0	0.0	3.11E+04	0.0	0.0
30	SLS_C3	SLS - C3 bez dynam	Q	0	0.0	5.21E+04	0.0	0.0	5.40E+06	0.0	0.0	-1.28E+07	0.0	0.0	0.0E+00	-	-	-	-	0.0	3.02E+04	0.0	0.0	0.0	3.11E+04	0.0	0.0
		NAVÝŠENÍ NAPĚTÍ DO AKTIVACE TLAKU V DESCE MOSTOVKY				$\sigma_{P,red}$	0.0							0.0			0.0		0.0			-0.9	-0.9			1.7	1.7
		NAPĚTÍ OD PRIMÁRNÍCH ÚČINKŮ NEROVNOMĚRNÉHO OTEPLENÍ				σ_T	0.0							0.0													
		NAPĚTÍ OD REOLOGICKÝCH ÚČINKŮ BETONU V ČASE		t=0		σ_R	0.0	γ_F=	1.20					0.0													
		NAPĚTÍ V KRITICKÝCH VLÁKNECH OD KOMBINACE ZATÍŽENÍ				KZ03		[MPa]					$\Sigma\sigma_x$	-109.8									$\Sigma\tau_y$	-0.9			$\Sigma\tau_z$	1.7
		NAPĚTÍ OD POHYBLIVÉHO ZATÍŽENÍ						[MPa]					$\sigma_{x,P}$	-62.3									τ_P	-0.3			τ_P	1.0
		NAPĚTÍ OD OSTATNÍCH ZATÍŽENÍ						[MPa]			Φ_{Vy}	Φ_{Vz}	$\sigma_{x,rs}$	-47.5									τ_{rs}	-0.5			τ_{rs}	0.7
		NÁVRHOVÁ HODNOTA MEZE KLUZU S REDUKCÍ VLIVEM SMYKOVÉHO NAPĚTÍ						[MPa]			1.00	1.00	$f_{yw,d}$	191.7									$f_{yd}/3^{0,5}$	110.7			$f_{yd}/3^{0,5}$	110.7
		NAPĚTÍ OD POHYBLIVÉHO ZATÍŽENÍ V GLOBÁLNÍM SYSTÉMU				$\sigma_{GLOB,P}$	0.0	[MPa]					$\Sigma\sigma_{GLOB}$	0.0														
		NAPĚTÍ OD OSTATNÍCH ZATÍŽENÍ V GLOBÁLNÍM SYSTÉMU				$\sigma_{GLOB,rs}$	0.0	[MPa]					$\Sigma\sigma_x + \Sigma\sigma_{GLOB}$	-109.8														
		VYUŽITÍ PRŮŘEZU DLE NAPĚTÍ						[%]					η_1	0.57									η_3	0.01			η_3	0.02
		NAPĚTÍ V PŘÍČNÉM SMĚRU OD POHYBLIVÉHO ZATÍŽENÍ				$\sigma_{z,P}$	0.0	[MPa]					$\Sigma\sigma_z$	0.0														
		NAPĚTÍ V PŘÍČNÉM SMĚRU OD OSTATNÍCH ZATÍŽENÍ				$\sigma_{z,rs}$	0.0	[MPa]					η_2	0.00														
		SROVNÁVACÍ NAPĚTÍ											$(\eta_2 + 0,8\,\eta_1)/1,4$ =	0.33														
		VYUŽITÍ PRŮŘEZU CELKEM						[%]					eff	0.57	VYHOVUJE													
													Z_{LM71} =	2.31														

VÝPOČET PRŮŘEZOVÝCH CHARAKTERISTIK

PRŮŘEZ: O3 **POPIS:** HORNÍ PÁS - PŘÍHRADA 3 **x =** - **m**

DEFINOVÁNÍ PRŮŘEZU

PÁSNICE HORNÍHO LEVÉHO ÚHELNÍKU	b f.t.l.o =	110	mm			
TLOUŠŤKA PÁSNICE ÚHELNÍKU	t f.t.l.o =	14	mm	OSLABENÍ PÁSNICE - TLOUŠŤKA	Δt f.t.l.o =	0 %
VÝŠKA STĚNY ÚHELNÍKU	h w.t.l.o =	96	mm			
TLOUŠŤKA STĚNY ÚHELNÍKU	t w.t.l.o =	14	mm	OSLABENÍ STĚNY - TLOUŠŤKA	Δt w.t.l.o =	0 %
PÁSNICE HORNÍHO PRAVÉHO ÚHELNÍKU	b f.t.r.o =	110	mm			
TLOUŠŤKA PÁSNICE ÚHELNÍKU	t f.t.r.o =	14	mm	OSLABENÍ PÁSNICE - TLOUŠŤKA	Δt f.t.r.o =	0 %
VÝŠKA STĚNY ÚHELNÍKU	h w.t.r.o =	96	mm			
TLOUŠŤKA STĚNY ÚHELNÍKU	t w.t.r.o =	14	mm	OSLABENÍ STĚNY - TLOUŠŤKA	Δt w.t.r.0 =	0 %
PÁSNICE DOLNÍHO LEVÉHO ÚHELNÍKU	b f.b.l.o =	110	mm			
TLOUŠŤKA PÁSNICE ÚHELNÍKU	t f.b.l.o =	14	mm	OSLABENÍ PÁSNICE - TLOUŠŤKA	Δt f.b.l.o =	0 %
VÝŠKA STĚNY ÚHELNÍKU	h w.b.l.o =	96	mm			
TLOUŠŤKA STĚNY ÚHELNÍKU	t w.b.l.o =	14	mm	OSLABENÍ STĚNY - TLOUŠŤKA	Δt w.b.l.o =	0 %
PÁSNICE DOLNÍHO PRAVÉHO ÚHELNÍKU	b f.b.r.o =	110	mm			
TLOUŠŤKA PÁSNICE ÚHELNÍKU	t f.b.r.o =	14	mm	OSLABENÍ PÁSNICE - TLOUŠŤKA	Δt f.b.r.o =	0 %
VÝŠKA STĚNY ÚHELNÍKU	h w.b.r.o =	96	mm			
TLOUŠŤKA STĚNY ÚHELNÍKU	t w.b.r.o =	14	mm	OSLABENÍ STĚNY - TLOUŠŤKA	Δt w.b.r.o =	0 %
PÁSNICE HORNÍHO LEVÉHO ÚHELNÍKU	b f.t.l.i =	110	mm			
TLOUŠŤKA PÁSNICE ÚHELNÍKU	t f.t.l.i =	14	mm	OSLABENÍ PÁSNICE - TLOUŠŤKA	Δt f.t.l.i =	0 %
VÝŠKA STĚNY ÚHELNÍKU	h w.t.l.i =	96	mm			
TLOUŠŤKA STĚNY ÚHELNÍKU	t w.t.l.i =	14	mm	OSLABENÍ STĚNY - TLOUŠŤKA	Δt w.t.l.i =	0 %
PÁSNICE HORNÍHO PRAVÉHO ÚHELNÍKU	b f.t.r.i =	110	mm			
TLOUŠŤKA PÁSNICE ÚHELNÍKU	t f.t.r.i =	14	mm	OSLABENÍ PÁSNICE - TLOUŠŤKA	Δt f.t.r.i =	0 %
VÝŠKA STĚNY ÚHELNÍKU	h w.t.r.i =	96	mm			
TLOUŠŤKA STĚNY ÚHELNÍKU	t w.t.r.i =	14	mm	OSLABENÍ STĚNY - TLOUŠŤKA	Δt w.t.r.i =	0 %
PÁSNICE DOLNÍHO LEVÉHO ÚHELNÍKU	b f.b.l.i =	0	mm			
TLOUŠŤKA PÁSNICE ÚHELNÍKU	t f.b.l.i =	0	mm	OSLABENÍ PÁSNICE - TLOUŠŤKA	Δt f.b.l.i =	0 %
VÝŠKA STĚNY ÚHELNÍKU	h w.b.l.i =	0	mm			
TLOUŠŤKA STĚNY ÚHELNÍKU	t w.b.l.i =	0	mm	OSLABENÍ STĚNY - TLOUŠŤKA	Δt w.b.l.i =	0 %
PÁSNICE DOLNÍHO PRAVÉHO ÚHELNÍKU	b f.b.r.i =	0	mm			
TLOUŠŤKA PÁSNICE ÚHELNÍKU	t f.b.r.i =	0	mm	OSLABENÍ PÁSNICE - TLOUŠŤKA	Δt f.b.r.i =	0 %
VÝŠKA STĚNY ÚHELNÍKU	h w.b.r.i =	0	mm			
TLOUŠŤKA STĚNY ÚHELNÍKU	t w.b.r.i =	0	mm	OSLABENÍ STĚNY - TLOUŠŤKA	Δt w.b.r.i =	0 %
ŠÍŘKA HORNÍ PÁSNICE	b f.t =	700	mm			
TLOUŠŤKA HORNÍ PÁSNICE	t f.t =	40	mm	OSLABENÍ HORNÍ PÁSNICE	Δt f.t =	0 %
PŘESAH HORNÍ PÁSNICE	o f.t =	0	mm	(nepoužito - pásnice symetrická k ose průřezu)		
SVĚTLÁ VZDÁLENOST MEZI STĚNAMI	l w =	416	mm			
VÝŠKA STĚNY	h w =	480	mm	OSLABENÍ LEVÉ STĚNY	Δt w.l =	0 %
TLOUŠŤKA STĚNY	t w =	24	mm	OSLABENÍ PRAVÉ STĚNY	Δt w.r =	0 %
ŠÍŘKA DOLNÍ LEVÉ PÁSNICE	b f.b.l =	0	mm			
TLOUŠŤKA DOLNÍ LEVÉ PÁSNICE	t f.b.l =	0	mm	OSLABENÍ DOLNÍ PÁSNICE	Δt f.b.l =	0 %
PŘESAH DOLNÍ LEVÉ PÁSNICE	o f.b.l =	0	mm	(nepoužito - pásnice symetrická k ose levé stěny)		
ŠÍŘKA DOLNÍ PRAVÉ PÁSNICE	b f.b.r =	0	mm			
TLOUŠŤKA DOLNÍ PRAVÉ PÁSNICE	t f.b.r =	0	mm	OSLABENÍ DOLNÍ PÁSNICE	Δt f.b.r =	0 %
PŘESAH DOLNÍ PRAVÉ PÁSNICE	o f.b.r =	0	mm	(nepoužito - pásnice symetrická k ose pravé stěny)		

NÝT Č.	SKUPINA	ŘEZ	RED.	VELIKOST di [mm]	POLOHA ei [mm]	POPIS	AKTIVITA OTVORU		NAPĚTÍ sc [MPa]
1		-	1.00	0	42	nýt - f.t.l	0	-	
2		-	1.00	24	65	nýt - f.t.l - úhelník	0		-84.57
3		-	1.00	24	65	nýt - f.t.l - úhelník	0		-81.80
4		-	1.00	20	0	nýt - f.t.l	0		-77.74
5		-	1.00	0	50	nýt - f.t.r	0	-	
6		-	1.00	24	65	nýt - f.t.r - úhelník	0		-73.88
7		-	1.00	24	65	nýt - f.t.r - úhelník	0		-71.11
8		-	1.00	0	42	nýt - f.t.r	0	-	
9		-	1.00	22	45	nýt - w.l - úhelník	0		-84.66
10		-	1.00	22	45	nýt - w.p - úhelník	0		-72.70
11		-	1.00	0	425	nýt - w.l	0	-	
12		-	1.00	0	425	nýt - w.p	0	-	
13		-	1.00	20	310	nýt - w.l	0		-85.85
14		-	1.00	20	310	nýt - w.p	0		-75.15
15		-	1.00	20	230	nýt - w.l	0		-87.01
16		-	1.00	20	230	nýt - w.p	0		-76.31
17		-	1.00	20	150	nýt - w.l	0		-88.17
18		-	1.00	20	150	nýt - w.p	0		-77.48
19		-	1.00	22	45	nýt - w.l - úhelník	0		-90.33
20		-	1.00	22	45	nýt - w.p - úhelník	0		-78.37
21		-	1.00	0	0	nýt - f.b.l	0	-	
22		-	1.00	0	0	nýt - f.b.l - úhelník	0	-	
23		-	1.00	0	0	nýt - f.b.l - úhelník	0	-	
24		-	1.00	0	0	nýt - f.b.l	0	-	
25		-	1.00	0	0	nýt - f.b.r	0	-	
26		-	1.00	0	0	nýt - f.b.r - úhelník	0	-	
27		-	1.00	0	0	nýt - f.b.r - úhelník	0	-	
28		-	1.00	0	0	nýt - f.b.r	0	-	
29		-	1.00					-	
30		-	1.00					-	

ZADÁNÍ ČÁSTÍ PRŮŘEZU:

č.prvku	b [mm]	h [mm]	y_0 [mm]	z_0 [mm]	popis části	druh oslabení	lokální ultimate	boulení servic.
1	110.0	14.0	-287.0	473.0	pásnice	0	1.000	1.000
2	14.0	96.0	-239.0	418.0	stěna	0	1.000	1.000
3	110.0	14.0	287.0	473.0	pásnice	0	1.000	1.000
4	14.0	96.0	239.0	418.0	stěna	0	1.000	1.000
5	110.0	14.0	-287.0	7.0	pásnice	0	1.000	1.000
6	14.0	96.0	-239.0	62.0	stěna	0	1.000	1.000
7	110.0	14.0	287.0	7.0	pásnice	0	1.000	1.000
8	14.0	96.0	239.0	62.0	stěna	0	1.000	1.000
9	700.0	40.0	0.0	500.0	pásnice	0	1.000	1.000
10	24.0	480.0	-220.0	240.0	stěna	0	1.000	1.000
11	24.0	480.0	220.0	240.0	stěna	0	1.000	1.000
12	110.0	14.0	-153.0	473.0	pásnice	0	1.000	1.000
13	14.0	96.0	-201.0	418.0	stěna	0	1.000	1.000
14	110.0	14.0	153.0	473.0	pásnice	0	1.000	1.000
15	14.0	96.0	201.0	418.0	stěna	0	1.000	1.000
16	0.0	0.0	-208.0	0.0	pásnice	0	1.000	1.000
17	0.0	0.0	-208.0	0.0	stěna	0	1.000	1.000
18	0.0	0.0	208.0	0.0	pásnice	0	1.000	1.000
19	0.0	0.0	208.0	0.0	stěna	0	1.000	1.000
20						0	1.000	1.000
21						0	1.000	1.000
22						0	1.000	1.000
23	0.0	0.0	-220.0	0.0	pásnice	0	1.000	1.000
24	0.0	0.0	220.0	0.0	pásnice	0	1.000	1.000
25						0	1.000	1.000
26						0	1.000	1.000
27						0	1.000	1.000
28						0	1.000	1.000
29						0	1.000	1.000
30						0	1.000	1.000
31						0	1.000	1.000
32						0	1.000	1.000
33						0	1.000	1.000
34						0	1.000	1.000
35						0	1.000	1.000
36						0	1.000	1.000
37						0	1.000	1.000
38						0	1.000	1.000
39						0	1.000	1.000
40						0	1.000	1.000
41						0	1.000	1.000
42						0	1.000	1.000
43						0	1.000	1.000
44						0	1.000	1.000
45						0	1.000	1.000
46						0	1.000	1.000
47						0	1.000	1.000
48						0	1.000	1.000
49						0	1.000	1.000
50						0	1.000	1.000
51	0	0	0	0	nýt - pásnic	0	1.000	1.000
52	0	0	-277.0	493.0	nýt - pásnic	0	1.000	1.000
53	0	0	-163.0	493.0	nýt - pásnic	0	1.000	1.000
54	0	0	0.0	500.0	nýt - pásnic	0	1.000	1.000
55	0	0	0	0	nýt - pásnic	0	1.000	1.000
56	0	0	163.0	493.0	nýt - pásnic	0	1.000	1.000
57	0	0	277.0	493.0	nýt - pásnic	0	1.000	1.000
58	0	0	0	0	nýt - pásnic	0	1.000	1.000
59	0	0	-246.0	435.0	nýt - stěna	0	1.000	1.000
60	0	0	246.0	435.0	nýt - stěna	0	1.000	1.000
61	0	0	0	0	nýt - stěna	0	1.000	1.000
62	0	0	0	0	nýt - stěna	0	1.000	1.000
63	0	0	-220.0	310.0	nýt - stěna	0	1.000	1.000
64	0	0	220.0	310.0	nýt - stěna	0	1.000	1.000
65	0	0	-220.0	230.0	nýt - stěna	0	1.000	1.000
66	0	0	220.0	230.0	nýt - stěna	0	1.000	1.000
67	0	0	-220.0	150.0	nýt - stěna	0	1.000	1.000
68	0	0	220.0	150.0	nýt - stěna	0	1.000	1.000
69	0	0	-246.0	45.0	nýt - stěna	0	1.000	1.000
70	0	0	246.0	45.0	nýt - stěna	0	1.000	1.000
71	0	0	0	0	nýt - pásnic	0	1.000	1.000
72	0	0	0	0	nýt - pásnic	0	1.000	1.000
73	0	0	0	0	nýt - pásnic	0	1.000	1.000
74	0	0	0	0	nýt - pásnic	0	1.000	1.000
75	0	0	0	0	nýt - pásnic	0	1.000	1.000
76	0	0	0	0	nýt - pásnic	0	1.000	1.000
77	0	0	0	0	nýt - pásnic	0	1.000	1.000
78	0	0	0	0	nýt - pásnic	0	1.000	1.000
79						0	1.000	1.000
80						0	1.000	1.000
81								
82								
83								
84								
85								
86								
87								
88								
89								
90								
91								
92								
93								
94								
95								
96								
97								
98								
99								
100								

VÝPOČET PRŮŘEZOVÝCH CHARAKTERISTIK

Properties	Basic	Ultimate		Serviceability	
y_i	0.0	0.0		0.0	[mm]
z_i	364.0	364.0		364.0	[mm]
A_i	6.8344E+04	6.8344E+04		6.8344E+04	[mm²]
A_s	3.7240E+04	3.7240E+04		3.7240E+04	[mm²]
A_b	3.1104E+04	3.1104E+04		3.1104E+04	[mm²]
I_{y1}	2.0512E+09	2.0512E+09		2.0512E+09	[mm⁴]
I_{z0}	3.2642E+09	3.2642E+09		3.2642E+09	[mm⁴]
i_y	173.2	173.2		173.2	[mm]
i_z	218.5	218.5		218.5	[mm]
$W_{y,1}$	1.3150E+07	1.3150E+07		1.3150E+07	[mm³]
$W_{z,1}$	-9.3263E+06	-9.3263E+06		-9.3263E+06	[mm³]
$W_{y,2}$	-5.6347E+06	-5.6347E+06		-5.6347E+06	[mm³]
$W_{z,2}$	-9.5444E+06	-9.5444E+06		-9.5444E+06	[mm³]
KRAJNÍ VLÁKNA PRŮŘEZU					
y_1	-350.0	-350.0		-350.0	[mm]
z_1	520.0	520.0		520.0	[mm]
y_2	-342.0	-342.0		-342.0	[mm]
z_2	0.0	0.0		0.0	[mm]
y_3	350.0	350.0		350.0	[mm]
z_3	520.0	520.0		520.0	[mm]
y_4	342.0	342.0		342.0	[mm]
z_4	0.0	0.0		0.0	[mm]
y_5	-232.0	-232.0		-232.0	[mm]
z_5	480.0	480.0		480.0	[mm]
y_6	232.0	232.0		232.0	[mm]
z_6	0.0	0.0		0.0	[mm]

ÚPRAVA MOMENTŮ SETRVAČNOSTI V DŮSLEDKU ČLENĚNÍ PRŮŘEZU

OSA Y 1.00
OSA Z 1.00

SCHÉMA PROMĚNNÝCH

SCHÉMA ZADANÉHO PRŮŘEZU

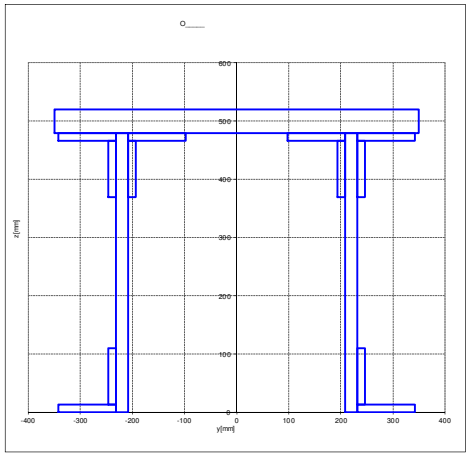

NEUTRÁLNÁ OSA

NAPĚTÍ [MPa]:

-85.96	-68.94
-93.51	-76.50

ZS: SLS, LM:MZ MIN

	N [kN]	Vy [kN]	Vz [kN]	Mx [kNm]	My [kNm]	Mz [kNm]
import	-5448	38	59	0	-30	-79

TR_O3 POPIS: **HORNÍ PÁS O3** POSUDEK: **O3**

SKUPINA ZAT. STAVŮ	EXTRÉM	VYHODNOCOVANÉ VELIČINY					
		N	Vy	Vz	Mx	My	Mz
		kN	kN	kN	kNm	kNm	kNm
G0	N.min	**-1630.11**	13.27	22.55	-0.09	-5.66	-18.86
	N.max	**-1630.11**	13.27	22.55	-0.09	-5.66	-18.86
	Vy.min	-1630.11	**13.27**	22.55	-0.09	-5.66	-18.86
	Vy.max	-1630.11	**13.27**	22.55	-0.09	-5.66	-18.86
	Vz.min	-1630.11	13.27	**22.55**	-0.09	-5.66	-18.86
	Vz.max	-1630.11	13.27	**22.55**	-0.09	-5.66	-18.86
	Mx.min	-1630.11	13.27	22.55	**-0.09**	-5.66	-18.86
	Mx.max	-1630.11	13.27	22.55	**-0.09**	-5.66	-18.86
	My.min	-1630.11	13.27	22.55	-0.09	**-5.66**	-18.86
	My.max	-1630.11	13.27	22.55	-0.09	**-5.66**	-18.86
	Mz.min	-1630.11	13.27	22.55	-0.09	-5.66	**-18.86**
	Mz.max	-1630.11	13.27	22.55	-0.09	-5.66	**-18.86**
G1	N.min	**-123.5**	0.86	1.18	-0.01	-0.5	-1.19
	N.max	**-123.5**	0.86	1.18	-0.01	-0.5	-1.19
	Vy.min	-123.5	**0.86**	1.18	-0.01	-0.5	-1.19
	Vy.max	-123.5	**0.86**	1.18	-0.01	-0.5	-1.19
	Vz.min	-123.5	0.86	**1.18**	-0.01	-0.5	-1.19
	Vz.max	-123.5	0.86	**1.18**	-0.01	-0.5	-1.19
	Mx.min	-123.5	0.86	1.18	**-0.01**	-0.5	-1.19
	Mx.max	-123.5	0.86	1.18	**-0.01**	-0.5	-1.19
	My.min	-123.5	0.86	1.18	-0.01	**-0.5**	-1.19
	My.max	-123.5	0.86	1.18	-0.01	**-0.5**	-1.19
	Mz.min	-123.5	0.86	1.18	-0.01	-0.5	**-1.19**
	Mz.max	-123.5	0.86	1.18	-0.01	-0.5	**-1.19**
G2	N.min	**-75.09**	0.64	0.61	0	-0.13	-0.94
	N.max	**-75.09**	0.64	0.61	0	-0.13	-0.94
	Vy.min	-75.09	**0.64**	0.61	0	-0.13	-0.94
	Vy.max	-75.09	**0.64**	0.61	0	-0.13	-0.94
	Vz.min	-75.09	0.64	**0.61**	0	-0.13	-0.94
	Vz.max	-75.09	0.64	**0.61**	0	-0.13	-0.94
	Mx.min	-75.09	0.64	0.61	**0**	-0.13	-0.94
	Mx.max	-75.09	0.64	0.61	**0**	-0.13	-0.94
	My.min	-75.09	0.64	0.61	0	**-0.13**	-0.94
	My.max	-75.09	0.64	0.61	0	**-0.13**	-0.94
	Mz.min	-75.09	0.64	0.61	0	-0.13	**-0.94**
	Mz.max	-75.09	0.64	0.61	0	-0.13	**-0.94**
P1_71	N.min	**-1149.89**	6.53	8.66	-0.08	-2.18	-10.46
	N.max	**0.68**	-0.02	0	0	-0.01	-0.26
	Vy.min	-236.7	**-0.55**	2.9	0.01	1.26	2.51
	Vy.max	-945.8	**7.45**	7.12	-0.08	-4.19	-12.43
	Vz.min	-172.79	0.19	**-2.25**	0	7.51	2.45
	Vz.max	-991.91	6.04	**11.65**	-0.07	-9.35	-11.62
	Mx.min	-1036.19	6.99	8.08	**-0.09**	-4.01	-14.48
	Mx.max	-152.4	-0.29	-0.43	**0.02**	4.69	6.5
	My.min	-888.8	5.9	10.74	-0.06	**-10.11**	-10.77
	My.max	-276.14	0.34	-1.39	0	**8.23**	2.29
	Mz.min	-1060.94	6.57	9.79	-0.09	-5.95	**-15.44**
	Mz.max	-116.06	-0.2	-0.82	0.02	4.05	**7.07**
P2_71	N.min	**-2518.86**	15.83	19.89	-0.09	-2.64	-22.19
	N.max	**5.7**	0.12	-0.14	0	0.26	-0.08
	Vy.min	1.86	**0**	-0.02	0	0.01	0.04
	Vy.max	-2481.4	**16.32**	23.19	-0.08	-7.23	-20.93
	Vz.min	-461.34	2.58	**-8.06**	0	23.29	-0.79
	Vz.max	-2105.29	13.4	**30.1**	-0.07	-25.06	-21.21
	Mx.min	-2235.29	14.41	19.84	**-0.1**	-10.35	-23.5
	Mx.max	-329.76	1.55	-2.43	**0.02**	14.31	3.4
	My.min	-1953.01	12.75	28.72	-0.07	**-27.21**	-19.6
	My.max	-640.79	3.35	-5.93	0	**24.98**	-1.99
	Mz.min	-2360.9	14.72	25.38	-0.09	-13.49	**-26.33**
	Mz.max	-228.06	1.34	-2.55	0.02	9.66	**5.65**
P1_C3	N.min	**-965.28**	5.7	6.63	-0.06	-1.55	-7.58
	N.max	**1.09**	-0.03	-0.01	0	-0.02	-0.41
	Vy.min	-181.45	**-0.45**	2.33	0.01	0.9	0.72
	Vy.max	-780.02	**6.15**	4.81	-0.07	-1.99	-9.85
	Vz.min	-138.01	0.16	**-2.32**	0	6.89	2.1
	Vz.max	-865.74	5.53	**10.17**	-0.06	-8.31	-9.6
	Mx.min	-877.24	5.87	7.18	**-0.07**	-4.63	-12.59
	Mx.max	-111.52	-0.2	-0.43	**0.01**	3.58	5.2
	My.min	-764.64	5.19	9.33	-0.05	**-9.36**	-9.55
	My.max	-206.03	0.59	-2.13	-0.01	**7.56**	1.21
	Mz.min	-904.11	5.79	8.57	-0.07	-5.66	**-13.29**
	Mz.max	-91.05	-0.16	-0.77	0.01	3.48	**5.41**
P2_C3	N.min	**-2105.94**	13.54	13.93	-0.07	0.16	-16.8
	N.max	**7.57**	0.12	-0.24	0	0.47	-0.2
	Vy.min	2.97	**0**	-0.02	0	0.01	0.06
	Vy.max	-2081.99	**13.62**	17.14	-0.06	-0.17	-18.48
	Vz.min	-460.58	2.58	**-8.33**	-0.01	22.47	-0.87
	Vz.max	-1755.75	11.74	**26.31**	-0.07	-24.73	-17.66
	Mx.min	-1920.88	12.45	19.73	**-0.08**	-14.7	-19.41
	Mx.max	-224.49	1.04	-2.83	**0.02**	12.42	2.01
	My.min	-1606.97	10.68	24.7	-0.06	**-25.09**	-16.32
	My.max	-466.01	2.84	-8.03	-0.01	**23.62**	-1.46
	Mz.min	-1960.83	12.73	20.6	-0.08	-12.87	**-21.89**
	Mz.max	-176.59	1.07	-2.87	0.01	9.64	**4.16**
BR	N.min	**-48.53**	0.59	0.69	-0.01	1.21	-2.18
	N.max	**48.53**	-0.59	-0.69	0.01	-1.21	2.18
	Vy.min	46.11	**-0.64**	-0.87	0	-1.3	1.78
	Vy.max	-46.11	**0.64**	0.87	0	1.3	-1.78
	Vz.min	46.11	-0.64	**-0.87**	0	-1.3	1.78
	Vz.max	-46.11	0.64	**0.87**	0	1.3	-1.78
	Mx.min	-48.53	0.59	0.69	**-0.01**	1.21	-2.18
	Mx.max	48.53	-0.59	-0.69	**0.01**	-1.21	2.18
	My.min	46.11	-0.64	-0.87	0	**-1.3**	1.78
	My.max	-46.11	0.64	0.87	0	**1.3**	-1.78
	Mz.min	-48.53	0.59	0.69	-0.01	1.21	**-2.18**
	Mz.max	48.53	-0.59	-0.69	0.01	-1.21	**2.18**

TR_O3 POPIS: **HORNÍ PÁS O3** POSUDEK: **O3**

SKUPINA ZAT. STAVŮ	EXTRÉM	VYHODNOCOVANÉ VELIČINY					
		N	Vy	Vz	Mx	My	Mz
		kN	kN	kN	kNm	kNm	kNm
S	N.min	**-19.55**	-0.5	-0.19	-0.01	-0.64	-2.35
	N.max	**19.55**	0.5	0.19	0.01	0.64	2.35
	Vy.min	-18.5	**-0.66**	-0.2	-0.01	-0.69	-2.59
	Vy.max	18.5	**0.66**	0.2	0.01	0.69	2.59
	Vz.min	-18.5	-0.66	**-0.2**	-0.01	-0.69	-2.59
	Vz.max	18.5	0.66	**0.2**	0.01	0.69	2.59
	Mx.min	-18.5	-0.66	-0.2	**-0.01**	-0.69	-2.59
	Mx.max	18.5	0.66	0.2	**0.01**	0.69	2.59
	My.min	-15.36	-0.65	-0.13	-0.01	**-0.76**	-3.16
	My.max	15.36	0.65	0.13	0.01	**0.76**	3.16
	Mz.min	-15.36	-0.65	-0.13	-0.01	-0.76	**-3.16**
	Mz.max	15.36	0.65	0.13	0.01	0.76	**3.16**
CH	N.min	**-239.03**	2.07	1.96	-0.01	-0.43	-3.06
	N.max	**-63.07**	0.7	0.32	-0.01	-0.47	-1.32
	Vy.min	-63.07	**0.7**	0.32	-0.01	-0.47	-1.32
	Vy.max	-239.03	**2.07**	1.96	-0.01	-0.43	-3.06
	Vz.min	-63.07	0.7	**0.32**	-0.01	-0.47	-1.32
	Vz.max	-239.03	2.07	**1.96**	-0.01	-0.43	-3.06
	Mx.min	-239.03	2.07	1.96	**-0.01**	-0.43	-3.06
	Mx.max	-63.07	0.7	0.32	**-0.01**	-0.47	-1.32
	My.min	-63.07	0.7	0.32	-0.01	**-0.47**	-1.32
	My.max	-161.85	1.59	1.39	-0.01	**0.04**	-2.32
	Mz.min	-239.03	2.07	1.96	-0.01	-0.43	**-3.06**
	Mz.max	-63.07	0.7	0.32	-0.01	-0.47	**-1.32**
W	N.min	**-53.35**	-0.46	1.84	0.04	1.9	4.55
	N.max	**53.31**	0.45	-1.83	-0.04	-1.9	-4.55
	Vy.min	-53.35	**-0.46**	1.84	0.04	1.9	4.55
	Vy.max	53.31	**0.45**	-1.83	-0.04	-1.9	-4.55
	Vz.min	53.31	0.45	**-1.83**	-0.04	-1.9	-4.55
	Vz.max	-53.35	-0.46	**1.84**	0.04	1.9	4.55
	Mx.min	53.31	0.45	-1.83	**-0.04**	-1.9	-4.55
	Mx.max	-53.35	-0.46	1.84	**0.04**	1.9	4.55
	My.min	53.31	0.45	-1.83	-0.04	**-1.9**	-4.55
	My.max	-53.35	-0.46	1.84	0.04	**1.9**	4.55
	Mz.min	53.31	0.45	-1.83	-0.04	-1.9	**-4.55**
	Mz.max	-53.35	-0.46	1.84	0.04	1.9	**4.55**
WP	N.min	**-65.29**	1.98	1.5	0.03	1.96	5.58
	N.max	**65.22**	-1.98	-1.49	-0.03	-1.96	-5.58
	Vy.min	65.22	**-1.98**	-1.49	-0.03	-1.96	-5.58
	Vy.max	-65.29	**1.98**	1.5	0.03	1.96	5.58
	Vz.min	65.22	-1.98	**-1.49**	-0.03	-1.96	-5.58
	Vz.max	-65.29	1.98	**1.5**	0.03	1.96	5.58
	Mx.min	65.22	-1.98	-1.49	**-0.03**	-1.96	-5.58
	Mx.max	-65.29	1.98	1.5	**0.03**	1.96	5.58
	My.min	65.22	-1.98	-1.49	-0.03	**-1.96**	-5.58
	My.max	-65.29	1.98	1.5	0.03	**1.96**	5.58
	Mz.min	65.22	-1.98	-1.49	-0.03	-1.96	**-5.58**
	Mz.max	-65.29	1.98	1.5	0.03	1.96	**5.58**
TR	N.min	**0**	0	0	0	0	0
	N.max	**0**	0	0	0	0	0
	Vy.min	0	**0**	0	0	0	0
	Vy.max	0	**0**	0	0	0	0
	Vz.min	0	0	**0**	0	0	0
	Vz.max	0	0	**0**	0	0	0
	Mx.min	0	0	0	**0**	0	0
	Mx.max	0	0	0	**0**	0	0
	My.min	0	0	0	0	**0**	0
	My.max	0	0	0	0	**0**	0
	Mz.min	0	0	0	0	0	**0**
	Mz.max	0	0	0	0	0	**0**
TN	N.min	**-111.53**	-16.76	-1.55	0.07	-6.06	28.31
	N.max	**87.81**	-3.65	-0.21	0.05	0.33	0.19
	Vy.min	-111.53	**-16.76**	-1.55	0.07	-6.06	28.31
	Vy.max	2.74	**0.84**	1.91	-0.01	5.35	-1.99
	Vz.min	-2.74	-0.84	**-1.91**	0.01	-5.35	1.99
	Vz.max	2.74	0.84	**1.91**	-0.01	5.35	-1.99
	Mx.min	2.74	0.84	1.91	**-0.01**	5.35	-1.99
	Mx.max	-111.53	-16.76	-1.55	**0.07**	-6.06	28.31
	My.min	-111.53	-16.76	-1.55	0.07	**-6.06**	28.31
	My.max	2.74	0.84	1.91	-0.01	**5.35**	-1.99
	Mz.min	2.74	0.84	1.91	-0.01	5.35	**-1.99**
	Mz.max	-111.53	-16.76	-1.55	0.07	-6.06	**28.31**
FR	N.min	**-4.89**	0.07	0.15	0	0.05	-0.15
	N.max	**4.89**	-0.07	-0.15	0	-0.05	0.15
	Vy.min	4.89	**-0.07**	-0.15	0	-0.05	0.15
	Vy.max	-4.89	**0.07**	0.15	0	0.05	-0.15
	Vz.min	4.89	-0.07	**-0.15**	0	-0.05	0.15
	Vz.max	-4.89	0.07	**0.15**	0	0.05	-0.15
	Mx.min	-4.89	0.07	0.15	**0**	0.05	-0.15
	Mx.max	4.89	-0.07	-0.15	**0**	-0.05	0.15
	My.min	4.89	-0.07	-0.15	0	**-0.05**	0.15
	My.max	-4.89	0.07	0.15	0	**0.05**	-0.15
	Mz.min	-4.89	0.07	0.15	0	0.05	**-0.15**
	Mz.max	4.89	-0.07	-0.15	0	-0.05	**0.15**
I	N.min	**-14.42**	-1.57	0.43	0.01	0.3	**1.43**
	N.max	**14.42**	1.57	-0.43	-0.01	-0.3	**-1.43**
	Vy.min	-14.42	**-1.57**	0.43	0.01	0.3	**1.43**
	Vy.max	14.42	**1.57**	-0.43	-0.01	-0.3	**-1.43**
	Vz.min	14.42	1.57	**-0.43**	-0.01	-0.3	**-1.43**
	Vz.max	-14.42	-1.57	**0.43**	0.01	0.3	**1.43**
	Mx.min	14.42	1.57	-0.43	**-0.01**	-0.3	**-1.43**
	Mx.max	-14.42	-1.57	0.43	**0.01**	0.3	**1.43**
	My.min	14.42	1.57	-0.43	-0.01	**-0.3**	**-1.43**
	My.max	-14.42	-1.57	0.43	0.01	**0.3**	**1.43**
	Mz.min	14.42	1.57	-0.43	-0.01	-0.3	**-1.43**
	Mz.max	-14.42	-1.57	0.43	0.01	0.3	**1.43**

TAB. O3.3 POSOUZENÍ - MEZNÍ STAV ÚNOSNOSTI

POPIS	HORNÍ PÁS O3
PRUT / POLOHA BODU	30 / 3/4
NAMÁHÁNÍ	N.min
VLÁKNO	BOD K2 -HP
MEZNÍ STAV	ULS (MSÚ)
VYUŽITÍ VLÁKNA PRŮŘEZU	0.70

Charakteristiky materiálu				
pás. horní	$f_{yf,k}$	230	MPa	
pás. dolní	$f_{yf,k}$	230	MPa	
stojina	$f_{yw,k}$	230	MPa	
výztuž	$f_{ys,k}$	500	MPa	
	γ_M =	1.20	γ_s =	1.15

Excentricita normálové síly				
Exc./Fáze	0	1	2	3
e_y	0.000	0.000	0.000	0.000
e_z	0.000	0.000	0.000	0.000
Ekvivalentní vzdál. stěn - příčný roznos				
b_{Mx}	0.000	0.000	0.000	0.000

Vliv stěny na únosnost průřezu				
Char./Fáze	0	1	2	3
A	0.00	0.00	0.00	0.00
Wy	0.00	0.00	0.00	0.00
Wz	0.00	0.00	0.00	0.00

Charakter. v kroucení		
$t_{w,y}$	0.000	[mm]
$t_{w,z}$	0.000	[mm]
κ	1.00	
I_t=	0.00E+00	[mm^4]
Ω=2*A_{pr}	0.00E+00	[mm^2]

Součinitele vzpěru a vlivu II.řádu					
Char./Fáze	0	1	2	3	
k_y	1.030	1.000	1.000	1.000	
k_z	1.020	1.000	1.000	1.000	
χ_{LT}	1.000	1.000	1.000	1.000	
χ_{min}	0.850	1.000	1.000	1.000	

Vnitřní síly od jednotlivých skupin zatěžovacích stavů — 3

SKUPINA ZATĚŽOVACÍCH STAVŮ					- CHARAKTERISTICKÉ HODNOTY						DÍLČÍ SOUČINITELÉ ZATÍŽENÍ, DYNAMICKÝ SOUČINITEL							- NÁVRHOVÉ HODNOTY									
Č.	SKUP ZS	POPIS ZS	KAT.	FÁZE PRŮŘ.	N.k (kN)	Vy.k (kN)	Vz.k (kN)	Mx.k (kNm)	My.k (kNm)	Mz.k (kNm)	γ_{sd} (-)	γ_{fs} (-)	volba γ_f hledat	γ_f (-)	L_d (m)	δ (-)	Ψ_0 KZ03	N.d (kN)	Vy.d (kN)	Vz.d (kN)	ΔVz.d (kN)	ΣVz.d (kN)	Mx.d (kNm)	My.d (kNm)	ΔMy.d (kNm)	ΣMy.d (kNm)	Mz.d (kNm)	ΔMz.d (kNm)	ΣMz.d (kNm)
1	G0	Vlastní tíha OK	G	0	-1 630	13	23	0	-6	-19	1.00	1.20		1.20	-	1.00	0.95	-1 858	15	26	0	26	0	-7	0	-7	-22	0	-22
2	G1	Ostatní stálé - mostní vybavení	G	0	-124	1	1	0	-1	-1	1.00	1.20		1.20	-	1.00	0.95	-141	1	1	0	1	0	-1	0	-1	-1	0	-1
3	G2	Ostatní stálé - cizí zařízení	G	0	-75	1	1	0	0	-1	1.00	1.20		1.20	-	1.00	0.95	-86	1	1	0	1	0	0	0	0	-1	0	-1
4	P1_71	a.LM71 - kolej 1 (bez dyn. souč.)	P	0	-1 150	7	9	0	-2	-10	1.00	1.30		1.30	-	1.00	1.00	-1 495	8	11	0	11	0	-3	0	-3	-14	0	-14
5	P2_71	a.LM71 - kolej 2 (bez dyn. souč.)	P	0	-2 519	16	20	0	-3	-22	1.00	1.30		1.30	-	1.00	1.00	-3 275	21	26	0	26	0	-4	0	-4	-29	0	-29
6	P1_C3	TTZ C3 - kolej 1 (bez dyn. souč.)	P	0	-965	6	7	0	-2	-8	1.00	vyp.		0.00	-	1.00	0.00	0	0	0	0	0	0	0	0	0	0	0	0
7	P2_C3	TTZ C3 - kolej 2 (bez dyn. souč.)	P	0	-2 106	14	14	0	0	-17	1.00	vyp.		0.00	-	1.00	0.00	0	0	0	0	0	0	0	0	0	0	0	0
8	BR	Brzdné a rozjezdové síly	P	0	-49	1	1	0	1	-2	1.00	1.30		1.30	-	1.00	0.80	-50	1	1	0	1	0	1	0	1	-2	0	-2
9	S	Boční ráz	P	0	-20	-1	0	0	-1	-2	1.00	1.30		1.30	-	1.00	0.40	-10	0	0	0	0	0	0	0	0	-1	0	-1
10	CH	Chodci na lávkách	Q	0	-239	2	2	0	0	-3	1.00	1.30		1.30	-	1.00	1.00	-311	3	3	0	3	0	-1	0	-1	-4	0	-4
11	W	Vítr na konstrukci	Q	0	-53	0	2	0	2	5	1.00	1.35		1.35	-	1.00	0.75	-54	0	2	0	2	0	2	0	2	5	0	5
12	WP	Vítr na vozidla	Q	0	-65	2	2	0	2	6	1.00	1.35		1.35	-	1.00	0.75	-66	2	2	0	2	0	2	0	2	6	0	6
13	TR	Teplota rovnoměrná	Q	0	0	0	0	0	0	0	1.00	1.35		1.35	-	1.00	0.45	0	0	0	0	0	0	0	0	0	0	0	0
14	TN	Teplota nerovnoměrná	Q	0	-112	-17	-2	0	-6	28	1.00	-1.35		-1.35	-	1.00	0.60	90	14	1	0	1	0	5	0	5	-23	0	-23
15	FR	Třecí síly v ložiskách	Q	0	-5	0	0	0	0	0	1.00	1.20		1.20	-	1.00	1.00	-6	0	0	0	0	0	0	0	0	0	0	0
16	I	Imperfekce soustavy	Q	0	-14	-2	0	0	0	1	1.00	1.20		1.20	-	1.00	1.00	-17	-2	1	0	1	0	0	0	0	2	0	2
27	ULS_LM	ULS - LM71 bez dynam	Q	0	-7 474	35	71	0	-13	-40	1.00	vyp.		0.00	-	1.00	0.00	0	0	0	0	0	0	0	0	0	0	0	0
28	SLS_LM	SLS - LM71 bez dynam	Q	0	-5 903	39	59	0	-7	-51	1.00	vyp.	1	0.00	-	1.00	0.00	0	0	0	0	0	0	0	0	0	0	0	0
29	ULS_C3	ULS - C3 bez dynam	Q	0	-6 698	31	61	0	-9	-29	1.00	vyp.	1	0.00	-	1.00	0.00	0	0	0	0	0	0	0	0	0	0	0	0
30	SLS_C3	SLS - C3 bez dynam	Q	0	-5 306	36	51	0	-4	-43	1.00	vyp.	1	0.00	-	1.00	0.00	0	0	0	0	0	0	0	0	0	0	0	0
		CELKEM - FÁZE PRŮŘEZU 0																-7 278	62	73	0	73	0	-4	0	-4	-87	0	-87
		CELKEM - FÁZE PRŮŘEZU 1																0	0	0	0	0	0	0	0	0	0	0	0
		CELKEM - FÁZE PRŮŘEZU 2																0	0	0	0	0	0	0	0	0	0	0	0
		CELKEM - FÁZE PRŮŘEZU 3																0	0	0	0	0	0	0	0	0	0	0	0
		CELKEM - PRŮŘEZ																-7 278	62	73	0	73	0			-4			-87

Napětí od jednotlivých zatěžovacích stavů

SKUPINA ZATĚŽOVACÍCH STAVŮ					Posouzení normálového napětí										Posouzení smykového napětí													
					Účinek síly N			Účinek momentu My				Účinek momentu Mz				Účinek ktoutícího momentu Mx				Účinek smykové síly Vy				Účinek smykové síly Vz			
Č.	SKUP ZS	Popis ZS	Kat.	fáze prúř.	δ*N_d [kN]	χ*A [mm^2]	σ_n [MPa]	δ*$M_{y,d}$ [kNm]	χ_{lt}*$W_{el,y}$ [mm^3]	σ_{my} [MPa]	δ*$M_{z,d}$ [kNm]	$W_{el,z}$ [mm^3]	σ_{mz} [MPa]	σ_x [MPa]	κ*δ*$M_{x,d}$ [kNm]	$W_{v,y}$ [mm^2]	$\tau_{x,y}$ [MPa]	$W_{v,z}$ [mm^2]	$\tau_{x,z}$ [MPa]	δ*$V_{y,d}$ [kN]	$A_{v,y}$ [mm2]	$\tau_{v,y}$ [MPa]	$\tau_{v,y}$ [MPa]	δ*$V_{z,d}$ [kN]	$A_{v,z}$ [mm2]	$\tau_{v,z}$ [MPa]	$\tau_{v,z}$ [MPa]
1	G0	Vlastní tíha OK	G	0	-1 858.3	5.81E+04	-32.0	-6.6	-1.32E+07	0.5	-21.9	9.33E+06	-2.4	-33.8	-1.0E-01	-	-	-	-	15.1	3.72E+04	0.4	0.4	25.7	3.11E+04	0.8	0.8
2	G1	Ostatní stálé - mostní vybavení	G	0	-140.8	5.81E+04	-2.4	-0.6	-1.32E+07	0.0	-1.4	9.33E+06	-0.1	-2.5	-1.1E-02	-	-	-	-	1.0	3.72E+04	0.0	0.0	1.3	3.11E+04	0.0	0.0
3	G2	Ostatní stálé - cizí zařízení	G	0	-85.6	5.81E+04	-1.5	-0.2	-1.32E+07	0.0	-1.1	9.33E+06	-0.1	-1.6	0.0E+00	-	-	-	-	0.7	3.72E+04	0.0	0.0	0.7	3.11E+04	0.0	0.0
4	P1_71	a.LM71 - kolej 1 (bez dyn. souč.)	P	0	-1 494.9	5.81E+04	-25.7	-2.9	-1.32E+07	0.2	-13.9	9.33E+06	-1.5	-27.0	-1.0E-01	-	-	-	-	8.5	3.72E+04	0.2	0.2	11.3	3.11E+04	0.4	0.4
5	P2_71	a.LM71 - kolej 2 (bez dyn. souč.)	P	0	-3 274.5	5.81E+04	-56.4	-3.5	-1.32E+07	0.3	-29.4	9.33E+06	-3.2	-59.3	-1.2E-01	-	-	-	-	20.6	3.72E+04	0.6	0.6	25.9	3.11E+04	0.8	0.8
6	P1_C3	TTZ C3 - kolej 1 (bez dyn. souč.)	P	0	0.0	5.81E+04	0.0	0.0	-1.32E+07	0.0	0.0	9.33E+06	0.0	0.0	0.0E+00	-	-	-	-	0.0	3.72E+04	0.0	0.0	0.0	3.11E+04	0.0	0.0
7	P2_C3	TTZ C3 - kolej 2 (bez dyn. souč.)	P	0	0.0	5.81E+04	0.0	0.0	-1.32E+07	0.0	0.0	9.33E+06	0.0	0.0	0.0E+00	-	-	-	-	0.0	3.72E+04	0.0	0.0	0.0	3.11E+04	0.0	0.0
8	BR	Brzdné a rozjezdové síly	P	0	-50.5	5.81E+04	-0.9	1.3	-1.32E+07	-0.1	-2.3	9.33E+06	-0.2	-1.2	-1.0E-02	-	-	-	-	0.6	3.72E+04	0.0	0.0	0.7	3.11E+04	0.0	0.0
9	S	Boční ráz	P	0	-10.2	5.81E+04	-0.2	-0.3	-1.32E+07	0.0	-1.2	9.33E+06	-0.1	-0.3	-5.2E-03	-	-	-	-	-0.3	3.72E+04	0.0	0.0	-0.1	3.11E+04	0.0	0.0
10	CH	Chodci na lávkách	Q	0	-310.7	5.81E+04	-5.3	-0.6	-1.32E+07	0.0	-4.1	9.33E+06	-0.4	-5.7	-1.3E-02	-	-	-	-	2.7	3.72E+04	0.1	0.1	2.5	3.11E+04	0.1	0.1
11	W	Vítr na konstrukci	Q	0	-54.0	5.81E+04	-0.9	2.0	-1.32E+07	-0.2	4.7	9.33E+06	0.5	-0.6	4.1E-02	-	-	-	-	-0.5	3.72E+04	0.0	0.0	1.9	3.11E+04	0.1	0.1
12	WP	Vítr na vozidla	Q	0	-66.1	5.81E+04	-1.1	2.0	-1.32E+07	-0.2	5.8	9.33E+06	0.6	-0.7	3.0E-02	-	-	-	-	2.0	3.72E+04	0.1	0.1	1.5	3.11E+04	0.0	0.0
13	TR	Teplota rovnoměrná	Q	0	0.0	5.81E+04	0.0	0.0	-1.32E+07	0.0	0.0	9.33E+06	0.0	0.0	0.0E+00	-	-	-	-	0.0	3.72E+04	0.0	0.0	0.0	3.11E+04	0.0	0.0
14	TN	Teplota nerovnoměrná	Q	0	90.3	5.81E+04	1.6	5.1	-1.32E+07	-0.4	-23.4	9.33E+06	-2.5	-1.3	-5.7E-02	-	-	-	-	13.6	3.72E+04	0.4	0.4	1.3	3.11E+04	0.0	0.0
15	FR	Třecí síly v ložiskách	Q	0	-5.9	5.81E+04	-0.1	0.1	-1.32E+07	0.0	-0.2	9.33E+06	0.0	-0.1	0.0E+00	-	-	-	-	0.1	3.72E+04	0.0	0.0	0.2	3.11E+04	0.0	0.0
16	I	Imperfekce soustavy	Q	0	-17.3	5.81E+04	-0.3	0.4	-1.32E+07	0.0	1.8	9.33E+06	0.2	-0.1	1.2E-02	-	-	-	-	-1.9	3.72E+04	-0.1	-0.1	0.5	3.11E+04	0.0	0.0
27	ULS_LM	ULS - LM71 bez dynam	Q	0	0.0	5.81E+04	0.0	0.0	-1.32E+07	0.0	0.0	9.33E+06	0.0	0.0	0.0E+00	-	-	-	-	0.0	3.72E+04	0.0	0.0	0.0	3.11E+04	0.0	0.0
28	SLS_LM	SLS - LM71 bez dynam	Q	0	0.0	5.81E+04	0.0	0.0	-1.32E+07	0.0	0.0	9.33E+06	0.0	0.0	0.0E+00	-	-	-	-	0.0	3.72E+04	0.0	0.0	0.0	3.11E+04	0.0	0.0
29	ULS_C3	ULS - C3 bez dynam	Q	0	0.0	5.81E+04	0.0	0.0	-1.32E+07	0.0	0.0	9.33E+06	0.0	0.0	0.0E+00	-	-	-	-	0.0	3.72E+04	0.0	0.0	0.0	3.11E+04	0.0	0.0
30	SLS_C3	SLS - C3 bez dynam	Q	0	0.0	5.81E+04	0.0	0.0	-1.32E+07	0.0	0.0	9.33E+06	0.0	0.0	0.0E+00	-	-	-	-	0.0	3.72E+04	0.0	0.0	0.0	3.11E+04	0.0	0.0
NAVÝŠENÍ NAPĚTÍ DO AKTIVACE TLAKU V DESCE MOSTOVKY						$\sigma_{P,red}$	0.0							0.0			0.0		0.0				1.7	1.7			2.4	2.4
NAPĚTÍ OD PRIMÁRNÍCH ÚČINKŮ NEROVNOMĚRNÉHO OTEPLENÍ						σ_T	0.0							0.0														
NAPĚTÍ OD REOLOGICKÝCH ÚČINKŮ BETONU V ČASE				t=0		σ_R	0.0	γ=	1.20					0.0														
NAPĚTÍ V KRITICKÝCH VLÁKNECH OD KOMBINACE ZATÍŽENÍ						KZ03		[MPa]					$\Sigma\sigma_x$	-134.3								$\Sigma\tau_y$	1.7				$\Sigma\tau_z$	2.4	
NAPĚTÍ OD POHYBLIVÉHO ZATÍŽENÍ								[MPa]					$\sigma_{x,P}$	-87.7								τ_P	0.8				τ_P	1.2	
NAPĚTÍ OD OSTATNÍCH ZATÍŽENÍ								[MPa]			Φ_{vy}	Φ_{vz}	$\sigma_{x,rs}$	-46.5								τ_{rs}	0.9				τ_{rs}	1.1	
NÁVRHOVÁ HODNOTA MEZE KLUZU S REDUKCÍ VLIVEM SMYKOVÉHO NAPĚTÍ								[MPa]			1.00	1.00	$f_{yw,d}$	191.7								$f_{yd}/3^{0,5}$	110.7				$f_{yd}/3^{0,5}$	110.7	
NAPĚTÍ OD POHYBLIVÉHO ZATÍŽENÍ V GLOBÁLNÍM SYSTÉMU						$\sigma_{GLOB,P}$	0.0	[MPa]					$\Sigma\sigma_{GLOB}$	0.0														
NAPĚTÍ OD OSTATNÍCH ZATÍŽENÍ V GLOBÁLNÍM SYSTÉMU						$\sigma_{GLOB,rs}$	0.0	[MPa]					$\Sigma\sigma_x + \Sigma\sigma_{GLOB}$	-134.3														
VYUŽITÍ PRŮŘEZU DLE NAPĚTÍ								[%]					η_1	0.70								η_3	0.02				η_3	0.02	
NAPĚTÍ V PŘÍČNÉM SMĚRU OD POHYBLIVÉHO ZATÍŽENÍ						$\sigma_{z,P}$	0.0	[MPa]					$\Sigma\sigma_z$	0.0														
NAPĚTÍ V PŘÍČNÉM SMĚRU OD OSTATNÍCH ZATÍŽENÍ						$\sigma_{z,rs}$	0.0	[MPa]					η_2	0.00														
SROVNÁVACÍ NAPĚTÍ													$(\eta_2 + 0,8\,\eta_1)/1,4$ =	0.40														
VYUŽITÍ PRŮŘEZU CELKEM								[%]					eff	0.70	VYHOVUJE													
													Z_{LM71} =	1.65														

TAB. O3.3 POSOUZENÍ - MEZNÍ STAV ÚNOSNOSTI

POPIS	HORNÍ PÁS O3
PRUT / POLOHA BODU	30 / 3/4
NAMÁHÁNÍ	N.min
VLÁKNO	BOD K4 -SP
MEZNÍ STAV	ULS (MSÚ)
VYUŽITÍ VLÁKNA PRŮŘEZU	0.70

Charakteristiky materiálu				
pás. horní	$f_{yf,k}$	230	MPa	
pás. dolní	$f_{yf,k}$	230	MPa	
stojina	$f_{yw,k}$	230	MPa	
výztuž	$f_{ys,k}$	500	MPa	
	γ_M =	1.20	γ_s =	1.15

Excentricita normálové síly				
Exc./Fáze	0	1	2	3
e_y	0.000	0.000	0.000	0.000
e_z	0.000	0.000	0.000	0.000
Ekvivalentní vzdál. stěn - příčný roznos				
b_{Mx}	0.000	0.000	0.000	0.000

Vliv stěny na únosnost průřezu				
Char./Fáze	0	1	2	3
A	0.00	0.00	0.00	0.00
Wy	0.00	0.00	0.00	0.00
Wz	0.00	0.00	0.00	0.00

Charakter. v kroucení			
$t_{w,y}$	0.000	[mm]	
$t_{w,z}$	0.000	[mm]	
κ	1.00		
I_t=	0.00E+00	[mm^4]	
$\Omega=2*A_{pr}$	0.00E+00	[mm^2]	

Součinitele vzpěru a vlivu II.řádu				
Char./Fáze	0	1	2	3
k_y	1.030	1.000	1.000	1.000
k_z	1.020	1.000	1.000	1.000
χ_{LT}	1.000	1.000	1.000	1.000
χ_{min}	0.850	1.000	1.000	1.000

Vnitřní síly od jednotlivých skupin zatěžovacích stavů

SKUPINA ZATĚŽOVACÍCH STAVŮ					- CHARAKTERISTICKÉ HODNOTY						DÍLČÍ SOUČINITELÉ ZATÍŽENÍ, DYNAMICKÝ SOUČINITEL							- NÁVRHOVÉ HODNOTY									
Č.	SKUP ZS	POPIS ZS	KAT.	FÁZE PRŮŘ.	N.k (kN)	Vy.k (kN)	Vz.k (kN)	Mx.k (kNm)	My.k (kNm)	Mz.k (kNm)	γ_{sr} (-)	γ_{fs} (-)	volba ψ_i hledat	ψ_i (-)	L_d (m)	δ (-)	ψ_s KZ03	N.d (kN)	Vy.d (kN)	Vz.d (kN)	ΔVz.d (kN)	ΣVz.d (kN)	Mx.d (kNm)	My.d (kNm)	ΔMy.d (kNm)	ΣMy.d (kNm)	Mz.d (kNm)	ΔMz.d (kNm)	ΣMz.d (kNm)
1	G0	Vlastní tíha OK	G	0	-1 630	13	23	0	-6	-19	1.00	1.20		1.20	-	1.00	0.95	-1 858	15	26	0	26	0	-7	0	-7	-22	0	-22
2	G1	Ostatní stálé - mostní vybavení	G	0	-124	1	1	0	-1	-1	1.00	1.20		1.20	-	1.00	0.95	-141	1	1	0	1	0	0	0	-1	-1	0	-1
3	G2	Ostatní stálé - cizí zařízení	G	0	-75	1	1	0	0	-1	1.00	1.20		1.20	-	1.00	0.95	-86	1	1	0	1	0	0	0	0	-1	0	-1
4	P1_71	a.LM71 - kolej 1 (bez dyn. souč.)	P	0	-1 150	7	9	0	-2	-10	1.00	1.30		1.30	-	1.00	1.00	-1 495	8	11	0	11	0	-3	0	-3	-14	0	-14
5	P2_71	a.LM71 - kolej 2 (bez dyn. souč.)	P	0	-2 519	16	20	0	-3	-22	1.00	1.30		1.30	-	1.00	1.00	-3 275	21	26	0	26	0	-4	0	-4	-29	0	-29
6	P1_C3	TTZ C3 - kolej 1 (bez dyn. souč.)	P	0	-965	6	7	0	-2	-8	1.00	vyp.		0.00	-	1.00	0.00	0	0	0	0	0	0	0	0	0	0	0	0
7	P2_C3	TTZ C3 - kolej 2 (bez dyn. souč.)	P	0	-2 106	14	14	0	0	-17	1.00	vyp.		0.00	-	1.00	0.00	0	0	0	0	0	0	0	0	0	0	0	0
8	BR	Brzdné a rozjezdové síly	P	0	-49	1	1	0	1	-2	1.00	1.30		1.30	-	1.00	0.80	-50	1	1	0	1	0	1	0	1	-2	0	-2
9	S	Boční ráz	P	0	-20	-1	0	0	-1	-2	1.00	1.30		1.30	-	1.00	0.40	-10	0	0	0	0	0	0	0	0	-1	0	-1
10	CH	Chodci na lávkách	Q	0	-239	2	2	0	0	-3	1.00	1.30		1.30	-	1.00	1.00	-311	3	3	0	3	0	-1	0	-1	-4	0	-4
11	W	Vítr na konstrukci	Q	0	-53	0	2	0	2	5	1.00	1.35		1.35	-	1.00	0.75	-54	0	2	0	2	0	2	0	2	5	0	5
12	WP	Vítr na vozidla	Q	0	-65	2	2	0	2	6	1.00	1.35		1.35	-	1.00	0.75	-66	2	2	0	2	0	2	0	2	6	0	6
13	TR	Teplota rovnoměrná	Q	0	0	0	0	0	0	0	1.00	1.35		1.35	-	1.00	0.45	0	0	0	0	0	0	0	0	0	0	0	0
14	TN	Teplota nerovnoměrná	Q	0	-112	-17	-2	0	-6	28	1.00	1.35		1.35	-	1.00	0.60	-90	-14	-1	0	-1	0	-5	0	-5	23	0	23
15	FR	Třecí síly v ložiskách	Q	0	-5	0	0	0	0	0	1.00	1.20		1.20	-	1.00	1.00	-6	0	0	0	0	0	0	0	0	0	0	0
16	I	Imperfekce soustavy	Q	0	-14	-2	0	0	0	1	1.00	1.20		1.20	-	1.00	1.00	-17	-2	1	0	1	0	0	0	0	2	0	2
27	ULS_LM	ULS - LM71 bez dynam	Q	0	-7 474	35	71	0	-13	-40	1.00	vyp.		0.00	-	1.00	0.00	0	0	0	0	0	0	0	0	0	0	0	0
28	SLS_LM	SLS - LM71 bez dynam	Q	0	-5 903	39	59	0	-7	-51	1.00	vyp.	1	0.00	-	1.00	0.00	0	0	0	0	0	0	0	0	0	0	0	0
29	ULS_C3	ULS - C3 bez dynam	Q	0	-6 698	31	61	0	-9	-29	1.00	vyp.	1	0.00	-	1.00	0.00	0	0	0	0	0	0	0	0	0	0	0	0
30	SLS_C3	SLS - C3 bez dynam	Q	0	-5 306	36	51	0	-4	-43	1.00	vyp.	1	0.00	-	1.00	0.00	0	0	0	0	0	0	0	0	0	0	0	0
		CELKEM - FÁZE PRŮŘEZU 0																-7 459	35	71	0	71	0	-14	0	-14	-40	0	-40
		CELKEM - FÁZE PRŮŘEZU 1																0	0	0	0	0	0	0	0	0	0	0	0
		CELKEM - FÁZE PRŮŘEZU 2																0	0	0	0	0	0	0	0	0	0	0	0
		CELKEM - FÁZE PRŮŘEZU 3																0	0	0	0	0	0	0	0	0	0	0	0
		CELKEM - PRŮŘEZ																-7 459	35	71	0	71	0			-14			-40

Napětí od jednotlivých zatěžovacích stavů

SKUPINA ZATĚŽOVACÍCH STAVŮ					Posouzení normálového napětí										Posouzení smykového napětí													
					Účinek síly N			Účinek momentu My				Účinek momentu Mz				Účinek kroutícího momentu Mx				Účinek smykové síly Vy				Účinek smykové síly Vz			
Č.	SKUP ZS	Popis ZS	Kat.	fáze prúř.	δ^*N_d [kN]	χ^*A [mm^2]	σ_n [MPa]	$\delta^*M_{y,d}$ [kNm]	$\chi_{lt}*W_{el,y}$ [mm^3]	σ_{my} [MPa]	$\delta^*M_{z,d}$ [kNm]	$W_{el,z}$ [mm^3]	σ_{mz} [MPa]	σ_x [MPa]	$\kappa^*\delta^*M_{x,d}$ [kNm]	$W_{v,y}$ [mm^2]	$\tau_{x,y}$ [MPa]	$W_{v,z}$ [mm^2]	$\tau_{x,z}$ [MPa]	$\delta^*V_{y,d}$ [kN]	$A_{v,y}$ [mm2]	$\tau_{v,y}$ [MPa]	$\tau_{v,y}$ [MPa]	$\delta^*V_{z,d}$ [kN]	$A_{v,z}$ [mm2]	$\tau_{v,z}$ [MPa]	$\tau_{v,z}$ [MPa]
1	G0	Vlastní tíha OK	G	0	-1 858.3	5.81E+04	-32.0	-6.6	5.63E+06	-1.2	-21.9	9.54E+06	-2.3	-35.5	-1.0E-01	-	-	-	-	15.1	3.72E+04	0.4	0.4	25.7	3.11E+04	0.8	0.8
2	G1	Ostatní stálé - mostní vybavení	G	0	-140.8	5.81E+04	-2.4	-0.6	5.63E+06	-0.1	-1.4	9.54E+06	-0.1	-2.7	-1.1E-02	-	-	-	-	1.0	3.72E+04	0.0	0.0	1.3	3.11E+04	0.0	0.0
3	G2	Ostatní stálé - cizí zařízení	G	0	-85.6	5.81E+04	-1.5	-0.2	5.63E+06	0.0	-1.1	9.54E+06	-0.1	-1.6	0.0E+00	-	-	-	-	0.7	3.72E+04	0.0	0.0	0.7	3.11E+04	0.0	0.0
4	P1_71	a.LM71 - kolej 1 (bez dyn. souč.)	P	0	-1 494.9	5.81E+04	-25.7	-2.9	5.63E+06	-0.5	-13.9	9.54E+06	-1.5	-27.7	-1.0E-01	-	-	-	-	8.5	3.72E+04	0.2	0.2	11.3	3.11E+04	0.4	0.4
5	P2_71	a.LM71 - kolej 2 (bez dyn. souč.)	P	0	-3 274.5	5.81E+04	-56.4	-3.5	5.63E+06	-0.6	-29.4	9.54E+06	-3.1	-60.1	-1.2E-01	-	-	-	-	20.6	3.72E+04	0.6	0.6	25.9	3.11E+04	0.8	0.8
6	P1_C3	TTZ C3 - kolej 1 (bez dyn. souč.)	P	0	0.0	5.81E+04	0.0	0.0	5.63E+06	0.0	0.0	9.54E+06	0.0	0.0	0.0E+00	-	-	-	-	0.0	3.72E+04	0.0	0.0	0.0	3.11E+04	0.0	0.0
7	P2_C3	TTZ C3 - kolej 2 (bez dyn. souč.)	P	0	0.0	5.81E+04	0.0	0.0	5.63E+06	0.0	0.0	9.54E+06	0.0	0.0	0.0E+00	-	-	-	-	0.0	3.72E+04	0.0	0.0	0.0	3.11E+04	0.0	0.0
8	BR	Brzdné a rozjezdové síly	P	0	-50.5	5.81E+04	-0.9	1.3	5.63E+06	0.2	-2.3	9.54E+06	-0.2	-0.9	-1.0E-02	-	-	-	-	0.6	3.72E+04	0.0	0.0	0.7	3.11E+04	0.0	0.0
9	S	Boční ráz	P	0	-10.2	5.81E+04	-0.2	-0.3	5.63E+06	-0.1	-1.2	9.54E+06	-0.1	-0.4	-5.2E-03	-	-	-	-	-0.3	3.72E+04	0.0	0.0	-0.1	3.11E+04	0.0	0.0
10	CH	Chodci na lávkách	Q	0	-310.7	5.81E+04	-5.3	-0.6	5.63E+06	-0.1	-4.1	9.54E+06	-0.4	-5.9	-1.3E-02	-	-	-	-	2.7	3.72E+04	0.1	0.1	2.5	3.11E+04	0.1	0.1
11	W	Vítr na konstrukci	Q	0	-54.0	5.81E+04	-0.9	2.0	5.63E+06	0.4	4.7	9.54E+06	0.5	-0.1	4.1E-02	-	-	-	-	-0.5	3.72E+04	0.0	0.0	1.9	3.11E+04	0.1	0.1
12	WP	Vítr na vozidla	Q	0	-66.1	5.81E+04	-1.1	2.0	5.63E+06	0.4	5.8	9.54E+06	0.6	-0.2	3.0E-02	-	-	-	-	2.0	3.72E+04	0.1	0.1	1.5	3.11E+04	0.0	0.0
13	TR	Teplota rovnoměrná	Q	0	0.0	5.81E+04	0.0	0.0	5.63E+06	0.0	0.0	9.54E+06	0.0	0.0	0.0E+00	-	-	-	-	0.0	3.72E+04	0.0	0.0	0.0	3.11E+04	0.0	0.0
14	TN	Teplota nerovnoměrná	Q	0	-90.3	5.81E+04	-1.6	-5.1	5.63E+06	-0.9	23.4	9.54E+06	2.5	0.0	5.7E-02	-	-	-	-	-13.6	3.72E+04	-0.4	-0.4	-1.3	3.11E+04	0.0	0.0
15	FR	Třecí síly v ložiskách	Q	0	-5.9	5.81E+04	-0.1	0.1	5.63E+06	0.0	-0.2	9.54E+06	0.0	-0.1	0.0E+00	-	-	-	-	0.1	3.72E+04	0.0	0.0	0.2	3.11E+04	0.0	0.0
16	I	Imperfekce soustavy	Q	0	-17.3	5.81E+04	-0.3	0.4	5.63E+06	0.1	1.8	9.54E+06	0.2	0.0	1.2E-02	-	-	-	-	-1.9	3.72E+04	-0.1	-0.1	0.5	3.11E+04	0.0	0.0
27	ULS_LM	ULS - LM71 bez dynam	Q	0	0.0	5.81E+04	0.0	0.0	5.63E+06	0.0	0.0	9.54E+06	0.0	0.0	0.0E+00	-	-	-	-	0.0	3.72E+04	0.0	0.0	0.0	3.11E+04	0.0	0.0
28	SLS_LM	SLS - LM71 bez dynam	Q	0	0.0	5.81E+04	0.0	0.0	5.63E+06	0.0	0.0	9.54E+06	0.0	0.0	0.0E+00	-	-	-	-	0.0	3.72E+04	0.0	0.0	0.0	3.11E+04	0.0	0.0
29	ULS_C3	ULS - C3 bez dynam	Q	0	0.0	5.81E+04	0.0	0.0	5.63E+06	0.0	0.0	9.54E+06	0.0	0.0	0.0E+00	-	-	-	-	0.0	3.72E+04	0.0	0.0	0.0	3.11E+04	0.0	0.0
30	SLS_C3	SLS - C3 bez dynam	Q	0	0.0	5.81E+04	0.0	0.0	5.63E+06	0.0	0.0	9.54E+06	0.0	0.0	0.0E+00	-	-	-	-	0.0	3.72E+04	0.0	0.0	0.0	3.11E+04	0.0	0.0
NAVÝŠENÍ NAPĚTÍ DO AKTIVACE TLAKU V DESCE MOSTOVKY						$\sigma_{P,red}$	0.0							0.0			0.0		0.0				0.9	0.9			2.3	2.3
NAPĚTÍ OD PRIMÁRNÍCH ÚČINKŮ NEROVNOMĚRNÉHO OTEPLENÍ						σ_T	0.0							0.0														
NAPĚTÍ OD REOLOGICKÝCH ÚČINKŮ BETONU V ČASE				t=0		σ_R	0.0	γ_{G*}	1.20					0.0														
NAPĚTÍ V KRITICKÝCH VLÁKNECH OD KOMBINACE ZATÍŽENÍ							KZ03	[MPa]						$\Sigma\sigma_x$	-135.1								$\Sigma\tau_y$	0.9			$\Sigma\tau_z$	2.3
NAPĚTÍ OD POHYBLIVÉHO ZATÍŽENÍ								[MPa]						$\sigma_{x,P}$	-89.0								τ_P	0.8			τ_P	1.2
NAPĚTÍ OD OSTATNÍCH ZATÍŽENÍ								[MPa]			Φ_{vy}	Φ_{vz}		$\sigma_{x,rs}$	-46.0								τ_{rs}	0.2			τ_{rs}	1.1
NÁVRHOVÁ HODNOTA MEZE KLUZU S REDUKCÍ VLIVEM SMYKOVÉHO NAPĚTÍ								[MPa]			1.00	1.00		$f_{yv,d}$	191.7								$f_{yd}/3^{0,5}$	110.7			$f_{yd}/3^{0,5}$	110.7
NAPĚTÍ OD POHYBLIVÉHO ZATÍŽENÍ V GLOBÁLNÍM SYSTÉMU						$\sigma_{GLOB,P}$	0.0	[MPa]						$\Sigma\sigma_{GLOB}$	0.0													
NAPĚTÍ OD OSTATNÍCH ZATÍŽENÍ V GLOBÁLNÍM SYSTÉMU						$\sigma_{GLOB,rs}$	0.0	[MPa]						$\Sigma\sigma_x + \Sigma\sigma_{GLOB}$	-135.1													
VYUŽITÍ PRŮŘEZU DLE NAPĚTÍ								[%]						η_1	0.70								η_3	0.01			η_3	0.02
NAPĚTÍ V PŘÍČNÉM SMĚRU OD POHYBLIVÉHO ZATÍŽENÍ						$\sigma_{z,P}$	0.0	[MPa]						$\Sigma\sigma_z$	0.0													
NAPĚTÍ V PŘÍČNÉM SMĚRU OD OSTATNÍCH ZATÍŽENÍ						$\sigma_{z,rs}$	0.0	[MPa]						η_2	0.00													
SROVNÁVACÍ NAPĚTÍ														$(\eta2 + 0,8\ \eta1)/1,4 =$	0.40													
VYUŽITÍ PRŮŘEZU CELKEM								[%]						eff	0.70	VYHOVUJE												
														Z_{LM71} =	1.64													

TAB. O3.3 POSOUZENÍ - MEZNÍ STAV ÚNOSNOSTI

POPIS	HORNÍ PÁS O3
PRUT / POLOHA BODU	30 / 3/4
NAMÁHÁNÍ	Vz.max
VLÁKNO	BOD S6 -HP
MEZNÍ STAV	ULS (MSÚ)
VYUŽITÍ VLÁKNA PRŮŘEZU	0.61

Charakteristiky materiálu				
pás. horní	$f_{yf,k}$	230	MPa	
pás. dolní	$f_{yf,k}$	230	MPa	
stojina	$f_{yw,k}$	230	MPa	
výztuž	$f_{ys,k}$	500	MPa	
	γ_M =	1.20	γ_s =	1.15

Excentricita normálové síly				
Exc./Fáze	0	1	2	3
e_y	0.000	0.000	0.000	0.000
e_z	0.000	0.000	0.000	0.000
Ekvivalentní vzdál. stěn - příčný roznos				
b_{Mx}	0.000	0.000	0.000	0.000

Vliv stěny na únosnost průřezu				
Char./Fáze	0	1	2	3
A	0.00	0.00	0.00	0.00
Wy	0.00	0.00	0.00	0.00
Wz	0.00	0.00	0.00	0.00

Charakter. v kroucení		
$t_{w,y}$	0.000	[mm]
$t_{w,z}$	0.000	[mm]
κ	1.00	
I_t=	0.00E+00	[mm^4]
Ω=2*A_{pz}	0.00E+00	[mm^2]

Součinitele vzpěru a vlivu II.řádu					
Char./Fáze	0	1	2	3	
k_y	1.030	1.000	1.000	1.000	
k_z	1.020	1.000	1.000	1.000	
χ_{LT}	1.000	1.000	1.000	1.000	
χ_{min}	0.850	1.000	1.000	1.000	

Vnitřní síly od jednotlivých skupin zatěžovacích stavů

SKUPINA ZATĚŽOVACÍCH STAVŮ					- CHARAKTERISTICKÉ HODNOTY						DÍLČÍ SOUČINITELÉ ZATÍŽENÍ, DYNAMICKÝ SOUČINITEL							- NÁVRHOVÉ HODNOTY									
Č.	SKUP ZS	POPIS ZS	KAT.	FÁZE PRŮŘ.	N.k (kN)	Vy.k (kN)	Vz.k (kN)	Mx.k (kNm)	My.k (kNm)	Mz.k (kNm)	γ_{sr} (-)	γ_{fs} (-)	volba γ_f hledat	γ_f (-)	L_d (m)	δ (-)	Ψ_s KZ03	N.d (kN)	Vy.d (kN)	Vz.d (kN)	ΔVz.d (kN)	ΣVz.d (kN)	Mx.d (kNm)	My.d (kNm)	ΔMy.d (kNm)	ΣMy.d (kNm)	Mz.d (kNm)	ΔMz.d (kNm)	ΣMz.d (kNm)
1	G0	Vlastní tíha OK	G	0	-1 630	13	23	0	-6	-19	1.00	1.20		1.20	-	1.00	0.95	-1 858	15	26	0	26	0	-7	0	-7	-22	0	-22
2	G1	Ostatní stálé - mostní vybavení	G	0	-124	1	1	0	-1	-1	1.00	1.20		1.20	-	1.00	0.95	-141	1	1	0	1	0	-1	0	-1	-1	0	-1
3	G2	Ostatní stálé - cizí zařízení	G	0	-75	1	1	0	0	-1	1.00	1.20		1.20	-	1.00	0.95	-86	1	1	0	1	0	0	0	0	-1	0	-1
4	P1_71	a.LM71 - kolej 1 (bez dyn. souč.)	P	0	-992	6	12	0	-9	-12	1.00	1.30		1.30	-	1.00	1.00	-1 289	8	15	0	15	0	-13	0	-13	-15	0	-15
5	P2_71	a.LM71 - kolej 2 (bez dyn. souč.)	P	0	-2 105	13	30	0	-25	-21	1.00	1.30		1.30	-	1.00	1.00	-2 737	17	39	0	39	0	-34	0	-34	-28	0	-28
6	P1_C3	TTZ C3 - kolej 1 (bez dyn. souč.)	P	0	-866	6	10	0	-8	-10	1.00	vyp.		0.00	-	1.00	0.00	0	0	0	0	0	0	0	0	0	0	0	0
7	P2_C3	TTZ C3 - kolej 2 (bez dyn. souč.)	P	0	-1 756	12	26	0	-25	-18	1.00	vyp.		0.00	-	1.00	0.00	0	0	0	0	0	0	0	0	0	0	0	0
8	BR	Brzdné a rozjezdové síly	P	0	-46	1	1	0	1	-2	1.00	1.30		1.30	-	1.00	0.80	-48	1	1	0	1	0	1	0	1	-2	0	-2
9	S	Boční ráz	P	0	19	1	0	0	1	3	1.00	1.30		1.30	-	1.00	0.40	10	0	0	0	0	0	0	0	0	1	0	1
10	CH	Chodci na lávkách	Q	0	-239	2	2	0	0	-3	1.00	1.30		1.30	-	1.00	1.00	-311	3	3	0	3	0	-1	0	-1	-4	0	-4
11	W	Vítr na konstrukci	Q	0	-53	0	2	0	2	5	1.00	1.35		1.35	-	1.00	0.75	-54	0	2	0	2	0	2	0	2	5	0	5
12	WP	Vítr na vozidla	Q	0	-65	2	2	0	2	6	1.00	1.35		1.35	-	1.00	0.75	-66	2	2	0	2	0	2	0	2	6	0	6
13	TR	Teplota rovnoměrná	Q	0	0	0	0	0	0	0	1.00	1.35		1.35	-	1.00	0.45	0	0	0	0	0	0	0	0	0	0	0	0
14	TN	Teplota nerovnoměrná	Q	0	3	1	2	0	5	-2	1.00	1.35		1.35	-	1.00	0.60	2	1	2	0	2	0	4	0	4	-2	0	-2
15	FR	Třecí síly v ložiskách	Q	0	-5	0	0	0	0	0	1.00	1.20		1.20	-	1.00	1.00	-6	0	0	0	0	0	0	0	0	0	0	0
16	I	Imperfekce soustavy	Q	0	-14	-2	0	0	0	1	1.00	1.20		1.20	-	1.00	1.00	-17	-2	1	0	1	0	0	0	0	2	0	2
27	ULS_LM	ULS - LM71 bez dynam	Q	0	-6 611	46	91	0	-42	-61	1.00	vyp.		0.00	-	1.00	0.00	0	0	0	0	0	0	0	0	0	0	0	0
28	SLS_LM	SLS - LM71 bez dynam	Q	0	-5 310	37	72	0	-36	-48	1.00	vyp.	1	0.00	-	1.00	0.00	0	0	0	0	0	0	0	0	0	0	0	0
29	ULS_C3	ULS - C3 bez dynam	Q	0	-5 992	44	85	0	-40	-54	1.00	vyp.	1	0.00	-	1.00	0.00	0	0	0	0	0	0	0	0	0	0	0	0
30	SLS_C3	SLS - C3 bez dynam	Q	0	-4 834	35	67	0	-35	-43	1.00	vyp.	1	0.00	-	1.00	0.00	0	0	0	0	0	0	0	0	0	0	0	0
		CELKEM - FÁZE PRŮŘEZU 0																-6 601	46	91	0	91	0	-43	0	-43	-62	0	-62
		CELKEM - FÁZE PRŮŘEZU 1																0	0	0	0	0	0	0	0	0	0	0	0
		CELKEM - FÁZE PRŮŘEZU 2																0	0	0	0	0	0	0	0	0	0	0	0
		CELKEM - FÁZE PRŮŘEZU 3																0	0	0	0	0	0	0	0	0	0	0	0
		CELKEM - PRŮŘEZ																-6 601	46	91	0	91	0			-43			-62

Napětí od jednotlivých zatěžovacích stavů

SKUPINA ZATĚŽOVACÍCH STAVŮ					Posouzení normálového napětí										Posouzení smykového napětí													
					Účinek síly N			Účinek momentu My			Účinek momentu Mz				Účinek kroutícího momentu Mx				Účinek smykové síly Vy				Účinek smykové síly Vz			
č.	SKUP ZS	Popis ZS	Kat.	fáze prúř.	δ*N_d [kN]	χ*A [mm^2]	σ_n [MPa]	δ*$M_{y,d}$ [kNm]	χ_{lt}*$W_{el,y}$ [mm^3]	σ_{my} [MPa]	δ*$M_{z,d}$ [kNm]	$W_{el,z}$ [mm^3]	σ_{mz} [MPa]	σ_x [MPa]	κ*δ*$M_{x,d}$ [kNm]	$W_{v,y}$ [mm^2]	$\tau_{x,y}$ [MPa]	$W_{v,z}$ [mm^2]	$\tau_{x,z}$ [MPa]	δ*$V_{y,d}$ [kN]	$A_{v,y}$ [mm2]	$\tau_{v,y}$ [MPa]	$\tau_{v,y}$ [MPa]	δ*$V_{z,d}$ [kN]	$A_{v,z}$ [mm2]	$\tau_{v,z}$ [MPa]	$\tau_{v,z}$ [MPa]
1	G0	Vlastní tíha OK	G	0	-1 858.3	5.81E+04	-32.0	-6.6	5.63E+06	-1.2	-21.9	-1.41E+07	1.6	-31.6	-1.0E-01	-	-	-	-	15.1	3.72E+04	0.4	0.4	25.7	3.11E+04	0.8	0.8
2	G1	Ostatní stálé - mostní vybavení	G	0	-140.8	5.81E+04	-2.4	-0.6	5.63E+06	-0.1	-1.4	-1.41E+07	0.1	-2.4	-1.1E-02	-	-	-	-	1.0	3.72E+04	0.0	0.0	1.3	3.11E+04	0.0	0.0
3	G2	Ostatní stálé - cizí zařízení	G	0	-85.6	5.81E+04	-1.5	-0.2	5.63E+06	0.0	-1.1	-1.41E+07	0.1	-1.4	0.0E+00	-	-	-	-	0.7	3.72E+04	0.0	0.0	0.7	3.11E+04	0.0	0.0
4	P1_71	a.LM71 - kolej 1 (bez dyn. souč.)	P	0	-1 289.5	5.81E+04	-22.2	-12.5	5.63E+06	-2.2	-15.4	-1.41E+07	1.1	-23.3	-9.1E-02	-	-	-	-	7.9	3.72E+04	0.2	0.2	15.1	3.11E+04	0.5	0.5
5	P2_71	a.LM71 - kolej 2 (bez dyn. souč.)	P	0	-2 736.9	5.81E+04	-47.1	-33.6	5.63E+06	-6.0	-28.1	-1.41E+07	2.0	-51.1	-9.1E-02	-	-	-	-	17.4	3.72E+04	0.5	0.5	39.1	3.11E+04	1.3	1.3
6	P1_C3	TTZ C3 - kolej 1 (bez dyn. souč.)	P	0	0.0	5.81E+04	0.0	0.0	5.63E+06	0.0	0.0	-1.41E+07	0.0	0.0	0.0E+00	-	-	-	-	0.0	3.72E+04	0.0	0.0	0.0	3.11E+04	0.0	0.0
7	P2_C3	TTZ C3 - kolej 2 (bez dyn. souč.)	P	0	0.0	5.81E+04	0.0	0.0	5.63E+06	0.0	0.0	-1.41E+07	0.0	0.0	0.0E+00	-	-	-	-	0.0	3.72E+04	0.0	0.0	0.0	3.11E+04	0.0	0.0
8	BR	Brzdné a rozjezdové síly	P	0	-48.0	5.81E+04	-0.8	1.4	5.63E+06	0.2	-1.9	-1.41E+07	0.1	-0.4	0.0E+00	-	-	-	-	0.7	3.72E+04	0.0	0.0	0.9	3.11E+04	0.0	0.0
9	S	Boční ráz	P	0	9.6	5.81E+04	0.2	0.4	5.63E+06	0.1	1.4	-1.41E+07	-0.1	0.1	5.2E-03	-	-	-	-	0.3	3.72E+04	0.0	0.0	0.1	3.11E+04	0.0	0.0
10	CH	Chodci na lávkách	Q	0	-310.7	5.81E+04	-5.3	-0.6	5.63E+06	-0.1	-4.1	-1.41E+07	0.3	-5.2	-1.3E-02	-	-	-	-	2.7	3.72E+04	0.1	0.1	2.5	3.11E+04	0.1	0.1
11	W	Vítr na konstrukci	Q	0	-54.0	5.81E+04	-0.9	2.0	5.63E+06	0.4	4.7	-1.41E+07	-0.3	-0.9	4.1E-02	-	-	-	-	-0.5	3.72E+04	0.0	0.0	1.9	3.11E+04	0.1	0.1
12	WP	Vítr na vozidla	Q	0	-66.1	5.81E+04	-1.1	2.0	5.63E+06	0.4	5.8	-1.41E+07	-0.4	-1.2	3.0E-02	-	-	-	-	2.0	3.72E+04	0.1	0.1	1.5	3.11E+04	0.0	0.0
13	TR	Teplota rovnoměrná	Q	0	0.0	5.81E+04	0.0	0.0	5.63E+06	0.0	0.0	-1.41E+07	0.0	0.0	0.0E+00	-	-	-	-	0.0	3.72E+04	0.0	0.0	0.0	3.11E+04	0.0	0.0
14	TN	Teplota nerovnoměrná	Q	0	2.2	5.81E+04	0.0	4.5	5.63E+06	0.8	-1.6	-1.41E+07	0.1	0.9	-8.1E-03	-	-	-	-	0.7	3.72E+04	0.0	0.0	1.5	3.11E+04	0.0	0.0
15	FR	Třecí síly v ložiskách	Q	0	-5.9	5.81E+04	-0.1	0.1	5.63E+06	0.0	-0.2	-1.41E+07	0.0	-0.1	0.0E+00	-	-	-	-	0.1	3.72E+04	0.0	0.0	0.2	3.11E+04	0.0	0.0
16	I	Imperfekce soustavy	Q	0	-17.3	5.81E+04	-0.3	0.4	5.63E+06	0.1	1.8	-1.41E+07	-0.1	-0.4	1.2E-02	-	-	-	-	-1.9	3.72E+04	-0.1	-0.1	0.5	3.11E+04	0.0	0.0
27	ULS_LM	ULS - LM71 bez dynam	Q	0	0.0	5.81E+04	0.0	0.0	5.63E+06	0.0	0.0	-1.41E+07	0.0	0.0	0.0E+00	-	-	-	-	0.0	3.72E+04	0.0	0.0	0.0	3.11E+04	0.0	0.0
28	SLS_LM	SLS - LM71 bez dynam	Q	0	0.0	5.81E+04	0.0	0.0	5.63E+06	0.0	0.0	-1.41E+07	0.0	0.0	0.0E+00	-	-	-	-	0.0	3.72E+04	0.0	0.0	0.0	3.11E+04	0.0	0.0
29	ULS_C3	ULS - C3 bez dynam	Q	0	0.0	5.81E+04	0.0	0.0	5.63E+06	0.0	0.0	-1.41E+07	0.0	0.0	0.0E+00	-	-	-	-	0.0	3.72E+04	0.0	0.0	0.0	3.11E+04	0.0	0.0
30	SLS_C3	SLS - C3 bez dynam	Q	0	0.0	5.81E+04	0.0	0.0	5.63E+06	0.0	0.0	-1.41E+07	0.0	0.0	0.0E+00	-	-	-	-	0.0	3.72E+04	0.0	0.0	0.0	3.11E+04	0.0	0.0
NAVÝŠENÍ NAPĚTÍ DO AKTIVACE TLAKU V DESCE MOSTOVKY						$\sigma_{P,red}$	0.0							0.0			0.0		0.0				1.2	1.2			2.9	2.9
NAPĚTÍ OD PRIMÁRNÍCH ÚČINKŮ NEROVNOMĚRNÉHO OTEPLENÍ						σ_T	0.0							0.0														
NAPĚTÍ OD REOLOGICKÝCH ÚČINKŮ BETONU V ČASE				t=0		σ_R	0.0	γ=	1.20					0.0														
NAPĚTÍ V KRITICKÝCH VLÁKNECH OD KOMBINACE ZATÍŽENÍ						KZ03		[MPa]					$\Sigma\sigma_x$	-116.9								$\Sigma\tau_y$	1.2			$\Sigma\tau_z$	2.9	
NAPĚTÍ OD POHYBLIVÉHO ZATÍŽENÍ								[MPa]					$\sigma_{x,P}$	-74.7								τ_P	0.7			τ_P	1.8	
NAPĚTÍ OD OSTATNÍCH ZATÍŽENÍ								[MPa]			Φ_{Vy}	Φ_{Vz}	$\sigma_{x,rs}$	-42.2								τ_{rs}	0.5			τ_{rs}	1.2	
NÁVRHOVÁ HODNOTA MEZE KLUZU S REDUKCÍ VLIVEM SMYKOVÉHO NAPĚTÍ								[MPa]			1.00	1.00	$f_{yV,d}$	191.7								$f_{yd}/3^{0,5}$	110.7			$f_{yd}/3^{0,5}$	110.7	
NAPĚTÍ OD POHYBLIVÉHO ZATÍŽENÍ V GLOBÁLNÍM SYSTÉMU						$\sigma_{GLOB,P}$	0.0	[MPa]					$\Sigma\sigma_{GLOB}$	0.0														
NAPĚTÍ OD OSTATNÍCH ZATÍŽENÍ V GLOBÁLNÍM SYSTÉMU						$\sigma_{GLOB,rs}$	0.0	[MPa]					$\Sigma\sigma_x + \Sigma\sigma_{GLOB}$	-116.9														
VYUŽITÍ PRŮŘEZU DLE NAPĚTÍ								[%]					η_1	0.61								η_3	0.01			η_3	0.03	
NAPĚTÍ V PŘÍČNÉM SMĚRU OD POHYBLIVÉHO ZATÍŽENÍ						$\sigma_{z,P}$	0.0	[MPa]					$\Sigma\sigma_z$	0.0														
NAPĚTÍ V PŘÍČNÉM SMĚRU OD OSTATNÍCH ZATÍŽENÍ						$\sigma_{z,rs}$	0.0	[MPa]					η_2	0.00														
SROVNÁVACÍ NAPĚTÍ													(η2 + 0,8 η1)/1,4 =	0.35														
VYUŽITÍ PRŮŘEZU CELKEM								[%]					eff	0.61	VYHOVUJE													
													Z_{LM71} =	2.00														

VÝPOČET PRŮŘEZOVÝCH CHARAKTERISTIK

PRŮŘEZ: O4 **POPIS:** HORNÍ PÁS - PŘÍHRADA 4-5

x = - **m**

DEFINOVÁNÍ PRŮŘEZU

PÁSNICE HORNÍHO LEVÉHO ÚHELNÍKU	b f.t.l.o =	110	mm			
TLOUŠŤKA PÁSNICE ÚHELNÍKU	t f.t.l.o =	14	mm	OSLABENÍ PÁSNICE - TLOUŠŤKA	Δt f.t.l.o =	0 %
VÝŠKA STĚNY ÚHELNÍKU	h w.t.l.o =	96	mm			
TLOUŠŤKA STĚNY ÚHELNÍKU	t w.t.l.o =	14	mm	OSLABENÍ STĚNY - TLOUŠŤKA	Δt w.t.l.o =	0 %
PÁSNICE HORNÍHO PRAVÉHO ÚHELNÍKU	b f.t.r.o =	110	mm			
TLOUŠŤKA PÁSNICE ÚHELNÍKU	t f.t.r.o =	14	mm	OSLABENÍ PÁSNICE - TLOUŠŤKA	Δt f.t.r.o =	0 %
VÝŠKA STĚNY ÚHELNÍKU	h w.t.r.o =	96	mm			
TLOUŠŤKA STĚNY ÚHELNÍKU	t w.t.r.o =	14	mm	OSLABENÍ STĚNY - TLOUŠŤKA	Δt w.t.r.0 =	0 %
PÁSNICE DOLNÍHO LEVÉHO ÚHELNÍKU	b f.b.l.o =	110	mm			
TLOUŠŤKA PÁSNICE ÚHELNÍKU	t f.b.l.o =	14	mm	OSLABENÍ PÁSNICE - TLOUŠŤKA	Δt f.b.l.o =	0 %
VÝŠKA STĚNY ÚHELNÍKU	h w.b.l.o =	96	mm			
TLOUŠŤKA STĚNY ÚHELNÍKU	t w.b.l.o =	14	mm	OSLABENÍ STĚNY - TLOUŠŤKA	Δt w.b.l.o =	0 %
PÁSNICE DOLNÍHO PRAVÉHO ÚHELNÍKU	b f.b.r.o =	110	mm			
TLOUŠŤKA PÁSNICE ÚHELNÍKU	t f.b.r.o =	14	mm	OSLABENÍ PÁSNICE - TLOUŠŤKA	Δt f.b.r.o =	0 %
VÝŠKA STĚNY ÚHELNÍKU	h w.b.r.o =	96	mm			
TLOUŠŤKA STĚNY ÚHELNÍKU	t w.b.r.o =	14	mm	OSLABENÍ STĚNY - TLOUŠŤKA	Δt w.b.r.o =	0 %
PÁSNICE HORNÍHO LEVÉHO ÚHELNÍKU	b f.t.l.i =	110	mm			
TLOUŠŤKA PÁSNICE ÚHELNÍKU	t f.t.l.i =	14	mm	OSLABENÍ PÁSNICE - TLOUŠŤKA	Δt f.t.l.i =	0 %
VÝŠKA STĚNY ÚHELNÍKU	h w.t.l.i =	96	mm			
TLOUŠŤKA STĚNY ÚHELNÍKU	t w.t.l.i =	14	mm	OSLABENÍ STĚNY - TLOUŠŤKA	Δt w.t.l.i =	0 %
PÁSNICE HORNÍHO PRAVÉHO ÚHELNÍKU	b f.t.r.i =	110	mm			
TLOUŠŤKA PÁSNICE ÚHELNÍKU	t f.t.r.i =	14	mm	OSLABENÍ PÁSNICE - TLOUŠŤKA	Δt f.t.r.i =	0 %
VÝŠKA STĚNY ÚHELNÍKU	h w.t.r.i =	96	mm			
TLOUŠŤKA STĚNY ÚHELNÍKU	t w.t.r.i =	14	mm	OSLABENÍ STĚNY - TLOUŠŤKA	Δt w.t.r.i =	0 %
PÁSNICE DOLNÍHO LEVÉHO ÚHELNÍKU	b f.b.l.i =	0	mm			
TLOUŠŤKA PÁSNICE ÚHELNÍKU	t f.b.l.i =	0	mm	OSLABENÍ PÁSNICE - TLOUŠŤKA	Δt f.b.l.i =	0 %
VÝŠKA STĚNY ÚHELNÍKU	h w.b.l.i =	0	mm			
TLOUŠŤKA STĚNY ÚHELNÍKU	t w.b.l.i =	0	mm	OSLABENÍ STĚNY - TLOUŠŤKA	Δt w.b.l.i =	0 %
PÁSNICE DOLNÍHO PRAVÉHO ÚHELNÍKU	b f.b.r.i =	0	mm			
TLOUŠŤKA PÁSNICE ÚHELNÍKU	t f.b.r.i =	0	mm	OSLABENÍ PÁSNICE - TLOUŠŤKA	Δt f.b.r.i =	0 %
VÝŠKA STĚNY ÚHELNÍKU	h w.b.r.i =	0	mm			
TLOUŠŤKA STĚNY ÚHELNÍKU	t w.b.r.i =	0	mm	OSLABENÍ STĚNY - TLOUŠŤKA	Δt w.b.r.i =	0 %
ŠÍŘKA HORNÍ PÁSNICE	b f.t =	700	mm			
TLOUŠŤKA HORNÍ PÁSNICE	t f.t =	60	mm	OSLABENÍ HORNÍ PÁSNICE	Δt f.t =	0 %
PŘESAH HORNÍ PÁSNICE	o f.t =	0	mm	(nepoužito - pásnice symetrická k ose průřezu)		
SVĚTLÁ VZDÁLENOST MEZI STĚNAMI	l w =	416	mm			
VÝŠKA STĚNY	h w =	480	mm	OSLABENÍ LEVÉ STĚNY	Δt w.l =	0 %
TLOUŠŤKA STĚNY	t w =	24	mm	OSLABENÍ PRAVÉ STĚNY	Δt w.r =	0 %

ŠÍŘKA DOLNÍ LEVÉ PÁSNICE	b f.b.l =	0	mm			
TLOUŠŤKA DOLNÍ LEVÉ PÁSNICE	t f.b.l =	0	mm	OSLABENÍ DOLNÍ PÁSNICE	Δt f.b.l =	0 %
PŘESAH DOLNÍ LEVÉ PÁSNICE	o f.b.l =	0	mm	(nepoužito - pásnice symetrická k ose levé stěny)		
ŠÍŘKA DOLNÍ PRAVÉ PÁSNICE	b f.b.r =	0	mm			
TLOUŠŤKA DOLNÍ PRAVÉ PÁSNICE	t f.b.r =	0	mm	OSLABENÍ DOLNÍ PÁSNICE	Δt f.b.r =	0 %
PŘESAH DOLNÍ PRAVÉ PÁSNICE	o f.b.r =	0	mm	(nepoužito - pásnice symetrická k ose pravé stěny)		

NÝT Č.	SKUPINA	ŘEZ	RED.	VELIKOST di [mm]	POLOHA ei [mm]	POPIS	AKTIVITA OTVORU		NAPĚTÍ sc [MPa]
1		-	1.00	0	42	nýt - f.t.l	0	-	
2		-	1.00	24	65	nýt - f.t.l - úhelník	0		-86.35
3		-	1.00	24	65	nýt - f.t.l - úhelník	0		-83.44
4		-	1.00	20	0	nýt - f.t.l	0		-79.45
5		-	1.00	0	50	nýt - f.t.r	0	-	
6		-	1.00	24	65	nýt - f.t.r - úhelník	0		-75.13
7		-	1.00	24	65	nýt - f.t.r - úhelník	0		-72.22
8		-	1.00	0	42	nýt - f.t.r	0	-	
9		-	1.00	22	45	nýt - w.l - úhelník	0		-84.00
10		-	1.00	22	45	nýt - w.p - úhelník	0		-71.45
11		-	1.00	0	425	nýt - w.l	0	-	
12		-	1.00	0	425	nýt - w.p	0	-	
13		-	1.00	20	310	nýt - w.l	0		-80.47
14		-	1.00	20	310	nýt - w.p	0		-69.24
15		-	1.00	20	230	nýt - w.l	0		-78.63
16		-	1.00	20	230	nýt - w.p	0		-67.40
17		-	1.00	20	150	nýt - w.l	0		-76.79
18		-	1.00	20	150	nýt - w.p	0		-65.57
19		-	1.00	22	45	nýt - w.l - úhelník	0		-75.04
20		-	1.00	22	45	nýt - w.p - úhelník	0		-62.49
21		-	1.00	0	0	nýt - f.b.l	0	-	
22		-	1.00	0	0	nýt - f.b.l - úhelník	0	-	
23		-	1.00	0	0	nýt - f.b.l - úhelník	0	-	
24		-	1.00	0	0	nýt - f.b.l	0	-	
25		-	1.00	0	0	nýt - f.b.r	0	-	
26		-	1.00	0	0	nýt - f.b.r - úhelník	0	-	
27		-	1.00	0	0	nýt - f.b.r - úhelník	0	-	
28		-	1.00	0	0	nýt - f.b.r	0	-	
29		-	1.00					-	
30		-	1.00					-	

ZADANÉ ČÁSTI PRŮŘEZU:

č.prvku	b [mm]	h [mm]	y_0 [mm]	z_0 [mm]	popis části	druh oslabení	lokální ultimate	boulení servic.
1	110.0	14.0	-287.0	473.0	pásnice	0	1.000	1.000
2	14.0	96.0	-239.0	418.0	stěna	0	1.000	1.000
3	110.0	14.0	287.0	473.0	pásnice	0	1.000	1.000
4	14.0	96.0	239.0	418.0	stěna	0	1.000	1.000
5	110.0	14.0	-287.0	7.0	pásnice	0	1.000	1.000
6	14.0	96.0	-239.0	62.0	stěna	0	1.000	1.000
7	110.0	14.0	287.0	7.0	pásnice	0	1.000	1.000
8	14.0	96.0	239.0	62.0	stěna	0	1.000	1.000
9	700.0	60.0	0.0	510.0	pásnice	0	1.000	1.000
10	24.0	480.0	-220.0	240.0	stěna	0	1.000	1.000
11	24.0	480.0	220.0	240.0	stěna	0	1.000	1.000
12	110.0	14.0	-153.0	473.0	pásnice	0	1.000	1.000
13	14.0	96.0	-201.0	418.0	stěna	0	1.000	1.000
14	110.0	14.0	153.0	473.0	pásnice	0	1.000	1.000
15	14.0	96.0	201.0	418.0	stěna	0	1.000	1.000
16	0.0	0.0	-208.0	0.0	pásnice	0	1.000	1.000
17	0.0	0.0	-208.0	0.0	stěna	0	1.000	1.000
18	0.0	0.0	208.0	0.0	pásnice	0	1.000	1.000
19	0.0	0.0	208.0	0.0	stěna	0	1.000	1.000
20						0	1.000	1.000
21						0	1.000	1.000
22						0	1.000	1.000
23	0.0	0.0	-220.0	0.0	pásnice	0	1.000	1.000
24	0.0	0.0	220.0	0.0	pásnice	0	1.000	1.000
25						0	1.000	1.000
26						0	1.000	1.000
27						0	1.000	1.000
28						0	1.000	1.000
29						0	1.000	1.000
30						0	1.000	1.000
31						0	1.000	1.000
32						0	1.000	1.000
33						0	1.000	1.000
34						0	1.000	1.000
35						0	1.000	1.000
36						0	1.000	1.000
37						0	1.000	1.000
38						0	1.000	1.000
39						0	1.000	1.000
40						0	1.000	1.000
41						0	1.000	1.000
42						0	1.000	1.000
43						0	1.000	1.000
44						0	1.000	1.000
45						0	1.000	1.000
46						0	1.000	1.000
47						0	1.000	1.000
48						0	1.000	1.000
49						0	1.000	1.000
50						0	1.000	1.000
51	0	0	0	0	nýt - pásnic	0	1.000	1.000
52	0	0	-277.0	503.0	nýt - pásnic	0	1.000	1.000
53	0	0	-163.0	503.0	nýt - pásnic	0	1.000	1.000
54	0	0	0.0	510.0	nýt - pásnic	0	1.000	1.000
55	0	0	0	0	nýt - pásnic	0	1.000	1.000
56	0	0	163.0	503.0	nýt - pásnic	0	1.000	1.000
57	0	0	277.0	503.0	nýt - pásnic	0	1.000	1.000
58	0	0	0	0	nýt - pásnic	0	1.000	1.000
59	0	0	-246.0	435.0	nýt - stěna	0	1.000	1.000
60	0	0	246.0	435.0	nýt - stěna	0	1.000	1.000
61	0	0	0	0	nýt - stěna	0	1.000	1.000
62	0	0	0	0	nýt - stěna	0	1.000	1.000
63	0	0	-220.0	310.0	nýt - stěna	0	1.000	1.000
64	0	0	220.0	310.0	nýt - stěna	0	1.000	1.000
65	0	0	-220.0	230.0	nýt - stěna	0	1.000	1.000
66	0	0	220.0	230.0	nýt - stěna	0	1.000	1.000
67	0	0	-220.0	150.0	nýt - stěna	0	1.000	1.000
68	0	0	220.0	150.0	nýt - stěna	0	1.000	1.000
69	0	0	-246.0	45.0	nýt - stěna	0	1.000	1.000
70	0	0	246.0	45.0	nýt - stěna	0	1.000	1.000
71	0	0	0	0	nýt - pásnic	0	1.000	1.000
72	0	0	0	0	nýt - pásnic	0	1.000	1.000
73	0	0	0	0	nýt - pásnic	0	1.000	1.000
74	0	0	0	0	nýt - pásnic	0	1.000	1.000
75	0	0	0	0	nýt - pásnic	0	1.000	1.000
76	0	0	0	0	nýt - pásnic	0	1.000	1.000
77	0	0	0	0	nýt - pásnic	0	1.000	1.000
78	0	0	0	0	nýt - pásnic	0	1.000	1.000
79						0	1.000	1.000
80						0	1.000	1.000
81								
82								
83								
84								
85								
86								
87								
88								
89								
90								
91								
92								
93								
94								
95								
96								
97								
98								
99								
100								

VÝPOČET PRŮŘEZOVÝCH CHARAKTERISTIK

Properties	Basic	Ultimate		Serviceability	
y_t	0.0	0.0		0.0	[mm]
z_t	392.2	392.2		392.2	[mm]
A_i	8.2344E+04	8.2344E+04		8.2344E+04	[mm²]
A_t	5.1240E+04	5.1240E+04		5.1240E+04	[mm²]
A_b	3.1104E+04	3.1104E+04		3.1104E+04	[mm²]
$I_{y,t}$	2.3717E+09	2.3717E+09		2.3717E+09	[mm⁴]
I_w	3.8359E+09	3.8359E+09		3.8359E+09	[mm⁶]
i_y	169.7	169.7		169.7	[mm]
i_z	215.8	215.8		215.8	[mm]
$W_{y,1}$	1.6051E+07	1.6051E+07		1.6051E+07	[mm³]
$W_{y,1}$	-1.0960E+07	-1.0960E+07		-1.0960E+07	[mm³]
$W_{y,2}$	-6.0466E+06	-6.0466E+06		-6.0466E+06	[mm³]
$W_{z,2}$	-1.1216E+07	-1.1216E+07		-1.1216E+07	[mm³]
KRAJNÍ VLÁKNA PRŮŘEZU					
y_1	-350.0	-350.0		-350.0	[mm]
z_1	540.0	540.0		540.0	[mm]
y_2	-342.0	-342.0		-342.0	[mm]
z_2	0.0	0.0		0.0	[mm]
y_3	350.0	350.0		350.0	[mm]
z_3	540.0	540.0		540.0	[mm]
y_4	342.0	342.0		342.0	[mm]
z_4	0.0	0.0		0.0	[mm]
y_5	-232.0	-232.0		-232.0	[mm]
z_5	480.0	480.0		480.0	[mm]
y_6	-232.0	-232.0		-232.0	[mm]
z_6	0.0	0.0		0.0	[mm]

ÚPRAVA MOMENTŮ SETRVAČNOSTI V DŮSLEDKU ČLENĚNÍ PRŮŘEZU

OSA Y 1.00
OSA Z 1.00

SCHÉMA PROMĚNNÝCH

SCHÉMA ZADANÉHO PRŮŘEZU

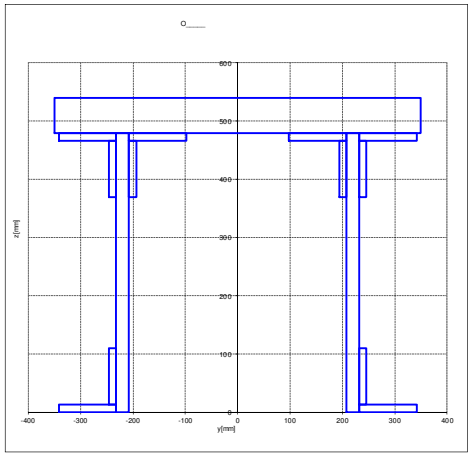

NEUTRÁLNÁ OSA

NAPĚTÍ [MPa]:

-69.06	-71.20
-76.66	-58.81

ZS: SLS_LM_MZ MIN

	N [kN]	Vy [kN]	Vz [kN]	Mx [kNm]	My [kNm]	Mz [kNm]
import	-6319	-42	0	0	54	-98

TR_O4 POPIS: **HORNÍ PÁS O4** POSUDEK: **O4**

SKUPINA ZAT. STAVŮ	EXTRÉM	VYHODNOCOVANÉ VELIČINY					
		N	Vy	Vz	Mx	My	Mz
		kN	kN	kN	kNm	kNm	kNm
G0	N.min	**-1817.2**	-14.25	-11.41	0.02	8.1	-25.42
	N.max	**-1817.2**	-14.25	-11.41	0.02	8.1	-25.42
	Vy.min	-1817.2	**-14.25**	-11.41	0.02	8.1	-25.42
	Vy.max	-1817.2	**-14.25**	-11.41	0.02	8.1	-25.42
	Vz.min	-1817.2	-14.25	**-11.41**	0.02	8.1	-25.42
	Vz.max	-1817.2	-14.25	**-11.41**	0.02	8.1	-25.42
	Mx.min	-1817.2	-14.25	-11.41	**0.02**	8.1	-25.42
	Mx.max	-1817.2	-14.25	-11.41	**0.02**	8.1	-25.42
	My.min	-1817.2	-14.25	-11.41	0.02	**8.1**	-25.42
	My.max	-1817.2	-14.25	-11.41	0.02	**8.1**	-25.42
	Mz.min	-1817.2	-14.25	-11.41	0.02	8.1	**-25.42**
	Mz.max	-1817.2	-14.25	-11.41	0.02	8.1	**-25.42**
G1	N.min	**-137.75**	-0.97	0.07	0	0.69	-1.82
	N.max	**-137.75**	-0.97	0.07	0	0.69	-1.82
	Vy.min	-137.75	**-0.97**	0.07	0	0.69	-1.82
	Vy.max	-137.75	**-0.97**	0.07	0	0.69	-1.82
	Vz.min	-137.75	-0.97	**0.07**	0	0.69	-1.82
	Vz.max	-137.75	-0.97	**0.07**	0	0.69	-1.82
	Mx.min	-137.75	-0.97	0.07	**0**	0.69	-1.82
	Mx.max	-137.75	-0.97	0.07	**0**	0.69	-1.82
	My.min	-137.75	-0.97	0.07	0	**0.69**	-1.82
	My.max	-137.75	-0.97	0.07	0	**0.69**	-1.82
	Mz.min	-137.75	-0.97	0.07	0	0.69	**-1.82**
	Mz.max	-137.75	-0.97	0.07	0	0.69	**-1.82**
G2	N.min	**-83.68**	-0.67	0.15	0	0.61	-1.18
	N.max	**-83.68**	-0.67	0.15	0	0.61	-1.18
	Vy.min	-83.68	**-0.67**	0.15	0	0.61	-1.18
	Vy.max	-83.68	**-0.67**	0.15	0	0.61	-1.18
	Vz.min	-83.68	-0.67	**0.15**	0	0.61	-1.18
	Vz.max	-83.68	-0.67	**0.15**	0	0.61	-1.18
	Mx.min	-83.68	-0.67	0.15	**0**	0.61	-1.18
	Mx.max	-83.68	-0.67	0.15	**0**	0.61	-1.18
	My.min	-83.68	-0.67	0.15	0	**0.61**	-1.18
	My.max	-83.68	-0.67	0.15	0	**0.61**	-1.18
	Mz.min	-83.68	-0.67	0.15	0	0.61	**-1.18**
	Mz.max	-83.68	-0.67	0.15	0	0.61	**-1.18**
P1_71	N.min	**-1323.77**	-6.76	0.94	0	8.37	-14.21
	N.max	**0.2**	0.06	-0.01	0	0	-0.04
	Vy.min	-1039.55	**-7.85**	0.14	0.01	3.3	-12.35
	Vy.max	-329.64	**0.53**	1.33	0	7.45	-3.57
	Vz.min	-353.07	-1.47	**-5.06**	0.02	-4.65	-2.66
	Vz.max	-1031.68	-5.29	**6.25**	0	15.77	-13.1
	Mx.min	-590.8	-1.4	0.83	**-0.02**	4.32	-3.12
	Mx.max	-795.19	-5.54	-1.25	**0.03**	2.94	-11.67
	My.min	-370.62	-1.81	-4.54	0	**-5.86**	-2.31
	My.max	-997.31	-4.93	6.02	0	**16.27**	-12.58
	Mz.min	-1196.51	-6.34	3.64	0.02	14.33	**-15.43**
	Mz.max	-189.84	-0.34	-2.18	-0.01	-3.61	**0.49**
P2_71	N.min	**-2771.81**	-19.28	4.98	0.01	17.87	-36.85
	N.max	**5.27**	-0.04	0.06	0	0.02	0.12
	Vy.min	-2729.46	**-19.71**	7.98	0.02	24.51	-36.73
	Vy.max	4.12	**0**	0.06	0	0.03	0.1
	Vz.min	-768.17	-5.25	**-14.1**	0.02	-16.18	-8.06
	Vz.max	-2139.75	-14.85	**19.89**	0.01	41.08	-31.61
	Mx.min	-959.97	-4.71	1.36	**-0.02**	6.38	-10.19
	Mx.max	-1900.53	-14.87	0.73	**0.05**	9.56	-27.49
	My.min	-936.92	-6.5	-13.02	0.01	**-20.09**	-9.74
	My.max	-1986.26	-13.51	19.24	0.01	**42.99**	-29.34
	Mz.min	-2750.37	-19.07	9.33	0.02	28.38	**-37.93**
	Mz.max	5.26	-0.04	0.06	0	0.02	**0.12**
P1_C3	N.min	**-1109.74**	-6.23	2.79	0	10.35	-13.03
	N.max	**0.32**	0.09	-0.02	0	0	-0.07
	Vy.min	-826.19	**-6.66**	2.59	0.01	6.74	-10.59
	Vy.max	-188.56	**0.44**	1	0.01	5.43	-2.53
	Vz.min	-276.85	-1.38	**-4.93**	0.01	-6.14	-1.53
	Vz.max	-829.58	-5.07	**5.78**	0	13.05	-11.36
	Mx.min	-481.78	-1.17	1.22	**-0.02**	4.43	-3.1
	Mx.max	-614.95	-4.51	-1.05	**0.02**	1.58	-9.01
	My.min	-340.85	-1.8	-4.89	0.01	**-6.24**	-2.42
	My.max	-712.63	-3.85	5.61	0	**14.03**	-9.31
	Mz.min	-1029.57	-6.04	3.38	0.01	12.06	**-13.35**
	Mz.max	-153.24	-0.23	-2.04	-0.01	-3.54	**0.46**
P2_C3	N.min	**-2315.83**	-16.7	9.85	0.02	24.46	-32.05
	N.max	**6.73**	0	0.11	0	0.06	0.17
	Vy.min	-2310.4	**-16.86**	10.95	0.02	28.15	-32.27
	Vy.max	6.52	**0**	0.1	0	0.05	0.16
	Vz.min	-594.74	-4.31	**-14.08**	0.01	-20	-5.34
	Vz.max	-1708.76	-12.64	**18.35**	0.01	34.39	-25.84
	Mx.min	-686.23	-3.49	0.75	**-0.02**	3.95	-7.59
	Mx.max	-1576.53	-12.53	0.34	**0.04**	4.37	-22.66
	My.min	-853.94	-6.29	-13.84	0.01	**-21.13**	-9.23
	My.max	-1459.17	-10.36	17.81	0.01	**38.03**	-21.96
	Mz.min	-2310.4	-16.86	10.95	0.02	28.15	**-32.27**
	Mz.max	6.73	0	0.11	0	0.06	**0.17**
BR	N.min	**-41.53**	-0.17	-0.57	0	1.02	-0.42
	N.max	**41.53**	0.17	0.57	0	-1.02	0.42
	Vy.min	-33.32	**-0.32**	-0.52	0	1.07	-0.21
	Vy.max	33.32	**0.32**	0.52	0	-1.07	0.21
	Vz.min	-28.4	-0.26	**-0.63**	0	0.96	-0.19
	Vz.max	28.4	0.26	**0.63**	0	-0.96	0.19
	Mx.min	33.32	0.32	0.52	**0**	-1.07	0.21
	Mx.max	-33.32	-0.32	-0.52	**0**	1.07	-0.21
	My.min	33.32	0.32	0.52	0	**-1.07**	0.21
	My.max	-33.32	-0.32	-0.52	0	**1.07**	-0.21
	Mz.min	-41.53	-0.17	-0.57	0	1.02	**-0.42**
	Mz.max	41.53	0.17	0.57	0	-1.02	**0.42**

TR_O4 POPIS: **HORNÍ PÁS O4** POSUDEK: **O4**

SKUPINA ZAT. STAVŮ	EXTRÉM	VYHODNOCOVANÉ VELIČINY					
		N	Vy	Vz	Mx	My	Mz
		kN	kN	kN	kNm	kNm	kNm
S	N.min	**-29.75**	1.05	0.07	-0.01	0.24	-0.64
	N.max	**29.75**	-1.05	-0.07	0.01	-0.24	0.64
	Vy.min	26.83	**-1.28**	-0.24	0.01	-0.27	1.91
	Vy.max	-26.83	**1.28**	0.24	-0.01	0.27	-1.91
	Vz.min	17.91	-0.71	**-0.3**	-0.01	-0.29	1.05
	Vz.max	-17.91	0.71	**0.3**	0.01	0.29	-1.05
	Mx.min	-28.72	1.17	0.18	**-0.01**	0.27	-0.95
	Mx.max	28.72	-1.17	-0.18	**0.01**	-0.27	0.95
	My.min	17.91	-0.71	-0.3	-0.01	**-0.29**	1.05
	My.max	-17.91	0.71	0.3	0.01	**0.29**	-1.05
	Mz.min	-23.9	1.17	0.26	0	0.21	**-2.01**
	Mz.max	23.9	-1.17	-0.26	0	-0.21	**2.01**
CH	N.min	**-266.34**	-2.15	0.48	0	1.95	-3.8
	N.max	**-82.89**	-0.56	0.3	0	0.66	-1.27
	Vy.min	-266.34	**-2.15**	0.48	0	1.95	-3.8
	Vy.max	-82.89	**-0.56**	0.3	0	0.66	-1.27
	Vz.min	-176.03	-1.5	**-0.02**	0	1.24	-2.4
	Vz.max	-266.34	-2.15	**0.48**	0	1.95	-3.8
	Mx.min	-82.89	-0.56	0.3	**0**	0.66	-1.27
	Mx.max	-266.34	-2.15	0.48	**0**	1.95	-3.8
	My.min	-82.89	-0.56	0.3	0	**0.66**	-1.27
	My.max	-266.34	-2.15	0.48	0	**1.95**	-3.8
	Mz.min	-266.34	-2.15	0.48	0	1.95	**-3.8**
	Mz.max	-82.89	-0.56	0.3	0	0.66	**-1.27**
W	N.min	**-22.98**	-0.13	-1.39	-0.01	-0.5	-6.04
	N.max	**22.91**	0.13	1.39	0.01	0.5	6.04
	Vy.min	-22.98	**-0.13**	-1.39	-0.01	-0.5	-6.04
	Vy.max	22.91	**0.13**	1.39	0.01	0.5	6.04
	Vz.min	-22.98	-0.13	**-1.39**	-0.01	-0.5	-6.04
	Vz.max	22.91	0.13	**1.39**	0.01	0.5	6.04
	Mx.min	-22.98	-0.13	-1.39	**-0.01**	-0.5	-6.04
	Mx.max	22.91	0.13	1.39	**0.01**	0.5	6.04
	My.min	-22.98	-0.13	-1.39	-0.01	**-0.5**	-6.04
	My.max	22.91	0.13	1.39	0.01	**0.5**	6.04
	Mz.min	-22.98	-0.13	-1.39	-0.01	-0.5	**-6.04**
	Mz.max	22.91	0.13	1.39	0.01	0.5	**6.04**
WP	N.min	**-33.63**	-3.84	0.26	0.02	0.41	1.23
	N.max	**33.56**	3.84	-0.26	-0.02	-0.41	-1.23
	Vy.min	-33.63	**-3.84**	0.26	0.02	0.41	1.23
	Vy.max	33.56	**3.84**	-0.26	-0.02	-0.41	-1.23
	Vz.min	33.56	3.84	**-0.26**	-0.02	-0.41	-1.23
	Vz.max	-33.63	-3.84	**0.26**	0.02	0.41	1.23
	Mx.min	33.56	3.84	-0.26	**-0.02**	-0.41	-1.23
	Mx.max	-33.63	-3.84	0.26	**0.02**	0.41	1.23
	My.min	33.56	3.84	-0.26	-0.02	**-0.41**	-1.23
	My.max	-33.63	-3.84	0.26	0.02	**0.41**	1.23
	Mz.min	33.56	3.84	-0.26	-0.02	-0.41	**-1.23**
	Mz.max	-33.63	-3.84	0.26	0.02	0.41	**1.23**
TR	N.min	**0**	0	0	0	0	0
	N.max	**0**	0	0	0	0	0
	Vy.min	0	**0**	0	0	0	0
	Vy.max	0	**0**	0	0	0	0
	Vz.min	0	0	**0**	0	0	0
	Vz.max	0	0	**0**	0	0	0
	Mx.min	0	0	0	**0**	0	0
	Mx.max	0	0	0	**0**	0	0
	My.min	0	0	0	0	**0**	0
	My.max	0	0	0	0	**0**	0
	Mz.min	0	0	0	0	0	**0**
	Mz.max	0	0	0	0	0	**0**
TN	N.min	**-155.38**	19.8	1.38	-0.02	-4.54	42.42
	N.max	**127.55**	2.43	0.36	0	-0.95	-1.65
	Vy.min	3.51	**-0.33**	-1.72	0	5.67	-0.21
	Vy.max	-155.38	**19.8**	1.38	-0.02	-4.54	42.42
	Vz.min	3.51	-0.33	**-1.72**	0	5.67	-0.21
	Vz.max	-3.51	0.33	**1.72**	0	-5.67	0.21
	Mx.min	-155.38	19.8	1.38	**-0.02**	-4.54	42.42
	Mx.max	-3.51	0.33	1.72	**0**	-5.67	0.21
	My.min	-3.51	0.33	1.72	0	**-5.67**	0.21
	My.max	3.51	-0.33	-1.72	0	**5.67**	-0.21
	Mz.min	127.55	2.43	0.36	0	-0.95	**-1.65**
	Mz.max	-155.38	19.8	1.38	-0.02	-4.54	**42.42**
FR	N.min	**-4.28**	-0.04	-0.09	0	0.12	-0.06
	N.max	**4.28**	0.04	0.09	0	-0.12	0.06
	Vy.min	-4.28	**-0.04**	-0.09	0	0.12	-0.06
	Vy.max	4.28	**0.04**	0.09	0	-0.12	0.06
	Vz.min	-4.28	-0.04	**-0.09**	0	0.12	-0.06
	Vz.max	4.28	0.04	**0.09**	0	-0.12	0.06
	Mx.min	4.28	0.04	0.09	**0**	-0.12	0.06
	Mx.max	-4.28	-0.04	-0.09	**0**	0.12	-0.06
	My.min	4.28	0.04	0.09	0	**-0.12**	0.06
	My.max	-4.28	-0.04	-0.09	0	**0.12**	-0.06
	Mz.min	-4.28	-0.04	-0.09	0	0.12	**-0.06**
	Mz.max	4.28	0.04	0.09	0	-0.12	**0.06**
I	N.min	**-4.94**	-2.14	-0.42	0	-0.14	**-4.1**
	N.max	**4.94**	2.14	0.42	0	0.14	**4.1**
	Vy.min	-4.94	**-2.14**	-0.42	0	-0.14	**-4.1**
	Vy.max	4.94	**2.14**	0.42	0	0.14	**4.1**
	Vz.min	-4.94	-2.14	**-0.42**	0	-0.14	**-4.1**
	Vz.max	4.94	2.14	**0.42**	0	0.14	**4.1**
	Mx.min	4.94	2.14	0.42	**0**	0.14	**4.1**
	Mx.max	-4.94	-2.14	-0.42	**0**	-0.14	**-4.1**
	My.min	-4.94	-2.14	-0.42	0	**-0.14**	**-4.1**
	My.max	4.94	2.14	0.42	0	**0.14**	**4.1**
	Mz.min	-4.94	-2.14	-0.42	0	-0.14	**-4.1**
	Mz.max	4.94	2.14	0.42	0	0.14	**4.1**

TAB. O4.3 POSOUZENÍ - MEZNÍ STAV ÚNOSNOSTI

POPIS	HORNÍ PÁS O4
PRUT / POLOHA BODU	26 / 1/4
NAMÁHÁNÍ	N.min
VLÁKNO	BOD K2 -HP
MEZNÍ STAV	ULS (MSÚ)
VYUŽITÍ VLÁKNA PRŮŘEZU	0.69

Charakteristiky materiálu				
pás. horní	$f_{yf,k}$	230	MPa	
pás. dolní	$f_{yf,k}$	230	MPa	
stojina	$f_{yw,k}$	230	MPa	
výztuž	$f_{ys,k}$	500	MPa	
γ_M =	1.20	γ_s =	1.15	

Excentricita normálové síly				
Exc./Fáze	0	1	2	3
e_y	0.000	0.000	0.000	0.000
e_z	0.000	0.000	0.000	0.000
Ekvivalentní vzdál. stěn - příčný roznos				
b_{Mx}	0.000	0.000	0.000	0.000

Vliv stěny na únosnost průřezu				
Char./Fáze	0	1	2	3
A	0.00	0.00	0.00	0.00
Wy	0.00	0.00	0.00	0.00
Wz	0.00	0.00	0.00	0.00

Charakter. v kroucení			
$t_{w,y}$	0.000	[mm]	
$t_{w,z}$	0.000	[mm]	
κ	1.00		
I_t=	0.00E+00	[mm^4]	
$\Omega=2*A_{pr}$	0.00E+00	[mm^2]	

Součinitele vzpěru a vlivu II.řádu				
Char./Fáze	0	1	2	3
k_y	1.030	1.000	1.000	1.000
k_z	1.020	1.000	1.000	1.000
χ_{LT}	1.000	1.000	1.000	1.000
χ_{min}	0.850	1.000	1.000	1.000

Vnitřní síly od jednotlivých skupin zatěžovacích stavů — 3

SKUPINA ZATĚŽOVACÍCH STAVŮ					- CHARAKTERISTICKÉ HODNOTY						DÍLČÍ SOUČINITELÉ ZATÍŽENÍ, DYNAMICKÝ SOUČINITEL						- NÁVRHOVÉ HODNOTY									
Č.	SKUP ZS	POPIS ZS	KAT.	FÁZE PRŮŘ.	N.k (kN)	Vy.k (kN)	Vz.k (kN)	Mx.k (kNm)	My.k (kNm)	Mz.k (kNm)	γ_{sr} (-)	γ_{fs} (-)	volba γ_f hledat	γ_f (-)	L_d (m)	δ (-)	Ψ_s KZ03	N.d (kN)	Vy.d (kN)	Vz.d (kN)	ΔVz.d (kN)	ΣVz.d (kN)	Mx.d (kNm)	My.d (kNm)	ΔMy.d (kNm)	ΣMy.d (kNm)	Mz.d (kNm)	ΔMz.d (kNm)	ΣMz.d (kNm)
1	G0	Vlastní tíha OK	G	0	-1 817	-14	-11	0	8	-25	1.00	1.20		1.20	-	1.00	0.95	-2 072	-16	-13	0	-13	0	10	0	10	-30	0	-30
2	G1	Ostatní stálé - mostní vybavení	G	0	-138	-1	0	0	1	-2	1.00	1.20		1.20	-	1.00	0.95	-157	-1	0	0	0	0	1	0	1	-2	0	-2
3	G2	Ostatní stálé - cizí zařízení	G	0	-84	-1	0	0	1	-1	1.00	1.20		1.20	-	1.00	0.95	-95	-1	0	0	0	0	1	0	1	-1	0	-1
4	P1_71	a.LM71 - kolej 1 (bez dyn. souč.)	P	0	-1 324	-7	1	0	8	-14	1.00	1.30		1.30	-	1.00	1.00	-1 721	-9	1	0	1	0	11	0	11	-19	0	-19
5	P2_71	a.LM71 - kolej 2 (bez dyn. souč.)	P	0	-2 772	-19	5	0	18	-37	1.00	1.30		1.30	-	1.00	1.00	-3 603	-25	6	0	6	0	24	0	24	-49	0	-49
6	P1_C3	TTZ C3 - kolej 1 (bez dyn. souč.)	P	0	-1 110	-6	3	0	10	-13	1.00	vyp.		0.00	-	1.00	0.00	0	0	0	0	0	0	0	0	0	0	0	0
7	P2_C3	TTZ C3 - kolej 2 (bez dyn. souč.)	P	0	-2 316	-17	10	0	24	-32	1.00	vyp.		0.00	-	1.00	0.00	0	0	0	0	0	0	0	0	0	0	0	0
8	BR	Brzdné a rozjezdové síly	P	0	-42	0	-1	0	1	0	1.00	1.30		1.30	-	1.00	0.80	-43	0	-1	0	-1	0	1	0	1	0	0	0
9	S	Boční ráz	P	0	-30	1	0	0	0	-1	1.00	1.30		1.30	-	1.00	0.40	-15	1	0	0	0	0	0	0	0	0	0	0
10	CH	Chodci na lávkách	Q	0	-266	-2	0	0	2	-4	1.00	1.30		1.30	-	1.00	1.00	-346	-3	1	0	1	0	3	0	3	-5	0	-5
11	W	Vítr na konstrukci	Q	0	-23	0	-1	0	-1	-6	1.00	1.35		1.35	-	1.00	0.75	-23	0	-1	0	-1	0	-1	0	-1	-6	0	-6
12	WP	Vítr na vozidla	Q	0	-34	-4	0	0	0	1	1.00	1.35		1.35	-	1.00	0.75	-34	-4	0	0	0	0	0	0	0	1	0	1
13	TR	Teplota rovnoměrná	Q	0	0	0	0	0	0	0	1.00	1.35		1.35	-	1.00	0.45	0	0	0	0	0	0	0	0	0	0	0	0
14	TN	Teplota nerovnoměrná	Q	0	-155	20	1	0	-5	42	1.00	-1.35		-1.35	-	1.00	0.60	126	-16	-1	0	-1	0	4	0	4	-35	0	-35
15	FR	Třecí síly v ložiskách	Q	0	-4	0	0	0	0	0	1.00	1.20		1.20	-	1.00	1.00	-5	0	0	0	0	0	0	0	0	0	0	0
16	I	Imperfekce soustavy	Q	0	-5	-2	0	0	0	-4	1.00	1.20		1.20	-	1.00	1.00	-6	-3	-1	0	-1	0	0	0	0	-5	0	-5
27	ULS_LM	ULS - LM71 bez dynam	Q	0	-8 262	-45	-6	0	45	-80	1.00	vyp.	1	0.00	-	1.00	0.00	0	0	0	0	0	0	0	0	0	0	0	0
28	SLS_LM	SLS - LM71 bez dynam	Q	0	-6 509	-49	-7	0	39	-92	1.00	vyp.	1	0.00	-	1.00	0.00	0	0	0	0	0	0	0	0	0	0	0	0
29	ULS_C3	ULS - C3 bez dynam	Q	0	-7 391	-41	3	0	56	-72	1.00	vyp.	1	0.00	-	1.00	0.00	0	0	0	0	0	0	0	0	0	0	0	0
30	SLS_C3	SLS - C3 bez dynam	Q	0	-5 839	-46	0	0	47	-86	1.00	vyp.	1	0.00	-	1.00	0.00	0	0	0	0	0	0	0	0	0	0	0	0
		CELKEM - FÁZE PRŮŘEZU 0																-7 996	-77	-8	0	-8	0	54	0	54	-152	0	-152
		CELKEM - FÁZE PRŮŘEZU 1																0	0	0	0	0	0	0	0	0	0	0	0
		CELKEM - FÁZE PRŮŘEZU 2																0	0	0	0	0	0	0	0	0	0	0	0
		CELKEM - FÁZE PRŮŘEZU 3																0	0	0	0	0	0	0	0	0	0	0	0
		CELKEM - PRŮŘEZ																-7 996	-77	-8	0	-8	0			54			-152

Napětí od jednotlivých zatěžovacích stavů

SKUPINA ZATĚŽOVACÍCH STAVŮ					Posouzení normálového napětí									Posouzení smykového napětí												
					Účinek síly N			Účinek momentu My			Účinek momentu Mz				Účinek kroutícího momentu Mx				Účinek smykové síly Vy				Účinek smykové síly Vz			
č.	SKUP ZS	Popis ZS	Kat.	fáze prúř.	δ^*N_d [kN]	χ^*A [mm^2]	σ_n [MPa]	$\delta^*M_{y,d}$ [kNm]	$\chi_{lt}^*W_{el,y}$ [mm^3]	σ_{my} [MPa]	$\delta^*M_{z,d}$ [kNm]	$W_{el,z}$ [mm^3]	σ_{mz} [MPa]	σ_x [MPa]	$\kappa^*\delta^*M_{x,d}$ [kNm]	$W_{v,y}$ [mm^3]	$\tau_{x,y}$ [MPa]	$W_{v,z}$ [mm^3]	$\tau_{x,z}$ [MPa]	$\delta^*V_{y,d}$ [kN]	$A_{v,y}$ [mm2]	$\tau_{v,y}$ [MPa]	$\tau_{v,y}$ [MPa]	$\delta^*V_{z,d}$ [kN]	$A_{v,z}$ [mm2]	$\tau_{v,z}$ [MPa]	$\tau_{v,z}$ [MPa]
1	G0	Vlastní tíha OK	G	0	-2 071.6	7.00E+04	-29.6	9.5	-1.61E+07	-0.6	-29.6	1.10E+07	-2.7	-32.9	2.3E-02	-	-	-	-	-16.2	5.12E+04	-0.3	-0.3	-13.0	3.11E+04	-0.4	-0.4
2	G1	Ostatní stálé - mostní vybavení	G	0	-157.0	7.00E+04	-2.2	0.8	-1.61E+07	-0.1	-2.1	1.10E+07	-0.2	-2.5	0.0E+00	-	-	-	-	-1.1	5.12E+04	0.0	0.0	0.1	3.11E+04	0.0	0.0
3	G2	Ostatní stálé - cizí zařízení	G	0	-95.4	7.00E+04	-1.4	0.7	-1.61E+07	0.0	-1.4	1.10E+07	-0.1	-1.5	0.0E+00	-	-	-	-	-0.8	5.12E+04	0.0	0.0	0.2	3.11E+04	0.0	0.0
4	P1_71	a.LM71 - kolej 1 (bez dyn. souč.)	P	0	-1 720.9	7.00E+04	-24.6	11.2	-1.61E+07	-0.7	-18.8	1.10E+07	-1.7	-27.0	0.0E+00	-	-	-	-	-8.8	5.12E+04	-0.2	-0.2	1.2	3.11E+04	0.0	0.0
5	P2_71	a.LM71 - kolej 2 (bez dyn. souč.)	P	0	-3 603.4	7.00E+04	-51.5	23.9	-1.61E+07	-1.5	-48.9	1.10E+07	-4.5	-57.4	1.3E-02	-	-	-	-	-25.1	5.12E+04	-0.5	-0.5	6.5	3.11E+04	0.2	0.2
6	P1_C3	TTZ C3 - kolej 1 (bez dyn. souč.)	P	0	0.0	7.00E+04	0.0	0.0	-1.61E+07	0.0	0.0	1.10E+07	0.0	0.0	0.0E+00	-	-	-	-	0.0	5.12E+04	0.0	0.0	0.0	3.11E+04	0.0	0.0
7	P2_C3	TTZ C3 - kolej 2 (bez dyn. souč.)	P	0	0.0	7.00E+04	0.0	0.0	-1.61E+07	0.0	0.0	1.10E+07	0.0	0.0	0.0E+00	-	-	-	-	0.0	5.12E+04	0.0	0.0	0.0	3.11E+04	0.0	0.0
8	BR	Brzdné a rozjezdové síly	P	0	-43.2	7.00E+04	-0.6	1.1	-1.61E+07	-0.1	-0.4	1.10E+07	0.0	-0.7	0.0E+00	-	-	-	-	-0.2	5.12E+04	0.0	0.0	-0.6	3.11E+04	0.0	0.0
9	S	Boční ráz	P	0	-15.5	7.00E+04	-0.2	0.1	-1.61E+07	0.0	-0.3	1.10E+07	0.0	-0.3	-5.2E-03	-	-	-	-	0.5	5.12E+04	0.0	0.0	0.0	3.11E+04	0.0	0.0
10	CH	Chodci na lávkách	Q	0	-346.2	7.00E+04	-4.9	2.6	-1.61E+07	-0.2	-5.0	1.10E+07	-0.5	-5.6	0.0E+00	-	-	-	-	-2.8	5.12E+04	-0.1	-0.1	0.6	3.11E+04	0.0	0.0
11	W	Vítr na konstrukci	Q	0	-23.3	7.00E+04	-0.3	-0.5	-1.61E+07	0.0	-6.2	1.10E+07	-0.6	-0.9	-1.0E-02	-	-	-	-	-0.1	5.12E+04	0.0	0.0	-1.4	3.11E+04	0.0	0.0
12	WP	Vítr na vozidla	Q	0	-34.1	7.00E+04	-0.5	0.4	-1.61E+07	0.0	1.3	1.10E+07	0.1	-0.4	2.0E-02	-	-	-	-	-3.9	5.12E+04	-0.1	-0.1	0.3	3.11E+04	0.0	0.0
13	TR	Teplota rovnoměrná	Q	0	0.0	7.00E+04	0.0	0.0	-1.61E+07	0.0	0.0	1.10E+07	0.0	0.0	0.0E+00	-	-	-	-	0.0	5.12E+04	0.0	0.0	0.0	3.11E+04	0.0	0.0
14	TN	Teplota nerovnoměrná	Q	0	125.9	7.00E+04	1.8	3.8	-1.61E+07	-0.2	-35.0	1.10E+07	-3.2	-1.6	1.6E-02	-	-	-	-	-16.0	5.12E+04	-0.3	-0.3	-1.1	3.11E+04	0.0	0.0
15	FR	Třecí síly v ložiskách	Q	0	-5.1	7.00E+04	-0.1	0.1	-1.61E+07	0.0	-0.1	1.10E+07	0.0	-0.1	0.0E+00	-	-	-	-	0.0	5.12E+04	0.0	0.0	-0.1	3.11E+04	0.0	0.0
16	I	Imperfekce soustavy	Q	0	-5.9	7.00E+04	-0.1	-0.2	-1.61E+07	0.0	-5.0	1.10E+07	-0.5	-0.5	0.0E+00	-	-	-	-	-2.6	5.12E+04	-0.1	-0.1	-0.5	3.11E+04	0.0	0.0
27	ULS_LM	ULS - LM71 bez dynam	Q	0	0.0	7.00E+04	0.0	0.0	-1.61E+07	0.0	0.0	1.10E+07	0.0	0.0	0.0E+00	-	-	-	-	0.0	5.12E+04	0.0	0.0	0.0	3.11E+04	0.0	0.0
28	SLS_LM	SLS - LM71 bez dynam	Q	0	0.0	7.00E+04	0.0	0.0	-1.61E+07	0.0	0.0	1.10E+07	0.0	0.0	0.0E+00	-	-	-	-	0.0	5.12E+04	0.0	0.0	0.0	3.11E+04	0.0	0.0
29	ULS_C3	ULS - C3 bez dynam	Q	0	0.0	7.00E+04	0.0	0.0	-1.61E+07	0.0	0.0	1.10E+07	0.0	0.0	0.0E+00	-	-	-	-	0.0	5.12E+04	0.0	0.0	0.0	3.11E+04	0.0	0.0
30	SLS_C3	SLS - C3 bez dynam	Q	0	0.0	7.00E+04	0.0	0.0	-1.61E+07	0.0	0.0	1.10E+07	0.0	0.0	0.0E+00	-	-	-	-	0.0	5.12E+04	0.0	0.0	0.0	3.11E+04	0.0	0.0
		NAVÝŠENÍ NAPĚTÍ DO AKTIVACE TLAKU V DESCE MOSTOVKY				$\sigma_{P,red}$	0.0							0.0			0.0		0.0				-1.5	-1.5			-0.3	-0.3
		NAPĚTÍ OD PRIMÁRNÍCH ÚČINKŮ NEROVNOMĚRNÉHO OTEPLENÍ				σ_T	0.0							0.0														
		NAPĚTÍ OD REOLOGICKÝCH ÚČINKŮ BETONU V ČASE		t=0		σ_R	0.0	$\gamma_{i=}$	1.20					0.0														
		NAPĚTÍ V KRITICKÝCH VLÁKNECH OD KOMBINACE ZATÍŽENÍ				KZ03		[MPa]					$\Sigma\sigma_x$	-131.4								$\Sigma\tau_y$	-1.5				$\Sigma\tau_z$	-0.3
		NAPĚTÍ OD POHYBLIVÉHO ZATÍŽENÍ						[MPa]					$\sigma_{z,P}$	-85.4								τ_P	-0.7				τ_P	0.2
		NAPĚTÍ OD OSTATNÍCH ZATÍŽENÍ						[MPa]			Φ_{Vy}	Φ_{Vz}	$\sigma_{z,rs}$	-46.0								τ_{rs}	-0.9				τ_{rs}	-0.5
		NÁVRHOVÁ HODNOTA MEZE KLUZU S REDUKCÍ VLIVEM SMYKOVÉHO NAPĚTÍ						[MPa]			1.00	1.00	$f_{yv,d}$	191.7								$f_{yd}/3^{0,5}$	110.7				$f_{yd}/3^{0,5}$	110.7
		NAPĚTÍ OD POHYBLIVÉHO ZATÍŽENÍ V GLOBÁLNÍM SYSTÉMU				$\sigma_{GLOB,P}$	0.0	[MPa]					$\Sigma\sigma_{GLOB}$	0.0														
		NAPĚTÍ OD OSTATNÍCH ZATÍŽENÍ V GLOBÁLNÍM SYSTÉMU				$\sigma_{GLOB,rs}$	0.0	[MPa]					$\Sigma\sigma_z + \Sigma\sigma_{GLOB}$	-131.4														
		VYUŽITÍ PRŮŘEZU DLE NAPĚTÍ						[%]					η_1	0.69								η_3	0.01				η_3	0.00
		NAPĚTÍ V PŘÍČNÉM SMĚRU OD POHYBLIVÉHO ZATÍŽENÍ				$\sigma_{z,P}$	0.0	[MPa]					$\Sigma\sigma_z$	0.0														
		NAPĚTÍ V PŘÍČNÉM SMĚRU OD OSTATNÍCH ZATÍŽENÍ				$\sigma_{z,rs}$	0.0	[MPa]					η_2	0.00														
		SROVNÁVACÍ NAPĚTÍ											$(\eta 2 + 0,8\ \eta 1)/1,4 =$	0.39														
		VYUŽITÍ PRŮŘEZU CELKEM						[%]					eff	0.69	VYHOVUJE													
													Z_{LM71} =	1.71														

TAB. O4.3 POSOUZENÍ - MEZNÍ STAV ÚNOSNOSTI

POPIS	HORNÍ PÁS O4
PRUT / POLOHA BODU	26 / 1/4
NAMÁHÁNÍ	N.min
VLÁKNO	BOD K4 -SP
MEZNÍ STAV	ULS (MSÚ)
VYUŽITÍ VLÁKNA PRŮŘEZU	0.62

Charakteristiky materiálu				
pás. horní	$f_{yf,k}$	230	MPa	
pás. dolní	$f_{yf,k}$	230	MPa	
stojina	$f_{yw,k}$	230	MPa	
výztuž	$f_{ys,k}$	500	MPa	
	γ_M =	1.20	γ_s =	1.15

Excentricita normálové síly				
Exc./Fáze	0	1	2	3
e_y	0.000	0.000	0.000	0.000
e_z	0.000	0.000	0.000	0.000
Ekvivalentní vzdál. stěn - příčný roznos				
b_{Mx}	0.000	0.000	0.000	0.000

Vliv stěny na únosnost průřezu				
Char./Fáze	0	1	2	3
A	0.00	0.00	0.00	0.00
Wy	0.00	0.00	0.00	0.00
Wz	0.00	0.00	0.00	0.00

Charakter. v kroucení			
$t_{w,y}$	0.000	[mm]	
$t_{w,z}$	0.000	[mm]	
κ	1.00		
I_t=	0.00E+00	[mm^4]	
$\Omega=2*A_{pr}$	0.00E+00	[mm^2]	

Součinitele vzpěru a vlivu II.řádu				
Char./Fáze	0	1	2	3
k_y	1.030	1.000	1.000	1.000
k_z	1.020	1.000	1.000	1.000
χ_{LT}	1.000	1.000	1.000	1.000
χ_{min}	0.850	1.000	1.000	1.000

Vnitřní síly od jednotlivých skupin zatěžovacích stavů — SKUPINA ZATĚŽOVACÍCH STAVŮ — 3

Č.	SKUP ZS	POPIS ZS	KAT.	FÁZE PRŮŘ.	- CHARAKTERISTICKÉ HODNOTY N.k (kN)	Vy.k (kN)	Vz.k (kN)	Mx.k (kNm)	My.k (kNm)	Mz.k (kNm)	DÍLČÍ SOUČINITELÉ ZATÍŽENÍ, DYNAMICKÝ SOUČINITEL γ_{or} (-)	γ_{ro} (-)	volba γ_{ro} hledat	γ_{ro} (-)	L_d (m)	δ (-)	ψ_0 KZ03	- NÁVRHOVÉ HODNOTY N.d (kN)	Vy.d (kN)	Vz.d (kN)	ΔVz.d (kN)	ΣVz.d (kN)	Mx.d (kNm)	My.d (kNm)	ΔMy.d (kNm)	ΣMy.d (kNm)	Mz.d (kNm)	ΔMz.d (kNm)	ΣMz.d (kNm)
1	G0	Vlastní tíha OK	G	0	-1 817	-14	-11	0	8	-25	1.00	1.20		1.20	-	1.00	0.95	-2 072	-16	-13	0	-13	0	10	0	10	-30	0	-30
2	G1	Ostatní stálé - mostní vybavení	G	0	-138	-1	0	0	1	-2	1.00	1.20		1.20	-	1.00	0.95	-157	-1	0	0	0	0	1	0	1	-2	0	-2
3	G2	Ostatní stálé - cizí zařízení	G	0	-84	-1	0	0	1	-1	1.00	1.20		1.20	-	1.00	0.95	-95	-1	0	0	0	0	1	0	1	-1	0	-1
4	P1_71	a.LM71 - kolej 1 (bez dyn. souč.)	P	0	-1 324	-7	1	0	8	-14	1.00	1.30		1.30	-	1.00	1.00	-1 721	-9	1	0	1	0	11	0	11	-19	0	-19
5	P2_71	a.LM71 - kolej 2 (bez dyn. souč.)	P	0	-2 772	-19	5	0	18	-37	1.00	1.30		1.30	-	1.00	1.00	-3 603	-25	6	0	6	0	24	0	24	-49	0	-49
6	P1_C3	TTZ C3 - kolej 1 (bez dyn. souč.)	P	0	-1 110	-6	3	0	10	-13	1.00	vyp.		0.00	-	1.00	0.00	0	0	0	0	0	0	0	0	0	0	0	0
7	P2_C3	TTZ C3 - kolej 2 (bez dyn. souč.)	P	0	-2 316	-17	10	0	24	-32	1.00	vyp.		0.00	-	1.00	0.00	0	0	0	0	0	0	0	0	0	0	0	0
8	BR	Brzdné a rozjezdové síly	P	0	-42	0	-1	0	1	0	1.00	1.30		1.30	-	1.00	0.80	-43	0	-1	0	-1	0	1	0	1	0	0	0
9	S	Boční ráz	P	0	-30	1	0	0	0	-1	1.00	1.30		1.30	-	1.00	0.40	-15	1	0	0	0	0	0	0	0	0	0	0
10	CH	Chodci na lávkách	Q	0	-266	-2	0	0	2	-4	1.00	1.30		1.30	-	1.00	1.00	-346	-3	1	0	1	0	3	0	3	-5	0	-5
11	W	Vítr na konstrukci	Q	0	-23	0	-1	0	-1	-6	1.00	1.35		1.35	-	1.00	0.75	-23	0	-1	0	-1	0	-1	0	-1	-6	0	-6
12	WP	Vítr na vozidla	Q	0	-34	-4	0	0	0	1	1.00	1.35		1.35	-	1.00	0.75	-34	-4	0	0	0	0	0	0	0	1	0	1
13	TR	Teplota rovnoměrná	Q	0	0	0	0	0	0	0	1.00	1.35		1.35	-	1.00	0.45	0	0	0	0	0	0	0	0	0	0	0	0
14	TN	Teplota nerovnoměrná	Q	0	-155	20	1	0	-5	42	1.00	-1.35		-1.35	-	1.00	0.60	126	-16	-1	0	-1	0	4	0	4	-35	0	-35
15	FR	Třecí síly v ložiskách	Q	0	-4	0	0	0	0	0	1.00	1.20		1.20	-	1.00	1.00	-5	0	0	0	0	0	0	0	0	0	0	0
16	I	Imperfekce soustavy	Q	0	-5	-2	0	0	0	-4	1.00	1.20		1.20	-	1.00	1.00	-6	-3	-1	0	-1	0	0	0	0	-5	0	-5
27	ULS_LM	ULS - LM71 bez dynam	Q	0	-8 262	-45	-6	0	45	-80	1.00	vyp.		0.00	-	1.00	0.00	0	0	0	0	0	0	0	0	0	0	0	0
28	SLS_LM	SLS - LM71 bez dynam	Q	0	-6 509	-49	-7	0	39	-92	1.00	vyp.	1	0.00	-	1.00	0.00	0	0	0	0	0	0	0	0	0	0	0	0
29	ULS_C3	ULS - C3 bez dynam	Q	0	-7 391	-41	3	0	56	-72	1.00	vyp.	1	0.00	-	1.00	0.00	0	0	0	0	0	0	0	0	0	0	0	0
30	SLS_C3	SLS - C3 bez dynam	Q	0	-5 839	-46	0	0	47	-86	1.00	vyp.	1	0.00	-	1.00	0.00	0	0	0	0	0	0	0	0	0	0	0	0
		CELKEM - FÁZE PRŮŘEZU 0																-7 996	-77	-8	0	-8	0	54	0	54	-152	0	-152
		CELKEM - FÁZE PRŮŘEZU 1																0	0	0	0	0	0	0	0	0	0	0	0
		CELKEM - FÁZE PRŮŘEZU 2																0	0	0	0	0	0	0	0	0	0	0	0
		CELKEM - FÁZE PRŮŘEZU 3																0	0	0	0	0	0	0	0	0	0	0	0
		CELKEM - PRŮŘEZ																-7 996	-77	-8	0	-8	0			54			-152

Napětí od jednotlivých zatěžovacích stavů — SKUPINA ZATĚŽOVACÍCH STAVŮ

Č.	SKUP ZS	Popis ZS	Kat.	fáze prúř.	Posouzení normálového napětí — Účinek síly N δ^*N_d [kN]	χ^*A [mm^2]	σ_n [MPa]	Účinek momentu My $\delta^*M_{y,d}$ [kNm]	$\chi_{lt}*W_{el,y}$ [mm^3]	σ_{my} [MPa]	Účinek momentu Mz $\delta^*M_{z,d}$ [kNm]	$W_{el,z}$ [mm^3]	σ_{mz} [MPa]	σ_x [MPa]	Posouzení smykového napětí — Účinek kroutícího momentu Mx $\kappa*\delta^*M_{x,d}$ [kNm]	$W_{v,y}$ [mm^2]	$\tau_{x,y}$ [MPa]	$W_{v,z}$ [mm^2]	$\tau_{x,z}$ [MPa]	Účinek smykové síly Vy $\delta^*V_{y,d}$ [kN]	$A_{v,y}$ [mm2]	$\tau_{v,y}$ [MPa]	$\tau_{v,y}$ [MPa]	Účinek smykové síly Vz $\delta^*V_{z,d}$ [kN]	$A_{v,z}$ [mm2]	$\tau_{v,z}$ [MPa]	$\tau_{v,z}$ [MPa]
1	G0	Vlastní tíha OK	G	0	-2 071.6	7.00E+04	-29.6	9.5	6.05E+06	1.6	-29.6	1.12E+07	-2.6	-30.7	2.3E-02	-	-	-	-	-16.2	5.12E+04	-0.3	-0.3	-13.0	3.11E+04	-0.4	-0.4
2	G1	Ostatní stálé - mostní vybavení	G	0	-157.0	7.00E+04	-2.2	0.8	6.05E+06	0.1	-2.1	1.12E+07	-0.2	-2.3	0.0E+00	-	-	-	-	-1.1	5.12E+04	0.0	0.0	0.1	3.11E+04	0.0	0.0
3	G2	Ostatní stálé - cizí zařízení	G	0	-95.4	7.00E+04	-1.4	0.7	6.05E+06	0.1	-1.4	1.12E+07	-0.1	-1.4	0.0E+00	-	-	-	-	-0.8	5.12E+04	0.0	0.0	0.2	3.11E+04	0.0	0.0
4	P1_71	a.LM71 - kolej 1 (bez dyn. souč.)	P	0	-1 720.9	7.00E+04	-24.6	11.2	6.05E+06	1.9	-18.8	1.12E+07	-1.7	-24.4	0.0E+00	-	-	-	-	-8.8	5.12E+04	-0.2	-0.2	1.2	3.11E+04	0.0	0.0
5	P2_71	a.LM71 - kolej 2 (bez dyn. souč.)	P	0	-3 603.4	7.00E+04	-51.5	23.9	6.05E+06	4.0	-48.9	1.12E+07	-4.4	-51.9	1.3E-02	-	-	-	-	-25.1	5.12E+04	-0.5	-0.5	6.5	3.11E+04	0.2	0.2
6	P1_C3	TTZ C3 - kolej 1 (bez dyn. souč.)	P	0	0.0	7.00E+04	0.0	0.0	6.05E+06	0.0	0.0	1.12E+07	0.0	0.0	0.0E+00	-	-	-	-	0.0	5.12E+04	0.0	0.0	0.0	3.11E+04	0.0	0.0
7	P2_C3	TTZ C3 - kolej 2 (bez dyn. souč.)	P	0	0.0	7.00E+04	0.0	0.0	6.05E+06	0.0	0.0	1.12E+07	0.0	0.0	0.0E+00	-	-	-	-	0.0	5.12E+04	0.0	0.0	0.0	3.11E+04	0.0	0.0
8	BR	Brzdné a rozjezdové síly	P	0	-43.2	7.00E+04	-0.6	1.1	6.05E+06	0.2	-0.4	1.12E+07	0.0	-0.5	0.0E+00	-	-	-	-	-0.2	5.12E+04	0.0	0.0	-0.6	3.11E+04	0.0	0.0
9	S	Boční ráz	P	0	-15.5	7.00E+04	-0.2	0.1	6.05E+06	0.0	-0.3	1.12E+07	0.0	-0.2	-5.2E-03	-	-	-	-	0.5	5.12E+04	0.0	0.0	0.0	3.11E+04	0.0	0.0
10	CH	Chodci na lávkách	Q	0	-346.2	7.00E+04	-4.9	2.6	6.05E+06	0.4	-5.0	1.12E+07	-0.4	-5.0	0.0E+00	-	-	-	-	-2.8	5.12E+04	-0.1	-0.1	0.6	3.11E+04	0.0	0.0
11	W	Vítr na konstrukci	Q	0	-23.3	7.00E+04	-0.3	-0.5	6.05E+06	-0.1	-6.2	1.12E+07	-0.6	-1.0	-1.0E-02	-	-	-	-	-0.1	5.12E+04	0.0	0.0	-1.4	3.11E+04	0.0	0.0
12	WP	Vítr na vozidla	Q	0	-34.1	7.00E+04	-0.5	0.4	6.05E+06	0.1	1.3	1.12E+07	0.1	-0.3	2.0E-02	-	-	-	-	-3.9	5.12E+04	-0.1	-0.1	0.3	3.11E+04	0.0	0.0
13	TR	Teplota rovnoměrná	Q	0	0.0	7.00E+04	0.0	0.0	6.05E+06	0.0	0.0	1.12E+07	0.0	0.0	0.0E+00	-	-	-	-	0.0	5.12E+04	0.0	0.0	0.0	3.11E+04	0.0	0.0
14	TN	Teplota nerovnoměrná	Q	0	125.9	7.00E+04	1.8	3.8	6.05E+06	0.6	-35.0	1.12E+07	-3.1	-0.7	1.6E-02	-	-	-	-	-16.0	5.12E+04	-0.3	-0.3	-1.1	3.11E+04	0.0	0.0
15	FR	Třecí síly v ložiskách	Q	0	-5.1	7.00E+04	-0.1	0.1	6.05E+06	0.0	-0.1	1.12E+07	0.0	-0.1	0.0E+00	-	-	-	-	0.0	5.12E+04	0.0	0.0	-0.1	3.11E+04	0.0	0.0
16	I	Imperfekce soustavy	Q	0	-5.9	7.00E+04	-0.1	-0.2	6.05E+06	0.0	-5.0	1.12E+07	-0.4	-0.6	0.0E+00	-	-	-	-	-2.6	5.12E+04	-0.1	-0.1	-0.5	3.11E+04	0.0	0.0
27	ULS_LM	ULS - LM71 bez dynam	Q	0	0.0	7.00E+04	0.0	0.0	6.05E+06	0.0	0.0	1.12E+07	0.0	0.0	0.0E+00	-	-	-	-	0.0	5.12E+04	0.0	0.0	0.0	3.11E+04	0.0	0.0
28	SLS_LM	SLS - LM71 bez dynam	Q	0	0.0	7.00E+04	0.0	0.0	6.05E+06	0.0	0.0	1.12E+07	0.0	0.0	0.0E+00	-	-	-	-	0.0	5.12E+04	0.0	0.0	0.0	3.11E+04	0.0	0.0
29	ULS_C3	ULS - C3 bez dynam	Q	0	0.0	7.00E+04	0.0	0.0	6.05E+06	0.0	0.0	1.12E+07	0.0	0.0	0.0E+00	-	-	-	-	0.0	5.12E+04	0.0	0.0	0.0	3.11E+04	0.0	0.0
30	SLS_C3	SLS - C3 bez dynam	Q	0	0.0	7.00E+04	0.0	0.0	6.05E+06	0.0	0.0	1.12E+07	0.0	0.0	0.0E+00	-	-	-	-	0.0	5.12E+04	0.0	0.0	0.0	3.11E+04	0.0	0.0
NAVÝŠENÍ NAPĚTÍ DO AKTIVACE TLAKU V DESCE MOSTOVKY						$\sigma_{P,red}$	0.0							0.0				0.0					-1.5	-1.5			-0.3	-0.3
NAPĚTÍ OD PRIMÁRNÍCH ÚČINKŮ NEROVNOMĚRNÉHO OTEPLENÍ						σ_T	0.0							0.0														
NAPĚTÍ OD REOLOGICKÝCH ÚČINKŮ BETONU V ČASE				t=0		σ_R	0.0	γ=	1.20					0.0														
NAPĚTÍ V KRITICKÝCH VLÁKNECH OD KOMBINACE ZATÍŽENÍ						KZ03		[MPa]					$\Sigma\sigma_x$	-118.9								$\Sigma\tau_y$	-1.5				$\Sigma\tau_z$	-0.3	
NAPĚTÍ OD POHYBLIVÉHO ZATÍŽENÍ								[MPa]					$\sigma_{x,P}$	-77.0								τ_P	-0.7				τ_P	0.2	
NAPĚTÍ OD OSTATNÍCH ZATÍŽENÍ								[MPa]			Φ_{Vy}	Φ_{Vz}	$\sigma_{x,rs}$	-41.9								τ_{rs}	-0.9				τ_{rs}	-0.5	
NÁVRHOVÁ HODNOTA MEZE KLUZU S REDUKCÍ VLIVEM SMYKOVÉHO NAPĚTÍ								[MPa]			1.00	1.00	$f_{yw,d}$	191.7								$f_{yd}/3^{0,5}$	110.7				$f_{yd}/3^{0,5}$	110.7	
NAPĚTÍ OD POHYBLIVÉHO ZATÍŽENÍ V GLOBÁLNÍM SYSTÉMU						$\sigma_{GLOB,P}$	0.0	[MPa]					$\Sigma\sigma_{GLOB}$	0.0														
NAPĚTÍ OD OSTATNÍCH ZATÍŽENÍ V GLOBÁLNÍM SYSTÉMU						$\sigma_{GLOB,rs}$	0.0	[MPa]					$\Sigma\sigma_x + \Sigma\sigma_{GLOB}$	-118.9														
VYUŽITÍ PRŮŘEZU DLE NAPĚTÍ								[%]					η_1	0.62								η_3	0.01				η_3	0.00	
NAPĚTÍ V PŘÍČNÉM SMĚRU OD POHYBLIVÉHO ZATÍŽENÍ						$\sigma_{z,P}$	0.0	[MPa]					$\Sigma\sigma_z$	0.0														
NAPĚTÍ V PŘÍČNÉM SMĚRU OD OSTATNÍCH ZATÍŽENÍ						$\sigma_{z,rs}$	0.0	[MPa]					η_2	0.00														
SROVNÁVACÍ NnapětÍ													$(\eta2 + 0,8\ \eta1)/1,4 =$	0.35														
VYUŽITÍ PRŮŘEZU CELKEM								[%]					eff	0.62	VYHOVUJE													
													z_{LM71} =	1.95														

TAB. O4.3 POSOUZENÍ - MEZNÍ STAV ÚNOSNOSTI

POPIS	HORNÍ PÁS O4
PRUT / POLOHA BODU	26 / 1/4
NAMÁHÁNÍ	Vz.min
VLÁKNO	BOD S6 -HP
MEZNÍ STAV	ULS (MSÚ)
VYUŽITÍ VLÁKNA PRŮŘEZU	0.29

Charakteristiky materiálu				
pás. horní	$f_{yf,k}$	230	MPa	
pás. dolní	$f_{yf,k}$	230	MPa	
stojina	$f_{yw,k}$	230	MPa	
výztuž	$f_{ys,k}$	500	MPa	
γ_M =	1.20	γ_s =	1.15	

Excentricita normálové síly				
Exc./Fáze	0	1	2	3
e_y	0.000	0.000	0.000	0.000
e_z	0.000	0.000	0.000	0.000
Ekvivalentní vzdál. stěn - příčný rozmos				
b_{Mx}	0.000	0.000	0.000	0.000

Vliv stěny na únosnost průřezu				
Char./Fáze	0	1	2	3
A	0.00	0.00	0.00	0.00
Wy	0.00	0.00	0.00	0.00
Wz	0.00	0.00	0.00	0.00

Charakter. v kroucení			
$t_{w,y}$	0.000	[mm]	
$t_{w,z}$	0.000	[mm]	
κ	1.00		
I_t=	0.00E+00	[mm^4]	
$\Omega=2*A_{pr}$	0.00E+00	[mm^2]	

Součinitele vzpěru a vlivu II.řádu				
Char./Fáze	0	1	2	3
k_y	1.030	1.000	1.000	1.000
k_z	1.020	1.000	1.000	1.000
χ_{LT}	1.000	1.000	1.000	1.000
χ_{min}	0.850	1.000	1.000	1.000

Vnitřní síly od jednotlivých skupin zatěžovacích stavů — SKUPINA ZATĚŽOVACÍCH STAVŮ — 3

Č.	SKUP ZS	POPIS ZS	KAT.	FÁZE PRŮŘ.	- CHARAKTERISTICKÉ HODNOTY N.k (kN)	Vy.k (kN)	Vz.k (kN)	Mx.k (kNm)	My.k (kNm)	Mz.k (kNm)	DÍLČÍ SOUČINITELÉ ZATÍŽENÍ, DYNAMICKÝ SOUČINITEL γ_{sr} (-)	γ_{fs} (-)	volba γ_f hledat	γ_f (-)	L_d (m)	δ (-)	Ψ_s KZ03	- NÁVRHOVÉ HODNOTY N.d (kN)	Vy.d (kN)	Vz.d (kN)	ΔVz.d (kN)	ΣVz.d (kN)	Mx.d (kNm)	My.d (kNm)	ΔMy.d (kNm)	ΣMy.d (kNm)	Mz.d (kNm)	ΔMz.d (kNm)	ΣMz.d (kNm)
1	G0	Vlastní tíha OK	G	0	-1 817	-14	-11	0	8	-25	1.00	1.20		1.20	-	0.95	0.95	-2 072	-16	-13	0	-13	0	10	0	10	-30	0	-30
2	G1	Ostatní stálé - mostní vybavení	G	0	-138	-1	0	0	1	-2	1.00	1.00		1.00	-	1.00	0.95	-131	-1	0	0	0	0	1	0	1	-2	0	-2
3	G2	Ostatní stálé - cizí zařízení	G	0	-84	-1	0	0	1	-1	1.00	1.00		1.00	-	1.00	0.95	-79	-1	0	0	0	0	1	0	1	-1	0	-1
4	P1_71	a.LM71 - kolej 1 (bez dyn. souč.)	P	0	-353	-1	-5	0	-5	-3	1.00	1.30		1.30	-	1.00	1.00	-459	-2	-7	0	-7	0	-6	0	-6	-4	0	-4
5	P2_71	a.LM71 - kolej 2 (bez dyn. souč.)	P	0	-768	-5	-14	0	-16	-8	1.00	1.30		1.30	-	1.00	1.00	-999	-7	-18	0	-18	0	-22	0	-22	-11	0	-11
6	P1_C3	TTZ C3 - kolej 1 (bez dyn. souč.)	P	0	-277	-1	-5	0	-6	-2	1.00	vyp.		0.00	-	1.00	0.00	0	0	0	0	0	0	0	0	0	0	0	0
7	P2_C3	TTZ C3 - kolej 2 (bez dyn. souč.)	P	0	-595	-4	-14	0	-20	-5	1.00	vyp.		0.00	-	1.00	0.00	0	0	0	0	0	0	0	0	0	0	0	0
8	BR	Brzdné a rozjezdové síly	P	0	-28	0	-1	0	1	0	1.00	1.30		1.30	-	1.00	0.80	-30	0	-1	0	-1	0	1	0	1	0	0	0
9	S	Boční ráz	P	0	18	-1	0	0	0	1	1.00	1.30		1.30	-	1.00	0.40	9	0	0	0	0	0	0	0	0	1	0	1
10	CH	Chodci na lávkách	Q	0	-176	-2	0	0	1	-2	1.00	1.30		1.30	-	1.00	1.00	-229	-2	0	0	0	0	2	0	2	-3	0	-3
11	W	Vítr na konstrukci	Q	0	-23	0	-1	0	-1	-6	1.00	1.35		1.35	-	0.75	0.75	-23	0	-1	0	-1	0	-1	0	-1	-6	0	-6
12	WP	Vítr na vozidla	Q	0	34	4	0	0	0	-1	1.00	1.35		1.35	-	1.00	0.75	34	4	0	0	0	0	0	0	0	-1	0	-1
13	TR	Teplota rovnoměrná	Q	0	0	0	0	0	0	0	1.00	1.35		1.35	-	1.00	0.45	0	0	0	0	0	0	0	0	0	0	0	0
14	TN	Teplota nerovnoměrná	Q	0	4	0	-2	0	6	0	1.00	1.35		1.35	-	1.00	0.60	3	0	-1	0	-1	0	5	0	5	0	0	0
15	FR	Třecí síly v ložiskách	Q	0	-4	0	0	0	0	0	1.00	1.20		1.20	-	1.00	1.00	-5	0	0	0	0	0	0	0	0	0	0	0
16	I	Imperfekce soustavy	Q	0	-5	-2	0	0	0	-4	1.00	1.20		1.20	-	1.00	1.00	-6	-3	-1	0	-1	0	0	0	0	-5	0	-5
27	ULS_LM	ULS - LM71 bez dynam	Q	0	-4 033	-29	-42	0	-10	-62	1.00	vyp.		0.00	-	1.00	0.00	0	0	0	0	0	0	0	0	0	0	0	0
28	SLS_LM	SLS - LM71 bez dynam	Q	0	-3 357	-24	-33	0	-10	-51	1.00	vyp.	1	0.00	-	1.00	0.00	0	0	0	0	0	0	0	0	0	0	0	0
29	ULS_C3	ULS - C3 bez dynam	Q	0	-3 709	-27	-42	0	-17	-57	1.00	vyp.	1	0.00	-	1.00	0.00	0	0	0	0	0	0	0	0	0	0	0	0
30	SLS_C3	SLS - C3 bez dynam	Q	0	-3 107	-23	-33	0	-15	-47	1.00	vyp.	1	0.00	-	1.00	0.00	0	0	0	0	0	0	0	0	0	0	0	0
		CELKEM - FÁZE PRŮŘEZU 0																-3 986	-28	-42	0	-42	0	-11	0	-11	-62	0	-62
		CELKEM - FÁZE PRŮŘEZU 1																0	0	0	0	0	0	0	0	0	0	0	0
		CELKEM - FÁZE PRŮŘEZU 2																0	0	0	0	0	0	0	0	0	0	0	0
		CELKEM - FÁZE PRŮŘEZU 3																0	0	0	0	0	0	0	0	0	0	0	0
		CELKEM - PRŮŘEZ																-3 986	-28	-42	0	-42	0			-11			-62

Napětí od jednotlivých zatěžovacích stavů — SKUPINA ZATĚŽOVACÍCH STAVŮ

Č.	SKUP ZS	Popis ZS	Kat.	fáze prúř.	Posouzení normálového napětí — Účinek síly N δ^*N_d [kN]	χ^*A [mm^2]	σ_n [MPa]	Účinek momentu My $\delta^*M_{y,d}$ [kNm]	$\chi_{lt}*W_{el,y}$ [mm^3]	σ_{my} [MPa]	Účinek momentu Mz $\delta^*M_{z,d}$ [kNm]	$W_{el,z}$ [mm^3]	σ_{mz} [MPa]	σ_x [MPa]	Posouzení smykového napětí — Účinek kroutícího momentu Mx $\kappa*\delta^*M_{x,d}$ [kNm]	$W_{v,y}$ [mm^2]	$\tau_{x,y}$ [MPa]	$W_{v,z}$ [mm^2]	$\tau_{x,z}$ [MPa]	Účinek smykové síly Vy $\delta^*V_{y,d}$ [kN]	$A_{v,y}$ [mm2]	$\tau_{v,y}$ [MPa]	$\tau_{v,y}$ [MPa]	Účinek smykové síly Vz $\delta^*V_{z,d}$ [kN]	$A_{v,z}$ [mm2]	$\tau_{v,z}$ [MPa]	$\tau_{v,z}$ [MPa]
1	G0	Vlastní tíha OK	G	0	-2 071.6	7.00E+04	-29.6	9.5	6.05E+06	1.6	-29.6	-1.65E+07	1.8	-26.2	2.3E-02	-	-	-	-	-16.2	5.12E+04	-0.3	-0.3	-13.0	3.11E+04	-0.4	-0.4
2	G1	Ostatní stálé - mostní vybavení	G	0	-130.9	7.00E+04	-1.9	0.7	6.05E+06	0.1	-1.8	-1.65E+07	0.1	-1.7	0.0E+00	-	-	-	-	-0.9	5.12E+04	0.0	0.0	0.1	3.11E+04	0.0	0.0
3	G2	Ostatní stálé - cizí zařízení	G	0	-79.5	7.00E+04	-1.1	0.6	6.05E+06	0.1	-1.1	-1.65E+07	0.1	-1.0	0.0E+00	-	-	-	-	-0.6	5.12E+04	0.0	0.0	0.1	3.11E+04	0.0	0.0
4	P1_71	a.LM71 - kolej 1 (bez dyn. souč.)	P	0	-459.0	7.00E+04	-6.6	-6.2	6.05E+06	-1.0	-3.5	-1.65E+07	0.2	-7.4	2.6E-02	-	-	-	-	-1.9	5.12E+04	0.0	0.0	-6.6	3.11E+04	-0.2	-0.2
5	P2_71	a.LM71 - kolej 2 (bez dyn. souč.)	P	0	-998.6	7.00E+04	-14.3	-21.7	6.05E+06	-3.6	-10.7	-1.65E+07	0.6	-17.2	2.6E-02	-	-	-	-	-6.8	5.12E+04	-0.1	-0.1	-18.3	3.11E+04	-0.6	-0.6
6	P1_C3	TTZ C3 - kolej 1 (bez dyn. souč.)	P	0	0.0	7.00E+04	0.0	0.0	6.05E+06	0.0	0.0	-1.65E+07	0.0	0.0	0.0E+00	-	-	-	-	0.0	5.12E+04	0.0	0.0	0.0	3.11E+04	0.0	0.0
7	P2_C3	TTZ C3 - kolej 2 (bez dyn. souč.)	P	0	0.0	7.00E+04	0.0	0.0	6.05E+06	0.0	0.0	-1.65E+07	0.0	0.0	0.0E+00	-	-	-	-	0.0	5.12E+04	0.0	0.0	0.0	3.11E+04	0.0	0.0
8	BR	Brzdné a rozjezdové síly	P	0	-29.5	7.00E+04	-0.4	1.0	6.05E+06	0.2	-0.2	-1.65E+07	0.0	-0.2	0.0E+00	-	-	-	-	-0.3	5.12E+04	0.0	0.0	-0.7	3.11E+04	0.0	0.0
9	S	Boční ráz	P	0	9.3	7.00E+04	0.1	-0.2	6.05E+06	0.0	0.6	-1.65E+07	0.0	0.1	-5.2E-03	-	-	-	-	-0.4	5.12E+04	0.0	0.0	-0.2	3.11E+04	0.0	0.0
10	CH	Chodci na lávkách	Q	0	-228.8	7.00E+04	-3.3	1.7	6.05E+06	0.3	-3.2	-1.65E+07	0.2	-2.8	0.0E+00	-	-	-	-	-2.0	5.12E+04	0.0	0.0	0.0	3.11E+04	0.0	0.0
11	W	Vítr na konstrukci	Q	0	-23.3	7.00E+04	-0.3	-0.5	6.05E+06	-0.1	-6.2	-1.65E+07	0.4	0.0	-1.0E-02	-	-	-	-	-0.1	5.12E+04	0.0	0.0	-1.4	3.11E+04	0.0	0.0
12	WP	Vítr na vozidla	Q	0	34.0	7.00E+04	0.5	-0.4	6.05E+06	-0.1	-1.3	-1.65E+07	0.1	0.5	-2.0E-02	-	-	-	-	3.9	5.12E+04	0.1	0.1	-0.3	3.11E+04	0.0	0.0
13	TR	Teplota rovnoměrná	Q	0	0.0	7.00E+04	0.0	0.0	6.05E+06	0.0	0.0	-1.65E+07	0.0	0.0	0.0E+00	-	-	-	-	0.0	5.12E+04	0.0	0.0	0.0	3.11E+04	0.0	0.0
14	TN	Teplota nerovnoměrná	Q	0	2.8	7.00E+04	0.0	4.7	6.05E+06	0.8	-0.2	-1.65E+07	0.0	0.8	0.0E+00	-	-	-	-	-0.3	5.12E+04	0.0	0.0	-1.4	3.11E+04	0.0	0.0
15	FR	Třecí síly v ložiskách	Q	0	-5.1	7.00E+04	-0.1	0.1	6.05E+06	0.0	-0.1	-1.65E+07	0.0	0.0	0.0E+00	-	-	-	-	0.0	5.12E+04	0.0	0.0	-0.1	3.11E+04	0.0	0.0
16	I	Imperfekce soustavy	Q	0	-5.9	7.00E+04	-0.1	-0.2	6.05E+06	0.0	-5.0	-1.65E+07	0.3	0.2	0.0E+00	-	-	-	-	-2.6	5.12E+04	-0.1	-0.1	-0.5	3.11E+04	0.0	0.0
27	ULS_LM	ULS - LM71 bez dynam	Q	0	0.0	7.00E+04	0.0	0.0	6.05E+06	0.0	0.0	-1.65E+07	0.0	0.0	0.0E+00	-	-	-	-	0.0	5.12E+04	0.0	0.0	0.0	3.11E+04	0.0	0.0
28	SLS_LM	SLS - LM71 bez dynam	Q	0	0.0	7.00E+04	0.0	0.0	6.05E+06	0.0	0.0	-1.65E+07	0.0	0.0	0.0E+00	-	-	-	-	0.0	5.12E+04	0.0	0.0	0.0	3.11E+04	0.0	0.0
29	ULS_C3	ULS - C3 bez dynam	Q	0	0.0	7.00E+04	0.0	0.0	6.05E+06	0.0	0.0	-1.65E+07	0.0	0.0	0.0E+00	-	-	-	-	0.0	5.12E+04	0.0	0.0	0.0	3.11E+04	0.0	0.0
30	SLS_C3	SLS - C3 bez dynam	Q	0	0.0	7.00E+04	0.0	0.0	6.05E+06	0.0	0.0	-1.65E+07	0.0	0.0	0.0E+00	-	-	-	-	0.0	5.12E+04	0.0	0.0	0.0	3.11E+04	0.0	0.0
		NAVÝŠENÍ NAPĚTÍ DO AKTIVACE TLAKU V DESCE MOSTOVKY				$\sigma_{P,red}$	0.0							0.0			0.0		0.0			-0.6	-0.6			-1.4	-1.4
		NAPĚTÍ OD PRIMÁRNÍCH ÚČINKŮ NEROVNOMĚRNÉHO OTEPLENÍ				σ_T	0.0							0.0													
		NAPĚTÍ OD REOLOGICKÝCH ÚČINKŮ BETONU V ČASE		t=0		σ_R	0.0	γ_f=	1.20					0.0													
		NAPĚTÍ V KRITICKÝCH VLÁKNECH OD KOMBINACE ZATÍŽENÍ				KZ03		[MPa]					$\Sigma\sigma_x$	-55.0									$\Sigma\tau_y$	-0.6			$\Sigma\tau_z$	-1.4
		NAPĚTÍ OD POHYBLIVÉHO ZATÍŽENÍ						[MPa]					$\sigma_{x,P}$	-24.7									τ_P	-0.2			τ_P	-0.8
		NAPĚTÍ OD OSTATNÍCH ZATÍŽENÍ						[MPa]			Φ_{Vy}	Φ_{Vz}	$\sigma_{x,rs}$	-30.2									τ_{rs}	-0.4			τ_{rs}	-0.5
		NÁVRHOVÁ HODNOTA MEZE KLUZU S REDUKCÍ VLIVEM SMYKOVÉHO NAPĚTÍ						[MPa]			1.00	1.00	$f_{yv,d}$	191.7									$f_{yd}/3^{0,5}$	110.7			$f_{yd}/3^{0,5}$	110.7
		NAPĚTÍ OD POHYBLIVÉHO ZATÍŽENÍ V GLOBÁLNÍM SYSTÉMU				$\sigma_{GLOB,P}$	0.0	[MPa]					$\Sigma\sigma_{GLOB}$	0.0														
		NAPĚTÍ OD OSTATNÍCH ZATÍŽENÍ V GLOBÁLNÍM SYSTÉMU				$\sigma_{GLOB,rs}$	0.0	[MPa]					$\Sigma\sigma_x + \Sigma\sigma_{GLOB}$	-55.0														
		VYUŽITÍ PRŮŘEZU DLE NAPĚTÍ						[%]					η_1	0.29									η_3	0.00			η_3	0.01
		NAPĚTÍ V PŘÍČNÉM SMĚRU OD POHYBLIVÉHO ZATÍŽENÍ				$\sigma_{z,P}$	0.0	[MPa]					$\Sigma\sigma_z$	0.0														
		NAPĚTÍ V PŘÍČNÉM SMĚRU OD OSTATNÍCH ZATÍŽENÍ				$\sigma_{z,rs}$	0.0	[MPa]					η_2	0.00														
		SROVNÁVACÍ NAPĚTÍ											$(\eta_2 + 0,8\,\eta_1)/1,4$ =	0.16														
		VYUŽITÍ PRŮŘEZU CELKEM						[%]					eff	0.29	VYHOVUJE													
													z_{LM71} =	6.52														

TR_O5 POPIS: **HORNÍ PÁS O5** POSUDEK: **O5**

SKUPINA ZAT. STAVŮ	EXTRÉM	VYHODNOCOVANÉ VELIČINY					
		N	Vy	Vz	Mx	My	Mz
		kN	kN	kN	kNm	kNm	kNm
G0	N.min	**-1937.64**	14.5	-14.17	-0.02	10.77	25.07
	N.max	**-1937.64**	14.5	-14.17	-0.02	10.77	25.07
	Vy.min	-1937.64	**14.5**	-14.17	-0.02	10.77	25.07
	Vy.max	-1937.64	**14.5**	-14.17	-0.02	10.77	25.07
	Vz.min	-1937.64	14.5	**-14.17**	-0.02	10.77	25.07
	Vz.max	-1937.64	14.5	**-14.17**	-0.02	10.77	25.07
	Mx.min	-1937.64	14.5	-14.17	**-0.02**	10.77	25.07
	Mx.max	-1937.64	14.5	-14.17	**-0.02**	10.77	25.07
	My.min	-1937.64	14.5	-14.17	-0.02	**10.77**	25.07
	My.max	-1937.64	14.5	-14.17	-0.02	**10.77**	25.07
	Mz.min	-1937.64	14.5	-14.17	-0.02	10.77	**25.07**
	Mz.max	-1937.64	14.5	-14.17	-0.02	10.77	**25.07**
G1	N.min	**-146.71**	0.94	0.3	0	1.78	1.53
	N.max	**-146.71**	0.94	0.3	0	1.78	1.53
	Vy.min	-146.71	**0.94**	0.3	0	1.78	1.53
	Vy.max	-146.71	**0.94**	0.3	0	1.78	1.53
	Vz.min	-146.71	0.94	**0.3**	0	1.78	1.53
	Vz.max	-146.71	0.94	**0.3**	0	1.78	1.53
	Mx.min	-146.71	0.94	0.3	**0**	1.78	1.53
	Mx.max	-146.71	0.94	0.3	**0**	1.78	1.53
	My.min	-146.71	0.94	0.3	0	**1.78**	1.53
	My.max	-146.71	0.94	0.3	0	**1.78**	1.53
	Mz.min	-146.71	0.94	0.3	0	1.78	**1.53**
	Mz.max	-146.71	0.94	0.3	0	1.78	**1.53**
G2	N.min	**-89.04**	0.68	0.08	0	0.93	1.33
	N.max	**-89.04**	0.68	0.08	0	0.93	1.33
	Vy.min	-89.04	**0.68**	0.08	0	0.93	1.33
	Vy.max	-89.04	**0.68**	0.08	0	0.93	1.33
	Vz.min	-89.04	0.68	**0.08**	0	0.93	1.33
	Vz.max	-89.04	0.68	**0.08**	0	0.93	1.33
	Mx.min	-89.04	0.68	0.08	**0**	0.93	1.33
	Mx.max	-89.04	0.68	0.08	**0**	0.93	1.33
	My.min	-89.04	0.68	0.08	0	**0.93**	1.33
	My.max	-89.04	0.68	0.08	0	**0.93**	1.33
	Mz.min	-89.04	0.68	0.08	0	0.93	**1.33**
	Mz.max	-89.04	0.68	0.08	0	0.93	**1.33**
P1_71	N.min	**-1399.44**	5.43	1.61	-0.04	14.58	-2.72
	N.max	**0.28**	-0.03	0	0	-0.01	-0.13
	Vy.min	-201.79	**-0.11**	2.88	0	10.58	-4.17
	Vy.max	-1283.81	**5.79**	-0.5	-0.03	7.46	1.31
	Vz.min	-851.89	3.88	**-4.6**	-0.01	-2.69	2.82
	Vz.max	-572.19	1.42	**6.55**	-0.02	19.65	-5.98
	Mx.min	-1150.01	4.99	1.77	**-0.05**	10.21	-1.53
	Mx.max	-332.87	0.5	-0.69	**0.02**	5.58	-1.19
	My.min	-728.47	3.88	-3.02	-0.02	**-4.77**	3.76
	My.max	-764.22	1.87	5.39	-0.02	**21.72**	-6.79
	Mz.min	-519.78	0.68	3.85	-0.02	16.34	**-8.84**
	Mz.max	-959.74	5.01	-1.18	-0.01	0.87	**5.66**
P2_71	N.min	**-2952.39**	19.89	3.83	-0.01	34.1	37.97
	N.max	**4.54**	0.02	-0.03	0	-0.08	0.18
	Vy.min	2.4	**0**	0	0	0	0.03
	Vy.max	-2928.34	**20.14**	2.24	-0.01	30.5	39.96
	Vz.min	-1793.21	12.71	**-13.79**	0.01	-10.68	27.97
	Vz.max	-1216.42	7.51	**18.6**	-0.01	51.67	10.43
	Mx.min	-1349.79	8.4	7.87	**-0.04**	32.02	11.42
	Mx.max	-1761.63	12.39	-6.26	**0.03**	2.81	28.42
	My.min	-1628.39	11.77	-10.19	0	**-14.47**	26.8
	My.max	-1580.72	9.86	15.46	-0.01	**55.03**	14.43
	Mz.min	-257.82	1.35	7.7	-0.01	19.29	**-0.64**
	Mz.max	-2759.43	19.24	-0.56	0	21.63	**40.27**
P1_C3	N.min	**-1172.71**	4.73	2.63	-0.03	13.5	-1.74
	N.max	**0.44**	-0.05	0	0	-0.02	-0.2
	Vy.min	-148.39	**-0.13**	3.15	-0.01	9.25	-3.68
	Vy.max	-1096.34	**4.81**	-2.1	-0.02	4.09	0.42
	Vz.min	-773.52	3.52	**-4.61**	-0.01	-3.27	2.27
	Vz.max	-423.3	1.31	**5.62**	-0.01	14.66	-4.24
	Mx.min	-912.47	3.89	1.52	**-0.04**	7.62	-1.89
	Mx.max	-219.76	0.29	-0.64	**0.02**	3.08	-0.33
	My.min	-646.04	3.27	-3.22	-0.01	**-4.3**	3.2
	My.max	-697.37	1.94	3.99	-0.02	**17.21**	-4.65
	Mz.min	-387.99	0.54	3.1	-0.02	12.28	**-6.72**
	Mz.max	-776.48	4.13	-0.25	-0.01	0.99	**4.78**
P2_C3	N.min	**-2467.29**	16.84	7.43	-0.01	33.37	32.53
	N.max	**5.54**	0.01	-0.05	0	-0.12	0.18
	Vy.min	3.85	**-0.01**	0.01	0	0.01	0.04
	Vy.max	-2463.3	**16.97**	-3.37	0	16.98	33.63
	Vz.min	-1603.6	11.35	**-13.9**	0.01	-12.7	25.03
	Vz.max	-863.24	5.61	**16.28**	-0.01	38.4	8.58
	Mx.min	-1093.85	7	5.92	**-0.03**	23.53	9.84
	Mx.max	-1465.25	10.45	-5.6	**0.03**	-1.67	24.5
	My.min	-1579.99	11.05	-13.41	0.01	**-14.09**	24.92
	My.max	-1151	7.36	15	-0.01	**44.06**	11.02
	Mz.min	-219.07	1.21	6.45	-0.01	16.19	**-0.7**
	Mz.max	-2437.43	16.72	-3.49	0	15.78	**33.91**
BR	N.min	**-33.19**	0.17	0.16	0	1.75	-0.09
	N.max	**33.19**	-0.17	-0.16	0	-1.75	0.09
	Vy.min	26.15	**-0.39**	-0.26	0	-2.19	-1.28
	Vy.max	-26.15	**0.39**	0.26	0	2.19	1.28
	Vz.min	26.15	-0.39	**-0.26**	0	-2.19	-1.28
	Vz.max	-26.15	0.39	**0.26**	0	2.19	1.28
	Mx.min	-33.19	0.17	0.16	**0**	1.75	-0.09
	Mx.max	33.19	-0.17	-0.16	**0**	-1.75	0.09
	My.min	26.15	-0.39	-0.26	0	**-2.19**	-1.28
	My.max	-26.15	0.39	0.26	0	**2.19**	1.28
	Mz.min	26.15	-0.39	-0.26	0	-2.19	**-1.28**
	Mz.max	-26.15	0.39	0.26	0	2.19	**1.28**

TR_O5 POPIS: **HORNÍ PÁS O5** POSUDEK: **O5**

SKUPINA ZAT. STAVŮ	EXTRÉM	VYHODNOCOVANÉ VELIČINY					
		N	Vy	Vz	Mx	My	Mz
		kN	kN	kN	kNm	kNm	kNm
S	N.min	**-29.73**	-1.28	-0.38	-0.01	-1.31	-7.43
	N.max	**29.73**	1.28	0.38	0.01	1.31	7.43
	Vy.min	-29.03	**-1.31**	-0.43	-0.01	-1.42	-8.12
	Vy.max	29.03	**1.31**	0.43	0.01	1.42	8.12
	Vz.min	-29.03	-1.31	**-0.43**	-0.01	-1.42	-8.12
	Vz.max	29.03	1.31	**0.43**	0.01	1.42	8.12
	Mx.min	-29.73	-1.28	-0.38	**-0.01**	-1.31	-7.43
	Mx.max	29.73	1.28	0.38	**0.01**	1.31	7.43
	My.min	-29.03	-1.31	-0.43	-0.01	**-1.42**	-8.12
	My.max	29.03	1.31	0.43	0.01	**1.42**	8.12
	Mz.min	-29.03	-1.31	-0.43	-0.01	-1.42	**-8.12**
	Mz.max	29.03	1.31	0.43	0.01	1.42	**8.12**
CH	N.min	**-283.4**	2.19	0.27	0	2.95	4.36
	N.max	**-98.64**	0.56	-0.41	0	-1.25	0.26
	Vy.min	-98.64	**0.56**	-0.41	0	-1.25	0.26
	Vy.max	-283.4	**2.19**	0.27	0	2.95	4.36
	Vz.min	-98.64	0.56	**-0.41**	0	-1.25	0.26
	Vz.max	-174.89	1.37	**0.62**	0	3.84	2.35
	Mx.min	-98.64	0.56	-0.41	**0**	-1.25	0.26
	Mx.max	-283.4	2.19	0.27	**0**	2.95	4.36
	My.min	-98.64	0.56	-0.41	0	**-1.25**	0.26
	My.max	-174.89	1.37	0.62	0	**3.84**	2.35
	Mz.min	-98.64	0.56	-0.41	0	-1.25	**0.26**
	Mz.max	-283.4	2.19	0.27	0	2.95	**4.36**
W	N.min	**-10.43**	2.11	-0.94	-0.02	-4.95	-6.73
	N.max	**10.36**	-2.11	0.94	0.02	4.95	6.71
	Vy.min	10.36	**-2.11**	0.94	0.02	4.95	6.71
	Vy.max	-10.43	**2.11**	-0.94	-0.02	-4.95	-6.73
	Vz.min	-10.43	2.11	**-0.94**	-0.02	-4.95	-6.73
	Vz.max	10.36	-2.11	**0.94**	0.02	4.95	6.71
	Mx.min	-10.43	2.11	-0.94	**-0.02**	-4.95	-6.73
	Mx.max	10.36	-2.11	0.94	**0.02**	4.95	6.71
	My.min	-10.43	2.11	-0.94	-0.02	**-4.95**	-6.73
	My.max	10.36	-2.11	0.94	0.02	**4.95**	6.71
	Mz.min	-10.43	2.11	-0.94	-0.02	-4.95	**-6.73**
	Mz.max	10.36	-2.11	0.94	0.02	4.95	**6.71**
WP	N.min	**-43.41**	4.32	1.1	0.02	4.89	22.15
	N.max	**43.36**	-4.32	-1.09	-0.02	-4.89	-22.16
	Vy.min	43.36	**-4.32**	-1.09	-0.02	-4.89	-22.16
	Vy.max	-43.41	**4.32**	1.1	0.02	4.89	22.15
	Vz.min	43.36	-4.32	**-1.09**	-0.02	-4.89	-22.16
	Vz.max	-43.41	4.32	**1.1**	0.02	4.89	22.15
	Mx.min	43.36	-4.32	-1.09	**-0.02**	-4.89	-22.16
	Mx.max	-43.41	4.32	1.1	**0.02**	4.89	22.15
	My.min	43.36	-4.32	-1.09	-0.02	**-4.89**	-22.16
	My.max	-43.41	4.32	1.1	0.02	**4.89**	22.15
	Mz.min	43.36	-4.32	-1.09	-0.02	-4.89	**-22.16**
	Mz.max	-43.41	4.32	1.1	0.02	4.89	**22.15**
TR	N.min	**0**	0	0	0	0	0
	N.max	**0**	0	0	0	0	0
	Vy.min	0	**0**	0	0	0	0
	Vy.max	0	**0**	0	0	0	0
	Vz.min	0	0	**0**	0	0	0
	Vz.max	0	0	**0**	0	0	0
	Mx.min	0	0	0	**0**	0	0
	Mx.max	0	0	0	**0**	0	0
	My.min	0	0	0	0	**0**	0
	My.max	0	0	0	0	**0**	0
	Mz.min	0	0	0	0	0	**0**
	Mz.max	0	0	0	0	0	**0**
TN	N.min	**-159.7**	-19.83	-1.3	0	-9.31	-33.87
	N.max	**129.14**	-2.08	0.08	0.02	-0.36	-5.41
	Vy.min	-159.7	**-19.83**	-1.3	0	-9.31	-33.87
	Vy.max	6.33	**0.61**	1.16	0	9.62	2.27
	Vz.min	-159.7	-19.83	**-1.3**	0	-9.31	-33.87
	Vz.max	6.33	0.61	**1.16**	0	9.62	2.27
	Mx.min	-159.7	-19.83	-1.3	**0**	-9.31	-33.87
	Mx.max	129.14	-2.08	0.08	**0.02**	-0.36	-5.41
	My.min	-6.33	-0.61	-1.16	0	**-9.62**	-2.27
	My.max	6.33	0.61	1.16	0	**9.62**	2.27
	Mz.min	-159.7	-19.83	-1.3	0	-9.31	**-33.87**
	Mz.max	6.33	0.61	1.16	0	9.62	**2.27**
FR	N.min	**-3.83**	0.04	0.06	0	0.33	0.06
	N.max	**3.83**	-0.04	-0.06	0	-0.33	-0.06
	Vy.min	3.83	**-0.04**	-0.06	0	-0.33	-0.06
	Vy.max	-3.83	**0.04**	0.06	0	0.33	0.06
	Vz.min	3.83	-0.04	**-0.06**	0	-0.33	-0.06
	Vz.max	-3.83	0.04	**0.06**	0	0.33	0.06
	Mx.min	-3.83	0.04	0.06	**0**	0.33	0.06
	Mx.max	3.83	-0.04	-0.06	**0**	-0.33	-0.06
	My.min	3.83	-0.04	-0.06	0	**-0.33**	-0.06
	My.max	-3.83	0.04	0.06	0	**0.33**	0.06
	Mz.min	3.83	-0.04	-0.06	0	-0.33	**-0.06**
	Mz.max	-3.83	0.04	0.06	0	0.33	**0.06**
I	N.min	**-1.96**	1.84	-0.14	0	-0.93	**3.03**
	N.max	**1.96**	-1.84	0.14	0	0.93	**-3.03**
	Vy.min	1.96	**-1.84**	0.14	0	0.93	**-3.03**
	Vy.max	-1.96	**1.84**	-0.14	0	-0.93	**3.03**
	Vz.min	-1.96	1.84	**-0.14**	0	-0.93	**3.03**
	Vz.max	1.96	-1.84	**0.14**	0	0.93	**-3.03**
	Mx.min	1.96	-1.84	0.14	**0**	0.93	**-3.03**
	Mx.max	-1.96	1.84	-0.14	**0**	-0.93	**3.03**
	My.min	-1.96	1.84	-0.14	0	**-0.93**	**3.03**
	My.max	1.96	-1.84	0.14	0	**0.93**	**-3.03**
	Mz.min	1.96	-1.84	0.14	0	0.93	**-3.03**
	Mz.max	-1.96	1.84	-0.14	0	-0.93	**3.03**

TAB. O5.3 POSOUZENÍ - MEZNÍ STAV ÚNOSNOSTI

POPIS	HORNÍ PÁS O5
PRUT / POLOHA BODU	24 / 1/4
NAMÁHÁNÍ	N.min
VLÁKNO	BOD K1 -HL
MEZNÍ STAV	ULS (MSÚ)
VYUŽITÍ VLÁKNA PRŮŘEZU	0.73

Charakteristiky materiálu				
pás. horní	$f_{yf,k}$	230	MPa	
pás. dolní	$f_{yf,k}$	230	MPa	
stojina	$f_{yw,k}$	230	MPa	
výztuž	$f_{ys,k}$	500	MPa	
γ_M =	1.20	γ_s =	1.15	

Excentricita normálové síly				
Exc./Fáze	0	1	2	3
e_y	0.000	0.000	0.000	0.000
e_z	0.000	0.000	0.000	0.000
Ekvivalentní vzdál. stěn - příčný roznos				
b_{Mx}	0.000	0.000	0.000	0.000

Vliv stěny na únosnost průřezu				
Char./Fáze	0	1	2	3
A	0.00	0.00	0.00	0.00
Wy	0.00	0.00	0.00	0.00
Wz	0.00	0.00	0.00	0.00

Charakter. v kroucení			
$t_{w,y}$	0.000	[mm]	
$t_{w,z}$	0.000	[mm]	
κ	1.00		
I_t=	0.00E+00	[mm^4]	
$\Omega=2*A_{pr}$	0.00E+00	[mm^2]	

Součinitele vzpěru a vlivu II.řádu				
Char./Fáze	0	1	2	3
k_y	1.030	1.000	1.000	1.000
k_z	1.020	1.000	1.000	1.000
χ_{LT}	1.000	1.000	1.000	1.000
χ_{min}	0.850	1.000	1.000	1.000

Vnitřní síly od jednotlivých skupin zatěžovacích stavů

SKUPINA ZATĚŽOVACÍCH STAVŮ					- CHARAKTERISTICKÉ HODNOTY						DÍLČÍ SOUČINITELÉ ZATÍŽENÍ, DYNAMICKÝ SOUČINITEL						3	- NÁVRHOVÉ HODNOTY									
Č.	SKUP ZS	POPIS ZS	KAT.	FÁZE PRŮŘ.	N.k (kN)	Vy.k (kN)	Vz.k (kN)	Mx.k (kNm)	My.k (kNm)	Mz.k (kNm)	γ_{sr} (-)	γ_{sl} (-)	volba ψ_1 hledat	ψ_1 (-)	L_d (m)	δ (-)	Ψ_2 KZ03	N.d (kN)	Vy.d (kN)	Vz.d (kN)	ΔVz.d (kN)	ΣVz.d (kN)	Mx.d (kNm)	My.d (kNm)	ΔMy.d (kNm)	ΣMy.d (kNm)	Mz.d (kNm)	ΔMz.d (kNm)	ΣMz.d (kNm)
1	G0	Vlastní tíha OK	G	0	-1 938	15	-14	0	11	25	1.00	1.20		1.20	-	1.00	0.95	-2 209	17	-16	0	-16	0	13	0	13	29	0	29
2	G1	Ostatní stálé - mostní vybavení	G	0	-147	1	0	0	2	2	1.00	1.20		1.20	-	1.00	0.95	-167	1	0	0	0	0	2	0	2	2	0	2
3	G2	Ostatní stálé - cizí zařízení	G	0	-89	1	0	0	1	1	1.00	1.20		1.20	-	1.00	0.95	-102	1	0	0	0	0	1	0	1	2	0	2
4	P1_71	a.LM71 - kolej 1 (bez dyn. souč.)	P	0	-1 399	5	2	0	15	-3	1.00	1.30		1.30	-	1.00	1.00	-1 819	7	2	0	2	0	20	0	20	-4	0	-4
5	P2_71	a.LM71 - kolej 2 (bez dyn. souč.)	P	0	-2 952	20	4	0	34	38	1.00	1.30		1.30	-	1.00	1.00	-3 838	26	5	0	5	0	46	0	46	50	0	50
6	P1_C3	TTZ C3 - kolej 1 (bez dyn. souč.)	P	0	-1 173	5	3	0	14	-2	1.00	vyp.		0.00	-	1.00	0.00	0	0	0	0	0	0	0	0	0	0	0	0
7	P2_C3	TTZ C3 - kolej 2 (bez dyn. souč.)	P	0	-2 467	17	7	0	33	33	1.00	vyp.		0.00	-	1.00	0.00	0	0	0	0	0	0	0	0	0	0	0	0
8	BR	Brzdné a rozjezdové síly	P	0	-33	0	0	0	2	0	1.00	1.30		1.30	-	1.00	0.80	-35	0	0	0	0	0	2	0	2	0	0	0
9	S	Boční ráz	P	0	-30	-1	0	0	-1	-7	1.00	0.00		0.00	-	1.00	0.40	0	0	0	0	0	0	0	0	0	0	0	0
10	CH	Chodci na lávkách	Q	0	-283	2	0	0	3	4	1.00	1.30		1.30	-	1.00	1.00	-368	3	0	0	0	0	4	0	4	6	0	6
11	W	Vítr na konstrukci	Q	0	-10	2	-1	0	-5	-7	1.00	-1.35		-1.35	-	1.00	0.75	11	-2	1	0	1	0	5	0	5	7	0	7
12	WP	Vítr na vozidla	Q	0	-43	4	1	0	5	22	1.00	1.35		1.35	-	1.00	0.75	-44	4	1	0	1	0	5	0	5	23	0	23
13	TR	Teplota rovnoměrná	Q	0	0	0	0	0	0	0	1.00	1.35		1.35	-	1.00	0.45	0	0	0	0	0	0	0	0	0	0	0	0
14	TN	Teplota nerovnoměrná	Q	0	-160	-20	-1	0	-9	-34	1.00	-1.35		-1.35	-	1.00	0.60	129	16	1	0	1	0	8	0	8	28	0	28
15	FR	Třecí síly v ložiskách	Q	0	-4	0	0	0	0	0	1.00	1.20		1.20	-	1.00	1.00	-5	0	0	0	0	0	0	0	0	0	0	0
16	I	Imperfekce soustavy	Q	0	-2	2	0	0	-1	3	1.00	1.20		1.20	-	1.00	1.00	-2	2	0	0	0	0	-1	0	-1	4	0	4
27	ULS_LM	ULS - LM71 bez dynam	Q	0	-8 757	46	-9	0	76	70	1.00	vyp.		0.00	-	1.00	0.00	0	0	0	0	0	0	0	0	0	0	0	0
28	SLS_LM	SLS - LM71 bez dynam	Q	0	-6 903	50	-8	0	66	78	1.00	vyp.	1	0.00	-	1.00	0.00	0	0	0	0	0	0	0	0	0	0	0	0
29	ULS_C3	ULS - C3 bez dynam	Q	0	-7 831	41	-3	0	73	64	1.00	vyp.	1	0.00	-	1.00	0.00	0	0	0	0	0	0	0	0	0	0	0	0
30	SLS_C3	SLS - C3 bez dynam	Q	0	-6 191	46	-3	0	64	74	1.00	vyp.	1	0.00	-	1.00	0.00	0	0	0	0	0	0	0	0	0	0	0	0
		CELKEM - FÁZE PRŮŘEZU 0																-8 449	75	-5	0	-5	0	104	0	104	146	0	146
		CELKEM - FÁZE PRŮŘEZU 1																0	0	0	0	0	0	0	0	0	0	0	0
		CELKEM - FÁZE PRŮŘEZU 2																0	0	0	0	0	0	0	0	0	0	0	0
		CELKEM - FÁZE PRŮŘEZU 3																0	0	0	0	0	0	0	0	0	0	0	0
		CELKEM - PRŮŘEZ																-8 449	75	-5	0	-5	0			104			146

Napětí od jednotlivých zatěžovacích stavů

SKUPINA ZATĚŽOVACÍCH STAVŮ					Posouzení normálového napětí										Posouzení smykového napětí													
					Účinek síly N			Účinek momentu My				Účinek momentu Mz					Účinek ktoutícího momentu Mx				Účinek smykové síly Vy				Účinek smykové síly Vz			
Č.	SKUP ZS	Popis ZS	Kat.	fáze prúř.	$\delta*N_d$ [kN]	$\chi*A$ [mm^2]	σ_n [MPa]	$\delta*M_{y,d}$ [kNm]	$\chi_{lt}*W_{el,y}$ [mm^3]	σ_{my} [MPa]		$\delta*M_{z,d}$ [kNm]	$W_{el,z}$ [mm^3]	σ_{mz} [MPa]	σ_x [MPa]	$\kappa*\delta*M_{x,d}$ [kNm]	$W_{v,y}$ [mm^2]	$\tau_{x,y}$ [MPa]	$W_{v,z}$ [mm^2]	$\tau_{x,z}$ [MPa]	$\delta*V_{y,d}$ [kN]	$A_{v,y}$ [mm2]	$\tau_{v,y}$ [MPa]	$\tau_{v,y}$ [MPa]	$\delta*V_{z,d}$ [kN]	$A_{v,z}$ [mm2]	$\tau_{v,z}$ [MPa]	$\tau_{v,z}$ [MPa]
1	G0	Vlastní tíha OK	G	0	-2 208.9	7.00E+04	-31.6	12.6	-1.61E+07	-0.8		29.2	-1.10E+07	-2.7	-35.0	-2.3E-02	-	-	-	-	16.5	5.12E+04	0.3	0.3	-16.2	3.11E+04	-0.5	-0.5
2	G1	Ostatní stálé - mostní vybavení	G	0	-167.2	7.00E+04	-2.4	2.1	-1.61E+07	-0.1		1.8	-1.10E+07	-0.2	-2.7	0.0E+00	-	-	-	-	1.1	5.12E+04	0.0	0.0	0.3	3.11E+04	0.0	0.0
3	G2	Ostatní stálé - cizí zařízení	G	0	-101.5	7.00E+04	-1.5	1.1	-1.61E+07	-0.1		1.5	-1.10E+07	-0.1	-1.7	0.0E+00	-	-	-	-	0.8	5.12E+04	0.0	0.0	0.1	3.11E+04	0.0	0.0
4	P1_71	a.LM71 - kolej 1 (bez dyn. souč.)	P	0	-1 819.3	7.00E+04	-26.0	19.5	-1.61E+07	-1.2		-3.6	-1.10E+07	0.3	-26.9	-5.2E-02	-	-	-	-	7.1	5.12E+04	0.1	0.1	2.1	3.11E+04	0.1	0.1
5	P2_71	a.LM71 - kolej 2 (bez dyn. souč.)	P	0	-3 838.1	7.00E+04	-54.8	45.7	-1.61E+07	-2.8		50.3	-1.10E+07	-4.6	-62.3	-1.3E-02	-	-	-	-	25.9	5.12E+04	0.5	0.5	5.0	3.11E+04	0.2	0.2
6	P1_C3	TTZ C3 - kolej 1 (bez dyn. souč.)	P	0	0.0	7.00E+04	0.0	0.0	-1.61E+07	0.0		0.0	-1.10E+07	0.0	0.0	0.0E+00	-	-	-	-	0.0	5.12E+04	0.0	0.0	0.0	3.11E+04	0.0	0.0
7	P2_C3	TTZ C3 - kolej 2 (bez dyn. souč.)	P	0	0.0	7.00E+04	0.0	0.0	-1.61E+07	0.0		0.0	-1.10E+07	0.0	0.0	0.0E+00	-	-	-	-	0.0	5.12E+04	0.0	0.0	0.0	3.11E+04	0.0	0.0
8	BR	Brzdné a rozjezdové síly	P	0	-34.5	7.00E+04	-0.5	1.9	-1.61E+07	-0.1		-0.1	-1.10E+07	0.0	-0.6	0.0E+00	-	-	-	-	0.2	5.12E+04	0.0	0.0	0.2	3.11E+04	0.0	0.0
9	S	Boční ráz	P	0	0.0	7.00E+04	0.0	0.0	-1.61E+07	0.0		0.0	-1.10E+07	0.0	0.0	0.0E+00	-	-	-	-	0.0	5.12E+04	0.0	0.0	0.0	3.11E+04	0.0	0.0
10	CH	Chodci na lávkách	Q	0	-368.4	7.00E+04	-5.3	4.0	-1.61E+07	-0.2		5.8	-1.10E+07	-0.5	-6.0	0.0E+00	-	-	-	-	2.8	5.12E+04	0.1	0.1	0.4	3.11E+04	0.0	0.0
11	W	Vítr na konstrukci	Q	0	10.6	7.00E+04	0.2	5.2	-1.61E+07	-0.3		7.0	-1.10E+07	-0.6	-0.8	2.0E-02	-	-	-	-	-2.1	5.12E+04	0.0	0.0	1.0	3.11E+04	0.0	0.0
12	WP	Vítr na vozidla	Q	0	-44.0	7.00E+04	-0.6	5.1	-1.61E+07	-0.3		22.9	-1.10E+07	-2.1	-3.0	2.0E-02	-	-	-	-	4.4	5.12E+04	0.1	0.1	1.1	3.11E+04	0.0	0.0
13	TR	Teplota rovnoměrná	Q	0	0.0	7.00E+04	0.0	0.0	-1.61E+07	0.0		0.0	-1.10E+07	0.0	0.0	0.0E+00	-	-	-	-	0.0	5.12E+04	0.0	0.0	0.0	3.11E+04	0.0	0.0
14	TN	Teplota nerovnoměrná	Q	0	129.4	7.00E+04	1.8	7.8	-1.61E+07	-0.5		28.0	-1.10E+07	-2.6	-1.2	0.0E+00	-	-	-	-	16.1	5.12E+04	0.3	0.3	1.1	3.11E+04	0.0	0.0
15	FR	Třecí síly v ložiskách	Q	0	-4.6	7.00E+04	-0.1	0.4	-1.61E+07	0.0		0.1	-1.10E+07	0.0	-0.1	0.0E+00	-	-	-	-	0.0	5.12E+04	0.0	0.0	0.1	3.11E+04	0.0	0.0
16	I	Imperfekce soustavy	Q	0	-2.4	7.00E+04	0.0	-1.1	-1.61E+07	0.1		3.7	-1.10E+07	-0.3	-0.3	0.0E+00	-	-	-	-	2.2	5.12E+04	0.0	0.0	-0.2	3.11E+04	0.0	0.0
27	ULS_LM	ULS - LM71 bez dynam	Q	0	0.0	7.00E+04	0.0	0.0	-1.61E+07	0.0		0.0	-1.10E+07	0.0	0.0	0.0E+00	-	-	-	-	0.0	5.12E+04	0.0	0.0	0.0	3.11E+04	0.0	0.0
28	SLS_LM	SLS - LM71 bez dynam	Q	0	0.0	7.00E+04	0.0	0.0	-1.61E+07	0.0		0.0	-1.10E+07	0.0	0.0	0.0E+00	-	-	-	-	0.0	5.12E+04	0.0	0.0	0.0	3.11E+04	0.0	0.0
29	ULS_C3	ULS - C3 bez dynam	Q	0	0.0	7.00E+04	0.0	0.0	-1.61E+07	0.0		0.0	-1.10E+07	0.0	0.0	0.0E+00	-	-	-	-	0.0	5.12E+04	0.0	0.0	0.0	3.11E+04	0.0	0.0
30	SLS_C3	SLS - C3 bez dynam	Q	0	0.0	7.00E+04	0.0	0.0	-1.61E+07	0.0		0.0	-1.10E+07	0.0	0.0	0.0E+00	-	-	-	-	0.0	5.12E+04	0.0	0.0	0.0	3.11E+04	0.0	0.0
NAVÝŠENÍ NAPĚTÍ DO AKTIVACE TLAKU V DESCE MOSTOVKY						$\sigma_{P,red}$	0.0								0.0			0.0		0.0			1.5	1.5			-0.2	-0.2
NAPĚTÍ OD PRIMÁRNÍCH ÚČINKŮ NEROVNOMĚRNÉHO OTEPLENÍ						σ_T	0.0								0.0													
NAPĚTÍ OD REOLOGICKÝCH ÚČINKŮ BETONU V ČASE				t=0		σ_R	0.0	γ=	1.20						0.0													
NAPĚTÍ V KRITICKÝCH VLÁKNECH OD KOMBINACE ZATÍŽENÍ						KZ03		[MPa]						$\Sigma\sigma_x$	-140.6								$\Sigma\tau_y$	1.5			$\Sigma\tau_z$	-0.2
NAPĚTÍ OD POHYBLIVÉHO ZATÍŽENÍ								[MPa]						$\sigma_{x,P}$	-89.8								τ_P	0.6			τ_P	0.2
NAPĚTÍ OD OSTATNÍCH ZATÍŽENÍ								[MPa]			Φ_{vy}		Φ_{vz}	$\sigma_{x,rs}$	-50.8								τ_{rs}	0.8			τ_{rs}	-0.4
NÁVRHOVÁ HODNOTA MEZE KLUZU S REDUKCÍ VLIVEM SMYKOVÉHO NAPĚTÍ								[MPa]			1.00		1.00	$f_{yv,d}$	191.7								$f_{yd}/3^{0,5}$	110.7			$f_{yd}/3^{0,5}$	110.7
NAPĚTÍ OD POHYBLIVÉHO ZATÍŽENÍ V GLOBÁLNÍM SYSTÉMU						$\sigma_{GLOB,P}$	0.0	[MPa]						$\Sigma\sigma_{GLOB}$	0.0													
NAPĚTÍ OD OSTATNÍCH ZATÍŽENÍ V GLOBÁLNÍM SYSTÉMU						$\sigma_{GLOB,rs}$	0.0	[MPa]						$\Sigma\sigma_x + \Sigma\sigma_{GLOB}$	-140.6													
VYUŽITÍ PRŮŘEZU DLE NAPĚTÍ								[%]						η_1	0.73								η_3	0.01			η_3	0.00
NAPĚTÍ V PŘÍČNÉM SMĚRU OD POHYBLIVÉHO ZATÍŽENÍ						$\sigma_{z,P}$	0.0	[MPa]						$\Sigma\sigma_z$	0.0													
NAPĚTÍ V PŘÍČNÉM SMĚRU OD OSTATNÍCH ZATÍŽENÍ						$\sigma_{z,rs}$	0.0	[MPa]						η_2	0.00													
SROVNÁVACÍ NAPĚTÍ														$(\eta_2 + 0,8\ \eta_1)/1,4$ =	0.42													
VYUŽITÍ PRŮŘEZU CELKEM								[%]						eff	0.73	VYHOVUJE												
														Z_{LM71} =	1.57													

TAB. O5.3 POSOUZENÍ - MEZNÍ STAV ÚNOSNOSTI

POPIS	HORNÍ PÁS O5
PRUT / POLOHA BODU	24 / 1/4
NAMÁHÁNÍ	N.min
VLÁKNO	BOD K3 -SL
MEZNÍ STAV	ULS (MSÚ)
VYUŽITÍ VLÁKNA PRŮŘEZU	0.62

Charakteristiky materiálu				
pás. horní	$f_{yf,k}$	230	MPa	
pás. dolní	$f_{yf,k}$	230	MPa	
stojina	$f_{yw,k}$	230	MPa	
výztuž	$f_{ys,k}$	500	MPa	
γ_M =	1.20	γ_s =	1.15	

Excentricita normálové síly				
Exc./Fáze	0	1	2	3
e_y	0.000	0.000	0.000	0.000
e_z	0.000	0.000	0.000	0.000
Ekvivalentní vzdál. stěn - příčný roznos				
b_{Mx}	0.000	0.000	0.000	0.000

Vliv stěny na únosnost průřezu				
Char./Fáze	0	1	2	3
A	0.00	0.00	0.00	0.00
Wy	0.00	0.00	0.00	0.00
Wz	0.00	0.00	0.00	0.00

Charakter. v kroucení			
$t_{w,y}$	0.000	[mm]	
$t_{w,z}$	0.000	[mm]	
κ	1.00		
I_t=	0.00E+00	[mm^4]	
Ω=2*A_{pr}	0.00E+00	[mm^2]	

Součinitele vzpěru a vlivu II.řádu				
Char./Fáze	0	1	2	3
k_y	1.030	1.000	1.000	1.000
k_z	1.020	1.000	1.000	1.000
χ_{LT}	1.000	1.000	1.000	1.000
χ_{min}	0.850	1.000	1.000	1.000

Vnitřní síly od jednotlivých skupin zatěžovacích stavů

SKUPINA ZATĚŽOVACÍCH STAVŮ					- CHARAKTERISTICKÉ HODNOTY						DÍLČÍ SOUČINITELÉ ZATÍŽENÍ, DYNAMICKÝ SOUČINITEL						3	- NÁVRHOVÉ HODNOTY									
Č.	SKUP ZS	POPIS ZS	KAT.	FÁZE PRŮŘ.	N.k (kN)	Vy.k (kN)	Vz.k (kN)	Mx.k (kNm)	My.k (kNm)	Mz.k (kNm)	γ_{sr} (-)	γ_{sl} (-)	volba ψ_i hledat	ψ_i (-)	L_d (m)	δ (-)	ψ_2 KZ03	N.d (kN)	Vy.d (kN)	Vz.d (kN)	ΔVz.d (kN)	ΣVz.d (kN)	Mx.d (kNm)	My.d (kNm)	ΔMy.d (kNm)	ΣMy.d (kNm)	Mz.d (kNm)	ΔMz.d (kNm)	ΣMz.d (kNm)
1	G0	Vlastní tíha OK	G	0	-1 938	15	-14	0	11	25	1.00	1.20		1.20	-	1.00	0.95	-2 209	17	-16	0	-16	0	13	0	13	29	0	29
2	G1	Ostatní stálé - mostní vybavení	G	0	-147	1	0	0	2	2	1.00	1.20		1.20	-	1.00	0.95	-167	1	0	0	0	0	2	0	2	2	0	2
3	G2	Ostatní stálé - cizí zařízení	G	0	-89	1	0	0	1	1	1.00	1.20		1.20	-	1.00	0.95	-102	1	0	0	0	0	1	0	1	2	0	2
4	P1_71	a.LM71 - kolej 1 (bez dyn. souč.)	P	0	-1 399	5	2	0	15	-3	1.00	1.30		1.30	-	1.00	1.00	-1 819	7	2	0	2	0	20	0	20	-4	0	-4
5	P2_71	a.LM71 - kolej 2 (bez dyn. souč.)	P	0	-2 952	20	4	0	34	38	1.00	1.30		1.30	-	1.00	1.00	-3 838	26	5	0	5	0	46	0	46	50	0	50
6	P1_C3	TTZ C3 - kolej 1 (bez dyn. souč.)	P	0	-1 173	5	3	0	14	-2	1.00	vyp.		0.00	-	1.00	0.00	0	0	0	0	0	0	0	0	0	0	0	0
7	P2_C3	TTZ C3 - kolej 2 (bez dyn. souč.)	P	0	-2 467	17	7	0	33	33	1.00	vyp.		0.00	-	1.00	0.00	0	0	0	0	0	0	0	0	0	0	0	0
8	BR	Brzdné a rozjezdové síly	P	0	-33	0	0	0	2	0	1.00	1.30		1.30	-	1.00	0.80	-35	0	0	0	0	0	2	0	2	0	0	0
9	S	Boční ráz	P	0	-30	-1	0	0	-1	-7	1.00	0.00		0.00	-	1.00	0.40	0	0	0	0	0	0	0	0	0	0	0	0
10	CH	Chodci na lávkách	Q	0	-283	2	0	0	3	4	1.00	1.30		1.30	-	1.00	1.00	-368	3	0	0	0	0	4	0	4	6	0	6
11	W	Vítr na konstrukci	Q	0	-10	2	-1	0	-5	-7	1.00	1.35		1.35	-	1.00	0.75	-11	2	-1	0	-1	0	-5	0	-5	-7	0	-7
12	WP	Vítr na vozidla	Q	0	-43	4	1	0	5	22	1.00	1.35		1.35	-	1.00	0.75	-44	4	1	0	1	0	5	0	5	23	0	23
13	TR	Teplota rovnoměrná	Q	0	0	0	0	0	0	0	1.00	1.35		1.35	-	1.00	0.45	0	0	0	0	0	0	0	0	0	0	0	0
14	TN	Teplota nerovnoměrná	Q	0	-160	-20	-1	0	-9	-34	1.00	1.35		1.35	-	1.00	0.60	-129	-16	-1	0	-1	0	-8	0	-8	-28	0	-28
15	FR	Třecí síly v ložiskách	Q	0	-4	0	0	0	0	0	1.00	1.20		1.20	-	1.00	1.00	-5	0	0	0	0	0	0	0	0	0	0	0
16	I	Imperfekce soustavy	Q	0	-2	2	0	0	-1	3	1.00	1.20		1.20	-	1.00	1.00	-2	2	0	0	0	0	-1	0	-1	4	0	4
27	ULS_LM	ULS - LM71 bez dynam	Q	0	-8 757	46	-9	0	76	70	1.00	vyp.		0.00	-	1.00	0.00	0	0	0	0	0	0	0	0	0	0	0	0
28	SLS_LM	SLS - LM71 bez dynam	Q	0	-6 903	50	-8	0	66	78	1.00	vyp.	1	0.00	-	1.00	0.00	0	0	0	0	0	0	0	0	0	0	0	0
29	ULS_C3	ULS - C3 bez dynam	Q	0	-7 831	41	-3	0	73	64	1.00	vyp.	1	0.00	-	1.00	0.00	0	0	0	0	0	0	0	0	0	0	0	0
30	SLS_C3	SLS - C3 bez dynam	Q	0	-6 191	46	-3	0	64	74	1.00	vyp.	1	0.00	-	1.00	0.00	0	0	0	0	0	0	0	0	0	0	0	0
		CELKEM - FÁZE PRŮŘEZU 0																-8 729	47	-9	0	-9	0	78	0	78	77	0	77
		CELKEM - FÁZE PRŮŘEZU 1																0	0	0	0	0	0	0	0	0	0	0	0
		CELKEM - FÁZE PRŮŘEZU 2																0	0	0	0	0	0	0	0	0	0	0	0
		CELKEM - FÁZE PRŮŘEZU 3																0	0	0	0	0	0	0	0	0	0	0	0
		CELKEM - PRŮŘEZ																-8 729	47	-9	0	-9	0			78			77

Napětí od jednotlivých zatěžovacích stavů

SKUPINA ZATĚŽOVACÍCH STAVŮ					Posouzení normálového napětí										Posouzení smykového napětí													
					Účinek síly N			Účinek momentu My			Účinek momentu Mz				Účinek kroutícího momentu Mx				Účinek smykové síly Vy				Účinek smykové síly Vz			
Č.	SKUP ZS	Popis ZS	Kat.	fáze průř.	δ^*N_d [kN]	χ^*A [mm^2]	σ_n [MPa]	$\delta^*M_{y,d}$ [kNm]	$\chi_{lt}{}^*W_{el,y}$ [mm^3]	σ_{my} [MPa]	$\delta^*M_{z,d}$ [kNm]	$W_{el,z}$ [mm^3]	σ_{mz} [MPa]	σ_x [MPa]	$\kappa^*\delta^*M_{x,d}$ [kNm]	$W_{v,y}$ [mm^2]	$\tau_{x,y}$ [MPa]	$W_{v,z}$ [mm^2]	$\tau_{x,z}$ [MPa]	$\delta^*V_{y,d}$ [kN]	$A_{v,y}$ [mm2]	$\tau_{v,y}$ [MPa]	$\tau_{v,y}$ [MPa]	$\delta^*V_{z,d}$ [kN]	$A_{v,z}$ [mm2]	$\tau_{v,z}$ [MPa]	$\tau_{v,z}$ [MPa]
1	G0	Vlastní tíha OK	G	0	-2 208.9	7.00E+04	-31.6	12.6	6.05E+06	2.1	29.2	-1.12E+07	-2.6	-32.1	-2.3E-02	-	-	-	-	16.5	5.12E+04	0.3	0.3	-16.2	3.11E+04	-0.5	-0.5
2	G1	Ostatní stálé - mostní vybavení	G	0	-167.2	7.00E+04	-2.4	2.1	6.05E+06	0.3	1.8	-1.12E+07	-0.2	-2.2	0.0E+00	-	-	-	-	1.1	5.12E+04	0.0	0.0	0.3	3.11E+04	0.0	0.0
3	G2	Ostatní stálé - cizí zařízení	G	0	-101.5	7.00E+04	-1.5	1.1	6.05E+06	0.2	1.5	-1.12E+07	-0.1	-1.4	0.0E+00	-	-	-	-	0.8	5.12E+04	0.0	0.0	0.1	3.11E+04	0.0	0.0
4	P1_71	a.LM71 - kolej 1 (bez dyn. souč.)	P	0	-1 819.3	7.00E+04	-26.0	19.5	6.05E+06	3.2	-3.6	-1.12E+07	0.3	-22.4	-5.2E-02	-	-	-	-	7.1	5.12E+04	0.1	0.1	2.1	3.11E+04	0.1	0.1
5	P2_71	a.LM71 - kolej 2 (bez dyn. souč.)	P	0	-3 838.1	7.00E+04	-54.8	45.7	6.05E+06	7.6	50.3	-1.12E+07	-4.5	-51.8	-1.3E-02	-	-	-	-	25.9	5.12E+04	0.5	0.5	5.0	3.11E+04	0.2	0.2
6	P1_C3	TTZ C3 - kolej 1 (bez dyn. souč.)	P	0	0.0	7.00E+04	0.0	0.0	6.05E+06	0.0	0.0	-1.12E+07	0.0	0.0	0.0E+00	-	-	-	-	0.0	5.12E+04	0.0	0.0	0.0	3.11E+04	0.0	0.0
7	P2_C3	TTZ C3 - kolej 2 (bez dyn. souč.)	P	0	0.0	7.00E+04	0.0	0.0	6.05E+06	0.0	0.0	-1.12E+07	0.0	0.0	0.0E+00	-	-	-	-	0.0	5.12E+04	0.0	0.0	0.0	3.11E+04	0.0	0.0
8	BR	Brzdné a rozjezdové síly	P	0	-34.5	7.00E+04	-0.5	1.9	6.05E+06	0.3	-0.1	-1.12E+07	0.0	-0.2	0.0E+00	-	-	-	-	0.2	5.12E+04	0.0	0.0	0.2	3.11E+04	0.0	0.0
9	S	Boční ráz	P	0	0.0	7.00E+04	0.0	0.0	6.05E+06	0.0	0.0	-1.12E+07	0.0	0.0	0.0E+00	-	-	-	-	0.0	5.12E+04	0.0	0.0	0.0	3.11E+04	0.0	0.0
10	CH	Chodci na lávkách	Q	0	-368.4	7.00E+04	-5.3	4.0	6.05E+06	0.7	5.8	-1.12E+07	-0.5	-5.1	0.0E+00	-	-	-	-	2.8	5.12E+04	0.1	0.1	0.4	3.11E+04	0.0	0.0
11	W	Vítr na konstrukci	Q	0	-10.6	7.00E+04	-0.2	-5.2	6.05E+06	-0.9	-7.0	-1.12E+07	0.6	-0.4	-2.0E-02	-	-	-	-	2.1	5.12E+04	0.0	0.0	-1.0	3.11E+04	0.0	0.0
12	WP	Vítr na vozidla	Q	0	-44.0	7.00E+04	-0.6	5.1	6.05E+06	0.8	22.9	-1.12E+07	-2.0	-1.8	2.0E-02	-	-	-	-	4.4	5.12E+04	0.1	0.1	1.1	3.11E+04	0.0	0.0
13	TR	Teplota rovnoměrná	Q	0	0.0	7.00E+04	0.0	0.0	6.05E+06	0.0	0.0	-1.12E+07	0.0	0.0	0.0E+00	-	-	-	-	0.0	5.12E+04	0.0	0.0	0.0	3.11E+04	0.0	0.0
14	TN	Teplota nerovnoměrná	Q	0	-129.4	7.00E+04	-1.8	-7.8	6.05E+06	-1.3	-28.0	-1.12E+07	2.5	-0.6	0.0E+00	-	-	-	-	-16.1	5.12E+04	-0.3	-0.3	-1.1	3.11E+04	0.0	0.0
15	FR	Třecí síly v ložiskách	Q	0	-4.6	7.00E+04	-0.1	0.4	6.05E+06	0.1	0.1	-1.12E+07	0.0	0.0	0.0E+00	-	-	-	-	0.0	5.12E+04	0.0	0.0	0.1	3.11E+04	0.0	0.0
16	I	Imperfekce soustavy	Q	0	-2.4	7.00E+04	0.0	-1.1	6.05E+06	-0.2	3.7	-1.12E+07	-0.3	-0.6	0.0E+00	-	-	-	-	2.2	5.12E+04	0.0	0.0	-0.2	3.11E+04	0.0	0.0
27	ULS_LM	ULS - LM71 bez dynam	Q	0	0.0	7.00E+04	0.0	0.0	6.05E+06	0.0	0.0	-1.12E+07	0.0	0.0	0.0E+00	-	-	-	-	0.0	5.12E+04	0.0	0.0	0.0	3.11E+04	0.0	0.0
28	SLS_LM	SLS - LM71 bez dynam	Q	0	0.0	7.00E+04	0.0	0.0	6.05E+06	0.0	0.0	-1.12E+07	0.0	0.0	0.0E+00	-	-	-	-	0.0	5.12E+04	0.0	0.0	0.0	3.11E+04	0.0	0.0
29	ULS_C3	ULS - C3 bez dynam	Q	0	0.0	7.00E+04	0.0	0.0	6.05E+06	0.0	0.0	-1.12E+07	0.0	0.0	0.0E+00	-	-	-	-	0.0	5.12E+04	0.0	0.0	0.0	3.11E+04	0.0	0.0
30	SLS_C3	SLS - C3 bez dynam	Q	0	0.0	7.00E+04	0.0	0.0	6.05E+06	0.0	0.0	-1.12E+07	0.0	0.0	0.0E+00	-	-	-	-	0.0	5.12E+04	0.0	0.0	0.0	3.11E+04	0.0	0.0
NAVÝŠENÍ NAPĚTÍ DO AKTIVACE TLAKU V DESCE MOSTOVKY						$\sigma_{P,red}$	0.0							0.0			0.0		0.0				0.9	0.9			-0.3	-0.3
NAPĚTÍ OD PRIMÁRNÍCH ÚČINKŮ NEROVNOMĚRNÉHO OTEPLENÍ						σ_T	0.0							0.0														
NAPĚTÍ OD REOLOGICKÝCH ÚČINKŮ BETONU V ČASE				t=0		σ_R	0.0	γ_{sl}=	1.20					0.0														
NAPĚTÍ V KRITICKÝCH VLÁKNECH OD KOMBINACE ZATÍŽENÍ						KZ03		[MPa]					$\Sigma\sigma_x$	-118.6								$\Sigma\tau_y$	0.9				$\Sigma\tau_z$	-0.3
NAPĚTÍ OD POHYBLIVÉHO ZATÍŽENÍ								[MPa]					$\sigma_{x,P}$	-74.4								τ_P	0.6				τ_P	0.2
NAPĚTÍ OD OSTATNÍCH ZATÍŽENÍ								[MPa]			Φ_{vy}	Φ_{vz}	$\sigma_{x,rs}$	-44.2								τ_{rs}	0.3				τ_{rs}	-0.5
NÁVRHOVÁ HODNOTA MEZE KLUZU S REDUKCÍ VLIVEM SMYKOVÉHO NAPĚTÍ								[MPa]			1.00	1.00	$f_{yv,d}$	191.7								$f_{yd}/3^{0,5}$	110.7				$f_{yd}/3^{0,5}$	110.7
NAPĚTÍ OD POHYBLIVÉHO ZATÍŽENÍ V GLOBÁLNÍM SYSTÉMU						$\sigma_{GLOB,P}$	0.0	[MPa]					$\Sigma\sigma_{GLOB}$	0.0														
NAPĚTÍ OD OSTATNÍCH ZATÍŽENÍ V GLOBÁLNÍM SYSTÉMU						$\sigma_{GLOB,rs}$	0.0	[MPa]					$\Sigma\sigma_x + \Sigma\sigma_{GLOB}$	-118.6														
VYUŽITÍ PRŮŘEZU DLE NAPĚTÍ								[%]					η_1	0.62								η_3	0.01				η_3	0.00
NAPĚTÍ V PŘÍČNÉM SMĚRU OD POHYBLIVÉHO ZATÍŽENÍ						$\sigma_{z,P}$	0.0	[MPa]					$\Sigma\sigma_z$	0.0														
NAPĚTÍ V PŘÍČNÉM SMĚRU OD OSTATNÍCH ZATÍŽENÍ						$\sigma_{z,rs}$	0.0	[MPa]					η_2	0.00														
SROVNÁVACÍ NAPĚTÍ													$(\eta_2 + 0,8\,\eta_1)/1,4$ =	0.35														
VYUŽITÍ PRŮŘEZU CELKEM								[%]					eff	0.62	VYHOVUJE													
													Z_{LM71} =	1.98														

TAB. O5.3 POSOUZENÍ - MEZNÍ STAV ÚNOSNOSTI

POPIS	HORNÍ PÁS O5
PRUT / POLOHA BODU	24 / 1/4
NAMÁHÁNÍ	Vz.min
VLÁKNO	BOD S6 -HP
MEZNÍ STAV	ULS (MSÚ)
VYUŽITÍ VLÁKNA PRŮŘEZU	0.48

Charakteristiky materiálu				
pás. horní	$f_{yf,k}$	230	MPa	
pás. dolní	$f_{yf,k}$	230	MPa	
stojina	$f_{yw,k}$	230	MPa	
výztuž	$f_{ys,k}$	500	MPa	
γ_M =	1.20	γ_s =	1.15	

Excentricita normálové síly				
Exc./Fáze	0	1	2	3
e_y	0.000	0.000	0.000	0.000
e_z	0.000	0.000	0.000	0.000
Ekvivalentní vzdál. stěn - příčný roznos				
b_{Mx}	0.000	0.000	0.000	0.000

Vliv stěny na únosnost průřezu				
Char./Fáze	0	1	2	3
A	0.00	0.00	0.00	0.00
Wy	0.00	0.00	0.00	0.00
Wz	0.00	0.00	0.00	0.00

Charakter. v kroucení			
$t_{w,y}$	0.000	[mm]	
$t_{w,z}$	0.000	[mm]	
κ	1.00		
I_t=	0.00E+00	[mm^4]	
$\Omega=2*A_{pr}$	0.00E+00	[mm^2]	

Součinitele vzpěru a vlivu II.řádu				
Char./Fáze	0	1	2	3
k_y	1.030	1.000	1.000	1.000
k_z	1.020	1.000	1.000	1.000
χ_{LT}	1.000	1.000	1.000	1.000
χ_{min}	0.850	1.000	1.000	1.000

Vnitřní síly od jednotlivých skupin zatěžovacích stavů

SKUPINA ZATĚŽOVACÍCH STAVŮ

- CHARAKTERISTICKÉ HODNOTY

DÍLČÍ SOUČINITELÉ ZATÍŽENÍ, DYNAMICKÝ SOUČINITEL

- NÁVRHOVÉ HODNOTY

Č.	SKUP ZS	POPIS ZS	KAT.	FÁZE PRŮŘ.	N.k (kN)	Vy.k (kN)	Vz.k (kN)	Mx.k (kNm)	My.k (kNm)	Mz.k (kNm)	γ_{sr} (-)	γ_{fs} (-)	volba γ_f hledat	γ_f (-)	L_d (m)	δ (-)	Ψ_s KZ04	N.d (kN)	Vy.d (kN)	Vz.d (kN)	ΔVz.d (kN)	ΣVz.d (kN)	Mx.d (kNm)	My.d (kNm)	ΔMy.d (kNm)	ΣMy.d (kNm)	Mz.d (kNm)	ΔMz.d (kNm)	ΣMz.d (kNm)
1	G0	Vlastní tíha OK	G	0	-1 938	15	-14	0	11	25	1.00	1.20		1.20	-	0.95	0.95	-2 209	17	-16	0	-16	0	13	0	13	29	0	29
2	G1	Ostatní stálé - mostní vybavení	G	0	-147	1	0	0	2	2	1.00	1.00		1.00	-	1.00	0.95	-139	1	0	0	0	0	2	0	2	1	0	1
3	G2	Ostatní stálé - cizí zařízení	G	0	-89	1	0	0	1	1	1.00	1.00		1.00	-	1.00	0.95	-85	1	0	0	0	0	1	0	1	1	0	1
4	P1_71	a.LM71 - kolej 1 (bez dyn. souč.)	P	0	-852	4	-5	0	-3	3	1.00	1.30		1.30	-	1.00	1.00	-1 107	5	-6	0	-6	0	-4	0	-4	4	0	4
5	P2_71	a.LM71 - kolej 2 (bez dyn. souč.)	P	0	-1 793	13	-14	0	-11	28	1.00	1.30		1.30	-	1.00	1.00	-2 331	17	-18	0	-18	0	-14	0	-14	37	0	37
6	P1_C3	TTZ C3 - kolej 1 (bez dyn. souč.)	P	0	-774	4	-5	0	-3	2	1.00	vyp.		0.00	-	1.00	0.00	0	0	0	0	0	0	0	0	0	0	0	0
7	P2_C3	TTZ C3 - kolej 2 (bez dyn. souč.)	P	0	-1 604	11	-14	0	-13	25	1.00	vyp.		0.00	-	1.00	0.00	0	0	0	0	0	0	0	0	0	0	0	0
8	BR	Brzdné a rozjezdové síly	P	0	26	0	0	0	-2	-1	1.00	1.30		1.30	-	1.00	0.40	14	0	0	0	0	0	-1	0	-1	-1	0	-1
9	S	Boční ráz	P	0	-29	-1	0	0	-1	-8	1.00	1.30		1.30	-	1.00	0.80	-30	-1	0	0	0	0	-2	0	-2	-9	0	-9
10	CH	Chodci na lávkách	Q	0	-99	1	0	0	-1	0	1.00	1.30		1.30	-	1.00	1.00	-128	1	-1	0	-1	0	-2	0	-2	0	0	0
11	W	Vítr na konstrukci	Q	0	-10	2	-1	0	-5	-7	1.00	1.35		1.35	-	1.00	0.75	-11	2	-1	0	-1	0	-5	0	-5	-7	0	-7
12	WP	Vítr na vozidla	Q	0	43	-4	-1	0	-5	-22	1.00	1.35		1.35	-	1.00	0.75	44	-4	-1	0	-1	0	-5	0	-5	-23	0	-23
13	TR	Teplota rovnoměrná	Q	0	0	0	0	0	0	0	1.00	1.35		1.35	-	1.00	0.45	0	0	0	0	0	0	0	0	0	0	0	0
14	TN	Teplota nerovnoměrná	Q	0	-160	-20	-1	0	-9	-34	1.00	1.35		1.35	-	1.00	0.60	-129	-16	-1	0	-1	0	-8	0	-8	-28	0	-28
15	FR	Třecí síly v ložiskách	Q	0	4	0	0	0	0	0	1.00	1.20		1.20	-	1.00	1.00	5	0	0	0	0	0	0	0	0	0	0	0
16	I	Imperfekce soustavy	Q	0	-2	2	0	0	-1	3	1.00	1.20		1.20	-	1.00	1.00	-2	2	0	0	0	0	-1	0	-1	4	0	4
27	ULS_LM	ULS - LM71 bez dynam	Q	0	-6 159	23	-44	0	-26	8	1.00	vyp.	1	0.00	-	1.00	0.00	0	0	0	0	0	0	0	0	0	0	0	0
28	SLS_LM	SLS - LM71 bez dynam	Q	0	-4 907	32	-35	0	-12	32	1.00	vyp.	1	0.00	-	1.00	0.00	0	0	0	0	0	0	0	0	0	0	0	0
29	ULS_C3	ULS - C3 bez dynam	Q	0	-5 811	20	-44	0	-29	3	1.00	vyp.	1	0.00	-	1.00	0.00	0	0	0	0	0	0	0	0	0	0	0	0
30	SLS_C3	SLS - C3 bez dynam	Q	0	-4 639	30	-35	0	-15	28	1.00	vyp.	1	0.00	-	1.00	0.00	0	0	0	0	0	0	0	0	0	0	0	0
		CELKEM - FÁZE PRŮŘEZU 0			-6 110	23	-44	0	-27	10								-6 110	23	-44	0	-44	0	-27	0	-27	10	0	10
		CELKEM - FÁZE PRŮŘEZU 1																0	0	0	0	0	0	0	0	0	0	0	0
		CELKEM - FÁZE PRŮŘEZU 2																0	0	0	0	0	0	0	0	0	0	0	0
		CELKEM - FÁZE PRŮŘEZU 3																0	0	0	0	0	0	0	0	0	0	0	0
		CELKEM - PRŮŘEZ																-6 110	23	-44	0	-44	0			-27			10

Napětí od jednotlivých zatěžovacích stavů

SKUPINA ZATĚŽOVACÍCH STAVŮ

Posouzení normálového napětí

Účinek síly N

Účinek momentu My

Účinek momentu Mz

Posouzení smykového napětí

Účinek kroutícího momentu Mx

Účinek smykové síly Vy

Účinek smykové síly Vz

Č.	SKUP ZS	Popis ZS	Kat.	fáze prúř.	δ^*N_d [kN]	χ^*A [mm^2]	σ_n [MPa]	$\delta^*M_{y,d}$ [kNm]	$\chi_{lt}*W_{el,y}$ [mm^3]	σ_{my} [MPa]	$\delta^*M_{z,d}$ [kNm]	$W_{el,z}$ [mm^3]	σ_{mz} [MPa]	σ_x [MPa]	$\kappa*\delta^*M_{x,d}$ [kNm]	$W_{v,y}$ [mm^2]	$\tau_{x,y}$ [MPa]	$W_{v,z}$ [mm^2]	$\tau_{x,z}$ [MPa]	$\delta^*V_{y,d}$ [kN]	$A_{v,y}$ [mm2]	$\tau_{v,y}$ [MPa]	$\tau_{v,y}$ [MPa]	$\delta^*V_{z,d}$ [kN]	$A_{v,z}$ [mm2]	$\tau_{v,z}$ [MPa]	$\tau_{v,z}$ [MPa]
1	G0	Vlastní tíha OK	G	0	-2 208.9	7.00E+04	-31.6	12.6	6.05E+06	2.1	29.2	-1.65E+07	-1.8	-31.2	-2.3E-02	-	-	-	-	16.5	5.12E+04	0.3	0.3	-16.2	3.11E+04	-0.5	-0.5
2	G1	Ostatní stálé - mostní vybavení	G	0	-139.4	7.00E+04	-2.0	1.7	6.05E+06	0.3	1.5	-1.65E+07	-0.1	-1.8	0.0E+00	-	-	-	-	0.9	5.12E+04	0.0	0.0	0.3	3.11E+04	0.0	0.0
3	G2	Ostatní stálé - cizí zařízení	G	0	-84.6	7.00E+04	-1.2	0.9	6.05E+06	0.2	1.3	-1.65E+07	-0.1	-1.1	0.0E+00	-	-	-	-	0.6	5.12E+04	0.0	0.0	0.1	3.11E+04	0.0	0.0
4	P1_71	a.LM71 - kolej 1 (bez dyn. souč.)	P	0	-1 107.5	7.00E+04	-15.8	-3.6	6.05E+06	-0.6	3.7	-1.65E+07	-0.2	-16.6	-1.3E-02	-	-	-	-	5.0	5.12E+04	0.1	0.1	-6.0	3.11E+04	-0.2	-0.2
5	P2_71	a.LM71 - kolej 2 (bez dyn. souč.)	P	0	-2 331.2	7.00E+04	-33.3	-14.3	6.05E+06	-2.4	37.1	-1.65E+07	-2.2	-37.9	1.3E-02	-	-	-	-	16.5	5.12E+04	0.3	0.3	-17.9	3.11E+04	-0.6	-0.6
6	P1_C3	TTZ C3 - kolej 1 (bez dyn. souč.)	P	0	0.0	7.00E+04	0.0	0.0	6.05E+06	0.0	0.0	-1.65E+07	0.0	0.0	0.0E+00	-	-	-	-	0.0	5.12E+04	0.0	0.0	0.0	3.11E+04	0.0	0.0
7	P2_C3	TTZ C3 - kolej 2 (bez dyn. souč.)	P	0	0.0	7.00E+04	0.0	0.0	6.05E+06	0.0	0.0	-1.65E+07	0.0	0.0	0.0E+00	-	-	-	-	0.0	5.12E+04	0.0	0.0	0.0	3.11E+04	0.0	0.0
8	BR	Brzdné a rozjezdové síly	P	0	13.6	7.00E+04	0.2	-1.2	6.05E+06	-0.2	-0.7	-1.65E+07	0.0	0.0	0.0E+00	-	-	-	-	-0.2	5.12E+04	0.0	0.0	-0.1	3.11E+04	0.0	0.0
9	S	Boční ráz	P	0	-30.2	7.00E+04	-0.4	-1.5	6.05E+06	-0.3	-8.6	-1.65E+07	0.5	-0.2	-1.0E-02	-	-	-	-	-1.4	5.12E+04	0.0	0.0	-0.4	3.11E+04	0.0	0.0
10	CH	Chodci na lávkách	Q	0	-128.2	7.00E+04	-1.8	-1.7	6.05E+06	-0.3	0.3	-1.65E+07	0.0	-2.1	0.0E+00	-	-	-	-	0.7	5.12E+04	0.0	0.0	-0.5	3.11E+04	0.0	0.0
11	W	Vítr na konstrukci	Q	0	-10.6	7.00E+04	-0.2	-5.2	6.05E+06	-0.9	-7.0	-1.65E+07	0.4	-0.6	-2.0E-02	-	-	-	-	2.1	5.12E+04	0.0	0.0	-1.0	3.11E+04	0.0	0.0
12	WP	Vítr na vozidla	Q	0	43.9	7.00E+04	0.6	-5.1	6.05E+06	-0.8	-22.9	-1.65E+07	1.4	1.2	-2.0E-02	-	-	-	-	-4.4	5.12E+04	-0.1	-0.1	-1.1	3.11E+04	0.0	0.0
13	TR	Teplota rovnoměrná	Q	0	0.0	7.00E+04	0.0	0.0	6.05E+06	0.0	0.0	-1.65E+07	0.0	0.0	0.0E+00	-	-	-	-	0.0	5.12E+04	0.0	0.0	0.0	3.11E+04	0.0	0.0
14	TN	Teplota nerovnoměrná	Q	0	-129.4	7.00E+04	-1.8	-7.8	6.05E+06	-1.3	-28.0	-1.65E+07	1.7	-1.4	0.0E+00	-	-	-	-	-16.1	5.12E+04	-0.3	-0.3	-1.1	3.11E+04	0.0	0.0
15	FR	Třecí síly v ložiskách	Q	0	4.6	7.00E+04	0.1	-0.4	6.05E+06	-0.1	-0.1	-1.65E+07	0.0	0.0	0.0E+00	-	-	-	-	0.0	5.12E+04	0.0	0.0	-0.1	3.11E+04	0.0	0.0
16	I	Imperfekce soustavy	Q	0	-2.4	7.00E+04	0.0	-1.1	6.05E+06	-0.2	3.7	-1.65E+07	-0.2	-0.4	0.0E+00	-	-	-	-	2.2	5.12E+04	0.0	0.0	-0.2	3.11E+04	0.0	0.0
27	ULS_LM	ULS - LM71 bez dynam	Q	0	0.0	7.00E+04	0.0	0.0	6.05E+06	0.0	0.0	-1.65E+07	0.0	0.0	0.0E+00	-	-	-	-	0.0	5.12E+04	0.0	0.0	0.0	3.11E+04	0.0	0.0
28	SLS_LM	SLS - LM71 bez dynam	Q	0	0.0	7.00E+04	0.0	0.0	6.05E+06	0.0	0.0	-1.65E+07	0.0	0.0	0.0E+00	-	-	-	-	0.0	5.12E+04	0.0	0.0	0.0	3.11E+04	0.0	0.0
29	ULS_C3	ULS - C3 bez dynam	Q	0	0.0	7.00E+04	0.0	0.0	6.05E+06	0.0	0.0	-1.65E+07	0.0	0.0	0.0E+00	-	-	-	-	0.0	5.12E+04	0.0	0.0	0.0	3.11E+04	0.0	0.0
30	SLS_C3	SLS - C3 bez dynam	Q	0	0.0	7.00E+04	0.0	0.0	6.05E+06	0.0	0.0	-1.65E+07	0.0	0.0	0.0E+00	-	-	-	-	0.0	5.12E+04	0.0	0.0	0.0	3.11E+04	0.0	0.0
NAVÝŠENÍ NAPĚTÍ DO AKTIVACE TLAKU V DESCE MOSTOVKY						$\sigma_{P,red}$	0.0							0.0			0.0		0.0				0.4	0.4			-1.4	-1.4
NAPĚTÍ OD PRIMÁRNÍCH ÚČINKŮ NEROVNOMĚRNÉHO OTEPLENÍ						σ_T	0.0							0.0														
NAPĚTÍ OD REOLOGICKÝCH ÚČINKŮ BETONU V ČASE		t=0				σ_R	0.0	γ=	1.20					0.0														
NAPĚTÍ V KRITICKÝCH VLÁKNECH OD KOMBINACE ZATÍŽENÍ					KZ04			[MPa]					$\Sigma\sigma_x$	-92.3								$\Sigma\tau_y$	0.4				$\Sigma\tau_z$	-1.4
NAPĚTÍ OD POHYBLIVÉHO ZATÍŽENÍ								[MPa]					$\sigma_{x,P}$	-54.7								τ_P	0.4				τ_P	-0.8
NAPĚTÍ OD OSTATNÍCH ZATÍŽENÍ								[MPa]			Φ_{Vy}	Φ_{Vz}	$\sigma_{x,rs}$	-37.6								τ_{rs}	0.1				τ_{rs}	-0.6
NÁVRHOVÁ HODNOTA MEZE KLUZU S REDUKCÍ VLIVEM SMYKOVÉHO NAPĚTÍ								[MPa]			1.00	1.00	$f_{yw,d}$	191.7								$f_{yd}/3^{0,5}$	110.7				$f_{yd}/3^{0,5}$	110.7
NAPĚTÍ OD POHYBLIVÉHO ZATÍŽENÍ V GLOBÁLNÍM SYSTÉMU						$\sigma_{GLOB,P}$	0.0	[MPa]					$\Sigma\sigma_{GLOB}$	0.0														
NAPĚTÍ OD OSTATNÍCH ZATÍŽENÍ V GLOBÁLNÍM SYSTÉMU						$\sigma_{GLOB,rs}$	0.0	[MPa]					$\Sigma\sigma_x + \Sigma\sigma_{GLOB}$	-92.3														
VYUŽITÍ PRŮŘEZU DLE NAPĚTÍ								[%]					η_1	0.48								η_3	0.00				η_3	0.01
NAPĚTÍ V PŘÍČNÉM SMĚRU OD POHYBLIVÉHO ZATÍŽENÍ						$\sigma_{z,P}$	0.0	[MPa]					$\Sigma\sigma_z$	0.0														
NAPĚTÍ V PŘÍČNÉM SMĚRU OD OSTATNÍCH ZATÍŽENÍ						$\sigma_{z,rs}$	0.0	[MPa]					η_2	0.00														
SROVNÁVACÍ NAPĚTÍ													$(\eta_2 + 0,8\,\eta_1)/1,4$ =	0.28														
VYUŽITÍ PRŮŘEZU CELKEM								[%]					eff	0.48	VYHOVUJE													
													z_{LM71} =	2.82														

VÝPOČET PRŮŘEZOVÝCH CHARAKTERISTIK

PRŮŘEZ: O6 **POPIS:** HORNÍ PÁS - PŘÍHRADA 6-8 **x =** - **m**

DEFINOVÁNÍ PRŮŘEZU

PÁSNICE HORNÍHO LEVÉHO ÚHELNÍKU	b f.t.l.o =	110	mm			
TLOUŠŤKA PÁSNICE ÚHELNÍKU	t f.t.l.o =	14	mm	OSLABENÍ PÁSNICE - TLOUŠŤKA	Δt f.t.l.o =	0 %
VÝŠKA STĚNY ÚHELNÍKU	h w.t.l.o =	96	mm			
TLOUŠŤKA STĚNY ÚHELNÍKU	t w.t.l.o =	14	mm	OSLABENÍ STĚNY - TLOUŠŤKA	Δt w.t.l.o =	0 %
PÁSNICE HORNÍHO PRAVÉHO ÚHELNÍKU	b f.t.r.o =	110	mm			
TLOUŠŤKA PÁSNICE ÚHELNÍKU	t f.t.r.o =	14	mm	OSLABENÍ PÁSNICE - TLOUŠŤKA	Δt f.t.r.o =	0 %
VÝŠKA STĚNY ÚHELNÍKU	h w.t.r.o =	96	mm			
TLOUŠŤKA STĚNY ÚHELNÍKU	t w.t.r.o =	14	mm	OSLABENÍ STĚNY - TLOUŠŤKA	Δt w.t.r.0 =	0 %
PÁSNICE DOLNÍHO LEVÉHO ÚHELNÍKU	b f.b.l.o =	110	mm			
TLOUŠŤKA PÁSNICE ÚHELNÍKU	t f.b.l.o =	14	mm	OSLABENÍ PÁSNICE - TLOUŠŤKA	Δt f.b.l.o =	0 %
VÝŠKA STĚNY ÚHELNÍKU	h w.b.l.o =	96	mm			
TLOUŠŤKA STĚNY ÚHELNÍKU	t w.b.l.o =	14	mm	OSLABENÍ STĚNY - TLOUŠŤKA	Δt w.b.l.o =	0 %
PÁSNICE DOLNÍHO PRAVÉHO ÚHELNÍKU	b f.b.r.o =	110	mm			
TLOUŠŤKA PÁSNICE ÚHELNÍKU	t f.b.r.o =	14	mm	OSLABENÍ PÁSNICE - TLOUŠŤKA	Δt f.b.r.o =	0 %
VÝŠKA STĚNY ÚHELNÍKU	h w.b.r.o =	96	mm			
TLOUŠŤKA STĚNY ÚHELNÍKU	t w.b.r.o =	14	mm	OSLABENÍ STĚNY - TLOUŠŤKA	Δt w.b.r.o =	0 %
PÁSNICE HORNÍHO LEVÉHO ÚHELNÍKU	b f.t.l.i =	110	mm			
TLOUŠŤKA PÁSNICE ÚHELNÍKU	t f.t.l.i =	14	mm	OSLABENÍ PÁSNICE - TLOUŠŤKA	Δt f.t.l.i =	0 %
VÝŠKA STĚNY ÚHELNÍKU	h w.t.l.i =	96	mm			
TLOUŠŤKA STĚNY ÚHELNÍKU	t w.t.l.i =	14	mm	OSLABENÍ STĚNY - TLOUŠŤKA	Δt w.t.l.i =	0 %
PÁSNICE HORNÍHO PRAVÉHO ÚHELNÍKU	b f.t.r.i =	110	mm			
TLOUŠŤKA PÁSNICE ÚHELNÍKU	t f.t.r.i =	14	mm	OSLABENÍ PÁSNICE - TLOUŠŤKA	Δt f.t.r.i =	0 %
VÝŠKA STĚNY ÚHELNÍKU	h w.t.r.i =	96	mm			
TLOUŠŤKA STĚNY ÚHELNÍKU	t w.t.r.i =	14	mm	OSLABENÍ STĚNY - TLOUŠŤKA	Δt w.t.r.i =	0 %
PÁSNICE DOLNÍHO LEVÉHO ÚHELNÍKU	b f.b.l.i =	0	mm			
TLOUŠŤKA PÁSNICE ÚHELNÍKU	t f.b.l.i =	0	mm	OSLABENÍ PÁSNICE - TLOUŠŤKA	Δt f.b.l.i =	0 %
VÝŠKA STĚNY ÚHELNÍKU	h w.b.l.i =	0	mm			
TLOUŠŤKA STĚNY ÚHELNÍKU	t w.b.l.i =	0	mm	OSLABENÍ STĚNY - TLOUŠŤKA	Δt w.b.l.i =	0 %
PÁSNICE DOLNÍHO PRAVÉHO ÚHELNÍKU	b f.b.r.i =	0	mm			
TLOUŠŤKA PÁSNICE ÚHELNÍKU	t f.b.r.i =	0	mm	OSLABENÍ PÁSNICE - TLOUŠŤKA	Δt f.b.r.i =	0 %
VÝŠKA STĚNY ÚHELNÍKU	h w.b.r.i =	0	mm			
TLOUŠŤKA STĚNY ÚHELNÍKU	t w.b.r.i =	0	mm	OSLABENÍ STĚNY - TLOUŠŤKA	Δt w.b.r.i =	0 %
ŠÍŘKA HORNÍ PÁSNICE	b f.t =	700	mm			
TLOUŠŤKA HORNÍ PÁSNICE	t f.t =	70	mm	OSLABENÍ HORNÍ PÁSNICE	Δt f.t =	0 %
PŘESAH HORNÍ PÁSNICE	o f.t =	0	mm	(nepoužito - pásnice symetrická k ose průřezu)		
SVĚTLÁ VZDÁLENOST MEZI STĚNAMI	l w =	416	mm			
VÝŠKA STĚNY	h w =	480	mm	OSLABENÍ LEVÉ STĚNY	Δt w.l =	0 %
TLOUŠŤKA STĚNY	t w =	24	mm	OSLABENÍ PRAVÉ STĚNY	Δt w.r =	0 %
ŠÍŘKA DOLNÍ LEVÉ PÁSNICE	b f.b.l =	0	mm			
TLOUŠŤKA DOLNÍ LEVÉ PÁSNICE	t f.b.l =	0	mm	OSLABENÍ DOLNÍ PÁSNICE	Δt f.b.l =	0 %
PŘESAH DOLNÍ LEVÉ PÁSNICE	o f.b.l =	0	mm	(nepoužito - pásnice symetrická k ose levé stěny)		
ŠÍŘKA DOLNÍ PRAVÉ PÁSNICE	b f.b.r =	0	mm			
TLOUŠŤKA DOLNÍ PRAVÉ PÁSNICE	t f.b.r =	0	mm	OSLABENÍ DOLNÍ PÁSNICE	Δt f.b.r =	0 %
PŘESAH DOLNÍ PRAVÉ PÁSNICE	o f.b.r =	0	mm	(nepoužito - pásnice symetrická k ose pravé stěny)		

NÝT Č.	SKUPINA	ŘEZ	RED.	VELIKOST di [mm]	POLOHA ei [mm]	POPIS	AKTIVITA OTVORU		NAPĚTÍ sc [MPa]
1		-	1.00	0	42	nýt - f.t.l	0	-	
2		-	1.00	24	65	nýt - f.t.l - úhelník	0		-89.59
3		-	1.00	24	65	nýt - f.t.l - úhelník	0		-86.60
4		-	1.00	20	0	nýt - f.t.l	0		-82.33
5		-	1.00	0	50	nýt - f.t.r	0	-	
6		-	1.00	24	65	nýt - f.t.r - úhelník	0		-78.04
7		-	1.00	24	65	nýt - f.t.r - úhelník	0		-75.05
8		-	1.00	0	42	nýt - f.t.r	0	-	
9		-	1.00	22	45	nýt - w.l - úhelník	0		-88.65
10		-	1.00	22	45	nýt - w.p - úhelník	0		-75.74
11		-	1.00	0	425	nýt - w.l	0	-	
12		-	1.00	0	425	nýt - w.p	0	-	
13		-	1.00	20	310	nýt - w.l	0		-87.76
14		-	1.00	20	310	nýt - w.p	0		-76.21
15		-	1.00	20	230	nýt - w.l	0		-87.62
16		-	1.00	20	230	nýt - w.p	0		-76.07
17		-	1.00	20	150	nýt - w.l	0		-87.48
18		-	1.00	20	150	nýt - w.p	0		-75.93
19		-	1.00	22	45	nýt - w.l - úhelník	0		-87.99
20		-	1.00	22	45	nýt - w.p - úhelník	0		-75.07
21		-	1.00	0	0	nýt - f.b.l	0	-	
22		-	1.00	0	0	nýt - f.b.l - úhelník	0	-	
23		-	1.00	0	0	nýt - f.b.l - úhelník	0	-	
24		-	1.00	0	0	nýt - f.b.l	0	-	
25		-	1.00	0	0	nýt - f.b.r	0	-	
26		-	1.00	0	0	nýt - f.b.r - úhelník	0	-	
27		-	1.00	0	0	nýt - f.b.r - úhelník	0	-	
28		-	1.00	0	0	nýt - f.b.r	0	-	
29		-	1.00					-	
30		-	1.00					-	

ZADANÉ ČÁSTI PRŮŘEZU:

č.prvku	b [mm]	h [mm]	y_s [mm]	z_s [mm]	popis části	druh oslabení	lokální ultimate	boulení servic.
1	110.0	14.0	-287.0	473.0	pásnice	0	1.000	1.000
2	14.0	96.0	-239.0	418.0	stěna	0	1.000	1.000
3	110.0	14.0	287.0	473.0	pásnice	0	1.000	1.000
4	14.0	96.0	239.0	418.0	stěna	0	1.000	1.000
5	110.0	14.0	-287.0	7.0	pásnice	0	1.000	1.000
6	14.0	96.0	-239.0	62.0	stěna	0	1.000	1.000
7	110.0	14.0	287.0	7.0	pásnice	0	1.000	1.000
8	14.0	96.0	239.0	62.0	stěna	0	1.000	1.000
9	700.0	70.0	0.0	515.0	pásnice	0	1.000	1.000
10	24.0	480.0	-220.0	240.0	stěna	0	1.000	1.000
11	24.0	480.0	220.0	240.0	stěna	0	1.000	1.000
12	110.0	14.0	-153.0	473.0	pásnice	0	1.000	1.000
13	14.0	96.0	-201.0	418.0	stěna	0	1.000	1.000
14	110.0	14.0	153.0	473.0	pásnice	0	1.000	1.000
15	14.0	96.0	201.0	418.0	stěna	0	1.000	1.000
16	0.0	0.0	-208.0	0.0	pásnice	0	1.000	1.000
17	0.0	0.0	-208.0	0.0	stěna	0	1.000	1.000
18	0.0	0.0	208.0	0.0	pásnice	0	1.000	1.000
19	0.0	0.0	208.0	0.0	stěna	0	1.000	1.000
20						0	1.000	1.000
21						0	1.000	1.000
22						0	1.000	1.000
23	0.0	0.0	-220.0	0.0	pásnice	0	1.000	1.000
24	0.0	0.0	220.0	0.0	pásnice	0	1.000	1.000
25						0	1.000	1.000
26						0	1.000	1.000
27						0	1.000	1.000
28						0	1.000	1.000
29						0	1.000	1.000
30						0	1.000	1.000
31						0	1.000	1.000
32						0	1.000	1.000
33						0	1.000	1.000
34						0	1.000	1.000
35						0	1.000	1.000
36						0	1.000	1.000
37						0	1.000	1.000
38						0	1.000	1.000
39						0	1.000	1.000
40						0	1.000	1.000
41						0	1.000	1.000
42						0	1.000	1.000
43						0	1.000	1.000
44						0	1.000	1.000
45						0	1.000	1.000
46						0	1.000	1.000
47						0	1.000	1.000
48						0	1.000	1.000
49						0	1.000	1.000
50						0	1.000	1.000
51	0	0	0	0	nýt - pásnic	0	1.000	1.000
52	0	0	-277.0	508.0	nýt - pásnic	0	1.000	1.000
53	0	0	-163.0	508.0	nýt - pásnic	0	1.000	1.000
54	0	0	0.0	515.0	nýt - pásnic	0	1.000	1.000
55	0	0	0	0	nýt - pásnic	0	1.000	1.000
56	0	0	163.0	508.0	nýt - pásnic	0	1.000	1.000
57	0	0	277.0	508.0	nýt - pásnic	0	1.000	1.000
58	0	0	0	0	nýt - pásnic	0	1.000	1.000
59	0	0	-246.0	435.0	nýt - stěna	0	1.000	1.000
60	0	0	246.0	435.0	nýt - stěna	0	1.000	1.000
61	0	0	0	0	nýt - stěna	0	1.000	1.000
62	0	0	0	0	nýt - stěna	0	1.000	1.000
63	0	0	-220.0	310.0	nýt - stěna	0	1.000	1.000
64	0	0	220.0	310.0	nýt - stěna	0	1.000	1.000
65	0	0	-220.0	230.0	nýt - stěna	0	1.000	1.000
66	0	0	220.0	230.0	nýt - stěna	0	1.000	1.000
67	0	0	-220.0	150.0	nýt - stěna	0	1.000	1.000
68	0	0	220.0	150.0	nýt - stěna	0	1.000	1.000
69	0	0	-246.0	45.0	nýt - stěna	0	1.000	1.000
70	0	0	246.0	45.0	nýt - stěna	0	1.000	1.000
71	0	0	0	0	nýt - pásnic	0	1.000	1.000
72	0	0	0	0	nýt - pásnic	0	1.000	1.000
73	0	0	0	0	nýt - pásnic	0	1.000	1.000
74	0	0	0	0	nýt - pásnic	0	1.000	1.000
75	0	0	0	0	nýt - pásnic	0	1.000	1.000
76	0	0	0	0	nýt - pásnic	0	1.000	1.000
77	0	0	0	0	nýt - pásnic	0	1.000	1.000
78	0	0	0	0	nýt - pásnic	0	1.000	1.000
79						0	1.000	1.000
80						0	1.000	1.000
81								
82								
83								
84								
85								
86								
87								
88								
89								
90								
91								
92								
93								
94								
95								
96								
97								
98								
99								
100								

VÝPOČET PRŮŘEZOVÝCH CHARAKTERISTIK

Properties	Basic	Ultimate		Serviceability	
y_i	0.0	0.0		0.0	[mm]
z_i	404.2	404.2		404.2	[mm]
A_i	8.9344E+04	8.9344E+04		8.9344E+04	[mm²]
A_y	5.8240E+04	5.8240E+04		5.8240E+04	[mm²]
A_z	3.1104E+04	3.1104E+04		3.1104E+04	[mm²]
I_{y1}	2.5223E+09	2.5223E+09		2.5223E+09	[mm⁴]
I_w	4.1217E+09	4.1217E+09		4.1217E+09	[mm⁶]
i_y	168.0	168.0		168.0	[mm]
i_z	214.8	214.8		214.8	[mm]
$W_{y,1}$	1.7301E+07	1.7301E+07		1.7301E+07	[mm³]
$W_{z,1}$	-1.1776E+07	-1.1776E+07		-1.1776E+07	[mm³]
$W_{y,2}$	-6.2402E+06	-6.2402E+06		-6.2402E+06	[mm³]
$W_{z,2}$	-1.2052E+07	-1.2052E+07		-1.2052E+07	[mm³]
KRAJNÍ VLÁKNA PRŮŘEZU					
y_1	-350.0	-350.0		-350.0	[mm]
z_1	550.0	550.0		550.0	[mm]
y_2	-342.0	-342.0		-342.0	[mm]
z_2	0.0	0.0		0.0	[mm]
y_3	350.0	350.0		350.0	[mm]
z_3	550.0	550.0		550.0	[mm]
y_4	342.0	342.0		342.0	[mm]
z_4	0.0	0.0		0.0	[mm]
y_5	-232.0	-232.0		-232.0	[mm]
z_5	480.0	480.0		480.0	[mm]
y_6	-232.0	-232.0		-232.0	[mm]
z_6	0.0	0.0		0.0	[mm]

ÚPRAVA MOMENTŮ SETRVAČNOSTI V DŮSLEDKU ČLENĚNÍ PRŮŘEZU

OSA Y 1.00
OSA Z 1.00

SCHÉMA PROMĚNNÝCH

SCHÉMA ZADANÉHO PRŮŘEZU

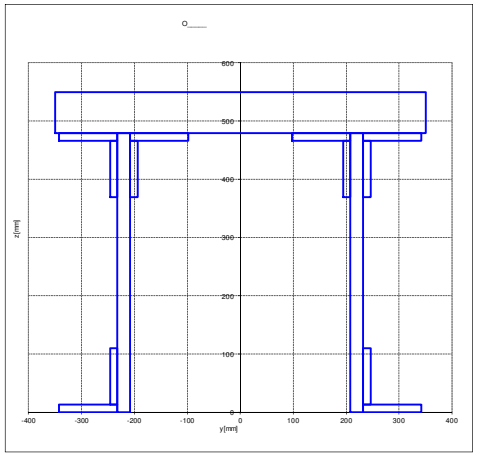

NEUTRÁLNÁ OSA

NAPĚTÍ [MPa]:

-91.56	-73.21
-90.64	-72.27

ZS: SLS_LM_MZ MIN

	N [kN]	Vy [kN]	Vz [kN]	Mx [kNm]	My [kNm]	Mz [kNm]
import	-7339	-39	-22	0	4	-109

TR_O8 POPIS: **HORNÍ PÁS O8** POSUDEK: **O8**

SKUPINA ZAT. STAVŮ	EXTRÉM	VYHODNOCOVANÉ VELIČINY					
		N	Vy	Vz	Mx	My	Mz
		kN	kN	kN	kNm	kNm	kNm
G0	N.min	**-2040.48**	-14.77	-16.79	0.03	-0.11	-26.54
	N.max	**-2040.48**	-14.77	-16.79	0.03	-0.11	-26.54
	Vy.min	-2040.48	**-14.77**	-16.79	0.03	-0.11	-26.54
	Vy.max	-2040.48	**-14.77**	-16.79	0.03	-0.11	-26.54
	Vz.min	-2040.48	-14.77	**-16.79**	0.03	-0.11	-26.54
	Vz.max	-2040.48	-14.77	**-16.79**	0.03	-0.11	-26.54
	Mx.min	-2040.48	-14.77	-16.79	**0.03**	-0.11	-26.54
	Mx.max	-2040.48	-14.77	-16.79	**0.03**	-0.11	-26.54
	My.min	-2040.48	-14.77	-16.79	0.03	**-0.11**	-26.54
	My.max	-2040.48	-14.77	-16.79	0.03	**-0.11**	-26.54
	Mz.min	-2040.48	-14.77	-16.79	0.03	-0.11	**-26.54**
	Mz.max	-2040.48	-14.77	-16.79	0.03	-0.11	**-26.54**
G1	N.min	**-155.07**	-0.97	-0.15	0	0.22	-1.88
	N.max	**-155.07**	-0.97	-0.15	0	0.22	-1.88
	Vy.min	-155.07	**-0.97**	-0.15	0	0.22	-1.88
	Vy.max	-155.07	**-0.97**	-0.15	0	0.22	-1.88
	Vz.min	-155.07	-0.97	**-0.15**	0	0.22	-1.88
	Vz.max	-155.07	-0.97	**-0.15**	0	0.22	-1.88
	Mx.min	-155.07	-0.97	-0.15	**0**	0.22	-1.88
	Mx.max	-155.07	-0.97	-0.15	**0**	0.22	-1.88
	My.min	-155.07	-0.97	-0.15	0	**0.22**	-1.88
	My.max	-155.07	-0.97	-0.15	0	**0.22**	-1.88
	Mz.min	-155.07	-0.97	-0.15	0	0.22	**-1.88**
	Mz.max	-155.07	-0.97	-0.15	0	0.22	**-1.88**
G2	N.min	**-94.23**	-0.67	-0.07	0	0.15	-1.15
	N.max	**-94.23**	-0.67	-0.07	0	0.15	-1.15
	Vy.min	-94.23	**-0.67**	-0.07	0	0.15	-1.15
	Vy.max	-94.23	**-0.67**	-0.07	0	0.15	-1.15
	Vz.min	-94.23	-0.67	**-0.07**	0	0.15	-1.15
	Vz.max	-94.23	-0.67	**-0.07**	0	0.15	-1.15
	Mx.min	-94.23	-0.67	-0.07	**0**	0.15	-1.15
	Mx.max	-94.23	-0.67	-0.07	**0**	0.15	-1.15
	My.min	-94.23	-0.67	-0.07	0	**0.15**	-1.15
	My.max	-94.23	-0.67	-0.07	0	**0.15**	-1.15
	Mz.min	-94.23	-0.67	-0.07	0	0.15	**-1.15**
	Mz.max	-94.23	-0.67	-0.07	0	0.15	**-1.15**
P1_71	N.min	**-1508.78**	-4.43	-1.44	0.03	2.29	-17.69
	N.max	**0**	0	0	0	0	0
	Vy.min	-1480.54	**-4.66**	-1.05	0.03	2.64	-17.36
	Vy.max	-2.29	**0.03**	0	0	0.01	-0.07
	Vz.min	-997.18	-2.43	**-1.79**	0.02	0.62	-11.35
	Vz.max	-548.95	-2.12	**0.43**	0.01	1.82	-6.84
	Mx.min	-431.32	-1.01	-0.66	**-0.01**	-0.02	-4.15
	Mx.max	-1139.72	-3.13	-0.79	**0.04**	2.47	-13.95
	My.min	-359.54	-0.57	-0.93	0	**-0.68**	-4.05
	My.max	-1217.39	-4.18	-0.37	0.03	**3.34**	-14.41
	Mz.min	-1508.15	-4.4	-1.46	0.03	2.38	**-17.71**
	Mz.max	0	0	0	0	0	**0**
P2_71	N.min	**-3084.14**	-22.52	-3.03	0	3.28	-38.14
	N.max	**4.22**	-0.01	0.01	0	-0.01	0.07
	Vy.min	-3074.14	**-22.63**	-2.7	0	3.35	-37.77
	Vy.max	2.64	**0**	-0.01	0	-0.01	0.04
	Vz.min	-1987.95	-13.81	**-4.27**	0	-0.35	-24.32
	Vz.max	-1210.53	-9.54	**1.51**	0.01	4.05	-15.11
	Mx.min	-1588.26	-11.53	-1.83	**-0.02**	0.67	-19.01
	Mx.max	-1745.01	-12.61	-1.33	**0.03**	2.99	-21.93
	My.min	-927.51	-5.99	-2.79	-0.01	**-2.62**	-11.91
	My.max	-2409.25	-18.47	-0.19	0.01	**6.66**	-29.24
	Mz.min	-3084.12	-22.52	-3.03	0	3.28	**-38.14**
	Mz.max	4.21	-0.01	0.01	0	-0.01	**0.07**
P1_C3	N.min	**-1267.05**	-3.92	-0.92	0.03	2.18	-14.78
	N.max	**0**	0	0	0	0	0
	Vy.min	-1259.3	**-3.94**	-0.83	0.03	2.18	-14.79
	Vy.max	-3.95	**0.03**	0	0	0.01	-0.12
	Vz.min	-774.32	-1.93	**-1.41**	0.01	0.58	-8.71
	Vz.max	-549.12	-2.11	**0.4**	0.01	1.88	-6.79
	Mx.min	-334.08	-0.77	-0.51	**-0.01**	-0.05	-3.26
	Mx.max	-895.34	-2.55	-0.66	**0.03**	1.98	-10.92
	My.min	-265.41	-0.43	-0.68	0	**-0.51**	-2.98
	My.max	-1087.21	-3.58	-0.64	0.03	**2.78**	-12.75
	Mz.min	-1265.07	-3.89	-0.98	0.03	2.23	**-14.94**
	Mz.max	0	0	0	0	0	**0**
P2_C3	N.min	**-2584.16**	-19.14	-1.77	0	3.43	-31.68
	N.max	**4.89**	0	0.01	0	-0.01	0.08
	Vy.min	-2581.43	**-19.15**	-1.59	0	3.35	-31.72
	Vy.max	4.18	**0**	-0.01	0	-0.01	0.07
	Vz.min	-1452.34	-10.13	**-3.38**	0	-0.38	-17.74
	Vz.max	-1093.96	-8.71	**1.4**	0	3.91	-13.7
	Mx.min	-1455.21	-10.75	-1.63	**-0.02**	0.99	-17.52
	Mx.max	-1448.76	-10.64	-1.15	**0.02**	2.67	-18.15
	My.min	-558.37	-3.63	-1.65	-0.01	**-1.88**	-7.25
	My.max	-2016.52	-15.53	-0.26	0.01	**5.47**	-24.44
	Mz.min	-2580.61	-19.1	-2.05	0	3.61	**-31.86**
	Mz.max	4.89	0	0.01	0	-0.01	**0.08**
BR	N.min	**-34.1**	-0.03	0.1	0	1.09	-0.52
	N.max	**34.1**	0.03	-0.1	0	-1.09	0.52
	Vy.min	-19.24	**-0.37**	0.2	0	1.28	-0.1
	Vy.max	19.24	**0.37**	-0.2	0	-1.28	0.1
	Vz.min	19.24	0.37	**-0.2**	0	-1.28	0.1
	Vz.max	-19.24	-0.37	**0.2**	0	1.28	-0.1
	Mx.min	-19.24	-0.37	0.2	**0**	1.28	-0.1
	Mx.max	19.24	0.37	-0.2	**0**	-1.28	0.1
	My.min	19.24	0.37	-0.2	0	**-1.28**	0.1
	My.max	-19.24	-0.37	0.2	0	**1.28**	-0.1
	Mz.min	-34.1	-0.03	0.1	0	1.09	**-0.52**
	Mz.max	34.1	0.03	-0.1	0	-1.09	**0.52**

TR_O8 POPIS: **HORNÍ PÁS O8** POSUDEK: **O8**

SKUPINA ZAT. STAVŮ	EXTRÉM	VYHODNOCOVANÉ VELIČINY					
		N	Vy	Vz	Mx	My	Mz
		kN	kN	kN	kNm	kNm	kNm
S	N.min	**-36.05**	1.81	-0.11	0	-0.62	-1.84
	N.max	**36.05**	-1.81	0.11	0	0.62	1.84
	Vy.min	35.8	**-1.9**	0.09	0	0.62	2.01
	Vy.max	-35.8	**1.9**	-0.09	0	-0.62	-2.01
	Vz.min	-32.78	1.18	**-0.16**	0	-0.46	-0.9
	Vz.max	32.78	-1.18	**0.16**	0	0.46	0.9
	Mx.min	33.84	-1.81	0.04	**-0.01**	0.61	1.65
	Mx.max	-33.84	1.81	-0.04	**0.01**	-0.61	-1.65
	My.min	-35.8	1.9	-0.09	0	**-0.62**	-2.01
	My.max	35.8	-1.9	0.09	0	**0.62**	2.01
	Mz.min	-35.8	1.9	-0.09	0	-0.62	**-2.01**
	Mz.max	35.8	-1.9	0.09	0	0.62	**2.01**
CH	N.min	**-299.93**	-2.15	-0.23	0	0.46	-3.65
	N.max	**-140.61**	-0.68	-0.02	0	0.38	-1.87
	Vy.min	-299.93	**-2.15**	-0.23	0	0.46	-3.65
	Vy.max	-140.61	**-0.68**	-0.02	0	0.38	-1.87
	Vz.min	-299.93	-2.15	**-0.23**	0	0.46	-3.65
	Vz.max	-140.61	-0.68	**-0.02**	0	0.38	-1.87
	Mx.min	-155.45	-0.81	-0.21	**0**	0.15	-1.7
	Mx.max	-140.61	-0.68	-0.02	**0**	0.38	-1.87
	My.min	-155.45	-0.81	-0.21	0	**0.15**	-1.7
	My.max	-299.93	-2.15	-0.23	0	**0.46**	-3.65
	Mz.min	-299.93	-2.15	-0.23	0	0.46	**-3.65**
	Mz.max	-155.45	-0.81	-0.21	0	0.15	**-1.7**
W	N.min	**-86.97**	2.19	-0.54	0	-1.45	-12.49
	N.max	**86.87**	-2.19	0.54	0	1.45	12.49
	Vy.min	86.87	**-2.19**	0.54	0	1.45	12.49
	Vy.max	-86.97	**2.19**	-0.54	0	-1.45	-12.49
	Vz.min	-86.97	2.19	**-0.54**	0	-1.45	-12.49
	Vz.max	86.87	-2.19	**0.54**	0	1.45	12.49
	Mx.min	-86.97	2.19	-0.54	**0**	-1.45	-12.49
	Mx.max	86.87	-2.19	0.54	**0**	1.45	12.49
	My.min	-86.97	2.19	-0.54	0	**-1.45**	-12.49
	My.max	86.87	-2.19	0.54	0	**1.45**	12.49
	Mz.min	-86.97	2.19	-0.54	0	-1.45	**-12.49**
	Mz.max	86.87	-2.19	0.54	0	1.45	**12.49**
WP	N.min	**-18.2**	-6.06	0.23	-0.01	1.84	2.58
	N.max	**18.15**	6.06	-0.23	0.01	-1.84	-2.58
	Vy.min	-18.2	**-6.06**	0.23	-0.01	1.84	2.58
	Vy.max	18.15	**6.06**	-0.23	0.01	-1.84	-2.58
	Vz.min	18.15	6.06	**-0.23**	0.01	-1.84	-2.58
	Vz.max	-18.2	-6.06	**0.23**	-0.01	1.84	2.58
	Mx.min	-18.2	-6.06	0.23	**-0.01**	1.84	2.58
	Mx.max	18.15	6.06	-0.23	**0.01**	-1.84	-2.58
	My.min	18.15	6.06	-0.23	0.01	**-1.84**	-2.58
	My.max	-18.2	-6.06	0.23	-0.01	**1.84**	2.58
	Mz.min	18.15	6.06	-0.23	0.01	-1.84	**-2.58**
	Mz.max	-18.2	-6.06	0.23	-0.01	1.84	**2.58**
TR	N.min	**0**	0	0	0	0	0
	N.max	**0**	0	0	0	0	0
	Vy.min	0	**0**	0	0	0	0
	Vy.max	0	**0**	0	0	0	0
	Vz.min	0	0	**0**	0	0	0
	Vz.max	0	0	**0**	0	0	0
	Mx.min	0	0	0	**0**	0	0
	Mx.max	0	0	0	**0**	0	0
	My.min	0	0	0	0	**0**	0
	My.max	0	0	0	0	**0**	0
	Mz.min	0	0	0	0	0	**0**
	Mz.max	0	0	0	0	0	**0**
TN	N.min	**-153.9**	21.61	-1.08	0	-8.97	43.26
	N.max	**153.83**	0.85	0.05	-0.02	-0.49	-2.44
	Vy.min	-23.82	**-0.64**	1.03	0	9.51	-0.49
	Vy.max	-153.9	**21.61**	-1.08	0	-8.97	43.26
	Vz.min	-153.9	21.61	**-1.08**	0	-8.97	43.26
	Vz.max	-23.82	-0.64	**1.03**	0	9.51	-0.49
	Mx.min	153.83	0.85	0.05	**-0.02**	-0.49	-2.44
	Mx.max	23.82	0.64	-1.03	**0**	-9.51	0.49
	My.min	23.82	0.64	-1.03	0	**-9.51**	0.49
	My.max	-23.82	-0.64	1.03	0	**9.51**	-0.49
	Mz.min	153.83	0.85	0.05	-0.02	-0.49	**-2.44**
	Mz.max	-153.9	21.61	-1.08	0	-8.97	**43.26**
FR	N.min	**-4.33**	-0.04	0.02	0	0.25	-0.06
	N.max	**4.33**	0.04	-0.02	0	-0.25	0.06
	Vy.min	-4.33	**-0.04**	0.02	0	0.25	-0.06
	Vy.max	4.33	**0.04**	-0.02	0	-0.25	0.06
	Vz.min	4.33	0.04	**-0.02**	0	-0.25	0.06
	Vz.max	-4.33	-0.04	**0.02**	0	0.25	-0.06
	Mx.min	4.33	0.04	-0.02	**0**	-0.25	0.06
	Mx.max	-4.33	-0.04	0.02	**0**	0.25	-0.06
	My.min	4.33	0.04	-0.02	0	**-0.25**	0.06
	My.max	-4.33	-0.04	0.02	0	**0.25**	-0.06
	Mz.min	-4.33	-0.04	0.02	0	0.25	**-0.06**
	Mz.max	4.33	0.04	-0.02	0	-0.25	**0.06**
I	N.min	**-21.39**	-2.12	-0.13	0	-0.19	**-5**
	N.max	**21.39**	2.12	0.13	0	0.19	**5**
	Vy.min	-21.39	**-2.12**	-0.13	0	-0.19	**-5**
	Vy.max	21.39	**2.12**	0.13	0	0.19	**5**
	Vz.min	-21.39	-2.12	**-0.13**	0	-0.19	**-5**
	Vz.max	21.39	2.12	**0.13**	0	0.19	**5**
	Mx.min	-21.39	-2.12	-0.13	**0**	-0.19	**-5**
	Mx.max	21.39	2.12	0.13	**0**	0.19	**5**
	My.min	-21.39	-2.12	-0.13	0	**-0.19**	**-5**
	My.max	21.39	2.12	0.13	0	**0.19**	**5**
	Mz.min	-21.39	-2.12	-0.13	0	-0.19	**-5**
	Mz.max	21.39	2.12	0.13	0	0.19	**5**

TAB. O8.3 POSOUZENÍ - MEZNÍ STAV ÚNOSNOSTI

POPIS	HORNÍ PÁS O8
PRUT / POLOHA BODU	18 / 1/4
NAMÁHÁNÍ	N.min
VLÁKNO	BOD K2 -HP
MEZNÍ STAV	ULS (MSÚ)
VYUŽITÍ VLÁKNA PRŮŘEZU	0.70

Charakteristiky materiálu				
pás. horní	$f_{yf,k}$	230	MPa	
pás. dolní	$f_{yf,k}$	230	MPa	
stojina	$f_{yw,k}$	230	MPa	
výztuž	$f_{ys,k}$	500	MPa	
	γ_M =	1.20	γ_s =	1.15

Excentricita normálové síly				
Exc./Fáze	0	1	2	3
e_y	0.000	0.000	0.000	0.000
e_z	0.000	0.000	0.000	0.000
Ekvivalentní vzdál. stěn - příčný roznos				
b_{Mx}	0.000	0.000	0.000	0.000

Vliv stěny na únosnost průřezu				
Char./Fáze	0	1	2	3
A	0.00	0.00	0.00	0.00
Wy	0.00	0.00	0.00	0.00
Wz	0.00	0.00	0.00	0.00

Charakter. v kroucení			
$t_{w,y}$	0.000	[mm]	
$t_{w,z}$	0.000	[mm]	
κ	1.00		
I_t=	0.00E+00	[mm^4]	
$\Omega=2*A_{pr}$	0.00E+00	[mm^2]	

Součinitele vzpěru a vlivu II.řádu					
Char./Fáze	0	1	2	3	4
k_y	1.030	1.000	1.000	1.000	
k_z	1.020	1.000	1.000	1.000	
χ_{LT}	1.000	1.000	1.000	1.000	
χ_{min}	0.850	1.000	1.000	1.000	

Vnitřní síly od jednotlivých skupin zatěžovacích stavů

SKUPINA ZATĚŽOVACÍCH STAVŮ					- CHARAKTERISTICKÉ HODNOTY						DÍLČÍ SOUČINITELÉ ZATÍŽENÍ, DYNAMICKÝ SOUČINITEL						- NÁVRHOVÉ HODNOTY								
Č.	SKUP ZS	POPIS ZS	KAT.	FÁZE PRŮŘ.	N.k (kN)	Vy.k (kN)	Vz.k (kN)	Mx.k (kNm)	My.k (kNm)	Mz.k (kNm)	γ_{sr} (-)	γ_{sl} (-)	volba ψ_1 hledat	ψ_1 (-)	L_d (m)	δ (-)	Ψ_E KZ04	N.d (kN)	Vy.d (kN)	Vz.d (kN)	ΔVz.d (kN)	ΣVz.d (kN)	Mx.d (kNm)	My.d (kNm)	ΔMy.d (kNm)	ΣMy.d (kNm)	Mz.d (kNm)	ΔMz.d (kNm)	ΣMz.d (kNm)
1	G0	Vlastní tíha OK	G	0	-2 040	-15	-17	0	0	-27	1.00	1.20		1.20	-	1.00	0.95	-2 326	-17	-19	0	-19	0	0	0	0	-31	0	-31
2	G1	Ostatní stálé - mostní vybavení	G	0	-155	-1	0	0	0	-2	1.00	1.20		1.20	-	1.00	0.95	-177	-1	0	0	0	0	0	0	0	-2	0	-2
3	G2	Ostatní stálé - cizí zařízení	G	0	-94	-1	0	0	0	-1	1.00	1.20		1.20	-	1.00	0.95	-107	-1	0	0	0	0	0	0	0	-1	0	-1
4	P1_71	a.LM71 - kolej 1 (bez dyn. souč.)	P	0	-1 509	-4	-1	0	2	-18	1.00	1.30		1.30	-	1.00	1.00	-1 961	-6	-2	0	-2	0	3	0	3	-23	0	-23
5	P2_71	a.LM71 - kolej 2 (bez dyn. souč.)	P	0	-3 084	-23	-3	0	3	-38	1.00	1.30		1.30	-	1.00	1.00	-4 009	-29	-4	0	-4	0	4	0	4	-51	0	-51
6	P1_C3	TTZ C3 - kolej 1 (bez dyn. souč.)	P	0	-1 267	-4	-1	0	2	-15	1.00	vyp.		0.00	-	1.00	0.00	0	0	0	0	0	0	0	0	0	0	0	0
7	P2_C3	TTZ C3 - kolej 2 (bez dyn. souč.)	P	0	-2 584	-19	-2	0	3	-32	1.00	vyp.		0.00	-	1.00	0.00	0	0	0	0	0	0	0	0	0	0	0	0
8	BR	Brzdné a rozjezdové síly	P	0	-34	0	0	0	1	-1	1.00	1.30		1.30	-	1.00	0.40	-18	0	0	0	0	0	1	0	1	0	0	0
9	S	Boční ráz	P	0	-36	2	0	0	-1	-2	1.00	1.30		1.30	-	1.00	0.80	-37	2	0	0	0	0	-1	0	-1	-2	0	-2
10	CH	Chodci na lávkách	Q	0	-300	-2	0	0	0	-4	1.00	1.30		1.30	-	1.00	1.00	-390	-3	0	0	0	0	1	0	1	-5	0	-5
11	W	Vítr na konstrukci	Q	0	-87	2	-1	0	-1	-12	1.00	1.35		1.35	-	1.00	0.75	-88	2	-1	0	-1	0	-2	0	-2	-13	0	-13
12	WP	Vítr na vozidla	Q	0	-18	-6	0	0	2	3	1.00	1.35		1.35	-	1.00	0.75	-18	-6	0	0	0	0	2	0	2	3	0	3
13	TR	Teplota rovnoměrná	Q	0	0	0	0	0	0	0	1.00	1.35		1.35	-	1.00	0.45	0	0	0	0	0	0	0	0	0	0	0	0
14	TN	Teplota nerovnoměrná	Q	0	-154	22	-1	0	-9	43	1.00	-1.35		-1.35	-	1.00	0.60	125	-18	1	0	1	0	7	0	7	-36	0	-36
15	FR	Třecí síly v ložiskách	Q	0	-4	0	0	0	0	0	1.00	1.20		1.20	-	1.00	1.00	-5	0	0	0	0	0	0	0	0	0	0	0
16	I	Imperfekce soustavy	Q	0	-21	-2	0	0	0	-5	1.00	1.20		1.20	-	1.00	1.00	-26	-3	0	0	0	0	0	0	0	-6	0	-6
27	ULS_LM	ULS - LM71 bez dynam	Q	0	-9 302	-43	-27	0	1	-95	1.00	vyp.		0.00	-	1.00	0.00	0	0	0	0	0	0	0	0	0	0	0	0
28	SLS_LM	SLS - LM71 bez dynam	Q	0	-7 340	-49	-22	0	7	-104	1.00	vyp.	1	0.00	-	1.00	0.00	0	0	0	0	0	0	0	0	0	0	0	0
29	ULS_C3	ULS - C3 bez dynam	Q	0	-8 338	-38	-25	0	1	-83	1.00	vyp.	1	0.00	-	1.00	0.00	0	0	0	0	0	0	0	0	0	0	0	0
30	SLS_C3	SLS - C3 bez dynam	Q	0	-6 599	-45	-20	0	7	-94	1.00	vyp.	1	0.00	-	1.00	0.00	0	0	0	0	0	0	0	0	0	0	0	0
		CELKEM - FÁZE PRŮŘEZU 0																-9 039	-79	-25	0	-25	0	16	0	16	-168	0	-168
		CELKEM - FÁZE PRŮŘEZU 1																0	0	0	0	0	0	0	0	0	0	0	0
		CELKEM - FÁZE PRŮŘEZU 2																0	0	0	0	0	0	0	0	0	0	0	0
		CELKEM - FÁZE PRŮŘEZU 3																0	0	0	0	0	0	0	0	0	0	0	0
		CELKEM - PRŮŘEZ																-9 039	-79	-25	0	-25	0			16			-168

Napětí od jednotlivých zatěžovacích stavů

SKUPINA ZATĚŽOVACÍCH STAVŮ					Posouzení normálového napětí										Posouzení smykového napětí													
					Účinek síly N			Účinek momentu My				Účinek momentu Mz				Účinek kroutícího momentu Mx				Účinek smykové síly Vy				Účinek smykové síly Vz			
Č.	SKUP ZS	Popis ZS	Kat.	fáze prúř.	δ^*N_d [kN]	χ^*A [mm^2]	σ_n [MPa]	$\delta^*M_{y,d}$ [kNm]	$\chi_{lt}*W_{el,y}$ [mm^3]	σ_{my} [MPa]	$\delta^*M_{z,d}$ [kNm]	$W_{el,z}$ [mm^3]	σ_{mz} [MPa]	σ_x [MPa]	$\kappa*\delta^*M_{x,d}$ [kNm]	$W_{v,y}$ [mm^2]	$\tau_{x,y}$ [MPa]	$W_{v,z}$ [mm^2]	$\tau_{x,z}$ [MPa]	$\delta^*V_{y,d}$ [kN]	$A_{v,y}$ [mm2]	$\tau_{v,y}$ [MPa]	$\tau_{v,y}$ [MPa]	$\delta^*V_{z,d}$ [kN]	$A_{v,z}$ [mm2]	$\tau_{v,z}$ [MPa]	$\tau_{v,z}$ [MPa]
1	G0	Vlastní tíha OK	G	0	-2 326.1	7.59E+04	-30.6	-0.1	-1.73E+07	0.0	-30.9	1.18E+07	-2.6	-33.2	3.4E-02	-	-	-	-	-16.8	5.82E+04	-0.3	-0.3	-19.1	3.11E+04	-0.6	-0.6
2	G1	Ostatní stálé - mostní vybavení	G	0	-176.8	7.59E+04	-2.3	0.3	-1.73E+07	0.0	-2.2	1.18E+07	-0.2	-2.5	0.0E+00	-	-	-	-	-1.1	5.82E+04	0.0	0.0	-0.2	3.11E+04	0.0	0.0
3	G2	Ostatní stálé - cizí zařízení	G	0	-107.4	7.59E+04	-1.4	0.2	-1.73E+07	0.0	-1.3	1.18E+07	-0.1	-1.5	0.0E+00	-	-	-	-	-0.8	5.82E+04	0.0	0.0	-0.1	3.11E+04	0.0	0.0
4	P1_71	a.LM71 - kolej 1 (bez dyn. souč.)	P	0	-1 961.4	7.59E+04	-25.8	3.1	-1.73E+07	-0.2	-23.5	1.18E+07	-2.0	-28.0	3.9E-02	-	-	-	-	-5.8	5.82E+04	-0.1	-0.1	-1.9	3.11E+04	-0.1	-0.1
5	P2_71	a.LM71 - kolej 2 (bez dyn. souč.)	P	0	-4 009.4	7.59E+04	-52.8	4.4	-1.73E+07	-0.3	-50.6	1.18E+07	-4.3	-57.3	0.0E+00	-	-	-	-	-29.3	5.82E+04	-0.5	-0.5	-3.9	3.11E+04	-0.1	-0.1
6	P1_C3	TTZ C3 - kolej 1 (bez dyn. souč.)	P	0	0.0	7.59E+04	0.0	0.0	-1.73E+07	0.0	0.0	1.18E+07	0.0	0.0	0.0E+00	-	-	-	-	0.0	5.82E+04	0.0	0.0	0.0	3.11E+04	0.0	0.0
7	P2_C3	TTZ C3 - kolej 2 (bez dyn. souč.)	P	0	0.0	7.59E+04	0.0	0.0	-1.73E+07	0.0	0.0	1.18E+07	0.0	0.0	0.0E+00	-	-	-	-	0.0	5.82E+04	0.0	0.0	0.0	3.11E+04	0.0	0.0
8	BR	Brzdné a rozjezdové síly	P	0	-17.7	7.59E+04	-0.2	0.6	-1.73E+07	0.0	-0.3	1.18E+07	0.0	-0.3	0.0E+00	-	-	-	-	0.0	5.82E+04	0.0	0.0	0.1	3.11E+04	0.0	0.0
9	S	Boční ráz	P	0	-37.5	7.59E+04	-0.5	-0.7	-1.73E+07	0.0	-2.0	1.18E+07	-0.2	-0.6	0.0E+00	-	-	-	-	1.9	5.82E+04	0.0	0.0	-0.1	3.11E+04	0.0	0.0
10	CH	Chodci na lávkách	Q	0	-389.9	7.59E+04	-5.1	0.6	-1.73E+07	0.0	-4.8	1.18E+07	-0.4	-5.6	0.0E+00	-	-	-	-	-2.8	5.82E+04	0.0	0.0	-0.3	3.11E+04	0.0	0.0
11	W	Vítr na konstrukci	Q	0	-88.1	7.59E+04	-1.2	-1.5	-1.73E+07	0.1	-12.9	1.18E+07	-1.1	-2.2	0.0E+00	-	-	-	-	2.2	5.82E+04	0.0	0.0	-0.5	3.11E+04	0.0	0.0
12	WP	Vítr na vozidla	Q	0	-18.4	7.59E+04	-0.2	1.9	-1.73E+07	-0.1	2.7	1.18E+07	0.2	-0.1	-1.0E-02	-	-	-	-	-6.1	5.82E+04	-0.1	-0.1	0.2	3.11E+04	0.0	0.0
13	TR	Teplota rovnoměrná	Q	0	0.0	7.59E+04	0.0	0.0	-1.73E+07	0.0	0.0	1.18E+07	0.0	0.0	0.0E+00	-	-	-	-	0.0	5.82E+04	0.0	0.0	0.0	3.11E+04	0.0	0.0
14	TN	Teplota nerovnoměrná	Q	0	124.7	7.59E+04	1.6	7.5	-1.73E+07	-0.4	-35.7	1.18E+07	-3.0	-1.8	0.0E+00	-	-	-	-	-17.5	5.82E+04	-0.3	-0.3	0.9	3.11E+04	0.0	0.0
15	FR	Třecí síly v ložiskách	Q	0	-5.2	7.59E+04	-0.1	0.3	-1.73E+07	0.0	-0.1	1.18E+07	0.0	-0.1	0.0E+00	-	-	-	-	0.0	5.82E+04	0.0	0.0	0.0	3.11E+04	0.0	0.0
16	I	Imperfekce soustavy	Q	0	-25.7	7.59E+04	-0.3	-0.2	-1.73E+07	0.0	-6.1	1.18E+07	-0.5	-0.8	0.0E+00	-	-	-	-	-2.5	5.82E+04	0.0	0.0	-0.2	3.11E+04	0.0	0.0
27	ULS_LM	ULS - LM71 bez dynam	Q	0	0.0	7.59E+04	0.0	0.0	-1.73E+07	0.0	0.0	1.18E+07	0.0	0.0	0.0E+00	-	-	-	-	0.0	5.82E+04	0.0	0.0	0.0	3.11E+04	0.0	0.0
28	SLS_LM	SLS - LM71 bez dynam	Q	0	0.0	7.59E+04	0.0	0.0	-1.73E+07	0.0	0.0	1.18E+07	0.0	0.0	0.0E+00	-	-	-	-	0.0	5.82E+04	0.0	0.0	0.0	3.11E+04	0.0	0.0
29	ULS_C3	ULS - C3 bez dynam	Q	0	0.0	7.59E+04	0.0	0.0	-1.73E+07	0.0	0.0	1.18E+07	0.0	0.0	0.0E+00	-	-	-	-	0.0	5.82E+04	0.0	0.0	0.0	3.11E+04	0.0	0.0
30	SLS_C3	SLS - C3 bez dynam	Q	0	0.0	7.59E+04	0.0	0.0	-1.73E+07	0.0	0.0	1.18E+07	0.0	0.0	0.0E+00	-	-	-	-	0.0	5.82E+04	0.0	0.0	0.0	3.11E+04	0.0	0.0
NAVÝŠENÍ NAPĚTÍ DO AKTIVACE TLAKU V DESCE MOSTOVKY						$\sigma_{P,red}$	0.0							0.0			0.0		0.0			-1.4	-1.4			-0.8	-0.8
NAPĚTÍ OD PRIMÁRNÍCH ÚČINKŮ NEROVNOMĚRNÉHO OTEPLENÍ						σ_T	0.0							0.0													
NAPĚTÍ OD REOLOGICKÝCH ÚČINKŮ BETONU V ČASE				t=0		σ_R	0.0	γ=	1.20					0.0													
NAPĚTÍ V KRITICKÝCH VLÁKNECH OD KOMBINACE ZATÍŽENÍ						KZ04		[MPa]					$\Sigma\sigma_x$	-134.2								$\Sigma\tau_y$	-1.4			$\Sigma\tau_z$	-0.8
NAPĚTÍ OD POHYBLIVÉHO ZATÍŽENÍ								[MPa]					$\sigma_{x,P}$	-86.3								τ_P	-0.6			τ_P	-0.2
NAPĚTÍ OD OSTATNÍCH ZATÍŽENÍ								[MPa]			Φ_{Vy}	Φ_{Vz}	$\sigma_{x,rs}$	-47.9								τ_{rs}	-0.8			τ_{rs}	-0.6
NÁVRHOVÁ HODNOTA MEZE KLUZU S REDUKCÍ VLIVEM SMYKOVÉHO NAPĚTÍ								[MPa]			1.00	1.00	$f_{yv,d}$	191.7								$f_{yd}/3^{0,5}$	110.7			$f_{yd}/3^{0,5}$	110.7
NAPĚTÍ OD POHYBLIVÉHO ZATÍŽENÍ V GLOBÁLNÍM SYSTÉMU						$\sigma_{GLOB,P}$	0.0	[MPa]					$\Sigma\sigma_{GLOB}$	0.0													
NAPĚTÍ OD OSTATNÍCH ZATÍŽENÍ V GLOBÁLNÍM SYSTÉMU						$\sigma_{GLOB,rs}$	0.0	[MPa]					$\Sigma\sigma_x + \Sigma\sigma_{GLOB}$	-134.2													
VYUŽITÍ PRŮŘEZU DLE NAPĚTÍ								[%]					η_1	0.70								η_3	0.01			η_3	0.01
NAPĚTÍ V PŘÍČNÉM SMĚRU OD POHYBLIVÉHO ZATÍŽENÍ						$\sigma_{z,P}$	0.0	[MPa]					$\Sigma\sigma_z$	0.0													
NAPĚTÍ V PŘÍČNÉM SMĚRU OD OSTATNÍCH ZATÍŽENÍ						$\sigma_{z,rs}$	0.0	[MPa]					η_2	0.00													
SROVNÁVACÍ NAPĚTÍ													$(\eta_2 + 0,8\ \eta_1)/1,4$ =	0.40													
VYUŽITÍ PRŮŘEZU CELKEM								[%]					eff	0.70	VYHOVUJE												
													Z_{LM71} =	1.67													

TAB. O8.3 POSOUZENÍ - MEZNÍ STAV ÚNOSNOSTI

POPIS	HORNÍ PÁS O8
PRUT / POLOHA BODU	18 / 1/4
NAMÁHÁNÍ	Mz.min
VLÁKNO	BOD K4 -SP
MEZNÍ STAV	ULS (MSÚ)
VYUŽITÍ VLÁKNA PRŮŘEZU	0.69

Charakteristiky materiálu				
pás. horní	$f_{yf,k}$	230	MPa	
pás. dolní	$f_{yf,k}$	230	MPa	
stojina	$f_{yw,k}$	230	MPa	
výztuž	$f_{ys,k}$	500	MPa	
γ_M =	1.20	γ_s =	1.15	

Excentricita normálové síly				
Exc./Fáze	0	1	2	3
e_y	0.000	0.000	0.000	0.000
e_z	0.000	0.000	0.000	0.000
Ekvivalentní vzdál. stěn - příčný roznos				
b_{Mx}	0.000	0.000	0.000	0.000

Vliv stěny na únosnost průřezu				
Char./Fáze	0	1	2	3
A	0.00	0.00	0.00	0.00
Wy	0.00	0.00	0.00	0.00
Wz	0.00	0.00	0.00	0.00

Charakter. v kroucení			
$t_{w,y}$	0.000	[mm]	
$t_{w,z}$	0.000	[mm]	
κ	1.00		
I_t=	0.00E+00	[mm^4]	
$\Omega=2*A_{pr}$	0.00E+00	[mm^2]	

Součinitele vzpěru a vlivu II.řádu				
Char./Fáze	0	1	2	3
k_y	1.030	1.000	1.000	1.000
k_z	1.020	1.000	1.000	1.000
χ_{LT}	1.000	1.000	1.000	1.000
χ_{min}	0.850	1.000	1.000	1.000

Vnitřní síly od jednotlivých skupin zatěžovacích stavů

SKUPINA ZATĚŽOVACÍCH STAVŮ					- CHARAKTERISTICKÉ HODNOTY						DÍLČÍ SOUČINITELÉ ZATÍŽENÍ, DYNAMICKÝ SOUČINITEL						4	- NÁVRHOVÉ HODNOTY									
Č.	SKUP ZS	POPIS ZS	KAT.	FÁZE PRŮŘ.	N.k (kN)	Vy.k (kN)	Vz.k (kN)	Mx.k (kNm)	My.k (kNm)	Mz.k (kNm)	γ_{sup} (-)	γ_{inf} (-)	volba γ_i hledat	γ_i (-)	L_d (m)	δ (-)	Ψ_0 KZ04	N.d (kN)	Vy.d (kN)	Vz.d (kN)	ΔVz.d (kN)	ΣVz.d (kN)	Mx.d (kNm)	My.d (kNm)	ΔMy.d (kNm)	ΣMy.d (kNm)	Mz.d (kNm)	ΔMz.d (kNm)	ΣMz.d (kNm)
1	G0	Vlastní tíha OK	G	0	-2 040	-15	-17	0	0	-27	1.00	1.20		1.20	-	1.00	0.95	-2 326	-17	-19	0	-19	0	0	0	0	-31	0	-31
2	G1	Ostatní stálé - mostní vybavení	G	0	-155	-1	0	0	0	-2	1.00	1.20		1.20	-	1.00	0.95	-177	-1	0	0	0	0	0	0	0	-2	0	-2
3	G2	Ostatní stálé - cizí zařízení	G	0	-94	-1	0	0	0	-1	1.00	1.20		1.20	-	1.00	0.95	-107	-1	0	0	0	0	0	0	0	-1	0	-1
4	P1_71	a.LM71 - kolej 1 (bez dyn. souč.)	P	0	-1 508	-4	-1	0	2	-18	1.00	1.30		1.30	-	1.00	1.00	-1 961	-6	-2	0	-2	0	3	0	3	-23	0	-23
5	P2_71	a.LM71 - kolej 2 (bez dyn. souč.)	P	0	-3 084	-23	-3	0	3	-38	1.00	1.30		1.30	-	1.00	1.00	-4 009	-29	-4	0	-4	0	4	0	4	-51	0	-51
6	P1_C3	TTZ C3 - kolej 1 (bez dyn. souč.)	P	0	-1 265	-4	-1	0	2	-15	1.00	vyp.		0.00	-	1.00	0.00	0	0	0	0	0	0	0	0	0	0	0	0
7	P2_C3	TTZ C3 - kolej 2 (bez dyn. souč.)	P	0	-2 581	-19	-2	0	4	-32	1.00	vyp.		0.00	-	1.00	0.00	0	0	0	0	0	0	0	0	0	0	0	0
8	BR	Brzdné a rozjezdové síly	P	0	-34	0	0	0	1	-1	1.00	1.30		1.30	-	1.00	0.40	-18	0	0	0	0	0	1	0	1	0	0	0
9	S	Boční ráz	P	0	-36	2	0	0	-1	-2	1.00	1.30		1.30	-	1.00	0.80	-37	2	0	0	0	0	-1	0	-1	-2	0	-2
10	CH	Chodci na lávkách	Q	0	-300	-2	0	0	0	-4	1.00	1.30		1.30	-	1.00	1.00	-390	-3	0	0	0	0	1	0	1	-5	0	-5
11	W	Vítr na konstrukci	Q	0	-87	2	-1	0	-1	-12	1.00	1.35		1.35	-	1.00	0.75	-88	2	-1	0	-1	0	-2	0	-2	-13	0	-13
12	WP	Vítr na vozidla	Q	0	18	6	0	0	-2	-3	1.00	1.35		1.35	-	1.00	0.75	18	6	0	0	0	0	-2	0	-2	-3	0	-3
13	TR	Teplota rovnoměrná	Q	0	0	0	0	0	0	0	1.00	1.35		1.35	-	1.00	0.45	0	0	0	0	0	0	0	0	0	0	0	0
14	TN	Teplota nerovnoměrná	Q	0	154	1	0	0	0	-2	1.00	-1.35		-1.35	-	1.00	0.60	-125	-1	0	0	0	0	0	0	0	2	0	2
15	FR	Třecí síly v ložiskách	Q	0	-4	0	0	0	0	0	1.00	1.20		1.20	-	1.00	1.00	-5	0	0	0	0	0	0	0	0	0	0	0
16	I	Imperfekce soustavy	Q	0	-21	-2	0	0	0	-5	1.00	1.20		1.20	-	1.00	1.00	-26	-3	0	0	0	0	0	0	0	-6	0	-6
27	ULS_LM	ULS - LM71 bez dynam	Q	0	-9 015	-48	-26	0	4	-137	1.00	vyp.	1	0.00	-	1.00	0.00	0	0	0	0	0	0	0	0	0	0	0	0
28	SLS_LM	SLS - LM71 bez dynam	Q	0	-7 312	-40	-22	0	4	-108	1.00	vyp.	1	0.00	-	1.00	0.00	0	0	0	0	0	0	0	0	0	0	0	0
29	ULS_C3	ULS - C3 bez dynam	Q	0	-8 044	-42	-25	0	5	-126	1.00	vyp.	1	0.00	-	1.00	0.00	0	0	0	0	0	0	0	0	0	0	0	0
30	SLS_C3	SLS - C3 bez dynam	Q	0	-6 566	-36	-21	0	4	-99	1.00	vyp.	1	0.00	-	1.00	0.00	0	0	0	0	0	0	0	0	0	0	0	0
		CELKEM - FÁZE PRŮŘEZU 0																-9 250	-49	-27	0	-27	0	5	0	5	-135	0	-135
		CELKEM - FÁZE PRŮŘEZU 1																0	0	0	0	0	0	0	0	0	0	0	0
		CELKEM - FÁZE PRŮŘEZU 2																0	0	0	0	0	0	0	0	0	0	0	0
		CELKEM - FÁZE PRŮŘEZU 3																0	0	0	0	0	0	0	0	0	0	0	0
		CELKEM - PRŮŘEZ																-9 250	-49	-27	0	-27	0			5			-135

Napětí od jednotlivých zatěžovacích stavů

SKUPINA ZATĚŽOVACÍCH STAVŮ					Posouzení normálového napětí										Posouzení smykového napětí													
					Účinek síly N			Účinek momentu My			Účinek momentu Mz				Účinek kroutícího momentu Mx				Účinek smykové síly Vy				Účinek smykové síly Vz			
Č.	SKUP ZS	Popis ZS	Kat.	fáze prúř.	δ^*N_d [kN]	χ^*A [mm^2]	σ_n [MPa]	$\delta^*M_{y,d}$ [kNm]	$\chi_{lt}*W_{el,y}$ [mm^3]	σ_{my} [MPa]	$\delta^*M_{z,d}$ [kNm]	$W_{el,z}$ [mm^3]	σ_{mz} [MPa]	σ_x [MPa]	$\kappa^*\delta^*M_{x,d}$ [kNm]	$W_{v,y}$ [mm^2]	$\tau_{x,y}$ [MPa]	$W_{v,z}$ [mm^2]	$\tau_{x,z}$ [MPa]	$\delta^*V_{y,d}$ [kN]	$A_{v,y}$ [mm2]	$\tau_{v,y}$ [MPa]	$\tau_{v,y}$ [MPa]	$\delta^*V_{z,d}$ [kN]	$A_{v,z}$ [mm2]	$\tau_{v,z}$ [MPa]	$\tau_{v,z}$ [MPa]
1	G0	Vlastní tíha OK	G	0	-2 326.1	7.59E+04	-30.6	-0.1	6.24E+06	0.0	-30.9	1.21E+07	-2.6	-33.2	3.4E-02	-	-	-	-	-16.8	5.82E+04	-0.3	-0.3	-19.1	3.11E+04	-0.6	-0.6
2	G1	Ostatní stálé - mostní vybavení	G	0	-176.8	7.59E+04	-2.3	0.3	6.24E+06	0.0	-2.2	1.21E+07	-0.2	-2.5	0.0E+00	-	-	-	-	-1.1	5.82E+04	0.0	0.0	-0.2	3.11E+04	0.0	0.0
3	G2	Ostatní stálé - cizí zařízení	G	0	-107.4	7.59E+04	-1.4	0.2	6.24E+06	0.0	-1.3	1.21E+07	-0.1	-1.5	0.0E+00	-	-	-	-	-0.8	5.82E+04	0.0	0.0	-0.1	3.11E+04	0.0	0.0
4	P1_71	a.LM71 - kolej 1 (bez dyn. souč.)	P	0	-1 960.6	7.59E+04	-25.8	3.2	6.24E+06	0.5	-23.5	1.21E+07	-1.9	-27.3	3.9E-02	-	-	-	-	-5.7	5.82E+04	-0.1	-0.1	-1.9	3.11E+04	-0.1	-0.1
5	P2_71	a.LM71 - kolej 2 (bez dyn. souč.)	P	0	-4 009.4	7.59E+04	-52.8	4.4	6.24E+06	0.7	-50.6	1.21E+07	-4.2	-56.3	0.0E+00	-	-	-	-	-29.3	5.82E+04	-0.5	-0.5	-3.9	3.11E+04	-0.1	-0.1
6	P1_C3	TTZ C3 - kolej 1 (bez dyn. souč.)	P	0	0.0	7.59E+04	0.0	0.0	6.24E+06	0.0	0.0	1.21E+07	0.0	0.0	0.0E+00	-	-	-	-	0.0	5.82E+04	0.0	0.0	0.0	3.11E+04	0.0	0.0
7	P2_C3	TTZ C3 - kolej 2 (bez dyn. souč.)	P	0	0.0	7.59E+04	0.0	0.0	6.24E+06	0.0	0.0	1.21E+07	0.0	0.0	0.0E+00	-	-	-	-	0.0	5.82E+04	0.0	0.0	0.0	3.11E+04	0.0	0.0
8	BR	Brzdné a rozjezdové síly	P	0	-17.7	7.59E+04	-0.2	0.6	6.24E+06	0.1	-0.3	1.21E+07	0.0	-0.2	0.0E+00	-	-	-	-	0.0	5.82E+04	0.0	0.0	0.1	3.11E+04	0.0	0.0
9	S	Boční ráz	P	0	-37.2	7.59E+04	-0.5	-0.7	6.24E+06	-0.1	-2.1	1.21E+07	-0.2	-0.8	0.0E+00	-	-	-	-	2.0	5.82E+04	0.0	0.0	-0.1	3.11E+04	0.0	0.0
10	CH	Chodci na lávkách	Q	0	-389.9	7.59E+04	-5.1	0.6	6.24E+06	0.1	-4.8	1.21E+07	-0.4	-5.4	0.0E+00	-	-	-	-	-2.8	5.82E+04	0.0	0.0	-0.3	3.11E+04	0.0	0.0
11	W	Vítr na konstrukci	Q	0	-88.1	7.59E+04	-1.2	-1.5	6.24E+06	-0.2	-12.9	1.21E+07	-1.1	-2.5	0.0E+00	-	-	-	-	2.2	5.82E+04	0.0	0.0	-0.5	3.11E+04	0.0	0.0
12	WP	Vítr na vozidla	Q	0	18.4	7.59E+04	0.2	-1.9	6.24E+06	-0.3	-2.7	1.21E+07	-0.2	-0.3	1.0E-02	-	-	-	-	6.1	5.82E+04	0.1	0.1	-0.2	3.11E+04	0.0	0.0
13	TR	Teplota rovnoměrná	Q	0	0.0	7.59E+04	0.0	0.0	6.24E+06	0.0	0.0	1.21E+07	0.0	0.0	0.0E+00	-	-	-	-	0.0	5.82E+04	0.0	0.0	0.0	3.11E+04	0.0	0.0
14	TN	Teplota nerovnoměrná	Q	0	-124.6	7.59E+04	-1.6	0.4	6.24E+06	0.1	2.0	1.21E+07	0.2	-1.4	1.6E-02	-	-	-	-	-0.7	5.82E+04	0.0	0.0	0.0	3.11E+04	0.0	0.0
15	FR	Třecí síly v ložiskách	Q	0	-5.2	7.59E+04	-0.1	0.3	6.24E+06	0.0	-0.1	1.21E+07	0.0	0.0	0.0E+00	-	-	-	-	0.0	5.82E+04	0.0	0.0	0.0	3.11E+04	0.0	0.0
16	I	Imperfekce soustavy	Q	0	-25.7	7.59E+04	-0.3	-0.2	6.24E+06	0.0	-6.1	1.21E+07	-0.5	-0.9	0.0E+00	-	-	-	-	-2.5	5.82E+04	0.0	0.0	-0.2	3.11E+04	0.0	0.0
27	ULS_LM	ULS - LM71 bez dynam	Q	0	0.0	7.59E+04	0.0	0.0	6.24E+06	0.0	0.0	1.21E+07	0.0	0.0	0.0E+00	-	-	-	-	0.0	5.82E+04	0.0	0.0	0.0	3.11E+04	0.0	0.0
28	SLS_LM	SLS - LM71 bez dynam	Q	0	0.0	7.59E+04	0.0	0.0	6.24E+06	0.0	0.0	1.21E+07	0.0	0.0	0.0E+00	-	-	-	-	0.0	5.82E+04	0.0	0.0	0.0	3.11E+04	0.0	0.0
29	ULS_C3	ULS - C3 bez dynam	Q	0	0.0	7.59E+04	0.0	0.0	6.24E+06	0.0	0.0	1.21E+07	0.0	0.0	0.0E+00	-	-	-	-	0.0	5.82E+04	0.0	0.0	0.0	3.11E+04	0.0	0.0
30	SLS_C3	SLS - C3 bez dynam	Q	0	0.0	7.59E+04	0.0	0.0	6.24E+06	0.0	0.0	1.21E+07	0.0	0.0	0.0E+00	-	-	-	-	0.0	5.82E+04	0.0	0.0	0.0	3.11E+04	0.0	0.0
NAVÝŠENÍ NAPĚTÍ DO AKTIVACE TLAKU V DESCE MOSTOVKY						$\sigma_{P,red}$	0.0							0.0			0.0		0.0			-0.8	-0.8			-0.9	-0.9
NAPĚTÍ OD PRIMÁRNÍCH ÚČINKŮ NEROVNOMĚRNÉHO OTEPLENÍ						σ_T	0.0							0.0													
NAPĚTÍ OD REOLOGICKÝCH ÚČINKŮ BETONU V ČASE				t=0		σ_R	0.0	γ_{inf}=	1.20					0.0													
NAPĚTÍ V KRITICKÝCH VLÁKNECH OD KOMBINACE ZATÍŽENÍ						KZ04		[MPa]					$\Sigma\sigma_x$	-132.2								$\Sigma\tau_y$	-0.8			$\Sigma\tau_z$	-0.9
NAPĚTÍ OD POHYBLIVÉHO ZATÍŽENÍ								[MPa]					$\sigma_{x,P}$	-84.5								τ_P	-0.6			τ_P	-0.2
NAPĚTÍ OD OSTATNÍCH ZATÍŽENÍ								[MPa]			Φ_{vy}	Φ_{vz}	$\sigma_{x,rs}$	-47.7								τ_s	-0.3			τ_s	-0.7
NÁVRHOVÁ HODNOTA MEZE KLUZU S REDUKCÍ VLIVEM SMYKOVÉHO NAPĚTÍ								[MPa]			1.00	1.00	$f_{yv,d}$	191.7								$f_{yd}/3^{0,5}$	110.7			$f_{yd}/3^{0,5}$	110.7
NAPĚTÍ OD POHYBLIVÉHO ZATÍŽENÍ V GLOBÁLNÍM SYSTÉMU						$\sigma_{GLOB,P}$	0.0	[MPa]					$\Sigma\sigma_{GLOB}$	0.0													
NAPĚTÍ OD OSTATNÍCH ZATÍŽENÍ V GLOBÁLNÍM SYSTÉMU						$\sigma_{GLOB,rs}$	0.0	[MPa]					$\Sigma\sigma_x + \Sigma\sigma_{GLOB}$	-132.2													
VYUŽITÍ PRŮŘEZU DLE NAPĚTÍ								[%]					η_1	0.69								η_3	0.01			η_3	0.01
NAPĚTÍ V PŘÍČNÉM SMĚRU OD POHYBLIVÉHO ZATÍŽENÍ						$\sigma_{z,P}$	0.0	[MPa]					$\Sigma\sigma_z$	0.0													
NAPĚTÍ V PŘÍČNÉM SMĚRU OD OSTATNÍCH ZATÍŽENÍ						$\sigma_{z,rs}$	0.0	[MPa]					η_2	0.00													
SROVNÁVACÍ NAPĚTÍ													$(\eta_2 + 0,8\ \eta_1)/1,4$ =	0.39													
VYUŽITÍ PRŮŘEZU CELKEM								[%]					eff	0.69	VYHOVUJE												
													Z_{LM71} =	1.70													

TAB. O8.3 POSOUZENÍ - MEZNÍ STAV ÚNOSNOSTI

POPIS	HORNÍ PÁS O8
PRUT / POLOHA BODU	18 / 1/4
NAMÁHÁNÍ	Vz.min
VLÁKNO	BOD S6 -HP
MEZNÍ STAV	ULS (MSÚ)
VYUŽITÍ VLÁKNA PRŮŘEZU	0.48

Charakteristiky materiálu				
pás. horní	$f_{yf,k}$	230	MPa	
pás. dolní	$f_{yf,k}$	230	MPa	
stojina	$f_{yw,k}$	230	MPa	
výztuž	$f_{ys,k}$	500	MPa	
γ_M =	1.20	γ_s =	1.15	

Excentricita normálové síly				
Exc./Fáze	0	1	2	3
e_y	0.000	0.000	0.000	0.000
e_z	0.000	0.000	0.000	0.000
Ekvivalentní vzdál. stěn - příčný roznos				
b_{Mx}	0.000	0.000	0.000	0.000

Vliv stěny na únosnost průřezu				
Char./Fáze	0	1	2	3
A	0.00	0.00	0.00	0.00
Wy	0.00	0.00	0.00	0.00
Wz	0.00	0.00	0.00	0.00

Charakter. v kroucení			
$t_{w,y}$	0.000	[mm]	
$t_{w,z}$	0.000	[mm]	
κ	1.00		
I_t=	0.00E+00	[mm^4]	
$\Omega=2*A_{pr}$	0.00E+00	[mm^2]	

Součinitele vzpěru a vlivu II.řádu				
Char./Fáze	0	1	2	3
k_y	1.030	1.000	1.000	1.000
k_z	1.020	1.000	1.000	1.000
χ_{LT}	1.000	1.000	1.000	1.000
χ_{min}	0.850	1.000	1.000	1.000

Vnitřní síly od jednotlivých skupin zatěžovacích stavů

SKUPINA ZATĚŽOVACÍCH STAVŮ					- CHARAKTERISTICKÉ HODNOTY						DÍLČÍ SOUČINITELÉ ZATÍŽENÍ, DYNAMICKÝ SOUČINITEL						3	- NÁVRHOVÉ HODNOTY								
Č.	SKUP ZS	POPIS ZS	KAT.	FÁZE PRŮŘ.	N.k (kN)	Vy.k (kN)	Vz.k (kN)	Mx.k (kNm)	My.k (kNm)	Mz.k (kNm)	γ_{sr} (-)	γ_{fs} (-)	volba γ_f hledat	γ_f (-)	L_d (m)	δ (-)	Ψ_s KZ03	N.d (kN)	Vy.d (kN)	Vz.d (kN)	ΔVz.d (kN)	ΣVz.d (kN)	Mx.d (kNm)	My.d (kNm)	ΔMy.d (kNm)	ΣMy.d (kNm)	Mz.d (kNm)	ΔMz.d (kNm)	ΣMz.d (kNm)
1	G0	Vlastní tíha OK	G	0	-2 040	-15	-17	0	0	-27	1.00	1.20		1.20	-	1.00	0.95	-2 326	-17	-19	0	-19	0	0	0	0	-31	0	-31
2	G1	Ostatní stálé - mostní vybavení	G	0	-155	-1	0	0	0	-2	1.00	1.20		1.20	-	1.00	0.95	-177	-1	0	0	0	0	0	0	0	-2	0	-2
3	G2	Ostatní stálé - cizí zařízení	G	0	-94	-1	0	0	0	-1	1.00	1.20		1.20	-	1.00	0.95	-107	-1	0	0	0	0	0	0	0	-1	0	-1
4	P1_71	a.LM71 - kolej 1 (bez dyn. souč.)	P	0	-997	-2	-2	0	1	-11	1.00	1.30		1.30	-	1.00	1.00	-1 296	-3	-2	0	-2	0	1	0	1	-15	0	-15
5	P2_71	a.LM71 - kolej 2 (bez dyn. souč.)	P	0	-1 988	-14	-4	0	0	-24	1.00	1.30		1.30	-	1.00	1.00	-2 584	-18	-6	0	-6	0	0	0	0	-32	0	-32
6	P1_C3	TTZ C3 - kolej 1 (bez dyn. souč.)	P	0	-774	-2	-1	0	1	-9	1.00	vyp.		0.00	-	1.00	0.00	0	0	0	0	0	0	0	0	0	0	0	0
7	P2_C3	TTZ C3 - kolej 2 (bez dyn. souč.)	P	0	-1 452	-10	-3	0	0	-18	1.00	vyp.		0.00	-	1.00	0.00	0	0	0	0	0	0	0	0	0	0	0	0
8	BR	Brzdné a rozjezdové síly	P	0	19	0	0	0	-1	0	1.00	1.30		1.30	-	1.00	0.80	20	0	0	0	0	0	-1	0	-1	0	0	0
9	S	Boční ráz	P	0	-33	1	0	0	0	-1	1.00	1.30		1.30	-	1.00	0.40	-17	1	0	0	0	0	0	0	0	0	0	0
10	CH	Chodci na lávkách	Q	0	-300	-2	0	0	0	-4	1.00	1.30		1.30	-	1.00	1.00	-390	-3	0	0	0	0	1	0	1	-5	0	-5
11	W	Vítr na konstrukci	Q	0	-87	2	-1	0	-1	-12	1.00	1.35		1.35	-	1.00	0.75	-88	2	-1	0	-1	0	-2	0	-2	-13	0	-13
12	WP	Vítr na vozidla	Q	0	18	6	0	0	-2	-3	1.00	1.35		1.35	-	1.00	0.75	18	6	0	0	0	0	-2	0	-2	-3	0	-3
13	TR	Teplota rovnoměrná	Q	0	0	0	0	0	0	0	1.00	1.35		1.35	-	1.00	0.45	0	0	0	0	0	0	0	0	0	0	0	0
14	TN	Teplota nerovnoměrná	Q	0	-154	22	-1	0	-9	43	1.00	1.35		1.35	-	1.00	0.60	-125	18	-1	0	-1	0	-7	0	-7	36	0	36
15	FR	Třecí síly v ložiskách	Q	0	4	0	0	0	0	0	1.00	1.20		1.20	-	1.00	1.00	5	0	0	0	0	0	0	0	0	0	0	0
16	I	Imperfekce soustavy	Q	0	-21	-2	0	0	0	-5	1.00	1.20		1.20	-	1.00	1.00	-26	-3	0	0	0	0	0	0	0	-6	0	-6
27	ULS_LM	ULS - LM71 bez dynam	Q	0	-7 092	-18	-30	0	-12	-71	1.00	vyp.		0.00	-	1.00	0.00	0	0	0	0	0	0	0	0	0	0	0	0
28	SLS_LM	SLS - LM71 bez dynam	Q	0	-5 641	-30	-24	0	-3	-85	1.00	vyp.	1	0.00	-	1.00	0.00	0	0	0	0	0	0	0	0	0	0	0	0
29	ULS_C3	ULS - C3 bez dynam	Q	0	-6 106	-13	-28	0	-12	-59	1.00	vyp.	1	0.00	-	1.00	0.00	0	0	0	0	0	0	0	0	0	0	0	0
30	SLS_C3	SLS - C3 bez dynam	Q	0	-4 882	-26	-23	0	-4	-76	1.00	vyp.	1	0.00	-	1.00	0.00	0	0	0	0	0	0	0	0	0	0	0	0
		CELKEM - FÁZE PRŮŘEZU 0																-7 093	-18	-30	0	-30	0	-12	0	-12	-73	0	-73
		CELKEM - FÁZE PRŮŘEZU 1																0	0	0	0	0	0	0	0	0	0	0	0
		CELKEM - FÁZE PRŮŘEZU 2																0	0	0	0	0	0	0	0	0	0	0	0
		CELKEM - FÁZE PRŮŘEZU 3																0	0	0	0	0	0	0	0	0	0	0	0
		CELKEM - PRŮŘEZ																-7 093	-18	-30	0	-30	0			-12			-73

Napětí od jednotlivých zatěžovacích stavů

SKUPINA ZATĚŽOVACÍCH STAVŮ					Posouzení normálového napětí											Posouzení smykového napětí													
					Účinek síly N			Účinek momentu My			Účinek momentu Mz					Účinek kroutícího momentu Mx				Účinek smykové síly Vy				Účinek smykové síly Vz			
Č.	SKUP ZS	Popis ZS	Kat.	fáze prúř.	δ^*N_d [kN]	χ^*A [mm^2]	σ_n [MPa]	$\delta^*M_{y,d}$ [kNm]	$\chi_{lt}*W_{el,y}$ [mm^3]	σ_{my} [MPa]	$\delta^*M_{z,d}$ [kNm]	$W_{el,z}$ [mm^3]	σ_{mz} [MPa]	σ_x [MPa]	$\kappa^*\delta^*M_{x,d}$ [kNm]	$W_{v,y}$ [mm^2]	$\tau_{x,y}$ [MPa]	$W_{v,z}$ [mm^2]	$\tau_{x,z}$ [MPa]	$\delta^*V_{y,d}$ [kN]	$A_{v,y}$ [mm2]	$\tau_{v,y}$ [MPa]	$\tau_{v,y}$ [MPa]	$\delta^*V_{z,d}$ [kN]	$A_{v,z}$ [mm2]	$\tau_{v,z}$ [MPa]	$\tau_{v,z}$ [MPa]
1	G0	Vlastní tíha OK	G	0	-2 326.1	7.59E+04	-30.6	-0.1	6.24E+06	0.0	-30.9	-1.78E+07	1.7	-28.9	3.4E-02	-	-	-	-	-16.8	5.82E+04	-0.3	-0.3	-19.1	3.11E+04	-0.6	-0.6
2	G1	Ostatní stálé - mostní vybavení	G	0	-176.8	7.59E+04	-2.3	0.3	6.24E+06	0.0	-2.2	-1.78E+07	0.1	-2.2	0.0E+00	-	-	-	-	-1.1	5.82E+04	0.0	0.0	-0.2	3.11E+04	0.0	0.0
3	G2	Ostatní stálé - cizí zařízení	G	0	-107.4	7.59E+04	-1.4	0.2	6.24E+06	0.0	-1.3	-1.78E+07	0.1	-1.3	0.0E+00	-	-	-	-	-0.8	5.82E+04	0.0	0.0	-0.1	3.11E+04	0.0	0.0
4	P1_71	a.LM71 - kolej 1 (bez dyn. souč.)	P	0	-1 296.3	7.59E+04	-17.1	0.8	6.24E+06	0.1	-15.1	-1.78E+07	0.8	-16.1	2.6E-02	-	-	-	-	-3.2	5.82E+04	-0.1	-0.1	-2.3	3.11E+04	-0.1	-0.1
5	P2_71	a.LM71 - kolej 2 (bez dyn. souč.)	P	0	-2 584.3	7.59E+04	-34.0	-0.5	6.24E+06	-0.1	-32.2	-1.78E+07	1.8	-32.3	0.0E+00	-	-	-	-	-18.0	5.82E+04	-0.3	-0.3	-5.6	3.11E+04	-0.2	-0.2
6	P1_C3	TTZ C3 - kolej 1 (bez dyn. souč.)	P	0	0.0	7.59E+04	0.0	0.0	6.24E+06	0.0	0.0	-1.78E+07	0.0	0.0	0.0E+00	-	-	-	-	0.0	5.82E+04	0.0	0.0	0.0	3.11E+04	0.0	0.0
7	P2_C3	TTZ C3 - kolej 2 (bez dyn. souč.)	P	0	0.0	7.59E+04	0.0	0.0	6.24E+06	0.0	0.0	-1.78E+07	0.0	0.0	0.0E+00	-	-	-	-	0.0	5.82E+04	0.0	0.0	0.0	3.11E+04	0.0	0.0
8	BR	Brzdné a rozjezdové síly	P	0	20.0	7.59E+04	0.3	-1.4	6.24E+06	-0.2	0.1	-1.78E+07	0.0	0.0	0.0E+00	-	-	-	-	0.4	5.82E+04	0.0	0.0	-0.2	3.11E+04	0.0	0.0
9	S	Boční ráz	P	0	-17.0	7.59E+04	-0.2	-0.2	6.24E+06	0.0	-0.5	-1.78E+07	0.0	-0.2	0.0E+00	-	-	-	-	0.6	5.82E+04	0.0	0.0	-0.1	3.11E+04	0.0	0.0
10	CH	Chodci na lávkách	Q	0	-389.9	7.59E+04	-5.1	0.6	6.24E+06	0.1	-4.8	-1.78E+07	0.3	-4.8	0.0E+00	-	-	-	-	-2.8	5.82E+04	0.0	0.0	-0.3	3.11E+04	0.0	0.0
11	W	Vítr na konstrukci	Q	0	-88.1	7.59E+04	-1.2	-1.5	6.24E+06	-0.2	-12.9	-1.78E+07	0.7	-0.7	0.0E+00	-	-	-	-	2.2	5.82E+04	0.0	0.0	-0.5	3.11E+04	0.0	0.0
12	WP	Vítr na vozidla	Q	0	18.4	7.59E+04	0.2	-1.9	6.24E+06	-0.3	-2.7	-1.78E+07	0.1	0.1	1.0E-02	-	-	-	-	6.1	5.82E+04	0.1	0.1	-0.2	3.11E+04	0.0	0.0
13	TR	Teplota rovnoměrná	Q	0	0.0	7.59E+04	0.0	0.0	6.24E+06	0.0	0.0	-1.78E+07	0.0	0.0	0.0E+00	-	-	-	-	0.0	5.82E+04	0.0	0.0	0.0	3.11E+04	0.0	0.0
14	TN	Teplota nerovnoměrná	Q	0	-124.7	7.59E+04	-1.6	-7.5	6.24E+06	-1.2	35.7	-1.78E+07	-2.0	-4.9	0.0E+00	-	-	-	-	17.5	5.82E+04	0.3	0.3	-0.9	3.11E+04	0.0	0.0
15	FR	Třecí síly v ložiskách	Q	0	5.2	7.59E+04	0.1	-0.3	6.24E+06	0.0	0.1	-1.78E+07	0.0	0.0	0.0E+00	-	-	-	-	0.0	5.82E+04	0.0	0.0	0.0	3.11E+04	0.0	0.0
16	I	Imperfekce soustavy	Q	0	-25.7	7.59E+04	-0.3	-0.2	6.24E+06	0.0	-6.1	-1.78E+07	0.3	0.0	0.0E+00	-	-	-	-	-2.5	5.82E+04	0.0	0.0	-0.2	3.11E+04	0.0	0.0
27	ULS_LM	ULS - LM71 bez dynam	Q	0	0.0	7.59E+04	0.0	0.0	6.24E+06	0.0	0.0	-1.78E+07	0.0	0.0	0.0E+00	-	-	-	-	0.0	5.82E+04	0.0	0.0	0.0	3.11E+04	0.0	0.0
28	SLS_LM	SLS - LM71 bez dynam	Q	0	0.0	7.59E+04	0.0	0.0	6.24E+06	0.0	0.0	-1.78E+07	0.0	0.0	0.0E+00	-	-	-	-	0.0	5.82E+04	0.0	0.0	0.0	3.11E+04	0.0	0.0
29	ULS_C3	ULS - C3 bez dynam	Q	0	0.0	7.59E+04	0.0	0.0	6.24E+06	0.0	0.0	-1.78E+07	0.0	0.0	0.0E+00	-	-	-	-	0.0	5.82E+04	0.0	0.0	0.0	3.11E+04	0.0	0.0
30	SLS_C3	SLS - C3 bez dynam	Q	0	0.0	7.59E+04	0.0	0.0	6.24E+06	0.0	0.0	-1.78E+07	0.0	0.0	0.0E+00	-	-	-	-	0.0	5.82E+04	0.0	0.0	0.0	3.11E+04	0.0	0.0
		NAVÝŠENÍ NAPĚTÍ DO AKTIVACE TLAKU V DESCE MOSTOVKY				$\sigma_{P,red}$	0.0							0.0			0.0		0.0				-0.3	-0.3			-1.0	-1.0
		NAPĚTÍ OD PRIMÁRNÍCH ÚČINKŮ NEROVNOMĚRNÉHO OTEPLENÍ				σ_T	0.0							0.0														
		NAPĚTÍ OD REOLOGICKÝCH ÚČINKŮ BETONU V ČASE		t=0		σ_R	0.0	γ_f=	1.20					0.0														
		NAPĚTÍ V KRITICKÝCH VLÁKNECH OD KOMBINACE ZATÍŽENÍ				KZ03		[MPa]					$\Sigma\sigma_x$	-91.2									$\Sigma\tau_y$	-0.3				$\Sigma\tau_z$	-1.0
		NAPĚTÍ OD POHYBLIVÉHO ZATÍŽENÍ						[MPa]					$\sigma_{x,P}$	-48.6									τ_P	-0.3				τ_P	-0.3
		NAPĚTÍ OD OSTATNÍCH ZATÍŽENÍ						[MPa]			Φ_{Vy}	Φ_{Vz}	$\sigma_{x,rs}$	-42.6									τ_{rs}	0.0				τ_{rs}	-0.7
		NÁVRHOVÁ HODNOTA MEZE KLUZU S REDUKCÍ VLIVEM SMYKOVÉHO NAPĚTÍ						[MPa]			1.00	1.00	$f_{yv,d}$	191.7									$f_{yd}/3^{0,5}$	110.7				$f_{yd}/3^{0,5}$	110.7
		NAPĚTÍ OD POHYBLIVÉHO ZATÍŽENÍ V GLOBÁLNÍM SYSTÉMU				$\sigma_{GLOB,P}$	0.0	[MPa]					$\Sigma\sigma_{GLOB}$	0.0															
		NAPĚTÍ OD OSTATNÍCH ZATÍŽENÍ V GLOBÁLNÍM SYSTÉMU				$\sigma_{GLOB,rs}$	0.0	[MPa]					$\Sigma\sigma_x + \Sigma\sigma_{GLOB}$	-91.2															
		VYUŽITÍ PRŮŘEZU DLE NAPĚTÍ						[%]					η_1	0.48									η_3	0.00				η_3	0.01
		NAPĚTÍ V PŘÍČNÉM SMĚRU OD POHYBLIVÉHO ZATÍŽENÍ				$\sigma_{z,P}$	0.0	[MPa]					$\Sigma\sigma_z$	0.0															
		NAPĚTÍ V PŘÍČNÉM SMĚRU OD OSTATNÍCH ZATÍŽENÍ				$\sigma_{z,rs}$	0.0	[MPa]					η_2	0.00															
		SROVNÁVACÍ NAPĚTÍ											$(\eta_2 + 0,8\ \eta_1)/1,4$ =	0.27															
		VYUŽITÍ PRŮŘEZU CELKEM						[%]					eff	0.48	VYHOVUJE														
													z_{LM71} =	3.07															

VÝPOČET PRŮŘEZOVÝCH CHARAKTERISTIK

PRŮŘEZ: U1_1 **POPIS:** DOLNÍ PÁS - PŘÍHRADA 1 **x =** 118 - 3/4 **m**

DEFINOVÁNÍ PRŮŘEZU

PÁSNICE HORNÍHO LEVÉHO ÚHELNÍKU	b f.t.l.o =	0	mm			
TLOUŠŤKA PÁSNICE ÚHELNÍKU	t f.t.l.o =	0	mm	OSLABENÍ PÁSNICE - TLOUŠŤKA	Δt f.t.l.o =	0 %
VÝŠKA STĚNY ÚHELNÍKU	h w.t.l.o =	0	mm			
TLOUŠŤKA STĚNY ÚHELNÍKU	t w.t.l.o =	0	mm	OSLABENÍ STĚNY - TLOUŠŤKA	Δt w.t.l.o =	0 %
PÁSNICE HORNÍHO PRAVÉHO ÚHELNÍKU	b f.t.r.o =	0	mm			
TLOUŠŤKA PÁSNICE ÚHELNÍKU	t f.t.r.o =	0	mm	OSLABENÍ PÁSNICE - TLOUŠŤKA	Δt f.t.r.o =	0 %
VÝŠKA STĚNY ÚHELNÍKU	h w.t.r.o =	0	mm			
TLOUŠŤKA STĚNY ÚHELNÍKU	t w.t.r.o =	0	mm	OSLABENÍ STĚNY - TLOUŠŤKA	Δt w.t.r.0 =	0 %
PÁSNICE DOLNÍHO LEVÉHO ÚHELNÍKU	b f.b.l.o =	110	mm			
TLOUŠŤKA PÁSNICE ÚHELNÍKU	t f.b.l.o =	14	mm	OSLABENÍ PÁSNICE - TLOUŠŤKA	Δt f.b.l.o =	20 %
VÝŠKA STĚNY ÚHELNÍKU	h w.b.l.o =	96	mm			
TLOUŠŤKA STĚNY ÚHELNÍKU	t w.b.l.o =	14	mm	OSLABENÍ STĚNY - TLOUŠŤKA	Δt w.b.l.o =	5 %
PÁSNICE DOLNÍHO PRAVÉHO ÚHELNÍKU	b f.b.r.o =	110	mm			
TLOUŠŤKA PÁSNICE ÚHELNÍKU	t f.b.r.o =	14	mm	OSLABENÍ PÁSNICE - TLOUŠŤKA	Δt f.b.r.o =	20 %
VÝŠKA STĚNY ÚHELNÍKU	h w.b.r.o =	96	mm			
TLOUŠŤKA STĚNY ÚHELNÍKU	t w.b.r.o =	14	mm	OSLABENÍ STĚNY - TLOUŠŤKA	Δt w.b.r.o =	5 %
PÁSNICE HORNÍHO LEVÉHO ÚHELNÍKU	b f.t.l.i =	0	mm			
TLOUŠŤKA PÁSNICE ÚHELNÍKU	t f.t.l.i =	0	mm	OSLABENÍ PÁSNICE - TLOUŠŤKA	Δt f.t.l.i =	0 %
VÝŠKA STĚNY ÚHELNÍKU	h w.t.l.i =	0	mm			
TLOUŠŤKA STĚNY ÚHELNÍKU	t w.t.l.i =	0	mm	OSLABENÍ STĚNY - TLOUŠŤKA	Δt w.t.l.i =	0 %
PÁSNICE HORNÍHO PRAVÉHO ÚHELNÍKU	b f.t.r.i =	0	mm			
TLOUŠŤKA PÁSNICE ÚHELNÍKU	t f.t.r.i =	0	mm	OSLABENÍ PÁSNICE - TLOUŠŤKA	Δt f.t.r.i =	0 %
VÝŠKA STĚNY ÚHELNÍKU	h w.t.r.i =	0	mm			
TLOUŠŤKA STĚNY ÚHELNÍKU	t w.t.r.i =	0	mm	OSLABENÍ STĚNY - TLOUŠŤKA	Δt w.t.r.i =	0 %
PÁSNICE DOLNÍHO LEVÉHO ÚHELNÍKU	b f.b.l.i =	110	mm			
TLOUŠŤKA PÁSNICE ÚHELNÍKU	t f.b.l.i =	14	mm	OSLABENÍ PÁSNICE - TLOUŠŤKA	Δt f.b.l.i =	20 %
VÝŠKA STĚNY ÚHELNÍKU	h w.b.l.i =	96	mm			
TLOUŠŤKA STĚNY ÚHELNÍKU	t w.b.l.i =	14	mm	OSLABENÍ STĚNY - TLOUŠŤKA	Δt w.b.l.i =	5 %
PÁSNICE DOLNÍHO PRAVÉHO ÚHELNÍKU	b f.b.r.i =	110	mm			
TLOUŠŤKA PÁSNICE ÚHELNÍKU	t f.b.r.i =	14	mm	OSLABENÍ PÁSNICE - TLOUŠŤKA	Δt f.b.r.i =	20 %
VÝŠKA STĚNY ÚHELNÍKU	h w.b.r.i =	96	mm			
TLOUŠŤKA STĚNY ÚHELNÍKU	t w.b.r.i =	14	mm	OSLABENÍ STĚNY - TLOUŠŤKA	Δt w.b.r.i =	5 %
ŠÍŘKA HORNÍ PÁSNICE	b f.t =	0	mm			
TLOUŠŤKA HORNÍ PÁSNICE	t f.t =	0	mm	OSLABENÍ HORNÍ PÁSNICE	Δt f.t =	0 %
PŘESAH HORNÍ PÁSNICE	o f.t =	0	mm	(nepoužito - pásnice symetrická k ose průřezu)		
SVĚTLÁ VZDÁLENOST MEZI STĚNAMI	l w =	416	mm			
VÝŠKA STĚNY	h w =	560	mm	OSLABENÍ LEVÉ STĚNY	Δt w.l =	0 %
TLOUŠŤKA STĚNY	t w =	24	mm	OSLABENÍ PRAVÉ STĚNY	Δt w.r =	0 %
ŠÍŘKA DOLNÍ LEVÉ PÁSNICE	b f.b.l =	0	mm			
TLOUŠŤKA DOLNÍ LEVÉ PÁSNICE	t f.b.l =	0	mm	OSLABENÍ DOLNÍ PÁSNICE	Δt f.b.l =	0 %
PŘESAH DOLNÍ LEVÉ PÁSNICE	o f.b.l =	0	mm	(nepoužito - pásnice symetrická k ose levé stěny)		
ŠÍŘKA DOLNÍ PRAVÉ PÁSNICE	b f.b.r =	0	mm			
TLOUŠŤKA DOLNÍ PRAVÉ PÁSNICE	t f.b.r =	0	mm	OSLABENÍ DOLNÍ PÁSNICE	Δt f.b.r =	0 %
PŘESAH DOLNÍ PRAVÉ PÁSNICE	o f.b.r =	0	mm	(nepoužito - pásnice symetrická k ose pravé stěny)		

NÝT Č.	SKUPINA	ŘEZ	RED.	VELIKOST di [mm]	POLOHA ei [mm]	POPIS	AKTIVITA OTVORU	NAPĚTÍ sc [MPa]
1		-	1.00	0	42	nýt - f.t.l	1	-
2		-	1.00	0	40	nýt - f.t.l - úhelník	1	-
3		-	1.00	0	40	nýt - f.t.l - úhelník	1	-
4		-	1.00	0	-50	nýt - f.t.l	1	-
5		-	1.00	0	50	nýt - f.t.r	1	-
6		-	1.00	0	40	nýt - f.t.r - úhelník	1	-
7		-	1.00	0	40	nýt - f.t.r - úhelník	1	-
8		-	1.00	0	42	nýt - f.t.r	1	-
9		-	1.00	22	45	nýt - w.l - úhelník	1	49.91
10		-	1.00	22	45	nýt - w.p - úhelník	1	69.94
11		-	1.00	22	425	nýt - w.l	1	19.56
12		-	1.00	22	425	nýt - w.p	1	39.60
13		-	1.00	22	335	nýt - w.l	1	-10.78
14		-	1.00	22	335	nýt - w.p	1	9.25
15		-	1.00	22	245	nýt - w.l	0	-41.12
16		-	1.00	22	245	nýt - w.p	0	-21.09
17		-	1.00	22	155	nýt - w.l	0	-71.46
18		-	1.00	22	155	nýt - w.p	0	-51.43
19		-	1.00	22	45	nýt - w.l - úhelník	0	-109.70
20		-	1.00	22	45	nýt - w.p - úhelník	0	-87.36
21		-	1.00	0	42	nýt - f.b.l	0	-
22		-	1.00	0	65	nýt - f.b.l - úhelník	0	-
23		-	1.00	0	65	nýt - f.b.l - úhelník	0	-
24		-	1.00	0	42	nýt - f.b.l	0	-
25		-	1.00	0	42	nýt - f.b.r	0	-
26		-	1.00	0	65	nýt - f.b.r - úhelník	0	-
27		-	1.00	0	65	nýt - f.b.r - úhelník	0	-
28		-	1.00	0	42	nýt - f.b.r	0	-
29		-	1.00					-
30		-	1.00					-

ZADÁNÍ ČÁSTÍ PRŮŘEZU:

č.prvku	b [mm]	h [mm]	y_0 [mm]	z_0 [mm]	popis části	druh oslabení	lokální ultimate	boulení servic.
1	0.0	0.0	-232.0	560.0	pásnice	0	1.000	1.000
2	0.0	0.0	-232.0	560.0	stěna	0	1.000	1.000
3	0.0	0.0	232.0	560.0	pásnice	0	1.000	1.000
4	0.0	0.0	232.0	560.0	stěna	0	1.000	1.000
5	110.0	11.2	-287.0	5.6	pásnice	0	1.000	1.000
6	13.3	96.0	-238.7	59.2	stěna	0	1.000	1.000
7	110.0	11.2	287.0	5.6	pásnice	0	1.000	1.000
8	13.3	96.0	238.7	59.2	stěna	0	1.000	1.000
9	0.0	0.0	0.0	560.0	pásnice	0	1.000	1.000
10	24.0	560.0	-220.0	280.0	stěna	0	1.000	1.000
11	24.0	560.0	220.0	280.0	stěna	0	1.000	1.000
12	0.0	0.0	-208.0	560.0	pásnice	0	1.000	1.000
13	0.0	0.0	-208.0	560.0	stěna	0	1.000	1.000
14	0.0	0.0	208.0	560.0	pásnice	0	1.000	1.000
15	0.0	0.0	208.0	560.0	stěna	0	1.000	1.000
16	110.0	11.2	-153.0	5.6	pásnice	0	1.000	1.000
17	13.3	96.0	-201.4	59.2	stěna	0	1.000	1.000
18	110.0	11.2	153.0	5.6	pásnice	0	1.000	1.000
19	13.3	96.0	201.4	59.2	stěna	0	1.000	1.000
20						0	1.000	1.000
21						0	1.000	1.000
22						0	1.000	1.000
23	0.0	0.0	-220.0	0.0	pásnice	0	1.000	1.000
24	0.0	0.0	220.0	0.0	pásnice	0	1.000	1.000
25						0	1.000	1.000
26						0	1.000	1.000
27						0	1.000	1.000
28						0	1.000	1.000
29						0	1.000	1.000
30						0	1.000	1.000
31						0	1.000	1.000
32						0	1.000	1.000
33						0	1.000	1.000
34						0	1.000	1.000
35						0	1.000	1.000
36						0	1.000	1.000
37						0	1.000	1.000
38						0	1.000	1.000
39						0	1.000	1.000
40						0	1.000	1.000
41						0	1.000	1.000
42						0	1.000	1.000
43						0	1.000	1.000
44						0	1.000	1.000
45						0	1.000	1.000
46						0	1.000	1.000
47						0	1.000	1.000
48						0	1.000	1.000
49						0	1.000	1.000
50						0	1.000	1.000
51	0.0	0.0	0	0	nýt - pásnice	0	1.000	1.000
52	0.0	0.0	0	0	nýt - pásnice	0	1.000	1.000
53	0.0	0.0	0	0	nýt - pásnice	0	1.000	1.000
54	0.0	0.0	0	0	nýt - pásnice	0	1.000	1.000
55	0.0	0.0	0	0	nýt - pásnice	0	1.000	1.000
56	0.0	0.0	0	0	nýt - pásnice	0	1.000	1.000
57	0.0	0.0	0	0	nýt - pásnice	0	1.000	1.000
58	0.0	0.0	0	0	nýt - pásnice	0	1.000	1.000
59	24.0	-22.0	-220.0	515.0	nýt - stěna	0	1.000	1.000
60	24.0	-22.0	220.0	515.0	nýt - stěna	0	1.000	1.000
61	24.0	-22.0	-220.0	425.0	nýt - stěna	0	1.000	1.000
62	24.0	-22.0	220.0	425.0	nýt - stěna	0	1.000	1.000
63	24.0	-22.0	-220.0	335.0	nýt - stěna	0	1.000	1.000
64	24.0	-22.0	220.0	335.0	nýt - stěna	0	1.000	1.000
65	0	0	-220.0	245.0	nýt - stěna	0	1.000	1.000
66	0	0	220.0	245.0	nýt - stěna	0	1.000	1.000
67	0	0	-220.0	155.0	nýt - stěna	0	1.000	1.000
68	0	0	220.0	155.0	nýt - stěna	0	1.000	1.000
69	0	0	-245.3	45.0	nýt - stěna	0	1.000	1.000
70	0	0	245.3	45.0	nýt - stěna	0	1.000	1.000
71	0	0	0	0	nýt - pásnice	0	1.000	1.000
72	0	0	0	0	nýt - pásnice	0	1.000	1.000
73	0	0	0	0	nýt - pásnice	0	1.000	1.000
74	0	0	0	0	nýt - pásnice	0	1.000	1.000
75	0	0	0	0	nýt - pásnice	0	1.000	1.000
76	0	0	0	0	nýt - pásnice	0	1.000	1.000
77	0	0	0	0	nýt - pásnice	0	1.000	1.000
78	0	0	0	0	nýt - pásnice	0	1.000	1.000
79						0	1.000	1.000
80						0	1.000	1.000
81								
82								
83								
84								
85								
86								
87								
88								
89								
90								
91								
92								
93								
94								
95								
96								
97								
98								
99								
100								

VÝPOČET PRŮŘEZOVÝCH CHARAKTERISTIK

Properties	Basic	Ultimate		Serviceability	
y_t	0.0	0.0		0.0	[mm]
z_t	192.9	192.9		192.9	[mm]
A_i	3.3747E+04	3.3747E+04		3.3747E+04	[mm²]
A_t	4.9280E+03	4.9280E+03		4.9280E+03	[mm²]
A_b	2.8819E+04	2.8819E+04		2.8819E+04	[mm²]
I_{y1}	9.8664E+08	9.8664E+08		9.8664E+08	[mm⁴]
I_w	2.4952E+08	2.4952E+08		2.4952E+08	[mm⁶]
i_y	171.0	171.0		171.0	[mm]
i_z	86.0	86.0		86.0	[mm]
$W_{y,1}$	2.6877E+06	2.6877E+06		2.6877E+06	[mm³]
$W_{z,1}$	-1.0755E+06	-1.0755E+06		-1.0755E+06	[mm³]
$W_{y,2}$	-5.1147E+06	-5.1147E+06		-5.1147E+06	[mm³]
$W_{z,2}$	-7.2958E+05	-7.2958E+05		-7.2958E+05	[mm³]
KRAJNÍ VLÁKNA PRŮŘEZU					
y_1	-232.0	-232.0		-232.0	[mm]
z_1	560.0	560.0		560.0	[mm]
y_2	-342.0	-342.0		-342.0	[mm]
z_2	0.0	0.0		0.0	[mm]
y_3	232.0	232.0		232.0	[mm]
z_3	560.0	560.0		560.0	[mm]
y_4	342.0	342.0		342.0	[mm]
z_4	0.0	0.0		0.0	[mm]
y_5	-232.0	-232.0		-232.0	[mm]
z_5	560.0	560.0		560.0	[mm]
y_6	-232.0	-232.0		-232.0	[mm]
z_6	0.0	0.0		0.0	[mm]

ÚPRAVA MOMENTŮ SETRVAČNOSTI V DŮSLEDKU ČLENĚNÍ PRŮŘEZU

OSA Y 1.00
OSA Z 0.15

SCHÉMA PROMĚNNÝCH

SCHÉMA ZADANÉHO PRŮŘEZU

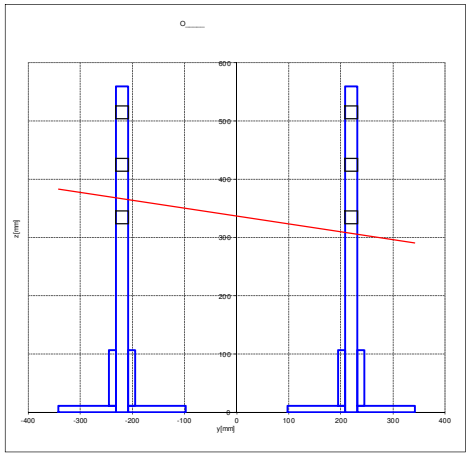

NEUTRÁLNÁ OSA

NAPĚTÍ [MPa]:

59.52	90.66
-129.27	-98.13

ZS: SLS_LM_MY MIN

	N [kN]	Vy [kN]	Vz [kN]	Mx [kNm]	My [kNm]	Mz [kNm]
import	-1642	10	169	0	-333	-11

TR_U1 POPIS: **DOLNÍ PÁS U1** POSUDEK: **U1**

SKUPINA ZAT. STAVŮ	EXTRÉM	VYHODNOCOVANÉ VELIČINY					
		N	Vy	Vz	Mx	My	Mz
		kN	kN	kN	kNm	kNm	kNm
G0	N.min	**-29.45**	0.98	21.36	0.01	-20.96	-0.98
	N.max	**-29.45**	0.98	21.36	0.01	-20.96	-0.98
	Vy.min	-29.45	**0.98**	21.36	0.01	-20.96	-0.98
	Vy.max	-29.45	**0.98**	21.36	0.01	-20.96	-0.98
	Vz.min	-29.45	0.98	**21.36**	0.01	-20.96	-0.98
	Vz.max	-29.45	0.98	**21.36**	0.01	-20.96	-0.98
	Mx.min	-29.45	0.98	21.36	**0.01**	-20.96	-0.98
	Mx.max	-29.45	0.98	21.36	**0.01**	-20.96	-0.98
	My.min	-29.45	0.98	21.36	0.01	**-20.96**	-0.98
	My.max	-29.45	0.98	21.36	0.01	**-20.96**	-0.98
	Mz.min	-29.45	0.98	21.36	0.01	-20.96	**-0.98**
	Mz.max	-29.45	0.98	21.36	0.01	-20.96	**-0.98**
G1	N.min	**-2.13**	0.04	1.17	0	-1.64	-0.08
	N.max	**-2.13**	0.04	1.17	0	-1.64	-0.08
	Vy.min	-2.13	**0.04**	1.17	0	-1.64	-0.08
	Vy.max	-2.13	**0.04**	1.17	0	-1.64	-0.08
	Vz.min	-2.13	0.04	**1.17**	0	-1.64	-0.08
	Vz.max	-2.13	0.04	**1.17**	0	-1.64	-0.08
	Mx.min	-2.13	0.04	1.17	**0**	-1.64	-0.08
	Mx.max	-2.13	0.04	1.17	**0**	-1.64	-0.08
	My.min	-2.13	0.04	1.17	0	**-1.64**	-0.08
	My.max	-2.13	0.04	1.17	0	**-1.64**	-0.08
	Mz.min	-2.13	0.04	1.17	0	-1.64	**-0.08**
	Mz.max	-2.13	0.04	1.17	0	-1.64	**-0.08**
G2	N.min	**-1.14**	-0.04	0.85	0	-1.19	-0.11
	N.max	**-1.14**	-0.04	0.85	0	-1.19	-0.11
	Vy.min	-1.14	**-0.04**	0.85	0	-1.19	-0.11
	Vy.max	-1.14	**-0.04**	0.85	0	-1.19	-0.11
	Vz.min	-1.14	-0.04	**0.85**	0	-1.19	-0.11
	Vz.max	-1.14	-0.04	**0.85**	0	-1.19	-0.11
	Mx.min	-1.14	-0.04	0.85	**0**	-1.19	-0.11
	Mx.max	-1.14	-0.04	0.85	**0**	-1.19	-0.11
	My.min	-1.14	-0.04	0.85	0	**-1.19**	-0.11
	My.max	-1.14	-0.04	0.85	0	**-1.19**	-0.11
	Mz.min	-1.14	-0.04	0.85	0	-1.19	**-0.11**
	Mz.max	-1.14	-0.04	0.85	0	-1.19	**-0.11**
P1_71	N.min	**-2.46**	-0.11	0.3	-0.02	-0.44	0.04
	N.max	**148.17**	0.63	-3.14	0.04	14.03	-0.79
	Vy.min	118.81	**-0.55**	-4.01	0	12.67	-0.98
	Vy.max	24.17	**1.68**	2.68	0.06	-0.68	0.62
	Vz.min	131.18	-0.34	**-5.28**	0	14.36	-1.2
	Vz.max	17.08	1.46	**3.82**	0.05	-1.86	0.76
	Mx.min	111.37	-0.36	-2.95	**-0.03**	10.98	-1.24
	Mx.max	12.86	1.36	2.52	**0.07**	-1.67	0.87
	My.min	5.25	1.52	3.28	0.05	**-2.33**	0.84
	My.max	142.23	-0.41	-4.9	0	**15.02**	-1.28
	Mz.min	137.63	-0.29	-4.54	-0.01	14.73	**-1.38**
	Mz.max	9.97	1.46	2.72	0.07	-1.99	**0.92**
P2_71	N.min	**-222.23**	1.74	34.23	0.03	-61.11	-0.29
	N.max	**1.18**	0	-0.09	0	0.21	0
	Vy.min	-27.74	**-0.57**	3.46	-0.03	-7.22	0.06
	Vy.max	-174.63	**3.07**	31.58	0.06	-51.13	0
	Vz.min	-7.73	-0.35	**-0.39**	-0.02	-1.03	0.03
	Vz.max	-208.51	2.8	**37.06**	0.05	-60.15	-0.01
	Mx.min	-179.65	0.02	25.4	**-0.05**	-46.04	-1.11
	Mx.max	-40.82	2.32	10.25	**0.09**	-15.61	1.15
	My.min	-217.63	2.76	36.47	0.06	**-61.94**	0.03
	My.max	-1.64	-0.3	-0.29	-0.02	**0.25**	-0.01
	Mz.min	-172.47	0.33	24.97	-0.02	-45.45	**-1.29**
	Mz.max	-39.54	2.48	11.56	0.08	-15.93	**1.3**
P1_C3	N.min	**-3.02**	-0.17	0.27	-0.02	-0.46	0.04
	N.max	**126.77**	0.81	-1.67	0.04	11.56	-0.59
	Vy.min	102.47	**-0.6**	-3.33	-0.02	10.99	-0.91
	Vy.max	26.98	**1.25**	1.69	0.05	0.21	0.41
	Vz.min	112.18	-0.37	**-4.71**	0.01	12.28	-0.94
	Vz.max	15.63	1.14	**3.03**	0.04	-1.21	0.49
	Mx.min	101.11	-0.4	-2.54	**-0.03**	9.88	-1.12
	Mx.max	9.23	0.98	1.76	**0.06**	-1.22	0.64
	My.min	2.43	0.92	2.26	0.02	**-1.8**	0.62
	My.max	120.2	-0.41	-4.21	0	**12.81**	-1.06
	Mz.min	117.43	-0.25	-3.76	-0.01	12.56	**-1.18**
	Mz.max	7.97	1.11	1.87	0.06	-1.36	**0.7**
P2_C3	N.min	**-192.54**	0.54	26.76	-0.03	-50.16	-0.54
	N.max	**1.38**	-0.01	-0.11	0	0.24	-0.01
	Vy.min	-24.49	**-0.7**	2.23	-0.04	-5.75	0.03
	Vy.max	-152.11	**2.36**	26.88	0.05	-43.98	-0.31
	Vz.min	-15.93	-0.58	**-0.69**	-0.03	-2.33	0.07
	Vz.max	-185.15	2.02	**32.59**	0.03	-52.9	-0.21
	Mx.min	-171.65	0.13	25.91	**-0.06**	-45.02	-0.86
	Mx.max	-33.54	1.79	8.63	**0.07**	-12.9	0.85
	My.min	-188.6	2.08	30.78	0.04	**-52.96**	-0.15
	My.max	-3	-0.48	-0.43	-0.04	**0.32**	-0.01
	Mz.min	-147.38	0.28	21.91	-0.02	-39.28	**-1.1**
	Mz.max	-28.99	1.81	7.9	0.06	-11.4	**0.96**
BR	N.min	**-1159.61**	3.14	87.5	0.04	-196.25	-1.99
	N.max	**1159.61**	-3.14	-87.5	-0.04	196.25	1.99
	Vy.min	1159.61	**-3.14**	-87.5	-0.04	196.25	1.99
	Vy.max	-1159.61	**3.14**	87.5	0.04	-196.25	-1.99
	Vz.min	1159.61	-3.14	**-87.5**	-0.04	196.25	1.99
	Vz.max	-1159.61	3.14	**87.5**	0.04	-196.25	-1.99
	Mx.min	1159.61	-3.14	-87.5	**-0.04**	196.25	1.99
	Mx.max	-1159.61	3.14	87.5	**0.04**	-196.25	-1.99
	My.min	-1159.61	3.14	87.5	0.04	**-196.25**	-1.99
	My.max	1159.61	-3.14	-87.5	-0.04	**196.25**	1.99
	Mz.min	-1159.61	3.14	87.5	0.04	-196.25	**-1.99**
	Mz.max	1159.61	-3.14	-87.5	-0.04	196.25	**1.99**

TR_U1 POPIS: **DOLNÍ PÁS U1** POSUDEK: **U1**

SKUPINA ZAT. STAVŮ	EXTRÉM	VYHODNOCOVANÉ VELIČINY					
		N	Vy	Vz	Mx	My	Mz
		kN	kN	kN	kNm	kNm	kNm
S	N.min	**-30.01**	-2.2	-0.63	-0.02	-0.27	2.44
	N.max	**30.01**	2.2	0.63	0.02	0.27	-2.44
	Vy.min	-30.01	**-2.2**	-0.63	-0.02	-0.27	2.44
	Vy.max	30.01	**2.2**	0.63	0.02	0.27	-2.44
	Vz.min	23.12	-0.99	**-3.52**	-0.01	6.34	1.99
	Vz.max	-23.12	0.99	**3.52**	0.01	-6.34	-1.99
	Mx.min	-27.39	-1.67	0.31	**-0.02**	-1.34	1.4
	Mx.max	27.39	1.67	-0.31	**0.02**	1.34	-1.4
	My.min	-23.12	0.99	3.52	0.01	**-6.34**	-1.99
	My.max	23.12	-0.99	-3.52	-0.01	**6.34**	1.99
	Mz.min	13.37	1.25	1.94	0.01	-2.09	**-2.7**
	Mz.max	-13.37	-1.25	-1.94	-0.01	2.09	**2.7**
CH	N.min	**-2**	-0.22	2.08	-0.01	-2.87	-0.35
	N.max	**19.52**	-0.05	-1.23	0	2.84	-0.23
	Vy.min	12.76	**-0.26**	0.69	-0.01	0.03	-0.31
	Vy.max	19.52	**-0.05**	-1.23	0	2.84	-0.23
	Vz.min	19.52	-0.05	**-1.23**	0	2.84	-0.23
	Vz.max	-2	-0.22	**2.08**	-0.01	-2.87	-0.35
	Mx.min	-2	-0.22	2.08	**-0.01**	-2.87	-0.35
	Mx.max	19.52	-0.05	-1.23	**0**	2.84	-0.23
	My.min	-2	-0.22	2.08	-0.01	**-2.87**	-0.35
	My.max	19.52	-0.05	-1.23	0	**2.84**	-0.23
	Mz.min	-2	-0.22	2.08	-0.01	-2.87	**-0.35**
	Mz.max	19.52	-0.05	-1.23	0	2.84	**-0.23**
W	N.min	**-55.8**	4.66	10.16	0.05	-17.88	-4.1
	N.max	**56.06**	-4.67	-10.16	-0.05	17.88	4.09
	Vy.min	56.06	**-4.67**	-10.16	-0.05	17.88	4.09
	Vy.max	-55.8	**4.66**	10.16	0.05	-17.88	-4.1
	Vz.min	56.06	-4.67	**-10.16**	-0.05	17.88	4.09
	Vz.max	-55.8	4.66	**10.16**	0.05	-17.88	-4.1
	Mx.min	56.06	-4.67	-10.16	**-0.05**	17.88	4.09
	Mx.max	-55.8	4.66	10.16	**0.05**	-17.88	-4.1
	My.min	-55.8	4.66	10.16	0.05	**-17.88**	-4.1
	My.max	56.06	-4.67	-10.16	-0.05	**17.88**	4.09
	Mz.min	-55.8	4.66	10.16	0.05	-17.88	**-4.1**
	Mz.max	56.06	-4.67	-10.16	-0.05	17.88	**4.09**
WP	N.min	**-78.01**	4.29	13.85	0.05	-24.53	-7.42
	N.max	**78.42**	-4.28	-13.88	-0.04	24.58	7.41
	Vy.min	78.42	**-4.28**	-13.88	-0.04	24.58	7.41
	Vy.max	-78.01	**4.29**	13.85	0.05	-24.53	-7.42
	Vz.min	78.42	-4.28	**-13.88**	-0.04	24.58	7.41
	Vz.max	-78.01	4.29	**13.85**	0.05	-24.53	-7.42
	Mx.min	78.42	-4.28	-13.88	**-0.04**	24.58	7.41
	Mx.max	-78.01	4.29	13.85	**0.05**	-24.53	-7.42
	My.min	-78.01	4.29	13.85	0.05	**-24.53**	-7.42
	My.max	78.42	-4.28	-13.88	-0.04	**24.58**	7.41
	Mz.min	-78.01	4.29	13.85	0.05	-24.53	**-7.42**
	Mz.max	78.42	-4.28	-13.88	-0.04	24.58	**7.41**
TR	N.min	**0**	0	0	0	0	0
	N.max	**0**	0	0	0	0	0
	Vy.min	0	**0**	0	0	0	0
	Vy.max	0	**0**	0	0	0	0
	Vz.min	0	0	**0**	0	0	0
	Vz.max	0	0	**0**	0	0	0
	Mx.min	0	0	0	**0**	0	0
	Mx.max	0	0	0	**0**	0	0
	My.min	0	0	0	0	**0**	0
	My.max	0	0	0	0	**0**	0
	Mz.min	0	0	0	0	0	**0**
	Mz.max	0	0	0	0	0	**0**
TN	N.min	**-10.84**	-0.01	-1.31	0	-8.5	-1.38
	N.max	**5.42**	-0.21	2.58	0	6.3	0.21
	Vy.min	5.42	**-0.21**	2.58	0	6.3	0.21
	Vy.max	-5.42	**0.21**	-2.58	0	-6.3	-0.21
	Vz.min	-5.42	0.21	**-2.58**	0	-6.3	-0.21
	Vz.max	5.42	-0.21	**2.58**	0	6.3	0.21
	Mx.min	5.42	-0.21	2.58	**0**	6.3	0.21
	Mx.max	-5.42	0.21	-2.58	**0**	-6.3	-0.21
	My.min	-10.84	-0.01	-1.31	0	**-8.5**	-1.38
	My.max	5.42	-0.21	2.58	0	**6.3**	0.21
	Mz.min	-10.84	-0.01	-1.31	0	-8.5	**-1.38**
	Mz.max	3.83	-0.02	-1.14	0	1.92	**1.15**
FR	N.min	**-106.4**	0.04	7.29	0	-17.42	-0.02
	N.max	**106.4**	-0.04	-7.29	0	17.42	0.02
	Vy.min	106.4	**-0.04**	-7.29	0	17.42	0.02
	Vy.max	-106.4	**0.04**	7.29	0	-17.42	-0.02
	Vz.min	106.4	-0.04	**-7.29**	0	17.42	0.02
	Vz.max	-106.4	0.04	**7.29**	0	-17.42	-0.02
	Mx.min	106.4	-0.04	-7.29	**0**	17.42	0.02
	Mx.max	-106.4	0.04	7.29	**0**	-17.42	-0.02
	My.min	-106.4	0.04	7.29	0	**-17.42**	-0.02
	My.max	106.4	-0.04	-7.29	0	**17.42**	0.02
	Mz.min	-106.4	0.04	7.29	0	-17.42	**-0.02**
	Mz.max	106.4	-0.04	-7.29	0	17.42	**0.02**
I	N.min	**-7.81**	0.53	1.25	0.01	-2.25	**-0.24**
	N.max	**7.81**	-0.53	-1.25	-0.01	2.25	**0.24**
	Vy.min	7.81	**-0.53**	-1.25	-0.01	2.25	**0.24**
	Vy.max	-7.81	**0.53**	1.25	0.01	-2.25	**-0.24**
	Vz.min	7.81	-0.53	**-1.25**	-0.01	2.25	**0.24**
	Vz.max	-7.81	0.53	**1.25**	0.01	-2.25	**-0.24**
	Mx.min	7.81	-0.53	-1.25	**-0.01**	2.25	**0.24**
	Mx.max	-7.81	0.53	1.25	**0.01**	-2.25	**-0.24**
	My.min	-7.81	0.53	1.25	0.01	**-2.25**	**-0.24**
	My.max	7.81	-0.53	-1.25	-0.01	**2.25**	**0.24**
	Mz.min	-7.81	0.53	1.25	0.01	-2.25	**-0.24**
	Mz.max	7.81	-0.53	-1.25	-0.01	2.25	**0.24**

TAB. U1.3 POSOUZENÍ - MEZNÍ STAV ÚNOSNOSTI

POPIS	DOLNÍ PÁS U1
PRUT / POLOHA BODU	118 / 3/4
NAMÁHÁNÍ	My.min
VLÁKNO	BOD K1 -HL
MEZNÍ STAV	ULS (MSÚ)
VYUŽITÍ VLÁKNA PRŮŘEZU	0.52

Charakteristiky materiálu				
pás. horní	$f_{yf,k}$	230	MPa	
pás. dolní	$f_{yf,k}$	230	MPa	
stojina	$f_{yw,k}$	230	MPa	
výztuž	$f_{ys,k}$	500	MPa	
	γ_M =	1.20	γ_s =	1.15

Excentricita normálové síly				
Exc./Fáze	0	1	2	3
e_y	0.000	0.000	0.000	0.000
e_z	0.000	0.000	0.000	0.000
Ekvivalentní vzdál. stěn - příčný roznos				
b_{Mx}	0.000	0.000	0.000	0.000

Vliv stěny na únosnost průřezu				
Char./Fáze	0	1	2	3
A	0.00	0.00	0.00	0.00
Wy	0.00	0.00	0.00	0.00
Wz	0.00	0.00	0.00	0.00

Charakter. v kroucení			
$t_{w,y}$	0.000	[mm]	
$t_{w,z}$	0.000	[mm]	
κ	1.00		
I_t=	0.00E+00	[mm^4]	
$\Omega=2*A_{pr}$	0.00E+00	[mm^2]	

Součinitele vzpěru a vlivu II.řádu				
Char./Fáze	0	1	2	3
k_y	1.000	1.000	1.000	1.000
k_z	1.000	1.000	1.000	1.000
χ_{LT}	1.000	1.000	1.000	1.000
χ_{min}	0.848	1.000	1.000	1.000

Vnitřní síly od jednotlivých skupin zatěžovacích stavů

SKUPINA ZATĚŽOVACÍCH STAVŮ — 3

Č.	SKUP ZS	POPIS ZS	KAT.	FÁZE PRŮŘ.	- CHARAKTERISTICKÉ HODNOTY N.k (kN)	Vy.k (kN)	Vz.k (kN)	Mx.k (kNm)	My.k (kNm)	Mz.k (kNm)	DÍLČÍ SOUČINITELÉ ZATÍŽENÍ, DYNAMICKÝ SOUČINITEL γ_{or} (-)	γ_{Q} (-)	volba γ_{Q} hledat	ψ_i (-)	L_d (m)	δ (-)	Ψ_z KZ03	- NÁVRHOVÉ HODNOTY N.d (kN)	Vy.d (kN)	Vz.d (kN)	ΔVz.d (kN)	ΣVz.d (kN)	Mx.d (kNm)	My.d (kNm)	ΔMy.d (kNm)	ΣMy.d (kNm)	Mz.d (kNm)	ΔMz.d (kNm)	ΣMz.d (kNm)
1	G0	Vlastní tíha OK	G	0	-29	1	21	0	-21	-1	1.00	1.20		1.20	-	1.00	0.95	-34	1	24	0	24	0	-24	0	-24	-1	0	-1
2	G1	Ostatní stálé - mostní vybavení	G	0	-2	0	1	0	-2	0	1.00	1.20		1.20	-	1.00	0.95	-2	0	1	0	1	0	-2	0	-2	0	0	0
3	G2	Ostatní stálé - cizí zařízení	G	0	-1	0	1	0	-1	0	1.00	1.20		1.20	-	1.00	0.95	-1	0	1	0	1	0	-1	0	-1	0	0	0
4	P1_71	a.LM71 - kolej 1 (bez dyn. souč.)	P	0	5	2	3	0	-2	1	1.00	1.30		1.30	-	1.00	1.00	7	2	4	0	4	0	-3	0	-3	1	0	1
5	P2_71	a.LM71 - kolej 2 (bez dyn. souč.)	P	0	-218	3	36	0	-62	0	1.00	1.30		1.30	-	1.00	1.00	-283	4	47	0	47	0	-81	0	-81	0	0	0
6	P1_C3	TTZ C3 - kolej 1 (bez dyn. souč.)	P	0	2	1	2	0	-2	1	1.00	vyp.		0.00	-	1.00	0.00	0	0	0	0	0	0	0	0	0	0	0	0
7	P2_C3	TTZ C3 - kolej 2 (bez dyn. souč.)	P	0	-189	2	31	0	-53	0	1.00	vyp.		0.00	-	1.00	0.00	0	0	0	0	0	0	0	0	0	0	0	0
8	BR	Brzdné a rozjezdové síly	P	0	-1 160	3	88	0	-196	-2	1.00	1.30		1.30	-	1.00	0.80	-1 206	3	91	0	91	0	-204	0	-204	-2	0	-2
9	S	Boční ráz	P	0	-23	1	4	0	-6	-2	1.00	1.30		1.30	-	1.00	0.40	-12	1	2	0	2	0	-3	0	-3	-1	0	-1
10	CH	Chodci na lávkách	Q	0	-2	0	2	0	-3	0	1.00	1.30		1.30	-	1.00	1.00	-3	0	3	0	3	0	-4	0	-4	0	0	0
11	W	Vítr na konstrukci	Q	0	-56	5	10	0	-18	-4	1.00	1.35		1.35	-	1.00	0.75	-56	5	10	0	10	0	-18	0	-18	-4	0	-4
12	WP	Vítr na vozidla	Q	0	-78	4	14	0	-25	-7	1.00	1.35		1.35	-	1.00	0.75	-79	4	14	0	14	0	-25	0	-25	-8	0	-8
13	TR	Teplota rovnoměrná	Q	0	0	0	0	0	0	0	1.00	1.35		1.35	-	1.00	0.45	0	0	0	0	0	0	0	0	0	0	0	0
14	TN	Teplota nerovnoměrná	Q	0	-11	0	-1	0	-9	-1	1.00	1.35		1.35	-	1.00	0.60	-9	0	-1	0	-1	0	-7	0	-7	-1	0	-1
15	FR	Třecí síly v ložiskách	Q	0	-106	0	7	0	-17	0	1.00	1.20		1.20	-	1.00	1.00	-128	0	9	0	9	0	-21	0	-21	0	0	0
16	I	Imperfekce soustavy	Q	0	-8	1	1	0	-2	0	1.00	1.20		1.20	-	1.00	1.00	-9	1	2	0	1	0	-3	0	-3	0	0	0
27	ULS_LM	ULS - LM71 bez dynam	Q	0	-2 117	20	229	0	-447	-18	1.00	vyp.		0.00	-	1.00	0.00	0	0	0	0	0	0	0	0	0	0	0	0
28	SLS_LM	SLS - LM71 bez dynam	Q	0	-1 630	15	180	0	-342	-13	1.00	vyp.	1	0.00	-	1.00	0.00	0	0	0	0	0	0	0	0	0	0	0	0
29	ULS_C3	ULS - C3 bez dynam	Q	0	-2 082	18	220	0	-435	-18	1.00	vyp.	1	0.00	-	1.00	0.00	0	0	0	0	0	0	0	0	0	0	0	0
30	SLS_C3	SLS - C3 bez dynam	Q	0	-1 604	14	173	0	-333	-13	1.00	vyp.	1	0.00	-	1.00	0.00	0	0	0	0	0	0	0	0	0	0	0	0
		CELKEM - FÁZE PRŮŘEZU 0																-1 815	20	207	0	207	0	-395	0	-395	-17	0	-17
		CELKEM - FÁZE PRŮŘEZU 1																0	0	0	0	0	0	0	0	0	0	0	0
		CELKEM - FÁZE PRŮŘEZU 2																0	0	0	0	0	0	0	0	0	0	0	0
		CELKEM - FÁZE PRŮŘEZU 3																0	0	0	0	0	0	0	0	0	0	0	0
		CELKEM - PRŮŘEZ																-1 815	20	207	0	207	0			-395			-17

Napětí od jednotlivých zatěžovacích stavů

SKUPINA ZATĚŽOVACÍCH STAVŮ

Č.	SKUP ZS	Popis ZS	Kat.	fáze průř.	Posouzení normálového napětí — Účinek síly N δ^*N_d [kN]	χ^*A [mm^2]	σ_n [MPa]	Účinek momentu My $\delta^*M_{y,d}$ [kNm]	$\chi_{lt}*W_{el,y}$ [mm^3]	σ_{my} [MPa]	Účinek momentu Mz $\delta^*M_{z,d}$ [kNm]	$W_{el,z}$ [mm^3]	σ_{mz} [MPa]	σ_x [MPa]	Posouzení smykového napětí — Účinek kroutícího momentu Mx $\kappa*\delta^*M_{x,d}$ [kNm]	$W_{v,y}$ [mm^2]	$\tau_{x,y}$ [MPa]	$W_{v,z}$ [mm^2]	$\tau_{x,z}$ [MPa]	Účinek smykové síly Vy $\delta^*V_{y,d}$ [kN]	$A_{v,y}$ [mm2]	$\tau_{v,y}$ [MPa]	$\tau_{v,y}$ [MPa]	Účinek smykové síly Vz $\delta^*V_{z,d}$ [kN]	$A_{v,z}$ [mm2]	$\tau_{v,z}$ [MPa]	$\tau_{v,z}$ [MPa]
1	G0	Vlastní tíha OK	G	0	-33.6	2.86E+04	-1.2	-23.9	-2.69E+06	8.9	-1.1	-1.08E+06	1.0	8.8	1.1E-02	-	-	-	-	1.1	4.93E+03	0.2	0.2	24.4	2.88E+04	0.8	0.8
2	G1	Ostatní stálé - mostní vybavení	G	0	-2.4	2.86E+04	-0.1	-1.9	-2.69E+06	0.7	-0.1	-1.08E+06	0.1	0.7	0.0E+00	-	-	-	-	0.0	4.93E+03	0.0	0.0	1.3	2.88E+04	0.0	0.0
3	G2	Ostatní stálé - cizí zařízení	G	0	-1.3	2.86E+04	0.0	-1.4	-2.69E+06	0.5	-0.1	-1.08E+06	0.1	0.6	0.0E+00	-	-	-	-	0.0	4.93E+03	0.0	0.0	1.0	2.88E+04	0.0	0.0
4	P1_71	a.LM71 - kolej 1 (bez dyn. souč.)	P	0	6.8	2.86E+04	0.2	-3.0	-2.69E+06	1.1	1.1	-1.08E+06	-1.0	0.4	6.5E-02	-	-	-	-	2.0	4.93E+03	0.4	0.4	4.3	2.88E+04	0.1	0.1
5	P2_71	a.LM71 - kolej 2 (bez dyn. souč.)	P	0	-282.9	2.86E+04	-9.9	-80.5	-2.69E+06	30.0	0.0	-1.08E+06	0.0	20.0	7.8E-02	-	-	-	-	3.6	4.93E+03	0.7	0.7	47.4	2.88E+04	1.6	1.6
6	P1_C3	TTZ C3 - kolej 1 (bez dyn. souč.)	P	0	0.0	2.86E+04	0.0	0.0	-2.69E+06	0.0	0.0	-1.08E+06	0.0	0.0	0.0E+00	-	-	-	-	0.0	4.93E+03	0.0	0.0	0.0	2.88E+04	0.0	0.0
7	P2_C3	TTZ C3 - kolej 2 (bez dyn. souč.)	P	0	0.0	2.86E+04	0.0	0.0	-2.69E+06	0.0	0.0	-1.08E+06	0.0	0.0	0.0E+00	-	-	-	-	0.0	4.93E+03	0.0	0.0	0.0	2.88E+04	0.0	0.0
8	BR	Brzdné a rozjezdové síly	P	0	-1 206.0	2.86E+04	-42.1	-204.1	-2.69E+06	75.9	-2.1	-1.08E+06	1.9	35.7	4.2E-02	-	-	-	-	3.3	4.93E+03	0.7	0.7	91.0	2.88E+04	3.2	3.2
9	S	Boční ráz	P	0	-12.0	2.86E+04	-0.4	-3.3	-2.69E+06	1.2	-1.0	-1.08E+06	1.0	1.8	5.2E-03	-	-	-	-	0.5	4.93E+03	0.1	0.1	1.8	2.88E+04	0.1	0.1
10	CH	Chodci na lávkách	Q	0	-2.6	2.86E+04	-0.1	-3.7	-2.69E+06	1.4	-0.5	-1.08E+06	0.4	1.7	-1.3E-02	-	-	-	-	-0.3	4.93E+03	-0.1	-0.1	2.7	2.88E+04	0.1	0.1
11	W	Vítr na konstrukci	Q	0	-56.5	2.86E+04	-2.0	-18.1	-2.69E+06	6.7	-4.2	-1.08E+06	3.9	8.6	5.1E-02	-	-	-	-	4.7	4.93E+03	1.0	1.0	10.3	2.88E+04	0.4	0.4
12	WP	Vítr na vozidla	Q	0	-79.0	2.86E+04	-2.8	-24.8	-2.69E+06	9.2	-7.5	-1.08E+06	7.0	13.5	5.1E-02	-	-	-	-	4.3	4.93E+03	0.9	0.9	14.0	2.88E+04	0.5	0.5
13	TR	Teplota rovnoměrná	Q	0	0.0	2.86E+04	0.0	0.0	-2.69E+06	0.0	0.0	-1.08E+06	0.0	0.0	0.0E+00	-	-	-	-	0.0	4.93E+03	0.0	0.0	0.0	2.88E+04	0.0	0.0
14	TN	Teplota nerovnoměrná	Q	0	-8.8	2.86E+04	-0.3	-6.9	-2.69E+06	2.6	-1.1	-1.08E+06	1.0	3.3	0.0E+00	-	-	-	-	0.0	4.93E+03	0.0	0.0	-1.1	2.88E+04	0.0	0.0
15	FR	Třecí síly v ložiskách	Q	0	-127.7	2.86E+04	-4.5	-20.9	-2.69E+06	7.8	0.0	-1.08E+06	0.0	3.3	0.0E+00	-	-	-	-	0.0	4.93E+03	0.0	0.0	8.7	2.88E+04	0.3	0.3
16	I	Imperfekce soustavy	Q	0	-9.4	2.86E+04	-0.3	-2.7	-2.69E+06	1.0	-0.3	-1.08E+06	0.3	0.9	1.2E-02	-	-	-	-	0.6	4.93E+03	0.1	0.1	1.5	2.88E+04	0.1	0.1
27	ULS_LM	ULS - LM71 bez dynam	Q	0	0.0	2.86E+04	0.0	0.0	-2.69E+06	0.0	0.0	-1.08E+06	0.0	0.0	0.0E+00	-	-	-	-	0.0	4.93E+03	0.0	0.0	0.0	2.88E+04	0.0	0.0
28	SLS_LM	SLS - LM71 bez dynam	Q	0	0.0	2.86E+04	0.0	0.0	-2.69E+06	0.0	0.0	-1.08E+06	0.0	0.0	0.0E+00	-	-	-	-	0.0	4.93E+03	0.0	0.0	0.0	2.88E+04	0.0	0.0
29	ULS_C3	ULS - C3 bez dynam	Q	0	0.0	2.86E+04	0.0	0.0	-2.69E+06	0.0	0.0	-1.08E+06	0.0	0.0	0.0E+00	-	-	-	-	0.0	4.93E+03	0.0	0.0	0.0	2.88E+04	0.0	0.0
30	SLS_C3	SLS - C3 bez dynam	Q	0	0.0	2.86E+04	0.0	0.0	-2.69E+06	0.0	0.0	-1.08E+06	0.0	0.0	0.0E+00	-	-	-	-	0.0	4.93E+03	0.0	0.0	0.0	2.88E+04	0.0	0.0
		NAVÝŠENÍ NAPĚTÍ DO AKTIVACE TLAKU V DESCE MOSTOVKY				$\sigma_{P,red}$	0.0							0.0			-	0.0		0.0			4.0	4.0			7.2	7.2
		NAPĚTÍ OD PRIMÁRNÍCH ÚČINKŮ NEROVNOMĚRNÉHO OTEPLENÍ				σ_T	0.0							0.0														
		NAPĚTÍ OD REOLOGICKÝCH ÚČINKŮ BETONU V ČASE		t=0		σ_R	0.0	γ_{M}=	1.20					0.0														
		NAPĚTÍ V KRITICKÝCH VLÁKNECH OD KOMBINACE ZATÍŽENÍ				KZ03		[MPa]					$\Sigma\sigma_x$	99.3									$\Sigma\tau_y$	4.0			$\Sigma\tau_z$	7.2
		NAPĚTÍ OD POHYBLIVÉHO ZATÍŽENÍ						[MPa]					$\sigma_{x,P}$	57.9									τ_P	1.9			τ_P	5.0
		NAPĚTÍ OD OSTATNÍCH ZATÍŽENÍ						[MPa]			Φ_{Vy}	Φ_{Vz}	$\sigma_{x,rs}$	41.4									τ_{rs}	2.1			τ_{rs}	2.2
		NÁVRHOVÁ HODNOTA MEZE KLUZU S REDUKCÍ VLIVEM SMYKOVÉHO NAPĚTÍ						[MPa]			1.00	1.00	$f_{yv,d}$	191.7									$f_{yd}/3^{0,5}$	110.7			$f_{yd}/3^{0,5}$	110.7
		NAPĚTÍ OD POHYBLIVÉHO ZATÍŽENÍ V GLOBÁLNÍM SYSTÉMU				$\sigma_{GLOB,P}$	0.0	[MPa]					$\Sigma\sigma_{GLOB}$	0.0														
		NAPĚTÍ OD OSTATNÍCH ZATÍŽENÍ V GLOBÁLNÍM SYSTÉMU				$\sigma_{GLOB,rs}$	0.0	[MPa]					$\Sigma\sigma_x + \Sigma\sigma_{GLOB}$	99.3														
		VYUŽITÍ PRŮŘEZU DLE NAPĚTÍ						[%]					η_1	0.52									η_3	0.04			η_3	0.07
		NAPĚTÍ V PŘÍČNÉM SMĚRU OD POHYBLIVÉHO ZATÍŽENÍ				$\sigma_{z,P}$	0.0	[MPa]					$\Sigma\sigma_z$	0.0														
		NAPĚTÍ V PŘÍČNÉM SMĚRU OD OSTATNÍCH ZATÍŽENÍ				$\sigma_{z,rs}$	0.0	[MPa]					η_2	0.00														
		SROVNÁVACÍ NAPĚTÍ											$(\eta_2 + 0,8\ \eta_1)/1,4$ =	0.30														
		VYUŽITÍ PRŮŘEZU CELKEM						[%]					eff	0.52	VYHOVUJE													
													Z_{LM71} =	2.60														

TAB. U1.3 POSOUZENÍ - MEZNÍ STAV ÚNOSNOSTI

POPIS	DOLNÍ PÁS U1
PRUT / POLOHA BODU	118 / 3/4
NAMÁHÁNÍ	My.min
VLÁKNO	BOD K4 -SP
MEZNÍ STAV	ULS (MSÚ)
VYUŽITÍ VLÁKNA PRŮŘEZU	0.86

Charakteristiky materiálu				
pás. horní	$f_{yf,k}$	230	MPa	
pás. dolní	$f_{yf,k}$	230	MPa	
stojina	$f_{yw,k}$	230	MPa	
výztuž	$f_{ys,k}$	500	MPa	
	γ_M =	1.20	γ_s =	1.15

Excentricita normálové síly				
Exc./Fáze	0	1	2	3
e_y	0.000	0.000	0.000	0.000
e_z	0.000	0.000	0.000	0.000
Ekvivalentní vzdál. stěn - příčný roznos				
b_{Mx}	0.000	0.000	0.000	0.000

Vliv stěny na únosnost průřezu				
Char./Fáze	0	1	2	3
A	0.00	0.00	0.00	0.00
Wy	0.00	0.00	0.00	0.00
Wz	0.00	0.00	0.00	0.00

Charakter. v kroucení			
$t_{w,y}$	0.000	[mm]	
$t_{w,z}$	0.000	[mm]	
κ	1.00		
I_t=	0.00E+00	[mm^4]	
$\Omega=2*A_{pr}$	0.00E+00	[mm^2]	

Součinitele vzpěru a vlivu II.řádu				
Char./Fáze	0	1	2	3
k_y	1.000	1.000	1.000	1.000
k_z	1.000	1.000	1.000	1.000
χ_{LT}	1.000	1.000	1.000	1.000
χ_{min}	0.848	1.000	1.000	1.000

Vnitřní síly od jednotlivých skupin zatěžovacích stavů

SKUPINA ZATĚŽOVACÍCH STAVŮ — 3

Č.	SKUP ZS	POPIS ZS	KAT.	FÁZE PRŮŘ.	- CHARAKTERISTICKÉ HODNOTY N,k (kN)	Vy,k (kN)	Vz,k (kN)	Mx,k (kNm)	My,k (kNm)	Mz,k (kNm)	DÍLČÍ SOUČINITELÉ ZATÍŽENÍ, DYNAMICKÝ SOUČINITEL γ_{sr} (-)	γ_{fs} (-)	volba ψ_i hledat	ψ_i (-)	L_d (m)	δ (-)	γ_{Sc} KZ03	- NÁVRHOVÉ HODNOTY N,d (kN)	Vy,d (kN)	Vz,d (kN)	ΔVz,d (kN)	ΣVz,d (kN)	Mx,d (kNm)	My,d (kNm)	ΔMy,d (kNm)	ΣMy,d (kNm)	Mz,d (kNm)	ΔMz,d (kNm)	ΣMz,d (kNm)
1	G0	Vlastní tíha OK	G	0	-29	1	21	0	-21	-1	1.00	1.20		1.20	-	1.00	0.95	-34	1	24	0	24	0	-24	0	-24	-1	0	-1
2	G1	Ostatní stálé - mostní vybavení	G	0	-2	0	1	0	-2	0	1.00	1.20		1.20	-	1.00	0.95	-2	0	1	0	1	0	-2	0	-2	0	0	0
3	G2	Ostatní stálé - cizí zařízení	G	0	-1	0	1	0	-1	0	1.00	1.20		1.20	-	1.00	0.95	-1	0	1	0	1	0	-1	0	-1	0	0	0
4	P1_71	a.LM71 - kolej 1 (bez dyn. souč.)	P	0	5	2	3	0	-2	1	1.00	0.00		0.00	-	1.00	1.00	0	0	0	0	0	0	0	0	0	0	0	0
5	P2_71	a.LM71 - kolej 2 (bez dyn. souč.)	P	0	-218	3	36	0	-62	0	1.00	1.30		1.30	-	1.00	1.00	-283	4	47	0	47	0	-81	0	-81	0	0	0
6	P1_C3	TTZ C3 - kolej 1 (bez dyn. souč.)	P	0	2	1	2	0	-2	1	1.00	vyp.		0.00	-	1.00	0.00	0	0	0	0	0	0	0	0	0	0	0	0
7	P2_C3	TTZ C3 - kolej 2 (bez dyn. souč.)	P	0	-189	2	31	0	-53	0	1.00	vyp.		0.00	-	1.00	0.00	0	0	0	0	0	0	0	0	0	0	0	0
8	BR	Brzdné a rozjezdové síly	P	0	-1 160	3	88	0	-196	-2	1.00	1.30		1.30	-	1.00	0.80	-1 206	3	91	0	91	0	-204	0	-204	-2	0	-2
9	S	Boční ráz	P	0	-23	1	4	0	-6	-2	1.00	1.30		1.30	-	1.00	0.40	-12	1	2	0	2	0	-3	0	-3	-1	0	-1
10	CH	Chodci na lávkách	Q	0	-2	0	2	0	-3	0	1.00	1.30		1.30	-	1.00	1.00	-3	0	3	0	3	0	-4	0	-4	0	0	0
11	W	Vítr na konstrukci	Q	0	-56	5	10	0	-18	-4	1.00	1.35		1.35	-	1.00	0.75	-56	5	10	0	10	0	-18	0	-18	-4	0	-4
12	WP	Vítr na vozidla	Q	0	-78	4	14	0	-25	-7	1.00	1.35		1.35	-	1.00	0.75	-79	4	14	0	14	0	-25	0	-25	-8	0	-8
13	TR	Teplota rovnoměrná	Q	0	0	0	0	0	0	0	1.00	1.35		1.35	-	1.00	0.45	0	0	0	0	0	0	0	0	0	0	0	0
14	TN	Teplota nerovnoměrná	Q	0	-11	0	-1	0	-9	-1	1.00	1.35		1.35	-	1.00	0.60	-9	0	-1	0	-1	0	-7	0	-7	-1	0	-1
15	FR	Třecí síly v ložiskách	Q	0	-106	0	7	0	-17	0	1.00	1.20		1.20	-	1.00	1.00	-128	0	9	0	9	0	-21	0	-21	0	0	0
16	I	Imperfekce soustavy	Q	0	-8	1	1	0	-2	0	1.00	1.20		1.20	-	1.00	1.00	-9	1	2	0	2	0	-3	0	-3	0	0	0
27	ULS_LM	ULS - LM71 bez dynam	Q	0	-2 117	20	229	0	-447	-18	1.00	vyp.		0.00	-	1.00	0.00	0	0	0	0	0	0	0	0	0	0	0	0
28	SLS_LM	SLS - LM71 bez dynam	Q	0	-1 630	15	180	0	-342	-13	1.00	vyp.	1	0.00	-	1.00	0.00	0	0	0	0	0	0	0	0	0	0	0	0
29	ULS_C3	ULS - C3 bez dynam	Q	0	-2 082	18	220	0	-435	-18	1.00	vyp.	1	0.00	-	1.00	0.00	0	0	0	0	0	0	0	0	0	0	0	0
30	SLS_C3	SLS - C3 bez dynam	Q	0	-1 604	14	173	0	-333	-13	1.00	vyp.	1	0.00	-	1.00	0.00	0	0	0	0	0	0	0	0	0	0	0	0
		CELKEM - FÁZE PRŮŘEZU 0																-1 822	18	203	0	203	0	-392	0	-392	-18	0	-18
		CELKEM - FÁZE PRŮŘEZU 1																0	0	0	0	0	0	0	0	0	0	0	0
		CELKEM - FÁZE PRŮŘEZU 2																0	0	0	0	0	0	0	0	0	0	0	0
		CELKEM - FÁZE PRŮŘEZU 3																0	0	0	0	0	0	0	0	0	0	0	0
		CELKEM - PRŮŘEZ																-1 822	18	203	0	203	0			-392			-18

Napětí od jednotlivých zatěžovacích stavů

SKUPINA ZATĚŽOVACÍCH STAVŮ

Č.	SKUP ZS	Popis ZS	Kat.	fáze prúř.	Posouzení normálového napětí — Účinek síly N δ^*N_d [kN]	χ^*A [mm^2]	σ_n [MPa]	Účinek momentu My $\delta^*M_{y,d}$ [kNm]	$\chi_{lt}*W_{el,y}$ [mm^3]	σ_{my} [MPa]	Účinek momentu Mz $\delta^*M_{z,d}$ [kNm]	$W_{el,z}$ [mm^3]	σ_{mz} [MPa]	σ_x [MPa]	Posouzení smykového napětí — Účinek kroutícího momentu Mx $\kappa*\delta^*M_{x,d}$ [kNm]	$W_{v,y}$ [mm^2]	$\tau_{x,y}$ [MPa]	$W_{v,z}$ [mm^2]	$\tau_{x,z}$ [MPa]	Účinek smykové síly Vy $\delta^*V_{y,d}$ [kN]	$A_{v,y}$ [mm2]	$\tau_{v,y}$ [MPa]	$\tau_{v,y}$ [MPa]	Účinek smykové síly Vz $\delta^*V_{z,d}$ [kN]	$A_{v,z}$ [mm2]	$\tau_{v,z}$ [MPa]	$\tau_{v,z}$ [MPa]
1	G0	Vlastní tíha OK	G	0	-33.6	2.86E+04	-1.2	-23.9	5.11E+06	-4.7	-1.1	7.30E+05	-1.5	-7.4	1.1E-02	-	-	-	-	1.1	4.93E+03	0.2	0.2	24.4	2.88E+04	0.8	0.8
2	G1	Ostatní stálé - mostní vybavení	G	0	-2.4	2.86E+04	-0.1	-1.9	5.11E+06	-0.4	-0.1	7.30E+05	-0.1	-0.6	0.0E+00	-	-	-	-	0.0	4.93E+03	0.0	0.0	1.3	2.88E+04	0.0	0.0
3	G2	Ostatní stálé - cizí zařízení	G	0	-1.3	2.86E+04	0.0	-1.4	5.11E+06	-0.3	-0.1	7.30E+05	-0.2	-0.5	0.0E+00	-	-	-	-	0.0	4.93E+03	0.0	0.0	1.0	2.88E+04	0.0	0.0
4	P1_71	a.LM71 - kolej 1 (bez dyn. souč.)	P	0	0.0	2.86E+04	0.0	0.0	5.11E+06	0.0	0.0	7.30E+05	0.0	0.0	0.0E+00	-	-	-	-	0.0	4.93E+03	0.0	0.0	0.0	2.88E+04	0.0	0.0
5	P2_71	a.LM71 - kolej 2 (bez dyn. souč.)	P	0	-282.9	2.86E+04	-9.9	-80.5	5.11E+06	-15.7	0.0	7.30E+05	0.1	-25.6	7.8E-02	-	-	-	-	3.6	4.93E+03	0.7	0.7	47.4	2.88E+04	1.6	1.6
6	P1_C3	TTZ C3 - kolej 1 (bez dyn. souč.)	P	0	0.0	2.86E+04	0.0	0.0	5.11E+06	0.0	0.0	7.30E+05	0.0	0.0	0.0E+00	-	-	-	-	0.0	4.93E+03	0.0	0.0	0.0	2.88E+04	0.0	0.0
7	P2_C3	TTZ C3 - kolej 2 (bez dyn. souč.)	P	0	0.0	2.86E+04	0.0	0.0	5.11E+06	0.0	0.0	7.30E+05	0.0	0.0	0.0E+00	-	-	-	-	0.0	4.93E+03	0.0	0.0	0.0	2.88E+04	0.0	0.0
8	BR	Brzdné a rozjezdové síly	P	0	-1 206.0	2.86E+04	-42.1	-204.1	5.11E+06	-39.9	-2.1	7.30E+05	-2.8	-84.9	4.2E-02	-	-	-	-	3.3	4.93E+03	0.7	0.7	91.0	2.88E+04	3.2	3.2
9	S	Boční ráz	P	0	-12.0	2.86E+04	-0.4	-3.3	5.11E+06	-0.6	-1.0	7.30E+05	-1.4	-2.5	5.2E-03	-	-	-	-	0.5	4.93E+03	0.1	0.1	1.8	2.88E+04	0.1	0.1
10	CH	Chodci na lávkách	Q	0	-2.6	2.86E+04	-0.1	-3.7	5.11E+06	-0.7	-0.5	7.30E+05	-0.6	-1.4	-1.3E-02	-	-	-	-	-0.3	4.93E+03	-0.1	-0.1	2.7	2.88E+04	0.1	0.1
11	W	Vítr na konstrukci	Q	0	-56.5	2.86E+04	-2.0	-18.1	5.11E+06	-3.5	-4.2	7.30E+05	-5.7	-11.2	5.1E-02	-	-	-	-	4.7	4.93E+03	1.0	1.0	10.3	2.88E+04	0.4	0.4
12	WP	Vítr na vozidla	Q	0	-79.0	2.86E+04	-2.8	-24.8	5.11E+06	-4.9	-7.5	7.30E+05	-10.3	-17.9	5.1E-02	-	-	-	-	4.3	4.93E+03	0.9	0.9	14.0	2.88E+04	0.5	0.5
13	TR	Teplota rovnoměrná	Q	0	0.0	2.86E+04	0.0	0.0	5.11E+06	0.0	0.0	7.30E+05	0.0	0.0	0.0E+00	-	-	-	-	0.0	4.93E+03	0.0	0.0	0.0	2.88E+04	0.0	0.0
14	TN	Teplota nerovnoměrná	Q	0	-8.8	2.86E+04	-0.3	-6.9	5.11E+06	-1.3	-1.1	7.30E+05	-1.5	-3.2	0.0E+00	-	-	-	-	0.0	4.93E+03	0.0	0.0	-1.1	2.88E+04	0.0	0.0
15	FR	Třecí síly v ložiskách	Q	0	-127.7	2.86E+04	-4.5	-20.9	5.11E+06	-4.1	0.0	7.30E+05	0.0	-8.6	0.0E+00	-	-	-	-	0.0	4.93E+03	0.0	0.0	8.7	2.88E+04	0.3	0.3
16	I	Imperfekce soustavy	Q	0	-9.4	2.86E+04	-0.3	-2.7	5.11E+06	-0.5	-0.3	7.30E+05	-0.4	-1.3	1.2E-02	-	-	-	-	0.6	4.93E+03	0.1	0.1	1.5	2.88E+04	0.1	0.1
27	ULS_LM	ULS - LM71 bez dynam	Q	0	0.0	2.86E+04	0.0	0.0	5.11E+06	0.0	0.0	7.30E+05	0.0	0.0	0.0E+00	-	-	-	-	0.0	4.93E+03	0.0	0.0	0.0	2.88E+04	0.0	0.0
28	SLS_LM	SLS - LM71 bez dynam	Q	0	0.0	2.86E+04	0.0	0.0	5.11E+06	0.0	0.0	7.30E+05	0.0	0.0	0.0E+00	-	-	-	-	0.0	4.93E+03	0.0	0.0	0.0	2.88E+04	0.0	0.0
29	ULS_C3	ULS - C3 bez dynam	Q	0	0.0	2.86E+04	0.0	0.0	5.11E+06	0.0	0.0	7.30E+05	0.0	0.0	0.0E+00	-	-	-	-	0.0	4.93E+03	0.0	0.0	0.0	2.88E+04	0.0	0.0
30	SLS_C3	SLS - C3 bez dynam	Q	0	0.0	2.86E+04	0.0	0.0	5.11E+06	0.0	0.0	7.30E+05	0.0	0.0	0.0E+00	-	-	-	-	0.0	4.93E+03	0.0	0.0	0.0	2.88E+04	0.0	0.0
NAVÝŠENÍ NAPĚTÍ DO AKTIVACE TLAKU V DESCE MOSTOVKY						$\sigma_{P,red}$	0.0							0.0				0.0		0.0			3.6	3.6			7.0	7.0
NAPĚTÍ OD PRIMÁRNÍCH ÚČINKŮ NEROVNOMĚRNÉHO OTEPLENÍ						σ_T	0.0							0.0														
NAPĚTÍ OD REOLOGICKÝCH ÚČINKŮ BETONU V ČASE			t=0			σ_R	0.0	γ_M=	1.20					0.0														
NAPĚTÍ V KRITICKÝCH VLÁKNECH OD KOMBINACE ZATÍŽENÍ						KZ03		[MPa]					$\Sigma\sigma_x$	-165.0								$\Sigma\tau_y$	3.6				$\Sigma\tau_z$	7.0
NAPĚTÍ OD POHYBLIVÉHO ZATÍŽENÍ								[MPa]					$\sigma_{x,P}$	-112.9								τ_P	1.5				τ_P	4.9
NAPĚTÍ OD OSTATNÍCH ZATÍŽENÍ								[MPa]			Φ_{Vy}	Φ_{Vz}	$\sigma_{x,rs}$	-52.0								τ_{rs}	2.1				τ_{rs}	2.2
NÁVRHOVÁ HODNOTA MEZE KLUZU S REDUKCÍ VLIVEM SMYKOVÉHO NAPĚTÍ								[MPa]			1.00	1.00	$f_{yw,d}$	191.7								$f_{yd}/3^{0,5}$	110.7				$f_{yd}/3^{0,5}$	110.7
NAPĚTÍ OD POHYBLIVÉHO ZATÍŽENÍ V GLOBÁLNÍM SYSTÉMU						$\sigma_{GLOB,P}$	0.0	[MPa]					$\Sigma\sigma_{GLOB}$	0.0														
NAPĚTÍ OD OSTATNÍCH ZATÍŽENÍ V GLOBÁLNÍM SYSTÉMU						$\sigma_{GLOB,rs}$	0.0	[MPa]					$\Sigma\sigma_x + \Sigma\sigma_{GLOB}$	-165.0														
VYUŽITÍ PRŮŘEZU DLE NAPĚTÍ								[%]					η_1	0.86								η_3	0.03				η_3	0.06
NAPĚTÍ V PŘÍČNÉM SMĚRU OD POHYBLIVÉHO ZATÍŽENÍ						$\sigma_{z,P}$	0.0	[MPa]					$\Sigma\sigma_z$	0.0														
NAPĚTÍ V PŘÍČNÉM SMĚRU OD OSTATNÍCH ZATÍŽENÍ						$\sigma_{z,rs}$	0.0	[MPa]					η_2	0.00														
SROVNÁVACÍ NAPĚTÍ													$(\eta2 + 0,8\ \eta1)/1,4$ =	0.49														
VYUŽITÍ PRŮŘEZU CELKEM								[%]					eff	0.86	VYHOVUJE													
													Z_{LM71} =	1.24														

TAB. U1.3 POSOUZENÍ - MEZNÍ STAV ÚNOSNOSTI

POPIS	DOLNÍ PÁS U1
PRUT / POLOHA BODU	118 / 3/4
NAMÁHÁNÍ	Vz.max
VLÁKNO	BOD S6 -HP
MEZNÍ STAV	ULS (MSÚ)
VYUŽITÍ VLÁKNA PRŮŘEZU	0.64

Charakteristiky materiálu				
pás. horní	$f_{yf,k}$	230	MPa	
pás. dolní	$f_{yf,k}$	230	MPa	
stojina	$f_{yw,k}$	230	MPa	
výztuž	$f_{ys,k}$	500	MPa	
	γ_{M} =	1.20	γ_{s} =	1.15

Excentricita normálové síly				
Exc./Fáze	0	1	2	3
e_y	0.000	0.000	0.000	0.000
e_z	0.000	0.000	0.000	0.000
Ekvivalentní vzdál. stěn - příčný rozmos				
b_{Mx}	0.000	0.000	0.000	0.000

Vliv stěny na únosnost průřezu				
Char./Fáze	0	1	2	3
A	0.00	0.00	0.00	0.00
Wy	0.00	0.00	0.00	0.00
Wz	0.00	0.00	0.00	0.00

Charakter. v kroucení			
$t_{w,y}$	0.000	[mm]	
$t_{w,z}$	0.000	[mm]	
κ	1.00		
I_t=	0.00E+00	[mm^4]	
$\Omega=2*A_{pr}$	0.00E+00	[mm^2]	

Součinitele vzpěru a vlivu II.řádu				
Char./Fáze	0	1	2	3
k_y	1.000	1.000	1.000	1.000
k_z	1.000	1.000	1.000	1.000
χ_{LT}	1.000	1.000	1.000	1.000
χ_{min}	0.848	1.000	1.000	1.000

Vnitřní síly od jednotlivých skupin zatěžovacích stavů

SKUPINA ZATĚŽOVACÍCH STAVŮ					- CHARAKTERISTICKÉ HODNOTY						DÍLČÍ SOUČINITELÉ ZATÍŽENÍ, DYNAMICKÝ SOUČINITEL						3	- NÁVRHOVÉ HODNOTY									
Č.	SKUP ZS	POPIS ZS	KAT.	FÁZE PRŮŘ.	N.k (kN)	Vy.k (kN)	Vz.k (kN)	Mx.k (kNm)	My.k (kNm)	Mz.k (kNm)	γ_{sup} (-)	γ_{inf} (-)	volba γ_i hledat	γ_i (-)	L_d (m)	δ (-)	Ψ_0 KZ03	N.d (kN)	Vy.d (kN)	Vz.d (kN)	ΔVz.d (kN)	ΣVz.d (kN)	Mx.d (kNm)	My.d (kNm)	ΔMy.d (kNm)	ΣMy.d (kNm)	Mz.d (kNm)	ΔMz.d (kNm)	ΣMz.d (kNm)
1	G0	Vlastní tíha OK	G	0	-29	1	21	0	-21	-1	1.00	1.20		1.20	-	1.00	0.95	-34	1	24	0	24	0	-24	0	-24	-1	0	-1
2	G1	Ostatní stálé - mostní vybavení	G	0	-2	0	1	0	-2	0	1.00	1.20		1.20	-	1.00	0.95	-2	0	1	0	1	0	-2	0	-2	0	0	0
3	G2	Ostatní stálé - cizí zařízení	G	0	-1	0	1	0	-1	0	1.00	1.20		1.20	-	1.00	0.95	-1	0	1	0	1	0	-1	0	-1	0	0	0
4	P1_71	a.LM71 - kolej 1 (bez dyn. souč.)	P	0	17	1	4	0	-2	1	1.00	1.30		1.30	-	1.00	1.00	22	2	5	0	5	0	-2	0	-2	1	0	1
5	P2_71	a.LM71 - kolej 2 (bez dyn. souč.)	P	0	-209	3	37	0	-60	0	1.00	1.30		1.30	-	1.00	1.00	-271	4	48	0	48	0	-78	0	-78	0	0	0
6	P1_C3	TTZ C3 - kolej 1 (bez dyn. souč.)	P	0	16	1	3	0	-1	0	1.00	vyp.		0.00	-	1.00	0.00	0	0	0	0	0	0	0	0	0	0	0	0
7	P2_C3	TTZ C3 - kolej 2 (bez dyn. souč.)	P	0	-185	2	33	0	-53	0	1.00	vyp.		0.00	-	1.00	0.00	0	0	0	0	0	0	0	0	0	0	0	0
8	BR	Brzdné a rozjezdové síly	P	0	-1 160	3	88	0	-196	-2	1.00	1.30		1.30	-	1.00	0.80	-1 206	3	91	0	91	0	-204	0	-204	-2	0	-2
9	S	Boční ráz	P	0	-23	1	4	0	-6	-2	1.00	1.30		1.30	-	1.00	0.40	-12	1	2	0	2	0	-3	0	-3	-1	0	-1
10	CH	Chodci na lávkách	Q	0	-2	0	2	0	-3	0	1.00	1.30		1.30	-	1.00	1.00	-3	0	3	0	3	0	-4	0	-4	0	0	0
11	W	Vítr na konstrukci	Q	0	-56	5	10	0	-18	-4	1.00	1.35		1.35	-	1.00	0.75	-56	5	10	0	10	0	-18	0	-18	-4	0	-4
12	WP	Vítr na vozidla	Q	0	-78	4	14	0	-25	-7	1.00	1.35		1.35	-	1.00	0.75	-79	4	14	0	14	0	-25	0	-25	-8	0	-8
13	TR	Teplota rovnoměrná	Q	0	0	0	0	0	0	0	1.00	1.35		1.35	-	1.00	0.45	0	0	0	0	0	0	0	0	0	0	0	0
14	TN	Teplota nerovnoměrná	Q	0	5	0	3	0	6	0	1.00	1.35		1.35	-	1.00	0.60	4	0	2	0	2	0	5	0	5	0	0	0
15	FR	Třecí síly v ložiskách	Q	0	-106	0	7	0	-17	0	1.00	1.20		1.20	-	1.00	1.00	-128	0	9	0	9	0	-21	0	-21	0	0	0
16	I	Imperfekce soustavy	Q	0	-8	1	1	0	-2	0	1.00	1.20		1.20	-	1.00	1.00	-9	1	2	0	2	0	-3	0	-3	0	0	0
27	ULS_LM	ULS - LM71 bez dynam	Q	0	-2 076	20	234	0	-432	-17	1.00	vyp.	1	0.00	-	1.00	0.00	0	0	0	0	0	0	0	0	0	0	0	0
28	SLS_LM	SLS - LM71 bez dynam	Q	0	-1 609	15	181	0	-340	-13	1.00	vyp.	1	0.00	-	1.00	0.00	0	0	0	0	0	0	0	0	0	0	0	0
29	ULS_C3	ULS - C3 bez dynam	Q	0	-2 048	18	227	0	-422	-17	1.00	vyp.	1	0.00	-	1.00	0.00	0	0	0	0	0	0	0	0	0	0	0	0
30	SLS_C3	SLS - C3 bez dynam	Q	0	-1 587	14	175	0	-332	-13	1.00	vyp.	1	0.00	-	1.00	0.00	0	0	0	0	0	0	0	0	0	0	0	0
		CELKEM - FÁZE PRŮŘEZU 0			-1 775	20	212	0	-380	-16								-1 775	20	212	0	212	0	-380	0	-380	-16	0	-16
		CELKEM - FÁZE PRŮŘEZU 1			0	0	0	0	0	0								0	0	0	0	0	0	0	0	0	0	0	0
		CELKEM - FÁZE PRŮŘEZU 2			0	0	0	0	0	0								0	0	0	0	0	0	0	0	0	0	0	0
		CELKEM - FÁZE PRŮŘEZU 3			0	0	0	0	0	0								0	0	0	0	0	0	0	0	0	0	0	0
		CELKEM - PRŮŘEZ			-1 775	20	212	0	-380	-16								-1 775	20	212	0	212	0			-380			-16

Napětí od jednotlivých zatěžovacích stavů

SKUPINA ZATĚŽOVACÍCH STAVŮ					Posouzení normálového napětí										Posouzení smykového napětí													
					Účinek síly N			Účinek momentu My				Účinek momentu Mz				Účinek kroutícího momentu Mx				Účinek smykové síly Vy				Účinek smykové síly Vz			
Č.	SKUP ZS	Popis ZS	Kat.	fáze prúř.	δ^*N_d [kN]	χ^*A [mm^2]	σ_n [MPa]	$\delta^*M_{y,d}$ [kNm]	$\chi_{lt}*W_{el,y}$ [mm^3]	σ_{my} [MPa]	$\delta^*M_{z,d}$ [kNm]	$W_{el,z}$ [mm^3]	σ_{mz} [MPa]	σ_x [MPa]	$\kappa*\delta^*M_{x,d}$ [kNm]	$W_{v,y}$ [mm^2]	$\tau_{x,y}$ [MPa]	$W_{v,z}$ [mm^2]	$\tau_{x,z}$ [MPa]	$\delta^*V_{y,d}$ [kN]	$A_{v,y}$ [mm2]	$\tau_{v,y}$ [MPa]	$\tau_{v,y}$ [MPa]	$\delta^*V_{z,d}$ [kN]	$A_{v,z}$ [mm2]	$\tau_{v,z}$ [MPa]	$\tau_{v,z}$ [MPa]
1	G0	Vlastní tíha OK	G	0	-33.6	2.86E+04	-1.2	-23.9	5.11E+06	-4.7	-1.1	-1.08E+06	1.0	-4.8	1.1E-02	-	-	-	-	1.1	4.93E+03	0.2	0.2	24.4	2.88E+04	0.8	0.8
2	G1	Ostatní stálé - mostní vybavení	G	0	-2.4	2.86E+04	-0.1	-1.9	5.11E+06	-0.4	-0.1	-1.08E+06	0.1	-0.4	0.0E+00	-	-	-	-	0.0	4.93E+03	0.0	0.0	1.3	2.88E+04	0.0	0.0
3	G2	Ostatní stálé - cizí zařízení	G	0	-1.3	2.86E+04	0.0	-1.4	5.11E+06	-0.3	-0.1	-1.08E+06	0.1	-0.2	0.0E+00	-	-	-	-	0.0	4.93E+03	0.0	0.0	1.0	2.88E+04	0.0	0.0
4	P1_71	a.LM71 - kolej 1 (bez dyn. souč.)	P	0	22.2	2.86E+04	0.8	-2.4	5.11E+06	-0.5	1.0	-1.08E+06	-0.9	-0.6	6.5E-02	-	-	-	-	1.9	4.93E+03	0.4	0.4	5.0	2.88E+04	0.2	0.2
5	P2_71	a.LM71 - kolej 2 (bez dyn. souč.)	P	0	-271.1	2.86E+04	-9.5	-78.2	5.11E+06	-15.3	0.0	-1.08E+06	0.0	-24.7	6.5E-02	-	-	-	-	3.6	4.93E+03	0.7	0.7	48.2	2.88E+04	1.7	1.7
6	P1_C3	TTZ C3 - kolej 1 (bez dyn. souč.)	P	0	0.0	2.86E+04	0.0	0.0	5.11E+06	0.0	0.0	-1.08E+06	0.0	0.0	0.0E+00	-	-	-	-	0.0	4.93E+03	0.0	0.0	0.0	2.88E+04	0.0	0.0
7	P2_C3	TTZ C3 - kolej 2 (bez dyn. souč.)	P	0	0.0	2.86E+04	0.0	0.0	5.11E+06	0.0	0.0	-1.08E+06	0.0	0.0	0.0E+00	-	-	-	-	0.0	4.93E+03	0.0	0.0	0.0	2.88E+04	0.0	0.0
8	BR	Brzdné a rozjezdové síly	P	0	-1 206.0	2.86E+04	-42.1	-204.1	5.11E+06	-39.9	-2.1	-1.08E+06	1.9	-80.1	4.2E-02	-	-	-	-	3.3	4.93E+03	0.7	0.7	91.0	2.88E+04	3.2	3.2
9	S	Boční ráz	P	0	-12.0	2.86E+04	-0.4	-3.3	5.11E+06	-0.6	-1.0	-1.08E+06	1.0	-0.1	5.2E-03	-	-	-	-	0.5	4.93E+03	0.1	0.1	1.8	2.88E+04	0.1	0.1
10	CH	Chodci na lávkách	Q	0	-2.6	2.86E+04	-0.1	-3.7	5.11E+06	-0.7	-0.5	-1.08E+06	0.4	-0.4	-1.3E-02	-	-	-	-	-0.3	4.93E+03	-0.1	-0.1	2.7	2.88E+04	0.1	0.1
11	W	Vítr na konstrukci	Q	0	-56.5	2.86E+04	-2.0	-18.1	5.11E+06	-3.5	-4.2	-1.08E+06	3.9	-1.7	5.1E-02	-	-	-	-	4.7	4.93E+03	1.0	1.0	10.3	2.88E+04	0.4	0.4
12	WP	Vítr na vozidla	Q	0	-79.0	2.86E+04	-2.8	-24.8	5.11E+06	-4.9	-7.5	-1.08E+06	7.0	-0.6	5.1E-02	-	-	-	-	4.3	4.93E+03	0.9	0.9	14.0	2.88E+04	0.5	0.5
13	TR	Teplota rovnoměrná	Q	0	0.0	2.86E+04	0.0	0.0	5.11E+06	0.0	0.0	-1.08E+06	0.0	0.0	0.0E+00	-	-	-	-	0.0	4.93E+03	0.0	0.0	0.0	2.88E+04	0.0	0.0
14	TN	Teplota nerovnoměrná	Q	0	4.4	2.86E+04	0.2	5.1	5.11E+06	1.0	0.2	-1.08E+06	-0.2	1.0	0.0E+00	-	-	-	-	-0.2	4.93E+03	0.0	0.0	2.1	2.88E+04	0.1	0.1
15	FR	Třecí síly v ložiskách	Q	0	-127.7	2.86E+04	-4.5	-20.9	5.11E+06	-4.1	0.0	-1.08E+06	0.0	-8.5	0.0E+00	-	-	-	-	0.0	4.93E+03	0.0	0.0	8.7	2.88E+04	0.3	0.3
16	I	Imperfekce soustavy	Q	0	-9.4	2.86E+04	-0.3	-2.7	5.11E+06	-0.5	-0.3	-1.08E+06	0.3	-0.6	1.2E-02	-	-	-	-	0.6	4.93E+03	0.1	0.1	1.5	2.88E+04	0.1	0.1
27	ULS_LM	ULS - LM71 bez dynam	Q	0	0.0	2.86E+04	0.0	0.0	5.11E+06	0.0	0.0	-1.08E+06	0.0	0.0	0.0E+00	-	-	-	-	0.0	4.93E+03	0.0	0.0	0.0	2.88E+04	0.0	0.0
28	SLS_LM	SLS - LM71 bez dynam	Q	0	0.0	2.86E+04	0.0	0.0	5.11E+06	0.0	0.0	-1.08E+06	0.0	0.0	0.0E+00	-	-	-	-	0.0	4.93E+03	0.0	0.0	0.0	2.88E+04	0.0	0.0
29	ULS_C3	ULS - C3 bez dynam	Q	0	0.0	2.86E+04	0.0	0.0	5.11E+06	0.0	0.0	-1.08E+06	0.0	0.0	0.0E+00	-	-	-	-	0.0	4.93E+03	0.0	0.0	0.0	2.88E+04	0.0	0.0
30	SLS_C3	SLS - C3 bez dynam	Q	0	0.0	2.86E+04	0.0	0.0	5.11E+06	0.0	0.0	-1.08E+06	0.0	0.0	0.0E+00	-	-	-	-	0.0	4.93E+03	0.0	0.0	0.0	2.88E+04	0.0	0.0
NAVÝŠENÍ NAPĚTÍ DO AKTIVACE TLAKU V DESCE MOSTOVKY						$\sigma_{P,red}$	0.0							0.0			0.0		0.0			4.0	4.0			7.4	7.4
NAPĚTÍ OD PRIMÁRNÍCH ÚČINKŮ NEROVNOMĚRNÉHO OTEPLENÍ						σ_T	0.0							0.0													
NAPĚTÍ OD REOLOGICKÝCH ÚČINKŮ BETONU V ČASE				t=0		σ_R	0.0	γ_{inf}=	1.20					0.0													
NAPĚTÍ V KRITICKÝCH VLÁKNECH OD KOMBINACE ZATÍŽENÍ						KZ03		[MPa]					$\Sigma\sigma_x$	-121.8								$\Sigma\tau_y$	4.0			$\Sigma\tau_z$	7.4
NAPĚTÍ OD POHYBLIVÉHO ZATÍŽENÍ								[MPa]					$\sigma_{x,P}$	-105.6								τ_P	1.9			τ_P	5.1
NAPĚTÍ OD OSTATNÍCH ZATÍŽENÍ								[MPa]			Φ_{Vy}	Φ_{Vz}	$\sigma_{x,rs}$	-16.2								τ_{rs}	2.1			τ_{rs}	2.3
NÁVRHOVÁ HODNOTA MEZE KLUZU S REDUKCÍ VLIVEM SMYKOVÉHO NAPĚTÍ								[MPa]			1.00	1.00	$f_{yw,d}$	191.7								$f_{yd}/3^{0,5}$	110.7			$f_{yd}/3^{0,5}$	110.7
NAPĚTÍ OD POHYBLIVÉHO ZATÍŽENÍ V GLOBÁLNÍM SYSTÉMU						$\sigma_{GLOB,P}$	0.0	[MPa]					$\Sigma\sigma_{GLOB}$	0.0													
NAPĚTÍ OD OSTATNÍCH ZATÍŽENÍ V GLOBÁLNÍM SYSTÉMU						$\sigma_{GLOB,rs}$	0.0	[MPa]					$\Sigma\sigma_x + \Sigma\sigma_{GLOB}$	-121.8													
VYUŽITÍ PRŮŘEZU DLE NAPĚTÍ								[%]					η_1	0.64								η_3	0.04			η_3	0.07
NAPĚTÍ V PŘÍČNÉM SMĚRU OD POHYBLIVÉHO ZATÍŽENÍ						$\sigma_{z,P}$	0.0	[MPa]					$\Sigma\sigma_z$	0.0													
NAPĚTÍ V PŘÍČNÉM SMĚRU OD OSTATNÍCH ZATÍŽENÍ						$\sigma_{z,rs}$	0.0	[MPa]					η_2	0.00													
SROVNÁVACÍ NAPĚTÍ													$(\eta_2 + 0,8\,\eta_1)/1,4$ =	0.36													
VYUŽITÍ PRŮŘEZU CELKEM								[%]					eff	0.64	VYHOVUJE												
													z_{LM71} =	1.66													

VÝPOČET PRŮŘEZOVÝCH CHARAKTERISTIK

PRŮŘEZ: U1_3 **POPIS:** DOLNÍ PÁS - PŘÍHRADA 3 **x =** 112 - I m

DEFINOVÁNÍ PRŮŘEZU

PÁSNICE HORNÍHO LEVÉHO ÚHELNÍKU	b f.t.l.o =	0	mm			
TLOUŠŤKA PÁSNICE ÚHELNÍKU	t f.t.l.o =	0	mm	OSLABENÍ PÁSNICE - TLOUŠŤKA	Δt f.t.l.o =	0 %
VÝŠKA STĚNY ÚHELNÍKU	h w.t.l.o =	0	mm			
TLOUŠŤKA STĚNY ÚHELNÍKU	t w.t.l.o =	0	mm	OSLABENÍ STĚNY - TLOUŠŤKA	Δt w.t.l.o =	0 %
PÁSNICE HORNÍHO PRAVÉHO ÚHELNÍKU	b f.t.r.o =	0	mm			
TLOUŠŤKA PÁSNICE ÚHELNÍKU	t f.t.r.o =	0	mm	OSLABENÍ PÁSNICE - TLOUŠŤKA	Δt f.t.r.o =	0 %
VÝŠKA STĚNY ÚHELNÍKU	h w.t.r.o =	0	mm			
TLOUŠŤKA STĚNY ÚHELNÍKU	t w.t.r.o =	0	mm	OSLABENÍ STĚNY - TLOUŠŤKA	Δt w.t.r.0 =	0 %
PÁSNICE DOLNÍHO LEVÉHO ÚHELNÍKU	b f.b.l.o =	110	mm			
TLOUŠŤKA PÁSNICE ÚHELNÍKU	t f.b.l.o =	14	mm	OSLABENÍ PÁSNICE - TLOUŠŤKA	Δt f.b.l.o =	45 %
VÝŠKA STĚNY ÚHELNÍKU	h w.b.l.o =	96	mm			
TLOUŠŤKA STĚNY ÚHELNÍKU	t w.b.l.o =	14	mm	OSLABENÍ STĚNY - TLOUŠŤKA	Δt w.b.l.o =	34 %
PÁSNICE DOLNÍHO PRAVÉHO ÚHELNÍKU	b f.b.r.o =	110	mm			
TLOUŠŤKA PÁSNICE ÚHELNÍKU	t f.b.r.o =	14	mm	OSLABENÍ PÁSNICE - TLOUŠŤKA	Δt f.b.r.o =	45 %
VÝŠKA STĚNY ÚHELNÍKU	h w.b.r.o =	96	mm			
TLOUŠŤKA STĚNY ÚHELNÍKU	t w.b.r.o =	14	mm	OSLABENÍ STĚNY - TLOUŠŤKA	Δt w.b.r.o =	34 %
PÁSNICE HORNÍHO LEVÉHO ÚHELNÍKU	b f.t.l.i =	0	mm			
TLOUŠŤKA PÁSNICE ÚHELNÍKU	t f.t.l.i =	0	mm	OSLABENÍ PÁSNICE - TLOUŠŤKA	Δt f.t.l.i =	0 %
VÝŠKA STĚNY ÚHELNÍKU	h w.t.l.i =	0	mm			
TLOUŠŤKA STĚNY ÚHELNÍKU	t w.t.l.i =	0	mm	OSLABENÍ STĚNY - TLOUŠŤKA	Δt w.t.l.i =	0 %
PÁSNICE HORNÍHO PRAVÉHO ÚHELNÍKU	b f.t.r.i =	0	mm			
TLOUŠŤKA PÁSNICE ÚHELNÍKU	t f.t.r.i =	0	mm	OSLABENÍ PÁSNICE - TLOUŠŤKA	Δt f.t.r.i =	0 %
VÝŠKA STĚNY ÚHELNÍKU	h w.t.r.i =	0	mm			
TLOUŠŤKA STĚNY ÚHELNÍKU	t w.t.r.i =	0	mm	OSLABENÍ STĚNY - TLOUŠŤKA	Δt w.t.r.i =	0 %
PÁSNICE DOLNÍHO LEVÉHO ÚHELNÍKU	b f.b.l.i =	110	mm			
TLOUŠŤKA PÁSNICE ÚHELNÍKU	t f.b.l.i =	14	mm	OSLABENÍ PÁSNICE - TLOUŠŤKA	Δt f.b.l.i =	45 %
VÝŠKA STĚNY ÚHELNÍKU	h w.b.l.i =	96	mm			
TLOUŠŤKA STĚNY ÚHELNÍKU	t w.b.l.i =	14	mm	OSLABENÍ STĚNY - TLOUŠŤKA	Δt w.b.l.i =	34 %
PÁSNICE DOLNÍHO PRAVÉHO ÚHELNÍKU	b f.b.r.i =	110	mm			
TLOUŠŤKA PÁSNICE ÚHELNÍKU	t f.b.r.i =	14	mm	OSLABENÍ PÁSNICE - TLOUŠŤKA	Δt f.b.r.i =	45 %
VÝŠKA STĚNY ÚHELNÍKU	h w.b.r.i =	96	mm			
TLOUŠŤKA STĚNY ÚHELNÍKU	t w.b.r.i =	14	mm	OSLABENÍ STĚNY - TLOUŠŤKA	Δt w.b.r.i =	34 %
ŠÍŘKA HORNÍ PÁSNICE	b f.t =	0	mm			
TLOUŠŤKA HORNÍ PÁSNICE	t f.t =	0	mm	OSLABENÍ HORNÍ PÁSNICE	Δt f.t =	0 %
PŘESAH HORNÍ PÁSNICE	o f.t =	0	mm	(nepoužito - pásnice symetrická k ose průřezu)		
SVĚTLÁ VZDÁLENOST MEZI STĚNAMI	l w =	416	mm			
VÝŠKA STĚNY	h w =	560	mm	OSLABENÍ LEVÉ STĚNY	Δt w.l =	0 %
TLOUŠŤKA STĚNY	t w =	24	mm	OSLABENÍ PRAVÉ STĚNY	Δt w.r =	0 %
ŠÍŘKA DOLNÍ LEVÉ PÁSNICE	b f.b.l =	0	mm			
TLOUŠŤKA DOLNÍ LEVÉ PÁSNICE	t f.b.l =	0	mm	OSLABENÍ DOLNÍ PÁSNICE	Δt f.b.l =	0 %
PŘESAH DOLNÍ LEVÉ PÁSNICE	o f.b.l =	0	mm	(nepoužito - pásnice symetrická k ose levé stěny)		
ŠÍŘKA DOLNÍ PRAVÉ PÁSNICE	b f.b.r =	0	mm			
TLOUŠŤKA DOLNÍ PRAVÉ PÁSNICE	t f.b.r =	0	mm	OSLABENÍ DOLNÍ PÁSNICE	Δt f.b.r =	0 %
PŘESAH DOLNÍ PRAVÉ PÁSNICE	o f.b.r =	0	mm	(nepoužito - pásnice symetrická k ose pravé stěny)		

NÝT Č.	SKUPINA	ŘEZ	RED.	VELIKOST di [mm]	POLOHA ei [mm]	POPIS	AKTIVITA OTVORU	NAPĚTÍ sc [MPa]
1		-	1.00	0	42	nýt - f.t.l	1	-
2		-	1.00	0	40	nýt - f.t.l - úhelník	1	-
3		-	1.00	0	40	nýt - f.t.l - úhelník	1	-
4		-	1.00	0	-50	nýt - f.t.l	1	-
5		-	1.00	0	50	nýt - f.t.r	1	-
6		-	1.00	0	40	nýt - f.t.r - úhelník	1	-
7		-	1.00	0	40	nýt - f.t.r - úhelník	1	-
8		-	1.00	0	42	nýt - f.t.r	1	-
9		-	1.00	22	45	nýt - w.l - úhelník	1	87.84
10		-	1.00	22	45	nýt - w.p - úhelník	1	65.93
11		-	1.00	22	425	nýt - w.l	1	103.69
12		-	1.00	22	425	nýt - w.p	1	81.79
13		-	1.00	22	335	nýt - w.l	1	119.55
14		-	1.00	22	335	nýt - w.p	1	97.65
15		-	1.00	22	245	nýt - w.l	1	135.41
16		-	1.00	22	245	nýt - w.p	1	113.50
17		-	1.00	22	155	nýt - w.l	1	151.26
18		-	1.00	22	155	nýt - w.p	1	129.36
19		-	1.00	22	45	nýt - w.l - úhelník	1	170.65
20		-	1.00	22	45	nýt - w.p - úhelník	1	148.74
21		-	1.00	0	42	nýt - f.b.l	1	-
22		-	1.00	0	65	nýt - f.b.l - úhelník	1	-
23		-	1.00	0	65	nýt - f.b.l - úhelník	1	-
24		-	1.00	0	42	nýt - f.b.l	1	-
25		-	1.00	0	42	nýt - f.b.r	1	-
26		-	1.00	0	65	nýt - f.b.r - úhelník	1	-
27		-	1.00	0	65	nýt - f.b.r - úhelník	1	-
28		-	1.00	0	42	nýt - f.b.r	1	-
29		-	1.00					-
30		-	1.00					-

ZADANÍ ČÁSTI PRŮŘEZU:

č.prvku	b [mm]	h [mm]	y_0 [mm]	z_0 [mm]	popis části	druh oslabení	lokální ultimate	boulení servic.
1	0.0	0.0	-232.0	560.0	pásnice	0	1.000	1.000
2	0.0	0.0	-232.0	560.0	stěna	0	1.000	1.000
3	0.0	0.0	232.0	560.0	pásnice	0	1.000	1.000
4	0.0	0.0	232.0	560.0	stěna	0	1.000	1.000
5	110.0	7.7	-287.0	3.9	pásnice	0	1.000	1.000
6	9.2	96.0	-236.6	55.7	stěna	0	1.000	1.000
7	110.0	7.7	287.0	3.9	pásnice	0	1.000	1.000
8	9.2	96.0	236.6	55.7	stěna	0	1.000	1.000
9	0.0	0.0	0.0	560.0	pásnice	0	1.000	1.000
10	24.0	560.0	-220.0	280.0	stěna	0	1.000	1.000
11	24.0	560.0	220.0	280.0	stěna	0	1.000	1.000
12	0.0	0.0	-208.0	560.0	pásnice	0	1.000	1.000
13	0.0	0.0	-208.0	560.0	stěna	0	1.000	1.000
14	0.0	0.0	208.0	560.0	pásnice	0	1.000	1.000
15	0.0	0.0	208.0	560.0	stěna	0	1.000	1.000
16	110.0	7.7	-153.0	3.9	pásnice	0	1.000	1.000
17	9.2	96.0	-203.4	55.7	stěna	0	1.000	1.000
18	110.0	7.7	153.0	3.9	pásnice	0	1.000	1.000
19	9.2	96.0	203.4	55.7	stěna	0	1.000	1.000
20						0	1.000	1.000
21						0	1.000	1.000
22						0	1.000	1.000
23	0.0	0.0	-220.0	0.0	pásnice	0	1.000	1.000
24	0.0	0.0	220.0	0.0	pásnice	0	1.000	1.000
25						0	1.000	1.000
26						0	1.000	1.000
27						0	1.000	1.000
28						0	1.000	1.000
29						0	1.000	1.000
30						0	1.000	1.000
31						0	1.000	1.000
32						0	1.000	1.000
33						0	1.000	1.000
34						0	1.000	1.000
35						0	1.000	1.000
36						0	1.000	1.000
37						0	1.000	1.000
38						0	1.000	1.000
39						0	1.000	1.000
40						0	1.000	1.000
41						0	1.000	1.000
42						0	1.000	1.000
43						0	1.000	1.000
44						0	1.000	1.000
45						0	1.000	1.000
46						0	1.000	1.000
47						0	1.000	1.000
48						0	1.000	1.000
49						0	1.000	1.000
50						0	1.000	1.000
51	0.0	0.0	0	0.0	nýt - pásnice	0	1.000	1.000
52	0.0	0.0	0	0.0	nýt - pásnice	0	1.000	1.000
53	0.0	0.0	0	0.0	nýt - pásnice	0	1.000	1.000
54	0.0	0.0	0	0.0	nýt - pásnice	0	1.000	1.000
55	0.0	0.0	0	0.0	nýt - pásnice	0	1.000	1.000
56	0.0	0.0	0	0.0	nýt - pásnice	0	1.000	1.000
57	0.0	0.0	0	0.0	nýt - pásnice	0	1.000	1.000
58	0.0	0.0	0	0.0	nýt - pásnice	0	1.000	1.000
59	24.0	-22.0	-220.0	515.0	nýt - stěna	0	1.000	1.000
60	24.0	-22.0	220.0	515.0	nýt - stěna	0	1.000	1.000
61	24.0	-22.0	-220.0	425.0	nýt - stěna	0	1.000	1.000
62	24.0	-22.0	220.0	425.0	nýt - stěna	0	1.000	1.000
63	24.0	-22.0	-220.0	335.0	nýt - stěna	0	1.000	1.000
64	24.0	-22.0	220.0	335.0	nýt - stěna	0	1.000	1.000
65	24.0	-22.0	-220.0	245.0	nýt - stěna	0	1.000	1.000
66	24.0	-22.0	220.0	245.0	nýt - stěna	0	1.000	1.000
67	24.0	-22.0	-220.0	155.0	nýt - stěna	0	1.000	1.000
68	24.0	-22.0	220.0	155.0	nýt - stěna	0	1.000	1.000
69	42.5	-22.0	-220.0	45.0	nýt - stěna	0	1.000	1.000
70	42.5	-22.0	220.0	45.0	nýt - stěna	0	1.000	1.000
71	0.0	0.0	0	0.0	nýt - pásnice	0	1.000	1.000
72	0.0	7.7	0	0.0	nýt - pásnice	0	1.000	1.000
73	0.0	7.7	0	0.0	nýt - pásnice	0	1.000	1.000
74	0.0	0.0	0	0.0	nýt - pásnice	0	1.000	1.000
75	0.0	0.0	0	0.0	nýt - pásnice	0	1.000	1.000
76	0.0	7.7	0	0.0	nýt - pásnice	0	1.000	1.000
77	0.0	7.7	0	0.0	nýt - pásnice	0	1.000	1.000
78	0.0	0.0	0	0.0	nýt - pásnice	0	1.000	1.000
79						0	1.000	1.000
80						0	1.000	1.000
81								
82								
83								
84								
85								
86								
87								
88								
89								
90								
91								
92								
93								
94								
95								
96								
97								
98								
99								
100								

VÝPOČET PRŮŘEZOVÝCH CHARAKTERISTIK

Properties	Basic	Ultimate		Serviceability	
y_t	0.0	0.0		0.0	[mm]
z_t	220.7	220.7		220.7	[mm]
A_i	2.6667E+04	2.6667E+04		2.6667E+04	[mm²]
A_z	3.3880E+03	3.3880E+03		3.3880E+03	[mm²]
A_y	2.3279E+04	2.3279E+04		2.3279E+04	[mm²]
I_{y1}	8.4314E+08	8.4314E+08		8.4314E+08	[mm⁴]
I_w	1.9666E+08	1.9666E+08		1.9666E+08	[mm⁶]
i_y	177.8	177.8		177.8	[mm]
i_z	85.9	85.9		85.9	[mm]
$W_{y,1}$	2.4846E+06	2.4846E+06		2.4846E+06	[mm³]
$W_{z,1}$	-8.4768E+05	-8.4768E+05		-8.4768E+05	[mm³]
$W_{y,2}$	-3.8211E+06	-3.8211E+06		-3.8211E+06	[mm³]
$W_{z,2}$	-5.7503E+05	-5.7503E+05		-5.7503E+05	[mm³]
KRAJNÍ VLÁKNA PRŮŘEZU					
y_1	-232.0	-232.0		-232.0	[mm]
z_1	560.0	560.0		560.0	[mm]
y_2	-342.0	-342.0		-342.0	[mm]
z_2	0.0	0.0		0.0	[mm]
y_3	232.0	232.0		232.0	[mm]
z_3	560.0	560.0		560.0	[mm]
y_4	342.0	342.0		342.0	[mm]
z_4	0.0	0.0		0.0	[mm]
y_5	-232.0	-232.0		-232.0	[mm]
z_5	560.0	560.0		560.0	[mm]
y_6	-232.0	-232.0		-232.0	[mm]
z_6	0.0	0.0		0.0	[mm]

ÚPRAVA MOMENTŮ SETRVAČNOSTI V DŮSLEDKU ČLENĚNÍ PRŮŘEZU

OSA Y 1.00
OSA Z 0.15

SCHÉMA PROMĚNNÝCH

SCHÉMA ZADANÉHO PRŮŘEZU

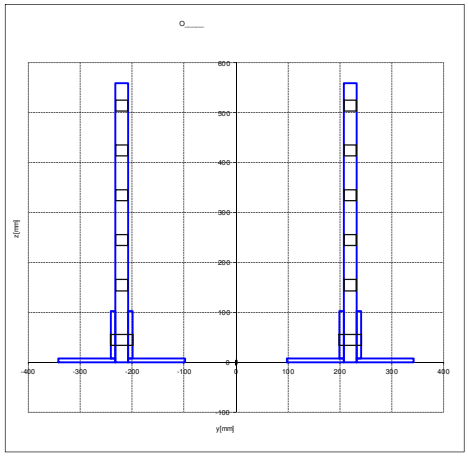

NEUTRÁLNÁ OSA

NAPĚTÍ [MPa]:

85.96	51.93
185.33	151.27

ZS: SLS_LM_N,MX

	N [kN]	Vy [kN]	Vz [kN]	Mx [kNm]	My [kNm]	Mz [kNm]
import	3433	5	31	0	149	10

TR_U3 POPIS: **DOLNÍ PÁS U3** POSUDEK: **U3**

SKUPINA ZAT. STAVŮ	EXTRÉM	VYHODNOCOVANÉ VELIČINY					
		N	Vy	Vz	Mx	My	Mz
		kN	kN	kN	kNm	kNm	kNm
G0	N.min	**731.01**	0.69	10.33	0.02	26.29	1.12
	N.max	**731.01**	0.69	10.33	0.02	26.29	1.12
	Vy.min	731.01	**0.69**	10.33	0.02	26.29	1.12
	Vy.max	731.01	**0.69**	10.33	0.02	26.29	1.12
	Vz.min	731.01	0.69	**10.33**	0.02	26.29	1.12
	Vz.max	731.01	0.69	**10.33**	0.02	26.29	1.12
	Mx.min	731.01	0.69	10.33	**0.02**	26.29	1.12
	Mx.max	731.01	0.69	10.33	**0.02**	26.29	1.12
	My.min	731.01	0.69	10.33	0.02	**26.29**	1.12
	My.max	731.01	0.69	10.33	0.02	**26.29**	1.12
	Mz.min	731.01	0.69	10.33	0.02	26.29	**1.12**
	Mz.max	731.01	0.69	10.33	0.02	26.29	**1.12**
G1	N.min	**49.68**	0.05	1	0	1.86	0.08
	N.max	**49.68**	0.05	1	0	1.86	0.08
	Vy.min	49.68	**0.05**	1	0	1.86	0.08
	Vy.max	49.68	**0.05**	1	0	1.86	0.08
	Vz.min	49.68	0.05	**1**	0	1.86	0.08
	Vz.max	49.68	0.05	**1**	0	1.86	0.08
	Mx.min	49.68	0.05	1	**0**	1.86	0.08
	Mx.max	49.68	0.05	1	**0**	1.86	0.08
	My.min	49.68	0.05	1	0	**1.86**	0.08
	My.max	49.68	0.05	1	0	**1.86**	0.08
	Mz.min	49.68	0.05	1	0	1.86	**0.08**
	Mz.max	49.68	0.05	1	0	1.86	**0.08**
G2	N.min	**39.71**	-0.07	0.67	0	1.38	-0.04
	N.max	**39.71**	-0.07	0.67	0	1.38	-0.04
	Vy.min	39.71	**-0.07**	0.67	0	1.38	-0.04
	Vy.max	39.71	**-0.07**	0.67	0	1.38	-0.04
	Vz.min	39.71	-0.07	**0.67**	0	1.38	-0.04
	Vz.max	39.71	-0.07	**0.67**	0	1.38	-0.04
	Mx.min	39.71	-0.07	0.67	**0**	1.38	-0.04
	Mx.max	39.71	-0.07	0.67	**0**	1.38	-0.04
	My.min	39.71	-0.07	0.67	0	**1.38**	-0.04
	My.max	39.71	-0.07	0.67	0	**1.38**	-0.04
	Mz.min	39.71	-0.07	0.67	0	1.38	**-0.04**
	Mz.max	39.71	-0.07	0.67	0	1.38	**-0.04**
P1_71	N.min	**-0.49**	0	0	0	-0.02	0
	N.max	**560.52**	2.51	8.34	0.06	20.28	1.91
	Vy.min	105.52	**-1.34**	0.27	-0.05	2.78	-1.25
	Vy.max	493.5	**3.89**	9.63	0.13	19.51	3.72
	Vz.min	119.82	-0.23	**-1.93**	-0.03	1.23	-1.6
	Vz.max	463.57	2.95	**11.28**	0.11	20.34	3.98
	Mx.min	124.51	-1.24	-0.04	**-0.06**	3.46	-1.57
	Mx.max	474.9	3.75	9.68	**0.14**	18.13	4.05
	My.min	60.16	0.11	-0.83	0.02	**-1.34**	-0.06
	My.max	526.03	2.92	10.26	0.08	**22.08**	2.91
	Mz.min	141.7	-0.75	-1.17	-0.05	2.2	**-1.73**
	Mz.max	445.5	3.33	10.82	0.12	19.55	**4.17**
P2_71	N.min	**-6.52**	0.03	-0.25	0	-0.23	0.03
	N.max	**900.15**	0.75	14.26	-0.02	30.48	1.12
	Vy.min	690.31	**-2.39**	6.72	-0.09	14.28	-1.76
	Vy.max	280.93	**4.29**	13.31	0.11	22.93	4.83
	Vz.min	265.02	-0.4	**-8.36**	-0.05	-1.32	-2.25
	Vz.max	675.98	2.46	**27.74**	0.07	38.32	5.18
	Mx.min	690.55	-2.13	7.41	**-0.11**	18.87	-2.12
	Mx.max	276.8	3.93	12.18	**0.13**	17.25	5.17
	My.min	119.72	-0.11	-4.32	0.01	**-6.96**	0
	My.max	809.65	2.29	22.86	0.02	**41.24**	3.22
	Mz.min	305.81	-1.12	-5.36	-0.07	1.94	**-2.56**
	Mz.max	622.26	3.12	25.24	0.09	35.12	**5.55**
P1_C3	N.min	**-0.62**	0	0	0	-0.02	0
	N.max	**474.65**	1.33	5.83	0.04	14.24	1.09
	Vy.min	72.51	**-1**	0.33	-0.04	1.9	-0.85
	Vy.max	421.33	**3.05**	7.74	0.09	16.53	2.74
	Vz.min	121.27	-0.16	**-2.17**	-0.02	0.4	-1.44
	Vz.max	407.26	2.29	**9.63**	0.09	17.49	3.2
	Mx.min	97.45	-0.91	-0.27	**-0.05**	2.63	-1.31
	Mx.max	397	3.02	7.87	**0.11**	14.92	3.28
	My.min	54.74	0.1	-0.84	0.02	**-1.38**	-0.06
	My.max	438.04	1.98	9.44	0.07	**18.38**	2.67
	Mz.min	122.38	-0.18	-2.08	-0.03	0.57	**-1.54**
	Mz.max	380.12	2.78	8.87	0.1	16.29	**3.44**
P2_C3	N.min	**-9.71**	0.07	-0.41	0	-0.35	0.03
	N.max	**752.34**	0.1	9.54	-0.02	19.84	0.68
	Vy.min	571.98	**-1.95**	5.12	-0.07	9.11	-1.13
	Vy.max	219.25	**3.12**	7.61	0.08	15.06	3.2
	Vz.min	237.49	-0.48	**-9.29**	-0.05	-4.12	-2.16
	Vz.max	600.07	1.6	**23.56**	0.05	32.5	3.96
	Mx.min	594.05	-1.72	4.52	**-0.09**	13.43	-1.83
	Mx.max	195.86	2.9	8.23	**0.1**	11.17	3.88
	My.min	97.33	-0.13	-4.07	0.01	**-6.51**	-0.06
	My.max	666.84	1.25	22.63	0.02	**34.09**	3.2
	Mz.min	248.92	-0.5	-8.38	-0.05	-2.84	**-2.27**
	Mz.max	520.53	2.31	20.6	0.07	28.41	**4.33**
BR	N.min	**-767.61**	-0.28	-5.71	-0.02	-20.45	-0.82
	N.max	**767.61**	0.28	5.71	0.02	20.45	0.82
	Vy.min	-767.61	**-0.28**	-5.71	-0.02	-20.45	-0.82
	Vy.max	767.61	**0.28**	5.71	0.02	20.45	0.82
	Vz.min	-710.66	-0.23	**-6.38**	-0.01	-19.02	-0.78
	Vz.max	710.66	0.23	**6.38**	0.01	19.02	0.78
	Mx.min	-767.61	-0.28	-5.71	**-0.02**	-20.45	-0.82
	Mx.max	767.61	0.28	5.71	**0.02**	20.45	0.82
	My.min	-767.61	-0.28	-5.71	-0.02	**-20.45**	-0.82
	My.max	767.61	0.28	5.71	0.02	**20.45**	0.82
	Mz.min	-714.15	-0.14	-5	-0.02	-18.33	**-0.84**
	Mz.max	714.15	0.14	5	0.02	18.33	**0.84**

TR_U3 POPIS: **DOLNÍ PÁS U3** POSUDEK: **U3**

SKUPINA ZAT. STAVŮ	EXTRÉM	VYHODNOCOVANÉ VELIČINY					
		N	Vy	Vz	Mx	My	Mz
		kN	kN	kN	kNm	kNm	kNm
S	N.min	**-124.98**	-1.18	1.48	-0.01	-5.45	-0.66
	N.max	**124.98**	1.18	-1.48	0.01	5.45	0.66
	Vy.min	-124.98	**-1.18**	1.48	-0.01	-5.45	-0.66
	Vy.max	124.98	**1.18**	-1.48	0.01	5.45	0.66
	Vz.min	124.98	1.18	**-1.48**	0.01	5.45	0.66
	Vz.max	-124.98	-1.18	**1.48**	-0.01	-5.45	-0.66
	Mx.min	-115.16	-0.56	1.02	**-0.01**	-4.54	-2.1
	Mx.max	115.16	0.56	-1.02	**0.01**	4.54	2.1
	My.min	-124.98	-1.18	1.48	-0.01	**-5.45**	-0.66
	My.max	124.98	1.18	-1.48	0.01	**5.45**	0.66
	Mz.min	-115.16	-0.56	1.02	-0.01	-4.54	**-2.1**
	Mz.max	115.16	0.56	-1.02	0.01	4.54	**2.1**
CH	N.min	**33.33**	0.25	0.24	0.01	0.88	0.14
	N.max	**100.67**	-0.31	1.65	-0.01	3.48	-0.23
	Vy.min	100.67	**-0.31**	1.65	-0.01	3.48	-0.23
	Vy.max	33.33	**0.25**	0.24	0.01	0.88	0.14
	Vz.min	33.33	0.25	**0.24**	0.01	0.88	0.14
	Vz.max	100.67	-0.31	**1.65**	-0.01	3.48	-0.23
	Mx.min	100.67	-0.31	1.65	**-0.01**	3.48	-0.23
	Mx.max	33.33	0.25	0.24	**0.01**	0.88	0.14
	My.min	33.33	0.25	0.24	0.01	**0.88**	0.14
	My.max	100.67	-0.31	1.65	-0.01	**3.48**	-0.23
	Mz.min	100.67	-0.31	1.65	-0.01	3.48	**-0.23**
	Mz.max	33.33	0.25	0.24	0.01	0.88	**0.14**
W	N.min	**-191.02**	-0.95	1.28	0	-8.25	-1.07
	N.max	**191.27**	0.95	-1.27	0	8.26	1.07
	Vy.min	-191.02	**-0.95**	1.28	0	-8.25	-1.07
	Vy.max	191.27	**0.95**	-1.27	0	8.26	1.07
	Vz.min	191.27	0.95	**-1.27**	0	8.26	1.07
	Vz.max	-191.02	-0.95	**1.28**	0	-8.25	-1.07
	Mx.min	191.27	0.95	-1.27	**0**	8.26	1.07
	Mx.max	-191.02	-0.95	1.28	**0**	-8.25	-1.07
	My.min	-191.02	-0.95	1.28	0	**-8.25**	-1.07
	My.max	191.27	0.95	-1.27	0	**8.26**	1.07
	Mz.min	-191.02	-0.95	1.28	0	-8.25	**-1.07**
	Mz.max	191.27	0.95	-1.27	0	8.26	**1.07**
WP	N.min	**-290.14**	-1.05	2.92	0	-13.38	0.17
	N.max	**290.32**	1.05	-2.91	0	13.38	-0.17
	Vy.min	-290.14	**-1.05**	2.92	0	-13.38	0.17
	Vy.max	290.32	**1.05**	-2.91	0	13.38	-0.17
	Vz.min	290.32	1.05	**-2.91**	0	13.38	-0.17
	Vz.max	-290.14	-1.05	**2.92**	0	-13.38	0.17
	Mx.min	-290.14	-1.05	2.92	**0**	-13.38	0.17
	Mx.max	290.32	1.05	-2.91	**0**	13.38	-0.17
	My.min	-290.14	-1.05	2.92	0	**-13.38**	0.17
	My.max	290.32	1.05	-2.91	0	**13.38**	-0.17
	Mz.min	290.32	1.05	-2.91	0	13.38	**-0.17**
	Mz.max	-290.14	-1.05	2.92	0	-13.38	**0.17**
TR	N.min	**0**	0	0	0	0	0
	N.max	**0**	0	0	0	0	0
	Vy.min	0	**0**	0	0	0	0
	Vy.max	0	**0**	0	0	0	0
	Vz.min	0	0	**0**	0	0	0
	Vz.max	0	0	**0**	0	0	0
	Mx.min	0	0	0	**0**	0	0
	Mx.max	0	0	0	**0**	0	0
	My.min	0	0	0	0	**0**	0
	My.max	0	0	0	0	**0**	0
	Mz.min	0	0	0	0	0	**0**
	Mz.max	0	0	0	0	0	**0**
TN	N.min	**-64.6**	-1.31	0.35	-0.03	-2.73	-0.91
	N.max	**44.03**	0.82	-2.56	0.02	-4.42	0.65
	Vy.min	-64.6	**-1.31**	0.35	-0.03	-2.73	-0.91
	Vy.max	44.03	**0.82**	-2.56	0.02	-4.42	0.65
	Vz.min	44.03	0.82	**-2.56**	0.02	-4.42	0.65
	Vz.max	19.95	-0.1	**2.25**	0	7.17	-0.05
	Mx.min	-64.6	-1.31	0.35	**-0.03**	-2.73	-0.91
	Mx.max	44.03	0.82	-2.56	**0.02**	-4.42	0.65
	My.min	-19.95	0.1	-2.25	0	**-7.17**	0.05
	My.max	19.95	-0.1	2.25	0	**7.17**	-0.05
	Mz.min	-64.6	-1.31	0.35	-0.03	-2.73	**-0.91**
	Mz.max	44.03	0.82	-2.56	0.02	-4.42	**0.65**
FR	N.min	**-91.14**	-0.06	-1	0	-2.6	-0.09
	N.max	**91.14**	0.06	1	0	2.6	0.09
	Vy.min	-91.14	**-0.06**	-1	0	-2.6	-0.09
	Vy.max	91.14	**0.06**	1	0	2.6	0.09
	Vz.min	-91.14	-0.06	**-1**	0	-2.6	-0.09
	Vz.max	91.14	0.06	**1**	0	2.6	0.09
	Mx.min	-91.14	-0.06	-1	**0**	-2.6	-0.09
	Mx.max	91.14	0.06	1	**0**	2.6	0.09
	My.min	-91.14	-0.06	-1	0	**-2.6**	-0.09
	My.max	91.14	0.06	1	0	**2.6**	0.09
	Mz.min	-91.14	-0.06	-1	0	-2.6	**-0.09**
	Mz.max	91.14	0.06	1	0	2.6	**0.09**
I	N.min	**-17.43**	-0.14	-0.11	0	-0.62	**-0.17**
	N.max	**17.43**	0.14	0.11	0	0.62	**0.17**
	Vy.min	-17.43	**-0.14**	-0.11	0	-0.62	**-0.17**
	Vy.max	17.43	**0.14**	0.11	0	0.62	**0.17**
	Vz.min	-17.43	-0.14	**-0.11**	0	-0.62	**-0.17**
	Vz.max	17.43	0.14	**0.11**	0	0.62	**0.17**
	Mx.min	-17.43	-0.14	-0.11	**0**	-0.62	**-0.17**
	Mx.max	17.43	0.14	0.11	**0**	0.62	**0.17**
	My.min	-17.43	-0.14	-0.11	0	**-0.62**	**-0.17**
	My.max	17.43	0.14	0.11	0	**0.62**	**0.17**
	Mz.min	-17.43	-0.14	-0.11	0	-0.62	**-0.17**
	Mz.max	17.43	0.14	0.11	0	0.62	**0.17**

TAB. U3.3 POSOUZENÍ - MEZNÍ STAV ÚNOSNOSTI

POPIS	DOLNÍ PÁS U3
PRUT / POLOHA BODU	112 / J[115]
NAMÁHÁNÍ	N.max
VLÁKNO	BOD K2 -HP
MEZNÍ STAV	ULS (MSÚ)
VYUŽITÍ VLÁKNA PRŮŘEZU	0.56

Charakteristiky materiálu				
pás. horní	$f_{yf,k}$	230	MPa	
pás. dolní	$f_{yf,k}$	230	MPa	
stojina	$f_{yw,k}$	230	MPa	
výztuž	$f_{ys,k}$	500	MPa	
γ_M =	1.10	γ_s =	1.15	

Excentricita normálové síly				
Exc./Fáze	0	1	2	3
e_y	0.000	0.000	0.000	0.000
e_z	0.000	0.000	0.000	0.000
Ekvivalentní vzdál. stěn - příčný roznos				
b_{Mx}	0.000	0.000	0.000	0.000

Vliv stěny na únosnost průřezu				
Char./Fáze	0	1	2	3
A	0.00	0.00	0.00	0.00
Wy	0.00	0.00	0.00	0.00
Wz	0.00	0.00	0.00	0.00

Charakter. v kroucení			
$t_{w,y}$	0.000	[mm]	
$t_{w,z}$	0.000	[mm]	
κ	1.00		
I_t=	0.00E+00	[mm^4]	
$\Omega=2*A_{pr}$	0.00E+00	[mm^2]	

Součinitele vzpěru a vlivu II.řádu				
Char./Fáze	0	1	2	3
k_y	1.000	1.000	1.000	1.000
k_z	1.000	1.000	1.000	1.000
χ_{LT}	1.000	1.000	1.000	1.000
χ_{min}	1.000	1.000	1.000	1.000

Vnitřní síly od jednotlivých skupin zatěžovacích stavů

SKUPINA ZATĚŽOVACÍCH STAVŮ					- CHARAKTERISTICKÉ HODNOTY						DÍLČÍ SOUČINITELÉ ZATÍŽENÍ, DYNAMICKÝ SOUČINITEL						3	- NÁVRHOVÉ HODNOTY									
Č.	SKUP ZS	POPIS ZS	KAT.	FÁZE PRŮŘ.	N.k (kN)	Vy.k (kN)	Vz.k (kN)	Mx.k (kNm)	My.k (kNm)	Mz.k (kNm)	γ_{sr} (-)	γ_{Si} (-)	volba γ_i hledat	γ_i (-)	L_d (m)	δ (-)	Ψ_s KZ03	N.d (kN)	Vy.d (kN)	Vz.d (kN)	ΔVz.d (kN)	ΣVz.d (kN)	Mx.d (kNm)	My.d (kNm)	ΔMy.d (kNm)	ΣMy.d (kNm)	Mz.d (kNm)	ΔMz.d (kNm)	ΣMz.d (kNm)
1	G0	Vlastní tíha OK	G	0	731	1	10	0	26	1	1.00	1.20		1.20	-	1.00	0.95	833	1	12	0	12	0	30	0	30	1	0	1
2	G1	Ostatní stálé - mostní vybavení	G	0	50	0	1	0	2	0	1.00	1.20		1.20	-	1.00	0.95	57	0	1	0	1	0	2	0	2	0	0	0
3	G2	Ostatní stálé - cizí zařízení	G	0	40	0	1	0	1	0	1.00	1.20		1.20	-	1.00	0.95	45	0	1	0	1	0	2	0	2	0	0	0
4	P1_71	a.LM71 - kolej 1 (bez dyn. souč.)	P	0	561	3	8	0	20	2	1.00	1.30		1.30	-	1.00	1.00	729	3	11	0	11	0	26	0	26	2	0	2
5	P2_71	a.LM71 - kolej 2 (bez dyn. souč.)	P	0	900	1	14	0	30	1	1.00	1.30		1.30	-	1.00	1.00	1 170	1	19	0	19	0	40	0	40	1	0	1
6	P1_C3	TTZ C3 - kolej 1 (bez dyn. souč.)	P	0	475	1	6	0	14	1	1.00	vyp.		0.00	-	1.00	0.00	0	0	0	0	0	0	0	0	0	0	0	0
7	P2_C3	TTZ C3 - kolej 2 (bez dyn. souč.)	P	0	752	0	10	0	20	1	1.00	vyp.		0.00	-	1.00	0.00	0	0	0	0	0	0	0	0	0	0	0	0
8	BR	Brzdné a rozjezdové síly	P	0	768	0	6	0	20	1	1.00	1.30		1.30	-	1.00	0.80	798	0	6	0	6	0	21	0	21	1	0	1
9	S	Boční ráz	P	0	125	1	-1	0	5	1	1.00	1.30		1.30	-	1.00	0.40	65	1	-1	0	-1	0	3	0	3	0	0	0
10	CH	Chodci na lávkách	Q	0	101	0	2	0	3	0	1.00	1.30		1.30	-	1.00	1.00	131	0	2	0	2	0	5	0	5	0	0	0
11	W	Vítr na konstrukci	Q	0	191	1	-1	0	8	1	1.00	1.35		1.35	-	1.00	0.75	194	1	-1	0	-1	0	8	0	8	1	0	1
12	WP	Vítr na vozidla	Q	0	290	1	-3	0	13	0	1.00	1.35		1.35	-	1.00	0.75	294	1	-3	0	-3	0	14	0	14	0	0	0
13	TR	Teplota rovnoměrná	Q	0	0	0	0	0	0	0	1.00	1.35		1.35	-	1.00	0.45	0	0	0	0	0	0	0	0	0	0	0	0
14	TN	Teplota nerovnoměrná	Q	0	44	1	-3	0	-4	1	1.00	1.35		1.35	-	1.00	0.60	36	1	-2	0	-2	0	-4	0	-4	1	0	1
15	FR	Třecí síly v ložiskách	Q	0	91	0	1	0	3	0	1.00	1.20		1.20	-	1.00	1.00	109	0	1	0	1	0	3	0	3	0	0	0
16	I	Imperfekce soustavy	Q	0	17	0	0	0	1	0	1.00	1.20		1.20	-	1.00	1.00	21	0	0	0	0	0	1	0	1	0	0	0
27	ULS_LM	ULS - LM71 bez dynam	Q	0	4 617	9	45	0	154	8	1.00	vyp.		0.00	-	1.00	0.00	0	0	0	0	0	0	0	0	0	0	0	0
28	SLS_LM	SLS - LM71 bez dynam	Q	0	3 611	6	38	0	124	6	1.00	vyp.	1	0.00	-	1.00	0.00	0	0	0	0	0	0	0	0	0	0	0	0
29	ULS_C3	ULS - C3 bez dynam	Q	0	4 313	6	36	0	132	7	1.00	vyp.	1	0.00	-	1.00	0.00	0	0	0	0	0	0	0	0	0	0	0	0
30	SLS_C3	SLS - C3 bez dynam	Q	0	3 377	4	31	0	108	5	1.00	vyp.	1	0.00	-	1.00	0.00	0	0	0	0	0	0	0	0	0	0	0	0
		CELKEM - FÁZE PRŮŘEZU 0																4 482	8	45	0	45	0	150	0	150	8	0	8
		CELKEM - FÁZE PRŮŘEZU 1																0	0	0	0	0	0	0	0	0	0	0	0
		CELKEM - FÁZE PRŮŘEZU 2																0	0	0	0	0	0	0	0	0	0	0	0
		CELKEM - FÁZE PRŮŘEZU 3																0	0	0	0	0	0	0	0	0	0	0	0
		CELKEM - PRŮŘEZ																4 482	8	45	0	45	0			150			8

Napětí od jednotlivých zatěžovacích stavů

SKUPINA ZATĚŽOVACÍCH STAVŮ					Posouzení normálového napětí										Posouzení smykového napětí													
					Účinek síly N			Účinek momentu My				Účinek momentu Mz				Účinek ktoutícího momentu Mx				Účinek smykové síly Vy				Účinek smykové síly Vz			
Č.	SKUP ZS	Popis ZS	Kat.	fáze prúř.	δ^*N_d [kN]	χ^*A [mm^2]	σ_n [MPa]	$\delta^*M_{y,d}$ [kNm]	$\chi_{lt}{}^*W_{el,y}$ [mm^3]	σ_{my} [MPa]	$\delta^*M_{z,d}$ [kNm]	$W_{el,z}$ [mm^3]	σ_{mz} [MPa]	σ_x [MPa]	$\kappa^*\delta^*M_{x,d}$ [kNm]	$W_{v,y}$ [mm^3]	$\tau_{x,y}$ [MPa]	$W_{v,z}$ [mm^3]	$\tau_{x,z}$ [MPa]	$\delta^*V_{y,d}$ [kN]	$A_{v,y}$ [mm2]	$\tau_{v,y}$ [MPa]	$\tau_{v,y}$ [MPa]	$\delta^*V_{z,d}$ [kN]	$A_{v,z}$ [mm2]	$\tau_{v,z}$ [MPa]	$\tau_{v,z}$ [MPa]
1	G0	Vlastní tíha OK	G	0	833.4	2.67E+04	31.3	30.0	-2.48E+06	-12.1	1.3	8.48E+05	1.5	20.7	2.3E-02	-	-	-	-	0.8	3.39E+03	0.2	0.2	11.8	2.33E+04	0.5	0.5
2	G1	Ostatní stálé - mostní vybavení	G	0	56.6	2.67E+04	2.1	2.1	-2.48E+06	-0.9	0.1	8.48E+05	0.1	1.4	0.0E+00	-	-	-	-	0.1	3.39E+03	0.0	0.0	1.1	2.33E+04	0.0	0.0
3	G2	Ostatní stálé - cizí zařízení	G	0	45.3	2.67E+04	1.7	1.6	-2.48E+06	-0.6	0.0	8.48E+05	-0.1	1.0	0.0E+00	-	-	-	-	-0.1	3.39E+03	0.0	0.0	0.8	2.33E+04	0.0	0.0
4	P1_71	a.LM71 - kolej 1 (bez dyn. souč.)	P	0	728.7	2.67E+04	27.3	26.4	-2.48E+06	-10.6	2.5	8.48E+05	2.9	19.6	7.8E-02	-	-	-	-	3.3	3.39E+03	1.0	1.0	10.8	2.33E+04	0.5	0.5
5	P2_71	a.LM71 - kolej 2 (bez dyn. souč.)	P	0	1 170.2	2.67E+04	43.9	39.6	-2.48E+06	-15.9	1.5	8.48E+05	1.7	29.7	-2.6E-02	-	-	-	-	1.0	3.39E+03	0.3	0.3	18.5	2.33E+04	0.8	0.8
6	P1_C3	TTZ C3 - kolej 1 (bez dyn. souč.)	P	0	0.0	2.67E+04	0.0	0.0	-2.48E+06	0.0	0.0	8.48E+05	0.0	0.0	0.0E+00	-	-	-	-	0.0	3.39E+03	0.0	0.0	0.0	2.33E+04	0.0	0.0
7	P2_C3	TTZ C3 - kolej 2 (bez dyn. souč.)	P	0	0.0	2.67E+04	0.0	0.0	-2.48E+06	0.0	0.0	8.48E+05	0.0	0.0	0.0E+00	-	-	-	-	0.0	3.39E+03	0.0	0.0	0.0	2.33E+04	0.0	0.0
8	BR	Brzdné a rozjezdové síly	P	0	798.3	2.67E+04	29.9	21.3	-2.48E+06	-8.6	0.9	8.48E+05	1.0	22.4	2.1E-02	-	-	-	-	0.3	3.39E+03	0.1	0.1	5.9	2.33E+04	0.3	0.3
9	S	Boční ráz	P	0	65.0	2.67E+04	2.4	2.8	-2.48E+06	-1.1	0.3	8.48E+05	0.4	1.7	5.2E-03	-	-	-	-	0.6	3.39E+03	0.2	0.2	-0.8	2.33E+04	0.0	0.0
10	CH	Chodci na lávkách	Q	0	130.9	2.67E+04	4.9	4.5	-2.48E+06	-1.8	-0.3	8.48E+05	-0.4	2.7	-1.3E-02	-	-	-	-	-0.4	3.39E+03	-0.1	-0.1	2.1	2.33E+04	0.1	0.1
11	W	Vítr na konstrukci	Q	0	193.7	2.67E+04	7.3	8.4	-2.48E+06	-3.4	1.1	8.48E+05	1.3	5.2	0.0E+00	-	-	-	-	1.0	3.39E+03	0.3	0.3	-1.3	2.33E+04	-0.1	-0.1
12	WP	Vítr na vozidla	Q	0	293.9	2.67E+04	11.0	13.5	-2.48E+06	-5.5	-0.2	8.48E+05	-0.2	5.4	0.0E+00	-	-	-	-	1.1	3.39E+03	0.3	0.3	-2.9	2.33E+04	-0.1	-0.1
13	TR	Teplota rovnoměrná	Q	0	0.0	2.67E+04	0.0	0.0	-2.48E+06	0.0	0.0	8.48E+05	0.0	0.0	0.0E+00	-	-	-	-	0.0	3.39E+03	0.0	0.0	0.0	2.33E+04	0.0	0.0
14	TN	Teplota nerovnoměrná	Q	0	35.7	2.67E+04	1.3	-3.6	-2.48E+06	1.4	0.5	8.48E+05	0.6	3.4	1.6E-02	-	-	-	-	0.7	3.39E+03	0.2	0.2	-2.1	2.33E+04	-0.1	-0.1
15	FR	Třecí síly v ložiskách	Q	0	109.4	2.67E+04	4.1	3.1	-2.48E+06	-1.3	0.1	8.48E+05	0.1	3.0	0.0E+00	-	-	-	-	0.1	3.39E+03	0.0	0.0	1.2	2.33E+04	0.1	0.1
16	I	Imperfekce soustavy	Q	0	20.9	2.67E+04	0.8	0.7	-2.48E+06	-0.3	0.2	8.48E+05	0.2	0.7	0.0E+00	-	-	-	-	0.2	3.39E+03	0.0	0.0	0.1	2.33E+04	0.0	0.0
27	ULS_LM	ULS - LM71 bez dynam	Q	0	0.0	2.67E+04	0.0	0.0	-2.48E+06	0.0	0.0	8.48E+05	0.0	0.0	0.0E+00	-	-	-	-	0.0	3.39E+03	0.0	0.0	0.0	2.33E+04	0.0	0.0
28	SLS_LM	SLS - LM71 bez dynam	Q	0	0.0	2.67E+04	0.0	0.0	-2.48E+06	0.0	0.0	8.48E+05	0.0	0.0	0.0E+00	-	-	-	-	0.0	3.39E+03	0.0	0.0	0.0	2.33E+04	0.0	0.0
29	ULS_C3	ULS - C3 bez dynam	Q	0	0.0	2.67E+04	0.0	0.0	-2.48E+06	0.0	0.0	8.48E+05	0.0	0.0	0.0E+00	-	-	-	-	0.0	3.39E+03	0.0	0.0	0.0	2.33E+04	0.0	0.0
30	SLS_C3	SLS - C3 bez dynam	Q	0	0.0	2.67E+04	0.0	0.0	-2.48E+06	0.0	0.0	8.48E+05	0.0	0.0	0.0E+00	-	-	-	-	0.0	3.39E+03	0.0	0.0	0.0	2.33E+04	0.0	0.0
NAVÝŠENÍ NAPĚTÍ DO AKTIVACE TLAKU V DESCE MOSTOVKY						$\sigma_{P,red}$	0.0							0.0			0.0		0.0				2.5	2.5			2.0	2.0
NAPĚTÍ OD PRIMÁRNÍCH ÚČINKŮ NEROVNOMĚRNÉHO OTEPLENÍ						σ_T	0.0							0.0														
NAPĚTÍ OD REOLOGICKÝCH ÚČINKŮ BETONU V ČASE				t=0		σ_R	0.0	γ_i=	1.20					0.0														
NAPĚTÍ V KRITICKÝCH VLÁKNECH OD KOMBINACE ZATÍŽENÍ						KZ03		[MPa]					$\Sigma\sigma_x$	116.8								$\Sigma\tau_y$	2.5				$\Sigma\tau_z$	2.0
NAPĚTÍ OD POHYBLIVÉHO ZATÍŽENÍ								[MPa]					$\sigma_{x,P}$	73.4								τ_P	1.5				τ_P	1.5
NAPĚTÍ OD OSTATNÍCH ZATÍŽENÍ								[MPa]			Φ_{Vy}	Φ_{Vz}	$\sigma_{x,rs}$	43.5								τ_{rs}	1.0				τ_{rs}	0.5
NÁVRHOVÁ HODNOTA MEZE KLUZU S REDUKCÍ VLIVEM SMYKOVÉHO NAPĚTÍ								[MPa]			1.00	1.00	$f_{yv,d}$	209.1								$f_{yd}/3^{0,5}$	120.7				$f_{yd}/3^{0,5}$	120.7
NAPĚTÍ OD POHYBLIVÉHO ZATÍŽENÍ V GLOBÁLNÍM SYSTÉMU						$\sigma_{GLOB,P}$	0.0	[MPa]					$\Sigma\sigma_{GLOB}$	0.0														
NAPĚTÍ OD OSTATNÍCH ZATÍŽENÍ V GLOBÁLNÍM SYSTÉMU						$\sigma_{GLOB,rs}$	0.0	[MPa]					$\Sigma\sigma_x + \Sigma\sigma_{GLOB}$	116.8														
VYUŽITÍ PRŮŘEZU DLE NAPĚTÍ								[%]					η_1	0.56								η_3	0.02				η_3	0.02
NAPĚTÍ V PŘÍČNÉM SMĚRU OD POHYBLIVÉHO ZATÍŽENÍ						$\sigma_{z,P}$	0.0	[MPa]					$\Sigma\sigma_z$	0.0														
NAPĚTÍ V PŘÍČNÉM SMĚRU OD OSTATNÍCH ZATÍŽENÍ						$\sigma_{z,rs}$	0.0	[MPa]					η_2	0.00														
SROVNÁVACÍ NAPĚTÍ													$(\eta_2 + 0,8\ \eta_1)/1,4$ =	0.32														
VYUŽITÍ PRŮŘEZU CELKEM								[%]					eff	0.56	VYHOVUJE													
													z_{LM71} =	2.26														

TAB. U3.3 POSOUZENÍ - MEZNÍ STAV ÚNOSNOSTI

POPIS	DOLNÍ PÁS U3
PRUT / POLOHA BODU	112 / J[115]
NAMÁHÁNÍ	My.max
VLÁKNO	BOD K4 -SP
MEZNÍ STAV	ULS (MSÚ)
VYUŽITÍ VLÁKNA PRŮŘEZU	1.09

Charakteristiky materiálu				
pás. horní	$f_{yf,k}$	230	MPa	
pás. dolní	$f_{yf,k}$	230	MPa	
stojina	$f_{yw,k}$	230	MPa	
výztuž	$f_{ys,k}$	500	MPa	
	γ_{M} =	1.10	γ_{s} =	1.15

Excentricita normálové síly				
Exc./Fáze	0	1	2	3
e_y	0.000	0.000	0.000	0.000
e_z	0.000	0.000	0.000	0.000
Ekvivalentní vzdál. stěn - příčný roznos				
b_{Mx}	0.000	0.000	0.000	0.000

Vliv stěny na únosnost průřezu				
Char./Fáze	0	1	2	3
A	0.00	0.00	0.00	0.00
Wy	0.00	0.00	0.00	0.00
Wz	0.00	0.00	0.00	0.00

Charakter. v kroucení			
$t_{w,y}$	0.000	[mm]	
$t_{w,z}$	0.000	[mm]	
κ	1.00		
I_t=	0.00E+00	[mm^4]	
$\Omega=2*A_{pr}$	0.00E+00	[mm^2]	

Součinitele vzpěru a vlivu II.řádu					
Char./Fáze	0	1	2	3
k_y	1.000	1.000	1.000	1.000
k_z	1.000	1.000	1.000	1.000
χ_{LT}	1.000	1.000	1.000	1.000
χ_{min}	1.000	1.000	1.000	1.000

Vnitřní síly od jednotlivých skupin zatěžovacích stavů

SKUPINA ZATĚŽOVACÍCH STAVŮ — 3

Č.	SKUP ZS	POPIS ZS	KAT.	FÁZE PRŮŘ.	- CHARAKTERISTICKÉ HODNOTY N.k (kN)	Vy.k (kN)	Vz.k (kN)	Mx.k (kNm)	My.k (kNm)	Mz.k (kNm)	DÍLČÍ SOUČINITELÉ ZATÍŽENÍ, DYNAMICKÝ SOUČINITEL γ_{or} (-)	γ_{Q} (-)	volba γ_i hledat	γ_i (-)	L_d (m)	δ (-)	γ_{Fc} KZ03	- NÁVRHOVÉ HODNOTY N.d (kN)	Vy.d (kN)	Vz.d (kN)	ΔVz.d (kN)	ΣVz.d (kN)	Mx.d (kNm)	My.d (kNm)	ΔMy.d (kNm)	ΣMy.d (kNm)	Mz.d (kNm)	ΔMz.d (kNm)	ΣMz.d (kNm)
1	G0	Vlastní tíha OK	G	0	731	1	10	0	26	1	1.00	1.20		1.20	-	1.00	0.95	833	1	12	0	12	0	30	0	30	1	0	1
2	G1	Ostatní stálé - mostní vybavení	G	0	50	0	1	0	2	0	1.00	1.20		1.20	-	1.00	0.95	57	0	1	0	1	0	2	0	2	0	0	0
3	G2	Ostatní stálé - cizí zařízení	G	0	40	0	1	0	1	0	1.00	1.20		1.20	-	1.00	0.95	45	0	1	0	1	0	2	0	2	0	0	0
4	P1_71	a.LM71 - kolej 1 (bez dyn. souč.)	P	0	526	3	10	0	22	3	1.00	1.30		1.30	-	1.00	1.00	684	4	13	0	13	0	29	0	29	4	0	4
5	P2_71	a.LM71 - kolej 2 (bez dyn. souč.)	P	0	810	2	23	0	41	3	1.00	1.30		1.30	-	1.00	1.00	1 053	3	30	0	30	0	54	0	54	4	0	4
6	P1_C3	TTZ C3 - kolej 1 (bez dyn. souč.)	P	0	438	2	9	0	18	3	1.00	vyp.		0.00	-	1.00	0.00	0	0	0	0	0	0	0	0	0	0	0	0
7	P2_C3	TTZ C3 - kolej 2 (bez dyn. souč.)	P	0	667	1	23	0	34	3	1.00	vyp.		0.00	-	1.00	0.00	0	0	0	0	0	0	0	0	0	0	0	0
8	BR	Brzdné a rozjezdové síly	P	0	768	0	6	0	20	1	1.00	1.30		1.30	-	1.00	0.80	798	0	6	0	6	0	21	0	21	1	0	1
9	S	Boční ráz	P	0	125	1	-1	0	5	1	1.00	1.30		1.30	-	1.00	0.40	65	1	-1	0	-1	0	3	0	3	0	0	0
10	CH	Chodci na lávkách	Q	0	101	0	2	0	3	0	1.00	1.30		1.30	-	1.00	1.00	131	0	2	0	2	0	5	0	5	0	0	0
11	W	Vítr na konstrukci	Q	0	191	1	-1	0	8	1	1.00	1.35		1.35	-	1.00	0.75	194	1	-1	0	-1	0	8	0	8	1	0	1
12	WP	Vítr na vozidla	Q	0	290	1	-3	0	13	0	1.00	1.35		1.35	-	1.00	0.75	294	1	-3	0	-3	0	14	0	14	0	0	0
13	TR	Teplota rovnoměrná	Q	0	0	0	0	0	0	0	1.00	1.35		1.35	-	1.00	0.45	0	0	0	0	0	0	0	0	0	0	0	0
14	TN	Teplota nerovnoměrná	Q	0	20	0	2	0	7	0	1.00	1.35		1.35	-	1.00	0.60	16	0	2	0	2	0	6	0	6	0	0	0
15	FR	Třecí síly v ložiskách	Q	0	91	0	1	0	3	0	1.00	1.20		1.20	-	1.00	1.00	109	0	1	0	1	0	3	0	3	0	0	0
16	I	Imperfekce soustavy	Q	0	17	0	0	0	1	0	1.00	1.20		1.20	-	1.00	1.00	21	0	0	0	0	0	1	0	1	0	0	0
27	ULS_LM	ULS - LM71 bez dynam	Q	0	4 435	10	63	0	180	12	1.00	vyp.		0.00	-	1.00	0.00	0	0	0	0	0	0	0	0	0	0	0	0
28	SLS_LM	SLS - LM71 bez dynam	Q	0	3 486	8	49	0	137	9	1.00	vyp.	1	0.00	-	1.00	0.00	0	0	0	0	0	0	0	0	0	0	0	0
29	ULS_C3	ULS - C3 bez dynam	Q	0	4 135	8	62	0	166	11	1.00	vyp.	1	0.00	-	1.00	0.00	0	0	0	0	0	0	0	0	0	0	0	0
30	SLS_C3	SLS - C3 bez dynam	Q	0	3 255	6	48	0	126	9	1.00	vyp.	1	0.00	-	1.00	0.00	0	0	0	0	0	0	0	0	0	0	0	0
		CELKEM - FÁZE PRŮŘEZU 0																4 300	10	63	0	63	0	176	0	176	11	0	11
		CELKEM - FÁZE PRŮŘEZU 1																0	0	0	0	0	0	0	0	0	0	0	0
		CELKEM - FÁZE PRŮŘEZU 2																0	0	0	0	0	0	0	0	0	0	0	0
		CELKEM - FÁZE PRŮŘEZU 3																0	0	0	0	0	0	0	0	0	0	0	0
		CELKEM - PRŮŘEZ																4 300	10	63	0	63	0			176			11

Napětí od jednotlivých zatěžovacích stavů

SKUPINA ZATĚŽOVACÍCH STAVŮ

Č.	SKUP ZS	Popis ZS	Kat.	fáze prúř.	Posouzení normálového napětí — Účinek síly N δ^*N_d [kN]	χ^*A [mm^2]	σ_n [MPa]	Účinek momentu My $\delta^*M_{y,d}$ [kNm]	$\chi_{lt}*W_{el,y}$ [mm^3]	σ_{my} [MPa]	Účinek momentu Mz $\delta^*M_{z,d}$ [kNm]	$W_{el,z}$ [mm^3]	σ_{mz} [MPa]	σ_x [MPa]	Posouzení smykového napětí — Účinek kroutícího momentu Mx $\kappa*\delta^*M_{x,d}$ [kNm]	$W_{v,y}$ [mm^2]	$\tau_{x,y}$ [MPa]	$W_{v,z}$ [mm^2]	$\tau_{x,z}$ [MPa]	Účinek smykové síly Vy $\delta^*V_{y,d}$ [kN]	$A_{v,y}$ [mm2]	$\tau_{v,y}$ [MPa]	$\tau_{v,y}$ [MPa]	Účinek smykové síly Vz $\delta^*V_{z,d}$ [kN]	$A_{v,z}$ [mm2]	$\tau_{v,z}$ [MPa]	$\tau_{v,z}$ [MPa]
1	G0	Vlastní tíha OK	G	0	833.4	2.67E+04	31.3	30.0	3.82E+06	7.8	1.3	5.75E+05	2.2	41.3	2.3E-02	-	-	-	-	0.8	3.39E+03	0.2	0.2	11.8	2.33E+04	0.5	0.5
2	G1	Ostatní stálé - mostní vybavení	G	0	56.6	2.67E+04	2.1	2.1	3.82E+06	0.6	0.1	5.75E+05	0.2	2.8	0.0E+00	-	-	-	-	0.1	3.39E+03	0.0	0.0	1.1	2.33E+04	0.0	0.0
3	G2	Ostatní stálé - cizí zařízení	G	0	45.3	2.67E+04	1.7	1.6	3.82E+06	0.4	0.0	5.75E+05	-0.1	2.0	0.0E+00	-	-	-	-	-0.1	3.39E+03	0.0	0.0	0.8	2.33E+04	0.0	0.0
4	P1_71	a.LM71 - kolej 1 (bez dyn. souč.)	P	0	683.8	2.67E+04	25.6	28.7	3.82E+06	7.5	3.8	5.75E+05	6.6	39.7	1.0E-01	-	-	-	-	3.8	3.39E+03	1.1	1.1	13.3	2.33E+04	0.6	0.6
5	P2_71	a.LM71 - kolej 2 (bez dyn. souč.)	P	0	1 052.5	2.67E+04	39.5	53.6	3.82E+06	14.0	4.2	5.75E+05	7.3	60.8	2.6E-02	-	-	-	-	3.0	3.39E+03	0.9	0.9	29.7	2.33E+04	1.3	1.3
6	P1_C3	TTZ C3 - kolej 1 (bez dyn. souč.)	P	0	0.0	2.67E+04	0.0	0.0	3.82E+06	0.0	0.0	5.75E+05	0.0	0.0	0.0E+00	-	-	-	-	0.0	3.39E+03	0.0	0.0	0.0	2.33E+04	0.0	0.0
7	P2_C3	TTZ C3 - kolej 2 (bez dyn. souč.)	P	0	0.0	2.67E+04	0.0	0.0	3.82E+06	0.0	0.0	5.75E+05	0.0	0.0	0.0E+00	-	-	-	-	0.0	3.39E+03	0.0	0.0	0.0	2.33E+04	0.0	0.0
8	BR	Brzdné a rozjezdové síly	P	0	798.3	2.67E+04	29.9	21.3	3.82E+06	5.6	0.9	5.75E+05	1.5	37.0	2.1E-02	-	-	-	-	0.3	3.39E+03	0.1	0.1	5.9	2.33E+04	0.3	0.3
9	S	Boční ráz	P	0	65.0	2.67E+04	2.4	2.8	3.82E+06	0.7	0.3	5.75E+05	0.6	3.8	5.2E-03	-	-	-	-	0.6	3.39E+03	0.2	0.2	-0.8	2.33E+04	0.0	0.0
10	CH	Chodci na lávkách	Q	0	130.9	2.67E+04	4.9	4.5	3.82E+06	1.2	-0.3	5.75E+05	-0.5	5.6	-1.3E-02	-	-	-	-	-0.4	3.39E+03	-0.1	-0.1	2.1	2.33E+04	0.1	0.1
11	W	Vítr na konstrukci	Q	0	193.7	2.67E+04	7.3	8.4	3.82E+06	2.2	1.1	5.75E+05	1.9	11.3	0.0E+00	-	-	-	-	1.0	3.39E+03	0.3	0.3	-1.3	2.33E+04	-0.1	-0.1
12	WP	Vítr na vozidla	Q	0	293.9	2.67E+04	11.0	13.5	3.82E+06	3.5	-0.2	5.75E+05	-0.3	14.3	0.0E+00	-	-	-	-	1.1	3.39E+03	0.3	0.3	-2.9	2.33E+04	-0.1	-0.1
13	TR	Teplota rovnoměrná	Q	0	0.0	2.67E+04	0.0	0.0	3.82E+06	0.0	0.0	5.75E+05	0.0	0.0	0.0E+00	-	-	-	-	0.0	3.39E+03	0.0	0.0	0.0	2.33E+04	0.0	0.0
14	TN	Teplota nerovnoměrná	Q	0	16.2	2.67E+04	0.6	5.8	3.82E+06	1.5	0.0	5.75E+05	-0.1	2.1	0.0E+00	-	-	-	-	-0.1	3.39E+03	0.0	0.0	1.8	2.33E+04	0.1	0.1
15	FR	Třecí síly v ložiskách	Q	0	109.4	2.67E+04	4.1	3.1	3.82E+06	0.8	0.1	5.75E+05	0.2	5.1	0.0E+00	-	-	-	-	0.1	3.39E+03	0.0	0.0	1.2	2.33E+04	0.1	0.1
16	I	Imperfekce soustavy	Q	0	20.9	2.67E+04	0.8	0.7	3.82E+06	0.2	0.2	5.75E+05	0.4	1.3	0.0E+00	-	-	-	-	0.2	3.39E+03	0.0	0.0	0.1	2.33E+04	0.0	0.0
27	ULS_LM	ULS - LM71 bez dynam	Q	0	0.0	2.67E+04	0.0	0.0	3.82E+06	0.0	0.0	5.75E+05	0.0	0.0	0.0E+00	-	-	-	-	0.0	3.39E+03	0.0	0.0	0.0	2.33E+04	0.0	0.0
28	SLS_LM	SLS - LM71 bez dynam	Q	0	0.0	2.67E+04	0.0	0.0	3.82E+06	0.0	0.0	5.75E+05	0.0	0.0	0.0E+00	-	-	-	-	0.0	3.39E+03	0.0	0.0	0.0	2.33E+04	0.0	0.0
29	ULS_C3	ULS - C3 bez dynam	Q	0	0.0	2.67E+04	0.0	0.0	3.82E+06	0.0	0.0	5.75E+05	0.0	0.0	0.0E+00	-	-	-	-	0.0	3.39E+03	0.0	0.0	0.0	2.33E+04	0.0	0.0
30	SLS_C3	SLS - C3 bez dynam	Q	0	0.0	2.67E+04	0.0	0.0	3.82E+06	0.0	0.0	5.75E+05	0.0	0.0	0.0E+00	-	-	-	-	0.0	3.39E+03	0.0	0.0	0.0	2.33E+04	0.0	0.0
		NAVÝŠENÍ NAPĚTÍ DO AKTIVACE TLAKU V DESCE MOSTOVKY				$\sigma_{P,red}$	0.0							0.0				0.0		0.0		3.0	3.0			2.7	2.7
		NAPĚTÍ OD PRIMÁRNÍCH ÚČINKŮ NEROVNOMĚRNÉHO OTEPLENÍ				σ_T	0.0							0.0													
		NAPĚTÍ OD REOLOGICKÝCH ÚČINKŮ BETONU V ČASE		t=0		σ_R	0.0	γ_{i}=	1.20					0.0													
		NAPĚTÍ V KRITICKÝCH VLÁKNECH OD KOMBINACE ZATÍŽENÍ				KZ03		[MPa]					$\Sigma\sigma_x$	227.1								$\Sigma\tau_y$	3.0			$\Sigma\tau_z$	2.7
		NAPĚTÍ OD POHYBLIVÉHO ZATÍŽENÍ						[MPa]					$\sigma_{x,P}$	141.3								τ_P	2.3			τ_P	2.1
		NAPĚTÍ OD OSTATNÍCH ZATÍŽENÍ						[MPa]			Φ_{Vy}	Φ_{Vz}	$\sigma_{x,rs}$	85.9								τ_{rs}	0.8			τ_{rs}	0.6
		NÁVRHOVÁ HODNOTA MEZE KLUZU S REDUKCÍ VLIVEM SMYKOVÉHO NAPĚTÍ						[MPa]			1.00	1.00	$f_{yw,d}$	209.1								$f_{yd}/3^{0,5}$	120.7			$f_{yd}/3^{0,5}$	120.7
		NAPĚTÍ OD POHYBLIVÉHO ZATÍŽENÍ V GLOBÁLNÍM SYSTÉMU				$\sigma_{GLOB,P}$	0.0	[MPa]					$\Sigma\sigma_{GLOB}$	0.0													
		NAPĚTÍ OD OSTATNÍCH ZATÍŽENÍ V GLOBÁLNÍM SYSTÉMU				$\sigma_{GLOB,rs}$	0.0	[MPa]					$\Sigma\sigma_x + \Sigma\sigma_{GLOB}$	227.1													
		VYUŽITÍ PRŮŘEZU DLE NAPĚTÍ						[%]					η_1	1.09								η_3	0.02			η_3	0.02
		NAPĚTÍ V PŘÍČNÉM SMĚRU OD POHYBLIVÉHO ZATÍŽENÍ				$\sigma_{z,P}$	0.0	[MPa]					$\Sigma\sigma_z$	0.0													
		NAPĚTÍ V PŘÍČNÉM SMĚRU OD OSTATNÍCH ZATÍŽENÍ				$\sigma_{z,rs}$	0.0	[MPa]					η_2	0.00													
		SROVNÁVACÍ NAPĚTÍ											$(\eta2 + 0,8\ \eta1)/1,4$ =	0.62													
		VYUŽITÍ PRŮŘEZU CELKEM						[%]					eff	1.09	NEVYHOUJE												
													z_{LM71} =	0.87													

TAB. U3.3 POSOUZENÍ - MEZNÍ STAV ÚNOSNOSTI

POPIS	DOLNÍ PÁS U3
PRUT / POLOHA BODU	112 / J[115]
NAMÁHÁNÍ	Vz.max
VLÁKNO	BOD S6 -HP
MEZNÍ STAV	ULS (MSÚ)
VYUŽITÍ VLÁKNA PRŮŘEZU	0.59

Charakteristiky materiálu				
pás. horní	$f_{yf,k}$	230	MPa	
pás. dolní	$f_{yf,k}$	230	MPa	
stojina	$f_{yw,k}$	230	MPa	
výztuž	$f_{ys,k}$	500	MPa	
γ_M =	1.10	γ_s =	1.15	

Excentricita normálové síly				
Exc./Fáze	0	1	2	3
e_y	0.000	0.000	0.000	0.000
e_z	0.000	0.000	0.000	0.000
Ekvivalentní vzdál. stěn - příčný roznos				
b_{Mx}	0.000	0.000	0.000	0.000

Vliv stěny na únosnost průřezu				
Char./Fáze	0	1	2	3
A	0.00	0.00	0.00	0.00
Wy	0.00	0.00	0.00	0.00
Wz	0.00	0.00	0.00	0.00

Charakter. v kroucení			
$t_{w,y}$	0.000	[mm]	
$t_{w,z}$	0.000	[mm]	
κ	1.00		
I_t=	0.00E+00	[mm^4]	
$\Omega=2*A_{pr}$	0.00E+00	[mm^2]	

Součinitele vzpěru a vlivu II.řádu				
Char./Fáze	0	1	2	3
k_y	1.000	1.000	1.000	1.000
k_z	1.000	1.000	1.000	1.000
χ_{LT}	1.000	1.000	1.000	1.000
χ_{min}	1.000	1.000	1.000	1.000

Vnitřní síly od jednotlivých skupin zatěžovacích stavů

SKUPINA ZATĚŽOVACÍCH STAVŮ					- CHARAKTERISTICKÉ HODNOTY						DÍLČÍ SOUČINITELÉ ZATÍŽENÍ, DYNAMICKÝ SOUČINITEL						3	- NÁVRHOVÉ HODNOTY								
Č.	SKUP ZS	POPIS ZS	KAT.	FÁZE PRŮŘ.	N.k (kN)	Vy.k (kN)	Vz.k (kN)	Mx.k (kNm)	My.k (kNm)	Mz.k (kNm)	γ_{sr} (-)	γ_{fs} (-)	volba γ_f hledat	γ_f (-)	L_d (m)	δ (-)	Ψ_s KZ03	N.d (kN)	Vy.d (kN)	Vz.d (kN)	ΔVz.d (kN)	ΣVz.d (kN)	Mx.d (kNm)	My.d (kNm)	ΔMy.d (kNm)	ΣMy.d (kNm)	Mz.d (kNm)	ΔMz.d (kNm)	ΣMz.d (kNm)
1	G0	Vlastní tíha OK	G	0	731	1	10	0	26	1	1.00	1.20		1.20	-	1.00	0.95	833	1	12	0	12	0	30	0	30	1	0	1
2	G1	Ostatní stálé - mostní vybavení	G	0	50	0	1	0	2	0	1.00	1.20		1.20	-	1.00	0.95	57	0	1	0	1	0	2	0	2	0	0	0
3	G2	Ostatní stálé - cizí zařízení	G	0	40	0	1	0	1	0	1.00	1.20		1.20	-	1.00	0.95	45	0	1	0	1	0	2	0	2	0	0	0
4	P1_71	a.LM71 - kolej 1 (bez dyn. souč.)	P	0	464	3	11	0	20	4	1.00	1.30		1.30	-	1.00	1.00	603	4	15	0	15	0	26	0	26	5	0	5
5	P2_71	a.LM71 - kolej 2 (bez dyn. souč.)	P	0	676	2	28	0	38	5	1.00	1.30		1.30	-	1.00	1.00	879	3	36	0	36	0	50	0	50	7	0	7
6	P1_C3	TTZ C3 - kolej 1 (bez dyn. souč.)	P	0	407	2	10	0	17	3	1.00	vyp.		0.00	-	1.00	0.00	0	0	0	0	0	0	0	0	0	0	0	0
7	P2_C3	TTZ C3 - kolej 2 (bez dyn. souč.)	P	0	600	2	24	0	33	4	1.00	vyp.		0.00	-	1.00	0.00	0	0	0	0	0	0	0	0	0	0	0	0
8	BR	Brzdné a rozjezdové síly	P	0	711	0	6	0	19	1	1.00	1.30		1.30	-	1.00	0.80	739	0	7	0	7	0	20	0	20	1	0	1
9	S	Boční ráz	P	0	-125	-1	1	0	-5	-1	1.00	1.30		1.30	-	1.00	0.40	-65	-1	1	0	1	0	-3	0	-3	0	0	0
10	CH	Chodci na lávkách	Q	0	101	0	2	0	3	0	1.00	1.30		1.30	-	1.00	1.00	131	0	2	0	2	0	5	0	5	0	0	0
11	W	Vítr na konstrukci	Q	0	-191	-1	1	0	-8	-1	1.00	1.35		1.35	-	1.00	0.75	-193	-1	1	0	1	0	-8	0	-8	-1	0	-1
12	WP	Vítr na vozidla	Q	0	-290	-1	3	0	-13	0	1.00	1.35		1.35	-	1.00	0.75	-294	-1	3	0	3	0	-14	0	-14	0	0	0
13	TR	Teplota rovnoměrná	Q	0	0	0	0	0	0	0	1.00	1.35		1.35	-	1.00	0.45	0	0	0	0	0	0	0	0	0	0	0	0
14	TN	Teplota nerovnoměrná	Q	0	20	0	2	0	7	0	1.00	1.35		1.35	-	1.00	0.60	16	0	2	0	2	0	6	0	6	0	0	0
15	FR	Třecí síly v ložiskách	Q	0	91	0	1	0	3	0	1.00	1.20		1.20	-	1.00	1.00	109	0	1	0	1	0	3	0	3	0	0	0
16	I	Imperfekce soustavy	Q	0	17	0	0	0	1	0	1.00	1.20		1.20	-	1.00	1.00	21	0	0	0	0	0	1	0	1	0	0	0
27	ULS_LM	ULS - LM71 bez dynam	Q	0	2 968	5	82	0	121	13	1.00	vyp.		0.00	-	1.00	0.00	0	0	0	0	0	0	0	0	0	0	0	0
28	SLS_LM	SLS - LM71 bez dynam	Q	0	2 386	4	63	0	93	10	1.00	vyp.	1	0.00	-	1.00	0.00	0	0	0	0	0	0	0	0	0	0	0	0
29	ULS_C3	ULS - C3 bez dynam	Q	0	2 797	3	74	0	110	10	1.00	vyp.	1	0.00	-	1.00	0.00	0	0	0	0	0	0	0	0	0	0	0	0
30	SLS_C3	SLS - C3 bez dynam	Q	0	2 253	2	57	0	84	8	1.00	vyp.	1	0.00	-	1.00	0.00	0	0	0	0	0	0	0	0	0	0	0	0
		CELKEM - FÁZE PRŮŘEZU 0																2 881	5	81	0	81	0	119	0	119	13	0	13
		CELKEM - FÁZE PRŮŘEZU 1																0	0	0	0	0	0	0	0	0	0	0	0
		CELKEM - FÁZE PRŮŘEZU 2																0	0	0	0	0	0	0	0	0	0	0	0
		CELKEM - FÁZE PRŮŘEZU 3																0	0	0	0	0	0	0	0	0	0	0	0
		CELKEM - PRŮŘEZ																2 881	5	81	0	81	0			119			13

Napětí od jednotlivých zatěžovacích stavů

SKUPINA ZATĚŽOVACÍCH STAVŮ					Posouzení normálového napětí										Posouzení smykového napětí													
					Účinek síly N			Účinek momentu My				Účinek momentu Mz				Účinek ktoutícího momentu Mx				Účinek smykové síly Vy				Účinek smykové síly Vz			
Č.	SKUP ZS	Popis ZS	Kat.	fáze prúř.	δ^*N_d [kN]	χ^*A [mm^2]	σ_n [MPa]	$\delta^*M_{y,d}$ [kNm]	$\chi_{lt}{}^*W_{el,y}$ [mm^3]	σ_{my} [MPa]	$\delta^*M_{z,d}$ [kNm]	$W_{el,z}$ [mm^3]	σ_{mz} [MPa]	σ_x [MPa]	$\kappa^*\delta^*M_{x,d}$ [kNm]	$W_{v,y}$ [mm^2]	$\tau_{x,y}$ [MPa]	$W_{v,z}$ [mm^2]	$\tau_{x,z}$ [MPa]	$\delta^*V_{y,d}$ [kN]	$A_{v,y}$ [mm2]	$\tau_{v,y}$ [MPa]	$\tau_{v,y}$ [MPa]	$\delta^*V_{z,d}$ [kN]	$A_{v,z}$ [mm2]	$\tau_{v,z}$ [MPa]	$\tau_{v,z}$ [MPa]
1	G0	Vlastní tíha OK	G	0	833.4	2.67E+04	31.3	30.0	3.82E+06	7.8	1.3	-8.48E+05	-1.5	37.6	2.3E-02	-	-	-	-	0.8	3.39E+03	0.2	0.2	11.8	2.33E+04	0.5	0.5
2	G1	Ostatní stálé - mostní vybavení	G	0	56.6	2.67E+04	2.1	2.1	3.82E+06	0.6	0.1	-8.48E+05	-0.1	2.6	0.0E+00	-	-	-	-	0.1	3.39E+03	0.0	0.0	1.1	2.33E+04	0.0	0.0
3	G2	Ostatní stálé - cizí zařízení	G	0	45.3	2.67E+04	1.7	1.6	3.82E+06	0.4	0.0	-8.48E+05	0.1	2.2	0.0E+00	-	-	-	-	-0.1	3.39E+03	0.0	0.0	0.8	2.33E+04	0.0	0.0
4	P1_71	a.LM71 - kolej 1 (bez dyn. souč.)	P	0	602.6	2.67E+04	22.6	26.4	3.82E+06	6.9	5.2	-8.48E+05	-6.1	23.4	1.4E-01	-	-	-	-	3.8	3.39E+03	1.1	1.1	14.7	2.33E+04	0.6	0.6
5	P2_71	a.LM71 - kolej 2 (bez dyn. souč.)	P	0	878.8	2.67E+04	33.0	49.8	3.82E+06	13.0	6.7	-8.48E+05	-7.9	38.0	9.1E-02	-	-	-	-	3.2	3.39E+03	0.9	0.9	36.1	2.33E+04	1.5	1.5
6	P1_C3	TTZ C3 - kolej 1 (bez dyn. souč.)	P	0	0.0	2.67E+04	0.0	0.0	3.82E+06	0.0	0.0	-8.48E+05	0.0	0.0	0.0E+00	-	-	-	-	0.0	3.39E+03	0.0	0.0	0.0	2.33E+04	0.0	0.0
7	P2_C3	TTZ C3 - kolej 2 (bez dyn. souč.)	P	0	0.0	2.67E+04	0.0	0.0	3.82E+06	0.0	0.0	-8.48E+05	0.0	0.0	0.0E+00	-	-	-	-	0.0	3.39E+03	0.0	0.0	0.0	2.33E+04	0.0	0.0
8	BR	Brzdné a rozjezdové síly	P	0	739.1	2.67E+04	27.7	19.8	3.82E+06	5.2	0.8	-8.48E+05	-1.0	31.9	1.0E-02	-	-	-	-	0.2	3.39E+03	0.1	0.1	6.6	2.33E+04	0.3	0.3
9	S	Boční ráz	P	0	-65.0	2.67E+04	-2.4	-2.8	3.82E+06	-0.7	-0.3	-8.48E+05	0.4	-2.8	-5.2E-03	-	-	-	-	-0.6	3.39E+03	-0.2	-0.2	0.8	2.33E+04	0.0	0.0
10	CH	Chodci na lávkách	Q	0	130.9	2.67E+04	4.9	4.5	3.82E+06	1.2	-0.3	-8.48E+05	0.4	6.4	-1.3E-02	-	-	-	-	-0.4	3.39E+03	-0.1	-0.1	2.1	2.33E+04	0.1	0.1
11	W	Vítr na konstrukci	Q	0	-193.4	2.67E+04	-7.3	-8.4	3.82E+06	-2.2	-1.1	-8.48E+05	1.3	-8.2	0.0E+00	-	-	-	-	-1.0	3.39E+03	-0.3	-0.3	1.3	2.33E+04	0.1	0.1
12	WP	Vítr na vozidla	Q	0	-293.8	2.67E+04	-11.0	-13.5	3.82E+06	-3.5	0.2	-8.48E+05	-0.2	-14.8	0.0E+00	-	-	-	-	-1.1	3.39E+03	-0.3	-0.3	3.0	2.33E+04	0.1	0.1
13	TR	Teplota rovnoměrná	Q	0	0.0	2.67E+04	0.0	0.0	3.82E+06	0.0	0.0	-8.48E+05	0.0	0.0	0.0E+00	-	-	-	-	0.0	3.39E+03	0.0	0.0	0.0	2.33E+04	0.0	0.0
14	TN	Teplota nerovnoměrná	Q	0	16.2	2.67E+04	0.6	5.8	3.82E+06	1.5	0.0	-8.48E+05	0.0	2.2	0.0E+00	-	-	-	-	-0.1	3.39E+03	0.0	0.0	1.8	2.33E+04	0.1	0.1
15	FR	Třecí síly v ložiskách	Q	0	109.4	2.67E+04	4.1	3.1	3.82E+06	0.8	0.1	-8.48E+05	-0.1	4.8	0.0E+00	-	-	-	-	0.1	3.39E+03	0.0	0.0	1.2	2.33E+04	0.1	0.1
16	I	Imperfekce soustavy	Q	0	20.9	2.67E+04	0.8	0.7	3.82E+06	0.2	0.2	-8.48E+05	-0.2	0.7	0.0E+00	-	-	-	-	0.2	3.39E+03	0.0	0.0	0.1	2.33E+04	0.0	0.0
27	ULS_LM	ULS - LM71 bez dynam	Q	0	0.0	2.67E+04	0.0	0.0	3.82E+06	0.0	0.0	-8.48E+05	0.0	0.0	0.0E+00	-	-	-	-	0.0	3.39E+03	0.0	0.0	0.0	2.33E+04	0.0	0.0
28	SLS_LM	SLS - LM71 bez dynam	Q	0	0.0	2.67E+04	0.0	0.0	3.82E+06	0.0	0.0	-8.48E+05	0.0	0.0	0.0E+00	-	-	-	-	0.0	3.39E+03	0.0	0.0	0.0	2.33E+04	0.0	0.0
29	ULS_C3	ULS - C3 bez dynam	Q	0	0.0	2.67E+04	0.0	0.0	3.82E+06	0.0	0.0	-8.48E+05	0.0	0.0	0.0E+00	-	-	-	-	0.0	3.39E+03	0.0	0.0	0.0	2.33E+04	0.0	0.0
30	SLS_C3	SLS - C3 bez dynam	Q	0	0.0	2.67E+04	0.0	0.0	3.82E+06	0.0	0.0	-8.48E+05	0.0	0.0	0.0E+00	-	-	-	-	0.0	3.39E+03	0.0	0.0	0.0	2.33E+04	0.0	0.0
NAVÝŠENÍ NAPĚTÍ DO AKTIVACE TLAKU V DESCE MOSTOVKY						$\sigma_{P,red}$	0.0							0.0			0.0		0.0			1.5	1.5			3.5	3.5
NAPĚTÍ OD PRIMÁRNÍCH ÚČINKŮ NEROVNOMĚRNÉHO OTEPLENÍ						σ_T	0.0							0.0													
NAPĚTÍ OD REOLOGICKÝCH ÚČINKŮ BETONU V ČASE		t=0				σ_R	0.0	$\gamma_{i=}$	1.20					0.0													
NAPĚTÍ V KRITICKÝCH VLÁKNECH OD KOMBINACE ZATÍŽENÍ						KZ03		[MPa]					$\Sigma\sigma_x$	124.2								$\Sigma\tau_y$	1.5				$\Sigma\tau_z$	3.5
NAPĚTÍ OD POHYBLIVÉHO ZATÍŽENÍ								[MPa]					$\sigma_{x,P}$	90.6								τ_P	2.0				τ_P	2.5
NAPĚTÍ OD OSTATNÍCH ZATÍŽENÍ								[MPa]			Φ_{Vy}	Φ_{Vz}	$\sigma_{x,rs}$	33.5								τ_{rs}	-0.4				τ_{rs}	1.0
NÁVRHOVÁ HODNOTA MEZE KLUZU S REDUKCÍ VLIVEM SMYKOVÉHO NAPĚTÍ								[MPa]			1.00	1.00	$f_{yw,d}$	209.1								$f_{yd}/3^{0,5}$	120.7				$f_{yd}/3^{0,5}$	120.7
NAPĚTÍ OD POHYBLIVÉHO ZATÍŽENÍ V GLOBÁLNÍM SYSTÉMU						$\sigma_{GLOB,P}$	0.0	[MPa]					$\Sigma\sigma_{GLOB}$	0.0														
NAPĚTÍ OD OSTATNÍCH ZATÍŽENÍ V GLOBÁLNÍM SYSTÉMU						$\sigma_{GLOB,rs}$	0.0	[MPa]					$\Sigma\sigma_x + \Sigma\sigma_{GLOB}$	124.2														
VYUŽITÍ PRŮŘEZU DLE NAPĚTÍ								[%]					η_1	0.59								η_3	0.01				η_3	0.03
NAPĚTÍ V PŘÍČNÉM SMĚRU OD POHYBLIVÉHO ZATÍŽENÍ						$\sigma_{z,P}$	0.0	[MPa]					$\Sigma\sigma_z$	0.0														
NAPĚTÍ V PŘÍČNÉM SMĚRU OD OSTATNÍCH ZATÍŽENÍ						$\sigma_{z,rs}$	0.0	[MPa]					η_2	0.00														
SROVNÁVACÍ NAPĚTÍ													$(\eta_2 + 0,8\,\eta_1)/1,4 =$	0.34														
VYUŽITÍ PRŮŘEZU CELKEM								[%]					eff	0.59	VYHOVUJE													
													z_{LM71} =	1.94														

VÝPOČET PRŮŘEZOVÝCH CHARAKTERISTIK

PRŮŘEZ: U4 **POPIS:** DOLNÍ PÁS - PŘÍHRADA 4 **x =** - **m**

DEFINOVÁNÍ PRŮŘEZU

PÁSNICE HORNÍHO LEVÉHO ÚHELNÍKU	b f.t.l.o =	0	mm				
TLOUŠŤKA PÁSNICE ÚHELNÍKU	t f.t.l.o =	0	mm	OSLABENÍ PÁSNICE - TLOUŠŤKA	Δt f.t.l.o =	0	%
VÝŠKA STĚNY ÚHELNÍKU	h w.t.l.o =	0	mm				
TLOUŠŤKA STĚNY ÚHELNÍKU	t w.t.l.o =	0	mm	OSLABENÍ STĚNY - TLOUŠŤKA	Δt w.t.l.o =	0	%
PÁSNICE HORNÍHO PRAVÉHO ÚHELNÍKU	b f.t.r.o =	0	mm				
TLOUŠŤKA PÁSNICE ÚHELNÍKU	t f.t.r.o =	0	mm	OSLABENÍ PÁSNICE - TLOUŠŤKA	Δt f.t.r.o =	0	%
VÝŠKA STĚNY ÚHELNÍKU	h w.t.r.o =	0	mm				
TLOUŠŤKA STĚNY ÚHELNÍKU	t w.t.r.o =	0	mm	OSLABENÍ STĚNY - TLOUŠŤKA	Δt w.t.r.0 =	0	%
PÁSNICE DOLNÍHO LEVÉHO ÚHELNÍKU	b f.b.l.o =	110	mm				
TLOUŠŤKA PÁSNICE ÚHELNÍKU	t f.b.l.o =	14	mm	OSLABENÍ PÁSNICE - TLOUŠŤKA	Δt f.b.l.o =	50	%
VÝŠKA STĚNY ÚHELNÍKU	h w.b.l.o =	96	mm				
TLOUŠŤKA STĚNY ÚHELNÍKU	t w.b.l.o =	14	mm	OSLABENÍ STĚNY - TLOUŠŤKA	Δt w.b.l.o =	33	%
PÁSNICE DOLNÍHO PRAVÉHO ÚHELNÍKU	b f.b.r.o =	110	mm				
TLOUŠŤKA PÁSNICE ÚHELNÍKU	t f.b.r.o =	14	mm	OSLABENÍ PÁSNICE - TLOUŠŤKA	Δt f.b.r.o =	50	%
VÝŠKA STĚNY ÚHELNÍKU	h w.b.r.o =	96	mm				
TLOUŠŤKA STĚNY ÚHELNÍKU	t w.b.r.o =	14	mm	OSLABENÍ STĚNY - TLOUŠŤKA	Δt w.b.r.o =	33	%
PÁSNICE HORNÍHO LEVÉHO ÚHELNÍKU	b f.t.l.i =	0	mm				
TLOUŠŤKA PÁSNICE ÚHELNÍKU	t f.t.l.i =	0	mm	OSLABENÍ PÁSNICE - TLOUŠŤKA	Δt f.t.l.i =	0	%
VÝŠKA STĚNY ÚHELNÍKU	h w.t.l.i =	0	mm				
TLOUŠŤKA STĚNY ÚHELNÍKU	t w.t.l.i =	0	mm	OSLABENÍ STĚNY - TLOUŠŤKA	Δt w.t.l.i =	0	%
PÁSNICE HORNÍHO PRAVÉHO ÚHELNÍKU	b f.t.r.i =	0	mm				
TLOUŠŤKA PÁSNICE ÚHELNÍKU	t f.t.r.i =	0	mm	OSLABENÍ PÁSNICE - TLOUŠŤKA	Δt f.t.r.i =	0	%
VÝŠKA STĚNY ÚHELNÍKU	h w.t.r.i =	0	mm				
TLOUŠŤKA STĚNY ÚHELNÍKU	t w.t.r.i =	0	mm	OSLABENÍ STĚNY - TLOUŠŤKA	Δt w.t.r.i =	0	%
PÁSNICE DOLNÍHO LEVÉHO ÚHELNÍKU	b f.b.l.i =	110	mm				
TLOUŠŤKA PÁSNICE ÚHELNÍKU	t f.b.l.i =	14	mm	OSLABENÍ PÁSNICE - TLOUŠŤKA	Δt f.b.l.i =	50	%
VÝŠKA STĚNY ÚHELNÍKU	h w.b.l.i =	96	mm				
TLOUŠŤKA STĚNY ÚHELNÍKU	t w.b.l.i =	14	mm	OSLABENÍ STĚNY - TLOUŠŤKA	Δt w.b.l.i =	33	%
PÁSNICE DOLNÍHO PRAVÉHO ÚHELNÍKU	b f.b.r.i =	110	mm				
TLOUŠŤKA PÁSNICE ÚHELNÍKU	t f.b.r.i =	14	mm	OSLABENÍ PÁSNICE - TLOUŠŤKA	Δt f.b.r.i =	50	%
VÝŠKA STĚNY ÚHELNÍKU	h w.b.r.i =	96	mm				
TLOUŠŤKA STĚNY ÚHELNÍKU	t w.b.r.i =	14	mm	OSLABENÍ STĚNY - TLOUŠŤKA	Δt w.b.r.i =	33	%
ŠÍŘKA HORNÍ PÁSNICE	b f.t =	0	mm				
TLOUŠŤKA HORNÍ PÁSNICE	t f.t =	0	mm	OSLABENÍ HORNÍ PÁSNICE	Δt f.t =	0	%
PŘESAH HORNÍ PÁSNICE	o f.t =	0	mm	(nepoužito - pásnice symetrická k ose průřezu)			
SVĚTLÁ VZDÁLENOST MEZI STĚNAMI	l w =	416	mm				
VÝŠKA STĚNY	h w =	560	mm	OSLABENÍ LEVÉ STĚNY	Δt w.l =	0	%
TLOUŠŤKA STĚNY	t w =	24	mm	OSLABENÍ PRAVÉ STĚNY	Δt w.r =	0	%
ŠÍŘKA DOLNÍ LEVÉ PÁSNICE	b f.b.l =	410	mm				
TLOUŠŤKA DOLNÍ LEVÉ PÁSNICE	t f.b.l =	24	mm	OSLABENÍ DOLNÍ PÁSNICE	Δt f.b.l =	7	%
PŘESAH DOLNÍ LEVÉ PÁSNICE	o f.b.l =	0	mm	(nepoužito - pásnice symetrická k ose levé stěny)			
ŠÍŘKA DOLNÍ PRAVÉ PÁSNICE	b f.b.r =	410	mm				
TLOUŠŤKA DOLNÍ PRAVÉ PÁSNICE	t f.b.r =	24	mm	OSLABENÍ DOLNÍ PÁSNICE	Δt f.b.r =	7	%
PŘESAH DOLNÍ PRAVÉ PÁSNICE	o f.b.r =	0	mm	(nepoužito - pásnice symetrická k ose pravé stěny)			

NÝT Č.	SKUPINA	ŘEZ	RED.	VELIKOST di [mm]	POLOHA ei [mm]	POPIS	AKTIVITA OTVORU	NAPĚTÍ sc [MPa]
1		-	1.00	0	42	nýt - f.t.l	1	-
2		-	1.00	0	40	nýt - f.t.l - úhelník	1	-
3		-	1.00	0	40	nýt - f.t.l - úhelník	1	-
4		-	1.00	0	-50	nýt - f.t.l	1	-
5		-	1.00	0	50	nýt - f.t.r	1	-
6		-	1.00	0	40	nýt - f.t.r - úhelník	1	-
7		-	1.00	0	40	nýt - f.t.r - úhelník	1	-
8		-	1.00	0	42	nýt - f.t.r	1	-
9		-	1.00	22	45	nýt - w.l - úhelník	1	100.76
10		-	1.00	22	45	nýt - w.p - úhelník	1	106.45
11		-	1.00	22	425	nýt - w.l	1	103.60
12		-	1.00	22	425	nýt - w.p	1	109.29
13		-	1.00	22	335	nýt - w.l	1	106.44
14		-	1.00	22	335	nýt - w.p	1	112.13
15		-	1.00	22	245	nýt - w.l	1	109.28
16		-	1.00	22	245	nýt - w.p	1	114.97
17		-	1.00	22	155	nýt - w.l	1	112.12
18		-	1.00	22	155	nýt - w.p	1	117.81
19		-	1.00	22	45	nýt - w.l - úhelník	1	115.59
20		-	1.00	22	45	nýt - w.p - úhelník	1	121.28
21	1	3	0.83	20	42	nýt - f.b.l	1	115.25
22	1	3	0.83	24	65	nýt - f.b.l - úhelník	1	116.51
23	1	3	0.83	24	65	nýt - f.b.l - úhelník	1	117.99
24	1	3	0.83	20	42	nýt - f.b.l	1	119.47
25	2	3	0.83	20	42	nýt - f.b.r	1	120.93
26	2	3	0.83	24	65	nýt - f.b.r - úhelník	1	122.20
27	2	3	0.83	24	65	nýt - f.b.r - úhelník	1	123.67
28	2	3	0.83	20	42	nýt - f.b.r	1	125.16
29		-	1.00				-	
30		-	1.00				-	

ZADANÉ ČÁSTI PRŮŘEZU:

č.prvku	b [mm]	h [mm]	y_s [mm]	z_s [mm]	popis části	druh oslabení	lokální ultimate	boulení servic.
1	0.0	0.0	-232.0	560.0	pásnice	0	1.000	1.000
2	0.0	0.0	-232.0	560.0	stěna	0	1.000	1.000
3	0.0	0.0	232.0	560.0	pásnice	0	1.000	1.000
4	0.0	0.0	232.0	560.0	stěna	0	1.000	1.000
5	110.0	7.0	-287.0	3.5	pásnice	0	1.000	1.000
6	9.4	96.0	-236.7	55.0	stěna	0	1.000	1.000
7	110.0	7.0	287.0	3.5	pásnice	0	1.000	1.000
8	9.4	96.0	236.7	55.0	stěna	0	1.000	1.000
9	0.0	0.0	0.0	560.0	pásnice	0	1.000	1.000
10	24.0	560.0	-220.0	280.0	stěna	0	1.000	1.000
11	24.0	560.0	220.0	280.0	stěna	0	1.000	1.000
12	0.0	0.0	-208.0	560.0	pásnice	0	1.000	1.000
13	0.0	0.0	-208.0	560.0	stěna	0	1.000	1.000
14	0.0	0.0	208.0	560.0	pásnice	0	1.000	1.000
15	0.0	0.0	208.0	560.0	stěna	0	1.000	1.000
16	110.0	7.0	-153.0	3.5	pásnice	0	1.000	1.000
17	9.4	96.0	-203.3	55.0	stěna	0	1.000	1.000
18	110.0	7.0	153.0	3.5	pásnice	0	1.000	1.000
19	9.4	96.0	203.3	55.0	stěna	0	1.000	1.000
20						0	1.000	1.000
21						0	1.000	1.000
22						0	1.000	1.000
23	410.0	22.3	-220.0	-11.2	pásnice	0	1.000	1.000
24	410.0	22.3	220.0	-11.2	pásnice	0	1.000	1.000
25						0	1.000	1.000
26						0	1.000	1.000
27						0	1.000	1.000
28						0	1.000	1.000
29						0	1.000	1.000
30						0	1.000	1.000
31						0	1.000	1.000
32						0	1.000	1.000
33						0	1.000	1.000
34						0	1.000	1.000
35						0	1.000	1.000
36						0	1.000	1.000
37						0	1.000	1.000
38						0	1.000	1.000
39						0	1.000	1.000
40						0	1.000	1.000
41						0	1.000	1.000
42						0	1.000	1.000
43						0	1.000	1.000
44						0	1.000	1.000
45						0	1.000	1.000
46						0	1.000	1.000
47						0	1.000	1.000
48						0	1.000	1.000
49						0	1.000	1.000
50						0	1.000	1.000
51	0.0	0.0	0	0	nýt - pásnice	0	1.000	1.000
52	0.0	0.0	0	0	nýt - pásnice	0	1.000	1.000
53	0.0	0.0	0	0	nýt - pásnice	0	1.000	1.000
54	0.0	0.0	0	0	nýt - pásnice	0	1.000	1.000
55	0.0	0.0	0	0	nýt - pásnice	0	1.000	1.000
56	0.0	0.0	0	0	nýt - pásnice	0	1.000	1.000
57	0.0	0.0	0	0	nýt - pásnice	0	1.000	1.000
58	0.0	0.0	0	0	nýt - pásnice	0	1.000	1.000
59	24.0	-22.0	-220.0	515.0	nýt - stěna	0	1.000	1.000
60	24.0	-22.0	220.0	515.0	nýt - stěna	0	1.000	1.000
61	24.0	-22.0	-220.0	425.0	nýt - stěna	0	1.000	1.000
62	24.0	-22.0	220.0	425.0	nýt - stěna	0	1.000	1.000
63	24.0	-22.0	-220.0	335.0	nýt - stěna	0	1.000	1.000
64	24.0	-22.0	220.0	335.0	nýt - stěna	0	1.000	1.000
65	24.0	-22.0	-220.0	245.0	nýt - stěna	0	1.000	1.000
66	24.0	-22.0	220.0	245.0	nýt - stěna	0	1.000	1.000
67	24.0	-22.0	-220.0	155.0	nýt - stěna	0	1.000	1.000
68	24.0	-22.0	220.0	155.0	nýt - stěna	0	1.000	1.000
69	42.8	-22.0	-220.0	45.0	nýt - stěna	0	1.000	1.000
70	42.8	-22.0	220.0	45.0	nýt - stěna	0	1.000	1.000
71	-16.5	22.3	-383.5	-11.2	nýt - pásnice	0	1.000	1.000
72	-19.8	29.3	-277.0	-7.7	nýt - pásnice	0	1.000	1.000
73	-19.8	29.3	-163.0	-7.7	nýt - pásnice	0	1.000	1.000
74	-16.5	22.3	-56.5	-11.2	nýt - pásnice	0	1.000	1.000
75	-16.5	22.3	56.5	-11.2	nýt - pásnice	0	1.000	1.000
76	-19.8	29.3	163.0	-7.7	nýt - pásnice	0	1.000	1.000
77	-19.8	29.3	277.0	-7.7	nýt - pásnice	0	1.000	1.000
78	-16.5	22.3	383.5	-11.2	nýt - pásnice	0	1.000	1.000
79						0	1.000	1.000
80						0	1.000	1.000
81								
82								
83								
84								
85								
86								
87								
88								
89								
90								
91								
92								
93								
94								
95								
96								
97								
98								
99								
100								

VÝPOČET PRŮŘEZOVÝCH CHARAKTERISTIK

Properties	Basic	Ultimate		Serviceability	
y_i	0.0	0.0		0.0	[mm]
z_i	139.7	139.7		139.7	[mm]
A_i	4.0900E+04	4.0900E+04		4.0900E+04	[mm²]
A_y	1.7579E+04	1.7579E+04		1.7579E+04	[mm²]
A_z	2.3320E+04	2.3320E+04		2.3320E+04	[mm²]
I_{y1}	1.3462E+09	1.3462E+09		1.3462E+09	[mm⁴]
I_w	3.3113E+08	3.3113E+08		3.3113E+08	[mm⁶]
i_y	181.4	181.4		181.4	[mm]
i_z	90.0	90.0		90.0	[mm]
$W_{y,1}$	3.2026E+06	3.2026E+06		3.2026E+06	[mm³]
$W_{z,1}$	-1.4273E+06	-1.4273E+06		-1.4273E+06	[mm³]
$W_{y,2}$	-8.3111E+06	-8.3111E+06		-8.3111E+06	[mm³]
$W_{z,2}$	-7.7913E+05	-7.7913E+05		-7.7913E+05	[mm³]
KRAJNÍ VLÁKNA PRŮŘEZU					
y_1	-232.0	-232.0		-232.0	[mm]
z_1	560.0	560.0		560.0	[mm]
y_2	425.0	425.0		425.0	[mm]
z_2	-22.3	-22.3		-22.3	[mm]
y_3	232.0	232.0		232.0	[mm]
z_3	560.0	560.0		560.0	[mm]
y_4	425.0	425.0		425.0	[mm]
z_4	-22.3	-22.3		-22.3	[mm]
y_5	-232.0	-232.0		-232.0	[mm]
z_5	560.0	560.0		560.0	[mm]
y_6	-232.0	-232.0		-232.0	[mm]
z_6	0.0	0.0		0.0	[mm]

ÚPRAVA MOMENTŮ SETRVAČNOSTI V DŮSLEDKU ČLENĚNÍ PRŮŘEZU

OSA Y 1.00
OSA Z 0.15

SCHÉMA PROMĚNNÝCH

SCHÉMA ZADANÉHO PRŮŘEZU

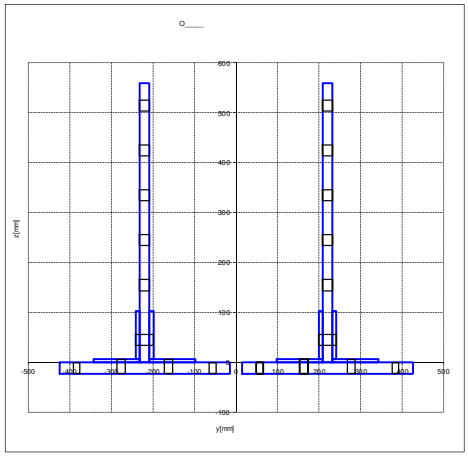

NEUTRÁLNÁ OSA

NAPĚTÍ [MPa]:

96.69	**107.68**
115.06	**126.05**

ZS: SLS_LM_N,MX

	N [kN]	Vy [kN]	Vz [kN]	Mx [kNm]	My [kNm]	Mz [kNm]
import	4722	-4	11	0	42	-4

TR_U4 POPIS: **DOLNÍ PÁS U4** POSUDEK: **U4**

SKUPINA ZAT. STAVŮ	EXTRÉM	VYHODNOCOVANÉ VELIČINY					
		N	Vy	Vz	Mx	My	Mz
		kN	kN	kN	kNm	kNm	kNm
G0	N.min	**1088.87**	-0.68	-3.32	-0.01	14.26	-1.94
	N.max	**1088.87**	-0.68	-3.32	-0.01	14.26	-1.94
	Vy.min	1088.87	**-0.68**	-3.32	-0.01	14.26	-1.94
	Vy.max	1088.87	**-0.68**	-3.32	-0.01	14.26	-1.94
	Vz.min	1088.87	-0.68	**-3.32**	-0.01	14.26	-1.94
	Vz.max	1088.87	-0.68	**-3.32**	-0.01	14.26	-1.94
	Mx.min	1088.87	-0.68	-3.32	**-0.01**	14.26	-1.94
	Mx.max	1088.87	-0.68	-3.32	**-0.01**	14.26	-1.94
	My.min	1088.87	-0.68	-3.32	-0.01	**14.26**	-1.94
	My.max	1088.87	-0.68	-3.32	-0.01	**14.26**	-1.94
	Mz.min	1088.87	-0.68	-3.32	-0.01	14.26	**-1.94**
	Mz.max	1088.87	-0.68	-3.32	-0.01	14.26	**-1.94**
G1	N.min	**77.39**	-0.06	0.27	0	0.9	-0.16
	N.max	**77.39**	-0.06	0.27	0	0.9	-0.16
	Vy.min	77.39	**-0.06**	0.27	0	0.9	-0.16
	Vy.max	77.39	**-0.06**	0.27	0	0.9	-0.16
	Vz.min	77.39	-0.06	**0.27**	0	0.9	-0.16
	Vz.max	77.39	-0.06	**0.27**	0	0.9	-0.16
	Mx.min	77.39	-0.06	0.27	**0**	0.9	-0.16
	Mx.max	77.39	-0.06	0.27	**0**	0.9	-0.16
	My.min	77.39	-0.06	0.27	0	**0.9**	-0.16
	My.max	77.39	-0.06	0.27	0	**0.9**	-0.16
	Mz.min	77.39	-0.06	0.27	0	0.9	**-0.16**
	Mz.max	77.39	-0.06	0.27	0	0.9	**-0.16**
G2	N.min	**61.17**	-0.08	0.35	0	0.96	-0.12
	N.max	**61.17**	-0.08	0.35	0	0.96	-0.12
	Vy.min	61.17	**-0.08**	0.35	0	0.96	-0.12
	Vy.max	61.17	**-0.08**	0.35	0	0.96	-0.12
	Vz.min	61.17	-0.08	**0.35**	0	0.96	-0.12
	Vz.max	61.17	-0.08	**0.35**	0	0.96	-0.12
	Mx.min	61.17	-0.08	0.35	**0**	0.96	-0.12
	Mx.max	61.17	-0.08	0.35	**0**	0.96	-0.12
	My.min	61.17	-0.08	0.35	0	**0.96**	-0.12
	My.max	61.17	-0.08	0.35	0	**0.96**	-0.12
	Mz.min	61.17	-0.08	0.35	0	0.96	**-0.12**
	Mz.max	61.17	-0.08	0.35	0	0.96	**-0.12**
P1_71	N.min	**-0.17**	0	0	0	0.01	0
	N.max	**804.91**	2.27	2.93	-0.02	9.03	1.24
	Vy.min	219.74	**-1.09**	0.62	-0.02	-1.27	-2.11
	Vy.max	613.71	**3.92**	5.54	0.01	16.16	5.15
	Vz.min	219.48	0.44	**-4.26**	-0.03	-6.67	-1.7
	Vz.max	609.11	2.57	**9.23**	0.02	20.17	4.62
	Mx.min	425.65	0.4	-0.41	**-0.04**	2.48	-1.57
	Mx.max	456.21	2.59	5.02	**0.03**	10.01	4.15
	My.min	208.81	0.16	-3.72	-0.02	**-7.73**	-1.71
	My.max	611.37	2.69	9.1	0.01	**20.68**	4.68
	Mz.min	349.64	-0.69	-1.2	-0.04	-2.56	**-2.9**
	Mz.max	540.5	3.73	6.08	0.02	15.63	**5.59**
P2_71	N.min	**-4.89**	0	0.04	0	0.02	-0.01
	N.max	**1476.67**	-4.11	4.05	-0.04	19.43	-8.24
	Vy.min	1241.38	**-5.49**	-2.79	-0.05	-5.71	-10.17
	Vy.max	320.81	**1.69**	14.97	0.03	41.1	3.44
	Vz.min	485.86	-2	**-14.59**	-0.04	-22.2	-5.96
	Vz.max	1068.61	-1.32	**24.27**	0.01	55.77	-0.76
	Mx.min	1225.7	-4.87	-3.81	**-0.06**	-1.46	-9.67
	Mx.max	307.61	1.26	13.88	**0.03**	33.07	2.71
	My.min	420.72	-2.13	-13.17	-0.02	**-26.19**	-5.88
	My.max	1076.36	-1.23	23.9	0.01	**57.11**	-0.68
	Mz.min	1300.04	-5.32	-4.71	-0.06	-5.78	**-10.45**
	Mz.max	290.17	1.65	15.25	0.03	40.16	**3.52**
P1_C3	N.min	**-0.27**	0	0	0	0.01	0
	N.max	**676.85**	1.56	2.08	-0.02	5.11	0.63
	Vy.min	154.99	**-0.92**	0.09	-0.01	-2.99	-1.68
	Vy.max	503.13	**3.06**	3.98	0	12.12	3.89
	Vz.min	193.46	0.31	**-4.43**	-0.02	-7.79	-1.79
	Vz.max	482.34	1.44	**8.07**	0.01	16.35	3.12
	Mx.min	344.53	0.26	-0.51	**-0.03**	1.03	-1.3
	Mx.max	394.35	1.86	3.8	**0.02**	6.95	2.9
	My.min	190.47	0.19	-4.23	-0.02	**-7.94**	-1.84
	My.max	521.74	2.01	7.42	0.01	**16.91**	3.44
	Mz.min	291.87	-0.41	-2.27	-0.03	-4.74	**-2.53**
	Mz.max	416.28	2.65	5.06	0.01	12.43	**4.2**
P2_C3	N.min	**-6.9**	0.01	0.08	0	0.06	-0.01
	N.max	**1225.01**	-3.7	1.25	-0.03	7.83	-7.57
	Vy.min	1056.91	**-4.58**	-5.36	-0.05	-11.16	-9.07
	Vy.max	162.99	**1.31**	11.89	0.02	30.72	2.97
	Vz.min	383.13	-1.85	**-14.85**	-0.03	-26.42	-5.66
	Vz.max	840.94	-1.43	**21.62**	0.01	46.05	-0.54
	Mx.min	1040.95	-3.98	-4.55	**-0.05**	-5.05	-8.27
	Mx.max	242.43	0.92	10.36	**0.03**	24.32	1.94
	My.min	412.03	-2.14	-14.35	-0.03	**-26.66**	-5.82
	My.max	927.54	-1.35	19.47	0	**46.9**	-0.99
	Mz.min	1060.66	-4.54	-5.97	-0.05	-11.48	**-9.12**
	Mz.max	164.47	1.28	12.17	0.02	30.39	**2.99**
BR	N.min	**-723.36**	0.55	-4.66	0	-3.97	1.01
	N.max	**723.36**	-0.55	4.66	0	3.97	-1.01
	Vy.min	723.36	**-0.55**	4.66	0	3.97	-1.01
	Vy.max	-723.36	**0.55**	-4.66	0	-3.97	1.01
	Vz.min	-674.97	0.54	**-4.96**	0	-5.53	1.2
	Vz.max	674.97	-0.54	**4.96**	0	5.53	-1.2
	Mx.min	663.27	-0.47	4.05	**0**	3.64	-1.17
	Mx.max	-663.27	0.47	-4.05	**0**	-3.64	1.17
	My.min	-674.97	0.54	-4.96	0	**-5.53**	1.2
	My.max	674.97	-0.54	4.96	0	**5.53**	-1.2
	Mz.min	674.97	-0.54	4.96	0	5.53	**-1.2**
	Mz.max	-674.97	0.54	-4.96	0	-5.53	**1.2**

TR_U4 POPIS: **DOLNÍ PÁS U4** POSUDEK: **U4**

SKUPINA ZAT. STAVŮ	EXTRÉM	VYHODNOCOVANÉ VELIČINY					
		N	Vy	Vz	Mx	My	Mz
		kN	kN	kN	kNm	kNm	kNm
S	N.min	**-129.32**	0.54	-1.43	-0.01	-0.45	-2.56
	N.max	**129.32**	-0.54	1.43	0.01	0.45	2.56
	Vy.min	116.86	**-1.78**	1.51	0	1.75	-1.32
	Vy.max	-116.86	**1.78**	-1.51	0	-1.75	1.32
	Vz.min	-116.86	1.78	**-1.51**	0	-1.75	1.32
	Vz.max	116.86	-1.78	**1.51**	0	1.75	-1.32
	Mx.min	-129.32	0.54	-1.43	**-0.01**	-0.45	-2.56
	Mx.max	129.32	-0.54	1.43	**0.01**	0.45	2.56
	My.min	88.37	-0.11	-0.26	0.01	**-4.23**	0.62
	My.max	-88.37	0.11	0.26	-0.01	**4.23**	-0.62
	Mz.min	-129.32	0.54	-1.43	-0.01	-0.45	**-2.56**
	Mz.max	129.32	-0.54	1.43	0.01	0.45	**2.56**
CH	N.min	**45.87**	0.09	0.28	0	0.31	0.01
	N.max	**154.08**	-0.22	0.9	0	2.41	-0.26
	Vy.min	154.08	**-0.22**	0.9	0	2.41	-0.26
	Vy.max	45.87	**0.09**	0.28	0	0.31	0.01
	Vz.min	45.87	0.09	**0.28**	0	0.31	0.01
	Vz.max	154.08	-0.22	**0.9**	0	2.41	-0.26
	Mx.min	45.87	0.09	0.28	**0**	0.31	0.01
	Mx.max	121.65	-0.11	0.75	**0**	2	-0.06
	My.min	45.87	0.09	0.28	0	**0.31**	0.01
	My.max	154.08	-0.22	0.9	0	**2.41**	-0.26
	Mz.min	154.08	-0.22	0.9	0	2.41	**-0.26**
	Mz.max	45.87	0.09	0.28	0	0.31	**0.01**
W	N.min	**-229.06**	0.27	-1.03	0.01	2.6	-2.8
	N.max	**229.35**	-0.26	1.04	-0.01	-2.59	2.81
	Vy.min	229.35	**-0.26**	1.04	-0.01	-2.59	2.81
	Vy.max	-229.06	**0.27**	-1.03	0.01	2.6	-2.8
	Vz.min	-229.06	0.27	**-1.03**	0.01	2.6	-2.8
	Vz.max	229.35	-0.26	**1.04**	-0.01	-2.59	2.81
	Mx.min	229.35	-0.26	1.04	**-0.01**	-2.59	2.81
	Mx.max	-229.06	0.27	-1.03	**0.01**	2.6	-2.8
	My.min	229.35	-0.26	1.04	-0.01	**-2.59**	2.81
	My.max	-229.06	0.27	-1.03	0.01	**2.6**	-2.8
	Mz.min	-229.06	0.27	-1.03	0.01	2.6	**-2.8**
	Mz.max	229.35	-0.26	1.04	-0.01	-2.59	**2.81**
WP	N.min	**-326.34**	0.8	-1.23	-0.02	5.6	-2.79
	N.max	**326.5**	-0.8	1.22	0.02	-5.6	2.78
	Vy.min	326.5	**-0.8**	1.22	0.02	-5.6	2.78
	Vy.max	-326.34	**0.8**	-1.23	-0.02	5.6	-2.79
	Vz.min	-326.34	0.8	**-1.23**	-0.02	5.6	-2.79
	Vz.max	326.5	-0.8	**1.22**	0.02	-5.6	2.78
	Mx.min	-326.34	0.8	-1.23	**-0.02**	5.6	-2.79
	Mx.max	326.5	-0.8	1.22	**0.02**	-5.6	2.78
	My.min	326.5	-0.8	1.22	0.02	**-5.6**	2.78
	My.max	-326.34	0.8	-1.23	-0.02	**5.6**	-2.79
	Mz.min	-326.34	0.8	-1.23	-0.02	5.6	**-2.79**
	Mz.max	326.5	-0.8	1.22	0.02	-5.6	**2.78**
TR	N.min	**0**	0	0	0	0	0
	N.max	**0**	0	0	0	0	0
	Vy.min	0	**0**	0	0	0	0
	Vy.max	0	**0**	0	0	0	0
	Vz.min	0	0	**0**	0	0	0
	Vz.max	0	0	**0**	0	0	0
	Mx.min	0	0	0	**0**	0	0
	Mx.max	0	0	0	**0**	0	0
	My.min	0	0	0	0	**0**	0
	My.max	0	0	0	0	**0**	0
	Mz.min	0	0	0	0	0	**0**
	Mz.max	0	0	0	0	0	**0**
TN	N.min	**-75.92**	-0.92	-0.54	0	-0.2	-1.6
	N.max	**61.73**	0.64	2.06	0.01	-4.19	1.27
	Vy.min	-75.92	**-0.92**	-0.54	0	-0.2	-1.6
	Vy.max	61.73	**0.64**	2.06	0.01	-4.19	1.27
	Vz.min	13.36	-0.15	**-1.49**	0	4.5	-0.19
	Vz.max	61.73	0.64	**2.06**	0.01	-4.19	1.27
	Mx.min	-13.36	0.15	1.49	**0**	-4.5	0.19
	Mx.max	61.73	0.64	2.06	**0.01**	-4.19	1.27
	My.min	-13.36	0.15	1.49	0	**-4.5**	0.19
	My.max	13.36	-0.15	-1.49	0	**4.5**	-0.19
	Mz.min	-75.92	-0.92	-0.54	0	-0.2	**-1.6**
	Mz.max	61.73	0.64	2.06	0.01	-4.19	**1.27**
FR	N.min	**-89.66**	0.06	-0.78	0	-0.97	0.12
	N.max	**89.66**	-0.06	0.78	0	0.97	-0.12
	Vy.min	89.66	**-0.06**	0.78	0	0.97	-0.12
	Vy.max	-89.66	**0.06**	-0.78	0	-0.97	0.12
	Vz.min	-89.66	0.06	**-0.78**	0	-0.97	0.12
	Vz.max	89.66	-0.06	**0.78**	0	0.97	-0.12
	Mx.min	89.66	-0.06	0.78	**0**	0.97	-0.12
	Mx.max	-89.66	0.06	-0.78	**0**	-0.97	0.12
	My.min	-89.66	0.06	-0.78	0	**-0.97**	0.12
	My.max	89.66	-0.06	0.78	0	**0.97**	-0.12
	Mz.min	89.66	-0.06	0.78	0	0.97	**-0.12**
	Mz.max	-89.66	0.06	-0.78	0	-0.97	**0.12**
I	N.min	**-26.09**	-0.15	-0.16	0	-0.14	**-0.29**
	N.max	**26.09**	0.15	0.16	0	0.14	**0.29**
	Vy.min	-26.09	**-0.15**	-0.16	0	-0.14	**-0.29**
	Vy.max	26.09	**0.15**	0.16	0	0.14	**0.29**
	Vz.min	-26.09	-0.15	**-0.16**	0	-0.14	**-0.29**
	Vz.max	26.09	0.15	**0.16**	0	0.14	**0.29**
	Mx.min	26.09	0.15	0.16	**0**	0.14	**0.29**
	Mx.max	-26.09	-0.15	-0.16	**0**	-0.14	**-0.29**
	My.min	-26.09	-0.15	-0.16	0	**-0.14**	**-0.29**
	My.max	26.09	0.15	0.16	0	**0.14**	**0.29**
	Mz.min	-26.09	-0.15	-0.16	0	-0.14	**-0.29**
	Mz.max	26.09	0.15	0.16	0	0.14	**0.29**

TAB. U4.3 POSOUZENÍ - MEZNÍ STAV ÚNOSNOSTI

POPIS	DOLNÍ PÁS U4
PRUT / POLOHA BODU	109 / 1/4
NAMÁHÁNÍ	N.max
VLÁKNO	BOD K1 -HL
MEZNÍ STAV	ULS (MSÚ)
VYUŽITÍ VLÁKNA PRŮŘEZU	0.66

Charakteristiky materiálu				
pás. horní	$f_{yf,k}$	230	MPa	
pás. dolní	$f_{yf,k}$	230	MPa	
stojina	$f_{yw,k}$	230	MPa	
výztuž	$f_{ys,k}$	500	MPa	
	γ_{M} =	1.10	γ_{s} =	1.15

Excentricita normálové síly				
Exc./Fáze	0	1	2	3
e_y	0.000	0.000	0.000	0.000
e_z	0.000	0.000	0.000	0.000
Ekvivalentní vzdál. stěn - příčný roznos				
b_{Mx}	0.000	0.000	0.000	0.000

Vliv stěny na únosnost průřezu				
Char./Fáze	0	1	2	3
A	0.00	0.00	0.00	0.00
Wy	0.00	0.00	0.00	0.00
Wz	0.00	0.00	0.00	0.00

Charakter. v kroucení			
$t_{w,y}$	0.000	[mm]	
$t_{w,z}$	0.000	[mm]	
κ	1.00		
I_t=	0.00E+00	[mm^4]	
$\Omega=2*A_{pr}$	0.00E+00	[mm^2]	

Součinitele vzpěru a vlivu II.řádu				
Char./Fáze	0	1	2	3
k_y	1.000	1.000	1.000	1.000
k_z	1.000	1.000	1.000	1.000
χ_{LT}	1.000	1.000	1.000	1.000
χ_{min}	1.000	1.000	1.000	1.000

Vnitřní síly od jednotlivých skupin zatěžovacích stavů

SKUPINA ZATĚŽOVACÍCH STAVŮ — 3

Č.	SKUP ZS	POPIS ZS	KAT.	FÁZE PRŮŘ.	- CHARAKTERISTICKÉ HODNOTY N.k (kN)	Vy.k (kN)	Vz.k (kN)	Mx.k (kNm)	My.k (kNm)	Mz.k (kNm)	DÍLČÍ SOUČINITELÉ ZATÍŽENÍ, DYNAMICKÝ SOUČINITEL γ_{or} (-)	γ_{Q} (-)	volba ψ_i hledat	ψ_i (-)	L_d (m)	δ (-)	$\gamma_{F,z}$ KZ03	- NÁVRHOVÉ HODNOTY N.d (kN)	Vy.d (kN)	Vz.d (kN)	ΔVz.d (kN)	ΣVz.d (kN)	Mx.d (kNm)	My.d (kNm)	ΔMy.d (kNm)	ΣMy.d (kNm)	Mz.d (kNm)	ΔMz.d (kNm)	ΣMz.d (kNm)
1	G0	Vlastní tíha OK	G	0	1 089	-1	-3	0	14	-2	1.00	1.20		1.20	-	1.00	0.95	1 241	-1	-4	0	-4	0	16	0	16	-2	0	-2
2	G1	Ostatní stálé - mostní vybavení	G	0	77	0	0	0	1	0	1.00	1.20		1.20	-	1.00	0.95	88	0	0	0	0	0	1	0	1	0	0	0
3	G2	Ostatní stálé - cizí zařízení	G	0	61	0	0	0	1	0	1.00	1.20		1.20	-	1.00	0.95	70	0	0	0	0	0	1	0	1	0	0	0
4	P1_71	a.LM71 - kolej 1 (bez dyn. souč.)	P	0	805	2	3	0	9	1	1.00	1.30		1.30	-	1.00	1.00	1 046	3	4	0	4	0	12	0	12	2	0	2
5	P2_71	a.LM71 - kolej 2 (bez dyn. souč.)	P	0	1 477	-4	4	0	19	-8	1.00	1.30		1.30	-	1.00	1.00	1 920	-5	5	0	5	0	25	0	25	-11	0	-11
6	P1_C3	TTZ C3 - kolej 1 (bez dyn. souč.)	P	0	677	2	2	0	5	1	1.00	vyp.		0.00	-	1.00	0.00	0	0	0	0	0	0	0	0	0	0	0	0
7	P2_C3	TTZ C3 - kolej 2 (bez dyn. souč.)	P	0	1 225	-4	1	0	8	-8	1.00	vyp.		0.00	-	1.00	0.00	0	0	0	0	0	0	0	0	0	0	0	0
8	BR	Brzdné a rozjezdové síly	P	0	723	-1	5	0	4	-1	1.00	1.30		1.30	-	1.00	0.80	752	-1	5	0	5	0	4	0	4	-1	0	-1
9	S	Boční ráz	P	0	129	-1	1	0	0	3	1.00	1.30		1.30	-	1.00	0.40	67	0	1	0	1	0	0	0	0	1	0	1
10	CH	Chodci na lávkách	Q	0	154	0	1	0	2	0	1.00	1.30		1.30	-	1.00	1.00	200	0	1	0	1	0	3	0	3	0	0	0
11	W	Vítr na konstrukci	Q	0	229	0	1	0	-3	3	1.00	1.35		1.35	-	1.00	0.75	232	0	1	0	1	0	-3	0	-3	3	0	3
12	WP	Vítr na vozidla	Q	0	327	-1	1	0	-6	3	1.00	1.35		1.35	-	1.00	0.75	331	-1	1	0	1	0	-6	0	-6	3	0	3
13	TR	Teplota rovnoměrná	Q	0	0	0	0	0	0	0	1.00	1.35		1.35	-	1.00	0.45	0	0	0	0	0	0	0	0	0	0	0	0
14	TN	Teplota nerovnoměrná	Q	0	62	1	2	0	-4	1	1.00	1.35		1.35	-	1.00	0.60	50	1	2	0	2	0	-3	0	-3	1	0	1
15	FR	Třecí síly v ložiskách	Q	0	90	0	1	0	1	0	1.00	1.20		1.20	-	1.00	1.00	108	0	1	0	1	0	1	0	1	0	0	0
16	I	Imperfekce soustavy	Q	0	26	0	0	0	0	0	1.00	1.20		1.20	-	1.00	1.00	31	0	0	0	0	0	0	0	0	0	0	0
27	ULS_LM	ULS - LM71 bez dynam	Q	0	6 264	-5	19	0	53	-5	1.00	vyp.		0.00	-	1.00	0.00	0	0	0	0	0	0	0	0	0	0	0	0
28	SLS_LM	SLS - LM71 bez dynam	Q	0	4 916	-4	13	0	45	-5	1.00	vyp.	1	0.00	-	1.00	0.00	0	0	0	0	0	0	0	0	0	0	0	0
29	ULS_C3	ULS - C3 bez dynam	Q	0	5 771	-5	14	0	33	-5	1.00	vyp.	1	0.00	-	1.00	0.00	0	0	0	0	0	0	0	0	0	0	0	0
30	SLS_C3	SLS - C3 bez dynam	Q	0	4 536	-5	9	0	30	-5	1.00	vyp.	1	0.00	-	1.00	0.00	0	0	0	0	0	0	0	0	0	0	0	0
		CELKEM - FÁZE PRŮŘEZU 0			6 137	-5	18	0	53	-5								6 137	-5	18	0	18	0	53	0	53	-5	0	-5
		CELKEM - FÁZE PRŮŘEZU 1			0	0	0	0	0	0								0	0	0	0	0	0	0	0	0	0	0	0
		CELKEM - FÁZE PRŮŘEZU 2			0	0	0	0	0	0								0	0	0	0	0	0	0	0	0	0	0	0
		CELKEM - FÁZE PRŮŘEZU 3			0	0	0	0	0	0								0	0	0	0	0	0	0	0	0	0	0	0
		CELKEM - PRŮŘEZ			6 137	-5	18	0										6 137	-5	18	0	18	0			53			-5

Napětí od jednotlivých zatěžovacích stavů

SKUPINA ZATĚŽOVACÍCH STAVŮ

Č.	SKUP ZS	Popis ZS	Kat.	fáze průř.	Posouzení normálového napětí — Účinek síly N δ^*N_d [kN]	χ^*A [mm^2]	σ_n [MPa]	Účinek momentu My $\delta^*M_{y,d}$ [kNm]	$\chi_{lt}*W_{el,y}$ [mm^3]	σ_{my} [MPa]	Účinek momentu Mz $\delta^*M_{z,d}$ [kNm]	$W_{el,z}$ [mm^3]	σ_{mz} [MPa]	σ_x [MPa]	Posouzení smykového napětí — Účinek kroutícího momentu Mx $\kappa*\delta^*M_{x,d}$ [kNm]	$W_{v,y}$ [mm^2]	$\tau_{x,y}$ [MPa]	$W_{v,z}$ [mm^2]	$\tau_{x,z}$ [MPa]	Účinek smykové síly Vy $\delta^*V_{y,d}$ [kN]	$A_{v,y}$ [mm2]	$\tau_{v,y}$ [MPa]	$\tau_{v,y}$ [MPa]	Účinek smykové síly Vz $\delta^*V_{z,d}$ [kN]	$A_{v,z}$ [mm2]	$\tau_{v,z}$ [MPa]	$\tau_{v,z}$ [MPa]
1	G0	Vlastní tíha OK	G	0	1 241.3	4.09E+04	30.3	16.3	-3.20E+06	-5.1	-2.2	-1.43E+06	1.5	26.8	-1.1E-02	-	-	-	-	-0.8	1.76E+04	0.0	0.0	-3.8	2.33E+04	-0.2	-0.2
2	G1	Ostatní stálé - mostní vybavení	G	0	88.2	4.09E+04	2.2	1.0	-3.20E+06	-0.3	-0.2	-1.43E+06	0.1	2.0	0.0E+00	-	-	-	-	-0.1	1.76E+04	0.0	0.0	0.3	2.33E+04	0.0	0.0
3	G2	Ostatní stálé - cizí zařízení	G	0	69.7	4.09E+04	1.7	1.1	-3.20E+06	-0.3	-0.1	-1.43E+06	0.1	1.5	0.0E+00	-	-	-	-	-0.1	1.76E+04	0.0	0.0	0.4	2.33E+04	0.0	0.0
4	P1_71	a.LM71 - kolej 1 (bez dyn. souč.)	P	0	1 046.4	4.09E+04	25.6	11.7	-3.20E+06	-3.7	1.6	-1.43E+06	-1.1	20.8	-2.6E-02	-	-	-	-	3.0	1.76E+04	0.2	0.2	3.8	2.33E+04	0.2	0.2
5	P2_71	a.LM71 - kolej 2 (bez dyn. souč.)	P	0	1 919.7	4.09E+04	46.9	25.3	-3.20E+06	-7.9	-10.7	-1.43E+06	7.5	46.6	-5.2E-02	-	-	-	-	-5.3	1.76E+04	-0.3	-0.3	5.3	2.33E+04	0.2	0.2
6	P1_C3	TTZ C3 - kolej 1 (bez dyn. souč.)	P	0	0.0	4.09E+04	0.0	0.0	-3.20E+06	0.0	0.0	-1.43E+06	0.0	0.0	0.0E+00	-	-	-	-	0.0	1.76E+04	0.0	0.0	0.0	2.33E+04	0.0	0.0
7	P2_C3	TTZ C3 - kolej 2 (bez dyn. souč.)	P	0	0.0	4.09E+04	0.0	0.0	-3.20E+06	0.0	0.0	-1.43E+06	0.0	0.0	0.0E+00	-	-	-	-	0.0	1.76E+04	0.0	0.0	0.0	2.33E+04	0.0	0.0
8	BR	Brzdné a rozjezdové síly	P	0	752.3	4.09E+04	18.4	4.1	-3.20E+06	-1.3	-1.1	-1.43E+06	0.7	17.8	0.0E+00	-	-	-	-	-0.6	1.76E+04	0.0	0.0	4.8	2.33E+04	0.2	0.2
9	S	Boční ráz	P	0	67.2	4.09E+04	1.6	0.2	-3.20E+06	-0.1	1.3	-1.43E+06	-0.9	0.6	5.2E-03	-	-	-	-	-0.3	1.76E+04	0.0	0.0	0.7	2.33E+04	0.0	0.0
10	CH	Chodci na lávkách	Q	0	200.3	4.09E+04	4.9	3.1	-3.20E+06	-1.0	-0.3	-1.43E+06	0.2	4.2	0.0E+00	-	-	-	-	-0.3	1.76E+04	0.0	0.0	1.2	2.33E+04	0.1	0.1
11	W	Vítr na konstrukci	Q	0	232.2	4.09E+04	5.7	-2.6	-3.20E+06	0.8	2.8	-1.43E+06	-2.0	4.5	-1.0E-02	-	-	-	-	-0.3	1.76E+04	0.0	0.0	1.1	2.33E+04	0.0	0.0
12	WP	Vítr na vozidla	Q	0	330.6	4.09E+04	8.1	-5.7	-3.20E+06	1.8	2.8	-1.43E+06	-2.0	7.9	2.0E-02	-	-	-	-	-0.8	1.76E+04	0.0	0.0	1.2	2.33E+04	0.1	0.1
13	TR	Teplota rovnoměrná	Q	0	0.0	4.09E+04	0.0	0.0	-3.20E+06	0.0	0.0	-1.43E+06	0.0	0.0	0.0E+00	-	-	-	-	0.0	1.76E+04	0.0	0.0	0.0	2.33E+04	0.0	0.0
14	TN	Teplota nerovnoměrná	Q	0	50.0	4.09E+04	1.2	-3.4	-3.20E+06	1.1	1.0	-1.43E+06	-0.7	1.6	8.1E-03	-	-	-	-	0.5	1.76E+04	0.0	0.0	1.7	2.33E+04	0.1	0.1
15	FR	Třecí síly v ložiskách	Q	0	107.6	4.09E+04	2.6	1.2	-3.20E+06	-0.4	-0.1	-1.43E+06	0.1	2.4	0.0E+00	-	-	-	-	-0.1	1.76E+04	0.0	0.0	0.9	2.33E+04	0.0	0.0
16	I	Imperfekce soustavy	Q	0	31.3	4.09E+04	0.8	0.2	-3.20E+06	-0.1	0.3	-1.43E+06	-0.2	0.5	0.0E+00	-	-	-	-	0.2	1.76E+04	0.0	0.0	0.2	2.33E+04	0.0	0.0
27	ULS_LM	ULS - LM71 bez dynam	Q	0	0.0	4.09E+04	0.0	0.0	-3.20E+06	0.0	0.0	-1.43E+06	0.0	0.0	0.0E+00	-	-	-	-	0.0	1.76E+04	0.0	0.0	0.0	2.33E+04	0.0	0.0
28	SLS_LM	SLS - LM71 bez dynam	Q	0	0.0	4.09E+04	0.0	0.0	-3.20E+06	0.0	0.0	-1.43E+06	0.0	0.0	0.0E+00	-	-	-	-	0.0	1.76E+04	0.0	0.0	0.0	2.33E+04	0.0	0.0
29	ULS_C3	ULS - C3 bez dynam	Q	0	0.0	4.09E+04	0.0	0.0	-3.20E+06	0.0	0.0	-1.43E+06	0.0	0.0	0.0E+00	-	-	-	-	0.0	1.76E+04	0.0	0.0	0.0	2.33E+04	0.0	0.0
30	SLS_C3	SLS - C3 bez dynam	Q	0	0.0	4.09E+04	0.0	0.0	-3.20E+06	0.0	0.0	-1.43E+06	0.0	0.0	0.0E+00	-	-	-	-	0.0	1.76E+04	0.0	0.0	0.0	2.33E+04	0.0	0.0
NAVÝŠENÍ NAPĚTÍ DO AKTIVACE TLAKU V DESCE MOSTOVKY						$\sigma_{P,red}$	0.0							0.0			0.0		0.0			-0.3	-0.3			0.8	0.8
NAPĚTÍ OD PRIMÁRNÍCH ÚČINKŮ NEROVNOMĚRNÉHO OTEPLENÍ						σ_T	0.0							0.0													
NAPĚTÍ OD REOLOGICKÝCH ÚČINKŮ BETONU V ČASE			t=0			σ_R	0.0	γ_{F}=	1.20					0.0													
NAPĚTÍ V KRITICKÝCH VLÁKNECH OD KOMBINACE ZATÍŽENÍ						KZ03		[MPa]					$\Sigma\sigma_x$	137.0							$\Sigma\tau_y$	-0.3				$\Sigma\tau_z$	0.8
NAPĚTÍ OD POHYBLIVÉHO ZATÍŽENÍ								[MPa]					$\sigma_{x,P}$	85.8							τ_P	-0.2				τ_P	0.6
NAPĚTÍ OD OSTATNÍCH ZATÍŽENÍ								[MPa]			Φ_{Vy}	Φ_{Vz}	$\sigma_{x,rs}$	51.2							τ_{rs}	-0.1				τ_{rs}	0.1
NÁVRHOVÁ HODNOTA MEZE KLUZU S REDUKCÍ VLIVEM SMYKOVÉHO NAPĚTÍ								[MPa]			1.00	1.00	$f_{yv,d}$	209.1							$f_{yd}/3^{0,5}$	120.7				$f_{yd}/3^{0,5}$	120.7
NAPĚTÍ OD POHYBLIVÉHO ZATÍŽENÍ V GLOBÁLNÍM SYSTÉMU						$\sigma_{GLOB,P}$	0.0	[MPa]					$\Sigma\sigma_{GLOB}$	0.0													
NAPĚTÍ OD OSTATNÍCH ZATÍŽENÍ V GLOBÁLNÍM SYSTÉMU						$\sigma_{GLOB,rs}$	0.0	[MPa]					$\Sigma\sigma_x + \Sigma\sigma_{GLOB}$	137.0													
VYUŽITÍ PRŮŘEZU DLE NAPĚTÍ								[%]					η_1	0.66							η_3	0.00				η_3	0.01
NAPĚTÍ V PŘÍČNÉM SMĚRU OD POHYBLIVÉHO ZATÍŽENÍ						$\sigma_{z,P}$	0.0	[MPa]					$\Sigma\sigma_z$	0.0													
NAPĚTÍ V PŘÍČNÉM SMĚRU OD OSTATNÍCH ZATÍŽENÍ						$\sigma_{z,rs}$	0.0	[MPa]					η_2	0.00													
SROVNÁVACÍ NAPĚTÍ													$(\eta2 + 0,8\ \eta1)/1,4$ =	0.37												
VYUŽITÍ PRŮŘEZU CELKEM								[%]					eff	0.66	VYHOVUJE											
													z_{LM71} =	1.84												

TAB. U4.3 POSOUZENÍ - MEZNÍ STAV ÚNOSNOSTI

POPIS	DOLNÍ PÁS U4
PRUT / POLOHA BODU	109 / 1/4
NAMÁHÁNÍ	N.max
VLÁKNO	BOD K3 -SL
MEZNÍ STAV	ULS (MSÚ)
VYUŽITÍ VLÁKNA PRŮŘEZU	0.78

Charakteristiky materiálu				
pás. horní	$f_{yf,k}$	230	MPa	
pás. dolní	$f_{yf,k}$	230	MPa	
stojina	$f_{yw,k}$	230	MPa	
výztuž	$f_{ys,k}$	500	MPa	
γ_{M} =	1.10	γ_{s} =	1.15	

Excentricita normálové síly				
Exc./Fáze	0	1	2	3
e_y	0.000	0.000	0.000	0.000
e_z	0.000	0.000	0.000	0.000
Ekvivalentní vzdál. stěn - příčný roznos				
b_{Nx}	0.000	0.000	0.000	0.000

Vliv stěny na únosnost průřezu				
Char./Fáze	0	1	2	3
A	0.00	0.00	0.00	0.00
Wy	0.00	0.00	0.00	0.00
Wz	0.00	0.00	0.00	0.00

Charakter. v kroucení			
$t_{w,y}$	0.000	[mm]	
$t_{w,z}$	0.000	[mm]	
κ	1.00		
I_t=	0.00E+00	[mm^4]	
Ω=2*A_{pr}	0.00E+00	[mm^2]	

Součinitele vzpěru a vlivu II.řádu					
Char./Fáze	0	1	2	3
k_y	1.000	1.000	1.000	1.000
k_z	1.000	1.000	1.000	1.000
χ_{LT}	1.000	1.000	1.000	1.000
χ_{min}	1.000	1.000	1.000	1.000

Vnitřní síly od jednotlivých skupin zatěžovacích stavů

3

SKUPINA ZATĚŽOVACÍCH STAVŮ					- CHARAKTERISTICKÉ HODNOTY						DÍLČÍ SOUČINITELÉ ZATÍŽENÍ, DYNAMICKÝ SOUČINITEL							- NÁVRHOVÉ HODNOTY									
Č.	SKUP ZS	POPIS ZS	KAT.	FÁZE PRŮŘ.	N.k (kN)	Vy.k (kN)	Vz.k (kN)	Mx.k (kNm)	My.k (kNm)	Mz.k (kNm)	γ_{sr} (-)	γ_{fs} (-)	volba γ_f hledat	γ_f (-)	L_d (m)	δ (-)	Ψ_0 KZ03	N.d (kN)	Vy.d (kN)	Vz.d (kN)	ΔVz.d (kN)	ΣVz.d (kN)	Mx.d (kNm)	My.d (kNm)	ΔMy.d (kNm)	ΣMy.d (kNm)	Mz.d (kNm)	ΔMz.d (kNm)	ΣMz.d (kNm)
1	G0	Vlastní tíha OK	G	0	1 089	-1	-3	0	14	-2	1.00	1.20		1.20	-	1.00	0.95	1 241	-1	-4	0	-4	0	16	0	16	-2	0	-2
2	G1	Ostatní stálé - mostní vybavení	G	0	77	0	0	0	1	0	1.00	1.20		1.20	-	1.00	0.95	88	0	0	0	0	0	1	0	1	0	0	0
3	G2	Ostatní stálé - cizí zařízení	G	0	61	0	0	0	1	0	1.00	1.20		1.20	-	1.00	0.95	70	0	0	0	0	0	1	0	1	0	0	0
4	P1_71	a.LM71 - kolej 1 (bez dyn. souč.)	P	0	805	2	3	0	9	1	1.00	1.30		1.30	-	1.00	1.00	1 046	3	4	0	4	0	12	0	12	2	0	2
5	P2_71	a.LM71 - kolej 2 (bez dyn. souč.)	P	0	1 477	-4	4	0	19	-8	1.00	1.30		1.30	-	1.00	1.00	1 920	-5	5	0	5	0	25	0	25	-11	0	-11
6	P1_C3	TTZ C3 - kolej 1 (bez dyn. souč.)	P	0	677	2	2	0	5	1	1.00	vyp.		0.00	-	1.00	0.00	0	0	0	0	0	0	0	0	0	0	0	0
7	P2_C3	TTZ C3 - kolej 2 (bez dyn. souč.)	P	0	1 225	-4	1	0	8	-8	1.00	vyp.		0.00	-	1.00	0.00	0	0	0	0	0	0	0	0	0	0	0	0
8	BR	Brzdné a rozjezdové síly	P	0	723	-1	5	0	4	-1	1.00	1.30		1.30	-	1.00	0.80	752	-1	5	0	5	0	4	0	4	-1	0	-1
9	S	Boční ráz	P	0	129	-1	1	0	0	3	1.00	0.00		0.00	-	1.00	0.40	0	0	0	0	0	0	0	0	0	0	0	0
10	CH	Chodci na lávkách	Q	0	154	0	1	0	2	0	1.00	1.30		1.30	-	1.00	1.00	200	0	1	0	1	0	3	0	3	0	0	0
11	W	Vítr na konstrukci	Q	0	229	0	1	0	-3	3	1.00	1.35		1.35	-	1.00	0.75	232	0	1	0	1	0	-3	0	-3	3	0	3
12	WP	Vítr na vozidla	Q	0	327	-1	1	0	-6	3	1.00	1.35		1.35	-	1.00	0.75	331	-1	1	0	1	0	-6	0	-6	3	0	3
13	TR	Teplota rovnoměrná	Q	0	0	0	0	0	0	0	1.00	1.35		1.35	-	1.00	0.45	0	0	0	0	0	0	0	0	0	0	0	0
14	TN	Teplota nerovnoměrná	Q	0	62	1	2	0	-4	1	1.00	-1.35		-1.35	-	1.00	0.60	-50	-1	-2	0	-2	0	3	0	3	-1	0	-1
15	FR	Třecí síly v ložiskách	Q	0	90	0	1	0	1	0	1.00	1.20		1.20	-	1.00	1.00	108	0	1	0	1	0	1	0	1	0	0	0
16	I	Imperfekce soustavy	Q	0	26	0	0	0	0	0	1.00	1.20		1.20	-	1.00	1.00	31	0	0	0	0	0	0	0	0	0	0	0
27	ULS_LM	ULS - LM71 bez dynam	Q	0	6 264	-5	19	0	53	-5	1.00	vyp.		0.00	-	1.00	0.00	0	0	0	0	0	0	0	0	0	0	0	0
28	SLS_LM	SLS - LM71 bez dynam	Q	0	4 916	-4	13	0	45	-5	1.00	vyp.	1	0.00	-	1.00	0.00	0	0	0	0	0	0	0	0	0	0	0	0
29	ULS_C3	ULS - C3 bez dynam	Q	0	5 771	-5	14	0	33	-5	1.00	vyp.	1	0.00	-	1.00	0.00	0	0	0	0	0	0	0	0	0	0	0	0
30	SLS_C3	SLS - C3 bez dynam	Q	0	4 536	-5	9	0	30	-5	1.00	vyp.	1	0.00	-	1.00	0.00	0	0	0	0	0	0	0	0	0	0	0	0
		CELKEM - FÁZE PRŮŘEZU 0																5 970	-6	14	0	14	0	59	0	59	-8	0	-8
		CELKEM - FÁZE PRŮŘEZU 1																0	0	0	0	0	0	0	0	0	0	0	0
		CELKEM - FÁZE PRŮŘEZU 2																0	0	0	0	0	0	0	0	0	0	0	0
		CELKEM - FÁZE PRŮŘEZU 3																0	0	0	0	0	0	0	0	0	0	0	0
		CELKEM - PRŮŘEZ																5 970	-6	14	0	14	0			59			-8

Napětí od jednotlivých zatěžovacích stavů

SKUPINA ZATĚŽOVACÍCH STAVŮ					Posouzení normálového napětí										Posouzení smykového napětí													
					Účinek síly N			Účinek momentu My			Účinek momentu Mz				Účinek kroutícího momentu Mx				Účinek smykové síly Vy				Účinek smykové síly Vz			
Č.	SKUP ZS	Popis ZS	Kat.	fáze průř.	δ^*N_d [kN]	χ^*A [mm^2]	σ_n [MPa]	$\delta^*M_{y,d}$ [kNm]	$\chi_{lt}{}^*W_{el,y}$ [mm^3]	σ_{my} [MPa]	$\delta^*M_{z,d}$ [kNm]	$W_{el,z}$ [mm^3]	σ_{mz} [MPa]	σ_x [MPa]	$\kappa^*\delta^*M_{x,d}$ [kNm]	$W_{v,y}$ [mm^3]	$\tau_{x,y}$ [MPa]	$W_{v,z}$ [mm^3]	$\tau_{x,z}$ [MPa]	$\delta^*V_{y,d}$ [kN]	$A_{v,y}$ [mm2]	$\tau_{v,y}$ [MPa]	$\tau_{v,y}$ [MPa]	$\delta^*V_{z,d}$ [kN]	$A_{v,z}$ [mm2]	$\tau_{v,z}$ [MPa]	$\tau_{v,z}$ [MPa]
1	G0	Vlastní tíha OK	G	0	1 241.3	4.09E+04	30.3	16.3	8.31E+06	2.0	-2.2	-7.79E+05	2.8	35.1	-1.1E-02	-	-	-	-	-0.8	1.76E+04	0.0	0.0	-3.8	2.33E+04	-0.2	-0.2
2	G1	Ostatní stálé - mostní vybavení	G	0	88.2	4.09E+04	2.2	1.0	8.31E+06	0.1	-0.2	-7.79E+05	0.2	2.5	0.0E+00	-	-	-	-	-0.1	1.76E+04	0.0	0.0	0.3	2.33E+04	0.0	0.0
3	G2	Ostatní stálé - cizí zařízení	G	0	69.7	4.09E+04	1.7	1.1	8.31E+06	0.1	-0.1	-7.79E+05	0.2	2.0	0.0E+00	-	-	-	-	-0.1	1.76E+04	0.0	0.0	0.4	2.33E+04	0.0	0.0
4	P1_71	a.LM71 - kolej 1 (bez dyn. souč.)	P	0	1 046.4	4.09E+04	25.6	11.7	8.31E+06	1.4	1.6	-7.79E+05	-2.1	24.9	-2.6E-02	-	-	-	-	3.0	1.76E+04	0.2	0.2	3.8	2.33E+04	0.2	0.2
5	P2_71	a.LM71 - kolej 2 (bez dyn. souč.)	P	0	1 919.7	4.09E+04	46.9	25.3	8.31E+06	3.0	-10.7	-7.79E+05	13.7	63.7	-5.2E-02	-	-	-	-	-5.3	1.76E+04	-0.3	-0.3	5.3	2.33E+04	0.2	0.2
6	P1_C3	TTZ C3 - kolej 1 (bez dyn. souč.)	P	0	0.0	4.09E+04	0.0	0.0	8.31E+06	0.0	0.0	-7.79E+05	0.0	0.0	0.0E+00	-	-	-	-	0.0	1.76E+04	0.0	0.0	0.0	2.33E+04	0.0	0.0
7	P2_C3	TTZ C3 - kolej 2 (bez dyn. souč.)	P	0	0.0	4.09E+04	0.0	0.0	8.31E+06	0.0	0.0	-7.79E+05	0.0	0.0	0.0E+00	-	-	-	-	0.0	1.76E+04	0.0	0.0	0.0	2.33E+04	0.0	0.0
8	BR	Brzdné a rozjezdové síly	P	0	752.3	4.09E+04	18.4	4.1	8.31E+06	0.5	-1.1	-7.79E+05	1.3	20.2	0.0E+00	-	-	-	-	-0.6	1.76E+04	0.0	0.0	4.8	2.33E+04	0.2	0.2
9	S	Boční ráz	P	0	0.0	4.09E+04	0.0	0.0	8.31E+06	0.0	0.0	-7.79E+05	0.0	0.0	0.0E+00	-	-	-	-	0.0	1.76E+04	0.0	0.0	0.0	2.33E+04	0.0	0.0
10	CH	Chodci na lávkách	Q	0	200.3	4.09E+04	4.9	3.1	8.31E+06	0.4	-0.3	-7.79E+05	0.4	5.7	0.0E+00	-	-	-	-	-0.3	1.76E+04	0.0	0.0	1.2	2.33E+04	0.1	0.1
11	W	Vítr na konstrukci	Q	0	232.2	4.09E+04	5.7	-2.6	8.31E+06	-0.3	2.8	-7.79E+05	-3.7	1.7	-1.0E-02	-	-	-	-	-0.3	1.76E+04	0.0	0.0	1.1	2.33E+04	0.0	0.0
12	WP	Vítr na vozidla	Q	0	330.6	4.09E+04	8.1	-5.7	8.31E+06	-0.7	2.8	-7.79E+05	-3.6	3.8	2.0E-02	-	-	-	-	-0.8	1.76E+04	0.0	0.0	1.2	2.33E+04	0.1	0.1
13	TR	Teplota rovnoměrná	Q	0	0.0	4.09E+04	0.0	0.0	8.31E+06	0.0	0.0	-7.79E+05	0.0	0.0	0.0E+00	-	-	-	-	0.0	1.76E+04	0.0	0.0	0.0	2.33E+04	0.0	0.0
14	TN	Teplota nerovnoměrná	Q	0	-50.0	4.09E+04	-1.2	3.4	8.31E+06	0.4	-1.0	-7.79E+05	1.3	0.5	-8.1E-03	-	-	-	-	-0.5	1.76E+04	0.0	0.0	-1.7	2.33E+04	-0.1	-0.1
15	FR	Třecí síly v ložiskách	Q	0	107.6	4.09E+04	2.6	1.2	8.31E+06	0.1	-0.1	-7.79E+05	0.2	3.0	0.0E+00	-	-	-	-	-0.1	1.76E+04	0.0	0.0	0.9	2.33E+04	0.0	0.0
16	I	Imperfekce soustavy	Q	0	31.3	4.09E+04	0.8	0.2	8.31E+06	0.0	0.3	-7.79E+05	-0.4	0.3	0.0E+00	-	-	-	-	0.2	1.76E+04	0.0	0.0	0.2	2.33E+04	0.0	0.0
27	ULS_LM	ULS - LM71 bez dynam	Q	0	0.0	4.09E+04	0.0	0.0	8.31E+06	0.0	0.0	-7.79E+05	0.0	0.0	0.0E+00	-	-	-	-	0.0	1.76E+04	0.0	0.0	0.0	2.33E+04	0.0	0.0
28	SLS_LM	SLS - LM71 bez dynam	Q	0	0.0	4.09E+04	0.0	0.0	8.31E+06	0.0	0.0	-7.79E+05	0.0	0.0	0.0E+00	-	-	-	-	0.0	1.76E+04	0.0	0.0	0.0	2.33E+04	0.0	0.0
29	ULS_C3	ULS - C3 bez dynam	Q	0	0.0	4.09E+04	0.0	0.0	8.31E+06	0.0	0.0	-7.79E+05	0.0	0.0	0.0E+00	-	-	-	-	0.0	1.76E+04	0.0	0.0	0.0	2.33E+04	0.0	0.0
30	SLS_C3	SLS - C3 bez dynam	Q	0	0.0	4.09E+04	0.0	0.0	8.31E+06	0.0	0.0	-7.79E+05	0.0	0.0	0.0E+00	-	-	-	-	0.0	1.76E+04	0.0	0.0	0.0	2.33E+04	0.0	0.0
NAVÝŠENÍ NAPĚTÍ DO AKTIVACE TLAKU V DESCE MOSTOVKY						$\sigma_{P,red}$	0.0							0.0			0.0		0.0				-0.3	-0.3			0.6	0.6
NAPĚTÍ OD PRIMÁRNÍCH ÚČINKŮ NEROVNOMĚRNÉHO OTEPLENÍ						σ_T	0.0							0.0														
NAPĚTÍ OD REOLOGICKÝCH ÚČINKŮ BETONU V ČASE				t=0		σ_R	0.0	γ_{G}=	1.20					0.0														
NAPĚTÍ V KRITICKÝCH VLÁKNECH OD KOMBINACE ZATÍŽENÍ						KZ03		[MPa]					$\Sigma\sigma_x$	163.6								$\Sigma\tau_y$	-0.3			$\Sigma\tau_z$	0.6
NAPĚTÍ OD POHYBLIVÉHO ZATÍŽENÍ								[MPa]					$\sigma_{x,P}$	108.9								τ_P	-0.2			τ_P	0.6
NAPĚTÍ OD OSTATNÍCH ZATÍŽENÍ								[MPa]			Φ_{Vy}	Φ_{Vz}	$\sigma_{x,rs}$	54.7								τ_{rs}	-0.2			τ_{rs}	0.0
NÁVRHOVÁ HODNOTA MEZE KLUZU S REDUKCÍ VLIVEM SMYKOVÉHO NAPĚTÍ								[MPa]			1.00	1.00	$f_{yv,d}$	209.1								$f_{yd}/3^{0,5}$	120.7			$f_{yd}/3^{0,5}$	120.7
NAPĚTÍ OD POHYBLIVÉHO ZATÍŽENÍ V GLOBÁLNÍM SYSTÉMU						$\sigma_{GLOB,P}$	0.0	[MPa]					$\Sigma\sigma_{GLOB}$	0.0													
NAPĚTÍ OD OSTATNÍCH ZATÍŽENÍ V GLOBÁLNÍM SYSTÉMU						$\sigma_{GLOB,rs}$	0.0	[MPa]					$\Sigma\sigma_x + \Sigma\sigma_{GLOB}$	163.6													
VYUŽITÍ PRŮŘEZU DLE NAPĚTÍ								[%]					η_1	0.78								η_3	0.00			η_3	0.00
NAPĚTÍ V PŘÍČNÉM SMĚRU OD POHYBLIVÉHO ZATÍŽENÍ						$\sigma_{z,P}$	0.0	[MPa]					$\Sigma\sigma_z$	0.0													
NAPĚTÍ V PŘÍČNÉM SMĚRU OD OSTATNÍCH ZATÍŽENÍ						$\sigma_{z,rs}$	0.0	[MPa]					η_2	0.00													
SROVNÁVACÍ NAPĚTÍ													$(\eta 2 + 0{,}8\,\eta 1)/1{,}4$ =	0.45													
VYUŽITÍ PRŮŘEZU CELKEM								[%]					eff	0.78	VYHOVUJE												
													z_{LM71} =	1.42													

TAB. U4.3 POSOUZENÍ - MEZNÍ STAV ÚNOSNOSTI

POPIS	DOLNÍ PÁS U4
PRUT / POLOHA BODU	109 / 1/4
NAMÁHÁNÍ	Vz.max
VLÁKNO	BOD S6 -HP
MEZNÍ STAV	ULS (MSÚ)
VYUŽITÍ VLÁKNA PRŮŘEZU	0.65

Charakteristiky materiálu				
pás. horní	$f_{yf,k}$	230	MPa	
pás. dolní	$f_{yf,k}$	230	MPa	
stojina	$f_{yw,k}$	230	MPa	
výztuž	$f_{ys,k}$	500	MPa	
γ_{M} =	1.10	γ_{s} =	1.15	

Excentricita normálové síly				
Exc./Fáze	0	1	2	3
e_y	0.000	0.000	0.000	0.000
e_z	0.000	0.000	0.000	0.000
Ekvivalentní vzdál. stěn - příčný roznos				
b_{Mx}	0.000	0.000	0.000	0.000

Vliv stěny na únosnost průřezu				
Char./Fáze	0	1	2	3
A	0.00	0.00	0.00	0.00
Wy	0.00	0.00	0.00	0.00
Wz	0.00	0.00	0.00	0.00

Charakter. v kroucení			
$t_{w,y}$	0.000	[mm]	
$t_{w,z}$	0.000	[mm]	
κ	1.00		
I_t=	0.00E+00	[mm^4]	
$\Omega=2*A_{pr}$	0.00E+00	[mm^2]	

Součinitele vzpěru a vlivu II.řádu				
Char./Fáze	0	1	2	3
k_y	1.000	1.000	1.000	1.000
k_z	1.000	1.000	1.000	1.000
χ_{LT}	1.000	1.000	1.000	1.000
χ_{min}	1.000	1.000	1.000	1.000

Vnitřní síly od jednotlivých skupin zatěžovacích stavů

SKUPINA ZATĚŽOVACÍCH STAVŮ — 3

Č.	SKUP ZS	POPIS ZS	KAT.	FÁZE PRŮŘ.	- CHARAKTERISTICKÉ HODNOTY N.k (kN)	Vy.k (kN)	Vz.k (kN)	Mx.k (kNm)	My.k (kNm)	Mz.k (kNm)	DÍLČÍ SOUČINITELÉ ZATÍŽENÍ, DYNAMICKÝ SOUČINITEL γ_{or} (-)	γ_{Q} (-)	volba γ_{Q} hledat	γ_{fi} (-)	L_d (m)	δ (-)	γ_{Fz} KZ03	- NÁVRHOVÉ HODNOTY N.d (kN)	Vy.d (kN)	Vz.d (kN)	ΔVz.d (kN)	ΣVz.d (kN)	Mx.d (kNm)	My.d (kNm)	ΔMy.d (kNm)	ΣMy.d (kNm)	Mz.d (kNm)	ΔMz.d (kNm)	ΣMz.d (kNm)
1	G0	Vlastní tíha OK	G	0	1 089	-1	-3	0	14	-2	1.00	1.20		1.20	-	0.95	0.95	1 241	-1	-4	0	-4	0	16	0	16	-2	0	-2
2	G1	Ostatní stálé - mostní vybavení	G	0	77	0	0	0	1	0	1.00	1.00		1.00	-	1.00	0.95	74	0	0	0	0	0	1	0	1	0	0	0
3	G2	Ostatní stálé - cizí zařízení	G	0	61	0	0	0	1	0	1.00	1.00		1.00	-	1.00	0.95	58	0	0	0	0	0	1	0	1	0	0	0
4	P1_71	a.LM71 - kolej 1 (bez dyn. souč.)	P	0	609	3	9	0	20	5	1.00	1.30		1.30	-	1.00	1.00	792	3	12	0	12	0	26	0	26	6	0	6
5	P2_71	a.LM71 - kolej 2 (bez dyn. souč.)	P	0	1 069	-1	24	0	56	-1	1.00	1.30		1.30	-	1.00	1.00	1 389	-2	32	0	32	0	73	0	73	-1	0	-1
6	P1_C3	TTZ C3 - kolej 1 (bez dyn. souč.)	P	0	482	1	8	0	16	3	1.00	vyp.		0.00	-	1.00	0.00	0	0	0	0	0	0	0	0	0	0	0	0
7	P2_C3	TTZ C3 - kolej 2 (bez dyn. souč.)	P	0	841	-1	22	0	46	-1	1.00	vyp.		0.00	-	1.00	0.00	0	0	0	0	0	0	0	0	0	0	0	0
8	BR	Brzdné a rozjezdové síly	P	0	675	-1	5	0	6	-1	1.00	1.30		1.30	-	1.00	0.80	702	-1	5	0	5	0	6	0	6	-1	0	-1
9	S	Boční ráz	P	0	117	-2	2	0	2	-1	1.00	1.30		1.30	-	1.00	0.40	61	-1	1	0	1	0	1	0	1	-1	0	-1
10	CH	Chodci na lávkách	Q	0	154	0	1	0	2	0	1.00	1.30		1.30	-	1.00	1.00	200	0	1	0	1	0	3	0	3	0	0	0
11	W	Vítr na konstrukci	Q	0	229	0	1	0	-3	3	1.00	1.35		1.35	-	1.00	0.75	232	0	1	0	1	0	-3	0	-3	3	0	3
12	WP	Vítr na vozidla	Q	0	327	-1	1	0	-6	3	1.00	1.35		1.35	-	1.00	0.75	331	-1	1	0	1	0	-6	0	-6	3	0	3
13	TR	Teplota rovnoměrná	Q	0	0	0	0	0	0	0	1.00	1.35		1.35	-	1.00	0.45	0	0	0	0	0	0	0	0	0	0	0	0
14	TN	Teplota nerovnoměrná	Q	0	62	1	2	0	-4	1	1.00	1.35		1.35	-	1.00	0.60	50	1	2	0	2	0	-3	0	-3	1	0	1
15	FR	Třecí síly v ložiskách	Q	0	90	0	1	0	1	0	1.00	1.20		1.20	-	1.00	1.00	108	0	1	0	1	0	1	0	1	0	0	0
16	I	Imperfekce soustavy	Q	0	26	0	0	0	0	0	1.00	1.20		1.20	-	1.00	1.00	31	0	0	0	0	0	0	0	0	0	0	0
27	ULS_LM	ULS - LM71 bez dynam	Q	0	5 408	-2	54	0	117	7	1.00	vyp.		0.00	-	1.00	0.00	0	0	0	0	0	0	0	0	0	0	0	0
28	SLS_LM	SLS - LM71 bez dynam	Q	0	4 257	-2	40	0	95	4	1.00	vyp.	1	0.00	-	1.00	0.00	0	0	0	0	0	0	0	0	0	0	0	0
29	ULS_C3	ULS - C3 bez dynam	Q	0	4 948	-3	49	0	100	5	1.00	vyp.	1	0.00	-	1.00	0.00	0	0	0	0	0	0	0	0	0	0	0	0
30	SLS_C3	SLS - C3 bez dynam	Q	0	3 903	-3	36	0	82	3	1.00	vyp.	1	0.00	-	1.00	0.00	0	0	0	0	0	0	0	0	0	0	0	0
		CELKEM - FÁZE PRŮŘEZU 0			5 269	-2	53	0	116	7								5 269	-2	53	0	53	0	116	0	116	7	0	7
		CELKEM - FÁZE PRŮŘEZU 1																0	0	0	0	0	0	0	0	0	0	0	0
		CELKEM - FÁZE PRŮŘEZU 2																0	0	0	0	0	0	0	0	0	0	0	0
		CELKEM - FÁZE PRŮŘEZU 3																0	0	0	0	0	0	0	0	0	0	0	0
		CELKEM - PRŮŘEZ																5 269	-2	53	0	53	0			116			7

Napětí od jednotlivých zatěžovacích stavů

SKUPINA ZATĚŽOVACÍCH STAVŮ

Č.	SKUP ZS	Popis ZS	Kat.	fáze prúř.	Posouzení normálového napětí — Účinek síly N δ^*N_d [kN]	χ^*A [mm^2]	σ_n [MPa]	Účinek momentu My $\delta^*M_{y,d}$ [kNm]	$\chi_{lt}*W_{el,y}$ [mm^3]	σ_{my} [MPa]	Účinek momentu Mz $\delta^*M_{z,d}$ [kNm]	$W_{el,z}$ [mm^3]	σ_{mz} [MPa]	σ_x [MPa]	Posouzení smykového napětí — Účinek kroutícího momentu Mx $\kappa*\delta^*M_{x,d}$ [kNm]	$W_{v,y}$ [mm^2]	$\tau_{x,y}$ [MPa]	$W_{v,z}$ [mm^2]	$\tau_{x,z}$ [MPa]	Účinek smykové síly Vy $\delta^*V_{y,d}$ [kN]	$A_{v,y}$ [mm2]	$\tau_{v,y}$ [MPa]	$\tau_{v,y}$ [MPa]	Účinek smykové síly Vz $\delta^*V_{z,d}$ [kN]	$A_{v,z}$ [mm2]	$\tau_{v,z}$ [MPa]	$\tau_{v,z}$ [MPa]
1	G0	Vlastní tíha OK	G	0	1 241.3	4.09E+04	30.3	16.3	9.64E+06	1.7	-2.2	-1.43E+06	1.5	33.6	-1.1E-02	-	-	-	-	-0.8	1.76E+04	0.0	0.0	-3.8	2.33E+04	-0.2	-0.2
2	G1	Ostatní stálé - mostní vybavení	G	0	73.5	4.09E+04	1.8	0.9	9.64E+06	0.1	-0.2	-1.43E+06	0.1	2.0	0.0E+00	-	-	-	-	-0.1	1.76E+04	0.0	0.0	0.3	2.33E+04	0.0	0.0
3	G2	Ostatní stálé - cizí zařízení	G	0	58.1	4.09E+04	1.4	0.9	9.64E+06	0.1	-0.1	-1.43E+06	0.1	1.6	0.0E+00	-	-	-	-	-0.1	1.76E+04	0.0	0.0	0.3	2.33E+04	0.0	0.0
4	P1_71	a.LM71 - kolej 1 (bez dyn. souč.)	P	0	791.8	4.09E+04	19.4	26.2	9.64E+06	2.7	6.0	-1.43E+06	-4.2	17.9	2.6E-02	-	-	-	-	3.3	1.76E+04	0.2	0.2	12.0	2.33E+04	0.5	0.5
5	P2_71	a.LM71 - kolej 2 (bez dyn. souč.)	P	0	1 389.2	4.09E+04	34.0	72.5	9.64E+06	7.5	-1.0	-1.43E+06	0.7	42.2	1.3E-02	-	-	-	-	-1.7	1.76E+04	-0.1	-0.1	31.6	2.33E+04	1.4	1.4
6	P1_C3	TTZ C3 - kolej 1 (bez dyn. souč.)	P	0	0.0	4.09E+04	0.0	0.0	9.64E+06	0.0	0.0	-1.43E+06	0.0	0.0	0.0E+00	-	-	-	-	0.0	1.76E+04	0.0	0.0	0.0	2.33E+04	0.0	0.0
7	P2_C3	TTZ C3 - kolej 2 (bez dyn. souč.)	P	0	0.0	4.09E+04	0.0	0.0	9.64E+06	0.0	0.0	-1.43E+06	0.0	0.0	0.0E+00	-	-	-	-	0.0	1.76E+04	0.0	0.0	0.0	2.33E+04	0.0	0.0
8	BR	Brzdné a rozjezdové síly	P	0	702.0	4.09E+04	17.2	5.8	9.64E+06	0.6	-1.2	-1.43E+06	0.9	18.6	0.0E+00	-	-	-	-	-0.6	1.76E+04	0.0	0.0	5.2	2.33E+04	0.2	0.2
9	S	Boční ráz	P	0	60.8	4.09E+04	1.5	0.9	9.64E+06	0.1	-0.7	-1.43E+06	0.5	2.1	0.0E+00	-	-	-	-	-0.9	1.76E+04	-0.1	-0.1	0.8	2.33E+04	0.0	0.0
10	CH	Chodci na lávkách	Q	0	200.3	4.09E+04	4.9	3.1	9.64E+06	0.3	-0.3	-1.43E+06	0.2	5.5	0.0E+00	-	-	-	-	-0.3	1.76E+04	0.0	0.0	1.2	2.33E+04	0.1	0.1
11	W	Vítr na konstrukci	Q	0	232.2	4.09E+04	5.7	-2.6	9.64E+06	-0.3	2.8	-1.43E+06	-2.0	3.4	-1.0E-02	-	-	-	-	-0.3	1.76E+04	0.0	0.0	1.1	2.33E+04	0.0	0.0
12	WP	Vítr na vozidla	Q	0	330.6	4.09E+04	8.1	-5.7	9.64E+06	-0.6	2.8	-1.43E+06	-2.0	5.5	2.0E-02	-	-	-	-	-0.8	1.76E+04	0.0	0.0	1.2	2.33E+04	0.1	0.1
13	TR	Teplota rovnoměrná	Q	0	0.0	4.09E+04	0.0	0.0	9.64E+06	0.0	0.0	-1.43E+06	0.0	0.0	0.0E+00	-	-	-	-	0.0	1.76E+04	0.0	0.0	0.0	2.33E+04	0.0	0.0
14	TN	Teplota nerovnoměrná	Q	0	50.0	4.09E+04	1.2	-3.4	9.64E+06	-0.4	1.0	-1.43E+06	-0.7	0.1	8.1E-03	-	-	-	-	0.5	1.76E+04	0.0	0.0	1.7	2.33E+04	0.1	0.1
15	FR	Třecí síly v ložiskách	Q	0	107.6	4.09E+04	2.6	1.2	9.64E+06	0.1	-0.1	-1.43E+06	0.1	2.9	0.0E+00	-	-	-	-	-0.1	1.76E+04	0.0	0.0	0.9	2.33E+04	0.0	0.0
16	I	Imperfekce soustavy	Q	0	31.3	4.09E+04	0.8	0.2	9.64E+06	0.0	0.3	-1.43E+06	-0.2	0.5	0.0E+00	-	-	-	-	0.2	1.76E+04	0.0	0.0	0.2	2.33E+04	0.0	0.0
27	ULS_LM	ULS - LM71 bez dynam	Q	0	0.0	4.09E+04	0.0	0.0	9.64E+06	0.0	0.0	-1.43E+06	0.0	0.0	0.0E+00	-	-	-	-	0.0	1.76E+04	0.0	0.0	0.0	2.33E+04	0.0	0.0
28	SLS_LM	SLS - LM71 bez dynam	Q	0	0.0	4.09E+04	0.0	0.0	9.64E+06	0.0	0.0	-1.43E+06	0.0	0.0	0.0E+00	-	-	-	-	0.0	1.76E+04	0.0	0.0	0.0	2.33E+04	0.0	0.0
29	ULS_C3	ULS - C3 bez dynam	Q	0	0.0	4.09E+04	0.0	0.0	9.64E+06	0.0	0.0	-1.43E+06	0.0	0.0	0.0E+00	-	-	-	-	0.0	1.76E+04	0.0	0.0	0.0	2.33E+04	0.0	0.0
30	SLS_C3	SLS - C3 bez dynam	Q	0	0.0	4.09E+04	0.0	0.0	9.64E+06	0.0	0.0	-1.43E+06	0.0	0.0	0.0E+00	-	-	-	-	0.0	1.76E+04	0.0	0.0	0.0	2.33E+04	0.0	0.0
		NAVÝŠENÍ NAPĚTÍ DO AKTIVACE TLAKU V DESCE MOSTOVKY				$\sigma_{P,red}$	0.0							0.0				0.0		0.0		-0.1	-0.1			2.3	2.3
		NAPĚTÍ OD PRIMÁRNÍCH ÚČINKŮ NEROVNOMĚRNÉHO OTEPLENÍ				σ_T	0.0							0.0													
		NAPĚTÍ OD REOLOGICKÝCH ÚČINKŮ BETONU V ČASE		t=0		σ_R	0.0	γ_{G}=	1.20					0.0													
		NAPĚTÍ V KRITICKÝCH VLÁKNECH OD KOMBINACE ZATÍŽENÍ				KZ03		[MPa]					$\Sigma\sigma_x$	135.9								$\Sigma\tau_y$	-0.1			$\Sigma\tau_z$	2.3
		NAPĚTÍ OD POHYBLIVÉHO ZATÍŽENÍ						[MPa]					$\sigma_{x,P}$	80.7								τ_P	0.0			τ_P	2.1
		NAPĚTÍ OD OSTATNÍCH ZATÍŽENÍ						[MPa]			Φ_{Vy}	Φ_{Vz}	$\sigma_{x,rs}$	55.1								τ_{rs}	-0.1			τ_{rs}	0.1
		NÁVRHOVÁ HODNOTA MEZE KLUZU S REDUKCÍ VLIVEM SMYKOVÉHO NAPĚTÍ						[MPa]			1.00	1.00	$f_{yv,d}$	209.1								$f_{yd}/3^{0,5}$	120.7			$f_{yd}/3^{0,5}$	120.7
		NAPĚTÍ OD POHYBLIVÉHO ZATÍŽENÍ V GLOBÁLNÍM SYSTÉMU				$\sigma_{GLOB,P}$	0.0	[MPa]					$\Sigma\sigma_{GLOB}$	0.0													
		NAPĚTÍ OD OSTATNÍCH ZATÍŽENÍ V GLOBÁLNÍM SYSTÉMU				$\sigma_{GLOB,rs}$	0.0	[MPa]					$\Sigma\sigma_x + \Sigma\sigma_{GLOB}$	135.9													
		VYUŽITÍ PRŮŘEZU DLE NAPĚTÍ						[%]					η_1	0.65								η_3	0.00			η_3	0.02
		NAPĚTÍ V PŘÍČNÉM SMĚRU OD POHYBLIVÉHO ZATÍŽENÍ				$\sigma_{z,P}$	0.0	[MPa]					$\Sigma\sigma_z$	0.0													
		NAPĚTÍ V PŘÍČNÉM SMĚRU OD OSTATNÍCH ZATÍŽENÍ				$\sigma_{z,rs}$	0.0	[MPa]					η_2	0.00													
		SROVNÁVACÍ NAPĚTÍ											$(\eta_2 + 0,8\ \eta_1)/1,4$ =	0.37													
		VYUŽITÍ PRŮŘEZU CELKEM						[%]					eff	0.65	VYHOVUJE												
													z_{LM71} =	1.91													

VÝPOČET PRŮŘEZOVÝCH CHARAKTERISTIK

PRŮŘEZ: U5 **POPIS:** DOLNÍ PÁS - PŘÍHRADA 5 **x =** - **m**

DEFINOVÁNÍ PRŮŘEZU

PÁSNICE HORNÍHO LEVÉHO ÚHELNÍKU	b f.t.l.o =	0	mm			
TLOUŠŤKA PÁSNICE ÚHELNÍKU	t f.t.l.o =	0	mm	OSLABENÍ PÁSNICE - TLOUŠŤKA	Δt f.t.l.o =	0 %
VÝŠKA STĚNY ÚHELNÍKU	h w.t.l.o =	0	mm			
TLOUŠŤKA STĚNY ÚHELNÍKU	t w.t.l.o =	0	mm	OSLABENÍ STĚNY - TLOUŠŤKA	Δt w.t.l.o =	0 %
PÁSNICE HORNÍHO PRAVÉHO ÚHELNÍKU	b f.t.r.o =	0	mm			
TLOUŠŤKA PÁSNICE ÚHELNÍKU	t f.t.r.o =	0	mm	OSLABENÍ PÁSNICE - TLOUŠŤKA	Δt f.t.r.o =	0 %
VÝŠKA STĚNY ÚHELNÍKU	h w.t.r.o =	0	mm			
TLOUŠŤKA STĚNY ÚHELNÍKU	t w.t.r.o =	0	mm	OSLABENÍ STĚNY - TLOUŠŤKA	Δt w.t.r.0 =	0 %
PÁSNICE DOLNÍHO LEVÉHO ÚHELNÍKU	b f.b.l.o =	110	mm			
TLOUŠŤKA PÁSNICE ÚHELNÍKU	t f.b.l.o =	14	mm	OSLABENÍ PÁSNICE - TLOUŠŤKA	Δt f.b.l.o =	36 %
VÝŠKA STĚNY ÚHELNÍKU	h w.b.l.o =	96	mm			
TLOUŠŤKA STĚNY ÚHELNÍKU	t w.b.l.o =	14	mm	OSLABENÍ STĚNY - TLOUŠŤKA	Δt w.b.l.o =	27 %
PÁSNICE DOLNÍHO PRAVÉHO ÚHELNÍKU	b f.b.r.o =	110	mm			
TLOUŠŤKA PÁSNICE ÚHELNÍKU	t f.b.r.o =	14	mm	OSLABENÍ PÁSNICE - TLOUŠŤKA	Δt f.b.r.o =	36 %
VÝŠKA STĚNY ÚHELNÍKU	h w.b.r.o =	96	mm			
TLOUŠŤKA STĚNY ÚHELNÍKU	t w.b.r.o =	14	mm	OSLABENÍ STĚNY - TLOUŠŤKA	Δt w.b.r.o =	27 %
PÁSNICE HORNÍHO LEVÉHO ÚHELNÍKU	b f.t.l.i =	0	mm			
TLOUŠŤKA PÁSNICE ÚHELNÍKU	t f.t.l.i =	0	mm	OSLABENÍ PÁSNICE - TLOUŠŤKA	Δt f.t.l.i =	0 %
VÝŠKA STĚNY ÚHELNÍKU	h w.t.l.i =	0	mm			
TLOUŠŤKA STĚNY ÚHELNÍKU	t w.t.l.i =	0	mm	OSLABENÍ STĚNY - TLOUŠŤKA	Δt w.t.l.i =	0 %
PÁSNICE HORNÍHO PRAVÉHO ÚHELNÍKU	b f.t.r.i =	0	mm			
TLOUŠŤKA PÁSNICE ÚHELNÍKU	t f.t.r.i =	0	mm	OSLABENÍ PÁSNICE - TLOUŠŤKA	Δt f.t.r.i =	0 %
VÝŠKA STĚNY ÚHELNÍKU	h w.t.r.i =	0	mm			
TLOUŠŤKA STĚNY ÚHELNÍKU	t w.t.r.i =	0	mm	OSLABENÍ STĚNY - TLOUŠŤKA	Δt w.t.r.i =	0 %
PÁSNICE DOLNÍHO LEVÉHO ÚHELNÍKU	b f.b.l.i =	110	mm			
TLOUŠŤKA PÁSNICE ÚHELNÍKU	t f.b.l.i =	14	mm	OSLABENÍ PÁSNICE - TLOUŠŤKA	Δt f.b.l.i =	36 %
VÝŠKA STĚNY ÚHELNÍKU	h w.b.l.i =	96	mm			
TLOUŠŤKA STĚNY ÚHELNÍKU	t w.b.l.i =	14	mm	OSLABENÍ STĚNY - TLOUŠŤKA	Δt w.b.l.i =	27 %
PÁSNICE DOLNÍHO PRAVÉHO ÚHELNÍKU	b f.b.r.i =	110	mm			
TLOUŠŤKA PÁSNICE ÚHELNÍKU	t f.b.r.i =	14	mm	OSLABENÍ PÁSNICE - TLOUŠŤKA	Δt f.b.r.i =	36 %
VÝŠKA STĚNY ÚHELNÍKU	h w.b.r.i =	96	mm			
TLOUŠŤKA STĚNY ÚHELNÍKU	t w.b.r.i =	14	mm	OSLABENÍ STĚNY - TLOUŠŤKA	Δt w.b.r.i =	27 %
ŠÍŘKA HORNÍ PÁSNICE	b f.t =	0	mm			
TLOUŠŤKA HORNÍ PÁSNICE	t f.t =	0	mm	OSLABENÍ HORNÍ PÁSNICE	Δt f.t =	0 %
PŘESAH HORNÍ PÁSNICE	o f.t =	0	mm	(nepoužito - pásnice symetrická k ose průřezu)		
SVĚTLÁ VZDÁLENOST MEZI STĚNAMI	l w =	416	mm			
VÝŠKA STĚNY	h w =	560	mm	OSLABENÍ LEVÉ STĚNY	Δt w.l =	0 %
TLOUŠŤKA STĚNY	t w =	24	mm	OSLABENÍ PRAVÉ STĚNY	Δt w.r =	0 %
ŠÍŘKA DOLNÍ LEVÉ PÁSNICE	b f.b.l =	410	mm			
TLOUŠŤKA DOLNÍ LEVÉ PÁSNICE	t f.b.l =	36	mm	OSLABENÍ DOLNÍ PÁSNICE	Δt f.b.l =	5 %
PŘESAH DOLNÍ LEVÉ PÁSNICE	o f.b.l =	0	mm	(nepoužito - pásnice symetrická k ose levé stěny)		
ŠÍŘKA DOLNÍ PRAVÉ PÁSNICE	b f.b.r =	410	mm			
TLOUŠŤKA DOLNÍ PRAVÉ PÁSNICE	t f.b.r =	36	mm	OSLABENÍ DOLNÍ PÁSNICE	Δt f.b.r =	5 %
PŘESAH DOLNÍ PRAVÉ PÁSNICE	o f.b.r =	0	mm	(nepoužito - pásnice symetrická k ose pravé stěny)		

NÝT Č.	SKUPINA	ŘEZ	RED.	VELIKOST di [mm]	POLOHA ei [mm]	POPIS	AKTIVITA OTVORU		NAPĚTÍ sc [MPa]
1		-	1.00	0	42	nýt - f.t.l	1	-	
2		-	1.00	0	40	nýt - f.t.l - úhelník	1	-	
3		-	1.00	0	40	nýt - f.t.l - úhelník	1	-	
4		-	1.00	0	-50	nýt - f.t.l	1	-	
5		-	1.00	0	50	nýt - f.t.r	1	-	
6		-	1.00	0	40	nýt - f.t.r - úhelník	1	-	
7		-	1.00	0	40	nýt - f.t.r - úhelník	1	-	
8		-	1.00	0	42	nýt - f.t.r	1	-	
9		-	1.00	22	45	nýt - w.l - úhelník	1		102.02
10		-	1.00	22	45	nýt - w.p - úhelník	1		116.16
11		-	1.00	22	425	nýt - w.l	1		104.43
12		-	1.00	22	425	nýt - w.p	1		118.57
13		-	1.00	22	335	nýt - w.l	1		106.84
14		-	1.00	22	335	nýt - w.p	1		120.98
15		-	1.00	22	245	nýt - w.l	1		109.25
16		-	1.00	22	245	nýt - w.p	1		123.39
17		-	1.00	22	155	nýt - w.l	1		111.66
18		-	1.00	22	155	nýt - w.p	1		125.80
19		-	1.00	22	45	nýt - w.l - úhelník	1		114.60
20		-	1.00	22	45	nýt - w.p - úhelník	1		128.75
21	1	3	0.83	20	42	nýt - f.b.l	1		111.01
22	1	3	0.83	24	65	nýt - f.b.l - úhelník	1		114.31
23	1	3	0.83	24	65	nýt - f.b.l - úhelník	1		117.98
24	1	3	0.83	20	42	nýt - f.b.l	1		121.52
25	2	3	0.83	20	42	nýt - f.b.r	1		125.15
26	2	3	0.83	24	65	nýt - f.b.r - úhelník	1		128.46
27	2	3	0.83	24	65	nýt - f.b.r - úhelník	1		132.12
28	2	3	0.83	20	42	nýt - f.b.r	1		135.67
29		-	1.00					-	
30		-	1.00					-	

ZADANÉ ČÁSTI PRŮŘEZU:

č.prvku	b [mm]	h [mm]	y_s [mm]	z_s [mm]	popis části	druh oslabení	lokální ultimate	boulení servic.
1	0.0	0.0	-232.0	560.0	pásnice	0	1.000	1.000
2	0.0	0.0	-232.0	560.0	stěna	0	1.000	1.000
3	0.0	0.0	232.0	560.0	pásnice	0	1.000	1.000
4	0.0	0.0	232.0	560.0	stěna	0	1.000	1.000
5	110.0	9.0	-287.0	4.5	pásnice	0	1.000	1.000
6	10.2	96.0	-237.1	57.0	stěna	0	1.000	1.000
7	110.0	9.0	287.0	4.5	pásnice	0	1.000	1.000
8	10.2	96.0	237.1	57.0	stěna	0	1.000	1.000
9	0.0	0.0	0.0	560.0	pásnice	0	1.000	1.000
10	24.0	560.0	-220.0	280.0	stěna	0	1.000	1.000
11	24.0	560.0	220.0	280.0	stěna	0	1.000	1.000
12	0.0	0.0	-208.0	560.0	pásnice	0	1.000	1.000
13	0.0	0.0	-208.0	560.0	stěna	0	1.000	1.000
14	0.0	0.0	208.0	560.0	pásnice	0	1.000	1.000
15	0.0	0.0	208.0	560.0	stěna	0	1.000	1.000
16	110.0	9.0	-153.0	4.5	pásnice	0	1.000	1.000
17	10.2	96.0	-202.9	57.0	stěna	0	1.000	1.000
18	110.0	9.0	153.0	4.5	pásnice	0	1.000	1.000
19	10.2	96.0	202.9	57.0	stěna	0	1.000	1.000
20						0	1.000	1.000
21						0	1.000	1.000
22						0	1.000	1.000
23	410.0	34.2	-220.0	-17.1	pásnice	0	1.000	1.000
24	410.0	34.2	220.0	-17.1	pásnice	0	1.000	1.000
25						0	1.000	1.000
26						0	1.000	1.000
27						0	1.000	1.000
28						0	1.000	1.000
29						0	1.000	1.000
30						0	1.000	1.000
31						0	1.000	1.000
32						0	1.000	1.000
33						0	1.000	1.000
34						0	1.000	1.000
35						0	1.000	1.000
36						0	1.000	1.000
37						0	1.000	1.000
38						0	1.000	1.000
39						0	1.000	1.000
40						0	1.000	1.000
41						0	1.000	1.000
42						0	1.000	1.000
43						0	1.000	1.000
44						0	1.000	1.000
45						0	1.000	1.000
46						0	1.000	1.000
47						0	1.000	1.000
48						0	1.000	1.000
49						0	1.000	1.000
50						0	1.000	1.000
51	0.0	0.0	0	0	nýt - pásnice	0	1.000	1.000
52	0.0	0.0	0	0	nýt - pásnice	0	1.000	1.000
53	0.0	0.0	0	0	nýt - pásnice	0	1.000	1.000
54	0.0	0.0	0	0	nýt - pásnice	0	1.000	1.000
55	0.0	0.0	0	0	nýt - pásnice	0	1.000	1.000
56	0.0	0.0	0	0	nýt - pásnice	0	1.000	1.000
57	0.0	0.0	0	0	nýt - pásnice	0	1.000	1.000
58	0.0	0.0	0	0	nýt - pásnice	0	1.000	1.000
59	24.0	-22.0	-220.0	515.0	nýt - stěna	0	1.000	1.000
60	24.0	-22.0	220.0	515.0	nýt - stěna	0	1.000	1.000
61	24.0	-22.0	-220.0	425.0	nýt - stěna	0	1.000	1.000
62	24.0	-22.0	220.0	425.0	nýt - stěna	0	1.000	1.000
63	24.0	-22.0	-220.0	335.0	nýt - stěna	0	1.000	1.000
64	24.0	-22.0	220.0	335.0	nýt - stěna	0	1.000	1.000
65	24.0	-22.0	-220.0	245.0	nýt - stěna	0	1.000	1.000
66	24.0	-22.0	220.0	245.0	nýt - stěna	0	1.000	1.000
67	24.0	-22.0	-220.0	155.0	nýt - stěna	0	1.000	1.000
68	24.0	-22.0	220.0	155.0	nýt - stěna	0	1.000	1.000
69	44.4	-22.0	-220.0	45.0	nýt - stěna	0	1.000	1.000
70	44.4	-22.0	220.0	45.0	nýt - stěna	0	1.000	1.000
71	-16.5	34.2	-383.5	-17.1	nýt - pásnice	0	1.000	1.000
72	-19.8	43.2	-277.0	-12.6	nýt - pásnice	0	1.000	1.000
73	-19.8	43.2	-163.0	-12.6	nýt - pásnice	0	1.000	1.000
74	-16.5	34.2	-56.5	-17.1	nýt - pásnice	0	1.000	1.000
75	-16.5	34.2	56.5	-17.1	nýt - pásnice	0	1.000	1.000
76	-19.8	43.2	163.0	-12.6	nýt - pásnice	0	1.000	1.000
77	-19.8	43.2	277.0	-12.6	nýt - pásnice	0	1.000	1.000
78	-16.5	34.2	383.5	-17.1	nýt - pásnice	0	1.000	1.000
79						0	1.000	1.000
80						0	1.000	1.000
81								
82								
83								
84								
85								
86								
87								
88								
89								
90								
91								
92								
93								
94								
95								
96								
97								
98								
99								
100								

VÝPOČET PRŮŘEZOVÝCH CHARAKTERISTIK

Properties	Basic	Ultimate		Serviceability	
y_t	0.0	0.0		0.0	[mm]
z_t	110.6	110.6		110.6	[mm]
A_t	4.9869E+04	4.9869E+04		4.9869E+04	[mm²]
A_c	2.6299E+04	2.6299E+04		2.6299E+04	[mm²]
A_s	2.3569E+04	2.3569E+04		2.3569E+04	[mm²]
I_{y1}	1.5428E+09	1.5428E+09		1.5428E+09	[mm⁴]
I_w	4.1375E+08	4.1375E+08		4.1375E+08	[mm⁶]
i_y	175.9	175.9		175.9	[mm]
i_z	91.1	91.1		91.1	[mm]
$W_{y,1}$	3.4328E+06	3.4328E+06		3.4328E+06	[mm³]
$W_{z,1}$	-1.7834E+06	-1.7834E+06		-1.7834E+06	[mm³]
$W_{y,2}$	-1.0658E+07	-1.0658E+07		-1.0658E+07	[mm³]
$W_{z,2}$	-9.7352E+05	-9.7352E+05		-9.7352E+05	[mm³]
KRAJNÍ VLÁKNA PRŮŘEZU					
y_1	-232.0	-232.0		-232.0	[mm]
z_1	560.0	560.0		560.0	[mm]
y_2	425.0	425.0		425.0	[mm]
z_2	-34.2	-34.2		-34.2	[mm]
y_3	232.0	232.0		232.0	[mm]
z_3	560.0	560.0		560.0	[mm]
y_4	425.0	425.0		425.0	[mm]
z_4	-34.2	-34.2		-34.2	[mm]
y_5	-232.0	-232.0		-232.0	[mm]
z_5	560.0	560.0		560.0	[mm]
y_6	-232.0	-232.0		-232.0	[mm]
z_6	0.0	0.0		0.0	[mm]

ÚPRAVA MOMENTŮ SETRV AČNOSTI V DŮSLEDKU ČLENĚNÍ PRŮŘEZU

OSA Y 1.00
OSA Z 0.15

SCHÉMA PROMĚNNÝCH

SCHÉMA ZADANÉHO PRŮŘEZU

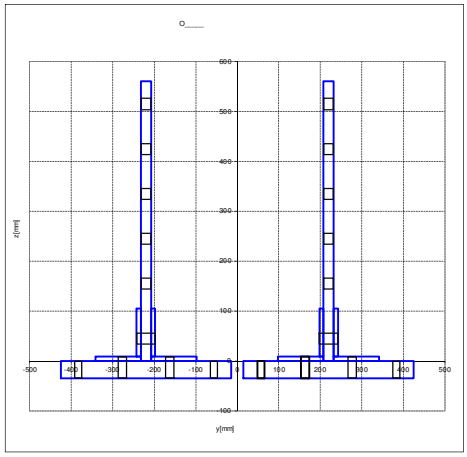

NEUTRÁLNÁ OSA

NAPĚTÍ [MPa]:

94.22	121.54
110.13	137.46

ZS: SLS_LM_N,MX

	N [kN]	Vy [kN]	Vz [kN]	Mx [kNm]	My [kNm]	Mz [kNm]
import	5980	9	16	0	41	-13

TR_U5 POPIS: **DOLNÍ PÁS U5** POSUDEK: **U5**

SKUPINA ZAT. STAVŮ	EXTRÉM	VYHODNOCOVANÉ VELIČINY					
		N	Vy	Vz	Mx	My	Mz
		kN	kN	kN	kNm	kNm	kNm
G0	N.min	**1360.92**	1.13	16.19	0.01	-3.27	-1.57
	N.max	**1360.92**	1.13	16.19	0.01	-3.27	-1.57
	Vy.min	1360.92	**1.13**	16.19	0.01	-3.27	-1.57
	Vy.max	1360.92	**1.13**	16.19	0.01	-3.27	-1.57
	Vz.min	1360.92	1.13	**16.19**	0.01	-3.27	-1.57
	Vz.max	1360.92	1.13	**16.19**	0.01	-3.27	-1.57
	Mx.min	1360.92	1.13	16.19	**0.01**	-3.27	-1.57
	Mx.max	1360.92	1.13	16.19	**0.01**	-3.27	-1.57
	My.min	1360.92	1.13	16.19	0.01	**-3.27**	-1.57
	My.max	1360.92	1.13	16.19	0.01	**-3.27**	-1.57
	Mz.min	1360.92	1.13	16.19	0.01	-3.27	**-1.57**
	Mz.max	1360.92	1.13	16.19	0.01	-3.27	**-1.57**
G1	N.min	**97.78**	0.09	0.47	0	-0.06	-0.12
	N.max	**97.78**	0.09	0.47	0	-0.06	-0.12
	Vy.min	97.78	**0.09**	0.47	0	-0.06	-0.12
	Vy.max	97.78	**0.09**	0.47	0	-0.06	-0.12
	Vz.min	97.78	0.09	**0.47**	0	-0.06	-0.12
	Vz.max	97.78	0.09	**0.47**	0	-0.06	-0.12
	Mx.min	97.78	0.09	0.47	**0**	-0.06	-0.12
	Mx.max	97.78	0.09	0.47	**0**	-0.06	-0.12
	My.min	97.78	0.09	0.47	0	**-0.06**	-0.12
	My.max	97.78	0.09	0.47	0	**-0.06**	-0.12
	Mz.min	97.78	0.09	0.47	0	-0.06	**-0.12**
	Mz.max	97.78	0.09	0.47	0	-0.06	**-0.12**
G2	N.min	**77**	0.01	0.23	0	0.2	-0.02
	N.max	**77**	0.01	0.23	0	0.2	-0.02
	Vy.min	77	**0.01**	0.23	0	0.2	-0.02
	Vy.max	77	**0.01**	0.23	0	0.2	-0.02
	Vz.min	77	0.01	**0.23**	0	0.2	-0.02
	Vz.max	77	0.01	**0.23**	0	0.2	-0.02
	Mx.min	77	0.01	0.23	**0**	0.2	-0.02
	Mx.max	77	0.01	0.23	**0**	0.2	-0.02
	My.min	77	0.01	0.23	0	**0.2**	-0.02
	My.max	77	0.01	0.23	0	**0.2**	-0.02
	Mz.min	77	0.01	0.23	0	0.2	**-0.02**
	Mz.max	77	0.01	0.23	0	0.2	**-0.02**
P1_71	N.min	**-0.2**	0	0	0	-0.01	0.01
	N.max	**1006.52**	0	1.2	-0.02	7.38	0.09
	Vy.min	389.38	**-1.83**	-2.59	-0.03	7.64	2.95
	Vy.max	681.4	**2.38**	7.09	0.02	-4.6	-3.4
	Vz.min	600.08	-0.69	**-5.8**	-0.03	14.63	0.35
	Vz.max	443.41	1.48	**9.58**	0.02	-9.35	-1.31
	Mx.min	436.25	-1.35	-1.45	**-0.04**	9.74	2.82
	Mx.max	655.59	1.86	5.12	**0.02**	-4.79	-3.41
	My.min	442.18	1.25	8.43	0.02	**-10.59**	-1.36
	My.max	630.9	-0.69	-5.31	-0.03	**16.14**	0.56
	Mz.min	789.88	2.11	5.91	0.02	-4.38	**-3.62**
	Mz.max	297.6	-1.59	-1.67	-0.04	8.06	**3.13**
P2_71	N.min	**-5.06**	-0.01	-0.05	0	0.04	0.03
	N.max	**1881.12**	2.66	0.94	0.01	15.85	-3.61
	Vy.min	602.57	**-1.03**	-10.07	-0.03	21.58	1.06
	Vy.max	1411.5	**4.91**	17.88	0.05	-12.58	-6.06
	Vz.min	1116.96	0.11	**-19.08**	-0.02	40.9	-0.79
	Vz.max	835.67	3.93	**27.31**	0.04	-31.72	-4.37
	Mx.min	510.95	-0.57	-10.32	**-0.03**	32.68	0.73
	Mx.max	1523.7	4.56	18.81	**0.06**	-24.05	-5.83
	My.min	1225.06	3.57	23	0.05	**-35.25**	-3.81
	My.max	767.9	0.22	-16.55	-0.02	**45.57**	-1.14
	Mz.min	1492.13	4.81	16.59	0.06	-15.9	**-6.15**
	Mz.max	467.95	-0.88	-6.75	-0.03	19.87	**1.15**
P1_C3	N.min	**-0.32**	0	0	0	-0.02	0.01
	N.max	**843.19**	0.86	4.69	0	-0.68	-1.07
	Vy.min	328.69	**-1.56**	-2.69	-0.03	6.66	2.27
	Vy.max	519.62	**1.95**	4.96	0.02	-3.58	-2.91
	Vz.min	523.7	-0.68	**-5.66**	-0.02	12.12	0.19
	Vz.max	323.26	1.06	**8.23**	0.01	-10.25	-0.74
	Mx.min	345.92	-1.03	-1.03	**-0.03**	6.75	2.18
	Mx.max	512.92	1.41	3.85	**0.02**	-4.45	-2.57
	My.min	364.21	1.07	8.13	0.01	**-10.33**	-0.76
	My.max	534.92	-0.22	-5.05	-0.02	**12.98**	-0.56
	Mz.min	608.9	1.7	3.71	0.02	-2.96	**-3.05**
	Mz.max	233.84	-1.24	-1.3	-0.03	6.18	**2.42**
P2_C3	N.min	**-6.88**	-0.02	-0.08	0	0.11	0.04
	N.max	**1561.15**	2.02	-3.01	0.01	15.49	-3.05
	Vy.min	557.63	**-0.9**	-12.25	-0.02	23.9	0.75
	Vy.max	1183.18	**3.77**	15.16	0.04	-14.21	-4.74
	Vz.min	943.16	-0.24	**-18.63**	-0.01	34.46	-0.27
	Vz.max	614.56	2.71	**24.1**	0.03	-33.85	-2.91
	Mx.min	378.27	-0.54	-8.07	**-0.03**	24.48	0.7
	Mx.max	1284.05	3.43	16.93	**0.05**	-25.08	-4.24
	My.min	1037.98	2.91	22.56	0.04	**-35.02**	-2.92
	My.max	558.96	0.21	-15.25	-0.01	**37.42**	-1.23
	Mz.min	1271.49	3.68	13.1	0.04	-13.06	**-4.76**
	Mz.max	377.63	-0.68	-7.36	-0.03	21.41	**0.88**
BR	N.min	**-693.64**	-0.59	0.11	-0.01	-3.1	1.08
	N.max	**693.64**	0.59	-0.11	0.01	3.1	-1.08
	Vy.min	-693.64	**-0.59**	0.11	-0.01	-3.1	1.08
	Vy.max	693.64	**0.59**	-0.11	0.01	3.1	-1.08
	Vz.min	316.78	0.18	**-1.4**	0	4.06	-0.43
	Vz.max	-316.78	-0.18	**1.4**	0	-4.06	0.43
	Mx.min	-693.64	-0.59	0.11	**-0.01**	-3.1	1.08
	Mx.max	693.64	0.59	-0.11	**0.01**	3.1	-1.08
	My.min	-316.78	-0.18	1.4	0	**-4.06**	0.43
	My.max	316.78	0.18	-1.4	0	**4.06**	-0.43
	Mz.min	693.64	0.59	-0.11	0.01	3.1	**-1.08**
	Mz.max	-693.64	-0.59	0.11	-0.01	-3.1	**1.08**

TR_U5 POPIS: **DOLNÍ PÁS U5** POSUDEK: **U5**

SKUPINA ZAT. STAVŮ	EXTRÉM	VYHODNOCOVANÉ VELIČINY					
		N	Vy	Vz	Mx	My	Mz
		kN	kN	kN	kNm	kNm	kNm
S	N.min	**-208.79**	-2.02	0.72	-0.01	-5.26	3.64
	N.max	**208.79**	2.02	-0.72	0.01	5.26	-3.64
	Vy.min	-208.79	**-2.02**	0.72	-0.01	-5.26	3.64
	Vy.max	208.79	**2.02**	-0.72	0.01	5.26	-3.64
	Vz.min	-95.53	-0.38	**-0.84**	0	1.82	0.74
	Vz.max	95.53	0.38	**0.84**	0	-1.82	-0.74
	Mx.min	-200.14	-1.57	0.44	**-0.02**	-3.89	-0.46
	Mx.max	200.14	1.57	-0.44	**0.02**	3.89	0.46
	My.min	-208.79	-2.02	0.72	-0.01	**-5.26**	3.64
	My.max	208.79	2.02	-0.72	0.01	**5.26**	-3.64
	Mz.min	208.79	2.02	-0.72	0.01	5.26	**-3.64**
	Mz.max	-208.79	-2.02	0.72	-0.01	-5.26	**3.64**
CH	N.min	**60.41**	0.15	-0.23	0	0.07	-0.32
	N.max	**193.35**	-0.06	0.57	0	0.5	0.07
	Vy.min	146.44	**-0.06**	0.74	0	0.73	0.01
	Vy.max	60.41	**0.15**	-0.23	0	0.07	-0.32
	Vz.min	60.41	0.15	**-0.23**	0	0.07	-0.32
	Vz.max	146.44	-0.06	**0.74**	0	0.73	0.01
	Mx.min	60.41	0.15	-0.23	**0**	0.07	-0.32
	Mx.max	193.35	-0.06	0.57	**0**	0.5	0.07
	My.min	60.41	0.15	-0.23	0	**0.07**	-0.32
	My.max	146.44	-0.06	0.74	0	**0.73**	0.01
	Mz.min	60.41	0.15	-0.23	0	0.07	**-0.32**
	Mz.max	193.35	-0.06	0.57	0	0.5	**0.07**
W	N.min	**-386.84**	-2.62	0.52	0.01	-5.92	3.35
	N.max	**386.94**	2.61	-0.52	-0.01	5.92	-3.34
	Vy.min	-386.84	**-2.62**	0.52	0.01	-5.92	3.35
	Vy.max	386.94	**2.61**	-0.52	-0.01	5.92	-3.34
	Vz.min	386.94	2.61	**-0.52**	-0.01	5.92	-3.34
	Vz.max	-386.84	-2.62	**0.52**	0.01	-5.92	3.35
	Mx.min	386.94	2.61	-0.52	**-0.01**	5.92	-3.34
	Mx.max	-386.84	-2.62	0.52	**0.01**	-5.92	3.35
	My.min	-386.84	-2.62	0.52	0.01	**-5.92**	3.35
	My.max	386.94	2.61	-0.52	-0.01	**5.92**	-3.34
	Mz.min	386.94	2.61	-0.52	-0.01	5.92	**-3.34**
	Mz.max	-386.84	-2.62	0.52	0.01	-5.92	**3.35**
WP	N.min	**-580.33**	-2.36	0.95	-0.03	-10.39	4.78
	N.max	**580.48**	2.36	-0.95	0.03	10.39	-4.78
	Vy.min	-580.33	**-2.36**	0.95	-0.03	-10.39	4.78
	Vy.max	580.48	**2.36**	-0.95	0.03	10.39	-4.78
	Vz.min	580.48	2.36	**-0.95**	0.03	10.39	-4.78
	Vz.max	-580.33	-2.36	**0.95**	-0.03	-10.39	4.78
	Mx.min	-580.33	-2.36	0.95	**-0.03**	-10.39	4.78
	Mx.max	580.48	2.36	-0.95	**0.03**	10.39	-4.78
	My.min	-580.33	-2.36	0.95	-0.03	**-10.39**	4.78
	My.max	580.48	2.36	-0.95	0.03	**10.39**	-4.78
	Mz.min	580.48	2.36	-0.95	0.03	10.39	**-4.78**
	Mz.max	-580.33	-2.36	0.95	-0.03	-10.39	**4.78**
TR	N.min	**0**	0	0	0	0	0
	N.max	**0**	0	0	0	0	0
	Vy.min	0	**0**	0	0	0	0
	Vy.max	0	**0**	0	0	0	0
	Vz.min	0	0	**0**	0	0	0
	Vz.max	0	0	**0**	0	0	0
	Mx.min	0	0	0	**0**	0	0
	Mx.max	0	0	0	**0**	0	0
	My.min	0	0	0	0	**0**	0
	My.max	0	0	0	0	**0**	0
	Mz.min	0	0	0	0	0	**0**
	Mz.max	0	0	0	0	0	**0**
TN	N.min	**-112.24**	-0.56	0.09	0.01	-1.8	0.74
	N.max	**93.87**	0.45	-1.51	-0.01	-3.42	-0.51
	Vy.min	-112.24	**-0.56**	0.09	0.01	-1.8	0.74
	Vy.max	93.87	**0.45**	-1.51	-0.01	-3.42	-0.51
	Vz.min	93.87	0.45	**-1.51**	-0.01	-3.42	-0.51
	Vz.max	18.18	0.01	**1.35**	0	5.31	-0.05
	Mx.min	93.87	0.45	-1.51	**-0.01**	-3.42	-0.51
	Mx.max	-112.24	-0.56	0.09	**0.01**	-1.8	0.74
	My.min	-18.18	-0.01	-1.35	0	**-5.31**	0.05
	My.max	18.18	0.01	1.35	0	**5.31**	-0.05
	Mz.min	93.87	0.45	-1.51	-0.01	-3.42	**-0.51**
	Mz.max	-112.24	-0.56	0.09	0.01	-1.8	**0.74**
FR	N.min	**-89.9**	-0.07	-0.35	0	0.29	0.13
	N.max	**89.9**	0.07	0.35	0	-0.29	-0.13
	Vy.min	-89.9	**-0.07**	-0.35	0	0.29	0.13
	Vy.max	89.9	**0.07**	0.35	0	-0.29	-0.13
	Vz.min	-89.9	-0.07	**-0.35**	0	0.29	0.13
	Vz.max	89.9	0.07	**0.35**	0	-0.29	-0.13
	Mx.min	-89.9	-0.07	-0.35	**0**	0.29	0.13
	Mx.max	89.9	0.07	0.35	**0**	-0.29	-0.13
	My.min	89.9	0.07	0.35	0	**-0.29**	-0.13
	My.max	-89.9	-0.07	-0.35	0	**0.29**	0.13
	Mz.min	89.9	0.07	0.35	0	-0.29	**-0.13**
	Mz.max	-89.9	-0.07	-0.35	0	0.29	**0.13**
I	N.min	**-36.9**	-0.08	-0.03	0	-0.2	**0.04**
	N.max	**36.9**	0.08	0.03	0	0.2	**-0.04**
	Vy.min	-36.9	**-0.08**	-0.03	0	-0.2	**0.04**
	Vy.max	36.9	**0.08**	0.03	0	0.2	**-0.04**
	Vz.min	-36.9	-0.08	**-0.03**	0	-0.2	**0.04**
	Vz.max	36.9	0.08	**0.03**	0	0.2	**-0.04**
	Mx.min	36.9	0.08	0.03	**0**	0.2	**-0.04**
	Mx.max	-36.9	-0.08	-0.03	**0**	-0.2	**0.04**
	My.min	-36.9	-0.08	-0.03	0	**-0.2**	**0.04**
	My.max	36.9	0.08	0.03	0	**0.2**	**-0.04**
	Mz.min	36.9	0.08	0.03	0	0.2	**-0.04**
	Mz.max	-36.9	-0.08	-0.03	0	-0.2	**0.04**

TAB. U5.3 POSOUZENÍ - MEZNÍ STAV ÚNOSNOSTI

POPIS	DOLNÍ PÁS U5
PRUT / POLOHA BODU	107 / 3/4
NAMÁHÁNÍ	Mz.min
VLÁKNO	BOD K1 -HL
MEZNÍ STAV	ULS (MSÚ)
VYUŽITÍ VLÁKNA PRŮŘEZU	0.74

Charakteristiky materiálu				
pás. horní	$f_{yf,k}$	230	MPa	
pás. dolní	$f_{yf,k}$	230	MPa	
stojina	$f_{yw,k}$	230	MPa	
výztuž	$f_{ys,k}$	500	MPa	
γ_M =	1.10	γ_s =	1.15	

Excentricita normálové síly				
Exc./Fáze	0	1	2	3
e_y	0.000	0.000	0.000	0.000
e_z	0.000	0.000	0.000	0.000
Ekvivalentní vzdál. stěn - příčný roznos				
b_{Mx}	0.000	0.000	0.000	0.000

Vliv stěny na únosnost průřezu				
Char./Fáze	0	1	2	3
A	0.00	0.00	0.00	0.00
Wy	0.00	0.00	0.00	0.00
Wz	0.00	0.00	0.00	0.00

Charakter. v kroucení			
$t_{w,y}$	0.000	[mm]	
$t_{w,z}$	0.000	[mm]	
κ	1.00		
I_t=	0.00E+00	[mm^4]	
$\Omega=2*A_{pr}$	0.00E+00	[mm^2]	

Součinitele vzpěru a vlivu II.řádu				
Char./Fáze	0	1	2	3
k_y	1.000	1.000	1.000	1.000
k_z	1.000	1.000	1.000	1.000
χ_{LT}	1.000	1.000	1.000	1.000
χ_{min}	1.000	1.000	1.000	1.000

Vnitřní síly od jednotlivých skupin zatěžovacích stavů

SKUPINA ZATĚŽOVACÍCH STAVŮ — 3

Č.	SKUP ZS	POPIS ZS	KAT.	FÁZE PRŮŘ.	- CHARAKTERISTICKÉ HODNOTY N.k (kN)	Vy.k (kN)	Vz.k (kN)	Mx.k (kNm)	My.k (kNm)	Mz.k (kNm)	DÍLČÍ SOUČINITELÉ ZATÍŽENÍ, DYNAMICKÝ SOUČINITEL γ_{or} (-)	γ_{Q} (-)	volba γ_{Q} hledat	γ_{Q} (-)	L_{σ} (m)	δ (-)	Ψ_{0} KZ03	- NÁVRHOVÉ HODNOTY N.d (kN)	Vy.d (kN)	Vz.d (kN)	ΔVz.d (kN)	ΣVz.d (kN)	Mx.d (kNm)	My.d (kNm)	ΔMy.d (kNm)	ΣMy.d (kNm)	Mz.d (kNm)	ΔMz.d (kNm)	ΣMz.d (kNm)
1	G0	Vlastní tíha OK	G	0	1 361	1	16	0	-3	-2	1.00	1.20		1.20	-	1.00	0.95	1 551	1	18	0	18	0	-4	0	-4	-2	0	-2
2	G1	Ostatní stálé - mostní vybavení	G	0	98	0	0	0	0	0	1.00	1.20		1.20	-	1.00	0.95	111	0	1	0	1	0	0	0	0	0	0	0
3	G2	Ostatní stálé - cizí zařízení	G	0	77	0	0	0	0	0	1.00	1.20		1.20	-	1.00	0.95	88	0	0	0	0	0	0	0	0	0	0	0
4	P1_71	a.LM71 - kolej 1 (bez dyn. souč.)	P	0	790	2	6	0	-4	-4	1.00	1.30		1.30	-	1.00	1.00	1 027	3	8	0	8	0	-6	0	-6	-5	0	-5
5	P2_71	a.LM71 - kolej 2 (bez dyn. souč.)	P	0	1 492	5	17	0	-16	-6	1.00	1.30		1.30	-	1.00	1.00	1 940	6	22	0	22	0	-21	0	-21	-8	0	-8
6	P1_C3	TTZ C3 - kolej 1 (bez dyn. souč.)	P	0	609	2	4	0	-3	-3	1.00	vyp.		0.00	-	1.00	0.00	0	0	0	0	0	0	0	0	0	0	0	0
7	P2_C3	TTZ C3 - kolej 2 (bez dyn. souč.)	P	0	1 271	4	13	0	-13	-5	1.00	vyp.		0.00	-	1.00	0.00	0	0	0	0	0	0	0	0	0	0	0	0
8	BR	Brzdné a rozjezdové síly	P	0	694	1	0	0	3	-1	1.00	1.30		1.30	-	1.00	0.80	721	1	0	0	0	0	3	0	3	-1	0	-1
9	S	Boční ráz	P	0	209	2	-1	0	5	-4	1.00	1.30		1.30	-	1.00	0.40	109	1	0	0	0	0	3	0	3	-2	0	-2
10	CH	Chodci na lávkách	Q	0	60	0	0	0	0	0	1.00	1.30		1.30	-	1.00	1.00	79	0	0	0	0	0	0	0	0	0	0	0
11	W	Vítr na konstrukci	Q	0	387	3	-1	0	6	-3	1.00	1.35		1.35	-	1.00	0.75	392	3	-1	0	-1	0	6	0	6	-3	0	-3
12	WP	Vítr na vozidla	Q	0	580	2	-1	0	10	-5	1.00	1.35		1.35	-	1.00	0.75	588	2	-1	0	-1	0	11	0	11	-5	0	-5
13	TR	Teplota rovnoměrná	Q	0	0	0	0	0	0	0	1.00	1.35		1.35	-	1.00	0.45	0	0	0	0	0	0	0	0	0	0	0	0
14	TN	Teplota nerovnoměrná	Q	0	94	0	-2	0	-3	-1	1.00	1.35		1.35	-	1.00	0.60	76	0	-1	0	-1	0	-3	0	-3	0	0	0
15	FR	Třecí síly v ložiskách	Q	0	90	0	0	0	0	0	1.00	1.20		1.20	-	1.00	1.00	108	0	0	0	0	0	0	0	0	0	0	0
16	I	Imperfekce soustavy	Q	0	37	0	0	0	0	0	1.00	1.20		1.20	-	1.00	1.00	44	0	0	0	0	0	0	0	0	0	0	0
27	ULS_LM	ULS - LM71 bez dynam	Q	0	6 648	19	44	0	-7	-29	1.00	vyp.		0.00	-	1.00	0.00	0	0	0	0	0	0	0	0	0	0	0	0
28	SLS_LM	SLS - LM71 bez dynam	Q	0	5 218	14	37	0	-4	-22	1.00	vyp.	1	0.00	-	1.00	0.00	0	0	0	0	0	0	0	0	0	0	0	0
29	ULS_C3	ULS - C3 bez dynam	Q	0	6 126	17	37	0	-1	-27	1.00	vyp.	1	0.00	-	1.00	0.00	0	0	0	0	0	0	0	0	0	0	0	0
30	SLS_C3	SLS - C3 bez dynam	Q	0	4 816	13	32	0	1	-20	1.00	vyp.	1	0.00	-	1.00	0.00	0	0	0	0	0	0	0	0	0	0	0	0
		CELKEM - FÁZE PRŮŘEZU 0																6 834	18	45	0	45	0	-10	0	-10	-27	0	-27
		CELKEM - FÁZE PRŮŘEZU 1																0	0	0	0	0	0	0	0	0	0	0	0
		CELKEM - FÁZE PRŮŘEZU 2																0	0	0	0	0	0	0	0	0	0	0	0
		CELKEM - FÁZE PRŮŘEZU 3																0	0	0	0	0	0	0	0	0	0	0	0
		CELKEM - PRŮŘEZ																6 834	18	45	0	45	0			-10			-27

Napětí od jednotlivých zatěžovacích stavů

SKUPINA ZATĚŽOVACÍCH STAVŮ

Č.	SKUP ZS	Popis ZS	Kat.	fáze prúř.	Posouzení normálového napětí — Účinek síly N δ^*N_d [kN]	χ^*A [mm^2]	σ_n [MPa]	Účinek momentu My $\delta^*M_{y,d}$ [kNm]	$\chi_{lt}*W_{el,y}$ [mm^3]	σ_{my} [MPa]	Účinek momentu Mz $\delta^*M_{z,d}$ [kNm]	$W_{el,z}$ [mm^3]	σ_{mz} [MPa]	σ_x [MPa]	Posouzení smykového napětí — Účinek kroutícího momentu Mx $\kappa*\delta^*M_{x,d}$ [kNm]	$W_{v,y}$ [mm^2]	$\tau_{x,y}$ [MPa]	$W_{v,z}$ [mm^2]	$\tau_{x,z}$ [MPa]	Účinek smykové síly Vy $\delta^*V_{y,d}$ [kN]	$A_{v,y}$ [mm2]	$\tau_{v,y}$ [MPa]	$\tau_{v,y}$ [MPa]	Účinek smykové síly Vz $\delta^*V_{z,d}$ [kN]	$A_{v,z}$ [mm2]	$\tau_{v,z}$ [MPa]	$\tau_{v,z}$ [MPa]
1	G0	Vlastní tíha OK	G	0	1 551.4	4.99E+04	31.1	-3.7	-3.43E+06	1.1	-1.8	-1.78E+06	1.0	33.2	1.1E-02	-	-	-	-	1.3	2.63E+04	0.0	0.0	18.5	2.36E+04	0.8	0.8
2	G1	Ostatní stálé - mostní vybavení	G	0	111.5	4.99E+04	2.2	-0.1	-3.43E+06	0.0	-0.1	-1.78E+06	0.1	2.3	0.0E+00	-	-	-	-	0.1	2.63E+04	0.0	0.0	0.5	2.36E+04	0.0	0.0
3	G2	Ostatní stálé - cizí zařízení	G	0	87.8	4.99E+04	1.8	0.2	-3.43E+06	-0.1	0.0	-1.78E+06	0.0	1.7	0.0E+00	-	-	-	-	0.0	2.63E+04	0.0	0.0	0.3	2.36E+04	0.0	0.0
4	P1_71	a.LM71 - kolej 1 (bez dyn. souč.)	P	0	1 026.8	4.99E+04	20.6	-5.7	-3.43E+06	1.7	-4.7	-1.78E+06	2.6	24.9	2.6E-02	-	-	-	-	2.7	2.63E+04	0.1	0.1	7.7	2.36E+04	0.3	0.3
5	P2_71	a.LM71 - kolej 2 (bez dyn. souč.)	P	0	1 939.8	4.99E+04	38.9	-20.7	-3.43E+06	6.0	-8.0	-1.78E+06	4.5	49.4	7.8E-02	-	-	-	-	6.3	2.63E+04	0.2	0.2	21.6	2.36E+04	0.9	0.9
6	P1_C3	TTZ C3 - kolej 1 (bez dyn. souč.)	P	0	0.0	4.99E+04	0.0	0.0	-3.43E+06	0.0	0.0	-1.78E+06	0.0	0.0	0.0E+00	-	-	-	-	0.0	2.63E+04	0.0	0.0	0.0	2.36E+04	0.0	0.0
7	P2_C3	TTZ C3 - kolej 2 (bez dyn. souč.)	P	0	0.0	4.99E+04	0.0	0.0	-3.43E+06	0.0	0.0	-1.78E+06	0.0	0.0	0.0E+00	-	-	-	-	0.0	2.63E+04	0.0	0.0	0.0	2.36E+04	0.0	0.0
8	BR	Brzdné a rozjezdové síly	P	0	721.4	4.99E+04	14.5	3.2	-3.43E+06	-0.9	-1.1	-1.78E+06	0.6	14.2	1.0E-02	-	-	-	-	0.6	2.63E+04	0.0	0.0	-0.1	2.36E+04	0.0	0.0
9	S	Boční ráz	P	0	108.6	4.99E+04	2.2	2.7	-3.43E+06	-0.8	-1.9	-1.78E+06	1.1	2.4	5.2E-03	-	-	-	-	1.1	2.63E+04	0.0	0.0	-0.4	2.36E+04	0.0	0.0
10	CH	Chodci na lávkách	Q	0	78.5	4.99E+04	1.6	0.1	-3.43E+06	0.0	-0.4	-1.78E+06	0.2	1.8	0.0E+00	-	-	-	-	0.2	2.63E+04	0.0	0.0	-0.3	2.36E+04	0.0	0.0
11	W	Vítr na konstrukci	Q	0	391.8	4.99E+04	7.9	6.0	-3.43E+06	-1.7	-3.4	-1.78E+06	1.9	8.0	-1.0E-02	-	-	-	-	2.6	2.63E+04	0.1	0.1	-0.5	2.36E+04	0.0	0.0
12	WP	Vítr na vozidla	Q	0	587.7	4.99E+04	11.8	10.5	-3.43E+06	-3.1	-4.8	-1.78E+06	2.7	11.4	3.0E-02	-	-	-	-	2.4	2.63E+04	0.1	0.1	-1.0	2.36E+04	0.0	0.0
13	TR	Teplota rovnoměrná	Q	0	0.0	4.99E+04	0.0	0.0	-3.43E+06	0.0	0.0	-1.78E+06	0.0	0.0	0.0E+00	-	-	-	-	0.0	2.63E+04	0.0	0.0	0.0	2.36E+04	0.0	0.0
14	TN	Teplota nerovnoměrná	Q	0	76.0	4.99E+04	1.5	-2.8	-3.43E+06	0.8	-0.4	-1.78E+06	0.2	2.6	-8.1E-03	-	-	-	-	0.4	2.63E+04	0.0	0.0	-1.2	2.36E+04	-0.1	-0.1
15	FR	Třecí síly v ložiskách	Q	0	107.9	4.99E+04	2.2	-0.3	-3.43E+06	0.1	-0.2	-1.78E+06	0.1	2.4	0.0E+00	-	-	-	-	0.1	2.63E+04	0.0	0.0	0.4	2.36E+04	0.0	0.0
16	I	Imperfekce soustavy	Q	0	44.3	4.99E+04	0.9	0.2	-3.43E+06	-0.1	0.0	-1.78E+06	0.0	0.8	0.0E+00	-	-	-	-	0.1	2.63E+04	0.0	0.0	0.0	2.36E+04	0.0	0.0
27	ULS_LM	ULS - LM71 bez dynam	Q	0	0.0	4.99E+04	0.0	0.0	-3.43E+06	0.0	0.0	-1.78E+06	0.0	0.0	0.0E+00	-	-	-	-	0.0	2.63E+04	0.0	0.0	0.0	2.36E+04	0.0	0.0
28	SLS_LM	SLS - LM71 bez dynam	Q	0	0.0	4.99E+04	0.0	0.0	-3.43E+06	0.0	0.0	-1.78E+06	0.0	0.0	0.0E+00	-	-	-	-	0.0	2.63E+04	0.0	0.0	0.0	2.36E+04	0.0	0.0
29	ULS_C3	ULS - C3 bez dynam	Q	0	0.0	4.99E+04	0.0	0.0	-3.43E+06	0.0	0.0	-1.78E+06	0.0	0.0	0.0E+00	-	-	-	-	0.0	2.63E+04	0.0	0.0	0.0	2.36E+04	0.0	0.0
30	SLS_C3	SLS - C3 bez dynam	Q	0	0.0	4.99E+04	0.0	0.0	-3.43E+06	0.0	0.0	-1.78E+06	0.0	0.0	0.0E+00	-	-	-	-	0.0	2.63E+04	0.0	0.0	0.0	2.36E+04	0.0	0.0
		NAVÝŠENÍ NAPĚTÍ DO AKTIVACE TLAKU V DESCE MOSTOVKY				$\sigma_{P,red}$	0.0							0.0			0.0		0.0			0.7	0.7			1.9	1.9
		NAPĚTÍ OD PRIMÁRNÍCH ÚČINKŮ NEROVNOMĚRNÉHO OTEPLENÍ				σ_T	0.0							0.0													
		NAPĚTÍ OD REOLOGICKÝCH ÚČINKŮ BETONU V ČASE		t=0		σ_R	0.0	γ=	1.20					0.0													
		NAPĚTÍ V KRITICKÝCH VLÁKNECH OD KOMBINACE ZATÍŽENÍ				KZ03		[MPa]					$\Sigma\sigma_x$	155.1								$\Sigma\tau_y$	0.7			$\Sigma\tau_z$	1.9
		NAPĚTÍ OD POHYBLIVÉHO ZATÍŽENÍ						[MPa]					$\sigma_{x,P}$	90.9								τ_P	0.4			τ_P	1.2
		NAPĚTÍ OD OSTATNÍCH ZATÍŽENÍ						[MPa]			Φ_{vy}	Φ_{vz}	$\sigma_{x,rs}$	64.2								τ_{rs}	0.3			τ_{rs}	0.7
		NÁVRHOVÁ HODNOTA MEZE KLUZU S REDUKCÍ VLIVEM SMYKOVÉHO NAPĚTÍ						[MPa]			1.00	1.00	$f_{yv,d}$	209.1								$f_{yd}/3^{0,5}$	120.7			$f_{yd}/3^{0,5}$	120.7
		NAPĚTÍ OD POHYBLIVÉHO ZATÍŽENÍ V GLOBÁLNÍM SYSTÉMU				$\sigma_{GLOB,P}$	0.0	[MPa]					$\Sigma\sigma_{GLOB}$	0.0													
		NAPĚTÍ OD OSTATNÍCH ZATÍŽENÍ V GLOBÁLNÍM SYSTÉMU				$\sigma_{GLOB,rs}$	0.0	[MPa]					$\Sigma\sigma_x + \Sigma\sigma_{GLOB}$	155.1													
		VYUŽITÍ PRŮŘEZU DLE NAPĚTÍ						[%]					η_1	0.74								η_3	0.01			η_3	0.02
		NAPĚTÍ V PŘÍČNÉM SMĚRU OD POHYBLIVÉHO ZATÍŽENÍ				$\sigma_{z,P}$	0.0	[MPa]					$\Sigma\sigma_z$	0.0													
		NAPĚTÍ V PŘÍČNÉM SMĚRU OD OSTATNÍCH ZATÍŽENÍ				$\sigma_{z,rs}$	0.0	[MPa]					η_2	0.00													
		SROVNÁVACÍ NAPĚTÍ											$(\eta 2 + 0,8\ \eta 1)/1,4 =$	0.42													
		VYUŽITÍ PRŮŘEZU CELKEM						[%]					eff	0.74	VYHOVUJE												
													Z_{LM71} =	1.59													

TAB. U5.3 POSOUZENÍ - MEZNÍ STAV ÚNOSNOSTI

POPIS	DOLNÍ PÁS U5
PRUT / POLOHA BODU	107 / 3/4
NAMÁHÁNÍ	N.max
VLÁKNO	BOD K3 -SL
MEZNÍ STAV	ULS (MSÚ)
VYUŽITÍ VLÁKNA PRŮŘEZU	0.86

Charakteristiky materiálu				
pás. horní	$f_{yf,k}$	230	MPa	
pás. dolní	$f_{yf,k}$	230	MPa	
stojina	$f_{yw,k}$	230	MPa	
výztuž	$f_{ys,k}$	500	MPa	
	γ_M =	1.10	γ_s =	1.15

Excentricita normálové síly				
Exc./Fáze	0	1	2	3
e_y	0.000	0.000	0.000	0.000
e_z	0.000	0.000	0.000	0.000
Ekvivalentní vzdál. stěn - příčný roznos				
b_{ekv}	0.000	0.000	0.000	0.000

Vliv stěny na únosnost průřezu				
Char./Fáze	0	1	2	3
A	0.00	0.00	0.00	0.00
Wy	0.00	0.00	0.00	0.00
Wz	0.00	0.00	0.00	0.00

Charakter. v kroucení			
$t_{w,y}$	0.000	[mm]	
$t_{w,z}$	0.000	[mm]	
κ	1.00		
I_t=	0.00E+00	[mm^4]	
Ω=2*A_{pz}	0.00E+00	[mm^2]	

Součinitele vzpěru a vlivu II.řádu					
Char./Fáze	0	1	2	3	
k_y	1.000	1.000	1.000	1.000	
k_z	1.000	1.000	1.000	1.000	
χ_{LT}	1.000	1.000	1.000	1.000	
χ_{min}	1.000	1.000	1.000	1.000	

Vnitřní síly od jednotlivých skupin zatěžovacích stavů

SKUPINA ZATĚŽOVACÍCH STAVŮ					- CHARAKTERISTICKÉ HODNOTY						DÍLČÍ SOUČINITELÉ ZATÍŽENÍ, DYNAMICKÝ SOUČINITEL							- NÁVRHOVÉ HODNOTY									
Č.	SKUP ZS	POPIS ZS	KAT.	FÁZE PRŮŘ.	N.k (kN)	Vy.k (kN)	Vz.k (kN)	Mx.k (kNm)	My.k (kNm)	Mz.k (kNm)	γ_{sr} (-)	γ_{fs} (-)	volba ψ_i hledat	ψ_i (-)	L_d (m)	δ (-)	ψ_0 KZ03	N.d (kN)	Vy.d (kN)	Vz.d (kN)	ΔVz.d (kN)	ΣVz.d (kN)	Mx.d (kNm)	My.d (kNm)	ΔMy.d (kNm)	ΣMy.d (kNm)	Mz.d (kNm)	ΔMz.d (kNm)	ΣMz.d (kNm)
1	G0	Vlastní tíha OK	G	0	1 361	1	16	0	-3	-2	1.00	1.20		1.20	-	1.00	0.95	1 551	1	18	0	18	0	-4	0	-4	-2	0	-2
2	G1	Ostatní stálé - mostní vybavení	G	0	98	0	0	0	0	0	1.00	1.20		1.20	-	1.00	0.95	111	0	1	0	1	0	0	0	0	0	0	0
3	G2	Ostatní stálé - cizí zařízení	G	0	77	0	0	0	0	0	1.00	1.20		1.20	-	1.00	0.95	88	0	0	0	0	0	0	0	0	0	0	0
4	P1_71	a.LM71 - kolej 1 (bez dyn. souč.)	P	0	1 007	0	1	0	7	0	1.00	1.30		1.30	-	1.00	1.00	1 308	0	2	0	2	0	10	0	10	0	0	0
5	P2_71	a.LM71 - kolej 2 (bez dyn. souč.)	P	0	1 881	3	1	0	16	-4	1.00	1.30		1.30	-	1.00	1.00	2 445	3	1	0	1	0	21	0	21	-5	0	-5
6	P1_C3	TTZ C3 - kolej 1 (bez dyn. souč.)	P	0	843	1	5	0	-1	-1	1.00	vyp.		0.00	-	1.00	0.00	0	0	0	0	0	0	0	0	0	0	0	0
7	P2_C3	TTZ C3 - kolej 2 (bez dyn. souč.)	P	0	1 561	2	-3	0	15	-3	1.00	vyp.		0.00	-	1.00	0.00	0	0	0	0	0	0	0	0	0	0	0	0
8	BR	Brzdné a rozjezdové síly	P	0	694	1	0	0	3	-1	1.00	1.30		1.30	-	1.00	0.80	721	1	0	0	0	0	3	0	3	-1	0	-1
9	S	Boční ráz	P	0	209	2	-1	0	5	-4	1.00	1.30		1.30	-	1.00	0.40	109	1	0	0	0	0	3	0	3	-2	0	-2
10	CH	Chodci na lávkách	Q	0	193	0	1	0	1	0	1.00	1.30		1.30	-	1.00	1.00	251	0	1	0	1	0	1	0	1	0	0	0
11	W	Vítr na konstrukci	Q	0	387	3	-1	0	6	-3	1.00	1.35		1.35	-	1.00	0.75	392	3	-1	0	-1	0	6	0	6	-3	0	-3
12	WP	Vítr na vozidla	Q	0	580	2	-1	0	10	-5	1.00	1.35		1.35	-	1.00	0.75	588	2	-1	0	-1	0	11	0	11	-5	0	-5
13	TR	Teplota rovnoměrná	Q	0	0	0	0	0	0	0	1.00	1.35		1.35	-	1.00	0.45	0	0	0	0	0	0	0	0	0	0	0	0
14	TN	Teplota nerovnoměrná	Q	0	94	0	-2	0	-3	-1	1.00	1.35		1.35	-	1.00	0.60	76	0	-1	0	-1	0	-3	0	-3	0	0	0
15	FR	Třecí síly v ložiskách	Q	0	90	0	0	0	0	0	1.00	1.20		1.20	-	1.00	1.00	108	0	0	0	0	0	0	0	0	0	0	0
16	I	Imperfekce soustavy	Q	0	37	0	0	0	0	0	1.00	1.20		1.20	-	1.00	1.00	44	0	0	0	0	0	0	0	0	0	0	0
27	ULS_LM	ULS - LM71 bez dynam	Q	0	7 924	12	19	0	49	-19	1.00	vyp.		0.00	-	1.00	0.00	0	0	0	0	0	0	0	0	0	0	0	0
28	SLS_LM	SLS - LM71 bez dynam	Q	0	6 199	9	18	0	39	-14	1.00	vyp.	1	0.00	-	1.00	0.00	0	0	0	0	0	0	0	0	0	0	0	0
29	ULS_C3	ULS - C3 bez dynam	Q	0	7 295	13	19	0	38	-20	1.00	vyp.	1	0.00	-	1.00	0.00	0	0	0	0	0	0	0	0	0	0	0	0
30	SLS_C3	SLS - C3 bez dynam	Q	0	5 715	9	17	0	31	-15	1.00	vyp.	1	0.00	-	1.00	0.00	0	0	0	0	0	0	0	0	0	0	0	0
		CELKEM - FÁZE PRŮŘEZU 0																7 794	12	20	0	20	0	47	0	47	-18	0	-18
		CELKEM - FÁZE PRŮŘEZU 1																0	0	0	0	0	0	0	0	0	0	0	0
		CELKEM - FÁZE PRŮŘEZU 2																0	0	0	0	0	0	0	0	0	0	0	0
		CELKEM - FÁZE PRŮŘEZU 3																0	0	0	0	0	0	0	0	0	0	0	0
		CELKEM - PRŮŘEZ																7 794	12	20	0	20	0			47			-18

Napětí od jednotlivých zatěžovacích stavů

SKUPINA ZATĚŽOVACÍCH STAVŮ					Posouzení normálového napětí										Posouzení smykového napětí													
					Účinek síly N			Účinek momentu My			Účinek momentu Mz				Účinek kroutícího momentu Mx				Účinek smykové síly Vy				Účinek smykové síly Vz			
Č.	SKUP ZS	Popis ZS	Kat.	fáze průř.	δ^*N_d [kN]	χ^*A [mm^2]	σ_n [MPa]	$\delta^*M_{y,d}$ [kNm]	$\chi_{lt}{}^*W_{el,y}$ [mm^3]	σ_{my} [MPa]	$\delta^*M_{z,d}$ [kNm]	$W_{el,z}$ [mm^3]	σ_{mz} [MPa]	σ_x [MPa]	$\kappa^*\delta^*M_{x,d}$ [kNm]	$W_{v,y}$ [mm^2]	$\tau_{x,y}$ [MPa]	$W_{v,z}$ [mm^2]	$\tau_{x,z}$ [MPa]	$\delta^*V_{y,d}$ [kN]	$A_{v,y}$ [mm2]	$\tau_{v,y}$ [MPa]	$\tau_{v,y}$ [MPa]	$\delta^*V_{z,d}$ [kN]	$A_{v,z}$ [mm2]	$\tau_{v,z}$ [MPa]	$\tau_{v,z}$ [MPa]
1	G0	Vlastní tíha OK	G	0	1 551.4	4.99E+04	31.1	-3.7	1.07E+07	-0.3	-1.8	-9.74E+05	1.8	32.6	1.1E-02	-	-	-	-	1.3	2.63E+04	0.0	0.0	18.5	2.36E+04	0.8	0.8
2	G1	Ostatní stálé - mostní vybavení	G	0	111.5	4.99E+04	2.2	-0.1	1.07E+07	0.0	-0.1	-9.74E+05	0.1	2.4	0.0E+00	-	-	-	-	0.1	2.63E+04	0.0	0.0	0.5	2.36E+04	0.0	0.0
3	G2	Ostatní stálé - cizí zařízení	G	0	87.8	4.99E+04	1.8	0.2	1.07E+07	0.0	0.0	-9.74E+05	0.0	1.8	0.0E+00	-	-	-	-	0.0	2.63E+04	0.0	0.0	0.3	2.36E+04	0.0	0.0
4	P1_71	a.LM71 - kolej 1 (bez dyn. souč.)	P	0	1 308.5	4.99E+04	26.2	9.6	1.07E+07	0.9	0.1	-9.74E+05	-0.1	27.0	-2.6E-02	-	-	-	-	0.0	2.63E+04	0.0	0.0	1.6	2.36E+04	0.1	0.1
5	P2_71	a.LM71 - kolej 2 (bez dyn. souč.)	P	0	2 445.5	4.99E+04	49.0	20.6	1.07E+07	1.9	-4.7	-9.74E+05	4.8	55.8	1.3E-02	-	-	-	-	3.5	2.63E+04	0.1	0.1	1.2	2.36E+04	0.1	0.1
6	P1_C3	TTZ C3 - kolej 1 (bez dyn. souč.)	P	0	0.0	4.99E+04	0.0	0.0	1.07E+07	0.0	0.0	-9.74E+05	0.0	0.0	0.0E+00	-	-	-	-	0.0	2.63E+04	0.0	0.0	0.0	2.36E+04	0.0	0.0
7	P2_C3	TTZ C3 - kolej 2 (bez dyn. souč.)	P	0	0.0	4.99E+04	0.0	0.0	1.07E+07	0.0	0.0	-9.74E+05	0.0	0.0	0.0E+00	-	-	-	-	0.0	2.63E+04	0.0	0.0	0.0	2.36E+04	0.0	0.0
8	BR	Brzdné a rozjezdové síly	P	0	721.4	4.99E+04	14.5	3.2	1.07E+07	0.3	-1.1	-9.74E+05	1.2	15.9	1.0E-02	-	-	-	-	0.6	2.63E+04	0.0	0.0	-0.1	2.36E+04	0.0	0.0
9	S	Boční ráz	P	0	108.6	4.99E+04	2.2	2.7	1.07E+07	0.3	-1.9	-9.74E+05	1.9	4.4	5.2E-03	-	-	-	-	1.1	2.63E+04	0.0	0.0	-0.4	2.36E+04	0.0	0.0
10	CH	Chodci na lávkách	Q	0	251.4	4.99E+04	5.0	0.7	1.07E+07	0.1	0.1	-9.74E+05	-0.1	5.0	0.0E+00	-	-	-	-	-0.1	2.63E+04	0.0	0.0	0.7	2.36E+04	0.0	0.0
11	W	Vítr na konstrukci	Q	0	391.8	4.99E+04	7.9	6.0	1.07E+07	0.6	-3.4	-9.74E+05	3.5	11.9	-1.0E-02	-	-	-	-	2.6	2.63E+04	0.1	0.1	-0.5	2.36E+04	0.0	0.0
12	WP	Vítr na vozidla	Q	0	587.7	4.99E+04	11.8	10.5	1.07E+07	1.0	-4.8	-9.74E+05	5.0	17.7	3.0E-02	-	-	-	-	2.4	2.63E+04	0.1	0.1	-1.0	2.36E+04	0.0	0.0
13	TR	Teplota rovnoměrná	Q	0	0.0	4.99E+04	0.0	0.0	1.07E+07	0.0	0.0	-9.74E+05	0.0	0.0	0.0E+00	-	-	-	-	0.0	2.63E+04	0.0	0.0	0.0	2.36E+04	0.0	0.0
14	TN	Teplota nerovnoměrná	Q	0	76.0	4.99E+04	1.5	-2.8	1.07E+07	-0.3	-0.4	-9.74E+05	0.4	1.7	-8.1E-03	-	-	-	-	0.4	2.63E+04	0.0	0.0	-1.2	2.36E+04	-0.1	-0.1
15	FR	Třecí síly v ložiskách	Q	0	107.9	4.99E+04	2.2	-0.3	1.07E+07	0.0	-0.2	-9.74E+05	0.2	2.3	0.0E+00	-	-	-	-	0.1	2.63E+04	0.0	0.0	0.4	2.36E+04	0.0	0.0
16	I	Imperfekce soustavy	Q	0	44.3	4.99E+04	0.9	0.2	1.07E+07	0.0	0.0	-9.74E+05	0.0	1.0	0.0E+00	-	-	-	-	0.1	2.63E+04	0.0	0.0	0.0	2.36E+04	0.0	0.0
27	ULS_LM	ULS - LM71 bez dynam	Q	0	0.0	4.99E+04	0.0	0.0	1.07E+07	0.0	0.0	-9.74E+05	0.0	0.0	0.0E+00	-	-	-	-	0.0	2.63E+04	0.0	0.0	0.0	2.36E+04	0.0	0.0
28	SLS_LM	SLS - LM71 bez dynam	Q	0	0.0	4.99E+04	0.0	0.0	1.07E+07	0.0	0.0	-9.74E+05	0.0	0.0	0.0E+00	-	-	-	-	0.0	2.63E+04	0.0	0.0	0.0	2.36E+04	0.0	0.0
29	ULS_C3	ULS - C3 bez dynam	Q	0	0.0	4.99E+04	0.0	0.0	1.07E+07	0.0	0.0	-9.74E+05	0.0	0.0	0.0E+00	-	-	-	-	0.0	2.63E+04	0.0	0.0	0.0	2.36E+04	0.0	0.0
30	SLS_C3	SLS - C3 bez dynam	Q	0	0.0	4.99E+04	0.0	0.0	1.07E+07	0.0	0.0	-9.74E+05	0.0	0.0	0.0E+00	-	-	-	-	0.0	2.63E+04	0.0	0.0	0.0	2.36E+04	0.0	0.0
		NAVÝŠENÍ NAPĚTÍ DO AKTIVACE TLAKU V DESCE MOSTOVKY				$\sigma_{P,red}$	0.0							0.0			0.0		0.0				0.5	0.5			0.8	0.8
		NAPĚTÍ OD PRIMÁRNÍCH ÚČINKŮ NEROVNOMĚRNÉHO OTEPLENÍ				σ_T	0.0							0.0														
		NAPĚTÍ OD REOLOGICKÝCH ÚČINKŮ BETONU V ČASE		t=0		σ_R	0.0	γ=	1.20					0.0														
		NAPĚTÍ V KRITICKÝCH VLÁKNECH OD KOMBINACE ZATÍŽENÍ				KZ03		[MPa]					$\Sigma\sigma_x$	179.5									$\Sigma\tau_y$	0.5			$\Sigma\tau_z$	0.8
		NAPĚTÍ OD POHYBLIVÉHO ZATÍŽENÍ						[MPa]					$\sigma_{x,P}$	103.1									τ_P	0.2			τ_P	0.1
		NAPĚTÍ OD OSTATNÍCH ZATÍŽENÍ						[MPa]			Φ_{vy}	Φ_{vz}	$\sigma_{x,rs}$	76.4									τ_{rs}	0.3			τ_{rs}	0.8
		NÁVRHOVÁ HODNOTA MEZE KLUZU S REDUKCÍ VLIVEM SMYKOVÉHO NAPĚTÍ						[MPa]			1.00	1.00	$f_{yv,d}$	209.1									$f_{yd}/3^{0,5}$	120.7			$f_{yd}/3^{0,5}$	120.7
		NAPĚTÍ OD POHYBLIVÉHO ZATÍŽENÍ V GLOBÁLNÍM SYSTÉMU				$\sigma_{GLOB,P}$	0.0	[MPa]					$\Sigma\sigma_{GLOB}$	0.0														
		NAPĚTÍ OD OSTATNÍCH ZATÍŽENÍ V GLOBÁLNÍM SYSTÉMU				$\sigma_{GLOB,rs}$	0.0	[MPa]					$\Sigma\sigma_x + \Sigma\sigma_{GLOB}$	179.5														
		VYUŽITÍ PRŮŘEZU DLE NAPĚTÍ						[%]					η_1	0.86									η_3	0.00			η_3	0.01
		NAPĚTÍ V PŘÍČNÉM SMĚRU OD POHYBLIVÉHO ZATÍŽENÍ				$\sigma_{z,P}$	0.0	[MPa]					$\Sigma\sigma_z$	0.0														
		NAPĚTÍ V PŘÍČNÉM SMĚRU OD OSTATNÍCH ZATÍŽENÍ				$\sigma_{z,rs}$	0.0	[MPa]					η_2	0.00														
		SROVNÁVACÍ NAPĚTÍ											$(\eta 2 + 0{,}8\,\eta 1)/1{,}4$ =	0.49														
		VYUŽITÍ PRŮŘEZU CELKEM						[%]					eff	0.86	VYHOVUJE													
													z_{LM71} =	1.29														

TAB. U5.3 POSOUZENÍ - MEZNÍ STAV ÚNOSNOSTI

POPIS	DOLNÍ PÁS U5
PRUT / POLOHA BODU	107 / 3/4
NAMÁHÁNÍ	Vz.max
VLÁKNO	BOD S5 -HL
MEZNÍ STAV	ULS (MSÚ)
VYUŽITÍ VLÁKNA PRŮŘEZU	0.35

Charakteristiky materiálu				
pás. horní	$f_{yf,k}$	230	MPa	
pás. dolní	$f_{yf,k}$	230	MPa	
stojina	$f_{yw,k}$	230	MPa	
výztuž	$f_{ys,k}$	500	MPa	
γ_M =	1.10	γ_s =	1.15	

Excentricita normálové síly				
Exc./Fáze	0	1	2	3
e_y	0.000	0.000	0.000	0.000
e_z	0.000	0.000	0.000	0.000
Ekvivalentní vzdál. stěn - příčný roznos				
b_{Mx}	0.000	0.000	0.000	0.000

Vliv stěny na únosnost průřezu				
Char./Fáze	0	1	2	3
A	0.00	0.00	0.00	0.00
Wy	0.00	0.00	0.00	0.00
Wz	0.00	0.00	0.00	0.00

Charakter. v kroucení			
$t_{w,y}$	0.000	[mm]	
$t_{w,z}$	0.000	[mm]	
κ	1.00		
I_t=	0.00E+00	[mm^4]	
Ω=2*A_{pr}	0.00E+00	[mm^2]	

Součinitele vzpěru a vlivu II.řádu				
Char./Fáze	0	1	2	3
k_y	1.000	1.000	1.000	1.000
k_z	1.000	1.000	1.000	1.000
χ_{LT}	1.000	1.000	1.000	1.000
χ_{min}	1.000	1.000	1.000	1.000

Vnitřní síly od jednotlivých skupin zatěžovacích stavů

SKUPINA ZATĚŽOVACÍCH STAVŮ — Charakteristické hodnoty — Dílčí součinitelé zatížení, dynamický součinitel — Návrhové hodnoty

Č.	SKUP ZS	POPIS ZS	KAT.	FÁZE PRŮŘ.	N.k (kN)	Vy.k (kN)	Vz.k (kN)	Mx.k (kNm)	My.k (kNm)	Mz.k (kNm)	γ_{sr} (-)	γ_{fs} (-)	volba ψ_i hledat	ψ_i (-)	L_d (m)	δ (-)	Ψ_{2i} KZ03	N.d (kN)	Vy.d (kN)	Vz.d (kN)	ΔVz.d (kN)	ΣVz.d (kN)	Mx.d (kNm)	My.d (kNm)	ΔMy.d (kNm)	ΣMy.d (kNm)	Mz.d (kNm)	ΔMz.d (kNm)	ΣMz.d (kNm)
1	G0	Vlastní tíha OK	G	0	1 361	1	16	0	-3	-2	1.00	1.20		1.20	-	1.00	0.95	1 551	1	18	0	18	0	-4	0	-4	-2	0	-2
2	G1	Ostatní stálé - mostní vybavení	G	0	98	0	0	0	0	0	1.00	1.20		1.20	-	1.00	0.95	111	0	1	0	1	0	0	0	0	0	0	0
3	G2	Ostatní stálé - cizí zařízení	G	0	77	0	0	0	0	0	1.00	1.20		1.20	-	1.00	0.95	88	0	0	0	0	0	0	0	0	0	0	0
4	P1_71	a.LM71 - kolej 1 (bez dyn. souč.)	P	0	443	1	10	0	-9	-1	1.00	1.30		1.30	-	1.00	1.00	576	2	12	0	12	0	-12	0	-12	-2	0	-2
5	P2_71	a.LM71 - kolej 2 (bez dyn. souč.)	P	0	836	4	27	0	-32	-4	1.00	1.30		1.30	-	1.00	1.00	1 086	5	36	0	36	0	-41	0	-41	-6	0	-6
6	P1_C3	TTZ C3 - kolej 1 (bez dyn. souč.)	P	0	323	1	8	0	-10	-1	1.00	vyp.		0.00	-	1.00	0.00	0	0	0	0	0	0	0	0	0	0	0	0
7	P2_C3	TTZ C3 - kolej 2 (bez dyn. souč.)	P	0	615	3	24	0	-34	-3	1.00	vyp.		0.00	-	1.00	0.00	0	0	0	0	0	0	0	0	0	0	0	0
8	BR	Brzdné a rozjezdové síly	P	0	-317	0	1	0	-4	0	1.00	1.30		1.30	-	1.00	0.80	-329	0	1	0	1	0	-4	0	-4	0	0	0
9	S	Boční ráz	P	0	96	0	1	0	-2	-1	1.00	1.30		1.30	-	1.00	0.40	50	0	0	0	0	0	-1	0	-1	0	0	0
10	CH	Chodci na lávkách	Q	0	146	0	1	0	1	0	1.00	1.30		1.30	-	1.00	1.00	190	0	1	0	1	0	1	0	1	0	0	0
11	W	Vítr na konstrukci	Q	0	-387	-3	1	0	-6	3	1.00	1.35		1.35	-	1.00	0.75	-392	-3	1	0	1	0	-6	0	-6	3	0	3
12	WP	Vítr na vozidla	Q	0	-580	-2	1	0	-10	5	1.00	1.35		1.35	-	1.00	0.75	-588	-2	1	0	1	0	-11	0	-11	5	0	5
13	TR	Teplota rovnoměrná	Q	0	0	0	0	0	0	0	1.00	1.35		1.35	-	1.00	0.45	0	0	0	0	0	0	0	0	0	0	0	0
14	TN	Teplota nerovnoměrná	Q	0	18	0	1	0	5	0	1.00	1.35		1.35	-	1.00	0.60	15	0	1	0	1	0	4	0	4	0	0	0
15	FR	Třecí síly v ložiskách	Q	0	90	0	0	0	0	0	1.00	1.20		1.20	-	1.00	1.00	108	0	0	0	0	0	0	0	0	0	0	0
16	I	Imperfekce soustavy	Q	0	37	0	0	0	0	0	1.00	1.20		1.20	-	1.00	1.00	44	0	0	0	0	0	0	0	0	0	0	0
27	ULS_LM	ULS - LM71 bez dynam	Q	0	2 363	3	73	0	-74	-1	1.00	vyp.		0.00	-	1.00	0.00	0	0	0	0	0	0	0	0	0	0	0	0
28	SLS_LM	SLS - LM71 bez dynam	Q	0	2 025	3	57	0	-60	-1	1.00	vyp.	1	0.00	-	1.00	0.00	0	0	0	0	0	0	0	0	0	0	0	0
29	ULS_C3	ULS - C3 bez dynam	Q	0	1 920	1	67	0	-78	1	1.00	vyp.	1	0.00	-	1.00	0.00	0	0	0	0	0	0	0	0	0	0	0	0
30	SLS_C3	SLS - C3 bez dynam	Q	0	1 684	1	53	0	-63	1	1.00	vyp.	1	0.00	-	1.00	0.00	0	0	0	0	0	0	0	0	0	0	0	0
		CELKEM - FÁZE PRŮŘEZU 0																2 512	4	73	0	73	0	-73	0	-73	-1	0	-1
		CELKEM - FÁZE PRŮŘEZU 1																0	0	0	0	0	0	0	0	0	0	0	0
		CELKEM - FÁZE PRŮŘEZU 2																0	0	0	0	0	0	0	0	0	0	0	0
		CELKEM - FÁZE PRŮŘEZU 3																0	0	0	0	0	0	0	0	0	0	0	0
		CELKEM - PRŮŘEZ																2 512	4	73	0	73	0			-73			-1

Napětí od jednotlivých zatěžovacích stavů

SKUPINA ZATĚŽOVACÍCH STAVŮ — Posouzení normálového napětí — Posouzení smykového napětí

Č.	SKUP ZS	Popis ZS	Kat.	fáze průř.	Účinek síly N: δ^*N_d [kN]	χ^*A [mm^2]	σ_n [MPa]	Účinek momentu My: $\delta^*M_{y,d}$ [kNm]	$\chi_{lt}{}^*W_{el,y}$ [mm^3]	σ_{my} [MPa]	Účinek momentu Mz: $\delta^*M_{z,d}$ [kNm]	$W_{el,z}$ [mm^3]	σ_{mz} [MPa]	σ_x [MPa]	Účinek kroutícího momentu Mx: $\kappa^*\delta^*M_{x,d}$ [kNm]	$W_{v,y}$ [mm^3]	$\tau_{x,y}$ [MPa]	$W_{v,z}$ [mm^3]	$\tau_{x,z}$ [MPa]	Účinek smykové síly Vy: $\delta^*V_{y,d}$ [kN]	$A_{v,y}$ [mm2]	$\tau_{v,y}$ [MPa]	$\tau_{v,y}$ [MPa]	Účinek smykové síly Vz: $\delta^*V_{z,d}$ [kN]	$A_{v,z}$ [mm2]	$\tau_{v,z}$ [MPa]	$\tau_{v,z}$ [MPa]
1	G0	Vlastní tíha OK	G	0	1 551.4	4.99E+04	31.1	-3.7	-3.43E+06	1.1	-1.8	-1.78E+06	1.0	33.2	1.1E-02	-	-	-	-	1.3	2.63E+04	0.0	0.0	18.5	2.36E+04	0.8	0.8
2	G1	Ostatní stálé - mostní vybavení	G	0	111.5	4.99E+04	2.2	-0.1	-3.43E+06	0.0	-0.1	-1.78E+06	0.1	2.3	0.0E+00	-	-	-	-	0.1	2.63E+04	0.0	0.0	0.5	2.36E+04	0.0	0.0
3	G2	Ostatní stálé - cizí zařízení	G	0	87.8	4.99E+04	1.8	0.2	-3.43E+06	-0.1	0.0	-1.78E+06	0.0	1.7	0.0E+00	-	-	-	-	0.0	2.63E+04	0.0	0.0	0.3	2.36E+04	0.0	0.0
4	P1_71	a.LM71 - kolej 1 (bez dyn. souč.)	P	0	576.4	4.99E+04	11.6	-12.2	-3.43E+06	3.5	-1.7	-1.78E+06	1.0	16.1	2.6E-02	-	-	-	-	1.9	2.63E+04	0.1	0.1	12.5	2.36E+04	0.5	0.5
5	P2_71	a.LM71 - kolej 2 (bez dyn. souč.)	P	0	1 086.4	4.99E+04	21.8	-41.2	-3.43E+06	12.0	-5.7	-1.78E+06	3.2	37.0	5.2E-02	-	-	-	-	5.1	2.63E+04	0.2	0.2	35.5	2.36E+04	1.5	1.5
6	P1_C3	TTZ C3 - kolej 1 (bez dyn. souč.)	P	0	0.0	4.99E+04	0.0	0.0	-3.43E+06	0.0	0.0	-1.78E+06	0.0	0.0	0.0E+00	-	-	-	-	0.0	2.63E+04	0.0	0.0	0.0	2.36E+04	0.0	0.0
7	P2_C3	TTZ C3 - kolej 2 (bez dyn. souč.)	P	0	0.0	4.99E+04	0.0	0.0	-3.43E+06	0.0	0.0	-1.78E+06	0.0	0.0	0.0E+00	-	-	-	-	0.0	2.63E+04	0.0	0.0	0.0	2.36E+04	0.0	0.0
8	BR	Brzdné a rozjezdové síly	P	0	-329.5	4.99E+04	-6.6	-4.2	-3.43E+06	1.2	0.4	-1.78E+06	-0.3	-5.6	0.0E+00	-	-	-	-	-0.2	2.63E+04	0.0	0.0	1.5	2.36E+04	0.1	0.1
9	S	Boční ráz	P	0	49.7	4.99E+04	1.0	-0.9	-3.43E+06	0.3	-0.4	-1.78E+06	0.2	1.5	0.0E+00	-	-	-	-	0.2	2.63E+04	0.0	0.0	0.4	2.36E+04	0.0	0.0
10	CH	Chodci na lávkách	Q	0	190.4	4.99E+04	3.8	0.9	-3.43E+06	-0.3	0.0	-1.78E+06	0.0	3.5	0.0E+00	-	-	-	-	-0.1	2.63E+04	0.0	0.0	1.0	2.36E+04	0.0	0.0
11	W	Vítr na konstrukci	Q	0	-391.7	4.99E+04	-7.9	-6.0	-3.43E+06	1.7	3.4	-1.78E+06	-1.9	-8.0	1.0E-02	-	-	-	-	-2.7	2.63E+04	-0.1	-0.1	0.5	2.36E+04	0.0	0.0
12	WP	Vítr na vozidla	Q	0	-587.6	4.99E+04	-11.8	-10.5	-3.43E+06	3.1	4.8	-1.78E+06	-2.7	-11.4	-3.0E-02	-	-	-	-	-2.4	2.63E+04	-0.1	-0.1	1.0	2.36E+04	0.0	0.0
13	TR	Teplota rovnoměrná	Q	0	0.0	4.99E+04	0.0	0.0	-3.43E+06	0.0	0.0	-1.78E+06	0.0	0.0	0.0E+00	-	-	-	-	0.0	2.63E+04	0.0	0.0	0.0	2.36E+04	0.0	0.0
14	TN	Teplota nerovnoměrná	Q	0	14.7	4.99E+04	0.3	4.3	-3.43E+06	-1.3	0.0	-1.78E+06	0.0	-0.9	0.0E+00	-	-	-	-	0.0	2.63E+04	0.0	0.0	1.1	2.36E+04	0.0	0.0
15	FR	Třecí síly v ložiskách	Q	0	107.9	4.99E+04	2.2	-0.3	-3.43E+06	0.1	-0.2	-1.78E+06	0.1	2.4	0.0E+00	-	-	-	-	0.1	2.63E+04	0.0	0.0	0.4	2.36E+04	0.0	0.0
16	I	Imperfekce soustavy	Q	0	44.3	4.99E+04	0.9	0.2	-3.43E+06	-0.1	0.0	-1.78E+06	0.0	0.8	0.0E+00	-	-	-	-	0.1	2.63E+04	0.0	0.0	0.0	2.36E+04	0.0	0.0
27	ULS_LM	ULS - LM71 bez dynam	Q	0	0.0	4.99E+04	0.0	0.0	-3.43E+06	0.0	0.0	-1.78E+06	0.0	0.0	0.0E+00	-	-	-	-	0.0	2.63E+04	0.0	0.0	0.0	2.36E+04	0.0	0.0
28	SLS_LM	SLS - LM71 bez dynam	Q	0	0.0	4.99E+04	0.0	0.0	-3.43E+06	0.0	0.0	-1.78E+06	0.0	0.0	0.0E+00	-	-	-	-	0.0	2.63E+04	0.0	0.0	0.0	2.36E+04	0.0	0.0
29	ULS_C3	ULS - C3 bez dynam	Q	0	0.0	4.99E+04	0.0	0.0	-3.43E+06	0.0	0.0	-1.78E+06	0.0	0.0	0.0E+00	-	-	-	-	0.0	2.63E+04	0.0	0.0	0.0	2.36E+04	0.0	0.0
30	SLS_C3	SLS - C3 bez dynam	Q	0	0.0	4.99E+04	0.0	0.0	-3.43E+06	0.0	0.0	-1.78E+06	0.0	0.0	0.0E+00	-	-	-	-	0.0	2.63E+04	0.0	0.0	0.0	2.36E+04	0.0	0.0
		NAVÝŠENÍ NAPĚTÍ DO AKTIVACE TLAKU V DESCE MOSTOVKY					$\sigma_{P,red}$ 0.0							0.0			0.0		0.0			0.1	0.1			3.1	3.1
		NAPĚTÍ OD PRIMÁRNÍCH ÚČINKŮ NEROVNOMĚRNÉHO OTEPLENÍ					σ_T 0.0							0.0													
		NAPĚTÍ OD REOLOGICKÝCH ÚČINKŮ BETONU V ČASE		t=0			σ_R 0.0	γ=	1.20					0.0													
		NAPĚTÍ V KRITICKÝCH VLÁKNECH OD KOMBINACE ZATÍŽENÍ					KZ03	[MPa]					$\Sigma\sigma_x$	72.5								$\Sigma\tau_y$	0.1			$\Sigma\tau_z$	3.1
		NAPĚTÍ OD POHYBLIVÉHO ZATÍŽENÍ						[MPa]					$\sigma_{x,P}$	48.9								τ_P	0.3			τ_P	2.1
		NAPĚTÍ OD OSTATNÍCH ZATÍŽENÍ						[MPa]			Φ_{Vy}	Φ_{Vz}	$\sigma_{x,rs}$	23.6								τ_{rs}	-0.1			τ_{rs}	1.0
		NÁVRHOVÁ HODNOTA MEZE KLUZU S REDUKCÍ VLIVEM SMYKOVÉHO NAPĚTÍ						[MPa]			1.00	1.00	$f_{yw,d}$	209.1								$f_{yd}/3^{0,5}$	120.7			$f_{yd}/3^{0,5}$	120.7
		NAPĚTÍ OD POHYBLIVÉHO ZATÍŽENÍ V GLOBÁLNÍM SYSTÉMU					$\sigma_{GLOB,P}$ 0.0	[MPa]					$\Sigma\sigma_{GLOB}$	0.0													
		NAPĚTÍ OD OSTATNÍCH ZATÍŽENÍ V GLOBÁLNÍM SYSTÉMU					$\sigma_{GLOB,rs}$ 0.0	[MPa]					$\Sigma\sigma_x + \Sigma\sigma_{GLOB}$	72.5													
		VYUŽITÍ PRŮŘEZU DLE NAPĚTÍ						[%]					η_1	0.35								η_3	0.00			η_3	0.03
		NAPĚTÍ V PŘÍČNÉM SMĚRU OD POHYBLIVÉHO ZATÍŽENÍ					$\sigma_{z,P}$ 0.0	[MPa]					$\Sigma\sigma_z$	0.0													
		NAPĚTÍ V PŘÍČNÉM SMĚRU OD OSTATNÍCH ZATÍŽENÍ					$\sigma_{z,rs}$ 0.0	[MPa]					η_2	0.00													
		SROVNÁVACÍ NAPĚTÍ											$(\eta 2 + 0{,}8\ \eta 1)/1{,}4$ =	0.20													
		VYUŽITÍ PRŮŘEZU CELKEM						[%]					eff	0.35	VYHOVUJE												
													Z_{LM71} =	3.79													

VÝPOČET PRŮŘEZOVÝCH CHARAKTERISTIK

PRŮŘEZ: U6 **POPIS:** DOLNÍ PÁS - PŘÍHRADA 6 **x =** - **m**

DEFINOVÁNÍ PRŮŘEZU

PÁSNICE HORNÍHO LEVÉHO ÚHELNÍKU	b f.t.l.o =	0	mm			
TLOUŠŤKA PÁSNICE ÚHELNÍKU	t f.t.l.o =	0	mm	OSLABENÍ PÁSNICE - TLOUŠŤKA	Δt f.t.l.o =	0 %
VÝŠKA STĚNY ÚHELNÍKU	h w.t.l.o =	0	mm			
TLOUŠŤKA STĚNY ÚHELNÍKU	t w.t.l.o =	0	mm	OSLABENÍ STĚNY - TLOUŠŤKA	Δt w.t.l.o =	0 %
PÁSNICE HORNÍHO PRAVÉHO ÚHELNÍKU	b f.t.r.o =	0	mm			
TLOUŠŤKA PÁSNICE ÚHELNÍKU	t f.t.r.o =	0	mm	OSLABENÍ PÁSNICE - TLOUŠŤKA	Δt f.t.r.o =	0 %
VÝŠKA STĚNY ÚHELNÍKU	h w.t.r.o =	0	mm			
TLOUŠŤKA STĚNY ÚHELNÍKU	t w.t.r.o =	0	mm	OSLABENÍ STĚNY - TLOUŠŤKA	Δt w.t.r.0 =	0 %
PÁSNICE DOLNÍHO LEVÉHO ÚHELNÍKU	b f.b.l.o =	110	mm			
TLOUŠŤKA PÁSNICE ÚHELNÍKU	t f.b.l.o =	14	mm	OSLABENÍ PÁSNICE - TLOUŠŤKA	Δt f.b.l.o =	43 %
VÝŠKA STĚNY ÚHELNÍKU	h w.b.l.o =	96	mm			
TLOUŠŤKA STĚNY ÚHELNÍKU	t w.b.l.o =	14	mm	OSLABENÍ STĚNY - TLOUŠŤKA	Δt w.b.l.o =	22 %
PÁSNICE DOLNÍHO PRAVÉHO ÚHELNÍKU	b f.b.r.o =	110	mm			
TLOUŠŤKA PÁSNICE ÚHELNÍKU	t f.b.r.o =	14	mm	OSLABENÍ PÁSNICE - TLOUŠŤKA	Δt f.b.r.o =	43 %
VÝŠKA STĚNY ÚHELNÍKU	h w.b.r.o =	96	mm			
TLOUŠŤKA STĚNY ÚHELNÍKU	t w.b.r.o =	14	mm	OSLABENÍ STĚNY - TLOUŠŤKA	Δt w.b.r.o =	22 %
PÁSNICE HORNÍHO LEVÉHO ÚHELNÍKU	b f.t.l.i =	0	mm			
TLOUŠŤKA PÁSNICE ÚHELNÍKU	t f.t.l.i =	0	mm	OSLABENÍ PÁSNICE - TLOUŠŤKA	Δt f.t.l.i =	0 %
VÝŠKA STĚNY ÚHELNÍKU	h w.t.l.i =	0	mm			
TLOUŠŤKA STĚNY ÚHELNÍKU	t w.t.l.i =	0	mm	OSLABENÍ STĚNY - TLOUŠŤKA	Δt w.t.l.i =	0 %
PÁSNICE HORNÍHO PRAVÉHO ÚHELNÍKU	b f.t.r.i =	0	mm			
TLOUŠŤKA PÁSNICE ÚHELNÍKU	t f.t.r.i =	0	mm	OSLABENÍ PÁSNICE - TLOUŠŤKA	Δt f.t.r.i =	0 %
VÝŠKA STĚNY ÚHELNÍKU	h w.t.r.i =	0	mm			
TLOUŠŤKA STĚNY ÚHELNÍKU	t w.t.r.i =	0	mm	OSLABENÍ STĚNY - TLOUŠŤKA	Δt w.t.r.i =	0 %
PÁSNICE DOLNÍHO LEVÉHO ÚHELNÍKU	b f.b.l.i =	110	mm			
TLOUŠŤKA PÁSNICE ÚHELNÍKU	t f.b.l.i =	14	mm	OSLABENÍ PÁSNICE - TLOUŠŤKA	Δt f.b.l.i =	43 %
VÝŠKA STĚNY ÚHELNÍKU	h w.b.l.i =	96	mm			
TLOUŠŤKA STĚNY ÚHELNÍKU	t w.b.l.i =	14	mm	OSLABENÍ STĚNY - TLOUŠŤKA	Δt w.b.l.i =	22 %
PÁSNICE DOLNÍHO PRAVÉHO ÚHELNÍKU	b f.b.r.i =	110	mm			
TLOUŠŤKA PÁSNICE ÚHELNÍKU	t f.b.r.i =	14	mm	OSLABENÍ PÁSNICE - TLOUŠŤKA	Δt f.b.r.i =	43 %
VÝŠKA STĚNY ÚHELNÍKU	h w.b.r.i =	96	mm			
TLOUŠŤKA STĚNY ÚHELNÍKU	t w.b.r.i =	14	mm	OSLABENÍ STĚNY - TLOUŠŤKA	Δt w.b.r.i =	22 %
ŠÍŘKA HORNÍ PÁSNICE	b f.t =	0	mm			
TLOUŠŤKA HORNÍ PÁSNICE	t f.t =	0	mm	OSLABENÍ HORNÍ PÁSNICE	Δt f.t =	0 %
PŘESAH HORNÍ PÁSNICE	o f.t =	0	mm	(nepoužito - pásnice symetrická k ose průřezu)		
SVĚTLÁ VZDÁLENOST MEZI STĚNAMI	l w =	416	mm			
VÝŠKA STĚNY	h w =	560	mm	OSLABENÍ LEVÉ STĚNY	Δt w.l =	0 %
TLOUŠŤKA STĚNY	t w =	24	mm	OSLABENÍ PRAVÉ STĚNY	Δt w.r =	0 %
ŠÍŘKA DOLNÍ LEVÉ PÁSNICE	b f.b.l =	410	mm			
TLOUŠŤKA DOLNÍ LEVÉ PÁSNICE	t f.b.l =	47	mm	OSLABENÍ DOLNÍ PÁSNICE	Δt f.b.l =	4 %
PŘESAH DOLNÍ LEVÉ PÁSNICE	o f.b.l =	0	mm	(nepoužito - pásnice symetrická k ose levé stěny)		
ŠÍŘKA DOLNÍ PRAVÉ PÁSNICE	b f.b.r =	410	mm			
TLOUŠŤKA DOLNÍ PRAVÉ PÁSNICE	t f.b.r =	47	mm	OSLABENÍ DOLNÍ PÁSNICE	Δt f.b.r =	4 %
PŘESAH DOLNÍ PRAVÉ PÁSNICE	o f.b.r =	0	mm	(nepoužito - pásnice symetrická k ose pravé stěny)		

NÝT Č.	SKUPINA	ŘEZ	RED.	VELIKOST di [mm]	POLOHA ei [mm]	POPIS	AKTIVITA OTVORU	NAPĚTÍ sc [MPa]
1		-	1.00	0	42	nýt - f.t.l	1 -	
2		-	1.00	0	40	nýt - f.t.l - úhelník	1 -	
3		-	1.00	0	40	nýt - f.t.l - úhelník	1 -	
4		-	1.00	0	-50	nýt - f.t.l	1 -	
5		-	1.00	0	50	nýt - f.t.r	1 -	
6		-	1.00	0	40	nýt - f.t.r - úhelník	1 -	
7		-	1.00	0	40	nýt - f.t.r - úhelník	1 -	
8		-	1.00	0	42	nýt - f.t.r	1 -	
9		-	1.00	22	45	nýt - w.l - úhelník	1	119.75
10		-	1.00	22	45	nýt - w.p - úhelník	1	101.80
11		-	1.00	22	425	nýt - w.l	1	120.96
12		-	1.00	22	425	nýt - w.p	1	103.01
13		-	1.00	22	335	nýt - w.l	1	122.17
14		-	1.00	22	335	nýt - w.p	1	104.22
15		-	1.00	22	245	nýt - w.l	1	123.38
16		-	1.00	22	245	nýt - w.p	1	105.43
17		-	1.00	22	155	nýt - w.l	1	124.59
18		-	1.00	22	155	nýt - w.p	1	106.64
19		-	1.00	22	45	nýt - w.l - úhelník	1	126.06
20		-	1.00	22	45	nýt - w.p - úhelník	1	108.12
21	1	3	0.83	20	42	nýt - f.b.l	1	133.64
22	1	3	0.83	24	65	nýt - f.b.l - úhelník	1	129.24
23	1	3	0.83	24	65	nýt - f.b.l - úhelník	1	124.59
24	1	3	0.83	20	42	nýt - f.b.l	1	120.30
25	2	3	0.83	20	42	nýt - f.b.r	1	115.70
26	2	3	0.83	24	65	nýt - f.b.r - úhelník	1	111.30
27	2	3	0.83	24	65	nýt - f.b.r - úhelník	1	106.65
28	2	3	0.83	20	42	nýt - f.b.r	1	102.36
29		-	1.00				-	
30		-	1.00				-	

ZADÁNÍ ČÁSTI PRŮŘEZU:

č.prvku	b [mm]	h [mm]	y_0 [mm]	z_0 [mm]	popis části	druh oslabení	lokální ultimate	boulení servic.
1	0.0	0.0	-232.0	560.0	pásnice	0	1.000	1.000
2	0.0	0.0	-232.0	560.0	stěna	0	1.000	1.000
3	0.0	0.0	232.0	560.0	pásnice	0	1.000	1.000
4	0.0	0.0	232.0	560.0	stěna	0	1.000	1.000
5	110.0	8.0	-287.0	4.0	pásnice	0	1.000	1.000
6	10.9	96.0	-237.5	56.0	stěna	0	1.000	1.000
7	110.0	8.0	287.0	4.0	pásnice	0	1.000	1.000
8	10.9	96.0	237.5	56.0	stěna	0	1.000	1.000
9	0.0	0.0	0.0	560.0	pásnice	0	1.000	1.000
10	24.0	560.0	-220.0	280.0	stěna	0	1.000	1.000
11	24.0	560.0	220.0	280.0	stěna	0	1.000	1.000
12	0.0	0.0	-208.0	560.0	pásnice	0	1.000	1.000
13	0.0	0.0	-208.0	560.0	stěna	0	1.000	1.000
14	0.0	0.0	208.0	560.0	pásnice	0	1.000	1.000
15	0.0	0.0	208.0	560.0	stěna	0	1.000	1.000
16	110.0	8.0	-153.0	4.0	pásnice	0	1.000	1.000
17	10.9	96.0	-202.5	56.0	stěna	0	1.000	1.000
18	110.0	8.0	153.0	4.0	pásnice	0	1.000	1.000
19	10.9	96.0	202.5	56.0	stěna	0	1.000	1.000
20						0	1.000	1.000
21						0	1.000	1.000
22						0	1.000	1.000
23	410.0	45.1	-220.0	-22.6	pásnice	0	1.000	1.000
24	410.0	45.1	220.0	-22.6	pásnice	0	1.000	1.000
25						0	1.000	1.000
26						0	1.000	1.000
27						0	1.000	1.000
28						0	1.000	1.000
29						0	1.000	1.000
30						0	1.000	1.000
31						0	1.000	1.000
32						0	1.000	1.000
33						0	1.000	1.000
34						0	1.000	1.000
35						0	1.000	1.000
36						0	1.000	1.000
37						0	1.000	1.000
38						0	1.000	1.000
39						0	1.000	1.000
40						0	1.000	1.000
41						0	1.000	1.000
42						0	1.000	1.000
43						0	1.000	1.000
44						0	1.000	1.000
45						0	1.000	1.000
46						0	1.000	1.000
47						0	1.000	1.000
48						0	1.000	1.000
49						0	1.000	1.000
50						0	1.000	1.000
51	0.0	0.0	0	0	nýt - pásnice	0	1.000	1.000
52	0.0	0.0	0	0	nýt - pásnice	0	1.000	1.000
53	0.0	0.0	0	0	nýt - pásnice	0	1.000	1.000
54	0.0	0.0	0	0	nýt - pásnice	0	1.000	1.000
55	0.0	0.0	0	0	nýt - pásnice	0	1.000	1.000
56	0.0	0.0	0	0	nýt - pásnice	0	1.000	1.000
57	0.0	0.0	0	0	nýt - pásnice	0	1.000	1.000
58	0.0	0.0	0	0	nýt - pásnice	0	1.000	1.000
59	24.0	-22.0	-220.0	515.0	nýt - stěna	0	1.000	1.000
60	24.0	-22.0	220.0	515.0	nýt - stěna	0	1.000	1.000
61	24.0	-22.0	-220.0	425.0	nýt - stěna	0	1.000	1.000
62	24.0	-22.0	220.0	425.0	nýt - stěna	0	1.000	1.000
63	24.0	-22.0	-220.0	335.0	nýt - stěna	0	1.000	1.000
64	24.0	-22.0	220.0	335.0	nýt - stěna	0	1.000	1.000
65	24.0	-22.0	-220.0	245.0	nýt - stěna	0	1.000	1.000
66	24.0	-22.0	220.0	245.0	nýt - stěna	0	1.000	1.000
67	24.0	-22.0	-220.0	155.0	nýt - stěna	0	1.000	1.000
68	24.0	-22.0	220.0	155.0	nýt - stěna	0	1.000	1.000
69	45.8	-22.0	-220.0	45.0	nýt - stěna	0	1.000	1.000
70	45.8	-22.0	220.0	45.0	nýt - stěna	0	1.000	1.000
71	-16.5	45.1	-383.5	-22.6	nýt - pásnice	0	1.000	1.000
72	-19.8	53.1	-277.0	-18.6	nýt - pásnice	0	1.000	1.000
73	-19.8	53.1	-163.0	-18.6	nýt - pásnice	0	1.000	1.000
74	-16.5	45.1	-56.5	-22.6	nýt - pásnice	0	1.000	1.000
75	-16.5	45.1	56.5	-22.6	nýt - pásnice	0	1.000	1.000
76	-19.8	53.1	163.0	-18.6	nýt - pásnice	0	1.000	1.000
77	-19.8	53.1	277.0	-18.6	nýt - pásnice	0	1.000	1.000
78	-16.5	45.1	383.5	-22.6	nýt - pásnice	0	1.000	1.000
79						0	1.000	1.000
80						0	1.000	1.000
81								
82								
83								
84								
85								
86								
87								
88								
89								
90								
91								
92								
93								
94								
95								
96								
97								
98								
99								
100								

VÝPOČET PRŮŘEZOVÝCH CHARAKTERISTIK

Properties	Basic	Ultimate		Serviceability	
y_t	0.0	0.0		0.0	[mm]
z_t	91.6	91.6		91.6	[mm]
A_t	5.7088E+04	5.7088E+04		5.7088E+04	[mm²]
A_y	3.3312E+04	3.3312E+04		3.3312E+04	[mm²]
A_z	2.3776E+04	2.3776E+04		2.3776E+04	[mm²]
I_{y1}	1.6860E+09	1.6860E+09		1.6860E+09	[mm⁴]
I_w	4.8135E+08	4.8135E+08		4.8135E+08	[mm⁶]
i_y	171.9	171.9		171.9	[mm]
i_z	91.8	91.8		91.8	[mm]
W_{y1}	3.5991E+06	3.5991E+06		3.5991E+06	[mm³]
W_{z1}	-2.0748E+06	-2.0748E+06		-2.0748E+06	[mm³]
W_{y2}	-1.2336E+07	-1.2336E+07		-1.2336E+07	[mm³]
W_{z2}	-1.1326E+06	-1.1326E+06		-1.1326E+06	[mm³]
KRAJNÍ VLÁKNA PRŮŘEZU					
y_1	-232.0	-232.0		-232.0	[mm]
z_1	560.0	560.0		560.0	[mm]
y_2	-425.0	-425.0		-425.0	[mm]
z_2	-45.1	-45.1		-45.1	[mm]
y_3	232.0	232.0		232.0	[mm]
z_3	560.0	560.0		560.0	[mm]
y_4	425.0	425.0		425.0	[mm]
z_4	-45.1	-45.1		-45.1	[mm]
y_5	-232.0	-232.0		-232.0	[mm]
z_5	560.0	560.0		560.0	[mm]
y_6	-232.0	-232.0		-232.0	[mm]
z_6	0.0	0.0		0.0	[mm]

ÚPRAVA MOMENTŮ SETRVAČNOSTI V DŮSLEDKU ČLENĚNÍ PRŮŘEZU

OSA Y 1.00
OSA Z 0.15

SCHÉMA PROMĚNNÝCH

SCHÉMA ZADANÉHO PRŮŘEZU

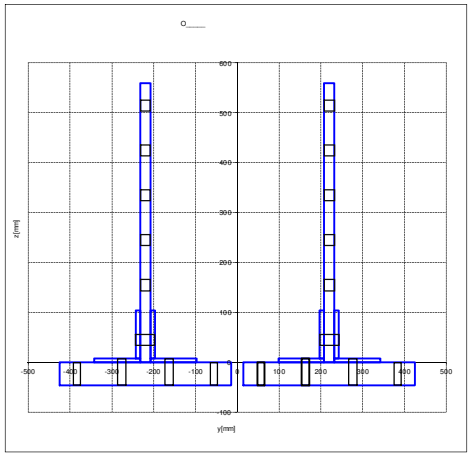

NEUTRÁLNÁ OSA

NAPĚTÍ [MPa]:

127.50	92.84
135.64	100.97

ZS: SLS_LM_N.MkX

	N [kN]	Vy [kN]	Vz [kN]	Mx [kNm]	My [kNm]	Mz [kNm]
import	6649	-6	19	0	23	20

TR_U6 POPIS: **DOLNÍ PÁS U6** POSUDEK: **U6**

SKUPINA ZAT. STAVŮ	EXTRÉM	VYHODNOCOVANÉ VELIČINY					
		N	Vy	Vz	Mx	My	Mz
		kN	kN	kN	kNm	kNm	kNm
G0	N.min	**1554.89**	-1.16	19.21	-0.01	-5.35	1.83
	N.max	**1554.89**	-1.16	19.21	-0.01	-5.35	1.83
	Vy.min	1554.89	**-1.16**	19.21	-0.01	-5.35	1.83
	Vy.max	1554.89	**-1.16**	19.21	-0.01	-5.35	1.83
	Vz.min	1554.89	-1.16	**19.21**	-0.01	-5.35	1.83
	Vz.max	1554.89	-1.16	**19.21**	-0.01	-5.35	1.83
	Mx.min	1554.89	-1.16	19.21	**-0.01**	-5.35	1.83
	Mx.max	1554.89	-1.16	19.21	**-0.01**	-5.35	1.83
	My.min	1554.89	-1.16	19.21	-0.01	**-5.35**	1.83
	My.max	1554.89	-1.16	19.21	-0.01	**-5.35**	1.83
	Mz.min	1554.89	-1.16	19.21	-0.01	-5.35	**1.83**
	Mz.max	1554.89	-1.16	19.21	-0.01	-5.35	**1.83**
G1	N.min	**112.34**	-0.1	0.14	0	0.56	0.15
	N.max	**112.34**	-0.1	0.14	0	0.56	0.15
	Vy.min	112.34	**-0.1**	0.14	0	0.56	0.15
	Vy.max	112.34	**-0.1**	0.14	0	0.56	0.15
	Vz.min	112.34	-0.1	**0.14**	0	0.56	0.15
	Vz.max	112.34	-0.1	**0.14**	0	0.56	0.15
	Mx.min	112.34	-0.1	0.14	**0**	0.56	0.15
	Mx.max	112.34	-0.1	0.14	**0**	0.56	0.15
	My.min	112.34	-0.1	0.14	0	**0.56**	0.15
	My.max	112.34	-0.1	0.14	0	**0.56**	0.15
	Mz.min	112.34	-0.1	0.14	0	0.56	**0.15**
	Mz.max	112.34	-0.1	0.14	0	0.56	**0.15**
G2	N.min	**88.37**	-0.05	0.23	0	0.18	0.1
	N.max	**88.37**	-0.05	0.23	0	0.18	0.1
	Vy.min	88.37	**-0.05**	0.23	0	0.18	0.1
	Vy.max	88.37	**-0.05**	0.23	0	0.18	0.1
	Vz.min	88.37	-0.05	**0.23**	0	0.18	0.1
	Vz.max	88.37	-0.05	**0.23**	0	0.18	0.1
	Mx.min	88.37	-0.05	0.23	**0**	0.18	0.1
	Mx.max	88.37	-0.05	0.23	**0**	0.18	0.1
	My.min	88.37	-0.05	0.23	0	**0.18**	0.1
	My.max	88.37	-0.05	0.23	0	**0.18**	0.1
	Mz.min	88.37	-0.05	0.23	0	0.18	**0.1**
	Mz.max	88.37	-0.05	0.23	0	0.18	**0.1**
P1_71	N.min	**-0.05**	0	0	0	-0.01	0
	N.max	**1136.19**	0.59	-0.06	-0.07	8.96	-2.55
	Vy.min	516.62	**-1.08**	-4.58	-0.05	11.2	0.39
	Vy.max	722.01	**2.43**	6.72	-0.02	-5.32	-4.24
	Vz.min	439.21	-0.62	**-7.29**	-0.05	20.08	-0.1
	Vz.max	779.56	2.01	**9.39**	-0.02	-12.74	-3.5
	Mx.min	1001.46	-0.18	-2.91	**-0.07**	11.63	-1.68
	Mx.max	148.06	1.59	5.01	**0.01**	-5.56	-2.1
	My.min	839.24	1.39	8.5	-0.02	**-14.55**	-3.33
	My.max	361.82	-0.18	-6.62	-0.05	**20.98**	-0.14
	Mz.min	936.62	2.13	7.07	-0.03	-7.32	**-4.6**
	Mz.max	237.14	-0.68	-5.57	-0.04	15.12	**0.81**
P2_71	N.min	**-4.22**	0	0.01	0	-0.04	-0.01
	N.max	**2185.59**	-5.24	-0.73	0	19.64	9.99
	Vy.min	1994.32	**-5.88**	-10.16	-0.01	29.27	10.47
	Vy.max	292.54	**1.1**	14.93	0.02	-16.65	-0.97
	Vz.min	911.19	-4	**-22.41**	-0.03	57.05	7.14
	Vz.max	1453.89	-0.97	**27.08**	0.03	-40.39	2.8
	Mx.min	663.66	-3.11	-15.66	**-0.03**	46.32	6.62
	Mx.max	1720.52	-2.05	21.52	**0.04**	-35.83	3.28
	My.min	1599.95	-2.03	24.07	0.03	**-43.78**	3.06
	My.max	729.51	-2.92	-19.89	-0.03	**58.92**	6.45
	Mz.min	287.59	0.95	14.27	0.02	-17.51	**-1.02**
	Mz.max	1994.96	-5.77	-10.85	-0.01	33.97	**10.6**
P1_C3	N.min	**-0.08**	0	0.01	0	-0.01	0
	N.max	**952.02**	0.34	0.57	-0.05	4.38	-2
	Vy.min	490.77	**-0.99**	-4.01	-0.04	9.37	0.29
	Vy.max	585.99	**1.86**	5.12	-0.02	-3.9	-3.29
	Vz.min	346.32	-0.77	**-6.21**	-0.04	15.02	0.17
	Vz.max	652.46	1.47	**8.47**	-0.01	-12.8	-2.57
	Mx.min	858.6	-0.07	-1.76	**-0.06**	7.65	-1.56
	Mx.max	118.02	1.33	4.25	**0**	-4.87	-1.74
	My.min	713.02	1.07	7.7	-0.02	**-14.05**	-2.74
	My.max	301.74	-0.16	-5.29	-0.04	**16.43**	-0.25
	Mz.min	798.52	1.61	5.85	-0.03	-6.56	**-3.65**
	Mz.max	218.99	-0.61	-5.01	-0.03	13.61	**0.75**
P2_C3	N.min	**-5.51**	0	0.02	0	-0.08	-0.02
	N.max	**1818.66**	-4.4	-0.23	0	11.31	7.81
	Vy.min	1578.85	**-4.81**	-8.56	-0.01	18.58	8.11
	Vy.max	233.6	**1.04**	13.04	0.01	-14.54	-0.91
	Vz.min	681.66	-3.2	**-19.63**	-0.02	44.31	5.02
	Vz.max	1135.24	-0.5	**24.87**	0.02	-40.95	1.95
	Mx.min	430.04	-2.29	-13.48	**-0.03**	36.73	4.69
	Mx.max	1506.15	-1.65	20.06	**0.03**	-33.04	3.11
	My.min	1338.71	-1.76	21.82	0.02	**-42.84**	2.63
	My.max	483.71	-1.93	-16.63	-0.02	**46.63**	4.18
	Mz.min	225.61	0.88	12.31	0.01	-15.2	**-0.93**
	Mz.max	1702.33	-4.75	-7.25	-0.01	22.49	**8.35**
BR	N.min	**-652.12**	0.55	1.1	0	-2.5	-1.3
	N.max	**652.12**	-0.55	-1.1	0	2.5	1.3
	Vy.min	652.12	**-0.55**	-1.1	0	2.5	1.3
	Vy.max	-652.12	**0.55**	1.1	0	-2.5	-1.3
	Vz.min	282.06	-0.13	**-1.49**	0	3	0.29
	Vz.max	-282.06	0.13	**1.49**	0	-3	-0.29
	Mx.min	559.33	-0.37	-1.27	**0**	3.26	0.58
	Mx.max	-559.33	0.37	1.27	**0**	-3.26	-0.58
	My.min	-559.33	0.37	1.27	0	**-3.26**	-0.58
	My.max	559.33	-0.37	-1.27	0	**3.26**	0.58
	Mz.min	-652.12	0.55	1.1	0	-2.5	**-1.3**
	Mz.max	652.12	-0.55	-1.1	0	2.5	**1.3**

TR_U6 POPIS: **DOLNÍ PÁS U6** POSUDEK: **U6**

SKUPINA ZAT. STAVŮ	EXTRÉM	VYHODNOCOVANÉ VELIČINY					
		N	Vy	Vz	Mx	My	Mz
		kN	kN	kN	kNm	kNm	kNm
S	N.min	**-212.02**	0.12	-0.55	-0.02	1.36	-5.72
	N.max	**212.02**	-0.12	0.55	0.02	-1.36	5.72
	Vy.min	200.58	**-2.34**	0.61	0.01	-0.71	6.87
	Vy.max	-200.58	**2.34**	-0.61	-0.01	0.71	-6.87
	Vz.min	-200.58	2.34	**-0.61**	-0.01	0.71	-6.87
	Vz.max	200.58	-2.34	**0.61**	0.01	-0.71	6.87
	Mx.min	-212.02	0.12	-0.55	**-0.02**	1.36	-5.72
	Mx.max	212.02	-0.12	0.55	**0.02**	-1.36	5.72
	My.min	185.18	0.88	0.07	0.02	**-1.6**	0.73
	My.max	-185.18	-0.88	-0.07	-0.02	**1.6**	-0.73
	Mz.min	-200.58	2.34	-0.61	-0.01	0.71	**-6.87**
	Mz.max	200.58	-2.34	0.61	0.01	-0.71	**6.87**
CH	N.min	**73.85**	-0.05	0.53	0	-1.17	-0.06
	N.max	**221.67**	-0.07	0.58	0.01	0.46	0.19
	Vy.min	221.67	**-0.07**	0.58	0.01	0.46	0.19
	Vy.max	157.6	**0.04**	0.05	0.01	1.56	-0.05
	Vz.min	157.6	0.04	**0.05**	0.01	1.56	-0.05
	Vz.max	221.67	-0.07	**0.58**	0.01	0.46	0.19
	Mx.min	73.85	-0.05	0.53	**0**	-1.17	-0.06
	Mx.max	221.67	-0.07	0.58	**0.01**	0.46	0.19
	My.min	73.85	-0.05	0.53	0	**-1.17**	-0.06
	My.max	157.6	0.04	0.05	0.01	**1.56**	-0.05
	Mz.min	73.85	-0.05	0.53	0	-1.17	**-0.06**
	Mz.max	221.67	-0.07	0.58	0.01	0.46	**0.19**
W	N.min	**-408.45**	-0.92	-0.83	0.02	2.71	-2.1
	N.max	**408.54**	0.92	0.83	-0.02	-2.7	2.1
	Vy.min	-408.45	**-0.92**	-0.83	0.02	2.71	-2.1
	Vy.max	408.54	**0.92**	0.83	-0.02	-2.7	2.1
	Vz.min	-408.45	-0.92	**-0.83**	0.02	2.71	-2.1
	Vz.max	408.54	0.92	**0.83**	-0.02	-2.7	2.1
	Mx.min	408.54	0.92	0.83	**-0.02**	-2.7	2.1
	Mx.max	-408.45	-0.92	-0.83	**0.02**	2.71	-2.1
	My.min	408.54	0.92	0.83	-0.02	**-2.7**	2.1
	My.max	-408.45	-0.92	-0.83	0.02	**2.71**	-2.1
	Mz.min	-408.45	-0.92	-0.83	0.02	2.71	**-2.1**
	Mz.max	408.54	0.92	0.83	-0.02	-2.7	**2.1**
WP	N.min	**-600.74**	1.07	-0.92	-0.04	3.63	-6.68
	N.max	**600.88**	-1.07	0.92	0.04	-3.63	6.68
	Vy.min	600.88	**-1.07**	0.92	0.04	-3.63	6.68
	Vy.max	-600.74	**1.07**	-0.92	-0.04	3.63	-6.68
	Vz.min	-600.74	1.07	**-0.92**	-0.04	3.63	-6.68
	Vz.max	600.88	-1.07	**0.92**	0.04	-3.63	6.68
	Mx.min	-600.74	1.07	-0.92	**-0.04**	3.63	-6.68
	Mx.max	600.88	-1.07	0.92	**0.04**	-3.63	6.68
	My.min	600.88	-1.07	0.92	0.04	**-3.63**	6.68
	My.max	-600.74	1.07	-0.92	-0.04	**3.63**	-6.68
	Mz.min	-600.74	1.07	-0.92	-0.04	3.63	**-6.68**
	Mz.max	600.88	-1.07	0.92	0.04	-3.63	**6.68**
TR	N.min	**0**	0	0	0	0	0
	N.max	**0**	0	0	0	0	0
	Vy.min	0	**0**	0	0	0	0
	Vy.max	0	**0**	0	0	0	0
	Vz.min	0	0	**0**	0	0	0
	Vz.max	0	0	**0**	0	0	0
	Mx.min	0	0	0	**0**	0	0
	Mx.max	0	0	0	**0**	0	0
	My.min	0	0	0	0	**0**	0
	My.max	0	0	0	0	**0**	0
	Mz.min	0	0	0	0	0	**0**
	Mz.max	0	0	0	0	0	**0**
TN	N.min	**-117.82**	-0.22	-0.3	0.02	0.22	0.16
	N.max	**98.09**	0.14	2.88	-0.02	-10.48	0.03
	Vy.min	-117.82	**-0.22**	-0.3	0.02	0.22	0.16
	Vy.max	98.09	**0.14**	2.88	-0.02	-10.48	0.03
	Vz.min	19.63	-0.06	**-2.44**	0	10.11	0.15
	Vz.max	98.09	0.14	**2.88**	-0.02	-10.48	0.03
	Mx.min	98.09	0.14	2.88	**-0.02**	-10.48	0.03
	Mx.max	-117.82	-0.22	-0.3	**0.02**	0.22	0.16
	My.min	98.09	0.14	2.88	-0.02	**-10.48**	0.03
	My.max	19.63	-0.06	-2.44	0	**10.11**	0.15
	Mz.min	-19.63	0.06	2.44	0	-10.11	**-0.15**
	Mz.max	-117.82	-0.22	-0.3	0.02	0.22	**0.16**
FR	N.min	**-89.43**	0.06	-0.21	0	0.26	-0.12
	N.max	**89.43**	-0.06	0.21	0	-0.26	0.12
	Vy.min	89.43	**-0.06**	0.21	0	-0.26	0.12
	Vy.max	-89.43	**0.06**	-0.21	0	0.26	-0.12
	Vz.min	-89.43	0.06	**-0.21**	0	0.26	-0.12
	Vz.max	89.43	-0.06	**0.21**	0	-0.26	0.12
	Mx.min	89.43	-0.06	0.21	**0**	-0.26	0.12
	Mx.max	-89.43	0.06	-0.21	**0**	0.26	-0.12
	My.min	89.43	-0.06	0.21	0	**-0.26**	0.12
	My.max	-89.43	0.06	-0.21	0	**0.26**	-0.12
	Mz.min	-89.43	0.06	-0.21	0	0.26	**-0.12**
	Mz.max	89.43	-0.06	0.21	0	-0.26	**0.12**
I	N.min	**-41.62**	-0.03	-0.12	0.01	0.2	**-0.03**
	N.max	**41.62**	0.03	0.12	-0.01	-0.2	**0.03**
	Vy.min	-41.62	**-0.03**	-0.12	0.01	0.2	**-0.03**
	Vy.max	41.62	**0.03**	0.12	-0.01	-0.2	**0.03**
	Vz.min	-41.62	-0.03	**-0.12**	0.01	0.2	**-0.03**
	Vz.max	41.62	0.03	**0.12**	-0.01	-0.2	**0.03**
	Mx.min	41.62	0.03	0.12	**-0.01**	-0.2	**0.03**
	Mx.max	-41.62	-0.03	-0.12	**0.01**	0.2	**-0.03**
	My.min	41.62	0.03	0.12	-0.01	**-0.2**	**0.03**
	My.max	-41.62	-0.03	-0.12	0.01	**0.2**	**-0.03**
	Mz.min	-41.62	-0.03	-0.12	0.01	0.2	**-0.03**
	Mz.max	41.62	0.03	0.12	-0.01	-0.2	**0.03**

TAB. U6.3 POSOUZENÍ - MEZNÍ STAV ÚNOSNOSTI

POPIS	DOLNÍ PÁS U6
PRUT / POLOHA BODU	104 / 3/4
NAMÁHÁNÍ	N.max
VLÁKNO	BOD K2 -HP
MEZNÍ STAV	ULS (MSÚ)
VYUŽITÍ VLÁKNA PRŮŘEZU	0.76

Charakteristiky materiálu				
pás. horní	$f_{yf,k}$	230	MPa	
pás. dolní	$f_{yf,k}$	230	MPa	
stojina	$f_{yw,k}$	230	MPa	
výztuž	$f_{ys,k}$	500	MPa	
	γ_M =	1.10	γ_s =	1.15

Excentricita normálové síly				
Exc./Fáze	0	1	2	3
e_y	0.000	0.000	0.000	0.000
e_z	0.000	0.000	0.000	0.000
Ekvivalentní vzdál. stěn - příčný roznos				
b_{ch}	0.000	0.000	0.000	0.000

Vliv stěny na únosnost průřezu				
Char./Fáze	0	1	2	3
A	0.00	0.00	0.00	0.00
Wy	0.00	0.00	0.00	0.00
Wz	0.00	0.00	0.00	0.00

Charakter. v kroucení			
$t_{w,y}$	0.000	[mm]	
$t_{w,z}$	0.000	[mm]	
κ	1.00		
I_t=	0.00E+00	[mm^4]	
$\Omega=2*A_{pr}$	0.00E+00	[mm^2]	

Součinitele vzpěru a vlivu II.řádu					
Char./Fáze	0	1	2	3
k_y	1.000	1.000	1.000	1.000
k_z	1.000	1.000	1.000	1.000
χ_{LT}	1.000	1.000	1.000	1.000
χ_{min}	1.000	1.000	1.000	1.000

Vnitřní síly od jednotlivých skupin zatěžovacích stavů

SKUPINA ZATĚŽOVACÍCH STAVŮ					- CHARAKTERISTICKÉ HODNOTY						DÍLČÍ SOUČINITELÉ ZATÍŽENÍ, DYNAMICKÝ SOUČINITEL						3	- NÁVRHOVÉ HODNOTY									
Č.	SKUP ZS	POPIS ZS	KAT.	FÁZE PRŮŘ.	N.k (kN)	Vy.k (kN)	Vz.k (kN)	Mx.k (kNm)	My.k (kNm)	Mz.k (kNm)	γ_{sr} (-)	γ_{Sd} (-)	volba γ_{Sd} hledat	γ_{Sd} (-)	L_d (m)	δ (-)	Ψ_0 KZ03	N.d (kN)	Vy.d (kN)	Vz.d (kN)	ΔVz.d (kN)	ΣVz.d (kN)	Mx.d (kNm)	My.d (kNm)	ΔMy.d (kNm)	ΣMy.d (kNm)	Mz.d (kNm)	ΔMz.d (kNm)	ΣMz.d (kNm)
1	G0	Vlastní tíha OK	G	0	1 555	-1	19	0	-5	2	1.00	1.20		1.20	-	1.00	0.95	1 773	-1	22	0	22	0	-6	0	-6	2	0	2
2	G1	Ostatní stálé - mostní vybavení	G	0	112	0	0	0	1	0	1.00	1.20		1.20	-	1.00	0.95	128	0	0	0	0	0	1	0	1	0	0	0
3	G2	Ostatní stálé - cizí zařízení	G	0	88	0	0	0	0	0	1.00	1.20		1.20	-	1.00	0.95	101	0	0	0	0	0	0	0	0	0	0	0
4	P1_71	a.LM71 - kolej 1 (bez dyn. souč.)	P	0	1 136	1	0	0	9	-3	1.00	1.30		1.30	-	1.00	1.00	1 477	1	0	0	0	0	12	0	12	-3	0	-3
5	P2_71	a.LM71 - kolej 2 (bez dyn. souč.)	P	0	2 186	-5	-1	0	20	10	1.00	1.30		1.30	-	1.00	1.00	2 841	-7	-1	0	-1	0	26	0	26	13	0	13
6	P1_C3	TTZ C3 - kolej 1 (bez dyn. souč.)	P	0	952	0	1	0	4	-2	1.00	vyp.		0.00	-	1.00	0.00	0	0	0	0	0	0	0	0	0	0	0	0
7	P2_C3	TTZ C3 - kolej 2 (bez dyn. souč.)	P	0	1 819	-4	0	0	11	8	1.00	vyp.		0.00	-	1.00	0.00	0	0	0	0	0	0	0	0	0	0	0	0
8	BR	Brzdné a rozjezdové síly	P	0	652	-1	-1	0	3	1	1.00	1.30		1.30	-	1.00	0.80	678	-1	-1	0	-1	0	3	0	3	1	0	1
9	S	Boční ráz	P	0	212	0	1	0	-1	6	1.00	1.30		1.30	-	1.00	0.40	110	0	0	0	0	0	-1	0	-1	3	0	3
10	CH	Chodci na lávkách	Q	0	222	0	1	0	0	0	1.00	1.30		1.30	-	1.00	1.00	288	0	1	0	1	0	1	0	1	0	0	0
11	W	Vítr na konstrukci	Q	0	409	1	1	0	-3	2	1.00	1.35		1.35	-	1.00	0.75	414	1	1	0	1	0	-3	0	-3	2	0	2
12	WP	Vítr na vozidla	Q	0	601	-1	1	0	-4	7	1.00	1.35		1.35	-	1.00	0.75	608	-1	1	0	1	0	-4	0	-4	7	0	7
13	TR	Teplota rovnoměrná	Q	0	0	0	0	0	0	0	1.00	1.35		1.35	-	1.00	0.45	0	0	0	0	0	0	0	0	0	0	0	0
14	TN	Teplota nerovnoměrná	Q	0	98	0	3	0	-10	0	1.00	1.35		1.35	-	1.00	0.60	79	0	2	0	2	0	-8	0	-8	0	0	0
15	FR	Třecí síly v ložiskách	Q	0	89	0	0	0	0	0	1.00	1.20		1.20	-	1.00	1.00	107	0	0	0	0	0	0	0	0	0	0	0
16	I	Imperfekce soustavy	Q	0	42	0	0	0	0	0	1.00	1.20		1.20	-	1.00	1.00	50	0	0	0	0	0	0	0	0	0	0	0
27	ULS_LM	ULS - LM71 bez dynam	Q	0	8 775	-8	25	0	20	27	1.00	vyp.		0.00	-	1.00	0.00	0	0	0	0	0	0	0	0	0	0	0	0
28	SLS_LM	SLS - LM71 bez dynam	Q	0	6 877	-7	20	0	21	21	1.00	vyp.	1	0.00	-	1.00	0.00	0	0	0	0	0	0	0	0	0	0	0	0
29	ULS_C3	ULS - C3 bez dynam	Q	0	8 059	-8	27	0	3	25	1.00	vyp.	1	0.00	-	1.00	0.00	0	0	0	0	0	0	0	0	0	0	0	0
30	SLS_C3	SLS - C3 bez dynam	Q	0	6 326	-6	21	0	8	19	1.00	vyp.	1	0.00	-	1.00	0.00	0	0	0	0	0	0	0	0	0	0	0	0
		CELKEM - FÁZE PRŮŘEZU 0																8 655	-8	26	0	26	0	19	0	19	26	0	26
		CELKEM - FÁZE PRŮŘEZU 1																0	0	0	0	0	0	0	0	0	0	0	0
		CELKEM - FÁZE PRŮŘEZU 2																0	0	0	0	0	0	0	0	0	0	0	0
		CELKEM - FÁZE PRŮŘEZU 3																0	0	0	0	0	0	0	0	0	0	0	0
		CELKEM - PRŮŘEZ																8 655	-8	26	0	26	0			19			26

Napětí od jednotlivých zatěžovacích stavů

SKUPINA ZATĚŽOVACÍCH STAVŮ					Posouzení normálového napětí										Posouzení smykového napětí													
					Účinek síly N			Účinek momentu My			Účinek momentu Mz				Účinek kroutícího momentu Mx				Účinek smykové síly Vy				Účinek smykové síly Vz			
Č.	SKUP ZS	Popis ZS	Kat.	fáze průř.	δ^*N_d [kN]	χ^*A [mm^2]	σ_n [MPa]	$\delta^*M_{y,d}$ [kNm]	$\chi_{lt}{}^*W_{el,y}$ [mm^3]	σ_{my} [MPa]	$\delta^*M_{z,d}$ [kNm]	$W_{el,z}$ [mm^3]	σ_{mz} [MPa]	σ_x [MPa]	$\kappa^*\delta^*M_{x,d}$ [kNm]	$W_{v,y}$ [mm^2]	$\tau_{x,y}$ [MPa]	$W_{v,z}$ [mm^2]	$\tau_{x,z}$ [MPa]	$\delta^*V_{y,d}$ [kN]	$A_{v,y}$ [mm2]	$\tau_{v,y}$ [MPa]	$\tau_{v,y}$ [MPa]	$\delta^*V_{z,d}$ [kN]	$A_{v,z}$ [mm2]	$\tau_{v,z}$ [MPa]	$\tau_{v,z}$ [MPa]
1	G0	Vlastní tíha OK	G	0	1 772.6	5.71E+04	31.0	-6.1	-3.60E+06	1.7	2.1	2.07E+06	1.0	33.7	-1.1E-02	-	-	-	-	-1.3	3.33E+04	0.0	0.0	21.9	2.38E+04	0.9	0.9
2	G1	Ostatní stálé - mostní vybavení	G	0	128.1	5.71E+04	2.2	0.6	-3.60E+06	-0.2	0.2	2.07E+06	0.1	2.1	0.0E+00	-	-	-	-	-0.1	3.33E+04	0.0	0.0	0.2	2.38E+04	0.0	0.0
3	G2	Ostatní stálé - cizí zařízení	G	0	100.7	5.71E+04	1.8	0.2	-3.60E+06	-0.1	0.1	2.07E+06	0.1	1.8	0.0E+00	-	-	-	-	-0.1	3.33E+04	0.0	0.0	0.3	2.38E+04	0.0	0.0
4	P1_71	a.LM71 - kolej 1 (bez dyn. souč.)	P	0	1 477.0	5.71E+04	25.9	11.6	-3.60E+06	-3.2	-3.3	2.07E+06	-1.6	21.0	-9.1E-02	-	-	-	-	0.8	3.33E+04	0.0	0.0	-0.1	2.38E+04	0.0	0.0
5	P2_71	a.LM71 - kolej 2 (bez dyn. souč.)	P	0	2 841.3	5.71E+04	49.8	25.5	-3.60E+06	-7.1	13.0	2.07E+06	6.3	48.9	0.0E+00	-	-	-	-	-6.8	3.33E+04	-0.2	-0.2	-0.9	2.38E+04	0.0	0.0
6	P1_C3	TTZ C3 - kolej 1 (bez dyn. souč.)	P	0	0.0	5.71E+04	0.0	0.0	-3.60E+06	0.0	0.0	2.07E+06	0.0	0.0	0.0E+00	-	-	-	-	0.0	3.33E+04	0.0	0.0	0.0	2.38E+04	0.0	0.0
7	P2_C3	TTZ C3 - kolej 2 (bez dyn. souč.)	P	0	0.0	5.71E+04	0.0	0.0	-3.60E+06	0.0	0.0	2.07E+06	0.0	0.0	0.0E+00	-	-	-	-	0.0	3.33E+04	0.0	0.0	0.0	2.38E+04	0.0	0.0
8	BR	Brzdné a rozjezdové síly	P	0	678.2	5.71E+04	11.9	2.6	-3.60E+06	-0.7	1.4	2.07E+06	0.7	11.8	0.0E+00	-	-	-	-	-0.6	3.33E+04	0.0	0.0	-1.1	2.38E+04	0.0	0.0
9	S	Boční ráz	P	0	110.3	5.71E+04	1.9	-0.7	-3.60E+06	0.2	3.0	2.07E+06	1.4	3.6	1.0E-02	-	-	-	-	-0.1	3.33E+04	0.0	0.0	0.3	2.38E+04	0.0	0.0
10	CH	Chodci na lávkách	Q	0	288.2	5.71E+04	5.0	0.6	-3.60E+06	-0.2	0.2	2.07E+06	0.1	5.0	1.3E-02	-	-	-	-	-0.1	3.33E+04	0.0	0.0	0.8	2.38E+04	0.0	0.0
11	W	Vítr na konstrukci	Q	0	413.6	5.71E+04	7.2	-2.7	-3.60E+06	0.8	2.1	2.07E+06	1.0	9.0	-2.0E-02	-	-	-	-	0.9	3.33E+04	0.0	0.0	0.8	2.38E+04	0.0	0.0
12	WP	Vítr na vozidla	Q	0	608.4	5.71E+04	10.7	-3.7	-3.60E+06	1.0	6.8	2.07E+06	3.3	14.9	4.1E-02	-	-	-	-	-1.1	3.33E+04	0.0	0.0	0.9	2.38E+04	0.0	0.0
13	TR	Teplota rovnoměrná	Q	0	0.0	5.71E+04	0.0	0.0	-3.60E+06	0.0	0.0	2.07E+06	0.0	0.0	0.0E+00	-	-	-	-	0.0	3.33E+04	0.0	0.0	0.0	2.38E+04	0.0	0.0
14	TN	Teplota nerovnoměrná	Q	0	79.5	5.71E+04	1.4	-8.5	-3.60E+06	2.4	0.0	2.07E+06	0.0	3.8	-1.6E-02	-	-	-	-	0.1	3.33E+04	0.0	0.0	2.3	2.38E+04	0.1	0.1
15	FR	Třecí síly v ložiskách	Q	0	107.3	5.71E+04	1.9	-0.3	-3.60E+06	0.1	0.1	2.07E+06	0.1	2.0	0.0E+00	-	-	-	-	-0.1	3.33E+04	0.0	0.0	0.3	2.38E+04	0.0	0.0
16	I	Imperfekce soustavy	Q	0	49.9	5.71E+04	0.9	-0.2	-3.60E+06	0.1	0.0	2.07E+06	0.0	1.0	-1.2E-02	-	-	-	-	0.0	3.33E+04	0.0	0.0	0.1	2.38E+04	0.0	0.0
27	ULS_LM	ULS - LM71 bez dynam	Q	0	0.0	5.71E+04	0.0	0.0	-3.60E+06	0.0	0.0	2.07E+06	0.0	0.0	0.0E+00	-	-	-	-	0.0	3.33E+04	0.0	0.0	0.0	2.38E+04	0.0	0.0
28	SLS_LM	SLS - LM71 bez dynam	Q	0	0.0	5.71E+04	0.0	0.0	-3.60E+06	0.0	0.0	2.07E+06	0.0	0.0	0.0E+00	-	-	-	-	0.0	3.33E+04	0.0	0.0	0.0	2.38E+04	0.0	0.0
29	ULS_C3	ULS - C3 bez dynam	Q	0	0.0	5.71E+04	0.0	0.0	-3.60E+06	0.0	0.0	2.07E+06	0.0	0.0	0.0E+00	-	-	-	-	0.0	3.33E+04	0.0	0.0	0.0	2.38E+04	0.0	0.0
30	SLS_C3	SLS - C3 bez dynam	Q	0	0.0	5.71E+04	0.0	0.0	-3.60E+06	0.0	0.0	2.07E+06	0.0	0.0	0.0E+00	-	-	-	-	0.0	3.33E+04	0.0	0.0	0.0	2.38E+04	0.0	0.0
NAVÝŠENÍ NAPĚTÍ DO AKTIVACE TLAKU V DESCE MOSTOVKY						$\sigma_{P,red}$	0.0							0.0			0.0		0.0				-0.3	-0.3			1.1	1.1
NAPĚTÍ OD PRIMÁRNÍCH ÚČINKŮ NEROVNOMĚRNÉHO OTEPLENÍ						σ_T	0.0							0.0														
NAPĚTÍ OD REOLOGICKÝCH ÚČINKŮ BETONU V ČASE				t=0		σ_R	0.0	γ=	1.20					0.0														
NAPĚTÍ V KRITICKÝCH VLÁKNECH OD KOMBINACE ZATÍŽENÍ						KZ03		[MPa]					$\Sigma\sigma_x$	158.7								$\Sigma\tau_y$	-0.3			$\Sigma\tau_z$	1.1	
NAPĚTÍ OD POHYBLIVÉHO ZATÍŽENÍ								[MPa]					$\sigma_{x,P}$	85.3								τ_P	-0.2			τ_P	-0.1	
NAPĚTÍ OD OSTATNÍCH ZATÍŽENÍ								[MPa]			Φ_{vy}	Φ_{vz}	$\sigma_{x,rs}$	73.4								τ_{rs}	0.0			τ_{rs}	1.2	
NÁVRHOVÁ HODNOTA MEZE KLUZU S REDUKCÍ VLIVEM SMYKOVÉHO NAPĚTÍ								[MPa]			1.00	1.00	$f_{yv,d}$	209.1								$f_{yd}/3^{0,5}$	120.7			$f_{yd}/3^{0,5}$	120.7	
NAPĚTÍ OD POHYBLIVÉHO ZATÍŽENÍ V GLOBÁLNÍM SYSTÉMU						$\sigma_{GLOB,P}$	0.0	[MPa]					$\Sigma\sigma_{GLOB}$	0.0														
NAPĚTÍ OD OSTATNÍCH ZATÍŽENÍ V GLOBÁLNÍM SYSTÉMU						$\sigma_{GLOB,rs}$	0.0	[MPa]					$\Sigma\sigma_x + \Sigma\sigma_{GLOB}$	158.7														
VYUŽITÍ PRŮŘEZU DLE NAPĚTÍ								[%]					η_1	0.76								η_3	0.00			η_3	0.01	
NAPĚTÍ V PŘÍČNÉM SMĚRU OD POHYBLIVÉHO ZATÍŽENÍ						$\sigma_{z,P}$	0.0	[MPa]					$\Sigma\sigma_z$	0.0														
NAPĚTÍ V PŘÍČNÉM SMĚRU OD OSTATNÍCH ZATÍŽENÍ						$\sigma_{z,rs}$	0.0	[MPa]					η_2	0.00														
SROVNÁVACÍ NAPĚTÍ													$(\eta_2 + 0,8\ \eta_1)/1,4 =$	0.43														
VYUŽITÍ PRŮŘEZU CELKEM								[%]					eff	0.76	VYHOVUJE													
													z_{LM71} =	1.59														

TAB. U6.3 POSOUZENÍ - MEZNÍ STAV ÚNOSNOSTI

POPIS	DOLNÍ PÁS U6
PRUT / POLOHA BODU	104 / 3/4
NAMÁHÁNÍ	N.max
VLÁKNO	BOD K4 -SP
MEZNÍ STAV	ULS (MSÚ)
VYUŽITÍ VLÁKNA PRŮŘEZU	0.84

Charakteristiky materiálu				
pás. horní	$f_{yf,k}$	230	MPa	
pás. dolní	$f_{yf,k}$	230	MPa	
stojina	$f_{yw,k}$	230	MPa	
výztuž	$f_{ys,k}$	500	MPa	
γ_M =	1.10	γ_s =	1.15	

Excentricita normálové síly				
Exc./Fáze	0	1	2	3
e_y	0.000	0.000	0.000	0.000
e_z	0.000	0.000	0.000	0.000
Ekvivalentní vzdál. stěn - příčný roznos				
b_{Mx}	0.000	0.000	0.000	0.000

Vliv stěny na únosnost průřezu				
Char./Fáze	0	1	2	3
A	0.00	0.00	0.00	0.00
Wy	0.00	0.00	0.00	0.00
Wz	0.00	0.00	0.00	0.00

Charakter. v kroucení			
$t_{w,y}$	0.000	[mm]	
$t_{w,z}$	0.000	[mm]	
κ	1.00		
I_t=	0.00E+00	[mm^4]	
Ω=2*A_{pr}	0.00E+00	[mm^2]	

Součinitele vzpěru a vlivu II.řádu					
Char./Fáze	0	1	2	3
k_y	1.000	1.000	1.000	1.000
k_z	1.000	1.000	1.000	1.000
χ_{LT}	1.000	1.000	1.000	1.000
χ_{min}	1.000	1.000	1.000	1.000

Vnitřní síly od jednotlivých skupin zatěžovacích stavů — 3

SKUPINA ZATĚŽOVACÍCH STAVŮ					- CHARAKTERISTICKÉ HODNOTY						DÍLČÍ SOUČINITELÉ ZATÍŽENÍ, DYNAMICKÝ SOUČINITEL							- NÁVRHOVÉ HODNOTY									
Č.	SKUP ZS	POPIS ZS	KAT.	FÁZE PRŮŘ.	N.k (kN)	Vy.k (kN)	Vz.k (kN)	Mx.k (kNm)	My.k (kNm)	Mz.k (kNm)	γ_{sr} (-)	γ_{fs} (-)	volba γ_f hledat	γ_f (-)	L_d (m)	δ (-)	Ψ_s KZ03	N.d (kN)	Vy.d (kN)	Vz.d (kN)	ΔVz.d (kN)	ΣVz.d (kN)	Mx.d (kNm)	My.d (kNm)	ΔMy.d (kNm)	ΣMy.d (kNm)	Mz.d (kNm)	ΔMz.d (kNm)	ΣMz.d (kNm)
1	G0	Vlastní tíha OK	G	0	1 555	-1	19	0	-5	2	1.00	1.20		1.20	-	1.00	0.95	1 773	-1	22	0	22	0	-6	0	-6	2	0	2
2	G1	Ostatní stálé - mostní vybavení	G	0	112	0	0	0	1	0	1.00	1.20		1.20	-	1.00	0.95	128	0	0	0	0	0	1	0	1	0	0	0
3	G2	Ostatní stálé - cizí zařízení	G	0	88	0	0	0	0	0	1.00	1.20		1.20	-	1.00	0.95	101	0	0	0	0	0	0	0	0	0	0	0
4	P1_71	a.LM71 - kolej 1 (bez dyn. souč.)	P	0	1 136	1	0	0	9	-3	1.00	1.30		1.30	-	1.00	1.00	1 477	1	0	0	0	0	12	0	12	-3	0	-3
5	P2_71	a.LM71 - kolej 2 (bez dyn. souč.)	P	0	2 186	-5	-1	0	20	10	1.00	1.30		1.30	-	1.00	1.00	2 841	-7	-1	0	-1	0	26	0	26	13	0	13
6	P1_C3	TTZ C3 - kolej 1 (bez dyn. souč.)	P	0	952	0	1	0	4	-2	1.00	vyp.		0.00	-	1.00	0.00	0	0	0	0	0	0	0	0	0	0	0	0
7	P2_C3	TTZ C3 - kolej 2 (bez dyn. souč.)	P	0	1 819	-4	0	0	11	8	1.00	vyp.		0.00	-	1.00	0.00	0	0	0	0	0	0	0	0	0	0	0	0
8	BR	Brzdné a rozjezdové síly	P	0	652	-1	-1	0	3	1	1.00	1.30		1.30	-	1.00	0.80	678	-1	-1	0	-1	0	3	0	3	1	0	1
9	S	Boční ráz	P	0	212	0	1	0	-1	6	1.00	1.30		1.30	-	1.00	0.40	110	0	0	0	0	0	-1	0	-1	3	0	3
10	CH	Chodci na lávkách	Q	0	222	0	1	0	0	0	1.00	1.30		1.30	-	1.00	1.00	288	0	1	0	1	0	1	0	1	0	0	0
11	W	Vítr na konstrukci	Q	0	409	1	1	0	-3	2	1.00	1.35		1.35	-	1.00	0.75	414	1	1	0	1	0	-3	0	-3	2	0	2
12	WP	Vítr na vozidla	Q	0	601	-1	1	0	-4	7	1.00	1.35		1.35	-	1.00	0.75	608	-1	1	0	1	0	-4	0	-4	7	0	7
13	TR	Teplota rovnoměrná	Q	0	0	0	0	0	0	0	1.00	1.35		1.35	-	1.00	0.45	0	0	0	0	0	0	0	0	0	0	0	0
14	TN	Teplota nerovnoměrná	Q	0	98	0	3	0	-10	0	1.00	1.35		1.35	-	1.00	0.60	79	0	2	0	2	0	-8	0	-8	0	0	0
15	FR	Třecí síly v ložiskách	Q	0	89	0	0	0	0	0	1.00	1.20		1.20	-	1.00	1.00	107	0	0	0	0	0	0	0	0	0	0	0
16	I	Imperfekce soustavy	Q	0	42	0	0	0	0	0	1.00	1.20		1.20	-	1.00	1.00	50	0	0	0	0	0	0	0	0	0	0	0
27	ULS_LM	ULS - LM71 bez dynam	Q	0	8 775	-8	25	0	20	27	1.00	vyp.		0.00	-	1.00	0.00	0	0	0	0	0	0	0	0	0	0	0	0
28	SLS_LM	SLS - LM71 bez dynam	Q	0	6 877	-7	20	0	21	21	1.00	vyp.	1	0.00	-	1.00	0.00	0	0	0	0	0	0	0	0	0	0	0	0
29	ULS_C3	ULS - C3 bez dynam	Q	0	8 059	-8	27	0	3	25	1.00	vyp.	1	0.00	-	1.00	0.00	0	0	0	0	0	0	0	0	0	0	0	0
30	SLS_C3	SLS - C3 bez dynam	Q	0	6 326	-6	21	0	8	19	1.00	vyp.	1	0.00	-	1.00	0.00	0	0	0	0	0	0	0	0	0	0	0	0
		CELKEM - FÁZE PRŮŘEZU 0																8 655	-8	26	0	26	0	19	0	19	26	0	26
		CELKEM - FÁZE PRŮŘEZU 1																0	0	0	0	0	0	0	0	0	0	0	0
		CELKEM - FÁZE PRŮŘEZU 2																0	0	0	0	0	0	0	0	0	0	0	0
		CELKEM - FÁZE PRŮŘEZU 3																0	0	0	0	0	0	0	0	0	0	0	0
		CELKEM - PRŮŘEZ																8 655	-8	26	0	26	0			19			26

Napětí od jednotlivých zatěžovacích stavů

SKUPINA ZATĚŽOVACÍCH STAVŮ					Posouzení normálového napětí										Posouzení smykového napětí													
					Účinek síly N			Účinek momentu My				Účinek momentu Mz				Účinek ktoutícího momentu Mx				Účinek smykové síly Vy				Účinek smykové síly Vz			
č.	SKUP ZS	Popis ZS	Kat.	fáze prúř.	δ^*N_d [kN]	χ^*A [mm^2]	σ_n [MPa]	$\delta^*M_{y,d}$ [kNm]	$\chi_{lt}{}^*W_{el,y}$ [mm^3]	σ_{my} [MPa]	$\delta^*M_{z,d}$ [kNm]	$W_{el,z}$ [mm^3]	σ_{mz} [MPa]	σ_x [MPa]	$\kappa^*\delta^*M_{x,d}$ [kNm]	$W_{v,y}$ [mm^2]	$\tau_{x,y}$ [MPa]	$W_{v,z}$ [mm^2]	$\tau_{x,z}$ [MPa]	$\delta^*V_{y,d}$ [kN]	$A_{v,y}$ [mm2]	$\tau_{v,y}$ [MPa]	$\tau_{v,y}$ [MPa]	$\delta^*V_{z,d}$ [kN]	$A_{v,z}$ [mm2]	$\tau_{v,z}$ [MPa]	$\tau_{v,z}$ [MPa]
1	G0	Vlastní tíha OK	G	0	1 772.6	5.71E+04	31.0	-6.1	1.23E+07	-0.5	2.1	1.13E+06	1.8	32.4	-1.1E-02	-	-	-	-	-1.3	3.33E+04	0.0	0.0	21.9	2.38E+04	0.9	0.9
2	G1	Ostatní stálé - mostní vybavení	G	0	128.1	5.71E+04	2.2	0.6	1.23E+07	0.1	0.2	1.13E+06	0.2	2.4	0.0E+00	-	-	-	-	-0.1	3.33E+04	0.0	0.0	0.2	2.38E+04	0.0	0.0
3	G2	Ostatní stálé - cizí zařízení	G	0	100.7	5.71E+04	1.8	0.2	1.23E+07	0.0	0.1	1.13E+06	0.1	1.9	0.0E+00	-	-	-	-	-0.1	3.33E+04	0.0	0.0	0.3	2.38E+04	0.0	0.0
4	P1_71	a.LM71 - kolej 1 (bez dyn. souč.)	P	0	1 477.0	5.71E+04	25.9	11.6	1.23E+07	0.9	-3.3	1.13E+06	-2.9	23.9	-9.1E-02	-	-	-	-	0.8	3.33E+04	0.0	0.0	-0.1	2.38E+04	0.0	0.0
5	P2_71	a.LM71 - kolej 2 (bez dyn. souč.)	P	0	2 841.3	5.71E+04	49.8	25.5	1.23E+07	2.1	13.0	1.13E+06	11.5	63.3	0.0E+00	-	-	-	-	-6.8	3.33E+04	-0.2	-0.2	-0.9	2.38E+04	0.0	0.0
6	P1_C3	TTZ C3 - kolej 1 (bez dyn. souč.)	P	0	0.0	5.71E+04	0.0	0.0	1.23E+07	0.0	0.0	1.13E+06	0.0	0.0	0.0E+00	-	-	-	-	0.0	3.33E+04	0.0	0.0	0.0	2.38E+04	0.0	0.0
7	P2_C3	TTZ C3 - kolej 2 (bez dyn. souč.)	P	0	0.0	5.71E+04	0.0	0.0	1.23E+07	0.0	0.0	1.13E+06	0.0	0.0	0.0E+00	-	-	-	-	0.0	3.33E+04	0.0	0.0	0.0	2.38E+04	0.0	0.0
8	BR	Brzdné a rozjezdové síly	P	0	678.2	5.71E+04	11.9	2.6	1.23E+07	0.2	1.4	1.13E+06	1.2	13.3	0.0E+00	-	-	-	-	-0.6	3.33E+04	0.0	0.0	-1.1	2.38E+04	0.0	0.0
9	S	Boční ráz	P	0	110.3	5.71E+04	1.9	-0.7	1.23E+07	-0.1	3.0	1.13E+06	2.6	4.5	1.0E-02	-	-	-	-	-0.1	3.33E+04	0.0	0.0	0.3	2.38E+04	0.0	0.0
10	CH	Chodci na lávkách	Q	0	288.2	5.71E+04	5.0	0.6	1.23E+07	0.0	0.2	1.13E+06	0.2	5.3	1.3E-02	-	-	-	-	-0.1	3.33E+04	0.0	0.0	0.8	2.38E+04	0.0	0.0
11	W	Vítr na konstrukci	Q	0	413.6	5.71E+04	7.2	-2.7	1.23E+07	-0.2	2.1	1.13E+06	1.9	8.9	-2.0E-02	-	-	-	-	0.9	3.33E+04	0.0	0.0	0.8	2.38E+04	0.0	0.0
12	WP	Vítr na vozidla	Q	0	608.4	5.71E+04	10.7	-3.7	1.23E+07	-0.3	6.8	1.13E+06	6.0	16.3	4.1E-02	-	-	-	-	-1.1	3.33E+04	0.0	0.0	0.9	2.38E+04	0.0	0.0
13	TR	Teplota rovnoměrná	Q	0	0.0	5.71E+04	0.0	0.0	1.23E+07	0.0	0.0	1.13E+06	0.0	0.0	0.0E+00	-	-	-	-	0.0	3.33E+04	0.0	0.0	0.0	2.38E+04	0.0	0.0
14	TN	Teplota nerovnoměrná	Q	0	79.5	5.71E+04	1.4	-8.5	1.23E+07	-0.7	0.0	1.13E+06	0.0	0.7	-1.6E-02	-	-	-	-	0.1	3.33E+04	0.0	0.0	2.3	2.38E+04	0.1	0.1
15	FR	Třecí síly v ložiskách	Q	0	107.3	5.71E+04	1.9	-0.3	1.23E+07	0.0	0.1	1.13E+06	0.1	2.0	0.0E+00	-	-	-	-	-0.1	3.33E+04	0.0	0.0	0.3	2.38E+04	0.0	0.0
16	I	Imperfekce soustavy	Q	0	49.9	5.71E+04	0.9	-0.2	1.23E+07	0.0	0.0	1.13E+06	0.0	0.9	-1.2E-02	-	-	-	-	0.0	3.33E+04	0.0	0.0	0.1	2.38E+04	0.0	0.0
27	ULS_LM	ULS - LM71 bez dynam	Q	0	0.0	5.71E+04	0.0	0.0	1.23E+07	0.0	0.0	1.13E+06	0.0	0.0	0.0E+00	-	-	-	-	0.0	3.33E+04	0.0	0.0	0.0	2.38E+04	0.0	0.0
28	SLS_LM	SLS - LM71 bez dynam	Q	0	0.0	5.71E+04	0.0	0.0	1.23E+07	0.0	0.0	1.13E+06	0.0	0.0	0.0E+00	-	-	-	-	0.0	3.33E+04	0.0	0.0	0.0	2.38E+04	0.0	0.0
29	ULS_C3	ULS - C3 bez dynam	Q	0	0.0	5.71E+04	0.0	0.0	1.23E+07	0.0	0.0	1.13E+06	0.0	0.0	0.0E+00	-	-	-	-	0.0	3.33E+04	0.0	0.0	0.0	2.38E+04	0.0	0.0
30	SLS_C3	SLS - C3 bez dynam	Q	0	0.0	5.71E+04	0.0	0.0	1.23E+07	0.0	0.0	1.13E+06	0.0	0.0	0.0E+00	-	-	-	-	0.0	3.33E+04	0.0	0.0	0.0	2.38E+04	0.0	0.0
		$\sigma_{P,red}$					0.0							0.0			0.0		0.0			-0.3	-0.3			1.1	1.1
NAVÝŠENÍ NAPĚTÍ DO AKTIVACE TLAKU V DESCE MOSTOVKY		σ_T					0.0							0.0													
NAPĚTÍ OD PRIMÁRNÍCH ÚČINKŮ NEROVNOMĚRNÉHO OTEPLENÍ		σ_R		t=0			0.0							0.0													
NAPĚTÍ OD REOLOGICKÝCH ÚČINKŮ BETONU V ČASE								γ_f=	1.20																		
NAPĚTÍ V KRITICKÝCH VLÁKNECH OD KOMBINACE ZATÍŽENÍ						KZ03		[MPa]						$\Sigma\sigma_x$								$\Sigma\tau_y$	-0.3			$\Sigma\tau_z$	1.1
NAPĚTÍ OD POHYBLIVÉHO ZATÍŽENÍ								[MPa]						$\sigma_{x,P}$	105.0							τ_P	-0.2			τ_P	-0.1
NAPĚTÍ OD OSTATNÍCH ZATÍŽENÍ								[MPa]			Φ_{Vy}	Φ_{Vz}		$\sigma_{x,rs}$	70.9							τ_{rs}	0.0			τ_{rs}	1.2
NÁVRHOVÁ HODNOTA MEZE KLUZU S REDUKCÍ VLIVEM SMYKOVÉHO NAPĚTÍ								[MPa]			1.00	1.00		$f_{yv,d}$	209.1							$f_{yd}/3^{0,5}$	120.7			$f_{yd}/3^{0,5}$	120.7
NAPĚTÍ OD POHYBLIVÉHO ZATÍŽENÍ V GLOBÁLNÍM SYSTÉMU		$\sigma_{GLOB,P}$			0.0			[MPa]						$\Sigma\sigma_{GLOB}$	0.0												
NAPĚTÍ OD OSTATNÍCH ZATÍŽENÍ V GLOBÁLNÍM SYSTÉMU		$\sigma_{GLOB,rs}$			0.0			[MPa]						$\Sigma\sigma_x + \Sigma\sigma_{GLOB}$	175.8												
VYUŽITÍ PRŮŘEZU DLE NAPĚTÍ								[%]						η_1	0.84							η_3	0.00			η_3	0.01
NAPĚTÍ V PŘÍČNÉM SMĚRU OD POHYBLIVÉHO ZATÍŽENÍ		$\sigma_{z,P}$			0.0			[MPa]						$\Sigma\sigma_z$	0.0												
NAPĚTÍ V PŘÍČNÉM SMĚRU OD OSTATNÍCH ZATÍŽENÍ		$\sigma_{z,rs}$			0.0			[MPa]						η_2	0.00												
SROVNÁVACÍ NAPĚTÍ														$(\eta 2 + 0{,}8\,\eta 1)/1{,}4$ =	0.48												
VYUŽITÍ PRŮŘEZU CELKEM								[%]						eff	0.84	VYHOVUJE											
														Z_{LM71} =	1.32												

TAB. U6.3 POSOUZENÍ - MEZNÍ STAV ÚNOSNOSTI

POPIS	DOLNÍ PÁS U6
PRUT / POLOHA BODU	104 / 3/4
NAMÁHÁNÍ	Vz.max
VLÁKNO	BOD S5 -HL
MEZNÍ STAV	ULS (MSÚ)
VYUŽITÍ VLÁKNA PRŮŘEZU	0.62

Charakteristiky materiálu				
pás. horní	$f_{yf,k}$	230	MPa	
pás. dolní	$f_{yf,k}$	230	MPa	
stojina	$f_{yw,k}$	230	MPa	
výztuž	$f_{ys,k}$	500	MPa	
γ_M =	1.10	γ_s =	1.15	

Excentricita normálové síly				
Exc./Fáze	0	1	2	3
e_y	0.000	0.000	0.000	0.000
e_z	0.000	0.000	0.000	0.000
Ekvivalentní vzdál. stěn - příčný rozmos				
b_{Mx}	0.000	0.000	0.000	0.000

Vliv stěny na únosnost průřezu				
Char./Fáze	0	1	2	3
A	0.00	0.00	0.00	0.00
Wy	0.00	0.00	0.00	0.00
Wz	0.00	0.00	0.00	0.00

Charakter. v kroucení			
$t_{w,y}$	0.000	[mm]	
$t_{w,z}$	0.000	[mm]	
κ	1.00		
I_t=	0.00E+00	[mm^4]	
$\Omega=2*A_{pr}$	0.00E+00	[mm^2]	

Součinitele vzpěru a vlivu II.řádu				
Char./Fáze	0	1	2	3
k_y	1.000	1.000	1.000	1.000
k_z	1.000	1.000	1.000	1.000
χ_{LT}	1.000	1.000	1.000	1.000
χ_{min}	1.000	1.000	1.000	1.000

Vnitřní síly od jednotlivých skupin zatěžovacích stavů

SKUPINA ZATĚŽOVACÍCH STAVŮ					- CHARAKTERISTICKÉ HODNOTY						DÍLČÍ SOUČINITELÉ ZATÍŽENÍ, DYNAMICKÝ SOUČINITEL							- NÁVRHOVÉ HODNOTY									
Č.	SKUP ZS	POPIS ZS	KAT.	FÁZE PRŮŘ.	N.k (kN)	Vy.k (kN)	Vz.k (kN)	Mx.k (kNm)	My.k (kNm)	Mz.k (kNm)	γ_{sr} (-)	γ_{fs} (-)	volba γ_f hledat	γ_f (-)	L_d (m)	δ (-)	Ψ_s KZ03	N.d (kN)	Vy.d (kN)	Vz.d (kN)	ΔVz.d (kN)	ΣVz.d (kN)	Mx.d (kNm)	My.d (kNm)	ΔMy.d (kNm)	ΣMy.d (kNm)	Mz.d (kNm)	ΔMz.d (kNm)	ΣMz.d (kNm)
1	G0	Vlastní tíha OK	G	0	1 555	-1	19	0	-5	2	1.00	1.20		1.20	-	1.00	0.95	1 773	-1	22	0	22	0	-6	0	-6	2	0	2
2	G1	Ostatní stálé - mostní vybavení	G	0	112	0	0	0	1	0	1.00	1.20		1.20	-	1.00	0.95	128	0	0	0	0	0	1	0	1	0	0	0
3	G2	Ostatní stálé - cizí zařízení	G	0	88	0	0	0	0	0	1.00	1.20		1.20	-	1.00	0.95	101	0	0	0	0	0	0	0	0	0	0	0
4	P1_71	a.LM71 - kolej 1 (bez dyn. souč.)	P	0	780	2	9	0	-13	-4	1.00	1.30		1.30	-	1.00	1.00	1 013	3	12	0	12	0	-17	0	-17	-5	0	-5
5	P2_71	a.LM71 - kolej 2 (bez dyn. souč.)	P	0	1 454	-1	27	0	-40	3	1.00	1.30		1.30	-	1.00	1.00	1 890	-1	35	0	35	0	-53	0	-53	4	0	4
6	P1_C3	TTZ C3 - kolej 1 (bez dyn. souč.)	P	0	652	1	8	0	-13	-3	1.00	vyp.		0.00	-	1.00	0.00	0	0	0	0	0	0	0	0	0	0	0	0
7	P2_C3	TTZ C3 - kolej 2 (bez dyn. souč.)	P	0	1 135	-1	25	0	-41	2	1.00	vyp.		0.00	-	1.00	0.00	0	0	0	0	0	0	0	0	0	0	0	0
8	BR	Brzdné a rozjezdové síly	P	0	-282	0	1	0	-3	0	1.00	1.30		1.30	-	1.00	0.80	-293	0	2	0	2	0	-3	0	-3	0	0	0
9	S	Boční ráz	P	0	201	-2	1	0	-1	7	1.00	1.30		1.30	-	1.00	0.40	104	-1	0	0	0	0	0	0	0	4	0	4
10	CH	Chodci na lávkách	Q	0	222	0	1	0	0	0	1.00	1.30		1.30	-	1.00	1.00	288	0	1	0	1	0	1	0	1	0	0	0
11	W	Vítr na konstrukci	Q	0	409	1	1	0	-3	2	1.00	1.35		1.35	-	1.00	0.75	414	1	1	0	1	0	-3	0	-3	2	0	2
12	WP	Vítr na vozidla	Q	0	601	-1	1	0	-4	7	1.00	1.35		1.35	-	1.00	0.75	608	-1	1	0	1	0	-4	0	-4	7	0	7
13	TR	Teplota rovnoměrná	Q	0	0	0	0	0	0	0	1.00	1.35		1.35	-	1.00	0.45	0	0	0	0	0	0	0	0	0	0	0	0
14	TN	Teplota nerovnoměrná	Q	0	98	0	3	0	-10	0	1.00	1.35		1.35	-	1.00	0.60	79	0	2	0	2	0	-8	0	-8	0	0	0
15	FR	Třecí síly v ložiskách	Q	0	89	0	0	0	0	0	1.00	1.20		1.20	-	1.00	1.00	107	0	0	0	0	0	0	0	0	0	0	0
16	I	Imperfekce soustavy	Q	0	42	0	0	0	0	0	1.00	1.20		1.20	-	1.00	1.00	50	0	0	0	0	0	0	0	0	0	0	0
27	ULS_LM	ULS - LM71 bez dynam	Q	0	6 139	-2	77	0	-93	15	1.00	vyp.		0.00	-	1.00	0.00	0	0	0	0	0	0	0	0	0	0	0	0
28	SLS_LM	SLS - LM71 bez dynam	Q	0	4 849	-1	60	0	-66	11	1.00	vyp.	1	0.00	-	1.00	0.00	0	0	0	0	0	0	0	0	0	0	0	0
29	ULS_C3	ULS - C3 bez dynam	Q	0	5 559	-2	73	0	-94	15	1.00	vyp.	1	0.00	-	1.00	0.00	0	0	0	0	0	0	0	0	0	0	0	0
30	SLS_C3	SLS - C3 bez dynam	Q	0	4 403	-2	57	0	-66	11	1.00	vyp.	1	0.00	-	1.00	0.00	0	0	0	0	0	0	0	0	0	0	0	0
		CELKEM - FÁZE PRŮŘEZU 0																6 263	-1	77	0	77	0	-93	0	-93	14	0	14
		CELKEM - FÁZE PRŮŘEZU 1																0	0	0	0	0	0	0	0	0	0	0	0
		CELKEM - FÁZE PRŮŘEZU 2																0	0	0	0	0	0	0	0	0	0	0	0
		CELKEM - FÁZE PRŮŘEZU 3																0	0	0	0	0	0	0	0	0	0	0	0
		CELKEM - PRŮŘEZ																6 263	-1	77	0	77	0			-93			14

Napětí od jednotlivých zatěžovacích stavů

SKUPINA ZATĚŽOVACÍCH STAVŮ					Posouzení normálového napětí										Posouzení smykového napětí													
					Účinek síly N			Účinek momentu My				Účinek momentu Mz				Účinek kroutícího momentu Mx				Účinek smykové síly Vy				Účinek smykové síly Vz			
Č.	SKUP ZS	Popis ZS	Kat.	fáze prúř.	δ^*N_d [kN]	χ^*A [mm^2]	σ_n [MPa]	$\delta^*M_{y,d}$ [kNm]	$\chi_{lt}*W_{el,y}$ [mm^3]	σ_{my} [MPa]	$\delta^*M_{z,d}$ [kNm]	$W_{el,z}$ [mm^3]	σ_{mz} [MPa]	σ_x [MPa]	$\kappa^*\delta^*M_{x,d}$ [kNm]	$W_{v,y}$ [mm^2]	$\tau_{x,y}$ [MPa]	$W_{v,z}$ [mm^2]	$\tau_{x,z}$ [MPa]	$\delta^*V_{y,d}$ [kN]	$A_{v,y}$ [mm2]	$\tau_{v,y}$ [MPa]	$\tau_{v,y}$ [MPa]	$\delta^*V_{z,d}$ [kN]	$A_{v,z}$ [mm2]	$\tau_{v,z}$ [MPa]	$\tau_{v,z}$ [MPa]
1	G0	Vlastní tíha OK	G	0	1 772.6	5.71E+04	31.0	-6.1	-3.60E+06	1.7	2.1	-2.07E+06	-1.0	31.7	-1.1E-02	-	-	-	-	-1.3	3.33E+04	0.0	0.0	21.9	2.38E+04	0.9	0.9
2	G1	Ostatní stálé - mostní vybavení	G	0	128.1	5.71E+04	2.2	0.6	-3.60E+06	-0.2	0.2	-2.07E+06	-0.1	2.0	0.0E+00	-	-	-	-	-0.1	3.33E+04	0.0	0.0	0.2	2.38E+04	0.0	0.0
3	G2	Ostatní stálé - cizí zařízení	G	0	100.7	5.71E+04	1.8	0.2	-3.60E+06	-0.1	0.1	-2.07E+06	-0.1	1.7	0.0E+00	-	-	-	-	-0.1	3.33E+04	0.0	0.0	0.3	2.38E+04	0.0	0.0
4	P1_71	a.LM71 - kolej 1 (bez dyn. souč.)	P	0	1 013.4	5.71E+04	17.8	-16.6	-3.60E+06	4.6	-4.6	-2.07E+06	2.2	24.5	-2.6E-02	-	-	-	-	2.6	3.33E+04	0.1	0.1	12.2	2.38E+04	0.5	0.5
5	P2_71	a.LM71 - kolej 2 (bez dyn. souč.)	P	0	1 890.1	5.71E+04	33.1	-52.5	-3.60E+06	14.6	3.6	-2.07E+06	-1.8	45.9	3.9E-02	-	-	-	-	-1.3	3.33E+04	0.0	0.0	35.2	2.38E+04	1.5	1.5
6	P1_C3	TTZ C3 - kolej 1 (bez dyn. souč.)	P	0	0.0	5.71E+04	0.0	0.0	-3.60E+06	0.0	0.0	-2.07E+06	0.0	0.0	0.0E+00	-	-	-	-	0.0	3.33E+04	0.0	0.0	0.0	2.38E+04	0.0	0.0
7	P2_C3	TTZ C3 - kolej 2 (bez dyn. souč.)	P	0	0.0	5.71E+04	0.0	0.0	-3.60E+06	0.0	0.0	-2.07E+06	0.0	0.0	0.0E+00	-	-	-	-	0.0	3.33E+04	0.0	0.0	0.0	2.38E+04	0.0	0.0
8	BR	Brzdné a rozjezdové síly	P	0	-293.3	5.71E+04	-5.1	-3.1	-3.60E+06	0.9	-0.3	-2.07E+06	0.1	-4.1	0.0E+00	-	-	-	-	0.1	3.33E+04	0.0	0.0	1.5	2.38E+04	0.1	0.1
9	S	Boční ráz	P	0	104.3	5.71E+04	1.8	-0.4	-3.60E+06	0.1	3.6	-2.07E+06	-1.7	0.2	5.2E-03	-	-	-	-	-1.2	3.33E+04	0.0	0.0	0.3	2.38E+04	0.0	0.0
10	CH	Chodci na lávkách	Q	0	288.2	5.71E+04	5.0	0.6	-3.60E+06	-0.2	0.2	-2.07E+06	-0.1	4.8	1.3E-02	-	-	-	-	-0.1	3.33E+04	0.0	0.0	0.8	2.38E+04	0.0	0.0
11	W	Vítr na konstrukci	Q	0	413.6	5.71E+04	7.2	-2.7	-3.60E+06	0.8	2.1	-2.07E+06	-1.0	7.0	-2.0E-02	-	-	-	-	0.9	3.33E+04	0.0	0.0	0.8	2.38E+04	0.0	0.0
12	WP	Vítr na vozidla	Q	0	608.4	5.71E+04	10.7	-3.7	-3.60E+06	1.0	6.8	-2.07E+06	-3.3	8.4	4.1E-02	-	-	-	-	-1.1	3.33E+04	0.0	0.0	0.9	2.38E+04	0.0	0.0
13	TR	Teplota rovnoměrná	Q	0	0.0	5.71E+04	0.0	0.0	-3.60E+06	0.0	0.0	-2.07E+06	0.0	0.0	0.0E+00	-	-	-	-	0.0	3.33E+04	0.0	0.0	0.0	2.38E+04	0.0	0.0
14	TN	Teplota nerovnoměrná	Q	0	79.5	5.71E+04	1.4	-8.5	-3.60E+06	2.4	0.0	-2.07E+06	0.0	3.7	-1.6E-02	-	-	-	-	0.1	3.33E+04	0.0	0.0	2.3	2.38E+04	0.1	0.1
15	FR	Třecí síly v ložiskách	Q	0	107.3	5.71E+04	1.9	-0.3	-3.60E+06	0.1	0.1	-2.07E+06	-0.1	1.9	0.0E+00	-	-	-	-	-0.1	3.33E+04	0.0	0.0	0.3	2.38E+04	0.0	0.0
16	I	Imperfekce soustavy	Q	0	49.9	5.71E+04	0.9	-0.2	-3.60E+06	0.1	0.0	-2.07E+06	0.0	0.9	-1.2E-02	-	-	-	-	0.0	3.33E+04	0.0	0.0	0.1	2.38E+04	0.0	0.0
27	ULS_LM	ULS - LM71 bez dynam	Q	0	0.0	5.71E+04	0.0	0.0	-3.60E+06	0.0	0.0	-2.07E+06	0.0	0.0	0.0E+00	-	-	-	-	0.0	3.33E+04	0.0	0.0	0.0	2.38E+04	0.0	0.0
28	SLS_LM	SLS - LM71 bez dynam	Q	0	0.0	5.71E+04	0.0	0.0	-3.60E+06	0.0	0.0	-2.07E+06	0.0	0.0	0.0E+00	-	-	-	-	0.0	3.33E+04	0.0	0.0	0.0	2.38E+04	0.0	0.0
29	ULS_C3	ULS - C3 bez dynam	Q	0	0.0	5.71E+04	0.0	0.0	-3.60E+06	0.0	0.0	-2.07E+06	0.0	0.0	0.0E+00	-	-	-	-	0.0	3.33E+04	0.0	0.0	0.0	2.38E+04	0.0	0.0
30	SLS_C3	SLS - C3 bez dynam	Q	0	0.0	5.71E+04	0.0	0.0	-3.60E+06	0.0	0.0	-2.07E+06	0.0	0.0	0.0E+00	-	-	-	-	0.0	3.33E+04	0.0	0.0	0.0	2.38E+04	0.0	0.0
NAVÝŠENÍ NAPĚTÍ DO AKTIVACE TLAKU V DESCE MOSTOVKY						$\sigma_{P,red}$	0.0							0.0			0.0		0.0							3.2	3.2
NAPĚTÍ OD PRIMÁRNÍCH ÚČINKŮ NEROVNOMĚRNÉHO OTEPLENÍ						σ_T	0.0							0.0													
NAPĚTÍ OD REOLOGICKÝCH ÚČINKŮ BETONU V ČASE				t=0		σ_R	0.0	γ_{lt}=	1.20					0.0													
NAPĚTÍ V KRITICKÝCH VLÁKNECH OD KOMBINACE ZATÍŽENÍ						KZ03		[MPa]					$\Sigma\sigma_x$	128.7								$\Sigma\tau_y$	0.0			$\Sigma\tau_z$	3.2
NAPĚTÍ OD POHYBLIVÉHO ZATÍŽENÍ								[MPa]					$\sigma_{x,P}$	66.6								τ_P	0.0			τ_P	2.1
NAPĚTÍ OD OSTATNÍCH ZATÍŽENÍ								[MPa]			Φ_{Vy}	Φ_{Vz}	$\sigma_{x,rs}$	62.1								τ_{rs}	0.0			τ_{rs}	1.2
NÁVRHOVÁ HODNOTA MEZE KLUZU S REDUKCÍ VLIVEM SMYKOVÉHO NAPĚTÍ								[MPa]			1.00	1.00	$f_{yw,d}$	209.1								$f_{yd}/3^{0,5}$	120.7			$f_{yd}/3^{0,5}$	120.7
NAPĚTÍ OD POHYBLIVÉHO ZATÍŽENÍ V GLOBÁLNÍM SYSTÉMU						$\sigma_{GLOB,P}$	0.0	[MPa]					$\Sigma\sigma_{GLOB}$	0.0													
NAPĚTÍ OD OSTATNÍCH ZATÍŽENÍ V GLOBÁLNÍM SYSTÉMU						$\sigma_{GLOB,rs}$	0.0	[MPa]					$\Sigma\sigma_x + \Sigma\sigma_{GLOB}$	128.7													
VYUŽITÍ PRŮŘEZU DLE NAPĚTÍ								[%]					η_1	0.62								η_3	0.00			η_3	0.03
NAPĚTÍ V PŘÍČNÉM SMĚRU OD POHYBLIVÉHO ZATÍŽENÍ						$\sigma_{z,P}$	0.0	[MPa]					$\Sigma\sigma_z$	0.0													
NAPĚTÍ V PŘÍČNÉM SMĚRU OD OSTATNÍCH ZATÍŽENÍ						$\sigma_{z,rs}$	0.0	[MPa]					η_2	0.00													
SROVNÁVACÍ NAPĚTÍ													$(\eta_2 + 0,8\,\eta_1)/1,4$ =	0.35													
VYUŽITÍ PRŮŘEZU CELKEM								[%]					eff	0.62	VYHOVUJE												
													Z_{LM71} =	2.21													

VÝPOČET PRŮŘEZOVÝCH CHARAKTERISTIK

PRŮŘEZ: U7 **POPIS:** DOLNÍ PÁS - PŘÍHRADA 7-8 **x =** - **m**

DEFINOVÁNÍ PRŮŘEZU

PÁSNICE HORNÍHO LEVÉHO ÚHELNÍKU	b f.t.l.o =	0	mm			
TLOUŠŤKA PÁSNICE ÚHELNÍKU	t f.t.l.o =	0	mm	OSLABENÍ PÁSNICE - TLOUŠŤKA	Δt f.t.l.o =	0 %
VÝŠKA STĚNY ÚHELNÍKU	h w.t.l.o =	0	mm			
TLOUŠŤKA STĚNY ÚHELNÍKU	t w.t.l.o =	0	mm	OSLABENÍ STĚNY - TLOUŠŤKA	Δt w.t.l.o =	0 %
PÁSNICE HORNÍHO PRAVÉHO ÚHELNÍKU	b f.t.r.o =	0	mm			
TLOUŠŤKA PÁSNICE ÚHELNÍKU	t f.t.r.o =	0	mm	OSLABENÍ PÁSNICE - TLOUŠŤKA	Δt f.t.r.o =	0 %
VÝŠKA STĚNY ÚHELNÍKU	h w.t.r.o =	0	mm			
TLOUŠŤKA STĚNY ÚHELNÍKU	t w.t.r.o =	0	mm	OSLABENÍ STĚNY - TLOUŠŤKA	Δt w.t.r.0 =	0 %
PÁSNICE DOLNÍHO LEVÉHO ÚHELNÍKU	b f.b.l.o =	110	mm			
TLOUŠŤKA PÁSNICE ÚHELNÍKU	t f.b.l.o =	14	mm	OSLABENÍ PÁSNICE - TLOUŠŤKA	Δt f.b.l.o =	36 %
VÝŠKA STĚNY ÚHELNÍKU	h w.b.l.o =	96	mm			
TLOUŠŤKA STĚNY ÚHELNÍKU	t w.b.l.o =	14	mm	OSLABENÍ STĚNY - TLOUŠŤKA	Δt w.b.l.o =	29 %
PÁSNICE DOLNÍHO PRAVÉHO ÚHELNÍKU	b f.b.r.o =	110	mm			
TLOUŠŤKA PÁSNICE ÚHELNÍKU	t f.b.r.o =	14	mm	OSLABENÍ PÁSNICE - TLOUŠŤKA	Δt f.b.r.o =	36 %
VÝŠKA STĚNY ÚHELNÍKU	h w.b.r.o =	96	mm			
TLOUŠŤKA STĚNY ÚHELNÍKU	t w.b.r.o =	14	mm	OSLABENÍ STĚNY - TLOUŠŤKA	Δt w.b.r.o =	29 %
PÁSNICE HORNÍHO LEVÉHO ÚHELNÍKU	b f.t.l.i =	0	mm			
TLOUŠŤKA PÁSNICE ÚHELNÍKU	t f.t.l.i =	0	mm	OSLABENÍ PÁSNICE - TLOUŠŤKA	Δt f.t.l.i =	0 %
VÝŠKA STĚNY ÚHELNÍKU	h w.t.l.i =	0	mm			
TLOUŠŤKA STĚNY ÚHELNÍKU	t w.t.l.i =	0	mm	OSLABENÍ STĚNY - TLOUŠŤKA	Δt w.t.l.i =	0 %
PÁSNICE HORNÍHO PRAVÉHO ÚHELNÍKU	b f.t.r.i =	0	mm			
TLOUŠŤKA PÁSNICE ÚHELNÍKU	t f.t.r.i =	0	mm	OSLABENÍ PÁSNICE - TLOUŠŤKA	Δt f.t.r.i =	0 %
VÝŠKA STĚNY ÚHELNÍKU	h w.t.r.i =	0	mm			
TLOUŠŤKA STĚNY ÚHELNÍKU	t w.t.r.i =	0	mm	OSLABENÍ STĚNY - TLOUŠŤKA	Δt w.t.r.i =	0 %
PÁSNICE DOLNÍHO LEVÉHO ÚHELNÍKU	b f.b.l.i =	110	mm			
TLOUŠŤKA PÁSNICE ÚHELNÍKU	t f.b.l.i =	14	mm	OSLABENÍ PÁSNICE - TLOUŠŤKA	Δt f.b.l.i =	36 %
VÝŠKA STĚNY ÚHELNÍKU	h w.b.l.i =	96	mm			
TLOUŠŤKA STĚNY ÚHELNÍKU	t w.b.l.i =	14	mm	OSLABENÍ STĚNY - TLOUŠŤKA	Δt w.b.l.i =	29 %
PÁSNICE DOLNÍHO PRAVÉHO ÚHELNÍKU	b f.b.r.i =	110	mm			
TLOUŠŤKA PÁSNICE ÚHELNÍKU	t f.b.r.i =	14	mm	OSLABENÍ PÁSNICE - TLOUŠŤKA	Δt f.b.r.i =	36 %
VÝŠKA STĚNY ÚHELNÍKU	h w.b.r.i =	96	mm			
TLOUŠŤKA STĚNY ÚHELNÍKU	t w.b.r.i =	14	mm	OSLABENÍ STĚNY - TLOUŠŤKA	Δt w.b.r.i =	29 %
ŠÍŘKA HORNÍ PÁSNICE	b f.t =	0	mm			
TLOUŠŤKA HORNÍ PÁSNICE	t f.t =	0	mm	OSLABENÍ HORNÍ PÁSNICE	Δt f.t =	0 %
PŘESAH HORNÍ PÁSNICE	o f.t =	0	mm	(nepoužito - pásnice symetrická k ose průřezu)		
SVĚTLÁ VZDÁLENOST MEZI STĚNAMI	l w =	416	mm			
VÝŠKA STĚNY	h w =	560	mm	OSLABENÍ LEVÉ STĚNY	Δt w.l =	0 %
TLOUŠŤKA STĚNY	t w =	24	mm	OSLABENÍ PRAVÉ STĚNY	Δt w.r =	0 %
ŠÍŘKA DOLNÍ LEVÉ PÁSNICE	b f.b.l =	410	mm			
TLOUŠŤKA DOLNÍ LEVÉ PÁSNICE	t f.b.l =	57	mm	OSLABENÍ DOLNÍ PÁSNICE	Δt f.b.l =	4 %
PŘESAH DOLNÍ LEVÉ PÁSNICE	o f.b.l =	0	mm	(nepoužito - pásnice symetrická k ose levé stěny)		
ŠÍŘKA DOLNÍ PRAVÉ PÁSNICE	b f.b.r =	410	mm			
TLOUŠŤKA DOLNÍ PRAVÉ PÁSNICE	t f.b.r =	57	mm	OSLABENÍ DOLNÍ PÁSNICE	Δt f.b.r =	4 %
PŘESAH DOLNÍ PRAVÉ PÁSNICE	o f.b.r =	0	mm	(nepoužito - pásnice symetrická k ose pravé stěny)		

NÝT Č.	SKUPINA	ŘEZ	RED.	VELIKOST di [mm]	POLOHA ei [mm]	POPIS	AKTIVITA OTVORU		NAPĚTÍ sc [MPa]
1		-	1.00	0	42	nýt - f.t.l	1	-	
2		-	1.00	0	40	nýt - f.t.l - úhelník	1	-	
3		-	1.00	0	40	nýt - f.t.l - úhelník	1	-	
4		-	1.00	0	-50	nýt - f.t.l	1	-	
5		-	1.00	0	50	nýt - f.t.r	1	-	
6		-	1.00	0	40	nýt - f.t.r - úhelník	1	-	
7		-	1.00	0	40	nýt - f.t.r - úhelník	1	-	
8		-	1.00	0	42	nýt - f.t.r	1	-	
9		-	1.00	22	45	nýt - w.l - úhelník	1		105.96
10		-	1.00	22	45	nýt - w.p - úhelník	1		85.36
11		-	1.00	22	425	nýt - w.l	1		110.10
12		-	1.00	22	425	nýt - w.p	1		89.50
13		-	1.00	22	335	nýt - w.l	1		114.24
14		-	1.00	22	335	nýt - w.p	1		93.64
15		-	1.00	22	245	nýt - w.l	1		118.39
16		-	1.00	22	245	nýt - w.p	1		97.79
17		-	1.00	22	155	nýt - w.l	1		122.53
18		-	1.00	22	155	nýt - w.p	1		101.93
19		-	1.00	22	45	nýt - w.l - úhelník	1		127.59
20		-	1.00	22	45	nýt - w.p - úhelník	1		106.99
21	1	3	0.83	20	42	nýt - f.b.l	1		138.58
22	1	3	0.83	24	65	nýt - f.b.l - úhelník	1		133.39
23	1	3	0.83	24	65	nýt - f.b.l - úhelník	1		128.05
24	1	3	0.83	20	42	nýt - f.b.l	1		123.27
25	2	3	0.83	20	42	nýt - f.b.r	1		117.98
26	2	3	0.83	24	65	nýt - f.b.r - úhelník	1		112.79
27	2	3	0.83	24	65	nýt - f.b.r - úhelník	1		107.45
28	2	3	0.83	20	42	nýt - f.b.r	1		102.67
29		-	1.00					-	
30		-	1.00					-	

ZADANÍ ČÁSTI PRŮŘEZU:

č.prvku	b [mm]	h [mm]	y_0 [mm]	z_0 [mm]	popis části	druh oslabení	lokální ultimate	boulení servic.
1	0.0	0.0	-232.0	560.0	pásnice	0	1.000	1.000
2	0.0	0.0	-232.0	560.0	stěna	0	1.000	1.000
3	0.0	0.0	232.0	560.0	pásnice	0	1.000	1.000
4	0.0	0.0	232.0	560.0	stěna	0	1.000	1.000
5	110.0	9.0	-287.0	4.5	pásnice	0	1.000	1.000
6	9.9	96.0	-237.0	57.0	stěna	0	1.000	1.000
7	110.0	9.0	287.0	4.5	pásnice	0	1.000	1.000
8	9.9	96.0	237.0	57.0	stěna	0	1.000	1.000
9	0.0	0.0	0.0	560.0	pásnice	0	1.000	1.000
10	24.0	560.0	-220.0	280.0	stěna	0	1.000	1.000
11	24.0	560.0	220.0	280.0	stěna	0	1.000	1.000
12	0.0	0.0	-208.0	560.0	pásnice	0	1.000	1.000
13	0.0	0.0	-208.0	560.0	stěna	0	1.000	1.000
14	0.0	0.0	208.0	560.0	pásnice	0	1.000	1.000
15	0.0	0.0	208.0	560.0	stěna	0	1.000	1.000
16	110.0	9.0	-153.0	4.5	pásnice	0	1.000	1.000
17	9.9	96.0	-203.0	57.0	stěna	0	1.000	1.000
18	110.0	9.0	153.0	4.5	pásnice	0	1.000	1.000
19	9.9	96.0	203.0	57.0	stěna	0	1.000	1.000
20						0	1.000	1.000
21						0	1.000	1.000
22						0	1.000	1.000
23	410.0	54.7	-220.0	-27.4	pásnice	0	1.000	1.000
24	410.0	54.7	220.0	-27.4	pásnice	0	1.000	1.000
25						0	1.000	1.000
26						0	1.000	1.000
27						0	1.000	1.000
28						0	1.000	1.000
29						0	1.000	1.000
30						0	1.000	1.000
31						0	1.000	1.000
32						0	1.000	1.000
33						0	1.000	1.000
34						0	1.000	1.000
35						0	1.000	1.000
36						0	1.000	1.000
37						0	1.000	1.000
38						0	1.000	1.000
39						0	1.000	1.000
40						0	1.000	1.000
41						0	1.000	1.000
42						0	1.000	1.000
43						0	1.000	1.000
44						0	1.000	1.000
45						0	1.000	1.000
46						0	1.000	1.000
47						0	1.000	1.000
48						0	1.000	1.000
49						0	1.000	1.000
50						0	1.000	1.000
51	0.0	0.0	0	0	nýt - pásnice	0	1.000	1.000
52	0.0	0.0	0	0	nýt - pásnice	0	1.000	1.000
53	0.0	0.0	0	0	nýt - pásnice	0	1.000	1.000
54	0.0	0.0	0	0	nýt - pásnice	0	1.000	1.000
55	0.0	0.0	0	0	nýt - pásnice	0	1.000	1.000
56	0.0	0.0	0	0	nýt - pásnice	0	1.000	1.000
57	0.0	0.0	0	0	nýt - pásnice	0	1.000	1.000
58	0.0	0.0	0	0	nýt - pásnice	0	1.000	1.000
59	24.0	-22.0	-220.0	515.0	nýt - stěna	0	1.000	1.000
60	24.0	-22.0	220.0	515.0	nýt - stěna	0	1.000	1.000
61	24.0	-22.0	-220.0	425.0	nýt - stěna	0	1.000	1.000
62	24.0	-22.0	220.0	425.0	nýt - stěna	0	1.000	1.000
63	24.0	-22.0	-220.0	335.0	nýt - stěna	0	1.000	1.000
64	24.0	-22.0	220.0	335.0	nýt - stěna	0	1.000	1.000
65	24.0	-22.0	-220.0	245.0	nýt - stěna	0	1.000	1.000
66	24.0	-22.0	220.0	245.0	nýt - stěna	0	1.000	1.000
67	24.0	-22.0	-220.0	155.0	nýt - stěna	0	1.000	1.000
68	24.0	-22.0	220.0	155.0	nýt - stěna	0	1.000	1.000
69	43.9	-22.0	-220.0	45.0	nýt - stěna	0	1.000	1.000
70	43.9	-22.0	220.0	45.0	nýt - stěna	0	1.000	1.000
71	-16.5	54.7	-383.5	-27.4	nýt - pásnice	0	1.000	1.000
72	-19.8	63.7	-277.0	-22.9	nýt - pásnice	0	1.000	1.000
73	-19.8	63.7	-163.0	-22.9	nýt - pásnice	0	1.000	1.000
74	-16.5	54.7	-56.5	-27.4	nýt - pásnice	0	1.000	1.000
75	-16.5	54.7	56.5	-27.4	nýt - pásnice	0	1.000	1.000
76	-19.8	63.7	163.0	-22.9	nýt - pásnice	0	1.000	1.000
77	-19.8	63.7	277.0	-22.9	nýt - pásnice	0	1.000	1.000
78	-16.5	54.7	383.5	-27.4	nýt - pásnice	0	1.000	1.000
79						0	1.000	1.000
80						0	1.000	1.000
81								
82								
83								
84								
85								
86								
87								
88								
89								
90								
91								
92								
93								
94								
95								
96								
97								
98								
99								
100								

VÝPOČET PRŮŘEZOVÝCH CHARAKTERISTIK

Properties	Basic	Ultimate		Serviceability	
y_t	0.0	0.0		0.0	[mm]
z_t	76.9	76.9		76.9	[mm]
A_t	6.3627E+04	6.3627E+04		6.3627E+04	[mm²]
A_i	4.0140E+04	4.0140E+04		4.0140E+04	[mm²]
A_s	2.3488E+04	2.3488E+04		2.3488E+04	[mm²]
I_{y1}	1.8036E+09	1.8036E+09		1.8036E+09	[mm⁴]
I_{z0}	5.4273E+08	5.4273E+08		5.4273E+08	[mm⁴]
i_y	168.4	168.4		168.4	[mm]
i_z	92.4	92.4		92.4	[mm]
$W_{y,1}$	3.7333E+06	3.7333E+06		3.7333E+06	[mm³]
$W_{y,1}$	-2.3394E+06	-2.3394E+06		-2.3394E+06	[mm³]
$W_{y,2}$	-1.3703E+07	-1.3703E+07		-1.3703E+07	[mm³]
$W_{z,2}$	-1.2770E+06	-1.2770E+06		-1.2770E+06	[mm³]
KRAJNÍ VLÁKNA PRŮŘEZU					
y_1	-232.0	-232.0		-232.0	[mm]
z_1	560.0	560.0		560.0	[mm]
y_2	425.0	425.0		425.0	[mm]
z_2	-54.7	-54.7		-54.7	[mm]
y_3	232.0	232.0		232.0	[mm]
z_3	560.0	560.0		560.0	[mm]
y_4	425.0	425.0		425.0	[mm]
z_4	-54.7	-54.7		-54.7	[mm]
y_5	-232.0	-232.0		-232.0	[mm]
z_5	560.0	560.0		560.0	[mm]
y_6	-232.0	-232.0		-232.0	[mm]
z_6	0.0	0.0		0.0	[mm]

ÚPRAVA MOMENTŮ SETRVAČNOSTI V DŮSLEDKU ČLENĚNÍ PRŮŘEZU

OSA Y 1.00
OSA Z 0.15

SCHÉMA PROMĚNNÝCH

SCHÉMA ZADANÉHO PRŮŘEZU

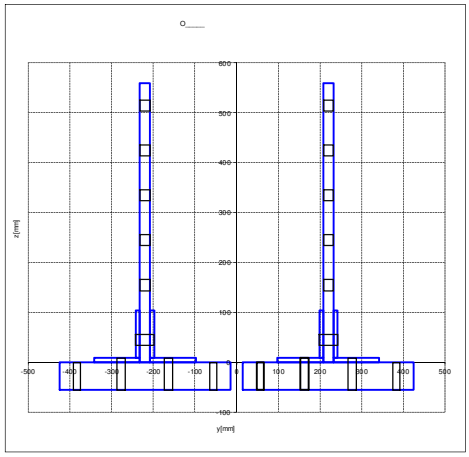

NEUTRÁLNÁ OSA

NAPĚTÍ [MPa]:

113.46	73.69
141.79	101.99

ZS: SLS_LM_N,MX,X

	N [kN]	Vy [kN]	Vz [kN]	Mx [kNm]	My [kNm]	Mz [kNm]
import	7370	-9	-9	0	83	25

TR_U8 POPIS: **DOLNÍ PÁS U8** POSUDEK: **U8**

SKUPINA ZAT. STAVŮ	EXTRÉM	VYHODNOCOVANÉ VELIČINY					
		N	Vy	Vz	Mx	My	Mz
		kN	kN	kN	kNm	kNm	kNm
G0	N.min	**1759.75**	-1.32	12.78	-0.01	12.69	2.3
	N.max	**1759.75**	-1.32	12.78	-0.01	12.69	2.3
	Vy.min	1759.75	**-1.32**	12.78	-0.01	12.69	2.3
	Vy.max	1759.75	**-1.32**	12.78	-0.01	12.69	2.3
	Vz.min	1759.75	-1.32	**12.78**	-0.01	12.69	2.3
	Vz.max	1759.75	-1.32	**12.78**	-0.01	12.69	2.3
	Mx.min	1759.75	-1.32	12.78	**-0.01**	12.69	2.3
	Mx.max	1759.75	-1.32	12.78	**-0.01**	12.69	2.3
	My.min	1759.75	-1.32	12.78	-0.01	**12.69**	2.3
	My.max	1759.75	-1.32	12.78	-0.01	**12.69**	2.3
	Mz.min	1759.75	-1.32	12.78	-0.01	12.69	**2.3**
	Mz.max	1759.75	-1.32	12.78	-0.01	12.69	**2.3**
G1	N.min	**125.58**	-0.13	-0.24	0	1.39	0.21
	N.max	**125.58**	-0.13	-0.24	0	1.39	0.21
	Vy.min	125.58	**-0.13**	-0.24	0	1.39	0.21
	Vy.max	125.58	**-0.13**	-0.24	0	1.39	0.21
	Vz.min	125.58	-0.13	**-0.24**	0	1.39	0.21
	Vz.max	125.58	-0.13	**-0.24**	0	1.39	0.21
	Mx.min	125.58	-0.13	-0.24	**0**	1.39	0.21
	Mx.max	125.58	-0.13	-0.24	**0**	1.39	0.21
	My.min	125.58	-0.13	-0.24	0	**1.39**	0.21
	My.max	125.58	-0.13	-0.24	0	**1.39**	0.21
	Mz.min	125.58	-0.13	-0.24	0	1.39	**0.21**
	Mz.max	125.58	-0.13	-0.24	0	1.39	**0.21**
G2	N.min	**98.28**	-0.04	-0.15	0	0.99	0.06
	N.max	**98.28**	-0.04	-0.15	0	0.99	0.06
	Vy.min	98.28	**-0.04**	-0.15	0	0.99	0.06
	Vy.max	98.28	**-0.04**	-0.15	0	0.99	0.06
	Vz.min	98.28	-0.04	**-0.15**	0	0.99	0.06
	Vz.max	98.28	-0.04	**-0.15**	0	0.99	0.06
	Mx.min	98.28	-0.04	-0.15	**0**	0.99	0.06
	Mx.max	98.28	-0.04	-0.15	**0**	0.99	0.06
	My.min	98.28	-0.04	-0.15	0	**0.99**	0.06
	My.max	98.28	-0.04	-0.15	0	**0.99**	0.06
	Mz.min	98.28	-0.04	-0.15	0	0.99	**0.06**
	Mz.max	98.28	-0.04	-0.15	0	0.99	**0.06**
P1_71	N.min	**0**	0	0	0	0	0
	N.max	**1247.91**	-0.58	-3.03	-0.02	16.96	0.58
	Vy.min	917.25	**-1.85**	-5.79	-0.03	16.91	2.77
	Vy.max	394.6	**1.76**	3.37	0.01	0.39	-2.84
	Vz.min	781.68	-1.62	**-6.55**	-0.02	18.46	2.53
	Vz.max	569.25	1.5	**4.35**	0	-0.91	-2.54
	Mx.min	1003.14	-1.29	-3.61	**-0.03**	14.45	1.47
	Mx.max	336.06	1	1.33	**0.01**	0.84	-1.78
	My.min	350.75	0.83	3.15	0	**-4.91**	-2.5
	My.max	984.36	-1.08	-5.05	-0.02	**20.06**	2.15
	Mz.min	707.19	1.04	1.07	0	-0.34	**-3.49**
	Mz.max	696.45	-1.4	-4	-0.03	17.25	**3.16**
P2_71	N.min	**-3.11**	0	-0.01	0	-0.01	-0.01
	N.max	**2444.27**	-5.62	-7.37	-0.02	38.34	11.08
	Vy.min	2202.35	**-6.11**	-13.2	-0.03	41.3	11.5
	Vy.max	468.09	**0.75**	10.06	0.01	-8.17	-0.9
	Vz.min	1560.66	-5.45	**-17.93**	-0.03	47.83	10.25
	Vz.max	1095.66	-0.21	**13.33**	0.01	-9.5	1.11
	Mx.min	1455.41	-4.59	-10.1	**-0.03**	30.23	8.85
	Mx.max	1145.86	-1.04	4.99	**0.02**	1.36	1.39
	My.min	827.42	-0.22	10.7	0.01	**-18.69**	-0.25
	My.max	1788.4	-5.32	-14.64	-0.02	**50.39**	10.99
	Mz.min	560.9	0.31	9.43	0.01	-16.09	**-1.28**
	Mz.max	2081.39	-5.86	-13.67	-0.03	47.43	**11.87**
P1_C3	N.min	**0**	0	0	0	0	0
	N.max	**1048.49**	-0.54	-2.68	-0.02	13.46	0.33
	Vy.min	784.23	**-1.7**	-5.34	-0.02	13.79	2.31
	Vy.max	307.28	**1.42**	3.35	0	-2.36	-2.79
	Vz.min	587.91	-1.5	**-5.82**	-0.02	13.42	2.12
	Vz.max	445.16	1.24	**4.33**	0	-3.54	-2.41
	Mx.min	793.4	-1.05	-2.92	**-0.03**	11.06	1.32
	Mx.max	262.38	0.78	1.08	**0.01**	0.61	-1.39
	My.min	292.31	0.64	2.73	0	**-4.43**	-1.93
	My.max	808.37	-1.32	-5.07	-0.02	**15.82**	2.12
	Mz.min	535.71	1.11	1.33	0.01	-1.72	**-3.03**
	Mz.max	481.44	-1.17	-3.08	-0.02	11.89	**2.61**
P2_C3	N.min	**-3.61**	0	-0.01	0	0	-0.01
	N.max	**2044.65**	-4.3	-5.57	-0.01	29.35	8.27
	Vy.min	1772.99	**-5.01**	-13.36	-0.02	36.91	9.1
	Vy.max	534.19	**0.75**	11.61	0.01	-14.46	-1.26
	Vz.min	1240.46	-4.3	**-16.29**	-0.02	36.32	7.52
	Vz.max	866.63	0.23	**13.16**	0.01	-15.53	0.06
	Mx.min	1137.8	-3.57	-8.64	**-0.03**	22	6.55
	Mx.max	933.95	-0.89	4.16	**0.02**	0.57	1.31
	My.min	749.81	0.29	12.75	0.01	**-17.61**	-0.46
	My.max	1537.27	-4.62	-14.08	-0.02	**40.27**	8.68
	Mz.min	533.27	0.64	11.29	0.01	-15.68	**-1.35**
	Mz.max	1636.48	-4.61	-12.66	-0.02	37.39	**9.19**
BR	N.min	**-561.69**	0.4	6.68	0	-6.95	-1.03
	N.max	**561.69**	-0.4	-6.68	0	6.95	1.03
	Vy.min	514.7	**-0.46**	-4.87	0	5.58	0.66
	Vy.max	-514.7	**0.46**	4.87	0	-5.58	-0.66
	Vz.min	561.69	-0.4	**-6.68**	0	6.95	1.03
	Vz.max	-561.69	0.4	**6.68**	0	-6.95	-1.03
	Mx.min	514.7	-0.46	-4.87	**0**	5.58	0.66
	Mx.max	-514.7	0.46	4.87	**0**	-5.58	-0.66
	My.min	-561.69	0.4	6.68	0	**-6.95**	-1.03
	My.max	561.69	-0.4	-6.68	0	**6.95**	1.03
	Mz.min	-561.69	0.4	6.68	0	-6.95	**-1.03**
	Mz.max	561.69	-0.4	-6.68	0	6.95	**1.03**

TR_U8 POPIS: **DOLNÍ PÁS U8** POSUDEK: **U8**

SKUPINA ZAT. STAVŮ	EXTRÉM	VYHODNOCOVANÉ VELIČINY					
		N	Vy	Vz	Mx	My	Mz
		kN	kN	kN	kNm	kNm	kNm
S	N.min	**-252.8**	-1.15	0.54	-0.01	-0.81	-4.72
	N.max	**252.8**	1.15	-0.54	0.01	0.81	4.72
	Vy.min	249.61	**-2.94**	-0.14	-0.01	1.16	8.14
	Vy.max	-249.61	**2.94**	0.14	0.01	-1.16	-8.14
	Vz.min	184.57	-0.34	**-0.69**	0	0.08	1
	Vz.max	-184.57	0.34	**0.69**	0	-0.08	-1
	Mx.min	-224.4	-2.24	0.05	**-0.01**	0.01	-1.07
	Mx.max	224.4	2.24	-0.05	**0.01**	-0.01	1.07
	My.min	-249.61	2.94	0.14	0.01	**-1.16**	-8.14
	My.max	249.61	-2.94	-0.14	-0.01	**1.16**	8.14
	Mz.min	-249.61	2.94	0.14	0.01	-1.16	**-8.14**
	Mz.max	249.61	-2.94	-0.14	-0.01	1.16	**8.14**
CH	N.min	**113.67**	-0.1	-0.3	0	0.19	0.22
	N.max	**245.91**	0	-0.37	0	2.47	0
	Vy.min	113.67	**-0.1**	-0.3	0	0.19	0.22
	Vy.max	138.26	**0.09**	-0.05	0	2.2	-0.34
	Vz.min	245.91	0	**-0.37**	0	2.47	0
	Vz.max	138.26	0.09	**-0.05**	0	2.2	-0.34
	Mx.min	113.67	-0.1	-0.3	**0**	0.19	0.22
	Mx.max	138.26	0.09	-0.05	**0**	2.2	-0.34
	My.min	113.67	-0.1	-0.3	0	**0.19**	0.22
	My.max	245.91	0	-0.37	0	**2.47**	0
	Mz.min	138.26	0.09	-0.05	0	2.2	**-0.34**
	Mz.max	113.67	-0.1	-0.3	0	0.19	**0.22**
W	N.min	**-502.17**	-0.22	0.78	0.01	-1.9	-4.33
	N.max	**502.15**	0.22	-0.78	-0.01	1.9	4.32
	Vy.min	-502.17	**-0.22**	0.78	0.01	-1.9	-4.33
	Vy.max	502.15	**0.22**	-0.78	-0.01	1.9	4.32
	Vz.min	502.15	0.22	**-0.78**	-0.01	1.9	4.32
	Vz.max	-502.17	-0.22	**0.78**	0.01	-1.9	-4.33
	Mx.min	502.15	0.22	-0.78	**-0.01**	1.9	4.32
	Mx.max	-502.17	-0.22	0.78	**0.01**	-1.9	-4.33
	My.min	-502.17	-0.22	0.78	0.01	**-1.9**	-4.33
	My.max	502.15	0.22	-0.78	-0.01	**1.9**	4.32
	Mz.min	-502.17	-0.22	0.78	0.01	-1.9	**-4.33**
	Mz.max	502.15	0.22	-0.78	-0.01	1.9	**4.32**
WP	N.min	**-733.47**	1.26	1.27	-0.01	-2.84	-7.33
	N.max	**733.58**	-1.26	-1.28	0.01	2.84	7.33
	Vy.min	733.58	**-1.26**	-1.28	0.01	2.84	7.33
	Vy.max	-733.47	**1.26**	1.27	-0.01	-2.84	-7.33
	Vz.min	733.58	-1.26	**-1.28**	0.01	2.84	7.33
	Vz.max	-733.47	1.26	**1.27**	-0.01	-2.84	-7.33
	Mx.min	-733.47	1.26	1.27	**-0.01**	-2.84	-7.33
	Mx.max	733.58	-1.26	-1.28	**0.01**	2.84	7.33
	My.min	-733.47	1.26	1.27	-0.01	**-2.84**	-7.33
	My.max	733.58	-1.26	-1.28	0.01	**2.84**	7.33
	Mz.min	-733.47	1.26	1.27	-0.01	-2.84	**-7.33**
	Mz.max	733.58	-1.26	-1.28	0.01	2.84	**7.33**
TR	N.min	**0**	0	0	0	0	0
	N.max	**0**	0	0	0	0	0
	Vy.min	0	**0**	0	0	0	0
	Vy.max	0	**0**	0	0	0	0
	Vz.min	0	0	**0**	0	0	0
	Vz.max	0	0	**0**	0	0	0
	Mx.min	0	0	0	**0**	0	0
	Mx.max	0	0	0	**0**	0	0
	My.min	0	0	0	0	**0**	0
	My.max	0	0	0	0	**0**	0
	Mz.min	0	0	0	0	0	**0**
	Mz.max	0	0	0	0	0	**0**
TN	N.min	**-131.74**	0.15	0.13	0.01	-0.84	-0.85
	N.max	**162.99**	-0.23	3.16	-0.01	-8.11	0.97
	Vy.min	162.99	**-0.23**	3.16	-0.01	-8.11	0.97
	Vy.max	-131.74	**0.15**	0.13	0.01	-0.84	-0.85
	Vz.min	-28.49	-0.01	**-3.15**	0	8.9	0.02
	Vz.max	162.99	-0.23	**3.16**	-0.01	-8.11	0.97
	Mx.min	162.99	-0.23	3.16	**-0.01**	-8.11	0.97
	Mx.max	-131.74	0.15	0.13	**0.01**	-0.84	-0.85
	My.min	28.49	0.01	3.15	0	**-8.9**	-0.02
	My.max	-28.49	-0.01	-3.15	0	**8.9**	0.02
	Mz.min	-131.74	0.15	0.13	0.01	-0.84	**-0.85**
	Mz.max	162.99	-0.23	3.16	-0.01	-8.11	**0.97**
FR	N.min	**-87.86**	0.08	0.14	0	-0.36	-0.13
	N.max	**87.86**	-0.08	-0.14	0	0.36	0.13
	Vy.min	87.86	**-0.08**	-0.14	0	0.36	0.13
	Vy.max	-87.86	**0.08**	0.14	0	-0.36	-0.13
	Vz.min	87.86	-0.08	**-0.14**	0	0.36	0.13
	Vz.max	-87.86	0.08	**0.14**	0	-0.36	-0.13
	Mx.min	87.86	-0.08	-0.14	**0**	0.36	0.13
	Mx.max	-87.86	0.08	0.14	**0**	-0.36	-0.13
	My.min	-87.86	0.08	0.14	0	**-0.36**	-0.13
	My.max	87.86	-0.08	-0.14	0	**0.36**	0.13
	Mz.min	-87.86	0.08	0.14	0	-0.36	**-0.13**
	Mz.max	87.86	-0.08	-0.14	0	0.36	**0.13**
I	N.min	**-48.82**	0.04	0.08	0	-0.25	**-0.22**
	N.max	**48.82**	-0.04	-0.08	0	0.25	**0.22**
	Vy.min	48.82	**-0.04**	-0.08	0	0.25	**0.22**
	Vy.max	-48.82	**0.04**	0.08	0	-0.25	**-0.22**
	Vz.min	48.82	-0.04	**-0.08**	0	0.25	**0.22**
	Vz.max	-48.82	0.04	**0.08**	0	-0.25	**-0.22**
	Mx.min	48.82	-0.04	-0.08	**0**	0.25	**0.22**
	Mx.max	-48.82	0.04	0.08	**0**	-0.25	**-0.22**
	My.min	-48.82	0.04	0.08	0	**-0.25**	**-0.22**
	My.max	48.82	-0.04	-0.08	0	**0.25**	**0.22**
	Mz.min	-48.82	0.04	0.08	0	-0.25	**-0.22**
	Mz.max	48.82	-0.04	-0.08	0	0.25	**0.22**

TAB. U8.3 POSOUZENÍ - MEZNÍ STAV ÚNOSNOSTI

POPIS	DOLNÍ PÁS U8
PRUT / POLOHA BODU	96 / 3/4
NAMÁHÁNÍ	N.max
VLÁKNO	BOD K2 -HP
MEZNÍ STAV	ULS (MSÚ)
VYUŽITÍ VLÁKNA PRŮŘEZU	0.66

Charakteristiky materiálu				
pás. horní	$f_{yf,k}$	230	MPa	
pás. dolní	$f_{yf,k}$	230	MPa	
stojina	$f_{yw,k}$	230	MPa	
výztuž	$f_{ys,k}$	500	MPa	
γ_M =	1.10	γ_s =	1.15	

Excentricita normálové síly				
Exc./Fáze	0	1	2	3
e_y	0.000	0.000	0.000	0.000
e_z	0.000	0.000	0.000	0.000
Ekvivalentní vzdál. stěn - příčný roznos				
b_{Mx}	0.000	0.000	0.000	0.000

Vliv stěny na únosnost průřezu				
Char./Fáze	0	1	2	3
A	0.00	0.00	0.00	0.00
Wy	0.00	0.00	0.00	0.00
Wz	0.00	0.00	0.00	0.00

Charakter. v kroucení			
$t_{w,y}$	0.000	[mm]	
$t_{w,z}$	0.000	[mm]	
κ	1.00		
I_t=	0.00E+00	[mm^4]	
$\Omega=2*A_{pr}$	0.00E+00	[mm^2]	

Součinitele vzpěru a vlivu II.řádu				
Char./Fáze	0	1	2	3
k_y	1.000	1.000	1.000	1.000
k_z	1.000	1.000	1.000	1.000
χ_{LT}	1.000	1.000	1.000	1.000
χ_{min}	1.000	1.000	1.000	1.000

Vnitřní síly od jednotlivých skupin zatěžovacích stavů

SKUPINA ZATĚŽOVACÍCH STAVŮ — CHARAKTERISTICKÉ HODNOTY — DÍLČÍ SOUČINITELÉ ZATÍŽENÍ, DYNAMICKÝ SOUČINITEL — NÁVRHOVÉ HODNOTY

Č.	SKUP ZS	POPIS ZS	KAT.	FÁZE PRŮŘ.	N.k (kN)	Vy.k (kN)	Vz.k (kN)	Mx.k (kNm)	My.k (kNm)	Mz.k (kNm)	γ_{sr} (-)	γ_{fs} (-)	volba γ_f hledat	γ_f (-)	L_d (m)	δ (-)	Ψ_s KZ04	N.d (kN)	Vy.d (kN)	Vz.d (kN)	ΔVz.d (kN)	ΣVz.d (kN)	Mx.d (kNm)	My.d (kNm)	ΔMy.d (kNm)	ΣMy.d (kNm)	Mz.d (kNm)	ΔMz.d (kNm)	ΣMz.d (kNm)
1	G0	Vlastní tíha OK	G	0	1 760	-1	13	0	13	2	1.00	1.20		1.20	-	1.00	0.95	2 006	-2	15	0	15	0	14	0	14	3	0	3
2	G1	Ostatní stálé - mostní vybavení	G	0	126	0	0	0	1	0	1.00	1.20		1.20	-	1.00	0.95	143	0	0	0	0	0	2	0	2	0	0	0
3	G2	Ostatní stálé - cizí zařízení	G	0	98	0	0	0	1	0	1.00	1.20		1.20	-	1.00	0.95	112	0	0	0	0	0	1	0	1	0	0	0
4	P1_71	a.LM71 - kolej 1 (bez dyn. souč.)	P	0	1 248	-1	-3	0	17	1	1.00	1.30		1.30	-	1.00	1.00	1 622	-1	-4	0	-4	0	22	0	22	1	0	1
5	P2_71	a.LM71 - kolej 2 (bez dyn. souč.)	P	0	2 444	-6	-7	0	38	11	1.00	1.30		1.30	-	1.00	1.00	3 178	-7	-10	0	-10	0	50	0	50	14	0	14
6	P1_C3	TTZ C3 - kolej 1 (bez dyn. souč.)	P	0	1 048	-1	-3	0	13	0	1.00	vyp.		0.00	-	1.00	0.00	0	0	0	0	0	0	0	0	0	0	0	0
7	P2_C3	TTZ C3 - kolej 2 (bez dyn. souč.)	P	0	2 045	-4	-6	0	29	8	1.00	vyp.		0.00	-	1.00	0.00	0	0	0	0	0	0	0	0	0	0	0	0
8	BR	Brzdné a rozjezdové síly	P	0	562	0	-7	0	7	1	1.00	1.30		1.30	-	1.00	0.40	292	0	-3	0	-3	0	4	0	4	1	0	1
9	S	Boční ráz	P	0	253	1	-1	0	1	5	1.00	1.30		1.30	-	1.00	0.80	263	1	-1	0	-1	0	1	0	1	5	0	5
10	CH	Chodci na lávkách	Q	0	246	0	0	0	2	0	1.00	1.30		1.30	-	1.00	1.00	320	0	0	0	0	0	3	0	3	0	0	0
11	W	Vítr na konstrukci	Q	0	502	0	-1	0	2	4	1.00	1.35		1.35	-	1.00	0.75	508	0	-1	0	-1	0	2	0	2	4	0	4
12	WP	Vítr na vozidla	Q	0	734	-1	-1	0	3	7	1.00	1.35		1.35	-	1.00	0.75	743	-1	-1	0	-1	0	3	0	3	7	0	7
13	TR	Teplota rovnoměrná	Q	0	0	0	0	0	0	0	1.00	1.35		1.35	-	1.00	0.45	0	0	0	0	0	0	0	0	0	0	0	0
14	TN	Teplota nerovnoměrná	Q	0	163	0	3	0	-8	1	1.00	1.35		1.35	-	1.00	0.60	132	0	3	0	3	0	-7	0	-7	1	0	1
15	FR	Třecí síly v ložiskách	Q	0	88	0	0	0	0	0	1.00	1.20		1.20	-	1.00	1.00	105	0	0	0	0	0	0	0	0	0	0	0
16	I	Imperfekce soustavy	Q	0	49	0	0	0	0	0	1.00	1.20		1.20	-	1.00	1.00	59	0	0	0	0	0	0	0	0	0	0	0
27	ULS_LM	ULS - LM71 bez dynam	Q	0	9 749	-11	-9	0	101	36	1.00	vyp.		0.00	-	1.00	0.00	0	0	0	0	0	0	0	0	0	0	0	0
28	SLS_LM	SLS - LM71 bez dynam	Q	0	7 609	-9	-7	0	84	27	1.00	vyp.	1	0.00	-	1.00	0.00	0	0	0	0	0	0	0	0	0	0	0	0
29	ULS_C3	ULS - C3 bez dynam	Q	0	8 971	-9	-6	0	85	32	1.00	vyp.	1	0.00	-	1.00	0.00	0	0	0	0	0	0	0	0	0	0	0	0
30	SLS_C3	SLS - C3 bez dynam	Q	0	7 010	-7	-5	0	72	24	1.00	vyp.	1	0.00	-	1.00	0.00	0	0	0	0	0	0	0	0	0	0	0	0
		CELKEM - FÁZE PRŮŘEZU 0																9 483	-10	-4	0	-4	0	96	0	96	37	0	37
		CELKEM - FÁZE PRŮŘEZU 1																0	0	0	0	0	0	0	0	0	0	0	0
		CELKEM - FÁZE PRŮŘEZU 2																0	0	0	0	0	0	0	0	0	0	0	0
		CELKEM - FÁZE PRŮŘEZU 3																0	0	0	0	0	0	0	0	0	0	0	0
		CELKEM - PRŮŘEZ																9 483	-10	-4	0	-4	0			96			37

Napětí od jednotlivých zatěžovacích stavů

SKUPINA ZATĚŽOVACÍCH STAVŮ — Posouzení normálového napětí — Účinek síly N — Účinek momentu My — Účinek momentu Mz — Posouzení smykového napětí — Účinek kroutícího momentu Mx — Účinek smykové síly Vy — Účinek smykové síly Vz

Č.	SKUP ZS	Popis ZS	Kat.	fáze průř.	δ^*N_d [kN]	χ^*A [mm^2]	σ_n [MPa]	$\delta^*M_{y,d}$ [kNm]	$\chi_{lt}{}^*W_{el,y}$ [mm^3]	σ_{my} [MPa]	$\delta^*M_{z,d}$ [kNm]	$W_{el,z}$ [mm^3]	σ_{mz} [MPa]	σ_x [MPa]	$\kappa^*\delta^*M_{x,d}$ [kNm]	$W_{v,y}$ [mm^3]	$\tau_{x,y}$ [MPa]	$W_{v,z}$ [mm^3]	$\tau_{x,z}$ [MPa]	$\delta^*V_{y,d}$ [kN]	$A_{v,y}$ [mm2]	$\tau_{v,y}$ [MPa]	$\tau_{v,y}$ [MPa]	$\delta^*V_{z,d}$ [kN]	$A_{v,z}$ [mm2]	$\tau_{v,z}$ [MPa]	$\tau_{v,z}$ [MPa]
1	G0	Vlastní tíha OK	G	0	2 006.1	6.36E+04	31.5	14.5	-3.73E+06	-3.9	2.6	2.34E+06	1.1	28.8	-1.1E-02	-	-	-	-	-1.5	4.01E+04	0.0	0.0	14.6	2.35E+04	0.6	0.6
2	G1	Ostatní stálé - mostní vybavení	G	0	143.2	6.36E+04	2.3	1.6	-3.73E+06	-0.4	0.2	2.34E+06	0.1	1.9	0.0E+00	-	-	-	-	-0.1	4.01E+04	0.0	0.0	-0.3	2.35E+04	0.0	0.0
3	G2	Ostatní stálé - cizí zařízení	G	0	112.0	6.36E+04	1.8	1.1	-3.73E+06	-0.3	0.1	2.34E+06	0.0	1.5	0.0E+00	-	-	-	-	0.0	4.01E+04	0.0	0.0	-0.2	2.35E+04	0.0	0.0
4	P1_71	a.LM71 - kolej 1 (bez dyn. souč.)	P	0	1 622.3	6.36E+04	25.5	22.0	-3.73E+06	-5.9	0.8	2.34E+06	0.3	19.9	-2.6E-02	-	-	-	-	-0.8	4.01E+04	0.0	0.0	-3.9	2.35E+04	-0.2	-0.2
5	P2_71	a.LM71 - kolej 2 (bez dyn. souč.)	P	0	3 177.6	6.36E+04	49.9	49.8	-3.73E+06	-13.4	14.4	2.34E+06	6.2	42.7	-2.6E-02	-	-	-	-	-7.3	4.01E+04	-0.2	-0.2	-9.6	2.35E+04	-0.4	-0.4
6	P1_C3	TTZ C3 - kolej 1 (bez dyn. souč.)	P	0	0.0	6.36E+04	0.0	0.0	-3.73E+06	0.0	0.0	2.34E+06	0.0	0.0	0.0E+00	-	-	-	-	0.0	4.01E+04	0.0	0.0	0.0	2.35E+04	0.0	0.0
7	P2_C3	TTZ C3 - kolej 2 (bez dyn. souč.)	P	0	0.0	6.36E+04	0.0	0.0	-3.73E+06	0.0	0.0	2.34E+06	0.0	0.0	0.0E+00	-	-	-	-	0.0	4.01E+04	0.0	0.0	0.0	2.35E+04	0.0	0.0
8	BR	Brzdné a rozjezdové síly	P	0	292.1	6.36E+04	4.6	3.6	-3.73E+06	-1.0	0.5	2.34E+06	0.2	3.9	0.0E+00	-	-	-	-	-0.2	4.01E+04	0.0	0.0	-3.5	2.35E+04	-0.1	-0.1
9	S	Boční ráz	P	0	262.9	6.36E+04	4.1	0.8	-3.73E+06	-0.2	4.9	2.34E+06	2.1	6.0	1.0E-02	-	-	-	-	1.2	4.01E+04	0.0	0.0	-0.6	2.35E+04	0.0	0.0
10	CH	Chodci na lávkách	Q	0	319.7	6.36E+04	5.0	3.2	-3.73E+06	-0.9	0.0	2.34E+06	0.0	4.2	0.0E+00	-	-	-	-	0.0	4.01E+04	0.0	0.0	-0.5	2.35E+04	0.0	0.0
11	W	Vítr na konstrukci	Q	0	508.4	6.36E+04	8.0	1.9	-3.73E+06	-0.5	4.4	2.34E+06	1.9	9.3	-1.0E-02	-	-	-	-	0.2	4.01E+04	0.0	0.0	-0.8	2.35E+04	0.0	0.0
12	WP	Vítr na vozidla	Q	0	742.7	6.36E+04	11.7	2.9	-3.73E+06	-0.8	7.4	2.34E+06	3.2	14.1	1.0E-02	-	-	-	-	-1.3	4.01E+04	0.0	0.0	-1.3	2.35E+04	-0.1	-0.1
13	TR	Teplota rovnoměrná	Q	0	0.0	6.36E+04	0.0	0.0	-3.73E+06	0.0	0.0	2.34E+06	0.0	0.0	0.0E+00	-	-	-	-	0.0	4.01E+04	0.0	0.0	0.0	2.35E+04	0.0	0.0
14	TN	Teplota nerovnoměrná	Q	0	132.0	6.36E+04	2.1	-6.6	-3.73E+06	1.8	0.8	2.34E+06	0.3	4.2	-8.1E-03	-	-	-	-	-0.2	4.01E+04	0.0	0.0	2.6	2.35E+04	0.1	0.1
15	FR	Třecí síly v ložiskách	Q	0	105.4	6.36E+04	1.7	0.4	-3.73E+06	-0.1	0.2	2.34E+06	0.1	1.6	0.0E+00	-	-	-	-	-0.1	4.01E+04	0.0	0.0	-0.2	2.35E+04	0.0	0.0
16	I	Imperfekce soustavy	Q	0	58.6	6.36E+04	0.9	0.3	-3.73E+06	-0.1	0.3	2.34E+06	0.1	1.0	0.0E+00	-	-	-	-	0.0	4.01E+04	0.0	0.0	-0.1	2.35E+04	0.0	0.0
27	ULS_LM	ULS - LM71 bez dynam	Q	0	0.0	6.36E+04	0.0	0.0	-3.73E+06	0.0	0.0	2.34E+06	0.0	0.0	0.0E+00	-	-	-	-	0.0	4.01E+04	0.0	0.0	0.0	2.35E+04	0.0	0.0
28	SLS_LM	SLS - LM71 bez dynam	Q	0	0.0	6.36E+04	0.0	0.0	-3.73E+06	0.0	0.0	2.34E+06	0.0	0.0	0.0E+00	-	-	-	-	0.0	4.01E+04	0.0	0.0	0.0	2.35E+04	0.0	0.0
29	ULS_C3	ULS - C3 bez dynam	Q	0	0.0	6.36E+04	0.0	0.0	-3.73E+06	0.0	0.0	2.34E+06	0.0	0.0	0.0E+00	-	-	-	-	0.0	4.01E+04	0.0	0.0	0.0	2.35E+04	0.0	0.0
30	SLS_C3	SLS - C3 bez dynam	Q	0	0.0	6.36E+04	0.0	0.0	-3.73E+06	0.0	0.0	2.34E+06	0.0	0.0	0.0E+00	-	-	-	-	0.0	4.01E+04	0.0	0.0	0.0	2.35E+04	0.0	0.0
		NAVÝŠENÍ NAPĚTÍ DO AKTIVACE TLAKU V DESCE MOSTOVKY				$\sigma_{P,red}$	0.0							0.0			0.0		0.0				-0.3	-0.3			-0.2	-0.2
		NAPĚTÍ OD PRIMÁRNÍCH ÚČINKŮ NEROVNOMĚRNÉHO OTEPLENÍ				σ_T	0.0							0.0														
		NAPĚTÍ OD REOLOGICKÝCH ÚČINKŮ BETONU V ČASE		t=0		σ_R	0.0	γ_{lt}=	1.20					0.0														
		NAPĚTÍ V KRITICKÝCH VLÁKNECH OD KOMBINACE ZATÍŽENÍ				KZ04		[MPa]					$\Sigma\sigma_x$	139.0				$\Sigma\tau_y$	-0.3					$\Sigma\tau_z$	-0.2	
		NAPĚTÍ OD POHYBLIVÉHO ZATÍŽENÍ						[MPa]					$\sigma_{x,P}$	72.5				τ_P	-0.2					τ_P	-0.7	
		NAPĚTÍ OD OSTATNÍCH ZATÍŽENÍ						[MPa]			Φ_{Vy}	Φ_{Vz}	$\sigma_{x,rs}$	66.5				τ_{rs}	-0.1					τ_{rs}	0.6	
		NÁVRHOVÁ HODNOTA MEZE KLUZU S REDUKCÍ VLIVEM SMYKOVÉHO NAPĚTÍ						[MPa]			1.00	1.00	$f_{yw,d}$	209.1				$f_{yd}/3^{0,5}$	120.7					$f_{yd}/3^{0,5}$	120.7	
		NAPĚTÍ OD POHYBLIVÉHO ZATÍŽENÍ V GLOBÁLNÍM SYSTÉMU				$\sigma_{GLOB,P}$	0.0	[MPa]					$\Sigma\sigma_{GLOB}$	0.0												
		NAPĚTÍ OD OSTATNÍCH ZATÍŽENÍ V GLOBÁLNÍM SYSTÉMU				$\sigma_{GLOB,rs}$	0.0	[MPa]					$\Sigma\sigma_x + \Sigma\sigma_{GLOB}$	139.0												
		VYUŽITÍ PRŮŘEZU DLE NAPĚTÍ						[%]					η_1	0.66				η_3	0.00					η_3	0.00	
		NAPĚTÍ V PŘÍČNÉM SMĚRU OD POHYBLIVÉHO ZATÍŽENÍ				$\sigma_{z,P}$	0.0	[MPa]					$\Sigma\sigma_z$	0.0												
		NAPĚTÍ V PŘÍČNÉM SMĚRU OD OSTATNÍCH ZATÍŽENÍ				$\sigma_{z,rs}$	0.0	[MPa]					η_2	0.00												
		SROVNÁVACÍ NAPĚTÍ											$(\eta_2 + 0,8\,\eta_1)/1,4$ =	0.38												
		VYUŽITÍ PRŮŘEZU CELKEM						[%]					eff	0.66	VYHOVUJE											
													z_{LM71} =	1.97												

TAB. U8.3 POSOUZENÍ - MEZNÍ STAV ÚNOSNOSTI

POPIS	DOLNÍ PÁS U8
PRUT / POLOHA BODU	96 / 3/4
NAMÁHÁNÍ	N.max
VLÁKNO	BOD K4 -SP
MEZNÍ STAV	ULS (MSÚ)
VYUŽITÍ VLÁKNA PRŮŘEZU	0.89

Charakteristiky materiálu				
pás. horní	$f_{yf,k}$	230	MPa	
pás. dolní	$f_{yf,k}$	230	MPa	
stojina	$f_{yw,k}$	230	MPa	
výztuž	$f_{ys,k}$	500	MPa	
γ_M =	1.10	γ_s =	1.15	

Excentricita normálové síly				
Exc./Fáze	0	1	2	3
e_y	0.000	0.000	0.000	0.000
e_z	0.000	0.000	0.000	0.000
Ekvivalentní vzdál. stěn - příčný roznos				
b_{Mx}	0.000	0.000	0.000	0.000

Vliv stěny na únosnost průřezu				
Char./Fáze	0	1	2	3
A	0.00	0.00	0.00	0.00
Wy	0.00	0.00	0.00	0.00
Wz	0.00	0.00	0.00	0.00

Charakter. v kroucení			
$t_{w,y}$	0.000	[mm]	
$t_{w,z}$	0.000	[mm]	
κ	1.00		
I_t=	0.00E+00	[mm^4]	
Ω=2*A_{pz}	0.00E+00	[mm^2]	

Součinitele vzpěru a vlivu II.řádu				
Char./Fáze	0	1	2	3
k_y	1.000	1.000	1.000	1.000
k_z	1.000	1.000	1.000	1.000
χ_{LT}	1.000	1.000	1.000	1.000
χ_{min}	1.000	1.000	1.000	1.000

Vnitřní síly od jednotlivých skupin zatěžovacích stavů — 3

SKUPINA ZATĚŽOVACÍCH STAVŮ					- CHARAKTERISTICKÉ HODNOTY						DÍLČÍ SOUČINITELÉ ZATÍŽENÍ, DYNAMICKÝ SOUČINITEL							- NÁVRHOVÉ HODNOTY									
Č.	SKUP ZS	POPIS ZS	KAT.	FÁZE PRŮŘ.	N.k (kN)	Vy.k (kN)	Vz.k (kN)	Mx.k (kNm)	My.k (kNm)	Mz.k (kNm)	γ_{sr} (-)	γ_{fs} (-)	volba γ_f hledat	γ_f (-)	L_d (m)	δ (-)	Ψ_s KZ03	N.d (kN)	Vy.d (kN)	Vz.d (kN)	ΔVz.d (kN)	ΣVz.d (kN)	Mx.d (kNm)	My.d (kNm)	ΔMy.d (kNm)	ΣMy.d (kNm)	Mz.d (kNm)	ΔMz.d (kNm)	ΣMz.d (kNm)
1	G0	Vlastní tíha OK	G	0	1 760	-1	13	0	13	2	1.00	1.20		1.20	-	1.00	0.95	2 006	-2	15	0	15	0	14	0	14	3	0	3
2	G1	Ostatní stálé - mostní vybavení	G	0	126	0	0	0	1	0	1.00	1.20		1.20	-	1.00	0.95	143	0	0	0	0	0	2	0	2	0	0	0
3	G2	Ostatní stálé - cizí zařízení	G	0	98	0	0	0	1	0	1.00	1.20		1.20	-	1.00	0.95	112	0	0	0	0	0	1	0	1	0	0	0
4	P1_71	a.LM71 - kolej 1 (bez dyn. souč.)	P	0	1 248	-1	-3	0	17	1	1.00	1.30		1.30	-	1.00	1.00	1 622	-1	-4	0	-4	0	22	0	22	1	0	1
5	P2_71	a.LM71 - kolej 2 (bez dyn. souč.)	P	0	2 444	-6	-7	0	38	11	1.00	1.30		1.30	-	1.00	1.00	3 178	-7	-10	0	-10	0	50	0	50	14	0	14
6	P1_C3	TTZ C3 - kolej 1 (bez dyn. souč.)	P	0	1 048	-1	-3	0	13	0	1.00	vyp.		0.00	-	1.00	0.00	0	0	0	0	0	0	0	0	0	0	0	0
7	P2_C3	TTZ C3 - kolej 2 (bez dyn. souč.)	P	0	2 045	-4	-6	0	29	8	1.00	vyp.		0.00	-	1.00	0.00	0	0	0	0	0	0	0	0	0	0	0	0
8	BR	Brzdné a rozjezdové síly	P	0	562	0	-7	0	7	1	1.00	1.30		1.30	-	1.00	0.80	584	0	-7	0	-7	0	7	0	7	1	0	1
9	S	Boční ráz	P	0	253	1	-1	0	1	5	1.00	1.30		1.30	-	1.00	0.40	131	1	0	0	0	0	0	0	0	2	0	2
10	CH	Chodci na lávkách	Q	0	246	0	0	0	2	0	1.00	1.30		1.30	-	1.00	1.00	320	0	0	0	0	0	3	0	3	0	0	0
11	W	Vítr na konstrukci	Q	0	502	0	-1	0	2	4	1.00	1.35		1.35	-	1.00	0.75	508	0	-1	0	-1	0	2	0	2	4	0	4
12	WP	Vítr na vozidla	Q	0	734	-1	-1	0	3	7	1.00	1.35		1.35	-	1.00	0.75	743	-1	-1	0	-1	0	3	0	3	7	0	7
13	TR	Teplota rovnoměrná	Q	0	0	0	0	0	0	0	1.00	1.35		1.35	-	1.00	0.45	0	0	0	0	0	0	0	0	0	0	0	0
14	TN	Teplota nerovnoměrná	Q	0	163	0	3	0	-8	1	1.00	1.35		1.35	-	1.00	0.60	132	0	3	0	3	0	-7	0	-7	1	0	1
15	FR	Třecí síly v ložiskách	Q	0	88	0	0	0	0	0	1.00	1.20		1.20	-	1.00	1.00	105	0	0	0	0	0	0	0	0	0	0	0
16	I	Imperfekce soustavy	Q	0	49	0	0	0	0	0	1.00	1.20		1.20	-	1.00	1.00	59	0	0	0	0	0	0	0	0	0	0	0
27	ULS_LM	ULS - LM71 bez dynam	Q	0	9 749	-11	-9	0	101	36	1.00	vyp.		0.00	-	1.00	0.00	0	0	0	0	0	0	0	0	0	0	0	0
28	SLS_LM	SLS - LM71 bez dynam	Q	0	7 609	-9	-7	0	84	27	1.00	vyp.	1	0.00	-	1.00	0.00	0	0	0	0	0	0	0	0	0	0	0	0
29	ULS_C3	ULS - C3 bez dynam	Q	0	8 971	-9	-6	0	85	32	1.00	vyp.	1	0.00	-	1.00	0.00	0	0	0	0	0	0	0	0	0	0	0	0
30	SLS_C3	SLS - C3 bez dynam	Q	0	7 010	-7	-5	0	72	24	1.00	vyp.	1	0.00	-	1.00	0.00	0	0	0	0	0	0	0	0	0	0	0	0
		CELKEM - FÁZE PRŮŘEZU 0																9 644	-11	-7	0	-7	0	99	0	99	35	0	35
		CELKEM - FÁZE PRŮŘEZU 1																0	0	0	0	0	0	0	0	0	0	0	0
		CELKEM - FÁZE PRŮŘEZU 2																0	0	0	0	0	0	0	0	0	0	0	0
		CELKEM - FÁZE PRŮŘEZU 3																0	0	0	0	0	0	0	0	0	0	0	0
		CELKEM - PRŮŘEZ																9 644	-11	-7	0	-7	0			99			35

Napětí od jednotlivých zatěžovacích stavů

SKUPINA ZATĚŽOVACÍCH STAVŮ					Posouzení normálového napětí										Posouzení smykového napětí													
					Účinek síly N			Účinek momentu My				Účinek momentu Mz				Účinek kroutícího momentu Mx				Účinek smykové síly Vy				Účinek smykové síly Vz			
Č.	SKUP ZS	Popis ZS	Kat.	fáze prúř.	δ^*N_d [kN]	χ^*A [mm^2]	σ_n [MPa]	$\delta^*M_{y,d}$ [kNm]	$\chi_{lt}{}^*W_{el,y}$ [mm^3]	σ_{my} [MPa]	$\delta^*M_{z,d}$ [kNm]	$W_{el,z}$ [mm^3]	σ_{mz} [MPa]	σ_x [MPa]	$\kappa^*\delta^*M_{x,d}$ [kNm]	$W_{v,y}$ [mm^2]	$\tau_{x,y}$ [MPa]	$W_{v,z}$ [mm^2]	$\tau_{x,z}$ [MPa]	$\delta^*V_{y,d}$ [kN]	$A_{v,y}$ [mm2]	$\tau_{v,y}$ [MPa]	$\tau_{v,y}$ [MPa]	$\delta^*V_{z,d}$ [kN]	$A_{v,z}$ [mm2]	$\tau_{v,z}$ [MPa]	$\tau_{v,z}$ [MPa]
1	G0	Vlastní tíha OK	G	0	2 006.1	6.36E+04	31.5	14.5	1.37E+07	1.1	2.6	1.28E+06	2.1	34.6	-1.1E-02	-	-	-	-	-1.5	4.01E+04	0.0	0.0	14.6	2.35E+04	0.6	0.6
2	G1	Ostatní stálé - mostní vybavení	G	0	143.2	6.36E+04	2.3	1.6	1.37E+07	0.1	0.2	1.28E+06	0.2	2.6	0.0E+00	-	-	-	-	-0.1	4.01E+04	0.0	0.0	-0.3	2.35E+04	0.0	0.0
3	G2	Ostatní stálé - cizí zařízení	G	0	112.0	6.36E+04	1.8	1.1	1.37E+07	0.1	0.1	1.28E+06	0.1	1.9	0.0E+00	-	-	-	-	0.0	4.01E+04	0.0	0.0	-0.2	2.35E+04	0.0	0.0
4	P1_71	a.LM71 - kolej 1 (bez dyn. souč.)	P	0	1 622.3	6.36E+04	25.5	22.0	1.37E+07	1.6	0.8	1.28E+06	0.6	27.7	-2.6E-02	-	-	-	-	-0.8	4.01E+04	0.0	0.0	-3.9	2.35E+04	-0.2	-0.2
5	P2_71	a.LM71 - kolej 2 (bez dyn. souč.)	P	0	3 177.6	6.36E+04	49.9	49.8	1.37E+07	3.6	14.4	1.28E+06	11.3	64.9	-2.6E-02	-	-	-	-	-7.3	4.01E+04	-0.2	-0.2	-9.6	2.35E+04	-0.4	-0.4
6	P1_C3	TTZ C3 - kolej 1 (bez dyn. souč.)	P	0	0.0	6.36E+04	0.0	0.0	1.37E+07	0.0	0.0	1.28E+06	0.0	0.0	0.0E+00	-	-	-	-	0.0	4.01E+04	0.0	0.0	0.0	2.35E+04	0.0	0.0
7	P2_C3	TTZ C3 - kolej 2 (bez dyn. souč.)	P	0	0.0	6.36E+04	0.0	0.0	1.37E+07	0.0	0.0	1.28E+06	0.0	0.0	0.0E+00	-	-	-	-	0.0	4.01E+04	0.0	0.0	0.0	2.35E+04	0.0	0.0
8	BR	Brzdné a rozjezdové síly	P	0	584.2	6.36E+04	9.2	7.2	1.37E+07	0.5	1.1	1.28E+06	0.8	10.5	0.0E+00	-	-	-	-	-0.4	4.01E+04	0.0	0.0	-6.9	2.35E+04	-0.3	-0.3
9	S	Boční ráz	P	0	131.5	6.36E+04	2.1	0.4	1.37E+07	0.0	2.5	1.28E+06	1.9	4.0	5.2E-03	-	-	-	-	0.6	4.01E+04	0.0	0.0	-0.3	2.35E+04	0.0	0.0
10	CH	Chodci na lávkách	Q	0	319.7	6.36E+04	5.0	3.2	1.37E+07	0.2	0.0	1.28E+06	0.0	5.3	0.0E+00	-	-	-	-	0.0	4.01E+04	0.0	0.0	-0.5	2.35E+04	0.0	0.0
11	W	Vítr na konstrukci	Q	0	508.4	6.36E+04	8.0	1.9	1.37E+07	0.1	4.4	1.28E+06	3.4	11.6	-1.0E-02	-	-	-	-	0.2	4.01E+04	0.0	0.0	-0.8	2.35E+04	0.0	0.0
12	WP	Vítr na vozidla	Q	0	742.7	6.36E+04	11.7	2.9	1.37E+07	0.2	7.4	1.28E+06	5.8	17.7	1.0E-02	-	-	-	-	-1.3	4.01E+04	0.0	0.0	-1.3	2.35E+04	-0.1	-0.1
13	TR	Teplota rovnoměrná	Q	0	0.0	6.36E+04	0.0	0.0	1.37E+07	0.0	0.0	1.28E+06	0.0	0.0	0.0E+00	-	-	-	-	0.0	4.01E+04	0.0	0.0	0.0	2.35E+04	0.0	0.0
14	TN	Teplota nerovnoměrná	Q	0	132.0	6.36E+04	2.1	-6.6	1.37E+07	-0.5	0.8	1.28E+06	0.6	2.2	-8.1E-03	-	-	-	-	-0.2	4.01E+04	0.0	0.0	2.6	2.35E+04	0.1	0.1
15	FR	Třecí síly v ložiskách	Q	0	105.4	6.36E+04	1.7	0.4	1.37E+07	0.0	0.2	1.28E+06	0.1	1.8	0.0E+00	-	-	-	-	-0.1	4.01E+04	0.0	0.0	-0.2	2.35E+04	0.0	0.0
16	I	Imperfekce soustavy	Q	0	58.6	6.36E+04	0.9	0.3	1.37E+07	0.0	0.3	1.28E+06	0.2	1.1	0.0E+00	-	-	-	-	0.0	4.01E+04	0.0	0.0	-0.1	2.35E+04	0.0	0.0
27	ULS_LM	ULS - LM71 bez dynam	Q	0	0.0	6.36E+04	0.0	0.0	1.37E+07	0.0	0.0	1.28E+06	0.0	0.0	0.0E+00	-	-	-	-	0.0	4.01E+04	0.0	0.0	0.0	2.35E+04	0.0	0.0
28	SLS_LM	SLS - LM71 bez dynam	Q	0	0.0	6.36E+04	0.0	0.0	1.37E+07	0.0	0.0	1.28E+06	0.0	0.0	0.0E+00	-	-	-	-	0.0	4.01E+04	0.0	0.0	0.0	2.35E+04	0.0	0.0
29	ULS_C3	ULS - C3 bez dynam	Q	0	0.0	6.36E+04	0.0	0.0	1.37E+07	0.0	0.0	1.28E+06	0.0	0.0	0.0E+00	-	-	-	-	0.0	4.01E+04	0.0	0.0	0.0	2.35E+04	0.0	0.0
30	SLS_C3	SLS - C3 bez dynam	Q	0	0.0	6.36E+04	0.0	0.0	1.37E+07	0.0	0.0	1.28E+06	0.0	0.0	0.0E+00	-	-	-	-	0.0	4.01E+04	0.0	0.0	0.0	2.35E+04	0.0	0.0
		NAVÝŠENÍ NAPĚTÍ DO AKTIVACE TLAKU V DESCE MOSTOVKY				$\sigma_{P,red}$	0.0							0.0			0.0		0.0				-0.3	-0.3			-0.3	-0.3
		NAPĚTÍ OD PRIMÁRNÍCH ÚČINKŮ NEROVNOMĚRNÉHO OTEPLENÍ				σ_T	0.0							0.0														
		NAPĚTÍ OD REOLOGICKÝCH ÚČINKŮ BETONU V ČASE		t=0		σ_R	0.0	γ_f=	1.20					0.0														
		NAPĚTÍ V KRITICKÝCH VLÁKNECH OD KOMBINACE ZATÍŽENÍ				KZ03		[MPa]					$\Sigma\sigma_x$	185.9									$\Sigma\tau_y$	-0.3			$\Sigma\tau_z$	-0.3
		NAPĚTÍ OD POHYBLIVÉHO ZATÍŽENÍ						[MPa]					$\sigma_{x,P}$	107.1									τ_P	-0.2			τ_P	-0.9
		NAPĚTÍ OD OSTATNÍCH ZATÍŽENÍ						[MPa]			Φ_{vy}	Φ_{vz}	$\sigma_{x,rs}$	78.8									τ_{rs}	-0.1			τ_{rs}	0.6
		NÁVRHOVÁ HODNOTA MEZE KLUZU S REDUKCÍ VLIVEM SMYKOVÉHO NAPĚTÍ						[MPa]			1.00	1.00	$f_{yv,d}$	209.1									$f_{yd}/3^{0,5}$	120.7			$f_{yd}/3^{0,5}$	120.7
		NAPĚTÍ OD POHYBLIVÉHO ZATÍŽENÍ V GLOBÁLNÍM SYSTÉMU				$\sigma_{GLOB,P}$	0.0	[MPa]					$\Sigma\sigma_{GLOB}$	0.0														
		NAPĚTÍ OD OSTATNÍCH ZATÍŽENÍ V GLOBÁLNÍM SYSTÉMU				$\sigma_{GLOB,rs}$	0.0	[MPa]					$\Sigma\sigma_x + \Sigma\sigma_{GLOB}$	185.9														
		VYUŽITÍ PRŮŘEZU DLE NAPĚTÍ						[%]					η_1	0.89									η_3	0.00			η_3	0.00
		NAPĚTÍ V PŘÍČNÉM SMĚRU OD POHYBLIVÉHO ZATÍŽENÍ				$\sigma_{z,P}$	0.0	[MPa]					$\Sigma\sigma_z$	0.0														
		NAPĚTÍ V PŘÍČNÉM SMĚRU OD OSTATNÍCH ZATÍŽENÍ				$\sigma_{z,rs}$	0.0	[MPa]					η_2	0.00														
		SROVNÁVACÍ NAPĚTÍ											$(\eta_2 + 0,8\,\eta_1)/1,4$ =	0.51														
		VYUŽITÍ PRŮŘEZU CELKEM						[%]					eff	0.89	VYHOVUJE													
													z_{LM71} =	1.22														

TAB. U8.3 POSOUZENÍ - MEZNÍ STAV ÚNOSNOSTI

POPIS	DOLNÍ PÁS U8
PRUT / POLOHA BODU	96 / 3/4
NAMÁHÁNÍ	Vz.max
VLÁKNO	BOD S5 -HL
MEZNÍ STAV	ULS (MSÚ)
VYUŽITÍ VLÁKNA PRŮŘEZU	0.23

Charakteristiky materiálu				
pás. horní	$f_{yf,k}$	230	MPa	
pás. dolní	$f_{yf,k}$	230	MPa	
stojina	$f_{yw,k}$	230	MPa	
výztuž	$f_{ys,k}$	500	MPa	
γ_M =	1.10	γ_s =	1.15	

Excentricita normálové síly				
Exc./Fáze	0	1	2	3
e_y	0.000	0.000	0.000	0.000
e_z	0.000	0.000	0.000	0.000
Ekvivalentní vzdál. stěn - příčný roznos				
b_{ekv}	0.000	0.000	0.000	0.000

Vliv stěny na únosnost průřezu				
Char./Fáze	0	1	2	3
A	0.00	0.00	0.00	0.00
Wy	0.00	0.00	0.00	0.00
Wz	0.00	0.00	0.00	0.00

Charakter. v kroucení			
$t_{w,y}$	0.000	[mm]	
$t_{w,z}$	0.000	[mm]	
κ	1.00		
I_t=	0.00E+00	[mm^4]	
$\Omega=2*A_{pr}$	0.00E+00	[mm^2]	

Součinitele vzpěru a vlivu II.řádu				
Char./Fáze	0	1	2	3
k_y	1.000	1.000	1.000	1.000
k_z	1.000	1.000	1.000	1.000
χ_{LT}	1.000	1.000	1.000	1.000
χ_{min}	1.000	1.000	1.000	1.000

Vnitřní síly od jednotlivých skupin zatěžovacích stavů

SKUPINA ZATĚŽOVACÍCH STAVŮ					- CHARAKTERISTICKÉ HODNOTY						DÍLČÍ SOUČINITELÉ ZATÍŽENÍ, DYNAMICKÝ SOUČINITEL						3	- NÁVRHOVÉ HODNOTY									
Č.	SKUP ZS	POPIS ZS	KAT.	FÁZE PRŮŘ.	N.k (kN)	Vy.k (kN)	Vz.k (kN)	Mx.k (kNm)	My.k (kNm)	Mz.k (kNm)	γ_{sr} (-)	γ_s (-)	volba γ_s hledat	γ_s (-)	L_d (m)	δ (-)	Ψ_s KZ03	N.d (kN)	Vy.d (kN)	Vz.d (kN)	ΔVz.d (kN)	ΣVz.d (kN)	Mx.d (kNm)	My.d (kNm)	ΔMy.d (kNm)	ΣMy.d (kNm)	Mz.d (kNm)	ΔMz.d (kNm)	ΣMz.d (kNm)
1	G0	Vlastní tíha OK	G	0	1 760	-1	13	0	13	2	1.00	1.20		1.20	-	1.00	0.95	2 006	-2	15	0	15	0	14	0	14	3	0	3
2	G1	Ostatní stálé - mostní vybavení	G	0	126	0	0	0	1	0	1.00	1.00		1.00	-	1.00	0.95	119	0	0	0	0	0	1	0	1	0	0	0
3	G2	Ostatní stálé - cizí zařízení	G	0	98	0	0	0	1	0	1.00	1.00		1.00	-	1.00	0.95	93	0	0	0	0	0	1	0	1	0	0	0
4	P1_71	a.LM71 - kolej 1 (bez dyn. souč.)	P	0	569	2	4	0	-1	-3	1.00	1.30		1.30	-	1.00	1.00	740	2	6	0	6	0	-1	0	-1	-3	0	-3
5	P2_71	a.LM71 - kolej 2 (bez dyn. souč.)	P	0	1 096	0	13	0	-10	1	1.00	1.30		1.30	-	1.00	1.00	1 424	0	17	0	17	0	-12	0	-12	1	0	1
6	P1_C3	TTZ C3 - kolej 1 (bez dyn. souč.)	P	0	445	1	4	0	-4	-2	1.00	vyp.		0.00	-	1.00	0.00	0	0	0	0	0	0	0	0	0	0	0	0
7	P2_C3	TTZ C3 - kolej 2 (bez dyn. souč.)	P	0	867	0	13	0	-16	0	1.00	vyp.		0.00	-	1.00	0.00	0	0	0	0	0	0	0	0	0	0	0	0
8	BR	Brzdné a rozjezdové síly	P	0	-562	0	7	0	-7	-1	1.00	1.30		1.30	-	1.00	0.80	-584	0	7	0	7	0	-7	0	-7	-1	0	-1
9	S	Boční ráz	P	0	-185	0	1	0	0	-1	1.00	1.30		1.30	-	1.00	0.40	-96	0	0	0	0	0	0	0	0	-1	0	-1
10	CH	Chodci na lávkách	Q	0	138	0	0	0	2	0	1.00	0.00		0.00	-	1.00	1.00	0	0	0	0	0	0	0	0	0	0	0	0
11	W	Vítr na konstrukci	Q	0	-502	0	1	0	-2	-4	1.00	1.35		1.35	-	1.00	0.75	-508	0	1	0	1	0	-2	0	-2	-4	0	-4
12	WP	Vítr na vozidla	Q	0	-733	1	1	0	-3	-7	1.00	1.35		1.35	-	1.00	0.75	-743	1	1	0	1	0	-3	0	-3	-7	0	-7
13	TR	Teplota rovnoměrná	Q	0	0	0	0	0	0	0	1.00	1.35		1.35	-	1.00	0.45	0	0	0	0	0	0	0	0	0	0	0	0
14	TN	Teplota nerovnoměrná	Q	0	163	0	3	0	-8	1	1.00	1.35		1.35	-	1.00	0.60	132	0	3	0	3	0	-7	0	-7	1	0	1
15	FR	Třecí síly v ložiskách	Q	0	-88	0	0	0	0	0	1.00	1.20		1.20	-	1.00	1.00	-105	0	0	0	0	0	0	0	0	0	0	0
16	I	Imperfekce soustavy	Q	0	-49	0	0	0	0	0	1.00	1.20		1.20	-	1.00	1.00	-59	0	0	0	0	0	0	0	0	0	0	0
27	ULS_LM	ULS - LM71 bez dynam	Q	0	2 398	2	51	0	-15	-13	1.00	vyp.		0.00	-	1.00	0.00	0	0	0	0	0	0	0	0	0	0	0	0
28	SLS_LM	SLS - LM71 bez dynam	Q	0	2 005	1	39	0	-4	-10	1.00	vyp.	1	0.00	-	1.00	0.00	0	0	0	0	0	0	0	0	0	0	0	0
29	ULS_C3	ULS - C3 bez dynam	Q	0	1 939	2	51	0	-26	-14	1.00	vyp.	1	0.00	-	1.00	0.00	0	0	0	0	0	0	0	0	0	0	0	0
30	SLS_C3	SLS - C3 bez dynam	Q	0	1 652	1	39	0	-13	-11	1.00	vyp.	1	0.00	-	1.00	0.00	0	0	0	0	0	0	0	0	0	0	0	0
		CELKEM - FÁZE PRŮŘEZU 0			2 420	2	49	0	-16	-12								49	0	-16	0	-16	-12	0				
		CELKEM - FÁZE PRŮŘEZU 1																0	0	0	0	0	0	0				
		CELKEM - FÁZE PRŮŘEZU 2																0	0	0	0	0	0	0				
		CELKEM - FÁZE PRŮŘEZU 3																0	0	0	0	0	0	0				
		CELKEM - PRŮŘEZ			2 420	2	49	0	-16	-12								49	0	-16	0	-16	-12	0				

Napětí od jednotlivých zatěžovacích stavů

SKUPINA ZATĚŽOVACÍCH STAVŮ					Posouzení normálového napětí									Posouzení smykového napětí														
					Účinek síly N			Účinek momentu My				Účinek momentu Mz				Účinek ktoutícího momentu Mx				Účinek smykové síly Vy				Účinek smykové síly Vz			
č.	SKUP ZS	Popis ZS	Kat.	fáze prúř.	δ^*N_d [kN]	χ^*A [mm^2]	σ_n [MPa]	$\delta^*M_{y,d}$ [kNm]	$\chi_{lt}*W_{el,y}$ [mm^3]	σ_{my} [MPa]	$\delta^*M_{z,d}$ [kNm]	$W_{el,z}$ [mm^3]	σ_{mz} [MPa]	σ_x [MPa]	$\kappa*\delta^*M_{x,d}$ [kNm]	$W_{v,y}$ [mm^2]	$\tau_{x,y}$ [MPa]	$W_{v,z}$ [mm^2]	$\tau_{x,z}$ [MPa]	$\delta^*V_{y,d}$ [kN]	$A_{v,y}$ [mm2]	$\tau_{v,y}$ [MPa]	$\tau_{v,y}$ [MPa]	$\delta^*V_{z,d}$ [kN]	$A_{v,z}$ [mm2]	$\tau_{v,z}$ [MPa]	$\tau_{v,z}$ [MPa]
1	G0	Vlastní tíha OK	G	0	2 006.1	6.36E+04	31.5	14.5	-3.73E+06	-3.9	2.6	-2.34E+06	-1.1	26.5	-1.1E-02	-	-	-	-	-1.5	4.01E+04	0.0	0.0	14.6	2.35E+04	0.6	0.6
2	G1	Ostatní stálé - mostní vybavení	G	0	119.3	6.36E+04	1.9	1.3	-3.73E+06	-0.4	0.2	-2.34E+06	-0.1	1.4	0.0E+00	-	-	-	-	-0.1	4.01E+04	0.0	0.0	-0.2	2.35E+04	0.0	0.0
3	G2	Ostatní stálé - cizí zařízení	G	0	93.4	6.36E+04	1.5	0.9	-3.73E+06	-0.3	0.1	-2.34E+06	0.0	1.2	0.0E+00	-	-	-	-	0.0	4.01E+04	0.0	0.0	-0.1	2.35E+04	0.0	0.0
4	P1_71	a.LM71 - kolej 1 (bez dyn. souč.)	P	0	740.0	6.36E+04	11.6	-1.2	-3.73E+06	0.3	-3.3	-2.34E+06	1.4	13.4	0.0E+00	-	-	-	-	2.0	4.01E+04	0.0	0.0	5.7	2.35E+04	0.2	0.2
5	P2_71	a.LM71 - kolej 2 (bez dyn. souč.)	P	0	1 424.4	6.36E+04	22.4	-12.3	-3.73E+06	3.3	1.4	-2.34E+06	-0.6	25.1	1.3E-02	-	-	-	-	-0.3	4.01E+04	0.0	0.0	17.3	2.35E+04	0.7	0.7
6	P1_C3	TTZ C3 - kolej 1 (bez dyn. souč.)	P	0	0.0	6.36E+04	0.0	0.0	-3.73E+06	0.0	0.0	-2.34E+06	0.0	0.0	0.0E+00	-	-	-	-	0.0	4.01E+04	0.0	0.0	0.0	2.35E+04	0.0	0.0
7	P2_C3	TTZ C3 - kolej 2 (bez dyn. souč.)	P	0	0.0	6.36E+04	0.0	0.0	-3.73E+06	0.0	0.0	-2.34E+06	0.0	0.0	0.0E+00	-	-	-	-	0.0	4.01E+04	0.0	0.0	0.0	2.35E+04	0.0	0.0
8	BR	Brzdné a rozjezdové síly	P	0	-584.2	6.36E+04	-9.2	-7.2	-3.73E+06	1.9	-1.1	-2.34E+06	0.5	-6.8	0.0E+00	-	-	-	-	0.4	4.01E+04	0.0	0.0	6.9	2.35E+04	0.3	0.3
9	S	Boční ráz	P	0	-96.0	6.36E+04	-1.5	0.0	-3.73E+06	0.0	-0.5	-2.34E+06	0.2	-1.3	0.0E+00	-	-	-	-	0.2	4.01E+04	0.0	0.0	0.4	2.35E+04	0.0	0.0
10	CH	Chodci na lávkách	Q	0	0.0	6.36E+04	0.0	0.0	-3.73E+06	0.0	0.0	-2.34E+06	0.0	0.0	0.0E+00	-	-	-	-	0.0	4.01E+04	0.0	0.0	0.0	2.35E+04	0.0	0.0
11	W	Vítr na konstrukci	Q	0	-508.4	6.36E+04	-8.0	-1.9	-3.73E+06	0.5	-4.4	-2.34E+06	1.9	-5.6	1.0E-02	-	-	-	-	-0.2	4.01E+04	0.0	0.0	0.8	2.35E+04	0.0	0.0
12	WP	Vítr na vozidla	Q	0	-742.6	6.36E+04	-11.7	-2.9	-3.73E+06	0.8	-7.4	-2.34E+06	3.2	-7.7	-1.0E-02	-	-	-	-	1.3	4.01E+04	0.0	0.0	1.3	2.35E+04	0.1	0.1
13	TR	Teplota rovnoměrná	Q	0	0.0	6.36E+04	0.0	0.0	-3.73E+06	0.0	0.0	-2.34E+06	0.0	0.0	0.0E+00	-	-	-	-	0.0	4.01E+04	0.0	0.0	0.0	2.35E+04	0.0	0.0
14	TN	Teplota nerovnoměrná	Q	0	132.0	6.36E+04	2.1	-6.6	-3.73E+06	1.8	0.8	-2.34E+06	-0.3	3.5	-8.1E-03	-	-	-	-	-0.2	4.01E+04	0.0	0.0	2.6	2.35E+04	0.1	0.1
15	FR	Třecí síly v ložiskách	Q	0	-105.4	6.36E+04	-1.7	-0.4	-3.73E+06	0.1	-0.2	-2.34E+06	0.1	-1.5	0.0E+00	-	-	-	-	0.1	4.01E+04	0.0	0.0	0.2	2.35E+04	0.0	0.0
16	I	Imperfekce soustavy	Q	0	-58.6	6.36E+04	-0.9	-0.3	-3.73E+06	0.1	-0.3	-2.34E+06	0.1	-0.7	0.0E+00	-	-	-	-	0.0	4.01E+04	0.0	0.0	0.1	2.35E+04	0.0	0.0
27	ULS_LM	ULS - LM71 bez dynam	Q	0	0.0	6.36E+04	0.0	0.0	-3.73E+06	0.0	0.0	-2.34E+06	0.0	0.0	0.0E+00	-	-	-	-	0.0	4.01E+04	0.0	0.0	0.0	2.35E+04	0.0	0.0
28	SLS_LM	SLS - LM71 bez dynam	Q	0	0.0	6.36E+04	0.0	0.0	-3.73E+06	0.0	0.0	-2.34E+06	0.0	0.0	0.0E+00	-	-	-	-	0.0	4.01E+04	0.0	0.0	0.0	2.35E+04	0.0	0.0
29	ULS_C3	ULS - C3 bez dynam	Q	0	0.0	6.36E+04	0.0	0.0	-3.73E+06	0.0	0.0	-2.34E+06	0.0	0.0	0.0E+00	-	-	-	-	0.0	4.01E+04	0.0	0.0	0.0	2.35E+04	0.0	0.0
30	SLS_C3	SLS - C3 bez dynam	Q	0	0.0	6.36E+04	0.0	0.0	-3.73E+06	0.0	0.0	-2.34E+06	0.0	0.0	0.0E+00	-	-	-	-	0.0	4.01E+04	0.0	0.0	0.0	2.35E+04	0.0	0.0
NAVÝŠENÍ NAPĚTÍ DO AKTIVACE TLAKU V DESCE MOSTOVKY						$\sigma_{P,red}$	0.0							0.0			0.0		0.0				0.0	0.0			2.1	2.1
NAPĚTÍ OD PRIMÁRNÍCH ÚČINKŮ NEROVNOMĚRNÉHO OTEPLENÍ						σ_T	0.0							0.0														
NAPĚTÍ OD REOLOGICKÝCH ÚČINKŮ BETONU V ČASE				t=0		σ_R	0.0	γ=	1.20					0.0														
NAPĚTÍ V KRITICKÝCH VLÁKNECH OD KOMBINACE ZATÍŽENÍ						KZ03		[MPa]						$\Sigma\sigma_x$								$\Sigma\tau_y$	0.0				$\Sigma\tau_z$	2.1
NAPĚTÍ OD POHYBLIVÉHO ZATÍŽENÍ								[MPa]						$\sigma_{x,P}$	30.4							τ_P	0.1				τ_P	1.3
NAPĚTÍ OD OSTATNÍCH ZATÍŽENÍ								[MPa]			Φ_{Vy}	Φ_{Vz}		$\sigma_{x,rs}$	17.1							τ_{rs}	0.0				τ_{rs}	0.8
NÁVRHOVÁ HODNOTA MEZE KLUZU S REDUKCÍ VLIVEM SMYKOVÉHO NAPĚTÍ								[MPa]			1.00	1.00		$f_{yv,d}$	209.1							$f_{yd}/3^{0,5}$	120.7				$f_{yd}/3^{0,5}$	120.7
NAPĚTÍ OD POHYBLIVÉHO ZATÍŽENÍ V GLOBÁLNÍM SYSTÉMU						$\sigma_{GLOB,P}$	0.0	[MPa]						$\Sigma\sigma_{GLOB}$	0.0													
NAPĚTÍ OD OSTATNÍCH ZATÍŽENÍ V GLOBÁLNÍM SYSTÉMU						$\sigma_{GLOB,rs}$	0.0	[MPa]						$\Sigma\sigma_x + \Sigma\sigma_{GLOB}$	47.5													
VYUŽITÍ PRŮŘEZU DLE NAPĚTÍ								[%]						η_1	0.23							η_3	0.00				η_3	0.02
NAPĚTÍ V PŘÍČNÉM SMĚRU OD POHYBLIVÉHO ZATÍŽENÍ						$\sigma_{z,P}$	0.0	[MPa]						$\Sigma\sigma_z$	0.0													
NAPĚTÍ V PŘÍČNÉM SMĚRU OD OSTATNÍCH ZATÍŽENÍ						$\sigma_{z,rs}$	0.0	[MPa]						η_2	0.00													
SROVNÁVACÍ NAPĚTÍ														$(\eta_2 + 0,8\,\eta_1)/1,4$ =	0.13													
VYUŽITÍ PRŮŘEZU CELKEM								[%]						eff	0.23	VYHOVUJE												
														z_{LM71} =	6.32													

VÝPOČET PRŮŘEZOVÝCH CHARAKTERISTIK

PRŮŘEZ: D1 **POPIS:** DIAGONÁLA 1 - U DOL. STYČ. **x =** - **m**

DEFINOVÁNÍ PRŮŘEZU

ŠÍŘKA PÁSNICE ÚHELNÍKU	b f.t.l.o =	80	mm	**ÚHELNÍK HORNÍ VNĚJŠÍ LEVÝ**		**C.T.O.L**	
TLOUŠŤKA PÁSNICE ÚHELNÍKU	t f.t.l.o =	9	mm	OSLABENÍ PÁSNICE - TLOUŠŤKA	Δt f.t.l.o =	0	%
VÝŠKA STĚNY ÚHELNÍKU	h w.t.l.o =	71	mm				
TLOUŠŤKA STĚNY ÚHELNÍKU	t w.t.l.o =	9	mm	OSLABENÍ STĚNY - TLOUŠŤKA	Δt w.t.l.o =	40	%
ŠÍŘKA PÁSNICE ÚHELNÍKU	b f.t.r.o =	80	mm	**ÚHELNÍK HORNÍ VNĚJŠÍ PRAVÝ**		**C.T.O.R**	
TLOUŠŤKA PÁSNICE ÚHELNÍKU	t f.t.r.o =	9	mm	OSLABENÍ PÁSNICE - TLOUŠŤKA	Δt f.t.r.o =	0	%
VÝŠKA STĚNY ÚHELNÍKU	h w.t.r.o =	71	mm				
TLOUŠŤKA STĚNY ÚHELNÍKU	t w.t.r.o =	9	mm	OSLABENÍ STĚNY - TLOUŠŤKA	Δt w.t.r.0 =	40	%
ŠÍŘKA PÁSNICE ÚHELNÍKU	b f.t.l.i =	80	mm	**ÚHELNÍK HORNÍ VNITŘNÍ LEVÝ**		**C.T.I.L**	
TLOUŠŤKA PÁSNICE ÚHELNÍKU	t f.t.l.i =	9	mm	OSLABENÍ PÁSNICE - TLOUŠŤKA	Δt f.b.l.o =	0	%
VÝŠKA STĚNY ÚHELNÍKU	h w.t.l.i =	71	mm				
TLOUŠŤKA STĚNY ÚHELNÍKU	t w.t.l.i =	9	mm	OSLABENÍ STĚNY - TLOUŠŤKA	Δt w.b.l.o =	40	%
ŠÍŘKA PÁSNICE ÚHELNÍKU	b f.t.r.i =	80	mm	**ÚHELNÍK HORNÍ VNITŘNÍ PRAVÝ**		**C.T.I.R**	
TLOUŠŤKA PÁSNICE ÚHELNÍKU	t f.t.r.i =	9	mm	OSLABENÍ PÁSNICE - TLOUŠŤKA	Δt f.b.r.o =	0	%
VÝŠKA STĚNY ÚHELNÍKU	h w.t.r.i =	71	mm				
TLOUŠŤKA STĚNY ÚHELNÍKU	t w.t.r.i =	9	mm	OSLABENÍ STĚNY - TLOUŠŤKA	Δt w.b.r.o =	40	%
ŠÍŘKA PÁSNICE ÚHELNÍKU	b f.b.l.o =	80	mm	**ÚHELNÍK DOLNÍ VNĚJŠÍ LEVÝ**		**C.B.O.L**	
TLOUŠŤKA PÁSNICE ÚHELNÍKU	t f.b.l.o =	9	mm	OSLABENÍ PÁSNICE - TLOUŠŤKA	Δt f.t.l.i =	0	%
VÝŠKA STĚNY ÚHELNÍKU	h w.b.l.o =	71	mm				
TLOUŠŤKA STĚNY ÚHELNÍKU	t w.b.l.o =	9	mm	OSLABENÍ STĚNY - TLOUŠŤKA	Δt w.t.l.i =	40	%
ŠÍŘKA PÁSNICE ÚHELNÍKU	b f.b.r.o =	80	mm	**ÚHELNÍK DOLNÍ VNĚJŠÍ PRAVÝ**		**C.B.O.R**	
TLOUŠŤKA PÁSNICE ÚHELNÍKU	t f.b.r.o =	9	mm	OSLABENÍ PÁSNICE - TLOUŠŤKA	Δt f.t.r.i =	0	%
VÝŠKA STĚNY ÚHELNÍKU	h w.b.r.o =	71	mm				
TLOUŠŤKA STĚNY ÚHELNÍKU	t w.b.r.o =	9	mm	OSLABENÍ STĚNY - TLOUŠŤKA	Δt w.t.r.i =	40	%
PÁSNICE DOLNÍHO LEVÉHO ÚHELNÍKU	b f.b.l.i =	80	mm	**ÚHELNÍK DOLNÍ VNITŘNÍ LEVÝ**		**C.B.I.L**	
TLOUŠŤKA PÁSNICE ÚHELNÍKU	t f.b.l.i =	9	mm	OSLABENÍ PÁSNICE - TLOUŠŤKA	Δt f.b.l.i =	0	%
VÝŠKA STĚNY ÚHELNÍKU	h w.b.l.i =	71	mm				
TLOUŠŤKA STĚNY ÚHELNÍKU	t w.b.l.i =	9	mm	OSLABENÍ STĚNY - TLOUŠŤKA	Δt w.b.l.i =	40	%
PÁSNICE DOLNÍHO PRAVÉHO ÚHELNÍKU	b f.b.r.i =	80	mm	**ÚHELNÍK DOLNÍ VNITŘNÍ PRAVÝ**		**C.B.I.R**	
TLOUŠŤKA PÁSNICE ÚHELNÍKU	t f.b.r.i =	9	mm	OSLABENÍ PÁSNICE - TLOUŠŤKA	Δt f.b.r.i =	0	%
VÝŠKA STĚNY ÚHELNÍKU	h w.b.r.i =	71	mm				
TLOUŠŤKA STĚNY ÚHELNÍKU	t w.b.r.i =	9	mm	OSLABENÍ STĚNY - TLOUŠŤKA	Δt w.b.r.i =	40	%

DOLNÍ

ŠÍŘKA HORNÍ VLOŽKY - VNĚJŠÍ	b f.t =	360	mm			**HOR.T.O**	
TLOUŠŤKA VLOŽKY	t f.t =	14	mm	OSLABENÍ VLOŽKY	Δt f.t =	0	%
ŠÍŘKA HORNÍ VLOŽKY - VNITŘNÍ	b f.t =	360	mm			**HOR.T.I**	
TLOUŠŤKA VLOŽKY	t f.t =	14	mm	OSLABENÍ VLOŽKY	Δt f.t =	0	%
ŠÍŘKA DOLNÍ VLOŽKY - VNĚJŠÍ	b f.t =	360	mm			**HOR.B.O**	
TLOUŠŤKA VLOŽKY	t f.t =	14	mm	OSLABENÍ VLOŽKY	Δt f.t =	0	%
ŠÍŘKA DOLNÍ VLOŽKY - VNITŘNÍ	b f.t =	360	mm			**HOR.B.I**	
TLOUŠŤKA VLOŽKY	t f.t =	14	mm	OSLABENÍ VLOŽKY - VNITŘNÍ	Δt f.t =	0	%

VZD. OKRAJŮ PÁSNIC VNITŘNÍCH ÚHELNÍKŮ	388	mm
CELKOVÁ TLOUŠŤKA MEZI PÁSNICEMI ÚHELNÍKŮ I A .o	52	mm
CELKOVÁ TLOUŠŤKA MEZI PÁSNICEMI ÚHELNÍKŮ I A .r	8	mm

ZADANÍ ČÁSTI PRŮŘEZU:

č.prvku	b [mm]	h [mm]	y_s [mm]	z_s [mm]	popis části	druh oslabení	lokální ultimate	boulení servic.
1	80.0	9.0	-44.0	250.5	pásnice	0	1.000	1.000
2	5.4	71.0	-6.7	290.5	stěna	0	1.000	1.000
3	80.0	9.0	44.0	250.5	pásnice	0	1.000	1.000
4	5.4	71.0	6.7	290.5	stěna	0	1.000	1.000
5	80.0	9.0	-44.0	189.5	pásnice	0	1.000	1.000
6	5.4	71.0	-6.7	149.5	stěna	0	1.000	1.000
7	80.0	9.0	44.0	189.5	pásnice	0	1.000	1.000
8	5.4	71.0	6.7	149.5	stěna	0	1.000	1.000
9	80.0	9.0	-44.0	-250.5	pásnice	0	1.000	1.000
10	5.4	71.0	-6.7	-290.5	stěna	0	1.000	1.000
11	80.0	9.0	44.0	-250.5	pásnice	0	1.000	1.000
12	5.4	71.0	6.7	-290.5	stěna	0	1.000	1.000
13	80.0	9.0	-44.0	-189.5	pásnice	0	1.000	1.000
14	5.4	71.0	-6.7	-149.5	stěna	0	1.000	1.000
15	80.0	9.0	44.0	-189.5	pásnice	0	1.000	1.000
16	5.4	71.0	6.7	-149.5	stěna	0	1.000	1.000
17						0	1.000	1.000
18						0	1.000	1.000
19						0	1.000	1.000
20						0	1.000	1.000
21						0	1.000	1.000
22						0	1.000	1.000
23						0	1.000	1.000
24						0	1.000	1.000
25						0	1.000	1.000
26						0	1.000	1.000
27						0	1.000	1.000
28						0	1.000	1.000
29						0	1.000	1.000
30						0	1.000	1.000
31						0	1.000	1.000
32						0	1.000	1.000
33						0	1.000	1.000
34						0	1.000	1.000
35						0	1.000	1.000
36						0	1.000	1.000
37						0	1.000	1.000
38						0	1.000	1.000
39						0	1.000	1.000
40						0	1.000	1.000
41	360.0	14.0	0.0	239.0	pásnice	0	1.000	1.000
42	360.0	14.0	0.0	201.0	pásnice	0	1.000	1.000
43	360.0	14.0	0.0	-239.0	pásnice	0	1.000	1.000
44	360.0	14.0	0.0	-201.0	pásnice	0	1.000	1.000
45						0	1.000	1.000
46						0	1.000	1.000
47						0	1.000	1.000
48						0	1.000	1.000
49						0	1.000	1.000
50						0	1.000	1.000
51						0	1.000	1.000
52						0	1.000	1.000
53						0	1.000	1.000
54						0	1.000	1.000
55						0	1.000	1.000
56						0	1.000	1.000
57						0	1.000	1.000
58						0	1.000	1.000
59						0	1.000	1.000
60						0	1.000	1.000
61	5.4	-20.0	6.7	291.0	nyt-stěna	0	1.000	1.000
62	5.4	-20.0	6.7	149.0	nyt-stěna	0	1.000	1.000
63	5.4	-20.0	6.7	-291.0	nyt-stěna	0	1.000	1.000
64	5.4	-20.0	6.7	-149.0	nyt-stěna	0	1.000	1.000
65	-18.2	23.0	-49.0	196.5	nyt-pásnice	0	1.000	1.000
66	-18.2	23.0	49.0	196.5	nyt-pásnice	0	1.000	1.000
67	-18.2	23.0	-49.0	-196.5	nyt-pásnice	0	1.000	1.000
68	-18.2	23.0	49.0	-196.5	nyt-pásnice	0	1.000	1.000
69	-18.2	14.0	-132.0	201.0	nyt-pásnice	0	1.000	1.000
70	-18.2	14.0	132.0	201.0	nyt-pásnice	0	1.000	1.000
71	-18.2	14.0	-132.0	-201.0	nyt-pásnice	0	1.000	1.000
72	-18.2	14.0	132.0	-201.0	nyt-pásnice	0	1.000	1.000
73						0	1.000	1.000
74						0	1.000	1.000
75						0	1.000	1.000
76						0	1.000	1.000
77						0	1.000	1.000
78						0	1.000	1.000
79						0	1.000	1.000
80						0	1.000	1.000
81	5.4	-20.0	-6.7	291.0	nyt-stěna	0	1.000	1.000
82	5.4	-20.0	-6.7	149.0	nyt-stěna	0	1.000	1.000
83	5.4	-20.0	-6.7	-291.0	nyt-stěna	0	1.000	1.000
84	5.4	-20.0	-6.7	-149.0	nyt-stěna	0	1.000	1.000
85	-18.2	23.0	-49.0	243.5	nyt-pásnice	0	1.000	1.000
86	-18.2	23.0	49.0	243.5	nyt-pásnice	0	1.000	1.000
87	-18.2	23.0	-49.0	-243.5	nyt-pásnice	0	1.000	1.000
88	-18.2	23.0	49.0	-243.5	nyt-pásnice	0	1.000	1.000
89	-18.2	14.0	-132.0	239.0	nyt-pásnice	0	1.000	1.000
90	-18.2	14.0	132.0	239.0	nyt-pásnice	0	1.000	1.000
91	-18.2	14.0	-132.0	-239.0	nyt-pásnice	0	1.000	1.000
92	-18.2	14.0	132.0	-239.0	nyt-pásnice	0	1.000	1.000
93						0	1.000	1.000
94						0	1.000	1.000
95						0	1.000	1.000
96						0	1.000	1.000
97						0	1.000	1.000
98						0	1.000	1.000
99						0	1.000	1.000
100						0	1.000	1.000

NÝT Č.	SKUPINA	ŘEZ	RED.	VELIKOST di [mm]	POLOHA ei [mm]	POPIS	AKTIVITA OTVORU	NAPĚTÍ sc [MPa]
1		-	1.00	20	35	nýt - t.o - úhelník	1	59.94
2		-	1.00	20	35	nýt - t.i - úhelník	1	77.15
3		-	1.00	20	35	nýt - b.o - úhelník	1	130.49
4		-	1.00	20	35	nýt - b.i - úhelník	1	113.28
5	1	3	0.83	22	35	nýt - t.l - úhelník	1	62.54
6	1	3	0.83	22	35	nýt - t.r - úhelník	1	69.86
7	2	3	0.83	22	35	nýt - b.l - úhelník	1	121.57
8	2	3	0.83	22	35	nýt - b.r - úhelník	1	128.89
9	1	3	0.83	22	-132	nýt - t.l	1	56.88
10	1	3	0.83	22	132	nýt - t.r	1	76.61
11	2	3	0.83	22	-132	nýt - b.l	1	114.82
12	2	3	0.83	22	132	nýt - b.r	1	134.55
13								
14								
15								
16								
17								
18								
19								
20								

VÝPOČET PRŮŘEZOVÝCH CHARAKTERISTIK

Properties	Basic	Ultimate		Serviceability	
y_t	0.0	0.0		0.0	[mm]
z_t	0.0	0.0		0.0	[mm]
A_i	2.2726E+04	2.2726E+04		2.2726E+04	[mm²]
A_y	2.0522E+04	2.0522E+04		2.0522E+04	[mm²]
A_z	2.2032E+03	2.2032E+03		2.2032E+03	[mm²]
I_{y1}	5.6115E+08	5.6115E+08		5.6115E+08	[mm⁴]
I_w	1.8826E+08	1.8826E+08		1.8826E+08	[mm⁶]
i_y	157.1	157.1		157.1	[mm]
i_z	91.0	91.0		91.0	[mm]
$W_{y,1}$	1.7213E+06	1.7213E+06		1.7213E+06	[mm³]
$W_{y,1}$	-1.0459E+06	-1.0459E+06		-1.0459E+06	[mm³]
$W_{y,2}$	-1.7213E+06	-1.7213E+06		-1.7213E+06	[mm³]
$W_{y,2}$	-1.0459E+06	-1.0459E+06		-1.0459E+06	[mm³]
KRAJNÍ VLÁKNA PRŮŘEZU					
y_1	-180.0	-180.0		-180.0	[mm] min
z_1	326.0	326.0		326.0	[mm] max
y_2	-180.0	-180.0		-180.0	[mm] min
z_2	-326.0	-326.0		-326.0	[mm] min
y_3	180.0	180.0		180.0	[mm] max
z_3	326.0	326.0		326.0	[mm] max
y_4	180.0	180.0		180.0	[mm] max
z_4	-326.0	-326.0		-326.0	[mm] min
y_5	-9.4	-9.4		-9.4	[mm]
z_5	-255.0	-255.0		-255.0	[mm]
y_6	-9.4	-9.4		-9.4	[mm]
z_6	-326.0	-326.0		-326.0	[mm]

ÚPRAVA MOMENTŮ SETRVAČNOSTI V DŮSLEDKU ČLENĚNÍ PRŮŘEZU

OSA Y	0.50
OSA Z	1.00

SCHÉMA PROMĚNNÝCH

SCHÉMA ZADANÉHO PRŮŘEZU

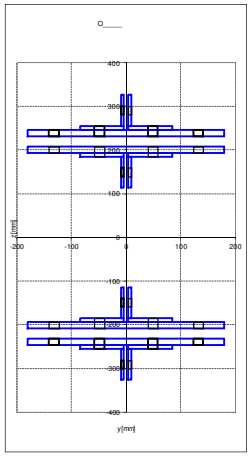

NEUTRÁLNÁ OSA

NAPĚTÍ [MPa]:

42.75	69.65
121.79	148.68

ZS: SLS_LM_N,MX

	N [kN]	Vy [kN]	Vz [kN]	Mx [kNm]	My [kNm]	Mz [kNm]
import	2175	-7	10	0	68	-14

TR_D1 POPIS: **DIAGONÁLA D1** POSUDEK: **D1**

SKUPINA ZAT. STAVŮ	EXTRÉM	VYHODNOCOVANÉ VELIČINY					
		N	Vy	Vz	Mx	My	Mz
		kN	kN	kN	kNm	kNm	kNm
G0	N.min	**572.85**	-5.78	0.66	0	1.35	-6.92
	N.max	**572.85**	-5.78	0.66	0	1.35	-6.92
	Vy.min	572.85	**-5.78**	0.66	0	1.35	-6.92
	Vy.max	572.85	**-5.78**	0.66	0	1.35	-6.92
	Vz.min	572.85	-5.78	**0.66**	0	1.35	-6.92
	Vz.max	572.85	-5.78	**0.66**	0	1.35	-6.92
	Mx.min	572.85	-5.78	0.66	**0**	1.35	-6.92
	Mx.max	572.85	-5.78	0.66	**0**	1.35	-6.92
	My.min	572.85	-5.78	0.66	0	**1.35**	-6.92
	My.max	572.85	-5.78	0.66	0	**1.35**	-6.92
	Mz.min	572.85	-5.78	0.66	0	1.35	**-6.92**
	Mz.max	572.85	-5.78	0.66	0	1.35	**-6.92**
G1	N.min	**44.78**	-0.08	0.06	0	0.31	-0.3
	N.max	**44.78**	-0.08	0.06	0	0.31	-0.3
	Vy.min	44.78	**-0.08**	0.06	0	0.31	-0.3
	Vy.max	44.78	**-0.08**	0.06	0	0.31	-0.3
	Vz.min	44.78	-0.08	**0.06**	0	0.31	-0.3
	Vz.max	44.78	-0.08	**0.06**	0	0.31	-0.3
	Mx.min	44.78	-0.08	0.06	**0**	0.31	-0.3
	Mx.max	44.78	-0.08	0.06	**0**	0.31	-0.3
	My.min	44.78	-0.08	0.06	0	**0.31**	-0.3
	My.max	44.78	-0.08	0.06	0	**0.31**	-0.3
	Mz.min	44.78	-0.08	0.06	0	0.31	**-0.3**
	Mz.max	44.78	-0.08	0.06	0	0.31	**-0.3**
G2	N.min	**34.15**	-0.06	-0.09	0	-0.69	-0.23
	N.max	**34.15**	-0.06	-0.09	0	-0.69	-0.23
	Vy.min	34.15	**-0.06**	-0.09	0	-0.69	-0.23
	Vy.max	34.15	**-0.06**	-0.09	0	-0.69	-0.23
	Vz.min	34.15	-0.06	**-0.09**	0	-0.69	-0.23
	Vz.max	34.15	-0.06	**-0.09**	0	-0.69	-0.23
	Mx.min	34.15	-0.06	-0.09	**0**	-0.69	-0.23
	Mx.max	34.15	-0.06	-0.09	**0**	-0.69	-0.23
	My.min	34.15	-0.06	-0.09	0	**-0.69**	-0.23
	My.max	34.15	-0.06	-0.09	0	**-0.69**	-0.23
	Mz.min	34.15	-0.06	-0.09	0	-0.69	**-0.23**
	Mz.max	34.15	-0.06	-0.09	0	-0.69	**-0.23**
P1_71	N.min	**-1.8**	0	-0.52	0	-0.56	0
	N.max	**396.33**	-0.53	3.14	0.01	16.81	-2.2
	Vy.min	383.77	**-0.54**	2.26	0.01	11.62	-2.26
	Vy.max	0	**0**	0	0	0	0
	Vz.min	184.86	-0.26	**-1.09**	0	-5.22	-1.11
	Vz.max	207.47	-0.26	**3.63**	0.01	20.85	-1.11
	Mx.min	150.05	-0.2	-0.46	**0**	-4.75	-0.86
	Mx.max	242.1	-0.3	2.77	**0.01**	19.81	-1.24
	My.min	257.76	-0.35	-0.47	0	**-6.47**	-1.48
	My.max	138.27	-0.15	3.36	0.01	**22.56**	-0.65
	Mz.min	384.39	-0.54	2.36	0.01	12.25	**-2.26**
	Mz.max	0	0	0	0	0	**0**
P2_71	N.min	**-9.32**	0	-1.11	0	-2.81	0
	N.max	**935.86**	-1.7	3.48	0.01	26.08	-6.65
	Vy.min	895.26	**-1.75**	2.31	0	19.04	-6.84
	Vy.max	-1.56	**0**	-0.12	0	-0.33	0.01
	Vz.min	151.31	-0.29	**-1.73**	0	-3.58	-1.07
	Vz.max	741.44	-1.39	**3.96**	0.01	25.38	-5.56
	Mx.min	495.17	-1.08	0.5	**0**	3.23	-4.19
	Mx.max	474.29	-0.72	1.68	**0.01**	20.4	-2.79
	My.min	137.46	-0.28	-1.61	0	**-4.05**	-1.04
	My.max	763.53	-1.37	3.76	0.01	**27.18**	-5.41
	Mz.min	896.38	-1.75	2.36	0.01	19.75	**-6.86**
	Mz.max	-0.79	0	-0.01	0	-0.06	**0.01**
P1_C3	N.min	**-2.88**	0	-0.83	0	-0.9	-0.01
	N.max	**336.08**	-0.44	1.96	0.01	10.27	-1.79
	Vy.min	332.95	**-0.45**	2.42	0.01	11.46	-1.91
	Vy.max	0	**0**	0	0	0	0
	Vz.min	172.71	-0.25	**-1.19**	0	-5.33	-1.05
	Vz.max	160.01	-0.21	**2.82**	0.01	15.23	-0.9
	Mx.min	129.07	-0.17	-0.38	**0**	-4.03	-0.74
	Mx.max	188.66	-0.24	1.46	**0.01**	12.63	-0.96
	My.min	220.66	-0.31	-1.06	0	**-6.13**	-1.27
	My.max	97.53	-0.11	2.69	0.01	**16.98**	-0.48
	Mz.min	329.7	-0.45	2.45	0	10.95	**-1.91**
	Mz.max	0	0	0	0	0	**0**
P2_C3	N.min	**-14.57**	0	-1.77	0	-4.46	-0.01
	N.max	**794.29**	-1.43	2.15	0.01	17.65	-5.42
	Vy.min	781.64	**-1.48**	2.93	0	20.05	-5.81
	Vy.max	-1.01	**0**	-0.02	0	-0.07	0.01
	Vz.min	174.07	-0.3	**-2.09**	0	-2.76	-1.11
	Vz.max	659.34	-1.24	**3.26**	0	20.64	-4.92
	Mx.min	412.58	-0.91	0.44	**0**	2.83	-3.56
	Mx.max	375.21	-0.63	0.42	**0.01**	12.74	-2.51
	My.min	131.87	-0.28	-1.87	0	**-4.98**	-1.06
	My.max	626.37	-1.15	3.03	0.01	**21.11**	-4.59
	Mz.min	773.27	-1.47	3.1	0	19.97	**-5.81**
	Mz.max	-1.01	0	-0.02	0	-0.07	**0.01**
BR	N.min	**-18.88**	-1.04	0.77	0	6.45	-3.08
	N.max	**18.88**	1.04	-0.77	0	-6.45	3.08
	Vy.min	-18.88	**-1.04**	0.77	0	6.45	-3.08
	Vy.max	18.88	**1.04**	-0.77	0	-6.45	3.08
	Vz.min	17.45	1.03	**-0.91**	0	-8.09	2.98
	Vz.max	-17.45	-1.03	**0.91**	0	8.09	-2.98
	Mx.min	18.88	1.04	-0.77	**0**	-6.45	3.08
	Mx.max	-18.88	-1.04	0.77	**0**	6.45	-3.08
	My.min	17.45	1.03	-0.91	0	**-8.09**	2.98
	My.max	-17.45	-1.03	0.91	0	**8.09**	-2.98
	Mz.min	-18.88	-1.04	0.77	0	6.45	**-3.08**
	Mz.max	18.88	1.04	-0.77	0	-6.45	**3.08**

TR_D1 POPIS: **DIAGONÁLA D1** POSUDEK: **D1**

SKUPINA ZAT. STAVŮ	EXTRÉM	VYHODNOCOVANÉ VELIČINY					
		N	Vy	Vz	Mx	My	Mz
		kN	kN	kN	kNm	kNm	kNm
S	N.min	**-3.52**	-0.01	0.11	0	-0.78	-0.04
	N.max	**3.52**	0.01	-0.11	0	0.78	0.04
	Vy.min	-1.87	**-0.02**	0.49	0	-0.59	-0.12
	Vy.max	1.87	**0.02**	-0.49	0	0.59	0.12
	Vz.min	1.87	0.02	**-0.49**	0	0.59	0.12
	Vz.max	-1.87	-0.02	**0.49**	0	-0.59	-0.12
	Mx.min	-0.17	0.02	-0.06	**0**	2.46	0.13
	Mx.max	0.17	-0.02	0.06	**0**	-2.46	-0.13
	My.min	1.08	0.01	-0.27	0	**-3.12**	0
	My.max	-1.08	-0.01	0.27	0	**3.12**	0
	Mz.min	0.17	-0.02	0.06	0	-2.46	**-0.13**
	Mz.max	-0.17	0.02	-0.06	0	2.46	**0.13**
CH	N.min	**13.92**	-0.01	-0.14	0	-1.48	-0.05
	N.max	**85.16**	-0.14	-0.41	0	-3.13	-0.57
	Vy.min	85.16	**-0.14**	-0.41	0	-3.13	-0.57
	Vy.max	13.92	**-0.01**	-0.14	0	-1.48	-0.05
	Vz.min	61.85	-0.08	**-0.51**	0	-3.67	-0.34
	Vz.max	13.92	-0.01	**-0.14**	0	-1.48	-0.05
	Mx.min	61.85	-0.08	-0.51	**0**	-3.67	-0.34
	Mx.max	13.92	-0.01	-0.14	**0**	-1.48	-0.05
	My.min	61.85	-0.08	-0.51	0	**-3.67**	-0.34
	My.max	13.92	-0.01	-0.14	0	**-1.48**	-0.05
	Mz.min	85.16	-0.14	-0.41	0	-3.13	**-0.57**
	Mz.max	13.92	-0.01	-0.14	0	-1.48	**-0.05**
W	N.min	**-51.27**	0.15	-6.17	0	-26.39	0.43
	N.max	**51.27**	-0.15	6.17	0	26.39	-0.43
	Vy.min	51.27	**-0.15**	6.17	0	26.39	-0.43
	Vy.max	-51.27	**0.15**	-6.17	0	-26.39	0.43
	Vz.min	-51.27	0.15	**-6.17**	0	-26.39	0.43
	Vz.max	51.27	-0.15	**6.17**	0	26.39	-0.43
	Mx.min	-51.27	0.15	-6.17	**0**	-26.39	0.43
	Mx.max	51.27	-0.15	6.17	**0**	26.39	-0.43
	My.min	-51.27	0.15	-6.17	0	**-26.39**	0.43
	My.max	51.27	-0.15	6.17	0	**26.39**	-0.43
	Mz.min	51.27	-0.15	6.17	0	26.39	**-0.43**
	Mz.max	-51.27	0.15	-6.17	0	-26.39	**0.43**
WP	N.min	**-43.33**	0.13	-0.68	0.01	-11.59	0.29
	N.max	**43.42**	-0.13	0.72	-0.01	11.66	-0.29
	Vy.min	43.42	**-0.13**	0.72	-0.01	11.66	-0.29
	Vy.max	-43.33	**0.13**	-0.68	0.01	-11.59	0.29
	Vz.min	-43.33	0.13	**-0.68**	0.01	-11.59	0.29
	Vz.max	43.42	-0.13	**0.72**	-0.01	11.66	-0.29
	Mx.min	43.42	-0.13	0.72	**-0.01**	11.66	-0.29
	Mx.max	-43.33	0.13	-0.68	**0.01**	-11.59	0.29
	My.min	-43.33	0.13	-0.68	0.01	**-11.59**	0.29
	My.max	43.42	-0.13	0.72	-0.01	**11.66**	-0.29
	Mz.min	43.42	-0.13	0.72	-0.01	11.66	**-0.29**
	Mz.max	-43.33	0.13	-0.68	0.01	-11.59	**0.29**
TR	N.min	**0**	0	0	0	0	0
	N.max	**0**	0	0	0	0	0
	Vy.min	0	**0**	0	0	0	0
	Vy.max	0	**0**	0	0	0	0
	Vz.min	0	0	**0**	0	0	0
	Vz.max	0	0	**0**	0	0	0
	Mx.min	0	0	0	**0**	0	0
	Mx.max	0	0	0	**0**	0	0
	My.min	0	0	0	0	**0**	0
	My.max	0	0	0	0	**0**	0
	Mz.min	0	0	0	0	0	**0**
	Mz.max	0	0	0	0	0	**0**
TN	N.min	**-34.58**	0.09	-0.35	0	-2.89	0.95
	N.max	**49.06**	-0.12	-0.32	0	-5.54	-1.04
	Vy.min	49.06	**-0.12**	-0.32	0	-5.54	-1.04
	Vy.max	-34.58	**0.09**	-0.35	0	-2.89	0.95
	Vz.min	-15.84	0.02	**-0.62**	0	4.36	0.06
	Vz.max	34.58	-0.09	**0.35**	0	2.89	-0.95
	Mx.min	-15.84	0.02	-0.62	**0**	4.36	0.06
	Mx.max	49.06	-0.12	-0.32	**0**	-5.54	-1.04
	My.min	49.06	-0.12	-0.32	0	**-5.54**	-1.04
	My.max	-15.84	0.02	-0.62	0	**4.36**	0.06
	Mz.min	49.06	-0.12	-0.32	0	-5.54	**-1.04**
	Mz.max	-34.58	0.09	-0.35	0	-2.89	**0.95**
FR	N.min	**-2.05**	-0.11	0.03	0	0.29	-0.34
	N.max	**2.05**	0.11	-0.03	0	-0.29	0.34
	Vy.min	-2.05	**-0.11**	0.03	0	0.29	-0.34
	Vy.max	2.05	**0.11**	-0.03	0	-0.29	0.34
	Vz.min	2.05	0.11	**-0.03**	0	-0.29	0.34
	Vz.max	-2.05	-0.11	**0.03**	0	0.29	-0.34
	Mx.min	2.05	0.11	-0.03	**0**	-0.29	0.34
	Mx.max	-2.05	-0.11	0.03	**0**	0.29	-0.34
	My.min	2.05	0.11	-0.03	0	**-0.29**	0.34
	My.max	-2.05	-0.11	0.03	0	**0.29**	-0.34
	Mz.min	-2.05	-0.11	0.03	0	0.29	**-0.34**
	Mz.max	2.05	0.11	-0.03	0	-0.29	**0.34**
I	N.min	**-12.36**	0.03	-1	0	-5.11	**0.12**
	N.max	**12.36**	-0.03	1	0	5.11	**-0.12**
	Vy.min	12.36	**-0.03**	1	0	5.11	**-0.12**
	Vy.max	-12.36	**0.03**	-1	0	-5.11	**0.12**
	Vz.min	-12.36	0.03	**-1**	0	-5.11	**0.12**
	Vz.max	12.36	-0.03	**1**	0	5.11	**-0.12**
	Mx.min	-12.36	0.03	-1	**0**	-5.11	**0.12**
	Mx.max	12.36	-0.03	1	**0**	5.11	**-0.12**
	My.min	-12.36	0.03	-1	0	**-5.11**	**0.12**
	My.max	12.36	-0.03	1	0	**5.11**	**-0.12**
	Mz.min	12.36	-0.03	1	0	5.11	**-0.12**
	Mz.max	-12.36	0.03	-1	0	-5.11	**0.12**

TAB. D1.3 POSOUZENÍ - MEZNÍ STAV ÚNOSNOSTI

POPIS	DIAGONÁLA D1
PRUT / POLOHA BODU	260 / II[105]
NAMÁHÁNÍ	Mz.min
VLÁKNO	BOD K1 -HL
MEZNÍ STAV	ULS (MSÚ)
VYUŽITÍ VLÁKNA PRŮŘEZU	0.65

Charakteristiky materiálu				
pás. horní	$f_{yf,k}$	230	MPa	
pás. dolní	$f_{yf,k}$	230	MPa	
stojina	$f_{yw,k}$	230	MPa	
výztuž	$f_{ys,k}$	500	MPa	
γ_M =	1.10	γ_s =	1.15	

Excentricita normálové síly				
Exc./Fáze	0	1	2	3
e_y	0.000	0.000	0.000	0.000
e_z	0.000	0.000	0.000	0.000
Ekvivalentní vzdál. stěn - příčný roznos				
b_{Nx}	0.000	0.000	0.000	0.000

Vliv stěny na únosnost průřezu				
Char./Fáze	0	1	2	3
A	0.00	0.00	0.00	0.00
Wy	0.00	0.00	0.00	0.00
Wz	0.00	0.00	0.00	0.00

Charakter. v kroucení			
$t_{w,y}$	0.000	[mm]	
$t_{w,z}$	0.000	[mm]	
κ	1.00		
I_t=	0.00E+00	[mm^4]	
$\Omega=2*A_{pz}$	0.00E+00	[mm^2]	

Součinitele vzpěru a vlivu II.řádu				
Char./Fáze	0	1	2	3
k_y	1.000	1.000	1.000	1.000
k_z	1.000	1.000	1.000	1.000
χ_{LT}	1.000	1.000	1.000	1.000
χ_{min}	1.000	1.000	1.000	1.000

4

Vnitřní síly od jednotlivých skupin zatěžovacích stavů

SKUPINA ZATĚŽOVACÍCH STAVŮ					- CHARAKTERISTICKÉ HODNOTY						DÍLČÍ SOUČINITELÉ ZATÍŽENÍ, DYNAMICKÝ SOUČINITEL							- NÁVRHOVÉ HODNOTY									
Č.	SKUP ZS	POPIS ZS	KAT.	FÁZE PRŮŘ.	N.k (kN)	Vy.k (kN)	Vz.k (kN)	Mx.k (kNm)	My.k (kNm)	Mz.k (kNm)	γ_{sr} (-)	γ_{fs} (-)	volba γ_f hledat	γ_f (-)	L_d (m)	δ (-)	Ψ_s KZ04	N.d (kN)	Vy.d (kN)	Vz.d (kN)	ΔVz.d (kN)	ΣVz.d (kN)	Mx.d (kNm)	My.d (kNm)	ΔMy.d (kNm)	ΣMy.d (kNm)	Mz.d (kNm)	ΔMz.d (kNm)	ΣMz.d (kNm)
1	G0	Vlastní tíha OK	G	0	573	-6	1	0	1	-7	1.00	1.20		1.20	-	1.00	0.95	653	-7	1	0	1	0	2	0	2	-8	0	-8
2	G1	Ostatní stálé - mostní vybavení	G	0	45	0	0	0	0	0	1.00	1.20		1.20	-	1.00	0.95	51	0	0	0	0	0	0	0	0	0	0	0
3	G2	Ostatní stálé - cizí zařízení	G	0	34	0	0	0	-1	0	1.00	1.20		1.20	-	1.00	0.95	39	0	0	0	0	0	-1	0	-1	0	0	0
4	P1_71	a.LM71 - kolej 1 (bez dyn. souč.)	P	0	384	-1	2	0	12	-2	1.00	1.30		1.30	-	1.00	1.00	500	-1	3	0	3	0	16	0	16	-3	0	-3
5	P2_71	a.LM71 - kolej 2 (bez dyn. souč.)	P	0	896	-2	2	0	20	-7	1.00	1.30		1.30	-	1.00	1.00	1 165	-2	3	0	3	0	26	0	26	-9	0	-9
6	P1_C3	TTZ C3 - kolej 1 (bez dyn. souč.)	P	0	330	0	2	0	11	-2	1.00	vyp.		0.00	-	1.00	0.00	0	0	0	0	0	0	0	0	0	0	0	0
7	P2_C3	TTZ C3 - kolej 2 (bez dyn. souč.)	P	0	773	-1	3	0	20	-6	1.00	vyp.		0.00	-	1.00	0.00	0	0	0	0	0	0	0	0	0	0	0	0
8	BR	Brzdné a rozjezdové síly	P	0	-19	-1	1	0	6	-3	1.00	0.00		0.00	-	1.00	0.40	0	0	0	0	0	0	0	0	0	0	0	0
9	S	Boční ráz	P	0	0	0	0	0	-2	0	1.00	1.30		1.30	-	1.00	0.80	0	0	0	0	0	0	-3	0	-3	0	0	0
10	CH	Chodci na lávkách	Q	0	85	0	0	0	-3	-1	1.00	1.30		1.30	-	1.00	1.00	111	0	-1	0	-1	0	-4	0	-4	-1	0	-1
11	W	Vítr na konstrukci	Q	0	51	0	6	0	26	0	1.00	-1.35		-1.35	-	1.00	0.75	-52	0	-6	0	-6	0	-27	0	-27	0	0	0
12	WP	Vítr na vozidla	Q	0	43	0	1	0	12	0	1.00	-1.35		-1.35	-	1.00	0.75	-44	0	-1	0	-1	0	-12	0	-12	0	0	0
13	TR	Teplota rovnoměrná	Q	0	0	0	0	0	0	0	1.00	1.35		1.35	-	1.00	0.45	0	0	0	0	0	0	0	0	0	0	0	0
14	TN	Teplota nerovnoměrná	Q	0	49	0	0	0	-6	-1	1.00	1.35		1.35	-	1.00	0.60	40	0	0	0	0	0	-4	0	-4	-1	0	-1
15	FR	Třecí síly v ložiskách	Q	0	-2	0	0	0	0	0	1.00	1.20		1.20	-	1.00	1.00	-2	0	0	0	0	0	0	0	0	0	0	0
16	I	Imperfekce soustavy	Q	0	12	0	1	0	5	0	1.00	-1.20		-1.20	-	1.00	1.00	-15	0	-1	0	-1	0	-6	0	-6	0	0	0
27	ULS_LM	ULS - LM71 bez dynam	Q	0	2 642	-12	15	0	86	-27	1.00	vyp.		0.00	-	1.00	0.00	0	0	0	0	0	0	0	0	0	0	0	0
28	SLS_LM	SLS - LM71 bez dynam	Q	0	2 080	-10	12	0	69	-21	1.00	vyp.	1	0.00	-	1.00	0.00	0	0	0	0	0	0	0	0	0	0	0	0
29	ULS_C3	ULS - C3 bez dynam	Q	0	2 411	-11	16	0	85	-25	1.00	vyp.	1	0.00	-	1.00	0.00	0	0	0	0	0	0	0	0	0	0	0	0
30	SLS_C3	SLS - C3 bez dynam	Q	0	1 902	-9	13	0	68	-20	1.00	vyp.	1	0.00	-	1.00	0.00	0	0	0	0	0	0	0	0	0	0	0	0
		CELKEM - FÁZE PRŮŘEZU 0			2 445	-10	-2	0	-13	-22								2 445	-10	-2	0	-2	0	-13	0	-13	-22	0	-22
		CELKEM - FÁZE PRŮŘEZU 1			0	0	0	0	0	0								0	0	0	0	0	0	0	0	0	0	0	0
		CELKEM - FÁZE PRŮŘEZU 2			0	0	0	0	0	0								0	0	0	0	0	0	0	0	0	0	0	0
		CELKEM - FÁZE PRŮŘEZU 3			0	0	0	0	0	0								0	0	0	0	0	0	0	0	0	0	0	0
		CELKEM - PRŮŘEZ			2 445	-10	-2	0	-13	-22								2 445	-10	-2	0	-2	0			-13			-22

Napětí od jednotlivých zatěžovacích stavů

SKUPINA ZATĚŽOVACÍCH STAVŮ					Posouzení normálového napětí										Posouzení smykového napětí													
					Účinek síly N			Účinek momentu My			Účinek momentu Mz				Účinek kroutícího momentu Mx				Účinek smykové síly Vy				Účinek smykové síly Vz			
č.	SKUP ZS	Popis ZS	Kat.	fáze prúř.	δ^*N_d [kN]	χ^*A [mm^2]	σ_n [MPa]	$\delta^*M_{y,d}$ [kNm]	$\chi_{lt}*W_{el,y}$ [mm^3]	σ_{my} [MPa]	$\delta^*M_{z,d}$ [kNm]	$W_{el,z}$ [mm^3]	σ_{mz} [MPa]	σ_x [MPa]	$\kappa*\delta^*M_{x,d}$ [kNm]	$W_{v,y}$ [mm^2]	$\tau_{x,y}$ [MPa]	$W_{v,z}$ [mm^2]	$\tau_{x,z}$ [MPa]	$\delta^*V_{y,d}$ [kN]	$A_{v,y}$ [mm2]	$\tau_{v,y}$ [MPa]	$\tau_{v,y}$ [MPa]	$\delta^*V_{z,d}$ [kN]	$A_{v,z}$ [mm2]	$\tau_{v,z}$ [MPa]	$\tau_{v,z}$ [MPa]
1	G0	Vlastní tíha OK	G	0	653.0	2.27E+04	28.7	1.5	-1.72E+06	-0.9	-7.9	-1.05E+06	7.5	35.4	0.0E+00	-	-	-	-	-6.6	2.05E+04	-0.3	-0.3	0.8	2.20E+03	0.3	0.3
2	G1	Ostatní stálé - mostní vybavení	G	0	51.0	2.27E+04	2.2	0.4	-1.72E+06	-0.2	-0.3	-1.05E+06	0.3	2.4	0.0E+00	-	-	-	-	-0.1	2.05E+04	0.0	0.0	0.1	2.20E+03	0.0	0.0
3	G2	Ostatní stálé - cizí zařízení	G	0	38.9	2.27E+04	1.7	-0.8	-1.72E+06	0.5	-0.3	-1.05E+06	0.3	2.4	0.0E+00	-	-	-	-	-0.1	2.05E+04	0.0	0.0	-0.1	2.20E+03	0.0	0.0
4	P1_71	a.LM71 - kolej 1 (bez dyn. souč.)	P	0	499.7	2.27E+04	22.0	15.9	-1.72E+06	-9.3	-2.9	-1.05E+06	2.8	15.5	1.3E-02	-	-	-	-	-0.7	2.05E+04	0.0	0.0	3.1	2.20E+03	1.4	1.4
5	P2_71	a.LM71 - kolej 2 (bez dyn. souč.)	P	0	1 165.3	2.27E+04	51.3	25.7	-1.72E+06	-14.9	-8.9	-1.05E+06	8.5	44.9	1.3E-02	-	-	-	-	-2.3	2.05E+04	-0.1	-0.1	3.1	2.20E+03	1.4	1.4
6	P1_C3	TTZ C3 - kolej 1 (bez dyn. souč.)	P	0	0.0	2.27E+04	0.0	0.0	-1.72E+06	0.0	0.0	-1.05E+06	0.0	0.0	0.0E+00	-	-	-	-	0.0	2.05E+04	0.0	0.0	0.0	2.20E+03	0.0	0.0
7	P2_C3	TTZ C3 - kolej 2 (bez dyn. souč.)	P	0	0.0	2.27E+04	0.0	0.0	-1.72E+06	0.0	0.0	-1.05E+06	0.0	0.0	0.0E+00	-	-	-	-	0.0	2.05E+04	0.0	0.0	0.0	2.20E+03	0.0	0.0
8	BR	Brzdné a rozjezdové síly	P	0	0.0	2.27E+04	0.0	0.0	-1.72E+06	0.0	0.0	-1.05E+06	0.0	0.0	0.0E+00	-	-	-	-	0.0	2.05E+04	0.0	0.0	0.0	2.20E+03	0.0	0.0
9	S	Boční ráz	P	0	0.2	2.27E+04	0.0	-2.6	-1.72E+06	1.5	-0.1	-1.05E+06	0.1	1.6	0.0E+00	-	-	-	-	0.0	2.05E+04	0.0	0.0	0.1	2.20E+03	0.0	0.0
10	CH	Chodci na lávkách	Q	0	110.7	2.27E+04	4.9	-4.1	-1.72E+06	2.4	-0.7	-1.05E+06	0.7	7.9	0.0E+00	-	-	-	-	-0.2	2.05E+04	0.0	0.0	-0.5	2.20E+03	-0.2	-0.2
11	W	Vítr na konstrukci	Q	0	-51.9	2.27E+04	-2.3	-26.7	-1.72E+06	15.5	0.4	-1.05E+06	-0.4	12.8	0.0E+00	-	-	-	-	0.2	2.05E+04	0.0	0.0	-6.2	2.20E+03	-2.8	-2.8
12	WP	Vítr na vozidla	Q	0	-44.0	2.27E+04	-1.9	-11.8	-1.72E+06	6.9	0.3	-1.05E+06	-0.3	4.6	1.0E-02	-	-	-	-	0.1	2.05E+04	0.0	0.0	-0.7	2.20E+03	-0.3	-0.3
13	TR	Teplota rovnoměrná	Q	0	0.0	2.27E+04	0.0	0.0	-1.72E+06	0.0	0.0	-1.05E+06	0.0	0.0	0.0E+00	-	-	-	-	0.0	2.05E+04	0.0	0.0	0.0	2.20E+03	0.0	0.0
14	TN	Teplota nerovnoměrná	Q	0	39.7	2.27E+04	1.7	-4.5	-1.72E+06	2.6	-0.8	-1.05E+06	0.8	5.2	0.0E+00	-	-	-	-	-0.1	2.05E+04	0.0	0.0	-0.3	2.20E+03	-0.1	-0.1
15	FR	Třecí síly v ložiskách	Q	0	-2.5	2.27E+04	-0.1	0.3	-1.72E+06	-0.2	-0.4	-1.05E+06	0.4	0.1	0.0E+00	-	-	-	-	-0.1	2.05E+04	0.0	0.0	0.0	2.20E+03	0.0	0.0
16	I	Imperfekce soustavy	Q	0	-14.8	2.27E+04	-0.7	-6.1	-1.72E+06	3.6	0.1	-1.05E+06	-0.1	2.8	0.0E+00	-	-	-	-	0.0	2.05E+04	0.0	0.0	-1.2	2.20E+03	-0.5	-0.5
27	ULS_LM	ULS - LM71 bez dynam	Q	0	0.0	2.27E+04	0.0	0.0	-1.72E+06	0.0	0.0	-1.05E+06	0.0	0.0	0.0E+00	-	-	-	-	0.0	2.05E+04	0.0	0.0	0.0	2.20E+03	0.0	0.0
28	SLS_LM	SLS - LM71 bez dynam	Q	0	0.0	2.27E+04	0.0	0.0	-1.72E+06	0.0	0.0	-1.05E+06	0.0	0.0	0.0E+00	-	-	-	-	0.0	2.05E+04	0.0	0.0	0.0	2.20E+03	0.0	0.0
29	ULS_C3	ULS - C3 bez dynam	Q	0	0.0	2.27E+04	0.0	0.0	-1.72E+06	0.0	0.0	-1.05E+06	0.0	0.0	0.0E+00	-	-	-	-	0.0	2.05E+04	0.0	0.0	0.0	2.20E+03	0.0	0.0
30	SLS_C3	SLS - C3 bez dynam	Q	0	0.0	2.27E+04	0.0	0.0	-1.72E+06	0.0	0.0	-1.05E+06	0.0	0.0	0.0E+00	-	-	-	-	0.0	2.05E+04	0.0	0.0	0.0	2.20E+03	0.0	0.0
NAVÝŠENÍ NAPĚTÍ DO AKTIVACE TLAKU V DESCE MOSTOVKY						$\sigma_{P,red}$	0.0							0.0			0.0		0.0			-0.5	-0.5			-0.9	-0.9
NAPĚTÍ OD PRIMÁRNÍCH ÚČINKŮ NEROVNOMĚRNÉHO OTEPLENÍ						σ_T	0.0							0.0													
NAPĚTÍ OD REOLOGICKÝCH ÚČINKŮ BETONU V ČASE				t=0		σ_R	0.0	γ_{lt}=	1.20					0.0													
NAPĚTÍ V KRITICKÝCH VLÁKNECH OD KOMBINACE ZATÍŽENÍ						KZ04		[MPa]					$\Sigma\sigma_x$	135.7								$\Sigma\tau_y$	-0.5			$\Sigma\tau_z$	-0.9
NAPĚTÍ OD POHYBLIVÉHO ZATÍŽENÍ								[MPa]					$\sigma_{x,P}$	62.1								τ_P	-0.1			τ_P	2.8
NAPĚTÍ OD OSTATNÍCH ZATÍŽENÍ								[MPa]			Φ_{Vy}	Φ_{Vz}	$\sigma_{x,rs}$	73.6								τ_{rs}	-0.3			τ_{rs}	-3.7
NÁVRHOVÁ HODNOTA MEZE KLUZU S REDUKCÍ VLIVEM SMYKOVÉHO NAPĚTÍ								[MPa]			1.00	1.00	$f_{yw,d}$	209.1								$f_{yd}/3^{0,5}$	120.7			$f_{yd}/3^{0,5}$	120.7
NAPĚTÍ OD POHYBLIVÉHO ZATÍŽENÍ V GLOBÁLNÍM SYSTÉMU						$\sigma_{GLOB,P}$	0.0	[MPa]					$\Sigma\sigma_{GLOB}$	0.0													
NAPĚTÍ OD OSTATNÍCH ZATÍŽENÍ V GLOBÁLNÍM SYSTÉMU						$\sigma_{GLOB,rs}$	0.0	[MPa]					$\Sigma\sigma_x + \Sigma\sigma_{GLOB}$	135.7													
VYUŽITÍ PRŮŘEZU DLE NAPĚTÍ								[%]					η_1	0.65								η_3	0.00			η_3	0.01
NAPĚTÍ V PŘÍČNÉM SMĚRU OD POHYBLIVÉHO ZATÍŽENÍ						$\sigma_{z,P}$	0.0	[MPa]					$\Sigma\sigma_z$	0.0													
NAPĚTÍ V PŘÍČNÉM SMĚRU OD OSTATNÍCH ZATÍŽENÍ						$\sigma_{z,rs}$	0.0	[MPa]					η_2	0.00													
SROVNÁVACÍ NAPĚTÍ													$(\eta_2 + 0,8\,\eta_1)/1,4$ =	0.37													
VYUŽITÍ PRŮŘEZU CELKEM								[%]					eff	0.65	VYHOVUJE												
													z_{LM71} =	2.18													

TAB. D1.3 POSOUZENÍ - MEZNÍ STAV ÚNOSNOSTI

POPIS	DIAGONÁLA D1
PRUT / POLOHA BODU	260 / II[105]
NAMÁHÁNÍ	N.max
VLÁKNO	BOD K3 -SL
MEZNÍ STAV	ULS (MSÚ)
VYUŽITÍ VLÁKNA PRŮŘEZU	0.94

Charakteristiky materiálu				
pás. horní	$f_{yf,k}$	230	MPa	
pás. dolní	$f_{yf,k}$	230	MPa	
stojina	$f_{yw,k}$	230	MPa	
výztuž	$f_{ys,k}$	500	MPa	
γ_M =		1.10	γ_s =	1.15

Excentricita normálové síly				
Exc./Fáze	0	1	2	3
e_y	0.000	0.000	0.000	0.000
e_z	0.000	0.000	0.000	0.000
Ekvivalentní vzdál. stěn - příčný roznos				
b_{ekv}	0.000	0.000	0.000	0.000

Vliv stěny na únosnost průřezu				
Char./Fáze	0	1	2	3
A	0.00	0.00	0.00	0.00
Wy	0.00	0.00	0.00	0.00
Wz	0.00	0.00	0.00	0.00

Charakter. v kroucení			
$t_{w,y}$	0.000	[mm]	
$t_{w,z}$	0.000	[mm]	
κ	1.00		
I_t=	0.00E+00	[mm^4]	
$\Omega=2*A_{pr}$	0.00E+00	[mm^2]	

Součinitele vzpěru a vlivu II.řádu				
Char./Fáze	0	1	2	3
k_y	1.000	1.000	1.000	1.000
k_z	1.000	1.000	1.000	1.000
χ_{LT}	1.000	1.000	1.000	1.000
χ_{min}	1.000	1.000	1.000	1.000

Vnitřní síly od jednotlivých skupin zatěžovacích stavů

SKUPINA ZATĚŽOVACÍCH STAVŮ — 4

Č.	SKUP ZS	POPIS ZS	KAT.	FÁZE PRŮŘ.	- CHARAKTERISTICKÉ HODNOTY N,k (kN)	Vy,k (kN)	Vz,k (kN)	Mx,k (kNm)	My,k (kNm)	Mz,k (kNm)	DÍLČÍ SOUČINITELÉ ZATÍŽENÍ, DYNAMICKÝ SOUČINITEL γ_{or} (-)	γ_{Q} (-)	volba ψ_i hledat	ψ_i (-)	L_d (m)	δ (-)	Ψ_E KZ04	- NÁVRHOVÉ HODNOTY N,d (kN)	Vy,d (kN)	Vz,d (kN)	ΔVz,d (kN)	ΣVz,d (kN)	Mx,d (kNm)	My,d (kNm)	ΔMy,d (kNm)	ΣMy,d (kNm)	Mz,d (kNm)	ΔMz,d (kNm)	ΣMz,d (kNm)
1	G0	Vlastní tíha OK	G	0	573	-6	1	0	1	-7	1.00	1.20		1.20	-	1.00	0.95	653	-7	1	0	1	0	2	0	2	-8	0	-8
2	G1	Ostatní stálé - mostní vybavení	G	0	45	0	0	0	0	0	1.00	1.20		1.20	-	1.00	0.95	51	0	0	0	0	0	0	0	0	0	0	0
3	G2	Ostatní stálé - cizí zařízení	G	0	34	0	0	-1	0	0	1.00	1.20		1.20	-	1.00	0.95	39	0	0	0	0	-1	0	0	-1	0	0	0
4	P1_71	a.LM71 - kolej 1 (bez dyn. souč.)	P	0	396	-1	3	0	17	-2	1.00	1.30		1.30	-	1.00	1.00	515	-1	4	0	4	0	22	0	22	-3	0	-3
5	P2_71	a.LM71 - kolej 2 (bez dyn. souč.)	P	0	936	-2	3	0	26	-7	1.00	1.30		1.30	-	1.00	1.00	1 217	-2	5	0	5	0	34	0	34	-9	0	-9
6	P1_C3	TTZ C3 - kolej 1 (bez dyn. souč.)	P	0	336	0	2	0	10	-2	1.00	vyp.		0.00	-	1.00	0.00	0	0	0	0	0	0	0	0	0	0	0	0
7	P2_C3	TTZ C3 - kolej 2 (bez dyn. souč.)	P	0	794	-1	2	0	18	-5	1.00	vyp.		0.00	-	1.00	0.00	0	0	0	0	0	0	0	0	0	0	0	0
8	BR	Brzdné a rozjezdové síly	P	0	19	1	-1	0	-6	3	1.00	0.00		0.00	-	1.00	0.40	0	0	0	0	0	0	0	0	0	0	0	0
9	S	Boční ráz	P	0	4	0	0	0	1	0	1.00	1.30		1.30	-	1.00	0.80	4	0	0	0	0	1	0	0	1	0	0	0
10	CH	Chodci na lávkách	Q	0	85	0	0	0	-3	-1	1.00	1.30		1.30	-	1.00	1.00	111	0	-1	0	-1	0	-4	0	-4	-1	0	-1
11	W	Vítr na konstrukci	Q	0	51	0	6	0	26	0	1.00	1.35		1.35	-	1.00	0.75	52	0	6	0	6	0	27	0	27	0	0	0
12	WP	Vítr na vozidla	Q	0	43	0	1	0	12	0	1.00	1.35		1.35	-	1.00	0.75	44	0	1	0	1	0	12	0	12	0	0	0
13	TR	Teplota rovnoměrná	Q	0	0	0	0	0	0	0	1.00	1.35		1.35	-	1.00	0.45	0	0	0	0	0	0	0	0	0	0	0	0
14	TN	Teplota nerovnoměrná	Q	0	49	0	0	0	-6	-1	1.00	1.35		1.35	-	1.00	0.60	40	0	0	0	0	0	-4	0	-4	-1	0	-1
15	FR	Třecí síly v ložiskách	Q	0	2	0	0	0	0	0	1.00	-1.20		-1.20	-	1.00	1.00	-2	0	0	0	0	0	0	0	0	0	0	0
16	I	Imperfekce soustavy	Q	0	12	0	1	0	5	0	1.00	1.20		1.20	-	1.00	1.00	15	0	1	0	1	0	6	0	6	0	0	0
27	ULS_LM	ULS - LM71 bez dynam	Q	0	2 765	-9	16	0	85	-18	1.00	vyp.		0.00	-	1.00	0.00	0	0	0	0	0	0	0	0	0	0	0	0
28	SLS_LM	SLS - LM71 bez dynam	Q	0	2 175	-7	12	0	68	-14	1.00	vyp.	1	0.00	-	1.00	0.00	0	0	0	0	0	0	0	0	0	0	0	0
29	ULS_C3	ULS - C3 bez dynam	Q	0	2 503	-8	12	0	65	-16	1.00	vyp.	1	0.00	-	1.00	0.00	0	0	0	0	0	0	0	0	0	0	0	0
30	SLS_C3	SLS - C3 bez dynam	Q	0	1 973	-7	10	0	53	-12	1.00	vyp.	1	0.00	-	1.00	0.00	0	0	0	0	0	0	0	0	0	0	0	0
		CELKEM - FÁZE PRŮŘEZU 0																2 737	-10	17	0	17	0	94	0	94	-23	0	-23
		CELKEM - FÁZE PRŮŘEZU 1																0	0	0	0	0	0	0	0	0	0	0	0
		CELKEM - FÁZE PRŮŘEZU 2																0	0	0	0	0	0	0	0	0	0	0	0
		CELKEM - FÁZE PRŮŘEZU 3																0	0	0	0	0	0	0	0	0	0	0	0
		CELKEM - PRŮŘEZ																2 737	-10	17	0	17	0			94			-23

Napětí od jednotlivých zatěžovacích stavů

SKUPINA ZATĚŽOVACÍCH STAVŮ

Č.	SKUP ZS	Popis ZS	Kat.	fáze průř.	Posouzení normálového napětí — Účinek síly N δ^*N_d [kN]	χ^*A [mm^2]	σ_n [MPa]	Účinek momentu My $\delta^*M_{y,d}$ [kNm]	$\chi_{lt}*W_{el,y}$ [mm^3]	σ_{my} [MPa]	Účinek momentu Mz $\delta^*M_{z,d}$ [kNm]	$W_{el,z}$ [mm^3]	σ_{mz} [MPa]	σ_x [MPa]	Posouzení smykového napětí — Účinek kroutícího momentu Mx $\kappa*\delta^*M_{x,d}$ [kNm]	$W_{v,y}$ [mm^2]	$\tau_{x,y}$ [MPa]	$W_{v,z}$ [mm^2]	$\tau_{x,z}$ [MPa]	Účinek smykové síly Vy $\delta^*V_{y,d}$ [kN]	$A_{v,y}$ [mm2]	$\tau_{v,y}$ [MPa]	$\tau_{v,y}$ [MPa]	Účinek smykové síly Vz $\delta^*V_{z,d}$ [kN]	$A_{v,z}$ [mm2]	$\tau_{v,z}$ [MPa]	$\tau_{v,z}$ [MPa]
1	G0	Vlastní tíha OK	G	0	653.0	2.27E+04	28.7	1.5	1.72E+06	0.9	-7.9	-1.05E+06	7.5	37.2	0.0E+00	-	-	-	-	-6.6	2.05E+04	-0.3	-0.3	0.8	2.20E+03	0.3	0.3
2	G1	Ostatní stálé - mostní vybavení	G	0	51.0	2.27E+04	2.2	0.4	1.72E+06	0.2	-0.3	-1.05E+06	0.3	2.8	0.0E+00	-	-	-	-	-0.1	2.05E+04	0.0	0.0	0.1	2.20E+03	0.0	0.0
3	G2	Ostatní stálé - cizí zařízení	G	0	38.9	2.27E+04	1.7	-0.8	1.72E+06	-0.5	-0.3	-1.05E+06	0.3	1.5	0.0E+00	-	-	-	-	-0.1	2.05E+04	0.0	0.0	-0.1	2.20E+03	0.0	0.0
4	P1_71	a.LM71 - kolej 1 (bez dyn. souč.)	P	0	515.2	2.27E+04	22.7	21.9	1.72E+06	12.7	-2.9	-1.05E+06	2.7	38.1	1.3E-02	-	-	-	-	-0.7	2.05E+04	0.0	0.0	4.1	2.20E+03	1.9	1.9
5	P2_71	a.LM71 - kolej 2 (bez dyn. souč.)	P	0	1 216.6	2.27E+04	53.5	33.9	1.72E+06	19.7	-8.6	-1.05E+06	8.3	81.5	1.3E-02	-	-	-	-	-2.2	2.05E+04	-0.1	-0.1	4.5	2.20E+03	2.1	2.1
6	P1_C3	TTZ C3 - kolej 1 (bez dyn. souč.)	P	0	0.0	2.27E+04	0.0	0.0	1.72E+06	0.0	0.0	-1.05E+06	0.0	0.0	0.0E+00	-	-	-	-	0.0	2.05E+04	0.0	0.0	0.0	2.20E+03	0.0	0.0
7	P2_C3	TTZ C3 - kolej 2 (bez dyn. souč.)	P	0	0.0	2.27E+04	0.0	0.0	1.72E+06	0.0	0.0	-1.05E+06	0.0	0.0	0.0E+00	-	-	-	-	0.0	2.05E+04	0.0	0.0	0.0	2.20E+03	0.0	0.0
8	BR	Brzdné a rozjezdové síly	P	0	0.0	2.27E+04	0.0	0.0	1.72E+06	0.0	0.0	-1.05E+06	0.0	0.0	0.0E+00	-	-	-	-	0.0	2.05E+04	0.0	0.0	0.0	2.20E+03	0.0	0.0
9	S	Boční ráz	P	0	3.7	2.27E+04	0.2	0.8	1.72E+06	0.5	0.0	-1.05E+06	0.0	0.6	0.0E+00	-	-	-	-	0.0	2.05E+04	0.0	0.0	-0.1	2.20E+03	-0.1	-0.1
10	CH	Chodci na lávkách	Q	0	110.7	2.27E+04	4.9	-4.1	1.72E+06	-2.4	-0.7	-1.05E+06	0.7	3.2	0.0E+00	-	-	-	-	-0.2	2.05E+04	0.0	0.0	-0.5	2.20E+03	-0.2	-0.2
11	W	Vítr na konstrukci	Q	0	51.9	2.27E+04	2.3	26.7	1.72E+06	15.5	-0.4	-1.05E+06	0.4	18.2	0.0E+00	-	-	-	-	-0.2	2.05E+04	0.0	0.0	6.2	2.20E+03	2.8	2.8
12	WP	Vítr na vozidla	Q	0	44.0	2.27E+04	1.9	11.8	1.72E+06	6.9	-0.3	-1.05E+06	0.3	9.1	-1.0E-02	-	-	-	-	-0.1	2.05E+04	0.0	0.0	0.7	2.20E+03	0.3	0.3
13	TR	Teplota rovnoměrná	Q	0	0.0	2.27E+04	0.0	0.0	1.72E+06	0.0	0.0	-1.05E+06	0.0	0.0	0.0E+00	-	-	-	-	0.0	2.05E+04	0.0	0.0	0.0	2.20E+03	0.0	0.0
14	TN	Teplota nerovnoměrná	Q	0	39.7	2.27E+04	1.7	-4.5	1.72E+06	-2.6	-0.8	-1.05E+06	0.8	-0.1	0.0E+00	-	-	-	-	-0.1	2.05E+04	0.0	0.0	-0.3	2.20E+03	-0.1	-0.1
15	FR	Třecí síly v ložiskách	Q	0	-2.5	2.27E+04	-0.1	0.3	1.72E+06	0.2	-0.4	-1.05E+06	0.4	0.5	0.0E+00	-	-	-	-	-0.1	2.05E+04	0.0	0.0	0.0	2.20E+03	0.0	0.0
16	I	Imperfekce soustavy	Q	0	14.8	2.27E+04	0.7	6.1	1.72E+06	3.6	-0.1	-1.05E+06	0.1	4.4	0.0E+00	-	-	-	-	0.0	2.05E+04	0.0	0.0	1.2	2.20E+03	0.5	0.5
27	ULS_LM	ULS - LM71 bez dynam	Q	0	0.0	2.27E+04	0.0	0.0	1.72E+06	0.0	0.0	-1.05E+06	0.0	0.0	0.0E+00	-	-	-	-	0.0	2.05E+04	0.0	0.0	0.0	2.20E+03	0.0	0.0
28	SLS_LM	SLS - LM71 bez dynam	Q	0	0.0	2.27E+04	0.0	0.0	1.72E+06	0.0	0.0	-1.05E+06	0.0	0.0	0.0E+00	-	-	-	-	0.0	2.05E+04	0.0	0.0	0.0	2.20E+03	0.0	0.0
29	ULS_C3	ULS - C3 bez dynam	Q	0	0.0	2.27E+04	0.0	0.0	1.72E+06	0.0	0.0	-1.05E+06	0.0	0.0	0.0E+00	-	-	-	-	0.0	2.05E+04	0.0	0.0	0.0	2.20E+03	0.0	0.0
30	SLS_C3	SLS - C3 bez dynam	Q	0	0.0	2.27E+04	0.0	0.0	1.72E+06	0.0	0.0	-1.05E+06	0.0	0.0	0.0E+00	-	-	-	-	0.0	2.05E+04	0.0	0.0	0.0	2.20E+03	0.0	0.0
		NAVÝŠENÍ NAPĚTÍ DO AKTIVACE TLAKU V DESCE MOSTOVKY				$\sigma_{P,red}$	0.0							0.0			-	0.0		0.0			-0.5	-0.5			7.5	7.5
		NAPĚTÍ OD PRIMÁRNÍCH ÚČINKŮ NEROVNOMĚRNÉHO OTEPLENÍ				σ_T	0.0							0.0														
		NAPĚTÍ OD REOLOGICKÝCH ÚČINKŮ BETONU V ČASE		t=0		σ_R	0.0	γ_{or}=	1.20					0.0														
		NAPĚTÍ V KRITICKÝCH VLÁKNECH OD KOMBINACE ZATÍŽENÍ				KZ04		[MPa]					$\Sigma\sigma_x$	196.9									$\Sigma\tau_y$	-0.5			$\Sigma\tau_z$	7.5
		NAPĚTÍ OD POHYBLIVÉHO ZATÍŽENÍ						[MPa]					$\sigma_{x,P}$	120.2									τ_P	-0.1			τ_P	3.9
		NAPĚTÍ OD OSTATNÍCH ZATÍŽENÍ						[MPa]			Φ_{vy}	Φ_{vz}	$\sigma_{x,rs}$	76.8									τ_{rs}	-0.4			τ_{rs}	3.7
		NÁVRHOVÁ HODNOTA MEZE KLUZU S REDUKCÍ VLIVEM SMYKOVÉHO NAPĚTÍ						[MPa]			1.00	1.00	$f_{yv,d}$	209.1									$f_{yd}/3^{0,5}$	120.7			$f_{yd}/3^{0,5}$	120.7
		NAPĚTÍ OD POHYBLIVÉHO ZATÍŽENÍ V GLOBÁLNÍM SYSTÉMU				$\sigma_{GLOB,P}$	0.0	[MPa]					$\Sigma\sigma_{GLOB}$	0.0														
		NAPĚTÍ OD OSTATNÍCH ZATÍŽENÍ V GLOBÁLNÍM SYSTÉMU				$\sigma_{GLOB,rs}$	0.0	[MPa]					$\Sigma\sigma_x + \Sigma\sigma_{GLOB}$	196.9														
		VYUŽITÍ PRŮŘEZU DLE NAPĚTÍ						[%]					η_1	0.94									η_3	0.00			η_3	0.06
		NAPĚTÍ V PŘÍČNÉM SMĚRU OD POHYBLIVÉHO ZATÍŽENÍ				$\sigma_{z,P}$	0.0	[MPa]					$\Sigma\sigma_z$	0.0														
		NAPĚTÍ V PŘÍČNÉM SMĚRU OD OSTATNÍCH ZATÍŽENÍ				$\sigma_{z,rs}$	0.0	[MPa]					η_2	0.00														
		SROVNÁVACÍ NAPĚTÍ											$(\eta 2 + 0{,}8\,\eta 1)/1{,}4$ =	0.54														
		VYUŽITÍ PRŮŘEZU CELKEM						[%]					eff	0.94	VYHOVUJE													
													Z_{LM71} =	1.10														

TAB. D1.3 POSOUZENÍ - MEZNÍ STAV ÚNOSNOSTI

POPIS	DIAGONÁLA D1
PRUT / POLOHA BODU	260 / II[105]
NAMÁHÁNÍ	Vz.max
VLÁKNO	BOD S6 -HP
MEZNÍ STAV	ULS (MSÚ)
VYUŽITÍ VLÁKNA PRŮŘEZU	0.77

Charakteristiky materiálu				
pás. horní	$f_{yf,k}$	230	MPa	
pás. dolní	$f_{yf,k}$	230	MPa	
stojina	$f_{yw,k}$	230	MPa	
výztuž	$f_{ys,k}$	500	MPa	
γ_M =		1.10	γ_s =	1.15

Excentricita normálové síly				
Exc./Fáze	0	1	2	3
e_y	0.000	0.000	0.000	0.000
e_z	0.000	0.000	0.000	0.000
Ekvivalentní vzdál. stěn - příčný roznos				
b_{Mx}	0.000	0.000	0.000	0.000

Vliv stěny na únosnost průřezu				
Char./Fáze	0	1	2	3
A	0.00	0.00	0.00	0.00
Wy	0.00	0.00	0.00	0.00
Wz	0.00	0.00	0.00	0.00

Charakter. v kroucení			
$t_{w,y}$	0.000	[mm]	
$t_{w,z}$	0.000	[mm]	
κ	1.00		
I_t=	0.00E+00	[mm^4]	
Ω=2*A_{pz}	0.00E+00	[mm^2]	

Součinitele vzpěru a vlivu II.řádu				
Char./Fáze	0	1	2	3
k_y	1.000	1.000	1.000	1.000
k_z	1.000	1.000	1.000	1.000
χ_{LT}	1.000	1.000	1.000	1.000
χ_{min}	1.000	1.000	1.000	1.000

Vnitřní síly od jednotlivých skupin zatěžovacích stavů

SKUPINA ZATĚŽOVACÍCH STAVŮ					- CHARAKTERISTICKÉ HODNOTY						DÍLČÍ SOUČINITELÉ ZATÍŽENÍ, DYNAMICKÝ SOUČINITEL						3	- NÁVRHOVÉ HODNOTY									
Č.	SKUP ZS	POPIS ZS	KAT.	FÁZE PRŮŘ.	N.k (kN)	Vy.k (kN)	Vz.k (kN)	Mx.k (kNm)	My.k (kNm)	Mz.k (kNm)	γ_{sr} (-)	γ_{sl} (-)	volba ψ_i hledat	ψ_i (-)	L_d (m)	δ (-)	γ_{Sd} KZ03	N.d (kN)	Vy.d (kN)	Vz.d (kN)	ΔVz.d (kN)	ΣVz.d (kN)	Mx.d (kNm)	My.d (kNm)	ΔMy.d (kNm)	ΣMy.d (kNm)	Mz.d (kNm)	ΔMz.d (kNm)	ΣMz.d (kNm)
1	G0	Vlastní tíha OK	G	0	573	-6	1	0	1	-7	1.00	1.20		1.20	-	1.00	0.95	653	-7	1	0	1	0	2	0	2	-8	0	-8
2	G1	Ostatní stálé - mostní vybavení	G	0	45	0	0	0	0	0	1.00	1.20		1.20	-	1.00	0.95	51	0	0	0	0	0	0	0	0	0	0	0
3	G2	Ostatní stálé - cizí zařízení	G	0	34	0	0	0	-1	0	1.00	1.00		1.00	-	1.00	0.95	32	0	0	0	0	0	-1	0	-1	0	0	0
4	P1_71	a.LM71 - kolej 1 (bez dyn. souč.)	P	0	207	0	4	0	21	-1	1.00	1.30		1.30	-	1.00	1.00	270	0	5	0	5	0	27	0	27	-1	0	-1
5	P2_71	a.LM71 - kolej 2 (bez dyn. souč.)	P	0	741	-1	4	0	25	-6	1.00	1.30		1.30	-	1.00	1.00	964	-2	5	0	5	0	33	0	33	-7	0	-7
6	P1_C3	TTZ C3 - kolej 1 (bez dyn. souč.)	P	0	160	0	3	0	15	-1	1.00	vyp.		0.00	-	1.00	0.00	0	0	0	0	0	0	0	0	0	0	0	0
7	P2_C3	TTZ C3 - kolej 2 (bez dyn. souč.)	P	0	659	-1	3	0	21	-5	1.00	vyp.		0.00	-	1.00	0.00	0	0	0	0	0	0	0	0	0	0	0	0
8	BR	Brzdné a rozjezdové síly	P	0	-17	-1	1	0	8	-3	1.00	1.30		1.30	-	1.00	0.80	-18	-1	1	0	1	0	8	0	8	-3	0	-3
9	S	Boční ráz	P	0	-2	0	0	0	-1	0	1.00	1.30		1.30	-	1.00	0.40	-1	0	0	0	0	0	0	0	0	0	0	0
10	CH	Chodci na lávkách	Q	0	14	0	0	0	-1	0	1.00	0.00		0.00	-	1.00	1.00	0	0	0	0	0	0	0	0	0	0	0	0
11	W	Vítr na konstrukci	Q	0	51	0	6	0	26	0	1.00	1.35		1.35	-	1.00	0.75	52	0	6	0	6	0	27	0	27	0	0	0
12	WP	Vítr na vozidla	Q	0	43	0	1	0	12	0	1.00	1.35		1.35	-	1.00	0.75	44	0	1	0	1	0	12	0	12	0	0	0
13	TR	Teplota rovnoměrná	Q	0	0	0	0	0	0	0	1.00	1.35		1.35	-	1.00	0.45	0	0	0	0	0	0	0	0	0	0	0	0
14	TN	Teplota nerovnoměrná	Q	0	35	0	0	0	3	-1	1.00	1.35		1.35	-	1.00	0.60	28	0	0	0	0	0	2	0	2	-1	0	-1
15	FR	Třecí síly v ložiskách	Q	0	-2	0	0	0	0	0	1.00	1.20		1.20	-	1.00	1.00	-2	0	0	0	0	0	0	0	0	0	0	0
16	I	Imperfekce soustavy	Q	0	12	0	1	0	5	0	1.00	1.20		1.20	-	1.00	1.00	15	0	1	0	1	0	6	0	6	0	0	0
27	ULS_LM	ULS - LM71 bez dynam	Q	0	2 107	-11	20	0	117	-23	1.00	vyp.		0.00	-	1.00	0.00	0	0	0	0	0	0	0	0	0	0	0	0
28	SLS_LM	SLS - LM71 bez dynam	Q	0	1 678	-9	15	0	87	-18	1.00	vyp.	1	0.00	-	1.00	0.00	0	0	0	0	0	0	0	0	0	0	0	0
29	ULS_C3	ULS - C3 bez dynam	Q	0	1 939	-11	18	0	103	-22	1.00	vyp.	1	0.00	-	1.00	0.00	0	0	0	0	0	0	0	0	0	0	0	0
30	SLS_C3	SLS - C3 bez dynam	Q	0	1 548	-9	14	0	77	-17	1.00	vyp.	1	0.00	-	1.00	0.00	0	0	0	0	0	0	0	0	0	0	0	0
		CELKEM - FÁZE PRŮŘEZU 0																2 087	-10	20	0	20	0	117	0	117	-22	0	-22
		CELKEM - FÁZE PRŮŘEZU 1																0	0	0	0	0	0	0	0	0	0	0	0
		CELKEM - FÁZE PRŮŘEZU 2																0	0	0	0	0	0	0	0	0	0	0	0
		CELKEM - FÁZE PRŮŘEZU 3																0	0	0	0	0	0	0	0	0	0	0	0
		CELKEM - PRŮŘEZ																2 087	-10	20	0	20	0			117			-22

Napětí od jednotlivých zatěžovacích stavů

SKUPINA ZATĚŽOVACÍCH STAVŮ					Posouzení normálového napětí										Posouzení smykového napětí													
					Účinek síly N			Účinek momentu My			Účinek momentu Mz				Účinek kroutícího momentu Mx				Účinek smykové síly Vy				Účinek smykové síly Vz			
Č.	SKUP ZS	Popis ZS	Kat.	fáze průř.	δ^*N_d [kN]	χ^*A [mm^2]	σ_n [MPa]	$\delta^*M_{y,d}$ [kNm]	$\chi_{lt}{}^*W_{el,y}$ [mm^3]	σ_{my} [MPa]	$\delta^*M_{z,d}$ [kNm]	$W_{el,z}$ [mm^3]	σ_{mz} [MPa]	σ_x [MPa]	$\kappa^*\delta^*M_{x,d}$ [kNm]	$W_{v,y}$ [mm^2]	$\tau_{x,y}$ [MPa]	$W_{v,z}$ [mm^2]	$\tau_{x,z}$ [MPa]	$\delta^*V_{y,d}$ [kN]	$A_{v,y}$ [mm2]	$\tau_{v,y}$ [MPa]	$\tau_{v,y}$ [MPa]	$\delta^*V_{z,d}$ [kN]	$A_{v,z}$ [mm2]	$\tau_{v,z}$ [MPa]	$\tau_{v,z}$ [MPa]
1	G0	Vlastní tíha OK	G	0	653.0	2.27E+04	28.7	1.5	1.72E+06	0.9	-7.9	-2.00E+07	0.4	30.0	0.0E+00	-	-	-	-	-6.6	2.05E+04	-0.3	-0.3	0.8	2.20E+03	0.3	0.3
2	G1	Ostatní stálé - mostní vybavení	G	0	51.0	2.27E+04	2.2	0.4	1.72E+06	0.2	-0.3	-2.00E+07	0.0	2.5	0.0E+00	-	-	-	-	-0.1	2.05E+04	0.0	0.0	0.1	2.20E+03	0.0	0.0
3	G2	Ostatní stálé - cizí zařízení	G	0	32.4	2.27E+04	1.4	-0.7	1.72E+06	-0.4	-0.2	-2.00E+07	0.0	1.1	0.0E+00	-	-	-	-	-0.1	2.05E+04	0.0	0.0	-0.1	2.20E+03	0.0	0.0
4	P1_71	a.LM71 - kolej 1 (bez dyn. souč.)	P	0	269.7	2.27E+04	11.9	27.1	1.72E+06	15.7	-1.4	-2.00E+07	0.1	27.7	1.3E-02	-	-	-	-	-0.3	2.05E+04	0.0	0.0	4.7	2.20E+03	2.1	2.1
5	P2_71	a.LM71 - kolej 2 (bez dyn. souč.)	P	0	963.9	2.27E+04	42.4	33.0	1.72E+06	19.2	-7.2	-2.00E+07	0.4	61.9	1.3E-02	-	-	-	-	-1.8	2.05E+04	-0.1	-0.1	5.1	2.20E+03	2.3	2.3
6	P1_C3	TTZ C3 - kolej 1 (bez dyn. souč.)	P	0	0.0	2.27E+04	0.0	0.0	1.72E+06	0.0	0.0	-2.00E+07	0.0	0.0	0.0E+00	-	-	-	-	0.0	2.05E+04	0.0	0.0	0.0	2.20E+03	0.0	0.0
7	P2_C3	TTZ C3 - kolej 2 (bez dyn. souč.)	P	0	0.0	2.27E+04	0.0	0.0	1.72E+06	0.0	0.0	-2.00E+07	0.0	0.0	0.0E+00	-	-	-	-	0.0	2.05E+04	0.0	0.0	0.0	2.20E+03	0.0	0.0
8	BR	Brzdné a rozjezdové síly	P	0	-18.1	2.27E+04	-0.8	8.4	1.72E+06	4.9	-3.1	-2.00E+07	0.2	4.2	0.0E+00	-	-	-	-	-1.1	2.05E+04	-0.1	-0.1	0.9	2.20E+03	0.4	0.4
9	S	Boční ráz	P	0	-1.0	2.27E+04	0.0	-0.3	1.72E+06	-0.2	-0.1	-2.00E+07	0.0	-0.2	0.0E+00	-	-	-	-	0.0	2.05E+04	0.0	0.0	0.3	2.20E+03	0.1	0.1
10	CH	Chodci na lávkách	Q	0	0.0	2.27E+04	0.0	0.0	1.72E+06	0.0	0.0	-2.00E+07	0.0	0.0	0.0E+00	-	-	-	-	0.0	2.05E+04	0.0	0.0	0.0	2.20E+03	0.0	0.0
11	W	Vítr na konstrukci	Q	0	51.9	2.27E+04	2.3	26.7	1.72E+06	15.5	-0.4	-2.00E+07	0.0	17.8	0.0E+00	-	-	-	-	-0.2	2.05E+04	0.0	0.0	6.2	2.20E+03	2.8	2.8
12	WP	Vítr na vozidla	Q	0	44.0	2.27E+04	1.9	11.8	1.72E+06	6.9	-0.3	-2.00E+07	0.0	8.8	-1.0E-02	-	-	-	-	-0.1	2.05E+04	0.0	0.0	0.7	2.20E+03	0.3	0.3
13	TR	Teplota rovnoměrná	Q	0	0.0	2.27E+04	0.0	0.0	1.72E+06	0.0	0.0	-2.00E+07	0.0	0.0	0.0E+00	-	-	-	-	0.0	2.05E+04	0.0	0.0	0.0	2.20E+03	0.0	0.0
14	TN	Teplota nerovnoměrná	Q	0	28.0	2.27E+04	1.2	2.3	1.72E+06	1.4	-0.8	-2.00E+07	0.0	2.6	0.0E+00	-	-	-	-	-0.1	2.05E+04	0.0	0.0	0.3	2.20E+03	0.1	0.1
15	FR	Třecí síly v ložiskách	Q	0	-2.5	2.27E+04	-0.1	0.3	1.72E+06	0.2	-0.4	-2.00E+07	0.0	0.1	0.0E+00	-	-	-	-	-0.1	2.05E+04	0.0	0.0	0.0	2.20E+03	0.0	0.0
16	I	Imperfekce soustavy	Q	0	14.8	2.27E+04	0.7	6.1	1.72E+06	3.6	-0.1	-2.00E+07	0.0	4.2	0.0E+00	-	-	-	-	0.0	2.05E+04	0.0	0.0	1.2	2.20E+03	0.5	0.5
27	ULS_LM	ULS - LM71 bez dynam	Q	0	0.0	2.27E+04	0.0	0.0	1.72E+06	0.0	0.0	-2.00E+07	0.0	0.0	0.0E+00	-	-	-	-	0.0	2.05E+04	0.0	0.0	0.0	2.20E+03	0.0	0.0
28	SLS_LM	SLS - LM71 bez dynam	Q	0	0.0	2.27E+04	0.0	0.0	1.72E+06	0.0	0.0	-2.00E+07	0.0	0.0	0.0E+00	-	-	-	-	0.0	2.05E+04	0.0	0.0	0.0	2.20E+03	0.0	0.0
29	ULS_C3	ULS - C3 bez dynam	Q	0	0.0	2.27E+04	0.0	0.0	1.72E+06	0.0	0.0	-2.00E+07	0.0	0.0	0.0E+00	-	-	-	-	0.0	2.05E+04	0.0	0.0	0.0	2.20E+03	0.0	0.0
30	SLS_C3	SLS - C3 bez dynam	Q	0	0.0	2.27E+04	0.0	0.0	1.72E+06	0.0	0.0	-2.00E+07	0.0	0.0	0.0E+00	-	-	-	-	0.0	2.05E+04	0.0	0.0	0.0	2.20E+03	0.0	0.0
NAVÝŠENÍ NAPĚTÍ DO AKTIVACE TLAKU V DESCE MOSTOVKY						$\sigma_{P,red}$	0.0							0.0			0.0		0.0			-0.5	-0.5			9.2	9.2
NAPĚTÍ OD PRIMÁRNÍCH ÚČINKŮ NEROVNOMĚRNÉHO OTEPLENÍ						σ_T	0.0							0.0													
NAPĚTÍ OD REOLOGICKÝCH ÚČINKŮ BETONU V ČASE				t=0		σ_R	0.0	γ_{G}=	1.20					0.0													
NAPĚTÍ V KRITICKÝCH VLÁKNECH OD KOMBINACE ZATÍŽENÍ						KZ03		[MPa]					$\Sigma\sigma_x$	160.8								$\Sigma\tau_y$	-0.5			$\Sigma\tau_z$	9.2
NAPĚTÍ OD POHYBLIVÉHO ZATÍŽENÍ								[MPa]					$\sigma_{x,P}$	93.7								τ_P	-0.2			τ_P	5.0
NAPĚTÍ OD OSTATNÍCH ZATÍŽENÍ								[MPa]			Φ_{Vy}	Φ_{Vz}	$\sigma_{x,rs}$	67.2								τ_{rs}	-0.4			τ_{rs}	4.2
NÁVRHOVÁ HODNOTA MEZE KLUZU S REDUKCÍ VLIVEM SMYKOVÉHO NAPĚTÍ								[MPa]			1.00	1.00	$f_{yw,d}$	209.1								$f_{yd}/3^{0,5}$	120.7			$f_{yd}/3^{0,5}$	120.7
NAPĚTÍ OD POHYBLIVÉHO ZATÍŽENÍ V GLOBÁLNÍM SYSTÉMU						$\sigma_{GLOB,P}$	0.0	[MPa]					$\Sigma\sigma_{GLOB}$	0.0													
NAPĚTÍ OD OSTATNÍCH ZATÍŽENÍ V GLOBÁLNÍM SYSTÉMU						$\sigma_{GLOB,rs}$	0.0	[MPa]					$\Sigma\sigma_x + \Sigma\sigma_{GLOB}$	160.8													
VYUŽITÍ PRŮŘEZU DLE NAPĚTÍ								[%]					η_1	0.77								η_3	0.00			η_3	0.08
NAPĚTÍ V PŘÍČNÉM SMĚRU OD POHYBLIVÉHO ZATÍŽENÍ						$\sigma_{z,P}$	0.0	[MPa]					$\Sigma\sigma_z$	0.0													
NAPĚTÍ V PŘÍČNÉM SMĚRU OD OSTATNÍCH ZATÍŽENÍ						$\sigma_{z,rs}$	0.0	[MPa]					η_2	0.00													
SROVNÁVACÍ NAPĚTÍ													$(\eta 2 + 0{,}8\,\eta 1)/1{,}4$ =	0.44													
VYUŽITÍ PRŮŘEZU CELKEM								[%]					eff	0.77	VYHOVUJE												
													z_{LM71} =	1.52													

VÝPOČET PRŮŘEZOVÝCH CHARAKTERISTIK

PRŮŘEZ: D2 **POPIS:** DIAGONÁLA 2 - HOR. ČÁST - STŘ. STYČ. **x =** - **m**

DEFINOVÁNÍ PRŮŘEZU

ŠÍŘKA PÁSNICE ÚHELNÍKU	b f.t.l.o =	80	mm	**ÚHELNÍK HORNÍ VNĚJŠÍ LEVÝ**		**C.T.O.L**	
TLOUŠŤKA PÁSNICE ÚHELNÍKU	t f.t.l.o =	9	mm	OSLABENÍ PÁSNICE - TLOUŠŤKA	Δt f.t.l.o =	0	%
VÝŠKA STĚNY ÚHELNÍKU	h w.t.l.o =	71	mm				
TLOUŠŤKA STĚNY ÚHELNÍKU	t w.t.l.o =	9	mm	OSLABENÍ STĚNY - TLOUŠŤKA	Δt w.t.l.o =	25	%
ŠÍŘKA PÁSNICE ÚHELNÍKU	b f.t.r.o =	80	mm	**ÚHELNÍK HORNÍ VNĚJŠÍ PRAVÝ**		**C.T.O.R**	
TLOUŠŤKA PÁSNICE ÚHELNÍKU	t f.t.r.o =	9	mm	OSLABENÍ PÁSNICE - TLOUŠŤKA	Δt f.t.r.o =	0	%
VÝŠKA STĚNY ÚHELNÍKU	h w.t.r.o =	71	mm				
TLOUŠŤKA STĚNY ÚHELNÍKU	t w.t.r.o =	9	mm	OSLABENÍ STĚNY - TLOUŠŤKA	Δt w.t.r.0 =	25	%
ŠÍŘKA PÁSNICE ÚHELNÍKU	b f.t.l.i =	80	mm	**ÚHELNÍK HORNÍ VNITŘNÍ LEVÝ**		**C.T.I.L**	
TLOUŠŤKA PÁSNICE ÚHELNÍKU	t f.t.l.i =	9	mm	OSLABENÍ PÁSNICE - TLOUŠŤKA	Δt f.b.l.o =	0	%
VÝŠKA STĚNY ÚHELNÍKU	h w.t.l.i =	71	mm				
TLOUŠŤKA STĚNY ÚHELNÍKU	t w.t.l.i =	9	mm	OSLABENÍ STĚNY - TLOUŠŤKA	Δt w.b.l.o =	25	%
ŠÍŘKA PÁSNICE ÚHELNÍKU	b f.t.r.i =	80	mm	**ÚHELNÍK HORNÍ VNITŘNÍ PRAVÝ**		**C.T.I.R**	
TLOUŠŤKA PÁSNICE ÚHELNÍKU	t f.t.r.i =	9	mm	OSLABENÍ PÁSNICE - TLOUŠŤKA	Δt f.b.r.o =	0	%
VÝŠKA STĚNY ÚHELNÍKU	h w.t.r.i =	71	mm				
TLOUŠŤKA STĚNY ÚHELNÍKU	t w.t.r.i =	9	mm	OSLABENÍ STĚNY - TLOUŠŤKA	Δt w.b.r.o =	25	%
ŠÍŘKA PÁSNICE ÚHELNÍKU	b f.b.l.o =	80	mm	**ÚHELNÍK DOLNÍ VNĚJŠÍ LEVÝ**		**C.B.O.L**	
TLOUŠŤKA PÁSNICE ÚHELNÍKU	t f.b.l.o =	9	mm	OSLABENÍ PÁSNICE - TLOUŠŤKA	Δt f.t.l.i =	0	%
VÝŠKA STĚNY ÚHELNÍKU	h w.b.l.o =	71	mm				
TLOUŠŤKA STĚNY ÚHELNÍKU	t w.b.l.o =	9	mm	OSLABENÍ STĚNY - TLOUŠŤKA	Δt w.t.l.i =	25	%
ŠÍŘKA PÁSNICE ÚHELNÍKU	b f.b.r.o =	80	mm	**ÚHELNÍK DOLNÍ VNĚJŠÍ PRAVÝ**		**C.B.O.R**	
TLOUŠŤKA PÁSNICE ÚHELNÍKU	t f.b.r.o =	9	mm	OSLABENÍ PÁSNICE - TLOUŠŤKA	Δt f.t.r.i =	0	%
VÝŠKA STĚNY ÚHELNÍKU	h w.b.r.o =	71	mm				
TLOUŠŤKA STĚNY ÚHELNÍKU	t w.b.r.o =	9	mm	OSLABENÍ STĚNY - TLOUŠŤKA	Δt w.t.r.i =	25	%
PÁSNICE DOLNÍHO LEVÉHO ÚHELNÍKU	b f.b.l.i =	80	mm	**ÚHELNÍK DOLNÍ VNITŘNÍ LEVÝ**		**C.B.I.L**	
TLOUŠŤKA PÁSNICE ÚHELNÍKU	t f.b.l.i =	9	mm	OSLABENÍ PÁSNICE - TLOUŠŤKA	Δt f.b.l.i =	0	%
VÝŠKA STĚNY ÚHELNÍKU	h w.b.l.i =	71	mm				
TLOUŠŤKA STĚNY ÚHELNÍKU	t w.b.l.i =	9	mm	OSLABENÍ STĚNY - TLOUŠŤKA	Δt w.b.l.i =	25	%
PÁSNICE DOLNÍHO PRAVÉHO ÚHELNÍKU	b f.b.r.i =	80	mm	**ÚHELNÍK DOLNÍ VNITŘNÍ PRAVÝ**		**C.B.I.R**	
TLOUŠŤKA PÁSNICE ÚHELNÍKU	t f.b.r.i =	9	mm	OSLABENÍ PÁSNICE - TLOUŠŤKA	Δt f.b.r.i =	0	%
VÝŠKA STĚNY ÚHELNÍKU	h w.b.r.i =	71	mm				
TLOUŠŤKA STĚNY ÚHELNÍKU	t w.b.r.i =	9	mm	OSLABENÍ STĚNY - TLOUŠŤKA	Δt w.b.r.i =	25	%

HORNÍ

ŠÍŘKA HORNÍ VLOŽKY - VNĚJŠÍ	b f.t =	400	mm			**HOR.T.O**	
TLOUŠŤKA VLOŽKY	t f.t =	14	mm	OSLABENÍ VLOŽKY	Δt f.t =	0	%
ŠÍŘKA HORNÍ VLOŽKY - VNITŘNÍ	b f.t =	400	mm			**HOR.T.I**	
TLOUŠŤKA VLOŽKY	t f.t =	14	mm	OSLABENÍ VLOŽKY	Δt f.t =	0	%
ŠÍŘKA DOLNÍ VLOŽKY - VNĚJŠÍ	b f.t =	400	mm			**HOR.B.O**	
TLOUŠŤKA VLOŽKY	t f.t =	14	mm	OSLABENÍ VLOŽKY	Δt f.t =	0	%
ŠÍŘKA DOLNÍ VLOŽKY - VNITŘNÍ	b f.t =	400	mm			**HOR.B.I**	
TLOUŠŤKA VLOŽKY	t f.t =	14	mm	OSLABENÍ VLOŽKY - VNITŘNÍ	Δt f.t =	0	%

VZD. OKRAJŮ PÁSNIC VNITŘNÍCH ÚHELNÍKŮ	388	mm
CELKOVÁ TLOUŠŤKA MEZI PÁSNICEMI ÚHELNÍKŮ I A .o	52	mm
CELKOVÁ TLOUŠŤKA MEZI PÁSNICEMI ÚHELNÍKŮ I A .r	8	mm

ZADANÍ ČÁSTI PRŮŘEZU:

č.prvku	b [mm]	h [mm]	y_s [mm]	z_s [mm]	popis části	druh oslabení	lokální ultimate	boulení servic.
1	80.0	9.0	-44.0	250.5	pásnice	0	1.000	1.000
2	6.8	71.0	-7.4	290.5	stěna	0	1.000	1.000
3	80.0	9.0	44.0	250.5	pásnice	0	1.000	1.000
4	6.8	71.0	7.4	290.5	stěna	0	1.000	1.000
5	80.0	9.0	-44.0	189.5	pásnice	0	1.000	1.000
6	6.8	71.0	-7.4	149.5	stěna	0	1.000	1.000
7	80.0	9.0	44.0	189.5	pásnice	0	1.000	1.000
8	6.8	71.0	7.4	149.5	stěna	0	1.000	1.000
9	80.0	9.0	-44.0	-250.5	pásnice	0	1.000	1.000
10	6.8	71.0	-7.4	-290.5	stěna	0	1.000	1.000
11	80.0	9.0	44.0	-250.5	pásnice	0	1.000	1.000
12	6.8	71.0	7.4	-290.5	stěna	0	1.000	1.000
13	80.0	9.0	-44.0	-189.5	pásnice	0	1.000	1.000
14	6.8	71.0	-7.4	-149.5	stěna	0	1.000	1.000
15	80.0	9.0	44.0	-189.5	pásnice	0	1.000	1.000
16	6.8	71.0	7.4	-149.5	stěna	0	1.000	1.000
17						0	1.000	1.000
18						0	1.000	1.000
19						0	1.000	1.000
20						0	1.000	1.000
21						0	1.000	1.000
22						0	1.000	1.000
23						0	1.000	1.000
24						0	1.000	1.000
25						0	1.000	1.000
26						0	1.000	1.000
27						0	1.000	1.000
28						0	1.000	1.000
29						0	1.000	1.000
30						0	1.000	1.000
31						0	1.000	1.000
32						0	1.000	1.000
33						0	1.000	1.000
34						0	1.000	1.000
35						0	1.000	1.000
36						0	1.000	1.000
37						0	1.000	1.000
38						0	1.000	1.000
39						0	1.000	1.000
40						0	1.000	1.000
41	400.0	14.0	0.0	239.0	pásnice	0	1.000	1.000
42	400.0	14.0	0.0	201.0	pásnice	0	1.000	1.000
43	400.0	14.0	0.0	-239.0	pásnice	0	1.000	1.000
44	400.0	14.0	0.0	-201.0	pásnice	0	1.000	1.000
45						0	1.000	1.000
46						0	1.000	1.000
47						0	1.000	1.000
48						0	1.000	1.000
49						0	1.000	1.000
50						0	1.000	1.000
51						0	1.000	1.000
52						0	1.000	1.000
53						0	1.000	1.000
54						0	1.000	1.000
55						0	1.000	1.000
56						0	1.000	1.000
57						0	1.000	1.000
58						0	1.000	1.000
59						0	1.000	1.000
60						0	1.000	1.000
61	6.8	-20.0	7.4	291.0	nýt-stěna	0	1.000	1.000
62	6.8	-20.0	7.4	149.0	nýt-stěna	0	1.000	1.000
63	6.8	-20.0	7.4	-291.0	nýt-stěna	0	1.000	1.000
64	6.8	-20.0	7.4	-149.0	nýt-stěna	0	1.000	1.000
65	-19.3	23.0	-49.0	196.5	nýt-pásnice	0	1.000	1.000
66	-19.3	23.0	49.0	196.5	nýt-pásnice	0	1.000	1.000
67	-19.3	23.0	-49.0	-196.5	nýt-pásnice	0	1.000	1.000
68	-19.3	23.0	49.0	-196.5	nýt-pásnice	0	1.000	1.000
69	-19.3	14.0	-142.0	201.0	nýt-pásnice	0	1.000	1.000
70	-19.3	14.0	142.0	201.0	nýt-pásnice	0	1.000	1.000
71	-19.3	14.0	-142.0	-201.0	nýt-pásnice	0	1.000	1.000
72	-19.3	14.0	142.0	-201.0	nýt-pásnice	0	1.000	1.000
73						0	1.000	1.000
74						0	1.000	1.000
75						0	1.000	1.000
76						0	1.000	1.000
77						0	1.000	1.000
78						0	1.000	1.000
79						0	1.000	1.000
80						0	1.000	1.000
81	6.8	-20.0	-7.4	291.0	nýt-stěna	0	1.000	1.000
82	6.8	-20.0	-7.4	149.0	nýt-stěna	0	1.000	1.000
83	6.8	-20.0	-7.4	-291.0	nýt-stěna	0	1.000	1.000
84	6.8	-20.0	-7.4	-149.0	nýt-stěna	0	1.000	1.000
85	-19.3	23.0	-49.0	243.5	nýt-pásnice	0	1.000	1.000
86	-19.3	23.0	49.0	243.5	nýt-pásnice	0	1.000	1.000
87	-19.3	23.0	-49.0	-243.5	nýt-pásnice	0	1.000	1.000
88	-19.3	23.0	49.0	-243.5	nýt-pásnice	0	1.000	1.000
89	-19.3	14.0	-142.0	239.0	nýt-pásnice	0	1.000	1.000
90	-19.3	14.0	142.0	239.0	nýt-pásnice	0	1.000	1.000
91	-19.3	14.0	-142.0	-239.0	nýt-pásnice	0	1.000	1.000
92	-19.3	14.0	142.0	-239.0	nýt-pásnice	0	1.000	1.000
93						0	1.000	1.000
94						0	1.000	1.000
95						0	1.000	1.000
96						0	1.000	1.000
97						0	1.000	1.000
98						0	1.000	1.000
99						0	1.000	1.000
100						0	1.000	1.000

NÝT Č.	SKUPINA	ŘEZ	RED.	VELIKOST di [mm]	POLOHA ei [mm]	POPIS	AKTIVITA OTVORU	NAPĚTÍ sc [MPa]
1		-	1.00	20	35	nýt - t.o - úhelník	1	94.20
2		-	1.00	20	35	nýt - t.i - úhelník	1	105.41
3		-	1.00	20	35	nýt - b.o - úhelník	1	140.16
4		-	1.00	20	35	nýt - b.i - úhelník	1	128.94
5	1	3	0.88	22	35	nýt - t.l - úhelník	1	102.73
6	1	3	0.88	22	35	nýt - t.r - úhelník	1	91.47
7	2	3	0.88	22	35	nýt - b.l - úhelník	1	141.19
8	2	3	0.88	22	35	nýt - b.r - úhelník	1	129.93
9	1	3	0.88	22	-142	nýt - t.l	1	113.77
10	1	3	0.88	22	142	nýt - t.r	1	81.14
11	2	3	0.88	22	-142	nýt - b.l	1	151.52
12	2	3	0.88	22	142	nýt - b.r	1	118.88
13								
14								
15								
16								
17								
18								
19								
20								

VÝPOČET PRŮŘEZOVÝCH CHARAKTERISTIK

Properties	Basic	Ultimate		Serviceability	
y_t	0.0	0.0		0.0	[mm]
z_t	0.0	0.0		0.0	[mm]
A_t	2.5208E-04	2.5208E-04		2.5208E-04	[mm²]
A_v	2.2454E-04	2.2454E-04		2.2454E-04	[mm²]
A_N	2.7540E-03	2.7540E-03		2.7540E-03	[mm²]
I_{y1}	6.2308E-08	6.2308E-08		6.2308E-08	[mm⁴]
I_w	2.6082E-08	2.6082E-08		2.6082E-08	[mm⁶]
i_y	157.2	157.2		157.2	[mm]
i_z	101.7	101.7		101.7	[mm]
$W_{y,1}$	1.9113E-06	1.9113E-06		1.9113E-06	[mm³]
$W_{z,1}$	-1.3041E-06	-1.3041E-06		-1.3041E-06	[mm³]
$W_{y,2}$	-1.9113E-06	-1.9113E-06		-1.9113E-06	[mm³]
$W_{z,2}$	-1.3041E-06	-1.3041E-06		-1.3041E-06	[mm³]
KRAJNÍ VLÁKNA PRŮŘEZU					
y_1	-200.0	-200.0		-200.0	[mm] min
z_1	326.0	326.0		326.0	[mm] max
y_2	-200.0	-200.0		-200.0	[mm] min
z_2	-326.0	-326.0		-326.0	[mm] min
y_3	200.0	200.0		200.0	[mm] max
z_3	326.0	326.0		326.0	[mm] max
y_4	200.0	200.0		200.0	[mm] max
z_4	-326.0	-326.0		-326.0	[mm] min
y_5	-10.8	-10.8		-10.8	[mm]
z_5	-255.0	-255.0		-255.0	[mm]
y_6	-10.8	-10.8		-10.8	[mm]
z_6	-326.0	-326.0		-326.0	[mm]

ÚPRAVA MOMENTŮ SETRVAČNOSTI V DŮSLEDKU ČLENĚNÍ PRŮŘEZU

OSA Y	0.50
OSA Z	1.00

SCHÉMA PROMĚNNÝCH

SCHÉMA ZADANÉHO PRŮŘEZU

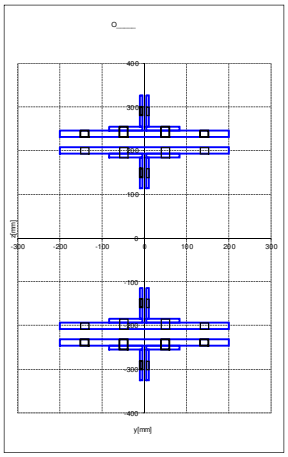

NEUTRÁLNÁ OSA

NAPĚTÍ [MPa]:

113.57	67.61
165.05	119.09

ZS: SLS_LM_N,MX

	N [kN]	Vy [kN]	Vz [kN]	Mx [kNm]	My [kNm]	Mz [kNm]
import	2932	9	26	0	49	30

TR_D2 POPIS: **DIAGONÁLA D2** POSUDEK: **D2**

SKUPINA ZAT. STAVŮ	EXTRÉM	VYHODNOCOVANÉ VELIČINY					
		N	Vy	Vz	Mx	My	Mz
		kN	kN	kN	kNm	kNm	kNm
G0	N.min	**782.36**	-2.51	0.86	0	0.07	4.83
	N.max	**782.36**	-2.51	0.86	0	0.07	4.83
	Vy.min	782.36	**-2.51**	0.86	0	0.07	4.83
	Vy.max	782.36	**-2.51**	0.86	0	0.07	4.83
	Vz.min	782.36	-2.51	**0.86**	0	0.07	4.83
	Vz.max	782.36	-2.51	**0.86**	0	0.07	4.83
	Mx.min	782.36	-2.51	0.86	**0**	0.07	4.83
	Mx.max	782.36	-2.51	0.86	**0**	0.07	4.83
	My.min	782.36	-2.51	0.86	0	**0.07**	4.83
	My.max	782.36	-2.51	0.86	0	**0.07**	4.83
	Mz.min	782.36	-2.51	0.86	0	0.07	**4.83**
	Mz.max	782.36	-2.51	0.86	0	0.07	**4.83**
G1	N.min	**59.21**	0.23	0.16	0	0.29	0.63
	N.max	**59.21**	0.23	0.16	0	0.29	0.63
	Vy.min	59.21	**0.23**	0.16	0	0.29	0.63
	Vy.max	59.21	**0.23**	0.16	0	0.29	0.63
	Vz.min	59.21	0.23	**0.16**	0	0.29	0.63
	Vz.max	59.21	0.23	**0.16**	0	0.29	0.63
	Mx.min	59.21	0.23	0.16	**0**	0.29	0.63
	Mx.max	59.21	0.23	0.16	**0**	0.29	0.63
	My.min	59.21	0.23	0.16	0	**0.29**	0.63
	My.max	59.21	0.23	0.16	0	**0.29**	0.63
	Mz.min	59.21	0.23	0.16	0	0.29	**0.63**
	Mz.max	59.21	0.23	0.16	0	0.29	**0.63**
G2	N.min	**46.33**	0.17	-0.1	0	-0.38	0.46
	N.max	**46.33**	0.17	-0.1	0	-0.38	0.46
	Vy.min	46.33	**0.17**	-0.1	0	-0.38	0.46
	Vy.max	46.33	**0.17**	-0.1	0	-0.38	0.46
	Vz.min	46.33	0.17	**-0.1**	0	-0.38	0.46
	Vz.max	46.33	0.17	**-0.1**	0	-0.38	0.46
	Mx.min	46.33	0.17	-0.1	**0**	-0.38	0.46
	Mx.max	46.33	0.17	-0.1	**0**	-0.38	0.46
	My.min	46.33	0.17	-0.1	0	**-0.38**	0.46
	My.max	46.33	0.17	-0.1	0	**-0.38**	0.46
	Mz.min	46.33	0.17	-0.1	0	-0.38	**0.46**
	Mz.max	46.33	0.17	-0.1	0	-0.38	**0.46**
P1_71	N.min	**-1.31**	0	-0.67	0	0.47	0
	N.max	**540.18**	2.23	5.45	0.01	7.74	5.66
	Vy.min	1.49	**-0.01**	-0.51	0	0.2	-0.02
	Vy.max	502.86	**2.38**	6.5	0.01	11.67	6.06
	Vz.min	324.87	1.35	**-1.96**	0	-6	3.43
	Vz.max	198.62	1.01	**8.4**	0	18.58	2.55
	Mx.min	7.77	0.15	1.69	**0**	3.98	0.38
	Mx.max	505.83	2.29	5.3	**0.01**	10.05	5.82
	My.min	408.48	1.78	-1.17	0	**-8.69**	4.57
	My.max	122.69	0.7	8.07	0	**20.1**	1.69
	Mz.min	39.6	0	0.7	0	1.41	**-0.04**
	Mz.max	490.95	2.38	6.29	0	11.28	**6.07**
P2_71	N.min	**-2.65**	-0.06	-2.05	0	-2.06	-0.15
	N.max	**1258.01**	3.9	6.66	0	19.3	10.94
	Vy.min	137.73	**-0.16**	0.35	0	1.47	-0.54
	Vy.max	1075.75	**4.46**	7.65	0	22.47	12.46
	Vz.min	373.55	1.24	**-2.41**	0	-2.15	3.64
	Vz.max	810.97	2.91	**9.44**	0	25.18	7.85
	Mx.min	893.83	2.6	0.34	**0**	2.21	7.49
	Mx.max	359.27	1.88	6.55	**0.01**	20.79	4.97
	My.min	174.2	0.65	-2.32	0	**-2.45**	1.95
	My.max	991.97	3.46	9.37	0	**25.42**	9.45
	Mz.min	137.47	-0.16	0.43	0	1.69	**-0.54**
	Mz.max	1075.29	4.46	7.65	0	22.47	**12.46**
P1_C3	N.min	**-1.92**	-0.01	-0.89	0	0.19	-0.03
	N.max	**456.5**	1.94	5.01	0	6.87	4.88
	Vy.min	-1.92	**-0.01**	-0.89	0	0.19	-0.03
	Vy.max	434.56	**2.09**	4.33	0	6.88	5.37
	Vz.min	282.53	1.18	**-2.06**	0	-5.5	3.01
	Vz.max	154.42	0.78	**6.36**	0	13.83	1.96
	Mx.min	12.43	0.24	2.71	**0**	6.36	0.6
	Mx.max	450.65	1.79	1.82	**0.01**	2.47	4.56
	My.min	343.92	1.51	-1.09	0	**-7.42**	3.86
	My.max	87.81	0.47	5.96	0	**14.87**	1.12
	Mz.min	40.37	-0.01	-0.08	0	1.7	**-0.07**
	Mz.max	434.56	2.09	4.33	0	6.88	**5.37**
P2_C3	N.min	**-3.4**	-0.1	-2.48	0	-2.75	-0.26
	N.max	**1058.2**	3.43	6.92	0	18.4	9.51
	Vy.min	108.57	**-0.23**	-1.82	0.01	-1.1	-0.71
	Vy.max	994.64	**3.88**	5.73	0	17.23	10.94
	Vz.min	317.08	1.03	**-2.82**	0	-2.91	3.04
	Vz.max	707.04	2.44	**7.36**	0	19.47	6.6
	Mx.min	739.44	2.13	0.35	**0**	1.96	6.13
	Mx.max	316.18	0.85	0.75	**0.01**	6.93	2.34
	My.min	198.74	0.64	-2.78	0	**-3.16**	1.89
	My.max	827.57	2.79	7.31	0	**19.62**	7.62
	Mz.min	108.57	-0.23	-1.82	0.01	-1.1	**-0.71**
	Mz.max	993.82	3.88	5.6	0	17.08	**10.94**
BR	N.min	**-24.71**	-2.73	1.19	0	2.92	-4.23
	N.max	**24.71**	2.73	-1.19	0	-2.92	4.23
	Vy.min	-24.23	**-2.76**	1.45	0	4.45	-4.23
	Vy.max	24.23	**2.76**	-1.45	0	-4.45	4.23
	Vz.min	24.23	2.76	**-1.45**	0	-4.45	4.23
	Vz.max	-24.23	-2.76	**1.45**	0	4.45	-4.23
	Mx.min	24.71	2.73	-1.19	**0**	-2.92	4.23
	Mx.max	-24.71	-2.73	1.19	**0**	2.92	-4.23
	My.min	24.23	2.76	-1.45	0	**-4.45**	4.23
	My.max	-24.23	-2.76	1.45	0	**4.45**	-4.23
	Mz.min	-24.23	-2.76	1.45	0	4.45	**-4.23**
	Mz.max	24.23	2.76	-1.45	0	-4.45	**4.23**

TR_D2 POPIS: **DIAGONÁLA D2** POSUDEK: **D2**

SKUPINA ZAT. STAVŮ	EXTRÉM	VYHODNOCOVANÉ VELIČINY					
		N	Vy	Vz	Mx	My	Mz
		kN	kN	kN	kNm	kNm	kNm
S	N.min	**-4.48**	0.02	0.08	0	4.33	0.21
	N.max	**4.48**	-0.02	-0.08	0	-4.33	-0.21
	Vy.min	3.11	**-0.07**	0.25	0	-4.29	-0.28
	Vy.max	-3.11	**0.07**	-0.25	0	4.29	0.28
	Vz.min	-1.18	0.04	**-1.35**	0	0.24	0.12
	Vz.max	1.18	-0.04	**1.35**	0	-0.24	-0.12
	Mx.min	-3.11	0.07	-0.25	**0**	4.29	0.28
	Mx.max	3.11	-0.07	0.25	**0**	-4.29	-0.28
	My.min	4.48	-0.02	-0.08	0	**-4.33**	-0.21
	My.max	-4.48	0.02	0.08	0	**4.33**	0.21
	Mz.min	4.08	-0.06	0.08	0	-4.3	**-0.29**
	Mz.max	-4.08	0.06	-0.08	0	4.3	**0.29**
CH	N.min	**23.13**	0.12	-0.38	0	-1.75	0.28
	N.max	**115.34**	0.43	-0.66	0	-2.05	1.15
	Vy.min	23.13	**0.12**	-0.38	0	-1.75	0.28
	Vy.max	115.34	**0.43**	-0.66	0	-2.05	1.15
	Vz.min	80.49	0.34	**-0.84**	0	-2.52	0.87
	Vz.max	23.13	0.12	**-0.38**	0	-1.75	0.28
	Mx.min	115.34	0.43	-0.66	**0**	-2.05	1.15
	Mx.max	23.13	0.12	-0.38	**0**	-1.75	0.28
	My.min	80.49	0.34	-0.84	0	**-2.52**	0.87
	My.max	23.13	0.12	-0.38	0	**-1.75**	0.28
	Mz.min	23.13	0.12	-0.38	0	-1.75	**0.28**
	Mz.max	115.34	0.43	-0.66	0	-2.05	**1.15**
W	N.min	**-65.98**	-0.24	-8.86	0	-21	-1.01
	N.max	**66**	0.24	8.87	0	20.99	1.01
	Vy.min	-65.98	**-0.24**	-8.86	0	-21	-1.01
	Vy.max	66	**0.24**	8.87	0	20.99	1.01
	Vz.min	-65.98	-0.24	**-8.86**	0	-21	-1.01
	Vz.max	66	0.24	**8.87**	0	20.99	1.01
	Mx.min	66	0.24	8.87	**0**	20.99	1.01
	Mx.max	-65.98	-0.24	-8.86	**0**	-21	-1.01
	My.min	-65.98	-0.24	-8.86	0	**-21**	-1.01
	My.max	66	0.24	8.87	0	**20.99**	1.01
	Mz.min	-65.98	-0.24	-8.86	0	-21	**-1.01**
	Mz.max	66	0.24	8.87	0	20.99	**1.01**
WP	N.min	**-53.22**	-0.19	-0.95	0	-14.61	-1.05
	N.max	**53.26**	0.2	0.99	0	14.64	1.06
	Vy.min	-53.22	**-0.19**	-0.95	0	-14.61	-1.05
	Vy.max	53.26	**0.2**	0.99	0	14.64	1.06
	Vz.min	-53.22	-0.19	**-0.95**	0	-14.61	-1.05
	Vz.max	53.26	0.2	**0.99**	0	14.64	1.06
	Mx.min	53.26	0.2	0.99	**0**	14.64	1.06
	Mx.max	-53.22	-0.19	-0.95	**0**	-14.61	-1.05
	My.min	-53.22	-0.19	-0.95	0	**-14.61**	-1.05
	My.max	53.26	0.2	0.99	0	**14.64**	1.06
	Mz.min	-53.22	-0.19	-0.95	0	-14.61	**-1.05**
	Mz.max	53.26	0.2	0.99	0	14.64	**1.06**
TR	N.min	**0**	0	0	0	0	0
	N.max	**0**	0	0	0	0	0
	Vy.min	0	**0**	0	0	0	0
	Vy.max	0	**0**	0	0	0	0
	Vz.min	0	0	**0**	0	0	0
	Vz.max	0	0	**0**	0	0	0
	Mx.min	0	0	0	**0**	0	0
	Mx.max	0	0	0	**0**	0	0
	My.min	0	0	0	0	**0**	0
	My.max	0	0	0	0	**0**	0
	Mz.min	0	0	0	0	0	**0**
	Mz.max	0	0	0	0	0	**0**
TN	N.min	**-31.26**	0.07	0.72	0	2.47	-1.21
	N.max	**31.26**	-0.07	-0.72	0	-2.47	1.21
	Vy.min	-24.48	**-0.11**	-0.63	0	8.67	-0.34
	Vy.max	-4.84	**0.23**	1.14	0	-4.3	-0.71
	Vz.min	31.26	-0.07	**-0.72**	0	-2.47	1.21
	Vz.max	-4.84	0.23	**1.14**	0	-4.3	-0.71
	Mx.min	-24.48	-0.11	-0.63	**0**	8.67	-0.34
	Mx.max	-4.84	0.23	1.14	**0**	-4.3	-0.71
	My.min	-4.84	0.23	1.14	0	**-4.3**	-0.71
	My.max	-24.48	-0.11	-0.63	0	**8.67**	-0.34
	Mz.min	-31.26	0.07	0.72	0	2.47	**-1.21**
	Mz.max	31.26	-0.07	-0.72	0	-2.47	**1.21**
FR	N.min	**-2.17**	-0.24	0.06	0	0.18	-0.38
	N.max	**2.17**	0.24	-0.06	0	-0.18	0.38
	Vy.min	-2.17	**-0.24**	0.06	0	0.18	-0.38
	Vy.max	2.17	**0.24**	-0.06	0	-0.18	0.38
	Vz.min	2.17	0.24	**-0.06**	0	-0.18	0.38
	Vz.max	-2.17	-0.24	**0.06**	0	0.18	-0.38
	Mx.min	2.17	0.24	-0.06	**0**	-0.18	0.38
	Mx.max	-2.17	-0.24	0.06	**0**	0.18	-0.38
	My.min	2.17	0.24	-0.06	0	**-0.18**	0.38
	My.max	-2.17	-0.24	0.06	0	**0.18**	-0.38
	Mz.min	-2.17	-0.24	0.06	0	0.18	**-0.38**
	Mz.max	2.17	0.24	-0.06	0	-0.18	**0.38**
I	N.min	**-16.67**	-0.05	-1.98	0	-3.76	**-0.17**
	N.max	**16.67**	0.05	1.98	0	3.76	**0.17**
	Vy.min	-16.67	**-0.05**	-1.98	0	-3.76	**-0.17**
	Vy.max	16.67	**0.05**	1.98	0	3.76	**0.17**
	Vz.min	-16.67	-0.05	**-1.98**	0	-3.76	**-0.17**
	Vz.max	16.67	0.05	**1.98**	0	3.76	**0.17**
	Mx.min	-16.67	-0.05	-1.98	**0**	-3.76	**-0.17**
	Mx.max	16.67	0.05	1.98	**0**	3.76	**0.17**
	My.min	-16.67	-0.05	-1.98	0	**-3.76**	**-0.17**
	My.max	16.67	0.05	1.98	0	**3.76**	**0.17**
	Mz.min	-16.67	-0.05	-1.98	0	-3.76	**-0.17**
	Mz.max	16.67	0.05	1.98	0	3.76	**0.17**

TAB. D2.3 POSOUZENÍ - MEZNÍ STAV ÚNOSNOSTI

POPIS	DIAGONÁLA D2
PRUT / POLOHA BODU	259 / I[2714]
NAMÁHÁNÍ	N.max
VLÁKNO	BOD K2 -HP
MEZNÍ STAV	ULS (MSÚ)
VYUŽITÍ VLÁKNA PRŮŘEZU	0.81

Charakteristiky materiálu				
pás. horní	$f_{yf,k}$	230	MPa	
pás. dolní	$f_{yf,k}$	230	MPa	
stojina	$f_{yw,k}$	230	MPa	
výztuž	$f_{ys,k}$	500	MPa	
γ_M =		1.10	γ_s =	1.15

Excentricita normálové síly				
Exc./Fáze	0	1	2	3
e_y	0.000	0.000	0.000	0.000
e_z	0.000	0.000	0.000	0.000
Ekvivalentní vzdál. stěn - příčný roznos				
b_{ekv}	0.000	0.000	0.000	0.000

Vliv stěny na únosnost průřezu				
Char./Fáze	0	1	2	3
A	0.00	0.00	0.00	0.00
Wy	0.00	0.00	0.00	0.00
Wz	0.00	0.00	0.00	0.00

Charakter. v kroucení			
$t_{w,y}$	0.000	[mm]	
$t_{w,z}$	0.000	[mm]	
κ	1.00		
I_t=	0.00E+00	[mm^4]	
$\Omega=2*A_{pr}$	0.00E+00	[mm^2]	

Součinitele vzpěru a vlivu II.řádu					
Char./Fáze	0	1	2	3	
k_y	1.000	1.000	1.000	1.000	
k_z	1.000	1.000	1.000	1.000	
χ_{LT}	1.000	1.000	1.000	1.000	
χ_{min}	1.000	1.000	1.000	1.000	

Vnitřní síly od jednotlivých skupin zatěžovacích stavů

SKUPINA ZATĚŽOVACÍCH STAVŮ					- CHARAKTERISTICKÉ HODNOTY						DÍLČÍ SOUČINITELÉ ZATÍŽENÍ, DYNAMICKÝ SOUČINITEL						3	- NÁVRHOVÉ HODNOTY								
Č.	SKUP ZS	POPIS ZS	KAT.	FÁZE PRŮŘ.	N.k (kN)	Vy.k (kN)	Vz.k (kN)	Mx.k (kNm)	My.k (kNm)	Mz.k (kNm)	γ_{sup} (-)	γ_{inf} (-)	volba γ_i hledat	γ_i (-)	L_d (m)	δ (-)	Ψ_0 KZ03	N.d (kN)	Vy.d (kN)	Vz.d (kN)	ΔVz.d (kN)	ΣVz.d (kN)	Mx.d (kNm)	My.d (kNm)	ΔMy.d (kNm)	ΣMy.d (kNm)	Mz.d (kNm)	ΔMz.d (kNm)	ΣMz.d (kNm)
1	G0	Vlastní tíha OK	G	0	782	-3	1	0	0	5	1.00	1.20		1.20	-	1.00	0.95	892	-3	1	0	1	0	0	0	0	6	0	6
2	G1	Ostatní stálé - mostní vybavení	G	0	59	0	0	0	0	1	1.00	1.20		1.20	-	1.00	0.95	67	0	0	0	0	0	0	0	0	1	0	1
3	G2	Ostatní stálé - cizí zařízení	G	0	46	0	0	0	0	0	1.00	1.20		1.20	-	1.00	0.95	53	0	0	0	0	0	0	0	0	1	0	1
4	P1_71	a.LM71 - kolej 1 (bez dyn. souč.)	P	0	540	2	5	0	8	6	1.00	1.30		1.30	-	1.00	1.00	702	3	7	0	7	0	10	0	10	7	0	7
5	P2_71	a.LM71 - kolej 2 (bez dyn. souč.)	P	0	1 258	4	7	0	19	11	1.00	1.30		1.30	-	1.00	1.00	1 635	5	9	0	9	0	25	0	25	14	0	14
6	P1_C3	TTZ C3 - kolej 1 (bez dyn. souč.)	P	0	457	2	5	0	7	5	1.00	vyp.		0.00	-	1.00	0.00	0	0	0	0	0	0	0	0	0	0	0	0
7	P2_C3	TTZ C3 - kolej 2 (bez dyn. souč.)	P	0	1 058	3	7	0	18	10	1.00	vyp.		0.00	-	1.00	0.00	0	0	0	0	0	0	0	0	0	0	0	0
8	BR	Brzdné a rozjezdové síly	P	0	25	3	-1	0	-3	4	1.00	1.30		1.30	-	1.00	0.80	26	3	-1	0	-1	0	-3	0	-3	4	0	4
9	S	Boční ráz	P	0	4	0	0	0	-4	0	1.00	1.30		1.30	-	1.00	0.40	2	0	0	0	0	0	-2	0	-2	0	0	0
10	CH	Chodci na lávkách	Q	0	115	0	-1	0	-2	1	1.00	1.30		1.30	-	1.00	1.00	150	1	-1	0	-1	0	-3	0	-3	1	0	1
11	W	Vítr na konstrukci	Q	0	66	0	9	0	21	1	1.00	-1.35		-1.35	-	1.00	0.75	-67	0	-9	0	-9	0	-21	0	-21	-1	0	-1
12	WP	Vítr na vozidla	Q	0	53	0	1	0	15	1	1.00	-1.35		-1.35	-	1.00	0.75	-54	0	-1	0	-1	0	-15	0	-15	-1	0	-1
13	TR	Teplota rovnoměrná	Q	0	0	0	0	0	0	0	1.00	1.35		1.35	-	1.00	0.45	0	0	0	0	0	0	0	0	0	0	0	0
14	TN	Teplota nerovnoměrná	Q	0	31	0	-1	0	-2	1	1.00	1.35		1.35	-	1.00	0.60	25	0	-1	0	-1	0	-2	0	-2	1	0	1
15	FR	Třecí síly v ložiskách	Q	0	2	0	0	0	0	0	1.00	1.20		1.20	-	1.00	1.00	3	0	0	0	0	0	0	0	0	0	0	0
16	I	Imperfekce soustavy	Q	0	17	0	2	0	4	0	1.00	-1.20		-1.20	-	1.00	1.00	-20	0	-2	0	-2	0	-5	0	-5	0	0	0
27	ULS_LM	ULS - LM71 bez dynam	Q	0	3 704	10	26	0	64	39	1.00	vyp.		0.00	-	1.00	0.00	0	0	0	0	0	0	0	0	0	0	0	0
28	SLS_LM	SLS - LM71 bez dynam	Q	0	2 937	8	20	0	50	30	1.00	vyp.	1	0.00	-	1.00	0.00	0	0	0	0	0	0	0	0	0	0	0	0
29	ULS_C3	ULS - C3 bez dynam	Q	0	3 335	9	26	0	62	36	1.00	vyp.	1	0.00	-	1.00	0.00	0	0	0	0	0	0	0	0	0	0	0	0
30	SLS_C3	SLS - C3 bez dynam	Q	0	2 653	7	20	0	48	28	1.00	vyp.	1	0.00	-	1.00	0.00	0	0	0	0	0	0	0	0	0	0	0	0
		CELKEM - FÁZE PRŮŘEZU 0																3 415	9	2	0	2	0	-16	0	-16	33	0	33
		CELKEM - FÁZE PRŮŘEZU 1																0	0	0	0	0	0	0	0	0	0	0	0
		CELKEM - FÁZE PRŮŘEZU 2																0	0	0	0	0	0	0	0	0	0	0	0
		CELKEM - FÁZE PRŮŘEZU 3																0	0	0	0	0	0	0	0	0	0	0	0
		CELKEM - PRŮŘEZ																3 415	9	2	0	2	0			-16			33

Napětí od jednotlivých zatěžovacích stavů

SKUPINA ZATĚŽOVACÍCH STAVŮ					Posouzení normálového napětí											Posouzení smykového napětí												
					Účinek síly N			Účinek momentu My			Účinek momentu Mz					Účinek kroutícího momentu Mx				Účinek smykové síly Vy				Účinek smykové síly Vz			
č.	SKUP ZS	Popis ZS	Kat.	fáze průř.	δ^*N_d [kN]	χ^*A [mm^2]	σ_n [MPa]	$\delta^*M_{y,d}$ [kNm]	$\chi_{lt}^*W_{el,y}$ [mm^3]	σ_{my} [MPa]	$\delta^*M_{z,d}$ [kNm]	$W_{el,z}$ [mm^3]	σ_{mz} [MPa]	σ_x [MPa]	$\kappa^*\delta^*M_{x,d}$ [kNm]	$W_{v,y}$ [mm^3]	$\tau_{x,y}$ [MPa]	$W_{v,z}$ [mm^3]	$\tau_{x,z}$ [MPa]	$\delta^*V_{y,d}$ [kN]	$A_{v,y}$ [mm2]	$\tau_{v,y}$ [MPa]	$\tau_{v,y}$ [MPa]	$\delta^*V_{z,d}$ [kN]	$A_{v,z}$ [mm2]	$\tau_{v,z}$ [MPa]	$\tau_{v,z}$ [MPa]
1	G0	Vlastní tíha OK	G	0	891.9	2.52E+04	35.4	0.1	-1.91E+06	0.0	5.5	1.30E+06	4.2	39.6	0.0E+00	-	-	-	-	-2.9	2.25E+04	-0.1	-0.1	1.0	2.75E+03	0.4	0.4
2	G1	Ostatní stálé - mostní vybavení	G	0	67.5	2.52E+04	2.7	0.3	-1.91E+06	-0.2	0.7	1.30E+06	0.6	3.1	0.0E+00	-	-	-	-	0.3	2.25E+04	0.0	0.0	0.2	2.75E+03	0.1	0.1
3	G2	Ostatní stálé - cizí zařízení	G	0	52.8	2.52E+04	2.1	-0.4	-1.91E+06	0.2	0.5	1.30E+06	0.4	2.7	0.0E+00	-	-	-	-	0.2	2.25E+04	0.0	0.0	-0.1	2.75E+03	0.0	0.0
4	P1_71	a.LM71 - kolej 1 (bez dyn. souč.)	P	0	702.2	2.52E+04	27.9	10.1	-1.91E+06	-5.3	7.4	1.30E+06	5.6	28.2	1.3E-02	-	-	-	-	2.9	2.25E+04	0.1	0.1	7.1	2.75E+03	2.6	2.6
5	P2_71	a.LM71 - kolej 2 (bez dyn. souč.)	P	0	1 635.4	2.52E+04	64.9	25.1	-1.91E+06	-13.1	14.2	1.30E+06	10.9	62.7	0.0E+00	-	-	-	-	5.1	2.25E+04	0.2	0.2	8.7	2.75E+03	3.1	3.1
6	P1_C3	TTZ C3 - kolej 1 (bez dyn. souč.)	P	0	0.0	2.52E+04	0.0	0.0	-1.91E+06	0.0	0.0	1.30E+06	0.0	0.0	0.0E+00	-	-	-	-	0.0	2.25E+04	0.0	0.0	0.0	2.75E+03	0.0	0.0
7	P2_C3	TTZ C3 - kolej 2 (bez dyn. souč.)	P	0	0.0	2.52E+04	0.0	0.0	-1.91E+06	0.0	0.0	1.30E+06	0.0	0.0	0.0E+00	-	-	-	-	0.0	2.25E+04	0.0	0.0	0.0	2.75E+03	0.0	0.0
8	BR	Brzdné a rozjezdové síly	P	0	25.7	2.52E+04	1.0	-3.0	-1.91E+06	1.6	4.4	1.30E+06	3.4	6.0	0.0E+00	-	-	-	-	2.8	2.25E+04	0.1	0.1	-1.2	2.75E+03	-0.4	-0.4
9	S	Boční ráz	P	0	2.3	2.52E+04	0.1	-2.3	-1.91E+06	1.2	-0.1	1.30E+06	-0.1	1.2	0.0E+00	-	-	-	-	0.0	2.25E+04	0.0	0.0	0.0	2.75E+03	0.0	0.0
10	CH	Chodci na lávkách	Q	0	149.9	2.52E+04	5.9	-2.7	-1.91E+06	1.4	1.5	1.30E+06	1.1	8.5	0.0E+00	-	-	-	-	0.6	2.25E+04	0.0	0.0	-0.9	2.75E+03	-0.3	-0.3
11	W	Vítr na konstrukci	Q	0	-66.8	2.52E+04	-2.7	-21.3	-1.91E+06	11.1	-1.0	1.30E+06	-0.8	7.7	0.0E+00	-	-	-	-	-0.2	2.25E+04	0.0	0.0	-9.0	2.75E+03	-3.3	-3.3
12	WP	Vítr na vozidla	Q	0	-53.9	2.52E+04	-2.1	-14.8	-1.91E+06	7.8	-1.1	1.30E+06	-0.8	4.8	0.0E+00	-	-	-	-	-0.2	2.25E+04	0.0	0.0	-1.0	2.75E+03	-0.4	-0.4
13	TR	Teplota rovnoměrná	Q	0	0.0	2.52E+04	0.0	0.0	-1.91E+06	0.0	0.0	1.30E+06	0.0	0.0	0.0E+00	-	-	-	-	0.0	2.25E+04	0.0	0.0	0.0	2.75E+03	0.0	0.0
14	TN	Teplota nerovnoměrná	Q	0	25.3	2.52E+04	1.0	-2.0	-1.91E+06	1.0	1.0	1.30E+06	0.8	2.8	0.0E+00	-	-	-	-	-0.1	2.25E+04	0.0	0.0	-0.6	2.75E+03	-0.2	-0.2
15	FR	Třecí síly v ložiskách	Q	0	2.6	2.52E+04	0.1	-0.2	-1.91E+06	0.1	0.5	1.30E+06	0.3	0.6	0.0E+00	-	-	-	-	0.3	2.25E+04	0.0	0.0	-0.1	2.75E+03	0.0	0.0
16	I	Imperfekce soustavy	Q	0	-20.0	2.52E+04	-0.8	-4.5	-1.91E+06	2.4	-0.2	1.30E+06	-0.2	1.4	0.0E+00	-	-	-	-	-0.1	2.25E+04	0.0	0.0	-2.4	2.75E+03	-0.9	-0.9
27	ULS_LM	ULS - LM71 bez dynam	Q	0	0.0	2.52E+04	0.0	0.0	-1.91E+06	0.0	0.0	1.30E+06	0.0	0.0	0.0E+00	-	-	-	-	0.0	2.25E+04	0.0	0.0	0.0	2.75E+03	0.0	0.0
28	SLS_LM	SLS - LM71 bez dynam	Q	0	0.0	2.52E+04	0.0	0.0	-1.91E+06	0.0	0.0	1.30E+06	0.0	0.0	0.0E+00	-	-	-	-	0.0	2.25E+04	0.0	0.0	0.0	2.75E+03	0.0	0.0
29	ULS_C3	ULS - C3 bez dynam	Q	0	0.0	2.52E+04	0.0	0.0	-1.91E+06	0.0	0.0	1.30E+06	0.0	0.0	0.0E+00	-	-	-	-	0.0	2.25E+04	0.0	0.0	0.0	2.75E+03	0.0	0.0
30	SLS_C3	SLS - C3 bez dynam	Q	0	0.0	2.52E+04	0.0	0.0	-1.91E+06	0.0	0.0	1.30E+06	0.0	0.0	0.0E+00	-	-	-	-	0.0	2.25E+04	0.0	0.0	0.0	2.75E+03	0.0	0.0
NAVÝŠENÍ NAPĚTÍ DO AKTIVACE TLAKU V DESCE MOSTOVKY						$\sigma_{P,red}$	0.0							0.0			0.0		0.0				0.4	0.4			0.6	0.6
NAPĚTÍ OD PRIMÁRNÍCH ÚČINKŮ NEROVNOMĚRNÉHO OTEPLENÍ						σ_T	0.0							0.0														
NAPĚTÍ OD REOLOGICKÝCH ÚČINKŮ BETONU V ČASE				t=0		σ_R	0.0	γ_{inf}=	1.20					0.0														
NAPĚTÍ V KRITICKÝCH VLÁKNECH OD KOMBINACE ZATÍŽENÍ							KZ03	[MPa]					$\Sigma\sigma_x$	169.1								$\Sigma\tau_y$	0.4			$\Sigma\tau_z$	0.6
NAPĚTÍ OD POHYBLIVÉHO ZATÍŽENÍ								[MPa]					$\sigma_{x,P}$	98.1								τ_P	0.5			τ_P	5.3
NAPĚTÍ OD OSTATNÍCH ZATÍŽENÍ								[MPa]			Φ_{Vy}	Φ_{Vz}	$\sigma_{x,rs}$	71.1								τ_{rs}	-0.1			τ_{rs}	-4.7
NÁVRHOVÁ HODNOTA MEZE KLUZU S REDUKCÍ VLIVEM SMYKOVÉHO NAPĚTÍ								[MPa]			1.00	1.00	$f_{yv,d}$	209.1								$f_{yd}/3^{0,5}$	120.7			$f_{yd}/3^{0,5}$	120.7
NAPĚTÍ OD POHYBLIVÉHO ZATÍŽENÍ V GLOBÁLNÍM SYSTÉMU						$\sigma_{GLOB,P}$	0.0	[MPa]					$\Sigma\sigma_{GLOB}$	0.0													
NAPĚTÍ OD OSTATNÍCH ZATÍŽENÍ V GLOBÁLNÍM SYSTÉMU						$\sigma_{GLOB,rs}$	0.0	[MPa]					$\Sigma\sigma_x + \Sigma\sigma_{GLOB}$	169.1													
VYUŽITÍ PRŮŘEZU DLE NAPĚTÍ								[%]					η_1	0.81								η_3	0.00			η_3	0.00
NAPĚTÍ V PŘÍČNÉM SMĚRU OD POHYBLIVÉHO ZATÍŽENÍ						$\sigma_{z,P}$	0.0	[MPa]					$\Sigma\sigma_z$	0.0													
NAPĚTÍ V PŘÍČNÉM SMĚRU OD OSTATNÍCH ZATÍŽENÍ						$\sigma_{z,rs}$	0.0	[MPa]					η_2	0.00													
SROVNÁVACÍ NAPĚTÍ													$(\eta_2 + 0,8\,\eta_1)/1,4$ =	0.46													
VYUŽITÍ PRŮŘEZU CELKEM								[%]					eff	0.81	VYHOVUJE												
													z_{LM71} =	1.41													

TAB. D2.3 POSOUZENÍ - MEZNÍ STAV ÚNOSNOSTI

POPIS	DIAGONÁLA D2
PRUT / POLOHA BODU	259 / I[2714]
NAMÁHÁNÍ	N.max
VLÁKNO	BOD K4 -SP
MEZNÍ STAV	ULS (MSÚ)
VYUŽITÍ VLÁKNA PRŮŘEZU	1.01

Charakteristiky materiálu				
pás. horní	$f_{yf,k}$	230	MPa	
pás. dolní	$f_{yf,k}$	230	MPa	
stojina	$f_{yw,k}$	230	MPa	
výztuž	$f_{ys,k}$	500	MPa	
γ_M =	1.10	γ_s =	1.15	

Excentricita normálové síly				
Exc./Fáze	0	1	2	3
e_y	0.000	0.000	0.000	0.000
e_z	0.000	0.000	0.000	0.000
Ekvivalentní vzdál. stěn - příčný roznos				
b_{ekv}	0.000	0.000	0.000	0.000

Vliv stěny na únosnost průřezu				
Char./Fáze	0	1	2	3
A	0.00	0.00	0.00	0.00
Wy	0.00	0.00	0.00	0.00
Wz	0.00	0.00	0.00	0.00

Charakter. v kroucení			
$t_{w,y}$	0.000	[mm]	
$t_{w,z}$	0.000	[mm]	
κ	1.00		
I_t=	0.00E+00	[mm^4]	
$\Omega=2*A_{pr}$	0.00E+00	[mm^2]	

Součinitele vzpěru a vlivu II.řádu					
Char./Fáze	0	1	2	3	
k_y	1.000	1.000	1.000	1.000	
k_z	1.000	1.000	1.000	1.000	
χ_{LT}	1.000	1.000	1.000	1.000	
χ_{min}	1.000	1.000	1.000	1.000	

Vnitřní síly od jednotlivých skupin zatěžovacích stavů

SKUPINA ZATĚŽOVACÍCH STAVŮ					- CHARAKTERISTICKÉ HODNOTY						DÍLČÍ SOUČINITELÉ ZATÍŽENÍ, DYNAMICKÝ SOUČINITEL							- NÁVRHOVÉ HODNOTY									
Č.	SKUP ZS	POPIS ZS	KAT.	FÁZE PRŮŘ.	N.k (kN)	Vy.k (kN)	Vz.k (kN)	Mx.k (kNm)	My.k (kNm)	Mz.k (kNm)	γ_{sr} (-)	γ_{fs} (-)	volba γ_f hledat	γ_f (-)	L_d (m)	δ (-)	Ψ_s KZ03	N.d (kN)	Vy.d (kN)	Vz.d (kN)	ΔVz.d (kN)	ΣVz.d (kN)	Mx.d (kNm)	My.d (kNm)	ΔMy.d (kNm)	ΣMy.d (kNm)	Mz.d (kNm)	ΔMz.d (kNm)	ΣMz.d (kNm)
1	G0	Vlastní tíha OK	G	0	782	-3	1	0	0	5	1.00	1.20		1.20	-	1.00	0.95	892	-3	1	0	1	0	0	0	0	6	0	6
2	G1	Ostatní stálé - mostní vybavení	G	0	59	0	0	0	0	1	1.00	1.20		1.20	-	1.00	0.95	67	0	0	0	0	0	0	0	0	1	0	1
3	G2	Ostatní stálé - cizí zařízení	G	0	46	0	0	0	0	0	1.00	1.20		1.20	-	1.00	0.95	53	0	0	0	0	0	0	0	0	1	0	1
4	P1_71	a.LM71 - kolej 1 (bez dyn. souč.)	P	0	540	2	5	0	8	6	1.00	1.30		1.30	-	1.00	1.00	702	3	7	0	7	0	10	0	10	7	0	7
5	P2_71	a.LM71 - kolej 2 (bez dyn. souč.)	P	0	1 258	4	7	0	19	11	1.00	1.30		1.30	-	1.00	1.00	1 635	5	9	0	9	0	25	0	25	14	0	14
6	P1_C3	TTZ C3 - kolej 1 (bez dyn. souč.)	P	0	457	2	5	0	7	5	1.00	vyp.		0.00	-	1.00	0.00	0	0	0	0	0	0	0	0	0	0	0	0
7	P2_C3	TTZ C3 - kolej 2 (bez dyn. souč.)	P	0	1 058	3	7	0	18	10	1.00	vyp.		0.00	-	1.00	0.00	0	0	0	0	0	0	0	0	0	0	0	0
8	BR	Brzdné a rozjezdové síly	P	0	25	3	-1	0	-3	4	1.00	1.30		1.30	-	1.00	0.80	26	3	-1	0	-1	0	-3	0	-3	4	0	4
9	S	Boční ráz	P	0	4	0	0	0	-4	0	1.00	0.00		0.00	-	1.00	0.40	0	0	0	0	0	0	0	0	0	0	0	0
10	CH	Chodci na lávkách	Q	0	115	0	-1	0	-2	1	1.00	1.30		1.30	-	1.00	1.00	150	1	-1	0	-1	0	-3	0	-3	1	0	1
11	W	Vítr na konstrukci	Q	0	66	0	9	0	21	1	1.00	1.35		1.35	-	1.00	0.75	67	0	9	0	9	0	21	0	21	1	0	1
12	WP	Vítr na vozidla	Q	0	53	0	1	0	15	1	1.00	1.35		1.35	-	1.00	0.75	54	0	1	0	1	0	15	0	15	1	0	1
13	TR	Teplota rovnoměrná	Q	0	0	0	0	0	0	0	1.00	1.35		1.35	-	1.00	0.45	0	0	0	0	0	0	0	0	0	0	0	0
14	TN	Teplota nerovnoměrná	Q	0	31	0	-1	0	-2	1	1.00	1.35		1.35	-	1.00	0.60	25	0	-1	0	-1	0	-2	0	-2	1	0	1
15	FR	Třecí síly v ložiskách	Q	0	2	0	0	0	0	0	1.00	1.20		1.20	-	1.00	1.00	3	0	0	0	0	0	0	0	0	0	0	0
16	I	Imperfekce soustavy	Q	0	17	0	2	0	4	0	1.00	1.20		1.20	-	1.00	1.00	20	0	2	0	2	0	5	0	5	0	0	0
27	ULS_LM	ULS - LM71 bez dynam	Q	0	3 704	10	26	0	64	39	1.00	vyp.		0.00	-	1.00	0.00	0	0	0	0	0	0	0	0	0	0	0	0
28	SLS_LM	SLS - LM71 bez dynam	Q	0	2 937	8	20	0	50	30	1.00	vyp.	1	0.00	-	1.00	0.00	0	0	0	0	0	0	0	0	0	0	0	0
29	ULS_C3	ULS - C3 bez dynam	Q	0	3 335	9	26	0	62	36	1.00	vyp.	1	0.00	-	1.00	0.00	0	0	0	0	0	0	0	0	0	0	0	0
30	SLS_C3	SLS - C3 bez dynam	Q	0	2 653	7	20	0	48	28	1.00	vyp.	1	0.00	-	1.00	0.00	0	0	0	0	0	0	0	0	0	0	0	0
		CELKEM - FÁZE PRŮŘEZU 0																3 694	10	26	0	26	0	68	0	68	38	0	38
		CELKEM - FÁZE PRŮŘEZU 1																0	0	0	0	0	0	0	0	0	0	0	0
		CELKEM - FÁZE PRŮŘEZU 2																0	0	0	0	0	0	0	0	0	0	0	0
		CELKEM - FÁZE PRŮŘEZU 3																0	0	0	0	0	0	0	0	0	0	0	0
		CELKEM - PRŮŘEZ																3 694	10	26	0	26	0			68			38

Napětí od jednotlivých zatěžovacích stavů

SKUPINA ZATĚŽOVACÍCH STAVŮ					Posouzení normálového napětí										Posouzení smykového napětí													
					Účinek síly N			Účinek momentu My			Účinek momentu Mz				Účinek kroutícího momentu Mx				Účinek smykové síly Vy				Účinek smykové síly Vz			
Č.	SKUP ZS	Popis ZS	Kat.	fáze průř.	δ^*N_d [kN]	χ^*A [mm^2]	σ_n [MPa]	$\delta^*M_{y,d}$ [kNm]	$\chi_{lt}*W_{el,y}$ [mm^3]	σ_{my} [MPa]	$\delta^*M_{z,d}$ [kNm]	$W_{el,z}$ [mm^3]	σ_{mz} [MPa]	σ_x [MPa]	$\kappa^*\delta^*M_{x,d}$ [kNm]	$W_{v,y}$ [mm^2]	$\tau_{x,y}$ [MPa]	$W_{v,z}$ [mm^2]	$\tau_{x,z}$ [MPa]	$\delta^*V_{y,d}$ [kN]	$A_{v,y}$ [mm2]	$\tau_{v,y}$ [MPa]	$\tau_{v,y}$ [MPa]	$\delta^*V_{z,d}$ [kN]	$A_{v,z}$ [mm2]	$\tau_{v,z}$ [MPa]	$\tau_{v,z}$ [MPa]
1	G0	Vlastní tíha OK	G	0	891.9	2.52E+04	35.4	0.1	1.91E+06	0.0	5.5	1.30E+06	4.2	39.6	0.0E+00	-	-	-	-	-2.9	2.25E+04	-0.1	-0.1	1.0	2.75E+03	0.4	0.4
2	G1	Ostatní stálé - mostní vybavení	G	0	67.5	2.52E+04	2.7	0.3	1.91E+06	0.2	0.7	1.30E+06	0.6	3.4	0.0E+00	-	-	-	-	0.3	2.25E+04	0.0	0.0	0.2	2.75E+03	0.1	0.1
3	G2	Ostatní stálé - cizí zařízení	G	0	52.8	2.52E+04	2.1	-0.4	1.91E+06	-0.2	0.5	1.30E+06	0.4	2.3	0.0E+00	-	-	-	-	0.2	2.25E+04	0.0	0.0	-0.1	2.75E+03	0.0	0.0
4	P1_71	a.LM71 - kolej 1 (bez dyn. souč.)	P	0	702.2	2.52E+04	27.9	10.1	1.91E+06	5.3	7.4	1.30E+06	5.6	38.8	1.3E-02	-	-	-	-	2.9	2.25E+04	0.1	0.1	7.1	2.75E+03	2.6	2.6
5	P2_71	a.LM71 - kolej 2 (bez dyn. souč.)	P	0	1 635.4	2.52E+04	64.9	25.1	1.91E+06	13.1	14.2	1.30E+06	10.9	88.9	0.0E+00	-	-	-	-	5.1	2.25E+04	0.2	0.2	8.7	2.75E+03	3.1	3.1
6	P1_C3	TTZ C3 - kolej 1 (bez dyn. souč.)	P	0	0.0	2.52E+04	0.0	0.0	1.91E+06	0.0	0.0	1.30E+06	0.0	0.0	0.0E+00	-	-	-	-	0.0	2.25E+04	0.0	0.0	0.0	2.75E+03	0.0	0.0
7	P2_C3	TTZ C3 - kolej 2 (bez dyn. souč.)	P	0	0.0	2.52E+04	0.0	0.0	1.91E+06	0.0	0.0	1.30E+06	0.0	0.0	0.0E+00	-	-	-	-	0.0	2.25E+04	0.0	0.0	0.0	2.75E+03	0.0	0.0
8	BR	Brzdné a rozjezdové síly	P	0	25.7	2.52E+04	1.0	-3.0	1.91E+06	-1.6	4.4	1.30E+06	3.4	2.8	0.0E+00	-	-	-	-	2.8	2.25E+04	0.1	0.1	-1.2	2.75E+03	-0.4	-0.4
9	S	Boční ráz	P	0	0.0	2.52E+04	0.0	0.0	1.91E+06	0.0	0.0	1.30E+06	0.0	0.0	0.0E+00	-	-	-	-	0.0	2.25E+04	0.0	0.0	0.0	2.75E+03	0.0	0.0
10	CH	Chodci na lávkách	Q	0	149.9	2.52E+04	5.9	-2.7	1.91E+06	-1.4	1.5	1.30E+06	1.1	5.7	0.0E+00	-	-	-	-	0.6	2.25E+04	0.0	0.0	-0.9	2.75E+03	-0.3	-0.3
11	W	Vítr na konstrukci	Q	0	66.8	2.52E+04	2.7	21.3	1.91E+06	11.1	1.0	1.30E+06	0.8	14.6	0.0E+00	-	-	-	-	0.2	2.25E+04	0.0	0.0	9.0	2.75E+03	3.3	3.3
12	WP	Vítr na vozidla	Q	0	53.9	2.52E+04	2.1	14.8	1.91E+06	7.8	1.1	1.30E+06	0.8	10.7	0.0E+00	-	-	-	-	0.2	2.25E+04	0.0	0.0	1.0	2.75E+03	0.4	0.4
13	TR	Teplota rovnoměrná	Q	0	0.0	2.52E+04	0.0	0.0	1.91E+06	0.0	0.0	1.30E+06	0.0	0.0	0.0E+00	-	-	-	-	0.0	2.25E+04	0.0	0.0	0.0	2.75E+03	0.0	0.0
14	TN	Teplota nerovnoměrná	Q	0	25.3	2.52E+04	1.0	-2.0	1.91E+06	-1.0	1.0	1.30E+06	0.8	0.7	0.0E+00	-	-	-	-	-0.1	2.25E+04	0.0	0.0	-0.6	2.75E+03	-0.2	-0.2
15	FR	Třecí síly v ložiskách	Q	0	2.6	2.52E+04	0.1	-0.2	1.91E+06	-0.1	0.5	1.30E+06	0.3	0.3	0.0E+00	-	-	-	-	0.3	2.25E+04	0.0	0.0	-0.1	2.75E+03	0.0	0.0
16	I	Imperfekce soustavy	Q	0	20.0	2.52E+04	0.8	4.5	1.91E+06	2.4	0.2	1.30E+06	0.2	3.3	0.0E+00	-	-	-	-	0.1	2.25E+04	0.0	0.0	2.4	2.75E+03	0.9	0.9
27	ULS_LM	ULS - LM71 bez dynam	Q	0	0.0	2.52E+04	0.0	0.0	1.91E+06	0.0	0.0	1.30E+06	0.0	0.0	0.0E+00	-	-	-	-	0.0	2.25E+04	0.0	0.0	0.0	2.75E+03	0.0	0.0
28	SLS_LM	SLS - LM71 bez dynam	Q	0	0.0	2.52E+04	0.0	0.0	1.91E+06	0.0	0.0	1.30E+06	0.0	0.0	0.0E+00	-	-	-	-	0.0	2.25E+04	0.0	0.0	0.0	2.75E+03	0.0	0.0
29	ULS_C3	ULS - C3 bez dynam	Q	0	0.0	2.52E+04	0.0	0.0	1.91E+06	0.0	0.0	1.30E+06	0.0	0.0	0.0E+00	-	-	-	-	0.0	2.25E+04	0.0	0.0	0.0	2.75E+03	0.0	0.0
30	SLS_C3	SLS - C3 bez dynam	Q	0	0.0	2.52E+04	0.0	0.0	1.91E+06	0.0	0.0	1.30E+06	0.0	0.0	0.0E+00	-	-	-	-	0.0	2.25E+04	0.0	0.0	0.0	2.75E+03	0.0	0.0
NAVÝŠENÍ NAPĚTÍ DO AKTIVACE TLAKU V DESCE MOSTOVKY						$\sigma_{P,red}$	0.0							0.0			0.0		0.0				0.4	0.4			9.6	9.6
NAPĚTÍ OD PRIMÁRNÍCH ÚČINKŮ NEROVNOMĚRNÉHO OTEPLENÍ						σ_T	0.0							0.0														
NAPĚTÍ OD REOLOGICKÝCH ÚČINKŮ BETONU V ČASE				t=0		σ_R	0.0	γ_{lt}=	1.20					0.0														
NAPĚTÍ V KRITICKÝCH VLÁKNECH OD KOMBINACE ZATÍŽENÍ							KZ03						$\Sigma\sigma_x$	211.1								$\Sigma\tau_y$	0.4			$\Sigma\tau_z$	9.6
NAPĚTÍ OD POHYBLIVÉHO ZATÍŽENÍ								[MPa]					$\sigma_{x,P}$	130.5								τ_P	0.5			τ_P	5.3
NAPĚTÍ OD OSTATNÍCH ZATÍŽENÍ								[MPa]			Φ_{Vy}	Φ_{Vz}	$\sigma_{x,rs}$	80.7								τ_{rs}	0.0			τ_{rs}	4.3
NÁVRHOVÁ HODNOTA MEZE KLUZU S REDUKCÍ VLIVEM SMYKOVÉHO NAPĚTÍ								[MPa]			1.00	1.00	$f_{yw,d}$	209.1								$f_{yd}/3^{0,5}$	120.7			$f_{yd}/3^{0,5}$	120.7
NAPĚTÍ OD POHYBLIVÉHO ZATÍŽENÍ V GLOBÁLNÍM SYSTÉMU						$\sigma_{GLOB,P}$	0.0	[MPa]					$\Sigma\sigma_{GLOB}$	0.0													
NAPĚTÍ OD OSTATNÍCH ZATÍŽENÍ V GLOBÁLNÍM SYSTÉMU						$\sigma_{GLOB,rs}$	0.0	[MPa]					$\Sigma\sigma_x + \Sigma\sigma_{GLOB}$	211.1													
VYUŽITÍ PRŮŘEZU DLE NAPĚTÍ								[%]					η_1	1.01								η_3	0.00			η_3	0.08
NAPĚTÍ V PŘÍČNÉM SMĚRU OD POHYBLIVÉHO ZATÍŽENÍ						$\sigma_{z,P}$	0.0	[MPa]					$\Sigma\sigma_z$	0.0													
NAPĚTÍ V PŘÍČNÉM SMĚRU OD OSTATNÍCH ZATÍŽENÍ						$\sigma_{z,rs}$	0.0	[MPa]					η_2	0.00													
SROVNÁVACÍ NAPĚTÍ													$(\eta_2 + 0,8\,\eta_1)/1,4$ =	0.58													
VYUŽITÍ PRŮŘEZU CELKEM								[%]					eff	1.01	NEVYHOUJE												
													z_{LM71} =	0.98													

TAB. D2.3 POSOUZENÍ - MEZNÍ STAV ÚNOSNOSTI

POPIS	DIAGONÁLA D2
PRUT / POLOHA BODU	259 / I[2714]
NAMÁHÁNÍ	Vz.max
VLÁKNO	BOD S6 -HP
MEZNÍ STAV	ULS (MSÚ)
VYUŽITÍ VLÁKNA PRŮŘEZU	0.70

Charakteristiky materiálu				
pás. horní	$f_{yf,k}$	230	MPa	
pás. dolní	$f_{yf,k}$	230	MPa	
stojina	$f_{yw,k}$	230	MPa	
výztuž	$f_{ys,k}$	500	MPa	
γ_{M} =	1.10	γ_{s} =	1.15	

Excentricita normálové síly				
Exc./Fáze	0	1	2	3
e_y	0.000	0.000	0.000	0.000
e_z	0.000	0.000	0.000	0.000
Ekvivalentní vzdál. stěn - příčný roznos				
b_{Mx}	0.000	0.000	0.000	0.000

Vliv stěny na únosnost průřezu				
Char./Fáze	0	1	2	3
A	0.00	0.00	0.00	0.00
Wy	0.00	0.00	0.00	0.00
Wz	0.00	0.00	0.00	0.00

Charakter. v kroucení			
$t_{w,y}$	0.000	[mm]	
$t_{w,z}$	0.000	[mm]	
κ	1.00		
I_t=	0.00E+00	[mm^4]	
Ω=2*A_{py}	0.00E+00	[mm^2]	

Součinitele vzpěru a vlivu II.řádu					
Char./Fáze	0	1	2	3	
k_y	1.000	1.000	1.000	1.000	
k_z	1.000	1.000	1.000	1.000	
χ_{LT}	1.000	1.000	1.000	1.000	
χ_{min}	1.000	1.000	1.000	1.000	

Vnitřní síly od jednotlivých skupin zatěžovacích stavů

SKUPINA ZATĚŽOVACÍCH STAVŮ — 3

Č.	SKUP ZS	POPIS ZS	KAT.	FÁZE PRŮŘ.	- CHARAKTERISTICKÉ HODNOTY N.k (kN)	Vy.k (kN)	Vz.k (kN)	Mx.k (kNm)	My.k (kNm)	Mz.k (kNm)	DÍLČÍ SOUČINITELÉ ZATÍŽENÍ, DYNAMICKÝ SOUČINITEL γ_{or} (-)	γ_{o} (-)	volba γ_i hledat	γ_i (-)	L_d (m)	δ (-)	γ_{z} KZ03	- NÁVRHOVÉ HODNOTY N.d (kN)	Vy.d (kN)	Vz.d (kN)	ΔVz.d (kN)	ΣVz.d (kN)	Mx.d (kNm)	My.d (kNm)	ΔMy.d (kNm)	ΣMy.d (kNm)	Mz.d (kNm)	ΔMz.d (kNm)	ΣMz.d (kNm)
1	G0	Vlastní tíha OK	G	0	782	-3	1	0	0	5	1.00	1.20		1.20	-	1.00	0.95	892	-3	1	0	1	0	0	0	0	6	0	6
2	G1	Ostatní stálé - mostní vybavení	G	0	59	0	0	0	0	1	1.00	1.20		1.20	-	1.00	0.95	67	0	0	0	0	0	0	0	0	1	0	1
3	G2	Ostatní stálé - cizí zařízení	G	0	46	0	0	0	0	0	1.00	1.00		1.00	-	1.00	0.95	44	0	0	0	0	0	0	0	0	0	0	0
4	P1_71	a.LM71 - kolej 1 (bez dyn. souč.)	P	0	199	1	8	0	19	3	1.00	1.30		1.30	-	1.00	1.00	258	1	11	0	11	0	24	0	24	3	0	3
5	P2_71	a.LM71 - kolej 2 (bez dyn. souč.)	P	0	811	3	9	0	25	8	1.00	1.30		1.30	-	1.00	1.00	1 054	4	12	0	12	0	33	0	33	10	0	10
6	P1_C3	TTZ C3 - kolej 1 (bez dyn. souč.)	P	0	154	1	6	0	14	2	1.00	vyp.		0.00	-	1.00	0.00	0	0	0	0	0	0	0	0	0	0	0	0
7	P2_C3	TTZ C3 - kolej 2 (bez dyn. souč.)	P	0	707	2	7	0	19	7	1.00	vyp.		0.00	-	1.00	0.00	0	0	0	0	0	0	0	0	0	0	0	0
8	BR	Brzdné a rozjezdové síly	P	0	-24	-3	1	0	4	-4	1.00	1.30		1.30	-	1.00	0.80	-25	-3	2	0	2	0	5	0	5	-4	0	-4
9	S	Boční ráz	P	0	1	0	1	0	0	0	1.00	1.30		1.30	-	1.00	0.40	1	0	1	0	1	0	0	0	0	0	0	0
10	CH	Chodci na lávkách	Q	0	23	0	0	0	-2	0	1.00	0.00		0.00	-	1.00	1.00	0	0	0	0	0	0	0	0	0	0	0	0
11	W	Vítr na konstrukci	Q	0	66	0	9	0	21	1	1.00	1.35		1.35	-	1.00	0.75	67	0	9	0	9	0	21	0	21	1	0	1
12	WP	Vítr na vozidla	Q	0	53	0	1	0	15	1	1.00	1.35		1.35	-	1.00	0.75	54	0	1	0	1	0	15	0	15	1	0	1
13	TR	Teplota rovnoměrná	Q	0	0	0	0	0	0	0	1.00	1.35		1.35	-	1.00	0.45	0	0	0	0	0	0	0	0	0	0	0	0
14	TN	Teplota nerovnoměrná	Q	0	-5	0	1	0	-4	-1	1.00	1.35		1.35	-	1.00	0.60	-4	0	1	0	1	0	-3	0	-3	-1	0	-1
15	FR	Třecí síly v ložiskách	Q	0	-2	0	0	0	0	0	1.00	1.20		1.20	-	1.00	1.00	-3	0	0	0	0	0	0	0	0	0	0	0
16	I	Imperfekce soustavy	Q	0	17	0	2	0	4	0	1.00	1.20		1.20	-	1.00	1.00	20	0	2	0	2	0	5	0	5	0	0	0
27	ULS_LM	ULS - LM71 bez dynam	Q	0	2 458	0	40	0	98	16	1.00	vyp.		0.00	-	1.00	0.00	0	0	0	0	0	0	0	0	0	0	0	0
28	SLS_LM	SLS - LM71 bez dynam	Q	0	2 001	-1	30	0	77	14	1.00	vyp.	1	0.00	-	1.00	0.00	0	0	0	0	0	0	0	0	0	0	0	0
29	ULS_C3	ULS - C3 bez dynam	Q	0	2 266	-1	35	0	84	14	1.00	vyp.	1	0.00	-	1.00	0.00	0	0	0	0	0	0	0	0	0	0	0	0
30	SLS_C3	SLS - C3 bez dynam	Q	0	1 853	-1	26	0	67	12	1.00	vyp.	1	0.00	-	1.00	0.00	0	0	0	0	0	0	0	0	0	0	0	0
		CELKEM - FÁZE PRŮŘEZU 0			2 426	0	40	0	99	17								40	0	99	0	99	17	0	17			
		CELKEM - FÁZE PRŮŘEZU 1			0	0	0	0	0	0								0	0	0	0	0	0	0	0			
		CELKEM - FÁZE PRŮŘEZU 2			0	0	0	0	0	0								0	0	0	0	0	0	0	0			
		CELKEM - FÁZE PRŮŘEZU 3			0	0	0	0	0	0								0	0	0	0	0	0	0	0			
		CELKEM - PRŮŘEZ			2 426	0	40	0	99	17								40	0	99	0	99	17					

Napětí od jednotlivých zatěžovacích stavů

SKUPINA ZATĚŽOVACÍCH STAVŮ

Č.	SKUP ZS	Popis ZS	Kat.	fáze průř.	Posouzení normálového napětí — Účinek síly N δ^*N_d [kN]	χ^*A [mm^2]	σ_n [MPa]	Účinek momentu My $\delta^*M_{y,d}$ [kNm]	$\chi_{lt}{}^*W_{el,y}$ [mm^3]	σ_{my} [MPa]	Účinek momentu Mz $\delta^*M_{z,d}$ [kNm]	$W_{el,z}$ [mm^3]	σ_{mz} [MPa]	σ_x [MPa]	Posouzení smykového napětí — Účinek kroutícího momentu Mx $\kappa^*\delta^*M_{x,d}$ [kNm]	$W_{v,y}$ [mm^2]	$\tau_{x,y}$ [MPa]	$W_{v,z}$ [mm^2]	$\tau_{x,z}$ [MPa]	Účinek smykové síly Vy $\delta^*V_{y,d}$ [kN]	$A_{v,y}$ [mm2]	$\tau_{v,y}$ [MPa]	$\tau_{v,y}$ [MPa]	Účinek smykové síly Vz $\delta^*V_{z,d}$ [kN]	$A_{v,z}$ [mm2]	$\tau_{v,z}$ [MPa]	$\tau_{v,z}$ [MPa]
1	G0	Vlastní tíha OK	G	0	891.9	2.52E+04	35.4	0.1	1.91E+06	0.0	5.5	-2.43E+07	-0.2	35.2	0.0E+00	-	-	-	-	-2.9	2.25E+04	-0.1	-0.1	1.0	2.75E+03	0.4	0.4
2	G1	Ostatní stálé - mostní vybavení	G	0	67.5	2.52E+04	2.7	0.3	1.91E+06	0.2	0.7	-2.43E+07	0.0	2.8	0.0E+00	-	-	-	-	0.3	2.25E+04	0.0	0.0	0.2	2.75E+03	0.1	0.1
3	G2	Ostatní stálé - cizí zařízení	G	0	44.0	2.52E+04	1.7	-0.4	1.91E+06	-0.2	0.4	-2.43E+07	0.0	1.5	0.0E+00	-	-	-	-	0.2	2.25E+04	0.0	0.0	-0.1	2.75E+03	0.0	0.0
4	P1_71	a.LM71 - kolej 1 (bez dyn. souč.)	P	0	258.2	2.52E+04	10.2	24.2	1.91E+06	12.6	3.3	-2.43E+07	-0.1	22.7	0.0E+00	-	-	-	-	1.3	2.25E+04	0.1	0.1	10.9	2.75E+03	4.0	4.0
5	P2_71	a.LM71 - kolej 2 (bez dyn. souč.)	P	0	1 054.3	2.52E+04	41.8	32.7	1.91E+06	17.1	10.2	-2.43E+07	-0.4	58.5	0.0E+00	-	-	-	-	3.8	2.25E+04	0.2	0.2	12.3	2.75E+03	4.5	4.5
6	P1_C3	TTZ C3 - kolej 1 (bez dyn. souč.)	P	0	0.0	2.52E+04	0.0	0.0	1.91E+06	0.0	0.0	-2.43E+07	0.0	0.0	0.0E+00	-	-	-	-	0.0	2.25E+04	0.0	0.0	0.0	2.75E+03	0.0	0.0
7	P2_C3	TTZ C3 - kolej 2 (bez dyn. souč.)	P	0	0.0	2.52E+04	0.0	0.0	1.91E+06	0.0	0.0	-2.43E+07	0.0	0.0	0.0E+00	-	-	-	-	0.0	2.25E+04	0.0	0.0	0.0	2.75E+03	0.0	0.0
8	BR	Brzdné a rozjezdové síly	P	0	-25.2	2.52E+04	-1.0	4.6	1.91E+06	2.4	-4.4	-2.43E+07	0.2	1.6	0.0E+00	-	-	-	-	-2.9	2.25E+04	-0.1	-0.1	1.5	2.75E+03	0.5	0.5
9	S	Boční ráz	P	0	0.6	2.52E+04	0.0	-0.1	1.91E+06	-0.1	-0.1	-2.43E+07	0.0	0.0	0.0E+00	-	-	-	-	0.0	2.25E+04	0.0	0.0	0.7	2.75E+03	0.3	0.3
10	CH	Chodci na lávkách	Q	0	0.0	2.52E+04	0.0	0.0	1.91E+06	0.0	0.0	-2.43E+07	0.0	0.0	0.0E+00	-	-	-	-	0.0	2.25E+04	0.0	0.0	0.0	2.75E+03	0.0	0.0
11	W	Vítr na konstrukci	Q	0	66.8	2.52E+04	2.7	21.3	1.91E+06	11.1	1.0	-2.43E+07	0.0	13.7	0.0E+00	-	-	-	-	0.2	2.25E+04	0.0	0.0	9.0	2.75E+03	3.3	3.3
12	WP	Vítr na vozidla	Q	0	53.9	2.52E+04	2.1	14.8	1.91E+06	7.8	1.1	-2.43E+07	0.0	9.9	0.0E+00	-	-	-	-	0.2	2.25E+04	0.0	0.0	1.0	2.75E+03	0.4	0.4
13	TR	Teplota rovnoměrná	Q	0	0.0	2.52E+04	0.0	0.0	1.91E+06	0.0	0.0	-2.43E+07	0.0	0.0	0.0E+00	-	-	-	-	0.0	2.25E+04	0.0	0.0	0.0	2.75E+03	0.0	0.0
14	TN	Teplota nerovnoměrná	Q	0	-3.9	2.52E+04	-0.2	-3.5	1.91E+06	-1.8	-0.6	-2.43E+07	0.0	-2.0	0.0E+00	-	-	-	-	0.2	2.25E+04	0.0	0.0	0.9	2.75E+03	0.3	0.3
15	FR	Třecí síly v ložiskách	Q	0	-2.6	2.52E+04	-0.1	0.2	1.91E+06	0.1	-0.5	-2.43E+07	0.0	0.0	0.0E+00	-	-	-	-	-0.3	2.25E+04	0.0	0.0	0.1	2.75E+03	0.0	0.0
16	I	Imperfekce soustavy	Q	0	20.0	2.52E+04	0.8	4.5	1.91E+06	2.4	0.2	-2.43E+07	0.0	3.1	0.0E+00	-	-	-	-	0.1	2.25E+04	0.0	0.0	2.4	2.75E+03	0.9	0.9
27	ULS_LM	ULS - LM71 bez dynam	Q	0	0.0	2.52E+04	0.0	0.0	1.91E+06	0.0	0.0	-2.43E+07	0.0	0.0	0.0E+00	-	-	-	-	0.0	2.25E+04	0.0	0.0	0.0	2.75E+03	0.0	0.0
28	SLS_LM	SLS - LM71 bez dynam	Q	0	0.0	2.52E+04	0.0	0.0	1.91E+06	0.0	0.0	-2.43E+07	0.0	0.0	0.0E+00	-	-	-	-	0.0	2.25E+04	0.0	0.0	0.0	2.75E+03	0.0	0.0
29	ULS_C3	ULS - C3 bez dynam	Q	0	0.0	2.52E+04	0.0	0.0	1.91E+06	0.0	0.0	-2.43E+07	0.0	0.0	0.0E+00	-	-	-	-	0.0	2.25E+04	0.0	0.0	0.0	2.75E+03	0.0	0.0
30	SLS_C3	SLS - C3 bez dynam	Q	0	0.0	2.52E+04	0.0	0.0	1.91E+06	0.0	0.0	-2.43E+07	0.0	0.0	0.0E+00	-	-	-	-	0.0	2.25E+04	0.0	0.0	0.0	2.75E+03	0.0	0.0
NAVÝŠENÍ NAPĚTÍ DO AKTIVACE TLAKU V DESCE MOSTOVKY						$\sigma_{P,red}$	0.0							0.0			0.0		0.0			0.0	0.0			14.5	14.5
NAPĚTÍ OD PRIMÁRNÍCH ÚČINKŮ NEROVNOMĚRNÉHO OTEPLENÍ						σ_T	0.0							0.0													
NAPĚTÍ OD REOLOGICKÝCH ÚČINKŮ BETONU V ČASE			t=0			σ_R	0.0	γ_{lt}=	1.20					0.0													
NAPĚTÍ V KRITICKÝCH VLÁKNECH OD KOMBINACE ZATÍŽENÍ						KZ03		[MPa]					$\Sigma\sigma_x$	147.2								$\Sigma\tau_y$	0.0			$\Sigma\tau_z$	14.5
NAPĚTÍ OD POHYBLIVÉHO ZATÍŽENÍ								[MPa]					$\sigma_{z,P}$	82.8								τ_P	0.1			τ_P	9.2
NAPĚTÍ OD OSTATNÍCH ZATÍŽENÍ								[MPa]			Φ_{Vy}	Φ_{Vz}	$\sigma_{z,rs}$	64.4								τ_{rs}	-0.1			τ_{rs}	5.2
NÁVRHOVÁ HODNOTA MEZE KLUZU S REDUKCÍ VLIVEM SMYKOVÉHO NAPĚTÍ								[MPa]			1.00	1.00	$f_{yw,d}$	209.1								$f_{yd}/3^{0,5}$	120.7			$f_{yd}/3^{0,5}$	120.7
NAPĚTÍ OD POHYBLIVÉHO ZATÍŽENÍ V GLOBÁLNÍM SYSTÉMU						$\sigma_{GLOB,P}$	0.0	[MPa]					$\Sigma\sigma_{GLOB}$	0.0													
NAPĚTÍ OD OSTATNÍCH ZATÍŽENÍ V GLOBÁLNÍM SYSTÉMU						$\sigma_{GLOB,rs}$	0.0	[MPa]					$\Sigma\sigma_z + \Sigma\sigma_{GLOB}$	147.2													
VYUŽITÍ PRŮŘEZU DLE NAPĚTÍ								[%]					η_1	0.70								η_3	0.00			η_3	0.12
NAPĚTÍ V PŘÍČNÉM SMĚRU OD POHYBLIVÉHO ZATÍŽENÍ						$\sigma_{z,P}$	0.0	[MPa]					$\Sigma\sigma_z$	0.0													
NAPĚTÍ V PŘÍČNÉM SMĚRU OD OSTATNÍCH ZATÍŽENÍ						$\sigma_{z,rs}$	0.0	[MPa]					η_2	0.00													
SROVNÁVACÍ NAPĚTÍ													$(\eta2 + 0,8\ \eta1)/1,4$ =	0.40													
VYUŽITÍ PRŮŘEZU CELKEM								[%]					eff	0.70	VYHOVUJE												
													z_{LM71} =	1.75													

VÝPOČET PRŮŘEZOVÝCH CHARAKTERISTIK

PRŮŘEZ: D3 **POPIS:** DIAGONÁLA 3 - DOL. ČÁST - STŘ. STYČ. **x =** - **m**

DEFINOVÁNÍ PRŮŘEZU

ŠÍŘKA PÁSNICE ÚHELNÍKU	b f.t.l.o =	80	mm	**ÚHELNÍK HORNÍ VNĚJŠÍ LEVÝ**		**C.T.O.L**	
TLOUŠŤKA PÁSNICE ÚHELNÍKU	t f.t.l.o =	9	mm	OSLABENÍ PÁSNICE - TLOUŠŤKA	Δt f.t.l.o =	0	%
VÝŠKA STĚNY ÚHELNÍKU	h w.t.l.o =	71	mm				
TLOUŠŤKA STĚNY ÚHELNÍKU	t w.t.l.o =	9	mm	OSLABENÍ STĚNY - TLOUŠŤKA	Δt w.t.l.o =	35	%
ŠÍŘKA PÁSNICE ÚHELNÍKU	b f.t.r.o =	80	mm	**ÚHELNÍK HORNÍ VNĚJŠÍ PRAVÝ**		**C.T.O.R**	
TLOUŠŤKA PÁSNICE ÚHELNÍKU	t f.t.r.o =	9	mm	OSLABENÍ PÁSNICE - TLOUŠŤKA	Δt f.t.r.o =	0	%
VÝŠKA STĚNY ÚHELNÍKU	h w.t.r.o =	71	mm				
TLOUŠŤKA STĚNY ÚHELNÍKU	t w.t.r.o =	9	mm	OSLABENÍ STĚNY - TLOUŠŤKA	Δt w.t.r.0 =	35	%
ŠÍŘKA PÁSNICE ÚHELNÍKU	b f.t.l.i =	80	mm	**ÚHELNÍK HORNÍ VNITŘNÍ LEVÝ**		**C.T.I.L**	
TLOUŠŤKA PÁSNICE ÚHELNÍKU	t f.t.l.i =	9	mm	OSLABENÍ PÁSNICE - TLOUŠŤKA	Δt f.t.l.o =	0	%
VÝŠKA STĚNY ÚHELNÍKU	h w.t.l.i =	71	mm				
TLOUŠŤKA STĚNY ÚHELNÍKU	t w.t.l.i =	9	mm	OSLABENÍ STĚNY - TLOUŠŤKA	Δt w.b.l.o =	35	%
ŠÍŘKA PÁSNICE ÚHELNÍKU	b f.t.r.i =	80	mm	**ÚHELNÍK HORNÍ VNITŘNÍ PRAVÝ**		**C.T.I.R**	
TLOUŠŤKA PÁSNICE ÚHELNÍKU	t f.t.r.i =	9	mm	OSLABENÍ PÁSNICE - TLOUŠŤKA	Δt f.b.r.o =	0	%
VÝŠKA STĚNY ÚHELNÍKU	h w.t.r.i =	71	mm				
TLOUŠŤKA STĚNY ÚHELNÍKU	t w.t.r.i =	9	mm	OSLABENÍ STĚNY - TLOUŠŤKA	Δt w.b.r.o =	35	%
ŠÍŘKA PÁSNICE ÚHELNÍKU	b f.b.l.o =	80	mm	**ÚHELNÍK DOLNÍ VNĚJŠÍ LEVÝ**		**C.B.O.L**	
TLOUŠŤKA PÁSNICE ÚHELNÍKU	t f.b.l.o =	9	mm	OSLABENÍ PÁSNICE - TLOUŠŤKA	Δt f.t.l.i =	0	%
VÝŠKA STĚNY ÚHELNÍKU	h w.b.l.o =	71	mm				
TLOUŠŤKA STĚNY ÚHELNÍKU	t w.b.l.o =	9	mm	OSLABENÍ STĚNY - TLOUŠŤKA	Δt w.t.l.i =	35	%
ŠÍŘKA PÁSNICE ÚHELNÍKU	b f.b.r.o =	80	mm	**ÚHELNÍK DOLNÍ VNĚJŠÍ PRAVÝ**		**C.B.O.R**	
TLOUŠŤKA PÁSNICE ÚHELNÍKU	t f.b.r.o =	9	mm	OSLABENÍ PÁSNICE - TLOUŠŤKA	Δt f.t.r.i =	0	%
VÝŠKA STĚNY ÚHELNÍKU	h w.b.r.o =	71	mm				
TLOUŠŤKA STĚNY ÚHELNÍKU	t w.b.r.o =	9	mm	OSLABENÍ STĚNY - TLOUŠŤKA	Δt w.t.r.i =	35	%
PÁSNICE DOLNÍHO LEVÉHO ÚHELNÍKU	b f.b.l.i =	80	mm	**ÚHELNÍK DOLNÍ VNITŘNÍ LEVÝ**		**C.B.I.L**	
TLOUŠŤKA PÁSNICE ÚHELNÍKU	t f.b.l.i =	9	mm	OSLABENÍ PÁSNICE - TLOUŠŤKA	Δt f.b.l.i =	0	%
VÝŠKA STĚNY ÚHELNÍKU	h w.b.l.i =	71	mm				
TLOUŠŤKA STĚNY ÚHELNÍKU	t w.b.l.i =	9	mm	OSLABENÍ STĚNY - TLOUŠŤKA	Δt w.b.l.i =	35	%
PÁSNICE DOLNÍHO PRAVÉHO ÚHELNÍKU	b f.b.r.i =	80	mm	**ÚHELNÍK DOLNÍ VNITŘNÍ PRAVÝ**		**C.B.I.R**	
TLOUŠŤKA PÁSNICE ÚHELNÍKU	t f.b.r.i =	9	mm	OSLABENÍ PÁSNICE - TLOUŠŤKA	Δt f.b.r.i =	0	%
VÝŠKA STĚNY ÚHELNÍKU	h w.b.r.i =	71	mm				
TLOUŠŤKA STĚNY ÚHELNÍKU	t w.b.r.i =	9	mm	OSLABENÍ STĚNY - TLOUŠŤKA	Δt w.b.r.i =	35	%

DOLNÍ

ŠÍŘKA HORNÍ VLOŽKY - VNĚJŠÍ	b f.t =	340	mm			**HOR.T.O**	
TLOUŠŤKA VLOŽKY	t f.t =	12	mm	OSLABENÍ VLOŽKY	Δt f.t =	0	%
ŠÍŘKA HORNÍ VLOŽKY - VNITŘNÍ	b f.t =	340	mm			**HOR.T.I**	
TLOUŠŤKA VLOŽKY	t f.t =	12	mm	OSLABENÍ VLOŽKY	Δt f.t =	0	%
ŠÍŘKA DOLNÍ VLOŽKY - VNĚJŠÍ	b f.t =	340	mm			**HOR.B.O**	
TLOUŠŤKA VLOŽKY	t f.t =	12	mm	OSLABENÍ VLOŽKY	Δt f.t =	0	%
ŠÍŘKA DOLNÍ VLOŽKY - VNITŘNÍ	b f.t =	340	mm			**HOR.B.I**	
TLOUŠŤKA VLOŽKY	t f.t =	12	mm	OSLABENÍ VLOŽKY - VNITŘNÍ	Δt f.t =	0	%

VZD. OKRAJŮ PÁSNIC VNITŘNÍCH ÚHELNÍKŮ	392	mm
CELKOVÁ TLOUŠŤKA MEZI PÁSNICEMI ÚHELNÍKŮ I A .o	48	mm
CELKOVÁ TLOUŠŤKA MEZI PÁSNICEMI ÚHELNÍKŮ I A .r	8	mm

ZADÁNÍ ČÁSTÍ PRŮŘEZU:

č.prvku	b [mm]	h [mm]	y_0 [mm]	z_0 [mm]	popis části	druh oslabení	lokální ultimate	boulení servic.
1	80.0	9.0	-44.0	248.5	pásnice	0	1.000	1.000
2	5.9	71.0	-6.9	288.5	stěna	0	1.000	1.000
3	80.0	9.0	44.0	248.5	pásnice	0	1.000	1.000
4	5.9	71.0	6.9	288.5	stěna	0	1.000	1.000
5	80.0	9.0	-44.0	191.5	pásnice	0	1.000	1.000
6	5.9	71.0	-6.9	151.5	stěna	0	1.000	1.000
7	80.0	9.0	44.0	191.5	pásnice	0	1.000	1.000
8	5.9	71.0	6.9	151.5	stěna	0	1.000	1.000
9	80.0	9.0	-44.0	-248.5	pásnice	0	1.000	1.000
10	5.9	71.0	-6.9	-288.5	stěna	0	1.000	1.000
11	80.0	9.0	44.0	-248.5	pásnice	0	1.000	1.000
12	5.9	71.0	6.9	-288.5	stěna	0	1.000	1.000
13	80.0	9.0	-44.0	-191.5	pásnice	0	1.000	1.000
14	5.9	71.0	-6.9	-151.5	stěna	0	1.000	1.000
15	80.0	9.0	44.0	-191.5	pásnice	0	1.000	1.000
16	5.9	71.0	6.9	-151.5	stěna	0	1.000	1.000
17						0	1.000	1.000
18						0	1.000	1.000
19						0	1.000	1.000
20						0	1.000	1.000
21						0	1.000	1.000
22						0	1.000	1.000
23						0	1.000	1.000
24						0	1.000	1.000
25						0	1.000	1.000
26						0	1.000	1.000
27						0	1.000	1.000
28						0	1.000	1.000
29						0	1.000	1.000
30						0	1.000	1.000
31						0	1.000	1.000
32						0	1.000	1.000
33						0	1.000	1.000
34						0	1.000	1.000
35						0	1.000	1.000
36						0	1.000	1.000
37						0	1.000	1.000
38						0	1.000	1.000
39						0	1.000	1.000
40						0	1.000	1.000
41	340.0	12.0	0.0	238.0	pásnice	0	1.000	1.000
42	340.0	12.0	0.0	202.0	pásnice	0	1.000	1.000
43	340.0	12.0	0.0	-238.0	pásnice	0	1.000	1.000
44	340.0	12.0	0.0	-202.0	pásnice	0	1.000	1.000
45						0	1.000	1.000
46						0	1.000	1.000
47						0	1.000	1.000
48						0	1.000	1.000
49						0	1.000	1.000
50						0	1.000	1.000
51						0	1.000	1.000
52						0	1.000	1.000
53						0	1.000	1.000
54						0	1.000	1.000
55						0	1.000	1.000
56						0	1.000	1.000
57						0	1.000	1.000
58						0	1.000	1.000
59						0	1.000	1.000
60						0	1.000	1.000
61	5.9	-20.0	6.9	289.0	nýt-stěna	0	1.000	1.000
62	5.9	-20.0	6.9	151.0	nýt-stěna	0	1.000	1.000
63	5.9	-20.0	6.9	-289.0	nýt-stěna	0	1.000	1.000
64	5.9	-20.0	6.9	-151.0	nýt-stěna	0	1.000	1.000
65	-18.0	21.0	-49.0	197.5	nýt-pásnice	0	1.000	1.000
66	-18.0	21.0	49.0	197.5	nýt-pásnice	0	1.000	1.000
67	-22.0	21.0	-49.0	-197.5	nýt-pásnice	0	1.000	1.000
68	-22.0	21.0	49.0	-197.5	nýt-pásnice	0	1.000	1.000
69	-18.0	12.0	-127.0	202.0	nýt-pásnice	0	1.000	1.000
70	-18.0	12.0	127.0	202.0	nýt-pásnice	0	1.000	1.000
71	-22.0	12.0	-127.0	-202.0	nýt-pásnice	0	1.000	1.000
72	-22.0	12.0	127.0	-202.0	nýt-pásnice	0	1.000	1.000
73						0	1.000	1.000
74						0	1.000	1.000
75						0	1.000	1.000
76						0	1.000	1.000
77						0	1.000	1.000
78						0	1.000	1.000
79						0	1.000	1.000
80						0	1.000	1.000
81	5.9	-20.0	-6.9	289.0	nýt-stěna	0	1.000	1.000
82	5.9	-20.0	-6.9	151.0	nýt-stěna	0	1.000	1.000
83	5.9	-20.0	-6.9	-289.0	nýt-stěna	0	1.000	1.000
84	5.9	-20.0	-6.9	-151.0	nýt-stěna	0	1.000	1.000
85	-18.0	21.0	-49.0	242.5	nýt-pásnice	0	1.000	1.000
86	-18.0	21.0	49.0	242.5	nýt-pásnice	0	1.000	1.000
87	-22.0	21.0	-49.0	-242.5	nýt-pásnice	0	1.000	1.000
88	-22.0	21.0	49.0	-242.5	nýt-pásnice	0	1.000	1.000
89	-18.0	12.0	-127.0	238.0	nýt-pásnice	0	1.000	1.000
90	-18.0	12.0	127.0	238.0	nýt-pásnice	0	1.000	1.000
91	-22.0	12.0	-127.0	-238.0	nýt-pásnice	0	1.000	1.000
92	-22.0	12.0	127.0	-238.0	nýt-pásnice	0	1.000	1.000
93						0	1.000	1.000
94						0	1.000	1.000
95						0	1.000	1.000
96						0	1.000	1.000
97						0	1.000	1.000
98						0	1.000	1.000
99						0	1.000	1.000
100						0	1.000	1.000

NÝT Č.	SKUPINA	ŘEZ	RED.	VELIKOST d.i [mm]	POLOHA e.i [mm]	POPIS	AKTIVITA OTVORU	NAPĚTÍ sc [MPa]
1		-	1.00	20	35	nýt - t.o - úhelník	1	83.74
2		-	1.00	20	35	nýt - t.i - úhelník	1	94.21
3		-	1.00	20	35	nýt - b.o - úhelník	1	127.60
4		-	1.00	20	35	nýt - b.i - úhelník	1	117.13
5	1	3	0.82	22	35	nýt - t.l - úhelník	1	83.76
6	1	3	0.82	22	35	nýt - t.r - úhelník	1	91.93
7	2	1	1.00	22	35	nýt - b.l - úhelník	1	120.56
8	2	1	1.00	22	35	nýt - b.r - úhelník	1	128.73
9	1	3	0.82	22	-127	nýt - t.l	1	77.59
10	1	3	0.82	22	127	nýt - t.r	1	98.78
11	2	1	1.00	22	-127	nýt - b.l	1	113.71
12	2	1	1.00	22	127	nýt - b.r	1	134.90
13								
14								
15								
16								
17								
18								
19								
20								

VÝPOČET PRŮŘEZOVÝCH CHARAKTERISTIK

Properties	Basic	Ultimate		Serviceability	
y_i	0.0	0.0		0.0	[mm]
z_i	6.1	6.1		6.1	[mm]
A_i	1.9188E+04	1.9188E+04		1.9188E+04	[mm²]
A_z	1.6801E+04	1.6801E+04		1.6801E+04	[mm²]
A_y	2.3868E-03	2.3868E-03		2.3868E-03	[mm²]
I_{yi}	5.2151E+08	5.2151E+08		5.2151E+08	[mm⁴]
I_w	1.3235E+08	1.3235E+08		1.3235E+08	[mm⁶]
i_y	164.9	164.9		164.9	[mm]
i_z	83.1	83.1		83.1	[mm]
$W_{y,1}$	1.6403E+06	1.6403E+06		1.6403E+06	[mm³]
$W_{z,1}$	-7.7853E+05	-7.7853E+05		-7.7853E+05	[mm³]
$W_{y,2}$	-1.5800E+06	-1.5800E+06		-1.5800E+06	[mm³]
$W_{z,2}$	-7.7853E+05	-7.7853E+05		-7.7853E+05	[mm³]
KRAJNÍ VLÁKNA PRŮŘEZU					
y_1	-170.0	-170.0		-170.0	[mm] min
z_1	324.0	324.0		324.0	[mm] max
y_2	-170.0	-170.0		-170.0	[mm] min
z_2	-324.0	-324.0		-324.0	[mm] min
y_3	170.0	170.0		170.0	[mm] max
z_3	324.0	324.0		324.0	[mm] max
y_4	170.0	170.0		170.0	[mm] max
z_4	-324.0	-324.0		-324.0	[mm] min
y_5	-9.9	-9.9		-9.9	[mm]
z_5	-253.0	-253.0		-253.0	[mm]
y_6	9.9	9.9		9.9	[mm]
z_6	-324.0	-324.0		-324.0	[mm]

SCHÉMA PROMĚNNÝCH

SCHÉMA ZADANÉHO PRŮŘEZU

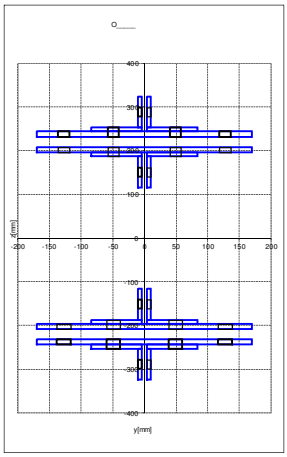

ÚPRAVA MOMENTŮ SETRVAČNOSTI V DŮSLEDKU ČLENĚNÍ PRŮŘEZU

OSA Y	0.55
OSA Z	1.00

NEUTRÁLNÁ OSA

NAPĚTÍ [MPa]:

67.46	95.84
116.65	145.01

ZS: SLS_LM_N,MX

	N [kN]	Vy [kN]	Vz [kN]	Mx [kNm]	My [kNm]	Mz [kNm]
import	2030	7	-4	0	40	-11

TR_D3 POPIS: **DIAGONÁLA D3** POSUDEK: **D3**

SKUPINA ZAT. STAVŮ	EXTRÉM	VYHODNOCOVANÉ VELIČINY					
		N	Vy	Vz	Mx	My	Mz
		kN	kN	kN	kNm	kNm	kNm
G0	N.min	**517.11**	5.66	0	0	1.3	-5.31
	N.max	**517.11**	5.66	0	0	1.3	-5.31
	Vy.min	517.11	**5.66**	0	0	1.3	-5.31
	Vy.max	517.11	**5.66**	0	0	1.3	-5.31
	Vz.min	517.11	5.66	**0**	0	1.3	-5.31
	Vz.max	517.11	5.66	**0**	0	1.3	-5.31
	Mx.min	517.11	5.66	0	**0**	1.3	-5.31
	Mx.max	517.11	5.66	0	**0**	1.3	-5.31
	My.min	517.11	5.66	0	0	**1.3**	-5.31
	My.max	517.11	5.66	0	0	**1.3**	-5.31
	Mz.min	517.11	5.66	0	0	1.3	**-5.31**
	Mz.max	517.11	5.66	0	0	1.3	**-5.31**
G1	N.min	**39.42**	0.03	-0.08	0	0.49	-0.13
	N.max	**39.42**	0.03	-0.08	0	0.49	-0.13
	Vy.min	39.42	**0.03**	-0.08	0	0.49	-0.13
	Vy.max	39.42	**0.03**	-0.08	0	0.49	-0.13
	Vz.min	39.42	0.03	**-0.08**	0	0.49	-0.13
	Vz.max	39.42	0.03	**-0.08**	0	0.49	-0.13
	Mx.min	39.42	0.03	-0.08	**0**	0.49	-0.13
	Mx.max	39.42	0.03	-0.08	**0**	0.49	-0.13
	My.min	39.42	0.03	-0.08	0	**0.49**	-0.13
	My.max	39.42	0.03	-0.08	0	**0.49**	-0.13
	Mz.min	39.42	0.03	-0.08	0	0.49	**-0.13**
	Mz.max	39.42	0.03	-0.08	0	0.49	**-0.13**
G2	N.min	**30.52**	0.02	-0.04	0	-0.27	-0.09
	N.max	**30.52**	0.02	-0.04	0	-0.27	-0.09
	Vy.min	30.52	**0.02**	-0.04	0	-0.27	-0.09
	Vy.max	30.52	**0.02**	-0.04	0	-0.27	-0.09
	Vz.min	30.52	0.02	**-0.04**	0	-0.27	-0.09
	Vz.max	30.52	0.02	**-0.04**	0	-0.27	-0.09
	Mx.min	30.52	0.02	-0.04	**0**	-0.27	-0.09
	Mx.max	30.52	0.02	-0.04	**0**	-0.27	-0.09
	My.min	30.52	0.02	-0.04	0	**-0.27**	-0.09
	My.max	30.52	0.02	-0.04	0	**-0.27**	-0.09
	Mz.min	30.52	0.02	-0.04	0	-0.27	**-0.09**
	Mz.max	30.52	0.02	-0.04	0	-0.27	**-0.09**
P1_71	N.min	**-20.43**	0	-1.71	0	5.32	0.1
	N.max	**371.85**	0.37	1.89	0.02	14.52	-1.36
	Vy.min	40.46	**-0.19**	-2.61	0	12.17	0.62
	Vy.max	317.91	**0.51**	2.07	0.01	10.18	-1.69
	Vz.min	8.24	-0.06	**-4.33**	0.01	17.21	0.47
	Vz.max	354	0.35	**3.75**	0.01	5.82	-1.47
	Mx.min	0	0	0	**0**	0	0
	Mx.max	357.62	0.38	0.53	**0.02**	18.8	-1.27
	My.min	17.28	0.01	0.07	0	**0**	-0.06
	My.max	325.4	0.24	-1.31	0.02	**22.02**	-0.8
	Mz.min	324.88	0.51	2.36	0.01	9.53	**-1.71**
	Mz.max	30.88	-0.18	-2.96	0	12.76	**0.64**
P2_71	N.min	**-55.56**	-0.01	-2.22	0	4.16	0.29
	N.max	**882.01**	0.78	-0.96	0.01	10.75	-3.29
	Vy.min	130.48	**-0.65**	-4.46	0	14.09	1.94
	Vy.max	720.42	**1.24**	-0.07	0.01	5.82	-4.27
	Vz.min	527.74	0.06	**-7.27**	0	18.74	-0.39
	Vz.max	300.53	0.39	**2.75**	0.01	1.84	-1.66
	Mx.min	626.81	0.13	-0.67	**0**	-4.63	-1.72
	Mx.max	271.92	0.58	-2.41	**0.01**	20	-1.25
	My.min	584.35	0.09	-0.28	0	**-5.04**	-1.59
	My.max	198.71	0.3	-4.9	0.01	**24.5**	-0.16
	Mz.min	766.82	1.22	0.19	0.01	4.68	**-4.39**
	Mz.max	87.12	-0.63	-4.84	0	15.78	**2.04**
P1_C3	N.min	**-15.56**	0.01	-1.16	0	3.68	0.05
	N.max	**312.95**	0.32	1.46	0.01	11.05	-1.18
	Vy.min	39.2	**-0.2**	-1.98	0	9.79	0.59
	Vy.max	280.08	**0.43**	1.51	0.01	8.7	-1.42
	Vz.min	3.94	-0.05	**-3.3**	0	12.7	0.38
	Vz.max	282.41	0.29	**3.01**	0.01	4.71	-1.18
	Mx.min	0	0	0	**0**	0	0
	Mx.max	280.68	0.33	0.74	**0.01**	13.24	-1.11
	My.min	13.03	0.01	0.06	0	**0**	-0.05
	My.max	290.52	0.22	-0.52	0.01	**16.47**	-0.77
	Mz.min	268.14	0.42	2.18	0.01	5.09	**-1.45**
	Mz.max	42.77	-0.2	-2.18	0	10.44	**0.61**
P2_C3	N.min	**-41.45**	-0.05	-2.04	0	4.23	0.38
	N.max	**743.59**	0.65	-0.99	0	7.17	-2.75
	Vy.min	135.12	**-0.69**	-3.54	0	10.3	1.9
	Vy.max	589.92	**1.02**	0.7	0	-0.35	-3.71
	Vz.min	415.58	-0.03	**-5.52**	0	13.32	-0.22
	Vz.max	234.48	0.35	**2.23**	0.01	1.43	-1.4
	Mx.min	543.44	0	-0.16	**0**	-4.82	-1.24
	Mx.max	200.3	0.39	-2.1	**0.01**	15.84	-0.74
	My.min	547.86	-0.01	-0.1	0	**-4.87**	-1.22
	My.max	158.47	0.32	-3.37	0.01	**18.11**	-0.35
	Mz.min	637.52	1	0.74	0	-0.81	**-3.74**
	Mz.max	95.05	-0.69	-3.59	0	10.86	**2.01**
BR	N.min	**-23.32**	0.16	0.21	0	-0.55	0.08
	N.max	**23.32**	-0.16	-0.21	0	0.55	-0.08
	Vy.min	21.37	**-0.18**	-0.06	0	0.14	-0.11
	Vy.max	-21.37	**0.18**	0.06	0	-0.14	0.11
	Vz.min	23.32	-0.16	**-0.21**	0	0.55	-0.08
	Vz.max	-23.32	0.16	**0.21**	0	-0.55	0.08
	Mx.min	10.76	-0.1	-0.03	**0**	-0.2	0.03
	Mx.max	-10.76	0.1	0.03	**0**	0.2	-0.03
	My.min	-23.24	0.15	0.21	0	**-0.82**	0.17
	My.max	23.24	-0.15	-0.21	0	**0.82**	-0.17
	Mz.min	23.24	-0.15	-0.21	0	0.82	**-0.17**
	Mz.max	-23.24	0.15	0.21	0	-0.82	**0.17**

TR_D3 POPIS: **DIAGONÁLA D3** POSUDEK: **D3**

SKUPINA ZAT. STAVŮ	EXTRÉM	VYHODNOCOVANÉ VELIČINY					
		N	Vy	Vz	Mx	My	Mz
		kN	kN	kN	kNm	kNm	kNm
S	N.min	**-4.72**	-0.1	0.76	0	-0.9	0.1
	N.max	**4.72**	0.1	-0.76	0	0.9	-0.1
	Vy.min	-4.72	**-0.1**	0.76	0	-0.9	0.1
	Vy.max	4.72	**0.1**	-0.76	0	0.9	-0.1
	Vz.min	4.72	0.1	**-0.76**	0	0.9	-0.1
	Vz.max	-4.72	-0.1	**0.76**	0	-0.9	0.1
	Mx.min	3.14	0.09	-0.37	**0**	0.91	-0.09
	Mx.max	-3.14	-0.09	0.37	**0**	-0.91	0.09
	My.min	-2.35	0.02	0.41	0	**-3.02**	0.01
	My.max	2.35	-0.02	-0.41	0	**3.02**	-0.01
	Mz.min	4.72	0.1	-0.76	0	0.9	**-0.1**
	Mz.max	-4.72	-0.1	0.76	0	-0.9	**0.1**
CH	N.min	**19.27**	0.01	0.21	0	0.02	-0.07
	N.max	**76.03**	0.05	0	0	-1.84	-0.22
	Vy.min	19.27	**0.01**	0.21	0	0.02	-0.07
	Vy.max	76.03	**0.05**	0	0	-1.84	-0.22
	Vz.min	76.03	0.05	**0**	0	-1.84	-0.22
	Vz.max	19.27	0.01	**0.21**	0	0.02	-0.07
	Mx.min	76.03	0.05	0	**0**	-1.84	-0.22
	Mx.max	19.27	0.01	0.21	**0**	0.02	-0.07
	My.min	76.03	0.05	0	0	**-1.84**	-0.22
	My.max	19.27	0.01	0.21	0	**0.02**	-0.07
	Mz.min	76.03	0.05	0	0	-1.84	**-0.22**
	Mz.max	19.27	0.01	0.21	0	0.02	**-0.07**
W	N.min	**-53.27**	-0.11	3.22	-0.01	-12.01	0.16
	N.max	**53.27**	0.11	-3.22	0.01	12.01	-0.16
	Vy.min	-53.27	**-0.11**	3.22	-0.01	-12.01	0.16
	Vy.max	53.27	**0.11**	-3.22	0.01	12.01	-0.16
	Vz.min	53.27	0.11	**-3.22**	0.01	12.01	-0.16
	Vz.max	-53.27	-0.11	**3.22**	-0.01	-12.01	0.16
	Mx.min	-53.27	-0.11	3.22	**-0.01**	-12.01	0.16
	Mx.max	53.27	0.11	-3.22	**0.01**	12.01	-0.16
	My.min	-53.27	-0.11	3.22	-0.01	**-12.01**	0.16
	My.max	53.27	0.11	-3.22	0.01	**12.01**	-0.16
	Mz.min	53.27	0.11	-3.22	0.01	12.01	**-0.16**
	Mz.max	-53.27	-0.11	3.22	-0.01	-12.01	**0.16**
WP	N.min	**-50.26**	-0.24	1.48	0.01	-1.57	0.32
	N.max	**50.22**	0.24	-1.49	-0.01	1.58	-0.32
	Vy.min	-50.26	**-0.24**	1.48	0.01	-1.57	0.32
	Vy.max	50.22	**0.24**	-1.49	-0.01	1.58	-0.32
	Vz.min	50.22	0.24	**-1.49**	-0.01	1.58	-0.32
	Vz.max	-50.26	-0.24	**1.48**	0.01	-1.57	0.32
	Mx.min	50.22	0.24	-1.49	**-0.01**	1.58	-0.32
	Mx.max	-50.26	-0.24	1.48	**0.01**	-1.57	0.32
	My.min	-50.26	-0.24	1.48	0.01	**-1.57**	0.32
	My.max	50.22	0.24	-1.49	-0.01	**1.58**	-0.32
	Mz.min	50.22	0.24	-1.49	-0.01	1.58	**-0.32**
	Mz.max	-50.26	-0.24	1.48	0.01	-1.57	**0.32**
TR	N.min	**0**	0	0	0	0	0
	N.max	**0**	0	0	0	0	0
	Vy.min	0	**0**	0	0	0	0
	Vy.max	0	**0**	0	0	0	0
	Vz.min	0	0	**0**	0	0	0
	Vz.max	0	0	**0**	0	0	0
	Mx.min	0	0	0	**0**	0	0
	Mx.max	0	0	0	**0**	0	0
	My.min	0	0	0	0	**0**	0
	My.max	0	0	0	0	**0**	0
	Mz.min	0	0	0	0	0	**0**
	Mz.max	0	0	0	0	0	**0**
TN	N.min	**-16.88**	-0.05	-0.89	-0.01	-1.82	0.1
	N.max	**26.48**	0.3	0	0.01	4.27	-1.6
	Vy.min	-9.98	**-0.27**	0.23	0	-2.07	1.52
	Vy.max	26.48	**0.3**	0	0.01	4.27	-1.6
	Vz.min	-16.88	-0.05	**-0.89**	-0.01	-1.82	0.1
	Vz.max	-9.98	-0.27	**0.23**	0	-2.07	1.52
	Mx.min	-16.88	-0.05	-0.89	**-0.01**	-1.82	0.1
	Mx.max	26.48	0.3	0	**0.01**	4.27	-1.6
	My.min	-9.98	-0.27	0.23	0	**-2.07**	1.52
	My.max	26.48	0.3	0	0.01	**4.27**	-1.6
	Mz.min	26.48	0.3	0	0.01	4.27	**-1.6**
	Mz.max	-9.98	-0.27	0.23	0	-2.07	**1.52**
FR	N.min	**-1.93**	0.02	0.03	0	-0.1	0.03
	N.max	**1.93**	-0.02	-0.03	0	0.1	-0.03
	Vy.min	1.93	**-0.02**	-0.03	0	0.1	-0.03
	Vy.max	-1.93	**0.02**	0.03	0	-0.1	0.03
	Vz.min	1.93	-0.02	**-0.03**	0	0.1	-0.03
	Vz.max	-1.93	0.02	**0.03**	0	-0.1	0.03
	Mx.min	-1.93	0.02	0.03	**0**	-0.1	0.03
	Mx.max	1.93	-0.02	-0.03	**0**	0.1	-0.03
	My.min	-1.93	0.02	0.03	0	**-0.1**	0.03
	My.max	1.93	-0.02	-0.03	0	**0.1**	-0.03
	Mz.min	1.93	-0.02	-0.03	0	0.1	**-0.03**
	Mz.max	-1.93	0.02	0.03	0	-0.1	**0.03**
I	N.min	**-12.13**	0	0.39	0	-3.11	**0.01**
	N.max	**12.13**	0	-0.39	0	3.11	**-0.01**
	Vy.min	-12.13	**0**	0.39	0	-3.11	**0.01**
	Vy.max	12.13	**0**	-0.39	0	3.11	**-0.01**
	Vz.min	12.13	0	**-0.39**	0	3.11	**-0.01**
	Vz.max	-12.13	0	**0.39**	0	-3.11	**0.01**
	Mx.min	-12.13	0	0.39	**0**	-3.11	**0.01**
	Mx.max	12.13	0	-0.39	**0**	3.11	**-0.01**
	My.min	-12.13	0	0.39	0	**-3.11**	**0.01**
	My.max	12.13	0	-0.39	0	**3.11**	**-0.01**
	Mz.min	12.13	0	-0.39	0	3.11	**-0.01**
	Mz.max	-12.13	0	0.39	0	-3.11	**0.01**

TAB. D3.3 POSOUZENÍ - MEZNÍ STAV ÚNOSNOSTI

POPIS	DIAGONÁLA D3
PRUT / POLOHA BODU	252 / J[2711]
NAMÁHÁNÍ	Mz.min
VLÁKNO	BOD K1 -HL
MEZNÍ STAV	ULS (MSÚ)
VYUŽITÍ VLÁKNA PRŮŘEZU	0.63

Charakteristiky materiálu				
pás. horní	$f_{yf,k}$	230	MPa	
pás. dolní	$f_{yf,k}$	230	MPa	
stojina	$f_{yw,k}$	230	MPa	
výztuž	$f_{ys,k}$	500	MPa	
γ_M =	1.10	γ_s =	1.15	

Excentricita normálové síly				
Exc./Fáze	0	1	2	3
e_y	0.000	0.000	0.000	0.000
e_z	0.000	0.000	0.000	0.000
Ekvivalentní vzdál. stěn - příčný roznos				
b_{Mx}	0.000	0.000	0.000	0.000

Vliv stěny na únosnost průřezu				
Char./Fáze	0	1	2	3
A	0.00	0.00	0.00	0.00
Wy	0.00	0.00	0.00	0.00
Wz	0.00	0.00	0.00	0.00

Charakter. v kroucení			
$t_{w,y}$	0.000	[mm]	
$t_{w,z}$	0.000	[mm]	
κ	1.00		
I_t=	0.00E+00	[mm^4]	
$\Omega=2*A_{pz}$	0.00E+00	[mm^2]	

Součinitele vzpěru a vlivu II.řádu				
Char./Fáze	0	1	2	3
k_y	1.000	1.000	1.000	1.000
k_z	1.000	1.000	1.000	1.000
χ_{LT}	1.000	1.000	1.000	1.000
χ_{min}	1.000	1.000	1.000	1.000

Vnitřní síly od jednotlivých skupin zatěžovacích stavů

SKUPINA ZATĚŽOVACÍCH STAVŮ					- CHARAKTERISTICKÉ HODNOTY						DÍLČÍ SOUČINITELÉ ZATÍŽENÍ, DYNAMICKÝ SOUČINITEL							- NÁVRHOVÉ HODNOTY									
Č.	SKUP ZS	POPIS ZS	KAT.	FÁZE PRŮŘ.	N.k (kN)	Vy.k (kN)	Vz.k (kN)	Mx.k (kNm)	My.k (kNm)	Mz.k (kNm)	γ_{sup} (-)	γ_{inf} (-)	volba ψ_i hledat	ψ_i (-)	L_d (m)	δ (-)	Ψ_0 KZ03	N.d (kN)	Vy.d (kN)	Vz.d (kN)	ΔVz.d (kN)	ΣVz.d (kN)	Mx.d (kNm)	My.d (kNm)	ΔMy.d (kNm)	ΣMy.d (kNm)	Mz.d (kNm)	ΔMz.d (kNm)	ΣMz.d (kNm)
1	G0	Vlastní tíha OK	G	0	517	6	0	0	1	-5	1.00	1.20		1.20	-	1.00	0.95	590	6	0	0	0	0	1	0	1	-6	0	-6
2	G1	Ostatní stálé - mostní vybavení	G	0	39	0	0	0	0	0	1.00	1.20		1.20	-	1.00	0.95	45	0	0	0	0	0	1	0	1	0	0	0
3	G2	Ostatní stálé - cizí zařízení	G	0	31	0	0	0	0	0	1.00	1.20		1.20	-	1.00	0.95	35	0	0	0	0	0	0	0	0	0	0	0
4	P1_71	a.LM71 - kolej 1 (bez dyn. souč.)	P	0	325	1	2	0	10	-2	1.00	1.30		1.30	-	1.00	1.00	422	1	3	0	3	0	12	0	12	-2	0	-2
5	P2_71	a.LM71 - kolej 2 (bez dyn. souč.)	P	0	767	1	0	0	5	-4	1.00	1.30		1.30	-	1.00	1.00	997	2	0	0	0	0	6	0	6	-6	0	-6
6	P1_C3	TTZ C3 - kolej 1 (bez dyn. souč.)	P	0	268	0	2	0	5	-1	1.00	vyp.		0.00	-	1.00	0.00	0	0	0	0	0	0	0	0	0	0	0	0
7	P2_C3	TTZ C3 - kolej 2 (bez dyn. souč.)	P	0	638	1	1	0	-1	-4	1.00	vyp.		0.00	-	1.00	0.00	0	0	0	0	0	0	0	0	0	0	0	0
8	BR	Brzdné a rozjezdové síly	P	0	23	0	0	0	1	0	1.00	1.30		1.30	-	1.00	0.80	24	0	0	0	0	0	1	0	1	0	0	0
9	S	Boční ráz	P	0	5	0	-1	0	1	0	1.00	0.00		0.00	-	1.00	0.40	0	0	0	0	0	0	0	0	0	0	0	0
10	CH	Chodci na lávkách	Q	0	76	0	0	0	-2	0	1.00	1.30		1.30	-	1.00	1.00	99	0	0	0	0	0	-2	0	-2	0	0	0
11	W	Vítr na konstrukci	Q	0	53	0	-3	0	12	0	1.00	-1.35		-1.35	-	1.00	0.75	-54	0	3	0	3	0	-12	0	-12	0	0	0
12	WP	Vítr na vozidla	Q	0	50	0	-1	0	2	0	1.00	1.35		1.35	-	1.00	0.75	51	0	-2	0	-2	0	2	0	2	0	0	0
13	TR	Teplota rovnoměrná	Q	0	0	0	0	0	0	0	1.00	1.35		1.35	-	1.00	0.45	0	0	0	0	0	0	0	0	0	0	0	0
14	TN	Teplota nerovnoměrná	Q	0	26	0	0	0	4	-2	1.00	1.35		1.35	-	1.00	0.60	21	0	0	0	0	0	3	0	3	-1	0	-1
15	FR	Třecí síly v ložiskách	Q	0	2	0	0	0	0	0	1.00	1.20		1.20	-	1.00	1.00	2	0	0	0	0	0	0	0	0	0	0	0
16	I	Imperfekce soustavy	Q	0	12	0	0	0	3	0	1.00	-1.20		-1.20	-	1.00	1.00	-15	0	0	0	0	0	-4	0	-4	0	0	0
27	ULS_LM	ULS - LM71 bez dynam	Q	0	2 364	9	-3	0	41	-17	1.00	vyp.	1	0.00	-	1.00	0.00	0	0	0	0	0	0	0	0	0	0	0	0
28	SLS_LM	SLS - LM71 bez dynam	Q	0	1 872	8	-2	0	29	-12	1.00	vyp.	1	0.00	-	1.00	0.00	0	0	0	0	0	0	0	0	0	0	0	0
29	ULS_C3	ULS - C3 bez dynam	Q	0	2 122	9	-2	0	28	-15	1.00	vyp.	1	0.00	-	1.00	0.00	0	0	0	0	0	0	0	0	0	0	0	0
30	SLS_C3	SLS - C3 bez dynam	Q	0	1 686	7	-2	0	19	-12	1.00	vyp.	1	0.00	-	1.00	0.00	0	0	0	0	0	0	0	0	0	0	0	0
		CELKEM - FÁZE PRŮŘEZU 0																2 218	9	5	0	5	0	8	0	8	-16	0	-16
		CELKEM - FÁZE PRŮŘEZU 1																0	0	0	0	0	0	0	0	0	0	0	0
		CELKEM - FÁZE PRŮŘEZU 2																0	0	0	0	0	0	0	0	0	0	0	0
		CELKEM - FÁZE PRŮŘEZU 3																0	0	0	0	0	0	0	0	0	0	0	0
		CELKEM - PRŮŘEZ																2 218	9	5	0	5	0			8			-16

Napětí od jednotlivých zatěžovacích stavů

SKUPINA ZATĚŽOVACÍCH STAVŮ					Posouzení normálového napětí										Posouzení smykového napětí													
					Účinek síly N			Účinek momentu My			Účinek momentu Mz				Účinek kroutícího momentu Mx				Účinek smykové síly Vy				Účinek smykové síly Vz			
Č.	SKUP ZS	Popis ZS	Kat.	fáze průř.	δ^*N_d [kN]	χ^*A [mm^2]	σ_n [MPa]	$\delta^*M_{y,d}$ [kNm]	$\chi_{lt}^*W_{el,y}$ [mm^3]	σ_{my} [MPa]	$\delta^*M_{z,d}$ [kNm]	$W_{el,z}$ [mm^3]	σ_{mz} [MPa]	σ_x [MPa]	$\kappa^*\delta^*M_{x,d}$ [kNm]	$W_{v,y}$ [mm^3]	$\tau_{x,y}$ [MPa]	$W_{v,z}$ [mm^3]	$\tau_{x,z}$ [MPa]	$\delta^*V_{y,d}$ [kN]	$A_{v,y}$ [mm2]	$\tau_{v,y}$ [MPa]	$\tau_{v,y}$ [MPa]	$\delta^*V_{z,d}$ [kN]	$A_{v,z}$ [mm2]	$\tau_{v,z}$ [MPa]	$\tau_{v,z}$ [MPa]
1	G0	Vlastní tíha OK	G	0	589.5	1.92E+04	30.7	1.5	-1.64E+06	-0.9	-6.1	-7.79E+05	7.8	37.6	0.0E+00	-	-	-	-	6.5	1.68E+04	0.4	0.4	0.0	2.39E+03	0.0	0.0
2	G1	Ostatní stálé - mostní vybavení	G	0	44.9	1.92E+04	2.3	0.6	-1.64E+06	-0.3	-0.1	-7.79E+05	0.2	2.2	0.0E+00	-	-	-	-	0.0	1.68E+04	0.0	0.0	-0.1	2.39E+03	0.0	0.0
3	G2	Ostatní stálé - cizí zařízení	G	0	34.8	1.92E+04	1.8	-0.3	-1.64E+06	0.2	-0.1	-7.79E+05	0.1	2.1	0.0E+00	-	-	-	-	0.0	1.68E+04	0.0	0.0	0.0	2.39E+03	0.0	0.0
4	P1_71	a.LM71 - kolej 1 (bez dyn. souč.)	P	0	422.3	1.92E+04	22.0	12.4	-1.64E+06	-7.6	-2.2	-7.79E+05	2.9	17.3	1.3E-02	-	-	-	-	0.7	1.68E+04	0.0	0.0	3.1	2.39E+03	1.3	1.3
5	P2_71	a.LM71 - kolej 2 (bez dyn. souč.)	P	0	996.9	1.92E+04	52.0	6.1	-1.64E+06	-3.7	-5.7	-7.79E+05	7.3	55.6	1.3E-02	-	-	-	-	1.6	1.68E+04	0.1	0.1	0.2	2.39E+03	0.1	0.1
6	P1_C3	TTZ C3 - kolej 1 (bez dyn. souč.)	P	0	0.0	1.92E+04	0.0	0.0	-1.64E+06	0.0	0.0	-7.79E+05	0.0	0.0	0.0E+00	-	-	-	-	0.0	1.68E+04	0.0	0.0	0.0	2.39E+03	0.0	0.0
7	P2_C3	TTZ C3 - kolej 2 (bez dyn. souč.)	P	0	0.0	1.92E+04	0.0	0.0	-1.64E+06	0.0	0.0	-7.79E+05	0.0	0.0	0.0E+00	-	-	-	-	0.0	1.68E+04	0.0	0.0	0.0	2.39E+03	0.0	0.0
8	BR	Brzdné a rozjezdové síly	P	0	24.2	1.92E+04	1.3	0.9	-1.64E+06	-0.5	-0.2	-7.79E+05	0.2	1.0	0.0E+00	-	-	-	-	-0.2	1.68E+04	0.0	0.0	-0.2	2.39E+03	-0.1	-0.1
9	S	Boční ráz	P	0	0.0	1.92E+04	0.0	0.0	-1.64E+06	0.0	0.0	-7.79E+05	0.0	0.0	0.0E+00	-	-	-	-	0.0	1.68E+04	0.0	0.0	0.0	2.39E+03	0.0	0.0
10	CH	Chodci na lávkách	Q	0	98.8	1.92E+04	5.2	-2.4	-1.64E+06	1.5	-0.3	-7.79E+05	0.4	7.0	0.0E+00	-	-	-	-	0.1	1.68E+04	0.0	0.0	0.0	2.39E+03	0.0	0.0
11	W	Vítr na konstrukci	Q	0	-53.9	1.92E+04	-2.8	-12.2	-1.64E+06	7.4	0.2	-7.79E+05	-0.2	4.4	-1.0E-02	-	-	-	-	-0.1	1.68E+04	0.0	0.0	3.3	2.39E+03	1.4	1.4
12	WP	Vítr na vozidla	Q	0	50.8	1.92E+04	2.7	1.6	-1.64E+06	-1.0	-0.3	-7.79E+05	0.4	2.1	-1.0E-02	-	-	-	-	0.2	1.68E+04	0.0	0.0	-1.5	2.39E+03	-0.6	-0.6
13	TR	Teplota rovnoměrná	Q	0	0.0	1.92E+04	0.0	0.0	-1.64E+06	0.0	0.0	-7.79E+05	0.0	0.0	0.0E+00	-	-	-	-	0.0	1.68E+04	0.0	0.0	0.0	2.39E+03	0.0	0.0
14	TN	Teplota nerovnoměrná	Q	0	21.4	1.92E+04	1.1	3.5	-1.64E+06	-2.1	-1.3	-7.79E+05	1.7	0.7	8.1E-03	-	-	-	-	0.2	1.68E+04	0.0	0.0	0.0	2.39E+03	0.0	0.0
15	FR	Třecí síly v ložiskách	Q	0	2.3	1.92E+04	0.1	0.1	-1.64E+06	-0.1	0.0	-7.79E+05	0.0	0.1	0.0E+00	-	-	-	-	0.0	1.68E+04	0.0	0.0	0.0	2.39E+03	0.0	0.0
16	I	Imperfekce soustavy	Q	0	-14.6	1.92E+04	-0.8	-3.7	-1.64E+06	2.3	0.0	-7.79E+05	0.0	1.5	0.0E+00	-	-	-	-	0.0	1.68E+04	0.0	0.0	0.5	2.39E+03	0.2	0.2
27	ULS_LM	ULS - LM71 bez dynam	Q	0	0.0	1.92E+04	0.0	0.0	-1.64E+06	0.0	0.0	-7.79E+05	0.0	0.0	0.0E+00	-	-	-	-	0.0	1.68E+04	0.0	0.0	0.0	2.39E+03	0.0	0.0
28	SLS_LM	SLS - LM71 bez dynam	Q	0	0.0	1.92E+04	0.0	0.0	-1.64E+06	0.0	0.0	-7.79E+05	0.0	0.0	0.0E+00	-	-	-	-	0.0	1.68E+04	0.0	0.0	0.0	2.39E+03	0.0	0.0
29	ULS_C3	ULS - C3 bez dynam	Q	0	0.0	1.92E+04	0.0	0.0	-1.64E+06	0.0	0.0	-7.79E+05	0.0	0.0	0.0E+00	-	-	-	-	0.0	1.68E+04	0.0	0.0	0.0	2.39E+03	0.0	0.0
30	SLS_C3	SLS - C3 bez dynam	Q	0	0.0	1.92E+04	0.0	0.0	-1.64E+06	0.0	0.0	-7.79E+05	0.0	0.0	0.0E+00	-	-	-	-	0.0	1.68E+04	0.0	0.0	0.0	2.39E+03	0.0	0.0
NAVÝŠENÍ NAPĚTÍ DO AKTIVACE TLAKU V DESCE MOSTOVKY						$\sigma_{P,red}$	0.0							0.0			0.0		0.0			0.5	0.5			2.2	2.2
NAPĚTÍ OD PRIMÁRNÍCH ÚČINKŮ NEROVNOMĚRNÉHO OTEPLENÍ						σ_T	0.0							0.0													
NAPĚTÍ OD REOLOGICKÝCH ÚČINKŮ BETONU V ČASE				t=0		σ_R	0.0	γ=	1.20					0.0													
NAPĚTÍ V KRITICKÝCH VLÁKNECH OD KOMBINACE ZATÍŽENÍ						KZ03		[MPa]					$\Sigma\sigma_x$	131.5								$\Sigma\tau_y$	0.5			$\Sigma\tau_z$	2.2
NAPĚTÍ OD POHYBLIVÉHO ZATÍŽENÍ								[MPa]					$\sigma_{x,P}$	73.9								τ_P	0.1			τ_P	1.3
NAPĚTÍ OD OSTATNÍCH ZATÍŽENÍ								[MPa]			Φ_{Vy}	Φ_{Vz}	$\sigma_{x,rs}$	57.7								τ_{rs}	0.4			τ_{rs}	0.9
NÁVRHOVÁ HODNOTA MEZE KLUZU S REDUKCÍ VLIVEM SMYKOVÉHO NAPĚTÍ								[MPa]			1.00	1.00	$f_{yv,d}$	209.1								$f_{yd}/3^{0,5}$	120.7			$f_{yd}/3^{0,5}$	120.7
NAPĚTÍ OD POHYBLIVÉHO ZATÍŽENÍ V GLOBÁLNÍM SYSTÉMU						$\sigma_{GLOB,P}$	0.0	[MPa]					$\Sigma\sigma_{GLOB}$	0.0													
NAPĚTÍ OD OSTATNÍCH ZATÍŽENÍ V GLOBÁLNÍM SYSTÉMU						$\sigma_{GLOB,rs}$	0.0	[MPa]					$\Sigma\sigma_x + \Sigma\sigma_{GLOB}$	131.5													
VYUŽITÍ PRŮŘEZU DLE NAPĚTÍ								[%]					η_1	0.63								η_3	0.00			η_3	0.02
NAPĚTÍ V PŘÍČNÉM SMĚRU OD POHYBLIVÉHO ZATÍŽENÍ						$\sigma_{z,P}$	0.0	[MPa]					$\Sigma\sigma_z$	0.0													
NAPĚTÍ V PŘÍČNÉM SMĚRU OD OSTATNÍCH ZATÍŽENÍ						$\sigma_{z,rs}$	0.0	[MPa]					η_2	0.00													
SROVNÁVACÍ NAPĚTÍ													$(\eta_2 + 0,8\,\eta_1)/1,4$ =	0.36													
VYUŽITÍ PRŮŘEZU CELKEM								[%]					eff	0.63	VYHOVUJE												
													z_{LM71} =	2.05													

TAB. D3.3 POSOUZENÍ - MEZNÍ STAV ÚNOSNOSTI

POPIS	DIAGONÁLA D3
PRUT / POLOHA BODU	252 / J[2711]
NAMÁHÁNÍ	N.max
VLÁKNO	BOD K3 -SL
MEZNÍ STAV	ULS (MSÚ)
VYUŽITÍ VLÁKNA PRŮŘEZU	0.89

Charakteristiky materiálu				
pás. horní	$f_{yf,k}$	230	MPa	
pás. dolní	$f_{yf,k}$	230	MPa	
stojina	$f_{yw,k}$	230	MPa	
výztuž	$f_{ys,k}$	500	MPa	
	γ_{M} =	1.10	γ_{s} =	1.15

Excentricita normálové síly				
Exc./Fáze	0	1	2	3
e_y	0.000	0.000	0.000	0.000
e_z	0.000	0.000	0.000	0.000
Ekvivalentní vzdál. stěn - příčný roznos				
b_{Mx}	0.000	0.000	0.000	0.000

Vliv stěny na únosnost průřezu				
Char./Fáze	0	1	2	3
A	0.00	0.00	0.00	0.00
Wy	0.00	0.00	0.00	0.00
Wz	0.00	0.00	0.00	0.00

Charakter. v kroucení			
$t_{w,y}$	0.000	[mm]	
$t_{w,z}$	0.000	[mm]	
κ	1.00		
I_t=	0.00E+00	[mm^4]	
Ω=2*A_{py}	0.00E+00	[mm^2]	

Součinitele vzpěru a vlivu II.řádu					
Char./Fáze	0	1	2	3	
k_y	1.000	1.000	1.000	1.000	
k_z	1.000	1.000	1.000	1.000	
χ_{LT}	1.000	1.000	1.000	1.000	
χ_{min}	1.000	1.000	1.000	1.000	

Vnitřní síly od jednotlivých skupin zatěžovacích stavů

SKUPINA ZATĚŽOVACÍCH STAVŮ					- CHARAKTERISTICKÉ HODNOTY						DÍLČÍ SOUČINITELÉ ZATÍŽENÍ, DYNAMICKÝ SOUČINITEL						3	- NÁVRHOVÉ HODNOTY									
Č.	SKUP ZS	POPIS ZS	KAT.	FÁZE PRŮŘ.	N.k (kN)	Vy.k (kN)	Vz.k (kN)	Mx.k (kNm)	My.k (kNm)	Mz.k (kNm)	γ_{sup} (-)	γ_{inf} (-)	volba γ_i hledat	γ_i (-)	L_d (m)	δ (-)	Ψ_0 KZ03	N.d (kN)	Vy.d (kN)	Vz.d (kN)	ΔVz.d (kN)	ΣVz.d (kN)	Mx.d (kNm)	My.d (kNm)	ΔMy.d (kNm)	ΣMy.d (kNm)	Mz.d (kNm)	ΔMz.d (kNm)	ΣMz.d (kNm)
1	G0	Vlastní tíha OK	G	0	517	6	0	0	1	-5	1.00	1.20		1.20	-	1.00	0.95	590	6	0	0	0	0	1	0	1	-6	0	-6
2	G1	Ostatní stálé - mostní vybavení	G	0	39	0	0	0	0	0	1.00	1.20		1.20	-	1.00	0.95	45	0	0	0	0	0	1	0	1	0	0	0
3	G2	Ostatní stálé - cizí zařízení	G	0	31	0	0	0	0	0	1.00	1.20		1.20	-	1.00	0.95	35	0	0	0	0	0	0	0	0	0	0	0
4	P1_71	a.LM71 - kolej 1 (bez dyn. souč.)	P	0	372	0	2	0	15	-1	1.00	1.30		1.30	-	1.00	1.00	483	0	2	0	2	0	19	0	19	-2	0	-2
5	P2_71	a.LM71 - kolej 2 (bez dyn. souč.)	P	0	882	1	-1	0	11	-3	1.00	1.30		1.30	-	1.00	1.00	1 147	1	-1	0	-1	0	14	0	14	-4	0	-4
6	P1_C3	TTZ C3 - kolej 1 (bez dyn. souč.)	P	0	313	0	1	0	11	-1	1.00	vyp.		0.00	-	1.00	0.00	0	0	0	0	0	0	0	0	0	0	0	0
7	P2_C3	TTZ C3 - kolej 2 (bez dyn. souč.)	P	0	744	1	-1	0	7	-3	1.00	vyp.		0.00	-	1.00	0.00	0	0	0	0	0	0	0	0	0	0	0	0
8	BR	Brzdné a rozjezdové síly	P	0	23	0	0	0	1	0	1.00	1.30		1.30	-	1.00	0.80	24	0	0	0	0	0	1	0	1	0	0	0
9	S	Boční ráz	P	0	5	0	-1	0	1	0	1.00	1.30		1.30	-	1.00	0.40	2	0	0	0	0	0	0	0	0	0	0	0
10	CH	Chodci na lávkách	Q	0	76	0	0	0	-2	0	1.00	1.30		1.30	-	1.00	1.00	99	0	0	0	0	0	-2	0	-2	0	0	0
11	W	Vítr na konstrukci	Q	0	53	0	-3	0	12	0	1.00	1.35		1.35	-	1.00	0.75	54	0	-3	0	-3	0	12	0	12	0	0	0
12	WP	Vítr na vozidla	Q	0	50	0	-1	0	2	0	1.00	1.35		1.35	-	1.00	0.75	51	0	-2	0	-2	0	2	0	2	0	0	0
13	TR	Teplota rovnoměrná	Q	0	0	0	0	0	0	0	1.00	1.35		1.35	-	1.00	0.45	0	0	0	0	0	0	0	0	0	0	0	0
14	TN	Teplota nerovnoměrná	Q	0	26	0	0	0	4	-2	1.00	1.35		1.35	-	1.00	0.60	21	0	0	0	0	0	3	0	3	-1	0	-1
15	FR	Třecí síly v ložiskách	Q	0	2	0	0	0	0	0	1.00	1.20		1.20	-	1.00	1.00	2	0	0	0	0	0	0	0	0	0	0	0
16	I	Imperfekce soustavy	Q	0	12	0	0	0	3	0	1.00	1.20		1.20	-	1.00	1.00	15	0	0	0	0	0	4	0	4	0	0	0
27	ULS_LM	ULS - LM71 bez dynam	Q	0	2 575	9	-5	0	55	-15	1.00	vyp.		0.00	-	1.00	0.00	0	0	0	0	0	0	0	0	0	0	0	0
28	SLS_LM	SLS - LM71 bez dynam	Q	0	2 034	7	-4	0	39	-11	1.00	vyp.	1	0.00	-	1.00	0.00	0	0	0	0	0	0	0	0	0	0	0	0
29	ULS_C3	ULS - C3 bez dynam	Q	0	2 318	8	-6	0	45	-14	1.00	vyp.	1	0.00	-	1.00	0.00	0	0	0	0	0	0	0	0	0	0	0	0
30	SLS_C3	SLS - C3 bez dynam	Q	0	1 837	7	-4	0	32	-10	1.00	vyp.	1	0.00	-	1.00	0.00	0	0	0	0	0	0	0	0	0	0	0	0
		CELKEM - FÁZE PRŮŘEZU 0			2 568	9	-5	0	54	-15								-5	0	54	0	-15						
		CELKEM - FÁZE PRŮŘEZU 1			0	0	0	0	0	0								0	0	0	0	0						
		CELKEM - FÁZE PRŮŘEZU 2			0	0	0	0	0	0								0	0	0	0	0						
		CELKEM - FÁZE PRŮŘEZU 3			0	0	0	0	0	0								0	0	0	0	0						
		CELKEM - PRŮŘEZ			2 568	9	-5	0	54	-15																	

Napětí od jednotlivých zatěžovacích stavů

SKUPINA ZATĚŽOVACÍCH STAVŮ					Posouzení normálového napětí										Posouzení smykového napětí													
					Účinek síly N			Účinek momentu My				Účinek momentu Mz				Účinek kroutícího momentu Mx				Účinek smykové síly Vy				Účinek smykové síly Vz			
Č.	SKUP ZS	Popis ZS	Kat.	fáze prúř.	δ^*N_d [kN]	χ^*A [mm^2]	σ_n [MPa]	$\delta^*M_{y,d}$ [kNm]	$\chi_{lt}{}^*W_{el,y}$ [mm^3]	σ_{my} [MPa]	$\delta^*M_{z,d}$ [kNm]	$W_{el,z}$ [mm^3]	σ_{mz} [MPa]	σ_x [MPa]	$\kappa^*\delta^*M_{x,d}$ [kNm]	$W_{v,y}$ [mm^2]	$\tau_{x,y}$ [MPa]	$W_{v,z}$ [mm^2]	$\tau_{x,z}$ [MPa]	$\delta^*V_{y,d}$ [kN]	$A_{v,y}$ [mm2]	$\tau_{v,y}$ [MPa]	$\tau_{v,y}$ [MPa]	$\delta^*V_{z,d}$ [kN]	$A_{v,z}$ [mm2]	$\tau_{v,z}$ [MPa]	$\tau_{v,z}$ [MPa]
1	G0	Vlastní tíha OK	G	0	589.5	1.92E+04	30.7	1.5	1.58E+06	0.9	-6.1	-7.79E+05	7.8	39.4	0.0E+00	-	-	-	-	6.5	1.68E+04	0.4	0.4	0.0	2.39E+03	0.0	0.0
2	G1	Ostatní stálé - mostní vybavení	G	0	44.9	1.92E+04	2.3	0.6	1.58E+06	0.4	-0.1	-7.79E+05	0.2	2.9	0.0E+00	-	-	-	-	0.0	1.68E+04	0.0	0.0	-0.1	2.39E+03	0.0	0.0
3	G2	Ostatní stálé - cizí zařízení	G	0	34.8	1.92E+04	1.8	-0.3	1.58E+06	-0.2	-0.1	-7.79E+05	0.1	1.8	0.0E+00	-	-	-	-	0.0	1.68E+04	0.0	0.0	0.0	2.39E+03	0.0	0.0
4	P1_71	a.LM71 - kolej 1 (bez dyn. souč.)	P	0	483.4	1.92E+04	25.2	18.9	1.58E+06	11.9	-1.8	-7.79E+05	2.3	39.4	2.6E-02	-	-	-	-	0.5	1.68E+04	0.0	0.0	2.5	2.39E+03	1.0	1.0
5	P2_71	a.LM71 - kolej 2 (bez dyn. souč.)	P	0	1 146.6	1.92E+04	59.8	14.0	1.58E+06	8.8	-4.3	-7.79E+05	5.5	74.1	1.3E-02	-	-	-	-	1.0	1.68E+04	0.1	0.1	-1.2	2.39E+03	-0.5	-0.5
6	P1_C3	TTZ C3 - kolej 1 (bez dyn. souč.)	P	0	0.0	1.92E+04	0.0	0.0	1.58E+06	0.0	0.0	-7.79E+05	0.0	0.0	0.0E+00	-	-	-	-	0.0	1.68E+04	0.0	0.0	0.0	2.39E+03	0.0	0.0
7	P2_C3	TTZ C3 - kolej 2 (bez dyn. souč.)	P	0	0.0	1.92E+04	0.0	0.0	1.58E+06	0.0	0.0	-7.79E+05	0.0	0.0	0.0E+00	-	-	-	-	0.0	1.68E+04	0.0	0.0	0.0	2.39E+03	0.0	0.0
8	BR	Brzdné a rozjezdové síly	P	0	24.3	1.92E+04	1.3	0.6	1.58E+06	0.4	-0.1	-7.79E+05	0.1	1.7	0.0E+00	-	-	-	-	-0.2	1.68E+04	0.0	0.0	-0.2	2.39E+03	-0.1	-0.1
9	S	Boční ráz	P	0	2.5	1.92E+04	0.1	0.5	1.58E+06	0.3	-0.1	-7.79E+05	0.1	0.5	0.0E+00	-	-	-	-	0.1	1.68E+04	0.0	0.0	-0.4	2.39E+03	-0.2	-0.2
10	CH	Chodci na lávkách	Q	0	98.8	1.92E+04	5.2	-2.4	1.58E+06	-1.5	-0.3	-7.79E+05	0.4	4.0	0.0E+00	-	-	-	-	0.1	1.68E+04	0.0	0.0	0.0	2.39E+03	0.0	0.0
11	W	Vítr na konstrukci	Q	0	53.9	1.92E+04	2.8	12.2	1.58E+06	7.7	-0.2	-7.79E+05	0.2	10.7	1.0E-02	-	-	-	-	0.1	1.68E+04	0.0	0.0	-3.3	2.39E+03	-1.4	-1.4
12	WP	Vítr na vozidla	Q	0	50.8	1.92E+04	2.7	1.6	1.58E+06	1.0	-0.3	-7.79E+05	0.4	4.1	-1.0E-02	-	-	-	-	0.2	1.68E+04	0.0	0.0	-1.5	2.39E+03	-0.6	-0.6
13	TR	Teplota rovnoměrná	Q	0	0.0	1.92E+04	0.0	0.0	1.58E+06	0.0	0.0	-7.79E+05	0.0	0.0	0.0E+00	-	-	-	-	0.0	1.68E+04	0.0	0.0	0.0	2.39E+03	0.0	0.0
14	TN	Teplota nerovnoměrná	Q	0	21.4	1.92E+04	1.1	3.5	1.58E+06	2.2	-1.3	-7.79E+05	1.7	5.0	8.1E-03	-	-	-	-	0.2	1.68E+04	0.0	0.0	0.0	2.39E+03	0.0	0.0
15	FR	Třecí síly v ložiskách	Q	0	2.3	1.92E+04	0.1	0.1	1.58E+06	0.1	0.0	-7.79E+05	0.0	0.2	0.0E+00	-	-	-	-	0.0	1.68E+04	0.0	0.0	0.0	2.39E+03	0.0	0.0
16	I	Imperfekce soustavy	Q	0	14.6	1.92E+04	0.8	3.7	1.58E+06	2.4	0.0	-7.79E+05	0.0	3.1	0.0E+00	-	-	-	-	0.0	1.68E+04	0.0	0.0	-0.5	2.39E+03	-0.2	-0.2
27	ULS_LM	ULS - LM71 bez dynam	Q	0	0.0	1.92E+04	0.0	0.0	1.58E+06	0.0	0.0	-7.79E+05	0.0	0.0	0.0E+00	-	-	-	-	0.0	1.68E+04	0.0	0.0	0.0	2.39E+03	0.0	0.0
28	SLS_LM	SLS - LM71 bez dynam	Q	0	0.0	1.92E+04	0.0	0.0	1.58E+06	0.0	0.0	-7.79E+05	0.0	0.0	0.0E+00	-	-	-	-	0.0	1.68E+04	0.0	0.0	0.0	2.39E+03	0.0	0.0
29	ULS_C3	ULS - C3 bez dynam	Q	0	0.0	1.92E+04	0.0	0.0	1.58E+06	0.0	0.0	-7.79E+05	0.0	0.0	0.0E+00	-	-	-	-	0.0	1.68E+04	0.0	0.0	0.0	2.39E+03	0.0	0.0
30	SLS_C3	SLS - C3 bez dynam	Q	0	0.0	1.92E+04	0.0	0.0	1.58E+06	0.0	0.0	-7.79E+05	0.0	0.0	0.0E+00	-	-	-	-	0.0	1.68E+04	0.0	0.0	0.0	2.39E+03	0.0	0.0
NAVÝŠENÍ NAPĚTÍ DO AKTIVACE TLAKU V DESCE MOSTOVKY						$\sigma_{P,red}$	0.0							0.0			0.0		0.0			0.5	0.5			-2.0	-2.0
NAPĚTÍ OD PRIMÁRNÍCH ÚČINKŮ NEROVNOMĚRNÉHO OTEPLENÍ						σ_T	0.0							0.0													
NAPĚTÍ OD REOLOGICKÝCH ÚČINKŮ BETONU V ČASE				t=0		σ_R	0.0	γ_{inf}=	1.20					0.0													
NAPĚTÍ V KRITICKÝCH VLÁKNECH OD KOMBINACE ZATÍŽENÍ						KZ03		[MPa]					$\Sigma\sigma_x$	187.0								$\Sigma\tau_y$	0.5			$\Sigma\tau_z$	-2.0
NAPĚTÍ OD POHYBLIVÉHO ZATÍŽENÍ								[MPa]					$\sigma_{x,P}$	115.7								τ_P	0.1			τ_P	0.2
NAPĚTÍ OD OSTATNÍCH ZATÍŽENÍ								[MPa]			Φ_{vy}	Φ_{vz}	$\sigma_{x,rs}$	71.2								τ_{rs}	0.4			τ_{rs}	-2.3
NÁVRHOVÁ HODNOTA MEZE KLUZU S REDUKCÍ VLIVEM SMYKOVÉHO NAPĚTÍ								[MPa]			1.00	1.00	$f_{yw,d}$	209.1								$f_{yd}/3^{0,5}$	120.7			$f_{yd}/3^{0,5}$	120.7
NAPĚTÍ OD POHYBLIVÉHO ZATÍŽENÍ V GLOBÁLNÍM SYSTÉMU						$\sigma_{GLOB,P}$	0.0	[MPa]					$\Sigma\sigma_{GLOB}$	0.0													
NAPĚTÍ OD OSTATNÍCH ZATÍŽENÍ V GLOBÁLNÍM SYSTÉMU						$\sigma_{GLOB,rs}$	0.0	[MPa]					$\Sigma\sigma_x + \Sigma\sigma_{GLOB}$	187.0													
VYUŽITÍ PRŮŘEZU DLE NAPĚTÍ								[%]					η_1	0.89								η_3	0.00			η_3	0.02
NAPĚTÍ V PŘÍČNÉM SMĚRU OD POHYBLIVÉHO ZATÍŽENÍ						$\sigma_{z,P}$	0.0	[MPa]					$\Sigma\sigma_z$	0.0													
NAPĚTÍ V PŘÍČNÉM SMĚRU OD OSTATNÍCH ZATÍŽENÍ						$\sigma_{z,rs}$	0.0	[MPa]					η_2	0.00													
SROVNÁVACÍ NAPĚTÍ													$(\eta_2 + 0,8\,\eta_1)/1,4$ =	0.51													
VYUŽITÍ PRŮŘEZU CELKEM								[%]					eff	0.89	VYHOVUJE												
													z_{LM71} =	1.19													

TAB. D3.3 POSOUZENÍ - MEZNÍ STAV ÚNOSNOSTI

POPIS	DIAGONÁLA D3
PRUT / POLOHA BODU	252 / J[2711]
NAMÁHÁNÍ	Vz.min
VLÁKNO	BOD S6 -HP
MEZNÍ STAV	ULS (MSÚ)
VYUŽITÍ VLÁKNA PRŮŘEZU	0.59

Charakteristiky materiálu				
pás. horní	$f_{yf,k}$	230	MPa	
pás. dolní	$f_{yf,k}$	230	MPa	
stojina	$f_{yw,k}$	230	MPa	
výztuž	$f_{ys,k}$	500	MPa	
γ_{M} =	1.10	γ_{s} =	1.15	

Excentricita normálové síly				
Exc./Fáze	0	1	2	3
e_y	0.000	0.000	0.000	0.000
e_z	0.000	0.000	0.000	0.000
Ekvivalentní vzdál. stěn - příčný roznos				
b_{Mx}	0.000	0.000	0.000	0.000

Vliv stěny na únosnost průřezu				
Char./Fáze	0	1	2	3
A	0.00	0.00	0.00	0.00
Wy	0.00	0.00	0.00	0.00
Wz	0.00	0.00	0.00	0.00

Charakter. v kroucení			
$t_{w,y}$	0.000	[mm]	
$t_{w,z}$	0.000	[mm]	
κ	1.00		
I_t=	0.00E+00	[mm^4]	
$\Omega=2*A_{pz}$	0.00E+00	[mm^2]	

Součinitele vzpěru a vlivu II.řádu					
Char./Fáze	0	1	2	3	4
k_y	1.000	1.000	1.000	1.000	
k_z	1.000	1.000	1.000	1.000	
χ_{LT}	1.000	1.000	1.000	1.000	
χ_{min}	1.000	1.000	1.000	1.000	

Vnitřní síly od jednotlivých skupin zatěžovacích stavů — SKUPINA ZATĚŽOVACÍCH STAVŮ: 4

Č.	SKUP ZS	POPIS ZS	KAT.	FÁZE PRŮŘ.	- CHARAKTERISTICKÉ HODNOTY N.k (kN)	Vy.k (kN)	Vz.k (kN)	Mx.k (kNm)	My.k (kNm)	Mz.k (kNm)	DÍLČÍ SOUČINITELÉ ZATÍŽENÍ, DYNAMICKÝ SOUČINITEL γ_{or} (-)	γ_{Q} (-)	volba γ_{Q} hledat	ψ_{i} (-)	L_{ϕ} (m)	δ (-)	γ_{F} KZ04	- NÁVRHOVÉ HODNOTY N.d (kN)	Vy.d (kN)	Vz.d (kN)	ΔVz.d (kN)	ΣVz.d (kN)	Mx.d (kNm)	My.d (kNm)	ΔMy.d (kNm)	ΣMy.d (kNm)	Mz.d (kNm)	ΔMz.d (kNm)	ΣMz.d (kNm)
1	G0	Vlastní tíha OK	G	0	517	6	0	0	1	-5	1.00	1.20		1.20	-	1.00	0.95	590	6	0	0	0	0	1	0	1	-6	0	-6
2	G1	Ostatní stálé - mostní vybavení	G	0	39	0	0	0	0	0	1.00	1.20		1.20	-	1.00	0.95	45	0	0	0	0	0	1	0	1	0	0	0
3	G2	Ostatní stálé - cizí zařízení	G	0	31	0	0	0	0	0	1.00	1.20		1.20	-	1.00	0.95	35	0	0	0	0	0	0	0	0	0	0	0
4	P1_71	a.LM71 - kolej 1 (bez dyn. souč.)	P	0	8	0	-4	0	17	0	1.00	1.30		1.30	-	1.00	1.00	11	0	-6	0	-6	0	22	0	22	1	0	1
5	P2_71	a.LM71 - kolej 2 (bez dyn. souč.)	P	0	528	0	-7	0	19	0	1.00	1.30		1.30	-	1.00	1.00	686	0	-9	0	-9	0	24	0	24	-1	0	-1
6	P1_C3	TTZ C3 - kolej 1 (bez dyn. souč.)	P	0	4	0	-3	0	13	0	1.00	vyp.		0.00	-	1.00	0.00	0	0	0	0	0	0	0	0	0	0	0	0
7	P2_C3	TTZ C3 - kolej 2 (bez dyn. souč.)	P	0	416	0	-6	0	13	0	1.00	vyp.		0.00	-	1.00	0.00	0	0	0	0	0	0	0	0	0	0	0	0
8	BR	Brzdné a rozjezdové síly	P	0	23	0	0	0	1	0	1.00	1.30		1.30	-	1.00	0.40	12	0	0	0	0	0	0	0	0	0	0	0
9	S	Boční ráz	P	0	5	0	-1	0	1	0	1.00	1.30		1.30	-	1.00	0.80	5	0	-1	0	-1	0	1	0	1	0	0	0
10	CH	Chodci na lávkách	Q	0	76	0	0	0	-2	0	1.00	1.30		1.30	-	1.00	1.00	99	0	0	0	0	0	-2	0	-2	0	0	0
11	W	Vítr na konstrukci	Q	0	53	0	-3	0	12	0	1.00	1.35		1.35	-	1.00	0.75	54	0	-3	0	-3	0	12	0	12	0	0	0
12	WP	Vítr na vozidla	Q	0	50	0	-1	0	2	0	1.00	1.35		1.35	-	1.00	0.75	51	0	-2	0	-2	0	2	0	2	0	0	0
13	TR	Teplota rovnoměrná	Q	0	0	0	0	0	0	0	1.00	1.35		1.35	-	1.00	0.45	0	0	0	0	0	0	0	0	0	0	0	0
14	TN	Teplota nerovnoměrná	Q	0	-17	0	-1	0	-2	0	1.00	1.35		1.35	-	1.00	0.60	-14	0	-1	0	-1	0	-1	0	-1	0	0	0
15	FR	Třecí síly v ložiskách	Q	0	2	0	0	0	0	0	1.00	1.20		1.20	-	1.00	1.00	2	0	0	0	0	0	0	0	0	0	0	0
16	I	Imperfekce soustavy	Q	0	12	0	0	0	3	0	1.00	1.20		1.20	-	1.00	1.00	15	0	0	0	0	0	4	0	4	0	0	0
27	ULS_LM	ULS - LM71 bez dynam	Q	0	1 594	7	-22	0	64	-7	1.00	vyp.		0.00	-	1.00	0.00	0	0	0	0	0	0	0	0	0	0	0	0
28	SLS_LM	SLS - LM71 bez dynam	Q	0	1 307	6	-17	0	50	-6	1.00	vyp.	1	0.00	-	1.00	0.00	0	0	0	0	0	0	0	0	0	0	0	0
29	ULS_C3	ULS - C3 bez dynam	Q	0	1 443	7	-19	0	51	-7	1.00	vyp.	1	0.00	-	1.00	0.00	0	0	0	0	0	0	0	0	0	0	0	0
30	SLS_C3	SLS - C3 bez dynam	Q	0	1 191	6	-14	0	40	-6	1.00	vyp.	1	0.00	-	1.00	0.00	0	0	0	0	0	0	0	0	0	0	0	0
		CELKEM - FÁZE PRŮŘEZU 0																1 590	7	-22	0	-22	0	63	0	63	-7	0	-7
		CELKEM - FÁZE PRŮŘEZU 1																0	0	0	0	0	0	0	0	0	0	0	0
		CELKEM - FÁZE PRŮŘEZU 2																0	0	0	0	0	0	0	0	0	0	0	0
		CELKEM - FÁZE PRŮŘEZU 3																0	0	0	0	0	0	0	0	0	0	0	0
		CELKEM - PRŮŘEZ																1 590	7	-22	0	-22	0			63			-7

Napětí od jednotlivých zatěžovacích stavů

Č.	SKUP ZS	Popis ZS	Kat.	fáze průř.	Posouzení normálového napětí — Účinek síly N: δ^*N_d [kN]	χ^*A [mm^2]	σ_n [MPa]	Účinek momentu My: $\delta^*M_{y,d}$ [kNm]	$\chi_{lt}*W_{el,y}$ [mm^3]	σ_{my} [MPa]	Účinek momentu Mz: $\delta^*M_{z,d}$ [kNm]	$W_{el,z}$ [mm^3]	σ_{mz} [MPa]	σ_x [MPa]	Posouzení smykového napětí — Účinek kroutícího momentu Mx: $\kappa*\delta^*M_{x,d}$ [kNm]	$W_{v,y}$ [mm^2]	$\tau_{x,y}$ [MPa]	$W_{v,z}$ [mm^2]	$\tau_{x,z}$ [MPa]	Účinek smykové síly Vy: $\delta^*V_{y,d}$ [kN]	$A_{v,y}$ [mm2]	$\tau_{v,y}$ [MPa]	$\tau_{v,y}$ [MPa]	Účinek smykové síly Vz: $\delta^*V_{z,d}$ [kN]	$A_{v,z}$ [mm2]	$\tau_{v,z}$ [MPa]	$\tau_{v,z}$ [MPa]
1	G0	Vlastní tíha OK	G	0	589.5	1.92E+04	30.7	1.5	1.58E+06	0.9	-6.1	-1.34E+07	0.5	32.1	0.0E+00	-	-	-	-	6.5	1.68E+04	0.4	0.4	0.0	2.39E+03	0.0	0.0
2	G1	Ostatní stálé - mostní vybavení	G	0	44.9	1.92E+04	2.3	0.6	1.58E+06	0.4	-0.1	-1.34E+07	0.0	2.7	0.0E+00	-	-	-	-	0.0	1.68E+04	0.0	0.0	-0.1	2.39E+03	0.0	0.0
3	G2	Ostatní stálé - cizí zařízení	G	0	34.8	1.92E+04	1.8	-0.3	1.58E+06	-0.2	-0.1	-1.34E+07	0.0	1.6	0.0E+00	-	-	-	-	0.0	1.68E+04	0.0	0.0	0.0	2.39E+03	0.0	0.0
4	P1_71	a.LM71 - kolej 1 (bez dyn. souč.)	P	0	10.7	1.92E+04	0.6	22.4	1.58E+06	14.2	0.6	-1.34E+07	0.0	14.7	1.3E-02	-	-	-	-	-0.1	1.68E+04	0.0	0.0	-5.6	2.39E+03	-2.4	-2.4
5	P2_71	a.LM71 - kolej 2 (bez dyn. souč.)	P	0	686.1	1.92E+04	35.8	24.4	1.58E+06	15.4	-0.5	-1.34E+07	0.0	51.2	0.0E+00	-	-	-	-	0.1	1.68E+04	0.0	0.0	-9.5	2.39E+03	-4.0	-4.0
6	P1_C3	TTZ C3 - kolej 1 (bez dyn. souč.)	P	0	0.0	1.92E+04	0.0	0.0	1.58E+06	0.0	0.0	-1.34E+07	0.0	0.0	0.0E+00	-	-	-	-	0.0	1.68E+04	0.0	0.0	0.0	2.39E+03	0.0	0.0
7	P2_C3	TTZ C3 - kolej 2 (bez dyn. souč.)	P	0	0.0	1.92E+04	0.0	0.0	1.58E+06	0.0	0.0	-1.34E+07	0.0	0.0	0.0E+00	-	-	-	-	0.0	1.68E+04	0.0	0.0	0.0	2.39E+03	0.0	0.0
8	BR	Brzdné a rozjezdové síly	P	0	12.1	1.92E+04	0.6	0.3	1.58E+06	0.2	0.0	-1.34E+07	0.0	0.8	0.0E+00	-	-	-	-	-0.1	1.68E+04	0.0	0.0	-0.1	2.39E+03	0.0	0.0
9	S	Boční ráz	P	0	4.9	1.92E+04	0.3	0.9	1.58E+06	0.6	-0.1	-1.34E+07	0.0	0.9	0.0E+00	-	-	-	-	0.1	1.68E+04	0.0	0.0	-0.8	2.39E+03	-0.3	-0.3
10	CH	Chodci na lávkách	Q	0	98.8	1.92E+04	5.2	-2.4	1.58E+06	-1.5	-0.3	-1.34E+07	0.0	3.7	0.0E+00	-	-	-	-	0.1	1.68E+04	0.0	0.0	0.0	2.39E+03	0.0	0.0
11	W	Vítr na konstrukci	Q	0	53.9	1.92E+04	2.8	12.2	1.58E+06	7.7	-0.2	-1.34E+07	0.0	10.5	1.0E-02	-	-	-	-	0.1	1.68E+04	0.0	0.0	-3.3	2.39E+03	-1.4	-1.4
12	WP	Vítr na vozidla	Q	0	50.8	1.92E+04	2.7	1.6	1.58E+06	1.0	-0.3	-1.34E+07	0.0	3.7	-1.0E-02	-	-	-	-	0.2	1.68E+04	0.0	0.0	-1.5	2.39E+03	-0.6	-0.6
13	TR	Teplota rovnoměrná	Q	0	0.0	1.92E+04	0.0	0.0	1.58E+06	0.0	0.0	-1.34E+07	0.0	0.0	0.0E+00	-	-	-	-	0.0	1.68E+04	0.0	0.0	0.0	2.39E+03	0.0	0.0
14	TN	Teplota nerovnoměrná	Q	0	-13.7	1.92E+04	-0.7	-1.5	1.58E+06	-0.9	0.1	-1.34E+07	0.0	-1.7	-8.1E-03	-	-	-	-	0.0	1.68E+04	0.0	0.0	-0.7	2.39E+03	-0.3	-0.3
15	FR	Třecí síly v ložiskách	Q	0	2.3	1.92E+04	0.1	0.1	1.58E+06	0.1	0.0	-1.34E+07	0.0	0.2	0.0E+00	-	-	-	-	0.0	1.68E+04	0.0	0.0	0.0	2.39E+03	0.0	0.0
16	I	Imperfekce soustavy	Q	0	14.6	1.92E+04	0.8	3.7	1.58E+06	2.4	0.0	-1.34E+07	0.0	3.1	0.0E+00	-	-	-	-	0.0	1.68E+04	0.0	0.0	-0.5	2.39E+03	-0.2	-0.2
27	ULS_LM	ULS - LM71 bez dynam	Q	0	0.0	1.92E+04	0.0	0.0	1.58E+06	0.0	0.0	-1.34E+07	0.0	0.0	0.0E+00	-	-	-	-	0.0	1.68E+04	0.0	0.0	0.0	2.39E+03	0.0	0.0
28	SLS_LM	SLS - LM71 bez dynam	Q	0	0.0	1.92E+04	0.0	0.0	1.58E+06	0.0	0.0	-1.34E+07	0.0	0.0	0.0E+00	-	-	-	-	0.0	1.68E+04	0.0	0.0	0.0	2.39E+03	0.0	0.0
29	ULS_C3	ULS - C3 bez dynam	Q	0	0.0	1.92E+04	0.0	0.0	1.58E+06	0.0	0.0	-1.34E+07	0.0	0.0	0.0E+00	-	-	-	-	0.0	1.68E+04	0.0	0.0	0.0	2.39E+03	0.0	0.0
30	SLS_C3	SLS - C3 bez dynam	Q	0	0.0	1.92E+04	0.0	0.0	1.58E+06	0.0	0.0	-1.34E+07	0.0	0.0	0.0E+00	-	-	-	-	0.0	1.68E+04	0.0	0.0	0.0	2.39E+03	0.0	0.0
		NAVÝŠENÍ NAPĚTÍ DO AKTIVACE TLAKU V DESCE MOSTOVKY				$\sigma_{P,red}$	0.0							0.0			0.0		0.0			0.4	0.4			-9.3	-9.3
		NAPĚTÍ OD PRIMÁRNÍCH ÚČINKŮ NEROVNOMĚRNÉHO OTEPLENÍ				σ_T	0.0							0.0													
		NAPĚTÍ OD REOLOGICKÝCH ÚČINKŮ BETONU V ČASE		t=0		σ_R	0.0	γ_F=	1.20					0.0													
		NAPĚTÍ V KRITICKÝCH VLÁKNECH OD KOMBINACE ZATÍŽENÍ				KZ04		[MPa]					$\Sigma\sigma_x$	123.5									$\Sigma\tau_y$	0.4			$\Sigma\tau_z$	-9.3
		NAPĚTÍ OD POHYBLIVÉHO ZATÍŽENÍ						[MPa]					$\sigma_{x,P}$	67.6									τ_P	0.0			τ_P	-6.7
		NAPĚTÍ OD OSTATNÍCH ZATÍŽENÍ						[MPa]			Φ_{vy}	Φ_{vz}	$\sigma_{x,rs}$	56.0									τ_{rs}	0.4			τ_{rs}	-2.6
		NÁVRHOVÁ HODNOTA MEZE KLUZU S REDUKCÍ VLIVEM SMYKOVÉHO NAPĚTÍ						[MPa]			1.00	1.00	$f_{yv,d}$	209.1									$f_{yd}/3^{0,5}$	120.7			$f_{yd}/3^{0,5}$	120.7
		NAPĚTÍ OD POHYBLIVÉHO ZATÍŽENÍ V GLOBÁLNÍM SYSTÉMU				$\sigma_{GLOB,P}$	0.0	[MPa]					$\Sigma\sigma_{GLOB}$	0.0														
		NAPĚTÍ OD OSTATNÍCH ZATÍŽENÍ V GLOBÁLNÍM SYSTÉMU				$\sigma_{GLOB,rs}$	0.0	[MPa]					$\Sigma\sigma_x + \Sigma\sigma_{GLOB}$	123.5														
		VYUŽITÍ PRŮŘEZU DLE NAPĚTÍ						[%]					η_1	0.59									η_3	0.00			η_3	0.08
		NAPĚTÍ V PŘÍČNÉM SMĚRU OD POHYBLIVÉHO ZATÍŽENÍ				$\sigma_{z,P}$	0.0	[MPa]					$\Sigma\sigma_z$	0.0														
		NAPĚTÍ V PŘÍČNÉM SMĚRU OD OSTATNÍCH ZATÍŽENÍ				$\sigma_{z,rs}$	0.0	[MPa]					η_2	0.00														
		SROVNÁVACÍ NAPĚTÍ											$(\eta_2 + 0,8\,\eta_1)/1,4$ =	0.34														
		VYUŽITÍ PRŮŘEZU CELKEM						[%]					eff	0.59	VYHOVUJE													
													z_{LM71} =	2.27														

VÝPOČET PRŮŘEZOVÝCH CHARAKTERISTIK

PRŮŘEZ: D4 **POPIS:** DIAGONÁLA 4

x = - **m**

DEFINOVÁNÍ PRŮŘEZU

ŠÍŘKA PÁSNICE ÚHELNÍKU	b f.t.l.o =	80	mm	**ÚHELNÍK HORNÍ VNĚJŠÍ LEVÝ**		**C.T.O.L**	
TLOUŠŤKA PÁSNICE ÚHELNÍKU	t f.t.l.o =	8	mm	OSLABENÍ PÁSNICE - TLOUŠŤKA	Δt f.t.l.o =	0	%
VÝŠKA STĚNY ÚHELNÍKU	h w.t.l.o =	72	mm				
TLOUŠŤKA STĚNY ÚHELNÍKU	t w.t.l.o =	8	mm	OSLABENÍ STĚNY - TLOUŠŤKA	Δt w.t.l.o =	40	%
ŠÍŘKA PÁSNICE ÚHELNÍKU	b f.t.r.o =	80	mm	**ÚHELNÍK HORNÍ VNĚJŠÍ PRAVÝ**		**C.T.O.R**	
TLOUŠŤKA PÁSNICE ÚHELNÍKU	t f.t.r.o =	8	mm	OSLABENÍ PÁSNICE - TLOUŠŤKA	Δt f.t.r.o =	0	%
VÝŠKA STĚNY ÚHELNÍKU	h w.t.r.o =	72	mm				
TLOUŠŤKA STĚNY ÚHELNÍKU	t w.t.r.o =	8	mm	OSLABENÍ STĚNY - TLOUŠŤKA	Δt w.t.r.0 =	40	%
ŠÍŘKA PÁSNICE ÚHELNÍKU	b f.t.i.i =	80	mm	**ÚHELNÍK HORNÍ VNITŘNÍ LEVÝ**		**C.T.I.L**	
TLOUŠŤKA PÁSNICE ÚHELNÍKU	t f.t.i.i =	8	mm	OSLABENÍ PÁSNICE - TLOUŠŤKA	Δt f.b.l.o =	0	%
VÝŠKA STĚNY ÚHELNÍKU	h w.t.i.i =	72	mm				
TLOUŠŤKA STĚNY ÚHELNÍKU	t w.t.i.i =	8	mm	OSLABENÍ STĚNY - TLOUŠŤKA	Δt w.b.l.o =	40	%
ŠÍŘKA PÁSNICE ÚHELNÍKU	b f.t.r.i =	80	mm	**ÚHELNÍK HORNÍ VNITŘNÍ PRAVÝ**		**C.T.I.R**	
TLOUŠŤKA PÁSNICE ÚHELNÍKU	t f.t.r.i =	8	mm	OSLABENÍ PÁSNICE - TLOUŠŤKA	Δt f.b.r.o =	0	%
VÝŠKA STĚNY ÚHELNÍKU	h w.t.r.i =	72	mm				
TLOUŠŤKA STĚNY ÚHELNÍKU	t w.t.r.i =	8	mm	OSLABENÍ STĚNY - TLOUŠŤKA	Δt w.b.r.o =	40	%
ŠÍŘKA PÁSNICE ÚHELNÍKU	b f.b.l.o =	80	mm	**ÚHELNÍK DOLNÍ VNĚJŠÍ LEVÝ**		**C.B.O.L**	
TLOUŠŤKA PÁSNICE ÚHELNÍKU	t f.b.l.o =	8	mm	OSLABENÍ PÁSNICE - TLOUŠŤKA	Δt f.t.l.i =	0	%
VÝŠKA STĚNY ÚHELNÍKU	h w.b.l.o =	72	mm				
TLOUŠŤKA STĚNY ÚHELNÍKU	t w.b.l.o =	8	mm	OSLABENÍ STĚNY - TLOUŠŤKA	Δt w.t.l.i =	40	%
ŠÍŘKA PÁSNICE ÚHELNÍKU	b f.b.r.o =	80	mm	**ÚHELNÍK DOLNÍ VNĚJŠÍ PRAVÝ**		**C.B.O.R**	
TLOUŠŤKA PÁSNICE ÚHELNÍKU	t f.b.r.o =	8	mm	OSLABENÍ PÁSNICE - TLOUŠŤKA	Δt f.t.r.i =	0	%
VÝŠKA STĚNY ÚHELNÍKU	h w.b.r.o =	72	mm				
TLOUŠŤKA STĚNY ÚHELNÍKU	t w.b.r.o =	8	mm	OSLABENÍ STĚNY - TLOUŠŤKA	Δt w.t.r.i =	40	%
PÁSNICE DOLNÍHO LEVÉHO ÚHELNÍKU	b f.b.l.i =	80	mm	**ÚHELNÍK DOLNÍ VNITŘNÍ LEVÝ**		**C.B.I.L**	
TLOUŠŤKA PÁSNICE ÚHELNÍKU	t f.b.l.i =	8	mm	OSLABENÍ PÁSNICE - TLOUŠŤKA	Δt f.b.l.i =	0	%
VÝŠKA STĚNY ÚHELNÍKU	h w.b.l.i =	72	mm				
TLOUŠŤKA STĚNY ÚHELNÍKU	t w.b.l.i =	8	mm	OSLABENÍ STĚNY - TLOUŠŤKA	Δt w.b.l.i =	40	%
PÁSNICE DOLNÍHO PRAVÉHO ÚHELNÍKU	b f.b.r.i =	80	mm	**ÚHELNÍK DOLNÍ VNITŘNÍ PRAVÝ**		**C.B.I.R**	
TLOUŠŤKA PÁSNICE ÚHELNÍKU	t f.b.r.i =	8	mm	OSLABENÍ PÁSNICE - TLOUŠŤKA	Δt f.b.r.i =	0	%
VÝŠKA STĚNY ÚHELNÍKU	h w.b.r.i =	72	mm				
TLOUŠŤKA STĚNY ÚHELNÍKU	t w.b.r.i =	8	mm	OSLABENÍ STĚNY - TLOUŠŤKA	Δt w.b.r.i =	40	%

DOLNÍ

ŠÍŘKA HORNÍ VLOŽKY - VNĚJŠÍ	b f.t =	320	mm			**HOR.T.O**	
TLOUŠŤKA VLOŽKY	t f.t =	10	mm	OSLABENÍ VLOŽKY	Δt f.t =	0	%
ŠÍŘKA HORNÍ VLOŽKY - VNITŘNÍ	b f.t =	320	mm			**HOR.T.I**	
TLOUŠŤKA VLOŽKY	t f.t =	10	mm	OSLABENÍ VLOŽKY	Δt f.t =	0	%
ŠÍŘKA DOLNÍ VLOŽKY - VNĚJŠÍ	b f.t =	320	mm			**HOR.B.O**	
TLOUŠŤKA VLOŽKY	t f.t =	10	mm	OSLABENÍ VLOŽKY	Δt f.t =	0	%
ŠÍŘKA DOLNÍ VLOŽKY - VNITŘNÍ	b f.t =	320	mm			**HOR.B.I**	
TLOUŠŤKA VLOŽKY	t f.t =	10	mm	OSLABENÍ VLOŽKY - VNITŘNÍ	Δt f.t =	0	%

VZD. OKRAJŮ PÁSNIC VNITŘNÍCH ÚHELNÍKŮ	396	mm
CELKOVÁ TLOUŠŤKA MEZI PÁSNICEMI ÚHELNÍKŮ I A .o	44	mm
CELKOVÁ TLOUŠŤKA MEZI PÁSNICEMI ÚHELNÍKŮ I A .r	8	mm

ZADANÉ ČÁSTI PRŮŘEZU:

č.prvku	b [mm]	h [mm]	y_s [mm]	z_s [mm]	popis části	druh oslabení	lokální ultimate	boulení servic.
1	80.0	8.0	-44.0	246.0	pásnice	0	1.000	1.000
2	4.8	72.0	-6.4	286.0	stěna	0	1.000	1.000
3	80.0	8.0	44.0	246.0	pásnice	0	1.000	1.000
4	4.8	72.0	6.4	286.0	stěna	0	1.000	1.000
5	80.0	8.0	-44.0	194.0	pásnice	0	1.000	1.000
6	4.8	72.0	-6.4	154.0	stěna	0	1.000	1.000
7	80.0	8.0	44.0	194.0	pásnice	0	1.000	1.000
8	4.8	72.0	6.4	154.0	stěna	0	1.000	1.000
9	80.0	8.0	-44.0	-246.0	pásnice	0	1.000	1.000
10	4.8	72.0	-6.4	-286.0	stěna	0	1.000	1.000
11	80.0	8.0	44.0	-246.0	pásnice	0	1.000	1.000
12	4.8	72.0	6.4	-286.0	stěna	0	1.000	1.000
13	80.0	8.0	-44.0	-194.0	pásnice	0	1.000	1.000
14	4.8	72.0	-6.4	-154.0	stěna	0	1.000	1.000
15	80.0	8.0	44.0	-194.0	pásnice	0	1.000	1.000
16	4.8	72.0	6.4	-154.0	stěna	0	1.000	1.000
17						0	1.000	1.000
18						0	1.000	1.000
19						0	1.000	1.000
20						0	1.000	1.000
21						0	1.000	1.000
22						0	1.000	1.000
23						0	1.000	1.000
24						0	1.000	1.000
25						0	1.000	1.000
26						0	1.000	1.000
27						0	1.000	1.000
28						0	1.000	1.000
29						0	1.000	1.000
30						0	1.000	1.000
31						0	1.000	1.000
32						0	1.000	1.000
33						0	1.000	1.000
34						0	1.000	1.000
35						0	1.000	1.000
36						0	1.000	1.000
37						0	1.000	1.000
38						0	1.000	1.000
39						0	1.000	1.000
40						0	1.000	1.000
41	320.0	10.0	0.0	237.0	pásnice	0	1.000	1.000
42	320.0	10.0	0.0	203.0	pásnice	0	1.000	1.000
43	320.0	10.0	0.0	-237.0	pásnice	0	1.000	1.000
44	320.0	10.0	0.0	-203.0	pásnice	0	1.000	1.000
45						0	1.000	1.000
46						0	1.000	1.000
47						0	1.000	1.000
48						0	1.000	1.000
49						0	1.000	1.000
50						0	1.000	1.000
51						0	1.000	1.000
52						0	1.000	1.000
53						0	1.000	1.000
54						0	1.000	1.000
55						0	1.000	1.000
56						0	1.000	1.000
57						0	1.000	1.000
58						0	1.000	1.000
59						0	1.000	1.000
60						0	1.000	1.000
61	4.8	-20.0	6.4	287.0	nyt-stěna	0	1.000	1.000
62	4.8	-20.0	6.4	153.0	nyt-stěna	0	1.000	1.000
63	4.8	-20.0	6.4	-287.0	nyt-stěna	0	1.000	1.000
64	4.8	-20.0	6.4	-153.0	nyt-stěna	0	1.000	1.000
65	-18.5	18.0	-49.0	199.0	nyt-pásnice	0	1.000	1.000
66	-18.5	18.0	49.0	199.0	nyt-pásnice	0	1.000	1.000
67	-18.5	18.0	-49.0	-199.0	nyt-pásnice	0	1.000	1.000
68	-18.5	18.0	49.0	-199.0	nyt-pásnice	0	1.000	1.000
69	-18.5	10.0	-122.0	203.0	nyt-pásnice	0	1.000	1.000
70	-18.5	10.0	122.0	203.0	nyt-pásnice	0	1.000	1.000
71	-18.5	10.0	-122.0	-203.0	nyt-pásnice	0	1.000	1.000
72	-18.5	10.0	122.0	-203.0	nyt-pásnice	0	1.000	1.000
73						0	1.000	1.000
74						0	1.000	1.000
75						0	1.000	1.000
76						0	1.000	1.000
77						0	1.000	1.000
78						0	1.000	1.000
79						0	1.000	1.000
80						0	1.000	1.000
81	4.8	-20.0	-6.4	287.0	nyt-stěna	0	1.000	1.000
82	4.8	-20.0	-6.4	153.0	nyt-stěna	0	1.000	1.000
83	4.8	-20.0	-6.4	-287.0	nyt-stěna	0	1.000	1.000
84	4.8	-20.0	-6.4	-153.0	nyt-stěna	0	1.000	1.000
85	-18.5	18.0	-49.0	241.0	nyt-pásnice	0	1.000	1.000
86	-18.5	18.0	49.0	241.0	nyt-pásnice	0	1.000	1.000
87	-18.5	18.0	-49.0	-241.0	nyt-pásnice	0	1.000	1.000
88	-18.5	18.0	49.0	-241.0	nyt-pásnice	0	1.000	1.000
89	-18.5	10.0	-122.0	237.0	nyt-pásnice	0	1.000	1.000
90	-18.5	10.0	122.0	237.0	nyt-pásnice	0	1.000	1.000
91	-18.5	10.0	-122.0	-237.0	nyt-pásnice	0	1.000	1.000
92	-18.5	10.0	122.0	-237.0	nyt-pásnice	0	1.000	1.000
93						0	1.000	1.000
94						0	1.000	1.000
95						0	1.000	1.000
96						0	1.000	1.000
97						0	1.000	1.000
98						0	1.000	1.000
99						0	1.000	1.000
100						0	1.000	1.000

NÝT Č.	SKUPINA	ŘEZ	RED.	VELIKOST di [mm]	POLOHA ei [mm]	POPIS	AKTIVITA OTVORU	NAPĚTÍ sc [MPa]
1		-	1.00	20	35	nýt - t.o - úhelník	1	87.43
2		-	1.00	20	35	nýt - t.i - úhelník	1	94.33
3		-	1.00	20	35	nýt - b.o - úhelník	1	116.98
4		-	1.00	20	35	nýt - b.i - úhelník	1	110.08
5	1	3	0.84	22	35	nýt - t.l - úhelník	1	86.66
6	1	3	0.84	22	35	nýt - t.r - úhelník	1	93.88
7	2	3	0.84	22	35	nýt - b.l - úhelník	1	111.47
8	2	3	0.84	22	35	nýt - b.r - úhelník	1	118.70
9	1	3	0.84	22	-122	nýt - t.l	1	81.49
10	1	3	0.84	22	122	nýt - t.r	1	99.47
11	2	3	0.84	22	-122	nýt - b.l	1	105.89
12	2	3	0.84	22	122	nýt - b.r	1	123.87
13								
14								
15								
16								
17								
18								
19								
20								

VÝPOČET PRŮŘEZOVÝCH CHARAKTERISTIK

Properties	Basic	Ultimate		Serviceability	
y_t	0.0	0.0		0.0	[mm]
z_t	0.0	0.0		0.0	[mm]
A_t	1.5766E-04	1.5766E-04		1.5766E-04	[mm²]
A_i	1.3769E-04	1.3769E-04		1.3769E-04	[mm²]
A_s	1.9968E-03	1.9968E-03		1.9968E-03	[mm²]
$I_{y,t}$	4.2813E+08	4.2813E+08		4.2813E+08	[mm⁴]
I_w	9.3362E+07	9.3362E+07		9.3362E+07	[mm⁶]
i_y	164.8	164.8		164.8	[mm]
i_z	77.0	77.0		77.0	[mm]
$W_{y,1}$	1.3296E+06	1.3296E+06		1.3296E+06	[mm³]
$W_{y,1}$	-5.8351E+05	-5.8351E+05		-5.8351E+05	[mm³]
$W_{y,2}$	-1.3296E+06	-1.3296E+06		-1.3296E+06	[mm³]
$W_{y,2}$	-5.8351E+05	-5.8351E+05		-5.8351E+05	[mm³]
KRAJNÍ VLÁKNA PRŮŘEZU					
y_1	-160.0	-160.0		-160.0	[mm] min
z_1	322.0	322.0		322.0	[mm] max
y_2	-160.0	-160.0		-160.0	[mm] min
z_2	-322.0	-322.0		-322.0	[mm] min
y_3	160.0	160.0		160.0	[mm] max
z_3	322.0	322.0		322.0	[mm] max
y_4	160.0	160.0		160.0	[mm] max
z_4	-322.0	-322.0		-322.0	[mm] min
y_5	-8.8	-8.8		-8.8	[mm]
z_5	-250.0	-250.0		-250.0	[mm]
y_6	-8.8	-8.8		-8.8	[mm]
z_6	-322.0	-322.0		-322.0	[mm]

SCHÉMA PROMĚNNÝCH

SCHÉMA ZADANÉHO PRŮŘEZU

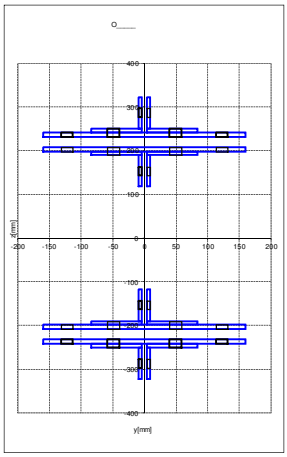

ÚPRAVA MOMENTŮ SETRVAČNOSTI V DŮSLEDKU ČLENĚNÍ PRŮŘEZU

OSA Y	0.55
OSA Z	1.00

NEUTRÁLNÁ OSA

NAPĚTÍ [MPa]:

74.31	97.89
107.46	131.05

ZS: SLS_LM_N.MAX

	N [kN]	Vy [kN]	Vz [kN]	Mx [kNm]	My [kNm]	Mz [kNm]
import	1619	5	-4	0	22	-7

TR_D4 POPIS: **DIAGONÁLA D4** POSUDEK: **D4**

SKUPINA ZAT. STAVŮ	EXTRÉM	VYHODNOCOVANÉ VELIČINY					
		N	Vy	Vz	Mx	My	Mz
		kN	kN	kN	kNm	kNm	kNm
G0	N.min	**399.43**	4.91	-0.39	0	1.91	-4.48
	N.max	**399.43**	4.91	-0.39	0	1.91	-4.48
	Vy.min	399.43	**4.91**	-0.39	0	1.91	-4.48
	Vy.max	399.43	**4.91**	-0.39	0	1.91	-4.48
	Vz.min	399.43	4.91	**-0.39**	0	1.91	-4.48
	Vz.max	399.43	4.91	**-0.39**	0	1.91	-4.48
	Mx.min	399.43	4.91	-0.39	**0**	1.91	-4.48
	Mx.max	399.43	4.91	-0.39	**0**	1.91	-4.48
	My.min	399.43	4.91	-0.39	0	**1.91**	-4.48
	My.max	399.43	4.91	-0.39	0	**1.91**	-4.48
	Mz.min	399.43	4.91	-0.39	0	1.91	**-4.48**
	Mz.max	399.43	4.91	-0.39	0	1.91	**-4.48**
G1	N.min	**29.66**	-0.01	-0.08	0	0.43	0
	N.max	**29.66**	-0.01	-0.08	0	0.43	0
	Vy.min	29.66	**-0.01**	-0.08	0	0.43	0
	Vy.max	29.66	**-0.01**	-0.08	0	0.43	0
	Vz.min	29.66	-0.01	**-0.08**	0	0.43	0
	Vz.max	29.66	-0.01	**-0.08**	0	0.43	0
	Mx.min	29.66	-0.01	-0.08	**0**	0.43	0
	Mx.max	29.66	-0.01	-0.08	**0**	0.43	0
	My.min	29.66	-0.01	-0.08	0	**0.43**	0
	My.max	29.66	-0.01	-0.08	0	**0.43**	0
	Mz.min	29.66	-0.01	-0.08	0	0.43	**0**
	Mz.max	29.66	-0.01	-0.08	0	0.43	**0**
G2	N.min	**23.16**	0	0.01	0	-0.27	-0.02
	N.max	**23.16**	0	0.01	0	-0.27	-0.02
	Vy.min	23.16	**0**	0.01	0	-0.27	-0.02
	Vy.max	23.16	**0**	0.01	0	-0.27	-0.02
	Vz.min	23.16	0	**0.01**	0	-0.27	-0.02
	Vz.max	23.16	0	**0.01**	0	-0.27	-0.02
	Mx.min	23.16	0	0.01	**0**	-0.27	-0.02
	Mx.max	23.16	0	0.01	**0**	-0.27	-0.02
	My.min	23.16	0	0.01	0	**-0.27**	-0.02
	My.max	23.16	0	0.01	0	**-0.27**	-0.02
	Mz.min	23.16	0	0.01	0	-0.27	**-0.02**
	Mz.max	23.16	0	0.01	0	-0.27	**-0.02**
P1_71	N.min	**-42.9**	-0.04	-1.73	0	7.92	0.27
	N.max	**306.19**	0.07	-1.55	0.01	18.04	-0.51
	Vy.min	166.92	**-0.2**	-3.29	0.01	19.39	0.54
	Vy.max	108.29	**0.19**	-0.77	0	10.52	-0.62
	Vz.min	189.85	-0.08	**-4.23**	0.01	24.84	0.27
	Vz.max	101.15	0.04	**0.29**	0	5.04	-0.3
	Mx.min	0	0	0	**0**	0	0
	Mx.max	245.81	-0.04	-3.84	**0.01**	27.78	0.03
	My.min	0	0	0	0	**0**	0
	My.max	240.71	-0.06	-3.97	0.01	**28.02**	0.1
	Mz.min	254.44	0.17	-0.77	0.01	12.44	**-0.8**
	Mz.max	22.41	-0.18	-3.37	0.01	17.94	**0.73**
P2_71	N.min	**-113.3**	-0.07	-1.25	0	2.96	0.55
	N.max	**732.21**	0.3	0.3	0	1.28	-1.71
	Vy.min	180.75	**-0.52**	-2.3	0	8.08	1.7
	Vy.max	467.96	**0.63**	0.52	0	0.07	-2.36
	Vz.min	3.75	-0.19	**-4.04**	0	17.58	1.21
	Vz.max	640.86	0.15	**2.03**	0	-8.73	-1.49
	Mx.min	535.6	-0.24	1.38	**0**	-9.57	-0.21
	Mx.max	119.47	0.15	-3.44	**0.01**	18.18	0.1
	My.min	518.58	-0.17	1.42	0	**-10.07**	-0.41
	My.max	127.18	0.05	-3.63	0.01	**18.95**	0.43
	Mz.min	599.21	0.61	0.86	0	-2.27	**-2.55**
	Mz.max	62.42	-0.5	-2.97	0	12.16	**1.95**
P1_C3	N.min	**-32.01**	-0.01	-0.9	0	4.06	0.12
	N.max	**256.03**	0.06	-1.34	0.01	14.37	-0.41
	Vy.min	148.04	**-0.2**	-2.37	0	14.37	0.5
	Vy.max	68.63	**0.16**	-0.31	0	5.82	-0.53
	Vz.min	153.5	-0.09	**-3.13**	0.01	18.08	0.25
	Vz.max	85.91	0.04	**0.24**	0	4.11	-0.26
	Mx.min	0	0	0	**0**	0	0
	Mx.max	213.44	0	-2.65	**0.01**	20.58	-0.11
	My.min	0	0	0	0	**0**	0
	My.max	212.37	-0.07	-2.93	0.01	**21.42**	0.1
	Mz.min	197.78	0.14	-0.37	0	7.69	**-0.68**
	Mz.max	27.13	-0.18	-2.2	0	12.03	**0.64**
P2_C3	N.min	**-83.96**	-0.05	-0.87	0	1.96	0.4
	N.max	**609.98**	0.22	-0.2	0	1.9	-1.24
	Vy.min	161.67	**-0.53**	-1.78	0	6.02	1.66
	Vy.max	342.92	**0.54**	0.85	0	-3.38	-2.06
	Vz.min	-9.87	-0.13	**-2.97**	0	12.66	0.86
	Vz.max	532.27	0.18	**1.66**	0	-7.64	-1.44
	Mx.min	452.79	-0.18	1.28	**0**	-8.56	-0.24
	Mx.max	104.07	0.16	-2.4	**0**	13.25	-0.07
	My.min	393.85	-0.15	1.04	0	**-8.83**	-0.26
	My.max	102.25	0.08	-2.63	0	**14.02**	0.19
	Mz.min	444.85	0.53	0.99	0	-4.85	**-2.2**
	Mz.max	59.23	-0.52	-1.92	0	7.53	**1.8**
BR	N.min	**-23.21**	-0.04	-0.07	0	0.01	0.24
	N.max	**23.21**	0.04	0.07	0	-0.01	-0.24
	Vy.min	-21.64	**-0.07**	-0.06	0	-0.37	0.34
	Vy.max	21.64	**0.07**	0.06	0	0.37	-0.34
	Vz.min	-19.02	-0.07	**-0.09**	0	-0.02	0.33
	Vz.max	19.02	0.07	**0.09**	0	0.02	-0.33
	Mx.min	-21.64	-0.07	-0.06	**0**	-0.37	0.34
	Mx.max	21.64	0.07	0.06	**0**	0.37	-0.34
	My.min	-20.67	-0.07	-0.02	0	**-0.38**	0.37
	My.max	20.67	0.07	0.02	0	**0.38**	-0.37
	Mz.min	20.67	0.07	0.02	0	0.38	**-0.37**
	Mz.max	-20.67	-0.07	-0.02	0	-0.38	**0.37**

TR_D4 POPIS: **DIAGONÁLA D4** POSUDEK: **D4**

SKUPINA ZAT. STAVŮ	EXTRÉM	VYHODNOCOVANÉ VELIČINY					
		N	Vy	Vz	Mx	My	Mz
		kN	kN	kN	kNm	kNm	kNm
S	N.min	**-3.67**	-0.07	0.08	0	-1.55	0.19
	N.max	**3.67**	0.07	-0.08	0	1.55	-0.19
	Vy.min	-3.67	**-0.07**	0.08	0	-1.55	0.19
	Vy.max	3.67	**0.07**	-0.08	0	1.55	-0.19
	Vz.min	3.45	0.02	**-0.64**	0	4.64	-0.12
	Vz.max	-3.45	-0.02	**0.64**	0	-4.64	0.12
	Mx.min	-3.67	-0.07	0.08	**0**	-1.55	0.19
	Mx.max	3.67	0.07	-0.08	**0**	1.55	-0.19
	My.min	-3.45	-0.02	0.64	0	**-4.64**	0.12
	My.max	3.45	0.02	-0.64	0	**4.64**	-0.12
	Mz.min	3.62	0.07	0.08	0	1.85	**-0.19**
	Mz.max	-3.62	-0.07	-0.08	0	-1.85	**0.19**
CH	N.min	**19.91**	0	-0.05	0	0.81	-0.03
	N.max	**57.66**	0	0.17	0	-1.75	-0.04
	Vy.min	19.91	**0**	-0.05	0	0.81	-0.03
	Vy.max	57.66	**0**	0.17	0	-1.75	-0.04
	Vz.min	19.91	0	**-0.05**	0	0.81	-0.03
	Vz.max	57.66	0	**0.17**	0	-1.75	-0.04
	Mx.min	57.66	0	0.17	**0**	-1.75	-0.04
	Mx.max	19.91	0	-0.05	**0**	0.81	-0.03
	My.min	57.66	0	0.17	0	**-1.75**	-0.04
	My.max	19.91	0	-0.05	0	**0.81**	-0.03
	Mz.min	57.66	0	0.17	0	-1.75	**-0.04**
	Mz.max	31.17	0	0.13	0	-1.27	**0.01**
W	N.min	**-31.37**	0.1	2.66	0	-5.56	-0.23
	N.max	**31.38**	-0.1	-2.66	0	5.57	0.23
	Vy.min	31.38	**-0.1**	-2.66	0	5.57	0.23
	Vy.max	-31.37	**0.1**	2.66	0	-5.56	-0.23
	Vz.min	31.38	-0.1	**-2.66**	0	5.57	0.23
	Vz.max	-31.37	0.1	**2.66**	0	-5.56	-0.23
	Mx.min	-31.37	0.1	2.66	**0**	-5.56	-0.23
	Mx.max	31.38	-0.1	-2.66	**0**	5.57	0.23
	My.min	-31.37	0.1	2.66	0	**-5.56**	-0.23
	My.max	31.38	-0.1	-2.66	0	**5.57**	0.23
	Mz.min	-31.37	0.1	2.66	0	-5.56	**-0.23**
	Mz.max	31.38	-0.1	-2.66	0	5.57	**0.23**
WP	N.min	**-23.51**	0.16	-0.38	0	7.08	-0.41
	N.max	**23.49**	-0.16	0.38	0	-7.08	0.41
	Vy.min	23.49	**-0.16**	0.38	0	-7.08	0.41
	Vy.max	-23.51	**0.16**	-0.38	0	7.08	-0.41
	Vz.min	-23.51	0.16	**-0.38**	0	7.08	-0.41
	Vz.max	23.49	-0.16	**0.38**	0	-7.08	0.41
	Mx.min	23.49	-0.16	0.38	**0**	-7.08	0.41
	Mx.max	-23.51	0.16	-0.38	**0**	7.08	-0.41
	My.min	23.49	-0.16	0.38	0	**-7.08**	0.41
	My.max	-23.51	0.16	-0.38	0	**7.08**	-0.41
	Mz.min	-23.51	0.16	-0.38	0	7.08	**-0.41**
	Mz.max	23.49	-0.16	0.38	0	-7.08	**0.41**
TR	N.min	**0**	0	0	0	0	0
	N.max	**0**	0	0	0	0	0
	Vy.min	0	**0**	0	0	0	0
	Vy.max	0	**0**	0	0	0	0
	Vz.min	0	0	**0**	0	0	0
	Vz.max	0	0	**0**	0	0	0
	Mx.min	0	0	0	**0**	0	0
	Mx.max	0	0	0	**0**	0	0
	My.min	0	0	0	0	**0**	0
	My.max	0	0	0	0	**0**	0
	Mz.min	0	0	0	0	0	**0**
	Mz.max	0	0	0	0	0	**0**
TN	N.min	**-11.77**	0.02	0.75	0	-7.09	-0.05
	N.max	**7.31**	0.21	-1.35	0	9.75	-1.18
	Vy.min	4.57	**-0.24**	0.19	0	-1.55	1.26
	Vy.max	-4.57	**0.24**	-0.19	0	1.55	-1.26
	Vz.min	7.31	0.21	**-1.35**	0	9.75	-1.18
	Vz.max	-11.77	0.02	**0.75**	0	-7.09	-0.05
	Mx.min	-11.77	0.02	0.75	**0**	-7.09	-0.05
	Mx.max	7.31	0.21	-1.35	**0**	9.75	-1.18
	My.min	-11.77	0.02	0.75	0	**-7.09**	-0.05
	My.max	7.31	0.21	-1.35	0	**9.75**	-1.18
	Mz.min	-4.57	0.24	-0.19	0	1.55	**-1.26**
	Mz.max	4.57	-0.24	0.19	0	-1.55	**1.26**
FR	N.min	**-1.38**	-0.01	-0.01	0	-0.04	0.07
	N.max	**1.38**	0.01	0.01	0	0.04	-0.07
	Vy.min	-1.38	**-0.01**	-0.01	0	-0.04	0.07
	Vy.max	1.38	**0.01**	0.01	0	0.04	-0.07
	Vz.min	-1.38	-0.01	**-0.01**	0	-0.04	0.07
	Vz.max	1.38	0.01	**0.01**	0	0.04	-0.07
	Mx.min	-1.38	-0.01	-0.01	**0**	-0.04	0.07
	Mx.max	1.38	0.01	0.01	**0**	0.04	-0.07
	My.min	-1.38	-0.01	-0.01	0	**-0.04**	0.07
	My.max	1.38	0.01	0.01	0	**0.04**	-0.07
	Mz.min	1.38	0.01	0.01	0	0.04	**-0.07**
	Mz.max	-1.38	-0.01	-0.01	0	-0.04	**0.07**
I	N.min	**-8.45**	0.01	0.37	0	-2.59	**-0.01**
	N.max	**8.45**	-0.01	-0.37	0	2.59	**0.01**
	Vy.min	8.45	**-0.01**	-0.37	0	2.59	**0.01**
	Vy.max	-8.45	**0.01**	0.37	0	-2.59	**-0.01**
	Vz.min	8.45	-0.01	**-0.37**	0	2.59	**0.01**
	Vz.max	-8.45	0.01	**0.37**	0	-2.59	**-0.01**
	Mx.min	-8.45	0.01	0.37	**0**	-2.59	**-0.01**
	Mx.max	8.45	-0.01	-0.37	**0**	2.59	**0.01**
	My.min	-8.45	0.01	0.37	0	**-2.59**	**-0.01**
	My.max	8.45	-0.01	-0.37	0	**2.59**	**0.01**
	Mz.min	-8.45	0.01	0.37	0	-2.59	**-0.01**
	Mz.max	8.45	-0.01	-0.37	0	2.59	**0.01**

TAB. D4.3 POSOUZENÍ - MEZNÍ STAV ÚNOSNOSTI

POPIS	DIAGONÁLA D4
PRUT / POLOHA BODU	248 / J[2709]
NAMÁHÁNÍ	N.max
VLÁKNO	BOD K1 -HL
MEZNÍ STAV	ULS (MSÚ)
VYUŽITÍ VLÁKNA PRŮŘEZU	0.64

Charakteristiky materiálu				
pás. horní	$f_{yf,k}$	230	MPa	
pás. dolní	$f_{yf,k}$	230	MPa	
stojina	$f_{yw,k}$	230	MPa	
výztuž	$f_{ys,k}$	500	MPa	
	γ_{M} =	1.10	γ_{s} =	1.15

Excentricita normálové síly				
Exc./Fáze	0	1	2	3
e_y	0.000	0.000	0.000	0.000
e_z	0.000	0.000	0.000	0.000
Ekvivalentní vzdál. stěn - příčný roznos				
b_{Mx}	0.000	0.000	0.000	0.000

Vliv stěny na únosnost průřezu				
Char./Fáze	0	1	2	3
A	0.00	0.00	0.00	0.00
Wy	0.00	0.00	0.00	0.00
Wz	0.00	0.00	0.00	0.00

Charakter. v kroucení			
$t_{w,y}$	0.000	[mm]	
$t_{w,z}$	0.000	[mm]	
κ	1.00		
I_t=	0.00E+00	[mm^4]	
Ω=2*A_{pz}	0.00E+00	[mm^2]	

Součinitele vzpěru a vlivu II.řádu					
Char./Fáze	0	1	2	3
k_y	1.000	1.000	1.000	1.000
k_z	1.000	1.000	1.000	1.000
χ_{LT}	1.000	1.000	1.000	1.000
χ_{min}	1.000	1.000	1.000	1.000

Vnitřní síly od jednotlivých skupin zatěžovacích stavů

SKUPINA ZATĚŽOVACÍCH STAVŮ — 3

Č.	SKUP ZS	POPIS ZS	KAT.	FÁZE PRŮŘ.	- CHARAKTERISTICKÉ HODNOTY N.k (kN)	Vy.k (kN)	Vz.k (kN)	Mx.k (kNm)	My.k (kNm)	Mz.k (kNm)	γ_{sup} (-)	γ_{inf} (-)	volba ψ_i hledat	ψ_i (-)	L_d (m)	δ (-)	Ψ_E KZ03	- NÁVRHOVÉ HODNOTY N.d (kN)	Vy.d (kN)	Vz.d (kN)	ΔVz.d (kN)	ΣVz.d (kN)	Mx.d (kNm)	My.d (kNm)	ΔMy.d (kNm)	ΣMy.d (kNm)	Mz.d (kNm)	ΔMz.d (kNm)	ΣMz.d (kNm)
1	G0	Vlastní tíha OK	G	0	399	5	0	0	2	-4	1.00	1.20		1.20	-	1.00	0.95	455	6	0	0	0	0	2	0	2	-5	0	-5
2	G1	Ostatní stálé - mostní vybavení	G	0	30	0	0	0	0	0	1.00	1.20		1.20	-	1.00	0.95	34	0	0	0	0	0	0	0	0	0	0	0
3	G2	Ostatní stálé - cizí zařízení	G	0	23	0	0	0	0	0	1.00	1.20		1.20	-	1.00	0.95	26	0	0	0	0	0	0	0	0	0	0	0
4	P1_71	a.LM71 - kolej 1 (bez dyn. souč.)	P	0	306	0	-2	0	18	-1	1.00	1.30		1.30	-	1.00	1.00	398	0	-2	0	-2	0	23	0	23	-1	0	-1
5	P2_71	a.LM71 - kolej 2 (bez dyn. souč.)	P	0	732	0	0	0	1	-2	1.00	1.30		1.30	-	1.00	1.00	952	0	0	0	0	0	2	0	2	-2	0	-2
6	P1_C3	TTZ C3 - kolej 1 (bez dyn. souč.)	P	0	256	0	-1	0	14	0	1.00	vyp.		0.00	-	1.00	0.00	0	0	0	0	0	0	0	0	0	0	0	0
7	P2_C3	TTZ C3 - kolej 2 (bez dyn. souč.)	P	0	610	0	0	0	2	-1	1.00	vyp.		0.00	-	1.00	0.00	0	0	0	0	0	0	0	0	0	0	0	0
8	BR	Brzdné a rozjezdové síly	P	0	23	0	0	0	0	0	1.00	1.30		1.30	-	1.00	0.80	24	0	0	0	0	0	0	0	0	0	0	0
9	S	Boční ráz	P	0	4	0	0	0	2	0	1.00	0.00		0.00	-	1.00	0.40	0	0	0	0	0	0	0	0	0	0	0	0
10	CH	Chodci na lávkách	Q	0	58	0	0	0	-2	0	1.00	1.30		1.30	-	1.00	1.00	75	0	0	0	0	0	-2	0	-2	0	0	0
11	W	Vítr na konstrukci	Q	0	31	0	-3	0	6	0	1.00	-1.35		-1.35	-	1.00	0.75	-32	0	3	0	3	0	-6	0	-6	0	0	0
12	WP	Vítr na vozidla	Q	0	23	0	0	0	-7	0	1.00	1.35		1.35	-	1.00	0.75	24	0	0	0	0	0	-7	0	-7	0	0	0
13	TR	Teplota rovnoměrná	Q	0	0	0	0	0	0	0	1.00	1.35		1.35	-	1.00	0.45	0	0	0	0	0	0	0	0	0	0	0	0
14	TN	Teplota nerovnoměrná	Q	0	7	0	-1	0	10	-1	1.00	-1.35		-1.35	-	1.00	0.60	-6	0	1	0	1	0	-8	0	-8	1	0	1
15	FR	Třecí síly v ložiskách	Q	0	1	0	0	0	0	0	1.00	1.20		1.20	-	1.00	1.00	2	0	0	0	0	0	0	0	0	0	0	0
16	I	Imperfekce soustavy	Q	0	8	0	0	0	3	0	1.00	-1.20		-1.20	-	1.00	1.00	-10	0	0	0	0	0	-3	0	-3	0	0	0
27	ULS_LM	ULS - LM71 bez dynam	Q	0	2 046	6	-6	0	36	-9	1.00	vyp.		0.00	-	1.00	0.00	0	0	0	0	0	0	0	0	0	0	0	0
28	SLS_LM	SLS - LM71 bez dynam	Q	0	1 624	5	-4	0	22	-7	1.00	vyp.	1	0.00	-	1.00	0.00	0	0	0	0	0	0	0	0	0	0	0	0
29	ULS_C3	ULS - C3 bez dynam	Q	0	1 822	6	-6	0	32	-8	1.00	vyp.	1	0.00	-	1.00	0.00	0	0	0	0	0	0	0	0	0	0	0	0
30	SLS_C3	SLS - C3 bez dynam	Q	0	1 452	5	-4	0	19	-6	1.00	vyp.	1	0.00	-	1.00	0.00	0	0	0	0	0	0	0	0	0	0	0	0
		CELKEM - FÁZE PRŮŘEZU 0																1 942	6	3	0	3	0	1	0	1	-7	0	-7
		CELKEM - FÁZE PRŮŘEZU 1																0	0	0	0	0	0	0	0	0	0	0	0
		CELKEM - FÁZE PRŮŘEZU 2																0	0	0	0	0	0	0	0	0	0	0	0
		CELKEM - FÁZE PRŮŘEZU 3																0	0	0	0	0	0	0	0	0	0	0	0
		CELKEM - PRŮŘEZ																1 942	6	3	0	3	0			1			-7

Napětí od jednotlivých zatěžovacích stavů

SKUPINA ZATĚŽOVACÍCH STAVŮ

Č.	SKUP ZS	Popis ZS	Kat.	fáze průř.	Posouzení normálového napětí — Účinek síly N δ^*N_d [kN]	χ^*A [mm^2]	σ_n [MPa]	Účinek momentu My $\delta^*M_{y,d}$ [kNm]	$\chi_{lt}{}^*W_{el,y}$ [mm^3]	σ_{my} [MPa]	Účinek momentu Mz $\delta^*M_{z,d}$ [kNm]	$W_{el,z}$ [mm^3]	σ_{mz} [MPa]	σ_x [MPa]	Posouzení smykového napětí — Účinek kroutícího momentu Mx $\kappa^*\delta^*M_{x,d}$ [kNm]	$W_{v,y}$ [mm^3]	$\tau_{x,y}$ [MPa]	$W_{v,z}$ [mm^3]	$\tau_{x,z}$ [MPa]	Účinek smykové síly Vy $\delta^*V_{y,d}$ [kN]	$A_{v,y}$ [mm2]	$\tau_{v,y}$ [MPa]	$\tau_{v,y}$ [MPa]	Účinek smykové síly Vz $\delta^*V_{z,d}$ [kN]	$A_{v,z}$ [mm2]	$\tau_{v,z}$ [MPa]	$\tau_{v,z}$ [MPa]
1	G0	Vlastní tíha OK	G	0	455.4	1.58E+04	28.9	2.2	-1.33E+06	-1.6	-5.1	-5.84E+05	8.8	36.0	0.0E+00	-	-	-	-	5.6	1.38E+04	0.4	0.4	-0.4	2.00E+03	-0.2	-0.2
2	G1	Ostatní stálé - mostní vybavení	G	0	33.8	1.58E+04	2.1	0.5	-1.33E+06	-0.4	0.0	-5.84E+05	0.0	1.8	0.0E+00	-	-	-	-	0.0	1.38E+04	0.0	0.0	-0.1	2.00E+03	0.0	0.0
3	G2	Ostatní stálé - cizí zařízení	G	0	26.4	1.58E+04	1.7	-0.3	-1.33E+06	0.2	0.0	-5.84E+05	0.0	1.9	0.0E+00	-	-	-	-	0.0	1.38E+04	0.0	0.0	0.0	2.00E+03	0.0	0.0
4	P1_71	a.LM71 - kolej 1 (bez dyn. souč.)	P	0	398.0	1.58E+04	25.2	23.5	-1.33E+06	-17.6	-0.7	-5.84E+05	1.1	8.7	1.3E-02	-	-	-	-	0.1	1.38E+04	0.0	0.0	-2.0	2.00E+03	-1.0	-1.0
5	P2_71	a.LM71 - kolej 2 (bez dyn. souč.)	P	0	951.9	1.58E+04	60.4	1.7	-1.33E+06	-1.3	-2.2	-5.84E+05	3.8	62.9	0.0E+00	-	-	-	-	0.4	1.38E+04	0.0	0.0	0.4	2.00E+03	0.2	0.2
6	P1_C3	TTZ C3 - kolej 1 (bez dyn. souč.)	P	0	0.0	1.58E+04	0.0	0.0	-1.33E+06	0.0	0.0	-5.84E+05	0.0	0.0	0.0E+00	-	-	-	-	0.0	1.38E+04	0.0	0.0	0.0	2.00E+03	0.0	0.0
7	P2_C3	TTZ C3 - kolej 2 (bez dyn. souč.)	P	0	0.0	1.58E+04	0.0	0.0	-1.33E+06	0.0	0.0	-5.84E+05	0.0	0.0	0.0E+00	-	-	-	-	0.0	1.38E+04	0.0	0.0	0.0	2.00E+03	0.0	0.0
8	BR	Brzdné a rozjezdové síly	P	0	24.1	1.58E+04	1.5	0.0	-1.33E+06	0.0	-0.2	-5.84E+05	0.4	2.0	0.0E+00	-	-	-	-	0.0	1.38E+04	0.0	0.0	0.1	2.00E+03	0.0	0.0
9	S	Boční ráz	P	0	0.0	1.58E+04	0.0	0.0	-1.33E+06	0.0	0.0	-5.84E+05	0.0	0.0	0.0E+00	-	-	-	-	0.0	1.38E+04	0.0	0.0	0.0	2.00E+03	0.0	0.0
10	CH	Chodci na lávkách	Q	0	75.0	1.58E+04	4.8	-2.3	-1.33E+06	1.7	-0.1	-5.84E+05	0.1	6.6	0.0E+00	-	-	-	-	0.0	1.38E+04	0.0	0.0	0.2	2.00E+03	0.1	0.1
11	W	Vítr na konstrukci	Q	0	-31.8	1.58E+04	-2.0	-5.6	-1.33E+06	4.2	-0.2	-5.84E+05	0.4	2.6	0.0E+00	-	-	-	-	0.1	1.38E+04	0.0	0.0	2.7	2.00E+03	1.3	1.3
12	WP	Vítr na vozidla	Q	0	23.8	1.58E+04	1.5	-7.2	-1.33E+06	5.4	0.4	-5.84E+05	-0.7	6.2	0.0E+00	-	-	-	-	-0.2	1.38E+04	0.0	0.0	0.4	2.00E+03	0.2	0.2
13	TR	Teplota rovnoměrná	Q	0	0.0	1.58E+04	0.0	0.0	-1.33E+06	0.0	0.0	-5.84E+05	0.0	0.0	0.0E+00	-	-	-	-	0.0	1.38E+04	0.0	0.0	0.0	2.00E+03	0.0	0.0
14	TN	Teplota nerovnoměrná	Q	0	-5.9	1.58E+04	-0.4	-7.9	-1.33E+06	5.9	1.0	-5.84E+05	-1.6	3.9	0.0E+00	-	-	-	-	-0.2	1.38E+04	0.0	0.0	1.1	2.00E+03	0.5	0.5
15	FR	Třecí síly v ložiskách	Q	0	1.7	1.58E+04	0.1	0.0	-1.33E+06	0.0	-0.1	-5.84E+05	0.1	0.2	0.0E+00	-	-	-	-	0.0	1.38E+04	0.0	0.0	0.0	2.00E+03	0.0	0.0
16	I	Imperfekce soustavy	Q	0	-10.1	1.58E+04	-0.6	-3.1	-1.33E+06	2.3	0.0	-5.84E+05	0.0	1.7	0.0E+00	-	-	-	-	0.0	1.38E+04	0.0	0.0	0.4	2.00E+03	0.2	0.2
27	ULS_LM	ULS - LM71 bez dynam	Q	0	0.0	1.58E+04	0.0	0.0	-1.33E+06	0.0	0.0	-5.84E+05	0.0	0.0	0.0E+00	-	-	-	-	0.0	1.38E+04	0.0	0.0	0.0	2.00E+03	0.0	0.0
28	SLS_LM	SLS - LM71 bez dynam	Q	0	0.0	1.58E+04	0.0	0.0	-1.33E+06	0.0	0.0	-5.84E+05	0.0	0.0	0.0E+00	-	-	-	-	0.0	1.38E+04	0.0	0.0	0.0	2.00E+03	0.0	0.0
29	ULS_C3	ULS - C3 bez dynam	Q	0	0.0	1.58E+04	0.0	0.0	-1.33E+06	0.0	0.0	-5.84E+05	0.0	0.0	0.0E+00	-	-	-	-	0.0	1.38E+04	0.0	0.0	0.0	2.00E+03	0.0	0.0
30	SLS_C3	SLS - C3 bez dynam	Q	0	0.0	1.58E+04	0.0	0.0	-1.33E+06	0.0	0.0	-5.84E+05	0.0	0.0	0.0E+00	-	-	-	-	0.0	1.38E+04	0.0	0.0	0.0	2.00E+03	0.0	0.0
NAVÝŠENÍ NAPĚTÍ DO AKTIVACE TLAKU V DESCE MOSTOVKY						$\sigma_{P,red}$	0.0							0.0				0.0		0.0		0.4	0.4			1.4	1.4
NAPĚTÍ OD PRIMÁRNÍCH ÚČINKŮ NEROVNOMĚRNÉHO OTEPLENÍ						σ_T	0.0							0.0													
NAPĚTÍ OD REOLOGICKÝCH ÚČINKŮ BETONU V ČASE			t=0			σ_R	0.0	γ_{inf}=	1.20					0.0													
NAPĚTÍ V KRITICKÝCH VLÁKNECH OD KOMBINACE ZATÍŽENÍ						KZ03		[MPa]					$\Sigma\sigma_x$	134.6								$\Sigma\tau_y$	0.4			$\Sigma\tau_z$	1.4
NAPĚTÍ OD POHYBLIVÉHO ZATÍŽENÍ								[MPa]					$\sigma_{x,P}$	73.6								τ_P	0.0			τ_P	-0.8
NAPĚTÍ OD OSTATNÍCH ZATÍŽENÍ								[MPa]			Φ_{Vy}	Φ_{Vz}	$\sigma_{x,rs}$	60.9								τ_{rs}	0.4			τ_{rs}	2.2
NÁVRHOVÁ HODNOTA MEZE KLUZU S REDUKCÍ VLIVEM SMYKOVÉHO NAPĚTÍ								[MPa]			1.00	1.00	$f_{yv,d}$	209.1								$f_{yd}/3^{0,5}$	120.7			$f_{yd}/3^{0,5}$	120.7
NAPĚTÍ OD POHYBLIVÉHO ZATÍŽENÍ V GLOBÁLNÍM SYSTÉMU						$\sigma_{GLOB,P}$	0.0	[MPa]					$\Sigma\sigma_{GLOB}$	0.0													
NAPĚTÍ OD OSTATNÍCH ZATÍŽENÍ V GLOBÁLNÍM SYSTÉMU						$\sigma_{GLOB,rs}$	0.0	[MPa]					$\Sigma\sigma_x + \Sigma\sigma_{GLOB}$	134.6													
VYUŽITÍ PRŮŘEZU DLE NAPĚTÍ								[%]					η_1	0.64								η_3	0.00			η_3	0.01
NAPĚTÍ V PŘÍČNÉM SMĚRU OD POHYBLIVÉHO ZATÍŽENÍ						$\sigma_{z,P}$	0.0	[MPa]					$\Sigma\sigma_z$	0.0													
NAPĚTÍ V PŘÍČNÉM SMĚRU OD OSTATNÍCH ZATÍŽENÍ						$\sigma_{z,rs}$	0.0	[MPa]					η_2	0.00													
SROVNÁVACÍ NAPĚTÍ													$(\eta 2 + 0{,}8\,\eta 1)/1{,}4$ =	0.37													
VYUŽITÍ PRŮŘEZU CELKEM								[%]					eff	0.64	VYHOVUJE												
													z_{LM71} =	2.01													

TAB. D4.3 POSOUZENÍ - MEZNÍ STAV ÚNOSNOSTI

POPIS	DIAGONÁLA D4
PRUT / POLOHA BODU	248 / J[2709]
NAMÁHÁNÍ	N.max
VLÁKNO	BOD K3 -SL
MEZNÍ STAV	ULS (MSÚ)
VYUŽITÍ VLÁKNA PRŮŘEZU	0.86

Charakteristiky materiálu				
pás. horní	$f_{yf,k}$	230	MPa	
pás. dolní	$f_{yf,k}$	230	MPa	
stojina	$f_{yw,k}$	230	MPa	
výztuž	$f_{ys,k}$	500	MPa	
	γ_{M} =	1.10	γ_{s} =	1.15

Excentricita normálové síly				
Exc./Fáze	0	1	2	3
e_y	0.000	0.000	0.000	0.000
e_z	0.000	0.000	0.000	0.000
Ekvivalentní vzdál. stěn - příčný roznos				
b_{Mx}	0.000	0.000	0.000	0.000

Vliv stěny na únosnost průřezu				
Char./Fáze	0	1	2	3
A	0.00	0.00	0.00	0.00
Wy	0.00	0.00	0.00	0.00
Wz	0.00	0.00	0.00	0.00

Charakter. v kroucení		
$t_{w,y}$	0.000	[mm]
$t_{w,z}$	0.000	[mm]
κ	1.00	
I_t=	0.00E+00	[mm^4]
Ω=2*A_{pr}	0.00E+00	[mm^2]

Součinitele vzpěru a vlivu II.řádu					
Char./Fáze	0	1	2	3
k_y	1.000	1.000	1.000	1.000
k_z	1.000	1.000	1.000	1.000
χ_{LT}	1.000	1.000	1.000	1.000
χ_{min}	1.000	1.000	1.000	1.000

Vnitřní síly od jednotlivých skupin zatěžovacích stavů

3

SKUPINA ZATĚŽOVACÍCH STAVŮ					- CHARAKTERISTICKÉ HODNOTY						DÍLČÍ SOUČINITELÉ ZATÍŽENÍ, DYNAMICKÝ SOUČINITEL							- NÁVRHOVÉ HODNOTY									
Č.	SKUP ZS	POPIS ZS	KAT.	FÁZE PRŮŘ.	N.k (kN)	Vy.k (kN)	Vz.k (kN)	Mx.k (kNm)	My.k (kNm)	Mz.k (kNm)	γ_{sr} (-)	γ_{s} (-)	volba γ_i hledat	γ_i (-)	L_d (m)	δ (-)	Ψ_0 KZ03	N.d (kN)	Vy.d (kN)	Vz.d (kN)	ΔVz.d (kN)	ΣVz.d (kN)	Mx.d (kNm)	My.d (kNm)	ΔMy.d (kNm)	ΣMy.d (kNm)	Mz.d (kNm)	ΔMz.d (kNm)	ΣMz.d (kNm)
1	G0	Vlastní tíha OK	G	0	399	5	0	0	2	-4	1.00	1.20		1.20	-	1.00	0.95	455	6	0	0	0	0	2	0	2	-5	0	-5
2	G1	Ostatní stálé - mostní vybavení	G	0	30	0	0	0	0	0	1.00	1.20		1.20	-	1.00	0.95	34	0	0	0	0	0	0	0	0	0	0	0
3	G2	Ostatní stálé - cizí zařízení	G	0	23	0	0	0	0	0	1.00	1.20		1.20	-	1.00	0.95	26	0	0	0	0	0	0	0	0	0	0	0
4	P1_71	a.LM71 - kolej 1 (bez dyn. souč.)	P	0	306	0	-2	0	18	-1	1.00	1.30		1.30	-	1.00	1.00	398	0	-2	0	-2	0	23	0	23	-1	0	-1
5	P2_71	a.LM71 - kolej 2 (bez dyn. souč.)	P	0	732	0	0	0	1	-2	1.00	1.30		1.30	-	1.00	1.00	952	0	0	0	0	0	2	0	2	-2	0	-2
6	P1_C3	TTZ C3 - kolej 1 (bez dyn. souč.)	P	0	256	0	-1	0	14	0	1.00	vyp.		0.00	-	1.00	0.00	0	0	0	0	0	0	0	0	0	0	0	0
7	P2_C3	TTZ C3 - kolej 2 (bez dyn. souč.)	P	0	610	0	0	0	2	-1	1.00	vyp.		0.00	-	1.00	0.00	0	0	0	0	0	0	0	0	0	0	0	0
8	BR	Brzdné a rozjezdové síly	P	0	23	0	0	0	0	0	1.00	1.30		1.30	-	1.00	0.80	24	0	0	0	0	0	0	0	0	0	0	0
9	S	Boční ráz	P	0	4	0	0	0	2	0	1.00	1.30		1.30	-	1.00	0.40	2	0	0	0	0	0	1	0	1	0	0	0
10	CH	Chodci na lávkách	Q	0	58	0	0	0	-2	0	1.00	1.30		1.30	-	1.00	1.00	75	0	0	0	0	0	-2	0	-2	0	0	0
11	W	Vítr na konstrukci	Q	0	31	0	-3	0	6	0	1.00	1.35		1.35	-	1.00	0.75	32	0	-3	0	-3	0	6	0	6	0	0	0
12	WP	Vítr na vozidla	Q	0	23	0	0	0	-7	0	1.00	-1.35		-1.35	-	1.00	0.75	-24	0	0	0	0	0	7	0	7	0	0	0
13	TR	Teplota rovnoměrná	Q	0	0	0	0	0	0	0	1.00	1.35		1.35	-	1.00	0.45	0	0	0	0	0	0	0	0	0	0	0	0
14	TN	Teplota nerovnoměrná	Q	0	7	0	-1	0	10	-1	1.00	1.35		1.35	-	1.00	0.60	6	0	-1	0	-1	0	8	0	8	-1	0	-1
15	FR	Třecí síly v ložiskách	Q	0	1	0	0	0	0	0	1.00	1.20		1.20	-	1.00	1.00	2	0	0	0	0	0	0	0	0	0	0	0
16	I	Imperfekce soustavy	Q	0	8	0	0	0	3	0	1.00	1.20		1.20	-	1.00	1.00	10	0	0	0	0	0	3	0	3	0	0	0
27	ULS_LM	ULS - LM71 bez dynam	Q	0	2 046	6	-6	0	36	-9	1.00	vyp.		0.00	-	1.00	0.00	0	0	0	0	0	0	0	0	0	0	0	0
28	SLS_LM	SLS - LM71 bez dynam	Q	0	1 624	5	-4	0	22	-7	1.00	vyp.	1	0.00	-	1.00	0.00	0	0	0	0	0	0	0	0	0	0	0	0
29	ULS_C3	ULS - C3 bez dynam	Q	0	1 822	6	-6	0	32	-8	1.00	vyp.	1	0.00	-	1.00	0.00	0	0	0	0	0	0	0	0	0	0	0	0
30	SLS_C3	SLS - C3 bez dynam	Q	0	1 452	5	-4	0	19	-6	1.00	vyp.	1	0.00	-	1.00	0.00	0	0	0	0	0	0	0	0	0	0	0	0
		CELKEM - FÁZE PRŮŘEZU 0																1 992	6	-7	0	-7	0	50	0	50	-10	0	-10
		CELKEM - FÁZE PRŮŘEZU 1																0	0	0	0	0	0	0	0	0	0	0	0
		CELKEM - FÁZE PRŮŘEZU 2																0	0	0	0	0	0	0	0	0	0	0	0
		CELKEM - FÁZE PRŮŘEZU 3																0	0	0	0	0	0	0	0	0	0	0	0
		CELKEM - PRŮŘEZ																1 992	6	-7	0	-7	0			50			-10

Napětí od jednotlivých zatěžovacích stavů

SKUPINA ZATĚŽOVACÍCH STAVŮ					Posouzení normálového napětí									Posouzení smykového napětí													
					Účinek síly N			Účinek momentu My			Účinek momentu Mz				Účinek kroutícího momentu Mx				Účinek smykové síly Vy				Účinek smykové síly Vz			
Č.	SKUP ZS	Popis ZS	Kat.	fáze průř.	δ^*N_d [kN]	χ^*A [mm^2]	σ_n [MPa]	$\delta^*M_{y,d}$ [kNm]	$\chi_{lt}{}^*W_{el,y}$ [mm^3]	σ_{my} [MPa]	$\delta^*M_{z,d}$ [kNm]	$W_{el,z}$ [mm^3]	σ_{mz} [MPa]	σ_x [MPa]	$\kappa^*\delta^*M_{x,d}$ [kNm]	$W_{v,y}$ [mm^2]	$\tau_{x,y}$ [MPa]	$W_{v,z}$ [mm^2]	$\tau_{x,z}$ [MPa]	$\delta^*V_{y,d}$ [kN]	$A_{v,y}$ [mm2]	$\tau_{v,y}$ [MPa]	$\tau_{v,y}$ [MPa]	$\delta^*V_{z,d}$ [kN]	$A_{v,z}$ [mm2]	$\tau_{v,z}$ [MPa]	$\tau_{v,z}$ [MPa]
1	G0	Vlastní tíha OK	G	0	455.4	1.58E+04	28.9	2.2	1.33E+06	1.6	-5.1	-5.84E+05	8.8	39.3	0.0E+00	-	-	-	-	5.6	1.38E+04	0.4	0.4	-0.4	2.00E+03	-0.2	-0.2
2	G1	Ostatní stálé - mostní vybavení	G	0	33.8	1.58E+04	2.1	0.5	1.33E+06	0.4	0.0	-5.84E+05	0.0	2.5	0.0E+00	-	-	-	-	0.0	1.38E+04	0.0	0.0	-0.1	2.00E+03	0.0	0.0
3	G2	Ostatní stálé - cizí zařízení	G	0	26.4	1.58E+04	1.7	-0.3	1.33E+06	-0.2	0.0	-5.84E+05	0.0	1.5	0.0E+00	-	-	-	-	0.0	1.38E+04	0.0	0.0	0.0	2.00E+03	0.0	0.0
4	P1_71	a.LM71 - kolej 1 (bez dyn. souč.)	P	0	398.0	1.58E+04	25.2	23.5	1.33E+06	17.6	-0.7	-5.84E+05	1.1	44.0	1.3E-02	-	-	-	-	0.1	1.38E+04	0.0	0.0	-2.0	2.00E+03	-1.0	-1.0
5	P2_71	a.LM71 - kolej 2 (bez dyn. souč.)	P	0	951.9	1.58E+04	60.4	1.7	1.33E+06	1.3	-2.2	-5.84E+05	3.8	65.4	0.0E+00	-	-	-	-	0.4	1.38E+04	0.0	0.0	0.4	2.00E+03	0.2	0.2
6	P1_C3	TTZ C3 - kolej 1 (bez dyn. souč.)	P	0	0.0	1.58E+04	0.0	0.0	1.33E+06	0.0	0.0	-5.84E+05	0.0	0.0	0.0E+00	-	-	-	-	0.0	1.38E+04	0.0	0.0	0.0	2.00E+03	0.0	0.0
7	P2_C3	TTZ C3 - kolej 2 (bez dyn. souč.)	P	0	0.0	1.58E+04	0.0	0.0	1.33E+06	0.0	0.0	-5.84E+05	0.0	0.0	0.0E+00	-	-	-	-	0.0	1.38E+04	0.0	0.0	0.0	2.00E+03	0.0	0.0
8	BR	Brzdné a rozjezdové síly	P	0	24.1	1.58E+04	1.5	0.0	1.33E+06	0.0	-0.2	-5.84E+05	0.4	2.0	0.0E+00	-	-	-	-	0.0	1.38E+04	0.0	0.0	0.1	2.00E+03	0.0	0.0
9	S	Boční ráz	P	0	1.9	1.58E+04	0.1	0.8	1.33E+06	0.6	-0.1	-5.84E+05	0.2	0.9	0.0E+00	-	-	-	-	0.0	1.38E+04	0.0	0.0	0.0	2.00E+03	0.0	0.0
10	CH	Chodci na lávkách	Q	0	75.0	1.58E+04	4.8	-2.3	1.33E+06	-1.7	-0.1	-5.84E+05	0.1	3.1	0.0E+00	-	-	-	-	0.0	1.38E+04	0.0	0.0	0.2	2.00E+03	0.1	0.1
11	W	Vítr na konstrukci	Q	0	31.8	1.58E+04	2.0	5.6	1.33E+06	4.2	0.2	-5.84E+05	-0.4	5.9	0.0E+00	-	-	-	-	-0.1	1.38E+04	0.0	0.0	-2.7	2.00E+03	-1.3	-1.3
12	WP	Vítr na vozidla	Q	0	-23.8	1.58E+04	-1.5	7.2	1.33E+06	5.4	-0.4	-5.84E+05	0.7	4.6	0.0E+00	-	-	-	-	0.2	1.38E+04	0.0	0.0	-0.4	2.00E+03	-0.2	-0.2
13	TR	Teplota rovnoměrná	Q	0	0.0	1.58E+04	0.0	0.0	1.33E+06	0.0	0.0	-5.84E+05	0.0	0.0	0.0E+00	-	-	-	-	0.0	1.38E+04	0.0	0.0	0.0	2.00E+03	0.0	0.0
14	TN	Teplota nerovnoměrná	Q	0	5.9	1.58E+04	0.4	7.9	1.33E+06	5.9	-1.0	-5.84E+05	1.6	8.0	0.0E+00	-	-	-	-	0.2	1.38E+04	0.0	0.0	-1.1	2.00E+03	-0.5	-0.5
15	FR	Třecí síly v ložiskách	Q	0	1.7	1.58E+04	0.1	0.0	1.33E+06	0.0	-0.1	-5.84E+05	0.1	0.3	0.0E+00	-	-	-	-	0.0	1.38E+04	0.0	0.0	0.0	2.00E+03	0.0	0.0
16	I	Imperfekce soustavy	Q	0	10.1	1.58E+04	0.6	3.1	1.33E+06	2.3	0.0	-5.84E+05	0.0	3.0	0.0E+00	-	-	-	-	0.0	1.38E+04	0.0	0.0	-0.4	2.00E+03	-0.2	-0.2
27	ULS_LM	ULS - LM71 bez dynam	Q	0	0.0	1.58E+04	0.0	0.0	1.33E+06	0.0	0.0	-5.84E+05	0.0	0.0	0.0E+00	-	-	-	-	0.0	1.38E+04	0.0	0.0	0.0	2.00E+03	0.0	0.0
28	SLS_LM	SLS - LM71 bez dynam	Q	0	0.0	1.58E+04	0.0	0.0	1.33E+06	0.0	0.0	-5.84E+05	0.0	0.0	0.0E+00	-	-	-	-	0.0	1.38E+04	0.0	0.0	0.0	2.00E+03	0.0	0.0
29	ULS_C3	ULS - C3 bez dynam	Q	0	0.0	1.58E+04	0.0	0.0	1.33E+06	0.0	0.0	-5.84E+05	0.0	0.0	0.0E+00	-	-	-	-	0.0	1.38E+04	0.0	0.0	0.0	2.00E+03	0.0	0.0
30	SLS_C3	SLS - C3 bez dynam	Q	0	0.0	1.58E+04	0.0	0.0	1.33E+06	0.0	0.0	-5.84E+05	0.0	0.0	0.0E+00	-	-	-	-	0.0	1.38E+04	0.0	0.0	0.0	2.00E+03	0.0	0.0
NAVÝŠENÍ NAPĚTÍ DO AKTIVACE TLAKU V DESCE MOSTOVKY						$\sigma_{P,red}$	0.0							0.0			0.0		0.0			0.5	0.5			-3.3	-3.3
NAPĚTÍ OD PRIMÁRNÍCH ÚČINKŮ NEROVNOMĚRNÉHO OTEPLENÍ						σ_T	0.0							0.0													
NAPĚTÍ OD REOLOGICKÝCH ÚČINKŮ BETONU V ČASE				t=0		σ_R	0.0	γ=	1.20					0.0													
NAPĚTÍ V KRITICKÝCH VLÁKNECH OD KOMBINACE ZATÍŽENÍ						KZ03		[MPa]					$\Sigma\sigma_x$	180.4								$\Sigma\tau_y$	0.5			$\Sigma\tau_z$	-3.3
NAPĚTÍ OD POHYBLIVÉHO ZATÍŽENÍ								[MPa]					$\sigma_{x,P}$	112.3								τ_P	0.0			τ_P	-0.8
NAPĚTÍ OD OSTATNÍCH ZATÍŽENÍ								[MPa]			Φ_{Vy}	Φ_{Vz}	$\sigma_{x,rs}$	68.1								τ_{rs}	0.4			τ_{rs}	-2.5
NÁVRHOVÁ HODNOTA MEZE KLUZU S REDUKCÍ VLIVEM SMYKOVÉHO NAPĚTÍ								[MPa]			1.00	1.00	$f_{yw,d}$	209.1								$f_{yd}/3^{0,5}$	120.7			$f_{yd}/3^{0,5}$	120.7
NAPĚTÍ OD POHYBLIVÉHO ZATÍŽENÍ V GLOBÁLNÍM SYSTÉMU						$\sigma_{GLOB,P}$	0.0	[MPa]					$\Sigma\sigma_{GLOB}$	0.0													
NAPĚTÍ OD OSTATNÍCH ZATÍŽENÍ V GLOBÁLNÍM SYSTÉMU						$\sigma_{GLOB,rs}$	0.0	[MPa]					$\Sigma\sigma_x + \Sigma\sigma_{GLOB}$	180.4													
VYUŽITÍ PRŮŘEZU DLE NAPĚTÍ								[%]					η_1	0.86								η_3	0.00			η_3	0.03
NAPĚTÍ V PŘÍČNÉM SMĚRU OD POHYBLIVÉHO ZATÍŽENÍ						$\sigma_{z,P}$	0.0	[MPa]					$\Sigma\sigma_z$	0.0													
NAPĚTÍ V PŘÍČNÉM SMĚRU OD OSTATNÍCH ZATÍŽENÍ						$\sigma_{z,rs}$	0.0	[MPa]					η_2	0.00													
SROVNÁVACÍ NAPĚTÍ													$(\eta 2 + 0{,}8\ \eta 1)/1{,}4$ =	0.49													
VYUŽITÍ PRŮŘEZU CELKEM								[%]					eff	0.86	VYHOVUJE												
													z_{LM71} =	1.26													

TAB. D4.3 POSOUZENÍ - MEZNÍ STAV ÚNOSNOSTI

POPIS	DIAGONÁLA D4
PRUT / POLOHA BODU	248 / J[2709]
NAMÁHÁNÍ	Vz.min
VLÁKNO	BOD S6 -HP
MEZNÍ STAV	ULS (MSÚ)
VYUŽITÍ VLÁKNA PRŮŘEZU	0.56

Charakteristiky materiálu				
pás. horní	$f_{yf,k}$	230	MPa	
pás. dolní	$f_{yf,k}$	230	MPa	
stojina	$f_{yw,k}$	230	MPa	
výztuž	$f_{ys,k}$	500	MPa	
γ_M =	1.10	γ_s =	1.15	

Excentricita normálové síly				
Exc./Fáze	0	1	2	3
e_y	0.000	0.000	0.000	0.000
e_z	0.000	0.000	0.000	0.000
Ekvivalentní vzdál. stěn - příčný roznos				
b_{Mx}	0.000	0.000	0.000	0.000

Vliv stěny na únosnost průřezu				
Char./Fáze	0	1	2	3
A	0.00	0.00	0.00	0.00
Wy	0.00	0.00	0.00	0.00
Wz	0.00	0.00	0.00	0.00

Charakter. v kroucení			
$t_{w,y}$	0.000	[mm]	
$t_{w,z}$	0.000	[mm]	
κ	1.00		
I_t=	0.00E+00	[mm^4]	
Ω=2*A_{pz}	0.00E+00	[mm^2]	

Součinitele vzpěru a vlivu II.řádu					
Char./Fáze	0	1	2	3	4
k_y	1.000	1.000	1.000	1.000	
k_z	1.000	1.000	1.000	1.000	
χ_{LT}	1.000	1.000	1.000	1.000	
χ_{min}	1.000	1.000	1.000	1.000	

Vnitřní síly od jednotlivých skupin zatěžovacích stavů

SKUPINA ZATĚŽOVACÍCH STAVŮ — **- CHARAKTERISTICKÉ HODNOTY** — **DÍLČÍ SOUČINITELÉ ZATÍŽENÍ, DYNAMICKÝ SOUČINITEL** — **- NÁVRHOVÉ HODNOTY**

Č.	SKUP ZS	POPIS ZS	KAT.	FÁZE PRŮŘ.	N.k (kN)	Vy.k (kN)	Vz.k (kN)	Mx.k (kNm)	My.k (kNm)	Mz.k (kNm)	γ_{sr} (-)	γ_{fs} (-)	volba γ_f hledat	γ_f (-)	L_d (m)	δ (-)	Ψ_s KZ04	N.d (kN)	Vy.d (kN)	Vz.d (kN)	ΔVz.d (kN)	ΣVz.d (kN)	Mx.d (kNm)	My.d (kNm)	ΔMy.d (kNm)	ΣMy.d (kNm)	Mz.d (kNm)	ΔMz.d (kNm)	ΣMz.d (kNm)
1	G0	Vlastní tíha OK	G	0	399	5	0	0	2	-4	1.00	1.20		1.20	-	1.00	0.95	455	6	0	0	0	0	2	0	2	-5	0	-5
2	G1	Ostatní stálé - mostní vybavení	G	0	30	0	0	0	0	0	1.00	1.20		1.20	-	1.00	0.95	34	0	0	0	0	0	0	0	0	0	0	0
3	G2	Ostatní stálé - cizí zařízení	G	0	23	0	0	0	0	0	1.00	1.00		1.00	-	1.00	0.95	22	0	0	0	0	0	0	0	0	0	0	0
4	P1_71	a.LM71 - kolej 1 (bez dyn. souč.)	P	0	190	0	-4	0	25	0	1.00	1.30		1.30	-	1.00	1.00	247	0	-5	0	-5	0	32	0	32	0	0	0
5	P2_71	a.LM71 - kolej 2 (bez dyn. souč.)	P	0	4	0	-4	0	18	1	1.00	1.30		1.30	-	1.00	1.00	5	0	-5	0	-5	0	23	0	23	2	0	2
6	P1_C3	TTZ C3 - kolej 1 (bez dyn. souč.)	P	0	154	0	-3	0	18	0	1.00	vyp.		0.00	-	1.00	0.00	0	0	0	0	0	0	0	0	0	0	0	0
7	P2_C3	TTZ C3 - kolej 2 (bez dyn. souč.)	P	0	-10	0	-3	0	13	1	1.00	vyp.		0.00	-	1.00	0.00	0	0	0	0	0	0	0	0	0	0	0	0
8	BR	Brzdné a rozjezdové síly	P	0	-19	0	0	0	0	0	1.00	1.30		1.30	-	1.00	0.40	-10	0	0	0	0	0	0	0	0	0	0	0
9	S	Boční ráz	P	0	3	0	-1	0	5	0	1.00	1.30		1.30	-	1.00	0.80	4	0	-1	0	-1	0	5	0	5	0	0	0
10	CH	Chodci na lávkách	Q	0	20	0	0	0	1	0	1.00	1.30		1.30	-	1.00	1.00	26	0	0	0	0	0	1	0	1	0	0	0
11	W	Vítr na konstrukci	Q	0	31	0	-3	0	6	0	1.00	1.35		1.35	-	1.00	0.75	32	0	-3	0	-3	0	6	0	6	0	0	0
12	WP	Vítr na vozidla	Q	0	-24	0	0	0	7	0	1.00	1.35		1.35	-	1.00	0.75	-24	0	0	0	0	0	7	0	7	0	0	0
13	TR	Teplota rovnoměrná	Q	0	0	0	0	0	0	0	1.00	1.35		1.35	-	1.00	0.45	0	0	0	0	0	0	0	0	0	0	0	0
14	TN	Teplota nerovnoměrná	Q	0	7	0	-1	0	10	-1	1.00	1.35		1.35	-	1.00	0.60	6	0	-1	0	-1	0	8	0	8	-1	0	-1
15	FR	Třecí síly v ložiskách	Q	0	-1	0	0	0	0	0	1.00	1.20		1.20	-	1.00	1.00	-2	0	0	0	0	0	0	0	0	0	0	0
16	I	Imperfekce soustavy	Q	0	8	0	0	0	3	0	1.00	1.20		1.20	-	1.00	1.00	10	0	0	0	0	0	3	0	3	0	0	0
27	ULS_LM	ULS - LM71 bez dynam	Q	0	808	5	-17	0	88	-4	1.00	vyp.		0.00	-	1.00	0.00	0	0	0	0	0	0	0	0	0	0	0	0
28	SLS_LM	SLS - LM71 bez dynam	Q	0	673	5	-12	0	62	-3	1.00	vyp.	1	0.00	-	1.00	0.00	0	0	0	0	0	0	0	0	0	0	0	0
29	ULS_C3	ULS - C3 bez dynam	Q	0	743	5	-14	0	73	-5	1.00	vyp.	1	0.00	-	1.00	0.00	0	0	0	0	0	0	0	0	0	0	0	0
30	SLS_C3	SLS - C3 bez dynam	Q	0	623	5	-10	0	50	-3	1.00	vyp.	1	0.00	-	1.00	0.00	0	0	0	0	0	0	0	0	0	0	0	0
		CELKEM - FÁZE PRŮŘEZU 0																805	5	-17	0	-17	0	87	0	87	-4	0	-4
		CELKEM - FÁZE PRŮŘEZU 1																0	0	0	0	0	0	0	0	0	0	0	0
		CELKEM - FÁZE PRŮŘEZU 2																0	0	0	0	0	0	0	0	0	0	0	0
		CELKEM - FÁZE PRŮŘEZU 3																0	0	0	0	0	0	0	0	0	0	0	0
		CELKEM - PRŮŘEZ																805	5	-17	0	-17	0			87			-4

Napětí od jednotlivých zatěžovacích stavů

SKUPINA ZATĚŽOVACÍCH STAVŮ — **Posouzení normálového napětí** — **Účinek síly N** — **Účinek momentu My** — **Účinek momentu Mz** — **Posouzení smykového napětí** — **Účinek kroutícího momentu Mx** — **Účinek smykové síly Vy** — **Účinek smykové síly Vz**

Č.	SKUP ZS	Popis ZS	Kat.	fáze průř.	δ^*N_d [kN]	χ^*A [mm^2]	σ_n [MPa]	$\delta^*M_{y,d}$ [kNm]	$\chi_{lt}{}^*W_{el,y}$ [mm^3]	σ_{my} [MPa]	$\delta^*M_{z,d}$ [kNm]	$W_{el,z}$ [mm^3]	σ_{mz} [MPa]	σ_x [MPa]	$\kappa^*\delta^*M_{x,d}$ [kNm]	$W_{v,y}$ [mm^3]	$\tau_{x,y}$ [MPa]	$W_{v,z}$ [mm^3]	$\tau_{x,z}$ [MPa]	$\delta^*V_{y,d}$ [kN]	$A_{v,y}$ [mm2]	$\tau_{v,y}$ [MPa]	$\tau_{v,y}$ [MPa]	$\delta^*V_{z,d}$ [kN]	$A_{v,z}$ [mm2]	$\tau_{v,z}$ [MPa]	$\tau_{v,z}$ [MPa]
1	G0	Vlastní tíha OK	G	0	455.4	1.58E+04	28.9	2.2	1.33E+06	1.6	-5.1	-1.06E+07	0.5	31.0	0.0E+00	-	-	-	-	5.6	1.38E+04	0.4	0.4	-0.4	2.00E+03	-0.2	-0.2
2	G1	Ostatní stálé - mostní vybavení	G	0	33.8	1.58E+04	2.1	0.5	1.33E+06	0.4	0.0	-1.06E+07	0.0	2.5	0.0E+00	-	-	-	-	0.0	1.38E+04	0.0	0.0	-0.1	2.00E+03	0.0	0.0
3	G2	Ostatní stálé - cizí zařízení	G	0	22.0	1.58E+04	1.4	-0.3	1.33E+06	-0.2	0.0	-1.06E+07	0.0	1.2	0.0E+00	-	-	-	-	0.0	1.38E+04	0.0	0.0	0.0	2.00E+03	0.0	0.0
4	P1_71	a.LM71 - kolej 1 (bez dyn. souč.)	P	0	246.8	1.58E+04	15.7	32.3	1.33E+06	24.3	0.4	-1.06E+07	0.0	39.9	1.3E-02	-	-	-	-	-0.1	1.38E+04	0.0	0.0	-5.5	2.00E+03	-2.8	-2.8
5	P2_71	a.LM71 - kolej 2 (bez dyn. souč.)	P	0	4.9	1.58E+04	0.3	22.9	1.33E+06	17.2	1.6	-1.06E+07	-0.1	17.3	0.0E+00	-	-	-	-	-0.2	1.38E+04	0.0	0.0	-5.3	2.00E+03	-2.6	-2.6
6	P1_C3	TTZ C3 - kolej 1 (bez dyn. souč.)	P	0	0.0	1.58E+04	0.0	0.0	1.33E+06	0.0	0.0	-1.06E+07	0.0	0.0	0.0E+00	-	-	-	-	0.0	1.38E+04	0.0	0.0	0.0	2.00E+03	0.0	0.0
7	P2_C3	TTZ C3 - kolej 2 (bez dyn. souč.)	P	0	0.0	1.58E+04	0.0	0.0	1.33E+06	0.0	0.0	-1.06E+07	0.0	0.0	0.0E+00	-	-	-	-	0.0	1.38E+04	0.0	0.0	0.0	2.00E+03	0.0	0.0
8	BR	Brzdné a rozjezdové síly	P	0	-9.9	1.58E+04	-0.6	0.0	1.33E+06	0.0	0.2	-1.06E+07	0.0	-0.7	0.0E+00	-	-	-	-	0.0	1.38E+04	0.0	0.0	0.0	2.00E+03	0.0	0.0
9	S	Boční ráz	P	0	3.6	1.58E+04	0.2	4.8	1.33E+06	3.6	-0.1	-1.06E+07	0.0	3.9	0.0E+00	-	-	-	-	0.0	1.38E+04	0.0	0.0	-0.7	2.00E+03	-0.3	-0.3
10	CH	Chodci na lávkách	Q	0	25.9	1.58E+04	1.6	1.1	1.33E+06	0.8	0.0	-1.06E+07	0.0	2.4	0.0E+00	-	-	-	-	0.0	1.38E+04	0.0	0.0	-0.1	2.00E+03	0.0	0.0
11	W	Vítr na konstrukci	Q	0	31.8	1.58E+04	2.0	5.6	1.33E+06	4.2	0.2	-1.06E+07	0.0	6.2	0.0E+00	-	-	-	-	-0.1	1.38E+04	0.0	0.0	-2.7	2.00E+03	-1.3	-1.3
12	WP	Vítr na vozidla	Q	0	-23.8	1.58E+04	-1.5	7.2	1.33E+06	5.4	-0.4	-1.06E+07	0.0	3.9	0.0E+00	-	-	-	-	0.2	1.38E+04	0.0	0.0	-0.4	2.00E+03	-0.2	-0.2
13	TR	Teplota rovnoměrná	Q	0	0.0	1.58E+04	0.0	0.0	1.33E+06	0.0	0.0	-1.06E+07	0.0	0.0	0.0E+00	-	-	-	-	0.0	1.38E+04	0.0	0.0	0.0	2.00E+03	0.0	0.0
14	TN	Teplota nerovnoměrná	Q	0	5.9	1.58E+04	0.4	7.9	1.33E+06	5.9	-1.0	-1.06E+07	0.1	6.4	0.0E+00	-	-	-	-	0.2	1.38E+04	0.0	0.0	-1.1	2.00E+03	-0.5	-0.5
15	FR	Třecí síly v ložiskách	Q	0	-1.7	1.58E+04	-0.1	0.0	1.33E+06	0.0	0.1	-1.06E+07	0.0	-0.1	0.0E+00	-	-	-	-	0.0	1.38E+04	0.0	0.0	0.0	2.00E+03	0.0	0.0
16	I	Imperfekce soustavy	Q	0	10.1	1.58E+04	0.6	3.1	1.33E+06	2.3	0.0	-1.06E+07	0.0	3.0	0.0E+00	-	-	-	-	0.0	1.38E+04	0.0	0.0	-0.4	2.00E+03	-0.2	-0.2
27	ULS_LM	ULS - LM71 bez dynam	Q	0	0.0	1.58E+04	0.0	0.0	1.33E+06	0.0	0.0	-1.06E+07	0.0	0.0	0.0E+00	-	-	-	-	0.0	1.38E+04	0.0	0.0	0.0	2.00E+03	0.0	0.0
28	SLS_LM	SLS - LM71 bez dynam	Q	0	0.0	1.58E+04	0.0	0.0	1.33E+06	0.0	0.0	-1.06E+07	0.0	0.0	0.0E+00	-	-	-	-	0.0	1.38E+04	0.0	0.0	0.0	2.00E+03	0.0	0.0
29	ULS_C3	ULS - C3 bez dynam	Q	0	0.0	1.58E+04	0.0	0.0	1.33E+06	0.0	0.0	-1.06E+07	0.0	0.0	0.0E+00	-	-	-	-	0.0	1.38E+04	0.0	0.0	0.0	2.00E+03	0.0	0.0
30	SLS_C3	SLS - C3 bez dynam	Q	0	0.0	1.58E+04	0.0	0.0	1.33E+06	0.0	0.0	-1.06E+07	0.0	0.0	0.0E+00	-	-	-	-	0.0	1.38E+04	0.0	0.0	0.0	2.00E+03	0.0	0.0
NAVÝŠENÍ NAPĚTÍ DO AKTIVACE TLAKU V DESCE MOSTOVKY						$\sigma_{P,red}$	0.0							0.0			0.0		0.0			0.4	0.4			-8.4	-8.4
NAPĚTÍ OD PRIMÁRNÍCH ÚČINKŮ NEROVNOMĚRNÉHO OTEPLENÍ						σ_T	0.0							0.0													
NAPĚTÍ OD REOLOGICKÝCH ÚČINKŮ BETONU V ČASE		t=0				σ_R	0.0	γ_{lt}=	1.20					0.0													
NAPĚTÍ V KRITICKÝCH VLÁKNECH OD KOMBINACE ZATÍŽENÍ						KZ04		[MPa]					$\Sigma\sigma_x$	117.0								$\Sigma\tau_y$	0.4			$\Sigma\tau_z$	-8.4
NAPĚTÍ OD POHYBLIVÉHO ZATÍŽENÍ								[MPa]					$\sigma_{x,P}$	60.5								τ_P	0.0			τ_P	-5.7
NAPĚTÍ OD OSTATNÍCH ZATÍŽENÍ								[MPa]			Φ_{Vy}	Φ_{Vz}	$\sigma_{x,rs}$	56.5								τ_{rs}	0.4			τ_{rs}	-2.6
NÁVRHOVÁ HODNOTA MEZE KLUZU S REDUKCÍ VLIVEM SMYKOVÉHO NAPĚTÍ								[MPa]			1.00	1.00	$f_{yv,d}$	209.1								$f_{yd}/3^{0,5}$	120.7			$f_{yd}/3^{0,5}$	120.7
NAPĚTÍ OD POHYBLIVÉHO ZATÍŽENÍ V GLOBÁLNÍM SYSTÉMU						$\sigma_{GLOB,P}$	0.0	[MPa]					$\Sigma\sigma_{GLOB}$	0.0													
NAPĚTÍ OD OSTATNÍCH ZATÍŽENÍ V GLOBÁLNÍM SYSTÉMU						$\sigma_{GLOB,rs}$	0.0	[MPa]					$\Sigma\sigma_x + \Sigma\sigma_{GLOB}$	117.0													
VYUŽITÍ PRŮŘEZU DLE NAPĚTÍ								[%]					η_1	0.56								η_3	0.00			η_3	0.07
NAPĚTÍ V PŘÍČNÉM SMĚRU OD POHYBLIVÉHO ZATÍŽENÍ						$\sigma_{z,P}$	0.0	[MPa]					$\Sigma\sigma_z$	0.0													
NAPĚTÍ V PŘÍČNÉM SMĚRU OD OSTATNÍCH ZATÍŽENÍ						$\sigma_{z,rs}$	0.0	[MPa]					η_2	0.00													
SROVNÁVACÍ NAPĚTÍ													$(\eta 2 + 0{,}8\,\eta 1)/1{,}4$ =	0.32													
VYUŽITÍ PRŮŘEZU CELKEM								[%]					eff	0.56	VYHOVUJE												
													z_{LM71} =	2.52													

VÝPOČET PRŮŘEZOVÝCH CHARAKTERISTIK

PRŮŘEZ: D5 **POPIS:** DIAGONÁLA 5 **x =** - **m**

DEFINOVÁNÍ PRŮŘEZU

ŠÍŘKA PÁSNICE ÚHELNÍKU	b f.t.l.o =	130	mm	**ÚHELNÍK HORNÍ VNĚJŠÍ LEVÝ**		**C.T.O.L**	
TLOUŠŤKA PÁSNICE ÚHELNÍKU	t f.t.l.o =	12	mm	OSLABENÍ PÁSNICE - TLOUŠŤKA	Δt f.t.l.o =	0	%
VÝŠKA STĚNY ÚHELNÍKU	h w.t.l.o =	78	mm				
TLOUŠŤKA STĚNY ÚHELNÍKU	t w.t.l.o =	12	mm	OSLABENÍ STĚNY - TLOUŠŤKA	Δt w.t.l.o =	35	%
ŠÍŘKA PÁSNICE ÚHELNÍKU	b f.t.r.o =	130	mm	**ÚHELNÍK HORNÍ VNĚJŠÍ PRAVÝ**		**C.T.O.R**	
TLOUŠŤKA PÁSNICE ÚHELNÍKU	t f.t.r.o =	12	mm	OSLABENÍ PÁSNICE - TLOUŠŤKA	Δt f.t.r.o =	0	%
VÝŠKA STĚNY ÚHELNÍKU	h w.t.r.o =	78	mm				
TLOUŠŤKA STĚNY ÚHELNÍKU	t w.t.r.o =	12	mm	OSLABENÍ STĚNY - TLOUŠŤKA	Δt w.t.r.o =	35	%
ŠÍŘKA PÁSNICE ÚHELNÍKU	b f.t.l.i =	130	mm	**ÚHELNÍK HORNÍ VNITŘNÍ LEVÝ**		**C.T.I.L**	
TLOUŠŤKA PÁSNICE ÚHELNÍKU	t f.t.l.i =	12	mm	OSLABENÍ PÁSNICE - TLOUŠŤKA	Δt f.t.l.i =	0	%
VÝŠKA STĚNY ÚHELNÍKU	h w.t.l.i =	78	mm				
TLOUŠŤKA STĚNY ÚHELNÍKU	t w.t.l.i =	12	mm	OSLABENÍ STĚNY - TLOUŠŤKA	Δt w.t.l.i =	35	%
ŠÍŘKA PÁSNICE ÚHELNÍKU	b f.t.r.i =	130	mm	**ÚHELNÍK HORNÍ VNITŘNÍ PRAVÝ**		**C.T.I.R**	
TLOUŠŤKA PÁSNICE ÚHELNÍKU	t f.t.r.i =	12	mm	OSLABENÍ PÁSNICE - TLOUŠŤKA	Δt f.t.r.i =	0	%
VÝŠKA STĚNY ÚHELNÍKU	h w.t.r.i =	78	mm				
TLOUŠŤKA STĚNY ÚHELNÍKU	t w.t.r.i =	12	mm	OSLABENÍ STĚNY - TLOUŠŤKA	Δt w.t.r.i =	35	%
ŠÍŘKA PÁSNICE ÚHELNÍKU	b f.b.l.o =	130	mm	**ÚHELNÍK DOLNÍ VNĚJŠÍ LEVÝ**		**C.B.O.L**	
TLOUŠŤKA PÁSNICE ÚHELNÍKU	t f.b.l.o =	12	mm	OSLABENÍ PÁSNICE - TLOUŠŤKA	Δt f.t.l.i =	0	%
VÝŠKA STĚNY ÚHELNÍKU	h w.b.l.o =	78	mm				
TLOUŠŤKA STĚNY ÚHELNÍKU	t w.b.l.o =	12	mm	OSLABENÍ STĚNY - TLOUŠŤKA	Δt w.t.l.i =	35	%
ŠÍŘKA PÁSNICE ÚHELNÍKU	b f.b.r.o =	130	mm	**ÚHELNÍK DOLNÍ VNĚJŠÍ PRAVÝ**		**C.B.O.R**	
TLOUŠŤKA PÁSNICE ÚHELNÍKU	t f.b.r.o =	12	mm	OSLABENÍ PÁSNICE - TLOUŠŤKA	Δt f.t.r.i =	0	%
VÝŠKA STĚNY ÚHELNÍKU	h w.b.r.o =	78	mm				
TLOUŠŤKA STĚNY ÚHELNÍKU	t w.b.r.o =	12	mm	OSLABENÍ STĚNY - TLOUŠŤKA	Δt w.t.r.i =	35	%
PÁSNICE DOLNÍHO LEVÉHO ÚHELNÍKU	b f.b.l.i =	130	mm	**ÚHELNÍK DOLNÍ VNITŘNÍ LEVÝ**		**C.B.I.L**	
TLOUŠŤKA PÁSNICE ÚHELNÍKU	t f.b.l.i =	12	mm	OSLABENÍ PÁSNICE - TLOUŠŤKA	Δt f.b.l.i =	0	%
VÝŠKA STĚNY ÚHELNÍKU	h w.b.l.i =	78	mm				
TLOUŠŤKA STĚNY ÚHELNÍKU	t w.b.l.i =	12	mm	OSLABENÍ STĚNY - TLOUŠŤKA	Δt w.b.l.i =	35	%
PÁSNICE DOLNÍHO PRAVÉHO ÚHELNÍKU	b f.b.r.i =	130	mm	**ÚHELNÍK DOLNÍ VNITŘNÍ PRAVÝ**		**C.B.I.R**	
TLOUŠŤKA PÁSNICE ÚHELNÍKU	t f.b.r.i =	12	mm	OSLABENÍ PÁSNICE - TLOUŠŤKA	Δt f.b.r.i =	0	%
VÝŠKA STĚNY ÚHELNÍKU	h w.b.r.i =	78	mm				
TLOUŠŤKA STĚNY ÚHELNÍKU	t w.b.r.i =	12	mm	OSLABENÍ STĚNY - TLOUŠŤKA	Δt w.b.r.i =	35	%

DOLNÍ

ŠÍŘKA HORNÍ VLOŽKY - VNĚJŠÍ	b f.t =	0	mm			**HOR.T.O**	
TLOUŠŤKA VLOŽKY	t f.t =	0	mm	OSLABENÍ VLOŽKY	Δt f.t =	0	%
ŠÍŘKA HORNÍ VLOŽKY - VNITŘNÍ	b f.t =	0	mm			**HOR.T.I**	
TLOUŠŤKA VLOŽKY	t f.t =	0	mm	OSLABENÍ VLOŽKY	Δt f.t =	0	%
ŠÍŘKA DOLNÍ VLOŽKY - VNĚJŠÍ	b f.t =	0	mm			**HOR.B.O**	
TLOUŠŤKA VLOŽKY	t f.t =	0	mm	OSLABENÍ VLOŽKY	Δt f.t =	0	%
ŠÍŘKA DOLNÍ VLOŽKY - VNITŘNÍ	b f.t =	0	mm			**HOR.B.I**	
TLOUŠŤKA VLOŽKY	t f.t =	0	mm	OSLABENÍ VLOŽKY - VNITŘNÍ	Δt f.t =	0	%

VZD. OKRAJŮ PÁSNIC VNITŘNÍCH ÚHELNÍKŮ	416	mm
CELKOVÁ TLOUŠŤKA MEZI PÁSNICEMI ÚHELNÍKŮ I A .o	24	mm
CELKOVÁ TLOUŠŤKA MEZI PÁSNICEMI ÚHELNÍKŮ I A .r	8	mm

ZADANÍ ČÁSTI PRŮŘEZU:

č.prvku	b [mm]	h [mm]	y_s [mm]	z_s [mm]	popis části	druh oslabení	lokální ultimate	boulení servic.
1	130.0	12.0	-69.0	238.0	pásnice	0	1.000	1.000
2	7.8	78.0	-7.9	283.0	stěna	0	1.000	1.000
3	130.0	12.0	69.0	238.0	pásnice	0	1.000	1.000
4	7.8	78.0	7.9	283.0	stěna	0	1.000	1.000
5	130.0	12.0	-69.0	202.0	pásnice	0	1.000	1.000
6	7.8	78.0	-7.9	157.0	stěna	0	1.000	1.000
7	130.0	12.0	69.0	202.0	pásnice	0	1.000	1.000
8	7.8	78.0	7.9	157.0	stěna	0	1.000	1.000
9	130.0	12.0	-69.0	-238.0	pásnice	0	1.000	1.000
10	7.8	78.0	-7.9	-283.0	stěna	0	1.000	1.000
11	130.0	12.0	69.0	-238.0	pásnice	0	1.000	1.000
12	7.8	78.0	7.9	-283.0	stěna	0	1.000	1.000
13	130.0	12.0	-69.0	-202.0	pásnice	0	1.000	1.000
14	7.8	78.0	-7.9	-157.0	stěna	0	1.000	1.000
15	130.0	12.0	69.0	-202.0	pásnice	0	1.000	1.000
16	7.8	78.0	7.9	-157.0	stěna	0	1.000	1.000
17						0	1.000	1.000
18						0	1.000	1.000
19						0	1.000	1.000
20						0	1.000	1.000
21						0	1.000	1.000
22						0	1.000	1.000
23						0	1.000	1.000
24						0	1.000	1.000
25						0	1.000	1.000
26						0	1.000	1.000
27						0	1.000	1.000
28						0	1.000	1.000
29						0	1.000	1.000
30						0	1.000	1.000
31						0	1.000	1.000
32						0	1.000	1.000
33						0	1.000	1.000
34						0	1.000	1.000
35						0	1.000	1.000
36						0	1.000	1.000
37						0	1.000	1.000
38						0	1.000	1.000
39						0	1.000	1.000
40						0	1.000	1.000
41	0.0	0.0	0.0	232.0	pásnice	0	1.000	1.000
42	0.0	0.0	0.0	208.0	pásnice	0	1.000	1.000
43	0.0	0.0	0.0	-232.0	pásnice	0	1.000	1.000
44	0.0	0.0	0.0	-208.0	pásnice	0	1.000	1.000
45						0	1.000	1.000
46						0	1.000	1.000
47						0	1.000	1.000
48						0	1.000	1.000
49						0	1.000	1.000
50						0	1.000	1.000
51						0	1.000	1.000
52						0	1.000	1.000
53						0	1.000	1.000
54						0	1.000	1.000
55						0	1.000	1.000
56						0	1.000	1.000
57						0	1.000	1.000
58						0	1.000	1.000
59						0	1.000	1.000
60						0	1.000	1.000
61	7.8	-17.3	7.9	277.0	nýt-stěna	0	1.000	1.000
62	7.8	-17.3	7.9	163.0	nýt-stěna	0	1.000	1.000
63	7.8	-17.3	7.9	-277.0	nýt-stěna	0	1.000	1.000
64	7.8	-17.3	7.9	-163.0	nýt-stěna	0	1.000	1.000
65	-19.0	12.0	-59.0	202.0	nýt-pásnice	0	1.000	1.000
66	-19.0	12.0	59.0	202.0	nýt-pásnice	0	1.000	1.000
67	-19.0	12.0	-59.0	-202.0	nýt-pásnice	0	1.000	1.000
68	-19.0	12.0	59.0	-202.0	nýt-pásnice	0	1.000	1.000
69	0	0	0	0	nýt-pásnice	0	1.000	1.000
70	0	0	0	0	nýt-pásnice	0	1.000	1.000
71	0	0	0	0	nýt-pásnice	0	1.000	1.000
72	0	0	0	0	nýt-pásnice	0	1.000	1.000
73						0	1.000	1.000
74						0	1.000	1.000
75						0	1.000	1.000
76						0	1.000	1.000
77						0	1.000	1.000
78						0	1.000	1.000
79						0	1.000	1.000
80						0	1.000	1.000
81	7.8	-17.3	-7.9	277.0	nýt-stěna	0	1.000	1.000
82	7.8	-17.3	-7.9	163.0	nýt-stěna	0	1.000	1.000
83	7.8	-17.3	-7.9	-277.0	nýt-stěna	0	1.000	1.000
84	7.8	-17.3	-7.9	-163.0	nýt-stěna	0	1.000	1.000
85	-19.0	12.0	-59.0	238.0	nýt-pásnice	0	1.000	1.000
86	-19.0	12.0	59.0	238.0	nýt-pásnice	0	1.000	1.000
87	-19.0	12.0	-59.0	-238.0	nýt-pásnice	0	1.000	1.000
88	-19.0	12.0	59.0	-238.0	nýt-pásnice	0	1.000	1.000
89	0	0	0	0	nýt-pásnice	0	1.000	1.000
90	0	0	0	0	nýt-pásnice	0	1.000	1.000
91	0	0	0	0	nýt-pásnice	0	1.000	1.000
92	0	0	0	0	nýt-pásnice	0	1.000	1.000
93						0	1.000	1.000
94						0	1.000	1.000
95						0	1.000	1.000
96						0	1.000	1.000
97						0	1.000	1.000
98						0	1.000	1.000
99						0	1.000	1.000
100						0	1.000	1.000

NÝT Č.	SKUPINA	ŘEZ	RED.	VELIKOST di [mm]	POLOHA ei [mm]	POPIS	AKTIVITA OTVORU	NAPĚTÍ sc [MPa]
1	1	3	0.86	20	45	nýt - t.o - úhelník	1	81.10
2	1	3	0.86	20	45	nýt - t.i - úhelník	1	84.94
3	2	3	0.86	20	45	nýt - b.o - úhelník	1	99.76
4	2	3	0.86	20	45	nýt - b.i - úhelník	1	95.92
5	1	3	0.86	22	75	nýt - t.l - úhelník	1	77.76
6	1	3	0.86	22	75	nýt - t.r - úhelník	1	88.51
7	2	3	0.86	22	75	nýt - b.l - úhelník	1	93.79
8	2	3	0.86	22	75	nýt - b.r - úhelník	1	104.54
9	-	-	1.00	0	-122	nýt - t.l	0	-
10	-	-	1.00	0	122	nýt - t.r	0	-
11	-	-	1.00	0	-122	nýt - b.l	0	-
12	-	-	1.00	0	122	nýt - b.r	0	-
13								
14								
15								
16								
17								
18								
19								
20								

VÝPOČET PRŮŘEZOVÝCH CHARAKTERISTIK

Properties	Basic	Ultimate		Serviceability	
y_i	0.0	0.0		0.0	[mm]
z_i	0.0	0.0		0.0	[mm]
A_i	1.4447E+04	1.4447E+04		1.4447E+04	[mm²]
A_y	1.0657E+04	1.0657E+04		1.0657E+04	[mm²]
A_z	3.7901E+03	3.7901E+03		3.7901E+03	[mm²]
I_{yi}	4.3266E+08	4.3266E+08		4.3266E+08	[mm⁴]
I_w	7.0849E+07	7.0849E+07		7.0849E+07	[mm⁶]
i_y	173.1	173.1		173.1	[mm]
i_z	70.0	70.0		70.0	[mm]
W_{y1}	1.3437E+06	1.3437E+06		1.3437E+06	[mm³]
W_{y2}	-5.2873E+05	-5.2873E+05		-5.2873E+05	[mm³]
W_{y3}	-1.3437E+06	-1.3437E+06		-1.3437E+06	[mm³]
W_{y4}	-5.2873E+05	-5.2873E+05		-5.2873E+05	[mm³]
KRAJNÍ VLÁKNA PRŮŘEZU					
y_1	-134.0	-134.0		-134.0	[mm] min
z_1	322.0	322.0		322.0	[mm] max
y_2	-134.0	-134.0		-134.0	[mm] min
z_2	-322.0	-322.0		-322.0	[mm] min
y_3	134.0	134.0		134.0	[mm] max
z_3	322.0	322.0		322.0	[mm] max
y_4	134.0	134.0		134.0	[mm] max
z_4	-322.0	-322.0		-322.0	[mm] min
y_5	-11.8	-11.8		-11.8	[mm]
z_5	-244.0	-244.0		-244.0	[mm]
y_6	-11.8	-11.8		-11.8	[mm]
z_6	-322.0	-322.0		-322.0	[mm]

SCHÉMA PROMĚNNÝCH

SCHÉMA ZADANÉHO PRŮŘEZU

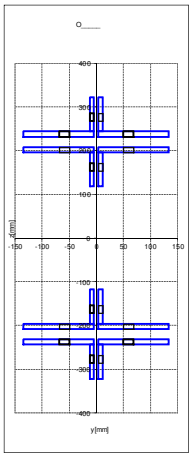

ÚPRAVA MOMENTŮ SETRVAČNOSTI V DŮSLEDKU ČLENĚNÍ PRŮŘEZU

OSA Y	0.60
OSA Z	1.00

NEUTRÁLNÁ OSA

NAPĚTÍ [MPa]:

68.11	92.50
89.79	114.19

ZS: SLS_LM_N,MX,X

	N [kN]	Vy [kN]	Vz [kN]	Mx [kNm]	My [kNm]	Mz [kNm]
import	1317	5	-2	0	15	-5

TR_D5 POPIS: **DIAGONÁLA D5** POSUDEK: **D5**

SKUPINA ZAT. STAVŮ	EXTRÉM	VYHODNOCOVANÉ VELIČINY					
		N	Vy	Vz	Mx	My	Mz
		kN	kN	kN	kNm	kNm	kNm
G0	N.min	**295.33**	4.59	0.01	0	0.68	-4.63
	N.max	**295.33**	4.59	0.01	0	0.68	-4.63
	Vy.min	295.33	**4.59**	0.01	0	0.68	-4.63
	Vy.max	295.33	**4.59**	0.01	0	0.68	-4.63
	Vz.min	295.33	4.59	**0.01**	0	0.68	-4.63
	Vz.max	295.33	4.59	**0.01**	0	0.68	-4.63
	Mx.min	295.33	4.59	0.01	**0**	0.68	-4.63
	Mx.max	295.33	4.59	0.01	**0**	0.68	-4.63
	My.min	295.33	4.59	0.01	0	**0.68**	-4.63
	My.max	295.33	4.59	0.01	0	**0.68**	-4.63
	Mz.min	295.33	4.59	0.01	0	0.68	**-4.63**
	Mz.max	295.33	4.59	0.01	0	0.68	**-4.63**
G1	N.min	**21.81**	0	-0.06	0	0.4	-0.02
	N.max	**21.81**	0	-0.06	0	0.4	-0.02
	Vy.min	21.81	**0**	-0.06	0	0.4	-0.02
	Vy.max	21.81	**0**	-0.06	0	0.4	-0.02
	Vz.min	21.81	0	**-0.06**	0	0.4	-0.02
	Vz.max	21.81	0	**-0.06**	0	0.4	-0.02
	Mx.min	21.81	0	-0.06	**0**	0.4	-0.02
	Mx.max	21.81	0	-0.06	**0**	0.4	-0.02
	My.min	21.81	0	-0.06	0	**0.4**	-0.02
	My.max	21.81	0	-0.06	0	**0.4**	-0.02
	Mz.min	21.81	0	-0.06	0	0.4	**-0.02**
	Mz.max	21.81	0	-0.06	0	0.4	**-0.02**
G2	N.min	**17.03**	0	0.02	0	-0.25	-0.01
	N.max	**17.03**	0	0.02	0	-0.25	-0.01
	Vy.min	17.03	**0**	0.02	0	-0.25	-0.01
	Vy.max	17.03	**0**	0.02	0	-0.25	-0.01
	Vz.min	17.03	0	**0.02**	0	-0.25	-0.01
	Vz.max	17.03	0	**0.02**	0	-0.25	-0.01
	Mx.min	17.03	0	0.02	**0**	-0.25	-0.01
	Mx.max	17.03	0	0.02	**0**	-0.25	-0.01
	My.min	17.03	0	0.02	0	**-0.25**	-0.01
	My.max	17.03	0	0.02	0	**-0.25**	-0.01
	Mz.min	17.03	0	0.02	0	-0.25	**-0.01**
	Mz.max	17.03	0	0.02	0	-0.25	**-0.01**
P1_71	N.min	**-66.88**	-0.01	-1.47	0	7.95	0.2
	N.max	**259.12**	0.08	-1.04	0.01	17.02	-0.46
	Vy.min	100.8	**-0.08**	-2.77	0.01	18.07	0.28
	Vy.max	97.65	**0.12**	-0.42	0.01	10.06	-0.43
	Vz.min	115.03	-0.03	**-3.63**	0.01	23.82	0.19
	Vz.max	100.25	0.05	**0.39**	0	5.03	-0.29
	Mx.min	0	0	0	**0**	0	0
	Mx.max	182.52	0.02	-3.19	**0.01**	27.44	-0.08
	My.min	0	0	0	0	**0**	0
	My.max	177.43	0.01	-3.31	0.01	**27.66**	-0.03
	Mz.min	220.08	0.11	-0.46	0.01	12.55	**-0.55**
	Mz.max	-13.39	-0.07	-2.82	0.01	16.39	**0.41**
P2_71	N.min	**-168.54**	-0.05	-1.04	0	2.34	0.53
	N.max	**620.01**	0.2	0.42	0	-0.13	-1.22
	Vy.min	261.76	**-0.24**	-1.73	0	4.32	0.8
	Vy.max	221.6	**0.33**	0.55	0	0.72	-1.24
	Vz.min	-6.57	-0.1	**-3.53**	0.01	16.66	0.78
	Vz.max	484.4	0.13	**2.01**	0	-10.36	-1.03
	Mx.min	370.29	-0.09	1.4	**0**	-11.27	-0.17
	Mx.max	116.25	0.09	-2.96	**0.01**	17.24	0.05
	My.min	299.37	-0.01	1.51	0	**-11.54**	-0.33
	My.max	103.42	0.04	-3.19	0.01	**17.74**	0.25
	Mz.min	492.37	0.31	0.92	0	-3.17	**-1.53**
	Mz.max	-8.89	-0.22	-2.59	0	10.65	**1.16**
P1_C3	N.min	**-49.76**	-0.01	-0.94	0	5.18	0.13
	N.max	**214.59**	0.06	-0.74	0.01	12.71	-0.38
	Vy.min	114.82	**-0.07**	-2	0.01	13.92	0.21
	Vy.max	66.76	**0.09**	-0.18	0	6.26	-0.35
	Vz.min	99.14	-0.03	**-2.72**	0.01	18.13	0.14
	Vz.max	80.7	0.05	**0.32**	0	4	-0.24
	Mx.min	0	0	0	**0**	0	0
	Mx.max	157.27	0.01	-2.38	**0.01**	21.16	-0.07
	My.min	0	0	0	0	**0**	0
	My.max	157.03	0.01	-2.4	0.01	**21.2**	-0.06
	Mz.min	181.75	0.09	-0.39	0.01	10.09	**-0.46**
	Mz.max	6.48	-0.06	-2.18	0	13.25	**0.33**
P2_C3	N.min	**-124.31**	-0.01	-0.39	0	0.05	0.28
	N.max	**512.19**	0.15	0.3	0	-0.82	-0.96
	Vy.min	258.92	**-0.23**	-1.27	0	2.73	0.71
	Vy.max	123.65	**0.27**	0.73	0	-2.01	-1.02
	Vz.min	-25.9	-0.07	**-2.57**	0	11.81	0.56
	Vz.max	407.4	0.12	**1.67**	0	-8.85	-0.91
	Mx.min	293.32	-0.07	1.21	**0**	-9.68	-0.13
	Mx.max	110.42	0.08	-2.12	**0**	12.85	-0.01
	My.min	265.59	-0.06	1.15	0	**-9.96**	-0.13
	My.max	84.31	0.05	-2.3	0	**13.11**	0.11
	Mz.min	432.89	0.24	0.98	0	-4.45	**-1.27**
	Mz.max	17.07	-0.22	-1.55	0	6	**0.99**
BR	N.min	**-14.39**	0.02	0.09	0	-0.29	-0.07
	N.max	**14.39**	-0.02	-0.09	0	0.29	0.07
	Vy.min	7.27	**-0.03**	-0.04	0	0.06	0.12
	Vy.max	-7.27	**0.03**	0.04	0	-0.06	-0.12
	Vz.min	12.17	-0.02	**-0.13**	0	0.81	0.02
	Vz.max	-12.17	0.02	**0.13**	0	-0.81	-0.02
	Mx.min	-12.17	0.02	0.13	**0**	-0.81	-0.02
	Mx.max	12.17	-0.02	-0.13	**0**	0.81	0.02
	My.min	-12.17	0.02	0.13	0	**-0.81**	-0.02
	My.max	12.17	-0.02	-0.13	0	**0.81**	0.02
	Mz.min	-7.27	0.03	0.04	0	-0.06	**-0.12**
	Mz.max	7.27	-0.03	-0.04	0	0.06	**0.12**

TR_D5 POPIS: **DIAGONÁLA D5** POSUDEK: **D5**

SKUPINA ZAT. STAVŮ	EXTRÉM	VYHODNOCOVANÉ VELIČINY					
		N	Vy	Vz	Mx	My	Mz
		kN	kN	kN	kNm	kNm	kNm
S	N.min	**-3.53**	0	0.41	0	-3.13	0.02
	N.max	**3.53**	0	-0.41	0	3.13	-0.02
	Vy.min	-2.88	**-0.01**	-0.11	0	2.14	0
	Vy.max	2.88	**0.01**	0.11	0	-2.14	0
	Vz.min	2.61	0	**-0.85**	0	6.13	-0.02
	Vz.max	-2.61	0	**0.85**	0	-6.13	0.02
	Mx.min	1.9	0.01	0.19	**0**	-1.86	0
	Mx.max	-1.9	-0.01	-0.19	**0**	1.86	0
	My.min	-2.61	0	0.85	0	**-6.13**	0.02
	My.max	2.61	0	-0.85	0	**6.13**	-0.02
	Mz.min	3.53	0	-0.41	0	3.13	**-0.02**
	Mz.max	-3.53	0	0.41	0	-3.13	**0.02**
CH	N.min	**16.52**	0.01	0.1	0	-0.89	0
	N.max	**42.42**	0	0.16	0	-1.61	-0.03
	Vy.min	21.05	**0**	-0.12	0	1.27	-0.02
	Vy.max	16.52	**0.01**	0.1	0	-0.89	0
	Vz.min	21.05	0	**-0.12**	0	1.27	-0.02
	Vz.max	42.42	0	**0.16**	0	-1.61	-0.03
	Mx.min	42.42	0	0.16	**0**	-1.61	-0.03
	Mx.max	21.05	0	-0.12	**0**	1.27	-0.02
	My.min	42.42	0	0.16	0	**-1.61**	-0.03
	My.max	21.05	0	-0.12	0	**1.27**	-0.02
	Mz.min	42.42	0	0.16	0	-1.61	**-0.03**
	Mz.max	16.52	0.01	0.1	0	-0.89	**0**
W	N.min	**-29.38**	0	1.63	0	-2.43	-0.02
	N.max	**29.39**	0	-1.64	0	2.44	0.02
	Vy.min	-29.38	**0**	1.63	0	-2.43	-0.02
	Vy.max	29.39	**0**	-1.64	0	2.44	0.02
	Vz.min	29.39	0	**-1.64**	0	2.44	0.02
	Vz.max	-29.38	0	**1.63**	0	-2.43	-0.02
	Mx.min	-29.38	0	1.63	**0**	-2.43	-0.02
	Mx.max	29.39	0	-1.64	**0**	2.44	0.02
	My.min	-29.38	0	1.63	0	**-2.43**	-0.02
	My.max	29.39	0	-1.64	0	**2.44**	0.02
	Mz.min	-29.38	0	1.63	0	-2.43	**-0.02**
	Mz.max	29.39	0	-1.64	0	2.44	**0.02**
WP	N.min	**-25.92**	-0.02	-1.01	0.01	9.93	-0.01
	N.max	**25.9**	0.02	1.01	-0.01	-9.92	0.01
	Vy.min	-25.92	**-0.02**	-1.01	0.01	9.93	-0.01
	Vy.max	25.9	**0.02**	1.01	-0.01	-9.92	0.01
	Vz.min	-25.92	-0.02	**-1.01**	0.01	9.93	-0.01
	Vz.max	25.9	0.02	**1.01**	-0.01	-9.92	0.01
	Mx.min	25.9	0.02	1.01	**-0.01**	-9.92	0.01
	Mx.max	-25.92	-0.02	-1.01	**0.01**	9.93	-0.01
	My.min	25.9	0.02	1.01	-0.01	**-9.92**	0.01
	My.max	-25.92	-0.02	-1.01	0.01	**9.93**	-0.01
	Mz.min	-25.92	-0.02	-1.01	0.01	9.93	**-0.01**
	Mz.max	25.9	0.02	1.01	-0.01	-9.92	**0.01**
TR	N.min	**0**	0	0	0	0	0
	N.max	**0**	0	0	0	0	0
	Vy.min	0	**0**	0	0	0	0
	Vy.max	0	**0**	0	0	0	0
	Vz.min	0	0	**0**	0	0	0
	Vz.max	0	0	**0**	0	0	0
	Mx.min	0	0	0	**0**	0	0
	Mx.max	0	0	0	**0**	0	0
	My.min	0	0	0	0	**0**	0
	My.max	0	0	0	0	**0**	0
	Mz.min	0	0	0	0	0	**0**
	Mz.max	0	0	0	0	0	**0**
TN	N.min	**-8.32**	0	0.97	-0.01	-8.93	-0.01
	N.max	**5.85**	0.11	-1.34	0.01	10.55	-0.64
	Vy.min	2.51	**-0.11**	0.15	0	-1.19	0.67
	Vy.max	-2.51	**0.11**	-0.15	0	1.19	-0.67
	Vz.min	5.85	0.11	**-1.34**	0.01	10.55	-0.64
	Vz.max	-8.32	0	**0.97**	-0.01	-8.93	-0.01
	Mx.min	-8.32	0	0.97	**-0.01**	-8.93	-0.01
	Mx.max	5.85	0.11	-1.34	**0.01**	10.55	-0.64
	My.min	-8.32	0	0.97	-0.01	**-8.93**	-0.01
	My.max	5.85	0.11	-1.34	0.01	**10.55**	-0.64
	Mz.min	-2.51	0.11	-0.15	0	1.19	**-0.67**
	Mz.max	2.51	-0.11	0.15	0	-1.19	**0.67**
FR	N.min	**-0.68**	0	0.01	0	-0.06	0.02
	N.max	**0.68**	0	-0.01	0	0.06	-0.02
	Vy.min	-0.68	**0**	0.01	0	-0.06	0.02
	Vy.max	0.68	**0**	-0.01	0	0.06	-0.02
	Vz.min	0.68	0	**-0.01**	0	0.06	-0.02
	Vz.max	-0.68	0	**0.01**	0	-0.06	0.02
	Mx.min	-0.68	0	0.01	**0**	-0.06	0.02
	Mx.max	0.68	0	-0.01	**0**	0.06	-0.02
	My.min	-0.68	0	0.01	0	**-0.06**	0.02
	My.max	0.68	0	-0.01	0	**0.06**	-0.02
	Mz.min	0.68	0	-0.01	0	0.06	**-0.02**
	Mz.max	-0.68	0	0.01	0	-0.06	**0.02**
I	N.min	**-6.84**	0	0.27	0	-2.11	**0**
	N.max	**6.84**	0	-0.27	0	2.11	**0**
	Vy.min	6.84	**0**	-0.27	0	2.11	**0**
	Vy.max	-6.84	**0**	0.27	0	-2.11	**0**
	Vz.min	6.84	0	**-0.27**	0	2.11	**0**
	Vz.max	-6.84	0	**0.27**	0	-2.11	**0**
	Mx.min	-6.84	0	0.27	**0**	-2.11	**0**
	Mx.max	6.84	0	-0.27	**0**	2.11	**0**
	My.min	-6.84	0	0.27	0	**-2.11**	**0**
	My.max	6.84	0	-0.27	0	**2.11**	**0**
	Mz.min	-6.84	0	0.27	0	-2.11	**0**
	Mz.max	6.84	0	-0.27	0	2.11	**0**

TAB. D5.3 POSOUZENÍ - MEZNÍ STAV ÚNOSNOSTI

POPIS	DIAGONÁLA D5
PRUT / POLOHA BODU	244 / J[2707]
NAMÁHÁNÍ	N.max
VLÁKNO	BOD K1 -HL
MEZNÍ STAV	ULS (MSÚ)
VYUŽITÍ VLÁKNA PRŮŘEZU	0.60

Charakteristiky materiálu				
pás. horní	$f_{yf,k}$	230	MPa	
pás. dolní	$f_{yf,k}$	230	MPa	
stojina	$f_{yw,k}$	230	MPa	
výztuž	$f_{ys,k}$	500	MPa	
γ_{M} =	1.10	γ_{s} =	1.15	

Excentricita normálové síly				
Exc./Fáze	0	1	2	3
e_y	0.000	0.000	0.000	0.000
e_z	0.000	0.000	0.000	0.000
Ekvivalentní vzdál. stěn - příčný roznos				
b_{Mx}	0.000	0.000	0.000	0.000

Vliv stěny na únosnost průřezu				
Char./Fáze	0	1	2	3
A	0.00	0.00	0.00	0.00
Wy	0.00	0.00	0.00	0.00
Wz	0.00	0.00	0.00	0.00

Charakter. v kroucení			
$t_{w,y}$	0.000	[mm]	
$t_{w,z}$	0.000	[mm]	
κ	1.00		
I_t=	0.00E+00	[mm^4]	
$\Omega=2*A_{pr}$	0.00E+00	[mm^2]	

Součinitele vzpěru a vlivu II.řádu				
Char./Fáze	0	1	2	3
k_y	1.000	1.000	1.000	1.000
k_z	1.000	1.000	1.000	1.000
χ_{LT}	1.000	1.000	1.000	1.000
χ_{min}	1.000	1.000	1.000	1.000

Vnitřní síly od jednotlivých skupin zatěžovacích stavů

SKUPINA ZATĚŽOVACÍCH STAVŮ					- CHARAKTERISTICKÉ HODNOTY						DÍLČÍ SOUČINITELÉ ZATÍŽENÍ, DYNAMICKÝ SOUČINITEL						3	- NÁVRHOVÉ HODNOTY									
Č.	SKUP ZS	POPIS ZS	KAT.	FÁZE PRŮŘ.	N.k (kN)	Vy.k (kN)	Vz.k (kN)	Mx.k (kNm)	My.k (kNm)	Mz.k (kNm)	γ_{sup} (-)	γ_{inf} (-)	volba ψ_i hledat	ψ_i (-)	L_d (m)	δ (-)	ψ_0 KZ03	N.d (kN)	Vy.d (kN)	Vz.d (kN)	ΔVz.d (kN)	ΣVz.d (kN)	Mx.d (kNm)	My.d (kNm)	ΔMy.d (kNm)	ΣMy.d (kNm)	Mz.d (kNm)	ΔMz.d (kNm)	ΣMz.d (kNm)
1	G0	Vlastní tíha OK	G	0	295	5	0	0	1	-5	1.00	1.20		1.20	-	1.00	0.95	337	5	0	0	0	0	1	0	1	-5	0	-5
2	G1	Ostatní stálé - mostní vybavení	G	0	22	0	0	0	0	0	1.00	1.20		1.20	-	1.00	0.95	25	0	0	0	0	0	0	0	0	0	0	0
3	G2	Ostatní stálé - cizí zařízení	G	0	17	0	0	0	0	0	1.00	1.20		1.20	-	1.00	0.95	19	0	0	0	0	0	0	0	0	0	0	0
4	P1_71	a.LM71 - kolej 1 (bez dyn. souč.)	P	0	259	0	-1	0	17	0	1.00	1.30		1.30	-	1.00	1.00	337	0	-1	0	-1	0	22	0	22	-1	0	-1
5	P2_71	a.LM71 - kolej 2 (bez dyn. souč.)	P	0	620	0	0	0	0	-1	1.00	1.30		1.30	-	1.00	1.00	806	0	1	0	1	0	0	0	0	-2	0	-2
6	P1_C3	TTZ C3 - kolej 1 (bez dyn. souč.)	P	0	215	0	-1	0	13	0	1.00	vyp.		0.00	-	1.00	0.00	0	0	0	0	0	0	0	0	0	0	0	0
7	P2_C3	TTZ C3 - kolej 2 (bez dyn. souč.)	P	0	512	0	0	0	-1	-1	1.00	vyp.		0.00	-	1.00	0.00	0	0	0	0	0	0	0	0	0	0	0	0
8	BR	Brzdné a rozjezdové síly	P	0	14	0	0	0	0	0	1.00	1.30		1.30	-	1.00	0.80	15	0	0	0	0	0	0	0	0	0	0	0
9	S	Boční ráz	P	0	4	0	0	0	3	0	1.00	0.00		0.00	-	1.00	0.40	0	0	0	0	0	0	0	0	0	0	0	0
10	CH	Chodci na lávkách	Q	0	42	0	0	0	-2	0	1.00	1.30		1.30	-	1.00	1.00	55	0	0	0	0	0	-2	0	-2	0	0	0
11	W	Vítr na konstrukci	Q	0	29	0	-2	0	2	0	1.00	1.35		1.35	-	1.00	0.75	30	0	-2	0	-2	0	2	0	2	0	0	0
12	WP	Vítr na vozidla	Q	0	26	0	1	0	-10	0	1.00	1.35		1.35	-	1.00	0.75	26	0	1	0	1	0	-10	0	-10	0	0	0
13	TR	Teplota rovnoměrná	Q	0	0	0	0	0	0	0	1.00	1.35		1.35	-	1.00	0.45	0	0	0	0	0	0	0	0	0	0	0	0
14	TN	Teplota nerovnoměrná	Q	0	6	0	-1	0	11	-1	1.00	-1.35		-1.35	-	1.00	0.60	-5	0	1	0	1	0	-9	0	-9	1	0	1
15	FR	Třecí síly v ložiskách	Q	0	1	0	0	0	0	0	1.00	1.20		1.20	-	1.00	1.00	1	0	0	0	0	0	0	0	0	0	0	0
16	I	Imperfekce soustavy	Q	0	7	0	0	0	2	0	1.00	-1.20		-1.20	-	1.00	1.00	-8	0	0	0	0	0	-3	0	-3	0	0	0
27	ULS_LM	ULS - LM71 bez dynam	Q	0	1 670	6	-3	0	27	-8	1.00	vyp.	1	0.00	-	1.00	0.00	0	0	0	0	0	0	0	0	0	0	0	0
28	SLS_LM	SLS - LM71 bez dynam	Q	0	1 321	5	-2	0	15	-6	1.00	vyp.	1	0.00	-	1.00	0.00	0	0	0	0	0	0	0	0	0	0	0	0
29	ULS_C3	ULS - C3 bez dynam	Q	0	1 472	6	-3	0	20	-8	1.00	vyp.	1	0.00	-	1.00	0.00	0	0	0	0	0	0	0	0	0	0	0	0
30	SLS_C3	SLS - C3 bez dynam	Q	0	1 169	5	-1	0	10	-6	1.00	vyp.	1	0.00	-	1.00	0.00	0	0	0	0	0	0	0	0	0	0	0	0
		CELKEM - FÁZE PRŮŘEZU 0																1 638	6	0	0	0	0	3	0	3	-7	0	-7
		CELKEM - FÁZE PRŮŘEZU 1																0	0	0	0	0	0	0	0	0	0	0	0
		CELKEM - FÁZE PRŮŘEZU 2																0	0	0	0	0	0	0	0	0	0	0	0
		CELKEM - FÁZE PRŮŘEZU 3																0	0	0	0	0	0	0	0	0	0	0	0
		CELKEM - PRŮŘEZ																1 638	6	0	0	0	0			3			-7

Napětí od jednotlivých zatěžovacích stavů

SKUPINA ZATĚŽOVACÍCH STAVŮ					Posouzení normálového napětí										Posouzení smykového napětí													
					Účinek síly N			Účinek momentu My			Účinek momentu Mz				Účinek kroutícího momentu Mx				Účinek smykové síly Vy				Účinek smykové síly Vz			
Č.	SKUP ZS	Popis ZS	Kat.	fáze průř.	δ^*N_d [kN]	χ^*A [mm^2]	σ_n [MPa]	$\delta^*M_{y,d}$ [kNm]	$\chi_{lt}*W_{el,y}$ [mm^3]	σ_{my} [MPa]	$\delta^*M_{z,d}$ [kNm]	$W_{el,z}$ [mm^3]	σ_{mz} [MPa]	σ_x [MPa]	$\kappa*\delta^*M_{x,d}$ [kNm]	$W_{v,y}$ [mm^2]	$\tau_{x,y}$ [MPa]	$W_{v,z}$ [mm^2]	$\tau_{x,z}$ [MPa]	$\delta^*V_{y,d}$ [kN]	$A_{v,y}$ [mm2]	$\tau_{v,y}$ [MPa]	$\tau_{v,y}$ [MPa]	$\delta^*V_{z,d}$ [kN]	$A_{v,z}$ [mm2]	$\tau_{v,z}$ [MPa]	$\tau_{v,z}$ [MPa]
1	G0	Vlastní tíha OK	G	0	336.7	1.44E+04	23.3	0.8	-1.34E+06	-0.6	-5.3	-5.29E+05	10.0	32.7	0.0E+00	-	-	-	-	5.2	1.07E+04	0.5	0.5	0.0	3.79E+03	0.0	0.0
2	G1	Ostatní stálé - mostní vybavení	G	0	24.9	1.44E+04	1.7	0.5	-1.34E+06	-0.3	0.0	-5.29E+05	0.0	1.4	0.0E+00	-	-	-	-	0.0	1.07E+04	0.0	0.0	-0.1	3.79E+03	0.0	0.0
3	G2	Ostatní stálé - cizí zařízení	G	0	19.4	1.44E+04	1.3	-0.3	-1.34E+06	0.2	0.0	-5.29E+05	0.0	1.6	0.0E+00	-	-	-	-	0.0	1.07E+04	0.0	0.0	0.0	3.79E+03	0.0	0.0
4	P1_71	a.LM71 - kolej 1 (bez dyn. souč.)	P	0	336.9	1.44E+04	23.3	22.1	-1.34E+06	-16.5	-0.6	-5.29E+05	1.1	8.0	1.3E-02	-	-	-	-	0.1	1.07E+04	0.0	0.0	-1.4	3.79E+03	-0.4	-0.4
5	P2_71	a.LM71 - kolej 2 (bez dyn. souč.)	P	0	806.0	1.44E+04	55.8	-0.2	-1.34E+06	0.1	-1.6	-5.29E+05	3.0	58.9	0.0E+00	-	-	-	-	0.3	1.07E+04	0.0	0.0	0.5	3.79E+03	0.1	0.1
6	P1_C3	TTZ C3 - kolej 1 (bez dyn. souč.)	P	0	0.0	1.44E+04	0.0	0.0	-1.34E+06	0.0	0.0	-5.29E+05	0.0	0.0	0.0E+00	-	-	-	-	0.0	1.07E+04	0.0	0.0	0.0	3.79E+03	0.0	0.0
7	P2_C3	TTZ C3 - kolej 2 (bez dyn. souč.)	P	0	0.0	1.44E+04	0.0	0.0	-1.34E+06	0.0	0.0	-5.29E+05	0.0	0.0	0.0E+00	-	-	-	-	0.0	1.07E+04	0.0	0.0	0.0	3.79E+03	0.0	0.0
8	BR	Brzdné a rozjezdové síly	P	0	15.0	1.44E+04	1.0	0.3	-1.34E+06	-0.2	0.1	-5.29E+05	-0.1	0.7	0.0E+00	-	-	-	-	0.0	1.07E+04	0.0	0.0	-0.1	3.79E+03	0.0	0.0
9	S	Boční ráz	P	0	0.0	1.44E+04	0.0	0.0	-1.34E+06	0.0	0.0	-5.29E+05	0.0	0.0	0.0E+00	-	-	-	-	0.0	1.07E+04	0.0	0.0	0.0	3.79E+03	0.0	0.0
10	CH	Chodci na lávkách	Q	0	55.1	1.44E+04	3.8	-2.1	-1.34E+06	1.6	0.0	-5.29E+05	0.1	5.4	0.0E+00	-	-	-	-	0.0	1.07E+04	0.0	0.0	0.2	3.79E+03	0.1	0.1
11	W	Vítr na konstrukci	Q	0	29.8	1.44E+04	2.1	2.5	-1.34E+06	-1.8	0.0	-5.29E+05	0.0	0.2	0.0E+00	-	-	-	-	0.0	1.07E+04	0.0	0.0	-1.7	3.79E+03	-0.4	-0.4
12	WP	Vítr na vozidla	Q	0	26.2	1.44E+04	1.8	-10.0	-1.34E+06	7.5	0.0	-5.29E+05	0.0	9.3	-1.0E-02	-	-	-	-	0.0	1.07E+04	0.0	0.0	1.0	3.79E+03	0.3	0.3
13	TR	Teplota rovnoměrná	Q	0	0.0	1.44E+04	0.0	0.0	-1.34E+06	0.0	0.0	-5.29E+05	0.0	0.0	0.0E+00	-	-	-	-	0.0	1.07E+04	0.0	0.0	0.0	3.79E+03	0.0	0.0
14	TN	Teplota nerovnoměrná	Q	0	-4.7	1.44E+04	-0.3	-8.5	-1.34E+06	6.4	0.5	-5.29E+05	-1.0	5.1	-8.1E-03	-	-	-	-	-0.1	1.07E+04	0.0	0.0	1.1	3.79E+03	0.3	0.3
15	FR	Třecí síly v ložiskách	Q	0	0.8	1.44E+04	0.1	0.1	-1.34E+06	-0.1	0.0	-5.29E+05	0.0	0.0	0.0E+00	-	-	-	-	0.0	1.07E+04	0.0	0.0	0.0	3.79E+03	0.0	0.0
16	I	Imperfekce soustavy	Q	0	-8.2	1.44E+04	-0.6	-2.5	-1.34E+06	1.9	0.0	-5.29E+05	0.0	1.3	0.0E+00	-	-	-	-	0.0	1.07E+04	0.0	0.0	0.3	3.79E+03	0.1	0.1
27	ULS_LM	ULS - LM71 bez dynam	Q	0	0.0	1.44E+04	0.0	0.0	-1.34E+06	0.0	0.0	-5.29E+05	0.0	0.0	0.0E+00	-	-	-	-	0.0	1.07E+04	0.0	0.0	0.0	3.79E+03	0.0	0.0
28	SLS_LM	SLS - LM71 bez dynam	Q	0	0.0	1.44E+04	0.0	0.0	-1.34E+06	0.0	0.0	-5.29E+05	0.0	0.0	0.0E+00	-	-	-	-	0.0	1.07E+04	0.0	0.0	0.0	3.79E+03	0.0	0.0
29	ULS_C3	ULS - C3 bez dynam	Q	0	0.0	1.44E+04	0.0	0.0	-1.34E+06	0.0	0.0	-5.29E+05	0.0	0.0	0.0E+00	-	-	-	-	0.0	1.07E+04	0.0	0.0	0.0	3.79E+03	0.0	0.0
30	SLS_C3	SLS - C3 bez dynam	Q	0	0.0	1.44E+04	0.0	0.0	-1.34E+06	0.0	0.0	-5.29E+05	0.0	0.0	0.0E+00	-	-	-	-	0.0	1.07E+04	0.0	0.0	0.0	3.79E+03	0.0	0.0
NAVÝŠENÍ NAPĚTÍ DO AKTIVACE TLAKU V DESCE MOSTOVKY						$\sigma_{P,red}$	0.0							0.0			0.0		0.0			0.5	0.5			0.0	0.0
NAPĚTÍ OD PRIMÁRNÍCH ÚČINKŮ NEROVNOMĚRNÉHO OTEPLENÍ						σ_T	0.0							0.0													
NAPĚTÍ OD REOLOGICKÝCH ÚČINKŮ BETONU V ČASE				t=0		σ_R	0.0	γ=	1.20					0.0													
NAPĚTÍ V KRITICKÝCH VLÁKNECH OD KOMBINACE ZATÍŽENÍ						KZ03		[MPa]					$\Sigma\sigma_x$	124.6								$\Sigma\tau_y$	0.5			$\Sigma\tau_z$	0.0
NAPĚTÍ OD POHYBLIVÉHO ZATÍŽENÍ								[MPa]					$\sigma_{x,P}$	67.6								τ_P	0.0			τ_P	-0.2
NAPĚTÍ OD OSTATNÍCH ZATÍŽENÍ								[MPa]			Φ_{Vy}	Φ_{Vz}	$\sigma_{x,rs}$	57.0								τ_{rs}	0.5			τ_{rs}	0.2
NÁVRHOVÁ HODNOTA MEZE KLUZU S REDUKCÍ VLIVEM SMYKOVÉHO NAPĚTÍ								[MPa]			1.00	1.00	$f_{yv,d}$	209.1								$f_{yd}/3^{0,5}$	120.7			$f_{yd}/3^{0,5}$	120.7
NAPĚTÍ OD POHYBLIVÉHO ZATÍŽENÍ V GLOBÁLNÍM SYSTÉMU						$\sigma_{GLOB,P}$	0.0	[MPa]					$\Sigma\sigma_{GLOB}$	0.0													
NAPĚTÍ OD OSTATNÍCH ZATÍŽENÍ V GLOBÁLNÍM SYSTÉMU						$\sigma_{GLOB,rs}$	0.0	[MPa]					$\Sigma\sigma_x + \Sigma\sigma_{GLOB}$	124.6													
VYUŽITÍ PRŮŘEZU DLE NAPĚTÍ								[%]					η_1	0.60								η_3	0.00			η_3	0.00
NAPĚTÍ V PŘÍČNÉM SMĚRU OD POHYBLIVÉHO ZATÍŽENÍ						$\sigma_{z,P}$	0.0	[MPa]					$\Sigma\sigma_z$	0.0													
NAPĚTÍ V PŘÍČNÉM SMĚRU OD OSTATNÍCH ZATÍŽENÍ						$\sigma_{z,rs}$	0.0	[MPa]					η_2	0.00													
SROVNÁVACÍ NAPĚTÍ													$(\eta 2 + 0,8\ \eta 1)/1,4 =$	0.34													
VYUŽITÍ PRŮŘEZU CELKEM								[%]					eff	0.60	VYHOVUJE												
													z_{LM71} =	2.25													

TAB. D5.3 POSOUZENÍ - MEZNÍ STAV ÚNOSNOSTI

POPIS	DIAGONÁLA D5
PRUT / POLOHA BODU	244 / J[2707]
NAMÁHÁNÍ	N.max
VLÁKNO	BOD K3 -SL
MEZNÍ STAV	ULS (MSÚ)
VYUŽITÍ VLÁKNA PRŮŘEZU	0.78

Charakteristiky materiálu				
pás. horní	$f_{yf,k}$	230	MPa	
pás. dolní	$f_{yf,k}$	230	MPa	
stojina	$f_{yw,k}$	230	MPa	
výztuž	$f_{ys,k}$	500	MPa	
	γ_{M} =	1.10	γ_{s} =	1.15

Excentricita normálové síly				
Exc./Fáze	0	1	2	3
e_y	0.000	0.000	0.000	0.000
e_z	0.000	0.000	0.000	0.000
Ekvivalentní vzdál. stěn - příčný roznos				
b_{Mx}	0.000	0.000	0.000	0.000

Vliv stěny na únosnost průřezu				
Char./Fáze	0	1	2	3
A	0.00	0.00	0.00	0.00
Wy	0.00	0.00	0.00	0.00
Wz	0.00	0.00	0.00	0.00

Charakter. v kroucení			
$t_{w,y}$	0.000	[mm]	
$t_{w,z}$	0.000	[mm]	
κ	1.00		
I_t=	0.00E+00	[mm^4]	
Ω=2*A_{pr}	0.00E+00	[mm^2]	

Součinitele vzpěru a vlivu II.řádu					
Char./Fáze	0	1	2	3	4
k_y	1.000	1.000	1.000	1.000	
k_z	1.000	1.000	1.000	1.000	
χ_{LT}	1.000	1.000	1.000	1.000	
χ_{min}	1.000	1.000	1.000	1.000	

Vnitřní síly od jednotlivých skupin zatěžovacích stavů

SKUPINA ZATĚŽOVACÍCH STAVŮ					- CHARAKTERISTICKÉ HODNOTY						DÍLČÍ SOUČINITELÉ ZATÍŽENÍ, DYNAMICKÝ SOUČINITEL							- NÁVRHOVÉ HODNOTY									
Č.	SKUP ZS	POPIS ZS	KAT.	FÁZE PRŮŘ.	N.k (kN)	Vy.k (kN)	Vz.k (kN)	Mx.k (kNm)	My.k (kNm)	Mz.k (kNm)	γ_{sur} (-)	γ_{Q} (-)	volba ψ_i hledat	ψ_i (-)	L_d (m)	δ (-)	Ψ_E KZ04	N.d (kN)	Vy.d (kN)	Vz.d (kN)	ΔVz.d (kN)	ΣVz.d (kN)	Mx.d (kNm)	My.d (kNm)	ΔMy.d (kNm)	ΣMy.d (kNm)	Mz.d (kNm)	ΔMz.d (kNm)	ΣMz.d (kNm)
1	G0	Vlastní tíha OK	G	0	295	5	0	0	1	-5	1.00	1.20		1.20	-	1.00	0.95	337	5	0	0	0	0	1	0	1	-5	0	-5
2	G1	Ostatní stálé - mostní vybavení	G	0	22	0	0	0	0	0	1.00	1.20		1.20	-	1.00	0.95	25	0	0	0	0	0	0	0	0	0	0	0
3	G2	Ostatní stálé - cizí zařízení	G	0	17	0	0	0	0	0	1.00	1.20		1.20	-	1.00	0.95	19	0	0	0	0	0	0	0	0	0	0	0
4	P1_71	a.LM71 - kolej 1 (bez dyn. souč.)	P	0	259	0	-1	0	17	0	1.00	1.30		1.30	-	1.00	1.00	337	0	-1	0	-1	0	22	0	22	-1	0	-1
5	P2_71	a.LM71 - kolej 2 (bez dyn. souč.)	P	0	620	0	0	0	0	-1	1.00	1.30		1.30	-	1.00	1.00	806	0	1	0	1	0	0	0	0	-2	0	-2
6	P1_C3	TTZ C3 - kolej 1 (bez dyn. souč.)	P	0	215	0	-1	0	13	0	1.00	vyp.		0.00	-	1.00	0.00	0	0	0	0	0	0	0	0	0	0	0	0
7	P2_C3	TTZ C3 - kolej 2 (bez dyn. souč.)	P	0	512	0	0	0	-1	-1	1.00	vyp.		0.00	-	1.00	0.00	0	0	0	0	0	0	0	0	0	0	0	0
8	BR	Brzdné a rozjezdové síly	P	0	14	0	0	0	0	0	1.00	1.30		1.30	-	1.00	0.40	7	0	0	0	0	0	0	0	0	0	0	0
9	S	Boční ráz	P	0	4	0	0	0	3	0	1.00	1.30		1.30	-	1.00	0.80	4	0	0	0	0	0	3	0	3	0	0	0
10	CH	Chodci na lávkách	Q	0	42	0	0	0	-2	0	1.00	1.30		1.30	-	1.00	1.00	55	0	0	0	0	0	-2	0	-2	0	0	0
11	W	Vítr na konstrukci	Q	0	29	0	-2	0	2	0	1.00	1.35		1.35	-	1.00	0.75	30	0	-2	0	-2	0	2	0	2	0	0	0
12	WP	Vítr na vozidla	Q	0	26	0	1	0	-10	0	1.00	-1.35		-1.35	-	1.00	0.75	-26	0	-1	0	-1	0	10	0	10	0	0	0
13	TR	Teplota rovnoměrná	Q	0	0	0	0	0	0	0	1.00	1.35		1.35	-	1.00	0.45	0	0	0	0	0	0	0	0	0	0	0	0
14	TN	Teplota nerovnoměrná	Q	0	6	0	-1	0	11	-1	1.00	1.35		1.35	-	1.00	0.60	5	0	-1	0	-1	0	9	0	9	-1	0	-1
15	FR	Třecí síly v ložiskách	Q	0	1	0	0	0	0	0	1.00	1.20		1.20	-	1.00	1.00	1	0	0	0	0	0	0	0	0	0	0	0
16	I	Imperfekce soustavy	Q	0	7	0	0	0	2	0	1.00	1.20		1.20	-	1.00	1.00	8	0	0	0	0	0	3	0	3	0	0	0
27	ULS_LM	ULS - LM71 bez dynam	Q	0	1 670	6	-3	0	27	-8	1.00	vyp.		0.00	-	1.00	0.00	0	0	0	0	0	0	0	0	0	0	0	0
28	SLS_LM	SLS - LM71 bez dynam	Q	0	1 321	5	-2	0	15	-6	1.00	vyp.	1	0.00	-	1.00	0.00	0	0	0	0	0	0	0	0	0	0	0	0
29	ULS_C3	ULS - C3 bez dynam	Q	0	1 472	6	-3	0	20	-8	1.00	vyp.	1	0.00	-	1.00	0.00	0	0	0	0	0	0	0	0	0	0	0	0
30	SLS_C3	SLS - C3 bez dynam	Q	0	1 169	5	-1	0	10	-6	1.00	vyp.	1	0.00	-	1.00	0.00	0	0	0	0	0	0	0	0	0	0	0	0
		CELKEM - FÁZE PRŮŘEZU 0																1 607	6	-5	0	-5	0	48	0	48	-8	0	-8
		CELKEM - FÁZE PRŮŘEZU 1																0	0	0	0	0	0	0	0	0	0	0	0
		CELKEM - FÁZE PRŮŘEZU 2																0	0	0	0	0	0	0	0	0	0	0	0
		CELKEM - FÁZE PRŮŘEZU 3																0	0	0	0	0	0	0	0	0	0	0	0
		CELKEM - PRŮŘEZ																1 607	6	-5	0	-5	0			48			-8

Napětí od jednotlivých zatěžovacích stavů

SKUPINA ZATĚŽOVACÍCH STAVŮ					Posouzení normálového napětí										Posouzení smykového napětí													
					Účinek síly N			Účinek momentu My			Účinek momentu Mz				Účinek kroutícího momentu Mx				Účinek smykové síly Vy				Účinek smykové síly Vz			
Č.	SKUP ZS	Popis ZS	Kat.	fáze průř.	δ^*N_d [kN]	χ^*A [mm^2]	σ_n [MPa]	$\delta^*M_{y,d}$ [kNm]	$\chi_{lt}{}^*W_{el,y}$ [mm^3]	σ_{my} [MPa]	$\delta^*M_{z,d}$ [kNm]	$W_{el,z}$ [mm^3]	σ_{mz} [MPa]	σ_x [MPa]	$\kappa^*\delta^*M_{x,d}$ [kNm]	$W_{v,y}$ [mm^2]	$\tau_{x,y}$ [MPa]	$W_{v,z}$ [mm^2]	$\tau_{x,z}$ [MPa]	$\delta^*V_{y,d}$ [kN]	$A_{v,y}$ [mm2]	$\tau_{v,y}$ [MPa]	$\tau_{v,y}$ [MPa]	$\delta^*V_{z,d}$ [kN]	$A_{v,z}$ [mm2]	$\tau_{v,z}$ [MPa]	$\tau_{v,z}$ [MPa]
1	G0	Vlastní tíha OK	G	0	336.7	1.44E+04	23.3	0.8	1.34E+06	0.6	-5.3	-5.29E+05	10.0	33.9	0.0E+00	-	-	-	-	5.2	1.07E+04	0.5	0.5	0.0	3.79E+03	0.0	0.0
2	G1	Ostatní stálé - mostní vybavení	G	0	24.9	1.44E+04	1.7	0.5	1.34E+06	0.3	0.0	-5.29E+05	0.0	2.1	0.0E+00	-	-	-	-	0.0	1.07E+04	0.0	0.0	-0.1	3.79E+03	0.0	0.0
3	G2	Ostatní stálé - cizí zařízení	G	0	19.4	1.44E+04	1.3	-0.3	1.34E+06	-0.2	0.0	-5.29E+05	0.0	1.2	0.0E+00	-	-	-	-	0.0	1.07E+04	0.0	0.0	0.0	3.79E+03	0.0	0.0
4	P1_71	a.LM71 - kolej 1 (bez dyn. souč.)	P	0	336.9	1.44E+04	23.3	22.1	1.34E+06	16.5	-0.6	-5.29E+05	1.1	40.9	1.3E-02	-	-	-	-	0.1	1.07E+04	0.0	0.0	-1.4	3.79E+03	-0.4	-0.4
5	P2_71	a.LM71 - kolej 2 (bez dyn. souč.)	P	0	806.0	1.44E+04	55.8	-0.2	1.34E+06	-0.1	-1.6	-5.29E+05	3.0	58.7	0.0E+00	-	-	-	-	0.3	1.07E+04	0.0	0.0	0.5	3.79E+03	0.1	0.1
6	P1_C3	TTZ C3 - kolej 1 (bez dyn. souč.)	P	0	0.0	1.44E+04	0.0	0.0	1.34E+06	0.0	0.0	-5.29E+05	0.0	0.0	0.0E+00	-	-	-	-	0.0	1.07E+04	0.0	0.0	0.0	3.79E+03	0.0	0.0
7	P2_C3	TTZ C3 - kolej 2 (bez dyn. souč.)	P	0	0.0	1.44E+04	0.0	0.0	1.34E+06	0.0	0.0	-5.29E+05	0.0	0.0	0.0E+00	-	-	-	-	0.0	1.07E+04	0.0	0.0	0.0	3.79E+03	0.0	0.0
8	BR	Brzdné a rozjezdové síly	P	0	7.5	1.44E+04	0.5	0.2	1.34E+06	0.1	0.0	-5.29E+05	-0.1	0.6	0.0E+00	-	-	-	-	0.0	1.07E+04	0.0	0.0	0.0	3.79E+03	0.0	0.0
9	S	Boční ráz	P	0	3.7	1.44E+04	0.3	3.3	1.34E+06	2.4	0.0	-5.29E+05	0.0	2.7	0.0E+00	-	-	-	-	0.0	1.07E+04	0.0	0.0	-0.4	3.79E+03	-0.1	-0.1
10	CH	Chodci na lávkách	Q	0	55.1	1.44E+04	3.8	-2.1	1.34E+06	-1.6	0.0	-5.29E+05	0.1	2.3	0.0E+00	-	-	-	-	0.0	1.07E+04	0.0	0.0	0.2	3.79E+03	0.1	0.1
11	W	Vítr na konstrukci	Q	0	29.8	1.44E+04	2.1	2.5	1.34E+06	1.8	0.0	-5.29E+05	0.0	3.9	0.0E+00	-	-	-	-	0.0	1.07E+04	0.0	0.0	-1.7	3.79E+03	-0.4	-0.4
12	WP	Vítr na vozidla	Q	0	-26.2	1.44E+04	-1.8	10.0	1.34E+06	7.5	0.0	-5.29E+05	0.0	5.7	1.0E-02	-	-	-	-	0.0	1.07E+04	0.0	0.0	-1.0	3.79E+03	-0.3	-0.3
13	TR	Teplota rovnoměrná	Q	0	0.0	1.44E+04	0.0	0.0	1.34E+06	0.0	0.0	-5.29E+05	0.0	0.0	0.0E+00	-	-	-	-	0.0	1.07E+04	0.0	0.0	0.0	3.79E+03	0.0	0.0
14	TN	Teplota nerovnoměrná	Q	0	4.7	1.44E+04	0.3	8.5	1.34E+06	6.4	-0.5	-5.29E+05	1.0	7.7	8.1E-03	-	-	-	-	0.1	1.07E+04	0.0	0.0	-1.1	3.79E+03	-0.3	-0.3
15	FR	Třecí síly v ložiskách	Q	0	0.8	1.44E+04	0.1	0.1	1.34E+06	0.1	0.0	-5.29E+05	0.0	0.2	0.0E+00	-	-	-	-	0.0	1.07E+04	0.0	0.0	0.0	3.79E+03	0.0	0.0
16	I	Imperfekce soustavy	Q	0	8.2	1.44E+04	0.6	2.5	1.34E+06	1.9	0.0	-5.29E+05	0.0	2.5	0.0E+00	-	-	-	-	0.0	1.07E+04	0.0	0.0	-0.3	3.79E+03	-0.1	-0.1
27	ULS_LM	ULS - LM71 bez dynam	Q	0	0.0	1.44E+04	0.0	0.0	1.34E+06	0.0	0.0	-5.29E+05	0.0	0.0	0.0E+00	-	-	-	-	0.0	1.07E+04	0.0	0.0	0.0	3.79E+03	0.0	0.0
28	SLS_LM	SLS - LM71 bez dynam	Q	0	0.0	1.44E+04	0.0	0.0	1.34E+06	0.0	0.0	-5.29E+05	0.0	0.0	0.0E+00	-	-	-	-	0.0	1.07E+04	0.0	0.0	0.0	3.79E+03	0.0	0.0
29	ULS_C3	ULS - C3 bez dynam	Q	0	0.0	1.44E+04	0.0	0.0	1.34E+06	0.0	0.0	-5.29E+05	0.0	0.0	0.0E+00	-	-	-	-	0.0	1.07E+04	0.0	0.0	0.0	3.79E+03	0.0	0.0
30	SLS_C3	SLS - C3 bez dynam	Q	0	0.0	1.44E+04	0.0	0.0	1.34E+06	0.0	0.0	-5.29E+05	0.0	0.0	0.0E+00	-	-	-	-	0.0	1.07E+04	0.0	0.0	0.0	3.79E+03	0.0	0.0
NAVÝŠENÍ NAPĚTÍ DO AKTIVACE TLAKU V DESCE MOSTOVKY						$\sigma_{P,red}$	0.0							0.0			0.0		0.0			0.5	0.5			-1.4	-1.4
NAPĚTÍ OD PRIMÁRNÍCH ÚČINKŮ NEROVNOMĚRNÉHO OTEPLENÍ						σ_T	0.0							0.0													
NAPĚTÍ OD REOLOGICKÝCH ÚČINKŮ BETONU V ČASE				t=0		σ_R	0.0	γ=	1.20					0.0													
NAPĚTÍ V KRITICKÝCH VLÁKNECH OD KOMBINACE ZATÍŽENÍ						KZ04		[MPa]					$\Sigma\sigma_x$	162.1								$\Sigma\tau_y$	0.5			$\Sigma\tau_z$	-1.4
NAPĚTÍ OD POHYBLIVÉHO ZATÍŽENÍ								[MPa]					$\sigma_{z,P}$	102.9								τ_P	0.0			τ_P	-0.3
NAPĚTÍ OD OSTATNÍCH ZATÍŽENÍ								[MPa]			Φ_{Vy}	Φ_{Vz}	$\sigma_{z,rs}$	59.3								τ_{rs}	0.5			τ_{rs}	-1.0
NÁVRHOVÁ HODNOTA MEZE KLUZU S REDUKCÍ VLIVEM SMYKOVÉHO NAPĚTÍ								[MPa]			1.00	1.00	$f_{yv,d}$	209.1								$f_{yd}/3^{0,5}$	120.7			$f_{yd}/3^{0,5}$	120.7
NAPĚTÍ OD POHYBLIVÉHO ZATÍŽENÍ V GLOBÁLNÍM SYSTÉMU						$\sigma_{GLOB,P}$	0.0	[MPa]					$\Sigma\sigma_{GLOB}$	0.0													
NAPĚTÍ OD OSTATNÍCH ZATÍŽENÍ V GLOBÁLNÍM SYSTÉMU						$\sigma_{GLOB,rs}$	0.0	[MPa]					$\Sigma\sigma_z + \Sigma\sigma_{GLOB}$	162.1													
VYUŽITÍ PRŮŘEZU DLE NAPĚTÍ								[%]					η_1	0.78								η_3	0.00			η_3	0.01
NAPĚTÍ V PŘÍČNÉM SMĚRU OD POHYBLIVÉHO ZATÍŽENÍ						$\sigma_{z,P}$	0.0	[MPa]					$\Sigma\sigma_z$	0.0													
NAPĚTÍ V PŘÍČNÉM SMĚRU OD OSTATNÍCH ZATÍŽENÍ						$\sigma_{z,rs}$	0.0	[MPa]					η_2	0.00													
SROVNÁVACÍ NAPĚTÍ													$(\eta 2 + 0{,}8\,\eta 1)/1{,}4$ =	0.44													
VYUŽITÍ PRŮŘEZU CELKEM								[%]					eff	0.78	VYHOVUJE												
													Z_{LM71} =	1.46													

TAB. D5.3 POSOUZENÍ - MEZNÍ STAV ÚNOSNOSTI

POPIS	DIAGONÁLA D5
PRUT / POLOHA BODU	244 / J[2707]
NAMÁHÁNÍ	Vz.min
VLÁKNO	BOD S6 -HP
MEZNÍ STAV	ULS (MSÚ)
VYUŽITÍ VLÁKNA PRŮŘEZU	0.50

Charakteristiky materiálu				
pás. horní	$f_{yf,k}$	230	MPa	
pás. dolní	$f_{yf,k}$	230	MPa	
stojina	$f_{yw,k}$	230	MPa	
výztuž	$f_{ys,k}$	500	MPa	
γ_M =	1.10	γ_s =	1.15	

Excentricita normálové síly				
Exc./Fáze	0	1	2	3
e_y	0.000	0.000	0.000	0.000
e_z	0.000	0.000	0.000	0.000
Ekvivalentní vzdál. stěn - příčný roznos				
b_{Mx}	0.000	0.000	0.000	0.000

Vliv stěny na únosnost průřezu				
Char./Fáze	0	1	2	3
A	0.00	0.00	0.00	0.00
Wy	0.00	0.00	0.00	0.00
Wz	0.00	0.00	0.00	0.00

Charakter. v kroucení			
$t_{w,y}$	0.000	[mm]	
$t_{w,z}$	0.000	[mm]	
κ	1.00		
I_t=	0.00E+00	[mm^4]	
$\Omega=2*A_{pr}$	0.00E+00	[mm^2]	

Součinitele vzpěru a vlivu II.řádu					
Char./Fáze	0	1	2	3	4
k_y	1.000	1.000	1.000	1.000	
k_z	1.000	1.000	1.000	1.000	
χ_{LT}	1.000	1.000	1.000	1.000	
χ_{min}	1.000	1.000	1.000	1.000	

Vnitřní síly od jednotlivých skupin zatěžovacích stavů

SKUPINA ZATĚŽOVACÍCH STAVŮ					- CHARAKTERISTICKÉ HODNOTY						DÍLČÍ SOUČINITELÉ ZATÍŽENÍ, DYNAMICKÝ SOUČINITEL							- NÁVRHOVÉ HODNOTY									
Č.	SKUP ZS	POPIS ZS	KAT.	FÁZE PRŮŘ.	N.k (kN)	Vy.k (kN)	Vz.k (kN)	Mx.k (kNm)	My.k (kNm)	Mz.k (kNm)	γ_{sr} (-)	γ_{fs} (-)	volba ψ_i hledat	ψ_i (-)	L_d (m)	δ (-)	Ψ_E KZ04	N.d (kN)	Vy.d (kN)	Vz.d (kN)	ΔVz.d (kN)	ΣVz.d (kN)	Mx.d (kNm)	My.d (kNm)	ΔMy.d (kNm)	ΣMy.d (kNm)	Mz.d (kNm)	ΔMz.d (kNm)	ΣMz.d (kNm)
1	G0	Vlastní tíha OK	G	0	295	5	0	0	1	-5	1.00	1.20		1.20	-	1.00	0.95	337	5	0	0	0	0	1	0	1	-5	0	-5
2	G1	Ostatní stálé - mostní vybavení	G	0	22	0	0	0	0	0	1.00	1.20		1.20	-	1.00	0.95	25	0	0	0	0	0	0	0	0	0	0	0
3	G2	Ostatní stálé - cizí zařízení	G	0	17	0	0	0	0	0	1.00	1.00		1.00	-	1.00	0.95	16	0	0	0	0	0	0	0	0	0	0	0
4	P1_71	a.LM71 - kolej 1 (bez dyn. souč.)	P	0	115	0	-4	0	24	0	1.00	1.30		1.30	-	1.00	1.00	150	0	-5	0	-5	0	31	0	31	0	0	0
5	P2_71	a.LM71 - kolej 2 (bez dyn. souč.)	P	0	-7	0	-4	0	17	1	1.00	1.30		1.30	-	1.00	1.00	-9	0	-5	0	-5	0	22	0	22	1	0	1
6	P1_C3	TTZ C3 - kolej 1 (bez dyn. souč.)	P	0	99	0	-3	0	18	0	1.00	vyp.		0.00	-	1.00	0.00	0	0	0	0	0	0	0	0	0	0	0	0
7	P2_C3	TTZ C3 - kolej 2 (bez dyn. souč.)	P	0	-26	0	-3	0	12	1	1.00	vyp.		0.00	-	1.00	0.00	0	0	0	0	0	0	0	0	0	0	0	0
8	BR	Brzdné a rozjezdové síly	P	0	12	0	0	0	1	0	1.00	1.30		1.30	-	1.00	0.40	6	0	0	0	0	0	0	0	0	0	0	0
9	S	Boční ráz	P	0	3	0	-1	0	6	0	1.00	1.30		1.30	-	1.00	0.80	3	0	-1	0	-1	0	6	0	6	0	0	0
10	CH	Chodci na lávkách	Q	0	21	0	0	0	1	0	1.00	1.30		1.30	-	1.00	1.00	27	0	0	0	0	0	2	0	2	0	0	0
11	W	Vítr na konstrukci	Q	0	29	0	-2	0	2	0	1.00	1.35		1.35	-	1.00	0.75	30	0	-2	0	-2	0	2	0	2	0	0	0
12	WP	Vítr na vozidla	Q	0	-26	0	-1	0	10	0	1.00	1.35		1.35	-	1.00	0.75	-26	0	-1	0	-1	0	10	0	10	0	0	0
13	TR	Teplota rovnoměrná	Q	0	0	0	0	0	0	0	1.00	1.35		1.35	-	1.00	0.45	0	0	0	0	0	0	0	0	0	0	0	0
14	TN	Teplota nerovnoměrná	Q	0	6	0	-1	0	11	-1	1.00	1.35		1.35	-	1.00	0.60	5	0	-1	0	-1	0	9	0	9	-1	0	-1
15	FR	Třecí síly v ložiskách	Q	0	1	0	0	0	0	0	1.00	1.20		1.20	-	1.00	1.00	1	0	0	0	0	0	0	0	0	0	0	0
16	I	Imperfekce soustavy	Q	0	7	0	0	0	2	0	1.00	1.20		1.20	-	1.00	1.00	8	0	0	0	0	0	3	0	3	0	0	0
27	ULS_LM	ULS - LM71 bez dynam	Q	0	578	5	-15	0	87	-5	1.00	vyp.		0.00	-	1.00	0.00	0	0	0	0	0	0	0	0	0	0	0	0
28	SLS_LM	SLS - LM71 bez dynam	Q	0	483	4	-10	0	61	-4	1.00	vyp.	1	0.00	-	1.00	0.00	0	0	0	0	0	0	0	0	0	0	0	0
29	ULS_C3	ULS - C3 bez dynam	Q	0	532	5	-12	0	74	-5	1.00	vyp.	1	0.00	-	1.00	0.00	0	0	0	0	0	0	0	0	0	0	0	0
30	SLS_C3	SLS - C3 bez dynam	Q	0	447	4	-9	0	50	-4	1.00	vyp.	1	0.00	-	1.00	0.00	0	0	0	0	0	0	0	0	0	0	0	0
		CELKEM - FÁZE PRŮŘEZU 0																572	5	-15	0	-15	86	0	86	-5	0	-5
		CELKEM - FÁZE PRŮŘEZU 1																0	0	0	0	0	0	0	0	0	0	0	0
		CELKEM - FÁZE PRŮŘEZU 2																0	0	0	0	0	0	0	0	0	0	0	0
		CELKEM - FÁZE PRŮŘEZU 3																0	0	0	0	0	0	0	0	0	0	0	0
		CELKEM - PRŮŘEZ																572	5	-15	0	-15	0			86			-5

Napětí od jednotlivých zatěžovacích stavů

SKUPINA ZATĚŽOVACÍCH STAVŮ					Posouzení normálového napětí										Posouzení smykového napětí													
					Účinek síly N			Účinek momentu My			Účinek momentu Mz				Účinek kroutícího momentu Mx				Účinek smykové síly Vy				Účinek smykové síly Vz			
Č.	SKUP ZS	Popis ZS	Kat.	fáze průř.	δ^*N_d [kN]	χ^*A [mm^2]	σ_n [MPa]	$\delta^*M_{y,d}$ [kNm]	$\chi_{lt}*W_{el,y}$ [mm^3]	σ_{my} [MPa]	$\delta^*M_{z,d}$ [kNm]	$W_{el,z}$ [mm^3]	σ_{mz} [MPa]	σ_x [MPa]	$\kappa*\delta^*M_{x,d}$ [kNm]	$W_{v,y}$ [mm^2]	$\tau_{x,y}$ [MPa]	$W_{v,z}$ [mm^2]	$\tau_{x,z}$ [MPa]	$\delta^*V_{y,d}$ [kN]	$A_{v,y}$ [mm2]	$\tau_{v,y}$ [MPa]	$\tau_{v,y}$ [MPa]	$\delta^*V_{z,d}$ [kN]	$A_{v,z}$ [mm2]	$\tau_{v,z}$ [MPa]	$\tau_{v,z}$ [MPa]
1	G0	Vlastní tíha OK	G	0	336.7	1.44E+04	23.3	0.8	1.34E+06	0.6	-5.3	-6.00E+06	0.9	24.8	0.0E+00	-	-	-	-	5.2	1.07E+04	0.5	0.5	0.0	3.79E+03	0.0	0.0
2	G1	Ostatní stálé - mostní vybavení	G	0	24.9	1.44E+04	1.7	0.5	1.34E+06	0.3	0.0	-6.00E+06	0.0	2.1	0.0E+00	-	-	-	-	0.0	1.07E+04	0.0	0.0	-0.1	3.79E+03	0.0	0.0
3	G2	Ostatní stálé - cizí zařízení	G	0	16.2	1.44E+04	1.1	-0.2	1.34E+06	-0.2	0.0	-6.00E+06	0.0	0.9	0.0E+00	-	-	-	-	0.0	1.07E+04	0.0	0.0	0.0	3.79E+03	0.0	0.0
4	P1_71	a.LM71 - kolej 1 (bez dyn. souč.)	P	0	149.5	1.44E+04	10.4	31.0	1.34E+06	23.0	0.2	-6.00E+06	0.0	33.4	1.3E-02	-	-	-	-	0.0	1.07E+04	0.0	0.0	-4.7	3.79E+03	-1.2	-1.2
5	P2_71	a.LM71 - kolej 2 (bez dyn. souč.)	P	0	-8.5	1.44E+04	-0.6	21.7	1.34E+06	16.1	1.0	-6.00E+06	-0.2	15.4	1.3E-02	-	-	-	-	-0.1	1.07E+04	0.0	0.0	-4.6	3.79E+03	-1.2	-1.2
6	P1_C3	TTZ C3 - kolej 1 (bez dyn. souč.)	P	0	0.0	1.44E+04	0.0	0.0	1.34E+06	0.0	0.0	-6.00E+06	0.0	0.0	0.0E+00	-	-	-	-	0.0	1.07E+04	0.0	0.0	0.0	3.79E+03	0.0	0.0
7	P2_C3	TTZ C3 - kolej 2 (bez dyn. souč.)	P	0	0.0	1.44E+04	0.0	0.0	1.34E+06	0.0	0.0	-6.00E+06	0.0	0.0	0.0E+00	-	-	-	-	0.0	1.07E+04	0.0	0.0	0.0	3.79E+03	0.0	0.0
8	BR	Brzdné a rozjezdové síly	P	0	6.3	1.44E+04	0.4	0.4	1.34E+06	0.3	0.0	-6.00E+06	0.0	0.7	0.0E+00	-	-	-	-	0.0	1.07E+04	0.0	0.0	-0.1	3.79E+03	0.0	0.0
9	S	Boční ráz	P	0	2.7	1.44E+04	0.2	6.4	1.34E+06	4.7	0.0	-6.00E+06	0.0	4.9	0.0E+00	-	-	-	-	0.0	1.07E+04	0.0	0.0	-0.9	3.79E+03	-0.2	-0.2
10	CH	Chodci na lávkách	Q	0	27.4	1.44E+04	1.9	1.7	1.34E+06	1.2	0.0	-6.00E+06	0.0	3.1	0.0E+00	-	-	-	-	0.0	1.07E+04	0.0	0.0	-0.2	3.79E+03	0.0	0.0
11	W	Vítr na konstrukci	Q	0	29.8	1.44E+04	2.1	2.5	1.34E+06	1.8	0.0	-6.00E+06	0.0	3.9	0.0E+00	-	-	-	-	0.0	1.07E+04	0.0	0.0	-1.7	3.79E+03	-0.4	-0.4
12	WP	Vítr na vozidla	Q	0	-26.2	1.44E+04	-1.8	10.1	1.34E+06	7.5	0.0	-6.00E+06	0.0	5.7	1.0E-02	-	-	-	-	0.0	1.07E+04	0.0	0.0	-1.0	3.79E+03	-0.3	-0.3
13	TR	Teplota rovnoměrná	Q	0	0.0	1.44E+04	0.0	0.0	1.34E+06	0.0	0.0	-6.00E+06	0.0	0.0	0.0E+00	-	-	-	-	0.0	1.07E+04	0.0	0.0	0.0	3.79E+03	0.0	0.0
14	TN	Teplota nerovnoměrná	Q	0	4.7	1.44E+04	0.3	8.5	1.34E+06	6.4	-0.5	-6.00E+06	0.1	6.8	8.1E-03	-	-	-	-	0.1	1.07E+04	0.0	0.0	-1.1	3.79E+03	-0.3	-0.3
15	FR	Třecí síly v ložiskách	Q	0	0.8	1.44E+04	0.1	0.1	1.34E+06	0.1	0.0	-6.00E+06	0.0	0.1	0.0E+00	-	-	-	-	0.0	1.07E+04	0.0	0.0	0.0	3.79E+03	0.0	0.0
16	I	Imperfekce soustavy	Q	0	8.2	1.44E+04	0.6	2.5	1.34E+06	1.9	0.0	-6.00E+06	0.0	2.5	0.0E+00	-	-	-	-	0.0	1.07E+04	0.0	0.0	-0.3	3.79E+03	-0.1	-0.1
27	ULS_LM	ULS - LM71 bez dynam	Q	0	0.0	1.44E+04	0.0	0.0	1.34E+06	0.0	0.0	-6.00E+06	0.0	0.0	0.0E+00	-	-	-	-	0.0	1.07E+04	0.0	0.0	0.0	3.79E+03	0.0	0.0
28	SLS_LM	SLS - LM71 bez dynam	Q	0	0.0	1.44E+04	0.0	0.0	1.34E+06	0.0	0.0	-6.00E+06	0.0	0.0	0.0E+00	-	-	-	-	0.0	1.07E+04	0.0	0.0	0.0	3.79E+03	0.0	0.0
29	ULS_C3	ULS - C3 bez dynam	Q	0	0.0	1.44E+04	0.0	0.0	1.34E+06	0.0	0.0	-6.00E+06	0.0	0.0	0.0E+00	-	-	-	-	0.0	1.07E+04	0.0	0.0	0.0	3.79E+03	0.0	0.0
30	SLS_C3	SLS - C3 bez dynam	Q	0	0.0	1.44E+04	0.0	0.0	1.34E+06	0.0	0.0	-6.00E+06	0.0	0.0	0.0E+00	-	-	-	-	0.0	1.07E+04	0.0	0.0	0.0	3.79E+03	0.0	0.0
NAVÝŠENÍ NAPĚTÍ DO AKTIVACE TLAKU V DESCE MOSTOVKY						$\sigma_{P,red}$	0.0							0.0			0.0		0.0			0.5	0.5			-3.8	-3.8
NAPĚTÍ OD PRIMÁRNÍCH ÚČINKŮ NEROVNOMĚRNÉHO OTEPLENÍ						σ_T	0.0							0.0													
NAPĚTÍ OD REOLOGICKÝCH ÚČINKŮ BETONU V ČASE				t=0		σ_R	0.0	$\gamma_{i=}$	1.20					0.0													
NAPĚTÍ V KRITICKÝCH VLÁKNECH OD KOMBINACE ZATÍŽENÍ						KZ04		[MPa]					$\Sigma\sigma_x$	104.2								$\Sigma\tau_y$	0.5			$\Sigma\tau_z$	-3.8
NAPĚTÍ OD POHYBLIVÉHO ZATÍŽENÍ								[MPa]					$\sigma_{x,P}$	54.4								τ_P	0.0			τ_P	-2.7
NAPĚTÍ OD OSTATNÍCH ZATÍŽENÍ								[MPa]			Φ_{Vy}	Φ_{Vz}	$\sigma_{x,rs}$	49.8								τ_{rs}	0.5			τ_{rs}	-1.1
NÁVRHOVÁ HODNOTA MEZE KLUZU S REDUKCÍ VLIVEM SMYKOVÉHO NAPĚTÍ								[MPa]			1.00	1.00	$f_{yw,d}$	209.1								$f_{yd}/3^{0,5}$	120.7			$f_{yd}/3^{0,5}$	120.7
NAPĚTÍ OD POHYBLIVÉHO ZATÍŽENÍ V GLOBÁLNÍM SYSTÉMU						$\sigma_{GLOB,P}$	0.0	[MPa]					$\Sigma\sigma_{GLOB}$	0.0													
NAPĚTÍ OD OSTATNÍCH ZATÍŽENÍ V GLOBÁLNÍM SYSTÉMU						$\sigma_{GLOB,rs}$	0.0	[MPa]					$\Sigma\sigma_x + \Sigma\sigma_{GLOB}$	104.2													
VYUŽITÍ PRŮŘEZU DLE NAPĚTÍ								[%]					η_1	0.50								η_3	0.00			η_3	0.03
NAPĚTÍ V PŘÍČNÉM SMĚRU OD POHYBLIVÉHO ZATÍŽENÍ						$\sigma_{z,P}$	0.0	[MPa]					$\Sigma\sigma_z$	0.0													
NAPĚTÍ V PŘÍČNÉM SMĚRU OD OSTATNÍCH ZATÍŽENÍ						$\sigma_{z,rs}$	0.0	[MPa]					η_2	0.00													
SROVNÁVACÍ NAPĚTÍ													$(\eta_2 + 0,8\,\eta_1)/1,4 =$	0.28													
VYUŽITÍ PRŮŘEZU CELKEM								[%]					eff	0.50	VYHOVUJE												
													z_{LM71} =	2.93													

VÝPOČET PRŮŘEZOVÝCH CHARAKTERISTIK

PRŮŘEZ: D6 **POPIS:** DIAGONÁLA 6

x = - **m**

DEFINOVÁNÍ PRŮŘEZU

ŠÍŘKA PÁSNICE ÚHELNÍKU	b f.t.l.o =	120	mm	**ÚHELNÍK HORNÍ VNĚJŠÍ LEVÝ**		**C.T.O.L**	
TLOUŠŤKA PÁSNICE ÚHELNÍKU	t f.t.l.o =	11	mm	OSLABENÍ PÁSNICE - TLOUŠŤKA	Δt f.t.l.o =	0	%
VÝŠKA STĚNY ÚHELNÍKU	h w.t.l.o =	69	mm				
TLOUŠŤKA STĚNY ÚHELNÍKU	t w.t.l.o =	11	mm	OSLABENÍ STĚNY - TLOUŠŤKA	Δt w.t.l.o =	30	%
ŠÍŘKA PÁSNICE ÚHELNÍKU	b f.t.r.o =	120	mm	**ÚHELNÍK HORNÍ VNĚJŠÍ PRAVÝ**		**C.T.O.R**	
TLOUŠŤKA PÁSNICE ÚHELNÍKU	t f.t.r.o =	11	mm	OSLABENÍ PÁSNICE - TLOUŠŤKA	Δt f.t.r.o =	0	%
VÝŠKA STĚNY ÚHELNÍKU	h w.t.r.o =	69	mm				
TLOUŠŤKA STĚNY ÚHELNÍKU	t w.t.r.o =	11	mm	OSLABENÍ STĚNY - TLOUŠŤKA	Δt w.t.r.o =	30	%
ŠÍŘKA PÁSNICE ÚHELNÍKU	b f.t.l.i =	120	mm	**ÚHELNÍK HORNÍ VNITŘNÍ LEVÝ**		**C.T.I.L**	
TLOUŠŤKA PÁSNICE ÚHELNÍKU	t f.t.l.i =	11	mm	OSLABENÍ PÁSNICE - TLOUŠŤKA	Δt f.t.l.i =	0	%
VÝŠKA STĚNY ÚHELNÍKU	h w.t.l.i =	69	mm				
TLOUŠŤKA STĚNY ÚHELNÍKU	t w.t.l.i =	11	mm	OSLABENÍ STĚNY - TLOUŠŤKA	Δt w.t.l.i =	30	%
ŠÍŘKA PÁSNICE ÚHELNÍKU	b f.t.r.i =	120	mm	**ÚHELNÍK HORNÍ VNITŘNÍ PRAVÝ**		**C.T.I.R**	
TLOUŠŤKA PÁSNICE ÚHELNÍKU	t f.t.r.i =	11	mm	OSLABENÍ PÁSNICE - TLOUŠŤKA	Δt f.t.r.i =	0	%
VÝŠKA STĚNY ÚHELNÍKU	h w.t.r.i =	69	mm				
TLOUŠŤKA STĚNY ÚHELNÍKU	t w.t.r.i =	11	mm	OSLABENÍ STĚNY - TLOUŠŤKA	Δt w.t.r.i =	30	%
ŠÍŘKA PÁSNICE ÚHELNÍKU	b f.b.l.o =	120	mm	**ÚHELNÍK DOLNÍ VNĚJŠÍ LEVÝ**		**C.B.O.L**	
TLOUŠŤKA PÁSNICE ÚHELNÍKU	t f.b.l.o =	11	mm	OSLABENÍ PÁSNICE - TLOUŠŤKA	Δt f.t.l.i =	0	%
VÝŠKA STĚNY ÚHELNÍKU	h w.b.l.o =	69	mm				
TLOUŠŤKA STĚNY ÚHELNÍKU	t w.b.l.o =	11	mm	OSLABENÍ STĚNY - TLOUŠŤKA	Δt w.t.l.i =	30	%
ŠÍŘKA PÁSNICE ÚHELNÍKU	b f.b.r.o =	120	mm	**ÚHELNÍK DOLNÍ VNĚJŠÍ PRAVÝ**		**C.B.O.R**	
TLOUŠŤKA PÁSNICE ÚHELNÍKU	t f.b.r.o =	11	mm	OSLABENÍ PÁSNICE - TLOUŠŤKA	Δt f.t.r.i =	0	%
VÝŠKA STĚNY ÚHELNÍKU	h w.b.r.o =	69	mm				
TLOUŠŤKA STĚNY ÚHELNÍKU	t w.b.r.o =	11	mm	OSLABENÍ STĚNY - TLOUŠŤKA	Δt w.t.r.i =	30	%
PÁSNICE DOLNÍHO LEVÉHO ÚHELNÍKU	b f.b.l.i =	120	mm	**ÚHELNÍK DOLNÍ VNITŘNÍ LEVÝ**		**C.B.I.L**	
TLOUŠŤKA PÁSNICE ÚHELNÍKU	t f.b.l.i =	11	mm	OSLABENÍ PÁSNICE - TLOUŠŤKA	Δt f.b.l.i =	0	%
VÝŠKA STĚNY ÚHELNÍKU	h w.b.l.i =	69	mm				
TLOUŠŤKA STĚNY ÚHELNÍKU	t w.b.l.i =	11	mm	OSLABENÍ STĚNY - TLOUŠŤKA	Δt w.b.l.i =	30	%
PÁSNICE DOLNÍHO PRAVÉHO ÚHELNÍKU	b f.b.r.i =	120	mm	**ÚHELNÍK DOLNÍ VNITŘNÍ PRAVÝ**		**C.B.I.R**	
TLOUŠŤKA PÁSNICE ÚHELNÍKU	t f.b.r.i =	11	mm	OSLABENÍ PÁSNICE - TLOUŠŤKA	Δt f.b.r.i =	0	%
VÝŠKA STĚNY ÚHELNÍKU	h w.b.r.i =	69	mm				
TLOUŠŤKA STĚNY ÚHELNÍKU	t w.b.r.i =	11	mm	OSLABENÍ STĚNY - TLOUŠŤKA	Δt w.b.r.i =	30	%

DOLNÍ

ŠÍŘKA HORNÍ VLOŽKY - VNĚJŠÍ	b f.t =	0	mm			**HOR.T.O**	
TLOUŠŤKA VLOŽKY	t f.t =	0	mm	OSLABENÍ VLOŽKY	Δt f.t =	0	%
ŠÍŘKA HORNÍ VLOŽKY - VNITŘNÍ	b f.t =	0	mm			**HOR.T.I**	
TLOUŠŤKA VLOŽKY	t f.t =	0	mm	OSLABENÍ VLOŽKY	Δt f.t =	0	%
ŠÍŘKA DOLNÍ VLOŽKY - VNĚJŠÍ	b f.t =	0	mm			**HOR.B.O**	
TLOUŠŤKA VLOŽKY	t f.t =	0	mm	OSLABENÍ VLOŽKY	Δt f.t =	0	%
ŠÍŘKA DOLNÍ VLOŽKY - VNITŘNÍ	b f.t =	0	mm			**HOR.B.I**	
TLOUŠŤKA VLOŽKY	t f.t =	0	mm	OSLABENÍ VLOŽKY - VNITŘNÍ	Δt f.t =	0	%

VZD. OKRAJŮ PÁSNIC VNITŘNÍCH ÚHELNÍKŮ	416	mm
CELKOVÁ TLOUŠŤKA MEZI PÁSNICEMI ÚHELNÍKŮ I A .o	24	mm
CELKOVÁ TLOUŠŤKA MEZI PÁSNICEMI ÚHELNÍKŮ I A .r	8	mm

ZADANÍ ČÁSTI PRŮŘEZU:

č.prvku	b [mm]	h [mm]	y_s [mm]	z_s [mm]	popis části	druh oslabení	lokální ultimate	boulení servic.
1	120.0	11.0	-64.0	237.5	pásnice	0	1.000	1.000
2	7.7	69.0	-7.9	277.5	stěna	0	1.000	1.000
3	120.0	11.0	64.0	237.5	pásnice	0	1.000	1.000
4	7.7	69.0	7.9	277.5	stěna	0	1.000	1.000
5	120.0	11.0	-64.0	202.5	pásnice	0	1.000	1.000
6	7.7	69.0	-7.9	162.5	stěna	0	1.000	1.000
7	120.0	11.0	64.0	202.5	pásnice	0	1.000	1.000
8	7.7	69.0	7.9	162.5	stěna	0	1.000	1.000
9	120.0	11.0	-64.0	-237.5	pásnice	0	1.000	1.000
10	7.7	69.0	-7.9	-277.5	stěna	0	1.000	1.000
11	120.0	11.0	64.0	-237.5	pásnice	0	1.000	1.000
12	7.7	69.0	7.9	-277.5	stěna	0	1.000	1.000
13	120.0	11.0	-64.0	-202.5	pásnice	0	1.000	1.000
14	7.7	69.0	-7.9	-162.5	stěna	0	1.000	1.000
15	120.0	11.0	64.0	-202.5	pásnice	0	1.000	1.000
16	7.7	69.0	7.9	-162.5	stěna	0	1.000	1.000
17						0	1.000	1.000
18						0	1.000	1.000
19						0	1.000	1.000
20						0	1.000	1.000
21						0	1.000	1.000
22						0	1.000	1.000
23						0	1.000	1.000
24						0	1.000	1.000
25						0	1.000	1.000
26						0	1.000	1.000
27						0	1.000	1.000
28						0	1.000	1.000
29						0	1.000	1.000
30						0	1.000	1.000
31						0	1.000	1.000
32						0	1.000	1.000
33						0	1.000	1.000
34						0	1.000	1.000
35						0	1.000	1.000
36						0	1.000	1.000
37						0	1.000	1.000
38						0	1.000	1.000
39						0	1.000	1.000
40						0	1.000	1.000
41	0.0	0.0	0.0	232.0	pásnice	0	1.000	1.000
42	0.0	0.0	0.0	208.0	pásnice	0	1.000	1.000
43	0.0	0.0	0.0	-232.0	pásnice	0	1.000	1.000
44	0.0	0.0	0.0	-208.0	pásnice	0	1.000	1.000
45						0	1.000	1.000
46						0	1.000	1.000
47						0	1.000	1.000
48						0	1.000	1.000
49						0	1.000	1.000
50						0	1.000	1.000
51						0	1.000	1.000
52						0	1.000	1.000
53						0	1.000	1.000
54						0	1.000	1.000
55						0	1.000	1.000
56						0	1.000	1.000
57						0	1.000	1.000
58						0	1.000	1.000
59						0	1.000	1.000
60						0	1.000	1.000
61	7.7	-17.1	7.9	277.0	nýt-stěna	0	1.000	1.000
62	7.7	-17.1	7.9	163.0	nýt-stěna	0	1.000	1.000
63	7.7	-17.1	7.9	-277.0	nýt-stěna	0	1.000	1.000
64	7.7	-17.1	7.9	-163.0	nýt-stěna	0	1.000	1.000
65	-18.8	11.0	-54.0	202.5	nýt-pásnice	0	1.000	1.000
66	-18.8	11.0	54.0	202.5	nýt-pásnice	0	1.000	1.000
67	-18.8	11.0	-54.0	-202.5	nýt-pásnice	0	1.000	1.000
68	-18.8	11.0	54.0	-202.5	nýt-pásnice	0	1.000	1.000
69	0	0	0	0	nýt-pásnice	0	1.000	1.000
70	0	0	0	0	nýt-pásnice	0	1.000	1.000
71	0	0	0	0	nýt-pásnice	0	1.000	1.000
72	0	0	0	0	nýt-pásnice	0	1.000	1.000
73						0	1.000	1.000
74						0	1.000	1.000
75						0	1.000	1.000
76						0	1.000	1.000
77						0	1.000	1.000
78						0	1.000	1.000
79						0	1.000	1.000
80						0	1.000	1.000
81	7.7	-17.1	-7.9	277.0	nýt-stěna	0	1.000	1.000
82	7.7	-17.1	-7.9	163.0	nýt-stěna	0	1.000	1.000
83	7.7	-17.1	-7.9	-277.0	nýt-stěna	0	1.000	1.000
84	7.7	-17.1	-7.9	-163.0	nýt-stěna	0	1.000	1.000
85	-18.8	11.0	-54.0	237.5	nýt-pásnice	0	1.000	1.000
86	-18.8	11.0	54.0	237.5	nýt-pásnice	0	1.000	1.000
87	-18.8	11.0	-54.0	-237.5	nýt-pásnice	0	1.000	1.000
88	-18.8	11.0	54.0	-237.5	nýt-pásnice	0	1.000	1.000
89	0	0	0	0	nýt-pásnice	0	1.000	1.000
90	0	0	0	0	nýt-pásnice	0	1.000	1.000
91	0	0	0	0	nýt-pásnice	0	1.000	1.000
92	0	0	0	0	nýt-pásnice	0	1.000	1.000
93						0	1.000	1.000
94						0	1.000	1.000
95						0	1.000	1.000
96						0	1.000	1.000
97						0	1.000	1.000
98						0	1.000	1.000
99						0	1.000	1.000
100						0	1.000	1.000

NÝT Č.	SKUPINA	ŘEZ	RED.	VELIKOST di [mm]	POLOHA ei [mm]	POPIS	AKTIVITA OTVORU	NAPĚTÍ sc [MPa]
1	1	3	0.86	20	35	nýt - t.o - úhelník	1	79.16
2	1	3	0.86	20	35	nýt - t.i - úhelník	1	81.84
3	2	3	0.86	20	35	nýt - b.o - úhelník	1	92.17
4	2	3	0.86	20	35	nýt - b.i - úhelník	1	89.49
5	1	3	0.86	22	70	nýt - t.l - úhelník	1	75.07
6	1	3	0.86	22	70	nýt - t.r - úhelník	1	86.81
7	2	3	0.86	22	70	nýt - b.l - úhelník	1	86.22
8	2	3	0.86	22	70	nýt - b.r - úhelník	1	97.96
9	-	-	1.00	0	-122	nýt - t.l	0	-
10	-	-	1.00	0	122	nýt - t.r	0	-
11	-	-	1.00	0	-122	nýt - b.l	0	-
12	-	-	1.00	0	122	nýt - b.r	0	-
13								
14								
15								
16								
17								
18								
19								
20								

VÝPOČET PRŮŘEZOVÝCH CHARAKTERISTIK

Properties	Basic	Ultimate		Serviceability	
y_t	0.0	0.0		0.0	[mm]
z_t	0.0	0.0		0.0	[mm]
A_t	1.2097E-04	1.2097E-04		1.2097E-04	[mm²]
A_v	8.9018E-03	8.9018E-03		8.9018E-03	[mm²]
A_w	3.1952E-03	3.1952E-03		3.1952E-03	[mm²]
I_{yt}	3.6036E-08	3.6036E-08		3.6036E-08	[mm⁴]
I_w	5.1254E+07	5.1254E+07		5.1254E+07	[mm⁶]
i_y	172.6	172.6		172.6	[mm]
i_z	65.1	65.1		65.1	[mm]
$W_{y,1}$	1.1550E+06	1.1550E+06		1.1550E+06	[mm³]
$W_{z,1}$	-4.1334E+05	-4.1334E+05		-4.1334E+05	[mm³]
$W_{y,2}$	-1.1550E+06	-1.1550E+06		-1.1550E+06	[mm³]
$W_{z,2}$	-4.1334E+05	-4.1334E+05		-4.1334E+05	[mm³]
KRAJNÍ VLÁKNA PRŮŘEZU					
y_1	-124.0	-124.0		-124.0	[mm] min
z_1	312.0	312.0		312.0	[mm] max
y_2	-124.0	-124.0		-124.0	[mm] min
z_2	-312.0	-312.0		-312.0	[mm] min
y_3	124.0	124.0		124.0	[mm] max
z_3	312.0	312.0		312.0	[mm] max
y_4	124.0	124.0		124.0	[mm] max
z_4	-312.0	-312.0		-312.0	[mm] min
y_5	-11.7	-11.7		-11.7	[mm]
z_5	-243.0	-243.0		-243.0	[mm]
y_6	-11.7	-11.7		-11.7	[mm]
z_6	-312.0	-312.0		-312.0	[mm]

ÚPRAVA MOMENTŮ SETRVAČNOSTI V DŮSLEDKU ČLENĚNÍ PRŮŘEZU

OSA Y	0.60
OSA Z	1.00

SCHÉMA PROMĚNNÝCH

SCHÉMA ZADANÉHO PRŮŘEZU

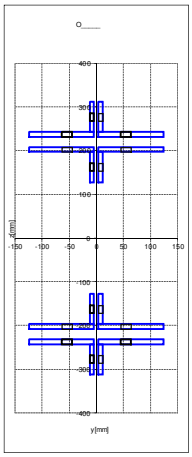

NEUTRÁLNÁ OSA

NAPĚTÍ [MPa]:

65.72	92.67
80.36	107.32

ZS: SLS_LM_N.MX.X

	N [kN]	Vy [kN]	Vz [kN]	Mx [kNm]	My [kNm]	Mz [kNm]
import	1047	4	-2	0	8	-5

TR_D6 POPIS: **DIAGONÁLA D6** POSUDEK: **D6**

SKUPINA ZAT. STAVŮ	EXTRÉM	VYHODNOCOVANÉ VELIČINY					
		N	Vy	Vz	Mx	My	Mz
		kN	kN	kN	kNm	kNm	kNm
G0	N.min	**202.5**	3.81	-0.36	0	2.11	-4.1
	N.max	**202.5**	3.81	-0.36	0	2.11	-4.1
	Vy.min	202.5	**3.81**	-0.36	0	2.11	-4.1
	Vy.max	202.5	**3.81**	-0.36	0	2.11	-4.1
	Vz.min	202.5	3.81	**-0.36**	0	2.11	-4.1
	Vz.max	202.5	3.81	**-0.36**	0	2.11	-4.1
	Mx.min	202.5	3.81	-0.36	**0**	2.11	-4.1
	Mx.max	202.5	3.81	-0.36	**0**	2.11	-4.1
	My.min	202.5	3.81	-0.36	0	**2.11**	-4.1
	My.max	202.5	3.81	-0.36	0	**2.11**	-4.1
	Mz.min	202.5	3.81	-0.36	0	2.11	**-4.1**
	Mz.max	202.5	3.81	-0.36	0	2.11	**-4.1**
G1	N.min	**14.71**	0	-0.06	0	0.38	0
	N.max	**14.71**	0	-0.06	0	0.38	0
	Vy.min	14.71	**0**	-0.06	0	0.38	0
	Vy.max	14.71	**0**	-0.06	0	0.38	0
	Vz.min	14.71	0	**-0.06**	0	0.38	0
	Vz.max	14.71	0	**-0.06**	0	0.38	0
	Mx.min	14.71	0	-0.06	**0**	0.38	0
	Mx.max	14.71	0	-0.06	**0**	0.38	0
	My.min	14.71	0	-0.06	0	**0.38**	0
	My.max	14.71	0	-0.06	0	**0.38**	0
	Mz.min	14.71	0	-0.06	0	0.38	**0**
	Mz.max	14.71	0	-0.06	0	0.38	**0**
G2	N.min	**11.36**	0	0.01	0	-0.19	-0.01
	N.max	**11.36**	0	0.01	0	-0.19	-0.01
	Vy.min	11.36	**0**	0.01	0	-0.19	-0.01
	Vy.max	11.36	**0**	0.01	0	-0.19	-0.01
	Vz.min	11.36	0	**0.01**	0	-0.19	-0.01
	Vz.max	11.36	0	**0.01**	0	-0.19	-0.01
	Mx.min	11.36	0	0.01	**0**	-0.19	-0.01
	Mx.max	11.36	0	0.01	**0**	-0.19	-0.01
	My.min	11.36	0	0.01	0	**-0.19**	-0.01
	My.max	11.36	0	0.01	0	**-0.19**	-0.01
	Mz.min	11.36	0	0.01	0	-0.19	**-0.01**
	Mz.max	11.36	0	0.01	0	-0.19	**-0.01**
P1_71	N.min	**-96.13**	-0.04	-1.74	0	10.49	0.34
	N.max	**218.58**	0.07	-1.74	0	15.84	-0.44
	Vy.min	-50.93	**-0.07**	-2.81	0.01	17.59	0.44
	Vy.max	189.8	**0.08**	-1.3	0	12.53	-0.45
	Vz.min	108.94	-0.01	**-4.07**	0.01	29.06	0.07
	Vz.max	0	0	**0**	0	0	0
	Mx.min	0	0	0	**0**	0	0
	Mx.max	114.21	-0.01	-4.05	**0.01**	29.13	0.05
	My.min	0	0	0	0	**0**	0
	My.max	114.21	-0.01	-4.05	0.01	**29.13**	0.05
	Mz.min	213.93	0.07	-1.17	0	12.15	**-0.48**
	Mz.max	-76.6	-0.07	-3	0.01	18.42	**0.48**
P2_71	N.min	**-234.6**	-0.1	-0.38	0	0.1	0.76
	N.max	**529.62**	0.18	0.74	0	-3.64	-1.15
	Vy.min	-70.59	**-0.18**	-1.37	0	6.01	1.07
	Vy.max	399.38	**0.22**	0.86	0	-4.58	-1.18
	Vz.min	-13.08	-0.1	**-2.28**	0	12.67	0.73
	Vz.max	357.56	0.13	**1.86**	0	-11.69	-0.88
	Mx.min	317.97	0.05	1.73	**0**	-12.04	-0.57
	Mx.max	16.19	-0.06	-2.17	**0**	12.69	0.55
	My.min	205.78	0.06	1.71	0	**-12.39**	-0.44
	My.max	45.03	-0.06	-2.18	0	**12.97**	0.52
	Mz.min	516.8	0.19	1.27	0	-6.87	**-1.27**
	Mz.max	-184.54	-0.16	-1.64	0	7.43	**1.14**
P1_C3	N.min	**-73.73**	-0.04	-1.45	0	8.72	0.28
	N.max	**181.1**	0.06	-1.31	0	12.06	-0.38
	Vy.min	-37.93	**-0.06**	-2.23	0	14.19	0.35
	Vy.max	165.05	**0.06**	-1.04	0	10.01	-0.39
	Vz.min	96.04	-0.01	**-3.14**	0.01	22.67	0.04
	Vz.max	0	0	**0**	0	0	0
	Mx.min	0	0	0	**0**	0	0
	Mx.max	103.71	0	-3.09	**0.01**	22.61	0
	My.min	0	0	0	0	**0**	0
	My.max	103.07	-0.01	-3.12	0.01	**22.69**	0.02
	Mz.min	176.31	0.06	-0.87	0	9.2	**-0.4**
	Mz.max	-62.76	-0.05	-2.26	0	13.85	**0.38**
P2_C3	N.min	**-180.25**	-0.09	-0.43	0	0.83	0.65
	N.max	**437.18**	0.15	0.75	0	-4.18	-0.99
	Vy.min	-49.25	**-0.16**	-0.9	0	3.56	0.84
	Vy.max	353.53	**0.18**	0.89	0	-5.25	-1.02
	Vz.min	-30.72	-0.1	**-1.63**	0	8.62	0.63
	Vz.max	303.65	0.12	**1.54**	0	-9.76	-0.76
	Mx.min	267.31	0.03	1.42	**0**	-10.03	-0.42
	Mx.max	51.25	-0.02	-1.55	**0**	9.56	0.29
	My.min	213.28	0.07	1.47	0	**-10.53**	-0.5
	My.max	51.25	-0.02	-1.55	0	**9.56**	0.29
	Mz.min	429.26	0.16	1.03	0	-5.79	**-1.05**
	Mz.max	-151.05	-0.13	-1.17	0	5.13	**0.91**
BR	N.min	**-12.63**	0.02	-0.06	0	0.3	-0.1
	N.max	**12.63**	-0.02	0.06	0	-0.3	0.1
	Vy.min	6.36	**-0.02**	0.05	0	-0.25	0.13
	Vy.max	-6.36	**0.02**	-0.05	0	0.25	-0.13
	Vz.min	-12.63	0.02	**-0.06**	0	0.3	-0.1
	Vz.max	12.63	-0.02	**0.06**	0	-0.3	0.1
	Mx.min	-10.99	0.01	0.05	**0**	-0.56	-0.07
	Mx.max	10.99	-0.01	-0.05	**0**	0.56	0.07
	My.min	-10.99	0.01	0.05	0	**-0.56**	-0.07
	My.max	10.99	-0.01	-0.05	0	**0.56**	0.07
	Mz.min	-6.36	0.02	-0.05	0	0.25	**-0.13**
	Mz.max	6.36	-0.02	0.05	0	-0.25	**0.13**

TR_D6 POPIS: **DIAGONÁLA D6** POSUDEK: **D6**

SKUPINA ZAT. STAVŮ	EXTRÉM	VYHODNOCOVANÉ VELIČINY					
		N	Vy	Vz	Mx	My	Mz
		kN	kN	kN	kNm	kNm	kNm
S	N.min	**-1.72**	-0.01	0.78	0	-5.73	0.05
	N.max	**1.72**	0.01	-0.78	0	5.73	-0.05
	Vy.min	-0.3	**-0.02**	0.28	0	-2.95	0.07
	Vy.max	0.3	**0.02**	-0.28	0	2.95	-0.07
	Vz.min	1.72	0.01	**-0.78**	0	5.73	-0.05
	Vz.max	-1.72	-0.01	**0.78**	0	-5.73	0.05
	Mx.min	0.22	-0.02	0.29	**0**	-2.43	0.06
	Mx.max	-0.22	0.02	-0.29	**0**	2.43	-0.06
	My.min	-1.72	-0.01	0.78	0	**-5.73**	0.05
	My.max	1.72	0.01	-0.78	0	**5.73**	-0.05
	Mz.min	0.85	0.01	-0.5	0	4.76	**-0.07**
	Mz.max	-0.85	-0.01	0.5	0	-4.76	**0.07**
CH	N.min	**0.09**	0	0.03	0	-0.37	0.04
	N.max	**28.29**	0	0.15	0	-1.32	-0.01
	Vy.min	0.09	**0**	0.03	0	-0.37	0.04
	Vy.max	24.4	**0.01**	-0.18	0	1.43	-0.05
	Vz.min	24.4	0.01	**-0.18**	0	1.43	-0.05
	Vz.max	28.29	0	**0.15**	0	-1.32	-0.01
	Mx.min	28.29	0	0.15	**0**	-1.32	-0.01
	Mx.max	24.4	0.01	-0.18	**0**	1.43	-0.05
	My.min	28.29	0	0.15	0	**-1.32**	-0.01
	My.max	24.4	0.01	-0.18	0	**1.43**	-0.05
	Mz.min	24.4	0.01	-0.18	0	1.43	**-0.05**
	Mz.max	0.09	0	0.03	0	-0.37	**0.04**
W	N.min	**-18.62**	0.02	1.37	0	0.32	-0.09
	N.max	**18.62**	-0.02	-1.37	0	-0.32	0.09
	Vy.min	18.62	**-0.02**	-1.37	0	-0.32	0.09
	Vy.max	-18.62	**0.02**	1.37	0	0.32	-0.09
	Vz.min	18.62	-0.02	**-1.37**	0	-0.32	0.09
	Vz.max	-18.62	0.02	**1.37**	0	0.32	-0.09
	Mx.min	-18.62	0.02	1.37	**0**	0.32	-0.09
	Mx.max	18.62	-0.02	-1.37	**0**	-0.32	0.09
	My.min	18.62	-0.02	-1.37	0	**-0.32**	0.09
	My.max	-18.62	0.02	1.37	0	**0.32**	-0.09
	Mz.min	-18.62	0.02	1.37	0	0.32	**-0.09**
	Mz.max	18.62	-0.02	-1.37	0	-0.32	**0.09**
WP	N.min	**-14.89**	0.03	-1.5	0	12.29	-0.15
	N.max	**14.87**	-0.03	1.5	0	-12.29	0.15
	Vy.min	14.87	**-0.03**	1.5	0	-12.29	0.15
	Vy.max	-14.89	**0.03**	-1.5	0	12.29	-0.15
	Vz.min	-14.89	0.03	**-1.5**	0	12.29	-0.15
	Vz.max	14.87	-0.03	**1.5**	0	-12.29	0.15
	Mx.min	14.87	-0.03	1.5	**0**	-12.29	0.15
	Mx.max	-14.89	0.03	-1.5	**0**	12.29	-0.15
	My.min	14.87	-0.03	1.5	0	**-12.29**	0.15
	My.max	-14.89	0.03	-1.5	0	**12.29**	-0.15
	Mz.min	-14.89	0.03	-1.5	0	12.29	**-0.15**
	Mz.max	14.87	-0.03	1.5	0	-12.29	**0.15**
TR	N.min	**0**	0	0	0	0	0
	N.max	**0**	0	0	0	0	0
	Vy.min	0	**0**	0	0	0	0
	Vy.max	0	**0**	0	0	0	0
	Vz.min	0	0	**0**	0	0	0
	Vz.max	0	0	**0**	0	0	0
	Mx.min	0	0	0	**0**	0	0
	Mx.max	0	0	0	**0**	0	0
	My.min	0	0	0	0	**0**	0
	My.max	0	0	0	0	**0**	0
	Mz.min	0	0	0	0	0	**0**
	Mz.max	0	0	0	0	0	**0**
TN	N.min	**-4.74**	-0.1	0.11	0	-0.9	0.53
	N.max	**8.57**	0.09	-1.58	0	11.47	-0.5
	Vy.min	-4.74	**-0.1**	0.11	0	-0.9	0.53
	Vy.max	4.74	**0.1**	-0.11	0	0.9	-0.53
	Vz.min	8.57	0.09	**-1.58**	0	11.47	-0.5
	Vz.max	-3.71	0	**1.29**	0	-9.83	-0.02
	Mx.min	-3.71	0	1.29	**0**	-9.83	-0.02
	Mx.max	8.57	0.09	-1.58	**0**	11.47	-0.5
	My.min	-3.71	0	1.29	0	**-9.83**	-0.02
	My.max	8.57	0.09	-1.58	0	**11.47**	-0.5
	Mz.min	4.74	0.1	-0.11	0	0.9	**-0.53**
	Mz.max	-4.74	-0.1	0.11	0	-0.9	**0.53**
FR	N.min	**-0.65**	0	0	0	-0.02	0.02
	N.max	**0.65**	0	0	0	0.02	-0.02
	Vy.min	-0.65	**0**	0	0	-0.02	0.02
	Vy.max	0.65	**0**	0	0	0.02	-0.02
	Vz.min	-0.65	0	**0**	0	-0.02	0.02
	Vz.max	0.65	0	**0**	0	0.02	-0.02
	Mx.min	-0.65	0	0	**0**	-0.02	0.02
	Mx.max	0.65	0	0	**0**	0.02	-0.02
	My.min	-0.65	0	0	0	**-0.02**	0.02
	My.max	0.65	0	0	0	**0.02**	-0.02
	Mz.min	0.65	0	0	0	0.02	**-0.02**
	Mz.max	-0.65	0	0	0	-0.02	**0.02**
I	N.min	**-4.46**	0	0.25	0	-1.9	**0**
	N.max	**4.46**	0	-0.25	0	1.9	**0**
	Vy.min	4.46	**0**	-0.25	0	1.9	**0**
	Vy.max	-4.46	**0**	0.25	0	-1.9	**0**
	Vz.min	4.46	0	**-0.25**	0	1.9	**0**
	Vz.max	-4.46	0	**0.25**	0	-1.9	**0**
	Mx.min	-4.46	0	0.25	**0**	-1.9	**0**
	Mx.max	4.46	0	-0.25	**0**	1.9	**0**
	My.min	-4.46	0	0.25	0	**-1.9**	**0**
	My.max	4.46	0	-0.25	0	**1.9**	**0**
	Mz.min	-4.46	0	0.25	0	-1.9	**0**
	Mz.max	4.46	0	-0.25	0	1.9	**0**

TAB. D6.3 POSOUZENÍ - MEZNÍ STAV ÚNOSNOSTI

POPIS	DIAGONÁLA D6
PRUT / POLOHA BODU	240 / J[2705]
NAMÁHÁNÍ	N.max
VLÁKNO	BOD K1 -HL
MEZNÍ STAV	ULS (MSÚ)
VYUŽITÍ VLÁKNA PRŮŘEZU	0.62

Charakteristiky materiálu				
pás. horní	$f_{yf,k}$	230	MPa	
pás. dolní	$f_{yf,k}$	230	MPa	
stojina	$f_{yw,k}$	230	MPa	
výztuž	$f_{ys,k}$	500	MPa	
γ_M =	1.10	γ_s =	1.15	

Excentricita normálové síly				
Exc./Fáze	0	1	2	3
e_y	0.000	0.000	0.000	0.000
e_z	0.000	0.000	0.000	0.000
Ekvivalentní vzdál. stěn - příčný roznos				
b_{Mx}	0.000	0.000	0.000	0.000

Vliv stěny na únosnost průřezu				
Char./Fáze	0	1	2	3
A	0.00	0.00	0.00	0.00
Wy	0.00	0.00	0.00	0.00
Wz	0.00	0.00	0.00	0.00

Charakter. v kroucení			
$t_{w,y}$	0.000	[mm]	
$t_{w,z}$	0.000	[mm]	
κ	1.00		
I_t=	0.00E+00	[mm^4]	
$\Omega=2*A_{pr}$	0.00E+00	[mm^2]	

Součinitele vzpěru a vlivu II.řádu				
Char./Fáze	0	1	2	3
k_y	1.000	1.000	1.000	1.000
k_z	1.000	1.000	1.000	1.000
χ_{LT}	1.000	1.000	1.000	1.000
χ_{min}	1.000	1.000	1.000	1.000

Vnitřní síly od jednotlivých skupin zatěžovacích stavů

SKUPINA ZATĚŽOVACÍCH STAVŮ — CHARAKTERISTICKÉ HODNOTY — DÍLČÍ SOUČINITELÉ ZATÍŽENÍ, DYNAMICKÝ SOUČINITEL — NÁVRHOVÉ HODNOTY

Č.	SKUP ZS	POPIS ZS	KAT.	FÁZE PRŮŘ.	N.k (kN)	Vy.k (kN)	Vz.k (kN)	Mx.k (kNm)	My.k (kNm)	Mz.k (kNm)	γ_{sr} (-)	γ_{fs} (-)	volba γ_f hledat	γ_f (-)	L_d (m)	δ (-)	Ψ_s KZ03	N.d (kN)	Vy.d (kN)	Vz.d (kN)	ΔVz.d (kN)	ΣVz.d (kN)	Mx.d (kNm)	My.d (kNm)	ΔMy.d (kNm)	ΣMy.d (kNm)	Mz.d (kNm)	ΔMz.d (kNm)	ΣMz.d (kNm)
1	G0	Vlastní tíha OK	G	0	203	4	0	0	2	-4	1.00	1.20		1.20	-	1.00	0.95	231	4	0	0	0	0	2	0	2	-5	0	-5
2	G1	Ostatní stálé - mostní vybavení	G	0	15	0	0	0	0	0	1.00	1.20		1.20	-	1.00	0.95	17	0	0	0	0	0	0	0	0	0	0	0
3	G2	Ostatní stálé - cizí zařízení	G	0	11	0	0	0	0	0	1.00	1.20		1.20	-	1.00	0.95	13	0	0	0	0	0	0	0	0	0	0	0
4	P1_71	a.LM71 - kolej 1 (bez dyn. souč.)	P	0	219	0	-2	0	16	0	1.00	1.30		1.30	-	1.00	1.00	284	0	-2	0	-2	0	21	0	21	-1	0	-1
5	P2_71	a.LM71 - kolej 2 (bez dyn. souč.)	P	0	530	0	1	0	-4	-1	1.00	1.30		1.30	-	1.00	1.00	689	0	1	0	1	0	-5	0	-5	-1	0	-1
6	P1_C3	TTZ C3 - kolej 1 (bez dyn. souč.)	P	0	181	0	-1	0	12	0	1.00	vyp.		0.00	-	1.00	0.00	0	0	0	0	0	0	0	0	0	0	0	0
7	P2_C3	TTZ C3 - kolej 2 (bez dyn. souč.)	P	0	437	0	1	0	-4	-1	1.00	vyp.		0.00	-	1.00	0.00	0	0	0	0	0	0	0	0	0	0	0	0
8	BR	Brzdné a rozjezdové síly	P	0	13	0	0	0	0	0	1.00	1.30		1.30	-	1.00	0.80	13	0	0	0	0	0	0	0	0	0	0	0
9	S	Boční ráz	P	0	2	0	-1	0	6	0	1.00	0.00		0.00	-	1.00	0.40	0	0	0	0	0	0	0	0	0	0	0	0
10	CH	Chodci na lávkách	Q	0	28	0	0	0	-1	0	1.00	1.30		1.30	-	1.00	1.00	37	0	0	0	0	0	-2	0	-2	0	0	0
11	W	Vítr na konstrukci	Q	0	19	0	-1	0	0	0	1.00	1.35		1.35	-	1.00	0.75	19	0	-1	0	-1	0	0	0	0	0	0	0
12	WP	Vítr na vozidla	Q	0	15	0	2	0	-12	0	1.00	1.35		1.35	-	1.00	0.75	15	0	2	0	2	0	-12	0	-12	0	0	0
13	TR	Teplota rovnoměrná	Q	0	0	0	0	0	0	0	1.00	1.35		1.35	-	1.00	0.45	0	0	0	0	0	0	0	0	0	0	0	0
14	TN	Teplota nerovnoměrná	Q	0	9	0	-2	0	11	-1	1.00	-1.35		-1.35	-	1.00	0.60	-7	0	1	0	1	0	-9	0	-9	0	0	0
15	FR	Třecí síly v ložiskách	Q	0	1	0	0	0	0	0	1.00	1.20		1.20	-	1.00	1.00	1	0	0	0	0	0	0	0	0	0	0	0
16	I	Imperfekce soustavy	Q	0	4	0	0	0	2	0	1.00	-1.20		-1.20	-	1.00	1.00	-5	0	0	0	0	0	-2	0	-2	0	0	0
27	ULS_LM	ULS - LM71 bez dynam	Q	0	1 335	5	-3	0	19	-7	1.00	vyp.		0.00	-	1.00	0.00	0	0	0	0	0	0	0	0	0	0	0	0
28	SLS_LM	SLS - LM71 bez dynam	Q	0	1 049	4	-2	0	8	-5	1.00	vyp.	1	0.00	-	1.00	0.00	0	0	0	0	0	0	0	0	0	0	0	0
29	ULS_C3	ULS - C3 bez dynam	Q	0	1 166	5	-3	0	13	-7	1.00	vyp.	1	0.00	-	1.00	0.00	0	0	0	0	0	0	0	0	0	0	0	0
30	SLS_C3	SLS - C3 bez dynam	Q	0	919	4	-1	0	4	-5	1.00	vyp.	1	0.00	-	1.00	0.00	0	0	0	0	0	0	0	0	0	0	0	0
		CELKEM - FÁZE PRŮŘEZU 0																1 306	5	0	0	0	0	-8	0	-8	-6	0	-6
		CELKEM - FÁZE PRŮŘEZU 1																0	0	0	0	0	0	0	0	0	0	0	0
		CELKEM - FÁZE PRŮŘEZU 2																0	0	0	0	0	0	0	0	0	0	0	0
		CELKEM - FÁZE PRŮŘEZU 3																0	0	0	0	0	0	0	0	0	0	0	0
		CELKEM - PRŮŘEZ																1 306	5	0	0	0	0			-8			-6

Napětí od jednotlivých zatěžovacích stavů

SKUPINA ZATĚŽOVACÍCH STAVŮ — Posouzení normálového napětí — Účinek síly N — Účinek momentu My — Účinek momentu Mz — Posouzení smykového napětí — Účinek kroutícího momentu Mx — Účinek smykové síly Vy — Účinek smykové síly Vz

Č.	SKUP ZS	Popis ZS	Kat.	fáze průř.	δ^*N_d [kN]	χ^*A [mm^2]	σ_n [MPa]	$\delta^*M_{y,d}$ [kNm]	$\chi_{lt}{}^*W_{el,y}$ [mm^3]	σ_{my} [MPa]	$\delta^*M_{z,d}$ [kNm]	$W_{el,z}$ [mm^3]	σ_{mz} [MPa]	σ_x [MPa]	$\kappa^*\delta^*M_{x,d}$ [kNm]	$W_{v,y}$ [mm^3]	$\tau_{x,y}$ [MPa]	$W_{v,z}$ [mm^3]	$\tau_{x,z}$ [MPa]	$\delta^*V_{y,d}$ [kN]	$A_{v,y}$ [mm2]	$\tau_{v,y}$ [MPa]	$\tau_{v,y}$ [MPa]	$\delta^*V_{z,d}$ [kN]	$A_{v,z}$ [mm2]	$\tau_{v,z}$ [MPa]	$\tau_{v,z}$ [MPa]
1	G0	Vlastní tíha OK	G	0	230.9	1.21E+04	19.1	2.4	-1.15E+06	-2.1	-4.7	-4.13E+05	11.3	28.3	0.0E+00	-	-	-	-	4.3	8.90E+03	0.5	0.5	-0.4	3.20E+03	-0.1	-0.1
2	G1	Ostatní stálé - mostní vybavení	G	0	16.8	1.21E+04	1.4	0.4	-1.15E+06	-0.4	0.0	-4.13E+05	0.0	1.0	0.0E+00	-	-	-	-	0.0	8.90E+03	0.0	0.0	-0.1	3.20E+03	0.0	0.0
3	G2	Ostatní stálé - cizí zařízení	G	0	13.0	1.21E+04	1.1	-0.2	-1.15E+06	0.2	0.0	-4.13E+05	0.0	1.3	0.0E+00	-	-	-	-	0.0	8.90E+03	0.0	0.0	0.0	3.20E+03	0.0	0.0
4	P1_71	a.LM71 - kolej 1 (bez dyn. souč.)	P	0	284.2	1.21E+04	23.5	20.6	-1.15E+06	-17.8	-0.6	-4.13E+05	1.4	7.0	0.0E+00	-	-	-	-	0.1	8.90E+03	0.0	0.0	-2.3	3.20E+03	-0.7	-0.7
5	P2_71	a.LM71 - kolej 2 (bez dyn. souč.)	P	0	688.5	1.21E+04	56.9	-4.7	-1.15E+06	4.1	-1.5	-4.13E+05	3.6	64.6	0.0E+00	-	-	-	-	0.2	8.90E+03	0.0	0.0	1.0	3.20E+03	0.3	0.3
6	P1_C3	TTZ C3 - kolej 1 (bez dyn. souč.)	P	0	0.0	1.21E+04	0.0	0.0	-1.15E+06	0.0	0.0	-4.13E+05	0.0	0.0	0.0E+00	-	-	-	-	0.0	8.90E+03	0.0	0.0	0.0	3.20E+03	0.0	0.0
7	P2_C3	TTZ C3 - kolej 2 (bez dyn. souč.)	P	0	0.0	1.21E+04	0.0	0.0	-1.15E+06	0.0	0.0	-4.13E+05	0.0	0.0	0.0E+00	-	-	-	-	0.0	8.90E+03	0.0	0.0	0.0	3.20E+03	0.0	0.0
8	BR	Brzdné a rozjezdové síly	P	0	13.1	1.21E+04	1.1	-0.3	-1.15E+06	0.3	0.1	-4.13E+05	-0.3	1.1	0.0E+00	-	-	-	-	0.0	8.90E+03	0.0	0.0	0.1	3.20E+03	0.0	0.0
9	S	Boční ráz	P	0	0.0	1.21E+04	0.0	0.0	-1.15E+06	0.0	0.0	-4.13E+05	0.0	0.0	0.0E+00	-	-	-	-	0.0	8.90E+03	0.0	0.0	0.0	3.20E+03	0.0	0.0
10	CH	Chodci na lávkách	Q	0	36.8	1.21E+04	3.0	-1.7	-1.15E+06	1.5	0.0	-4.13E+05	0.0	4.6	0.0E+00	-	-	-	-	0.0	8.90E+03	0.0	0.0	0.2	3.20E+03	0.1	0.1
11	W	Vítr na konstrukci	Q	0	18.9	1.21E+04	1.6	-0.3	-1.15E+06	0.3	0.1	-4.13E+05	-0.2	1.6	0.0E+00	-	-	-	-	0.0	8.90E+03	0.0	0.0	-1.4	3.20E+03	-0.4	-0.4
12	WP	Vítr na vozidla	Q	0	15.1	1.21E+04	1.2	-12.4	-1.15E+06	10.8	0.2	-4.13E+05	-0.4	11.7	0.0E+00	-	-	-	-	0.0	8.90E+03	0.0	0.0	1.5	3.20E+03	0.5	0.5
13	TR	Teplota rovnoměrná	Q	0	0.0	1.21E+04	0.0	0.0	-1.15E+06	0.0	0.0	-4.13E+05	0.0	0.0	0.0E+00	-	-	-	-	0.0	8.90E+03	0.0	0.0	0.0	3.20E+03	0.0	0.0
14	TN	Teplota nerovnoměrná	Q	0	-6.9	1.21E+04	-0.6	-9.3	-1.15E+06	8.0	0.4	-4.13E+05	-1.0	6.5	0.0E+00	-	-	-	-	-0.1	8.90E+03	0.0	0.0	1.3	3.20E+03	0.4	0.4
15	FR	Třecí síly v ložiskách	Q	0	0.8	1.21E+04	0.1	0.0	-1.15E+06	0.0	0.0	-4.13E+05	0.1	0.1	0.0E+00	-	-	-	-	0.0	8.90E+03	0.0	0.0	0.0	3.20E+03	0.0	0.0
16	I	Imperfekce soustavy	Q	0	-5.4	1.21E+04	-0.4	-2.3	-1.15E+06	2.0	0.0	-4.13E+05	0.0	1.5	0.0E+00	-	-	-	-	0.0	8.90E+03	0.0	0.0	0.3	3.20E+03	0.1	0.1
27	ULS_LM	ULS - LM71 bez dynam	Q	0	0.0	1.21E+04	0.0	0.0	-1.15E+06	0.0	0.0	-4.13E+05	0.0	0.0	0.0E+00	-	-	-	-	0.0	8.90E+03	0.0	0.0	0.0	3.20E+03	0.0	0.0
28	SLS_LM	SLS - LM71 bez dynam	Q	0	0.0	1.21E+04	0.0	0.0	-1.15E+06	0.0	0.0	-4.13E+05	0.0	0.0	0.0E+00	-	-	-	-	0.0	8.90E+03	0.0	0.0	0.0	3.20E+03	0.0	0.0
29	ULS_C3	ULS - C3 bez dynam	Q	0	0.0	1.21E+04	0.0	0.0	-1.15E+06	0.0	0.0	-4.13E+05	0.0	0.0	0.0E+00	-	-	-	-	0.0	8.90E+03	0.0	0.0	0.0	3.20E+03	0.0	0.0
30	SLS_C3	SLS - C3 bez dynam	Q	0	0.0	1.21E+04	0.0	0.0	-1.15E+06	0.0	0.0	-4.13E+05	0.0	0.0	0.0E+00	-	-	-	-	0.0	8.90E+03	0.0	0.0	0.0	3.20E+03	0.0	0.0
NAVÝŠENÍ NAPĚTÍ DO AKTIVACE TLAKU V DESCE MOSTOVKY						$\sigma_{P,red}$	0.0							0.0			0.0		0.0				0.5	0.5			0.1	0.1
NAPĚTÍ OD PRIMÁRNÍCH ÚČINKŮ NEROVNOMĚRNÉHO OTEPLENÍ						σ_T	0.0							0.0														
NAPĚTÍ OD REOLOGICKÝCH ÚČINKŮ BETONU V ČASE			t=0			σ_R	0.0	γ_{lt}=	1.20					0.0														
NAPĚTÍ V KRITICKÝCH VLÁKNECH OD KOMBINACE ZATÍŽENÍ						KZ03		[MPa]					$\Sigma\sigma_x$	129.3								$\Sigma\tau_y$	0.5				$\Sigma\tau_z$	0.1
NAPĚTÍ OD POHYBLIVÉHO ZATÍŽENÍ								[MPa]					$\sigma_{x,P}$	72.8								τ_P	0.0				τ_P	-0.4
NAPĚTÍ OD OSTATNÍCH ZATÍŽENÍ								[MPa]			Φ_{vy}	Φ_{vz}	$\sigma_{x,rs}$	56.6								τ_{rs}	0.5				τ_{rs}	0.5
NÁVRHOVÁ HODNOTA MEZE KLUZU S REDUKCÍ VLIVEM SMYKOVÉHO NAPĚTÍ								[MPa]			1.00	1.00	$f_{yw,d}$	209.1								$f_{yd}/3^{0,5}$	120.7				$f_{yd}/3^{0,5}$	120.7
NAPĚTÍ OD POHYBLIVÉHO ZATÍŽENÍ V GLOBÁLNÍM SYSTÉMU						$\sigma_{GLOB,P}$	0.0	[MPa]					$\Sigma\sigma_{GLOB}$	0.0														
NAPĚTÍ OD OSTATNÍCH ZATÍŽENÍ V GLOBÁLNÍM SYSTÉMU						$\sigma_{GLOB,rs}$	0.0	[MPa]					$\Sigma\sigma_x + \Sigma\sigma_{GLOB}$	129.3														
VYUŽITÍ PRŮŘEZU DLE NAPĚTÍ								[%]					η_1	0.62								η_3	0.00				η_3	0.00
NAPĚTÍ V PŘÍČNÉM SMĚRU OD POHYBLIVÉHO ZATÍŽENÍ						$\sigma_{z,P}$	0.0	[MPa]					$\Sigma\sigma_z$	0.0														
NAPĚTÍ V PŘÍČNÉM SMĚRU OD OSTATNÍCH ZATÍŽENÍ						$\sigma_{z,rs}$	0.0	[MPa]					η_2	0.00														
SROVNÁVACÍ NAPĚTÍ													$(\eta_2 + 0,8\,\eta_1)/1,4$ =	0.35														
VYUŽITÍ PRŮŘEZU CELKEM								[%]					eff	0.62	VYHOVUJE													
													z_{LM71} =	2.10														

TAB. D6.3 POSOUZENÍ - MEZNÍ STAV ÚNOSNOSTI

POPIS	DIAGONÁLA D6
PRUT / POLOHA BODU	240 / J[2705]
NAMÁHÁNÍ	N.max
VLÁKNO	BOD K3 -SL
MEZNÍ STAV	ULS (MSÚ)
VYUŽITÍ VLÁKNA PRŮŘEZU	0.79

Charakteristiky materiálu				
pás. horní	$f_{yf,k}$	230	MPa	
pás. dolní	$f_{yf,k}$	230	MPa	
stojina	$f_{yw,k}$	230	MPa	
výztuž	$f_{ys,k}$	500	MPa	
	γ_M =	1.10	γ_s =	1.15

Excentricita normálové síly				
Exc./Fáze	0	1	2	3
e_y	0.000	0.000	0.000	0.000
e_z	0.000	0.000	0.000	0.000
Ekvivalentní vzdál. stěn - příčný roznos				
b_{Mx}	0.000	0.000	0.000	0.000

Vliv stěny na únosnost průřezu				
Char./Fáze	0	1	2	3
A	0.00	0.00	0.00	0.00
Wy	0.00	0.00	0.00	0.00
Wz	0.00	0.00	0.00	0.00

Charakter. v kroucení			
$t_{w,y}$	0.000	[mm]	
$t_{w,z}$	0.000	[mm]	
κ	1.00		
I_t=	0.00E+00	[mm^4]	
$\Omega=2*A_{pr}$	0.00E+00	[mm^2]	

Součinitele vzpěru a vlivu II.řádu					
Char./Fáze	0	1	2	3	
k_y	1.000	1.000	1.000	1.000	
k_z	1.000	1.000	1.000	1.000	
χ_{LT}	1.000	1.000	1.000	1.000	
χ_{min}	1.000	1.000	1.000	1.000	

Vnitřní síly od jednotlivých skupin zatěžovacích stavů

SKUPINA ZATĚŽOVACÍCH STAVŮ					- CHARAKTERISTICKÉ HODNOTY						DÍLČÍ SOUČINITELÉ ZATÍŽENÍ, DYNAMICKÝ SOUČINITEL						4	- NÁVRHOVÉ HODNOTY									
Č.	SKUP ZS	POPIS ZS	KAT.	FÁZE PRŮŘ.	N.k (kN)	Vy.k (kN)	Vz.k (kN)	Mx.k (kNm)	My.k (kNm)	Mz.k (kNm)	γ_{sup} (-)	γ_{inf} (-)	volba γ_i hledat	γ_i (-)	L_d (m)	δ (-)	Ψ_0 KZ04	N.d (kN)	Vy.d (kN)	Vz.d (kN)	ΔVz.d (kN)	ΣVz.d (kN)	Mx.d (kNm)	My.d (kNm)	ΔMy.d (kNm)	ΣMy.d (kNm)	Mz.d (kNm)	ΔMz.d (kNm)	ΣMz.d (kNm)
1	G0	Vlastní tíha OK	G	0	203	4	0	0	2	-4	1.00	1.20		1.20	-	1.00	0.95	231	4	0	0	0	0	2	0	2	-5	0	-5
2	G1	Ostatní stálé - mostní vybavení	G	0	15	0	0	0	0	0	1.00	1.20		1.20	-	1.00	0.95	17	0	0	0	0	0	0	0	0	0	0	0
3	G2	Ostatní stálé - cizí zařízení	G	0	11	0	0	0	0	0	1.00	1.20		1.20	-	1.00	0.95	13	0	0	0	0	0	0	0	0	0	0	0
4	P1_71	a.LM71 - kolej 1 (bez dyn. souč.)	P	0	219	0	-2	0	16	0	1.00	1.30		1.30	-	1.00	1.00	284	0	-2	0	-2	0	21	0	21	-1	0	-1
5	P2_71	a.LM71 - kolej 2 (bez dyn. souč.)	P	0	530	0	1	0	-4	-1	1.00	1.30		1.30	-	1.00	1.00	689	0	1	0	1	0	-5	0	-5	-1	0	-1
6	P1_C3	TTZ C3 - kolej 1 (bez dyn. souč.)	P	0	181	0	-1	0	12	0	1.00	vyp.		0.00	-	1.00	0.00	0	0	0	0	0	0	0	0	0	0	0	0
7	P2_C3	TTZ C3 - kolej 2 (bez dyn. souč.)	P	0	437	0	1	0	-4	-1	1.00	vyp.		0.00	-	1.00	0.00	0	0	0	0	0	0	0	0	0	0	0	0
8	BR	Brzdné a rozjezdové síly	P	0	13	0	0	0	0	0	1.00	1.30		1.30	-	1.00	0.40	7	0	0	0	0	0	0	0	0	0	0	0
9	S	Boční ráz	P	0	2	0	-1	0	6	0	1.00	1.30		1.30	-	1.00	0.80	2	0	-1	0	-1	0	6	0	6	0	0	0
10	CH	Chodci na lávkách	Q	0	28	0	0	0	-1	0	1.00	1.30		1.30	-	1.00	1.00	37	0	0	0	0	0	-2	0	-2	0	0	0
11	W	Vítr na konstrukci	Q	0	19	0	-1	0	0	0	1.00	1.35		1.35	-	1.00	0.75	19	0	-1	0	-1	0	0	0	0	0	0	0
12	WP	Vítr na vozidla	Q	0	15	0	2	0	-12	0	1.00	-1.35		-1.35	-	1.00	0.75	-15	0	-2	0	-2	0	12	0	12	0	0	0
13	TR	Teplota rovnoměrná	Q	0	0	0	0	0	0	0	1.00	1.35		1.35	-	1.00	0.45	0	0	0	0	0	0	0	0	0	0	0	0
14	TN	Teplota nerovnoměrná	Q	0	9	0	-2	0	11	-1	1.00	1.35		1.35	-	1.00	0.60	7	0	-1	0	-1	0	9	0	9	0	0	0
15	FR	Třecí síly v ložiskách	Q	0	1	0	0	0	0	0	1.00	1.20		1.20	-	1.00	1.00	1	0	0	0	0	0	0	0	0	0	0	0
16	I	Imperfekce soustavy	Q	0	4	0	0	0	2	0	1.00	1.20		1.20	-	1.00	1.00	5	0	0	0	0	0	2	0	2	0	0	0
27	ULS_LM	ULS - LM71 bez dynam	Q	0	1 335	5	-3	0	19	-7	1.00	vyp.		0.00	-	1.00	0.00	0	0	0	0	0	0	0	0	0	0	0	0
28	SLS_LM	SLS - LM71 bez dynam	Q	0	1 049	4	-2	0	8	-5	1.00	vyp.	1	0.00	-	1.00	0.00	0	0	0	0	0	0	0	0	0	0	0	0
29	ULS_C3	ULS - C3 bez dynam	Q	0	1 166	5	-3	0	13	-7	1.00	vyp.	1	0.00	-	1.00	0.00	0	0	0	0	0	0	0	0	0	0	0	0
30	SLS_C3	SLS - C3 bez dynam	Q	0	919	4	-1	0	4	-5	1.00	vyp.	1	0.00	-	1.00	0.00	0	0	0	0	0	0	0	0	0	0	0	0
		CELKEM - FÁZE PRŮŘEZU 0																1 295	5	-7	0	-7	0	46	0	46	-7	0	-7
		CELKEM - FÁZE PRŮŘEZU 1																0	0	0	0	0	0	0	0	0	0	0	0
		CELKEM - FÁZE PRŮŘEZU 2																0	0	0	0	0	0	0	0	0	0	0	0
		CELKEM - FÁZE PRŮŘEZU 3																0	0	0	0	0	0	0	0	0	0	0	0
		CELKEM - PRŮŘEZ																1 295	5	-7	0	-7	0			46			-7

Napětí od jednotlivých zatěžovacích stavů

SKUPINA ZATĚŽOVACÍCH STAVŮ					Posouzení normálového napětí										Posouzení smykového napětí													
					Účinek síly N			Účinek momentu My				Účinek momentu Mz				Účinek kroutícího momentu Mx				Účinek smykové síly Vy				Účinek smykové síly Vz			
Č.	SKUP ZS	Popis ZS	Kat.	fáze prúř.	δ^*N_d [kN]	χ^*A [mm^2]	σ_n [MPa]	$\delta^*M_{y,d}$ [kNm]	$\chi_{lt}*W_{el,y}$ [mm^3]	σ_{my} [MPa]	$\delta^*M_{z,d}$ [kNm]	$W_{el,z}$ [mm^3]	σ_{mz} [MPa]	σ_x [MPa]	$\kappa*\delta^*M_{x,d}$ [kNm]	$W_{v,y}$ [mm^2]	$\tau_{x,y}$ [MPa]	$W_{v,z}$ [mm^2]	$\tau_{x,z}$ [MPa]	$\delta^*V_{y,d}$ [kN]	$A_{v,y}$ [mm2]	$\tau_{v,y}$ [MPa]	$\tau_{v,y}$ [MPa]	$\delta^*V_{z,d}$ [kN]	$A_{v,z}$ [mm2]	$\tau_{v,z}$ [MPa]	$\tau_{v,z}$ [MPa]
1	G0	Vlastní tíha OK	G	0	230.9	1.21E+04	19.1	2.4	1.15E+06	2.1	-4.7	-4.13E+05	11.3	32.5	0.0E+00	-	-	-	-	4.3	8.90E+03	0.5	0.5	-0.4	3.20E+03	-0.1	-0.1
2	G1	Ostatní stálé - mostní vybavení	G	0	16.8	1.21E+04	1.4	0.4	1.15E+06	0.4	0.0	-4.13E+05	0.0	1.8	0.0E+00	-	-	-	-	0.0	8.90E+03	0.0	0.0	-0.1	3.20E+03	0.0	0.0
3	G2	Ostatní stálé - cizí zařízení	G	0	13.0	1.21E+04	1.1	-0.2	1.15E+06	-0.2	0.0	-4.13E+05	0.0	0.9	0.0E+00	-	-	-	-	0.0	8.90E+03	0.0	0.0	0.0	3.20E+03	0.0	0.0
4	P1_71	a.LM71 - kolej 1 (bez dyn. souč.)	P	0	284.2	1.21E+04	23.5	20.6	1.15E+06	17.8	-0.6	-4.13E+05	1.4	42.7	0.0E+00	-	-	-	-	0.1	8.90E+03	0.0	0.0	-2.3	3.20E+03	-0.7	-0.7
5	P2_71	a.LM71 - kolej 2 (bez dyn. souč.)	P	0	688.5	1.21E+04	56.9	-4.7	1.15E+06	-4.1	-1.5	-4.13E+05	3.6	56.4	0.0E+00	-	-	-	-	0.2	8.90E+03	0.0	0.0	1.0	3.20E+03	0.3	0.3
6	P1_C3	TTZ C3 - kolej 1 (bez dyn. souč.)	P	0	0.0	1.21E+04	0.0	0.0	1.15E+06	0.0	0.0	-4.13E+05	0.0	0.0	0.0E+00	-	-	-	-	0.0	8.90E+03	0.0	0.0	0.0	3.20E+03	0.0	0.0
7	P2_C3	TTZ C3 - kolej 2 (bez dyn. souč.)	P	0	0.0	1.21E+04	0.0	0.0	1.15E+06	0.0	0.0	-4.13E+05	0.0	0.0	0.0E+00	-	-	-	-	0.0	8.90E+03	0.0	0.0	0.0	3.20E+03	0.0	0.0
8	BR	Brzdné a rozjezdové síly	P	0	6.6	1.21E+04	0.5	-0.2	1.15E+06	-0.1	0.1	-4.13E+05	-0.1	0.3	0.0E+00	-	-	-	-	0.0	8.90E+03	0.0	0.0	0.0	3.20E+03	0.0	0.0
9	S	Boční ráz	P	0	1.8	1.21E+04	0.1	6.0	1.15E+06	5.2	-0.1	-4.13E+05	0.1	5.4	0.0E+00	-	-	-	-	0.0	8.90E+03	0.0	0.0	-0.8	3.20E+03	-0.3	-0.3
10	CH	Chodci na lávkách	Q	0	36.8	1.21E+04	3.0	-1.7	1.15E+06	-1.5	0.0	-4.13E+05	0.0	1.6	0.0E+00	-	-	-	-	0.0	8.90E+03	0.0	0.0	0.2	3.20E+03	0.1	0.1
11	W	Vítr na konstrukci	Q	0	18.9	1.21E+04	1.6	-0.3	1.15E+06	-0.3	0.1	-4.13E+05	-0.2	1.1	0.0E+00	-	-	-	-	0.0	8.90E+03	0.0	0.0	-1.4	3.20E+03	-0.4	-0.4
12	WP	Vítr na vozidla	Q	0	-15.1	1.21E+04	-1.2	12.4	1.15E+06	10.8	-0.2	-4.13E+05	0.4	9.9	0.0E+00	-	-	-	-	0.0	8.90E+03	0.0	0.0	-1.5	3.20E+03	-0.5	-0.5
13	TR	Teplota rovnoměrná	Q	0	0.0	1.21E+04	0.0	0.0	1.15E+06	0.0	0.0	-4.13E+05	0.0	0.0	0.0E+00	-	-	-	-	0.0	8.90E+03	0.0	0.0	0.0	3.20E+03	0.0	0.0
14	TN	Teplota nerovnoměrná	Q	0	6.9	1.21E+04	0.6	9.3	1.15E+06	8.0	-0.4	-4.13E+05	1.0	9.6	0.0E+00	-	-	-	-	0.1	8.90E+03	0.0	0.0	-1.3	3.20E+03	-0.4	-0.4
15	FR	Třecí síly v ložiskách	Q	0	0.8	1.21E+04	0.1	0.0	1.15E+06	0.0	0.0	-4.13E+05	0.1	0.1	0.0E+00	-	-	-	-	0.0	8.90E+03	0.0	0.0	0.0	3.20E+03	0.0	0.0
16	I	Imperfekce soustavy	Q	0	5.4	1.21E+04	0.4	2.3	1.15E+06	2.0	0.0	-4.13E+05	0.0	2.4	0.0E+00	-	-	-	-	0.0	8.90E+03	0.0	0.0	-0.3	3.20E+03	-0.1	-0.1
27	ULS_LM	ULS - LM71 bez dynam	Q	0	0.0	1.21E+04	0.0	0.0	1.15E+06	0.0	0.0	-4.13E+05	0.0	0.0	0.0E+00	-	-	-	-	0.0	8.90E+03	0.0	0.0	0.0	3.20E+03	0.0	0.0
28	SLS_LM	SLS - LM71 bez dynam	Q	0	0.0	1.21E+04	0.0	0.0	1.15E+06	0.0	0.0	-4.13E+05	0.0	0.0	0.0E+00	-	-	-	-	0.0	8.90E+03	0.0	0.0	0.0	3.20E+03	0.0	0.0
29	ULS_C3	ULS - C3 bez dynam	Q	0	0.0	1.21E+04	0.0	0.0	1.15E+06	0.0	0.0	-4.13E+05	0.0	0.0	0.0E+00	-	-	-	-	0.0	8.90E+03	0.0	0.0	0.0	3.20E+03	0.0	0.0
30	SLS_C3	SLS - C3 bez dynam	Q	0	0.0	1.21E+04	0.0	0.0	1.15E+06	0.0	0.0	-4.13E+05	0.0	0.0	0.0E+00	-	-	-	-	0.0	8.90E+03	0.0	0.0	0.0	3.20E+03	0.0	0.0
NAVÝŠENÍ NAPĚTÍ DO AKTIVACE TLAKU V DESCE MOSTOVKY						$\sigma_{P,red}$	0.0							0.0			0.0		0.0			0.5	0.5			-2.1	-2.1
NAPĚTÍ OD PRIMÁRNÍCH ÚČINKŮ NEROVNOMĚRNÉHO OTEPLENÍ						σ_T	0.0							0.0													
NAPĚTÍ OD REOLOGICKÝCH ÚČINKŮ BETONU V ČASE				t=0		σ_R	0.0	γ_{lt}=	1.20					0.0													
NAPĚTÍ V KRITICKÝCH VLÁKNECH OD KOMBINACE ZATÍŽENÍ						KZ04		[MPa]					$\Sigma\sigma_x$	164.7								$\Sigma\tau_y$	0.5			$\Sigma\tau_z$	-2.1
NAPĚTÍ OD POHYBLIVÉHO ZATÍŽENÍ								[MPa]					$\sigma_{x,P}$	104.9								τ_P	0.0			τ_P	-0.7
NAPĚTÍ OD OSTATNÍCH ZATÍŽENÍ								[MPa]			Φ_{vy}	Φ_{vz}	$\sigma_{x,rs}$	59.8								τ_{rs}	0.5			τ_{rs}	-1.5
NÁVRHOVÁ HODNOTA MEZE KLUZU S REDUKCÍ VLIVEM SMYKOVÉHO NAPĚTÍ								[MPa]			1.00	1.00	$f_{yw,d}$	209.1								$f_{yd}/3^{0,5}$	120.7			$f_{yd}/3^{0,5}$	120.7
NAPĚTÍ OD POHYBLIVÉHO ZATÍŽENÍ V GLOBÁLNÍM SYSTÉMU						$\sigma_{GLOB,P}$	0.0	[MPa]					$\Sigma\sigma_{GLOB}$	0.0													
NAPĚTÍ OD OSTATNÍCH ZATÍŽENÍ V GLOBÁLNÍM SYSTÉMU						$\sigma_{GLOB,rs}$	0.0	[MPa]					$\Sigma\sigma_x + \Sigma\sigma_{GLOB}$	164.7													
VYUŽITÍ PRŮŘEZU DLE NAPĚTÍ								[%]					η_1	0.79								η_3	0.00			η_3	0.02
NAPĚTÍ V PŘÍČNÉM SMĚRU OD POHYBLIVÉHO ZATÍŽENÍ						$\sigma_{z,P}$	0.0	[MPa]					$\Sigma\sigma_z$	0.0													
NAPĚTÍ V PŘÍČNÉM SMĚRU OD OSTATNÍCH ZATÍŽENÍ						$\sigma_{z,rs}$	0.0	[MPa]					η_2	0.00													
SROVNÁVACÍ NAPĚTÍ													$(\eta2 + 0,8\ \eta1)/1,4$ =	0.45													
VYUŽITÍ PRŮŘEZU CELKEM								[%]					eff	0.79	VYHOVUJE												
													Z_{LM71} =	1.42													

TAB. D6.3 POSOUZENÍ - MEZNÍ STAV ÚNOSNOSTI

POPIS	DIAGONÁLA D6
PRUT / POLOHA BODU	240 / J[2705]
NAMÁHÁNÍ	Vz.min
VLÁKNO	BOD S6 -HP
MEZNÍ STAV	ULS (MSÚ)
VYUŽITÍ VLÁKNA PRŮŘEZU	0.54

Charakteristiky materiálu				
pás. horní	$f_{yf,k}$	230	MPa	
pás. dolní	$f_{yf,k}$	230	MPa	
stojina	$f_{yw,k}$	230	MPa	
výztuž	$f_{ys,k}$	500	MPa	
γ_M =	1.10	γ_s =	1.15	

Excentricita normálové síly				
Exc./Fáze	0	1	2	3
e_y	0.000	0.000	0.000	0.000
e_z	0.000	0.000	0.000	0.000
Ekvivalentní vzdál. stěn - příčný roznos				
b_{Mx}	0.000	0.000	0.000	0.000

Vliv stěny na únosnost průřezu				
Char./Fáze	0	1	2	3
A	0.00	0.00	0.00	0.00
Wy	0.00	0.00	0.00	0.00
Wz	0.00	0.00	0.00	0.00

Charakter. v kroucení			
$t_{w,y}$	0.000	[mm]	
$t_{w,z}$	0.000	[mm]	
κ	1.00		
I_t=	0.00E+00	[mm^4]	
$\Omega=2*A_{pz}$	0.00E+00	[mm^2]	

Součinitele vzpěru a vlivu II.řádu					
Char./Fáze	0	1	2	3	
k_y	1.000	1.000	1.000	1.000	
k_z	1.000	1.000	1.000	1.000	
χ_{LT}	1.000	1.000	1.000	1.000	
χ_{min}	1.000	1.000	1.000	1.000	

Vnitřní síly od jednotlivých skupin zatěžovacích stavů

SKUPINA ZATĚŽOVACÍCH STAVŮ — 4

Č.	SKUP ZS	POPIS ZS	KAT.	FÁZE PRŮŘ.	- CHARAKTERISTICKÉ HODNOTY N.k (kN)	Vy.k (kN)	Vz.k (kN)	Mx.k (kNm)	My.k (kNm)	Mz.k (kNm)	DÍLČÍ SOUČINITELÉ ZATÍŽENÍ, DYNAMICKÝ SOUČINITEL γ_{sr} (-)	γ_{fs} (-)	volba γ_f hledat	γ_f (-)	L_d (m)	δ (-)	Ψ_s KZ04	- NÁVRHOVÉ HODNOTY N.d (kN)	Vy.d (kN)	Vz.d (kN)	ΔVz.d (kN)	ΣVz.d (kN)	Mx.d (kNm)	My.d (kNm)	ΔMy.d (kNm)	ΣMy.d (kNm)	Mz.d (kNm)	ΔMz.d (kNm)	ΣMz.d (kNm)
1	G0	Vlastní tíha OK	G	0	203	4	0	0	2	-4	1.00	1.20		1.20	-	0.95	0.95	231	4	0	0	0	0	2	0	2	-5	0	-5
2	G1	Ostatní stálé - mostní vybavení	G	0	15	0	0	0	0	0	1.00	1.20		1.20	-	1.00	0.95	17	0	0	0	0	0	0	0	0	0	0	0
3	G2	Ostatní stálé - cizí zařízení	G	0	11	0	0	0	0	0	1.00	1.00		1.00	-	1.00	0.95	11	0	0	0	0	0	0	0	0	0	0	0
4	P1_71	a.LM71 - kolej 1 (bez dyn. souč.)	P	0	109	0	-4	0	29	0	1.00	1.30		1.30	-	1.00	1.00	142	0	-5	0	-5	0	38	0	38	0	0	0
5	P2_71	a.LM71 - kolej 2 (bez dyn. souč.)	P	0	-13	0	-2	0	13	1	1.00	1.30		1.30	-	1.00	1.00	-17	0	-3	0	-3	0	16	0	16	1	0	1
6	P1_C3	TTZ C3 - kolej 1 (bez dyn. souč.)	P	0	96	0	-3	0	23	0	1.00	vyp.		0.00	-	1.00	0.00	0	0	0	0	0	0	0	0	0	0	0	0
7	P2_C3	TTZ C3 - kolej 2 (bez dyn. souč.)	P	0	-31	0	-2	0	9	1	1.00	vyp.		0.00	-	1.00	0.00	0	0	0	0	0	0	0	0	0	0	0	0
8	BR	Brzdné a rozjezdové síly	P	0	-13	0	0	0	0	0	1.00	1.30		1.30	-	1.00	0.40	-7	0	0	0	0	0	0	0	0	0	0	0
9	S	Boční ráz	P	0	2	0	-1	0	6	0	1.00	1.30		1.30	-	1.00	0.80	2	0	-1	0	-1	0	6	0	6	0	0	0
10	CH	Chodci na lávkách	Q	0	24	0	0	0	1	0	1.00	1.30		1.30	-	1.00	1.00	32	0	0	0	0	0	2	0	2	0	0	0
11	W	Vítr na konstrukci	Q	0	19	0	-1	0	0	0	1.00	1.35		1.35	-	1.00	0.75	19	0	-1	0	-1	0	0	0	0	0	0	0
12	WP	Vítr na vozidla	Q	0	-15	0	-2	0	12	0	1.00	1.35		1.35	-	1.00	0.75	-15	0	-2	0	-2	0	12	0	12	0	0	0
13	TR	Teplota rovnoměrná	Q	0	0	0	0	0	0	0	1.00	1.35		1.35	-	1.00	0.45	0	0	0	0	0	0	0	0	0	0	0	0
14	TN	Teplota nerovnoměrná	Q	0	9	0	-2	0	11	-1	1.00	1.35		1.35	-	1.00	0.60	7	0	-1	0	-1	0	9	0	9	0	0	0
15	FR	Třecí síly v ložiskách	Q	0	-1	0	0	0	0	0	1.00	1.20		1.20	-	1.00	1.00	-1	0	0	0	0	0	0	0	0	0	0	0
16	I	Imperfekce soustavy	Q	0	4	0	0	0	2	0	1.00	1.20		1.20	-	1.00	1.00	5	0	0	0	0	0	2	0	2	0	0	0
27	ULS_LM	ULS - LM71 bez dynam	Q	0	426	4	-15	0	90	-4	1.00	vyp.		0.00	-	1.00	0.00	0	0	0	0	0	0	0	0	0	0	0	0
28	SLS_LM	SLS - LM71 bez dynam	Q	0	351	4	-10	0	62	-3	1.00	vyp.	1	0.00	-	1.00	0.00	0	0	0	0	0	0	0	0	0	0	0	0
29	ULS_C3	ULS - C3 bez dynam	Q	0	387	4	-12	0	76	-4	1.00	vyp.	1	0.00	-	1.00	0.00	0	0	0	0	0	0	0	0	0	0	0	0
30	SLS_C3	SLS - C3 bez dynam	Q	0	320	4	-9	0	52	-4	1.00	vyp.	1	0.00	-	1.00	0.00	0	0	0	0	0	0	0	0	0	0	0	0
		CELKEM - FÁZE PRŮŘEZU 0																425	4	-14	0	-14	0	89	0	89	-4	0	-4
		CELKEM - FÁZE PRŮŘEZU 1																0	0	0	0	0	0	0	0	0	0	0	0
		CELKEM - FÁZE PRŮŘEZU 2																0	0	0	0	0	0	0	0	0	0	0	0
		CELKEM - FÁZE PRŮŘEZU 3																0	0	0	0	0	0	0	0	0	0	0	0
		CELKEM - PRŮŘEZ																425	4	-14	0	-14	0			89			-4

Napětí od jednotlivých zatěžovacích stavů

SKUPINA ZATĚŽOVACÍCH STAVŮ

Č.	SKUP ZS	Popis ZS	Kat.	fáze průř.	Posouzení normálového napětí — Účinek síly N δ^*N_d [kN]	χ^*A [mm^2]	σ_n [MPa]	Účinek momentu My $\delta^*M_{y,d}$ [kNm]	$\chi_{lt}*W_{el,y}$ [mm^3]	σ_{my} [MPa]	Účinek momentu Mz $\delta^*M_{z,d}$ [kNm]	$W_{el,z}$ [mm^3]	σ_{mz} [MPa]	σ_x [MPa]	Posouzení smykového napětí — Účinek kroutícího momentu Mx $\kappa*\delta^*M_{x,d}$ [kNm]	$W_{v,y}$ [mm^2]	$\tau_{x,y}$ [MPa]	$W_{v,z}$ [mm^2]	$\tau_{x,z}$ [MPa]	Účinek smykové síly Vy $\delta^*V_{y,d}$ [kN]	$A_{v,y}$ [mm2]	$\tau_{v,y}$ [MPa]	$\tau_{v,y}$ [MPa]	Účinek smykové síly Vz $\delta^*V_{z,d}$ [kN]	$A_{v,z}$ [mm2]	$\tau_{v,z}$ [MPa]	$\tau_{v,z}$ [MPa]
1	G0	Vlastní tíha OK	G	0	230.9	1.21E+04	19.1	2.4	1.15E+06	2.1	-4.7	-4.38E+06	1.1	22.2	0.0E+00	-	-	-	-	4.3	8.90E+03	0.5	0.5	-0.4	3.20E+03	-0.1	-0.1
2	G1	Ostatní stálé - mostní vybavení	G	0	16.8	1.21E+04	1.4	0.4	1.15E+06	0.4	0.0	-4.38E+06	0.0	1.8	0.0E+00	-	-	-	-	0.0	8.90E+03	0.0	0.0	-0.1	3.20E+03	0.0	0.0
3	G2	Ostatní stálé - cizí zařízení	G	0	10.8	1.21E+04	0.9	-0.2	1.15E+06	-0.2	0.0	-4.38E+06	0.0	0.7	0.0E+00	-	-	-	-	0.0	8.90E+03	0.0	0.0	0.0	3.20E+03	0.0	0.0
4	P1_71	a.LM71 - kolej 1 (bez dyn. souč.)	P	0	141.6	1.21E+04	11.7	37.8	1.15E+06	32.7	0.1	-4.38E+06	0.0	44.4	1.3E-02	-	-	-	-	0.0	8.90E+03	0.0	0.0	-5.3	3.20E+03	-1.7	-1.7
5	P2_71	a.LM71 - kolej 2 (bez dyn. souč.)	P	0	-17.0	1.21E+04	-1.4	16.5	1.15E+06	14.3	0.9	-4.38E+06	-0.2	12.6	0.0E+00	-	-	-	-	-0.1	8.90E+03	0.0	0.0	-3.0	3.20E+03	-0.9	-0.9
6	P1_C3	TTZ C3 - kolej 1 (bez dyn. souč.)	P	0	0.0	1.21E+04	0.0	0.0	1.15E+06	0.0	0.0	-4.38E+06	0.0	0.0	0.0E+00	-	-	-	-	0.0	8.90E+03	0.0	0.0	0.0	3.20E+03	0.0	0.0
7	P2_C3	TTZ C3 - kolej 2 (bez dyn. souč.)	P	0	0.0	1.21E+04	0.0	0.0	1.15E+06	0.0	0.0	-4.38E+06	0.0	0.0	0.0E+00	-	-	-	-	0.0	8.90E+03	0.0	0.0	0.0	3.20E+03	0.0	0.0
8	BR	Brzdné a rozjezdové síly	P	0	-6.6	1.21E+04	-0.5	0.2	1.15E+06	0.1	-0.1	-4.38E+06	0.0	-0.4	0.0E+00	-	-	-	-	0.0	8.90E+03	0.0	0.0	0.0	3.20E+03	0.0	0.0
9	S	Boční ráz	P	0	1.8	1.21E+04	0.1	6.0	1.15E+06	5.2	-0.1	-4.38E+06	0.0	5.3	0.0E+00	-	-	-	-	0.0	8.90E+03	0.0	0.0	-0.8	3.20E+03	-0.3	-0.3
10	CH	Chodci na lávkách	Q	0	31.7	1.21E+04	2.6	1.9	1.15E+06	1.6	-0.1	-4.38E+06	0.0	4.2	0.0E+00	-	-	-	-	0.0	8.90E+03	0.0	0.0	-0.2	3.20E+03	-0.1	-0.1
11	W	Vítr na konstrukci	Q	0	18.9	1.21E+04	1.6	-0.3	1.15E+06	-0.3	0.1	-4.38E+06	0.0	1.3	0.0E+00	-	-	-	-	0.0	8.90E+03	0.0	0.0	-1.4	3.20E+03	-0.4	-0.4
12	WP	Vítr na vozidla	Q	0	-15.1	1.21E+04	-1.2	12.4	1.15E+06	10.8	-0.2	-4.38E+06	0.0	9.6	0.0E+00	-	-	-	-	0.0	8.90E+03	0.0	0.0	-1.5	3.20E+03	-0.5	-0.5
13	TR	Teplota rovnoměrná	Q	0	0.0	1.21E+04	0.0	0.0	1.15E+06	0.0	0.0	-4.38E+06	0.0	0.0	0.0E+00	-	-	-	-	0.0	8.90E+03	0.0	0.0	0.0	3.20E+03	0.0	0.0
14	TN	Teplota nerovnoměrná	Q	0	6.9	1.21E+04	0.6	9.3	1.15E+06	8.0	-0.4	-4.38E+06	0.1	8.7	0.0E+00	-	-	-	-	0.1	8.90E+03	0.0	0.0	-1.3	3.20E+03	-0.4	-0.4
15	FR	Třecí síly v ložiskách	Q	0	-0.8	1.21E+04	-0.1	0.0	1.15E+06	0.0	0.0	-4.38E+06	0.0	-0.1	0.0E+00	-	-	-	-	0.0	8.90E+03	0.0	0.0	0.0	3.20E+03	0.0	0.0
16	I	Imperfekce soustavy	Q	0	5.4	1.21E+04	0.4	2.3	1.15E+06	2.0	0.0	-4.38E+06	0.0	2.4	0.0E+00	-	-	-	-	0.0	8.90E+03	0.0	0.0	-0.3	3.20E+03	-0.1	-0.1
27	ULS_LM	ULS - LM71 bez dynam	Q	0	0.0	1.21E+04	0.0	0.0	1.15E+06	0.0	0.0	-4.38E+06	0.0	0.0	0.0E+00	-	-	-	-	0.0	8.90E+03	0.0	0.0	0.0	3.20E+03	0.0	0.0
28	SLS_LM	SLS - LM71 bez dynam	Q	0	0.0	1.21E+04	0.0	0.0	1.15E+06	0.0	0.0	-4.38E+06	0.0	0.0	0.0E+00	-	-	-	-	0.0	8.90E+03	0.0	0.0	0.0	3.20E+03	0.0	0.0
29	ULS_C3	ULS - C3 bez dynam	Q	0	0.0	1.21E+04	0.0	0.0	1.15E+06	0.0	0.0	-4.38E+06	0.0	0.0	0.0E+00	-	-	-	-	0.0	8.90E+03	0.0	0.0	0.0	3.20E+03	0.0	0.0
30	SLS_C3	SLS - C3 bez dynam	Q	0	0.0	1.21E+04	0.0	0.0	1.15E+06	0.0	0.0	-4.38E+06	0.0	0.0	0.0E+00	-	-	-	-	0.0	8.90E+03	0.0	0.0	0.0	3.20E+03	0.0	0.0
NAVÝŠENÍ NAPĚTÍ DO AKTIVACE TLAKU V DESCE MOSTOVKY						$\sigma_{P,red}$	0.0							0.0			0.0		0.0			0.5	0.5			-4.5	-4.5
NAPĚTÍ OD PRIMÁRNÍCH ÚČINKŮ NEROVNOMĚRNÉHO OTEPLENÍ						σ_T	0.0							0.0													
NAPĚTÍ OD REOLOGICKÝCH ÚČINKŮ BETONU V ČASE			t=0			σ_R	0.0	γ_{lt}=	1.20					0.0													
NAPĚTÍ V KRITICKÝCH VLÁKNECH OD KOMBINACE ZATÍŽENÍ						KZ04	[MPa]						$\Sigma\sigma_x$	112.8								$\Sigma\tau_y$	0.5			$\Sigma\tau_z$	-4.5
NAPĚTÍ OD POHYBLIVÉHO ZATÍŽENÍ							[MPa]						$\sigma_{x,P}$	62.0								τ_P	0.0			τ_P	-2.8
NAPĚTÍ OD OSTATNÍCH ZATÍŽENÍ							[MPa]			Φ_{vy}	Φ_{vz}		$\sigma_{x,rs}$	50.8								τ_{rs}	0.5			τ_{rs}	-1.6
NÁVRHOVÁ HODNOTA MEZE KLUZU S REDUKCÍ VLIVEM SMYKOVÉHO NAPĚTÍ							[MPa]			1.00	1.00		$f_{yw,d}$	209.1								$f_{yd}/3^{0,5}$	120.7			$f_{yd}/3^{0,5}$	120.7
NAPĚTÍ OD POHYBLIVÉHO ZATÍŽENÍ V GLOBÁLNÍM SYSTÉMU						$\sigma_{GLOB,P}$	0.0	[MPa]					$\Sigma\sigma_{GLOB}$	0.0													
NAPĚTÍ OD OSTATNÍCH ZATÍŽENÍ V GLOBÁLNÍM SYSTÉMU						$\sigma_{GLOB,rs}$	0.0	[MPa]					$\Sigma\sigma_x + \Sigma\sigma_{GLOB}$	112.8													
VYUŽITÍ PRŮŘEZU DLE NAPĚTÍ								[%]					η_1	0.54								η_3	0.00			η_3	0.04
NAPĚTÍ V PŘÍČNÉM SMĚRU OD POHYBLIVÉHO ZATÍŽENÍ						$\sigma_{z,P}$	0.0	[MPa]					$\Sigma\sigma_z$	0.0													
NAPĚTÍ V PŘÍČNÉM SMĚRU OD OSTATNÍCH ZATÍŽENÍ						$\sigma_{z,rs}$	0.0	[MPa]					η_2	0.00													
SROVNÁVACÍ NAPĚTÍ													$(\eta2 + 0,8\ \eta1)/1,4$ =	0.31													
VYUŽITÍ PRŮŘEZU CELKEM								[%]					eff	0.54	VYHOVUJE												
													z_{LM71} =	2.55													

VÝPOČET PRŮŘEZOVÝCH CHARAKTERISTIK

PRŮŘEZ: D7_c **POPIS:** DIAGONÁLA 7 - TLAK **x =** - **m**

DEFINOVÁNÍ PRŮŘEZU

ŠÍŘKA PÁSNICE ÚHELNÍKU	b f.t.l.o =	100	mm	**ÚHELNÍK HORNÍ VNĚJŠÍ LEVÝ**		**C.T.O.L**	
TLOUŠŤKA PÁSNICE ÚHELNÍKU	t f.t.l.o =	10	mm	OSLABENÍ PÁSNICE - TLOUŠŤKA	Δt f.t.l.o =	0	%
VÝŠKA STĚNY ÚHELNÍKU	h w.t.l.o =	70	mm				
TLOUŠŤKA STĚNY ÚHELNÍKU	t w.t.l.o =	10	mm	OSLABENÍ STĚNY - TLOUŠŤKA	Δt w.t.l.o =	20	%
ŠÍŘKA PÁSNICE ÚHELNÍKU	b f.t.r.o =	100	mm	**ÚHELNÍK HORNÍ VNĚJŠÍ PRAVÝ**		**C.T.O.R**	
TLOUŠŤKA PÁSNICE ÚHELNÍKU	t f.t.r.o =	10	mm	OSLABENÍ PÁSNICE - TLOUŠŤKA	Δt f.t.r.o =	0	%
VÝŠKA STĚNY ÚHELNÍKU	h w.t.r.o =	70	mm				
TLOUŠŤKA STĚNY ÚHELNÍKU	t w.t.r.o =	10	mm	OSLABENÍ STĚNY - TLOUŠŤKA	Δt w.t.r.0 =	20	%
ŠÍŘKA PÁSNICE ÚHELNÍKU	b f.t.l.i =	100	mm	**ÚHELNÍK HORNÍ VNITŘNÍ LEVÝ**		**C.T.I.L**	
TLOUŠŤKA PÁSNICE ÚHELNÍKU	t f.t.l.i =	10	mm	OSLABENÍ PÁSNICE - TLOUŠŤKA	Δt f.b.l.o =	0	%
VÝŠKA STĚNY ÚHELNÍKU	h w.t.l.i =	70	mm				
TLOUŠŤKA STĚNY ÚHELNÍKU	t w.t.l.i =	10	mm	OSLABENÍ STĚNY - TLOUŠŤKA	Δt w.b.l.o =	20	%
ŠÍŘKA PÁSNICE ÚHELNÍKU	b f.t.r.i =	100	mm	**ÚHELNÍK HORNÍ VNITŘNÍ PRAVÝ**		**C.T.I.R**	
TLOUŠŤKA PÁSNICE ÚHELNÍKU	t f.t.r.i =	10	mm	OSLABENÍ PÁSNICE - TLOUŠŤKA	Δt f.b.r.o =	0	%
VÝŠKA STĚNY ÚHELNÍKU	h w.t.r.i =	70	mm				
TLOUŠŤKA STĚNY ÚHELNÍKU	t w.t.r.i =	10	mm	OSLABENÍ STĚNY - TLOUŠŤKA	Δt w.b.r.o =	20	%
ŠÍŘKA PÁSNICE ÚHELNÍKU	b f.b.l.o =	100	mm	**ÚHELNÍK DOLNÍ VNĚJŠÍ LEVÝ**		**C.B.O.L**	
TLOUŠŤKA PÁSNICE ÚHELNÍKU	t f.b.l.o =	10	mm	OSLABENÍ PÁSNICE - TLOUŠŤKA	Δt f.t.l.i =	0	%
VÝŠKA STĚNY ÚHELNÍKU	h w.b.l.o =	70	mm				
TLOUŠŤKA STĚNY ÚHELNÍKU	t w.b.l.o =	10	mm	OSLABENÍ STĚNY - TLOUŠŤKA	Δt w.t.l.i =	20	%
ŠÍŘKA PÁSNICE ÚHELNÍKU	b f.b.r.o =	100	mm	**ÚHELNÍK DOLNÍ VNĚJŠÍ PRAVÝ**		**C.B.O.R**	
TLOUŠŤKA PÁSNICE ÚHELNÍKU	t f.b.r.o =	10	mm	OSLABENÍ PÁSNICE - TLOUŠŤKA	Δt f.t.r.i =	0	%
VÝŠKA STĚNY ÚHELNÍKU	h w.b.r.o =	70	mm				
TLOUŠŤKA STĚNY ÚHELNÍKU	t w.b.r.o =	10	mm	OSLABENÍ STĚNY - TLOUŠŤKA	Δt w.t.r.i =	20	%
PÁSNICE DOLNÍHO LEVÉHO ÚHELNÍKU	b f.b.l.i =	100	mm	**ÚHELNÍK DOLNÍ VNITŘNÍ LEVÝ**		**C.B.I.L**	
TLOUŠŤKA PÁSNICE ÚHELNÍKU	t f.b.l.i =	10	mm	OSLABENÍ PÁSNICE - TLOUŠŤKA	Δt f.b.l.i =	0	%
VÝŠKA STĚNY ÚHELNÍKU	h w.b.l.i =	70	mm				
TLOUŠŤKA STĚNY ÚHELNÍKU	t w.b.l.i =	10	mm	OSLABENÍ STĚNY - TLOUŠŤKA	Δt w.b.l.i =	20	%
PÁSNICE DOLNÍHO PRAVÉHO ÚHELNÍKU	b f.b.r.i =	100	mm	**ÚHELNÍK DOLNÍ VNITŘNÍ PRAVÝ**		**C.B.I.R**	
TLOUŠŤKA PÁSNICE ÚHELNÍKU	t f.b.r.i =	10	mm	OSLABENÍ PÁSNICE - TLOUŠŤKA	Δt f.b.r.i =	0	%
VÝŠKA STĚNY ÚHELNÍKU	h w.b.r.i =	70	mm				
TLOUŠŤKA STĚNY ÚHELNÍKU	t w.b.r.i =	10	mm	OSLABENÍ STĚNY - TLOUŠŤKA	Δt w.b.r.i =	20	%

D7.1 HORNÍ

ŠÍŘKA HORNÍ VLOŽKY - VNĚJŠÍ	b f.t =	0	mm			**HOR.T.O**	
TLOUŠŤKA VLOŽKY	t f.t =	0	mm	OSLABENÍ VLOŽKY	Δt f.t =	0	%
ŠÍŘKA HORNÍ VLOŽKY - VNITŘNÍ	b f.t =	0	mm			**HOR.T.I**	
TLOUŠŤKA VLOŽKY	t f.t =	0	mm	OSLABENÍ VLOŽKY	Δt f.t =	0	%
ŠÍŘKA DOLNÍ VLOŽKY - VNĚJŠÍ	b f.t =	0	mm			**HOR.B.O**	
TLOUŠŤKA VLOŽKY	t f.t =	0	mm	OSLABENÍ VLOŽKY	Δt f.t =	0	%
ŠÍŘKA DOLNÍ VLOŽKY - VNITŘNÍ	b f.t =	0	mm			**HOR.B.I**	
TLOUŠŤKA VLOŽKY	t f.t =	0	mm	OSLABENÍ VLOŽKY - VNITŘNÍ	Δt f.t =	0	%

VZD. OKRAJŮ PÁSNIC VNITŘNÍCH ÚHELNÍKŮ	416	mm
CELKOVÁ TLOUŠŤKA MEZI PÁSNICEMI ÚHELNÍKŮ I A .o	24	mm
CELKOVÁ TLOUŠŤKA MEZI PÁSNICEMI ÚHELNÍKŮ I A .r	8	mm

ZADANÍ ČÁSTI PRŮŘEZU:

č.prvku	b [mm]	h [mm]	y_s [mm]	z_s [mm]	popis části	druh oslabení	lokální ultimate	boulení servic.
1	100.0	10.0	-54.0	237.0	pásnice	0	1.000	1.000
2	8.0	70.0	-8.0	277.0	stěna	0	1.000	1.000
3	100.0	10.0	54.0	237.0	pásnice	0	1.000	1.000
4	8.0	70.0	8.0	277.0	stěna	0	1.000	1.000
5	100.0	10.0	-54.0	203.0	pásnice	0	1.000	1.000
6	8.0	70.0	-8.0	163.0	stěna	0	1.000	1.000
7	100.0	10.0	54.0	203.0	pásnice	0	1.000	1.000
8	8.0	70.0	8.0	163.0	stěna	0	1.000	1.000
9	100.0	10.0	-54.0	-237.0	pásnice	0	1.000	1.000
10	8.0	70.0	-8.0	-277.0	stěna	0	1.000	1.000
11	100.0	10.0	54.0	-237.0	pásnice	0	1.000	1.000
12	8.0	70.0	8.0	-277.0	stěna	0	1.000	1.000
13	100.0	10.0	-54.0	-203.0	pásnice	0	1.000	1.000
14	8.0	70.0	-8.0	-163.0	stěna	0	1.000	1.000
15	100.0	10.0	54.0	-203.0	pásnice	0	1.000	1.000
16	8.0	70.0	8.0	-163.0	stěna	0	1.000	1.000
17						0	1.000	1.000
18						0	1.000	1.000
19						0	1.000	1.000
20						0	1.000	1.000
21						0	1.000	1.000
22						0	1.000	1.000
23						0	1.000	1.000
24						0	1.000	1.000
25						0	1.000	1.000
26						0	1.000	1.000
27						0	1.000	1.000
28						0	1.000	1.000
29						0	1.000	1.000
30						0	1.000	1.000
31						0	1.000	1.000
32						0	1.000	1.000
33						0	1.000	1.000
34						0	1.000	1.000
35						0	1.000	1.000
36						0	1.000	1.000
37						0	1.000	1.000
38						0	1.000	1.000
39						0	1.000	1.000
40						0	1.000	1.000
41	0.0	0.0	0.0	232.0	pásnice	0	1.000	1.000
42	0.0	0.0	0.0	208.0	pásnice	0	1.000	1.000
43	0.0	0.0	0.0	-232.0	pásnice	0	1.000	1.000
44	0.0	0.0	0.0	-208.0	pásnice	0	1.000	1.000
45						0	1.000	1.000
46						0	1.000	1.000
47						0	1.000	1.000
48						0	1.000	1.000
49						0	1.000	1.000
50						0	1.000	1.000
51						0	1.000	1.000
52						0	1.000	1.000
53						0	1.000	1.000
54						0	1.000	1.000
55						0	1.000	1.000
56						0	1.000	1.000
57						0	1.000	1.000
58						0	1.000	1.000
59						0	1.000	1.000
60						0	1.000	1.000
61						0	1.000	1.000
62						0	1.000	1.000
63						0	1.000	1.000
64						0	1.000	1.000
65						0	1.000	1.000
66						0	1.000	1.000
67						0	1.000	1.000
68						0	1.000	1.000
69						0	1.000	1.000
70						0	1.000	1.000
71	0	0	-8.0	277.0	nýt-stěna	0	1.000	1.000
72	0	0	8.0	277.0	nýt-stěna	0	1.000	1.000
73	0	0	-8.0	163.0	nýt-stěna	0	1.000	1.000
74	0	0	8.0	163.0	nýt-stěna	0	1.000	1.000
75	0	0	-8.0	-277.0	nýt-stěna	0	1.000	1.000
76	0	0	8.0	-277.0	nýt-stěna	0	1.000	1.000
77	0	0	-8.0	-163.0	nýt-stěna	0	1.000	1.000
78	0	0	8.0	-163.0	nýt-stěna	0	1.000	1.000
79						0	1.000	1.000
80						0	1.000	1.000
81	0	0	-59.0	242.0	nýt-pásnice	0	1.000	1.000
82	0	0	-59.0	198.0	nýt-pásnice	0	1.000	1.000
83	0	0	59.0	242.0	nýt-pásnice	0	1.000	1.000
84	0	0	59.0	198.0	nýt-pásnice	0	1.000	1.000
85	0	0	-59.0	-242.0	nýt-pásnice	0	1.000	1.000
86	0	0	-59.0	-198.0	nýt-pásnice	0	1.000	1.000
87	0	0	59.0	-242.0	nýt-pásnice	0	1.000	1.000
88	0	0	59.0	-198.0	nýt-pásnice	0	1.000	1.000
89						0	1.000	1.000
90						0	1.000	1.000
91	0	0	0	0	nýt-pásnice	0	1.000	1.000
92	0	0	0	0	nýt-pásnice	0	1.000	1.000
93	0	0	0	0	nýt-pásnice	0	1.000	1.000
94	0	0	0	0	nýt-pásnice	0	1.000	1.000
95	0	0	0	0	nýt-pásnice	0	1.000	1.000
96	0	0	0	0	nýt-pásnice	0	1.000	1.000
97	0	0	0	0	nýt-pásnice	0	1.000	1.000
98	0	0	0	0	nýt-pásnice	0	1.000	1.000
99						0	1.000	1.000
100						0	1.000	1.000

NÝT Č.	SKUPINA	ŘEZ	RED.	VELIKOST d.i [mm]	POLOHA o.i [mm]	POPIS	AKTIVITA OTVORU	NAPĚTÍ sc [MPa]
1		-	1.00	20	35	nýt - t.o - úhelník	0	-28.38
2		-	1.00	20	35	nýt - t.o - úhelník	0	-27.16
3		-	1.00	20	35	nýt - t.i - úhelník	0	-24.13
4		-	1.00	20	35	nýt - t.i - úhelník	0	-22.90
5		-	1.00	20	35	nýt - b.o - úhelník	0	-7.70
6		-	1.00	20	35	nýt - b.o - úhelník	0	-6.47
7		-	1.00	20	35	nýt - b.i - úhelník	0	-11.96
8		-	1.00	20	35	nýt - b.i - úhelník	0	-10.73
9								
10								
11		-	1.00	22	45	nýt - t.i - úhelník	0	-30.98
12		-	1.00	22	45	nýt - t.i - úhelník	0	-29.34
13		-	1.00	22	45	nýt - t.r - úhelník	0	-21.95
14		-	1.00	22	45	nýt - t.r - úhelník	0	-20.30
15		-	1.00	22	45	nýt - b.l - úhelník	0	-12.91
16		-	1.00	22	45	nýt - b.l - úhelník	0	-14.55
17		-	1.00	22	45	nýt - b.r - úhelník	0	-3.88
18		-	1.00	22	45	nýt - b.r - úhelník	0	-5.52
19								
20								
21		-	1.00	0	-132	nýt - t.l	0	-
22		-	1.00	0	-132	nýt - t.l	0	-
23		-	1.00	0	132	nýt - t.r	0	-
24		-	1.00	0	132	nýt - t.r	0	-
25		-	1.00	0	-132	nýt - b.l	0	-
26		-	1.00	0	-132	nýt - b.l	0	-
27		-	1.00	0	132	nýt - b.r	0	-
28		-	1.00	0	132	nýt - b.r	0	-
29								
30								

VÝPOČET PRŮŘEZOVÝCH CHARAKTERISTIK

Properties	Basic	Ultimate		Serviceability	
y_i	0.0	0.0		0.0	[mm]
z_i	0.0	0.0		0.0	[mm]
A_i	1.2480E-04	1.2480E-04		1.2480E-04	[mm²]
A_s	8.0000E-03	8.0000E-03		8.0000E-03	[mm²]
A_{ef}	4.4800E-03	4.4800E-03		4.4800E-03	[mm²]
I_{y1}	3.7368E+08	3.7368E+08		3.7368E+08	[mm⁴]
I_{z1}	3.0305E+07	3.0305E+07		3.0305E+07	[mm⁴]
i_y	173.0	173.0		173.0	[mm]
i_z	49.3	49.3		49.3	[mm]
$W_{y,1}$	1.1977E+06	1.1977E+06		1.1977E+06	[mm³]
$W_{z,1}$	-2.9140E+05	-2.9140E+05		-2.9140E+05	[mm³]
$W_{y,2}$	-1.1977E+06	-1.1977E+06		-1.1977E+06	[mm³]
$W_{z,2}$	-2.9140E+05	-2.9140E+05		-2.9140E+05	[mm³]
KRAJNÍ VLÁKNA PRŮŘEZU					
y_1	-104.0	-104.0		-104.0	[mm] min
z_1	312.0	312.0		312.0	[mm] max
y_2	-104.0	-104.0		-104.0	[mm] min
z_2	-312.0	-312.0		-312.0	[mm] min
y_3	104.0	104.0		104.0	[mm] max
z_3	312.0	312.0		312.0	[mm] max
y_4	104.0	104.0		104.0	[mm] max
z_4	-312.0	-312.0		-312.0	[mm] min
y_5	-12.0	-12.0		-12.0	[mm]
z_5	-242.0	-242.0		-242.0	[mm]
y_6	-12.0	-12.0		-12.0	[mm]
z_6	-312.0	-312.0		-312.0	[mm]

SCHÉMA PROMĚNNÝCH

SCHÉMA ZADANÉHO PRŮŘEZU

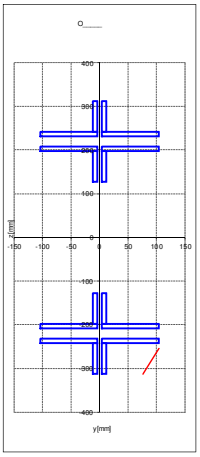

ÚPRAVA MOMENTŮ SETRVAČNOSTI V DŮSLEDKU ČLENĚNÍ PRŮŘEZU

OSA Y	0.60
OSA Z	1.00

NEUTRÁLNÁ OSA

NAPĚTÍ [MPa]:

-37.04	-21.11
-13.74	2.18

ZS: SLS_LM_N,MIN

	N [kN]	Vy [kN]	Vz [kN]	Mx [kNm]	My [kNm]	Mz [kNm]
import	-218	2	-1	0	14	-2

TR_D7.1 POPIS: **DIAGONÁLA D7** POSUDEK: **D7.1**

SKUPINA ZAT. STAVŮ	EXTRÉM	VYHODNOCOVANÉ VELIČINY					
		N	Vy	Vz	Mx	My	Mz
		kN	kN	kN	kNm	kNm	kNm
G0	N.min	**121.93**	-0.3	-0.25	0	1.24	3
	N.max	**121.93**	-0.3	-0.25	0	1.24	3
	Vy.min	121.93	**-0.3**	-0.25	0	1.24	3
	Vy.max	121.93	**-0.3**	-0.25	0	1.24	3
	Vz.min	121.93	-0.3	**-0.25**	0	1.24	3
	Vz.max	121.93	-0.3	**-0.25**	0	1.24	3
	Mx.min	121.93	-0.3	-0.25	**0**	1.24	3
	Mx.max	121.93	-0.3	-0.25	**0**	1.24	3
	My.min	121.93	-0.3	-0.25	0	**1.24**	3
	My.max	121.93	-0.3	-0.25	0	**1.24**	3
	Mz.min	121.93	-0.3	-0.25	0	1.24	**3**
	Mz.max	121.93	-0.3	-0.25	0	1.24	**3**
G1	N.min	**8.65**	0	0.03	0	0.2	0.01
	N.max	**8.65**	0	0.03	0	0.2	0.01
	Vy.min	8.65	**0**	0.03	0	0.2	0.01
	Vy.max	8.65	**0**	0.03	0	0.2	0.01
	Vz.min	8.65	0	**0.03**	0	0.2	0.01
	Vz.max	8.65	0	**0.03**	0	0.2	0.01
	Mx.min	8.65	0	0.03	**0**	0.2	0.01
	Mx.max	8.65	0	0.03	**0**	0.2	0.01
	My.min	8.65	0	0.03	0	**0.2**	0.01
	My.max	8.65	0	0.03	0	**0.2**	0.01
	Mz.min	8.65	0	0.03	0	0.2	**0.01**
	Mz.max	8.65	0	0.03	0	0.2	**0.01**
G2	N.min	**7.01**	0	-0.03	0	-0.01	0.01
	N.max	**7.01**	0	-0.03	0	-0.01	0.01
	Vy.min	7.01	**0**	-0.03	0	-0.01	0.01
	Vy.max	7.01	**0**	-0.03	0	-0.01	0.01
	Vz.min	7.01	0	**-0.03**	0	-0.01	0.01
	Vz.max	7.01	0	**-0.03**	0	-0.01	0.01
	Mx.min	7.01	0	-0.03	**0**	-0.01	0.01
	Mx.max	7.01	0	-0.03	**0**	-0.01	0.01
	My.min	7.01	0	-0.03	0	**-0.01**	0.01
	My.max	7.01	0	-0.03	0	**-0.01**	0.01
	Mz.min	7.01	0	-0.03	0	-0.01	**0.01**
	Mz.max	7.01	0	-0.03	0	-0.01	**0.01**
P1_71	N.min	**-93.27**	-0.02	0.21	0	6.32	-0.08
	N.max	**168.62**	0.03	2.54	0	3.51	0.13
	Vy.min	-59.8	**-0.03**	0.16	0	5.39	-0.09
	Vy.max	119.44	**0.05**	3.02	0	4.98	0.16
	Vz.min	-59.17	-0.02	**-0.39**	0	3.83	-0.07
	Vz.max	108.56	0.04	**3.74**	0	7.1	0.12
	Mx.min	2.62	0.02	1.71	**0**	2.57	0.05
	Mx.max	94.11	0	1.85	**0**	6.82	0.04
	My.min	0.19	0	0	0	**0**	0
	My.max	56.01	0.02	2.98	0	**9.97**	0.06
	Mz.min	-76.47	-0.03	-0.07	0	5.15	**-0.1**
	Mz.max	135.75	0.05	3.26	0	5.19	**0.16**
P2_71	N.min	**-225.82**	-0.05	-1.21	0	2.97	-0.21
	N.max	**407.44**	0.07	0.07	0	-1.5	0.3
	Vy.min	-119.73	**-0.08**	-1.41	0	1.51	-0.22
	Vy.max	267.95	**0.13**	0.98	0	0.7	0.37
	Vz.min	71.35	-0.02	**-2.78**	0	0.09	-0.01
	Vz.max	76.04	0.07	**2.45**	0	2.41	0.15
	Mx.min	165.77	0.11	1.3	**0**	1.37	0.28
	Mx.max	74.34	-0.04	-1.3	**0**	0.16	-0.07
	My.min	298.67	0.02	-1.5	0	**-2.93**	0.15
	My.max	-106.71	0.02	0.76	0	**4.83**	0
	Mz.min	-162.78	-0.07	-1.55	0	1.56	**-0.25**
	Mz.max	304.43	0.13	1.04	0	0.53	**0.39**
P1_C3	N.min	**-73.07**	-0.02	0.17	0	4.79	-0.07
	N.max	**137.49**	0.03	2.27	0	3.12	0.12
	Vy.min	-34.83	**-0.03**	0.3	0	4.36	-0.08
	Vy.max	112.39	**0.04**	2.48	0	4.01	0.14
	Vz.min	-40.55	-0.01	**-0.32**	0	2.7	-0.05
	Vz.max	89.62	0.03	**2.9**	0	5.82	0.1
	Mx.min	-1	0.02	1.39	**0**	2.2	0.04
	Mx.max	68.34	0	1.01	**0**	5.33	0.02
	My.min	0.3	0	0	0	**0**	0
	My.max	59.69	0.01	2.44	0	**7.82**	0.06
	Mz.min	-51.73	-0.02	0.1	0	4.18	**-0.08**
	Mz.max	112.39	0.04	2.48	0	4.01	**0.14**
P2_C3	N.min	**-176.53**	-0.05	-1.01	0	1.95	-0.17
	N.max	**332.22**	0.06	-0.1	0	-1.36	0.25
	Vy.min	-50.27	**-0.07**	-0.96	0	0.76	-0.17
	Vy.max	245.77	**0.11**	0.5	0	0.14	0.32
	Vz.min	82.98	-0.01	**-2.28**	0	-0.13	0.01
	Vz.max	85.35	0.05	**1.83**	0	1.37	0.11
	Mx.min	153.54	0.09	0.63	**0**	0.57	0.24
	Mx.max	27.91	-0.05	-1.35	**0**	0.33	-0.09
	My.min	232.15	0.01	-1.36	0	**-2.5**	0.11
	My.max	-75.05	0.02	0.68	0	**3.54**	0.02
	Mz.min	-75.56	-0.07	-1.17	0	0.78	**-0.2**
	Mz.max	265.86	0.11	0.66	0	0.17	**0.34**
BR	N.min	**-7.59**	0.02	0.01	0	0.07	0.05
	N.max	**7.59**	-0.02	-0.01	0	-0.07	-0.05
	Vy.min	7.59	**-0.02**	-0.01	0	-0.07	-0.05
	Vy.max	-7.59	**0.02**	0.01	0	0.07	0.05
	Vz.min	-5.73	0.02	**-0.11**	0	-0.13	0.05
	Vz.max	5.73	-0.02	**0.11**	0	0.13	-0.05
	Mx.min	-5.73	0.02	-0.11	**0**	-0.13	0.05
	Mx.max	5.73	-0.02	0.11	**0**	0.13	-0.05
	My.min	-5.73	0.02	-0.11	0	**-0.13**	0.05
	My.max	5.73	-0.02	0.11	0	**0.13**	-0.05
	Mz.min	7.59	-0.02	-0.01	0	-0.07	**-0.05**
	Mz.max	-7.59	0.02	0.01	0	0.07	**0.05**

TR_D7.1 POPIS: **DIAGONÁLA D7** POSUDEK: **D7.1**

SKUPINA ZAT. STAVŮ	EXTRÉM	VYHODNOCOVANÉ VELIČINY					
		N	Vy	Vz	Mx	My	Mz
		kN	kN	kN	kNm	kNm	kNm
S	N.min	**-2.98**	0	0.51	0	0.28	0.01
	N.max	**2.98**	0	-0.51	0	-0.28	-0.01
	Vy.min	1.85	**-0.01**	-0.87	0	-1	-0.01
	Vy.max	-1.85	**0.01**	0.87	0	1	0.01
	Vz.min	-1.29	0	**-0.89**	0	-2	-0.01
	Vz.max	1.29	0	**0.89**	0	2	0.01
	Mx.min	1.29	0	0.89	**0**	2	0.01
	Mx.max	-1.29	0	-0.89	**0**	-2	-0.01
	My.min	-1.29	0	-0.89	0	**-2**	-0.01
	My.max	1.29	0	0.89	0	**2**	0.01
	Mz.min	1.85	-0.01	-0.87	0	-1	**-0.01**
	Mz.max	-1.85	0.01	0.87	0	1	**0.01**
CH	N.min	**-7.51**	0	-0.01	0	-0.07	-0.01
	N.max	**22.61**	0	0.16	0	0.51	0.02
	Vy.min	-7.51	**0**	-0.01	0	-0.07	-0.01
	Vy.max	22.61	**0**	0.16	0	0.51	0.02
	Vz.min	17.45	0	**-0.18**	0	-0.33	0.01
	Vz.max	22.61	0	**0.16**	0	0.51	0.02
	Mx.min	17.45	0	-0.18	**0**	-0.33	0.01
	Mx.max	22.61	0	0.16	**0**	0.51	0.02
	My.min	17.45	0	-0.18	0	**-0.33**	0.01
	My.max	22.61	0	0.16	0	**0.51**	0.02
	Mz.min	-7.51	0	-0.01	0	-0.07	**-0.01**
	Mz.max	22.61	0	0.16	0	0.51	**0.02**
W	N.min	**-13.63**	0	0.44	0	2.46	0
	N.max	**13.63**	0	-0.44	0	-2.45	0
	Vy.min	13.63	**0**	-0.44	0	-2.45	0
	Vy.max	-13.63	**0**	0.44	0	2.46	0
	Vz.min	13.63	0	**-0.44**	0	-2.45	0
	Vz.max	-13.63	0	**0.44**	0	2.46	0
	Mx.min	13.63	0	-0.44	**0**	-2.45	0
	Mx.max	-13.63	0	0.44	**0**	2.46	0
	My.min	13.63	0	-0.44	0	**-2.45**	0
	My.max	-13.63	0	0.44	0	**2.46**	0
	Mz.min	13.63	0	-0.44	0	-2.45	**0**
	Mz.max	-13.63	0	0.44	0	2.46	**0**
WP	N.min	**-12.64**	0.01	1.87	0	3.52	0.02
	N.max	**12.62**	-0.01	-1.87	0	-3.52	-0.02
	Vy.min	12.62	**-0.01**	-1.87	0	-3.52	-0.02
	Vy.max	-12.64	**0.01**	1.87	0	3.52	0.02
	Vz.min	12.62	-0.01	**-1.87**	0	-3.52	-0.02
	Vz.max	-12.64	0.01	**1.87**	0	3.52	0.02
	Mx.min	12.62	-0.01	-1.87	**0**	-3.52	-0.02
	Mx.max	-12.64	0.01	1.87	**0**	3.52	0.02
	My.min	12.62	-0.01	-1.87	0	**-3.52**	-0.02
	My.max	-12.64	0.01	1.87	0	**3.52**	0.02
	Mz.min	12.62	-0.01	-1.87	0	-3.52	**-0.02**
	Mz.max	-12.64	0.01	1.87	0	3.52	**0.02**
TR	N.min	**0**	0	0	0	0	0
	N.max	**0**	0	0	0	0	0
	Vy.min	0	**0**	0	0	0	0
	Vy.max	0	**0**	0	0	0	0
	Vz.min	0	0	**0**	0	0	0
	Vz.max	0	0	**0**	0	0	0
	Mx.min	0	0	0	**0**	0	0
	Mx.max	0	0	0	**0**	0	0
	My.min	0	0	0	0	**0**	0
	My.max	0	0	0	0	**0**	0
	Mz.min	0	0	0	0	0	**0**
	Mz.max	0	0	0	0	0	**0**
TN	N.min	**-10.97**	0.03	0.09	0	0.27	0.05
	N.max	**10.97**	-0.03	-0.09	0	-0.27	-0.05
	Vy.min	10.97	**-0.03**	-0.09	0	-0.27	-0.05
	Vy.max	-8.76	**0.04**	1.77	0	2.55	0.06
	Vz.min	-2.59	0	**-1.16**	0	-3.29	0
	Vz.max	-8.76	0.04	**1.77**	0	2.55	0.06
	Mx.min	-2.59	0	-1.16	**0**	-3.29	0
	Mx.max	-8.76	0.04	1.77	**0**	2.55	0.06
	My.min	-2.59	0	-1.16	0	**-3.29**	0
	My.max	-8.76	0.04	1.77	0	**2.55**	0.06
	Mz.min	10.97	-0.03	-0.09	0	-0.27	**-0.05**
	Mz.max	-8.76	0.04	1.77	0	2.55	**0.06**
FR	N.min	**-0.01**	0	-0.01	0	-0.01	0
	N.max	**0.01**	0	0.01	0	0.01	0
	Vy.min	-0.01	**0**	-0.01	0	-0.01	0
	Vy.max	0.01	**0**	0.01	0	0.01	0
	Vz.min	-0.01	0	**-0.01**	0	-0.01	0
	Vz.max	0.01	0	**0.01**	0	0.01	0
	Mx.min	0.01	0	0.01	**0**	0.01	0
	Mx.max	-0.01	0	-0.01	**0**	-0.01	0
	My.min	-0.01	0	-0.01	0	**-0.01**	0
	My.max	0.01	0	0.01	0	**0.01**	0
	Mz.min	-0.01	0	-0.01	0	-0.01	**0**
	Mz.max	0.01	0	0.01	0	0.01	**0**
I	N.min	**-2.76**	0	-0.25	0	-0.51	**0**
	N.max	**2.76**	0	0.25	0	0.51	**0**
	Vy.min	-2.76	**0**	-0.25	0	-0.51	**0**
	Vy.max	2.76	**0**	0.25	0	0.51	**0**
	Vz.min	-2.76	0	**-0.25**	0	-0.51	**0**
	Vz.max	2.76	0	**0.25**	0	0.51	**0**
	Mx.min	-2.76	0	-0.25	**0**	-0.51	**0**
	Mx.max	2.76	0	0.25	**0**	0.51	**0**
	My.min	-2.76	0	-0.25	0	**-0.51**	**0**
	My.max	2.76	0	0.25	0	**0.51**	**0**
	Mz.min	-2.76	0	-0.25	0	-0.51	**0**
	Mz.max	2.76	0	0.25	0	0.51	**0**

TAB. D7.1.3 POSOUZENÍ - MEZNÍ STAV ÚNOSNOSTI

POPIS	DIAGONÁLA D7
PRUT / POLOHA BODU	239 / 2/4
NAMÁHÁNÍ	N.min
VLÁKNO	BOD K1 -HL
MEZNÍ STAV	ULS (MSÚ)
VYUŽITÍ VLÁKNA PRŮŘEZU	0.41

Charakteristiky materiálu				
pás. horní	$f_{yf,k}$	230	MPa	
pás. dolní	$f_{yf,k}$	230	MPa	
stojina	$f_{yw,k}$	230	MPa	
výztuž	$f_{ys,k}$	500	MPa	
	γ_M =	1.20	γ_s =	1.15

Excentricita normálové síly				
Exc./Fáze	0	1	2	3
e_y	0.000	0.000	0.000	0.000
e_z	0.000	0.000	0.000	0.000
Ekvivalentní vzdál. stěn - příčný roznos				
b_{Mx}	0.000	0.000	0.000	0.000

Vliv stěny na únosnost průřezu				
Char./Fáze	0	1	2	3
A	0.00	0.00	0.00	0.00
Wy	0.00	0.00	0.00	0.00
Wz	0.00	0.00	0.00	0.00

Charakter. v kroucení			
$t_{w,y}$	0.000	[mm]	
$t_{w,z}$	0.000	[mm]	
κ	1.00		
I_t=	0.00E+00	[mm^4]	
$\Omega=2*A_{pz}$	0.00E+00	[mm^2]	

Součinitele vzpěru a vlivu II.řádu					
Char./Fáze	0	1	2	3
k_y	1.000	1.000	1.000	1.000
k_z	1.000	1.000	1.000	1.000
χ_{LT}	1.000	1.000	1.000	1.000
χ_{min}	0.507	1.000	1.000	1.000

Vnitřní síly od jednotlivých skupin zatěžovacích stavů

SKUPINA ZATĚŽOVACÍCH STAVŮ — 3

Č.	SKUP ZS	POPIS ZS	KAT.	FÁZE PRŮŘ.	- CHARAKTERISTICKÉ HODNOTY N.k (kN)	Vy.k (kN)	Vz.k (kN)	Mx.k (kNm)	My.k (kNm)	Mz.k (kNm)	DÍLČÍ SOUČINITELÉ ZATÍŽENÍ, DYNAMICKÝ SOUČINITEL γ_{sr} (-)	γ_{fs} (-)	volba γ_f hledat	γ_f (-)	L_d (m)	δ (-)	γ_s KZ03	- NÁVRHOVÉ HODNOTY N.d (kN)	Vy.d (kN)	Vz.d (kN)	ΔVz.d (kN)	ΣVz.d (kN)	Mx.d (kNm)	My.d (kNm)	ΔMy.d (kNm)	ΣMy.d (kNm)	Mz.d (kNm)	ΔMz.d (kNm)	ΣMz.d (kNm)
1	G0	Vlastní tíha OK	G	0	122	0	0	0	1	3	1.00	1.00		1.00	-	1.00	0.95	116	0	0	0	0	0	1	0	1	3	0	3
2	G1	Ostatní stálé - mostní vybavení	G	0	9	0	0	0	0	0	1.00	1.00		1.00	-	1.00	0.95	8	0	0	0	0	0	0	0	0	0	0	0
3	G2	Ostatní stálé - cizí zařízení	G	0	7	0	0	0	0	0	1.00	1.00		1.00	-	1.00	0.95	7	0	0	0	0	0	0	0	0	0	0	0
4	P1_71	a.LM71 - kolej 1 (bez dyn. souč.)	P	0	-93	0	0	0	6	0	1.00	1.30		1.30	-	1.00	1.00	-121	0	0	0	0	0	8	0	8	0	0	0
5	P2_71	a.LM71 - kolej 2 (bez dyn. souč.)	P	0	-226	0	-1	0	3	0	1.00	1.30		1.30	-	1.00	1.00	-294	0	-2	0	-2	0	4	0	4	0	0	0
6	P1_C3	TTZ C3 - kolej 1 (bez dyn. souč.)	P	0	-73	0	0	0	5	0	1.00	vyp.		0.00	-	1.00	0.00	0	0	0	0	0	0	0	0	0	0	0	0
7	P2_C3	TTZ C3 - kolej 2 (bez dyn. souč.)	P	0	-177	0	-1	0	2	0	1.00	vyp.		0.00	-	1.00	0.00	0	0	0	0	0	0	0	0	0	0	0	0
8	BR	Brzdné a rozjezdové síly	P	0	-8	0	0	0	0	0	1.00	1.30		1.30	-	1.00	0.80	-8	0	0	0	0	0	0	0	0	0	0	0
9	S	Boční ráz	P	0	-3	0	1	0	0	0	1.00	1.30		1.30	-	1.00	0.40	-2	0	0	0	0	0	0	0	0	0	0	0
10	CH	Chodci na lávkách	Q	0	-8	0	0	0	0	0	1.00	1.30		1.30	-	1.00	1.00	-10	0	0	0	0	0	0	0	0	0	0	0
11	W	Vítr na konstrukci	Q	0	-14	0	0	0	2	0	1.00	1.35		1.35	-	1.00	0.75	-14	0	0	0	0	0	2	0	2	0	0	0
12	WP	Vítr na vozidla	Q	0	-13	0	2	0	4	0	1.00	1.35		1.35	-	1.00	0.75	-13	0	2	0	2	0	4	0	4	0	0	0
13	TR	Teplota rovnoměrná	Q	0	0	0	0	0	0	0	1.00	1.35		1.35	-	1.00	0.45	0	0	0	0	0	0	0	0	0	0	0	0
14	TN	Teplota nerovnoměrná	Q	0	-11	0	0	0	0	0	1.00	1.35		1.35	-	1.00	0.60	-9	0	0	0	0	0	0	0	0	0	0	0
15	FR	Třecí síly v ložiskách	Q	0	0	0	0	0	0	0	1.00	-1.20		-1.20	-	1.00	1.00	0	0	0	0	0	0	0	0	0	0	0	0
16	I	Imperfekce soustavy	Q	0	-3	0	0	0	-1	0	1.00	1.20		1.20	-	1.00	1.00	-3	0	0	0	0	0	-1	0	-1	0	0	0
27	ULS_LM	ULS - LM71 bez dynam	Q	0	-318	0	1	0	20	3	1.00	vyp.		0.00	-	1.00	0.00	0	0	0	0	0	0	0	0	0	0	0	0
28	SLS_LM	SLS - LM71 bez dynam	Q	0	-221	0	0	0	15	3	1.00	vyp.	1	0.00	-	1.00	0.00	0	0	0	0	0	0	0	0	0	0	0	0
29	ULS_C3	ULS - C3 bez dynam	Q	0	-228	0	1	0	16	3	1.00	vyp.	1	0.00	-	1.00	0.00	0	0	0	0	0	0	0	0	0	0	0	0
30	SLS_C3	SLS - C3 bez dynam	Q	0	-151	0	1	0	12	3	1.00	vyp.	1	0.00	-	1.00	0.00	0	0	0	0	0	0	0	0	0	0	0	0
		CELKEM - FÁZE PRŮŘEZU 0			-342	0	1	0	19	3								-342	0	1	0	1	0	19	0	19	3	0	3
		CELKEM - FÁZE PRŮŘEZU 1			0	0	0	0	0	0								0	0	0	0	0	0	0	0	0	0	0	0
		CELKEM - FÁZE PRŮŘEZU 2			0	0	0	0	0	0								0	0	0	0	0	0	0	0	0	0	0	0
		CELKEM - FÁZE PRŮŘEZU 3			0	0	0	0	0	0								0	0	0	0	0	0	0	0	0	0	0	0
		CELKEM - PRŮŘEZ			-342	0	1	0										-342	0	1	0	1	0			19			3

Napětí od jednotlivých zatěžovacích stavů

SKUPINA ZATĚŽOVACÍCH STAVŮ

Č.	SKUP ZS	Popis ZS	Kat.	fáze prúř.	Posouzení normálového napětí — Účinek síly N δ^*N_d [kN]	χ^*A [mm^2]	σ_n [MPa]	Účinek momentu My $\delta^*M_{y,d}$ [kNm]	$\chi_{lt}*W_{el,y}$ [mm^3]	σ_{my} [MPa]	Účinek momentu Mz $\delta^*M_{z,d}$ [kNm]	$W_{el,z}$ [mm^3]	σ_{mz} [MPa]	σ_x [MPa]	Posouzení smykového napětí — Účinek kroutícího momentu Mx $\kappa*\delta^*M_{x,d}$ [kNm]	$W_{v,y}$ [mm^2]	$\tau_{x,y}$ [MPa]	$W_{v,z}$ [mm^2]	$\tau_{x,z}$ [MPa]	Účinek smykové síly Vy $\delta^*V_{y,d}$ [kN]	$A_{v,y}$ [mm2]	$\tau_{v,y}$ [MPa]	$\tau_{v,y}$ [MPa]	Účinek smykové síly Vz $\delta^*V_{z,d}$ [kN]	$A_{v,z}$ [mm2]	$\tau_{v,z}$ [MPa]	$\tau_{v,z}$ [MPa]
1	G0	Vlastní tíha OK	G	0	115.8	6.33E+03	18.3	1.2	-1.20E+06	-1.0	2.9	-2.91E+05	-9.8	7.5	0.0E+00	-	-	-	-	-0.3	8.00E+03	0.0	0.0	-0.2	4.48E+03	-0.1	-0.1
2	G1	Ostatní stálé - mostní vybavení	G	0	8.2	6.33E+03	1.3	0.2	-1.20E+06	-0.2	0.0	-2.91E+05	0.0	1.1	0.0E+00	-	-	-	-	0.0	8.00E+03	0.0	0.0	0.0	4.48E+03	0.0	0.0
3	G2	Ostatní stálé - cizí zařízení	G	0	6.7	6.33E+03	1.1	0.0	-1.20E+06	0.0	0.0	-2.91E+05	0.0	1.0	0.0E+00	-	-	-	-	0.0	8.00E+03	0.0	0.0	0.0	4.48E+03	0.0	0.0
4	P1_71	a.LM71 - kolej 1 (bez dyn. souč.)	P	0	-121.3	6.33E+03	-19.2	8.2	-1.20E+06	-6.9	-0.1	-2.91E+05	0.4	-25.7	0.0E+00	-	-	-	-	0.0	8.00E+03	0.0	0.0	0.3	4.48E+03	0.1	0.1
5	P2_71	a.LM71 - kolej 2 (bez dyn. souč.)	P	0	-293.6	6.33E+03	-46.4	3.9	-1.20E+06	-3.2	-0.3	-2.91E+05	0.9	-48.7	0.0E+00	-	-	-	-	-0.1	8.00E+03	0.0	0.0	-1.6	4.48E+03	-0.4	-0.4
6	P1_C3	TTZ C3 - kolej 1 (bez dyn. souč.)	P	0	0.0	6.33E+03	0.0	0.0	-1.20E+06	0.0	0.0	-2.91E+05	0.0	0.0	0.0E+00	-	-	-	-	0.0	8.00E+03	0.0	0.0	0.0	4.48E+03	0.0	0.0
7	P2_C3	TTZ C3 - kolej 2 (bez dyn. souč.)	P	0	0.0	6.33E+03	0.0	0.0	-1.20E+06	0.0	0.0	-2.91E+05	0.0	0.0	0.0E+00	-	-	-	-	0.0	8.00E+03	0.0	0.0	0.0	4.48E+03	0.0	0.0
8	BR	Brzdné a rozjezdové síly	P	0	-7.9	6.33E+03	-1.2	0.1	-1.20E+06	-0.1	0.1	-2.91E+05	-0.2	-1.5	0.0E+00	-	-	-	-	0.0	8.00E+03	0.0	0.0	0.0	4.48E+03	0.0	0.0
9	S	Boční ráz	P	0	-1.5	6.33E+03	-0.2	0.1	-1.20E+06	-0.1	0.0	-2.91E+05	0.0	-0.4	0.0E+00	-	-	-	-	0.0	8.00E+03	0.0	0.0	0.3	4.48E+03	0.1	0.1
10	CH	Chodci na lávkách	Q	0	-9.8	6.33E+03	-1.5	-0.1	-1.20E+06	0.1	0.0	-2.91E+05	0.0	-1.4	0.0E+00	-	-	-	-	0.0	8.00E+03	0.0	0.0	0.0	4.48E+03	0.0	0.0
11	W	Vítr na konstrukci	Q	0	-13.8	6.33E+03	-2.2	2.5	-1.20E+06	-2.1	0.0	-2.91E+05	0.0	-4.3	0.0E+00	-	-	-	-	0.0	8.00E+03	0.0	0.0	0.4	4.48E+03	0.1	0.1
12	WP	Vítr na vozidla	Q	0	-12.8	6.33E+03	-2.0	3.6	-1.20E+06	-3.0	0.0	-2.91E+05	-0.1	-5.1	0.0E+00	-	-	-	-	0.0	8.00E+03	0.0	0.0	1.9	4.48E+03	0.4	0.4
13	TR	Teplota rovnoměrná	Q	0	0.0	6.33E+03	0.0	0.0	-1.20E+06	0.0	0.0	-2.91E+05	0.0	0.0	0.0E+00	-	-	-	-	0.0	8.00E+03	0.0	0.0	0.0	4.48E+03	0.0	0.0
14	TN	Teplota nerovnoměrná	Q	0	-8.9	6.33E+03	-1.4	0.2	-1.20E+06	-0.2	0.0	-2.91E+05	-0.1	-1.7	0.0E+00	-	-	-	-	0.0	8.00E+03	0.0	0.0	0.1	4.48E+03	0.0	0.0
15	FR	Třecí síly v ložiskách	Q	0	0.0	6.33E+03	0.0	0.0	-1.20E+06	0.0	0.0	-2.91E+05	0.0	0.0	0.0E+00	-	-	-	-	0.0	8.00E+03	0.0	0.0	0.0	4.48E+03	0.0	0.0
16	I	Imperfekce soustavy	Q	0	-3.3	6.33E+03	-0.5	-0.6	-1.20E+06	0.5	0.0	-2.91E+05	0.0	0.0	0.0E+00	-	-	-	-	0.0	8.00E+03	0.0	0.0	-0.3	4.48E+03	-0.1	-0.1
27	ULS_LM	ULS - LM71 bez dynam	Q	0	0.0	6.33E+03	0.0	0.0	-1.20E+06	0.0	0.0	-2.91E+05	0.0	0.0	0.0E+00	-	-	-	-	0.0	8.00E+03	0.0	0.0	0.0	4.48E+03	0.0	0.0
28	SLS_LM	SLS - LM71 bez dynam	Q	0	0.0	6.33E+03	0.0	0.0	-1.20E+06	0.0	0.0	-2.91E+05	0.0	0.0	0.0E+00	-	-	-	-	0.0	8.00E+03	0.0	0.0	0.0	4.48E+03	0.0	0.0
29	ULS_C3	ULS - C3 bez dynam	Q	0	0.0	6.33E+03	0.0	0.0	-1.20E+06	0.0	0.0	-2.91E+05	0.0	0.0	0.0E+00	-	-	-	-	0.0	8.00E+03	0.0	0.0	0.0	4.48E+03	0.0	0.0
30	SLS_C3	SLS - C3 bez dynam	Q	0	0.0	6.33E+03	0.0	0.0	-1.20E+06	0.0	0.0	-2.91E+05	0.0	0.0	0.0E+00	-	-	-	-	0.0	8.00E+03	0.0	0.0	0.0	4.48E+03	0.0	0.0
		NAVÝŠENÍ NAPĚTÍ DO AKTIVACE TLAKU V DESCE MOSTOVKY				$\sigma_{P,red}$	0.0							0.0			0.0		0.0			0.0	0.0			0.2	0.2
		NAPĚTÍ OD PRIMÁRNÍCH ÚČINKŮ NEROVNOMĚRNÉHO OTEPLENÍ				σ_T	0.0							0.0													
		NAPĚTÍ OD REOLOGICKÝCH ÚČINKŮ BETONU V ČASE		t=0		σ_R	0.0	γ=	1.20					0.0													
		NAPĚTÍ V KRITICKÝCH VLÁKNECH OD KOMBINACE ZATÍŽENÍ				KZ03		[MPa]					$\Sigma\sigma_x$	-79.0									$\Sigma\tau_y$	0.0			$\Sigma\tau_z$	0.2
		NAPĚTÍ OD POHYBLIVÉHO ZATÍŽENÍ						[MPa]					$\sigma_{x,P}$	-76.2									τ_P	0.0			τ_P	-0.2
		NAPĚTÍ OD OSTATNÍCH ZATÍŽENÍ						[MPa]			Φ_{vy}	Φ_{vz}	$\sigma_{x,rs}$	-2.8									τ_{rs}	0.0			τ_{rs}	0.4
		NÁVRHOVÁ HODNOTA MEZE KLUZU S REDUKCÍ VLIVEM SMYKOVÉHO NAPĚTÍ						[MPa]			1.00	1.00	$f_{yv,d}$	191.7									$f_{yd}/3^{0,5}$	110.7			$f_{yd}/3^{0,5}$	110.7
		NAPĚTÍ OD POHYBLIVÉHO ZATÍŽENÍ V GLOBÁLNÍM SYSTÉMU				$\sigma_{GLOB,P}$	0.0	[MPa]					$\Sigma\sigma_{GLOB}$	0.0														
		NAPĚTÍ OD OSTATNÍCH ZATÍŽENÍ V GLOBÁLNÍM SYSTÉMU				$\sigma_{GLOB,rs}$	0.0	[MPa]					$\Sigma\sigma_x + \Sigma\sigma_{GLOB}$	-79.0														
		VYUŽITÍ PRŮŘEZU DLE NAPĚTÍ						[%]					η_1	0.41									η_3	0.00			η_3	0.00
		NAPĚTÍ V PŘÍČNÉM SMĚRU OD POHYBLIVÉHO ZATÍŽENÍ				$\sigma_{z,P}$	0.0	[MPa]					$\Sigma\sigma_z$	0.0														
		NAPĚTÍ V PŘÍČNÉM SMĚRU OD OSTATNÍCH ZATÍŽENÍ				$\sigma_{z,rs}$	0.0	[MPa]					η_2	0.00														
		SROVNÁVACÍ NAPĚTÍ											$(\eta_2 + 0,8\,\eta_1)/1,4$ =	0.24														
		VYUŽITÍ PRŮŘEZU CELKEM						[%]					eff	0.41	VYHOVUJE													
													Z_{LM71} =	2.48														

TAB. D7.1.3 POSOUZENÍ - MEZNÍ STAV ÚNOSNOSTI

POPIS	DIAGONÁLA D7
PRUT / POLOHA BODU	239 / 2/4
NAMÁHÁNÍ	N.min
VLÁKNO	BOD K3 -SL
MEZNÍ STAV	ULS (MSÚ)
VYUŽITÍ VLÁKNA PRŮŘEZU	0.25

Charakteristiky materiálu				
pás. horní	$f_{yf,k}$	230	MPa	
pás. dolní	$f_{yf,k}$	230	MPa	
stojina	$f_{yw,k}$	230	MPa	
výztuž	$f_{ys,k}$	500	MPa	
	γ_M =	1.20	γ_s =	1.15

Excentricita normálové síly				
Exc./Fáze	0	1	2	3
e_y	0.000	0.000	0.000	0.000
e_z	0.000	0.000	0.000	0.000
Ekvivalentní vzdál. stěn - příčný roznos				
b_{Mx}	0.000	0.000	0.000	0.000

Vliv stěny na únosnost průřezu				
Char./Fáze	0	1	2	3
A	0.00	0.00	0.00	0.00
Wy	0.00	0.00	0.00	0.00
Wz	0.00	0.00	0.00	0.00

Charakter. v kroucení			
$t_{w,y}$	0.000	[mm]	
$t_{w,z}$	0.000	[mm]	
κ	1.00		
I_t=	0.00E+00	[mm^4]	
Ω=2*A_{py}	0.00E+00	[mm^2]	

Součinitele vzpěru a vlivu II.řádu					
Char./Fáze	0	1	2	3	
k_y	1.000	1.000	1.000	1.000	
k_z	1.000	1.000	1.000	1.000	
χ_{LT}	1.000	1.000	1.000	1.000	
χ_{min}	0.507	1.000	1.000	1.000	

Vnitřní síly od jednotlivých skupin zatěžovacích stavů

SKUPINA ZATĚŽOVACÍCH STAVŮ — 3

Č.	SKUP ZS	POPIS ZS	KAT.	FÁZE PRŮŘ.	- CHARAKTERISTICKÉ HODNOTY N.k (kN)	Vy.k (kN)	Vz.k (kN)	Mx.k (kNm)	My.k (kNm)	Mz.k (kNm)	DÍLČÍ SOUČINITELÉ ZATÍŽENÍ, DYNAMICKÝ SOUČINITEL γ_{sr} (-)	γ_{fs} (-)	volba γ_f hledat	γ_f (-)	L_d (m)	δ (-)	Ψ_s KZ03	- NÁVRHOVÉ HODNOTY N.d (kN)	Vy.d (kN)	Vz.d (kN)	ΔVz.d (kN)	ΣVz.d (kN)	Mx.d (kNm)	My.d (kNm)	ΔMy.d (kNm)	ΣMy.d (kNm)	Mz.d (kNm)	ΔMz.d (kNm)	ΣMz.d (kNm)
1	G0	Vlastní tíha OK	G	0	122	0	0	0	1	3	1.00	1.00		1.00	-	1.00	0.95	116	0	0	0	0	0	1	0	1	3	0	3
2	G1	Ostatní stálé - mostní vybavení	G	0	9	0	0	0	0	0	1.00	1.00		1.00	-	1.00	0.95	8	0	0	0	0	0	0	0	0	0	0	0
3	G2	Ostatní stálé - cizí zařízení	G	0	7	0	0	0	0	0	1.00	1.00		1.00	-	1.00	0.95	7	0	0	0	0	0	0	0	0	0	0	0
4	P1_71	a.LM71 - kolej 1 (bez dyn. souč.)	P	0	-93	0	0	0	6	0	1.00	1.30		1.30	-	1.00	1.00	-121	0	0	0	0	0	8	0	8	0	0	0
5	P2_71	a.LM71 - kolej 2 (bez dyn. souč.)	P	0	-226	0	-1	0	3	0	1.00	1.30		1.30	-	1.00	1.00	-294	0	-2	0	-2	0	4	0	4	0	0	0
6	P1_C3	TTZ C3 - kolej 1 (bez dyn. souč.)	P	0	-73	0	0	0	5	0	1.00	vyp.		0.00	-	1.00	0.00	0	0	0	0	0	0	0	0	0	0	0	0
7	P2_C3	TTZ C3 - kolej 2 (bez dyn. souč.)	P	0	-177	0	-1	0	2	0	1.00	vyp.		0.00	-	1.00	0.00	0	0	0	0	0	0	0	0	0	0	0	0
8	BR	Brzdné a rozjezdové síly	P	0	-8	0	0	0	0	0	1.00	1.30		1.30	-	1.00	0.80	-8	0	0	0	0	0	0	0	0	0	0	0
9	S	Boční ráz	P	0	-3	0	1	0	0	0	1.00	1.30		1.30	-	1.00	0.40	-2	0	0	0	0	0	0	0	0	0	0	0
10	CH	Chodci na lávkách	Q	0	-8	0	0	0	0	0	1.00	1.30		1.30	-	1.00	1.00	-10	0	0	0	0	0	0	0	0	0	0	0
11	W	Vítr na konstrukci	Q	0	-14	0	0	0	2	0	1.00	1.35		1.35	-	1.00	0.75	-14	0	0	0	0	0	2	0	2	0	0	0
12	WP	Vítr na vozidla	Q	0	-13	0	2	0	4	0	1.00	-1.35		-1.35	-	1.00	0.75	13	0	-2	0	-2	0	-4	0	-4	0	0	0
13	TR	Teplota rovnoměrná	Q	0	0	0	0	0	0	0	1.00	1.35		1.35	-	1.00	0.45	0	0	0	0	0	0	0	0	0	0	0	0
14	TN	Teplota nerovnoměrná	Q	0	-11	0	0	0	0	0	1.00	1.35		1.35	-	1.00	0.60	-9	0	0	0	0	0	0	0	0	0	0	0
15	FR	Třecí síly v ložiskách	Q	0	0	0	0	0	0	0	1.00	1.20		1.20	-	1.00	1.00	0	0	0	0	0	0	0	0	0	0	0	0
16	I	Imperfekce soustavy	Q	0	-3	0	0	0	-1	0	1.00	1.20		1.20	-	1.00	1.00	-3	0	0	0	0	0	-1	0	-1	0	0	0
27	ULS_LM	ULS - LM71 bez dynam	Q	0	-318	0	1	0	20	3	1.00	vyp.	1	0.00	-	1.00	0.00	0	0	0	0	0	0	0	0	0	0	0	0
28	SLS_LM	SLS - LM71 bez dynam	Q	0	-221	0	0	0	15	3	1.00	vyp.	1	0.00	-	1.00	0.00	0	0	0	0	0	0	0	0	0	0	0	0
29	ULS_C3	ULS - C3 bez dynam	Q	0	-228	0	1	0	16	3	1.00	vyp.	1	0.00	-	1.00	0.00	0	0	0	0	0	0	0	0	0	0	0	0
30	SLS_C3	SLS - C3 bez dynam	Q	0	-151	0	1	0	12	3	1.00	vyp.	1	0.00	-	1.00	0.00	0	0	0	0	0	0	0	0	0	0	0	0
		CELKEM - FÁZE PRŮŘEZU 0			-317	0	-3	0	12	3								-317	0	-3	0	-3	0			12			3
		CELKEM - FÁZE PRŮŘEZU 1			0	0	0	0	0	0								0	0	0	0	0	0	0	0	0	0	0	0
		CELKEM - FÁZE PRŮŘEZU 2			0	0	0	0	0	0								0	0	0	0	0	0	0	0	0	0	0	0
		CELKEM - FÁZE PRŮŘEZU 3			0	0	0	0	0	0								0	0	0	0	0	0	0	0	0	0	0	0
		CELKEM - PRŮŘEZ			-317	0	-3	0	12	3								-317	0	-3	0	-3	0			12			3

Napětí od jednotlivých zatěžovacích stavů

SKUPINA ZATĚŽOVACÍCH STAVŮ

Č.	SKUP ZS	Popis ZS	Kat.	fáze průř.	Posouzení normálového napětí — Účinek síly N δ^*N_d [kN]	χ^*A [mm^2]	σ_n [MPa]	Účinek momentu My $\delta^*M_{y,d}$ [kNm]	$\chi_{lt}{}^*W_{el,y}$ [mm^3]	σ_{my} [MPa]	Účinek momentu Mz $\delta^*M_{z,d}$ [kNm]	$W_{el,z}$ [mm^3]	σ_{mz} [MPa]	σ_x [MPa]	Posouzení smykového napětí — Účinek kroutícího momentu Mx $\kappa^*\delta^*M_{x,d}$ [kNm]	$W_{v,y}$ [mm^2]	$\tau_{x,y}$ [MPa]	$W_{v,z}$ [mm^2]	$\tau_{x,z}$ [MPa]	Účinek smykové síly Vy $\delta^*V_{y,d}$ [kN]	$A_{v,y}$ [mm2]	$\tau_{v,y}$ [MPa]	$\tau_{v,y}$ [MPa]	Účinek smykové síly Vz $\delta^*V_{z,d}$ [kN]	$A_{v,z}$ [mm2]	$\tau_{v,z}$ [MPa]	$\tau_{v,z}$ [MPa]
1	G0	Vlastní tíha OK	G	0	115.8	6.33E+03	18.3	1.2	1.20E+06	1.0	2.9	-2.91E+05	-9.8	9.5	0.0E+00	-	-	-	-	-0.3	8.00E+03	0.0	0.0	-0.2	4.48E+03	-0.1	-0.1
2	G1	Ostatní stálé - mostní vybavení	G	0	8.2	6.33E+03	1.3	0.2	1.20E+06	0.2	0.0	-2.91E+05	0.0	1.4	0.0E+00	-	-	-	-	0.0	8.00E+03	0.0	0.0	0.0	4.48E+03	0.0	0.0
3	G2	Ostatní stálé - cizí zařízení	G	0	6.7	6.33E+03	1.1	0.0	1.20E+06	0.0	0.0	-2.91E+05	0.0	1.0	0.0E+00	-	-	-	-	0.0	8.00E+03	0.0	0.0	0.0	4.48E+03	0.0	0.0
4	P1_71	a.LM71 - kolej 1 (bez dyn. souč.)	P	0	-121.3	6.33E+03	-19.2	8.2	1.20E+06	6.9	-0.1	-2.91E+05	0.4	-11.9	0.0E+00	-	-	-	-	0.0	8.00E+03	0.0	0.0	0.3	4.48E+03	0.1	0.1
5	P2_71	a.LM71 - kolej 2 (bez dyn. souč.)	P	0	-293.6	6.33E+03	-46.4	3.9	1.20E+06	3.2	-0.3	-2.91E+05	0.9	-42.2	0.0E+00	-	-	-	-	-0.1	8.00E+03	0.0	0.0	-1.6	4.48E+03	-0.4	-0.4
6	P1_C3	TTZ C3 - kolej 1 (bez dyn. souč.)	P	0	0.0	6.33E+03	0.0	0.0	1.20E+06	0.0	0.0	-2.91E+05	0.0	0.0	0.0E+00	-	-	-	-	0.0	8.00E+03	0.0	0.0	0.0	4.48E+03	0.0	0.0
7	P2_C3	TTZ C3 - kolej 2 (bez dyn. souč.)	P	0	0.0	6.33E+03	0.0	0.0	1.20E+06	0.0	0.0	-2.91E+05	0.0	0.0	0.0E+00	-	-	-	-	0.0	8.00E+03	0.0	0.0	0.0	4.48E+03	0.0	0.0
8	BR	Brzdné a rozjezdové síly	P	0	-7.9	6.33E+03	-1.2	0.1	1.20E+06	0.1	0.1	-2.91E+05	-0.2	-1.4	0.0E+00	-	-	-	-	0.0	8.00E+03	0.0	0.0	0.0	4.48E+03	0.0	0.0
9	S	Boční ráz	P	0	-1.5	6.33E+03	-0.2	0.1	1.20E+06	0.1	0.0	-2.91E+05	0.0	-0.1	0.0E+00	-	-	-	-	0.0	8.00E+03	0.0	0.0	0.3	4.48E+03	0.1	0.1
10	CH	Chodci na lávkách	Q	0	-9.8	6.33E+03	-1.5	-0.1	1.20E+06	-0.1	0.0	-2.91E+05	0.0	-1.6	0.0E+00	-	-	-	-	0.0	8.00E+03	0.0	0.0	0.0	4.48E+03	0.0	0.0
11	W	Vítr na konstrukci	Q	0	-13.8	6.33E+03	-2.2	2.5	1.20E+06	2.1	0.0	-2.91E+05	0.0	-0.1	0.0E+00	-	-	-	-	0.0	8.00E+03	0.0	0.0	0.4	4.48E+03	0.1	0.1
12	WP	Vítr na vozidla	Q	0	12.8	6.33E+03	2.0	-3.6	1.20E+06	-3.0	0.0	-2.91E+05	0.1	-0.9	0.0E+00	-	-	-	-	0.0	8.00E+03	0.0	0.0	-1.9	4.48E+03	-0.4	-0.4
13	TR	Teplota rovnoměrná	Q	0	0.0	6.33E+03	0.0	0.0	1.20E+06	0.0	0.0	-2.91E+05	0.0	0.0	0.0E+00	-	-	-	-	0.0	8.00E+03	0.0	0.0	0.0	4.48E+03	0.0	0.0
14	TN	Teplota nerovnoměrná	Q	0	-8.9	6.33E+03	-1.4	0.2	1.20E+06	0.2	0.0	-2.91E+05	-0.1	-1.4	0.0E+00	-	-	-	-	0.0	8.00E+03	0.0	0.0	0.1	4.48E+03	0.0	0.0
15	FR	Třecí síly v ložiskách	Q	0	0.0	6.33E+03	0.0	0.0	1.20E+06	0.0	0.0	-2.91E+05	0.0	0.0	0.0E+00	-	-	-	-	0.0	8.00E+03	0.0	0.0	0.0	4.48E+03	0.0	0.0
16	I	Imperfekce soustavy	Q	0	-3.3	6.33E+03	-0.5	-0.6	1.20E+06	-0.5	0.0	-2.91E+05	0.0	-1.0	0.0E+00	-	-	-	-	0.0	8.00E+03	0.0	0.0	-0.3	4.48E+03	-0.1	-0.1
27	ULS_LM	ULS - LM71 bez dynam	Q	0	0.0	6.33E+03	0.0	0.0	1.20E+06	0.0	0.0	-2.91E+05	0.0	0.0	0.0E+00	-	-	-	-	0.0	8.00E+03	0.0	0.0	0.0	4.48E+03	0.0	0.0
28	SLS_LM	SLS - LM71 bez dynam	Q	0	0.0	6.33E+03	0.0	0.0	1.20E+06	0.0	0.0	-2.91E+05	0.0	0.0	0.0E+00	-	-	-	-	0.0	8.00E+03	0.0	0.0	0.0	4.48E+03	0.0	0.0
29	ULS_C3	ULS - C3 bez dynam	Q	0	0.0	6.33E+03	0.0	0.0	1.20E+06	0.0	0.0	-2.91E+05	0.0	0.0	0.0E+00	-	-	-	-	0.0	8.00E+03	0.0	0.0	0.0	4.48E+03	0.0	0.0
30	SLS_C3	SLS - C3 bez dynam	Q	0	0.0	6.33E+03	0.0	0.0	1.20E+06	0.0	0.0	-2.91E+05	0.0	0.0	0.0E+00	-	-	-	-	0.0	8.00E+03	0.0	0.0	0.0	4.48E+03	0.0	0.0
NAVÝŠENÍ NAPĚTÍ DO AKTIVACE TLAKU V DESCE MOSTOVKY						$\sigma_{P,red}$	0.0							0.0				0.0		0.0			0.0	0.0			-0.7	-0.7
NAPĚTÍ OD PRIMÁRNÍCH ÚČINKŮ NEROVNOMĚRNÉHO OTEPLENÍ						σ_T	0.0							0.0														
NAPĚTÍ OD REOLOGICKÝCH ÚČINKŮ BETONU V ČASE			t=0			σ_R	0.0	γ_f=	1.20					0.0														
NAPĚTÍ V KRITICKÝCH VLÁKNECH OD KOMBINACE ZATÍŽENÍ						KZ03		[MPa]					$\Sigma\sigma_x$	-48.7									$\Sigma\tau_y$	0.0			$\Sigma\tau_z$	-0.7
NAPĚTÍ OD POHYBLIVÉHO ZATÍŽENÍ								[MPa]					$\sigma_{x,P}$	-55.7									τ_P	0.0			τ_P	-0.2
NAPĚTÍ OD OSTATNÍCH ZATÍŽENÍ								[MPa]			Φ_{Vy}	Φ_{Vz}	$\sigma_{x,rs}$	7.0									τ_{rs}	0.0			τ_{rs}	-0.4
NÁVRHOVÁ HODNOTA MEZE KLUZU S REDUKCÍ VLIVEM SMYKOVÉHO NAPĚTÍ								[MPa]			1.00	1.00	$f_{yw,d}$	191.7									$f_{yd}/3^{0,5}$	110.7			$f_{yd}/3^{0,5}$	110.7
NAPĚTÍ OD POHYBLIVÉHO ZATÍŽENÍ V GLOBÁLNÍM SYSTÉMU						$\sigma_{GLOB,P}$	0.0	[MPa]					$\Sigma\sigma_{GLOB}$	0.0														
NAPĚTÍ OD OSTATNÍCH ZATÍŽENÍ V GLOBÁLNÍM SYSTÉMU						$\sigma_{GLOB,rs}$	0.0	[MPa]					$\Sigma\sigma_x + \Sigma\sigma_{GLOB}$	-48.7														
VYUŽITÍ PRŮŘEZU DLE NAPĚTÍ								[%]					η_1	0.25									η_3	0.00			η_3	0.01
NAPĚTÍ V PŘÍČNÉM SMĚRU OD POHYBLIVÉHO ZATÍŽENÍ						$\sigma_{z,P}$	0.0	[MPa]					$\Sigma\sigma_z$	0.0														
NAPĚTÍ V PŘÍČNÉM SMĚRU OD OSTATNÍCH ZATÍŽENÍ						$\sigma_{z,rs}$	0.0	[MPa]					η_2	0.00														
SROVNÁVACÍ NAPĚTÍ													$(\eta 2 + 0{,}8\,\eta 1)/1{,}4$ =	0.15														
VYUŽITÍ PRŮŘEZU CELKEM								[%]					eff	0.25	VYHOVUJE													
													z_{LM71} =	3.32														

TAB. D7.1.3 POSOUZENÍ - MEZNÍ STAV ÚNOSNOSTI

POPIS	DIAGONÁLA D7
PRUT / POLOHA BODU	239 / 2/4
NAMÁHÁNÍ	Vz.max
VLÁKNO	BOD S6 -HP
MEZNÍ STAV	ULS (MSÚ)
VYUŽITÍ VLÁKNA PRŮŘEZU	0.43

Charakteristiky materiálu				
pás. horní	$f_{yf,k}$	230	MPa	
pás. dolní	$f_{yf,k}$	230	MPa	
stojina	$f_{yw,k}$	230	MPa	
výztuž	$f_{ys,k}$	500	MPa	
	γ_M =	1.10	γ_s =	1.15

Excentricita normálové síly				
Exc./Fáze	0	1	2	3
e_y	0.000	0.000	0.000	0.000
e_z	0.000	0.000	0.000	0.000
Ekvivalentní vzdál. stěn - příčný roznos				
b_{Mx}	0.000	0.000	0.000	0.000

Vliv stěny na únosnost průřezu				
Char./Fáze	0	1	2	3
A	0.00	0.00	0.00	0.00
Wy	0.00	0.00	0.00	0.00
Wz	0.00	0.00	0.00	0.00

Charakter. v kroucení			
$t_{w,y}$	0.000	[mm]	
$t_{w,z}$	0.000	[mm]	
κ	1.00		
I_t=	0.00E+00	[mm^4]	
$\Omega=2*A_{pr}$	0.00E+00	[mm^2]	

Součinitele vzpěru a vlivu II.řádu					
Char./Fáze	0	1	2	3	
k_y	1.000	1.000	1.000	1.000	
k_z	1.000	1.000	1.000	1.000	
χ_{LT}	1.000	1.000	1.000	1.000	
χ_{min}	0.507	1.000	1.000	1.000	

Vnitřní síly od jednotlivých skupin zatěžovacích stavů

SKUPINA ZATĚŽOVACÍCH STAVŮ					- CHARAKTERISTICKÉ HODNOTY						DÍLČÍ SOUČINITELÉ ZATÍŽENÍ, DYNAMICKÝ SOUČINITEL						4	- NÁVRHOVÉ HODNOTY									
Č.	SKUP ZS	POPIS ZS	KAT.	FÁZE PRŮŘ.	N.k (kN)	Vy.k (kN)	Vz.k (kN)	Mx.k (kNm)	My.k (kNm)	Mz.k (kNm)	γ_{sr} (-)	γ_{fs} (-)	volba γ_f hledat	γ_f (-)	L_d (m)	δ (-)	Ψ_s KZ04	N.d (kN)	Vy.d (kN)	Vz.d (kN)	ΔVz.d (kN)	ΣVz.d (kN)	Mx.d (kNm)	My.d (kNm)	ΔMy.d (kNm)	ΣMy.d (kNm)	Mz.d (kNm)	ΔMz.d (kNm)	ΣMz.d (kNm)
1	G0	Vlastní tíha OK	G	0	122	0	0	0	1	3	1.00	1.20		1.20	-	1.00	0.95	139	0	0	0	0	0	1	0	1	3	0	3
2	G1	Ostatní stálé - mostní vybavení	G	0	9	0	0	0	0	0	1.00	1.00		1.00	-	1.00	0.95	8	0	0	0	0	0	0	0	0	0	0	0
3	G2	Ostatní stálé - cizí zařízení	G	0	7	0	0	0	0	0	1.00	1.20		1.20	-	1.00	0.95	8	0	0	0	0	0	0	0	0	0	0	0
4	P1_71	a.LM71 - kolej 1 (bez dyn. souč.)	P	0	109	0	4	0	7	0	1.00	1.30		1.30	-	1.00	1.00	141	0	5	0	5	0	9	0	9	0	0	0
5	P2_71	a.LM71 - kolej 2 (bez dyn. souč.)	P	0	76	0	2	0	2	0	1.00	1.30		1.30	-	1.00	1.00	99	0	3	0	3	0	3	0	3	0	0	0
6	P1_C3	TTZ C3 - kolej 1 (bez dyn. souč.)	P	0	90	0	3	0	6	0	1.00	vyp.		0.00	-	1.00	0.00	0	0	0	0	0	0	0	0	0	0	0	0
7	P2_C3	TTZ C3 - kolej 2 (bez dyn. souč.)	P	0	85	0	2	0	1	0	1.00	vyp.		0.00	-	1.00	0.00	0	0	0	0	0	0	0	0	0	0	0	0
8	BR	Brzdné a rozjezdové síly	P	0	6	0	0	0	0	0	1.00	1.30		1.30	-	1.00	0.40	3	0	0	0	0	0	0	0	0	0	0	0
9	S	Boční ráz	P	0	1	0	1	0	2	0	1.00	1.30		1.30	-	1.00	0.80	1	0	1	0	1	0	2	0	2	0	0	0
10	CH	Chodci na lávkách	Q	0	23	0	0	0	1	0	1.00	1.30		1.30	-	1.00	1.00	29	0	0	0	0	0	1	0	1	0	0	0
11	W	Vítr na konstrukci	Q	0	-14	0	0	0	2	0	1.00	1.35		1.35	-	1.00	0.75	-14	0	0	0	0	0	2	0	2	0	0	0
12	WP	Vítr na vozidla	Q	0	-13	0	2	0	4	0	1.00	1.35		1.35	-	1.00	0.75	-13	0	2	0	2	0	4	0	4	0	0	0
13	TR	Teplota rovnoměrná	Q	0	0	0	0	0	0	0	1.00	1.35		1.35	-	1.00	0.45	0	0	0	0	0	0	0	0	0	0	0	0
14	TN	Teplota nerovnoměrná	Q	0	-9	0	2	0	3	0	1.00	1.35		1.35	-	1.00	0.60	-7	0	1	0	1	0	2	0	2	0	0	0
15	FR	Třecí síly v ložiskách	Q	0	0	0	0	0	0	0	1.00	1.20		1.20	-	1.00	1.00	0	0	0	0	0	0	0	0	0	0	0	0
16	I	Imperfekce soustavy	Q	0	3	0	0	0	1	0	1.00	1.20		1.20	-	1.00	1.00	3	0	0	0	0	0	1	0	1	0	0	0
27	ULS_LM	ULS - LM71 bez dynam	Q	0	401	0	13	0	26	4	1.00	vyp.		0.00	-	1.00	0.00	0	0	0	0	0	0	0	0	0	0	0	0
28	SLS_LM	SLS - LM71 bez dynam	Q	0	332	0	9	0	19	3	1.00	vyp.	1	0.00	-	1.00	0.00	0	0	0	0	0	0	0	0	0	0	0	0
29	ULS_C3	ULS - C3 bez dynam	Q	0	389	0	11	0	23	4	1.00	vyp.	1	0.00	-	1.00	0.00	0	0	0	0	0	0	0	0	0	0	0	0
30	SLS_C3	SLS - C3 bez dynam	Q	0	322	0	8	0	16	3	1.00	vyp.	1	0.00	-	1.00	0.00	0	0	0	0	0	0	0	0	0	0	0	0
		CELKEM - FÁZE PRŮŘEZU 0																399	0	13	0	13	0	26	0	26	4	0	4
		CELKEM - FÁZE PRŮŘEZU 1																0	0	0	0	0	0	0	0	0	0	0	0
		CELKEM - FÁZE PRŮŘEZU 2																0	0	0	0	0	0	0	0	0	0	0	0
		CELKEM - FÁZE PRŮŘEZU 3																0	0	0	0	0	0	0	0	0	0	0	0
		CELKEM - PRŮŘEZ																399	0	13	0	13	0			26			4

Napětí od jednotlivých zatěžovacích stavů

SKUPINA ZATĚŽOVACÍCH STAVŮ					Posouzení normálového napětí										Posouzení smykového napětí													
					Účinek síly N			Účinek momentu My				Účinek momentu Mz				Účinek kroutícího momentu Mx				Účinek smykové síly Vy				Účinek smykové síly Vz			
Č.	SKUP ZS	Popis ZS	Kat.	fáze prúř.	δ^*N_d [kN]	χ^*A [mm^2]	σ_n [MPa]	$\delta^*M_{y,d}$ [kNm]	$\chi_{lt}*W_{el,y}$ [mm^3]	σ_{my} [MPa]	$\delta^*M_{z,d}$ [kNm]	$W_{el,z}$ [mm^3]	σ_{mz} [MPa]	σ_x [MPa]	$\kappa^*\delta^*M_{x,d}$ [kNm]	$W_{v,y}$ [mm^2]	$\tau_{x,y}$ [MPa]	$W_{v,z}$ [mm^2]	$\tau_{x,z}$ [MPa]	$\delta^*V_{y,d}$ [kN]	$A_{v,y}$ [mm2]	$\tau_{v,y}$ [MPa]	$\tau_{v,y}$ [MPa]	$\delta^*V_{z,d}$ [kN]	$A_{v,z}$ [mm2]	$\tau_{v,z}$ [MPa]	$\tau_{v,z}$ [MPa]
1	G0	Vlastní tíha OK	G	0	139.0	6.33E+03	22.0	1.4	1.20E+06	1.2	3.4	-2.53E+06	-1.4	21.8	0.0E+00	-	-	-	-	-0.3	8.00E+03	0.0	0.0	-0.3	4.48E+03	-0.1	-0.1
2	G1	Ostatní stálé - mostní vybavení	G	0	8.2	6.33E+03	1.3	0.2	1.20E+06	0.2	0.0	-2.53E+06	0.0	1.5	0.0E+00	-	-	-	-	0.0	8.00E+03	0.0	0.0	0.0	4.48E+03	0.0	0.0
3	G2	Ostatní stálé - cizí zařízení	G	0	8.0	6.33E+03	1.3	0.0	1.20E+06	0.0	0.0	-2.53E+06	0.0	1.2	0.0E+00	-	-	-	-	0.0	8.00E+03	0.0	0.0	0.0	4.48E+03	0.0	0.0
4	P1_71	a.LM71 - kolej 1 (bez dyn. souč.)	P	0	141.1	6.33E+03	22.3	9.2	1.20E+06	7.7	0.2	-2.53E+06	-0.1	29.9	0.0E+00	-	-	-	-	0.1	8.00E+03	0.0	0.0	4.9	4.48E+03	1.1	1.1
5	P2_71	a.LM71 - kolej 2 (bez dyn. souč.)	P	0	98.9	6.33E+03	15.6	3.1	1.20E+06	2.6	0.2	-2.53E+06	-0.1	18.2	0.0E+00	-	-	-	-	0.1	8.00E+03	0.0	0.0	3.2	4.48E+03	0.7	0.7
6	P1_C3	TTZ C3 - kolej 1 (bez dyn. souč.)	P	0	0.0	6.33E+03	0.0	0.0	1.20E+06	0.0	0.0	-2.53E+06	0.0	0.0	0.0E+00	-	-	-	-	0.0	8.00E+03	0.0	0.0	0.0	4.48E+03	0.0	0.0
7	P2_C3	TTZ C3 - kolej 2 (bez dyn. souč.)	P	0	0.0	6.33E+03	0.0	0.0	1.20E+06	0.0	0.0	-2.53E+06	0.0	0.0	0.0E+00	-	-	-	-	0.0	8.00E+03	0.0	0.0	0.0	4.48E+03	0.0	0.0
8	BR	Brzdné a rozjezdové síly	P	0	3.0	6.33E+03	0.5	0.1	1.20E+06	0.1	0.0	-2.53E+06	0.0	0.5	0.0E+00	-	-	-	-	0.0	8.00E+03	0.0	0.0	0.1	4.48E+03	0.0	0.0
9	S	Boční ráz	P	0	1.3	6.33E+03	0.2	2.1	1.20E+06	1.7	0.0	-2.53E+06	0.0	1.9	0.0E+00	-	-	-	-	0.0	8.00E+03	0.0	0.0	0.9	4.48E+03	0.2	0.2
10	CH	Chodci na lávkách	Q	0	29.4	6.33E+03	4.6	0.7	1.20E+06	0.6	0.0	-2.53E+06	0.0	5.2	0.0E+00	-	-	-	-	0.0	8.00E+03	0.0	0.0	0.2	4.48E+03	0.0	0.0
11	W	Vítr na konstrukci	Q	0	-13.8	6.33E+03	-2.2	2.5	1.20E+06	2.1	0.0	-2.53E+06	0.0	-0.1	0.0E+00	-	-	-	-	0.0	8.00E+03	0.0	0.0	0.4	4.48E+03	0.1	0.1
12	WP	Vítr na vozidla	Q	0	-12.8	6.33E+03	-2.0	3.6	1.20E+06	3.0	0.0	-2.53E+06	0.0	0.9	0.0E+00	-	-	-	-	0.0	8.00E+03	0.0	0.0	1.9	4.48E+03	0.4	0.4
13	TR	Teplota rovnoměrná	Q	0	0.0	6.33E+03	0.0	0.0	1.20E+06	0.0	0.0	-2.53E+06	0.0	0.0	0.0E+00	-	-	-	-	0.0	8.00E+03	0.0	0.0	0.0	4.48E+03	0.0	0.0
14	TN	Teplota nerovnoměrná	Q	0	-7.1	6.33E+03	-1.1	2.1	1.20E+06	1.7	0.0	-2.53E+06	0.0	0.6	0.0E+00	-	-	-	-	0.0	8.00E+03	0.0	0.0	1.4	4.48E+03	0.3	0.3
15	FR	Třecí síly v ložiskách	Q	0	0.0	6.33E+03	0.0	0.0	1.20E+06	0.0	0.0	-2.53E+06	0.0	0.0	0.0E+00	-	-	-	-	0.0	8.00E+03	0.0	0.0	0.0	4.48E+03	0.0	0.0
16	I	Imperfekce soustavy	Q	0	3.3	6.33E+03	0.5	0.6	1.20E+06	0.5	0.0	-2.53E+06	0.0	1.0	0.0E+00	-	-	-	-	0.0	8.00E+03	0.0	0.0	0.3	4.48E+03	0.1	0.1
27	ULS_LM	ULS - LM71 bez dynam	Q	0	0.0	6.33E+03	0.0	0.0	1.20E+06	0.0	0.0	-2.53E+06	0.0	0.0	0.0E+00	-	-	-	-	0.0	8.00E+03	0.0	0.0	0.0	4.48E+03	0.0	0.0
28	SLS_LM	SLS - LM71 bez dynam	Q	0	0.0	6.33E+03	0.0	0.0	1.20E+06	0.0	0.0	-2.53E+06	0.0	0.0	0.0E+00	-	-	-	-	0.0	8.00E+03	0.0	0.0	0.0	4.48E+03	0.0	0.0
29	ULS_C3	ULS - C3 bez dynam	Q	0	0.0	6.33E+03	0.0	0.0	1.20E+06	0.0	0.0	-2.53E+06	0.0	0.0	0.0E+00	-	-	-	-	0.0	8.00E+03	0.0	0.0	0.0	4.48E+03	0.0	0.0
30	SLS_C3	SLS - C3 bez dynam	Q	0	0.0	6.33E+03	0.0	0.0	1.20E+06	0.0	0.0	-2.53E+06	0.0	0.0	0.0E+00	-	-	-	-	0.0	8.00E+03	0.0	0.0	0.0	4.48E+03	0.0	0.0
NAVÝŠENÍ NAPĚTÍ DO AKTIVACE TLAKU V DESCE MOSTOVKY						$\sigma_{P,red}$	0.0							0.0			0.0		0.0				0.0	0.0			2.9	2.9
NAPĚTÍ OD PRIMÁRNÍCH ÚČINKŮ NEROVNOMĚRNÉHO OTEPLENÍ						σ_T	0.0							0.0														
NAPĚTÍ OD REOLOGICKÝCH ÚČINKŮ BETONU V ČASE				t=0		σ_R	0.0	γ=	1.20					0.0														
NAPĚTÍ V KRITICKÝCH VLÁKNECH OD KOMBINACE ZATÍŽENÍ						KZ04		[MPa]					$\Sigma\sigma_x$	82.8								$\Sigma\tau_y$	0.0			$\Sigma\tau_z$	2.9
NAPĚTÍ OD POHYBLIVÉHO ZATÍŽENÍ								[MPa]					$\sigma_{z,P}$	50.6								τ_P	0.0			τ_P	2.0
NAPĚTÍ OD OSTATNÍCH ZATÍŽENÍ								[MPa]			Φ_{Vy}	Φ_{Vz}	$\sigma_{z,rs}$	32.2								τ_{rs}	0.0			τ_{rs}	0.9
NÁVRHOVÁ HODNOTA MEZE KLUZU S REDUKCÍ VLIVEM SMYKOVÉHO NAPĚTÍ								[MPa]			1.00	1.00	$f_{yw,d}$	191.7								$f_{yd}/3^{0,5}$	120.7			$f_{yd}/3^{0,5}$	120.7
NAPĚTÍ OD POHYBLIVÉHO ZATÍŽENÍ V GLOBÁLNÍM SYSTÉMU						$\sigma_{GLOB,P}$	0.0	[MPa]					$\Sigma\sigma_{GLOB}$	0.0													
NAPĚTÍ OD OSTATNÍCH ZATÍŽENÍ V GLOBÁLNÍM SYSTÉMU						$\sigma_{GLOB,rs}$	0.0	[MPa]					$\Sigma\sigma_z + \Sigma\sigma_{GLOB}$	82.8													
VYUŽITÍ PRŮŘEZU DLE NAPĚTÍ								[%]					η_1	0.43								η_3	0.00			η_3	0.02
NAPĚTÍ V PŘÍČNÉM SMĚRU OD POHYBLIVÉHO ZATÍŽENÍ						$\sigma_{z,P}$	0.0	[MPa]					$\Sigma\sigma_z$	0.0													
NAPĚTÍ V PŘÍČNÉM SMĚRU OD OSTATNÍCH ZATÍŽENÍ						$\sigma_{z,rs}$	0.0	[MPa]					η_2	0.00													
SROVNÁVACÍ NAPĚTÍ													$(\eta_2 + 0,8\,\eta_1)/1,4$ =	0.25													
VYUŽITÍ PRŮŘEZU CELKEM								[%]					eff	0.43	VYHOVUJE												
													z_{LM71} =	3.15													

VÝPOČET PRŮŘEZOVÝCH CHARAKTERISTIK

PRŮŘEZ: D7_t **POPIS:** DIAGONÁLA 7 - TAH **x =** - **m**

DEFINOVÁNÍ PRŮŘEZU

ŠÍŘKA PÁSNICE ÚHELNÍKU	b f.t.l.o =	100	mm	**ÚHELNÍK HORNÍ VNĚJŠÍ LEVÝ**		**C.T.O.L**	
TLOUŠŤKA PÁSNICE ÚHELNÍKU	t f.t.l.o =	10	mm	OSLABENÍ PÁSNICE - TLOUŠŤKA	Δt f.t.l.o =	25	%
VÝŠKA STĚNY ÚHELNÍKU	h w.t.l.o =	70	mm				
TLOUŠŤKA STĚNY ÚHELNÍKU	t w.t.l.o =	10	mm	OSLABENÍ STĚNY - TLOUŠŤKA	Δt w.t.l.o =	35	%
ŠÍŘKA PÁSNICE ÚHELNÍKU	b f.t.r.o =	100	mm	**ÚHELNÍK HORNÍ VNĚJŠÍ PRAVÝ**		**C.T.O.R**	
TLOUŠŤKA PÁSNICE ÚHELNÍKU	t f.t.r.o =	10	mm	OSLABENÍ PÁSNICE - TLOUŠŤKA	Δt f.t.r.o =	25	%
VÝŠKA STĚNY ÚHELNÍKU	h w.t.r.o =	70	mm				
TLOUŠŤKA STĚNY ÚHELNÍKU	t w.t.r.o =	10	mm	OSLABENÍ STĚNY - TLOUŠŤKA	Δt w.t.r.0 =	35	%
ŠÍŘKA PÁSNICE ÚHELNÍKU	b f.t.l.i =	100	mm	**ÚHELNÍK HORNÍ VNITŘNÍ LEVÝ**		**C.T.I.L**	
TLOUŠŤKA PÁSNICE ÚHELNÍKU	t f.t.l.i =	10	mm	OSLABENÍ PÁSNICE - TLOUŠŤKA	Δt f.b.l.o =	25	%
VÝŠKA STĚNY ÚHELNÍKU	h w.t.l.i =	70	mm				
TLOUŠŤKA STĚNY ÚHELNÍKU	t w.t.l.i =	10	mm	OSLABENÍ STĚNY - TLOUŠŤKA	Δt w.b.l.o =	35	%
ŠÍŘKA PÁSNICE ÚHELNÍKU	b f.t.r.i =	100	mm	**ÚHELNÍK HORNÍ VNITŘNÍ PRAVÝ**		**C.T.I.R**	
TLOUŠŤKA PÁSNICE ÚHELNÍKU	t f.t.r.i =	10	mm	OSLABENÍ PÁSNICE - TLOUŠŤKA	Δt f.b.r.o =	25	%
VÝŠKA STĚNY ÚHELNÍKU	h w.t.r.i =	70	mm				
TLOUŠŤKA STĚNY ÚHELNÍKU	t w.t.r.i =	10	mm	OSLABENÍ STĚNY - TLOUŠŤKA	Δt w.b.r.o =	35	%
ŠÍŘKA PÁSNICE ÚHELNÍKU	b f.b.l.o =	100	mm	**ÚHELNÍK DOLNÍ VNĚJŠÍ LEVÝ**		**C.B.O.L**	
TLOUŠŤKA PÁSNICE ÚHELNÍKU	t f.b.l.o =	10	mm	OSLABENÍ PÁSNICE - TLOUŠŤKA	Δt f.t.l.i =	25	%
VÝŠKA STĚNY ÚHELNÍKU	h w.b.l.o =	70	mm				
TLOUŠŤKA STĚNY ÚHELNÍKU	t w.b.l.o =	10	mm	OSLABENÍ STĚNY - TLOUŠŤKA	Δt w.t.l.i =	35	%
ŠÍŘKA PÁSNICE ÚHELNÍKU	b f.b.r.o =	100	mm	**ÚHELNÍK DOLNÍ VNĚJŠÍ PRAVÝ**		**C.B.O.R**	
TLOUŠŤKA PÁSNICE ÚHELNÍKU	t f.b.r.o =	10	mm	OSLABENÍ PÁSNICE - TLOUŠŤKA	Δt f.t.r.i =	25	%
VÝŠKA STĚNY ÚHELNÍKU	h w.b.r.o =	70	mm				
TLOUŠŤKA STĚNY ÚHELNÍKU	t w.b.r.o =	10	mm	OSLABENÍ STĚNY - TLOUŠŤKA	Δt w.t.r.i =	35	%
PÁSNICE DOLNÍHO LEVÉHO ÚHELNÍKU	b f.b.l.i =	100	mm	**ÚHELNÍK DOLNÍ VNITŘNÍ LEVÝ**		**C.B.I.L**	
TLOUŠŤKA PÁSNICE ÚHELNÍKU	t f.b.l.i =	10	mm	OSLABENÍ PÁSNICE - TLOUŠŤKA	Δt f.b.l.i =	25	%
VÝŠKA STĚNY ÚHELNÍKU	h w.b.l.i =	70	mm				
TLOUŠŤKA STĚNY ÚHELNÍKU	t w.b.l.i =	10	mm	OSLABENÍ STĚNY - TLOUŠŤKA	Δt w.b.l.i =	35	%
PÁSNICE DOLNÍHO PRAVÉHO ÚHELNÍKU	b f.b.r.i =	100	mm	**ÚHELNÍK DOLNÍ VNITŘNÍ PRAVÝ**		**C.B.I.R**	
TLOUŠŤKA PÁSNICE ÚHELNÍKU	t f.b.r.i =	10	mm	OSLABENÍ PÁSNICE - TLOUŠŤKA	Δt f.b.r.i =	25	%
VÝŠKA STĚNY ÚHELNÍKU	h w.b.r.i =	70	mm				
TLOUŠŤKA STĚNY ÚHELNÍKU	t w.b.r.i =	10	mm	OSLABENÍ STĚNY - TLOUŠŤKA	Δt w.b.r.i =	35	%

D7.2 DOLNÍ

ŠÍŘKA HORNÍ VLOŽKY - VNĚJŠÍ	b f.t =	0	mm			**HOR.T.O**	
TLOUŠŤKA VLOŽKY	t f.t =	0	mm	OSLABENÍ VLOŽKY	Δt f.t =	0	%
ŠÍŘKA HORNÍ VLOŽKY - VNITŘNÍ	b f.t =	0	mm			**HOR.T.I**	
TLOUŠŤKA VLOŽKY	t f.t =	0	mm	OSLABENÍ VLOŽKY	Δt f.t =	0	%
ŠÍŘKA DOLNÍ VLOŽKY - VNĚJŠÍ	b f.t =	0	mm			**HOR.B.O**	
TLOUŠŤKA VLOŽKY	t f.t =	0	mm	OSLABENÍ VLOŽKY	Δt f.t =	0	%
ŠÍŘKA DOLNÍ VLOŽKY - VNITŘNÍ	b f.t =	0	mm			**HOR.B.I**	
TLOUŠŤKA VLOŽKY	t f.t =	0	mm	OSLABENÍ VLOŽKY - VNITŘNÍ	Δt f.t =	0	%

VZD. OKRAJŮ PÁSNIC VNITŘNÍCH ÚHELNÍKŮ	416	mm
CELKOVÁ TLOUŠŤKA MEZI PÁSNICEMI ÚHELNÍKŮ	24	mm
CELKOVÁ TLOUŠŤKA MEZI PÁSNICEMI ÚHELNÍKŮ	8	mm

ZADÁNÍ ČÁSTÍ PRŮŘEZU:

č.prvku	b [mm]	h [mm]	y_s [mm]	z_s [mm]	popis části	druh oslabení	lokální ultimate	boulení servic.
1	100.0	7.5	-54.0	235.8	pásnice	0	1.000	1.000
2	6.5	70.0	-7.3	274.5	stěna	0	1.000	1.000
3	100.0	7.5	54.0	235.8	pásnice	0	1.000	1.000
4	6.5	70.0	7.3	274.5	stěna	0	1.000	1.000
5	100.0	7.5	-54.0	204.3	pásnice	0	1.000	1.000
6	6.5	70.0	-7.3	165.5	stěna	0	1.000	1.000
7	100.0	7.5	54.0	204.3	pásnice	0	1.000	1.000
8	6.5	70.0	7.3	165.5	stěna	0	1.000	1.000
9	100.0	7.5	-54.0	-235.8	pásnice	0	1.000	1.000
10	6.5	70.0	-7.3	-274.5	stěna	0	1.000	1.000
11	100.0	7.5	54.0	-235.8	pásnice	0	1.000	1.000
12	6.5	70.0	7.3	-274.5	stěna	0	1.000	1.000
13	100.0	7.5	-54.0	-204.3	pásnice	0	1.000	1.000
14	6.5	70.0	-7.3	-165.5	stěna	0	1.000	1.000
15	100.0	7.5	54.0	-204.3	pásnice	0	1.000	1.000
16	6.5	70.0	7.3	-165.5	stěna	0	1.000	1.000
17						0	1.000	1.000
18						0	1.000	1.000
19						0	1.000	1.000
20						0	1.000	1.000
21						0	1.000	1.000
22						0	1.000	1.000
23						0	1.000	1.000
24						0	1.000	1.000
25						0	1.000	1.000
26						0	1.000	1.000
27						0	1.000	1.000
28						0	1.000	1.000
29						0	1.000	1.000
30						0	1.000	1.000
31						0	1.000	1.000
32						0	1.000	1.000
33						0	1.000	1.000
34						0	1.000	1.000
35						0	1.000	1.000
36						0	1.000	1.000
37						0	1.000	1.000
38						0	1.000	1.000
39						0	1.000	1.000
40						0	1.000	1.000
41	0.0	0.0	0.0	232.0	pásnice	0	1.000	1.000
42	0.0	0.0	0.0	208.0	pásnice	0	1.000	1.000
43	0.0	0.0	0.0	-232.0	pásnice	0	1.000	1.000
44	0.0	0.0	0.0	-208.0	pásnice	0	1.000	1.000
45						0	1.000	1.000
46						0	1.000	1.000
47						0	1.000	1.000
48						0	1.000	1.000
49						0	1.000	1.000
50						0	1.000	1.000
51						0	1.000	1.000
52						0	1.000	1.000
53						0	1.000	1.000
54						0	1.000	1.000
55						0	1.000	1.000
56						0	1.000	1.000
57						0	1.000	1.000
58						0	1.000	1.000
59						0	1.000	1.000
60						0	1.000	1.000
61						0	1.000	1.000
62						0	1.000	1.000
63						0	1.000	1.000
64						0	1.000	1.000
65						0	1.000	1.000
66						0	1.000	1.000
67						0	1.000	1.000
68						0	1.000	1.000
69						0	1.000	1.000
70						0	1.000	1.000
71	6.5	-16.7	-7.3	274.5	nýt-stěna	0	1.000	1.000
72	6.5	-16.7	7.3	274.5	nýt-stěna	0	1.000	1.000
73	6.5	-16.7	-7.3	165.5	nýt-stěna	0	1.000	1.000
74	6.5	-16.7	7.3	165.5	nýt-stěna	0	1.000	1.000
75	6.5	-16.7	-7.3	-274.5	nýt-stěna	0	1.000	1.000
76	6.5	-16.7	7.3	-274.5	nýt-stěna	0	1.000	1.000
77	6.5	-16.7	-7.3	-165.5	nýt-stěna	0	1.000	1.000
78	6.5	-16.7	7.3	-165.5	nýt-stěna	0	1.000	1.000
79						0	1.000	1.000
80						0	1.000	1.000
81	-18.4	7.5	59.0	235.8	nýt-pásnice	0	1.000	1.000
82	-18.4	7.5	-59.0	204.3	nýt-pásnice	0	1.000	1.000
83	-18.4	7.5	59.0	235.8	nýt-pásnice	0	1.000	1.000
84	-18.4	7.5	59.0	204.3	nýt-pásnice	0	1.000	1.000
85	-18.4	7.5	-59.0	-235.8	nýt-pásnice	0	1.000	1.000
86	-18.4	7.5	-59.0	-204.3	nýt-pásnice	0	1.000	1.000
87	-18.4	7.5	59.0	-235.8	nýt-pásnice	0	1.000	1.000
88	-18.4	7.5	59.0	-204.3	nýt-pásnice	0	1.000	1.000
89						0	1.000	1.000
90						0	1.000	1.000
91	0	0	0	0	nýt-pásnice	0	1.000	1.000
92	0	0	0	0	nýt-pásnice	0	1.000	1.000
93	0	0	0	0	nýt-pásnice	0	1.000	1.000
94	0	0	0	0	nýt-pásnice	0	1.000	1.000
95	0	0	0	0	nýt-pásnice	0	1.000	1.000
96	0	0	0	0	nýt-pásnice	0	1.000	1.000
97	0	0	0	0	nýt-pásnice	0	1.000	1.000
98	0	0	0	0	nýt-pásnice	0	1.000	1.000
99						0	1.000	1.000
100						0	1.000	1.000

NÝT Č.	SKUPINA	ŘEZ	RED.	VELIKOST di [mm]	POLOHA oi [mm]	POPIS	AKTIVITA OTVORU	NAPĚTÍ sc [MPa]
1	1	3	0.83	20	35	nýt - t.o - úhelník	1	93.74
2	1	3	0.83	20	35	nýt - t.o - úhelník	1	95.45
3	2	3	0.83	20	35	nýt - t.i - úhelník	1	96.06
4	2	3	0.83	20	35	nýt - t.i - úhelník	1	97.76
5	4	3	0.83	20	35	nýt - b.o - úhelník	1	105.40
6	4	3	0.83	20	35	nýt - b.o - úhelník	1	107.11
7	3	3	0.83	20	35	nýt - b.i - úhelník	1	103.09
8	3	3	0.83	20	35	nýt - b.i - úhelník	1	104.79
9								
10								
11	1	3	0.83	22	45	nýt - t.i - úhelník	1	88.48
12	2	3	0.83	22	45	nýt - t.i - úhelník	1	89.15
13	1	3	0.83	22	45	nýt - t.r - úhelník	1	102.36
14	2	3	0.83	22	45	nýt - t.r - úhelník	1	103.03
15	4	3	0.83	22	45	nýt - b.l - úhelník	1	98.49
16	3	3	0.83	22	45	nýt - b.l - úhelník	1	97.82
17	4	3	0.83	22	45	nýt - b.r - úhelník	1	112.37
18	3	3	0.83	22	45	nýt - b.r - úhelník	1	111.71
19								
20								
21		-	1.00	0	-132	nýt - t.l	0	-
22		-	1.00	0	-132	nýt - t.l	0	-
23		-	1.00	0	132	nýt - t.r	0	-
24		-	1.00	0	132	nýt - t.r	0	-
25		-	1.00	0	-132	nýt - b.l	0	-
26		-	1.00	0	-132	nýt - b.l	0	-
27		-	1.00	0	132	nýt - b.r	0	-
28		-	1.00	0	132	nýt - b.r	0	-
29								
30								

VÝPOČET PRŮŘEZOVÝCH CHARAKTERISTIK

Properties	Basic	Ultimate		Serviceability	
y_i	0.0	0.0		0.0	[mm]
z_i	0.0	0.0		0.0	[mm]
A_i	7.6702E+03	7.6702E+03		7.6702E+03	[mm²]
A_y	4.8983E+03	4.8983E+03		4.8983E+03	[mm²]
A_z	2.7720E+03	2.7720E+03		2.7720E+03	[mm²]
I_{yi}	2.2931E+08	2.2931E+08		2.2931E+08	[mm⁴]
I_w	1.8785E+07	1.8785E+07		1.8785E+07	[mm⁶]
i_y	172.9	172.9		172.9	[mm]
i_z	49.5	49.5		49.5	[mm]
$W_{y,1}$	7.4089E+05	7.4089E+05		7.4089E+05	[mm³]
$W_{z,1}$	-1.8063E+05	-1.8063E+05		-1.8063E+05	[mm³]
$W_{y,2}$	-7.4089E+05	-7.4089E+05		-7.4089E+05	[mm³]
$W_{z,2}$	-1.8063E+05	-1.8063E+05		-1.8063E+05	[mm³]
KRAJNÍ VLÁKNA PRŮŘEZU					
y_1	-104.0	-104.0		-104.0	[mm] min
z_1	309.5	309.5		309.5	[mm] max
y_2	-104.0	-104.0		-104.0	[mm] min
z_2	-309.5	-309.5		-309.5	[mm] min
y_3	104.0	104.0		104.0	[mm] max
z_3	309.5	309.5		309.5	[mm] max
y_4	104.0	104.0		104.0	[mm] max
z_4	-309.5	-309.5		-309.5	[mm] min
y_5	-10.5	-10.5		-10.5	[mm]
z_5	-239.5	-239.5		-239.5	[mm]
y_6	-10.5	-10.5		-10.5	[mm]
z_6	-309.5	-309.5		-309.5	[mm]

ÚPRAVA MOMENTŮ SETRVAČNOSTI V DŮSLEDKU ČLENĚNÍ PRŮŘEZU

OSA Y	0.60
OSA Z	1.00

SCHÉMA PROMĚNNÝCH

SCHÉMA ZADANÉHO PRŮŘEZU

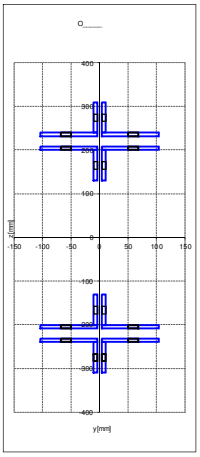

NEUTRÁLNÁ OSA

NAPĚTÍ [MPa]:

61.62	106.09
94.75	119.23

ZS: SLS_LM_N,MX,X

	N [kN]	Vy [kN]	Vz [kN]	Mx [kNm]	My [kNm]	Mz [kNm]
import	770	0	0	0	0	0

TR_D7.2 POPIS: **DIAGONÁLA D7** POSUDEK: **D7.2**

SKUPINA ZAT. STAVŮ	EXTRÉM	VYHODNOCOVANÉ VELIČINY					
		N	Vy	Vz	Mx	My	Mz
		kN	kN	kN	kNm	kNm	kNm
G0	N.min	**124.5**	1.92	0.15	0	0.37	-2.05
	N.max	**124.5**	1.92	0.15	0	0.37	-2.05
	Vy.min	124.5	**1.92**	0.15	0	0.37	-2.05
	Vy.max	124.5	**1.92**	0.15	0	0.37	-2.05
	Vz.min	124.5	1.92	**0.15**	0	0.37	-2.05
	Vz.max	124.5	1.92	**0.15**	0	0.37	-2.05
	Mx.min	124.5	1.92	0.15	**0**	0.37	-2.05
	Mx.max	124.5	1.92	0.15	**0**	0.37	-2.05
	My.min	124.5	1.92	0.15	0	**0.37**	-2.05
	My.max	124.5	1.92	0.15	0	**0.37**	-2.05
	Mz.min	124.5	1.92	0.15	0	0.37	**-2.05**
	Mz.max	124.5	1.92	0.15	0	0.37	**-2.05**
G1	N.min	**8.65**	0.01	-0.04	0	0.29	-0.01
	N.max	**8.65**	0.01	-0.04	0	0.29	-0.01
	Vy.min	8.65	**0.01**	-0.04	0	0.29	-0.01
	Vy.max	8.65	**0.01**	-0.04	0	0.29	-0.01
	Vz.min	8.65	0.01	**-0.04**	0	0.29	-0.01
	Vz.max	8.65	0.01	**-0.04**	0	0.29	-0.01
	Mx.min	8.65	0.01	-0.04	**0**	0.29	-0.01
	Mx.max	8.65	0.01	-0.04	**0**	0.29	-0.01
	My.min	8.65	0.01	-0.04	0	**0.29**	-0.01
	My.max	8.65	0.01	-0.04	0	**0.29**	-0.01
	Mz.min	8.65	0.01	-0.04	0	0.29	**-0.01**
	Mz.max	8.65	0.01	-0.04	0	0.29	**-0.01**
G2	N.min	**7**	0.01	0.01	0	-0.14	-0.01
	N.max	**7**	0.01	0.01	0	-0.14	-0.01
	Vy.min	7	**0.01**	0.01	0	-0.14	-0.01
	Vy.max	7	**0.01**	0.01	0	-0.14	-0.01
	Vz.min	7	0.01	**0.01**	0	-0.14	-0.01
	Vz.max	7	0.01	**0.01**	0	-0.14	-0.01
	Mx.min	7	0.01	0.01	**0**	-0.14	-0.01
	Mx.max	7	0.01	0.01	**0**	-0.14	-0.01
	My.min	7	0.01	0.01	0	**-0.14**	-0.01
	My.max	7	0.01	0.01	0	**-0.14**	-0.01
	Mz.min	7	0.01	0.01	0	-0.14	**-0.01**
	Mz.max	7	0.01	0.01	0	-0.14	**-0.01**
P1_71	N.min	**-92.82**	0.06	-1.51	0	6.63	0.02
	N.max	**168.25**	0.03	-0.26	0.01	12.72	-0.13
	Vy.min	36.23	**-0.07**	-2.28	0	12.04	0.15
	Vy.max	24.2	**0.13**	-0.51	0.01	9.57	-0.17
	Vz.min	13.84	0.03	**-3.35**	0.01	17.71	0.05
	Vz.max	80.08	0.02	**0.87**	0	4.5	-0.09
	Mx.min	0	0	0	**0**	0	0
	Mx.max	74.49	0.04	-2.69	**0.01**	21.54	-0.01
	My.min	0	0	0	0	**0**	0
	My.max	74.49	0.04	-2.69	0.01	**21.54**	-0.01
	Mz.min	114.57	0.1	0.22	0	9.21	**-0.21**
	Mz.max	-20.54	-0.04	-2.68	0	12.89	**0.17**
P2_71	N.min	**-224.76**	0.15	-0.54	0	-1.64	0
	N.max	**406.72**	0.05	1.1	0	-0.91	-0.28
	Vy.min	94.7	**-0.21**	-2.3	0	7.81	0.42
	Vy.max	48.89	**0.32**	1.5	0	-7.53	-0.45
	Vz.min	-17.7	-0.13	**-3.1**	0	9.93	0.36
	Vz.max	242.53	0.22	**2.63**	0	-8.67	-0.46
	Mx.min	166.09	0.16	1.67	**0**	-9.55	-0.25
	Mx.max	52.95	-0.11	-2.5	**0**	10.52	0.25
	My.min	93.1	0.25	1.82	0	**-9.84**	-0.35
	My.max	59.91	-0.13	-2.59	0	**10.69**	0.3
	Mz.min	260.01	0.23	1.88	0	-5.1	**-0.53**
	Mz.max	-26.83	-0.15	-2.26	0	6.06	**0.45**
P1_C3	N.min	**-72.7**	0.05	-1.12	0	5.04	0.01
	N.max	**137.12**	0.02	-0.61	0	11.16	-0.09
	Vy.min	28.68	**-0.06**	-1.49	0	7.61	0.11
	Vy.max	33.98	**0.12**	-0.18	0	7.99	-0.17
	Vz.min	5.26	0.04	**-2.53**	0.01	13.15	0.03
	Vz.max	60.47	0.01	**0.7**	0	3.21	-0.07
	Mx.min	0	0	0	**0**	0	0
	Mx.max	64.82	0.04	-1.98	**0.01**	16.84	-0.02
	My.min	0	0	0	0	**0**	0
	My.max	64.82	0.04	-1.98	0.01	**16.84**	-0.02
	Mz.min	88.29	0.09	0.13	0	7.37	**-0.19**
	Mz.max	-28.36	-0.02	-2.14	0	10.5	**0.13**
P2_C3	N.min	**-175.64**	0.13	-0.22	0	-1.85	-0.02
	N.max	**331.61**	0.05	0.85	0	-1.45	-0.25
	Vy.min	64.66	**-0.18**	-1.55	0	4.48	0.35
	Vy.max	96.4	**0.28**	1.59	0	-6.35	-0.47
	Vz.min	-47.84	-0.07	**-2.29**	0	6.57	0.24
	Vz.max	194.2	0.19	**2.1**	0	-7.5	-0.38
	Mx.min	138.72	0.12	1.47	**0**	-8.01	-0.19
	Mx.max	61.62	-0.08	-1.67	**0**	7.86	0.17
	My.min	101.88	0.21	1.57	0	**-8.28**	-0.32
	My.max	61.62	-0.08	-1.67	0	**7.86**	0.17
	Mz.min	171.36	0.24	1.32	0	-4.55	**-0.49**
	Mz.max	-9.73	-0.13	-1.29	0	2.76	**0.37**
BR	N.min	**-8.39**	0.14	-0.01	0	0.09	-0.28
	N.max	**8.39**	-0.14	0.01	0	-0.09	0.28
	Vy.min	6.52	**-0.15**	-0.05	0	0.55	0.29
	Vy.max	-6.52	**0.15**	0.05	0	-0.55	-0.29
	Vz.min	6.52	-0.15	**-0.05**	0	0.55	0.29
	Vz.max	-6.52	0.15	**0.05**	0	-0.55	-0.29
	Mx.min	-6.52	0.15	0.05	**0**	-0.55	-0.29
	Mx.max	6.52	-0.15	-0.05	**0**	0.55	0.29
	My.min	-6.52	0.15	0.05	0	**-0.55**	-0.29
	My.max	6.52	-0.15	-0.05	0	**0.55**	0.29
	Mz.min	-6.52	0.15	0.05	0	-0.55	**-0.29**
	Mz.max	6.52	-0.15	-0.05	0	0.55	**0.29**

TR_D7.2 POPIS: **DIAGONÁLA D7** POSUDEK: **D7.2**

SKUPINA ZAT. STAVŮ	EXTRÉM	VYHODNOCOVANÉ VELIČINY					
		N	Vy	Vz	Mx	My	Mz
		kN	kN	kN	kNm	kNm	kNm
S	N.min	**-3.06**	-0.01	-0.2	0	2.08	0.01
	N.max	**3.06**	0.01	0.2	0	-2.08	-0.01
	Vy.min	1.23	**-0.02**	-0.67	0	5.07	0.01
	Vy.max	-1.23	**0.02**	0.67	0	-5.07	-0.01
	Vz.min	1.23	-0.02	**-0.67**	0	5.07	0.01
	Vz.max	-1.23	0.02	**0.67**	0	-5.07	-0.01
	Mx.min	3.06	0.01	0.2	**0**	-2.08	-0.01
	Mx.max	-3.06	-0.01	-0.2	**0**	2.08	0.01
	My.min	-1.23	0.02	0.67	0	**-5.07**	-0.01
	My.max	1.23	-0.02	-0.67	0	**5.07**	0.01
	Mz.min	-1.23	0.02	0.67	0	-5.07	**-0.01**
	Mz.max	1.23	-0.02	-0.67	0	5.07	**0.01**
CH	N.min	**-7.45**	0.01	0.03	0	-0.08	0
	N.max	**22.55**	0.01	-0.13	0	1.05	-0.02
	Vy.min	22.55	**0.01**	-0.13	0	1.05	-0.02
	Vy.max	17.45	**0.01**	0.09	0	-0.97	-0.01
	Vz.min	22.55	0.01	**-0.13**	0	1.05	-0.02
	Vz.max	17.45	0.01	**0.09**	0	-0.97	-0.01
	Mx.min	17.45	0.01	0.09	**0**	-0.97	-0.01
	Mx.max	22.55	0.01	-0.13	**0**	1.05	-0.02
	My.min	17.45	0.01	0.09	0	**-0.97**	-0.01
	My.max	22.55	0.01	-0.13	0	**1.05**	-0.02
	Mz.min	22.55	0.01	-0.13	0	1.05	**-0.02**
	Mz.max	-7.45	0.01	0.03	0	-0.08	**0**
W	N.min	**-13.72**	-0.01	1.73	0	1.6	-0.01
	N.max	**13.72**	0.01	-1.73	0	-1.59	0.01
	Vy.min	-13.72	**-0.01**	1.73	0	1.6	-0.01
	Vy.max	13.72	**0.01**	-1.73	0	-1.59	0.01
	Vz.min	13.72	0.01	**-1.73**	0	-1.59	0.01
	Vz.max	-13.72	-0.01	**1.73**	0	1.6	-0.01
	Mx.min	-13.72	-0.01	1.73	**0**	1.6	-0.01
	Mx.max	13.72	0.01	-1.73	**0**	-1.59	0.01
	My.min	13.72	0.01	-1.73	0	**-1.59**	0.01
	My.max	-13.72	-0.01	1.73	0	**1.6**	-0.01
	Mz.min	-13.72	-0.01	1.73	0	1.6	**-0.01**
	Mz.max	13.72	0.01	-1.73	0	-1.59	**0.01**
WP	N.min	**-12.86**	-0.04	-1.12	0.01	10.03	0.01
	N.max	**12.85**	0.04	1.12	-0.01	-10.03	-0.01
	Vy.min	-12.86	**-0.04**	-1.12	0.01	10.03	0.01
	Vy.max	12.85	**0.04**	1.12	-0.01	-10.03	-0.01
	Vz.min	-12.86	-0.04	**-1.12**	0.01	10.03	0.01
	Vz.max	12.85	0.04	**1.12**	-0.01	-10.03	-0.01
	Mx.min	12.85	0.04	1.12	**-0.01**	-10.03	-0.01
	Mx.max	-12.86	-0.04	-1.12	**0.01**	10.03	0.01
	My.min	12.85	0.04	1.12	-0.01	**-10.03**	-0.01
	My.max	-12.86	-0.04	-1.12	0.01	**10.03**	0.01
	Mz.min	12.85	0.04	1.12	-0.01	-10.03	**-0.01**
	Mz.max	-12.86	-0.04	-1.12	0.01	10.03	**0.01**
TR	N.min	**0**	0	0	0	0	0
	N.max	**0**	0	0	0	0	0
	Vy.min	0	**0**	0	0	0	0
	Vy.max	0	**0**	0	0	0	0
	Vz.min	0	0	**0**	0	0	0
	Vz.max	0	0	**0**	0	0	0
	Mx.min	0	0	0	**0**	0	0
	Mx.max	0	0	0	**0**	0	0
	My.min	0	0	0	0	**0**	0
	My.max	0	0	0	0	**0**	0
	Mz.min	0	0	0	0	0	**0**
	Mz.max	0	0	0	0	0	**0**
TN	N.min	**-11.53**	-0.1	-0.05	0	0.6	-0.03
	N.max	**11.53**	0.1	0.05	0	-0.6	0.03
	Vy.min	-9.34	**-0.11**	-1.12	0	8.69	-0.01
	Vy.max	11.53	**0.1**	0.05	0	-0.6	0.03
	Vz.min	-9.34	-0.11	**-1.12**	0	8.69	-0.01
	Vz.max	-2.61	-0.01	**0.79**	0	-7.31	0
	Mx.min	-2.61	-0.01	0.79	**0**	-7.31	0
	Mx.max	-9.34	-0.11	-1.12	**0**	8.69	-0.01
	My.min	-2.61	-0.01	0.79	0	**-7.31**	0
	My.max	-9.34	-0.11	-1.12	0	**8.69**	-0.01
	Mz.min	-11.53	-0.1	-0.05	0	0.6	**-0.03**
	Mz.max	11.53	0.1	0.05	0	-0.6	**0.03**
FR	N.min	**-0.01**	0	-0.01	0	0.02	0
	N.max	**0.01**	0	0.01	0	-0.02	0
	Vy.min	-0.01	**0**	-0.01	0	0.02	0
	Vy.max	0.01	**0**	0.01	0	-0.02	0
	Vz.min	-0.01	0	**-0.01**	0	0.02	0
	Vz.max	0.01	0	**0.01**	0	-0.02	0
	Mx.min	0.01	0	0.01	**0**	-0.02	0
	Mx.max	-0.01	0	-0.01	**0**	0.02	0
	My.min	0.01	0	0.01	0	**-0.02**	0
	My.max	-0.01	0	-0.01	0	**0.02**	0
	Mz.min	0.01	0	0.01	0	-0.02	**0**
	Mz.max	-0.01	0	-0.01	0	0.02	**0**
I	N.min	**-2.76**	0	0.17	0	-1.36	**0**
	N.max	**2.76**	0	-0.17	0	1.36	**0**
	Vy.min	2.76	**0**	-0.17	0	1.36	**0**
	Vy.max	-2.76	**0**	0.17	0	-1.36	**0**
	Vz.min	2.76	0	**-0.17**	0	1.36	**0**
	Vz.max	-2.76	0	**0.17**	0	-1.36	**0**
	Mx.min	-2.76	0	0.17	**0**	-1.36	**0**
	Mx.max	2.76	0	-0.17	**0**	1.36	**0**
	My.min	-2.76	0	0.17	0	**-1.36**	**0**
	My.max	2.76	0	-0.17	0	**1.36**	**0**
	Mz.min	-2.76	0	0.17	0	-1.36	**0**
	Mz.max	2.76	0	-0.17	0	1.36	**0**

TAB. D7.2.3 POSOUZENÍ - MEZNÍ STAV ÚNOSNOSTI

POPIS	DIAGONÁLA D7
PRUT / POLOHA BODU	235 / J[2703]
NAMÁHÁNÍ	N.max
VLÁKNO	BOD K1 -HL
MEZNÍ STAV	ULS (MSÚ)
VYUŽITÍ VLÁKNA PRŮŘEZU	0.68

Charakteristiky materiálu				
pás. horní	$f_{yf,k}$	230	MPa	
pás. dolní	$f_{yf,k}$	230	MPa	
stojina	$f_{yw,k}$	230	MPa	
výztuž	$f_{ys,k}$	500	MPa	
γ_M =	1.10	γ_s =	1.15	

Excentricita normálové síly				
Exc./Fáze	0	1	2	3
e_y	0.000	0.000	0.000	0.000
e_z	0.000	0.000	0.000	0.000
Ekvivalentní vzdál. stěn - příčný roznos				
b_{Mx}	0.000	0.000	0.000	0.000

Vliv stěny na únosnost průřezu				
Char./Fáze	0	1	2	3
A	0.00	0.00	0.00	0.00
Wy	0.00	0.00	0.00	0.00
Wz	0.00	0.00	0.00	0.00

Charakter. v kroucení			
$t_{w,y}$	0.000	[mm]	
$t_{w,z}$	0.000	[mm]	
κ	1.00		
I_t=	0.00E+00	[mm^4]	
$\Omega=2*A_{pr}$	0.00E+00	[mm^2]	

Součinitele vzpěru a vlivu II.řádu				
Char./Fáze	0	1	2	3
k_y	1.000	1.000	1.000	1.000
k_z	1.000	1.000	1.000	1.000
χ_{LT}	1.000	1.000	1.000	1.000
χ_{min}	1.000	1.000	1.000	1.000

4

Vnitřní síly od jednotlivých skupin zatěžovacích stavů

SKUPINA ZATĚŽOVACÍCH STAVŮ					- CHARAKTERISTICKÉ HODNOTY						DÍLČÍ SOUČINITELÉ ZATÍŽENÍ, DYNAMICKÝ SOUČINITEL							- NÁVRHOVÉ HODNOTY									
Č.	SKUP ZS	POPIS ZS	KAT.	FÁZE PRŮŘ.	N.k (kN)	Vy.k (kN)	Vz.k (kN)	Mx.k (kNm)	My.k (kNm)	Mz.k (kNm)	γ_{sr} (-)	γ_{sl} (-)	volba γ_{sl} hledat	γ_{sl} (-)	L_d (m)	δ (-)	Ψ_s KZ04	N.d (kN)	Vy.d (kN)	Vz.d (kN)	ΔVz.d (kN)	ΣVz.d (kN)	Mx.d (kNm)	My.d (kNm)	ΔMy.d (kNm)	ΣMy.d (kNm)	Mz.d (kNm)	ΔMz.d (kNm)	ΣMz.d (kNm)
1	G0	Vlastní tíha OK	G	0	125	2	0	0	0	-2	1.00	1.20		1.20	-	1.00	0.95	142	2	0	0	0	0	0	0	0	-2	0	-2
2	G1	Ostatní stálé - mostní vybavení	G	0	9	0	0	0	0	0	1.00	1.20		1.20	-	1.00	0.95	10	0	0	0	0	0	0	0	0	0	0	0
3	G2	Ostatní stálé - cizí zařízení	G	0	7	0	0	0	0	0	1.00	1.20		1.20	-	1.00	0.95	8	0	0	0	0	0	0	0	0	0	0	0
4	P1_71	a.LM71 - kolej 1 (bez dyn. souč.)	P	0	168	0	0	0	13	0	1.00	1.30		1.30	-	1.00	1.00	219	0	0	0	0	0	17	0	17	0	0	0
5	P2_71	a.LM71 - kolej 2 (bez dyn. souč.)	P	0	407	0	1	0	-1	0	1.00	1.30		1.30	-	1.00	1.00	529	0	1	0	1	0	-1	0	-1	0	0	0
6	P1_C3	TTZ C3 - kolej 1 (bez dyn. souč.)	P	0	137	0	-1	0	11	0	1.00	vyp.		0.00	-	1.00	0.00	0	0	0	0	0	0	0	0	0	0	0	0
7	P2_C3	TTZ C3 - kolej 2 (bez dyn. souč.)	P	0	332	0	1	0	-1	0	1.00	vyp.		0.00	-	1.00	0.00	0	0	0	0	0	0	0	0	0	0	0	0
8	BR	Brzdné a rozjezdové síly	P	0	8	0	0	0	0	0	1.00	0.00		0.00	-	1.00	0.40	0	0	0	0	0	0	0	0	0	0	0	0
9	S	Boční ráz	P	0	3	0	0	0	-2	0	1.00	1.30		1.30	-	1.00	0.80	3	0	0	0	0	0	-2	0	-2	0	0	0
10	CH	Chodci na lávkách	Q	0	23	0	0	0	1	0	1.00	1.30		1.30	-	1.00	1.00	29	0	0	0	0	0	1	0	1	0	0	0
11	W	Vítr na konstrukci	Q	0	14	0	-2	0	-2	0	1.00	1.35		1.35	-	1.00	0.75	14	0	-2	0	-2	0	-2	0	-2	0	0	0
12	WP	Vítr na vozidla	Q	0	13	0	1	0	-10	0	1.00	1.35		1.35	-	1.00	0.75	13	0	1	0	1	0	-10	0	-10	0	0	0
13	TR	Teplota rovnoměrná	Q	0	0	0	0	0	0	0	1.00	1.35		1.35	-	1.00	0.45	0	0	0	0	0	0	0	0	0	0	0	0
14	TN	Teplota nerovnoměrná	Q	0	12	0	0	0	-1	0	1.00	1.35		1.35	-	1.00	0.60	9	0	0	0	0	0	0	0	0	0	0	0
15	FR	Třecí síly v ložiskách	Q	0	0	0	0	0	0	0	1.00	1.20		1.20	-	1.00	1.00	0	0	0	0	0	0	0	0	0	0	0	0
16	I	Imperfekce soustavy	Q	0	3	0	0	0	1	0	1.00	-1.20		-1.20	-	1.00	1.00	-3	0	0	0	0	0	-2	0	-2	0	0	0
27	ULS_LM	ULS - LM71 bez dynam	Q	0	989	2	0	0	5	-3	1.00	vyp.	1	0.00	-	1.00	0.00	0	0	0	0	0	0	0	0	0	0	0	0
28	SLS_LM	SLS - LM71 bez dynam	Q	0	770	2	0	0	5	-2	1.00	vyp.	1	0.00	-	1.00	0.00	0	0	0	0	0	0	0	0	0	0	0	0
29	ULS_C3	ULS - C3 bez dynam	Q	0	851	2	0	0	2	-2	1.00	vyp.	1	0.00	-	1.00	0.00	0	0	0	0	0	0	0	0	0	0	0	0
30	SLS_C3	SLS - C3 bez dynam	Q	0	664	2	0	0	3	-2	1.00	vyp.	1	0.00	-	1.00	0.00	0	0	0	0	0	0	0	0	0	0	0	0
		CELKEM - FÁZE PRŮŘEZU 0																973	2	1	0	1	0	1	0	1	-3	0	-3
		CELKEM - FÁZE PRŮŘEZU 1																0	0	0	0	0	0	0	0	0	0	0	0
		CELKEM - FÁZE PRŮŘEZU 2																0	0	0	0	0	0	0	0	0	0	0	0
		CELKEM - FÁZE PRŮŘEZU 3																0	0	0	0	0	0	0	0	0	0	0	0
		CELKEM - PRŮŘEZ																973	2	1	0	1	0			1			-3

Napětí od jednotlivých zatěžovacích stavů

SKUPINA ZATĚŽOVACÍCH STAVŮ					Posouzení normálového napětí										Posouzení smykového napětí													
					Účinek síly N			Účinek momentu My			Účinek momentu Mz				Účinek ktoutícího momentu Mx				Účinek smykové síly Vy				Účinek smykové síly Vz			
Č.	SKUP ZS	Popis ZS	Kat.	fáze prúř.	δ^*N_d [kN]	χ^*A [mm^2]	σ_n [MPa]	$\delta^*M_{y,d}$ [kNm]	$\chi_{lt}^*W_{el,y}$ [mm^3]	σ_{my} [MPa]	$\delta^*M_{z,d}$ [kNm]	$W_{el,z}$ [mm^3]	σ_{mz} [MPa]	σ_x [MPa]	$\kappa^*\delta^*M_{x,d}$ [kNm]	$W_{v,y}$ [mm^3]	$\tau_{x,y}$ [MPa]	$W_{v,z}$ [mm^3]	$\tau_{x,z}$ [MPa]	$\delta^*V_{y,d}$ [kN]	$A_{v,y}$ [mm2]	$\tau_{v,y}$ [MPa]	$\tau_{v,y}$ [MPa]	$\delta^*V_{z,d}$ [kN]	$A_{v,z}$ [mm2]	$\tau_{v,z}$ [MPa]	$\tau_{v,z}$ [MPa]
1	G0	Vlastní tíha OK	G	0	141.9	7.67E+03	18.5	0.4	-7.41E+05	-0.6	-2.3	-1.81E+05	12.9	30.9	0.0E+00	-	-	-	-	2.2	4.90E+03	0.4	0.4	0.2	2.77E+03	0.1	0.1
2	G1	Ostatní stálé - mostní vybavení	G	0	9.9	7.67E+03	1.3	0.3	-7.41E+05	-0.4	0.0	-1.81E+05	0.1	0.9	0.0E+00	-	-	-	-	0.0	4.90E+03	0.0	0.0	0.0	2.77E+03	0.0	0.0
3	G2	Ostatní stálé - cizí zařízení	G	0	8.0	7.67E+03	1.0	-0.2	-7.41E+05	0.2	0.0	-1.81E+05	0.1	1.3	0.0E+00	-	-	-	-	0.0	4.90E+03	0.0	0.0	0.0	2.77E+03	0.0	0.0
4	P1_71	a.LM71 - kolej 1 (bez dyn. souč.)	P	0	218.7	7.67E+03	28.5	16.5	-7.41E+05	-22.3	-0.2	-1.81E+05	0.9	7.1	1.3E-02	-	-	-	-	0.0	4.90E+03	0.0	0.0	-0.3	2.77E+03	-0.1	-0.1
5	P2_71	a.LM71 - kolej 2 (bez dyn. souč.)	P	0	528.7	7.67E+03	68.9	-1.2	-7.41E+05	1.6	-0.4	-1.81E+05	2.0	72.5	0.0E+00	-	-	-	-	0.1	4.90E+03	0.0	0.0	1.4	2.77E+03	0.5	0.5
6	P1_C3	TTZ C3 - kolej 1 (bez dyn. souč.)	P	0	0.0	7.67E+03	0.0	0.0	-7.41E+05	0.0	0.0	-1.81E+05	0.0	0.0	0.0E+00	-	-	-	-	0.0	4.90E+03	0.0	0.0	0.0	2.77E+03	0.0	0.0
7	P2_C3	TTZ C3 - kolej 2 (bez dyn. souč.)	P	0	0.0	7.67E+03	0.0	0.0	-7.41E+05	0.0	0.0	-1.81E+05	0.0	0.0	0.0E+00	-	-	-	-	0.0	4.90E+03	0.0	0.0	0.0	2.77E+03	0.0	0.0
8	BR	Brzdné a rozjezdové síly	P	0	0.0	7.67E+03	0.0	0.0	-7.41E+05	0.0	0.0	-1.81E+05	0.0	0.0	0.0E+00	-	-	-	-	0.0	4.90E+03	0.0	0.0	0.0	2.77E+03	0.0	0.0
9	S	Boční ráz	P	0	3.2	7.67E+03	0.4	-2.2	-7.41E+05	2.9	0.0	-1.81E+05	0.1	3.4	0.0E+00	-	-	-	-	0.0	4.90E+03	0.0	0.0	0.2	2.77E+03	0.1	0.1
10	CH	Chodci na lávkách	Q	0	29.3	7.67E+03	3.8	1.4	-7.41E+05	-1.8	0.0	-1.81E+05	0.1	2.1	0.0E+00	-	-	-	-	0.0	4.90E+03	0.0	0.0	-0.2	2.77E+03	-0.1	-0.1
11	W	Vítr na konstrukci	Q	0	13.9	7.67E+03	1.8	-1.6	-7.41E+05	2.2	0.0	-1.81E+05	-0.1	3.9	0.0E+00	-	-	-	-	0.0	4.90E+03	0.0	0.0	-1.8	2.77E+03	-0.6	-0.6
12	WP	Vítr na vozidla	Q	0	13.0	7.67E+03	1.7	-10.2	-7.41E+05	13.7	0.0	-1.81E+05	0.1	15.5	-1.0E-02	-	-	-	-	0.0	4.90E+03	0.0	0.0	1.1	2.77E+03	0.4	0.4
13	TR	Teplota rovnoměrná	Q	0	0.0	7.67E+03	0.0	0.0	-7.41E+05	0.0	0.0	-1.81E+05	0.0	0.0	0.0E+00	-	-	-	-	0.0	4.90E+03	0.0	0.0	0.0	2.77E+03	0.0	0.0
14	TN	Teplota nerovnoměrná	Q	0	9.3	7.67E+03	1.2	-0.5	-7.41E+05	0.7	0.0	-1.81E+05	-0.1	1.7	0.0E+00	-	-	-	-	0.1	4.90E+03	0.0	0.0	0.0	2.77E+03	0.0	0.0
15	FR	Třecí síly v ložiskách	Q	0	0.0	7.67E+03	0.0	0.0	-7.41E+05	0.0	0.0	-1.81E+05	0.0	0.0	0.0E+00	-	-	-	-	0.0	4.90E+03	0.0	0.0	0.0	2.77E+03	0.0	0.0
16	I	Imperfekce soustavy	Q	0	-3.3	7.67E+03	-0.4	-1.6	-7.41E+05	2.2	0.0	-1.81E+05	0.0	1.8	0.0E+00	-	-	-	-	0.0	4.90E+03	0.0	0.0	0.2	2.77E+03	0.1	0.1
27	ULS_LM	ULS - LM71 bez dynam	Q	0	0.0	7.67E+03	0.0	0.0	-7.41E+05	0.0	0.0	-1.81E+05	0.0	0.0	0.0E+00	-	-	-	-	0.0	4.90E+03	0.0	0.0	0.0	2.77E+03	0.0	0.0
28	SLS_LM	SLS - LM71 bez dynam	Q	0	0.0	7.67E+03	0.0	0.0	-7.41E+05	0.0	0.0	-1.81E+05	0.0	0.0	0.0E+00	-	-	-	-	0.0	4.90E+03	0.0	0.0	0.0	2.77E+03	0.0	0.0
29	ULS_C3	ULS - C3 bez dynam	Q	0	0.0	7.67E+03	0.0	0.0	-7.41E+05	0.0	0.0	-1.81E+05	0.0	0.0	0.0E+00	-	-	-	-	0.0	4.90E+03	0.0	0.0	0.0	2.77E+03	0.0	0.0
30	SLS_C3	SLS - C3 bez dynam	Q	0	0.0	7.67E+03	0.0	0.0	-7.41E+05	0.0	0.0	-1.81E+05	0.0	0.0	0.0E+00	-	-	-	-	0.0	4.90E+03	0.0	0.0	0.0	2.77E+03	0.0	0.0
NAVÝŠENÍ NAPĚTÍ DO AKTIVACE TLAKU V DÉSCE MOSTOVKY						$\sigma_{P,red}$	0.0							0.0			0.0		0.0			0.5	0.5			0.3	0.3
NAPĚTÍ OD PRIMÁRNÍCH ÚČINKŮ NEROVNOMĚRNÉHO OTEPLENÍ						σ_T	0.0							0.0													
NAPĚTÍ OD REOLOGICKÝCH ÚČINKŮ BETONU V ČASE		t=0				σ_R	0.0	$\gamma_{l\infty}$	1.20					0.0													
NAPĚTÍ V KRITICKÝCH VLÁKNECH OD KOMBINACE ZATÍŽENÍ						KZ04		[MPa]					$\Sigma\sigma_x$	141.2								$\Sigma\tau_y$	0.5			$\Sigma\tau_z$	0.3
NAPĚTÍ OD POHYBLIVÉHO ZATÍŽENÍ								[MPa]					$\sigma_{x,P}$	83.1								τ_P	0.0			τ_P	0.5
NAPĚTÍ OD OSTATNÍCH ZATÍŽENÍ								[MPa]			Φ_{Vy}	Φ_{Vz}	$\sigma_{x,rs}$	58.1								τ_{rs}	0.5			τ_{rs}	-0.1
NÁVRHOVÁ HODNOTA MEZE KLUZU S REDUKCÍ VLIVEM SMYKOVÉHO NAPĚTÍ								[MPa]			1.00	1.00	$f_{yw,d}$	209.1								$f_{yd}/3^{0,5}$	120.7			$f_{yd}/3^{0,5}$	120.7
NAPĚTÍ OD POHYBLIVÉHO ZATÍŽENÍ V GLOBÁLNÍM SYSTÉMU						$\sigma_{GLOB,P}$	0.0	[MPa]					$\Sigma\sigma_{GLOB}$	0.0													
NAPĚTÍ OD OSTATNÍCH ZATÍŽENÍ V GLOBÁLNÍM SYSTÉMU						$\sigma_{GLOB,rs}$	0.0	[MPa]					$\Sigma\sigma_x + \Sigma\sigma_{GLOB}$	141.2													
VYUŽITÍ PRŮŘEZU DLE NAPĚTÍ								[%]					η_1	0.68								η_3	0.00			η_3	0.00
NAPĚTÍ V PŘÍČNÉM SMĚRU OD POHYBLIVÉHO ZATÍŽENÍ						$\sigma_{z,P}$	0.0	[MPa]					$\Sigma\sigma_z$	0.0													
NAPĚTÍ V PŘÍČNÉM SMĚRU OD OSTATNÍCH ZATÍŽENÍ						$\sigma_{z,rs}$	0.0	[MPa]					η_2	0.00													
SROVNÁVACÍ NAPĚTÍ													$(\eta_2 + 0,8\,\eta_1)/1,4 =$	0.39													
VYUŽITÍ PRŮŘEZU CELKEM								[%]					eff	0.68	VYHOVUJE												
													Z_{LM71} =	1.82													

TAB. D7.2.3 POSOUZENÍ - MEZNÍ STAV ÚNOSNOSTI

POPIS	DIAGONÁLA D7
PRUT / POLOHA BODU	235 / J[2703]
NAMÁHÁNÍ	N.max
VLÁKNO	BOD K3 -SL
MEZNÍ STAV	ULS (MSÚ)
VYUŽITÍ VLÁKNA PRŮŘEZU	0.85

Charakteristiky materiálu				
pás. horní	$f_{yf,k}$	230	MPa	
pás. dolní	$f_{yf,k}$	230	MPa	
stojina	$f_{yw,k}$	230	MPa	
výztuž	$f_{ys,k}$	500	MPa	
	γ_{M} =	1.10	γ_{s} =	1.15

Excentricita normálové síly				
Exc./Fáze	0	1	2	3
e_y	0.000	0.000	0.000	0.000
e_z	0.000	0.000	0.000	0.000
Ekvivalentní vzdál. stěn - příčný roznos				
b_{Mx}	0.000	0.000	0.000	0.000

Vliv stěny na únosnost průřezu				
Char./Fáze	0	1	2	3
A	0.00	0.00	0.00	0.00
Wy	0.00	0.00	0.00	0.00
Wz	0.00	0.00	0.00	0.00

Charakter. v kroucení		
$t_{w,y}$	0.000	[mm]
$t_{w,z}$	0.000	[mm]
κ	1.00	
I_t=	0.00E+00	[mm^4]
Ω=2*A_{pr}	0.00E+00	[mm^2]

Součinitele vzpěru a vlivu II.řádu					
Char./Fáze	0	1	2	3
k_y	1.000	1.000	1.000	1.000
k_z	1.000	1.000	1.000	1.000
χ_{LT}	1.000	1.000	1.000	1.000
χ_{min}	1.000	1.000	1.000	1.000

Vnitřní síly od jednotlivých skupin zatěžovacích stavů — 3

SKUPINA ZATĚŽOVACÍCH STAVŮ					- CHARAKTERISTICKÉ HODNOTY						DÍLČÍ SOUČINITELÉ ZATÍŽENÍ, DYNAMICKÝ SOUČINITEL							- NÁVRHOVÉ HODNOTY									
Č.	SKUP ZS	POPIS ZS	KAT.	FÁZE PRŮŘ.	N.k (kN)	Vy.k (kN)	Vz.k (kN)	Mx.k (kNm)	My.k (kNm)	Mz.k (kNm)	γ_{sr} (-)	γ_{fs} (-)	volba ψ_i hledat	ψ_i (-)	L_d (m)	δ (-)	Ψ_{2i} KZ03	N.d (kN)	Vy.d (kN)	Vz.d (kN)	ΔVz.d (kN)	ΣVz.d (kN)	Mx.d (kNm)	My.d (kNm)	ΔMy.d (kNm)	ΣMy.d (kNm)	Mz.d (kNm)	ΔMz.d (kNm)	ΣMz.d (kNm)
1	G0	Vlastní tíha OK	G	0	125	2	0	0	0	-2	1.00	1.20		1.20	-	1.00	0.95	142	2	0	0	0	0	0	0	0	-2	0	-2
2	G1	Ostatní stálé - mostní vybavení	G	0	9	0	0	0	0	0	1.00	1.20		1.20	-	1.00	0.95	10	0	0	0	0	0	0	0	0	0	0	0
3	G2	Ostatní stálé - cizí zařízení	G	0	7	0	0	0	0	0	1.00	1.20		1.20	-	1.00	0.95	8	0	0	0	0	0	0	0	0	0	0	0
4	P1_71	a.LM71 - kolej 1 (bez dyn. souč.)	P	0	168	0	0	0	13	0	1.00	1.30		1.30	-	1.00	1.00	219	0	0	0	0	0	17	0	17	0	0	0
5	P2_71	a.LM71 - kolej 2 (bez dyn. souč.)	P	0	407	0	1	0	-1	0	1.00	1.30		1.30	-	1.00	1.00	529	0	1	0	1	0	-1	0	-1	0	0	0
6	P1_C3	TTZ C3 - kolej 1 (bez dyn. souč.)	P	0	137	0	-1	0	11	0	1.00	vyp.		0.00	-	1.00	0.00	0	0	0	0	0	0	0	0	0	0	0	0
7	P2_C3	TTZ C3 - kolej 2 (bez dyn. souč.)	P	0	332	0	1	0	-1	0	1.00	vyp.		0.00	-	1.00	0.00	0	0	0	0	0	0	0	0	0	0	0	0
8	BR	Brzdné a rozjezdové síly	P	0	8	0	0	0	0	0	1.00	0.00		0.00	-	1.00	0.80	0	0	0	0	0	0	0	0	0	0	0	0
9	S	Boční ráz	P	0	3	0	0	0	-2	0	1.00	0.00		0.00	-	1.00	0.40	0	0	0	0	0	0	0	0	0	0	0	0
10	CH	Chodci na lávkách	Q	0	23	0	0	0	1	0	1.00	1.30		1.30	-	1.00	1.00	29	0	0	0	0	0	1	0	1	0	0	0
11	W	Vítr na konstrukci	Q	0	14	0	-2	0	-2	0	1.00	-1.35		-1.35	-	1.00	0.75	-14	0	2	0	2	0	2	0	2	0	0	0
12	WP	Vítr na vozidla	Q	0	13	0	1	0	-10	0	1.00	-1.35		-1.35	-	1.00	0.75	-13	0	-1	0	-1	0	10	0	10	0	0	0
13	TR	Teplota rovnoměrná	Q	0	0	0	0	0	0	0	1.00	1.35		1.35	-	1.00	0.45	0	0	0	0	0	0	0	0	0	0	0	0
14	TN	Teplota nerovnoměrná	Q	0	12	0	0	0	-1	0	1.00	1.35		1.35	-	1.00	0.60	9	0	0	0	0	0	0	0	0	0	0	0
15	FR	Třecí síly v ložiskách	Q	0	0	0	0	0	0	0	1.00	-1.20		-1.20	-	1.00	1.00	0	0	0	0	0	0	0	0	0	0	0	0
16	I	Imperfekce soustavy	Q	0	3	0	0	0	1	0	1.00	1.20		1.20	-	1.00	1.00	3	0	0	0	0	0	2	0	2	0	0	0
27	ULS_LM	ULS - LM71 bez dynam	Q	0	989	2	0	0	5	-3	1.00	vyp.		0.00	-	1.00	0.00	0	0	0	0	0	0	0	0	0	0	0	0
28	SLS_LM	SLS - LM71 bez dynam	Q	0	770	2	0	0	5	-2	1.00	vyp.	1	0.00	-	1.00	0.00	0	0	0	0	0	0	0	0	0	0	0	0
29	ULS_C3	ULS - C3 bez dynam	Q	0	851	2	0	0	2	-2	1.00	vyp.	1	0.00	-	1.00	0.00	0	0	0	0	0	0	0	0	0	0	0	0
30	SLS_C3	SLS - C3 bez dynam	Q	0	664	2	0	0	3	-2	1.00	vyp.	1	0.00	-	1.00	0.00	0	0	0	0	0	0	0	0	0	0	0	0
		CELKEM - FÁZE PRŮŘEZU 0																922	2	2	0	2	0	30	0	30	-3	0	-3
		CELKEM - FÁZE PRŮŘEZU 1																0	0	0	0	0	0	0	0	0	0	0	0
		CELKEM - FÁZE PRŮŘEZU 2																0	0	0	0	0	0	0	0	0	0	0	0
		CELKEM - FÁZE PRŮŘEZU 3																0	0	0	0	0	0	0	0	0	0	0	0
		CELKEM - PRŮŘEZ																922	2	2	0	2	0			30			-3

Napětí od jednotlivých zatěžovacích stavů

SKUPINA ZATĚŽOVACÍCH STAVŮ					Posouzení normálového napětí									Posouzení smykového napětí														
					Účinek síly N			Účinek momentu My				Účinek momentu Mz				Účinek ktoutícího momentu Mx				Účinek smykové síly Vy				Účinek smykové síly Vz			
Č.	SKUP ZS	Popis ZS	Kat.	fáze prúř.	δ^*N_d [kN]	χ^*A [mm^2]	σ_n [MPa]	$\delta^*M_{y,d}$ [kNm]	$\chi_{lt}{}^*W_{el,y}$ [mm^3]	σ_{my} [MPa]	$\delta^*M_{z,d}$ [kNm]	$W_{el,z}$ [mm^3]	σ_{mz} [MPa]	σ_x [MPa]	$\kappa^*\delta^*M_{x,d}$ [kNm]	$W_{v,y}$ [mm^2]	$\tau_{x,y}$ [MPa]	$W_{v,z}$ [mm^2]	$\tau_{x,z}$ [MPa]	$\delta^*V_{y,d}$ [kN]	$A_{v,y}$ [mm2]	$\tau_{v,y}$ [MPa]	$\tau_{v,y}$ [MPa]	$\delta^*V_{z,d}$ [kN]	$A_{v,z}$ [mm2]	$\tau_{v,z}$ [MPa]	$\tau_{v,z}$ [MPa]
1	G0	Vlastní tíha OK	G	0	141.9	7.67E+03	18.5	0.4	7.41E+05	0.6	-2.3	-1.81E+05	12.9	32.0	0.0E+00	-	-	-	-	2.2	4.90E+03	0.4	0.4	0.2	2.77E+03	0.1	0.1
2	G1	Ostatní stálé - mostní vybavení	G	0	9.9	7.67E+03	1.3	0.3	7.41E+05	0.4	0.0	-1.81E+05	0.1	1.8	0.0E+00	-	-	-	-	0.0	4.90E+03	0.0	0.0	0.0	2.77E+03	0.0	0.0
3	G2	Ostatní stálé - cizí zařízení	G	0	8.0	7.67E+03	1.0	-0.2	7.41E+05	-0.2	0.0	-1.81E+05	0.1	0.9	0.0E+00	-	-	-	-	0.0	4.90E+03	0.0	0.0	0.0	2.77E+03	0.0	0.0
4	P1_71	a.LM71 - kolej 1 (bez dyn. souč.)	P	0	218.7	7.67E+03	28.5	16.5	7.41E+05	22.3	-0.2	-1.81E+05	0.9	51.8	1.3E-02	-	-	-	-	0.0	4.90E+03	0.0	0.0	-0.3	2.77E+03	-0.1	-0.1
5	P2_71	a.LM71 - kolej 2 (bez dyn. souč.)	P	0	528.7	7.67E+03	68.9	-1.2	7.41E+05	-1.6	-0.4	-1.81E+05	2.0	69.4	0.0E+00	-	-	-	-	0.1	4.90E+03	0.0	0.0	1.4	2.77E+03	0.5	0.5
6	P1_C3	TTZ C3 - kolej 1 (bez dyn. souč.)	P	0	0.0	7.67E+03	0.0	0.0	7.41E+05	0.0	0.0	-1.81E+05	0.0	0.0	0.0E+00	-	-	-	-	0.0	4.90E+03	0.0	0.0	0.0	2.77E+03	0.0	0.0
7	P2_C3	TTZ C3 - kolej 2 (bez dyn. souč.)	P	0	0.0	7.67E+03	0.0	0.0	7.41E+05	0.0	0.0	-1.81E+05	0.0	0.0	0.0E+00	-	-	-	-	0.0	4.90E+03	0.0	0.0	0.0	2.77E+03	0.0	0.0
8	BR	Brzdné a rozjezdové síly	P	0	0.0	7.67E+03	0.0	0.0	7.41E+05	0.0	0.0	-1.81E+05	0.0	0.0	0.0E+00	-	-	-	-	0.0	4.90E+03	0.0	0.0	0.0	2.77E+03	0.0	0.0
9	S	Boční ráz	P	0	0.0	7.67E+03	0.0	0.0	7.41E+05	0.0	0.0	-1.81E+05	0.0	0.0	0.0E+00	-	-	-	-	0.0	4.90E+03	0.0	0.0	0.0	2.77E+03	0.0	0.0
10	CH	Chodci na lávkách	Q	0	29.3	7.67E+03	3.8	1.4	7.41E+05	1.8	0.0	-1.81E+05	0.1	5.8	0.0E+00	-	-	-	-	0.0	4.90E+03	0.0	0.0	-0.2	2.77E+03	-0.1	-0.1
11	W	Vítr na konstrukci	Q	0	-13.9	7.67E+03	-1.8	1.6	7.41E+05	2.2	0.0	-1.81E+05	0.1	0.4	0.0E+00	-	-	-	-	0.0	4.90E+03	0.0	0.0	1.8	2.77E+03	0.6	0.6
12	WP	Vítr na vozidla	Q	0	-13.0	7.67E+03	-1.7	10.2	7.41E+05	13.7	0.0	-1.81E+05	-0.1	12.0	1.0E-02	-	-	-	-	0.0	4.90E+03	0.0	0.0	-1.1	2.77E+03	-0.4	-0.4
13	TR	Teplota rovnoměrná	Q	0	0.0	7.67E+03	0.0	0.0	7.41E+05	0.0	0.0	-1.81E+05	0.0	0.0	0.0E+00	-	-	-	-	0.0	4.90E+03	0.0	0.0	0.0	2.77E+03	0.0	0.0
14	TN	Teplota nerovnoměrná	Q	0	9.3	7.67E+03	1.2	-0.5	7.41E+05	-0.7	0.0	-1.81E+05	-0.1	0.4	0.0E+00	-	-	-	-	0.1	4.90E+03	0.0	0.0	0.0	2.77E+03	0.0	0.0
15	FR	Třecí síly v ložiskách	Q	0	0.0	7.67E+03	0.0	0.0	7.41E+05	0.0	0.0	-1.81E+05	0.0	0.0	0.0E+00	-	-	-	-	0.0	4.90E+03	0.0	0.0	0.0	2.77E+03	0.0	0.0
16	I	Imperfekce soustavy	Q	0	3.3	7.67E+03	0.4	1.6	7.41E+05	2.2	0.0	-1.81E+05	0.0	2.6	0.0E+00	-	-	-	-	0.0	4.90E+03	0.0	0.0	-0.2	2.77E+03	-0.1	-0.1
27	ULS_LM	ULS - LM71 bez dynam	Q	0	0.0	7.67E+03	0.0	0.0	7.41E+05	0.0	0.0	-1.81E+05	0.0	0.0	0.0E+00	-	-	-	-	0.0	4.90E+03	0.0	0.0	0.0	2.77E+03	0.0	0.0
28	SLS_LM	SLS - LM71 bez dynam	Q	0	0.0	7.67E+03	0.0	0.0	7.41E+05	0.0	0.0	-1.81E+05	0.0	0.0	0.0E+00	-	-	-	-	0.0	4.90E+03	0.0	0.0	0.0	2.77E+03	0.0	0.0
29	ULS_C3	ULS - C3 bez dynam	Q	0	0.0	7.67E+03	0.0	0.0	7.41E+05	0.0	0.0	-1.81E+05	0.0	0.0	0.0E+00	-	-	-	-	0.0	4.90E+03	0.0	0.0	0.0	2.77E+03	0.0	0.0
30	SLS_C3	SLS - C3 bez dynam	Q	0	0.0	7.67E+03	0.0	0.0	7.41E+05	0.0	0.0	-1.81E+05	0.0	0.0	0.0E+00	-	-	-	-	0.0	4.90E+03	0.0	0.0	0.0	2.77E+03	0.0	0.0
NAVÝŠENÍ NAPĚTÍ DO AKTIVACE TLAKU V DESCE MOSTOVKY						$\sigma_{P,red}$	0.0							0.0			0.0		0.0			0.5	0.5			0.5	0.5
NAPĚTÍ OD PRIMÁRNÍCH ÚČINKŮ NEROVNOMĚRNÉHO OTEPLENÍ						σ_T	0.0							0.0													
NAPĚTÍ OD REOLOGICKÝCH ÚČINKŮ BETONU V ČASE		t=0				σ_R	0.0	γ_{i}=	1.20					0.0													
NAPĚTÍ V KRITICKÝCH VLÁKNECH OD KOMBINACE ZATÍŽENÍ						KZ03		[MPa]					$\Sigma\sigma_x$	177.1								$\Sigma\tau_y$	0.5			$\Sigma\tau_z$	0.5
NAPĚTÍ OD POHYBLIVÉHO ZATÍŽENÍ								[MPa]					$\sigma_{x,P}$	121.1								τ_P	0.0			τ_P	0.4
NAPĚTÍ OD OSTATNÍCH ZATÍŽENÍ								[MPa]			Φ_{Vy}	Φ_{Vz}	$\sigma_{x,rs}$	56.0								τ_{rs}	0.5			τ_{rs}	0.1
NÁVRHOVÁ HODNOTA MEZE KLUZU S REDUKCÍ VLIVEM SMYKOVÉHO NAPĚTÍ								[MPa]			1.00	1.00	$f_{yw,d}$	209.1								$f_{yd}/3^{0,5}$	120.7			$f_{yd}/3^{0,5}$	120.7
NAPĚTÍ OD POHYBLIVÉHO ZATÍŽENÍ V GLOBÁLNÍM SYSTÉMU						$\sigma_{GLOB,P}$	0.0	[MPa]					$\Sigma\sigma_{GLOB}$	0.0													
NAPĚTÍ OD OSTATNÍCH ZATÍŽENÍ V GLOBÁLNÍM SYSTÉMU						$\sigma_{GLOB,rs}$	0.0	[MPa]					$\Sigma\sigma_x + \Sigma\sigma_{GLOB}$	177.1													
VYUŽITÍ PRŮŘEZU DLE NAPĚTÍ								[%]					η_1	0.85								η_3	0.00			η_3	0.00
NAPĚTÍ V PŘÍČNÉM SMĚRU OD POHYBLIVÉHO ZATÍŽENÍ						$\sigma_{z,P}$	0.0	[MPa]					$\Sigma\sigma_z$	0.0													
NAPĚTÍ V PŘÍČNÉM SMĚRU OD OSTATNÍCH ZATÍŽENÍ						$\sigma_{z,rs}$	0.0	[MPa]					η_2	0.00													
SROVNÁVACÍ NAPĚTÍ													$(\eta 2 + 0{,}8\,\eta 1)/1{,}4$ =	0.48													
VYUŽITÍ PRŮŘEZU CELKEM								[%]					eff	0.85	VYHOVUJE												
													Z_{LM71} =	1.26													

TAB. D7.2.3 POSOUZENÍ - MEZNÍ STAV ÚNOSNOSTI

POPIS	DIAGONÁLA D7
PRUT / POLOHA BODU	235 / J[2703]
NAMÁHÁNÍ	Vz.min
VLÁKNO	BOD S6 -HP
MEZNÍ STAV	ULS (MSÚ)
VYUŽITÍ VLÁKNA PRŮŘEZU	0.51

Charakteristiky materiálu				
pás. horní	$f_{yf,k}$	230	MPa	
pás. dolní	$f_{yf,k}$	230	MPa	
stojina	$f_{yw,k}$	230	MPa	
výztuž	$f_{ys,k}$	500	MPa	
γ_M =	1.10	γ_s =	1.15	

Excentricita normálové síly				
Exc./Fáze	0	1	2	3
e_y	0.000	0.000	0.000	0.000
e_z	0.000	0.000	0.000	0.000
Ekvivalentní vzdál. stěn - příčný roznos				
b_{Mx}	0.000	0.000	0.000	0.000

Vliv stěny na únosnost průřezu				
Char./Fáze	0	1	2	3
A	0.00	0.00	0.00	0.00
Wy	0.00	0.00	0.00	0.00
Wz	0.00	0.00	0.00	0.00

Charakter. v kroucení			
$t_{w,y}$	0.000	[mm]	
$t_{w,z}$	0.000	[mm]	
κ	1.00		
I_t=	0.00E+00	[mm^4]	
$\Omega=2*A_{pz}$	0.00E+00	[mm^2]	

Součinitele vzpěru a vlivu II.řádu					
Char./Fáze	0	1	2	3	
k_y	1.000	1.000	1.000	1.000	
k_z	1.000	1.000	1.000	1.000	
χ_{LT}	1.000	1.000	1.000	1.000	
χ_{min}	1.000	1.000	1.000	1.000	

Vnitřní síly od jednotlivých skupin zatěžovacích stavů

SKUPINA ZATĚŽOVACÍCH STAVŮ — CHARAKTERISTICKÉ HODNOTY — DÍLČÍ SOUČINITELÉ ZATÍŽENÍ, DYNAMICKÝ SOUČINITEL — NÁVRHOVÉ HODNOTY

Č.	SKUP ZS	POPIS ZS	KAT.	FÁZE PRŮŘ.	N.k (kN)	Vy.k (kN)	Vz.k (kN)	Mx.k (kNm)	My.k (kNm)	Mz.k (kNm)	γ_{sr} (-)	γ_{fs} (-)	volba γ_f hledat	γ_f (-)	L_d (m)	δ (-)	Ψ_s KZ04	N.d (kN)	Vy.d (kN)	Vz.d (kN)	ΔVz.d (kN)	ΣVz.d (kN)	Mx.d (kNm)	My.d (kNm)	ΔMy.d (kNm)	ΣMy.d (kNm)	Mz.d (kNm)	ΔMz.d (kNm)	ΣMz.d (kNm)
1	G0	Vlastní tíha OK	G	0	125	2	0	0	0	-2	1.00	1.20		1.20	-	1.00	0.95	142	2	0	0	0	0	0	0	0	-2	0	-2
2	G1	Ostatní stálé - mostní vybavení	G	0	9	0	0	0	0	0	1.00	1.00		1.00	-	1.00	0.95	8	0	0	0	0	0	0	0	0	0	0	0
3	G2	Ostatní stálé - cizí zařízení	G	0	7	0	0	0	0	0	1.00	1.20		1.20	-	1.00	0.95	8	0	0	0	0	0	0	0	0	0	0	0
4	P1_71	a.LM71 - kolej 1 (bez dyn. souč.)	P	0	14	0	-3	0	18	0	1.00	1.30		1.30	-	1.00	1.00	18	0	-4	0	-4	0	23	0	23	0	0	0
5	P2_71	a.LM71 - kolej 2 (bez dyn. souč.)	P	0	-18	0	-3	0	10	0	1.00	1.30		1.30	-	1.00	1.00	-23	0	-4	0	-4	0	13	0	13	0	0	0
6	P1_C3	TTZ C3 - kolej 1 (bez dyn. souč.)	P	0	5	0	-3	0	13	0	1.00	vyp.		0.00	-	1.00	0.00	0	0	0	0	0	0	0	0	0	0	0	0
7	P2_C3	TTZ C3 - kolej 2 (bez dyn. souč.)	P	0	-48	0	-2	0	7	0	1.00	vyp.		0.00	-	1.00	0.00	0	0	0	0	0	0	0	0	0	0	0	0
8	BR	Brzdné a rozjezdové síly	P	0	7	0	0	0	1	0	1.00	1.30		1.30	-	1.00	0.40	3	0	0	0	0	0	0	0	0	0	0	0
9	S	Boční ráz	P	0	1	0	-1	0	5	0	1.00	1.30		1.30	-	1.00	0.80	1	0	-1	0	-1	0	5	0	5	0	0	0
10	CH	Chodci na lávkách	Q	0	23	0	0	0	1	0	1.00	1.30		1.30	-	1.00	1.00	29	0	0	0	0	0	1	0	1	0	0	0
11	W	Vítr na konstrukci	Q	0	14	0	-2	0	-2	0	1.00	1.35		1.35	-	1.00	0.75	14	0	-2	0	-2	0	-2	0	-2	0	0	0
12	WP	Vítr na vozidla	Q	0	-13	0	-1	0	10	0	1.00	1.35		1.35	-	1.00	0.75	-13	0	-1	0	-1	0	10	0	10	0	0	0
13	TR	Teplota rovnoměrná	Q	0	0	0	0	0	0	0	1.00	1.35		1.35	-	1.00	0.45	0	0	0	0	0	0	0	0	0	0	0	0
14	TN	Teplota nerovnoměrná	Q	0	-9	0	-1	0	9	0	1.00	1.35		1.35	-	1.00	0.60	-8	0	-1	0	-1	0	7	0	7	0	0	0
15	FR	Třecí síly v ložiskách	Q	0	0	0	0	0	0	0	1.00	1.20		1.20	-	1.00	1.00	0	0	0	0	0	0	0	0	0	0	0	0
16	I	Imperfekce soustavy	Q	0	3	0	0	0	1	0	1.00	1.20		1.20	-	1.00	1.00	3	0	0	0	0	0	2	0	2	0	0	0
27	ULS_LM	ULS - LM71 bez dynam	Q	0	187	2	-13	0	62	-2	1.00	vyp.		0.00	-	1.00	0.00	0	0	0	0	0	0	0	0	0	0	0	0
28	SLS_LM	SLS - LM71 bez dynam	Q	0	167	2	-9	0	42	-1	1.00	vyp.	1	0.00	-	1.00	0.00	0	0	0	0	0	0	0	0	0	0	0	0
29	ULS_C3	ULS - C3 bez dynam	Q	0	136	2	-11	0	52	-2	1.00	vyp.	1	0.00	-	1.00	0.00	0	0	0	0	0	0	0	0	0	0	0	0
30	SLS_C3	SLS - C3 bez dynam	Q	0	128	2	-8	0	34	-2	1.00	vyp.	1	0.00	-	1.00	0.00	0	0	0	0	0	0	0	0	0	0	0	0
		CELKEM - FÁZE PRŮŘEZU 0																184	2	-13	0	-13	0	61	0	61	-2	0	-2
		CELKEM - FÁZE PRŮŘEZU 1																0	0	0	0	0	0	0	0	0	0	0	0
		CELKEM - FÁZE PRŮŘEZU 2																0	0	0	0	0	0	0	0	0	0	0	0
		CELKEM - FÁZE PRŮŘEZU 3																0	0	0	0	0	0	0	0	0	0	0	0
		CELKEM - PRŮŘEZ																184	2	-13	0	-13	0			61			-2

Napětí od jednotlivých zatěžovacích stavů

SKUPINA ZATĚŽOVACÍCH STAVŮ — Posouzení normálového napětí — Účinek síly N — Účinek momentu My — Účinek momentu Mz — Posouzení smykového napětí — Účinek kroutícího momentu Mx — Účinek smykové síly Vy — Účinek smykové síly Vz

Č.	SKUP ZS	Popis ZS	Kat.	fáze průř.	δ^*N_d [kN]	χ^*A [mm^2]	σ_n [MPa]	$\delta^*M_{y,d}$ [kNm]	$\chi_{lt}*W_{el,y}$ [mm^3]	σ_{my} [MPa]	$\delta^*M_{z,d}$ [kNm]	$W_{el,z}$ [mm^3]	σ_{mz} [MPa]	σ_x [MPa]	$\kappa*\delta^*M_{x,d}$ [kNm]	$W_{v,y}$ [mm^3]	$\tau_{x,y}$ [MPa]	$W_{v,z}$ [mm^3]	$\tau_{x,z}$ [MPa]	$\delta^*V_{y,d}$ [kN]	$A_{v,y}$ [mm2]	$\tau_{v,y}$ [MPa]	$\tau_{v,y}$ [MPa]	$\delta^*V_{z,d}$ [kN]	$A_{v,z}$ [mm2]	$\tau_{v,z}$ [MPa]	$\tau_{v,z}$ [MPa]
1	G0	Vlastní tíha OK	G	0	141.9	7.67E+03	18.5	0.4	7.41E+05	0.6	-2.3	-1.79E+06	1.3	20.4	0.0E+00	-	-	-	-	2.2	4.90E+03	0.4	0.4	0.2	2.77E+03	0.1	0.1
2	G1	Ostatní stálé - mostní vybavení	G	0	8.2	7.67E+03	1.1	0.3	7.41E+05	0.4	0.0	-1.79E+06	0.0	1.4	0.0E+00	-	-	-	-	0.0	4.90E+03	0.0	0.0	0.0	2.77E+03	0.0	0.0
3	G2	Ostatní stálé - cizí zařízení	G	0	8.0	7.67E+03	1.0	-0.2	7.41E+05	-0.2	0.0	-1.79E+06	0.0	0.8	0.0E+00	-	-	-	-	0.0	4.90E+03	0.0	0.0	0.0	2.77E+03	0.0	0.0
4	P1_71	a.LM71 - kolej 1 (bez dyn. souč.)	P	0	18.0	7.67E+03	2.3	23.0	7.41E+05	31.1	0.1	-1.79E+06	0.0	33.4	1.3E-02	-	-	-	-	0.0	4.90E+03	0.0	0.0	-4.4	2.77E+03	-1.6	-1.6
5	P2_71	a.LM71 - kolej 2 (bez dyn. souč.)	P	0	-23.0	7.67E+03	-3.0	12.9	7.41E+05	17.4	0.5	-1.79E+06	-0.3	14.2	0.0E+00	-	-	-	-	-0.2	4.90E+03	0.0	0.0	-4.0	2.77E+03	-1.5	-1.5
6	P1_C3	TTZ C3 - kolej 1 (bez dyn. souč.)	P	0	0.0	7.67E+03	0.0	0.0	7.41E+05	0.0	0.0	-1.79E+06	0.0	0.0	0.0E+00	-	-	-	-	0.0	4.90E+03	0.0	0.0	0.0	2.77E+03	0.0	0.0
7	P2_C3	TTZ C3 - kolej 2 (bez dyn. souč.)	P	0	0.0	7.67E+03	0.0	0.0	7.41E+05	0.0	0.0	-1.79E+06	0.0	0.0	0.0E+00	-	-	-	-	0.0	4.90E+03	0.0	0.0	0.0	2.77E+03	0.0	0.0
8	BR	Brzdné a rozjezdové síly	P	0	3.4	7.67E+03	0.4	0.3	7.41E+05	0.4	0.2	-1.79E+06	-0.1	0.7	0.0E+00	-	-	-	-	-0.1	4.90E+03	0.0	0.0	0.0	2.77E+03	0.0	0.0
9	S	Boční ráz	P	0	1.3	7.67E+03	0.2	5.3	7.41E+05	7.1	0.0	-1.79E+06	0.0	7.3	0.0E+00	-	-	-	-	0.0	4.90E+03	0.0	0.0	-0.7	2.77E+03	-0.3	-0.3
10	CH	Chodci na lávkách	Q	0	29.3	7.67E+03	3.8	1.4	7.41E+05	1.8	0.0	-1.79E+06	0.0	5.7	0.0E+00	-	-	-	-	0.0	4.90E+03	0.0	0.0	-0.2	2.77E+03	-0.1	-0.1
11	W	Vítr na konstrukci	Q	0	13.9	7.67E+03	1.8	-1.6	7.41E+05	-2.2	0.0	-1.79E+06	0.0	-0.4	0.0E+00	-	-	-	-	0.0	4.90E+03	0.0	0.0	-1.8	2.77E+03	-0.6	-0.6
12	WP	Vítr na vozidla	Q	0	-13.0	7.67E+03	-1.7	10.2	7.41E+05	13.7	0.0	-1.79E+06	0.0	12.0	1.0E-02	-	-	-	-	0.0	4.90E+03	0.0	0.0	-1.1	2.77E+03	-0.4	-0.4
13	TR	Teplota rovnoměrná	Q	0	0.0	7.67E+03	0.0	0.0	7.41E+05	0.0	0.0	-1.79E+06	0.0	0.0	0.0E+00	-	-	-	-	0.0	4.90E+03	0.0	0.0	0.0	2.77E+03	0.0	0.0
14	TN	Teplota nerovnoměrná	Q	0	-7.6	7.67E+03	-1.0	7.0	7.41E+05	9.5	0.0	-1.79E+06	0.0	8.5	0.0E+00	-	-	-	-	-0.1	4.90E+03	0.0	0.0	-0.9	2.77E+03	-0.3	-0.3
15	FR	Třecí síly v ložiskách	Q	0	0.0	7.67E+03	0.0	0.0	7.41E+05	0.0	0.0	-1.79E+06	0.0	0.0	0.0E+00	-	-	-	-	0.0	4.90E+03	0.0	0.0	0.0	2.77E+03	0.0	0.0
16	I	Imperfekce soustavy	Q	0	3.3	7.67E+03	0.4	1.6	7.41E+05	2.2	0.0	-1.79E+06	0.0	2.6	0.0E+00	-	-	-	-	0.0	4.90E+03	0.0	0.0	-0.2	2.77E+03	-0.1	-0.1
27	ULS_LM	ULS - LM71 bez dynam	Q	0	0.0	7.67E+03	0.0	0.0	7.41E+05	0.0	0.0	-1.79E+06	0.0	0.0	0.0E+00	-	-	-	-	0.0	4.90E+03	0.0	0.0	0.0	2.77E+03	0.0	0.0
28	SLS_LM	SLS - LM71 bez dynam	Q	0	0.0	7.67E+03	0.0	0.0	7.41E+05	0.0	0.0	-1.79E+06	0.0	0.0	0.0E+00	-	-	-	-	0.0	4.90E+03	0.0	0.0	0.0	2.77E+03	0.0	0.0
29	ULS_C3	ULS - C3 bez dynam	Q	0	0.0	7.67E+03	0.0	0.0	7.41E+05	0.0	0.0	-1.79E+06	0.0	0.0	0.0E+00	-	-	-	-	0.0	4.90E+03	0.0	0.0	0.0	2.77E+03	0.0	0.0
30	SLS_C3	SLS - C3 bez dynam	Q	0	0.0	7.67E+03	0.0	0.0	7.41E+05	0.0	0.0	-1.79E+06	0.0	0.0	0.0E+00	-	-	-	-	0.0	4.90E+03	0.0	0.0	0.0	2.77E+03	0.0	0.0
NAVÝŠENÍ NAPĚTÍ DO AKTIVACE TLAKU V DESCE MOSTOVKY						$\sigma_{P,red}$	0.0							0.0			0.0		0.0				0.4	0.4			-4.7	-4.7
NAPĚTÍ OD PRIMÁRNÍCH ÚČINKŮ NEROVNOMĚRNÉHO OTEPLENÍ						σ_T	0.0							0.0														
NAPĚTÍ OD REOLOGICKÝCH ÚČINKŮ BETONU V ČASE				t=0		σ_R	0.0	γ=	1.20					0.0														
NAPĚTÍ V KRITICKÝCH VLÁKNECH OD KOMBINACE ZATÍŽENÍ						KZ04		[MPa]					$\Sigma\sigma_x$	106.7									$\Sigma\tau_y$	0.4			$\Sigma\tau_z$	-4.7
NAPĚTÍ OD POHYBLIVÉHO ZATÍŽENÍ								[MPa]					$\sigma_{x,P}$	55.6									τ_P	0.0			τ_P	-3.3
NAPĚTÍ OD OSTATNÍCH ZATÍŽENÍ								[MPa]			Φ_{Vy}	Φ_{Vz}	$\sigma_{x,rs}$	51.2									τ_{rs}	0.4			τ_{rs}	-1.5
NÁVRHOVÁ HODNOTA MEZE KLUZU S REDUKCÍ VLIVEM SMYKOVÉHO NAPĚTÍ								[MPa]			1.00	1.00	$f_{yw,d}$	209.1									$f_{yd}/3^{0,5}$	120.7			$f_{yd}/3^{0,5}$	120.7
NAPĚTÍ OD POHYBLIVÉHO ZATÍŽENÍ V GLOBÁLNÍM SYSTÉMU						$\sigma_{GLOB,P}$	0.0	[MPa]					$\Sigma\sigma_{GLOB}$	0.0														
NAPĚTÍ OD OSTATNÍCH ZATÍŽENÍ V GLOBÁLNÍM SYSTÉMU						$\sigma_{GLOB,rs}$	0.0	[MPa]					$\Sigma\sigma_x + \Sigma\sigma_{GLOB}$	106.7														
VYUŽITÍ PRŮŘEZU DLE NAPĚTÍ								[%]					η_1	0.51									η_3	0.00			η_3	0.04
NAPĚTÍ V PŘÍČNÉM SMĚRU OD POHYBLIVÉHO ZATÍŽENÍ						$\sigma_{z,P}$	0.0	[MPa]					$\Sigma\sigma_z$	0.0														
NAPĚTÍ V PŘÍČNÉM SMĚRU OD OSTATNÍCH ZATÍŽENÍ						$\sigma_{z,rs}$	0.0	[MPa]					η_2	0.00														
SROVNÁVACÍ NAPĚTÍ													$(\eta_2 + 0,8\,\eta_1)/1,4$ =	0.29														
VYUŽITÍ PRŮŘEZU CELKEM								[%]					eff	0.51	VYHOVUJE													
													z_{LM71} =	2.84														

VÝPOČET PRŮŘEZOVÝCH CHARAKTERISTIK

PRŮŘEZ: D8_c **POPIS:** DIAGONÁLA 8 - TLAK **x =** - **m**

DEFINOVÁNÍ PRŮŘEZU

ŠÍŘKA PÁSNICE ÚHELNÍKU	b f.t.l.o =	100	mm	**ÚHELNÍK HORNÍ VNĚJŠÍ LEVÝ**		**C.T.O.L**	
TLOUŠŤKA PÁSNICE ÚHELNÍKU	t f.t.l.o =	13	mm	OSLABENÍ PÁSNICE - TLOUŠŤKA	Δt f.t.l.o =	0	%
VÝŠKA STĚNY ÚHELNÍKU	h w.t.l.o =	67	mm				
TLOUŠŤKA STĚNY ÚHELNÍKU	t w.t.l.o =	13	mm	OSLABENÍ STĚNY - TLOUŠŤKA	Δt w.t.l.o =	20	%
ŠÍŘKA PÁSNICE ÚHELNÍKU	b f.t.r.o =	100	mm	**ÚHELNÍK HORNÍ VNĚJŠÍ PRAVÝ**		**C.T.O.R**	
TLOUŠŤKA PÁSNICE ÚHELNÍKU	t f.t.r.o =	13	mm	OSLABENÍ PÁSNICE - TLOUŠŤKA	Δt f.t.r.o =	0	%
VÝŠKA STĚNY ÚHELNÍKU	h w.t.r.o =	67	mm				
TLOUŠŤKA STĚNY ÚHELNÍKU	t w.t.r.o =	13	mm	OSLABENÍ STĚNY - TLOUŠŤKA	Δt w.t.r.0 =	20	%
ŠÍŘKA PÁSNICE ÚHELNÍKU	b f.t.l.i =	100	mm	**ÚHELNÍK HORNÍ VNITŘNÍ LEVÝ**		**C.T.I.L**	
TLOUŠŤKA PÁSNICE ÚHELNÍKU	t f.t.l.i =	13	mm	OSLABENÍ PÁSNICE - TLOUŠŤKA	Δt f.b.l.o =	0	%
VÝŠKA STĚNY ÚHELNÍKU	h w.t.l.i =	67	mm				
TLOUŠŤKA STĚNY ÚHELNÍKU	t w.t.l.i =	13	mm	OSLABENÍ STĚNY - TLOUŠŤKA	Δt w.b.l.o =	20	%
ŠÍŘKA PÁSNICE ÚHELNÍKU	b f.t.r.i =	100	mm	**ÚHELNÍK HORNÍ VNITŘNÍ PRAVÝ**		**C.T.I.R**	
TLOUŠŤKA PÁSNICE ÚHELNÍKU	t f.t.r.i =	13	mm	OSLABENÍ PÁSNICE - TLOUŠŤKA	Δt f.b.r.o =	0	%
VÝŠKA STĚNY ÚHELNÍKU	h w.t.r.i =	67	mm				
TLOUŠŤKA STĚNY ÚHELNÍKU	t w.t.r.i =	13	mm	OSLABENÍ STĚNY - TLOUŠŤKA	Δt w.b.r.o =	20	%
ŠÍŘKA PÁSNICE ÚHELNÍKU	b f.b.l.o =	100	mm	**ÚHELNÍK DOLNÍ VNĚJŠÍ LEVÝ**		**C.B.O.L**	
TLOUŠŤKA PÁSNICE ÚHELNÍKU	t f.b.l.o =	13	mm	OSLABENÍ PÁSNICE - TLOUŠŤKA	Δt f.t.l.i =	0	%
VÝŠKA STĚNY ÚHELNÍKU	h w.b.l.o =	67	mm				
TLOUŠŤKA STĚNY ÚHELNÍKU	t w.b.l.o =	13	mm	OSLABENÍ STĚNY - TLOUŠŤKA	Δt w.t.l.i =	20	%
ŠÍŘKA PÁSNICE ÚHELNÍKU	b f.b.r.o =	100	mm	**ÚHELNÍK DOLNÍ VNĚJŠÍ PRAVÝ**		**C.B.O.R**	
TLOUŠŤKA PÁSNICE ÚHELNÍKU	t f.b.r.o =	13	mm	OSLABENÍ PÁSNICE - TLOUŠŤKA	Δt f.t.r.i =	0	%
VÝŠKA STĚNY ÚHELNÍKU	h w.b.r.o =	67	mm				
TLOUŠŤKA STĚNY ÚHELNÍKU	t w.b.r.o =	13	mm	OSLABENÍ STĚNY - TLOUŠŤKA	Δt w.t.r.i =	20	%
PÁSNICE DOLNÍHO LEVÉHO ÚHELNÍKU	b f.b.l.i =	100	mm	**ÚHELNÍK DOLNÍ VNITŘNÍ LEVÝ**		**C.B.I.L**	
TLOUŠŤKA PÁSNICE ÚHELNÍKU	t f.b.l.i =	13	mm	OSLABENÍ PÁSNICE - TLOUŠŤKA	Δt f.b.l.i =	0	%
VÝŠKA STĚNY ÚHELNÍKU	h w.b.l.i =	67	mm				
TLOUŠŤKA STĚNY ÚHELNÍKU	t w.b.l.i =	13	mm	OSLABENÍ STĚNY - TLOUŠŤKA	Δt w.b.l.i =	20	%
PÁSNICE DOLNÍHO PRAVÉHO ÚHELNÍKU	b f.b.r.i =	100	mm	**ÚHELNÍK DOLNÍ VNITŘNÍ PRAVÝ**		**C.B.I.R**	
TLOUŠŤKA PÁSNICE ÚHELNÍKU	t f.b.r.i =	13	mm	OSLABENÍ PÁSNICE - TLOUŠŤKA	Δt f.b.r.i =	0	%
VÝŠKA STĚNY ÚHELNÍKU	h w.b.r.i =	67	mm				
TLOUŠŤKA STĚNY ÚHELNÍKU	t w.b.r.i =	13	mm	OSLABENÍ STĚNY - TLOUŠŤKA	Δt w.b.r.i =	20	%

D8.1 HORNÍ

ŠÍŘKA HORNÍ VLOŽKY - VNĚJŠÍ	b f.t =	0	mm			**HOR.T.O**	
TLOUŠŤKA VLOŽKY	t f.t =	0	mm	OSLABENÍ VLOŽKY	Δt f.t =	0	%
ŠÍŘKA HORNÍ VLOŽKY - VNITŘNÍ	b f.t =	0	mm			**HOR.T.I**	
TLOUŠŤKA VLOŽKY	t f.t =	0	mm	OSLABENÍ VLOŽKY	Δt f.t =	0	%
ŠÍŘKA DOLNÍ VLOŽKY - VNĚJŠÍ	b f.t =	0	mm			**HOR.B.O**	
TLOUŠŤKA VLOŽKY	t f.t =	0	mm	OSLABENÍ VLOŽKY	Δt f.t =	0	%
ŠÍŘKA DOLNÍ VLOŽKY - VNITŘNÍ	b f.t =	0	mm			**HOR.B.I**	
TLOUŠŤKA VLOŽKY	t f.t =	0	mm	OSLABENÍ VLOŽKY - VNITŘNÍ	Δt f.t =	0	%

VZD. OKRAJŮ PÁSNIC VNITŘNÍCH ÚHELNÍKŮ	416	mm
CELKOVÁ TLOUŠŤKA MEZI PÁSNICEMI ÚHELNÍKŮ I A .o	24	mm
CELKOVÁ TLOUŠŤKA MEZI PÁSNICEMI ÚHELNÍKŮ I A .r	8	mm

ZADANÉ ČÁSTI PRŮŘEZU:

č.prvku	b [mm]	h [mm]	y_s [mm]	z_s [mm]	popis části	druh oslabení	lokální ultimate	boulení servic.
1	100.0	13.0	-54.0	238.5	pásnice	0	1.000	1.000
2	10.4	67.0	-9.2	278.5	stěna	0	1.000	1.000
3	100.0	13.0	54.0	238.5	pásnice	0	1.000	1.000
4	10.4	67.0	9.2	278.5	stěna	0	1.000	1.000
5	100.0	13.0	-54.0	201.5	pásnice	0	1.000	1.000
6	10.4	67.0	-9.2	161.5	stěna	0	1.000	1.000
7	100.0	13.0	54.0	201.5	pásnice	0	1.000	1.000
8	10.4	67.0	9.2	161.5	stěna	0	1.000	1.000
9	100.0	13.0	-54.0	-238.5	pásnice	0	1.000	1.000
10	10.4	67.0	-9.2	-278.5	stěna	0	1.000	1.000
11	100.0	13.0	54.0	-238.5	pásnice	0	1.000	1.000
12	10.4	67.0	9.2	-278.5	stěna	0	1.000	1.000
13	100.0	13.0	-54.0	-201.5	pásnice	0	1.000	1.000
14	10.4	67.0	-9.2	-161.5	stěna	0	1.000	1.000
15	100.0	13.0	54.0	-201.5	pásnice	0	1.000	1.000
16	10.4	67.0	9.2	-161.5	stěna	0	1.000	1.000
17						0	1.000	1.000
18						0	1.000	1.000
19						0	1.000	1.000
20						0	1.000	1.000
21						0	1.000	1.000
22						0	1.000	1.000
23						0	1.000	1.000
24						0	1.000	1.000
25						0	1.000	1.000
26						0	1.000	1.000
27						0	1.000	1.000
28						0	1.000	1.000
29						0	1.000	1.000
30						0	1.000	1.000
31						0	1.000	1.000
32						0	1.000	1.000
33						0	1.000	1.000
34						0	1.000	1.000
35						0	1.000	1.000
36						0	1.000	1.000
37						0	1.000	1.000
38						0	1.000	1.000
39						0	1.000	1.000
40						0	1.000	1.000
41	0.0	0.0	0.0	232.0	pásnice	0	1.000	1.000
42	0.0	0.0	0.0	208.0	pásnice	0	1.000	1.000
43	0.0	0.0	0.0	-232.0	pásnice	0	1.000	1.000
44	0.0	0.0	0.0	-208.0	pásnice	0	1.000	1.000
45						0	1.000	1.000
46						0	1.000	1.000
47						0	1.000	1.000
48						0	1.000	1.000
49						0	1.000	1.000
50						0	1.000	1.000
51						0	1.000	1.000
52						0	1.000	1.000
53						0	1.000	1.000
54						0	1.000	1.000
55						0	1.000	1.000
56						0	1.000	1.000
57						0	1.000	1.000
58						0	1.000	1.000
59						0	1.000	1.000
60						0	1.000	1.000
61						0	1.000	1.000
62						0	1.000	1.000
63						0	1.000	1.000
64						0	1.000	1.000
65						0	1.000	1.000
66						0	1.000	1.000
67						0	1.000	1.000
68						0	1.000	1.000
69						0	1.000	1.000
70						0	1.000	1.000
71	0	0	-9.2	277.0	nýt-stěna	0	1.000	1.000
72	0	0	9.2	277.0	nýt-stěna	0	1.000	1.000
73	0	0	-9.2	163.0	nýt-stěna	0	1.000	1.000
74	0	0	9.2	163.0	nýt-stěna	0	1.000	1.000
75	0	0	-9.2	-277.0	nýt-stěna	0	1.000	1.000
76	0	0	9.2	-277.0	nýt-stěna	0	1.000	1.000
77	0	0	-9.2	-163.0	nýt-stěna	0	1.000	1.000
78	0	0	9.2	-163.0	nýt-stěna	0	1.000	1.000
79						0	1.000	1.000
80						0	1.000	1.000
81	0	0	-59.0	245.0	nýt-pásnice	0	1.000	1.000
82	0	0	-59.0	195.0	nýt-pásnice	0	1.000	1.000
83	0	0	59.0	245.0	nýt-pásnice	0	1.000	1.000
84	0	0	59.0	195.0	nýt-pásnice	0	1.000	1.000
85	0	0	-59.0	-245.0	nýt-pásnice	0	1.000	1.000
86	0	0	-59.0	-195.0	nýt-pásnice	0	1.000	1.000
87	0	0	59.0	-245.0	nýt-pásnice	0	1.000	1.000
88	0	0	59.0	-195.0	nýt-pásnice	0	1.000	1.000
89						0	1.000	1.000
90						0	1.000	1.000
91	0	0	0	0	nýt-pásnice	0	1.000	1.000
92	0	0	0	0	nýt-pásnice	0	1.000	1.000
93	0	0	0	0	nýt-pásnice	0	1.000	1.000
94	0	0	0	0	nýt-pásnice	0	1.000	1.000
95	0	0	0	0	nýt-pásnice	0	1.000	1.000
96	0	0	0	0	nýt-pásnice	0	1.000	1.000
97	0	0	0	0	nýt-pásnice	0	1.000	1.000
98	0	0	0	0	nýt-pásnice	0	1.000	1.000
99						0	1.000	1.000
100						0	1.000	1.000

NÝT Č.	SKUPINA	ŘEZ	RED.	VELIKOST d$_i$ [mm]	POLOHA e$_i$ [mm]	POPIS	AKTIVITA OTVORU	NAPĚTÍ sc [MPa]
1		-	1.00	20	35	nýt - t.o - úhelník	0	-25.43
2		-	1.00	20	35	nýt - t.o - úhelník	0	-27.39
3		-	1.00	20	35	nýt - t.i - úhelník	0	-22.39
4		-	1.00	20	35	nýt - t.i - úhelník	0	-24.35
5		-	1.00	20	35	nýt - b.o - úhelník	0	-10.64
6		-	1.00	20	35	nýt - b.o - úhelník	0	-12.61
7		-	1.00	20	35	nýt - b.i - úhelník	0	-13.69
8		-	1.00	20	35	nýt - b.i - úhelník	0	-15.65
9								
10								
11		-	1.00	20	45	nýt - t.i - úhelník	0	-19.26
12		-	1.00	20	45	nýt - t.i - úhelník	0	-17.92
13		-	1.00	20	45	nýt - t.r - úhelník	0	-31.86
14		-	1.00	20	45	nýt - t.r - úhelník	0	-30.52
15		-	1.00	20	45	nýt - b.l - úhelník	0	-6.18
16		-	1.00	20	45	nýt - b.l - úhelník	0	-7.51
17		-	1.00	20	45	nýt - b.r - úhelník	0	-18.78
18		-	1.00	20	45	nýt - b.r - úhelník	0	-20.11
19								
20								
21		-	1.00	0	-132	nýt - t.l	0	-
22		-	1.00	0	-132	nýt - t.l	0	-
23		-	1.00	0	132	nýt - t.r	0	-
24		-	1.00	0	132	nýt - t.r	0	-
25		-	1.00	0	-132	nýt - b.l	0	-
26		-	1.00	0	-132	nýt - b.l	0	-
27		-	1.00	0	132	nýt - b.r	0	-
28		-	1.00	0	132	nýt - b.r	0	-
29								
30								

VÝPOČET PRŮŘEZOVÝCH CHARAKTERISTIK

Properties	Basic	Ultimate		Serviceability	
y_t	0.0	0.0		0.0	[mm]
z_t	0.0	0.0		0.0	[mm]
A_i	1.5974E+04	1.5974E+04		1.5974E+04	[mm^2]
A_y	1.0400E+04	1.0400E+04		1.0400E+04	[mm^2]
A_z	5.5744E+03	5.5744E+03		5.5744E+03	[mm^2]
I_{yt}	4.7882E+08	4.7882E+08		4.7882E+08	[mm^4]
I_w	3.9515E+07	3.9515E+07		3.9515E+07	[mm^6]
i_t	173.1	173.1		173.1	[mm]
i_z	49.7	49.7		49.7	[mm]
$W_{y,1}$	1.5347E+06	1.5347E+06		1.5347E+06	[mm^3]
$W_{e,1}$	-3.7995E+05	-3.7995E+05		-3.7995E+05	[mm^3]
$W_{y,2}$	-1.5347E+06	-1.5347E+06		-1.5347E+06	[mm^3]
$W_{e,2}$	-3.7995E+05	-3.7995E+05		-3.7995E+05	[mm^3]
KRAJNÍ VLÁKNA PRŮŘEZU					
y_1	-104.0	-104.0		-104.0	[mm] min
z_1	312.0	312.0		312.0	[mm] max
y_2	-104.0	-104.0		-104.0	[mm] min
z_2	-312.0	-312.0		-312.0	[mm] min
y_3	104.0	104.0		104.0	[mm] max
z_3	312.0	312.0		312.0	[mm] max
y_4	104.0	104.0		104.0	[mm] max
z_4	-312.0	-312.0		-312.0	[mm] min
y_5	-14.4	-14.4		-14.4	[mm]
z_5	-245.0	-245.0		-245.0	[mm]
y_6	-14.4	-14.4		-14.4	[mm]
z_6	-312.0	-312.0		-312.0	[mm]

SCHÉMA PROMĚNNÝCH

SCHÉMA ZADANÉHO PRŮŘEZU

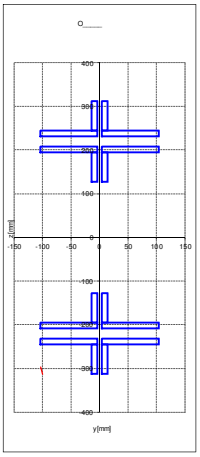

ÚPRAVA MOMENTŮ SETRVAČNOSTI V DŮSLEDKU ČLENĚNÍ PRŮŘEZU

OSA Y	0.60
OSA Z	1.00

NEUTRÁLNÁ OSA

NAPĚTÍ [MPa]:

-16.24	-38.45
0.42	-21.80

ZS: SLS_LM_N.MIN

	N [kN]	Vy [kN]	Vz [kN]	Mx [kNm]	My [kNm]	Mz [kNm]
import	-304	0	5	0	13	4

TR_D8.1 POPIS: **DIAGONÁLA D8** POSUDEK: **D.8.1**

SKUPINA ZAT. STAVŮ	EXTRÉM	VYHODNOCOVANÉ VELIČINY					
		N	Vy	Vz	Mx	My	Mz
		kN	kN	kN	kNm	kNm	kNm
G0	N.min	**67.67**	-0.33	0.88	0	-1.14	3.96
	N.max	**67.67**	-0.33	0.88	0	-1.14	3.96
	Vy.min	67.67	**-0.33**	0.88	0	-1.14	3.96
	Vy.max	67.67	**-0.33**	0.88	0	-1.14	3.96
	Vz.min	67.67	-0.33	**0.88**	0	-1.14	3.96
	Vz.max	67.67	-0.33	**0.88**	0	-1.14	3.96
	Mx.min	67.67	-0.33	0.88	**0**	-1.14	3.96
	Mx.max	67.67	-0.33	0.88	**0**	-1.14	3.96
	My.min	67.67	-0.33	0.88	0	**-1.14**	3.96
	My.max	67.67	-0.33	0.88	0	**-1.14**	3.96
	Mz.min	67.67	-0.33	0.88	0	-1.14	**3.96**
	Mz.max	67.67	-0.33	0.88	0	-1.14	**3.96**
G1	N.min	**6.38**	0	0.06	0	0.16	0.01
	N.max	**6.38**	0	0.06	0	0.16	0.01
	Vy.min	6.38	**0**	0.06	0	0.16	0.01
	Vy.max	6.38	**0**	0.06	0	0.16	0.01
	Vz.min	6.38	0	**0.06**	0	0.16	0.01
	Vz.max	6.38	0	**0.06**	0	0.16	0.01
	Mx.min	6.38	0	0.06	**0**	0.16	0.01
	Mx.max	6.38	0	0.06	**0**	0.16	0.01
	My.min	6.38	0	0.06	0	**0.16**	0.01
	My.max	6.38	0	0.06	0	**0.16**	0.01
	Mz.min	6.38	0	0.06	0	0.16	**0.01**
	Mz.max	6.38	0	0.06	0	0.16	**0.01**
G2	N.min	**4.8**	0	-0.02	0	-0.05	0.01
	N.max	**4.8**	0	-0.02	0	-0.05	0.01
	Vy.min	4.8	**0**	-0.02	0	-0.05	0.01
	Vy.max	4.8	**0**	-0.02	0	-0.05	0.01
	Vz.min	4.8	0	**-0.02**	0	-0.05	0.01
	Vz.max	4.8	0	**-0.02**	0	-0.05	0.01
	Mx.min	4.8	0	-0.02	**0**	-0.05	0.01
	Mx.max	4.8	0	-0.02	**0**	-0.05	0.01
	My.min	4.8	0	-0.02	0	**-0.05**	0.01
	My.max	4.8	0	-0.02	0	**-0.05**	0.01
	Mz.min	4.8	0	-0.02	0	-0.05	**0.01**
	Mz.max	4.8	0	-0.02	0	-0.05	**0.01**
P1_71	N.min	**-99.25**	0.08	1.48	0	5.58	0.12
	N.max	**150.99**	-0.03	3.2	0	3.11	0.03
	Vy.min	37.94	**-0.08**	3.04	0	4.04	-0.2
	Vy.max	0.35	**0.11**	2.21	0	5.7	0.27
	Vz.min	0	0	**0**	0	0	0
	Vz.max	53.8	0.01	**5.2**	0	8.58	0.03
	Mx.min	-0.29	0	0.01	**0**	0.05	0
	Mx.max	63.34	0.02	4.92	**0**	7.99	0.08
	My.min	0.31	0	0.01	0	**-0.01**	0
	My.max	37.92	0.02	4.94	0	**8.92**	0.08
	Mz.min	30.89	-0.08	2.93	0	4.01	**-0.2**
	Mz.max	13.57	0.11	2.45	0	5.84	**0.27**
P2_71	N.min	**-240.07**	0.19	-1.18	0	2.48	0.32
	N.max	**365.64**	-0.09	-0.3	0	-1.29	0
	Vy.min	83.1	**-0.22**	1.69	0	2.39	-0.54
	Vy.max	9.8	**0.25**	-2.61	0	-0.14	0.65
	Vz.min	31.75	0.25	**-2.64**	0	-0.58	0.65
	Vz.max	70.43	-0.22	**1.83**	0	2.77	-0.53
	Mx.min	18.07	0.18	-1.92	**0**	-0.08	0.48
	Mx.max	164.22	-0.14	0.87	**0**	0.74	-0.28
	My.min	228.24	0.12	-1.91	0	**-3.09**	0.43
	My.max	-89	-0.06	0.82	0	**4.83**	-0.19
	Mz.min	66.7	-0.22	1.68	0	2.51	**-0.55**
	Mz.max	33.67	0.25	-2.61	0	-0.29	**0.66**
P1_C3	N.min	**-79.14**	0.06	1.06	0	4.1	0.11
	N.max	**123.13**	-0.03	2.84	0	2.86	-0.01
	Vy.min	35.93	**-0.06**	2.24	0	2.73	-0.15
	Vy.max	3.83	**0.09**	1.65	0	4.21	0.22
	Vz.min	0	0	**0**	0	0	0
	Vz.max	44.95	0.02	**4.1**	0	6.78	0.05
	Mx.min	-0.24	0	0.01	**0**	0.05	0
	Mx.max	43.79	0.03	3.97	**0**	6.76	0.08
	My.min	0.28	0	0.01	0	**-0.01**	0
	My.max	40.44	0.02	4.05	0	**6.93**	0.07
	Mz.min	18.68	-0.06	1.92	0	2.54	**-0.15**
	Mz.max	27.94	0.08	2	0	4.22	**0.23**
P2_C3	N.min	**-191.45**	0.16	-1	0	1.63	0.27
	N.max	**297.33**	-0.1	-0.06	0	-0.8	-0.08
	Vy.min	92.97	**-0.17**	1.22	0	1.33	-0.39
	Vy.max	27.11	**0.21**	-2.18	0	-0.3	0.54
	Vz.min	45.89	0.2	**-2.21**	0	-0.69	0.54
	Vz.max	69.26	-0.16	**1.34**	0	1.88	-0.38
	Mx.min	-21.08	0.16	-1.57	**0**	0.75	0.43
	Mx.max	122.42	-0.1	0.63	**0**	0.14	-0.23
	My.min	173.76	0.11	-1.67	0	**-2.61**	0.37
	My.max	-61.07	-0.06	0.73	0	**3.56**	-0.16
	Mz.min	48.7	-0.17	1.25	0	1.64	**-0.41**
	Mz.max	88.71	0.2	-2.13	0	-0.83	**0.57**
BR	N.min	**-2.67**	-0.06	0.06	0	0.07	-0.16
	N.max	**2.67**	0.06	-0.06	0	-0.07	0.16
	Vy.min	-2.54	**-0.07**	0.18	0	0.22	-0.17
	Vy.max	2.54	**0.07**	-0.18	0	-0.22	0.17
	Vz.min	2.54	0.07	**-0.18**	0	-0.22	0.17
	Vz.max	-2.54	-0.07	**0.18**	0	0.22	-0.17
	Mx.min	2.54	0.07	-0.18	**0**	-0.22	0.17
	Mx.max	-2.54	-0.07	0.18	**0**	0.22	-0.17
	My.min	2.54	0.07	-0.18	0	**-0.22**	0.17
	My.max	-2.54	-0.07	0.18	0	**0.22**	-0.17
	Mz.min	-2.54	-0.07	0.18	0	0.22	**-0.17**
	Mz.max	2.54	0.07	-0.18	0	-0.22	**0.17**

TR_D8.1 POPIS: **DIAGONÁLA D8** POSUDEK: **D.8.1**

SKUPINA ZAT. STAVŮ	EXTRÉM	VYHODNOCOVANÉ VELIČINY					
		N	Vy	Vz	Mx	My	Mz
		kN	kN	kN	kNm	kNm	kNm
S	N.min	**-3.83**	-0.01	1	0	0.37	-0.02
	N.max	**3.83**	0.01	-1	0	-0.37	0.02
	Vy.min	-1.35	**-0.01**	0.82	0	2.19	-0.02
	Vy.max	1.35	**0.01**	-0.82	0	-2.19	0.02
	Vz.min	2.62	0.01	**-1.19**	0	-1.95	0.02
	Vz.max	-2.62	-0.01	**1.19**	0	1.95	-0.02
	Mx.min	3.1	0.01	-0.81	**0**	0.03	0.02
	Mx.max	-3.1	-0.01	0.81	**0**	-0.03	-0.02
	My.min	1.35	0.01	-0.82	0	**-2.19**	0.02
	My.max	-1.35	-0.01	0.82	0	**2.19**	-0.02
	Mz.min	-1.35	-0.01	0.82	0	2.19	**-0.02**
	Mz.max	1.35	0.01	-0.82	0	-2.19	**0.02**
CH	N.min	**-16.79**	0	0.1	0	-0.14	-0.01
	N.max	**27.23**	0.01	0.25	0	0.36	0.03
	Vy.min	-16.79	**0**	0.1	0	-0.14	-0.01
	Vy.max	12.02	**0.01**	-0.17	0	-0.44	0.02
	Vz.min	12.02	0.01	**-0.17**	0	-0.44	0.02
	Vz.max	27.23	0.01	**0.25**	0	0.36	0.03
	Mx.min	12.02	0.01	-0.17	**0**	-0.44	0.02
	Mx.max	27.23	0.01	0.25	**0**	0.36	0.03
	My.min	12.02	0.01	-0.17	0	**-0.44**	0.02
	My.max	27.23	0.01	0.25	0	**0.36**	0.03
	Mz.min	-16.79	0	0.1	0	-0.14	**-0.01**
	Mz.max	27.23	0.01	0.25	0	0.36	**0.03**
W	N.min	**-11.45**	0	1.41	0	4.63	-0.03
	N.max	**11.45**	0	-1.4	0	-4.63	0.03
	Vy.min	-11.45	**0**	1.41	0	4.63	-0.03
	Vy.max	11.45	**0**	-1.4	0	-4.63	0.03
	Vz.min	11.45	0	**-1.4**	0	-4.63	0.03
	Vz.max	-11.45	0	**1.41**	0	4.63	-0.03
	Mx.min	11.45	0	-1.4	**0**	-4.63	0.03
	Mx.max	-11.45	0	1.41	**0**	4.63	-0.03
	My.min	11.45	0	-1.4	0	**-4.63**	0.03
	My.max	-11.45	0	1.41	0	**4.63**	-0.03
	Mz.min	-11.45	0	1.41	0	4.63	**-0.03**
	Mz.max	11.45	0	-1.4	0	-4.63	**0.03**
WP	N.min	**-13.94**	-0.02	2.84	0	3.3	-0.07
	N.max	**13.94**	0.02	-2.84	0	-3.3	0.07
	Vy.min	-13.94	**-0.02**	2.84	0	3.3	-0.07
	Vy.max	13.94	**0.02**	-2.84	0	-3.3	0.07
	Vz.min	13.94	0.02	**-2.84**	0	-3.3	0.07
	Vz.max	-13.94	-0.02	**2.84**	0	3.3	-0.07
	Mx.min	13.94	0.02	-2.84	**0**	-3.3	0.07
	Mx.max	-13.94	-0.02	2.84	**0**	3.3	-0.07
	My.min	13.94	0.02	-2.84	0	**-3.3**	0.07
	My.max	-13.94	-0.02	2.84	0	**3.3**	-0.07
	Mz.min	-13.94	-0.02	2.84	0	3.3	**-0.07**
	Mz.max	13.94	0.02	-2.84	0	-3.3	**0.07**
TR	N.min	**0**	0	0	0	0	0
	N.max	**0**	0	0	0	0	0
	Vy.min	0	**0**	0	0	0	0
	Vy.max	0	**0**	0	0	0	0
	Vz.min	0	0	**0**	0	0	0
	Vz.max	0	0	**0**	0	0	0
	Mx.min	0	0	0	**0**	0	0
	Mx.max	0	0	0	**0**	0	0
	My.min	0	0	0	0	**0**	0
	My.max	0	0	0	0	**0**	0
	Mz.min	0	0	0	0	0	**0**
	Mz.max	0	0	0	0	0	**0**
TN	N.min	**-23.57**	-0.12	0.16	0	0.22	-0.33
	N.max	**23.57**	0.12	-0.16	0	-0.22	0.33
	Vy.min	-23.57	**-0.12**	0.16	0	0.22	-0.33
	Vy.max	23.57	**0.12**	-0.16	0	-0.22	0.33
	Vz.min	-1.97	-0.01	**-2.02**	0	-2.23	-0.02
	Vz.max	-22.57	-0.12	**2.24**	0	2.59	-0.33
	Mx.min	-1.97	-0.01	-2.02	**0**	-2.23	-0.02
	Mx.max	-22.57	-0.12	2.24	**0**	2.59	-0.33
	My.min	-1.97	-0.01	-2.02	0	**-2.23**	-0.02
	My.max	-22.57	-0.12	2.24	0	**2.59**	-0.33
	Mz.min	-23.57	-0.12	0.16	0	0.22	**-0.33**
	Mz.max	23.57	0.12	-0.16	0	-0.22	**0.33**
FR	N.min	**-0.59**	0	0	0	0.01	-0.01
	N.max	**0.59**	0	0	0	-0.01	0.01
	Vy.min	-0.59	**0**	0	0	0.01	-0.01
	Vy.max	0.59	**0**	0	0	-0.01	0.01
	Vz.min	0.59	0	**0**	0	-0.01	0.01
	Vz.max	-0.59	0	**0**	0	0.01	-0.01
	Mx.min	0.59	0	0	**0**	-0.01	0.01
	Mx.max	-0.59	0	0	**0**	0.01	-0.01
	My.min	0.59	0	0	0	**-0.01**	0.01
	My.max	-0.59	0	0	0	**0.01**	-0.01
	Mz.min	-0.59	0	0	0	0.01	**-0.01**
	Mz.max	0.59	0	0	0	-0.01	**0.01**
I	N.min	**-1.75**	0	-0.32	0	-0.46	**0**
	N.max	**1.75**	0	0.32	0	0.46	**0**
	Vy.min	1.75	**0**	0.32	0	0.46	**0**
	Vy.max	-1.75	**0**	-0.32	0	-0.46	**0**
	Vz.min	-1.75	0	**-0.32**	0	-0.46	**0**
	Vz.max	1.75	0	**0.32**	0	0.46	**0**
	Mx.min	-1.75	0	-0.32	**0**	-0.46	**0**
	Mx.max	1.75	0	0.32	**0**	0.46	**0**
	My.min	-1.75	0	-0.32	0	**-0.46**	**0**
	My.max	1.75	0	0.32	0	**0.46**	**0**
	Mz.min	1.75	0	0.32	0	0.46	**0**
	Mz.max	-1.75	0	-0.32	0	-0.46	**0**

TAB. D.8.1.3 POSOUZENÍ - MEZNÍ STAV ÚNOSNOSTI

POPIS	DIAGONÁLA D8
PRUT / POLOHA BODU	233 / 2/4
NAMÁHÁNÍ	N.min
VLÁKNO	BOD K1 -HL
MEZNÍ STAV	ULS (MSÚ)
VYUŽITÍ VLÁKNA PRŮŘEZU	0.38

Charakteristiky materiálu				
pás. horní	$f_{yf,k}$	230	MPa	
pás. dolní	$f_{yf,k}$	230	MPa	
stojina	$f_{yw,k}$	230	MPa	
výztuž	$f_{ys,k}$	500	MPa	
	γ_M =	1.20	γ_s =	1.15

Excentricita normálové síly				
Exc./Fáze	0	1	2	3
e_y	0.000	0.000	0.000	0.000
e_z	0.000	0.000	0.000	0.000
Ekvivalentní vzdál. stěn - příčný roznos				
b_{Mx}	0.000	0.000	0.000	0.000

Vliv stěny na únosnost průřezu				
Char./Fáze	0	1	2	3
A	0.00	0.00	0.00	0.00
Wy	0.00	0.00	0.00	0.00
Wz	0.00	0.00	0.00	0.00

Charakter. v kroucení			
$t_{w,y}$	0.000	[mm]	
$t_{w,z}$	0.000	[mm]	
κ	1.00		
I_t=	0.00E+00	[mm^4]	
$\Omega=2*A_{pr}$	0.00E+00	[mm^2]	

Součinitele vzpěru a vlivu II.řádu					
Char./Fáze	0	1	2	3	
k_y	1.000	1.000	1.000	1.000	
k_z	1.000	1.000	1.000	1.000	
χ_{LT}	1.000	1.000	1.000	1.000	
χ_{min}	0.553	1.000	1.000	1.000	

Vnitřní síly od jednotlivých skupin zatěžovacích stavů

SKUPINA ZATĚŽOVACÍCH STAVŮ					- CHARAKTERISTICKÉ HODNOTY						DÍLČÍ SOUČINITELÉ ZATÍŽENÍ, DYNAMICKÝ SOUČINITEL							- NÁVRHOVÉ HODNOTY									
Č.	SKUP ZS	POPIS ZS	KAT.	FÁZE PRŮŘ.	N.k (kN)	Vy.k (kN)	Vz.k (kN)	Mx.k (kNm)	My.k (kNm)	Mz.k (kNm)	γ_{sr} (-)	γ_{fs} (-)	volba γ_f hledat	γ_f (-)	L_d (m)	δ (-)	Ψ_s KZ04	N.d (kN)	Vy.d (kN)	Vz.d (kN)	ΔVz.d (kN)	ΣVz.d (kN)	Mx.d (kNm)	My.d (kNm)	ΔMy.d (kNm)	ΣMy.d (kNm)	Mz.d (kNm)	ΔMz.d (kNm)	ΣMz.d (kNm)
1	G0	Vlastní tíha OK	G	0	68	0	1	0	-1	4	1.00	1.20		1.20	-	1.00	0.95	77	0	1	0	1	0	-1	0	-1	5	0	5
2	G1	Ostatní stálé - mostní vybavení	G	0	6	0	0	0	0	0	1.00	1.00		1.00	-	1.00	0.95	6	0	0	0	0	0	0	0	0	0	0	0
3	G2	Ostatní stálé - cizí zařízení	G	0	5	0	0	0	0	0	1.00	1.00		1.00	-	1.00	0.95	5	0	0	0	0	0	0	0	0	0	0	0
4	P1_71	a.LM71 - kolej 1 (bez dyn. souč.)	P	0	-99	0	1	0	6	0	1.00	1.30		1.30	-	1.00	1.00	-129	0	2	0	2	0	7	0	7	0	0	0
5	P2_71	a.LM71 - kolej 2 (bez dyn. souč.)	P	0	-240	0	-1	0	2	0	1.00	1.30		1.30	-	1.00	1.00	-312	0	-2	0	-2	0	3	0	3	0	0	0
6	P1_C3	TTZ C3 - kolej 1 (bez dyn. souč.)	P	0	-79	0	1	0	4	0	1.00	vyp.		0.00	-	1.00	0.00	0	0	0	0	0	0	0	0	0	0	0	0
7	P2_C3	TTZ C3 - kolej 2 (bez dyn. souč.)	P	0	-191	0	-1	0	2	0	1.00	vyp.		0.00	-	1.00	0.00	0	0	0	0	0	0	0	0	0	0	0	0
8	BR	Brzdné a rozjezdové síly	P	0	-3	0	0	0	0	0	1.00	0.00		0.00	-	1.00	0.40	0	0	0	0	0	0	0	0	0	0	0	0
9	S	Boční ráz	P	0	-4	0	1	0	0	0	1.00	1.30		1.30	-	1.00	0.80	-4	0	1	0	1	0	0	0	0	0	0	0
10	CH	Chodci na lávkách	Q	0	-17	0	0	0	0	0	1.00	1.30		1.30	-	1.00	1.00	-22	0	0	0	0	0	0	0	0	0	0	0
11	W	Vítr na konstrukci	Q	0	-11	0	1	0	5	0	1.00	1.35		1.35	-	1.00	0.75	-12	0	1	0	1	0	5	0	5	0	0	0
12	WP	Vítr na vozidla	Q	0	-14	0	3	0	3	0	1.00	1.35		1.35	-	1.00	0.75	-14	0	3	0	3	0	3	0	3	0	0	0
13	TR	Teplota rovnoměrná	Q	0	0	0	0	0	0	0	1.00	1.35		1.35	-	1.00	0.45	0	0	0	0	0	0	0	0	0	0	0	0
14	TN	Teplota nerovnoměrná	Q	0	-24	0	0	0	0	0	1.00	1.35		1.35	-	1.00	0.60	-19	0	0	0	0	0	0	0	0	0	0	0
15	FR	Třecí síly v ložiskách	Q	0	-1	0	0	0	0	0	1.00	1.20		1.20	-	1.00	1.00	-1	0	0	0	0	0	0	0	0	0	0	0
16	I	Imperfekce soustavy	Q	0	-2	0	0	0	0	0	1.00	-1.20		-1.20	-	1.00	1.00	2	0	0	0	0	0	1	0	1	0	0	0
27	ULS_LM	ULS - LM71 bez dynam	Q	0	-427	0	7	0	17	5	1.00	vyp.		0.00	-	1.00	0.00	0	0	0	0	0	0	0	0	0	0	0	0
28	SLS_LM	SLS - LM71 bez dynam	Q	0	-304	0	5	0	13	4	1.00	vyp.	1	0.00	-	1.00	0.00	0	0	0	0	0	0	0	0	0	0	0	0
29	ULS_C3	ULS - C3 bez dynam	Q	0	-338	0	7	0	14	5	1.00	vyp.	1	0.00	-	1.00	0.00	0	0	0	0	0	0	0	0	0	0	0	0
30	SLS_C3	SLS - C3 bez dynam	Q	0	-235	0	5	0	10	4	1.00	vyp.	1	0.00	-	1.00	0.00	0	0	0	0	0	0	0	0	0	0	0	0
		CELKEM - FÁZE PRŮŘEZU 0																-423	0	7	0	7	0	18	0	18	5	0	5
		CELKEM - FÁZE PRŮŘEZU 1																0	0	0	0	0	0	0	0	0	0	0	0
		CELKEM - FÁZE PRŮŘEZU 2																0	0	0	0	0	0	0	0	0	0	0	0
		CELKEM - FÁZE PRŮŘEZU 3																0	0	0	0	0	0	0	0	0	0	0	0
		CELKEM - PRŮŘEZ																-423	0	7	0	7	0			18			5

Napětí od jednotlivých zatěžovacích stavů

SKUPINA ZATĚŽOVACÍCH STAVŮ					Posouzení normálového napětí										Posouzení smykového napětí													
					Účinek síly N			Účinek momentu My				Účinek momentu Mz				Účinek kroutícího momentu Mx				Účinek smykové síly Vy				Účinek smykové síly Vz			
Č.	SKUP ZS	Popis ZS	Kat.	fáze průř.	δ^*N_d [kN]	χ^*A [mm^2]	σ_n [MPa]	$\delta^*M_{y,d}$ [kNm]	$\chi_{lt}^*W_{el,y}$ [mm^3]	σ_{my} [MPa]	$\delta^*M_{z,d}$ [kNm]	$W_{el,z}$ [mm^3]	σ_{mz} [MPa]	σ_x [MPa]	$\kappa^*\delta^*M_{x,d}$ [kNm]	$W_{v,y}$ [mm^3]	$\tau_{x,y}$ [MPa]	$W_{v,z}$ [mm^3]	$\tau_{x,z}$ [MPa]	$\delta^*V_{y,d}$ [kN]	$A_{v,y}$ [mm2]	$\tau_{v,y}$ [MPa]	$\tau_{v,y}$ [MPa]	$\delta^*V_{z,d}$ [kN]	$A_{v,z}$ [mm2]	$\tau_{v,z}$ [MPa]	$\tau_{v,z}$ [MPa]
1	G0	Vlastní tíha OK	G	0	77.1	8.83E+03	8.7	-1.3	-1.53E+06	0.8	4.5	-3.80E+05	-11.9	-2.3	0.0E+00	-	-	-	-	-0.4	1.04E+04	0.0	0.0	1.0	5.57E+03	0.2	0.2
2	G1	Ostatní stálé - mostní vybavení	G	0	6.1	8.83E+03	0.7	0.2	-1.53E+06	-0.1	0.0	-3.80E+05	0.0	0.6	0.0E+00	-	-	-	-	0.0	1.04E+04	0.0	0.0	0.1	5.57E+03	0.0	0.0
3	G2	Ostatní stálé - cizí zařízení	G	0	4.6	8.83E+03	0.5	0.0	-1.53E+06	0.0	0.0	-3.80E+05	0.0	0.5	0.0E+00	-	-	-	-	0.0	1.04E+04	0.0	0.0	0.0	5.57E+03	0.0	0.0
4	P1_71	a.LM71 - kolej 1 (bez dyn. souč.)	P	0	-129.0	8.83E+03	-14.6	7.3	-1.53E+06	-4.7	0.2	-3.80E+05	-0.4	-19.7	0.0E+00	-	-	-	-	0.1	1.04E+04	0.0	0.0	1.9	5.57E+03	0.3	0.3
5	P2_71	a.LM71 - kolej 2 (bez dyn. souč.)	P	0	-312.1	8.83E+03	-35.3	3.2	-1.53E+06	-2.1	0.4	-3.80E+05	-1.1	-38.5	0.0E+00	-	-	-	-	0.2	1.04E+04	0.0	0.0	-1.5	5.57E+03	-0.3	-0.3
6	P1_C3	TTZ C3 - kolej 1 (bez dyn. souč.)	P	0	0.0	8.83E+03	0.0	0.0	-1.53E+06	0.0	0.0	-3.80E+05	0.0	0.0	0.0E+00	-	-	-	-	0.0	1.04E+04	0.0	0.0	0.0	5.57E+03	0.0	0.0
7	P2_C3	TTZ C3 - kolej 2 (bez dyn. souč.)	P	0	0.0	8.83E+03	0.0	0.0	-1.53E+06	0.0	0.0	-3.80E+05	0.0	0.0	0.0E+00	-	-	-	-	0.0	1.04E+04	0.0	0.0	0.0	5.57E+03	0.0	0.0
8	BR	Brzdné a rozjezdové síly	P	0	0.0	8.83E+03	0.0	0.0	-1.53E+06	0.0	0.0	-3.80E+05	0.0	0.0	0.0E+00	-	-	-	-	0.0	1.04E+04	0.0	0.0	0.0	5.57E+03	0.0	0.0
9	S	Boční ráz	P	0	-4.0	8.83E+03	-0.5	0.4	-1.53E+06	-0.3	0.0	-3.80E+05	0.1	-0.6	0.0E+00	-	-	-	-	0.0	1.04E+04	0.0	0.0	1.0	5.57E+03	0.2	0.2
10	CH	Chodci na lávkách	Q	0	-21.8	8.83E+03	-2.5	-0.2	-1.53E+06	0.1	0.0	-3.80E+05	0.0	-2.3	0.0E+00	-	-	-	-	0.0	1.04E+04	0.0	0.0	0.1	5.57E+03	0.0	0.0
11	W	Vítr na konstrukci	Q	0	-11.6	8.83E+03	-1.3	4.7	-1.53E+06	-3.1	0.0	-3.80E+05	0.1	-4.3	0.0E+00	-	-	-	-	0.0	1.04E+04	0.0	0.0	1.4	5.57E+03	0.3	0.3
12	WP	Vítr na vozidla	Q	0	-14.1	8.83E+03	-1.6	3.3	-1.53E+06	-2.2	-0.1	-3.80E+05	0.2	-3.6	0.0E+00	-	-	-	-	0.0	1.04E+04	0.0	0.0	2.9	5.57E+03	0.5	0.5
13	TR	Teplota rovnoměrná	Q	0	0.0	8.83E+03	0.0	0.0	-1.53E+06	0.0	0.0	-3.80E+05	0.0	0.0	0.0E+00	-	-	-	-	0.0	1.04E+04	0.0	0.0	0.0	5.57E+03	0.0	0.0
14	TN	Teplota nerovnoměrná	Q	0	-19.1	8.83E+03	-2.2	0.2	-1.53E+06	-0.1	-0.3	-3.80E+05	0.7	-1.6	0.0E+00	-	-	-	-	-0.1	1.04E+04	0.0	0.0	0.1	5.57E+03	0.0	0.0
15	FR	Třecí síly v ložiskách	Q	0	-0.7	8.83E+03	-0.1	0.0	-1.53E+06	0.0	0.0	-3.80E+05	0.0	-0.1	0.0E+00	-	-	-	-	0.0	1.04E+04	0.0	0.0	0.0	5.57E+03	0.0	0.0
16	I	Imperfekce soustavy	Q	0	2.1	8.83E+03	0.2	0.6	-1.53E+06	-0.4	0.0	-3.80E+05	0.0	-0.1	0.0E+00	-	-	-	-	0.0	1.04E+04	0.0	0.0	0.4	5.57E+03	0.1	0.1
27	ULS_LM	ULS - LM71 bez dynam	Q	0	0.0	8.83E+03	0.0	0.0	-1.53E+06	0.0	0.0	-3.80E+05	0.0	0.0	0.0E+00	-	-	-	-	0.0	1.04E+04	0.0	0.0	0.0	5.57E+03	0.0	0.0
28	SLS_LM	SLS - LM71 bez dynam	Q	0	0.0	8.83E+03	0.0	0.0	-1.53E+06	0.0	0.0	-3.80E+05	0.0	0.0	0.0E+00	-	-	-	-	0.0	1.04E+04	0.0	0.0	0.0	5.57E+03	0.0	0.0
29	ULS_C3	ULS - C3 bez dynam	Q	0	0.0	8.83E+03	0.0	0.0	-1.53E+06	0.0	0.0	-3.80E+05	0.0	0.0	0.0E+00	-	-	-	-	0.0	1.04E+04	0.0	0.0	0.0	5.57E+03	0.0	0.0
30	SLS_C3	SLS - C3 bez dynam	Q	0	0.0	8.83E+03	0.0	0.0	-1.53E+06	0.0	0.0	-3.80E+05	0.0	0.0	0.0E+00	-	-	-	-	0.0	1.04E+04	0.0	0.0	0.0	5.57E+03	0.0	0.0
NAVÝŠENÍ NAPĚTÍ DO AKTIVACE TLAKU V DESCE MOSTOVKY						$\sigma_{P,red}$	0.0							0.0			0.0		0.0								1.3	1.3
NAPĚTÍ OD PRIMÁRNÍCH ÚČINKŮ NEROVNOMĚRNÉHO OTEPLENÍ						σ_T	0.0							0.0														
NAPĚTÍ OD REOLOGICKÝCH ÚČINKŮ BETONU V ČASE				t=0		σ_R	0.0	γ_f=	1.20					0.0														
NAPĚTÍ V KRITICKÝCH VLÁKNECH OD KOMBINACE ZATÍŽENÍ						KZ04		[MPa]					$\Sigma\sigma_x$	-72.1								$\Sigma\tau_y$	0.0			$\Sigma\tau_z$	1.3
NAPĚTÍ OD POHYBLIVÉHO ZATÍŽENÍ								[MPa]					$\sigma_{x,P}$	-58.9								τ_P	0.0			τ_P	0.3
NAPĚTÍ OD OSTATNÍCH ZATÍŽENÍ								[MPa]			Φ_{Vy}	Φ_{Vz}	$\sigma_{x,rs}$	-13.2								τ_{rs}	0.0			τ_{rs}	1.1
NÁVRHOVÁ HODNOTA MEZE KLUZU S REDUKCÍ VLIVEM SMYKOVÉHO NAPĚTÍ								[MPa]			1.00	1.00	$f_{yw,d}$	191.7								$f_{yd}/3^{0,5}$	110.7			$f_{yd}/3^{0,5}$	110.7
NAPĚTÍ OD POHYBLIVÉHO ZATÍŽENÍ V GLOBÁLNÍM SYSTÉMU						$\sigma_{GLOB,P}$	0.0	[MPa]					$\Sigma\sigma_{GLOB}$	0.0													
NAPĚTÍ OD OSTATNÍCH ZATÍŽENÍ V GLOBÁLNÍM SYSTÉMU						$\sigma_{GLOB,rs}$	0.0	[MPa]					$\Sigma\sigma_x + \Sigma\sigma_{GLOB}$	-72.1													
VYUŽITÍ PRŮŘEZU DLE NAPĚTÍ								[%]					η_1	0.38								η_3	0.00			η_3	0.01
NAPĚTÍ V PŘÍČNÉM SMĚRU OD POHYBLIVÉHO ZATÍŽENÍ						$\sigma_{z,P}$	0.0	[MPa]					$\Sigma\sigma_z$	0.0													
NAPĚTÍ V PŘÍČNÉM SMĚRU OD OSTATNÍCH ZATÍŽENÍ						$\sigma_{z,rs}$	0.0	[MPa]					η_2	0.00													
SROVNÁVACÍ NAPĚTÍ													$(\eta_2 + 0,8\,\eta_1)/1,4$ =	0.21													
VYUŽITÍ PRŮŘEZU CELKEM								[%]					eff	0.38	VYHOVUJE												
													z_{LM71} =	3.03													

TAB. D.8.1.3 POSOUZENÍ - MEZNÍ STAV ÚNOSNOSTI

POPIS	DIAGONÁLA D8
PRUT / POLOHA BODU	233 / 2/4
NAMÁHÁNÍ	N.min
VLÁKNO	BOD K3 -SL
MEZNÍ STAV	ULS (MSÚ)
VYUŽITÍ VLÁKNA PRŮŘEZU	0.29

Charakteristiky materiálu				
pás. horní	$f_{yf,k}$	230	MPa	
pás. dolní	$f_{yf,k}$	230	MPa	
stojina	$f_{yw,k}$	230	MPa	
výztuž	$f_{ys,k}$	500	MPa	
γ_M =	1.20	γ_s =	1.15	

Excentricita normálové síly				
Exc./Fáze	0	1	2	3
e_y	0.000	0.000	0.000	0.000
e_z	0.000	0.000	0.000	0.000
Ekvivalentní vzdál. stěn - příčný roznos				
b_{Mx}	0.000	0.000	0.000	0.000

Vliv stěny na únosnost průřezu				
Char./Fáze	0	1	2	3
A	0.00	0.00	0.00	0.00
Wy	0.00	0.00	0.00	0.00
Wz	0.00	0.00	0.00	0.00

Charakter. v kroucení			
$t_{w,y}$	0.000	[mm]	
$t_{w,z}$	0.000	[mm]	
κ	1.00		
I_t=	0.00E+00	[mm^4]	
$\Omega=2*A_{pz}$	0.00E+00	[mm^2]	

Součinitele vzpěru a vlivu II.řádu				
Char./Fáze	0	1	2	3
k_y	1.000	1.000	1.000	1.000
k_z	1.000	1.000	1.000	1.000
χ_{LT}	1.000	1.000	1.000	1.000
χ_{min}	0.553	1.000	1.000	1.000

Vnitřní síly od jednotlivých skupin zatěžovacích stavů

SKUPINA ZATĚŽOVACÍCH STAVŮ					- CHARAKTERISTICKÉ HODNOTY						DÍLČÍ SOUČINITELÉ ZATÍŽENÍ, DYNAMICKÝ SOUČINITEL							- NÁVRHOVÉ HODNOTY									
Č.	SKUP ZS	POPIS ZS	KAT.	FÁZE PRŮŘ.	N.k (kN)	Vy.k (kN)	Vz.k (kN)	Mx.k (kNm)	My.k (kNm)	Mz.k (kNm)	γ_{sr} (-)	γ_{fs} (-)	volba γ_f hledat	γ_f (-)	L_d (m)	δ (-)	Ψ_s KZ04	N.d (kN)	Vy.d (kN)	Vz.d (kN)	ΔVz.d (kN)	ΣVz.d (kN)	Mx.d (kNm)	My.d (kNm)	ΔMy.d (kNm)	ΣMy.d (kNm)	Mz.d (kNm)	ΔMz.d (kNm)	ΣMz.d (kNm)
1	G0	Vlastní tíha OK	G	0	68	0	1	0	-1	4	1.00	1.20		1.20	-	1.00	0.95	77	0	1	0	1	0	-1	0	-1	5	0	5
2	G1	Ostatní stálé - mostní vybavení	G	0	6	0	0	0	0	0	1.00	1.00		1.00	-	1.00	0.95	6	0	0	0	0	0	0	0	0	0	0	0
3	G2	Ostatní stálé - cizí zařízení	G	0	5	0	0	0	0	0	1.00	1.00		1.00	-	1.00	0.95	5	0	0	0	0	0	0	0	0	0	0	0
4	P1_71	a.LM71 - kolej 1 (bez dyn. souč.)	P	0	-99	0	1	0	6	0	1.00	1.30		1.30	-	1.00	1.00	-129	0	2	0	2	0	7	0	7	0	0	0
5	P2_71	a.LM71 - kolej 2 (bez dyn. souč.)	P	0	-240	0	-1	0	2	0	1.00	1.30		1.30	-	1.00	1.00	-312	0	-2	0	-2	0	3	0	3	0	0	0
6	P1_C3	TTZ C3 - kolej 1 (bez dyn. souč.)	P	0	-79	0	1	0	4	0	1.00	vyp.		0.00	-	1.00	0.00	0	0	0	0	0	0	0	0	0	0	0	0
7	P2_C3	TTZ C3 - kolej 2 (bez dyn. souč.)	P	0	-191	0	-1	0	2	0	1.00	vyp.		0.00	-	1.00	0.00	0	0	0	0	0	0	0	0	0	0	0	0
8	BR	Brzdné a rozjezdové síly	P	0	-3	0	0	0	0	0	1.00	0.00		0.00	-	1.00	0.40	0	0	0	0	0	0	0	0	0	0	0	0
9	S	Boční ráz	P	0	-4	0	1	0	0	0	1.00	1.30		1.30	-	1.00	0.80	-4	0	1	0	1	0	0	0	0	0	0	0
10	CH	Chodci na lávkách	Q	0	-17	0	0	0	0	0	1.00	1.30		1.30	-	1.00	1.00	-22	0	0	0	0	0	0	0	0	0	0	0
11	W	Vítr na konstrukci	Q	0	-11	0	1	0	5	0	1.00	-1.35		-1.35	-	1.00	0.75	12	0	-1	0	-1	0	-5	0	-5	0	0	0
12	WP	Vítr na vozidla	Q	0	-14	0	3	0	3	0	1.00	-1.35		-1.35	-	1.00	0.75	14	0	-3	0	-3	0	-3	0	-3	0	0	0
13	TR	Teplota rovnoměrná	Q	0	0	0	0	0	0	0	1.00	1.35		1.35	-	1.00	0.45	0	0	0	0	0	0	0	0	0	0	0	0
14	TN	Teplota nerovnoměrná	Q	0	-24	0	0	0	0	0	1.00	1.35		1.35	-	1.00	0.60	-19	0	0	0	0	0	0	0	0	0	0	0
15	FR	Třecí síly v ložiskách	Q	0	-1	0	0	0	0	0	1.00	1.20		1.20	-	1.00	1.00	-1	0	0	0	0	0	0	0	0	0	0	0
16	I	Imperfekce soustavy	Q	0	-2	0	0	0	0	0	1.00	1.20		1.20	-	1.00	1.00	-2	0	0	0	0	0	-1	0	-1	0	0	0
27	ULS_LM	ULS - LM71 bez dynam	Q	0	-427	0	7	0	17	5	1.00	vyp.		0.00	-	1.00	0.00	0	0	0	0	0	0	0	0	0	0	0	0
28	SLS_LM	SLS - LM71 bez dynam	Q	0	-304	0	5	0	13	4	1.00	vyp.	1	0.00	-	1.00	0.00	0	0	0	0	0	0	0	0	0	0	0	0
29	ULS_C3	ULS - C3 bez dynam	Q	0	-338	0	7	0	14	5	1.00	vyp.	1	0.00	-	1.00	0.00	0	0	0	0	0	0	0	0	0	0	0	0
30	SLS_C3	SLS - C3 bez dynam	Q	0	-235	0	5	0	10	4	1.00	vyp.	1	0.00	-	1.00	0.00	0	0	0	0	0	0	0	0	0	0	0	0
		CELKEM - FÁZE PRŮŘEZU 0																-375	0	-2	0	-2	0	1	0	1	5	0	5
		CELKEM - FÁZE PRŮŘEZU 1																0	0	0	0	0	0	0	0	0	0	0	0
		CELKEM - FÁZE PRŮŘEZU 2																0	0	0	0	0	0	0	0	0	0	0	0
		CELKEM - FÁZE PRŮŘEZU 3																0	0	0	0	0	0	0	0	0	0	0	0
		CELKEM - PRŮŘEZ																-375	0	-2	0	-2	0			1			5

Napětí od jednotlivých zatěžovacích stavů

SKUPINA ZATĚŽOVACÍCH STAVŮ					Posouzení normálového napětí										Posouzení smykového napětí													
					Účinek síly N			Účinek momentu My			Účinek momentu Mz				Účinek kroutícího momentu Mx				Účinek smykové síly Vy				Účinek smykové síly Vz			
Č.	SKUP ZS	Popis ZS	Kat.	fáze průř.	δ^*N_d [kN]	χ^*A [mm^2]	σ_n [MPa]	$\delta^*M_{y,d}$ [kNm]	$\chi_{lt}{}^*W_{el,y}$ [mm^3]	σ_{my} [MPa]	$\delta^*M_{z,d}$ [kNm]	$W_{el,z}$ [mm^3]	σ_{mz} [MPa]	σ_x [MPa]	$k^*\delta^*M_{x,d}$ [kNm]	$W_{v,y}$ [mm^3]	$\tau_{x,y}$ [MPa]	$W_{v,z}$ [mm^3]	$\tau_{x,z}$ [MPa]	$\delta^*V_{y,d}$ [kN]	$A_{v,y}$ [mm2]	$\tau_{v,y}$ [MPa]	$\tau_{v,y}$ [MPa]	$\delta^*V_{z,d}$ [kN]	$A_{v,z}$ [mm2]	$\tau_{v,z}$ [MPa]	$\tau_{v,z}$ [MPa]
1	G0	Vlastní tíha OK	G	0	77.1	8.83E+03	8.7	-1.3	1.53E+06	-0.8	4.5	-3.80E+05	-11.9	-4.0	0.0E+00	-	-	-	-	-0.4	1.04E+04	0.0	0.0	1.0	5.57E+03	0.2	0.2
2	G1	Ostatní stálé - mostní vybavení	G	0	6.1	8.83E+03	0.7	0.2	1.53E+06	0.1	0.0	-3.80E+05	0.0	0.8	0.0E+00	-	-	-	-	0.0	1.04E+04	0.0	0.0	0.1	5.57E+03	0.0	0.0
3	G2	Ostatní stálé - cizí zařízení	G	0	4.6	8.83E+03	0.5	0.0	1.53E+06	0.0	0.0	-3.80E+05	0.0	0.5	0.0E+00	-	-	-	-	0.0	1.04E+04	0.0	0.0	0.0	5.57E+03	0.0	0.0
4	P1_71	a.LM71 - kolej 1 (bez dyn. souč.)	P	0	-129.0	8.83E+03	-14.6	7.3	1.53E+06	4.7	0.2	-3.80E+05	-0.4	-10.3	0.0E+00	-	-	-	-	0.1	1.04E+04	0.0	0.0	1.9	5.57E+03	0.3	0.3
5	P2_71	a.LM71 - kolej 2 (bez dyn. souč.)	P	0	-312.1	8.83E+03	-35.3	3.2	1.53E+06	2.1	0.4	-3.80E+05	-1.1	-34.3	0.0E+00	-	-	-	-	0.2	1.04E+04	0.0	0.0	-1.5	5.57E+03	-0.3	-0.3
6	P1_C3	TTZ C3 - kolej 1 (bez dyn. souč.)	P	0	0.0	8.83E+03	0.0	0.0	1.53E+06	0.0	0.0	-3.80E+05	0.0	0.0	0.0E+00	-	-	-	-	0.0	1.04E+04	0.0	0.0	0.0	5.57E+03	0.0	0.0
7	P2_C3	TTZ C3 - kolej 2 (bez dyn. souč.)	P	0	0.0	8.83E+03	0.0	0.0	1.53E+06	0.0	0.0	-3.80E+05	0.0	0.0	0.0E+00	-	-	-	-	0.0	1.04E+04	0.0	0.0	0.0	5.57E+03	0.0	0.0
8	BR	Brzdné a rozjezdové síly	P	0	0.0	8.83E+03	0.0	0.0	1.53E+06	0.0	0.0	-3.80E+05	0.0	0.0	0.0E+00	-	-	-	-	0.0	1.04E+04	0.0	0.0	0.0	5.57E+03	0.0	0.0
9	S	Boční ráz	P	0	-4.0	8.83E+03	-0.5	0.4	1.53E+06	0.3	0.0	-3.80E+05	0.1	-0.1	0.0E+00	-	-	-	-	0.0	1.04E+04	0.0	0.0	1.0	5.57E+03	0.2	0.2
10	CH	Chodci na lávkách	Q	0	-21.8	8.83E+03	-2.5	-0.2	1.53E+06	-0.1	0.0	-3.80E+05	0.0	-2.6	0.0E+00	-	-	-	-	0.0	1.04E+04	0.0	0.0	0.1	5.57E+03	0.0	0.0
11	W	Vítr na konstrukci	Q	0	11.6	8.83E+03	1.3	-4.7	1.53E+06	-3.1	0.0	-3.80E+05	-0.1	-1.8	0.0E+00	-	-	-	-	0.0	1.04E+04	0.0	0.0	-1.4	5.57E+03	-0.3	-0.3
12	WP	Vítr na vozidla	Q	0	14.1	8.83E+03	1.6	-3.3	1.53E+06	-2.2	0.1	-3.80E+05	-0.2	-0.8	0.0E+00	-	-	-	-	0.0	1.04E+04	0.0	0.0	-2.9	5.57E+03	-0.5	-0.5
13	TR	Teplota rovnoměrná	Q	0	0.0	8.83E+03	0.0	0.0	1.53E+06	0.0	0.0	-3.80E+05	0.0	0.0	0.0E+00	-	-	-	-	0.0	1.04E+04	0.0	0.0	0.0	5.57E+03	0.0	0.0
14	TN	Teplota nerovnoměrná	Q	0	-19.1	8.83E+03	-2.2	0.2	1.53E+06	0.1	-0.3	-3.80E+05	0.7	-1.3	0.0E+00	-	-	-	-	-0.1	1.04E+04	0.0	0.0	0.1	5.57E+03	0.0	0.0
15	FR	Třecí síly v ložiskách	Q	0	-0.7	8.83E+03	-0.1	0.0	1.53E+06	0.0	0.0	-3.80E+05	0.0	0.0	0.0E+00	-	-	-	-	0.0	1.04E+04	0.0	0.0	0.0	5.57E+03	0.0	0.0
16	I	Imperfekce soustavy	Q	0	-2.1	8.83E+03	-0.2	-0.6	1.53E+06	-0.4	0.0	-3.80E+05	0.0	-0.6	0.0E+00	-	-	-	-	0.0	1.04E+04	0.0	0.0	-0.4	5.57E+03	-0.1	-0.1
27	ULS_LM	ULS - LM71 bez dynam	Q	0	0.0	8.83E+03	0.0	0.0	1.53E+06	0.0	0.0	-3.80E+05	0.0	0.0	0.0E+00	-	-	-	-	0.0	1.04E+04	0.0	0.0	0.0	5.57E+03	0.0	0.0
28	SLS_LM	SLS - LM71 bez dynam	Q	0	0.0	8.83E+03	0.0	0.0	1.53E+06	0.0	0.0	-3.80E+05	0.0	0.0	0.0E+00	-	-	-	-	0.0	1.04E+04	0.0	0.0	0.0	5.57E+03	0.0	0.0
29	ULS_C3	ULS - C3 bez dynam	Q	0	0.0	8.83E+03	0.0	0.0	1.53E+06	0.0	0.0	-3.80E+05	0.0	0.0	0.0E+00	-	-	-	-	0.0	1.04E+04	0.0	0.0	0.0	5.57E+03	0.0	0.0
30	SLS_C3	SLS - C3 bez dynam	Q	0	0.0	8.83E+03	0.0	0.0	1.53E+06	0.0	0.0	-3.80E+05	0.0	0.0	0.0E+00	-	-	-	-	0.0	1.04E+04	0.0	0.0	0.0	5.57E+03	0.0	0.0
NAVÝŠENÍ NAPĚTÍ DO AKTIVACE TLAKU V DESCE MOSTOVKY						$\sigma_{P,red}$	0.0							0.0			0.0		0.0								-0.4	-0.4
NAPĚTÍ OD PRIMÁRNÍCH ÚČINKŮ NEROVNOMĚRNÉHO OTEPLENÍ						σ_T	0.0							0.0														
NAPĚTÍ OD REOLOGICKÝCH ÚČINKŮ BETONU V ČASE				t=0		σ_R	0.0	$\gamma_{f=}$	1.20					0.0														
NAPĚTÍ V KRITICKÝCH VLÁKNECH OD KOMBINACE ZATÍŽENÍ						KZ04		[MPa]					$\Sigma\sigma_x$	-54.7								$\Sigma\tau_y$	0.0			$\Sigma\tau_z$	-0.4
NAPĚTÍ OD POHYBLIVÉHO ZATÍŽENÍ								[MPa]					$\sigma_{x,P}$	-44.8								τ_P	0.0			τ_P	0.3
NAPĚTÍ OD OSTATNÍCH ZATÍŽENÍ								[MPa]			Φ_{Vy}	Φ_{Vz}	$\sigma_{x,rs}$	-9.9								τ_{rs}	0.0			τ_{rs}	-0.6
NÁVRHOVÁ HODNOTA MEZE KLUZU S REDUKCÍ VLIVEM SMYKOVÉHO NAPĚTÍ								[MPa]			1.00	1.00	$f_{yv,d}$	191.7								$f_{yd}/3^{0,5}$	110.7			$f_{yd}/3^{0,5}$	110.7
NAPĚTÍ OD POHYBLIVÉHO ZATÍŽENÍ V GLOBÁLNÍM SYSTÉMU						$\sigma_{GLOB,P}$	0.0	[MPa]					$\Sigma\sigma_{GLOB}$	0.0													
NAPĚTÍ OD OSTATNÍCH ZATÍŽENÍ V GLOBÁLNÍM SYSTÉMU						$\sigma_{GLOB,rs}$	0.0	[MPa]					$\Sigma\sigma_x + \Sigma\sigma_{GLOB}$	-54.7													
VYUŽITÍ PRŮŘEZU DLE NAPĚTÍ								[%]					η_1	0.29								η_3	0.00			η_3	0.00
NAPĚTÍ V PŘÍČNÉM SMĚRU OD POHYBLIVÉHO ZATÍŽENÍ						$\sigma_{z,P}$	0.0	[MPa]					$\Sigma\sigma_z$	0.0													
NAPĚTÍ V PŘÍČNÉM SMĚRU OD OSTATNÍCH ZATÍŽENÍ						$\sigma_{z,rs}$	0.0	[MPa]					η_2	0.00													
SROVNÁVACÍ NAPĚTÍ													$(\eta_2 + 0,8\,\eta_1)/1,4 =$	0.16													
VYUŽITÍ PRŮŘEZU CELKEM								[%]					eff	0.29	VYHOVUJE												
													z_{LM71} =	4.06													

TAB. D.8.1.3 POSOUZENÍ - MEZNÍ STAV ÚNOSNOSTI

POPIS	DIAGONÁLA D8
PRUT / POLOHA BODU	233 / 2/4
NAMÁHÁNÍ	Vz.max
VLÁKNO	BOD S6 -HP
MEZNÍ STAV	ULS (MSÚ)
VYUŽITÍ VLÁKNA PRŮŘEZU	0.23

Charakteristiky materiálu				
pás. horní	$f_{yf,k}$	230	MPa	
pás. dolní	$f_{yf,k}$	230	MPa	
stojina	$f_{yw,k}$	230	MPa	
výztuž	$f_{ys,k}$	500	MPa	
γ_M =	1.10	γ_s =	1.15	

Excentricita normálové síly				
Exc./Fáze	0	1	2	3
e_y	0.000	0.000	0.000	0.000
e_z	0.000	0.000	0.000	0.000
Ekvivalentní vzdál. stěn - příčný roznos				
b_{Mx}	0.000	0.000	0.000	0.000

Vliv stěny na únosnost průřezu				
Char./Fáze	0	1	2	3
A	0.00	0.00	0.00	0.00
Wy	0.00	0.00	0.00	0.00
Wz	0.00	0.00	0.00	0.00

Charakter. v kroucení			
$t_{w,y}$	0.000	[mm]	
$t_{w,z}$	0.000	[mm]	
κ	1.00		
I_t=	0.00E+00	[mm^4]	
Ω=2*A_{pr}	0.00E+00	[mm^2]	

Součinitele vzpěru a vlivu II.řádu					
Char./Fáze	0	1	2	3	4
k_y	1.000	1.000	1.000	1.000	
k_z	1.000	1.000	1.000	1.000	
χ_{LT}	1.000	1.000	1.000	1.000	
χ_{min}	0.553	1.000	1.000	1.000	

Vnitřní síly od jednotlivých skupin zatěžovacích stavů

SKUPINA ZATĚŽOVACÍCH STAVŮ					- CHARAKTERISTICKÉ HODNOTY						DÍLČÍ SOUČINITELÉ ZATÍŽENÍ, DYNAMICKÝ SOUČINITEL							- NÁVRHOVÉ HODNOTY									
Č.	SKUP ZS	POPIS ZS	KAT.	FÁZE PRŮŘ.	N.k (kN)	Vy.k (kN)	Vz.k (kN)	Mx.k (kNm)	My.k (kNm)	Mz.k (kNm)	γ_{sr} (-)	γ_s (-)	volba γ_s hledat	γ_s (-)	L_d (m)	δ (-)	Ψ_s KZ04	N.d (kN)	Vy.d (kN)	Vz.d (kN)	ΔVz.d (kN)	ΣVz.d (kN)	Mx.d (kNm)	My.d (kNm)	ΔMy.d (kNm)	ΣMy.d (kNm)	Mz.d (kNm)	ΔMz.d (kNm)	ΣMz.d (kNm)
1	G0	Vlastní tíha OK	G	0	68	0	1	0	-1	4	1.00	1.20		1.20	-	1.00	0.95	77	0	1	0	1	0	-1	0	-1	5	0	5
2	G1	Ostatní stálé - mostní vybavení	G	0	6	0	0	0	0	0	1.00	1.20		1.20	-	1.00	0.95	7	0	0	0	0	0	0	0	0	0	0	0
3	G2	Ostatní stálé - cizí zařízení	G	0	5	0	0	0	0	0	1.00	1.00		1.00	-	1.00	0.95	5	0	0	0	0	0	0	0	0	0	0	0
4	P1_71	a.LM71 - kolej 1 (bez dyn. souč.)	P	0	54	0	5	0	9	0	1.00	1.30		1.30	-	1.00	1.00	70	0	7	0	7	0	11	0	11	0	0	0
5	P2_71	a.LM71 - kolej 2 (bez dyn. souč.)	P	0	70	0	2	0	3	-1	1.00	1.30		1.30	-	1.00	1.00	92	0	2	0	2	0	4	0	4	-1	0	-1
6	P1_C3	TTZ C3 - kolej 1 (bez dyn. souč.)	P	0	45	0	4	0	7	0	1.00	vyp.		0.00	-	1.00	0.00	0	0	0	0	0	0	0	0	0	0	0	0
7	P2_C3	TTZ C3 - kolej 2 (bez dyn. souč.)	P	0	69	0	1	0	2	0	1.00	vyp.		0.00	-	1.00	0.00	0	0	0	0	0	0	0	0	0	0	0	0
8	BR	Brzdné a rozjezdové síly	P	0	-3	0	0	0	0	0	1.00	1.30		1.30	-	1.00	0.40	-1	0	0	0	0	0	0	0	0	0	0	0
9	S	Boční ráz	P	0	-3	0	1	0	2	0	1.00	1.30		1.30	-	1.00	0.80	-3	0	1	0	1	0	2	0	2	0	0	0
10	CH	Chodci na lávkách	Q	0	27	0	0	0	0	0	1.00	1.30		1.30	-	1.00	1.00	35	0	0	0	0	0	0	0	0	0	0	0
11	W	Vítr na konstrukci	Q	0	-11	0	1	0	5	0	1.00	1.35		1.35	-	1.00	0.75	-12	0	1	0	1	0	5	0	5	0	0	0
12	WP	Vítr na vozidla	Q	0	-14	0	3	0	3	0	1.00	1.35		1.35	-	1.00	0.75	-14	0	3	0	3	0	3	0	3	0	0	0
13	TR	Teplota rovnoměrná	Q	0	0	0	0	0	0	0	1.00	1.35		1.35	-	1.00	0.45	0	0	0	0	0	0	0	0	0	0	0	0
14	TN	Teplota nerovnoměrná	Q	0	-23	0	2	0	3	0	1.00	1.35		1.35	-	1.00	0.60	-18	0	2	0	2	0	2	0	2	0	0	0
15	FR	Třecí síly v ložiskách	Q	0	-1	0	0	0	0	0	1.00	1.20		1.20	-	1.00	1.00	-1	0	0	0	0	0	0	0	0	0	0	0
16	I	Imperfekce soustavy	Q	0	2	0	0	0	0	0	1.00	1.20		1.20	-	1.00	1.00	2	0	0	0	0	0	1	0	1	0	0	0
27	ULS_LM	ULS - LM71 bez dynam	Q	0	239	-1	19	0	27	3	1.00	vyp.		0.00	-	1.00	0.00	0	0	0	0	0	0	0	0	0	0	0	0
28	SLS_LM	SLS - LM71 bez dynam	Q	0	209	-1	13	0	19	3	1.00	vyp.	1	0.00	-	1.00	0.00	0	0	0	0	0	0	0	0	0	0	0	0
29	ULS_C3	ULS - C3 bez dynam	Q	0	226	-1	17	0	24	4	1.00	vyp.	1	0.00	-	1.00	0.00	0	0	0	0	0	0	0	0	0	0	0	0
30	SLS_C3	SLS - C3 bez dynam	Q	0	199	-1	11	0	16	3	1.00	vyp.	1	0.00	-	1.00	0.00	0	0	0	0	0	0	0	0	0	0	0	0
		CELKEM - FÁZE PRŮŘEZU 0																239	-1	18	0	27	0	27	0	27	3	0	3
		CELKEM - FÁZE PRŮŘEZU 1																0	0	0	0	0	0	0	0	0	0	0	0
		CELKEM - FÁZE PRŮŘEZU 2																0	0	0	0	0	0	0	0	0	0	0	0
		CELKEM - FÁZE PRŮŘEZU 3																0	0	0	0	0	0	0	0	0	0	0	0
		CELKEM - PRŮŘEZ																239	-1	18	0	18	0			27			3

Napětí od jednotlivých zatěžovacích stavů

SKUPINA ZATĚŽOVACÍCH STAVŮ					Posouzení normálového napětí										Posouzení smykového napětí													
					Účinek síly N			Účinek momentu My			Účinek momentu Mz				Účinek ktoutícího momentu Mx				Účinek smykové síly Vy				Účinek smykové síly Vz			
Č.	SKUP ZS	Popis ZS	Kat.	fáze prúř.	δ^*N_d [kN]	χ^*A [mm^2]	σ_n [MPa]	$\delta^*M_{y,d}$ [kNm]	$\chi_{lt}{}^*W_{el,y}$ [mm^3]	σ_{my} [MPa]	$\delta^*M_{z,d}$ [kNm]	$W_{el,z}$ [mm^3]	σ_{mz} [MPa]	σ_x [MPa]	$\kappa^*\delta^*M_{x,d}$ [kNm]	$W_{v,y}$ [mm^2]	$\tau_{x,y}$ [MPa]	$W_{v,z}$ [mm^2]	$\tau_{x,z}$ [MPa]	$\delta^*V_{y,d}$ [kN]	$A_{v,y}$ [mm2]	$\tau_{v,y}$ [MPa]	$\tau_{v,y}$ [MPa]	$\delta^*V_{z,d}$ [kN]	$A_{v,z}$ [mm2]	$\tau_{v,z}$ [MPa]	$\tau_{v,z}$ [MPa]
1	G0	Vlastní tíha OK	G	0	77.1	8.83E+03	8.7	-1.3	1.53E+06	-0.8	4.5	-2.74E+06	-1.6	6.2	0.0E+00	-	-	-	-	-0.4	1.04E+04	0.0	0.0	1.0	5.57E+03	0.2	0.2
2	G1	Ostatní stálé - mostní vybavení	G	0	7.3	8.83E+03	0.8	0.2	1.53E+06	0.1	0.0	-2.74E+06	0.0	0.9	0.0E+00	-	-	-	-	0.0	1.04E+04	0.0	0.0	0.1	5.57E+03	0.0	0.0
3	G2	Ostatní stálé - cizí zařízení	G	0	4.6	8.83E+03	0.5	0.0	1.53E+06	0.0	0.0	-2.74E+06	0.0	0.5	0.0E+00	-	-	-	-	0.0	1.04E+04	0.0	0.0	0.0	5.57E+03	0.0	0.0
4	P1_71	a.LM71 - kolej 1 (bez dyn. souč.)	P	0	69.9	8.83E+03	7.9	11.2	1.53E+06	7.3	0.0	-2.74E+06	0.0	15.2	0.0E+00	-	-	-	-	0.0	1.04E+04	0.0	0.0	6.8	5.57E+03	1.2	1.2
5	P2_71	a.LM71 - kolej 2 (bez dyn. souč.)	P	0	91.6	8.83E+03	10.4	3.6	1.53E+06	2.3	-0.7	-2.74E+06	0.3	13.0	0.0E+00	-	-	-	-	-0.3	1.04E+04	0.0	0.0	2.4	5.57E+03	0.4	0.4
6	P1_C3	TTZ C3 - kolej 1 (bez dyn. souč.)	P	0	0.0	8.83E+03	0.0	0.0	1.53E+06	0.0	0.0	-2.74E+06	0.0	0.0	0.0E+00	-	-	-	-	0.0	1.04E+04	0.0	0.0	0.0	5.57E+03	0.0	0.0
7	P2_C3	TTZ C3 - kolej 2 (bez dyn. souč.)	P	0	0.0	8.83E+03	0.0	0.0	1.53E+06	0.0	0.0	-2.74E+06	0.0	0.0	0.0E+00	-	-	-	-	0.0	1.04E+04	0.0	0.0	0.0	5.57E+03	0.0	0.0
8	BR	Brzdné a rozjezdové síly	P	0	-1.3	8.83E+03	-0.1	0.1	1.53E+06	0.1	-0.1	-2.74E+06	0.0	0.0	0.0E+00	-	-	-	-	0.0	1.04E+04	0.0	0.0	0.1	5.57E+03	0.0	0.0
9	S	Boční ráz	P	0	-2.7	8.83E+03	-0.3	2.0	1.53E+06	1.3	0.0	-2.74E+06	0.0	1.0	0.0E+00	-	-	-	-	0.0	1.04E+04	0.0	0.0	1.2	5.57E+03	0.2	0.2
10	CH	Chodci na lávkách	Q	0	35.4	8.83E+03	4.0	0.5	1.53E+06	0.3	0.0	-2.74E+06	0.0	4.3	0.0E+00	-	-	-	-	0.0	1.04E+04	0.0	0.0	0.3	5.57E+03	0.1	0.1
11	W	Vítr na konstrukci	Q	0	-11.6	8.83E+03	-1.3	4.7	1.53E+06	3.1	0.0	-2.74E+06	0.0	1.8	0.0E+00	-	-	-	-	0.0	1.04E+04	0.0	0.0	1.4	5.57E+03	0.3	0.3
12	WP	Vítr na vozidla	Q	0	-14.1	8.83E+03	-1.6	3.3	1.53E+06	2.2	-0.1	-2.74E+06	0.0	0.6	0.0E+00	-	-	-	-	0.0	1.04E+04	0.0	0.0	2.9	5.57E+03	0.5	0.5
13	TR	Teplota rovnoměrná	Q	0	0.0	8.83E+03	0.0	0.0	1.53E+06	0.0	0.0	-2.74E+06	0.0	0.0	0.0E+00	-	-	-	-	0.0	1.04E+04	0.0	0.0	0.0	5.57E+03	0.0	0.0
14	TN	Teplota nerovnoměrná	Q	0	-18.3	8.83E+03	-2.1	2.1	1.53E+06	1.4	-0.3	-2.74E+06	0.1	-0.6	0.0E+00	-	-	-	-	-0.1	1.04E+04	0.0	0.0	1.8	5.57E+03	0.3	0.3
15	FR	Třecí síly v ložiskách	Q	0	-0.7	8.83E+03	-0.1	0.0	1.53E+06	0.0	0.0	-2.74E+06	0.0	-0.1	0.0E+00	-	-	-	-	0.0	1.04E+04	0.0	0.0	0.0	5.57E+03	0.0	0.0
16	I	Imperfekce soustavy	Q	0	2.1	8.83E+03	0.2	0.6	1.53E+06	0.4	0.0	-2.74E+06	0.0	0.6	0.0E+00	-	-	-	-	0.0	1.04E+04	0.0	0.0	0.4	5.57E+03	0.1	0.1
27	ULS_LM	ULS - LM71 bez dynam	Q	0	0.0	8.83E+03	0.0	0.0	1.53E+06	0.0	0.0	-2.74E+06	0.0	0.0	0.0E+00	-	-	-	-	0.0	1.04E+04	0.0	0.0	0.0	5.57E+03	0.0	0.0
28	SLS_LM	SLS - LM71 bez dynam	Q	0	0.0	8.83E+03	0.0	0.0	1.53E+06	0.0	0.0	-2.74E+06	0.0	0.0	0.0E+00	-	-	-	-	0.0	1.04E+04	0.0	0.0	0.0	5.57E+03	0.0	0.0
29	ULS_C3	ULS - C3 bez dynam	Q	0	0.0	8.83E+03	0.0	0.0	1.53E+06	0.0	0.0	-2.74E+06	0.0	0.0	0.0E+00	-	-	-	-	0.0	1.04E+04	0.0	0.0	0.0	5.57E+03	0.0	0.0
30	SLS_C3	SLS - C3 bez dynam	Q	0	0.0	8.83E+03	0.0	0.0	1.53E+06	0.0	0.0	-2.74E+06	0.0	0.0	0.0E+00	-	-	-	-	0.0	1.04E+04	0.0	0.0	0.0	5.57E+03	0.0	0.0
NAVÝŠENÍ NAPĚTÍ DO AKTIVACE TLAKU V DÉSCE MOSTOVKY						$\sigma_{P,red}$	0.0							0.0			0.0		0.0				-0.1	-0.1			3.3	3.3
NAPĚTÍ OD PRIMÁRNÍCH ÚČINKŮ NEROVNOMĚRNÉHO OTEPLENÍ						σ_T	0.0							0.0														
NAPĚTÍ OD REOLOGICKÝCH ÚČINKŮ BETONU V ČASE		t=0				σ_R	0.0	γ=	1.20					0.0														
NAPĚTÍ V KRITICKÝCH VLÁKNECH OD KOMBINACE ZATÍŽENÍ						KZ04		[MPa]					$\Sigma\sigma_x$	43.4								$\Sigma\tau_y$	-0.1			$\Sigma\tau_z$	3.3
NAPĚTÍ OD POHYBLIVÉHO ZATÍŽENÍ								[MPa]					$\sigma_{z,P}$	29.1								τ_P	0.0			τ_P	1.9
NAPĚTÍ OD OSTATNÍCH ZATÍŽENÍ								[MPa]			Φ_{Vy}	Φ_{Vz}	$\sigma_{z,rs}$	14.2								τ_{rs}	0.0			τ_{rs}	1.4
NÁVRHOVÁ HODNOTA MEZE KLUZU S REDUKCÍ VLIVEM SMYKOVÉHO NAPĚTÍ								[MPa]			1.00	1.00	$f_{yv,d}$	191.7								$f_{yd}/3^{0,5}$	120.7			$f_{yd}/3^{0,5}$	120.7
NAPĚTÍ OD POHYBLIVÉHO ZATÍŽENÍ V GLOBÁLNÍM SYSTÉMU						$\sigma_{GLOB,P}$	0.0	[MPa]					$\Sigma\sigma_{GLOB}$	0.0													
NAPĚTÍ OD OSTATNÍCH ZATÍŽENÍ V GLOBÁLNÍM SYSTÉMU						$\sigma_{GLOB,rs}$	0.0	[MPa]					$\Sigma\sigma_z + \Sigma\sigma_{GLOB}$	43.4													
VYUŽITÍ PRŮŘEZU DLE NAPĚTÍ								[%]					η_1	0.23								η_3	0.00			η_3	0.03
NAPĚTÍ V PŘÍČNÉM SMĚRU OD POHYBLIVÉHO ZATÍŽENÍ						$\sigma_{z,P}$	0.0	[MPa]					$\Sigma\sigma_z$	0.0													
NAPĚTÍ V PŘÍČNÉM SMĚRU OD OSTATNÍCH ZATÍŽENÍ						$\sigma_{z,rs}$	0.0	[MPa]					η_2	0.00													
SROVNÁVACÍ NAPĚTÍ													$(\eta 2 + 0{,}8\,\eta 1)/1{,}4$ =	0.13													
VYUŽITÍ PRŮŘEZU CELKEM								[%]					eff	0.23	VYHOVUJE												
													z_{LM71} =	6.09													

VÝPOČET PRŮŘEZOVÝCH CHARAKTERISTIK

PRŮŘEZ: D8_t **POPIS:** DIAGONÁLA 8 - TAH **x =** - **m**

DEFINOVÁNÍ PRŮŘEZU

ŠÍŘKA PÁSNICE ÚHELNÍKU	b f.t.l.o =	100	mm	**ÚHELNÍK HORNÍ VNĚJŠÍ LEVÝ**		**C.T.O.L**	
TLOUŠŤKA PÁSNICE ÚHELNÍKU	t f.t.l.o =	13	mm	OSLABENÍ PÁSNICE - TLOUŠŤKA	Δt f.t.l.o =	0	%
VÝŠKA STĚNY ÚHELNÍKU	h w.t.l.o =	67	mm				
TLOUŠŤKA STĚNY ÚHELNÍKU	t w.t.l.o =	13	mm	OSLABENÍ STĚNY - TLOUŠŤKA	Δt w.t.l.o =	20	%
ŠÍŘKA PÁSNICE ÚHELNÍKU	b f.t.r.o =	100	mm	**ÚHELNÍK HORNÍ VNĚJŠÍ PRAVÝ**		**C.T.O.R**	
TLOUŠŤKA PÁSNICE ÚHELNÍKU	t f.t.r.o =	13	mm	OSLABENÍ PÁSNICE - TLOUŠŤKA	Δt f.t.r.o =	0	%
VÝŠKA STĚNY ÚHELNÍKU	h w.t.r.o =	67	mm				
TLOUŠŤKA STĚNY ÚHELNÍKU	t w.t.r.o =	13	mm	OSLABENÍ STĚNY - TLOUŠŤKA	Δt w.t.r.0 =	20	%
ŠÍŘKA PÁSNICE ÚHELNÍKU	b f.t.l.i =	100	mm	**ÚHELNÍK HORNÍ VNITŘNÍ LEVÝ**		**C.T.I.L**	
TLOUŠŤKA PÁSNICE ÚHELNÍKU	t f.t.l.i =	13	mm	OSLABENÍ PÁSNICE - TLOUŠŤKA	Δt f.b.l.o =	0	%
VÝŠKA STĚNY ÚHELNÍKU	h w.t.l.i =	67	mm				
TLOUŠŤKA STĚNY ÚHELNÍKU	t w.t.l.i =	13	mm	OSLABENÍ STĚNY - TLOUŠŤKA	Δt w.b.l.o =	20	%
ŠÍŘKA PÁSNICE ÚHELNÍKU	b f.t.r.i =	100	mm	**ÚHELNÍK HORNÍ VNITŘNÍ PRAVÝ**		**C.T.I.R**	
TLOUŠŤKA PÁSNICE ÚHELNÍKU	t f.t.r.i =	13	mm	OSLABENÍ PÁSNICE - TLOUŠŤKA	Δt f.b.r.o =	0	%
VÝŠKA STĚNY ÚHELNÍKU	h w.t.r.i =	67	mm				
TLOUŠŤKA STĚNY ÚHELNÍKU	t w.t.r.i =	13	mm	OSLABENÍ STĚNY - TLOUŠŤKA	Δt w.b.r.o =	20	%
ŠÍŘKA PÁSNICE ÚHELNÍKU	b f.b.l.o =	100	mm	**ÚHELNÍK DOLNÍ VNĚJŠÍ LEVÝ**		**C.B.O.L**	
TLOUŠŤKA PÁSNICE ÚHELNÍKU	t f.b.l.o =	13	mm	OSLABENÍ PÁSNICE - TLOUŠŤKA	Δt f.t.l.i =	0	%
VÝŠKA STĚNY ÚHELNÍKU	h w.b.l.o =	67	mm				
TLOUŠŤKA STĚNY ÚHELNÍKU	t w.b.l.o =	13	mm	OSLABENÍ STĚNY - TLOUŠŤKA	Δt w.t.l.i =	20	%
ŠÍŘKA PÁSNICE ÚHELNÍKU	b f.b.r.o =	100	mm	**ÚHELNÍK DOLNÍ VNĚJŠÍ PRAVÝ**		**C.B.O.R**	
TLOUŠŤKA PÁSNICE ÚHELNÍKU	t f.b.r.o =	13	mm	OSLABENÍ PÁSNICE - TLOUŠŤKA	Δt f.t.r.i =	0	%
VÝŠKA STĚNY ÚHELNÍKU	h w.b.r.o =	67	mm				
TLOUŠŤKA STĚNY ÚHELNÍKU	t w.b.r.o =	13	mm	OSLABENÍ STĚNY - TLOUŠŤKA	Δt w.t.r.i =	20	%
PÁSNICE DOLNÍHO LEVÉHO ÚHELNÍKU	b f.b.l.i =	100	mm	**ÚHELNÍK DOLNÍ VNITŘNÍ LEVÝ**		**C.B.I.L**	
TLOUŠŤKA PÁSNICE ÚHELNÍKU	t f.b.l.i =	13	mm	OSLABENÍ PÁSNICE - TLOUŠŤKA	Δt f.b.l.i =	0	%
VÝŠKA STĚNY ÚHELNÍKU	h w.b.l.i =	67	mm				
TLOUŠŤKA STĚNY ÚHELNÍKU	t w.b.l.i =	13	mm	OSLABENÍ STĚNY - TLOUŠŤKA	Δt w.b.l.i =	20	%
PÁSNICE DOLNÍHO PRAVÉHO ÚHELNÍKU	b f.b.r.i =	100	mm	**ÚHELNÍK DOLNÍ VNITŘNÍ PRAVÝ**		**C.B.I.R**	
TLOUŠŤKA PÁSNICE ÚHELNÍKU	t f.b.r.i =	13	mm	OSLABENÍ PÁSNICE - TLOUŠŤKA	Δt f.b.r.i =	0	%
VÝŠKA STĚNY ÚHELNÍKU	h w.b.r.i =	67	mm				
TLOUŠŤKA STĚNY ÚHELNÍKU	t w.b.r.i =	13	mm	OSLABENÍ STĚNY - TLOUŠŤKA	Δt w.b.r.i =	20	%

D8.2 DOLNÍ

ŠÍŘKA HORNÍ VLOŽKY - VNĚJŠÍ	b f.t =	0	mm			**HOR.T.O**	
TLOUŠŤKA VLOŽKY	t f.t =	0	mm	OSLABENÍ VLOŽKY	Δt f.t =	0	%
ŠÍŘKA HORNÍ VLOŽKY - VNITŘNÍ	b f.t =	0	mm			**HOR.T.I**	
TLOUŠŤKA VLOŽKY	t f.t =	0	mm	OSLABENÍ VLOŽKY	Δt f.t =	0	%
ŠÍŘKA DOLNÍ VLOŽKY - VNĚJŠÍ	b f.t =	0	mm			**HOR.B.O**	
TLOUŠŤKA VLOŽKY	t f.t =	0	mm	OSLABENÍ VLOŽKY	Δt f.t =	0	%
ŠÍŘKA DOLNÍ VLOŽKY - VNITŘNÍ	b f.t =	0	mm			**HOR.B.I**	
TLOUŠŤKA VLOŽKY	t f.t =	0	mm	OSLABENÍ VLOŽKY - VNITŘNÍ	Δt f.t =	0	%

VZD. OKRAJŮ PÁSNIC VNITŘNÍCH ÚHELNÍKŮ	416	mm
CELKOVÁ TLOUŠŤKA MEZI PÁSNICEMI ÚHELNÍKŮ I A .o	24	mm
CELKOVÁ TLOUŠŤKA MEZI PÁSNICEMI ÚHELNÍKŮ I A .r	8	mm

ZADANÉ ČÁSTI PRŮŘEZU:

č.prvku	b [mm]	h [mm]	y_0 [mm]	z_0 [mm]	popis části	druh oslabení	lokální ultimate	boulení servic.
1	100.0	13.0	-54.0	238.5	pásnice	0	1.000	1.000
2	10.4	67.0	-9.2	278.5	stěna	0	1.000	1.000
3	100.0	13.0	54.0	238.5	pásnice	0	1.000	1.000
4	10.4	67.0	9.2	278.5	stěna	0	1.000	1.000
5	100.0	13.0	-54.0	201.5	pásnice	0	1.000	1.000
6	10.4	67.0	-9.2	161.5	stěna	0	1.000	1.000
7	100.0	13.0	54.0	201.5	pásnice	0	1.000	1.000
8	10.4	67.0	9.2	161.5	stěna	0	1.000	1.000
9	100.0	13.0	-54.0	-238.5	pásnice	0	1.000	1.000
10	10.4	67.0	-9.2	-278.5	stěna	0	1.000	1.000
11	100.0	13.0	54.0	-238.5	pásnice	0	1.000	1.000
12	10.4	67.0	9.2	-278.5	stěna	0	1.000	1.000
13	100.0	13.0	-54.0	-201.5	pásnice	0	1.000	1.000
14	10.4	67.0	-9.2	-161.5	stěna	0	1.000	1.000
15	100.0	13.0	54.0	-201.5	pásnice	0	1.000	1.000
16	10.4	67.0	9.2	-161.5	stěna	0	1.000	1.000
17						0	1.000	1.000
18						0	1.000	1.000
19						0	1.000	1.000
20						0	1.000	1.000
21						0	1.000	1.000
22						0	1.000	1.000
23						0	1.000	1.000
24						0	1.000	1.000
25						0	1.000	1.000
26						0	1.000	1.000
27						0	1.000	1.000
28						0	1.000	1.000
29						0	1.000	1.000
30						0	1.000	1.000
31						0	1.000	1.000
32						0	1.000	1.000
33						0	1.000	1.000
34						0	1.000	1.000
35						0	1.000	1.000
36						0	1.000	1.000
37						0	1.000	1.000
38						0	1.000	1.000
39						0	1.000	1.000
40						0	1.000	1.000
41	0.0	0.0	0.0	232.0	pásnice	0	1.000	1.000
42	0.0	0.0	0.0	208.0	pásnice	0	1.000	1.000
43	0.0	0.0	0.0	-232.0	pásnice	0	1.000	1.000
44	0.0	0.0	0.0	-208.0	pásnice	0	1.000	1.000
45						0	1.000	1.000
46						0	1.000	1.000
47						0	1.000	1.000
48						0	1.000	1.000
49						0	1.000	1.000
50						0	1.000	1.000
51						0	1.000	1.000
52						0	1.000	1.000
53						0	1.000	1.000
54						0	1.000	1.000
55						0	1.000	1.000
56						0	1.000	1.000
57						0	1.000	1.000
58						0	1.000	1.000
59						0	1.000	1.000
60						0	1.000	1.000
61						0	1.000	1.000
62						0	1.000	1.000
63						0	1.000	1.000
64						0	1.000	1.000
65						0	1.000	1.000
66						0	1.000	1.000
67						0	1.000	1.000
68						0	1.000	1.000
69						0	1.000	1.000
70						0	1.000	1.000
71	10.4	-17.1	-9.2	277.0	nýt-stěna	0	1.000	1.000
72	10.4	-17.1	9.2	277.0	nýt-stěna	0	1.000	1.000
73	10.4	-17.1	-9.2	163.0	nýt-stěna	0	1.000	1.000
74	10.4	-17.1	9.2	163.0	nýt-stěna	0	1.000	1.000
75	10.4	-17.1	-9.2	-277.0	nýt-stěna	0	1.000	1.000
76	10.4	-17.1	9.2	-277.0	nýt-stěna	0	1.000	1.000
77	10.4	-17.1	-9.2	-163.0	nýt-stěna	0	1.000	1.000
78	10.4	-17.1	9.2	-163.0	nýt-stěna	0	1.000	1.000
79						0	1.000	1.000
80						0	1.000	1.000
81	-17.1	13.0	59.0	238.5	nýt-pásnice	0	1.000	1.000
82	-17.1	13.0	-59.0	201.5	nýt-pásnice	0	1.000	1.000
83	-17.1	13.0	59.0	238.5	nýt-pásnice	0	1.000	1.000
84	-17.1	13.0	59.0	201.5	nýt-pásnice	0	1.000	1.000
85	-17.1	13.0	-59.0	-238.5	nýt-pásnice	0	1.000	1.000
86	-17.1	13.0	-59.0	-201.5	nýt-pásnice	0	1.000	1.000
87	-17.1	13.0	59.0	-238.5	nýt-pásnice	0	1.000	1.000
88	-17.1	13.0	59.0	-201.5	nýt-pásnice	0	1.000	1.000
89						0	1.000	1.000
90						0	1.000	1.000
91	0	0	0	0	nýt-pásnice	0	1.000	1.000
92	0	0	0	0	nýt-pásnice	0	1.000	1.000
93	0.0	0	0	0	nýt-pásnice	0	1.000	1.000
94	0.0	0	0	0	nýt-pásnice	0	1.000	1.000
95	0.0	0	0	0	nýt-pásnice	0	1.000	1.000
96	0.0	0	0	0	nýt-pásnice	0	1.000	1.000
97	0.0	0	0	0	nýt-pásnice	0	1.000	1.000
98	0.0	0	0	0	nýt-pásnice	0	1.000	1.000
99						0	1.000	1.000
100						0	1.000	1.000

NÝT Č.	SKUPINA	ŘEZ	RED.	VELIKOST di [mm]	POLOHA oi [mm]	POPIS	AKTIVITA OTVORU	NAPĚTÍ sc [MPa]
1	1	3	0.85	20	35	nýt - t.o - úhelník	1	55.59
2	1	3	0.85	20	35	nýt - t.o - úhelník	1	54.92
3	2	3	0.85	20	35	nýt - t.i - úhelník	1	54.63
4	2	3	0.85	20	35	nýt - t.i - úhelník	1	53.96
5	4	3	0.85	20	35	nýt - b.o - úhelník	1	50.93
6	4	3	0.85	20	35	nýt - b.o - úhelník	1	50.26
7	3	3	0.85	20	35	nýt - b.i - úhelník	1	51.89
8	3	3	0.85	20	35	nýt - b.i - úhelník	1	51.22
9								
10								
11	1	3	0.85	20	45	nýt - t.i - úhelník	1	57.08
12	2	3	0.85	20	45	nýt - t.i - úhelník	1	56.77
13	1	3	0.85	20	45	nýt - t.r - úhelník	1	52.78
14	2	3	0.85	20	45	nýt - t.r - úhelník	1	52.46
15	4	3	0.85	20	45	nýt - b.l - úhelník	1	53.07
16	3	3	0.85	20	45	nýt - b.l - úhelník	1	53.38
17	4	3	0.85	20	45	nýt - b.r - úhelník	1	48.76
18	3	3	0.85	20	45	nýt - b.r - úhelník	1	49.07
19								
20								
21		-	1.00	0	-132	nýt - t.l	0	-
22		-	1.00	0	-132	nýt - t.l	0	-
23		-	1.00	0	132	nýt - t.r	0	-
24		-	1.00	0	132	nýt - t.r	0	-
25		-	1.00	0	-132	nýt - b.l	0	-
26		-	1.00	0	-132	nýt - b.l	0	-
27		-	1.00	0	132	nýt - b.r	0	-
28		-	1.00	0	132	nýt - b.r	0	-
29								
30								

VÝPOČET PRŮŘEZOVÝCH CHARAKTERISTIK

Properties	Basic	Ultimate		Serviceability	
y_t	0.0	0.0		0.0	[mm]
z_t	0.0	0.0		0.0	[mm]
A_i	1.2775E+04	1.2775E+04		1.2775E+04	[mm²]
A_y	8.6226E+03	8.6226E+03		8.6226E+03	[mm²]
A_z	4.1525E+03	4.1525E+03		4.1525E+03	[mm²]
I_{y1}	3.8274E+08	3.8274E+08		3.8274E+08	[mm⁴]
I_w	3.3152E+07	3.3152E+07		3.3152E+07	[mm⁶]
i_y	173.1	173.1		173.1	[mm]
i_z	50.9	50.9		50.9	[mm]
$W_{y,1}$	1.2267E+06	1.2267E+06		1.2267E+06	[mm³]
$W_{z,1}$	-3.1876E+05	-3.1876E+05		-3.1876E+05	[mm³]
$W_{y,2}$	-1.2267E+06	-1.2267E+06		-1.2267E+06	[mm³]
$W_{z,2}$	-3.1876E+05	-3.1876E+05		-3.1876E+05	[mm³]
KRAJNÍ VLÁKNA PRŮŘEZU					
y_1	-104.0	-104.0		-104.0	[mm] min
z_1	312.0	312.0		312.0	[mm] max
y_2	-104.0	-104.0		-104.0	[mm] min
z_2	-312.0	-312.0		-312.0	[mm] min
y_3	104.0	104.0		104.0	[mm] max
z_3	312.0	312.0		312.0	[mm] max
y_4	104.0	104.0		104.0	[mm] max
z_4	-312.0	-312.0		-312.0	[mm] min
y_5	-14.4	-14.4		-14.4	[mm]
z_5	-245.0	-245.0		-245.0	[mm]
y_6	-14.4	-14.4		-14.4	[mm]
z_6	-312.0	-312.0		-312.0	[mm]

SCHÉMA PROMĚNNÝCH

SCHÉMA ZADANÉHO PRŮŘEZU

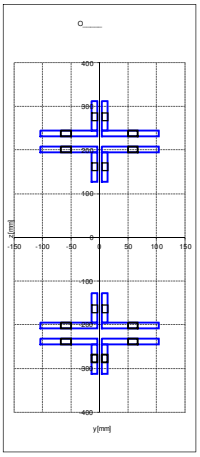

ÚPRAVA MOMENTŮ SETRVAČNOSTI V DŮSLEDKU ČLENĚNÍ PRŮŘEZU

OSA Y	0.60
OSA Z	1.00

NEUTRÁLNÁ OSA

NAPĚTÍ [MPa]:

59.34	51.75
54.09	46.50

ZS: SLS_LM_N,MX,X

	N [kN]	Vy [kN]	Vz [kN]	Mx [kNm]	My [kNm]	Mz [kNm]
import	676	-1	0	0	-3	1

TR_D8.2 POPIS: **DIAGONÁLA D8** POSUDEK: **D.8.2**

SKUPINA ZAT. STAVŮ	EXTRÉM	VYHODNOCOVANÉ VELIČINY					
		N	Vy	Vz	Mx	My	Mz
		kN	kN	kN	kNm	kNm	kNm
G0	N.min	**70.5**	0.53	-0.45	0	-0.69	0.27
	N.max	**70.5**	0.53	-0.45	0	-0.69	0.27
	Vy.min	70.5	**0.53**	-0.45	0	-0.69	0.27
	Vy.max	70.5	**0.53**	-0.45	0	-0.69	0.27
	Vz.min	70.5	0.53	**-0.45**	0	-0.69	0.27
	Vz.max	70.5	0.53	**-0.45**	0	-0.69	0.27
	Mx.min	70.5	0.53	-0.45	**0**	-0.69	0.27
	Mx.max	70.5	0.53	-0.45	**0**	-0.69	0.27
	My.min	70.5	0.53	-0.45	0	**-0.69**	0.27
	My.max	70.5	0.53	-0.45	0	**-0.69**	0.27
	Mz.min	70.5	0.53	-0.45	0	-0.69	**0.27**
	Mz.max	70.5	0.53	-0.45	0	-0.69	**0.27**
G1	N.min	**6.5**	-0.01	-0.06	0	-0.2	0.03
	N.max	**6.5**	-0.01	-0.06	0	-0.2	0.03
	Vy.min	6.5	**-0.01**	-0.06	0	-0.2	0.03
	Vy.max	6.5	**-0.01**	-0.06	0	-0.2	0.03
	Vz.min	6.5	-0.01	**-0.06**	0	-0.2	0.03
	Vz.max	6.5	-0.01	**-0.06**	0	-0.2	0.03
	Mx.min	6.5	-0.01	-0.06	**0**	-0.2	0.03
	Mx.max	6.5	-0.01	-0.06	**0**	-0.2	0.03
	My.min	6.5	-0.01	-0.06	0	**-0.2**	0.03
	My.max	6.5	-0.01	-0.06	0	**-0.2**	0.03
	Mz.min	6.5	-0.01	-0.06	0	-0.2	**0.03**
	Mz.max	6.5	-0.01	-0.06	0	-0.2	**0.03**
G2	N.min	**5.37**	-0.02	-0.01	0	0.17	0.03
	N.max	**5.37**	-0.02	-0.01	0	0.17	0.03
	Vy.min	5.37	**-0.02**	-0.01	0	0.17	0.03
	Vy.max	5.37	**-0.02**	-0.01	0	0.17	0.03
	Vz.min	5.37	-0.02	**-0.01**	0	0.17	0.03
	Vz.max	5.37	-0.02	**-0.01**	0	0.17	0.03
	Mx.min	5.37	-0.02	-0.01	**0**	0.17	0.03
	Mx.max	5.37	-0.02	-0.01	**0**	0.17	0.03
	My.min	5.37	-0.02	-0.01	0	**0.17**	0.03
	My.max	5.37	-0.02	-0.01	0	**0.17**	0.03
	Mz.min	5.37	-0.02	-0.01	0	0.17	**0.03**
	Mz.max	5.37	-0.02	-0.01	0	0.17	**0.03**
P1_71	N.min	**-90.58**	-0.05	-2.85	0.01	-5.13	0.2
	N.max	**153.2**	-0.23	0.53	0.01	-14.83	0.17
	Vy.min	44.07	**-0.44**	-0.91	0.01	-12.66	0.36
	Vy.max	-5.39	**0.29**	-2.48	0.01	-6.15	-0.02
	Vz.min	-11.31	-0.02	**-3.93**	0.01	-11.09	0.25
	Vz.max	81.17	-0.14	**1.06**	0.01	-9.75	0.07
	Mx.min	0	0	0	**0**	0	0
	Mx.max	52.92	-0.09	-3.09	**0.02**	-19.45	0.29
	My.min	68.88	-0.2	-2.19	0.02	**-20.4**	0.31
	My.max	0	0	0	0	**0**	0
	Mz.min	-5.26	0.24	-1.84	0.01	-3.72	**-0.03**
	Mz.max	46.2	-0.41	-1.25	0.01	-14.4	**0.37**
P2_71	N.min	**-218.89**	-0.11	-1.8	0	5.87	0.44
	N.max	**370.54**	-0.53	2.13	0	-1.91	0.33
	Vy.min	107.29	**-1.07**	1.49	-0.01	6.51	0.78
	Vy.max	-15.65	**0.79**	-2.58	0	-0.98	-0.06
	Vz.min	-91.91	0.54	**-3.26**	0	1.27	0.08
	Vz.max	259.46	-0.86	**2.71**	-0.01	1.98	0.59
	Mx.min	133.89	-0.84	1.07	**-0.01**	8.07	0.63
	Mx.max	32.25	0.58	-1.96	**0.01**	-3.76	0.04
	My.min	158.77	0.08	1.06	0	**-6.93**	0.08
	My.max	-15.51	-0.63	-1	0	**10.1**	0.68
	Mz.min	-15.62	0.65	-2.05	0	-0.41	**-0.08**
	Mz.max	112.52	-1.01	1.3	-0.01	6	**0.79**
P1_C3	N.min	**-72.96**	0.03	-2.62	0.01	-4.58	0.14
	N.max	**124.78**	-0.2	0.42	0.01	-11.3	0.14
	Vy.min	50.64	**-0.39**	-0.63	0.01	-11.92	0.31
	Vy.max	2.61	**0.22**	-1.66	0.01	-5.08	-0.01
	Vz.min	-12.93	-0.03	**-3.01**	0.01	-8.48	0.21
	Vz.max	62.17	-0.11	**0.84**	0	-7.56	0.06
	Mx.min	0	0	0	**0**	0	0
	Mx.max	47.09	-0.12	-2.32	**0.01**	-15.71	0.26
	My.min	49.22	-0.19	-1.98	0.01	**-16.02**	0.28
	My.max	0	0	0	0	**0**	0
	Mz.min	-1.93	0.2	-1.47	0	-3.18	**-0.03**
	Mz.max	50.64	-0.39	-0.63	0.01	-11.92	**0.31**
P2_C3	N.min	**-176.93**	0.09	-1.85	0	4.61	0.31
	N.max	**300.82**	-0.51	1.75	0	-0.71	0.29
	Vy.min	122.83	**-0.95**	1.52	0	4.71	0.68
	Vy.max	5.59	**0.58**	-1.69	0	-1.43	-0.05
	Vz.min	-62.15	0.42	**-2.47**	0	0.82	0.03
	Vz.max	207.87	-0.71	**2.17**	0	2.06	0.5
	Mx.min	99.61	-0.72	0.99	**-0.01**	6.8	0.55
	Mx.max	30.44	0.49	-1.36	**0**	-3.12	0
	My.min	109.02	0.18	0.37	0	**-5.04**	0.04
	My.max	-0.72	-0.61	-0.5	0	**8.49**	0.58
	Mz.min	-8.24	0.56	-1.65	0	-0.56	**-0.07**
	Mz.max	122.83	-0.95	1.52	0	4.71	**0.68**
BR	N.min	**-9.63**	0.32	-0.12	0	-0.58	-0.24
	N.max	**9.63**	-0.32	0.12	0	0.58	0.24
	Vy.min	9.63	**-0.32**	0.12	0	0.58	0.24
	Vy.max	-9.63	**0.32**	-0.12	0	-0.58	-0.24
	Vz.min	-9.63	0.32	**-0.12**	0	-0.58	-0.24
	Vz.max	9.63	-0.32	**0.12**	0	0.58	0.24
	Mx.min	9.63	-0.32	0.12	**0**	0.58	0.24
	Mx.max	-9.63	0.32	-0.12	**0**	-0.58	-0.24
	My.min	-9.63	0.32	-0.12	0	**-0.58**	-0.24
	My.max	9.63	-0.32	0.12	0	**0.58**	0.24
	Mz.min	-9.63	0.32	-0.12	0	-0.58	**-0.24**
	Mz.max	9.63	-0.32	0.12	0	0.58	**0.24**

TR_D8.2 POPIS: **DIAGONÁLA D8** POSUDEK: **D.8.2**

SKUPINA ZAT. STAVŮ	EXTRÉM	VYHODNOCOVANÉ VELIČINY					
		N	Vy	Vz	Mx	My	Mz
		kN	kN	kN	kNm	kNm	kNm
S	N.min	**-5.49**	0.03	-0.11	0	-4.09	-0.03
	N.max	**5.49**	-0.03	0.11	0	4.09	0.03
	Vy.min	3.28	**-0.04**	0.55	0	3.57	0.03
	Vy.max	-3.28	**0.04**	-0.55	0	-3.57	-0.03
	Vz.min	-4.14	0.03	**-0.57**	0	-4.86	-0.03
	Vz.max	4.14	-0.03	**0.57**	0	4.86	0.03
	Mx.min	5	-0.02	0.02	**0**	3.22	0.01
	Mx.max	-5	0.02	-0.02	**0**	-3.22	-0.01
	My.min	-4.14	0.03	-0.57	0	**-4.86**	-0.03
	My.max	4.14	-0.03	0.57	0	**4.86**	0.03
	Mz.min	-4.14	0.03	-0.57	0	-4.86	**-0.03**
	Mz.max	4.14	-0.03	0.57	0	4.86	**0.03**
CH	N.min	**-17.71**	0.01	0.09	0	-0.55	0.04
	N.max	**29.79**	-0.06	-0.25	0	-0.49	0.03
	Vy.min	29.79	**-0.06**	-0.25	0	-0.49	0.03
	Vy.max	-17.71	**0.01**	0.09	0	-0.55	0.04
	Vz.min	29.79	-0.06	**-0.25**	0	-0.49	0.03
	Vz.max	-17.71	0.01	**0.09**	0	-0.55	0.04
	Mx.min	13.5	-0.05	0.05	**0**	0.97	0.07
	Mx.max	29.79	-0.06	-0.25	**0**	-0.49	0.03
	My.min	-17.71	0.01	0.09	0	**-0.55**	0.04
	My.max	13.5	-0.05	0.05	0	**0.97**	0.07
	Mz.min	29.79	-0.06	-0.25	0	-0.49	**0.03**
	Mz.max	13.5	-0.05	0.05	0	0.97	**0.07**
W	N.min	**-13.06**	0.02	-0.66	0	-6.51	-0.03
	N.max	**13.07**	-0.02	0.66	0	6.49	0.03
	Vy.min	13.07	**-0.02**	0.66	0	6.49	0.03
	Vy.max	-13.06	**0.02**	-0.66	0	-6.51	-0.03
	Vz.min	-13.06	0.02	**-0.66**	0	-6.51	-0.03
	Vz.max	13.07	-0.02	**0.66**	0	6.49	0.03
	Mx.min	-13.06	0.02	-0.66	**0**	-6.51	-0.03
	Mx.max	13.07	-0.02	0.66	**0**	6.49	0.03
	My.min	-13.06	0.02	-0.66	0	**-6.51**	-0.03
	My.max	13.07	-0.02	0.66	0	**6.49**	0.03
	Mz.min	-13.06	0.02	-0.66	0	-6.51	**-0.03**
	Mz.max	13.07	-0.02	0.66	0	6.49	**0.03**
WP	N.min	**-19.97**	0.1	-1.06	0.01	-11.29	-0.1
	N.max	**19.97**	-0.1	1.06	-0.01	11.29	0.1
	Vy.min	19.97	**-0.1**	1.06	-0.01	11.29	0.1
	Vy.max	-19.97	**0.1**	-1.06	0.01	-11.29	-0.1
	Vz.min	-19.97	0.1	**-1.06**	0.01	-11.29	-0.1
	Vz.max	19.97	-0.1	**1.06**	-0.01	11.29	0.1
	Mx.min	19.97	-0.1	1.06	**-0.01**	11.29	0.1
	Mx.max	-19.97	0.1	-1.06	**0.01**	-11.29	-0.1
	My.min	-19.97	0.1	-1.06	0.01	**-11.29**	-0.1
	My.max	19.97	-0.1	1.06	-0.01	**11.29**	0.1
	Mz.min	-19.97	0.1	-1.06	0.01	-11.29	**-0.1**
	Mz.max	19.97	-0.1	1.06	-0.01	11.29	**0.1**
TR	N.min	**0**	0	0	0	0	0
	N.max	**0**	0	0	0	0	0
	Vy.min	0	**0**	0	0	0	0
	Vy.max	0	**0**	0	0	0	0
	Vz.min	0	0	**0**	0	0	0
	Vz.max	0	0	**0**	0	0	0
	Mx.min	0	0	0	**0**	0	0
	Mx.max	0	0	0	**0**	0	0
	My.min	0	0	0	0	**0**	0
	My.max	0	0	0	0	**0**	0
	Mz.min	0	0	0	0	0	**0**
	Mz.max	0	0	0	0	0	**0**
TN	N.min	**-50.29**	0.37	-0.07	0	-0.63	-0.29
	N.max	**50.29**	-0.37	0.07	0	0.63	0.29
	Vy.min	50.29	**-0.37**	0.07	0	0.63	0.29
	Vy.max	-49.56	**0.38**	-1.07	0.01	-8.17	-0.28
	Vz.min	-49.56	0.38	**-1.07**	0.01	-8.17	-0.28
	Vz.max	-3.16	0.02	**0.91**	-0.01	7.27	-0.03
	Mx.min	-3.16	0.02	0.91	**-0.01**	7.27	-0.03
	Mx.max	-49.56	0.38	-1.07	**0.01**	-8.17	-0.28
	My.min	-49.56	0.38	-1.07	0.01	**-8.17**	-0.28
	My.max	-3.16	0.02	0.91	-0.01	**7.27**	-0.03
	Mz.min	-50.29	0.37	-0.07	0	-0.63	**-0.29**
	Mz.max	50.29	-0.37	0.07	0	0.63	**0.29**
FR	N.min	**-1.47**	0.01	0.01	0	-0.04	-0.01
	N.max	**1.47**	-0.01	-0.01	0	0.04	0.01
	Vy.min	1.47	**-0.01**	-0.01	0	0.04	0.01
	Vy.max	-1.47	**0.01**	0.01	0	-0.04	-0.01
	Vz.min	1.47	-0.01	**-0.01**	0	0.04	0.01
	Vz.max	-1.47	0.01	**0.01**	0	-0.04	-0.01
	Mx.min	1.47	-0.01	-0.01	**0**	0.04	0.01
	Mx.max	-1.47	0.01	0.01	**0**	-0.04	-0.01
	My.min	-1.47	0.01	0.01	0	**-0.04**	-0.01
	My.max	1.47	-0.01	-0.01	0	**0.04**	0.01
	Mz.min	-1.47	0.01	0.01	0	-0.04	**-0.01**
	Mz.max	1.47	-0.01	-0.01	0	0.04	**0.01**
I	N.min	**-1.56**	0	0.15	0	1.27	**0**
	N.max	**1.56**	0	-0.15	0	-1.27	**0**
	Vy.min	-1.56	**0**	0.15	0	1.27	**0**
	Vy.max	1.56	**0**	-0.15	0	-1.27	**0**
	Vz.min	1.56	0	**-0.15**	0	-1.27	**0**
	Vz.max	-1.56	0	**0.15**	0	1.27	**0**
	Mx.min	-1.56	0	0.15	**0**	1.27	**0**
	Mx.max	1.56	0	-0.15	**0**	-1.27	**0**
	My.min	1.56	0	-0.15	0	**-1.27**	**0**
	My.max	-1.56	0	0.15	0	**1.27**	**0**
	Mz.min	1.56	0	-0.15	0	-1.27	**0**
	Mz.max	-1.56	0	0.15	0	1.27	**0**

TAB. D.8.2.3 POSOUZENÍ - MEZNÍ STAV ÚNOSNOSTI

POPIS	DIAGONÁLA D8
PRUT / POLOHA BODU	224 / J[2701]
NAMÁHÁNÍ	N.max
VLÁKNO	BOD K2 -HP
MEZNÍ STAV	ULS (MSÚ)
VYUŽITÍ VLÁKNA PRŮŘEZU	0.50

Charakteristiky materiálu				
pás. horní	$f_{yf,k}$	230	MPa	
pás. dolní	$f_{yf,k}$	230	MPa	
stojina	$f_{yw,k}$	230	MPa	
výztuž	$f_{ys,k}$	500	MPa	
γ_M =		1.10	γ_s =	1.15

Excentricita normálové síly				
Exc./Fáze	0	1	2	3
e_y	0.000	0.000	0.000	0.000
e_z	0.000	0.000	0.000	0.000
Ekvivalentní vzdál. stěn - příčný roznos				
b_{ekv}	0.000	0.000	0.000	0.000

Vliv stěny na únosnost průřezu				
Char./Fáze	0	1	2	3
A	0.00	0.00	0.00	0.00
Wy	0.00	0.00	0.00	0.00
Wz	0.00	0.00	0.00	0.00

Charakter. v kroucení			
$t_{w,y}$	0.000	[mm]	
$t_{w,z}$	0.000	[mm]	
κ	1.00		
I_t=	0.00E+00	[mm^4]	
Ω=2*A_{pr}	0.00E+00	[mm^2]	

Součinitele vzpěru a vlivu II.řádu					
Char./Fáze	0	1	2	3	
k_y	1.000	1.000	1.000	1.000	
k_z	1.000	1.000	1.000	1.000	
χ_{LT}	1.000	1.000	1.000	1.000	
χ_{min}	1.000	1.000	1.000	1.000	

Vnitřní síly od jednotlivých skupin zatěžovacích stavů

SKUPINA ZATĚŽOVACÍCH STAVŮ					- CHARAKTERISTICKÉ HODNOTY						DÍLČÍ SOUČINITELÉ ZATÍŽENÍ, DYNAMICKÝ SOUČINITEL							- NÁVRHOVÉ HODNOTY									
Č.	SKUP ZS	POPIS ZS	KAT.	FÁZE PRŮŘ.	N.k (kN)	Vy.k (kN)	Vz.k (kN)	Mx.k (kNm)	My.k (kNm)	Mz.k (kNm)	γ_{sup} (-)	γ_{inf} (-)	volba γ_i hledat	γ_i (-)	L_d (m)	δ (-)	Ψ_0 KZ03	N.d (kN)	Vy.d (kN)	Vz.d (kN)	ΔVz.d (kN)	ΣVz.d (kN)	Mx.d (kNm)	My.d (kNm)	ΔMy.d (kNm)	ΣMy.d (kNm)	Mz.d (kNm)	ΔMz.d (kNm)	ΣMz.d (kNm)
1	G0	Vlastní tíha OK	G	0	71	1	0	0	-1	0	1.00	1.20		1.20	-	1.00	0.95	80	1	-1	0	-1	0	-1	0	-1	0	0	0
2	G1	Ostatní stálé - mostní vybavení	G	0	7	0	0	0	0	0	1.00	1.20		1.20	-	1.00	0.95	7	0	0	0	0	0	0	0	0	0	0	0
3	G2	Ostatní stálé - cizí zařízení	G	0	5	0	0	0	0	0	1.00	1.20		1.20	-	1.00	0.95	6	0	0	0	0	0	0	0	0	0	0	0
4	P1_71	a.LM71 - kolej 1 (bez dyn. souč.)	P	0	153	0	1	0	-15	0	1.00	1.30		1.30	-	1.00	1.00	199	0	1	0	1	0	-19	0	-19	0	0	0
5	P2_71	a.LM71 - kolej 2 (bez dyn. souč.)	P	0	371	-1	2	0	-2	0	1.00	1.30		1.30	-	1.00	1.00	482	-1	3	0	3	0	-2	0	-2	0	0	0
6	P1_C3	TTZ C3 - kolej 1 (bez dyn. souč.)	P	0	125	0	0	0	-11	0	1.00	vyp.		0.00	-	1.00	0.00	0	0	0	0	0	0	0	0	0	0	0	0
7	P2_C3	TTZ C3 - kolej 2 (bez dyn. souč.)	P	0	301	-1	2	0	-1	0	1.00	vyp.		0.00	-	1.00	0.00	0	0	0	0	0	0	0	0	0	0	0	0
8	BR	Brzdné a rozjezdové síly	P	0	10	0	0	0	1	0	1.00	1.30		1.30	-	1.00	0.80	10	0	0	0	0	0	1	0	1	0	0	0
9	S	Boční ráz	P	0	5	0	0	0	4	0	1.00	0.00		0.00	-	1.00	0.40	0	0	0	0	0	0	0	0	0	0	0	0
10	CH	Chodci na lávkách	Q	0	30	0	0	0	0	0	1.00	1.30		1.30	-	1.00	1.00	39	0	0	0	0	0	-1	0	-1	0	0	0
11	W	Vítr na konstrukci	Q	0	13	0	1	0	6	0	1.00	-1.35		-1.35	-	1.00	0.75	-13	0	-1	0	-1	0	-7	0	-7	0	0	0
12	WP	Vítr na vozidla	Q	0	20	0	1	0	11	0	1.00	-1.35		-1.35	-	1.00	0.75	-20	0	-1	0	-1	0	-11	0	-11	0	0	0
13	TR	Teplota rovnoměrná	Q	0	0	0	0	0	0	0	1.00	1.35		1.35	-	1.00	0.45	0	0	0	0	0	0	0	0	0	0	0	0
14	TN	Teplota nerovnoměrná	Q	0	50	0	0	0	1	0	1.00	1.35		1.35	-	1.00	0.60	41	0	0	0	0	0	1	0	1	0	0	0
15	FR	Třecí síly v ložiskách	Q	0	1	0	0	0	0	0	1.00	1.20		1.20	-	1.00	1.00	2	0	0	0	0	0	0	0	0	0	0	0
16	I	Imperfekce soustavy	Q	0	2	0	0	0	-1	0	1.00	1.20		1.20	-	1.00	1.00	2	0	0	0	0	0	-2	0	-2	0	0	0
27	ULS_LM	ULS - LM71 bez dynam	Q	0	907	-1	4	0	-3	2	1.00	vyp.		0.00	-	1.00	0.00	0	0	0	0	0	0	0	0	0	0	0	0
28	SLS_LM	SLS - LM71 bez dynam	Q	0	676	-1	3	0	-3	1	1.00	vyp.	1	0.00	-	1.00	0.00	0	0	0	0	0	0	0	0	0	0	0	0
29	ULS_C3	ULS - C3 bez dynam	Q	0	780	-1	4	0	3	2	1.00	vyp.	1	0.00	-	1.00	0.00	0	0	0	0	0	0	0	0	0	0	0	0
30	SLS_C3	SLS - C3 bez dynam	Q	0	578	-1	3	0	2	1	1.00	vyp.	1	0.00	-	1.00	0.00	0	0	0	0	0	0	0	0	0	0	0	0
		CELKEM - FÁZE PRŮŘEZU 0																834	-1	1	0	1	0	-42	0	-42	1	0	1
		CELKEM - FÁZE PRŮŘEZU 1																0	0	0	0	0	0	0	0	0	0	0	0
		CELKEM - FÁZE PRŮŘEZU 2																0	0	0	0	0	0	0	0	0	0	0	0
		CELKEM - FÁZE PRŮŘEZU 3																0	0	0	0	0	0	0	0	0	0	0	0
		CELKEM - PRŮŘEZ																834	-1	1	0	1	0			-42			1

Napětí od jednotlivých zatěžovacích stavů

SKUPINA ZATĚŽOVACÍCH STAVŮ					Posouzení normálového napětí										Posouzení smykového napětí													
					Účinek síly N			Účinek momentu My			Účinek momentu Mz				Účinek kroutícího momentu Mx				Účinek smykové síly Vy				Účinek smykové síly Vz			
Č.	SKUP ZS	Popis ZS	Kat.	fáze průř.	δ^*N_d [kN]	χ^*A [mm^2]	σ_n [MPa]	$\delta^*M_{y,d}$ [kNm]	$\chi_{lt}{}^*W_{el,y}$ [mm^3]	σ_{my} [MPa]	$\delta^*M_{z,d}$ [kNm]	$W_{el,z}$ [mm^3]	σ_{mz} [MPa]	σ_x [MPa]	$\kappa^*\delta^*M_{x,d}$ [kNm]	$W_{v,y}$ [mm^2]	$\tau_{x,y}$ [MPa]	$W_{v,z}$ [mm^2]	$\tau_{x,z}$ [MPa]	$\delta^*V_{y,d}$ [kN]	$A_{v,y}$ [mm2]	$\tau_{v,y}$ [MPa]	$\tau_{v,y}$ [MPa]	$\delta^*V_{z,d}$ [kN]	$A_{v,z}$ [mm2]	$\tau_{v,z}$ [MPa]	$\tau_{v,z}$ [MPa]
1	G0	Vlastní tíha OK	G	0	80.4	1.28E+04	6.3	-0.8	-1.23E+06	0.6	0.3	3.19E+05	1.0	7.9	0.0E+00	-	-	-	-	0.6	8.62E+03	0.1	0.1	-0.5	4.15E+03	-0.1	-0.1
2	G1	Ostatní stálé - mostní vybavení	G	0	7.4	1.28E+04	0.6	-0.2	-1.23E+06	0.2	0.0	3.19E+05	0.1	0.9	0.0E+00	-	-	-	-	0.0	8.62E+03	0.0	0.0	-0.1	4.15E+03	0.0	0.0
3	G2	Ostatní stálé - cizí zařízení	G	0	6.1	1.28E+04	0.5	0.2	-1.23E+06	-0.2	0.0	3.19E+05	0.1	0.4	0.0E+00	-	-	-	-	0.0	8.62E+03	0.0	0.0	0.0	4.15E+03	0.0	0.0
4	P1_71	a.LM71 - kolej 1 (bez dyn. souč.)	P	0	199.2	1.28E+04	15.6	-19.3	-1.23E+06	15.7	0.2	3.19E+05	0.7	32.0	1.3E-02	-	-	-	-	-0.3	8.62E+03	0.0	0.0	0.7	4.15E+03	0.2	0.2
5	P2_71	a.LM71 - kolej 2 (bez dyn. souč.)	P	0	481.7	1.28E+04	37.7	-2.5	-1.23E+06	2.0	0.4	3.19E+05	1.3	41.1	0.0E+00	-	-	-	-	-0.7	8.62E+03	-0.1	-0.1	2.8	4.15E+03	0.7	0.7
6	P1_C3	TTZ C3 - kolej 1 (bez dyn. souč.)	P	0	0.0	1.28E+04	0.0	0.0	-1.23E+06	0.0	0.0	3.19E+05	0.0	0.0	0.0E+00	-	-	-	-	0.0	8.62E+03	0.0	0.0	0.0	4.15E+03	0.0	0.0
7	P2_C3	TTZ C3 - kolej 2 (bez dyn. souč.)	P	0	0.0	1.28E+04	0.0	0.0	-1.23E+06	0.0	0.0	3.19E+05	0.0	0.0	0.0E+00	-	-	-	-	0.0	8.62E+03	0.0	0.0	0.0	4.15E+03	0.0	0.0
8	BR	Brzdné a rozjezdové síly	P	0	10.0	1.28E+04	0.8	0.6	-1.23E+06	-0.5	0.2	3.19E+05	0.8	1.1	0.0E+00	-	-	-	-	-0.3	8.62E+03	0.0	0.0	0.1	4.15E+03	0.0	0.0
9	S	Boční ráz	P	0	0.0	1.28E+04	0.0	0.0	-1.23E+06	0.0	0.0	3.19E+05	0.0	0.0	0.0E+00	-	-	-	-	0.0	8.62E+03	0.0	0.0	0.0	4.15E+03	0.0	0.0
10	CH	Chodci na lávkách	Q	0	38.7	1.28E+04	3.0	-0.6	-1.23E+06	0.5	0.0	3.19E+05	0.1	3.7	0.0E+00	-	-	-	-	-0.1	8.62E+03	0.0	0.0	-0.3	4.15E+03	-0.1	-0.1
11	W	Vítr na konstrukci	Q	0	-13.2	1.28E+04	-1.0	-6.6	-1.23E+06	5.4	0.0	3.19E+05	-0.1	4.2	0.0E+00	-	-	-	-	0.0	8.62E+03	0.0	0.0	-0.7	4.15E+03	-0.2	-0.2
12	WP	Vítr na vozidla	Q	0	-20.2	1.28E+04	-1.6	-11.4	-1.23E+06	9.3	-0.1	3.19E+05	-0.3	7.4	1.0E-02	-	-	-	-	0.1	8.62E+03	0.0	0.0	-1.1	4.15E+03	-0.3	-0.3
13	TR	Teplota rovnoměrná	Q	0	0.0	1.28E+04	0.0	0.0	-1.23E+06	0.0	0.0	3.19E+05	0.0	0.0	0.0E+00	-	-	-	-	0.0	8.62E+03	0.0	0.0	0.0	4.15E+03	0.0	0.0
14	TN	Teplota nerovnoměrná	Q	0	40.7	1.28E+04	3.2	0.5	-1.23E+06	-0.4	0.2	3.19E+05	0.7	3.5	0.0E+00	-	-	-	-	-0.3	8.62E+03	0.0	0.0	0.1	4.15E+03	0.0	0.0
15	FR	Třecí síly v ložiskách	Q	0	1.8	1.28E+04	0.1	0.0	-1.23E+06	0.0	0.0	3.19E+05	0.0	0.1	0.0E+00	-	-	-	-	0.0	8.62E+03	0.0	0.0	0.0	4.15E+03	0.0	0.0
16	I	Imperfekce soustavy	Q	0	1.9	1.28E+04	0.1	-1.5	-1.23E+06	1.2	0.0	3.19E+05	0.0	1.4	0.0E+00	-	-	-	-	0.0	8.62E+03	0.0	0.0	-0.2	4.15E+03	0.0	0.0
27	ULS_LM	ULS - LM71 bez dynam	Q	0	0.0	1.28E+04	0.0	0.0	-1.23E+06	0.0	0.0	3.19E+05	0.0	0.0	0.0E+00	-	-	-	-	0.0	8.62E+03	0.0	0.0	0.0	4.15E+03	0.0	0.0
28	SLS_LM	SLS - LM71 bez dynam	Q	0	0.0	1.28E+04	0.0	0.0	-1.23E+06	0.0	0.0	3.19E+05	0.0	0.0	0.0E+00	-	-	-	-	0.0	8.62E+03	0.0	0.0	0.0	4.15E+03	0.0	0.0
29	ULS_C3	ULS - C3 bez dynam	Q	0	0.0	1.28E+04	0.0	0.0	-1.23E+06	0.0	0.0	3.19E+05	0.0	0.0	0.0E+00	-	-	-	-	0.0	8.62E+03	0.0	0.0	0.0	4.15E+03	0.0	0.0
30	SLS_C3	SLS - C3 bez dynam	Q	0	0.0	1.28E+04	0.0	0.0	-1.23E+06	0.0	0.0	3.19E+05	0.0	0.0	0.0E+00	-	-	-	-	0.0	8.62E+03	0.0	0.0	0.0	4.15E+03	0.0	0.0
NAVÝŠENÍ NAPĚTÍ DO AKTIVACE TLAKU V DESCE MOSTOVKY						$\sigma_{P,red}$	0.0							0.0			0.0		0.0			-0.1	-0.1			0.2	0.2
NAPĚTÍ OD PRIMÁRNÍCH ÚČINKŮ NEROVNOMĚRNÉHO OTEPLENÍ						σ_T	0.0							0.0													
NAPĚTÍ OD REOLOGICKÝCH ÚČINKŮ BETONU V ČASE				t=0		σ_R	0.0	γ_{inf}=	1.20					0.0													
NAPĚTÍ V KRITICKÝCH VLÁKNECH OD KOMBINACE ZATÍŽENÍ						KZ03		[MPa]					$\Sigma\sigma_x$	103.7								$\Sigma\tau_y$	-0.1			$\Sigma\tau_z$	0.2
NAPĚTÍ OD POHYBLIVÉHO ZATÍŽENÍ								[MPa]					$\sigma_{x,P}$	74.2								τ_P	-0.2			τ_P	0.9
NAPĚTÍ OD OSTATNÍCH ZATÍŽENÍ								[MPa]			Φ_{vy}	Φ_{vz}	$\sigma_{x,rs}$	29.6								τ_{rs}	0.0			τ_{rs}	-0.7
NÁVRHOVÁ HODNOTA MEZE KLUZU S REDUKCÍ VLIVEM SMYKOVÉHO NAPĚTÍ								[MPa]			1.00	1.00	$f_{yv,d}$	209.1								$f_{yd}/3^{0,5}$	120.7			$f_{yd}/3^{0,5}$	120.7
NAPĚTÍ OD POHYBLIVÉHO ZATÍŽENÍ V GLOBÁLNÍM SYSTÉMU						$\sigma_{GLOB,P}$	0.0	[MPa]					$\Sigma\sigma_{GLOB}$	0.0													
NAPĚTÍ OD OSTATNÍCH ZATÍŽENÍ V GLOBÁLNÍM SYSTÉMU						$\sigma_{GLOB,rs}$	0.0	[MPa]					$\Sigma\sigma_x + \Sigma\sigma_{GLOB}$	103.7													
VYUŽITÍ PRŮŘEZU DLE NAPĚTÍ								[%]					η_1	0.50								η_3	0.00			η_3	0.00
NAPĚTÍ V PŘÍČNÉM SMĚRU OD POHYBLIVÉHO ZATÍŽENÍ						$\sigma_{z,P}$	0.0	[MPa]					$\Sigma\sigma_z$	0.0													
NAPĚTÍ V PŘÍČNÉM SMĚRU OD OSTATNÍCH ZATÍŽENÍ						$\sigma_{z,rs}$	0.0	[MPa]					η_2	0.00													
SROVNÁVACÍ NAPĚTÍ													$(\eta 2 + 0{,}8\,\eta 1)/1{,}4$ =	0.28													
VYUŽITÍ PRŮŘEZU CELKEM								[%]					eff	0.50	VYHOVUJE												
													z_{LM71} =	2.42													

TAB. D.8.2.3 POSOUZENÍ - MEZNÍ STAV ÚNOSNOSTI

POPIS	DIAGONÁLA D8
PRUT / POLOHA BODU	224 / J[2701]
NAMÁHÁNÍ	N.max
VLÁKNO	BOD K4 -SP
MEZNÍ STAV	ULS (MSÚ)
VYUŽITÍ VLÁKNA PRŮŘEZU	0.37

Charakteristiky materiálu				
pás. horní	$f_{yf,k}$	230	MPa	
pás. dolní	$f_{yf,k}$	230	MPa	
stojina	$f_{yw,k}$	230	MPa	
výztuž	$f_{ys,k}$	500	MPa	
γ_M =	1.10	γ_s =	1.15	

Excentricita normálové síly				
Exc./Fáze	0	1	2	3
e_y	0.000	0.000	0.000	0.000
e_z	0.000	0.000	0.000	0.000
Ekvivalentní vzdál. stěn - příčný roznos				
b_{Mx}	0.000	0.000	0.000	0.000

Vliv stěny na únosnost průřezu				
Char./Fáze	0	1	2	3
A	0.00	0.00	0.00	0.00
Wy	0.00	0.00	0.00	0.00
Wz	0.00	0.00	0.00	0.00

Charakter. v kroucení			
$t_{w,y}$	0.000	[mm]	
$t_{w,z}$	0.000	[mm]	
κ	1.00		
I_t=	0.00E+00	[mm^4]	
Ω=2*A_{py}	0.00E+00	[mm^2]	

Součinitele vzpěru a vlivu II.řádu					
Char./Fáze	0	1	2	3	
k_y	1.000	1.000	1.000	1.000	
k_z	1.000	1.000	1.000	1.000	
χ_{LT}	1.000	1.000	1.000	1.000	
χ_{min}	1.000	1.000	1.000	1.000	

Vnitřní síly od jednotlivých skupin zatěžovacích stavů

SKUPINA ZATĚŽOVACÍCH STAVŮ					- CHARAKTERISTICKÉ HODNOTY						DÍLČÍ SOUČINITELÉ ZATÍŽENÍ, DYNAMICKÝ SOUČINITEL							- NÁVRHOVÉ HODNOTY									
Č.	SKUP ZS	POPIS ZS	KAT.	FÁZE PRŮŘ.	N.k (kN)	Vy.k (kN)	Vz.k (kN)	Mx.k (kNm)	My.k (kNm)	Mz.k (kNm)	γ_{sr} (-)	γ_{fs} (-)	volba ψ_i hledat	ψ_i (-)	L_d (m)	δ (-)	Ψ_E KZ04	N.d (kN)	Vy.d (kN)	Vz.d (kN)	ΔVz.d (kN)	ΣVz.d (kN)	Mx.d (kNm)	My.d (kNm)	ΔMy.d (kNm)	ΣMy.d (kNm)	Mz.d (kNm)	ΔMz.d (kNm)	ΣMz.d (kNm)
1	G0	Vlastní tíha OK	G	0	71	1	0	0	-1	0	1.00	1.20		1.20	-	1.00	0.95	80	1	-1	0	-1	0	-1	0	-1	0	0	0
2	G1	Ostatní stálé - mostní vybavení	G	0	7	0	0	0	0	0	1.00	1.20		1.20	-	1.00	0.95	7	0	0	0	0	0	0	0	0	0	0	0
3	G2	Ostatní stálé - cizí zařízení	G	0	5	0	0	0	0	0	1.00	1.20		1.20	-	1.00	0.95	6	0	0	0	0	0	0	0	0	0	0	0
4	P1_71	a.LM71 - kolej 1 (bez dyn. souč.)	P	0	153	0	1	0	-15	0	1.00	1.30		1.30	-	1.00	1.00	199	0	1	0	1	0	-19	0	-19	0	0	0
5	P2_71	a.LM71 - kolej 2 (bez dyn. souč.)	P	0	371	-1	2	0	-2	0	1.00	1.30		1.30	-	1.00	1.00	482	-1	3	0	3	0	-2	0	-2	0	0	0
6	P1_C3	TTZ C3 - kolej 1 (bez dyn. souč.)	P	0	125	0	0	0	-11	0	1.00	vyp.		0.00	-	1.00	0.00	0	0	0	0	0	0	0	0	0	0	0	0
7	P2_C3	TTZ C3 - kolej 2 (bez dyn. souč.)	P	0	301	-1	2	0	-1	0	1.00	vyp.		0.00	-	1.00	0.00	0	0	0	0	0	0	0	0	0	0	0	0
8	BR	Brzdné a rozjezdové síly	P	0	10	0	0	0	1	0	1.00	1.30		1.30	-	1.00	0.40	5	0	0	0	0	0	0	0	0	0	0	0
9	S	Boční ráz	P	0	5	0	0	0	4	0	1.00	1.30		1.30	-	1.00	0.80	6	0	0	0	0	0	4	0	4	0	0	0
10	CH	Chodci na lávkách	Q	0	30	0	0	0	0	0	1.00	1.30		1.30	-	1.00	1.00	39	0	0	0	0	0	-1	0	-1	0	0	0
11	W	Vítr na konstrukci	Q	0	13	0	1	0	6	0	1.00	1.35		1.35	-	1.00	0.75	13	0	1	0	1	0	7	0	7	0	0	0
12	WP	Vítr na vozidla	Q	0	20	0	1	0	11	0	1.00	1.35		1.35	-	1.00	0.75	20	0	1	0	1	0	11	0	11	0	0	0
13	TR	Teplota rovnoměrná	Q	0	0	0	0	0	0	0	1.00	1.35		1.35	-	1.00	0.45	0	0	0	0	0	0	0	0	0	0	0	0
14	TN	Teplota nerovnoměrná	Q	0	50	0	0	0	1	0	1.00	1.35		1.35	-	1.00	0.60	41	0	0	0	0	0	1	0	1	0	0	0
15	FR	Třecí síly v ložiskách	Q	0	1	0	0	0	0	0	1.00	1.20		1.20	-	1.00	1.00	2	0	0	0	0	0	0	0	0	0	0	0
16	I	Imperfekce soustavy	Q	0	2	0	0	0	-1	0	1.00	-1.20		-1.20	-	1.00	1.00	-2	0	0	0	0	0	2	0	2	0	0	0
27	ULS_LM	ULS - LM71 bez dynam	Q	0	907	-1	4	0	-3	2	1.00	vyp.		0.00	-	1.00	0.00	0	0	0	0	0	0	0	0	0	0	0	0
28	SLS_LM	SLS - LM71 bez dynam	Q	0	676	-1	3	0	-3	1	1.00	vyp.	1	0.00	-	1.00	0.00	0	0	0	0	0	0	0	0	0	0	0	0
29	ULS_C3	ULS - C3 bez dynam	Q	0	780	-1	4	0	3	2	1.00	vyp.	1	0.00	-	1.00	0.00	0	0	0	0	0	0	0	0	0	0	0	0
30	SLS_C3	SLS - C3 bez dynam	Q	0	578	-1	3	0	2	1	1.00	vyp.	1	0.00	-	1.00	0.00	0	0	0	0	0	0	0	0	0	0	0	0
		CELKEM - FÁZE PRŮŘEZU 0																898	-1	5	0	5	0	1	0	1	2	0	2
		CELKEM - FÁZE PRŮŘEZU 1																0	0	0	0	0	0	0	0	0	0	0	0
		CELKEM - FÁZE PRŮŘEZU 2																0	0	0	0	0	0	0	0	0	0	0	0
		CELKEM - FÁZE PRŮŘEZU 3																0	0	0	0	0	0	0	0	0	0	0	0
		CELKEM - PRŮŘEZ																898	-1	5	0	5	0			1			2

Napětí od jednotlivých zatěžovacích stavů

SKUPINA ZATĚŽOVACÍCH STAVŮ					Posouzení normálového napětí										Posouzení smykového napětí													
					Účinek síly N			Účinek momentu My			Účinek momentu Mz				Účinek kroutícího momentu Mx				Účinek smykové síly Vy				Účinek smykové síly Vz			
Č.	SKUP ZS	Popis ZS	Kat.	fáze průř.	δ^*N_d [kN]	χ^*A [mm^2]	σ_n [MPa]	$\delta^*M_{y,d}$ [kNm]	$\chi_{lt}{}^*W_{el,y}$ [mm^3]	σ_{my} [MPa]	$\delta^*M_{z,d}$ [kNm]	$W_{el,z}$ [mm^3]	σ_{mz} [MPa]	σ_x [MPa]	$\kappa^*\delta^*M_{x,d}$ [kNm]	$W_{v,y}$ [mm^3]	$\tau_{x,y}$ [MPa]	$W_{v,z}$ [mm^3]	$\tau_{x,z}$ [MPa]	$\delta^*V_{y,d}$ [kN]	$A_{v,y}$ [mm2]	$\tau_{v,y}$ [MPa]	$\tau_{v,y}$ [MPa]	$\delta^*V_{z,d}$ [kN]	$A_{v,z}$ [mm2]	$\tau_{v,z}$ [MPa]	$\tau_{v,z}$ [MPa]
1	G0	Vlastní tíha OK	G	0	80.4	1.28E+04	6.3	-0.8	1.23E+06	-0.6	0.3	3.19E+05	1.0	6.6	0.0E+00	-	-	-	-	0.6	8.62E+03	0.1	0.1	-0.5	4.15E+03	-0.1	-0.1
2	G1	Ostatní stálé - mostní vybavení	G	0	7.4	1.28E+04	0.6	-0.2	1.23E+06	-0.2	0.0	3.19E+05	0.1	0.5	0.0E+00	-	-	-	-	0.0	8.62E+03	0.0	0.0	-0.1	4.15E+03	0.0	0.0
3	G2	Ostatní stálé - cizí zařízení	G	0	6.1	1.28E+04	0.5	0.2	1.23E+06	0.2	0.0	3.19E+05	0.1	0.7	0.0E+00	-	-	-	-	0.0	8.62E+03	0.0	0.0	0.0	4.15E+03	0.0	0.0
4	P1_71	a.LM71 - kolej 1 (bez dyn. souč.)	P	0	199.2	1.28E+04	15.6	-19.3	1.23E+06	-15.7	0.2	3.19E+05	0.7	0.6	1.3E-02	-	-	-	-	-0.3	8.62E+03	0.0	0.0	0.7	4.15E+03	0.2	0.2
5	P2_71	a.LM71 - kolej 2 (bez dyn. souč.)	P	0	481.7	1.28E+04	37.7	-2.5	1.23E+06	-2.0	0.4	3.19E+05	1.3	37.0	0.0E+00	-	-	-	-	-0.7	8.62E+03	-0.1	-0.1	2.8	4.15E+03	0.7	0.7
6	P1_C3	TTZ C3 - kolej 1 (bez dyn. souč.)	P	0	0.0	1.28E+04	0.0	0.0	1.23E+06	0.0	0.0	3.19E+05	0.0	0.0	0.0E+00	-	-	-	-	0.0	8.62E+03	0.0	0.0	0.0	4.15E+03	0.0	0.0
7	P2_C3	TTZ C3 - kolej 2 (bez dyn. souč.)	P	0	0.0	1.28E+04	0.0	0.0	1.23E+06	0.0	0.0	3.19E+05	0.0	0.0	0.0E+00	-	-	-	-	0.0	8.62E+03	0.0	0.0	0.0	4.15E+03	0.0	0.0
8	BR	Brzdné a rozjezdové síly	P	0	5.0	1.28E+04	0.4	0.3	1.23E+06	0.2	0.1	3.19E+05	0.4	1.0	0.0E+00	-	-	-	-	-0.2	8.62E+03	0.0	0.0	0.1	4.15E+03	0.0	0.0
9	S	Boční ráz	P	0	5.7	1.28E+04	0.4	4.3	1.23E+06	3.5	0.0	3.19E+05	0.1	4.0	0.0E+00	-	-	-	-	0.0	8.62E+03	0.0	0.0	0.1	4.15E+03	0.0	0.0
10	CH	Chodci na lávkách	Q	0	38.7	1.28E+04	3.0	-0.6	1.23E+06	-0.5	0.0	3.19E+05	0.1	2.6	0.0E+00	-	-	-	-	-0.1	8.62E+03	0.0	0.0	-0.3	4.15E+03	-0.1	-0.1
11	W	Vítr na konstrukci	Q	0	13.2	1.28E+04	1.0	6.6	1.23E+06	5.4	0.0	3.19E+05	0.1	6.5	0.0E+00	-	-	-	-	0.0	8.62E+03	0.0	0.0	0.7	4.15E+03	0.2	0.2
12	WP	Vítr na vozidla	Q	0	20.2	1.28E+04	1.6	11.4	1.23E+06	9.3	0.1	3.19E+05	0.3	11.2	-1.0E-02	-	-	-	-	-0.1	8.62E+03	0.0	0.0	1.1	4.15E+03	0.3	0.3
13	TR	Teplota rovnoměrná	Q	0	0.0	1.28E+04	0.0	0.0	1.23E+06	0.0	0.0	3.19E+05	0.0	0.0	0.0E+00	-	-	-	-	0.0	8.62E+03	0.0	0.0	0.0	4.15E+03	0.0	0.0
14	TN	Teplota nerovnoměrná	Q	0	40.7	1.28E+04	3.2	0.5	1.23E+06	0.4	0.2	3.19E+05	0.7	4.3	0.0E+00	-	-	-	-	-0.3	8.62E+03	0.0	0.0	0.1	4.15E+03	0.0	0.0
15	FR	Třecí síly v ložiskách	Q	0	1.8	1.28E+04	0.1	0.0	1.23E+06	0.0	0.0	3.19E+05	0.0	0.2	0.0E+00	-	-	-	-	0.0	8.62E+03	0.0	0.0	0.0	4.15E+03	0.0	0.0
16	I	Imperfekce soustavy	Q	0	-1.9	1.28E+04	-0.1	1.5	1.23E+06	1.2	0.0	3.19E+05	0.0	1.1	0.0E+00	-	-	-	-	0.0	8.62E+03	0.0	0.0	0.2	4.15E+03	0.0	0.0
27	ULS_LM	ULS - LM71 bez dynam	Q	0	0.0	1.28E+04	0.0	0.0	1.23E+06	0.0	0.0	3.19E+05	0.0	0.0	0.0E+00	-	-	-	-	0.0	8.62E+03	0.0	0.0	0.0	4.15E+03	0.0	0.0
28	SLS_LM	SLS - LM71 bez dynam	Q	0	0.0	1.28E+04	0.0	0.0	1.23E+06	0.0	0.0	3.19E+05	0.0	0.0	0.0E+00	-	-	-	-	0.0	8.62E+03	0.0	0.0	0.0	4.15E+03	0.0	0.0
29	ULS_C3	ULS - C3 bez dynam	Q	0	0.0	1.28E+04	0.0	0.0	1.23E+06	0.0	0.0	3.19E+05	0.0	0.0	0.0E+00	-	-	-	-	0.0	8.62E+03	0.0	0.0	0.0	4.15E+03	0.0	0.0
30	SLS_C3	SLS - C3 bez dynam	Q	0	0.0	1.28E+04	0.0	0.0	1.23E+06	0.0	0.0	3.19E+05	0.0	0.0	0.0E+00	-	-	-	-	0.0	8.62E+03	0.0	0.0	0.0	4.15E+03	0.0	0.0
NAVÝŠENÍ NAPĚTÍ DO AKTIVACE TLAKU V DESCE MOSTOVKY						$\sigma_{P,red}$	0.0							0.0			0.0		0.0			-0.1	-0.1			1.1	1.1
NAPĚTÍ OD PRIMÁRNÍCH ÚČINKŮ NEROVNOMĚRNÉHO OTEPLENÍ						σ_T	0.0							0.0													
NAPĚTÍ OD REOLOGICKÝCH ÚČINKŮ BETONU V ČASE				t=0		σ_R	0.0	γ_{G}=	1.20					0.0													
NAPĚTÍ V KRITICKÝCH VLÁKNECH OD KOMBINACE ZATÍŽENÍ						KZ04		[MPa]					$\Sigma\sigma_x$	76.5					$\Sigma\tau_y$	-0.1					$\Sigma\tau_z$	1.1
NAPĚTÍ OD POHYBLIVÉHO ZATÍŽENÍ								[MPa]					$\sigma_{x,P}$	42.6					τ_P	-0.1					τ_P	0.9
NAPĚTÍ OD OSTATNÍCH ZATÍŽENÍ								[MPa]			Φ_{Vy}	Φ_{Vz}	$\sigma_{x,rs}$	33.9					τ_{rs}	0.0					τ_{rs}	0.3
NÁVRHOVÁ HODNOTA MEZE KLUZU S REDUKCÍ VLIVEM SMYKOVÉHO NAPĚTÍ								[MPa]			1.00	1.00	$f_{yv,d}$	209.1					$f_{yd}/3^{0,5}$	120.7					$f_{yd}/3^{0,5}$	120.7
NAPĚTÍ OD POHYBLIVÉHO ZATÍŽENÍ V GLOBÁLNÍM SYSTÉMU						$\sigma_{GLOB,P}$	0.0	[MPa]					$\Sigma\sigma_{GLOB}$	0.0												
NAPĚTÍ OD OSTATNÍCH ZATÍŽENÍ V GLOBÁLNÍM SYSTÉMU						$\sigma_{GLOB,rs}$	0.0	[MPa]					$\Sigma\sigma_x + \Sigma\sigma_{GLOB}$	76.5												
VYUŽITÍ PRŮŘEZU DLE NAPĚTÍ								[%]					η_1	0.37					η_3	0.00					η_3	0.01
NAPĚTÍ V PŘÍČNÉM SMĚRU OD POHYBLIVÉHO ZATÍŽENÍ						$\sigma_{z,P}$	0.0	[MPa]					$\Sigma\sigma_z$	0.0												
NAPĚTÍ V PŘÍČNÉM SMĚRU OD OSTATNÍCH ZATÍŽENÍ						$\sigma_{z,rs}$	0.0	[MPa]					η_2	0.00												
SROVNÁVACÍ NAPĚTÍ													$(\eta_2 + 0,8\,\eta_1)/1,4$ =	0.21												
VYUŽITÍ PRŮŘEZU CELKEM								[%]					eff	0.37	VYHOVUJE											
													z_{LM71} =	4.11												

TAB. D.8.2.3 POSOUZENÍ - MEZNÍ STAV ÚNOSNOSTI

POPIS	DIAGONÁLA D8
PRUT / POLOHA BODU	224 / J[2701]
NAMÁHÁNÍ	Vz.min
VLÁKNO	BOD S6 -HP
MEZNÍ STAV	ULS (MSÚ)
VYUŽITÍ VLÁKNA PRŮŘEZU	0.21

Charakteristiky materiálu				
pás. horní	$f_{yf,k}$	230	MPa	
pás. dolní	$f_{yf,k}$	230	MPa	
stojina	$f_{yw,k}$	230	MPa	
výztuž	$f_{ys,k}$	500	MPa	
	γ_M =	1.20	γ_s =	1.15

Excentricita normálové síly				
Exc./Fáze	0	1	2	3
e_y	0.000	0.000	0.000	0.000
e_z	0.000	0.000	0.000	0.000
Ekvivalentní vzdál. stěn - příčný roznos				
b_{Mx}	0.000	0.000	0.000	0.000

Vliv stěny na únosnost průřezu				
Char./Fáze	0	1	2	3
A	0.00	0.00	0.00	0.00
Wy	0.00	0.00	0.00	0.00
Wz	0.00	0.00	0.00	0.00

Charakter. v kroucení			
$t_{w,y}$	0.000	[mm]	
$t_{w,z}$	0.000	[mm]	
κ	1.00		
I_t=	0.00E+00	[mm^4]	
Ω=2*A_{pr}	0.00E+00	[mm^2]	

Součinitele vzpěru a vlivu II.řádu					
Char./Fáze	0	1	2	3	
k_y	1.000	1.000	1.000	1.000	
k_z	1.000	1.000	1.000	1.000	
χ_{LT}	1.000	1.000	1.000	1.000	
χ_{min}	1.000	1.000	1.000	1.000	

Vnitřní síly od jednotlivých skupin zatěžovacích stavů

SKUPINA ZATĚŽOVACÍCH STAVŮ — 4

Č.	SKUP ZS	POPIS ZS	KAT.	FÁZE PRŮŘ.	- CHARAKTERISTICKÉ HODNOTY N.k (kN)	Vy.k (kN)	Vz.k (kN)	Mx.k (kNm)	My.k (kNm)	Mz.k (kNm)	DÍLČÍ SOUČINITELÉ ZATÍŽENÍ, DYNAMICKÝ SOUČINITEL γ_{sr} (-)	γ_{fs} (-)	volba γ_f hledat	γ_f (-)	L_d (m)	δ (-)	Ψ_s KZ04	- NÁVRHOVÉ HODNOTY N.d (kN)	Vy.d (kN)	Vz.d (kN)	ΔVz.d (kN)	ΣVz.d (kN)	Mx.d (kNm)	My.d (kNm)	ΔMy.d (kNm)	ΣMy.d (kNm)	Mz.d (kNm)	ΔMz.d (kNm)	ΣMz.d (kNm)
1	G0	Vlastní tíha OK	G	0	71	1	0	0	-1	0	1.00	1.20		1.20	-	1.00	0.95	80	1	-1	0	-1	0	-1	0	-1	0	0	0
2	G1	Ostatní stálé - mostní vybavení	G	0	7	0	0	0	0	0	1.00	1.20		1.20	-	1.00	0.95	7	0	0	0	0	0	0	0	0	0	0	0
3	G2	Ostatní stálé - cizí zařízení	G	0	5	0	0	0	0	0	1.00	1.20		1.20	-	1.00	0.95	6	0	0	0	0	0	0	0	0	0	0	0
4	P1_71	a.LM71 - kolej 1 (bez dyn. souč.)	P	0	-11	0	-4	0	-11	0	1.00	1.30		1.30	-	1.00	1.00	-15	0	-5	0	-5	0	-14	0	-14	0	0	0
5	P2_71	a.LM71 - kolej 2 (bez dyn. souč.)	P	0	-92	1	-3	0	1	0	1.00	1.30		1.30	-	1.00	1.00	-119	1	-4	0	-4	0	2	0	2	0	0	0
6	P1_C3	TTZ C3 - kolej 1 (bez dyn. souč.)	P	0	-13	0	-3	0	-8	0	1.00	vyp.		0.00	-	1.00	0.00	0	0	0	0	0	0	0	0	0	0	0	0
7	P2_C3	TTZ C3 - kolej 2 (bez dyn. souč.)	P	0	-62	0	-2	0	1	0	1.00	vyp.		0.00	-	1.00	0.00	0	0	0	0	0	0	0	0	0	0	0	0
8	BR	Brzdné a rozjezdové síly	P	0	-10	0	0	0	-1	0	1.00	1.30		1.30	-	1.00	0.40	-5	0	0	0	0	0	0	0	0	0	0	0
9	S	Boční ráz	P	0	-4	0	-1	0	-5	0	1.00	1.30		1.30	-	1.00	0.80	-4	0	-1	0	-1	0	-5	0	-5	0	0	0
10	CH	Chodci na lávkách	Q	0	30	0	0	0	0	0	1.00	1.30		1.30	-	1.00	1.00	39	0	0	0	0	0	-1	0	-1	0	0	0
11	W	Vítr na konstrukci	Q	0	-13	0	-1	0	-7	0	1.00	1.35		1.35	-	1.00	0.75	-13	0	-1	0	-1	0	-7	0	-7	0	0	0
12	WP	Vítr na vozidla	Q	0	-20	0	-1	0	-11	0	1.00	1.35		1.35	-	1.00	0.75	-20	0	-1	0	-1	0	-11	0	-11	0	0	0
13	TR	Teplota rovnoměrná	Q	0	0	0	0	0	0	0	1.00	1.35		1.35	-	1.00	0.45	0	0	0	0	0	0	0	0	0	0	0	0
14	TN	Teplota nerovnoměrná	Q	0	-50	0	-1	0	-8	0	1.00	1.35		1.35	-	1.00	0.60	-40	0	-1	0	-1	0	-7	0	-7	0	0	0
15	FR	Třecí síly v ložiskách	Q	0	1	0	0	0	0	0	1.00	1.20		1.20	-	1.00	1.00	2	0	0	0	0	0	0	0	0	0	0	0
16	I	Imperfekce soustavy	Q	0	2	0	0	0	-1	0	1.00	1.20		1.20	-	1.00	1.00	2	0	0	0	0	0	-2	0	-2	0	0	0
27	ULS_LM	ULS - LM71 bez dynam	Q	0	-83	2	-14	0	-47	0	1.00	vyp.		0.00	-	1.00	0.00	0	0	0	0	0	0	0	0	0	0	0	0
28	SLS_LM	SLS - LM71 bez dynam	Q	0	-22	1	-10	0	-31	0	1.00	vyp.	1	0.00	-	1.00	0.00	0	0	0	0	0	0	0	0	0	0	0	0
29	ULS_C3	ULS - C3 bez dynam	Q	0	-47	2	-12	0	-44	0	1.00	vyp.	1	0.00	-	1.00	0.00	0	0	0	0	0	0	0	0	0	0	0	0
30	SLS_C3	SLS - C3 bez dynam	Q	0	6	1	-8	0	-29	0	1.00	vyp.	1	0.00	-	1.00	0.00	0	0	0	0	0	0	0	0	0	0	0	0
		CELKEM - FÁZE PRŮŘEZU 0																-81	2	-14	0	-14	0	-46	0	-46	0	0	0
		CELKEM - FÁZE PRŮŘEZU 1																0	0	0	0	0	0	0	0	0	0	0	0
		CELKEM - FÁZE PRŮŘEZU 2																0	0	0	0	0	0	0	0	0	0	0	0
		CELKEM - FÁZE PRŮŘEZU 3																0	0	0	0	0	0	0	0	0	0	0	0
		CELKEM - PRŮŘEZ																-81	2	-14	0	-14	0			-46			0

Napětí od jednotlivých zatěžovacích stavů

SKUPINA ZATĚŽOVACÍCH STAVŮ

Č.	SKUP ZS	Popis ZS	Kat.	fáze průř.	Posouzení normálového napětí — Účinek síly N δ^*N_d [kN]	χ^*A [mm^2]	σ_n [MPa]	Účinek momentu My $\delta^*M_{y,d}$ [kNm]	χ_{lt}*$W_{el,y}$ [mm^3]	σ_{my} [MPa]	Účinek momentu Mz $\delta^*M_{z,d}$ [kNm]	$W_{el,z}$ [mm^3]	σ_{mz} [MPa]	σ_x [MPa]	Posouzení smykového napětí — Účinek kroutícího momentu Mx κ*$\delta^*M_{x,d}$ [kNm]	$W_{v,y}$ [mm^2]	$\tau_{x,y}$ [MPa]	$W_{v,z}$ [mm^2]	$\tau_{x,z}$ [MPa]	Účinek smykové síly Vy $\delta^*V_{y,d}$ [kN]	$A_{v,y}$ [mm2]	$\tau_{v,y}$ [MPa]	$\tau_{v,y}$ [MPa]	Účinek smykové síly Vz $\delta^*V_{z,d}$ [kN]	$A_{v,z}$ [mm2]	$\tau_{v,z}$ [MPa]	$\tau_{v,z}$ [MPa]
1	G0	Vlastní tíha OK	G	0	80.4	1.28E+04	6.3	-0.8	1.23E+06	-0.6	0.3	-2.30E+06	-0.1	5.5	0.0E+00	-	-	-	-	0.6	8.62E+03	0.1	0.1	-0.5	4.15E+03	-0.1	-0.1
2	G1	Ostatní stálé - mostní vybavení	G	0	7.4	1.28E+04	0.6	-0.2	1.23E+06	-0.2	0.0	-2.30E+06	0.0	0.4	0.0E+00	-	-	-	-	0.0	8.62E+03	0.0	0.0	-0.1	4.15E+03	0.0	0.0
3	G2	Ostatní stálé - cizí zařízení	G	0	6.1	1.28E+04	0.5	0.2	1.23E+06	0.2	0.0	-2.30E+06	0.0	0.6	0.0E+00	-	-	-	-	0.0	8.62E+03	0.0	0.0	0.0	4.15E+03	0.0	0.0
4	P1_71	a.LM71 - kolej 1 (bez dyn. souč.)	P	0	-14.7	1.28E+04	-1.2	-14.4	1.23E+06	-11.8	0.3	-2.30E+06	-0.1	-13.0	1.3E-02	-	-	-	-	0.0	8.62E+03	0.0	0.0	-5.1	4.15E+03	-1.2	-1.2
5	P2_71	a.LM71 - kolej 2 (bez dyn. souč.)	P	0	-119.5	1.28E+04	-9.4	1.7	1.23E+06	1.3	0.1	-2.30E+06	0.0	-8.1	0.0E+00	-	-	-	-	0.7	8.62E+03	0.1	0.1	-4.2	4.15E+03	-1.0	-1.0
6	P1_C3	TTZ C3 - kolej 1 (bez dyn. souč.)	P	0	0.0	1.28E+04	0.0	0.0	1.23E+06	0.0	0.0	-2.30E+06	0.0	0.0	0.0E+00	-	-	-	-	0.0	8.62E+03	0.0	0.0	0.0	4.15E+03	0.0	0.0
7	P2_C3	TTZ C3 - kolej 2 (bez dyn. souč.)	P	0	0.0	1.28E+04	0.0	0.0	1.23E+06	0.0	0.0	-2.30E+06	0.0	0.0	0.0E+00	-	-	-	-	0.0	8.62E+03	0.0	0.0	0.0	4.15E+03	0.0	0.0
8	BR	Brzdné a rozjezdové síly	P	0	-5.0	1.28E+04	-0.4	-0.3	1.23E+06	-0.2	-0.1	-2.30E+06	0.1	-0.6	0.0E+00	-	-	-	-	0.2	8.62E+03	0.0	0.0	-0.1	4.15E+03	0.0	0.0
9	S	Boční ráz	P	0	-4.3	1.28E+04	-0.3	-5.1	1.23E+06	-4.1	0.0	-2.30E+06	0.0	-4.4	0.0E+00	-	-	-	-	0.0	8.62E+03	0.0	0.0	-0.6	4.15E+03	-0.1	-0.1
10	CH	Chodci na lávkách	Q	0	38.7	1.28E+04	3.0	-0.6	1.23E+06	-0.5	0.0	-2.30E+06	0.0	2.5	0.0E+00	-	-	-	-	-0.1	8.62E+03	0.0	0.0	-0.3	4.15E+03	-0.1	-0.1
11	W	Vítr na konstrukci	Q	0	-13.2	1.28E+04	-1.0	-6.6	1.23E+06	-5.4	0.0	-2.30E+06	0.0	-6.4	0.0E+00	-	-	-	-	0.0	8.62E+03	0.0	0.0	-0.7	4.15E+03	-0.2	-0.2
12	WP	Vítr na vozidla	Q	0	-20.2	1.28E+04	-1.6	-11.4	1.23E+06	-9.3	-0.1	-2.30E+06	0.0	-10.9	1.0E-02	-	-	-	-	0.1	8.62E+03	0.0	0.0	-1.1	4.15E+03	-0.3	-0.3
13	TR	Teplota rovnoměrná	Q	0	0.0	1.28E+04	0.0	0.0	1.23E+06	0.0	0.0	-2.30E+06	0.0	0.0	0.0E+00	-	-	-	-	0.0	8.62E+03	0.0	0.0	0.0	4.15E+03	0.0	0.0
14	TN	Teplota nerovnoměrná	Q	0	-40.1	1.28E+04	-3.1	-6.6	1.23E+06	-5.4	-0.2	-2.30E+06	0.1	-8.4	8.1E-03	-	-	-	-	0.3	8.62E+03	0.0	0.0	-0.9	4.15E+03	-0.2	-0.2
15	FR	Třecí síly v ložiskách	Q	0	1.8	1.28E+04	0.1	0.0	1.23E+06	0.0	0.0	-2.30E+06	0.0	0.2	0.0E+00	-	-	-	-	0.0	8.62E+03	0.0	0.0	0.0	4.15E+03	0.0	0.0
16	I	Imperfekce soustavy	Q	0	1.9	1.28E+04	0.1	-1.5	1.23E+06	-1.2	0.0	-2.30E+06	0.0	-1.1	0.0E+00	-	-	-	-	0.0	8.62E+03	0.0	0.0	-0.2	4.15E+03	0.0	0.0
27	ULS_LM	ULS - LM71 bez dynam	Q	0	0.0	1.28E+04	0.0	0.0	1.23E+06	0.0	0.0	-2.30E+06	0.0	0.0	0.0E+00	-	-	-	-	0.0	8.62E+03	0.0	0.0	0.0	4.15E+03	0.0	0.0
28	SLS_LM	SLS - LM71 bez dynam	Q	0	0.0	1.28E+04	0.0	0.0	1.23E+06	0.0	0.0	-2.30E+06	0.0	0.0	0.0E+00	-	-	-	-	0.0	8.62E+03	0.0	0.0	0.0	4.15E+03	0.0	0.0
29	ULS_C3	ULS - C3 bez dynam	Q	0	0.0	1.28E+04	0.0	0.0	1.23E+06	0.0	0.0	-2.30E+06	0.0	0.0	0.0E+00	-	-	-	-	0.0	8.62E+03	0.0	0.0	0.0	4.15E+03	0.0	0.0
30	SLS_C3	SLS - C3 bez dynam	Q	0	0.0	1.28E+04	0.0	0.0	1.23E+06	0.0	0.0	-2.30E+06	0.0	0.0	0.0E+00	-	-	-	-	0.0	8.62E+03	0.0	0.0	0.0	4.15E+03	0.0	0.0
		NAVÝŠENÍ NAPĚTÍ DO AKTIVACE TLAKU V DESCE MOSTOVKY				$\sigma_{P,red}$	0.0							0.0			0.0		0.0			0.2	0.2			-3.3	-3.3
		NAPĚTÍ OD PRIMÁRNÍCH ÚČINKŮ NEROVNOMĚRNÉHO OTEPLENÍ				σ_T	0.0							0.0													
		NAPĚTÍ OD REOLOGICKÝCH ÚČINKŮ BETONU V ČASE		t=0		σ_R	0.0	γ_f=	1.20					0.0													
		NAPĚTÍ V KRITICKÝCH VLÁKNECH OD KOMBINACE ZATÍŽENÍ				KZ04		[MPa]					$\Sigma\sigma_x$	-43.7									$\Sigma\tau_y$	0.2			$\Sigma\tau_z$	-3.3
		NAPĚTÍ OD POHYBLIVÉHO ZATÍŽENÍ						[MPa]					$\sigma_{x,P}$	-26.1									τ_P	0.1			τ_P	-2.4
		NAPĚTÍ OD OSTATNÍCH ZATÍŽENÍ						[MPa]			Φ_{Vy}	Φ_{Vz}	$\sigma_{x,rs}$	-17.6									τ_{rs}	0.1			τ_{rs}	-0.9
		NÁVRHOVÁ HODNOTA MEZE KLUZU S REDUKCÍ VLIVEM SMYKOVÉHO NAPĚTÍ						[MPa]			1.00	1.00	$f_{yv,d}$	209.1									$f_{yd}/3^{0,5}$	110.7			$f_{yd}/3^{0,5}$	110.7
		NAPĚTÍ OD POHYBLIVÉHO ZATÍŽENÍ V GLOBÁLNÍM SYSTÉMU				$\sigma_{GLOB,P}$	0.0	[MPa]					$\Sigma\sigma_{GLOB}$	0.0														
		NAPĚTÍ OD OSTATNÍCH ZATÍŽENÍ V GLOBÁLNÍM SYSTÉMU				$\sigma_{GLOB,rs}$	0.0	[MPa]					$\Sigma\sigma_x + \Sigma\sigma_{GLOB}$	-43.7														
		VYUŽITÍ PRŮŘEZU DLE NAPĚTÍ						[%]					η_1	0.21									η_3	0.00			η_3	0.03
		NAPĚTÍ V PŘÍČNÉM SMĚRU OD POHYBLIVÉHO ZATÍŽENÍ				$\sigma_{z,P}$	0.0	[MPa]					$\Sigma\sigma_z$	0.0														
		NAPĚTÍ V PŘÍČNÉM SMĚRU OD OSTATNÍCH ZATÍŽENÍ				$\sigma_{z,rs}$	0.0	[MPa]					η_2	0.00														
		SROVNÁVACÍ NAPĚTÍ											$(\eta 2 + 0{,}8\,\eta 1)/1{,}4$ =	0.12														
		VYUŽITÍ PRŮŘEZU CELKEM						[%]					eff	0.21	VYHOVUJE													
													z_{LM71} =	7.33														

VÝPOČET PRŮŘEZOVÝCH CHARAKTERISTIK

PRŮŘEZ: D9_c **POPIS:** DIAGONÁLA 9 - TLAK **x =** - **m**

DEFINOVÁNÍ PRŮŘEZU

ŠÍŘKA PÁSNICE ÚHELNÍKU	b f.t.l.o =	0	mm	**ÚHELNÍK HORNÍ VNĚJŠÍ LEVÝ**		**C.T.O.L**	
TLOUŠŤKA PÁSNICE ÚHELNÍKU	t f.t.l.o =	0	mm	OSLABENÍ PÁSNICE - TLOUŠŤKA	Δt f.t.l.o =	0	%
VÝŠKA STĚNY ÚHELNÍKU	h w.t.l.o =	0	mm				
TLOUŠŤKA STĚNY ÚHELNÍKU	t w.t.l.o =	0	mm	OSLABENÍ STĚNY - TLOUŠŤKA	Δt w.t.l.o =	0	%
ŠÍŘKA PÁSNICE ÚHELNÍKU	b f.t.r.o =	0	mm	**ÚHELNÍK HORNÍ VNĚJŠÍ PRAVÝ**		**C.T.O.R**	
TLOUŠŤKA PÁSNICE ÚHELNÍKU	t f.t.r.o =	0	mm	OSLABENÍ PÁSNICE - TLOUŠŤKA	Δt f.t.r.o =	0	%
VÝŠKA STĚNY ÚHELNÍKU	h w.t.r.o =	0	mm				
TLOUŠŤKA STĚNY ÚHELNÍKU	t w.t.r.o =	0	mm	OSLABENÍ STĚNY - TLOUŠŤKA	Δt w.t.r.o =	0	%
ŠÍŘKA PÁSNICE ÚHELNÍKU	b f.t.l.i =	90	mm	**ÚHELNÍK HORNÍ VNITŘNÍ LEVÝ**		**C.T.I.L**	
TLOUŠŤKA PÁSNICE ÚHELNÍKU	t f.t.l.i =	10	mm	OSLABENÍ PÁSNICE - TLOUŠŤKA	Δt f.b.l.o =	0	%
VÝŠKA STĚNY ÚHELNÍKU	h w.t.l.i =	80	mm				
TLOUŠŤKA STĚNY ÚHELNÍKU	t w.t.l.i =	10	mm	OSLABENÍ STĚNY - TLOUŠŤKA	Δt w.b.l.o =	15	%
ŠÍŘKA PÁSNICE ÚHELNÍKU	b f.t.r.i =	90	mm	**ÚHELNÍK HORNÍ VNITŘNÍ PRAVÝ**		**C.T.I.R**	
TLOUŠŤKA PÁSNICE ÚHELNÍKU	t f.t.r.i =	10	mm	OSLABENÍ PÁSNICE - TLOUŠŤKA	Δt f.b.r.o =	0	%
VÝŠKA STĚNY ÚHELNÍKU	h w.t.r.i =	80	mm				
TLOUŠŤKA STĚNY ÚHELNÍKU	t w.t.r.i =	10	mm	OSLABENÍ STĚNY - TLOUŠŤKA	Δt w.b.r.o =	15	%
ŠÍŘKA PÁSNICE ÚHELNÍKU	b f.b.l.o =	0	mm	**ÚHELNÍK DOLNÍ VNĚJŠÍ LEVÝ**		**C.B.O.L**	
TLOUŠŤKA PÁSNICE ÚHELNÍKU	t f.b.l.o =	0	mm	OSLABENÍ PÁSNICE - TLOUŠŤKA	Δt f.t.l.i =	0	%
VÝŠKA STĚNY ÚHELNÍKU	h w.b.l.o =	0	mm				
TLOUŠŤKA STĚNY ÚHELNÍKU	t w.b.l.o =	0	mm	OSLABENÍ STĚNY - TLOUŠŤKA	Δt w.t.l.i =	0	%
ŠÍŘKA PÁSNICE ÚHELNÍKU	b f.b.r.o =	0	mm	**ÚHELNÍK DOLNÍ VNĚJŠÍ PRAVÝ**		**C.B.O.R**	
TLOUŠŤKA PÁSNICE ÚHELNÍKU	t f.b.r.o =	0	mm	OSLABENÍ PÁSNICE - TLOUŠŤKA	Δt f.t.r.i =	0	%
VÝŠKA STĚNY ÚHELNÍKU	h w.b.r.o =	0	mm				
TLOUŠŤKA STĚNY ÚHELNÍKU	t w.b.r.o =	0	mm	OSLABENÍ STĚNY - TLOUŠŤKA	Δt w.t.r.i =	0	%
PÁSNICE DOLNÍHO LEVÉHO ÚHELNÍKU	b f.b.l.i =	90	mm	**ÚHELNÍK DOLNÍ VNITŘNÍ LEVÝ**		**C.B.I.L**	
TLOUŠŤKA PÁSNICE ÚHELNÍKU	t f.b.l.i =	10	mm	OSLABENÍ PÁSNICE - TLOUŠŤKA	Δt f.b.l.i =	0	%
VÝŠKA STĚNY ÚHELNÍKU	h w.b.l.i =	80	mm				
TLOUŠŤKA STĚNY ÚHELNÍKU	t w.b.l.i =	10	mm	OSLABENÍ STĚNY - TLOUŠŤKA	Δt w.b.l.i =	15	%
PÁSNICE DOLNÍHO PRAVÉHO ÚHELNÍKU	b f.b.r.i =	90	mm	**ÚHELNÍK DOLNÍ VNITŘNÍ PRAVÝ**		**C.B.I.R**	
TLOUŠŤKA PÁSNICE ÚHELNÍKU	t f.b.r.i =	10	mm	OSLABENÍ PÁSNICE - TLOUŠŤKA	Δt f.b.r.i =	0	%
VÝŠKA STĚNY ÚHELNÍKU	h w.b.r.i =	80	mm				
TLOUŠŤKA STĚNY ÚHELNÍKU	t w.b.r.i =	10	mm	OSLABENÍ STĚNY - TLOUŠŤKA	Δt w.b.r.i =	15	%

D9.1 HORNÍ

ŠÍŘKA HORNÍ VLOŽKY - VNĚJŠÍ	b f.t =	0	mm			**HOR.T.O**	
TLOUŠŤKA VLOŽKY	t f.t =	0	mm	OSLABENÍ VLOŽKY	Δt f.t =	0	%
ŠÍŘKA HORNÍ VLOŽKY - VNITŘNÍ	b f.t =	0	mm			**HOR.T.I**	
TLOUŠŤKA VLOŽKY	t f.t =	0	mm	OSLABENÍ VLOŽKY	Δt f.t =	0	%
ŠÍŘKA DOLNÍ VLOŽKY - VNĚJŠÍ	b f.t =	0	mm			**HOR.B.O**	
TLOUŠŤKA VLOŽKY	t f.t =	0	mm	OSLABENÍ VLOŽKY	Δt f.t =	0	%
ŠÍŘKA DOLNÍ VLOŽKY - VNITŘNÍ	b f.t =	0	mm			**HOR.B.I**	
TLOUŠŤKA VLOŽKY	t f.t =	0	mm	OSLABENÍ VLOŽKY - VNITŘNÍ	Δt f.t =	0	%

VZD. OKRAJŮ PÁSNIC VNITŘNÍCH ÚHELNÍKŮ	416	mm
CELKOVÁ TLOUŠŤKA MEZI PÁSNICEMI ÚHELNÍKŮ I A .o	0	mm
CELKOVÁ TLOUŠŤKA MEZI PÁSNICEMI ÚHELNÍKŮ I A .r	8	mm

ZADANÍ ČÁSTI PRŮŘEZU:

č.prvku	b [mm]	h [mm]	y_s [mm]	z_s [mm]	popis části	druh oslabení	lokální ultimate	boulení servic.
1	0.0	0.0	-4.0	208.0	pásnice	0	1.000	1.000
2	0.0	0.0	-4.0	208.0	stěna	0	1.000	1.000
3	0.0	0.0	4.0	208.0	pásnice	0	1.000	1.000
4	0.0	0.0	4.0	208.0	stěna	0	1.000	1.000
5	90.0	10.0	-49.0	203.0	pásnice	0	1.000	1.000
6	8.5	80.0	-8.3	158.0	stěna	0	1.000	1.000
7	90.0	10.0	49.0	203.0	pásnice	0	1.000	1.000
8	8.5	80.0	8.3	158.0	stěna	0	1.000	1.000
9	0.0	0.0	-4.0	-208.0	pásnice	0	1.000	1.000
10	0.0	0.0	-4.0	-208.0	stěna	0	1.000	1.000
11	0.0	0.0	4.0	-208.0	pásnice	0	1.000	1.000
12	0.0	0.0	4.0	-208.0	stěna	0	1.000	1.000
13	90.0	10.0	-49.0	-203.0	pásnice	0	1.000	1.000
14	8.5	80.0	-8.3	-158.0	stěna	0	1.000	1.000
15	90.0	10.0	49.0	-203.0	pásnice	0	1.000	1.000
16	8.5	80.0	8.3	-158.0	stěna	0	1.000	1.000
17						0	1.000	1.000
18						0	1.000	1.000
19						0	1.000	1.000
20						0	1.000	1.000
21						0	1.000	1.000
22						0	1.000	1.000
23						0	1.000	1.000
24						0	1.000	1.000
25						0	1.000	1.000
26						0	1.000	1.000
27						0	1.000	1.000
28						0	1.000	1.000
29						0	1.000	1.000
30						0	1.000	1.000
31						0	1.000	1.000
32						0	1.000	1.000
33						0	1.000	1.000
34						0	1.000	1.000
35						0	1.000	1.000
36						0	1.000	1.000
37						0	1.000	1.000
38						0	1.000	1.000
39						0	1.000	1.000
40						0	1.000	1.000
41	0.0	0.0	0.0	208.0	pásnice	0	1.000	1.000
42	0.0	0.0	0.0	208.0	pásnice	0	1.000	1.000
43	0.0	0.0	0.0	-208.0	pásnice	0	1.000	1.000
44	0.0	0.0	0.0	-208.0	pásnice	0	1.000	1.000
45						0	1.000	1.000
46						0	1.000	1.000
47						0	1.000	1.000
48						0	1.000	1.000
49						0	1.000	1.000
50						0	1.000	1.000
51						0	1.000	1.000
52						0	1.000	1.000
53						0	1.000	1.000
54						0	1.000	1.000
55						0	1.000	1.000
56						0	1.000	1.000
57						0	1.000	1.000
58						0	1.000	1.000
59						0	1.000	1.000
60						0	1.000	1.000
61						0	1.000	1.000
62						0	1.000	1.000
63						0	1.000	1.000
64						0	1.000	1.000
65						0	1.000	1.000
66						0	1.000	1.000
67						0	1.000	1.000
68						0	1.000	1.000
69						0	1.000	1.000
70						0	1.000	1.000
71	0	0	-4.0	168.0	nýt-stěna	0	1.000	1.000
72	0	0	4.0	168.0	nýt-stěna	0	1.000	1.000
73	0	0	-8.3	158.0	nýt-stěna	0	1.000	1.000
74	0	0	8.3	158.0	nýt-stěna	0	1.000	1.000
75	0	0	-4.0	-168.0	nýt-stěna	0	1.000	1.000
76	0	0	4.0	-168.0	nýt-stěna	0	1.000	1.000
77	0	0	-8.3	158.0	nýt-stěna	0	1.000	1.000
78	0	0	8.3	-158.0	nýt-stěna	0	1.000	1.000
79						0	1.000	1.000
80						0	1.000	1.000
81	0	0	36.0	208.0	nýt-pásnice	0	1.000	1.000
82	0	0	-54.0	198.0	nýt-pásnice	0	1.000	1.000
83	0	0	-36.0	208.0	nýt-pásnice	0	1.000	1.000
84	0	0	54.0	198.0	nýt-pásnice	0	1.000	1.000
85	0	0	36.0	-208.0	nýt-pásnice	0	1.000	1.000
86	0	0	-54.0	-198.0	nýt-pásnice	0	1.000	1.000
87	0	0	-36.0	-208.0	nýt-pásnice	0	1.000	1.000
88	0	0	54.0	-198.0	nýt-pásnice	0	1.000	1.000
89						0	1.000	1.000
90						0	1.000	1.000
91	0	0	0	0	nýt-pásnice	0	1.000	1.000
92	0	0	0	0	nýt-pásnice	0	1.000	1.000
93	0	0	0	0	nýt-pásnice	0	1.000	1.000
94	0	0	0	0	nýt-pásnice	0	1.000	1.000
95	0	0	0	0	nýt-pásnice	0	1.000	1.000
96	0	0	0	0	nýt-pásnice	0	1.000	1.000
97	0	0	0	0	nýt-pásnice	0	1.000	1.000
98	0	0	0	0	nýt-pásnice	0	1.000	1.000
99						0	1.000	1.000
100						0	1.000	1.000

NÝT Č.	SKUPINA	ŘEZ	RED.	VELIKOST di [mm]	POLOHA ei [mm]	POPIS	AKTIVITA OTVORU	NAPĚTÍ sc [MPa]
1		-	1.00	20	40	nýt - t.o - úhelník	0	-44.96
2		-	1.00	20	40	nýt - t.o - úhelník	0	-45.28
3		-	1.00	20	40	nýt - t.i - úhelník	0	-44.15
4		-	1.00	20	40	nýt - t.i - úhelník	0	-44.80
5		-	1.00	20	40	nýt - b.o - úhelník	0	-23.26
6		-	1.00	20	40	nýt - b.o - úhelník	0	-23.58
7		-	1.00	20	40	nýt - b.i - úhelník	0	-23.74
8		-	1.00	20	40	nýt - b.i - úhelník	0	-24.39
9								
10								
11		-	1.00	22	40	nýt - t.i - úhelník	0	-49.11
12		-	1.00	22	40	nýt - t.i - úhelník	0	-44.95
13		-	1.00	22	40	nýt - t.r - úhelník	0	-46.30
14		-	1.00	22	40	nýt - t.r - úhelník	0	-49.16
15		-	1.00	22	40	nýt - b.l - úhelník	0	-22.24
16		-	1.00	22	40	nýt - b.l - úhelník	0	-19.38
17		-	1.00	22	40	nýt - b.r - úhelník	0	-19.43
18		-	1.00	22	40	nýt - b.r - úhelník	0	-23.59
19								
20								
21		-	1.00	0	-132	nýt - t.l	0	-
22		-	1.00	0	-132	nýt - t.l	0	-
23		-	1.00	0	132	nýt - t.r	0	-
24		-	1.00	0	132	nýt - t.r	0	-
25		-	1.00	0	-132	nýt - b.l	0	-
26		-	1.00	0	-132	nýt - b.l	0	-
27		-	1.00	0	132	nýt - b.r	0	-
28		-	1.00	0	132	nýt - b.r	0	-
29								
30								

VÝPOČET PRŮŘEZOVÝCH CHARAKTERISTIK

Properties	Basic	Ultimate		Serviceability	
y_t	0.0	0.0		0.0	[mm]
z_t	0.0	0.0		0.0	[mm]
A_t	6.3200E+03	6.3200E+03		6.3200E+03	[mm²]
A_v	3.6000E+03	3.6000E+03		3.6000E+03	[mm²]
A_z	2.7200E+03	2.7200E+03		2.7200E+03	[mm²]
I_{yt}	1.4153E+08	1.4153E+08		1.4153E+08	[mm⁴]
I_w	1.1275E+07	1.1275E+07		1.1275E+07	[mm⁶]
i_y	149.6	149.6		149.6	[mm]
i_z	42.2	42.2		42.2	[mm]
$W_{y,1}$	6.8042E+05	6.8042E+05		6.8042E+05	[mm³]
$W_{z,1}$	-1.1995E+05	-1.1995E+05		-1.1995E+05	[mm³]
$W_{y,2}$	-6.8042E+05	-6.8042E+05		-6.8042E+05	[mm³]
$W_{z,2}$	-1.1995E+05	-1.1995E+05		-1.1995E+05	[mm³]
KRAJNÍ VLÁKNA PRŮŘEZU					
y_1	-94.0	-94.0		-94.0	[mm] min
z_1	208.0	208.0		208.0	[mm] max
y_2	-94.0	-94.0		-94.0	[mm] min
z_2	-208.0	-208.0		-208.0	[mm] min
y_3	94.0	94.0		94.0	[mm] max
z_3	208.0	208.0		208.0	[mm] max
y_4	94.0	94.0		94.0	[mm] max
z_4	-208.0	-208.0		-208.0	[mm] min
y_5	-4.0	-4.0		-4.0	[mm]
z_5	-208.0	-208.0		-208.0	[mm]
y_6	-4.0	-4.0		-4.0	[mm]
z_6	-208.0	-208.0		-208.0	[mm]

SCHÉMA PROMĚNNÝCH

SCHÉMA ZADANÉHO PRŮŘEZU

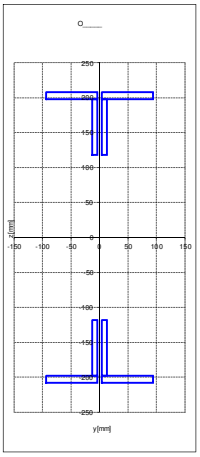

ÚPRAVA MOMENTŮ SETRVAČNOSTI V DŮSLEDKU ČLENĚNÍ PRŮŘEZU

OSA Y	0.65
OSA Z	1.00

NEUTRÁLNÁ OSA

NAPĚTÍ [MPa]:

-44.04	-51.37
-17.17	-24.51

ZS: SLS_LM_N.MIN

	N [kN]	Vy [kN]	Vz [kN]	Mx [kNm]	My [kNm]	Mz [kNm]
import	-217	0	0	0	0	0

TR_D9.1 POPIS: **DIAGONÁLA D9** POSUDEK: **D.9.1**

SKUPINA ZAT. STAVŮ	EXTRÉM	VYHODNOCOVANÉ VELIČINY					
		N	Vy	Vz	Mx	My	Mz
		kN	kN	kN	kNm	kNm	kNm
G0	N.min	**0.28**	0.11	-0.11	0	-0.03	0.3
	N.max	**0.28**	0.11	-0.11	0	-0.03	0.3
	Vy.min	0.28	**0.11**	-0.11	0	-0.03	0.3
	Vy.max	0.28	**0.11**	-0.11	0	-0.03	0.3
	Vz.min	0.28	0.11	**-0.11**	0	-0.03	0.3
	Vz.max	0.28	0.11	**-0.11**	0	-0.03	0.3
	Mx.min	0.28	0.11	-0.11	**0**	-0.03	0.3
	Mx.max	0.28	0.11	-0.11	**0**	-0.03	0.3
	My.min	0.28	0.11	-0.11	0	**-0.03**	0.3
	My.max	0.28	0.11	-0.11	0	**-0.03**	0.3
	Mz.min	0.28	0.11	-0.11	0	-0.03	**0.3**
	Mz.max	0.28	0.11	-0.11	0	-0.03	**0.3**
G1	N.min	**1**	0	0.01	0	0.1	0
	N.max	**1**	0	0.01	0	0.1	0
	Vy.min	1	**0**	0.01	0	0.1	0
	Vy.max	1	**0**	0.01	0	0.1	0
	Vz.min	1	0	**0.01**	0	0.1	0
	Vz.max	1	0	**0.01**	0	0.1	0
	Mx.min	1	0	0.01	**0**	0.1	0
	Mx.max	1	0	0.01	**0**	0.1	0
	My.min	1	0	0.01	0	**0.1**	0
	My.max	1	0	0.01	0	**0.1**	0
	Mz.min	1	0	0.01	0	0.1	**0**
	Mz.max	1	0	0.01	0	0.1	**0**
G2	N.min	**0.89**	0	-0.02	0	-0.01	0
	N.max	**0.89**	0	-0.02	0	-0.01	0
	Vy.min	0.89	**0**	-0.02	0	-0.01	0
	Vy.max	0.89	**0**	-0.02	0	-0.01	0
	Vz.min	0.89	0	**-0.02**	0	-0.01	0
	Vz.max	0.89	0	**-0.02**	0	-0.01	0
	Mx.min	0.89	0	-0.02	**0**	-0.01	0
	Mx.max	0.89	0	-0.02	**0**	-0.01	0
	My.min	0.89	0	-0.02	0	**-0.01**	0
	My.max	0.89	0	-0.02	0	**-0.01**	0
	Mz.min	0.89	0	-0.02	0	-0.01	**0**
	Mz.max	0.89	0	-0.02	0	-0.01	**0**
P1_71	N.min	**-56.89**	0	0.15	0	3.39	0.04
	N.max	**66.86**	0.02	0.89	0	1.25	0
	Vy.min	-44.59	**-0.01**	0.17	0	1.48	0.03
	Vy.max	47.37	**0.04**	1.12	0	3.52	0.01
	Vz.min	-16.49	0	**-0.1**	0	1.54	0.01
	Vz.max	22.91	0.02	**1.38**	0	3.64	0.02
	Mx.min	0	0	0	**0**	0	0
	Mx.max	16.97	0.02	1.13	**0**	4.18	0.03
	My.min	12.46	0	0.09	0	**-0.01**	0
	My.max	3.98	0.03	1.12	0	**4.98**	0.04
	Mz.min	52.42	0.02	0.86	0	1.35	**0**
	Mz.max	-47.55	0	0.29	0	3.53	**0.04**
P2_71	N.min	**-136.75**	0	-0.69	0	1.26	0.1
	N.max	**161.54**	0.05	0.11	0	-0.73	-0.02
	Vy.min	-102.1	**-0.04**	-0.4	0	-0.36	0.07
	Vy.max	110.05	**0.1**	0.18	0	1.44	0
	Vz.min	-25.55	-0.01	**-1.16**	0	0.02	0.09
	Vz.max	43.42	0.08	**0.92**	0	1.31	-0.01
	Mx.min	3.65	0.04	0.08	**0**	0.14	0.04
	Mx.max	46.22	0.04	-0.25	**0**	0.51	0.02
	My.min	71.44	-0.01	-0.69	0	**-1.84**	0.04
	My.max	-38.75	0.08	0.27	0	**2.84**	0.03
	Mz.min	158.53	0.07	0.38	0	-0.34	**-0.02**
	Mz.max	-136.74	0	-0.69	0	1.24	**0.1**
P1_C3	N.min	**-45.96**	0	0.11	0	2.67	0.03
	N.max	**54.4**	0.02	0.8	0	1.13	0
	Vy.min	-33.08	**-0.01**	0.13	0	1.02	0.03
	Vy.max	42.38	**0.03**	0.83	0	2.58	0
	Vz.min	-13.35	0	**-0.09**	0	1.27	0.01
	Vz.max	14.83	0.02	**1.07**	0	3.11	0.02
	Mx.min	0	0	0	**0**	0	0
	Mx.max	7.68	0.02	0.82	**0**	3.72	0.03
	My.min	15.79	0	0.12	0	**-0.01**	0
	My.max	7.08	0.02	0.91	0	**3.82**	0.03
	Mz.min	38.61	0.02	0.68	0	1.15	**0**
	Mz.max	-37.95	0	0.17	0	2.66	**0.04**
P2_C3	N.min	**-110.99**	0	-0.57	0	0.96	0.08
	N.max	**130.93**	0.05	0.2	0	-0.43	-0.02
	Vy.min	-76.93	**-0.03**	-0.28	0	-0.43	0.06
	Vy.max	99.62	**0.08**	0.08	0	0.87	0
	Vz.min	-0.26	-0.01	**-0.96**	0	-0.23	0.07
	Vz.max	26.25	0.06	**0.69**	0	0.88	-0.01
	Mx.min	-1.75	0.03	0.08	**0**	0	0.04
	Mx.max	19.93	0.02	-0.4	**0**	0.45	0.02
	My.min	48.4	-0.01	-0.59	0	**-1.54**	0.04
	My.max	-23.26	0.06	0.25	0	**2.11**	0.02
	Mz.min	130.03	0.05	0.27	0	-0.27	**-0.02**
	Mz.max	-110.99	0	-0.57	0	0.96	**0.08**
BR	N.min	**-3.08**	0.01	0.01	0	0.06	-0.01
	N.max	**3.08**	-0.01	-0.01	0	-0.06	0.01
	Vy.min	3.03	**-0.01**	-0.03	0	-0.15	0.01
	Vy.max	-3.03	**0.01**	0.03	0	0.15	-0.01
	Vz.min	-1.18	0.01	**-0.03**	0	-0.01	-0.01
	Vz.max	1.18	-0.01	**0.03**	0	0.01	0.01
	Mx.min	3.03	-0.01	-0.03	**0**	-0.15	0.01
	Mx.max	-3.03	0.01	0.03	**0**	0.15	-0.01
	My.min	3.03	-0.01	-0.03	0	**-0.15**	0.01
	My.max	-3.03	0.01	0.03	0	**0.15**	-0.01
	Mz.min	-3.03	0.01	0.03	0	0.15	**-0.01**
	Mz.max	3.03	-0.01	-0.03	0	-0.15	**0.01**

TR_D9.1 POPIS: **DIAGONÁLA D9** POSUDEK: **D.9.1**

SKUPINA ZAT. STAVŮ	EXTRÉM	VYHODNOCOVANÉ VELIČINY					
		N	Vy	Vz	Mx	My	Mz
		kN	kN	kN	kNm	kNm	kNm
S	N.min	**-2.4**	0	0.21	0	0.12	0
	N.max	**2.4**	0	-0.21	0	-0.12	0
	Vy.min	2.4	**0**	-0.21	0	-0.12	0
	Vy.max	-2.4	**0**	0.21	0	0.12	0
	Vz.min	1.88	0	**-0.46**	0	-0.68	0
	Vz.max	-1.88	0	**0.46**	0	0.68	0
	Mx.min	2.4	0	-0.21	**0**	-0.12	0
	Mx.max	-2.4	0	0.21	**0**	0.12	0
	My.min	0.23	0	-0.18	0	**-1.16**	0
	My.max	-0.23	0	0.18	0	**1.16**	0
	Mz.min	-0.23	0	0.18	0	1.16	**0**
	Mz.max	0.23	0	-0.18	0	-1.16	**0**
CH	N.min	**-13.03**	0	0.04	0	-0.01	0.01
	N.max	**14.95**	0	0.02	0	0.22	0
	Vy.min	-13.03	**0**	0.04	0	-0.01	0.01
	Vy.max	2.23	**0**	-0.07	0	-0.17	0.01
	Vz.min	2.23	0	**-0.07**	0	-0.17	0.01
	Vz.max	-13.03	0	**0.04**	0	-0.01	0.01
	Mx.min	2.23	0	-0.07	**0**	-0.17	0.01
	Mx.max	-13.03	0	0.04	**0**	-0.01	0.01
	My.min	2.23	0	-0.07	0	**-0.17**	0.01
	My.max	14.95	0	0.02	0	**0.22**	0
	Mz.min	14.95	0	0.02	0	0.22	**0**
	Mz.max	-13.03	0	0.04	0	-0.01	**0.01**
W	N.min	**-3.89**	0.01	-0.11	0	3.92	0
	N.max	**3.89**	-0.01	0.11	0	-3.92	0
	Vy.min	3.89	**-0.01**	0.11	0	-3.92	0
	Vy.max	-3.89	**0.01**	-0.11	0	3.92	0
	Vz.min	-3.89	0.01	**-0.11**	0	3.92	0
	Vz.max	3.89	-0.01	**0.11**	0	-3.92	0
	Mx.min	3.89	-0.01	0.11	**0**	-3.92	0
	Mx.max	-3.89	0.01	-0.11	**0**	3.92	0
	My.min	3.89	-0.01	0.11	0	**-3.92**	0
	My.max	-3.89	0.01	-0.11	0	**3.92**	0
	Mz.min	-3.89	0.01	-0.11	0	3.92	**0**
	Mz.max	3.89	-0.01	0.11	0	-3.92	**0**
WP	N.min	**-5.44**	0.01	0.82	0	2.15	-0.01
	N.max	**5.43**	-0.01	-0.82	0	-2.15	0.01
	Vy.min	5.43	**-0.01**	-0.82	0	-2.15	0.01
	Vy.max	-5.44	**0.01**	0.82	0	2.15	-0.01
	Vz.min	5.43	-0.01	**-0.82**	0	-2.15	0.01
	Vz.max	-5.44	0.01	**0.82**	0	2.15	-0.01
	Mx.min	5.43	-0.01	-0.82	**0**	-2.15	0.01
	Mx.max	-5.44	0.01	0.82	**0**	2.15	-0.01
	My.min	5.43	-0.01	-0.82	0	**-2.15**	0.01
	My.max	-5.44	0.01	0.82	0	**2.15**	-0.01
	Mz.min	-5.44	0.01	0.82	0	2.15	**-0.01**
	Mz.max	5.43	-0.01	-0.82	0	-2.15	**0.01**
TR	N.min	**0**	0	0	0	0	0
	N.max	**0**	0	0	0	0	0
	Vy.min	0	**0**	0	0	0	0
	Vy.max	0	**0**	0	0	0	0
	Vz.min	0	0	**0**	0	0	0
	Vz.max	0	0	**0**	0	0	0
	Mx.min	0	0	0	**0**	0	0
	Mx.max	0	0	0	**0**	0	0
	My.min	0	0	0	0	**0**	0
	My.max	0	0	0	0	**0**	0
	Mz.min	0	0	0	0	0	**0**
	Mz.max	0	0	0	0	0	**0**
TN	N.min	**-14.35**	0.04	0.05	0	0.12	-0.03
	N.max	**14.35**	-0.04	-0.05	0	-0.12	0.03
	Vy.min	14.35	**-0.04**	-0.05	0	-0.12	0.03
	Vy.max	-13.73	**0.04**	0.83	0	1.26	-0.03
	Vz.min	-0.89	0	**-0.46**	0	-1.38	0
	Vz.max	-13.73	0.04	**0.83**	0	1.26	-0.03
	Mx.min	-0.89	0	-0.46	**0**	-1.38	0
	Mx.max	-13.73	0.04	0.83	**0**	1.26	-0.03
	My.min	-0.89	0	-0.46	0	**-1.38**	0
	My.max	-13.73	0.04	0.83	0	**1.26**	-0.03
	Mz.min	-14.35	0.04	0.05	0	0.12	**-0.03**
	Mz.max	14.35	-0.04	-0.05	0	-0.12	**0.03**
FR	N.min	**-0.39**	0	0	0	0	0
	N.max	**0.39**	0	0	0	0	0
	Vy.min	0.39	**0**	0	0	0	0
	Vy.max	-0.39	**0**	0	0	0	0
	Vz.min	0.39	0	**0**	0	0	0
	Vz.max	-0.39	0	**0**	0	0	0
	Mx.min	0.39	0	0	**0**	0	0
	Mx.max	-0.39	0	0	**0**	0	0
	My.min	0.39	0	0	0	**0**	0
	My.max	-0.39	0	0	0	**0**	0
	Mz.min	-0.39	0	0	0	0	**0**
	Mz.max	0.39	0	0	0	0	**0**
I	N.min	**-0.42**	0	-0.11	0	-0.23	**0**
	N.max	**0.42**	0	0.11	0	0.23	**0**
	Vy.min	0.42	**0**	0.11	0	0.23	**0**
	Vy.max	-0.42	**0**	-0.11	0	-0.23	**0**
	Vz.min	-0.42	0	**-0.11**	0	-0.23	**0**
	Vz.max	0.42	0	**0.11**	0	0.23	**0**
	Mx.min	-0.42	0	-0.11	**0**	-0.23	**0**
	Mx.max	0.42	0	0.11	**0**	0.23	**0**
	My.min	-0.42	0	-0.11	0	**-0.23**	**0**
	My.max	0.42	0	0.11	0	**0.23**	**0**
	Mz.min	-0.42	0	-0.11	0	-0.23	**0**
	Mz.max	0.42	0	0.11	0	0.23	**0**

TAB. D.9.1.3 POSOUZENÍ - MEZNÍ STAV ÚNOSNOSTI

POPIS	DIAGONÁLA D9
PRUT / POLOHA BODU	219 / 2/4
NAMÁHÁNÍ	N.min
VLÁKNO	BOD K1 -HL
MEZNÍ STAV	ULS (MSÚ)
VYUŽITÍ VLÁKNA PRŮŘEZU	0.50

Charakteristiky materiálu				
pás. horní	$f_{yf,k}$	230	MPa	
pás. dolní	$f_{yf,k}$	230	MPa	
stojina	$f_{yw,k}$	230	MPa	
výztuž	$f_{ys,k}$	500	MPa	
γ_M =	1.20	γ_s =	1.15	

Excentricita normálové síly				
Exc./Fáze	0	1	2	3
e_y	0.000	0.000	0.000	0.000
e_z	0.000	0.000	0.000	0.000
Ekvivalentní vzdál. stěn - příčný roznos				
b_{Mx}	0.000	0.000	0.000	0.000

Vliv stěny na únosnost průřezu				
Char./Fáze	0	1	2	3
A	0.00	0.00	0.00	0.00
Wy	0.00	0.00	0.00	0.00
Wz	0.00	0.00	0.00	0.00

Charakter. v kroucení			
$t_{w,y}$	0.000	[mm]	
$t_{w,z}$	0.000	[mm]	
κ	1.00		
I_t=	0.00E+00	[mm^4]	
Ω=2*A_{pr}	0.00E+00	[mm^2]	

Součinitele vzpěru a vlivu II.řádu					
Char./Fáze	0	1	2	3	4
k_y	1.000	1.000	1.000	1.000	
k_z	1.000	1.000	1.000	1.000	
χ_{LT}	1.000	1.000	1.000	1.000	
χ_{min}	0.639	1.000	1.000	1.000	

Vnitřní síly od jednotlivých skupin zatěžovacích stavů

SKUPINA ZATĚŽOVACÍCH STAVŮ					- CHARAKTERISTICKÉ HODNOTY						DÍLČÍ SOUČINITELÉ ZATÍŽENÍ, DYNAMICKÝ SOUČINITEL							- NÁVRHOVÉ HODNOTY									
Č.	SKUP ZS	POPIS ZS	KAT.	FÁZE PRŮŘ.	N.k (kN)	Vy.k (kN)	Vz.k (kN)	Mx.k (kNm)	My.k (kNm)	Mz.k (kNm)	γ_{sr} (-)	γ_{sl} (-)	volba γ_{fl} hledat	γ_{fl} (-)	L_d (m)	δ (-)	Ψ_0 KZ04	N.d (kN)	Vy.d (kN)	Vz.d (kN)	ΔVz.d (kN)	ΣVz.d (kN)	Mx.d (kNm)	My.d (kNm)	ΔMy.d (kNm)	ΣMy.d (kNm)	Mz.d (kNm)	ΔMz.d (kNm)	ΣMz.d (kNm)
1	G0	Vlastní tíha OK	G	0	0	0	0	0	0	0	1.00	1.20		1.20	-	1.00	0.95	0	0	0	0	0	0	0	0	0	0	0	0
2	G1	Ostatní stálé - mostní vybavení	G	0	1	0	0	0	0	0	1.00	1.00		1.00	-	1.00	0.95	1	0	0	0	0	0	0	0	0	0	0	0
3	G2	Ostatní stálé - cizí zařízení	G	0	1	0	0	0	0	0	1.00	1.00		1.00	-	1.00	0.95	1	0	0	0	0	0	0	0	0	0	0	0
4	P1_71	a.LM71 - kolej 1 (bez dyn. souč.)	P	0	-57	0	0	0	3	0	1.00	1.30		1.30	-	1.00	1.00	-74	0	0	0	0	0	4	0	4	0	0	0
5	P2_71	a.LM71 - kolej 2 (bez dyn. souč.)	P	0	-137	0	-1	0	1	0	1.00	1.30		1.30	-	1.00	1.00	-178	0	-1	0	-1	0	2	0	2	0	0	0
6	P1_C3	TTZ C3 - kolej 1 (bez dyn. souč.)	P	0	-46	0	0	0	3	0	1.00	vyp.		0.00	-	1.00	0.00	0	0	0	0	0	0	0	0	0	0	0	0
7	P2_C3	TTZ C3 - kolej 2 (bez dyn. souč.)	P	0	-111	0	-1	0	1	0	1.00	vyp.		0.00	-	1.00	0.00	0	0	0	0	0	0	0	0	0	0	0	0
8	BR	Brzdné a rozjezdové síly	P	0	-3	0	0	0	0	0	1.00	1.30		1.30	-	1.00	0.40	-2	0	0	0	0	0	0	0	0	0	0	0
9	S	Boční ráz	P	0	-2	0	0	0	0	0	1.00	1.30		1.30	-	1.00	0.80	-2	0	0	0	0	0	0	0	0	0	0	0
10	CH	Chodci na lávkách	Q	0	-13	0	0	0	0	0	1.00	1.30		1.30	-	1.00	1.00	-17	0	0	0	0	0	0	0	0	0	0	0
11	W	Vítr na konstrukci	Q	0	-4	0	0	0	4	0	1.00	1.35		1.35	-	1.00	0.75	-4	0	0	0	0	0	4	0	4	0	0	0
12	WP	Vítr na vozidla	Q	0	-5	0	1	0	2	0	1.00	1.35		1.35	-	1.00	0.75	-6	0	1	0	1	0	2	0	2	0	0	0
13	TR	Teplota rovnoměrná	Q	0	0	0	0	0	0	0	1.00	1.35		1.35	-	1.00	0.45	0	0	0	0	0	0	0	0	0	0	0	0
14	TN	Teplota nerovnoměrná	Q	0	-14	0	0	0	0	0	1.00	1.35		1.35	-	1.00	0.60	-12	0	0	0	0	0	0	0	0	0	0	0
15	FR	Třecí síly v ložiskách	Q	0	0	0	0	0	0	0	1.00	1.20		1.20	-	1.00	1.00	0	0	0	0	0	0	0	0	0	0	0	0
16	I	Imperfekce soustavy	Q	0	0	0	0	0	0	0	1.00	-1.20		-1.20	-	1.00	1.00	1	0	0	0	0	0	0	0	0	0	0	0
27	ULS_LM	ULS - LM71 bez dynam	Q	0	-294	0	0	0	12	1	1.00	vyp.		0.00	-	1.00	0.00	0	0	0	0	0	0	0	0	0	0	0	0
28	SLS_LM	SLS - LM71 bez dynam	Q	0	-217	0	0	0	9	0	1.00	vyp.	1	0.00	-	1.00	0.00	0	0	0	0	0	0	0	0	0	0	0	0
29	ULS_C3	ULS - C3 bez dynam	Q	0	-246	0	0	0	11	0	1.00	vyp.	1	0.00	-	1.00	0.00	0	0	0	0	0	0	0	0	0	0	0	0
30	SLS_C3	SLS - C3 bez dynam	Q	0	-180	0	0	0	8	0	1.00	vyp.	1	0.00	-	1.00	0.00	0	0	0	0	0	0	0	0	0	0	0	0
		CELKEM - FÁZE PRŮŘEZU 0			-292	0	0	0	13	0								-292	0	0	0	0	0	13	0	13	0	0	0
		CELKEM - FÁZE PRŮŘEZU 1			0	0	0	0	0	0								0	0	0	0	0	0	0	0	0	0	0	0
		CELKEM - FÁZE PRŮŘEZU 2			0	0	0	0	0	0								0	0	0	0	0	0	0	0	0	0	0	0
		CELKEM - FÁZE PRŮŘEZU 3			0	0	0	0	0	0								0	0	0	0	0	0	0	0	0	0	0	0
		CELKEM - PRŮŘEZ			-292	0	0	0	13	0								-292	0	0	0	0	0		13			0

Napětí od jednotlivých zatěžovacích stavů

SKUPINA ZATĚŽOVACÍCH STAVŮ					Posouzení normálového napětí									Posouzení smykového napětí														
					Účinek síly N			Účinek momentu My			Účinek momentu Mz				Účinek ktoutícího momentu Mx				Účinek smykové síly Vy					Účinek smykové síly Vz				
Č.	SKUP ZS	Popis ZS	Kat.	fáze průř.	δ^*N_d [kN]	χ^*A [mm^2]	σ_n [MPa]	$\delta^*M_{y,d}$ [kNm]	$\chi_{lt}{}^*W_{el,y}$ [mm^3]	σ_{my} [MPa]	$\delta^*M_{z,d}$ [kNm]	$W_{el,z}$ [mm^3]	σ_{mz} [MPa]	σ_x [MPa]	$\kappa^*\delta^*M_{x,d}$ [kNm]	$W_{v,y}$ [mm^3]	$\tau_{x,y}$ [MPa]	$W_{v,z}$ [mm^3]	$\tau_{x,z}$ [MPa]	$\delta^*V_{y,d}$ [kN]	$A_{v,y}$ [mm2]	$\tau_{v,y}$ [MPa]	$\tau_{v,y}$ [MPa]	$\delta^*V_{z,d}$ [kN]	$A_{v,z}$ [mm2]	$\tau_{v,z}$ [MPa]	$\tau_{v,z}$ [MPa]
1	G0	Vlastní tíha OK	G	0	0.3	4.04E+03	0.1	0.0	-6.80E+05	0.1	0.3	-1.20E+05	-2.9	-2.7	0.0E+00	-	-	-	-	0.1	3.60E+03	0.0	0.0	-0.1	2.72E+03	0.0	0.0
2	G1	Ostatní stálé - mostní vybavení	G	0	1.0	4.04E+03	0.2	0.1	-6.80E+05	-0.1	0.0	-1.20E+05	0.0	0.1	0.0E+00	-	-	-	-	0.0	3.60E+03	0.0	0.0	0.0	2.72E+03	0.0	0.0
3	G2	Ostatní stálé - cizí zařízení	G	0	0.8	4.04E+03	0.2	0.0	-6.80E+05	0.0	0.0	-1.20E+05	0.0	0.2	0.0E+00	-	-	-	-	0.0	3.60E+03	0.0	0.0	0.0	2.72E+03	0.0	0.0
4	P1_71	a.LM71 - kolej 1 (bez dyn. souč.)	P	0	-74.0	4.04E+03	-18.3	4.4	-6.80E+05	-6.5	0.1	-1.20E+05	-0.4	-25.2	0.0E+00	-	-	-	-	0.0	3.60E+03	0.0	0.0	0.2	2.72E+03	0.1	0.1
5	P2_71	a.LM71 - kolej 2 (bez dyn. souč.)	P	0	-177.8	4.04E+03	-44.0	1.6	-6.80E+05	-2.4	0.1	-1.20E+05	-1.1	-47.5	0.0E+00	-	-	-	-	0.0	3.60E+03	0.0	0.0	-0.9	2.72E+03	-0.3	-0.3
6	P1_C3	TTZ C3 - kolej 1 (bez dyn. souč.)	P	0	0.0	4.04E+03	0.0	0.0	-6.80E+05	0.0	0.0	-1.20E+05	0.0	0.0	0.0E+00	-	-	-	-	0.0	3.60E+03	0.0	0.0	0.0	2.72E+03	0.0	0.0
7	P2_C3	TTZ C3 - kolej 2 (bez dyn. souč.)	P	0	0.0	4.04E+03	0.0	0.0	-6.80E+05	0.0	0.0	-1.20E+05	0.0	0.0	0.0E+00	-	-	-	-	0.0	3.60E+03	0.0	0.0	0.0	2.72E+03	0.0	0.0
8	BR	Brzdné a rozjezdové síly	P	0	-1.6	4.04E+03	-0.4	0.0	-6.80E+05	0.0	0.0	-1.20E+05	0.0	-0.4	0.0E+00	-	-	-	-	0.0	3.60E+03	0.0	0.0	0.0	2.72E+03	0.0	0.0
9	S	Boční ráz	P	0	-2.5	4.04E+03	-0.6	0.1	-6.80E+05	-0.2	0.0	-1.20E+05	0.0	-0.8	0.0E+00	-	-	-	-	0.0	3.60E+03	0.0	0.0	0.2	2.72E+03	0.1	0.1
10	CH	Chodci na lávkách	Q	0	-16.9	4.04E+03	-4.2	0.0	-6.80E+05	0.0	0.0	-1.20E+05	-0.1	-4.3	0.0E+00	-	-	-	-	0.0	3.60E+03	0.0	0.0	0.1	2.72E+03	0.0	0.0
11	W	Vítr na konstrukci	Q	0	-3.9	4.04E+03	-1.0	4.0	-6.80E+05	-5.8	0.0	-1.20E+05	0.0	-6.8	0.0E+00	-	-	-	-	0.0	3.60E+03	0.0	0.0	-0.1	2.72E+03	0.0	0.0
12	WP	Vítr na vozidla	Q	0	-5.5	4.04E+03	-1.4	2.2	-6.80E+05	-3.2	0.0	-1.20E+05	0.1	-4.5	0.0E+00	-	-	-	-	0.0	3.60E+03	0.0	0.0	0.8	2.72E+03	0.3	0.3
13	TR	Teplota rovnoměrná	Q	0	0.0	4.04E+03	0.0	0.0	-6.80E+05	0.0	0.0	-1.20E+05	0.0	0.0	0.0E+00	-	-	-	-	0.0	3.60E+03	0.0	0.0	0.0	2.72E+03	0.0	0.0
14	TN	Teplota nerovnoměrná	Q	0	-11.6	4.04E+03	-2.9	0.1	-6.80E+05	-0.1	0.0	-1.20E+05	0.2	-2.8	0.0E+00	-	-	-	-	0.0	3.60E+03	0.0	0.0	0.0	2.72E+03	0.0	0.0
15	FR	Třecí síly v ložiskách	Q	0	-0.5	4.04E+03	-0.1	0.0	-6.80E+05	0.0	0.0	-1.20E+05	0.0	-0.1	0.0E+00	-	-	-	-	0.0	3.60E+03	0.0	0.0	0.0	2.72E+03	0.0	0.0
16	I	Imperfekce soustavy	Q	0	0.5	4.04E+03	0.1	0.3	-6.80E+05	-0.4	0.0	-1.20E+05	0.0	-0.3	0.0E+00	-	-	-	-	0.0	3.60E+03	0.0	0.0	0.1	2.72E+03	0.0	0.0
27	ULS_LM	ULS - LM71 bez dynam	Q	0	0.0	4.04E+03	0.0	0.0	-6.80E+05	0.0	0.0	-1.20E+05	0.0	0.0	0.0E+00	-	-	-	-	0.0	3.60E+03	0.0	0.0	0.0	2.72E+03	0.0	0.0
28	SLS_LM	SLS - LM71 bez dynam	Q	0	0.0	4.04E+03	0.0	0.0	-6.80E+05	0.0	0.0	-1.20E+05	0.0	0.0	0.0E+00	-	-	-	-	0.0	3.60E+03	0.0	0.0	0.0	2.72E+03	0.0	0.0
29	ULS_C3	ULS - C3 bez dynam	Q	0	0.0	4.04E+03	0.0	0.0	-6.80E+05	0.0	0.0	-1.20E+05	0.0	0.0	0.0E+00	-	-	-	-	0.0	3.60E+03	0.0	0.0	0.0	2.72E+03	0.0	0.0
30	SLS_C3	SLS - C3 bez dynam	Q	0	0.0	4.04E+03	0.0	0.0	-6.80E+05	0.0	0.0	-1.20E+05	0.0	0.0	0.0E+00	-	-	-	-	0.0	3.60E+03	0.0	0.0	0.0	2.72E+03	0.0	0.0
NAVÝŠENÍ NAPĚTÍ DO AKTIVACE TLAKU V DESCE MOSTOVKY						$\sigma_{P,red}$	0.0							0.0			0.0			0.0				0.1	0.1			0.1	0.1
NAPĚTÍ OD PRIMÁRNÍCH ÚČINKŮ NEROVNOMĚRNÉHO OTEPLENÍ						σ_T	0.0							0.0														
NAPĚTÍ OD REOLOGICKÝCH ÚČINKŮ BETONU V ČASE				t=0		σ_R	0.0	γ_{lt}=	1.20					0.0														
NAPĚTÍ V KRITICKÝCH VLÁKNECH OD KOMBINACE ZATÍŽENÍ						KZ04		[MPa]					$\Sigma\sigma_x$	-95.1									$\Sigma\tau_y$	0.1			$\Sigma\tau_z$	0.1
NAPĚTÍ OD POHYBLIVÉHO ZATÍŽENÍ								[MPa]					$\sigma_{z,P}$	-73.9									τ_P	0.0			τ_P	-0.2
NAPĚTÍ OD OSTATNÍCH ZATÍŽENÍ								[MPa]			Φ_{Vy}	Φ_{Vz}	$\sigma_{z,rs}$	-21.2									τ_{rs}	0.0			τ_{rs}	0.3
NÁVRHOVÁ HODNOTA MEZE KLUZU S REDUKCÍ VLIVEM SMYKOVÉHO NAPĚTÍ								[MPa]			1.00	1.00	$f_{yv,d}$	191.7									$f_{yd}/3^{0,5}$	110.7			$f_{yd}/3^{0,5}$	110.7
NAPĚTÍ OD POHYBLIVÉHO ZATÍŽENÍ V GLOBÁLNÍM SYSTÉMU						$\sigma_{GLOB,P}$	0.0	[MPa]					$\Sigma\sigma_{GLOB}$	0.0														
NAPĚTÍ OD OSTATNÍCH ZATÍŽENÍ V GLOBÁLNÍM SYSTÉMU						$\sigma_{GLOB,rs}$	0.0	[MPa]					$\Sigma\sigma_z + \Sigma\sigma_{GLOB}$	-95.1														
VYUŽITÍ PRŮŘEZU DLE NAPĚTÍ								[%]					η_1	0.50									η_3	0.00			η_3	0.00
NAPĚTÍ V PŘÍČNÉM SMĚRU OD POHYBLIVÉHO ZATÍŽENÍ						$\sigma_{z,P}$	0.0	[MPa]					$\Sigma\sigma_z$	0.0														
NAPĚTÍ V PŘÍČNÉM SMĚRU OD OSTATNÍCH ZATÍŽENÍ						$\sigma_{z,rs}$	0.0	[MPa]					η_2	0.00														
SROVNÁVACÍ NAPĚTÍ													$(\eta_2 + 0,8\,\eta_1)/1,4$ =	0.28														
VYUŽITÍ PRŮŘEZU CELKEM								[%]					eff	0.50	VYHOVUJE													
													z_{LM71} =	2.31														

TAB. D.9.1.3 POSOUZENÍ - MEZNÍ STAV ÚNOSNOSTI

POPIS	DIAGONÁLA D9
PRUT / POLOHA BODU	219 / 2/4
NAMÁHÁNÍ	N.min
VLÁKNO	BOD K3 -SL
MEZNÍ STAV	ULS (MSÚ)
VYUŽITÍ VLÁKNA PRŮŘEZU	0.38

Charakteristiky materiálu				
pás. horní	$f_{yf,k}$	230	MPa	
pás. dolní	$f_{yf,k}$	230	MPa	
stojina	$f_{yw,k}$	230	MPa	
výztuž	$f_{ys,k}$	500	MPa	
	γ_M =	1.20	γ_s =	1.15

Excentricita normálové síly				
Exc./Fáze	0	1	2	3
e_y	0.000	0.000	0.000	0.000
e_z	0.000	0.000	0.000	0.000
Ekvivalentní vzdál. stěn - příčný roznos				
b_{Mx}	0.000	0.000	0.000	0.000

Vliv stěny na únosnost průřezu				
Char./Fáze	0	1	2	3
A	0.00	0.00	0.00	0.00
Wy	0.00	0.00	0.00	0.00
Wz	0.00	0.00	0.00	0.00

Charakter. v kroucení			
$t_{w,y}$	0.000	[mm]	
$t_{w,z}$	0.000	[mm]	
κ	1.00		
I_t=	0.00E+00	[mm^4]	
$\Omega=2*A_{pr}$	0.00E+00	[mm^2]	

Součinitele vzpěru a vlivu II.řádu				
Char./Fáze	0	1	2	3
k_y	1.000	1.000	1.000	1.000
k_z	1.000	1.000	1.000	1.000
χ_{LT}	1.000	1.000	1.000	1.000
χ_{min}	0.639	1.000	1.000	1.000

Vnitřní síly od jednotlivých skupin zatěžovacích stavů

SKUPINA ZATĚŽOVACÍCH STAVŮ					- CHARAKTERISTICKÉ HODNOTY						DÍLČÍ SOUČINITELÉ ZATÍŽENÍ, DYNAMICKÝ SOUČINITEL						3	- NÁVRHOVÉ HODNOTY									
Č.	SKUP ZS	POPIS ZS	KAT.	FÁZE PRŮŘ.	N.k (kN)	Vy.k (kN)	Vz.k (kN)	Mx.k (kNm)	My.k (kNm)	Mz.k (kNm)	γ_{sr} (-)	γ_{sl} (-)	volba γ_{sl} hledat	γ_{sl} (-)	L_d (m)	δ (-)	Ψ_0 KZ03	N.d (kN)	Vy.d (kN)	Vz.d (kN)	ΔVz.d (kN)	ΣVz.d (kN)	Mx.d (kNm)	My.d (kNm)	ΔMy.d (kNm)	ΣMy.d (kNm)	Mz.d (kNm)	ΔMz.d (kNm)	ΣMz.d (kNm)
1	G0	Vlastní tíha OK	G	0	0	0	0	0	0	0	1.00	1.20		1.20	-	1.00	0.95	0	0	0	0	0	0	0	0	0	0	0	0
2	G1	Ostatní stálé - mostní vybavení	G	0	1	0	0	0	0	0	1.00	1.00		1.00	-	1.00	0.95	1	0	0	0	0	0	0	0	0	0	0	0
3	G2	Ostatní stálé - cizí zařízení	G	0	1	0	0	0	0	0	1.00	1.00		1.00	-	1.00	0.95	1	0	0	0	0	0	0	0	0	0	0	0
4	P1_71	a.LM71 - kolej 1 (bez dyn. souč.)	P	0	-57	0	0	0	3	0	1.00	1.30		1.30	-	1.00	1.00	-74	0	0	0	0	0	4	0	4	0	0	0
5	P2_71	a.LM71 - kolej 2 (bez dyn. souč.)	P	0	-137	0	-1	0	1	0	1.00	1.30		1.30	-	1.00	1.00	-178	0	-1	0	-1	0	2	0	2	0	0	0
6	P1_C3	TTZ C3 - kolej 1 (bez dyn. souč.)	P	0	-46	0	0	0	3	0	1.00	vyp.		0.00	-	1.00	0.00	0	0	0	0	0	0	0	0	0	0	0	0
7	P2_C3	TTZ C3 - kolej 2 (bez dyn. souč.)	P	0	-111	0	-1	0	1	0	1.00	vyp.		0.00	-	1.00	0.00	0	0	0	0	0	0	0	0	0	0	0	0
8	BR	Brzdné a rozjezdové síly	P	0	-3	0	0	0	0	0	1.00	1.30		1.30	-	1.00	0.80	-3	0	0	0	0	0	0	0	0	0	0	0
9	S	Boční ráz	P	0	-2	0	0	0	0	0	1.00	1.30		1.30	-	1.00	0.40	-1	0	0	0	0	0	0	0	0	0	0	0
10	CH	Chodci na lávkách	Q	0	-13	0	0	0	0	0	1.00	1.30		1.30	-	1.00	1.00	-17	0	0	0	0	0	0	0	0	0	0	0
11	W	Vítr na konstrukci	Q	0	-4	0	0	0	4	0	1.00	-1.35		-1.35	-	1.00	0.75	4	0	0	0	0	0	-4	0	-4	0	0	0
12	WP	Vítr na vozidla	Q	0	-5	0	1	0	2	0	1.00	-1.35		-1.35	-	1.00	0.75	6	0	-1	0	-1	0	-2	0	-2	0	0	0
13	TR	Teplota rovnoměrná	Q	0	0	0	0	0	0	0	1.00	1.35		1.35	-	1.00	0.45	0	0	0	0	0	0	0	0	0	0	0	0
14	TN	Teplota nerovnoměrná	Q	0	-14	0	0	0	0	0	1.00	1.35		1.35	-	1.00	0.60	-12	0	0	0	0	0	0	0	0	0	0	0
15	FR	Třecí síly v ložiskách	Q	0	0	0	0	0	0	0	1.00	1.20		1.20	-	1.00	1.00	0	0	0	0	0	0	0	0	0	0	0	0
16	I	Imperfekce soustavy	Q	0	0	0	0	0	0	0	1.00	1.20		1.20	-	1.00	1.00	-1	0	0	0	0	0	0	0	0	0	0	0
27	ULS_LM	ULS - LM71 bez dynam	Q	0	-294	0	0	0	12	1	1.00	vyp.		0.00	-	1.00	0.00	0	0	0	0	0	0	0	0	0	0	0	0
28	SLS_LM	SLS - LM71 bez dynam	Q	0	-217	0	0	0	9	0	1.00	vyp.	1	0.00	-	1.00	0.00	0	0	0	0	0	0	0	0	0	0	0	0
29	ULS_C3	ULS - C3 bez dynam	Q	0	-246	0	0	0	11	0	1.00	vyp.	1	0.00	-	1.00	0.00	0	0	0	0	0	0	0	0	0	0	0	0
30	SLS_C3	SLS - C3 bez dynam	Q	0	-180	0	0	0	8	0	1.00	vyp.	1	0.00	-	1.00	0.00	0	0	0	0	0	0	0	0	0	0	0	0
		CELKEM - FÁZE PRŮŘEZU 0																-274	0	-1	0	-1	0		0	1	0	1	
		CELKEM - FÁZE PRŮŘEZU 1																0	0	0	0	0	0		0	0	0	0	
		CELKEM - FÁZE PRŮŘEZU 2																0	0	0	0	0	0		0	0	0	0	
		CELKEM - FÁZE PRŮŘEZU 3																0	0	0	0	0	0		0	0	0	0	
		CELKEM - PRŮŘEZ																-274	0	-1	0	-1	0		0			1	

Napětí od jednotlivých zatěžovacích stavů

SKUPINA ZATĚŽOVACÍCH STAVŮ					Posouzení normálového napětí										Posouzení smykového napětí													
					Účinek síly N			Účinek momentu My				Účinek momentu Mz				Účinek ktoutícího momentu Mx				Účinek smykové síly Vy				Účinek smykové síly Vz			
č.	SKUP ZS	Popis ZS	Kat.	fáze průř.	δ^*N_d [kN]	χ^*A [mm^2]	σ_n [MPa]	$\delta^*M_{y,d}$ [kNm]	$\chi_{lt}{}^*W_{el,y}$ [mm^3]	σ_{my} [MPa]	$\delta^*M_{z,d}$ [kNm]	$W_{el,z}$ [mm^3]	σ_{mz} [MPa]	σ_x [MPa]	$\kappa^*\delta^*M_{x,d}$ [kNm]	$W_{v,y}$ [mm^2]	$\tau_{x,y}$ [MPa]	$W_{v,z}$ [mm^2]	$\tau_{x,z}$ [MPa]	$\delta^*V_{y,d}$ [kN]	$A_{v,y}$ [mm2]	$\tau_{v,y}$ [MPa]	$\tau_{v,y}$ [MPa]	$\delta^*V_{z,d}$ [kN]	$A_{v,z}$ [mm2]	$\tau_{v,z}$ [MPa]	$\tau_{v,z}$ [MPa]
1	G0	Vlastní tíha OK	G	0	0.3	4.04E+03	0.1	0.0	6.80E+05	-0.1	0.3	-1.20E+05	-2.9	-2.8	0.0E+00	-	-	-	-	0.1	3.60E+03	0.0	0.0	-0.1	2.72E+03	0.0	0.0
2	G1	Ostatní stálé - mostní vybavení	G	0	1.0	4.04E+03	0.2	0.1	6.80E+05	0.1	0.0	-1.20E+05	0.0	0.4	0.0E+00	-	-	-	-	0.0	3.60E+03	0.0	0.0	0.0	2.72E+03	0.0	0.0
3	G2	Ostatní stálé - cizí zařízení	G	0	0.8	4.04E+03	0.2	0.0	6.80E+05	0.0	0.0	-1.20E+05	0.0	0.2	0.0E+00	-	-	-	-	0.0	3.60E+03	0.0	0.0	0.0	2.72E+03	0.0	0.0
4	P1_71	a.LM71 - kolej 1 (bez dyn. souč.)	P	0	-74.0	4.04E+03	-18.3	4.4	6.80E+05	6.5	0.1	-1.20E+05	-0.4	-12.3	0.0E+00	-	-	-	-	0.0	3.60E+03	0.0	0.0	0.2	2.72E+03	0.1	0.1
5	P2_71	a.LM71 - kolej 2 (bez dyn. souč.)	P	0	-177.8	4.04E+03	-44.0	1.6	6.80E+05	2.4	0.1	-1.20E+05	-1.1	-42.7	0.0E+00	-	-	-	-	0.0	3.60E+03	0.0	0.0	-0.9	2.72E+03	-0.3	-0.3
6	P1_C3	TTZ C3 - kolej 1 (bez dyn. souč.)	P	0	0.0	4.04E+03	0.0	0.0	6.80E+05	0.0	0.0	-1.20E+05	0.0	0.0	0.0E+00	-	-	-	-	0.0	3.60E+03	0.0	0.0	0.0	2.72E+03	0.0	0.0
7	P2_C3	TTZ C3 - kolej 2 (bez dyn. souč.)	P	0	0.0	4.04E+03	0.0	0.0	6.80E+05	0.0	0.0	-1.20E+05	0.0	0.0	0.0E+00	-	-	-	-	0.0	3.60E+03	0.0	0.0	0.0	2.72E+03	0.0	0.0
8	BR	Brzdné a rozjezdové síly	P	0	-3.2	4.04E+03	-0.8	0.1	6.80E+05	0.1	0.0	-1.20E+05	0.1	-0.6	0.0E+00	-	-	-	-	0.0	3.60E+03	0.0	0.0	0.0	2.72E+03	0.0	0.0
9	S	Boční ráz	P	0	-1.2	4.04E+03	-0.3	0.1	6.80E+05	0.1	0.0	-1.20E+05	0.0	-0.2	0.0E+00	-	-	-	-	0.0	3.60E+03	0.0	0.0	0.1	2.72E+03	0.0	0.0
10	CH	Chodci na lávkách	Q	0	-16.9	4.04E+03	-4.2	0.0	6.80E+05	0.0	0.0	-1.20E+05	-0.1	-4.3	0.0E+00	-	-	-	-	0.0	3.60E+03	0.0	0.0	0.1	2.72E+03	0.0	0.0
11	W	Vítr na konstrukci	Q	0	3.9	4.04E+03	1.0	-4.0	6.80E+05	-5.8	0.0	-1.20E+05	0.0	-4.9	0.0E+00	-	-	-	-	0.0	3.60E+03	0.0	0.0	0.1	2.72E+03	0.0	0.0
12	WP	Vítr na vozidla	Q	0	5.5	4.04E+03	1.4	-2.2	6.80E+05	-3.2	0.0	-1.20E+05	-0.1	-1.9	0.0E+00	-	-	-	-	0.0	3.60E+03	0.0	0.0	-0.8	2.72E+03	-0.3	-0.3
13	TR	Teplota rovnoměrná	Q	0	0.0	4.04E+03	0.0	0.0	6.80E+05	0.0	0.0	-1.20E+05	0.0	0.0	0.0E+00	-	-	-	-	0.0	3.60E+03	0.0	0.0	0.0	2.72E+03	0.0	0.0
14	TN	Teplota nerovnoměrná	Q	0	-11.6	4.04E+03	-2.9	0.1	6.80E+05	0.1	0.0	-1.20E+05	0.2	-2.5	0.0E+00	-	-	-	-	0.0	3.60E+03	0.0	0.0	0.0	2.72E+03	0.0	0.0
15	FR	Třecí síly v ložiskách	Q	0	-0.5	4.04E+03	-0.1	0.0	6.80E+05	0.0	0.0	-1.20E+05	0.0	-0.1	0.0E+00	-	-	-	-	0.0	3.60E+03	0.0	0.0	0.0	2.72E+03	0.0	0.0
16	I	Imperfekce soustavy	Q	0	-0.5	4.04E+03	-0.1	-0.3	6.80E+05	-0.4	0.0	-1.20E+05	0.0	-0.5	0.0E+00	-	-	-	-	0.0	3.60E+03	0.0	0.0	-0.1	2.72E+03	0.0	0.0
27	ULS_LM	ULS - LM71 bez dynam	Q	0	0.0	4.04E+03	0.0	0.0	6.80E+05	0.0	0.0	-1.20E+05	0.0	0.0	0.0E+00	-	-	-	-	0.0	3.60E+03	0.0	0.0	0.0	2.72E+03	0.0	0.0
28	SLS_LM	SLS - LM71 bez dynam	Q	0	0.0	4.04E+03	0.0	0.0	6.80E+05	0.0	0.0	-1.20E+05	0.0	0.0	0.0E+00	-	-	-	-	0.0	3.60E+03	0.0	0.0	0.0	2.72E+03	0.0	0.0
29	ULS_C3	ULS - C3 bez dynam	Q	0	0.0	4.04E+03	0.0	0.0	6.80E+05	0.0	0.0	-1.20E+05	0.0	0.0	0.0E+00	-	-	-	-	0.0	3.60E+03	0.0	0.0	0.0	2.72E+03	0.0	0.0
30	SLS_C3	SLS - C3 bez dynam	Q	0	0.0	4.04E+03	0.0	0.0	6.80E+05	0.0	0.0	-1.20E+05	0.0	0.0	0.0E+00	-	-	-	-	0.0	3.60E+03	0.0	0.0	0.0	2.72E+03	0.0	0.0
NAVÝŠENÍ NAPĚTÍ DO AKTIVACE TLAKU V DESCE MOSTOVKY						$\sigma_{P,red}$	0.0							0.0			0.0		0.0							-0.5	-0.5
NAPĚTÍ OD PRIMÁRNÍCH ÚČINKŮ NEROVNOMĚRNÉHO OTEPLENÍ						σ_T	0.0							0.0													
NAPĚTÍ OD REOLOGICKÝCH ÚČINKŮ BETONU V ČASE				t=0		σ_R	0.0	γ=	1.20					0.0													
NAPĚTÍ V KRITICKÝCH VLÁKNECH OD KOMBINACE ZATÍŽENÍ						KZ03		[MPa]					$\Sigma\sigma_x$	-72.3								$\Sigma\tau_y$	0.0			$\Sigma\tau_z$	-0.5
NAPĚTÍ OD POHYBLIVÉHO ZATÍŽENÍ								[MPa]					$\sigma_{z,P}$	-55.8								τ_P	0.0			τ_P	-0.2
NAPĚTÍ OD OSTATNÍCH ZATÍŽENÍ								[MPa]			Φ_{Vy}	Φ_{Vz}	$\sigma_{z,rs}$	-16.5								τ_{rs}	0.0			τ_{rs}	-0.3
NÁVRHOVÁ HODNOTA MEZE KLUZU S REDUKCÍ VLIVEM SMYKOVÉHO NAPĚTÍ								[MPa]			1.00	1.00	$f_{yv,d}$	191.7								$f_{yd}/3^{0,5}$	110.7			$f_{yd}/3^{0,5}$	110.7
NAPĚTÍ OD POHYBLIVÉHO ZATÍŽENÍ V GLOBÁLNÍM SYSTÉMU						$\sigma_{GLOB,P}$	0.0	[MPa]					$\Sigma\sigma_{GLOB}$	0.0													
NAPĚTÍ OD OSTATNÍCH ZATÍŽENÍ V GLOBÁLNÍM SYSTÉMU						$\sigma_{GLOB,rs}$	0.0	[MPa]					$\Sigma\sigma_z + \Sigma\sigma_{GLOB}$	-72.3													
VYUŽITÍ PRŮŘEZU DLE NAPĚTÍ								[%]					η_1	0.38								η_3	0.00			η_3	0.00
NAPĚTÍ V PŘÍČNÉM SMĚRU OD POHYBLIVÉHO ZATÍŽENÍ						$\sigma_{z,P}$	0.0	[MPa]					$\Sigma\sigma_z$	0.0													
NAPĚTÍ V PŘÍČNÉM SMĚRU OD OSTATNÍCH ZATÍŽENÍ						$\sigma_{z,rs}$	0.0	[MPa]					η_2	0.00													
SROVNÁVACÍ NAPĚTÍ													$(\eta 2 + 0{,}8\ \eta 1)/1{,}4 =$	0.22													
VYUŽITÍ PRŮŘEZU CELKEM								[%]					eff	0.38	VYHOVUJE												
													Z_{LM71} =	3.14													

TAB. D.9.1.3 POSOUZENÍ - MEZNÍ STAV ÚNOSNOSTI

POPIS	DIAGONÁLA D9
PRUT / POLOHA BODU	219 / 2/4
NAMÁHÁNÍ	Vz.max
VLÁKNO	BOD S6 -HP
MEZNÍ STAV	ULS (MSÚ)
VYUŽITÍ VLÁKNA PRŮŘEZU	0.13

Charakteristiky materiálu				
pás. horní	$f_{yf,k}$	230	MPa	
pás. dolní	$f_{yf,k}$	230	MPa	
stojina	$f_{yw,k}$	230	MPa	
výztuž	$f_{ys,k}$	500	MPa	
γ_M =	1.10	γ_s =	1.15	

Excentricita normálové síly				
Exc./Fáze	0	1	2	3
e_y	0.000	0.000	0.000	0.000
e_z	0.000	0.000	0.000	0.000
Ekvivalentní vzdál. stěn - příčný roznos				
b_{Mx}	0.000	0.000	0.000	0.000

Vliv stěny na únosnost průřezu				
Char./Fáze	0	1	2	3
A	0.00	0.00	0.00	0.00
Wy	0.00	0.00	0.00	0.00
Wz	0.00	0.00	0.00	0.00

Charakter. v kroucení			
$t_{w,y}$	0.000	[mm]	
$t_{w,z}$	0.000	[mm]	
κ	1.00		
I_t=	0.00E+00	[mm^4]	
Ω=2*A_{pr}	0.00E+00	[mm^2]	

Součinitele vzpěru a vlivu II.řádu					
Char./Fáze	0	1	2	3	
k_y	1.000	1.000	1.000	1.000	
k_z	1.000	1.000	1.000	1.000	
χ_{LT}	1.000	1.000	1.000	1.000	
χ_{min}	0.639	1.000	1.000	1.000	

Vnitřní síly od jednotlivých skupin zatěžovacích stavů

SKUPINA ZATĚŽOVACÍCH STAVŮ					- CHARAKTERISTICKÉ HODNOTY						DÍLČÍ SOUČINITELÉ ZATÍŽENÍ, DYNAMICKÝ SOUČINITEL						4	- NÁVRHOVÉ HODNOTY									
Č.	SKUP ZS	POPIS ZS	KAT.	FÁZE PRŮŘ.	N.k (kN)	Vy.k (kN)	Vz.k (kN)	Mx.k (kNm)	My.k (kNm)	Mz.k (kNm)	γ_{sr} (-)	γ_{sl} (-)	volba ψ_i hledat	ψ_i (-)	L_d (m)	δ (-)	Ψ_E KZ04	N.d (kN)	Vy.d (kN)	Vz.d (kN)	ΔVz.d (kN)	ΣVz.d (kN)	Mx.d (kNm)	My.d (kNm)	ΔMy.d (kNm)	ΣMy.d (kNm)	Mz.d (kNm)	ΔMz.d (kNm)	ΣMz.d (kNm)
1	G0	Vlastní tíha OK	G	0	0	0	0	0	0	0	1.00	1.20		1.20	-	1.00	0.95	0	0	0	0	0	0	0	0	0	0	0	0
2	G1	Ostatní stálé - mostní vybavení	G	0	1	0	0	0	0	0	1.00	1.00		1.00	-	1.00	0.95	1	0	0	0	0	0	0	0	0	0	0	0
3	G2	Ostatní stálé - cizí zařízení	G	0	1	0	0	0	0	0	1.00	1.20		1.20	-	1.00	0.95	1	0	0	0	0	0	0	0	0	0	0	0
4	P1_71	a.LM71 - kolej 1 (bez dyn. souč.)	P	0	23	0	1	0	4	0	1.00	1.30		1.30	-	1.00	1.00	30	0	2	0	2	0	5	0	5	0	0	0
5	P2_71	a.LM71 - kolej 2 (bez dyn. souč.)	P	0	43	0	1	0	1	0	1.00	1.30		1.30	-	1.00	1.00	56	0	1	0	1	0	2	0	2	0	0	0
6	P1_C3	TTZ C3 - kolej 1 (bez dyn. souč.)	P	0	15	0	1	0	3	0	1.00	vyp.		0.00	-	1.00	0.00	0	0	0	0	0	0	0	0	0	0	0	0
7	P2_C3	TTZ C3 - kolej 2 (bez dyn. souč.)	P	0	26	0	1	0	1	0	1.00	vyp.		0.00	-	1.00	0.00	0	0	0	0	0	0	0	0	0	0	0	0
8	BR	Brzdné a rozjezdové síly	P	0	1	0	0	0	0	0	1.00	1.30		1.30	-	1.00	0.40	1	0	0	0	0	0	0	0	0	0	0	0
9	S	Boční ráz	P	0	-2	0	0	0	1	0	1.00	1.30		1.30	-	1.00	0.80	-2	0	0	0	0	0	1	0	1	0	0	0
10	CH	Chodci na lávkách	Q	0	-13	0	0	0	0	0	1.00	1.30		1.30	-	1.00	1.00	-17	0	0	0	0	0	0	0	0	0	0	0
11	W	Vítr na konstrukci	Q	0	4	0	0	0	-4	0	1.00	1.35		1.35	-	1.00	0.75	4	0	0	0	0	0	-4	0	-4	0	0	0
12	WP	Vítr na vozidla	Q	0	-5	0	1	0	2	0	1.00	1.35		1.35	-	1.00	0.75	-6	0	1	0	1	0	2	0	2	0	0	0
13	TR	Teplota rovnoměrná	Q	0	0	0	0	0	0	0	1.00	1.35		1.35	-	1.00	0.45	0	0	0	0	0	0	0	0	0	0	0	0
14	TN	Teplota nerovnoměrná	Q	0	-14	0	1	0	1	0	1.00	1.35		1.35	-	1.00	0.60	-11	0	1	0	1	0	1	0	1	0	0	0
15	FR	Třecí síly v ložiskách	Q	0	0	0	0	0	0	0	1.00	1.20		1.20	-	1.00	1.00	0	0	0	0	0	0	0	0	0	0	0	0
16	I	Imperfekce soustavy	Q	0	0	0	0	0	0	0	1.00	1.20		1.20	-	1.00	1.00	1	0	0	0	0	0	0	0	0	0	0	0
27	ULS_LM	ULS - LM71 bez dynam	Q	0	57	0	5	0	7	0	1.00	vyp.		0.00	-	1.00	0.00	0	0	0	0	0	0	0	0	0	0	0	0
28	SLS_LM	SLS - LM71 bez dynam	Q	0	53	0	4	0	5	0	1.00	vyp.	1	0.00	-	1.00	0.00	0	0	0	0	0	0	0	0	0	0	0	0
29	ULS_C3	ULS - C3 bez dynam	Q	0	25	0	5	0	6	0	1.00	vyp.	1	0.00	-	1.00	0.00	0	0	0	0	0	0	0	0	0	0	0	0
30	SLS_C3	SLS - C3 bez dynam	Q	0	28	0	3	0	4	0	1.00	vyp.	1	0.00	-	1.00	0.00	0	0	0	0	0	0	0	0	0	0	0	0
		CELKEM - FÁZE PRŮŘEZU 0																58	0	5	0	5	0	7	0	7	0	0	0
		CELKEM - FÁZE PRŮŘEZU 1																0	0	0	0	0	0	0	0	0	0	0	0
		CELKEM - FÁZE PRŮŘEZU 2																0	0	0	0	0	0	0	0	0	0	0	0
		CELKEM - FÁZE PRŮŘEZU 3																0	0	0	0	0	0	0	0	0	0	0	0
		CELKEM - PRŮŘEZ																58	0	5	0	5	0			7			0

Napětí od jednotlivých zatěžovacích stavů

SKUPINA ZATĚŽOVACÍCH STAVŮ					Posouzení normálového napětí										Posouzení smykového napětí													
					Účinek síly N			Účinek momentu My			Účinek momentu Mz				Účinek ktoutícího momentu Mx				Účinek smykové síly Vy				Účinek smykové síly Vz			
Č.	SKUP ZS	Popis ZS	Kat.	fáze prúř.	δ^*N_d [kN]	χ^*A [mm^2]	σ_n [MPa]	$\delta^*M_{y,d}$ [kNm]	$\chi_{lt}{}^*W_{el,y}$ [mm^3]	σ_{my} [MPa]	$\delta^*M_{z,d}$ [kNm]	$W_{el,z}$ [mm^3]	σ_{mz} [MPa]	σ_x [MPa]	$\kappa^*\delta^*M_{x,d}$ [kNm]	$W_{v,y}$ [mm^2]	$\tau_{x,y}$ [MPa]	$W_{v,z}$ [mm^2]	$\tau_{x,z}$ [MPa]	$\delta^*V_{y,d}$ [kN]	$A_{v,y}$ [mm2]	$\tau_{v,y}$ [MPa]	$\tau_{v,y}$ [MPa]	$\delta^*V_{z,d}$ [kN]	$A_{v,z}$ [mm2]	$\tau_{v,z}$ [MPa]	$\tau_{v,z}$ [MPa]
1	G0	Vlastní tíha OK	G	0	0.3	4.04E+03	0.1	0.0	6.80E+05	-0.1	0.3	-2.82E+06	-0.1	-0.1	0.0E+00	-	-	-	-	0.1	3.60E+03	0.0	0.0	-0.1	2.72E+03	0.0	0.0
2	G1	Ostatní stálé - mostní vybavení	G	0	1.0	4.04E+03	0.2	0.1	6.80E+05	0.1	0.0	-2.82E+06	0.0	0.4	0.0E+00	-	-	-	-	0.0	3.60E+03	0.0	0.0	0.0	2.72E+03	0.0	0.0
3	G2	Ostatní stálé - cizí zařízení	G	0	1.0	4.04E+03	0.3	0.0	6.80E+05	0.0	0.0	-2.82E+06	0.0	0.2	0.0E+00	-	-	-	-	0.0	3.60E+03	0.0	0.0	0.0	2.72E+03	0.0	0.0
4	P1_71	a.LM71 - kolej 1 (bez dyn. souč.)	P	0	29.8	4.04E+03	7.4	4.7	6.80E+05	7.0	0.0	-2.82E+06	0.0	14.3	0.0E+00	-	-	-	-	0.0	3.60E+03	0.0	0.0	1.8	2.72E+03	0.7	0.7
5	P2_71	a.LM71 - kolej 2 (bez dyn. souč.)	P	0	56.4	4.04E+03	14.0	1.7	6.80E+05	2.5	0.0	-2.82E+06	0.0	16.5	0.0E+00	-	-	-	-	0.1	3.60E+03	0.0	0.0	1.2	2.72E+03	0.4	0.4
6	P1_C3	TTZ C3 - kolej 1 (bez dyn. souč.)	P	0	0.0	4.04E+03	0.0	0.0	6.80E+05	0.0	0.0	-2.82E+06	0.0	0.0	0.0E+00	-	-	-	-	0.0	3.60E+03	0.0	0.0	0.0	2.72E+03	0.0	0.0
7	P2_C3	TTZ C3 - kolej 2 (bez dyn. souč.)	P	0	0.0	4.04E+03	0.0	0.0	6.80E+05	0.0	0.0	-2.82E+06	0.0	0.0	0.0E+00	-	-	-	-	0.0	3.60E+03	0.0	0.0	0.0	2.72E+03	0.0	0.0
8	BR	Brzdné a rozjezdové síly	P	0	0.6	4.04E+03	0.2	0.0	6.80E+05	0.0	0.0	-2.82E+06	0.0	0.2	0.0E+00	-	-	-	-	0.0	3.60E+03	0.0	0.0	0.0	2.72E+03	0.0	0.0
9	S	Boční ráz	P	0	-2.0	4.04E+03	-0.5	0.7	6.80E+05	1.0	0.0	-2.82E+06	0.0	0.6	0.0E+00	-	-	-	-	0.0	3.60E+03	0.0	0.0	0.5	2.72E+03	0.2	0.2
10	CH	Chodci na lávkách	Q	0	-16.9	4.04E+03	-4.2	0.0	6.80E+05	0.0	0.0	-2.82E+06	0.0	-4.2	0.0E+00	-	-	-	-	0.0	3.60E+03	0.0	0.0	0.1	2.72E+03	0.0	0.0
11	W	Vítr na konstrukci	Q	0	3.9	4.04E+03	1.0	-4.0	6.80E+05	-5.8	0.0	-2.82E+06	0.0	-4.9	0.0E+00	-	-	-	-	0.0	3.60E+03	0.0	0.0	0.1	2.72E+03	0.0	0.0
12	WP	Vítr na vozidla	Q	0	-5.5	4.04E+03	-1.4	2.2	6.80E+05	3.2	0.0	-2.82E+06	0.0	1.8	0.0E+00	-	-	-	-	0.0	3.60E+03	0.0	0.0	0.8	2.72E+03	0.3	0.3
13	TR	Teplota rovnoměrná	Q	0	0.0	4.04E+03	0.0	0.0	6.80E+05	0.0	0.0	-2.82E+06	0.0	0.0	0.0E+00	-	-	-	-	0.0	3.60E+03	0.0	0.0	0.0	2.72E+03	0.0	0.0
14	TN	Teplota nerovnoměrná	Q	0	-11.1	4.04E+03	-2.8	1.0	6.80E+05	1.5	0.0	-2.82E+06	0.0	-1.2	0.0E+00	-	-	-	-	0.0	3.60E+03	0.0	0.0	0.7	2.72E+03	0.2	0.2
15	FR	Třecí síly v ložiskách	Q	0	-0.5	4.04E+03	-0.1	0.0	6.80E+05	0.0	0.0	-2.82E+06	0.0	-0.1	0.0E+00	-	-	-	-	0.0	3.60E+03	0.0	0.0	0.0	2.72E+03	0.0	0.0
16	I	Imperfekce soustavy	Q	0	0.5	4.04E+03	0.1	0.3	6.80E+05	0.4	0.0	-2.82E+06	0.0	0.5	0.0E+00	-	-	-	-	0.0	3.60E+03	0.0	0.0	0.1	2.72E+03	0.0	0.0
27	ULS_LM	ULS - LM71 bez dynam	Q	0	0.0	4.04E+03	0.0	0.0	6.80E+05	0.0	0.0	-2.82E+06	0.0	0.0	0.0E+00	-	-	-	-	0.0	3.60E+03	0.0	0.0	0.0	2.72E+03	0.0	0.0
28	SLS_LM	SLS - LM71 bez dynam	Q	0	0.0	4.04E+03	0.0	0.0	6.80E+05	0.0	0.0	-2.82E+06	0.0	0.0	0.0E+00	-	-	-	-	0.0	3.60E+03	0.0	0.0	0.0	2.72E+03	0.0	0.0
29	ULS_C3	ULS - C3 bez dynam	Q	0	0.0	4.04E+03	0.0	0.0	6.80E+05	0.0	0.0	-2.82E+06	0.0	0.0	0.0E+00	-	-	-	-	0.0	3.60E+03	0.0	0.0	0.0	2.72E+03	0.0	0.0
30	SLS_C3	SLS - C3 bez dynam	Q	0	0.0	4.04E+03	0.0	0.0	6.80E+05	0.0	0.0	-2.82E+06	0.0	0.0	0.0E+00	-	-	-	-	0.0	3.60E+03	0.0	0.0	0.0	2.72E+03	0.0	0.0
NAVÝŠENÍ NAPĚTÍ DO AKTIVACE TLAKU V DESCE MOSTOVKY						$\sigma_{P,red}$	0.0							0.0			0.0		0.0			0.1	0.1			1.9	1.9
NAPĚTÍ OD PRIMÁRNÍCH ÚČINKŮ NEROVNOMĚRNÉHO OTEPLENÍ						σ_T	0.0							0.0													
NAPĚTÍ OD REOLOGICKÝCH ÚČINKŮ BETONU V ČASE				t=0		σ_R	0.0	γ_{lt}=	1.20					0.0													
NAPĚTÍ V KRITICKÝCH VLÁKNECH OD KOMBINACE ZATÍŽENÍ						KZ04		[MPa]					$\Sigma\sigma_x$	24.0								$\Sigma\tau_y$	0.1			$\Sigma\tau_z$	1.9
NAPĚTÍ OD POHYBLIVÉHO ZATÍŽENÍ								[MPa]					$\sigma_{x,P}$	31.5								τ_P	0.0			τ_P	1.3
NAPĚTÍ OD OSTATNÍCH ZATÍŽENÍ								[MPa]			Φ_{Vy}	Φ_{Vz}	$\sigma_{x,rs}$	-7.6								τ_{rs}	0.0			τ_{rs}	0.6
NÁVRHOVÁ HODNOTA MEZE KLUZU S REDUKCÍ VLIVEM SMYKOVÉHO NAPĚTÍ								[MPa]			1.00	1.00	$f_{yw,d}$	191.7								$f_{yd}/3^{0,5}$	120.7			$f_{yd}/3^{0,5}$	120.7
NAPĚTÍ OD POHYBLIVÉHO ZATÍŽENÍ V GLOBÁLNÍM SYSTÉMU						$\sigma_{GLOB,P}$	0.0	[MPa]					$\Sigma\sigma_{GLOB}$	0.0													
NAPĚTÍ OD OSTATNÍCH ZATÍŽENÍ V GLOBÁLNÍM SYSTÉMU						$\sigma_{GLOB,rs}$	0.0	[MPa]					$\Sigma\sigma_x + \Sigma\sigma_{GLOB}$	24.0													
VYUŽITÍ PRŮŘEZU DLE NAPĚTÍ								[%]					η_1	0.13								η_3	0.00			η_3	0.02
NAPĚTÍ V PŘÍČNÉM SMĚRU OD POHYBLIVÉHO ZATÍŽENÍ						$\sigma_{z,P}$	0.0	[MPa]					$\Sigma\sigma_z$	0.0													
NAPĚTÍ V PŘÍČNÉM SMĚRU OD OSTATNÍCH ZATÍŽENÍ						$\sigma_{z,rs}$	0.0	[MPa]					η_2	0.00													
SROVNÁVACÍ NAPĚTÍ													$(\eta_2 + 0,8\,\eta_1)/1,4$ =	0.07													
VYUŽITÍ PRŮŘEZU CELKEM								[%]					eff	0.13	VYHOVUJE												
													z_{LM71} =	5.84													

VÝPOČET PRŮŘEZOVÝCH CHARAKTERISTIK

PRŮŘEZ: D9_t **POPIS:** DIAGONÁLA 9 - TAH **x =** - **m**

DEFINOVÁNÍ PRŮŘEZU

ŠÍŘKA PÁSNICE ÚHELNÍKU	b f.t.l.o =	0	mm	**ÚHELNÍK HORNÍ VNĚJŠÍ LEVÝ**		**C.T.O.L**	
TLOUŠŤKA PÁSNICE ÚHELNÍKU	t f.t.l.o =	0	mm	OSLABENÍ PÁSNICE - TLOUŠŤKA	Δt f.t.l.o =	0	%
VÝŠKA STĚNY ÚHELNÍKU	h w.t.l.o =	0	mm				
TLOUŠŤKA STĚNY ÚHELNÍKU	t w.t.l.o =	0	mm	OSLABENÍ STĚNY - TLOUŠŤKA	Δt w.t.l.o =	0	%
ŠÍŘKA PÁSNICE ÚHELNÍKU	b f.t.r.o =	0	mm	**ÚHELNÍK HORNÍ VNĚJŠÍ PRAVÝ**		**C.T.O.R**	
TLOUŠŤKA PÁSNICE ÚHELNÍKU	t f.t.r.o =	0	mm	OSLABENÍ PÁSNICE - TLOUŠŤKA	Δt f.t.r.o =	0	%
VÝŠKA STĚNY ÚHELNÍKU	h w.t.r.o =	0	mm				
TLOUŠŤKA STĚNY ÚHELNÍKU	t w.t.r.o =	0	mm	OSLABENÍ STĚNY - TLOUŠŤKA	Δt w.t.r.0 =	0	%
ŠÍŘKA PÁSNICE ÚHELNÍKU	b f.t.l.i =	90	mm	**ÚHELNÍK HORNÍ VNITŘNÍ LEVÝ**		**C.T.I.L**	
TLOUŠŤKA PÁSNICE ÚHELNÍKU	t f.t.l.i =	10	mm	OSLABENÍ PÁSNICE - TLOUŠŤKA	Δt f.b.l.o =	0	%
VÝŠKA STĚNY ÚHELNÍKU	h w.t.l.i =	80	mm				
TLOUŠŤKA STĚNY ÚHELNÍKU	t w.t.l.i =	10	mm	OSLABENÍ STĚNY - TLOUŠŤKA	Δt w.b.l.o =	20	%
ŠÍŘKA PÁSNICE ÚHELNÍKU	b f.t.r.i =	90	mm	**ÚHELNÍK HORNÍ VNITŘNÍ PRAVÝ**		**C.T.I.R**	
TLOUŠŤKA PÁSNICE ÚHELNÍKU	t f.t.r.i =	10	mm	OSLABENÍ PÁSNICE - TLOUŠŤKA	Δt f.b.r.o =	0	%
VÝŠKA STĚNY ÚHELNÍKU	h w.t.r.i =	80	mm				
TLOUŠŤKA STĚNY ÚHELNÍKU	t w.t.r.i =	10	mm	OSLABENÍ STĚNY - TLOUŠŤKA	Δt w.b.r.o =	20	%
ŠÍŘKA PÁSNICE ÚHELNÍKU	b f.b.l.o =	0	mm	**ÚHELNÍK DOLNÍ VNĚJŠÍ LEVÝ**		**C.B.O.L**	
TLOUŠŤKA PÁSNICE ÚHELNÍKU	t f.b.l.o =	0	mm	OSLABENÍ PÁSNICE - TLOUŠŤKA	Δt f.t.l.i =	0	%
VÝŠKA STĚNY ÚHELNÍKU	h w.b.l.o =	0	mm				
TLOUŠŤKA STĚNY ÚHELNÍKU	t w.b.l.o =	0	mm	OSLABENÍ STĚNY - TLOUŠŤKA	Δt w.t.l.i =	0	%
ŠÍŘKA PÁSNICE ÚHELNÍKU	b f.b.r.o =	0	mm	**ÚHELNÍK DOLNÍ VNĚJŠÍ PRAVÝ**		**C.B.O.R**	
TLOUŠŤKA PÁSNICE ÚHELNÍKU	t f.b.r.o =	0	mm	OSLABENÍ PÁSNICE - TLOUŠŤKA	Δt f.t.r.i =	0	%
VÝŠKA STĚNY ÚHELNÍKU	h w.b.r.o =	0	mm				
TLOUŠŤKA STĚNY ÚHELNÍKU	t w.b.r.o =	0	mm	OSLABENÍ STĚNY - TLOUŠŤKA	Δt w.t.r.i =	0	%
PÁSNICE DOLNÍHO LEVÉHO ÚHELNÍKU	b f.b.l.i =	90	mm	**ÚHELNÍK DOLNÍ VNITŘNÍ LEVÝ**		**C.B.I.L**	
TLOUŠŤKA PÁSNICE ÚHELNÍKU	t f.b.l.i =	10	mm	OSLABENÍ PÁSNICE - TLOUŠŤKA	Δt f.b.l.i =	0	%
VÝŠKA STĚNY ÚHELNÍKU	h w.b.l.i =	80	mm				
TLOUŠŤKA STĚNY ÚHELNÍKU	t w.b.l.i =	10	mm	OSLABENÍ STĚNY - TLOUŠŤKA	Δt w.b.l.i =	20	%
PÁSNICE DOLNÍHO PRAVÉHO ÚHELNÍKU	b f.b.r.i =	90	mm	**ÚHELNÍK DOLNÍ VNITŘNÍ PRAVÝ**		**C.B.I.R**	
TLOUŠŤKA PÁSNICE ÚHELNÍKU	t f.b.r.i =	10	mm	OSLABENÍ PÁSNICE - TLOUŠŤKA	Δt f.b.r.i =	0	%
VÝŠKA STĚNY ÚHELNÍKU	h w.b.r.i =	80	mm				
TLOUŠŤKA STĚNY ÚHELNÍKU	t w.b.r.i =	10	mm	OSLABENÍ STĚNY - TLOUŠŤKA	Δt w.b.r.i =	20	%

D9.2 DOLNÍ

ŠÍŘKA HORNÍ VLOŽKY - VNĚJŠÍ	b f.t =	0	mm			**HOR.T.O**	
TLOUŠŤKA VLOŽKY	t f.t =	0	mm	OSLABENÍ VLOŽKY	Δt f.t =	0	%
ŠÍŘKA HORNÍ VLOŽKY - VNITŘNÍ	b f.t =	0	mm			**HOR.T.I**	
TLOUŠŤKA VLOŽKY	t f.t =	0	mm	OSLABENÍ VLOŽKY	Δt f.t =	0	%
ŠÍŘKA DOLNÍ VLOŽKY - VNĚJŠÍ	b f.t =	0	mm			**HOR.B.O**	
TLOUŠŤKA VLOŽKY	t f.t =	0	mm	OSLABENÍ VLOŽKY	Δt f.t =	0	%
ŠÍŘKA DOLNÍ VLOŽKY - VNITŘNÍ	b f.t =	0	mm			**HOR.B.I**	
TLOUŠŤKA VLOŽKY	t f.t =	0	mm	OSLABENÍ VLOŽKY - VNITŘNÍ	Δt f.t =	0	%

VZD. OKRAJŮ PÁSNIC VNITŘNÍCH ÚHELNÍKŮ	416	mm
CELKOVÁ TLOUŠŤKA MEZI PÁSNICEMI ÚHELNÍKŮ I A .o	0	mm
CELKOVÁ TLOUŠŤKA MEZI PÁSNICEMI ÚHELNÍKŮ I A .r	8	mm

ZADANÍ ČÁSTI PRŮŘEZU:

č.prvku	b [mm]	h [mm]	y_0 [mm]	z_0 [mm]	popis části	druh oslabení	lokální ultimate	boulení servic.
1	0.0	0.0	-4.0	208.0	pásnice	0	1.000	1.000
2	0.0	0.0	-4.0	208.0	stěna	0	1.000	1.000
3	0.0	0.0	4.0	208.0	pásnice	0	1.000	1.000
4	0.0	0.0	4.0	208.0	stěna	0	1.000	1.000
5	90.0	10.0	-49.0	203.0	pásnice	0	1.000	1.000
6	8.0	80.0	-8.0	158.0	stěna	0	1.000	1.000
7	90.0	10.0	49.0	203.0	pásnice	0	1.000	1.000
8	8.0	80.0	8.0	158.0	stěna	0	1.000	1.000
9	0.0	0.0	-4.0	-208.0	pásnice	0	1.000	1.000
10	0.0	0.0	-4.0	-208.0	stěna	0	1.000	1.000
11	0.0	0.0	4.0	-208.0	pásnice	0	1.000	1.000
12	0.0	0.0	4.0	-208.0	stěna	0	1.000	1.000
13	90.0	10.0	-49.0	-203.0	pásnice	0	1.000	1.000
14	8.0	80.0	-8.0	-158.0	stěna	0	1.000	1.000
15	90.0	10.0	49.0	-203.0	pásnice	0	1.000	1.000
16	8.0	80.0	8.0	-158.0	stěna	0	1.000	1.000
17						0	1.000	1.000
18						0	1.000	1.000
19						0	1.000	1.000
20						0	1.000	1.000
21						0	1.000	1.000
22						0	1.000	1.000
23						0	1.000	1.000
24						0	1.000	1.000
25						0	1.000	1.000
26						0	1.000	1.000
27						0	1.000	1.000
28						0	1.000	1.000
29						0	1.000	1.000
30						0	1.000	1.000
31						0	1.000	1.000
32						0	1.000	1.000
33						0	1.000	1.000
34						0	1.000	1.000
35						0	1.000	1.000
36						0	1.000	1.000
37						0	1.000	1.000
38						0	1.000	1.000
39						0	1.000	1.000
40						0	1.000	1.000
41	0.0	0.0	0.0	208.0	pásnice	0	1.000	1.000
42	0.0	0.0	0.0	208.0	pásnice	0	1.000	1.000
43	0.0	0.0	0.0	-208.0	pásnice	0	1.000	1.000
44	0.0	0.0	0.0	-208.0	pásnice	0	1.000	1.000
45						0	1.000	1.000
46						0	1.000	1.000
47						0	1.000	1.000
48						0	1.000	1.000
49						0	1.000	1.000
50						0	1.000	1.000
51						0	1.000	1.000
52						0	1.000	1.000
53						0	1.000	1.000
54						0	1.000	1.000
55						0	1.000	1.000
56						0	1.000	1.000
57						0	1.000	1.000
58						0	1.000	1.000
59						0	1.000	1.000
60						0	1.000	1.000
61						0	1.000	1.000
62						0	1.000	1.000
63						0	1.000	1.000
64						0	1.000	1.000
65						0	1.000	1.000
66						0	1.000	1.000
67						0	1.000	1.000
68						0	1.000	1.000
69						0	1.000	1.000
70						0	1.000	1.000
71	0	0	0	0	nýt-stěna	0	1.000	1.000
72	0	0	0	0	nýt-stěna	0	1.000	1.000
73	8.0	-16.7	-8.0	158.0	nýt-stěna	0	1.000	1.000
74	8.0	-16.7	8.0	158.0	nýt-stěna	0	1.000	1.000
75	0	0	0	0	nýt-stěna	0	1.000	1.000
76	0	0	0	0	nýt-stěna	0	1.000	1.000
77	8.0	-16.7	-8.0	-158.0	nýt-stěna	0	1.000	1.000
78	8.0	-16.7	8.0	-158.0	nýt-stěna	0	1.000	1.000
79						0	1.000	1.000
80						0	1.000	1.000
81	0	0	0	0	nýt-pásnice	0	1.000	1.000
82	-18.4	10.0	-54.0	203.0	nýt-pásnice	0	1.000	1.000
83	0	0	0	0	nýt-pásnice	0	1.000	1.000
84	-18.4	10.0	54.0	203.0	nýt-pásnice	0	1.000	1.000
85	0	0	0	0	nýt-pásnice	0	1.000	1.000
86	-18.4	10.0	-54.0	-203.0	nýt-pásnice	0	1.000	1.000
87	0	0	0	0	nýt-pásnice	0	1.000	1.000
88	-18.4	10.0	54.0	-203.0	nýt-pásnice	0	1.000	1.000
89						0	1.000	1.000
90						0	1.000	1.000
91	0	0	0	0	nýt-pásnice	0	1.000	1.000
92	0	0	0	0	nýt-pásnice	0	1.000	1.000
93	0.0	0	0	nýt-pásnice	0	1.000	1.000	
94	0.0	0	0	nýt-pásnice	0	1.000	1.000	
95	0.0	0	0	nýt-pásnice	0	1.000	1.000	
96	0.0	0	0	nýt-pásnice	0	1.000	1.000	
97	0.0	0	0	nýt-pásnice	0	1.000	1.000	
98	0.0	0	0	nýt-pásnice	0	1.000	1.000	
99						0	1.000	1.000
100						0	1.000	1.000

NÝT Č.	SKUPINA	ŘEZ	RED.	VELIKOST di [mm]	POLOHA oi [mm]	POPIS	AKTIVITA OTVORU		NAPĚTÍ sc [MPa]
1		-	1.00	0	40	nýt - t.o - úhelník	0	-	
2		-	1.00	0	40	nýt - t.o - úhelník	0	-	
3	1	3	0.83	20	40	nýt - t.l - úhelník	1		75.00
4	1	3	0.83	20	40	nýt - t.l - úhelník	1		75.74
5		-	1.00	0	40	nýt - b.o - úhelník	0	-	
6		-	1.00	0	40	nýt - b.o - úhelník	0	-	
7	2	3	0.83	20	40	nýt - b.l - úhelník	1		60.22
8	2	3	0.83	20	40	nýt - b.l - úhelník	1		60.96
9									
10									
11		-	1.00	0	40	nýt - t.l - úhelník	0	-	
12	1	3	0.83	22	40	nýt - t.l - úhelník	1		74.97
13		-	1.00	0	40	nýt - t.r - úhelník	0	-	
14	1	3	0.83	22	40	nýt - t.r - úhelník	1		79.98
15		-	1.00	0	40	nýt - b.l - úhelník	0	-	
16	2	3	0.83	22	40	nýt - b.l - úhelník	1		55.98
17		-	1.00	0	40	nýt - b.r - úhelník	0	-	
18	2	3	0.83	22	40	nýt - b.r - úhelník	1		60.99
19									
20									
21		-	1.00	0	-132	nýt - t.l	0	-	
22		-	1.00	0	-132	nýt - t.l	0	-	
23		-	1.00	0	132	nýt - t.r	0	-	
24		-	1.00	0	132	nýt - t.r	0	-	
25		-	1.00	0	-132	nýt - b.l	0	-	
26		-	1.00	0	-132	nýt - b.l	0	-	
27		-	1.00	0	132	nýt - b.r	0	-	
28		-	1.00	0	132	nýt - b.r	0	-	
29									
30									

VÝPOČET PRŮŘEZOVÝCH CHARAKTERISTIK

Properties	Basic	Ultimate		Serviceability	
y_t	0.0	0.0		0.0	[mm]
z_t	0.0	0.0		0.0	[mm]
A_i	4.8913E+03	4.8913E+03		4.8913E+03	[mm²]
A_z	2.8655E+03	2.8655E+03		2.8655E+03	[mm²]
A_y	2.0258E+03	2.0258E+03		2.0258E+03	[mm²]
I_{yt}	1.1052E+08	1.1052E+08		1.1052E+08	[mm⁴]
I_w	9.0516E+06	9.0516E+06		9.0516E+06	[mm⁶]
i_y	150.3	150.3		150.3	[mm]
i_z	43.0	43.0		43.0	[mm]
$W_{y,1}$	5.3136E+05	5.3136E+05		5.3136E+05	[mm³]
$W_{z,1}$	-9.6294E+04	-9.6294E+04		-9.6294E+04	[mm³]
$W_{y,2}$	-5.3136E+05	-5.3136E+05		-5.3136E+05	[mm³]
$W_{z,2}$	-9.6294E+04	-9.6294E+04		-9.6294E+04	[mm³]
KRAJNÍ VLÁKNA PRŮŘEZU					
y_1	-94.0	-94.0		-94.0	[mm] min
z_1	208.0	208.0		208.0	[mm] max
y_2	-94.0	-94.0		-94.0	[mm] min
z_2	-208.0	-208.0		-208.0	[mm] min
y_3	94.0	94.0		94.0	[mm] max
z_3	208.0	208.0		208.0	[mm] max
y_4	94.0	94.0		94.0	[mm] max
z_4	-208.0	-208.0		-208.0	[mm] min
y_5	-4.0	-4.0		-4.0	[mm]
z_5	-208.0	-208.0		-208.0	[mm]
y_6	-4.0	-4.0		-4.0	[mm]
z_6	-208.0	-208.0		-208.0	[mm]

ÚPRAVA MOMENTŮ SETRVAČNOSTI V DŮSLEDKU ČLENĚNÍ PRŮŘEZU

OSA Y	0.65
OSA Z	1.00

SCHÉMA PROMĚNNÝCH

SCHÉMA ZADANÉHO PRŮŘEZU

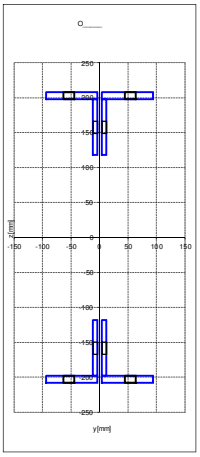

NEUTRÁLNÁ OSA

NAPĚTÍ [MPa]:

73.35	82.07
53.89	62.61

ZS: SLS_LM_N,MX

	N [kN]	Vy [kN]	Vz [kN]	Mx [kNm]	My [kNm]	Mz [kNm]
import	333	-1	0	0	-0	0

TR_D9.2 POPIS: **DIAGONÁLA D9** POSUDEK: **D.9.2**

SKUPINA ZAT. STAVŮ	EXTRÉM	VYHODNOCOVANÉ VELIČINY					
		N	Vy	Vz	Mx	My	Mz
		kN	kN	kN	kNm	kNm	kNm
G0	N.min	**19.03**	0.73	0.07	0	0.5	-0.3
	N.max	**19.03**	0.73	0.07	0	0.5	-0.3
	Vy.min	19.03	**0.73**	0.07	0	0.5	-0.3
	Vy.max	19.03	**0.73**	0.07	0	0.5	-0.3
	Vz.min	19.03	0.73	**0.07**	0	0.5	-0.3
	Vz.max	19.03	0.73	**0.07**	0	0.5	-0.3
	Mx.min	19.03	0.73	0.07	**0**	0.5	-0.3
	Mx.max	19.03	0.73	0.07	**0**	0.5	-0.3
	My.min	19.03	0.73	0.07	0	**0.5**	-0.3
	My.max	19.03	0.73	0.07	0	**0.5**	-0.3
	Mz.min	19.03	0.73	0.07	0	0.5	**-0.3**
	Mz.max	19.03	0.73	0.07	0	0.5	**-0.3**
G1	N.min	**2.86**	0	-0.02	0	0.16	0
	N.max	**2.86**	0	-0.02	0	0.16	0
	Vy.min	2.86	**0**	-0.02	0	0.16	0
	Vy.max	2.86	**0**	-0.02	0	0.16	0
	Vz.min	2.86	0	**-0.02**	0	0.16	0
	Vz.max	2.86	0	**-0.02**	0	0.16	0
	Mx.min	2.86	0	-0.02	**0**	0.16	0
	Mx.max	2.86	0	-0.02	**0**	0.16	0
	My.min	2.86	0	-0.02	0	**0.16**	0
	My.max	2.86	0	-0.02	0	**0.16**	0
	Mz.min	2.86	0	-0.02	0	0.16	**0**
	Mz.max	2.86	0	-0.02	0	0.16	**0**
G2	N.min	**2.28**	0	0.01	0	-0.07	0
	N.max	**2.28**	0	0.01	0	-0.07	0
	Vy.min	2.28	**0**	0.01	0	-0.07	0
	Vy.max	2.28	**0**	0.01	0	-0.07	0
	Vz.min	2.28	0	**0.01**	0	-0.07	0
	Vz.max	2.28	0	**0.01**	0	-0.07	0
	Mx.min	2.28	0	0.01	**0**	-0.07	0
	Mx.max	2.28	0	0.01	**0**	-0.07	0
	My.min	2.28	0	0.01	0	**-0.07**	0
	My.max	2.28	0	0.01	0	**-0.07**	0
	Mz.min	2.28	0	0.01	0	-0.07	**0**
	Mz.max	2.28	0	0.01	0	-0.07	**0**
P1_71	N.min	**-46.24**	-0.01	-2.21	0	7.24	0.07
	N.max	**76.44**	0.02	0.76	0	4.3	-0.06
	Vy.min	-26.83	**-0.04**	-0.68	0	4.42	0.08
	Vy.max	45.21	**0.06**	-1.88	0	9.45	-0.08
	Vz.min	-12.8	0.03	**-3.28**	0	12.21	0.01
	Vz.max	45.8	0	**1.14**	0	1.47	-0.02
	Mx.min	0	0	0	**0**	0	0
	Mx.max	18.05	0.02	-2.38	**0**	12.99	0
	My.min	0	0	0	0	**0**	0
	My.max	21.23	0.03	-2.52	0	**13.79**	-0.02
	Mz.min	62.13	0.06	-1.32	0	9.93	**-0.09**
	Mz.max	-42.61	-0.03	-1.3	0	4.35	**0.09**
P2_71	N.min	**-113.63**	0	-1.61	0	1.32	0.12
	N.max	**184.42**	0.05	2.19	0	-3.3	-0.14
	Vy.min	-53.18	**-0.09**	1.26	0	-4.39	0.19
	Vy.max	94.96	**0.17**	-1.51	0	3.77	-0.22
	Vz.min	-33.17	0.08	**-2.77**	0	6.7	-0.05
	Vz.max	108.22	0	**2.96**	0	-7.39	-0.01
	Mx.min	68.68	0.01	2.28	**0**	-6.74	0
	Mx.max	-30.87	0.05	-2.23	**0**	5.36	0
	My.min	90.91	-0.02	2.79	0	**-7.87**	0.04
	My.max	-8.87	0.11	-2.53	0	**7.32**	-0.11
	Mz.min	145.29	0.16	-0.41	0	2.82	**-0.24**
	Mz.max	-103.31	-0.08	0.07	0	-3.06	**0.2**
P1_C3	N.min	**-38.02**	0	-2.21	0	7.09	0.05
	N.max	**61.82**	0.02	0.57	0	3.28	-0.05
	Vy.min	-13.98	**-0.03**	-0.28	0	3.82	0.06
	Vy.max	42.49	**0.05**	-1.31	0	7.24	-0.07
	Vz.min	-12.22	0.02	**-2.52**	0	9.36	0.01
	Vz.max	33.7	0	**0.89**	0	1.14	-0.02
	Mx.min	0	0	0	**0**	0	0
	Mx.max	21.58	0.01	-1.51	**0**	9.97	0.01
	My.min	0	0	0	0	**0**	0
	My.max	17.88	0.02	-1.88	0	**10.71**	-0.01
	Mz.min	54	0.05	-0.87	0	7.39	**-0.07**
	Mz.max	-34.83	-0.03	-1.1	0	3.67	**0.07**
P2_C3	N.min	**-93.07**	0	-1.27	0	1.05	0.1
	N.max	**149.47**	0.04	1.76	0	-3.04	-0.11
	Vy.min	-29.14	**-0.09**	1.51	0	-4.18	0.16
	Vy.max	95.85	**0.14**	-0.89	0	2.29	-0.19
	Vz.min	-27.47	0.06	**-2.1**	0	4.92	-0.03
	Vz.max	81.44	-0.01	**2.35**	0	-6.28	0.02
	Mx.min	66.75	0.01	2.05	**0**	-6.08	-0.01
	Mx.max	-36.78	0.04	-1.99	**0**	4.17	0
	My.min	70.84	-0.04	2.24	0	**-6.55**	0.07
	My.max	-15.86	0.08	-1.99	0	**5.25**	-0.08
	Mz.min	126.2	0.13	-0.11	0	1.49	**-0.2**
	Mz.max	-85.11	-0.06	0.02	0	-2.35	**0.17**
BR	N.min	**-8.55**	0.02	-0.13	0	0.39	-0.03
	N.max	**8.55**	-0.02	0.13	0	-0.39	0.03
	Vy.min	8.55	**-0.02**	0.13	0	-0.39	0.03
	Vy.max	-8.55	**0.02**	-0.13	0	0.39	-0.03
	Vz.min	-8.55	0.02	**-0.13**	0	0.39	-0.03
	Vz.max	8.55	-0.02	**0.13**	0	-0.39	0.03
	Mx.min	8.55	-0.02	0.13	**0**	-0.39	0.03
	Mx.max	-8.55	0.02	-0.13	**0**	0.39	-0.03
	My.min	8.55	-0.02	0.13	0	**-0.39**	0.03
	My.max	-8.55	0.02	-0.13	0	**0.39**	-0.03
	Mz.min	-6.54	0.02	-0.09	0	0.15	**-0.03**
	Mz.max	6.54	-0.02	0.09	0	-0.15	**0.03**

TR_D9.2 POPIS: **DIAGONÁLA D9** POSUDEK: **D.9.2**

SKUPINA ZAT. STAVŮ	EXTRÉM	VYHODNOCOVANÉ VELIČINY					
		N	Vy	Vz	Mx	My	Mz
		kN	kN	kN	kNm	kNm	kNm
S	N.min	**-5.5**	0.01	-0.29	0	1.59	-0.01
	N.max	**5.5**	-0.01	0.29	0	-1.59	0.01
	Vy.min	3.37	**-0.01**	0.4	0	-2.55	0.02
	Vy.max	-3.37	**0.01**	-0.4	0	2.55	-0.02
	Vz.min	-4.4	0.01	**-0.62**	0	3.85	-0.02
	Vz.max	4.4	-0.01	**0.62**	0	-3.85	0.02
	Mx.min	5.5	-0.01	0.29	**0**	-1.59	0.01
	Mx.max	-5.5	0.01	-0.29	**0**	1.59	-0.01
	My.min	4.4	-0.01	0.62	0	**-3.85**	0.02
	My.max	-4.4	0.01	-0.62	0	**3.85**	-0.02
	Mz.min	-4.4	0.01	-0.62	0	3.85	**-0.02**
	Mz.max	4.4	-0.01	0.62	0	-3.85	**0.02**
CH	N.min	**-11.34**	0	0.05	0	0.35	0.02
	N.max	**16.69**	0.01	-0.19	0	0.44	-0.02
	Vy.min	-11.34	**0**	0.05	0	0.35	0.02
	Vy.max	16.69	**0.01**	-0.19	0	0.44	-0.02
	Vz.min	16.69	0.01	**-0.19**	0	0.44	-0.02
	Vz.max	5.76	0.01	**0.08**	0	-0.54	0
	Mx.min	5.76	0.01	0.08	**0**	-0.54	0
	Mx.max	16.69	0.01	-0.19	**0**	0.44	-0.02
	My.min	5.76	0.01	0.08	0	**-0.54**	0
	My.max	16.69	0.01	-0.19	0	**0.44**	-0.02
	Mz.min	16.69	0.01	-0.19	0	0.44	**-0.02**
	Mz.max	-11.34	0	0.05	0	0.35	**0.02**
W	N.min	**-8.02**	0.02	0.82	0	1.41	-0.03
	N.max	**8.01**	-0.02	-0.82	0	-1.4	0.03
	Vy.min	8.01	**-0.02**	-0.82	0	-1.4	0.03
	Vy.max	-8.02	**0.02**	0.82	0	1.41	-0.03
	Vz.min	8.01	-0.02	**-0.82**	0	-1.4	0.03
	Vz.max	-8.02	0.02	**0.82**	0	1.41	-0.03
	Mx.min	8.01	-0.02	-0.82	**0**	-1.4	0.03
	Mx.max	-8.02	0.02	0.82	**0**	1.41	-0.03
	My.min	8.01	-0.02	-0.82	0	**-1.4**	0.03
	My.max	-8.02	0.02	0.82	0	**1.41**	-0.03
	Mz.min	-8.02	0.02	0.82	0	1.41	**-0.03**
	Mz.max	8.01	-0.02	-0.82	0	-1.4	**0.03**
WP	N.min	**-15.39**	0.02	-1.26	0	7.72	-0.04
	N.max	**15.38**	-0.02	1.26	0	-7.72	0.04
	Vy.min	15.38	**-0.02**	1.26	0	-7.72	0.04
	Vy.max	-15.39	**0.02**	-1.26	0	7.72	-0.04
	Vz.min	-15.39	0.02	**-1.26**	0	7.72	-0.04
	Vz.max	15.38	-0.02	**1.26**	0	-7.72	0.04
	Mx.min	15.38	-0.02	1.26	**0**	-7.72	0.04
	Mx.max	-15.39	0.02	-1.26	**0**	7.72	-0.04
	My.min	15.38	-0.02	1.26	0	**-7.72**	0.04
	My.max	-15.39	0.02	-1.26	0	**7.72**	-0.04
	Mz.min	-15.39	0.02	-1.26	0	7.72	**-0.04**
	Mz.max	15.38	-0.02	1.26	0	-7.72	**0.04**
TR	N.min	**0**	0	0	0	0	0
	N.max	**0**	0	0	0	0	0
	Vy.min	0	**0**	0	0	0	0
	Vy.max	0	**0**	0	0	0	0
	Vz.min	0	0	**0**	0	0	0
	Vz.max	0	0	**0**	0	0	0
	Mx.min	0	0	0	**0**	0	0
	Mx.max	0	0	0	**0**	0	0
	My.min	0	0	0	0	**0**	0
	My.max	0	0	0	0	**0**	0
	Mz.min	0	0	0	0	0	**0**
	Mz.max	0	0	0	0	0	**0**
TN	N.min	**-46.01**	0.11	-0.08	0	0.42	-0.18
	N.max	**46.01**	-0.11	0.08	0	-0.42	0.18
	Vy.min	46.01	**-0.11**	0.08	0	-0.42	0.18
	Vy.max	-46.01	**0.11**	-0.08	0	0.42	-0.18
	Vz.min	-45.82	0.11	**-1.02**	0	5.96	-0.18
	Vz.max	-2.31	0	**0.74**	0	-4.82	0
	Mx.min	-2.31	0	0.74	**0**	-4.82	0
	Mx.max	-45.82	0.11	-1.02	**0**	5.96	-0.18
	My.min	-2.31	0	0.74	0	**-4.82**	0
	My.max	-45.82	0.11	-1.02	0	**5.96**	-0.18
	Mz.min	-46.01	0.11	-0.08	0	0.42	**-0.18**
	Mz.max	46.01	-0.11	0.08	0	-0.42	**0.18**
FR	N.min	**-1.45**	0	-0.01	0	0.03	0
	N.max	**1.45**	0	0.01	0	-0.03	0
	Vy.min	1.45	**0**	0.01	0	-0.03	0
	Vy.max	-1.45	**0**	-0.01	0	0.03	0
	Vz.min	-1.45	0	**-0.01**	0	0.03	0
	Vz.max	1.45	0	**0.01**	0	-0.03	0
	Mx.min	1.45	0	0.01	**0**	-0.03	0
	Mx.max	-1.45	0	-0.01	**0**	0.03	0
	My.min	1.45	0	0.01	0	**-0.03**	0
	My.max	-1.45	0	-0.01	0	**0.03**	0
	Mz.min	-1.45	0	-0.01	0	0.03	**0**
	Mz.max	1.45	0	0.01	0	-0.03	**0**
I	N.min	**-0.5**	0	0.14	0	-0.86	**0**
	N.max	**0.5**	0	-0.14	0	0.86	**0**
	Vy.min	0.5	**0**	-0.14	0	0.86	**0**
	Vy.max	-0.5	**0**	0.14	0	-0.86	**0**
	Vz.min	0.5	0	**-0.14**	0	0.86	**0**
	Vz.max	-0.5	0	**0.14**	0	-0.86	**0**
	Mx.min	-0.5	0	0.14	**0**	-0.86	**0**
	Mx.max	0.5	0	-0.14	**0**	0.86	**0**
	My.min	-0.5	0	0.14	0	**-0.86**	**0**
	My.max	0.5	0	-0.14	0	**0.86**	**0**
	Mz.min	-0.5	0	0.14	0	-0.86	**0**
	Mz.max	0.5	0	-0.14	0	0.86	**0**

TAB. D.9.2.3 POSOUZENÍ - MEZNÍ STAV ÚNOSNOSTI

POPIS	DIAGONÁLA D9
PRUT / POLOHA BODU	212 / J[2696]
NAMÁHÁNÍ	N.max
VLÁKNO	BOD K1 -HL
MEZNÍ STAV	ULS (MSÚ)
VYUŽITÍ VLÁKNA PRŮŘEZU	0.56

Charakteristiky materiálu				
pás. horní	$f_{yf,k}$	230	MPa	
pás. dolní	$f_{yf,k}$	230	MPa	
stojina	$f_{yw,k}$	230	MPa	
výztuž	$f_{ys,k}$	500	MPa	
γ_M =	1.10	γ_s =	1.15	

Excentricita normálové síly				
Exc./Fáze	0	1	2	3
e_y	0.000	0.000	0.000	0.000
e_z	0.000	0.000	0.000	0.000
Ekvivalentní vzdál. stěn - příčný roznos				
b_{Mx}	0.000	0.000	0.000	0.000

Vliv stěny na únosnost průřezu				
Char./Fáze	0	1	2	3
A	0.00	0.00	0.00	0.00
Wy	0.00	0.00	0.00	0.00
Wz	0.00	0.00	0.00	0.00

Charakter. v kroucení			
$t_{w,y}$	0.000	[mm]	
$t_{w,z}$	0.000	[mm]	
κ	1.00		
I_t=	0.00E+00	[mm^4]	
$\Omega=2*A_{pr}$	0.00E+00	[mm^2]	

Součinitele vzpěru a vlivu II.řádu				
Char./Fáze	0	1	2	3
k_y	1.000	1.000	1.000	1.000
k_z	1.000	1.000	1.000	1.000
χ_{LT}	1.000	1.000	1.000	1.000
χ_{min}	1.000	1.000	1.000	1.000

Vnitřní síly od jednotlivých skupin zatěžovacích stavů

SKUPINA ZATĚŽOVACÍCH STAVŮ					- CHARAKTERISTICKÉ HODNOTY						DÍLČÍ SOUČINITELÉ ZATÍŽENÍ, DYNAMICKÝ SOUČINITEL							- NÁVRHOVÉ HODNOTY									
Č.	SKUP ZS	POPIS ZS	KAT.	FÁZE PRŮŘ.	N.k (kN)	Vy.k (kN)	Vz.k (kN)	Mx.k (kNm)	My.k (kNm)	Mz.k (kNm)	γ_{sr} (-)	γ_{fs} (-)	volba γ_f hledat	γ_f (-)	L_d (m)	δ (-)	Ψ_s KZ04	N.d (kN)	Vy.d (kN)	Vz.d (kN)	ΔVz.d (kN)	ΣVz.d (kN)	Mx.d (kNm)	My.d (kNm)	ΔMy.d (kNm)	ΣMy.d (kNm)	Mz.d (kNm)	ΔMz.d (kNm)	ΣMz.d (kNm)
1	G0	Vlastní tíha OK	G	0	19	1	0	0	1	0	1.00	1.20		1.20	-	1.00	0.95	22	1	0	0	0	0	1	0	1	0	0	0
2	G1	Ostatní stálé - mostní vybavení	G	0	3	0	0	0	0	0	1.00	1.20		1.20	-	1.00	0.95	3	0	0	0	0	0	0	0	0	0	0	0
3	G2	Ostatní stálé - cizí zařízení	G	0	2	0	0	0	0	0	1.00	1.20		1.20	-	1.00	0.95	3	0	0	0	0	0	0	0	0	0	0	0
4	P1_71	a.LM71 - kolej 1 (bez dyn. souč.)	P	0	76	0	1	0	4	0	1.00	1.30		1.30	-	1.00	1.00	99	0	1	0	1	0	6	0	6	0	0	0
5	P2_71	a.LM71 - kolej 2 (bez dyn. souč.)	P	0	184	0	2	0	-3	0	1.00	1.30		1.30	-	1.00	1.00	240	0	3	0	3	0	-4	0	-4	0	0	0
6	P1_C3	TTZ C3 - kolej 1 (bez dyn. souč.)	P	0	62	0	1	0	3	0	1.00	vyp.		0.00	-	1.00	0.00	0	0	0	0	0	0	0	0	0	0	0	0
7	P2_C3	TTZ C3 - kolej 2 (bez dyn. souč.)	P	0	149	0	2	0	-3	0	1.00	vyp.		0.00	-	1.00	0.00	0	0	0	0	0	0	0	0	0	0	0	0
8	BR	Brzdné a rozjezdové síly	P	0	9	0	0	0	0	0	1.00	1.30		1.30	-	1.00	0.40	4	0	0	0	0	0	0	0	0	0	0	0
9	S	Boční ráz	P	0	6	0	0	0	-2	0	1.00	1.30		1.30	-	1.00	0.80	6	0	0	0	0	0	-2	0	-2	0	0	0
10	CH	Chodci na lávkách	Q	0	17	0	0	0	0	0	1.00	1.30		1.30	-	1.00	1.00	22	0	0	0	0	0	1	0	1	0	0	0
11	W	Vítr na konstrukci	Q	0	8	0	-1	0	-1	0	1.00	1.35		1.35	-	1.00	0.75	8	0	-1	0	-1	0	-1	0	-1	0	0	0
12	WP	Vítr na vozidla	Q	0	15	0	1	0	-8	0	1.00	1.35		1.35	-	1.00	0.75	16	0	1	0	1	0	-8	0	-8	0	0	0
13	TR	Teplota rovnoměrná	Q	0	0	0	0	0	0	0	1.00	1.35		1.35	-	1.00	0.45	0	0	0	0	0	0	0	0	0	0	0	0
14	TN	Teplota nerovnoměrná	Q	0	46	0	0	0	0	0	1.00	1.35		1.35	-	1.00	0.60	37	0	0	0	0	0	0	0	0	0	0	0
15	FR	Třecí síly v ložiskách	Q	0	1	0	0	0	0	0	1.00	1.20		1.20	-	1.00	1.00	2	0	0	0	0	0	0	0	0	0	0	0
16	I	Imperfekce soustavy	Q	0	1	0	0	0	1	0	1.00	-1.20		-1.20	-	1.00	1.00	-1	0	0	0	0	0	-1	0	-1	0	0	0
27	ULS_LM	ULS - LM71 bez dynam	Q	0	466	1	4	0	-8	0	1.00	vyp.	1	0.00	-	1.00	0.00	0	0	0	0	0	0	0	0	0	0	0	0
28	SLS_LM	SLS - LM71 bez dynam	Q	0	333	1	3	0	-5	0	1.00	vyp.	1	0.00	-	1.00	0.00	0	0	0	0	0	0	0	0	0	0	0	0
29	ULS_C3	ULS - C3 bez dynam	Q	0	402	1	4	0	-9	0	1.00	vyp.	1	0.00	-	1.00	0.00	0	0	0	0	0	0	0	0	0	0	0	0
30	SLS_C3	SLS - C3 bez dynam	Q	0	283	1	3	0	-6	0	1.00	vyp.	1	0.00	-	1.00	0.00	0	0	0	0	0	0	0	0	0	0	0	0
		CELKEM - FÁZE PRŮŘEZU 0																461	1	5	0	5	0	-10	0	-10	0	0	0
		CELKEM - FÁZE PRŮŘEZU 1																0	0	0	0	0	0	0	0	0	0	0	0
		CELKEM - FÁZE PRŮŘEZU 2																0	0	0	0	0	0	0	0	0	0	0	0
		CELKEM - FÁZE PRŮŘEZU 3																0	0	0	0	0	0	0	0	0	0	0	0
		CELKEM - PRŮŘEZ																461	1	5	0	5	0			-10			0

Napětí od jednotlivých zatěžovacích stavů

SKUPINA ZATĚŽOVACÍCH STAVŮ					Posouzení normálového napětí									Posouzení smykového napětí														
					Účinek síly N			Účinek momentu My				Účinek momentu Mz				Účinek ktoutícího momentu Mx				Účinek smykové síly Vy				Účinek smykové síly Vz			
Č.	SKUP ZS	Popis ZS	Kat.	fáze průř.	δ^*N_d [kN]	χ^*A [mm^2]	σ_n [MPa]	$\delta^*M_{y,d}$ [kNm]	$\chi_{lt}{}^*W_{el,y}$ [mm^3]	σ_{my} [MPa]	$\delta^*M_{z,d}$ [kNm]	$W_{el,z}$ [mm^3]	σ_{mz} [MPa]	σ_x [MPa]	$\kappa^*\delta^*M_{x,d}$ [kNm]	$W_{v,y}$ [mm^2]	$\tau_{x,y}$ [MPa]	$W_{v,z}$ [mm^2]	$\tau_{x,z}$ [MPa]	$\delta^*V_{y,d}$ [kN]	$A_{v,y}$ [mm2]	$\tau_{v,y}$ [MPa]	$\tau_{v,y}$ [MPa]	$\delta^*V_{z,d}$ [kN]	$A_{v,z}$ [mm2]	$\tau_{v,z}$ [MPa]	$\tau_{v,z}$ [MPa]
1	G0	Vlastní tíha OK	G	0	21.7	4.89E+03	4.4	0.6	-5.31E+05	-1.1	-0.3	-9.63E+04	3.6	6.9	0.0E+00	-	-	-	-	0.8	2.87E+03	0.3	0.3	0.1	2.03E+03	0.0	0.0
2	G1	Ostatní stálé - mostní vybavení	G	0	3.3	4.89E+03	0.7	0.2	-5.31E+05	-0.3	0.0	-9.63E+04	0.0	0.3	0.0E+00	-	-	-	-	0.0	2.87E+03	0.0	0.0	0.0	2.03E+03	0.0	0.0
3	G2	Ostatní stálé - cizí zařízení	G	0	2.6	4.89E+03	0.5	-0.1	-5.31E+05	0.2	0.0	-9.63E+04	0.0	0.7	0.0E+00	-	-	-	-	0.0	2.87E+03	0.0	0.0	0.0	2.03E+03	0.0	0.0
4	P1_71	a.LM71 - kolej 1 (bez dyn. souč.)	P	0	99.4	4.89E+03	20.3	5.6	-5.31E+05	-10.5	-0.1	-9.63E+04	0.8	10.6	0.0E+00	-	-	-	-	0.0	2.87E+03	0.0	0.0	1.0	2.03E+03	0.5	0.5
5	P2_71	a.LM71 - kolej 2 (bez dyn. souč.)	P	0	239.7	4.89E+03	49.0	-4.3	-5.31E+05	8.1	-0.2	-9.63E+04	1.9	59.0	0.0E+00	-	-	-	-	0.1	2.87E+03	0.0	0.0	2.8	2.03E+03	1.4	1.4
6	P1_C3	TTZ C3 - kolej 1 (bez dyn. souč.)	P	0	0.0	4.89E+03	0.0	0.0	-5.31E+05	0.0	0.0	-9.63E+04	0.0	0.0	0.0E+00	-	-	-	-	0.0	2.87E+03	0.0	0.0	0.0	2.03E+03	0.0	0.0
7	P2_C3	TTZ C3 - kolej 2 (bez dyn. souč.)	P	0	0.0	4.89E+03	0.0	0.0	-5.31E+05	0.0	0.0	-9.63E+04	0.0	0.0	0.0E+00	-	-	-	-	0.0	2.87E+03	0.0	0.0	0.0	2.03E+03	0.0	0.0
8	BR	Brzdné a rozjezdové síly	P	0	4.4	4.89E+03	0.9	-0.2	-5.31E+05	0.4	0.0	-9.63E+04	-0.2	1.1	0.0E+00	-	-	-	-	0.0	2.87E+03	0.0	0.0	0.1	2.03E+03	0.0	0.0
9	S	Boční ráz	P	0	5.7	4.89E+03	1.2	-1.7	-5.31E+05	3.1	0.0	-9.63E+04	-0.1	4.2	0.0E+00	-	-	-	-	0.0	2.87E+03	0.0	0.0	0.3	2.03E+03	0.1	0.1
10	CH	Chodci na lávkách	Q	0	21.7	4.89E+03	4.4	0.6	-5.31E+05	-1.1	0.0	-9.63E+04	0.3	3.6	0.0E+00	-	-	-	-	0.0	2.87E+03	0.0	0.0	-0.2	2.03E+03	-0.1	-0.1
11	W	Vítr na konstrukci	Q	0	8.1	4.89E+03	1.7	-1.4	-5.31E+05	2.7	0.0	-9.63E+04	-0.3	4.0	0.0E+00	-	-	-	-	0.0	2.87E+03	0.0	0.0	-0.8	2.03E+03	-0.4	-0.4
12	WP	Vítr na vozidla	Q	0	15.6	4.89E+03	3.2	-7.8	-5.31E+05	14.7	0.0	-9.63E+04	-0.4	17.5	0.0E+00	-	-	-	-	0.0	2.87E+03	0.0	0.0	1.3	2.03E+03	0.6	0.6
13	TR	Teplota rovnoměrná	Q	0	0.0	4.89E+03	0.0	0.0	-5.31E+05	0.0	0.0	-9.63E+04	0.0	0.0	0.0E+00	-	-	-	-	0.0	2.87E+03	0.0	0.0	0.0	2.03E+03	0.0	0.0
14	TN	Teplota nerovnoměrná	Q	0	37.3	4.89E+03	7.6	-0.3	-5.31E+05	0.6	0.1	-9.63E+04	-1.5	6.7	0.0E+00	-	-	-	-	-0.1	2.87E+03	0.0	0.0	0.1	2.03E+03	0.0	0.0
15	FR	Třecí síly v ložiskách	Q	0	1.7	4.89E+03	0.4	0.0	-5.31E+05	0.1	0.0	-9.63E+04	0.0	0.4	0.0E+00	-	-	-	-	0.0	2.87E+03	0.0	0.0	0.0	2.03E+03	0.0	0.0
16	I	Imperfekce soustavy	Q	0	-0.6	4.89E+03	-0.1	-1.0	-5.31E+05	1.9	0.0	-9.63E+04	0.0	1.8	0.0E+00	-	-	-	-	0.0	2.87E+03	0.0	0.0	0.2	2.03E+03	0.1	0.1
27	ULS_LM	ULS - LM71 bez dynam	Q	0	0.0	4.89E+03	0.0	0.0	-5.31E+05	0.0	0.0	-9.63E+04	0.0	0.0	0.0E+00	-	-	-	-	0.0	2.87E+03	0.0	0.0	0.0	2.03E+03	0.0	0.0
28	SLS_LM	SLS - LM71 bez dynam	Q	0	0.0	4.89E+03	0.0	0.0	-5.31E+05	0.0	0.0	-9.63E+04	0.0	0.0	0.0E+00	-	-	-	-	0.0	2.87E+03	0.0	0.0	0.0	2.03E+03	0.0	0.0
29	ULS_C3	ULS - C3 bez dynam	Q	0	0.0	4.89E+03	0.0	0.0	-5.31E+05	0.0	0.0	-9.63E+04	0.0	0.0	0.0E+00	-	-	-	-	0.0	2.87E+03	0.0	0.0	0.0	2.03E+03	0.0	0.0
30	SLS_C3	SLS - C3 bez dynam	Q	0	0.0	4.89E+03	0.0	0.0	-5.31E+05	0.0	0.0	-9.63E+04	0.0	0.0	0.0E+00	-	-	-	-	0.0	2.87E+03	0.0	0.0	0.0	2.03E+03	0.0	0.0
NAVÝŠENÍ NAPĚTÍ DO AKTIVACE TLAKU V DESCE MOSTOVKY						$\sigma_{P,red}$	0.0							0.0			0.0		0.0				0.3	0.3			2.3	2.3
NAPĚTÍ OD PRIMÁRNÍCH ÚČINKŮ NEROVNOMĚRNÉHO OTEPLENÍ						σ_T	0.0							0.0														
NAPĚTÍ OD REOLOGICKÝCH ÚČINKŮ BETONU V ČASE		t=0				σ_R	0.0	γ=	1.20					0.0														
NAPĚTÍ V KRITICKÝCH VLÁKNECH OD KOMBINACE ZATÍŽENÍ						KZ04		[MPa]					$\Sigma\sigma_x$	116.9								$\Sigma\tau_y$	0.3			$\Sigma\tau_z$	2.3
NAPĚTÍ OD POHYBLIVÉHO ZATÍŽENÍ								[MPa]					$\sigma_{z,P}$	74.9								τ_P	0.0			τ_P	2.1
NAPĚTÍ OD OSTATNÍCH ZATÍŽENÍ								[MPa]			Φ_{Vy}	Φ_{Vz}	$\sigma_{z,rs}$	42.0								τ_{rs}	0.2			τ_{rs}	0.3
NÁVRHOVÁ HODNOTA MEZE KLUZU S REDUKCÍ VLIVEM SMYKOVÉHO NAPĚTÍ								[MPa]			1.00	1.00	$f_{yw,d}$	209.1								$f_{yd}/3^{0,5}$	120.7			$f_{yd}/3^{0,5}$	120.7
NAPĚTÍ OD POHYBLIVÉHO ZATÍŽENÍ V GLOBÁLNÍM SYSTÉMU						$\sigma_{GLOB,P}$	0.0	[MPa]					$\Sigma\sigma_{GLOB}$	0.0													
NAPĚTÍ OD OSTATNÍCH ZATÍŽENÍ V GLOBÁLNÍM SYSTÉMU						$\sigma_{GLOB,rs}$	0.0	[MPa]					$\Sigma\sigma_z + \Sigma\sigma_{GLOB}$	116.9													
VYUŽITÍ PRŮŘEZU DLE NAPĚTÍ								[%]					η_1	0.56								η_3	0.00			η_3	0.02
NAPĚTÍ V PŘÍČNÉM SMĚRU OD POHYBLIVÉHO ZATÍŽENÍ						$\sigma_{z,P}$	0.0	[MPa]					$\Sigma\sigma_z$	0.0													
NAPĚTÍ V PŘÍČNÉM SMĚRU OD OSTATNÍCH ZATÍŽENÍ						$\sigma_{z,rs}$	0.0	[MPa]					η_2	0.00													
SROVNÁVACÍ NAPĚTÍ													$(\eta 2 + 0,8\ \eta 1)/1,4 =$	0.32													
VYUŽITÍ PRŮŘEZU CELKEM								[%]					eff	0.56	VYHOVUJE												
													Z_{LM71} =	2.23													

TAB. D.9.2.3 POSOUZENÍ - MEZNÍ STAV ÚNOSNOSTI

POPIS	DIAGONÁLA D9
PRUT / POLOHA BODU	212 / J[2696]
NAMÁHÁNÍ	Mz.min
VLÁKNO	BOD K3 -SL
MEZNÍ STAV	ULS (MSÚ)
VYUŽITÍ VLÁKNA PRŮŘEZU	0.65

Charakteristiky materiálu				
pás. horní	$f_{yf,k}$	230	MPa	
pás. dolní	$f_{yf,k}$	230	MPa	
stojina	$f_{yw,k}$	230	MPa	
výztuž	$f_{ys,k}$	500	MPa	
γ_M =	1.10	γ_s =	1.15	

Excentricita normálové síly				
Exc./Fáze	0	1	2	3
e_y	0.000	0.000	0.000	0.000
e_z	0.000	0.000	0.000	0.000
Ekvivalentní vzdál. stěn - příčný roznos				
b_{Mx}	0.000	0.000	0.000	0.000

Vliv stěny na únosnost průřezu				
Char./Fáze	0	1	2	3
A	0.00	0.00	0.00	0.00
Wy	0.00	0.00	0.00	0.00
Wz	0.00	0.00	0.00	0.00

Charakter. v kroucení			
$t_{w,y}$	0.000	[mm]	
$t_{w,z}$	0.000	[mm]	
κ	1.00		
I_t=	0.00E+00	[mm^4]	
$\Omega=2*A_{pr}$	0.00E+00	[mm^2]	

Součinitele vzpěru a vlivu II.řádu				
Char./Fáze	0	1	2	3
k_y	1.000	1.000	1.000	1.000
k_z	1.000	1.000	1.000	1.000
χ_{LT}	1.000	1.000	1.000	1.000
χ_{min}	1.000	1.000	1.000	1.000

Vnitřní síly od jednotlivých skupin zatěžovacích stavů

SKUPINA ZATĚŽOVACÍCH STAVŮ					- CHARAKTERISTICKÉ HODNOTY						DÍLČÍ SOUČINITELÉ ZATÍŽENÍ, DYNAMICKÝ SOUČINITEL						4	- NÁVRHOVÉ HODNOTY								
Č.	SKUP ZS	POPIS ZS	KAT.	FÁZE PRŮŘ.	N.k (kN)	Vy.k (kN)	Vz.k (kN)	Mx.k (kNm)	My.k (kNm)	Mz.k (kNm)	γ_{sup} (-)	γ_{inf} (-)	volba ψ_i hledat	ψ_i (-)	L_d (m)	δ (-)	Ψ_E KZ04	N.d (kN)	Vy.d (kN)	Vz.d (kN)	ΔVz.d (kN)	ΣVz.d (kN)	Mx.d (kNm)	My.d (kNm)	ΔMy.d (kNm)	ΣMy.d (kNm)	Mz.d (kNm)	ΔMz.d (kNm)	ΣMz.d (kNm)
1	G0	Vlastní tíha OK	G	0	19	1	0	0	1	0	1.00	1.20		1.20	-	1.00	0.95	22	1	0	0	0	0	1	0	1	0	0	0
2	G1	Ostatní stálé - mostní vybavení	G	0	3	0	0	0	0	0	1.00	1.20		1.20	-	1.00	0.95	3	0	0	0	0	0	0	0	0	0	0	0
3	G2	Ostatní stálé - cizí zařízení	G	0	2	0	0	0	0	0	1.00	1.20		1.20	-	1.00	0.95	3	0	0	0	0	0	0	0	0	0	0	0
4	P1_71	a.LM71 - kolej 1 (bez dyn. souč.)	P	0	62	0	-1	0	10	0	1.00	1.30		1.30	-	1.00	1.00	81	0	-2	0	-2	0	13	0	13	0	0	0
5	P2_71	a.LM71 - kolej 2 (bez dyn. souč.)	P	0	145	0	0	0	3	0	1.00	1.30		1.30	-	1.00	1.00	189	0	-1	0	-1	0	4	0	4	0	0	0
6	P1_C3	TTZ C3 - kolej 1 (bez dyn. souč.)	P	0	54	0	-1	0	7	0	1.00	vyp.		0.00	-	1.00	0.00	0	0	0	0	0	0	0	0	0	0	0	0
7	P2_C3	TTZ C3 - kolej 2 (bez dyn. souč.)	P	0	126	0	0	0	1	0	1.00	vyp.		0.00	-	1.00	0.00	0	0	0	0	0	0	0	0	0	0	0	0
8	BR	Brzdné a rozjezdové síly	P	0	-7	0	0	0	0	0	1.00	0.00		0.00	-	1.00	0.40	0	0	0	0	0	0	0	0	0	0	0	0
9	S	Boční ráz	P	0	-4	0	-1	0	4	0	1.00	1.30		1.30	-	1.00	0.80	-5	0	-1	0	-1	0	4	0	4	0	0	0
10	CH	Chodci na lávkách	Q	0	17	0	0	0	0	0	1.00	1.30		1.30	-	1.00	1.00	22	0	0	0	0	0	1	0	1	0	0	0
11	W	Vítr na konstrukci	Q	0	-8	0	1	0	1	0	1.00	1.35		1.35	-	1.00	0.75	-8	0	1	0	1	0	1	0	1	0	0	0
12	WP	Vítr na vozidla	Q	0	-15	0	-1	0	8	0	1.00	1.35		1.35	-	1.00	0.75	-16	0	-1	0	-1	0	8	0	8	0	0	0
13	TR	Teplota rovnoměrná	Q	0	0	0	0	0	0	0	1.00	1.35		1.35	-	1.00	0.45	0	0	0	0	0	0	0	0	0	0	0	0
14	TN	Teplota nerovnoměrná	Q	0	-46	0	0	0	0	0	1.00	-1.35		-1.35	-	1.00	0.60	37	0	0	0	0	0	0	0	0	0	0	0
15	FR	Třecí síly v ložiskách	Q	0	-1	0	0	0	0	0	1.00	-1.20		-1.20	-	1.00	1.00	2	0	0	0	0	0	0	0	0	0	0	0
16	I	Imperfekce soustavy	Q	0	-1	0	0	0	-1	0	1.00	-1.20		-1.20	-	1.00	1.00	1	0	0	0	0	0	1	0	1	0	0	0
27	ULS_LM	ULS - LM71 bez dynam	Q	0	244	1	-3	0	29	-1	1.00	vyp.		0.00	-	1.00	0.00	0	0	0	0	0	0	0	0	0	0	0	0
28	SLS_LM	SLS - LM71 bez dynam	Q	0	220	1	-2	0	22	-1	1.00	vyp.	1	0.00	-	1.00	0.00	0	0	0	0	0	0	0	0	0	0	0	0
29	ULS_C3	ULS - C3 bez dynam	Q	0	209	1	-2	0	24	-1	1.00	vyp.	1	0.00	-	1.00	0.00	0	0	0	0	0	0	0	0	0	0	0	0
30	SLS_C3	SLS - C3 bez dynam	Q	0	193	1	-2	0	18	-1	1.00	vyp.	1	0.00	-	1.00	0.00	0	0	0	0	0	0	0	0	0	0	0	0
		CELKEM - FÁZE PRŮŘEZU 0																330	1	-4	0	-4	0	32	0	32	-1	0	-1
		CELKEM - FÁZE PRŮŘEZU 1																0	0	0	0	0	0	0	0	0	0	0	0
		CELKEM - FÁZE PRŮŘEZU 2																0	0	0	0	0	0	0	0	0	0	0	0
		CELKEM - FÁZE PRŮŘEZU 3																0	0	0	0	0	0	0	0	0	0	0	0
		CELKEM - PRŮŘEZ																330	1	-4	0	-4	0			32			-1

Napětí od jednotlivých zatěžovacích stavů

SKUPINA ZATĚŽOVACÍCH STAVŮ					Posouzení normálového napětí										Posouzení smykového napětí													
					Účinek síly N			Účinek momentu My			Účinek momentu Mz				Účinek kroutícího momentu Mx				Účinek smykové síly Vy				Účinek smykové síly Vz			
Č.	SKUP ZS	Popis ZS	Kat.	fáze průř.	δ^*N_d [kN]	χ^*A [mm^2]	σ_n [MPa]	$\delta^*M_{y,d}$ [kNm]	$\chi_{it}*W_{el,y}$ [mm^3]	σ_{my} [MPa]	$\delta^*M_{z,d}$ [kNm]	$W_{el,z}$ [mm^3]	σ_{mz} [MPa]	σ_x [MPa]	$\kappa^*\delta^*M_{x,d}$ [kNm]	$W_{v,y}$ [mm^2]	$\tau_{x,y}$ [MPa]	$W_{v,z}$ [mm^2]	$\tau_{x,z}$ [MPa]	$\delta^*V_{y,d}$ [kN]	$A_{v,y}$ [mm2]	$\tau_{v,y}$ [MPa]	$\tau_{v,y}$ [MPa]	$\delta^*V_{z,d}$ [kN]	$A_{v,z}$ [mm2]	$\tau_{v,z}$ [MPa]	$\tau_{v,z}$ [MPa]
1	G0	Vlastní tíha OK	G	0	21.7	4.89E+03	4.4	0.6	5.31E+05	1.1	-0.3	-9.63E+04	3.6	9.1	0.0E+00	-	-	-	-	0.8	2.87E+03	0.3	0.3	0.1	2.03E+03	0.0	0.0
2	G1	Ostatní stálé - mostní vybavení	G	0	3.3	4.89E+03	0.7	0.2	5.31E+05	0.3	0.0	-9.63E+04	0.0	1.0	0.0E+00	-	-	-	-	0.0	2.87E+03	0.0	0.0	0.0	2.03E+03	0.0	0.0
3	G2	Ostatní stálé - cizí zařízení	G	0	2.6	4.89E+03	0.5	-0.1	5.31E+05	-0.2	0.0	-9.63E+04	0.0	0.4	0.0E+00	-	-	-	-	0.0	2.87E+03	0.0	0.0	0.0	2.03E+03	0.0	0.0
4	P1_71	a.LM71 - kolej 1 (bez dyn. souč.)	P	0	80.8	4.89E+03	16.5	12.9	5.31E+05	24.3	-0.1	-9.63E+04	1.2	42.0	0.0E+00	-	-	-	-	0.1	2.87E+03	0.0	0.0	-1.7	2.03E+03	-0.8	-0.8
5	P2_71	a.LM71 - kolej 2 (bez dyn. souč.)	P	0	188.9	4.89E+03	38.6	3.7	5.31E+05	6.9	-0.3	-9.63E+04	3.2	48.8	0.0E+00	-	-	-	-	0.2	2.87E+03	0.1	0.1	-0.5	2.03E+03	-0.3	-0.3
6	P1_C3	TTZ C3 - kolej 1 (bez dyn. souč.)	P	0	0.0	4.89E+03	0.0	0.0	5.31E+05	0.0	0.0	-9.63E+04	0.0	0.0	0.0E+00	-	-	-	-	0.0	2.87E+03	0.0	0.0	0.0	2.03E+03	0.0	0.0
7	P2_C3	TTZ C3 - kolej 2 (bez dyn. souč.)	P	0	0.0	4.89E+03	0.0	0.0	5.31E+05	0.0	0.0	-9.63E+04	0.0	0.0	0.0E+00	-	-	-	-	0.0	2.87E+03	0.0	0.0	0.0	2.03E+03	0.0	0.0
8	BR	Brzdné a rozjezdové síly	P	0	0.0	4.89E+03	0.0	0.0	5.31E+05	0.0	0.0	-9.63E+04	0.0	0.0	0.0E+00	-	-	-	-	0.0	2.87E+03	0.0	0.0	0.0	2.03E+03	0.0	0.0
9	S	Boční ráz	P	0	-4.6	4.89E+03	-0.9	4.0	5.31E+05	7.5	0.0	-9.63E+04	0.2	6.8	0.0E+00	-	-	-	-	0.0	2.87E+03	0.0	0.0	-0.6	2.03E+03	-0.3	-0.3
10	CH	Chodci na lávkách	Q	0	21.7	4.89E+03	4.4	0.6	5.31E+05	1.1	0.0	-9.63E+04	0.3	5.8	0.0E+00	-	-	-	-	0.0	2.87E+03	0.0	0.0	-0.2	2.03E+03	-0.1	-0.1
11	W	Vítr na konstrukci	Q	0	-8.1	4.89E+03	-1.7	1.4	5.31E+05	2.7	0.0	-9.63E+04	0.3	1.3	0.0E+00	-	-	-	-	0.0	2.87E+03	0.0	0.0	0.8	2.03E+03	0.4	0.4
12	WP	Vítr na vozidla	Q	0	-15.6	4.89E+03	-3.2	7.8	5.31E+05	14.7	0.0	-9.63E+04	0.4	11.9	0.0E+00	-	-	-	-	0.0	2.87E+03	0.0	0.0	-1.3	2.03E+03	-0.6	-0.6
13	TR	Teplota rovnoměrná	Q	0	0.0	4.89E+03	0.0	0.0	5.31E+05	0.0	0.0	-9.63E+04	0.0	0.0	0.0E+00	-	-	-	-	0.0	2.87E+03	0.0	0.0	0.0	2.03E+03	0.0	0.0
14	TN	Teplota nerovnoměrná	Q	0	37.3	4.89E+03	7.6	-0.3	5.31E+05	-0.6	0.1	-9.63E+04	-1.5	5.5	0.0E+00	-	-	-	-	-0.1	2.87E+03	0.0	0.0	0.1	2.03E+03	0.0	0.0
15	FR	Třecí síly v ložiskách	Q	0	1.7	4.89E+03	0.4	0.0	5.31E+05	-0.1	0.0	-9.63E+04	0.0	0.3	0.0E+00	-	-	-	-	0.0	2.87E+03	0.0	0.0	0.0	2.03E+03	0.0	0.0
16	I	Imperfekce soustavy	Q	0	0.6	4.89E+03	0.1	1.0	5.31E+05	1.9	0.0	-9.63E+04	0.0	2.1	0.0E+00	-	-	-	-	0.0	2.87E+03	0.0	0.0	-0.2	2.03E+03	-0.1	-0.1
27	ULS_LM	ULS - LM71 bez dynam	Q	0	0.0	4.89E+03	0.0	0.0	5.31E+05	0.0	0.0	-9.63E+04	0.0	0.0	0.0E+00	-	-	-	-	0.0	2.87E+03	0.0	0.0	0.0	2.03E+03	0.0	0.0
28	SLS_LM	SLS - LM71 bez dynam	Q	0	0.0	4.89E+03	0.0	0.0	5.31E+05	0.0	0.0	-9.63E+04	0.0	0.0	0.0E+00	-	-	-	-	0.0	2.87E+03	0.0	0.0	0.0	2.03E+03	0.0	0.0
29	ULS_C3	ULS - C3 bez dynam	Q	0	0.0	4.89E+03	0.0	0.0	5.31E+05	0.0	0.0	-9.63E+04	0.0	0.0	0.0E+00	-	-	-	-	0.0	2.87E+03	0.0	0.0	0.0	2.03E+03	0.0	0.0
30	SLS_C3	SLS - C3 bez dynam	Q	0	0.0	4.89E+03	0.0	0.0	5.31E+05	0.0	0.0	-9.63E+04	0.0	0.0	0.0E+00	-	-	-	-	0.0	2.87E+03	0.0	0.0	0.0	2.03E+03	0.0	0.0
NAVÝŠENÍ NAPĚTÍ DO AKTIVACE TLAKU V DESCE MOSTOVKY						$\sigma_{P,red}$	0.0							0.0			0.0		0.0				0.4	0.4			-1.8	-1.8
NAPĚTÍ OD PRIMÁRNÍCH ÚČINKŮ NEROVNOMĚRNÉHO OTEPLENÍ						σ_T	0.0							0.0														
NAPĚTÍ OD REOLOGICKÝCH ÚČINKŮ BETONU V ČASE				t=0		σ_R	0.0	γ=	1.20					0.0														
NAPĚTÍ V KRITICKÝCH VLÁKNECH OD KOMBINACE ZATÍŽENÍ						KZ04		[MPa]					$\Sigma\sigma_x$	134.9								$\Sigma\tau_y$	0.4				$\Sigma\tau_z$	-1.8
NAPĚTÍ OD POHYBLIVÉHO ZATÍŽENÍ								[MPa]					$\sigma_{x,P}$	97.6								τ_P	0.1				τ_P	-1.4
NAPĚTÍ OD OSTATNÍCH ZATÍŽENÍ								[MPa]			Φ_{Vy}	Φ_{Vz}	$\sigma_{x,rs}$	37.3								τ_{rs}	0.3				τ_{rs}	-0.4
NÁVRHOVÁ HODNOTA MEZE KLUZU S REDUKCÍ VLIVEM SMYKOVÉHO NAPĚTÍ								[MPa]			1.00	1.00	$f_{yw,d}$	209.1								$f_{yd}/3^{0,5}$	120.7				$f_{yd}/3^{0,5}$	120.7
NAPĚTÍ OD POHYBLIVÉHO ZATÍŽENÍ V GLOBÁLNÍM SYSTÉMU						$\sigma_{GLOB,P}$	0.0	[MPa]					$\Sigma\sigma_{GLOB}$	0.0														
NAPĚTÍ OD OSTATNÍCH ZATÍŽENÍ V GLOBÁLNÍM SYSTÉMU						$\sigma_{GLOB,rs}$	0.0	[MPa]					$\Sigma\sigma_x + \Sigma\sigma_{GLOB}$	134.9														
VYUŽITÍ PRŮŘEZU DLE NAPĚTÍ								[%]					η_1	0.65								η_3	0.00				η_3	0.01
NAPĚTÍ V PŘÍČNÉM SMĚRU OD POHYBLIVÉHO ZATÍŽENÍ						$\sigma_{z,P}$	0.0	[MPa]					$\Sigma\sigma_z$	0.0														
NAPĚTÍ V PŘÍČNÉM SMĚRU OD OSTATNÍCH ZATÍŽENÍ						$\sigma_{z,rs}$	0.0	[MPa]					η_2	0.00														
SROVNÁVACÍ NAPĚTÍ													$(\eta_2 + 0,8\,\eta_1)/1,4$ =	0.37														
VYUŽITÍ PRŮŘEZU CELKEM								[%]					eff	0.65	VYHOVUJE													
													z_{LM71} =	1.76														

TAB. D.9.2.3 POSOUZENÍ - MEZNÍ STAV ÚNOSNOSTI

POPIS	DIAGONÁLA D9
PRUT / POLOHA BODU	212 / J[2696]
NAMÁHÁNÍ	Vz.min
VLÁKNO	BOD S6 -HP
MEZNÍ STAV	ULS (MSÚ)
VYUŽITÍ VLÁKNA PRŮŘEZU	0.32

Charakteristiky materiálu				
pás. horní	$f_{yf,k}$	230	MPa	
pás. dolní	$f_{yf,k}$	230	MPa	
stojina	$f_{yw,k}$	230	MPa	
výztuž	$f_{ys,k}$	500	MPa	
γ_M =	1.20	γ_s =	1.15	

Excentricita normálové síly				
Exc./Fáze	0	1	2	3
e_y	0.000	0.000	0.000	0.000
e_z	0.000	0.000	0.000	0.000
Ekvivalentní vzdál. stěn - příčný roznos				
b_{Mx}	0.000	0.000	0.000	0.000

Vliv stěny na únosnost průřezu				
Char./Fáze	0	1	2	3
A	0.00	0.00	0.00	0.00
Wy	0.00	0.00	0.00	0.00
Wz	0.00	0.00	0.00	0.00

Charakter. v kroucení			
$t_{w,y}$	0.000	[mm]	
$t_{w,z}$	0.000	[mm]	
κ	1.00		
I_t=	0.00E+00	[mm^4]	
$\Omega=2*A_{pz}$	0.00E+00	[mm^2]	

Součinitele vzpěru a vlivu II.řádu					
Char./Fáze	0	1	2	3	4
k_y	1.000	1.000	1.000	1.000	
k_z	1.000	1.000	1.000	1.000	
χ_{LT}	1.000	1.000	1.000	1.000	
χ_{min}	1.000	1.000	1.000	1.000	

Vnitřní síly od jednotlivých skupin zatěžovacích stavů

SKUPINA ZATĚŽOVACÍCH STAVŮ — CHARAKTERISTICKÉ HODNOTY — DÍLČÍ SOUČINITELÉ ZATÍŽENÍ, DYNAMICKÝ SOUČINITEL — NÁVRHOVÉ HODNOTY

Č.	SKUP ZS	POPIS ZS	KAT.	FÁZE PRŮŘ.	N.k (kN)	Vy.k (kN)	Vz.k (kN)	Mx.k (kNm)	My.k (kNm)	Mz.k (kNm)	γ_{sr} (-)	γ_{fs} (-)	volba γ_f hledat	γ_f (-)	L_d (m)	δ (-)	Ψ_s KZ04	N.d (kN)	Vy.d (kN)	Vz.d (kN)	ΔVz.d (kN)	ΣVz.d (kN)	Mx.d (kNm)	My.d (kNm)	ΔMy.d (kNm)	ΣMy.d (kNm)	Mz.d (kNm)	ΔMz.d (kNm)	ΣMz.d (kNm)
1	G0	Vlastní tíha OK	G	0	19	1	0	0	1	0	1.00	1.20		1.20	-	1.00	0.95	22	1	0	0	0	0	1	0	1	0	0	0
2	G1	Ostatní stálé - mostní vybavení	G	0	3	0	0	0	0	0	1.00	1.00		1.00	-	1.00	0.95	3	0	0	0	0	0	0	0	0	0	0	0
3	G2	Ostatní stálé - cizí zařízení	G	0	2	0	0	0	0	0	1.00	1.20		1.20	-	1.00	0.95	3	0	0	0	0	0	0	0	0	0	0	0
4	P1_71	a.LM71 - kolej 1 (bez dyn. souč.)	P	0	-13	0	-3	0	12	0	1.00	1.30		1.30	-	1.00	1.00	-17	0	-4	0	-4	0	16	0	16	0	0	0
5	P2_71	a.LM71 - kolej 2 (bez dyn. souč.)	P	0	-33	0	-3	0	7	0	1.00	1.30		1.30	-	1.00	1.00	-43	0	-4	0	-4	0	9	0	9	0	0	0
6	P1_C3	TTZ C3 - kolej 1 (bez dyn. souč.)	P	0	-12	0	-3	0	9	0	1.00	vyp.		0.00	-	1.00	0.00	0	0	0	0	0	0	0	0	0	0	0	0
7	P2_C3	TTZ C3 - kolej 2 (bez dyn. souč.)	P	0	-27	0	-2	0	5	0	1.00	vyp.		0.00	-	1.00	0.00	0	0	0	0	0	0	0	0	0	0	0	0
8	BR	Brzdné a rozjezdové síly	P	0	-9	0	0	0	0	0	1.00	1.30		1.30	-	1.00	0.40	-4	0	0	0	0	0	0	0	0	0	0	0
9	S	Boční ráz	P	0	-4	0	-1	0	4	0	1.00	1.30		1.30	-	1.00	0.80	-5	0	-1	0	-1	0	4	0	4	0	0	0
10	CH	Chodci na lávkách	Q	0	17	0	0	0	0	0	1.00	1.30		1.30	-	1.00	1.00	22	0	0	0	0	0	1	0	1	0	0	0
11	W	Vítr na konstrukci	Q	0	8	0	-1	0	-1	0	1.00	1.35		1.35	-	1.00	0.75	8	0	-1	0	-1	0	-1	0	-1	0	0	0
12	WP	Vítr na vozidla	Q	0	-15	0	-1	0	8	0	1.00	1.35		1.35	-	1.00	0.75	-16	0	-1	0	-1	0	8	0	8	0	0	0
13	TR	Teplota rovnoměrná	Q	0	0	0	0	0	0	0	1.00	1.35		1.35	-	1.00	0.45	0	0	0	0	0	0	0	0	0	0	0	0
14	TN	Teplota nerovnoměrná	Q	0	-46	0	-1	0	6	0	1.00	1.35		1.35	-	1.00	0.60	-37	0	-1	0	-1	0	5	0	5	0	0	0
15	FR	Třecí síly v ložiskách	Q	0	-1	0	0	0	0	0	1.00	1.20		1.20	-	1.00	1.00	-2	0	0	0	0	0	0	0	0	0	0	0
16	I	Imperfekce soustavy	Q	0	1	0	0	0	1	0	1.00	1.20		1.20	-	1.00	1.00	1	0	0	0	0	0	1	0	1	0	0	0
27	ULS_LM	ULS - LM71 bez dynam	Q	0	-68	1	-12	0	43	-1	1.00	vyp.		0.00	-	1.00	0.00	0	0	0	0	0	0	0	0	0	0	0	0
28	SLS_LM	SLS - LM71 bez dynam	Q	0	-20	1	-9	0	30	0	1.00	vyp.	1	0.00	-	1.00	0.00	0	0	0	0	0	0	0	0	0	0	0	0
29	ULS_C3	ULS - C3 bez dynam	Q	0	-59	1	-10	0	37	-1	1.00	vyp.	1	0.00	-	1.00	0.00	0	0	0	0	0	0	0	0	0	0	0	0
30	SLS_C3	SLS - C3 bez dynam	Q	0	-14	1	-7	0	25	0	1.00	vyp.	1	0.00	-	1.00	0.00	0	0	0	0	0	0	0	0	0	0	0	0
		CELKEM - FÁZE PRŮŘEZU 0																-66	1	-12	0	-12	0	42	0	42	-1	0	-1
		CELKEM - FÁZE PRŮŘEZU 1																0	0	0	0	0	0	0	0	0	0	0	0
		CELKEM - FÁZE PRŮŘEZU 2																0	0	0	0	0	0	0	0	0	0	0	0
		CELKEM - FÁZE PRŮŘEZU 3																0	0	0	0	0	0	0	0	0	0	0	0
		CELKEM - PRŮŘEZ																-66	1	-12	0	-12	0			42			-1

Napětí od jednotlivých zatěžovacích stavů

SKUPINA ZATĚŽOVACÍCH STAVŮ — Posouzení normálového napětí — Účinek síly N — Účinek momentu My — Účinek momentu Mz — Posouzení smykového napětí — Účinek kroutícího momentu Mx — Účinek smykové síly Vy — Účinek smykové síly Vz

Č.	SKUP ZS	Popis ZS	Kat.	fáze průř.	δ^*N_d [kN]	χ^*A [mm^2]	σ_n [MPa]	$\delta^*M_{y,d}$ [kNm]	$\chi_{lt}*W_{el,y}$ [mm^3]	σ_{my} [MPa]	$\delta^*M_{z,d}$ [kNm]	$W_{el,z}$ [mm^3]	σ_{mz} [MPa]	σ_x [MPa]	$\kappa*\delta^*M_{x,d}$ [kNm]	$W_{v,y}$ [mm^3]	$\tau_{x,y}$ [MPa]	$W_{v,z}$ [mm^3]	$\tau_{x,z}$ [MPa]	$\delta^*V_{y,d}$ [kN]	$A_{v,y}$ [mm2]	$\tau_{v,y}$ [MPa]	$\tau_{v,y}$ [MPa]	$\delta^*V_{z,d}$ [kN]	$A_{v,z}$ [mm2]	$\tau_{v,z}$ [MPa]	$\tau_{v,z}$ [MPa]
1	G0	Vlastní tíha OK	G	0	21.7	4.89E+03	4.4	0.6	5.31E+05	1.1	-0.3	-2.26E+06	0.2	5.7	0.0E+00	-	-	-	-	0.8	2.87E+03	0.3	0.3	0.1	2.03E+03	0.0	0.0
2	G1	Ostatní stálé - mostní vybavení	G	0	2.7	4.89E+03	0.6	0.2	5.31E+05	0.3	0.0	-2.26E+06	0.0	0.8	0.0E+00	-	-	-	-	0.0	2.87E+03	0.0	0.0	0.0	2.03E+03	0.0	0.0
3	G2	Ostatní stálé - cizí zařízení	G	0	2.6	4.89E+03	0.5	-0.1	5.31E+05	-0.2	0.0	-2.26E+06	0.0	0.4	0.0E+00	-	-	-	-	0.0	2.87E+03	0.0	0.0	0.0	2.03E+03	0.0	0.0
4	P1_71	a.LM71 - kolej 1 (bez dyn. souč.)	P	0	-16.6	4.89E+03	-3.4	15.9	5.31E+05	29.9	0.0	-2.26E+06	0.0	26.5	0.0E+00	-	-	-	-	0.0	2.87E+03	0.0	0.0	-4.3	2.03E+03	-2.1	-2.1
5	P2_71	a.LM71 - kolej 2 (bez dyn. souč.)	P	0	-43.1	4.89E+03	-8.8	8.7	5.31E+05	16.4	-0.1	-2.26E+06	0.0	7.6	0.0E+00	-	-	-	-	0.1	2.87E+03	0.0	0.0	-3.6	2.03E+03	-1.8	-1.8
6	P1_C3	TTZ C3 - kolej 1 (bez dyn. souč.)	P	0	0.0	4.89E+03	0.0	0.0	5.31E+05	0.0	0.0	-2.26E+06	0.0	0.0	0.0E+00	-	-	-	-	0.0	2.87E+03	0.0	0.0	0.0	2.03E+03	0.0	0.0
7	P2_C3	TTZ C3 - kolej 2 (bez dyn. souč.)	P	0	0.0	4.89E+03	0.0	0.0	5.31E+05	0.0	0.0	-2.26E+06	0.0	0.0	0.0E+00	-	-	-	-	0.0	2.87E+03	0.0	0.0	0.0	2.03E+03	0.0	0.0
8	BR	Brzdné a rozjezdové síly	P	0	-4.4	4.89E+03	-0.9	0.2	5.31E+05	0.4	0.0	-2.26E+06	0.0	-0.5	0.0E+00	-	-	-	-	0.0	2.87E+03	0.0	0.0	-0.1	2.03E+03	0.0	0.0
9	S	Boční ráz	P	0	-4.6	4.89E+03	-0.9	4.0	5.31E+05	7.5	0.0	-2.26E+06	0.0	6.6	0.0E+00	-	-	-	-	0.0	2.87E+03	0.0	0.0	-0.6	2.03E+03	-0.3	-0.3
10	CH	Chodci na lávkách	Q	0	21.7	4.89E+03	4.4	0.6	5.31E+05	1.1	0.0	-2.26E+06	0.0	5.5	0.0E+00	-	-	-	-	0.0	2.87E+03	0.0	0.0	-0.2	2.03E+03	-0.1	-0.1
11	W	Vítr na konstrukci	Q	0	8.1	4.89E+03	1.7	-1.4	5.31E+05	-2.7	0.0	-2.26E+06	0.0	-1.0	0.0E+00	-	-	-	-	0.0	2.87E+03	0.0	0.0	-0.8	2.03E+03	-0.4	-0.4
12	WP	Vítr na vozidla	Q	0	-15.6	4.89E+03	-3.2	7.8	5.31E+05	14.7	0.0	-2.26E+06	0.0	11.5	0.0E+00	-	-	-	-	0.0	2.87E+03	0.0	0.0	-1.3	2.03E+03	-0.6	-0.6
13	TR	Teplota rovnoměrná	Q	0	0.0	4.89E+03	0.0	0.0	5.31E+05	0.0	0.0	-2.26E+06	0.0	0.0	0.0E+00	-	-	-	-	0.0	2.87E+03	0.0	0.0	0.0	2.03E+03	0.0	0.0
14	TN	Teplota nerovnoměrná	Q	0	-37.1	4.89E+03	-7.6	4.8	5.31E+05	9.1	-0.1	-2.26E+06	0.1	1.6	0.0E+00	-	-	-	-	0.1	2.87E+03	0.0	0.0	-0.8	2.03E+03	-0.4	-0.4
15	FR	Třecí síly v ložiskách	Q	0	-1.7	4.89E+03	-0.4	0.0	5.31E+05	0.1	0.0	-2.26E+06	0.0	-0.3	0.0E+00	-	-	-	-	0.0	2.87E+03	0.0	0.0	0.0	2.03E+03	0.0	0.0
16	I	Imperfekce soustavy	Q	0	0.6	4.89E+03	0.1	1.0	5.31E+05	1.9	0.0	-2.26E+06	0.0	2.1	0.0E+00	-	-	-	-	0.0	2.87E+03	0.0	0.0	-0.2	2.03E+03	-0.1	-0.1
27	ULS_LM	ULS - LM71 bez dynam	Q	0	0.0	4.89E+03	0.0	0.0	5.31E+05	0.0	0.0	-2.26E+06	0.0	0.0	0.0E+00	-	-	-	-	0.0	2.87E+03	0.0	0.0	0.0	2.03E+03	0.0	0.0
28	SLS_LM	SLS - LM71 bez dynam	Q	0	0.0	4.89E+03	0.0	0.0	5.31E+05	0.0	0.0	-2.26E+06	0.0	0.0	0.0E+00	-	-	-	-	0.0	2.87E+03	0.0	0.0	0.0	2.03E+03	0.0	0.0
29	ULS_C3	ULS - C3 bez dynam	Q	0	0.0	4.89E+03	0.0	0.0	5.31E+05	0.0	0.0	-2.26E+06	0.0	0.0	0.0E+00	-	-	-	-	0.0	2.87E+03	0.0	0.0	0.0	2.03E+03	0.0	0.0
30	SLS_C3	SLS - C3 bez dynam	Q	0	0.0	4.89E+03	0.0	0.0	5.31E+05	0.0	0.0	-2.26E+06	0.0	0.0	0.0E+00	-	-	-	-	0.0	2.87E+03	0.0	0.0	0.0	2.03E+03	0.0	0.0
NAVÝŠENÍ NAPĚTÍ DO AKTIVACE TLAKU V DESCE MOSTOVKY						$\sigma_{P,red}$	0.0							0.0			-		-			0.4	0.4			-5.9	-5.9
NAPĚTÍ OD PRIMÁRNÍCH ÚČINKŮ NEROVNOMĚRNÉHO OTEPLENÍ						σ_T	0.0							0.0													
NAPĚTÍ OD REOLOGICKÝCH ÚČINKŮ BETONU V ČASE		t=0				σ_R	0.0	γ_f=	1.20					0.0													
NAPĚTÍ V KRITICKÝCH VLÁKNECH OD KOMBINACE ZATÍŽENÍ					KZ04			[MPa]					$\Sigma\sigma_x$	66.4								$\Sigma\tau_y$	0.4			$\Sigma\tau_z$	-5.9
NAPĚTÍ OD POHYBLIVÉHO ZATÍŽENÍ								[MPa]					$\sigma_{x,P}$	40.2								τ_P	0.1			τ_P	-4.2
NAPĚTÍ OD OSTATNÍCH ZATÍŽENÍ								[MPa]			Φ_{Vy}	Φ_{Vz}	$\sigma_{x,rs}$	26.3								τ_{rs}	0.3			τ_{rs}	-1.6
NÁVRHOVÁ HODNOTA MEZE KLUZU S REDUKCÍ VLIVEM SMYKOVÉHO NAPĚTÍ								[MPa]			1.00	1.00	$f_{yv,d}$	209.1								$f_{yd}/3^{0,5}$	110.7			$f_{yd}/3^{0,5}$	110.7
NAPĚTÍ OD POHYBLIVÉHO ZATÍŽENÍ V GLOBÁLNÍM SYSTÉMU						$\sigma_{GLOB,P}$	0.0	[MPa]					$\Sigma\sigma_{GLOB}$	0.0													
NAPĚTÍ OD OSTATNÍCH ZATÍŽENÍ V GLOBÁLNÍM SYSTÉMU						$\sigma_{GLOB,rs}$	0.0	[MPa]					$\Sigma\sigma_x + \Sigma\sigma_{GLOB}$	66.4													
VYUŽITÍ PRŮŘEZU DLE NAPĚTÍ								[%]					η_1	0.32								η_3	0.00			η_3	0.05
NAPĚTÍ V PŘÍČNÉM SMĚRU OD POHYBLIVÉHO ZATÍŽENÍ						$\sigma_{z,P}$	0.0	[MPa]					$\Sigma\sigma_z$	0.0													
NAPĚTÍ V PŘÍČNÉM SMĚRU OD OSTATNÍCH ZATÍŽENÍ						$\sigma_{z,rs}$	0.0	[MPa]					η_2	0.00													
SROVNÁVACÍ NAPĚTÍ													$(\eta_2 + 0,8\,\eta_1)/1,4$ =	0.18													
VYUŽITÍ PRŮŘEZU CELKEM								[%]					eff	0.32	VYHOVUJE												
													z_{LM71} =	4.55													

VÝPOČET PRŮŘEZOVÝCH CHARAKTERISTIK

PRŮŘEZ: D10_c **POPIS:** DIAGONÁLA 10 - TLAK **x =** - **m**

DEFINOVÁNÍ PRŮŘEZU

ŠÍŘKA PÁSNICE ÚHELNÍKU	b f.t.l.o =	0	mm	**ÚHELNÍK HORNÍ VNĚJŠÍ LEVÝ**		**C.T.O.L**		
TLOUŠŤKA PÁSNICE ÚHELNÍKU	t f.t.l.o =	0	mm	OSLABENÍ PÁSNICE - TLOUŠŤKA	Δt f.t.l.o =	0	%	
VÝŠKA STĚNY ÚHELNÍKU	h w.t.l.o =	0	mm					
TLOUŠŤKA STĚNY ÚHELNÍKU	t w.t.l.o =	0	mm	OSLABENÍ STĚNY - TLOUŠŤKA	Δt w.t.l.o =	0	%	
ŠÍŘKA PÁSNICE ÚHELNÍKU	b f.t.r.o =	0	mm	**ÚHELNÍK HORNÍ VNĚJŠÍ PRAVÝ**		**C.T.O.R**		
TLOUŠŤKA PÁSNICE ÚHELNÍKU	t f.t.r.o =	0	mm	OSLABENÍ PÁSNICE - TLOUŠŤKA	Δt f.t.r.o =	0	%	
VÝŠKA STĚNY ÚHELNÍKU	h w.t.r.o =	0	mm					
TLOUŠŤKA STĚNY ÚHELNÍKU	t w.t.r.o =	0	mm	OSLABENÍ STĚNY - TLOUŠŤKA	Δt w.t.r.0 =	0	%	
ŠÍŘKA PÁSNICE ÚHELNÍKU	b f.t.l.i =	80	mm	**ÚHELNÍK HORNÍ VNITŘNÍ LEVÝ**		**C.T.I.L**		
TLOUŠŤKA PÁSNICE ÚHELNÍKU	t f.t.l.i =	8	mm	OSLABENÍ PÁSNICE - TLOUŠŤKA	Δt f.b.l.o =	0	%	
VÝŠKA STĚNY ÚHELNÍKU	h w.t.l.i =	72	mm					
TLOUŠŤKA STĚNY ÚHELNÍKU	t w.t.l.i =	8	mm	OSLABENÍ STĚNY - TLOUŠŤKA	Δt w.b.l.o =	10	%	
ŠÍŘKA PÁSNICE ÚHELNÍKU	b f.t.r.i =	80	mm	**ÚHELNÍK HORNÍ VNITŘNÍ PRAVÝ**		**C.T.I.R**		
TLOUŠŤKA PÁSNICE ÚHELNÍKU	t f.t.r.i =	8	mm	OSLABENÍ PÁSNICE - TLOUŠŤKA	Δt f.b.r.o =	0	%	
VÝŠKA STĚNY ÚHELNÍKU	h w.t.r.i =	72	mm					
TLOUŠŤKA STĚNY ÚHELNÍKU	t w.t.r.i =	8	mm	OSLABENÍ STĚNY - TLOUŠŤKA	Δt w.b.r.o =	10	%	
ŠÍŘKA PÁSNICE ÚHELNÍKU	b f.b.l.o =	0	mm	**ÚHELNÍK DOLNÍ VNĚJŠÍ LEVÝ**		**C.B.O.L**		
TLOUŠŤKA PÁSNICE ÚHELNÍKU	t f.b.l.o =	0	mm	OSLABENÍ PÁSNICE - TLOUŠŤKA	Δt f.t.l.i =	0	%	
VÝŠKA STĚNY ÚHELNÍKU	h w.b.l.o =	0	mm					
TLOUŠŤKA STĚNY ÚHELNÍKU	t w.b.l.o =	0	mm	OSLABENÍ STĚNY - TLOUŠŤKA	Δt w.t.l.i =	0	%	
ŠÍŘKA PÁSNICE ÚHELNÍKU	b f.b.r.o =	0	mm	**ÚHELNÍK DOLNÍ VNĚJŠÍ PRAVÝ**		**C.B.O.R**		
TLOUŠŤKA PÁSNICE ÚHELNÍKU	t f.b.r.o =	0	mm	OSLABENÍ PÁSNICE - TLOUŠŤKA	Δt f.t.r.i =	0	%	
VÝŠKA STĚNY ÚHELNÍKU	h w.b.r.o =	0	mm					
TLOUŠŤKA STĚNY ÚHELNÍKU	t w.b.r.o =	0	mm	OSLABENÍ STĚNY - TLOUŠŤKA	Δt w.t.r.i =	0	%	
PÁSNICE DOLNÍHO LEVÉHO ÚHELNÍKU	b f.b.l.i =	80	mm	**ÚHELNÍK DOLNÍ VNITŘNÍ LEVÝ**		**C.B.I.L**		
TLOUŠŤKA PÁSNICE ÚHELNÍKU	t f.b.l.i =	8	mm	OSLABENÍ PÁSNICE - TLOUŠŤKA	Δt f.b.l.i =	0	%	
VÝŠKA STĚNY ÚHELNÍKU	h w.b.l.i =	72	mm					
TLOUŠŤKA STĚNY ÚHELNÍKU	t w.b.l.i =	8	mm	OSLABENÍ STĚNY - TLOUŠŤKA	Δt w.b.l.i =	10	%	
PÁSNICE DOLNÍHO PRAVÉHO ÚHELNÍKU	b f.b.r.i =	80	mm	**ÚHELNÍK DOLNÍ VNITŘNÍ PRAVÝ**		**C.B.I.R**		
TLOUŠŤKA PÁSNICE ÚHELNÍKU	t f.b.r.i =	8	mm	OSLABENÍ PÁSNICE - TLOUŠŤKA	Δt f.b.r.i =	0	%	
VÝŠKA STĚNY ÚHELNÍKU	h w.b.r.i =	72	mm					
TLOUŠŤKA STĚNY ÚHELNÍKU	t w.b.r.i =	8	mm	OSLABENÍ STĚNY - TLOUŠŤKA	Δt w.b.r.i =	10	%	

D10.1 HORNÍ

ŠÍŘKA HORNÍ VLOŽKY - VNĚJŠÍ	b f.t =	0	mm			**HOR.T.O**		
TLOUŠŤKA VLOŽKY	t f.t =	0	mm	OSLABENÍ VLOŽKY	Δt f.t =	0	%	
ŠÍŘKA HORNÍ VLOŽKY - VNITŘNÍ	b f.t =	0	mm			**HOR.T.I**		
TLOUŠŤKA VLOŽKY	t f.t =	0	mm	OSLABENÍ VLOŽKY	Δt f.t =	0	%	
ŠÍŘKA DOLNÍ VLOŽKY - VNĚJŠÍ	b f.t =	0	mm			**HOR.B.O**		
TLOUŠŤKA VLOŽKY	t f.t =	0	mm	OSLABENÍ VLOŽKY	Δt f.t =	0	%	
ŠÍŘKA DOLNÍ VLOŽKY - VNITŘNÍ	b f.t =	0	mm			**HOR.B.I**		
TLOUŠŤKA VLOŽKY	t f.t =	0	mm	OSLABENÍ VLOŽKY - VNITŘNÍ	Δt f.t =	0	%	

VZD. OKRAJŮ PÁSNIC VNITŘNÍCH ÚHELNÍKŮ	416	mm
CELKOVÁ TLOUŠŤKA MEZI PÁSNICEMI ÚHELNÍKŮ I A .o	0	mm
CELKOVÁ TLOUŠŤKA MEZI PÁSNICEMI ÚHELNÍKŮ I A .r	8	mm

ZADANÍ ČÁSTI PRŮŘEZU:

č.prvku	b [mm]	h [mm]	y_0 [mm]	z_0 [mm]	popis části	druh oslabení	lokální ultimate	boulení servic.
1	0.0	0.0	-4.0	208.0	pásnice	0	1.000	1.000
2	0.0	0.0	-4.0	208.0	stěna	0	1.000	1.000
3	0.0	0.0	4.0	208.0	pásnice	0	1.000	1.000
4	0.0	0.0	4.0	208.0	stěna	0	1.000	1.000
5	80.0	8.0	-44.0	204.0	pásnice	0	1.000	1.000
6	7.2	72.0	-7.6	164.0	stěna	0	1.000	1.000
7	80.0	8.0	44.0	204.0	pásnice	0	1.000	1.000
8	7.2	72.0	7.6	164.0	stěna	0	1.000	1.000
9	0.0	0.0	-4.0	-208.0	pásnice	0	1.000	1.000
10	0.0	0.0	-4.0	-208.0	stěna	0	1.000	1.000
11	0.0	0.0	4.0	-208.0	pásnice	0	1.000	1.000
12	0.0	0.0	4.0	-208.0	stěna	0	1.000	1.000
13	80.0	8.0	-44.0	-204.0	pásnice	0	1.000	1.000
14	7.2	72.0	-7.6	-164.0	stěna	0	1.000	1.000
15	80.0	8.0	44.0	-204.0	pásnice	0	1.000	1.000
16	7.2	72.0	7.6	-164.0	stěna	0	1.000	1.000
17						0	1.000	1.000
18						0	1.000	1.000
19						0	1.000	1.000
20						0	1.000	1.000
21						0	1.000	1.000
22						0	1.000	1.000
23						0	1.000	1.000
24						0	1.000	1.000
25						0	1.000	1.000
26						0	1.000	1.000
27						0	1.000	1.000
28						0	1.000	1.000
29						0	1.000	1.000
30						0	1.000	1.000
31						0	1.000	1.000
32						0	1.000	1.000
33						0	1.000	1.000
34						0	1.000	1.000
35						0	1.000	1.000
36						0	1.000	1.000
37						0	1.000	1.000
38						0	1.000	1.000
39						0	1.000	1.000
40						0	1.000	1.000
41	0.0	0.0	0.0	208.0	pásnice	0	1.000	1.000
42	0.0	0.0	0.0	208.0	pásnice	0	1.000	1.000
43	0.0	0.0	0.0	-208.0	pásnice	0	1.000	1.000
44	0.0	0.0	0.0	-208.0	pásnice	0	1.000	1.000
45						0	1.000	1.000
46						0	1.000	1.000
47						0	1.000	1.000
48						0	1.000	1.000
49						0	1.000	1.000
50						0	1.000	1.000
51						0	1.000	1.000
52						0	1.000	1.000
53						0	1.000	1.000
54						0	1.000	1.000
55						0	1.000	1.000
56						0	1.000	1.000
57						0	1.000	1.000
58						0	1.000	1.000
59						0	1.000	1.000
60						0	1.000	1.000
61						0	1.000	1.000
62						0	1.000	1.000
63						0	1.000	1.000
64						0	1.000	1.000
65						0	1.000	1.000
66						0	1.000	1.000
67						0	1.000	1.000
68						0	1.000	1.000
69						0	1.000	1.000
70						0	1.000	1.000
71	0	0	-4.0	173.0	nýt-stěna	0	1.000	1.000
72	0	0	4.0	173.0	nýt-stěna	0	1.000	1.000
73	0	0	-7.6	163.0	nýt-stěna	0	1.000	1.000
74	0	0	7.6	163.0	nýt-stěna	0	1.000	1.000
75	0	0	-4.0	-173.0	nýt-stěna	0	1.000	1.000
76	0	0	4.0	-173.0	nýt-stěna	0	1.000	1.000
77	0	0	-7.6	163.0	nýt-stěna	0	1.000	1.000
78	0	0	7.6	-163.0	nýt-stěna	0	1.000	1.000
79						0	1.000	1.000
80						0	1.000	1.000
81	0	0	31.0	208.0	nýt-pásnice	0	1.000	1.000
82	0	0	-49.0	200.0	nýt-pásnice	0	1.000	1.000
83	0	0	-31.0	208.0	nýt-pásnice	0	1.000	1.000
84	0	0	49.0	200.0	nýt-pásnice	0	1.000	1.000
85	0	0	31.0	-208.0	nýt-pásnice	0	1.000	1.000
86	0	0	-49.0	-200.0	nýt-pásnice	0	1.000	1.000
87	0	0	-31.0	-208.0	nýt-pásnice	0	1.000	1.000
88	0	0	49.0	-200.0	nýt-pásnice	0	1.000	1.000
89						0	1.000	1.000
90						0	1.000	1.000
91	0	0	0	0	nýt-pásnice	0	1.000	1.000
92	0	0	0	0	nýt-pásnice	0	1.000	1.000
93	0	0	0	0	nýt-pásnice	0	1.000	1.000
94	0	0	0	0	nýt-pásnice	0	1.000	1.000
95	0	0	0	0	nýt-pásnice	0	1.000	1.000
96	0	0	0	0	nýt-pásnice	0	1.000	1.000
97	0	0	0	0	nýt-pásnice	0	1.000	1.000
98	0	0	0	0	nýt-pásnice	0	1.000	1.000
99						0	1.000	1.000
100						0	1.000	1.000

NÝT Č.	SKUPINA	ŘEZ	RED.	VELIKOST di [mm]	POLOHA ei [mm]	POPIS	AKTIVITA OTVORU	NAPĚTÍ sc [MPa]
1		-	1.00	20	35	nýt - t.o - úhelník	0	-57.49
2		-	1.00	20	35	nýt - t.o - úhelník	0	-58.04
3		-	1.00	20	35	nýt - t.i - úhelník	0	-56.61
4		-	1.00	20	35	nýt - t.i - úhelník	0	-57.64
5		-	1.00	20	35	nýt - b.o - úhelník	0	-35.28
6		-	1.00	20	35	nýt - b.o - úhelník	0	-35.83
7		-	1.00	20	35	nýt - b.i - úhelník	0	-35.68
8		-	1.00	20	35	nýt - b.i - úhelník	0	-36.72
9								
10								
11		-	1.00	22	35	nýt - t.i - úhelník	0	-62.13
12		-	1.00	22	35	nýt - t.i - úhelník	0	-56.16
13		-	1.00	22	35	nýt - t.r - úhelník	0	-57.90
14		-	1.00	22	35	nýt - t.r - úhelník	0	-62.84
15		-	1.00	22	35	nýt - b.l - úhelník	0	-35.42
16		-	1.00	22	35	nýt - b.l - úhelník	0	-30.48
17		-	1.00	22	35	nýt - b.r - úhelník	0	-31.20
18		-	1.00	22	35	nýt - b.r - úhelník	0	-37.17
19								
20								
21		-	1.00	0	-132	nýt - t.l	0	-
22		-	1.00	0	-132	nýt - t.l	0	-
23		-	1.00	0	132	nýt - t.r	0	-
24		-	1.00	0	132	nýt - t.r	0	-
25		-	1.00	0	-132	nýt - b.l	0	-
26		-	1.00	0	-132	nýt - b.l	0	-
27		-	1.00	0	132	nýt - b.r	0	-
28		-	1.00	0	132	nýt - b.r	0	-
29								
30								

VÝPOČET PRŮŘEZOVÝCH CHARAKTERISTIK

Properties	Basic	Ultimate		Serviceability	
y_t	0.0	0.0		0.0	[mm]
z_t	0.0	0.0		0.0	[mm]
A_t	4.6336E+03	4.6336E+03		4.6336E+03	[mm²]
A_v	2.5600E+03	2.5600E+03		2.5600E+03	[mm²]
A_N	2.0736E+03	2.0736E+03		2.0736E+03	[mm²]
I_{y1}	1.0609E+08	1.0609E+08		1.0609E+08	[mm⁴]
I_w	6.4502E+06	6.4502E+06		6.4502E+06	[mm⁶]
i_y	151.3	151.3		151.3	[mm]
i_z	37.3	37.3		37.3	[mm]
W_{y1}	5.1006E+05	5.1006E+05		5.1006E+05	[mm³]
W_{z1}	-7.6788E+04	-7.6788E+04		-7.6788E+04	[mm³]
W_{y2}	-5.1006E+05	-5.1006E+05		-5.1006E+05	[mm³]
W_{z2}	-7.6788E+04	-7.6788E+04		-7.6788E+04	[mm³]
KRAJNÍ VLÁKNA PRŮŘEZU					
y_1	-84.0	-84.0		-84.0	[mm] min
z_1	208.0	208.0		208.0	[mm] max
y_2	-84.0	-84.0		-84.0	[mm] min
z_2	-208.0	-208.0		-208.0	[mm] min
y_3	84.0	84.0		84.0	[mm] max
z_3	208.0	208.0		208.0	[mm] max
y_4	84.0	84.0		84.0	[mm] max
z_4	-208.0	-208.0		-208.0	[mm] min
y_5	-4.0	-4.0		-4.0	[mm]
z_5	-208.0	-208.0		-208.0	[mm]
y_6	-4.0	-4.0		-4.0	[mm]
z_6	-208.0	-208.0		-208.0	[mm]

SCHÉMA PROMĚNNÝCH

SCHÉMA ZADANÉHO PRŮŘEZU

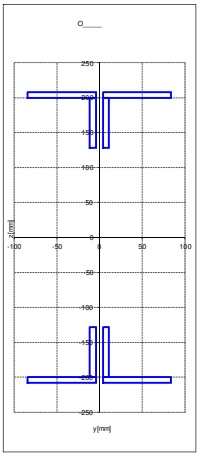

ÚPRAVA MOMENTŮ SETRVAČNOSTI V DŮSLEDKU ČLENĚNÍ PRŮŘEZU

OSA Y	0.65
OSA Z	1.00

NEUTRÁLNÁ OSA

NAPĚTÍ [MPa]:

-54.26	-65.74
-27.59	-39.04

ZS: SLS_LM_N.MIN

	N [kN]	Vy [kN]	Vz [kN]	Mx [kNm]	My [kNm]	Mz [kNm]
import	-216	0	0	0	7	0

TR_D10.1 POPIS: **DIAGONÁLA D10** POSUDEK: **D10.1**

SKUPINA ZAT. STAVŮ	EXTRÉM	VYHODNOCOVANÉ VELIČINY					
		N	Vy	Vz	Mx	My	Mz
		kN	kN	kN	kNm	kNm	kNm
G0	N.min	**-15.51**	-0.01	0.2	0	0.33	0.46
	N.max	**-15.51**	-0.01	0.2	0	0.33	0.46
	Vy.min	-15.51	**-0.01**	0.2	0	0.33	0.46
	Vy.max	-15.51	**-0.01**	0.2	0	0.33	0.46
	Vz.min	-15.51	-0.01	**0.2**	0	0.33	0.46
	Vz.max	-15.51	-0.01	**0.2**	0	0.33	0.46
	Mx.min	-15.51	-0.01	0.2	**0**	0.33	0.46
	Mx.max	-15.51	-0.01	0.2	**0**	0.33	0.46
	My.min	-15.51	-0.01	0.2	0	**0.33**	0.46
	My.max	-15.51	-0.01	0.2	0	**0.33**	0.46
	Mz.min	-15.51	-0.01	0.2	0	0.33	**0.46**
	Mz.max	-15.51	-0.01	0.2	0	0.33	**0.46**
G1	N.min	**0.19**	0	0.02	0	0.07	0
	N.max	**0.19**	0	0.02	0	0.07	0
	Vy.min	0.19	**0**	0.02	0	0.07	0
	Vy.max	0.19	**0**	0.02	0	0.07	0
	Vz.min	0.19	0	**0.02**	0	0.07	0
	Vz.max	0.19	0	**0.02**	0	0.07	0
	Mx.min	0.19	0	0.02	**0**	0.07	0
	Mx.max	0.19	0	0.02	**0**	0.07	0
	My.min	0.19	0	0.02	0	**0.07**	0
	My.max	0.19	0	0.02	0	**0.07**	0
	Mz.min	0.19	0	0.02	0	0.07	**0**
	Mz.max	0.19	0	0.02	0	0.07	**0**
G2	N.min	**0.07**	0	0	0	-0.01	0
	N.max	**0.07**	0	0	0	-0.01	0
	Vy.min	0.07	**0**	0	0	-0.01	0
	Vy.max	0.07	**0**	0	0	-0.01	0
	Vz.min	0.07	0	**0**	0	-0.01	0
	Vz.max	0.07	0	**0**	0	-0.01	0
	Mx.min	0.07	0	0	**0**	-0.01	0
	Mx.max	0.07	0	0	**0**	-0.01	0
	My.min	0.07	0	0	0	**-0.01**	0
	My.max	0.07	0	0	0	**-0.01**	0
	Mz.min	0.07	0	0	0	-0.01	**0**
	Mz.max	0.07	0	0	0	-0.01	**0**
P1_71	N.min	**-53.23**	-0.01	0.12	0	2.25	-0.01
	N.max	**54.6**	0.01	1.03	0	1.66	0
	Vy.min	-33.48	**-0.01**	0.12	0	1.6	-0.01
	Vy.max	31.11	**0.01**	1.23	0	2.83	0.01
	Vz.min	-17.63	0	**-0.1**	0	1.33	-0.01
	Vz.max	17.26	0.01	**1.44**	0	3.41	0
	Mx.min	13.03	0.01	1.04	**0**	1.97	0.01
	Mx.max	-2.13	-0.01	0.29	**0**	2.15	-0.01
	My.min	15.47	0	0	0	**-0.12**	0
	My.max	-6.77	0.01	1.3	0	**4.39**	0
	Mz.min	-2.33	-0.01	0.25	0	1.98	**-0.01**
	Mz.max	14.52	0.01	1.12	0	2.31	**0.01**
P2_71	N.min	**-126.6**	-0.01	-0.75	0	-0.03	-0.02
	N.max	**132.81**	0.02	0.41	0	-0.35	0.01
	Vy.min	-67.57	**-0.02**	-0.87	0	-1.33	-0.03
	Vy.max	65.65	**0.03**	0.84	0	1.49	0.03
	Vz.min	-42.22	-0.02	**-1.12**	0	-1.13	-0.03
	Vz.max	39.22	0.03	**1.05**	0	1.48	0.03
	Mx.min	18.74	0.02	0.83	**0**	0.93	0.02
	Mx.max	12.97	-0.01	-0.78	**0**	-0.85	-0.02
	My.min	22.56	-0.01	-0.74	0	**-2.21**	-0.03
	My.max	2.2	0.03	0.65	0	**2.24**	0.02
	Mz.min	-3.32	-0.02	-1.05	0	-1.77	**-0.04**
	Mz.max	35.38	0.03	1	0	1.53	**0.03**
P1_C3	N.min	**-43.69**	0	0.07	0	1.94	-0.01
	N.max	**44.23**	0.01	0.83	0	1.3	0
	Vy.min	-20.9	**-0.01**	0.11	0	0.97	-0.01
	Vy.max	27.26	**0.01**	0.93	0	2.29	0.01
	Vz.min	-12.98	0	**-0.08**	0	1.17	0
	Vz.max	9.94	0	**1.1**	0	2.77	0
	Mx.min	7.46	0.01	0.67	**0**	1.19	0.01
	Mx.max	-6.5	0	0.23	**0**	1.97	-0.01
	My.min	12.56	0	0	0	**-0.11**	0
	My.max	-11.56	0	1.01	0	**3.45**	0
	Mz.min	-6.5	0	0.23	0	1.97	**-0.01**
	Mz.max	8.82	0.01	0.79	0	1.61	**0.01**
P2_C3	N.min	**-103.65**	-0.01	-0.61	0	-0.05	-0.02
	N.max	**107.6**	0.01	0.37	0	-0.26	0.01
	Vy.min	-48.18	**-0.02**	-0.75	0	-1.22	-0.03
	Vy.max	49.98	**0.02**	0.54	0	1.22	0.02
	Vz.min	-23.75	-0.01	**-0.96**	0	-1.1	-0.03
	Vz.max	34.37	0.02	**0.78**	0	0.92	0.02
	Mx.min	0.8	0.01	0.53	**0**	0.36	0.01
	Mx.max	-2.88	-0.01	-0.72	**0**	-0.57	-0.02
	My.min	5.64	-0.01	-0.64	0	**-1.86**	-0.03
	My.max	0.4	0.02	0.46	0	**1.7**	0.02
	Mz.min	-14.69	-0.01	-0.93	0	-1.3	**-0.03**
	Mz.max	22.32	0.02	0.74	0	1.24	**0.02**
BR	N.min	**-1.49**	0	-0.03	0	-0.03	0
	N.max	**1.49**	0	0.03	0	0.03	0
	Vy.min	-1.34	**0**	-0.01	0	0.06	-0.01
	Vy.max	1.34	**0**	0.01	0	-0.06	0.01
	Vz.min	0.23	0	**-0.06**	0	-0.11	0
	Vz.max	-0.23	0	**0.06**	0	0.11	0
	Mx.min	1.49	0	0.03	**0**	0.03	0
	Mx.max	-1.49	0	-0.03	**0**	-0.03	0
	My.min	0.23	0	-0.06	0	**-0.11**	0
	My.max	-0.23	0	0.06	0	**0.11**	0
	Mz.min	-1.34	0	-0.01	0	0.06	**-0.01**
	Mz.max	1.34	0	0.01	0	-0.06	**0.01**

TR_D10.1 POPIS: **DIAGONÁLA D10** POSUDEK: **D10.1**

SKUPINA ZAT. STAVŮ	EXTRÉM	VYHODNOCOVANÉ VELIČINY					
		N	Vy	Vz	Mx	My	Mz
		kN	kN	kN	kNm	kNm	kNm
S	N.min	**-2.28**	0	0.28	0	0.42	0
	N.max	**2.28**	0	-0.28	0	-0.42	0
	Vy.min	1.89	**0**	-0.15	0	-0.14	0
	Vy.max	-1.89	**0**	0.15	0	0.14	0
	Vz.min	2.28	0	**-0.28**	0	-0.42	0
	Vz.max	-2.28	0	**0.28**	0	0.42	0
	Mx.min	1.89	0	-0.15	**0**	-0.14	0
	Mx.max	-1.89	0	0.15	**0**	0.14	0
	My.min	1.31	0	-0.18	0	**-1.25**	0
	My.max	-1.31	0	0.18	0	**1.25**	0
	Mz.min	1.89	0	-0.15	0	-0.14	**0**
	Mz.max	-1.89	0	0.15	0	0.14	**0**
CH	N.min	**-12.03**	0	0.08	0	0.14	0
	N.max	**12.09**	0	0	0	0.1	0
	Vy.min	-12.03	**0**	0.08	0	0.14	0
	Vy.max	12.09	**0**	0	0	0.1	0
	Vz.min	0.18	0	**-0.04**	0	-0.14	0
	Vz.max	-12.03	0	**0.08**	0	0.14	0
	Mx.min	0.18	0	-0.04	**0**	-0.14	0
	Mx.max	12.09	0	0	**0**	0.1	0
	My.min	0.18	0	-0.04	0	**-0.14**	0
	My.max	-12.03	0	0.08	0	**0.14**	0
	Mz.min	-12.03	0	0.08	0	0.14	**0**
	Mz.max	12.09	0	0	0	0.1	**0**
W	N.min	**-2.68**	0	-0.61	0	2.82	0
	N.max	**2.68**	0	0.61	0	-2.81	0
	Vy.min	2.68	**0**	0.61	0	-2.81	0
	Vy.max	-2.68	**0**	-0.61	0	2.82	0
	Vz.min	-2.68	0	**-0.61**	0	2.82	0
	Vz.max	2.68	0	**0.61**	0	-2.81	0
	Mx.min	2.68	0	0.61	**0**	-2.81	0
	Mx.max	-2.68	0	-0.61	**0**	2.82	0
	My.min	2.68	0	0.61	0	**-2.81**	0
	My.max	-2.68	0	-0.61	0	**2.82**	0
	Mz.min	2.68	0	0.61	0	-2.81	**0**
	Mz.max	-2.68	0	-0.61	0	2.82	**0**
WP	N.min	**-4.71**	0	0.66	0	2.37	0
	N.max	**4.71**	0	-0.66	0	-2.37	0
	Vy.min	4.71	**0**	-0.66	0	-2.37	0
	Vy.max	-4.71	**0**	0.66	0	2.37	0
	Vz.min	4.71	0	**-0.66**	0	-2.37	0
	Vz.max	-4.71	0	**0.66**	0	2.37	0
	Mx.min	4.71	0	-0.66	**0**	-2.37	0
	Mx.max	-4.71	0	0.66	**0**	2.37	0
	My.min	4.71	0	-0.66	0	**-2.37**	0
	My.max	-4.71	0	0.66	0	**2.37**	0
	Mz.min	4.71	0	-0.66	0	-2.37	**0**
	Mz.max	-4.71	0	0.66	0	2.37	**0**
TR	N.min	**0**	0	0	0	0	0
	N.max	**0**	0	0	0	0	0
	Vy.min	0	**0**	0	0	0	0
	Vy.max	0	**0**	0	0	0	0
	Vz.min	0	0	**0**	0	0	0
	Vz.max	0	0	**0**	0	0	0
	Mx.min	0	0	0	**0**	0	0
	Mx.max	0	0	0	**0**	0	0
	My.min	0	0	0	0	**0**	0
	My.max	0	0	0	0	**0**	0
	Mz.min	0	0	0	0	0	**0**
	Mz.max	0	0	0	0	0	**0**
TN	N.min	**-14.69**	0.01	0.03	0	0.12	0.01
	N.max	**14.69**	-0.01	-0.03	0	-0.12	-0.01
	Vy.min	14.69	**-0.01**	-0.03	0	-0.12	-0.01
	Vy.max	-14.62	**0.01**	0.48	0	1.58	0.01
	Vz.min	-0.41	0	**-0.44**	0	-1.47	0
	Vz.max	-14.62	0.01	**0.48**	0	1.58	0.01
	Mx.min	-0.41	0	-0.44	**0**	-1.47	0
	Mx.max	-14.62	0.01	0.48	**0**	1.58	0.01
	My.min	-0.41	0	-0.44	0	**-1.47**	0
	My.max	-14.62	0.01	0.48	0	**1.58**	0.01
	Mz.min	14.69	-0.01	-0.03	0	-0.12	**-0.01**
	Mz.max	-14.69	0.01	0.03	0	0.12	**0.01**
FR	N.min	**-0.43**	0	0	0	0	0
	N.max	**0.43**	0	0	0	0	0
	Vy.min	0.43	**0**	0	0	0	0
	Vy.max	-0.43	**0**	0	0	0	0
	Vz.min	-0.43	0	**0**	0	0	0
	Vz.max	0.43	0	**0**	0	0	0
	Mx.min	0.43	0	0	**0**	0	0
	Mx.max	-0.43	0	0	**0**	0	0
	My.min	0.43	0	0	0	**0**	0
	My.max	-0.43	0	0	0	**0**	0
	Mz.min	0.43	0	0	0	0	**0**
	Mz.max	-0.43	0	0	0	0	**0**
I	N.min	**-0.1**	0	-0.07	0	-0.24	**0**
	N.max	**0.1**	0	0.07	0	0.24	**0**
	Vy.min	0.1	**0**	0.07	0	0.24	**0**
	Vy.max	-0.1	**0**	-0.07	0	-0.24	**0**
	Vz.min	-0.1	0	**-0.07**	0	-0.24	**0**
	Vz.max	0.1	0	**0.07**	0	0.24	**0**
	Mx.min	-0.1	0	-0.07	**0**	-0.24	**0**
	Mx.max	0.1	0	0.07	**0**	0.24	**0**
	My.min	-0.1	0	-0.07	0	**-0.24**	**0**
	My.max	0.1	0	0.07	0	**0.24**	**0**
	Mz.min	-0.1	0	-0.07	0	-0.24	**0**
	Mz.max	0.1	0	0.07	0	0.24	**0**

TAB.D10.1.3 POSOUZENÍ - MEZNÍ STAV ÚNOSNOSTI

POPIS	DIAGONÁLA D10
PRUT / POLOHA BODU	207 / 2/4
NAMÁHÁNÍ	N.min
VLÁKNO	BOD K1 -HL
MEZNÍ STAV	ULS (MSÚ)
VYUŽITÍ VLÁKNA PRŮŘEZU	0.67

Charakteristiky materiálu				
pás. horní	$f_{yf,k}$	230	MPa	
pás. dolní	$f_{yf,k}$	230	MPa	
stojina	$f_{yw,k}$	230	MPa	
výztuž	$f_{ys,k}$	500	MPa	
	γ_M =	1.20	γ_s =	1.15

Excentricita normálové síly				
Exc./Fáze	0	1	2	3
e_y	0.000	0.000	0.000	0.000
e_z	0.000	0.000	0.000	0.000
Ekvivalentní vzdál. stěn - příčný roznos				
b_{Mx}	0.000	0.000	0.000	0.000

Vliv stěny na únosnost průřezu				
Char./Fáze	0	1	2	3
A	0.00	0.00	0.00	0.00
Wy	0.00	0.00	0.00	0.00
Wz	0.00	0.00	0.00	0.00

Charakter. v kroucení			
$t_{w,y}$	0.000	[mm]	
$t_{w,z}$	0.000	[mm]	
κ	1.00		
I_t=	0.00E+00	[mm^4]	
$\Omega=2*A_{pr}$	0.00E+00	[mm^2]	

Součinitele vzpěru a vlivu II.řádu				
Char./Fáze	0	1	2	3
k_y	1.000	1.000	1.000	1.000
k_z	1.000	1.000	1.000	1.000
χ_{LT}	1.000	1.000	1.000	1.000
χ_{min}	0.606	1.000	1.000	1.000

Vnitřní síly od jednotlivých skupin zatěžovacích stavů

SKUPINA ZATĚŽOVACÍCH STAVŮ					- CHARAKTERISTICKÉ HODNOTY						DÍLČÍ SOUČINITELÉ ZATÍŽENÍ, DYNAMICKÝ SOUČINITEL						4	- NÁVRHOVÉ HODNOTY									
Č.	SKUP ZS	POPIS ZS	KAT.	FÁZE PRŮŘ.	N.k (kN)	Vy.k (kN)	Vz.k (kN)	Mx.k (kNm)	My.k (kNm)	Mz.k (kNm)	γ_{sr} (-)	γ_{sl} (-)	volba ψ_i hledat	ψ_i (-)	L_d (m)	δ (-)	Ψ_0 KZ04	N.d (kN)	Vy.d (kN)	Vz.d (kN)	ΔVz.d (kN)	ΣVz.d (kN)	Mx.d (kNm)	My.d (kNm)	ΔMy.d (kNm)	ΣMy.d (kNm)	Mz.d (kNm)	ΔMz.d (kNm)	ΣMz.d (kNm)
1	G0	Vlastní tíha OK	G	0	-16	0	0	0	0	0	1.00	1.20		1.20	-	1.00	0.95	-18	0	0	0	0	0	0	0	0	1	0	1
2	G1	Ostatní stálé - mostní vybavení	G	0	0	0	0	0	0	0	1.00	1.20		1.20	-	1.00	0.95	0	0	0	0	0	0	0	0	0	0	0	0
3	G2	Ostatní stálé - cizí zařízení	G	0	0	0	0	0	0	0	1.00	1.00		1.00	-	1.00	0.95	0	0	0	0	0	0	0	0	0	0	0	0
4	P1_71	a.LM71 - kolej 1 (bez dyn. souč.)	P	0	-53	0	0	0	2	0	1.00	1.30		1.30	-	1.00	1.00	-69	0	0	0	0	0	3	0	3	0	0	0
5	P2_71	a.LM71 - kolej 2 (bez dyn. souč.)	P	0	-127	0	-1	0	0	0	1.00	1.30		1.30	-	1.00	1.00	-165	0	-1	0	-1	0	0	0	0	0	0	0
6	P1_C3	TTZ C3 - kolej 1 (bez dyn. souč.)	P	0	-44	0	0	0	2	0	1.00	vyp.		0.00	-	1.00	0.00	0	0	0	0	0	0	0	0	0	0	0	0
7	P2_C3	TTZ C3 - kolej 2 (bez dyn. souč.)	P	0	-104	0	-1	0	0	0	1.00	vyp.		0.00	-	1.00	0.00	0	0	0	0	0	0	0	0	0	0	0	0
8	BR	Brzdné a rozjezdové síly	P	0	-1	0	0	0	0	0	1.00	1.30		1.30	-	1.00	0.40	-1	0	0	0	0	0	0	0	0	0	0	0
9	S	Boční ráz	P	0	-2	0	0	0	0	0	1.00	1.30		1.30	-	1.00	0.80	-2	0	0	0	0	0	0	0	0	0	0	0
10	CH	Chodci na lávkách	Q	0	-12	0	0	0	0	0	1.00	1.30		1.30	-	1.00	1.00	-16	0	0	0	0	0	0	0	0	0	0	0
11	W	Vítr na konstrukci	Q	0	-3	0	-1	0	3	0	1.00	1.35		1.35	-	1.00	0.75	-3	0	-1	0	-1	0	3	0	3	0	0	0
12	WP	Vítr na vozidla	Q	0	-5	0	1	0	2	0	1.00	1.35		1.35	-	1.00	0.75	-5	0	1	0	1	0	2	0	2	0	0	0
13	TR	Teplota rovnoměrná	Q	0	0	0	0	0	0	0	1.00	1.35		1.35	-	1.00	0.45	0	0	0	0	0	0	0	0	0	0	0	0
14	TN	Teplota nerovnoměrná	Q	0	-15	0	0	0	0	0	1.00	1.35		1.35	-	1.00	0.60	-12	0	0	0	0	0	0	0	0	0	0	0
15	FR	Třecí síly v ložiskách	Q	0	0	0	0	0	0	0	1.00	1.20		1.20	-	1.00	1.00	-1	0	0	0	0	0	0	0	0	0	0	0
16	I	Imperfekce soustavy	Q	0	0	0	0	0	0	0	1.00	-1.20		-1.20	-	1.00	1.00	0	0	0	0	0	0	0	0	0	0	0	0
27	ULS_LM	ULS - LM71 bez dynam	Q	0	-291	0	0	0	9	1	1.00	vyp.		0.00	-	1.00	0.00	0	0	0	0	0	0	0	0	0	0	0	0
28	SLS_LM	SLS - LM71 bez dynam	Q	0	-216	0	0	0	7	0	1.00	vyp.	1	0.00	-	1.00	0.00	0	0	0	0	0	0	0	0	0	0	0	0
29	ULS_C3	ULS - C3 bez dynam	Q	0	-249	0	0	0	9	1	1.00	vyp.	1	0.00	-	1.00	0.00	0	0	0	0	0	0	0	0	0	0	0	0
30	SLS_C3	SLS - C3 bez dynam	Q	0	-184	0	0	0	6	0	1.00	vyp.	1	0.00	-	1.00	0.00	0	0	0	0	0	0	0	0	0	0	0	0
		CELKEM - FÁZE PRŮŘEZU 0																-290	0	0	0	0	0	10	0	10	0	0	0
		CELKEM - FÁZE PRŮŘEZU 1																0	0	0	0	0	0	0	0	0	0	0	0
		CELKEM - FÁZE PRŮŘEZU 2																0	0	0	0	0	0	0	0	0	0	0	0
		CELKEM - FÁZE PRŮŘEZU 3																0	0	0	0	0	0	0	0	0	0	0	0
		CELKEM - PRŮŘEZ																-290	0	0	0	0	0			10			0

Napětí od jednotlivých zatěžovacích stavů

SKUPINA ZATĚŽOVACÍCH STAVŮ					Posouzení normálového napětí										Posouzení smykového napětí													
					Účinek síly N			Účinek momentu My			Účinek momentu Mz				Účinek kroutícího momentu Mx				Účinek smykové síly Vy				Účinek smykové síly Vz			
Č.	SKUP ZS	Popis ZS	Kat.	fáze průř.	δ^*N_d [kN]	χ^*A [mm^2]	σ_n [MPa]	$\delta^*M_{y,d}$ [kNm]	$\chi_{lt}^*W_{el,y}$ [mm^3]	σ_{my} [MPa]	$\delta^*M_{z,d}$ [kNm]	$W_{el,z}$ [mm^3]	σ_{mz} [MPa]	σ_x [MPa]	$\kappa^*\delta^*M_{x,d}$ [kNm]	$W_{v,y}$ [mm^2]	$\tau_{x,y}$ [MPa]	$W_{v,z}$ [mm^2]	$\tau_{x,z}$ [MPa]	$\delta^*V_{y,d}$ [kN]	$A_{v,y}$ [mm2]	$\tau_{v,y}$ [MPa]	$\tau_{v,y}$ [MPa]	$\delta^*V_{z,d}$ [kN]	$A_{v,z}$ [mm2]	$\tau_{v,z}$ [MPa]	$\tau_{v,z}$ [MPa]
1	G0	Vlastní tíha OK	G	0	-17.7	2.81E+03	-6.3	0.4	-5.10E+05	-0.7	0.5	-7.68E+04	-6.8	-13.9	0.0E+00	-	-	-	-	0.0	2.56E+03	0.0	0.0	0.2	2.07E+03	0.1	0.1
2	G1	Ostatní stálé - mostní vybavení	G	0	0.2	2.81E+03	0.1	0.1	-5.10E+05	-0.2	0.0	-7.68E+04	0.0	-0.1	0.0E+00	-	-	-	-	0.0	2.56E+03	0.0	0.0	0.0	2.07E+03	0.0	0.0
3	G2	Ostatní stálé - cizí zařízení	G	0	0.1	2.81E+03	0.0	0.0	-5.10E+05	0.0	0.0	-7.68E+04	0.0	0.0	0.0E+00	-	-	-	-	0.0	2.56E+03	0.0	0.0	0.0	2.07E+03	0.0	0.0
4	P1_71	a.LM71 - kolej 1 (bez dyn. souč.)	P	0	-69.2	2.81E+03	-24.6	2.9	-5.10E+05	-5.7	0.0	-7.68E+04	0.2	-30.2	0.0E+00	-	-	-	-	0.0	2.56E+03	0.0	0.0	0.2	2.07E+03	0.1	0.1
5	P2_71	a.LM71 - kolej 2 (bez dyn. souč.)	P	0	-164.6	2.81E+03	-58.6	0.0	-5.10E+05	0.1	0.0	-7.68E+04	0.3	-58.2	0.0E+00	-	-	-	-	0.0	2.56E+03	0.0	0.0	-1.0	2.07E+03	-0.5	-0.5
6	P1_C3	TTZ C3 - kolej 1 (bez dyn. souč.)	P	0	0.0	2.81E+03	0.0	0.0	-5.10E+05	0.0	0.0	-7.68E+04	0.0	0.0	0.0E+00	-	-	-	-	0.0	2.56E+03	0.0	0.0	0.0	2.07E+03	0.0	0.0
7	P2_C3	TTZ C3 - kolej 2 (bez dyn. souč.)	P	0	0.0	2.81E+03	0.0	0.0	-5.10E+05	0.0	0.0	-7.68E+04	0.0	0.0	0.0E+00	-	-	-	-	0.0	2.56E+03	0.0	0.0	0.0	2.07E+03	0.0	0.0
8	BR	Brzdné a rozjezdové síly	P	0	-0.8	2.81E+03	-0.3	0.0	-5.10E+05	0.0	0.0	-7.68E+04	0.0	-0.2	0.0E+00	-	-	-	-	0.0	2.56E+03	0.0	0.0	0.0	2.07E+03	0.0	0.0
9	S	Boční ráz	P	0	-2.4	2.81E+03	-0.8	0.4	-5.10E+05	-0.9	0.0	-7.68E+04	0.0	-1.7	0.0E+00	-	-	-	-	0.0	2.56E+03	0.0	0.0	0.3	2.07E+03	0.1	0.1
10	CH	Chodci na lávkách	Q	0	-15.6	2.81E+03	-5.6	0.2	-5.10E+05	-0.4	0.0	-7.68E+04	0.0	-5.9	0.0E+00	-	-	-	-	0.0	2.56E+03	0.0	0.0	0.1	2.07E+03	0.1	0.1
11	W	Vítr na konstrukci	Q	0	-2.7	2.81E+03	-1.0	2.9	-5.10E+05	-5.6	0.0	-7.68E+04	0.0	-6.6	0.0E+00	-	-	-	-	0.0	2.56E+03	0.0	0.0	-0.6	2.07E+03	-0.3	-0.3
12	WP	Vítr na vozidla	Q	0	-4.8	2.81E+03	-1.7	2.4	-5.10E+05	-4.7	0.0	-7.68E+04	0.0	-6.4	0.0E+00	-	-	-	-	0.0	2.56E+03	0.0	0.0	0.7	2.07E+03	0.3	0.3
13	TR	Teplota rovnoměrná	Q	0	0.0	2.81E+03	0.0	0.0	-5.10E+05	0.0	0.0	-7.68E+04	0.0	0.0	0.0E+00	-	-	-	-	0.0	2.56E+03	0.0	0.0	0.0	2.07E+03	0.0	0.0
14	TN	Teplota nerovnoměrná	Q	0	-11.9	2.81E+03	-4.2	0.1	-5.10E+05	-0.2	0.0	-7.68E+04	-0.1	-4.5	0.0E+00	-	-	-	-	0.0	2.56E+03	0.0	0.0	0.0	2.07E+03	0.0	0.0
15	FR	Třecí síly v ložiskách	Q	0	-0.5	2.81E+03	-0.2	0.0	-5.10E+05	0.0	0.0	-7.68E+04	0.0	-0.2	0.0E+00	-	-	-	-	0.0	2.56E+03	0.0	0.0	0.0	2.07E+03	0.0	0.0
16	I	Imperfekce soustavy	Q	0	0.1	2.81E+03	0.0	0.3	-5.10E+05	-0.6	0.0	-7.68E+04	0.0	-0.5	0.0E+00	-	-	-	-	0.0	2.56E+03	0.0	0.0	0.1	2.07E+03	0.0	0.0
27	ULS_LM	ULS - LM71 bez dynam	Q	0	0.0	2.81E+03	0.0	0.0	-5.10E+05	0.0	0.0	-7.68E+04	0.0	0.0	0.0E+00	-	-	-	-	0.0	2.56E+03	0.0	0.0	0.0	2.07E+03	0.0	0.0
28	SLS_LM	SLS - LM71 bez dynam	Q	0	0.0	2.81E+03	0.0	0.0	-5.10E+05	0.0	0.0	-7.68E+04	0.0	0.0	0.0E+00	-	-	-	-	0.0	2.56E+03	0.0	0.0	0.0	2.07E+03	0.0	0.0
29	ULS_C3	ULS - C3 bez dynam	Q	0	0.0	2.81E+03	0.0	0.0	-5.10E+05	0.0	0.0	-7.68E+04	0.0	0.0	0.0E+00	-	-	-	-	0.0	2.56E+03	0.0	0.0	0.0	2.07E+03	0.0	0.0
30	SLS_C3	SLS - C3 bez dynam	Q	0	0.0	2.81E+03	0.0	0.0	-5.10E+05	0.0	0.0	-7.68E+04	0.0	0.0	0.0E+00	-	-	-	-	0.0	2.56E+03	0.0	0.0	0.0	2.07E+03	0.0	0.0
NAVÝŠENÍ NAPĚTÍ DO AKTIVACE TLAKU V DÉSCE MOSTOVKY						$\sigma_{P,red}$	0.0							0.0			0.0			0.0								
NAPĚTÍ OD PRIMÁRNÍCH ÚČINKŮ NEROVNOMĚRNÉHO OTEPLENÍ						σ_T	0.0							0.0														
NAPĚTÍ OD REOLOGICKÝCH ÚČINKŮ BETONU V ČASE				t=0		σ_R	0.0	γ=	1.20					0.0														
NAPĚTÍ V KRITICKÝCH VLÁKNECH OD KOMBINACE ZATÍŽENÍ						KZ04		[MPa]					$\Sigma\sigma_x$	-128.4								$\Sigma\tau_y$	0.0			$\Sigma\tau_z$	0.0
NAPĚTÍ OD POHYBLIVÉHO ZATÍŽENÍ								[MPa]					$\sigma_{z,P}$	-90.4								τ_P	0.0			τ_P	-0.3
NAPĚTÍ OD OSTATNÍCH ZATÍŽENÍ								[MPa]			Φ_{Vy}	Φ_{Vz}	$\sigma_{z,rs}$	-38.0								τ_{rs}	0.2			τ_{rs}	0.2
NÁVRHOVÁ HODNOTA MEZE KLUZU S REDUKCÍ VLIVEM SMYKOVÉHO NAPĚTÍ								[MPa]			1.00	1.00	$f_{yw,d}$	191.7								$f_{yd}/3^{0,5}$	110.7			$f_{yd}/3^{0,5}$	110.7
NAPĚTÍ OD POHYBLIVÉHO ZATÍŽENÍ V GLOBÁLNÍM SYSTÉMU						$\sigma_{GLOB,P}$	0.0	[MPa]					$\Sigma\sigma_{GLOB}$	0.0													
NAPĚTÍ OD OSTATNÍCH ZATÍŽENÍ V GLOBÁLNÍM SYSTÉMU						$\sigma_{GLOB,rs}$	0.0	[MPa]					$\Sigma\sigma_z + \Sigma\sigma_{GLOB}$	-128.4													
VYUŽITÍ PRŮŘEZU DLE NAPĚTÍ								[%]					η_1	0.67								η_3	0.00			η_3	0.00
NAPĚTÍ V PŘÍČNÉM SMĚRU OD POHYBLIVÉHO ZATÍŽENÍ						$\sigma_{z,P}$	0.0	[MPa]					$\Sigma\sigma_z$	0.0													
NAPĚTÍ V PŘÍČNÉM SMĚRU OD OSTATNÍCH ZATÍŽENÍ						$\sigma_{z,rs}$	0.0	[MPa]					η_2	0.00													
SROVNÁVACÍ NAPĚTÍ													$(\eta 2 + 0,8\ \eta 1)/1,4$ =	0.38													
VYUŽITÍ PRŮŘEZU CELKEM								[%]					eff	0.67	VYHOVUJE												
													Z_{LM71} =	1.70													

TAB.D10.1.3 POSOUZENÍ - MEZNÍ STAV ÚNOSNOSTI

POPIS	DIAGONÁLA D10
PRUT / POLOHA BODU	207 / 2/4
NAMÁHÁNÍ	N.min
VLÁKNO	BOD K3 -SL
MEZNÍ STAV	ULS (MSÚ)
VYUŽITÍ VLÁKNA PRŮŘEZU	0.56

Charakteristiky materiálu				
pás. horní	$f_{yf,k}$	230	MPa	
pás. dolní	$f_{yf,k}$	230	MPa	
stojina	$f_{yw,k}$	230	MPa	
výztuž	$f_{ys,k}$	500	MPa	
	γ_{M} =	1.20	γ_{s} =	1.15

Excentricita normálové síly				
Exc./Fáze	0	1	2	3
e_y	0.000	0.000	0.000	0.000
e_z	0.000	0.000	0.000	0.000
Ekvivalentní vzdál. stěn - příčný roznos				
b_{Mx}	0.000	0.000	0.000	0.000

Vliv stěny na únosnost průřezu				
Char./Fáze	0	1	2	3
A	0.00	0.00	0.00	0.00
Wy	0.00	0.00	0.00	0.00
Wz	0.00	0.00	0.00	0.00

Charakter. v kroucení			
$t_{w,y}$	0.000	[mm]	
$t_{w,z}$	0.000	[mm]	
κ	1.00		
I_t=	0.00E+00	[mm^4]	
Ω=2*A_{pr}	0.00E+00	[mm^2]	

Součinitele vzpěru a vlivu II.řádu					
Char./Fáze	0	1	2	3	
k_y	1.000	1.000	1.000	1.000	
k_z	1.000	1.000	1.000	1.000	
χ_{LT}	1.000	1.000	1.000	1.000	
χ_{min}	0.606	1.000	1.000	1.000	

Vnitřní síly od jednotlivých skupin zatěžovacích stavů

3

SKUPINA ZATĚŽOVACÍCH STAVŮ					- CHARAKTERISTICKÉ HODNOTY						DÍLČÍ SOUČINITELÉ ZATÍŽENÍ, DYNAMICKÝ SOUČINITEL						- NÁVRHOVÉ HODNOTY								
Č.	SKUP ZS	POPIS ZS	KAT.	FÁZE PRŮŘ.	N.k (kN)	Vy.k (kN)	Vz.k (kN)	Mx.k (kNm)	My.k (kNm)	Mz.k (kNm)	γ_{sr} (-)	γ_{sl} (-)	volba ψ_i hledat	ψ_i (-)	L_d (m)	δ (-)	ψ_s KZ03	N.d (kN)	Vy.d (kN)	Vz.d (kN)	ΔVz.d (kN)	ΣVz.d (kN)	Mx.d (kNm)	My.d (kNm)	ΔMy.d (kNm)	ΣMy.d (kNm)	Mz.d (kNm)	ΔMz.d (kNm)	ΣMz.d (kNm)
1	G0	Vlastní tíha OK	G	0	-16	0	0	0	0	0	1.00	1.20		1.20	-	1.00	0.95	-18	0	0	0	0	0	0	0	0	1	0	1
2	G1	Ostatní stálé - mostní vybavení	G	0	0	0	0	0	0	0	1.00	1.00		1.00	-	1.00	0.95	0	0	0	0	0	0	0	0	0	0	0	0
3	G2	Ostatní stálé - cizí zařízení	G	0	0	0	0	0	0	0	1.00	1.00		1.00	-	1.00	0.95	0	0	0	0	0	0	0	0	0	0	0	0
4	P1_71	a.LM71 - kolej 1 (bez dyn. souč.)	P	0	-53	0	0	0	2	0	1.00	1.30		1.30	-	1.00	1.00	-69	0	0	0	0	0	3	0	3	0	0	0
5	P2_71	a.LM71 - kolej 2 (bez dyn. souč.)	P	0	-127	0	-1	0	0	0	1.00	1.30		1.30	-	1.00	1.00	-165	0	-1	0	-1	0	0	0	0	0	0	0
6	P1_C3	TTZ C3 - kolej 1 (bez dyn. souč.)	P	0	-44	0	0	0	2	0	1.00	vyp.		0.00	-	1.00	0.00	0	0	0	0	0	0	0	0	0	0	0	0
7	P2_C3	TTZ C3 - kolej 2 (bez dyn. souč.)	P	0	-104	0	-1	0	0	0	1.00	vyp.		0.00	-	1.00	0.00	0	0	0	0	0	0	0	0	0	0	0	0
8	BR	Brzdné a rozjezdové síly	P	0	-1	0	0	0	0	0	1.00	1.30		1.30	-	1.00	0.80	-2	0	0	0	0	0	0	0	0	0	0	0
9	S	Boční ráz	P	0	-2	0	0	0	0	0	1.00	0.00		0.00	-	1.00	0.40	0	0	0	0	0	0	0	0	0	0	0	0
10	CH	Chodci na lávkách	Q	0	-12	0	0	0	0	0	1.00	1.30		1.30	-	1.00	1.00	-16	0	0	0	0	0	0	0	0	0	0	0
11	W	Vítr na konstrukci	Q	0	-3	0	-1	0	3	0	1.00	-1.35		-1.35	-	1.00	0.75	3	0	1	0	1	0	-3	0	-3	0	0	0
12	WP	Vítr na vozidla	Q	0	-5	0	1	0	2	0	1.00	-1.35		-1.35	-	1.00	0.75	5	0	-1	0	-1	0	-2	0	-2	0	0	0
13	TR	Teplota rovnoměrná	Q	0	0	0	0	0	0	0	1.00	1.35		1.35	-	1.00	0.45	0	0	0	0	0	0	0	0	0	0	0	0
14	TN	Teplota nerovnoměrná	Q	0	-15	0	0	0	0	0	1.00	1.35		1.35	-	1.00	0.60	-12	0	0	0	0	0	0	0	0	0	0	0
15	FR	Třecí síly v ložiskách	Q	0	0	0	0	0	0	0	1.00	1.20		1.20	-	1.00	1.00	-1	0	0	0	0	0	0	0	0	0	0	0
16	I	Imperfekce soustavy	Q	0	0	0	0	0	0	0	1.00	1.20		1.20	-	1.00	1.00	0	0	0	0	0	0	0	0	0	0	0	0
27	ULS_LM	ULS - LM71 bez dynam	Q	0	-291	0	0	0	9	1	1.00	vyp.		0.00	-	1.00	0.00	0	0	0	0	0	0	0	0	0	0	0	0
28	SLS_LM	SLS - LM71 bez dynam	Q	0	-216	0	0	0	7	0	1.00	vyp.	1	0.00	-	1.00	0.00	0	0	0	0	0	0	0	0	0	0	0	0
29	ULS_C3	ULS - C3 bez dynam	Q	0	-249	0	0	0	9	1	1.00	vyp.	1	0.00	-	1.00	0.00	0	0	0	0	0	0	0	0	0	0	0	0
30	SLS_C3	SLS - C3 bez dynam	Q	0	-184	0	0	0	6	0	1.00	vyp.	1	0.00	-	1.00	0.00	0	0	0	0	0	0	0	0	0	0	0	0
		CELKEM - FÁZE PRŮŘEZU 0																-273	0	-1	0	-1	0	-2	0	-2	0	0	0
		CELKEM - FÁZE PRŮŘEZU 1																0	0	0	0	0	0	0	0	0	0	0	0
		CELKEM - FÁZE PRŮŘEZU 2																0	0	0	0	0	0	0	0	0	0	0	0
		CELKEM - FÁZE PRŮŘEZU 3																0	0	0	0	0	0	0	0	0	0	0	0
		CELKEM - PRŮŘEZ																-273	0	-1	0	-1	0			-2			0

Napětí od jednotlivých zatěžovacích stavů

SKUPINA ZATĚŽOVACÍCH STAVŮ					Posouzení normálového napětí									Posouzení smykového napětí												
					Účinek síly N			Účinek momentu My			Účinek momentu Mz				Účinek kroutícího momentu Mx				Účinek smykové síly Vy				Účinek smykové síly Vz			
Č.	SKUP ZS	Popis ZS	Kat.	fáze průř.	δ^*N_d [kN]	χ^*A [mm^2]	σ_n [MPa]	$\delta^*M_{y,d}$ [kNm]	$\chi_{lt}^*W_{el,y}$ [mm^3]	σ_{my} [MPa]	$\delta^*M_{z,d}$ [kNm]	$W_{el,z}$ [mm^3]	σ_{mz} [MPa]	σ_x [MPa]	$\kappa^*\delta^*M_{x,d}$ [kNm]	$W_{v,y}$ [mm^2]	$\tau_{x,y}$ [MPa]	$W_{v,z}$ [mm^2]	$\tau_{x,z}$ [MPa]	$\delta^*V_{y,d}$ [kN]	$A_{v,y}$ [mm2]	$\tau_{v,y}$ [MPa]	$\tau_{v,y}$ [MPa]	$\delta^*V_{z,d}$ [kN]	$A_{v,z}$ [mm2]	$\tau_{v,z}$ [MPa]	$\tau_{v,z}$ [MPa]
1	G0	Vlastní tíha OK	G	0	-17.7	2.81E+03	-6.3	0.4	5.10E+05	0.7	0.5	-7.68E+04	-6.8	-12.4	0.0E+00	-	-	-	-	0.0	2.56E+03	0.0	0.0	0.2	2.07E+03	0.1	0.1
2	G1	Ostatní stálé - mostní vybavení	G	0	0.2	2.81E+03	0.1	0.1	5.10E+05	0.1	0.0	-7.68E+04	0.0	0.2	0.0E+00	-	-	-	-	0.0	2.56E+03	0.0	0.0	0.0	2.07E+03	0.0	0.0
3	G2	Ostatní stálé - cizí zařízení	G	0	0.1	2.81E+03	0.0	0.0	5.10E+05	0.0	0.0	-7.68E+04	0.0	0.0	0.0E+00	-	-	-	-	0.0	2.56E+03	0.0	0.0	0.0	2.07E+03	0.0	0.0
4	P1_71	a.LM71 - kolej 1 (bez dyn. souč.)	P	0	-69.2	2.81E+03	-24.6	2.9	5.10E+05	5.7	0.0	-7.68E+04	0.2	-18.7	0.0E+00	-	-	-	-	0.0	2.56E+03	0.0	0.0	0.2	2.07E+03	0.1	0.1
5	P2_71	a.LM71 - kolej 2 (bez dyn. souč.)	P	0	-164.6	2.81E+03	-58.6	0.0	5.10E+05	-0.1	0.0	-7.68E+04	0.3	-58.3	0.0E+00	-	-	-	-	0.0	2.56E+03	0.0	0.0	-1.0	2.07E+03	-0.5	-0.5
6	P1_C3	TTZ C3 - kolej 1 (bez dyn. souč.)	P	0	0.0	2.81E+03	0.0	0.0	5.10E+05	0.0	0.0	-7.68E+04	0.0	0.0	0.0E+00	-	-	-	-	0.0	2.56E+03	0.0	0.0	0.0	2.07E+03	0.0	0.0
7	P2_C3	TTZ C3 - kolej 2 (bez dyn. souč.)	P	0	0.0	2.81E+03	0.0	0.0	5.10E+05	0.0	0.0	-7.68E+04	0.0	0.0	0.0E+00	-	-	-	-	0.0	2.56E+03	0.0	0.0	0.0	2.07E+03	0.0	0.0
8	BR	Brzdné a rozjezdové síly	P	0	-1.5	2.81E+03	-0.6	0.0	5.10E+05	-0.1	0.0	-7.68E+04	0.0	-0.6	0.0E+00	-	-	-	-	0.0	2.56E+03	0.0	0.0	0.0	2.07E+03	0.0	0.0
9	S	Boční ráz	P	0	0.0	2.81E+03	0.0	0.0	5.10E+05	0.0	0.0	-7.68E+04	0.0	0.0	0.0E+00	-	-	-	-	0.0	2.56E+03	0.0	0.0	0.0	2.07E+03	0.0	0.0
10	CH	Chodci na lávkách	Q	0	-15.6	2.81E+03	-5.6	0.2	5.10E+05	0.4	0.0	-7.68E+04	0.0	-5.2	0.0E+00	-	-	-	-	0.0	2.56E+03	0.0	0.0	0.1	2.07E+03	0.1	0.1
11	W	Vítr na konstrukci	Q	0	2.7	2.81E+03	1.0	-2.9	5.10E+05	-5.6	0.0	-7.68E+04	0.0	-4.6	0.0E+00	-	-	-	-	0.0	2.56E+03	0.0	0.0	0.6	2.07E+03	0.3	0.3
12	WP	Vítr na vozidla	Q	0	4.8	2.81E+03	1.7	-2.4	5.10E+05	-4.7	0.0	-7.68E+04	0.0	-3.0	0.0E+00	-	-	-	-	0.0	2.56E+03	0.0	0.0	-0.7	2.07E+03	-0.3	-0.3
13	TR	Teplota rovnoměrná	Q	0	0.0	2.81E+03	0.0	0.0	5.10E+05	0.0	0.0	-7.68E+04	0.0	0.0	0.0E+00	-	-	-	-	0.0	2.56E+03	0.0	0.0	0.0	2.07E+03	0.0	0.0
14	TN	Teplota nerovnoměrná	Q	0	-11.9	2.81E+03	-4.2	0.1	5.10E+05	0.2	0.0	-7.68E+04	-0.1	-4.2	0.0E+00	-	-	-	-	0.0	2.56E+03	0.0	0.0	0.0	2.07E+03	0.0	0.0
15	FR	Třecí síly v ložiskách	Q	0	-0.5	2.81E+03	-0.2	0.0	5.10E+05	0.0	0.0	-7.68E+04	0.0	-0.2	0.0E+00	-	-	-	-	0.0	2.56E+03	0.0	0.0	0.0	2.07E+03	0.0	0.0
16	I	Imperfekce soustavy	Q	0	-0.1	2.81E+03	0.0	-0.3	5.10E+05	-0.6	0.0	-7.68E+04	0.0	-0.6	0.0E+00	-	-	-	-	0.0	2.56E+03	0.0	0.0	-0.1	2.07E+03	0.0	0.0
27	ULS_LM	ULS - LM71 bez dynam	Q	0	0.0	2.81E+03	0.0	0.0	5.10E+05	0.0	0.0	-7.68E+04	0.0	0.0	0.0E+00	-	-	-	-	0.0	2.56E+03	0.0	0.0	0.0	2.07E+03	0.0	0.0
28	SLS_LM	SLS - LM71 bez dynam	Q	0	0.0	2.81E+03	0.0	0.0	5.10E+05	0.0	0.0	-7.68E+04	0.0	0.0	0.0E+00	-	-	-	-	0.0	2.56E+03	0.0	0.0	0.0	2.07E+03	0.0	0.0
29	ULS_C3	ULS - C3 bez dynam	Q	0	0.0	2.81E+03	0.0	0.0	5.10E+05	0.0	0.0	-7.68E+04	0.0	0.0	0.0E+00	-	-	-	-	0.0	2.56E+03	0.0	0.0	0.0	2.07E+03	0.0	0.0
30	SLS_C3	SLS - C3 bez dynam	Q	0	0.0	2.81E+03	0.0	0.0	5.10E+05	0.0	0.0	-7.68E+04	0.0	0.0	0.0E+00	-	-	-	-	0.0	2.56E+03	0.0	0.0	0.0	2.07E+03	0.0	0.0
NAVÝŠENÍ NAPĚTÍ DO AKTIVACE TLAKU V DESCE MOSTOVKY						$\sigma_{P,red}$	0.0							0.0			0.0			0.0							-0.3	-0.3
NAPĚTÍ OD PRIMÁRNÍCH ÚČINKŮ NEROVNOMĚRNÉHO OTEPLENÍ						σ_T	0.0							0.0														
NAPĚTÍ OD REOLOGICKÝCH ÚČINKŮ BETONU V ČASE				t=0		σ_R	0.0	γ_{M}=	1.20					0.0														
NAPĚTÍ V KRITICKÝCH VLÁKNECH OD KOMBINACE ZATÍŽENÍ						KZ03		[MPa]					$\Sigma\sigma_x$	-107.7								$\Sigma\tau_y$	0.0			$\Sigma\tau_z$	-0.3
NAPĚTÍ OD POHYBLIVÉHO ZATÍŽENÍ								[MPa]					$\sigma_{x,P}$	-77.7								τ_P	0.0			τ_P	-0.4
NAPĚTÍ OD OSTATNÍCH ZATÍŽENÍ								[MPa]			Φ_{Vy}	Φ_{Vz}	$\sigma_{x,rs}$	-30.0								τ_{rs}	0.0			τ_{rs}	0.1
NÁVRHOVÁ HODNOTA MEZE KLUZU S REDUKCÍ VLIVEM SMYKOVÉHO NAPĚTÍ								[MPa]			1.00	1.00	$f_{yw,d}$	191.7								$f_{yd}/3^{0,5}$	110.7			$f_{yd}/3^{0,5}$	110.7
NAPĚTÍ OD POHYBLIVÉHO ZATÍŽENÍ V GLOBÁLNÍM SYSTÉMU						$\sigma_{GLOB,P}$	0.0	[MPa]					$\Sigma\sigma_{GLOB}$	0.0													
NAPĚTÍ OD OSTATNÍCH ZATÍŽENÍ V GLOBÁLNÍM SYSTÉMU						$\sigma_{GLOB,rs}$	0.0	[MPa]					$\Sigma\sigma_x + \Sigma\sigma_{GLOB}$	-107.7													
VYUŽITÍ PRŮŘEZU DLE NAPĚTÍ								[%]					η_1	0.56								η_3	0.00			η_3	0.00
NAPĚTÍ V PŘÍČNÉM SMĚRU OD POHYBLIVÉHO ZATÍŽENÍ						$\sigma_{z,P}$	0.0	[MPa]					$\Sigma\sigma_z$	0.0													
NAPĚTÍ V PŘÍČNÉM SMĚRU OD OSTATNÍCH ZATÍŽENÍ						$\sigma_{z,rs}$	0.0	[MPa]					η_2	0.00													
SROVNÁVACÍ NAPĚTÍ													$(\eta 2 + 0{,}8\,\eta 1)/1{,}4$ =	0.32													
VYUŽITÍ PRŮŘEZU CELKEM								[%]					eff	0.56	VYHOVUJE												
													z_{LM71} =	2.08													

TAB.D10.1.3 POSOUZENÍ - MEZNÍ STAV ÚNOSNOSTI

POPIS	DIAGONÁLA D10
PRUT / POLOHA BODU	207 / 2/4
NAMÁHÁNÍ	Vz.max
VLÁKNO	BOD S6 -HP
MEZNÍ STAV	ULS (MSÚ)
VYUŽITÍ VLÁKNA PRŮŘEZU	0.13

Charakteristiky materiálu				
pás. horní	$f_{yf,k}$	230	MPa	
pás. dolní	$f_{yf,k}$	230	MPa	
stojina	$f_{yw,k}$	230	MPa	
výztuž	$f_{ys,k}$	500	MPa	
	γ_M =	1.10	γ_s =	1.15

Excentricita normálové síly				
Exc./Fáze	0	1	2	3
e_y	0.000	0.000	0.000	0.000
e_z	0.000	0.000	0.000	0.000
Ekvivalentní vzdál. stěn - příčný rozmos				
b_{Mx}	0.000	0.000	0.000	0.000

Vliv stěny na únosnost průřezu				
Char./Fáze	0	1	2	3
A	0.00	0.00	0.00	0.00
Wy	0.00	0.00	0.00	0.00
Wz	0.00	0.00	0.00	0.00

Charakter. v kroucení			
$t_{w,y}$	0.000	[mm]	
$t_{w,z}$	0.000	[mm]	
κ	1.00		
I_t=	0.00E+00	[mm^4]	
$\Omega=2*A_{pr}$	0.00E+00	[mm^2]	

Součinitele vzpěru a vlivu II.řádu				
Char./Fáze	0	1	2	3
k_y	1.000	1.000	1.000	1.000
k_z	1.000	1.000	1.000	1.000
χ_{LT}	1.000	1.000	1.000	1.000
χ_{min}	0.606	1.000	1.000	1.000

Vnitřní síly od jednotlivých skupin zatěžovacích stavů

SKUPINA ZATĚŽOVACÍCH STAVŮ					- CHARAKTERISTICKÉ HODNOTY						DÍLČÍ SOUČINITELÉ ZATÍŽENÍ, DYNAMICKÝ SOUČINITEL						4	- NÁVRHOVÉ HODNOTY									
Č.	SKUP ZS	POPIS ZS	KAT.	FÁZE PRŮŘ.	N.k (kN)	Vy.k (kN)	Vz.k (kN)	Mx.k (kNm)	My.k (kNm)	Mz.k (kNm)	γ_{sr} (-)	γ_{sl} (-)	volba γ_g hledat	γ_g (-)	L_d (m)	δ (-)	Ψ_s KZ04	N.d (kN)	Vy.d (kN)	Vz.d (kN)	ΔVz.d (kN)	ΣVz.d (kN)	Mx.d (kNm)	My.d (kNm)	ΔMy.d (kNm)	ΣMy.d (kNm)	Mz.d (kNm)	ΔMz.d (kNm)	ΣMz.d (kNm)
1	G0	Vlastní tíha OK	G	0	-16	0	0	0	0	0	1.00	1.20		1.20	-	1.00	0.95	-18	0	0	0	0	0	0	0	0	1	0	1
2	G1	Ostatní stálé - mostní vybavení	G	0	0	0	0	0	0	0	1.00	1.20		1.20	-	1.00	0.95	0	0	0	0	0	0	0	0	0	0	0	0
3	G2	Ostatní stálé - cizí zařízení	G	0	0	0	0	0	0	0	1.00	1.20		1.20	-	1.00	0.95	0	0	0	0	0	0	0	0	0	0	0	0
4	P1_71	a.LM71 - kolej 1 (bez dyn. souč.)	P	0	17	0	1	0	3	0	1.00	1.30		1.30	-	1.00	1.00	22	0	2	0	2	0	4	0	4	0	0	0
5	P2_71	a.LM71 - kolej 2 (bez dyn. souč.)	P	0	39	0	1	0	1	0	1.00	1.30		1.30	-	1.00	1.00	51	0	1	0	1	0	2	0	2	0	0	0
6	P1_C3	TTZ C3 - kolej 1 (bez dyn. souč.)	P	0	10	0	1	0	3	0	1.00	vyp.		0.00	-	1.00	0.00	0	0	0	0	0	0	0	0	0	0	0	0
7	P2_C3	TTZ C3 - kolej 2 (bez dyn. souč.)	P	0	34	0	1	0	1	0	1.00	vyp.		0.00	-	1.00	0.00	0	0	0	0	0	0	0	0	0	0	0	0
8	BR	Brzdné a rozjezdové síly	P	0	0	0	0	0	0	0	1.00	1.30		1.30	-	1.00	0.40	0	0	0	0	0	0	0	0	0	0	0	0
9	S	Boční ráz	P	0	-2	0	0	0	0	0	1.00	1.30		1.30	-	1.00	0.80	-2	0	0	0	0	0	0	0	0	0	0	0
10	CH	Chodci na lávkách	Q	0	-12	0	0	0	0	0	1.00	1.30		1.30	-	1.00	1.00	-16	0	0	0	0	0	0	0	0	0	0	0
11	W	Vítr na konstrukci	Q	0	3	0	1	0	-3	0	1.00	1.35		1.35	-	1.00	0.75	3	0	1	0	1	0	-3	0	-3	0	0	0
12	WP	Vítr na vozidla	Q	0	-5	0	1	0	2	0	1.00	1.35		1.35	-	1.00	0.75	-5	0	1	0	1	0	2	0	2	0	0	0
13	TR	Teplota rovnoměrná	Q	0	0	0	0	0	0	0	1.00	1.35		1.35	-	1.00	0.45	0	0	0	0	0	0	0	0	0	0	0	0
14	TN	Teplota nerovnoměrná	Q	0	-15	0	0	0	2	0	1.00	1.35		1.35	-	1.00	0.60	-12	0	0	0	0	0	1	0	1	0	0	0
15	FR	Třecí síly v ložiskách	Q	0	0	0	0	0	0	0	1.00	1.20		1.20	-	1.00	1.00	1	0	0	0	0	0	0	0	0	0	0	0
16	I	Imperfekce soustavy	Q	0	0	0	0	0	0	0	1.00	1.20		1.20	-	1.00	1.00	0	0	0	0	0	0	0	0	0	0	0	0
27	ULS_LM	ULS - LM71 bez dynam	Q	0	24	0	6	0	9	1	1.00	vyp.		0.00	-	1.00	0.00	0	0	0	0	0	0	0	0	0	0	0	0
28	SLS_LM	SLS - LM71 bez dynam	Q	0	26	0	4	0	6	1	1.00	vyp.	1	0.00	-	1.00	0.00	0	0	0	0	0	0	0	0	0	0	0	0
29	ULS_C3	ULS - C3 bez dynam	Q	0	8	0	5	0	7	1	1.00	vyp.	1	0.00	-	1.00	0.00	0	0	0	0	0	0	0	0	0	0	0	0
30	SLS_C3	SLS - C3 bez dynam	Q	0	14	0	4	0	5	0	1.00	vyp.	1	0.00	-	1.00	0.00	0	0	0	0	0	0	0	0	0	0	0	0
		CELKEM - FÁZE PRŮŘEZU 0																25	0	6	0	6	0	9	0	9	1	0	1
		CELKEM - FÁZE PRŮŘEZU 1																0	0	0	0	0	0	0	0	0	0	0	0
		CELKEM - FÁZE PRŮŘEZU 2																0	0	0	0	0	0	0	0	0	0	0	0
		CELKEM - FÁZE PRŮŘEZU 3																0	0	0	0	0	0	0	0	0	0	0	0
		CELKEM - PRŮŘEZ																25	0	6	0	6	0			9			1

Napětí od jednotlivých zatěžovacích stavů

SKUPINA ZATĚŽOVACÍCH STAVŮ					Posouzení normálového napětí										Posouzení smykového napětí													
					Účinek síly N			Účinek momentu My			Účinek momentu Mz				Účinek kroutícího momentu Mx				Účinek smykové síly Vy				Účinek smykové síly Vz			
Č.	SKUP ZS	Popis ZS	Kat.	fáze průř.	δ^*N_d [kN]	χ^*A [mm^2]	σ_n [MPa]	$\delta^*M_{y,d}$ [kNm]	$\chi_{lt}*W_{el,y}$ [mm^3]	σ_{my} [MPa]	$\delta^*M_{z,d}$ [kNm]	$W_{el,z}$ [mm^3]	σ_{mz} [MPa]	σ_x [MPa]	$\kappa*\delta^*M_{x,d}$ [kNm]	$W_{v,y}$ [mm^2]	$\tau_{x,y}$ [MPa]	$W_{v,z}$ [mm^2]	$\tau_{x,z}$ [MPa]	$\delta^*V_{y,d}$ [kN]	$A_{v,y}$ [mm2]	$\tau_{v,y}$ [MPa]	$\tau_{v,y}$ [MPa]	$\delta^*V_{z,d}$ [kN]	$A_{v,z}$ [mm2]	$\tau_{v,z}$ [MPa]	$\tau_{v,z}$ [MPa]
1	G0	Vlastní tíha OK	G	0	-17.7	2.81E+03	-6.3	0.4	5.10E+05	0.7	0.5	-1.61E+06	-0.3	-5.9	0.0E+00	-	-	-	-	0.0	2.56E+03	0.0	0.0	0.2	2.07E+03	0.1	0.1
2	G1	Ostatní stálé - mostní vybavení	G	0	0.2	2.81E+03	0.1	0.1	5.10E+05	0.2	0.0	-1.61E+06	0.0	0.2	0.0E+00	-	-	-	-	0.0	2.56E+03	0.0	0.0	0.0	2.07E+03	0.0	0.0
3	G2	Ostatní stálé - cizí zařízení	G	0	0.1	2.81E+03	0.0	0.0	5.10E+05	0.0	0.0	-1.61E+06	0.0	0.0	0.0E+00	-	-	-	-	0.0	2.56E+03	0.0	0.0	0.0	2.07E+03	0.0	0.0
4	P1_71	a.LM71 - kolej 1 (bez dyn. souč.)	P	0	22.4	2.81E+03	8.0	4.4	5.10E+05	8.7	0.0	-1.61E+06	0.0	16.7	0.0E+00	-	-	-	-	0.0	2.56E+03	0.0	0.0	1.9	2.07E+03	0.9	0.9
5	P2_71	a.LM71 - kolej 2 (bez dyn. souč.)	P	0	51.0	2.81E+03	18.2	1.9	5.10E+05	3.8	0.0	-1.61E+06	0.0	21.9	0.0E+00	-	-	-	-	0.0	2.56E+03	0.0	0.0	1.4	2.07E+03	0.7	0.7
6	P1_C3	TTZ C3 - kolej 1 (bez dyn. souč.)	P	0	0.0	2.81E+03	0.0	0.0	5.10E+05	0.0	0.0	-1.61E+06	0.0	0.0	0.0E+00	-	-	-	-	0.0	2.56E+03	0.0	0.0	0.0	2.07E+03	0.0	0.0
7	P2_C3	TTZ C3 - kolej 2 (bez dyn. souč.)	P	0	0.0	2.81E+03	0.0	0.0	5.10E+05	0.0	0.0	-1.61E+06	0.0	0.0	0.0E+00	-	-	-	-	0.0	2.56E+03	0.0	0.0	0.0	2.07E+03	0.0	0.0
8	BR	Brzdné a rozjezdové síly	P	0	-0.1	2.81E+03	0.0	0.1	5.10E+05	0.1	0.0	-1.61E+06	0.0	0.1	0.0E+00	-	-	-	-	0.0	2.56E+03	0.0	0.0	0.0	2.07E+03	0.0	0.0
9	S	Boční ráz	P	0	-2.4	2.81E+03	-0.8	0.4	5.10E+05	0.9	0.0	-1.61E+06	0.0	0.0	0.0E+00	-	-	-	-	0.0	2.56E+03	0.0	0.0	0.3	2.07E+03	0.1	0.1
10	CH	Chodci na lávkách	Q	0	-15.6	2.81E+03	-5.6	0.2	5.10E+05	0.4	0.0	-1.61E+06	0.0	-5.2	0.0E+00	-	-	-	-	0.0	2.56E+03	0.0	0.0	0.1	2.07E+03	0.1	0.1
11	W	Vítr na konstrukci	Q	0	2.7	2.81E+03	1.0	-2.8	5.10E+05	-5.6	0.0	-1.61E+06	0.0	-4.6	0.0E+00	-	-	-	-	0.0	2.56E+03	0.0	0.0	0.6	2.07E+03	0.3	0.3
12	WP	Vítr na vozidla	Q	0	-4.8	2.81E+03	-1.7	2.4	5.10E+05	4.7	0.0	-1.61E+06	0.0	3.0	0.0E+00	-	-	-	-	0.0	2.56E+03	0.0	0.0	0.7	2.07E+03	0.3	0.3
13	TR	Teplota rovnoměrná	Q	0	0.0	2.81E+03	0.0	0.0	5.10E+05	0.0	0.0	-1.61E+06	0.0	0.0	0.0E+00	-	-	-	-	0.0	2.56E+03	0.0	0.0	0.0	2.07E+03	0.0	0.0
14	TN	Teplota nerovnoměrná	Q	0	-11.8	2.81E+03	-4.2	1.3	5.10E+05	2.5	0.0	-1.61E+06	0.0	-1.7	0.0E+00	-	-	-	-	0.0	2.56E+03	0.0	0.0	0.4	2.07E+03	0.2	0.2
15	FR	Třecí síly v ložiskách	Q	0	0.5	2.81E+03	0.2	0.0	5.10E+05	0.0	0.0	-1.61E+06	0.0	0.2	0.0E+00	-	-	-	-	0.0	2.56E+03	0.0	0.0	0.0	2.07E+03	0.0	0.0
16	I	Imperfekce soustavy	Q	0	0.1	2.81E+03	0.0	0.3	5.10E+05	0.6	0.0	-1.61E+06	0.0	0.6	0.0E+00	-	-	-	-	0.0	2.56E+03	0.0	0.0	0.1	2.07E+03	0.0	0.0
27	ULS_LM	ULS - LM71 bez dynam	Q	0	0.0	2.81E+03	0.0	0.0	5.10E+05	0.0	0.0	-1.61E+06	0.0	0.0	0.0E+00	-	-	-	-	0.0	2.56E+03	0.0	0.0	0.0	2.07E+03	0.0	0.0
28	SLS_LM	SLS - LM71 bez dynam	Q	0	0.0	2.81E+03	0.0	0.0	5.10E+05	0.0	0.0	-1.61E+06	0.0	0.0	0.0E+00	-	-	-	-	0.0	2.56E+03	0.0	0.0	0.0	2.07E+03	0.0	0.0
29	ULS_C3	ULS - C3 bez dynam	Q	0	0.0	2.81E+03	0.0	0.0	5.10E+05	0.0	0.0	-1.61E+06	0.0	0.0	0.0E+00	-	-	-	-	0.0	2.56E+03	0.0	0.0	0.0	2.07E+03	0.0	0.0
30	SLS_C3	SLS - C3 bez dynam	Q	0	0.0	2.81E+03	0.0	0.0	5.10E+05	0.0	0.0	-1.61E+06	0.0	0.0	0.0E+00	-	-	-	-	0.0	2.56E+03	0.0	0.0	0.0	2.07E+03	0.0	0.0
NAVÝŠENÍ NAPĚTÍ DO AKTIVACE TLAKU V DESCE MOSTOVKY						$\sigma_{P,red}$	0.0							0.0			0.0		0.0			0.0	0.0			2.7	2.7
NAPĚTÍ OD PRIMÁRNÍCH ÚČINKŮ NEROVNOMĚRNÉHO OTEPLENÍ						σ_T	0.0							0.0													
NAPĚTÍ OD REOLOGICKÝCH ÚČINKŮ BETONU V ČASE				t=0		σ_R	0.0	γ=	1.20					0.0													
NAPĚTÍ V KRITICKÝCH VLÁKNECH OD KOMBINACE ZATÍŽENÍ						KZ04		[MPa]					$\Sigma\sigma_x$	25.3								$\Sigma\tau_y$	0.0			$\Sigma\tau_z$	2.7
NAPĚTÍ OD POHYBLIVÉHO ZATÍŽENÍ								[MPa]					$\sigma_{z,P}$	38.7								τ_P	0.0			τ_P	1.7
NAPĚTÍ OD OSTATNÍCH ZATÍŽENÍ								[MPa]			Φ_{Vy}	Φ_{Vz}	$\sigma_{z,rs}$	-13.4								τ_{rs}	0.0			τ_{rs}	1.0
NÁVRHOVÁ HODNOTA MEZE KLUZU S REDUKCÍ VLIVEM SMYKOVÉHO NAPĚTÍ								[MPa]			1.00	1.00	$f_{yw,d}$	191.7								$f_{yd}/3^{0,5}$	120.7			$f_{yd}/3^{0,5}$	120.7
NAPĚTÍ OD POHYBLIVÉHO ZATÍŽENÍ V GLOBÁLNÍM SYSTÉMU						$\sigma_{GLOB,P}$	0.0	[MPa]					$\Sigma\sigma_{GLOB}$	0.0													
NAPĚTÍ OD OSTATNÍCH ZATÍŽENÍ V GLOBÁLNÍM SYSTÉMU						$\sigma_{GLOB,rs}$	0.0	[MPa]					$\Sigma\sigma_z + \Sigma\sigma_{GLOB}$	25.3													
VYUŽITÍ PRŮŘEZU DLE NAPĚTÍ								[%]					η_1	0.13								η_3	0.00			η_3	0.02
NAPĚTÍ V PŘÍČNÉM SMĚRU OD POHYBLIVÉHO ZATÍŽENÍ						$\sigma_{z,P}$	0.0	[MPa]					$\Sigma\sigma_z$	0.0													
NAPĚTÍ V PŘÍČNÉM SMĚRU OD OSTATNÍCH ZATÍŽENÍ						$\sigma_{z,rs}$	0.0	[MPa]					η_2	0.00													
SROVNÁVACÍ NAPĚTÍ													$(\eta2 + 0,8\ \eta1)/1,4 =$	0.08													
VYUŽITÍ PRŮŘEZU CELKEM								[%]					eff	0.13	VYHOVUJE												
													Z_{LM71} =	4.61													

VÝPOČET PRŮŘEZOVÝCH CHARAKTERISTIK

PRŮŘEZ: D10_t **POPIS:** DIAGONÁLA 10 - TAH **x =** - **m**

DEFINOVÁNÍ PRŮŘEZU

ŠÍŘKA PÁSNICE ÚHELNÍKU	b f.t.l.o =	0	mm	**ÚHELNÍK HORNÍ VNĚJŠÍ LEVÝ**		**C.T.O.L**	
TLOUŠŤKA PÁSNICE ÚHELNÍKU	t f.t.l.o =	0	mm	OSLABENÍ PÁSNICE - TLOUŠŤKA	Δt f.t.l.o =	0	%
VÝŠKA STĚNY ÚHELNÍKU	h w.t.l.o =	0	mm				
TLOUŠŤKA STĚNY ÚHELNÍKU	t w.t.l.o =	0	mm	OSLABENÍ STĚNY - TLOUŠŤKA	Δt w.t.l.o =	0	%
ŠÍŘKA PÁSNICE ÚHELNÍKU	b f.t.r.o =	0	mm	**ÚHELNÍK HORNÍ VNĚJŠÍ PRAVÝ**		**C.T.O.R**	
TLOUŠŤKA PÁSNICE ÚHELNÍKU	t f.t.r.o =	0	mm	OSLABENÍ PÁSNICE - TLOUŠŤKA	Δt f.t.r.o =	0	%
VÝŠKA STĚNY ÚHELNÍKU	h w.t.r.o =	0	mm				
TLOUŠŤKA STĚNY ÚHELNÍKU	t w.t.r.o =	0	mm	OSLABENÍ STĚNY - TLOUŠŤKA	Δt w.t.r.0 =	0	%
ŠÍŘKA PÁSNICE ÚHELNÍKU	b f.t.l.i =	80	mm	**ÚHELNÍK HORNÍ VNITŘNÍ LEVÝ**		**C.T.I.L**	
TLOUŠŤKA PÁSNICE ÚHELNÍKU	t f.t.l.i =	8	mm	OSLABENÍ PÁSNICE - TLOUŠŤKA	Δt f.b.l.o =	0	%
VÝŠKA STĚNY ÚHELNÍKU	h w.t.l.i =	72	mm				
TLOUŠŤKA STĚNY ÚHELNÍKU	t w.t.l.i =	8	mm	OSLABENÍ STĚNY - TLOUŠŤKA	Δt w.b.l.o =	20	%
ŠÍŘKA PÁSNICE ÚHELNÍKU	b f.t.r.i =	80	mm	**ÚHELNÍK HORNÍ VNITŘNÍ PRAVÝ**		**C.T.I.R**	
TLOUŠŤKA PÁSNICE ÚHELNÍKU	t f.t.r.i =	8	mm	OSLABENÍ PÁSNICE - TLOUŠŤKA	Δt f.b.r.o =	0	%
VÝŠKA STĚNY ÚHELNÍKU	h w.t.r.i =	72	mm				
TLOUŠŤKA STĚNY ÚHELNÍKU	t w.t.r.i =	8	mm	OSLABENÍ STĚNY - TLOUŠŤKA	Δt w.b.r.o =	20	%
ŠÍŘKA PÁSNICE ÚHELNÍKU	b f.b.l.o =	0	mm	**ÚHELNÍK DOLNÍ VNĚJŠÍ LEVÝ**		**C.B.O.L**	
TLOUŠŤKA PÁSNICE ÚHELNÍKU	t f.b.l.o =	0	mm	OSLABENÍ PÁSNICE - TLOUŠŤKA	Δt f.t.l.i =	0	%
VÝŠKA STĚNY ÚHELNÍKU	h w.b.l.o =	0	mm				
TLOUŠŤKA STĚNY ÚHELNÍKU	t w.b.l.o =	0	mm	OSLABENÍ STĚNY - TLOUŠŤKA	Δt w.t.l.i =	0	%
ŠÍŘKA PÁSNICE ÚHELNÍKU	b f.b.r.o =	0	mm	**ÚHELNÍK DOLNÍ VNĚJŠÍ PRAVÝ**		**C.B.O.R**	
TLOUŠŤKA PÁSNICE ÚHELNÍKU	t f.b.r.o =	0	mm	OSLABENÍ PÁSNICE - TLOUŠŤKA	Δt f.t.r.i =	0	%
VÝŠKA STĚNY ÚHELNÍKU	h w.b.r.o =	0	mm				
TLOUŠŤKA STĚNY ÚHELNÍKU	t w.b.r.o =	0	mm	OSLABENÍ STĚNY - TLOUŠŤKA	Δt w.t.r.i =	0	%
PÁSNICE DOLNÍHO LEVÉHO ÚHELNÍKU	b f.b.l.i =	80	mm	**ÚHELNÍK DOLNÍ VNITŘNÍ LEVÝ**		**C.B.I.L**	
TLOUŠŤKA PÁSNICE ÚHELNÍKU	t f.b.l.i =	8	mm	OSLABENÍ PÁSNICE - TLOUŠŤKA	Δt f.b.l.i =	0	%
VÝŠKA STĚNY ÚHELNÍKU	h w.b.l.i =	72	mm				
TLOUŠŤKA STĚNY ÚHELNÍKU	t w.b.l.i =	8	mm	OSLABENÍ STĚNY - TLOUŠŤKA	Δt w.b.l.i =	20	%
PÁSNICE DOLNÍHO PRAVÉHO ÚHELNÍKU	b f.b.r.i =	80	mm	**ÚHELNÍK DOLNÍ VNITŘNÍ PRAVÝ**		**C.B.I.R**	
TLOUŠŤKA PÁSNICE ÚHELNÍKU	t f.b.r.i =	8	mm	OSLABENÍ PÁSNICE - TLOUŠŤKA	Δt f.b.r.i =	0	%
VÝŠKA STĚNY ÚHELNÍKU	h w.b.r.i =	72	mm				
TLOUŠŤKA STĚNY ÚHELNÍKU	t w.b.r.i =	8	mm	OSLABENÍ STĚNY - TLOUŠŤKA	Δt w.b.r.i =	20	%

D10.2 DOLNÍ

ŠÍŘKA HORNÍ VLOŽKY - VNĚJŠÍ	b f.t =	0	mm			**HOR.T.O**	
TLOUŠŤKA VLOŽKY	t f.t =	0	mm	OSLABENÍ VLOŽKY	Δt f.t =	0	%
ŠÍŘKA HORNÍ VLOŽKY - VNITŘNÍ	b f.t =	0	mm			**HOR.T.I**	
TLOUŠŤKA VLOŽKY	t f.t =	0	mm	OSLABENÍ VLOŽKY	Δt f.t =	0	%
ŠÍŘKA DOLNÍ VLOŽKY - VNĚJŠÍ	b f.t =	0	mm			**HOR.B.O**	
TLOUŠŤKA VLOŽKY	t f.t =	0	mm	OSLABENÍ VLOŽKY	Δt f.t =	0	%
ŠÍŘKA DOLNÍ VLOŽKY - VNITŘNÍ	b f.t =	0	mm			**HOR.B.I**	
TLOUŠŤKA VLOŽKY	t f.t =	0	mm	OSLABENÍ VLOŽKY - VNITŘNÍ	Δt f.t =	0	%

VZD. OKRAJŮ PÁSNIC VNITŘNÍCH ÚHELNÍKŮ	416	mm
CELKOVÁ TLOUŠŤKA MEZI PÁSNICEMI ÚHELNÍKŮ I A .o	0	mm
CELKOVÁ TLOUŠŤKA MEZI PÁSNICEMI ÚHELNÍKŮ I A .r	8	mm

ZADANÍ ČÁSTI PRŮŘEZU:

č.prvku	b [mm]	h [mm]	y_0 [mm]	z_0 [mm]	popis části	druh oslabení	lokální ultimate	boulení servic.
1	0.0	0.0	-4.0	208.0	pásnice	0	1.000	1.000
2	0.0	0.0	-4.0	208.0	stěna	0	1.000	1.000
3	0.0	0.0	4.0	208.0	pásnice	0	1.000	1.000
4	0.0	0.0	4.0	208.0	stěna	0	1.000	1.000
5	80.0	8.0	-44.0	204.0	pásnice	0	1.000	1.000
6	6.4	72.0	-7.2	164.0	stěna	0	1.000	1.000
7	80.0	8.0	44.0	204.0	pásnice	0	1.000	1.000
8	6.4	72.0	7.2	164.0	stěna	0	1.000	1.000
9	0.0	0.0	-4.0	-208.0	pásnice	0	1.000	1.000
10	0.0	0.0	-4.0	-208.0	stěna	0	1.000	1.000
11	0.0	0.0	4.0	-208.0	pásnice	0	1.000	1.000
12	0.0	0.0	4.0	-208.0	stěna	0	1.000	1.000
13	80.0	8.0	-44.0	-204.0	pásnice	0	1.000	1.000
14	6.4	72.0	-7.2	-164.0	stěna	0	1.000	1.000
15	80.0	8.0	44.0	-204.0	pásnice	0	1.000	1.000
16	6.4	72.0	7.2	-164.0	stěna	0	1.000	1.000
17						0	1.000	1.000
18						0	1.000	1.000
19						0	1.000	1.000
20						0	1.000	1.000
21						0	1.000	1.000
22						0	1.000	1.000
23						0	1.000	1.000
24						0	1.000	1.000
25						0	1.000	1.000
26						0	1.000	1.000
27						0	1.000	1.000
28						0	1.000	1.000
29						0	1.000	1.000
30						0	1.000	1.000
31						0	1.000	1.000
32						0	1.000	1.000
33						0	1.000	1.000
34						0	1.000	1.000
35						0	1.000	1.000
36						0	1.000	1.000
37						0	1.000	1.000
38						0	1.000	1.000
39						0	1.000	1.000
40						0	1.000	1.000
41	0.0	0.0	0.0	208.0	pásnice	0	1.000	1.000
42	0.0	0.0	0.0	208.0	pásnice	0	1.000	1.000
43	0.0	0.0	0.0	-208.0	pásnice	0	1.000	1.000
44	0.0	0.0	0.0	-208.0	pásnice	0	1.000	1.000
45						0	1.000	1.000
46						0	1.000	1.000
47						0	1.000	1.000
48						0	1.000	1.000
49						0	1.000	1.000
50						0	1.000	1.000
51						0	1.000	1.000
52						0	1.000	1.000
53						0	1.000	1.000
54						0	1.000	1.000
55						0	1.000	1.000
56						0	1.000	1.000
57						0	1.000	1.000
58						0	1.000	1.000
59						0	1.000	1.000
60						0	1.000	1.000
61						0	1.000	1.000
62						0	1.000	1.000
63						0	1.000	1.000
64						0	1.000	1.000
65						0	1.000	1.000
66						0	1.000	1.000
67						0	1.000	1.000
68						0	1.000	1.000
69						0	1.000	1.000
70						0	1.000	1.000
71	0	0	0	0	nýt-stěna	0	1.000	1.000
72	0	0	0	0	nýt-stěna	0	1.000	1.000
73	6.4	-17.1	-7.2	163.0	nýt-stěna	0	1.000	1.000
74	6.4	-17.1	7.2	163.0	nýt-stěna	0	1.000	1.000
75	0	0	0	0	nýt-stěna	0	1.000	1.000
76	0	0	0	0	nýt-stěna	0	1.000	1.000
77	6.4	-17.1	-7.2	-163.0	nýt-stěna	0	1.000	1.000
78	6.4	-17.1	7.2	-163.0	nýt-stěna	0	1.000	1.000
79						0	1.000	1.000
80						0	1.000	1.000
81	0	0	0	0	nýt-pásnice	0	1.000	1.000
82	-18.8	8.0	-49.0	204.0	nýt-pásnice	0	1.000	1.000
83	0	0	0	0	nýt-pásnice	0	1.000	1.000
84	-18.8	8.0	49.0	204.0	nýt-pásnice	0	1.000	1.000
85	0	0	0	0	nýt-pásnice	0	1.000	1.000
86	-18.8	8.0	-49.0	-204.0	nýt-pásnice	0	1.000	1.000
87	0	0	0	0	nýt-pásnice	0	1.000	1.000
88	-18.8	8.0	49.0	-204.0	nýt-pásnice	0	1.000	1.000
89						0	1.000	1.000
90						0	1.000	1.000
91	0	0	0	0	nýt-pásnice	0	1.000	1.000
92	0	0	0	0	nýt-pásnice	0	1.000	1.000
93	0	0	0	0	nýt-pásnice	0	1.000	1.000
94	0	0	0	0	nýt-pásnice	0	1.000	1.000
95	0	0	0	0	nýt-pásnice	0	1.000	1.000
96	0	0	0	0	nýt-pásnice	0	1.000	1.000
97	0	0	0	0	nýt-pásnice	0	1.000	1.000
98	0	0	0	0	nýt-pásnice	0	1.000	1.000
99						0	1.000	1.000
100						0	1.000	1.000

NÝT Č.	SKUPINA	ŘEZ	RED.	VELIKOST di [mm]	POLOHA oi [mm]	POPIS	AKTIVITA OTVORU	NAPĚTÍ sc [MPa]
1		-	1.00	0	35	nýt - t.o - úhelník	0 -	
2		-	1.00	0	35	nýt - t.o - úhelník	0 -	
3	1	3	0.85	20	35	nýt - t.i - úhelník	1	79.86
4	1	3	0.85	20	35	nýt - t.i - úhelník	1	79.80
5		-	1.00	0	35	nýt - b.o - úhelník	0 -	
6		-	1.00	0	35	nýt - b.o - úhelník	0 -	
7	2	3	0.85	20	35	nýt - b.i - úhelník	1	56.39
8	2	3	0.85	20	35	nýt - b.i - úhelník	1	56.33
9								
10								
11		-	1.00	0	35	nýt - t.i - úhelník	0 -	
12	1	3	0.85	22	35	nýt - t.i - úhelník	1	82.98
13		-	1.00	0	35	nýt - t.r - úhelník	0 -	
14	1	3	0.85	22	35	nýt - t.r - úhelník	1	82.58
15		-	1.00	0	35	nýt - b.l - úhelník	0 -	
16	2	3	0.85	22	35	nýt - b.l - úhelník	1	53.61
17		-	1.00	0	35	nýt - b.r - úhelník	0 -	
18	2	3	0.85	22	35	nýt - b.r - úhelník	1	53.21
19								
20								
21		-	1.00	0	-132	nýt - t.l	0 -	
22		-	1.00	0	-132	nýt - t.l	0 -	
23		-	1.00	0	132	nýt - t.r	0 -	
24		-	1.00	0	132	nýt - t.r	0 -	
25		-	1.00	0	-132	nýt - b.l	0 -	
26		-	1.00	0	-132	nýt - b.l	0 -	
27		-	1.00	0	132	nýt - b.r	0 -	
28		-	1.00	0	132	nýt - b.r	0 -	
29								
30								

VÝPOČET PRŮŘEZOVÝCH CHARAKTERISTIK

Properties	Basic	Ultimate		Serviceability	
y_t	0.0	0.0		0.0	[mm]
z_t	0.0	0.0		0.0	[mm]
A_t	3.3659E+03	3.3659E+03		3.3659E+03	[mm²]
A_v	1.9595E+03	1.9595E+03		1.9595E+03	[mm²]
A_{vz}	1.4065E+03	1.4065E+03		1.4065E+03	[mm²]
I_{y1}	7.8203E+07	7.8203E+07		7.8203E+07	[mm⁴]
I_w	4.9397E+06	4.9397E+06		4.9397E+06	[mm⁶]
i_y	152.4	152.4		152.4	[mm]
i_z	38.3	38.3		38.3	[mm]
$W_{y,1}$	3.7598E+05	3.7598E+05		3.7598E+05	[mm³]
$W_{z,1}$	-5.8806E+04	-5.8806E+04		-5.8806E+04	[mm³]
$W_{y,2}$	-3.7598E+05	-3.7598E+05		-3.7598E+05	[mm³]
$W_{z,2}$	-5.8806E+04	-5.8806E+04		-5.8806E+04	[mm³]
KRAJNÍ VLÁKNA PRŮŘEZU					
y_1	-84.0	-84.0		-84.0	[mm] min
z_1	208.0	208.0		208.0	[mm] max
y_2	-84.0	-84.0		-84.0	[mm] min
z_2	-208.0	-208.0		-208.0	[mm] min
y_3	84.0	84.0		84.0	[mm] max
z_3	208.0	208.0		208.0	[mm] max
y_4	84.0	84.0		84.0	[mm] max
z_4	-208.0	-208.0		-208.0	[mm] min
y_5	-4.0	-4.0		-4.0	[mm]
z_5	-208.0	-208.0		-208.0	[mm]
y_6	-4.0	-4.0		-4.0	[mm]
z_6	-208.0	-208.0		-208.0	[mm]

ÚPRAVA MOMENTŮ SETRVAČNOSTI V DŮSLEDKU ČLENĚNÍ PRŮŘEZU

OSA Y	0.65
OSA Z	1.00

SCHÉMA PROMĚNNÝCH

SCHÉMA ZADANÉHO PRŮŘEZU

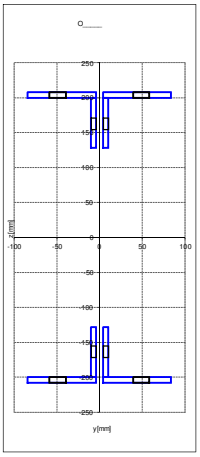

NEUTRÁLNÁ OSA

NAPĚTÍ [MPa]:

83.41	82.73
53.46	52.78

ZS: SLS_LM_N.MAX

	N [kN]	Vy [kN]	Vz [kN]	Mx [kNm]	My [kNm]	Mz [kNm]
import	229	-1	0	0	-6	0

TR_D10.2 POPIS: **DIAGONÁLA D10** POSUDEK: **D.10.2**

SKUPINA ZAT. STAVŮ	EXTRÉM	VYHODNOCOVANÉ VELIČINY					
		N	Vy	Vz	Mx	My	Mz
		kN	kN	kN	kNm	kNm	kNm
G0	N.min	**-11.54**	0.56	-0.24	0	0.68	-0.01
	N.max	**-11.54**	0.56	-0.24	0	0.68	-0.01
	Vy.min	-11.54	**0.56**	-0.24	0	0.68	-0.01
	Vy.max	-11.54	**0.56**	-0.24	0	0.68	-0.01
	Vz.min	-11.54	0.56	**-0.24**	0	0.68	-0.01
	Vz.max	-11.54	0.56	**-0.24**	0	0.68	-0.01
	Mx.min	-11.54	0.56	-0.24	**0**	0.68	-0.01
	Mx.max	-11.54	0.56	-0.24	**0**	0.68	-0.01
	My.min	-11.54	0.56	-0.24	0	**0.68**	-0.01
	My.max	-11.54	0.56	-0.24	0	**0.68**	-0.01
	Mz.min	-11.54	0.56	-0.24	0	0.68	**-0.01**
	Mz.max	-11.54	0.56	-0.24	0	0.68	**-0.01**
G1	N.min	**0.32**	0	-0.02	0	0.11	0
	N.max	**0.32**	0	-0.02	0	0.11	0
	Vy.min	0.32	**0**	-0.02	0	0.11	0
	Vy.max	0.32	**0**	-0.02	0	0.11	0
	Vz.min	0.32	0	**-0.02**	0	0.11	0
	Vz.max	0.32	0	**-0.02**	0	0.11	0
	Mx.min	0.32	0	-0.02	**0**	0.11	0
	Mx.max	0.32	0	-0.02	**0**	0.11	0
	My.min	0.32	0	-0.02	0	**0.11**	0
	My.max	0.32	0	-0.02	0	**0.11**	0
	Mz.min	0.32	0	-0.02	0	0.11	**0**
	Mz.max	0.32	0	-0.02	0	0.11	**0**
G2	N.min	**0.64**	0	-0.01	0	-0.03	0
	N.max	**0.64**	0	-0.01	0	-0.03	0
	Vy.min	0.64	**0**	-0.01	0	-0.03	0
	Vy.max	0.64	**0**	-0.01	0	-0.03	0
	Vz.min	0.64	0	**-0.01**	0	-0.03	0
	Vz.max	0.64	0	**-0.01**	0	-0.03	0
	Mx.min	0.64	0	-0.01	**0**	-0.03	0
	Mx.max	0.64	0	-0.01	**0**	-0.03	0
	My.min	0.64	0	-0.01	0	**-0.03**	0
	My.max	0.64	0	-0.01	0	**-0.03**	0
	Mz.min	0.64	0	-0.01	0	-0.03	**0**
	Mz.max	0.64	0	-0.01	0	-0.03	**0**
P1_71	N.min	**-49.07**	0	-1.44	0	5.3	0.01
	N.max	**60.56**	0	1.12	0	1.23	0
	Vy.min	-24.83	**-0.01**	-0.03	0	2.55	0.03
	Vy.max	24.02	**0.01**	-1.16	0	5.75	-0.03
	Vz.min	-34.4	0	**-1.97**	0	7.51	0
	Vz.max	46.93	0	**1.16**	0	0.47	0.01
	Mx.min	0	0	0	**0**	0	0
	Mx.max	13.36	0	-0.47	**0**	7.06	0.01
	My.min	22.44	0	0.86	0	**-0.21**	0.01
	My.max	-8.74	0	-1.61	0	**8.39**	-0.01
	Mz.min	5.3	0.01	-1.3	0	5.74	**-0.03**
	Mz.max	-7.26	-0.01	-0.01	0	2.97	**0.03**
P2_71	N.min	**-118.75**	-0.01	-1.03	0	0.39	0.02
	N.max	**149.11**	0	1.61	0	-2.64	0.02
	Vy.min	-52.81	**-0.03**	0.88	0	-3.3	0.08
	Vy.max	49.02	**0.03**	-1.46	0	3.2	-0.08
	Vz.min	2.06	0.02	**-1.99**	0	3.79	-0.05
	Vz.max	29.7	-0.02	**1.87**	0	-3.78	0.06
	Mx.min	-23.91	-0.01	0.26	**0**	-3	0.05
	Mx.max	50.78	0.01	0.25	**0**	1.25	-0.02
	My.min	60.28	-0.02	1.68	0	**-4.9**	0.08
	My.max	-24.33	0.02	-1.78	0	**4.66**	-0.07
	Mz.min	6.44	0.03	-1.44	0	3.77	**-0.08**
	Mz.max	-8.42	-0.03	0.9	0	-3.88	**0.08**
P1_C3	N.min	**-41.34**	0	-1.51	0	5.39	0
	N.max	**48.44**	0	0.85	0	0.91	0
	Vy.min	-16.23	**-0.01**	0.16	0	2.12	0.03
	Vy.max	17.94	**0.01**	-1	0	4.47	-0.02
	Vz.min	-29.51	0	**-1.53**	0	5.72	0
	Vz.max	35.03	0	**0.9**	0	0.19	0.01
	Mx.min	0	0	0	**0**	0	0
	Mx.max	8.8	0	-0.39	**0**	5.5	0.01
	My.min	18.54	0	0.73	0	**-0.21**	0.01
	My.max	-6.66	0	-1.19	0	**6.52**	0
	Mz.min	7.14	0.01	-0.99	0	4.17	**-0.02**
	Mz.max	-4.43	-0.01	0.14	0	2.45	**0.03**
P2_C3	N.min	**-100.55**	0	-1.23	0	1.26	0
	N.max	**119.2**	0	1.22	0	-2.14	0.01
	Vy.min	-31.09	**-0.03**	1.04	0	-3.06	0.07
	Vy.max	36.92	**0.02**	-1.27	0	2.5	-0.06
	Vz.min	4.51	0.01	**-1.54**	0	2.76	-0.04
	Vz.max	10.4	-0.02	**1.47**	0	-3.28	0.05
	Mx.min	-16.71	-0.01	0.2	**0**	-2.45	0.04
	Mx.max	36.48	0	0.14	**0**	0.91	-0.01
	My.min	42.02	-0.02	1.33	0	**-4.02**	0.06
	My.max	-25.89	0.02	-1.47	0	**3.44**	-0.05
	Mz.min	6.29	0.02	-1.23	0	2.83	**-0.06**
	Mz.max	2.17	-0.03	1	0	-3.4	**0.08**
BR	N.min	**-2.77**	0	0.05	0	-0.1	0.01
	N.max	**2.77**	0	-0.05	0	0.1	-0.01
	Vy.min	-2.62	**0**	0.04	0	0.06	0.01
	Vy.max	2.62	**0**	-0.04	0	-0.06	-0.01
	Vz.min	0.85	0	**-0.06**	0	0.28	-0.01
	Vz.max	-0.85	0	**0.06**	0	-0.28	0.01
	Mx.min	2.62	0	-0.04	**0**	-0.06	-0.01
	Mx.max	-2.62	0	0.04	**0**	0.06	0.01
	My.min	-0.85	0	0.06	0	**-0.28**	0.01
	My.max	0.85	0	-0.06	0	**0.28**	-0.01
	Mz.min	2.62	0	-0.04	0	-0.06	**-0.01**
	Mz.max	-2.62	0	0.04	0	0.06	**0.01**

TR_D10.2 POPIS: **DIAGONÁLA D10** POSUDEK: **D.10.2**

SKUPINA ZAT. STAVŮ	EXTRÉM	VYHODNOCOVANÉ VELIČINY					
		N	Vy	Vz	Mx	My	Mz
		kN	kN	kN	kNm	kNm	kNm
S	N.min	**-4.17**	0	0.06	0	1.24	0
	N.max	**4.17**	0	-0.06	0	-1.24	0
	Vy.min	4.08	**0**	-0.11	0	-0.57	0
	Vy.max	-4.08	**0**	0.11	0	0.57	0
	Vz.min	-3.31	0	**-0.21**	0	1.77	0
	Vz.max	3.31	0	**0.21**	0	-1.77	0
	Mx.min	4.08	0	-0.11	**0**	-0.57	0
	Mx.max	-4.08	0	0.11	**0**	0.57	0
	My.min	3.55	0	0.19	0	**-1.93**	0
	My.max	-3.55	0	-0.19	0	**1.93**	0
	Mz.min	-4.08	0	0.11	0	0.57	**0**
	Mz.max	4.08	0	-0.11	0	-0.57	**0**
CH	N.min	**-9.51**	0	-0.01	0	0.35	0.01
	N.max	**11.16**	0	-0.07	0	0.1	0
	Vy.min	-9.51	**0**	-0.01	0	0.35	0.01
	Vy.max	11.16	**0**	-0.07	0	0.1	0
	Vz.min	11.16	0	**-0.07**	0	0.1	0
	Vz.max	1.68	0	**0**	0	-0.27	0
	Mx.min	1.68	0	0	**0**	-0.27	0
	Mx.max	-9.51	0	-0.01	**0**	0.35	0.01
	My.min	1.68	0	0	0	**-0.27**	0
	My.max	-9.51	0	-0.01	0	**0.35**	0.01
	Mz.min	11.16	0	-0.07	0	0.1	**0**
	Mz.max	-9.51	0	-0.01	0	0.35	**0.01**
W	N.min	**-4.7**	0	0.98	0	0.3	0
	N.max	**4.7**	0	-0.98	0	-0.3	0
	Vy.min	4.7	**0**	-0.98	0	-0.3	0
	Vy.max	-4.7	**0**	0.98	0	0.3	0
	Vz.min	4.7	0	**-0.98**	0	-0.3	0
	Vz.max	-4.7	0	**0.98**	0	0.3	0
	Mx.min	4.7	0	-0.98	**0**	-0.3	0
	Mx.max	-4.7	0	0.98	**0**	0.3	0
	My.min	4.7	0	-0.98	0	**-0.3**	0
	My.max	-4.7	0	0.98	0	**0.3**	0
	Mz.min	-4.7	0	0.98	0	0.3	**0**
	Mz.max	4.7	0	-0.98	0	-0.3	**0**
WP	N.min	**-11.34**	0	-0.28	0	4.3	-0.01
	N.max	**11.34**	0	0.28	0	-4.3	0.01
	Vy.min	11.34	**0**	0.28	0	-4.3	0.01
	Vy.max	-11.34	**0**	-0.28	0	4.3	-0.01
	Vz.min	-11.34	0	**-0.28**	0	4.3	-0.01
	Vz.max	11.34	0	**0.28**	0	-4.3	0.01
	Mx.min	11.34	0	0.28	**0**	-4.3	0.01
	Mx.max	-11.34	0	-0.28	**0**	4.3	-0.01
	My.min	11.34	0	0.28	0	**-4.3**	0.01
	My.max	-11.34	0	-0.28	0	**4.3**	-0.01
	Mz.min	-11.34	0	-0.28	0	4.3	**-0.01**
	Mz.max	11.34	0	0.28	0	-4.3	**0.01**
TR	N.min	**0**	0	0	0	0	0
	N.max	**0**	0	0	0	0	0
	Vy.min	0	**0**	0	0	0	0
	Vy.max	0	**0**	0	0	0	0
	Vz.min	0	0	**0**	0	0	0
	Vz.max	0	0	**0**	0	0	0
	Mx.min	0	0	0	**0**	0	0
	Mx.max	0	0	0	**0**	0	0
	My.min	0	0	0	0	**0**	0
	My.max	0	0	0	0	**0**	0
	Mz.min	0	0	0	0	0	**0**
	Mz.max	0	0	0	0	0	**0**
TN	N.min	**-41.97**	0.01	-0.25	0	3.08	-0.05
	N.max	**41.81**	-0.01	0.03	0	-0.21	0.05
	Vy.min	41.81	**-0.01**	0.03	0	-0.21	0.05
	Vy.max	-41.81	**0.01**	-0.03	0	0.21	-0.05
	Vz.min	-41.97	0.01	**-0.25**	0	3.08	-0.05
	Vz.max	-1.65	0	**0.23**	0	-2.68	0
	Mx.min	-1.65	0	0.23	**0**	-2.68	0
	Mx.max	-41.97	0.01	-0.25	**0**	3.08	-0.05
	My.min	-1.65	0	0.23	0	**-2.68**	0
	My.max	-41.97	0.01	-0.25	0	**3.08**	-0.05
	Mz.min	-41.97	0.01	-0.25	0	3.08	**-0.05**
	Mz.max	41.81	-0.01	0.03	0	-0.21	**0.05**
FR	N.min	**-1.32**	0	0	0	0	0
	N.max	**1.32**	0	0	0	0	0
	Vy.min	1.32	**0**	0	0	0	0
	Vy.max	-1.32	**0**	0	0	0	0
	Vz.min	1.32	0	**0**	0	0	0
	Vz.max	-1.32	0	**0**	0	0	0
	Mx.min	1.32	0	0	**0**	0	0
	Mx.max	-1.32	0	0	**0**	0	0
	My.min	1.32	0	0	0	**0**	0
	My.max	-1.32	0	0	0	**0**	0
	Mz.min	-1.32	0	0	0	0	**0**
	Mz.max	1.32	0	0	0	0	**0**
I	N.min	**-0.05**	0	-0.02	0	0.45	**0**
	N.max	**0.05**	0	0.02	0	-0.45	**0**
	Vy.min	-0.05	**0**	-0.02	0	0.45	**0**
	Vy.max	0.05	**0**	0.02	0	-0.45	**0**
	Vz.min	-0.05	0	**-0.02**	0	0.45	**0**
	Vz.max	0.05	0	**0.02**	0	-0.45	**0**
	Mx.min	0.05	0	0.02	**0**	-0.45	**0**
	Mx.max	-0.05	0	-0.02	**0**	0.45	**0**
	My.min	0.05	0	0.02	0	**-0.45**	**0**
	My.max	-0.05	0	-0.02	0	**0.45**	**0**
	Mz.min	0.05	0	0.02	0	-0.45	**0**
	Mz.max	-0.05	0	-0.02	0	0.45	**0**

TAB.D.10.2.3 POSOUZENÍ - MEZNÍ STAV ÚNOSNOSTI

POPIS	DIAGONÁLA D10
PRUT / POLOHA BODU	200 / J[200]
NAMÁHÁNÍ	N.max
VLÁKNO	BOD K2 -HP
MEZNÍ STAV	ULS (MSÚ)
VYUŽITÍ VLÁKNA PRŮŘEZU	0.58

Charakteristiky materiálu				
pás. horní	$f_{yf,k}$	230	MPa	
pás. dolní	$f_{yf,k}$	230	MPa	
stojina	$f_{yw,k}$	230	MPa	
výztuž	$f_{ys,k}$	500	MPa	
γ_M =	1.10	γ_s =	1.15	

Excentricita normálové síly				
Exc./Fáze	0	1	2	3
e_y	0.000	0.000	0.000	0.000
e_z	0.000	0.000	0.000	0.000
Ekvivalentní vzdál. stěn - příčný roznos				
b_{ekv}	0.000	0.000	0.000	0.000

Vliv stěny na únosnost průřezu				
Char./Fáze	0	1	2	3
A	0.00	0.00	0.00	0.00
Wy	0.00	0.00	0.00	0.00
Wz	0.00	0.00	0.00	0.00

Charakter. v kroucení			
$t_{w,y}$	0.000	[mm]	
$t_{w,z}$	0.000	[mm]	
κ	1.00		
I_t=	0.00E+00	[mm^4]	
$\Omega=2*A_{pr}$	0.00E+00	[mm^2]	

Součinitele vzpěru a vlivu II.řádu					
Char./Fáze	0	1	2	3	
k_y	1.000	1.000	1.000	1.000	
k_z	1.000	1.000	1.000	1.000	
χ_{LT}	1.000	1.000	1.000	1.000	
χ_{min}	1.000	1.000	1.000	1.000	

Vnitřní síly od jednotlivých skupin zatěžovacích stavů

SKUPINA ZATĚŽOVACÍCH STAVŮ — CHARAKTERISTICKÉ HODNOTY — DÍLČÍ SOUČINITELÉ ZATÍŽENÍ, DYNAMICKÝ SOUČINITEL — NÁVRHOVÉ HODNOTY

Č.	SKUP ZS	POPIS ZS	KAT.	FÁZE PRŮŘ.	N.k (kN)	Vy.k (kN)	Vz.k (kN)	Mx.k (kNm)	My.k (kNm)	Mz.k (kNm)	γ_{sd} (-)	γ_{fs} (-)	volba γ_f hledat	γ_f (-)	L_d (m)	δ (-)	Ψ_s KZ04	N.d (kN)	Vy.d (kN)	Vz.d (kN)	ΔVz.d (kN)	ΣVz.d (kN)	Mx.d (kNm)	My.d (kNm)	ΔMy.d (kNm)	ΣMy.d (kNm)	Mz.d (kNm)	ΔMz.d (kNm)	ΣMz.d (kNm)
1	G0	Vlastní tíha OK	G	0	-12	1	0	0	1	0	1.00	1.00		1.00	-	1.00	0.95	-11	1	0	0	0	0	1	0	1	0	0	0
2	G1	Ostatní stálé - mostní vybavení	G	0	0	0	0	0	0	0	1.00	1.00		1.00	-	1.00	0.95	0	0	0	0	0	0	0	0	0	0	0	0
3	G2	Ostatní stálé - cizí zařízení	G	0	1	0	0	0	0	0	1.00	1.20		1.20	-	1.00	0.95	1	0	0	0	0	0	0	0	0	0	0	0
4	P1_71	a.LM71 - kolej 1 (bez dyn. souč.)	P	0	61	0	1	0	1	0	1.00	1.30		1.30	-	1.00	1.00	79	0	1	0	1	0	2	0	2	0	0	0
5	P2_71	a.LM71 - kolej 2 (bez dyn. souč.)	P	0	149	0	2	0	-3	0	1.00	1.30		1.30	-	1.00	1.00	194	0	2	0	2	0	-3	0	-3	0	0	0
6	P1_C3	TTZ C3 - kolej 1 (bez dyn. souč.)	P	0	48	0	1	0	1	0	1.00	vyp.		0.00	-	1.00	0.00	0	0	0	0	0	0	0	0	0	0	0	0
7	P2_C3	TTZ C3 - kolej 2 (bez dyn. souč.)	P	0	119	0	1	0	-2	0	1.00	vyp.		0.00	-	1.00	0.00	0	0	0	0	0	0	0	0	0	0	0	0
8	BR	Brzdné a rozjezdové síly	P	0	3	0	0	0	0	0	1.00	1.30		1.30	-	1.00	0.40	1	0	0	0	0	0	0	0	0	0	0	0
9	S	Boční ráz	P	0	4	0	0	0	-1	0	1.00	1.30		1.30	-	1.00	0.80	4	0	0	0	0	0	-1	0	-1	0	0	0
10	CH	Chodci na lávkách	Q	0	11	0	0	0	0	0	1.00	1.30		1.30	-	1.00	1.00	15	0	0	0	0	0	0	0	0	0	0	0
11	W	Vítr na konstrukci	Q	0	5	0	-1	0	0	0	1.00	1.35		1.35	-	1.00	0.75	5	0	-1	0	-1	0	0	0	0	0	0	0
12	WP	Vítr na vozidla	Q	0	11	0	0	0	-4	0	1.00	1.35		1.35	-	1.00	0.75	11	0	0	0	0	0	-4	0	-4	0	0	0
13	TR	Teplota rovnoměrná	Q	0	0	0	0	0	0	0	1.00	1.35		1.35	-	1.00	0.45	0	0	0	0	0	0	0	0	0	0	0	0
14	TN	Teplota nerovnoměrná	Q	0	42	0	0	0	0	0	1.00	1.35		1.35	-	1.00	0.60	34	0	0	0	0	0	0	0	0	0	0	0
15	FR	Třecí síly v ložiskách	Q	0	1	0	0	0	0	0	1.00	1.20		1.20	-	1.00	1.00	2	0	0	0	0	0	0	0	0	0	0	0
16	I	Imperfekce soustavy	Q	0	0	0	0	0	0	0	1.00	1.20		1.20	-	1.00	1.00	0	0	0	0	0	0	-1	0	-1	0	0	0
27	ULS_LM	ULS - LM71 bez dynam	Q	0	334	1	2	0	-8	0	1.00	vyp.		0.00	-	1.00	0.00	0	0	0	0	0	0	0	0	0	0	0	0
28	SLS_LM	SLS - LM71 bez dynam	Q	0	229	1	2	0	-6	0	1.00	vyp.	1	0.00	-	1.00	0.00	0	0	0	0	0	0	0	0	0	0	0	0
29	ULS_C3	ULS - C3 bez dynam	Q	0	279	1	2	0	-8	0	1.00	vyp.	1	0.00	-	1.00	0.00	0	0	0	0	0	0	0	0	0	0	0	0
30	SLS_C3	SLS - C3 bez dynam	Q	0	187	1	1	0	-5	0	1.00	vyp.	1	0.00	-	1.00	0.00	0	0	0	0	0	0	0	0	0	0	0	0
		CELKEM - FÁZE PRŮŘEZU 0																335	1	2	0	2	0	-8	0	-8	0	0	0
		CELKEM - FÁZE PRŮŘEZU 1																0	0	0	0	0	0	0	0	0	0	0	0
		CELKEM - FÁZE PRŮŘEZU 2																0	0	0	0	0	0	0	0	0	0	0	0
		CELKEM - FÁZE PRŮŘEZU 3																0	0	0	0	0	0	0	0	0	0	0	0
		CELKEM - PRŮŘEZ																335	1	2	0	2	0			-8			0

Napětí od jednotlivých zatěžovacích stavů

SKUPINA ZATĚŽOVACÍCH STAVŮ — Posouzení normálového napětí — Posouzení smykového napětí

					Účinek síly N			Účinek momentu My				Účinek momentu Mz					Účinek kroutícího momentu Mx					Účinek smykové síly Vy				Účinek smykové síly Vz			
Č.	SKUP ZS	Popis ZS	Kat.	fáze prúř.	δ^*N_d [kN]	χ^*A [mm^2]	σ_n [MPa]	$\delta^*M_{y,d}$ [kNm]	$\chi_{lt}{}^*W_{el,y}$ [mm^3]	σ_{my} [MPa]	$\delta^*M_{z,d}$ [kNm]	$W_{el,z}$ [mm^3]	σ_{mz} [MPa]	σ_x [MPa]	$\kappa^*\delta^*M_{x,d}$ [kNm]	$W_{v,y}$ [mm^3]	$\tau_{x,y}$ [MPa]	$W_{v,z}$ [mm^3]	$\tau_{x,z}$ [MPa]	$\delta^*V_{y,d}$ [kN]	$A_{v,y}$ [mm2]	$\tau_{v,y}$ [MPa]	$\tau_{v,y}$ [MPa]	$\delta^*V_{z,d}$ [kN]	$A_{v,z}$ [mm2]	$\tau_{v,z}$ [MPa]	$\tau_{v,z}$ [MPa]
1	G0	Vlastní tíha OK	G	0	-11.0	3.37E+03	-3.3	0.6	-3.76E+05	-1.7	0.0	5.88E+04	-0.2	-5.1	0.0E+00	-	-	-	-	0.5	1.96E+03	0.3	0.3	-0.2	1.41E+03	-0.2	-0.2
2	G1	Ostatní stálé - mostní vybavení	G	0	0.3	3.37E+03	0.1	0.1	-3.76E+05	-0.3	0.0	5.88E+04	0.0	-0.2	0.0E+00	-	-	-	-	0.0	1.96E+03	0.0	0.0	0.0	1.41E+03	0.0	0.0
3	G2	Ostatní stálé - cizí zařízení	G	0	0.7	3.37E+03	0.2	0.0	-3.76E+05	0.1	0.0	5.88E+04	0.0	0.3	0.0E+00	-	-	-	-	0.0	1.96E+03	0.0	0.0	0.0	1.41E+03	0.0	0.0
4	P1_71	a.LM71 - kolej 1 (bez dyn. souč.)	P	0	78.7	3.37E+03	23.4	1.6	-3.76E+05	-4.3	0.0	5.88E+04	0.0	19.1	0.0E+00	-	-	-	-	0.0	1.96E+03	0.0	0.0	1.5	1.41E+03	1.0	1.0
5	P2_71	a.LM71 - kolej 2 (bez dyn. souč.)	P	0	193.8	3.37E+03	57.6	-3.4	-3.76E+05	9.1	0.0	5.88E+04	0.4	67.2	0.0E+00	-	-	-	-	0.0	1.96E+03	0.0	0.0	2.1	1.41E+03	1.5	1.5
6	P1_C3	TTZ C3 - kolej 1 (bez dyn. souč.)	P	0	0.0	3.37E+03	0.0	0.0	-3.76E+05	0.0	0.0	5.88E+04	0.0	0.0	0.0E+00	-	-	-	-	0.0	1.96E+03	0.0	0.0	0.0	1.41E+03	0.0	0.0
7	P2_C3	TTZ C3 - kolej 2 (bez dyn. souč.)	P	0	0.0	3.37E+03	0.0	0.0	-3.76E+05	0.0	0.0	5.88E+04	0.0	0.0	0.0E+00	-	-	-	-	0.0	1.96E+03	0.0	0.0	0.0	1.41E+03	0.0	0.0
8	BR	Brzdné a rozjezdové síly	P	0	1.4	3.37E+03	0.4	0.1	-3.76E+05	-0.1	0.0	5.88E+04	-0.1	0.2	0.0E+00	-	-	-	-	0.0	1.96E+03	0.0	0.0	0.0	1.41E+03	0.0	0.0
9	S	Boční ráz	P	0	4.3	3.37E+03	1.3	-1.3	-3.76E+05	3.4	0.0	5.88E+04	0.0	4.7	0.0E+00	-	-	-	-	0.0	1.96E+03	0.0	0.0	-0.1	1.41E+03	0.0	0.0
10	CH	Chodci na lávkách	Q	0	14.5	3.37E+03	4.3	0.1	-3.76E+05	-0.3	0.0	5.88E+04	0.0	4.0	0.0E+00	-	-	-	-	0.0	1.96E+03	0.0	0.0	-0.1	1.41E+03	-0.1	-0.1
11	W	Vítr na konstrukci	Q	0	4.8	3.37E+03	1.4	-0.3	-3.76E+05	0.8	0.0	5.88E+04	0.0	2.2	0.0E+00	-	-	-	-	0.0	1.96E+03	0.0	0.0	-1.0	1.41E+03	-0.7	-0.7
12	WP	Vítr na vozidla	Q	0	11.5	3.37E+03	3.4	-4.4	-3.76E+05	11.6	0.0	5.88E+04	0.2	15.2	0.0E+00	-	-	-	-	0.0	1.96E+03	0.0	0.0	0.3	1.41E+03	0.2	0.2
13	TR	Teplota rovnoměrná	Q	0	0.0	3.37E+03	0.0	0.0	-3.76E+05	0.0	0.0	5.88E+04	0.0	0.0	0.0E+00	-	-	-	-	0.0	1.96E+03	0.0	0.0	0.0	1.41E+03	0.0	0.0
14	TN	Teplota nerovnoměrná	Q	0	33.9	3.37E+03	10.1	-0.2	-3.76E+05	0.5	0.0	5.88E+04	0.7	11.2	0.0E+00	-	-	-	-	0.0	1.96E+03	0.0	0.0	0.0	1.41E+03	0.0	0.0
15	FR	Třecí síly v ložiskách	Q	0	1.6	3.37E+03	0.5	0.0	-3.76E+05	0.0	0.0	5.88E+04	0.0	0.5	0.0E+00	-	-	-	-	0.0	1.96E+03	0.0	0.0	0.0	1.41E+03	0.0	0.0
16	I	Imperfekce soustavy	Q	0	0.1	3.37E+03	0.0	-0.5	-3.76E+05	1.4	0.0	5.88E+04	0.0	1.5	0.0E+00	-	-	-	-	0.0	1.96E+03	0.0	0.0	0.0	1.41E+03	0.0	0.0
27	ULS_LM	ULS - LM71 bez dynam	Q	0	0.0	3.37E+03	0.0	0.0	-3.76E+05	0.0	0.0	5.88E+04	0.0	0.0	0.0E+00	-	-	-	-	0.0	1.96E+03	0.0	0.0	0.0	1.41E+03	0.0	0.0
28	SLS_LM	SLS - LM71 bez dynam	Q	0	0.0	3.37E+03	0.0	0.0	-3.76E+05	0.0	0.0	5.88E+04	0.0	0.0	0.0E+00	-	-	-	-	0.0	1.96E+03	0.0	0.0	0.0	1.41E+03	0.0	0.0
29	ULS_C3	ULS - C3 bez dynam	Q	0	0.0	3.37E+03	0.0	0.0	-3.76E+05	0.0	0.0	5.88E+04	0.0	0.0	0.0E+00	-	-	-	-	0.0	1.96E+03	0.0	0.0	0.0	1.41E+03	0.0	0.0
30	SLS_C3	SLS - C3 bez dynam	Q	0	0.0	3.37E+03	0.0	0.0	-3.76E+05	0.0	0.0	5.88E+04	0.0	0.0	0.0E+00	-	-	-	-	0.0	1.96E+03	0.0	0.0	0.0	1.41E+03	0.0	0.0
NAVÝŠENÍ NAPĚTÍ DO AKTIVACE TLAKU V DESCE MOSTOVKY						$\sigma_{P,red}$	0.0							0.0			0.0		0.0			0.3	0.3			1.7	1.7
NAPĚTÍ OD PRIMÁRNÍCH ÚČINKŮ NEROVNOMĚRNÉHO OTEPLENÍ						σ_T	0.0							0.0													
NAPĚTÍ OD REOLOGICKÝCH ÚČINKŮ BETONU V ČASE				t=0		σ_R	0.0	γ=	1.20					0.0													
NAPĚTÍ V KRITICKÝCH VLÁKNECH OD KOMBINACE ZATÍŽENÍ						KZ04		[MPa]					$\Sigma\sigma_x$	120.7								$\Sigma\tau_y$	0.3			$\Sigma\tau_z$	1.7
NAPĚTÍ OD POHYBLIVÉHO ZATÍŽENÍ								[MPa]					$\sigma_{x,P}$	91.2								τ_P	0.0			τ_P	2.5
NAPĚTÍ OD OSTATNÍCH ZATÍŽENÍ								[MPa]			Φ_{Vy}	Φ_{Vz}	$\sigma_{x,rs}$	29.5								τ_{rs}	0.3			τ_{rs}	-0.7
NÁVRHOVÁ HODNOTA MEZE KLUZU S REDUKCÍ VLIVEM SMYKOVÉHO NAPĚTÍ								[MPa]			1.00	1.00	$f_{yw,d}$	209.1								$f_{yd}/3^{0,5}$	120.7			$f_{yd}/3^{0,5}$	120.7
NAPĚTÍ OD POHYBLIVÉHO ZATÍŽENÍ V GLOBÁLNÍM SYSTÉMU						$\sigma_{GLOB,P}$	0.0	[MPa]					$\Sigma\sigma_{GLOB}$	0.0													
NAPĚTÍ OD OSTATNÍCH ZATÍŽENÍ V GLOBÁLNÍM SYSTÉMU						$\sigma_{GLOB,rs}$	0.0	[MPa]					$\Sigma\sigma_x + \Sigma\sigma_{GLOB}$	120.7													
VYUŽITÍ PRŮŘEZU DLE NAPĚTÍ								[%]					η_1	0.58								η_3	0.00			η_3	0.01
NAPĚTÍ V PŘÍČNÉM SMĚRU OD POHYBLIVÉHO ZATÍŽENÍ						$\sigma_{z,P}$	0.0	[MPa]					$\Sigma\sigma_z$	0.0													
NAPĚTÍ V PŘÍČNÉM SMĚRU OD OSTATNÍCH ZATÍŽENÍ						$\sigma_{z,rs}$	0.0	[MPa]					η_2	0.00													
SROVNÁVACÍ NAPĚTÍ													$(\eta_2 + 0,8\,\eta_1)/1,4 =$	0.33													
VYUŽITÍ PRŮŘEZU CELKEM								[%]					eff	0.58	VYHOVUJE												
													z_{LM71} =	1.97													

TAB.D.10.2.3 POSOUZENÍ - MEZNÍ STAV ÚNOSNOSTI

POPIS	DIAGONÁLA D10
PRUT / POLOHA BODU	200 / J[200]
NAMÁHÁNÍ	N.max
VLÁKNO	BOD K4 -SP
MEZNÍ STAV	ULS (MSÚ)
VYUŽITÍ VLÁKNA PRŮŘEZU	0.49

Charakteristiky materiálu				
pás. horní	$f_{yf,k}$	230	MPa	
pás. dolní	$f_{yf,k}$	230	MPa	
stojina	$f_{yw,k}$	230	MPa	
výztuž	$f_{ys,k}$	500	MPa	
	γ_M =	1.10	γ_s =	1.15

Excentricita normálové síly				
Exc./Fáze	0	1	2	3
e_y	0.000	0.000	0.000	0.000
e_z	0.000	0.000	0.000	0.000
Ekvivalentní vzdál. stěn - příčný roznos				
b_{Mx}	0.000	0.000	0.000	0.000

Vliv stěny na únosnost průřezu				
Char./Fáze	0	1	2	3
A	0.00	0.00	0.00	0.00
Wy	0.00	0.00	0.00	0.00
Wz	0.00	0.00	0.00	0.00

Charakter. v kroucení			
$t_{w,y}$	0.000	[mm]	
$t_{w,z}$	0.000	[mm]	
κ	1.00		
I_t=	0.00E+00	[mm^4]	
$\Omega=2*A_{pr}$	0.00E+00	[mm^2]	

Součinitele vzpěru a vlivu II.řádu					
Char./Fáze	0	1	2	3
k_y	1.000	1.000	1.000	1.000
k_z	1.000	1.000	1.000	1.000
χ_{LT}	1.000	1.000	1.000	1.000
χ_{min}	1.000	1.000	1.000	1.000

Vnitřní síly od jednotlivých skupin zatěžovacích stavů — 3

SKUPINA ZATĚŽOVACÍCH STAVŮ					- CHARAKTERISTICKÉ HODNOTY						DÍLČÍ SOUČINITELÉ ZATÍŽENÍ, DYNAMICKÝ SOUČINITEL							- NÁVRHOVÉ HODNOTY									
Č.	SKUP ZS	POPIS ZS	KAT.	FÁZE PRŮŘ.	N.k (kN)	Vy.k (kN)	Vz.k (kN)	Mx.k (kNm)	My.k (kNm)	Mz.k (kNm)	γ_{sr} (-)	γ_{fs} (-)	volba ψ_i hledat	ψ_i (-)	L_d (m)	δ (-)	Ψ_z KZ03	N.d (kN)	Vy.d (kN)	Vz.d (kN)	ΔVz.d (kN)	ΣVz.d (kN)	Mx.d (kNm)	My.d (kNm)	ΔMy.d (kNm)	ΣMy.d (kNm)	Mz.d (kNm)	ΔMz.d (kNm)	ΣMz.d (kNm)
1	G0	Vlastní tíha OK	G	0	-12	1	0	0	1	0	1.00	1.00		1.00	-	1.00	0.95	-11	1	0	0	0	0	1	0	1	0	0	0
2	G1	Ostatní stálé - mostní vybavení	G	0	0	0	0	0	0	0	1.00	1.20		1.20	-	1.00	0.95	0	0	0	0	0	0	0	0	0	0	0	0
3	G2	Ostatní stálé - cizí zařízení	G	0	1	0	0	0	0	0	1.00	1.20		1.20	-	1.00	0.95	1	0	0	0	0	0	0	0	0	0	0	0
4	P1_71	a.LM71 - kolej 1 (bez dyn. souč.)	P	0	61	0	1	0	1	0	1.00	1.30		1.30	-	1.00	1.00	79	0	1	0	1	0	2	0	2	0	0	0
5	P2_71	a.LM71 - kolej 2 (bez dyn. souč.)	P	0	149	0	2	0	-3	0	1.00	1.30		1.30	-	1.00	1.00	194	0	2	0	2	0	-3	0	-3	0	0	0
6	P1_C3	TTZ C3 - kolej 1 (bez dyn. souč.)	P	0	48	0	1	0	1	0	1.00	vyp.		0.00	-	1.00	0.00	0	0	0	0	0	0	0	0	0	0	0	0
7	P2_C3	TTZ C3 - kolej 2 (bez dyn. souč.)	P	0	119	0	1	0	-2	0	1.00	vyp.		0.00	-	1.00	0.00	0	0	0	0	0	0	0	0	0	0	0	0
8	BR	Brzdné a rozjezdové síly	P	0	3	0	0	0	0	0	1.00	1.30		1.30	-	1.00	0.80	3	0	0	0	0	0	0	0	0	0	0	0
9	S	Boční ráz	P	0	4	0	0	0	-1	0	1.00	0.00		0.00	-	1.00	0.40	0	0	0	0	0	0	0	0	0	0	0	0
10	CH	Chodci na lávkách	Q	0	11	0	0	0	0	0	1.00	1.30		1.30	-	1.00	1.00	15	0	0	0	0	0	0	0	0	0	0	0
11	W	Vítr na konstrukci	Q	0	5	0	-1	0	0	0	1.00	1.35		1.35	-	1.00	0.75	5	0	-1	0	-1	0	0	0	0	0	0	0
12	WP	Vítr na vozidla	Q	0	11	0	0	0	-4	0	1.00	-1.35		-1.35	-	1.00	0.75	-11	0	0	0	0	0	4	0	4	0	0	0
13	TR	Teplota rovnoměrná	Q	0	0	0	0	0	0	0	1.00	1.35		1.35	-	1.00	0.45	0	0	0	0	0	0	0	0	0	0	0	0
14	TN	Teplota nerovnoměrná	Q	0	42	0	0	0	0	0	1.00	1.35		1.35	-	1.00	0.60	34	0	0	0	0	0	0	0	0	0	0	0
15	FR	Třecí síly v ložiskách	Q	0	1	0	0	0	0	0	1.00	1.20		1.20	-	1.00	1.00	2	0	0	0	0	0	0	0	0	0	0	0
16	I	Imperfekce soustavy	Q	0	0	0	0	0	0	0	1.00	-1.20		-1.20	-	1.00	1.00	0	0	0	0	0	0	1	0	1	0	0	0
27	ULS_LM	ULS - LM71 bez dynam	Q	0	334	1	2	0	-8	0	1.00	vyp.	1	0.00	-	1.00	0.00	0	0	0	0	0	0	0	0	0	0	0	0
28	SLS_LM	SLS - LM71 bez dynam	Q	0	229	1	2	0	-6	0	1.00	vyp.	1	0.00	-	1.00	0.00	0	0	0	0	0	0	0	0	0	0	0	0
29	ULS_C3	ULS - C3 bez dynam	Q	0	279	1	2	0	-8	0	1.00	vyp.	1	0.00	-	1.00	0.00	0	0	0	0	0	0	0	0	0	0	0	0
30	SLS_C3	SLS - C3 bez dynam	Q	0	187	1	1	0	-5	0	1.00	vyp.	1	0.00	-	1.00	0.00	0	0	0	0	0	0	0	0	0	0	0	0
		CELKEM - FÁZE PRŮŘEZU 0																309	1	2	0	2	0	4	0	4	0	0	0
		CELKEM - FÁZE PRŮŘEZU 1																0	0	0	0	0	0	0	0	0	0	0	0
		CELKEM - FÁZE PRŮŘEZU 2																0	0	0	0	0	0	0	0	0	0	0	0
		CELKEM - FÁZE PRŮŘEZU 3																0	0	0	0	0	0	0	0	0	0	0	0
		CELKEM - PRŮŘEZ																309	1	2	0	2	0			4			0

Napětí od jednotlivých zatěžovacích stavů

SKUPINA ZATĚŽOVACÍCH STAVŮ					Posouzení normálového napětí									Posouzení smykového napětí													
					Účinek síly N			Účinek momentu My			Účinek momentu Mz						Účinek kroutícího momentu Mx				Účinek smykové síly Vy				Účinek smykové síly Vz			
Č.	SKUP ZS	Popis ZS	Kat.	fáze prúř.	δ^*N_d [kN]	χ^*A [mm^2]	σ_n [MPa]	$\delta^*M_{y,d}$ [kNm]	$\chi_{lt}*W_{el,y}$ [mm^3]	σ_{my} [MPa]	$\delta^*M_{z,d}$ [kNm]	$W_{el,z}$ [mm^3]	σ_{mz} [MPa]	σ_x [MPa]	$\kappa*\delta^*M_{x,d}$ [kNm]	$W_{v,y}$ [mm^2]	$\tau_{x,y}$ [MPa]	$W_{v,z}$ [mm^2]	$\tau_{x,z}$ [MPa]	$\delta^*V_{y,d}$ [kN]	$A_{v,y}$ [mm2]	$\tau_{v,y}$ [MPa]	$\tau_{v,y}$ [MPa]	$\delta^*V_{z,d}$ [kN]	$A_{v,z}$ [mm2]	$\tau_{v,z}$ [MPa]	$\tau_{v,z}$ [MPa]
1	G0	Vlastní tíha OK	G	0	-11.0	3.37E+03	-3.3	0.6	3.76E+05	1.7	0.0	5.88E+04	-0.2	-1.7	0.0E+00	-	-	-	-	0.5	1.96E+03	0.3	0.3	-0.2	1.41E+03	-0.2	-0.2
2	G1	Ostatní stálé - mostní vybavení	G	0	0.4	3.37E+03	0.1	0.1	3.76E+05	0.3	0.0	5.88E+04	0.0	0.4	0.0E+00	-	-	-	-	0.0	1.96E+03	0.0	0.0	0.0	1.41E+03	0.0	0.0
3	G2	Ostatní stálé - cizí zařízení	G	0	0.7	3.37E+03	0.2	0.0	3.76E+05	-0.1	0.0	5.88E+04	0.0	0.1	0.0E+00	-	-	-	-	0.0	1.96E+03	0.0	0.0	0.0	1.41E+03	0.0	0.0
4	P1_71	a.LM71 - kolej 1 (bez dyn. souč.)	P	0	78.7	3.37E+03	23.4	1.6	3.76E+05	4.3	0.0	5.88E+04	0.0	27.6	0.0E+00	-	-	-	-	0.0	1.96E+03	0.0	0.0	1.5	1.41E+03	1.0	1.0
5	P2_71	a.LM71 - kolej 2 (bez dyn. souč.)	P	0	193.8	3.37E+03	57.6	-3.4	3.76E+05	-9.1	0.0	5.88E+04	0.4	48.9	0.0E+00	-	-	-	-	0.0	1.96E+03	0.0	0.0	2.1	1.41E+03	1.5	1.5
6	P1_C3	TTZ C3 - kolej 1 (bez dyn. souč.)	P	0	0.0	3.37E+03	0.0	0.0	3.76E+05	0.0	0.0	5.88E+04	0.0	0.0	0.0E+00	-	-	-	-	0.0	1.96E+03	0.0	0.0	0.0	1.41E+03	0.0	0.0
7	P2_C3	TTZ C3 - kolej 2 (bez dyn. souč.)	P	0	0.0	3.37E+03	0.0	0.0	3.76E+05	0.0	0.0	5.88E+04	0.0	0.0	0.0E+00	-	-	-	-	0.0	1.96E+03	0.0	0.0	0.0	1.41E+03	0.0	0.0
8	BR	Brzdné a rozjezdové síly	P	0	2.9	3.37E+03	0.9	0.1	3.76E+05	0.3	0.0	5.88E+04	-0.2	1.0	0.0E+00	-	-	-	-	0.0	1.96E+03	0.0	0.0	-0.1	1.41E+03	0.0	0.0
9	S	Boční ráz	P	0	0.0	3.37E+03	0.0	0.0	3.76E+05	0.0	0.0	5.88E+04	0.0	0.0	0.0E+00	-	-	-	-	0.0	1.96E+03	0.0	0.0	0.0	1.41E+03	0.0	0.0
10	CH	Chodci na lávkách	Q	0	14.5	3.37E+03	4.3	0.1	3.76E+05	0.3	0.0	5.88E+04	0.0	4.7	0.0E+00	-	-	-	-	0.0	1.96E+03	0.0	0.0	-0.1	1.41E+03	-0.1	-0.1
11	W	Vítr na konstrukci	Q	0	4.8	3.37E+03	1.4	-0.3	3.76E+05	-0.8	0.0	5.88E+04	0.0	0.6	0.0E+00	-	-	-	-	0.0	1.96E+03	0.0	0.0	-1.0	1.41E+03	-0.7	-0.7
12	WP	Vítr na vozidla	Q	0	-11.5	3.37E+03	-3.4	4.4	3.76E+05	11.6	0.0	5.88E+04	-0.2	8.0	0.0E+00	-	-	-	-	0.0	1.96E+03	0.0	0.0	-0.3	1.41E+03	-0.2	-0.2
13	TR	Teplota rovnoměrná	Q	0	0.0	3.37E+03	0.0	0.0	3.76E+05	0.0	0.0	5.88E+04	0.0	0.0	0.0E+00	-	-	-	-	0.0	1.96E+03	0.0	0.0	0.0	1.41E+03	0.0	0.0
14	TN	Teplota nerovnoměrná	Q	0	33.9	3.37E+03	10.1	-0.2	3.76E+05	-0.5	0.0	5.88E+04	0.7	10.3	0.0E+00	-	-	-	-	0.0	1.96E+03	0.0	0.0	0.0	1.41E+03	0.0	0.0
15	FR	Třecí síly v ložiskách	Q	0	1.6	3.37E+03	0.5	0.0	3.76E+05	0.0	0.0	5.88E+04	0.0	0.5	0.0E+00	-	-	-	-	0.0	1.96E+03	0.0	0.0	0.0	1.41E+03	0.0	0.0
16	I	Imperfekce soustavy	Q	0	-0.1	3.37E+03	0.0	0.5	3.76E+05	1.4	0.0	5.88E+04	0.0	1.4	0.0E+00	-	-	-	-	0.0	1.96E+03	0.0	0.0	0.0	1.41E+03	0.0	0.0
27	ULS_LM	ULS - LM71 bez dynam	Q	0	0.0	3.37E+03	0.0	0.0	3.76E+05	0.0	0.0	5.88E+04	0.0	0.0	0.0E+00	-	-	-	-	0.0	1.96E+03	0.0	0.0	0.0	1.41E+03	0.0	0.0
28	SLS_LM	SLS - LM71 bez dynam	Q	0	0.0	3.37E+03	0.0	0.0	3.76E+05	0.0	0.0	5.88E+04	0.0	0.0	0.0E+00	-	-	-	-	0.0	1.96E+03	0.0	0.0	0.0	1.41E+03	0.0	0.0
29	ULS_C3	ULS - C3 bez dynam	Q	0	0.0	3.37E+03	0.0	0.0	3.76E+05	0.0	0.0	5.88E+04	0.0	0.0	0.0E+00	-	-	-	-	0.0	1.96E+03	0.0	0.0	0.0	1.41E+03	0.0	0.0
30	SLS_C3	SLS - C3 bez dynam	Q	0	0.0	3.37E+03	0.0	0.0	3.76E+05	0.0	0.0	5.88E+04	0.0	0.0	0.0E+00	-	-	-	-	0.0	1.96E+03	0.0	0.0	0.0	1.41E+03	0.0	0.0
NAVÝŠENÍ NAPĚTÍ DO AKTIVACE TLAKU V DESCE MOSTOVKY						$\sigma_{P,red}$	0.0							0.0			0.0		0.0				0.3	0.3			1.3	1.3
NAPĚTÍ OD PRIMÁRNÍCH ÚČINKŮ NEROVNOMĚRNÉHO OTEPLENÍ						σ_T	0.0							0.0														
NAPĚTÍ OD REOLOGICKÝCH ÚČINKŮ BETONU V ČASE				t=0		σ_R	0.0	γ=	1.20					0.0														
NAPĚTÍ V KRITICKÝCH VLÁKNECH OD KOMBINACE ZATÍŽENÍ						KZ03		[MPa]					$\Sigma\sigma_x$	101.8								$\Sigma\tau_y$	0.3				$\Sigma\tau_z$	1.3
NAPĚTÍ OD POHYBLIVÉHO ZATÍŽENÍ								[MPa]					$\sigma_{x,P}$	77.5								τ_P	0.0				τ_P	2.5
NAPĚTÍ OD OSTATNÍCH ZATÍŽENÍ								[MPa]			Φ_{Vy}	Φ_{Vz}	$\sigma_{x,rs}$	24.3								τ_{rs}	0.3				τ_{rs}	-1.2
NÁVRHOVÁ HODNOTA MEZE KLUZU S REDUKCÍ VLIVEM SMYKOVÉHO NAPĚTÍ								[MPa]			1.00	1.00	$f_{yw,d}$	209.1								$f_{yd}/3^{0,5}$	120.7				$f_{yd}/3^{0,5}$	120.7
NAPĚTÍ OD POHYBLIVÉHO ZATÍŽENÍ V GLOBÁLNÍM SYSTÉMU						$\sigma_{GLOB,P}$	0.0	[MPa]					$\Sigma\sigma_{GLOB}$	0.0														
NAPĚTÍ OD OSTATNÍCH ZATÍŽENÍ V GLOBÁLNÍM SYSTÉMU						$\sigma_{GLOB,rs}$	0.0	[MPa]					$\Sigma\sigma_x + \Sigma\sigma_{GLOB}$	101.8														
VYUŽITÍ PRŮŘEZU DLE NAPĚTÍ								[%]					η_1	0.49								η_3	0.00				η_3	0.01
NAPĚTÍ V PŘÍČNÉM SMĚRU OD POHYBLIVÉHO ZATÍŽENÍ						$\sigma_{z,P}$	0.0	[MPa]					$\Sigma\sigma_z$	0.0														
NAPĚTÍ V PŘÍČNÉM SMĚRU OD OSTATNÍCH ZATÍŽENÍ						$\sigma_{z,rs}$	0.0	[MPa]					η_2	0.00														
SROVNÁVACÍ NAPĚTÍ													$(\eta_2 + 0,8\,\eta_1)/1,4$ =	0.28														
VYUŽITÍ PRŮŘEZU CELKEM								[%]					eff	0.49	VYHOVUJE													
													z_{LM71} =	2.38														

TAB.D.10.2.3 POSOUZENÍ - MEZNÍ STAV ÚNOSNOSTI

POPIS	DIAGONÁLA D10
PRUT / POLOHA BODU	200 / J[200]
NAMÁHÁNÍ	Vz.min
VLÁKNO	BOD S6 -HP
MEZNÍ STAV	ULS (MSÚ)
VYUŽITÍ VLÁKNA PRŮŘEZU	0.20

Charakteristiky materiálu				
pás. horní	$f_{yf,k}$	230	MPa	
pás. dolní	$f_{yf,k}$	230	MPa	
stojina	$f_{yw,k}$	230	MPa	
výztuž	$f_{ys,k}$	500	MPa	
γ_M =	1.20	γ_s =	1.15	

Excentricita normálové síly				
Exc./Fáze	0	1	2	3
e_y	0.000	0.000	0.000	0.000
e_z	0.000	0.000	0.000	0.000
Ekvivalentní vzdál. stěn - příčný roznos				
b_{Mx}	0.000	0.000	0.000	0.000

Vliv stěny na únosnost průřezu				
Char./Fáze	0	1	2	3
A	0.00	0.00	0.00	0.00
Wy	0.00	0.00	0.00	0.00
Wz	0.00	0.00	0.00	0.00

Charakter. v kroucení			
$t_{w,y}$	0.000	[mm]	
$t_{w,z}$	0.000	[mm]	
κ	1.00		
I_t=	0.00E+00	[mm^4]	
$\Omega=2*A_{pr}$	0.00E+00	[mm^2]	

Součinitele vzpěru a vlivu II.řádu				
Char./Fáze	0	1	2	3
k_y	1.000	1.000	1.000	1.000
k_z	1.000	1.000	1.000	1.000
χ_{LT}	1.000	1.000	1.000	1.000
χ_{min}	1.000	1.000	1.000	1.000

Vnitřní síly od jednotlivých skupin zatěžovacích stavů

SKUPINA ZATĚŽOVACÍCH STAVŮ					- CHARAKTERISTICKÉ HODNOTY						DÍLČÍ SOUČINITELÉ ZATÍŽENÍ, DYNAMICKÝ SOUČINITEL						4	- NÁVRHOVÉ HODNOTY									
Č.	SKUP ZS	POPIS ZS	KAT.	FÁZE PRŮŘ.	N.k (kN)	Vy.k (kN)	Vz.k (kN)	Mx.k (kNm)	My.k (kNm)	Mz.k (kNm)	γ_{sr} (-)	γ_{sl} (-)	volba ψ_i hledat	ψ_i (-)	L_d (m)	δ (-)	ψ_0 KZ04	N.d (kN)	Vy.d (kN)	Vz.d (kN)	ΔVz.d (kN)	ΣVz.d (kN)	Mx.d (kNm)	My.d (kNm)	ΔMy.d (kNm)	ΣMy.d (kNm)	Mz.d (kNm)	ΔMz.d (kNm)	ΣMz.d (kNm)
1	G0	Vlastní tíha OK	G	0	-12	1	0	0	1	0	1.00	1.20		1.20	-	1.00	0.95	-13	1	0	0	0	0	1	0	1	0	0	0
2	G1	Ostatní stálé - mostní vybavení	G	0	0	0	0	0	0	0	1.00	1.20		1.20	-	1.00	0.95	0	0	0	0	0	0	0	0	0	0	0	0
3	G2	Ostatní stálé - cizí zařízení	G	0	1	0	0	0	0	0	1.00	1.20		1.20	-	1.00	0.95	1	0	0	0	0	0	0	0	0	0	0	0
4	P1_71	a.LM71 - kolej 1 (bez dyn. souč.)	P	0	-34	0	-2	0	8	0	1.00	1.30		1.30	-	1.00	1.00	-45	0	-3	0	-3	0	10	0	10	0	0	0
5	P2_71	a.LM71 - kolej 2 (bez dyn. souč.)	P	0	2	0	-2	0	4	0	1.00	1.30		1.30	-	1.00	1.00	3	0	-3	0	-3	0	5	0	5	0	0	0
6	P1_C3	TTZ C3 - kolej 1 (bez dyn. souč.)	P	0	-30	0	-2	0	6	0	1.00	vyp.		0.00	-	1.00	0.00	0	0	0	0	0	0	0	0	0	0	0	0
7	P2_C3	TTZ C3 - kolej 2 (bez dyn. souč.)	P	0	5	0	-2	0	3	0	1.00	vyp.		0.00	-	1.00	0.00	0	0	0	0	0	0	0	0	0	0	0	0
8	BR	Brzdné a rozjezdové síly	P	0	1	0	0	0	0	0	1.00	1.30		1.30	-	1.00	0.40	0	0	0	0	0	0	0	0	0	0	0	0
9	S	Boční ráz	P	0	-3	0	0	0	2	0	1.00	1.30		1.30	-	1.00	0.80	-3	0	0	0	0	0	2	0	2	0	0	0
10	CH	Chodci na lávkách	Q	0	11	0	0	0	0	0	1.00	1.30		1.30	-	1.00	1.00	15	0	0	0	0	0	0	0	0	0	0	0
11	W	Vítr na konstrukci	Q	0	5	0	-1	0	0	0	1.00	1.35		1.35	-	1.00	0.75	5	0	-1	0	-1	0	0	0	0	0	0	0
12	WP	Vítr na vozidla	Q	0	-11	0	0	0	4	0	1.00	1.35		1.35	-	1.00	0.75	-11	0	0	0	0	0	4	0	4	0	0	0
13	TR	Teplota rovnoměrná	Q	0	0	0	0	0	0	0	1.00	1.35		1.35	-	1.00	0.45	0	0	0	0	0	0	0	0	0	0	0	0
14	TN	Teplota nerovnoměrná	Q	0	-42	0	0	0	3	0	1.00	1.35		1.35	-	1.00	0.60	-34	0	0	0	0	0	2	0	2	0	0	0
15	FR	Třecí síly v ložiskách	Q	0	1	0	0	0	0	0	1.00	1.20		1.20	-	1.00	1.00	2	0	0	0	0	0	0	0	0	0	0	0
16	I	Imperfekce soustavy	Q	0	0	0	0	0	0	0	1.00	1.20		1.20	-	1.00	1.00	0	0	0	0	0	0	1	0	1	0	0	0
27	ULS_LM	ULS - LM71 bez dynam	Q	0	-83	1	-7	0	25	0	1.00	vyp.		0.00	-	1.00	0.00	0	0	0	0	0	0	0	0	0	0	0	0
28	SLS_LM	SLS - LM71 bez dynam	Q	0	-38	1	-6	0	18	0	1.00	vyp.	1	0.00	-	1.00	0.00	0	0	0	0	0	0	0	0	0	0	0	0
29	ULS_C3	ULS - C3 bez dynam	Q	0	-73	1	-6	0	22	0	1.00	vyp.	1	0.00	-	1.00	0.00	0	0	0	0	0	0	0	0	0	0	0	0
30	SLS_C3	SLS - C3 bez dynam	Q	0	-31	1	-5	0	15	0	1.00	vyp.	1	0.00	-	1.00	0.00	0	0	0	0	0	0	0	0	0	0	0	0
		CELKEM - FÁZE PRŮŘEZU 0																-82	1	-7	0	-7	0	25	0	25	0	0	0
		CELKEM - FÁZE PRŮŘEZU 1																0	0	0	0	0	0	0	0	0	0	0	0
		CELKEM - FÁZE PRŮŘEZU 2																0	0	0	0	0	0	0	0	0	0	0	0
		CELKEM - FÁZE PRŮŘEZU 3																0	0	0	0	0	0	0	0	0	0	0	0
		CELKEM - PRŮŘEZ																-82	1	-7	0	-7	0			25			0

Napětí od jednotlivých zatěžovacích stavů

SKUPINA ZATĚŽOVACÍCH STAVŮ					Posouzení normálového napětí										Posouzení smykového napětí													
					Účinek síly N			Účinek momentu My			Účinek momentu Mz				Účinek kroutícího momentu Mx				Účinek smykové síly Vy				Účinek smykové síly Vz			
Č.	SKUP ZS	Popis ZS	Kat.	fáze průř.	δ^*N_d [kN]	χ^*A [mm^2]	σ_n [MPa]	$\delta^*M_{y,d}$ [kNm]	$\chi_{lt}*W_{el,y}$ [mm^3]	σ_{my} [MPa]	$\delta^*M_{z,d}$ [kNm]	$W_{el,z}$ [mm^3]	σ_{mz} [MPa]	σ_x [MPa]	$\kappa*\delta^*M_{x,d}$ [kNm]	$W_{v,y}$ [mm^2]	$\tau_{x,y}$ [MPa]	$W_{v,z}$ [mm^2]	$\tau_{x,z}$ [MPa]	$\delta^*V_{y,d}$ [kN]	$A_{v,y}$ [mm2]	$\tau_{v,y}$ [MPa]	$\tau_{v,y}$ [MPa]	$\delta^*V_{z,d}$ [kN]	$A_{v,z}$ [mm2]	$\tau_{v,z}$ [MPa]	$\tau_{v,z}$ [MPa]
1	G0	Vlastní tíha OK	G	0	-13.2	3.37E+03	-3.9	0.8	3.76E+05	2.1	0.0	-1.23E+06	0.0	-1.8	0.0E+00	-	-	-	-	0.6	1.96E+03	0.3	0.3	-0.3	1.41E+03	-0.2	-0.2
2	G1	Ostatní stálé - mostní vybavení	G	0	0.4	3.37E+03	0.1	0.1	3.76E+05	0.3	0.0	-1.23E+06	0.0	0.4	0.0E+00	-	-	-	-	0.0	1.96E+03	0.0	0.0	0.0	1.41E+03	0.0	0.0
3	G2	Ostatní stálé - cizí zařízení	G	0	0.7	3.37E+03	0.2	0.0	3.76E+05	-0.1	0.0	-1.23E+06	0.0	0.1	0.0E+00	-	-	-	-	0.0	1.96E+03	0.0	0.0	0.0	1.41E+03	0.0	0.0
4	P1_71	a.LM71 - kolej 1 (bez dyn. souč.)	P	0	-44.7	3.37E+03	-13.3	9.8	3.76E+05	26.0	0.0	-1.23E+06	0.0	12.7	0.0E+00	-	-	-	-	0.0	1.96E+03	0.0	0.0	-2.6	1.41E+03	-1.8	-1.8
5	P2_71	a.LM71 - kolej 2 (bez dyn. souč.)	P	0	2.7	3.37E+03	0.8	4.9	3.76E+05	13.1	-0.1	-1.23E+06	0.1	14.0	0.0E+00	-	-	-	-	0.0	1.96E+03	0.0	0.0	-2.6	1.41E+03	-1.8	-1.8
6	P1_C3	TTZ C3 - kolej 1 (bez dyn. souč.)	P	0	0.0	3.37E+03	0.0	0.0	3.76E+05	0.0	0.0	-1.23E+06	0.0	0.0	0.0E+00	-	-	-	-	0.0	1.96E+03	0.0	0.0	0.0	1.41E+03	0.0	0.0
7	P2_C3	TTZ C3 - kolej 2 (bez dyn. souč.)	P	0	0.0	3.37E+03	0.0	0.0	3.76E+05	0.0	0.0	-1.23E+06	0.0	0.0	0.0E+00	-	-	-	-	0.0	1.96E+03	0.0	0.0	0.0	1.41E+03	0.0	0.0
8	BR	Brzdné a rozjezdové síly	P	0	0.4	3.37E+03	0.1	0.1	3.76E+05	0.4	0.0	-1.23E+06	0.0	0.5	0.0E+00	-	-	-	-	0.0	1.96E+03	0.0	0.0	0.0	1.41E+03	0.0	0.0
9	S	Boční ráz	P	0	-3.4	3.37E+03	-1.0	1.8	3.76E+05	4.9	0.0	-1.23E+06	0.0	3.9	0.0E+00	-	-	-	-	0.0	1.96E+03	0.0	0.0	-0.2	1.41E+03	-0.2	-0.2
10	CH	Chodci na lávkách	Q	0	14.5	3.37E+03	4.3	0.1	3.76E+05	0.3	0.0	-1.23E+06	0.0	4.7	0.0E+00	-	-	-	-	0.0	1.96E+03	0.0	0.0	-0.1	1.41E+03	-0.1	-0.1
11	W	Vítr na konstrukci	Q	0	4.8	3.37E+03	1.4	-0.3	3.76E+05	-0.8	0.0	-1.23E+06	0.0	0.6	0.0E+00	-	-	-	-	0.0	1.96E+03	0.0	0.0	-1.0	1.41E+03	-0.7	-0.7
12	WP	Vítr na vozidla	Q	0	-11.5	3.37E+03	-3.4	4.4	3.76E+05	11.6	0.0	-1.23E+06	0.0	8.2	0.0E+00	-	-	-	-	0.0	1.96E+03	0.0	0.0	-0.3	1.41E+03	-0.2	-0.2
13	TR	Teplota rovnoměrná	Q	0	0.0	3.37E+03	0.0	0.0	3.76E+05	0.0	0.0	-1.23E+06	0.0	0.0	0.0E+00	-	-	-	-	0.0	1.96E+03	0.0	0.0	0.0	1.41E+03	0.0	0.0
14	TN	Teplota nerovnoměrná	Q	0	-34.0	3.37E+03	-10.1	2.5	3.76E+05	6.6	0.0	-1.23E+06	0.0	-3.4	0.0E+00	-	-	-	-	0.0	1.96E+03	0.0	0.0	-0.2	1.41E+03	-0.1	-0.1
15	FR	Třecí síly v ložiskách	Q	0	1.6	3.37E+03	0.5	0.0	3.76E+05	0.0	0.0	-1.23E+06	0.0	0.5	0.0E+00	-	-	-	-	0.0	1.96E+03	0.0	0.0	0.0	1.41E+03	0.0	0.0
16	I	Imperfekce soustavy	Q	0	-0.1	3.37E+03	0.0	0.5	3.76E+05	1.4	0.0	-1.23E+06	0.0	1.4	0.0E+00	-	-	-	-	0.0	1.96E+03	0.0	0.0	0.0	1.41E+03	0.0	0.0
27	ULS_LM	ULS - LM71 bez dynam	Q	0	0.0	3.37E+03	0.0	0.0	3.76E+05	0.0	0.0	-1.23E+06	0.0	0.0	0.0E+00	-	-	-	-	0.0	1.96E+03	0.0	0.0	0.0	1.41E+03	0.0	0.0
28	SLS_LM	SLS - LM71 bez dynam	Q	0	0.0	3.37E+03	0.0	0.0	3.76E+05	0.0	0.0	-1.23E+06	0.0	0.0	0.0E+00	-	-	-	-	0.0	1.96E+03	0.0	0.0	0.0	1.41E+03	0.0	0.0
29	ULS_C3	ULS - C3 bez dynam	Q	0	0.0	3.37E+03	0.0	0.0	3.76E+05	0.0	0.0	-1.23E+06	0.0	0.0	0.0E+00	-	-	-	-	0.0	1.96E+03	0.0	0.0	0.0	1.41E+03	0.0	0.0
30	SLS_C3	SLS - C3 bez dynam	Q	0	0.0	3.37E+03	0.0	0.0	3.76E+05	0.0	0.0	-1.23E+06	0.0	0.0	0.0E+00	-	-	-	-	0.0	1.96E+03	0.0	0.0	0.0	1.41E+03	0.0	0.0
NAVÝŠENÍ NAPĚTÍ DO AKTIVACE TLAKU V DESCE MOSTOVKY						$\sigma_{P,red}$	0.0							0.0			0.0		0.0			0.3	0.3			-5.2	-5.2
NAPĚTÍ OD PRIMÁRNÍCH ÚČINKŮ NEROVNOMĚRNÉHO OTEPLENÍ						σ_T	0.0							0.0													
NAPĚTÍ OD REOLOGICKÝCH ÚČINKŮ BETONU V ČASE				t=0		σ_R	0.0	γ=	1.20					0.0													
NAPĚTÍ V KRITICKÝCH VLÁKNECH OD KOMBINACE ZATÍŽENÍ						KZ04		[MPa]					$\Sigma\sigma_x$	41.7								$\Sigma\tau_y$	0.3			$\Sigma\tau_z$	-5.2
NAPĚTÍ OD POHYBLIVÉHO ZATÍŽENÍ								[MPa]					$\sigma_{x,P}$	31.0								τ_P	0.0			τ_P	-3.8
NAPĚTÍ OD OSTATNÍCH ZATÍŽENÍ								[MPa]			Φ_{Vy}	Φ_{Vz}	$\sigma_{x,rs}$	10.6								τ_{rs}	0.3			τ_{rs}	-1.4
NÁVRHOVÁ HODNOTA MEZE KLUZU S REDUKCÍ VLIVEM SMYKOVÉHO NAPĚTÍ								[MPa]			1.00	1.00	$f_{yv,d}$	209.1								$f_{yd}/3^{0,5}$	110.7			$f_{yd}/3^{0,5}$	110.7
NAPĚTÍ OD POHYBLIVÉHO ZATÍŽENÍ V GLOBÁLNÍM SYSTÉMU						$\sigma_{GLOB,P}$	0.0	[MPa]					$\Sigma\sigma_{GLOB}$	0.0													
NAPĚTÍ OD OSTATNÍCH ZATÍŽENÍ V GLOBÁLNÍM SYSTÉMU						$\sigma_{GLOB,rs}$	0.0	[MPa]					$\Sigma\sigma_x + \Sigma\sigma_{GLOB}$	41.7													
VYUŽITÍ PRŮŘEZU DLE NAPĚTÍ								[%]					η_1	0.20								η_3	0.00			η_3	0.05
NAPĚTÍ V PŘÍČNÉM SMĚRU OD POHYBLIVÉHO ZATÍŽENÍ						$\sigma_{z,P}$	0.0	[MPa]					$\Sigma\sigma_z$	0.0													
NAPĚTÍ V PŘÍČNÉM SMĚRU OD OSTATNÍCH ZATÍŽENÍ						$\sigma_{z,rs}$	0.0	[MPa]					η_2	0.00													
SROVNÁVACÍ NAPĚTÍ													$(\eta2 + 0,8\ \eta1)/1,4 =$	0.11													
VYUŽITÍ PRŮŘEZU CELKEM								[%]					eff	0.20	VYHOVUJE												
													z_{LM71} =	6.40													

VÝPOČET PRŮŘEZOVÝCH CHARAKTERISTIK

PRŮŘEZ: V0 **POPIS:** VÝPLŇOVÝ PRUT - V0 - SVISLICE PODPOROVÁ **x =** - **m**

DEFINOVÁNÍ PRŮŘEZU

ŠÍŘKA PÁSNICE ÚHELNÍKU	b f.c.t.l.o =	100	mm	**ÚHELNÍK STŘEDNÍ HORNÍ VNĚJŠÍ LEVÝ**		**C.T.O.L**	
TLOUŠŤKA PÁSNICE ÚHELNÍKU	t f.t.l.o =	12	mm	OSLABENÍ PÁSNICE - TLOUŠŤKA	Δt f.t.l.o =	0	%
VÝŠKA STĚNY ÚHELNÍKU	h w.t.l.o =	88	mm				
TLOUŠŤKA STĚNY ÚHELNÍKU	t w.t.l.o =	12	mm	OSLABENÍ STĚNY - TLOUŠŤKA	Δt w.t.l.o =	0	%
ŠÍŘKA PÁSNICE ÚHELNÍKU	b f.t.r.o =	100	mm	**ÚHELNÍK STŘEDNÍ HORNÍ VNĚJŠÍ PRAVÝ**		**C.T.O.R**	
TLOUŠŤKA PÁSNICE ÚHELNÍKU	t f.t.r.o =	12	mm	OSLABENÍ PÁSNICE - TLOUŠŤKA	Δt f.t.r.o =	0	%
VÝŠKA STĚNY ÚHELNÍKU	h w.t.r.o =	88	mm				
TLOUŠŤKA STĚNY ÚHELNÍKU	t w.t.r.o =	12	mm	OSLABENÍ STĚNY - TLOUŠŤKA	Δt w.t.r.o =	0	%
ŠÍŘKA PÁSNICE ÚHELNÍKU	b f.b.l.o =	100	mm	**ÚHELNÍK STŘEDNÍ HORNÍ VNITŘNÍ LEVÝ**		**C.T.I.L**	
TLOUŠŤKA PÁSNICE ÚHELNÍKU	t f.b.l.o =	12	mm	OSLABENÍ PÁSNICE - TLOUŠŤKA	Δt f.b.l.o =	0	%
VÝŠKA STĚNY ÚHELNÍKU	h w.b.l.o =	88	mm				
TLOUŠŤKA STĚNY ÚHELNÍKU	t w.b.l.o =	12	mm	OSLABENÍ STĚNY - TLOUŠŤKA	Δt w.b.l.o =	0	%
ŠÍŘKA PÁSNICE ÚHELNÍKU	b f.b.r.o =	100	mm	**ÚHELNÍK STŘEDNÍ HORNÍ VNITŘNÍ PRAVÝ**		**C.T.I.R**	
TLOUŠŤKA PÁSNICE ÚHELNÍKU	t f.b.r.o =	12	mm	OSLABENÍ PÁSNICE - TLOUŠŤKA	Δt f.b.r.o =	0	%
VÝŠKA STĚNY ÚHELNÍKU	h w.b.r.o =	88	mm				
TLOUŠŤKA STĚNY ÚHELNÍKU	t w.b.r.o =	12	mm	OSLABENÍ STĚNY - TLOUŠŤKA	Δt w.b.r.o =	0	%
ŠÍŘKA PÁSNICE ÚHELNÍKU	b f.t.l.i =	100	mm	**ÚHELNÍK STŘEDNÍ DOLNÍ VNĚJŠÍ LEVÝ**		**C.B.O.L**	
TLOUŠŤKA PÁSNICE ÚHELNÍKU	t f.t.l.i =	12	mm	OSLABENÍ PÁSNICE - TLOUŠŤKA	Δt f.t.l.i =	0	%
VÝŠKA STĚNY ÚHELNÍKU	h w.t.l.i =	88	mm				
TLOUŠŤKA STĚNY ÚHELNÍKU	t w.t.l.i =	12	mm	OSLABENÍ STĚNY - TLOUŠŤKA	Δt w.t.l.i =	0	%
ŠÍŘKA PÁSNICE ÚHELNÍKU	b f.t.r.i =	100	mm	**ÚHELNÍK STŘEDNÍ DOLNÍ VNĚJŠÍ PRAVÝ**		**C.B.O.R**	
TLOUŠŤKA PÁSNICE ÚHELNÍKU	t f.t.r.i =	12	mm	OSLABENÍ PÁSNICE - TLOUŠŤKA	Δt f.t.r.i =	0	%
VÝŠKA STĚNY ÚHELNÍKU	h w.t.r.i =	88	mm				
TLOUŠŤKA STĚNY ÚHELNÍKU	t w.t.r.i =	12	mm	OSLABENÍ STĚNY - TLOUŠŤKA	Δt w.t.r.i =	0	%
PÁSNICE DOLNÍHO LEVÉHO ÚHELNÍKU	b f.b.l.i =	100	mm	**ÚHELNÍK STŘEDNÍ DOLNÍ VNITŘNÍ LEVÝ**		**C.B.I.L**	
TLOUŠŤKA PÁSNICE ÚHELNÍKU	t f.b.l.i =	12	mm	OSLABENÍ PÁSNICE - TLOUŠŤKA	Δt f.b.l.i =	0	%
VÝŠKA STĚNY ÚHELNÍKU	h w.b.l.i =	88	mm				
TLOUŠŤKA STĚNY ÚHELNÍKU	t w.b.l.i =	12	mm	OSLABENÍ STĚNY - TLOUŠŤKA	Δt w.b.l.i =	0	%
PÁSNICE DOLNÍHO PRAVÉHO ÚHELNÍKU	b f.b.r.i =	100	mm	**ÚHELNÍK STŘEDNÍ DOLNÍ VNITŘNÍ PRAVÝ**		**C.B.I.R**	
TLOUŠŤKA PÁSNICE ÚHELNÍKU	t f.b.r.i =	12	mm	OSLABENÍ PÁSNICE - TLOUŠŤKA	Δt f.b.r.i =	0	%
VÝŠKA STĚNY ÚHELNÍKU	h w.b.r.i =	88	mm				
TLOUŠŤKA STĚNY ÚHELNÍKU	t w.b.r.i =	12	mm	OSLABENÍ STĚNY - TLOUŠŤKA	Δt w.b.r.i =	0	%
ŠÍŘKA PÁSNICE ÚHELNÍKU	b f.t.l.o =	100	mm	**ÚHELNÍK LEVÝ HORNÍ VNĚJŠÍ**		**L.T.O**	
TLOUŠŤKA PÁSNICE ÚHELNÍKU	t f.t.l.o =	12	mm	OSLABENÍ PÁSNICE - TLOUŠŤKA	Δt f.t.l.o =	0	%
VÝŠKA STĚNY ÚHELNÍKU	h w.t.l.o =	88	mm				
TLOUŠŤKA STĚNY ÚHELNÍKU	t w.t.l.o =	12	mm	OSLABENÍ STĚNY - TLOUŠŤKA	Δt w.t.l.o =	0	%
ŠÍŘKA PÁSNICE ÚHELNÍKU	b f.t.l.o =	100	mm	**ÚHELNÍK LEVÝ HORNÍ VNITŘNÍ**		**L.T.I**	
TLOUŠŤKA PÁSNICE ÚHELNÍKU	t f.t.l.o =	12	mm	OSLABENÍ PÁSNICE - TLOUŠŤKA	Δt f.t.l.o =	0	%
VÝŠKA STĚNY ÚHELNÍKU	h w.t.l.o =	88	mm				
TLOUŠŤKA STĚNY ÚHELNÍKU	t w.t.l.o =	12	mm	OSLABENÍ STĚNY - TLOUŠŤKA	Δt w.t.l.o =	0	%
ŠÍŘKA PÁSNICE ÚHELNÍKU	b f.t.l.o =	100	mm	**ÚHELNÍK LEVÝ DOLNÍ VNĚJŠÍ**		**L.B.O**	
TLOUŠŤKA PÁSNICE ÚHELNÍKU	t f.t.l.o =	12	mm	OSLABENÍ PÁSNICE - TLOUŠŤKA	Δt f.t.l.o =	0	%
VÝŠKA STĚNY ÚHELNÍKU	h w.t.l.o =	88	mm				
TLOUŠŤKA STĚNY ÚHELNÍKU	t w.t.l.o =	12	mm	OSLABENÍ STĚNY - TLOUŠŤKA	Δt w.t.l.o =	0	%
ŠÍŘKA PÁSNICE ÚHELNÍKU	b f.t.l.o =	100	mm	**ÚHELNÍK LEVÝ DOLNÍ VNITŘNÍ**		**L.B.I**	
TLOUŠŤKA PÁSNICE ÚHELNÍKU	t f.t.l.o =	12	mm	OSLABENÍ PÁSNICE - TLOUŠŤKA	Δt f.t.l.o =	0	%
VÝŠKA STĚNY ÚHELNÍKU	h w.t.l.o =	88	mm				
TLOUŠŤKA STĚNY ÚHELNÍKU	t w.t.l.o =	12	mm	OSLABENÍ STĚNY - TLOUŠŤKA	Δt w.t.l.o =	0	%
ŠÍŘKA PÁSNICE ÚHELNÍKU	b f.t.l.o =	100	mm	**ÚHELNÍK PRAVÝ HORNÍ VNĚJŠÍ**		**R.T.O**	
TLOUŠŤKA PÁSNICE ÚHELNÍKU	t f.t.l.o =	12	mm	OSLABENÍ PÁSNICE - TLOUŠŤKA	Δt f.t.l.o =	0	%
VÝŠKA STĚNY ÚHELNÍKU	h w.t.l.o =	88	mm				
TLOUŠŤKA STĚNY ÚHELNÍKU	t w.t.l.o =	12	mm	OSLABENÍ STĚNY - TLOUŠŤKA	Δt w.t.l.o =	0	%
ŠÍŘKA PÁSNICE ÚHELNÍKU	b f.t.l.o =	100	mm	**ÚHELNÍK PRAVÝ HORNÍ VNITŘNÍ**		**R.T.I**	
TLOUŠŤKA PÁSNICE ÚHELNÍKU	t f.t.l.o =	12	mm	OSLABENÍ PÁSNICE - TLOUŠŤKA	Δt f.t.l.o =	0	%
VÝŠKA STĚNY ÚHELNÍKU	h w.t.l.o =	88	mm				
TLOUŠŤKA STĚNY ÚHELNÍKU	t w.t.l.o =	12	mm	OSLABENÍ STĚNY - TLOUŠŤKA	Δt w.t.l.o =	0	%
ŠÍŘKA PÁSNICE ÚHELNÍKU	b f.t.l.o =	100	mm	**ÚHELNÍK PRAVÝ DOLNÍ VNĚJŠÍ**		**R.B.O**	
TLOUŠŤKA PÁSNICE ÚHELNÍKU	t f.t.l.o =	12	mm	OSLABENÍ PÁSNICE - TLOUŠŤKA	Δt f.t.l.o =	0	%
VÝŠKA STĚNY ÚHELNÍKU	h w.t.l.o =	88	mm				
TLOUŠŤKA STĚNY ÚHELNÍKU	t w.t.l.o =	12	mm	OSLABENÍ STĚNY - TLOUŠŤKA	Δt w.t.l.o =	0	%
ŠÍŘKA PÁSNICE ÚHELNÍKU	b f.t.l.o =	100	mm	**ÚHELNÍK PRAVÝ DOLNÍ VNITŘNÍ**		**R.B.I**	
TLOUŠŤKA PÁSNICE ÚHELNÍKU	t f.t.l.o =	12	mm	OSLABENÍ PÁSNICE - TLOUŠŤKA	Δt f.t.l.o =	0	%
VÝŠKA STĚNY ÚHELNÍKU	h w.t.l.o =	88	mm				
TLOUŠŤKA STĚNY ÚHELNÍKU	t w.t.l.o =	12	mm	OSLABENÍ STĚNY - TLOUŠŤKA	Δt w.t.l.o =	0	%
VÝŠKA STŘEDNÍ STĚNY	h w =	388	mm			**VER.C**	
TLOUŠŤKA STĚNY	t w =	13	mm	OSLABENÍ STĚNY	Δt w.r =	0	%
ŠÍŘKA HORNÍ VLOŽKY - STŘEDNÍ	b f.t =	600	mm			**HOR.T**	
TLOUŠŤKA VLOŽKY	t f.t =	24	mm	OSLABENÍ VLOŽKY	Δt f.t =	10	%
ŠÍŘKA HORNÍ VLOŽKY - U ÚHELNÍKŮ	b f.t =	0	mm	OSLABENÍ VLOŽKY - VNĚJŠÍ	Δt f.t =	0	%
TLOUŠŤKA VLOŽKY	t f.t =	0	mm	OSLABENÍ VLOŽKY - VNITŘNÍ	Δt f.t =	0	%
ŠÍŘKA DOLNÍ VLOŽKY - STŘEDNÍ	b f.t =	600	mm			**HOR.B**	
TLOUŠŤKA VLOŽKY	t f.t =	24	mm	OSLABENÍ VLOŽKY	Δt f.t =	10	%
ŠÍŘKA DOLNÍ VLOŽKY - U ÚHELNÍKŮ	b f.t =	0	mm	OSLABENÍ VLOŽKY - VNĚJŠÍ	Δt f.t =	0	%
TLOUŠŤKA VLOŽKY	t f.t =	0	mm	OSLABENÍ VLOŽKY - VNITŘNÍ	Δt f.t =	0	%
"STIRNBLECH"	L / P	-1	-				
TLOUŠŤKA STĚNY	t w =	8	mm	OSLABENÍ STĚNY	Δt w.r =	0	%
VZD. OKRAJŮ PÁSNIC VNITŘNÍCH ÚHELNÍKŮ		388	mm				
CELKOVÁ TLOUŠŤKA PRO VLOŽKY		52	mm				
VZD. OKRAJŮ PÁSNIC ÚHELNÍKŮ L / R OD SVISLÉ OSY		200	mm				

NÝT Č.	SKUPINA	ŘEZ	RED.	VELIKOST di [mm]	POLOHA ei [mm]	POPIS	AKTIVITA OTVORU	NAPĚTÍ sc [MPa]
1		-	1.00	0	42	nýt - c.t.o	0	-
2								
3								
4								
5								
6								
7								
8								
9								
10								
11								
12								
13								
14								
15								
16								
17								
18								
19								
20								

ZADÁNÍ ČÁSTI PRŮŘEZU:

č.prvku	b [mm]	h [mm]	y_s [mm]	z_s [mm]	popis části	druh oslabení	lokální ultimate	boulení servic.
1	100.0	12.0	-56.5	252.0	pásnice	0	1.000	1.000
2	12.0	88.0	-12.5	302.0	stěna	0	1.000	1.000
3	100.0	12.0	56.5	252.0	pásnice	0	1.000	1.000
4	12.0	88.0	12.5	302.0	stěna	0	1.000	1.000
5	100.0	12.0	-56.5	188.0	pásnice	0	1.000	1.000
6	12.0	88.0	-12.5	138.0	stěna	0	1.000	1.000
7	100.0	12.0	56.5	188.0	pásnice	0	1.000	1.000
8	12.0	88.0	12.5	138.0	stěna	0	1.000	1.000
9	100.0	12.0	-56.5	-252.0	pásnice	0	1.000	1.000
10	12.0	88.0	-12.5	-302.0	stěna	0	1.000	1.000
11	100.0	12.0	56.5	-252.0	pásnice	0	1.000	1.000
12	12.0	88.0	12.5	-302.0	stěna	0	1.000	1.000
13	100.0	12.0	-56.5	-188.0	pásnice	0	1.000	1.000
14	12.0	88.0	-12.5	-138.0	stěna	0	1.000	1.000
15	100.0	12.0	56.5	-188.0	pásnice	0	1.000	1.000
16	12.0	88.0	12.5	-138.0	stěna	0	1.000	1.000
17	100.0	12.0	-250.0	252.0	pásnice	0	1.000	1.000
18	12.0	88.0	-206.0	302.0	stěna	0	1.000	1.000
19	100.0	12.0	-250.0	188.0	pásnice	0	1.000	1.000
20	12.0	88.0	-206.0	138.0	stěna	0	1.000	1.000
21	100.0	12.0	-250.0	-252.0	pásnice	0	1.000	1.000
22	12.0	88.0	-206.0	-302.0	stěna	0	1.000	1.000
23	100.0	12.0	-250.0	-188.0	pásnice	0	1.000	1.000
24	12.0	88.0	-206.0	-138.0	stěna	0	1.000	1.000
25	100.0	12.0	250.0	252.0	pásnice	0	1.000	1.000
26	12.0	88.0	206.0	302.0	stěna	0	1.000	1.000
27	100.0	12.0	250.0	188.0	pásnice	0	1.000	1.000
28	12.0	88.0	206.0	138.0	stěna	0	1.000	1.000
29	100.0	12.0	250.0	-252.0	pásnice	0	1.000	1.000
30	12.0	88.0	206.0	-302.0	stěna	0	1.000	1.000
31	100.0	12.0	250.0	-188.0	pásnice	0	1.000	1.000
32	12.0	88.0	206.0	-138.0	stěna	0	1.000	1.000
33						0	1.000	1.000
34						0	1.000	1.000
35						0	1.000	1.000
36						0	1.000	1.000
37						0	1.000	1.000
38						0	1.000	1.000
39						0	1.000	1.000
40	13.0	388.0	0.0	0.0		0	1.000	1.000
41	600.0	21.6	0.0	220.0		0	1.000	1.000
42	0.0	0.0	0.0	246.0		0	1.000	1.000
43	0.0	0.0	0.0	194.0		0	1.000	1.000
44	600.0	21.6	0.0	-220.0		0	1.000	1.000
45	0.0	0.0	0.0	-246.0		0	1.000	1.000
46	0.0	0.0	0.0	-194.0		0	1.000	1.000
47	8.0	388.0	-196.0	0.0		0	1.000	1.000
48						0	1.000	1.000
49						0	1.000	1.000
50						0	1.000	1.000
51						0	1.000	1.000
52						0	1.000	1.000
53						0	1.000	1.000
54						0	1.000	1.000
55						0	1.000	1.000
56						0	1.000	1.000
57						0	1.000	1.000
58						0	1.000	1.000
59						0	1.000	1.000
60						0	1.000	1.000
61						0	1.000	1.000
62						0	1.000	1.000
63						0	1.000	1.000
64						0	1.000	1.000
65						0	1.000	1.000
66						0	1.000	1.000
67						0	1.000	1.000
68						0	1.000	1.000
69						0	1.000	1.000
70						0	1.000	1.000
71						0	1.000	1.000
72						0	1.000	1.000
73						0	1.000	1.000
74						0	1.000	1.000
75						0	1.000	1.000
76						0	1.000	1.000
77						0	1.000	1.000
78						0	1.000	1.000
79						0	1.000	1.000
80						0	1.000	1.000
81	0	0	0	0	nyt	0	1.000	1.000
82						0	1.000	1.000
83						0	1.000	1.000
84						0	1.000	1.000
85						0	1.000	1.000
86						0	1.000	1.000
87						0	1.000	1.000
88						0	1.000	1.000
89						0	1.000	1.000
90						0	1.000	1.000
91						0	1.000	1.000
92						0	1.000	1.000
93						0	1.000	1.000
94						0	1.000	1.000
95						0	1.000	1.000
96						0	1.000	1.000
97						0	1.000	1.000
98						0	1.000	1.000
99						0	1.000	1.000
100						0	1.000	1.000

VÝPOČET PRŮŘEZOVÝCH CHARAKTERISTIK

Properties	Basic	Ultimate		Serviceability	
y_t	-8.7	-8.7		-8.7	[mm]
z_t	0.0	0.0		0.0	[mm]
A_i	7.0164E+04	7.0164E+04		7.0164E+04	[mm²]
A_1	1.9200E+04	1.9200E+04		1.9200E+04	[mm²]
A_2	1.6896E+04	1.6896E+04		1.6896E+04	[mm²]
I_{y1}	3.2492E+09	3.2492E+09		3.2492E+09	[mm⁴]
I_w	1.8983E+09	1.8983E+09		1.8983E+09	[mm⁶]
i_y	215.2	215.2		215.2	[mm]
i_z	164.5	164.5		164.5	[mm]
$W_{y,1}$	9.3908E+06	9.3908E+06		9.3908E+06	[mm³]
$W_{z,1}$	-6.5161E+06	-6.5161E+06		-6.5161E+06	[mm³]
$W_{y,2}$	-9.3908E+06	-9.3908E+06		-9.3908E+06	[mm³]
$W_{z,2}$	-6.5161E+06	-6.5161E+06		-6.5161E+06	[mm³]
KRAJNÍ VLÁKNA PRŮŘEZU					
y_1	-300.0	-300.0		-300.0	[mm] min
z_1	346.0	346.0		346.0	[mm] max
y_2	-300.0	-300.0		-300.0	[mm] min
z_2	-346.0	-346.0		-346.0	[mm] min
y_3	300.0	300.0		300.0	[mm] max
z_3	346.0	346.0		346.0	[mm] max
y_4	300.0	300.0		300.0	[mm] max
z_4	-346.0	-346.0		-346.0	[mm] min
y_5	-18.5	-18.5		-18.5	[mm]
z_5	-258.0	-258.0		-258.0	[mm]
y_6	-18.5	-18.5		-18.5	[mm]
z_6	-346.0	-346.0		-346.0	[mm]

ÚPRAVA MOMENTŮ SETRVAČNOSTI V DŮSLEDKU ČLENĚNÍ PRŮŘEZU

OSA Y	1.00
OSA Z	1.00

SCHÉMA PROMĚNNÝCH

SCHÉMA ZADANÉHO PRŮŘEZU

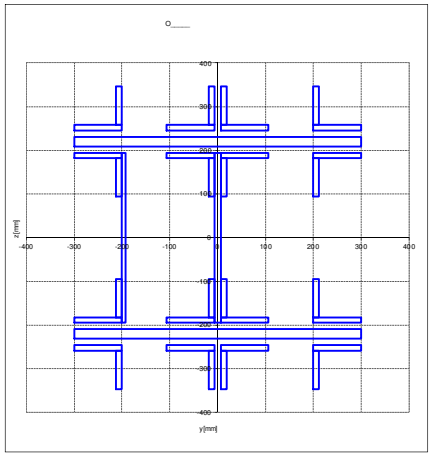

NEUTRÁLNÁ OSA

NAPĚTÍ [MPa]:

-9.86	-110.14
-45.26	-145.53

(SLS_LM:max N + M:malý tah -> neuvažováno)

ZS: SLS_LM:min N tak - bez nýtů

	N [kN]	Vy [kN]	Vz [kN]	Mx [kNm]	My [kNm]	Mz [kNm]
import	-5350	94	101	3	-166	317

TR_V0 POPIS: **SVISLICE V0** POSUDEK: **V0**

SKUPINA ZAT. STAVŮ	EXTRÉM	VYHODNOCOVANÉ VELIČINY					
		N	Vy	Vz	Mx	My	Mz
		kN	kN	kN	kNm	kNm	kNm
G0	N.min	**-1366.12**	13.1	-5.25	0.7	-13.34	29.35
	N.max	**-1366.12**	13.1	-5.25	0.7	-13.34	29.35
	Vy.min	-1366.12	**13.1**	-5.25	0.7	-13.34	29.35
	Vy.max	-1366.12	**13.1**	-5.25	0.7	-13.34	29.35
	Vz.min	-1366.12	13.1	**-5.25**	0.7	-13.34	29.35
	Vz.max	-1366.12	13.1	**-5.25**	0.7	-13.34	29.35
	Mx.min	-1366.12	13.1	-5.25	**0.7**	-13.34	29.35
	Mx.max	-1366.12	13.1	-5.25	**0.7**	-13.34	29.35
	My.min	-1366.12	13.1	-5.25	0.7	**-13.34**	29.35
	My.max	-1366.12	13.1	-5.25	0.7	**-13.34**	29.35
	Mz.min	-1366.12	13.1	-5.25	0.7	-13.34	**29.35**
	Mz.max	-1366.12	13.1	-5.25	0.7	-13.34	**29.35**
G1	N.min	**-99.88**	0.92	0.08	0.05	-0.95	2.15
	N.max	**-99.88**	0.92	0.08	0.05	-0.95	2.15
	Vy.min	-99.88	**0.92**	0.08	0.05	-0.95	2.15
	Vy.max	-99.88	**0.92**	0.08	0.05	-0.95	2.15
	Vz.min	-99.88	0.92	**0.08**	0.05	-0.95	2.15
	Vz.max	-99.88	0.92	**0.08**	0.05	-0.95	2.15
	Mx.min	-99.88	0.92	0.08	**0.05**	-0.95	2.15
	Mx.max	-99.88	0.92	0.08	**0.05**	-0.95	2.15
	My.min	-99.88	0.92	0.08	0.05	**-0.95**	2.15
	My.max	-99.88	0.92	0.08	0.05	**-0.95**	2.15
	Mz.min	-99.88	0.92	0.08	0.05	-0.95	**2.15**
	Mz.max	-99.88	0.92	0.08	0.05	-0.95	**2.15**
G2	N.min	**-59.41**	0.56	0.04	0.03	1.3	1.37
	N.max	**-59.41**	0.56	0.04	0.03	1.3	1.37
	Vy.min	-59.41	**0.56**	0.04	0.03	1.3	1.37
	Vy.max	-59.41	**0.56**	0.04	0.03	1.3	1.37
	Vz.min	-59.41	0.56	**0.04**	0.03	1.3	1.37
	Vz.max	-59.41	0.56	**0.04**	0.03	1.3	1.37
	Mx.min	-59.41	0.56	0.04	**0.03**	1.3	1.37
	Mx.max	-59.41	0.56	0.04	**0.03**	1.3	1.37
	My.min	-59.41	0.56	0.04	0.03	**1.3**	1.37
	My.max	-59.41	0.56	0.04	0.03	**1.3**	1.37
	Mz.min	-59.41	0.56	0.04	0.03	1.3	**1.37**
	Mz.max	-59.41	0.56	0.04	0.03	1.3	**1.37**
P1_71	N.min	**-865.89**	13.99	10.32	0.45	-10.57	45.96
	N.max	**0**	0	0	0	0	0
	Vy.min	-1.46	**-0.03**	0.07	0	-0.2	-0.17
	Vy.max	-763.73	**14.34**	-5.54	0.5	12.95	48.96
	Vz.min	-630.33	12.99	**-20.17**	0.54	33.23	45.87
	Vz.max	-213.23	1.77	**28.46**	-0.08	-38.82	3.91
	Mx.min	-180.69	1.39	28.17	**-0.08**	-38.49	2.8
	Mx.max	-708.99	13.19	-19.01	**0.56**	29.59	45.19
	My.min	-198.18	1.6	28.41	-0.08	**-38.89**	3.36
	My.max	-651.19	13.06	-19.86	0.54	**33.57**	45.82
	Mz.min	-58.52	0.1	15.11	-0.05	-20.19	**-0.37**
	Mz.max	-747.87	14.29	-9.27	0.51	17.87	**49.05**
P2_71	N.min	**-2204.35**	11.86	39.62	0.79	-90.18	11.42
	N.max	**2.28**	0.03	-0.06	0	0.21	0.16
	Vy.min	0	**0**	0	0	0	0
	Vy.max	-2134.62	**11.96**	38.8	0.77	-87.85	12.97
	Vz.min	-1096.91	6.09	**-2.74**	0.38	-19.12	6.79
	Vz.max	-1176.95	6.48	**41.83**	0.42	-70.65	6.61
	Mx.min	-296	1.99	40.47	**-0.13**	-43.06	3.04
	Mx.max	-1941.71	9.85	-0.17	**0.96**	-51.46	7.71
	My.min	-2190.75	11.88	39.88	0.79	**-90.52**	11.49
	My.max	1.94	0.03	-0.07	0	**0.22**	0.19
	Mz.min	-382.97	1.09	23.76	0.15	-32.02	**-0.69**
	Mz.max	-1898.79	11.34	17.32	0.71	-61.71	**13.43**
P1_C3	N.min	**-750.68**	12.21	12.44	0.39	-13.97	40.01
	N.max	**0**	0	0	0	0	0
	Vy.min	-1.52	**-0.04**	0.08	0	-0.23	-0.2
	Vy.max	-653.96	**12.33**	-1.82	0.41	6.59	41.97
	Vz.min	-544.18	11.14	**-17.28**	0.47	29.09	39.31
	Vz.max	-176.24	1.2	**28.5**	-0.08	-38.47	2.25
	Mx.min	-123.81	0.52	27.77	**-0.08**	-37.37	0.35
	Mx.max	-608.51	11.21	-16.41	**0.48**	26.1	38.56
	My.min	-176.24	1.2	28.5	-0.08	**-38.47**	2.25
	My.max	-544.18	11.14	-17.28	0.47	**29.09**	39.31
	Mz.min	-63.59	0.08	16.84	-0.05	-22.4	**-0.5**
	Mz.max	-645.33	12.3	-4.35	0.42	10.02	**42.01**
P2_C3	N.min	**-1895.75**	10.27	40.81	0.69	-86.05	9.38
	N.max	**2.87**	0.03	-0.07	0	0.25	0.18
	Vy.min	0	**0**	0	0	0	0
	Vy.max	-1798.62	**10.46**	24.95	0.71	-68.32	11.29
	Vz.min	-882.23	4.94	**-2.12**	0.3	-15.49	5.76
	Vz.max	-1085.5	5.58	**42.41**	0.39	-69.48	4.93
	Mx.min	-193.79	0.85	41.29	**-0.13**	-43.05	0.57
	Mx.max	-1688.15	8.31	-0.5	**0.83**	-43.4	6.21
	My.min	-1895.37	10.24	40.84	0.69	**-86.13**	9.27
	My.max	1.33	0.05	-0.1	0	**0.27**	0.27
	Mz.min	-417.59	1.03	26.15	0.14	-33.99	**-0.87**
	Mz.max	-1646.74	9.95	17.46	0.61	-56.39	**11.59**
BR	N.min	**-81.12**	52.34	2.24	0.55	4.44	233.15
	N.max	**81.12**	-52.34	-2.24	-0.55	-4.44	-233.15
	Vy.min	66.29	**-52.7**	-0.16	-0.61	-7.52	-235.42
	Vy.max	-66.29	**52.7**	0.16	0.61	7.52	235.42
	Vz.min	81.12	-52.34	**-2.24**	-0.55	-4.44	-233.15
	Vz.max	-81.12	52.34	**2.24**	0.55	4.44	233.15
	Mx.min	66.29	-52.7	-0.16	**-0.61**	-7.52	-235.42
	Mx.max	-66.29	52.7	0.16	**0.61**	7.52	235.42
	My.min	66.29	-52.7	-0.16	-0.61	**-7.52**	-235.42
	My.max	-66.29	52.7	0.16	0.61	**7.52**	235.42
	Mz.min	66.29	-52.7	-0.16	-0.61	-7.52	**-235.42**
	Mz.max	-66.29	52.7	0.16	0.61	7.52	**235.42**

TR_V0 POPIS: **SVISLICE V0** POSUDEK: **V0**

SKUPINA ZAT. STAVŮ	EXTRÉM	VYHODNOCOVANÉ VELIČINY					
		N	Vy	Vz	Mx	My	Mz
		kN	kN	kN	kNm	kNm	kNm
S	N.min	**-24.68**	-1.41	5.68	0.04	-3.01	-6.31
	N.max	**24.68**	1.41	-5.68	-0.04	3.01	6.31
	Vy.min	-21.85	**-1.53**	5.91	0.04	-1.97	-6.83
	Vy.max	21.85	**1.53**	-5.91	-0.04	1.97	6.83
	Vz.min	21.97	-0.5	**-8.26**	0.03	-16.26	-1.91
	Vz.max	-21.97	0.5	**8.26**	-0.03	16.26	1.91
	Mx.min	24.68	1.41	-5.68	**-0.04**	3.01	6.31
	Mx.max	-24.68	-1.41	5.68	**0.04**	-3.01	-6.31
	My.min	21.97	-0.5	-8.26	0.03	**-16.26**	-1.91
	My.max	-21.97	0.5	8.26	-0.03	**16.26**	1.91
	Mz.min	-21.85	-1.53	5.91	0.04	-1.97	**-6.83**
	Mz.max	21.85	1.53	-5.91	-0.04	1.97	**6.83**
CH	N.min	**-187.85**	1.79	-0.34	0.1	4.14	4.4
	N.max	**-17.38**	1.12	-3.19	0.06	5.98	4.71
	Vy.min	-17.38	**1.12**	-3.19	0.06	5.98	4.71
	Vy.max	-126.07	**1.8**	-1.06	0.06	7.75	5.54
	Vz.min	-17.38	1.12	**-3.19**	0.06	5.98	4.71
	Vz.max	-187.85	1.79	**-0.34**	0.1	4.14	4.4
	Mx.min	-17.38	1.12	-3.19	**0.06**	5.98	4.71
	Mx.max	-187.85	1.79	-0.34	**0.1**	4.14	4.4
	My.min	-187.85	1.79	-0.34	0.1	**4.14**	4.4
	My.max	-126.07	1.8	-1.06	0.06	**7.75**	5.54
	Mz.min	-187.85	1.79	-0.34	0.1	4.14	**4.4**
	Mz.max	-126.07	1.8	-1.06	0.06	7.75	**5.54**
W	N.min	**-319.61**	-2.05	34.13	0.09	-54.71	-14.11
	N.max	**319.68**	2.04	-34.16	-0.09	54.65	14.1
	Vy.min	-319.61	**-2.05**	34.13	0.09	-54.71	-14.11
	Vy.max	319.68	**2.04**	-34.16	-0.09	54.65	14.1
	Vz.min	319.68	2.04	**-34.16**	-0.09	54.65	14.1
	Vz.max	-319.61	-2.05	**34.13**	0.09	-54.71	-14.11
	Mx.min	319.68	2.04	-34.16	**-0.09**	54.65	14.1
	Mx.max	-319.61	-2.05	34.13	**0.09**	-54.71	-14.11
	My.min	-319.61	-2.05	34.13	0.09	**-54.71**	-14.11
	My.max	319.68	2.04	-34.16	-0.09	**54.65**	14.1
	Mz.min	-319.61	-2.05	34.13	0.09	-54.71	**-14.11**
	Mz.max	319.68	2.04	-34.16	-0.09	54.65	**14.1**
WP	N.min	**-212.47**	-4.37	26.19	0.16	-7.2	-22.11
	N.max	**213.29**	4.38	-26.18	-0.16	8.7	22.18
	Vy.min	-212.47	**-4.37**	26.19	0.16	-7.2	-22.11
	Vy.max	213.29	**4.38**	-26.18	-0.16	8.7	22.18
	Vz.min	213.29	4.38	**-26.18**	-0.16	8.7	22.18
	Vz.max	-212.47	-4.37	**26.19**	0.16	-7.2	-22.11
	Mx.min	213.29	4.38	-26.18	**-0.16**	8.7	22.18
	Mx.max	-212.47	-4.37	26.19	**0.16**	-7.2	-22.11
	My.min	-212.47	-4.37	26.19	0.16	**-7.2**	-22.11
	My.max	213.29	4.38	-26.18	-0.16	**8.7**	22.18
	Mz.min	-212.47	-4.37	26.19	0.16	-7.2	**-22.11**
	Mz.max	213.29	4.38	-26.18	-0.16	8.7	**22.18**
TR	N.min	**0**	0	0	0	0	0
	N.max	**0**	0	0	0	0	0
	Vy.min	0	**0**	0	0	0	0
	Vy.max	0	**0**	0	0	0	0
	Vz.min	0	0	**0**	0	0	0
	Vz.max	0	0	**0**	0	0	0
	Mx.min	0	0	0	**0**	0	0
	Mx.max	0	0	0	**0**	0	0
	My.min	0	0	0	0	**0**	0
	My.max	0	0	0	0	**0**	0
	Mz.min	0	0	0	0	0	**0**
	Mz.max	0	0	0	0	0	**0**
TN	N.min	**-57.84**	0.28	14.17	-0.09	-39.24	0.61
	N.max	**15.09**	-2.61	2.37	-0.1	13.83	-6.83
	Vy.min	15.09	**-2.61**	2.37	-0.1	13.83	-6.83
	Vy.max	-15.09	**2.61**	-2.37	0.1	-13.83	6.83
	Vz.min	-15.09	2.61	**-2.37**	0.1	-13.83	6.83
	Vz.max	-57.84	0.28	**14.17**	-0.09	-39.24	0.61
	Mx.min	15.09	-2.61	2.37	**-0.1**	13.83	-6.83
	Mx.max	-29.3	2.42	5.88	**0.11**	60.71	5.97
	My.min	-57.84	0.28	14.17	-0.09	**-39.24**	0.61
	My.max	-29.3	2.42	5.88	0.11	**60.71**	5.97
	Mz.min	15.09	-2.61	2.37	-0.1	13.83	**-6.83**
	Mz.max	-15.09	2.61	-2.37	0.1	-13.83	**6.83**
FR	N.min	**-7.15**	4.74	0.1	0.05	0.61	21
	N.max	**7.15**	-4.74	-0.1	-0.05	-0.61	-21
	Vy.min	7.15	**-4.74**	-0.1	-0.05	-0.61	-21
	Vy.max	-7.15	**4.74**	0.1	0.05	0.61	21
	Vz.min	7.15	-4.74	**-0.1**	-0.05	-0.61	-21
	Vz.max	-7.15	4.74	**0.1**	0.05	0.61	21
	Mx.min	7.15	-4.74	-0.1	**-0.05**	-0.61	-21
	Mx.max	-7.15	4.74	0.1	**0.05**	0.61	21
	My.min	7.15	-4.74	-0.1	-0.05	**-0.61**	-21
	My.max	-7.15	4.74	0.1	0.05	**0.61**	21
	Mz.min	7.15	-4.74	-0.1	-0.05	-0.61	**-21**
	Mz.max	-7.15	4.74	0.1	0.05	0.61	**21**
I	N.min	**-67.15**	-0.02	6.35	0	-13.66	**-1.26**
	N.max	**67.15**	0.02	-6.35	0	13.66	**1.26**
	Vy.min	-67.15	**-0.02**	6.35	0	-13.66	**-1.26**
	Vy.max	67.15	**0.02**	-6.35	0	13.66	**1.26**
	Vz.min	67.15	0.02	**-6.35**	0	13.66	**1.26**
	Vz.max	-67.15	-0.02	**6.35**	0	-13.66	**-1.26**
	Mx.min	67.15	0.02	-6.35	**0**	13.66	**1.26**
	Mx.max	-67.15	-0.02	6.35	**0**	-13.66	**-1.26**
	My.min	-67.15	-0.02	6.35	0	**-13.66**	**-1.26**
	My.max	67.15	0.02	-6.35	0	**13.66**	**1.26**
	Mz.min	-67.15	-0.02	6.35	0	-13.66	**-1.26**
	Mz.max	67.15	0.02	-6.35	0	13.66	**1.26**

TAB. V0.3 POSOUZENÍ - MEZNÍ STAV ÚNOSNOSTI

POPIS	SVISLICE V0
PRUT / POLOHA BODU	442 / J[368]
NAMÁHÁNÍ	N.min
VLÁKNO	BOD K1 -HL
MEZNÍ STAV	ULS (MSÚ)
VYUŽITÍ VLÁKNA PRŮŘEZU	0.75

Charakteristiky materiálu				
pás. horní	$f_{yf,k}$	230	MPa	
pás. dolní	$f_{yf,k}$	230	MPa	
stojina	$f_{yw,k}$	230	MPa	
výztuž	$f_{ys,k}$	500	MPa	
	γ_{M} =	1.20	γ_{s} =	1.15

Excentricita normálové síly				
Exc./Fáze	0	1	2	3
e_y	0.000	0.000	0.000	0.000
e_z	0.000	0.000	0.000	0.000
Ekvivalentní vzdál. stěn - příčný roznos				
b_{Mx}	0.000	0.000	0.000	0.000

Vliv stěny na únosnost průřezu				
Char./Fáze	0	1	2	3
A	0.00	0.00	0.00	0.00
Wy	0.00	0.00	0.00	0.00
Wz	0.00	0.00	0.00	0.00

Charakter. v kroucení			
$t_{w,y}$	0.000	[mm]	
$t_{w,z}$	0.000	[mm]	
κ	1.00		
I_t=	0.00E+00	[mm^4]	
Ω=2*A_{pr}	0.00E+00	[mm^2]	

Součinitele vzpěru a vlivu II.řádu					
Char./Fáze	0	1	2	3	
k_y	1.060	1.000	1.000	1.000	
k_z	1.030	1.000	1.000	1.000	
χ_{LT}	1.000	1.000	1.000	1.000	
χ_{min}	0.956	1.000	1.000	1.000	

Vnitřní síly od jednotlivých skupin zatěžovacích stavů — 3

SKUPINA ZATĚŽOVACÍCH STAVŮ					- CHARAKTERISTICKÉ HODNOTY						DÍLČÍ SOUČINITELÉ ZATÍŽENÍ, DYNAMICKÝ SOUČINITEL							- NÁVRHOVÉ HODNOTY									
Č.	SKUP ZS	POPIS ZS	KAT.	FÁZE PRŮŘ.	N.k (kN)	Vy.k (kN)	Vz.k (kN)	Mx.k (kNm)	My.k (kNm)	Mz.k (kNm)	γ_{sr} (-)	γ_{fs} (-)	volba γ_f hledat	γ_f (-)	L_d (m)	δ (-)	Ψ_0 KZ03	N.d (kN)	Vy.d (kN)	Vz.d (kN)	ΔVz.d (kN)	ΣVz.d (kN)	Mx.d (kNm)	My.d (kNm)	ΔMy.d (kNm)	ΣMy.d (kNm)	Mz.d (kNm)	ΔMz.d (kNm)	ΣMz.d (kNm)
1	G0	Vlastní tíha OK	G	0	-1 366	13	-5	1	-13	29	1.00	1.20		1.20	-	1.00	0.95	-1 557	15	-6	0	-6	1	-16	0	-16	34	0	34
2	G1	Ostatní stálé - mostní vybavení	G	0	-100	1	0	0	-1	2	1.00	1.20		1.20	-	1.00	0.95	-114	1	0	0	0	0	-1	0	-1	3	0	3
3	G2	Ostatní stálé - cizí zařízení	G	0	-59	1	0	0	1	1	1.00	1.20		1.20	-	1.00	0.95	-68	1	0	0	0	0	2	0	2	2	0	2
4	P1_71	a.LM71 - kolej 1 (bez dyn. souč.)	P	0	-866	14	10	0	-11	46	1.00	1.30		1.30	-	1.00	1.00	-1 126	18	13	0	13	1	-15	0	-15	62	0	62
5	P2_71	a.LM71 - kolej 2 (bez dyn. souč.)	P	0	-2 204	12	40	1	-90	11	1.00	1.30		1.30	-	1.00	1.00	-2 866	15	52	0	52	1	-124	0	-124	15	0	15
6	P1_C3	TTZ C3 - kolej 1 (bez dyn. souč.)	P	0	-751	12	12	0	-14	40	1.00	vyp.		0.00	-	1.00	0.00	0	0	0	0	0	0	0	0	0	0	0	0
7	P2_C3	TTZ C3 - kolej 2 (bez dyn. souč.)	P	0	-1 896	10	41	1	-86	9	1.00	vyp.		0.00	-	1.00	0.00	0	0	0	0	0	0	0	0	0	0	0	0
8	BR	Brzdné a rozjezdové síly	P	0	-81	52	2	1	4	233	1.00	1.30		1.30	-	1.00	0.80	-84	54	2	0	2	1	5	0	5	250	0	250
9	S	Boční ráz	P	0	-25	-1	6	0	-3	-6	1.00	0.00		0.00	-	1.00	0.40	0	0	0	0	0	0	0	0	0	0	0	0
10	CH	Chodci na lávkách	Q	0	-188	2	0	0	4	4	1.00	1.30		1.30	-	1.00	1.00	-244	2	0	0	0	0	6	0	6	6	0	6
11	W	Vítr na konstrukci	Q	0	-320	-2	34	0	-55	-14	1.00	-1.35		-1.35	-	1.00	0.75	324	2	-35	0	-35	0	59	0	59	15	0	15
12	WP	Vítr na vozidla	Q	0	-212	-4	26	0	-7	-22	1.00	-1.35		-1.35	-	1.00	0.75	215	4	-27	0	-27	0	8	0	8	23	0	23
13	TR	Teplota rovnoměrná	Q	0	0	0	0	0	0	0	1.00	1.35		1.35	-	1.00	0.45	0	0	0	0	0	0	0	0	0	0	0	0
14	TN	Teplota nerovnoměrná	Q	0	-58	0	14	0	-39	1	1.00	-1.35		-1.35	-	1.00	0.60	47	0	-11	0	-11	0	34	0	34	-1	0	-1
15	FR	Třecí síly v ložiskách	Q	0	-7	5	0	0	1	21	1.00	1.20		1.20	-	1.00	1.00	-9	6	0	0	0	0	1	0	1	26	0	26
16	I	Imperfekce soustavy	Q	0	-67	0	6	0	-14	-1	1.00	-1.20		-1.20	-	1.00	1.00	81	0	-8	0	-8	0	17	0	17	2	0	2
27	ULS_LM	ULS - LM71 bez dynam	Q	0	-6 771	119	146	4	-247	404	1.00	vyp.	1	0.00	-	1.00	0.00	0	0	0	0	0	0	0	0	0	0	0	0
28	SLS_LM	SLS - LM71 bez dynam	Q	0	-5 350	94	101	3	-166	317	1.00	vyp.	1	0.00	-	1.00	0.00	0	0	0	0	0	0	0	0	0	0	0	0
29	ULS_C3	ULS - C3 bez dynam	Q	0	-6 220	115	150	3	-246	394	1.00	vyp.	1	0.00	-	1.00	0.00	0	0	0	0	0	0	0	0	0	0	0	0
30	SLS_C3	SLS - C3 bez dynam	Q	0	0	0	0	0	0	0	1.00	vyp.	1	0.00	-	1.00	0.00	0	0	0	0	0	0	0	0	0	0	0	0
		CELKEM - FÁZE PRŮŘEZU 0																-5 401	119	-19	0	-19	3	-26	0	-26	436	0	436
		CELKEM - FÁZE PRŮŘEZU 1																0	0	0	0	0	0	0	0	0	0	0	0
		CELKEM - FÁZE PRŮŘEZU 2																0	0	0	0	0	0	0	0	0	0	0	0
		CELKEM - FÁZE PRŮŘEZU 3																0	0	0	0	0	0	0	0	0	0	0	0
		CELKEM - PRŮŘEZ																-5 401	119	-19	0	-19	3			-26			436

Napětí od jednotlivých zatěžovacích stavů

SKUPINA ZATĚŽOVACÍCH STAVŮ					Posouzení normálového napětí										Posouzení smykového napětí													
					Účinek síly N			Účinek momentu My			Účinek momentu Mz				Účinek kroutícího momentu Mx				Účinek smykové síly Vy				Účinek smykové síly Vz			
Č.	SKUP ZS	Popis ZS	Kat.	fáze průř.	δ*N_d [kN]	χ*A [mm^2]	σ_n [MPa]	δ*$M_{y,d}$ [kNm]	χ_{lt}*$W_{el,y}$ [mm^3]	σ_{my} [MPa]	δ*$M_{z,d}$ [kNm]	$W_{el,z}$ [mm^3]	σ_{mz} [MPa]	σ_x [MPa]	κ*δ*$M_{x,d}$ [kNm]	$W_{v,y}$ [mm^2]	$\tau_{x,y}$ [MPa]	$W_{v,z}$ [mm^2]	$\tau_{x,z}$ [MPa]	δ*$V_{y,d}$ [kN]	$A_{v,y}$ [mm2]	$\tau_{v,y}$ [MPa]	$\tau_{v,y}$ [MPa]	δ*$V_{z,d}$ [kN]	$A_{v,z}$ [mm2]	$\tau_{v,z}$ [MPa]	$\tau_{v,z}$ [MPa]
1	G0	Vlastní tíha OK	G	0	-1 557.4	6.71E+04	-23.2	-16.1	-9.39E+06	1.7	34.5	-6.52E+06	-5.3	-26.8	8.0E-01	-	-	-	-	14.9	1.92E+04	0.8	0.8	-6.0	1.69E+04	-0.4	-0.4
2	G1	Ostatní stálé - mostní vybavení	G	0	-113.9	6.71E+04	-1.7	-1.1	-9.39E+06	0.1	2.5	-6.52E+06	-0.4	-2.0	5.7E-02	-	-	-	-	1.0	1.92E+04	0.1	0.1	0.1	1.69E+04	0.0	0.0
3	G2	Ostatní stálé - cizí zařízení	G	0	-67.7	6.71E+04	-1.0	1.6	-9.39E+06	-0.2	1.6	-6.52E+06	-0.2	-1.4	3.4E-02	-	-	-	-	0.6	1.92E+04	0.0	0.0	0.0	1.69E+04	0.0	0.0
4	P1_71	a.LM71 - kolej 1 (bez dyn. souč.)	P	0	-1 125.7	6.71E+04	-16.8	-14.6	-9.39E+06	1.6	61.5	-6.52E+06	-9.4	-24.7	5.9E-01	-	-	-	-	18.2	1.92E+04	0.9	0.9	13.4	1.69E+04	0.8	0.8
5	P2_71	a.LM71 - kolej 2 (bez dyn. souč.)	P	0	-2 865.7	6.71E+04	-42.7	-124.3	-9.39E+06	13.2	15.3	-6.52E+06	-2.3	-31.8	1.0E+00	-	-	-	-	15.4	1.92E+04	0.8	0.8	51.5	1.69E+04	3.0	3.0
6	P1_C3	TTZ C3 - kolej 1 (bez dyn. souč.)	P	0	0.0	6.71E+04	0.0	0.0	-9.39E+06	0.0	0.0	-6.52E+06	0.0	0.0	0.0E+00	-	-	-	-	0.0	1.92E+04	0.0	0.0	0.0	1.69E+04	0.0	0.0
7	P2_C3	TTZ C3 - kolej 2 (bez dyn. souč.)	P	0	0.0	6.71E+04	0.0	0.0	-9.39E+06	0.0	0.0	-6.52E+06	0.0	0.0	0.0E+00	-	-	-	-	0.0	1.92E+04	0.0	0.0	0.0	1.69E+04	0.0	0.0
8	BR	Brzdné a rozjezdové síly	P	0	-84.4	6.71E+04	-1.3	4.9	-9.39E+06	-0.5	249.8	-6.52E+06	-38.3	-40.1	5.7E-01	-	-	-	-	54.4	1.92E+04	2.8	2.8	2.3	1.69E+04	0.1	0.1
9	S	Boční ráz	P	0	0.0	6.71E+04	0.0	0.0	-9.39E+06	0.0	0.0	-6.52E+06	0.0	0.0	0.0E+00	-	-	-	-	0.0	1.92E+04	0.0	0.0	0.0	1.69E+04	0.0	0.0
10	CH	Chodci na lávkách	Q	0	-244.2	6.71E+04	-3.6	5.7	-9.39E+06	-0.6	5.9	-6.52E+06	-0.9	-5.2	1.3E-01	-	-	-	-	2.3	1.92E+04	0.1	0.1	-0.4	1.69E+04	0.0	0.0
11	W	Vítr na konstrukci	Q	0	323.6	6.71E+04	4.8	58.7	-9.39E+06	-6.3	14.7	-6.52E+06	-2.3	-3.7	-9.1E-02	-	-	-	-	2.1	1.92E+04	0.1	0.1	-34.6	1.69E+04	-2.0	-2.0
12	WP	Vítr na vozidla	Q	0	215.1	6.71E+04	3.2	7.7	-9.39E+06	-0.8	23.1	-6.52E+06	-3.5	-1.2	-1.6E-01	-	-	-	-	4.4	1.92E+04	0.2	0.2	-26.5	1.69E+04	-1.6	-1.6
13	TR	Teplota rovnoměrná	Q	0	0.0	6.71E+04	0.0	0.0	-9.39E+06	0.0	0.0	-6.52E+06	0.0	0.0	0.0E+00	-	-	-	-	0.0	1.92E+04	0.0	0.0	0.0	1.69E+04	0.0	0.0
14	TN	Teplota nerovnoměrná	Q	0	46.9	6.71E+04	0.7	33.7	-9.39E+06	-3.6	-0.5	-6.52E+06	0.1	-2.8	7.3E-02	-	-	-	-	-0.2	1.92E+04	0.0	0.0	-11.5	1.69E+04	-0.7	-0.7
15	FR	Třecí síly v ložiskách	Q	0	-8.6	6.71E+04	-0.1	0.8	-9.39E+06	-0.1	26.0	-6.52E+06	-4.0	-4.2	6.0E-02	-	-	-	-	5.7	1.92E+04	0.3	0.3	0.1	1.69E+04	0.0	0.0
16	I	Imperfekce soustavy	Q	0	80.6	6.71E+04	1.2	17.4	-9.39E+06	-1.9	1.6	-6.52E+06	-0.2	-0.9	0.0E+00	-	-	-	-	0.0	1.92E+04	0.0	0.0	-7.6	1.69E+04	-0.5	-0.5
27	ULS_LM	ULS - LM71 bez dynam	Q	0	0.0	6.71E+04	0.0	0.0	-9.39E+06	0.0	0.0	-6.52E+06	0.0	0.0	0.0E+00	-	-	-	-	0.0	1.92E+04	0.0	0.0	0.0	1.69E+04	0.0	0.0
28	SLS_LM	SLS - LM71 bez dynam	Q	0	0.0	6.71E+04	0.0	0.0	-9.39E+06	0.0	0.0	-6.52E+06	0.0	0.0	0.0E+00	-	-	-	-	0.0	1.92E+04	0.0	0.0	0.0	1.69E+04	0.0	0.0
29	ULS_C3	ULS - C3 bez dynam	Q	0	0.0	6.71E+04	0.0	0.0	-9.39E+06	0.0	0.0	-6.52E+06	0.0	0.0	0.0E+00	-	-	-	-	0.0	1.92E+04	0.0	0.0	0.0	1.69E+04	0.0	0.0
30	SLS_C3	SLS - C3 bez dynam	Q	0	0.0	6.71E+04	0.0	0.0	-9.39E+06	0.0	0.0	-6.52E+06	0.0	0.0	0.0E+00	-	-	-	-	0.0	1.92E+04	0.0	0.0	0.0	1.69E+04	0.0	0.0
NAVÝŠENÍ NAPĚTÍ DO AKTIVACE TLAKU V DESCE MOSTOVKY						$\sigma_{P,red}$	0.0							0.0			0.0		0.0				6.2	6.2			-1.1	-1.1
NAPĚTÍ OD PRIMÁRNÍCH ÚČINKŮ NEROVNOMĚRNÉHO OTEPLENÍ						σ_T	0.0							0.0														
NAPĚTÍ OD REOLOGICKÝCH ÚČINKŮ BETONU V ČASE				t=0		σ_R	0.0	γ=	1.20					0.0														
NAPĚTÍ V KRITICKÝCH VLÁKNECH OD KOMBINACE ZATÍŽENÍ						KZ03		[MPa]					$\Sigma\sigma_x$	-144.7								$\Sigma\tau_y$	6.2			$\Sigma\tau_z$	-1.1
NAPĚTÍ OD POHYBLIVÉHO ZATÍŽENÍ								[MPa]					$\sigma_{z,P}$	-96.6								τ_P	4.6			τ_P	4.0
NAPĚTÍ OD OSTATNÍCH ZATÍŽENÍ								[MPa]			Φ_{Vy}	Φ_{Vz}	$\sigma_{z,rs}$	-48.1								τ_{rs}	1.6			τ_{rs}	-5.1
NÁVRHOVÁ HODNOTA MEZE KLUZU S REDUKCÍ VLIVEM SMYKOVÉHO NAPĚTÍ								[MPa]			1.00	1.00	$f_{yw,d}$	191.7								$f_{yd}/3^{0,5}$	110.7			$f_{yd}/3^{0,5}$	110.7
NAPĚTÍ OD POHYBLIVÉHO ZATÍŽENÍ V GLOBÁLNÍM SYSTÉMU						$\sigma_{GLOB,P}$	0.0	[MPa]					$\Sigma\sigma_{GLOB}$	0.0													
NAPĚTÍ OD OSTATNÍCH ZATÍŽENÍ V GLOBÁLNÍM SYSTÉMU						$\sigma_{GLOB,rs}$	0.0	[MPa]					$\Sigma\sigma_z + \Sigma\sigma_{GLOB}$	-144.7													
VYUŽITÍ PRŮŘEZU DLE NAPĚTÍ								[%]					η_1	0.75								η_3	0.06			η_3	0.01
NAPĚTÍ V PŘÍČNÉM SMĚRU OD POHYBLIVÉHO ZATÍŽENÍ						$\sigma_{z,P}$	0.0	[MPa]					$\Sigma\sigma_z$	0.0													
NAPĚTÍ V PŘÍČNÉM SMĚRU OD OSTATNÍCH ZATÍŽENÍ						$\sigma_{z,rs}$	0.0	[MPa]					η_2	0.00													
SROVNÁVACÍ NAPĚTÍ													$(\eta 2 + 0,8\ \eta 1)/1,4$ =	0.43													
VYUŽITÍ PRŮŘEZU CELKEM								[%]					eff	0.75	VYHOVUJE												
													z_{LM71} =	1.49													

TAB. V0.3 POSOUZENÍ - MEZNÍ STAV ÚNOSNOSTI

POPIS	SVISLICE V0
PRUT / POLOHA BODU	442 / J[368]
NAMÁHÁNÍ	N.min
VLÁKNO	BOD K3 -SL
MEZNÍ STAV	ULS (MSÚ)
VYUŽITÍ VLÁKNA PRŮŘEZU	0.96

Charakteristiky materiálu				
pás. horní	$f_{yf,k}$	230	MPa	
pás. dolní	$f_{yf,k}$	230	MPa	
stojina	$f_{yw,k}$	230	MPa	
výztuž	$f_{ys,k}$	500	MPa	
	γ_M =	1.20	γ_s =	1.15

Excentricita normálové síly				
Exc./Fáze	0	1	2	3
e_y	0.000	0.000	0.000	0.000
e_z	0.000	0.000	0.000	0.000
Ekvivalentní vzdál. stěn - příčný roznos				
b_{ekv}	0.000	0.000	0.000	0.000

Vliv stěny na únosnost průřezu				
Char./Fáze	0	1	2	3
A	0.00	0.00	0.00	0.00
Wy	0.00	0.00	0.00	0.00
Wz	0.00	0.00	0.00	0.00

Charakter. v kroucení			
$t_{w,y}$	0.000	[mm]	
$t_{w,z}$	0.000	[mm]	
κ	1.00		
I_t=	0.00E+00	[mm^4]	
$\Omega=2*A_{pr}$	0.00E+00	[mm^2]	

Součinitele vzpěru a vlivu II.řádu				
Char./Fáze	0	1	2	3
k_y	1.060	1.000	1.000	1.000
k_z	1.030	1.000	1.000	1.000
χ_{LT}	1.000	1.000	1.000	1.000
χ_{min}	0.956	1.000	1.000	1.000

Vnitřní síly od jednotlivých skupin zatěžovacích stavů — 3

SKUPINA ZATĚŽOVACÍCH STAVŮ					- CHARAKTERISTICKÉ HODNOTY						DÍLČÍ SOUČINITELÉ ZATÍŽENÍ, DYNAMICKÝ SOUČINITEL						- NÁVRHOVÉ HODNOTY									
Č.	SKUP ZS	POPIS ZS	KAT.	FÁZE PRŮŘ.	N.k (kN)	Vy.k (kN)	Vz.k (kN)	Mx.k (kNm)	My.k (kNm)	Mz.k (kNm)	γ_{sr} (-)	γ_{fs} (-)	volba γ_f hledat	γ_f (-)	L_d (m)	δ (-)	Ψ_s KZ03	N.d (kN)	Vy.d (kN)	Vz.d (kN)	ΔVz.d (kN)	ΣVz.d (kN)	Mx.d (kNm)	My.d (kNm)	ΔMy.d (kNm)	ΣMy.d (kNm)	Mz.d (kNm)	ΔMz.d (kNm)	ΣMz.d (kNm)
1	G0	Vlastní tíha OK	G	0	-1 366	13	-5	1	-13	29	1.00	1.20		1.20	-	1.00	0.95	-1 557	15	-6	0	-6	1	-16	0	-16	34	0	34
2	G1	Ostatní stálé - mostní vybavení	G	0	-100	1	0	0	-1	2	1.00	1.20		1.20	-	1.00	0.95	-114	1	0	0	0	0	-1	0	-1	3	0	3
3	G2	Ostatní stálé - cizí zařízení	G	0	-59	1	0	0	1	1	1.00	1.20		1.20	-	1.00	0.95	-68	1	0	0	0	0	2	0	2	2	0	2
4	P1_71	a.LM71 - kolej 1 (bez dyn. souč.)	P	0	-866	14	10	0	-11	46	1.00	1.30		1.30	-	1.00	1.00	-1 126	18	13	0	13	1	-15	0	-15	62	0	62
5	P2_71	a.LM71 - kolej 2 (bez dyn. souč.)	P	0	-2 204	12	40	1	-90	11	1.00	1.30		1.30	-	1.00	1.00	-2 866	15	52	0	52	1	-124	0	-124	15	0	15
6	P1_C3	TTZ C3 - kolej 1 (bez dyn. souč.)	P	0	-751	12	12	0	-14	40	1.00	vyp.		0.00	-	1.00	0.00	0	0	0	0	0	0	0	0	0	0	0	0
7	P2_C3	TTZ C3 - kolej 2 (bez dyn. souč.)	P	0	-1 896	10	41	1	-86	9	1.00	vyp.		0.00	-	1.00	0.00	0	0	0	0	0	0	0	0	0	0	0	0
8	BR	Brzdné a rozjezdové síly	P	0	-81	52	2	1	4	233	1.00	1.30		1.30	-	1.00	0.80	-84	54	2	0	2	1	5	0	5	250	0	250
9	S	Boční ráz	P	0	-25	-1	6	0	-3	-6	1.00	0.00		0.00	-	1.00	0.40	0	0	0	0	0	0	0	0	0	0	0	0
10	CH	Chodci na lávkách	Q	0	-188	2	0	0	4	4	1.00	1.30		1.30	-	1.00	1.00	-244	2	0	0	0	0	6	0	6	6	0	6
11	W	Vítr na konstrukci	Q	0	-320	-2	34	0	-55	-14	1.00	1.35		1.35	-	1.00	0.75	-324	-2	35	0	35	0	-59	0	-59	-15	0	-15
12	WP	Vítr na vozidla	Q	0	-212	-4	26	0	-7	-22	1.00	1.35		1.35	-	1.00	0.75	-215	-4	27	0	27	0	-8	0	-8	-23	0	-23
13	TR	Teplota rovnoměrná	Q	0	0	0	0	0	0	0	1.00	1.35		1.35	-	1.00	0.45	0	0	0	0	0	0	0	0	0	0	0	0
14	TN	Teplota nerovnoměrná	Q	0	-58	0	14	0	-39	1	1.00	1.35		1.35	-	1.00	0.60	-47	0	11	0	11	0	-34	0	-34	1	0	1
15	FR	Třecí síly v ložiskách	Q	0	-7	5	0	0	1	21	1.00	1.20		1.20	-	1.00	1.00	-9	6	0	0	0	0	1	0	1	26	0	26
16	I	Imperfekce soustavy	Q	0	-67	0	6	0	-14	-1	1.00	1.20		1.20	-	1.00	1.00	-81	0	8	0	8	0	-17	0	-17	-2	0	-2
27	ULS_LM	ULS - LM71 bez dynam	Q	0	-6 771	119	146	4	-247	404	1.00	vyp.	1	0.00	-	1.00	0.00	0	0	0	0	0	0	0	0	0	0	0	0
28	SLS_LM	SLS - LM71 bez dynam	Q	0	-5 350	94	101	3	-166	317	1.00	vyp.	1	0.00	-	1.00	0.00	0	0	0	0	0	0	0	0	0	0	0	0
29	ULS_C3	ULS - C3 bez dynam	Q	0	-6 220	115	150	3	-246	394	1.00	vyp.	1	0.00	-	1.00	0.00	0	0	0	0	0	0	0	0	0	0	0	0
30	SLS_C3	SLS - C3 bez dynam	Q	0	0	0	0	0	0	0	1.00	vyp.	1	0.00	-	1.00	0.00	0	0	0	0	0	0	0	0	0	0	0	0
		CELKEM - FÁZE PRŮŘEZU 0																-6 734	106	141	0	141	3	-261	0	-261	358	0	358
		CELKEM - FÁZE PRŮŘEZU 1																0	0	0	0	0	0	0	0	0	0	0	0
		CELKEM - FÁZE PRŮŘEZU 2																0	0	0	0	0	0	0	0	0	0	0	0
		CELKEM - FÁZE PRŮŘEZU 3																0	0	0	0	0	0	0	0	0	0	0	0
		CELKEM - PRŮŘEZ																-6 734	106	141	0	141	3			-261			358

Napětí od jednotlivých zatěžovacích stavů

SKUPINA ZATĚŽOVACÍCH STAVŮ					Posouzení normálového napětí										Posouzení smykového napětí													
					Účinek síly N			Účinek momentu My			Účinek momentu Mz				Účinek kroutícího momentu Mx				Účinek smykové síly Vy						Účinek smykové síly Vz			
Č.	SKUP ZS	Popis ZS	Kat.	fáze prúř.	δ^*N_d [kN]	χ^*A [mm^2]	σ_n [MPa]	$\delta^*M_{y,d}$ [kNm]	$\chi_{lt}^*W_{el,y}$ [mm^3]	σ_{my} [MPa]	$\delta^*M_{z,d}$ [kNm]	$W_{el,z}$ [mm^3]	σ_{mz} [MPa]	σ_x [MPa]	$\kappa^*\delta^*M_{x,d}$ [kNm]	$W_{v,y}$ [mm^2]	$\tau_{x,y}$ [MPa]	$W_{v,z}$ [mm^2]	$\tau_{x,z}$ [MPa]	$\delta^*V_{y,d}$ [kN]	$A_{v,y}$ [mm2]	$\tau_{v,y}$ [MPa]	$\tau_{v,y}$ [MPa]	$\delta^*V_{z,d}$ [kN]	$A_{v,z}$ [mm2]	$\tau_{v,z}$ [MPa]	$\tau_{v,z}$ [MPa]
1	G0	Vlastní tíha OK	G	0	-1 557.4	6.71E+04	-23.2	-16.1	9.39E+06	-1.7	34.5	-6.52E+06	-5.3	-30.2	8.0E-01	-	-	-	-	14.9	1.92E+04	0.8	0.8	-6.0	1.69E+04	-0.4	-0.4
2	G1	Ostatní stálé - mostní vybavení	G	0	-113.9	6.71E+04	-1.7	-1.1	9.39E+06	-0.1	2.5	-6.52E+06	-0.4	-2.2	5.7E-02	-	-	-	-	1.0	1.92E+04	0.1	0.1	0.1	1.69E+04	0.0	0.0
3	G2	Ostatní stálé - cizí zařízení	G	0	-67.7	6.71E+04	-1.0	1.6	9.39E+06	0.2	1.6	-6.52E+06	-0.2	-1.1	3.4E-02	-	-	-	-	0.6	1.92E+04	0.0	0.0	0.0	1.69E+04	0.0	0.0
4	P1_71	a.LM71 - kolej 1 (bez dyn. souč.)	P	0	-1 125.7	6.71E+04	-16.8	-14.6	9.39E+06	-1.6	61.5	-6.52E+06	-9.4	-27.8	5.9E-01	-	-	-	-	18.2	1.92E+04	0.9	0.9	13.4	1.69E+04	0.8	0.8
5	P2_71	a.LM71 - kolej 2 (bez dyn. souč.)	P	0	-2 865.7	6.71E+04	-42.7	-124.3	9.39E+06	-13.2	15.3	-6.52E+06	-2.3	-58.3	1.0E+00	-	-	-	-	15.4	1.92E+04	0.8	0.8	51.5	1.69E+04	3.0	3.0
6	P1_C3	TTZ C3 - kolej 1 (bez dyn. souč.)	P	0	0.0	6.71E+04	0.0	0.0	9.39E+06	0.0	0.0	-6.52E+06	0.0	0.0	0.0E+00	-	-	-	-	0.0	1.92E+04	0.0	0.0	0.0	1.69E+04	0.0	0.0
7	P2_C3	TTZ C3 - kolej 2 (bez dyn. souč.)	P	0	0.0	6.71E+04	0.0	0.0	9.39E+06	0.0	0.0	-6.52E+06	0.0	0.0	0.0E+00	-	-	-	-	0.0	1.92E+04	0.0	0.0	0.0	1.69E+04	0.0	0.0
8	BR	Brzdné a rozjezdové síly	P	0	-84.4	6.71E+04	-1.3	4.9	9.39E+06	0.5	249.8	-6.52E+06	-38.3	-39.1	5.7E-01	-	-	-	-	54.4	1.92E+04	2.8	2.8	2.3	1.69E+04	0.1	0.1
9	S	Boční ráz	P	0	0.0	6.71E+04	0.0	0.0	9.39E+06	0.0	0.0	-6.52E+06	0.0	0.0	0.0E+00	-	-	-	-	0.0	1.92E+04	0.0	0.0	0.0	1.69E+04	0.0	0.0
10	CH	Chodci na lávkách	Q	0	-244.2	6.71E+04	-3.6	5.7	9.39E+06	0.6	5.9	-6.52E+06	-0.9	-3.9	1.3E-01	-	-	-	-	2.3	1.92E+04	0.1	0.1	-0.4	1.69E+04	0.0	0.0
11	W	Vítr na konstrukci	Q	0	-323.6	6.71E+04	-4.8	-58.7	9.39E+06	-6.3	-14.7	-6.52E+06	2.3	-8.8	9.1E-02	-	-	-	-	-2.1	1.92E+04	-0.1	-0.1	34.6	1.69E+04	2.0	2.0
12	WP	Vítr na vozidla	Q	0	-215.1	6.71E+04	-3.2	-7.7	9.39E+06	-0.8	-23.1	-6.52E+06	3.5	-0.5	1.6E-01	-	-	-	-	-4.4	1.92E+04	-0.2	-0.2	26.5	1.69E+04	1.6	1.6
13	TR	Teplota rovnoměrná	Q	0	0.0	6.71E+04	0.0	0.0	9.39E+06	0.0	0.0	-6.52E+06	0.0	0.0	0.0E+00	-	-	-	-	0.0	1.92E+04	0.0	0.0	0.0	1.69E+04	0.0	0.0
14	TN	Teplota nerovnoměrná	Q	0	-46.9	6.71E+04	-0.7	-33.7	9.39E+06	-3.6	0.5	-6.52E+06	-0.1	-4.4	-7.3E-02	-	-	-	-	0.2	1.92E+04	0.0	0.0	11.5	1.69E+04	0.7	0.7
15	FR	Třecí síly v ložiskách	Q	0	-8.6	6.71E+04	-0.1	0.8	9.39E+06	0.1	26.0	-6.52E+06	-4.0	-4.0	6.0E-02	-	-	-	-	5.7	1.92E+04	0.3	0.3	0.1	1.69E+04	0.0	0.0
16	I	Imperfekce soustavy	Q	0	-80.6	6.71E+04	-1.2	-17.4	9.39E+06	-1.9	-1.6	-6.52E+06	0.2	-2.8	0.0E+00	-	-	-	-	0.0	1.92E+04	0.0	0.0	7.6	1.69E+04	0.5	0.5
27	ULS_LM	ULS - LM71 bez dynam	Q	0	0.0	6.71E+04	0.0	0.0	9.39E+06	0.0	0.0	-6.52E+06	0.0	0.0	0.0E+00	-	-	-	-	0.0	1.92E+04	0.0	0.0	0.0	1.69E+04	0.0	0.0
28	SLS_LM	SLS - LM71 bez dynam	Q	0	0.0	6.71E+04	0.0	0.0	9.39E+06	0.0	0.0	-6.52E+06	0.0	0.0	0.0E+00	-	-	-	-	0.0	1.92E+04	0.0	0.0	0.0	1.69E+04	0.0	0.0
29	ULS_C3	ULS - C3 bez dynam	Q	0	0.0	6.71E+04	0.0	0.0	9.39E+06	0.0	0.0	-6.52E+06	0.0	0.0	0.0E+00	-	-	-	-	0.0	1.92E+04	0.0	0.0	0.0	1.69E+04	0.0	0.0
30	SLS_C3	SLS - C3 bez dynam	Q	0	0.0	6.71E+04	0.0	0.0	9.39E+06	0.0	0.0	-6.52E+06	0.0	0.0	0.0E+00	-	-	-	-	0.0	1.92E+04	0.0	0.0	0.0	1.69E+04	0.0	0.0
NAVÝŠENÍ NAPĚTÍ DO AKTIVACE TLAKU V DESCE MOSTOVKY						$\sigma_{P,red}$	0.0							0.0			0.0		0.0				5.5	5.5			8.4	8.4
NAPĚTÍ OD PRIMÁRNÍCH ÚČINKŮ NEROVNOMĚRNÉHO OTEPLENÍ						σ_T	0.0							0.0														
NAPĚTÍ OD REOLOGICKÝCH ÚČINKŮ BETONU V ČASE				t=0		σ_R	0.0	γ_f=	1.20					0.0														
NAPĚTÍ V KRITICKÝCH VLÁKNECH OD KOMBINACE ZATÍŽENÍ						KZ03		[MPa]					$\Sigma\sigma_x$	-183.1								$\Sigma\tau_y$	5.5				$\Sigma\tau_z$	8.4
NAPĚTÍ OD POHYBLIVÉHO ZATÍŽENÍ								[MPa]					$\sigma_{x,P}$	-125.1								τ_P	4.6				τ_P	4.0
NAPĚTÍ OD OSTATNÍCH ZATÍŽENÍ								[MPa]			Φ_{vy}	Φ_{vz}	$\sigma_{x,rs}$	-58.0								τ_{rs}	1.0				τ_{rs}	4.4
NÁVRHOVÁ HODNOTA MEZE KLUZU S REDUKCÍ VLIVEM SMYKOVÉHO NAPĚTÍ								[MPa]			1.00	1.00	$f_{yv,d}$	191.7								$f_{yd}/3^{0,5}$	110.7				$f_{yd}/3^{0,5}$	110.7
NAPĚTÍ OD POHYBLIVÉHO ZATÍŽENÍ V GLOBÁLNÍM SYSTÉMU						$\sigma_{GLOB,P}$	0.0	[MPa]					$\Sigma\sigma_{GLOB}$	0.0														
NAPĚTÍ OD OSTATNÍCH ZATÍŽENÍ V GLOBÁLNÍM SYSTÉMU						$\sigma_{GLOB,rs}$	0.0	[MPa]					$\Sigma\sigma_x + \Sigma\sigma_{GLOB}$	-183.1														
VYUŽITÍ PRŮŘEZU DLE NAPĚTÍ								[%]					η_1	0.96								η_3	0.05				η_3	0.08
NAPĚTÍ V PŘÍČNÉM SMĚRU OD POHYBLIVÉHO ZATÍŽENÍ						$\sigma_{z,P}$	0.0	[MPa]					$\Sigma\sigma_z$	0.0														
NAPĚTÍ V PŘÍČNÉM SMĚRU OD OSTATNÍCH ZATÍŽENÍ						$\sigma_{z,rs}$	0.0	[MPa]					η_2	0.00														
SROVNÁVACÍ NAPĚTÍ													$(\eta_2 + 0,8\,\eta_1)/1,4$ =	0.55														
VYUŽITÍ PRŮŘEZU CELKEM								[%]					eff	0.96	VYHOVUJE													
													z_{LM71} =	1.07														

TAB. V0.3 POSOUZENÍ - MEZNÍ STAV ÚNOSNOSTI

POPIS	SVISLICE V0
PRUT / POLOHA BODU	442 / J[368]
NAMÁHÁNÍ	Vz.max
VLÁKNO	BOD S6 -HP
MEZNÍ STAV	ULS (MSÚ)
VYUŽITÍ VLÁKNA PRŮŘEZU	0.48

Charakteristiky materiálu				
pás. horní	$f_{yf,k}$	230	MPa	
pás. dolní	$f_{yf,k}$	230	MPa	
stojina	$f_{yw,k}$	230	MPa	
výztuž	$f_{ys,k}$	500	MPa	
γ_M =	1.20	γ_s =	1.15	

Excentricita normálové síly				
Exc./Fáze	0	1	2	3
e_y	0.000	0.000	0.000	0.000
e_z	0.000	0.000	0.000	0.000
Ekvivalentní vzdál. stěn - příčný roznos				
b_{Mx}	0.000	0.000	0.000	0.000

Vliv stěny na únosnost průřezu				
Char./Fáze	0	1	2	3
A	0.00	0.00	0.00	0.00
Wy	0.00	0.00	0.00	0.00
Wz	0.00	0.00	0.00	0.00

Charakter. v kroucení			
$t_{w,y}$	0.000	[mm]	
$t_{w,z}$	0.000	[mm]	
κ	1.00		
I_t=	0.00E+00	[mm^4]	
Ω=2*A_{pz}	0.00E+00	[mm^2]	

Součinitele vzpěru a vlivu II.řádu					
Char./Fáze	0	1	2	3	4
k_y	1.060	1.000	1.000	1.000	
k_z	1.030	1.000	1.000	1.000	
χ_{LT}	1.000	1.000	1.000	1.000	
χ_{min}	0.956	1.000	1.000	1.000	

Vnitřní síly od jednotlivých skupin zatěžovacích stavů

SKUPINA ZATĚŽOVACÍCH STAVŮ — **- CHARAKTERISTICKÉ HODNOTY** — **DÍLČÍ SOUČINITELÉ ZATÍŽENÍ, DYNAMICKÝ SOUČINITEL** — **- NÁVRHOVÉ HODNOTY**

Č.	SKUP ZS	POPIS ZS	KAT.	FÁZE PRŮŘ.	N.k (kN)	Vy.k (kN)	Vz.k (kN)	Mx.k (kNm)	My.k (kNm)	Mz.k (kNm)	γ_{sr} (-)	γ_{fs} (-)	volba γ_f hledat	γ_f (-)	L_d (m)	δ (-)	Ψ_s KZ04	N.d (kN)	Vy.d (kN)	Vz.d (kN)	ΔVz.d (kN)	ΣVz.d (kN)	Mx.d (kNm)	My.d (kNm)	ΔMy.d (kNm)	ΣMy.d (kNm)	Mz.d (kNm)	ΔMz.d (kNm)	ΣMz.d (kNm)
1	G0	Vlastní tíha OK	G	0	-1 366	13	-5	1	-13	29	1.00	1.20		1.20	-	1.00	0.95	-1 557	15	-6	0	-6	1	-16	0	-16	34	0	34
2	G1	Ostatní stálé - mostní vybavení	G	0	-100	1	0	0	-1	2	1.00	1.00		1.00	-	1.00	0.95	-95	1	0	0	0	0	-1	0	-1	2	0	2
3	G2	Ostatní stálé - cizí zařízení	G	0	-59	1	0	0	1	1	1.00	1.00		1.00	-	1.00	0.95	-56	1	0	0	0	0	1	0	1	1	0	1
4	P1_71	a.LM71 - kolej 1 (bez dyn. souč.)	P	0	-213	2	28	0	-39	4	1.00	1.30		1.30	-	1.00	1.00	-277	2	37	0	37	0	-53	0	-53	5	0	5
5	P2_71	a.LM71 - kolej 2 (bez dyn. souč.)	P	0	-1 177	6	42	0	-71	7	1.00	1.30		1.30	-	1.00	1.00	-1 530	8	54	0	54	1	-97	0	-97	9	0	9
6	P1_C3	TTZ C3 - kolej 1 (bez dyn. souč.)	P	0	-176	1	29	0	-38	2	1.00	vyp.		0.00	-	1.00	0.00	0	0	0	0	0	0	0	0	0	0	0	0
7	P2_C3	TTZ C3 - kolej 2 (bez dyn. souč.)	P	0	-1 086	6	42	0	-69	5	1.00	vyp.		0.00	-	1.00	0.00	0	0	0	0	0	0	0	0	0	0	0	0
8	BR	Brzdné a rozjezdové síly	P	0	-81	52	2	1	4	233	1.00	1.30		1.30	-	1.00	0.40	-42	27	1	0	1	0	2	0	2	125	0	125
9	S	Boční ráz	P	0	-22	1	8	0	16	2	1.00	1.30		1.30	-	1.00	0.80	-23	1	9	0	9	0	18	0	18	2	0	2
10	CH	Chodci na lávkách	Q	0	-188	2	0	0	4	4	1.00	0.00		0.00	-	1.00	1.00	0	0	0	0	0	0	0	0	0	0	0	0
11	W	Vítr na konstrukci	Q	0	-320	-2	34	0	-55	-14	1.00	1.35		1.35	-	1.00	0.75	-324	-2	35	0	35	0	-59	0	-59	-15	0	-15
12	WP	Vítr na vozidla	Q	0	-212	-4	26	0	-7	-22	1.00	1.35		1.35	-	1.00	0.75	-215	-4	27	0	27	0	-8	0	-8	-23	0	-23
13	TR	Teplota rovnoměrná	Q	0	0	0	0	0	0	0	1.00	1.35		1.35	-	1.00	0.45	0	0	0	0	0	0	0	0	0	0	0	0
14	TN	Teplota nerovnoměrná	Q	0	-58	0	14	0	-39	1	1.00	1.35		1.35	-	1.00	0.60	-47	0	11	0	11	0	-34	0	-34	1	0	1
15	FR	Třecí síly v ložiskách	Q	0	-7	5	0	0	1	21	1.00	1.20		1.20	-	1.00	1.00	-9	6	0	0	0	0	1	0	1	26	0	26
16	I	Imperfekce soustavy	Q	0	-67	0	6	0	-14	-1	1.00	1.20		1.20	-	1.00	1.00	-81	0	8	0	8	0	-17	0	-17	-2	0	-2
27	ULS_LM	ULS - LM71 bez dynam	Q	0	-4 547	64	178	2	-238	198	1.00	vyp.		0.00	-	1.00	0.00	0	0	0	0	0	0	0	0	0	0	0	0
28	SLS_LM	SLS - LM71 bez dynam	Q	0	-3 639	51	126	2	-159	159	1.00	vyp.	1	0.00	-	1.00	0.00	0	0	0	0	0	0	0	0	0	0	0	0
29	ULS_C3	ULS - C3 bez dynam	Q	0	-4 380	62	178	2	-236	194	1.00	vyp.	1	0.00	-	1.00	0.00	0	0	0	0	0	0	0	0	0	0	0	0
30	SLS_C3	SLS - C3 bez dynam	Q	0	-3 511	50	127	2	-158	156	1.00	vyp.	1	0.00	-	1.00	0.00	0	0	0	0	0	0	0	0	0	0	0	0
		CELKEM - FÁZE PRŮŘEZU 0			-4 256	54	176	0	-263	166								-4 256	54	176	0	176	2	-263	0	-263	166	0	166
		CELKEM - FÁZE PRŮŘEZU 1																0	0	0	0	0	0	0	0	0	0	0	0
		CELKEM - FÁZE PRŮŘEZU 2																0	0	0	0	0	0	0	0	0	0	0	0
		CELKEM - FÁZE PRŮŘEZU 3																0	0	0	0	0	0	0	0	0	0	0	0
		CELKEM - PRŮŘEZ																-4 256	54	176	0	176	2			-263			166

Napětí od jednotlivých zatěžovacích stavů

SKUPINA ZATĚŽOVACÍCH STAVŮ — **Posouzení normálového napětí** — **Posouzení smykového napětí**

Č.	SKUP ZS	Popis ZS	Kat.	fáze prúř.	Účinek síly N: δ^*N_d [kN]	χ^*A [mm^2]	σ_n [MPa]	Účinek momentu My: $\delta^*M_{y,d}$ [kNm]	$\chi_{lt}^*W_{el,y}$ [mm^3]	σ_{my} [MPa]	Účinek momentu Mz: $\delta^*M_{z,d}$ [kNm]	$W_{el,z}$ [mm^3]	σ_{mz} [MPa]	σ_x [MPa]	Účinek kroutícího momentu Mx: $\kappa^*\delta^*M_{x,d}$ [kNm]	$W_{v,y}$ [mm^3]	$\tau_{x,y}$ [MPa]	$W_{v,z}$ [mm^3]	$\tau_{x,z}$ [MPa]	Účinek smykové síly Vy: $\delta^*V_{y,d}$ [kN]	$A_{v,y}$ [mm2]	$\tau_{v,y}$ [MPa]	$\tau_{v,y}$ [MPa]	Účinek smykové síly Vz: $\delta^*V_{z,d}$ [kN]	$A_{v,z}$ [mm2]	$\tau_{v,z}$ [MPa]	$\tau_{v,z}$ [MPa]
1	G0	Vlastní tíha OK	G	0	-1 557.4	6.71E+04	-23.2	-16.1	9.39E+06	-1.7	34.5	-1.93E+08	-0.2	-25.1	8.0E-01	-	-	-	-	14.9	1.92E+04	0.8	0.8	-6.0	1.69E+04	-0.4	-0.4
2	G1	Ostatní stálé - mostní vybavení	G	0	-94.9	6.71E+04	-1.4	-1.0	9.39E+06	-0.1	2.1	-1.93E+08	0.0	-1.5	4.8E-02	-	-	-	-	0.9	1.92E+04	0.0	0.0	0.1	1.69E+04	0.0	0.0
3	G2	Ostatní stálé - cizí zařízení	G	0	-56.4	6.71E+04	-0.8	1.3	9.39E+06	0.1	1.3	-1.93E+08	0.0	-0.7	2.9E-02	-	-	-	-	0.5	1.92E+04	0.0	0.0	0.0	1.69E+04	0.0	0.0
4	P1_71	a.LM71 - kolej 1 (bez dyn. souč.)	P	0	-277.2	6.71E+04	-4.1	-53.5	9.39E+06	-5.7	5.2	-1.93E+08	0.0	-9.9	-1.0E-01	-	-	-	-	2.3	1.92E+04	0.1	0.1	37.0	1.69E+04	2.2	2.2
5	P2_71	a.LM71 - kolej 2 (bez dyn. souč.)	P	0	-1 530.0	6.71E+04	-22.8	-97.4	9.39E+06	-10.4	8.9	-1.93E+08	0.0	-33.2	5.5E-01	-	-	-	-	8.4	1.92E+04	0.4	0.4	54.4	1.69E+04	3.2	3.2
6	P1_C3	TTZ C3 - kolej 1 (bez dyn. souč.)	P	0	0.0	6.71E+04	0.0	0.0	9.39E+06	0.0	0.0	-1.93E+08	0.0	0.0	0.0E+00	-	-	-	-	0.0	1.92E+04	0.0	0.0	0.0	1.69E+04	0.0	0.0
7	P2_C3	TTZ C3 - kolej 2 (bez dyn. souč.)	P	0	0.0	6.71E+04	0.0	0.0	9.39E+06	0.0	0.0	-1.93E+08	0.0	0.0	0.0E+00	-	-	-	-	0.0	1.92E+04	0.0	0.0	0.0	1.69E+04	0.0	0.0
8	BR	Brzdné a rozjezdové síly	P	0	-42.2	6.71E+04	-0.6	2.4	9.39E+06	0.3	124.9	-1.93E+08	-0.6	-1.0	2.9E-01	-	-	-	-	27.2	1.92E+04	1.4	1.4	1.2	1.69E+04	0.1	0.1
9	S	Boční ráz	P	0	-22.8	6.71E+04	-0.3	17.9	9.39E+06	1.9	2.0	-1.93E+08	0.0	1.6	-3.1E-02	-	-	-	-	0.5	1.92E+04	0.0	0.0	8.6	1.69E+04	0.5	0.5
10	CH	Chodci na lávkách	Q	0	0.0	6.71E+04	0.0	0.0	9.39E+06	0.0	0.0	-1.93E+08	0.0	0.0	0.0E+00	-	-	-	-	0.0	1.92E+04	0.0	0.0	0.0	1.69E+04	0.0	0.0
11	W	Vítr na konstrukci	Q	0	-323.6	6.71E+04	-4.8	-58.7	9.39E+06	-6.3	-14.7	-1.93E+08	0.1	-11.0	9.1E-02	-	-	-	-	-2.1	1.92E+04	-0.1	-0.1	34.6	1.69E+04	2.0	2.0
12	WP	Vítr na vozidla	Q	0	-215.1	6.71E+04	-3.2	-7.7	9.39E+06	-0.8	-23.1	-1.93E+08	0.1	-3.9	1.6E-01	-	-	-	-	-4.4	1.92E+04	-0.2	-0.2	26.5	1.69E+04	1.6	1.6
13	TR	Teplota rovnoměrná	Q	0	0.0	6.71E+04	0.0	0.0	9.39E+06	0.0	0.0	-1.93E+08	0.0	0.0	0.0E+00	-	-	-	-	0.0	1.92E+04	0.0	0.0	0.0	1.69E+04	0.0	0.0
14	TN	Teplota nerovnoměrná	Q	0	-46.9	6.71E+04	-0.7	-33.7	9.39E+06	-3.6	0.5	-1.93E+08	0.0	-4.3	-7.3E-02	-	-	-	-	0.2	1.92E+04	0.0	0.0	11.5	1.69E+04	0.7	0.7
15	FR	Třecí síly v ložiskách	Q	0	-8.6	6.71E+04	-0.1	0.8	9.39E+06	0.1	26.0	-1.93E+08	-0.1	-0.2	6.0E-02	-	-	-	-	5.7	1.92E+04	0.3	0.3	0.1	1.69E+04	0.0	0.0
16	I	Imperfekce soustavy	Q	0	-80.6	6.71E+04	-1.2	-17.4	9.39E+06	-1.9	-1.6	-1.93E+08	0.0	-3.0	0.0E+00	-	-	-	-	0.0	1.92E+04	0.0	0.0	7.6	1.69E+04	0.5	0.5
27	ULS_LM	ULS - LM71 bez dynam	Q	0	0.0	6.71E+04	0.0	0.0	9.39E+06	0.0	0.0	-1.93E+08	0.0	0.0	0.0E+00	-	-	-	-	0.0	1.92E+04	0.0	0.0	0.0	1.69E+04	0.0	0.0
28	SLS_LM	SLS - LM71 bez dynam	Q	0	0.0	6.71E+04	0.0	0.0	9.39E+06	0.0	0.0	-1.93E+08	0.0	0.0	0.0E+00	-	-	-	-	0.0	1.92E+04	0.0	0.0	0.0	1.69E+04	0.0	0.0
29	ULS_C3	ULS - C3 bez dynam	Q	0	0.0	6.71E+04	0.0	0.0	9.39E+06	0.0	0.0	-1.93E+08	0.0	0.0	0.0E+00	-	-	-	-	0.0	1.92E+04	0.0	0.0	0.0	1.69E+04	0.0	0.0
30	SLS_C3	SLS - C3 bez dynam	Q	0	0.0	6.71E+04	0.0	0.0	9.39E+06	0.0	0.0	-1.93E+08	0.0	0.0	0.0E+00	-	-	-	-	0.0	1.92E+04	0.0	0.0	0.0	1.69E+04	0.0	0.0
		NAVÝŠENÍ NAPĚTÍ DO AKTIVACE TLAKU V DESCE MOSTOVKY				$\sigma_{P,red}$	0.0							0.0				0.0		0.0			2.8	2.8			10.4	10.4
		NAPĚTÍ OD PRIMÁRNÍCH ÚČINKŮ NEROVNOMĚRNÉHO OTEPLENÍ				σ_T	0.0							0.0														
		NAPĚTÍ OD REOLOGICKÝCH ÚČINKŮ BETONU V ČASE		t=0		σ_R	0.0	γ_f=	1.20					0.0														
		NAPĚTÍ V KRITICKÝCH VLÁKNECH OD KOMBINACE ZATÍŽENÍ				KZ04		[MPa]					$\Sigma\sigma_x$	-92.3									$\Sigma\tau_y$	2.8			$\Sigma\tau_z$	10.4
		NAPĚTÍ OD POHYBLIVÉHO ZATÍŽENÍ						[MPa]					$\sigma_{x,P}$	-42.5									τ_P	2.0			τ_P	6.0
		NAPĚTÍ OD OSTATNÍCH ZATÍŽENÍ						[MPa]			Φ_{Vy}	Φ_{Vz}	$\sigma_{x,rs}$	-49.8									τ_{rs}	0.8			τ_{rs}	4.4
		NÁVRHOVÁ HODNOTA MEZE KLUZU S REDUKCÍ VLIVEM SMYKOVÉHO NAPĚTÍ						[MPa]			1.00	1.00	$f_{yv,d}$	191.7									$f_{yd}/3^{0,5}$	110.7			$f_{yd}/3^{0,5}$	110.7
		NAPĚTÍ OD POHYBLIVÉHO ZATÍŽENÍ V GLOBÁLNÍM SYSTÉMU				$\sigma_{GLOB,P}$	0.0	[MPa]					$\Sigma\sigma_{GLOB}$	0.0														
		NAPĚTÍ OD OSTATNÍCH ZATÍŽENÍ V GLOBÁLNÍM SYSTÉMU				$\sigma_{GLOB,rs}$	0.0	[MPa]					$\Sigma\sigma_x + \Sigma\sigma_{GLOB}$	-92.3														
		VYUŽITÍ PRŮŘEZU DLE NAPĚTÍ						[%]					η_1	0.48									η_3	0.03			η_3	0.09
		NAPĚTÍ V PŘÍČNÉM SMĚRU OD POHYBLIVÉHO ZATÍŽENÍ				$\sigma_{z,P}$	0.0	[MPa]					$\Sigma\sigma_z$	0.0														
		NAPĚTÍ V PŘÍČNÉM SMĚRU OD OSTATNÍCH ZATÍŽENÍ				$\sigma_{z,rs}$	0.0	[MPa]					η_2	0.00														
		SROVNÁVACÍ NAPĚTÍ											(η2 + 0,8 η1)/1,4 =	0.28														
		VYUŽITÍ PRŮŘEZU CELKEM						[%]					eff	0.48	VYHOVUJE													
													Z_{LM71} =	3.34														

VÝPOČET PRŮŘEZOVÝCH CHARAKTERISTIK

PRŮŘEZ: V1_1 **POPIS:** SVISLICE V1 - MIN N

x = - **m**

DEFINOVÁNÍ PRŮŘEZU

ŠÍŘKA PÁSNICE ÚHELNÍKU	b f.t.l.o =	150	mm	**ÚHELNÍK HORNÍ VNĚJŠÍ LEVÝ**		**C.T.O.L**	
TLOUŠŤKA PÁSNICE ÚHELNÍKU	t f.t.l.o =	14	mm	OSLABENÍ PÁSNICE - TLOUŠŤKA	Δt f.t.l.o =	0	%
VÝŠKA STĚNY ÚHELNÍKU	h w.t.l.o =	86	mm				
TLOUŠŤKA STĚNY ÚHELNÍKU	t w.t.l.o =	14	mm	OSLABENÍ STĚNY - TLOUŠŤKA	Δt w.t.l.o =	10	%
ŠÍŘKA PÁSNICE ÚHELNÍKU	b f.t.r.o =	150	mm	**ÚHELNÍK HORNÍ VNĚJŠÍ PRAVÝ**		**C.T.O.R**	
TLOUŠŤKA PÁSNICE ÚHELNÍKU	t f.t.r.o =	14	mm	OSLABENÍ PÁSNICE - TLOUŠŤKA	Δt f.t.r.o =	0	%
VÝŠKA STĚNY ÚHELNÍKU	h w.t.r.o =	86	mm				
TLOUŠŤKA STĚNY ÚHELNÍKU	t w.t.r.o =	14	mm	OSLABENÍ STĚNY - TLOUŠŤKA	Δt w.t.r.0 =	10	%
ŠÍŘKA PÁSNICE ÚHELNÍKU	b f.t.l.i =	150	mm	**ÚHELNÍK HORNÍ VNITŘNÍ LEVÝ**		**C.T.I.L**	
TLOUŠŤKA PÁSNICE ÚHELNÍKU	t f.t.l.i =	14	mm	OSLABENÍ PÁSNICE - TLOUŠŤKA	Δt f.b.l.o =	0	%
VÝŠKA STĚNY ÚHELNÍKU	h w.t.l.i =	86	mm				
TLOUŠŤKA STĚNY ÚHELNÍKU	t w.t.l.i =	14	mm	OSLABENÍ STĚNY - TLOUŠŤKA	Δt w.b.l.o =	10	%
ŠÍŘKA PÁSNICE ÚHELNÍKU	b f.t.r.i =	150	mm	**ÚHELNÍK HORNÍ VNITŘNÍ PRAVÝ**		**C.T.I.R**	
TLOUŠŤKA PÁSNICE ÚHELNÍKU	t f.t.r.i =	14	mm	OSLABENÍ PÁSNICE - TLOUŠŤKA	Δt f.b.r.o =	0	%
VÝŠKA STĚNY ÚHELNÍKU	h w.t.r.i =	86	mm				
TLOUŠŤKA STĚNY ÚHELNÍKU	t w.t.r.i =	14	mm	OSLABENÍ STĚNY - TLOUŠŤKA	Δt w.b.r.o =	10	%
ŠÍŘKA PÁSNICE ÚHELNÍKU	b f.b.l.o =	150	mm	**ÚHELNÍK DOLNÍ VNĚJŠÍ LEVÝ**		**C.B.O.L**	
TLOUŠŤKA PÁSNICE ÚHELNÍKU	t f.b.l.o =	14	mm	OSLABENÍ PÁSNICE - TLOUŠŤKA	Δt f.t.l.i =	0	%
VÝŠKA STĚNY ÚHELNÍKU	h w.b.l.o =	86	mm				
TLOUŠŤKA STĚNY ÚHELNÍKU	t w.b.l.o =	14	mm	OSLABENÍ STĚNY - TLOUŠŤKA	Δt w.t.l.i =	10	%
ŠÍŘKA PÁSNICE ÚHELNÍKU	b f.b.r.o =	150	mm	**ÚHELNÍK DOLNÍ VNĚJŠÍ PRAVÝ**		**C.B.O.R**	
TLOUŠŤKA PÁSNICE ÚHELNÍKU	t f.b.r.o =	14	mm	OSLABENÍ PÁSNICE - TLOUŠŤKA	Δt f.t.r.i =	0	%
VÝŠKA STĚNY ÚHELNÍKU	h w.b.r.o =	86	mm				
TLOUŠŤKA STĚNY ÚHELNÍKU	t w.b.r.o =	14	mm	OSLABENÍ STĚNY - TLOUŠŤKA	Δt w.t.r.i =	10	%
PÁSNICE DOLNÍHO LEVÉHO ÚHELNÍKU	b f.b.l.i =	150	mm	**ÚHELNÍK DOLNÍ VNITŘNÍ LEVÝ**		**C.B.I.L**	
TLOUŠŤKA PÁSNICE ÚHELNÍKU	t f.b.l.i =	14	mm	OSLABENÍ PÁSNICE - TLOUŠŤKA	Δt f.b.l.i =	0	%
VÝŠKA STĚNY ÚHELNÍKU	h w.b.l.i =	86	mm				
TLOUŠŤKA STĚNY ÚHELNÍKU	t w.b.l.i =	14	mm	OSLABENÍ STĚNY - TLOUŠŤKA	Δt w.b.l.i =	10	%
PÁSNICE DOLNÍHO PRAVÉHO ÚHELNÍKU	b f.b.r.i =	150	mm	**ÚHELNÍK DOLNÍ VNITŘNÍ PRAVÝ**		**C.B.I.R**	
TLOUŠŤKA PÁSNICE ÚHELNÍKU	t f.b.r.i =	14	mm	OSLABENÍ PÁSNICE - TLOUŠŤKA	Δt f.b.r.i =	0	%
VÝŠKA STĚNY ÚHELNÍKU	h w.b.r.i =	86	mm				
TLOUŠŤKA STĚNY ÚHELNÍKU	t w.b.r.i =	14	mm	OSLABENÍ STĚNY - TLOUŠŤKA	Δt w.b.r.i =	10	%

HORNÍ

ŠÍŘKA HORNÍ VLOŽKY - VNĚJŠÍ	b f.t =	0	mm			**HOR.T.O**	
TLOUŠŤKA VLOŽKY	t f.t =	0	mm	OSLABENÍ VLOŽKY	Δt f.t =	0	%
ŠÍŘKA HORNÍ VLOŽKY - VNITŘNÍ	b f.t =	0	mm			**HOR.T.I**	
TLOUŠŤKA VLOŽKY	t f.t =	0	mm	OSLABENÍ VLOŽKY	Δt f.t =	0	%
ŠÍŘKA DOLNÍ VLOŽKY - VNĚJŠÍ	b f.t =	0	mm			**HOR.B.O**	
TLOUŠŤKA VLOŽKY	t f.t =	0	mm	OSLABENÍ VLOŽKY	Δt f.t =	0	%
ŠÍŘKA DOLNÍ VLOŽKY - VNITŘNÍ	b f.t =	0	mm			**HOR.B.I**	
TLOUŠŤKA VLOŽKY	t f.t =	0	mm	OSLABENÍ VLOŽKY - VNITŘNÍ	Δt f.t =	0	%

VZD. OKRAJŮ PÁSNIC VNITŘNÍCH ÚHELNÍKŮ	388	mm
CELKOVÁ TLOUŠŤKA MEZI PÁSNICEMI ÚHELNÍKŮ I A .o	52	mm
CELKOVÁ TLOUŠŤKA MEZI PÁSNICEMI ÚHELNÍKŮ I A .r	13	mm

ZADANÍ ČÁSTI PRŮŘEZU:

č.prvku	b [mm]	h [mm]	y_0 [mm]	z_0 [mm]	popis části	druh oslabení	lokální ultimate	boulení servic.
1	150.0	14.0	-81.5	253.0	pásnice	0	1.000	1.000
2	12.6	86.0	-12.8	303.0	stěna	0	1.000	1.000
3	150.0	14.0	81.5	253.0	pásnice	0	1.000	1.000
4	12.6	86.0	12.8	303.0	stěna	0	1.000	1.000
5	150.0	14.0	-81.5	187.0	pásnice	0	1.000	1.000
6	12.6	86.0	-12.8	137.0	stěna	0	1.000	1.000
7	150.0	14.0	81.5	187.0	pásnice	0	1.000	1.000
8	12.6	86.0	12.8	137.0	stěna	0	1.000	1.000
9	150.0	14.0	-81.5	-253.0	pásnice	0	1.000	1.000
10	12.6	86.0	-12.8	-303.0	stěna	0	1.000	1.000
11	150.0	14.0	81.5	-253.0	pásnice	0	1.000	1.000
12	12.6	86.0	12.8	-303.0	stěna	0	1.000	1.000
13	150.0	14.0	-81.5	-187.0	pásnice	0	1.000	1.000
14	12.6	86.0	-12.8	-137.0	stěna	0	1.000	1.000
15	150.0	14.0	81.5	-187.0	pásnice	0	1.000	1.000
16	12.6	86.0	12.8	-137.0	stěna	0	1.000	1.000
17						0	1.000	1.000
18						0	1.000	1.000
19						0	1.000	1.000
20						0	1.000	1.000
21						0	1.000	1.000
22						0	1.000	1.000
23						0	1.000	1.000
24						0	1.000	1.000
25						0	1.000	1.000
26						0	1.000	1.000
27						0	1.000	1.000
28						0	1.000	1.000
29						0	1.000	1.000
30						0	1.000	1.000
31						0	1.000	1.000
32						0	1.000	1.000
33						0	1.000	1.000
34						0	1.000	1.000
35						0	1.000	1.000
36						0	1.000	1.000
37						0	1.000	1.000
38						0	1.000	1.000
39						0	1.000	1.000
40						0	1.000	1.000
41	0.0	0.0	0.0	246.0	pásnice	0	1.000	1.000
42	0.0	0.0	0.0	194.0	pásnice	0	1.000	1.000
43	0.0	0.0	0.0	-246.0	pásnice	0	1.000	1.000
44	0.0	0.0	0.0	-194.0	pásnice	0	1.000	1.000
45						0	1.000	1.000
46						0	1.000	1.000
47						0	1.000	1.000
48						0	1.000	1.000
49						0	1.000	1.000
50						0	1.000	1.000
51						0	1.000	1.000
52						0	1.000	1.000
53						0	1.000	1.000
54						0	1.000	1.000
55						0	1.000	1.000
56						0	1.000	1.000
57						0	1.000	1.000
58						0	1.000	1.000
59						0	1.000	1.000
60						0	1.000	1.000
61						0	1.000	1.000
62						0	1.000	1.000
63						0	1.000	1.000
64						0	1.000	1.000
65						0	1.000	1.000
66						0	1.000	1.000
67						0	1.000	1.000
68						0	1.000	1.000
69						0	1.000	1.000
70						0	1.000	1.000
71	0	0	-12.8	301.0	nýt	0	1.000	1.000
72	0	0	12.8	301.0	nýt	0	1.000	1.000
73	0	0	-12.8	139.0	nýt	0	1.000	1.000
74	0	0	12.8	139.0	nýt	0	1.000	1.000
75	0	0	-12.8	-301.0	nýt	0	1.000	1.000
76	0	0	12.8	-301.0	nýt	0	1.000	1.000
77	0	0	-12.8	-139.0	nýt	0	1.000	1.000
78	0	0	12.8	-139.0	nýt	0	1.000	1.000
79						0	1.000	1.000
80						0	1.000	1.000
81	0	0	0	0	nýt	0	1.000	1.000
82	0	0	0	0	nýt	0	1.000	1.000
83	0	0	0	0	nýt	0	1.000	1.000
84	0	0	0	0	nýt	0	1.000	1.000
85	0	0	0	0	nýt	0	1.000	1.000
86	0	0	0	0	nýt	0	1.000	1.000
87	0	0	0	0	nýt	0	1.000	1.000
88	0	0	0	0	nýt	0	1.000	1.000
89						0	1.000	1.000
90						0	1.000	1.000
91	0	0	0	0	nýt	0	1.000	1.000
92	0	0	0	0	nýt	0	1.000	1.000
93	0	0	0	0	nýt	0	1.000	1.000
94	0	0	0	0	nýt	0	1.000	1.000
95	0	0	0	0	nýt	0	1.000	1.000
96	0	0	0	0	nýt	0	1.000	1.000
97	0	0	0	0	nýt	0	1.000	1.000
98	0	0	0	0	nýt	0	1.000	1.000
99						0	1.000	1.000
100						0	1.000	1.000

NÝT Č.	SKUPINA	ŘEZ	RED.	VELIKOST di [mm]	POLOHA oi [mm]	POPIS	AKTIVITA OTVORU	NAPĚTÍ sc [MPa]
1		-	1.00	20	45	nýt - t.o - úhelník	0	-57.85
2		-	1.00	20	45	nýt - t.o - úhelník	0	-57.07
3		-	1.00	20	45	nýt - t.i - úhelník	0	-61.59
4		-	1.00	20	45	nýt - t.i - úhelník	0	-60.81
5		-	1.00	20	45	nýt - b.o - úhelník	0	-71.76
6		-	1.00	20	45	nýt - b.o - úhelník	0	-70.98
7		-	1.00	20	45	nýt - b.i - úhelník	0	-68.02
8		-	1.00	20	45	nýt - b.i - úhelník	0	-67.24
9								
10								
11		-	1.00	0	35	nýt - t.l - úhelník	0	-
12		-	1.00	0	35	nýt - t.l - úhelník	0	-
13		-	1.00	0	35	nýt - t.r - úhelník	0	-
14		-	1.00	0	35	nýt - t.r - úhelník	0	-
15		-	1.00	0	35	nýt - b.l - úhelník	0	-
16		-	1.00	0	35	nýt - b.l - úhelník	0	-
17		-	1.00	0	35	nýt - b.r - úhelník	0	-
18		-	1.00	0	35	nýt - b.r - úhelník	0	-
19								
20								
21		-	1.00	0	-132	nýt - t.l	0	-
22		-	1.00	0	-132	nýt - t.l	0	-
23		-	1.00	0	132	nýt - t.r	0	-
24		-	1.00	0	132	nýt - t.r	0	-
25		-	1.00	0	-132	nýt - b.l	0	-
26		-	1.00	0	-132	nýt - b.l	0	-
27		-	1.00	0	132	nýt - b.r	0	-
28		-	1.00	0	132	nýt - b.r	0	-
29								
30								

VÝPOČET PRŮŘEZOVÝCH CHARAKTERISTIK

Properties	Basic	Ultimate		Serviceability	
y_i	0.0	0.0		0.0	[mm]
z_i	0.0	0.0		0.0	[mm]
A_i	2.5469E-04	2.5469E-04		2.5469E-04	[mm²]
A_s	1.6800E-04	1.6800E-04		1.6800E-04	[mm²]
A_w	8.6688E-03	8.6688E-03		8.6688E-03	[mm²]
I_{y1}	6.5816E+08	6.5816E+08		6.5816E+08	[mm⁴]
I_w	1.4462E+08	1.4462E+08		1.4462E+08	[mm⁶]
i_y	160.8	160.8		160.8	[mm]
i_z	75.4	75.4		75.4	[mm]
$W_{y,1}$	1.9022E+06	1.9022E+06		1.9022E+06	[mm³]
$W_{z,1}$	-9.2412E+05	-9.2412E+05		-9.2412E+05	[mm³]
$W_{y,2}$	-1.9022E+06	-1.9022E+06		-1.9022E+06	[mm³]
$W_{z,2}$	-9.2412E+05	-9.2412E+05		-9.2412E+05	[mm³]
KRAJNÍ VLÁKNA PRŮŘEZU					
y_1	-156.5	-156.5		-156.5	[mm] min
z_1	346.0	346.0		346.0	[mm] max
y_2	-156.5	-156.5		-156.5	[mm] min
z_2	-346.0	-346.0		-346.0	[mm] min
y_3	156.5	156.5		156.5	[mm] max
z_3	346.0	346.0		346.0	[mm] max
y_4	156.5	156.5		156.5	[mm] max
z_4	-346.0	-346.0		-346.0	[mm] min
y_5	-19.1	-19.1		-19.1	[mm]
z_5	-260.0	-260.0		-260.0	[mm]
y_6	-19.1	-19.1		-19.1	[mm]
z_6	-346.0	-346.0		-346.0	[mm]

ÚPRAVA MOMENTŮ SETRVAČNOSTI V DŮSLEDKU ČLENĚNÍ PRŮŘEZU

OSA Y	0.50
OSA Z	1.00

SCHÉMA PROMĚNNÝCH

SCHÉMA ZADANÉHO PRŮŘEZU

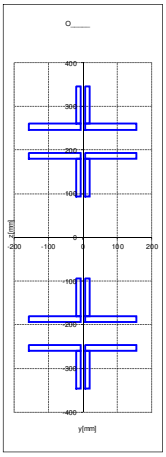

NEUTRÁLNÁ OSA

NAPĚTÍ [MPa]:

-61.19	-51.65
-77.18	-67.64

ZS: LS_LM_N-MIN_TLAK_-_BEZ NÝTŮ

	N [kN]	Vy [kN]	Vz [kN]	Mx [kNm]	My [kNm]	Mz [kNm]
import	-1641	0	-0	0	-15	-4

TR_V1.1 POPIS: **SVISLICE V1** POSUDEK: **V1.1**

SKUPINA ZAT. STAVŮ	EXTRÉM	VYHODNOCOVANÉ VELIČINY					
		N	Vy	Vz	Mx	My	Mz
		kN	kN	kN	kNm	kNm	kNm
G0	N.min	**-434.95**	0.72	0.45	0	-0.72	-1.43
	N.max	**-434.95**	0.72	0.45	0	-0.72	-1.43
	Vy.min	-434.95	**0.72**	0.45	0	-0.72	-1.43
	Vy.max	-434.95	**0.72**	0.45	0	-0.72	-1.43
	Vz.min	-434.95	0.72	**0.45**	0	-0.72	-1.43
	Vz.max	-434.95	0.72	**0.45**	0	-0.72	-1.43
	Mx.min	-434.95	0.72	0.45	**0**	-0.72	-1.43
	Mx.max	-434.95	0.72	0.45	**0**	-0.72	-1.43
	My.min	-434.95	0.72	0.45	0	**-0.72**	-1.43
	My.max	-434.95	0.72	0.45	0	**-0.72**	-1.43
	Mz.min	-434.95	0.72	0.45	0	-0.72	**-1.43**
	Mz.max	-434.95	0.72	0.45	0	-0.72	**-1.43**
G1	N.min	**-30.4**	0.04	-0.03	0	-0.34	-0.11
	N.max	**-30.4**	0.04	-0.03	0	-0.34	-0.11
	Vy.min	-30.4	**0.04**	-0.03	0	-0.34	-0.11
	Vy.max	-30.4	**0.04**	-0.03	0	-0.34	-0.11
	Vz.min	-30.4	0.04	**-0.03**	0	-0.34	-0.11
	Vz.max	-30.4	0.04	**-0.03**	0	-0.34	-0.11
	Mx.min	-30.4	0.04	-0.03	**0**	-0.34	-0.11
	Mx.max	-30.4	0.04	-0.03	**0**	-0.34	-0.11
	My.min	-30.4	0.04	-0.03	0	**-0.34**	-0.11
	My.max	-30.4	0.04	-0.03	0	**-0.34**	-0.11
	Mz.min	-30.4	0.04	-0.03	0	-0.34	**-0.11**
	Mz.max	-30.4	0.04	-0.03	0	-0.34	**-0.11**
G2	N.min	**-18.57**	0.03	0.21	0	0.47	-0.06
	N.max	**-18.57**	0.03	0.21	0	0.47	-0.06
	Vy.min	-18.57	**0.03**	0.21	0	0.47	-0.06
	Vy.max	-18.57	**0.03**	0.21	0	0.47	-0.06
	Vz.min	-18.57	0.03	**0.21**	0	0.47	-0.06
	Vz.max	-18.57	0.03	**0.21**	0	0.47	-0.06
	Mx.min	-18.57	0.03	0.21	**0**	0.47	-0.06
	Mx.max	-18.57	0.03	0.21	**0**	0.47	-0.06
	My.min	-18.57	0.03	0.21	0	**0.47**	-0.06
	My.max	-18.57	0.03	0.21	0	**0.47**	-0.06
	Mz.min	-18.57	0.03	0.21	0	0.47	**-0.06**
	Mz.max	-18.57	0.03	0.21	0	0.47	**-0.06**
P1_71	N.min	**-298**	0.65	4.24	0	-5.91	-0.87
	N.max	**24.51**	-0.34	-6.77	0	-10.99	-0.22
	Vy.min	-10.54	**-0.43**	-5.72	0	-10.58	-0.32
	Vy.max	-242.66	**0.89**	3.07	0	-6.86	-0.67
	Vz.min	22.76	-0.28	**-7.01**	0	-12.51	-0.21
	Vz.max	-278.39	0.68	**4.61**	0	-6.42	-0.79
	Mx.min	22.13	-0.35	-6.29	**0**	-9.51	-0.21
	Mx.max	-276.13	0.72	4.37	**0**	-7.56	-0.78
	My.min	-125.6	0.15	-4.41	0	**-17.32**	-0.58
	My.max	-121.82	0.28	1.93	0	**0.84**	-0.41
	Mz.min	-272.62	0.26	-0.62	0	-9.95	**-1.05**
	Mz.max	-9.4	0.26	0.32	0	-3.98	**0.05**
P2_71	N.min	**-695.42**	1.4	1.3	0	-1.24	-1.74
	N.max	**66.85**	-0.88	-8.87	0	-13.56	-0.53
	Vy.min	-33.94	**-1.24**	-6.88	0	-9.98	-0.79
	Vy.max	-548.94	**2.26**	0.2	0	-4.54	-1.16
	Vz.min	-379.41	0.14	**-9.43**	0	-11.76	-1.75
	Vz.max	-228.6	0.61	**2.33**	0	-4.77	-0.35
	Mx.min	-654.5	1.57	-1.86	**0**	-5.18	-1.8
	Mx.max	38	-0.54	-5.09	**0**	-7.45	-0.31
	My.min	-31.15	-0.21	-7.46	0	**-18.54**	-0.49
	My.max	-583.67	1.34	-0.31	0	**3.1**	-1.62
	Mz.min	-626.32	0.28	-5.17	0	-6.1	**-2.24**
	Mz.max	-40.48	1.01	0.98	0	-5.41	**0.24**
P1_C3	N.min	**-251.37**	0.55	3.35	0	-4.62	-0.73
	N.max	**18.54**	-0.27	-5.19	0	-8.25	-0.17
	Vy.min	-28.5	**-0.37**	-3.62	0	-7	-0.3
	Vy.max	-217.79	**0.81**	3.15	0	-4.86	-0.59
	Vz.min	18.03	-0.27	**-5.2**	0	-8.29	-0.17
	Vz.max	-236.48	0.6	**3.94**	0	-5.01	-0.67
	Mx.min	13.38	-0.21	-4.17	**0**	-6.53	-0.13
	Mx.max	-235.51	0.63	3.75	**0**	-5.81	-0.67
	My.min	-114.61	0.16	-3.06	0	**-12.99**	-0.5
	My.max	-98.67	0.22	1.57	0	**0.69**	-0.33
	Mz.min	-231.6	0.21	-1.57	0	-11.42	**-0.92**
	Mz.max	-15.93	0.31	0.57	0	-4.74	**0.05**
P2_C3	N.min	**-587.09**	1.23	1.34	0	-0.29	-1.41
	N.max	**49.82**	-0.87	-6.33	0	-8.19	-0.45
	Vy.min	-69.47	**-1.1**	-5.12	0	-6.84	-0.78
	Vy.max	-495.96	**2.06**	0.69	0	-2.48	-1.04
	Vz.min	-336.72	0.02	**-7.11**	0	-8.23	-1.48
	Vz.max	-165.6	0.56	**1.9**	0	-3.97	-0.2
	Mx.min	-552.39	1.42	-1.9	**0**	-7.28	-1.44
	Mx.max	40.19	-0.44	-5.53	**0**	-9.14	-0.3
	My.min	18.19	0.06	-5.76	0	**-13.81**	-0.22
	My.max	-478.7	1.24	-0.12	0	**2.59**	-1.27
	Mz.min	-510.52	-0.07	-5.83	0	-7	**-1.97**
	Mz.max	-38.39	0.96	1.05	0	-4.85	**0.24**
BR	N.min	**-40.37**	0.45	-2.28	0	-3.42	0.28
	N.max	**40.37**	-0.45	2.28	0	3.42	-0.28
	Vy.min	39.77	**-0.48**	1.92	0	3.35	-0.25
	Vy.max	-39.77	**0.48**	-1.92	0	-3.35	0.25
	Vz.min	-40.37	0.45	**-2.28**	0	-3.42	0.28
	Vz.max	40.37	-0.45	**2.28**	0	3.42	-0.28
	Mx.min	39.77	-0.48	1.92	**0**	3.35	-0.25
	Mx.max	-39.77	0.48	-1.92	**0**	-3.35	0.25
	My.min	-40.37	0.45	-2.28	0	**-3.42**	0.28
	My.max	40.37	-0.45	2.28	0	**3.42**	-0.28
	Mz.min	40.37	-0.45	2.28	0	3.42	**-0.28**
	Mz.max	-40.37	0.45	-2.28	0	-3.42	**0.28**

TR_V1.1 POPIS: **SVISLICE V1** POSUDEK: **V1.1**

SKUPINA ZAT. STAVŮ	EXTRÉM	VYHODNOCOVANÉ VELIČINY					
		N	Vy	Vz	Mx	My	Mz
		kN	kN	kN	kNm	kNm	kNm
S	N.min	**-3.37**	0.06	0.13	0	-1.52	-0.01
	N.max	**3.37**	-0.06	-0.13	0	1.52	0.01
	Vy.min	-2.97	**-0.11**	-0.5	0	2.6	-0.05
	Vy.max	2.97	**0.11**	0.5	0	-2.6	0.05
	Vz.min	-1.58	-0.07	**-0.61**	0	0.98	-0.03
	Vz.max	1.58	0.07	**0.61**	0	-0.98	0.03
	Mx.min	-1.64	-0.11	-0.53	**0**	3.35	-0.04
	Mx.max	1.64	0.11	0.53	**0**	-3.35	0.04
	My.min	1.64	0.11	0.53	0	**-3.35**	0.04
	My.max	-1.64	-0.11	-0.53	0	**3.35**	-0.04
	Mz.min	-2.97	-0.11	-0.5	0	2.6	**-0.05**
	Mz.max	2.97	0.11	0.5	0	-2.6	**0.05**
CH	N.min	**-59.11**	0.1	0.72	0	1.7	-0.2
	N.max	**-16.22**	0.04	0.6	0	0.16	-0.06
	Vy.min	-16.22	**0.04**	0.6	0	0.16	-0.06
	Vy.max	-59.11	**0.1**	0.72	0	1.7	-0.2
	Vz.min	-16.22	0.04	**0.6**	0	0.16	-0.06
	Vz.max	-37.23	0.06	**0.88**	0	1.78	-0.13
	Mx.min	-59.11	0.1	0.72	**0**	1.7	-0.2
	Mx.max	-16.22	0.04	0.6	**0**	0.16	-0.06
	My.min	-16.22	0.04	0.6	0	**0.16**	-0.06
	My.max	-37.23	0.06	0.88	0	**1.78**	-0.13
	Mz.min	-59.11	0.1	0.72	0	1.7	**-0.2**
	Mz.max	-16.22	0.04	0.6	0	0.16	**-0.06**
W	N.min	**-32.47**	-0.27	-5.54	-0.01	-6.98	-0.15
	N.max	**32.47**	0.27	5.54	0.01	6.97	0.15
	Vy.min	-32.47	**-0.27**	-5.54	-0.01	-6.98	-0.15
	Vy.max	32.47	**0.27**	5.54	0.01	6.97	0.15
	Vz.min	-32.47	-0.27	**-5.54**	-0.01	-6.98	-0.15
	Vz.max	32.47	0.27	**5.54**	0.01	6.97	0.15
	Mx.min	-32.47	-0.27	-5.54	**-0.01**	-6.98	-0.15
	Mx.max	32.47	0.27	5.54	**0.01**	6.97	0.15
	My.min	-32.47	-0.27	-5.54	-0.01	**-6.98**	-0.15
	My.max	32.47	0.27	5.54	0.01	**6.97**	0.15
	Mz.min	-32.47	-0.27	-5.54	-0.01	-6.98	**-0.15**
	Mz.max	32.47	0.27	5.54	0.01	6.97	**0.15**
WP	N.min	**-35.63**	-0.24	-2.48	-0.01	5.01	-0.2
	N.max	**35.67**	0.24	2.49	0.01	-5	0.19
	Vy.min	-35.63	**-0.24**	-2.48	-0.01	5.01	-0.2
	Vy.max	35.67	**0.24**	2.49	0.01	-5	0.19
	Vz.min	-35.63	-0.24	**-2.48**	-0.01	5.01	-0.2
	Vz.max	35.67	0.24	**2.49**	0.01	-5	0.19
	Mx.min	-35.63	-0.24	-2.48	**-0.01**	5.01	-0.2
	Mx.max	35.67	0.24	2.49	**0.01**	-5	0.19
	My.min	35.67	0.24	2.49	0.01	**-5**	0.19
	My.max	-35.63	-0.24	-2.48	-0.01	**5.01**	-0.2
	Mz.min	-35.63	-0.24	-2.48	-0.01	5.01	**-0.2**
	Mz.max	35.67	0.24	2.49	0.01	-5	**0.19**
TR	N.min	**0**	0	0	0	0	0
	N.max	**0**	0	0	0	0	0
	Vy.min	0	**0**	0	0	0	0
	Vy.max	0	**0**	0	0	0	0
	Vz.min	0	0	**0**	0	0	0
	Vz.max	0	0	**0**	0	0	0
	Mx.min	0	0	0	**0**	0	0
	Mx.max	0	0	0	**0**	0	0
	My.min	0	0	0	0	**0**	0
	My.max	0	0	0	0	**0**	0
	Mz.min	0	0	0	0	0	**0**
	Mz.max	0	0	0	0	0	**0**
TN	N.min	**-37.42**	0.92	0.72	0.01	-5.82	-0.26
	N.max	**19.64**	-0.1	-2.36	0	4.39	0.1
	Vy.min	18.27	**-0.81**	0.67	0	1.48	0.11
	Vy.max	-37.42	**0.92**	0.72	0.01	-5.82	-0.26
	Vz.min	19.64	-0.1	**-2.36**	0	4.39	0.1
	Vz.max	-37.42	0.92	**0.72**	0.01	-5.82	-0.26
	Mx.min	19.64	-0.1	-2.36	**0**	4.39	0.1
	Mx.max	-37.42	0.92	0.72	**0.01**	-5.82	-0.26
	My.min	-37.42	0.92	0.72	0.01	**-5.82**	-0.26
	My.max	19.64	-0.1	-2.36	0	**4.39**	0.1
	Mz.min	-37.42	0.92	0.72	0.01	-5.82	**-0.26**
	Mz.max	18.27	-0.81	0.67	0	1.48	**0.11**
FR	N.min	**-3.88**	0.04	-0.08	0	-0.16	0
	N.max	**3.88**	-0.04	0.08	0	0.16	0
	Vy.min	3.88	**-0.04**	0.08	0	0.16	0
	Vy.max	-3.88	**0.04**	-0.08	0	-0.16	0
	Vz.min	-3.88	0.04	**-0.08**	0	-0.16	0
	Vz.max	3.88	-0.04	**0.08**	0	0.16	0
	Mx.min	3.88	-0.04	0.08	**0**	0.16	0
	Mx.max	-3.88	0.04	-0.08	**0**	-0.16	0
	My.min	-3.88	0.04	-0.08	0	**-0.16**	0
	My.max	3.88	-0.04	0.08	0	**0.16**	0
	Mz.min	3.88	-0.04	0.08	0	0.16	**0**
	Mz.max	-3.88	0.04	-0.08	0	-0.16	**0**
I	N.min	**-7.15**	-0.04	-1.14	0	-3.36	**-0.02**
	N.max	**7.15**	0.04	1.14	0	3.36	**0.02**
	Vy.min	-7.15	**-0.04**	-1.14	0	-3.36	**-0.02**
	Vy.max	7.15	**0.04**	1.14	0	3.36	**0.02**
	Vz.min	-7.15	-0.04	**-1.14**	0	-3.36	**-0.02**
	Vz.max	7.15	0.04	**1.14**	0	3.36	**0.02**
	Mx.min	7.15	0.04	1.14	**0**	3.36	**0.02**
	Mx.max	-7.15	-0.04	-1.14	**0**	-3.36	**-0.02**
	My.min	-7.15	-0.04	-1.14	0	**-3.36**	**-0.02**
	My.max	7.15	0.04	1.14	0	**3.36**	**0.02**
	Mz.min	-7.15	-0.04	-1.14	0	-3.36	**-0.02**
	Mz.max	7.15	0.04	1.14	0	3.36	**0.02**

TAB. V1.1.3 POSOUZENÍ - MEZNÍ STAV ÚNOSNOSTI

POPIS	SVISLICE V1
PRUT / POLOHA BODU	439 / 2/4
NAMÁHÁNÍ	N.min
VLÁKNO	BOD K2 -HP
MEZNÍ STAV	ULS (MSÚ)
VYUŽITÍ VLÁKNA PRŮŘEZU	0.49

Charakteristiky materiálu				
pás. horní	$f_{yf,k}$	230	MPa	
pás. dolní	$f_{yf,k}$	230	MPa	
stojina	$f_{yw,k}$	230	MPa	
výztuž	$f_{ys,k}$	500	MPa	
γ_M =	1.20	γ_s =	1.15	

Excentricita normálové síly				
Exc./Fáze	0	1	2	3
e_y	0.000	0.000	0.000	0.000
e_z	0.000	0.000	0.000	0.000
Ekvivalentní vzdál. stěn - příčný roznos				
b_{Mx}	0.000	0.000	0.000	0.000

Vliv stěny na únosnost průřezu				
Char./Fáze	0	1	2	3
A	0.00	0.00	0.00	0.00
Wy	0.00	0.00	0.00	0.00
Wz	0.00	0.00	0.00	0.00

Charakter. v kroucení			
$t_{w,y}$	0.000	[mm]	
$t_{w,z}$	0.000	[mm]	
κ	1.00		
I_t=	0.00E+00	[mm^4]	
Ω=2*A_{pz}	0.00E+00	[mm^2]	

Součinitele vzpěru a vlivu II.řádu					
Char./Fáze	0	1	2	3	
k_y	1.000	1.000	1.000	1.000	
k_z	1.000	1.000	1.000	1.000	
χ_{LT}	1.000	1.000	1.000	1.000	
χ_{min}	0.921	1.000	1.000	1.000	

Vnitřní síly od jednotlivých skupin zatěžovacích stavů

3

SKUPINA ZATĚŽOVACÍCH STAVŮ					- CHARAKTERISTICKÉ HODNOTY						DÍLČÍ SOUČINITELÉ ZATÍŽENÍ, DYNAMICKÝ SOUČINITEL							- NÁVRHOVÉ HODNOTY									
Č.	SKUP ZS	POPIS ZS	KAT.	FÁZE PRŮŘ.	N.k (kN)	Vy.k (kN)	Vz.k (kN)	Mx.k (kNm)	My.k (kNm)	Mz.k (kNm)	γ_{sr} (-)	γ_{fs} (-)	volba ψ_1 hledat	ψ_1 (-)	L_d (m)	δ (-)	Ψ_2 KZ03	N.d (kN)	Vy.d (kN)	Vz.d (kN)	ΔVz.d (kN)	ΣVz.d (kN)	Mx.d (kNm)	My.d (kNm)	ΔMy.d (kNm)	ΣMy.d (kNm)	Mz.d (kNm)	ΔMz.d (kNm)	ΣMz.d (kNm)
1	G0	Vlastní tíha OK	G	0	-435	1	0	0	-1	-1	1.00	1.20		1.20	-	1.00	0.95	-496	1	1	0	1	0	-1	0	-1	-2	0	-2
2	G1	Ostatní stálé - mostní vybavení	G	0	-30	0	0	0	0	0	1.00	1.20		1.20	-	1.00	0.95	-35	0	0	0	0	0	0	0	0	0	0	0
3	G2	Ostatní stálé - cizí zařízení	G	0	-19	0	0	0	0	0	1.00	1.20		1.20	-	1.00	0.95	-21	0	0	0	0	0	1	0	1	0	0	0
4	P1_71	a.LM71 - kolej 1 (bez dyn. souč.)	P	0	-298	1	4	0	-6	-1	1.00	1.30		1.30	-	1.00	1.00	-387	1	6	0	6	0	-8	0	-8	-1	0	-1
5	P2_71	a.LM71 - kolej 2 (bez dyn. souč.)	P	0	-695	1	1	0	-1	-2	1.00	1.30		1.30	-	1.00	1.00	-904	2	2	0	2	0	-2	0	-2	-2	0	-2
6	P1_C3	TTZ C3 - kolej 1 (bez dyn. souč.)	P	0	-251	1	3	0	-5	-1	1.00	vyp.		0.00	-	1.00	0.00	0	0	0	0	0	0	0	0	0	0	0	0
7	P2_C3	TTZ C3 - kolej 2 (bez dyn. souč.)	P	0	-587	1	1	0	0	-1	1.00	vyp.		0.00	-	1.00	0.00	0	0	0	0	0	0	0	0	0	0	0	0
8	BR	Brzdné a rozjezdové síly	P	0	-40	0	-2	0	-3	0	1.00	0.00		0.00	-	1.00	0.80	0	0	0	0	0	0	0	0	0	0	0	0
9	S	Boční ráz	P	0	-3	0	0	0	-2	0	1.00	0.00		0.00	-	1.00	0.40	0	0	0	0	0	0	0	0	0	0	0	0
10	CH	Chodci na lávkách	Q	0	-59	0	1	0	2	0	1.00	1.30		1.30	-	1.00	1.00	-77	0	1	0	1	0	2	0	2	0	0	0
11	W	Vítr na konstrukci	Q	0	-32	0	-6	0	-7	0	1.00	-1.35		-1.35	-	1.00	0.75	33	0	6	0	6	0	7	0	7	0	0	0
12	WP	Vítr na vozidla	Q	0	-36	0	-2	0	5	0	1.00	1.35		1.35	-	1.00	0.75	-36	0	-3	0	-3	0	5	0	5	0	0	0
13	TR	Teplota rovnoměrná	Q	0	0	0	0	0	0	0	1.00	1.35		1.35	-	1.00	0.45	0	0	0	0	0	0	0	0	0	0	0	0
14	TN	Teplota nerovnoměrná	Q	0	-37	1	1	0	-6	0	1.00	-1.35		-1.35	-	1.00	0.60	30	-1	-1	0	-1	0	5	0	5	0	0	0
15	FR	Třecí síly v ložiskách	Q	0	-4	0	0	0	0	0	1.00	1.20		1.20	-	1.00	1.00	-5	0	0	0	0	0	0	0	0	0	0	0
16	I	Imperfekce soustavy	Q	0	-7	0	-1	0	-3	0	1.00	-1.20		-1.20	-	1.00	1.00	9	0	1	0	1	0	4	0	4	0	0	0
27	ULS_LM	ULS - LM71 bez dynam	Q	0	-2 087	5	-3	0	-24	-6	1.00	vyp.	1	0.00	-	1.00	0.00	0	0	0	0	0	0	0	0	0	0	0	0
28	SLS_LM	SLS - LM71 bez dynam	Q	0	-1 641	3	-3	0	-15	-4	1.00	vyp.	1	0.00	-	1.00	0.00	0	0	0	0	0	0	0	0	0	0	0	0
29	ULS_C3	ULS - C3 bez dynam	Q	0	-1 886	4	-4	0	-21	-5	1.00	vyp.	1	0.00	-	1.00	0.00	0	0	0	0	0	0	0	0	0	0	0	0
30	SLS_C3	SLS - C3 bez dynam	Q	0	0	0	0	0	0	0	1.00	vyp.	1	0.00	-	1.00	0.00	0	0	0	0	0	0	0	0	0	0	0	0
		CELKEM - FÁZE PRŮŘEZU 0																-1 889	3	13	0	13	0	13	0	13	-5	0	-5
		CELKEM - FÁZE PRŮŘEZU 1																0	0	0	0	0	0	0	0	0	0	0	0
		CELKEM - FÁZE PRŮŘEZU 2																0	0	0	0	0	0	0	0	0	0	0	0
		CELKEM - FÁZE PRŮŘEZU 3																0	0	0	0	0	0	0	0	0	0	0	0
		CELKEM - PRŮŘEZ																-1 889	3	13	0	13	0			13			-5

Napětí od jednotlivých zatěžovacích stavů

SKUPINA ZATĚŽOVACÍCH STAVŮ					Posouzení normálového napětí										Posouzení smykového napětí													
					Účinek síly N			Účinek momentu My			Účinek momentu Mz				Účinek kroutícího momentu Mx				Účinek smykové síly Vy					Účinek smykové síly Vz				
Č.	SKUP ZS	Popis ZS	Kat.	fáze prúř.	δ^*N_d [kN]	χ^*A [mm^2]	σ_n [MPa]	$\delta^*M_{y,d}$ [kNm]	$\chi_{lt}{}^*W_{el,y}$ [mm^3]	σ_{my} [MPa]	$\delta^*M_{z,d}$ [kNm]	$W_{el,z}$ [mm^3]	σ_{mz} [MPa]	σ_x [MPa]	$\kappa^*\delta^*M_{x,d}$ [kNm]	$W_{v,y}$ [mm^2]	$\tau_{x,y}$ [MPa]	$W_{v,z}$ [mm^2]	$\tau_{x,z}$ [MPa]	$\delta^*V_{y,d}$ [kN]	$A_{v,y}$ [mm2]	$\tau_{v,y}$ [MPa]	$\tau_{v,y}$ [MPa]	$\delta^*V_{z,d}$ [kN]	$A_{v,z}$ [mm2]	$\tau_{v,z}$ [MPa]	$\tau_{v,z}$ [MPa]
1	G0	Vlastní tíha OK	G	0	-495.8	2.35E+04	-21.1	-0.8	-1.90E+06	0.4	-1.6	9.24E+05	-1.8	-22.5	0.0E+00	-	-	-	-	0.8	1.68E+04	0.0	0.0	0.5	8.67E+03	0.1	0.1
2	G1	Ostatní stálé - mostní vybavení	G	0	-34.7	2.35E+04	-1.5	-0.4	-1.90E+06	0.2	-0.1	9.24E+05	-0.1	-1.4	0.0E+00	-	-	-	-	0.0	1.68E+04	0.0	0.0	0.0	8.67E+03	0.0	0.0
3	G2	Ostatní stálé - cizí zařízení	G	0	-21.2	2.35E+04	-0.9	0.5	-1.90E+06	-0.3	-0.1	9.24E+05	-0.1	-1.3	0.0E+00	-	-	-	-	0.0	1.68E+04	0.0	0.0	0.2	8.67E+03	0.0	0.0
4	P1_71	a.LM71 - kolej 1 (bez dyn. souč.)	P	0	-387.4	2.35E+04	-16.5	-7.7	-1.90E+06	4.0	-1.1	9.24E+05	-1.2	-13.7	0.0E+00	-	-	-	-	0.8	1.68E+04	0.1	0.1	5.5	8.67E+03	0.6	0.6
5	P2_71	a.LM71 - kolej 2 (bez dyn. souč.)	P	0	-904.0	2.35E+04	-38.5	-1.6	-1.90E+06	0.8	-2.3	9.24E+05	-2.4	-40.1	0.0E+00	-	-	-	-	1.8	1.68E+04	0.1	0.1	1.7	8.67E+03	0.2	0.2
6	P1_C3	TTZ C3 - kolej 1 (bez dyn. souč.)	P	0	0.0	2.35E+04	0.0	0.0	-1.90E+06	0.0	0.0	9.24E+05	0.0	0.0	0.0E+00	-	-	-	-	0.0	1.68E+04	0.0	0.0	0.0	8.67E+03	0.0	0.0
7	P2_C3	TTZ C3 - kolej 2 (bez dyn. souč.)	P	0	0.0	2.35E+04	0.0	0.0	-1.90E+06	0.0	0.0	9.24E+05	0.0	0.0	0.0E+00	-	-	-	-	0.0	1.68E+04	0.0	0.0	0.0	8.67E+03	0.0	0.0
8	BR	Brzdné a rozjezdové síly	P	0	0.0	2.35E+04	0.0	0.0	-1.90E+06	0.0	0.0	9.24E+05	0.0	0.0	0.0E+00	-	-	-	-	0.0	1.68E+04	0.0	0.0	0.0	8.67E+03	0.0	0.0
9	S	Boční ráz	P	0	0.0	2.35E+04	0.0	0.0	-1.90E+06	0.0	0.0	9.24E+05	0.0	0.0	0.0E+00	-	-	-	-	0.0	1.68E+04	0.0	0.0	0.0	8.67E+03	0.0	0.0
10	CH	Chodci na lávkách	Q	0	-76.8	2.35E+04	-3.3	2.2	-1.90E+06	-1.2	-0.3	9.24E+05	-0.3	-4.7	0.0E+00	-	-	-	-	0.1	1.68E+04	0.0	0.0	0.9	8.67E+03	0.1	0.1
11	W	Vítr na konstrukci	Q	0	32.9	2.35E+04	1.4	7.1	-1.90E+06	-3.7	0.2	9.24E+05	0.2	-2.1	1.0E-02	-	-	-	-	0.3	1.68E+04	0.0	0.0	5.6	8.67E+03	0.6	0.6
12	WP	Vítr na vozidla	Q	0	-36.1	2.35E+04	-1.5	5.1	-1.90E+06	-2.7	-0.2	9.24E+05	-0.2	-4.4	-1.0E-02	-	-	-	-	-0.2	1.68E+04	0.0	0.0	-2.5	8.67E+03	-0.3	-0.3
13	TR	Teplota rovnoměrná	Q	0	0.0	2.35E+04	0.0	0.0	-1.90E+06	0.0	0.0	9.24E+05	0.0	0.0	0.0E+00	-	-	-	-	0.0	1.68E+04	0.0	0.0	0.0	8.67E+03	0.0	0.0
14	TN	Teplota nerovnoměrná	Q	0	30.3	2.35E+04	1.3	4.7	-1.90E+06	-2.5	0.2	9.24E+05	0.2	-1.0	-8.1E-03	-	-	-	-	-0.7	1.68E+04	0.0	0.0	-0.6	8.67E+03	-0.1	-0.1
15	FR	Třecí síly v ložiskách	Q	0	-4.7	2.35E+04	-0.2	-0.2	-1.90E+06	0.1	0.0	9.24E+05	0.0	-0.1	0.0E+00	-	-	-	-	0.0	1.68E+04	0.0	0.0	-0.1	8.67E+03	0.0	0.0
16	I	Imperfekce soustavy	Q	0	8.6	2.35E+04	0.4	4.0	-1.90E+06	-2.1	0.0	9.24E+05	0.0	-1.7	0.0E+00	-	-	-	-	0.0	1.68E+04	0.0	0.0	1.4	8.67E+03	0.2	0.2
27	ULS_LM	ULS - LM71 bez dynam	Q	0	0.0	2.35E+04	0.0	0.0	-1.90E+06	0.0	0.0	9.24E+05	0.0	0.0	0.0E+00	-	-	-	-	0.0	1.68E+04	0.0	0.0	0.0	8.67E+03	0.0	0.0
28	SLS_LM	SLS - LM71 bez dynam	Q	0	0.0	2.35E+04	0.0	0.0	-1.90E+06	0.0	0.0	9.24E+05	0.0	0.0	0.0E+00	-	-	-	-	0.0	1.68E+04	0.0	0.0	0.0	8.67E+03	0.0	0.0
29	ULS_C3	ULS - C3 bez dynam	Q	0	0.0	2.35E+04	0.0	0.0	-1.90E+06	0.0	0.0	9.24E+05	0.0	0.0	0.0E+00	-	-	-	-	0.0	1.68E+04	0.0	0.0	0.0	8.67E+03	0.0	0.0
30	SLS_C3	SLS - C3 bez dynam	Q	0	0.0	2.35E+04	0.0	0.0	-1.90E+06	0.0	0.0	9.24E+05	0.0	0.0	0.0E+00	-	-	-	-	0.0	1.68E+04	0.0	0.0	0.0	8.67E+03	0.0	0.0
NAVÝŠENÍ NAPĚTÍ DO AKTIVACE TLAKU V DESCE MOSTOVKY						$\sigma_{P,red}$	0.0							0.0			0.0		0.0				0.2	0.2			1.5	1.5
NAPĚTÍ OD PRIMÁRNÍCH ÚČINKŮ NEROVNOMĚRNÉHO OTEPLENÍ						σ_T	0.0							0.0														
NAPĚTÍ OD REOLOGICKÝCH ÚČINKŮ BETONU V ČASE				t=0		σ_R	0.0	γ_{M}=	1.20					0.0														
NAPĚTÍ V KRITICKÝCH VLÁKNECH OD KOMBINACE ZATÍŽENÍ						KZ03		[MPa]					$\Sigma\sigma_x$	-93.1								$\Sigma\tau_y$	0.2				$\Sigma\tau_z$	1.5
NAPĚTÍ OD POHYBLIVÉHO ZATÍŽENÍ								[MPa]					$\sigma_{x,P}$	-53.8								τ_P	0.2				τ_P	0.8
NAPĚTÍ OD OSTATNÍCH ZATÍŽENÍ								[MPa]			Φ_{Vy}	Φ_{Vz}	$\sigma_{x,rs}$	-39.2								τ_{rs}	0.0				τ_{rs}	0.6
NÁVRHOVÁ HODNOTA MEZE KLUZU S REDUKCÍ VLIVEM SMYKOVÉHO NAPĚTÍ								[MPa]			1.00	1.00	$f_{yv,d}$	191.7								$f_{yd}/3^{0,5}$	110.7				$f_{yd}/3^{0,5}$	110.7
NAPĚTÍ OD POHYBLIVÉHO ZATÍŽENÍ V GLOBÁLNÍM SYSTÉMU						$\sigma_{GLOB,P}$	0.0	[MPa]					$\Sigma\sigma_{GLOB}$	0.0														
NAPĚTÍ OD OSTATNÍCH ZATÍŽENÍ V GLOBÁLNÍM SYSTÉMU						$\sigma_{GLOB,rs}$	0.0	[MPa]					$\Sigma\sigma_x + \Sigma\sigma_{GLOB}$	-93.1														
VYUŽITÍ PRŮŘEZU DLE NAPĚTÍ								[%]					η_1	0.49								η_3	0.00				η_3	0.01
NAPĚTÍ V PŘÍČNÉM SMĚRU OD POHYBLIVÉHO ZATÍŽENÍ						$\sigma_{z,P}$	0.0	[MPa]					$\Sigma\sigma_z$	0.0														
NAPĚTÍ V PŘÍČNÉM SMĚRU OD OSTATNÍCH ZATÍŽENÍ						$\sigma_{z,rs}$	0.0	[MPa]					η_2	0.00														
SROVNÁVACÍ NAPĚTÍ													$(\eta_2 + 0,8\,\eta_1)/1,4$ =	0.28														
VYUŽITÍ PRŮŘEZU CELKEM								[%]					eff	0.49	VYHOVUJE													
													z_{LM71} =	2.83														

TAB. V1.1.3 POSOUZENÍ - MEZNÍ STAV ÚNOSNOSTI

POPIS	SVISLICE V1
PRUT / POLOHA BODU	439 / 2/4
NAMÁHÁNÍ	N.min
VLÁKNO	BOD K4 -SP
MEZNÍ STAV	ULS (MSÚ)
VYUŽITÍ VLÁKNA PRŮŘEZU	0.57

Charakteristiky materiálu				
pás. horní	$f_{yf,k}$	230	MPa	
pás. dolní	$f_{yf,k}$	230	MPa	
stojina	$f_{yw,k}$	230	MPa	
výztuž	$f_{ys,k}$	500	MPa	
	γ_M =	1.20	γ_s =	1.15

Excentricita normálové síly				
Exc./Fáze	0	1	2	3
e_y	0.000	0.000	0.000	0.000
e_z	0.000	0.000	0.000	0.000
Ekvivalentní vzdál. stěn - příčný roznos				
b_{Mx}	0.000	0.000	0.000	0.000

Vliv stěny na únosnost průřezu				
Char./Fáze	0	1	2	3
A	0.00	0.00	0.00	0.00
Wy	0.00	0.00	0.00	0.00
Wz	0.00	0.00	0.00	0.00

Charakter. v kroucení			
$t_{w,y}$	0.000	[mm]	
$t_{w,z}$	0.000	[mm]	
κ	1.00		
I_t=	0.00E+00	[mm^4]	
Ω=2*A_{pr}	0.00E+00	[mm^2]	

Součinitele vzpěru a vlivu II.řádu					
Char./Fáze	0	1	2	3	
k_y	1.000	1.000	1.000	1.000	
k_z	1.000	1.000	1.000	1.000	
χ_{LT}	1.000	1.000	1.000	1.000	
χ_{min}	0.921	1.000	1.000	1.000	

Vnitřní síly od jednotlivých skupin zatěžovacích stavů

SKUPINA ZATĚŽOVACÍCH STAVŮ — 3

Č.	SKUP ZS	POPIS ZS	KAT.	FÁZE PRŮŘ.	- CHARAKTERISTICKÉ HODNOTY N.k (kN)	Vy.k (kN)	Vz.k (kN)	Mx.k (kNm)	My.k (kNm)	Mz.k (kNm)	DÍLČÍ SOUČINITELÉ ZATÍŽENÍ, DYNAMICKÝ SOUČINITEL γ_{sr} (-)	γ_{fs} (-)	volba γ_f hledat	γ_f (-)	L_d (m)	δ (-)	Ψ_s KZ03	- NÁVRHOVÉ HODNOTY N.d (kN)	Vy.d (kN)	Vz.d (kN)	ΔVz.d (kN)	ΣVz.d (kN)	Mx.d (kNm)	My.d (kNm)	ΔMy.d (kNm)	ΣMy.d (kNm)	Mz.d (kNm)	ΔMz.d (kNm)	ΣMz.d (kNm)
1	G0	Vlastní tíha OK	G	0	-435	1	0	0	-1	-1	1.00	1.20		1.20	-	1.00	0.95	-496	1	1	0	1	0	-1	0	-1	-2	0	-2
2	G1	Ostatní stálé - mostní vybavení	G	0	-30	0	0	0	0	0	1.00	1.20		1.20	-	1.00	0.95	-35	0	0	0	0	0	0	0	0	0	0	0
3	G2	Ostatní stálé - cizí zařízení	G	0	-19	0	0	0	0	0	1.00	1.20		1.20	-	1.00	0.95	-21	0	0	0	0	0	1	0	1	0	0	0
4	P1_71	a.LM71 - kolej 1 (bez dyn. souč.)	P	0	-298	1	4	0	-6	-1	1.00	1.30		1.30	-	1.00	1.00	-387	1	6	0	6	0	-8	0	-8	-1	0	-1
5	P2_71	a.LM71 - kolej 2 (bez dyn. souč.)	P	0	-695	1	1	0	-1	-2	1.00	1.30		1.30	-	1.00	1.00	-904	2	2	0	2	0	-2	0	-2	-2	0	-2
6	P1_C3	TTZ C3 - kolej 1 (bez dyn. souč.)	P	0	-251	1	3	0	-5	-1	1.00	vyp.		0.00	-	1.00	0.00	0	0	0	0	0	0	0	0	0	0	0	0
7	P2_C3	TTZ C3 - kolej 2 (bez dyn. souč.)	P	0	-587	1	1	0	0	-1	1.00	vyp.		0.00	-	1.00	0.00	0	0	0	0	0	0	0	0	0	0	0	0
8	BR	Brzdné a rozjezdové síly	P	0	-40	0	-2	0	-3	0	1.00	1.30		1.30	-	1.00	0.80	-42	0	-2	0	-2	0	-4	0	-4	0	0	0
9	S	Boční ráz	P	0	-3	0	0	0	-2	0	1.00	1.30		1.30	-	1.00	0.40	-2	0	0	0	0	0	-1	0	-1	0	0	0
10	CH	Chodci na lávkách	Q	0	-59	0	1	0	2	0	1.00	1.30		1.30	-	1.00	1.00	-77	0	1	0	1	0	2	0	2	0	0	0
11	W	Vítr na konstrukci	Q	0	-32	0	-6	0	-7	0	1.00	1.35		1.35	-	1.00	0.75	-33	0	-6	0	-6	0	-7	0	-7	0	0	0
12	WP	Vítr na vozidla	Q	0	-36	0	-2	0	5	0	1.00	-1.35		-1.35	-	1.00	0.75	36	0	3	0	3	0	-5	0	-5	0	0	0
13	TR	Teplota rovnoměrná	Q	0	0	0	0	0	0	0	1.00	1.35		1.35	-	1.00	0.45	0	0	0	0	0	0	0	0	0	0	0	0
14	TN	Teplota nerovnoměrná	Q	0	-37	1	1	0	-6	0	1.00	1.35		1.35	-	1.00	0.60	-30	1	1	0	1	0	-5	0	-5	0	0	0
15	FR	Třecí síly v ložiskách	Q	0	-4	0	0	0	0	0	1.00	1.20		1.20	-	1.00	1.00	-5	0	0	0	0	0	0	0	0	0	0	0
16	I	Imperfekce soustavy	Q	0	-7	0	-1	0	-3	0	1.00	1.20		1.20	-	1.00	1.00	-9	0	-1	0	-1	0	-4	0	-4	0	0	0
27	ULS_LM	ULS - LM71 bez dynam	Q	0	-2 087	5	-3	0	-24	-6	1.00	vyp.		0.00	-	1.00	0.00	0	0	0	0	0	0	0	0	0	0	0	0
28	SLS_LM	SLS - LM71 bez dynam	Q	0	-1 641	3	-3	0	-15	-4	1.00	vyp.	1	0.00	-	1.00	0.00	0	0	0	0	0	0	0	0	0	0	0	0
29	ULS_C3	ULS - C3 bez dynam	Q	0	-1 886	4	-4	0	-21	-5	1.00	vyp.	1	0.00	-	1.00	0.00	0	0	0	0	0	0	0	0	0	0	0	0
30	SLS_C3	SLS - C3 bez dynam	Q	0	0	0	0	0	0	0	1.00	vyp.	1	0.00	-	1.00	0.00	0	0	0	0	0	0	0	0	0	0	0	0
		CELKEM - FÁZE PRŮŘEZU 0																-2 004	5	3	0	3	0	-33	0	-33	-5	0	-5
		CELKEM - FÁZE PRŮŘEZU 1																0	0	0	0	0	0	0	0	0	0	0	0
		CELKEM - FÁZE PRŮŘEZU 2																0	0	0	0	0	0	0	0	0	0	0	0
		CELKEM - FÁZE PRŮŘEZU 3																0	0	0	0	0	0	0	0	0	0	0	0
		CELKEM - PRŮŘEZ																-2 004	5	3	0	3	0			-33			-5

Napětí od jednotlivých zatěžovacích stavů

SKUPINA ZATĚŽOVACÍCH STAVŮ

Č.	SKUP ZS	Popis ZS	Kat.	fáze prúř.	Posouzení normálového napětí — Účinek síly N δ^*N_d [kN]	χ^*A [mm^2]	σ_n [MPa]	Účinek momentu My $\delta^*M_{y,d}$ [kNm]	$\chi_{lt}{}^*W_{el,y}$ [mm^3]	σ_{my} [MPa]	Účinek momentu Mz $\delta^*M_{z,d}$ [kNm]	$W_{el,z}$ [mm^3]	σ_{mz} [MPa]	σ_x [MPa]	Posouzení smykového napětí — Účinek kroutícího momentu Mx $\kappa^*\delta^*M_{x,d}$ [kNm]	$W_{v,y}$ [mm^3]	$\tau_{x,y}$ [MPa]	$W_{v,z}$ [mm^3]	$\tau_{x,z}$ [MPa]	Účinek smykové síly Vy $\delta^*V_{y,d}$ [kN]	$A_{v,y}$ [mm2]	$\tau_{v,y}$ [MPa]	$\tau_{v,y}$ [MPa]	Účinek smykové síly Vz $\delta^*V_{z,d}$ [kN]	$A_{v,z}$ [mm2]	$\tau_{v,z}$ [MPa]	$\tau_{v,z}$ [MPa]
1	G0	Vlastní tíha OK	G	0	-495.8	2.35E+04	-21.1	-0.8	1.90E+06	-0.4	-1.6	9.24E+05	-1.8	-23.3	0.0E+00	-	-	-	-	0.8	1.68E+04	0.0	0.0	0.5	8.67E+03	0.1	0.1
2	G1	Ostatní stálé - mostní vybavení	G	0	-34.7	2.35E+04	-1.5	-0.4	1.90E+06	-0.2	-0.1	9.24E+05	-0.1	-1.8	0.0E+00	-	-	-	-	0.0	1.68E+04	0.0	0.0	0.0	8.67E+03	0.0	0.0
3	G2	Ostatní stálé - cizí zařízení	G	0	-21.2	2.35E+04	-0.9	0.5	1.90E+06	0.3	-0.1	9.24E+05	-0.1	-0.7	0.0E+00	-	-	-	-	0.0	1.68E+04	0.0	0.0	0.2	8.67E+03	0.0	0.0
4	P1_71	a.LM71 - kolej 1 (bez dyn. souč.)	P	0	-387.4	2.35E+04	-16.5	-7.7	1.90E+06	-4.0	-1.1	9.24E+05	-1.2	-21.8	0.0E+00	-	-	-	-	0.8	1.68E+04	0.1	0.1	5.5	8.67E+03	0.6	0.6
5	P2_71	a.LM71 - kolej 2 (bez dyn. souč.)	P	0	-904.0	2.35E+04	-38.5	-1.6	1.90E+06	-0.8	-2.3	9.24E+05	-2.4	-41.8	0.0E+00	-	-	-	-	1.8	1.68E+04	0.1	0.1	1.7	8.67E+03	0.2	0.2
6	P1_C3	TTZ C3 - kolej 1 (bez dyn. souč.)	P	0	0.0	2.35E+04	0.0	0.0	1.90E+06	0.0	0.0	9.24E+05	0.0	0.0	0.0E+00	-	-	-	-	0.0	1.68E+04	0.0	0.0	0.0	8.67E+03	0.0	0.0
7	P2_C3	TTZ C3 - kolej 2 (bez dyn. souč.)	P	0	0.0	2.35E+04	0.0	0.0	1.90E+06	0.0	0.0	9.24E+05	0.0	0.0	0.0E+00	-	-	-	-	0.0	1.68E+04	0.0	0.0	0.0	8.67E+03	0.0	0.0
8	BR	Brzdné a rozjezdové síly	P	0	-42.0	2.35E+04	-1.8	-3.6	1.90E+06	-1.9	0.3	9.24E+05	0.3	-3.3	0.0E+00	-	-	-	-	0.5	1.68E+04	0.0	0.0	-2.4	8.67E+03	-0.3	-0.3
9	S	Boční ráz	P	0	-1.8	2.35E+04	-0.1	-0.8	1.90E+06	-0.4	0.0	9.24E+05	0.0	-0.5	0.0E+00	-	-	-	-	0.0	1.68E+04	0.0	0.0	0.1	8.67E+03	0.0	0.0
10	CH	Chodci na lávkách	Q	0	-76.8	2.35E+04	-3.3	2.2	1.90E+06	1.2	-0.3	9.24E+05	-0.3	-2.4	0.0E+00	-	-	-	-	0.1	1.68E+04	0.0	0.0	0.9	8.67E+03	0.1	0.1
11	W	Vítr na konstrukci	Q	0	-32.9	2.35E+04	-1.4	-7.1	1.90E+06	-3.7	-0.2	9.24E+05	-0.2	-5.3	-1.0E-02	-	-	-	-	-0.3	1.68E+04	0.0	0.0	-5.6	8.67E+03	-0.6	-0.6
12	WP	Vítr na vozidla	Q	0	36.1	2.35E+04	1.5	-5.1	1.90E+06	-2.7	0.2	9.24E+05	0.2	-0.9	1.0E-02	-	-	-	-	0.2	1.68E+04	0.0	0.0	2.5	8.67E+03	0.3	0.3
13	TR	Teplota rovnoměrná	Q	0	0.0	2.35E+04	0.0	0.0	1.90E+06	0.0	0.0	9.24E+05	0.0	0.0	0.0E+00	-	-	-	-	0.0	1.68E+04	0.0	0.0	0.0	8.67E+03	0.0	0.0
14	TN	Teplota nerovnoměrná	Q	0	-30.3	2.35E+04	-1.3	-4.7	1.90E+06	-2.5	-0.2	9.24E+05	-0.2	-4.0	8.1E-03	-	-	-	-	0.7	1.68E+04	0.0	0.0	0.6	8.67E+03	0.1	0.1
15	FR	Třecí síly v ložiskách	Q	0	-4.7	2.35E+04	-0.2	-0.2	1.90E+06	-0.1	0.0	9.24E+05	0.0	-0.3	0.0E+00	-	-	-	-	0.0	1.68E+04	0.0	0.0	-0.1	8.67E+03	0.0	0.0
16	I	Imperfekce soustavy	Q	0	-8.6	2.35E+04	-0.4	-4.0	1.90E+06	-2.1	0.0	9.24E+05	0.0	-2.5	0.0E+00	-	-	-	-	0.0	1.68E+04	0.0	0.0	-1.4	8.67E+03	-0.2	-0.2
27	ULS_LM	ULS - LM71 bez dynam	Q	0	0.0	2.35E+04	0.0	0.0	1.90E+06	0.0	0.0	9.24E+05	0.0	0.0	0.0E+00	-	-	-	-	0.0	1.68E+04	0.0	0.0	0.0	8.67E+03	0.0	0.0
28	SLS_LM	SLS - LM71 bez dynam	Q	0	0.0	2.35E+04	0.0	0.0	1.90E+06	0.0	0.0	9.24E+05	0.0	0.0	0.0E+00	-	-	-	-	0.0	1.68E+04	0.0	0.0	0.0	8.67E+03	0.0	0.0
29	ULS_C3	ULS - C3 bez dynam	Q	0	0.0	2.35E+04	0.0	0.0	1.90E+06	0.0	0.0	9.24E+05	0.0	0.0	0.0E+00	-	-	-	-	0.0	1.68E+04	0.0	0.0	0.0	8.67E+03	0.0	0.0
30	SLS_C3	SLS - C3 bez dynam	Q	0	0.0	2.35E+04	0.0	0.0	1.90E+06	0.0	0.0	9.24E+05	0.0	0.0	0.0E+00	-	-	-	-	0.0	1.68E+04	0.0	0.0	0.0	8.67E+03	0.0	0.0
NAVÝŠENÍ NAPĚTÍ DO AKTIVACE TLAKU V DESCE MOSTOVKY						$\sigma_{P,red}$	0.0							0.0				0.0		0.0		0.3	0.3			0.3	0.3
NAPĚTÍ OD PRIMÁRNÍCH ÚČINKŮ NEROVNOMĚRNÉHO OTEPLENÍ						σ_T	0.0							0.0													
NAPĚTÍ OD REOLOGICKÝCH ÚČINKŮ BETONU V ČASE			t=0			σ_R	0.0	γ_f=	1.20					0.0													
NAPĚTÍ V KRITICKÝCH VLÁKNECH OD KOMBINACE ZATÍŽENÍ						KZ03		[MPa]					$\Sigma\sigma_x$	-108.7								$\Sigma\tau_y$	0.3			$\Sigma\tau_z$	0.3
NAPĚTÍ OD POHYBLIVÉHO ZATÍŽENÍ								[MPa]					$\sigma_{x,P}$	-67.5								τ_P	0.2			τ_P	0.6
NAPĚTÍ OD OSTATNÍCH ZATÍŽENÍ								[MPa]			Φ_{Vy}	Φ_{Vz}	$\sigma_{x,rs}$	-41.2								τ_{rs}	0.1			τ_{rs}	-0.3
NÁVRHOVÁ HODNOTA MEZE KLUZU S REDUKCÍ VLIVEM SMYKOVÉHO NAPĚTÍ								[MPa]			1.00	1.00	$f_{yw,d}$	191.7								$f_{yd}/3^{0,5}$	110.7			$f_{yd}/3^{0,5}$	110.7
NAPĚTÍ OD POHYBLIVÉHO ZATÍŽENÍ V GLOBÁLNÍM SYSTÉMU						$\sigma_{GLOB,P}$	0.0	[MPa]					$\Sigma\sigma_{GLOB}$	0.0													
NAPĚTÍ OD OSTATNÍCH ZATÍŽENÍ V GLOBÁLNÍM SYSTÉMU						$\sigma_{GLOB,rs}$	0.0	[MPa]					$\Sigma\sigma_x + \Sigma\sigma_{GLOB}$	-108.7													
VYUŽITÍ PRŮŘEZU DLE NAPĚTÍ								[%]					η_1	0.57								η_3	0.00			η_3	0.00
NAPĚTÍ V PŘÍČNÉM SMĚRU OD POHYBLIVÉHO ZATÍŽENÍ						$\sigma_{z,P}$	0.0	[MPa]					$\Sigma\sigma_z$	0.0													
NAPĚTÍ V PŘÍČNÉM SMĚRU OD OSTATNÍCH ZATÍŽENÍ						$\sigma_{z,rs}$	0.0	[MPa]					η_2	0.00													
SROVNÁVACÍ NAPĚTÍ													$(\eta 2 + 0{,}8\,\eta 1)/1{,}4$ =	0.32													
VYUŽITÍ PRŮŘEZU CELKEM								[%]					eff	0.57	VYHOVUJE												
													z_{LM71} =	2.23													

TAB. V1.1.3 POSOUZENÍ - MEZNÍ STAV ÚNOSNOSTI

POPIS	SVISLICE V1
PRUT / POLOHA BODU	439 / 2/4
NAMÁHÁNÍ	Vz.min
VLÁKNO	BOD S6 -HP
MEZNÍ STAV	ULS (MSÚ)
VYUŽITÍ VLÁKNA PRŮŘEZU	0.35

Charakteristiky materiálu				
pás. horní	$f_{yf,k}$	230	MPa	
pás. dolní	$f_{yf,k}$	230	MPa	
stojina	$f_{yw,k}$	230	MPa	
výztuž	$f_{ys,k}$	500	MPa	
γ_M =	1.20	γ_s =	1.15	

Excentricita normálové síly				
Exc./Fáze	0	1	2	3
e_y	0.000	0.000	0.000	0.000
e_z	0.000	0.000	0.000	0.000
Ekvivalentní vzdál. stěn - příčný roznos				
b_{Mx}	0.000	0.000	0.000	0.000

Vliv stěny na únosnost průřezu				
Char./Fáze	0	1	2	3
A	0.00	0.00	0.00	0.00
Wy	0.00	0.00	0.00	0.00
Wz	0.00	0.00	0.00	0.00

Charakter. v kroucení			
$t_{w,y}$	0.000	[mm]	
$t_{w,z}$	0.000	[mm]	
κ	1.00		
I_t=	0.00E+00	[mm^4]	
$\Omega=2*A_{pr}$	0.00E+00	[mm^2]	

Součinitele vzpěru a vlivu II.řádu					
Char./Fáze	0	1	2	3
k_y	1.000	1.000	1.000	1.000
k_z	1.000	1.000	1.000	1.000
χ_{LT}	1.000	1.000	1.000	1.000
χ_{min}	0.921	1.000	1.000	1.000

Vnitřní síly od jednotlivých skupin zatěžovacích stavů

3

SKUPINA ZATĚŽOVACÍCH STAVŮ					- CHARAKTERISTICKÉ HODNOTY						DÍLČÍ SOUČINITELÉ ZATÍŽENÍ, DYNAMICKÝ SOUČINITEL							- NÁVRHOVÉ HODNOTY									
Č.	SKUP ZS	POPIS ZS	KAT.	FÁZE PRŮŘ.	N.k (kN)	Vy.k (kN)	Vz.k (kN)	Mx.k (kNm)	My.k (kNm)	Mz.k (kNm)	γ_{sr} (-)	γ_{fs} (-)	volba ψ_i hledat	ψ_i (-)	L_d (m)	δ (-)	∇_z KZ03	N.d (kN)	Vy.d (kN)	Vz.d (kN)	ΔVz.d (kN)	ΣVz.d (kN)	Mx.d (kNm)	My.d (kNm)	ΔMy.d (kNm)	ΣMy.d (kNm)	Mz.d (kNm)	ΔMz.d (kNm)	ΣMz.d (kNm)
1	G0	Vlastní tíha OK	G	0	-435	1	0	0	-1	-1	1.00	1.20		1.20	-	1.00	0.95	-496	1	1	0	1	0	-1	0	-1	-2	0	-2
2	G1	Ostatní stálé - mostní vybavení	G	0	-30	0	0	0	0	0	1.00	1.00		1.00	-	1.00	0.95	-29	0	0	0	0	0	0	0	0	0	0	0
3	G2	Ostatní stálé - cizí zařízení	G	0	-19	0	0	0	0	0	1.00	1.20		1.20	-	1.00	0.95	-21	0	0	0	0	0	1	0	1	0	0	0
4	P1_71	a.LM71 - kolej 1 (bez dyn. souč.)	P	0	23	0	-7	0	-13	0	1.00	1.30		1.30	-	1.00	1.00	30	0	-9	0	-9	0	-16	0	-16	0	0	0
5	P2_71	a.LM71 - kolej 2 (bez dyn. souč.)	P	0	-379	0	-9	0	-12	-2	1.00	1.30		1.30	-	1.00	1.00	-493	0	-12	0	-12	0	-15	0	-15	-2	0	-2
6	P1_C3	TTZ C3 - kolej 1 (bez dyn. souč.)	P	0	18	0	-5	0	-8	0	1.00	vyp.		0.00	-	1.00	0.00	0	0	0	0	0	0	0	0	0	0	0	0
7	P2_C3	TTZ C3 - kolej 2 (bez dyn. souč.)	P	0	-337	0	-7	0	-8	-1	1.00	vyp.		0.00	-	1.00	0.00	0	0	0	0	0	0	0	0	0	0	0	0
8	BR	Brzdné a rozjezdové síly	P	0	-40	0	-2	0	-3	0	1.00	1.30		1.30	-	1.00	0.80	-42	0	-2	0	-2	0	-4	0	-4	0	0	0
9	S	Boční ráz	P	0	-2	0	-1	0	1	0	1.00	1.30		1.30	-	1.00	0.40	-1	0	0	0	0	0	1	0	1	0	0	0
10	CH	Chodci na lávkách	Q	0	-16	0	1	0	0	0	1.00	0.00		0.00	-	1.00	1.00	0	0	0	0	0	0	0	0	0	0	0	0
11	W	Vítr na konstrukci	Q	0	-32	0	-6	0	-7	0	1.00	1.35		1.35	-	1.00	0.75	-33	0	-6	0	-6	0	-7	0	-7	0	0	0
12	WP	Vítr na vozidla	Q	0	-36	0	-2	0	5	0	1.00	1.35		1.35	-	1.00	0.75	-36	0	-3	0	-3	0	5	0	5	0	0	0
13	TR	Teplota rovnoměrná	Q	0	0	0	0	0	0	0	1.00	1.35		1.35	-	1.00	0.45	0	0	0	0	0	0	0	0	0	0	0	0
14	TN	Teplota nerovnoměrná	Q	0	20	0	-2	0	4	0	1.00	1.35		1.35	-	1.00	0.60	16	0	-2	0	-2	0	4	0	4	0	0	0
15	FR	Třecí síly v ložiskách	Q	0	-4	0	0	0	0	0	1.00	1.20		1.20	-	1.00	1.00	-5	0	0	0	0	0	0	0	0	0	0	0
16	I	Imperfekce soustavy	Q	0	-7	0	-1	0	-3	0	1.00	1.20		1.20	-	1.00	1.00	-9	0	-1	0	-1	0	-4	0	-4	0	0	0
27	ULS_LM	ULS - LM71 bez dynam	Q	0	-1 156	1	-35	0	-38	-4	1.00	vyp.	1	0.00	-	1.00	0.00	0	0	0	0	0	0	0	0	0	0	0	0
28	SLS_LM	SLS - LM71 bez dynam	Q	0	-960	1	-25	0	-33	-4	1.00	vyp.	1	0.00	-	1.00	0.00	0	0	0	0	0	0	0	0	0	0	0	0
29	ULS_C3	ULS - C3 bez dynam	Q	0	-1 107	1	-29	0	-28	-4	1.00	vyp.	1	0.00	-	1.00	0.00	0	0	0	0	0	0	0	0	0	0	0	0
30	SLS_C3	SLS - C3 bez dynam	Q	0	0	0	0	0	0	0	1.00	vyp.	1	0.00	-	1.00	0.00	0	0	0	0	0	0	0	0	0	0	0	0
		CELKEM - FÁZE PRŮŘEZU 0																-1 119	1	-35	0	-35	0	-38	0	-38	-4	0	-4
		CELKEM - FÁZE PRŮŘEZU 1																0	0	0	0	0	0	0	0	0	0	0	0
		CELKEM - FÁZE PRŮŘEZU 2																0	0	0	0	0	0	0	0	0	0	0	0
		CELKEM - FÁZE PRŮŘEZU 3																0	0	0	0	0	0	0	0	0	0	0	0
		CELKEM - PRŮŘEZ																-1 119	1	-35	0	-35	0			-38			-4

Napětí od jednotlivých zatěžovacích stavů

SKUPINA ZATĚŽOVACÍCH STAVŮ					Posouzení normálového napětí										Posouzení smykového napětí													
					Účinek síly N			Účinek momentu My				Účinek momentu Mz				Účinek kroutícího momentu Mx				Účinek smykové síly Vy				Účinek smykové síly Vz			
Č.	SKUP ZS	Popis ZS	Kat.	fáze prúř.	δ^*N_d [kN]	χ^*A [mm^2]	σ_n [MPa]	$\delta^*M_{y,d}$ [kNm]	$\chi_{lt}*W_{el,y}$ [mm^3]	σ_{my} [MPa]	$\delta^*M_{z,d}$ [kNm]	$W_{el,z}$ [mm^3]	σ_{mz} [MPa]	σ_x [MPa]	$\kappa*\delta^*M_{x,d}$ [kNm]	$W_{v,y}$ [mm^2]	$\tau_{x,y}$ [MPa]	$W_{v,z}$ [mm^2]	$\tau_{x,z}$ [MPa]	$\delta^*V_{y,d}$ [kN]	$A_{v,y}$ [mm2]	$\tau_{v,y}$ [MPa]	$\tau_{v,y}$ [MPa]	$\delta^*V_{z,d}$ [kN]	$A_{v,z}$ [mm2]	$\tau_{v,z}$ [MPa]	$\tau_{v,z}$ [MPa]
1	G0	Vlastní tíha OK	G	0	-495.8	2.35E+04	-21.1	-0.8	1.90E+06	-0.4	-1.6	-7.57E+06	0.2	-21.4	0.0E+00	-	-	-	-	0.8	1.68E+04	0.0	0.0	0.5	8.67E+03	0.1	0.1
2	G1	Ostatní stálé - mostní vybavení	G	0	-28.9	2.35E+04	-1.2	-0.3	1.90E+06	-0.2	-0.1	-7.57E+06	0.0	-1.4	0.0E+00	-	-	-	-	0.0	1.68E+04	0.0	0.0	0.0	8.67E+03	0.0	0.0
3	G2	Ostatní stálé - cizí zařízení	G	0	-21.2	2.35E+04	-0.9	0.5	1.90E+06	0.3	-0.1	-7.57E+06	0.0	-0.6	0.0E+00	-	-	-	-	0.0	1.68E+04	0.0	0.0	0.2	8.67E+03	0.0	0.0
4	P1_71	a.LM71 - kolej 1 (bez dyn. souč.)	P	0	29.6	2.35E+04	1.3	-16.3	1.90E+06	-8.5	-0.3	-7.57E+06	0.0	-7.3	0.0E+00	-	-	-	-	-0.4	1.68E+04	0.0	0.0	-9.1	8.67E+03	-1.1	-1.1
5	P2_71	a.LM71 - kolej 2 (bez dyn. souč.)	P	0	-493.2	2.35E+04	-21.0	-15.3	1.90E+06	-8.0	-2.3	-7.57E+06	0.3	-28.8	0.0E+00	-	-	-	-	0.2	1.68E+04	0.0	0.0	-12.3	8.67E+03	-1.4	-1.4
6	P1_C3	TTZ C3 - kolej 1 (bez dyn. souč.)	P	0	0.0	2.35E+04	0.0	0.0	1.90E+06	0.0	0.0	-7.57E+06	0.0	0.0	0.0E+00	-	-	-	-	0.0	1.68E+04	0.0	0.0	0.0	8.67E+03	0.0	0.0
7	P2_C3	TTZ C3 - kolej 2 (bez dyn. souč.)	P	0	0.0	2.35E+04	0.0	0.0	1.90E+06	0.0	0.0	-7.57E+06	0.0	0.0	0.0E+00	-	-	-	-	0.0	1.68E+04	0.0	0.0	0.0	8.67E+03	0.0	0.0
8	BR	Brzdné a rozjezdové síly	P	0	-42.0	2.35E+04	-1.8	-3.6	1.90E+06	-1.9	0.3	-7.57E+06	0.0	-3.7	0.0E+00	-	-	-	-	0.5	1.68E+04	0.0	0.0	-2.4	8.67E+03	-0.3	-0.3
9	S	Boční ráz	P	0	-0.8	2.35E+04	0.0	0.5	1.90E+06	0.3	0.0	-7.57E+06	0.0	0.2	0.0E+00	-	-	-	-	0.0	1.68E+04	0.0	0.0	-0.3	8.67E+03	0.0	0.0
10	CH	Chodci na lávkách	Q	0	0.0	2.35E+04	0.0	0.0	1.90E+06	0.0	0.0	-7.57E+06	0.0	0.0	0.0E+00	-	-	-	-	0.0	1.68E+04	0.0	0.0	0.0	8.67E+03	0.0	0.0
11	W	Vítr na konstrukci	Q	0	-32.9	2.35E+04	-1.4	-7.1	1.90E+06	-3.7	-0.2	-7.57E+06	0.0	-5.1	-1.0E-02	-	-	-	-	-0.3	1.68E+04	0.0	0.0	-5.6	8.67E+03	-0.6	-0.6
12	WP	Vítr na vozidla	Q	0	-36.1	2.35E+04	-1.5	5.1	1.90E+06	2.7	-0.2	-7.57E+06	0.0	1.2	-1.0E-02	-	-	-	-	-0.2	1.68E+04	0.0	0.0	-2.5	8.67E+03	-0.3	-0.3
13	TR	Teplota rovnoměrná	Q	0	0.0	2.35E+04	0.0	0.0	1.90E+06	0.0	0.0	-7.57E+06	0.0	0.0	0.0E+00	-	-	-	-	0.0	1.68E+04	0.0	0.0	0.0	8.67E+03	0.0	0.0
14	TN	Teplota nerovnoměrná	Q	0	15.9	2.35E+04	0.7	3.6	1.90E+06	1.9	0.1	-7.57E+06	0.0	2.5	0.0E+00	-	-	-	-	-0.1	1.68E+04	0.0	0.0	-1.9	8.67E+03	-0.2	-0.2
15	FR	Třecí síly v ložiskách	Q	0	-4.7	2.35E+04	-0.2	-0.2	1.90E+06	-0.1	0.0	-7.57E+06	0.0	-0.3	0.0E+00	-	-	-	-	0.0	1.68E+04	0.0	0.0	-0.1	8.67E+03	0.0	0.0
16	I	Imperfekce soustavy	Q	0	-8.6	2.35E+04	-0.4	-4.0	1.90E+06	-2.1	0.0	-7.57E+06	0.0	-2.5	0.0E+00	-	-	-	-	0.0	1.68E+04	0.0	0.0	-1.4	8.67E+03	-0.2	-0.2
27	ULS_LM	ULS - LM71 bez dynam	Q	0	0.0	2.35E+04	0.0	0.0	1.90E+06	0.0	0.0	-7.57E+06	0.0	0.0	0.0E+00	-	-	-	-	0.0	1.68E+04	0.0	0.0	0.0	8.67E+03	0.0	0.0
28	SLS_LM	SLS - LM71 bez dynam	Q	0	0.0	2.35E+04	0.0	0.0	1.90E+06	0.0	0.0	-7.57E+06	0.0	0.0	0.0E+00	-	-	-	-	0.0	1.68E+04	0.0	0.0	0.0	8.67E+03	0.0	0.0
29	ULS_C3	ULS - C3 bez dynam	Q	0	0.0	2.35E+04	0.0	0.0	1.90E+06	0.0	0.0	-7.57E+06	0.0	0.0	0.0E+00	-	-	-	-	0.0	1.68E+04	0.0	0.0	0.0	8.67E+03	0.0	0.0
30	SLS_C3	SLS - C3 bez dynam	Q	0	0.0	2.35E+04	0.0	0.0	1.90E+06	0.0	0.0	-7.57E+06	0.0	0.0	0.0E+00	-	-	-	-	0.0	1.68E+04	0.0	0.0	0.0	8.67E+03	0.0	0.0
NAVÝŠENÍ NAPĚTÍ DO AKTIVACE TLAKU V DESCE MOSTOVKY						$\sigma_{P,red}$	0.0							0.0			0.0		0.0								-4.0	-4.0
NAPĚTÍ OD PRIMÁRNÍCH ÚČINKŮ NEROVNOMĚRNÉHO OTEPLENÍ						σ_T	0.0							0.0														
NAPĚTÍ OD REOLOGICKÝCH ÚČINKŮ BETONU V ČASE				t=0		σ_R	0.0	γ_{G}=	1.20					0.0														
NAPĚTÍ V KRITICKÝCH VLÁKNECH OD KOMBINACE ZATÍŽENÍ						KZ03		[MPa]					$\Sigma\sigma_x$	-67.0								$\Sigma\tau_y$	0.0			$\Sigma\tau_z$	-4.0
NAPĚTÍ OD POHYBLIVÉHO ZATÍŽENÍ								[MPa]					$\sigma_{x,P}$	-39.5								τ_P	0.0			τ_P	-2.8
NAPĚTÍ OD OSTATNÍCH ZATÍŽENÍ								[MPa]			Φ_{Vy}	Φ_{Vz}	$\sigma_{x,rs}$	-27.5								τ_{rs}	0.0			τ_{rs}	-1.2
NÁVRHOVÁ HODNOTA MEZE KLUZU S REDUKCÍ VLIVEM SMYKOVÉHO NAPĚTÍ								[MPa]			1.00	1.00	$f_{yv,d}$	191.7								$f_{yd}/3^{0,5}$	110.7			$f_{yd}/3^{0,5}$	110.7
NAPĚTÍ OD POHYBLIVÉHO ZATÍŽENÍ V GLOBÁLNÍM SYSTÉMU						$\sigma_{GLOB,P}$	0.0	[MPa]					$\Sigma\sigma_{GLOB}$	0.0													
NAPĚTÍ OD OSTATNÍCH ZATÍŽENÍ V GLOBÁLNÍM SYSTÉMU						$\sigma_{GLOB,rs}$	0.0	[MPa]					$\Sigma\sigma_x + \Sigma\sigma_{GLOB}$	-67.0													
VYUŽITÍ PRŮŘEZU DLE NAPĚTÍ								[%]					η_1	0.35								η_3	0.00			η_3	0.04
NAPĚTÍ V PŘÍČNÉM SMĚRU OD POHYBLIVÉHO ZATÍŽENÍ						$\sigma_{z,P}$	0.0	[MPa]					$\Sigma\sigma_z$	0.0													
NAPĚTÍ V PŘÍČNÉM SMĚRU OD OSTATNÍCH ZATÍŽENÍ						$\sigma_{z,rs}$	0.0	[MPa]					η_2	0.00													
SROVNÁVACÍ NAPĚTÍ													$(\eta_2 + 0,8\,\eta_1)/1,4$ =	0.20													
VYUŽITÍ PRŮŘEZU CELKEM								[%]					eff	0.35	VYHOVUJE												
													z_{LM71} =	4.16													

VÝPOČET PRŮŘEZOVÝCH CHARAKTERISTIK

PRŮŘEZ: V1_2 **POPIS:** SVISLICE V1 - MIN MY

x = - **m**

DEFINOVÁNÍ PRŮŘEZU

ŠÍŘKA PÁSNICE ÚHELNÍKU	b f.t.l.o =	150	mm	**ÚHELNÍK HORNÍ VNĚJŠÍ LEVÝ**		**C.T.O.L**		
TLOUŠŤKA PÁSNICE ÚHELNÍKU	t f.t.l.o =	14	mm	OSLABENÍ PÁSNICE - TLOUŠŤKA	Δt f.t.l.o =	0	%	
VÝŠKA STĚNY ÚHELNÍKU	h w.t.l.o =	86	mm					
TLOUŠŤKA STĚNY ÚHELNÍKU	t w.t.l.o =	14	mm	OSLABENÍ STĚNY - TLOUŠŤKA	Δt w.t.l.o =	10	%	
ŠÍŘKA PÁSNICE ÚHELNÍKU	b f.t.r.o =	150	mm	**ÚHELNÍK HORNÍ VNĚJŠÍ PRAVÝ**		**C.T.O.R**		
TLOUŠŤKA PÁSNICE ÚHELNÍKU	t f.t.r.o =	14	mm	OSLABENÍ PÁSNICE - TLOUŠŤKA	Δt f.t.r.o =	0	%	
VÝŠKA STĚNY ÚHELNÍKU	h w.t.r.o =	86	mm					
TLOUŠŤKA STĚNY ÚHELNÍKU	t w.t.r.o =	14	mm	OSLABENÍ STĚNY - TLOUŠŤKA	Δt w.t.r.0 =	10	%	
ŠÍŘKA PÁSNICE ÚHELNÍKU	b f.t.l.i =	150	mm	**ÚHELNÍK HORNÍ VNITŘNÍ LEVÝ**		**C.T.I.L**		
TLOUŠŤKA PÁSNICE ÚHELNÍKU	t f.t.l.i =	14	mm	OSLABENÍ PÁSNICE - TLOUŠŤKA	Δt f.b.l.o =	0	%	
VÝŠKA STĚNY ÚHELNÍKU	h w.t.l.i =	86	mm					
TLOUŠŤKA STĚNY ÚHELNÍKU	t w.t.l.i =	14	mm	OSLABENÍ STĚNY - TLOUŠŤKA	Δt w.b.l.o =	10	%	
ŠÍŘKA PÁSNICE ÚHELNÍKU	b f.t.r.i =	150	mm	**ÚHELNÍK HORNÍ VNITŘNÍ PRAVÝ**		**C.T.I.R**		
TLOUŠŤKA PÁSNICE ÚHELNÍKU	t f.t.r.i =	14	mm	OSLABENÍ PÁSNICE - TLOUŠŤKA	Δt f.b.r.o =	0	%	
VÝŠKA STĚNY ÚHELNÍKU	h w.t.r.i =	86	mm					
TLOUŠŤKA STĚNY ÚHELNÍKU	t w.t.r.i =	14	mm	OSLABENÍ STĚNY - TLOUŠŤKA	Δt w.b.r.o =	10	%	
ŠÍŘKA PÁSNICE ÚHELNÍKU	b f.b.l.o =	150	mm	**ÚHELNÍK DOLNÍ VNĚJŠÍ LEVÝ**		**C.B.O.L**		
TLOUŠŤKA PÁSNICE ÚHELNÍKU	t f.b.l.o =	14	mm	OSLABENÍ PÁSNICE - TLOUŠŤKA	Δt f.t.l.i =	0	%	
VÝŠKA STĚNY ÚHELNÍKU	h w.b.l.o =	86	mm					
TLOUŠŤKA STĚNY ÚHELNÍKU	t w.b.l.o =	14	mm	OSLABENÍ STĚNY - TLOUŠŤKA	Δt w.t.l.i =	10	%	
ŠÍŘKA PÁSNICE ÚHELNÍKU	b f.b.r.o =	150	mm	**ÚHELNÍK DOLNÍ VNĚJŠÍ PRAVÝ**		**C.B.O.R**		
TLOUŠŤKA PÁSNICE ÚHELNÍKU	t f.b.r.o =	14	mm	OSLABENÍ PÁSNICE - TLOUŠŤKA	Δt f.t.r.i =	0	%	
VÝŠKA STĚNY ÚHELNÍKU	h w.b.r.o =	86	mm					
TLOUŠŤKA STĚNY ÚHELNÍKU	t w.b.r.o =	14	mm	OSLABENÍ STĚNY - TLOUŠŤKA	Δt w.t.r.i =	10	%	
PÁSNICE DOLNÍHO LEVÉHO ÚHELNÍKU	b f.b.l.i =	150	mm	**ÚHELNÍK DOLNÍ VNITŘNÍ LEVÝ**		**C.B.I.L**		
TLOUŠŤKA PÁSNICE ÚHELNÍKU	t f.b.l.i =	14	mm	OSLABENÍ PÁSNICE - TLOUŠŤKA	Δt f.b.l.i =	0	%	
VÝŠKA STĚNY ÚHELNÍKU	h w.b.l.i =	86	mm					
TLOUŠŤKA STĚNY ÚHELNÍKU	t w.b.l.i =	14	mm	OSLABENÍ STĚNY - TLOUŠŤKA	Δt w.b.l.i =	10	%	
PÁSNICE DOLNÍHO PRAVÉHO ÚHELNÍKU	b f.b.r.i =	150	mm	**ÚHELNÍK DOLNÍ VNITŘNÍ PRAVÝ**		**C.B.I.R**		
TLOUŠŤKA PÁSNICE ÚHELNÍKU	t f.b.r.i =	14	mm	OSLABENÍ PÁSNICE - TLOUŠŤKA	Δt f.b.r.i =	0	%	
VÝŠKA STĚNY ÚHELNÍKU	h w.b.r.i =	86	mm					
TLOUŠŤKA STĚNY ÚHELNÍKU	t w.b.r.i =	14	mm	OSLABENÍ STĚNY - TLOUŠŤKA	Δt w.b.r.i =	10	%	

DOLNÍ

ŠÍŘKA HORNÍ VLOŽKY - VNĚJŠÍ	b f.t =	0	mm			**HOR.T.O**		
TLOUŠŤKA VLOŽKY	t f.t =	0	mm	OSLABENÍ VLOŽKY	Δt f.t =	0	%	
ŠÍŘKA HORNÍ VLOŽKY - VNITŘNÍ	b f.t =	0	mm			**HOR.T.I**		
TLOUŠŤKA VLOŽKY	t f.t =	0	mm	OSLABENÍ VLOŽKY	Δt f.t =	0	%	
ŠÍŘKA DOLNÍ VLOŽKY - VNĚJŠÍ	b f.t =	0	mm			**HOR.B.O**		
TLOUŠŤKA VLOŽKY	t f.t =	0	mm	OSLABENÍ VLOŽKY	Δt f.t =	0	%	
ŠÍŘKA DOLNÍ VLOŽKY - VNITŘNÍ	b f.t =	0	mm			**HOR.B.I**		
TLOUŠŤKA VLOŽKY	t f.t =	0	mm	OSLABENÍ VLOŽKY - VNITŘNÍ	Δt f.t =	0	%	

VZD. OKRAJŮ PÁSNIC VNITŘNÍCH ÚHELNÍKŮ	388	mm
CELKOVÁ TLOUŠŤKA MEZI PÁSNICEMI ÚHELNÍKŮ	52	mm
CELKOVÁ TLOUŠŤKA MEZI PÁSNICEMI ÚHELNÍKŮ	13	mm

ZADANÉ ČÁSTI PRŮŘEZU:

č.prvku	b [mm]	h [mm]	y_0 [mm]	z_0 [mm]	popis části	druh oslabení	lokální ultimate	boulení servic.
1	150.0	14.0	-81.5	253.0	pásnice	0	1.000	1.000
2	12.6	86.0	-12.8	303.0	stěna	0	1.000	1.000
3	150.0	14.0	81.5	253.0	pásnice	0	1.000	1.000
4	12.6	86.0	12.8	303.0	stěna	0	1.000	1.000
5	150.0	14.0	-81.5	187.0	pásnice	0	1.000	1.000
6	12.6	86.0	-12.8	137.0	stěna	0	1.000	1.000
7	150.0	14.0	81.5	187.0	pásnice	0	1.000	1.000
8	12.6	86.0	12.8	137.0	stěna	0	1.000	1.000
9	150.0	14.0	-81.5	-253.0	pásnice	0	1.000	1.000
10	12.6	86.0	-12.8	-303.0	stěna	0	1.000	1.000
11	150.0	14.0	81.5	-253.0	pásnice	0	1.000	1.000
12	12.6	86.0	12.8	-303.0	stěna	0	1.000	1.000
13	150.0	14.0	-81.5	-187.0	pásnice	0	1.000	1.000
14	12.6	86.0	-12.8	-137.0	stěna	0	1.000	1.000
15	150.0	14.0	81.5	-187.0	pásnice	0	1.000	1.000
16	12.6	86.0	12.8	-137.0	stěna	0	1.000	1.000
17						0	1.000	1.000
18						0	1.000	1.000
19						0	1.000	1.000
20						0	1.000	1.000
21						0	1.000	1.000
22						0	1.000	1.000
23						0	1.000	1.000
24						0	1.000	1.000
25						0	1.000	1.000
26						0	1.000	1.000
27						0	1.000	1.000
28						0	1.000	1.000
29						0	1.000	1.000
30						0	1.000	1.000
31						0	1.000	1.000
32						0	1.000	1.000
33						0	1.000	1.000
34						0	1.000	1.000
35						0	1.000	1.000
36						0	1.000	1.000
37						0	1.000	1.000
38						0	1.000	1.000
39						0	1.000	1.000
40						0	1.000	1.000
41	0.0	0.0	0.0	246.0	pásnice	0	1.000	1.000
42	0.0	0.0	0.0	194.0	pásnice	0	1.000	1.000
43	0.0	0.0	0.0	-246.0	pásnice	0	1.000	1.000
44	0.0	0.0	0.0	-194.0	pásnice	0	1.000	1.000
45						0	1.000	1.000
46						0	1.000	1.000
47						0	1.000	1.000
48						0	1.000	1.000
49						0	1.000	1.000
50						0	1.000	1.000
51						0	1.000	1.000
52						0	1.000	1.000
53						0	1.000	1.000
54						0	1.000	1.000
55						0	1.000	1.000
56						0	1.000	1.000
57						0	1.000	1.000
58						0	1.000	1.000
59						0	1.000	1.000
60						0	1.000	1.000
61						0	1.000	1.000
62						0	1.000	1.000
63						0	1.000	1.000
64						0	1.000	1.000
65						0	1.000	1.000
66						0	1.000	1.000
67						0	1.000	1.000
68						0	1.000	1.000
69						0	1.000	1.000
70						0	1.000	1.000
71	12.6	-20.0	-12.8	301.0	nýt	0	1.000	1.000
72	12.6	-20.0	12.8	301.0	nýt	0	1.000	1.000
73	12.6	-20.0	-12.8	139.0	nýt	0	1.000	1.000
74	12.6	-20.0	12.8	139.0	nýt	0	1.000	1.000
75	0	0	-12.8	-301.0	nýt	0	1.000	1.000
76	0	0	12.8	-301.0	nýt	0	1.000	1.000
77	0	0	12.8	-139.0	nýt	0	1.000	1.000
78	0	0	12.8	-139.0	nýt	0	1.000	1.000
79						0	1.000	1.000
80						0	1.000	1.000
81	0	0	0	0	nýt	0	1.000	1.000
82	0	0	0	0	nýt	0	1.000	1.000
83	0	0	0	0	nýt	0	1.000	1.000
84	0	0	0	0	nýt	0	1.000	1.000
85	0	0	0	0	nýt	0	1.000	1.000
86	0	0	0	0	nýt	0	1.000	1.000
87	0	0	0	0	nýt	0	1.000	1.000
88	0	0	0	0	nýt	0	1.000	1.000
89						0	1.000	1.000
90						0	1.000	1.000
91	0	0	0	0	nýt	0	1.000	1.000
92	0	0	0	0	nýt	0	1.000	1.000
93	0	0	0	0	nýt	0	1.000	1.000
94	0	0	0	0	nýt	0	1.000	1.000
95	0	0	0	0	nýt	0	1.000	1.000
96	0	0	0	0	nýt	0	1.000	1.000
97	0	0	0	0	nýt	0	1.000	1.000
98	0	0	0	0	nýt	0	1.000	1.000
99						0	1.000	1.000
100						0	1.000	1.000

NÝT Č.	SKUPINA	ŘEZ	RED.	VELIKOST di [mm]	POLOHA ei [mm]	POPIS	AKTIVITA OTVORU	NAPĚTÍ sc [MPa]
1		-	1.00	20	45	nýt - t.o - úhelník	1	15.46
2		-	1.00	20	45	nýt - t.o - úhelník	1	14.17
3		-	1.00	20	45	nýt - t.i - úhelník	1	-9.54
4		-	1.00	20	45	nýt - t.i - úhelník	1	-10.83
5		-	1.00	20	45	nýt - b.o - úhelník	0	-77.44
6		-	1.00	20	45	nýt - b.o - úhelník	0	-78.73
7		-	1.00	20	45	nýt - b.i - úhelník	0	-52.44
8		-	1.00	20	45	nýt - b.i - úhelník	0	-53.73
9								
10								
11		-	1.00	0	35	nýt - t.i - úhelník	0	-
12		-	1.00	0	35	nýt - t.i - úhelník	0	-
13		-	1.00	0	35	nýt - t.r - úhelník	0	-
14		-	1.00	0	35	nýt - t.r - úhelník	0	-
15		-	1.00	0	35	nýt - b.l - úhelník	0	-
16		-	1.00	0	35	nýt - b.l - úhelník	0	-
17		-	1.00	0	35	nýt - b.r - úhelník	0	-
18		-	1.00	0	35	nýt - b.r - úhelník	0	-
19								
20								
21		-	1.00	0	-132	nýt - t.l	0	-
22		-	1.00	0	-132	nýt - t.l	0	-
23		-	1.00	0	132	nýt - t.r	0	-
24		-	1.00	0	132	nýt - t.r	0	-
25		-	1.00	0	-132	nýt - b.l	0	-
26		-	1.00	0	-132	nýt - b.l	0	-
27		-	1.00	0	132	nýt - b.r	0	-
28		-	1.00	0	132	nýt - b.r	0	-
29								
30								

VÝPOČET PRŮŘEZOVÝCH CHARAKTERISTIK

Properties	Basic	Ultimate		Serviceability	
y_i	0.0	0.0		0.0	[mm]
z_i	-9.1	-9.1		-9.1	[mm]
A_i	2.4461E+04	2.4461E+04		2.4461E+04	[mm²]
A_y	1.6800E+04	1.6800E+04		1.6800E+04	[mm²]
A_z	8.6688E+03	8.6688E+03		8.6688E+03	[mm²]
I_{y1}	1.2589E+09	1.2589E+09		1.2589E+09	[mm⁴]
I_w	1.4445E+08	1.4445E+08		1.4445E+08	[mm⁶]
i_y	226.9	226.9		226.9	[mm]
i_z	76.8	76.8		76.8	[mm]
$W_{y,1}$	3.5455E+06	3.5455E+06		3.5455E+06	[mm³]
$W_{z,1}$	-9.2298E+05	-9.2298E+05		-9.2298E+05	[mm³]
$W_{y,2}$	-3.7363E+06	-3.7363E+06		-3.7363E+06	[mm³]
$W_{z,2}$	-9.2298E+05	-9.2298E+05		-9.2298E+05	[mm³]
KRAJNÍ VLÁKNA PRŮŘEZU					
y_1	-156.5	-156.5		-156.5	[mm] min
z_1	346.0	346.0		346.0	[mm] max
y_2	-156.5	-156.5		-156.5	[mm] min
z_2	-346.0	-346.0		-346.0	[mm] min
y_3	156.5	156.5		156.5	[mm] max
z_3	346.0	346.0		346.0	[mm] max
y_4	156.5	156.5		156.5	[mm] max
z_4	-346.0	-346.0		-346.0	[mm] min
y_5	-19.1	-19.1		-19.1	[mm]
z_5	-260.0	-260.0		-260.0	[mm]
y_6	-19.1	-19.1		-19.1	[mm]
z_6	-346.0	-346.0		-346.0	[mm]

SCHÉMA PROMĚNNÝCH

SCHÉMA ZADANÉHO PRŮŘEZU

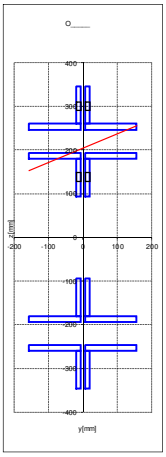

ÚPRAVA MOMENTŮ SETRVAČNOSTI V DŮSLEDKU ČLENĚNÍ PRŮŘEZU

OSA Y	1.00	V BLÍZKOSTI STYČNÍKOVÉHO PLECHU PŘÍČNÍKU PEVNÉ -> JAKO NEČLENĚNÝ
OSA Z	1.00	

NEUTRÁLNÁ OSA

NAPĚTÍ [MPa]:

29.60	**13.91**
-77.19	**-92.87**

ZS: SLS_LM_MY MIN

	N [kN]	Vy [kN]	Vz [kN]	Mx [kNm]	My [kNm]	Mz [kNm]
import	-808	16	-75	0	-194	7

TR_V1.2 POPIS: **SVISLICE V1** POSUDEK: **V1.2**

SKUPINA ZAT. STAVŮ	EXTRÉM	VYHODNOCOVANÉ VELIČINY					
		N	Vy	Vz	Mx	My	Mz
		kN	kN	kN	kNm	kNm	kNm
G0	N.min	**-451.36**	7.77	0.27	-0.04	0.37	3.86
	N.max	**-451.36**	7.77	0.27	-0.04	0.37	3.86
	Vy.min	-451.36	**7.77**	0.27	-0.04	0.37	3.86
	Vy.max	-451.36	**7.77**	0.27	-0.04	0.37	3.86
	Vz.min	-451.36	7.77	**0.27**	-0.04	0.37	3.86
	Vz.max	-451.36	7.77	**0.27**	-0.04	0.37	3.86
	Mx.min	-451.36	7.77	0.27	**-0.04**	0.37	3.86
	Mx.max	-451.36	7.77	0.27	**-0.04**	0.37	3.86
	My.min	-451.36	7.77	0.27	-0.04	**0.37**	3.86
	My.max	-451.36	7.77	0.27	-0.04	**0.37**	3.86
	Mz.min	-451.36	7.77	0.27	-0.04	0.37	**3.86**
	Mz.max	-451.36	7.77	0.27	-0.04	0.37	**3.86**
G1	N.min	**-31.53**	0.59	-0.19	0	-0.71	0.3
	N.max	**-31.53**	0.59	-0.19	0	-0.71	0.3
	Vy.min	-31.53	**0.59**	-0.19	0	-0.71	0.3
	Vy.max	-31.53	**0.59**	-0.19	0	-0.71	0.3
	Vz.min	-31.53	0.59	**-0.19**	0	-0.71	0.3
	Vz.max	-31.53	0.59	**-0.19**	0	-0.71	0.3
	Mx.min	-31.53	0.59	-0.19	**0**	-0.71	0.3
	Mx.max	-31.53	0.59	-0.19	**0**	-0.71	0.3
	My.min	-31.53	0.59	-0.19	0	**-0.71**	0.3
	My.max	-31.53	0.59	-0.19	0	**-0.71**	0.3
	Mz.min	-31.53	0.59	-0.19	0	-0.71	**0.3**
	Mz.max	-31.53	0.59	-0.19	0	-0.71	**0.3**
G2	N.min	**-18.08**	0.35	0.44	0	1.5	0.18
	N.max	**-18.08**	0.35	0.44	0	1.5	0.18
	Vy.min	-18.08	**0.35**	0.44	0	1.5	0.18
	Vy.max	-18.08	**0.35**	0.44	0	1.5	0.18
	Vz.min	-18.08	0.35	**0.44**	0	1.5	0.18
	Vz.max	-18.08	0.35	**0.44**	0	1.5	0.18
	Mx.min	-18.08	0.35	0.44	**0**	1.5	0.18
	Mx.max	-18.08	0.35	0.44	**0**	1.5	0.18
	My.min	-18.08	0.35	0.44	0	**1.5**	0.18
	My.max	-18.08	0.35	0.44	0	**1.5**	0.18
	Mz.min	-18.08	0.35	0.44	0	1.5	**0.18**
	Mz.max	-18.08	0.35	0.44	0	1.5	**0.18**
P1_71	N.min	**-291.27**	4.59	8.49	-0.05	14.35	2.6
	N.max	**26.86**	1.1	-18.14	0	-50.81	0.29
	Vy.min	-0.49	**-0.02**	0.33	0	-0.26	-0.01
	Vy.max	-239.11	**5.38**	-10.58	-0.04	-38.05	2.78
	Vz.min	22.41	1.28	**-18.72**	0	-54.17	0.46
	Vz.max	-272.67	4.26	**9.29**	-0.05	16.9	2.42
	Mx.min	-276.34	4.79	3.95	**-0.05**	0.73	2.75
	Mx.max	19.73	0.68	-12.18	**0**	-35.01	0.13
	My.min	16.04	1.39	-18.49	0	**-54.67**	0.56
	My.max	-253.26	3.98	8.59	-0.04	**18.06**	2.24
	Mz.min	-0.49	-0.02	0.33	0	-0.26	**-0.01**
	Mz.max	-259.36	5.24	-4.71	-0.05	-23.42	**2.84**
P2_71	N.min	**-682.94**	9.93	2.66	-0.05	4.99	5.41
	N.max	**72.52**	2.72	-22.23	0	-63.22	0.7
	Vy.min	-2.91	**-0.09**	2.11	0	3.77	-0.01
	Vy.max	-545.61	**11.89**	-20.94	-0.04	-61.3	5.87
	Vz.min	-350.26	9.12	**-24.24**	-0.03	-66.15	4.24
	Vz.max	-177.92	2.23	**5.46**	-0.01	8.74	1.31
	Mx.min	-627.26	10.14	-2.78	**-0.05**	-12.26	5.68
	Mx.max	58.57	1.96	-15.29	**0.01**	-45.38	0.36
	My.min	-199.31	7.04	-23.51	-0.02	**-67.63**	3.28
	My.max	-333.54	4.43	5.16	-0.02	**9.69**	2.45
	Mz.min	-2.91	-0.09	2.11	0	3.76	**-0.01**
	Mz.max	-587.44	11.55	-14.56	-0.05	-45.03	**6**
P1_C3	N.min	**-245.78**	3.8	8.18	-0.04	13.76	2.18
	N.max	**20.3**	0.8	-13.47	0	-38.06	0.2
	Vy.min	-0.78	**-0.03**	0.52	0	-0.41	-0.01
	Vy.max	-223.37	**4.62**	-6.18	-0.04	-23.82	2.35
	Vz.min	16.9	0.93	**-13.79**	0	-39.1	0.32
	Vz.max	-230.95	3.59	**8.26**	-0.04	14.02	2.07
	Mx.min	-238.66	4.06	4.46	**-0.04**	4.22	2.34
	Mx.max	5.17	0.17	-3.04	**0**	-10.78	0.03
	My.min	11.37	1.04	-13.45	0	**-40.13**	0.44
	My.max	-222.89	3.49	7.54	-0.04	**15.62**	1.94
	Mz.min	-0.78	-0.03	0.52	0	-0.41	**-0.01**
	Mz.max	-215.36	4.56	-6.11	-0.04	-23.82	**2.43**
P2_C3	N.min	**-577.06**	8.15	5.33	-0.04	10.4	4.51
	N.max	**54.29**	1.79	-16.01	0	-43.87	0.31
	Vy.min	-4.96	**-0.13**	3.35	0	5.94	-0.01
	Vy.max	-513.26	**10.27**	-15.02	-0.04	-42.89	4.91
	Vz.min	-313.3	7.67	**-18.44**	-0.03	-50.43	3.69
	Vz.max	-182.71	2.17	**6.62**	-0.01	11.35	1.3
	Mx.min	-541.05	8.57	-1.61	**-0.04**	-7.44	4.82
	Mx.max	36.27	1.32	-8.73	**0**	-28.3	0.31
	My.min	-175.56	5.68	-18.27	-0.02	**-50.97**	2.62
	My.max	-330.25	4.26	6.41	-0.02	**11.93**	2.41
	Mz.min	-4.77	-0.13	3.29	0	5.76	**-0.01**
	Mz.max	-489.99	10.04	-15.48	-0.04	-44.23	**5.12**
BR	N.min	**-47.79**	-2.14	-5.26	0.17	-15.3	-1.5
	N.max	**47.79**	2.14	5.26	-0.17	15.3	1.5
	Vy.min	-47.79	**-2.14**	-5.26	0.17	-15.3	-1.5
	Vy.max	47.79	**2.14**	5.26	-0.17	15.3	1.5
	Vz.min	-47.79	-2.14	**-5.26**	0.17	-15.3	-1.5
	Vz.max	47.79	2.14	**5.26**	-0.17	15.3	1.5
	Mx.min	47.79	2.14	5.26	**-0.17**	15.3	1.5
	Mx.max	-47.79	-2.14	-5.26	**0.17**	-15.3	-1.5
	My.min	-47.79	-2.14	-5.26	0.17	**-15.3**	-1.5
	My.max	47.79	2.14	5.26	-0.17	**15.3**	1.5
	Mz.min	-47.79	-2.14	-5.26	0.17	-15.3	**-1.5**
	Mz.max	47.79	2.14	5.26	-0.17	15.3	**1.5**

TR_V1.2 POPIS: **SVISLICE V1** POSUDEK: **V1.2**

SKUPINA ZAT. STAVŮ	EXTRÉM	VYHODNOCOVANÉ VELIČINY					
		N	Vy	Vz	Mx	My	Mz
		kN	kN	kN	kNm	kNm	kNm
S	N.min	**-3.52**	0.17	-0.52	-0.01	-2.18	0.08
	N.max	**3.52**	-0.17	0.52	0.01	2.18	-0.08
	Vy.min	-2.33	**-0.18**	-1.89	0.01	-1.23	-0.05
	Vy.max	2.33	**0.18**	1.89	-0.01	1.23	0.05
	Vz.min	-1.25	-0.08	**-2.29**	0.01	-3.66	-0.02
	Vz.max	1.25	0.08	**2.29**	-0.01	3.66	0.02
	Mx.min	1.06	0.16	2.11	**-0.02**	0.88	0.05
	Mx.max	-1.06	-0.16	-2.11	**0.02**	-0.88	-0.05
	My.min	-1.59	-0.04	-2.06	0.01	**-3.8**	0
	My.max	1.59	0.04	2.06	-0.01	**3.8**	0
	Mz.min	3.52	-0.17	0.52	0.01	2.18	**-0.08**
	Mz.max	-3.52	0.17	-0.52	-0.01	-2.18	**0.08**
CH	N.min	**-57.56**	1.1	1.63	-0.01	5.45	0.58
	N.max	**-15.82**	0.25	1.48	0	3.48	0.16
	Vy.min	-15.82	**0.25**	1.48	0	3.48	0.16
	Vy.max	-57.56	**1.1**	1.63	-0.01	5.45	0.58
	Vz.min	-15.82	0.25	**1.48**	0	3.48	0.16
	Vz.max	-36.06	0.76	**2.06**	0	6.45	0.39
	Mx.min	-57.56	1.1	1.63	**-0.01**	5.45	0.58
	Mx.max	-36.06	0.76	2.06	**0**	6.45	0.39
	My.min	-15.82	0.25	1.48	0	**3.48**	0.16
	My.max	-36.06	0.76	2.06	0	**6.45**	0.39
	Mz.min	-15.82	0.25	1.48	0	3.48	**0.16**
	Mz.max	-57.56	1.1	1.63	-0.01	5.45	**0.58**
W	N.min	**-30.55**	0.57	-21.9	0.02	-50.95	0.29
	N.max	**30.55**	-0.58	21.91	-0.02	50.95	-0.3
	Vy.min	30.55	**-0.58**	21.91	-0.02	50.95	-0.3
	Vy.max	-30.55	**0.57**	-21.9	0.02	-50.95	0.29
	Vz.min	-30.55	0.57	**-21.9**	0.02	-50.95	0.29
	Vz.max	30.55	-0.58	**21.91**	-0.02	50.95	-0.3
	Mx.min	30.55	-0.58	21.91	**-0.02**	50.95	-0.3
	Mx.max	-30.55	0.57	-21.9	**0.02**	-50.95	0.29
	My.min	-30.55	0.57	-21.9	0.02	**-50.95**	0.29
	My.max	30.55	-0.58	21.91	-0.02	**50.95**	-0.3
	Mz.min	30.55	-0.58	21.91	-0.02	50.95	**-0.3**
	Mz.max	-30.55	0.57	-21.9	0.02	-50.95	**0.29**
WP	N.min	**-33.58**	0.21	-8.44	0.04	-12.47	0.19
	N.max	**33.63**	-0.21	8.41	-0.04	12.43	-0.19
	Vy.min	33.63	**-0.21**	8.41	-0.04	12.43	-0.19
	Vy.max	-33.58	**0.21**	-8.44	0.04	-12.47	0.19
	Vz.min	-33.58	0.21	**-8.44**	0.04	-12.47	0.19
	Vz.max	33.63	-0.21	**8.41**	-0.04	12.43	-0.19
	Mx.min	33.63	-0.21	8.41	**-0.04**	12.43	-0.19
	Mx.max	-33.58	0.21	-8.44	**0.04**	-12.47	0.19
	My.min	-33.58	0.21	-8.44	0.04	**-12.47**	0.19
	My.max	33.63	-0.21	8.41	-0.04	**12.43**	-0.19
	Mz.min	33.63	-0.21	8.41	-0.04	12.43	**-0.19**
	Mz.max	-33.58	0.21	-8.44	0.04	-12.47	**0.19**
TR	N.min	**0**	0	0	0	0	0
	N.max	**0**	0	0	0	0	0
	Vy.min	0	**0**	0	0	0	0
	Vy.max	0	**0**	0	0	0	0
	Vz.min	0	0	**0**	0	0	0
	Vz.max	0	0	**0**	0	0	0
	Mx.min	0	0	0	**0**	0	0
	Mx.max	0	0	0	**0**	0	0
	My.min	0	0	0	0	**0**	0
	My.max	0	0	0	0	**0**	0
	Mz.min	0	0	0	0	0	**0**
	Mz.max	0	0	0	0	0	**0**
TN	N.min	**-37.25**	2.35	0.4	0.01	-4.08	0.68
	N.max	**19.23**	-0.12	-3.85	-0.01	-5.47	-0.11
	Vy.min	18.69	**-2.16**	1.65	0	5.19	-0.55
	Vy.max	-37.25	**2.35**	0.4	0.01	-4.08	0.68
	Vz.min	19.23	-0.12	**-3.85**	-0.01	-5.47	-0.11
	Vz.max	18.69	-2.16	**1.65**	0	5.19	-0.55
	Mx.min	19.23	-0.12	-3.85	**-0.01**	-5.47	-0.11
	Mx.max	-37.25	2.35	0.4	**0.01**	-4.08	0.68
	My.min	19.23	-0.12	-3.85	-0.01	**-5.47**	-0.11
	My.max	18.69	-2.16	1.65	0	**5.19**	-0.55
	Mz.min	18.69	-2.16	1.65	0	5.19	**-0.55**
	Mz.max	-37.25	2.35	0.4	0.01	-4.08	**0.68**
FR	N.min	**-4.46**	-0.01	-0.17	0.01	-0.56	-0.03
	N.max	**4.46**	0.01	0.17	-0.01	0.56	0.03
	Vy.min	-4.46	**-0.01**	-0.17	0.01	-0.56	-0.03
	Vy.max	4.46	**0.01**	0.17	-0.01	0.56	0.03
	Vz.min	-4.46	-0.01	**-0.17**	0.01	-0.56	-0.03
	Vz.max	4.46	0.01	**0.17**	-0.01	0.56	0.03
	Mx.min	4.46	0.01	0.17	**-0.01**	0.56	0.03
	Mx.max	-4.46	-0.01	-0.17	**0.01**	-0.56	-0.03
	My.min	-4.46	-0.01	-0.17	0.01	**-0.56**	-0.03
	My.max	4.46	0.01	0.17	-0.01	**0.56**	0.03
	Mz.min	-4.46	-0.01	-0.17	0.01	-0.56	**-0.03**
	Mz.max	4.46	0.01	0.17	-0.01	0.56	**0.03**
I	N.min	**-6.84**	0.17	-3.82	0	-11.3	**0.08**
	N.max	**6.84**	-0.17	3.82	0	11.3	**-0.08**
	Vy.min	6.84	**-0.17**	3.82	0	11.3	**-0.08**
	Vy.max	-6.84	**0.17**	-3.82	0	-11.3	**0.08**
	Vz.min	-6.84	0.17	**-3.82**	0	-11.3	**0.08**
	Vz.max	6.84	-0.17	**3.82**	0	11.3	**-0.08**
	Mx.min	6.84	-0.17	3.82	**0**	11.3	**-0.08**
	Mx.max	-6.84	0.17	-3.82	**0**	-11.3	**0.08**
	My.min	-6.84	0.17	-3.82	0	**-11.3**	**0.08**
	My.max	6.84	-0.17	3.82	0	**11.3**	**-0.08**
	Mz.min	6.84	-0.17	3.82	0	11.3	**-0.08**
	Mz.max	-6.84	0.17	-3.82	0	-11.3	**0.08**

TAB. V1.2.3 POSOUZENÍ - MEZNÍ STAV ÚNOSNOSTI

POPIS	SVISLICE V1
PRUT / POLOHA BODU	438 / I[365]
NAMÁHÁNÍ	My.min
VLÁKNO	BOD K2 -HP
MEZNÍ STAV	ULS (MSÚ)
VYUŽITÍ VLÁKNA PRŮŘEZU	0.22

Charakteristiky materiálu				
pás. horní	$f_{yf,k}$	230	MPa	
pás. dolní	$f_{yf,k}$	230	MPa	
stojina	$f_{yw,k}$	230	MPa	
výztuž	$f_{ys,k}$	500	MPa	
γ_M =	1.20	γ_s =	1.15	

Excentricita normálové síly				
Exc./Fáze	0	1	2	3
e_y	0.000	0.000	0.000	0.000
e_z	0.000	0.000	0.000	0.000
Ekvivalentní vzdál. stěn - příčný roznos				
b_{Mx}	0.000	0.000	0.000	0.000

Vliv stěny na únosnost průřezu				
Char./Fáze	0	1	2	3
A	0.00	0.00	0.00	0.00
Wy	0.00	0.00	0.00	0.00
Wz	0.00	0.00	0.00	0.00

Charakter. v kroucení			
$t_{w,y}$	0.000	[mm]	
$t_{w,z}$	0.000	[mm]	
κ	1.00		
I_t=	0.00E+00	[mm^4]	
$\Omega=2*A_{pr}$	0.00E+00	[mm^2]	

Součinitele vzpěru a vlivu II.řádu				
Char./Fáze	0	1	2	3
k_y	1.000	1.000	1.000	1.000
k_z	1.000	1.000	1.000	1.000
χ_{LT}	1.000	1.000	1.000	1.000
χ_{min}	0.921	1.000	1.000	1.000

Vnitřní síly od jednotlivých skupin zatěžovacích stavů

SKUPINA ZATĚŽOVACÍCH STAVŮ — 3

Č.	SKUP ZS	POPIS ZS	KAT.	FÁZE PRŮŘ.	- CHARAKTERISTICKÉ HODNOTY N.k (kN)	Vy.k (kN)	Vz.k (kN)	Mx.k (kNm)	My.k (kNm)	Mz.k (kNm)	DÍLČÍ SOUČINITELÉ ZATÍŽENÍ, DYNAMICKÝ SOUČINITEL γ_{sr} (-)	γ_{sl} (-)	volba γ_g hledat	γ_g (-)	L_d (m)	δ (-)	γ_s KZ03	- NÁVRHOVÉ HODNOTY N.d (kN)	Vy.d (kN)	Vz.d (kN)	ΔVz.d (kN)	ΣVz.d (kN)	Mx.d (kNm)	My.d (kNm)	ΔMy.d (kNm)	ΣMy.d (kNm)	Mz.d (kNm)	ΔMz.d (kNm)	ΣMz.d (kNm)
1	G0	Vlastní tíha OK	G	0	-451	8	0	0	0	4	1.00	1.20		1.20	-	1.00	0.95	-515	9	0	0	0	0	0	0	4	0	4
2	G1	Ostatní stálé - mostní vybavení	G	0	-32	1	0	0	-1	0	1.00	1.20		1.20	-	1.00	0.95	-36	1	0	0	0	0	-1	0	-1	0	0
3	G2	Ostatní stálé - cizí zařízení	G	0	-18	0	0	0	2	0	1.00	1.20		1.20	-	1.00	0.95	-21	0	1	0	1	0	2	0	2	0	0
4	P1_71	a.LM71 - kolej 1 (bez dyn. souč.)	P	0	16	1	-18	0	-55	1	1.00	1.30		1.30	-	1.00	1.00	21	2	-24	0	-24	0	-71	0	-71	1	0	1
5	P2_71	a.LM71 - kolej 2 (bez dyn. souč.)	P	0	-199	7	-24	0	-68	3	1.00	1.30		1.30	-	1.00	1.00	-259	9	-31	0	-31	0	-88	0	-88	4	0	4
6	P1_C3	TTZ C3 - kolej 1 (bez dyn. souč.)	P	0	11	1	-13	0	-40	0	1.00	vyp.		0.00	-	1.00	0.00	0	0	0	0	0	0	0	0	0	0	0	0
7	P2_C3	TTZ C3 - kolej 2 (bez dyn. souč.)	P	0	-176	6	-18	0	-51	3	1.00	vyp.		0.00	-	1.00	0.00	0	0	0	0	0	0	0	0	0	0	0	0
8	BR	Brzdné a rozjezdové síly	P	0	-48	-2	-5	0	-15	-2	1.00	1.30		1.30	-	1.00	0.80	-50	-2	-5	0	-5	0	-16	0	-16	-2	0	-2
9	S	Boční ráz	P	0	-2	0	-2	0	-4	0	1.00	1.30		1.30	-	1.00	0.40	-1	0	-1	0	-1	0	-2	0	-2	0	0	0
10	CH	Chodci na lávkách	Q	0	-16	0	1	0	3	0	1.00	0.00		0.00	-	1.00	1.00	0	0	0	0	0	0	0	0	0	0	0	0
11	W	Vítr na konstrukci	Q	0	-31	1	-22	0	-51	0	1.00	1.35		1.35	-	1.00	0.75	-31	1	-22	0	-22	0	-52	0	-52	0	0	0
12	WP	Vítr na vozidla	Q	0	-34	0	-8	0	-12	0	1.00	1.35		1.35	-	1.00	0.75	-34	0	-9	0	-9	0	-13	0	-13	0	0	0
13	TR	Teplota rovnoměrná	Q	0	0	0	0	0	0	0	1.00	1.35		1.35	-	1.00	0.45	0	0	0	0	0	0	0	0	0	0	0	0
14	TN	Teplota nerovnoměrná	Q	0	19	0	-4	0	-5	0	1.00	1.35		1.35	-	1.00	0.60	16	0	-3	0	-3	0	-4	0	-4	0	0	0
15	FR	Třecí síly v ložiskách	Q	0	-4	0	0	0	-1	0	1.00	1.20		1.20	-	1.00	1.00	-5	0	0	0	0	0	-1	0	-1	0	0	0
16	I	Imperfekce soustavy	Q	0	-7	0	-4	0	-11	0	1.00	1.20		1.20	-	1.00	1.00	-8	0	-5	0	-5	0	-14	0	-14	0	0	0
27	ULS_LM	ULS - LM71 bez dynam	Q	0	-956	19	-99	0	-258	9	1.00	vyp.		0.00	-	1.00	0.00	0	0	0	0	0	0	0	0	0	0	0	0
28	SLS_LM	SLS - LM71 bez dynam	Q	0	-808	16	-73	0	-194	7	1.00	vyp.	1	0.00	-	1.00	0.00	0	0	0	0	0	0	0	0	0	0	0	0
29	ULS_C3	ULS - C3 bez dynam	Q	0	-931	17	-86	0	-218	8	1.00	vyp.	1	0.00	-	1.00	0.00	0	0	0	0	0	0	0	0	0	0	0	0
30	SLS_C3	SLS - C3 bez dynam	Q	0	0	0	0	0	0	0	1.00	vyp.	1	0.00	-	1.00	0.00	0	0	0	0	0	0	0	0	0	0	0	0
		CELKEM - FÁZE PRŮŘEZU 0																-923	20	-99	0	-99	0	-258	0	-258	9	0	9
		CELKEM - FÁZE PRŮŘEZU 1																0	0	0	0	0	0	0	0	0	0	0	0
		CELKEM - FÁZE PRŮŘEZU 2																0	0	0	0	0	0	0	0	0	0	0	0
		CELKEM - FÁZE PRŮŘEZU 3																0	0	0	0	0	0	0	0	0	0	0	0
		CELKEM - PRŮŘEZ																-923	20	-99	0	-99	0			-258			9

Napětí od jednotlivých zatěžovacích stavů

SKUPINA ZATĚŽOVACÍCH STAVŮ

Č.	SKUP ZS	Popis ZS	Kat.	fáze průř.	Posouzení normálového napětí — Účinek síly N δ^*N_d [kN]	χ^*A [mm^2]	σ_n [MPa]	Účinek momentu My $\delta^*M_{y,d}$ [kNm]	$\chi_{lt}*W_{el,y}$ [mm^3]	σ_{my} [MPa]	Účinek momentu Mz $\delta^*M_{z,d}$ [kNm]	$W_{el,z}$ [mm^3]	σ_{mz} [MPa]	σ_x [MPa]	Posouzení smykového napětí — Účinek kroutícího momentu Mx $\kappa*\delta^*M_{x,d}$ [kNm]	$W_{v,y}$ [mm^3]	$\tau_{x,y}$ [MPa]	$W_{v,z}$ [mm^3]	$\tau_{x,z}$ [MPa]	Účinek smykové síly Vy $\delta^*V_{y,d}$ [kN]	$A_{v,y}$ [mm2]	$\tau_{v,y}$ [MPa]	$\tau_{v,y}$ [MPa]	Účinek smykové síly Vz $\delta^*V_{z,d}$ [kN]	$A_{v,z}$ [mm2]	$\tau_{v,z}$ [MPa]	$\tau_{v,z}$ [MPa]
1	G0	Vlastní tíha OK	G	0	-514.6	2.25E+04	-22.8	0.4	-3.55E+06	-0.1	4.4	9.23E+05	4.8	-18.2	-4.6E-02	-	-	-	-	8.9	1.68E+04	0.5	0.5	0.3	8.67E+03	0.0	0.0
2	G1	Ostatní stálé - mostní vybavení	G	0	-35.9	2.25E+04	-1.6	-0.8	-3.55E+06	0.2	0.3	9.23E+05	0.4	-1.0	0.0E+00	-	-	-	-	0.7	1.68E+04	0.0	0.0	-0.2	8.67E+03	0.0	0.0
3	G2	Ostatní stálé - cizí zařízení	G	0	-20.6	2.25E+04	-0.9	1.7	-3.55E+06	-0.5	0.2	9.23E+05	0.2	-1.2	0.0E+00	-	-	-	-	0.4	1.68E+04	0.0	0.0	0.5	8.67E+03	0.1	0.1
4	P1_71	a.LM71 - kolej 1 (bez dyn. souč.)	P	0	20.9	2.25E+04	0.9	-71.1	-3.55E+06	20.0	0.7	9.23E+05	0.8	21.8	0.0E+00	-	-	-	-	1.8	1.68E+04	0.1	0.1	-24.0	8.67E+03	-2.8	-2.8
5	P2_71	a.LM71 - kolej 2 (bez dyn. souč.)	P	0	-259.1	2.25E+04	-11.5	-87.9	-3.55E+06	24.8	4.3	9.23E+05	4.6	17.9	-2.6E-02	-	-	-	-	9.2	1.68E+04	0.5	0.5	-30.6	8.67E+03	-3.5	-3.5
6	P1_C3	TTZ C3 - kolej 1 (bez dyn. souč.)	P	0	0.0	2.25E+04	0.0	0.0	-3.55E+06	0.0	0.0	9.23E+05	0.0	0.0	0.0E+00	-	-	-	-	0.0	1.68E+04	0.0	0.0	0.0	8.67E+03	0.0	0.0
7	P2_C3	TTZ C3 - kolej 2 (bez dyn. souč.)	P	0	0.0	2.25E+04	0.0	0.0	-3.55E+06	0.0	0.0	9.23E+05	0.0	0.0	0.0E+00	-	-	-	-	0.0	1.68E+04	0.0	0.0	0.0	8.67E+03	0.0	0.0
8	BR	Brzdné a rozjezdové síly	P	0	-49.7	2.25E+04	-2.2	-15.9	-3.55E+06	4.5	-1.6	9.23E+05	-1.7	0.6	1.8E-01	-	-	-	-	-2.2	1.68E+04	-0.1	-0.1	-5.5	8.67E+03	-0.6	-0.6
9	S	Boční ráz	P	0	-0.8	2.25E+04	0.0	-2.0	-3.55E+06	0.6	0.0	9.23E+05	0.0	0.5	5.2E-03	-	-	-	-	0.0	1.68E+04	0.0	0.0	-1.1	8.67E+03	-0.1	-0.1
10	CH	Chodci na lávkách	Q	0	0.0	2.25E+04	0.0	0.0	-3.55E+06	0.0	0.0	9.23E+05	0.0	0.0	0.0E+00	-	-	-	-	0.0	1.68E+04	0.0	0.0	0.0	8.67E+03	0.0	0.0
11	W	Vítr na konstrukci	Q	0	-30.9	2.25E+04	-1.4	-51.6	-3.55E+06	14.6	0.3	9.23E+05	0.3	13.5	2.0E-02	-	-	-	-	0.6	1.68E+04	0.0	0.0	-22.2	8.67E+03	-2.6	-2.6
12	WP	Vítr na vozidla	Q	0	-34.0	2.25E+04	-1.5	-12.6	-3.55E+06	3.6	0.2	9.23E+05	0.2	2.3	4.1E-02	-	-	-	-	0.2	1.68E+04	0.0	0.0	-8.5	8.67E+03	-1.0	-1.0
13	TR	Teplota rovnoměrná	Q	0	0.0	2.25E+04	0.0	0.0	-3.55E+06	0.0	0.0	9.23E+05	0.0	0.0	0.0E+00	-	-	-	-	0.0	1.68E+04	0.0	0.0	0.0	8.67E+03	0.0	0.0
14	TN	Teplota nerovnoměrná	Q	0	15.6	2.25E+04	0.7	-4.4	-3.55E+06	1.2	-0.1	9.23E+05	-0.1	1.8	-8.1E-03	-	-	-	-	-0.1	1.68E+04	0.0	0.0	-3.1	8.67E+03	-0.4	-0.4
15	FR	Třecí síly v ložiskách	Q	0	-5.4	2.25E+04	-0.2	-0.7	-3.55E+06	0.2	0.0	9.23E+05	0.0	-0.1	1.2E-02	-	-	-	-	0.0	1.68E+04	0.0	0.0	-0.2	8.67E+03	0.0	0.0
16	I	Imperfekce soustavy	Q	0	-8.2	2.25E+04	-0.4	-13.6	-3.55E+06	3.8	0.1	9.23E+05	0.1	3.6	0.0E+00	-	-	-	-	0.2	1.68E+04	0.0	0.0	-4.6	8.67E+03	-0.5	-0.5
27	ULS_LM	ULS - LM71 bez dynam	Q	0	0.0	2.25E+04	0.0	0.0	-3.55E+06	0.0	0.0	9.23E+05	0.0	0.0	0.0E+00	-	-	-	-	0.0	1.68E+04	0.0	0.0	0.0	8.67E+03	0.0	0.0
28	SLS_LM	SLS - LM71 bez dynam	Q	0	0.0	2.25E+04	0.0	0.0	-3.55E+06	0.0	0.0	9.23E+05	0.0	0.0	0.0E+00	-	-	-	-	0.0	1.68E+04	0.0	0.0	0.0	8.67E+03	0.0	0.0
29	ULS_C3	ULS - C3 bez dynam	Q	0	0.0	2.25E+04	0.0	0.0	-3.55E+06	0.0	0.0	9.23E+05	0.0	0.0	0.0E+00	-	-	-	-	0.0	1.68E+04	0.0	0.0	0.0	8.67E+03	0.0	0.0
30	SLS_C3	SLS - C3 bez dynam	Q	0	0.0	2.25E+04	0.0	0.0	-3.55E+06	0.0	0.0	9.23E+05	0.0	0.0	0.0E+00	-	-	-	-	0.0	1.68E+04	0.0	0.0	0.0	8.67E+03	0.0	0.0
NAVÝŠENÍ NAPĚTÍ DO AKTIVACE TLAKU V DESCE MOSTOVKY						$\sigma_{P,red}$	0.0							0.0				0.0		0.0			1.2	1.2			-11.4	-11.4
NAPĚTÍ OD PRIMÁRNÍCH ÚČINKŮ NEROVNOMĚRNÉHO OTEPLENÍ						σ_T	0.0							0.0														
NAPĚTÍ OD REOLOGICKÝCH ÚČINKŮ BETONU V ČASE			t=0			σ_R	0.0	γ_g=	1.20					0.0														
NAPĚTÍ V KRITICKÝCH VLÁKNECH OD KOMBINACE ZATÍŽENÍ						KZ03		[MPa]					$\Sigma\sigma_x$	41.5								$\Sigma\tau_y$	1.2				$\Sigma\tau_z$	-11.4
NAPĚTÍ OD POHYBLIVÉHO ZATÍŽENÍ								[MPa]					$\sigma_{x,P}$	40.8								τ_P	0.5				τ_P	-7.1
NAPĚTÍ OD OSTATNÍCH ZATÍŽENÍ								[MPa]			Φ_{Vy}	Φ_{Vz}	$\sigma_{x,rs}$	0.7								τ_{rs}	0.6				τ_{rs}	-4.4
NÁVRHOVÁ HODNOTA MEZE KLUZU S REDUKCÍ VLIVEM SMYKOVÉHO NAPĚTÍ								[MPa]			1.00	1.00	$f_{yv,d}$	191.7								$f_{yd}/3^{0,5}$	110.7				$f_{yd}/3^{0,5}$	110.7
NAPĚTÍ OD POHYBLIVÉHO ZATÍŽENÍ V GLOBÁLNÍM SYSTÉMU						$\sigma_{GLOB,P}$	0.0	[MPa]					$\Sigma\sigma_{GLOB}$	0.0														
NAPĚTÍ OD OSTATNÍCH ZATÍŽENÍ V GLOBÁLNÍM SYSTÉMU						$\sigma_{GLOB,rs}$	0.0	[MPa]					$\Sigma\sigma_x + \Sigma\sigma_{GLOB}$	41.5														
VYUŽITÍ PRŮŘEZU DLE NAPĚTÍ								[%]					η_1	0.22								η_3	0.01				η_3	0.10
NAPĚTÍ V PŘÍČNÉM SMĚRU OD POHYBLIVÉHO ZATÍŽENÍ						$\sigma_{z,P}$	0.0	[MPa]					$\Sigma\sigma_z$	0.0														
NAPĚTÍ V PŘÍČNÉM SMĚRU OD OSTATNÍCH ZATÍŽENÍ						$\sigma_{z,rs}$	0.0	[MPa]					η_2	0.00														
SROVNÁVACÍ NAPĚTÍ													$(\eta_2 + 0,8\,\eta_1)/1,4$ =	0.12														
VYUŽITÍ PRŮŘEZU CELKEM								[%]					eff	0.22	VYHOVUJE													
													z_{LM71} =	4.68														

TAB. V1.2.3 POSOUZENÍ - MEZNÍ STAV ÚNOSNOSTI

POPIS	SVISLICE V1
PRUT / POLOHA BODU	438 / I[365]
NAMÁHÁNÍ	My.min
VLÁKNO	BOD K3 -SL
MEZNÍ STAV	ULS (MSÚ)
VYUŽITÍ VLÁKNA PRŮŘEZU	0.62

Charakteristiky materiálu				
pás. horní	$f_{yf,k}$	230	MPa	
pás. dolní	$f_{yf,k}$	230	MPa	
stojina	$f_{yw,k}$	230	MPa	
výztuž	$f_{ys,k}$	500	MPa	
γ_M =	1.20	γ_s =	1.15	

Excentricita normálové síly				
Exc./Fáze	0	1	2	3
e_y	0.000	0.000	0.000	0.000
e_z	0.000	0.000	0.000	0.000
Ekvivalentní vzdál. stěn - příčný roznos				
b_{ekv}	0.000	0.000	0.000	0.000

Vliv stěny na únosnost průřezu				
Char./Fáze	0	1	2	3
A	0.00	0.00	0.00	0.00
Wy	0.00	0.00	0.00	0.00
Wz	0.00	0.00	0.00	0.00

Charakter. v kroucení			
$t_{w,y}$	0.000	[mm]	
$t_{w,z}$	0.000	[mm]	
κ	1.00		
I_t=	0.00E+00	[mm^4]	
$\Omega=2*A_{pr}$	0.00E+00	[mm^2]	

Součinitele vzpěru a vlivu II.řádu					
Char./Fáze	0	1	2	3	
k_y	1.000	1.000	1.000	1.000	
k_z	1.000	1.000	1.000	1.000	
χ_{LT}	1.000	1.000	1.000	1.000	
χ_{min}	0.921	1.000	1.000	1.000	

Vnitřní síly od jednotlivých skupin zatěžovacích stavů

SKUPINA ZATĚŽOVACÍCH STAVŮ					- CHARAKTERISTICKÉ HODNOTY						DÍLČÍ SOUČINITELÉ ZATÍŽENÍ, DYNAMICKÝ SOUČINITEL						3	- NÁVRHOVÉ HODNOTY									
Č.	SKUP ZS	POPIS ZS	KAT.	FÁZE PRŮŘ.	N.k (kN)	Vy.k (kN)	Vz.k (kN)	Mx.k (kNm)	My.k (kNm)	Mz.k (kNm)	γ_{sr} (-)	γ_{sl} (-)	volba ψ_i hledat	ψ_i (-)	L_d (m)	δ (-)	ψ_s KZ03	N.d (kN)	Vy.d (kN)	Vz.d (kN)	ΔVz.d (kN)	ΣVz.d (kN)	Mx.d (kNm)	My.d (kNm)	ΔMy.d (kNm)	ΣMy.d (kNm)	Mz.d (kNm)	ΔMz.d (kNm)	ΣMz.d (kNm)
1	G0	Vlastní tíha OK	G	0	-451	8	0	0	0	4	1.00	1.20		1.20	-	1.00	0.95	-515	9	0	0	0	0	0	0	0	4	0	4
2	G1	Ostatní stálé - mostní vybavení	G	0	-32	1	0	0	-1	0	1.00	1.20		1.20	-	1.00	0.95	-36	1	0	0	0	0	-1	0	-1	0	0	0
3	G2	Ostatní stálé - cizí zařízení	G	0	-18	0	0	0	2	0	1.00	1.20		1.20	-	1.00	0.95	-21	0	1	0	1	0	2	0	2	0	0	0
4	P1_71	a.LM71 - kolej 1 (bez dyn. souč.)	P	0	16	1	-18	0	-55	1	1.00	1.30		1.30	-	1.00	1.00	21	2	-24	0	-24	0	-71	0	-71	1	0	1
5	P2_71	a.LM71 - kolej 2 (bez dyn. souč.)	P	0	-199	7	-24	0	-68	3	1.00	1.30		1.30	-	1.00	1.00	-259	9	-31	0	-31	0	-88	0	-88	4	0	4
6	P1_C3	TTZ C3 - kolej 1 (bez dyn. souč.)	P	0	11	1	-13	0	-40	0	1.00	vyp.		0.00	-	1.00	0.00	0	0	0	0	0	0	0	0	0	0	0	0
7	P2_C3	TTZ C3 - kolej 2 (bez dyn. souč.)	P	0	-176	6	-18	0	-51	3	1.00	vyp.		0.00	-	1.00	0.00	0	0	0	0	0	0	0	0	0	0	0	0
8	BR	Brzdné a rozjezdové síly	P	0	-48	-2	-5	0	-15	-2	1.00	1.30		1.30	-	1.00	0.80	-50	-2	-5	0	-5	0	-16	0	-16	-2	0	-2
9	S	Boční ráz	P	0	-2	0	-2	0	-4	0	1.00	1.30		1.30	-	1.00	0.40	-1	0	-1	0	-1	0	-2	0	-2	0	0	0
10	CH	Chodci na lávkách	Q	0	-16	0	1	0	3	0	1.00	0.00		0.00	-	1.00	1.00	0	0	0	0	0	0	0	0	0	0	0	0
11	W	Vítr na konstrukci	Q	0	-31	1	-22	0	-51	0	1.00	1.35		1.35	-	1.00	0.75	-31	1	-22	0	-22	0	-52	0	-52	0	0	0
12	WP	Vítr na vozidla	Q	0	-34	0	-8	0	-12	0	1.00	1.35		1.35	-	1.00	0.75	-34	0	-9	0	-9	0	-13	0	-13	0	0	0
13	TR	Teplota rovnoměrná	Q	0	0	0	0	0	0	0	1.00	1.35		1.35	-	1.00	0.45	0	0	0	0	0	0	0	0	0	0	0	0
14	TN	Teplota nerovnoměrná	Q	0	19	0	-4	0	-5	0	1.00	1.35		1.35	-	1.00	0.60	16	0	-3	0	-3	0	-4	0	-4	0	0	0
15	FR	Třecí síly v ložiskách	Q	0	-4	0	0	0	-1	0	1.00	1.20		1.20	-	1.00	1.00	-5	0	0	0	0	0	-1	0	-1	0	0	0
16	I	Imperfekce soustavy	Q	0	-7	0	-4	0	-11	0	1.00	1.20		1.20	-	1.00	1.00	-8	0	-5	0	-5	0	-14	0	-14	0	0	0
27	ULS_LM	ULS - LM71 bez dynam	Q	0	-956	19	-99	0	-258	9	1.00	vyp.	1	0.00	-	1.00	0.00	0	0	0	0	0	0	0	0	0	0	0	0
28	SLS_LM	SLS - LM71 bez dynam	Q	0	-808	16	-73	0	-194	7	1.00	vyp.	1	0.00	-	1.00	0.00	0	0	0	0	0	0	0	0	0	0	0	0
29	ULS_C3	ULS - C3 bez dynam	Q	0	-931	17	-86	0	-218	8	1.00	vyp.	1	0.00	-	1.00	0.00	0	0	0	0	0	0	0	0	0	0	0	0
30	SLS_C3	SLS - C3 bez dynam	Q	0	0	0	0	0	0	0	1.00	vyp.	1	0.00	-	1.00	0.00	0	0	0	0	0	0	0	0	0	0	0	0
		CELKEM - FÁZE PRŮŘEZU 0																-923	20	-99	0	-99	0	-258	0	-258	9	0	9
		CELKEM - FÁZE PRŮŘEZU 1																0	0	0	0	0	0	0	0	0	0	0	0
		CELKEM - FÁZE PRŮŘEZU 2																0	0	0	0	0	0	0	0	0	0	0	0
		CELKEM - FÁZE PRŮŘEZU 3																0	0	0	0	0	0	0	0	0	0	0	0
		CELKEM - PRŮŘEZ																-923	20	-99	0	-99	0			-258			9

Napětí od jednotlivých zatěžovacích stavů

SKUPINA ZATĚŽOVACÍCH STAVŮ					Posouzení normálového napětí										Posouzení smykového napětí													
					Účinek síly N			Účinek momentu My				Účinek momentu Mz				Účinek ktoutícího momentu Mx				Účinek smykové síly Vy				Účinek smykové síly Vz			
Č.	SKUP ZS	Popis ZS	Kat.	fáze prúř.	δ^*N_d [kN]	χ^*A [mm^2]	σ_n [MPa]	$\delta^*M_{y,d}$ [kNm]	$\chi_{lt}*W_{el,y}$ [mm^3]	σ_{my} [MPa]	$\delta^*M_{z,d}$ [kNm]	$W_{el,z}$ [mm^3]	σ_{mz} [MPa]	σ_x [MPa]	$\kappa^*\delta^*M_{x,d}$ [kNm]	$W_{v,y}$ [mm^2]	$\tau_{x,y}$ [MPa]	$W_{v,z}$ [mm^2]	$\tau_{x,z}$ [MPa]	$\delta^*V_{y,d}$ [kN]	$A_{v,y}$ [mm2]	$\tau_{v,y}$ [MPa]	$\tau_{v,y}$ [MPa]	$\delta^*V_{z,d}$ [kN]	$A_{v,z}$ [mm2]	$\tau_{v,z}$ [MPa]	$\tau_{v,z}$ [MPa]
1	G0	Vlastní tíha OK	G	0	-514.6	2.25E+04	-22.8	0.4	3.74E+06	0.1	4.4	-9.23E+05	-4.8	-27.5	-4.6E-02	-	-	-	-	8.9	1.68E+04	0.5	0.5	0.3	8.67E+03	0.0	0.0
2	G1	Ostatní stálé - mostní vybavení	G	0	-35.9	2.25E+04	-1.6	-0.8	3.74E+06	-0.2	0.3	-9.23E+05	-0.4	-2.2	0.0E+00	-	-	-	-	0.7	1.68E+04	0.0	0.0	-0.2	8.67E+03	0.0	0.0
3	G2	Ostatní stálé - cizí zařízení	G	0	-20.6	2.25E+04	-0.9	1.7	3.74E+06	0.5	0.2	-9.23E+05	-0.2	-0.7	0.0E+00	-	-	-	-	0.4	1.68E+04	0.0	0.0	0.5	8.67E+03	0.1	0.1
4	P1_71	a.LM71 - kolej 1 (bez dyn. souč.)	P	0	20.9	2.25E+04	0.9	-71.1	3.74E+06	-19.0	0.7	-9.23E+05	-0.8	-18.9	0.0E+00	-	-	-	-	1.8	1.68E+04	0.1	0.1	-24.0	8.67E+03	-2.8	-2.8
5	P2_71	a.LM71 - kolej 2 (bez dyn. souč.)	P	0	-259.1	2.25E+04	-11.5	-87.9	3.74E+06	-23.5	4.3	-9.23E+05	-4.6	-39.7	-2.6E-02	-	-	-	-	9.2	1.68E+04	0.5	0.5	-30.6	8.67E+03	-3.5	-3.5
6	P1_C3	TTZ C3 - kolej 1 (bez dyn. souč.)	P	0	0.0	2.25E+04	0.0	0.0	3.74E+06	0.0	0.0	-9.23E+05	0.0	0.0	0.0E+00	-	-	-	-	0.0	1.68E+04	0.0	0.0	0.0	8.67E+03	0.0	0.0
7	P2_C3	TTZ C3 - kolej 2 (bez dyn. souč.)	P	0	0.0	2.25E+04	0.0	0.0	3.74E+06	0.0	0.0	-9.23E+05	0.0	0.0	0.0E+00	-	-	-	-	0.0	1.68E+04	0.0	0.0	0.0	8.67E+03	0.0	0.0
8	BR	Brzdné a rozjezdové síly	P	0	-49.7	2.25E+04	-2.2	-15.9	3.74E+06	-4.3	-1.6	-9.23E+05	1.7	-4.8	1.8E-01	-	-	-	-	-2.2	1.68E+04	-0.1	-0.1	-5.5	8.67E+03	-0.6	-0.6
9	S	Boční ráz	P	0	-0.8	2.25E+04	0.0	-2.0	3.74E+06	-0.5	0.0	-9.23E+05	0.0	-0.6	5.2E-03	-	-	-	-	0.0	1.68E+04	0.0	0.0	-1.1	8.67E+03	-0.1	-0.1
10	CH	Chodci na lávkách	Q	0	0.0	2.25E+04	0.0	0.0	3.74E+06	0.0	0.0	-9.23E+05	0.0	0.0	0.0E+00	-	-	-	-	0.0	1.68E+04	0.0	0.0	0.0	8.67E+03	0.0	0.0
11	W	Vítr na konstrukci	Q	0	-30.9	2.25E+04	-1.4	-51.6	3.74E+06	-13.8	0.3	-9.23E+05	-0.3	-15.5	2.0E-02	-	-	-	-	0.6	1.68E+04	0.0	0.0	-22.2	8.67E+03	-2.6	-2.6
12	WP	Vítr na vozidla	Q	0	-34.0	2.25E+04	-1.5	-12.6	3.74E+06	-3.4	0.2	-9.23E+05	-0.2	-5.1	4.1E-02	-	-	-	-	0.2	1.68E+04	0.0	0.0	-8.5	8.67E+03	-1.0	-1.0
13	TR	Teplota rovnoměrná	Q	0	0.0	2.25E+04	0.0	0.0	3.74E+06	0.0	0.0	-9.23E+05	0.0	0.0	0.0E+00	-	-	-	-	0.0	1.68E+04	0.0	0.0	0.0	8.67E+03	0.0	0.0
14	TN	Teplota nerovnoměrná	Q	0	15.6	2.25E+04	0.7	-4.4	3.74E+06	-1.2	-0.1	-9.23E+05	0.1	-0.4	-8.1E-03	-	-	-	-	-0.1	1.68E+04	0.0	0.0	-3.1	8.67E+03	-0.4	-0.4
15	FR	Třecí síly v ložiskách	Q	0	-5.4	2.25E+04	-0.2	-0.7	3.74E+06	-0.2	0.0	-9.23E+05	0.0	-0.4	1.2E-02	-	-	-	-	0.0	1.68E+04	0.0	0.0	-0.2	8.67E+03	0.0	0.0
16	I	Imperfekce soustavy	Q	0	-8.2	2.25E+04	-0.4	-13.6	3.74E+06	-3.6	0.1	-9.23E+05	-0.1	-4.1	0.0E+00	-	-	-	-	0.2	1.68E+04	0.0	0.0	-4.6	8.67E+03	-0.5	-0.5
27	ULS_LM	ULS - LM71 bez dynam	Q	0	0.0	2.25E+04	0.0	0.0	3.74E+06	0.0	0.0	-9.23E+05	0.0	0.0	0.0E+00	-	-	-	-	0.0	1.68E+04	0.0	0.0	0.0	8.67E+03	0.0	0.0
28	SLS_LM	SLS - LM71 bez dynam	Q	0	0.0	2.25E+04	0.0	0.0	3.74E+06	0.0	0.0	-9.23E+05	0.0	0.0	0.0E+00	-	-	-	-	0.0	1.68E+04	0.0	0.0	0.0	8.67E+03	0.0	0.0
29	ULS_C3	ULS - C3 bez dynam	Q	0	0.0	2.25E+04	0.0	0.0	3.74E+06	0.0	0.0	-9.23E+05	0.0	0.0	0.0E+00	-	-	-	-	0.0	1.68E+04	0.0	0.0	0.0	8.67E+03	0.0	0.0
30	SLS_C3	SLS - C3 bez dynam	Q	0	0.0	2.25E+04	0.0	0.0	3.74E+06	0.0	0.0	-9.23E+05	0.0	0.0	0.0E+00	-	-	-	-	0.0	1.68E+04	0.0	0.0	0.0	8.67E+03	0.0	0.0
NAVÝŠENÍ NAPĚTÍ DO AKTIVACE TLAKU V DESCE MOSTOVKY						$\sigma_{P,red}$	0.0							0.0			0.0		0.0			1.2	1.2			-11.4	-11.4
NAPĚTÍ OD PRIMÁRNÍCH ÚČINKŮ NEROVNOMĚRNÉHO OTEPLENÍ						σ_T	0.0							0.0													
NAPĚTÍ OD REOLOGICKÝCH ÚČINKŮ BETONU V ČASE				t=0		σ_R	0.0	γ_{lt}=	1.20					0.0													
NAPĚTÍ V KRITICKÝCH VLÁKNECH OD KOMBINACE ZATÍŽENÍ						KZ03		[MPa]					$\Sigma\sigma_x$	-119.7								$\Sigma\tau_y$	1.2			$\Sigma\tau_z$	-11.4
NAPĚTÍ OD POHYBLIVÉHO ZATÍŽENÍ								[MPa]					$\sigma_{x,P}$	-63.9								τ_P	0.5			τ_P	-7.1
NAPĚTÍ OD OSTATNÍCH ZATÍŽENÍ								[MPa]			Φ_{vy}	Φ_{vz}	$\sigma_{x,rs}$	-55.8								τ_s	0.6			τ_s	-4.4
NÁVRHOVÁ HODNOTA MEZE KLUZU S REDUKCÍ VLIVEM SMYKOVÉHO NAPĚTÍ								[MPa]			1.00	1.00	$f_{yv,d}$	191.7								$f_{yd}/3^{0,5}$	110.7			$f_{yd}/3^{0,5}$	110.7
NAPĚTÍ OD POHYBLIVÉHO ZATÍŽENÍ V GLOBÁLNÍM SYSTÉMU						$\sigma_{GLOB,P}$	0.0	[MPa]					$\Sigma\sigma_{GLOB}$	0.0													
NAPĚTÍ OD OSTATNÍCH ZATÍŽENÍ V GLOBÁLNÍM SYSTÉMU						$\sigma_{GLOB,rs}$	0.0	[MPa]					$\Sigma\sigma_x + \Sigma\sigma_{GLOB}$	-119.7													
VYUŽITÍ PRŮŘEZU DLE NAPĚTÍ								[%]					η_1	0.62								η_3	0.01			η_3	0.10
NAPĚTÍ V PŘÍČNÉM SMĚRU OD POHYBLIVÉHO ZATÍŽENÍ						$\sigma_{z,P}$	0.0	[MPa]					$\Sigma\sigma_z$	0.0													
NAPĚTÍ V PŘÍČNÉM SMĚRU OD OSTATNÍCH ZATÍŽENÍ						$\sigma_{z,rs}$	0.0	[MPa]					η_2	0.00													
SROVNÁVACÍ NAPĚTÍ													$(\eta_2 + 0,8\,\eta_1)/1,4$ =	0.36													
VYUŽITÍ PRŮŘEZU CELKEM								[%]					eff	0.62	VYHOVUJE												
													z_{LM71} =	2.13													

TAB. V1.2.3 POSOUZENÍ - MEZNÍ STAV ÚNOSNOSTI

POPIS	SVISLICE V1
PRUT / POLOHA BODU	438 / I[365]
NAMÁHÁNÍ	Vz.min
VLÁKNO	BOD S6 -HP
MEZNÍ STAV	ULS (MSÚ)
VYUŽITÍ VLÁKNA PRŮŘEZU	0.62

Charakteristiky materiálu				
pás. horní	$f_{yf,k}$	230	MPa	
pás. dolní	$f_{yf,k}$	230	MPa	
stojina	$f_{yw,k}$	230	MPa	
výztuž	$f_{ys,k}$	500	MPa	
γ_M =	1.20	γ_s =	1.15	

Excentricita normálové síly				
Exc./Fáze	0	1	2	3
e_y	0.000	0.000	0.000	0.000
e_z	0.000	0.000	0.000	0.000
Ekvivalentní vzdál. stěn - příčný roznos				
b_{ekv}	0.000	0.000	0.000	0.000

Vliv stěny na únosnost průřezu				
Char./Fáze	0	1	2	3
A	0.00	0.00	0.00	0.00
Wy	0.00	0.00	0.00	0.00
Wz	0.00	0.00	0.00	0.00

Charakter. v kroucení			
$t_{w,y}$	0.000	[mm]	
$t_{w,z}$	0.000	[mm]	
κ	1.00		
I_t=	0.00E+00	[mm^4]	
$\Omega=2*A_{pr}$	0.00E+00	[mm^2]	

Součinitele vzpěru a vlivu II.řádu					
Char./Fáze	0	1	2	3	
k_y	1.000	1.000	1.000	1.000	
k_z	1.000	1.000	1.000	1.000	
χ_{LT}	1.000	1.000	1.000	1.000	
χ_{min}	0.921	1.000	1.000	1.000	

Vnitřní síly od jednotlivých skupin zatěžovacích stavů — 3

SKUPINA ZATĚŽOVACÍCH STAVŮ					- CHARAKTERISTICKÉ HODNOTY						DÍLČÍ SOUČINITELÉ ZATÍŽENÍ, DYNAMICKÝ SOUČINITEL						- NÁVRHOVÉ HODNOTY									
Č.	SKUP ZS	POPIS ZS	KAT.	FÁZE PRŮŘ.	N.k (kN)	Vy.k (kN)	Vz.k (kN)	Mx.k (kNm)	My.k (kNm)	Mz.k (kNm)	γ_{sr} (-)	γ_{fs} (-)	volba ψ_i hledat	ψ_i (-)	L_d (m)	δ (-)	∇_z KZ03	N.d (kN)	Vy.d (kN)	Vz.d (kN)	ΔVz.d (kN)	ΣVz.d (kN)	Mx.d (kNm)	My.d (kNm)	ΔMy.d (kNm)	ΣMy.d (kNm)	Mz.d (kNm)	ΔMz.d (kNm)	ΣMz.d (kNm)
1	G0	Vlastní tíha OK	G	0	-451	8	0	0	0	4	1.00	1.20		1.20	-	1.00	0.95	-515	9	0	0	0	0	0	0	0	4	0	4
2	G1	Ostatní stálé - mostní vybavení	G	0	-32	1	0	0	-1	0	1.00	1.00		1.00	-	1.00	0.95	-30	1	0	0	0	0	0	0	-1	0	0	0
3	G2	Ostatní stálé - cizí zařízení	G	0	-18	0	0	0	2	0	1.00	1.20		1.20	-	1.00	0.95	-21	0	1	0	1	0	2	0	2	0	0	0
4	P1_71	a.LM71 - kolej 1 (bez dyn. souč.)	P	0	22	1	-19	0	-54	0	1.00	1.30		1.30	-	1.00	1.00	29	2	-24	0	-24	0	-70	0	-70	1	0	1
5	P2_71	a.LM71 - kolej 2 (bez dyn. souč.)	P	0	-350	9	-24	0	-66	4	1.00	1.30		1.30	-	1.00	1.00	-455	12	-32	0	-32	0	-86	0	-86	6	0	6
6	P1_C3	TTZ C3 - kolej 1 (bez dyn. souč.)	P	0	17	1	-14	0	-39	0	1.00	vyp.		0.00	-	1.00	0.00	0	0	0	0	0	0	0	0	0	0	0	0
7	P2_C3	TTZ C3 - kolej 2 (bez dyn. souč.)	P	0	-313	8	-18	0	-50	4	1.00	vyp.		0.00	-	1.00	0.00	0	0	0	0	0	0	0	0	0	0	0	0
8	BR	Brzdné a rozjezdové síly	P	0	-48	-2	-5	0	-15	-2	1.00	1.30		1.30	-	1.00	0.80	-50	-2	-5	0	-5	0	-16	0	-16	-2	0	-2
9	S	Boční ráz	P	0	-1	0	-2	0	-4	0	1.00	1.30		1.30	-	1.00	0.40	-1	0	-1	0	-1	0	-2	0	-2	0	0	0
10	CH	Chodci na lávkách	Q	0	-16	0	1	0	3	0	1.00	0.00		0.00	-	1.00	1.00	0	0	0	0	0	0	0	0	0	0	0	0
11	W	Vítr na konstrukci	Q	0	-31	1	-22	0	-51	0	1.00	1.35		1.35	-	1.00	0.75	-31	1	-22	0	-22	0	-52	0	-52	0	0	0
12	WP	Vítr na vozidla	Q	0	-34	0	-8	0	-12	0	1.00	1.35		1.35	-	1.00	0.75	-34	0	-9	0	-9	0	-13	0	-13	0	0	0
13	TR	Teplota rovnoměrná	Q	0	0	0	0	0	0	0	1.00	1.35		1.35	-	1.00	0.45	0	0	0	0	0	0	0	0	0	0	0	0
14	TN	Teplota nerovnoměrná	Q	0	19	0	-4	0	-5	0	1.00	1.35		1.35	-	1.00	0.60	16	0	-3	0	-3	0	-4	0	-4	0	0	0
15	FR	Třecí síly v ložiskách	Q	0	-4	0	0	0	-1	0	1.00	1.20		1.20	-	1.00	1.00	-5	0	0	0	0	0	-1	0	-1	0	0	0
16	I	Imperfekce soustavy	Q	0	-7	0	-4	0	-11	0	1.00	1.20		1.20	-	1.00	1.00	-8	0	-5	0	-5	0	-14	0	-14	0	0	0
27	ULS_LM	ULS - LM71 bez dynam	Q	0	-1 144	22	-100	0	-256	10	1.00	vyp.	1	0.00	-	1.00	0.00	0	0	0	0	0	0	0	0	0	0	0	0
28	SLS_LM	SLS - LM71 bez dynam	Q	0	-952	18	-74	0	-192	8	1.00	vyp.	1	0.00	-	1.00	0.00	0	0	0	0	0	0	0	0	0	0	0	0
29	ULS_C3	ULS - C3 bez dynam	Q	0	-1 103	20	-86	0	-216	9	1.00	vyp.	1	0.00	-	1.00	0.00	0	0	0	0	0	0	0	0	0	0	0	0
30	SLS_C3	SLS - C3 bez dynam	Q	0	0	0	0	0	0	0	1.00	vyp.	1	0.00	-	1.00	0.00	0	0	0	0	0	0	0	0	0	0	0	0
		CELKEM - FÁZE PRŮŘEZU 0																-1 105	22	-101	0	-101	0	-256	0	-256	10	0	10
		CELKEM - FÁZE PRŮŘEZU 1																0	0	0	0	0	0	0	0	0	0	0	0
		CELKEM - FÁZE PRŮŘEZU 2																0	0	0	0	0	0	0	0	0	0	0	0
		CELKEM - FÁZE PRŮŘEZU 3																0	0	0	0	0	0	0	0	0	0	0	0
		CELKEM - PRŮŘEZ																-1 105	22	-101	0	-101	0			-256			10

Napětí od jednotlivých zatěžovacích stavů

SKUPINA ZATĚŽOVACÍCH STAVŮ					Posouzení normálového napětí										Posouzení smykového napětí													
					Účinek síly N			Účinek momentu My			Účinek momentu Mz				Účinek ktoutícího momentu Mx				Účinek smykové síly Vy				Účinek smykové síly Vz			
Č.	SKUP ZS	Popis ZS	Kat.	fáze prúř.	δ^*N_d [kN]	χ^*A [mm^2]	σ_n [MPa]	$\delta^*M_{y,d}$ [kNm]	$\chi_{lt}*W_{el,y}$ [mm^3]	σ_{my} [MPa]	$\delta^*M_{z,d}$ [kNm]	$W_{el,z}$ [mm^3]	σ_{mz} [MPa]	σ_x [MPa]	$\kappa*\delta^*M_{x,d}$ [kNm]	$W_{v,y}$ [mm^2]	$\tau_{x,y}$ [MPa]	$W_{v,z}$ [mm^2]	$\tau_{x,z}$ [MPa]	$\delta^*V_{y,d}$ [kN]	$A_{v,y}$ [mm2]	$\tau_{v,y}$ [MPa]	$\tau_{v,y}$ [MPa]	$\delta^*V_{z,d}$ [kN]	$A_{v,z}$ [mm2]	$\tau_{v,z}$ [MPa]	$\tau_{v,z}$ [MPa]
1	G0	Vlastní tíha OK	G	0	-514.6	2.25E+04	-22.8	0.4	3.74E+06	0.1	4.4	-7.56E+06	-0.6	-23.3	-4.6E-02	-	-	-	-	8.9	1.68E+04	0.5	0.5	0.3	8.67E+03	0.0	0.0
2	G1	Ostatní stálé - mostní vybavení	G	0	-30.0	2.25E+04	-1.3	-0.7	3.74E+06	-0.2	0.3	-7.56E+06	0.0	-1.5	0.0E+00	-	-	-	-	0.6	1.68E+04	0.0	0.0	-0.2	8.67E+03	0.0	0.0
3	G2	Ostatní stálé - cizí zařízení	G	0	-20.6	2.25E+04	-0.9	1.7	3.74E+06	0.5	0.2	-7.56E+06	0.0	-0.5	0.0E+00	-	-	-	-	0.4	1.68E+04	0.0	0.0	0.5	8.67E+03	0.1	0.1
4	P1_71	a.LM71 - kolej 1 (bez dyn. souč.)	P	0	29.1	2.25E+04	1.3	-70.4	3.74E+06	-18.8	0.6	-7.56E+06	-0.1	-17.6	0.0E+00	-	-	-	-	1.7	1.68E+04	0.1	0.1	-24.3	8.67E+03	-2.8	-2.8
5	P2_71	a.LM71 - kolej 2 (bez dyn. souč.)	P	0	-455.3	2.25E+04	-20.2	-86.0	3.74E+06	-23.0	5.5	-7.56E+06	-0.7	-44.0	-3.9E-02	-	-	-	-	11.9	1.68E+04	0.7	0.7	-31.5	8.67E+03	-3.6	-3.6
6	P1_C3	TTZ C3 - kolej 1 (bez dyn. souč.)	P	0	0.0	2.25E+04	0.0	0.0	3.74E+06	0.0	0.0	-7.56E+06	0.0	0.0	0.0E+00	-	-	-	-	0.0	1.68E+04	0.0	0.0	0.0	8.67E+03	0.0	0.0
7	P2_C3	TTZ C3 - kolej 2 (bez dyn. souč.)	P	0	0.0	2.25E+04	0.0	0.0	3.74E+06	0.0	0.0	-7.56E+06	0.0	0.0	0.0E+00	-	-	-	-	0.0	1.68E+04	0.0	0.0	0.0	8.67E+03	0.0	0.0
8	BR	Brzdné a rozjezdové síly	P	0	-49.7	2.25E+04	-2.2	-15.9	3.74E+06	-4.3	-1.6	-7.56E+06	0.2	-6.3	1.8E-01	-	-	-	-	-2.2	1.68E+04	-0.1	-0.1	-5.5	8.67E+03	-0.6	-0.6
9	S	Boční ráz	P	0	-0.7	2.25E+04	0.0	-1.9	3.74E+06	-0.5	0.0	-7.56E+06	0.0	-0.5	5.2E-03	-	-	-	-	0.0	1.68E+04	0.0	0.0	-1.2	8.67E+03	-0.1	-0.1
10	CH	Chodci na lávkách	Q	0	0.0	2.25E+04	0.0	0.0	3.74E+06	0.0	0.0	-7.56E+06	0.0	0.0	0.0E+00	-	-	-	-	0.0	1.68E+04	0.0	0.0	0.0	8.67E+03	0.0	0.0
11	W	Vítr na konstrukci	Q	0	-30.9	2.25E+04	-1.4	-51.6	3.74E+06	-13.8	0.3	-7.56E+06	0.0	-15.2	2.0E-02	-	-	-	-	0.6	1.68E+04	0.0	0.0	-22.2	8.67E+03	-2.6	-2.6
12	WP	Vítr na vozidla	Q	0	-34.0	2.25E+04	-1.5	-12.6	3.74E+06	-3.4	0.2	-7.56E+06	0.0	-4.9	4.1E-02	-	-	-	-	0.2	1.68E+04	0.0	0.0	-8.5	8.67E+03	-1.0	-1.0
13	TR	Teplota rovnoměrná	Q	0	0.0	2.25E+04	0.0	0.0	3.74E+06	0.0	0.0	-7.56E+06	0.0	0.0	0.0E+00	-	-	-	-	0.0	1.68E+04	0.0	0.0	0.0	8.67E+03	0.0	0.0
14	TN	Teplota nerovnoměrná	Q	0	15.6	2.25E+04	0.7	-4.4	3.74E+06	-1.2	-0.1	-7.56E+06	0.0	-0.5	-8.1E-03	-	-	-	-	-0.1	1.68E+04	0.0	0.0	-3.1	8.67E+03	-0.4	-0.4
15	FR	Třecí síly v ložiskách	Q	0	-5.4	2.25E+04	-0.2	-0.7	3.74E+06	-0.2	0.0	-7.56E+06	0.0	-0.4	1.2E-02	-	-	-	-	0.0	1.68E+04	0.0	0.0	-0.2	8.67E+03	0.0	0.0
16	I	Imperfekce soustavy	Q	0	-8.2	2.25E+04	-0.4	-13.6	3.74E+06	-3.6	0.1	-7.56E+06	0.0	-4.0	0.0E+00	-	-	-	-	0.2	1.68E+04	0.0	0.0	-4.6	8.67E+03	-0.5	-0.5
27	ULS_LM	ULS - LM71 bez dynam	Q	0	0.0	2.25E+04	0.0	0.0	3.74E+06	0.0	0.0	-7.56E+06	0.0	0.0	0.0E+00	-	-	-	-	0.0	1.68E+04	0.0	0.0	0.0	8.67E+03	0.0	0.0
28	SLS_LM	SLS - LM71 bez dynam	Q	0	0.0	2.25E+04	0.0	0.0	3.74E+06	0.0	0.0	-7.56E+06	0.0	0.0	0.0E+00	-	-	-	-	0.0	1.68E+04	0.0	0.0	0.0	8.67E+03	0.0	0.0
29	ULS_C3	ULS - C3 bez dynam	Q	0	0.0	2.25E+04	0.0	0.0	3.74E+06	0.0	0.0	-7.56E+06	0.0	0.0	0.0E+00	-	-	-	-	0.0	1.68E+04	0.0	0.0	0.0	8.67E+03	0.0	0.0
30	SLS_C3	SLS - C3 bez dynam	Q	0	0.0	2.25E+04	0.0	0.0	3.74E+06	0.0	0.0	-7.56E+06	0.0	0.0	0.0E+00	-	-	-	-	0.0	1.68E+04	0.0	0.0	0.0	8.67E+03	0.0	0.0
NAVÝŠENÍ NAPĚTÍ DO AKTIVACE TLAKU V DESCE MOSTOVKY						$\sigma_{P,red}$	0.0							0.0			0.0		0.0				1.3	1.3			-11.6	-11.6
NAPĚTÍ OD PRIMÁRNÍCH ÚČINKŮ NEROVNOMĚRNÉHO OTEPLENÍ						σ_T	0.0							0.0														
NAPĚTÍ OD REOLOGICKÝCH ÚČINKŮ BETONU V ČASE				t=0		σ_R	0.0	γ_{lt}=	1.20					0.0														
NAPĚTÍ V KRITICKÝCH VLÁKNECH OD KOMBINACE ZATÍŽENÍ						KZ03		[MPa]					$\Sigma\sigma_x$	-118.8								$\Sigma\tau_y$	1.3				$\Sigma\tau_z$	-11.6
NAPĚTÍ OD POHYBLIVÉHO ZATÍŽENÍ								[MPa]					$\sigma_{z,P}$	-68.4								τ_P	0.7				τ_P	-7.2
NAPĚTÍ OD OSTATNÍCH ZATÍŽENÍ								[MPa]			Φ_{vy}	Φ_{vz}	$\sigma_{z,rs}$	-50.4								τ_s	0.6				τ_s	-4.4
NÁVRHOVÁ HODNOTA MEZE KLUZU S REDUKCÍ VLIVEM SMYKOVÉHO NAPĚTÍ								[MPa]			1.00	1.00	$f_{yv,d}$	191.7								$f_{yd}/3^{0,5}$	110.7				$f_{yd}/3^{0,5}$	110.7
NAPĚTÍ OD POHYBLIVÉHO ZATÍŽENÍ V GLOBÁLNÍM SYSTÉMU						$\sigma_{GLOB,P}$	0.0	[MPa]					$\Sigma\sigma_{GLOB}$	0.0														
NAPĚTÍ OD OSTATNÍCH ZATÍŽENÍ V GLOBÁLNÍM SYSTÉMU						$\sigma_{GLOB,rs}$	0.0	[MPa]					$\Sigma\sigma_z + \Sigma\sigma_{GLOB}$	-118.8														
VYUŽITÍ PRŮŘEZU DLE NAPĚTÍ								[%]					η_1	0.62								η_3	0.01				η_3	0.10
NAPĚTÍ V PŘÍČNÉM SMĚRU OD POHYBLIVÉHO ZATÍŽENÍ						$\sigma_{z,P}$	0.0	[MPa]					$\Sigma\sigma_z$	0.0														
NAPĚTÍ V PŘÍČNÉM SMĚRU OD OSTATNÍCH ZATÍŽENÍ						$\sigma_{z,rs}$	0.0	[MPa]					η_2	0.00														
SROVNÁVACÍ NAPĚTÍ													$(\eta_2 + 0,8\,\eta_1)/1,4$ =	0.35														
VYUŽITÍ PRŮŘEZU CELKEM								[%]					eff	0.62	VYHOVUJE													
													z_{LM71} =	2.07														

VÝPOČET PRŮŘEZOVÝCH CHARAKTERISTIK

PRŮŘEZ: V2_1 **POPIS:** SVISLICE V2 - MIN N

x = - **m**

DEFINOVÁNÍ PRŮŘEZU

ŠÍŘKA PÁSNICE ÚHELNÍKU	b f.t.l.o =	130	mm	**ÚHELNÍK HORNÍ VNĚJŠÍ LEVÝ**		**C.T.O.L**	
TLOUŠŤKA PÁSNICE ÚHELNÍKU	t f.t.l.o =	14	mm	OSLABENÍ PÁSNICE - TLOUŠŤKA	Δt f.t.l.o =	5	%
VÝŠKA STĚNY ÚHELNÍKU	h w.t.l.o =	76	mm				
TLOUŠŤKA STĚNY ÚHELNÍKU	t w.t.l.o =	14	mm	OSLABENÍ STĚNY - TLOUŠŤKA	Δt w.t.l.o =	10	%
ŠÍŘKA PÁSNICE ÚHELNÍKU	b f.t.r.o =	130	mm	**ÚHELNÍK HORNÍ VNĚJŠÍ PRAVÝ**		**C.T.O.R**	
TLOUŠŤKA PÁSNICE ÚHELNÍKU	t f.t.r.o =	14	mm	OSLABENÍ PÁSNICE - TLOUŠŤKA	Δt f.t.r.o =	5	%
VÝŠKA STĚNY ÚHELNÍKU	h w.t.r.o =	76	mm				
TLOUŠŤKA STĚNY ÚHELNÍKU	t w.t.r.o =	14	mm	OSLABENÍ STĚNY - TLOUŠŤKA	Δt w.t.r.0 =	10	%
ŠÍŘKA PÁSNICE ÚHELNÍKU	b f.t.l.i =	130	mm	**ÚHELNÍK HORNÍ VNITŘNÍ LEVÝ**		**C.T.I.L**	
TLOUŠŤKA PÁSNICE ÚHELNÍKU	t f.t.l.i =	14	mm	OSLABENÍ PÁSNICE - TLOUŠŤKA	Δt f.b.l.o =	5	%
VÝŠKA STĚNY ÚHELNÍKU	h w.t.l.i =	76	mm				
TLOUŠŤKA STĚNY ÚHELNÍKU	t w.t.l.i =	14	mm	OSLABENÍ STĚNY - TLOUŠŤKA	Δt w.b.l.o =	10	%
ŠÍŘKA PÁSNICE ÚHELNÍKU	b f.t.r.i =	130	mm	**ÚHELNÍK HORNÍ VNITŘNÍ PRAVÝ**		**C.T.I.R**	
TLOUŠŤKA PÁSNICE ÚHELNÍKU	t f.t.r.i =	14	mm	OSLABENÍ PÁSNICE - TLOUŠŤKA	Δt f.b.r.o =	5	%
VÝŠKA STĚNY ÚHELNÍKU	h w.t.r.i =	76	mm				
TLOUŠŤKA STĚNY ÚHELNÍKU	t w.t.r.i =	14	mm	OSLABENÍ STĚNY - TLOUŠŤKA	Δt w.b.r.o =	10	%
ŠÍŘKA PÁSNICE ÚHELNÍKU	b f.b.l.o =	130	mm	**ÚHELNÍK DOLNÍ VNĚJŠÍ LEVÝ**		**C.B.O.L**	
TLOUŠŤKA PÁSNICE ÚHELNÍKU	t f.b.l.o =	14	mm	OSLABENÍ PÁSNICE - TLOUŠŤKA	Δt f.t.l.i =	5	%
VÝŠKA STĚNY ÚHELNÍKU	h w.b.l.o =	76	mm				
TLOUŠŤKA STĚNY ÚHELNÍKU	t w.b.l.o =	14	mm	OSLABENÍ STĚNY - TLOUŠŤKA	Δt w.t.l.i =	10	%
ŠÍŘKA PÁSNICE ÚHELNÍKU	b f.b.r.o =	130	mm	**ÚHELNÍK DOLNÍ VNĚJŠÍ PRAVÝ**		**C.B.O.R**	
TLOUŠŤKA PÁSNICE ÚHELNÍKU	t f.b.r.o =	14	mm	OSLABENÍ PÁSNICE - TLOUŠŤKA	Δt f.t.r.i =	5	%
VÝŠKA STĚNY ÚHELNÍKU	h w.b.r.o =	76	mm				
TLOUŠŤKA STĚNY ÚHELNÍKU	t w.b.r.o =	14	mm	OSLABENÍ STĚNY - TLOUŠŤKA	Δt w.t.r.i =	10	%
PÁSNICE DOLNÍHO LEVÉHO ÚHELNÍKU	b f.b.l.i =	130	mm	**ÚHELNÍK DOLNÍ VNITŘNÍ LEVÝ**		**C.B.I.L**	
TLOUŠŤKA PÁSNICE ÚHELNÍKU	t f.b.l.i =	14	mm	OSLABENÍ PÁSNICE - TLOUŠŤKA	Δt f.b.l.i =	5	%
VÝŠKA STĚNY ÚHELNÍKU	h w.b.l.i =	76	mm				
TLOUŠŤKA STĚNY ÚHELNÍKU	t w.b.l.i =	14	mm	OSLABENÍ STĚNY - TLOUŠŤKA	Δt w.b.l.i =	10	%
PÁSNICE DOLNÍHO PRAVÉHO ÚHELNÍKU	b f.b.r.i =	130	mm	**ÚHELNÍK DOLNÍ VNITŘNÍ PRAVÝ**		**C.B.I.R**	
TLOUŠŤKA PÁSNICE ÚHELNÍKU	t f.b.r.i =	14	mm	OSLABENÍ PÁSNICE - TLOUŠŤKA	Δt f.b.r.i =	5	%
VÝŠKA STĚNY ÚHELNÍKU	h w.b.r.i =	76	mm				
TLOUŠŤKA STĚNY ÚHELNÍKU	t w.b.r.i =	14	mm	OSLABENÍ STĚNY - TLOUŠŤKA	Δt w.b.r.i =	10	%

HORNÍ

ŠÍŘKA HORNÍ VLOŽKY - VNĚJŠÍ	b f.t =	0	mm			**HOR.T.O**	
TLOUŠŤKA VLOŽKY	t f.t =	0	mm	OSLABENÍ VLOŽKY	Δt f.t =	0	%
ŠÍŘKA HORNÍ VLOŽKY - VNITŘNÍ	b f.t =	0	mm			**HOR.T.I**	
TLOUŠŤKA VLOŽKY	t f.t =	0	mm	OSLABENÍ VLOŽKY	Δt f.t =	0	%
ŠÍŘKA DOLNÍ VLOŽKY - VNĚJŠÍ	b f.t =	0	mm			**HOR.B.O**	
TLOUŠŤKA VLOŽKY	t f.t =	0	mm	OSLABENÍ VLOŽKY	Δt f.t =	0	%
ŠÍŘKA DOLNÍ VLOŽKY - VNITŘNÍ	b f.t =	0	mm			**HOR.B.I**	
TLOUŠŤKA VLOŽKY	t f.t =	0	mm	OSLABENÍ VLOŽKY - VNITŘNÍ	Δt f.t =	0	%

VZD. OKRAJŮ PÁSNIC VNITŘNÍCH ÚHELNÍKŮ	392	mm
CELKOVÁ TLOUŠŤKA MEZI PÁSNICEMI ÚHELNÍKŮ	48	mm
CELKOVÁ TLOUŠŤKA MEZI PÁSNICEMI ÚHELNÍKŮ	13	mm

ZADANÍ ČÁSTI PRŮŘEZU:

č.prvku	b [mm]	h [mm]	y_0 [mm]	z_0 [mm]	popis části	druh oslabení	lokální ultimate	boulení servic.
1	130.0	13.3	-71.5	250.7	pásnice	0	1.000	1.000
2	12.6	76.0	-12.8	295.3	stěna	0	1.000	1.000
3	130.0	13.3	71.5	250.7	pásnice	0	1.000	1.000
4	12.6	76.0	12.8	295.3	stěna	0	1.000	1.000
5	130.0	13.3	-71.5	189.4	pásnice	0	1.000	1.000
6	12.6	76.0	-12.8	144.7	stěna	0	1.000	1.000
7	130.0	13.3	71.5	189.4	pásnice	0	1.000	1.000
8	12.6	76.0	12.8	144.7	stěna	0	1.000	1.000
9	130.0	13.3	-71.5	-250.7	pásnice	0	1.000	1.000
10	12.6	76.0	-12.8	-295.3	stěna	0	1.000	1.000
11	130.0	13.3	71.5	-250.7	pásnice	0	1.000	1.000
12	12.6	76.0	12.8	-295.3	stěna	0	1.000	1.000
13	130.0	13.3	-71.5	-189.4	pásnice	0	1.000	1.000
14	12.6	76.0	-12.8	-144.7	stěna	0	1.000	1.000
15	130.0	13.3	71.5	-189.4	pásnice	0	1.000	1.000
16	12.6	76.0	12.8	-144.7	stěna	0	1.000	1.000
17						0	1.000	1.000
18						0	1.000	1.000
19						0	1.000	1.000
20						0	1.000	1.000
21						0	1.000	1.000
22						0	1.000	1.000
23						0	1.000	1.000
24						0	1.000	1.000
25						0	1.000	1.000
26						0	1.000	1.000
27						0	1.000	1.000
28						0	1.000	1.000
29						0	1.000	1.000
30						0	1.000	1.000
31						0	1.000	1.000
32						0	1.000	1.000
33						0	1.000	1.000
34						0	1.000	1.000
35						0	1.000	1.000
36						0	1.000	1.000
37						0	1.000	1.000
38						0	1.000	1.000
39						0	1.000	1.000
40						0	1.000	1.000
41	0.0	0.0	0.0	244.0	pásnice	0	1.000	1.000
42	0.0	0.0	0.0	196.0	pásnice	0	1.000	1.000
43	0.0	0.0	0.0	-244.0	pásnice	0	1.000	1.000
44	0.0	0.0	0.0	-196.0	pásnice	0	1.000	1.000
45						0	1.000	1.000
46						0	1.000	1.000
47						0	1.000	1.000
48						0	1.000	1.000
49						0	1.000	1.000
50						0	1.000	1.000
51						0	1.000	1.000
52						0	1.000	1.000
53						0	1.000	1.000
54						0	1.000	1.000
55						0	1.000	1.000
56						0	1.000	1.000
57						0	1.000	1.000
58						0	1.000	1.000
59						0	1.000	1.000
60						0	1.000	1.000
61						0	1.000	1.000
62						0	1.000	1.000
63						0	1.000	1.000
64						0	1.000	1.000
65						0	1.000	1.000
66						0	1.000	1.000
67						0	1.000	1.000
68						0	1.000	1.000
69						0	1.000	1.000
70						0	1.000	1.000
71	0	0	-12.8	293.3	nyt	0	1.000	1.000
72	0	0	12.8	293.3	nyt	0	1.000	1.000
73	0	0	-12.8	146.7	nyt	0	1.000	1.000
74	0	0	12.8	146.7	nyt	0	1.000	1.000
75	0	0	-12.8	-293.3	nyt	0	1.000	1.000
76	0	0	12.8	-293.3	nyt	0	1.000	1.000
77	0	0	12.8	-146.7	nyt	0	1.000	1.000
78	0	0	12.8	-146.7	nyt	0	1.000	1.000
79						0	1.000	1.000
80						0	1.000	1.000
81	0	0	0	0	nyt	0	1.000	1.000
82	0	0	0	0	nyt	0	1.000	1.000
83	0	0	0	0	nyt	0	1.000	1.000
84	0	0	0	0	nyt	0	1.000	1.000
85	0	0	0	0	nyt	0	1.000	1.000
86	0	0	0	0	nyt	0	1.000	1.000
87	0	0	0	0	nyt	0	1.000	1.000
88	0	0	0	0	nyt	0	1.000	1.000
89						0	1.000	1.000
90						0	1.000	1.000
91	0	0	0	0	nyt	0	1.000	1.000
92	0	0	0	0	nyt	0	1.000	1.000
93	0	0	0	0	nyt	0	1.000	1.000
94	0	0	0	0	nyt	0	1.000	1.000
95	0	0	0	0	nyt	0	1.000	1.000
96	0	0	0	0	nyt	0	1.000	1.000
97	0	0	0	0	nyt	0	1.000	1.000
98	0	0	0	0	nyt	0	1.000	1.000
99						0	1.000	1.000
100						0	1.000	1.000

NÝT Č.	SKUPINA	ŘEZ	RED.	VELIKOST di [mm]	POLOHA oi [mm]	POPIS	AKTIVITA OTVORU	NAPĚTÍ sc [MPa]
1		-	1.00	20	40	nýt - t.o - úhelník	0	-59.62
2		-	1.00	20	40	nýt - t.o - úhelník	0	-59.11
3		-	1.00	20	40	nýt - t.i - úhelník	0	-60.24
4		-	1.00	20	40	nýt - t.i - úhelník	0	-59.73
5		-	1.00	20	40	nýt - b.o - úhelník	0	-62.09
6		-	1.00	20	40	nýt - b.o - úhelník	0	-61.58
7		-	1.00	20	40	nýt - b.i - úhelník	0	-61.48
8		-	1.00	20	40	nýt - b.i - úhelník	0	-60.96
9								
10								
11		-	1.00	0	35	nýt - t.i - úhelník	0	-
12		-	1.00	0	35	nýt - t.i - úhelník	0	-
13		-	1.00	0	35	nýt - t.r - úhelník	0	-
14		-	1.00	0	35	nýt - t.r - úhelník	0	-
15		-	1.00	0	35	nýt - b.l - úhelník	0	-
16		-	1.00	0	35	nýt - b.l - úhelník	0	-
17		-	1.00	0	35	nýt - b.r - úhelník	0	-
18		-	1.00	0	35	nýt - b.r - úhelník	0	-
19								
20								
21		-	1.00	0	-132	nýt - t.l	0	-
22		-	1.00	0	-132	nýt - t.l	0	-
23		-	1.00	0	132	nýt - t.r	0	-
24		-	1.00	0	132	nýt - t.r	0	-
25		-	1.00	0	-132	nýt - b.l	0	-
26		-	1.00	0	-132	nýt - b.l	0	-
27		-	1.00	0	132	nýt - b.r	0	-
28		-	1.00	0	132	nýt - b.r	0	-
29								
30								

VÝPOČET PRŮŘEZOVÝCH CHARAKTERISTIK

Properties	Basic	Ultimate		Serviceability	
y_i	0.0	0.0		0.0	[mm]
z_i	0.0	0.0		0.0	[mm]
A_i	2.1493E+04	2.1493E+04		2.1493E+04	[mm²]
A_v	1.3832E+04	1.3832E+04		1.3832E+04	[mm²]
A_{vi}	7.6608E+03	7.6608E+03		7.6608E+03	[mm²]
I_{yi}	5.5029E+08	5.5029E+08		5.5029E+08	[mm⁴]
I_{zi}	9.1549E+07	9.1549E+07		9.1549E+07	[mm⁴]
i_y	160.0	160.0		160.0	[mm]
i_z	65.3	65.3		65.3	[mm]
$W_{y,1}$	1.6510E+06	1.6510E+06		1.6510E+06	[mm³]
$W_{z,1}$	-6.7069E+05	-6.7069E+05		-6.7069E+05	[mm³]
$W_{y,2}$	-1.6510E+06	-1.6510E+06		-1.6510E+06	[mm³]
$W_{z,2}$	-6.7069E+05	-6.7069E+05		-6.7069E+05	[mm³]
KRAJNÍ VLÁKNA PRŮŘEZU					
y_1	-136.5	-136.5		-136.5	[mm] min
z_1	333.3	333.3		333.3	[mm] max
y_2	-136.5	-136.5		-136.5	[mm] min
z_2	-333.3	-333.3		-333.3	[mm] min
y_3	136.5	136.5		136.5	[mm] max
z_3	333.3	333.3		333.3	[mm] max
y_4	136.5	136.5		136.5	[mm] max
z_4	-333.3	-333.3		-333.3	[mm] min
y_5	-19.1	-19.1		-19.1	[mm]
z_5	-257.3	-257.3		-257.3	[mm]
y_6	-19.1	-19.1		-19.1	[mm]
z_6	-333.3	-333.3		-333.3	[mm]

ÚPRAVA MOMENTŮ SETRVAČNOSTI V DŮSLEDKU ČLENĚNÍ PRŮŘEZU

OSA Y	0.50
OSA Z	1.00

SCHÉMA PROMĚNNÝCH

SCHÉMA ZADANÉHO PRŮŘEZU

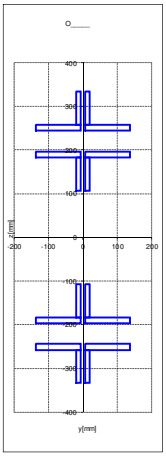

NEUTRÁLNÁ OSA

NAPĚTÍ [MPa]:

-61.92	-56.47
-64.73	-59.28

ZS: SLS_LM_N.MIN

	N [kN]	Vy [kN]	Vz [kN]	Mx [kNm]	My [kNm]	Mz [kNm]
import	-1302	4	-2	0	-2	-2

TR_V2.1 POPIS: **SVISLICE V2** POSUDEK: **V2.1**

SKUPINA ZAT. STAVŮ	EXTRÉM	VYHODNOCOVANÉ VELIČINY					
		N	Vy	Vz	Mx	My	Mz
		kN	kN	kN	kNm	kNm	kNm
G0	N.min	**-346.06**	1.08	-1.41	0	1.38	-0.46
	N.max	**-346.06**	1.08	-1.41	0	1.38	-0.46
	Vy.min	-346.06	**1.08**	-1.41	0	1.38	-0.46
	Vy.max	-346.06	**1.08**	-1.41	0	1.38	-0.46
	Vz.min	-346.06	1.08	**-1.41**	0	1.38	-0.46
	Vz.max	-346.06	1.08	**-1.41**	0	1.38	-0.46
	Mx.min	-346.06	1.08	-1.41	**0**	1.38	-0.46
	Mx.max	-346.06	1.08	-1.41	**0**	1.38	-0.46
	My.min	-346.06	1.08	-1.41	0	**1.38**	-0.46
	My.max	-346.06	1.08	-1.41	0	**1.38**	-0.46
	Mz.min	-346.06	1.08	-1.41	0	1.38	**-0.46**
	Mz.max	-346.06	1.08	-1.41	0	1.38	**-0.46**
G1	N.min	**-22.79**	0.08	-0.09	0	-0.33	-0.03
	N.max	**-22.79**	0.08	-0.09	0	-0.33	-0.03
	Vy.min	-22.79	**0.08**	-0.09	0	-0.33	-0.03
	Vy.max	-22.79	**0.08**	-0.09	0	-0.33	-0.03
	Vz.min	-22.79	0.08	**-0.09**	0	-0.33	-0.03
	Vz.max	-22.79	0.08	**-0.09**	0	-0.33	-0.03
	Mx.min	-22.79	0.08	-0.09	**0**	-0.33	-0.03
	Mx.max	-22.79	0.08	-0.09	**0**	-0.33	-0.03
	My.min	-22.79	0.08	-0.09	0	**-0.33**	-0.03
	My.max	-22.79	0.08	-0.09	0	**-0.33**	-0.03
	Mz.min	-22.79	0.08	-0.09	0	-0.33	**-0.03**
	Mz.max	-22.79	0.08	-0.09	0	-0.33	**-0.03**
G2	N.min	**-13.7**	0.05	0.15	0	0.4	-0.02
	N.max	**-13.7**	0.05	0.15	0	0.4	-0.02
	Vy.min	-13.7	**0.05**	0.15	0	0.4	-0.02
	Vy.max	-13.7	**0.05**	0.15	0	0.4	-0.02
	Vz.min	-13.7	0.05	**0.15**	0	0.4	-0.02
	Vz.max	-13.7	0.05	**0.15**	0	0.4	-0.02
	Mx.min	-13.7	0.05	0.15	**0**	0.4	-0.02
	Mx.max	-13.7	0.05	0.15	**0**	0.4	-0.02
	My.min	-13.7	0.05	0.15	0	**0.4**	-0.02
	My.max	-13.7	0.05	0.15	0	**0.4**	-0.02
	Mz.min	-13.7	0.05	0.15	0	0.4	**-0.02**
	Mz.max	-13.7	0.05	0.15	0	0.4	**-0.02**
P1_71	N.min	**-240.38**	0.71	0.47	0	-7.71	-0.3
	N.max	**46.2**	-0.19	-5.96	0	-10.79	-0.05
	Vy.min	24.84	**-0.25**	-4.79	0	-8.52	-0.14
	Vy.max	-202.87	**0.87**	-0.86	0	-11.47	-0.15
	Vz.min	-1.61	0.01	**-6.03**	0	-12.12	-0.11
	Vz.max	-191.82	0.56	**0.63**	0	-7.1	-0.21
	Mx.min	36.13	-0.16	-4.88	**0**	-8.09	-0.01
	Mx.max	-220.89	0.77	0.3	**0**	-9.93	-0.22
	My.min	-173.95	0.57	-5.23	0	**-17.86**	-0.3
	My.max	0	0	0	0	**0**	0
	Mz.min	-201.89	0.4	-2.59	0	-9.09	**-0.44**
	Mz.max	-10.88	0.32	-1.21	0	-7.89	**0.15**
P2_71	N.min	**-576.13**	1.78	2.5	0	1.97	-0.72
	N.max	**122.52**	-0.5	-6.64	0	-10.38	-0.16
	Vy.min	55.42	**-0.77**	-5.45	0	-7.78	-0.45
	Vy.max	-471.89	**2.34**	1.18	0	-2.57	-0.24
	Vz.min	118.89	-0.52	**-6.85**	0	-10.57	-0.17
	Vz.max	-571.53	1.99	**2.79**	0	0.89	-0.58
	Mx.min	-349.28	1.24	-5.02	**0**	-8.15	-0.72
	Mx.max	-47	-0.04	0.6	**0**	0.21	-0.09
	My.min	49.74	0.15	-5.37	0	**-13.54**	0.01
	My.max	-508.33	1.4	1.37	0	**4.93**	-0.86
	Mz.min	-470.42	0.88	-1.97	0	-0.3	**-1.15**
	Mz.max	-31.46	0.95	0.1	0	-6.02	**0.46**
P1_C3	N.min	**-201.4**	0.66	0.49	0	-7.02	-0.21
	N.max	**34.64**	-0.17	-4.4	0	-7.44	-0.04
	Vy.min	8.26	**-0.23**	-3.24	0	-5.59	-0.14
	Vy.max	-171.18	**0.75**	-0.36	0	-7.7	-0.12
	Vz.min	-8.25	-0.04	**-4.43**	0	-8.14	-0.1
	Vz.max	-158.89	0.52	**0.52**	0	-6.29	-0.16
	Mx.min	32.24	-0.18	-4.11	**0**	-6.3	-0.04
	Mx.max	-187.87	0.65	0.25	**0**	-7.97	-0.19
	My.min	-162.95	0.57	-3.49	0	**-13.51**	-0.24
	My.max	0	0	0	0	**0**	0
	Mz.min	-156.49	0.25	-3.05	0	-7.97	**-0.4**
	Mz.max	-15.87	0.27	-0.54	0	-5.39	**0.14**
P2_C3	N.min	**-482.06**	1.7	2.17	0	0.88	-0.49
	N.max	**91.2**	-0.47	-4.98	0	-7.06	-0.13
	Vy.min	24.31	**-0.71**	-3.51	0	-4.59	-0.45
	Vy.max	-406.49	**2.04**	1.47	0	-0.14	-0.21
	Vz.min	88.71	-0.45	**-5.13**	0	-7.33	-0.13
	Vz.max	-469.84	1.61	**2.2**	0	1.9	-0.55
	Mx.min	-336.56	0.98	-3.6	**0**	-4.85	-0.69
	Mx.max	-54.82	-0.1	0.65	**0**	0.47	-0.14
	My.min	62.47	0.12	-4.02	0	**-9.76**	0.02
	My.max	-444.4	1.1	1.43	0	**4.29**	-0.78
	Mz.min	-360.34	0.49	-2.8	0	-0.86	**-1.08**
	Mz.max	-46.1	0.8	0.75	0	-3.64	**0.42**
BR	N.min	**-17.9**	0.22	-0.38	0	-0.48	-0.02
	N.max	**17.9**	-0.22	0.38	0	0.48	0.02
	Vy.min	17.9	**-0.22**	0.38	0	0.48	0.02
	Vy.max	-17.9	**0.22**	-0.38	0	-0.48	-0.02
	Vz.min	-15.6	0.15	**-0.43**	0	-0.71	-0.09
	Vz.max	15.6	-0.15	**0.43**	0	0.71	0.09
	Mx.min	-17.9	0.22	-0.38	**0**	-0.48	-0.02
	Mx.max	17.9	-0.22	0.38	**0**	0.48	0.02
	My.min	-16.44	0.2	-0.33	0	**-0.85**	-0.04
	My.max	16.44	-0.2	0.33	0	**0.85**	0.04
	Mz.min	-15.6	0.15	-0.43	0	-0.71	**-0.09**
	Mz.max	15.6	-0.15	0.43	0	0.71	**0.09**

TR_V2.1 POPIS: **SVISLICE V2** POSUDEK: **V2.1**

SKUPINA ZAT. STAVŮ	EXTRÉM	VYHODNOCOVANÉ VELIČINY					
		N	Vy	Vz	Mx	My	Mz
		kN	kN	kN	kNm	kNm	kNm
S	N.min	**-3.1**	0.02	-0.41	0	-3.23	0.02
	N.max	**3.1**	-0.02	0.41	0	3.23	-0.02
	Vy.min	2.95	**-0.03**	0.22	0	2.74	-0.03
	Vy.max	-2.95	**0.03**	-0.22	0	-2.74	0.03
	Vz.min	-2.86	0.01	**-0.93**	0	-2.65	0
	Vz.max	2.86	-0.01	**0.93**	0	2.65	0
	Mx.min	3.1	-0.02	0.41	**0**	3.23	-0.02
	Mx.max	-3.1	0.02	-0.41	**0**	-3.23	0.02
	My.min	-3.1	0.02	-0.41	0	**-3.23**	0.02
	My.max	3.1	-0.02	0.41	0	**3.23**	-0.02
	Mz.min	2.91	-0.02	0.17	0	2.42	**-0.03**
	Mz.max	-2.91	0.02	-0.17	0	-2.42	**0.03**
CH	N.min	**-43.59**	0.14	0.53	0	1.44	-0.07
	N.max	**-15.77**	0.04	0.05	0	-0.34	-0.03
	Vy.min	-15.77	**0.04**	0.05	0	-0.34	-0.03
	Vy.max	-43.59	**0.14**	0.53	0	1.44	-0.07
	Vz.min	-15.77	0.04	**0.05**	0	-0.34	-0.03
	Vz.max	-22.66	0.08	**0.55**	0	1.25	-0.03
	Mx.min	-43.59	0.14	0.53	**0**	1.44	-0.07
	Mx.max	-15.77	0.04	0.05	**0**	-0.34	-0.03
	My.min	-15.77	0.04	0.05	0	**-0.34**	-0.03
	My.max	-43.59	0.14	0.53	0	**1.44**	-0.07
	Mz.min	-43.59	0.14	0.53	0	1.44	**-0.07**
	Mz.max	-15.77	0.04	0.05	0	-0.34	**-0.03**
W	N.min	**-25.8**	0.06	-3.66	0	-0.71	-0.13
	N.max	**25.8**	-0.06	3.66	0	0.71	0.13
	Vy.min	25.8	**-0.06**	3.66	0	0.71	0.13
	Vy.max	-25.8	**0.06**	-3.66	0	-0.71	-0.13
	Vz.min	-25.8	0.06	**-3.66**	0	-0.71	-0.13
	Vz.max	25.8	-0.06	**3.66**	0	0.71	0.13
	Mx.min	-25.8	0.06	-3.66	**0**	-0.71	-0.13
	Mx.max	25.8	-0.06	3.66	**0**	0.71	0.13
	My.min	-25.8	0.06	-3.66	0	**-0.71**	-0.13
	My.max	25.8	-0.06	3.66	0	**0.71**	0.13
	Mz.min	-25.8	0.06	-3.66	0	-0.71	**-0.13**
	Mz.max	25.8	-0.06	3.66	0	0.71	**0.13**
WP	N.min	**-17.38**	0.02	0.6	-0.01	7.16	-0.12
	N.max	**17.39**	-0.02	-0.6	0.01	-7.16	0.12
	Vy.min	17.39	**-0.02**	-0.6	0.01	-7.16	0.12
	Vy.max	-17.38	**0.02**	0.6	-0.01	7.16	-0.12
	Vz.min	17.39	-0.02	**-0.6**	0.01	-7.16	0.12
	Vz.max	-17.38	0.02	**0.6**	-0.01	7.16	-0.12
	Mx.min	-17.38	0.02	0.6	**-0.01**	7.16	-0.12
	Mx.max	17.39	-0.02	-0.6	**0.01**	-7.16	0.12
	My.min	17.39	-0.02	-0.6	0.01	**-7.16**	0.12
	My.max	-17.38	0.02	0.6	-0.01	**7.16**	-0.12
	Mz.min	-17.38	0.02	0.6	-0.01	7.16	**-0.12**
	Mz.max	17.39	-0.02	-0.6	0.01	-7.16	**0.12**
TR	N.min	**0**	0	0	0	0	0
	N.max	**0**	0	0	0	0	0
	Vy.min	0	**0**	0	0	0	0
	Vy.max	0	**0**	0	0	0	0
	Vz.min	0	0	**0**	0	0	0
	Vz.max	0	0	**0**	0	0	0
	Mx.min	0	0	0	**0**	0	0
	Mx.max	0	0	0	**0**	0	0
	My.min	0	0	0	0	**0**	0
	My.max	0	0	0	0	**0**	0
	Mz.min	0	0	0	0	0	**0**
	Mz.max	0	0	0	0	0	**0**
TN	N.min	**-8.56**	0.02	0.66	0	0.97	0.4
	N.max	**8.56**	-0.02	-0.66	0	-0.97	-0.4
	Vy.min	-0.87	**-0.03**	-1.89	0	-7.72	-0.43
	Vy.max	-8.56	**0.02**	0.66	0	0.97	0.4
	Vz.min	-0.87	-0.03	**-1.89**	0	-7.72	-0.43
	Vz.max	8.47	0	**0.92**	0	5.62	0.02
	Mx.min	8.47	0	0.92	**0**	5.62	0.02
	Mx.max	-0.87	-0.03	-1.89	**0**	-7.72	-0.43
	My.min	-0.87	-0.03	-1.89	0	**-7.72**	-0.43
	My.max	8.47	0	0.92	0	**5.62**	0.02
	Mz.min	-0.87	-0.03	-1.89	0	-7.72	**-0.43**
	Mz.max	-8.56	0.02	0.66	0	0.97	**0.4**
FR	N.min	**-0.92**	0.01	-0.04	0	-0.07	-0.02
	N.max	**0.92**	-0.01	0.04	0	0.07	0.02
	Vy.min	0.92	**-0.01**	0.04	0	0.07	0.02
	Vy.max	-0.92	**0.01**	-0.04	0	-0.07	-0.02
	Vz.min	-0.92	0.01	**-0.04**	0	-0.07	-0.02
	Vz.max	0.92	-0.01	**0.04**	0	0.07	0.02
	Mx.min	-0.92	0.01	-0.04	**0**	-0.07	-0.02
	Mx.max	0.92	-0.01	0.04	**0**	0.07	0.02
	My.min	-0.92	0.01	-0.04	0	**-0.07**	-0.02
	My.max	0.92	-0.01	0.04	0	**0.07**	0.02
	Mz.min	-0.92	0.01	-0.04	0	-0.07	**-0.02**
	Mz.max	0.92	-0.01	0.04	0	0.07	**0.02**
I	N.min	**-7.1**	0.02	-1.1	0	-2.14	**-0.03**
	N.max	**7.1**	-0.02	1.1	0	2.14	**0.03**
	Vy.min	7.1	**-0.02**	1.1	0	2.14	**0.03**
	Vy.max	-7.1	**0.02**	-1.1	0	-2.14	**-0.03**
	Vz.min	-7.1	0.02	**-1.1**	0	-2.14	**-0.03**
	Vz.max	7.1	-0.02	**1.1**	0	2.14	**0.03**
	Mx.min	-7.1	0.02	-1.1	**0**	-2.14	**-0.03**
	Mx.max	7.1	-0.02	1.1	**0**	2.14	**0.03**
	My.min	-7.1	0.02	-1.1	0	**-2.14**	**-0.03**
	My.max	7.1	-0.02	1.1	0	**2.14**	**0.03**
	Mz.min	-7.1	0.02	-1.1	0	-2.14	**-0.03**
	Mz.max	7.1	-0.02	1.1	0	2.14	**0.03**

TAB. V2.1.3 POSOUZENÍ - MEZNÍ STAV ÚNOSNOSTI

POPIS	SVISLICE V2
PRUT / POLOHA BODU	433 / 2/4
NAMÁHÁNÍ	N.min
VLÁKNO	BOD K2 -HP
MEZNÍ STAV	ULS (MSÚ)
VYUŽITÍ VLÁKNA PRŮŘEZU	0.49

Charakteristiky materiálu				
pás. horní	$f_{yf,k}$	230	MPa	
pás. dolní	$f_{yf,k}$	230	MPa	
stojina	$f_{yw,k}$	230	MPa	
výztuž	$f_{ys,k}$	500	MPa	
γ_M =	1.20	γ_s =	1.15	

Excentricita normálové síly				
Exc./Fáze	0	1	2	3
e_y	0.000	0.000	0.000	0.000
e_z	0.000	0.000	0.000	0.000
Ekvivalentní vzdál. stěn - příčný roznos				
b_{ekv}	0.000	0.000	0.000	0.000

Vliv stěny na únosnost průřezu				
Char./Fáze	0	1	2	3
A	0.00	0.00	0.00	0.00
Wy	0.00	0.00	0.00	0.00
Wz	0.00	0.00	0.00	0.00

Charakter. v kroucení			
$t_{w,y}$	0.000	[mm]	
$t_{w,z}$	0.000	[mm]	
κ	1.00		
I_t=	0.00E+00	[mm^4]	
$\Omega=2*A_{pr}$	0.00E+00	[mm^2]	

Součinitele vzpěru a vlivu II.řádu					
Char./Fáze	0	1	2	3	
k_y	1.000	1.000	1.000	1.000	
k_z	1.000	1.000	1.000	1.000	
χ_{LT}	1.000	1.000	1.000	1.000	
χ_{min}	0.859	1.000	1.000	1.000	

Vnitřní síly od jednotlivých skupin zatěžovacích stavů

SKUPINA ZATĚŽOVACÍCH STAVŮ — 3

Č.	SKUP ZS	POPIS ZS	KAT.	FÁZE PRŮŘ.	- CHARAKTERISTICKÉ HODNOTY N.k (kN)	Vy.k (kN)	Vz.k (kN)	Mx.k (kNm)	My.k (kNm)	Mz.k (kNm)	DÍLČÍ SOUČINITELÉ ZATÍŽENÍ, DYNAMICKÝ SOUČINITEL γ_{sr} (-)	γ_{sl} (-)	volba γ_{sl} hledat	γ_{sl} (-)	L_d (m)	δ (-)	γ_{Sc} KZ03	- NÁVRHOVÉ HODNOTY N.d (kN)	Vy.d (kN)	Vz.d (kN)	ΔVz.d (kN)	ΣVz.d (kN)	Mx.d (kNm)	My.d (kNm)	ΔMy.d (kNm)	ΣMy.d (kNm)	Mz.d (kNm)	ΔMz.d (kNm)	ΣMz.d (kNm)
1	G0	Vlastní tíha OK	G	0	-346	1	-1	0	1	0	1.00	1.20		1.20	-	1.00	0.95	-395	1	-2	0	-2	0	2	0	2	-1	0	-1
2	G1	Ostatní stálé - mostní vybavení	G	0	-23	0	0	0	0	0	1.00	1.20		1.20	-	1.00	0.95	-26	0	0	0	0	0	0	0	0	0	0	0
3	G2	Ostatní stálé - cizí zařízení	G	0	-14	0	0	0	0	0	1.00	1.20		1.20	-	1.00	0.95	-16	0	0	0	0	0	0	0	0	0	0	0
4	P1_71	a.LM71 - kolej 1 (bez dyn. souč.)	P	0	-240	1	0	0	-8	0	1.00	1.30		1.30	-	1.00	1.00	-312	1	1	0	1	0	-10	0	-10	0	0	0
5	P2_71	a.LM71 - kolej 2 (bez dyn. souč.)	P	0	-576	2	3	0	2	-1	1.00	1.30		1.30	-	1.00	1.00	-749	2	3	0	3	0	3	0	3	-1	0	-1
6	P1_C3	TTZ C3 - kolej 1 (bez dyn. souč.)	P	0	-201	1	0	0	-7	0	1.00	vyp.		0.00	-	1.00	0.00	0	0	0	0	0	0	0	0	0	0	0	0
7	P2_C3	TTZ C3 - kolej 2 (bez dyn. souč.)	P	0	-482	2	2	0	1	0	1.00	vyp.		0.00	-	1.00	0.00	0	0	0	0	0	0	0	0	0	0	0	0
8	BR	Brzdné a rozjezdové síly	P	0	-18	0	0	0	0	0	1.00	1.30		1.30	-	1.00	0.80	-19	0	0	0	0	0	0	0	0	0	0	0
9	S	Boční ráz	P	0	-3	0	0	0	-3	0	1.00	0.00		0.00	-	1.00	0.40	0	0	0	0	0	0	0	0	0	0	0	0
10	CH	Chodci na lávkách	Q	0	-44	0	1	0	1	0	1.00	1.30		1.30	-	1.00	1.00	-57	0	1	0	1	0	2	0	2	0	0	0
11	W	Vítr na konstrukci	Q	0	-26	0	-4	0	-1	0	1.00	1.35		1.35	-	1.00	0.75	-26	0	-4	0	-4	0	-1	0	-1	0	0	0
12	WP	Vítr na vozidla	Q	0	-17	0	1	0	7	0	1.00	1.35		1.35	-	1.00	0.75	-18	0	1	0	1	0	7	0	7	0	0	0
13	TR	Teplota rovnoměrná	Q	0	0	0	0	0	0	0	1.00	1.35		1.35	-	1.00	0.45	0	0	0	0	0	0	0	0	0	0	0	0
14	TN	Teplota nerovnoměrná	Q	0	-9	0	1	0	1	0	1.00	1.35		1.35	-	1.00	0.60	-7	0	1	0	1	0	1	0	1	0	0	0
15	FR	Třecí síly v ložiskách	Q	0	-1	0	0	0	0	0	1.00	1.20		1.20	-	1.00	1.00	-1	0	0	0	0	0	0	0	0	0	0	0
16	I	Imperfekce soustavy	Q	0	-7	0	-1	0	-2	0	1.00	-1.20		-1.20	-	1.00	1.00	9	0	1	0	1	0	3	0	3	0	0	0
27	ULS_LM	ULS - LM71 bez dynam	Q	0	-1 640	5	-2	0	-2	-2	1.00	vyp.		0.00	-	1.00	0.00	0	0	0	0	0	0	0	0	0	0	0	0
28	SLS_LM	SLS - LM71 bez dynam	Q	0	-1 302	4	-2	0	-2	-2	1.00	vyp.	1	0.00	-	1.00	0.00	0	0	0	0	0	0	0	0	0	0	0	0
29	ULS_C3	ULS - C3 bez dynam	Q	0	-1 467	5	-2	0	-3	-2	1.00	vyp.	1	0.00	-	1.00	0.00	0	0	0	0	0	0	0	0	0	0	0	0
30	SLS_C3	SLS - C3 bez dynam	Q	0	0	0	0	0	0	0	1.00	vyp.	1	0.00	-	1.00	0.00	0	0	0	0	0	0	0	0	0	0	0	0
		CELKEM - FÁZE PRŮŘEZU 0																-1 616	5	1	0	1	0	5	0	5	-2	0	-2
		CELKEM - FÁZE PRŮŘEZU 1																0	0	0	0	0	0	0	0	0	0	0	0
		CELKEM - FÁZE PRŮŘEZU 2																0	0	0	0	0	0	0	0	0	0	0	0
		CELKEM - FÁZE PRŮŘEZU 3																0	0	0	0	0	0	0	0	0	0	0	0
		CELKEM - PRŮŘEZ																-1 616	5	1	0	1	0			5			-2

Napětí od jednotlivých zatěžovacích stavů

SKUPINA ZATĚŽOVACÍCH STAVŮ

Č.	SKUP ZS	Popis ZS	Kat.	fáze prúř.	Posouzení normálového napětí — Účinek síly N δ^*N_d [kN]	χ^*A [mm^2]	σ_n [MPa]	Účinek momentu My $\delta^*M_{y,d}$ [kNm]	$\chi_{lt}*W_{el,y}$ [mm^3]	σ_{my} [MPa]	Účinek momentu Mz $\delta^*M_{z,d}$ [kNm]	$W_{el,z}$ [mm^3]	σ_{mz} [MPa]	σ_x [MPa]	Posouzení smykového napětí — Účinek kroutícího momentu Mx $\kappa*\delta^*M_{x,d}$ [kNm]	$W_{v,y}$ [mm^2]	$\tau_{x,y}$ [MPa]	$W_{v,z}$ [mm^2]	$\tau_{x,z}$ [MPa]	Účinek smykové síly Vy $\delta^*V_{y,d}$ [kN]	$A_{v,y}$ [mm2]	$\tau_{v,y}$ [MPa]	$\tau_{v,y}$ [MPa]	Účinek smykové síly Vz $\delta^*V_{z,d}$ [kN]	$A_{v,z}$ [mm2]	$\tau_{v,z}$ [MPa]	$\tau_{v,z}$ [MPa]
1	G0	Vlastní tíha OK	G	0	-394.5	1.85E+04	-21.4	1.6	-1.65E+06	-1.0	-0.5	6.71E+05	-0.8	-23.1	0.0E+00	-	-	-	-	1.2	1.38E+04	0.1	0.1	-1.6	7.66E+03	-0.2	-0.2
2	G1	Ostatní stálé - mostní vybavení	G	0	-26.0	1.85E+04	-1.4	-0.4	-1.65E+06	0.2	0.0	6.71E+05	-0.1	-1.2	0.0E+00	-	-	-	-	0.1	1.38E+04	0.0	0.0	-0.1	7.66E+03	0.0	0.0
3	G2	Ostatní stálé - cizí zařízení	G	0	-15.6	1.85E+04	-0.8	0.5	-1.65E+06	-0.3	0.0	6.71E+05	0.0	-1.2	0.0E+00	-	-	-	-	0.1	1.38E+04	0.0	0.0	0.2	7.66E+03	0.0	0.0
4	P1_71	a.LM71 - kolej 1 (bez dyn. souč.)	P	0	-312.5	1.85E+04	-16.9	-10.0	-1.65E+06	6.1	-0.4	6.71E+05	-0.6	-11.4	0.0E+00	-	-	-	-	0.9	1.38E+04	0.1	0.1	0.6	7.66E+03	0.1	0.1
5	P2_71	a.LM71 - kolej 2 (bez dyn. souč.)	P	0	-749.0	1.85E+04	-40.6	2.6	-1.65E+06	-1.6	-0.9	6.71E+05	-1.4	-43.5	0.0E+00	-	-	-	-	2.3	1.38E+04	0.2	0.2	3.3	7.66E+03	0.4	0.4
6	P1_C3	TTZ C3 - kolej 1 (bez dyn. souč.)	P	0	0.0	1.85E+04	0.0	0.0	-1.65E+06	0.0	0.0	6.71E+05	0.0	0.0	0.0E+00	-	-	-	-	0.0	1.38E+04	0.0	0.0	0.0	7.66E+03	0.0	0.0
7	P2_C3	TTZ C3 - kolej 2 (bez dyn. souč.)	P	0	0.0	1.85E+04	0.0	0.0	-1.65E+06	0.0	0.0	6.71E+05	0.0	0.0	0.0E+00	-	-	-	-	0.0	1.38E+04	0.0	0.0	0.0	7.66E+03	0.0	0.0
8	BR	Brzdné a rozjezdové síly	P	0	-18.6	1.85E+04	-1.0	-0.5	-1.65E+06	0.3	0.0	6.71E+05	0.0	-0.7	0.0E+00	-	-	-	-	0.2	1.38E+04	0.0	0.0	-0.4	7.66E+03	-0.1	-0.1
9	S	Boční ráz	P	0	0.0	1.85E+04	0.0	0.0	-1.65E+06	0.0	0.0	6.71E+05	0.0	0.0	0.0E+00	-	-	-	-	0.0	1.38E+04	0.0	0.0	0.0	7.66E+03	0.0	0.0
10	CH	Chodci na lávkách	Q	0	-56.7	1.85E+04	-3.1	1.9	-1.65E+06	-1.1	-0.1	6.71E+05	-0.1	-4.3	0.0E+00	-	-	-	-	0.2	1.38E+04	0.0	0.0	0.7	7.66E+03	0.1	0.1
11	W	Vítr na konstrukci	Q	0	-26.1	1.85E+04	-1.4	-0.7	-1.65E+06	0.4	-0.1	6.71E+05	-0.2	-1.2	0.0E+00	-	-	-	-	0.1	1.38E+04	0.0	0.0	-3.7	7.66E+03	-0.5	-0.5
12	WP	Vítr na vozidla	Q	0	-17.6	1.85E+04	-1.0	7.2	-1.65E+06	-4.4	-0.1	6.71E+05	-0.2	-5.5	-1.0E-02	-	-	-	-	0.0	1.38E+04	0.0	0.0	0.6	7.66E+03	0.1	0.1
13	TR	Teplota rovnoměrná	Q	0	0.0	1.85E+04	0.0	0.0	-1.65E+06	0.0	0.0	6.71E+05	0.0	0.0	0.0E+00	-	-	-	-	0.0	1.38E+04	0.0	0.0	0.0	7.66E+03	0.0	0.0
14	TN	Teplota nerovnoměrná	Q	0	-6.9	1.85E+04	-0.4	0.8	-1.65E+06	-0.5	0.3	6.71E+05	0.5	-0.4	0.0E+00	-	-	-	-	0.0	1.38E+04	0.0	0.0	0.5	7.66E+03	0.1	0.1
15	FR	Třecí síly v ložiskách	Q	0	-1.1	1.85E+04	-0.1	-0.1	-1.65E+06	0.1	0.0	6.71E+05	0.0	0.0	0.0E+00	-	-	-	-	0.0	1.38E+04	0.0	0.0	0.0	7.66E+03	0.0	0.0
16	I	Imperfekce soustavy	Q	0	8.5	1.85E+04	0.5	2.6	-1.65E+06	-1.6	0.0	6.71E+05	0.1	-1.0	0.0E+00	-	-	-	-	0.0	1.38E+04	0.0	0.0	1.3	7.66E+03	0.2	0.2
27	ULS_LM	ULS - LM71 bez dynam	Q	0	0.0	1.85E+04	0.0	0.0	-1.65E+06	0.0	0.0	6.71E+05	0.0	0.0	0.0E+00	-	-	-	-	0.0	1.38E+04	0.0	0.0	0.0	7.66E+03	0.0	0.0
28	SLS_LM	SLS - LM71 bez dynam	Q	0	0.0	1.85E+04	0.0	0.0	-1.65E+06	0.0	0.0	6.71E+05	0.0	0.0	0.0E+00	-	-	-	-	0.0	1.38E+04	0.0	0.0	0.0	7.66E+03	0.0	0.0
29	ULS_C3	ULS - C3 bez dynam	Q	0	0.0	1.85E+04	0.0	0.0	-1.65E+06	0.0	0.0	6.71E+05	0.0	0.0	0.0E+00	-	-	-	-	0.0	1.38E+04	0.0	0.0	0.0	7.66E+03	0.0	0.0
30	SLS_C3	SLS - C3 bez dynam	Q	0	0.0	1.85E+04	0.0	0.0	-1.65E+06	0.0	0.0	6.71E+05	0.0	0.0	0.0E+00	-	-	-	-	0.0	1.38E+04	0.0	0.0	0.0	7.66E+03	0.0	0.0
		NAVÝŠENÍ NAPĚTÍ DO AKTIVACE TLAKU V DESCE MOSTOVKY				$\sigma_{P,red}$	0.0							0.0				0.0		0.0		0.4	0.4			0.2	0.2
		NAPĚTÍ OD PRIMÁRNÍCH ÚČINKŮ NEROVNOMĚRNÉHO OTEPLENÍ				σ_T	0.0							0.0													
		NAPĚTÍ OD REOLOGICKÝCH ÚČINKŮ BETONU V ČASE		t=0		σ_R	0.0	γ_{sl}=	1.20					0.0													
		NAPĚTÍ V KRITICKÝCH VLÁKNECH OD KOMBINACE ZATÍŽENÍ				KZ03		[MPa]					$\Sigma\sigma_x$	-93.7									$\Sigma\tau_y$	0.4			$\Sigma\tau_z$	0.2
		NAPĚTÍ OD POHYBLIVÉHO ZATÍŽENÍ						[MPa]					$\sigma_{x,P}$	-55.7									τ_P	0.3			τ_P	0.5
		NAPĚTÍ OD OSTATNÍCH ZATÍŽENÍ						[MPa]			Φ_{Vy}	Φ_{Vz}	$\sigma_{x,rs}$	-38.0									τ_{rs}	0.1			τ_{rs}	-0.3
		NÁVRHOVÁ HODNOTA MEZE KLUZU S REDUKCÍ VLIVEM SMYKOVÉHO NAPĚTÍ						[MPa]			1.00	1.00	$f_{yw,d}$	191.7									$f_{yd}/3^{0,5}$	110.7			$f_{yd}/3^{0,5}$	110.7
		NAPĚTÍ OD POHYBLIVÉHO ZATÍŽENÍ V GLOBÁLNÍM SYSTÉMU				$\sigma_{GLOB,P}$	0.0	[MPa]					$\Sigma\sigma_{GLOB}$	0.0														
		NAPĚTÍ OD OSTATNÍCH ZATÍŽENÍ V GLOBÁLNÍM SYSTÉMU				$\sigma_{GLOB,rs}$	0.0	[MPa]					$\Sigma\sigma_x + \Sigma\sigma_{GLOB}$	-93.7														
		VYUŽITÍ PRŮŘEZU DLE NAPĚTÍ						[%]					η_1	0.49									η_3	0.00			η_3	0.00
		NAPĚTÍ V PŘÍČNÉM SMĚRU OD POHYBLIVÉHO ZATÍŽENÍ				$\sigma_{z,P}$	0.0	[MPa]					$\Sigma\sigma_z$	0.0														
		NAPĚTÍ V PŘÍČNÉM SMĚRU OD OSTATNÍCH ZATÍŽENÍ				$\sigma_{z,rs}$	0.0	[MPa]					η_2	0.00														
		SROVNÁVACÍ NAPĚTÍ											$(\eta_2 + 0,8\,\eta_1)/1,4$ =	0.28														
		VYUŽITÍ PRŮŘEZU CELKEM						[%]					eff	0.49	VYHOVUJE													
													z_{LM71} =	2.76														

TAB. V2.1.3 POSOUZENÍ - MEZNÍ STAV ÚNOSNOSTI

POPIS	SVISLICE V2
PRUT / POLOHA BODU	433 / 2/4
NAMÁHÁNÍ	N.min
VLÁKNO	BOD K4 -SP
MEZNÍ STAV	ULS (MSÚ)
VYUŽITÍ VLÁKNA PRŮŘEZU	0.52

Charakteristiky materiálu				
pás. horní	$f_{yf,k}$	230	MPa	
pás. dolní	$f_{yf,k}$	230	MPa	
stojina	$f_{yw,k}$	230	MPa	
výztuž	$f_{ys,k}$	500	MPa	
	γ_M =	1.20	γ_s =	1.15

Excentricita normálové síly				
Exc./Fáze	0	1	2	3
e_y	0.000	0.000	0.000	0.000
e_z	0.000	0.000	0.000	0.000
Ekvivalentní vzdál. stěn - příčný roznos				
b_{Mx}	0.000	0.000	0.000	0.000

Vliv stěny na únosnost průřezu				
Char./Fáze	0	1	2	3
A	0.00	0.00	0.00	0.00
Wy	0.00	0.00	0.00	0.00
Wz	0.00	0.00	0.00	0.00

Charakter. v kroucení			
$t_{w,y}$	0.000	[mm]	
$t_{w,z}$	0.000	[mm]	
κ	1.00		
I_t=	0.00E+00	[mm^4]	
Ω=2*A_{pz}	0.00E+00	[mm^2]	

Součinitele vzpěru a vlivu II.řádu					
Char./Fáze	0	1	2	3	
k_y	1.000	1.000	1.000	1.000	
k_z	1.000	1.000	1.000	1.000	
χ_{LT}	1.000	1.000	1.000	1.000	
χ_{min}	0.859	1.000	1.000	1.000	

Vnitřní síly od jednotlivých skupin zatěžovacích stavů

SKUPINA ZATĚŽOVACÍCH STAVŮ — 4

Č.	SKUP ZS	POPIS ZS	KAT.	FÁZE PRŮŘ.	- CHARAKTERISTICKÉ HODNOTY N.k (kN)	Vy.k (kN)	Vz.k (kN)	Mx.k (kNm)	My.k (kNm)	Mz.k (kNm)	DÍLČÍ SOUČINITELÉ ZATÍŽENÍ, DYNAMICKÝ SOUČINITEL γ_{sr} (-)	γ_{fs} (-)	volba γ_f hledat	γ_f (-)	L_d (m)	δ (-)	Ψ_s KZ04	- NÁVRHOVÉ HODNOTY N.d (kN)	Vy.d (kN)	Vz.d (kN)	ΔVz.d (kN)	ΣVz.d (kN)	Mx.d (kNm)	My.d (kNm)	ΔMy.d (kNm)	ΣMy.d (kNm)	Mz.d (kNm)	ΔMz.d (kNm)	ΣMz.d (kNm)
1	G0	Vlastní tíha OK	G	0	-346	1	-1	0	1	0	1.00	1.20		1.20	-	1.00	0.95	-395	1	-2	0	-2	0	2	0	2	-1	0	-1
2	G1	Ostatní stálé - mostní vybavení	G	0	-23	0	0	0	0	0	1.00	1.20		1.20	-	1.00	0.95	-26	0	0	0	0	0	0	0	0	0	0	0
3	G2	Ostatní stálé - cizí zařízení	G	0	-14	0	0	0	0	0	1.00	1.20		1.20	-	1.00	0.95	-16	0	0	0	0	0	0	0	0	0	0	0
4	P1_71	a.LM71 - kolej 1 (bez dyn. souč.)	P	0	-240	1	0	0	-8	0	1.00	1.30		1.30	-	1.00	1.00	-312	1	1	0	1	0	-10	0	-10	0	0	0
5	P2_71	a.LM71 - kolej 2 (bez dyn. souč.)	P	0	-576	2	3	0	2	-1	1.00	1.30		1.30	-	1.00	1.00	-749	2	3	0	3	0	3	0	3	-1	0	-1
6	P1_C3	TTZ C3 - kolej 1 (bez dyn. souč.)	P	0	-201	1	0	0	-7	0	1.00	vyp.		0.00	-	1.00	0.00	0	0	0	0	0	0	0	0	0	0	0	0
7	P2_C3	TTZ C3 - kolej 2 (bez dyn. souč.)	P	0	-482	2	2	0	1	0	1.00	vyp.		0.00	-	1.00	0.00	0	0	0	0	0	0	0	0	0	0	0	0
8	BR	Brzdné a rozjezdové síly	P	0	-18	0	0	0	0	0	1.00	1.30		1.30	-	1.00	0.40	-9	0	0	0	0	0	0	0	0	0	0	0
9	S	Boční ráz	P	0	-3	0	0	0	-3	0	1.00	1.30		1.30	-	1.00	0.80	-3	0	0	0	0	0	-3	0	-3	0	0	0
10	CH	Chodci na lávkách	Q	0	-44	0	1	0	1	0	1.00	1.30		1.30	-	1.00	1.00	-57	0	1	0	1	0	2	0	2	0	0	0
11	W	Vítr na konstrukci	Q	0	-26	0	-4	0	-1	0	1.00	1.35		1.35	-	1.00	0.75	-26	0	-4	0	-4	0	-1	0	-1	0	0	0
12	WP	Vítr na vozidla	Q	0	-17	0	1	0	7	0	1.00	-1.35		-1.35	-	1.00	0.75	18	0	-1	0	-1	0	-7	0	-7	0	0	0
13	TR	Teplota rovnoměrná	Q	0	0	0	0	0	0	0	1.00	1.35		1.35	-	1.00	0.45	0	0	0	0	0	0	0	0	0	0	0	0
14	TN	Teplota nerovnoměrná	Q	0	-9	0	1	0	1	0	1.00	-1.35		-1.35	-	1.00	0.60	7	0	-1	0	-1	0	-1	0	-1	0	0	0
15	FR	Třecí síly v ložiskách	Q	0	-1	0	0	0	0	0	1.00	1.20		1.20	-	1.00	1.00	-1	0	0	0	0	0	0	0	0	0	0	0
16	I	Imperfekce soustavy	Q	0	-7	0	-1	0	-2	0	1.00	1.20		1.20	-	1.00	1.00	-9	0	-1	0	-1	0	-3	0	-3	0	0	0
27	ULS_LM	ULS - LM71 bez dynam	Q	0	-1 640	5	-2	0	-2	-2	1.00	vyp.		0.00	-	1.00	0.00	0	0	0	0	0	0	0	0	0	0	0	0
28	SLS_LM	SLS - LM71 bez dynam	Q	0	-1 302	4	-2	0	-2	-2	1.00	vyp.	1	0.00	-	1.00	0.00	0	0	0	0	0	0	0	0	0	0	0	0
29	ULS_C3	ULS - C3 bez dynam	Q	0	-1 467	5	-2	0	-3	-2	1.00	vyp.	1	0.00	-	1.00	0.00	0	0	0	0	0	0	0	0	0	0	0	0
30	SLS_C3	SLS - C3 bez dynam	Q	0	0	0	0	0	0	0	1.00	vyp.	1	0.00	-	1.00	0.00	0	0	0	0	0	0	0	0	0	0	0	0
		CELKEM - FÁZE PRŮŘEZU 0			-1 578	5	-4	0	-19	-2								-4	0	-19	0	-19	-2	0	-2			
		CELKEM - FÁZE PRŮŘEZU 1			0	0	0	0	0	0								0	0	0	0	0	0	0	0			
		CELKEM - FÁZE PRŮŘEZU 2			0	0	0	0	0	0								0	0	0	0	0	0	0	0			
		CELKEM - FÁZE PRŮŘEZU 3			0	0	0	0	0	0								0	0	0	0	0	0	0	0			
		CELKEM - PRŮŘEZ			-1 578	5	-4	0	-19	-2								-4	0	-19	0	-19	-2		-2			

Napětí od jednotlivých zatěžovacích stavů

SKUPINA ZATĚŽOVACÍCH STAVŮ

Č.	SKUP ZS	Popis ZS	Kat.	fáze prúř.	Posouzení normálového napětí — Účinek síly N δ^*N_d [kN]	χ^*A [mm^2]	σ_n [MPa]	Účinek momentu My $\delta^*M_{y,d}$ [kNm]	$\chi_{lt}*W_{el,y}$ [mm^3]	σ_{my} [MPa]	Účinek momentu Mz $\delta^*M_{z,d}$ [kNm]	$W_{el,z}$ [mm^3]	σ_{mz} [MPa]	σ_x [MPa]	Posouzení smykového napětí — Účinek kroutícího momentu Mx $\kappa*\delta^*M_{x,d}$ [kNm]	$W_{v,y}$ [mm^2]	$\tau_{x,y}$ [MPa]	$W_{v,z}$ [mm^2]	$\tau_{x,z}$ [MPa]	Účinek smykové síly Vy $\delta^*V_{y,d}$ [kN]	$A_{v,y}$ [mm2]	$\tau_{v,y}$ [MPa]	$\tau_{v,y}$ [MPa]	Účinek smykové síly Vz $\delta^*V_{z,d}$ [kN]	$A_{v,z}$ [mm2]	$\tau_{v,z}$ [MPa]	$\tau_{v,z}$ [MPa]
1	G0	Vlastní tíha OK	G	0	-394.5	1.85E+04	-21.4	1.6	1.65E+06	1.0	-0.5	6.71E+05	-0.8	-21.2	0.0E+00	-	-	-	-	1.2	1.38E+04	0.1	0.1	-1.6	7.66E+03	-0.2	-0.2
2	G1	Ostatní stálé - mostní vybavení	G	0	-26.0	1.85E+04	-1.4	-0.4	1.65E+06	-0.2	0.0	6.71E+05	-0.1	-1.7	0.0E+00	-	-	-	-	0.1	1.38E+04	0.0	0.0	-0.1	7.66E+03	0.0	0.0
3	G2	Ostatní stálé - cizí zařízení	G	0	-15.6	1.85E+04	-0.8	0.5	1.65E+06	0.3	0.0	6.71E+05	0.0	-0.6	0.0E+00	-	-	-	-	0.1	1.38E+04	0.0	0.0	0.2	7.66E+03	0.0	0.0
4	P1_71	a.LM71 - kolej 1 (bez dyn. souč.)	P	0	-312.5	1.85E+04	-16.9	-10.0	1.65E+06	-6.1	-0.4	6.71E+05	-0.6	-23.6	0.0E+00	-	-	-	-	0.9	1.38E+04	0.1	0.1	0.6	7.66E+03	0.1	0.1
5	P2_71	a.LM71 - kolej 2 (bez dyn. souč.)	P	0	-749.0	1.85E+04	-40.6	2.6	1.65E+06	1.6	-0.9	6.71E+05	-1.4	-40.4	0.0E+00	-	-	-	-	2.3	1.38E+04	0.2	0.2	3.3	7.66E+03	0.4	0.4
6	P1_C3	TTZ C3 - kolej 1 (bez dyn. souč.)	P	0	0.0	1.85E+04	0.0	0.0	1.65E+06	0.0	0.0	6.71E+05	0.0	0.0	0.0E+00	-	-	-	-	0.0	1.38E+04	0.0	0.0	0.0	7.66E+03	0.0	0.0
7	P2_C3	TTZ C3 - kolej 2 (bez dyn. souč.)	P	0	0.0	1.85E+04	0.0	0.0	1.65E+06	0.0	0.0	6.71E+05	0.0	0.0	0.0E+00	-	-	-	-	0.0	1.38E+04	0.0	0.0	0.0	7.66E+03	0.0	0.0
8	BR	Brzdné a rozjezdové síly	P	0	-9.3	1.85E+04	-0.5	-0.2	1.65E+06	-0.2	0.0	6.71E+05	0.0	-0.7	0.0E+00	-	-	-	-	0.1	1.38E+04	0.0	0.0	-0.2	7.66E+03	0.0	0.0
9	S	Boční ráz	P	0	-3.2	1.85E+04	-0.2	-3.4	1.65E+06	-2.0	0.0	6.71E+05	0.0	-2.2	0.0E+00	-	-	-	-	0.0	1.38E+04	0.0	0.0	-0.4	7.66E+03	-0.1	-0.1
10	CH	Chodci na lávkách	Q	0	-56.7	1.85E+04	-3.1	1.9	1.65E+06	1.1	-0.1	6.71E+05	-0.1	-2.1	0.0E+00	-	-	-	-	0.2	1.38E+04	0.0	0.0	0.7	7.66E+03	0.1	0.1
11	W	Vítr na konstrukci	Q	0	-26.1	1.85E+04	-1.4	-0.7	1.65E+06	-0.4	-0.1	6.71E+05	-0.2	-2.0	0.0E+00	-	-	-	-	0.1	1.38E+04	0.0	0.0	-3.7	7.66E+03	-0.5	-0.5
12	WP	Vítr na vozidla	Q	0	17.6	1.85E+04	1.0	-7.2	1.65E+06	-4.4	0.1	6.71E+05	0.2	-3.3	1.0E-02	-	-	-	-	0.0	1.38E+04	0.0	0.0	-0.6	7.66E+03	-0.1	-0.1
13	TR	Teplota rovnoměrná	Q	0	0.0	1.85E+04	0.0	0.0	1.65E+06	0.0	0.0	6.71E+05	0.0	0.0	0.0E+00	-	-	-	-	0.0	1.38E+04	0.0	0.0	0.0	7.66E+03	0.0	0.0
14	TN	Teplota nerovnoměrná	Q	0	6.9	1.85E+04	0.4	-0.8	1.65E+06	-0.5	-0.3	6.71E+05	-0.5	-0.6	0.0E+00	-	-	-	-	0.0	1.38E+04	0.0	0.0	-0.5	7.66E+03	-0.1	-0.1
15	FR	Třecí síly v ložiskách	Q	0	-1.1	1.85E+04	-0.1	-0.1	1.65E+06	-0.1	0.0	6.71E+05	0.0	-0.1	0.0E+00	-	-	-	-	0.0	1.38E+04	0.0	0.0	0.0	7.66E+03	0.0	0.0
16	I	Imperfekce soustavy	Q	0	-8.5	1.85E+04	-0.5	-2.6	1.65E+06	-1.6	0.0	6.71E+05	-0.1	-2.1	0.0E+00	-	-	-	-	0.0	1.38E+04	0.0	0.0	-1.3	7.66E+03	-0.2	-0.2
27	ULS_LM	ULS - LM71 bez dynam	Q	0	0.0	1.85E+04	0.0	0.0	1.65E+06	0.0	0.0	6.71E+05	0.0	0.0	0.0E+00	-	-	-	-	0.0	1.38E+04	0.0	0.0	0.0	7.66E+03	0.0	0.0
28	SLS_LM	SLS - LM71 bez dynam	Q	0	0.0	1.85E+04	0.0	0.0	1.65E+06	0.0	0.0	6.71E+05	0.0	0.0	0.0E+00	-	-	-	-	0.0	1.38E+04	0.0	0.0	0.0	7.66E+03	0.0	0.0
29	ULS_C3	ULS - C3 bez dynam	Q	0	0.0	1.85E+04	0.0	0.0	1.65E+06	0.0	0.0	6.71E+05	0.0	0.0	0.0E+00	-	-	-	-	0.0	1.38E+04	0.0	0.0	0.0	7.66E+03	0.0	0.0
30	SLS_C3	SLS - C3 bez dynam	Q	0	0.0	1.85E+04	0.0	0.0	1.65E+06	0.0	0.0	6.71E+05	0.0	0.0	0.0E+00	-	-	-	-	0.0	1.38E+04	0.0	0.0	0.0	7.66E+03	0.0	0.0
		NAVÝŠENÍ NAPĚTÍ DO AKTIVACE TLAKU V DESCE MOSTOVKY				$\sigma_{P,red}$	0.0							0.0			0.0		0.0			0.4	0.4			-0.5	-0.5
		NAPĚTÍ OD PRIMÁRNÍCH ÚČINKŮ NEROVNOMĚRNÉHO OTEPLENÍ				σ_T	0.0							0.0													
		NAPĚTÍ OD REOLOGICKÝCH ÚČINKŮ BETONU V ČASE		t=0		σ_R	0.0	γ_f=	1.20					0.0													
		NAPĚTÍ V KRITICKÝCH VLÁKNECH OD KOMBINACE ZATÍŽENÍ				KZ04	[MPa]						$\Sigma\sigma_x$	-100.5								$\Sigma\tau_y$	0.4			$\Sigma\tau_z$	-0.5
		NAPĚTÍ OD POHYBLIVÉHO ZATÍŽENÍ					[MPa]						$\sigma_{x,P}$	-66.8								τ_P	0.2			τ_P	0.4
		NAPĚTÍ OD OSTATNÍCH ZATÍŽENÍ					[MPa]				Φ_{vy}	Φ_{vz}	$\sigma_{x,rs}$	-33.7								τ_{rs}	0.1			τ_{rs}	-0.9
		NÁVRHOVÁ HODNOTA MEZE KLUZU S REDUKCÍ VLIVEM SMYKOVÉHO NAPĚTÍ					[MPa]				1.00	1.00	$f_{yw,d}$	191.7								$f_{yd}/3^{0,5}$	110.7			$f_{yd}/3^{0,5}$	110.7
		NAPĚTÍ OD POHYBLIVÉHO ZATÍŽENÍ V GLOBÁLNÍM SYSTÉMU				$\sigma_{GLOB,P}$	0.0	[MPa]					$\Sigma\sigma_{GLOB}$	0.0													
		NAPĚTÍ OD OSTATNÍCH ZATÍŽENÍ V GLOBÁLNÍM SYSTÉMU				$\sigma_{GLOB,rs}$	0.0	[MPa]					$\Sigma\sigma_x + \Sigma\sigma_{GLOB}$	-100.5													
		VYUŽITÍ PRŮŘEZU DLE NAPĚTÍ					[%]						η_1	0.52								η_3	0.00			η_3	0.00
		NAPĚTÍ V PŘÍČNÉM SMĚRU OD POHYBLIVÉHO ZATÍŽENÍ				$\sigma_{z,P}$	0.0	[MPa]					$\Sigma\sigma_z$	0.0													
		NAPĚTÍ V PŘÍČNÉM SMĚRU OD OSTATNÍCH ZATÍŽENÍ				$\sigma_{z,rs}$	0.0	[MPa]					η_2	0.00													
		SROVNÁVACÍ NAPĚTÍ											$(\eta 2 + 0,8\ \eta 1)/1,4$ =	0.30													
		VYUŽITÍ PRŮŘEZU CELKEM					[%]						eff	0.52	VYHOVUJE												
													z_{LM71} =	2.36												

TAB. V2.1.3 POSOUZENÍ - MEZNÍ STAV ÚNOSNOSTI

POPIS	SVISLICE V2
PRUT / POLOHA BODU	433 / 2/4
NAMÁHÁNÍ	Vz.min
VLÁKNO	BOD S6 -HP
MEZNÍ STAV	ULS (MSÚ)
VYUŽITÍ VLÁKNA PRŮŘEZU	0.24

Charakteristiky materiálu				
pás. horní	$f_{yf,k}$	230	MPa	
pás. dolní	$f_{yf,k}$	230	MPa	
stojina	$f_{yw,k}$	230	MPa	
výztuž	$f_{ys,k}$	500	MPa	
γ_M =	1.20	γ_s =	1.15	

Excentricita normálové síly				
Exc./Fáze	0	1	2	3
e_y	0.000	0.000	0.000	0.000
e_z	0.000	0.000	0.000	0.000
Ekvivalentní vzdál. stěn - příčný roznos				
b_{Mx}	0.000	0.000	0.000	0.000

Vliv stěny na únosnost průřezu				
Char./Fáze	0	1	2	3
A	0.00	0.00	0.00	0.00
Wy	0.00	0.00	0.00	0.00
Wz	0.00	0.00	0.00	0.00

Charakter. v kroucení			
$t_{w,y}$	0.000	[mm]	
$t_{w,z}$	0.000	[mm]	
κ	1.00		
I_t=	0.00E+00	[mm^4]	
$\Omega=2*A_{pr}$	0.00E+00	[mm^2]	

Součinitele vzpěru a vlivu II.řádu					
Char./Fáze	0	1	2	3	4
k_y	1.000	1.000	1.000	1.000	
k_z	1.000	1.000	1.000	1.000	
χ_{LT}	1.000	1.000	1.000	1.000	
χ_{min}	0.859	1.000	1.000	1.000	

Vnitřní síly od jednotlivých skupin zatěžovacích stavů

SKUPINA ZATĚŽOVACÍCH STAVŮ

Č.	SKUP ZS	POPIS ZS	KAT.	FÁZE PRŮŘ.	- CHARAKTERISTICKÉ HODNOTY N.k (kN)	Vy.k (kN)	Vz.k (kN)	Mx.k (kNm)	My.k (kNm)	Mz.k (kNm)	γ_{sup} (-)	γ_{inf} (-)	volba ψ_i hledat	ψ_i (-)	L_d (m)	δ (-)	Ψ_E KZ04	- NÁVRHOVÉ HODNOTY N.d (kN)	Vy.d (kN)	Vz.d (kN)	ΔVz.d (kN)	ΣVz.d (kN)	Mx.d (kNm)	My.d (kNm)	ΔMy.d (kNm)	ΣMy.d (kNm)	Mz.d (kNm)	ΔMz.d (kNm)	ΣMz.d (kNm)
1	G0	Vlastní tíha OK	G	0	-346	1	-1	0	1	0	1.00	1.20		1.20	-	1.00	0.95	-395	1	-2	0	-2	0	2	0	2	-1	0	-1
2	G1	Ostatní stálé - mostní vybavení	G	0	-23	0	0	0	0	0	1.00	1.20		1.20	-	1.00	0.95	-26	0	0	0	0	0	0	0	0	0	0	0
3	G2	Ostatní stálé - cizí zařízení	G	0	-14	0	0	0	0	0	1.00	1.00		1.00	-	1.00	0.95	-13	0	0	0	0	0	0	0	0	0	0	0
4	P1_71	a.LM71 - kolej 1 (bez dyn. souč.)	P	0	-2	0	-6	0	-12	0	1.00	1.30		1.30	-	1.00	1.00	-2	0	-8	0	-8	0	-16	0	-16	0	0	0
5	P2_71	a.LM71 - kolej 2 (bez dyn. souč.)	P	0	119	-1	-7	0	-11	0	1.00	1.30		1.30	-	1.00	1.00	155	-1	-9	0	-9	0	-14	0	-14	0	0	0
6	P1_C3	TTZ C3 - kolej 1 (bez dyn. souč.)	P	0	-8	0	-4	0	-8	0	1.00	vyp.		0.00	-	1.00	0.00	0	0	0	0	0	0	0	0	0	0	0	0
7	P2_C3	TTZ C3 - kolej 2 (bez dyn. souč.)	P	0	89	0	-5	0	-7	0	1.00	vyp.		0.00	-	1.00	0.00	0	0	0	0	0	0	0	0	0	0	0	0
8	BR	Brzdné a rozjezdové síly	P	0	-16	0	0	0	-1	0	1.00	1.30		1.30	-	1.00	0.40	-8	0	0	0	0	0	0	0	0	0	0	0
9	S	Boční ráz	P	0	-3	0	-1	0	-3	0	1.00	1.30		1.30	-	1.00	0.80	-3	0	-1	0	-1	0	-3	0	-3	0	0	0
10	CH	Chodci na lávkách	Q	0	-16	0	0	0	0	0	1.00	0.00		0.00	-	1.00	1.00	0	0	0	0	0	0	0	0	0	0	0	0
11	W	Vítr na konstrukci	Q	0	-26	0	-4	0	-1	0	1.00	1.35		1.35	-	1.00	0.75	-26	0	-4	0	-4	0	-1	0	-1	0	0	0
12	WP	Vítr na vozidla	Q	0	17	0	-1	0	-7	0	1.00	1.35		1.35	-	1.00	0.75	18	0	-1	0	-1	0	-7	0	-7	0	0	0
13	TR	Teplota rovnoměrná	Q	0	0	0	0	0	0	0	1.00	1.35		1.35	-	1.00	0.45	0	0	0	0	0	0	0	0	0	0	0	0
14	TN	Teplota nerovnoměrná	Q	0	-1	0	-2	0	-8	0	1.00	1.35		1.35	-	1.00	0.60	-1	0	-2	0	-2	0	-6	0	-6	0	0	0
15	FR	Třecí síly v ložiskách	Q	0	-1	0	0	0	0	0	1.00	1.20		1.20	-	1.00	1.00	-1	0	0	0	0	0	0	0	0	0	0	0
16	I	Imperfekce soustavy	Q	0	-7	0	-1	0	-2	0	1.00	1.20		1.20	-	1.00	1.00	-9	0	-1	0	-1	0	-3	0	-3	0	0	0
27	ULS_LM	ULS - LM71 bez dynam	Q	0	-337	1	-27	0	-49	-1	1.00	vyp.		0.00	-	1.00	0.00	0	0	0	0	0	0	0	0	0	0	0	0
28	SLS_LM	SLS - LM71 bez dynam	Q	0	-306	1	-20	0	-33	-1	1.00	vyp.	1	0.00	-	1.00	0.00	0	0	0	0	0	0	0	0	0	0	0	0
29	ULS_C3	ULS - C3 bez dynam	Q	0	-385	1	-23	0	-40	-1	1.00	vyp.	1	0.00	-	1.00	0.00	0	0	0	0	0	0	0	0	0	0	0	0
30	SLS_C3	SLS - C3 bez dynam	Q	0	0	0	0	0	0	0	1.00	vyp.	1	0.00	-	1.00	0.00	0	0	0	0	0	0	0	0	0	0	0	0
		CELKEM - FÁZE PRŮŘEZU 0																-311	1	-27	0	-27	0	-48	0	-48	-1	0	-1
		CELKEM - FÁZE PRŮŘEZU 1																0	0	0	0	0	0	0	0	0	0	0	0
		CELKEM - FÁZE PRŮŘEZU 2																0	0	0	0	0	0	0	0	0	0	0	0
		CELKEM - FÁZE PRŮŘEZU 3																0	0	0	0	0	0	0	0	0	0	0	0
		CELKEM - PRŮŘEZ																-311	1	-27	0	-27	0			-48			-1

Napětí od jednotlivých zatěžovacích stavů

SKUPINA ZATĚŽOVACÍCH STAVŮ

Č.	SKUP ZS	Popis ZS	Kat.	fáze prúř.	Posouzení normálového napětí: Účinek síly N δ^*N_d [kN]	χ^*A [mm^2]	σ_n [MPa]	Účinek momentu My $\delta^*M_{y,d}$ [kNm]	$\chi_{lt}*W_{el,y}$ [mm^3]	σ_{my} [MPa]	Účinek momentu Mz $\delta^*M_{z,d}$ [kNm]	$W_{el,z}$ [mm^3]	σ_{mz} [MPa]	σ_x [MPa]	Posouzení smykového napětí: Účinek kroutícího momentu Mx $\kappa*\delta^*M_{x,d}$ [kNm]	$W_{v,y}$ [mm^2]	$\tau_{x,y}$ [MPa]	$W_{v,z}$ [mm^2]	$\tau_{x,z}$ [MPa]	Účinek smykové síly Vy $\delta^*V_{y,d}$ [kN]	$A_{v,y}$ [mm2]	$\tau_{v,y}$ [MPa]	$\tau_{v,y}$ [MPa]	Účinek smykové síly Vz $\delta^*V_{z,d}$ [kN]	$A_{v,z}$ [mm2]	$\tau_{v,z}$ [MPa]	$\tau_{v,z}$ [MPa]
1	G0	Vlastní tíha OK	G	0	-394.5	1.85E+04	-21.4	1.6	1.65E+06	1.0	-0.5	-4.79E+06	0.1	-20.3	0.0E+00	-	-	-	-	1.2	1.38E+04	0.1	0.1	-1.6	7.66E+03	-0.2	-0.2
2	G1	Ostatní stálé - mostní vybavení	G	0	-26.0	1.85E+04	-1.4	-0.4	1.65E+06	-0.2	0.0	-4.79E+06	0.0	-1.6	0.0E+00	-	-	-	-	0.1	1.38E+04	0.0	0.0	-0.1	7.66E+03	0.0	0.0
3	G2	Ostatní stálé - cizí zařízení	G	0	-13.0	1.85E+04	-0.7	0.4	1.65E+06	0.2	0.0	-4.79E+06	0.0	-0.5	0.0E+00	-	-	-	-	0.0	1.38E+04	0.0	0.0	0.1	7.66E+03	0.0	0.0
4	P1_71	a.LM71 - kolej 1 (bez dyn. souč.)	P	0	-2.1	1.85E+04	-0.1	-15.8	1.65E+06	-9.5	-0.1	-4.79E+06	0.0	-9.6	0.0E+00	-	-	-	-	0.0	1.38E+04	0.0	0.0	-7.8	7.66E+03	-1.0	-1.0
5	P2_71	a.LM71 - kolej 2 (bez dyn. souč.)	P	0	154.6	1.85E+04	8.4	-13.7	1.65E+06	-8.3	-0.2	-4.79E+06	0.0	0.1	0.0E+00	-	-	-	-	-0.7	1.38E+04	0.0	0.0	-8.9	7.66E+03	-1.2	-1.2
6	P1_C3	TTZ C3 - kolej 1 (bez dyn. souč.)	P	0	0.0	1.85E+04	0.0	0.0	1.65E+06	0.0	0.0	-4.79E+06	0.0	0.0	0.0E+00	-	-	-	-	0.0	1.38E+04	0.0	0.0	0.0	7.66E+03	0.0	0.0
7	P2_C3	TTZ C3 - kolej 2 (bez dyn. souč.)	P	0	0.0	1.85E+04	0.0	0.0	1.65E+06	0.0	0.0	-4.79E+06	0.0	0.0	0.0E+00	-	-	-	-	0.0	1.38E+04	0.0	0.0	0.0	7.66E+03	0.0	0.0
8	BR	Brzdné a rozjezdové síly	P	0	-8.1	1.85E+04	-0.4	-0.4	1.65E+06	-0.2	0.0	-4.79E+06	0.0	-0.7	0.0E+00	-	-	-	-	0.1	1.38E+04	0.0	0.0	-0.2	7.66E+03	0.0	0.0
9	S	Boční ráz	P	0	-3.0	1.85E+04	-0.2	-2.8	1.65E+06	-1.7	0.0	-4.79E+06	0.0	-1.8	0.0E+00	-	-	-	-	0.0	1.38E+04	0.0	0.0	-1.0	7.66E+03	-0.1	-0.1
10	CH	Chodci na lávkách	Q	0	0.0	1.85E+04	0.0	0.0	1.65E+06	0.0	0.0	-4.79E+06	0.0	0.0	0.0E+00	-	-	-	-	0.0	1.38E+04	0.0	0.0	0.0	7.66E+03	0.0	0.0
11	W	Vítr na konstrukci	Q	0	-26.1	1.85E+04	-1.4	-0.7	1.65E+06	-0.4	-0.1	-4.79E+06	0.0	-1.8	0.0E+00	-	-	-	-	0.1	1.38E+04	0.0	0.0	-3.7	7.66E+03	-0.5	-0.5
12	WP	Vítr na vozidla	Q	0	17.6	1.85E+04	1.0	-7.2	1.65E+06	-4.4	0.1	-4.79E+06	0.0	-3.5	1.0E-02	-	-	-	-	0.0	1.38E+04	0.0	0.0	-0.6	7.66E+03	-0.1	-0.1
13	TR	Teplota rovnoměrná	Q	0	0.0	1.85E+04	0.0	0.0	1.65E+06	0.0	0.0	-4.79E+06	0.0	0.0	0.0E+00	-	-	-	-	0.0	1.38E+04	0.0	0.0	0.0	7.66E+03	0.0	0.0
14	TN	Teplota nerovnoměrná	Q	0	-0.7	1.85E+04	0.0	-6.3	1.65E+06	-3.8	-0.3	-4.79E+06	0.1	-3.8	0.0E+00	-	-	-	-	0.0	1.38E+04	0.0	0.0	-1.5	7.66E+03	-0.2	-0.2
15	FR	Třecí síly v ložiskách	Q	0	-1.1	1.85E+04	-0.1	-0.1	1.65E+06	-0.1	0.0	-4.79E+06	0.0	-0.1	0.0E+00	-	-	-	-	0.0	1.38E+04	0.0	0.0	0.0	7.66E+03	0.0	0.0
16	I	Imperfekce soustavy	Q	0	-8.5	1.85E+04	-0.5	-2.6	1.65E+06	-1.6	0.0	-4.79E+06	0.0	-2.0	0.0E+00	-	-	-	-	0.0	1.38E+04	0.0	0.0	-1.3	7.66E+03	-0.2	-0.2
27	ULS_LM	ULS - LM71 bez dynam	Q	0	0.0	1.85E+04	0.0	0.0	1.65E+06	0.0	0.0	-4.79E+06	0.0	0.0	0.0E+00	-	-	-	-	0.0	1.38E+04	0.0	0.0	0.0	7.66E+03	0.0	0.0
28	SLS_LM	SLS - LM71 bez dynam	Q	0	0.0	1.85E+04	0.0	0.0	1.65E+06	0.0	0.0	-4.79E+06	0.0	0.0	0.0E+00	-	-	-	-	0.0	1.38E+04	0.0	0.0	0.0	7.66E+03	0.0	0.0
29	ULS_C3	ULS - C3 bez dynam	Q	0	0.0	1.85E+04	0.0	0.0	1.65E+06	0.0	0.0	-4.79E+06	0.0	0.0	0.0E+00	-	-	-	-	0.0	1.38E+04	0.0	0.0	0.0	7.66E+03	0.0	0.0
30	SLS_C3	SLS - C3 bez dynam	Q	0	0.0	1.85E+04	0.0	0.0	1.65E+06	0.0	0.0	-4.79E+06	0.0	0.0	0.0E+00	-	-	-	-	0.0	1.38E+04	0.0	0.0	0.0	7.66E+03	0.0	0.0
NAVÝŠENÍ NAPĚTÍ DO AKTIVACE TLAKU V DESCE MOSTOVKY						$\sigma_{P,red}$	0.0							0.0			0.0		0.0			0.1	0.1			-3.5	-3.5
NAPĚTÍ OD PRIMÁRNÍCH ÚČINKŮ NEROVNOMĚRNÉHO OTEPLENÍ						σ_T	0.0							0.0													
NAPĚTÍ OD REOLOGICKÝCH ÚČINKŮ BETONU V ČASE		t=0				σ_R	0.0	γ=	1.20					0.0													
NAPĚTÍ V KRITICKÝCH VLÁKNECH OD KOMBINACE ZATÍŽENÍ						KZ04		[MPa]					$\Sigma\sigma_x$	-45.6								$\Sigma\tau_y$	0.1			$\Sigma\tau_z$	-3.5
NAPĚTÍ OD POHYBLIVÉHO ZATÍŽENÍ								[MPa]					$\sigma_{x,P}$	-12.0								τ_P	0.0			τ_P	-2.3
NAPĚTÍ OD OSTATNÍCH ZATÍŽENÍ								[MPa]			Φ_{Vy}	Φ_{Vz}	$\sigma_{x,rs}$	-33.6								τ_{rs}	0.1			τ_{rs}	-1.1
NÁVRHOVÁ HODNOTA MEZE KLUZU S REDUKCÍ VLIVEM SMYKOVÉHO NAPĚTÍ								[MPa]			1.00	1.00	$f_{yw,d}$	191.7								$f_{yd}/3^{0,5}$	110.7			$f_{yd}/3^{0,5}$	110.7
NAPĚTÍ OD POHYBLIVÉHO ZATÍŽENÍ V GLOBÁLNÍM SYSTÉMU						$\sigma_{GLOB,P}$	0.0	[MPa]					$\Sigma\sigma_{GLOB}$	0.0													
NAPĚTÍ OD OSTATNÍCH ZATÍŽENÍ V GLOBÁLNÍM SYSTÉMU						$\sigma_{GLOB,rs}$	0.0	[MPa]					$\Sigma\sigma_x + \Sigma\sigma_{GLOB}$	-45.6													
VYUŽITÍ PRŮŘEZU DLE NAPĚTÍ								[%]					η_1	0.24								η_3	0.00			η_3	0.03
NAPĚTÍ V PŘÍČNÉM SMĚRU OD POHYBLIVÉHO ZATÍŽENÍ						$\sigma_{z,P}$	0.0	[MPa]					$\Sigma\sigma_z$	0.0													
NAPĚTÍ V PŘÍČNÉM SMĚRU OD OSTATNÍCH ZATÍŽENÍ						$\sigma_{z,rs}$	0.0	[MPa]					η_2	0.00													
SROVNÁVACÍ NAPĚTÍ													$(\eta_2 + 0,8\,\eta_1)/1,4$ =	0.14													
VYUŽITÍ PRŮŘEZU CELKEM								[%]					eff	0.24	VYHOVUJE												
													z_{LM71} =	>10													

VÝPOČET PRŮŘEZOVÝCH CHARAKTERISTIK

PRŮŘEZ: V2_2 **POPIS:** SVISLICE V2 - MIN MY

x = - **m**

DEFINOVÁNÍ PRŮŘEZU

ŠÍŘKA PÁSNICE ÚHELNÍKU	b f.t.l.o =	130	mm	**ÚHELNÍK HORNÍ VNĚJŠÍ LEVÝ**		**C.T.O.L**	
TLOUŠŤKA PÁSNICE ÚHELNÍKU	t f.t.l.o =	14	mm	OSLABENÍ PÁSNICE - TLOUŠŤKA	Δt f.t.l.o =	0	%
VÝŠKA STĚNY ÚHELNÍKU	h w.t.l.o =	76	mm				
TLOUŠŤKA STĚNY ÚHELNÍKU	t w.t.l.o =	14	mm	OSLABENÍ STĚNY - TLOUŠŤKA	Δt w.t.l.o =	10	%
ŠÍŘKA PÁSNICE ÚHELNÍKU	b f.t.r.o =	130	mm	**ÚHELNÍK HORNÍ VNĚJŠÍ PRAVÝ**		**C.T.O.R**	
TLOUŠŤKA PÁSNICE ÚHELNÍKU	t f.t.r.o =	14	mm	OSLABENÍ PÁSNICE - TLOUŠŤKA	Δt f.t.r.o =	0	%
VÝŠKA STĚNY ÚHELNÍKU	h w.t.r.o =	76	mm				
TLOUŠŤKA STĚNY ÚHELNÍKU	t w.t.r.o =	14	mm	OSLABENÍ STĚNY - TLOUŠŤKA	Δt w.t.r.0 =	10	%
ŠÍŘKA PÁSNICE ÚHELNÍKU	b f.t.l.i =	130	mm	**ÚHELNÍK HORNÍ VNITŘNÍ LEVÝ**		**C.T.I.L**	
TLOUŠŤKA PÁSNICE ÚHELNÍKU	t f.t.l.i =	14	mm	OSLABENÍ PÁSNICE - TLOUŠŤKA	Δt f.b.l.o =	0	%
VÝŠKA STĚNY ÚHELNÍKU	h w.t.l.i =	76	mm				
TLOUŠŤKA STĚNY ÚHELNÍKU	t w.t.l.i =	14	mm	OSLABENÍ STĚNY - TLOUŠŤKA	Δt w.b.l.o =	10	%
ŠÍŘKA PÁSNICE ÚHELNÍKU	b f.t.r.i =	130	mm	**ÚHELNÍK HORNÍ VNITŘNÍ PRAVÝ**		**C.T.I.R**	
TLOUŠŤKA PÁSNICE ÚHELNÍKU	t f.t.r.i =	14	mm	OSLABENÍ PÁSNICE - TLOUŠŤKA	Δt f.b.r.o =	0	%
VÝŠKA STĚNY ÚHELNÍKU	h w.t.r.i =	76	mm				
TLOUŠŤKA STĚNY ÚHELNÍKU	t w.t.r.i =	14	mm	OSLABENÍ STĚNY - TLOUŠŤKA	Δt w.b.r.o =	10	%
ŠÍŘKA PÁSNICE ÚHELNÍKU	b f.b.l.o =	130	mm	**ÚHELNÍK DOLNÍ VNĚJŠÍ LEVÝ**		**C.B.O.L**	
TLOUŠŤKA PÁSNICE ÚHELNÍKU	t f.b.l.o =	14	mm	OSLABENÍ PÁSNICE - TLOUŠŤKA	Δt f.t.l.i =	0	%
VÝŠKA STĚNY ÚHELNÍKU	h w.b.l.o =	76	mm				
TLOUŠŤKA STĚNY ÚHELNÍKU	t w.b.l.o =	14	mm	OSLABENÍ STĚNY - TLOUŠŤKA	Δt w.t.l.i =	10	%
ŠÍŘKA PÁSNICE ÚHELNÍKU	b f.b.r.o =	130	mm	**ÚHELNÍK DOLNÍ VNĚJŠÍ PRAVÝ**		**C.B.O.R**	
TLOUŠŤKA PÁSNICE ÚHELNÍKU	t f.b.r.o =	14	mm	OSLABENÍ PÁSNICE - TLOUŠŤKA	Δt f.t.r.i =	0	%
VÝŠKA STĚNY ÚHELNÍKU	h w.b.r.o =	76	mm				
TLOUŠŤKA STĚNY ÚHELNÍKU	t w.b.r.o =	14	mm	OSLABENÍ STĚNY - TLOUŠŤKA	Δt w.t.r.i =	10	%
PÁSNICE DOLNÍHO LEVÉHO ÚHELNÍKU	b f.b.l.i =	130	mm	**ÚHELNÍK DOLNÍ VNITŘNÍ LEVÝ**		**C.B.I.L**	
TLOUŠŤKA PÁSNICE ÚHELNÍKU	t f.b.l.i =	14	mm	OSLABENÍ PÁSNICE - TLOUŠŤKA	Δt f.b.l.i =	0	%
VÝŠKA STĚNY ÚHELNÍKU	h w.b.l.i =	76	mm				
TLOUŠŤKA STĚNY ÚHELNÍKU	t w.b.l.i =	14	mm	OSLABENÍ STĚNY - TLOUŠŤKA	Δt w.b.l.i =	10	%
PÁSNICE DOLNÍHO PRAVÉHO ÚHELNÍKU	b f.b.r.i =	130	mm	**ÚHELNÍK DOLNÍ VNITŘNÍ PRAVÝ**		**C.B.I.R**	
TLOUŠŤKA PÁSNICE ÚHELNÍKU	t f.b.r.i =	14	mm	OSLABENÍ PÁSNICE - TLOUŠŤKA	Δt f.b.r.i =	0	%
VÝŠKA STĚNY ÚHELNÍKU	h w.b.r.i =	76	mm				
TLOUŠŤKA STĚNY ÚHELNÍKU	t w.b.r.i =	14	mm	OSLABENÍ STĚNY - TLOUŠŤKA	Δt w.b.r.i =	10	%

DOLNÍ

ŠÍŘKA HORNÍ VLOŽKY - VNĚJŠÍ	b f.t =	0	mm			**HOR.T.O**	
TLOUŠŤKA VLOŽKY	t f.t =	0	mm	OSLABENÍ VLOŽKY	Δt f.t =	0	%
ŠÍŘKA HORNÍ VLOŽKY - VNITŘNÍ	b f.t =	0	mm			**HOR.T.I**	
TLOUŠŤKA VLOŽKY	t f.t =	0	mm	OSLABENÍ VLOŽKY	Δt f.t =	0	%
ŠÍŘKA DOLNÍ VLOŽKY - VNĚJŠÍ	b f.t =	0	mm			**HOR.B.O**	
TLOUŠŤKA VLOŽKY	t f.t =	0	mm	OSLABENÍ VLOŽKY	Δt f.t =	0	%
ŠÍŘKA DOLNÍ VLOŽKY - VNITŘNÍ	b f.t =	0	mm			**HOR.B.I**	
TLOUŠŤKA VLOŽKY	t f.t =	0	mm	OSLABENÍ VLOŽKY - VNITŘNÍ	Δt f.t =	0	%

VZD. OKRAJŮ PÁSNIC VNITŘNÍCH ÚHELNÍKŮ	392	mm
CELKOVÁ TLOUŠŤKA MEZI PÁSNICEMI ÚHELNÍKŮ	48	mm
CELKOVÁ TLOUŠŤKA MEZI PÁSNICEMI ÚHELNÍKŮ	13	mm

ZADÁNÍ ČÁSTÍ PRŮŘEZU:

č.prvku	b [mm]	h [mm]	y_0 [mm]	z_0 [mm]	popis části	druh oslabení	lokální ultimate	boulení servic.
1	130.0	14.0	-71.5	251.0	pásnice	0	1.000	1.000
2	12.6	76.0	-12.8	296.0	stěna	0	1.000	1.000
3	130.0	14.0	71.5	251.0	pásnice	0	1.000	1.000
4	12.6	76.0	12.8	296.0	stěna	0	1.000	1.000
5	130.0	14.0	-71.5	189.0	pásnice	0	1.000	1.000
6	12.6	76.0	-12.8	144.0	stěna	0	1.000	1.000
7	130.0	14.0	71.5	189.0	pásnice	0	1.000	1.000
8	12.6	76.0	12.8	144.0	stěna	0	1.000	1.000
9	130.0	14.0	-71.5	-251.0	pásnice	0	1.000	1.000
10	12.6	76.0	-12.8	-296.0	stěna	0	1.000	1.000
11	130.0	14.0	71.5	-251.0	pásnice	0	1.000	1.000
12	12.6	76.0	12.8	-296.0	stěna	0	1.000	1.000
13	130.0	14.0	-71.5	-189.0	pásnice	0	1.000	1.000
14	12.6	76.0	-12.8	-144.0	stěna	0	1.000	1.000
15	130.0	14.0	71.5	-189.0	pásnice	0	1.000	1.000
16	12.6	76.0	12.8	-144.0	stěna	0	1.000	1.000
17						0	1.000	1.000
18						0	1.000	1.000
19						0	1.000	1.000
20						0	1.000	1.000
21						0	1.000	1.000
22						0	1.000	1.000
23						0	1.000	1.000
24						0	1.000	1.000
25						0	1.000	1.000
26						0	1.000	1.000
27						0	1.000	1.000
28						0	1.000	1.000
29						0	1.000	1.000
30						0	1.000	1.000
31						0	1.000	1.000
32						0	1.000	1.000
33						0	1.000	1.000
34						0	1.000	1.000
35						0	1.000	1.000
36						0	1.000	1.000
37						0	1.000	1.000
38						0	1.000	1.000
39						0	1.000	1.000
40						0	1.000	1.000
41	0.0	0.0	0.0	244.0	pásnice	0	1.000	1.000
42	0.0	0.0	0.0	196.0	pásnice	0	1.000	1.000
43	0.0	0.0	0.0	-244.0	pásnice	0	1.000	1.000
44	0.0	0.0	0.0	-196.0	pásnice	0	1.000	1.000
45						0	1.000	1.000
46						0	1.000	1.000
47						0	1.000	1.000
48						0	1.000	1.000
49						0	1.000	1.000
50						0	1.000	1.000
51						0	1.000	1.000
52						0	1.000	1.000
53						0	1.000	1.000
54						0	1.000	1.000
55						0	1.000	1.000
56						0	1.000	1.000
57						0	1.000	1.000
58						0	1.000	1.000
59						0	1.000	1.000
60						0	1.000	1.000
61						0	1.000	1.000
62						0	1.000	1.000
63						0	1.000	1.000
64						0	1.000	1.000
65						0	1.000	1.000
66						0	1.000	1.000
67						0	1.000	1.000
68						0	1.000	1.000
69						0	1.000	1.000
70						0	1.000	1.000
71	12.6	-20.0	-12.8	294.0	nýt	0	1.000	1.000
72	12.6	-20.0	12.8	294.0	nýt	0	1.000	1.000
73	12.6	-20.0	-12.8	146.0	nýt	0	1.000	1.000
74	12.6	-20.0	12.8	146.0	nýt	0	1.000	1.000
75	0	0	-12.8	-294.0	nýt	0	1.000	1.000
76	0	0	12.8	-294.0	nýt	0	1.000	1.000
77	0	0	12.8	-146.0	nýt	0	1.000	1.000
78	0	0	12.8	-146.0	nýt	0	1.000	1.000
79						0	1.000	1.000
80						0	1.000	1.000
81	0	0	0	0	nýt	0	1.000	1.000
82	0	0	0	0	nýt	0	1.000	1.000
83	0	0	0	0	nýt	0	1.000	1.000
84	0	0	0	0	nýt	0	1.000	1.000
85	0	0	0	0	nýt	0	1.000	1.000
86	0	0	0	0	nýt	0	1.000	1.000
87	0	0	0	0	nýt	0	1.000	1.000
88	0	0	0	0	nýt	0	1.000	1.000
89						0	1.000	1.000
90						0	1.000	1.000
91	0	0	0	0	nýt	0	1.000	1.000
92	0	0	0	0	nýt	0	1.000	1.000
93	0	0	0	0	nýt	0	1.000	1.000
94	0	0	0	0	nýt	0	1.000	1.000
95	0	0	0	0	nýt	0	1.000	1.000
96	0	0	0	0	nýt	0	1.000	1.000
97	0	0	0	0	nýt	0	1.000	1.000
98	0	0	0	0	nýt	0	1.000	1.000
99						0	1.000	1.000
100						0	1.000	1.000

NÝT Č.	SKUPINA	ŘEZ	RED.	VELIKOST d$_i$ [mm]	POLOHA e$_i$ [mm]	POPIS	AKTIVITA OTVORU		NAPĚTÍ sc [MPa]
1		-	1.00	20	40	nýt - t.o - úhelník	1		29.81
2		-	1.00	20	40	nýt - t.o - úhelník	1		28.36
3		-	1.00	20	40	nýt - t.i - úhelník	1		5.85
4		-	1.00	20	40	nýt - t.i - úhelník	1		4.40
5		-	1.00	20	40	nýt - b.o - úhelník	0		-65.36
6		-	1.00	20	40	nýt - b.o - úhelník	0		-66.81
7		-	1.00	20	40	nýt - b.i - úhelník	0		-41.41
8		-	1.00	20	40	nýt - b.i - úhelník	0		-42.86
9									
10									
11		-	1.00	0	35	nýt - t.l - úhelník	0	-	
12		-	1.00	0	35	nýt - t.l - úhelník	0	-	
13		-	1.00	0	35	nýt - t.r - úhelník	0	-	
14		-	1.00	0	35	nýt - t.r - úhelník	0	-	
15		-	1.00	0	35	nýt - b.l - úhelník	0	-	
16		-	1.00	0	35	nýt - b.l - úhelník	0	-	
17		-	1.00	0	35	nýt - b.r - úhelník	0	-	
18		-	1.00	0	35	nýt - b.r - úhelník	0	-	
19									
20									
21		-	1.00	0	-132	nýt - t.l	0	-	
22		-	1.00	0	-132	nýt - t.l	0	-	
23		-	1.00	0	132	nýt - t.r	0	-	
24		-	1.00	0	132	nýt - t.r	0	-	
25		-	1.00	0	-132	nýt - b.l	0	-	
26		-	1.00	0	-132	nýt - b.l	0	-	
27		-	1.00	0	132	nýt - b.r	0	-	
28		-	1.00	0	132	nýt - b.r	0	-	
29									
30									

VÝPOČET PRŮŘEZOVÝCH CHARAKTERISTIK

Properties	Basic	Ultimate		Serviceability	
y_i	0.0	0.0		0.0	[mm]
z_i	-10.5	-10.5		-10.5	[mm]
A_i	2.1213E-04	2.1213E-04		2.1213E-04	[mm^2]
A_t	1.4560E-04	1.4560E-04		1.4560E-04	[mm^2]
A_s	7.6608E-03	7.6608E-03		7.6608E-03	[mm^2]
I_{y1}	1.0810E-09	1.0810E-09		1.0810E-09	[mm^4]
I_y	9.6118E-07	9.6118E-07		9.6118E-07	[mm^4]
i_y	225.7	225.7		225.7	[mm]
i_z	67.3	67.3		67.3	[mm]
W_{y1}	3.1383E-06	3.1383E-06		3.1383E-06	[mm^3]
W_{z1}	-7.0416E-05	-7.0416E-05		-7.0416E-05	[mm^3]
W_{y2}	-3.3411E-06	-3.3411E-06		-3.3411E-06	[mm^3]
W_{z2}	-7.0416E-05	-7.0416E-05		-7.0416E-05	[mm^3]
KRAJNÍ VLÁKNA PRŮŘEZU					
y_1	-136.5	-136.5		-136.5	[mm] min
z_1	334.0	334.0		334.0	[mm] max
y_2	-136.5	-136.5		-136.5	[mm] min
z_2	-334.0	-334.0		-334.0	[mm] min
y_3	136.5	136.5		136.5	[mm] max
z_3	334.0	334.0		334.0	[mm] max
y_4	136.5	136.5		136.5	[mm] max
z_4	-334.0	-334.0		-334.0	[mm] min
y_5	-19.1	-19.1		-19.1	[mm]
z_5	-258.0	-258.0		-258.0	[mm]
y_6	-19.1	-19.1		-19.1	[mm]
z_6	-334.0	-334.0		-334.0	[mm]

ÚPRAVA MOMENTŮ SETRV AČNOSTI V DŮSLEDKU ČLENĚNÍ PRŮŘEZU

OSA Y 1.00 V BLÍZKOSTI STYČNÍKOVÉHO PLECHU PŘÍČNÍKU PEVNÉ -> JAKO NEČLENĚNÝ
OSA Z 1.00

SCHÉMA PROMĚNNÝCH

SCHÉMA ZADANÉHO PRŮŘEZU

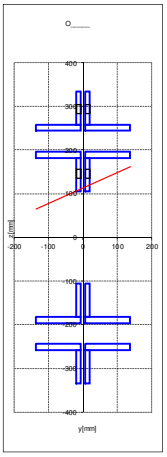

NEUTRÁLNÁ OSA

NAPĚTÍ [MPa]:

43.26	27.83
-64.83	-80.29

ZS: SLS_LM_MY MIN

	N [kN]	Vy [kN]	Vz [kN]	Mx [kNm]	My [kNm]	Mz [kNm]
import	-423	5	-49	0	-175	5

VÝPOČET PRŮŘEZOVÝCH CHARAKTERISTIK

PRŮŘEZ: V3_1 **POPIS:** SVISLICE V3 - MIN N

x = - **m**

DEFINOVÁNÍ PRŮŘEZU

ŠÍŘKA PÁSNICE ÚHELNÍKU	b f.t.l.o =	130	mm	**ÚHELNÍK HORNÍ VNĚJŠÍ LEVÝ**		**C.T.O.L**	
TLOUŠŤKA PÁSNICE ÚHELNÍKU	t f.t.l.o =	11	mm	OSLABENÍ PÁSNICE - TLOUŠŤKA	Δt f.t.l.o =	0	%
VÝŠKA STĚNY ÚHELNÍKU	h w.t.l.o =	79	mm				
TLOUŠŤKA STĚNY ÚHELNÍKU	t w.t.l.o =	11	mm	OSLABENÍ STĚNY - TLOUŠŤKA	Δt w.t.l.o =	10	%
ŠÍŘKA PÁSNICE ÚHELNÍKU	b f.t.r.o =	130	mm	**ÚHELNÍK HORNÍ VNĚJŠÍ PRAVÝ**		**C.T.O.R**	
TLOUŠŤKA PÁSNICE ÚHELNÍKU	t f.t.r.o =	11	mm	OSLABENÍ PÁSNICE - TLOUŠŤKA	Δt f.t.r.o =	0	%
VÝŠKA STĚNY ÚHELNÍKU	h w.t.r.o =	79	mm				
TLOUŠŤKA STĚNY ÚHELNÍKU	t w.t.r.o =	11	mm	OSLABENÍ STĚNY - TLOUŠŤKA	Δt w.t.r.0 =	10	%
ŠÍŘKA PÁSNICE ÚHELNÍKU	b f.t.l.i =	130	mm	**ÚHELNÍK HORNÍ VNITŘNÍ LEVÝ**		**C.T.I.L**	
TLOUŠŤKA PÁSNICE ÚHELNÍKU	t f.t.l.i =	11	mm	OSLABENÍ PÁSNICE - TLOUŠŤKA	Δt f.b.l.o =	0	%
VÝŠKA STĚNY ÚHELNÍKU	h w.t.l.i =	79	mm				
TLOUŠŤKA STĚNY ÚHELNÍKU	t w.t.l.i =	11	mm	OSLABENÍ STĚNY - TLOUŠŤKA	Δt w.b.l.o =	10	%
ŠÍŘKA PÁSNICE ÚHELNÍKU	b f.t.r.i =	130	mm	**ÚHELNÍK HORNÍ VNITŘNÍ PRAVÝ**		**C.T.I.R**	
TLOUŠŤKA PÁSNICE ÚHELNÍKU	t f.t.r.i =	11	mm	OSLABENÍ PÁSNICE - TLOUŠŤKA	Δt f.b.r.o =	0	%
VÝŠKA STĚNY ÚHELNÍKU	h w.t.r.i =	79	mm				
TLOUŠŤKA STĚNY ÚHELNÍKU	t w.t.r.i =	11	mm	OSLABENÍ STĚNY - TLOUŠŤKA	Δt w.b.r.o =	10	%
ŠÍŘKA PÁSNICE ÚHELNÍKU	b f.b.l.o =	130	mm	**ÚHELNÍK DOLNÍ VNĚJŠÍ LEVÝ**		**C.B.O.L**	
TLOUŠŤKA PÁSNICE ÚHELNÍKU	t f.b.l.o =	11	mm	OSLABENÍ PÁSNICE - TLOUŠŤKA	Δt f.t.l.i =	0	%
VÝŠKA STĚNY ÚHELNÍKU	h w.b.l.o =	79	mm				
TLOUŠŤKA STĚNY ÚHELNÍKU	t w.b.l.o =	11	mm	OSLABENÍ STĚNY - TLOUŠŤKA	Δt w.t.l.i =	10	%
ŠÍŘKA PÁSNICE ÚHELNÍKU	b f.b.r.o =	130	mm	**ÚHELNÍK DOLNÍ VNĚJŠÍ PRAVÝ**		**C.B.O.R**	
TLOUŠŤKA PÁSNICE ÚHELNÍKU	t f.b.r.o =	11	mm	OSLABENÍ PÁSNICE - TLOUŠŤKA	Δt f.t.r.i =	0	%
VÝŠKA STĚNY ÚHELNÍKU	h w.b.r.o =	79	mm				
TLOUŠŤKA STĚNY ÚHELNÍKU	t w.b.r.o =	11	mm	OSLABENÍ STĚNY - TLOUŠŤKA	Δt w.t.r.i =	10	%
PÁSNICE DOLNÍHO LEVÉHO ÚHELNÍKU	b f.b.l.i =	130	mm	**ÚHELNÍK DOLNÍ VNITŘNÍ LEVÝ**		**C.B.I.L**	
TLOUŠŤKA PÁSNICE ÚHELNÍKU	t f.b.l.i =	11	mm	OSLABENÍ PÁSNICE - TLOUŠŤKA	Δt f.b.l.i =	0	%
VÝŠKA STĚNY ÚHELNÍKU	h w.b.l.i =	79	mm				
TLOUŠŤKA STĚNY ÚHELNÍKU	t w.b.l.i =	11	mm	OSLABENÍ STĚNY - TLOUŠŤKA	Δt w.b.l.i =	10	%
PÁSNICE DOLNÍHO PRAVÉHO ÚHELNÍKU	b f.b.r.i =	130	mm	**ÚHELNÍK DOLNÍ VNITŘNÍ PRAVÝ**		**C.B.I.R**	
TLOUŠŤKA PÁSNICE ÚHELNÍKU	t f.b.r.i =	11	mm	OSLABENÍ PÁSNICE - TLOUŠŤKA	Δt f.b.r.i =	0	%
VÝŠKA STĚNY ÚHELNÍKU	h w.b.r.i =	79	mm				
TLOUŠŤKA STĚNY ÚHELNÍKU	t w.b.r.i =	11	mm	OSLABENÍ STĚNY - TLOUŠŤKA	Δt w.b.r.i =	10	%

HORNÍ

ŠÍŘKA HORNÍ VLOŽKY - VNĚJŠÍ	b f.t =	0	mm			**HOR.T.O**	
TLOUŠŤKA VLOŽKY	t f.t =	0	mm	OSLABENÍ VLOŽKY	Δt f.t =	0	%
ŠÍŘKA HORNÍ VLOŽKY - VNITŘNÍ	b f.t =	0	mm			**HOR.T.I**	
TLOUŠŤKA VLOŽKY	t f.t =	0	mm	OSLABENÍ VLOŽKY	Δt f.t =	0	%
ŠÍŘKA DOLNÍ VLOŽKY - VNĚJŠÍ	b f.t =	0	mm			**HOR.B.O**	
TLOUŠŤKA VLOŽKY	t f.t =	0	mm	OSLABENÍ VLOŽKY	Δt f.t =	0	%
ŠÍŘKA DOLNÍ VLOŽKY - VNITŘNÍ	b f.t =	0	mm			**HOR.B.I**	
TLOUŠŤKA VLOŽKY	t f.t =	0	mm	OSLABENÍ VLOŽKY - VNITŘNÍ	Δt f.t =	0	%

VZD. OKRAJŮ PÁSNIC VNITŘNÍCH ÚHELNÍKŮ	396	mm
CELKOVÁ TLOUŠŤKA MEZI PÁSNICEMI ÚHELNÍKŮ / A .o	44	mm
CELKOVÁ TLOUŠŤKA MEZI PÁSNICEMI ÚHELNÍKŮ / A .r	13	mm

ZADANÍ ČÁSTI PRŮŘEZU:

č.prvku	b [mm]	h [mm]	y_0 [mm]	z_0 [mm]	popis části	druh oslabení	lokální ultimate	boulení servic.
1	130.0	11.0	-71.5	247.5	pásnice	0	1.000	1.000
2	9.9	79.0	-11.5	292.5	stěna	0	1.000	1.000
3	130.0	11.0	71.5	247.5	pásnice	0	1.000	1.000
4	9.9	79.0	11.5	292.5	stěna	0	1.000	1.000
5	130.0	11.0	-71.5	192.5	pásnice	0	1.000	1.000
6	9.9	79.0	-11.5	147.5	stěna	0	1.000	1.000
7	130.0	11.0	71.5	192.5	pásnice	0	1.000	1.000
8	9.9	79.0	11.5	147.5	stěna	0	1.000	1.000
9	130.0	11.0	-71.5	-247.5	pásnice	0	1.000	1.000
10	9.9	79.0	-11.5	-292.5	stěna	0	1.000	1.000
11	130.0	11.0	71.5	-247.5	pásnice	0	1.000	1.000
12	9.9	79.0	11.5	-292.5	stěna	0	1.000	1.000
13	130.0	11.0	-71.5	-192.5	pásnice	0	1.000	1.000
14	9.9	79.0	-11.5	-147.5	stěna	0	1.000	1.000
15	130.0	11.0	71.5	-192.5	pásnice	0	1.000	1.000
16	9.9	79.0	11.5	-147.5	stěna	0	1.000	1.000
17						0	1.000	1.000
18						0	1.000	1.000
19						0	1.000	1.000
20						0	1.000	1.000
21						0	1.000	1.000
22						0	1.000	1.000
23						0	1.000	1.000
24						0	1.000	1.000
25						0	1.000	1.000
26						0	1.000	1.000
27						0	1.000	1.000
28						0	1.000	1.000
29						0	1.000	1.000
30						0	1.000	1.000
31						0	1.000	1.000
32						0	1.000	1.000
33						0	1.000	1.000
34						0	1.000	1.000
35						0	1.000	1.000
36						0	1.000	1.000
37						0	1.000	1.000
38						0	1.000	1.000
39						0	1.000	1.000
40						0	1.000	1.000
41	0.0	0.0	0.0	242.0	pásnice	0	1.000	1.000
42	0.0	0.0	0.0	198.0	pásnice	0	1.000	1.000
43	0.0	0.0	0.0	-242.0	pásnice	0	1.000	1.000
44	0.0	0.0	0.0	-198.0	pásnice	0	1.000	1.000
45						0	1.000	1.000
46						0	1.000	1.000
47						0	1.000	1.000
48						0	1.000	1.000
49						0	1.000	1.000
50						0	1.000	1.000
51						0	1.000	1.000
52						0	1.000	1.000
53						0	1.000	1.000
54						0	1.000	1.000
55						0	1.000	1.000
56						0	1.000	1.000
57						0	1.000	1.000
58						0	1.000	1.000
59						0	1.000	1.000
60						0	1.000	1.000
61						0	1.000	1.000
62						0	1.000	1.000
63						0	1.000	1.000
64						0	1.000	1.000
65						0	1.000	1.000
66						0	1.000	1.000
67						0	1.000	1.000
68						0	1.000	1.000
69						0	1.000	1.000
70						0	1.000	1.000
71	0	0	-11.5	292.0	nýt	0	1.000	1.000
72	0	0	11.5	292.0	nýt	0	1.000	1.000
73	0	0	-11.5	148.0	nýt	0	1.000	1.000
74	0	0	11.5	148.0	nýt	0	1.000	1.000
75	0	0	-11.5	-292.0	nýt	0	1.000	1.000
76	0	0	11.5	-292.0	nýt	0	1.000	1.000
77	0	0	-11.5	-148.0	nýt	0	1.000	1.000
78	0	0	11.5	-148.0	nýt	0	1.000	1.000
79						0	1.000	1.000
80						0	1.000	1.000
81	0	0	0	0	nýt	0	1.000	1.000
82	0	0	0	0	nýt	0	1.000	1.000
83	0	0	0	0	nýt	0	1.000	1.000
84	0	0	0	0	nýt	0	1.000	1.000
85	0	0	0	0	nýt	0	1.000	1.000
86	0	0	0	0	nýt	0	1.000	1.000
87	0	0	0	0	nýt	0	1.000	1.000
88	0	0	0	0	nýt	0	1.000	1.000
89						0	1.000	1.000
90						0	1.000	1.000
91	0	0	0	0	nýt	0	1.000	1.000
92	0	0	0	0	nýt	0	1.000	1.000
93	0	0	0	0	nýt	0	1.000	1.000
94	0	0	0	0	nýt	0	1.000	1.000
95	0	0	0	0	nýt	0	1.000	1.000
96	0	0	0	0	nýt	0	1.000	1.000
97	0	0	0	0	nýt	0	1.000	1.000
98	0	0	0	0	nýt	0	1.000	1.000
99						0	1.000	1.000
100						0	1.000	1.000

NÝT Č.	SKUPINA	ŘEZ	RED.	VELIKOST di [mm]	POLOHA oi [mm]	POPIS	AKTIVITA OTVORU	NAPĚTÍ sc [MPa]
1		-	1.00	20	40	nýt - t.o - úhelník	0	-51.54
2		-	1.00	20	40	nýt - t.o - úhelník	0	-51.16
3		-	1.00	20	40	nýt - t.i - úhelník	0	-52.33
4		-	1.00	20	40	nýt - t.i - úhelník	0	-51.96
5		-	1.00	20	40	nýt - b.o - úhelník	0	-54.76
6		-	1.00	20	40	nýt - b.o - úhelník	0	-54.39
7		-	1.00	20	40	nýt - b.i - úhelník	0	-53.97
8		-	1.00	20	40	nýt - b.i - úhelník	0	-53.59
9								
10								
11		-	1.00	0	35	nýt - t.i - úhelník	0	-
12		-	1.00	0	35	nýt - t.i - úhelník	0	-
13		-	1.00	0	35	nýt - t.r - úhelník	0	-
14		-	1.00	0	35	nýt - t.r - úhelník	0	-
15		-	1.00	0	35	nýt - b.l - úhelník	0	-
16		-	1.00	0	35	nýt - b.l - úhelník	0	-
17		-	1.00	0	35	nýt - b.r - úhelník	0	-
18		-	1.00	0	35	nýt - b.r - úhelník	0	-
19								
20								
21		-	1.00	0	-132	nýt - t.l	0	-
22		-	1.00	0	-132	nýt - t.l	0	-
23		-	1.00	0	132	nýt - t.r	0	-
24		-	1.00	0	132	nýt - t.r	0	-
25		-	1.00	0	-132	nýt - b.l	0	-
26		-	1.00	0	-132	nýt - b.l	0	-
27		-	1.00	0	132	nýt - b.r	0	-
28		-	1.00	0	132	nýt - b.r	0	-
29								
30								

VÝPOČET PRŮŘEZOVÝCH CHARAKTERISTIK

Properties	Basic	Ultimate		Serviceability	
y_i	0.0	0.0		0.0	[mm]
z_i	0.0	0.0		0.0	[mm]
A_i	1.7697E+04	1.7697E+04		1.7697E+04	[mm²]
A_s	1.1440E+04	1.1440E+04		1.1440E+04	[mm²]
A_{sh}	6.2568E-03	6.2568E-03		6.2568E-03	[mm²]
I_{yi}	4.5072E+08	4.5072E+08		4.5072E+08	[mm⁴]
I_{zi}	7.5467E+07	7.5467E+07		7.5467E+07	[mm⁴]
i_y	159.6	159.6		159.6	[mm]
i_z	65.3	65.3		65.3	[mm]
$W_{y,1}$	1.3576E+06	1.3576E+06		1.3576E+06	[mm³]
$W_{z,1}$	-5.5287E+05	-5.5287E+05		-5.5287E+05	[mm³]
$W_{y,2}$	-1.3576E+06	-1.3576E+06		-1.3576E+06	[mm³]
$W_{z,2}$	-5.5287E+05	-5.5287E+05		-5.5287E+05	[mm³]
KRAJNÍ VLÁKNA PRŮŘEZU					
y_1	-136.5	-136.5		-136.5	[mm] min
z_1	332.0	332.0		332.0	[mm] max
y_2	-136.5	-136.5		-136.5	[mm] min
z_2	-332.0	-332.0		-332.0	[mm] min
y_3	136.5	136.5		136.5	[mm] max
z_3	332.0	332.0		332.0	[mm] max
y_4	136.5	136.5		136.5	[mm] max
z_4	-332.0	-332.0		-332.0	[mm] min
y_5	-16.4	-16.4		-16.4	[mm]
z_5	-253.0	-253.0		-253.0	[mm]
y_6	-16.4	-16.4		-16.4	[mm]
z_6	-332.0	-332.0		-332.0	[mm]

SCHÉMA PROMĚNNÝCH

SCHÉMA ZADANÉHO PRŮŘEZU

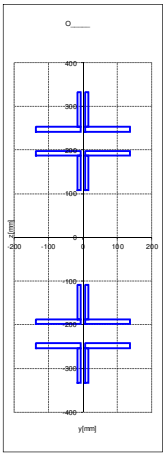

ÚPRAVA MOMENTŮ SETRVAČNOSTI V DŮSLEDKU ČLENĚNÍ PRŮŘEZU

OSA Y	0.50
OSA Z	1.00

NEUTRÁLNÁ OSA

NAPĚTÍ [MPa]:

-53.37	-48.89
-57.04	-52.55

ZS: SLS_LM_N.MIN

	N [kN]	Vy [kN]	Vz [kN]	Mx [kNm]	My [kNm]	Mz [kNm]
import	-937	2	3	0	-2	-1

TR_V3.1 POPIS: **SVISLICE V3** POSUDEK: **V3.1**

SKUPINA ZAT. STAVŮ	EXTRÉM	VYHODNOCOVANÉ VELIČINY					
		N	Vy	Vz	Mx	My	Mz
		kN	kN	kN	kNm	kNm	kNm
G0	N.min	**-221.02**	0.53	0.21	0	-1.93	-0.31
	N.max	**-221.02**	0.53	0.21	0	-1.93	-0.31
	Vy.min	-221.02	**0.53**	0.21	0	-1.93	-0.31
	Vy.max	-221.02	**0.53**	0.21	0	-1.93	-0.31
	Vz.min	-221.02	0.53	**0.21**	0	-1.93	-0.31
	Vz.max	-221.02	0.53	**0.21**	0	-1.93	-0.31
	Mx.min	-221.02	0.53	0.21	**0**	-1.93	-0.31
	Mx.max	-221.02	0.53	0.21	**0**	-1.93	-0.31
	My.min	-221.02	0.53	0.21	0	**-1.93**	-0.31
	My.max	-221.02	0.53	0.21	0	**-1.93**	-0.31
	Mz.min	-221.02	0.53	0.21	0	-1.93	**-0.31**
	Mz.max	-221.02	0.53	0.21	0	-1.93	**-0.31**
G1	N.min	**-12.28**	0.03	-0.04	0	-0.36	-0.03
	N.max	**-12.28**	0.03	-0.04	0	-0.36	-0.03
	Vy.min	-12.28	**0.03**	-0.04	0	-0.36	-0.03
	Vy.max	-12.28	**0.03**	-0.04	0	-0.36	-0.03
	Vz.min	-12.28	0.03	**-0.04**	0	-0.36	-0.03
	Vz.max	-12.28	0.03	**-0.04**	0	-0.36	-0.03
	Mx.min	-12.28	0.03	-0.04	**0**	-0.36	-0.03
	Mx.max	-12.28	0.03	-0.04	**0**	-0.36	-0.03
	My.min	-12.28	0.03	-0.04	0	**-0.36**	-0.03
	My.max	-12.28	0.03	-0.04	0	**-0.36**	-0.03
	Mz.min	-12.28	0.03	-0.04	0	-0.36	**-0.03**
	Mz.max	-12.28	0.03	-0.04	0	-0.36	**-0.03**
G2	N.min	**-7.76**	0.02	0.1	0	0.2	-0.01
	N.max	**-7.76**	0.02	0.1	0	0.2	-0.01
	Vy.min	-7.76	**0.02**	0.1	0	0.2	-0.01
	Vy.max	-7.76	**0.02**	0.1	0	0.2	-0.01
	Vz.min	-7.76	0.02	**0.1**	0	0.2	-0.01
	Vz.max	-7.76	0.02	**0.1**	0	0.2	-0.01
	Mx.min	-7.76	0.02	0.1	**0**	0.2	-0.01
	Mx.max	-7.76	0.02	0.1	**0**	0.2	-0.01
	My.min	-7.76	0.02	0.1	0	**0.2**	-0.01
	My.max	-7.76	0.02	0.1	0	**0.2**	-0.01
	Mz.min	-7.76	0.02	0.1	0	0.2	**-0.01**
	Mz.max	-7.76	0.02	0.1	0	0.2	**-0.01**
P1_71	N.min	**-177.89**	0.38	0.57	0	-7.76	-0.26
	N.max	**78.19**	-0.17	-4.4	0	-8.45	0.01
	Vy.min	46.32	**-0.24**	-3.66	0	-6.5	-0.08
	Vy.max	-134.73	**0.52**	-0.08	0	-10.49	-0.11
	Vz.min	20.51	-0.05	**-4.51**	0	-9.51	-0.1
	Vz.max	-117.26	0.3	**0.8**	0	-7.38	-0.11
	Mx.min	-35.99	0.09	-4.44	**0**	-10.92	-0.19
	Mx.max	-61.71	0.17	0.77	**0**	-6.03	0
	My.min	-86.83	0.3	-3.11	0	**-15.77**	-0.18
	My.max	0	0	0	0	**0**	0
	Mz.min	-134.37	0.16	-1.86	0	-8.51	**-0.36**
	Mz.max	22.42	0.13	-1.22	0	-6.2	**0.17**
P2_71	N.min	**-438.18**	0.85	2.47	0	1.03	-0.57
	N.max	**193.37**	-0.46	-4.35	0	-6.92	0.02
	Vy.min	108.97	**-0.7**	-3.65	0	-5.11	-0.3
	Vy.max	-304.17	**1.31**	1.65	0	-2.73	-0.09
	Vz.min	175.27	-0.52	**-4.75**	0	-6.5	-0.01
	Vz.max	-413.38	1.1	**2.96**	0	-0.69	-0.39
	Mx.min	-94.95	0.09	-3.98	**0**	-3.71	-0.47
	Mx.max	-140.54	0.45	2.17	**0**	-3.28	0.08
	My.min	105.25	0.04	-2.62	0	**-9.54**	0.18
	My.max	-360.5	0.71	1.25	0	**3.42**	-0.64
	Mz.min	-322.42	0.23	-0.77	0	0.21	**-0.88**
	Mz.max	43.63	0.41	-0.14	0	-4.14	**0.49**
P1_C3	N.min	**-147.57**	0.32	0.43	0	-6.03	-0.22
	N.max	**58.07**	-0.15	-3.3	0	-5.74	0
	Vy.min	8.27	**-0.19**	-2.25	0	-4.63	-0.12
	Vy.max	-113.25	**0.45**	-0.19	0	-7.93	-0.07
	Vz.min	13.54	-0.06	**-3.37**	0	-6.47	-0.07
	Vz.max	-103.01	0.27	**0.65**	0	-6.12	-0.11
	Mx.min	-40.71	0.07	-3.34	**0**	-7.81	-0.18
	Mx.max	-46.8	0.14	0.63	**0**	-4.72	0
	My.min	-82.07	0.27	-2.45	0	**-12.45**	-0.16
	My.max	0	0	0	0	**0**	0
	Mz.min	-100.76	0.08	-2.25	0	-7.42	**-0.33**
	Mz.max	7.96	0.18	-0.33	0	-4.96	**0.16**
P2_C3	N.min	**-364.37**	0.91	2.38	0	0.12	-0.38
	N.max	**142.82**	-0.3	-3	0	-5.18	0.03
	Vy.min	31.69	**-0.6**	-2.19	0	-2.72	-0.32
	Vy.max	-278.95	**1.16**	1.48	0	-0.8	-0.04
	Vz.min	124.95	-0.42	**-3.59**	0	-4.35	-0.01
	Vz.max	-359.08	0.91	**2.44**	0	0.07	-0.37
	Mx.min	-98.48	0.08	-2.95	**0**	-2.28	-0.41
	Mx.max	-112.99	0.36	1.81	**0**	-2.3	0.06
	My.min	95.42	0.12	-1.99	0	**-6.95**	0.22
	My.max	-331.67	0.5	1.31	0	**2.85**	-0.6
	Mz.min	-238.86	0.02	-1.48	0	-0.16	**-0.82**
	Mz.max	6.96	0.55	0.74	0	-3.31	**0.46**
BR	N.min	**-14.86**	0.07	0.03	0	0.05	-0.02
	N.max	**14.86**	-0.07	-0.03	0	-0.05	0.02
	Vy.min	14.86	**-0.07**	-0.03	0	-0.05	0.02
	Vy.max	-14.86	**0.07**	0.03	0	0.05	-0.02
	Vz.min	7.5	-0.07	**-0.05**	0	-0.06	-0.02
	Vz.max	-7.5	0.07	**0.05**	0	0.06	0.02
	Mx.min	-14.86	0.07	0.03	**0**	0.05	-0.02
	Mx.max	14.86	-0.07	-0.03	**0**	-0.05	0.02
	My.min	-13.12	0.07	-0.01	0	**-0.35**	-0.05
	My.max	13.12	-0.07	0.01	0	**0.35**	0.05
	Mz.min	-13.92	0.04	-0.02	0	-0.18	**-0.07**
	Mz.max	13.92	-0.04	0.02	0	0.18	**0.07**

TR_V3.1 POPIS: **SVISLICE V3** POSUDEK: **V3.1**

SKUPINA ZAT. STAVŮ	EXTRÉM	VYHODNOCOVANÉ VELIČINY					
		N	Vy	Vz	Mx	My	Mz
		kN	kN	kN	kNm	kNm	kNm
S	N.min	**-2.97**	0.02	-0.55	0	-0.98	-0.02
	N.max	**2.97**	-0.02	0.55	0	0.98	0.02
	Vy.min	-2.89	**-0.02**	0.3	0	2.59	0.01
	Vy.max	2.89	**0.02**	-0.3	0	-2.59	-0.01
	Vz.min	-2.97	0.02	**-0.55**	0	-0.98	-0.02
	Vz.max	2.97	-0.02	**0.55**	0	0.98	0.02
	Mx.min	-1.71	-0.02	0.29	**0**	3.2	0.02
	Mx.max	1.71	0.02	-0.29	**0**	-3.2	-0.02
	My.min	1.71	0.02	-0.29	0	**-3.2**	-0.02
	My.max	-1.71	-0.02	0.29	0	**3.2**	0.02
	Mz.min	-1.91	0.01	-0.41	0	-2.56	**-0.03**
	Mz.max	1.91	-0.01	0.41	0	2.56	**0.03**
CH	N.min	**-24.7**	0.06	0.37	0	0.76	-0.04
	N.max	**-5.8**	0.03	0.33	0	0.5	-0.01
	Vy.min	-5.8	**0.03**	0.33	0	0.5	-0.01
	Vy.max	-24.7	**0.06**	0.37	0	0.76	-0.04
	Vz.min	-15.21	0.04	**-0.03**	0	-0.74	-0.03
	Vz.max	-24.7	0.06	**0.37**	0	0.76	-0.04
	Mx.min	-15.21	0.04	-0.03	**0**	-0.74	-0.03
	Mx.max	-5.8	0.03	0.33	**0**	0.5	-0.01
	My.min	-15.21	0.04	-0.03	0	**-0.74**	-0.03
	My.max	-24.7	0.06	0.37	0	**0.76**	-0.04
	Mz.min	-24.7	0.06	0.37	0	0.76	**-0.04**
	Mz.max	-5.8	0.03	0.33	0	0.5	**-0.01**
W	N.min	**-24.35**	-0.04	-0.96	0	2.65	0.01
	N.max	**24.35**	0.04	0.96	0	-2.65	-0.01
	Vy.min	-24.35	**-0.04**	-0.96	0	2.65	0.01
	Vy.max	24.35	**0.04**	0.96	0	-2.65	-0.01
	Vz.min	-24.35	-0.04	**-0.96**	0	2.65	0.01
	Vz.max	24.35	0.04	**0.96**	0	-2.65	-0.01
	Mx.min	-24.35	-0.04	-0.96	**0**	2.65	0.01
	Mx.max	24.35	0.04	0.96	**0**	-2.65	-0.01
	My.min	24.35	0.04	0.96	0	**-2.65**	-0.01
	My.max	-24.35	-0.04	-0.96	0	**2.65**	0.01
	Mz.min	24.35	0.04	0.96	0	-2.65	**-0.01**
	Mz.max	-24.35	-0.04	-0.96	0	2.65	**0.01**
WP	N.min	**-18.66**	-0.03	0.98	0	7.22	0.03
	N.max	**18.68**	0.03	-0.98	0	-7.22	-0.03
	Vy.min	-18.66	**-0.03**	0.98	0	7.22	0.03
	Vy.max	18.68	**0.03**	-0.98	0	-7.22	-0.03
	Vz.min	18.68	0.03	**-0.98**	0	-7.22	-0.03
	Vz.max	-18.66	-0.03	**0.98**	0	7.22	0.03
	Mx.min	-18.66	-0.03	0.98	**0**	7.22	0.03
	Mx.max	18.68	0.03	-0.98	**0**	-7.22	-0.03
	My.min	18.68	0.03	-0.98	0	**-7.22**	-0.03
	My.max	-18.66	-0.03	0.98	0	**7.22**	0.03
	Mz.min	18.68	0.03	-0.98	0	-7.22	**-0.03**
	Mz.max	-18.66	-0.03	0.98	0	7.22	**0.03**
TR	N.min	**0**	0	0	0	0	0
	N.max	**0**	0	0	0	0	0
	Vy.min	0	**0**	0	0	0	0
	Vy.max	0	**0**	0	0	0	0
	Vz.min	0	0	**0**	0	0	0
	Vz.max	0	0	**0**	0	0	0
	Mx.min	0	0	0	**0**	0	0
	Mx.max	0	0	0	**0**	0	0
	My.min	0	0	0	0	**0**	0
	My.max	0	0	0	0	**0**	0
	Mz.min	0	0	0	0	0	**0**
	Mz.max	0	0	0	0	0	**0**
TN	N.min	**-4.22**	0.11	-2.07	0	-5.48	-0.22
	N.max	**2.32**	-0.08	0.28	0	0.49	0.19
	Vy.min	2.32	**-0.08**	0.28	0	0.49	0.19
	Vy.max	-4.22	**0.11**	-2.07	0	-5.48	-0.22
	Vz.min	-4.22	0.11	**-2.07**	0	-5.48	-0.22
	Vz.max	2	-0.04	**0.73**	0	6.54	0.01
	Mx.min	-2.32	0.08	-0.28	**0**	-0.49	-0.19
	Mx.max	-4.22	0.11	-2.07	**0**	-5.48	-0.22
	My.min	-4.22	0.11	-2.07	0	**-5.48**	-0.22
	My.max	2	-0.04	0.73	0	**6.54**	0.01
	Mz.min	-4.22	0.11	-2.07	0	-5.48	**-0.22**
	Mz.max	2.32	-0.08	0.28	0	0.49	**0.19**
FR	N.min	**-1.06**	0	0	0	-0.02	-0.02
	N.max	**1.06**	0	0	0	0.02	0.02
	Vy.min	-1.06	**0**	0	0	-0.02	-0.02
	Vy.max	1.06	**0**	0	0	0.02	0.02
	Vz.min	-1.06	0	**0**	0	-0.02	-0.02
	Vz.max	1.06	0	**0**	0	0.02	0.02
	Mx.min	-1.06	0	0	**0**	-0.02	-0.02
	Mx.max	1.06	0	0	**0**	0.02	0.02
	My.min	-1.06	0	0	0	**-0.02**	-0.02
	My.max	1.06	0	0	0	**0.02**	0.02
	Mz.min	-1.06	0	0	0	-0.02	**-0.02**
	Mz.max	1.06	0	0	0	0.02	**0.02**
I	N.min	**-5.77**	-0.01	-0.53	0	-1.38	**0**
	N.max	**5.77**	0.01	0.53	0	1.38	**0**
	Vy.min	-5.77	**-0.01**	-0.53	0	-1.38	**0**
	Vy.max	5.77	**0.01**	0.53	0	1.38	**0**
	Vz.min	-5.77	-0.01	**-0.53**	0	-1.38	**0**
	Vz.max	5.77	0.01	**0.53**	0	1.38	**0**
	Mx.min	-5.77	-0.01	-0.53	**0**	-1.38	**0**
	Mx.max	5.77	0.01	0.53	**0**	1.38	**0**
	My.min	-5.77	-0.01	-0.53	0	**-1.38**	**0**
	My.max	5.77	0.01	0.53	0	**1.38**	**0**
	Mz.min	-5.77	-0.01	-0.53	0	-1.38	**0**
	Mz.max	5.77	0.01	0.53	0	1.38	**0**

TAB. V3.1.3 POSOUZENÍ - MEZNÍ STAV ÚNOSNOSTI

POPIS	SVISLICE V3
PRUT / POLOHA BODU	428 / 2/4
NAMÁHÁNÍ	N,min
VLÁKNO	BOD K2 -HP
MEZNÍ STAV	ULS (MSÚ)
VYUŽITÍ VLÁKNA PRŮŘEZU	0.45

Charakteristiky materiálu				
pás. horní	$f_{yf,k}$	230	MPa	
pás. dolní	$f_{yf,k}$	230	MPa	
stojina	$f_{yw,k}$	230	MPa	
výztuž	$f_{ys,k}$	500	MPa	
γ_M =	1.20	γ_s =	1.15	

Excentricita normálové síly				
Exc./Fáze	0	1	2	3
e_y	0.000	0.000	0.000	0.000
e_z	0.000	0.000	0.000	0.000
Ekvivalentní vzdál. stěn - příčný roznos				
b_{ekv}	0.000	0.000	0.000	0.000

Vliv stěny na únosnost průřezu				
Char./Fáze	0	1	2	3
A	0.00	0.00	0.00	0.00
Wy	0.00	0.00	0.00	0.00
Wz	0.00	0.00	0.00	0.00

Charakter. v kroucení			
$t_{w,y}$	0.000	[mm]	
$t_{w,z}$	0.000	[mm]	
κ	1.00		
I_t=	0.00E+00	[mm^4]	
$\Omega=2*A_{pr}$	0.00E+00	[mm^2]	

Součinitele vzpěru a vlivu II.řádu					
Char./Fáze	0	1	2	3	
k_y	1.000	1.000	1.000	1.000	
k_z	1.030	1.000	1.000	1.000	
χ_{LT}	1.000	1.000	1.000	1.000	
χ_{min}	0.827	1.000	1.000	1.000	

Vnitřní síly od jednotlivých skupin zatěžovacích stavů

SKUPINA ZATĚŽOVACÍCH STAVŮ					- CHARAKTERISTICKÉ HODNOTY						DÍLČÍ SOUČINITELÉ ZATÍŽENÍ, DYNAMICKÝ SOUČINITEL						3	- NÁVRHOVÉ HODNOTY									
Č.	SKUP ZS	POPIS ZS	KAT.	FÁZE PRŮŘ.	N.k (kN)	Vy.k (kN)	Vz.k (kN)	Mx.k (kNm)	My.k (kNm)	Mz.k (kNm)	γ_{sup} (-)	γ_{inf} (-)	volba ψ_i hledat	ψ_i (-)	L_d (m)	δ (-)	ψ_0 KZ03	N.d (kN)	Vy.d (kN)	Vz.d (kN)	ΔVz.d (kN)	ΣVz.d (kN)	Mx.d (kNm)	My.d (kNm)	ΔMy.d (kNm)	ΣMy.d (kNm)	Mz.d (kNm)	ΔMz.d (kNm)	ΣMz.d (kNm)
1	G0	Vlastní tíha OK	G	0	-221	1	0	0	-2	0	1.00	1.20		1.20	-	1.00	0.95	-252	1	0	0	0	0	-2	0	-2	0	0	0
2	G1	Ostatní stálé - mostní vybavení	G	0	-12	0	0	0	0	0	1.00	1.20		1.20	-	1.00	0.95	-14	0	0	0	0	0	0	0	0	0	0	0
3	G2	Ostatní stálé - cizí zařízení	G	0	-8	0	0	0	0	0	1.00	1.20		1.20	-	1.00	0.95	-9	0	0	0	0	0	0	0	0	0	0	0
4	P1_71	a.LM71 - kolej 1 (bez dyn. souč.)	P	0	-178	0	1	0	-8	0	1.00	1.30		1.30	-	1.00	1.00	-231	0	1	0	1	0	-10	0	-10	0	0	0
5	P2_71	a.LM71 - kolej 2 (bez dyn. souč.)	P	0	-438	1	2	0	1	-1	1.00	1.30		1.30	-	1.00	1.00	-570	1	3	0	3	0	1	0	1	-1	0	-1
6	P1_C3	TTZ C3 - kolej 1 (bez dyn. souč.)	P	0	-148	0	0	0	-6	0	1.00	vyp.		0.00	-	1.00	0.00	0	0	0	0	0	0	0	0	0	0	0	0
7	P2_C3	TTZ C3 - kolej 2 (bez dyn. souč.)	P	0	-364	1	2	0	0	0	1.00	vyp.		0.00	-	1.00	0.00	0	0	0	0	0	0	0	0	0	0	0	0
8	BR	Brzdné a rozjezdové síly	P	0	-15	0	0	0	0	0	1.00	1.30		1.30	-	1.00	0.80	-15	0	0	0	0	0	0	0	0	0	0	0
9	S	Boční ráz	P	0	-3	0	-1	0	-1	0	1.00	0.00		0.00	-	1.00	0.40	0	0	0	0	0	0	0	0	0	0	0	0
10	CH	Chodci na lávkách	Q	0	-25	0	0	0	1	0	1.00	1.30		1.30	-	1.00	1.00	-32	0	0	0	0	0	1	0	1	0	0	0
11	W	Vítr na konstrukci	Q	0	-24	0	-1	0	3	0	1.00	1.35		1.35	-	1.00	0.75	-25	0	-1	0	-1	0	3	0	3	0	0	0
12	WP	Vítr na vozidla	Q	0	-19	0	1	0	7	0	1.00	1.35		1.35	-	1.00	0.75	-19	0	1	0	1	0	7	0	7	0	0	0
13	TR	Teplota rovnoměrná	Q	0	0	0	0	0	0	0	1.00	1.35		1.35	-	1.00	0.45	0	0	0	0	0	0	0	0	0	0	0	0
14	TN	Teplota nerovnoměrná	Q	0	-4	0	-2	0	-5	0	1.00	-1.35		-1.35	-	1.00	0.60	3	0	2	0	2	0	4	0	4	0	0	0
15	FR	Třecí síly v ložiskách	Q	0	-1	0	0	0	0	0	1.00	1.20		1.20	-	1.00	1.00	-1	0	0	0	0	0	0	0	0	0	0	0
16	I	Imperfekce soustavy	Q	0	-6	0	-1	0	-1	0	1.00	-1.20		-1.20	-	1.00	1.00	7	0	1	0	1	0	2	0	2	0	0	0
27	ULS_LM	ULS - LM71 bez dynam	Q	0	-1 184	2	2	0	-7	-2	1.00	vyp.		0.00	-	1.00	0.00	0	0	0	0	0	0	0	0	0	0	0	0
28	SLS_LM	SLS - LM71 bez dynam	Q	0	-937	2	3	0	-2	-1	1.00	vyp.	1	0.00	-	1.00	0.00	0	0	0	0	0	0	0	0	0	0	0	0
29	ULS_C3	ULS - C3 bez dynam	Q	0	-1 049	2	2	0	-6	-1	1.00	vyp.	1	0.00	-	1.00	0.00	0	0	0	0	0	0	0	0	0	0	0	0
30	SLS_C3	SLS - C3 bez dynam	Q	0	0	0	0	0	0	0	1.00	vyp.	1	0.00	-	1.00	0.00	0	0	0	0	0	0	0	0	0	0	0	0
		CELKEM - FÁZE PRŮŘEZU 0																-1 158	2	7	0	7	0	6	0	6	-1	0	-1
		CELKEM - FÁZE PRŮŘEZU 1																0	0	0	0	0	0	0	0	0	0	0	0
		CELKEM - FÁZE PRŮŘEZU 2																0	0	0	0	0	0	0	0	0	0	0	0
		CELKEM - FÁZE PRŮŘEZU 3																0	0	0	0	0	0	0	0	0	0	0	0
		CELKEM - PRŮŘEZ																-1 158	2	7	0	7	0			6			-1

Napětí od jednotlivých zatěžovacích stavů

SKUPINA ZATĚŽOVACÍCH STAVŮ					Posouzení normálového napětí										Posouzení smykového napětí													
					Účinek síly N			Účinek momentu My			Účinek momentu Mz				Účinek kroutícího momentu Mx				Účinek smykové síly Vy				Účinek smykové síly Vz			
Č.	SKUP ZS	Popis ZS	Kat.	fáze prúř.	δ^*N_d [kN]	χ^*A [mm^2]	σ_n [MPa]	$\delta^*M_{y,d}$ [kNm]	$\chi_{lt}^*W_{el,y}$ [mm^3]	σ_{my} [MPa]	$\delta^*M_{z,d}$ [kNm]	$W_{el,z}$ [mm^3]	σ_{mz} [MPa]	σ_x [MPa]	$\kappa^*\delta^*M_{x,d}$ [kNm]	$W_{v,y}$ [mm^3]	$\tau_{x,y}$ [MPa]	$W_{v,z}$ [mm^3]	$\tau_{x,z}$ [MPa]	$\delta^*V_{y,d}$ [kN]	$A_{v,y}$ [mm2]	$\tau_{v,y}$ [MPa]	$\tau_{v,y}$ [MPa]	$\delta^*V_{z,d}$ [kN]	$A_{v,z}$ [mm2]	$\tau_{v,z}$ [MPa]	$\tau_{v,z}$ [MPa]
1	G0	Vlastní tíha OK	G	0	-252.0	1.46E+04	-17.2	-2.2	-1.36E+06	1.6	-0.4	5.53E+05	-0.7	-16.3	0.0E+00	-	-	-	-	0.6	1.14E+04	0.1	0.1	0.2	6.26E+03	0.0	0.0
2	G1	Ostatní stálé - mostní vybavení	G	0	-14.0	1.46E+04	-1.0	-0.4	-1.36E+06	0.3	0.0	5.53E+05	-0.1	-0.7	0.0E+00	-	-	-	-	0.0	1.14E+04	0.0	0.0	0.0	6.26E+03	0.0	0.0
3	G2	Ostatní stálé - cizí zařízení	G	0	-8.8	1.46E+04	-0.6	0.2	-1.36E+06	-0.2	0.0	5.53E+05	0.0	-0.8	0.0E+00	-	-	-	-	0.0	1.14E+04	0.0	0.0	0.1	6.26E+03	0.0	0.0
4	P1_71	a.LM71 - kolej 1 (bez dyn. souč.)	P	0	-231.3	1.46E+04	-15.8	-10.1	-1.36E+06	7.4	-0.3	5.53E+05	-0.6	-9.0	0.0E+00	-	-	-	-	0.5	1.14E+04	0.0	0.0	0.7	6.26E+03	0.1	0.1
5	P2_71	a.LM71 - kolej 2 (bez dyn. souč.)	P	0	-569.6	1.46E+04	-38.9	1.3	-1.36E+06	-1.0	-0.8	5.53E+05	-1.4	-41.3	0.0E+00	-	-	-	-	1.1	1.14E+04	0.1	0.1	3.2	6.26E+03	0.5	0.5
6	P1_C3	TTZ C3 - kolej 1 (bez dyn. souč.)	P	0	0.0	1.46E+04	0.0	0.0	-1.36E+06	0.0	0.0	5.53E+05	0.0	0.0	0.0E+00	-	-	-	-	0.0	1.14E+04	0.0	0.0	0.0	6.26E+03	0.0	0.0
7	P2_C3	TTZ C3 - kolej 2 (bez dyn. souč.)	P	0	0.0	1.46E+04	0.0	0.0	-1.36E+06	0.0	0.0	5.53E+05	0.0	0.0	0.0E+00	-	-	-	-	0.0	1.14E+04	0.0	0.0	0.0	6.26E+03	0.0	0.0
8	BR	Brzdné a rozjezdové síly	P	0	-15.5	1.46E+04	-1.1	0.1	-1.36E+06	0.0	0.0	5.53E+05	0.0	-1.1	0.0E+00	-	-	-	-	0.1	1.14E+04	0.0	0.0	0.0	6.26E+03	0.0	0.0
9	S	Boční ráz	P	0	0.0	1.46E+04	0.0	0.0	-1.36E+06	0.0	0.0	5.53E+05	0.0	0.0	0.0E+00	-	-	-	-	0.0	1.14E+04	0.0	0.0	0.0	6.26E+03	0.0	0.0
10	CH	Chodci na lávkách	Q	0	-32.1	1.46E+04	-2.2	1.0	-1.36E+06	-0.7	-0.1	5.53E+05	-0.1	-3.0	0.0E+00	-	-	-	-	0.1	1.14E+04	0.0	0.0	0.5	6.26E+03	0.1	0.1
11	W	Vítr na konstrukci	Q	0	-24.7	1.46E+04	-1.7	2.7	-1.36E+06	-2.0	0.0	5.53E+05	0.0	-3.6	0.0E+00	-	-	-	-	0.0	1.14E+04	0.0	0.0	-1.0	6.26E+03	-0.2	-0.2
12	WP	Vítr na vozidla	Q	0	-18.9	1.46E+04	-1.3	7.3	-1.36E+06	-5.4	0.0	5.53E+05	0.1	-6.6	0.0E+00	-	-	-	-	0.0	1.14E+04	0.0	0.0	1.0	6.26E+03	0.2	0.2
13	TR	Teplota rovnoměrná	Q	0	0.0	1.46E+04	0.0	0.0	-1.36E+06	0.0	0.0	5.53E+05	0.0	0.0	0.0E+00	-	-	-	-	0.0	1.14E+04	0.0	0.0	0.0	6.26E+03	0.0	0.0
14	TN	Teplota nerovnoměrná	Q	0	3.4	1.46E+04	0.2	4.4	-1.36E+06	-3.3	0.2	5.53E+05	0.3	-2.7	0.0E+00	-	-	-	-	-0.1	1.14E+04	0.0	0.0	1.7	6.26E+03	0.3	0.3
15	FR	Třecí síly v ložiskách	Q	0	-1.3	1.46E+04	-0.1	0.0	-1.36E+06	0.0	0.0	5.53E+05	0.0	-0.1	0.0E+00	-	-	-	-	0.0	1.14E+04	0.0	0.0	0.0	6.26E+03	0.0	0.0
16	I	Imperfekce soustavy	Q	0	6.9	1.46E+04	0.5	1.7	-1.36E+06	-1.2	0.0	5.53E+05	0.0	-0.7	0.0E+00	-	-	-	-	0.0	1.14E+04	0.0	0.0	0.6	6.26E+03	0.1	0.1
27	ULS_LM	ULS - LM71 bez dynam	Q	0	0.0	1.46E+04	0.0	0.0	-1.36E+06	0.0	0.0	5.53E+05	0.0	0.0	0.0E+00	-	-	-	-	0.0	1.14E+04	0.0	0.0	0.0	6.26E+03	0.0	0.0
28	SLS_LM	SLS - LM71 bez dynam	Q	0	0.0	1.46E+04	0.0	0.0	-1.36E+06	0.0	0.0	5.53E+05	0.0	0.0	0.0E+00	-	-	-	-	0.0	1.14E+04	0.0	0.0	0.0	6.26E+03	0.0	0.0
29	ULS_C3	ULS - C3 bez dynam	Q	0	0.0	1.46E+04	0.0	0.0	-1.36E+06	0.0	0.0	5.53E+05	0.0	0.0	0.0E+00	-	-	-	-	0.0	1.14E+04	0.0	0.0	0.0	6.26E+03	0.0	0.0
30	SLS_C3	SLS - C3 bez dynam	Q	0	0.0	1.46E+04	0.0	0.0	-1.36E+06	0.0	0.0	5.53E+05	0.0	0.0	0.0E+00	-	-	-	-	0.0	1.14E+04	0.0	0.0	0.0	6.26E+03	0.0	0.0
NAVÝŠENÍ NAPĚTÍ DO AKTIVACE TLAKU V DESCE MOSTOVKY						$\sigma_{P,red}$	0.0							0.0			0.0		0.0				0.2	0.2			1.1	1.1
NAPĚTÍ OD PRIMÁRNÍCH ÚČINKŮ NEROVNOMĚRNÉHO OTEPLENÍ						σ_T	0.0							0.0														
NAPĚTÍ OD REOLOGICKÝCH ÚČINKŮ BETONU V ČASE				t=0		σ_R	0.0	γ_{inf}=	1.20					0.0														
NAPĚTÍ V KRITICKÝCH VLÁKNECH OD KOMBINACE ZATÍŽENÍ						KZ03		[MPa]					$\Sigma\sigma_x$	-86.0								$\Sigma\tau_y$	0.2				$\Sigma\tau_z$	1.1
NAPĚTÍ OD POHYBLIVÉHO ZATÍŽENÍ								[MPa]					$\sigma_{x,P}$	-51.4								τ_P	0.1				τ_P	0.6
NAPĚTÍ OD OSTATNÍCH ZATÍŽENÍ								[MPa]			Φ_{vy}	Φ_{vz}	$\sigma_{x,rs}$	-34.6								τ_{rs}	0.1				τ_{rs}	0.5
NÁVRHOVÁ HODNOTA MEZE KLUZU S REDUKCÍ VLIVEM SMYKOVÉHO NAPĚTÍ								[MPa]			1.00	1.00	$f_{yw,d}$	191.7								$f_{yd}/3^{0,5}$	110.7				$f_{yd}/3^{0,5}$	110.7
NAPĚTÍ OD POHYBLIVÉHO ZATÍŽENÍ V GLOBÁLNÍM SYSTÉMU						$\sigma_{GLOB,P}$	0.0	[MPa]					$\Sigma\sigma_{GLOB}$	0.0														
NAPĚTÍ OD OSTATNÍCH ZATÍŽENÍ V GLOBÁLNÍM SYSTÉMU						$\sigma_{GLOB,rs}$	0.0	[MPa]					$\Sigma\sigma_x + \Sigma\sigma_{GLOB}$	-86.0														
VYUŽITÍ PRŮŘEZU DLE NAPĚTÍ								[%]					η_1	0.45								η_3	0.00				η_3	0.01
NAPĚTÍ V PŘÍČNÉM SMĚRU OD POHYBLIVÉHO ZATÍŽENÍ						$\sigma_{z,P}$	0.0	[MPa]					$\Sigma\sigma_z$	0.0														
NAPĚTÍ V PŘÍČNÉM SMĚRU OD OSTATNÍCH ZATÍŽENÍ						$\sigma_{z,rs}$	0.0	[MPa]					η_2	0.00														
SROVNÁVACÍ NAPĚTÍ													$(\eta_2 + 0,8\,\eta_1)/1,4$ =	0.26														
VYUŽITÍ PRŮŘEZU CELKEM								[%]					eff	0.45	VYHOVUJE													
													z_{LM71} =	3.05														

TAB. V3.1.3 POSOUZENÍ - MEZNÍ STAV ÚNOSNOSTI

POPIS	SVISLICE V3
PRUT / POLOHA BODU	428 / 2/4
NAMÁHÁNÍ	N.min
VLÁKNO	BOD K4 -SP
MEZNÍ STAV	ULS (MSÚ)
VYUŽITÍ VLÁKNA PRŮŘEZU	0.51

Charakteristiky materiálu				
pás. horní	$f_{yf,k}$	230	MPa	
pás. dolní	$f_{yf,k}$	230	MPa	
stojina	$f_{yw,k}$	230	MPa	
výztuž	$f_{ys,k}$	500	MPa	
	γ_M =	1.20	γ_s =	1.15

Excentricita normálové síly				
Exc./Fáze	0	1	2	3
e_y	0.000	0.000	0.000	0.000
e_z	0.000	0.000	0.000	0.000
Ekvivalentní vzdál. stěn - příčný roznos				
b_{Mx}	0.000	0.000	0.000	0.000

Vliv stěny na únosnost průřezu				
Char./Fáze	0	1	2	3
A	0.00	0.00	0.00	0.00
Wy	0.00	0.00	0.00	0.00
Wz	0.00	0.00	0.00	0.00

Charakter. v kroucení			
$t_{w,y}$	0.000	[mm]	
$t_{w,z}$	0.000	[mm]	
κ	1.00		
I_t=	0.00E+00	[mm^4]	
$\Omega=2*A_{pr}$	0.00E+00	[mm^2]	

Součinitele vzpěru a vlivu II.řádu				
Char./Fáze	0	1	2	3
k_y	1.000	1.000	1.000	1.000
k_z	1.030	1.000	1.000	1.000
χ_{LT}	1.000	1.000	1.000	1.000
χ_{min}	0.827	1.000	1.000	1.000

Vnitřní síly od jednotlivých skupin zatěžovacích stavů

SKUPINA ZATĚŽOVACÍCH STAVŮ — 3

Č.	SKUP ZS	POPIS ZS	KAT.	FÁZE PRŮŘ.	- CHARAKTERISTICKÉ HODNOTY N,k (kN)	Vy,k (kN)	Vz,k (kN)	Mx,k (kNm)	My,k (kNm)	Mz,k (kNm)	DÍLČÍ SOUČINITELÉ ZATÍŽENÍ, DYNAMICKÝ SOUČINITEL γ_{sr} (-)	γ_{fs} (-)	volba γ_f hledat	γ_f (-)	L_d (m)	δ (-)	γ_s KZ03	- NÁVRHOVÉ HODNOTY N,d (kN)	Vy,d (kN)	Vz,d (kN)	ΔVz,d (kN)	ΣVz,d (kN)	Mx,d (kNm)	My,d (kNm)	ΔMy,d (kNm)	ΣMy,d (kNm)	Mz,d (kNm)	ΔMz,d (kNm)	ΣMz,d (kNm)
1	G0	Vlastní tíha OK	G	0	-221	1	0	0	-2	0	1.00	1.20		1.20	-	1.00	0.95	-252	1	0	0	0	0	-2	0	-2	0	0	0
2	G1	Ostatní stálé - mostní vybavení	G	0	-12	0	0	0	0	0	1.00	1.20		1.20	-	1.00	0.95	-14	0	0	0	0	0	0	0	0	0	0	0
3	G2	Ostatní stálé - cizí zařízení	G	0	-8	0	0	0	0	0	1.00	1.20		1.20	-	1.00	0.95	-9	0	0	0	0	0	0	0	0	0	0	0
4	P1_71	a.LM71 - kolej 1 (bez dyn. souč.)	P	0	-178	0	1	0	-8	0	1.00	1.30		1.30	-	1.00	1.00	-231	0	1	0	1	0	-10	0	-10	0	0	0
5	P2_71	a.LM71 - kolej 2 (bez dyn. souč.)	P	0	-438	1	2	0	1	-1	1.00	1.30		1.30	-	1.00	1.00	-570	1	3	0	3	0	1	0	1	-1	0	-1
6	P1_C3	TTZ C3 - kolej 1 (bez dyn. souč.)	P	0	-148	0	0	0	-6	0	1.00	vyp.		0.00	-	1.00	0.00	0	0	0	0	0	0	0	0	0	0	0	0
7	P2_C3	TTZ C3 - kolej 2 (bez dyn. souč.)	P	0	-364	1	2	0	0	0	1.00	vyp.		0.00	-	1.00	0.00	0	0	0	0	0	0	0	0	0	0	0	0
8	BR	Brzdné a rozjezdové síly	P	0	-15	0	0	0	0	0	1.00	1.30		1.30	-	1.00	0.80	-15	0	0	0	0	0	0	0	0	0	0	0
9	S	Boční ráz	P	0	-3	0	-1	0	-1	0	1.00	1.30		1.30	-	1.00	0.40	-2	0	0	0	0	0	-1	0	-1	0	0	0
10	CH	Chodci na lávkách	Q	0	-25	0	0	0	1	0	1.00	1.30		1.30	-	1.00	1.00	-32	0	0	0	0	0	1	0	1	0	0	0
11	W	Vítr na konstrukci	Q	0	-24	0	-1	0	3	0	1.00	-1.35		-1.35	-	1.00	0.75	25	0	1	0	1	0	-3	0	-3	0	0	0
12	WP	Vítr na vozidla	Q	0	-19	0	1	0	7	0	1.00	-1.35		-1.35	-	1.00	0.75	19	0	-1	0	-1	0	-7	0	-7	0	0	0
13	TR	Teplota rovnoměrná	Q	0	0	0	0	0	0	0	1.00	1.35		1.35	-	1.00	0.45	0	0	0	0	0	0	0	0	0	0	0	0
14	TN	Teplota nerovnoměrná	Q	0	-4	0	-2	0	-5	0	1.00	1.35		1.35	-	1.00	0.60	-3	0	-2	0	-2	0	-4	0	-4	0	0	0
15	FR	Třecí síly v ložiskách	Q	0	-1	0	0	0	0	0	1.00	1.20		1.20	-	1.00	1.00	-1	0	0	0	0	0	0	0	0	0	0	0
16	I	Imperfekce soustavy	Q	0	-6	0	-1	0	-1	0	1.00	1.20		1.20	-	1.00	1.00	-7	0	-1	0	-1	0	-2	0	-2	0	0	0
27	ULS_LM	ULS - LM71 bez dynam	Q	0	-1 184	2	2	0	-7	-2	1.00	vyp.	1	0.00	-	1.00	0.00	0	0	0	0	0	0	0	0	0	0	0	0
28	SLS_LM	SLS - LM71 bez dynam	Q	0	-937	2	3	0	-2	-1	1.00	vyp.	1	0.00	-	1.00	0.00	0	0	0	0	0	0	0	0	0	0	0	0
29	ULS_C3	ULS - C3 bez dynam	Q	0	-1 049	2	2	0	-6	-1	1.00	vyp.	1	0.00	-	1.00	0.00	0	0	0	0	0	0	0	0	0	0	0	0
30	SLS_C3	SLS - C3 bez dynam	Q	0	0	0	0	0	0	0	1.00	vyp.	1	0.00	-	1.00	0.00	0	0	0	0	0	0	0	0	0	0	0	0
		CELKEM - FÁZE PRŮŘEZU 0																-1 093	3	2	0	2	0	-27	0	-27	-2	0	-2
		CELKEM - FÁZE PRŮŘEZU 1																0	0	0	0	0	0	0	0	0	0	0	0
		CELKEM - FÁZE PRŮŘEZU 2																0	0	0	0	0	0	0	0	0	0	0	0
		CELKEM - FÁZE PRŮŘEZU 3																0	0	0	0	0	0	0	0	0	0	0	0
		CELKEM - PRŮŘEZ																-1 093	3	2	0	2	0			-27			-2

Napětí od jednotlivých zatěžovacích stavů

SKUPINA ZATĚŽOVACÍCH STAVŮ

Č.	SKUP ZS	Popis ZS	Kat.	fáze prúř.	Posouzení normálového napětí — Účinek síly N: δ^*N_d [kN]	χ^*A [mm^2]	σ_n [MPa]	Účinek momentu My: $\delta^*M_{y,d}$ [kNm]	$\chi_t{}^*W_{el,y}$ [mm^3]	σ_{my} [MPa]	Účinek momentu Mz: $\delta^*M_{z,d}$ [kNm]	$W_{el,z}$ [mm^3]	σ_{mz} [MPa]	σ_x [MPa]	Posouzení smykového napětí — Účinek kroutícího momentu Mx: $\kappa^*\delta^*M_{x,d}$ [kNm]	$W_{v,y}$ [mm^2]	$\tau_{x,y}$ [MPa]	$W_{v,z}$ [mm^2]	$\tau_{x,z}$ [MPa]	Účinek smykové síly Vy: $\delta^*V_{y,d}$ [kN]	$A_{v,y}$ [mm2]	$\tau_{v,y}$ [MPa]	$\tau_{v,y}$ [MPa]	Účinek smykové síly Vz: $\delta^*V_{z,d}$ [kN]	$A_{v,z}$ [mm2]	$\tau_{v,z}$ [MPa]	$\tau_{v,z}$ [MPa]
1	G0	Vlastní tíha OK	G	0	-252.0	1.46E+04	-17.2	-2.2	1.36E+06	-1.6	-0.4	5.53E+05	-0.7	-19.5	0.0E+00	-	-	-	-	0.6	1.14E+04	0.1	0.1	0.2	6.26E+03	0.0	0.0
2	G1	Ostatní stálé - mostní vybavení	G	0	-14.0	1.46E+04	-1.0	-0.4	1.36E+06	-0.3	0.0	5.53E+05	-0.1	-1.3	0.0E+00	-	-	-	-	0.0	1.14E+04	0.0	0.0	0.0	6.26E+03	0.0	0.0
3	G2	Ostatní stálé - cizí zařízení	G	0	-8.8	1.46E+04	-0.6	0.2	1.36E+06	0.2	0.0	5.53E+05	0.0	-0.5	0.0E+00	-	-	-	-	0.0	1.14E+04	0.0	0.0	0.1	6.26E+03	0.0	0.0
4	P1_71	a.LM71 - kolej 1 (bez dyn. souč.)	P	0	-231.3	1.46E+04	-15.8	-10.1	1.36E+06	-7.4	-0.3	5.53E+05	-0.6	-23.9	0.0E+00	-	-	-	-	0.5	1.14E+04	0.0	0.0	0.7	6.26E+03	0.1	0.1
5	P2_71	a.LM71 - kolej 2 (bez dyn. souč.)	P	0	-569.6	1.46E+04	-38.9	1.3	1.36E+06	1.0	-0.8	5.53E+05	-1.4	-39.3	0.0E+00	-	-	-	-	1.1	1.14E+04	0.1	0.1	3.2	6.26E+03	0.5	0.5
6	P1_C3	TTZ C3 - kolej 1 (bez dyn. souč.)	P	0	0.0	1.46E+04	0.0	0.0	1.36E+06	0.0	0.0	5.53E+05	0.0	0.0	0.0E+00	-	-	-	-	0.0	1.14E+04	0.0	0.0	0.0	6.26E+03	0.0	0.0
7	P2_C3	TTZ C3 - kolej 2 (bez dyn. souč.)	P	0	0.0	1.46E+04	0.0	0.0	1.36E+06	0.0	0.0	5.53E+05	0.0	0.0	0.0E+00	-	-	-	-	0.0	1.14E+04	0.0	0.0	0.0	6.26E+03	0.0	0.0
8	BR	Brzdné a rozjezdové síly	P	0	-15.5	1.46E+04	-1.1	0.1	1.36E+06	0.0	0.0	5.53E+05	0.0	-1.1	0.0E+00	-	-	-	-	0.1	1.14E+04	0.0	0.0	0.0	6.26E+03	0.0	0.0
9	S	Boční ráz	P	0	-1.5	1.46E+04	-0.1	-0.5	1.36E+06	-0.4	0.0	5.53E+05	0.0	-0.5	0.0E+00	-	-	-	-	0.0	1.14E+04	0.0	0.0	-0.3	6.26E+03	0.0	0.0
10	CH	Chodci na lávkách	Q	0	-32.1	1.46E+04	-2.2	1.0	1.36E+06	0.7	-0.1	5.53E+05	-0.1	-1.6	0.0E+00	-	-	-	-	0.1	1.14E+04	0.0	0.0	0.5	6.26E+03	0.1	0.1
11	W	Vítr na konstrukci	Q	0	24.7	1.46E+04	1.7	-2.7	1.36E+06	-2.0	0.0	5.53E+05	0.0	-0.3	0.0E+00	-	-	-	-	0.0	1.14E+04	0.0	0.0	1.0	6.26E+03	0.2	0.2
12	WP	Vítr na vozidla	Q	0	18.9	1.46E+04	1.3	-7.3	1.36E+06	-5.4	0.0	5.53E+05	-0.1	-4.2	0.0E+00	-	-	-	-	0.0	1.14E+04	0.0	0.0	-1.0	6.26E+03	-0.2	-0.2
13	TR	Teplota rovnoměrná	Q	0	0.0	1.46E+04	0.0	0.0	1.36E+06	0.0	0.0	5.53E+05	0.0	0.0	0.0E+00	-	-	-	-	0.0	1.14E+04	0.0	0.0	0.0	6.26E+03	0.0	0.0
14	TN	Teplota nerovnoměrná	Q	0	-3.4	1.46E+04	-0.2	-4.4	1.36E+06	-3.3	-0.2	5.53E+05	-0.3	-3.8	0.0E+00	-	-	-	-	0.1	1.14E+04	0.0	0.0	-1.7	6.26E+03	-0.3	-0.3
15	FR	Třecí síly v ložiskách	Q	0	-1.3	1.46E+04	-0.1	0.0	1.36E+06	0.0	0.0	5.53E+05	0.0	-0.1	0.0E+00	-	-	-	-	0.0	1.14E+04	0.0	0.0	0.0	6.26E+03	0.0	0.0
16	I	Imperfekce soustavy	Q	0	-6.9	1.46E+04	-0.5	-1.7	1.36E+06	-1.2	0.0	5.53E+05	0.0	-1.7	0.0E+00	-	-	-	-	0.0	1.14E+04	0.0	0.0	-0.6	6.26E+03	-0.1	-0.1
27	ULS_LM	ULS - LM71 bez dynam	Q	0	0.0	1.46E+04	0.0	0.0	1.36E+06	0.0	0.0	5.53E+05	0.0	0.0	0.0E+00	-	-	-	-	0.0	1.14E+04	0.0	0.0	0.0	6.26E+03	0.0	0.0
28	SLS_LM	SLS - LM71 bez dynam	Q	0	0.0	1.46E+04	0.0	0.0	1.36E+06	0.0	0.0	5.53E+05	0.0	0.0	0.0E+00	-	-	-	-	0.0	1.14E+04	0.0	0.0	0.0	6.26E+03	0.0	0.0
29	ULS_C3	ULS - C3 bez dynam	Q	0	0.0	1.46E+04	0.0	0.0	1.36E+06	0.0	0.0	5.53E+05	0.0	0.0	0.0E+00	-	-	-	-	0.0	1.14E+04	0.0	0.0	0.0	6.26E+03	0.0	0.0
30	SLS_C3	SLS - C3 bez dynam	Q	0	0.0	1.46E+04	0.0	0.0	1.36E+06	0.0	0.0	5.53E+05	0.0	0.0	0.0E+00	-	-	-	-	0.0	1.14E+04	0.0	0.0	0.0	6.26E+03	0.0	0.0
		NAVÝŠENÍ NAPĚTÍ DO AKTIVACE TLAKU V DESCE MOSTOVKY				$\sigma_{P,red}$	0.0							0.0			-		-			0.2	0.2			0.3	0.3
		NAPĚTÍ OD PRIMÁRNÍCH ÚČINKŮ NEROVNOMĚRNÉHO OTEPLENÍ				σ_T	0.0							0.0														
		NAPĚTÍ OD REOLOGICKÝCH ÚČINKŮ BETONU V ČASE		t=0		σ_R	0.0	γ_f=	1.20					0.0														
		NAPĚTÍ V KRITICKÝCH VLÁKNECH OD KOMBINACE ZATÍŽENÍ				KZ03		[MPa]					$\Sigma\sigma_x$	-97.7								$\Sigma\tau_y$	0.2			$\Sigma\tau_z$	0.3
		NAPĚTÍ OD POHYBLIVÉHO ZATÍŽENÍ						[MPa]					$\sigma_{x,P}$	-64.7								τ_P	0.1			τ_P	0.6
		NAPĚTÍ OD OSTATNÍCH ZATÍŽENÍ						[MPa]			Φ_{Vy}	Φ_{Vz}	$\sigma_{x,rs}$	-33.0								τ_{rs}	0.1			τ_{rs}	-0.2
		NÁVRHOVÁ HODNOTA MEZE KLUZU S REDUKCÍ VLIVEM SMYKOVÉHO NAPĚTÍ						[MPa]			1.00	1.00	$f_{yv,d}$	191.7								$f_{yd}/3^{0,5}$	110.7			$f_{yd}/3^{0,5}$	110.7
		NAPĚTÍ OD POHYBLIVÉHO ZATÍŽENÍ V GLOBÁLNÍM SYSTÉMU				$\sigma_{GLOB,P}$	0.0	[MPa]					$\Sigma\sigma_{GLOB}$	0.0													
		NAPĚTÍ OD OSTATNÍCH ZATÍŽENÍ V GLOBÁLNÍM SYSTÉMU				$\sigma_{GLOB,rs}$	0.0	[MPa]					$\Sigma\sigma_x + \Sigma\sigma_{GLOB}$	-97.7													
		VYUŽITÍ PRŮŘEZU DLE NAPĚTÍ						[%]					η_1	0.51								η_3	0.00			η_3	0.00
		NAPĚTÍ V PŘÍČNÉM SMĚRU OD POHYBLIVÉHO ZATÍŽENÍ				$\sigma_{z,P}$	0.0	[MPa]					$\Sigma\sigma_z$	0.0													
		NAPĚTÍ V PŘÍČNÉM SMĚRU OD OSTATNÍCH ZATÍŽENÍ				$\sigma_{z,rs}$	0.0	[MPa]					η_2	0.00													
		SROVNÁVACÍ NAPĚTÍ											$(\eta_2 + 0,8\,\eta_1)/1,4$ =	0.29													
		VYUŽITÍ PRŮŘEZU CELKEM						[%]					eff	0.51	VYHOVUJE												
													z_{LM71} =	2.45													

TAB. V3.1.3 POSOUZENÍ - MEZNÍ STAV ÚNOSNOSTI

POPIS	SVISLICE V3
PRUT / POLOHA BODU	428 / 2/4
NAMÁHÁNÍ	Vz.min
VLÁKNO	BOD S6 -HP
MEZNÍ STAV	ULS (MSÚ)
VYUŽITÍ VLÁKNA PRŮŘEZU	0.16

Charakteristiky materiálu				
pás. horní	$f_{yf,k}$	230	MPa	
pás. dolní	$f_{yf,k}$	230	MPa	
stojina	$f_{yw,k}$	230	MPa	
výztuž	$f_{ys,k}$	500	MPa	
γ_M =	1.20	γ_s =	1.15	

Excentricita normálové síly				
Exc./Fáze	0	1	2	3
e_y	0.000	0.000	0.000	0.000
e_z	0.000	0.000	0.000	0.000
Ekvivalentní vzdál. stěn - příčný roznos				
b_{Mx}	0.000	0.000	0.000	0.000

Vliv stěny na únosnost průřezu				
Char./Fáze	0	1	2	3
A	0.00	0.00	0.00	0.00
Wy	0.00	0.00	0.00	0.00
Wz	0.00	0.00	0.00	0.00

Charakter. v kroucení			
$t_{w,y}$	0.000	[mm]	
$t_{w,z}$	0.000	[mm]	
κ	1.00		
I_t=	0.00E+00	[mm^4]	
$\Omega=2*A_{pr}$	0.00E+00	[mm^2]	

Součinitele vzpěru a vlivu II.řádu				
Char./Fáze	0	1	2	3
k_y	1.000	1.000	1.000	1.000
k_z	1.030	1.000	1.000	1.000
χ_{LT}	1.000	1.000	1.000	1.000
χ_{min}	0.827	1.000	1.000	1.000

Vnitřní síly od jednotlivých skupin zatěžovacích stavů

SKUPINA ZATĚŽOVACÍCH STAVŮ					- CHARAKTERISTICKÉ HODNOTY						DÍLČÍ SOUČINITELÉ ZATÍŽENÍ, DYNAMICKÝ SOUČINITEL						4	- NÁVRHOVÉ HODNOTY									
Č.	SKUP ZS	POPIS ZS	KAT.	FÁZE PRŮŘ.	N.k (kN)	Vy.k (kN)	Vz.k (kN)	Mx.k (kNm)	My.k (kNm)	Mz.k (kNm)	γ_{sr} (-)	γ_Q (-)	volba ψ_i hledat	ψ_i (-)	L_d (m)	δ (-)	Ψ_z KZ04	N.d (kN)	Vy.d (kN)	Vz.d (kN)	ΔVz.d (kN)	ΣVz.d (kN)	Mx.d (kNm)	My.d (kNm)	ΔMy.d (kNm)	ΣMy.d (kNm)	Mz.d (kNm)	ΔMz.d (kNm)	ΣMz.d (kNm)
1	G0	Vlastní tíha OK	G	0	-221	1	0	0	-2	0	1.00	1.20		1.20	-	1.00	0.95	-252	1	0	0	0	0	-2	0	-2	0	0	0
2	G1	Ostatní stálé - mostní vybavení	G	0	-12	0	0	0	0	0	1.00	1.00		1.00	-	1.00	0.95	-12	0	0	0	0	0	0	0	0	0	0	0
3	G2	Ostatní stálé - cizí zařízení	G	0	-8	0	0	0	0	0	1.00	1.20		1.20	-	1.00	0.95	-9	0	0	0	0	0	0	0	0	0	0	0
4	P1_71	a.LM71 - kolej 1 (bez dyn. souč.)	P	0	21	0	-5	0	-10	0	1.00	1.30		1.30	-	1.00	1.00	27	0	-6	0	-6	0	-12	0	-12	0	0	0
5	P2_71	a.LM71 - kolej 2 (bez dyn. souč.)	P	0	175	-1	-5	0	-7	0	1.00	1.30		1.30	-	1.00	1.00	228	-1	-6	0	-6	0	-8	0	-8	0	0	0
6	P1_C3	TTZ C3 - kolej 1 (bez dyn. souč.)	P	0	14	0	-3	0	-6	0	1.00	vyp.		0.00	-	1.00	0.00	0	0	0	0	0	0	0	0	0	0	0	0
7	P2_C3	TTZ C3 - kolej 2 (bez dyn. souč.)	P	0	125	0	-4	0	-4	0	1.00	vyp.		0.00	-	1.00	0.00	0	0	0	0	0	0	0	0	0	0	0	0
8	BR	Brzdné a rozjezdové síly	P	0	8	0	0	0	0	0	1.00	1.30		1.30	-	1.00	0.40	4	0	0	0	0	0	0	0	0	0	0	0
9	S	Boční ráz	P	0	-3	0	-1	0	-1	0	1.00	1.30		1.30	-	1.00	0.80	-3	0	-1	0	-1	0	-1	0	-1	0	0	0
10	CH	Chodci na lávkách	Q	0	-15	0	0	0	-1	0	1.00	1.30		1.30	-	1.00	1.00	-20	0	0	0	0	0	-1	0	-1	0	0	0
11	W	Vítr na konstrukci	Q	0	-24	0	-1	0	3	0	1.00	1.35		1.35	-	1.00	0.75	-25	0	-1	0	-1	0	3	0	3	0	0	0
12	WP	Vítr na vozidla	Q	0	19	0	-1	0	-7	0	1.00	1.35		1.35	-	1.00	0.75	19	0	-1	0	-1	0	-7	0	-7	0	0	0
13	TR	Teplota rovnoměrná	Q	0	0	0	0	0	0	0	1.00	1.35		1.35	-	1.00	0.45	0	0	0	0	0	0	0	0	0	0	0	0
14	TN	Teplota nerovnoměrná	Q	0	-4	0	-2	0	-5	0	1.00	1.35		1.35	-	1.00	0.60	-3	0	-2	0	-2	0	-4	0	-4	0	0	0
15	FR	Třecí síly v ložiskách	Q	0	-1	0	0	0	0	0	1.00	1.20		1.20	-	1.00	1.00	-1	0	0	0	0	0	0	0	0	0	0	0
16	I	Imperfekce soustavy	Q	0	-6	0	-1	0	-1	0	1.00	1.20		1.20	-	1.00	1.00	-7	0	-1	0	-1	0	-2	0	-2	0	0	0
27	ULS_LM	ULS - LM71 bez dynam	Q	0	-56	0	-17	0	-36	-1	1.00	vyp.		0.00	-	1.00	0.00	0	0	0	0	0	0	0	0	0	0	0	0
28	SLS_LM	SLS - LM71 bez dynam	Q	0	-71	0	-12	0	-25	-1	1.00	vyp.	1	0.00	-	1.00	0.00	0	0	0	0	0	0	0	0	0	0	0	0
29	ULS_C3	ULS - C3 bez dynam	Q	0	-131	0	-14	0	-29	-1	1.00	vyp.	1	0.00	-	1.00	0.00	0	0	0	0	0	0	0	0	0	0	0	0
30	SLS_C3	SLS - C3 bez dynam	Q	0	0	0	0	0	0	0	1.00	vyp.	1	0.00	-	1.00	0.00	0	0	0	0	0	0	0	0	0	0	0	0
		CELKEM - FÁZE PRŮŘEZU 0																-54	0	-17	0	-17	0	-36	0	-36	-1	0	-1
		CELKEM - FÁZE PRŮŘEZU 1																0	0	0	0	0	0	0	0	0	0	0	0
		CELKEM - FÁZE PRŮŘEZU 2																0	0	0	0	0	0	0	0	0	0	0	0
		CELKEM - FÁZE PRŮŘEZU 3																0	0	0	0	0	0	0	0	0	0	0	0
		CELKEM - PRŮŘEZ																-54	0	-17	0	-17	0			-36			-1

Napětí od jednotlivých zatěžovacích stavů

SKUPINA ZATĚŽOVACÍCH STAVŮ					Posouzení normálového napětí										Posouzení smykového napětí													
					Účinek síly N			Účinek momentu My			Účinek momentu Mz				Účinek kroutícího momentu Mx				Účinek smykové síly Vy				Účinek smykové síly Vz			
Č.	SKUP ZS	Popis ZS	Kat.	fáze průř.	δ^*N_d [kN]	χ^*A [mm^2]	σ_n [MPa]	$\delta^*M_{y,d}$ [kNm]	$\chi_{lt}*W_{el,y}$ [mm^3]	σ_{my} [MPa]	$\delta^*M_{z,d}$ [kNm]	$W_{el,z}$ [mm^3]	σ_{mz} [MPa]	σ_x [MPa]	$\kappa^*\delta^*M_{x,d}$ [kNm]	$W_{v,y}$ [mm^2]	$\tau_{x,y}$ [MPa]	$W_{v,z}$ [mm^2]	$\tau_{x,z}$ [MPa]	$\delta^*V_{y,d}$ [kN]	$A_{v,y}$ [mm2]	$\tau_{v,y}$ [MPa]	$\tau_{v,y}$ [MPa]	$\delta^*V_{z,d}$ [kN]	$A_{v,z}$ [mm2]	$\tau_{v,z}$ [MPa]	$\tau_{v,z}$ [MPa]
1	G0	Vlastní tíha OK	G	0	-252.0	1.46E+04	-17.2	-2.2	1.36E+06	-1.6	-0.4	-4.60E+06	0.1	-18.8	0.0E+00	-	-	-	-	0.6	1.14E+04	0.1	0.1	0.2	6.26E+03	0.0	0.0
2	G1	Ostatní stálé - mostní vybavení	G	0	-11.7	1.46E+04	-0.8	-0.3	1.36E+06	-0.3	0.0	-4.60E+06	0.0	-1.0	0.0E+00	-	-	-	-	0.0	1.14E+04	0.0	0.0	0.0	6.26E+03	0.0	0.0
3	G2	Ostatní stálé - cizí zařízení	G	0	-8.8	1.46E+04	-0.6	0.2	1.36E+06	0.2	0.0	-4.60E+06	0.0	-0.4	0.0E+00	-	-	-	-	0.0	1.14E+04	0.0	0.0	0.1	6.26E+03	0.0	0.0
4	P1_71	a.LM71 - kolej 1 (bez dyn. souč.)	P	0	26.7	1.46E+04	1.8	-12.4	1.36E+06	-9.1	-0.1	-4.60E+06	0.0	-7.3	0.0E+00	-	-	-	-	-0.1	1.14E+04	0.0	0.0	-5.9	6.26E+03	-0.9	-0.9
5	P2_71	a.LM71 - kolej 2 (bez dyn. souč.)	P	0	227.9	1.46E+04	15.6	-8.5	1.36E+06	-6.2	0.0	-4.60E+06	0.0	9.3	0.0E+00	-	-	-	-	-0.7	1.14E+04	-0.1	-0.1	-6.2	6.26E+03	-1.0	-1.0
6	P1_C3	TTZ C3 - kolej 1 (bez dyn. souč.)	P	0	0.0	1.46E+04	0.0	0.0	1.36E+06	0.0	0.0	-4.60E+06	0.0	0.0	0.0E+00	-	-	-	-	0.0	1.14E+04	0.0	0.0	0.0	6.26E+03	0.0	0.0
7	P2_C3	TTZ C3 - kolej 2 (bez dyn. souč.)	P	0	0.0	1.46E+04	0.0	0.0	1.36E+06	0.0	0.0	-4.60E+06	0.0	0.0	0.0E+00	-	-	-	-	0.0	1.14E+04	0.0	0.0	0.0	6.26E+03	0.0	0.0
8	BR	Brzdné a rozjezdové síly	P	0	3.9	1.46E+04	0.3	0.0	1.36E+06	0.0	0.0	-4.60E+06	0.0	0.2	0.0E+00	-	-	-	-	0.0	1.14E+04	0.0	0.0	0.0	6.26E+03	0.0	0.0
9	S	Boční ráz	P	0	-3.1	1.46E+04	-0.2	-1.0	1.36E+06	-0.8	0.0	-4.60E+06	0.0	-1.0	0.0E+00	-	-	-	-	0.0	1.14E+04	0.0	0.0	-0.6	6.26E+03	-0.1	-0.1
10	CH	Chodci na lávkách	Q	0	-19.8	1.46E+04	-1.4	-1.0	1.36E+06	-0.7	0.0	-4.60E+06	0.0	-2.1	0.0E+00	-	-	-	-	0.1	1.14E+04	0.0	0.0	0.0	6.26E+03	0.0	0.0
11	W	Vítr na konstrukci	Q	0	-24.7	1.46E+04	-1.7	2.7	1.36E+06	2.0	0.0	-4.60E+06	0.0	0.3	0.0E+00	-	-	-	-	0.0	1.14E+04	0.0	0.0	-1.0	6.26E+03	-0.2	-0.2
12	WP	Vítr na vozidla	Q	0	18.9	1.46E+04	1.3	-7.3	1.36E+06	-5.4	0.0	-4.60E+06	0.0	-4.1	0.0E+00	-	-	-	-	0.0	1.14E+04	0.0	0.0	-1.0	6.26E+03	-0.2	-0.2
13	TR	Teplota rovnoměrná	Q	0	0.0	1.46E+04	0.0	0.0	1.36E+06	0.0	0.0	-4.60E+06	0.0	0.0	0.0E+00	-	-	-	-	0.0	1.14E+04	0.0	0.0	0.0	6.26E+03	0.0	0.0
14	TN	Teplota nerovnoměrná	Q	0	-3.4	1.46E+04	-0.2	-4.4	1.36E+06	-3.3	-0.2	-4.60E+06	0.0	-3.5	0.0E+00	-	-	-	-	0.1	1.14E+04	0.0	0.0	-1.7	6.26E+03	-0.3	-0.3
15	FR	Třecí síly v ložiskách	Q	0	-1.3	1.46E+04	-0.1	0.0	1.36E+06	0.0	0.0	-4.60E+06	0.0	-0.1	0.0E+00	-	-	-	-	0.0	1.14E+04	0.0	0.0	0.0	6.26E+03	0.0	0.0
16	I	Imperfekce soustavy	Q	0	-6.9	1.46E+04	-0.5	-1.7	1.36E+06	-1.2	0.0	-4.60E+06	0.0	-1.7	0.0E+00	-	-	-	-	0.0	1.14E+04	0.0	0.0	-0.6	6.26E+03	-0.1	-0.1
27	ULS_LM	ULS - LM71 bez dynam	Q	0	0.0	1.46E+04	0.0	0.0	1.36E+06	0.0	0.0	-4.60E+06	0.0	0.0	0.0E+00	-	-	-	-	0.0	1.14E+04	0.0	0.0	0.0	6.26E+03	0.0	0.0
28	SLS_LM	SLS - LM71 bez dynam	Q	0	0.0	1.46E+04	0.0	0.0	1.36E+06	0.0	0.0	-4.60E+06	0.0	0.0	0.0E+00	-	-	-	-	0.0	1.14E+04	0.0	0.0	0.0	6.26E+03	0.0	0.0
29	ULS_C3	ULS - C3 bez dynam	Q	0	0.0	1.46E+04	0.0	0.0	1.36E+06	0.0	0.0	-4.60E+06	0.0	0.0	0.0E+00	-	-	-	-	0.0	1.14E+04	0.0	0.0	0.0	6.26E+03	0.0	0.0
30	SLS_C3	SLS - C3 bez dynam	Q	0	0.0	1.46E+04	0.0	0.0	1.36E+06	0.0	0.0	-4.60E+06	0.0	0.0	0.0E+00	-	-	-	-	0.0	1.14E+04	0.0	0.0	0.0	6.26E+03	0.0	0.0
NAVÝŠENÍ NAPĚTÍ DO AKTIVACE TLAKU V DESCE MOSTOVKY						$\sigma_{P,red}$	0.0							0.0			0.0		0.0				0.0	0.0			-2.7	-2.7
NAPĚTÍ OD PRIMÁRNÍCH ÚČINKŮ NEROVNOMĚRNÉHO OTEPLENÍ						σ_T	0.0							0.0														
NAPĚTÍ OD REOLOGICKÝCH ÚČINKŮ BETONU V ČASE				t=0		σ_R	0.0	γ_{lt}=	1.20					0.0														
NAPĚTÍ V KRITICKÝCH VLÁKNECH OD KOMBINACE ZATÍŽENÍ						KZ04		[MPa]					$\Sigma\sigma_x$	-30.0								$\Sigma\tau_y$	0.0			$\Sigma\tau_z$	-2.7
NAPĚTÍ OD POHYBLIVÉHO ZATÍŽENÍ								[MPa]					$\sigma_{x,P}$	1.4								τ_P	-0.1			τ_P	-2.0
NAPĚTÍ OD OSTATNÍCH ZATÍŽENÍ								[MPa]			Φ_{vy}	Φ_{vz}	$\sigma_{x,rs}$	-31.3								τ_{rs}	0.1			τ_{rs}	-0.6
NÁVRHOVÁ HODNOTA MEZE KLUZU S REDUKCÍ VLIVEM SMYKOVÉHO NAPĚTÍ								[MPa]			1.00	1.00	$f_{yw,d}$	191.7								$f_{yd}/3^{0,5}$	110.7			$f_{yd}/3^{0,5}$	110.7
NAPĚTÍ OD POHYBLIVÉHO ZATÍŽENÍ V GLOBÁLNÍM SYSTÉMU						$\sigma_{GLOB,P}$	0.0	[MPa]					$\Sigma\sigma_{GLOB}$	0.0													
NAPĚTÍ OD OSTATNÍCH ZATÍŽENÍ V GLOBÁLNÍM SYSTÉMU						$\sigma_{GLOB,rs}$	0.0	[MPa]					$\Sigma\sigma_x + \Sigma\sigma_{GLOB}$	-30.0													
VYUŽITÍ PRŮŘEZU DLE NAPĚTÍ								[%]					η_1	0.16								η_3	0.00			η_3	0.02
NAPĚTÍ V PŘÍČNÉM SMĚRU OD POHYBLIVÉHO ZATÍŽENÍ						$\sigma_{z,P}$	0.0	[MPa]					$\Sigma\sigma_z$	0.0													
NAPĚTÍ V PŘÍČNÉM SMĚRU OD OSTATNÍCH ZATÍŽENÍ						$\sigma_{z,rs}$	0.0	[MPa]					η_2	0.00													
SROVNÁVACÍ NAPĚTÍ													$(\eta 2 + 0{,}8\ \eta 1)/1{,}4$ =	0.09													
VYUŽITÍ PRŮŘEZU CELKEM								[%]					eff	0.16	VYHOVUJE												
													Z_{LM71} =	>10													

VÝPOČET PRŮŘEZOVÝCH CHARAKTERISTIK

PRŮŘEZ: V3_2 **POPIS:** SVISLICE V3 - MIN MY

x = - **m**

DEFINOVÁNÍ PRŮŘEZU

ŠÍŘKA PÁSNICE ÚHELNÍKU	b f.t.l.o =	130	mm	**ÚHELNÍK HORNÍ VNĚJŠÍ LEVÝ**		**C.T.O.L**	
TLOUŠŤKA PÁSNICE ÚHELNÍKU	t f.t.l.o =	11	mm	OSLABENÍ PÁSNICE - TLOUŠŤKA	Δt f.t.l.o =	0	%
VÝŠKA STĚNY ÚHELNÍKU	h w.t.l.o =	79	mm				
TLOUŠŤKA STĚNY ÚHELNÍKU	t w.t.l.o =	11	mm	OSLABENÍ STĚNY - TLOUŠŤKA	Δt w.t.l.o =	10	%
ŠÍŘKA PÁSNICE ÚHELNÍKU	b f.t.r.o =	130	mm	**ÚHELNÍK HORNÍ VNĚJŠÍ PRAVÝ**		**C.T.O.R**	
TLOUŠŤKA PÁSNICE ÚHELNÍKU	t f.t.r.o =	11	mm	OSLABENÍ PÁSNICE - TLOUŠŤKA	Δt f.t.r.o =	0	%
VÝŠKA STĚNY ÚHELNÍKU	h w.t.r.o =	79	mm				
TLOUŠŤKA STĚNY ÚHELNÍKU	t w.t.r.o =	11	mm	OSLABENÍ STĚNY - TLOUŠŤKA	Δt w.t.r.0 =	10	%
ŠÍŘKA PÁSNICE ÚHELNÍKU	b f.t.l.i =	130	mm	**ÚHELNÍK HORNÍ VNITŘNÍ LEVÝ**		**C.T.I.L**	
TLOUŠŤKA PÁSNICE ÚHELNÍKU	t f.t.l.i =	11	mm	OSLABENÍ PÁSNICE - TLOUŠŤKA	Δt f.b.l.o =	0	%
VÝŠKA STĚNY ÚHELNÍKU	h w.t.l.i =	79	mm				
TLOUŠŤKA STĚNY ÚHELNÍKU	t w.t.l.i =	11	mm	OSLABENÍ STĚNY - TLOUŠŤKA	Δt w.b.l.o =	10	%
ŠÍŘKA PÁSNICE ÚHELNÍKU	b f.t.r.i =	130	mm	**ÚHELNÍK HORNÍ VNITŘNÍ PRAVÝ**		**C.T.I.R**	
TLOUŠŤKA PÁSNICE ÚHELNÍKU	t f.t.r.i =	11	mm	OSLABENÍ PÁSNICE - TLOUŠŤKA	Δt f.b.r.o =	0	%
VÝŠKA STĚNY ÚHELNÍKU	h w.t.r.i =	79	mm				
TLOUŠŤKA STĚNY ÚHELNÍKU	t w.t.r.i =	11	mm	OSLABENÍ STĚNY - TLOUŠŤKA	Δt w.b.r.o =	10	%
ŠÍŘKA PÁSNICE ÚHELNÍKU	b f.b.l.o =	130	mm	**ÚHELNÍK DOLNÍ VNĚJŠÍ LEVÝ**		**C.B.O.L**	
TLOUŠŤKA PÁSNICE ÚHELNÍKU	t f.b.l.o =	11	mm	OSLABENÍ PÁSNICE - TLOUŠŤKA	Δt f.t.l.i =	0	%
VÝŠKA STĚNY ÚHELNÍKU	h w.b.l.o =	79	mm				
TLOUŠŤKA STĚNY ÚHELNÍKU	t w.b.l.o =	11	mm	OSLABENÍ STĚNY - TLOUŠŤKA	Δt w.t.l.i =	10	%
ŠÍŘKA PÁSNICE ÚHELNÍKU	b f.b.r.o =	130	mm	**ÚHELNÍK DOLNÍ VNĚJŠÍ PRAVÝ**		**C.B.O.R**	
TLOUŠŤKA PÁSNICE ÚHELNÍKU	t f.b.r.o =	11	mm	OSLABENÍ PÁSNICE - TLOUŠŤKA	Δt f.t.r.i =	0	%
VÝŠKA STĚNY ÚHELNÍKU	h w.b.r.o =	79	mm				
TLOUŠŤKA STĚNY ÚHELNÍKU	t w.b.r.o =	11	mm	OSLABENÍ STĚNY - TLOUŠŤKA	Δt w.t.r.i =	10	%
PÁSNICE DOLNÍHO LEVÉHO ÚHELNÍKU	b f.b.l.i =	130	mm	**ÚHELNÍK DOLNÍ VNITŘNÍ LEVÝ**		**C.B.I.L**	
TLOUŠŤKA PÁSNICE ÚHELNÍKU	t f.b.l.i =	11	mm	OSLABENÍ PÁSNICE - TLOUŠŤKA	Δt f.b.l.i =	0	%
VÝŠKA STĚNY ÚHELNÍKU	h w.b.l.i =	79	mm				
TLOUŠŤKA STĚNY ÚHELNÍKU	t w.b.l.i =	11	mm	OSLABENÍ STĚNY - TLOUŠŤKA	Δt w.b.l.i =	10	%
PÁSNICE DOLNÍHO PRAVÉHO ÚHELNÍKU	b f.b.r.i =	130	mm	**ÚHELNÍK DOLNÍ VNITŘNÍ PRAVÝ**		**C.B.I.R**	
TLOUŠŤKA PÁSNICE ÚHELNÍKU	t f.b.r.i =	11	mm	OSLABENÍ PÁSNICE - TLOUŠŤKA	Δt f.b.r.i =	0	%
VÝŠKA STĚNY ÚHELNÍKU	h w.b.r.i =	79	mm				
TLOUŠŤKA STĚNY ÚHELNÍKU	t w.b.r.i =	11	mm	OSLABENÍ STĚNY - TLOUŠŤKA	Δt w.b.r.i =	10	%

DOLNÍ

ŠÍŘKA HORNÍ VLOŽKY - VNĚJŠÍ	b f.t =	0	mm			**HOR.T.O**	
TLOUŠŤKA VLOŽKY	t f.t =	0	mm	OSLABENÍ VLOŽKY	Δt f.t =	0	%
ŠÍŘKA HORNÍ VLOŽKY - VNITŘNÍ	b f.t =	0	mm			**HOR.T.I**	
TLOUŠŤKA VLOŽKY	t f.t =	0	mm	OSLABENÍ VLOŽKY	Δt f.t =	0	%
ŠÍŘKA DOLNÍ VLOŽKY - VNĚJŠÍ	b f.t =	0	mm			**HOR.B.O**	
TLOUŠŤKA VLOŽKY	t f.t =	0	mm	OSLABENÍ VLOŽKY	Δt f.t =	0	%
ŠÍŘKA DOLNÍ VLOŽKY - VNITŘNÍ	b f.t =	0	mm			**HOR.B.I**	
TLOUŠŤKA VLOŽKY	t f.t =	0	mm	OSLABENÍ VLOŽKY - VNITŘNÍ	Δt f.t =	0	%

VZD. OKRAJŮ PÁSNIC VNITŘNÍCH ÚHELNÍKŮ	392	mm
CELKOVÁ TLOUŠŤKA MEZI PÁSNICEMI ÚHELNÍKŮ *I A .o*	48	mm
CELKOVÁ TLOUŠŤKA MEZI PÁSNICEMI ÚHELNÍKŮ *I A .r*	13	mm

ZADANÍ ČÁSTI PRŮŘEZU:

č.prvku	b [mm]	h [mm]	y_0 [mm]	z_0 [mm]	popis části	druh oslabení	lokální ultimate	boulení servic.
1	130.0	11.0	-71.5	249.5	pásnice	0	1.000	1.000
2	9.9	79.0	-11.5	294.5	stěna	0	1.000	1.000
3	130.0	11.0	71.5	249.5	pásnice	0	1.000	1.000
4	9.9	79.0	11.5	294.5	stěna	0	1.000	1.000
5	130.0	11.0	-71.5	190.5	pásnice	0	1.000	1.000
6	9.9	79.0	-11.5	145.5	stěna	0	1.000	1.000
7	130.0	11.0	71.5	190.5	pásnice	0	1.000	1.000
8	9.9	79.0	11.5	145.5	stěna	0	1.000	1.000
9	130.0	11.0	-71.5	-249.5	pásnice	0	1.000	1.000
10	9.9	79.0	-11.5	-294.5	stěna	0	1.000	1.000
11	130.0	11.0	71.5	-249.5	pásnice	0	1.000	1.000
12	9.9	79.0	11.5	-294.5	stěna	0	1.000	1.000
13	130.0	11.0	-71.5	-190.5	pásnice	0	1.000	1.000
14	9.9	79.0	-11.5	-145.5	stěna	0	1.000	1.000
15	130.0	11.0	71.5	-190.5	pásnice	0	1.000	1.000
16	9.9	79.0	11.5	-145.5	stěna	0	1.000	1.000
17						0	1.000	1.000
18						0	1.000	1.000
19						0	1.000	1.000
20						0	1.000	1.000
21						0	1.000	1.000
22						0	1.000	1.000
23						0	1.000	1.000
24						0	1.000	1.000
25						0	1.000	1.000
26						0	1.000	1.000
27						0	1.000	1.000
28						0	1.000	1.000
29						0	1.000	1.000
30						0	1.000	1.000
31						0	1.000	1.000
32						0	1.000	1.000
33						0	1.000	1.000
34						0	1.000	1.000
35						0	1.000	1.000
36						0	1.000	1.000
37						0	1.000	1.000
38						0	1.000	1.000
39						0	1.000	1.000
40						0	1.000	1.000
41	0.0	0.0	0.0	244.0	pásnice	0	1.000	1.000
42	0.0	0.0	0.0	196.0	pásnice	0	1.000	1.000
43	0.0	0.0	0.0	-244.0	pásnice	0	1.000	1.000
44	0.0	0.0	0.0	-196.0	pásnice	0	1.000	1.000
45						0	1.000	1.000
46						0	1.000	1.000
47						0	1.000	1.000
48						0	1.000	1.000
49						0	1.000	1.000
50						0	1.000	1.000
51						0	1.000	1.000
52						0	1.000	1.000
53						0	1.000	1.000
54						0	1.000	1.000
55						0	1.000	1.000
56						0	1.000	1.000
57						0	1.000	1.000
58						0	1.000	1.000
59						0	1.000	1.000
60						0	1.000	1.000
61						0	1.000	1.000
62						0	1.000	1.000
63						0	1.000	1.000
64						0	1.000	1.000
65						0	1.000	1.000
66						0	1.000	1.000
67						0	1.000	1.000
68						0	1.000	1.000
69						0	1.000	1.000
70						0	1.000	1.000
71	9.9	-20.0	-11.5	294.0	nýt	0	1.000	1.000
72	9.9	-20.0	11.5	294.0	nýt	0	1.000	1.000
73	9.9	-20.0	-11.5	146.0	nýt	0	1.000	1.000
74	9.9	-20.0	11.5	146.0	nýt	0	1.000	1.000
75	0	0	-11.5	-294.0	nýt	0	1.000	1.000
76	0	0	11.5	-294.0	nýt	0	1.000	1.000
77	0	0	-11.5	-146.0	nýt	0	1.000	1.000
78	0	0	11.5	-146.0	nýt	0	1.000	1.000
79						0	1.000	1.000
80						0	1.000	1.000
81	0	0	0	0	nýt	0	1.000	1.000
82	0	0	0	0	nýt	0	1.000	1.000
83	0	0	0	0	nýt	0	1.000	1.000
84	0	0	0	0	nýt	0	1.000	1.000
85	0	0	0	0	nýt	0	1.000	1.000
86	0	0	0	0	nýt	0	1.000	1.000
87	0	0	0	0	nýt	0	1.000	1.000
88	0	0	0	0	nýt	0	1.000	1.000
89						0	1.000	1.000
90						0	1.000	1.000
91	0	0	0	0	nýt	0	1.000	1.000
92	0	0	0	0	nýt	0	1.000	1.000
93	0	0	0	0	nýt	0	1.000	1.000
94	0	0	0	0	nýt	0	1.000	1.000
95	0	0	0	0	nýt	0	1.000	1.000
96	0	0	0	0	nýt	0	1.000	1.000
97	0	0	0	0	nýt	0	1.000	1.000
98	0	0	0	0	nýt	0	1.000	1.000
99						0	1.000	1.000
100						0	1.000	1.000

NÝT Č.	SKUPINA	ŘEZ	RED.	VELIKOST di [mm]	POLOHA oi [mm]	POPIS	AKTIVITA OTVORU	NAPĚTÍ sc [MPa]
1		-	1.00	20	40	nýt - t.o - úhelník	1	48.76
2		-	1.00	20	40	nýt - t.o - úhelník	1	47.26
3		-	1.00	20	40	nýt - t.i - úhelník	1	19.67
4		-	1.00	20	40	nýt - t.i - úhelník	1	18.17
5		-	1.00	20	40	nýt - b.o - úhelník	0	-66.81
6		-	1.00	20	40	nýt - b.o - úhelník	0	-68.30
7		-	1.00	20	40	nýt - b.i - úhelník	0	-37.72
8		-	1.00	20	40	nýt - b.i - úhelník	0	-39.22
9								
10								
11		-	1.00	0	35	nýt - t.l - úhelník	0	-
12		-	1.00	0	35	nýt - t.l - úhelník	0	-
13		-	1.00	0	35	nýt - t.r - úhelník	0	-
14		-	1.00	0	35	nýt - t.r - úhelník	0	-
15		-	1.00	0	35	nýt - b.l - úhelník	0	-
16		-	1.00	0	35	nýt - b.l - úhelník	0	-
17		-	1.00	0	35	nýt - b.r - úhelník	0	-
18		-	1.00	0	35	nýt - b.r - úhelník	0	-
19								
20								
21		-	1.00	0	-132	nýt - t.l	0	-
22		-	1.00	0	-132	nýt - t.l	0	-
23		-	1.00	0	132	nýt - t.r	0	-
24		-	1.00	0	132	nýt - t.r	0	-
25		-	1.00	0	-132	nýt - b.l	0	-
26		-	1.00	0	-132	nýt - b.l	0	-
27		-	1.00	0	132	nýt - b.r	0	-
28		-	1.00	0	132	nýt - b.r	0	-
29								
30								

VÝPOČET PRŮŘEZOVÝCH CHARAKTERISTIK

Properties	Basic	Ultimate		Serviceability	
y_i	0.0	0.0		0.0	[mm]
z_i	-10.3	-10.3		-10.3	[mm]
A_i	1.6905E-04	1.6905E-04		1.6905E-04	[mm²]
A_t	1.1440E-04	1.1440E-04		1.1440E-04	[mm²]
A_s	6.2568E-03	6.2568E-03		6.2568E-03	[mm²]
I_{y1}	8.6008E+08	8.6008E+08		8.6008E+08	[mm⁴]
I_w	7.5357E+07	7.5357E+07		7.5357E+07	[mm⁶]
i_y	225.6	225.6		225.6	[mm]
i_z	66.8	66.8		66.8	[mm]
$W_{y,1}$	2.4980E+06	2.4980E+06		2.4980E+06	[mm³]
$W_{z,1}$	-5.5206E+05	-5.5206E+05		-5.5206E+05	[mm³]
$W_{y,2}$	-2.6571E+06	-2.6571E+06		-2.6571E+06	[mm³]
$W_{z,2}$	-5.5206E+05	-5.5206E+05		-5.5206E+05	[mm³]
KRAJNÍ VLÁKNA PRŮŘEZU					
y_1	-136.5	-136.5		-136.5	[mm] min
z_1	334.0	334.0		334.0	[mm] max
y_2	-136.5	-136.5		-136.5	[mm] min
z_2	-334.0	-334.0		-334.0	[mm] min
y_3	136.5	136.5		136.5	[mm] max
z_3	334.0	334.0		334.0	[mm] max
y_4	136.5	136.5		136.5	[mm] max
z_4	-334.0	-334.0		-334.0	[mm] min
y_5	-16.4	-16.4		-16.4	[mm]
z_5	-255.0	-255.0		-255.0	[mm]
y_6	-16.4	-16.4		-16.4	[mm]
z_6	-334.0	-334.0		-334.0	[mm]

ÚPRAVA MOMENTŮ SETRVAČNOSTI V DŮSLEDKU ČLENĚNÍ PRŮŘEZU

OSA Y 1.00 V BLÍZKOSTI STYČNÍKOVÉHO PLECHU PŘÍČNÍKU PEVNÉ -> JAKO NEČLENĚNÝ
OSA Z 1.00

SCHÉMA PROMĚNNÝCH

SCHÉMA ZADANÉHO PRŮŘEZU

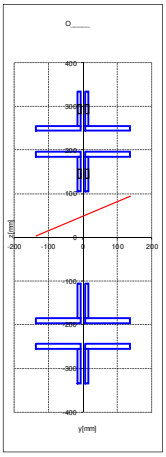

NEUTRÁLNÁ OSA

NAPĚTÍ [MPa]:

64.80	46.94
-66.49	-84.35

ZS: SLS_LM_MY MIN

	N [kN]	Vy [kN]	Vz [kN]	Mx [kNm]	My [kNm]	Mz [kNm]
import	-199	4	-42	0	-169	5

TR_V3.2 POPIS: **SVISLICE V3** POSUDEK: **V3.2**

SKUPINA ZAT. STAVŮ	EXTRÉM	VYHODNOCOVANÉ VELIČINY					
		N	Vy	Vz	Mx	My	Mz
		kN	kN	kN	kNm	kNm	kNm
G0	N.min	**-245.06**	1.18	-1.35	-0.01	-5.16	1.94
	N.max	**-245.06**	1.18	-1.35	-0.01	-5.16	1.94
	Vy.min	-245.06	**1.18**	-1.35	-0.01	-5.16	1.94
	Vy.max	-245.06	**1.18**	-1.35	-0.01	-5.16	1.94
	Vz.min	-245.06	1.18	**-1.35**	-0.01	-5.16	1.94
	Vz.max	-245.06	1.18	**-1.35**	-0.01	-5.16	1.94
	Mx.min	-245.06	1.18	-1.35	**-0.01**	-5.16	1.94
	Mx.max	-245.06	1.18	-1.35	**-0.01**	-5.16	1.94
	My.min	-245.06	1.18	-1.35	-0.01	**-5.16**	1.94
	My.max	-245.06	1.18	-1.35	-0.01	**-5.16**	1.94
	Mz.min	-245.06	1.18	-1.35	-0.01	-5.16	**1.94**
	Mz.max	-245.06	1.18	-1.35	-0.01	-5.16	**1.94**
G1	N.min	**-14.19**	0.09	-0.22	0	-1.05	0.15
	N.max	**-14.19**	0.09	-0.22	0	-1.05	0.15
	Vy.min	-14.19	**0.09**	-0.22	0	-1.05	0.15
	Vy.max	-14.19	**0.09**	-0.22	0	-1.05	0.15
	Vz.min	-14.19	0.09	**-0.22**	0	-1.05	0.15
	Vz.max	-14.19	0.09	**-0.22**	0	-1.05	0.15
	Mx.min	-14.19	0.09	-0.22	**0**	-1.05	0.15
	Mx.max	-14.19	0.09	-0.22	**0**	-1.05	0.15
	My.min	-14.19	0.09	-0.22	0	**-1.05**	0.15
	My.max	-14.19	0.09	-0.22	0	**-1.05**	0.15
	Mz.min	-14.19	0.09	-0.22	0	-1.05	**0.15**
	Mz.max	-14.19	0.09	-0.22	0	-1.05	**0.15**
G2	N.min	**-7.72**	0.05	0.23	0	1.04	0.09
	N.max	**-7.72**	0.05	0.23	0	1.04	0.09
	Vy.min	-7.72	**0.05**	0.23	0	1.04	0.09
	Vy.max	-7.72	**0.05**	0.23	0	1.04	0.09
	Vz.min	-7.72	0.05	**0.23**	0	1.04	0.09
	Vz.max	-7.72	0.05	**0.23**	0	1.04	0.09
	Mx.min	-7.72	0.05	0.23	**0**	1.04	0.09
	Mx.max	-7.72	0.05	0.23	**0**	1.04	0.09
	My.min	-7.72	0.05	0.23	0	**1.04**	0.09
	My.max	-7.72	0.05	0.23	0	**1.04**	0.09
	Mz.min	-7.72	0.05	0.23	0	1.04	**0.09**
	Mz.max	-7.72	0.05	0.23	0	1.04	**0.09**
P1_71	N.min	**-177.51**	0.68	-1.95	-0.01	-11.89	1.31
	N.max	**78.84**	0.22	-13.28	0	-53.6	0.12
	Vy.min	19.34	**-0.26**	-1.86	0	-11.19	-0.21
	Vy.max	-95.07	**1.02**	-13.2	-0.01	-53.85	1.45
	Vz.min	-75.36	0.8	**-15.13**	-0.01	-64.5	1.26
	Vz.max	0	0	**0**	0	0	0
	Mx.min	-136.75	0.63	-7.53	**-0.01**	-35.9	1.31
	Mx.max	30.03	0.05	-3.86	**0**	-15.62	-0.03
	My.min	-75.36	0.8	-15.13	-0.01	**-64.5**	1.26
	My.max	0	0	0	0	**0**	0
	Mz.min	27.38	-0.23	-2.2	0	-11.38	**-0.28**
	Mz.max	-105.86	0.96	-12.56	-0.01	-53.02	**1.53**
P2_71	N.min	**-437.52**	1.53	6.28	-0.01	23.17	2.89
	N.max	**195.04**	0.59	-11.64	0	-47.53	0.33
	Vy.min	33.51	**-0.76**	2.05	0	2.95	-0.55
	Vy.max	-217.91	**2.51**	-7.46	-0.01	-28.22	3.3
	Vz.min	165.43	0.85	**-13.04**	0	-51.56	0.67
	Vz.max	-405.57	1.05	**7.69**	-0.01	25.99	2.49
	Mx.min	-331.98	1.16	2.1	**-0.01**	3.26	2.65
	Mx.max	72.2	0.33	-3.55	**0**	-13.96	0.11
	My.min	166.86	0.82	-13.04	0	**-51.57**	0.61
	My.max	-411.13	1.17	7.58	-0.01	**26.2**	2.54
	Mz.min	59.61	-0.63	0.49	0	-1.68	**-0.72**
	Mz.max	-252.77	2.28	-5.25	-0.01	-21.5	**3.49**
P1_C3	N.min	**-147.26**	0.57	-1.57	-0.01	-9.67	1.1
	N.max	**58.6**	0.15	-9.54	0	-38.47	0.05
	Vy.min	14.59	**-0.23**	-1.31	0	-8.4	-0.17
	Vy.max	-94.36	**0.88**	-10.33	-0.01	-42.36	1.28
	Vz.min	-81.71	0.71	**-11.35**	-0.01	-48.66	1.12
	Vz.max	0	0	**0**	0	0	0
	Mx.min	-102.94	0.57	-8.45	**-0.01**	-38.16	1.12
	Mx.max	30.1	0.07	-4.09	**0**	-16.43	-0.02
	My.min	-80.3	0.71	-11.35	-0.01	**-48.7**	1.12
	My.max	0	0	0	0	**0**	0
	Mz.min	18.1	-0.19	-1.19	0	-6.81	**-0.22**
	Mz.max	-98.24	0.84	-10.51	-0.01	-44.16	**1.33**
P2_C3	N.min	**-364.51**	1.18	5.61	-0.01	20.25	2.45
	N.max	**144.17**	0.41	-8.32	0	-33.94	0.16
	Vy.min	3.88	**-0.7**	2.73	0	5.79	-0.35
	Vy.max	-221.99	**2.16**	-5.16	-0.01	-19.32	2.92
	Vz.min	115.47	0.71	**-9.38**	0	-36.36	0.5
	Vz.max	-349.77	0.95	**6.32**	-0.01	21.81	2.2
	Mx.min	-290.75	0.82	3.01	**-0.01**	7.86	2.13
	Mx.max	69.13	0.45	-4.22	**0**	-16.06	0.24
	My.min	125.9	0.42	-9.21	0	**-37.09**	0.24
	My.max	-349.77	0.95	6.32	-0.01	**21.81**	2.2
	Mz.min	37.59	-0.53	0.97	0	0.98	**-0.57**
	Mz.max	-236.59	2.01	-4.02	-0.01	-16.03	**3.02**
BR	N.min	**-15.15**	-0.14	0.24	0.05	0.8	-0.43
	N.max	**15.15**	0.14	-0.24	-0.05	-0.8	0.43
	Vy.min	-7.89	**-0.28**	0.23	0.04	0.82	-0.55
	Vy.max	7.89	**0.28**	-0.23	-0.04	-0.82	0.55
	Vz.min	15.15	0.14	**-0.24**	-0.05	-0.8	0.43
	Vz.max	-15.15	-0.14	**0.24**	0.05	0.8	-0.43
	Mx.min	15.15	0.14	-0.24	**-0.05**	-0.8	0.43
	Mx.max	-15.15	-0.14	0.24	**0.05**	0.8	-0.43
	My.min	7.89	0.28	-0.23	-0.04	**-0.82**	0.55
	My.max	-7.89	-0.28	0.23	0.04	**0.82**	-0.55
	Mz.min	-7.89	-0.28	0.23	0.04	0.82	**-0.55**
	Mz.max	7.89	0.28	-0.23	-0.04	-0.82	**0.55**

TR_V3.2 POPIS: **SVISLICE V3** POSUDEK: **V3.2**

SKUPINA ZAT. STAVŮ	EXTRÉM	VYHODNOCOVANÉ VELIČINY					
		N	Vy	Vz	Mx	My	Mz
		kN	kN	kN	kNm	kNm	kNm
S	N.min	**-2.92**	0.09	-2.32	0	-8.4	0.12
	N.max	**2.92**	-0.09	2.32	0	8.4	-0.12
	Vy.min	1.82	**-0.16**	1.89	0	8.54	-0.21
	Vy.max	-1.82	**0.16**	-1.89	0	-8.54	0.21
	Vz.min	-2.92	0.09	**-2.32**	0	-8.4	0.12
	Vz.max	2.92	-0.09	**2.32**	0	8.4	-0.12
	Mx.min	1.74	0.14	-1.18	**0**	-6.99	0.18
	Mx.max	-1.74	-0.14	1.18	**0**	6.99	-0.18
	My.min	-1.82	0.16	-1.89	0	**-8.54**	0.21
	My.max	1.82	-0.16	1.89	0	**8.54**	-0.21
	Mz.min	1.82	-0.16	1.89	0	8.54	**-0.21**
	Mz.max	-1.82	0.16	-1.89	0	-8.54	**0.21**
CH	N.min	**-24.58**	0.16	0.87	0	3.87	0.27
	N.max	**-5.74**	0.07	0.65	0	2.95	0.13
	Vy.min	-15.18	**0.06**	-0.38	0	-1.82	0.12
	Vy.max	-24.58	**0.16**	0.87	0	3.87	0.27
	Vz.min	-15.18	0.06	**-0.38**	0	-1.82	0.12
	Vz.max	-24.58	0.16	**0.87**	0	3.87	0.27
	Mx.min	-24.58	0.16	0.87	**0**	3.87	0.27
	Mx.max	-15.18	0.06	-0.38	**0**	-1.82	0.12
	My.min	-15.18	0.06	-0.38	0	**-1.82**	0.12
	My.max	-24.58	0.16	0.87	0	**3.87**	0.27
	Mz.min	-15.18	0.06	-0.38	0	-1.82	**0.12**
	Mz.max	-24.58	0.16	0.87	0	3.87	**0.27**
W	N.min	**-24.31**	-0.08	-7.82	0.01	-19.84	-0.07
	N.max	**24.31**	0.08	7.82	-0.01	19.83	0.07
	Vy.min	-24.31	**-0.08**	-7.82	0.01	-19.84	-0.07
	Vy.max	24.31	**0.08**	7.82	-0.01	19.83	0.07
	Vz.min	-24.31	-0.08	**-7.82**	0.01	-19.84	-0.07
	Vz.max	24.31	0.08	**7.82**	-0.01	19.83	0.07
	Mx.min	24.31	0.08	7.82	**-0.01**	19.83	0.07
	Mx.max	-24.31	-0.08	-7.82	**0.01**	-19.84	-0.07
	My.min	-24.31	-0.08	-7.82	0.01	**-19.84**	-0.07
	My.max	24.31	0.08	7.82	-0.01	**19.83**	0.07
	Mz.min	-24.31	-0.08	-7.82	0.01	-19.84	**-0.07**
	Mz.max	24.31	0.08	7.82	-0.01	19.83	**0.07**
WP	N.min	**-18.7**	-0.25	4.3	0.01	20.92	-0.28
	N.max	**18.72**	0.25	-4.3	-0.01	-20.93	0.28
	Vy.min	-18.7	**-0.25**	4.3	0.01	20.92	-0.28
	Vy.max	18.72	**0.25**	-4.3	-0.01	-20.93	0.28
	Vz.min	18.72	0.25	**-4.3**	-0.01	-20.93	0.28
	Vz.max	-18.7	-0.25	**4.3**	0.01	20.92	-0.28
	Mx.min	18.72	0.25	-4.3	**-0.01**	-20.93	0.28
	Mx.max	-18.7	-0.25	4.3	**0.01**	20.92	-0.28
	My.min	18.72	0.25	-4.3	-0.01	**-20.93**	0.28
	My.max	-18.7	-0.25	4.3	0.01	**20.92**	-0.28
	Mz.min	-18.7	-0.25	4.3	0.01	20.92	**-0.28**
	Mz.max	18.72	0.25	-4.3	-0.01	-20.93	**0.28**
TR	N.min	**0**	0	0	0	0	0
	N.max	**0**	0	0	0	0	0
	Vy.min	0	**0**	0	0	0	0
	Vy.max	0	**0**	0	0	0	0
	Vz.min	0	0	**0**	0	0	0
	Vz.max	0	0	**0**	0	0	0
	Mx.min	0	0	0	**0**	0	0
	Mx.max	0	0	0	**0**	0	0
	My.min	0	0	0	0	**0**	0
	My.max	0	0	0	0	**0**	0
	Mz.min	0	0	0	0	0	**0**
	Mz.max	0	0	0	0	0	**0**
TN	N.min	**-3.67**	0.85	-6.36	0	-27.01	0.75
	N.max	**1.98**	0	4.05	0	19.03	-0.02
	Vy.min	1.83	**-0.83**	0.74	0	3.07	-0.72
	Vy.max	-3.67	**0.85**	-6.36	0	-27.01	0.75
	Vz.min	-3.67	0.85	**-6.36**	0	-27.01	0.75
	Vz.max	1.98	0	**4.05**	0	19.03	-0.02
	Mx.min	1.98	0	4.05	**0**	19.03	-0.02
	Mx.max	-3.67	0.85	-6.36	**0**	-27.01	0.75
	My.min	-3.67	0.85	-6.36	0	**-27.01**	0.75
	My.max	1.98	0	4.05	0	**19.03**	-0.02
	Mz.min	1.83	-0.83	0.74	0	3.07	**-0.72**
	Mz.max	-3.67	0.85	-6.36	0	-27.01	**0.75**
FR	N.min	**-1.01**	0.07	0.01	0	0	0.08
	N.max	**1.01**	-0.07	-0.01	0	0	-0.08
	Vy.min	1.01	**-0.07**	-0.01	0	0	-0.08
	Vy.max	-1.01	**0.07**	0.01	0	0	0.08
	Vz.min	1.01	-0.07	**-0.01**	0	0	-0.08
	Vz.max	-1.01	0.07	**0.01**	0	0	0.08
	Mx.min	1.01	-0.07	-0.01	**0**	0	-0.08
	Mx.max	-1.01	0.07	0.01	**0**	0	0.08
	My.min	-1.01	0.07	0.01	0	**0**	0.08
	My.max	1.01	-0.07	-0.01	0	**0**	-0.08
	Mz.min	1.01	-0.07	-0.01	0	0	**-0.08**
	Mz.max	-1.01	0.07	0.01	0	0	**0.08**
I	N.min	**-5.74**	0.02	-1.47	0	-6.46	**0.03**
	N.max	**5.74**	-0.02	1.47	0	6.46	**-0.03**
	Vy.min	5.74	**-0.02**	1.47	0	6.46	**-0.03**
	Vy.max	-5.74	**0.02**	-1.47	0	-6.46	**0.03**
	Vz.min	-5.74	0.02	**-1.47**	0	-6.46	**0.03**
	Vz.max	5.74	-0.02	**1.47**	0	6.46	**-0.03**
	Mx.min	5.74	-0.02	1.47	**0**	6.46	**-0.03**
	Mx.max	-5.74	0.02	-1.47	**0**	-6.46	**0.03**
	My.min	-5.74	0.02	-1.47	0	**-6.46**	**0.03**
	My.max	5.74	-0.02	1.47	0	**6.46**	**-0.03**
	Mz.min	5.74	-0.02	1.47	0	6.46	**-0.03**
	Mz.max	-5.74	0.02	-1.47	0	-6.46	**0.03**

TAB. V3.2.3 POSOUZENÍ - MEZNÍ STAV ÚNOSNOSTI

POPIS	SVISLICE V3
PRUT / POLOHA BODU	427 / I[358]
NAMÁHÁNÍ	My.min
VLÁKNO	BOD K2 -HP
MEZNÍ STAV	ULS (MSÚ)
VYUŽITÍ VLÁKNA PRŮŘEZU	0.48

Charakteristiky materiálu				
pás. horní	$f_{yf,k}$	230	MPa	
pás. dolní	$f_{yf,k}$	230	MPa	
stojina	$f_{yw,k}$	230	MPa	
výztuž	$f_{ys,k}$	500	MPa	
	γ_M =	1.20	γ_s =	1.15

Excentricita normálové síly				
Exc./Fáze	0	1	2	3
e_y	0.000	0.000	0.000	0.000
e_z	0.000	0.000	0.000	0.000
Ekvivalentní vzdál. stěn - příčný roznos				
b_{ekv}	0.000	0.000	0.000	0.000

Vliv stěny na únosnost průřezu				
Char./Fáze	0	1	2	3
A	0.00	0.00	0.00	0.00
Wy	0.00	0.00	0.00	0.00
Wz	0.00	0.00	0.00	0.00

Charakter. v kroucení			
$t_{w,y}$	0.000	[mm]	
$t_{w,z}$	0.000	[mm]	
κ	1.00		
I_t=	0.00E+00	[mm^4]	
$\Omega=2*A_{pr}$	0.00E+00	[mm^2]	

Součinitele vzpěru a vlivu II.řádu					
Char./Fáze	0	1	2	3	4
k_y	1.000	1.000	1.000	1.000	
k_z	1.030	1.000	1.000	1.000	
χ_{LT}	1.000	1.000	1.000	1.000	
χ_{min}	0.827	1.000	1.000	1.000	

Vnitřní síly od jednotlivých skupin zatěžovacích stavů

SKUPINA ZATĚŽOVACÍCH STAVŮ					- CHARAKTERISTICKÉ HODNOTY						DÍLČÍ SOUČINITELÉ ZATÍŽENÍ, DYNAMICKÝ SOUČINITEL							- NÁVRHOVÉ HODNOTY									
Č.	SKUP ZS	POPIS ZS	KAT.	FÁZE PRŮŘ.	N.k (kN)	Vy.k (kN)	Vz.k (kN)	Mx.k (kNm)	My.k (kNm)	Mz.k (kNm)	γ_{sup} (-)	γ_{inf} (-)	volba γ_f hledat	γ_f (-)	L_d (m)	δ (-)	Ψ_0 KZ04	N.d (kN)	Vy.d (kN)	Vz.d (kN)	ΔVz.d (kN)	ΣVz.d (kN)	Mx.d (kNm)	My.d (kNm)	ΔMy.d (kNm)	ΣMy.d (kNm)	Mz.d (kNm)	ΔMz.d (kNm)	ΣMz.d (kNm)
1	G0	Vlastní tíha OK	G	0	-245	1	-1	0	-5	2	1.00	1.20		1.20	-	1.00	0.95	-279	1	-2	0	0	-2	0	-6	0	-6	2	0	2
2	G1	Ostatní stálé - mostní vybavení	G	0	-14	0	0	0	-1	0	1.00	1.00		1.00	-	1.00	0.95	-13	0	0	0	0	0	-1	0	-1	0	0	0
3	G2	Ostatní stálé - cizí zařízení	G	0	-8	0	0	0	1	0	1.00	1.20		1.20	-	1.00	0.95	-9	0	0	0	0	0	1	0	1	0	0	0
4	P1_71	a.LM71 - kolej 1 (bez dyn. souč.)	P	0	-75	1	-15	0	-65	1	1.00	1.30		1.30	-	1.00	1.00	-98	1	-20	0	-20	0	-84	0	-84	2	0	2
5	P2_71	a.LM71 - kolej 2 (bez dyn. souč.)	P	0	167	1	-13	0	-52	1	1.00	1.30		1.30	-	1.00	1.00	217	1	-17	0	-17	0	-67	0	-67	1	0	1
6	P1_C3	TTZ C3 - kolej 1 (bez dyn. souč.)	P	0	-80	1	-11	0	-49	1	1.00	vyp.		0.00	-	1.00	0.00	0	0	0	0	0	0	0	0	0	0	0	0
7	P2_C3	TTZ C3 - kolej 2 (bez dyn. souč.)	P	0	126	0	-9	0	-37	0	1.00	vyp.		0.00	-	1.00	0.00	0	0	0	0	0	0	0	0	0	0	0	0
8	BR	Brzdné a rozjezdové síly	P	0	8	0	0	0	-1	1	1.00	1.30		1.30	-	1.00	0.40	4	0	0	0	0	0	0	0	0	0	0	0
9	S	Boční ráz	P	0	-2	0	-2	0	-9	0	1.00	1.30		1.30	-	1.00	0.80	-2	0	-2	0	-2	0	-9	0	-9	0	0	0
10	CH	Chodci na lávkách	Q	0	-15	0	0	0	-2	0	1.00	1.30		1.30	-	1.00	1.00	-20	0	0	0	0	0	-2	0	-2	0	0	0
11	W	Vítr na konstrukci	Q	0	-24	0	-8	0	-20	0	1.00	1.35		1.35	-	1.00	0.75	-25	0	-8	0	-8	0	-20	0	-20	0	0	0
12	WP	Vítr na vozidla	Q	0	19	0	-4	0	-21	0	1.00	1.35		1.35	-	1.00	0.75	19	0	-4	0	-4	0	-21	0	-21	0	0	0
13	TR	Teplota rovnoměrná	Q	0	0	0	0	0	0	0	1.00	1.35		1.35	-	1.00	0.45	0	0	0	0	0	0	0	0	0	0	0	0
14	TN	Teplota nerovnoměrná	Q	0	-4	1	-6	0	-27	1	1.00	1.35		1.35	-	1.00	0.60	-3	1	-5	0	-5	0	-22	0	-22	1	0	1
15	FR	Třecí síly v ložiskách	Q	0	-1	0	0	0	0	0	1.00	1.20		1.20	-	1.00	1.00	-1	0	0	0	0	0	0	0	0	0	0	0
16	I	Imperfekce soustavy	Q	0	-6	0	-1	0	-6	0	1.00	1.20		1.20	-	1.00	1.00	-7	0	-2	0	-2	0	-8	0	-8	0	0	0
27	ULS_LM	ULS - LM71 bez dynam	Q	0	-219	5	-60	0	-242	7	1.00	vyp.		0.00	-	1.00	0.00	0	0	0	0	0	0	0	0	0	0	0	0
28	SLS_LM	SLS - LM71 bez dynam	Q	0	-199	4	-42	0	-169	5	1.00	vyp.	1	0.00	-	1.00	0.00	0	0	0	0	0	0	0	0	0	0	0	0
29	ULS_C3	ULS - C3 bez dynam	Q	0	-279	4	-51	0	-202	6	1.00	vyp.	1	0.00	-	1.00	0.00	0	0	0	0	0	0	0	0	0	0	0	0
30	SLS_C3	SLS - C3 bez dynam	Q	0	0	0	0	0	0	0	1.00	vyp.	1	0.00	-	1.00	0.00	0	0	0	0	0	0	0	0	0	0	0	0
		CELKEM - FÁZE PRŮŘEZU 0			-217	5	-60	0	-239	7								-217	5	-60	0	-60	0	-239	0	-239	7	0	7
		CELKEM - FÁZE PRŮŘEZU 1			0	0	0	0	0	0								0	0	0	0	0	0	0	0	0	0	0	0
		CELKEM - FÁZE PRŮŘEZU 2			0	0	0	0	0	0								0	0	0	0	0	0	0	0	0	0	0	0
		CELKEM - FÁZE PRŮŘEZU 3			0	0	0	0	0	0								0	0	0	0	0	0	0	0	0	0	0	0
		CELKEM - PRŮŘEZ			-217	5	-60	0	-239	7								-217	5	-60	0	-60	0			-239			7

Napětí od jednotlivých zatěžovacích stavů

SKUPINA ZATĚŽOVACÍCH STAVŮ					Posouzení normálového napětí									Posouzení smykového napětí														
					Účinek síly N			Účinek momentu My				Účinek momentu Mz				Účinek kroutícího momentu Mx				Účinek smykové síly Vy				Účinek smykové síly Vz			
Č.	SKUP ZS	Popis ZS	Kat.	fáze prúř.	δ^*N_d [kN]	χ^*A [mm^2]	σ_n [MPa]	$\delta^*M_{y,d}$ [kNm]	$\chi_{lt}*W_{el,y}$ [mm^3]	σ_{my} [MPa]	$\delta^*M_{z,d}$ [kNm]	$W_{el,z}$ [mm^3]	σ_{mz} [MPa]	σ_x [MPa]	$\kappa_t*\delta^*M_{x,d}$ [kNm]	$W_{v,y}$ [mm^2]	$\tau_{x,y}$ [MPa]	$W_{v,z}$ [mm^2]	$\tau_{x,z}$ [MPa]	$\delta^*V_{y,d}$ [kN]	$A_{v,y}$ [mm2]	$\tau_{v,y}$ [MPa]	$\tau_{v,y}$ [MPa]	$\delta^*V_{z,d}$ [kN]	$A_{v,z}$ [mm2]	$\tau_{v,z}$ [MPa]	$\tau_{v,z}$ [MPa]
1	G0	Vlastní tíha OK	G	0	-279.4	1.40E+04	-20.0	-5.9	-2.50E+06	2.4	2.3	5.52E+05	4.1	-13.5	-1.1E-02	-	-	-	-	1.3	1.14E+04	0.1	0.1	-1.5	6.26E+03	-0.2	-0.2
2	G1	Ostatní stálé - mostní vybavení	G	0	-13.5	1.40E+04	-1.0	-1.0	-2.50E+06	0.4	0.1	5.52E+05	0.3	-0.3	0.0E+00	-	-	-	-	0.1	1.14E+04	0.0	0.0	-0.2	6.26E+03	0.0	0.0
3	G2	Ostatní stálé - cizí zařízení	G	0	-8.8	1.40E+04	-0.6	1.2	-2.50E+06	-0.5	0.1	5.52E+05	0.2	-0.9	0.0E+00	-	-	-	-	0.1	1.14E+04	0.0	0.0	0.3	6.26E+03	0.0	0.0
4	P1_71	a.LM71 - kolej 1 (bez dyn. souč.)	P	0	-98.0	1.40E+04	-7.0	-83.9	-2.50E+06	33.6	1.7	5.52E+05	3.1	29.6	-1.3E-02	-	-	-	-	1.0	1.14E+04	0.1	0.1	-19.7	6.26E+03	-3.1	-3.1
5	P2_71	a.LM71 - kolej 2 (bez dyn. souč.)	P	0	216.9	1.40E+04	15.5	-67.0	-2.50E+06	26.8	0.8	5.52E+05	1.5	43.8	0.0E+00	-	-	-	-	1.1	1.14E+04	0.1	0.1	-17.0	6.26E+03	-2.7	-2.7
6	P1_C3	TTZ C3 - kolej 1 (bez dyn. souč.)	P	0	0.0	1.40E+04	0.0	0.0	-2.50E+06	0.0	0.0	5.52E+05	0.0	0.0	0.0E+00	-	-	-	-	0.0	1.14E+04	0.0	0.0	0.0	6.26E+03	0.0	0.0
7	P2_C3	TTZ C3 - kolej 2 (bez dyn. souč.)	P	0	0.0	1.40E+04	0.0	0.0	-2.50E+06	0.0	0.0	5.52E+05	0.0	0.0	0.0E+00	-	-	-	-	0.0	1.14E+04	0.0	0.0	0.0	6.26E+03	0.0	0.0
8	BR	Brzdné a rozjezdové síly	P	0	4.1	1.40E+04	0.3	-0.4	-2.50E+06	0.2	0.3	5.52E+05	0.5	1.0	-2.1E-02	-	-	-	-	0.1	1.14E+04	0.0	0.0	-0.1	6.26E+03	0.0	0.0
9	S	Boční ráz	P	0	-1.9	1.40E+04	-0.1	-8.9	-2.50E+06	3.6	0.2	5.52E+05	0.4	3.8	0.0E+00	-	-	-	-	0.2	1.14E+04	0.0	0.0	-2.0	6.26E+03	-0.3	-0.3
10	CH	Chodci na lávkách	Q	0	-19.7	1.40E+04	-1.4	-2.4	-2.50E+06	0.9	0.2	5.52E+05	0.3	-0.2	0.0E+00	-	-	-	-	0.1	1.14E+04	0.0	0.0	-0.5	6.26E+03	-0.1	-0.1
11	W	Vítr na konstrukci	Q	0	-24.6	1.40E+04	-1.8	-20.1	-2.50E+06	8.0	-0.1	5.52E+05	-0.1	6.1	1.0E-02	-	-	-	-	-0.1	1.14E+04	0.0	0.0	-7.9	6.26E+03	-1.3	-1.3
12	WP	Vítr na vozidla	Q	0	19.0	1.40E+04	1.4	-21.2	-2.50E+06	8.5	0.3	5.52E+05	0.5	10.4	-1.0E-02	-	-	-	-	0.3	1.14E+04	0.0	0.0	-4.4	6.26E+03	-0.7	-0.7
13	TR	Teplota rovnoměrná	Q	0	0.0	1.40E+04	0.0	0.0	-2.50E+06	0.0	0.0	5.52E+05	0.0	0.0	0.0E+00	-	-	-	-	0.0	1.14E+04	0.0	0.0	0.0	6.26E+03	0.0	0.0
14	TN	Teplota nerovnoměrná	Q	0	-3.0	1.40E+04	-0.2	-21.9	-2.50E+06	8.8	0.6	5.52E+05	1.1	9.7	0.0E+00	-	-	-	-	0.7	1.14E+04	0.1	0.1	-5.2	6.26E+03	-0.8	-0.8
15	FR	Třecí síly v ložiskách	Q	0	-1.2	1.40E+04	-0.1	0.0	-2.50E+06	0.0	0.1	5.52E+05	0.2	0.1	0.0E+00	-	-	-	-	0.1	1.14E+04	0.0	0.0	0.0	6.26E+03	0.0	0.0
16	I	Imperfekce soustavy	Q	0	-6.9	1.40E+04	-0.5	-7.8	-2.50E+06	3.1	0.0	5.52E+05	0.1	2.7	0.0E+00	-	-	-	-	0.0	1.14E+04	0.0	0.0	-1.8	6.26E+03	-0.3	-0.3
27	ULS_LM	ULS - LM71 bez dynam	Q	0	0.0	1.40E+04	0.0	0.0	-2.50E+06	0.0	0.0	5.52E+05	0.0	0.0	0.0E+00	-	-	-	-	0.0	1.14E+04	0.0	0.0	0.0	6.26E+03	0.0	0.0
28	SLS_LM	SLS - LM71 bez dynam	Q	0	0.0	1.40E+04	0.0	0.0	-2.50E+06	0.0	0.0	5.52E+05	0.0	0.0	0.0E+00	-	-	-	-	0.0	1.14E+04	0.0	0.0	0.0	6.26E+03	0.0	0.0
29	ULS_C3	ULS - C3 bez dynam	Q	0	0.0	1.40E+04	0.0	0.0	-2.50E+06	0.0	0.0	5.52E+05	0.0	0.0	0.0E+00	-	-	-	-	0.0	1.14E+04	0.0	0.0	0.0	6.26E+03	0.0	0.0
30	SLS_C3	SLS - C3 bez dynam	Q	0	0.0	1.40E+04	0.0	0.0	-2.50E+06	0.0	0.0	5.52E+05	0.0	0.0	0.0E+00	-	-	-	-	0.0	1.14E+04	0.0	0.0	0.0	6.26E+03	0.0	0.0
NAVÝŠENÍ NAPĚTÍ DO AKTIVACE TLAKU V DESCE MOSTOVKY						$\sigma_{P,red}$	0.0							0.0			0.0		0.0			0.4	0.4			-9.6	-9.6
NAPĚTÍ OD PRIMÁRNÍCH ÚČINKŮ NEROVNOMĚRNÉHO OTEPLENÍ						σ_T	0.0							0.0													
NAPĚTÍ OD REOLOGICKÝCH ÚČINKŮ BETONU V ČASE				t=0		σ_R	0.0	γ_{inf}=	1.20					0.0													
NAPĚTÍ V KRITICKÝCH VLÁKNECH OD KOMBINACE ZATÍŽENÍ						KZ04		[MPa]					$\Sigma\sigma_x$	92.4								$\Sigma\tau_y$	0.4			$\Sigma\tau_z$	-9.6
NAPĚTÍ OD POHYBLIVÉHO ZATÍŽENÍ								[MPa]					$\sigma_{x,P}$	78.3								τ_P	0.2			τ_P	-6.2
NAPĚTÍ OD OSTATNÍCH ZATÍŽENÍ								[MPa]			Φ_{Vy}	Φ_{Vz}	$\sigma_{x,rs}$	14.1								τ_{rs}	0.2			τ_{rs}	-3.4
NÁVRHOVÁ HODNOTA MEZE KLUZU S REDUKCÍ VLIVEM SMYKOVÉHO NAPĚTÍ								[MPa]			1.00	1.00	$f_{yw,d}$	191.7								$f_{yd}/3^{0,5}$	110.7			$f_{yd}/3^{0,5}$	110.7
NAPĚTÍ OD POHYBLIVÉHO ZATÍŽENÍ V GLOBÁLNÍM SYSTÉMU						$\sigma_{GLOB,P}$	0.0	[MPa]					$\Sigma\sigma_{GLOB}$	0.0													
NAPĚTÍ OD OSTATNÍCH ZATÍŽENÍ V GLOBÁLNÍM SYSTÉMU						$\sigma_{GLOB,rs}$	0.0	[MPa]					$\Sigma\sigma_x + \Sigma\sigma_{GLOB}$	92.4													
VYUŽITÍ PRŮŘEZU DLE NAPĚTÍ								[%]					η_1	0.48								η_3	0.00			η_3	0.09
NAPĚTÍ V PŘÍČNÉM SMĚRU OD POHYBLIVÉHO ZATÍŽENÍ						$\sigma_{z,P}$	0.0	[MPa]					$\Sigma\sigma_z$	0.0													
NAPĚTÍ V PŘÍČNÉM SMĚRU OD OSTATNÍCH ZATÍŽENÍ						$\sigma_{z,rs}$	0.0	[MPa]					η_2	0.00													
SROVNÁVACÍ NAPĚTÍ													$(\eta_2 + 0,8\,\eta_1)/1,4$ =	0.28													
VYUŽITÍ PRŮŘEZU CELKEM								[%]					eff	0.48	VYHOVUJE												
													z_{LM71} =	2.27													

TAB. V3.2.3 POSOUZENÍ - MEZNÍ STAV ÚNOSNOSTI

POPIS	SVISLICE V3
PRUT / POLOHA BODU	427 / I[358]
NAMÁHÁNÍ	My.min
VLÁKNO	BOD K3 -SL
MEZNÍ STAV	ULS (MSÚ)
VYUŽITÍ VLÁKNA PRŮŘEZU	0.62

Charakteristiky materiálu				
pás. horní	$f_{yf,k}$	230	MPa	
pás. dolní	$f_{yf,k}$	230	MPa	
stojina	$f_{yw,k}$	230	MPa	
výztuž	$f_{ys,k}$	500	MPa	
γ_M =	1.20	γ_s =	1.15	

Excentricita normálové síly				
Exc./Fáze	0	1	2	3
e_y	0.000	0.000	0.000	0.000
e_z	0.000	0.000	0.000	0.000
Ekvivalentní vzdál. stěn - příčný roznos				
b_{Mx}	0.000	0.000	0.000	0.000

Vliv stěny na únosnost průřezu				
Char./Fáze	0	1	2	3
A	0.00	0.00	0.00	0.00
Wy	0.00	0.00	0.00	0.00
Wz	0.00	0.00	0.00	0.00

Charakter. v kroucení			
$t_{w,y}$	0.000	[mm]	
$t_{w,z}$	0.000	[mm]	
κ	1.00		
I_t=	0.00E+00	[mm^4]	
Ω=2*A_{pr}	0.00E+00	[mm^2]	

Součinitele vzpěru a vlivu II.řádu				
Char./Fáze	0	1	2	3
k_y	1.000	1.000	1.000	1.000
k_z	1.030	1.000	1.000	1.000
χ_{LT}	1.000	1.000	1.000	1.000
χ_{min}	0.827	1.000	1.000	1.000

Vnitřní síly od jednotlivých skupin zatěžovacích stavů

SKUPINA ZATĚŽOVACÍCH STAVŮ					- CHARAKTERISTICKÉ HODNOTY						DÍLČÍ SOUČINITELÉ ZATÍŽENÍ, DYNAMICKÝ SOUČINITEL						4	- NÁVRHOVÉ HODNOTY									
Č.	SKUP ZS	POPIS ZS	KAT.	FÁZE PRŮŘ.	N.k (kN)	Vy.k (kN)	Vz.k (kN)	Mx.k (kNm)	My.k (kNm)	Mz.k (kNm)	γ_{sup} (-)	γ_{inf} (-)	volba γ_i hledat	γ_i (-)	L_d (m)	δ (-)	γ_{Sc} KZ04	N.d (kN)	Vy.d (kN)	Vz.d (kN)	ΔVz.d (kN)	ΣVz.d (kN)	Mx.d (kNm)	My.d (kNm)	ΔMy.d (kNm)	ΣMy.d (kNm)	Mz.d (kNm)	ΔMz.d (kNm)	ΣMz.d (kNm)
1	G0	Vlastní tíha OK	G	0	-245	1	-1	0	-5	2	1.00	1.20		1.20	-	1.00	0.95	-279	1	-2	0	-2	0	-6	0	-6	2	0	2
2	G1	Ostatní stálé - mostní vybavení	G	0	-14	0	0	0	-1	0	1.00	1.20		1.20	-	1.00	0.95	-16	0	0	0	0	0	-1	0	-1	0	0	0
3	G2	Ostatní stálé - cizí zařízení	G	0	-8	0	0	0	1	0	1.00	1.00		1.00	-	1.00	0.95	-7	0	0	0	0	0	1	0	1	0	0	0
4	P1_71	a.LM71 - kolej 1 (bez dyn. souč.)	P	0	-75	1	-15	0	-65	1	1.00	1.30		1.30	-	1.00	1.00	-98	1	-20	0	-20	0	-84	0	-84	2	0	2
5	P2_71	a.LM71 - kolej 2 (bez dyn. souč.)	P	0	167	1	-13	0	-52	1	1.00	1.30		1.30	-	1.00	1.00	217	1	-17	0	-17	0	-67	0	-67	1	0	1
6	P1_C3	TTZ C3 - kolej 1 (bez dyn. souč.)	P	0	-80	1	-11	0	-49	1	1.00	vyp.		0.00	-	1.00	0.00	0	0	0	0	0	0	0	0	0	0	0	0
7	P2_C3	TTZ C3 - kolej 2 (bez dyn. souč.)	P	0	126	0	-9	0	-37	0	1.00	vyp.		0.00	-	1.00	0.00	0	0	0	0	0	0	0	0	0	0	0	0
8	BR	Brzdné a rozjezdové síly	P	0	8	0	0	0	-1	1	1.00	1.30		1.30	-	1.00	0.40	4	0	0	0	0	0	0	0	0	0	0	0
9	S	Boční ráz	P	0	-2	0	-2	0	-9	0	1.00	1.30		1.30	-	1.00	0.80	-2	0	-2	0	-2	0	-9	0	-9	0	0	0
10	CH	Chodci na lávkách	Q	0	-15	0	0	0	-2	0	1.00	1.30		1.30	-	1.00	1.00	-20	0	0	0	0	0	-2	0	-2	0	0	0
11	W	Vítr na konstrukci	Q	0	-24	0	-8	0	-20	0	1.00	1.35		1.35	-	1.00	0.75	-25	0	-8	0	-8	0	-20	0	-20	0	0	0
12	WP	Vítr na vozidla	Q	0	19	0	-4	0	-21	0	1.00	1.35		1.35	-	1.00	0.75	19	0	-4	0	-4	0	-21	0	-21	0	0	0
13	TR	Teplota rovnoměrná	Q	0	0	0	0	0	0	0	1.00	1.35		1.35	-	1.00	0.45	0	0	0	0	0	0	0	0	0	0	0	0
14	TN	Teplota nerovnoměrná	Q	0	-4	1	-6	0	-27	1	1.00	1.35		1.35	-	1.00	0.60	-3	1	-5	0	-5	0	-22	0	-22	1	0	1
15	FR	Třecí síly v ložiskách	Q	0	-1	0	0	0	0	0	1.00	1.20		1.20	-	1.00	1.00	-1	0	0	0	0	0	0	0	0	0	0	0
16	I	Imperfekce soustavy	Q	0	-6	0	-1	0	-6	0	1.00	1.20		1.20	-	1.00	1.00	-7	0	-2	0	-2	0	-8	0	-8	0	0	0
27	ULS_LM	ULS - LM71 bez dynam	Q	0	-219	5	-60	0	-242	7	1.00	vyp.		0.00	-	1.00	0.00	0	0	0	0	0	0	0	0	0	0	0	0
28	SLS_LM	SLS - LM71 bez dynam	Q	0	-199	4	-42	0	-169	5	1.00	vyp.	1	0.00	-	1.00	0.00	0	0	0	0	0	0	0	0	0	0	0	0
29	ULS_C3	ULS - C3 bez dynam	Q	0	-279	4	-51	0	-202	6	1.00	vyp.	1	0.00	-	1.00	0.00	0	0	0	0	0	0	0	0	0	0	0	0
30	SLS_C3	SLS - C3 bez dynam	Q	0	0	0	0	0	0	0	1.00	vyp.	1	0.00	-	1.00	0.00	0	0	0	0	0	0	0	0	0	0	0	0
		CELKEM - FÁZE PRŮŘEZU 0			-218	5	-60	0	-240	7								-218	5	-60	0	-60	0	-240	0	-240	7	0	7
		CELKEM - FÁZE PRŮŘEZU 1			0	0	0	0	0	0								0	0	0	0	0	0	0	0	0	0	0	0
		CELKEM - FÁZE PRŮŘEZU 2			0	0	0	0	0	0								0	0	0	0	0	0	0	0	0	0	0	0
		CELKEM - FÁZE PRŮŘEZU 3			0	0	0	0	0	0								0	0	0	0	0	0	0	0	0	0	0	0
		CELKEM - PRŮŘEZ			-218	5	-60	0	-240	7								-218	5	-60	0	-60	0			-240			7

Napětí od jednotlivých zatěžovacích stavů

SKUPINA ZATĚŽOVACÍCH STAVŮ					Posouzení normálového napětí										Posouzení smykového napětí													
					Účinek síly N			Účinek momentu My				Účinek momentu Mz				Účinek kroutícího momentu Mx				Účinek smykové síly Vy				Účinek smykové síly Vz			
Č.	SKUP ZS	Popis ZS	Kat.	fáze prúř.	δ^*N_d [kN]	χ^*A [mm^2]	σ_n [MPa]	$\delta^*M_{y,d}$ [kNm]	$\chi_{lt}{}^*W_{el,y}$ [mm^3]	σ_{my} [MPa]	$\delta^*M_{z,d}$ [kNm]	$W_{el,z}$ [mm^3]	σ_{mz} [MPa]	σ_x [MPa]	$\kappa^*\delta^*M_{x,d}$ [kNm]	$W_{v,y}$ [mm^3]	$\tau_{x,y}$ [MPa]	$W_{v,z}$ [mm^3]	$\tau_{x,z}$ [MPa]	$\delta^*V_{y,d}$ [kN]	$A_{v,y}$ [mm2]	$\tau_{v,y}$ [MPa]	$\tau_{v,y}$ [MPa]	$\delta^*V_{z,d}$ [kN]	$A_{v,z}$ [mm2]	$\tau_{v,z}$ [MPa]	$\tau_{v,z}$ [MPa]
1	G0	Vlastní tíha OK	G	0	-279.4	1.40E+04	-20.0	-5.9	2.66E+06	-2.2	2.3	-5.52E+05	-4.1	-26.3	-1.1E-02	-	-	-	-	1.3	1.14E+04	0.1	0.1	-1.5	6.26E+03	-0.2	-0.2
2	G1	Ostatní stálé - mostní vybavení	G	0	-16.2	1.40E+04	-1.2	-1.2	2.66E+06	-0.5	0.2	-5.52E+05	-0.3	-1.9	0.0E+00	-	-	-	-	0.1	1.14E+04	0.0	0.0	-0.3	6.26E+03	0.0	0.0
3	G2	Ostatní stálé - cizí zařízení	G	0	-7.3	1.40E+04	-0.5	1.0	2.66E+06	0.4	0.1	-5.52E+05	-0.2	-0.3	0.0E+00	-	-	-	-	0.0	1.14E+04	0.0	0.0	0.2	6.26E+03	0.0	0.0
4	P1_71	a.LM71 - kolej 1 (bez dyn. souč.)	P	0	-98.0	1.40E+04	-7.0	-83.8	2.66E+06	-31.6	1.7	-5.52E+05	-3.1	-41.6	-1.3E-02	-	-	-	-	1.0	1.14E+04	0.1	0.1	-19.7	6.26E+03	-3.1	-3.1
5	P2_71	a.LM71 - kolej 2 (bez dyn. souč.)	P	0	216.9	1.40E+04	15.5	-67.0	2.66E+06	-25.2	0.8	-5.52E+05	-1.5	-11.2	0.0E+00	-	-	-	-	1.1	1.14E+04	0.1	0.1	-17.0	6.26E+03	-2.7	-2.7
6	P1_C3	TTZ C3 - kolej 1 (bez dyn. souč.)	P	0	0.0	1.40E+04	0.0	0.0	2.66E+06	0.0	0.0	-5.52E+05	0.0	0.0	0.0E+00	-	-	-	-	0.0	1.14E+04	0.0	0.0	0.0	6.26E+03	0.0	0.0
7	P2_C3	TTZ C3 - kolej 2 (bez dyn. souč.)	P	0	0.0	1.40E+04	0.0	0.0	2.66E+06	0.0	0.0	-5.52E+05	0.0	0.0	0.0E+00	-	-	-	-	0.0	1.14E+04	0.0	0.0	0.0	6.26E+03	0.0	0.0
8	BR	Brzdné a rozjezdové síly	P	0	4.1	1.40E+04	0.3	-0.4	2.66E+06	-0.2	0.3	-5.52E+05	-0.5	-0.4	-2.1E-02	-	-	-	-	0.1	1.14E+04	0.0	0.0	-0.1	6.26E+03	0.0	0.0
9	S	Boční ráz	P	0	-1.9	1.40E+04	-0.1	-8.9	2.66E+06	-3.3	0.2	-5.52E+05	-0.4	-3.9	0.0E+00	-	-	-	-	0.2	1.14E+04	0.0	0.0	-2.0	6.26E+03	-0.3	-0.3
10	CH	Chodci na lávkách	Q	0	-19.7	1.40E+04	-1.4	-2.4	2.66E+06	-0.9	0.2	-5.52E+05	-0.3	-2.6	0.0E+00	-	-	-	-	0.1	1.14E+04	0.0	0.0	-0.5	6.26E+03	-0.1	-0.1
11	W	Vítr na konstrukci	Q	0	-24.6	1.40E+04	-1.8	-20.1	2.66E+06	-7.6	-0.1	-5.52E+05	0.1	-9.2	1.0E-02	-	-	-	-	-0.1	1.14E+04	0.0	0.0	-7.9	6.26E+03	-1.3	-1.3
12	WP	Vítr na vozidla	Q	0	19.0	1.40E+04	1.4	-21.2	2.66E+06	-8.0	0.3	-5.52E+05	-0.5	-7.1	-1.0E-02	-	-	-	-	0.3	1.14E+04	0.0	0.0	-4.4	6.26E+03	-0.7	-0.7
13	TR	Teplota rovnoměrná	Q	0	0.0	1.40E+04	0.0	0.0	2.66E+06	0.0	0.0	-5.52E+05	0.0	0.0	0.0E+00	-	-	-	-	0.0	1.14E+04	0.0	0.0	0.0	6.26E+03	0.0	0.0
14	TN	Teplota nerovnoměrná	Q	0	-3.0	1.40E+04	-0.2	-21.9	2.66E+06	-8.2	0.6	-5.52E+05	-1.1	-9.6	0.0E+00	-	-	-	-	0.7	1.14E+04	0.1	0.1	-5.2	6.26E+03	-0.8	-0.8
15	FR	Třecí síly v ložiskách	Q	0	-1.2	1.40E+04	-0.1	0.0	2.66E+06	0.0	0.1	-5.52E+05	-0.2	-0.3	0.0E+00	-	-	-	-	0.1	1.14E+04	0.0	0.0	0.0	6.26E+03	0.0	0.0
16	I	Imperfekce soustavy	Q	0	-6.9	1.40E+04	-0.5	-7.8	2.66E+06	-2.9	0.0	-5.52E+05	-0.1	-3.5	0.0E+00	-	-	-	-	0.0	1.14E+04	0.0	0.0	-1.8	6.26E+03	-0.3	-0.3
27	ULS_LM	ULS - LM71 bez dynam	Q	0	0.0	1.40E+04	0.0	0.0	2.66E+06	0.0	0.0	-5.52E+05	0.0	0.0	0.0E+00	-	-	-	-	0.0	1.14E+04	0.0	0.0	0.0	6.26E+03	0.0	0.0
28	SLS_LM	SLS - LM71 bez dynam	Q	0	0.0	1.40E+04	0.0	0.0	2.66E+06	0.0	0.0	-5.52E+05	0.0	0.0	0.0E+00	-	-	-	-	0.0	1.14E+04	0.0	0.0	0.0	6.26E+03	0.0	0.0
29	ULS_C3	ULS - C3 bez dynam	Q	0	0.0	1.40E+04	0.0	0.0	2.66E+06	0.0	0.0	-5.52E+05	0.0	0.0	0.0E+00	-	-	-	-	0.0	1.14E+04	0.0	0.0	0.0	6.26E+03	0.0	0.0
30	SLS_C3	SLS - C3 bez dynam	Q	0	0.0	1.40E+04	0.0	0.0	2.66E+06	0.0	0.0	-5.52E+05	0.0	0.0	0.0E+00	-	-	-	-	0.0	1.14E+04	0.0	0.0	0.0	6.26E+03	0.0	0.0
NAVÝŠENÍ NAPĚTÍ DO AKTIVACE TLAKU V DESCE MOSTOVKY						$\sigma_{P,red}$	0.0							0.0			0.0		0.0			0.4	0.4			-9.6	-9.6
NAPĚTÍ OD PRIMÁRNÍCH ÚČINKŮ NEROVNOMĚRNÉHO OTEPLENÍ						σ_T	0.0							0.0													
NAPĚTÍ OD REOLOGICKÝCH ÚČINKŮ BETONU V ČASE				t=0		σ_R	0.0	γ_{inf}=	1.20					0.0													
NAPĚTÍ V KRITICKÝCH VLÁKNECH OD KOMBINACE ZATÍŽENÍ						KZ04		[MPa]					$\Sigma\sigma_x$	-117.9								$\Sigma\tau_y$	0.4			$\Sigma\tau_z$	-9.6
NAPĚTÍ OD POHYBLIVÉHO ZATÍŽENÍ								[MPa]					$\sigma_{x,P}$	-57.1								τ_P	0.2			τ_P	-6.2
NAPĚTÍ OD OSTATNÍCH ZATÍŽENÍ								[MPa]			Φ_{vy}	Φ_{vz}	$\sigma_{x,rs}$	-60.8								τ_{rs}	0.2			τ_{rs}	-3.4
NÁVRHOVÁ HODNOTA MEZE KLUZU S REDUKCÍ VLIVEM SMYKOVÉHO NAPĚTÍ								[MPa]			1.00	1.00	$f_{yw,d}$	191.7								$f_{yd}/3^{0,5}$	110.7			$f_{yd}/3^{0,5}$	110.7
NAPĚTÍ OD POHYBLIVÉHO ZATÍŽENÍ V GLOBÁLNÍM SYSTÉMU						$\sigma_{GLOB,P}$	0.0	[MPa]					$\Sigma\sigma_{GLOB}$	0.0													
NAPĚTÍ OD OSTATNÍCH ZATÍŽENÍ V GLOBÁLNÍM SYSTÉMU						$\sigma_{GLOB,rs}$	0.0	[MPa]					$\Sigma\sigma_x + \Sigma\sigma_{GLOB}$	-117.9													
VYUŽITÍ PRŮŘEZU DLE NAPĚTÍ								[%]					η_1	0.62								η_3	0.00			η_3	0.09
NAPĚTÍ V PŘÍČNÉM SMĚRU OD POHYBLIVÉHO ZATÍŽENÍ						$\sigma_{z,P}$	0.0	[MPa]					$\Sigma\sigma_z$	0.0													
NAPĚTÍ V PŘÍČNÉM SMĚRU OD OSTATNÍCH ZATÍŽENÍ						$\sigma_{z,rs}$	0.0	[MPa]					η_2	0.00													
SROVNÁVACÍ NAPĚTÍ													$(\eta_2 + 0,8\,\eta_1)/1,4$ =	0.35													
VYUŽITÍ PRŮŘEZU CELKEM								[%]					eff	0.62	VYHOVUJE												
													z_{LM71} =	2.29													

TAB. V3.2.3 POSOUZENÍ - MEZNÍ STAV ÚNOSNOSTI

POPIS	SVISLICE V3
PRUT / POLOHA BODU	427 / I[358]
NAMÁHÁNÍ	Vz.min
VLÁKNO	BOD S6 -HP
MEZNÍ STAV	ULS (MSÚ)
VYUŽITÍ VLÁKNA PRŮŘEZU	0.56

Charakteristiky materiálu				
pás. horní	$f_{yf,k}$	230	MPa	
pás. dolní	$f_{yf,k}$	230	MPa	
stojina	$f_{yw,k}$	230	MPa	
výztuž	$f_{ys,k}$	500	MPa	
γ_M =	1.20	γ_s =	1.15	

Excentricita normálové síly				
Exc./Fáze	0	1	2	3
e_y	0.000	0.000	0.000	0.000
e_z	0.000	0.000	0.000	0.000
Ekvivalentní vzdál. stěn - příčný rozmos				
b_{Mx}	0.000	0.000	0.000	0.000

Vliv stěny na únosnost průřezu				
Char./Fáze	0	1	2	3
A	0.00	0.00	0.00	0.00
Wy	0.00	0.00	0.00	0.00
Wz	0.00	0.00	0.00	0.00

Charakter. v kroucení			
$t_{w,y}$	0.000	[mm]	
$t_{w,z}$	0.000	[mm]	
κ	1.00		
I_t=	0.00E+00	[mm^4]	
$\Omega=2*A_{pr}$	0.00E+00	[mm^2]	

Součinitele vzpěru a vlivu II.řádu				
Char./Fáze	0	1	2	3
k_y	1.000	1.000	1.000	1.000
k_z	1.030	1.000	1.000	1.000
χ_{LT}	1.000	1.000	1.000	1.000
χ_{min}	0.827	1.000	1.000	1.000

Vnitřní síly od jednotlivých skupin zatěžovacích stavů

SKUPINA ZATĚŽOVACÍCH STAVŮ — 4

Č.	SKUP ZS	POPIS ZS	KAT.	FÁZE PRŮŘ.	- CHARAKTERISTICKÉ HODNOTY N,k (kN)	Vy,k (kN)	Vz,k (kN)	Mx,k (kNm)	My,k (kNm)	Mz,k (kNm)	DÍLČÍ SOUČINITELÉ ZATÍŽENÍ, DYNAMICKÝ SOUČINITEL γ_{sr} (-)	γ_{sl} (-)	volba γ_{sl} hledat	γ_{sl} (-)	L_d (m)	δ (-)	γ_{Fc} KZ04	- NÁVRHOVÉ HODNOTY N,d (kN)	Vy,d (kN)	Vz,d (kN)	ΔVz,d (kN)	ΣVz,d (kN)	Mx,d (kNm)	My,d (kNm)	ΔMy,d (kNm)	ΣMy,d (kNm)	Mz,d (kNm)	ΔMz,d (kNm)	ΣMz,d (kNm)
1	G0	Vlastní tíha OK	G	0	-245	1	-1	0	-5	2	1.00	1.20		1.20	-	1.00	0.95	-279	1	-2	0	-2	0	-6	0	-6	2	0	2
2	G1	Ostatní stálé - mostní vybavení	G	0	-14	0	0	0	-1	0	1.00	1.20		1.20	-	1.00	0.95	-16	0	0	0	0	0	-1	0	-1	0	0	0
3	G2	Ostatní stálé - cizí zařízení	G	0	-8	0	0	0	1	0	1.00	1.00		1.00	-	1.00	0.95	-7	0	0	0	0	0	1	0	1	0	0	0
4	P1_71	a.LM71 - kolej 1 (bez dyn. souč.)	P	0	-75	1	-15	0	-65	1	1.00	1.30		1.30	-	1.00	1.00	-98	1	-20	0	-20	0	-84	0	-84	2	0	2
5	P2_71	a.LM71 - kolej 2 (bez dyn. souč.)	P	0	165	1	-13	0	-52	1	1.00	1.30		1.30	-	1.00	1.00	215	1	-17	0	-17	0	-67	0	-67	1	0	1
6	P1_C3	TTZ C3 - kolej 1 (bez dyn. souč.)	P	0	-82	1	-11	0	-49	1	1.00	vyp.		0.00	-	1.00	0.00	0	0	0	0	0	0	0	0	0	0	0	0
7	P2_C3	TTZ C3 - kolej 2 (bez dyn. souč.)	P	0	115	1	-9	0	-36	1	1.00	vyp.		0.00	-	1.00	0.00	0	0	0	0	0	0	0	0	0	0	0	0
8	BR	Brzdné a rozjezdové síly	P	0	15	0	0	0	-1	0	1.00	1.30		1.30	-	1.00	0.40	8	0	0	0	0	0	0	0	0	0	0	0
9	S	Boční ráz	P	0	-3	0	-2	0	-8	0	1.00	1.30		1.30	-	1.00	0.80	-3	0	-2	0	-2	0	-9	0	-9	0	0	0
10	CH	Chodci na lávkách	Q	0	-15	0	0	0	-2	0	1.00	1.30		1.30	-	1.00	1.00	-20	0	0	0	0	0	-2	0	-2	0	0	0
11	W	Vítr na konstrukci	Q	0	-24	0	-8	0	-20	0	1.00	1.35		1.35	-	1.00	0.75	-25	0	-8	0	-8	0	-20	0	-20	0	0	0
12	WP	Vítr na vozidla	Q	0	19	0	-4	0	-21	0	1.00	1.35		1.35	-	1.00	0.75	19	0	-4	0	-4	0	-21	0	-21	0	0	0
13	TR	Teplota rovnoměrná	Q	0	0	0	0	0	0	0	1.00	1.35		1.35	-	1.00	0.45	0	0	0	0	0	0	0	0	0	0	0	0
14	TN	Teplota nerovnoměrná	Q	0	-4	1	-6	0	-27	1	1.00	1.35		1.35	-	1.00	0.60	-3	1	-5	0	-5	0	-22	0	-22	1	0	1
15	FR	Třecí síly v ložiskách	Q	0	1	0	0	0	0	0	1.00	1.20		1.20	-	1.00	1.00	1	0	0	0	0	0	0	0	0	0	0	0
16	I	Imperfekce soustavy	Q	0	-6	0	-1	0	-6	0	1.00	1.20		1.20	-	1.00	1.00	-7	0	-2	0	-2	0	-8	0	-8	0	0	0
27	ULS_LM	ULS - LM71 bez dynam	Q	0	-215	5	-61	0	-241	6	1.00	vyp.		0.00	-	1.00	0.00	0	0	0	0	0	0	0	0	0	0	0	0
28	SLS_LM	SLS - LM71 bez dynam	Q	0	-196	3	-43	0	-169	5	1.00	vyp.	1	0.00	-	1.00	0.00	0	0	0	0	0	0	0	0	0	0	0	0
29	ULS_C3	ULS - C3 bez dynam	Q	0	-288	4	-51	0	-201	6	1.00	vyp.	1	0.00	-	1.00	0.00	0	0	0	0	0	0	0	0	0	0	0	0
30	SLS_C3	SLS - C3 bez dynam	Q	0	0	0	0	0	0	0	1.00	vyp.	1	0.00	-	1.00	0.00	0	0	0	0	0	0	0	0	0	0	0	0
		CELKEM - FÁZE PRŮŘEZU 0			-215	5	-60	0	-239	6								-215	5	-60	0	-60	0	-239	0	-239	6	0	6
		CELKEM - FÁZE PRŮŘEZU 1			0	0	0	0	0	0								0	0	0	0	0	0	0	0	0	0	0	0
		CELKEM - FÁZE PRŮŘEZU 2			0	0	0	0	0	0								0	0	0	0	0	0	0	0	0	0	0	0
		CELKEM - FÁZE PRŮŘEZU 3			0	0	0	0	0	0								0	0	0	0	0	0	0	0	0	0	0	0
		CELKEM - PRŮŘEZ			-215	5	-60	0	-239	6								-215	5	-60	0	-60	0			-239			6

Napětí od jednotlivých zatěžovacích stavů

SKUPINA ZATĚŽOVACÍCH STAVŮ

Č.	SKUP ZS	Popis ZS	Kat.	fáze prúř.	Posouzení normálového napětí — Účinek síly N: δ^*N_d [kN]	χ^*A [mm^2]	σ_n [MPa]	Účinek momentu My: $\delta^*M_{y,d}$ [kNm]	$\chi_{lt}*W_{el,y}$ [mm^3]	σ_{my} [MPa]	Účinek momentu Mz: $\delta^*M_{z,d}$ [kNm]	$W_{el,z}$ [mm^3]	σ_{mz} [MPa]	σ_x [MPa]	Posouzení smykového napětí — Účinek kroutícího momentu Mx: $\kappa*\delta^*M_{x,d}$ [kNm]	$W_{v,y}$ [mm^2]	$\tau_{x,y}$ [MPa]	$W_{v,z}$ [mm^2]	$\tau_{x,z}$ [MPa]	Účinek smykové síly Vy: $\delta^*V_{y,d}$ [kN]	$A_{v,y}$ [mm2]	$\tau_{v,y}$ [MPa]	$\tau_{v,y}$ [MPa]	Účinek smykové síly Vz: $\delta^*V_{z,d}$ [kN]	$A_{v,z}$ [mm2]	$\tau_{v,z}$ [MPa]	$\tau_{v,z}$ [MPa]
1	G0	Vlastní tíha OK	G	0	-279.4	1.40E+04	-20.0	-5.9	2.66E+06	-2.2	2.3	-4.59E+06	-0.5	-22.7	-1.1E-02	-	-	-	-	1.3	1.14E+04	0.1	0.1	-1.5	6.26E+03	-0.2	-0.2
2	G1	Ostatní stálé - mostní vybavení	G	0	-16.2	1.40E+04	-1.2	-1.2	2.66E+06	-0.5	0.2	-4.59E+06	0.0	-1.6	0.0E+00	-	-	-	-	0.1	1.14E+04	0.0	0.0	-0.3	6.26E+03	0.0	0.0
3	G2	Ostatní stálé - cizí zařízení	G	0	-7.3	1.40E+04	-0.5	1.0	2.66E+06	0.4	0.1	-4.59E+06	0.0	-0.2	0.0E+00	-	-	-	-	0.0	1.14E+04	0.0	0.0	0.2	6.26E+03	0.0	0.0
4	P1_71	a.LM71 - kolej 1 (bez dyn. souč.)	P	0	-98.0	1.40E+04	-7.0	-83.9	2.66E+06	-31.6	1.7	-4.59E+06	-0.4	-38.9	-1.3E-02	-	-	-	-	1.0	1.14E+04	0.1	0.1	-19.7	6.26E+03	-3.1	-3.1
5	P2_71	a.LM71 - kolej 2 (bez dyn. souč.)	P	0	215.1	1.40E+04	15.4	-67.0	2.66E+06	-25.2	0.9	-4.59E+06	-0.2	-10.0	0.0E+00	-	-	-	-	1.1	1.14E+04	0.1	0.1	-17.0	6.26E+03	-2.7	-2.7
6	P1_C3	TTZ C3 - kolej 1 (bez dyn. souč.)	P	0	0.0	1.40E+04	0.0	0.0	2.66E+06	0.0	0.0	-4.59E+06	0.0	0.0	0.0E+00	-	-	-	-	0.0	1.14E+04	0.0	0.0	0.0	6.26E+03	0.0	0.0
7	P2_C3	TTZ C3 - kolej 2 (bez dyn. souč.)	P	0	0.0	1.40E+04	0.0	0.0	2.66E+06	0.0	0.0	-4.59E+06	0.0	0.0	0.0E+00	-	-	-	-	0.0	1.14E+04	0.0	0.0	0.0	6.26E+03	0.0	0.0
8	BR	Brzdné a rozjezdové síly	P	0	7.9	1.40E+04	0.6	-0.4	2.66E+06	-0.2	0.2	-4.59E+06	-0.1	0.4	-2.6E-02	-	-	-	-	0.1	1.14E+04	0.0	0.0	-0.1	6.26E+03	0.0	0.0
9	S	Boční ráz	P	0	-3.0	1.40E+04	-0.2	-8.7	2.66E+06	-3.3	0.1	-4.59E+06	0.0	-3.5	0.0E+00	-	-	-	-	0.1	1.14E+04	0.0	0.0	-2.4	6.26E+03	-0.4	-0.4
10	CH	Chodci na lávkách	Q	0	-19.7	1.40E+04	-1.4	-2.4	2.66E+06	-0.9	0.2	-4.59E+06	0.0	-2.3	0.0E+00	-	-	-	-	0.1	1.14E+04	0.0	0.0	-0.5	6.26E+03	-0.1	-0.1
11	W	Vítr na konstrukci	Q	0	-24.6	1.40E+04	-1.8	-20.1	2.66E+06	-7.6	-0.1	-4.59E+06	0.0	-9.3	1.0E-02	-	-	-	-	-0.1	1.14E+04	0.0	0.0	-7.9	6.26E+03	-1.3	-1.3
12	WP	Vítr na vozidla	Q	0	19.0	1.40E+04	1.4	-21.2	2.66E+06	-8.0	0.3	-4.59E+06	-0.1	-6.7	-1.0E-02	-	-	-	-	0.3	1.14E+04	0.0	0.0	-4.4	6.26E+03	-0.7	-0.7
13	TR	Teplota rovnoměrná	Q	0	0.0	1.40E+04	0.0	0.0	2.66E+06	0.0	0.0	-4.59E+06	0.0	0.0	0.0E+00	-	-	-	-	0.0	1.14E+04	0.0	0.0	0.0	6.26E+03	0.0	0.0
14	TN	Teplota nerovnoměrná	Q	0	-3.0	1.40E+04	-0.2	-21.9	2.66E+06	-8.2	0.6	-4.59E+06	-0.1	-8.6	0.0E+00	-	-	-	-	0.7	1.14E+04	0.1	0.1	-5.2	6.26E+03	-0.8	-0.8
15	FR	Třecí síly v ložiskách	Q	0	1.2	1.40E+04	0.1	0.0	2.66E+06	0.0	-0.1	-4.59E+06	0.0	0.1	0.0E+00	-	-	-	-	-0.1	1.14E+04	0.0	0.0	0.0	6.26E+03	0.0	0.0
16	I	Imperfekce soustavy	Q	0	-6.9	1.40E+04	-0.5	-7.8	2.66E+06	-2.9	0.0	-4.59E+06	0.0	-3.4	0.0E+00	-	-	-	-	0.0	1.14E+04	0.0	0.0	-1.8	6.26E+03	-0.3	-0.3
27	ULS_LM	ULS - LM71 bez dynam	Q	0	0.0	1.40E+04	0.0	0.0	2.66E+06	0.0	0.0	-4.59E+06	0.0	0.0	0.0E+00	-	-	-	-	0.0	1.14E+04	0.0	0.0	0.0	6.26E+03	0.0	0.0
28	SLS_LM	SLS - LM71 bez dynam	Q	0	0.0	1.40E+04	0.0	0.0	2.66E+06	0.0	0.0	-4.59E+06	0.0	0.0	0.0E+00	-	-	-	-	0.0	1.14E+04	0.0	0.0	0.0	6.26E+03	0.0	0.0
29	ULS_C3	ULS - C3 bez dynam	Q	0	0.0	1.40E+04	0.0	0.0	2.66E+06	0.0	0.0	-4.59E+06	0.0	0.0	0.0E+00	-	-	-	-	0.0	1.14E+04	0.0	0.0	0.0	6.26E+03	0.0	0.0
30	SLS_C3	SLS - C3 bez dynam	Q	0	0.0	1.40E+04	0.0	0.0	2.66E+06	0.0	0.0	-4.59E+06	0.0	0.0	0.0E+00	-	-	-	-	0.0	1.14E+04	0.0	0.0	0.0	6.26E+03	0.0	0.0
		NAVÝŠENÍ NAPĚTÍ DO AKTIVACE TLAKU V DESCE MOSTOVKY				$\sigma_{P,red}$	0.0							0.0			0.0		0.0			0.4	0.4			-9.7	-9.7
		NAPĚTÍ OD PRIMÁRNÍCH ÚČINKŮ NEROVNOMĚRNÉHO OTEPLENÍ				σ_T	0.0							0.0													
		NAPĚTÍ OD REOLOGICKÝCH ÚČINKŮ BETONU V ČASE		t=0		σ_R	0.0	γ_{lt}=	1.20					0.0													
		NAPĚTÍ V KRITICKÝCH VLÁKNECH OD KOMBINACE ZATÍŽENÍ				KZ04		[MPa]					$\Sigma\sigma_x$	-106.9									$\Sigma\tau_y$	0.4			$\Sigma\tau_z$	-9.7
		NAPĚTÍ OD POHYBLIVÉHO ZATÍŽENÍ						[MPa]					$\sigma_{x,P}$	-52.1									τ_P	0.2			τ_P	-6.3
		NAPĚTÍ OD OSTATNÍCH ZATÍŽENÍ						[MPa]			Φ_{vy}	Φ_{vz}	$\sigma_{x,rs}$	-54.7									τ_{rs}	0.2			τ_{rs}	-3.4
		NÁVRHOVÁ HODNOTA MEZE KLUZU S REDUKCÍ VLIVEM SMYKOVÉHO NAPĚTÍ						[MPa]			1.00	1.00	$f_{yv,d}$	191.7									$f_{yd}/3^{0,5}$	110.7			$f_{yd}/3^{0,5}$	110.7
		NAPĚTÍ OD POHYBLIVÉHO ZATÍŽENÍ V GLOBÁLNÍM SYSTÉMU				$\sigma_{GLOB,P}$	0.0	[MPa]					$\Sigma\sigma_{GLOB}$	0.0														
		NAPĚTÍ OD OSTATNÍCH ZATÍŽENÍ V GLOBÁLNÍM SYSTÉMU				$\sigma_{GLOB,rs}$	0.0	[MPa]					$\Sigma\sigma_x + \Sigma\sigma_{GLOB}$	-106.9														
		VYUŽITÍ PRŮŘEZU DLE NAPĚTÍ						[%]					η_1	0.56									η_3	0.00			η_3	0.09
		NAPĚTÍ V PŘÍČNÉM SMĚRU OD POHYBLIVÉHO ZATÍŽENÍ				$\sigma_{z,P}$	0.0	[MPa]					$\Sigma\sigma_z$	0.0														
		NAPĚTÍ V PŘÍČNÉM SMĚRU OD OSTATNÍCH ZATÍŽENÍ				$\sigma_{z,rs}$	0.0	[MPa]					η_2	0.00														
		SROVNÁVACÍ NAPĚTÍ											$(\eta_2 + 0,8\,\eta_1)/1,4$ =	0.32														
		VYUŽITÍ PRŮŘEZU CELKEM						[%]					eff	0.56	VYHOVUJE													
													Z_{LM71} =	2.63														

VÝPOČET PRŮŘEZOVÝCH CHARAKTERISTIK

PRŮŘEZ: V4_1 **POPIS:** SVISLICE V4 - MIN N

x = - **m**

DEFINOVÁNÍ PRŮŘEZU

ŠÍŘKA PÁSNICE ÚHELNÍKU	b f.t.l.o =	150	mm	**ÚHELNÍK HORNÍ VNĚJŠÍ LEVÝ**		**C.T.O.L**	
TLOUŠŤKA PÁSNICE ÚHELNÍKU	t f.t.l.o =	14	mm	OSLABENÍ PÁSNICE - TLOUŠŤKA	Δt f.t.l.o =	0	%
VÝŠKA STĚNY ÚHELNÍKU	h w.t.l.o =	86	mm				
TLOUŠŤKA STĚNY ÚHELNÍKU	t w.t.l.o =	14	mm	OSLABENÍ STĚNY - TLOUŠŤKA	Δt w.t.l.o =	15	%
ŠÍŘKA PÁSNICE ÚHELNÍKU	b f.t.r.o =	150	mm	**ÚHELNÍK HORNÍ VNĚJŠÍ PRAVÝ**		**C.T.O.R**	
TLOUŠŤKA PÁSNICE ÚHELNÍKU	t f.t.r.o =	14	mm	OSLABENÍ PÁSNICE - TLOUŠŤKA	Δt f.t.r.o =	0	%
VÝŠKA STĚNY ÚHELNÍKU	h w.t.r.o =	86	mm				
TLOUŠŤKA STĚNY ÚHELNÍKU	t w.t.r.o =	14	mm	OSLABENÍ STĚNY - TLOUŠŤKA	Δt w.t.r.0 =	15	%
ŠÍŘKA PÁSNICE ÚHELNÍKU	b f.t.l.i =	0	mm	**ÚHELNÍK HORNÍ VNITŘNÍ LEVÝ**		**C.T.I.L**	
TLOUŠŤKA PÁSNICE ÚHELNÍKU	t f.t.l.i =	0	mm	OSLABENÍ PÁSNICE - TLOUŠŤKA	Δt f.b.l.o =	0	%
VÝŠKA STĚNY ÚHELNÍKU	h w.t.l.i =	0	mm				
TLOUŠŤKA STĚNY ÚHELNÍKU	t w.t.l.i =	0	mm	OSLABENÍ STĚNY - TLOUŠŤKA	Δt w.b.l.o =	0	%
ŠÍŘKA PÁSNICE ÚHELNÍKU	b f.t.r.i =	0	mm	**ÚHELNÍK HORNÍ VNITŘNÍ PRAVÝ**		**C.T.I.R**	
TLOUŠŤKA PÁSNICE ÚHELNÍKU	t f.t.r.i =	0	mm	OSLABENÍ PÁSNICE - TLOUŠŤKA	Δt f.b.r.o =	0	%
VÝŠKA STĚNY ÚHELNÍKU	h w.t.r.i =	0	mm				
TLOUŠŤKA STĚNY ÚHELNÍKU	t w.t.r.i =	0	mm	OSLABENÍ STĚNY - TLOUŠŤKA	Δt w.b.r.o =	0	%
ŠÍŘKA PÁSNICE ÚHELNÍKU	b f.b.l.o =	150	mm	**ÚHELNÍK DOLNÍ VNĚJŠÍ LEVÝ**		**C.B.O.L**	
TLOUŠŤKA PÁSNICE ÚHELNÍKU	t f.b.l.o =	14	mm	OSLABENÍ PÁSNICE - TLOUŠŤKA	Δt f.t.l.i =	0	%
VÝŠKA STĚNY ÚHELNÍKU	h w.b.l.o =	86	mm				
TLOUŠŤKA STĚNY ÚHELNÍKU	t w.b.l.o =	14	mm	OSLABENÍ STĚNY - TLOUŠŤKA	Δt w.t.l.i =	15	%
ŠÍŘKA PÁSNICE ÚHELNÍKU	b f.b.r.o =	150	mm	**ÚHELNÍK DOLNÍ VNĚJŠÍ PRAVÝ**		**C.B.O.R**	
TLOUŠŤKA PÁSNICE ÚHELNÍKU	t f.b.r.o =	14	mm	OSLABENÍ PÁSNICE - TLOUŠŤKA	Δt f.t.r.i =	0	%
VÝŠKA STĚNY ÚHELNÍKU	h w.b.r.o =	86	mm				
TLOUŠŤKA STĚNY ÚHELNÍKU	t w.b.r.o =	14	mm	OSLABENÍ STĚNY - TLOUŠŤKA	Δt w.t.r.i =	15	%
PÁSNICE DOLNÍHO LEVÉHO ÚHELNÍKU	b f.b.l.i =	0	mm	**ÚHELNÍK DOLNÍ VNITŘNÍ LEVÝ**		**C.B.I.L**	
TLOUŠŤKA PÁSNICE ÚHELNÍKU	t f.b.l.i =	0	mm	OSLABENÍ PÁSNICE - TLOUŠŤKA	Δt f.b.l.i =	0	%
VÝŠKA STĚNY ÚHELNÍKU	h w.b.l.i =	0	mm				
TLOUŠŤKA STĚNY ÚHELNÍKU	t w.b.l.i =	0	mm	OSLABENÍ STĚNY - TLOUŠŤKA	Δt w.b.l.i =	0	%
PÁSNICE DOLNÍHO PRAVÉHO ÚHELNÍKU	b f.b.r.i =	0	mm	**ÚHELNÍK DOLNÍ VNITŘNÍ PRAVÝ**		**C.B.I.R**	
TLOUŠŤKA PÁSNICE ÚHELNÍKU	t f.b.r.i =	0	mm	OSLABENÍ PÁSNICE - TLOUŠŤKA	Δt f.b.r.i =	0	%
VÝŠKA STĚNY ÚHELNÍKU	h w.b.r.i =	0	mm				
TLOUŠŤKA STĚNY ÚHELNÍKU	t w.b.r.i =	0	mm	OSLABENÍ STĚNY - TLOUŠŤKA	Δt w.b.r.i =	0	%

HORNÍ

ŠÍŘKA HORNÍ VLOŽKY - VNĚJŠÍ	b f.t =	0	mm			**HOR.T.O**	
TLOUŠŤKA VLOŽKY	t f.t =	0	mm	OSLABENÍ VLOŽKY	Δt f.t =	0	%
ŠÍŘKA HORNÍ VLOŽKY - VNITŘNÍ	b f.t =	0	mm			**HOR.T.I**	
TLOUŠŤKA VLOŽKY	t f.t =	0	mm	OSLABENÍ VLOŽKY	Δt f.t =	0	%
ŠÍŘKA DOLNÍ VLOŽKY - VNĚJŠÍ	b f.t =	0	mm			**HOR.B.O**	
TLOUŠŤKA VLOŽKY	t f.t =	0	mm	OSLABENÍ VLOŽKY	Δt f.t =	0	%
ŠÍŘKA DOLNÍ VLOŽKY - VNITŘNÍ	b f.t =	0	mm			**HOR.B.I**	
TLOUŠŤKA VLOŽKY	t f.t =	0	mm	OSLABENÍ VLOŽKY - VNITŘNÍ	Δt f.t =	0	%

VZD. OKRAJŮ PÁSNIC VNITŘNÍCH ÚHELNÍKŮ	464	mm
CELKOVÁ TLOUŠŤKA MEZI PÁSNICEMI ÚHELNÍKŮ	0	mm
CELKOVÁ TLOUŠŤKA MEZI PÁSNICEMI ÚHELNÍKŮ	13	mm

ZADANÍ ČÁSTI PRŮŘEZU:

č.prvku	b [mm]	h [mm]	y_0 [mm]	z_0 [mm]	popis části	druh oslabení	lokální ultimate	boulení servic.
1	150.0	14.0	-81.5	239.0	pásnice	0	1.000	1.000
2	11.9	86.0	-12.5	289.0	stěna	0	1.000	1.000
3	150.0	14.0	81.5	239.0	pásnice	0	1.000	1.000
4	11.9	86.0	12.5	289.0	stěna	0	1.000	1.000
5	0.0	0.0	-6.5	232.0	pásnice	0	1.000	1.000
6	0.0	0.0	-6.5	232.0	stěna	0	1.000	1.000
7	0.0	0.0	6.5	232.0	pásnice	0	1.000	1.000
8	0.0	0.0	6.5	232.0	stěna	0	1.000	1.000
9	150.0	14.0	-81.5	-239.0	pásnice	0	1.000	1.000
10	11.9	86.0	-12.5	-289.0	stěna	0	1.000	1.000
11	150.0	14.0	81.5	-239.0	pásnice	0	1.000	1.000
12	11.9	86.0	12.5	-289.0	stěna	0	1.000	1.000
13	0.0	0.0	-6.5	-232.0	pásnice	0	1.000	1.000
14	0.0	0.0	-6.5	-232.0	stěna	0	1.000	1.000
15	0.0	0.0	6.5	-232.0	pásnice	0	1.000	1.000
16	0.0	0.0	6.5	-232.0	stěna	0	1.000	1.000
17						0	1.000	1.000
18						0	1.000	1.000
19						0	1.000	1.000
20						0	1.000	1.000
21						0	1.000	1.000
22						0	1.000	1.000
23						0	1.000	1.000
24						0	1.000	1.000
25						0	1.000	1.000
26						0	1.000	1.000
27						0	1.000	1.000
28						0	1.000	1.000
29						0	1.000	1.000
30						0	1.000	1.000
31						0	1.000	1.000
32						0	1.000	1.000
33						0	1.000	1.000
34						0	1.000	1.000
35						0	1.000	1.000
36						0	1.000	1.000
37						0	1.000	1.000
38						0	1.000	1.000
39						0	1.000	1.000
40						0	1.000	1.000
41	0.0	0.0	0.0	232.0	pásnice	0	1.000	1.000
42	0.0	0.0	0.0	232.0	pásnice	0	1.000	1.000
43	0.0	0.0	0.0	-232.0	pásnice	0	1.000	1.000
44	0.0	0.0	0.0	-232.0	pásnice	0	1.000	1.000
45						0	1.000	1.000
46						0	1.000	1.000
47						0	1.000	1.000
48						0	1.000	1.000
49						0	1.000	1.000
50						0	1.000	1.000
51						0	1.000	1.000
52						0	1.000	1.000
53						0	1.000	1.000
54						0	1.000	1.000
55						0	1.000	1.000
56						0	1.000	1.000
57						0	1.000	1.000
58						0	1.000	1.000
59						0	1.000	1.000
60						0	1.000	1.000
61						0	1.000	1.000
62						0	1.000	1.000
63						0	1.000	1.000
64						0	1.000	1.000
65						0	1.000	1.000
66						0	1.000	1.000
67						0	1.000	1.000
68						0	1.000	1.000
69						0	1.000	1.000
70						0	1.000	1.000
71	0	0	-12.5	287.0	nýt	0	1.000	1.000
72	0	0	12.5	287.0	nýt	0	1.000	1.000
73	0	0	0	0	nýt	0	1.000	1.000
74	0	0	0	0	nýt	0	1.000	1.000
75	0	0	-12.5	-287.0	nýt	0	1.000	1.000
76	0	0	12.5	-287.0	nýt	0	1.000	1.000
77	0	0	0	0	nýt	0	1.000	1.000
78	0	0	0	0	nýt	0	1.000	1.000
79						0	1.000	1.000
80						0	1.000	1.000
81	0	0	0	0	nýt	0	1.000	1.000
82	0	0	0	0	nýt	0	1.000	1.000
83	0	0	0	0	nýt	0	1.000	1.000
84	0	0	0	0	nýt	0	1.000	1.000
85	0	0	0	0	nýt	0	1.000	1.000
86	0	0	0	0	nýt	0	1.000	1.000
87	0	0	0	0	nýt	0	1.000	1.000
88	0	0	0	0	nýt	0	1.000	1.000
89						0	1.000	1.000
90						0	1.000	1.000
91	0	0	0	0	nýt	0	1.000	1.000
92	0	0	0	0	nýt	0	1.000	1.000
93	0	0	0	0	nýt	0	1.000	1.000
94	0	0	0	0	nýt	0	1.000	1.000
95	0	0	0	0	nýt	0	1.000	1.000
96	0	0	0	0	nýt	0	1.000	1.000
97	0	0	0	0	nýt	0	1.000	1.000
98	0	0	0	0	nýt	0	1.000	1.000
99						0	1.000	1.000
100						0	1.000	1.000

NÝT Č.	SKUPINA	ŘEZ	RED.	VELIKOST di [mm]	POLOHA oi [mm]	POPIS	AKTIVITA OTVORU		NAPĚTÍ sc [MPa]
1		-	1.00	20	45	nýt - t.o - úhelník	0		-60.05
2		-	1.00	20	45	nýt - t.o - úhelník	0		-59.56
3		-	1.00	0	40	nýt - t.i - úhelník	0	-	
4		-	1.00	0	40	nýt - t.i - úhelník	0	-	
5		-	1.00	20	45	nýt - b.o - úhelník	0		-53.09
6		-	1.00	20	45	nýt - b.o - úhelník	0		-52.61
7		-	1.00	0	40	nýt - b.i - úhelník	0	-	
8		-	1.00	0	40	nýt - b.i - úhelník	0	-	
9									
10									
11		-	1.00	0	35	nýt - t.l - úhelník	0	-	
12		-	1.00	0	35	nýt - t.l - úhelník	0	-	
13		-	1.00	0	35	nýt - t.r - úhelník	0	-	
14		-	1.00	0	35	nýt - t.r - úhelník	0	-	
15		-	1.00	0	35	nýt - b.l - úhelník	0	-	
16		-	1.00	0	35	nýt - b.l - úhelník	0	-	
17		-	1.00	0	35	nýt - b.r - úhelník	0	-	
18		-	1.00	0	35	nýt - b.r - úhelník	0	-	
19									
20									
21		-	1.00	0	-132	nýt - t.l	0	-	
22		-	1.00	0	-132	nýt - t.l	0	-	
23		-	1.00	0	132	nýt - t.r	0	-	
24		-	1.00	0	132	nýt - t.r	0	-	
25		-	1.00	0	-132	nýt - b.l	0	-	
26		-	1.00	0	-132	nýt - b.l	0	-	
27		-	1.00	0	132	nýt - b.r	0	-	
28		-	1.00	0	132	nýt - b.r	0	-	
29									
30									

VÝPOČET PRŮŘEZOVÝCH CHARAKTERISTIK

Properties	Basic	Ultimate		Serviceability	
y_i	0.0	0.0		0.0	[mm]
z_i	0.0	0.0		0.0	[mm]
A_i	1.2494E+04	1.2494E+04		1.2494E+04	[mm²]
A_s	8.4000E+03	8.4000E+03		8.4000E+03	[mm²]
A_{sy}	4.0936E+03	4.0936E+03		4.0936E+03	[mm²]
I_{y1}	4.9463E+08	4.9463E+08		4.9463E+08	[mm⁴]
I_w	7.2228E+07	7.2228E+07		7.2228E+07	[mm⁶]
i_y	199.0	199.0		199.0	[mm]
i_z	76.0	76.0		76.0	[mm]
$W_{y,1}$	1.4898E+06	1.4898E+06		1.4898E+06	[mm³]
$W_{z,1}$	-4.6152E+05	-4.6152E+05		-4.6152E+05	[mm³]
$W_{y,2}$	-1.4898E+06	-1.4898E+06		-1.4898E+06	[mm³]
$W_{z,2}$	4.6152E+05	4.6152E+05		4.6152E+05	[mm³]
KRAJNÍ VLÁKNA PRŮŘEZU					
y_1	-156.5	-156.5		-156.5	[mm] min
z_1	332.0	332.0		332.0	[mm] max
y_2	-156.5	-156.5		-156.5	[mm] min
z_2	-332.0	-332.0		-332.0	[mm] min
y_3	156.5	156.5		156.5	[mm] max
z_3	332.0	332.0		332.0	[mm] max
y_4	156.5	156.5		156.5	[mm] max
z_4	-332.0	-332.0		-332.0	[mm] min
y_5	-18.4	-18.4		-18.4	[mm]
z_5	-246.0	-246.0		-246.0	[mm]
y_6	-18.4	-18.4		-18.4	[mm]
z_6	-332.0	-332.0		-332.0	[mm]

ÚPRAVA MOMENTŮ SETRVAČNOSTI V DŮSLEDKU ČLENĚNÍ PRŮŘEZU

OSA Y	0.60
OSA Z	1.00

SCHÉMA PROMĚNNÝCH

SCHÉMA ZADANÉHO PRŮŘEZU

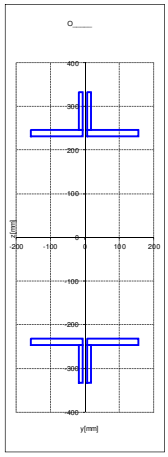

NEUTRÁLNÁ OSA

NAPĚTÍ [MPa]:

-63.36	-57.32
-55.34	-49.27

ZS: SLS_LM_N.MIN

	N [kN]	Vy [kN]	Vz [kN]	Mx [kNm]	My [kNm]	Mz [kNm]
import	-704	2	2	0	0	-1

TR_V4.1 POPIS: **SVISLICE V4** POSUDEK: **V4.1**

SKUPINA ZAT. STAVŮ	EXTRÉM	VYHODNOCOVANÉ VELIČINY					
		N	Vy	Vz	Mx	My	Mz
		kN	kN	kN	kNm	kNm	kNm
G0	N.min	**-141.54**	0.33	-1.14	0	1.72	-0.39
	N.max	**-141.54**	0.33	-1.14	0	1.72	-0.39
	Vy.min	-141.54	**0.33**	-1.14	0	1.72	-0.39
	Vy.max	-141.54	**0.33**	-1.14	0	1.72	-0.39
	Vz.min	-141.54	0.33	**-1.14**	0	1.72	-0.39
	Vz.max	-141.54	0.33	**-1.14**	0	1.72	-0.39
	Mx.min	-141.54	0.33	-1.14	**0**	1.72	-0.39
	Mx.max	-141.54	0.33	-1.14	**0**	1.72	-0.39
	My.min	-141.54	0.33	-1.14	0	**1.72**	-0.39
	My.max	-141.54	0.33	-1.14	0	**1.72**	-0.39
	Mz.min	-141.54	0.33	-1.14	0	1.72	**-0.39**
	Mz.max	-141.54	0.33	-1.14	0	1.72	**-0.39**
G1	N.min	**-6.67**	0.03	-0.07	0	-0.26	-0.02
	N.max	**-6.67**	0.03	-0.07	0	-0.26	-0.02
	Vy.min	-6.67	**0.03**	-0.07	0	-0.26	-0.02
	Vy.max	-6.67	**0.03**	-0.07	0	-0.26	-0.02
	Vz.min	-6.67	0.03	**-0.07**	0	-0.26	-0.02
	Vz.max	-6.67	0.03	**-0.07**	0	-0.26	-0.02
	Mx.min	-6.67	0.03	-0.07	**0**	-0.26	-0.02
	Mx.max	-6.67	0.03	-0.07	**0**	-0.26	-0.02
	My.min	-6.67	0.03	-0.07	0	**-0.26**	-0.02
	My.max	-6.67	0.03	-0.07	0	**-0.26**	-0.02
	Mz.min	-6.67	0.03	-0.07	0	-0.26	**-0.02**
	Mz.max	-6.67	0.03	-0.07	0	-0.26	**-0.02**
G2	N.min	**-3.77**	0.02	0.1	0	0.27	-0.01
	N.max	**-3.77**	0.02	0.1	0	0.27	-0.01
	Vy.min	-3.77	**0.02**	0.1	0	0.27	-0.01
	Vy.max	-3.77	**0.02**	0.1	0	0.27	-0.01
	Vz.min	-3.77	0.02	**0.1**	0	0.27	-0.01
	Vz.max	-3.77	0.02	**0.1**	0	0.27	-0.01
	Mx.min	-3.77	0.02	0.1	**0**	0.27	-0.01
	Mx.max	-3.77	0.02	0.1	**0**	0.27	-0.01
	My.min	-3.77	0.02	0.1	0	**0.27**	-0.01
	My.max	-3.77	0.02	0.1	0	**0.27**	-0.01
	Mz.min	-3.77	0.02	0.1	0	0.27	**-0.01**
	Mz.max	-3.77	0.02	0.1	0	0.27	**-0.01**
P1_71	N.min	**-143.01**	0.28	-0.99	0	-6.24	-0.29
	N.max	**102.28**	-0.15	-5.3	0	-10.22	0.05
	Vy.min	78.38	**-0.2**	-4.17	0	-6.86	-0.04
	Vy.max	-105.74	**0.41**	-2.21	0	-11.39	-0.15
	Vz.min	-21.77	0.09	**-6.34**	0	-15.42	-0.2
	Vz.max	-14.55	0.15	**0.05**	0	-3.55	0.04
	Mx.min	-4.54	0.02	-6.01	**0**	-12.07	-0.18
	Mx.max	-29.78	0.18	-0.03	**0**	-4.86	0.02
	My.min	-28.11	0.18	-5.95	0	**-16.45**	-0.18
	My.max	0	0	0	0	**0**	0
	Mz.min	-98.08	0.1	-3.31	0	-8.4	**-0.37**
	Mz.max	47.43	0.11	-2.2	0	-6.61	**0.21**
P2_71	N.min	**-355.95**	0.71	3.13	0	3.46	-0.67
	N.max	**249.85**	-0.4	-3.55	0	-6.19	0.06
	Vy.min	171.38	**-0.57**	-3.18	0	-4.44	-0.22
	Vy.max	-244.31	**1.08**	2.88	0	0.47	-0.21
	Vz.min	201.87	-0.47	**-4.18**	0	-6.53	-0.05
	Vz.max	-297.69	0.97	**3.82**	0	2.26	-0.41
	Mx.min	233.96	-0.46	-3.92	**0**	-5.99	0.05
	Mx.max	-340.87	0.93	3.6	**0**	2.3	-0.51
	My.min	165.16	-0.02	-2.87	0	**-8.58**	0.05
	My.max	-279.95	0.49	2.53	0	**5.27**	-0.63
	Mz.min	-237.22	0.16	0.32	0	1.35	**-0.94**
	Mz.max	102.14	0.37	0.25	0	-2.37	**0.54**
P1_C3	N.min	**-118.26**	0.22	-0.84	0	-4.73	-0.25
	N.max	**78.81**	-0.09	-3.84	0	-7.79	0.04
	Vy.min	66.24	**-0.16**	-3.38	0	-5.62	-0.03
	Vy.max	-93.12	**0.34**	-1.81	0	-8.71	-0.1
	Vz.min	-36.55	0.11	**-4.86**	0	-12.53	-0.18
	Vz.max	-7.18	0.15	**0.05**	0	-3.23	0.05
	Mx.min	-17.49	0.01	-4.56	**0**	-8.65	-0.17
	Mx.max	-24.46	0.15	-0.02	**0**	-3.92	0.01
	My.min	-37.49	0.19	-4.48	0	**-12.8**	-0.15
	My.max	0	0	0	0	**0**	0
	Mz.min	-71.04	0.03	-3.3	0	-7.26	**-0.34**
	Mz.max	24.07	0.17	-1.1	0	-5.18	**0.18**
P2_C3	N.min	**-292.79**	0.52	2.39	0	3.22	-0.58
	N.max	**192.63**	-0.24	-2.32	0	-4.54	0.07
	Vy.min	129.72	**-0.45**	-2.27	0	-3.25	-0.2
	Vy.max	-195.06	**0.93**	2.36	0	0.84	-0.12
	Vz.min	144.42	-0.37	**-3.12**	0	-4.46	-0.01
	Vz.max	-262.17	0.77	**3.18**	0	2.5	-0.4
	Mx.min	175.63	-0.39	-2.91	**0**	-4.02	0.03
	Mx.max	-287.6	0.8	2.98	**0**	1.96	-0.45
	My.min	134.12	-0.01	-2.16	0	**-6.19**	0.05
	My.max	-231.15	0.39	2.16	0	**4.41**	-0.51
	Mz.min	-169.25	-0.02	-0.41	0	0.78	**-0.86**
	Mz.max	46.49	0.5	0.91	0	-1.96	**0.49**
BR	N.min	**-11.18**	0.09	-0.07	0	0.01	0.06
	N.max	**11.18**	-0.09	0.07	0	-0.01	-0.06
	Vy.min	11.18	**-0.09**	0.07	0	-0.01	-0.06
	Vy.max	-11.18	**0.09**	-0.07	0	0.01	0.06
	Vz.min	-9.48	0.07	**-0.22**	0	-0.44	0.04
	Vz.max	9.48	-0.07	**0.22**	0	0.44	-0.04
	Mx.min	-11.18	0.09	-0.07	**0**	0.01	0.06
	Mx.max	11.18	-0.09	0.07	**0**	-0.01	-0.06
	My.min	-9.48	0.07	-0.22	0	**-0.44**	0.04
	My.max	9.48	-0.07	0.22	0	**0.44**	-0.04
	Mz.min	5.95	-0.08	0.02	0	-0.02	**-0.08**
	Mz.max	-5.95	0.08	-0.02	0	0.02	**0.08**

TR_V4.1 POPIS: **SVISLICE V4** POSUDEK: **V4.1**

SKUPINA ZAT. STAVŮ	EXTRÉM	VYHODNOCOVANÉ VELIČINY					
		N	Vy	Vz	Mx	My	Mz
		kN	kN	kN	kNm	kNm	kNm
S	N.min	**-1.43**	0	0.33	0	1.2	0
	N.max	**1.43**	0	-0.33	0	-1.2	0
	Vy.min	-0.13	**-0.02**	-1.24	0	-2.65	-0.02
	Vy.max	0.13	**0.02**	1.24	0	2.65	0.02
	Vz.min	-0.13	-0.02	**-1.24**	0	-2.65	-0.02
	Vz.max	0.13	0.02	**1.24**	0	2.65	0.02
	Mx.min	-0.1	-0.01	-1.21	**0**	-1.48	-0.03
	Mx.max	0.1	0.01	1.21	**0**	1.48	0.03
	My.min	0.59	-0.01	-0.93	0	**-3.07**	-0.02
	My.max	-0.59	0.01	0.93	0	**3.07**	0.02
	Mz.min	0.36	-0.01	-0.72	0	-0.97	**-0.03**
	Mz.max	-0.36	0.01	0.72	0	0.97	**0.03**
CH	N.min	**-16.5**	0.02	-0.31	0	-0.69	-0.04
	N.max	**7**	0.02	0.21	0	0.59	0
	Vy.min	7	**0.02**	0.21	0	0.59	0
	Vy.max	-12	**0.05**	0.36	0	1	-0.04
	Vz.min	-16.5	0.02	**-0.31**	0	-0.69	-0.04
	Vz.max	-12	0.05	**0.36**	0	1	-0.04
	Mx.min	-16.5	0.02	-0.31	**0**	-0.69	-0.04
	Mx.max	-12	0.05	0.36	**0**	1	-0.04
	My.min	-16.5	0.02	-0.31	0	**-0.69**	-0.04
	My.max	-12	0.05	0.36	0	**1**	-0.04
	Mz.min	-12	0.05	0.36	0	1	**-0.04**
	Mz.max	7	0.02	0.21	0	0.59	**0**
W	N.min	**-16.2**	0.04	-0.47	0	3.76	-0.03
	N.max	**16.2**	-0.04	0.47	0	-3.77	0.03
	Vy.min	16.2	**-0.04**	0.47	0	-3.77	0.03
	Vy.max	-16.2	**0.04**	-0.47	0	3.76	-0.03
	Vz.min	-16.2	0.04	**-0.47**	0	3.76	-0.03
	Vz.max	16.2	-0.04	**0.47**	0	-3.77	0.03
	Mx.min	-16.2	0.04	-0.47	**0**	3.76	-0.03
	Mx.max	16.2	-0.04	0.47	**0**	-3.77	0.03
	My.min	16.2	-0.04	0.47	0	**-3.77**	0.03
	My.max	-16.2	0.04	-0.47	0	**3.76**	-0.03
	Mz.min	-16.2	0.04	-0.47	0	3.76	**-0.03**
	Mz.max	16.2	-0.04	0.47	0	-3.77	**0.03**
WP	N.min	**-10.39**	0.06	2.97	0	7.64	0.02
	N.max	**10.4**	-0.06	-2.97	0	-7.64	-0.02
	Vy.min	10.4	**-0.06**	-2.97	0	-7.64	-0.02
	Vy.max	-10.39	**0.06**	2.97	0	7.64	0.02
	Vz.min	10.4	-0.06	**-2.97**	0	-7.64	-0.02
	Vz.max	-10.39	0.06	**2.97**	0	7.64	0.02
	Mx.min	-10.39	0.06	2.97	**0**	7.64	0.02
	Mx.max	10.4	-0.06	-2.97	**0**	-7.64	-0.02
	My.min	10.4	-0.06	-2.97	0	**-7.64**	-0.02
	My.max	-10.39	0.06	2.97	0	**7.64**	0.02
	Mz.min	10.4	-0.06	-2.97	0	-7.64	**-0.02**
	Mz.max	-10.39	0.06	2.97	0	7.64	**0.02**
TR	N.min	**0**	0	0	0	0	0
	N.max	**0**	0	0	0	0	0
	Vy.min	0	**0**	0	0	0	0
	Vy.max	0	**0**	0	0	0	0
	Vz.min	0	0	**0**	0	0	0
	Vz.max	0	0	**0**	0	0	0
	Mx.min	0	0	0	**0**	0	0
	Mx.max	0	0	0	**0**	0	0
	My.min	0	0	0	0	**0**	0
	My.max	0	0	0	0	**0**	0
	Mz.min	0	0	0	0	0	**0**
	Mz.max	0	0	0	0	0	**0**
TN	N.min	**-1.37**	-0.04	-0.32	0	-0.36	-0.24
	N.max	**1.37**	0.04	0.32	0	0.36	0.24
	Vy.min	-0.48	**-0.04**	-3.14	0	-7.1	-0.25
	Vy.max	1.37	**0.04**	0.32	0	0.36	0.24
	Vz.min	-0.48	-0.04	**-3.14**	0	-7.1	-0.25
	Vz.max	-1.07	0	**2.58**	0	5.79	0
	Mx.min	-0.48	-0.04	-3.14	**0**	-7.1	-0.25
	Mx.max	-1.07	0	2.58	**0**	5.79	0
	My.min	-0.48	-0.04	-3.14	0	**-7.1**	-0.25
	My.max	-1.07	0	2.58	0	**5.79**	0
	Mz.min	-0.48	-0.04	-3.14	0	-7.1	**-0.25**
	Mz.max	1.37	0.04	0.32	0	0.36	**0.24**
FR	N.min	**-0.6**	0	-0.02	0	-0.03	-0.01
	N.max	**0.6**	0	0.02	0	0.03	0.01
	Vy.min	-0.6	**0**	-0.02	0	-0.03	-0.01
	Vy.max	0.6	**0**	0.02	0	0.03	0.01
	Vz.min	-0.6	0	**-0.02**	0	-0.03	-0.01
	Vz.max	0.6	0	**0.02**	0	0.03	0.01
	Mx.min	-0.6	0	-0.02	**0**	-0.03	-0.01
	Mx.max	0.6	0	0.02	**0**	0.03	0.01
	My.min	-0.6	0	-0.02	0	**-0.03**	-0.01
	My.max	0.6	0	0.02	0	**0.03**	0.01
	Mz.min	-0.6	0	-0.02	0	-0.03	**-0.01**
	Mz.max	0.6	0	0.02	0	0.03	**0.01**
I	N.min	**-3.88**	0.01	-0.63	0	-1.38	**-0.01**
	N.max	**3.88**	-0.01	0.63	0	1.38	**0.01**
	Vy.min	3.88	**-0.01**	0.63	0	1.38	**0.01**
	Vy.max	-3.88	**0.01**	-0.63	0	-1.38	**-0.01**
	Vz.min	-3.88	0.01	**-0.63**	0	-1.38	**-0.01**
	Vz.max	3.88	-0.01	**0.63**	0	1.38	**0.01**
	Mx.min	-3.88	0.01	-0.63	**0**	-1.38	**-0.01**
	Mx.max	3.88	-0.01	0.63	**0**	1.38	**0.01**
	My.min	-3.88	0.01	-0.63	0	**-1.38**	**-0.01**
	My.max	3.88	-0.01	0.63	0	**1.38**	**0.01**
	Mz.min	-3.88	0.01	-0.63	0	-1.38	**-0.01**
	Mz.max	3.88	-0.01	0.63	0	1.38	**0.01**

TAB. V4.1.3 POSOUZENÍ - MEZNÍ STAV ÚNOSNOSTI

POPIS	SVISLICE V4
PRUT / POLOHA BODU	423 / 2/4
NAMÁHÁNÍ	N.min
VLÁKNO	BOD K2 -HP
MEZNÍ STAV	ULS (MSÚ)
VYUŽITÍ VLÁKNA PRŮŘEZU	0.50

Charakteristiky materiálu				
pás. horní	$f_{yf,k}$	230	MPa	
pás. dolní	$f_{yf,k}$	230	MPa	
stojina	$f_{yw,k}$	230	MPa	
výztuž	$f_{ys,k}$	500	MPa	
γ_M =	1.20	γ_s =	1.15	

Excentricita normálové síly				
Exc./Fáze	0	1	2	3
e_y	0.000	0.000	0.000	0.000
e_z	0.000	0.000	0.000	0.000
Ekvivalentní vzdál. stěn - příčný roznos				
b_{Mx}	0.000	0.000	0.000	0.000

Vliv stěny na únosnost průřezu				
Char./Fáze	0	1	2	3
A	0.00	0.00	0.00	0.00
Wy	0.00	0.00	0.00	0.00
Wz	0.00	0.00	0.00	0.00

Charakter. v kroucení			
$t_{w,y}$	0.000	[mm]	
$t_{w,z}$	0.000	[mm]	
κ	1.00		
I_t=	0.00E+00	[mm^4]	
$\Omega=2*A_{pr}$	0.00E+00	[mm^2]	

Součinitele vzpěru a vlivu II.řádu					
Char./Fáze	0	1	2	3	
k_y	1.000	1.000	1.000	1.000	
k_z	1.030	1.000	1.000	1.000	
χ_{LT}	1.000	1.000	1.000	1.000	
χ_{min}	0.830	1.000	1.000	1.000	

Vnitřní síly od jednotlivých skupin zatěžovacích stavů — 3

SKUPINA ZATĚŽOVACÍCH STAVŮ					- CHARAKTERISTICKÉ HODNOTY						DÍLČÍ SOUČINITELÉ ZATÍŽENÍ, DYNAMICKÝ SOUČINITEL							- NÁVRHOVÉ HODNOTY									
Č.	SKUP ZS	POPIS ZS	KAT.	FÁZE PRŮŘ.	N.k (kN)	Vy.k (kN)	Vz.k (kN)	Mx.k (kNm)	My.k (kNm)	Mz.k (kNm)	γ_{sr} (-)	γ_{sl} (-)	volba ψ_i hledat	ψ_i (-)	L_d (m)	δ (-)	ψ_s KZ03	N.d (kN)	Vy.d (kN)	Vz.d (kN)	ΔVz.d (kN)	ΣVz.d (kN)	Mx.d (kNm)	My.d (kNm)	ΔMy.d (kNm)	ΣMy.d (kNm)	Mz.d (kNm)	ΔMz.d (kNm)	ΣMz.d (kNm)
1	G0	Vlastní tíha OK	G	0	-142	0	-1	0	2	0	1.00	1.20		1.20	-	1.00	0.95	-161	0	-1	0	-1	0	2	0	2	0	0	0
2	G1	Ostatní stálé - mostní vybavení	G	0	-7	0	0	0	0	0	1.00	1.20		1.20	-	1.00	0.95	-8	0	0	0	0	0	0	0	0	0	0	0
3	G2	Ostatní stálé - cizí zařízení	G	0	-4	0	0	0	0	0	1.00	1.20		1.20	-	1.00	0.95	-4	0	0	0	0	0	0	0	0	0	0	0
4	P1_71	a.LM71 - kolej 1 (bez dyn. souč.)	P	0	-143	0	-1	0	-6	0	1.00	1.30		1.30	-	1.00	1.00	-186	0	-1	0	-1	0	-8	0	-8	0	0	0
5	P2_71	a.LM71 - kolej 2 (bez dyn. souč.)	P	0	-356	1	3	0	3	-1	1.00	1.30		1.30	-	1.00	1.00	-463	1	4	0	4	0	4	0	4	-1	0	-1
6	P1_C3	TTZ C3 - kolej 1 (bez dyn. souč.)	P	0	-118	0	-1	0	-5	0	1.00	vyp.		0.00	-	1.00	0.00	0	0	0	0	0	0	0	0	0	0	0	0
7	P2_C3	TTZ C3 - kolej 2 (bez dyn. souč.)	P	0	-293	1	2	0	3	-1	1.00	vyp.		0.00	-	1.00	0.00	0	0	0	0	0	0	0	0	0	0	0	0
8	BR	Brzdné a rozjezdové síly	P	0	-11	0	0	0	0	0	1.00	1.30		1.30	-	1.00	0.80	-12	0	0	0	0	0	0	0	0	0	0	0
9	S	Boční ráz	P	0	-1	0	0	0	1	0	1.00	1.30		1.30	-	1.00	0.40	-1	0	0	0	0	0	1	0	1	0	0	0
10	CH	Chodci na lávkách	Q	0	-17	0	0	0	-1	0	1.00	1.30		1.30	-	1.00	1.00	-21	0	0	0	0	0	-1	0	-1	0	0	0
11	W	Vítr na konstrukci	Q	0	-16	0	0	0	4	0	1.00	1.35		1.35	-	1.00	0.75	-16	0	0	0	0	0	4	0	4	0	0	0
12	WP	Vítr na vozidla	Q	0	-10	0	3	0	8	0	1.00	1.35		1.35	-	1.00	0.75	-11	0	3	0	3	0	8	0	8	0	0	0
13	TR	Teplota rovnoměrná	Q	0	0	0	0	0	0	0	1.00	1.35		1.35	-	1.00	0.45	0	0	0	0	0	0	0	0	0	0	0	0
14	TN	Teplota nerovnoměrná	Q	0	-1	0	0	0	0	0	1.00	1.35		1.35	-	1.00	0.60	-1	0	0	0	0	0	0	0	0	0	0	0
15	FR	Třecí síly v ložiskách	Q	0	-1	0	0	0	0	0	1.00	1.20		1.20	-	1.00	1.00	-1	0	0	0	0	0	0	0	0	0	0	0
16	I	Imperfekce soustavy	Q	0	-4	0	-1	0	-1	0	1.00	-1.20		-1.20	-	1.00	1.00	5	0	1	0	1	0	2	0	2	0	0	0
27	ULS_LM	ULS - LM71 bez dynam	Q	0	-892	2	3	0	8	-2	1.00	vyp.	1	0.00	-	1.00	0.00	0	0	0	0	0	0	0	0	0	0	0	0
28	SLS_LM	SLS - LM71 bez dynam	Q	0	-704	2	2	0	6	-1	1.00	vyp.	1	0.00	-	1.00	0.00	0	0	0	0	0	0	0	0	0	0	0	0
29	ULS_C3	ULS - C3 bez dynam	Q	0	-778	2	2	0	9	-2	1.00	vyp.	1	0.00	-	1.00	0.00	0	0	0	0	0	0	0	0	0	0	0	0
30	SLS_C3	SLS - C3 bez dynam	Q	0	0	0	0	0	0	0	1.00	vyp.	1	0.00	-	1.00	0.00	0	0	0	0	0	0	0	0	0	0	0	0
		CELKEM - FÁZE PRŮŘEZU 0																-880	2	4	0	4	0	11	0	11	-2	0	-2
		CELKEM - FÁZE PRŮŘEZU 1																0	0	0	0	0	0	0	0	0	0	0	0
		CELKEM - FÁZE PRŮŘEZU 2																0	0	0	0	0	0	0	0	0	0	0	0
		CELKEM - FÁZE PRŮŘEZU 3																0	0	0	0	0	0	0	0	0	0	0	0
		CELKEM - PRŮŘEZ																-880	2	4	0	4	0			11			-2

Napětí od jednotlivých zatěžovacích stavů

SKUPINA ZATĚŽOVACÍCH STAVŮ					Posouzení normálového napětí										Posouzení smykového napětí													
					Účinek síly N			Účinek momentu My			Účinek momentu Mz				Účinek kroutícího momentu Mx				Účinek smykové síly Vy				Účinek smykové síly Vz			
Č.	SKUP ZS	Popis ZS	Kat.	fáze průř.	δ^*N_d [kN]	χ^*A [mm^2]	σ_n [MPa]	$\delta^*M_{y,d}$ [kNm]	$\chi_{lt}^*W_{el,y}$ [mm^3]	σ_{my} [MPa]	$\delta^*M_{z,d}$ [kNm]	$W_{el,z}$ [mm^3]	σ_{mz} [MPa]	σ_x [MPa]	$\kappa^*\delta^*M_{x,d}$ [kNm]	$W_{v,y}$ [mm^3]	$\tau_{x,y}$ [MPa]	$W_{v,z}$ [mm^3]	$\tau_{x,z}$ [MPa]	$\delta^*V_{y,d}$ [kN]	$A_{v,y}$ [mm2]	$\tau_{v,y}$ [MPa]	$\tau_{v,y}$ [MPa]	$\delta^*V_{z,d}$ [kN]	$A_{v,z}$ [mm2]	$\tau_{v,z}$ [MPa]	$\tau_{v,z}$ [MPa]
1	G0	Vlastní tíha OK	G	0	-161.4	1.04E+04	-15.6	2.0	-1.49E+06	-1.3	-0.5	4.62E+05	-1.0	-17.9	0.0E+00	-	-	-	-	0.4	8.40E+03	0.0	0.0	-1.3	4.09E+03	-0.3	-0.3
2	G1	Ostatní stálé - mostní vybavení	G	0	-7.6	1.04E+04	-0.7	-0.3	-1.49E+06	0.2	0.0	4.62E+05	-0.1	-0.6	0.0E+00	-	-	-	-	0.0	8.40E+03	0.0	0.0	-0.1	4.09E+03	0.0	0.0
3	G2	Ostatní stálé - cizí zařízení	G	0	-4.3	1.04E+04	-0.4	0.3	-1.49E+06	-0.2	0.0	4.62E+05	0.0	-0.6	0.0E+00	-	-	-	-	0.0	8.40E+03	0.0	0.0	0.1	4.09E+03	0.0	0.0
4	P1_71	a.LM71 - kolej 1 (bez dyn. souč.)	P	0	-185.9	1.04E+04	-17.9	-8.1	-1.49E+06	5.4	-0.4	4.62E+05	-0.8	-13.3	0.0E+00	-	-	-	-	0.4	8.40E+03	0.0	0.0	-1.3	4.09E+03	-0.3	-0.3
5	P2_71	a.LM71 - kolej 2 (bez dyn. souč.)	P	0	-462.7	1.04E+04	-44.6	4.5	-1.49E+06	-3.0	-0.9	4.62E+05	-1.9	-49.6	0.0E+00	-	-	-	-	0.9	8.40E+03	0.1	0.1	4.1	4.09E+03	1.0	1.0
6	P1_C3	TTZ C3 - kolej 1 (bez dyn. souč.)	P	0	0.0	1.04E+04	0.0	0.0	-1.49E+06	0.0	0.0	4.62E+05	0.0	0.0	0.0E+00	-	-	-	-	0.0	8.40E+03	0.0	0.0	0.0	4.09E+03	0.0	0.0
7	P2_C3	TTZ C3 - kolej 2 (bez dyn. souč.)	P	0	0.0	1.04E+04	0.0	0.0	-1.49E+06	0.0	0.0	4.62E+05	0.0	0.0	0.0E+00	-	-	-	-	0.0	8.40E+03	0.0	0.0	0.0	4.09E+03	0.0	0.0
8	BR	Brzdné a rozjezdové síly	P	0	-11.6	1.04E+04	-1.1	0.0	-1.49E+06	0.0	0.1	4.62E+05	0.1	-1.0	0.0E+00	-	-	-	-	0.1	8.40E+03	0.0	0.0	-0.1	4.09E+03	0.0	0.0
9	S	Boční ráz	P	0	-0.7	1.04E+04	-0.1	0.6	-1.49E+06	-0.4	0.0	4.62E+05	0.0	-0.5	0.0E+00	-	-	-	-	0.0	8.40E+03	0.0	0.0	0.2	4.09E+03	0.0	0.0
10	CH	Chodci na lávkách	Q	0	-21.5	1.04E+04	-2.1	-0.9	-1.49E+06	0.6	-0.1	4.62E+05	-0.1	-1.6	0.0E+00	-	-	-	-	0.0	8.40E+03	0.0	0.0	-0.4	4.09E+03	-0.1	-0.1
11	W	Vítr na konstrukci	Q	0	-16.4	1.04E+04	-1.6	3.8	-1.49E+06	-2.6	0.0	4.62E+05	-0.1	-4.2	0.0E+00	-	-	-	-	0.0	8.40E+03	0.0	0.0	-0.5	4.09E+03	-0.1	-0.1
12	WP	Vítr na vozidla	Q	0	-10.5	1.04E+04	-1.0	7.7	-1.49E+06	-5.2	0.0	4.62E+05	0.0	-6.2	0.0E+00	-	-	-	-	0.1	8.40E+03	0.0	0.0	3.0	4.09E+03	0.7	0.7
13	TR	Teplota rovnoměrná	Q	0	0.0	1.04E+04	0.0	0.0	-1.49E+06	0.0	0.0	4.62E+05	0.0	0.0	0.0E+00	-	-	-	-	0.0	8.40E+03	0.0	0.0	0.0	4.09E+03	0.0	0.0
14	TN	Teplota nerovnoměrná	Q	0	-1.1	1.04E+04	-0.1	-0.3	-1.49E+06	0.2	-0.2	4.62E+05	-0.4	-0.3	0.0E+00	-	-	-	-	0.0	8.40E+03	0.0	0.0	-0.3	4.09E+03	-0.1	-0.1
15	FR	Třecí síly v ložiskách	Q	0	-0.7	1.04E+04	-0.1	0.0	-1.49E+06	0.0	0.0	4.62E+05	0.0	-0.1	0.0E+00	-	-	-	-	0.0	8.40E+03	0.0	0.0	0.0	4.09E+03	0.0	0.0
16	I	Imperfekce soustavy	Q	0	4.7	1.04E+04	0.4	1.7	-1.49E+06	-1.1	0.0	4.62E+05	0.0	-0.6	0.0E+00	-	-	-	-	0.0	8.40E+03	0.0	0.0	0.8	4.09E+03	0.2	0.2
27	ULS_LM	ULS - LM71 bez dynam	Q	0	0.0	1.04E+04	0.0	0.0	-1.49E+06	0.0	0.0	4.62E+05	0.0	0.0	0.0E+00	-	-	-	-	0.0	8.40E+03	0.0	0.0	0.0	4.09E+03	0.0	0.0
28	SLS_LM	SLS - LM71 bez dynam	Q	0	0.0	1.04E+04	0.0	0.0	-1.49E+06	0.0	0.0	4.62E+05	0.0	0.0	0.0E+00	-	-	-	-	0.0	8.40E+03	0.0	0.0	0.0	4.09E+03	0.0	0.0
29	ULS_C3	ULS - C3 bez dynam	Q	0	0.0	1.04E+04	0.0	0.0	-1.49E+06	0.0	0.0	4.62E+05	0.0	0.0	0.0E+00	-	-	-	-	0.0	8.40E+03	0.0	0.0	0.0	4.09E+03	0.0	0.0
30	SLS_C3	SLS - C3 bez dynam	Q	0	0.0	1.04E+04	0.0	0.0	-1.49E+06	0.0	0.0	4.62E+05	0.0	0.0	0.0E+00	-	-	-	-	0.0	8.40E+03	0.0	0.0	0.0	4.09E+03	0.0	0.0
NAVÝŠENÍ NAPĚTÍ DO AKTIVACE TLAKU V DESCE MOSTOVKY						$\sigma_{P,red}$	0.0							0.0			0.0		0.0			0.2	0.2			1.0	1.0
NAPĚTÍ OD PRIMÁRNÍCH ÚČINKŮ NEROVNOMĚRNÉHO OTEPLENÍ						σ_T	0.0							0.0													
NAPĚTÍ OD REOLOGICKÝCH ÚČINKŮ BETONU V ČASE				t=0		σ_R	0.0	γ_{lt}=	1.20					0.0													
NAPĚTÍ V KRITICKÝCH VLÁKNECH OD KOMBINACE ZATÍŽENÍ						KZ03		[MPa]					$\Sigma\sigma_x$	-96.5								$\Sigma\tau_y$	0.2			$\Sigma\tau_z$	1.0
NAPĚTÍ OD POHYBLIVÉHO ZATÍŽENÍ								[MPa]					$\sigma_{x,P}$	-64.4								τ_P	0.2			τ_P	0.7
NAPĚTÍ OD OSTATNÍCH ZATÍŽENÍ								[MPa]			Φ_{vy}	Φ_{vz}	$\sigma_{x,rs}$	-32.1								τ_{rs}	0.1			τ_{rs}	0.3
NÁVRHOVÁ HODNOTA MEZE KLUZU S REDUKCÍ VLIVEM SMYKOVÉHO NAPĚTÍ								[MPa]			1.00	1.00	$f_{yw,d}$	191.7								$f_{yd}/3^{0,5}$	110.7			$f_{yd}/3^{0,5}$	110.7
NAPĚTÍ OD POHYBLIVÉHO ZATÍŽENÍ V GLOBÁLNÍM SYSTÉMU						$\sigma_{GLOB,P}$	0.0	[MPa]					$\Sigma\sigma_{GLOB}$	0.0													
NAPĚTÍ OD OSTATNÍCH ZATÍŽENÍ V GLOBÁLNÍM SYSTÉMU						$\sigma_{GLOB,rs}$	0.0	[MPa]					$\Sigma\sigma_x + \Sigma\sigma_{GLOB}$	-96.5													
VYUŽITÍ PRŮŘEZU DLE NAPĚTÍ								[%]					η_1	0.50								η_3	0.00			η_3	0.01
NAPĚTÍ V PŘÍČNÉM SMĚRU OD POHYBLIVÉHO ZATÍŽENÍ						$\sigma_{z,P}$	0.0	[MPa]					$\Sigma\sigma_z$	0.0													
NAPĚTÍ V PŘÍČNÉM SMĚRU OD OSTATNÍCH ZATÍŽENÍ						$\sigma_{z,rs}$	0.0	[MPa]					η_2	0.00													
SROVNÁVACÍ NAPĚTÍ													$(\eta_2 + 0,8\,\eta_1)/1,4$ =	0.29													
VYUŽITÍ PRŮŘEZU CELKEM								[%]					eff	0.50	VYHOVUJE												
													Z_{LM71} =	2.48													

TAB. V4.1.3 POSOUZENÍ - MEZNÍ STAV ÚNOSNOSTI

POPIS	SVISLICE V4
PRUT / POLOHA BODU	423 / 2/4
NAMÁHÁNÍ	N.min
VLÁKNO	BOD K4 -SP
MEZNÍ STAV	ULS (MSÚ)
VYUŽITÍ VLÁKNA PRŮŘEZU	0.50

Charakteristiky materiálu				
pás. horní	$f_{yf,k}$	230	MPa	
pás. dolní	$f_{yf,k}$	230	MPa	
stojina	$f_{yw,k}$	230	MPa	
výztuž	$f_{ys,k}$	500	MPa	
	γ_M =	1.20	γ_s =	1.15

Excentricita normálové síly				
Exc./Fáze	0	1	2	3
e_y	0.000	0.000	0.000	0.000
e_z	0.000	0.000	0.000	0.000
Ekvivalentní vzdál. stěn - příčný roznos				
b_{ekv}	0.000	0.000	0.000	0.000

Vliv stěny na únosnost průřezu				
Char./Fáze	0	1	2	3
A	0.00	0.00	0.00	0.00
Wy	0.00	0.00	0.00	0.00
Wz	0.00	0.00	0.00	0.00

Charakter. v kroucení			
$t_{w,y}$	0.000	[mm]	
$t_{w,z}$	0.000	[mm]	
κ	1.00		
I_t=	0.00E+00	[mm^4]	
Ω=2*A_{pr}	0.00E+00	[mm^2]	

Součinitele vzpěru a vlivu II.řádu					
Char./Fáze	0	1	2	3	
k_y	1.000	1.000	1.000	1.000	
k_z	1.030	1.000	1.000	1.000	
χ_{LT}	1.000	1.000	1.000	1.000	
χ_{min}	0.830	1.000	1.000	1.000	

Vnitřní síly od jednotlivých skupin zatěžovacích stavů

SKUPINA ZATĚŽOVACÍCH STAVŮ					- CHARAKTERISTICKÉ HODNOTY						DÍLČÍ SOUČINITELÉ ZATÍŽENÍ, DYNAMICKÝ SOUČINITEL						3	- NÁVRHOVÉ HODNOTY									
Č.	SKUP ZS	POPIS ZS	KAT.	FÁZE PRŮŘ.	N.k (kN)	Vy.k (kN)	Vz.k (kN)	Mx.k (kNm)	My.k (kNm)	Mz.k (kNm)	γ_{sup} (-)	γ_{inf} (-)	volba γ_i hledat	γ_i (-)	L_d (m)	δ (-)	Ψ_0 KZ03	N.d (kN)	Vy.d (kN)	Vz.d (kN)	ΔVz.d (kN)	ΣVz.d (kN)	Mx.d (kNm)	My.d (kNm)	ΔMy.d (kNm)	ΣMy.d (kNm)	Mz.d (kNm)	ΔMz.d (kNm)	ΣMz.d (kNm)
1	G0	Vlastní tíha OK	G	0	-142	0	-1	0	2	0	1.00	1.20		1.20	-	1.00	0.95	-161	0	-1	0	-1	0	2	0	2	0	0	0
2	G1	Ostatní stálé - mostní vybavení	G	0	-7	0	0	0	0	0	1.00	1.20		1.20	-	1.00	0.95	-8	0	0	0	0	0	0	0	0	0	0	0
3	G2	Ostatní stálé - cizí zařízení	G	0	-4	0	0	0	0	0	1.00	1.20		1.20	-	1.00	0.95	-4	0	0	0	0	0	0	0	0	0	0	0
4	P1_71	a.LM71 - kolej 1 (bez dyn. souč.)	P	0	-143	0	-1	0	-6	0	1.00	1.30		1.30	-	1.00	1.00	-186	0	-1	0	-1	0	-8	0	-8	0	0	0
5	P2_71	a.LM71 - kolej 2 (bez dyn. souč.)	P	0	-356	1	3	0	3	-1	1.00	1.30		1.30	-	1.00	1.00	-463	1	4	0	4	0	4	0	4	-1	0	-1
6	P1_C3	TTZ C3 - kolej 1 (bez dyn. souč.)	P	0	-118	0	-1	0	-5	0	1.00	vyp.		0.00	-	1.00	0.00	0	0	0	0	0	0	0	0	0	0	0	0
7	P2_C3	TTZ C3 - kolej 2 (bez dyn. souč.)	P	0	-293	1	2	0	3	-1	1.00	vyp.		0.00	-	1.00	0.00	0	0	0	0	0	0	0	0	0	0	0	0
8	BR	Brzdné a rozjezdové síly	P	0	-11	0	0	0	0	0	1.00	1.30		1.30	-	1.00	0.80	-12	0	0	0	0	0	0	0	0	0	0	0
9	S	Boční ráz	P	0	-1	0	0	0	1	0	1.00	0.00		0.00	-	1.00	0.40	0	0	0	0	0	0	0	0	0	0	0	0
10	CH	Chodci na lávkách	Q	0	-17	0	0	0	-1	0	1.00	1.30		1.30	-	1.00	1.00	-21	0	0	0	0	0	-1	0	-1	0	0	0
11	W	Vítr na konstrukci	Q	0	-16	0	0	0	4	0	1.00	-1.35		-1.35	-	1.00	0.75	16	0	0	0	0	0	-4	0	-4	0	0	0
12	WP	Vítr na vozidla	Q	0	-10	0	3	0	8	0	1.00	-1.35		-1.35	-	1.00	0.75	11	0	-3	0	-3	0	-8	0	-8	0	0	0
13	TR	Teplota rovnoměrná	Q	0	0	0	0	0	0	0	1.00	1.35		1.35	-	1.00	0.45	0	0	0	0	0	0	0	0	0	0	0	0
14	TN	Teplota nerovnoměrná	Q	0	-1	0	0	0	0	0	1.00	1.35		1.35	-	1.00	0.60	-1	0	0	0	0	0	0	0	0	0	0	0
15	FR	Třecí síly v ložiskách	Q	0	-1	0	0	0	0	0	1.00	1.20		1.20	-	1.00	1.00	-1	0	0	0	0	0	0	0	0	0	0	0
16	I	Imperfekce soustavy	Q	0	-4	0	-1	0	-1	0	1.00	1.20		1.20	-	1.00	1.00	-5	0	-1	0	-1	0	-2	0	-2	0	0	0
27	ULS_LM	ULS - LM71 bez dynam	Q	0	-892	2	3	0	8	-2	1.00	vyp.		0.00	-	1.00	0.00	0	0	0	0	0	0	0	0	0	0	0	0
28	SLS_LM	SLS - LM71 bez dynam	Q	0	-704	2	2	0	6	-1	1.00	vyp.	1	0.00	-	1.00	0.00	0	0	0	0	0	0	0	0	0	0	0	0
29	ULS_C3	ULS - C3 bez dynam	Q	0	-778	2	2	0	9	-2	1.00	vyp.	1	0.00	-	1.00	0.00	0	0	0	0	0	0	0	0	0	0	0	0
30	SLS_C3	SLS - C3 bez dynam	Q	0	0	0	0	0	0	0	1.00	vyp.	1	0.00	-	1.00	0.00	0	0	0	0	0	0	0	0	0	0	0	0
		CELKEM - FÁZE PRŮŘEZU 0																-835	2	-3	0	-3	0	-16	0	-16	-2	0	-2
		CELKEM - FÁZE PRŮŘEZU 1																0	0	0	0	0	0	0	0	0	0	0	0
		CELKEM - FÁZE PRŮŘEZU 2																0	0	0	0	0	0	0	0	0	0	0	0
		CELKEM - FÁZE PRŮŘEZU 3																0	0	0	0	0	0	0	0	0	0	0	0
		CELKEM - PRŮŘEZ																-835	2	-3	0	-3	0			-16			-2

Napětí od jednotlivých zatěžovacích stavů

SKUPINA ZATĚŽOVACÍCH STAVŮ					Posouzení normálového napětí										Posouzení smykového napětí													
					Účinek síly N			Účinek momentu My			Účinek momentu Mz				Účinek kroutícího momentu Mx				Účinek smykové síly Vy				Účinek smykové síly Vz			
Č.	SKUP ZS	Popis ZS	Kat.	fáze prúř.	δ^*N_d [kN]	χ^*A [mm^2]	σ_n [MPa]	$\delta^*M_{y,d}$ [kNm]	$\chi_{lt}{}^*W_{el,y}$ [mm^3]	σ_{my} [MPa]	$\delta^*M_{z,d}$ [kNm]	$W_{el,z}$ [mm^3]	σ_{mz} [MPa]	σ_x [MPa]	$\kappa^*\delta^*M_{x,d}$ [kNm]	$W_{v,y}$ [mm^2]	$\tau_{x,y}$ [MPa]	$W_{v,z}$ [mm^2]	$\tau_{x,z}$ [MPa]	$\delta^*V_{y,d}$ [kN]	$A_{v,y}$ [mm2]	$\tau_{v,y}$ [MPa]	$\tau_{v,y}$ [MPa]	$\delta^*V_{z,d}$ [kN]	$A_{v,z}$ [mm2]	$\tau_{v,z}$ [MPa]	$\tau_{v,z}$ [MPa]
1	G0	Vlastní tíha OK	G	0	-161.4	1.04E+04	-15.6	2.0	1.49E+06	1.3	-0.5	4.62E+05	-1.0	-15.2	0.0E+00	-	-	-	-	0.4	8.40E+03	0.0	0.0	-1.3	4.09E+03	-0.3	-0.3
2	G1	Ostatní stálé - mostní vybavení	G	0	-7.6	1.04E+04	-0.7	-0.3	1.49E+06	-0.2	0.0	4.62E+05	-0.1	-1.0	0.0E+00	-	-	-	-	0.0	8.40E+03	0.0	0.0	-0.1	4.09E+03	0.0	0.0
3	G2	Ostatní stálé - cizí zařízení	G	0	-4.3	1.04E+04	-0.4	0.3	1.49E+06	0.2	0.0	4.62E+05	0.0	-0.2	0.0E+00	-	-	-	-	0.0	8.40E+03	0.0	0.0	0.1	4.09E+03	0.0	0.0
4	P1_71	a.LM71 - kolej 1 (bez dyn. souč.)	P	0	-185.9	1.04E+04	-17.9	-8.1	1.49E+06	-5.4	-0.4	4.62E+05	-0.8	-24.2	0.0E+00	-	-	-	-	0.4	8.40E+03	0.0	0.0	-1.3	4.09E+03	-0.3	-0.3
5	P2_71	a.LM71 - kolej 2 (bez dyn. souč.)	P	0	-462.7	1.04E+04	-44.6	4.5	1.49E+06	3.0	-0.9	4.62E+05	-1.9	-43.5	0.0E+00	-	-	-	-	0.9	8.40E+03	0.1	0.1	4.1	4.09E+03	1.0	1.0
6	P1_C3	TTZ C3 - kolej 1 (bez dyn. souč.)	P	0	0.0	1.04E+04	0.0	0.0	1.49E+06	0.0	0.0	4.62E+05	0.0	0.0	0.0E+00	-	-	-	-	0.0	8.40E+03	0.0	0.0	0.0	4.09E+03	0.0	0.0
7	P2_C3	TTZ C3 - kolej 2 (bez dyn. souč.)	P	0	0.0	1.04E+04	0.0	0.0	1.49E+06	0.0	0.0	4.62E+05	0.0	0.0	0.0E+00	-	-	-	-	0.0	8.40E+03	0.0	0.0	0.0	4.09E+03	0.0	0.0
8	BR	Brzdné a rozjezdové síly	P	0	-11.6	1.04E+04	-1.1	0.0	1.49E+06	0.0	0.1	4.62E+05	0.1	-1.0	0.0E+00	-	-	-	-	0.1	8.40E+03	0.0	0.0	-0.1	4.09E+03	0.0	0.0
9	S	Boční ráz	P	0	0.0	1.04E+04	0.0	0.0	1.49E+06	0.0	0.0	4.62E+05	0.0	0.0	0.0E+00	-	-	-	-	0.0	8.40E+03	0.0	0.0	0.0	4.09E+03	0.0	0.0
10	CH	Chodci na lávkách	Q	0	-21.5	1.04E+04	-2.1	-0.9	1.49E+06	-0.6	-0.1	4.62E+05	-0.1	-2.8	0.0E+00	-	-	-	-	0.0	8.40E+03	0.0	0.0	-0.4	4.09E+03	-0.1	-0.1
11	W	Vítr na konstrukci	Q	0	16.4	1.04E+04	1.6	-3.8	1.49E+06	-2.6	0.0	4.62E+05	0.1	-0.9	0.0E+00	-	-	-	-	0.0	8.40E+03	0.0	0.0	0.5	4.09E+03	0.1	0.1
12	WP	Vítr na vozidla	Q	0	10.5	1.04E+04	1.0	-7.7	1.49E+06	-5.2	0.0	4.62E+05	0.0	-4.2	0.0E+00	-	-	-	-	-0.1	8.40E+03	0.0	0.0	-3.0	4.09E+03	-0.7	-0.7
13	TR	Teplota rovnoměrná	Q	0	0.0	1.04E+04	0.0	0.0	1.49E+06	0.0	0.0	4.62E+05	0.0	0.0	0.0E+00	-	-	-	-	0.0	8.40E+03	0.0	0.0	0.0	4.09E+03	0.0	0.0
14	TN	Teplota nerovnoměrná	Q	0	-1.1	1.04E+04	-0.1	-0.3	1.49E+06	-0.2	-0.2	4.62E+05	-0.4	-0.7	0.0E+00	-	-	-	-	0.0	8.40E+03	0.0	0.0	-0.3	4.09E+03	-0.1	-0.1
15	FR	Třecí síly v ložiskách	Q	0	-0.7	1.04E+04	-0.1	0.0	1.49E+06	0.0	0.0	4.62E+05	0.0	-0.1	0.0E+00	-	-	-	-	0.0	8.40E+03	0.0	0.0	0.0	4.09E+03	0.0	0.0
16	I	Imperfekce soustavy	Q	0	-4.7	1.04E+04	-0.4	-1.7	1.49E+06	-1.1	0.0	4.62E+05	0.0	-1.6	0.0E+00	-	-	-	-	0.0	8.40E+03	0.0	0.0	-0.8	4.09E+03	-0.2	-0.2
27	ULS_LM	ULS - LM71 bez dynam	Q	0	0.0	1.04E+04	0.0	0.0	1.49E+06	0.0	0.0	4.62E+05	0.0	0.0	0.0E+00	-	-	-	-	0.0	8.40E+03	0.0	0.0	0.0	4.09E+03	0.0	0.0
28	SLS_LM	SLS - LM71 bez dynam	Q	0	0.0	1.04E+04	0.0	0.0	1.49E+06	0.0	0.0	4.62E+05	0.0	0.0	0.0E+00	-	-	-	-	0.0	8.40E+03	0.0	0.0	0.0	4.09E+03	0.0	0.0
29	ULS_C3	ULS - C3 bez dynam	Q	0	0.0	1.04E+04	0.0	0.0	1.49E+06	0.0	0.0	4.62E+05	0.0	0.0	0.0E+00	-	-	-	-	0.0	8.40E+03	0.0	0.0	0.0	4.09E+03	0.0	0.0
30	SLS_C3	SLS - C3 bez dynam	Q	0	0.0	1.04E+04	0.0	0.0	1.49E+06	0.0	0.0	4.62E+05	0.0	0.0	0.0E+00	-	-	-	-	0.0	8.40E+03	0.0	0.0	0.0	4.09E+03	0.0	0.0
NAVÝŠENÍ NAPĚTÍ DO AKTIVACE TLAKU V DESCE MOSTOVKY						$\sigma_{P,red}$	0.0							0.0			0.0		0.0				0.2	0.2			-0.6	-0.6
NAPĚTÍ OD PRIMÁRNÍCH ÚČINKŮ NEROVNOMĚRNÉHO OTEPLENÍ						σ_T	0.0							0.0														
NAPĚTÍ OD REOLOGICKÝCH ÚČINKŮ BETONU V ČASE				t=0		σ_R	0.0	γ_{lt}=	1.20					0.0														
NAPĚTÍ V KRITICKÝCH VLÁKNECH OD KOMBINACE ZATÍŽENÍ						KZ03		[MPa]					$\Sigma\sigma_x$	-95.6								$\Sigma\tau_y$	0.2				$\Sigma\tau_z$	-0.6
NAPĚTÍ OD POHYBLIVÉHO ZATÍŽENÍ								[MPa]					$\sigma_{z,P}$	-68.7								τ_P	0.2				τ_P	0.7
NAPĚTÍ OD OSTATNÍCH ZATÍŽENÍ								[MPa]			Φ_{vy}	Φ_{vz}	$\sigma_{z,rs}$	-26.8								τ_{rs}	0.0				τ_{rs}	-1.3
NÁVRHOVÁ HODNOTA MEZE KLUZU S REDUKCÍ VLIVEM SMYKOVÉHO NAPĚTÍ								[MPa]			1.00	1.00	$f_{yv,d}$	191.7								$f_{yd}/3^{0,5}$	110.7				$f_{yd}/3^{0,5}$	110.7
NAPĚTÍ OD POHYBLIVÉHO ZATÍŽENÍ V GLOBÁLNÍM SYSTÉMU						$\sigma_{GLOB,P}$	0.0	[MPa]					$\Sigma\sigma_{GLOB}$	0.0														
NAPĚTÍ OD OSTATNÍCH ZATÍŽENÍ V GLOBÁLNÍM SYSTÉMU						$\sigma_{GLOB,rs}$	0.0	[MPa]					$\Sigma\sigma_z + \Sigma\sigma_{GLOB}$	-95.6														
VYUŽITÍ PRŮŘEZU DLE NAPĚTÍ								[%]					η_1	0.50								η_3	0.00				η_3	0.01
NAPĚTÍ V PŘÍČNÉM SMĚRU OD POHYBLIVÉHO ZATÍŽENÍ						$\sigma_{z,P}$	0.0	[MPa]					$\Sigma\sigma_z$	0.0														
NAPĚTÍ V PŘÍČNÉM SMĚRU OD OSTATNÍCH ZATÍŽENÍ						$\sigma_{z,rs}$	0.0	[MPa]					η_2	0.00														
SROVNÁVACÍ NAPĚTÍ													$(\eta_2 + 0,8\,\eta_1)/1,4$ =	0.28														
VYUŽITÍ PRŮŘEZU CELKEM								[%]					eff	0.50	VYHOVUJE													
													z_{LM71} =	2.40														

TAB. V4.1.3 POSOUZENÍ - MEZNÍ STAV ÚNOSNOSTI

POPIS	SVISLICE V4
PRUT / POLOHA BODU	423 / 2/4
NAMÁHÁNÍ	Vz.min
VLÁKNO	BOD S6 -HP
MEZNÍ STAV	ULS (MSÚ)
VYUŽITÍ VLÁKNA PRŮŘEZU	0.13

Charakteristiky materiálu				
pás. horní	$f_{yf,k}$	230	MPa	
pás. dolní	$f_{yf,k}$	230	MPa	
stojina	$f_{yw,k}$	230	MPa	
výztuž	$f_{ys,k}$	500	MPa	
γ_M =	1.10	γ_s =	1.15	

Excentricita normálové síly				
Exc./Fáze	0	1	2	3
e_y	0.000	0.000	0.000	0.000
e_z	0.000	0.000	0.000	0.000
Ekvivalentní vzdál. stěn - příčný roznos				
b_{ekv}	0.000	0.000	0.000	0.000

Vliv stěny na únosnost průřezu				
Char./Fáze	0	1	2	3
A	0.00	0.00	0.00	0.00
Wy	0.00	0.00	0.00	0.00
Wz	0.00	0.00	0.00	0.00

Charakter. v kroucení			
$t_{w,y}$	0.000	[mm]	
$t_{w,z}$	0.000	[mm]	
κ	1.00		
I_t=	0.00E+00	[mm^4]	
Ω=2*A_{pz}	0.00E+00	[mm^2]	

Součinitele vzpěru a vlivu II.řádu					
Char./Fáze	0	1	2	3	4
k_y	1.000	1.000	1.000	1.000	
k_z	1.030	1.000	1.000	1.000	
χ_{LT}	1.000	1.000	1.000	1.000	
χ_{min}	0.830	1.000	1.000	1.000	

Vnitřní síly od jednotlivých skupin zatěžovacích stavů

SKUPINA ZATĚŽOVACÍCH STAVŮ

Č.	SKUP ZS	POPIS ZS	KAT.	FÁZE PRŮŘ.	- CHARAKTERISTICKÉ HODNOTY N.k (kN)	Vy.k (kN)	Vz.k (kN)	Mx.k (kNm)	My.k (kNm)	Mz.k (kNm)	DÍLČÍ SOUČINITELÉ ZATÍŽENÍ, DYNAMICKÝ SOUČINITEL γ_{sr} (-)	γ_{fs} (-)	volba γ_f hledat	γ_f (-)	L_d (m)	δ (-)	γ_{Fs} KZ04	- NÁVRHOVÉ HODNOTY N.d (kN)	Vy.d (kN)	Vz.d (kN)	ΔVz.d (kN)	ΣVz.d (kN)	Mx.d (kNm)	My.d (kNm)	ΔMy.d (kNm)	ΣMy.d (kNm)	Mz.d (kNm)	ΔMz.d (kNm)	ΣMz.d (kNm)
1	G0	Vlastní tíha OK	G	0	-142	0	-1	0	2	0	1.00	1.20		1.20	-	1.00	0.95	-161	0	-1	0	-1	0	2	0	2	0	0	0
2	G1	Ostatní stálé - mostní vybavení	G	0	-7	0	0	0	0	0	1.00	1.20		1.20	-	1.00	0.95	-8	0	0	0	0	0	0	0	0	0	0	0
3	G2	Ostatní stálé - cizí zařízení	G	0	-4	0	0	0	0	0	1.00	1.00		1.00	-	1.00	0.95	-4	0	0	0	0	0	0	0	0	0	0	0
4	P1_71	a.LM71 - kolej 1 (bez dyn. souč.)	P	0	-22	0	-6	0	-15	0	1.00	1.30		1.30	-	1.00	1.00	-28	0	-8	0	-8	0	-20	0	-20	0	0	0
5	P2_71	a.LM71 - kolej 2 (bez dyn. souč.)	P	0	202	0	-4	0	-7	0	1.00	1.30		1.30	-	1.00	1.00	262	-1	-5	0	-5	0	-8	0	-8	0	0	0
6	P1_C3	TTZ C3 - kolej 1 (bez dyn. souč.)	P	0	-37	0	-5	0	-13	0	1.00	vyp.		0.00	-	1.00	0.00	0	0	0	0	0	0	0	0	0	0	0	0
7	P2_C3	TTZ C3 - kolej 2 (bez dyn. souč.)	P	0	144	0	-3	0	-4	0	1.00	vyp.		0.00	-	1.00	0.00	0	0	0	0	0	0	0	0	0	0	0	0
8	BR	Brzdné a rozjezdové síly	P	0	-9	0	0	0	0	0	1.00	1.30		1.30	-	1.00	0.40	-5	0	0	0	0	0	0	0	0	0	0	0
9	S	Boční ráz	P	0	0	0	-1	0	-3	0	1.00	1.30		1.30	-	1.00	0.80	0	0	-1	0	-1	0	-3	0	-3	0	0	0
10	CH	Chodci na lávkách	Q	0	-17	0	0	0	-1	0	1.00	1.30		1.30	-	1.00	1.00	-21	0	0	0	0	0	-1	0	-1	0	0	0
11	W	Vítr na konstrukci	Q	0	-16	0	0	0	4	0	1.00	1.35		1.35	-	1.00	0.75	-16	0	0	0	0	0	4	0	4	0	0	0
12	WP	Vítr na vozidla	Q	0	10	0	-3	0	-8	0	1.00	1.35		1.35	-	1.00	0.75	11	0	-3	0	-3	0	-8	0	-8	0	0	0
13	TR	Teplota rovnoměrná	Q	0	0	0	0	0	0	0	1.00	1.35		1.35	-	1.00	0.45	0	0	0	0	0	0	0	0	0	0	0	0
14	TN	Teplota nerovnoměrná	Q	0	0	0	-3	0	-7	0	1.00	1.35		1.35	-	1.00	0.60	0	0	-3	0	-3	0	-6	0	-6	0	0	0
15	FR	Třecí síly v ložiskách	Q	0	-1	0	0	0	0	0	1.00	1.20		1.20	-	1.00	1.00	-1	0	0	0	0	0	0	0	0	0	0	0
16	I	Imperfekce soustavy	Q	0	-4	0	-1	0	-1	0	1.00	1.20		1.20	-	1.00	1.00	-5	0	-1	0	-1	0	-2	0	-2	0	0	0
27	ULS_LM	ULS - LM71 bez dynam	Q	0	21	0	-24	0	-43	-1	1.00	vyp.		0.00	-	1.00	0.00	0	0	0	0	0	0	0	0	0	0	0	0
28	SLS_LM	SLS - LM71 bez dynam	Q	0	-2	0	-17	0	-28	-1	1.00	vyp.	1	0.00	-	1.00	0.00	0	0	0	0	0	0	0	0	0	0	0	0
29	ULS_C3	ULS - C3 bez dynam	Q	0	-72	0	-21	0	-36	-1	1.00	vyp.	1	0.00	-	1.00	0.00	0	0	0	0	0	0	0	0	0	0	0	0
30	SLS_C3	SLS - C3 bez dynam	Q	0	0	0	0	0	0	0	1.00	vyp.	1	0.00	-	1.00	0.00	0	0	0	0	0	0	0	0	0	0	0	0
		CELKEM - FÁZE PRŮŘEZU 0																23	0	-24	0	-24	0	-42	0	-42	-1	0	-1
		CELKEM - FÁZE PRŮŘEZU 1																0	0	0	0	0	0	0	0	0	0	0	0
		CELKEM - FÁZE PRŮŘEZU 2																0	0	0	0	0	0	0	0	0	0	0	0
		CELKEM - FÁZE PRŮŘEZU 3																0	0	0	0	0	0	0	0	0	0	0	0
		CELKEM - PRŮŘEZ																23	0	-24	0	-24	0			-42			-1

Napětí od jednotlivých zatěžovacích stavů

SKUPINA ZATĚŽOVACÍCH STAVŮ

Č.	SKUP ZS	Popis ZS	Kat.	fáze průř.	Posouzení normálového napětí – Účinek síly N δ^*N_d [kN]	χ^*A [mm^2]	σ_n [MPa]	Účinek momentu My $\delta^*M_{y,d}$ [kNm]	$\chi_t{}^*W_{el,y}$ [mm^3]	σ_{my} [MPa]	Účinek momentu Mz $\delta^*M_{z,d}$ [kNm]	$W_{el,z}$ [mm^3]	σ_{mz} [MPa]	σ_x [MPa]	Posouzení smykového napětí – Účinek kroutícího momentu Mx $\kappa^*\delta^*M_{x,d}$ [kNm]	$W_{v,y}$ [mm^2]	$\tau_{x,y}$ [MPa]	$W_{v,z}$ [mm^2]	$\tau_{x,z}$ [MPa]	Účinek smykové síly Vy $\delta^*V_{y,d}$ [kN]	$A_{v,y}$ [mm2]	$\tau_{v,y}$ [MPa]	$\tau_{v,y}$ [MPa]	Účinek smykové síly Vz $\delta^*V_{z,d}$ [kN]	$A_{v,z}$ [mm2]	$\tau_{v,z}$ [MPa]	$\tau_{v,z}$ [MPa]
1	G0	Vlastní tíha OK	G	0	-161.4	1.04E+04	-15.6	2.0	1.49E+06	1.3	-0.5	-3.93E+06	0.1	-14.1	0.0E+00	-	-	-	-	0.4	8.40E+03	0.0	0.0	-1.3	4.09E+03	-0.3	-0.3
2	G1	Ostatní stálé - mostní vybavení	G	0	-7.6	1.04E+04	-0.7	-0.3	1.49E+06	-0.2	0.0	-3.93E+06	0.0	-0.9	0.0E+00	-	-	-	-	0.0	8.40E+03	0.0	0.0	-0.1	4.09E+03	0.0	0.0
3	G2	Ostatní stálé - cizí zařízení	G	0	-3.6	1.04E+04	-0.3	0.3	1.49E+06	0.2	0.0	-3.93E+06	0.0	-0.2	0.0E+00	-	-	-	-	0.0	8.40E+03	0.0	0.0	0.1	4.09E+03	0.0	0.0
4	P1_71	a.LM71 - kolej 1 (bez dyn. souč.)	P	0	-28.3	1.04E+04	-2.7	-20.0	1.49E+06	-13.5	-0.3	-3.93E+06	0.1	-16.1	0.0E+00	-	-	-	-	0.1	8.40E+03	0.0	0.0	-8.2	4.09E+03	-2.0	-2.0
5	P2_71	a.LM71 - kolej 2 (bez dyn. souč.)	P	0	262.4	1.04E+04	25.3	-8.5	1.49E+06	-5.7	-0.1	-3.93E+06	0.0	19.6	0.0E+00	-	-	-	-	-0.6	8.40E+03	-0.1	-0.1	-5.4	4.09E+03	-1.3	-1.3
6	P1_C3	TTZ C3 - kolej 1 (bez dyn. souč.)	P	0	0.0	1.04E+04	0.0	0.0	1.49E+06	0.0	0.0	-3.93E+06	0.0	0.0	0.0E+00	-	-	-	-	0.0	8.40E+03	0.0	0.0	0.0	4.09E+03	0.0	0.0
7	P2_C3	TTZ C3 - kolej 2 (bez dyn. souč.)	P	0	0.0	1.04E+04	0.0	0.0	1.49E+06	0.0	0.0	-3.93E+06	0.0	0.0	0.0E+00	-	-	-	-	0.0	8.40E+03	0.0	0.0	0.0	4.09E+03	0.0	0.0
8	BR	Brzdné a rozjezdové síly	P	0	-4.9	1.04E+04	-0.5	-0.2	1.49E+06	-0.2	0.0	-3.93E+06	0.0	-0.6	0.0E+00	-	-	-	-	0.0	8.40E+03	0.0	0.0	-0.1	4.09E+03	0.0	0.0
9	S	Boční ráz	P	0	-0.1	1.04E+04	0.0	-2.8	1.49E+06	-1.8	0.0	-3.93E+06	0.0	-1.9	0.0E+00	-	-	-	-	0.0	8.40E+03	0.0	0.0	-1.3	4.09E+03	-0.3	-0.3
10	CH	Chodci na lávkách	Q	0	-21.5	1.04E+04	-2.1	-0.9	1.49E+06	-0.6	-0.1	-3.93E+06	0.0	-2.7	0.0E+00	-	-	-	-	0.0	8.40E+03	0.0	0.0	-0.4	4.09E+03	-0.1	-0.1
11	W	Vítr na konstrukci	Q	0	-16.4	1.04E+04	-1.6	3.8	1.49E+06	2.6	0.0	-3.93E+06	0.0	1.0	0.0E+00	-	-	-	-	0.0	8.40E+03	0.0	0.0	-0.5	4.09E+03	-0.1	-0.1
12	WP	Vítr na vozidla	Q	0	10.5	1.04E+04	1.0	-7.7	1.49E+06	-5.2	0.0	-3.93E+06	0.0	-4.2	0.0E+00	-	-	-	-	-0.1	8.40E+03	0.0	0.0	-3.0	4.09E+03	-0.7	-0.7
13	TR	Teplota rovnoměrná	Q	0	0.0	1.04E+04	0.0	0.0	1.49E+06	0.0	0.0	-3.93E+06	0.0	0.0	0.0E+00	-	-	-	-	0.0	8.40E+03	0.0	0.0	0.0	4.09E+03	0.0	0.0
14	TN	Teplota nerovnoměrná	Q	0	-0.4	1.04E+04	0.0	-5.8	1.49E+06	-3.9	-0.2	-3.93E+06	0.1	-3.8	0.0E+00	-	-	-	-	0.0	8.40E+03	0.0	0.0	-2.5	4.09E+03	-0.6	-0.6
15	FR	Třecí síly v ložiskách	Q	0	-0.7	1.04E+04	-0.1	0.0	1.49E+06	0.0	0.0	-3.93E+06	0.0	-0.1	0.0E+00	-	-	-	-	0.0	8.40E+03	0.0	0.0	0.0	4.09E+03	0.0	0.0
16	I	Imperfekce soustavy	Q	0	-4.7	1.04E+04	-0.4	-1.7	1.49E+06	-1.1	0.0	-3.93E+06	0.0	-1.6	0.0E+00	-	-	-	-	0.0	8.40E+03	0.0	0.0	-0.8	4.09E+03	-0.2	-0.2
27	ULS_LM	ULS - LM71 bez dynam	Q	0	0.0	1.04E+04	0.0	0.0	1.49E+06	0.0	0.0	-3.93E+06	0.0	0.0	0.0E+00	-	-	-	-	0.0	8.40E+03	0.0	0.0	0.0	4.09E+03	0.0	0.0
28	SLS_LM	SLS - LM71 bez dynam	Q	0	0.0	1.04E+04	0.0	0.0	1.49E+06	0.0	0.0	-3.93E+06	0.0	0.0	0.0E+00	-	-	-	-	0.0	8.40E+03	0.0	0.0	0.0	4.09E+03	0.0	0.0
29	ULS_C3	ULS - C3 bez dynam	Q	0	0.0	1.04E+04	0.0	0.0	1.49E+06	0.0	0.0	-3.93E+06	0.0	0.0	0.0E+00	-	-	-	-	0.0	8.40E+03	0.0	0.0	0.0	4.09E+03	0.0	0.0
30	SLS_C3	SLS - C3 bez dynam	Q	0	0.0	1.04E+04	0.0	0.0	1.49E+06	0.0	0.0	-3.93E+06	0.0	0.0	0.0E+00	-	-	-	-	0.0	8.40E+03	0.0	0.0	0.0	4.09E+03	0.0	0.0
NAVÝŠENÍ NAPĚTÍ DO AKTIVACE TLAKU V DESCE MOSTOVKY						$\sigma_{P,red}$	0.0							0.0			0.0		0.0			0.0	0.0			-5.8	-5.8
NAPĚTÍ OD PRIMÁRNÍCH ÚČINKŮ NEROVNOMĚRNÉHO OTEPLENÍ						σ_T	0.0							0.0													
NAPĚTÍ OD REOLOGICKÝCH ÚČINKŮ BETONU V ČASE			t=0			σ_R	0.0	$\gamma_{r=}$	1.20					0.0													
NAPĚTÍ V KRITICKÝCH VLÁKNECH OD KOMBINACE ZATÍŽENÍ						KZ04		[MPa]					$\Sigma\sigma_x$	-25.5								$\Sigma\tau_y$	0.0			$\Sigma\tau_z$	-5.8
NAPĚTÍ OD POHYBLIVÉHO ZATÍŽENÍ								[MPa]					$\sigma_{x,P}$	1.0								τ_P	-0.1			τ_P	-3.7
NAPĚTÍ OD OSTATNÍCH ZATÍŽENÍ								[MPa]			Φ_{Vy}	Φ_{Vz}	$\sigma_{x,rs}$	-26.6								τ_{rs}	0.0			τ_{rs}	-2.1
NÁVRHOVÁ HODNOTA MEZE KLUZU S REDUKCÍ VLIVEM SMYKOVÉHO NAPĚTÍ								[MPa]			1.00	1.00	$f_{yv,d}$	191.7								$f_{yd}/3^{0,5}$	120.7			$f_{yd}/3^{0,5}$	120.7
NAPĚTÍ OD POHYBLIVÉHO ZATÍŽENÍ V GLOBÁLNÍM SYSTÉMU						$\sigma_{GLOB,P}$	0.0	[MPa]					$\Sigma\sigma_{GLOB}$	0.0													
NAPĚTÍ OD OSTATNÍCH ZATÍŽENÍ V GLOBÁLNÍM SYSTÉMU						$\sigma_{GLOB,rs}$	0.0	[MPa]					$\Sigma\sigma_x + \Sigma\sigma_{GLOB}$	-25.5													
VYUŽITÍ PRŮŘEZU DLE NAPĚTÍ								[%]					η_1	0.13								η_3	0.00			η_3	0.05
NAPĚTÍ V PŘÍČNÉM SMĚRU OD POHYBLIVÉHO ZATÍŽENÍ						$\sigma_{z,P}$	0.0	[MPa]					$\Sigma\sigma_z$	0.0													
NAPĚTÍ V PŘÍČNÉM SMĚRU OD OSTATNÍCH ZATÍŽENÍ						$\sigma_{z,rs}$	0.0	[MPa]					η_2	0.00													
SROVNÁVACÍ NAPĚTÍ													$(\eta_2 + 0{,}8\,\eta_1)/1{,}4 =$	0.08													
VYUŽITÍ PRŮŘEZU CELKEM								[%]					eff	0.13	VYHOVUJE												
													z_{LM71} =	>10													

VÝPOČET PRŮŘEZOVÝCH CHARAKTERISTIK

PRŮŘEZ: V4_2 **POPIS:** SVISLICE V4 - MIN MY

x = - **m**

DEFINOVÁNÍ PRŮŘEZU

ŠÍŘKA PÁSNICE ÚHELNÍKU	b f.t.l.o =	150	mm	**ÚHELNÍK HORNÍ VNĚJŠÍ LEVÝ**		**C.T.O.L**	
TLOUŠŤKA PÁSNICE ÚHELNÍKU	t f.t.l.o =	14	mm	OSLABENÍ PÁSNICE - TLOUŠŤKA	Δt f.t.l.o =	0	%
VÝŠKA STĚNY ÚHELNÍKU	h w.t.l.o =	86	mm				
TLOUŠŤKA STĚNY ÚHELNÍKU	t w.t.l.o =	14	mm	OSLABENÍ STĚNY - TLOUŠŤKA	Δt w.t.l.o =	10	%
ŠÍŘKA PÁSNICE ÚHELNÍKU	b f.t.r.o =	150	mm	**ÚHELNÍK HORNÍ VNĚJŠÍ PRAVÝ**		**C.T.O.R**	
TLOUŠŤKA PÁSNICE ÚHELNÍKU	t f.t.r.o =	14	mm	OSLABENÍ PÁSNICE - TLOUŠŤKA	Δt f.t.r.o =	0	%
VÝŠKA STĚNY ÚHELNÍKU	h w.t.r.o =	86	mm				
TLOUŠŤKA STĚNY ÚHELNÍKU	t w.t.r.o =	14	mm	OSLABENÍ STĚNY - TLOUŠŤKA	Δt w.t.r.0 =	10	%
ŠÍŘKA PÁSNICE ÚHELNÍKU	b f.t.l.i =	0	mm	**ÚHELNÍK HORNÍ VNITŘNÍ LEVÝ**		**C.T.I.L**	
TLOUŠŤKA PÁSNICE ÚHELNÍKU	t f.t.l.i =	0	mm	OSLABENÍ PÁSNICE - TLOUŠŤKA	Δt f.b.l.o =	0	%
VÝŠKA STĚNY ÚHELNÍKU	h w.t.l.i =	0	mm				
TLOUŠŤKA STĚNY ÚHELNÍKU	t w.t.l.i =	0	mm	OSLABENÍ STĚNY - TLOUŠŤKA	Δt w.b.l.o =	10	%
ŠÍŘKA PÁSNICE ÚHELNÍKU	b f.t.r.i =	0	mm	**ÚHELNÍK HORNÍ VNITŘNÍ PRAVÝ**		**C.T.I.R**	
TLOUŠŤKA PÁSNICE ÚHELNÍKU	t f.t.r.i =	0	mm	OSLABENÍ PÁSNICE - TLOUŠŤKA	Δt f.b.r.o =	0	%
VÝŠKA STĚNY ÚHELNÍKU	h w.t.r.i =	0	mm				
TLOUŠŤKA STĚNY ÚHELNÍKU	t w.t.r.i =	0	mm	OSLABENÍ STĚNY - TLOUŠŤKA	Δt w.b.r.o =	10	%
ŠÍŘKA PÁSNICE ÚHELNÍKU	b f.b.l.o =	150	mm	**ÚHELNÍK DOLNÍ VNĚJŠÍ LEVÝ**		**C.B.O.L**	
TLOUŠŤKA PÁSNICE ÚHELNÍKU	t f.b.l.o =	14	mm	OSLABENÍ PÁSNICE - TLOUŠŤKA	Δt f.t.l.i =	0	%
VÝŠKA STĚNY ÚHELNÍKU	h w.b.l.o =	86	mm				
TLOUŠŤKA STĚNY ÚHELNÍKU	t w.b.l.o =	14	mm	OSLABENÍ STĚNY - TLOUŠŤKA	Δt w.t.l.i =	10	%
ŠÍŘKA PÁSNICE ÚHELNÍKU	b f.b.r.o =	150	mm	**ÚHELNÍK DOLNÍ VNĚJŠÍ PRAVÝ**		**C.B.O.R**	
TLOUŠŤKA PÁSNICE ÚHELNÍKU	t f.b.r.o =	14	mm	OSLABENÍ PÁSNICE - TLOUŠŤKA	Δt f.t.r.i =	0	%
VÝŠKA STĚNY ÚHELNÍKU	h w.b.r.o =	86	mm				
TLOUŠŤKA STĚNY ÚHELNÍKU	t w.b.r.o =	14	mm	OSLABENÍ STĚNY - TLOUŠŤKA	Δt w.t.r.i =	10	%
PÁSNICE DOLNÍHO LEVÉHO ÚHELNÍKU	b f.b.l.i =	0	mm	**ÚHELNÍK DOLNÍ VNITŘNÍ LEVÝ**		**C.B.I.L**	
TLOUŠŤKA PÁSNICE ÚHELNÍKU	t f.b.l.i =	0	mm	OSLABENÍ PÁSNICE - TLOUŠŤKA	Δt f.b.l.i =	0	%
VÝŠKA STĚNY ÚHELNÍKU	h w.b.l.i =	0	mm				
TLOUŠŤKA STĚNY ÚHELNÍKU	t w.b.l.i =	0	mm	OSLABENÍ STĚNY - TLOUŠŤKA	Δt w.b.l.i =	10	%
PÁSNICE DOLNÍHO PRAVÉHO ÚHELNÍKU	b f.b.r.i =	0	mm	**ÚHELNÍK DOLNÍ VNITŘNÍ PRAVÝ**		**C.B.I.R**	
TLOUŠŤKA PÁSNICE ÚHELNÍKU	t f.b.r.i =	0	mm	OSLABENÍ PÁSNICE - TLOUŠŤKA	Δt f.b.r.i =	0	%
VÝŠKA STĚNY ÚHELNÍKU	h w.b.r.i =	0	mm				
TLOUŠŤKA STĚNY ÚHELNÍKU	t w.b.r.i =	0	mm	OSLABENÍ STĚNY - TLOUŠŤKA	Δt w.b.r.i =	10	%

DOLNÍ

ŠÍŘKA HORNÍ VLOŽKY - VNĚJŠÍ	b f.t =	0	mm			**HOR.T.O**	
TLOUŠŤKA VLOŽKY	t f.t =	0	mm	OSLABENÍ VLOŽKY	Δt f.t =	0	%
ŠÍŘKA HORNÍ VLOŽKY - VNITŘNÍ	b f.t =	0	mm			**HOR.T.I**	
TLOUŠŤKA VLOŽKY	t f.t =	0	mm	OSLABENÍ VLOŽKY	Δt f.t =	0	%
ŠÍŘKA DOLNÍ VLOŽKY - VNĚJŠÍ	b f.t =	0	mm			**HOR.B.O**	
TLOUŠŤKA VLOŽKY	t f.t =	0	mm	OSLABENÍ VLOŽKY	Δt f.t =	0	%
ŠÍŘKA DOLNÍ VLOŽKY - VNITŘNÍ	b f.t =	0	mm			**HOR.B.I**	
TLOUŠŤKA VLOŽKY	t f.t =	0	mm	OSLABENÍ VLOŽKY - VNITŘNÍ	Δt f.t =	0	%

VZD. OKRAJŮ PÁSNIC VNITŘNÍCH ÚHELNÍKŮ	464	mm
CELKOVÁ TLOUŠŤKA MEZI PÁSNICEMI ÚHELNÍKŮ I A .o	0	mm
CELKOVÁ TLOUŠŤKA MEZI PÁSNICEMI ÚHELNÍKŮ I A .r	13	mm

ZADÁNÍ ČÁSTÍ PRŮŘEZU:

č.prvku	b [mm]	h [mm]	y_0 [mm]	z_0 [mm]	popis části	druh oslabení	lokální ultimate	boulení servic.
1	150.0	14.0	-81.5	239.0	pásnice	0	1.000	1.000
2	12.6	86.0	-12.8	289.0	stěna	0	1.000	1.000
3	150.0	14.0	81.5	239.0	pásnice	0	1.000	1.000
4	12.6	86.0	12.8	289.0	stěna	0	1.000	1.000
5	0.0	0.0	-6.5	232.0	pásnice	0	1.000	1.000
6	0.0	0.0	-6.5	232.0	stěna	0	1.000	1.000
7	0.0	0.0	6.5	232.0	pásnice	0	1.000	1.000
8	0.0	0.0	6.5	232.0	stěna	0	1.000	1.000
9	150.0	14.0	-81.5	-239.0	pásnice	0	1.000	1.000
10	12.6	86.0	-12.8	-289.0	stěna	0	1.000	1.000
11	150.0	14.0	81.5	-239.0	pásnice	0	1.000	1.000
12	12.6	86.0	12.8	-289.0	stěna	0	1.000	1.000
13	0.0	0.0	-6.5	-232.0	pásnice	0	1.000	1.000
14	0.0	0.0	-6.5	-232.0	stěna	0	1.000	1.000
15	0.0	0.0	6.5	-232.0	pásnice	0	1.000	1.000
16	0.0	0.0	6.5	-232.0	stěna	0	1.000	1.000
17						0	1.000	1.000
18						0	1.000	1.000
19						0	1.000	1.000
20						0	1.000	1.000
21						0	1.000	1.000
22						0	1.000	1.000
23						0	1.000	1.000
24						0	1.000	1.000
25						0	1.000	1.000
26						0	1.000	1.000
27						0	1.000	1.000
28						0	1.000	1.000
29						0	1.000	1.000
30						0	1.000	1.000
31						0	1.000	1.000
32						0	1.000	1.000
33						0	1.000	1.000
34						0	1.000	1.000
35						0	1.000	1.000
36						0	1.000	1.000
37						0	1.000	1.000
38						0	1.000	1.000
39						0	1.000	1.000
40						0	1.000	1.000
41	0.0	0.0	0.0	232.0	pásnice	0	1.000	1.000
42	0.0	0.0	0.0	232.0	pásnice	0	1.000	1.000
43	0.0	0.0	0.0	-232.0	pásnice	0	1.000	1.000
44	0.0	0.0	0.0	-232.0	pásnice	0	1.000	1.000
45						0	1.000	1.000
46						0	1.000	1.000
47						0	1.000	1.000
48						0	1.000	1.000
49						0	1.000	1.000
50						0	1.000	1.000
51						0	1.000	1.000
52						0	1.000	1.000
53						0	1.000	1.000
54						0	1.000	1.000
55						0	1.000	1.000
56						0	1.000	1.000
57						0	1.000	1.000
58						0	1.000	1.000
59						0	1.000	1.000
60						0	1.000	1.000
61						0	1.000	1.000
62						0	1.000	1.000
63						0	1.000	1.000
64						0	1.000	1.000
65						0	1.000	1.000
66						0	1.000	1.000
67						0	1.000	1.000
68						0	1.000	1.000
69						0	1.000	1.000
70						0	1.000	1.000
71	12.6	-20.0	-12.8	287.0	nýt	0	1.000	1.000
72	12.6	-20.0	12.8	287.0	nýt	0	1.000	1.000
73	0	0	0	0	nýt	0	1.000	1.000
74	0	0	0	0	nýt	0	1.000	1.000
75	0	0	-12.8	-287.0	nýt	0	1.000	1.000
76	0	0	12.8	-287.0	nýt	0	1.000	1.000
77	0	0	0	0	nýt	0	1.000	1.000
78	0	0	0	0	nýt	0	1.000	1.000
79						0	1.000	1.000
80						0	1.000	1.000
81	0	0	0	0	nýt	0	1.000	1.000
82	0	0	0	0	nýt	0	1.000	1.000
83	0	0	0	0	nýt	0	1.000	1.000
84	0	0	0	0	nýt	0	1.000	1.000
85	0	0	0	0	nýt	0	1.000	1.000
86	0	0	0	0	nýt	0	1.000	1.000
87	0	0	0	0	nýt	0	1.000	1.000
88	0	0	0	0	nýt	0	1.000	1.000
89						0	1.000	1.000
90						0	1.000	1.000
91	0	0	0	0	nýt	0	1.000	1.000
92	0	0	0	0	nýt	0	1.000	1.000
93	0	0	0	0	nýt	0	1.000	1.000
94	0	0	0	0	nýt	0	1.000	1.000
95	0	0	0	0	nýt	0	1.000	1.000
96	0	0	0	0	nýt	0	1.000	1.000
97	0	0	0	0	nýt	0	1.000	1.000
98	0	0	0	0	nýt	0	1.000	1.000
99						0	1.000	1.000
100						0	1.000	1.000

NÝT Č.	SKUPINA	ŘEZ	RED.	VELIKOST di [mm]	POLOHA αi [mm]	POPIS	AKTIVITA OTVORU		NAPĚTÍ sc [MPa]
1		-	1.00	20	45	nýt - t.o - úhelník	1		69.66
2		-	1.00	20	45	nýt - t.o - úhelník	1		68.41
3		-	1.00	0	45	nýt - t.i - úhelník	0	-	
4		-	1.00	0	45	nýt - t.i - úhelník	0	-	
5		-	1.00	20	45	nýt - b.o - úhelník	0		-68.65
6		-	1.00	20	45	nýt - b.o - úhelník	0		-69.89
7		-	1.00	0	45	nýt - b.i - úhelník	0	-	
8		-	1.00	0	45	nýt - b.i - úhelník	0	-	
9									
10									
11		-	1.00	0	35	nýt - t.i - úhelník	0	-	
12		-	1.00	0	35	nýt - t.i - úhelník	0	-	
13		-	1.00	0	35	nýt - t.r - úhelník	0	-	
14		-	1.00	0	35	nýt - t.r - úhelník	0	-	
15		-	1.00	0	35	nýt - b.l - úhelník	0	-	
16		-	1.00	0	35	nýt - b.l - úhelník	0	-	
17		-	1.00	0	35	nýt - b.r - úhelník	0	-	
18		-	1.00	0	35	nýt - b.r - úhelník	0	-	
19									
20									
21		-	1.00	0	-132	nýt - t.l	0	-	
22		-	1.00	0	-132	nýt - t.l	0	-	
23		-	1.00	0	132	nýt - t.r	0	-	
24		-	1.00	0	132	nýt - t.r	0	-	
25		-	1.00	0	-132	nýt - b.l	0	-	
26		-	1.00	0	-132	nýt - b.l	0	-	
27		-	1.00	0	132	nýt - b.r	0	-	
28		-	1.00	0	132	nýt - b.r	0	-	
29									
30									

VÝPOČET PRŮŘEZOVÝCH CHARAKTERISTIK

Properties	Basic	Ultimate		Serviceability	
y_i	0.0	0.0		0.0	[mm]
z_i	-11.8	-11.8		-11.8	[mm]
A_i	1.2230E-04	1.2230E-04		1.2230E-04	[mm²]
A_s	8.4000E-03	8.4000E-03		8.4000E-03	[mm²]
A_0	4.3344E-03	4.3344E-03		4.3344E-03	[mm²]
I_{y1}	8.0140E+08	8.0140E+08		8.0140E+08	[mm⁴]
I_{z0}	7.2223E+07	7.2223E+07		7.2223E+07	[mm⁴]
i_y	256.0	256.0		256.0	[mm]
i_z	76.8	76.8		76.8	[mm]
$W_{y,1}$	2.3308E+06	2.3308E+06		2.3308E+06	[mm³]
$W_{z,1}$	-4.6149E+05	-4.6149E+05		-4.6149E+05	[mm³]
$W_{y,2}$	-2.5030E+06	-2.5030E+06		-2.5030E+06	[mm³]
$W_{z,2}$	4.6149E+05	4.6149E+05		4.6149E+05	[mm³]
KRAJNÍ VLÁKNA PRŮŘEZU					
y_1	-156.5	-156.5		-156.5	[mm] min
z_1	332.0	332.0		332.0	[mm] max
y_2	-156.5	-156.5		-156.5	[mm] min
z_2	-332.0	-332.0		-332.0	[mm] min
y_3	156.5	156.5		156.5	[mm] max
z_3	332.0	332.0		332.0	[mm] max
y_4	156.5	156.5		156.5	[mm] max
z_4	-332.0	-332.0		-332.0	[mm] min
y_5	-19.1	-19.1		-19.1	[mm]
z_5	-246.0	-246.0		-246.0	[mm]
y_6	-19.1	-19.1		-19.1	[mm]
z_6	-332.0	-332.0		-332.0	[mm]

SCHÉMA PROMĚNNÝCH

SCHÉMA ZADANÉHO PRŮŘEZU

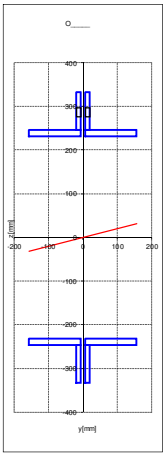

ÚPRAVA MOMENTŮ SETRVAČNOSTI V DŮSLEDKU ČLENĚNÍ PRŮŘEZU

OSA Y 1.00 V BLÍZKOSTI STYČNÍKOVÉHO PLECHU PŘÍČNÍKU PEVNÉ -> JAKO NEČLENĚNÝ
OSA Z 1.00

NEUTRÁLNÁ OSA

NAPĚTÍ [MPa]:

57.46	72.29
-72.52	-57.69

ZS: SLS_LM_MY MIN

	N [kN]	Vy [kN]	Vz [kN]	Mx [kNm]	My [kNm]	Mz [kNm]
import	-39	2	-41	0	-193	4

TR_V4.2 POPIS: **SVISLICE V4** POSUDEK: **V4.2**

SKUPINA ZAT. STAVŮ	EXTRÉM	VYHODNOCOVANÉ VELIČINY					
		N	Vy	Vz	Mx	My	Mz
		kN	kN	kN	kNm	kNm	kNm
G0	N.min	**-163.98**	0.71	-0.78	-0.01	-3.4	1.65
	N.max	**-163.98**	0.71	-0.78	-0.01	-3.4	1.65
	Vy.min	-163.98	**0.71**	-0.78	-0.01	-3.4	1.65
	Vy.max	-163.98	**0.71**	-0.78	-0.01	-3.4	1.65
	Vz.min	-163.98	0.71	**-0.78**	-0.01	-3.4	1.65
	Vz.max	-163.98	0.71	**-0.78**	-0.01	-3.4	1.65
	Mx.min	-163.98	0.71	-0.78	**-0.01**	-3.4	1.65
	Mx.max	-163.98	0.71	-0.78	**-0.01**	-3.4	1.65
	My.min	-163.98	0.71	-0.78	-0.01	**-3.4**	1.65
	My.max	-163.98	0.71	-0.78	-0.01	**-3.4**	1.65
	Mz.min	-163.98	0.71	-0.78	-0.01	-3.4	**1.65**
	Mz.max	-163.98	0.71	-0.78	-0.01	-3.4	**1.65**
G1	N.min	**-6.66**	0.04	-0.16	0	-0.94	0.11
	N.max	**-6.66**	0.04	-0.16	0	-0.94	0.11
	Vy.min	-6.66	**0.04**	-0.16	0	-0.94	0.11
	Vy.max	-6.66	**0.04**	-0.16	0	-0.94	0.11
	Vz.min	-6.66	0.04	**-0.16**	0	-0.94	0.11
	Vz.max	-6.66	0.04	**-0.16**	0	-0.94	0.11
	Mx.min	-6.66	0.04	-0.16	**0**	-0.94	0.11
	Mx.max	-6.66	0.04	-0.16	**0**	-0.94	0.11
	My.min	-6.66	0.04	-0.16	0	**-0.94**	0.11
	My.max	-6.66	0.04	-0.16	0	**-0.94**	0.11
	Mz.min	-6.66	0.04	-0.16	0	-0.94	**0.11**
	Mz.max	-6.66	0.04	-0.16	0	-0.94	**0.11**
G2	N.min	**-3.75**	0.03	0.23	0	1.2	0.07
	N.max	**-3.75**	0.03	0.23	0	1.2	0.07
	Vy.min	-3.75	**0.03**	0.23	0	1.2	0.07
	Vy.max	-3.75	**0.03**	0.23	0	1.2	0.07
	Vz.min	-3.75	0.03	**0.23**	0	1.2	0.07
	Vz.max	-3.75	0.03	**0.23**	0	1.2	0.07
	Mx.min	-3.75	0.03	0.23	**0**	1.2	0.07
	Mx.max	-3.75	0.03	0.23	**0**	1.2	0.07
	My.min	-3.75	0.03	0.23	0	**1.2**	0.07
	My.max	-3.75	0.03	0.23	0	**1.2**	0.07
	Mz.min	-3.75	0.03	0.23	0	1.2	**0.07**
	Mz.max	-3.75	0.03	0.23	0	1.2	**0.07**
P1_71	N.min	**-142.74**	0.51	-2.51	-0.01	-16.32	1.24
	N.max	**102.68**	0.13	-11.95	0	-59.35	0.05
	Vy.min	38.96	**-0.29**	-1.86	0	-14.69	-0.3
	Vy.max	-57.01	**0.82**	-12.25	-0.01	-60.05	1.42
	Vz.min	-22.77	0.58	**-14.56**	-0.01	-75.78	1.16
	Vz.max	0	0	**0**	0	0	0
	Mx.min	-92.21	0.37	-6.18	**-0.01**	-37.88	1.13
	Mx.max	41.15	0.08	-5.02	**0**	-23.67	0
	My.min	-22.77	0.58	-14.56	-0.01	**-75.78**	1.16
	My.max	0	0	0	0	**0**	0
	Mz.min	46.24	-0.25	-1.97	0	-13.47	**-0.38**
	Mz.max	-58.37	0.77	-12.91	-0.01	-65.42	**1.5**
P2_71	N.min	**-355.57**	1.01	6.66	-0.01	31.26	2.5
	N.max	**251.03**	0.4	-9	0	-42.18	0.15
	Vy.min	80.51	**-0.84**	3.34	0	10.31	-0.85
	Vy.max	-129.72	**1.9**	-5.29	-0.01	-20.74	3.04
	Vz.min	190.73	0.75	**-11.21**	0	-50.73	0.68
	Vz.max	-287.26	0.4	**8.91**	-0.01	38.54	1.82
	Mx.min	-242.74	0.42	6.72	**-0.01**	27.63	1.93
	Mx.max	135.06	0.68	-8.1	**0**	-35.23	0.52
	My.min	191.06	0.74	-11.21	0	**-50.74**	0.67
	My.max	-294.41	0.49	8.83	-0.01	**38.65**	1.87
	Mz.min	108.66	-0.66	1.56	0	3.35	**-0.99**
	Mz.max	-140.65	1.7	-4.28	-0.01	-17.62	**3.16**
P1_C3	N.min	**-117.98**	0.44	-2.05	-0.01	-12.99	1.04
	N.max	**79.07**	0.09	-8.74	0	-43.65	0.04
	Vy.min	23.14	**-0.26**	-1.52	0	-12.47	-0.2
	Vy.max	-63.05	**0.7**	-9.7	-0.01	-47.9	1.26
	Vz.min	-36.19	0.5	**-11**	-0.01	-57.67	1.01
	Vz.max	0	0	**0**	0	0	0
	Mx.min	-69.52	0.34	-6.14	**-0.01**	-36.26	0.97
	Mx.max	47.99	0.15	-6.07	**0**	-28.33	0.07
	My.min	-36.04	0.49	-11	-0.01	**-57.76**	0.99
	My.max	0	0	0	0	**0**	0
	Mz.min	27.61	-0.2	-1.04	0	-7.73	**-0.29**
	Mz.max	-63.87	0.66	-9.93	-0.01	-50.42	**1.29**
P2_C3	N.min	**-292.33**	0.84	5.37	-0.01	25.32	2.09
	N.max	**193.35**	0.24	-6.09	0	-28.7	0.08
	Vy.min	43.86	**-0.78**	2.91	0	9.12	-0.64
	Vy.max	-150.67	**1.62**	-3.07	-0.01	-11.15	2.7
	Vz.min	128.46	0.62	**-8**	0	-35.6	0.55
	Vz.max	-247.32	0.38	**7.36**	-0.01	32.27	1.6
	Mx.min	-238.1	0.22	6.97	**-0.01**	29.11	1.46
	Mx.max	116.05	0.56	-6.71	**0**	-29.1	0.38
	My.min	143.29	0.43	-7.89	0	**-36.32**	0.36
	My.max	-247.32	0.38	7.36	-0.01	**32.27**	1.6
	Mz.min	59.34	-0.55	1.59	0	4.67	**-0.76**
	Mz.max	-155.42	1.46	-2.34	-0.01	-8.81	**2.73**
BR	N.min	**-11.75**	-0.47	-0.24	0.04	-0.83	-0.99
	N.max	**11.75**	0.47	0.24	-0.04	0.83	0.99
	Vy.min	-11.75	**-0.47**	-0.24	0.04	-0.83	-0.99
	Vy.max	11.75	**0.47**	0.24	-0.04	0.83	0.99
	Vz.min	-9.96	-0.4	**-0.55**	0.04	-2.6	-0.88
	Vz.max	9.96	0.4	**0.55**	-0.04	2.6	0.88
	Mx.min	11.75	0.47	0.24	**-0.04**	0.83	0.99
	Mx.max	-11.75	-0.47	-0.24	**0.04**	-0.83	-0.99
	My.min	-9.96	-0.4	-0.55	0.04	**-2.6**	-0.88
	My.max	9.96	0.4	0.55	-0.04	**2.6**	0.88
	Mz.min	-11.75	-0.47	-0.24	0.04	-0.83	**-0.99**
	Mz.max	11.75	0.47	0.24	-0.04	0.83	**0.99**

TR_V4.2 POPIS: **SVISLICE V4** POSUDEK: **V4.2**

SKUPINA ZAT. STAVŮ	EXTRÉM	VYHODNOCOVANÉ VELIČINY					
		N	Vy	Vz	Mx	My	Mz
		kN	kN	kN	kNm	kNm	kNm
S	N.min	**-1.44**	0.01	0.66	0	3.99	0.03
	N.max	**1.44**	-0.01	-0.66	0	-3.99	-0.03
	Vy.min	-0.47	**-0.09**	1.51	0	7.3	-0.12
	Vy.max	0.47	**0.09**	-1.51	0	-7.3	0.12
	Vz.min	-0.01	0.06	**-3.26**	0	-14.34	0.06
	Vz.max	0.01	-0.06	**3.26**	0	14.34	-0.06
	Mx.min	0.65	0.02	-1.7	**0**	-10.51	-0.03
	Mx.max	-0.65	-0.02	1.7	**0**	10.51	0.03
	My.min	-0.04	0.04	-2.87	0	**-14.38**	0.02
	My.max	0.04	-0.04	2.87	0	**14.38**	-0.02
	Mz.min	-0.47	-0.09	1.51	0	7.3	**-0.12**
	Mz.max	0.47	0.09	-1.51	0	-7.3	**0.12**
CH	N.min	**-16.44**	0.07	-0.68	0	-3.52	0.15
	N.max	**7.01**	0.03	0.45	0	2.47	0.08
	Vy.min	7.01	**0.03**	0.45	0	2.47	0.08
	Vy.max	-11.93	**0.1**	0.83	0	4.4	0.23
	Vz.min	-16.44	0.07	**-0.68**	0	-3.52	0.15
	Vz.max	-11.93	0.1	**0.83**	0	4.4	0.23
	Mx.min	-11.93	0.1	0.83	**0**	4.4	0.23
	Mx.max	-16.44	0.07	-0.68	**0**	-3.52	0.15
	My.min	-16.44	0.07	-0.68	0	**-3.52**	0.15
	My.max	-11.93	0.1	0.83	0	**4.4**	0.23
	Mz.min	7.01	0.03	0.45	0	2.47	**0.08**
	Mz.max	-11.93	0.1	0.83	0	4.4	**0.23**
W	N.min	**-16.2**	0.03	-6.17	0.01	-15.37	0.15
	N.max	**16.2**	-0.03	6.17	-0.01	15.34	-0.15
	Vy.min	16.2	**-0.03**	6.17	-0.01	15.34	-0.15
	Vy.max	-16.2	**0.03**	-6.17	0.01	-15.37	0.15
	Vz.min	-16.2	0.03	**-6.17**	0.01	-15.37	0.15
	Vz.max	16.2	-0.03	**6.17**	-0.01	15.34	-0.15
	Mx.min	16.2	-0.03	6.17	**-0.01**	15.34	-0.15
	Mx.max	-16.2	0.03	-6.17	**0.01**	-15.37	0.15
	My.min	-16.2	0.03	-6.17	0.01	**-15.37**	0.15
	My.max	16.2	-0.03	6.17	-0.01	**15.34**	-0.15
	Mz.min	16.2	-0.03	6.17	-0.01	15.34	**-0.15**
	Mz.max	-16.2	0.03	-6.17	0.01	-15.37	**0.15**
WP	N.min	**-10.51**	-0.02	6.37	0.01	34.22	0.11
	N.max	**10.52**	0.02	-6.37	-0.01	-34.22	-0.11
	Vy.min	-10.51	**-0.02**	6.37	0.01	34.22	0.11
	Vy.max	10.52	**0.02**	-6.37	-0.01	-34.22	-0.11
	Vz.min	10.52	0.02	**-6.37**	-0.01	-34.22	-0.11
	Vz.max	-10.51	-0.02	**6.37**	0.01	34.22	0.11
	Mx.min	10.52	0.02	-6.37	**-0.01**	-34.22	-0.11
	Mx.max	-10.51	-0.02	6.37	**0.01**	34.22	0.11
	My.min	10.52	0.02	-6.37	-0.01	**-34.22**	-0.11
	My.max	-10.51	-0.02	6.37	0.01	**34.22**	0.11
	Mz.min	10.52	0.02	-6.37	-0.01	-34.22	**-0.11**
	Mz.max	-10.51	-0.02	6.37	0.01	34.22	**0.11**
TR	N.min	**0**	0	0	0	0	0
	N.max	**0**	0	0	0	0	0
	Vy.min	0	**0**	0	0	0	0
	Vy.max	0	**0**	0	0	0	0
	Vz.min	0	0	**0**	0	0	0
	Vz.max	0	0	**0**	0	0	0
	Mx.min	0	0	0	**0**	0	0
	Mx.max	0	0	0	**0**	0	0
	My.min	0	0	0	0	**0**	0
	My.max	0	0	0	0	**0**	0
	Mz.min	0	0	0	0	0	**0**
	Mz.max	0	0	0	0	0	**0**
TN	N.min	**-1.1**	-0.03	5.35	0	28.32	-0.07
	N.max	**0.71**	-0.67	0.61	0	3	-0.74
	Vy.min	0.71	**-0.67**	0.61	0	3	-0.74
	Vy.max	0.25	**0.72**	-7.06	0	-36.17	0.84
	Vz.min	0.25	0.72	**-7.06**	0	-36.17	0.84
	Vz.max	-1.1	-0.03	**5.35**	0	28.32	-0.07
	Mx.min	-1.1	-0.03	5.35	**0**	28.32	-0.07
	Mx.max	0.25	0.72	-7.06	**0**	-36.17	0.84
	My.min	0.25	0.72	-7.06	0	**-36.17**	0.84
	My.max	-1.1	-0.03	5.35	0	**28.32**	-0.07
	Mz.min	0.71	-0.67	0.61	0	3	**-0.74**
	Mz.max	0.25	0.72	-7.06	0	-36.17	**0.84**
FR	N.min	**-0.56**	0.03	-0.05	0	-0.21	0.03
	N.max	**0.56**	-0.03	0.05	0	0.21	-0.03
	Vy.min	0.56	**-0.03**	0.05	0	0.21	-0.03
	Vy.max	-0.56	**0.03**	-0.05	0	-0.21	0.03
	Vz.min	-0.56	0.03	**-0.05**	0	-0.21	0.03
	Vz.max	0.56	-0.03	**0.05**	0	0.21	-0.03
	Mx.min	0.56	-0.03	0.05	**0**	0.21	-0.03
	Mx.max	-0.56	0.03	-0.05	**0**	-0.21	0.03
	My.min	-0.56	0.03	-0.05	0	**-0.21**	0.03
	My.max	0.56	-0.03	0.05	0	**0.21**	-0.03
	Mz.min	0.56	-0.03	0.05	0	0.21	**-0.03**
	Mz.max	-0.56	0.03	-0.05	0	-0.21	**0.03**
I	N.min	**-3.87**	0.01	-1.29	0	-6.83	**0.03**
	N.max	**3.87**	-0.01	1.29	0	6.83	**-0.03**
	Vy.min	3.87	**-0.01**	1.29	0	6.83	**-0.03**
	Vy.max	-3.87	**0.01**	-1.29	0	-6.83	**0.03**
	Vz.min	-3.87	0.01	**-1.29**	0	-6.83	**0.03**
	Vz.max	3.87	-0.01	**1.29**	0	6.83	**-0.03**
	Mx.min	3.87	-0.01	1.29	**0**	6.83	**-0.03**
	Mx.max	-3.87	0.01	-1.29	**0**	-6.83	**0.03**
	My.min	-3.87	0.01	-1.29	0	**-6.83**	**0.03**
	My.max	3.87	-0.01	1.29	0	**6.83**	**-0.03**
	Mz.min	3.87	-0.01	1.29	0	6.83	**-0.03**
	Mz.max	-3.87	0.01	-1.29	0	-6.83	**0.03**

TAB. V4.2.3 POSOUZENÍ - MEZNÍ STAV ÚNOSNOSTI

POPIS	SVISLICE V4
PRUT / POLOHA BODU	422 / I[355]
NAMÁHÁNÍ	My.min
VLÁKNO	BOD K2 -HP
MEZNÍ STAV	ULS (MSÚ)
VYUŽITÍ VLÁKNA PRŮŘEZU	0.67

Charakteristiky materiálu				
pás. horní	$f_{yf,k}$	230	MPa	
pás. dolní	$f_{yf,k}$	230	MPa	
stojina	$f_{yw,k}$	230	MPa	
výztuž	$f_{ys,k}$	500	MPa	
γ_M =	1.20	γ_s =	1.15	

Excentricita normálové síly				
Exc./Fáze	0	1	2	3
e_y	0.000	0.000	0.000	0.000
e_z	0.000	0.000	0.000	0.000
Ekvivalentní vzdál. stěn - příčný roznos				
b_{Mx}	0.000	0.000	0.000	0.000

Vliv stěny na únosnost průřezu				
Char./Fáze	0	1	2	3
A	0.00	0.00	0.00	0.00
Wy	0.00	0.00	0.00	0.00
Wz	0.00	0.00	0.00	0.00

Charakter. v kroucení			
$t_{w,y}$	0.000	[mm]	
$t_{w,z}$	0.000	[mm]	
κ	1.00		
I_t=	0.00E+00	[mm^4]	
Ω=2*A_{pz}	0.00E+00	[mm^2]	

Součinitele vzpěru a vlivu II.řádu				
Char./Fáze	0	1	2	3
k_y	1.000	1.000	1.000	1.000
k_z	1.030	1.000	1.000	1.000
χ_{LT}	1.000	1.000	1.000	1.000
χ_{min}	0.830	1.000	1.000	1.000

Vnitřní síly od jednotlivých skupin zatěžovacích stavů

SKUPINA ZATĚŽOVACÍCH STAVŮ — 4

Č.	SKUP ZS	POPIS ZS	KAT.	FÁZE PRŮŘ.	- CHARAKTERISTICKÉ HODNOTY N.k (kN)	Vy.k (kN)	Vz.k (kN)	Mx.k (kNm)	My.k (kNm)	Mz.k (kNm)	DÍLČÍ SOUČINITELÉ ZATÍŽENÍ, DYNAMICKÝ SOUČINITEL γ_{sr} (-)	γ_{fs} (-)	volba γ_f hledat	γ_f (-)	L_d (m)	δ (-)	Ψ_s KZ04	- NÁVRHOVÉ HODNOTY N.d (kN)	Vy.d (kN)	Vz.d (kN)	ΔVz.d (kN)	ΣVz.d (kN)	Mx.d (kNm)	My.d (kNm)	ΔMy.d (kNm)	ΣMy.d (kNm)	Mz.d (kNm)	ΔMz.d (kNm)	ΣMz.d (kNm)
1	G0	Vlastní tíha OK	G	0	-164	1	-1	0	-3	2	1.00	1.20		1.20	-	1.00	0.95	-187	1	-1	0	-1	0	-4	0	-4	2	0	2
2	G1	Ostatní stálé - mostní vybavení	G	0	-7	0	0	0	-1	0	1.00	1.00		1.00	-	1.00	0.95	-6	0	0	0	0	0	-1	0	-1	0	0	0
3	G2	Ostatní stálé - cizí zařízení	G	0	-4	0	0	0	1	0	1.00	1.20		1.20	-	1.00	0.95	-4	0	0	0	0	0	1	0	1	0	0	0
4	P1_71	a.LM71 - kolej 1 (bez dyn. souč.)	P	0	-23	1	-15	0	-76	1	1.00	1.30		1.30	-	1.00	1.00	-30	1	-19	0	-19	0	-99	0	-99	2	0	2
5	P2_71	a.LM71 - kolej 2 (bez dyn. souč.)	P	0	191	1	-11	0	-51	1	1.00	1.30		1.30	-	1.00	1.00	248	1	-15	0	-15	0	-66	0	-66	1	0	1
6	P1_C3	TTZ C3 - kolej 1 (bez dyn. souč.)	P	0	-36	0	-11	0	-58	1	1.00	vyp.		0.00	-	1.00	0.00	0	0	0	0	0	0	0	0	0	0	0	0
7	P2_C3	TTZ C3 - kolej 2 (bez dyn. souč.)	P	0	143	0	-8	0	-36	0	1.00	vyp.		0.00	-	1.00	0.00	0	0	0	0	0	0	0	0	0	0	0	0
8	BR	Brzdné a rozjezdové síly	P	0	-10	0	-1	0	-3	-1	1.00	0.00		0.00	-	1.00	0.40	0	0	0	0	0	0	0	0	0	0	0	0
9	S	Boční ráz	P	0	0	0	-3	0	-14	0	1.00	1.30		1.30	-	1.00	0.80	0	0	-3	0	-3	0	-15	0	-15	0	0	0
10	CH	Chodci na lávkách	Q	0	-16	0	-1	0	-4	0	1.00	1.30		1.30	-	1.00	1.00	-21	0	-1	0	-1	0	-5	0	-5	0	0	0
11	W	Vítr na konstrukci	Q	0	-16	0	-6	0	-15	0	1.00	1.35		1.35	-	1.00	0.75	-16	0	-6	0	-6	0	-16	0	-16	0	0	0
12	WP	Vítr na vozidla	Q	0	11	0	-6	0	-34	0	1.00	1.35		1.35	-	1.00	0.75	11	0	-6	0	-6	0	-35	0	-35	0	0	0
13	TR	Teplota rovnoměrná	Q	0	0	0	0	0	0	0	1.00	1.35		1.35	-	1.00	0.45	0	0	0	0	0	0	0	0	0	0	0	0
14	TN	Teplota nerovnoměrná	Q	0	0	1	-7	0	-36	1	1.00	1.35		1.35	-	1.00	0.60	0	1	-6	0	-6	0	-29	0	-29	1	0	1
15	FR	Třecí síly v ložiskách	Q	0	-1	0	0	0	0	0	1.00	1.20		1.20	-	1.00	1.00	-1	0	0	0	0	0	0	0	0	0	0	0
16	I	Imperfekce soustavy	Q	0	-4	0	-1	0	-7	0	1.00	1.20		1.20	-	1.00	1.00	-5	0	-2	0	-2	0	-8	0	-8	0	0	0
27	ULS_LM	ULS - LM71 bez dynam	Q	0	-19	3	-59	0	-281	5	1.00	vyp.	1	0.00	-	1.00	0.00	0	0	0	0	0	0	0	0	0	0	0	0
28	SLS_LM	SLS - LM71 bez dynam	Q	0	-36	2	-41	0	-193	4	1.00	vyp.	1	0.00	-	1.00	0.00	0	0	0	0	0	0	0	0	0	0	0	0
29	ULS_C3	ULS - C3 bez dynam	Q	0	-98	3	-50	0	-239	4	1.00	vyp.	1	0.00	-	1.00	0.00	0	0	0	0	0	0	0	0	0	0	0	0
30	SLS_C3	SLS - C3 bez dynam	Q	0	0	0	0	0	0	0	1.00	vyp.	1	0.00	-	1.00	0.00	0	0	0	0	0	0	0	0	0	0	0	0
		CELKEM - FÁZE PRŮŘEZU 0																-11	3	-58	0	-58	0	-275	0	-275	6	0	6
		CELKEM - FÁZE PRŮŘEZU 1																0	0	0	0	0	0	0	0	0	0	0	0
		CELKEM - FÁZE PRŮŘEZU 2																0	0	0	0	0	0	0	0	0	0	0	0
		CELKEM - FÁZE PRŮŘEZU 3																0	0	0	0	0	0	0	0	0	0	0	0
		CELKEM - PRŮŘEZ																-11	3	-58	0	-58	0			-275			6

Napětí od jednotlivých zatěžovacích stavů

SKUPINA ZATĚŽOVACÍCH STAVŮ

Č.	SKUP ZS	Popis ZS	Kat.	fáze prúř.	Posouzení normálového napětí — Účinek síly N δ^*N_d [kN]	χ^*A [mm^2]	σ_n [MPa]	Účinek momentu My $\delta^*M_{y,d}$ [kNm]	$\chi_{lt}*W_{el,y}$ [mm^3]	σ_{my} [MPa]	Účinek momentu Mz $\delta^*M_{z,d}$ [kNm]	$W_{el,z}$ [mm^3]	σ_{mz} [MPa]	σ_x [MPa]	Posouzení smykového napětí — Účinek kroutícího momentu Mx $\kappa*\delta^*M_{x,d}$ [kNm]	$W_{v,y}$ [mm^3]	$\tau_{x,y}$ [MPa]	$W_{v,z}$ [mm^3]	$\tau_{x,z}$ [MPa]	Účinek smykové síly Vy $\delta^*V_{y,d}$ [kN]	$A_{v,y}$ [mm2]	$\tau_{v,y}$ [MPa]	$\tau_{v,y}$ [MPa]	Účinek smykové síly Vz $\delta^*V_{z,d}$ [kN]	$A_{v,z}$ [mm2]	$\tau_{v,z}$ [MPa]	$\tau_{v,z}$ [MPa]
1	G0	Vlastní tíha OK	G	0	-186.9	1.02E+04	-18.4	-3.9	-2.33E+06	1.7	1.9	4.61E+05	4.2	-12.6	-1.1E-02	-	-	-	-	0.8	8.40E+03	0.1	0.1	-0.9	4.33E+03	-0.2	-0.2
2	G1	Ostatní stálé - mostní vybavení	G	0	-6.3	1.02E+04	-0.6	-0.9	-2.33E+06	0.4	0.1	4.61E+05	0.2	0.0	0.0E+00	-	-	-	-	0.0	8.40E+03	0.0	0.0	-0.2	4.33E+03	0.0	0.0
3	G2	Ostatní stálé - cizí zařízení	G	0	-4.3	1.02E+04	-0.4	1.4	-2.33E+06	-0.6	0.1	4.61E+05	0.2	-0.8	0.0E+00	-	-	-	-	0.0	8.40E+03	0.0	0.0	0.3	4.33E+03	0.1	0.1
4	P1_71	a.LM71 - kolej 1 (bez dyn. souč.)	P	0	-29.6	1.02E+04	-2.9	-98.5	-2.33E+06	42.3	1.6	4.61E+05	3.4	42.7	-1.3E-02	-	-	-	-	0.8	8.40E+03	0.1	0.1	-18.9	4.33E+03	-4.4	-4.4
5	P2_71	a.LM71 - kolej 2 (bez dyn. souč.)	P	0	248.4	1.02E+04	24.5	-66.0	-2.33E+06	28.3	0.9	4.61E+05	1.9	54.7	0.0E+00	-	-	-	-	1.0	8.40E+03	0.1	0.1	-14.6	4.33E+03	-3.4	-3.4
6	P1_C3	TTZ C3 - kolej 1 (bez dyn. souč.)	P	0	0.0	1.02E+04	0.0	0.0	-2.33E+06	0.0	0.0	4.61E+05	0.0	0.0	0.0E+00	-	-	-	-	0.0	8.40E+03	0.0	0.0	0.0	4.33E+03	0.0	0.0
7	P2_C3	TTZ C3 - kolej 2 (bez dyn. souč.)	P	0	0.0	1.02E+04	0.0	0.0	-2.33E+06	0.0	0.0	4.61E+05	0.0	0.0	0.0E+00	-	-	-	-	0.0	8.40E+03	0.0	0.0	0.0	4.33E+03	0.0	0.0
8	BR	Brzdné a rozjezdové síly	P	0	0.0	1.02E+04	0.0	0.0	-2.33E+06	0.0	0.0	4.61E+05	0.0	0.0	0.0E+00	-	-	-	-	0.0	8.40E+03	0.0	0.0	0.0	4.33E+03	0.0	0.0
9	S	Boční ráz	P	0	0.0	1.02E+04	0.0	-15.0	-2.33E+06	6.4	0.0	4.61E+05	0.0	6.5	0.0E+00	-	-	-	-	0.0	8.40E+03	0.0	0.0	-3.0	4.33E+03	-0.7	-0.7
10	CH	Chodci na lávkách	Q	0	-21.4	1.02E+04	-2.1	-4.6	-2.33E+06	2.0	0.2	4.61E+05	0.4	0.3	0.0E+00	-	-	-	-	0.1	8.40E+03	0.0	0.0	-0.9	4.33E+03	-0.2	-0.2
11	W	Vítr na konstrukci	Q	0	-16.4	1.02E+04	-1.6	-15.6	-2.33E+06	6.7	0.2	4.61E+05	0.3	5.4	1.0E-02	-	-	-	-	0.0	8.40E+03	0.0	0.0	-6.2	4.33E+03	-1.4	-1.4
12	WP	Vítr na vozidla	Q	0	10.7	1.02E+04	1.0	-34.6	-2.33E+06	14.9	-0.1	4.61E+05	-0.2	15.7	-1.0E-02	-	-	-	-	0.0	8.40E+03	0.0	0.0	-6.4	4.33E+03	-1.5	-1.5
13	TR	Teplota rovnoměrná	Q	0	0.0	1.02E+04	0.0	0.0	-2.33E+06	0.0	0.0	4.61E+05	0.0	0.0	0.0E+00	-	-	-	-	0.0	8.40E+03	0.0	0.0	0.0	4.33E+03	0.0	0.0
14	TN	Teplota nerovnoměrná	Q	0	0.2	1.02E+04	0.0	-29.3	-2.33E+06	12.6	0.7	4.61E+05	1.5	14.1	0.0E+00	-	-	-	-	0.6	8.40E+03	0.1	0.1	-5.7	4.33E+03	-1.3	-1.3
15	FR	Třecí síly v ložiskách	Q	0	-0.7	1.02E+04	-0.1	-0.3	-2.33E+06	0.1	0.0	4.61E+05	0.1	0.1	0.0E+00	-	-	-	-	0.0	8.40E+03	0.0	0.0	-0.1	4.33E+03	0.0	0.0
16	I	Imperfekce soustavy	Q	0	-4.6	1.02E+04	-0.5	-8.2	-2.33E+06	3.5	0.0	4.61E+05	0.1	3.1	0.0E+00	-	-	-	-	0.0	8.40E+03	0.0	0.0	-1.5	4.33E+03	-0.4	-0.4
27	ULS_LM	ULS - LM71 bez dynam	Q	0	0.0	1.02E+04	0.0	0.0	-2.33E+06	0.0	0.0	4.61E+05	0.0	0.0	0.0E+00	-	-	-	-	0.0	8.40E+03	0.0	0.0	0.0	4.33E+03	0.0	0.0
28	SLS_LM	SLS - LM71 bez dynam	Q	0	0.0	1.02E+04	0.0	0.0	-2.33E+06	0.0	0.0	4.61E+05	0.0	0.0	0.0E+00	-	-	-	-	0.0	8.40E+03	0.0	0.0	0.0	4.33E+03	0.0	0.0
29	ULS_C3	ULS - C3 bez dynam	Q	0	0.0	1.02E+04	0.0	0.0	-2.33E+06	0.0	0.0	4.61E+05	0.0	0.0	0.0E+00	-	-	-	-	0.0	8.40E+03	0.0	0.0	0.0	4.33E+03	0.0	0.0
30	SLS_C3	SLS - C3 bez dynam	Q	0	0.0	1.02E+04	0.0	0.0	-2.33E+06	0.0	0.0	4.61E+05	0.0	0.0	0.0E+00	-	-	-	-	0.0	8.40E+03	0.0	0.0	0.0	4.33E+03	0.0	0.0
NAVÝŠENÍ NAPĚTÍ DO AKTIVACE TLAKU V DESCE MOSTOVKY						$\sigma_{P,red}$	0.0							0.0				0.0		0.0			0.4	0.4			-13.4	-13.4
NAPĚTÍ OD PRIMÁRNÍCH ÚČINKŮ NEROVNOMĚRNÉHO OTEPLENÍ						σ_T	0.0							0.0														
NAPĚTÍ OD REOLOGICKÝCH ÚČINKŮ BETONU V ČASE			t=0			σ_R	0.0	γ_f=	1.20					0.0														
NAPĚTÍ V KRITICKÝCH VLÁKNECH OD KOMBINACE ZATÍŽENÍ						KZ04		[MPa]					$\Sigma\sigma_x$	129.2									$\Sigma\tau_y$	0.4			$\Sigma\tau_z$	-13.4
NAPĚTÍ OD POHYBLIVÉHO ZATÍŽENÍ								[MPa]					$\sigma_{x,P}$	103.9									τ_P	0.2			τ_P	-8.4
NAPĚTÍ OD OSTATNÍCH ZATÍŽENÍ								[MPa]			Φ_{vy}	Φ_{vz}	$\sigma_{x,rs}$	25.3									τ_{rs}	0.2			τ_{rs}	-5.0
NÁVRHOVÁ HODNOTA MEZE KLUZU S REDUKCÍ VLIVEM SMYKOVÉHO NAPĚTÍ								[MPa]			1.00	1.00	$f_{yw,d}$	191.7									$f_{yd}/3^{0,5}$	110.7			$f_{yd}/3^{0,5}$	110.7
NAPĚTÍ OD POHYBLIVÉHO ZATÍŽENÍ V GLOBÁLNÍM SYSTÉMU						$\sigma_{GLOB,P}$	0.0	[MPa]					$\Sigma\sigma_{GLOB}$	0.0														
NAPĚTÍ OD OSTATNÍCH ZATÍŽENÍ V GLOBÁLNÍM SYSTÉMU						$\sigma_{GLOB,rs}$	0.0	[MPa]					$\Sigma\sigma_x + \Sigma\sigma_{GLOB}$	129.2														
VYUŽITÍ PRŮŘEZU DLE NAPĚTÍ								[%]					η_1	0.67									η_3	0.00			η_3	0.12
NAPĚTÍ V PŘÍČNÉM SMĚRU OD POHYBLIVÉHO ZATÍŽENÍ						$\sigma_{z,P}$	0.0	[MPa]					$\Sigma\sigma_z$	0.0														
NAPĚTÍ V PŘÍČNÉM SMĚRU OD OSTATNÍCH ZATÍŽENÍ						$\sigma_{z,rs}$	0.0	[MPa]					η_2	0.00														
SROVNÁVACÍ NAPĚTÍ													$(\eta_2 + 0,8\,\eta_1)/1,4$ =	0.39														
VYUŽITÍ PRŮŘEZU CELKEM								[%]					eff	0.67	VYHOVUJE													
													Z_{LM71} =	1.60														

TAB. V4.2.3 POSOUZENÍ - MEZNÍ STAV ÚNOSNOSTI

POPIS	SVISLICE V4
PRUT / POLOHA BODU	422 / I[355]
NAMÁHÁNÍ	My.min
VLÁKNO	BOD K3 -SL
MEZNÍ STAV	ULS (MSÚ)
VYUŽITÍ VLÁKNA PRŮŘEZU	0.64

Charakteristiky materiálu				
pás. horní	$f_{yf,k}$	230	MPa	
pás. dolní	$f_{yf,k}$	230	MPa	
stojina	$f_{yw,k}$	230	MPa	
výztuž	$f_{ys,k}$	500	MPa	
	γ_M =	1.20	γ_s =	1.15

Excentricita normálové síly				
Exc./Fáze	0	1	2	3
e_y	0.000	0.000	0.000	0.000
e_z	0.000	0.000	0.000	0.000
Ekvivalentní vzdál. stěn - příčný roznos				
b_{Mx}	0.000	0.000	0.000	0.000

Vliv stěny na únosnost průřezu				
Char./Fáze	0	1	2	3
A	0.00	0.00	0.00	0.00
Wy	0.00	0.00	0.00	0.00
Wz	0.00	0.00	0.00	0.00

Charakter. v kroucení			
$t_{w,y}$	0.000	[mm]	
$t_{w,z}$	0.000	[mm]	
κ	1.00		
I_t=	0.00E+00	[mm^4]	
$\Omega=2*A_{pr}$	0.00E+00	[mm^2]	

Součinitele vzpěru a vlivu II.řádu				
Char./Fáze	0	1	2	3
k_y	1.000	1.000	1.000	1.000
k_z	1.030	1.000	1.000	1.000
χ_{LT}	1.000	1.000	1.000	1.000
χ_{min}	0.830	1.000	1.000	1.000

Vnitřní síly od jednotlivých skupin zatěžovacích stavů

SKUPINA ZATĚŽOVACÍCH STAVŮ — CHARAKTERISTICKÉ HODNOTY — DÍLČÍ SOUČINITELÉ ZATÍŽENÍ, DYNAMICKÝ SOUČINITEL — NÁVRHOVÉ HODNOTY

Č.	SKUP ZS	Popis ZS	Kat.	Fáze PRŮŘ.	N.k (kN)	Vy.k (kN)	Vz.k (kN)	Mx.k (kNm)	My.k (kNm)	Mz.k (kNm)	γ_{sr} (-)	γ_{fs} (-)	volba γ_f hledat	γ_f (-)	L_d (m)	δ (-)	Ψ_s KZ04	N.d (kN)	Vy.d (kN)	Vz.d (kN)	ΔVz.d (kN)	ΣVz.d (kN)	Mx.d (kNm)	My.d (kNm)	ΔMy.d (kNm)	ΣMy.d (kNm)	Mz.d (kNm)	ΔMz.d (kNm)	ΣMz.d (kNm)
1	G0	Vlastní tíha OK	G	0	-164	1	-1	0	-3	2	1.00	1.20		1.20	-	1.00	0.95	-187	1	-1	0	-1	0	-4	0	-4	2	0	2
2	G1	Ostatní stálé - mostní vybavení	G	0	-7	0	0	0	-1	0	1.00	1.20		1.20	-	1.00	0.95	-8	0	0	0	0	0	-1	0	-1	0	0	0
3	G2	Ostatní stálé - cizí zařízení	G	0	-4	0	0	0	1	0	1.00	1.00		1.00	-	1.00	0.95	-4	0	0	0	0	0	1	0	1	0	0	0
4	P1_71	a.LM71 - kolej 1 (bez dyn. souč.)	P	0	-23	1	-15	0	-76	1	1.00	1.30		1.30	-	1.00	1.00	-30	1	-19	0	-19	0	-99	0	-99	2	0	2
5	P2_71	a.LM71 - kolej 2 (bez dyn. souč.)	P	0	191	1	-11	0	-51	1	1.00	1.30		1.30	-	1.00	1.00	248	1	-15	0	-15	0	-66	0	-66	1	0	1
6	P1_C3	TTZ C3 - kolej 1 (bez dyn. souč.)	P	0	-36	0	-11	0	-58	1	1.00	vyp.		0.00	-	1.00	0.00	0	0	0	0	0	0	0	0	0	0	0	0
7	P2_C3	TTZ C3 - kolej 2 (bez dyn. souč.)	P	0	143	0	-8	0	-36	0	1.00	vyp.		0.00	-	1.00	0.00	0	0	0	0	0	0	0	0	0	0	0	0
8	BR	Brzdné a rozjezdové síly	P	0	-10	0	-1	0	-3	-1	1.00	1.30		1.30	-	1.00	0.40	-5	0	0	0	0	0	-1	0	-1	0	0	0
9	S	Boční ráz	P	0	0	0	-3	0	-14	0	1.00	1.30		1.30	-	1.00	0.80	0	0	-3	0	-3	0	-15	0	-15	0	0	0
10	CH	Chodci na lávkách	Q	0	-16	0	-1	0	-4	0	1.00	1.30		1.30	-	1.00	1.00	-21	0	-1	0	-1	0	-5	0	-5	0	0	0
11	W	Vítr na konstrukci	Q	0	-16	0	-6	0	-15	0	1.00	1.35		1.35	-	1.00	0.75	-16	0	-6	0	-6	0	-16	0	-16	0	0	0
12	WP	Vítr na vozidla	Q	0	11	0	-6	0	-34	0	1.00	1.35		1.35	-	1.00	0.75	11	0	-6	0	-6	0	-35	0	-35	0	0	0
13	TR	Teplota rovnoměrná	Q	0	0	0	0	0	0	0	1.00	1.35		1.35	-	1.00	0.45	0	0	0	0	0	0	0	0	0	0	0	0
14	TN	Teplota nerovnoměrná	Q	0	0	1	-7	0	-36	1	1.00	1.35		1.35	-	1.00	0.60	0	1	-6	0	-6	0	-29	0	-29	1	0	1
15	FR	Třecí síly v ložiskách	Q	0	-1	0	0	0	0	0	1.00	1.20		1.20	-	1.00	1.00	-1	0	0	0	0	0	0	0	0	0	0	0
16	I	Imperfekce soustavy	Q	0	-4	0	-1	0	-7	0	1.00	1.20		1.20	-	1.00	1.00	-5	0	-2	0	-2	0	-8	0	-8	0	0	0
27	ULS_LM	ULS - LM71 bez dynam	Q	0	-19	3	-59	0	-281	5	1.00	vyp.	1	0.00	-	1.00	0.00	0	0	0	0	0	0	0	0	0	0	0	0
28	SLS_LM	SLS - LM71 bez dynam	Q	0	-36	2	-41	0	-193	4	1.00	vyp.	1	0.00	-	1.00	0.00	0	0	0	0	0	0	0	0	0	0	0	0
29	ULS_C3	ULS - C3 bez dynam	Q	0	-98	3	-50	0	-239	4	1.00	vyp.	1	0.00	-	1.00	0.00	0	0	0	0	0	0	0	0	0	0	0	0
30	SLS_C3	SLS - C3 bez dynam	Q	0	0	0	0	0	0	0	1.00	vyp.	1	0.00	-	1.00	0.00	0	0	0	0	0	0	0	0	0	0	0	0
		CELKEM - FÁZE PRŮŘEZU 0			-17	3	-59	0	-59	0								-17	3	-59	0	-59	0	-277	0	-277	5	0	5
		CELKEM - FÁZE PRŮŘEZU 1			0	0	0	0	0	0								0	0	0	0	0	0	0	0	0	0	0	0
		CELKEM - FÁZE PRŮŘEZU 2			0	0	0	0	0	0								0	0	0	0	0	0	0	0	0	0	0	0
		CELKEM - FÁZE PRŮŘEZU 3			0	0	0	0	0	0								0	0	0	0	0	0	0	0	0	0	0	0
		CELKEM - PRŮŘEZ			-17	3	-59	0	-59	0								-17	3	-59	0	-59	0			-277			5

Napětí od jednotlivých zatěžovacích stavů

SKUPINA ZATĚŽOVACÍCH STAVŮ — Posouzení normálového napětí — Účinek síly N — Účinek momentu My — Účinek momentu Mz — Posouzení smykového napětí — Účinek kroutícího momentu Mx — Účinek smykové síly Vy — Účinek smykové síly Vz

Č.	SKUP ZS	Popis ZS	Kat.	fáze průř.	δ^*N_d [kN]	χ^*A [mm^2]	σ_n [MPa]	$\delta^*M_{y,d}$ [kNm]	$\chi_{lt}*W_{el,y}$ [mm^3]	σ_{my} [MPa]	$\delta^*M_{z,d}$ [kNm]	$W_{el,z}$ [mm^3]	σ_{mz} [MPa]	σ_x [MPa]	$\kappa*\delta^*M_{x,d}$ [kNm]	$W_{v,y}$ [mm^3]	$\tau_{x,y}$ [MPa]	$W_{v,z}$ [mm^3]	$\tau_{x,z}$ [MPa]	$\delta^*V_{y,d}$ [kN]	$A_{v,y}$ [mm2]	$\tau_{v,y}$ [MPa]	$\tau_{v,y}$ [MPa]	$\delta^*V_{z,d}$ [kN]	$A_{v,z}$ [mm2]	$\tau_{v,z}$ [MPa]	$\tau_{v,z}$ [MPa]
1	G0	Vlastní tíha OK	G	0	-186.9	1.02E+04	-18.4	-3.9	2.50E+06	-1.5	1.9	-4.61E+05	-4.2	-24.2	-1.1E-02	-	-	-	-	0.8	8.40E+03	0.1	0.1	-0.9	4.33E+03	-0.2	-0.2
2	G1	Ostatní stálé - mostní vybavení	G	0	-7.6	1.02E+04	-0.7	-1.1	2.50E+06	-0.4	0.1	-4.61E+05	-0.3	-1.5	0.0E+00	-	-	-	-	0.0	8.40E+03	0.0	0.0	-0.2	4.33E+03	0.0	0.0
3	G2	Ostatní stálé - cizí zařízení	G	0	-3.6	1.02E+04	-0.4	1.1	2.50E+06	0.5	0.1	-4.61E+05	-0.1	0.0	0.0E+00	-	-	-	-	0.0	8.40E+03	0.0	0.0	0.2	4.33E+03	0.1	0.1
4	P1_71	a.LM71 - kolej 1 (bez dyn. souč.)	P	0	-29.6	1.02E+04	-2.9	-98.5	2.50E+06	-39.4	1.6	-4.61E+05	-3.4	-45.6	-1.3E-02	-	-	-	-	0.8	8.40E+03	0.1	0.1	-18.9	4.33E+03	-4.4	-4.4
5	P2_71	a.LM71 - kolej 2 (bez dyn. souč.)	P	0	248.4	1.02E+04	24.5	-66.0	2.50E+06	-26.4	0.9	-4.61E+05	-1.9	-3.8	0.0E+00	-	-	-	-	1.0	8.40E+03	0.1	0.1	-14.6	4.33E+03	-3.4	-3.4
6	P1_C3	TTZ C3 - kolej 1 (bez dyn. souč.)	P	0	0.0	1.02E+04	0.0	0.0	2.50E+06	0.0	0.0	-4.61E+05	0.0	0.0	0.0E+00	-	-	-	-	0.0	8.40E+03	0.0	0.0	0.0	4.33E+03	0.0	0.0
7	P2_C3	TTZ C3 - kolej 2 (bez dyn. souč.)	P	0	0.0	1.02E+04	0.0	0.0	2.50E+06	0.0	0.0	-4.61E+05	0.0	0.0	0.0E+00	-	-	-	-	0.0	8.40E+03	0.0	0.0	0.0	4.33E+03	0.0	0.0
8	BR	Brzdné a rozjezdové síly	P	0	-5.2	1.02E+04	-0.5	-1.4	2.50E+06	-0.5	-0.5	-4.61E+05	1.0	0.0	2.1E-02	-	-	-	-	-0.2	8.40E+03	0.0	0.0	-0.3	4.33E+03	-0.1	-0.1
9	S	Boční ráz	P	0	0.0	1.02E+04	0.0	-15.0	2.50E+06	-6.0	0.0	-4.61E+05	0.0	-6.0	0.0E+00	-	-	-	-	0.0	8.40E+03	0.0	0.0	-3.0	4.33E+03	-0.7	-0.7
10	CH	Chodci na lávkách	Q	0	-21.4	1.02E+04	-2.1	-4.6	2.50E+06	-1.8	0.2	-4.61E+05	-0.4	-4.4	0.0E+00	-	-	-	-	0.1	8.40E+03	0.0	0.0	-0.9	4.33E+03	-0.2	-0.2
11	W	Vítr na konstrukci	Q	0	-16.4	1.02E+04	-1.6	-15.6	2.50E+06	-6.2	0.2	-4.61E+05	-0.3	-8.2	1.0E-02	-	-	-	-	0.0	8.40E+03	0.0	0.0	-6.2	4.33E+03	-1.4	-1.4
12	WP	Vítr na vozidla	Q	0	10.7	1.02E+04	1.0	-34.6	2.50E+06	-13.8	-0.1	-4.61E+05	0.2	-12.5	-1.0E-02	-	-	-	-	0.0	8.40E+03	0.0	0.0	-6.4	4.33E+03	-1.5	-1.5
13	TR	Teplota rovnoměrná	Q	0	0.0	1.02E+04	0.0	0.0	2.50E+06	0.0	0.0	-4.61E+05	0.0	0.0	0.0E+00	-	-	-	-	0.0	8.40E+03	0.0	0.0	0.0	4.33E+03	0.0	0.0
14	TN	Teplota nerovnoměrná	Q	0	0.2	1.02E+04	0.0	-29.3	2.50E+06	-11.7	0.7	-4.61E+05	-1.5	-13.2	0.0E+00	-	-	-	-	0.6	8.40E+03	0.1	0.1	-5.7	4.33E+03	-1.3	-1.3
15	FR	Třecí síly v ložiskách	Q	0	-0.7	1.02E+04	-0.1	-0.3	2.50E+06	-0.1	0.0	-4.61E+05	-0.1	-0.2	0.0E+00	-	-	-	-	0.0	8.40E+03	0.0	0.0	-0.1	4.33E+03	0.0	0.0
16	I	Imperfekce soustavy	Q	0	-4.6	1.02E+04	-0.5	-8.2	2.50E+06	-3.3	0.0	-4.61E+05	-0.1	-3.8	0.0E+00	-	-	-	-	0.0	8.40E+03	0.0	0.0	-1.5	4.33E+03	-0.4	-0.4
27	ULS_LM	ULS - LM71 bez dynam	Q	0	0.0	1.02E+04	0.0	0.0	2.50E+06	0.0	0.0	-4.61E+05	0.0	0.0	0.0E+00	-	-	-	-	0.0	8.40E+03	0.0	0.0	0.0	4.33E+03	0.0	0.0
28	SLS_LM	SLS - LM71 bez dynam	Q	0	0.0	1.02E+04	0.0	0.0	2.50E+06	0.0	0.0	-4.61E+05	0.0	0.0	0.0E+00	-	-	-	-	0.0	8.40E+03	0.0	0.0	0.0	4.33E+03	0.0	0.0
29	ULS_C3	ULS - C3 bez dynam	Q	0	0.0	1.02E+04	0.0	0.0	2.50E+06	0.0	0.0	-4.61E+05	0.0	0.0	0.0E+00	-	-	-	-	0.0	8.40E+03	0.0	0.0	0.0	4.33E+03	0.0	0.0
30	SLS_C3	SLS - C3 bez dynam	Q	0	0.0	1.02E+04	0.0	0.0	2.50E+06	0.0	0.0	-4.61E+05	0.0	0.0	0.0E+00	-	-	-	-	0.0	8.40E+03	0.0	0.0	0.0	4.33E+03	0.0	0.0
NAVÝŠENÍ NAPĚTÍ DO AKTIVACE TLAKU V DESCE MOSTOVKY						$\sigma_{P,red}$	0.0							0.0			0.0		0.0			0.4	0.4			-13.5	-13.5
NAPĚTÍ OD PRIMÁRNÍCH ÚČINKŮ NEROVNOMĚRNÉHO OTEPLENÍ						σ_T	0.0							0.0													
NAPĚTÍ OD REOLOGICKÝCH ÚČINKŮ BETONU V ČASE		t=0				σ_R	0.0	γ_f=	1.20					0.0													
NAPĚTÍ V KRITICKÝCH VLÁKNECH OD KOMBINACE ZATÍŽENÍ						KZ04		[MPa]					$\Sigma\sigma_x$	-123.5								$\Sigma\tau_y$	0.4			$\Sigma\tau_z$	-13.5
NAPĚTÍ OD POHYBLIVÉHO ZATÍŽENÍ								[MPa]					$\sigma_{x,P}$	-55.5								τ_P	0.2			τ_P	-8.5
NAPĚTÍ OD OSTATNÍCH ZATÍŽENÍ								[MPa]			Φ_{vy}	Φ_{vz}	$\sigma_{x,rs}$	-68.0								τ_{rs}	0.2			τ_{rs}	-5.0
NÁVRHOVÁ HODNOTA MEZE KLUZU S REDUKCÍ VLIVEM SMYKOVÉHO NAPĚTÍ								[MPa]			1.00	1.00	$f_{yw,d}$	191.7								$f_{yd}/3^{0,5}$	110.7			$f_{yd}/3^{0,5}$	110.7
NAPĚTÍ OD POHYBLIVÉHO ZATÍŽENÍ V GLOBÁLNÍM SYSTÉMU						$\sigma_{GLOB,P}$	0.0	[MPa]					$\Sigma\sigma_{GLOB}$	0.0													
NAPĚTÍ OD OSTATNÍCH ZATÍŽENÍ V GLOBÁLNÍM SYSTÉMU						$\sigma_{GLOB,rs}$	0.0	[MPa]					$\Sigma\sigma_x + \Sigma\sigma_{GLOB}$	-123.5													
VYUŽITÍ PRŮŘEZU DLE NAPĚTÍ								[%]					η_1	0.64								η_3	0.00			η_3	0.12
NAPĚTÍ V PŘÍČNÉM SMĚRU OD POHYBLIVÉHO ZATÍŽENÍ						$\sigma_{z,P}$	0.0	[MPa]					$\Sigma\sigma_z$	0.0													
NAPĚTÍ V PŘÍČNÉM SMĚRU OD OSTATNÍCH ZATÍŽENÍ						$\sigma_{z,rs}$	0.0	[MPa]					η_2	0.00													
SROVNÁVACÍ NAPĚTÍ													$(\eta_2 + 0,8\,\eta_1)/1,4$ =	0.37													
VYUŽITÍ PRŮŘEZU CELKEM								[%]					eff	0.64	VYHOVUJE												
													z_{LM71} =	2.23													

TAB. V4.2.3 POSOUZENÍ - MEZNÍ STAV ÚNOSNOSTI

POPIS	SVISLICE V4
PRUT / POLOHA BODU	422 / I[355]
NAMÁHÁNÍ	Vz.min
VLÁKNO	BOD S6 -HP
MEZNÍ STAV	ULS (MSÚ)
VYUŽITÍ VLÁKNA PRŮŘEZU	0.59

Charakteristiky materiálu				
pás. horní	$f_{yf,k}$	230	MPa	
pás. dolní	$f_{yf,k}$	230	MPa	
stojina	$f_{yw,k}$	230	MPa	
výztuž	$f_{ys,k}$	500	MPa	
γ_M =	1.20	γ_s =	1.15	

Excentricita normálové síly				
Exc./Fáze	0	1	2	3
e_y	0.000	0.000	0.000	0.000
e_z	0.000	0.000	0.000	0.000
Ekvivalentní vzdál. stěn - příčný roznos				
b_{Mx}	0.000	0.000	0.000	0.000

Vliv stěny na únosnost průřezu				
Char./Fáze	0	1	2	3
A	0.00	0.00	0.00	0.00
Wy	0.00	0.00	0.00	0.00
Wz	0.00	0.00	0.00	0.00

Charakter. v kroucení			
$t_{w,y}$	0.000	[mm]	
$t_{w,z}$	0.000	[mm]	
κ	1.00		
I_t=	0.00E+00	[mm^4]	
Ω=2*A_{pr}	0.00E+00	[mm^2]	

Součinitele vzpěru a vlivu II.řádu					
Char./Fáze	0	1	2	3	
k_y	1.000	1.000	1.000	1.000	
k_z	1.030	1.000	1.000	1.000	
χ_{LT}	1.000	1.000	1.000	1.000	
χ_{min}	0.830	1.000	1.000	1.000	

Vnitřní síly od jednotlivých skupin zatěžovacích stavů

SKUPINA ZATĚŽOVACÍCH STAVŮ — CHARAKTERISTICKÉ HODNOTY — DÍLČÍ SOUČINITELÉ ZATÍŽENÍ, DYNAMICKÝ SOUČINITEL — NÁVRHOVÉ HODNOTY

Č.	SKUP ZS	POPIS ZS	KAT.	FÁZE PRŮŘ.	N.k (kN)	Vy.k (kN)	Vz.k (kN)	Mx.k (kNm)	My.k (kNm)	Mz.k (kNm)	γ_{sr} (-)	γ_{fs} (-)	volba γ_f hledat	γ_f (-)	L_d (m)	δ (-)	Ψ_z KZ04	N.d (kN)	Vy.d (kN)	Vz.d (kN)	ΔVz.d (kN)	ΣVz.d (kN)	Mx.d (kNm)	My.d (kNm)	ΔMy.d (kNm)	ΣMy.d (kNm)	Mz.d (kNm)	ΔMz.d (kNm)	ΣMz.d (kNm)
1	G0	Vlastní tíha OK	G	0	-164	1	-1	0	-3	2	1.00	1.20		1.20	-	1.00	0.95	-187	1	-1	0	-1	0	-4	0	-4	2	0	2
2	G1	Ostatní stálé - mostní vybavení	G	0	-7	0	0	0	-1	0	1.00	1.20		1.20	-	1.00	0.95	-8	0	0	0	0	0	-1	0	-1	0	0	0
3	G2	Ostatní stálé - cizí zařízení	G	0	-4	0	0	0	1	0	1.00	1.00		1.00	-	1.00	0.95	-4	0	0	0	0	0	1	0	1	0	0	0
4	P1_71	a.LM71 - kolej 1 (bez dyn. souč.)	P	0	-23	1	-15	0	-76	1	1.00	1.30		1.30	-	1.00	1.00	-30	1	-19	0	-19	0	-99	0	-99	2	0	2
5	P2_71	a.LM71 - kolej 2 (bez dyn. souč.)	P	0	191	1	-11	0	-51	1	1.00	1.30		1.30	-	1.00	1.00	248	1	-15	0	-15	0	-66	0	-66	1	0	1
6	P1_C3	TTZ C3 - kolej 1 (bez dyn. souč.)	P	0	-36	1	-11	0	-58	1	1.00	vyp.		0.00	-	1.00	0.00	0	0	0	0	0	0	0	0	0	0	0	0
7	P2_C3	TTZ C3 - kolej 2 (bez dyn. souč.)	P	0	128	1	-8	0	-36	1	1.00	vyp.		0.00	-	1.00	0.00	0	0	0	0	0	0	0	0	0	0	0	0
8	BR	Brzdné a rozjezdové síly	P	0	-10	0	-1	0	-3	-1	1.00	1.30		1.30	-	1.00	0.40	-5	0	0	0	0	0	-1	0	-1	0	0	0
9	S	Boční ráz	P	0	0	0	-3	0	-14	0	1.00	1.30		1.30	-	1.00	0.80	0	0	-3	0	-3	0	-15	0	-15	0	0	0
10	CH	Chodci na lávkách	Q	0	-16	0	-1	0	-4	0	1.00	1.30		1.30	-	1.00	1.00	-21	0	-1	0	-1	0	-5	0	-5	0	0	0
11	W	Vítr na konstrukci	Q	0	-16	0	-6	0	-15	0	1.00	1.35		1.35	-	1.00	0.75	-16	0	-6	0	-6	0	-16	0	-16	0	0	0
12	WP	Vítr na vozidla	Q	0	11	0	-6	0	-34	0	1.00	1.35		1.35	-	1.00	0.75	11	0	-6	0	-6	0	-35	0	-35	0	0	0
13	TR	Teplota rovnoměrná	Q	0	0	0	0	0	0	0	1.00	1.35		1.35	-	1.00	0.45	0	0	0	0	0	0	0	0	0	0	0	0
14	TN	Teplota nerovnoměrná	Q	0	0	1	-7	0	-36	1	1.00	1.35		1.35	-	1.00	0.60	0	1	-6	0	-6	0	-29	0	-29	1	0	1
15	FR	Třecí síly v ložiskách	Q	0	-1	0	0	0	0	0	1.00	1.20		1.20	-	1.00	1.00	-1	0	0	0	0	0	0	0	0	0	0	0
16	I	Imperfekce soustavy	Q	0	-4	0	-1	0	-7	0	1.00	1.20		1.20	-	1.00	1.00	-5	0	-2	0	-2	0	-8	0	-8	0	0	0
27	ULS_LM	ULS - LM71 bez dynam	Q	0	-19	3	-60	0	-281	5	1.00	vyp.	1	0.00	-	1.00	0.00	0	0	0	0	0	0	0	0	0	0	0	0
28	SLS_LM	SLS - LM71 bez dynam	Q	0	-37	2	-41	0	-193	4	1.00	vyp.	1	0.00	-	1.00	0.00	0	0	0	0	0	0	0	0	0	0	0	0
29	ULS_C3	ULS - C3 bez dynam	Q	0	-118	3	-51	0	-238	5	1.00	vyp.	1	0.00	-	1.00	0.00	0	0	0	0	0	0	0	0	0	0	0	0
30	SLS_C3	SLS - C3 bez dynam	Q	0	0	0	0	0	0	0	1.00	vyp.	1	0.00	-	1.00	0.00	0	0	0	0	0	0	0	0	0	0	0	0
		CELKEM - FÁZE PRŮŘEZU 0			-17	3	-59	0	-59	0								-17	3	-59	0	-59	0	-277	0	-277	5	0	5
		CELKEM - FÁZE PRŮŘEZU 1			0	0	0	0	0	0								0	0	0	0	0	0	0	0	0	0	0	0
		CELKEM - FÁZE PRŮŘEZU 2			0	0	0	0	0	0								0	0	0	0	0	0	0	0	0	0	0	0
		CELKEM - FÁZE PRŮŘEZU 3			0	0	0	0	0	0								0	0	0	0	0	0	0	0	0	0	0	0
		CELKEM - PRŮŘEZ			-17	3	-59	0	-59	0								-17	3	-59	0	-59	0			-277			5

Napětí od jednotlivých zatěžovacích stavů

SKUPINA ZATĚŽOVACÍCH STAVŮ — Posouzení normálového napětí — Účinek síly N — Účinek momentu My — Účinek momentu Mz — Posouzení smykového napětí — Účinek kroutícího momentu Mx — Účinek smykové síly Vy — Účinek smykové síly Vz

Č.	SKUP ZS	Popis ZS	Kat.	fáze průř.	δ^*N_d [kN]	χ^*A [mm^2]	σ_n [MPa]	$\delta^*M_{y,d}$ [kNm]	$\chi_{lt}*W_{el,y}$ [mm^3]	σ_{my} [MPa]	$\delta^*M_{z,d}$ [kNm]	$W_{el,z}$ [mm^3]	σ_{mz} [MPa]	σ_x [MPa]	$\kappa*\delta^*M_{x,d}$ [kNm]	$W_{v,y}$ [mm^2]	$\tau_{x,y}$ [MPa]	$W_{v,z}$ [mm^2]	$\tau_{x,z}$ [MPa]	$\delta^*V_{y,d}$ [kN]	$A_{v,y}$ [mm2]	$\tau_{v,y}$ [MPa]	$\tau_{v,y}$ [MPa]	$\delta^*V_{z,d}$ [kN]	$A_{v,z}$ [mm2]	$\tau_{v,z}$ [MPa]	$\tau_{v,z}$ [MPa]
1	G0	Vlastní tíha OK	G	0	-186.9	1.02E+04	-18.4	-3.9	2.50E+06	-1.5	1.9	-3.78E+06	-0.5	-20.5	-1.1E-02	-	-	-	-	0.8	8.40E+03	0.1	0.1	-0.9	4.33E+03	-0.2	-0.2
2	G1	Ostatní stálé - mostní vybavení	G	0	-7.6	1.02E+04	-0.7	-1.1	2.50E+06	-0.4	0.1	-3.78E+06	0.0	-1.2	0.0E+00	-	-	-	-	0.0	8.40E+03	0.0	0.0	-0.2	4.33E+03	0.0	0.0
3	G2	Ostatní stálé - cizí zařízení	G	0	-3.6	1.02E+04	-0.4	1.1	2.50E+06	0.5	0.1	-3.78E+06	0.0	0.1	0.0E+00	-	-	-	-	0.0	8.40E+03	0.0	0.0	0.2	4.33E+03	0.1	0.1
4	P1_71	a.LM71 - kolej 1 (bez dyn. souč.)	P	0	-29.6	1.02E+04	-2.9	-98.5	2.50E+06	-39.4	1.6	-3.78E+06	-0.4	-42.7	-1.3E-02	-	-	-	-	0.8	8.40E+03	0.1	0.1	-18.9	4.33E+03	-4.4	-4.4
5	P2_71	a.LM71 - kolej 2 (bez dyn. souč.)	P	0	247.9	1.02E+04	24.4	-65.9	2.50E+06	-26.3	0.9	-3.78E+06	-0.2	-2.2	0.0E+00	-	-	-	-	1.0	8.40E+03	0.1	0.1	-14.6	4.33E+03	-3.4	-3.4
6	P1_C3	TTZ C3 - kolej 1 (bez dyn. souč.)	P	0	0.0	1.02E+04	0.0	0.0	2.50E+06	0.0	0.0	-3.78E+06	0.0	0.0	0.0E+00	-	-	-	-	0.0	8.40E+03	0.0	0.0	0.0	4.33E+03	0.0	0.0
7	P2_C3	TTZ C3 - kolej 2 (bez dyn. souč.)	P	0	0.0	1.02E+04	0.0	0.0	2.50E+06	0.0	0.0	-3.78E+06	0.0	0.0	0.0E+00	-	-	-	-	0.0	8.40E+03	0.0	0.0	0.0	4.33E+03	0.0	0.0
8	BR	Brzdné a rozjezdové síly	P	0	-5.2	1.02E+04	-0.5	-1.4	2.50E+06	-0.5	-0.5	-3.78E+06	0.1	-0.9	2.1E-02	-	-	-	-	-0.2	8.40E+03	0.0	0.0	-0.3	4.33E+03	-0.1	-0.1
9	S	Boční ráz	P	0	0.0	1.02E+04	0.0	-14.9	2.50E+06	-6.0	0.1	-3.78E+06	0.0	-6.0	0.0E+00	-	-	-	-	0.1	8.40E+03	0.0	0.0	-3.4	4.33E+03	-0.8	-0.8
10	CH	Chodci na lávkách	Q	0	-21.4	1.02E+04	-2.1	-4.6	2.50E+06	-1.8	0.2	-3.78E+06	-0.1	-4.0	0.0E+00	-	-	-	-	0.1	8.40E+03	0.0	0.0	-0.9	4.33E+03	-0.2	-0.2
11	W	Vítr na konstrukci	Q	0	-16.4	1.02E+04	-1.6	-15.6	2.50E+06	-6.2	0.2	-3.78E+06	0.0	-7.9	1.0E-02	-	-	-	-	0.0	8.40E+03	0.0	0.0	-6.2	4.33E+03	-1.4	-1.4
12	WP	Vítr na vozidla	Q	0	10.7	1.02E+04	1.0	-34.6	2.50E+06	-13.8	-0.1	-3.78E+06	0.0	-12.8	-1.0E-02	-	-	-	-	0.0	8.40E+03	0.0	0.0	-6.4	4.33E+03	-1.5	-1.5
13	TR	Teplota rovnoměrná	Q	0	0.0	1.02E+04	0.0	0.0	2.50E+06	0.0	0.0	-3.78E+06	0.0	0.0	0.0E+00	-	-	-	-	0.0	8.40E+03	0.0	0.0	0.0	4.33E+03	0.0	0.0
14	TN	Teplota nerovnoměrná	Q	0	0.2	1.02E+04	0.0	-29.3	2.50E+06	-11.7	0.7	-3.78E+06	-0.2	-11.9	0.0E+00	-	-	-	-	0.6	8.40E+03	0.1	0.1	-5.7	4.33E+03	-1.3	-1.3
15	FR	Třecí síly v ložiskách	Q	0	-0.7	1.02E+04	-0.1	-0.3	2.50E+06	-0.1	0.0	-3.78E+06	0.0	-0.2	0.0E+00	-	-	-	-	0.0	8.40E+03	0.0	0.0	-0.1	4.33E+03	0.0	0.0
16	I	Imperfekce soustavy	Q	0	-4.6	1.02E+04	-0.5	-8.2	2.50E+06	-3.3	0.0	-3.78E+06	0.0	-3.7	0.0E+00	-	-	-	-	0.0	8.40E+03	0.0	0.0	-1.5	4.33E+03	-0.4	-0.4
27	ULS_LM	ULS - LM71 bez dynam	Q	0	0.0	1.02E+04	0.0	0.0	2.50E+06	0.0	0.0	-3.78E+06	0.0	0.0	0.0E+00	-	-	-	-	0.0	8.40E+03	0.0	0.0	0.0	4.33E+03	0.0	0.0
28	SLS_LM	SLS - LM71 bez dynam	Q	0	0.0	1.02E+04	0.0	0.0	2.50E+06	0.0	0.0	-3.78E+06	0.0	0.0	0.0E+00	-	-	-	-	0.0	8.40E+03	0.0	0.0	0.0	4.33E+03	0.0	0.0
29	ULS_C3	ULS - C3 bez dynam	Q	0	0.0	1.02E+04	0.0	0.0	2.50E+06	0.0	0.0	-3.78E+06	0.0	0.0	0.0E+00	-	-	-	-	0.0	8.40E+03	0.0	0.0	0.0	4.33E+03	0.0	0.0
30	SLS_C3	SLS - C3 bez dynam	Q	0	0.0	1.02E+04	0.0	0.0	2.50E+06	0.0	0.0	-3.78E+06	0.0	0.0	0.0E+00	-	-	-	-	0.0	8.40E+03	0.0	0.0	0.0	4.33E+03	0.0	0.0
NAVÝŠENÍ NAPĚTÍ DO AKTIVACE TLAKU V DESCE MOSTOVKY						$\sigma_{P,red}$	0.0							0.0			0.0		0.0				0.4	0.4			-13.6	-13.6
NAPĚTÍ OD PRIMÁRNÍCH ÚČINKŮ NEROVNOMĚRNÉHO OTEPLENÍ						σ_T	0.0							0.0														
NAPĚTÍ OD REOLOGICKÝCH ÚČINKŮ BETONU V ČASE		t=0				σ_R	0.0	γ_{lt}=	1.20					0.0														
NAPĚTÍ V KRITICKÝCH VLÁKNECH OD KOMBINACE ZATÍŽENÍ						KZ04		[MPa]					$\Sigma\sigma_x$	-113.8									$\Sigma\tau_y$	0.4			$\Sigma\tau_z$	-13.6
NAPĚTÍ OD POHYBLIVÉHO ZATÍŽENÍ								[MPa]					$\sigma_{x,P}$	-51.8									τ_P	0.2			τ_P	-8.6
NAPĚTÍ OD OSTATNÍCH ZATÍŽENÍ								[MPa]			Φ_{Vy}	Φ_{Vz}	$\sigma_{x,rs}$	-62.0									τ_{rs}	0.2			τ_{rs}	-5.0
NÁVRHOVÁ HODNOTA MEZE KLUZU S REDUKCÍ VLIVEM SMYKOVÉHO NAPĚTÍ								[MPa]			1.00	1.00	$f_{yw,d}$	191.7									$f_{yd}/3^{0,5}$	110.7			$f_{yd}/3^{0,5}$	110.7
NAPĚTÍ OD POHYBLIVÉHO ZATÍŽENÍ V GLOBÁLNÍM SYSTÉMU						$\sigma_{GLOB,P}$	0.0	[MPa]					$\Sigma\sigma_{GLOB}$	0.0														
NAPĚTÍ OD OSTATNÍCH ZATÍŽENÍ V GLOBÁLNÍM SYSTÉMU						$\sigma_{GLOB,rs}$	0.0	[MPa]					$\Sigma\sigma_x + \Sigma\sigma_{GLOB}$	-113.8														
VYUŽITÍ PRŮŘEZU DLE NAPĚTÍ								[%]					η_1	0.59									η_3	0.00			η_3	0.12
NAPĚTÍ V PŘÍČNÉM SMĚRU OD POHYBLIVÉHO ZATÍŽENÍ						$\sigma_{z,P}$	0.0	[MPa]					$\Sigma\sigma_z$	0.0														
NAPĚTÍ V PŘÍČNÉM SMĚRU OD OSTATNÍCH ZATÍŽENÍ						$\sigma_{z,rs}$	0.0	[MPa]					η_2	0.00														
SROVNÁVACÍ NAPĚTÍ													$(\eta_2 + 0,8\,\eta_1)/1,4$ =	0.34														
VYUŽITÍ PRŮŘEZU CELKEM								[%]					eff	0.59	VYHOVUJE													
													z_{LM71} =	2.51														

VÝPOČET PRŮŘEZOVÝCH CHARAKTERISTIK

PRŮŘEZ: V5_1 **POPIS:** SVISLICE V5 - MIN N

x = - **m**

DEFINOVÁNÍ PRŮŘEZU

ŠÍŘKA PÁSNICE ÚHELNÍKU	b f.t.l.o =	130	mm	**ÚHELNÍK HORNÍ VNĚJŠÍ LEVÝ**		**C.T.O.L**	
TLOUŠŤKA PÁSNICE ÚHELNÍKU	t f.t.l.o =	14	mm	OSLABENÍ PÁSNICE - TLOUŠŤKA	Δt f.t.l.o =	5	%
VÝŠKA STĚNY ÚHELNÍKU	h w.t.l.o =	76	mm				
TLOUŠŤKA STĚNY ÚHELNÍKU	t w.t.l.o =	14	mm	OSLABENÍ STĚNY - TLOUŠŤKA	Δt w.t.l.o =	10	%
ŠÍŘKA PÁSNICE ÚHELNÍKU	b f.t.r.o =	130	mm	**ÚHELNÍK HORNÍ VNĚJŠÍ PRAVÝ**		**C.T.O.R**	
TLOUŠŤKA PÁSNICE ÚHELNÍKU	t f.t.r.o =	14	mm	OSLABENÍ PÁSNICE - TLOUŠŤKA	Δt f.t.r.o =	5	%
VÝŠKA STĚNY ÚHELNÍKU	h w.t.r.o =	76	mm				
TLOUŠŤKA STĚNY ÚHELNÍKU	t w.t.r.o =	14	mm	OSLABENÍ STĚNY - TLOUŠŤKA	Δt w.t.r.0 =	10	%
ŠÍŘKA PÁSNICE ÚHELNÍKU	b f.t.l.i =	0	mm	**ÚHELNÍK HORNÍ VNITŘNÍ LEVÝ**		**C.T.I.L**	
TLOUŠŤKA PÁSNICE ÚHELNÍKU	t f.t.l.i =	0	mm	OSLABENÍ PÁSNICE - TLOUŠŤKA	Δt f.b.l.o =	0	%
VÝŠKA STĚNY ÚHELNÍKU	h w.t.l.i =	0	mm				
TLOUŠŤKA STĚNY ÚHELNÍKU	t w.t.l.i =	0	mm	OSLABENÍ STĚNY - TLOUŠŤKA	Δt w.b.l.o =	0	%
ŠÍŘKA PÁSNICE ÚHELNÍKU	b f.t.r.i =	0	mm	**ÚHELNÍK HORNÍ VNITŘNÍ PRAVÝ**		**C.T.I.R**	
TLOUŠŤKA PÁSNICE ÚHELNÍKU	t f.t.r.i =	0	mm	OSLABENÍ PÁSNICE - TLOUŠŤKA	Δt f.b.r.o =	0	%
VÝŠKA STĚNY ÚHELNÍKU	h w.t.r.i =	0	mm				
TLOUŠŤKA STĚNY ÚHELNÍKU	t w.t.r.i =	0	mm	OSLABENÍ STĚNY - TLOUŠŤKA	Δt w.b.r.o =	0	%
ŠÍŘKA PÁSNICE ÚHELNÍKU	b f.b.l.o =	130	mm	**ÚHELNÍK DOLNÍ VNĚJŠÍ LEVÝ**		**C.B.O.L**	
TLOUŠŤKA PÁSNICE ÚHELNÍKU	t f.b.l.o =	14	mm	OSLABENÍ PÁSNICE - TLOUŠŤKA	Δt f.t.l.i =	5	%
VÝŠKA STĚNY ÚHELNÍKU	h w.b.l.o =	76	mm				
TLOUŠŤKA STĚNY ÚHELNÍKU	t w.b.l.o =	14	mm	OSLABENÍ STĚNY - TLOUŠŤKA	Δt w.t.l.i =	10	%
ŠÍŘKA PÁSNICE ÚHELNÍKU	b f.b.r.o =	130	mm	**ÚHELNÍK DOLNÍ VNĚJŠÍ PRAVÝ**		**C.B.O.R**	
TLOUŠŤKA PÁSNICE ÚHELNÍKU	t f.b.r.o =	14	mm	OSLABENÍ PÁSNICE - TLOUŠŤKA	Δt f.t.r.i =	5	%
VÝŠKA STĚNY ÚHELNÍKU	h w.b.r.o =	76	mm				
TLOUŠŤKA STĚNY ÚHELNÍKU	t w.b.r.o =	14	mm	OSLABENÍ STĚNY - TLOUŠŤKA	Δt w.t.r.i =	10	%
PÁSNICE DOLNÍHO LEVÉHO ÚHELNÍKU	b f.b.l.i =	0	mm	**ÚHELNÍK DOLNÍ VNITŘNÍ LEVÝ**		**C.B.I.L**	
TLOUŠŤKA PÁSNICE ÚHELNÍKU	t f.b.l.i =	0	mm	OSLABENÍ PÁSNICE - TLOUŠŤKA	Δt f.b.l.i =	0	%
VÝŠKA STĚNY ÚHELNÍKU	h w.b.l.i =	0	mm				
TLOUŠŤKA STĚNY ÚHELNÍKU	t w.b.l.i =	0	mm	OSLABENÍ STĚNY - TLOUŠŤKA	Δt w.b.l.i =	0	%
PÁSNICE DOLNÍHO PRAVÉHO ÚHELNÍKU	b f.b.r.i =	0	mm	**ÚHELNÍK DOLNÍ VNITŘNÍ PRAVÝ**		**C.B.I.R**	
TLOUŠŤKA PÁSNICE ÚHELNÍKU	t f.b.r.i =	0	mm	OSLABENÍ PÁSNICE - TLOUŠŤKA	Δt f.b.r.i =	0	%
VÝŠKA STĚNY ÚHELNÍKU	h w.b.r.i =	0	mm				
TLOUŠŤKA STĚNY ÚHELNÍKU	t w.b.r.i =	0	mm	OSLABENÍ STĚNY - TLOUŠŤKA	Δt w.b.r.i =	0	%

HORNÍ

ŠÍŘKA HORNÍ VLOŽKY - VNĚJŠÍ	b f.t =	0	mm			**HOR.T.O**	
TLOUŠŤKA VLOŽKY	t f.t =	0	mm	OSLABENÍ VLOŽKY	Δt f.t =	0	%
ŠÍŘKA HORNÍ VLOŽKY - VNITŘNÍ	b f.t =	0	mm			**HOR.T.I**	
TLOUŠŤKA VLOŽKY	t f.t =	0	mm	OSLABENÍ VLOŽKY	Δt f.t =	0	%
ŠÍŘKA DOLNÍ VLOŽKY - VNĚJŠÍ	b f.t =	0	mm			**HOR.B.O**	
TLOUŠŤKA VLOŽKY	t f.t =	0	mm	OSLABENÍ VLOŽKY	Δt f.t =	0	%
ŠÍŘKA DOLNÍ VLOŽKY - VNITŘNÍ	b f.t =	0	mm			**HOR.B.I**	
TLOUŠŤKA VLOŽKY	t f.t =	0	mm	OSLABENÍ VLOŽKY - VNITŘNÍ	Δt f.t =	0	%

VZD. OKRAJŮ PÁSNIC VNITŘNÍCH ÚHELNÍKŮ	464	mm
CELKOVÁ TLOUŠŤKA MEZI PÁSNICEMI ÚHELNÍKŮ I A .o	0	mm
CELKOVÁ TLOUŠŤKA MEZI PÁSNICEMI ÚHELNÍKŮ I A .r	13	mm

ZADANÍ ČÁSTÍ PRŮŘEZU:

č.prvku	b [mm]	h [mm]	y_0 [mm]	z_0 [mm]	popis části	druh oslabení	lokální ultimate	boulení servic.
1	130.0	13.3	-71.5	238.7	pásnice	0	1.000	1.000
2	12.6	76.0	-12.8	283.3	stěna	0	1.000	1.000
3	130.0	13.3	71.5	238.7	pásnice	0	1.000	1.000
4	12.6	76.0	12.8	283.3	stěna	0	1.000	1.000
5	0.0	0.0	-6.5	232.0	pásnice	0	1.000	1.000
6	0.0	0.0	-6.5	232.0	stěna	0	1.000	1.000
7	0.0	0.0	6.5	232.0	pásnice	0	1.000	1.000
8	0.0	0.0	6.5	232.0	stěna	0	1.000	1.000
9	130.0	13.3	-71.5	-238.7	pásnice	0	1.000	1.000
10	12.6	76.0	-12.8	-283.3	stěna	0	1.000	1.000
11	130.0	13.3	71.5	-238.7	pásnice	0	1.000	1.000
12	12.6	76.0	12.8	-283.3	stěna	0	1.000	1.000
13	0.0	0.0	-6.5	-232.0	pásnice	0	1.000	1.000
14	0.0	0.0	-6.5	-232.0	stěna	0	1.000	1.000
15	0.0	0.0	6.5	-232.0	pásnice	0	1.000	1.000
16	0.0	0.0	6.5	-232.0	stěna	0	1.000	1.000
17						0	1.000	1.000
18						0	1.000	1.000
19						0	1.000	1.000
20						0	1.000	1.000
21						0	1.000	1.000
22						0	1.000	1.000
23						0	1.000	1.000
24						0	1.000	1.000
25						0	1.000	1.000
26						0	1.000	1.000
27						0	1.000	1.000
28						0	1.000	1.000
29						0	1.000	1.000
30						0	1.000	1.000
31						0	1.000	1.000
32						0	1.000	1.000
33						0	1.000	1.000
34						0	1.000	1.000
35						0	1.000	1.000
36						0	1.000	1.000
37						0	1.000	1.000
38						0	1.000	1.000
39						0	1.000	1.000
40						0	1.000	1.000
41	0.0	0.0	0.0	232.0	pásnice	0	1.000	1.000
42	0.0	0.0	0.0	232.0	pásnice	0	1.000	1.000
43	0.0	0.0	0.0	-232.0	pásnice	0	1.000	1.000
44	0.0	0.0	0.0	-232.0	pásnice	0	1.000	1.000
45						0	1.000	1.000
46						0	1.000	1.000
47						0	1.000	1.000
48						0	1.000	1.000
49						0	1.000	1.000
50						0	1.000	1.000
51						0	1.000	1.000
52						0	1.000	1.000
53						0	1.000	1.000
54						0	1.000	1.000
55						0	1.000	1.000
56						0	1.000	1.000
57						0	1.000	1.000
58						0	1.000	1.000
59						0	1.000	1.000
60						0	1.000	1.000
61						0	1.000	1.000
62						0	1.000	1.000
63						0	1.000	1.000
64						0	1.000	1.000
65						0	1.000	1.000
66						0	1.000	1.000
67						0	1.000	1.000
68						0	1.000	1.000
69						0	1.000	1.000
70						0	1.000	1.000
71	0	0	-12.8	281.3	nýt	0	1.000	1.000
72	0	0	12.8	281.3	nýt	0	1.000	1.000
73	0	0	0	0	nýt	0	1.000	1.000
74	0	0	0	0	nýt	0	1.000	1.000
75	0	0	-12.8	-281.3	nýt	0	1.000	1.000
76	0	0	12.8	-281.3	nýt	0	1.000	1.000
77	0	0	0	0	nýt	0	1.000	1.000
78	0	0	0	0	nýt	0	1.000	1.000
79						0	1.000	1.000
80						0	1.000	1.000
81	0	0	-61.5	245.3	nýt	0	1.000	1.000
82	0	0	0	0	nýt	0	1.000	1.000
83	0	0	61.5	245.3	nýt	0	1.000	1.000
84	0	0	0	0	nýt	0	1.000	1.000
85	0	0	-61.5	-245.3	nýt	0	1.000	1.000
86	0	0	0	0	nýt	0	1.000	1.000
87	0	0	61.5	-245.3	nýt	0	1.000	1.000
88	0	0	0	0	nýt	0	1.000	1.000
89						0	1.000	1.000
90						0	1.000	1.000
91	0	0	0	0	nýt	0	1.000	1.000
92	0	0	0	0	nýt	0	1.000	1.000
93	0	0	0	0	nýt	0	1.000	1.000
94	0	0	0	0	nýt	0	1.000	1.000
95	0	0	0	0	nýt	0	1.000	1.000
96	0	0	0	0	nýt	0	1.000	1.000
97	0	0	0	0	nýt	0	1.000	1.000
98	0	0	0	0	nýt	0	1.000	1.000
99						0	1.000	1.000
100						0	1.000	1.000

NÝT Č.	SKUPINA	ŘEZ	RED.	VELIKOST di [mm]	POLOHA oi [mm]	POPIS	AKTIVITA OTVORU		NAPĚTÍ sc [MPa]
1		-	1.00	20	40	nýt - t.o - úhelník	0		-49.01
2		-	1.00	20	40	nýt - t.o - úhelník	0		-48.73
3		-	1.00	0	40	nýt - t.i - úhelník	0	-	
4		-	1.00	0	40	nýt - t.i - úhelník	0	-	
5		-	1.00	20	40	nýt - b.o - úhelník	0		-46.74
6		-	1.00	20	40	nýt - b.o - úhelník	0		-46.46
7		-	1.00	0	40	nýt - b.i - úhelník	0	-	
8		-	1.00	0	40	nýt - b.i - úhelník	0	-	
9									
10									
11		-	1.00	22	75	nýt - t.i - úhelník	0		-49.39
12		-	1.00	0	75	nýt - t.i - úhelník	0	-	
13		-	1.00	22	75	nýt - t.r - úhelník	0		-48.05
14		-	1.00	0	75	nýt - t.r - úhelník	0	-	
15		-	1.00	22	75	nýt - b.l - úhelník	0		-47.42
16		-	1.00	0	75	nýt - b.l - úhelník	0	-	
17		-	1.00	22	75	nýt - b.r - úhelník	0		-46.07
18		-	1.00	0	75	nýt - b.r - úhelník	0	-	
19									
20									
21		-	1.00	0	-132	nýt - t.l	0	-	
22		-	1.00	0	-132	nýt - t.l	0	-	
23		-	1.00	0	132	nýt - t.r	0	-	
24		-	1.00	0	132	nýt - t.r	0	-	
25		-	1.00	0	-132	nýt - b.l	0	-	
26		-	1.00	0	-132	nýt - b.l	0	-	
27		-	1.00	0	132	nýt - b.r	0	-	
28		-	1.00	0	132	nýt - b.r	0	-	
29									
30									

VÝPOČET PRŮŘEZOVÝCH CHARAKTERISTIK

Properties	Basic	Ultimate		Serviceability	
y_t	0.0	0.0		0.0	[mm]
z_t	0.0	0.0		0.0	[mm]
A_i	1.0746E-04	1.0746E-04		1.0746E-04	[mm²]
A_y	6.9160E-03	6.9160E-03		6.9160E-03	[mm²]
A_z	3.8304E-03	3.8304E-03		3.8304E-03	[mm²]
I_{yi}	4.2196E+08	4.2196E+08		4.2196E+08	[mm⁴]
I_w	4.5775E+07	4.5775E+07		4.5775E+07	[mm⁶]
i_y	198.2	198.2		198.2	[mm]
i_z	65.3	65.3		65.3	[mm]
$W_{y,1}$	1.3133E+06	1.3133E+06		1.3133E+06	[mm³]
$W_{z,1}$	-3.3535E+05	-3.3535E+05		-3.3535E+05	[mm³]
$W_{y,2}$	-1.3133E+06	-1.3133E+06		-1.3133E+06	[mm³]
$W_{z,2}$	-3.3535E+05	-3.3535E+05		-3.3535E+05	[mm³]
KRAJNÍ VLÁKNA PRŮŘEZU					
y_1	-136.5	-136.5		-136.5	[mm] min
z_1	321.3	321.3		321.3	[mm] max
y_2	-136.5	-136.5		-136.5	[mm] min
z_2	-321.3	-321.3		-321.3	[mm] min
y_3	136.5	136.5		136.5	[mm] max
z_3	321.3	321.3		321.3	[mm] max
y_4	136.5	136.5		136.5	[mm] max
z_4	-321.3	-321.3		-321.3	[mm] min
y_5	-19.1	-19.1		-19.1	[mm]
z_5	-245.3	-245.3		-245.3	[mm]
y_6	-19.1	-19.1		-19.1	[mm]
z_6	-321.3	-321.3		-321.3	[mm]

SCHÉMA PROMĚNNÝCH

SCHÉMA ZADANÉHO PRŮŘEZU

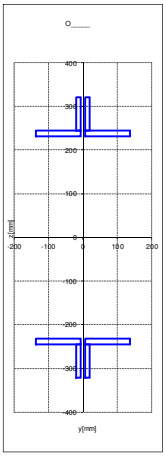

ÚPRAVA MOMENTŮ SETRVAČNOSTI V DŮSLEDKU ČLENĚNÍ PRŮŘEZU

OSA Y	0.60
OSA Z	1.00

NEUTRÁLNÁ OSA

NAPĚTÍ [MPa]:

-50.52	-47.54
-47.93	-44.95

ZS: SLS_LM_N.MIN

	N [kN]	Vy [kN]	Vz [kN]	Mx [kNm]	My [kNm]	Mz [kNm]
import	-513	1	4	0	2	-1

TR_V5.1 POPIS: **SVISLICE V5** POSUDEK: **V5.1**

SKUPINA ZAT. STAVŮ	EXTRÉM	VYHODNOCOVANÉ VELIČINY					
		N	Vy	Vz	Mx	My	Mz
		kN	kN	kN	kNm	kNm	kNm
G0	N.min	**-73.28**	0.17	0.25	0	-2.18	-0.13
	N.max	**-73.28**	0.17	0.25	0	-2.18	-0.13
	Vy.min	-73.28	**0.17**	0.25	0	-2.18	-0.13
	Vy.max	-73.28	**0.17**	0.25	0	-2.18	-0.13
	Vz.min	-73.28	0.17	**0.25**	0	-2.18	-0.13
	Vz.max	-73.28	0.17	**0.25**	0	-2.18	-0.13
	Mx.min	-73.28	0.17	0.25	**0**	-2.18	-0.13
	Mx.max	-73.28	0.17	0.25	**0**	-2.18	-0.13
	My.min	-73.28	0.17	0.25	0	**-2.18**	-0.13
	My.max	-73.28	0.17	0.25	0	**-2.18**	-0.13
	Mz.min	-73.28	0.17	0.25	0	-2.18	**-0.13**
	Mz.max	-73.28	0.17	0.25	0	-2.18	**-0.13**
G1	N.min	**-0.66**	0.01	-0.03	0	-0.36	-0.01
	N.max	**-0.66**	0.01	-0.03	0	-0.36	-0.01
	Vy.min	-0.66	**0.01**	-0.03	0	-0.36	-0.01
	Vy.max	-0.66	**0.01**	-0.03	0	-0.36	-0.01
	Vz.min	-0.66	0.01	**-0.03**	0	-0.36	-0.01
	Vz.max	-0.66	0.01	**-0.03**	0	-0.36	-0.01
	Mx.min	-0.66	0.01	-0.03	**0**	-0.36	-0.01
	Mx.max	-0.66	0.01	-0.03	**0**	-0.36	-0.01
	My.min	-0.66	0.01	-0.03	0	**-0.36**	-0.01
	My.max	-0.66	0.01	-0.03	0	**-0.36**	-0.01
	Mz.min	-0.66	0.01	-0.03	0	-0.36	**-0.01**
	Mz.max	-0.66	0.01	-0.03	0	-0.36	**-0.01**
G2	N.min	**-0.77**	0.01	0.08	0	0.14	0
	N.max	**-0.77**	0.01	0.08	0	0.14	0
	Vy.min	-0.77	**0.01**	0.08	0	0.14	0
	Vy.max	-0.77	**0.01**	0.08	0	0.14	0
	Vz.min	-0.77	0.01	**0.08**	0	0.14	0
	Vz.max	-0.77	0.01	**0.08**	0	0.14	0
	Mx.min	-0.77	0.01	0.08	**0**	0.14	0
	Mx.max	-0.77	0.01	0.08	**0**	0.14	0
	My.min	-0.77	0.01	0.08	0	**0.14**	0
	My.max	-0.77	0.01	0.08	0	**0.14**	0
	Mz.min	-0.77	0.01	0.08	0	0.14	**0**
	Mz.max	-0.77	0.01	0.08	0	0.14	**0**
P1_71	N.min	**-110.39**	0.26	-0.19	0	-7.17	-0.14
	N.max	**115.39**	-0.23	-3.84	0	-9.74	0.07
	Vy.min	113.01	**-0.24**	-3.77	0	-8.73	0.07
	Vy.max	-103.86	**0.3**	-0.16	0	-8.99	-0.11
	Vz.min	34.42	-0.05	**-4.24**	0	-13.67	-0.06
	Vz.max	-28.15	0.11	**0.27**	0	-4.53	0.02
	Mx.min	24.82	0.01	-4.09	**0**	-15.77	-0.04
	Mx.max	-16.73	0.03	0.06	**0**	-1.39	-0.01
	My.min	13.99	0.04	-3.9	0	**-16.71**	-0.05
	My.max	0	0	0	0	**0**	0
	Mz.min	-66.5	0.11	-1.9	0	-8.68	**-0.2**
	Mz.max	62.35	-0.02	-1.53	0	-6.97	**0.17**
P2_71	N.min	**-281.89**	0.65	2.33	0	1.9	-0.3
	N.max	**272.79**	-0.58	-2.35	0	-4.94	0.15
	Vy.min	267.16	**-0.6**	-2.38	0	-4.28	0.15
	Vy.max	-268.86	**0.75**	2.64	0	0.41	-0.21
	Vz.min	197.14	-0.5	**-2.89**	0	-5.64	0.01
	Vz.max	-200.53	0.66	**3**	0	1.25	-0.07
	Mx.min	200.81	-0.49	-2.63	**0**	-4.52	0.1
	Mx.max	-216.78	0.69	2.92	**0**	0.93	-0.11
	My.min	155.79	-0.24	-1.77	0	**-7.5**	0.08
	My.max	-170.25	0.41	1.81	0	**3.88**	-0.23
	Mz.min	-164.7	0.22	0.19	0	0.45	**-0.48**
	Mz.max	130.82	0	0.54	0	-2.01	**0.45**
P1_C3	N.min	**-90.06**	0.2	-0.2	0	-5.36	-0.13
	N.max	**90.03**	-0.17	-2.84	0	-7.33	0.06
	Vy.min	88.39	**-0.18**	-2.84	0	-6.54	0.06
	Vy.max	-87.31	**0.25**	-0.16	0	-7.32	-0.1
	Vz.min	14.88	-0.02	**-3.24**	0	-10.94	-0.07
	Vz.max	-19.69	0.09	**0.22**	0	-3.46	0.02
	Mx.min	0.74	0.04	-3.11	**0**	-13.15	-0.05
	Mx.max	-11.85	0.02	0.03	**0**	-0.84	-0.01
	My.min	0.5	0.06	-2.99	0	**-13.32**	-0.05
	My.max	0	0	0	0	**0**	0
	Mz.min	-43.64	0.05	-2.02	0	-7.69	**-0.18**
	Mz.max	39.81	0.02	-0.81	0	-5.4	**0.15**
P2_C3	N.min	**-231.15**	0.54	1.9	0	1.64	-0.24
	N.max	**212.19**	-0.45	-1.68	0	-3.36	0.12
	Vy.min	208.69	**-0.47**	-1.71	0	-2.95	0.12
	Vy.max	-224.39	**0.63**	2.13	0	0.55	-0.18
	Vz.min	142.81	-0.37	**-2.18**	0	-3.86	0.02
	Vz.max	-175.01	0.55	**2.46**	0	1.58	-0.1
	Mx.min	138.83	-0.36	-2.03	**0**	-3.2	0.06
	Mx.max	-175.88	0.56	2.44	**0**	1.3	-0.1
	My.min	118.95	-0.11	-1.05	0	**-5.37**	0.15
	My.max	-140.25	0.33	1.64	0	**3.25**	-0.17
	Mz.min	-109.88	0.07	-0.33	0	-0.04	**-0.44**
	Mz.max	79.31	0.11	0.92	0	-1.46	**0.39**
BR	N.min	**-8.64**	0.09	0.04	0	0.15	0.1
	N.max	**8.64**	-0.09	-0.04	0	-0.15	-0.1
	Vy.min	8.64	**-0.09**	-0.04	0	-0.15	-0.1
	Vy.max	-8.64	**0.09**	0.04	0	0.15	0.1
	Vz.min	-6.78	0.09	**-0.07**	0	-0.31	0.09
	Vz.max	6.78	-0.09	**0.07**	0	0.31	-0.09
	Mx.min	-7.54	0.07	-0.02	**0**	-0.08	0.05
	Mx.max	7.54	-0.07	0.02	**0**	0.08	-0.05
	My.min	-6.78	0.09	-0.07	0	**-0.31**	0.09
	My.max	6.78	-0.09	0.07	0	**0.31**	-0.09
	Mz.min	8.64	-0.09	-0.04	0	-0.15	**-0.1**
	Mz.max	-8.64	0.09	0.04	0	0.15	**0.1**

TR_V5.1 POPIS: **SVISLICE V5** POSUDEK: **V5.1**

SKUPINA ZAT. STAVŮ	EXTRÉM	VYHODNOCOVANÉ VELIČINY					
		N	Vy	Vz	Mx	My	Mz
		kN	kN	kN	kNm	kNm	kNm
S	N.min	**-3.32**	0	0.47	0	2.48	0.01
	N.max	**3.32**	0	-0.47	0	-2.48	-0.01
	Vy.min	1.53	**-0.01**	0.71	0	1.6	0
	Vy.max	-1.53	**0.01**	-0.71	0	-1.6	0
	Vz.min	-1.53	0.01	**-0.71**	0	-1.6	0
	Vz.max	1.53	-0.01	**0.71**	0	1.6	0
	Mx.min	-1.53	0.01	-0.71	**0**	-1.6	0
	Mx.max	1.53	-0.01	0.71	**0**	1.6	0
	My.min	2.23	0.01	-0.52	0	**-3.12**	-0.01
	My.max	-2.23	-0.01	0.52	0	**3.12**	0.01
	Mz.min	-0.62	0.01	-0.62	0	-2.73	**-0.01**
	Mz.max	0.62	-0.01	0.62	0	2.73	**0.01**
CH	N.min	**-16.24**	0.04	-0.18	0	-0.9	-0.03
	N.max	**15.57**	-0.02	0.16	0	0.08	0.02
	Vy.min	15.57	**-0.02**	0.16	0	0.08	0.02
	Vy.max	-16.24	**0.04**	-0.18	0	-0.9	-0.03
	Vz.min	-16.24	0.04	**-0.18**	0	-0.9	-0.03
	Vz.max	-2.45	0.02	**0.29**	0	0.54	-0.01
	Mx.min	-16.24	0.04	-0.18	**0**	-0.9	-0.03
	Mx.max	-2.45	0.02	0.29	**0**	0.54	-0.01
	My.min	-16.24	0.04	-0.18	0	**-0.9**	-0.03
	My.max	-2.45	0.02	0.29	0	**0.54**	-0.01
	Mz.min	-16.24	0.04	-0.18	0	-0.9	**-0.03**
	Mz.max	15.57	-0.02	0.16	0	0.08	**0.02**
W	N.min	**-13.56**	-0.01	-0.09	0	5.63	0.01
	N.max	**13.56**	0.01	0.09	0	-5.64	-0.01
	Vy.min	-13.56	**-0.01**	-0.09	0	5.63	0.01
	Vy.max	13.56	**0.01**	0.09	0	-5.64	-0.01
	Vz.min	-13.56	-0.01	**-0.09**	0	5.63	0.01
	Vz.max	13.56	0.01	**0.09**	0	-5.64	-0.01
	Mx.min	-13.56	-0.01	-0.09	**0**	5.63	0.01
	Mx.max	13.56	0.01	0.09	**0**	-5.64	-0.01
	My.min	13.56	0.01	0.09	0	**-5.64**	-0.01
	My.max	-13.56	-0.01	-0.09	0	**5.63**	0.01
	Mz.min	13.56	0.01	0.09	0	-5.64	**-0.01**
	Mz.max	-13.56	-0.01	-0.09	0	5.63	**0.01**
WP	N.min	**-7.87**	0	1.88	0	7.65	0.02
	N.max	**7.88**	0	-1.88	0	-7.65	-0.02
	Vy.min	-7.87	**0**	1.88	0	7.65	0.02
	Vy.max	7.88	**0**	-1.88	0	-7.65	-0.02
	Vz.min	7.88	0	**-1.88**	0	-7.65	-0.02
	Vz.max	-7.87	0	**1.88**	0	7.65	0.02
	Mx.min	-7.87	0	1.88	**0**	7.65	0.02
	Mx.max	7.88	0	-1.88	**0**	-7.65	-0.02
	My.min	7.88	0	-1.88	0	**-7.65**	-0.02
	My.max	-7.87	0	1.88	0	**7.65**	0.02
	Mz.min	7.88	0	-1.88	0	-7.65	**-0.02**
	Mz.max	-7.87	0	1.88	0	7.65	**0.02**
TR	N.min	**0**	0	0	0	0	0
	N.max	**0**	0	0	0	0	0
	Vy.min	0	**0**	0	0	0	0
	Vy.max	0	**0**	0	0	0	0
	Vz.min	0	0	**0**	0	0	0
	Vz.max	0	0	**0**	0	0	0
	Mx.min	0	0	0	**0**	0	0
	Mx.max	0	0	0	**0**	0	0
	My.min	0	0	0	0	**0**	0
	My.max	0	0	0	0	**0**	0
	Mz.min	0	0	0	0	0	**0**
	Mz.max	0	0	0	0	0	**0**
TN	N.min	**-6.5**	-0.03	0.15	0	0.33	0.09
	N.max	**10.77**	0.03	-2.44	0	-5.2	-0.09
	Vy.min	-6.5	**-0.03**	0.15	0	0.33	0.09
	Vy.max	10.77	**0.03**	-2.44	0	-5.2	-0.09
	Vz.min	10.77	0.03	**-2.44**	0	-5.2	-0.09
	Vz.max	-4.07	-0.01	**1.34**	0	6.66	0
	Mx.min	10.77	0.03	-2.44	**0**	-5.2	-0.09
	Mx.max	-4.07	-0.01	1.34	**0**	6.66	0
	My.min	10.77	0.03	-2.44	0	**-5.2**	-0.09
	My.max	-4.07	-0.01	1.34	0	**6.66**	0
	Mz.min	10.77	0.03	-2.44	0	-5.2	**-0.09**
	Mz.max	-6.5	-0.03	0.15	0	0.33	**0.09**
FR	N.min	**-0.33**	0	0	0	-0.01	0
	N.max	**0.33**	0	0	0	0.01	0
	Vy.min	0.33	**0**	0	0	0.01	0
	Vy.max	-0.33	**0**	0	0	-0.01	0
	Vz.min	-0.33	0	**0**	0	-0.01	0
	Vz.max	0.33	0	**0**	0	0.01	0
	Mx.min	-0.33	0	0	**0**	-0.01	0
	Mx.max	0.33	0	0	**0**	0.01	0
	My.min	-0.33	0	0	0	**-0.01**	0
	My.max	0.33	0	0	0	**0.01**	0
	Mz.min	-0.33	0	0	0	-0.01	**0**
	Mz.max	0.33	0	0	0	0.01	**0**
I	N.min	**-3.03**	0	-0.38	0	-1.06	**0**
	N.max	**3.03**	0	0.38	0	1.06	**0**
	Vy.min	-3.03	**0**	-0.38	0	-1.06	**0**
	Vy.max	3.03	**0**	0.38	0	1.06	**0**
	Vz.min	-3.03	0	**-0.38**	0	-1.06	**0**
	Vz.max	3.03	0	**0.38**	0	1.06	**0**
	Mx.min	-3.03	0	-0.38	**0**	-1.06	**0**
	Mx.max	3.03	0	0.38	**0**	1.06	**0**
	My.min	-3.03	0	-0.38	0	**-1.06**	**0**
	My.max	3.03	0	0.38	0	**1.06**	**0**
	Mz.min	-3.03	0	-0.38	0	-1.06	**0**
	Mz.max	3.03	0	0.38	0	1.06	**0**

TAB. V5.1.3 POSOUZENÍ - MEZNÍ STAV ÚNOSNOSTI

POPIS	SVISLICE V5
PRUT / POLOHA BODU	418 / 2/4
NAMÁHÁNÍ	N.min
VLÁKNO	BOD K2 -HP
MEZNÍ STAV	ULS (MSÚ)
VYUŽITÍ VLÁKNA PRŮŘEZU	0.45

Charakteristiky materiálu				
pás. horní	$f_{yf,k}$	230	MPa	
pás. dolní	$f_{yf,k}$	230	MPa	
stojina	$f_{yw,k}$	230	MPa	
výztuž	$f_{ys,k}$	500	MPa	
	γ_M =	1.20	γ_s =	1.15

Excentricita normálové síly				
Exc./Fáze	0	1	2	3
e_y	0.000	0.000	0.000	0.000
e_z	0.000	0.000	0.000	0.000
Ekvivalentní vzdál. stěn - příčný roznos				
b_{Mx}	0.000	0.000	0.000	0.000

Vliv stěny na únosnost průřezu				
Char./Fáze	0	1	2	3
A	0.00	0.00	0.00	0.00
Wy	0.00	0.00	0.00	0.00
Wz	0.00	0.00	0.00	0.00

Charakter. v kroucení			
$t_{w,y}$	0.000	[mm]	
$t_{w,z}$	0.000	[mm]	
κ	1.00		
I_t=	0.00E+00	[mm^4]	
$\Omega=2*A_{pr}$	0.00E+00	[mm^2]	

Součinitele vzpěru a vlivu II.řádu					
Char./Fáze	0	1	2	3	
k_y	1.000	1.000	1.000	1.000	
k_z	1.000	1.000	1.000	1.000	
χ_{LT}	1.000	1.000	1.000	1.000	
χ_{min}	0.768	1.000	1.000	1.000	

Vnitřní síly od jednotlivých skupin zatěžovacích stavů

SKUPINA ZATĚŽOVACÍCH STAVŮ — CHARAKTERISTICKÉ HODNOTY — DÍLČÍ SOUČINITELÉ ZATÍŽENÍ, DYNAMICKÝ SOUČINITEL — NÁVRHOVÉ HODNOTY

Č.	SKUP ZS	POPIS ZS	KAT.	FÁZE PRŮŘ.	N.k (kN)	Vy.k (kN)	Vz.k (kN)	Mx.k (kNm)	My.k (kNm)	Mz.k (kNm)	γ_{sr} (-)	γ_{fs} (-)	volba γ_f hledat	γ_f (-)	L_d (m)	δ (-)	Ψ_z KZ04	N.d (kN)	Vy.d (kN)	Vz.d (kN)	ΔVz.d (kN)	ΣVz.d (kN)	Mx.d (kNm)	My.d (kNm)	ΔMy.d (kNm)	ΣMy.d (kNm)	Mz.d (kNm)	ΔMz.d (kNm)	ΣMz.d (kNm)
1	G0	Vlastní tíha OK	G	0	-73	0	0	0	-2	0	1.00	1.20		1.20	-	1.00	0.95	-84	0	0	0	0	0	-2	0	-2	0	0	0
2	G1	Ostatní stálé - mostní vybavení	G	0	-1	0	0	0	0	0	1.00	1.00		1.00	-	1.00	0.95	-1	0	0	0	0	0	0	0	0	0	0	0
3	G2	Ostatní stálé - cizí zařízení	G	0	-1	0	0	0	0	0	1.00	1.20		1.20	-	1.00	0.95	-1	0	0	0	0	0	0	0	0	0	0	0
4	P1_71	a.LM71 - kolej 1 (bez dyn. souč.)	P	0	-110	0	0	0	-7	0	1.00	1.30		1.30	-	1.00	1.00	-144	0	0	0	0	0	-9	0	-9	0	0	0
5	P2_71	a.LM71 - kolej 2 (bez dyn. souč.)	P	0	-282	1	2	0	2	0	1.00	1.30		1.30	-	1.00	1.00	-366	1	3	0	3	0	2	0	2	0	0	0
6	P1_C3	TTZ C3 - kolej 1 (bez dyn. souč.)	P	0	-90	0	0	0	-5	0	1.00	vyp.		0.00	-	1.00	0.00	0	0	0	0	0	0	0	0	0	0	0	0
7	P2_C3	TTZ C3 - kolej 2 (bez dyn. souč.)	P	0	-231	1	2	0	2	0	1.00	vyp.		0.00	-	1.00	0.00	0	0	0	0	0	0	0	0	0	0	0	0
8	BR	Brzdné a rozjezdové síly	P	0	-9	0	0	0	0	0	1.00	1.30		1.30	-	1.00	0.40	-4	0	0	0	0	0	0	0	0	0	0	0
9	S	Boční ráz	P	0	-3	0	0	0	2	0	1.00	1.30		1.30	-	1.00	0.80	-3	0	0	0	0	0	3	0	3	0	0	0
10	CH	Chodci na lávkách	Q	0	-16	0	0	0	-1	0	1.00	1.30		1.30	-	1.00	1.00	-21	0	0	0	0	0	-1	0	-1	0	0	0
11	W	Vítr na konstrukci	Q	0	-14	0	0	0	6	0	1.00	1.35		1.35	-	1.00	0.75	-14	0	0	0	0	0	6	0	6	0	0	0
12	WP	Vítr na vozidla	Q	0	-8	0	2	0	8	0	1.00	1.35		1.35	-	1.00	0.75	-8	0	2	0	2	0	8	0	8	0	0	0
13	TR	Teplota rovnoměrná	Q	0	0	0	0	0	0	0	1.00	1.35		1.35	-	1.00	0.45	0	0	0	0	0	0	0	0	0	0	0	0
14	TN	Teplota nerovnoměrná	Q	0	-7	0	0	0	0	0	1.00	1.35		1.35	-	1.00	0.60	-5	0	0	0	0	0	0	0	0	0	0	0
15	FR	Třecí síly v ložiskách	Q	0	0	0	0	0	0	0	1.00	1.20		1.20	-	1.00	1.00	0	0	0	0	0	0	0	0	0	0	0	0
16	I	Imperfekce soustavy	Q	0	-3	0	0	0	-1	0	1.00	-1.20		-1.20	-	1.00	1.00	4	0	0	0	0	0	1	0	1	0	0	0
27	ULS_LM	ULS - LM71 bez dynam	Q	0	-661	2	5	0	3	-1	1.00	vyp.		0.00	-	1.00	0.00	0	0	0	0	0	0	0	0	0	0	0	0
28	SLS_LM	SLS - LM71 bez dynam	Q	0	-513	1	4	0	2	-1	1.00	vyp.	1	0.00	-	1.00	0.00	0	0	0	0	0	0	0	0	0	0	0	0
29	ULS_C3	ULS - C3 bez dynam	Q	0	-568	1	4	0	6	0	1.00	vyp.	1	0.00	-	1.00	0.00	0	0	0	0	0	0	0	0	0	0	0	0
30	SLS_C3	SLS - C3 bez dynam	Q	0	0	0	0	0	0	0	1.00	vyp.	1	0.00	-	1.00	0.00	0	0	0	0	0	0	0	0	0	0	0	0
		CELKEM - FÁZE PRŮŘEZU 0																-648	1	6	0	6	0	7	0	7	-1	0	-1
		CELKEM - FÁZE PRŮŘEZU 1																0	0	0	0	0	0	0	0	0	0	0	0
		CELKEM - FÁZE PRŮŘEZU 2																0	0	0	0	0	0	0	0	0	0	0	0
		CELKEM - FÁZE PRŮŘEZU 3																0	0	0	0	0	0	0	0	0	0	0	0
		CELKEM - PRŮŘEZ																-648	1	6	0	6	0			7			-1

Napětí od jednotlivých zatěžovacích stavů

SKUPINA ZATĚŽOVACÍCH STAVŮ — Posouzení normálového napětí — Účinek síly N — Účinek momentu My — Účinek momentu Mz — Posouzení smykového napětí — Účinek kroutícího momentu Mx — Účinek smykové síly Vy — Účinek smykové síly Vz

Č.	SKUP ZS	Popis ZS	Kat.	fáze průř.	δ^*N_d [kN]	χ^*A [mm^2]	σ_n [MPa]	$\delta^*M_{y,d}$ [kNm]	$\chi_{lt}*W_{el,y}$ [mm^3]	σ_{my} [MPa]	$\delta^*M_{z,d}$ [kNm]	$W_{el,z}$ [mm^3]	σ_{mz} [MPa]	σ_x [MPa]	$\kappa*\delta^*M_{x,d}$ [kNm]	$W_{v,y}$ [mm^2]	$\tau_{x,y}$ [MPa]	$W_{v,z}$ [mm^2]	$\tau_{x,z}$ [MPa]	$\delta^*V_{y,d}$ [kN]	$A_{v,y}$ [mm2]	$\tau_{v,y}$ [MPa]	$\tau_{v,y}$ [MPa]	$\delta^*V_{z,d}$ [kN]	$A_{v,z}$ [mm2]	$\tau_{v,z}$ [MPa]	$\tau_{v,z}$ [MPa]
1	G0	Vlastní tíha OK	G	0	-83.5	8.25E+03	-10.1	-2.5	-1.31E+06	1.9	-0.1	3.35E+05	-0.4	-8.7	0.0E+00	-	-	-	-	0.2	6.92E+03	0.0	0.0	0.3	3.83E+03	0.1	0.1
2	G1	Ostatní stálé - mostní vybavení	G	0	-0.6	8.25E+03	-0.1	-0.3	-1.31E+06	0.3	0.0	3.35E+05	0.0	0.2	0.0E+00	-	-	-	-	0.0	6.92E+03	0.0	0.0	0.0	3.83E+03	0.0	0.0
3	G2	Ostatní stálé - cizí zařízení	G	0	-0.9	8.25E+03	-0.1	0.2	-1.31E+06	-0.1	0.0	3.35E+05	0.0	-0.2	0.0E+00	-	-	-	-	0.0	6.92E+03	0.0	0.0	0.1	3.83E+03	0.0	0.0
4	P1_71	a.LM71 - kolej 1 (bez dyn. souč.)	P	0	-143.5	8.25E+03	-17.4	-9.3	-1.31E+06	7.1	-0.2	3.35E+05	-0.5	-10.8	0.0E+00	-	-	-	-	0.3	6.92E+03	0.0	0.0	-0.2	3.83E+03	-0.1	-0.1
5	P2_71	a.LM71 - kolej 2 (bez dyn. souč.)	P	0	-366.5	8.25E+03	-44.4	2.5	-1.31E+06	-1.9	-0.4	3.35E+05	-1.2	-47.4	0.0E+00	-	-	-	-	0.8	6.92E+03	0.1	0.1	3.0	3.83E+03	0.8	0.8
6	P1_C3	TTZ C3 - kolej 1 (bez dyn. souč.)	P	0	0.0	8.25E+03	0.0	0.0	-1.31E+06	0.0	0.0	3.35E+05	0.0	0.0	0.0E+00	-	-	-	-	0.0	6.92E+03	0.0	0.0	0.0	3.83E+03	0.0	0.0
7	P2_C3	TTZ C3 - kolej 2 (bez dyn. souč.)	P	0	0.0	8.25E+03	0.0	0.0	-1.31E+06	0.0	0.0	3.35E+05	0.0	0.0	0.0E+00	-	-	-	-	0.0	6.92E+03	0.0	0.0	0.0	3.83E+03	0.0	0.0
8	BR	Brzdné a rozjezdové síly	P	0	-4.5	8.25E+03	-0.5	0.1	-1.31E+06	-0.1	0.1	3.35E+05	0.2	-0.4	0.0E+00	-	-	-	-	0.0	6.92E+03	0.0	0.0	0.0	3.83E+03	0.0	0.0
9	S	Boční ráz	P	0	-3.5	8.25E+03	-0.4	2.6	-1.31E+06	-2.0	0.0	3.35E+05	0.0	-2.4	0.0E+00	-	-	-	-	0.0	6.92E+03	0.0	0.0	0.5	3.83E+03	0.1	0.1
10	CH	Chodci na lávkách	Q	0	-21.1	8.25E+03	-2.6	-1.2	-1.31E+06	0.9	0.0	3.35E+05	-0.1	-1.8	0.0E+00	-	-	-	-	0.1	6.92E+03	0.0	0.0	-0.2	3.83E+03	-0.1	-0.1
11	W	Vítr na konstrukci	Q	0	-13.7	8.25E+03	-1.7	5.7	-1.31E+06	-4.3	0.0	3.35E+05	0.0	-6.0	0.0E+00	-	-	-	-	0.0	6.92E+03	0.0	0.0	-0.1	3.83E+03	0.0	0.0
12	WP	Vítr na vozidla	Q	0	-8.0	8.25E+03	-1.0	7.7	-1.31E+06	-5.9	0.0	3.35E+05	0.1	-6.8	0.0E+00	-	-	-	-	0.0	6.92E+03	0.0	0.0	1.9	3.83E+03	0.5	0.5
13	TR	Teplota rovnoměrná	Q	0	0.0	8.25E+03	0.0	0.0	-1.31E+06	0.0	0.0	3.35E+05	0.0	0.0	0.0E+00	-	-	-	-	0.0	6.92E+03	0.0	0.0	0.0	3.83E+03	0.0	0.0
14	TN	Teplota nerovnoměrná	Q	0	-5.3	8.25E+03	-0.6	0.3	-1.31E+06	-0.2	0.1	3.35E+05	0.2	-0.6	0.0E+00	-	-	-	-	0.0	6.92E+03	0.0	0.0	0.1	3.83E+03	0.0	0.0
15	FR	Třecí síly v ložiskách	Q	0	-0.4	8.25E+03	0.0	0.0	-1.31E+06	0.0	0.0	3.35E+05	0.0	0.0	0.0E+00	-	-	-	-	0.0	6.92E+03	0.0	0.0	0.0	3.83E+03	0.0	0.0
16	I	Imperfekce soustavy	Q	0	3.6	8.25E+03	0.4	1.3	-1.31E+06	-1.0	0.0	3.35E+05	0.0	-0.5	0.0E+00	-	-	-	-	0.0	6.92E+03	0.0	0.0	0.5	3.83E+03	0.1	0.1
27	ULS_LM	ULS - LM71 bez dynam	Q	0	0.0	8.25E+03	0.0	0.0	-1.31E+06	0.0	0.0	3.35E+05	0.0	0.0	0.0E+00	-	-	-	-	0.0	6.92E+03	0.0	0.0	0.0	3.83E+03	0.0	0.0
28	SLS_LM	SLS - LM71 bez dynam	Q	0	0.0	8.25E+03	0.0	0.0	-1.31E+06	0.0	0.0	3.35E+05	0.0	0.0	0.0E+00	-	-	-	-	0.0	6.92E+03	0.0	0.0	0.0	3.83E+03	0.0	0.0
29	ULS_C3	ULS - C3 bez dynam	Q	0	0.0	8.25E+03	0.0	0.0	-1.31E+06	0.0	0.0	3.35E+05	0.0	0.0	0.0E+00	-	-	-	-	0.0	6.92E+03	0.0	0.0	0.0	3.83E+03	0.0	0.0
30	SLS_C3	SLS - C3 bez dynam	Q	0	0.0	8.25E+03	0.0	0.0	-1.31E+06	0.0	0.0	3.35E+05	0.0	0.0	0.0E+00	-	-	-	-	0.0	6.92E+03	0.0	0.0	0.0	3.83E+03	0.0	0.0
		NAVÝŠENÍ NAPĚTÍ DO AKTIVACE TLAKU V DESCE MOSTOVKY				$\sigma_{P,red}$	0.0							0.0			0.0		0.0				0.2	0.2			1.5	1.5
		NAPĚTÍ OD PRIMÁRNÍCH ÚČINKŮ NEROVNOMĚRNÉHO OTEPLENÍ				σ_T	0.0							0.0														
		NAPĚTÍ OD REOLOGICKÝCH ÚČINKŮ BETONU V ČASE		t=0		σ_R	0.0	γ_{f}=	1.20					0.0														
		NAPĚTÍ V KRITICKÝCH VLÁKNECH OD KOMBINACE ZATÍŽENÍ				KZ04		[MPa]					$\Sigma\sigma_x$	-85.6									$\Sigma\tau_y$	0.2			$\Sigma\tau_z$	1.5
		NAPĚTÍ OD POHYBLIVÉHO ZATÍŽENÍ						[MPa]					$\sigma_{x,P}$	-61.1									τ_P	0.2			τ_P	0.9
		NAPĚTÍ OD OSTATNÍCH ZATÍŽENÍ						[MPa]			Φ_{Vy}	Φ_{Vz}	$\sigma_{x,rs}$	-24.5									τ_{rs}	0.0			τ_{rs}	0.7
		NÁVRHOVÁ HODNOTA MEZE KLUZU S REDUKCÍ VLIVEM SMYKOVÉHO NAPĚTÍ						[MPa]			1.00	1.00	$f_{yw,d}$	191.7									$f_{yd}/3^{0,5}$	110.7			$f_{yd}/3^{0,5}$	110.7
		NAPĚTÍ OD POHYBLIVÉHO ZATÍŽENÍ V GLOBÁLNÍM SYSTÉMU				$\sigma_{GLOB,P}$	0.0	[MPa]					$\Sigma\sigma_{GLOB}$	0.0														
		NAPĚTÍ OD OSTATNÍCH ZATÍŽENÍ V GLOBÁLNÍM SYSTÉMU				$\sigma_{GLOB,rs}$	0.0	[MPa]					$\Sigma\sigma_x + \Sigma\sigma_{GLOB}$	-85.6														
		VYUŽITÍ PRŮŘEZU DLE NAPĚTÍ						[%]					η_1	0.45									η_3	0.00			η_3	0.01
		NAPĚTÍ V PŘÍČNÉM SMĚRU OD POHYBLIVÉHO ZATÍŽENÍ				$\sigma_{z,P}$	0.0	[MPa]					$\Sigma\sigma_z$	0.0														
		NAPĚTÍ V PŘÍČNÉM SMĚRU OD OSTATNÍCH ZATÍŽENÍ				$\sigma_{z,rs}$	0.0	[MPa]					η_2	0.00														
		SROVNÁVACÍ NAPĚTÍ											$(\eta2 + 0,8\ \eta1)/1,4$ =	0.26														
		VYUŽITÍ PRŮŘEZU CELKEM						[%]					eff	0.45	VYHOVUJE													
													z_{LM71} =	2.74														

TAB. V5.1.3 POSOUZENÍ - MEZNÍ STAV ÚNOSNOSTI

POPIS	SVISLICE V5
PRUT / POLOHA BODU	418 / 2/4
NAMÁHÁNÍ	N.min
VLÁKNO	BOD K4 -SP
MEZNÍ STAV	ULS (MSÚ)
VYUŽITÍ VLÁKNA PRŮŘEZU	0.50

Charakteristiky materiálu				
pás. horní	$f_{yf,k}$	230	MPa	
pás. dolní	$f_{yf,k}$	230	MPa	
stojina	$f_{yw,k}$	230	MPa	
výztuž	$f_{ys,k}$	500	MPa	
	γ_M =	1.20	γ_s =	1.15

Excentricita normálové síly				
Exc./Fáze	0	1	2	3
e_y	0.000	0.000	0.000	0.000
e_z	0.000	0.000	0.000	0.000
Ekvivalentní vzdál. stěn - příčný roznos				
b_{Mx}	0.000	0.000	0.000	0.000

Vliv stěny na únosnost průřezu				
Char./Fáze	0	1	2	3
A	0.00	0.00	0.00	0.00
Wy	0.00	0.00	0.00	0.00
Wz	0.00	0.00	0.00	0.00

Charakter. v kroucení			
$t_{w,y}$	0.000	[mm]	
$t_{w,z}$	0.000	[mm]	
κ	1.00		
I_t=	0.00E+00	[mm^4]	
Ω=2*A_{pr}	0.00E+00	[mm^2]	

Součinitele vzpěru a vlivu II.řádu					
Char./Fáze	0	1	2	3
k_y	1.000	1.000	1.000	1.000
k_z	1.000	1.000	1.000	1.000
χ_{LT}	1.000	1.000	1.000	1.000
χ_{min}	0.768	1.000	1.000	1.000

Vnitřní síly od jednotlivých skupin zatěžovacích stavů

SKUPINA ZATĚŽOVACÍCH STAVŮ					- CHARAKTERISTICKÉ HODNOTY						DÍLČÍ SOUČINITELÉ ZATÍŽENÍ, DYNAMICKÝ SOUČINITEL							- NÁVRHOVÉ HODNOTY									
Č.	SKUP ZS	POPIS ZS	KAT.	FÁZE PRŮŘ.	N.k (kN)	Vy.k (kN)	Vz.k (kN)	Mx.k (kNm)	My.k (kNm)	Mz.k (kNm)	γ_{sr} (-)	γ_{fs} (-)	volba ψ_1 hledat	ψ_1 (-)	L_d (m)	δ (-)	ψ_2 KZ03	N.d (kN)	Vy.d (kN)	Vz.d (kN)	ΔVz.d (kN)	ΣVz.d (kN)	Mx.d (kNm)	My.d (kNm)	ΔMy.d (kNm)	ΣMy.d (kNm)	Mz.d (kNm)	ΔMz.d (kNm)	ΣMz.d (kNm)
1	G0	Vlastní tíha OK	G	0	-73	0	0	0	-2	0	1.00	1.20		1.20	-	1.00	0.95	-84	0	0	0	0	0	-2	0	-2	0	0	0
2	G1	Ostatní stálé - mostní vybavení	G	0	-1	0	0	0	0	0	1.00	1.20		1.20	-	1.00	0.95	-1	0	0	0	0	0	0	0	0	0	0	0
3	G2	Ostatní stálé - cizí zařízení	G	0	-1	0	0	0	0	0	1.00	1.00		1.00	-	1.00	0.95	-1	0	0	0	0	0	0	0	0	0	0	0
4	P1_71	a.LM71 - kolej 1 (bez dyn. souč.)	P	0	-110	0	0	0	-7	0	1.00	1.30		1.30	-	1.00	1.00	-144	0	0	0	0	0	-9	0	-9	0	0	0
5	P2_71	a.LM71 - kolej 2 (bez dyn. souč.)	P	0	-282	1	2	0	2	0	1.00	1.30		1.30	-	1.00	1.00	-366	1	3	0	3	0	2	0	2	0	0	0
6	P1_C3	TTZ C3 - kolej 1 (bez dyn. souč.)	P	0	-90	0	0	0	-5	0	1.00	vyp.		0.00	-	1.00	0.00	0	0	0	0	0	0	0	0	0	0	0	0
7	P2_C3	TTZ C3 - kolej 2 (bez dyn. souč.)	P	0	-231	1	2	0	2	0	1.00	vyp.		0.00	-	1.00	0.00	0	0	0	0	0	0	0	0	0	0	0	0
8	BR	Brzdné a rozjezdové síly	P	0	-9	0	0	0	0	0	1.00	1.30		1.30	-	1.00	0.80	-9	0	0	0	0	0	0	0	0	0	0	0
9	S	Boční ráz	P	0	-3	0	0	0	2	0	1.00	0.00		0.00	-	1.00	0.40	0	0	0	0	0	0	0	0	0	0	0	0
10	CH	Chodci na lávkách	Q	0	-16	0	0	0	-1	0	1.00	1.30		1.30	-	1.00	1.00	-21	0	0	0	0	0	-1	0	-1	0	0	0
11	W	Vítr na konstrukci	Q	0	-14	0	0	0	6	0	1.00	-1.35		-1.35	-	1.00	0.75	14	0	0	0	0	0	-6	0	-6	0	0	0
12	WP	Vítr na vozidla	Q	0	-8	0	2	0	8	0	1.00	-1.35		-1.35	-	1.00	0.75	8	0	-2	0	-2	0	-8	0	-8	0	0	0
13	TR	Teplota rovnoměrná	Q	0	0	0	0	0	0	0	1.00	1.35		1.35	-	1.00	0.45	0	0	0	0	0	0	0	0	0	0	0	0
14	TN	Teplota nerovnoměrná	Q	0	-7	0	0	0	0	0	1.00	1.35		1.35	-	1.00	0.60	-5	0	0	0	0	0	0	0	0	0	0	0
15	FR	Třecí síly v ložiskách	Q	0	0	0	0	0	0	0	1.00	1.20		1.20	-	1.00	1.00	0	0	0	0	0	0	0	0	0	0	0	0
16	I	Imperfekce soustavy	Q	0	-3	0	0	0	-1	0	1.00	1.20		1.20	-	1.00	1.00	-4	0	0	0	0	0	-1	0	-1	0	0	0
27	ULS_LM	ULS - LM71 bez dynam	Q	0	-661	2	5	0	3	-1	1.00	vyp.		0.00	-	1.00	0.00	0	0	0	0	0	0	0	0	0	0	0	0
28	SLS_LM	SLS - LM71 bez dynam	Q	0	-513	1	4	0	2	-1	1.00	vyp.	1	0.00	-	1.00	0.00	0	0	0	0	0	0	0	0	0	0	0	0
29	ULS_C3	ULS - C3 bez dynam	Q	0	-568	1	4	0	6	0	1.00	vyp.	1	0.00	-	1.00	0.00	0	0	0	0	0	0	0	0	0	0	0	0
30	SLS_C3	SLS - C3 bez dynam	Q	0	0	0	0	0	0	0	1.00	vyp.	1	0.00	-	1.00	0.00	0	0	0	0	0	0	0	0	0	0	0	0
		CELKEM - FÁZE PRŮŘEZU 0																-613	2	1	0	1	0	-25	0	-25	-1	0	-1
		CELKEM - FÁZE PRŮŘEZU 1																0	0	0	0	0	0	0	0	0	0	0	0
		CELKEM - FÁZE PRŮŘEZU 2																0	0	0	0	0	0	0	0	0	0	0	0
		CELKEM - FÁZE PRŮŘEZU 3																0	0	0	0	0	0	0	0	0	0	0	0
		CELKEM - PRŮŘEZ																-613	2	1	0	1	0			-25			-1

Napětí od jednotlivých zatěžovacích stavů

SKUPINA ZATĚŽOVACÍCH STAVŮ					Posouzení normálového napětí									Posouzení smykového napětí														
					Účinek síly N			Účinek momentu My			Účinek momentu Mz				Účinek kroutícího momentu Mx				Účinek smykové síly Vy				Účinek smykové síly Vz				
Č.	SKUP ZS	Popis ZS	Kat.	fáze prúř.	δ^*N_d [kN]	χ^*A [mm^2]	σ_n [MPa]	$\delta^*M_{y,d}$ [kNm]	$\chi_{lt}^*W_{el,y}$ [mm^3]	σ_{my} [MPa]	$\delta^*M_{z,d}$ [kNm]	$W_{el,z}$ [mm^3]	σ_{mz} [MPa]	σ_x [MPa]	$\kappa^*\delta^*M_{x,d}$ [kNm]	$W_{v,y}$ [mm^2]	$\tau_{x,y}$ [MPa]	$W_{v,z}$ [mm^2]	$\tau_{x,z}$ [MPa]	$\delta^*V_{y,d}$ [kN]	$A_{v,y}$ [mm2]	$\tau_{v,y}$ [MPa]	$\tau_{v,y}$ [MPa]	$\delta^*V_{z,d}$ [kN]	$A_{v,z}$ [mm2]	$\tau_{v,z}$ [MPa]	$\tau_{v,z}$ [MPa]
1	G0	Vlastní tíha OK	G	0	-83.5	8.25E+03	-10.1	-2.5	1.31E+06	-1.9	-0.1	3.35E+05	-0.4	-12.5	0.0E+00	-	-	-	-	0.2	6.92E+03	0.0	0.0	0.3	3.83E+03	0.1	0.1
2	G1	Ostatní stálé - mostní vybavení	G	0	-0.8	8.25E+03	-0.1	-0.4	1.31E+06	-0.3	0.0	3.35E+05	0.0	-0.4	0.0E+00	-	-	-	-	0.0	6.92E+03	0.0	0.0	0.0	3.83E+03	0.0	0.0
3	G2	Ostatní stálé - cizí zařízení	G	0	-0.7	8.25E+03	-0.1	0.1	1.31E+06	0.1	0.0	3.35E+05	0.0	0.0	0.0E+00	-	-	-	-	0.0	6.92E+03	0.0	0.0	0.1	3.83E+03	0.0	0.0
4	P1_71	a.LM71 - kolej 1 (bez dyn. souč.)	P	0	-143.5	8.25E+03	-17.4	-9.3	1.31E+06	-7.1	-0.2	3.35E+05	-0.5	-25.0	0.0E+00	-	-	-	-	0.3	6.92E+03	0.0	0.0	-0.2	3.83E+03	-0.1	-0.1
5	P2_71	a.LM71 - kolej 2 (bez dyn. souč.)	P	0	-366.5	8.25E+03	-44.4	2.5	1.31E+06	1.9	-0.4	3.35E+05	-1.2	-43.7	0.0E+00	-	-	-	-	0.8	6.92E+03	0.1	0.1	3.0	3.83E+03	0.8	0.8
6	P1_C3	TTZ C3 - kolej 1 (bez dyn. souč.)	P	0	0.0	8.25E+03	0.0	0.0	1.31E+06	0.0	0.0	3.35E+05	0.0	0.0	0.0E+00	-	-	-	-	0.0	6.92E+03	0.0	0.0	0.0	3.83E+03	0.0	0.0
7	P2_C3	TTZ C3 - kolej 2 (bez dyn. souč.)	P	0	0.0	8.25E+03	0.0	0.0	1.31E+06	0.0	0.0	3.35E+05	0.0	0.0	0.0E+00	-	-	-	-	0.0	6.92E+03	0.0	0.0	0.0	3.83E+03	0.0	0.0
8	BR	Brzdné a rozjezdové síly	P	0	-9.0	8.25E+03	-1.1	0.2	1.31E+06	0.1	0.1	3.35E+05	0.3	-0.7	0.0E+00	-	-	-	-	0.1	6.92E+03	0.0	0.0	0.0	3.83E+03	0.0	0.0
9	S	Boční ráz	P	0	0.0	8.25E+03	0.0	0.0	1.31E+06	0.0	0.0	3.35E+05	0.0	0.0	0.0E+00	-	-	-	-	0.0	6.92E+03	0.0	0.0	0.0	3.83E+03	0.0	0.0
10	CH	Chodci na lávkách	Q	0	-21.1	8.25E+03	-2.6	-1.2	1.31E+06	-0.9	0.0	3.35E+05	-0.1	-3.6	0.0E+00	-	-	-	-	0.1	6.92E+03	0.0	0.0	-0.2	3.83E+03	-0.1	-0.1
11	W	Vítr na konstrukci	Q	0	13.7	8.25E+03	1.7	-5.7	1.31E+06	-4.3	0.0	3.35E+05	0.0	-2.7	0.0E+00	-	-	-	-	0.0	6.92E+03	0.0	0.0	0.1	3.83E+03	0.0	0.0
12	WP	Vítr na vozidla	Q	0	8.0	8.25E+03	1.0	-7.7	1.31E+06	-5.9	0.0	3.35E+05	-0.1	-5.0	0.0E+00	-	-	-	-	0.0	6.92E+03	0.0	0.0	-1.9	3.83E+03	-0.5	-0.5
13	TR	Teplota rovnoměrná	Q	0	0.0	8.25E+03	0.0	0.0	1.31E+06	0.0	0.0	3.35E+05	0.0	0.0	0.0E+00	-	-	-	-	0.0	6.92E+03	0.0	0.0	0.0	3.83E+03	0.0	0.0
14	TN	Teplota nerovnoměrná	Q	0	-5.3	8.25E+03	-0.6	0.3	1.31E+06	0.2	0.1	3.35E+05	0.2	-0.2	0.0E+00	-	-	-	-	0.0	6.92E+03	0.0	0.0	0.1	3.83E+03	0.0	0.0
15	FR	Třecí síly v ložiskách	Q	0	-0.4	8.25E+03	0.0	0.0	1.31E+06	0.0	0.0	3.35E+05	0.0	-0.1	0.0E+00	-	-	-	-	0.0	6.92E+03	0.0	0.0	0.0	3.83E+03	0.0	0.0
16	I	Imperfekce soustavy	Q	0	-3.6	8.25E+03	-0.4	-1.3	1.31E+06	-1.0	0.0	3.35E+05	0.0	-1.4	0.0E+00	-	-	-	-	0.0	6.92E+03	0.0	0.0	-0.5	3.83E+03	-0.1	-0.1
27	ULS_LM	ULS - LM71 bez dynam	Q	0	0.0	8.25E+03	0.0	0.0	1.31E+06	0.0	0.0	3.35E+05	0.0	0.0	0.0E+00	-	-	-	-	0.0	6.92E+03	0.0	0.0	0.0	3.83E+03	0.0	0.0
28	SLS_LM	SLS - LM71 bez dynam	Q	0	0.0	8.25E+03	0.0	0.0	1.31E+06	0.0	0.0	3.35E+05	0.0	0.0	0.0E+00	-	-	-	-	0.0	6.92E+03	0.0	0.0	0.0	3.83E+03	0.0	0.0
29	ULS_C3	ULS - C3 bez dynam	Q	0	0.0	8.25E+03	0.0	0.0	1.31E+06	0.0	0.0	3.35E+05	0.0	0.0	0.0E+00	-	-	-	-	0.0	6.92E+03	0.0	0.0	0.0	3.83E+03	0.0	0.0
30	SLS_C3	SLS - C3 bez dynam	Q	0	0.0	8.25E+03	0.0	0.0	1.31E+06	0.0	0.0	3.35E+05	0.0	0.0	0.0E+00	-	-	-	-	0.0	6.92E+03	0.0	0.0	0.0	3.83E+03	0.0	0.0
NAVÝŠENÍ NAPĚTÍ DO AKTIVACE TLAKU V DESCE MOSTOVKY						$\sigma_{P,red}$	0.0							0.0			0.0		0.0			0.2	0.2			0.2	0.2
NAPĚTÍ OD PRIMÁRNÍCH ÚČINKŮ NEROVNOMĚRNÉHO OTEPLENÍ						σ_T	0.0							0.0													
NAPĚTÍ OD REOLOGICKÝCH ÚČINKŮ BETONU V ČASE		t=0				σ_R	0.0	γ_{G}=	1.20					0.0													
NAPĚTÍ V KRITICKÝCH VLÁKNECH OD KOMBINACE ZATÍŽENÍ						KZ03		[MPa]					$\Sigma\sigma_x$	-95.2								$\Sigma\tau_y$	0.2			$\Sigma\tau_z$	0.2
NAPĚTÍ OD POHYBLIVÉHO ZATÍŽENÍ								[MPa]					$\sigma_{z,P}$	-69.4								τ_P	0.2			τ_P	0.7
NAPĚTÍ OD OSTATNÍCH ZATÍŽENÍ								[MPa]			Φ_{Vy}	Φ_{Vz}	$\sigma_{z,rs}$	-25.8								τ_{rs}	0.0			τ_{rs}	-0.5
NÁVRHOVÁ HODNOTA MEZE KLUZU S REDUKCÍ VLIVEM SMYKOVÉHO NAPĚTÍ								[MPa]			1.00	1.00	$f_{yw,d}$	191.7								$f_{yd}/3^{0,5}$	110.7			$f_{yd}/3^{0,5}$	110.7
NAPĚTÍ OD POHYBLIVÉHO ZATÍŽENÍ V GLOBÁLNÍM SYSTÉMU						$\sigma_{GLOB,P}$	0.0	[MPa]					$\Sigma\sigma_{GLOB}$	0.0													
NAPĚTÍ OD OSTATNÍCH ZATÍŽENÍ V GLOBÁLNÍM SYSTÉMU						$\sigma_{GLOB,rs}$	0.0	[MPa]					$\Sigma\sigma_z + \Sigma\sigma_{GLOB}$	-95.2													
VYUŽITÍ PRŮŘEZU DLE NAPĚTÍ								[%]					η_1	0.50								η_3	0.00			η_3	0.00
NAPĚTÍ V PŘÍČNÉM SMĚRU OD POHYBLIVÉHO ZATÍŽENÍ						$\sigma_{z,P}$	0.0	[MPa]					$\Sigma\sigma_z$	0.0													
NAPĚTÍ V PŘÍČNÉM SMĚRU OD OSTATNÍCH ZATÍŽENÍ						$\sigma_{z,rs}$	0.0	[MPa]					η_2	0.00													
SROVNÁVACÍ NAPĚTÍ													$(\eta_2 + 0,8\,\eta_1)/1,4$ =	0.28													
VYUŽITÍ PRŮŘEZU CELKEM								[%]					eff	0.50	VYHOVUJE												
													z_{LM71} =	2.39													

TAB. V5.1.3 POSOUZENÍ - MEZNÍ STAV ÚNOSNOSTI

POPIS	SVISLICE V5
PRUT / POLOHA BODU	418 / 2/4
NAMÁHÁNÍ	Vz.min
VLÁKNO	BOD S6 -HP
MEZNÍ STAV	ULS (MSÚ)
VYUŽITÍ VLÁKNA PRŮŘEZU	0.03

Charakteristiky materiálu				
pás. horní	$f_{yf,k}$	230	MPa	
pás. dolní	$f_{yf,k}$	230	MPa	
stojina	$f_{yw,k}$	230	MPa	
výztuž	$f_{ys,k}$	500	MPa	
	γ_M =	1.10	γ_s =	1.15

Excentricita normálové síly				
Exc./Fáze	0	1	2	3
e_y	0.000	0.000	0.000	0.000
e_z	0.000	0.000	0.000	0.000
Ekvivalentní vzdál. stěn - příčný roznos				
b_{Mx}	0.000	0.000	0.000	0.000

Vliv stěny na únosnost průřezu				
Char./Fáze	0	1	2	3
A	0.00	0.00	0.00	0.00
Wy	0.00	0.00	0.00	0.00
Wz	0.00	0.00	0.00	0.00

Charakter. v kroucení		
$t_{w,y}$	0.000	[mm]
$t_{w,z}$	0.000	[mm]
κ	1.00	
I_t=	0.00E+00	[mm^4]
Ω=2*A_{pz}	0.00E+00	[mm^2]

Součinitele vzpěru a vlivu II.řádu					
Char./Fáze	0	1	2	3	4
k_y	1.000	1.000	1.000	1.000	
k_z	1.000	1.000	1.000	1.000	
χ_{LT}	1.000	1.000	1.000	1.000	
χ_{min}	0.768	1.000	1.000	1.000	

Vnitřní síly od jednotlivých skupin zatěžovacích stavů

SKUPINA ZATĚŽOVACÍCH STAVŮ — CHARAKTERISTICKÉ HODNOTY — DÍLČÍ SOUČINITELÉ ZATÍŽENÍ, DYNAMICKÝ SOUČINITEL — NÁVRHOVÉ HODNOTY

Č.	SKUP ZS	POPIS ZS	KAT.	FÁZE PRŮŘ.	N.k (kN)	Vy.k (kN)	Vz.k (kN)	Mx.k (kNm)	My.k (kNm)	Mz.k (kNm)	γ_{sr} (-)	γ_{fs} (-)	volba γ_f hledat	γ_f (-)	L_d (m)	δ (-)	Ψ_z KZ04	N.d (kN)	Vy.d (kN)	Vz.d (kN)	ΔVz.d (kN)	ΣVz.d (kN)	Mx.d (kNm)	My.d (kNm)	ΔMy.d (kNm)	ΣMy.d (kNm)	Mz.d (kNm)	ΔMz.d (kNm)	ΣMz.d (kNm)
1	G0	Vlastní tíha OK	G	0	-73	0	0	0	-2	0	1.00	1.20		1.20	-	1.00	0.95	-84	0	0	0	0	0	-2	0	-2	0	0	0
2	G1	Ostatní stálé - mostní vybavení	G	0	-1	0	0	0	0	0	1.00	1.00		1.00	-	1.00	0.95	-1	0	0	0	0	0	0	0	0	0	0	0
3	G2	Ostatní stálé - cizí zařízení	G	0	-1	0	0	0	0	0	1.00	1.20		1.20	-	1.00	0.95	-1	0	0	0	0	0	0	0	0	0	0	0
4	P1_71	a.LM71 - kolej 1 (bez dyn. souč.)	P	0	34	0	-4	0	-14	0	1.00	1.30		1.30	-	1.00	1.00	45	0	-6	0	-6	0	-18	0	-18	0	0	0
5	P2_71	a.LM71 - kolej 2 (bez dyn. souč.)	P	0	197	-1	-3	0	-6	0	1.00	1.30		1.30	-	1.00	1.00	256	-1	-4	0	-4	0	-7	0	-7	0	0	0
6	P1_C3	TTZ C3 - kolej 1 (bez dyn. souč.)	P	0	15	0	-3	0	-11	0	1.00	vyp.		0.00	-	1.00	0.00	0	0	0	0	0	0	0	0	0	0	0	0
7	P2_C3	TTZ C3 - kolej 2 (bez dyn. souč.)	P	0	143	0	-2	0	-4	0	1.00	vyp.		0.00	-	1.00	0.00	0	0	0	0	0	0	0	0	0	0	0	0
8	BR	Brzdné a rozjezdové síly	P	0	-7	0	0	0	0	0	1.00	1.30		1.30	-	1.00	0.40	-4	0	0	0	0	0	0	0	0	0	0	0
9	S	Boční ráz	P	0	-2	0	-1	0	-2	0	1.00	1.30		1.30	-	1.00	0.80	-2	0	-1	0	-1	0	-2	0	-2	0	0	0
10	CH	Chodci na lávkách	Q	0	-16	0	0	0	-1	0	1.00	1.30		1.30	-	1.00	1.00	-21	0	0	0	0	0	-1	0	-1	0	0	0
11	W	Vítr na konstrukci	Q	0	-14	0	0	0	6	0	1.00	1.35		1.35	-	1.00	0.75	-14	0	0	0	0	0	6	0	6	0	0	0
12	WP	Vítr na vozidla	Q	0	8	0	-2	0	-8	0	1.00	1.35		1.35	-	1.00	0.75	8	0	-2	0	-2	0	-8	0	-8	0	0	0
13	TR	Teplota rovnoměrná	Q	0	0	0	0	0	0	0	1.00	1.35		1.35	-	1.00	0.45	0	0	0	0	0	0	0	0	0	0	0	0
14	TN	Teplota nerovnoměrná	Q	0	11	0	-2	0	-5	0	1.00	1.35		1.35	-	1.00	0.60	9	0	-2	0	-2	0	-4	0	-4	0	0	0
15	FR	Třecí síly v ložiskách	Q	0	0	0	0	0	0	0	1.00	1.20		1.20	-	1.00	1.00	0	0	0	0	0	0	0	0	0	0	0	0
16	I	Imperfekce soustavy	Q	0	-3	0	0	0	-1	0	1.00	1.20		1.20	-	1.00	1.00	-4	0	0	0	0	0	-1	0	-1	0	0	0
27	ULS_LM	ULS - LM71 bez dynam	Q	0	187	0	-15	0	-39	0	1.00	vyp.		0.00	-	1.00	0.00	0	0	0	0	0	0	0	0	0	0	0	0
28	SLS_LM	SLS - LM71 bez dynam	Q	0	128	0	-10	0	-27	0	1.00	vyp.	1	0.00	-	1.00	0.00	0	0	0	0	0	0	0	0	0	0	0	0
29	ULS_C3	ULS - C3 bez dynam	Q	0	91	0	-12	0	-33	0	1.00	vyp.	1	0.00	-	1.00	0.00	0	0	0	0	0	0	0	0	0	0	0	0
30	SLS_C3	SLS - C3 bez dynam	Q	0	0	0	0	0	0	0	1.00	vyp.	1	0.00	-	1.00	0.00	0	0	0	0	0	0	0	0	0	0	0	0
		CELKEM - FÁZE PRŮŘEZU 0																189	0	-14	0	-14	0	-38	0	-38	0	0	0
		CELKEM - FÁZE PRŮŘEZU 1																0	0	0	0	0	0	0	0	0	0	0	0
		CELKEM - FÁZE PRŮŘEZU 2																0	0	0	0	0	0	0	0	0	0	0	0
		CELKEM - FÁZE PRŮŘEZU 3																0	0	0	0	0	0	0	0	0	0	0	0
		CELKEM - PRŮŘEZ																189	0	-14	0	-14	0			-38			0

Napětí od jednotlivých zatěžovacích stavů

SKUPINA ZATĚŽOVACÍCH STAVŮ — Posouzení normálového napětí — Posouzení smykového napětí

Č.	SKUP ZS	Popis ZS	Kat.	fáze průř.	Účinek síly N: δ^*N_d [kN]	χ^*A [mm^2]	σ_n [MPa]	Účinek momentu My: $\delta^*M_{y,d}$ [kNm]	$\chi_{lt}{}^*W_{el,y}$ [mm^3]	σ_{my} [MPa]	Účinek momentu Mz: $\delta^*M_{z,d}$ [kNm]	$W_{el,z}$ [mm^3]	σ_{mz} [MPa]	σ_x [MPa]	Účinek kroutícího momentu Mx: $\kappa^*\delta^*M_{x,d}$ [kNm]	$W_{v,y}$ [mm^3]	$\tau_{x,y}$ [MPa]	$W_{v,z}$ [mm^3]	$\tau_{x,z}$ [MPa]	Účinek smykové síly Vy: $\delta^*V_{y,d}$ [kN]	$A_{v,y}$ [mm2]	$\tau_{v,y}$ [MPa]	$\tau_{v,y}$ [MPa]	Účinek smykové síly Vz: $\delta^*V_{z,d}$ [kN]	$A_{v,z}$ [mm2]	$\tau_{v,z}$ [MPa]	$\tau_{v,z}$ [MPa]
1	G0	Vlastní tíha OK	G	0	-83.5	8.25E+03	-10.1	-2.5	1.31E+06	-1.9	-0.1	-2.40E+06	0.1	-12.0	0.0E+00	-	-	-	-	0.2	6.92E+03	0.0	0.0	0.3	3.83E+03	0.1	0.1
2	G1	Ostatní stálé - mostní vybavení	G	0	-0.6	8.25E+03	-0.1	-0.3	1.31E+06	-0.3	0.0	-2.40E+06	0.0	-0.3	0.0E+00	-	-	-	-	0.0	6.92E+03	0.0	0.0	0.0	3.83E+03	0.0	0.0
3	G2	Ostatní stálé - cizí zařízení	G	0	-0.9	8.25E+03	-0.1	0.2	1.31E+06	0.1	0.0	-2.40E+06	0.0	0.0	0.0E+00	-	-	-	-	0.0	6.92E+03	0.0	0.0	0.1	3.83E+03	0.0	0.0
4	P1_71	a.LM71 - kolej 1 (bez dyn. souč.)	P	0	44.7	8.25E+03	5.4	-17.8	1.31E+06	-13.5	-0.1	-2.40E+06	0.0	-8.1	0.0E+00	-	-	-	-	-0.1	6.92E+03	0.0	0.0	-5.5	3.83E+03	-1.4	-1.4
5	P2_71	a.LM71 - kolej 2 (bez dyn. souč.)	P	0	256.3	8.25E+03	31.1	-7.3	1.31E+06	-5.6	0.0	-2.40E+06	0.0	25.5	0.0E+00	-	-	-	-	-0.7	6.92E+03	-0.1	-0.1	-3.8	3.83E+03	-1.0	-1.0
6	P1_C3	TTZ C3 - kolej 1 (bez dyn. souč.)	P	0	0.0	8.25E+03	0.0	0.0	1.31E+06	0.0	0.0	-2.40E+06	0.0	0.0	0.0E+00	-	-	-	-	0.0	6.92E+03	0.0	0.0	0.0	3.83E+03	0.0	0.0
7	P2_C3	TTZ C3 - kolej 2 (bez dyn. souč.)	P	0	0.0	8.25E+03	0.0	0.0	1.31E+06	0.0	0.0	-2.40E+06	0.0	0.0	0.0E+00	-	-	-	-	0.0	6.92E+03	0.0	0.0	0.0	3.83E+03	0.0	0.0
8	BR	Brzdné a rozjezdové síly	P	0	-3.5	8.25E+03	-0.4	-0.2	1.31E+06	-0.1	0.0	-2.40E+06	0.0	-0.6	0.0E+00	-	-	-	-	0.0	6.92E+03	0.0	0.0	0.0	3.83E+03	0.0	0.0
9	S	Boční ráz	P	0	-1.6	8.25E+03	-0.2	-1.7	1.31E+06	-1.3	0.0	-2.40E+06	0.0	-1.5	0.0E+00	-	-	-	-	0.0	6.92E+03	0.0	0.0	-0.7	3.83E+03	-0.2	-0.2
10	CH	Chodci na lávkách	Q	0	-21.1	8.25E+03	-2.6	-1.2	1.31E+06	-0.9	0.0	-2.40E+06	0.0	-3.4	0.0E+00	-	-	-	-	0.1	6.92E+03	0.0	0.0	-0.2	3.83E+03	-0.1	-0.1
11	W	Vítr na konstrukci	Q	0	-13.7	8.25E+03	-1.7	5.7	1.31E+06	4.3	0.0	-2.40E+06	0.0	2.7	0.0E+00	-	-	-	-	0.0	6.92E+03	0.0	0.0	-0.1	3.83E+03	0.0	0.0
12	WP	Vítr na vozidla	Q	0	8.0	8.25E+03	1.0	-7.7	1.31E+06	-5.9	0.0	-2.40E+06	0.0	-4.9	0.0E+00	-	-	-	-	0.0	6.92E+03	0.0	0.0	-1.9	3.83E+03	-0.5	-0.5
13	TR	Teplota rovnoměrná	Q	0	0.0	8.25E+03	0.0	0.0	1.31E+06	0.0	0.0	-2.40E+06	0.0	0.0	0.0E+00	-	-	-	-	0.0	6.92E+03	0.0	0.0	0.0	3.83E+03	0.0	0.0
14	TN	Teplota nerovnoměrná	Q	0	8.7	8.25E+03	1.1	-4.2	1.31E+06	-3.2	-0.1	-2.40E+06	0.0	-2.1	0.0E+00	-	-	-	-	0.0	6.92E+03	0.0	0.0	-2.0	3.83E+03	-0.5	-0.5
15	FR	Třecí síly v ložiskách	Q	0	-0.4	8.25E+03	0.0	0.0	1.31E+06	0.0	0.0	-2.40E+06	0.0	-0.1	0.0E+00	-	-	-	-	0.0	6.92E+03	0.0	0.0	0.0	3.83E+03	0.0	0.0
16	I	Imperfekce soustavy	Q	0	-3.6	8.25E+03	-0.4	-1.3	1.31E+06	-1.0	0.0	-2.40E+06	0.0	-1.4	0.0E+00	-	-	-	-	0.0	6.92E+03	0.0	0.0	-0.5	3.83E+03	-0.1	-0.1
27	ULS_LM	ULS - LM71 bez dynam	Q	0	0.0	8.25E+03	0.0	0.0	1.31E+06	0.0	0.0	-2.40E+06	0.0	0.0	0.0E+00	-	-	-	-	0.0	6.92E+03	0.0	0.0	0.0	3.83E+03	0.0	0.0
28	SLS_LM	SLS - LM71 bez dynam	Q	0	0.0	8.25E+03	0.0	0.0	1.31E+06	0.0	0.0	-2.40E+06	0.0	0.0	0.0E+00	-	-	-	-	0.0	6.92E+03	0.0	0.0	0.0	3.83E+03	0.0	0.0
29	ULS_C3	ULS - C3 bez dynam	Q	0	0.0	8.25E+03	0.0	0.0	1.31E+06	0.0	0.0	-2.40E+06	0.0	0.0	0.0E+00	-	-	-	-	0.0	6.92E+03	0.0	0.0	0.0	3.83E+03	0.0	0.0
30	SLS_C3	SLS - C3 bez dynam	Q	0	0.0	8.25E+03	0.0	0.0	1.31E+06	0.0	0.0	-2.40E+06	0.0	0.0	0.0E+00	-	-	-	-	0.0	6.92E+03	0.0	0.0	0.0	3.83E+03	0.0	0.0
		NAVÝŠENÍ NAPĚTÍ DO AKTIVACE TLAKU V DESCE MOSTOVKY				$\sigma_{P,red}$	0.0							0.0			0.0		0.0			-0.1	-0.1			-3.7	-3.7
		NAPĚTÍ OD PRIMÁRNÍCH ÚČINKŮ NEROVNOMĚRNÉHO OTEPLENÍ				σ_T	0.0							0.0													
		NAPĚTÍ OD REOLOGICKÝCH ÚČINKŮ BETONU V ČASE		t=0		σ_R	0.0	γ=	1.20					0.0													
		NAPĚTÍ V KRITICKÝCH VLÁKNECH OD KOMBINACE ZATÍŽENÍ				KZ04		[MPa]					$\Sigma\sigma_x$	-6.2									$\Sigma\tau_y$	-0.1			$\Sigma\tau_z$	-3.7
		NAPĚTÍ OD POHYBLIVÉHO ZATÍŽENÍ						[MPa]					$\sigma_{x,P}$	15.4									τ_P	-0.1			τ_P	-2.6
		NAPĚTÍ OD OSTATNÍCH ZATÍŽENÍ						[MPa]			Φ_{Vy}	Φ_{Vz}	$\sigma_{x,rs}$	-21.5									τ_{rs}	0.0			τ_{rs}	-1.1
		NÁVRHOVÁ HODNOTA MEZE KLUZU S REDUKCÍ VLIVEM SMYKOVÉHO NAPĚTÍ						[MPa]			1.00	1.00	$f_{yw,d}$	191.7									$f_{yd}/3^{0,5}$	120.7			$f_{yd}/3^{0,5}$	120.7
		NAPĚTÍ OD POHYBLIVÉHO ZATÍŽENÍ V GLOBÁLNÍM SYSTÉMU				$\sigma_{GLOB,P}$	0.0	[MPa]					$\Sigma\sigma_{GLOB}$	0.0														
		NAPĚTÍ OD OSTATNÍCH ZATÍŽENÍ V GLOBÁLNÍM SYSTÉMU				$\sigma_{GLOB,rs}$	0.0	[MPa]					$\Sigma\sigma_x + \Sigma\sigma_{GLOB}$	-6.2														
		VYUŽITÍ PRŮŘEZU DLE NAPĚTÍ						[%]					η_1	0.03									η_3	0.00			η_3	0.03
		NAPĚTÍ V PŘÍČNÉM SMĚRU OD POHYBLIVÉHO ZATÍŽENÍ				$\sigma_{z,P}$	0.0	[MPa]					$\Sigma\sigma_z$	0.0														
		NAPĚTÍ V PŘÍČNÉM SMĚRU OD OSTATNÍCH ZATÍŽENÍ				$\sigma_{z,rs}$	0.0	[MPa]					η_2	0.00														
		SROVNÁVACÍ NAPĚTÍ											$(\eta_2 + 0,8\,\eta_1)/1,4$ =	0.02														
		VYUŽITÍ PRŮŘEZU CELKEM						[%]					eff	0.03	VYHOVUJE													
													z_{LM71} =	>10														

VÝPOČET PRŮŘEZOVÝCH CHARAKTERISTIK

PRŮŘEZ: V5_2 **POPIS:** SVISLICE V5 - MIN MY

x = - **m**

DEFINOVÁNÍ PRŮŘEZU

ŠÍŘKA PÁSNICE ÚHELNÍKU	b f.t.l.o =	130	mm	**ÚHELNÍK HORNÍ VNĚJŠÍ LEVÝ**		**C.T.O.L**	
TLOUŠŤKA PÁSNICE ÚHELNÍKU	t f.t.l.o =	14	mm	OSLABENÍ PÁSNICE - TLOUŠŤKA	Δt f.t.l.o =	0	%
VÝŠKA STĚNY ÚHELNÍKU	h w.t.l.o =	76	mm				
TLOUŠŤKA STĚNY ÚHELNÍKU	t w.t.l.o =	14	mm	OSLABENÍ STĚNY - TLOUŠŤKA	Δt w.t.l.o =	10	%
ŠÍŘKA PÁSNICE ÚHELNÍKU	b f.t.r.o =	130	mm	**ÚHELNÍK HORNÍ VNĚJŠÍ PRAVÝ**		**C.T.O.R**	
TLOUŠŤKA PÁSNICE ÚHELNÍKU	t f.t.r.o =	14	mm	OSLABENÍ PÁSNICE - TLOUŠŤKA	Δt f.t.r.o =	0	%
VÝŠKA STĚNY ÚHELNÍKU	h w.t.r.o =	76	mm				
TLOUŠŤKA STĚNY ÚHELNÍKU	t w.t.r.o =	14	mm	OSLABENÍ STĚNY - TLOUŠŤKA	Δt w.t.r.0 =	10	%
ŠÍŘKA PÁSNICE ÚHELNÍKU	b f.t.l.i =	0	mm	**ÚHELNÍK HORNÍ VNITŘNÍ LEVÝ**		**C.T.I.L**	
TLOUŠŤKA PÁSNICE ÚHELNÍKU	t f.t.l.i =	0	mm	OSLABENÍ PÁSNICE - TLOUŠŤKA	Δt f.b.l.o =	0	%
VÝŠKA STĚNY ÚHELNÍKU	h w.t.l.i =	0	mm				
TLOUŠŤKA STĚNY ÚHELNÍKU	t w.t.l.i =	0	mm	OSLABENÍ STĚNY - TLOUŠŤKA	Δt w.b.l.o =	0	%
ŠÍŘKA PÁSNICE ÚHELNÍKU	b f.t.r.i =	0	mm	**ÚHELNÍK HORNÍ VNITŘNÍ PRAVÝ**		**C.T.I.R**	
TLOUŠŤKA PÁSNICE ÚHELNÍKU	t f.t.r.i =	0	mm	OSLABENÍ PÁSNICE - TLOUŠŤKA	Δt f.b.r.o =	0	%
VÝŠKA STĚNY ÚHELNÍKU	h w.t.r.i =	0	mm				
TLOUŠŤKA STĚNY ÚHELNÍKU	t w.t.r.i =	0	mm	OSLABENÍ STĚNY - TLOUŠŤKA	Δt w.b.r.o =	0	%
ŠÍŘKA PÁSNICE ÚHELNÍKU	b f.b.l.o =	130	mm	**ÚHELNÍK DOLNÍ VNĚJŠÍ LEVÝ**		**C.B.O.L**	
TLOUŠŤKA PÁSNICE ÚHELNÍKU	t f.b.l.o =	14	mm	OSLABENÍ PÁSNICE - TLOUŠŤKA	Δt f.t.l.i =	0	%
VÝŠKA STĚNY ÚHELNÍKU	h w.b.l.o =	76	mm				
TLOUŠŤKA STĚNY ÚHELNÍKU	t w.b.l.o =	14	mm	OSLABENÍ STĚNY - TLOUŠŤKA	Δt w.t.l.i =	10	%
ŠÍŘKA PÁSNICE ÚHELNÍKU	b f.b.r.o =	130	mm	**ÚHELNÍK DOLNÍ VNĚJŠÍ PRAVÝ**		**C.B.O.R**	
TLOUŠŤKA PÁSNICE ÚHELNÍKU	t f.b.r.o =	14	mm	OSLABENÍ PÁSNICE - TLOUŠŤKA	Δt f.t.r.i =	0	%
VÝŠKA STĚNY ÚHELNÍKU	h w.b.r.o =	76	mm				
TLOUŠŤKA STĚNY ÚHELNÍKU	t w.b.r.o =	14	mm	OSLABENÍ STĚNY - TLOUŠŤKA	Δt w.t.r.i =	10	%
PÁSNICE DOLNÍHO LEVÉHO ÚHELNÍKU	b f.b.l.i =	0	mm	**ÚHELNÍK DOLNÍ VNITŘNÍ LEVÝ**		**C.B.I.L**	
TLOUŠŤKA PÁSNICE ÚHELNÍKU	t f.b.l.i =	0	mm	OSLABENÍ PÁSNICE - TLOUŠŤKA	Δt f.b.l.i =	0	%
VÝŠKA STĚNY ÚHELNÍKU	h w.b.l.i =	0	mm				
TLOUŠŤKA STĚNY ÚHELNÍKU	t w.b.l.i =	0	mm	OSLABENÍ STĚNY - TLOUŠŤKA	Δt w.b.l.i =	0	%
PÁSNICE DOLNÍHO PRAVÉHO ÚHELNÍKU	b f.b.r.i =	0	mm	**ÚHELNÍK DOLNÍ VNITŘNÍ PRAVÝ**		**C.B.I.R**	
TLOUŠŤKA PÁSNICE ÚHELNÍKU	t f.b.r.i =	0	mm	OSLABENÍ PÁSNICE - TLOUŠŤKA	Δt f.b.r.i =	0	%
VÝŠKA STĚNY ÚHELNÍKU	h w.b.r.i =	0	mm				
TLOUŠŤKA STĚNY ÚHELNÍKU	t w.b.r.i =	0	mm	OSLABENÍ STĚNY - TLOUŠŤKA	Δt w.b.r.i =	0	%

DOLNÍ

ŠÍŘKA HORNÍ VLOŽKY - VNĚJŠÍ	b f.t =	0	mm			**HOR.T.O**	
TLOUŠŤKA VLOŽKY	t f.t =	0	mm	OSLABENÍ VLOŽKY	Δt f.t =	0	%
ŠÍŘKA HORNÍ VLOŽKY - VNITŘNÍ	b f.t =	0	mm			**HOR.T.I**	
TLOUŠŤKA VLOŽKY	t f.t =	0	mm	OSLABENÍ VLOŽKY	Δt f.t =	0	%
ŠÍŘKA DOLNÍ VLOŽKY - VNĚJŠÍ	b f.t =	0	mm			**HOR.B.O**	
TLOUŠŤKA VLOŽKY	t f.t =	0	mm	OSLABENÍ VLOŽKY	Δt f.t =	0	%
ŠÍŘKA DOLNÍ VLOŽKY - VNITŘNÍ	b f.t =	0	mm			**HOR.B.I**	
TLOUŠŤKA VLOŽKY	t f.t =	0	mm	OSLABENÍ VLOŽKY - VNITŘNÍ	Δt f.t =	0	%

VZD. OKRAJŮ PÁSNIC VNITŘNÍCH ÚHELNÍKŮ	464	mm
CELKOVÁ TLOUŠŤKA MEZI PÁSNICEMI ÚHELNÍKŮ I A .o	0	mm
CELKOVÁ TLOUŠŤKA MEZI PÁSNICEMI ÚHELNÍKŮ I A .r	13	mm

ZADÁNÍ ČÁSTÍ PRŮŘEZU:

č.prvku	b [mm]	h [mm]	y_0 [mm]	z_0 [mm]	popis části	druh oslabení	lokální ultimate	boulení servic.
1	130.0	14.0	-71.5	239.0	pásnice	0	1.000	1.000
2	12.6	76.0	-12.8	284.0	stěna	0	1.000	1.000
3	130.0	14.0	71.5	239.0	pásnice	0	1.000	1.000
4	12.6	76.0	12.8	284.0	stěna	0	1.000	1.000
5	0.0	0.0	-6.5	232.0	pásnice	0	1.000	1.000
6	0.0	0.0	-6.5	232.0	stěna	0	1.000	1.000
7	0.0	0.0	6.5	232.0	pásnice	0	1.000	1.000
8	0.0	0.0	6.5	232.0	stěna	0	1.000	1.000
9	130.0	14.0	-71.5	-239.0	pásnice	0	1.000	1.000
10	12.6	76.0	-12.8	-284.0	stěna	0	1.000	1.000
11	130.0	14.0	71.5	-239.0	pásnice	0	1.000	1.000
12	12.6	76.0	12.8	-284.0	stěna	0	1.000	1.000
13	0.0	0.0	-6.5	-232.0	pásnice	0	1.000	1.000
14	0.0	0.0	-6.5	-232.0	stěna	0	1.000	1.000
15	0.0	0.0	6.5	-232.0	pásnice	0	1.000	1.000
16	0.0	0.0	6.5	-232.0	stěna	0	1.000	1.000
17						0	1.000	1.000
18						0	1.000	1.000
19						0	1.000	1.000
20						0	1.000	1.000
21						0	1.000	1.000
22						0	1.000	1.000
23						0	1.000	1.000
24						0	1.000	1.000
25						0	1.000	1.000
26						0	1.000	1.000
27						0	1.000	1.000
28						0	1.000	1.000
29						0	1.000	1.000
30						0	1.000	1.000
31						0	1.000	1.000
32						0	1.000	1.000
33						0	1.000	1.000
34						0	1.000	1.000
35						0	1.000	1.000
36						0	1.000	1.000
37						0	1.000	1.000
38						0	1.000	1.000
39						0	1.000	1.000
40						0	1.000	1.000
41	0.0	0.0	0.0	232.0	pásnice	0	1.000	1.000
42	0.0	0.0	0.0	232.0	pásnice	0	1.000	1.000
43	0.0	0.0	0.0	-232.0	pásnice	0	1.000	1.000
44	0.0	0.0	0.0	-232.0	pásnice	0	1.000	1.000
45						0	1.000	1.000
46						0	1.000	1.000
47						0	1.000	1.000
48						0	1.000	1.000
49						0	1.000	1.000
50						0	1.000	1.000
51						0	1.000	1.000
52						0	1.000	1.000
53						0	1.000	1.000
54						0	1.000	1.000
55						0	1.000	1.000
56						0	1.000	1.000
57						0	1.000	1.000
58						0	1.000	1.000
59						0	1.000	1.000
60						0	1.000	1.000
61						0	1.000	1.000
62						0	1.000	1.000
63						0	1.000	1.000
64						0	1.000	1.000
65						0	1.000	1.000
66						0	1.000	1.000
67						0	1.000	1.000
68						0	1.000	1.000
69						0	1.000	1.000
70						0	1.000	1.000
71	12.6	-20.0	-12.8	282.0	nýt	0	1.000	1.000
72	12.6	-20.0	12.8	282.0	nýt	0	1.000	1.000
73	0	0	0	0	nýt	0	1.000	1.000
74	0	0	0	0	nýt	0	1.000	1.000
75	0	0	-12.8	-282.0	nýt	0	1.000	1.000
76	0	0	12.8	-282.0	nýt	0	1.000	1.000
77	0	0	0	0	nýt	0	1.000	1.000
78	0	0	0	0	nýt	0	1.000	1.000
79						0	1.000	1.000
80						0	1.000	1.000
81	0	0	0	0	nýt	0	1.000	1.000
82	0	0	0	0	nýt	0	1.000	1.000
83	0	0	0	0	nýt	0	1.000	1.000
84	0	0	0	0	nýt	0	1.000	1.000
85	0	0	0	0	nýt	0	1.000	1.000
86	0	0	0	0	nýt	0	1.000	1.000
87	0	0	0	0	nýt	0	1.000	1.000
88	0	0	0	0	nýt	0	1.000	1.000
89						0	1.000	1.000
90						0	1.000	1.000
91	0	0	0	0	nýt	0	1.000	1.000
92	0	0	0	0	nýt	0	1.000	1.000
93	0	0	0	0	nýt	0	1.000	1.000
94	0	0	0	0	nýt	0	1.000	1.000
95	0	0	0	0	nýt	0	1.000	1.000
96	0	0	0	0	nýt	0	1.000	1.000
97	0	0	0	0	nýt	0	1.000	1.000
98	0	0	0	0	nýt	0	1.000	1.000
99						0	1.000	1.000
100						0	1.000	1.000

NÝT Č.	SKUPINA	ŘEZ	RED.	VELIKOST d$_i$ [mm]	POLOHA o$_i$ [mm]	POPIS	AKTIVITA OTVORU	NAPĚTÍ sc [MPa]
1		-	1.00	20	40	nýt - t.o - úhelník	1	84.19
2		-	1.00	20	40	nýt - t.o - úhelník	1	83.19
3		-	1.00	0	40	nýt - t.i - úhelník	0	-
4		-	1.00	0	40	nýt - t.i - úhelník	0	-
5		-	1.00	20	40	nýt - b.o - úhelník	0	-62.51
6		-	1.00	20	40	nýt - b.o - úhelník	0	-63.50
7		-	1.00	0	40	nýt - b.i - úhelník	0	-
8		-	1.00	0	40	nýt - b.i - úhelník	0	-
9								
10								
11		-	1.00	0	75	nýt - t.i - úhelník	0	-
12		-	1.00	0	75	nýt - t.i - úhelník	0	-
13		-	1.00	0	75	nýt - t.r - úhelník	0	-
14		-	1.00	0	75	nýt - t.r - úhelník	0	-
15		-	1.00	0	75	nýt - b.l - úhelník	0	-
16		-	1.00	0	75	nýt - b.l - úhelník	0	-
17		-	1.00	0	75	nýt - b.r - úhelník	0	-
18		-	1.00	0	75	nýt - b.r - úhelník	0	-
19								
20								
21		-	1.00	0	-132	nýt - t.l	0	-
22		-	1.00	0	-132	nýt - t.l	0	-
23		-	1.00	0	132	nýt - t.r	0	-
24		-	1.00	0	132	nýt - t.r	0	-
25		-	1.00	0	-132	nýt - b.l	0	-
26		-	1.00	0	-132	nýt - b.l	0	-
27		-	1.00	0	132	nýt - b.r	0	-
28		-	1.00	0	132	nýt - b.r	0	-
29								
30								

VÝPOČET PRŮŘEZOVÝCH CHARAKTERISTIK

Properties	Basic	Ultimate		Serviceability	
y_i	0.0	0.0		0.0	[mm]
z_i	-13.4	-13.4		-13.4	[mm]
A_i	1.0606E-04	1.0606E-04		1.0606E-04	[mm^2]
A_{vi}	7.2800E-03	7.2800E-03		7.2800E-03	[mm^2]
A_{hi}	3.8304E-03	3.8304E-03		3.8304E-03	[mm^2]
I_{yi}	6.8475E+08	6.8475E+08		6.8475E+08	[mm^4]
I_{zi}	4.8059E+07	4.8059E+07		4.8059E+07	[mm^4]
i_y	254.1	254.1		254.1	[mm]
i_z	67.3	67.3		67.3	[mm]
$W_{y,1}$	2.0416E+06	2.0416E+06		2.0416E+06	[mm^3]
$W_{z,1}$	-3.5208E+05	-3.5208E+05		-3.5208E+05	[mm^3]
$W_{y,2}$	-2.2189E+06	-2.2189E+06		-2.2189E+06	[mm^3]
$W_{z,2}$	-3.5208E+05	-3.5208E+05		-3.5208E+05	[mm^3]
KRAJNÍ VLÁKNA PRŮŘEZU					
y_1	-136.5	-136.5		-136.5	[mm] min
z_1	322.0	322.0		322.0	[mm] max
y_2	-136.5	-136.5		-136.5	[mm] min
z_2	-322.0	-322.0		-322.0	[mm] min
y_3	136.5	136.5		136.5	[mm] max
z_3	322.0	322.0		322.0	[mm] max
y_4	136.5	136.5		136.5	[mm] max
z_4	-322.0	-322.0		-322.0	[mm] min
y_5	-19.1	-19.1		-19.1	[mm]
z_5	-246.0	-246.0		-246.0	[mm]
y_6	-19.1	-19.1		-19.1	[mm]
z_6	-322.0	-322.0		-322.0	[mm]

ÚPRAVA MOMENTŮ SETRVAČNOSTI V DŮSLEDKU ČLENĚNÍ PRŮŘEZU

OSA Y 1.00 V BLÍZKOSTI STYČNÍKOVÉHO PLECHU PŘÍČNÍKU PEVNÉ -> JAKO NEČLENĚNÝ
OSA Z 1.00

SCHÉMA PROMĚNNÝCH

SCHÉMA ZADANÉHO PRŮŘEZU

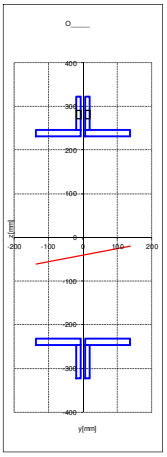

NEUTRÁLNÁ OSA

NAPĚTÍ [MPa]:

99.41	88.78
-68.10	-78.72

ZS: SLS_LM_MY MIN

	N [kN]	Vy [kN]	Vz [kN]	Mx [kNm]	My [kNm]	Mz [kNm]
import	73	1	-36	0	-178	2

TR_V5.2 POPIS: **SVISLICE V5** POSUDEK: **V5.2**

SKUPINA ZAT. STAVŮ	EXTRÉM	VYHODNOCOVANÉ VELIČINY					
		N	Vy	Vz	Mx	My	Mz
		kN	kN	kN	kNm	kNm	kNm
G0	N.min	**-93.91**	0.24	-1	-0.01	-5.01	0.84
	N.max	**-93.91**	0.24	-1	-0.01	-5.01	0.84
	Vy.min	-93.91	**0.24**	-1	-0.01	-5.01	0.84
	Vy.max	-93.91	**0.24**	-1	-0.01	-5.01	0.84
	Vz.min	-93.91	0.24	**-1**	-0.01	-5.01	0.84
	Vz.max	-93.91	0.24	**-1**	-0.01	-5.01	0.84
	Mx.min	-93.91	0.24	-1	**-0.01**	-5.01	0.84
	Mx.max	-93.91	0.24	-1	**-0.01**	-5.01	0.84
	My.min	-93.91	0.24	-1	-0.01	**-5.01**	0.84
	My.max	-93.91	0.24	-1	-0.01	**-5.01**	0.84
	Mz.min	-93.91	0.24	-1	-0.01	-5.01	**0.84**
	Mz.max	-93.91	0.24	-1	-0.01	-5.01	**0.84**
G1	N.min	**-2.63**	0.03	-0.16	0	-0.97	0.07
	N.max	**-2.63**	0.03	-0.16	0	-0.97	0.07
	Vy.min	-2.63	**0.03**	-0.16	0	-0.97	0.07
	Vy.max	-2.63	**0.03**	-0.16	0	-0.97	0.07
	Vz.min	-2.63	0.03	**-0.16**	0	-0.97	0.07
	Vz.max	-2.63	0.03	**-0.16**	0	-0.97	0.07
	Mx.min	-2.63	0.03	-0.16	**0**	-0.97	0.07
	Mx.max	-2.63	0.03	-0.16	**0**	-0.97	0.07
	My.min	-2.63	0.03	-0.16	0	**-0.97**	0.07
	My.max	-2.63	0.03	-0.16	0	**-0.97**	0.07
	Mz.min	-2.63	0.03	-0.16	0	-0.97	**0.07**
	Mz.max	-2.63	0.03	-0.16	0	-0.97	**0.07**
G2	N.min	**-0.76**	0.01	0.18	0	0.95	0.04
	N.max	**-0.76**	0.01	0.18	0	0.95	0.04
	Vy.min	-0.76	**0.01**	0.18	0	0.95	0.04
	Vy.max	-0.76	**0.01**	0.18	0	0.95	0.04
	Vz.min	-0.76	0.01	**0.18**	0	0.95	0.04
	Vz.max	-0.76	0.01	**0.18**	0	0.95	0.04
	Mx.min	-0.76	0.01	0.18	**0**	0.95	0.04
	Mx.max	-0.76	0.01	0.18	**0**	0.95	0.04
	My.min	-0.76	0.01	0.18	0	**0.95**	0.04
	My.max	-0.76	0.01	0.18	0	**0.95**	0.04
	Mz.min	-0.76	0.01	0.18	0	0.95	**0.04**
	Mz.max	-0.76	0.01	0.18	0	0.95	**0.04**
P1_71	N.min	**-110.53**	0.22	-3.09	-0.01	-18.41	0.77
	N.max	**115.93**	0.09	-10.88	0	-57.39	-0.06
	Vy.min	54.2	**-0.2**	-2.73	0	-17.83	-0.36
	Vy.max	-26.03	**0.44**	-11.25	0	-58.57	0.92
	Vz.min	17.49	0.28	**-14.09**	0	-76.02	0.63
	Vz.max	0	0	**0**	0	0	0
	Mx.min	-61.37	0.1	-5.68	**-0.01**	-34.16	0.54
	Mx.max	71.07	0.17	-8.18	**0**	-41.71	0.11
	My.min	17.8	0.28	-14.09	0	**-76.03**	0.62
	My.max	0	0	0	0	**0**	0
	Mz.min	60.93	-0.18	-2.24	0	-14.54	**-0.4**
	Mz.max	-32.18	0.42	-11.85	0	-62.51	**0.97**
P2_71	N.min	**-282.49**	0.36	5.47	0	26.85	1.5
	N.max	**274.2**	0.27	-5.5	0	-30.08	-0.11
	Vy.min	109.22	**-0.56**	3.44	0	12.94	-0.92
	Vy.max	-67.02	**1.02**	-3.2	0	-15.56	1.98
	Vz.min	180.15	0.55	**-7.85**	0	-40.28	0.56
	Vz.max	-184.3	-0.05	**7.7**	-0.01	35.57	0.74
	Mx.min	-127.68	0.04	5.6	**-0.01**	24.11	0.87
	Mx.max	128.02	0.48	-5.77	**0**	-28.49	0.44
	My.min	181.31	0.55	-7.85	0	**-40.31**	0.55
	My.max	-188.04	-0.03	7.67	-0.01	**35.65**	0.77
	Mz.min	139.59	-0.46	2.25	0	7.78	**-0.99**
	Mz.max	-86.93	0.91	-2.29	0	-12.21	**2.05**
P1_C3	N.min	**-90.17**	0.18	-2.57	0	-15.33	0.64
	N.max	**90.43**	0.06	-8.1	0	-42.77	-0.07
	Vy.min	39.52	**-0.17**	-2.42	0	-15.88	-0.27
	Vy.max	-37.84	**0.37**	-8.75	0	-45.75	0.82
	Vz.min	1.15	0.23	**-10.85**	0	-58.79	0.54
	Vz.max	0	0	**0**	0	0	0
	Mx.min	-50.58	0.08	-4.85	**-0.01**	-28.99	0.46
	Mx.max	46.5	0.13	-5.43	**0**	-27.18	0.1
	My.min	1.23	0.23	-10.84	0	**-58.82**	0.53
	My.max	0	0	0	0	**0**	0
	Mz.min	45.97	-0.15	-1.62	0	-10.67	**-0.32**
	Mz.max	-39.82	0.35	-9.15	0	-48.45	**0.84**
P2_C3	N.min	**-231.67**	0.3	4.51	0	22.2	1.25
	N.max	**213.27**	0.18	-3.8	0	-20.87	-0.14
	Vy.min	72.14	**-0.5**	2.76	0	10.37	-0.71
	Vy.max	-96.49	**0.84**	-1.58	0	-7.58	1.76
	Vz.min	121.69	0.44	**-5.63**	0	-28.37	0.45
	Vz.max	-137.91	-0.13	**6.45**	-0.01	29.14	0.49
	Mx.min	-104.29	0.03	4.49	**-0.01**	19.19	0.72
	Mx.max	112.93	0.38	-4.78	**0**	-23.54	0.31
	My.min	137.34	0.34	-5.47	0	**-28.66**	0.3
	My.max	-155.78	-0.01	6.33	-0.01	**29.64**	0.67
	Mz.min	116.14	-0.35	1.43	0	4.45	**-0.77**
	Mz.max	-104.77	0.76	-1.04	0	-5.53	**1.76**
BR	N.min	**-9.31**	-0.48	0.19	0.03	0.95	-1.05
	N.max	**9.31**	0.48	-0.19	-0.03	-0.95	1.05
	Vy.min	-9.31	**-0.48**	0.19	0.03	0.95	-1.05
	Vy.max	9.31	**0.48**	-0.19	-0.03	-0.95	1.05
	Vz.min	9.31	0.48	**-0.19**	-0.03	-0.95	1.05
	Vz.max	-9.31	-0.48	**0.19**	0.03	0.95	-1.05
	Mx.min	9.31	0.48	-0.19	**-0.03**	-0.95	1.05
	Mx.max	-9.31	-0.48	0.19	**0.03**	0.95	-1.05
	My.min	-7.42	-0.45	-0.17	0.03	**-1.03**	-1.01
	My.max	7.42	0.45	0.17	-0.03	**1.03**	1.01
	Mz.min	-9.31	-0.48	0.19	0.03	0.95	**-1.05**
	Mz.max	9.31	0.48	-0.19	-0.03	-0.95	**1.05**

TR_V5.2 POPIS: **SVISLICE V5** POSUDEK: **V5.2**

SKUPINA ZAT. STAVŮ	EXTRÉM	VYHODNOCOVANÉ VELIČINY					
		N	Vy	Vz	Mx	My	Mz
		kN	kN	kN	kNm	kNm	kNm
S	N.min	**-3.34**	-0.04	1.45	0	8.72	-0.07
	N.max	**3.34**	0.04	-1.45	0	-8.72	0.07
	Vy.min	0.59	**-0.05**	2.28	0	12.24	-0.09
	Vy.max	-0.59	**0.05**	-2.28	0	-12.24	0.09
	Vz.min	-1.55	0.01	**-2.58**	0	-12.38	0.03
	Vz.max	1.55	-0.01	**2.58**	0	12.38	-0.03
	Mx.min	2.26	0.04	-1.63	**0**	-10.12	0.09
	Mx.max	-2.26	-0.04	1.63	**0**	10.12	-0.09
	My.min	-1.55	0.01	-2.58	0	**-12.38**	0.03
	My.max	1.55	-0.01	2.58	0	**12.38**	-0.03
	Mz.min	0.59	-0.05	2.28	0	12.24	**-0.09**
	Mz.max	-0.59	0.05	-2.28	0	-12.24	**0.09**
CH	N.min	**-16.26**	0.03	-0.68	0	-3.71	0.11
	N.max	**15.61**	0.01	0.21	0	1.22	0
	Vy.min	15.61	**0.01**	0.21	0	1.22	0
	Vy.max	-2.42	**0.04**	0.65	0	3.53	0.11
	Vz.min	-16.26	0.03	**-0.68**	0	-3.71	0.11
	Vz.max	-2.42	0.04	**0.65**	0	3.53	0.11
	Mx.min	-2.42	0.04	0.65	**0**	3.53	0.11
	Mx.max	-16.26	0.03	-0.68	**0**	-3.71	0.11
	My.min	-16.26	0.03	-0.68	0	**-3.71**	0.11
	My.max	-2.42	0.04	0.65	0	**3.53**	0.11
	Mz.min	15.61	0.01	0.21	0	1.22	**0**
	Mz.max	-2.42	0.04	0.65	0	3.53	**0.11**
W	N.min	**-13.57**	-0.04	-5.41	0.01	-12.13	-0.06
	N.max	**13.58**	0.04	5.41	-0.01	12.11	0.06
	Vy.min	-13.57	**-0.04**	-5.41	0.01	-12.13	-0.06
	Vy.max	13.58	**0.04**	5.41	-0.01	12.11	0.06
	Vz.min	-13.57	-0.04	**-5.41**	0.01	-12.13	-0.06
	Vz.max	13.58	0.04	**5.41**	-0.01	12.11	0.06
	Mx.min	13.58	0.04	5.41	**-0.01**	12.11	0.06
	Mx.max	-13.57	-0.04	-5.41	**0.01**	-12.13	-0.06
	My.min	-13.57	-0.04	-5.41	0.01	**-12.13**	-0.06
	My.max	13.58	0.04	5.41	-0.01	**12.11**	0.06
	Mz.min	-13.57	-0.04	-5.41	0.01	-12.13	**-0.06**
	Mz.max	13.58	0.04	5.41	-0.01	12.11	**0.06**
WP	N.min	**-7.94**	-0.1	6.17	0.01	33.92	-0.17
	N.max	**7.95**	0.1	-6.17	-0.01	-33.93	0.17
	Vy.min	-7.94	**-0.1**	6.17	0.01	33.92	-0.17
	Vy.max	7.95	**0.1**	-6.17	-0.01	-33.93	0.17
	Vz.min	7.95	0.1	**-6.17**	-0.01	-33.93	0.17
	Vz.max	-7.94	-0.1	**6.17**	0.01	33.92	-0.17
	Mx.min	7.95	0.1	-6.17	**-0.01**	-33.93	0.17
	Mx.max	-7.94	-0.1	6.17	**0.01**	33.92	-0.17
	My.min	7.95	0.1	-6.17	-0.01	**-33.93**	0.17
	My.max	-7.94	-0.1	6.17	0.01	**33.92**	-0.17
	Mz.min	-7.94	-0.1	6.17	0.01	33.92	**-0.17**
	Mz.max	7.95	0.1	-6.17	-0.01	-33.93	**0.17**
TR	N.min	**0**	0	0	0	0	0
	N.max	**0**	0	0	0	0	0
	Vy.min	0	**0**	0	0	0	0
	Vy.max	0	**0**	0	0	0	0
	Vz.min	0	0	**0**	0	0	0
	Vz.max	0	0	**0**	0	0	0
	Mx.min	0	0	0	**0**	0	0
	Mx.max	0	0	0	**0**	0	0
	My.min	0	0	0	0	**0**	0
	My.max	0	0	0	0	**0**	0
	Mz.min	0	0	0	0	0	**0**
	Mz.max	0	0	0	0	0	**0**
TN	N.min	**-6.68**	-0.3	0.42	0	2.17	-0.42
	N.max	**10.97**	0.31	-6.55	0	-34.22	0.43
	Vy.min	-6.68	**-0.3**	0.42	0	2.17	-0.42
	Vy.max	10.97	**0.31**	-6.55	0	-34.22	0.43
	Vz.min	10.97	0.31	**-6.55**	0	-34.22	0.43
	Vz.max	-4.07	0	**4.85**	0	26.94	0
	Mx.min	-4.07	0	4.85	**0**	26.94	0
	Mx.max	10.97	0.31	-6.55	**0**	-34.22	0.43
	My.min	10.97	0.31	-6.55	0	**-34.22**	0.43
	My.max	-4.07	0	4.85	0	**26.94**	0
	Mz.min	-6.68	-0.3	0.42	0	2.17	**-0.42**
	Mz.max	10.97	0.31	-6.55	0	-34.22	**0.43**
FR	N.min	**-0.33**	0.01	0	0	-0.02	0.02
	N.max	**0.33**	-0.01	0	0	0.02	-0.02
	Vy.min	0.33	**-0.01**	0	0	0.02	-0.02
	Vy.max	-0.33	**0.01**	0	0	-0.02	0.02
	Vz.min	-0.33	0.01	**0**	0	-0.02	0.02
	Vz.max	0.33	-0.01	**0**	0	0.02	-0.02
	Mx.min	0.33	-0.01	0	**0**	0.02	-0.02
	Mx.max	-0.33	0.01	0	**0**	-0.02	0.02
	My.min	-0.33	0.01	0	0	**-0.02**	0.02
	My.max	0.33	-0.01	0	0	**0.02**	-0.02
	Mz.min	0.33	-0.01	0	0	0.02	**-0.02**
	Mz.max	-0.33	0.01	0	0	-0.02	**0.02**
I	N.min	**-3.03**	0	-1.02	0	-5.57	**0.01**
	N.max	**3.03**	0	1.02	0	5.57	**-0.01**
	Vy.min	3.03	**0**	1.02	0	5.57	**-0.01**
	Vy.max	-3.03	**0**	-1.02	0	-5.57	**0.01**
	Vz.min	-3.03	0	**-1.02**	0	-5.57	**0.01**
	Vz.max	3.03	0	**1.02**	0	5.57	**-0.01**
	Mx.min	3.03	0	1.02	**0**	5.57	**-0.01**
	Mx.max	-3.03	0	-1.02	**0**	-5.57	**0.01**
	My.min	-3.03	0	-1.02	0	**-5.57**	**0.01**
	My.max	3.03	0	1.02	0	**5.57**	**-0.01**
	Mz.min	3.03	0	1.02	0	5.57	**-0.01**
	Mz.max	-3.03	0	-1.02	0	-5.57	**0.01**

TAB. V5.2.3 POSOUZENÍ - MEZNÍ STAV ÚNOSNOSTI

POPIS	SVISLICE V5
PRUT / POLOHA BODU	417 / I[352]
NAMÁHÁNÍ	My.min
VLÁKNO	BOD K2 -HP
MEZNÍ STAV	ULS (MSÚ)
VYUŽITÍ VLÁKNA PRŮŘEZU	0.70

Charakteristiky materiálu				
pás. horní	$f_{yf,k}$	230	MPa	
pás. dolní	$f_{yf,k}$	230	MPa	
stojina	$f_{yw,k}$	230	MPa	
výztuž	$f_{ys,k}$	500	MPa	
γ_M =		1.10	γ_s =	1.15

Excentricita normálové síly				
Exc./Fáze	0	1	2	3
e_y	0.000	0.000	0.000	0.000
e_z	0.000	0.000	0.000	0.000
Ekvivalentní vzdál. stěn - příčný roznos				
b_{Mx}	0.000	0.000	0.000	0.000

Vliv stěny na únosnost průřezu				
Char./Fáze	0	1	2	3
A	0.00	0.00	0.00	0.00
Wy	0.00	0.00	0.00	0.00
Wz	0.00	0.00	0.00	0.00

Charakter. v kroucení			
$t_{w,y}$	0.000	[mm]	
$t_{w,z}$	0.000	[mm]	
κ	1.00		
I_t=	0.00E+00	[mm^4]	
$\Omega=2*A_{pr}$	0.00E+00	[mm^2]	

Součinitele vzpěru a vlivu II.řádu					
Char./Fáze	0	1	2	3	
k_y	1.000	1.000	1.000	1.000	
k_z	1.000	1.000	1.000	1.000	
χ_{LT}	1.000	1.000	1.000	1.000	
χ_{min}	1.000	1.000	1.000	1.000	

Vnitřní síly od jednotlivých skupin zatěžovacích stavů

SKUPINA ZATĚŽOVACÍCH STAVŮ — CHARAKTERISTICKÉ HODNOTY — DÍLČÍ SOUČINITELÉ ZATÍŽENÍ, DYNAMICKÝ SOUČINITEL — NÁVRHOVÉ HODNOTY

Č.	SKUP ZS	POPIS ZS	KAT.	FÁZE PRŮŘ.	N.k (kN)	Vy.k (kN)	Vz.k (kN)	Mx.k (kNm)	My.k (kNm)	Mz.k (kNm)	γ_{sr} (-)	γ_{fs} (-)	volba γ_f hledat	γ_f (-)	L_d (m)	δ (-)	Ψ_s KZ04	N.d (kN)	Vy.d (kN)	Vz.d (kN)	ΔVz.d (kN)	ΣVz.d (kN)	Mx.d (kNm)	My.d (kNm)	ΔMy.d (kNm)	ΣMy.d (kNm)	Mz.d (kNm)	ΔMz.d (kNm)	ΣMz.d (kNm)
1	G0	Vlastní tíha OK	G	0	-94	0	-1	0	-5	1	1.00	1.20		1.20	-	1.00	0.95	-107	0	-1	0	-1	0	-6	0	-6	1	0	1
2	G1	Ostatní stálé - mostní vybavení	G	0	-3	0	0	0	-1	0	1.00	1.00		1.00	-	1.00	0.95	-2	0	0	0	0	0	-1	0	-1	0	0	0
3	G2	Ostatní stálé - cizí zařízení	G	0	-1	0	0	0	1	0	1.00	1.20		1.20	-	1.00	0.95	-1	0	0	0	0	0	1	0	1	0	0	0
4	P1_71	a.LM71 - kolej 1 (bez dyn. souč.)	P	0	18	0	-14	0	-76	1	1.00	1.30		1.30	-	1.00	1.00	23	0	-18	0	-18	0	-99	0	-99	1	0	1
5	P2_71	a.LM71 - kolej 2 (bez dyn. souč.)	P	0	181	1	-8	0	-40	1	1.00	1.30		1.30	-	1.00	1.00	236	1	-10	0	-10	0	-52	0	-52	1	0	1
6	P1_C3	TTZ C3 - kolej 1 (bez dyn. souč.)	P	0	1	0	-11	0	-59	1	1.00	vyp.		0.00	-	1.00	0.00	0	0	0	0	0	0	0	0	0	0	0	0
7	P2_C3	TTZ C3 - kolej 2 (bez dyn. souč.)	P	0	137	0	-5	0	-29	0	1.00	vyp.		0.00	-	1.00	0.00	0	0	0	0	0	0	0	0	0	0	0	0
8	BR	Brzdné a rozjezdové síly	P	0	-7	0	0	0	-1	-1	1.00	0.00		0.00	-	1.00	0.40	0	0	0	0	0	0	0	0	0	0	0	0
9	S	Boční ráz	P	0	-2	0	-3	0	-12	0	1.00	1.30		1.30	-	1.00	0.80	-2	0	-3	0	-3	0	-13	0	-13	0	0	0
10	CH	Chodci na lávkách	Q	0	-16	0	-1	0	-4	0	1.00	1.30		1.30	-	1.00	1.00	-21	0	-1	0	-1	0	-5	0	-5	0	0	0
11	W	Vítr na konstrukci	Q	0	-14	0	-5	0	-12	0	1.00	1.35		1.35	-	1.00	0.75	-14	0	-5	0	-5	0	-12	0	-12	0	0	0
12	WP	Vítr na vozidla	Q	0	8	0	-6	0	-34	0	1.00	1.35		1.35	-	1.00	0.75	8	0	-6	0	-6	0	-34	0	-34	0	0	0
13	TR	Teplota rovnoměrná	Q	0	0	0	0	0	0	0	1.00	1.35		1.35	-	1.00	0.45	0	0	0	0	0	0	0	0	0	0	0	0
14	TN	Teplota nerovnoměrná	Q	0	11	0	-7	0	-34	0	1.00	1.35		1.35	-	1.00	0.60	9	0	-5	0	-5	0	-28	0	-28	0	0	0
15	FR	Třecí síly v ložiskách	Q	0	0	0	0	0	0	0	1.00	1.20		1.20	-	1.00	1.00	0	0	0	0	0	0	0	0	0	0	0	0
16	I	Imperfekce soustavy	Q	0	-3	0	-1	0	-6	0	1.00	1.20		1.20	-	1.00	1.00	-4	0	-1	0	-1	0	-7	0	-7	0	0	0
27	ULS_LM	ULS - LM71 bez dynam	Q	0	119	2	-52	0	-260	3	1.00	vyp.		0.00	-	1.00	0.00	0	0	0	0	0	0	0	0	0	0	0	0
28	SLS_LM	SLS - LM71 bez dynam	Q	0	73	1	-36	0	-178	2	1.00	vyp.	1	0.00	-	1.00	0.00	0	0	0	0	0	0	0	0	0	0	0	0
29	ULS_C3	ULS - C3 bez dynam	Q	0	40	1	-45	0	-222	2	1.00	vyp.	1	0.00	-	1.00	0.00	0	0	0	0	0	0	0	0	0	0	0	0
30	SLS_C3	SLS - C3 bez dynam	Q	0	0	0	0	0	0	0	1.00	vyp.	1	0.00	-	1.00	0.00	0	0	0	0	0	0	0	0	0	0	0	0
		CELKEM - FÁZE PRŮŘEZU 0																125	2	-51	0	-51	0	-256	0	-256	3	0	3
		CELKEM - FÁZE PRŮŘEZU 1																0	0	0	0	0	0	0	0	0	0	0	0
		CELKEM - FÁZE PRŮŘEZU 2																0	0	0	0	0	0	0	0	0	0	0	0
		CELKEM - FÁZE PRŮŘEZU 3																0	0	0	0	0	0	0	0	0	0	0	0
		CELKEM - PRŮŘEZ																125	2	-51	0	-51	0			-256			3

Napětí od jednotlivých zatěžovacích stavů

SKUPINA ZATĚŽOVACÍCH STAVŮ — Posouzení normálového napětí — Účinek síly N — Účinek momentu My — Účinek momentu Mz — Posouzení smykového napětí — Účinek kroutícího momentu Mx — Účinek smykové síly Vy — Účinek smykové síly Vz

Č.	SKUP ZS	Popis ZS	Kat.	fáze průř.	δ^*N_d [kN]	χ^*A [mm^2]	σ_n [MPa]	$\delta^*M_{y,d}$ [kNm]	$\chi_{lt}*W_{el,y}$ [mm^3]	σ_{my} [MPa]	$\delta^*M_{z,d}$ [kNm]	$W_{el,z}$ [mm^3]	σ_{mz} [MPa]	σ_x [MPa]	$\kappa*\delta^*M_{x,d}$ [kNm]	$W_{v,y}$ [mm^3]	$\tau_{x,y}$ [MPa]	$W_{v,z}$ [mm^3]	$\tau_{x,z}$ [MPa]	$\delta^*V_{y,d}$ [kN]	$A_{v,y}$ [mm2]	$\tau_{v,y}$ [MPa]	$\tau_{v,y}$ [MPa]	$\delta^*V_{z,d}$ [kN]	$A_{v,z}$ [mm2]	$\tau_{v,z}$ [MPa]	$\tau_{v,z}$ [MPa]
1	G0	Vlastní tíha OK	G	0	-107.1	1.06E+04	-10.1	-5.7	-2.04E+06	2.8	1.0	3.52E+05	2.7	-4.6	-1.1E-02	-	-	-	-	0.3	7.28E+03	0.0	0.0	-1.1	3.83E+03	-0.3	-0.3
2	G1	Ostatní stálé - mostní vybavení	G	0	-2.5	1.06E+04	-0.2	-0.9	-2.04E+06	0.5	0.1	3.52E+05	0.2	0.4	0.0E+00	-	-	-	-	0.0	7.28E+03	0.0	0.0	-0.2	3.83E+03	0.0	0.0
3	G2	Ostatní stálé - cizí zařízení	G	0	-0.9	1.06E+04	-0.1	1.1	-2.04E+06	-0.5	0.0	3.52E+05	0.1	-0.5	0.0E+00	-	-	-	-	0.0	7.28E+03	0.0	0.0	0.2	3.83E+03	0.1	0.1
4	P1_71	a.LM71 - kolej 1 (bez dyn. souč.)	P	0	23.1	1.06E+04	2.2	-98.8	-2.04E+06	48.4	0.8	3.52E+05	2.3	52.9	0.0E+00	-	-	-	-	0.4	7.28E+03	0.1	0.1	-18.3	3.83E+03	-4.8	-4.8
5	P2_71	a.LM71 - kolej 2 (bez dyn. souč.)	P	0	235.7	1.06E+04	22.2	-52.4	-2.04E+06	25.7	0.7	3.52E+05	2.0	49.9	0.0E+00	-	-	-	-	0.7	7.28E+03	0.1	0.1	-10.2	3.83E+03	-2.7	-2.7
6	P1_C3	TTZ C3 - kolej 1 (bez dyn. souč.)	P	0	0.0	1.06E+04	0.0	0.0	-2.04E+06	0.0	0.0	3.52E+05	0.0	0.0	0.0E+00	-	-	-	-	0.0	7.28E+03	0.0	0.0	0.0	3.83E+03	0.0	0.0
7	P2_C3	TTZ C3 - kolej 2 (bez dyn. souč.)	P	0	0.0	1.06E+04	0.0	0.0	-2.04E+06	0.0	0.0	3.52E+05	0.0	0.0	0.0E+00	-	-	-	-	0.0	7.28E+03	0.0	0.0	0.0	3.83E+03	0.0	0.0
8	BR	Brzdné a rozjezdové síly	P	0	0.0	1.06E+04	0.0	0.0	-2.04E+06	0.0	0.0	3.52E+05	0.0	0.0	0.0E+00	-	-	-	-	0.0	7.28E+03	0.0	0.0	0.0	3.83E+03	0.0	0.0
9	S	Boční ráz	P	0	-1.6	1.06E+04	-0.2	-12.9	-2.04E+06	6.3	0.0	3.52E+05	0.1	6.2	0.0E+00	-	-	-	-	0.0	7.28E+03	0.0	0.0	-2.7	3.83E+03	-0.7	-0.7
10	CH	Chodci na lávkách	Q	0	-21.1	1.06E+04	-2.0	-4.8	-2.04E+06	2.4	0.1	3.52E+05	0.4	0.8	0.0E+00	-	-	-	-	0.0	7.28E+03	0.0	0.0	-0.9	3.83E+03	-0.2	-0.2
11	W	Vítr na konstrukci	Q	0	-13.7	1.06E+04	-1.3	-12.3	-2.04E+06	6.0	-0.1	3.52E+05	-0.2	4.5	1.0E-02	-	-	-	-	0.0	7.28E+03	0.0	0.0	-5.5	3.83E+03	-1.4	-1.4
12	WP	Vítr na vozidla	Q	0	8.0	1.06E+04	0.8	-34.4	-2.04E+06	16.8	0.2	3.52E+05	0.5	18.1	-1.0E-02	-	-	-	-	0.1	7.28E+03	0.0	0.0	-6.2	3.83E+03	-1.6	-1.6
13	TR	Teplota rovnoměrná	Q	0	0.0	1.06E+04	0.0	0.0	-2.04E+06	0.0	0.0	3.52E+05	0.0	0.0	0.0E+00	-	-	-	-	0.0	7.28E+03	0.0	0.0	0.0	3.83E+03	0.0	0.0
14	TN	Teplota nerovnoměrná	Q	0	8.9	1.06E+04	0.8	-27.7	-2.04E+06	13.6	0.3	3.52E+05	1.0	15.4	0.0E+00	-	-	-	-	0.3	7.28E+03	0.0	0.0	-5.3	3.83E+03	-1.4	-1.4
15	FR	Třecí síly v ložiskách	Q	0	-0.4	1.06E+04	0.0	0.0	-2.04E+06	0.0	0.0	3.52E+05	0.1	0.0	0.0E+00	-	-	-	-	0.0	7.28E+03	0.0	0.0	0.0	3.83E+03	0.0	0.0
16	I	Imperfekce soustavy	Q	0	-3.6	1.06E+04	-0.3	-6.7	-2.04E+06	3.3	0.0	3.52E+05	0.0	3.0	0.0E+00	-	-	-	-	0.0	7.28E+03	0.0	0.0	-1.2	3.83E+03	-0.3	-0.3
27	ULS_LM	ULS - LM71 bez dynam	Q	0	0.0	1.06E+04	0.0	0.0	-2.04E+06	0.0	0.0	3.52E+05	0.0	0.0	0.0E+00	-	-	-	-	0.0	7.28E+03	0.0	0.0	0.0	3.83E+03	0.0	0.0
28	SLS_LM	SLS - LM71 bez dynam	Q	0	0.0	1.06E+04	0.0	0.0	-2.04E+06	0.0	0.0	3.52E+05	0.0	0.0	0.0E+00	-	-	-	-	0.0	7.28E+03	0.0	0.0	0.0	3.83E+03	0.0	0.0
29	ULS_C3	ULS - C3 bez dynam	Q	0	0.0	1.06E+04	0.0	0.0	-2.04E+06	0.0	0.0	3.52E+05	0.0	0.0	0.0E+00	-	-	-	-	0.0	7.28E+03	0.0	0.0	0.0	3.83E+03	0.0	0.0
30	SLS_C3	SLS - C3 bez dynam	Q	0	0.0	1.06E+04	0.0	0.0	-2.04E+06	0.0	0.0	3.52E+05	0.0	0.0	0.0E+00	-	-	-	-	0.0	7.28E+03	0.0	0.0	0.0	3.83E+03	0.0	0.0
NAVÝŠENÍ NAPĚTÍ DO AKTIVACE TLAKU V DESCE MOSTOVKY						$\sigma_{P,red}$	0.0							0.0			0.0		0.0			0.2	0.2			-13.4	-13.4
NAPĚTÍ OD PRIMÁRNÍCH ÚČINKŮ NEROVNOMĚRNÉHO OTEPLENÍ						σ_T	0.0							0.0													
NAPĚTÍ OD REOLOGICKÝCH ÚČINKŮ BETONU V ČASE		t=0				σ_R	0.0	$\gamma_{i=}$	1.20					0.0													
NAPĚTÍ V KRITICKÝCH VLÁKNECH OD KOMBINACE ZATÍŽENÍ						KZ04		[MPa]					$\Sigma\sigma_x$	146.2								$\Sigma\tau_y$	0.2			$\Sigma\tau_z$	-13.4
NAPĚTÍ OD POHYBLIVÉHO ZATÍŽENÍ								[MPa]					$\sigma_{x,P}$	109.0								τ_P	0.1			τ_P	-8.1
NAPĚTÍ OD OSTATNÍCH ZATÍŽENÍ								[MPa]			Φ_{Vy}	Φ_{Vz}	$\sigma_{x,rs}$	37.2								τ_{rs}	0.1			τ_{rs}	-5.3
NÁVRHOVÁ HODNOTA MEZE KLUZU S REDUKCÍ VLIVEM SMYKOVÉHO NAPĚTÍ								[MPa]			1.00	1.00	$f_{yv,d}$	209.1								$f_{yd}/3^{0,5}$	120.7			$f_{yd}/3^{0,5}$	120.7
NAPĚTÍ OD POHYBLIVÉHO ZATÍŽENÍ V GLOBÁLNÍM SYSTÉMU						$\sigma_{GLOB,P}$	0.0	[MPa]					$\Sigma\sigma_{GLOB}$	0.0													
NAPĚTÍ OD OSTATNÍCH ZATÍŽENÍ V GLOBÁLNÍM SYSTÉMU						$\sigma_{GLOB,rs}$	0.0	[MPa]					$\Sigma\sigma_x + \Sigma\sigma_{GLOB}$	146.2													
VYUŽITÍ PRŮŘEZU DLE NAPĚTÍ								[%]					η_1	0.70								η_3	0.00			η_3	0.11
NAPĚTÍ V PŘÍČNÉM SMĚRU OD POHYBLIVÉHO ZATÍŽENÍ						$\sigma_{z,P}$	0.0	[MPa]					$\Sigma\sigma_z$	0.0													
NAPĚTÍ V PŘÍČNÉM SMĚRU OD OSTATNÍCH ZATÍŽENÍ						$\sigma_{z,rs}$	0.0	[MPa]					η_2	0.00													
SROVNÁVACÍ NAPĚTÍ													$(\eta_2 + 0,8\,\eta_1)/1,4 =$	0.40													
VYUŽITÍ PRŮŘEZU CELKEM								[%]					eff	0.70	VYHOVUJE												
													Z_{LM71} =	1.58													

TAB. V5.2.3 POSOUZENÍ - MEZNÍ STAV ÚNOSNOSTI

POPIS	SVISLICE V5
PRUT / POLOHA BODU	417 / I[352]
NAMÁHÁNÍ	My.min
VLÁKNO	BOD K3 -SL
MEZNÍ STAV	ULS (MSÚ)
VYUŽITÍ VLÁKNA PRŮŘEZU	0.54

Charakteristiky materiálu				
pás. horní	$f_{yf,k}$	230	MPa	
pás. dolní	$f_{yf,k}$	230	MPa	
stojina	$f_{yw,k}$	230	MPa	
výztuž	$f_{ys,k}$	500	MPa	
γ_M =	1.10	γ_s =	1.15	

Excentricita normálové síly				
Exc./Fáze	0	1	2	3
e_y	0.000	0.000	0.000	0.000
e_z	0.000	0.000	0.000	0.000
Ekvivalentní vzdál. stěn - příčný roznos				
b_{Mx}	0.000	0.000	0.000	0.000

Vliv stěny na únosnost průřezu				
Char./Fáze	0	1	2	3
A	0.00	0.00	0.00	0.00
Wy	0.00	0.00	0.00	0.00
Wz	0.00	0.00	0.00	0.00

Charakter. v kroucení			
$t_{w,y}$	0.000	[mm]	
$t_{w,z}$	0.000	[mm]	
κ	1.00		
I_t=	0.00E+00	[mm^4]	
Ω=2*A_{pr}	0.00E+00	[mm^2]	

Součinitele vzpěru a vlivu II.řádu					
Char./Fáze	0	1	2	3	
k_y	1.000	1.000	1.000	1.000	
k_z	1.000	1.000	1.000	1.000	
χ_{LT}	1.000	1.000	1.000	1.000	
χ_{min}	1.000	1.000	1.000	1.000	

Vnitřní síly od jednotlivých skupin zatěžovacích stavů

SKUPINA ZATĚŽOVACÍCH STAVŮ					- CHARAKTERISTICKÉ HODNOTY						DÍLČÍ SOUČINITELÉ ZATÍŽENÍ, DYNAMICKÝ SOUČINITEL						4	- NÁVRHOVÉ HODNOTY									
Č.	SKUP ZS	POPIS ZS	KAT.	FÁZE PRŮŘ.	N.k (kN)	Vy.k (kN)	Vz.k (kN)	Mx.k (kNm)	My.k (kNm)	Mz.k (kNm)	γ_{sr} (-)	γ_{sl} (-)	volba ψ_i hledat	ψ_i (-)	L_d (m)	δ (-)	ψ_2 KZ04	N.d (kN)	Vy.d (kN)	Vz.d (kN)	ΔVz.d (kN)	ΣVz.d (kN)	Mx.d (kNm)	My.d (kNm)	ΔMy.d (kNm)	ΣMy.d (kNm)	Mz.d (kNm)	ΔMz.d (kNm)	ΣMz.d (kNm)
1	G0	Vlastní tíha OK	G	0	-94	0	-1	0	-5	1	1.00	1.20		1.20	-	1.00	0.95	-107	0	-1	0	-1	0	-6	0	-6	1	0	1
2	G1	Ostatní stálé - mostní vybavení	G	0	-3	0	0	0	-1	0	1.00	1.20		1.20	-	1.00	0.95	-3	0	0	0	0	0	-1	0	-1	0	0	0
3	G2	Ostatní stálé - cizí zařízení	G	0	-1	0	0	0	1	0	1.00	1.00		1.00	-	1.00	0.95	-1	0	0	0	0	0	1	0	1	0	0	0
4	P1_71	a.LM71 - kolej 1 (bez dyn. souč.)	P	0	18	0	-14	0	-76	1	1.00	1.30		1.30	-	1.00	1.00	23	0	-18	0	-18	0	-99	0	-99	1	0	1
5	P2_71	a.LM71 - kolej 2 (bez dyn. souč.)	P	0	181	1	-8	0	-40	1	1.00	1.30		1.30	-	1.00	1.00	236	1	-10	0	-10	0	-52	0	-52	1	0	1
6	P1_C3	TTZ C3 - kolej 1 (bez dyn. souč.)	P	0	1	0	-11	0	-59	1	1.00	vyp.		0.00	-	1.00	0.00	0	0	0	0	0	0	0	0	0	0	0	0
7	P2_C3	TTZ C3 - kolej 2 (bez dyn. souč.)	P	0	137	0	-5	0	-29	0	1.00	vyp.		0.00	-	1.00	0.00	0	0	0	0	0	0	0	0	0	0	0	0
8	BR	Brzdné a rozjezdové síly	P	0	-7	0	0	0	-1	-1	1.00	0.00		0.00	-	1.00	0.40	0	0	0	0	0	0	0	0	0	0	0	0
9	S	Boční ráz	P	0	-2	0	-3	0	-12	0	1.00	1.30		1.30	-	1.00	0.80	-2	0	-3	0	-3	0	-13	0	-13	0	0	0
10	CH	Chodci na lávkách	Q	0	-16	0	-1	0	-4	0	1.00	1.30		1.30	-	1.00	1.00	-21	0	-1	0	-1	0	-5	0	-5	0	0	0
11	W	Vítr na konstrukci	Q	0	-14	0	-5	0	-12	0	1.00	1.35		1.35	-	1.00	0.75	-14	0	-5	0	-5	0	-12	0	-12	0	0	0
12	WP	Vítr na vozidla	Q	0	8	0	-6	0	-34	0	1.00	1.35		1.35	-	1.00	0.75	8	0	-6	0	-6	0	-34	0	-34	0	0	0
13	TR	Teplota rovnoměrná	Q	0	0	0	0	0	0	0	1.00	1.35		1.35	-	1.00	0.45	0	0	0	0	0	0	0	0	0	0	0	0
14	TN	Teplota nerovnoměrná	Q	0	11	0	-7	0	-34	0	1.00	1.35		1.35	-	1.00	0.60	9	0	-5	0	-5	0	-28	0	-28	0	0	0
15	FR	Třecí síly v ložiskách	Q	0	0	0	0	0	0	0	1.00	1.20		1.20	-	1.00	1.00	0	0	0	0	0	0	0	0	0	0	0	0
16	I	Imperfekce soustavy	Q	0	-3	0	-1	0	-6	0	1.00	1.20		1.20	-	1.00	1.00	-4	0	-1	0	-1	0	-7	0	-7	0	0	0
27	ULS_LM	ULS - LM71 bez dynam	Q	0	119	2	-52	0	-260	3	1.00	vyp.	1	0.00	-	1.00	0.00	0	0	0	0	0	0	0	0	0	0	0	0
28	SLS_LM	SLS - LM71 bez dynam	Q	0	73	1	-36	0	-178	2	1.00	vyp.	1	0.00	-	1.00	0.00	0	0	0	0	0	0	0	0	0	0	0	0
29	ULS_C3	ULS - C3 bez dynam	Q	0	40	1	-45	0	-222	2	1.00	vyp.	1	0.00	-	1.00	0.00	0	0	0	0	0	0	0	0	0	0	0	0
30	SLS_C3	SLS - C3 bez dynam	Q	0	0	0	0	0	0	0	1.00	vyp.	1	0.00	-	1.00	0.00	0	0	0	0	0	0	0	0	0	0	0	0
		CELKEM - FÁZE PRŮŘEZU 0																124	2	-51	0	-51	0	-256	0	-256	3	0	3
		CELKEM - FÁZE PRŮŘEZU 1																0	0	0	0	0	0	0	0	0	0	0	0
		CELKEM - FÁZE PRŮŘEZU 2																0	0	0	0	0	0	0	0	0	0	0	0
		CELKEM - FÁZE PRŮŘEZU 3																0	0	0	0	0	0	0	0	0	0	0	0
		CELKEM - PRŮŘEZ																124	2	-51	0	-51	0			-256			3

Napětí od jednotlivých zatěžovacích stavů

SKUPINA ZATĚŽOVACÍCH STAVŮ					Posouzení normálového napětí										Posouzení smykového napětí													
					Účinek síly N			Účinek momentu My			Účinek momentu Mz				Účinek kroutícího momentu Mx				Účinek smykové síly Vy				Účinek smykové síly Vz			
Č.	SKUP ZS	Popis ZS	Kat.	fáze průř.	δ^*N_d [kN]	χ^*A [mm^2]	σ_n [MPa]	$\delta^*M_{y,d}$ [kNm]	$\chi_{lt}{}^*W_{el,y}$ [mm^3]	σ_{my} [MPa]	$\delta^*M_{z,d}$ [kNm]	$W_{el,z}$ [mm^3]	σ_{mz} [MPa]	σ_x [MPa]	$\kappa^*\delta^*M_{x,d}$ [kNm]	$W_{v,y}$ [mm^3]	$\tau_{x,y}$ [MPa]	$W_{v,z}$ [mm^3]	$\tau_{x,z}$ [MPa]	$\delta^*V_{y,d}$ [kN]	$A_{v,y}$ [mm2]	$\tau_{v,y}$ [MPa]	$\tau_{v,y}$ [MPa]	$\delta^*V_{z,d}$ [kN]	$A_{v,z}$ [mm2]	$\tau_{v,z}$ [MPa]	$\tau_{v,z}$ [MPa]
1	G0	Vlastní tíha OK	G	0	-107.1	1.06E+04	-10.1	-5.7	2.22E+06	-2.6	1.0	-3.52E+05	-2.7	-15.4	-1.1E-02	-	-	-	-	0.3	7.28E+03	0.0	0.0	-1.1	3.83E+03	-0.3	-0.3
2	G1	Ostatní stálé - mostní vybavení	G	0	-3.0	1.06E+04	-0.3	-1.1	2.22E+06	-0.5	0.1	-3.52E+05	-0.2	-1.0	0.0E+00	-	-	-	-	0.0	7.28E+03	0.0	0.0	-0.2	3.83E+03	0.0	0.0
3	G2	Ostatní stálé - cizí zařízení	G	0	-0.7	1.06E+04	-0.1	0.9	2.22E+06	0.4	0.0	-3.52E+05	-0.1	0.2	0.0E+00	-	-	-	-	0.0	7.28E+03	0.0	0.0	0.2	3.83E+03	0.0	0.0
4	P1_71	a.LM71 - kolej 1 (bez dyn. souč.)	P	0	23.1	1.06E+04	2.2	-98.8	2.22E+06	-44.5	0.8	-3.52E+05	-2.3	-44.7	0.0E+00	-	-	-	-	0.4	7.28E+03	0.1	0.1	-18.3	3.83E+03	-4.8	-4.8
5	P2_71	a.LM71 - kolej 2 (bez dyn. souč.)	P	0	235.7	1.06E+04	22.2	-52.4	2.22E+06	-23.6	0.7	-3.52E+05	-2.0	-3.4	0.0E+00	-	-	-	-	0.7	7.28E+03	0.1	0.1	-10.2	3.83E+03	-2.7	-2.7
6	P1_C3	TTZ C3 - kolej 1 (bez dyn. souč.)	P	0	0.0	1.06E+04	0.0	0.0	2.22E+06	0.0	0.0	-3.52E+05	0.0	0.0	0.0E+00	-	-	-	-	0.0	7.28E+03	0.0	0.0	0.0	3.83E+03	0.0	0.0
7	P2_C3	TTZ C3 - kolej 2 (bez dyn. souč.)	P	0	0.0	1.06E+04	0.0	0.0	2.22E+06	0.0	0.0	-3.52E+05	0.0	0.0	0.0E+00	-	-	-	-	0.0	7.28E+03	0.0	0.0	0.0	3.83E+03	0.0	0.0
8	BR	Brzdné a rozjezdové síly	P	0	0.0	1.06E+04	0.0	0.0	2.22E+06	0.0	0.0	-3.52E+05	0.0	0.0	0.0E+00	-	-	-	-	0.0	7.28E+03	0.0	0.0	0.0	3.83E+03	0.0	0.0
9	S	Boční ráz	P	0	-1.6	1.06E+04	-0.2	-12.9	2.22E+06	-5.8	0.0	-3.52E+05	-0.1	-6.0	0.0E+00	-	-	-	-	0.0	7.28E+03	0.0	0.0	-2.7	3.83E+03	-0.7	-0.7
10	CH	Chodci na lávkách	Q	0	-21.1	1.06E+04	-2.0	-4.8	2.22E+06	-2.2	0.1	-3.52E+05	-0.4	-4.6	0.0E+00	-	-	-	-	0.0	7.28E+03	0.0	0.0	-0.9	3.83E+03	-0.2	-0.2
11	W	Vítr na konstrukci	Q	0	-13.7	1.06E+04	-1.3	-12.3	2.22E+06	-5.5	-0.1	-3.52E+05	0.2	-6.7	1.0E-02	-	-	-	-	0.0	7.28E+03	0.0	0.0	-5.5	3.83E+03	-1.4	-1.4
12	WP	Vítr na vozidla	Q	0	8.0	1.06E+04	0.8	-34.4	2.22E+06	-15.5	0.2	-3.52E+05	-0.5	-15.2	-1.0E-02	-	-	-	-	0.1	7.28E+03	0.0	0.0	-6.2	3.83E+03	-1.6	-1.6
13	TR	Teplota rovnoměrná	Q	0	0.0	1.06E+04	0.0	0.0	2.22E+06	0.0	0.0	-3.52E+05	0.0	0.0	0.0E+00	-	-	-	-	0.0	7.28E+03	0.0	0.0	0.0	3.83E+03	0.0	0.0
14	TN	Teplota nerovnoměrná	Q	0	8.9	1.06E+04	0.8	-27.7	2.22E+06	-12.5	0.3	-3.52E+05	-1.0	-12.6	0.0E+00	-	-	-	-	0.3	7.28E+03	0.0	0.0	-5.3	3.83E+03	-1.4	-1.4
15	FR	Třecí síly v ložiskách	Q	0	-0.4	1.06E+04	0.0	0.0	2.22E+06	0.0	0.0	-3.52E+05	-0.1	-0.1	0.0E+00	-	-	-	-	0.0	7.28E+03	0.0	0.0	0.0	3.83E+03	0.0	0.0
16	I	Imperfekce soustavy	Q	0	-3.6	1.06E+04	-0.3	-6.7	2.22E+06	-3.0	0.0	-3.52E+05	0.0	-3.4	0.0E+00	-	-	-	-	0.0	7.28E+03	0.0	0.0	-1.2	3.83E+03	-0.3	-0.3
27	ULS_LM	ULS - LM71 bez dynam	Q	0	0.0	1.06E+04	0.0	0.0	2.22E+06	0.0	0.0	-3.52E+05	0.0	0.0	0.0E+00	-	-	-	-	0.0	7.28E+03	0.0	0.0	0.0	3.83E+03	0.0	0.0
28	SLS_LM	SLS - LM71 bez dynam	Q	0	0.0	1.06E+04	0.0	0.0	2.22E+06	0.0	0.0	-3.52E+05	0.0	0.0	0.0E+00	-	-	-	-	0.0	7.28E+03	0.0	0.0	0.0	3.83E+03	0.0	0.0
29	ULS_C3	ULS - C3 bez dynam	Q	0	0.0	1.06E+04	0.0	0.0	2.22E+06	0.0	0.0	-3.52E+05	0.0	0.0	0.0E+00	-	-	-	-	0.0	7.28E+03	0.0	0.0	0.0	3.83E+03	0.0	0.0
30	SLS_C3	SLS - C3 bez dynam	Q	0	0.0	1.06E+04	0.0	0.0	2.22E+06	0.0	0.0	-3.52E+05	0.0	0.0	0.0E+00	-	-	-	-	0.0	7.28E+03	0.0	0.0	0.0	3.83E+03	0.0	0.0
NAVÝŠENÍ NAPĚTÍ DO AKTIVACE TLAKU V DESCE MOSTOVKY						$\sigma_{P,red}$	0.0							0.0			0.0		0.0				0.2	0.2			-13.4	-13.4
NAPĚTÍ OD PRIMÁRNÍCH ÚČINKŮ NEROVNOMĚRNÉHO OTEPLENÍ						σ_T	0.0							0.0														
NAPĚTÍ OD REOLOGICKÝCH ÚČINKŮ BETONU V ČASE				t=0		σ_R	0.0	γ=	1.20					0.0														
NAPĚTÍ V KRITICKÝCH VLÁKNECH OD KOMBINACE ZATÍŽENÍ						KZ04		[MPa]					$\Sigma\sigma_x$	-112.9								$\Sigma\tau_y$	0.2			$\Sigma\tau_z$	-13.4
NAPĚTÍ OD POHYBLIVÉHO ZATÍŽENÍ								[MPa]					$\sigma_{z,P}$	-54.1								τ_P	0.1			τ_P	-8.1
NAPĚTÍ OD OSTATNÍCH ZATÍŽENÍ								[MPa]			Φ_{Vy}	Φ_{Vz}	$\sigma_{z,rs}$	-58.8								τ_{rs}	0.1			τ_{rs}	-5.3
NÁVRHOVÁ HODNOTA MEZE KLUZU S REDUKCÍ VLIVEM SMYKOVÉHO NAPĚTÍ								[MPa]			1.00	1.00	$f_{yw,d}$	209.1								$f_{yd}/3^{0,5}$	120.7			$f_{yd}/3^{0,5}$	120.7
NAPĚTÍ OD POHYBLIVÉHO ZATÍŽENÍ V GLOBÁLNÍM SYSTÉMU						$\sigma_{GLOB,P}$	0.0	[MPa]					$\Sigma\sigma_{GLOB}$	0.0													
NAPĚTÍ OD OSTATNÍCH ZATÍŽENÍ V GLOBÁLNÍM SYSTÉMU						$\sigma_{GLOB,rs}$	0.0	[MPa]					$\Sigma\sigma_z + \Sigma\sigma_{GLOB}$	-112.9													
VYUŽITÍ PRŮŘEZU DLE NAPĚTÍ								[%]					η_1	0.54								η_3	0.00			η_3	0.11
NAPĚTÍ V PŘÍČNÉM SMĚRU OD POHYBLIVÉHO ZATÍŽENÍ						$\sigma_{z,P}$	0.0	[MPa]					$\Sigma\sigma_z$	0.0													
NAPĚTÍ V PŘÍČNÉM SMĚRU OD OSTATNÍCH ZATÍŽENÍ						$\sigma_{z,rs}$	0.0	[MPa]					η_2	0.00													
SROVNÁVACÍ NAPĚTÍ													$(\eta_2 + 0,8\,\eta_1)/1,4$ =	0.31													
VYUŽITÍ PRŮŘEZU CELKEM								[%]					eff	0.54	VYHOVUJE												
													z_{LM71} =	2.78													

TAB. V5.2.3 POSOUZENÍ - MEZNÍ STAV ÚNOSNOSTI

POPIS	SVISLICE V5
PRUT / POLOHA BODU	417 / I[352]
NAMÁHÁNÍ	Vz.min
VLÁKNO	BOD S6 -HP
MEZNÍ STAV	ULS (MSÚ)
VYUŽITÍ VLÁKNA PRŮŘEZU	0.50

Charakteristiky materiálu				
pás. horní	$f_{yf,k}$	230	MPa	
pás. dolní	$f_{yf,k}$	230	MPa	
stojina	$f_{yw,k}$	230	MPa	
výztuž	$f_{ys,k}$	500	MPa	
γ_M =		1.10	γ_s =	1.15

Excentricita normálové síly				
Exc./Fáze	0	1	2	3
e_y	0.000	0.000	0.000	0.000
e_z	0.000	0.000	0.000	0.000
Ekvivalentní vzdál. stěn - příčný roznos				
b_{Mx}	0.000	0.000	0.000	0.000

Vliv stěny na únosnost průřezu				
Char./Fáze	0	1	2	3
A	0.00	0.00	0.00	0.00
Wy	0.00	0.00	0.00	0.00
Wz	0.00	0.00	0.00	0.00

Charakter. v kroucení			
$t_{w,y}$	0.000	[mm]	
$t_{w,z}$	0.000	[mm]	
κ	1.00		
I_t=	0.00E+00	[mm^4]	
Ω=2*A_{pr}	0.00E+00	[mm^2]	

Součinitele vzpěru a vlivu II.řádu					
Char./Fáze	0	1	2	3	
k_y	1.000	1.000	1.000	1.000	
k_z	1.000	1.000	1.000	1.000	
χ_{LT}	1.000	1.000	1.000	1.000	
χ_{min}	1.000	1.000	1.000	1.000	

4

Vnitřní síly od jednotlivých skupin zatěžovacích stavů

SKUPINA ZATĚŽOVACÍCH STAVŮ					- CHARAKTERISTICKÉ HODNOTY						DÍLČÍ SOUČINITELÉ ZATÍŽENÍ, DYNAMICKÝ SOUČINITEL							- NÁVRHOVÉ HODNOTY									
Č.	SKUP ZS	POPIS ZS	KAT.	FÁZE PRŮŘ.	N.k	Vy.k	Vz.k	Mx.k	My.k	Mz.k	γ_{sr}	γ_{Q}	volba ψ_i	ψ_i	L_d	δ	Ψ_E	N.d	Vy.d	Vz.d	ΔVz.d	ΣVz.d	Mx.d	My.d	ΔMy.d	ΣMy.d	Mz.d	ΔMz.d	ΣMz.d
					(kN)	(kN)	(kN)	(kNm)	(kNm)	(kNm)	(-)	(-)	hledat	(-)	(m)	(-)	KZ04	(kN)	(kN)	(kN)	(kN)	(kN)	(kNm)	(kNm)	(kNm)	(kNm)	(kNm)	(kNm)	(kNm)
1	G0	Vlastní tíha OK	G	0	-94	0	-1	0	-5	1	1.00	1.20		1.20	-	1.00	0.95	-107	0	-1	0	-1	0	-6	0	-6	1	0	1
2	G1	Ostatní stálé - mostní vybavení	G	0	-3	0	0	0	-1	0	1.00	1.20		1.20	-	1.00	0.95	-3	0	0	0	0	0	-1	0	-1	0	0	0
3	G2	Ostatní stálé - cizí zařízení	G	0	-1	0	0	0	1	0	1.00	1.00		1.00	-	1.00	0.95	-1	0	0	0	0	0	1	0	1	0	0	0
4	P1_71	a.LM71 - kolej 1 (bez dyn. souč.)	P	0	17	0	-14	0	-76	1	1.00	1.30		1.30	-	1.00	1.00	23	0	-18	0	-18	0	-99	0	-99	1	0	1
5	P2_71	a.LM71 - kolej 2 (bez dyn. souč.)	P	0	180	1	-8	0	-40	1	1.00	1.30		1.30	-	1.00	1.00	234	1	-10	0	-10	0	-52	0	-52	1	0	1
6	P1_C3	TTZ C3 - kolej 1 (bez dyn. souč.)	P	0	1	0	-11	0	-59	1	1.00	vyp.		0.00	-	1.00	0.00	0	0	0	0	0	0	0	0	0	0	0	0
7	P2_C3	TTZ C3 - kolej 2 (bez dyn. souč.)	P	0	122	0	-6	0	-28	0	1.00	vyp.		0.00	-	1.00	0.00	0	0	0	0	0	0	0	0	0	0	0	0
8	BR	Brzdné a rozjezdové síly	P	0	9	0	0	0	-1	1	1.00	1.30		1.30	-	1.00	0.40	5	0	0	0	0	0	0	0	0	1	0	1
9	S	Boční ráz	P	0	-2	0	-3	0	-12	0	1.00	1.30		1.30	-	1.00	0.80	-2	0	-3	0	-3	0	-13	0	-13	0	0	0
10	CH	Chodci na lávkách	Q	0	-16	0	-1	0	-4	0	1.00	1.30		1.30	-	1.00	1.00	-21	0	-1	0	-1	0	-5	0	-5	0	0	0
11	W	Vítr na konstrukci	Q	0	-14	0	-5	0	-12	0	1.00	1.35		1.35	-	1.00	0.75	-14	0	-5	0	-5	0	-12	0	-12	0	0	0
12	WP	Vítr na vozidla	Q	0	8	0	-6	0	-34	0	1.00	1.35		1.35	-	1.00	0.75	8	0	-6	0	-6	0	-34	0	-34	0	0	0
13	TR	Teplota rovnoměrná	Q	0	0	0	0	0	0	0	1.00	1.35		1.35	-	1.00	0.45	0	0	0	0	0	0	0	0	0	0	0	0
14	TN	Teplota nerovnoměrná	Q	0	11	0	-7	0	-34	0	1.00	1.35		1.35	-	1.00	0.60	9	0	-5	0	-5	0	-28	0	-28	0	0	0
15	FR	Třecí síly v ložiskách	Q	0	0	0	0	0	0	0	1.00	1.20		1.20	-	1.00	1.00	0	0	0	0	0	0	0	0	0	0	0	0
16	I	Imperfekce soustavy	Q	0	-3	0	-1	0	-6	0	1.00	1.20		1.20	-	1.00	1.00	-4	0	-1	0	-1	0	-7	0	-7	0	0	0
27	ULS_LM	ULS - LM71 bez dynam	Q	0	128	2	-52	0	-260	4	1.00	vyp.		0.00	-	1.00	0.00	0	0	0	0	0	0	0	0	0	0	0	0
28	SLS_LM	SLS - LM71 bez dynam	Q	0	80	1	-36	0	-178	3	1.00	vyp.	1	0.00	-	1.00	0.00	0	0	0	0	0	0	0	0	0	0	0	0
29	ULS_C3	ULS - C3 bez dynam	Q	0	31	2	-45	0	-222	4	1.00	vyp.	1	0.00	-	1.00	0.00	0	0	0	0	0	0	0	0	0	0	0	0
30	SLS_C3	SLS - C3 bez dynam	Q	0	0	0	0	0	0	0	1.00	vyp.	1	0.00	-	1.00	0.00	0	0	0	0	0	0	0	0	0	0	0	0
		CELKEM - FÁZE PRŮŘEZU 0																127	2	-52	0	-52	0	-256	0	-256	4	0	4
		CELKEM - FÁZE PRŮŘEZU 1																0	0	0	0	0	0	0	0	0	0	0	0
		CELKEM - FÁZE PRŮŘEZU 2																0	0	0	0	0	0	0	0	0	0	0	0
		CELKEM - FÁZE PRŮŘEZU 3																0	0	0	0	0	0	0	0	0	0	0	0
		CELKEM - PRŮŘEZ																127	2	-52	0	-52	0			-256			4

Napětí od jednotlivých zatěžovacích stavů

SKUPINA ZATĚŽOVACÍCH STAVŮ					Posouzení normálového napětí											Posouzení smykového napětí													
					Účinek síly N			Účinek momentu My				Účinek momentu Mz				Účinek kroutícího momentu Mx				Účinek smykové síly Vy				Účinek smykové síly Vz			
Č.	SKUP ZS	Popis ZS	Kat.	fáze průř.	δ^*N_d	χ^*A	σ_n	$\delta^*M_{y,d}$	$\chi_{lt}{}^*W_{el,y}$	σ_{my}		$\delta^*M_{z,d}$	$W_{el,z}$	σ_{mz}		σ_x	$\kappa^*\delta^*M_{x,d}$	$W_{v,y}$	$\tau_{x,y}$	$W_{v,z}$	$\tau_{x,z}$	$\delta^*V_{y,d}$	$A_{v,y}$	$\tau_{v,y}$	$\tau_{v,y}$	$\delta^*V_{z,d}$	$A_{v,z}$	$\tau_{v,z}$	$\tau_{v,z}$
					[kN]	[mm^2]	[MPa]	[kNm]	[mm^3]	[MPa]		[kNm]	[mm^3]	[MPa]		[MPa]	[kNm]	[mm^3]	[MPa]	[mm^3]	[MPa]	[kN]	[mm2]	[MPa]	[MPa]	[kN]	[mm2]	[MPa]	[MPa]
1	G0	Vlastní tíha OK	G	0	-107.1	1.06E+04	-10.1	-5.7	2.22E+06	-2.6		1.0	-2.52E+06	-0.4		-13.0	-1.1E-02	-	-	-	-	0.3	7.28E+03	0.0	0.0	-1.1	3.83E+03	-0.3	-0.3
2	G1	Ostatní stálé - mostní vybavení	G	0	-3.0	1.06E+04	-0.3	-1.1	2.22E+06	-0.5		0.1	-2.52E+06	0.0		-0.8	0.0E+00	-	-	-	-	0.0	7.28E+03	0.0	0.0	-0.2	3.83E+03	0.0	0.0
3	G2	Ostatní stálé - cizí zařízení	G	0	-0.7	1.06E+04	-0.1	0.9	2.22E+06	0.4		0.0	-2.52E+06	0.0		0.3	0.0E+00	-	-	-	-	0.0	7.28E+03	0.0	0.0	0.2	3.83E+03	0.0	0.0
4	P1_71	a.LM71 - kolej 1 (bez dyn. souč.)	P	0	22.7	1.06E+04	2.1	-98.8	2.22E+06	-44.5		0.8	-2.52E+06	-0.3		-42.7	0.0E+00	-	-	-	-	0.4	7.28E+03	0.1	0.1	-18.3	3.83E+03	-4.8	-4.8
5	P2_71	a.LM71 - kolej 2 (bez dyn. souč.)	P	0	234.2	1.06E+04	22.1	-52.4	2.22E+06	-23.6		0.7	-2.52E+06	-0.3		-1.8	0.0E+00	-	-	-	-	0.7	7.28E+03	0.1	0.1	-10.2	3.83E+03	-2.7	-2.7
6	P1_C3	TTZ C3 - kolej 1 (bez dyn. souč.)	P	0	0.0	1.06E+04	0.0	0.0	2.22E+06	0.0		0.0	-2.52E+06	0.0		0.0	0.0E+00	-	-	-	-	0.0	7.28E+03	0.0	0.0	0.0	3.83E+03	0.0	0.0
7	P2_C3	TTZ C3 - kolej 2 (bez dyn. souč.)	P	0	0.0	1.06E+04	0.0	0.0	2.22E+06	0.0		0.0	-2.52E+06	0.0		0.0	0.0E+00	-	-	-	-	0.0	7.28E+03	0.0	0.0	0.0	3.83E+03	0.0	0.0
8	BR	Brzdné a rozjezdové síly	P	0	4.8	1.06E+04	0.5	-0.5	2.22E+06	-0.2		0.5	-2.52E+06	-0.2		0.0	-1.6E-02	-	-	-	-	0.2	7.28E+03	0.0	0.0	-0.1	3.83E+03	0.0	0.0
9	S	Boční ráz	P	0	-1.6	1.06E+04	-0.2	-12.9	2.22E+06	-5.8		0.0	-2.52E+06	0.0		-6.0	0.0E+00	-	-	-	-	0.0	7.28E+03	0.0	0.0	-2.7	3.83E+03	-0.7	-0.7
10	CH	Chodci na lávkách	Q	0	-21.1	1.06E+04	-2.0	-4.8	2.22E+06	-2.2		0.1	-2.52E+06	-0.1		-4.2	0.0E+00	-	-	-	-	0.0	7.28E+03	0.0	0.0	-0.9	3.83E+03	-0.2	-0.2
11	W	Vítr na konstrukci	Q	0	-13.7	1.06E+04	-1.3	-12.3	2.22E+06	-5.5		-0.1	-2.52E+06	0.0		-6.8	1.0E-02	-	-	-	-	0.0	7.28E+03	0.0	0.0	-5.5	3.83E+03	-1.4	-1.4
12	WP	Vítr na vozidla	Q	0	8.0	1.06E+04	0.8	-34.4	2.22E+06	-15.5		0.2	-2.52E+06	-0.1		-14.8	-1.0E-02	-	-	-	-	0.1	7.28E+03	0.0	0.0	-6.2	3.83E+03	-1.6	-1.6
13	TR	Teplota rovnoměrná	Q	0	0.0	1.06E+04	0.0	0.0	2.22E+06	0.0		0.0	-2.52E+06	0.0		0.0	0.0E+00	-	-	-	-	0.0	7.28E+03	0.0	0.0	0.0	3.83E+03	0.0	0.0
14	TN	Teplota nerovnoměrná	Q	0	8.9	1.06E+04	0.8	-27.7	2.22E+06	-12.5		0.3	-2.52E+06	-0.1		-11.8	0.0E+00	-	-	-	-	0.3	7.28E+03	0.0	0.0	-5.3	3.83E+03	-1.4	-1.4
15	FR	Třecí síly v ložiskách	Q	0	-0.4	1.06E+04	0.0	0.0	2.22E+06	0.0		0.0	-2.52E+06	0.0		-0.1	0.0E+00	-	-	-	-	0.0	7.28E+03	0.0	0.0	0.0	3.83E+03	0.0	0.0
16	I	Imperfekce soustavy	Q	0	-3.6	1.06E+04	-0.3	-6.7	2.22E+06	-3.0		0.0	-2.52E+06	0.0		-3.4	0.0E+00	-	-	-	-	0.0	7.28E+03	0.0	0.0	-1.2	3.83E+03	-0.3	-0.3
27	ULS_LM	ULS - LM71 bez dynam	Q	0	0.0	1.06E+04	0.0	0.0	2.22E+06	0.0		0.0	-2.52E+06	0.0		0.0	0.0E+00	-	-	-	-	0.0	7.28E+03	0.0	0.0	0.0	3.83E+03	0.0	0.0
28	SLS_LM	SLS - LM71 bez dynam	Q	0	0.0	1.06E+04	0.0	0.0	2.22E+06	0.0		0.0	-2.52E+06	0.0		0.0	0.0E+00	-	-	-	-	0.0	7.28E+03	0.0	0.0	0.0	3.83E+03	0.0	0.0
29	ULS_C3	ULS - C3 bez dynam	Q	0	0.0	1.06E+04	0.0	0.0	2.22E+06	0.0		0.0	-2.52E+06	0.0		0.0	0.0E+00	-	-	-	-	0.0	7.28E+03	0.0	0.0	0.0	3.83E+03	0.0	0.0
30	SLS_C3	SLS - C3 bez dynam	Q	0	0.0	1.06E+04	0.0	0.0	2.22E+06	0.0		0.0	-2.52E+06	0.0		0.0	0.0E+00	-	-	-	-	0.0	7.28E+03	0.0	0.0	0.0	3.83E+03	0.0	0.0
NAVÝŠENÍ NAPĚTÍ DO AKTIVACE TLAKU V DESCE MOSTOVKY						$\sigma_{P,red}$	0.0									0.0			0.0		0.0			0.3	0.3			-13.5	-13.5
NAPĚTÍ OD PRIMÁRNÍCH ÚČINKŮ NEROVNOMĚRNÉHO OTEPLENÍ						σ_T	0.0									0.0													
NAPĚTÍ OD REOLOGICKÝCH ÚČINKŮ BETONU V ČASE				t=0		σ_R	0.0	γ_{lt}=	1.20							0.0													
NAPĚTÍ V KRITICKÝCH VLÁKNECH OD KOMBINACE ZATÍŽENÍ						KZ04		[MPa]							$\Sigma\sigma_x$	-105.0								$\Sigma\tau_y$	0.3			$\Sigma\tau_z$	-13.5
NAPĚTÍ OD POHYBLIVÉHO ZATÍŽENÍ								[MPa]							$\sigma_{x,P}$	-50.5								τ_P	0.2			τ_P	-8.2
NAPĚTÍ OD OSTATNÍCH ZATÍŽENÍ								[MPa]			Φ_{Vy}	Φ_{Vz}			$\sigma_{x,rs}$	-54.6								τ_{rs}	0.1			τ_{rs}	-5.3
NÁVRHOVÁ HODNOTA MEZE KLUZU S REDUKCÍ VLIVEM SMYKOVÉHO NAPĚTÍ								[MPa]			1.00	1.00			$f_{yw,d}$	209.1								$f_{yd}/3^{0,5}$	120.7			$f_{yd}/3^{0,5}$	120.7
NAPĚTÍ OD POHYBLIVÉHO ZATÍŽENÍ V GLOBÁLNÍM SYSTÉMU						$\sigma_{GLOB,P}$	0.0	[MPa]							$\Sigma\sigma_{GLOB}$	0.0													
NAPĚTÍ OD OSTATNÍCH ZATÍŽENÍ V GLOBÁLNÍM SYSTÉMU						$\sigma_{GLOB,rs}$	0.0	[MPa]							$\Sigma\sigma_x + \Sigma\sigma_{GLOB}$	-105.0													
VYUŽITÍ PRŮŘEZU DLE NAPĚTÍ								[%]							η_1	0.50								η_3	0.00			η_3	0.11
NAPĚTÍ V PŘÍČNÉM SMĚRU OD POHYBLIVÉHO ZATÍŽENÍ						$\sigma_{z,P}$	0.0	[MPa]							$\Sigma\sigma_z$	0.0													
NAPĚTÍ V PŘÍČNÉM SMĚRU OD OSTATNÍCH ZATÍŽENÍ						$\sigma_{z,rs}$	0.0	[MPa]							η_2	0.00													
SROVNÁVACÍ NAPĚTÍ															$(\eta_2 + 0,8\,\eta_1)/1,4$ =	0.29													
VYUŽITÍ PRŮŘEZU CELKEM								[%]							eff	0.50	VYHOVUJE												
															z_{LM71} =	3.06													

VÝPOČET PRŮŘEZOVÝCH CHARAKTERISTIK

PRŮŘEZ: V6_1 **POPIS:** SVISLICE V6 - MIN N

x = - **m**

DEFINOVÁNÍ PRŮŘEZU

ŠÍŘKA PÁSNICE ÚHELNÍKU	b f.t.l.o =	120	mm	**ÚHELNÍK HORNÍ VNĚJŠÍ LEVÝ**		**C.T.O.L**	
TLOUŠŤKA PÁSNICE ÚHELNÍKU	t f.t.l.o =	12	mm	OSLABENÍ PÁSNICE - TLOUŠŤKA	Δt f.t.l.o =	0	%
VÝŠKA STĚNY ÚHELNÍKU	h w.t.l.o =	68	mm				
TLOUŠŤKA STĚNY ÚHELNÍKU	t w.t.l.o =	12	mm	OSLABENÍ STĚNY - TLOUŠŤKA	Δt w.t.l.o =	20	%
ŠÍŘKA PÁSNICE ÚHELNÍKU	b f.t.r.o =	120	mm	**ÚHELNÍK HORNÍ VNĚJŠÍ PRAVÝ**		**C.T.O.R**	
TLOUŠŤKA PÁSNICE ÚHELNÍKU	t f.t.r.o =	12	mm	OSLABENÍ PÁSNICE - TLOUŠŤKA	Δt f.t.r.o =	0	%
VÝŠKA STĚNY ÚHELNÍKU	h w.t.r.o =	68	mm				
TLOUŠŤKA STĚNY ÚHELNÍKU	t w.t.r.o =	12	mm	OSLABENÍ STĚNY - TLOUŠŤKA	Δt w.t.r.0 =	20	%
ŠÍŘKA PÁSNICE ÚHELNÍKU	b f.t.l.i =	0	mm	**ÚHELNÍK HORNÍ VNITŘNÍ LEVÝ**		**C.T.I.L**	
TLOUŠŤKA PÁSNICE ÚHELNÍKU	t f.t.l.i =	0	mm	OSLABENÍ PÁSNICE - TLOUŠŤKA	Δt f.b.l.o =	0	%
VÝŠKA STĚNY ÚHELNÍKU	h w.t.l.i =	0	mm				
TLOUŠŤKA STĚNY ÚHELNÍKU	t w.t.l.i =	0	mm	OSLABENÍ STĚNY - TLOUŠŤKA	Δt w.b.l.o =	0	%
ŠÍŘKA PÁSNICE ÚHELNÍKU	b f.t.r.i =	0	mm	**ÚHELNÍK HORNÍ VNITŘNÍ PRAVÝ**		**C.T.I.R**	
TLOUŠŤKA PÁSNICE ÚHELNÍKU	t f.t.r.i =	0	mm	OSLABENÍ PÁSNICE - TLOUŠŤKA	Δt f.b.r.o =	0	%
VÝŠKA STĚNY ÚHELNÍKU	h w.t.r.i =	0	mm				
TLOUŠŤKA STĚNY ÚHELNÍKU	t w.t.r.i =	0	mm	OSLABENÍ STĚNY - TLOUŠŤKA	Δt w.b.r.o =	0	%
ŠÍŘKA PÁSNICE ÚHELNÍKU	b f.b.l.o =	120	mm	**ÚHELNÍK DOLNÍ VNĚJŠÍ LEVÝ**		**C.B.O.L**	
TLOUŠŤKA PÁSNICE ÚHELNÍKU	t f.b.l.o =	12	mm	OSLABENÍ PÁSNICE - TLOUŠŤKA	Δt f.t.l.i =	0	%
VÝŠKA STĚNY ÚHELNÍKU	h w.b.l.o =	68	mm				
TLOUŠŤKA STĚNY ÚHELNÍKU	t w.b.l.o =	12	mm	OSLABENÍ STĚNY - TLOUŠŤKA	Δt w.t.l.i =	20	%
ŠÍŘKA PÁSNICE ÚHELNÍKU	b f.b.r.o =	120	mm	**ÚHELNÍK DOLNÍ VNĚJŠÍ PRAVÝ**		**C.B.O.R**	
TLOUŠŤKA PÁSNICE ÚHELNÍKU	t f.b.r.o =	12	mm	OSLABENÍ PÁSNICE - TLOUŠŤKA	Δt f.t.r.i =	0	%
VÝŠKA STĚNY ÚHELNÍKU	h w.b.r.o =	68	mm				
TLOUŠŤKA STĚNY ÚHELNÍKU	t w.b.r.o =	12	mm	OSLABENÍ STĚNY - TLOUŠŤKA	Δt w.t.r.i =	20	%
PÁSNICE DOLNÍHO LEVÉHO ÚHELNÍKU	b f.b.l.i =	0	mm	**ÚHELNÍK DOLNÍ VNITŘNÍ LEVÝ**		**C.B.I.L**	
TLOUŠŤKA PÁSNICE ÚHELNÍKU	t f.b.l.i =	0	mm	OSLABENÍ PÁSNICE - TLOUŠŤKA	Δt f.b.l.i =	0	%
VÝŠKA STĚNY ÚHELNÍKU	h w.b.l.i =	0	mm				
TLOUŠŤKA STĚNY ÚHELNÍKU	t w.b.l.i =	0	mm	OSLABENÍ STĚNY - TLOUŠŤKA	Δt w.b.l.i =	0	%
PÁSNICE DOLNÍHO PRAVÉHO ÚHELNÍKU	b f.b.r.i =	0	mm	**ÚHELNÍK DOLNÍ VNITŘNÍ PRAVÝ**		**C.B.I.R**	
TLOUŠŤKA PÁSNICE ÚHELNÍKU	t f.b.r.i =	0	mm	OSLABENÍ PÁSNICE - TLOUŠŤKA	Δt f.b.r.i =	0	%
VÝŠKA STĚNY ÚHELNÍKU	h w.b.r.i =	0	mm				
TLOUŠŤKA STĚNY ÚHELNÍKU	t w.b.r.i =	0	mm	OSLABENÍ STĚNY - TLOUŠŤKA	Δt w.b.r.i =	0	%

HORNÍ

ŠÍŘKA HORNÍ VLOŽKY - VNĚJŠÍ	b f.t =	0	mm			**HOR.T.O**	
TLOUŠŤKA VLOŽKY	t f.t =	0	mm	OSLABENÍ VLOŽKY	Δt f.t =	0	%
ŠÍŘKA HORNÍ VLOŽKY - VNITŘNÍ	b f.t =	0	mm			**HOR.T.I**	
TLOUŠŤKA VLOŽKY	t f.t =	0	mm	OSLABENÍ VLOŽKY	Δt f.t =	0	%
ŠÍŘKA DOLNÍ VLOŽKY - VNĚJŠÍ	b f.t =	0	mm			**HOR.B.O**	
TLOUŠŤKA VLOŽKY	t f.t =	0	mm	OSLABENÍ VLOŽKY	Δt f.t =	0	%
ŠÍŘKA DOLNÍ VLOŽKY - VNITŘNÍ	b f.t =	0	mm			**HOR.B.I**	
TLOUŠŤKA VLOŽKY	t f.t =	0	mm	OSLABENÍ VLOŽKY - VNITŘNÍ	Δt f.t =	0	%

VZD. OKRAJŮ PÁSNIC VNITŘNÍCH ÚHELNÍKŮ	464	mm
CELKOVÁ TLOUŠŤKA MEZI PÁSNICEMI ÚHELNÍKŮ I A .o	0	mm
CELKOVÁ TLOUŠŤKA MEZI PÁSNICEMI ÚHELNÍKŮ I A .r	13	mm

ZADANÍ ČÁSTI PRŮŘEZU:

č.prvku	b [mm]	h [mm]	y_0 [mm]	z_0 [mm]	popis části	druh oslabení	lokální ultimate	boulení servic.
1	120.0	12.0	-66.5	238.0	pásnice	0	1.000	1.000
2	9.6	68.0	-11.3	278.0	stěna	0	1.000	1.000
3	120.0	12.0	66.5	238.0	pásnice	0	1.000	1.000
4	9.6	68.0	11.3	278.0	stěna	0	1.000	1.000
5	0.0	0.0	-6.5	232.0	pásnice	0	1.000	1.000
6	0.0	0.0	-6.5	232.0	stěna	0	1.000	1.000
7	0.0	0.0	6.5	232.0	pásnice	0	1.000	1.000
8	0.0	0.0	6.5	232.0	stěna	0	1.000	1.000
9	120.0	12.0	-66.5	-238.0	pásnice	0	1.000	1.000
10	9.6	68.0	-11.3	-278.0	stěna	0	1.000	1.000
11	120.0	12.0	66.5	-238.0	pásnice	0	1.000	1.000
12	9.6	68.0	11.3	-278.0	stěna	0	1.000	1.000
13	0.0	0.0	-6.5	-232.0	pásnice	0	1.000	1.000
14	0.0	0.0	-6.5	-232.0	stěna	0	1.000	1.000
15	0.0	0.0	6.5	-232.0	pásnice	0	1.000	1.000
16	0.0	0.0	6.5	-232.0	stěna	0	1.000	1.000
17						0	1.000	1.000
18						0	1.000	1.000
19						0	1.000	1.000
20						0	1.000	1.000
21						0	1.000	1.000
22						0	1.000	1.000
23						0	1.000	1.000
24						0	1.000	1.000
25						0	1.000	1.000
26						0	1.000	1.000
27						0	1.000	1.000
28						0	1.000	1.000
29						0	1.000	1.000
30						0	1.000	1.000
31						0	1.000	1.000
32						0	1.000	1.000
33						0	1.000	1.000
34						0	1.000	1.000
35						0	1.000	1.000
36						0	1.000	1.000
37						0	1.000	1.000
38						0	1.000	1.000
39						0	1.000	1.000
40						0	1.000	1.000
41	0.0	0.0	0.0	232.0	pásnice	0	1.000	1.000
42	0.0	0.0	0.0	232.0	pásnice	0	1.000	1.000
43	0.0	0.0	0.0	-232.0	pásnice	0	1.000	1.000
44	0.0	0.0	0.0	-232.0	pásnice	0	1.000	1.000
45						0	1.000	1.000
46						0	1.000	1.000
47						0	1.000	1.000
48						0	1.000	1.000
49						0	1.000	1.000
50						0	1.000	1.000
51						0	1.000	1.000
52						0	1.000	1.000
53						0	1.000	1.000
54						0	1.000	1.000
55						0	1.000	1.000
56						0	1.000	1.000
57						0	1.000	1.000
58						0	1.000	1.000
59						0	1.000	1.000
60						0	1.000	1.000
61						0	1.000	1.000
62						0	1.000	1.000
63						0	1.000	1.000
64						0	1.000	1.000
65						0	1.000	1.000
66						0	1.000	1.000
67						0	1.000	1.000
68						0	1.000	1.000
69						0	1.000	1.000
70						0	1.000	1.000
71	0	0	-11.3	277.0	nýt	0	1.000	1.000
72	0	0	11.3	277.0	nýt	0	1.000	1.000
73	0	0	0	0	nýt	0	1.000	1.000
74	0	0	0	0	nýt	0	1.000	1.000
75	0	0	-11.3	-277.0	nýt	0	1.000	1.000
76	0	0	11.3	-277.0	nýt	0	1.000	1.000
77	0	0	0	0	nýt	0	1.000	1.000
78	0	0	0	0	nýt	0	1.000	1.000
79						0	1.000	1.000
80						0	1.000	1.000
81	0	0	-56.5	244.0	nýt	0	1.000	1.000
82	0	0	0	0	nýt	0	1.000	1.000
83	0	0	56.5	244.0	nýt	0	1.000	1.000
84	0	0	0	0	nýt	0	1.000	1.000
85	0	0	-56.5	-244.0	nýt	0	1.000	1.000
86	0	0	0	0	nýt	0	1.000	1.000
87	0	0	56.5	-244.0	nýt	0	1.000	1.000
88	0	0	0	0	nýt	0	1.000	1.000
89						0	1.000	1.000
90						0	1.000	1.000
91	0	0	0	0	nýt	0	1.000	1.000
92	0	0	0	0	nýt	0	1.000	1.000
93	0	0	0	0	nýt	0	1.000	1.000
94	0	0	0	0	nýt	0	1.000	1.000
95	0	0	0	0	nýt	0	1.000	1.000
96	0	0	0	0	nýt	0	1.000	1.000
97	0	0	0	0	nýt	0	1.000	1.000
98	0	0	0	0	nýt	0	1.000	1.000
99						0	1.000	1.000
100						0	1.000	1.000

NÝT Č.	SKUPINA	ŘEZ	RED.	VELIKOST d$_i$ [mm]	POLOHA e$_i$ [mm]	POPIS	AKTIVITA OTVORU		NAPĚTÍ sc [MPa]
1		-	1.00	20	35	nýt - t.o - úhelník	0		-44.19
2		-	1.00	20	35	nýt - t.o - úhelník	0		-43.57
3		-	1.00	0	35	nýt - t.i - úhelník	0	-	
4		-	1.00	0	35	nýt - t.i - úhelník	0	-	
5		-	1.00	20	35	nýt - b.o - úhelník	0		-34.59
6		-	1.00	20	35	nýt - b.o - úhelník	0		-33.98
7		-	1.00	0	35	nýt - b.i - úhelník	0	-	
8		-	1.00	0	35	nýt - b.i - úhelník	0	-	
9									
10									
11		-	1.00	22	70	nýt - t.i - úhelník	0		-44.85
12		-	1.00	0	70	nýt - t.i - úhelník	0	-	
13		-	1.00	22	70	nýt - t.r - úhelník	0		-41.77
14		-	1.00	0	70	nýt - t.r - úhelník	0	-	
15		-	1.00	22	70	nýt - b.l - úhelník	0		-36.39
16		-	1.00	0	70	nýt - b.l - úhelník	0	-	
17		-	1.00	22	70	nýt - b.r - úhelník	0		-33.32
18		-	1.00	0	70	nýt - b.r - úhelník	0	-	
19									
20									
21		-	1.00	0	-132	nýt - t.l	0	-	
22		-	1.00	0	-132	nýt - t.l	0	-	
23		-	1.00	0	132	nýt - t.r	0	-	
24		-	1.00	0	132	nýt - t.r	0	-	
25		-	1.00	0	-132	nýt - b.l	0	-	
26		-	1.00	0	-132	nýt - b.l	0	-	
27		-	1.00	0	132	nýt - b.r	0	-	
28		-	1.00	0	132	nýt - b.r	0	-	
29									
30									

VÝPOČET PRŮŘEZOVÝCH CHARAKTERISTIK

Properties	Basic	Ultimate		Serviceability	
y_i	0.0	0.0		0.0	[mm]
z_i	0.0	0.0		0.0	[mm]
A_i	8.3712E+03	8.3712E+03		8.3712E+03	[mm^2]
A_1	5.7600E+03	5.7600E+03		5.7600E+03	[mm^2]
A_2	2.6112E+03	2.6112E+03		2.6112E+03	[mm^2]
I_{yi}	3.1749E+08	3.1749E+08		3.1749E+08	[mm^4]
I_w	3.2738E+07	3.2738E+07		3.2738E+07	[mm^6]
i_y	194.7	194.7		194.7	[mm]
i_z	62.5	62.5		62.5	[mm]
W_{y1}	1.0176E+06	1.0176E+06		1.0176E+06	[mm^3]
W_{z1}	-2.5880E+05	-2.5880E+05		-2.5880E+05	[mm^3]
W_{y2}	-1.0176E+06	-1.0176E+06		-1.0176E+06	[mm^3]
W_{z2}	-2.5880E+05	-2.5880E+05		-2.5880E+05	[mm^3]
KRAJNÍ VLÁKNA PRŮŘEZU					
y_1	-126.5	-126.5		-126.5	[mm] min
z_1	312.0	312.0		312.0	[mm] max
y_2	-126.5	-126.5		-126.5	[mm] min
z_2	-312.0	-312.0		-312.0	[mm] min
y_3	126.5	126.5		126.5	[mm] max
z_3	312.0	312.0		312.0	[mm] max
y_4	126.5	126.5		126.5	[mm] max
z_4	-312.0	-312.0		-312.0	[mm] min
y_5	-16.1	-16.1		-16.1	[mm]
z_5	-244.0	-244.0		-244.0	[mm]
y_6	-16.1	-16.1		-16.1	[mm]
z_6	-312.0	-312.0		-312.0	[mm]

SCHÉMA PROMĚNNÝCH

SCHÉMA ZADANÉHO PRŮŘEZU

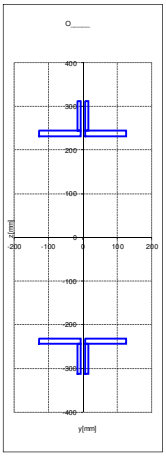

ÚPRAVA MOMENTŮ SETRVAČNOSTI V DŮSLEDKU ČLENĚNÍ PRŮŘEZU

OSA Y	0.60
OSA Z	1.00

NEUTRÁLNÁ OSA

NAPĚTÍ [MPa]:

-47.99	-41.05
-37.12	-30.24

ZS: SLS_LM_N.MIN

	N [kN]	Vy [kN]	Vz [kN]	Mx [kNm]	My [kNm]	Mz [kNm]
import	-327	0	0	0	0	-1

TR_V6.1 POPIS: **SVISLICE V6** POSUDEK: **V6.1**

SKUPINA ZAT. STAVŮ	EXTRÉM	VYHODNOCOVANÉ VELIČINY					
		N	Vy	Vz	Mx	My	Mz
		kN	kN	kN	kNm	kNm	kNm
G0	N.min	**-14.92**	-0.1	-0.93	0	1.36	-0.34
	N.max	**-14.92**	-0.1	-0.93	0	1.36	-0.34
	Vy.min	-14.92	**-0.1**	-0.93	0	1.36	-0.34
	Vy.max	-14.92	**-0.1**	-0.93	0	1.36	-0.34
	Vz.min	-14.92	-0.1	**-0.93**	0	1.36	-0.34
	Vz.max	-14.92	-0.1	**-0.93**	0	1.36	-0.34
	Mx.min	-14.92	-0.1	-0.93	**0**	1.36	-0.34
	Mx.max	-14.92	-0.1	-0.93	**0**	1.36	-0.34
	My.min	-14.92	-0.1	-0.93	0	**1.36**	-0.34
	My.max	-14.92	-0.1	-0.93	0	**1.36**	-0.34
	Mz.min	-14.92	-0.1	-0.93	0	1.36	**-0.34**
	Mz.max	-14.92	-0.1	-0.93	0	1.36	**-0.34**
G1	N.min	**1.93**	0.01	-0.04	0	-0.17	0
	N.max	**1.93**	0.01	-0.04	0	-0.17	0
	Vy.min	1.93	**0.01**	-0.04	0	-0.17	0
	Vy.max	1.93	**0.01**	-0.04	0	-0.17	0
	Vz.min	1.93	0.01	**-0.04**	0	-0.17	0
	Vz.max	1.93	0.01	**-0.04**	0	-0.17	0
	Mx.min	1.93	0.01	-0.04	**0**	-0.17	0
	Mx.max	1.93	0.01	-0.04	**0**	-0.17	0
	My.min	1.93	0.01	-0.04	0	**-0.17**	0
	My.max	1.93	0.01	-0.04	0	**-0.17**	0
	Mz.min	1.93	0.01	-0.04	0	-0.17	**0**
	Mz.max	1.93	0.01	-0.04	0	-0.17	**0**
G2	N.min	**1.4**	0	0.05	0	0.11	0
	N.max	**1.4**	0	0.05	0	0.11	0
	Vy.min	1.4	**0**	0.05	0	0.11	0
	Vy.max	1.4	**0**	0.05	0	0.11	0
	Vz.min	1.4	0	**0.05**	0	0.11	0
	Vz.max	1.4	0	**0.05**	0	0.11	0
	Mx.min	1.4	0	0.05	**0**	0.11	0
	Mx.max	1.4	0	0.05	**0**	0.11	0
	My.min	1.4	0	0.05	0	**0.11**	0
	My.max	1.4	0	0.05	0	**0.11**	0
	Mz.min	1.4	0	0.05	0	0.11	**0**
	Mz.max	1.4	0	0.05	0	0.11	**0**
P1_71	N.min	**-77.82**	0.06	-1.13	0	-3.84	-0.15
	N.max	**109.44**	-0.04	-3.21	0	-4.71	0.1
	Vy.min	57.4	**-0.07**	-2.12	0	-2.8	-0.03
	Vy.max	-23.4	**0.1**	-2.23	0	-6.35	0
	Vz.min	40.07	0.01	**-4.39**	0	-8.25	-0.02
	Vz.max	0	0	**0**	0	0	0
	Mx.min	58.09	-0.02	-3.91	**0**	-5.63	0
	Mx.max	-28.13	0.05	-0.6	**0**	-3.76	-0.03
	My.min	26.58	0.04	-4.06	0	**-8.67**	-0.02
	My.max	0	0	0	0	**0**	0
	Mz.min	-44.52	0.01	-2.18	0	-4.73	**-0.18**
	Mz.max	71.66	0.04	-1.9	0	-3.41	**0.18**
P2_71	N.min	**-199.52**	0.17	1.91	0	0.05	-0.34
	N.max	**259.7**	-0.13	-0.93	0	-1.76	0.21
	Vy.min	138.49	**-0.2**	-1.31	0	-1.56	-0.1
	Vy.max	-79.62	**0.28**	2.41	0	-0.72	0
	Vz.min	165.94	-0.17	**-1.56**	0	-2.12	0
	Vz.max	-102.86	0.25	**2.48**	0	-0.35	-0.08
	Mx.min	177.93	-0.16	-1.5	**0**	-1.83	0.07
	Mx.max	-114.74	0.25	2.42	**0**	-0.66	-0.13
	My.min	87.75	0.02	-0.46	0	**-4.21**	0.02
	My.max	-57.89	0.13	1.73	0	**1.98**	-0.1
	Mz.min	-110.43	0	0.93	0	-0.11	**-0.44**
	Mz.max	156.94	0.11	0.39	0	-1.08	**0.43**
P1_C3	N.min	**-62.84**	0.04	-0.89	0	-2.78	-0.12
	N.max	**86.99**	-0.03	-2.43	0	-3.58	0.09
	Vy.min	43.27	**-0.05**	-1.58	0	-2.03	-0.02
	Vy.max	-13.81	**0.09**	-2.02	0	-5.36	0.02
	Vz.min	23.26	0.02	**-3.48**	0	-6.58	-0.03
	Vz.max	0	0	**0**	0	0	0
	Mx.min	42.48	-0.01	-3.13	**0**	-4.62	0
	Mx.max	-24.36	0.04	-0.43	**0**	-2.8	-0.02
	My.min	20.47	0.04	-3.33	0	**-6.85**	-0.01
	My.max	0	0	0	0	**0**	0
	Mz.min	-19.59	-0.02	-2.29	0	-4.39	**-0.15**
	Mz.max	50.54	0.04	-1.27	0	-2.56	**0.14**
P2_C3	N.min	**-161.32**	0.14	1.55	0	0.13	-0.27
	N.max	**205.43**	-0.1	-0.61	0	-1.05	0.19
	Vy.min	109.89	**-0.15**	-1.03	0	-1.15	-0.06
	Vy.max	-55.49	**0.24**	1.96	0	-0.5	0.05
	Vz.min	123.23	-0.13	**-1.16**	0	-1.39	0.03
	Vz.max	-91.8	0.2	**2.07**	0	-0.02	-0.1
	Mx.min	123.35	-0.13	-1.15	**0**	-1.33	0.03
	Mx.max	-92.96	0.2	2.05	**0**	-0.21	-0.1
	My.min	67.26	0.02	-0.33	0	**-3.05**	0.04
	My.max	-42.63	0.11	1.51	0	**1.64**	-0.07
	Mz.min	-56.61	-0.06	0.37	0	0.2	**-0.38**
	Mz.max	95.62	0.16	0.72	0	-1.34	**0.35**
BR	N.min	**-1.56**	-0.07	0.1	0	0.24	-0.11
	N.max	**1.56**	0.07	-0.1	0	-0.24	0.11
	Vy.min	-1.56	**-0.07**	0.1	0	0.24	-0.11
	Vy.max	1.56	**0.07**	-0.1	0	-0.24	0.11
	Vz.min	1.56	0.07	**-0.1**	0	-0.24	0.11
	Vz.max	-1.56	-0.07	**0.1**	0	0.24	-0.11
	Mx.min	-1.54	-0.07	0.02	**0**	0.13	-0.1
	Mx.max	1.54	0.07	-0.02	**0**	-0.13	0.1
	My.min	1.56	0.07	-0.1	0	**-0.24**	0.11
	My.max	-1.56	-0.07	0.1	0	**0.24**	-0.11
	Mz.min	-1.56	-0.07	0.1	0	0.24	**-0.11**
	Mz.max	1.56	0.07	-0.1	0	-0.24	**0.11**

TR_V6.1 POPIS: **SVISLICE V6** POSUDEK: **V6.1**

SKUPINA ZAT. STAVŮ	EXTRÉM	VYHODNOCOVANÉ VELIČINY					
		N	Vy	Vz	Mx	My	Mz
		kN	kN	kN	kNm	kNm	kNm
S	N.min	**-4.38**	0.01	0.66	0	1.54	0.01
	N.max	**4.38**	-0.01	-0.66	0	-1.54	-0.01
	Vy.min	3.49	**-0.01**	-0.86	0	-1.17	-0.01
	Vy.max	-3.49	**0.01**	0.86	0	1.17	0.01
	Vz.min	2.67	-0.01	**-0.91**	0	-0.49	-0.01
	Vz.max	-2.67	0.01	**0.91**	0	0.49	0.01
	Mx.min	2.67	-0.01	-0.91	**0**	-0.49	-0.01
	Mx.max	-2.67	0.01	0.91	**0**	0.49	0.01
	My.min	4.38	-0.01	-0.66	0	**-1.54**	-0.01
	My.max	-4.38	0.01	0.66	0	**1.54**	0.01
	Mz.min	3.49	-0.01	-0.86	0	-1.17	**-0.01**
	Mz.max	-3.49	0.01	0.86	0	1.17	**0.01**
CH	N.min	**-15.59**	0.01	-0.26	0	-0.29	-0.03
	N.max	**20.58**	0	-0.02	0	0.12	0.03
	Vy.min	20.58	**0**	-0.02	0	0.12	0.03
	Vy.max	4.43	**0.01**	0.17	0	0.43	0
	Vz.min	-15.59	0.01	**-0.26**	0	-0.29	-0.03
	Vz.max	4.43	0.01	**0.17**	0	0.43	0
	Mx.min	-15.59	0.01	-0.26	**0**	-0.29	-0.03
	Mx.max	4.43	0.01	0.17	**0**	0.43	0
	My.min	-15.59	0.01	-0.26	0	**-0.29**	-0.03
	My.max	4.43	0.01	0.17	0	**0.43**	0
	Mz.min	-15.59	0.01	-0.26	0	-0.29	**-0.03**
	Mz.max	20.58	0	-0.02	0	0.12	**0.03**
W	N.min	**-11.05**	0.01	0.66	0	6.02	0
	N.max	**11.05**	-0.01	-0.66	0	-6.02	0
	Vy.min	11.05	**-0.01**	-0.66	0	-6.02	0
	Vy.max	-11.05	**0.01**	0.66	0	6.02	0
	Vz.min	11.05	-0.01	**-0.66**	0	-6.02	0
	Vz.max	-11.05	0.01	**0.66**	0	6.02	0
	Mx.min	-11.05	0.01	0.66	**0**	6.02	0
	Mx.max	11.05	-0.01	-0.66	**0**	-6.02	0
	My.min	11.05	-0.01	-0.66	0	**-6.02**	0
	My.max	-11.05	0.01	0.66	0	**6.02**	0
	Mz.min	-11.05	0.01	0.66	0	6.02	**0**
	Mz.max	11.05	-0.01	-0.66	0	-6.02	**0**
WP	N.min	**-9.08**	0.03	2.43	0	3.51	0.03
	N.max	**9.08**	-0.03	-2.43	0	-3.51	-0.03
	Vy.min	9.08	**-0.03**	-2.43	0	-3.51	-0.03
	Vy.max	-9.08	**0.03**	2.43	0	3.51	0.03
	Vz.min	9.08	-0.03	**-2.43**	0	-3.51	-0.03
	Vz.max	-9.08	0.03	**2.43**	0	3.51	0.03
	Mx.min	9.08	-0.03	-2.43	**0**	-3.51	-0.03
	Mx.max	-9.08	0.03	2.43	**0**	3.51	0.03
	My.min	9.08	-0.03	-2.43	0	**-3.51**	-0.03
	My.max	-9.08	0.03	2.43	0	**3.51**	0.03
	Mz.min	9.08	-0.03	-2.43	0	-3.51	**-0.03**
	Mz.max	-9.08	0.03	2.43	0	3.51	**0.03**
TR	N.min	**0**	0	0	0	0	0
	N.max	**0**	0	0	0	0	0
	Vy.min	0	**0**	0	0	0	0
	Vy.max	0	**0**	0	0	0	0
	Vz.min	0	0	**0**	0	0	0
	Vz.max	0	0	**0**	0	0	0
	Mx.min	0	0	0	**0**	0	0
	Mx.max	0	0	0	**0**	0	0
	My.min	0	0	0	0	**0**	0
	My.max	0	0	0	0	**0**	0
	Mz.min	0	0	0	0	0	**0**
	Mz.max	0	0	0	0	0	**0**
TN	N.min	**-21.85**	0.06	0.15	0	0.17	0.1
	N.max	**26.52**	-0.06	-2.27	0	-2.83	-0.1
	Vy.min	26.52	**-0.06**	-2.27	0	-2.83	-0.1
	Vy.max	-21.85	**0.06**	0.15	0	0.17	0.1
	Vz.min	26.52	-0.06	**-2.27**	0	-2.83	-0.1
	Vz.max	-3.8	0	**1.94**	0	2.5	0
	Mx.min	26.52	-0.06	-2.27	**0**	-2.83	-0.1
	Mx.max	-3.8	0	1.94	**0**	2.5	0
	My.min	26.52	-0.06	-2.27	0	**-2.83**	-0.1
	My.max	-3.8	0	1.94	0	**2.5**	0
	Mz.min	26.52	-0.06	-2.27	0	-2.83	**-0.1**
	Mz.max	-21.85	0.06	0.15	0	0.17	**0.1**
FR	N.min	**-0.41**	0	0	0	0.01	0
	N.max	**0.41**	0	0	0	-0.01	0
	Vy.min	0.41	**0**	0	0	-0.01	0
	Vy.max	-0.41	**0**	0	0	0.01	0
	Vz.min	0.41	0	**0**	0	-0.01	0
	Vz.max	-0.41	0	**0**	0	0.01	0
	Mx.min	0.41	0	0	**0**	-0.01	0
	Mx.max	-0.41	0	0	**0**	0.01	0
	My.min	0.41	0	0	0	**-0.01**	0
	My.max	-0.41	0	0	0	**0.01**	0
	Mz.min	0.41	0	0	0	-0.01	**0**
	Mz.max	-0.41	0	0	0	0.01	**0**
I	N.min	**-1.97**	0	-0.33	0	-0.54	**0**
	N.max	**1.97**	0	0.33	0	0.54	**0**
	Vy.min	1.97	**0**	0.33	0	0.54	**0**
	Vy.max	-1.97	**0**	-0.33	0	-0.54	**0**
	Vz.min	-1.97	0	**-0.33**	0	-0.54	**0**
	Vz.max	1.97	0	**0.33**	0	0.54	**0**
	Mx.min	-1.97	0	-0.33	**0**	-0.54	**0**
	Mx.max	1.97	0	0.33	**0**	0.54	**0**
	My.min	-1.97	0	-0.33	0	**-0.54**	**0**
	My.max	1.97	0	0.33	0	**0.54**	**0**
	Mz.min	-1.97	0	-0.33	0	-0.54	**0**
	Mz.max	1.97	0	0.33	0	0.54	**0**

TAB. V6.1.3 POSOUZENÍ - MEZNÍ STAV ÚNOSNOSTI

POPIS	SVISLICE V6
PRUT / POLOHA BODU	413 / 2/4
NAMÁHÁNÍ	N.min
VLÁKNO	BOD K2 -HP
MEZNÍ STAV	ULS (MSÚ)
VYUŽITÍ VLÁKNA PRŮŘEZU	0.44

Charakteristiky materiálu				
pás. horní	$f_{yf,k}$	230	MPa	
pás. dolní	$f_{yf,k}$	230	MPa	
stojina	$f_{yw,k}$	230	MPa	
výztuž	$f_{ys,k}$	500	MPa	
γ_M =	1.20	γ_s =	1.15	

Excentricita normálové síly				
Exc./Fáze	0	1	2	3
e_y	0.000	0.000	0.000	0.000
e_z	0.000	0.000	0.000	0.000
Ekvivalentní vzdál. stěn - příčný roznos				
b_{Mx}	0.000	0.000	0.000	0.000

Vliv stěny na únosnost průřezu				
Char./Fáze	0	1	2	3
A	0.00	0.00	0.00	0.00
Wy	0.00	0.00	0.00	0.00
Wz	0.00	0.00	0.00	0.00

Charakter. v kroucení			
$t_{w,y}$	0.000	[mm]	
$t_{w,z}$	0.000	[mm]	
κ	1.00		
I_t=	0.00E+00	[mm^4]	
$\Omega=2*A_{pz}$	0.00E+00	[mm^2]	

Součinitele vzpěru a vlivu II.řádu					
Char./Fáze	0	1	2	3	
k_y	1.000	1.000	1.000	1.000	
k_z	1.000	1.000	1.000	1.000	
χ_{LT}	1.000	1.000	1.000	1.000	
χ_{min}	0.727	1.000	1.000	1.000	

Vnitřní síly od jednotlivých skupin zatěžovacích stavů

SKUPINA ZATĚŽOVACÍCH STAVŮ					- CHARAKTERISTICKÉ HODNOTY						DÍLČÍ SOUČINITELÉ ZATÍŽENÍ, DYNAMICKÝ SOUČINITEL						4	- NÁVRHOVÉ HODNOTY									
Č.	SKUP ZS	POPIS ZS	KAT.	FÁZE PRŮŘ.	N.k (kN)	Vy.k (kN)	Vz.k (kN)	Mx.k (kNm)	My.k (kNm)	Mz.k (kNm)	γ_{sr} (-)	γ_{fs} (-)	volba ψ_1 hledat	ψ_1 (-)	L_d (m)	δ (-)	Ψ_E KZ04	N.d (kN)	Vy.d (kN)	Vz.d (kN)	ΔVz.d (kN)	ΣVz.d (kN)	Mx.d (kNm)	My.d (kNm)	ΔMy.d (kNm)	ΣMy.d (kNm)	Mz.d (kNm)	ΔMz.d (kNm)	ΣMz.d (kNm)
1	G0	Vlastní tíha OK	G	0	-15	0	-1	0	1	0	1.00	1.20		1.20	-	1.00	0.95	-17	0	-1	0	-1	0	2	0	2	0	0	0
2	G1	Ostatní stálé - mostní vybavení	G	0	2	0	0	0	0	0	1.00	1.00		1.00	-	1.00	0.95	2	0	0	0	0	0	0	0	0	0	0	0
3	G2	Ostatní stálé - cizí zařízení	G	0	1	0	0	0	0	0	1.00	1.00		1.00	-	1.00	0.95	1	0	0	0	0	0	0	0	0	0	0	0
4	P1_71	a.LM71 - kolej 1 (bez dyn. souč.)	P	0	-78	0	-1	0	-4	0	1.00	1.30		1.30	-	1.00	1.00	-101	0	-1	0	-1	0	-5	0	-5	0	0	0
5	P2_71	a.LM71 - kolej 2 (bez dyn. souč.)	P	0	-200	0	2	0	0	0	1.00	1.30		1.30	-	1.00	1.00	-259	0	2	0	2	0	0	0	0	0	0	0
6	P1_C3	TTZ C3 - kolej 1 (bez dyn. souč.)	P	0	-63	0	-1	0	-3	0	1.00	vyp.		0.00	-	1.00	0.00	0	0	0	0	0	0	0	0	0	0	0	0
7	P2_C3	TTZ C3 - kolej 2 (bez dyn. souč.)	P	0	-161	0	2	0	0	0	1.00	vyp.		0.00	-	1.00	0.00	0	0	0	0	0	0	0	0	0	0	0	0
8	BR	Brzdné a rozjezdové síly	P	0	-2	0	0	0	0	0	1.00	1.30		1.30	-	1.00	0.40	-1	0	0	0	0	0	0	0	0	0	0	0
9	S	Boční ráz	P	0	-4	0	1	0	2	0	1.00	1.30		1.30	-	1.00	0.80	-5	0	1	0	1	0	2	0	2	0	0	0
10	CH	Chodci na lávkách	Q	0	-16	0	0	0	0	0	1.00	1.30		1.30	-	1.00	1.00	-20	0	0	0	0	0	0	0	0	0	0	0
11	W	Vítr na konstrukci	Q	0	-11	0	1	0	6	0	1.00	1.35		1.35	-	1.00	0.75	-11	0	1	0	1	0	6	0	6	0	0	0
12	WP	Vítr na vozidla	Q	0	-9	0	2	0	4	0	1.00	1.35		1.35	-	1.00	0.75	-9	0	2	0	2	0	4	0	4	0	0	0
13	TR	Teplota rovnoměrná	Q	0	0	0	0	0	0	0	1.00	1.35		1.35	-	1.00	0.45	0	0	0	0	0	0	0	0	0	0	0	0
14	TN	Teplota nerovnoměrná	Q	0	-22	0	0	0	0	0	1.00	1.35		1.35	-	1.00	0.60	-18	0	0	0	0	0	0	0	0	0	0	0
15	FR	Třecí síly v ložiskách	Q	0	0	0	0	0	0	0	1.00	1.20		1.20	-	1.00	1.00	0	0	0	0	0	0	0	0	0	0	0	0
16	I	Imperfekce soustavy	Q	0	-2	0	0	0	-1	0	1.00	-1.20		-1.20	-	1.00	1.00	2	0	0	0	0	0	1	0	1	0	0	0
27	ULS_LM	ULS - LM71 bez dynam	Q	0	-442	0	3	0	7	-1	1.00	vyp.	1	0.00	-	1.00	0.00	0	0	0	0	0	0	0	0	0	0	0	0
28	SLS_LM	SLS - LM71 bez dynam	Q	0	-327	0	2	0	6	-1	1.00	vyp.	1	0.00	-	1.00	0.00	0	0	0	0	0	0	0	0	0	0	0	0
29	ULS_C3	ULS - C3 bez dynam	Q	0	-373	0	3	0	9	-1	1.00	vyp.	1	0.00	-	1.00	0.00	0	0	0	0	0	0	0	0	0	0	0	0
30	SLS_C3	SLS - C3 bez dynam	Q	0	0	0	0	0	0	0	1.00	vyp.	1	0.00	-	1.00	0.00	0	0	0	0	0	0	0	0	0	0	0	0
		CELKEM - FÁZE PRŮŘEZU 0																-436	0	4	0	4	0	8	0	8	-1	0	-1
		CELKEM - FÁZE PRŮŘEZU 1																0	0	0	0	0	0	0	0	0	0	0	0
		CELKEM - FÁZE PRŮŘEZU 2																0	0	0	0	0	0	0	0	0	0	0	0
		CELKEM - FÁZE PRŮŘEZU 3																0	0	0	0	0	0	0	0	0	0	0	0
		CELKEM - PRŮŘEZ																-436	0	4	0	4	0			8			-1

Napětí od jednotlivých zatěžovacích stavů

SKUPINA ZATĚŽOVACÍCH STAVŮ					Posouzení normálového napětí										Posouzení smykového napětí													
					Účinek síly N			Účinek momentu My			Účinek momentu Mz				Účinek kroutícího momentu Mx				Účinek smykové síly Vy				Účinek smykové síly Vz			
Č.	SKUP ZS	Popis ZS	Kat.	fáze průř.	δ^*N_d [kN]	χ^*A [mm^2]	σ_n [MPa]	$\delta^*M_{y,d}$ [kNm]	$\chi_{lt}^*W_{el,y}$ [mm^3]	σ_{my} [MPa]	$\delta^*M_{z,d}$ [kNm]	$W_{el,z}$ [mm^3]	σ_{mz} [MPa]	σ_x [MPa]	$\kappa^*\delta^*M_{x,d}$ [kNm]	$W_{v,y}$ [mm^3]	$\tau_{x,y}$ [MPa]	$W_{v,z}$ [mm^3]	$\tau_{x,z}$ [MPa]	$\delta^*V_{y,d}$ [kN]	$A_{v,y}$ [mm2]	$\tau_{v,y}$ [MPa]	$\tau_{v,y}$ [MPa]	$\delta^*V_{z,d}$ [kN]	$A_{v,z}$ [mm2]	$\tau_{v,z}$ [MPa]	$\tau_{v,z}$ [MPa]
1	G0	Vlastní tíha OK	G	0	-17.0	6.09E+03	-2.8	1.6	-1.02E+06	-1.5	-0.4	2.59E+05	-1.5	-5.8	0.0E+00	-	-	-	-	-0.1	5.76E+03	0.0	0.0	-1.1	2.61E+03	-0.4	-0.4
2	G1	Ostatní stálé - mostní vybavení	G	0	1.8	6.09E+03	0.3	-0.2	-1.02E+06	0.2	0.0	2.59E+05	0.0	0.5	0.0E+00	-	-	-	-	0.0	5.76E+03	0.0	0.0	0.0	2.61E+03	0.0	0.0
3	G2	Ostatní stálé - cizí zařízení	G	0	1.3	6.09E+03	0.2	0.1	-1.02E+06	-0.1	0.0	2.59E+05	0.0	0.1	0.0E+00	-	-	-	-	0.0	5.76E+03	0.0	0.0	0.0	2.61E+03	0.0	0.0
4	P1_71	a.LM71 - kolej 1 (bez dyn. souč.)	P	0	-101.2	6.09E+03	-16.6	-5.0	-1.02E+06	4.9	-0.2	2.59E+05	-0.8	-12.5	0.0E+00	-	-	-	-	0.1	5.76E+03	0.0	0.0	-1.5	2.61E+03	-0.6	-0.6
5	P2_71	a.LM71 - kolej 2 (bez dyn. souč.)	P	0	-259.4	6.09E+03	-42.6	0.1	-1.02E+06	-0.1	-0.4	2.59E+05	-1.7	-44.4	0.0E+00	-	-	-	-	0.2	5.76E+03	0.0	0.0	2.5	2.61E+03	1.0	1.0
6	P1_C3	TTZ C3 - kolej 1 (bez dyn. souč.)	P	0	0.0	6.09E+03	0.0	0.0	-1.02E+06	0.0	0.0	2.59E+05	0.0	0.0	0.0E+00	-	-	-	-	0.0	5.76E+03	0.0	0.0	0.0	2.61E+03	0.0	0.0
7	P2_C3	TTZ C3 - kolej 2 (bez dyn. souč.)	P	0	0.0	6.09E+03	0.0	0.0	-1.02E+06	0.0	0.0	2.59E+05	0.0	0.0	0.0E+00	-	-	-	-	0.0	5.76E+03	0.0	0.0	0.0	2.61E+03	0.0	0.0
8	BR	Brzdné a rozjezdové síly	P	0	-0.8	6.09E+03	-0.1	0.1	-1.02E+06	-0.1	-0.1	2.59E+05	-0.2	-0.5	0.0E+00	-	-	-	-	0.0	5.76E+03	0.0	0.0	0.1	2.61E+03	0.0	0.0
9	S	Boční ráz	P	0	-4.6	6.09E+03	-0.7	1.6	-1.02E+06	-1.6	0.0	2.59E+05	0.0	-2.3	0.0E+00	-	-	-	-	0.0	5.76E+03	0.0	0.0	0.7	2.61E+03	0.3	0.3
10	CH	Chodci na lávkách	Q	0	-20.3	6.09E+03	-3.3	-0.4	-1.02E+06	0.4	0.0	2.59E+05	-0.2	-3.1	0.0E+00	-	-	-	-	0.0	5.76E+03	0.0	0.0	-0.3	2.61E+03	-0.1	-0.1
11	W	Vítr na konstrukci	Q	0	-11.2	6.09E+03	-1.8	6.1	-1.02E+06	-6.0	0.0	2.59E+05	0.0	-7.8	0.0E+00	-	-	-	-	0.0	5.76E+03	0.0	0.0	0.7	2.61E+03	0.3	0.3
12	WP	Vítr na vozidla	Q	0	-9.2	6.09E+03	-1.5	3.6	-1.02E+06	-3.5	0.0	2.59E+05	0.1	-4.9	0.0E+00	-	-	-	-	0.0	5.76E+03	0.0	0.0	2.5	2.61E+03	0.9	0.9
13	TR	Teplota rovnoměrná	Q	0	0.0	6.09E+03	0.0	0.0	-1.02E+06	0.0	0.0	2.59E+05	0.0	0.0	0.0E+00	-	-	-	-	0.0	5.76E+03	0.0	0.0	0.0	2.61E+03	0.0	0.0
14	TN	Teplota nerovnoměrná	Q	0	-17.7	6.09E+03	-2.9	0.1	-1.02E+06	-0.1	0.1	2.59E+05	0.3	-2.7	0.0E+00	-	-	-	-	0.0	5.76E+03	0.0	0.0	0.1	2.61E+03	0.0	0.0
15	FR	Třecí síly v ložiskách	Q	0	-0.5	6.09E+03	-0.1	0.0	-1.02E+06	0.0	0.0	2.59E+05	0.0	-0.1	0.0E+00	-	-	-	-	0.0	5.76E+03	0.0	0.0	0.0	2.61E+03	0.0	0.0
16	I	Imperfekce soustavy	Q	0	2.4	6.09E+03	0.4	0.6	-1.02E+06	-0.6	0.0	2.59E+05	0.0	-0.2	0.0E+00	-	-	-	-	0.0	5.76E+03	0.0	0.0	0.4	2.61E+03	0.2	0.2
27	ULS_LM	ULS - LM71 bez dynam	Q	0	0.0	6.09E+03	0.0	0.0	-1.02E+06	0.0	0.0	2.59E+05	0.0	0.0	0.0E+00	-	-	-	-	0.0	5.76E+03	0.0	0.0	0.0	2.61E+03	0.0	0.0
28	SLS_LM	SLS - LM71 bez dynam	Q	0	0.0	6.09E+03	0.0	0.0	-1.02E+06	0.0	0.0	2.59E+05	0.0	0.0	0.0E+00	-	-	-	-	0.0	5.76E+03	0.0	0.0	0.0	2.61E+03	0.0	0.0
29	ULS_C3	ULS - C3 bez dynam	Q	0	0.0	6.09E+03	0.0	0.0	-1.02E+06	0.0	0.0	2.59E+05	0.0	0.0	0.0E+00	-	-	-	-	0.0	5.76E+03	0.0	0.0	0.0	2.61E+03	0.0	0.0
30	SLS_C3	SLS - C3 bez dynam	Q	0	0.0	6.09E+03	0.0	0.0	-1.02E+06	0.0	0.0	2.59E+05	0.0	0.0	0.0E+00	-	-	-	-	0.0	5.76E+03	0.0	0.0	0.0	2.61E+03	0.0	0.0
		NAVÝŠENÍ NAPĚTÍ DO AKTIVACE TLAKU V DÉSCE MOSTOVKY				$\sigma_{P,red}$	0.0							0.0			0.0		0.0				0.0	0.0			1.5	1.5
		NAPĚTÍ OD PRIMÁRNÍCH ÚČINKŮ NEROVNOMĚRNÉHO OTEPLENÍ				σ_T	0.0							0.0														
		NAPĚTÍ OD REOLOGICKÝCH ÚČINKŮ BETONU V ČASE		t=0		σ_R	0.0	γ_{G}=	1.20					0.0														
		NAPĚTÍ V KRITICKÝCH VLÁKNECH OD KOMBINACE ZATÍŽENÍ				KZ04		[MPa]					$\Sigma\sigma_x$	-83.8									$\Sigma\tau_y$	0.0			$\Sigma\tau_z$	1.5
		NAPĚTÍ OD POHYBLIVÉHO ZATÍŽENÍ						[MPa]					$\sigma_{x,P}$	-59.6									τ_P	0.0			τ_P	0.7
		NAPĚTÍ OD OSTATNÍCH ZATÍŽENÍ						[MPa]			Φ_{Vy}	Φ_{Vz}	$\sigma_{x,rs}$	-24.1									τ_{rs}	0.0			τ_{rs}	0.9
		NÁVRHOVÁ HODNOTA MEZE KLUZU S REDUKCÍ VLIVEM SMYKOVÉHO NAPĚTÍ						[MPa]			1.00	1.00	$f_{yw,d}$	191.7									$f_{yd}/3^{0,5}$	110.7			$f_{yd}/3^{0,5}$	110.7
		NAPĚTÍ OD POHYBLIVÉHO ZATÍŽENÍ V GLOBÁLNÍM SYSTÉMU				$\sigma_{GLOB,P}$	0.0	[MPa]					$\Sigma\sigma_{GLOB}$	0.0														
		NAPĚTÍ OD OSTATNÍCH ZATÍŽENÍ V GLOBÁLNÍM SYSTÉMU				$\sigma_{GLOB,rs}$	0.0	[MPa]					$\Sigma\sigma_x + \Sigma\sigma_{GLOB}$	-83.8														
		VYUŽITÍ PRŮŘEZU DLE NAPĚTÍ						[%]					η_1	0.44									η_3	0.00			η_3	0.01
		NAPĚTÍ V PŘÍČNÉM SMĚRU OD POHYBLIVÉHO ZATÍŽENÍ				$\sigma_{z,P}$	0.0	[MPa]					$\Sigma\sigma_z$	0.0														
		NAPĚTÍ V PŘÍČNÉM SMĚRU OD OSTATNÍCH ZATÍŽENÍ				$\sigma_{z,rs}$	0.0	[MPa]					η_2	0.00														
		SROVNÁVACÍ NAPĚTÍ											$(\eta_2 + 0,8\,\eta_1)/1,4$ =	0.25														
		VYUŽITÍ PRŮŘEZU CELKEM						[%]					eff	0.44	VYHOVUJE													
													z_{LM71} =	2.81														

TAB. V6.1.3 POSOUZENÍ - MEZNÍ STAV ÚNOSNOSTI

POPIS	SVISLICE V6
PRUT / POLOHA BODU	413 / 2/4
NAMÁHÁNÍ	N.min
VLÁKNO	BOD K4 -SP
MEZNÍ STAV	ULS (MSÚ)
VYUŽITÍ VLÁKNA PRŮŘEZU	0.43

Charakteristiky materiálu				
pás. horní	$f_{yf,k}$	230	MPa	
pás. dolní	$f_{yf,k}$	230	MPa	
stojina	$f_{yw,k}$	230	MPa	
výztuž	$f_{ys,k}$	500	MPa	
	γ_M =	1.20	γ_s =	1.15

Excentricita normálové síly				
Exc./Fáze	0	1	2	3
e_y	0.000	0.000	0.000	0.000
e_z	0.000	0.000	0.000	0.000
Ekvivalentní vzdál. stěn - příčný roznos				
b_{Mx}	0.000	0.000	0.000	0.000

Vliv stěny na únosnost průřezu				
Char./Fáze	0	1	2	3
A	0.00	0.00	0.00	0.00
Wy	0.00	0.00	0.00	0.00
Wz	0.00	0.00	0.00	0.00

Charakter. v kroucení			
$t_{w,y}$	0.000	[mm]	
$t_{w,z}$	0.000	[mm]	
κ	1.00		
I_t=	0.00E+00	[mm^4]	
Ω=2*A_{pr}	0.00E+00	[mm^2]	

Součinitele vzpěru a vlivu II.řádu					
Char./Fáze	0	1	2	3
k_y	1.000	1.000	1.000	1.000
k_z	1.000	1.000	1.000	1.000
χ_{LT}	1.000	1.000	1.000	1.000
χ_{min}	0.727	1.000	1.000	1.000

Vnitřní síly od jednotlivých skupin zatěžovacích stavů

3

SKUPINA ZATĚŽOVACÍCH STAVŮ					- CHARAKTERISTICKÉ HODNOTY						DÍLČÍ SOUČINITELÉ ZATÍŽENÍ, DYNAMICKÝ SOUČINITEL							- NÁVRHOVÉ HODNOTY									
Č.	SKUP ZS	POPIS ZS	KAT.	FÁZE PRŮŘ.	N.k (kN)	Vy.k (kN)	Vz.k (kN)	Mx.k (kNm)	My.k (kNm)	Mz.k (kNm)	γ_{sr} (-)	γ_{fs} (-)	volba γ_f hledat	γ_f (-)	L_d (m)	δ (-)	Ψ_s KZ03	N.d (kN)	Vy.d (kN)	Vz.d (kN)	ΔVz.d (kN)	ΣVz.d (kN)	Mx.d (kNm)	My.d (kNm)	ΔMy.d (kNm)	ΣMy.d (kNm)	Mz.d (kNm)	ΔMz.d (kNm)	ΣMz.d (kNm)
1	G0	Vlastní tíha OK	G	0	-15	0	-1	0	1	0	1.00	1.20		1.20	-	1.00	0.95	-17	0	-1	0	-1	0	2	0	2	0	0	0
2	G1	Ostatní stálé - mostní vybavení	G	0	2	0	0	0	0	0	1.00	1.00		1.00	-	1.00	0.95	2	0	0	0	0	0	0	0	0	0	0	0
3	G2	Ostatní stálé - cizí zařízení	G	0	1	0	0	0	0	0	1.00	1.00		1.00	-	1.00	0.95	1	0	0	0	0	0	0	0	0	0	0	0
4	P1_71	a.LM71 - kolej 1 (bez dyn. souč.)	P	0	-78	0	-1	0	-4	0	1.00	1.30		1.30	-	1.00	1.00	-101	0	-1	0	-1	0	-5	0	-5	0	0	0
5	P2_71	a.LM71 - kolej 2 (bez dyn. souč.)	P	0	-200	0	2	0	0	0	1.00	1.30		1.30	-	1.00	1.00	-259	0	2	0	2	0	0	0	0	0	0	0
6	P1_C3	TTZ C3 - kolej 1 (bez dyn. souč.)	P	0	-63	0	-1	0	-3	0	1.00	vyp.		0.00	-	1.00	0.00	0	0	0	0	0	0	0	0	0	0	0	0
7	P2_C3	TTZ C3 - kolej 2 (bez dyn. souč.)	P	0	-161	0	2	0	0	0	1.00	vyp.		0.00	-	1.00	0.00	0	0	0	0	0	0	0	0	0	0	0	0
8	BR	Brzdné a rozjezdové síly	P	0	-2	0	0	0	0	0	1.00	1.30		1.30	-	1.00	0.80	-2	0	0	0	0	0	0	0	0	0	0	0
9	S	Boční ráz	P	0	-4	0	1	0	2	0	1.00	0.00		0.00	-	1.00	0.40	0	0	0	0	0	0	0	0	0	0	0	0
10	CH	Chodci na lávkách	Q	0	-16	0	0	0	0	0	1.00	1.30		1.30	-	1.00	1.00	-20	0	0	0	0	0	0	0	0	0	0	0
11	W	Vítr na konstrukci	Q	0	-11	0	1	0	6	0	1.00	-1.35		-1.35	-	1.00	0.75	11	0	-1	0	-1	0	-6	0	-6	0	0	0
12	WP	Vítr na vozidla	Q	0	-9	0	2	0	4	0	1.00	-1.35		-1.35	-	1.00	0.75	9	0	-2	0	-2	0	-4	0	-4	0	0	0
13	TR	Teplota rovnoměrná	Q	0	0	0	0	0	0	0	1.00	1.35		1.35	-	1.00	0.45	0	0	0	0	0	0	0	0	0	0	0	0
14	TN	Teplota nerovnoměrná	Q	0	-22	0	0	0	0	0	1.00	1.35		1.35	-	1.00	0.60	-18	0	0	0	0	0	0	0	0	0	0	0
15	FR	Třecí síly v ložiskách	Q	0	0	0	0	0	0	0	1.00	1.20		1.20	-	1.00	1.00	0	0	0	0	0	0	0	0	0	0	0	0
16	I	Imperfekce soustavy	Q	0	-2	0	0	0	-1	0	1.00	1.20		1.20	-	1.00	1.00	-2	0	0	0	0	0	-1	0	-1	0	0	0
27	ULS_LM	ULS - LM71 bez dynam	Q	0	-442	0	3	0	7	-1	1.00	vyp.		0.00	-	1.00	0.00	0	0	0	0	0	0	0	0	0	0	0	0
28	SLS_LM	SLS - LM71 bez dynam	Q	0	-327	0	2	0	6	-1	1.00	vyp.	1	0.00	-	1.00	0.00	0	0	0	0	0	0	0	0	0	0	0	0
29	ULS_C3	ULS - C3 bez dynam	Q	0	-373	0	3	0	9	-1	1.00	vyp.	1	0.00	-	1.00	0.00	0	0	0	0	0	0	0	0	0	0	0	0
30	SLS_C3	SLS - C3 bez dynam	Q	0	0	0	0	0	0	0	1.00	vyp.	1	0.00	-	1.00	0.00	0	0	0	0	0	0	0	0	0	0	0	0
		CELKEM - FÁZE PRŮŘEZU 0																-396	0	-4	0	-4	0	-14	0	-14	-1	0	-1
		CELKEM - FÁZE PRŮŘEZU 1																0	0	0	0	0	0	0	0	0	0	0	0
		CELKEM - FÁZE PRŮŘEZU 2																0	0	0	0	0	0	0	0	0	0	0	0
		CELKEM - FÁZE PRŮŘEZU 3																0	0	0	0	0	0	0	0	0	0	0	0
		CELKEM - PRŮŘEZ																-396	0	-4	0	-4	0			-14			-1

Napětí od jednotlivých zatěžovacích stavů

SKUPINA ZATĚŽOVACÍCH STAVŮ					Posouzení normálového napětí										Posouzení smykového napětí													
					Účinek síly N			Účinek momentu My			Účinek momentu Mz				Účinek kroutícího momentu Mx				Účinek smykové síly Vy				Účinek smykové síly Vz			
Č.	SKUP ZS	Popis ZS	Kat.	fáze prúř.	δ^*N_d [kN]	χ^*A [mm^2]	σ_n [MPa]	$\delta^*M_{y,d}$ [kNm]	$\chi_{lt}{}^*W_{el,y}$ [mm^3]	σ_{my} [MPa]	$\delta^*M_{z,d}$ [kNm]	$W_{el,z}$ [mm^3]	σ_{mz} [MPa]	σ_x [MPa]	$\kappa^*\delta^*M_{x,d}$ [kNm]	$W_{v,y}$ [mm^3]	$\tau_{x,y}$ [MPa]	$W_{v,z}$ [mm^3]	$\tau_{x,z}$ [MPa]	$\delta^*V_{y,d}$ [kN]	$A_{v,y}$ [mm2]	$\tau_{v,y}$ [MPa]	$\tau_{v,y}$ [MPa]	$\delta^*V_{z,d}$ [kN]	$A_{v,z}$ [mm2]	$\tau_{v,z}$ [MPa]	$\tau_{v,z}$ [MPa]
1	G0	Vlastní tíha OK	G	0	-17.0	6.09E+03	-2.8	1.6	1.02E+06	1.5	-0.4	2.59E+05	-1.5	-2.8	0.0E+00	-	-	-	-	-0.1	5.76E+03	0.0	0.0	-1.1	2.61E+03	-0.4	-0.4
2	G1	Ostatní stálé - mostní vybavení	G	0	1.8	6.09E+03	0.3	-0.2	1.02E+06	-0.2	0.0	2.59E+05	0.0	0.1	0.0E+00	-	-	-	-	0.0	5.76E+03	0.0	0.0	0.0	2.61E+03	0.0	0.0
3	G2	Ostatní stálé - cizí zařízení	G	0	1.3	6.09E+03	0.2	0.1	1.02E+06	0.1	0.0	2.59E+05	0.0	0.3	0.0E+00	-	-	-	-	0.0	5.76E+03	0.0	0.0	0.0	2.61E+03	0.0	0.0
4	P1_71	a.LM71 - kolej 1 (bez dyn. souč.)	P	0	-101.2	6.09E+03	-16.6	-5.0	1.02E+06	-4.9	-0.2	2.59E+05	-0.8	-22.3	0.0E+00	-	-	-	-	0.1	5.76E+03	0.0	0.0	-1.5	2.61E+03	-0.6	-0.6
5	P2_71	a.LM71 - kolej 2 (bez dyn. souč.)	P	0	-259.4	6.09E+03	-42.6	0.1	1.02E+06	0.1	-0.4	2.59E+05	-1.7	-44.3	0.0E+00	-	-	-	-	0.2	5.76E+03	0.0	0.0	2.5	2.61E+03	1.0	1.0
6	P1_C3	TTZ C3 - kolej 1 (bez dyn. souč.)	P	0	0.0	6.09E+03	0.0	0.0	1.02E+06	0.0	0.0	2.59E+05	0.0	0.0	0.0E+00	-	-	-	-	0.0	5.76E+03	0.0	0.0	0.0	2.61E+03	0.0	0.0
7	P2_C3	TTZ C3 - kolej 2 (bez dyn. souč.)	P	0	0.0	6.09E+03	0.0	0.0	1.02E+06	0.0	0.0	2.59E+05	0.0	0.0	0.0E+00	-	-	-	-	0.0	5.76E+03	0.0	0.0	0.0	2.61E+03	0.0	0.0
8	BR	Brzdné a rozjezdové síly	P	0	-1.6	6.09E+03	-0.3	0.2	1.02E+06	0.2	-0.1	2.59E+05	-0.4	-0.5	0.0E+00	-	-	-	-	-0.1	5.76E+03	0.0	0.0	0.1	2.61E+03	0.0	0.0
9	S	Boční ráz	P	0	0.0	6.09E+03	0.0	0.0	1.02E+06	0.0	0.0	2.59E+05	0.0	0.0	0.0E+00	-	-	-	-	0.0	5.76E+03	0.0	0.0	0.0	2.61E+03	0.0	0.0
10	CH	Chodci na lávkách	Q	0	-20.3	6.09E+03	-3.3	-0.4	1.02E+06	-0.4	0.0	2.59E+05	-0.2	-3.9	0.0E+00	-	-	-	-	0.0	5.76E+03	0.0	0.0	-0.3	2.61E+03	-0.1	-0.1
11	W	Vítr na konstrukci	Q	0	11.2	6.09E+03	1.8	-6.1	1.02E+06	-6.0	0.0	2.59E+05	0.0	-4.2	0.0E+00	-	-	-	-	0.0	5.76E+03	0.0	0.0	-0.7	2.61E+03	-0.3	-0.3
12	WP	Vítr na vozidla	Q	0	9.2	6.09E+03	1.5	-3.6	1.02E+06	-3.5	0.0	2.59E+05	-0.1	-2.1	0.0E+00	-	-	-	-	0.0	5.76E+03	0.0	0.0	-2.5	2.61E+03	-0.9	-0.9
13	TR	Teplota rovnoměrná	Q	0	0.0	6.09E+03	0.0	0.0	1.02E+06	0.0	0.0	2.59E+05	0.0	0.0	0.0E+00	-	-	-	-	0.0	5.76E+03	0.0	0.0	0.0	2.61E+03	0.0	0.0
14	TN	Teplota nerovnoměrná	Q	0	-17.7	6.09E+03	-2.9	0.1	1.02E+06	0.1	0.1	2.59E+05	0.3	-2.5	0.0E+00	-	-	-	-	0.0	5.76E+03	0.0	0.0	0.1	2.61E+03	0.0	0.0
15	FR	Třecí síly v ložiskách	Q	0	-0.5	6.09E+03	-0.1	0.0	1.02E+06	0.0	0.0	2.59E+05	0.0	-0.1	0.0E+00	-	-	-	-	0.0	5.76E+03	0.0	0.0	0.0	2.61E+03	0.0	0.0
16	I	Imperfekce soustavy	Q	0	-2.4	6.09E+03	-0.4	-0.6	1.02E+06	-0.6	0.0	2.59E+05	0.0	-1.0	0.0E+00	-	-	-	-	0.0	5.76E+03	0.0	0.0	-0.4	2.61E+03	-0.2	-0.2
27	ULS_LM	ULS - LM71 bez dynam	Q	0	0.0	6.09E+03	0.0	0.0	1.02E+06	0.0	0.0	2.59E+05	0.0	0.0	0.0E+00	-	-	-	-	0.0	5.76E+03	0.0	0.0	0.0	2.61E+03	0.0	0.0
28	SLS_LM	SLS - LM71 bez dynam	Q	0	0.0	6.09E+03	0.0	0.0	1.02E+06	0.0	0.0	2.59E+05	0.0	0.0	0.0E+00	-	-	-	-	0.0	5.76E+03	0.0	0.0	0.0	2.61E+03	0.0	0.0
29	ULS_C3	ULS - C3 bez dynam	Q	0	0.0	6.09E+03	0.0	0.0	1.02E+06	0.0	0.0	2.59E+05	0.0	0.0	0.0E+00	-	-	-	-	0.0	5.76E+03	0.0	0.0	0.0	2.61E+03	0.0	0.0
30	SLS_C3	SLS - C3 bez dynam	Q	0	0.0	6.09E+03	0.0	0.0	1.02E+06	0.0	0.0	2.59E+05	0.0	0.0	0.0E+00	-	-	-	-	0.0	5.76E+03	0.0	0.0	0.0	2.61E+03	0.0	0.0
NAVÝŠENÍ NAPĚTÍ DO AKTIVACE TLAKU V DESCE MOSTOVKY						$\sigma_{P,red}$	0.0							0.0			0.0		0.0				0.0	0.0			-1.4	-1.4
NAPĚTÍ OD PRIMÁRNÍCH ÚČINKŮ NEROVNOMĚRNÉHO OTEPLENÍ						σ_T	0.0							0.0														
NAPĚTÍ OD REOLOGICKÝCH ÚČINKŮ BETONU V ČASE		t=0				σ_R	0.0	γ_f=	1.20					0.0														
NAPĚTÍ V KRITICKÝCH VLÁKNECH OD KOMBINACE ZATÍŽENÍ						KZ03		[MPa]					$\Sigma\sigma_x$	-83.0								$\Sigma\tau_y$	0.0			$\Sigma\tau_z$	-1.4
NAPĚTÍ OD POHYBLIVÉHO ZATÍŽENÍ								[MPa]					$\sigma_{x,P}$	-67.0								τ_P	0.0			τ_P	0.4
NAPĚTÍ OD OSTATNÍCH ZATÍŽENÍ								[MPa]			Φ_{Vy}	Φ_{Vz}	$\sigma_{x,rs}$	-16.0								τ_{rs}	0.0			τ_{rs}	-1.8
NÁVRHOVÁ HODNOTA MEZE KLUZU S REDUKCÍ VLIVEM SMYKOVÉHO NAPĚTÍ								[MPa]			1.00	1.00	$f_{yw,d}$	191.7								$f_{yd}/3^{0,5}$	110.7			$f_{yd}/3^{0,5}$	110.7
NAPĚTÍ OD POHYBLIVÉHO ZATÍŽENÍ V GLOBÁLNÍM SYSTÉMU						$\sigma_{GLOB,P}$	0.0	[MPa]					$\Sigma\sigma_{GLOB}$	0.0													
NAPĚTÍ OD OSTATNÍCH ZATÍŽENÍ V GLOBÁLNÍM SYSTÉMU						$\sigma_{GLOB,rs}$	0.0	[MPa]					$\Sigma\sigma_x + \Sigma\sigma_{GLOB}$	-83.0													
VYUŽITÍ PRŮŘEZU DLE NAPĚTÍ								[%]					η_1	0.43								η_3	0.00			η_3	0.01
NAPĚTÍ V PŘÍČNÉM SMĚRU OD POHYBLIVÉHO ZATÍŽENÍ						$\sigma_{z,P}$	0.0	[MPa]					$\Sigma\sigma_z$	0.0													
NAPĚTÍ V PŘÍČNÉM SMĚRU OD OSTATNÍCH ZATÍŽENÍ						$\sigma_{z,rs}$	0.0	[MPa]					η_2	0.00													
SROVNÁVACÍ NAPĚTÍ													$(\eta_2 + 0,8\,\eta_1)/1,4$ =	0.25													
VYUŽITÍ PRŮŘEZU CELKEM								[%]					eff	0.43	VYHOVUJE												
													Z_{LM71} =	2.62													

TAB. V6.1.3 POSOUZENÍ - MEZNÍ STAV ÚNOSNOSTI

POPIS	SVISLICE V6
PRUT / POLOHA BODU	413 / 2/4
NAMÁHÁNÍ	Vz.min
VLÁKNO	BOD S5 -HL
MEZNÍ STAV	ULS (MSÚ)
VYUŽITÍ VLÁKNA PRŮŘEZU	0.14

Charakteristiky materiálu				
pás. horní	$f_{yf,k}$	230	MPa	
pás. dolní	$f_{yf,k}$	230	MPa	
stojina	$f_{yw,k}$	230	MPa	
výztuž	$f_{ys,k}$	500	MPa	
	γ_M =	1.10	γ_s =	1.15

Excentricita normálové síly				
Exc./Fáze	0	1	2	3
e_y	0.000	0.000	0.000	0.000
e_z	0.000	0.000	0.000	0.000
Ekvivalentní vzdál. stěn - příčný roznos				
b_{ekv}	0.000	0.000	0.000	0.000

Vliv stěny na únosnost průřezu				
Char./Fáze	0	1	2	3
A	0.00	0.00	0.00	0.00
Wy	0.00	0.00	0.00	0.00
Wz	0.00	0.00	0.00	0.00

Charakter. v kroucení			
$t_{w,y}$	0.000	[mm]	
$t_{w,z}$	0.000	[mm]	
κ	1.00		
I_t=	0.00E+00	[mm^4]	
Ω=2*A_{pr}	0.00E+00	[mm^2]	

Součinitele vzpěru a vlivu II.řádu					
Char./Fáze	0	1	2	3	
k_y	1.000	1.000	1.000	1.000	
k_z	1.000	1.000	1.000	1.000	
χ_{LT}	1.000	1.000	1.000	1.000	
χ_{min}	0.727	1.000	1.000	1.000	

Vnitřní síly od jednotlivých skupin zatěžovacích stavů

SKUPINA ZATĚŽOVACÍCH STAVŮ					- CHARAKTERISTICKÉ HODNOTY						DÍLČÍ SOUČINITELÉ ZATÍŽENÍ, DYNAMICKÝ SOUČINITEL						4	- NÁVRHOVÉ HODNOTY									
Č.	SKUP ZS	POPIS ZS	KAT.	FÁZE PRŮŘ.	N.k (kN)	Vy.k (kN)	Vz.k (kN)	Mx.k (kNm)	My.k (kNm)	Mz.k (kNm)	γ_{sup} (-)	γ_{inf} (-)	volba γ_g hledat	γ_g (-)	L_d (m)	δ (-)	Ψ_0 KZ04	N.d (kN)	Vy.d (kN)	Vz.d (kN)	ΔVz.d (kN)	ΣVz.d (kN)	Mx.d (kNm)	My.d (kNm)	ΔMy.d (kNm)	ΣMy.d (kNm)	Mz.d (kNm)	ΔMz.d (kNm)	ΣMz.d (kNm)
1	G0	Vlastní tíha OK	G	0	-15	0	-1	0	1	0	1.00	1.20		1.20	-	1.00	0.95	-17	0	-1	0	-1	0	2	0	2	0	0	0
2	G1	Ostatní stálé - mostní vybavení	G	0	2	0	0	0	0	0	1.00	1.20		1.20	-	1.00	0.95	2	0	0	0	0	0	0	0	0	0	0	0
3	G2	Ostatní stálé - cizí zařízení	G	0	1	0	0	0	0	0	1.00	1.00		1.00	-	1.00	0.95	1	0	0	0	0	0	0	0	0	0	0	0
4	P1_71	a.LM71 - kolej 1 (bez dyn. souč.)	P	0	40	0	-4	0	-8	0	1.00	1.30		1.30	-	1.00	1.00	52	0	-6	0	-6	0	-11	0	-11	0	0	0
5	P2_71	a.LM71 - kolej 2 (bez dyn. souč.)	P	0	166	0	-2	0	-2	0	1.00	1.30		1.30	-	1.00	1.00	216	0	-2	0	-2	0	-3	0	-3	0	0	0
6	P1_C3	TTZ C3 - kolej 1 (bez dyn. souč.)	P	0	23	0	-3	0	-7	0	1.00	vyp.		0.00	-	1.00	0.00	0	0	0	0	0	0	0	0	0	0	0	0
7	P2_C3	TTZ C3 - kolej 2 (bez dyn. souč.)	P	0	123	0	-1	0	-1	0	1.00	vyp.		0.00	-	1.00	0.00	0	0	0	0	0	0	0	0	0	0	0	0
8	BR	Brzdné a rozjezdové síly	P	0	2	0	0	0	0	0	1.00	1.30		1.30	-	1.00	0.40	1	0	0	0	0	0	0	0	0	0	0	0
9	S	Boční ráz	P	0	3	0	-1	0	0	0	1.00	1.30		1.30	-	1.00	0.80	3	0	-1	0	-1	0	-1	0	-1	0	0	0
10	CH	Chodci na lávkách	Q	0	-16	0	0	0	0	0	1.00	1.30		1.30	-	1.00	1.00	-20	0	0	0	0	0	0	0	0	0	0	0
11	W	Vítr na konstrukci	Q	0	11	0	-1	0	-6	0	1.00	1.35		1.35	-	1.00	0.75	11	0	-1	0	-1	0	-6	0	-6	0	0	0
12	WP	Vítr na vozidla	Q	0	9	0	-2	0	-4	0	1.00	1.35		1.35	-	1.00	0.75	9	0	-2	0	-2	0	-4	0	-4	0	0	0
13	TR	Teplota rovnoměrná	Q	0	0	0	0	0	0	0	1.00	1.35		1.35	-	1.00	0.45	0	0	0	0	0	0	0	0	0	0	0	0
14	TN	Teplota nerovnoměrná	Q	0	27	0	-2	0	-3	0	1.00	1.35		1.35	-	1.00	0.60	21	0	-2	0	-2	0	-2	0	-2	0	0	0
15	FR	Třecí síly v ložiskách	Q	0	0	0	0	0	0	0	1.00	1.20		1.20	-	1.00	1.00	0	0	0	0	0	0	0	0	0	0	0	0
16	I	Imperfekce soustavy	Q	0	-2	0	0	0	-1	0	1.00	1.20		1.20	-	1.00	1.00	-2	0	0	0	0	0	-1	0	-1	0	0	0
27	ULS_LM	ULS - LM71 bez dynam	Q	0	279	0	-16	0	-26	-1	1.00	vyp.		0.00	-	1.00	0.00	0	0	0	0	0	0	0	0	0	0	0	0
28	SLS_LM	SLS - LM71 bez dynam	Q	0	196	0	-11	0	-18	0	1.00	vyp.	1	0.00	-	1.00	0.00	0	0	0	0	0	0	0	0	0	0	0	0
29	ULS_C3	ULS - C3 bez dynam	Q	0	201	0	-14	0	-23	0	1.00	vyp.	1	0.00	-	1.00	0.00	0	0	0	0	0	0	0	0	0	0	0	0
30	SLS_C3	SLS - C3 bez dynam	Q	0	0	0	0	0	0	0	1.00	vyp.	1	0.00	-	1.00	0.00	0	0	0	0	0	0	0	0	0	0	0	0
		CELKEM - FÁZE PRŮŘEZU 0																278	0	-15	0	-15	-26		0	-26	-1	0	-1
		CELKEM - FÁZE PRŮŘEZU 1																0	0	0	0	0	0	0	0	0	0	0	0
		CELKEM - FÁZE PRŮŘEZU 2																0	0	0	0	0	0	0	0	0	0	0	0
		CELKEM - FÁZE PRŮŘEZU 3																0	0	0	0	0	0	0	0	0	0	0	0
		CELKEM - PRŮŘEZ																278	0	-15	0	-15	0			-26			-1

Napětí od jednotlivých zatěžovacích stavů

SKUPINA ZATĚŽOVACÍCH STAVŮ					Posouzení normálového napětí										Posouzení smykového napětí													
					Účinek síly N			Účinek momentu My				Účinek momentu Mz				Účinek kroutícího momentu Mx				Účinek smykové síly Vy				Účinek smykové síly Vz			
Č.	SKUP ZS	Popis ZS	Kat.	fáze prúř.	δ^*N_d [kN]	χ^*A [mm^2]	σ_n [MPa]	$\delta^*M_{y,d}$ [kNm]	$\chi_{lt}{}^*W_{el,y}$ [mm^3]	σ_{my} [MPa]	$\delta^*M_{z,d}$ [kNm]	$W_{el,z}$ [mm^3]	σ_{mz} [MPa]	σ_x [MPa]	$\kappa^*\delta^*M_{x,d}$ [kNm]	$W_{v,y}$ [mm^2]	$\tau_{x,y}$ [MPa]	$W_{v,z}$ [mm^2]	$\tau_{x,z}$ [MPa]	$\delta^*V_{y,d}$ [kN]	$A_{v,y}$ [mm2]	$\tau_{v,y}$ [MPa]	$\tau_{v,y}$ [MPa]	$\delta^*V_{z,d}$ [kN]	$A_{v,z}$ [mm2]	$\tau_{v,z}$ [MPa]	$\tau_{v,z}$ [MPa]
1	G0	Vlastní tíha OK	G	0	-17.0	6.09E+03	-2.8	1.6	1.30E+06	1.2	-0.4	-2.03E+06	0.2	-1.4	0.0E+00	-	-	-	-	-0.1	5.76E+03	0.0	0.0	-1.1	2.61E+03	-0.4	-0.4
2	G1	Ostatní stálé - mostní vybavení	G	0	2.2	6.09E+03	0.4	-0.2	1.30E+06	-0.1	0.0	-2.03E+06	0.0	0.2	0.0E+00	-	-	-	-	0.0	5.76E+03	0.0	0.0	0.0	2.61E+03	0.0	0.0
3	G2	Ostatní stálé - cizí zařízení	G	0	1.3	6.09E+03	0.2	0.1	1.30E+06	0.1	0.0	-2.03E+06	0.0	0.3	0.0E+00	-	-	-	-	0.0	5.76E+03	0.0	0.0	0.0	2.61E+03	0.0	0.0
4	P1_71	a.LM71 - kolej 1 (bez dyn. souč.)	P	0	52.1	6.09E+03	8.6	-10.7	1.30E+06	-8.2	0.0	-2.03E+06	0.0	0.3	0.0E+00	-	-	-	-	0.0	5.76E+03	0.0	0.0	-5.7	2.61E+03	-2.2	-2.2
5	P2_71	a.LM71 - kolej 2 (bez dyn. souč.)	P	0	215.7	6.09E+03	35.4	-2.8	1.30E+06	-2.1	0.0	-2.03E+06	0.0	33.3	0.0E+00	-	-	-	-	-0.2	5.76E+03	0.0	0.0	-2.0	2.61E+03	-0.8	-0.8
6	P1_C3	TTZ C3 - kolej 1 (bez dyn. souč.)	P	0	0.0	6.09E+03	0.0	0.0	1.30E+06	0.0	0.0	-2.03E+06	0.0	0.0	0.0E+00	-	-	-	-	0.0	5.76E+03	0.0	0.0	0.0	2.61E+03	0.0	0.0
7	P2_C3	TTZ C3 - kolej 2 (bez dyn. souč.)	P	0	0.0	6.09E+03	0.0	0.0	1.30E+06	0.0	0.0	-2.03E+06	0.0	0.0	0.0E+00	-	-	-	-	0.0	5.76E+03	0.0	0.0	0.0	2.61E+03	0.0	0.0
8	BR	Brzdné a rozjezdové síly	P	0	0.8	6.09E+03	0.1	-0.1	1.30E+06	-0.1	0.1	-2.03E+06	0.0	0.0	0.0E+00	-	-	-	-	0.0	5.76E+03	0.0	0.0	-0.1	2.61E+03	0.0	0.0
9	S	Boční ráz	P	0	2.8	6.09E+03	0.5	-0.5	1.30E+06	-0.4	0.0	-2.03E+06	0.0	0.1	0.0E+00	-	-	-	-	0.0	5.76E+03	0.0	0.0	-0.9	2.61E+03	-0.4	-0.4
10	CH	Chodci na lávkách	Q	0	-20.3	6.09E+03	-3.3	-0.4	1.30E+06	-0.3	0.0	-2.03E+06	0.0	-3.6	0.0E+00	-	-	-	-	0.0	5.76E+03	0.0	0.0	-0.3	2.61E+03	-0.1	-0.1
11	W	Vítr na konstrukci	Q	0	11.2	6.09E+03	1.8	-6.1	1.30E+06	-4.7	0.0	-2.03E+06	0.0	-2.8	0.0E+00	-	-	-	-	0.0	5.76E+03	0.0	0.0	-0.7	2.61E+03	-0.3	-0.3
12	WP	Vítr na vozidla	Q	0	9.2	6.09E+03	1.5	-3.6	1.30E+06	-2.7	0.0	-2.03E+06	0.0	-1.2	0.0E+00	-	-	-	-	0.0	5.76E+03	0.0	0.0	-2.5	2.61E+03	-0.9	-0.9
13	TR	Teplota rovnoměrná	Q	0	0.0	6.09E+03	0.0	0.0	1.30E+06	0.0	0.0	-2.03E+06	0.0	0.0	0.0E+00	-	-	-	-	0.0	5.76E+03	0.0	0.0	0.0	2.61E+03	0.0	0.0
14	TN	Teplota nerovnoměrná	Q	0	21.5	6.09E+03	3.5	-2.3	1.30E+06	-1.8	-0.1	-2.03E+06	0.0	1.8	0.0E+00	-	-	-	-	0.0	5.76E+03	0.0	0.0	-1.8	2.61E+03	-0.7	-0.7
15	FR	Třecí síly v ložiskách	Q	0	0.5	6.09E+03	0.1	0.0	1.30E+06	0.0	0.0	-2.03E+06	0.0	0.1	0.0E+00	-	-	-	-	0.0	5.76E+03	0.0	0.0	0.0	2.61E+03	0.0	0.0
16	I	Imperfekce soustavy	Q	0	-2.4	6.09E+03	-0.4	-0.6	1.30E+06	-0.5	0.0	-2.03E+06	0.0	-0.9	0.0E+00	-	-	-	-	0.0	5.76E+03	0.0	0.0	-0.4	2.61E+03	-0.2	-0.2
27	ULS_LM	ULS - LM71 bez dynam	Q	0	0.0	6.09E+03	0.0	0.0	1.30E+06	0.0	0.0	-2.03E+06	0.0	0.0	0.0E+00	-	-	-	-	0.0	5.76E+03	0.0	0.0	0.0	2.61E+03	0.0	0.0
28	SLS_LM	SLS - LM71 bez dynam	Q	0	0.0	6.09E+03	0.0	0.0	1.30E+06	0.0	0.0	-2.03E+06	0.0	0.0	0.0E+00	-	-	-	-	0.0	5.76E+03	0.0	0.0	0.0	2.61E+03	0.0	0.0
29	ULS_C3	ULS - C3 bez dynam	Q	0	0.0	6.09E+03	0.0	0.0	1.30E+06	0.0	0.0	-2.03E+06	0.0	0.0	0.0E+00	-	-	-	-	0.0	5.76E+03	0.0	0.0	0.0	2.61E+03	0.0	0.0
30	SLS_C3	SLS - C3 bez dynam	Q	0	0.0	6.09E+03	0.0	0.0	1.30E+06	0.0	0.0	-2.03E+06	0.0	0.0	0.0E+00	-	-	-	-	0.0	5.76E+03	0.0	0.0	0.0	2.61E+03	0.0	0.0
NAVÝŠENÍ NAPĚTÍ DO AKTIVACE TLAKU V DÉSCE MOSTOVKY						$\sigma_{P,red}$	0.0							0.0			0.0		0.0				-0.1	-0.1			-5.9	-5.9
NAPĚTÍ OD PRIMÁRNÍCH ÚČINKŮ NEROVNOMĚRNÉHO OTEPLENÍ						σ_T	0.0							0.0														
NAPĚTÍ OD REOLOGICKÝCH ÚČINKŮ BETONU V ČASE		t=0				σ_R	0.0	γ_{inf}=	1.20					0.0														
NAPĚTÍ V KRITICKÝCH VLÁKNECH OD KOMBINACE ZATÍŽENÍ				KZ04				[MPa]						$\Sigma\sigma_x$									$\Sigma\tau_y$	-0.1			$\Sigma\tau_z$	-5.9
NAPĚTÍ OD POHYBLIVÉHO ZATÍŽENÍ								[MPa]						$\sigma_{x,P}$	33.7								τ_P	0.0			τ_P	-3.3
NAPĚTÍ OD OSTATNÍCH ZATÍŽENÍ								[MPa]			Φ_{vy}	Φ_{vz}		$\sigma_{x,rs}$	-7.6								τ_s	0.0			τ_s	-2.6
NÁVRHOVÁ HODNOTA MEZE KLUZU S REDUKCÍ VLIVEM SMYKOVÉHO NAPĚTÍ								[MPa]			1.00	1.00		$f_{yv,d}$	191.7								$f_{yd}/3^{0,5}$	120.7			$f_{yd}/3^{0,5}$	120.7
NAPĚTÍ OD POHYBLIVÉHO ZATÍŽENÍ V GLOBÁLNÍM SYSTÉMU						$\sigma_{GLOB,P}$	0.0	[MPa]						$\Sigma\sigma_{GLOB}$	0.0													
NAPĚTÍ OD OSTATNÍCH ZATÍŽENÍ V GLOBÁLNÍM SYSTÉMU						$\sigma_{GLOB,rs}$	0.0	[MPa]						$\Sigma\sigma_x + \Sigma\sigma_{GLOB}$	26.2													
VYUŽITÍ PRŮŘEZU DLE NAPĚTÍ								[%]						η_1	0.14								η_3	0.00			η_3	0.05
NAPĚTÍ V PŘÍČNÉM SMĚRU OD POHYBLIVÉHO ZATÍŽENÍ						$\sigma_{z,P}$	0.0	[MPa]						$\Sigma\sigma_z$	0.0													
NAPĚTÍ V PŘÍČNÉM SMĚRU OD OSTATNÍCH ZATÍŽENÍ						$\sigma_{z,rs}$	0.0	[MPa]						η_2	0.00													
SROVNÁVACÍ NAPĚTÍ														$(\eta_2 + 0,8\,\eta_1)/1,4$ =	0.08													
VYUŽITÍ PRŮŘEZU CELKEM								[%]						eff	0.14	VYHOVUJE												
														z_{LM71} =	5.46													

VÝPOČET PRŮŘEZOVÝCH CHARAKTERISTIK

PRŮŘEZ: V6_2 **POPIS:** SVISLICE V6 - MIN MY

x = - **m**

DEFINOVÁNÍ PRŮŘEZU

ŠÍŘKA PÁSNICE ÚHELNÍKU	b f.t.l.o =	120	mm	**ÚHELNÍK HORNÍ VNĚJŠÍ LEVÝ**		**C.T.O.L**	
TLOUŠŤKA PÁSNICE ÚHELNÍKU	t f.t.l.o =	12	mm	OSLABENÍ PÁSNICE - TLOUŠŤKA	Δt f.t.l.o =	0	%
VÝŠKA STĚNY ÚHELNÍKU	h w.t.l.o =	68	mm				
TLOUŠŤKA STĚNY ÚHELNÍKU	t w.t.l.o =	12	mm	OSLABENÍ STĚNY - TLOUŠŤKA	Δt w.t.l.o =	15	%
ŠÍŘKA PÁSNICE ÚHELNÍKU	b f.t.r.o =	120	mm	**ÚHELNÍK HORNÍ VNĚJŠÍ PRAVÝ**		**C.T.O.R**	
TLOUŠŤKA PÁSNICE ÚHELNÍKU	t f.t.r.o =	12	mm	OSLABENÍ PÁSNICE - TLOUŠŤKA	Δt f.t.r.o =	0	%
VÝŠKA STĚNY ÚHELNÍKU	h w.t.r.o =	68	mm				
TLOUŠŤKA STĚNY ÚHELNÍKU	t w.t.r.o =	12	mm	OSLABENÍ STĚNY - TLOUŠŤKA	Δt w.t.r.0 =	15	%
ŠÍŘKA PÁSNICE ÚHELNÍKU	b f.t.l.i =	0	mm	**ÚHELNÍK HORNÍ VNITŘNÍ LEVÝ**		**C.T.I.L**	
TLOUŠŤKA PÁSNICE ÚHELNÍKU	t f.t.l.i =	0	mm	OSLABENÍ PÁSNICE - TLOUŠŤKA	Δt f.b.l.o =	0	%
VÝŠKA STĚNY ÚHELNÍKU	h w.t.l.i =	0	mm				
TLOUŠŤKA STĚNY ÚHELNÍKU	t w.t.l.i =	0	mm	OSLABENÍ STĚNY - TLOUŠŤKA	Δt w.b.l.o =	0	%
ŠÍŘKA PÁSNICE ÚHELNÍKU	b f.t.r.i =	0	mm	**ÚHELNÍK HORNÍ VNITŘNÍ PRAVÝ**		**C.T.I.R**	
TLOUŠŤKA PÁSNICE ÚHELNÍKU	t f.t.r.i =	0	mm	OSLABENÍ PÁSNICE - TLOUŠŤKA	Δt f.b.r.o =	0	%
VÝŠKA STĚNY ÚHELNÍKU	h w.t.r.i =	0	mm				
TLOUŠŤKA STĚNY ÚHELNÍKU	t w.t.r.i =	0	mm	OSLABENÍ STĚNY - TLOUŠŤKA	Δt w.b.r.o =	0	%
ŠÍŘKA PÁSNICE ÚHELNÍKU	b f.b.l.o =	120	mm	**ÚHELNÍK DOLNÍ VNĚJŠÍ LEVÝ**		**C.B.O.L**	
TLOUŠŤKA PÁSNICE ÚHELNÍKU	t f.b.l.o =	12	mm	OSLABENÍ PÁSNICE - TLOUŠŤKA	Δt f.t.l.i =	0	%
VÝŠKA STĚNY ÚHELNÍKU	h w.b.l.o =	68	mm				
TLOUŠŤKA STĚNY ÚHELNÍKU	t w.b.l.o =	12	mm	OSLABENÍ STĚNY - TLOUŠŤKA	Δt w.t.l.i =	15	%
ŠÍŘKA PÁSNICE ÚHELNÍKU	b f.b.r.o =	120	mm	**ÚHELNÍK DOLNÍ VNĚJŠÍ PRAVÝ**		**C.B.O.R**	
TLOUŠŤKA PÁSNICE ÚHELNÍKU	t f.b.r.o =	12	mm	OSLABENÍ PÁSNICE - TLOUŠŤKA	Δt f.t.r.i =	0	%
VÝŠKA STĚNY ÚHELNÍKU	h w.b.r.o =	68	mm				
TLOUŠŤKA STĚNY ÚHELNÍKU	t w.b.r.o =	12	mm	OSLABENÍ STĚNY - TLOUŠŤKA	Δt w.t.r.i =	15	%
PÁSNICE DOLNÍHO LEVÉHO ÚHELNÍKU	b f.b.l.i =	0	mm	**ÚHELNÍK DOLNÍ VNITŘNÍ LEVÝ**		**C.B.I.L**	
TLOUŠŤKA PÁSNICE ÚHELNÍKU	t f.b.l.i =	0	mm	OSLABENÍ PÁSNICE - TLOUŠŤKA	Δt f.b.l.i =	0	%
VÝŠKA STĚNY ÚHELNÍKU	h w.b.l.i =	0	mm				
TLOUŠŤKA STĚNY ÚHELNÍKU	t w.b.l.i =	0	mm	OSLABENÍ STĚNY - TLOUŠŤKA	Δt w.b.l.i =	0	%
PÁSNICE DOLNÍHO PRAVÉHO ÚHELNÍKU	b f.b.r.i =	0	mm	**ÚHELNÍK DOLNÍ VNITŘNÍ PRAVÝ**		**C.B.I.R**	
TLOUŠŤKA PÁSNICE ÚHELNÍKU	t f.b.r.i =	0	mm	OSLABENÍ PÁSNICE - TLOUŠŤKA	Δt f.b.r.i =	0	%
VÝŠKA STĚNY ÚHELNÍKU	h w.b.r.i =	0	mm				
TLOUŠŤKA STĚNY ÚHELNÍKU	t w.b.r.i =	0	mm	OSLABENÍ STĚNY - TLOUŠŤKA	Δt w.b.r.i =	0	%

DOLNÍ

ŠÍŘKA HORNÍ VLOŽKY - VNĚJŠÍ	b f.t =	0	mm			**HOR.T.O**	
TLOUŠŤKA VLOŽKY	t f.t =	0	mm	OSLABENÍ VLOŽKY	Δt f.t =	0	%
ŠÍŘKA HORNÍ VLOŽKY - VNITŘNÍ	b f.t =	0	mm			**HOR.T.I**	
TLOUŠŤKA VLOŽKY	t f.t =	0	mm	OSLABENÍ VLOŽKY	Δt f.t =	0	%
ŠÍŘKA DOLNÍ VLOŽKY - VNĚJŠÍ	b f.t =	0	mm			**HOR.B.O**	
TLOUŠŤKA VLOŽKY	t f.t =	0	mm	OSLABENÍ VLOŽKY	Δt f.t =	0	%
ŠÍŘKA DOLNÍ VLOŽKY - VNITŘNÍ	b f.t =	0	mm			**HOR.B.I**	
TLOUŠŤKA VLOŽKY	t f.t =	0	mm	OSLABENÍ VLOŽKY - VNITŘNÍ	Δt f.t =	0	%

VZD. OKRAJŮ PÁSNIC VNITŘNÍCH ÚHELNÍKŮ	464	mm
CELKOVÁ TLOUŠŤKA MEZI PÁSNICEMI ÚHELNÍKŮ I A .o	0	mm
CELKOVÁ TLOUŠŤKA MEZI PÁSNICEMI ÚHELNÍKŮ I A .r	13	mm

ZADÁNÍ ČÁSTÍ PRŮŘEZU:

č.prvku	b [mm]	h [mm]	y_0 [mm]	z_0 [mm]	popis části	druh oslabení	lokální ultimate	boulení servic.
1	120.0	12.0	-66.5	238.0	pásnice	0	1.000	1.000
2	10.2	68.0	-11.6	278.0	stěna	0	1.000	1.000
3	120.0	12.0	66.5	238.0	pásnice	0	1.000	1.000
4	10.2	68.0	11.6	278.0	stěna	0	1.000	1.000
5	0.0	0.0	-6.5	232.0	pásnice	0	1.000	1.000
6	0.0	0.0	-6.5	232.0	stěna	0	1.000	1.000
7	0.0	0.0	6.5	232.0	pásnice	0	1.000	1.000
8	0.0	0.0	6.5	232.0	stěna	0	1.000	1.000
9	120.0	12.0	-66.5	-238.0	pásnice	0	1.000	1.000
10	10.2	68.0	-11.6	-278.0	stěna	0	1.000	1.000
11	120.0	12.0	66.5	-238.0	pásnice	0	1.000	1.000
12	10.2	68.0	11.6	-278.0	stěna	0	1.000	1.000
13	0.0	0.0	-6.5	-232.0	pásnice	0	1.000	1.000
14	0.0	0.0	-6.5	-232.0	stěna	0	1.000	1.000
15	0.0	0.0	6.5	-232.0	pásnice	0	1.000	1.000
16	0.0	0.0	6.5	-232.0	stěna	0	1.000	1.000
17						0	1.000	1.000
18						0	1.000	1.000
19						0	1.000	1.000
20						0	1.000	1.000
21						0	1.000	1.000
22						0	1.000	1.000
23						0	1.000	1.000
24						0	1.000	1.000
25						0	1.000	1.000
26						0	1.000	1.000
27						0	1.000	1.000
28						0	1.000	1.000
29						0	1.000	1.000
30						0	1.000	1.000
31						0	1.000	1.000
32						0	1.000	1.000
33						0	1.000	1.000
34						0	1.000	1.000
35						0	1.000	1.000
36						0	1.000	1.000
37						0	1.000	1.000
38						0	1.000	1.000
39						0	1.000	1.000
40						0	1.000	1.000
41	0.0	0.0	0.0	232.0	pásnice	0	1.000	1.000
42	0.0	0.0	0.0	232.0	pásnice	0	1.000	1.000
43	0.0	0.0	0.0	-232.0	pásnice	0	1.000	1.000
44	0.0	0.0	0.0	-232.0	pásnice	0	1.000	1.000
45						0	1.000	1.000
46						0	1.000	1.000
47						0	1.000	1.000
48						0	1.000	1.000
49						0	1.000	1.000
50						0	1.000	1.000
51						0	1.000	1.000
52						0	1.000	1.000
53						0	1.000	1.000
54						0	1.000	1.000
55						0	1.000	1.000
56						0	1.000	1.000
57						0	1.000	1.000
58						0	1.000	1.000
59						0	1.000	1.000
60						0	1.000	1.000
61						0	1.000	1.000
62						0	1.000	1.000
63						0	1.000	1.000
64						0	1.000	1.000
65						0	1.000	1.000
66						0	1.000	1.000
67						0	1.000	1.000
68						0	1.000	1.000
69						0	1.000	1.000
70						0	1.000	1.000
71	10.2	-20.0	-11.6	277.0	nýt	0	1.000	1.000
72	10.2	-20.0	11.6	277.0	nýt	0	1.000	1.000
73	0	0	0	0	nýt	0	1.000	1.000
74	0	0	0	0	nýt	0	1.000	1.000
75	0	0	-11.6	-277.0	nýt	0	1.000	1.000
76	0	0	11.6	-277.0	nýt	0	1.000	1.000
77	0	0	0	0	nýt	0	1.000	1.000
78	0	0	0	0	nýt	0	1.000	1.000
79						0	1.000	1.000
80						0	1.000	1.000
81	0	0	0	0	nýt	0	1.000	1.000
82	0	0	0	0	nýt	0	1.000	1.000
83	0	0	0	0	nýt	0	1.000	1.000
84	0	0	0	0	nýt	0	1.000	1.000
85	0	0	0	0	nýt	0	1.000	1.000
86	0	0	0	0	nýt	0	1.000	1.000
87	0	0	0	0	nýt	0	1.000	1.000
88	0	0	0	0	nýt	0	1.000	1.000
89						0	1.000	1.000
90						0	1.000	1.000
91	0	0	0	0	nýt	0	1.000	1.000
92	0	0	0	0	nýt	0	1.000	1.000
93	0	0	0	0	nýt	0	1.000	1.000
94	0	0	0	0	nýt	0	1.000	1.000
95	0	0	0	0	nýt	0	1.000	1.000
96	0	0	0	0	nýt	0	1.000	1.000
97	0	0	0	0	nýt	0	1.000	1.000
98	0	0	0	0	nýt	0	1.000	1.000
99						0	1.000	1.000
100						0	1.000	1.000

NÝT Č.	SKUPINA	ŘEZ	RED.	VELIKOST d₀ [mm]	POLOHA e₀ [mm]	POPIS	AKTIVITA OTVORU		NAPĚTÍ sc [MPa]
1		-	1.00	20	35	nýt - t.o - úhelník	1		103.39
2		-	1.00	20	35	nýt - t.o - úhelník	1		102.81
3		-	1.00	0	35	nýt - t.i - úhelník	0	-	
4		-	1.00	0	35	nýt - t.i - úhelník	0	-	
5		-	1.00	20	35	nýt - b.o - úhelník	0		-57.22
6		-	1.00	20	35	nýt - b.o - úhelník	0		-57.79
7		-	1.00	0	35	nýt - b.i - úhelník	0	-	
8		-	1.00	0	35	nýt - b.i - úhelník	0	-	
9									
10									
11		-	1.00	0	70	nýt - t.i - úhelník	0	-	
12		-	1.00	0	70	nýt - t.i - úhelník	0	-	
13		-	1.00	0	70	nýt - t.r - úhelník	0	-	
14		-	1.00	0	70	nýt - t.r - úhelník	0	-	
15		-	1.00	0	70	nýt - b.l - úhelník	0	-	
16		-	1.00	0	70	nýt - b.l - úhelník	0	-	
17		-	1.00	0	70	nýt - b.r - úhelník	0	-	
18		-	1.00	0	70	nýt - b.r - úhelník	0	-	
19									
20									
21		-	1.00	0	-132	nýt - t.l	0	-	
22		-	1.00	0	-132	nýt - t.l	0	-	
23		-	1.00	0	132	nýt - t.r	0	-	
24		-	1.00	0	132	nýt - t.r	0	-	
25		-	1.00	0	-132	nýt - b.l	0	-	
26		-	1.00	0	-132	nýt - b.l	0	-	
27		-	1.00	0	132	nýt - b.r	0	-	
28		-	1.00	0	132	nýt - b.r	0	-	
29									
30									

VÝPOČET PRŮŘEZOVÝCH CHARAKTERISTIK

Properties	Basic	Ultimate		Serviceability	
y_i	0.0	0.0		0.0	[mm]
z_i	-13.9	-13.9		-13.9	[mm]
A_i	8.1264E+03	8.1264E+03		8.1264E+03	[mm²]
A_z	5.7600E+03	5.7600E+03		5.7600E+03	[mm²]
A_y	2.7744E+03	2.7744E+03		2.7744E+03	[mm²]
I_{yi}	5.0893E+08	5.0893E+08		5.0893E+08	[mm⁴]
I_w	3.2723E+07	3.2723E+07		3.2723E+07	[mm⁶]
i_y	250.3	250.3		250.3	[mm]
i_z	63.5	63.5		63.5	[mm]
$W_{y,1}$	1.5616E+06	1.5616E+06		1.5616E+06	[mm³]
$W_{z,1}$	-2.5868E+05	-2.5868E+05		-2.5868E+05	[mm³]
$W_{y,2}$	-1.7073E+06	-1.7073E+06		-1.7073E+06	[mm³]
$W_{z,2}$	-2.5868E+05	-2.5868E+05		-2.5868E+05	[mm³]
KRAJNÍ VLÁKNA PRŮŘEZU					
y_1	-126.5	-126.5		-126.5	[mm] min
z_1	312.0	312.0		312.0	[mm] max
y_2	-126.5	-126.5		-126.5	[mm] min
z_2	-312.0	-312.0		-312.0	[mm] min
y_3	126.5	126.5		126.5	[mm] max
z_3	312.0	312.0		312.0	[mm] max
y_4	126.5	126.5		126.5	[mm] max
z_4	-312.0	-312.0		-312.0	[mm] min
y_5	-16.7	-16.7		-16.7	[mm]
z_5	-244.0	-244.0		-244.0	[mm]
y_6	-16.7	-16.7		-16.7	[mm]
z_6	-312.0	-312.0		-312.0	[mm]

ÚPRAVA MOMENTŮ SETRVAČNOSTI V DŮSLEDKU ČLENĚNÍ PRŮŘEZU

OSA Y 1.00 V BLÍZKOSTI STYČNÍKOVÉHO PLECHU PŘÍČNÍKU PEVNÉ -> JAKO NEČLENĚNÝ
OSA Z 1.00

SCHÉMA PROMĚNNÝCH

SCHÉMA ZADANÉHO PRŮŘEZU

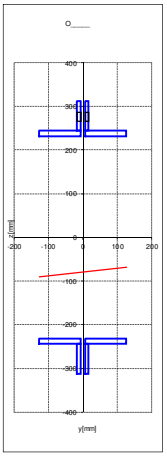

NEUTRÁLNÁ OSA

NAPĚTÍ [MPa]:

116.36	110.12
-64.52	-70.78

ZS: SLS_LM_MY MIN

	N [kN]	Vy [kN]	Vz [kN]	Mx [kNm]	My [kNm]	Mz [kNm]
import	153	0	-36	0	-148	1

TR_V6.2 POPIS: **SVISLICE V6** POSUDEK: **V6.2**

SKUPINA ZAT. STAVŮ	EXTRÉM	VYHODNOCOVANÉ VELIČINY					
		N	Vy	Vz	Mx	My	Mz
		kN	kN	kN	kNm	kNm	kNm
G0	N.min	**-30.35**	-0.01	-0.53	0	-3.14	0.5
	N.max	**-30.35**	-0.01	-0.53	0	-3.14	0.5
	Vy.min	-30.35	**-0.01**	-0.53	0	-3.14	0.5
	Vy.max	-30.35	**-0.01**	-0.53	0	-3.14	0.5
	Vz.min	-30.35	-0.01	**-0.53**	0	-3.14	0.5
	Vz.max	-30.35	-0.01	**-0.53**	0	-3.14	0.5
	Mx.min	-30.35	-0.01	-0.53	**0**	-3.14	0.5
	Mx.max	-30.35	-0.01	-0.53	**0**	-3.14	0.5
	My.min	-30.35	-0.01	-0.53	0	**-3.14**	0.5
	My.max	-30.35	-0.01	-0.53	0	**-3.14**	0.5
	Mz.min	-30.35	-0.01	-0.53	0	-3.14	**0.5**
	Mz.max	-30.35	-0.01	-0.53	0	-3.14	**0.5**
G1	N.min	**1.92**	0.01	-0.11	0	-0.69	0.03
	N.max	**1.92**	0.01	-0.11	0	-0.69	0.03
	Vy.min	1.92	**0.01**	-0.11	0	-0.69	0.03
	Vy.max	1.92	**0.01**	-0.11	0	-0.69	0.03
	Vz.min	1.92	0.01	**-0.11**	0	-0.69	0.03
	Vz.max	1.92	0.01	**-0.11**	0	-0.69	0.03
	Mx.min	1.92	0.01	-0.11	**0**	-0.69	0.03
	Mx.max	1.92	0.01	-0.11	**0**	-0.69	0.03
	My.min	1.92	0.01	-0.11	0	**-0.69**	0.03
	My.max	1.92	0.01	-0.11	0	**-0.69**	0.03
	Mz.min	1.92	0.01	-0.11	0	-0.69	**0.03**
	Mz.max	1.92	0.01	-0.11	0	-0.69	**0.03**
G2	N.min	**1.4**	0.01	0.12	0	0.7	0.02
	N.max	**1.4**	0.01	0.12	0	0.7	0.02
	Vy.min	1.4	**0.01**	0.12	0	0.7	0.02
	Vy.max	1.4	**0.01**	0.12	0	0.7	0.02
	Vz.min	1.4	0.01	**0.12**	0	0.7	0.02
	Vz.max	1.4	0.01	**0.12**	0	0.7	0.02
	Mx.min	1.4	0.01	0.12	**0**	0.7	0.02
	Mx.max	1.4	0.01	0.12	**0**	0.7	0.02
	My.min	1.4	0.01	0.12	0	**0.7**	0.02
	My.max	1.4	0.01	0.12	0	**0.7**	0.02
	Mz.min	1.4	0.01	0.12	0	0.7	**0.02**
	Mz.max	1.4	0.01	0.12	0	0.7	**0.02**
P1_71	N.min	**-77.59**	0.27	-1.77	0	-13.66	0.7
	N.max	**109.41**	-0.09	-8.68	0	-46.64	-0.27
	Vy.min	64.74	**-0.23**	-1.98	0	-13.17	-0.51
	Vy.max	-12.59	**0.35**	-8.55	0	-48.18	0.81
	Vz.min	39.91	0.15	**-10.61**	0	-60.81	0.36
	Vz.max	0	0	**0**	0	0	0
	Mx.min	-46.29	0.18	-2.67	**0**	-20.42	0.51
	Mx.max	81.44	-0.02	-7.63	**0**	-40.12	-0.11
	My.min	39.91	0.15	-10.61	0	**-60.81**	0.36
	My.max	0	0	0	0	**0**	0
	Mz.min	66.98	-0.23	-2.21	0	-14.36	**-0.51**
	Mz.max	-43.56	0.34	-6.14	0	-36.1	**0.82**
P2_71	N.min	**-199.11**	0.53	4.98	0	24.3	1.41
	N.max	**259.74**	-0.17	-4.54	0	-21.73	-0.56
	Vy.min	141.74	**-0.54**	2.74	0	11.34	-1.13
	Vy.max	-29.96	**0.76**	-2.36	0	-9.66	1.66
	Vz.min	152.64	0.21	**-6.71**	0	-31.99	0.27
	Vz.max	-87.81	0.1	**7.29**	0	34.15	0.5
	Mx.min	-82.9	0.11	7.08	**0**	32.77	0.54
	Mx.max	140.43	0.2	-6.37	**0**	-29.81	0.25
	My.min	154.84	0.21	-6.71	0	**-32.24**	0.29
	My.max	-90.73	0.1	7.29	0	**34.26**	0.51
	Mz.min	153.69	-0.53	1.82	0	7.88	**-1.17**
	Mz.max	-114.44	0.72	1.15	0	6.24	**1.72**
P1_C3	N.min	**-62.64**	0.23	-1.44	0	-10.69	0.58
	N.max	**86.93**	-0.09	-6.47	0	-34.93	-0.25
	Vy.min	49.91	**-0.18**	-1.48	0	-9.93	-0.41
	Vy.max	-20.43	**0.3**	-6.59	0	-37.32	0.7
	Vz.min	23.38	0.13	**-8.17**	0	-47.22	0.32
	Vz.max	0	0	**0**	0	0	0
	Mx.min	-35.87	0.14	-2.33	**0**	-17.38	0.41
	Mx.max	57.6	-0.01	-5.65	**0**	-29.49	-0.07
	My.min	23.37	0.13	-8.16	0	**-47.26**	0.31
	My.max	0	0	0	0	**0**	0
	Mz.min	49.91	-0.18	-1.48	0	-9.93	**-0.41**
	Mz.max	-22.05	0.3	-6.41	0	-36.45	**0.7**
P2_C3	N.min	**-161**	0.44	4.05	0	19.83	1.17
	N.max	**205.39**	-0.17	-3.12	0	-14.68	-0.53
	Vy.min	108.77	**-0.44**	2.42	0	9.9	-0.89
	Vy.max	-47	**0.66**	-1.48	0	-5.23	1.44
	Vz.min	107.13	0.16	**-4.91**	0	-23.08	0.2
	Vz.max	-56.43	0.02	**6.09**	0	28.32	0.3
	Mx.min	-63.61	0.06	5.95	**0**	27.5	0.39
	Mx.max	112.14	0.13	-4.79	**0**	-22.44	0.13
	My.min	107.13	0.16	-4.91	0	**-23.08**	0.2
	My.max	-74.46	0.1	5.99	0	**28.46**	0.44
	Mz.min	124.02	-0.42	1.28	0	5.6	**-0.93**
	Mz.max	-86.18	0.63	0.34	0	2.56	**1.48**
BR	N.min	**-1.34**	-0.48	0.05	0.01	0.34	-1.17
	N.max	**1.34**	0.48	-0.05	-0.01	-0.34	1.17
	Vy.min	1.07	**-0.51**	-0.24	0.01	-1.42	-1.23
	Vy.max	-1.07	**0.51**	0.24	-0.01	1.42	1.23
	Vz.min	1.07	-0.51	**-0.24**	0.01	-1.42	-1.23
	Vz.max	-1.07	0.51	**0.24**	-0.01	1.42	1.23
	Mx.min	1.34	0.48	-0.05	**-0.01**	-0.34	1.17
	Mx.max	-1.34	-0.48	0.05	**0.01**	0.34	-1.17
	My.min	1.07	-0.51	-0.24	0.01	**-1.42**	-1.23
	My.max	-1.07	0.51	0.24	-0.01	**1.42**	1.23
	Mz.min	1.07	-0.51	-0.24	0.01	-1.42	**-1.23**
	Mz.max	-1.07	0.51	0.24	-0.01	1.42	**1.23**

TR_V6.2 POPIS: **SVISLICE V6** POSUDEK: **V6.2**

SKUPINA ZAT. STAVŮ	EXTRÉM	VYHODNOCOVANÉ VELIČINY					
		N	Vy	Vz	Mx	My	Mz
		kN	kN	kN	kNm	kNm	kNm
S	N.min	**-4.44**	-0.01	1.36	0	8.51	-0.02
	N.max	**4.44**	0.01	-1.36	0	-8.51	0.02
	Vy.min	-3.91	**-0.03**	1.23	0	7.74	-0.06
	Vy.max	3.91	**0.03**	-1.23	0	-7.74	0.06
	Vz.min	2.72	0.01	**-2.45**	0	-12.33	0.02
	Vz.max	-2.72	-0.01	**2.45**	0	12.33	-0.02
	Mx.min	4.44	0.01	-1.36	**0**	-8.51	0.02
	Mx.max	-4.44	-0.01	1.36	**0**	8.51	-0.02
	My.min	2.72	0.01	-2.45	0	**-12.33**	0.02
	My.max	-2.72	-0.01	2.45	0	**12.33**	-0.02
	Mz.min	-3.91	-0.03	1.23	0	7.74	**-0.06**
	Mz.max	3.91	0.03	-1.23	0	-7.74	**0.06**
CH	N.min	**-15.54**	0.05	-0.55	0	-3.12	0.12
	N.max	**20.53**	-0.03	0.02	0	0.14	-0.06
	Vy.min	20.53	**-0.03**	0.02	0	0.14	-0.06
	Vy.max	-15.54	**0.05**	-0.55	0	-3.12	0.12
	Vz.min	-15.54	0.05	**-0.55**	0	-3.12	0.12
	Vz.max	4.43	0.02	**0.45**	0	2.61	0.06
	Mx.min	4.43	0.02	0.45	**0**	2.61	0.06
	Mx.max	-15.54	0.05	-0.55	**0**	-3.12	0.12
	My.min	-15.54	0.05	-0.55	0	**-3.12**	0.12
	My.max	4.43	0.02	0.45	0	**2.61**	0.06
	Mz.min	20.53	-0.03	0.02	0	0.14	**-0.06**
	Mz.max	-15.54	0.05	-0.55	0	-3.12	**0.12**
W	N.min	**-11.11**	-0.02	-5.19	0	-10.43	-0.02
	N.max	**11.11**	0.02	5.19	0	10.41	0.02
	Vy.min	-11.11	**-0.02**	-5.19	0	-10.43	-0.02
	Vy.max	11.11	**0.02**	5.19	0	10.41	0.02
	Vz.min	-11.11	-0.02	**-5.19**	0	-10.43	-0.02
	Vz.max	11.11	0.02	**5.19**	0	10.41	0.02
	Mx.min	11.11	0.02	5.19	**0**	10.41	0.02
	Mx.max	-11.11	-0.02	-5.19	**0**	-10.43	-0.02
	My.min	-11.11	-0.02	-5.19	0	**-10.43**	-0.02
	My.max	11.11	0.02	5.19	0	**10.41**	0.02
	Mz.min	-11.11	-0.02	-5.19	0	-10.43	**-0.02**
	Mz.max	11.11	0.02	5.19	0	10.41	**0.02**
WP	N.min	**-9.25**	-0.05	5.38	0	30.66	-0.09
	N.max	**9.26**	0.05	-5.38	0	-30.66	0.09
	Vy.min	-9.25	**-0.05**	5.38	0	30.66	-0.09
	Vy.max	9.26	**0.05**	-5.38	0	-30.66	0.09
	Vz.min	9.26	0.05	**-5.38**	0	-30.66	0.09
	Vz.max	-9.25	-0.05	**5.38**	0	30.66	-0.09
	Mx.min	9.26	0.05	-5.38	**0**	-30.66	0.09
	Mx.max	-9.25	-0.05	5.38	**0**	30.66	-0.09
	My.min	9.26	0.05	-5.38	0	**-30.66**	0.09
	My.max	-9.25	-0.05	5.38	0	**30.66**	-0.09
	Mz.min	-9.25	-0.05	5.38	0	30.66	**-0.09**
	Mz.max	9.26	0.05	-5.38	0	-30.66	**0.09**
TR	N.min	**0**	0	0	0	0	0
	N.max	**0**	0	0	0	0	0
	Vy.min	0	**0**	0	0	0	0
	Vy.max	0	**0**	0	0	0	0
	Vz.min	0	0	**0**	0	0	0
	Vz.max	0	0	**0**	0	0	0
	Mx.min	0	0	0	**0**	0	0
	Mx.max	0	0	0	**0**	0	0
	My.min	0	0	0	0	**0**	0
	My.max	0	0	0	0	**0**	0
	Mz.min	0	0	0	0	0	**0**
	Mz.max	0	0	0	0	0	**0**
TN	N.min	**-22.37**	-0.19	0.29	0	1.68	-0.32
	N.max	**27.06**	0.2	-5.17	0	-28.76	0.34
	Vy.min	-22.37	**-0.19**	0.29	0	1.68	-0.32
	Vy.max	27.06	**0.2**	-5.17	0	-28.76	0.34
	Vz.min	27.06	0.2	**-5.17**	0	-28.76	0.34
	Vz.max	-3.79	0	**3.91**	0	22.69	0
	Mx.min	-3.79	0	3.91	**0**	22.69	0
	Mx.max	27.06	0.2	-5.17	**0**	-28.76	0.34
	My.min	27.06	0.2	-5.17	0	**-28.76**	0.34
	My.max	-3.79	0	3.91	0	**22.69**	0
	Mz.min	-22.37	-0.19	0.29	0	1.68	**-0.32**
	Mz.max	27.06	0.2	-5.17	0	-28.76	**0.34**
FR	N.min	**-0.43**	-0.01	0.02	0	0.08	-0.01
	N.max	**0.43**	0.01	-0.02	0	-0.08	0.01
	Vy.min	-0.43	**-0.01**	0.02	0	0.08	-0.01
	Vy.max	0.43	**0.01**	-0.02	0	-0.08	0.01
	Vz.min	0.43	0.01	**-0.02**	0	-0.08	0.01
	Vz.max	-0.43	-0.01	**0.02**	0	0.08	-0.01
	Mx.min	-0.43	-0.01	0.02	**0**	0.08	-0.01
	Mx.max	0.43	0.01	-0.02	**0**	-0.08	0.01
	My.min	0.43	0.01	-0.02	0	**-0.08**	0.01
	My.max	-0.43	-0.01	0.02	0	**0.08**	-0.01
	Mz.min	-0.43	-0.01	0.02	0	0.08	**-0.01**
	Mz.max	0.43	0.01	-0.02	0	-0.08	**0.01**
I	N.min	**-1.97**	0	-0.75	0	-4.31	**0.01**
	N.max	**1.97**	0	0.75	0	4.31	**-0.01**
	Vy.min	1.97	**0**	0.75	0	4.31	**-0.01**
	Vy.max	-1.97	**0**	-0.75	0	-4.31	**0.01**
	Vz.min	-1.97	0	**-0.75**	0	-4.31	**0.01**
	Vz.max	1.97	0	**0.75**	0	4.31	**-0.01**
	Mx.min	1.97	0	0.75	**0**	4.31	**-0.01**
	Mx.max	-1.97	0	-0.75	**0**	-4.31	**0.01**
	My.min	-1.97	0	-0.75	0	**-4.31**	**0.01**
	My.max	1.97	0	0.75	0	**4.31**	**-0.01**
	Mz.min	1.97	0	0.75	0	4.31	**-0.01**
	Mz.max	-1.97	0	-0.75	0	-4.31	**0.01**

TAB. V6.2.3 POSOUZENÍ - MEZNÍ STAV ÚNOSNOSTI

POPIS	SVISLICE V6
PRUT / POLOHA BODU	412 / I[349]
NAMÁHÁNÍ	My.min
VLÁKNO	BOD K2 -HP
MEZNÍ STAV	ULS (MSÚ)
VYUŽITÍ VLÁKNA PRŮŘEZU	0.82

Charakteristiky materiálu				
pás. horní	$f_{yf,k}$	230	MPa	
pás. dolní	$f_{yf,k}$	230	MPa	
stojina	$f_{yw,k}$	230	MPa	
výztuž	$f_{ys,k}$	500	MPa	
γ_M =		1.10	γ_s =	1.15

Excentricita normálové síly				
Exc./Fáze	0	1	2	3
e_y	0.000	0.000	0.000	0.000
e_z	0.000	0.000	0.000	0.000
Ekvivalentní vzdál. stěn - příčný roznos				
b_{Mx}	0.000	0.000	0.000	0.000

Vliv stěny na únosnost průřezu				
Char./Fáze	0	1	2	3
A	0.00	0.00	0.00	0.00
Wy	0.00	0.00	0.00	0.00
Wz	0.00	0.00	0.00	0.00

Charakter. v kroucení		
$t_{w,y}$	0.000	[mm]
$t_{w,z}$	0.000	[mm]
κ	1.00	
I_t=	0.00E+00	[mm^4]
Ω=2*A_{pr}	0.00E+00	[mm^2]

Součinitele vzpěru a vlivu II.řádu					
Char./Fáze	0	1	2	3	
k_y	1.000	1.000	1.000	1.000	
k_z	1.000	1.000	1.000	1.000	
χ_{LT}	1.000	1.000	1.000	1.000	
χ_{min}	1.000	1.000	1.000	1.000	

Vnitřní síly od jednotlivých skupin zatěžovacích stavů

4

SKUPINA ZATĚŽOVACÍCH STAVŮ					- CHARAKTERISTICKÉ HODNOTY						DÍLČÍ SOUČINITELÉ ZATÍŽENÍ, DYNAMICKÝ SOUČINITEL							- NÁVRHOVÉ HODNOTY									
Č.	SKUP ZS	POPIS ZS	KAT.	FÁZE PRŮŘ.	N.k (kN)	Vy.k (kN)	Vz.k (kN)	Mx.k (kNm)	My.k (kNm)	Mz.k (kNm)	γ_{sr} (-)	γ_{fs} (-)	volba γ_f hledat	γ_f (-)	L_d (m)	δ (-)	Ψ_s KZ04	N.d (kN)	Vy.d (kN)	Vz.d (kN)	ΔVz.d (kN)	ΣVz.d (kN)	Mx.d (kNm)	My.d (kNm)	ΔMy.d (kNm)	ΣMy.d (kNm)	Mz.d (kNm)	ΔMz.d (kNm)	ΣMz.d (kNm)
1	G0	Vlastní tíha OK	G	0	-30	0	-1	0	-3	1	1.00	1.20		1.20	-	1.00	0.95	-35	0	-1	0	-1	0	-4	0	-4	1	0	1
2	G1	Ostatní stálé - mostní vybavení	G	0	2	0	0	0	-1	0	1.00	1.20		1.20	-	1.00	0.95	2	0	0	0	0	0	-1	0	-1	0	0	0
3	G2	Ostatní stálé - cizí zařízení	G	0	1	0	0	0	1	0	1.00	1.00		1.00	-	1.00	0.95	1	0	0	0	0	0	1	0	1	0	0	0
4	P1_71	a.LM71 - kolej 1 (bez dyn. souč.)	P	0	40	0	-11	0	-61	0	1.00	1.30		1.30	-	1.00	1.00	52	0	-14	0	-14	0	-79	0	-79	0	0	0
5	P2_71	a.LM71 - kolej 2 (bez dyn. souč.)	P	0	155	0	-7	0	-32	0	1.00	1.30		1.30	-	1.00	1.00	201	0	-9	0	-9	0	-42	0	-42	0	0	0
6	P1_C3	TTZ C3 - kolej 1 (bez dyn. souč.)	P	0	23	0	-8	0	-47	0	1.00	vyp.		0.00	-	1.00	0.00	0	0	0	0	0	0	0	0	0	0	0	0
7	P2_C3	TTZ C3 - kolej 2 (bez dyn. souč.)	P	0	107	0	-5	0	-23	0	1.00	vyp.		0.00	-	1.00	0.00	0	0	0	0	0	0	0	0	0	0	0	0
8	BR	Brzdné a rozjezdové síly	P	0	1	-1	0	0	-1	-1	1.00	0.00		0.00	-	1.00	0.40	0	0	0	0	0	0	0	0	0	0	0	0
9	S	Boční ráz	P	0	3	0	-2	0	-12	0	1.00	1.30		1.30	-	1.00	0.80	3	0	-3	0	-3	0	-13	0	-13	0	0	0
10	CH	Chodci na lávkách	Q	0	-16	0	-1	0	-3	0	1.00	1.30		1.30	-	1.00	1.00	-20	0	-1	0	-1	0	-4	0	-4	0	0	0
11	W	Vítr na konstrukci	Q	0	-11	0	-5	0	-10	0	1.00	1.35		1.35	-	1.00	0.75	-11	0	-5	0	-5	0	-11	0	-11	0	0	0
12	WP	Vítr na vozidla	Q	0	9	0	-5	0	-31	0	1.00	1.35		1.35	-	1.00	0.75	9	0	-5	0	-5	0	-31	0	-31	0	0	0
13	TR	Teplota rovnoměrná	Q	0	0	0	0	0	0	0	1.00	1.35		1.35	-	1.00	0.45	0	0	0	0	0	0	0	0	0	0	0	0
14	TN	Teplota nerovnoměrná	Q	0	27	0	-5	0	-29	0	1.00	1.35		1.35	-	1.00	0.60	22	0	-4	0	-4	0	-23	0	-23	0	0	0
15	FR	Třecí síly v ložiskách	Q	0	0	0	0	0	0	0	1.00	1.20		1.20	-	1.00	1.00	1	0	0	0	0	0	0	0	0	0	0	0
16	I	Imperfekce soustavy	Q	0	-2	0	-1	0	-4	0	1.00	1.20		1.20	-	1.00	1.00	-2	0	-1	0	-1	0	-5	0	-5	0	0	0
27	ULS_LM	ULS - LM71 bez dynam	Q	0	225	0	-43	0	-216	1	1.00	vyp.	1	0.00	-	1.00	0.00	0	0	0	0	0	0	0	0	0	0	0	0
28	SLS_LM	SLS - LM71 bez dynam	Q	0	153	0	-30	0	-148	1	1.00	vyp.	1	0.00	-	1.00	0.00	0	0	0	0	0	0	0	0	0	0	0	0
29	ULS_C3	ULS - C3 bez dynam	Q	0	141	0	-37	0	-186	1	1.00	vyp.	1	0.00	-	1.00	0.00	0	0	0	0	0	0	0	0	0	0	0	0
30	SLS_C3	SLS - C3 bez dynam	Q	0	0	0	0	0	0	0	1.00	vyp.	1	0.00	-	1.00	0.00	0	0	0	0	0	0	0	0	0	0	0	0
		CELKEM - FÁZE PRŮŘEZU 0																223	1	-42	0	-42	0	-212	0	-212	2	0	2
		CELKEM - FÁZE PRŮŘEZU 1																0	0	0	0	0	0	0	0	0	0	0	0
		CELKEM - FÁZE PRŮŘEZU 2																0	0	0	0	0	0	0	0	0	0	0	0
		CELKEM - FÁZE PRŮŘEZU 3																0	0	0	0	0	0	0	0	0	0	0	0
		CELKEM - PRŮŘEZ																223	1	-42	0	-42	0			-212			2

Napětí od jednotlivých zatěžovacích stavů

SKUPINA ZATĚŽOVACÍCH STAVŮ					Posouzení normálového napětí									Posouzení smykového napětí														
					Účinek síly N			Účinek momentu My			Účinek momentu Mz				Účinek ktoutícího momentu Mx				Účinek smykové síly Vy				Účinek smykové síly Vz				
Č.	SKUP ZS	Popis ZS	Kat.	fáze průř.	δ^*N_d [kN]	χ^*A [mm^2]	σ_n [MPa]	$\delta^*M_{y,d}$ [kNm]	$\chi_{lt}{}^*W_{el,y}$ [mm^3]	σ_{my} [MPa]	$\delta^*M_{z,d}$ [kNm]	$W_{el,z}$ [mm^3]	σ_{mz} [MPa]	σ_x [MPa]	$\kappa^*\delta^*M_{x,d}$ [kNm]	$W_{v,y}$ [mm^2]	$\tau_{x,y}$ [MPa]	$W_{v,z}$ [mm^2]	$\tau_{x,z}$ [MPa]	$\delta^*V_{y,d}$ [kN]	$A_{v,y}$ [mm2]	$\tau_{v,y}$ [MPa]	$\tau_{v,y}$ [MPa]	$\delta^*V_{z,d}$ [kN]	$A_{v,z}$ [mm2]	$\tau_{v,z}$ [MPa]	$\tau_{v,z}$ [MPa]
1	G0	Vlastní tíha OK	G	0	-34.6	8.13E+03	-4.3	-3.6	-1.56E+06	2.3	0.6	2.59E+05	2.2	0.2	0.0E+00	-	-	-	-	0.0	5.76E+03	0.0	0.0	-0.6	2.77E+03	-0.2	-0.2
2	G1	Ostatní stálé - mostní vybavení	G	0	2.2	8.13E+03	0.3	-0.8	-1.56E+06	0.5	0.0	2.59E+05	0.1	0.9	0.0E+00	-	-	-	-	0.0	5.76E+03	0.0	0.0	-0.1	2.77E+03	0.0	0.0
3	G2	Ostatní stálé - cizí zařízení	G	0	1.3	8.13E+03	0.2	0.7	-1.56E+06	-0.4	0.0	2.59E+05	0.1	-0.2	0.0E+00	-	-	-	-	0.0	5.76E+03	0.0	0.0	0.1	2.77E+03	0.0	0.0
4	P1_71	a.LM71 - kolej 1 (bez dyn. souč.)	P	0	51.9	8.13E+03	6.4	-79.1	-1.56E+06	50.6	0.5	2.59E+05	1.8	58.8	0.0E+00	-	-	-	-	0.2	5.76E+03	0.0	0.0	-13.8	2.77E+03	-5.0	-5.0
5	P2_71	a.LM71 - kolej 2 (bez dyn. souč.)	P	0	201.3	8.13E+03	24.8	-41.9	-1.56E+06	26.8	0.4	2.59E+05	1.5	53.1	0.0E+00	-	-	-	-	0.3	5.76E+03	0.0	0.0	-8.7	2.77E+03	-3.1	-3.1
6	P1_C3	TTZ C3 - kolej 1 (bez dyn. souč.)	P	0	0.0	8.13E+03	0.0	0.0	-1.56E+06	0.0	0.0	2.59E+05	0.0	0.0	0.0E+00	-	-	-	-	0.0	5.76E+03	0.0	0.0	0.0	2.77E+03	0.0	0.0
7	P2_C3	TTZ C3 - kolej 2 (bez dyn. souč.)	P	0	0.0	8.13E+03	0.0	0.0	-1.56E+06	0.0	0.0	2.59E+05	0.0	0.0	0.0E+00	-	-	-	-	0.0	5.76E+03	0.0	0.0	0.0	2.77E+03	0.0	0.0
8	BR	Brzdné a rozjezdové síly	P	0	0.0	8.13E+03	0.0	0.0	-1.56E+06	0.0	0.0	2.59E+05	0.0	0.0	0.0E+00	-	-	-	-	0.0	5.76E+03	0.0	0.0	0.0	2.77E+03	0.0	0.0
9	S	Boční ráz	P	0	2.8	8.13E+03	0.3	-12.8	-1.56E+06	8.2	0.0	2.59E+05	0.1	8.6	0.0E+00	-	-	-	-	0.0	5.76E+03	0.0	0.0	-2.5	2.77E+03	-0.9	-0.9
10	CH	Chodci na lávkách	Q	0	-20.2	8.13E+03	-2.5	-4.1	-1.56E+06	2.6	0.2	2.59E+05	0.6	0.7	0.0E+00	-	-	-	-	0.1	5.76E+03	0.0	0.0	-0.7	2.77E+03	-0.3	-0.3
11	W	Vítr na konstrukci	Q	0	-11.2	8.13E+03	-1.4	-10.6	-1.56E+06	6.8	0.0	2.59E+05	-0.1	5.3	0.0E+00	-	-	-	-	0.0	5.76E+03	0.0	0.0	-5.3	2.77E+03	-1.9	-1.9
12	WP	Vítr na vozidla	Q	0	9.4	8.13E+03	1.2	-31.0	-1.56E+06	19.9	0.1	2.59E+05	0.4	21.4	0.0E+00	-	-	-	-	0.1	5.76E+03	0.0	0.0	-5.4	2.77E+03	-2.0	-2.0
13	TR	Teplota rovnoměrná	Q	0	0.0	8.13E+03	0.0	0.0	-1.56E+06	0.0	0.0	2.59E+05	0.0	0.0	0.0E+00	-	-	-	-	0.0	5.76E+03	0.0	0.0	0.0	2.77E+03	0.0	0.0
14	TN	Teplota nerovnoměrná	Q	0	21.9	8.13E+03	2.7	-23.3	-1.56E+06	14.9	0.3	2.59E+05	1.1	18.7	0.0E+00	-	-	-	-	0.2	5.76E+03	0.0	0.0	-4.2	2.77E+03	-1.5	-1.5
15	FR	Třecí síly v ložiskách	Q	0	0.5	8.13E+03	0.1	-0.1	-1.56E+06	0.1	0.0	2.59E+05	0.0	0.2	0.0E+00	-	-	-	-	0.0	5.76E+03	0.0	0.0	0.0	2.77E+03	0.0	0.0
16	I	Imperfekce soustavy	Q	0	-2.4	8.13E+03	-0.3	-5.2	-1.56E+06	3.3	0.0	2.59E+05	0.0	3.1	0.0E+00	-	-	-	-	0.0	5.76E+03	0.0	0.0	-0.9	2.77E+03	-0.3	-0.3
27	ULS_LM	ULS - LM71 bez dynam	Q	0	0.0	8.13E+03	0.0	0.0	-1.56E+06	0.0	0.0	2.59E+05	0.0	0.0	0.0E+00	-	-	-	-	0.0	5.76E+03	0.0	0.0	0.0	2.77E+03	0.0	0.0
28	SLS_LM	SLS - LM71 bez dynam	Q	0	0.0	8.13E+03	0.0	0.0	-1.56E+06	0.0	0.0	2.59E+05	0.0	0.0	0.0E+00	-	-	-	-	0.0	5.76E+03	0.0	0.0	0.0	2.77E+03	0.0	0.0
29	ULS_C3	ULS - C3 bez dynam	Q	0	0.0	8.13E+03	0.0	0.0	-1.56E+06	0.0	0.0	2.59E+05	0.0	0.0	0.0E+00	-	-	-	-	0.0	5.76E+03	0.0	0.0	0.0	2.77E+03	0.0	0.0
30	SLS_C3	SLS - C3 bez dynam	Q	0	0.0	8.13E+03	0.0	0.0	-1.56E+06	0.0	0.0	2.59E+05	0.0	0.0	0.0E+00	-	-	-	-	0.0	5.76E+03	0.0	0.0	0.0	2.77E+03	0.0	0.0
NAVÝŠENÍ NAPĚTÍ DO AKTIVACE TLAKU V DESCE MOSTOVKY						$\sigma_{P,red}$	0.0							0.0			0.0		0.0				0.1	0.1			-15.2	-15.2
NAPĚTÍ OD PRIMÁRNÍCH ÚČINKŮ NEROVNOMĚRNÉHO OTEPLENÍ						σ_T	0.0							0.0														
NAPĚTÍ OD REOLOGICKÝCH ÚČINKŮ BETONU V ČASE				t=0		σ_R	0.0	γ=	1.20					0.0														
NAPĚTÍ V KRITICKÝCH VLÁKNECH OD KOMBINACE ZATÍŽENÍ						KZ04		[MPa]					$\Sigma\sigma_x$	170.8								$\Sigma\tau_y$	0.1			$\Sigma\tau_z$	-15.2
NAPĚTÍ OD POHYBLIVÉHO ZATÍŽENÍ								[MPa]					$\sigma_{x,P}$	120.5								τ_P	0.1			τ_P	-9.0
NAPĚTÍ OD OSTATNÍCH ZATÍŽENÍ								[MPa]			Φ_{Vy}	Φ_{Vz}	$\sigma_{x,rs}$	50.3								τ_{rs}	0.0			τ_{rs}	-6.2
NÁVRHOVÁ HODNOTA MEZE KLUZU S REDUKCÍ VLIVEM SMYKOVÉHO NAPĚTÍ								[MPa]			1.00	1.00	$f_{yw,d}$	209.1								$f_{yd}/3^{0,5}$	120.7			$f_{yd}/3^{0,5}$	120.7
NAPĚTÍ OD POHYBLIVÉHO ZATÍŽENÍ V GLOBÁLNÍM SYSTÉMU						$\sigma_{GLOB,P}$	0.0	[MPa]					$\Sigma\sigma_{GLOB}$	0.0													
NAPĚTÍ OD OSTATNÍCH ZATÍŽENÍ V GLOBÁLNÍM SYSTÉMU						$\sigma_{GLOB,rs}$	0.0	[MPa]					$\Sigma\sigma_x + \Sigma\sigma_{GLOB}$	170.8													
VYUŽITÍ PRŮŘEZU DLE NAPĚTÍ								[%]					η_1	0.82								η_3	0.00			η_3	0.13
NAPĚTÍ V PŘÍČNÉM SMĚRU OD POHYBLIVÉHO ZATÍŽENÍ						$\sigma_{z,P}$	0.0	[MPa]					$\Sigma\sigma_z$	0.0													
NAPĚTÍ V PŘÍČNÉM SMĚRU OD OSTATNÍCH ZATÍŽENÍ						$\sigma_{z,rs}$	0.0	[MPa]					η_2	0.00													
SROVNÁVACÍ NAPĚTÍ													$(\eta_2 + 0,8\,\eta_1)/1,4$ =	0.47													
VYUŽITÍ PRŮŘEZU CELKEM								[%]					eff	0.82	VYHOVUJE												
													z_{LM71} =	1.32													

TAB. V6.2.3 POSOUZENÍ - MEZNÍ STAV ÚNOSNOSTI

POPIS	SVISLICE V6
PRUT / POLOHA BODU	412 / I[349]
NAMÁHÁNÍ	My.min
VLÁKNO	BOD K3 -SL
MEZNÍ STAV	ULS (MSÚ)
VYUŽITÍ VLÁKNA PRŮŘEZU	0.50

Charakteristiky materiálu				
pás. horní	$f_{yf,k}$	230	MPa	
pás. dolní	$f_{yf,k}$	230	MPa	
stojina	$f_{yw,k}$	230	MPa	
výztuž	$f_{ys,k}$	500	MPa	
	γ_M =	1.10	γ_s =	1.15

Excentricita normálové síly				
Exc./Fáze	0	1	2	3
e_y	0.000	0.000	0.000	0.000
e_z	0.000	0.000	0.000	0.000
Ekvivalentní vzdál. stěn - příčný roznos				
b_{Mx}	0.000	0.000	0.000	0.000

Vliv stěny na únosnost průřezu				
Char./Fáze	0	1	2	3
A	0.00	0.00	0.00	0.00
Wy	0.00	0.00	0.00	0.00
Wz	0.00	0.00	0.00	0.00

Charakter. v kroucení			
$t_{w,y}$	0.000	[mm]	
$t_{w,z}$	0.000	[mm]	
κ	1.00		
I_t=	0.00E+00	[mm^4]	
Ω=2*A_{pr}	0.00E+00	[mm^2]	

Součinitele vzpěru a vlivu II.řádu					
Char./Fáze	0	1	2	3	
k_y	1.000	1.000	1.000	1.000	
k_z	1.000	1.000	1.000	1.000	
χ_{LT}	1.000	1.000	1.000	1.000	
χ_{min}	1.000	1.000	1.000	1.000	

Vnitřní síly od jednotlivých skupin zatěžovacích stavů

SKUPINA ZATĚŽOVACÍCH STAVŮ — CHARAKTERISTICKÉ HODNOTY — DÍLČÍ SOUČINITELÉ ZATÍŽENÍ, DYNAMICKÝ SOUČINITEL — NÁVRHOVÉ HODNOTY

Č.	SKUP ZS	POPIS ZS	KAT.	FÁZE PRŮŘ.	N.k (kN)	Vy.k (kN)	Vz.k (kN)	Mx.k (kNm)	My.k (kNm)	Mz.k (kNm)	γ_{sr} (-)	γ_{fs} (-)	volba γ_f hledat	γ_f (-)	L_d (m)	δ (-)	Ψ_s KZ04	N.d (kN)	Vy.d (kN)	Vz.d (kN)	ΔVz.d (kN)	ΣVz.d (kN)	Mx.d (kNm)	My.d (kNm)	ΔMy.d (kNm)	ΣMy.d (kNm)	Mz.d (kNm)	ΔMz.d (kNm)	ΣMz.d (kNm)
1	G0	Vlastní tíha OK	G	0	-30	0	-1	0	-3	1	1.00	1.20		1.20	-	1.00	0.95	-35	0	-1	0	-1	0	-4	0	-4	1	0	1
2	G1	Ostatní stálé - mostní vybavení	G	0	2	0	0	0	-1	0	1.00	1.20		1.20	-	1.00	0.95	2	0	0	0	0	0	-1	0	-1	0	0	0
3	G2	Ostatní stálé - cizí zařízení	G	0	1	0	0	0	1	0	1.00	1.00		1.00	-	1.00	0.95	1	0	0	0	0	0	1	0	1	0	0	0
4	P1_71	a.LM71 - kolej 1 (bez dyn. souč.)	P	0	40	0	-11	0	-61	0	1.00	1.30		1.30	-	1.00	1.00	52	0	-14	0	-14	0	-79	0	-79	0	0	0
5	P2_71	a.LM71 - kolej 2 (bez dyn. souč.)	P	0	155	0	-7	0	-32	0	1.00	1.30		1.30	-	1.00	1.00	201	0	-9	0	-9	0	-42	0	-42	0	0	0
6	P1_C3	TTZ C3 - kolej 1 (bez dyn. souč.)	P	0	23	0	-8	0	-47	0	1.00	vyp.		0.00	-	1.00	0.00	0	0	0	0	0	0	0	0	0	0	0	0
7	P2_C3	TTZ C3 - kolej 2 (bez dyn. souč.)	P	0	107	0	-5	0	-23	0	1.00	vyp.		0.00	-	1.00	0.00	0	0	0	0	0	0	0	0	0	0	0	0
8	BR	Brzdné a rozjezdové síly	P	0	1	-1	0	0	-1	-1	1.00	0.00		0.00	-	1.00	0.40	0	0	0	0	0	0	0	0	0	0	0	0
9	S	Boční ráz	P	0	3	0	-2	0	-12	0	1.00	1.30		1.30	-	1.00	0.80	3	0	-3	0	-3	0	-13	0	-13	0	0	0
10	CH	Chodci na lávkách	Q	0	-16	0	-1	0	-3	0	1.00	1.30		1.30	-	1.00	1.00	-20	0	-1	0	-1	0	-4	0	-4	0	0	0
11	W	Vítr na konstrukci	Q	0	-11	0	-5	0	-10	0	1.00	1.35		1.35	-	1.00	0.75	-11	0	-5	0	-5	0	-11	0	-11	0	0	0
12	WP	Vítr na vozidla	Q	0	9	0	-5	0	-31	0	1.00	1.35		1.35	-	1.00	0.75	9	0	-5	0	-5	0	-31	0	-31	0	0	0
13	TR	Teplota rovnoměrná	Q	0	0	0	0	0	0	0	1.00	1.35		1.35	-	1.00	0.45	0	0	0	0	0	0	0	0	0	0	0	0
14	TN	Teplota nerovnoměrná	Q	0	27	0	-5	0	-29	0	1.00	1.35		1.35	-	1.00	0.60	22	0	-4	0	-4	0	-23	0	-23	0	0	0
15	FR	Třecí síly v ložiskách	Q	0	0	0	0	0	0	0	1.00	1.20		1.20	-	1.00	1.00	1	0	0	0	0	0	0	0	0	0	0	0
16	I	Imperfekce soustavy	Q	0	-2	0	-1	0	-4	0	1.00	1.20		1.20	-	1.00	1.00	-2	0	-1	0	-1	0	-5	0	-5	0	0	0
27	ULS_LM	ULS - LM71 bez dynam	Q	0	225	0	-43	0	-216	1	1.00	vyp.		0.00	-	1.00	0.00	0	0	0	0	0	0	0	0	0	0	0	0
28	SLS_LM	SLS - LM71 bez dynam	Q	0	153	0	-30	0	-148	1	1.00	vyp.	1	0.00	-	1.00	0.00	0	0	0	0	0	0	0	0	0	0	0	0
29	ULS_C3	ULS - C3 bez dynam	Q	0	141	0	-37	0	-186	1	1.00	vyp.	1	0.00	-	1.00	0.00	0	0	0	0	0	0	0	0	0	0	0	0
30	SLS_C3	SLS - C3 bez dynam	Q	0	0	0	0	0	0	0	1.00	vyp.	1	0.00	-	1.00	0.00	0	0	0	0	0	0	0	0	0	0	0	0
		CELKEM - FÁZE PRŮŘEZU 0																223	1	-42	0	-42	0	-212	0	-212	2	0	2
		CELKEM - FÁZE PRŮŘEZU 1																0	0	0	0	0	0	0	0	0	0	0	0
		CELKEM - FÁZE PRŮŘEZU 2																0	0	0	0	0	0	0	0	0	0	0	0
		CELKEM - FÁZE PRŮŘEZU 3																0	0	0	0	0	0	0	0	0	0	0	0
		CELKEM - PRŮŘEZ																223	1	-42	0	-42	0			-212			2

Napětí od jednotlivých zatěžovacích stavů

SKUPINA ZATĚŽOVACÍCH STAVŮ — Posouzení normálového napětí — Posouzení smykového napětí

Č.	SKUP ZS	Popis ZS	Kat.	fáze průř.	Účinek síly N: δ^*N_d [kN]	χ^*A [mm^2]	σ_n [MPa]	Účinek momentu My: $\delta^*M_{y,d}$ [kNm]	$\chi_{lt}{}^*W_{el,y}$ [mm^3]	σ_{my} [MPa]	Účinek momentu Mz: $\delta^*M_{z,d}$ [kNm]	$W_{el,z}$ [mm^3]	σ_{mz} [MPa]	σ_x [MPa]	Účinek kroutícího momentu Mx: $\kappa^*\delta^*M_{x,d}$ [kNm]	$W_{v,y}$ [mm^2]	$\tau_{x,y}$ [MPa]	$W_{v,z}$ [mm^2]	$\tau_{x,z}$ [MPa]	Účinek smykové síly Vy: $\delta^*V_{y,d}$ [kN]	$A_{v,y}$ [mm2]	$\tau_{v,y}$ [MPa]	$\tau_{v,y}$ [MPa]	Účinek smykové síly Vz: $\delta^*V_{z,d}$ [kN]	$A_{v,z}$ [mm2]	$\tau_{v,z}$ [MPa]	$\tau_{v,z}$ [MPa]
1	G0	Vlastní tíha OK	G	0	-34.6	8.13E+03	-4.3	-3.6	1.71E+06	-2.1	0.6	-2.59E+05	-2.2	-8.6	0.0E+00	-	-	-	-	0.0	5.76E+03	0.0	0.0	-0.6	2.77E+03	-0.2	-0.2
2	G1	Ostatní stálé - mostní vybavení	G	0	2.2	8.13E+03	0.3	-0.8	1.71E+06	-0.5	0.0	-2.59E+05	-0.1	-0.3	0.0E+00	-	-	-	-	0.0	5.76E+03	0.0	0.0	-0.1	2.77E+03	0.0	0.0
3	G2	Ostatní stálé - cizí zařízení	G	0	1.3	8.13E+03	0.2	0.7	1.71E+06	0.4	0.0	-2.59E+05	-0.1	0.5	0.0E+00	-	-	-	-	0.0	5.76E+03	0.0	0.0	0.1	2.77E+03	0.0	0.0
4	P1_71	a.LM71 - kolej 1 (bez dyn. souč.)	P	0	51.9	8.13E+03	6.4	-79.1	1.71E+06	-46.3	0.5	-2.59E+05	-1.8	-41.7	0.0E+00	-	-	-	-	0.2	5.76E+03	0.0	0.0	-13.8	2.77E+03	-5.0	-5.0
5	P2_71	a.LM71 - kolej 2 (bez dyn. souč.)	P	0	201.3	8.13E+03	24.8	-41.9	1.71E+06	-24.5	0.4	-2.59E+05	-1.5	-1.2	0.0E+00	-	-	-	-	0.3	5.76E+03	0.0	0.0	-8.7	2.77E+03	-3.1	-3.1
6	P1_C3	TTZ C3 - kolej 1 (bez dyn. souč.)	P	0	0.0	8.13E+03	0.0	0.0	1.71E+06	0.0	0.0	-2.59E+05	0.0	0.0	0.0E+00	-	-	-	-	0.0	5.76E+03	0.0	0.0	0.0	2.77E+03	0.0	0.0
7	P2_C3	TTZ C3 - kolej 2 (bez dyn. souč.)	P	0	0.0	8.13E+03	0.0	0.0	1.71E+06	0.0	0.0	-2.59E+05	0.0	0.0	0.0E+00	-	-	-	-	0.0	5.76E+03	0.0	0.0	0.0	2.77E+03	0.0	0.0
8	BR	Brzdné a rozjezdové síly	P	0	0.0	8.13E+03	0.0	0.0	1.71E+06	0.0	0.0	-2.59E+05	0.0	0.0	0.0E+00	-	-	-	-	0.0	5.76E+03	0.0	0.0	0.0	2.77E+03	0.0	0.0
9	S	Boční ráz	P	0	2.8	8.13E+03	0.3	-12.8	1.71E+06	-7.5	0.0	-2.59E+05	-0.1	-7.2	0.0E+00	-	-	-	-	0.0	5.76E+03	0.0	0.0	-2.5	2.77E+03	-0.9	-0.9
10	CH	Chodci na lávkách	Q	0	-20.2	8.13E+03	-2.5	-4.1	1.71E+06	-2.4	0.2	-2.59E+05	-0.6	-5.5	0.0E+00	-	-	-	-	0.1	5.76E+03	0.0	0.0	-0.7	2.77E+03	-0.3	-0.3
11	W	Vítr na konstrukci	Q	0	-11.2	8.13E+03	-1.4	-10.6	1.71E+06	-6.2	0.0	-2.59E+05	0.1	-7.5	0.0E+00	-	-	-	-	0.0	5.76E+03	0.0	0.0	-5.3	2.77E+03	-1.9	-1.9
12	WP	Vítr na vozidla	Q	0	9.4	8.13E+03	1.2	-31.0	1.71E+06	-18.2	0.1	-2.59E+05	-0.4	-17.4	0.0E+00	-	-	-	-	0.1	5.76E+03	0.0	0.0	-5.4	2.77E+03	-2.0	-2.0
13	TR	Teplota rovnoměrná	Q	0	0.0	8.13E+03	0.0	0.0	1.71E+06	0.0	0.0	-2.59E+05	0.0	0.0	0.0E+00	-	-	-	-	0.0	5.76E+03	0.0	0.0	0.0	2.77E+03	0.0	0.0
14	TN	Teplota nerovnoměrná	Q	0	21.9	8.13E+03	2.7	-23.3	1.71E+06	-13.6	0.3	-2.59E+05	-1.1	-12.0	0.0E+00	-	-	-	-	0.2	5.76E+03	0.0	0.0	-4.2	2.77E+03	-1.5	-1.5
15	FR	Třecí síly v ložiskách	Q	0	0.5	8.13E+03	0.1	-0.1	1.71E+06	-0.1	0.0	-2.59E+05	0.0	0.0	0.0E+00	-	-	-	-	0.0	5.76E+03	0.0	0.0	0.0	2.77E+03	0.0	0.0
16	I	Imperfekce soustavy	Q	0	-2.4	8.13E+03	-0.3	-5.2	1.71E+06	-3.0	0.0	-2.59E+05	0.0	-3.4	0.0E+00	-	-	-	-	0.0	5.76E+03	0.0	0.0	-0.9	2.77E+03	-0.3	-0.3
27	ULS_LM	ULS - LM71 bez dynam	Q	0	0.0	8.13E+03	0.0	0.0	1.71E+06	0.0	0.0	-2.59E+05	0.0	0.0	0.0E+00	-	-	-	-	0.0	5.76E+03	0.0	0.0	0.0	2.77E+03	0.0	0.0
28	SLS_LM	SLS - LM71 bez dynam	Q	0	0.0	8.13E+03	0.0	0.0	1.71E+06	0.0	0.0	-2.59E+05	0.0	0.0	0.0E+00	-	-	-	-	0.0	5.76E+03	0.0	0.0	0.0	2.77E+03	0.0	0.0
29	ULS_C3	ULS - C3 bez dynam	Q	0	0.0	8.13E+03	0.0	0.0	1.71E+06	0.0	0.0	-2.59E+05	0.0	0.0	0.0E+00	-	-	-	-	0.0	5.76E+03	0.0	0.0	0.0	2.77E+03	0.0	0.0
30	SLS_C3	SLS - C3 bez dynam	Q	0	0.0	8.13E+03	0.0	0.0	1.71E+06	0.0	0.0	-2.59E+05	0.0	0.0	0.0E+00	-	-	-	-	0.0	5.76E+03	0.0	0.0	0.0	2.77E+03	0.0	0.0
		NAVÝŠENÍ NAPĚTÍ DO AKTIVACE TLAKU V DESCE MOSTOVKY				$\sigma_{P,red}$	0.0							0.0			0.0		0.0			0.1	0.1			-15.2	-15.2
		NAPĚTÍ OD PRIMÁRNÍCH ÚČINKŮ NEROVNOMĚRNÉHO OTEPLENÍ				σ_T	0.0							0.0													
		NAPĚTÍ OD REOLOGICKÝCH ÚČINKŮ BETONU V ČASE		t=0		σ_R	0.0	γ=	1.20					0.0													
		NAPĚTÍ V KRITICKÝCH VLÁKNECH OD KOMBINACE ZATÍŽENÍ				KZ04		[MPa]					$\Sigma\sigma_x$	-104.4									$\Sigma\tau_y$	0.1			$\Sigma\tau_z$	-15.2
		NAPĚTÍ OD POHYBLIVÉHO ZATÍŽENÍ						[MPa]					$\sigma_{x,P}$	-50.2									τ_P	0.1			τ_P	-9.0
		NAPĚTÍ OD OSTATNÍCH ZATÍŽENÍ						[MPa]			Φ_{Vy}	Φ_{Vz}	$\sigma_{x,rs}$	-54.2									τ_{rs}	0.0			τ_{rs}	-6.2
		NÁVRHOVÁ HODNOTA MEZE KLUZU S REDUKCÍ VLIVEM SMYKOVÉHO NAPĚTÍ						[MPa]			1.00	1.00	$f_{yw,d}$	209.1									$f_{yd}/3^{0,5}$	120.7			$f_{yd}/3^{0,5}$	120.7
		NAPĚTÍ OD POHYBLIVÉHO ZATÍŽENÍ V GLOBÁLNÍM SYSTÉMU				$\sigma_{GLOB,P}$	0.0	[MPa]					$\Sigma\sigma_{GLOB}$	0.0														
		NAPĚTÍ OD OSTATNÍCH ZATÍŽENÍ V GLOBÁLNÍM SYSTÉMU				$\sigma_{GLOB,rs}$	0.0	[MPa]					$\Sigma\sigma_x + \Sigma\sigma_{GLOB}$	-104.4														
		VYUŽITÍ PRŮŘEZU DLE NAPĚTÍ						[%]					η_1	0.50									η_3	0.00			η_3	0.13
		NAPĚTÍ V PŘÍČNÉM SMĚRU OD POHYBLIVÉHO ZATÍŽENÍ				$\sigma_{z,P}$	0.0	[MPa]					$\Sigma\sigma_z$	0.0														
		NAPĚTÍ V PŘÍČNÉM SMĚRU OD OSTATNÍCH ZATÍŽENÍ				$\sigma_{z,rs}$	0.0	[MPa]					η_2	0.00														
		SROVNÁVACÍ NAPĚTÍ											$(\eta 2 + 0{,}8\,\eta 1)/1{,}4$ =	0.29														
		VYUŽITÍ PRŮŘEZU CELKEM						[%]					eff	0.50	VYHOVUJE													
													z_{LM71} =	3.09														

TAB. V6.2.3 POSOUZENÍ - MEZNÍ STAV ÚNOSNOSTI

POPIS	SVISLICE V6
PRUT / POLOHA BODU	412 / I[349]
NAMÁHÁNÍ	Vz.min
VLÁKNO	BOD S6 -HP
MEZNÍ STAV	ULS (MSÚ)
VYUŽITÍ VLÁKNA PRŮŘEZU	0.47

Charakteristiky materiálu				
pás. horní	$f_{yf,k}$	230	MPa	
pás. dolní	$f_{yf,k}$	230	MPa	
stojina	$f_{yw,k}$	230	MPa	
výztuž	$f_{ys,k}$	500	MPa	
γ_M =	1.10	γ_s =	1.15	

Excentricita normálové síly				
Exc./Fáze	0	1	2	3
e_y	0.000	0.000	0.000	0.000
e_z	0.000	0.000	0.000	0.000
Ekvivalentní vzdál. stěn - příčný roznos				
b_{Mx}	0.000	0.000	0.000	0.000

Vliv stěny na únosnost průřezu				
Char./Fáze	0	1	2	3
A	0.00	0.00	0.00	0.00
Wy	0.00	0.00	0.00	0.00
Wz	0.00	0.00	0.00	0.00

Charakter. v kroucení			
$t_{w,y}$	0.000	[mm]	
$t_{w,z}$	0.000	[mm]	
κ	1.00		
I_t=	0.00E+00	[mm⁴]	
$\Omega=2*A_{pz}$	0.00E+00	[mm²]	

Součinitele vzpěru a vlivu II.řádu					
Char./Fáze	0	1	2	3	
k_y	1.000	1.000	1.000	1.000	
k_z	1.000	1.000	1.000	1.000	
χ_{LT}	1.000	1.000	1.000	1.000	
χ_{min}	1.000	1.000	1.000	1.000	

4

Vnitřní síly od jednotlivých skupin zatěžovacích stavů

SKUPINA ZATĚŽOVACÍCH STAVŮ					- CHARAKTERISTICKÉ HODNOTY						DÍLČÍ SOUČINITELÉ ZATÍŽENÍ, DYNAMICKÝ SOUČINITEL							- NÁVRHOVÉ HODNOTY									
Č.	SKUP ZS	POPIS ZS	KAT.	FÁZE PRŮŘ.	N.k (kN)	Vy.k (kN)	Vz.k (kN)	Mx.k (kNm)	My.k (kNm)	Mz.k (kNm)	γ_{sr} (-)	γ_{fs} (-)	volba γ_f hledat	γ_f (-)	L_d (m)	δ (-)	Ψ_s KZ04	N.d (kN)	Vy.d (kN)	Vz.d (kN)	ΔVz.d (kN)	ΣVz.d (kN)	Mx.d (kNm)	My.d (kNm)	ΔMy.d (kNm)	ΣMy.d (kNm)	Mz.d (kNm)	ΔMz.d (kNm)	ΣMz.d (kNm)
1	G0	Vlastní tíha OK	G	0	-30	0	-1	0	-3	1	1.00	1.20		1.20	-	1.00	0.95	-35	0	-1	0	-1	0	-4	0	-4	1	0	1
2	G1	Ostatní stálé - mostní vybavení	G	0	2	0	0	0	-1	0	1.00	1.20		1.20	-	1.00	0.95	2	0	0	0	0	0	-1	0	-1	0	0	0
3	G2	Ostatní stálé - cizí zařízení	G	0	1	0	0	0	1	0	1.00	1.00		1.00	-	1.00	0.95	1	0	0	0	0	0	1	0	1	0	0	0
4	P1_71	a.LM71 - kolej 1 (bez dyn. souč.)	P	0	40	0	-11	0	-61	0	1.00	1.30		1.30	-	1.00	1.00	52	0	-14	0	-14	0	-79	0	-79	0	0	0
5	P2_71	a.LM71 - kolej 2 (bez dyn. souč.)	P	0	153	0	-7	0	-32	0	1.00	1.30		1.30	-	1.00	1.00	198	0	-9	0	-9	0	-42	0	-42	0	0	0
6	P1_C3	TTZ C3 - kolej 1 (bez dyn. souč.)	P	0	23	0	-8	0	-47	0	1.00	vyp.		0.00	-	1.00	0.00	0	0	0	0	0	0	0	0	0	0	0	0
7	P2_C3	TTZ C3 - kolej 2 (bez dyn. souč.)	P	0	107	0	-5	0	-23	0	1.00	vyp.		0.00	-	1.00	0.00	0	0	0	0	0	0	0	0	0	0	0	0
8	BR	Brzdné a rozjezdové síly	P	0	1	-1	0	0	-1	-1	1.00	1.30		1.30	-	1.00	0.40	1	0	0	0	0	0	-1	0	-1	-1	0	-1
9	S	Boční ráz	P	0	3	0	-2	0	-12	0	1.00	1.30		1.30	-	1.00	0.80	3	0	-3	0	-3	0	-13	0	-13	0	0	0
10	CH	Chodci na lávkách	Q	0	-16	0	-1	0	-3	0	1.00	1.30		1.30	-	1.00	1.00	-20	0	-1	0	-1	0	-4	0	-4	0	0	0
11	W	Vítr na konstrukci	Q	0	-11	0	-5	0	-10	0	1.00	1.35		1.35	-	1.00	0.75	-11	0	-5	0	-5	0	-11	0	-11	0	0	0
12	WP	Vítr na vozidla	Q	0	9	0	-5	0	-31	0	1.00	1.35		1.35	-	1.00	0.75	9	0	-5	0	-5	0	-31	0	-31	0	0	0
13	TR	Teplota rovnoměrná	Q	0	0	0	0	0	0	0	1.00	1.35		1.35	-	1.00	0.45	0	0	0	0	0	0	0	0	0	0	0	0
14	TN	Teplota nerovnoměrná	Q	0	27	0	-5	0	-29	0	1.00	1.35		1.35	-	1.00	0.60	22	0	-4	0	-4	0	-23	0	-23	0	0	0
15	FR	Třecí síly v ložiskách	Q	0	0	0	0	0	0	0	1.00	1.20		1.20	-	1.00	1.00	1	0	0	0	0	0	0	0	0	0	0	0
16	I	Imperfekce soustavy	Q	0	-2	0	-1	0	-4	0	1.00	1.20		1.20	-	1.00	1.00	-2	0	-1	0	-1	0	-5	0	-5	0	0	0
27	ULS_LM	ULS - LM71 bez dynam	Q	0	222	0	-43	0	-215	1	1.00	vyp.		0.00	-	1.00	0.00	0	0	0	0	0	0	0	0	0	0	0	0
28	SLS_LM	SLS - LM71 bez dynam	Q	0	150	0	-30	0	-147	1	1.00	vyp.	1	0.00	-	1.00	0.00	0	0	0	0	0	0	0	0	0	0	0	0
29	ULS_C3	ULS - C3 bez dynam	Q	0	141	0	-37	0	-186	1	1.00	vyp.	1	0.00	-	1.00	0.00	0	0	0	0	0	0	0	0	0	0	0	0
30	SLS_C3	SLS - C3 bez dynam	Q	0	0	0	0	0	0	0	1.00	vyp.	1	0.00	-	1.00	0.00	0	0	0	0	0	0	0	0	0	0	0	0
		CELKEM - FÁZE PRŮŘEZU 0																221	0	-42	0	-42	0	-212	0	-212	1	0	1
		CELKEM - FÁZE PRŮŘEZU 1																0	0	0	0	0	0	0	0	0	0	0	0
		CELKEM - FÁZE PRŮŘEZU 2																0	0	0	0	0	0	0	0	0	0	0	0
		CELKEM - FÁZE PRŮŘEZU 3																0	0	0	0	0	0	0	0	0	0	0	0
		CELKEM - PRŮŘEZ																221	0	-42	0	-42	0			-212			1

Napětí od jednotlivých zatěžovacích stavů

SKUPINA ZATĚŽOVACÍCH STAVŮ					Posouzení normálového napětí										Posouzení smykového napětí													
					Účinek síly N			Účinek momentu My			Účinek momentu Mz				Účinek ktoutícího momentu Mx				Účinek smykové síly Vy				Účinek smykové síly Vz			
Č.	SKUP ZS	Popis ZS	Kat.	fáze prúř.	δ^*N_d [kN]	χ^*A [mm²]	σ_n [MPa]	$\delta^*M_{y,d}$ [kNm]	$\chi_{lt}^*W_{el,y}$ [mm³]	σ_{my} [MPa]	$\delta^*M_{z,d}$ [kNm]	$W_{el,z}$ [mm³]	σ_{mz} [MPa]	σ_x [MPa]	$\kappa^*\delta^*M_{x,d}$ [kNm]	$W_{v,y}$ [mm³]	$\tau_{x,y}$ [MPa]	$W_{v,z}$ [mm³]	$\tau_{x,z}$ [MPa]	$\delta^*V_{y,d}$ [kN]	$A_{v,y}$ [mm2]	$\tau_{v,y}$ [MPa]	$\tau_{v,y}$ [MPa]	$\delta^*V_{z,d}$ [kN]	$A_{v,z}$ [mm2]	$\tau_{v,z}$ [MPa]	$\tau_{v,z}$ [MPa]
1	G0	Vlastní tíha OK	G	0	-34.6	8.13E+03	-4.3	-3.6	1.71E+06	-2.1	0.6	-1.96E+06	-0.3	-6.6	0.0E+00	-	-	-	-	0.0	5.76E+03	0.0	0.0	-0.6	2.77E+03	-0.2	-0.2
2	G1	Ostatní stálé - mostní vybavení	G	0	2.2	8.13E+03	0.3	-0.8	1.71E+06	-0.5	0.0	-1.96E+06	0.0	-0.2	0.0E+00	-	-	-	-	0.0	5.76E+03	0.0	0.0	-0.1	2.77E+03	0.0	0.0
3	G2	Ostatní stálé - cizí zařízení	G	0	1.3	8.13E+03	0.2	0.7	1.71E+06	0.4	0.0	-1.96E+06	0.0	0.5	0.0E+00	-	-	-	-	0.0	5.76E+03	0.0	0.0	0.1	2.77E+03	0.0	0.0
4	P1_71	a.LM71 - kolej 1 (bez dyn. souč.)	P	0	51.9	8.13E+03	6.4	-79.1	1.71E+06	-46.3	0.5	-1.96E+06	-0.2	-40.2	0.0E+00	-	-	-	-	0.2	5.76E+03	0.0	0.0	-13.8	2.77E+03	-5.0	-5.0
5	P2_71	a.LM71 - kolej 2 (bez dyn. souč.)	P	0	198.4	8.13E+03	24.4	-41.6	1.71E+06	-24.4	0.4	-1.96E+06	-0.2	-0.1	0.0E+00	-	-	-	-	0.3	5.76E+03	0.0	0.0	-8.7	2.77E+03	-3.1	-3.1
6	P1_C3	TTZ C3 - kolej 1 (bez dyn. souč.)	P	0	0.0	8.13E+03	0.0	0.0	1.71E+06	0.0	0.0	-1.96E+06	0.0	0.0	0.0E+00	-	-	-	-	0.0	5.76E+03	0.0	0.0	0.0	2.77E+03	0.0	0.0
7	P2_C3	TTZ C3 - kolej 2 (bez dyn. souč.)	P	0	0.0	8.13E+03	0.0	0.0	1.71E+06	0.0	0.0	-1.96E+06	0.0	0.0	0.0E+00	-	-	-	-	0.0	5.76E+03	0.0	0.0	0.0	2.77E+03	0.0	0.0
8	BR	Brzdné a rozjezdové síly	P	0	0.6	8.13E+03	0.1	-0.7	1.71E+06	-0.4	-0.6	-1.96E+06	0.3	0.0	5.2E-03	-	-	-	-	-0.3	5.76E+03	0.0	0.0	-0.1	2.77E+03	0.0	0.0
9	S	Boční ráz	P	0	2.8	8.13E+03	0.3	-12.8	1.71E+06	-7.5	0.0	-1.96E+06	0.0	-7.2	0.0E+00	-	-	-	-	0.0	5.76E+03	0.0	0.0	-2.5	2.77E+03	-0.9	-0.9
10	CH	Chodci na lávkách	Q	0	-20.2	8.13E+03	-2.5	-4.1	1.71E+06	-2.4	0.2	-1.96E+06	-0.1	-4.9	0.0E+00	-	-	-	-	0.1	5.76E+03	0.0	0.0	-0.7	2.77E+03	-0.3	-0.3
11	W	Vítr na konstrukci	Q	0	-11.2	8.13E+03	-1.4	-10.6	1.71E+06	-6.2	0.0	-1.96E+06	0.0	-7.6	0.0E+00	-	-	-	-	0.0	5.76E+03	0.0	0.0	-5.3	2.77E+03	-1.9	-1.9
12	WP	Vítr na vozidla	Q	0	9.4	8.13E+03	1.2	-31.0	1.71E+06	-18.2	0.1	-1.96E+06	0.0	-17.1	0.0E+00	-	-	-	-	0.1	5.76E+03	0.0	0.0	-5.4	2.77E+03	-2.0	-2.0
13	TR	Teplota rovnoměrná	Q	0	0.0	8.13E+03	0.0	0.0	1.71E+06	0.0	0.0	-1.96E+06	0.0	0.0	0.0E+00	-	-	-	-	0.0	5.76E+03	0.0	0.0	0.0	2.77E+03	0.0	0.0
14	TN	Teplota nerovnoměrná	Q	0	21.9	8.13E+03	2.7	-23.3	1.71E+06	-13.6	0.3	-1.96E+06	-0.1	-11.1	0.0E+00	-	-	-	-	0.2	5.76E+03	0.0	0.0	-4.2	2.77E+03	-1.5	-1.5
15	FR	Třecí síly v ložiskách	Q	0	0.5	8.13E+03	0.1	-0.1	1.71E+06	-0.1	0.0	-1.96E+06	0.0	0.0	0.0E+00	-	-	-	-	0.0	5.76E+03	0.0	0.0	0.0	2.77E+03	0.0	0.0
16	I	Imperfekce soustavy	Q	0	-2.4	8.13E+03	-0.3	-5.2	1.71E+06	-3.0	0.0	-1.96E+06	0.0	-3.3	0.0E+00	-	-	-	-	0.0	5.76E+03	0.0	0.0	-0.9	2.77E+03	-0.3	-0.3
27	ULS_LM	ULS - LM71 bez dynam	Q	0	0.0	8.13E+03	0.0	0.0	1.71E+06	0.0	0.0	-1.96E+06	0.0	0.0	0.0E+00	-	-	-	-	0.0	5.76E+03	0.0	0.0	0.0	2.77E+03	0.0	0.0
28	SLS_LM	SLS - LM71 bez dynam	Q	0	0.0	8.13E+03	0.0	0.0	1.71E+06	0.0	0.0	-1.96E+06	0.0	0.0	0.0E+00	-	-	-	-	0.0	5.76E+03	0.0	0.0	0.0	2.77E+03	0.0	0.0
29	ULS_C3	ULS - C3 bez dynam	Q	0	0.0	8.13E+03	0.0	0.0	1.71E+06	0.0	0.0	-1.96E+06	0.0	0.0	0.0E+00	-	-	-	-	0.0	5.76E+03	0.0	0.0	0.0	2.77E+03	0.0	0.0
30	SLS_C3	SLS - C3 bez dynam	Q	0	0.0	8.13E+03	0.0	0.0	1.71E+06	0.0	0.0	-1.96E+06	0.0	0.0	0.0E+00	-	-	-	-	0.0	5.76E+03	0.0	0.0	0.0	2.77E+03	0.0	0.0
NAVÝŠENÍ NAPĚTÍ DO AKTIVACE TLAKU V DESCE MOSTOVKY						$\sigma_{P,red}$	0.0							0.0			0.0		0.0				0.1	0.1			-15.3	-15.3
NAPĚTÍ OD PRIMÁRNÍCH ÚČINKŮ NEROVNOMĚRNÉHO OTEPLENÍ						σ_T	0.0							0.0														
NAPĚTÍ OD REOLOGICKÝCH ÚČINKŮ BETONU V ČASE		t=0				σ_R	0.0	$\gamma_{i=}$	1.20					0.0														
NAPĚTÍ V KRITICKÝCH VLÁKNECH OD KOMBINACE ZATÍŽENÍ						KZ04		[MPa]					$\Sigma\sigma_x$	-97.8								$\Sigma\tau_y$	0.1			$\Sigma\tau_z$	-15.3
NAPĚTÍ OD POHYBLIVÉHO ZATÍŽENÍ								[MPa]					$\sigma_{x,P}$	-47.5								τ_P	0.0			τ_P	-9.1
NAPĚTÍ OD OSTATNÍCH ZATÍŽENÍ								[MPa]			Φ_{Vy}	Φ_{Vz}	$\sigma_{x,rs}$	-50.3								τ_s	0.0			τ_s	-6.2
NÁVRHOVÁ HODNOTA MEZE KLUZU S REDUKCÍ VLIVEM SMYKOVÉHO NAPĚTÍ								[MPa]			1.00	1.00	$f_{yw,d}$	209.1								$f_{yd}/3^{0,5}$	120.7			$f_{yd}/3^{0,5}$	120.7
NAPĚTÍ OD POHYBLIVÉHO ZATÍŽENÍ V GLOBÁLNÍM SYSTÉMU						$\sigma_{GLOB,P}$	0.0	[MPa]					$\Sigma\sigma_{GLOB}$	0.0													
NAPĚTÍ OD OSTATNÍCH ZATÍŽENÍ V GLOBÁLNÍM SYSTÉMU						$\sigma_{GLOB,rs}$	0.0	[MPa]					$\Sigma\sigma_x + \Sigma\sigma_{GLOB}$	-97.8													
VYUŽITÍ PRŮŘEZU DLE NAPĚTÍ								[%]					η_1	0.47								η_3	0.00			η_3	0.13
NAPĚTÍ V PŘÍČNÉM SMĚRU OD POHYBLIVÉHO ZATÍŽENÍ						$\sigma_{z,P}$	0.0	[MPa]					$\Sigma\sigma_z$	0.0													
NAPĚTÍ V PŘÍČNÉM SMĚRU OD OSTATNÍCH ZATÍŽENÍ						$\sigma_{z,rs}$	0.0	[MPa]					η_2	0.00													
SROVNÁVACÍ NAPĚTÍ													$(\eta_2 + 0,8\,\eta_1)/1,4 =$	0.27													
VYUŽITÍ PRŮŘEZU CELKEM								[%]					eff	0.47	VYHOVUJE												
													Z_{LM71} =	3.34													

VÝPOČET PRŮŘEZOVÝCH CHARAKTERISTIK

PRŮŘEZ: V7_1 **POPIS:** SVISLICE V7 - N TAH **x =** - **m**

DEFINOVÁNÍ PRŮŘEZU

ŠÍŘKA PÁSNICE ÚHELNÍKU	b f.t.l.o =	100	mm	**ÚHELNÍK HORNÍ VNĚJŠÍ LEVÝ**		**C.T.O.L**	
TLOUŠŤKA PÁSNICE ÚHELNÍKU	t f.t.l.o =	12	mm	OSLABENÍ PÁSNICE - TLOUŠŤKA	Δt f.t.l.o =	0	%
VÝŠKA STĚNY ÚHELNÍKU	h w.t.l.o =	68	mm				
TLOUŠŤKA STĚNY ÚHELNÍKU	t w.t.l.o =	12	mm	OSLABENÍ STĚNY - TLOUŠŤKA	Δt w.t.l.o =	20	%
ŠÍŘKA PÁSNICE ÚHELNÍKU	b f.t.r.o =	100	mm	**ÚHELNÍK HORNÍ VNĚJŠÍ PRAVÝ**		**C.T.O.R**	
TLOUŠŤKA PÁSNICE ÚHELNÍKU	t f.t.r.o =	12	mm	OSLABENÍ PÁSNICE - TLOUŠŤKA	Δt f.t.r.o =	0	%
VÝŠKA STĚNY ÚHELNÍKU	h w.t.r.o =	68	mm				
TLOUŠŤKA STĚNY ÚHELNÍKU	t w.t.r.o =	12	mm	OSLABENÍ STĚNY - TLOUŠŤKA	Δt w.t.r.0 =	20	%
ŠÍŘKA PÁSNICE ÚHELNÍKU	b f.t.l.i =	0	mm	**ÚHELNÍK HORNÍ VNITŘNÍ LEVÝ**		**C.T.I.L**	
TLOUŠŤKA PÁSNICE ÚHELNÍKU	t f.t.l.i =	0	mm	OSLABENÍ PÁSNICE - TLOUŠŤKA	Δt f.b.l.o =	0	%
VÝŠKA STĚNY ÚHELNÍKU	h w.t.l.i =	0	mm				
TLOUŠŤKA STĚNY ÚHELNÍKU	t w.t.l.i =	0	mm	OSLABENÍ STĚNY - TLOUŠŤKA	Δt w.b.l.o =	0	%
ŠÍŘKA PÁSNICE ÚHELNÍKU	b f.t.r.i =	0	mm	**ÚHELNÍK HORNÍ VNITŘNÍ PRAVÝ**		**C.T.I.R**	
TLOUŠŤKA PÁSNICE ÚHELNÍKU	t f.t.r.i =	0	mm	OSLABENÍ PÁSNICE - TLOUŠŤKA	Δt f.b.r.o =	0	%
VÝŠKA STĚNY ÚHELNÍKU	h w.t.r.i =	0	mm				
TLOUŠŤKA STĚNY ÚHELNÍKU	t w.t.r.i =	0	mm	OSLABENÍ STĚNY - TLOUŠŤKA	Δt w.b.r.o =	0	%
ŠÍŘKA PÁSNICE ÚHELNÍKU	b f.b.l.o =	100	mm	**ÚHELNÍK DOLNÍ VNĚJŠÍ LEVÝ**		**C.B.O.L**	
TLOUŠŤKA PÁSNICE ÚHELNÍKU	t f.b.l.o =	12	mm	OSLABENÍ PÁSNICE - TLOUŠŤKA	Δt f.t.l.i =	0	%
VÝŠKA STĚNY ÚHELNÍKU	h w.b.l.o =	68	mm				
TLOUŠŤKA STĚNY ÚHELNÍKU	t w.b.l.o =	12	mm	OSLABENÍ STĚNY - TLOUŠŤKA	Δt w.t.l.i =	20	%
ŠÍŘKA PÁSNICE ÚHELNÍKU	b f.b.r.o =	100	mm	**ÚHELNÍK DOLNÍ VNĚJŠÍ PRAVÝ**		**C.B.O.R**	
TLOUŠŤKA PÁSNICE ÚHELNÍKU	t f.b.r.o =	12	mm	OSLABENÍ PÁSNICE - TLOUŠŤKA	Δt f.t.r.i =	0	%
VÝŠKA STĚNY ÚHELNÍKU	h w.b.r.o =	68	mm				
TLOUŠŤKA STĚNY ÚHELNÍKU	t w.b.r.o =	12	mm	OSLABENÍ STĚNY - TLOUŠŤKA	Δt w.t.r.i =	20	%
PÁSNICE DOLNÍHO LEVÉHO ÚHELNÍKU	b f.b.l.i =	0	mm	**ÚHELNÍK DOLNÍ VNITŘNÍ LEVÝ**		**C.B.I.L**	
TLOUŠŤKA PÁSNICE ÚHELNÍKU	t f.b.l.i =	0	mm	OSLABENÍ PÁSNICE - TLOUŠŤKA	Δt f.b.l.i =	0	%
VÝŠKA STĚNY ÚHELNÍKU	h w.b.l.i =	0	mm				
TLOUŠŤKA STĚNY ÚHELNÍKU	t w.b.l.i =	0	mm	OSLABENÍ STĚNY - TLOUŠŤKA	Δt w.b.l.i =	0	%
PÁSNICE DOLNÍHO PRAVÉHO ÚHELNÍKU	b f.b.r.i =	0	mm	**ÚHELNÍK DOLNÍ VNITŘNÍ PRAVÝ**		**C.B.I.R**	
TLOUŠŤKA PÁSNICE ÚHELNÍKU	t f.b.r.i =	0	mm	OSLABENÍ PÁSNICE - TLOUŠŤKA	Δt f.b.r.i =	0	%
VÝŠKA STĚNY ÚHELNÍKU	h w.b.r.i =	0	mm				
TLOUŠŤKA STĚNY ÚHELNÍKU	t w.b.r.i =	0	mm	OSLABENÍ STĚNY - TLOUŠŤKA	Δt w.b.r.i =	0	%

HORNÍ

ŠÍŘKA HORNÍ VLOŽKY - VNĚJŠÍ	b f.t =	0	mm			**HOR.T.O**	
TLOUŠŤKA VLOŽKY	t f.t =	0	mm	OSLABENÍ VLOŽKY	Δt f.t =	0	%
ŠÍŘKA HORNÍ VLOŽKY - VNITŘNÍ	b f.t =	0	mm			**HOR.T.I**	
TLOUŠŤKA VLOŽKY	t f.t =	0	mm	OSLABENÍ VLOŽKY	Δt f.t =	0	%
ŠÍŘKA DOLNÍ VLOŽKY - VNĚJŠÍ	b f.t =	0	mm			**HOR.B.O**	
TLOUŠŤKA VLOŽKY	t f.t =	0	mm	OSLABENÍ VLOŽKY	Δt f.t =	0	%
ŠÍŘKA DOLNÍ VLOŽKY - VNITŘNÍ	b f.t =	0	mm			**HOR.B.I**	
TLOUŠŤKA VLOŽKY	t f.t =	0	mm	OSLABENÍ VLOŽKY - VNITŘNÍ	Δt f.t =	0	%

VZD. OKRAJŮ PÁSNIC VNITŘNÍCH ÚHELNÍKŮ	464	mm
CELKOVÁ TLOUŠŤKA MEZI PÁSNICEMI ÚHELNÍKŮ I A .o	0	mm
CELKOVÁ TLOUŠŤKA MEZI PÁSNICEMI ÚHELNÍKŮ I A .r	13	mm

ZADANÍ ČÁSTI PRŮŘEZU:

č.prvku	b [mm]	h [mm]	y_s [mm]	z_s [mm]	popis části	druh oslabení	lokální ultimate	boulení servic.
1	100.0	12.0	-56.5	238.0	pásnice	0	1.000	1.000
2	9.6	68.0	-11.3	278.0	stěna	0	1.000	1.000
3	100.0	12.0	56.5	238.0	pásnice	0	1.000	1.000
4	9.6	68.0	11.3	278.0	stěna	0	1.000	1.000
5	0.0	0.0	-6.5	232.0	pásnice	0	1.000	1.000
6	0.0	0.0	-6.5	232.0	stěna	0	1.000	1.000
7	0.0	0.0	6.5	232.0	pásnice	0	1.000	1.000
8	0.0	0.0	6.5	232.0	stěna	0	1.000	1.000
9	100.0	12.0	-56.5	-238.0	pásnice	0	1.000	1.000
10	9.6	68.0	-11.3	-278.0	stěna	0	1.000	1.000
11	100.0	12.0	56.5	-238.0	pásnice	0	1.000	1.000
12	9.6	68.0	11.3	-278.0	stěna	0	1.000	1.000
13	0.0	0.0	-6.5	-232.0	pásnice	0	1.000	1.000
14	0.0	0.0	-6.5	-232.0	stěna	0	1.000	1.000
15	0.0	0.0	6.5	-232.0	pásnice	0	1.000	1.000
16	0.0	0.0	6.5	-232.0	stěna	0	1.000	1.000
17						0	1.000	1.000
18						0	1.000	1.000
19						0	1.000	1.000
20						0	1.000	1.000
21						0	1.000	1.000
22						0	1.000	1.000
23						0	1.000	1.000
24						0	1.000	1.000
25						0	1.000	1.000
26						0	1.000	1.000
27						0	1.000	1.000
28						0	1.000	1.000
29						0	1.000	1.000
30						0	1.000	1.000
31						0	1.000	1.000
32						0	1.000	1.000
33						0	1.000	1.000
34						0	1.000	1.000
35						0	1.000	1.000
36						0	1.000	1.000
37						0	1.000	1.000
38						0	1.000	1.000
39						0	1.000	1.000
40						0	1.000	1.000
41	0.0	0.0	0.0	232.0	pásnice	0	1.000	1.000
42	0.0	0.0	0.0	232.0	pásnice	0	1.000	1.000
43	0.0	0.0	0.0	-232.0	pásnice	0	1.000	1.000
44	0.0	0.0	0.0	-232.0	pásnice	0	1.000	1.000
45						0	1.000	1.000
46						0	1.000	1.000
47						0	1.000	1.000
48						0	1.000	1.000
49						0	1.000	1.000
50						0	1.000	1.000
51						0	1.000	1.000
52						0	1.000	1.000
53						0	1.000	1.000
54						0	1.000	1.000
55						0	1.000	1.000
56						0	1.000	1.000
57						0	1.000	1.000
58						0	1.000	1.000
59						0	1.000	1.000
60						0	1.000	1.000
61						0	1.000	1.000
62						0	1.000	1.000
63						0	1.000	1.000
64						0	1.000	1.000
65						0	1.000	1.000
66						0	1.000	1.000
67						0	1.000	1.000
68						0	1.000	1.000
69						0	1.000	1.000
70						0	1.000	1.000
71	9.6	-20.0	-11.3	277.0	nýt	0	1.000	1.000
72	9.6	-20.0	11.3	277.0	nýt	0	1.000	1.000
73	0	0	0	0	nýt	0	1.000	1.000
74	0	0	0	0	nýt	0	1.000	1.000
75	9.6	-20.0	-11.3	-277.0	nýt	0	1.000	1.000
76	9.6	-20.0	11.3	-277.0	nýt	0	1.000	1.000
77	0	0	0	0	nýt	0	1.000	1.000
78	0	0	0	0	nýt	0	1.000	1.000
79						0	1.000	1.000
80						0	1.000	1.000
81	0	0	-56.5	244.0	nýt	0	1.000	1.000
82	0	0	0	0	nýt	0	1.000	1.000
83	0	0	56.5	244.0	nýt	0	1.000	1.000
84	0	0	0	0	nýt	0	1.000	1.000
85	0	0	-56.5	-244.0	nýt	0	1.000	1.000
86	0	0	0	0	nýt	0	1.000	1.000
87	0	0	56.5	-244.0	nýt	0	1.000	1.000
88	0	0	0	0	nýt	0	1.000	1.000
89						0	1.000	1.000
90						0	1.000	1.000
91	0	0	0	0	nýt	0	1.000	1.000
92	0	0	0	0	nýt	0	1.000	1.000
93	0	0	0	0	nýt	0	1.000	1.000
94	0	0	0	0	nýt	0	1.000	1.000
95	0	0	0	0	nýt	0	1.000	1.000
96	0	0	0	0	nýt	0	1.000	1.000
97	0	0	0	0	nýt	0	1.000	1.000
98	0	0	0	0	nýt	0	1.000	1.000
99						0	1.000	1.000
100						0	1.000	1.000

NÝT Č.	SKUPINA	ŘEZ	RED.	VELIKOST di [mm]	POLOHA ei [mm]	POPIS	AKTIVITA OTVORU		NAPĚTÍ sc [MPa]
1		-	1.00	20	35	nýt - t.o - úhelník	1		86.66
2		-	1.00	20	35	nýt - t.o - úhelník	1		85.97
3		-	1.00	0	35	nýt - t.i - úhelník	0	-	
4		-	1.00	0	35	nýt - t.i - úhelník	0	-	
5		-	1.00	20	35	nýt - b.o - úhelník	1		35.10
6		-	1.00	20	35	nýt - b.o - úhelník	1		34.41
7		-	1.00	0	35	nýt - b.i - úhelník	0	-	
8		-	1.00	0	35	nýt - b.i - úhelník	0	-	
9									
10									
11		-	1.00	22	50	nýt - t.i - úhelník	0		84.98
12		-	1.00	0	50	nýt - t.i - úhelník	0	-	
13		-	1.00	22	50	nýt - t.r - úhelník	0		81.51
14		-	1.00	0	50	nýt - t.r - úhelník	0	-	
15		-	1.00	22	50	nýt - b.l - úhelník	0		39.56
16		-	1.00	0	50	nýt - b.l - úhelník	0	-	
17		-	1.00	22	50	nýt - b.r - úhelník	0		36.10
18		-	1.00	0	50	nýt - b.r - úhelník	0	-	
19									
20									
21		-	1.00	0	-132	nýt - t.l	0	-	
22		-	1.00	0	-132	nýt - t.l	0	-	
23		-	1.00	0	132	nýt - t.r	0	-	
24		-	1.00	0	132	nýt - t.r	0	-	
25		-	1.00	0	-132	nýt - b.l	0	-	
26		-	1.00	0	-132	nýt - b.l	0	-	
27		-	1.00	0	132	nýt - b.r	0	-	
28		-	1.00	0	132	nýt - b.r	0	-	
29									
30									

VÝPOČET PRŮŘEZOVÝCH CHARAKTERISTIK

Properties	Basic	Ultimate		Serviceability	
y_i	0.0	0.0		0.0	[mm]
z_i	0.0	0.0		0.0	[mm]
A_i	6.6432E+03	6.6432E+03		6.6432E+03	[mm²]
A_s	4.8000E+03	4.8000E+03		4.8000E+03	[mm²]
A_w	2.6112E+03	2.6112E+03		2.6112E+03	[mm²]
I_{yi}	2.4948E+08	2.4948E+08		2.4948E+08	[mm⁴]
I_w	1.9572E+07	1.9572E+07		1.9572E+07	[mm⁶]
i_y	193.8	193.8		193.8	[mm]
i_z	54.3	54.3		54.3	[mm]
$W_{y,1}$	7.9963E+05	7.9963E+05		7.9963E+05	[mm³]
$W_{z,1}$	-1.8378E+05	-1.8378E+05		-1.8378E+05	[mm³]
$W_{y,2}$	-7.9963E+05	-7.9963E+05		-7.9963E+05	[mm³]
$W_{z,2}$	-1.8378E+05	-1.8378E+05		-1.8378E+05	[mm³]
KRAJNÍ VLÁKNA PRŮŘEZU					
y_1	-106.5	-106.5		-106.5	[mm] min
z_1	312.0	312.0		312.0	[mm] max
y_2	-106.5	-106.5		-106.5	[mm] min
z_2	-312.0	-312.0		-312.0	[mm] min
y_3	106.5	106.5		106.5	[mm] max
z_3	312.0	312.0		312.0	[mm] max
y_4	106.5	106.5		106.5	[mm] max
z_4	-312.0	-312.0		-312.0	[mm] min
y_5	-16.1	-16.1		-16.1	[mm]
z_5	-244.0	-244.0		-244.0	[mm]
y_6	-16.1	-16.1		-16.1	[mm]
z_6	-312.0	-312.0		-312.0	[mm]

SCHÉMA PROMĚNNÝCH

SCHÉMA ZADANÉHO PRŮŘEZU

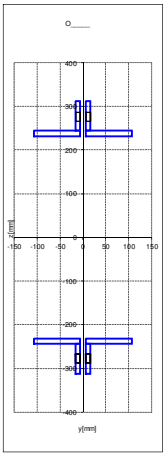

ÚPRAVA MOMENTŮ SETRVAČNOSTI V DŮSLEDKU ČLENĚNÍ PRŮŘEZU

OSA Y	0.60
OSA Z	1.00

NEUTRÁLNÁ OSA

NAPĚTÍ [MPa]:

92.84	86.31
34.75	28.23

ZS: SLS_LM_N.MAX

	N [kN]	Vy [kN]	Vz [kN]	Mx [kNm]	My [kNm]	Mz [kNm]
import	402	0	-4	0	-23	-1

TR_V7.1 POPIS: **SVISLICE V7** POSUDEK: **V7.1**

SKUPINA ZAT. STAVŮ	EXTRÉM	VYHODNOCOVANÉ VELIČINY					
		N	Vy	Vz	Mx	My	Mz
		kN	kN	kN	kNm	kNm	kNm
G0	N.min	**39.19**	-0.16	0.55	0	-1.51	-0.26
	N.max	**39.19**	-0.16	0.55	0	-1.51	-0.26
	Vy.min	39.19	**-0.16**	0.55	0	-1.51	-0.26
	Vy.max	39.19	**-0.16**	0.55	0	-1.51	-0.26
	Vz.min	39.19	-0.16	**0.55**	0	-1.51	-0.26
	Vz.max	39.19	-0.16	**0.55**	0	-1.51	-0.26
	Mx.min	39.19	-0.16	0.55	**0**	-1.51	-0.26
	Mx.max	39.19	-0.16	0.55	**0**	-1.51	-0.26
	My.min	39.19	-0.16	0.55	0	**-1.51**	-0.26
	My.max	39.19	-0.16	0.55	0	**-1.51**	-0.26
	Mz.min	39.19	-0.16	0.55	0	-1.51	**-0.26**
	Mz.max	39.19	-0.16	0.55	0	-1.51	**-0.26**
G1	N.min	**6.26**	0	0.01	0	-0.25	0
	N.max	**6.26**	0	0.01	0	-0.25	0
	Vy.min	6.26	**0**	0.01	0	-0.25	0
	Vy.max	6.26	**0**	0.01	0	-0.25	0
	Vz.min	6.26	0	**0.01**	0	-0.25	0
	Vz.max	6.26	0	**0.01**	0	-0.25	0
	Mx.min	6.26	0	0.01	**0**	-0.25	0
	Mx.max	6.26	0	0.01	**0**	-0.25	0
	My.min	6.26	0	0.01	0	**-0.25**	0
	My.max	6.26	0	0.01	0	**-0.25**	0
	Mz.min	6.26	0	0.01	0	-0.25	**0**
	Mz.max	6.26	0	0.01	0	-0.25	**0**
G2	N.min	**3.67**	0	0.06	0	0.02	0
	N.max	**3.67**	0	0.06	0	0.02	0
	Vy.min	3.67	**0**	0.06	0	0.02	0
	Vy.max	3.67	**0**	0.06	0	0.02	0
	Vz.min	3.67	0	**0.06**	0	0.02	0
	Vz.max	3.67	0	**0.06**	0	0.02	0
	Mx.min	3.67	0	0.06	**0**	0.02	0
	Mx.max	3.67	0	0.06	**0**	0.02	0
	My.min	3.67	0	0.06	0	**0.02**	0
	My.max	3.67	0	0.06	0	**0.02**	0
	Mz.min	3.67	0	0.06	0	0.02	**0**
	Mz.max	3.67	0	0.06	0	0.02	**0**
P1_71	N.min	**-22.53**	-0.02	-0.53	0	-3.1	-0.12
	N.max	**85.04**	0.02	-1.45	0	-5.5	0.12
	Vy.min	41.98	**-0.14**	-1.21	0	-5.09	-0.21
	Vy.max	33.27	**0.14**	-0.87	0	-3.8	0.22
	Vz.min	62.52	-0.02	**-2**	0	-8.19	-0.02
	Vz.max	0	0	**0**	0	0	0
	Mx.min	46.96	-0.1	-0.75	**0**	-2.37	-0.08
	Mx.max	25.18	0.08	-1.31	**0**	-6.49	0.07
	My.min	56.43	-0.01	-1.95	0	**-8.45**	-0.02
	My.max	0	0	0	0	**0**	0
	Mz.min	41.57	-0.14	-1.29	0	-5.62	**-0.22**
	Mz.max	35.69	0.13	-0.85	0	-3.51	**0.22**
P2_71	N.min	**-66.35**	-0.04	0.94	0	-0.4	-0.27
	N.max	**191.74**	0.09	0.24	0	-2.62	0.34
	Vy.min	79.21	**-0.36**	1.18	0	-0.93	-0.54
	Vy.max	79.06	**0.36**	-0.11	0	-2.63	0.58
	Vz.min	108.09	0.11	**-0.31**	0	-2.97	0.3
	Vz.max	18.69	-0.18	**1.41**	0	-0.11	-0.39
	Mx.min	91.48	-0.31	0.91	**0**	-0.47	-0.41
	Mx.max	58.53	0.28	0.11	**0**	-3.19	0.39
	My.min	86.57	0.12	-0.02	0	**-4.11**	0.21
	My.max	25.56	-0.14	1.17	0	**0.8**	-0.27
	Mz.min	77.98	-0.36	1.19	0	-1.06	**-0.54**
	Mz.max	83.28	0.35	-0.12	0	-2.54	**0.58**
P1_C3	N.min	**-18.26**	-0.02	-0.41	0	-2.42	-0.1
	N.max	**68.93**	0.02	-1.13	0	-4.49	0.09
	Vy.min	33.4	**-0.12**	-0.92	0	-3.79	-0.17
	Vy.max	23.82	**0.1**	-0.66	0	-2.94	0.16
	Vz.min	46.8	-0.05	**-1.62**	0	-6.84	-0.07
	Vz.max	0	0	**0**	0	0	0
	Mx.min	32.24	-0.07	-0.53	**0**	-1.64	-0.06
	Mx.max	19.33	0.05	-1.02	**0**	-5.17	0.03
	My.min	46.12	-0.05	-1.62	0	**-6.86**	-0.07
	My.max	0	0	0	0	**0**	0
	Mz.min	27.31	-0.11	-1.02	0	-4.65	**-0.18**
	Mz.max	22.79	0.1	-0.51	0	-2.09	**0.16**
P2_C3	N.min	**-53.72**	-0.03	0.77	0	-0.03	-0.21
	N.max	**155.31**	0.06	0.29	0	-1.88	0.25
	Vy.min	60.64	**-0.29**	1.02	0	-0.56	-0.45
	Vy.max	53.85	**0.27**	-0.06	0	-1.5	0.44
	Vz.min	78.34	0.08	**-0.23**	0	-2.26	0.21
	Vz.max	28.19	-0.17	**1.2**	0	-0.22	-0.33
	Mx.min	65.36	-0.25	0.85	**0**	-0.2	-0.35
	Mx.max	45.12	0.22	0.11	**0**	-2.38	0.31
	My.min	72.26	-0.01	-0.07	0	**-3.16**	0.04
	My.max	23.54	-0.12	0.96	0	**0.69**	-0.23
	Mz.min	52.89	-0.28	1.04	0	-1.36	**-0.46**
	Mz.max	53.85	0.27	-0.06	0	-1.5	**0.44**
BR	N.min	**-1.48**	-0.11	0.07	0	0.15	-0.17
	N.max	**1.48**	0.11	-0.07	0	-0.15	0.17
	Vy.min	-1.48	**-0.11**	0.07	0	0.15	-0.17
	Vy.max	1.48	**0.11**	-0.07	0	-0.15	0.17
	Vz.min	1.48	0.11	**-0.07**	0	-0.15	0.17
	Vz.max	-1.48	-0.11	**0.07**	0	0.15	-0.17
	Mx.min	-1.48	-0.11	0.07	**0**	0.15	-0.17
	Mx.max	1.48	0.11	-0.07	**0**	-0.15	0.17
	My.min	1.48	0.11	-0.07	0	**-0.15**	0.17
	My.max	-1.48	-0.11	0.07	0	**0.15**	-0.17
	Mz.min	-1.48	-0.11	0.07	0	0.15	**-0.17**
	Mz.max	1.48	0.11	-0.07	0	-0.15	**0.17**

TR_V7.1 POPIS: **SVISLICE V7** POSUDEK: **V7.1**

SKUPINA ZAT. STAVŮ	EXTRÉM	VYHODNOCOVANÉ VELIČINY					
		N	Vy	Vz	Mx	My	Mz
		kN	kN	kN	kNm	kNm	kNm
S	N.min	**-3.27**	-0.01	0.35	0	0.98	-0.01
	N.max	**3.27**	0.01	-0.35	0	-0.98	0.01
	Vy.min	-1.51	**-0.01**	0.4	0	0.6	-0.02
	Vy.max	1.51	**0.01**	-0.4	0	-0.6	0.02
	Vz.min	2.33	0.01	**-0.47**	0	-1.26	0.02
	Vz.max	-2.33	-0.01	**0.47**	0	1.26	-0.02
	Mx.min	-2.88	-0.01	0.46	**0**	1.37	-0.01
	Mx.max	2.88	0.01	-0.46	**0**	-1.37	0.01
	My.min	2.88	0.01	-0.46	0	**-1.37**	0.01
	My.max	-2.88	-0.01	0.46	0	**1.37**	-0.01
	Mz.min	-1.51	-0.01	0.4	0	0.6	**-0.02**
	Mz.max	1.51	0.01	-0.4	0	-0.6	**0.02**
CH	N.min	**-6.5**	0	-0.06	0	-0.33	-0.03
	N.max	**18.19**	0	0.02	0	-0.2	0.02
	Vy.min	11.67	**-0.01**	0.19	0	0.12	-0.01
	Vy.max	18.19	**0**	0.02	0	-0.2	0.02
	Vz.min	-6.5	0	**-0.06**	0	-0.33	-0.03
	Vz.max	11.67	-0.01	**0.19**	0	0.12	-0.01
	Mx.min	11.67	-0.01	0.19	**0**	0.12	-0.01
	Mx.max	18.19	0	0.02	**0**	-0.2	0.02
	My.min	-6.5	0	-0.06	0	**-0.33**	-0.03
	My.max	11.67	-0.01	0.19	0	**0.12**	-0.01
	Mz.min	-6.5	0	-0.06	0	-0.33	**-0.03**
	Mz.max	18.19	0	0.02	0	-0.2	**0.02**
W	N.min	**-6.95**	-0.01	0.78	0	7.82	-0.02
	N.max	**6.96**	0.01	-0.78	0	-7.82	0.01
	Vy.min	-6.95	**-0.01**	0.78	0	7.82	-0.02
	Vy.max	6.96	**0.01**	-0.78	0	-7.82	0.01
	Vz.min	6.96	0.01	**-0.78**	0	-7.82	0.01
	Vz.max	-6.95	-0.01	**0.78**	0	7.82	-0.02
	Mx.min	-6.95	-0.01	0.78	**0**	7.82	-0.02
	Mx.max	6.96	0.01	-0.78	**0**	-7.82	0.01
	My.min	6.96	0.01	-0.78	0	**-7.82**	0.01
	My.max	-6.95	-0.01	0.78	0	**7.82**	-0.02
	Mz.min	-6.95	-0.01	0.78	0	7.82	**-0.02**
	Mz.max	6.96	0.01	-0.78	0	-7.82	**0.01**
WP	N.min	**-2.83**	-0.04	1.4	0	3.05	-0.06
	N.max	**2.84**	0.04	-1.4	0	-3.05	0.06
	Vy.min	-2.83	**-0.04**	1.4	0	3.05	-0.06
	Vy.max	2.84	**0.04**	-1.4	0	-3.05	0.06
	Vz.min	2.84	0.04	**-1.4**	0	-3.05	0.06
	Vz.max	-2.83	-0.04	**1.4**	0	3.05	-0.06
	Mx.min	-2.83	-0.04	1.4	**0**	3.05	-0.06
	Mx.max	2.84	0.04	-1.4	**0**	-3.05	0.06
	My.min	2.84	0.04	-1.4	0	**-3.05**	0.06
	My.max	-2.83	-0.04	1.4	0	**3.05**	-0.06
	Mz.min	-2.83	-0.04	1.4	0	3.05	**-0.06**
	Mz.max	2.84	0.04	-1.4	0	-3.05	**0.06**
TR	N.min	**0**	0	0	0	0	0
	N.max	**0**	0	0	0	0	0
	Vy.min	0	**0**	0	0	0	0
	Vy.max	0	**0**	0	0	0	0
	Vz.min	0	0	**0**	0	0	0
	Vz.max	0	0	**0**	0	0	0
	Mx.min	0	0	0	**0**	0	0
	Mx.max	0	0	0	**0**	0	0
	My.min	0	0	0	0	**0**	0
	My.max	0	0	0	0	**0**	0
	Mz.min	0	0	0	0	0	**0**
	Mz.max	0	0	0	0	0	**0**
TN	N.min	**-11.11**	-0.18	0.1	0	0.14	-0.27
	N.max	**17.37**	0.18	-1.84	0	-0.88	0.27
	Vy.min	-11.11	**-0.18**	0.1	0	0.14	-0.27
	Vy.max	17.37	**0.18**	-1.84	0	-0.88	0.27
	Vz.min	17.37	0.18	**-1.84**	0	-0.88	0.27
	Vz.max	-6.07	0.01	**0.74**	0	3.09	0.01
	Mx.min	-6.07	0.01	0.74	**0**	3.09	0.01
	Mx.max	17.37	0.18	-1.84	**0**	-0.88	0.27
	My.min	17.37	0.18	-1.84	0	**-0.88**	0.27
	My.max	-6.07	0.01	0.74	0	**3.09**	0.01
	Mz.min	-11.11	-0.18	0.1	0	0.14	**-0.27**
	Mz.max	17.37	0.18	-1.84	0	-0.88	**0.27**
FR	N.min	**-0.1**	-0.01	0	0	0.01	-0.01
	N.max	**0.1**	0.01	0	0	-0.01	0.01
	Vy.min	-0.1	**-0.01**	0	0	0.01	-0.01
	Vy.max	0.1	**0.01**	0	0	-0.01	0.01
	Vz.min	0.1	0.01	**0**	0	-0.01	0.01
	Vz.max	-0.1	-0.01	**0**	0	0.01	-0.01
	Mx.min	0.1	0.01	0	**0**	-0.01	0.01
	Mx.max	-0.1	-0.01	0	**0**	0.01	-0.01
	My.min	0.1	0.01	0	0	**-0.01**	0.01
	My.max	-0.1	-0.01	0	0	**0.01**	-0.01
	Mz.min	-0.1	-0.01	0	0	0.01	**-0.01**
	Mz.max	0.1	0.01	0	0	-0.01	**0.01**
I	N.min	**-1.4**	0	-0.23	0	-0.32	**0**
	N.max	**1.4**	0	0.23	0	0.32	**0**
	Vy.min	1.4	**0**	0.23	0	0.32	**0**
	Vy.max	-1.4	**0**	-0.23	0	-0.32	**0**
	Vz.min	-1.4	0	**-0.23**	0	-0.32	**0**
	Vz.max	1.4	0	**0.23**	0	0.32	**0**
	Mx.min	1.4	0	0.23	**0**	0.32	**0**
	Mx.max	-1.4	0	-0.23	**0**	-0.32	**0**
	My.min	-1.4	0	-0.23	0	**-0.32**	**0**
	My.max	1.4	0	0.23	0	**0.32**	**0**
	Mz.min	1.4	0	0.23	0	0.32	**0**
	Mz.max	-1.4	0	-0.23	0	-0.32	**0**

TAB. V7.1.3 POSOUZENÍ - MEZNÍ STAV ÚNOSNOSTI

POPIS	SVISLICE V7
PRUT / POLOHA BODU	408 / 2/4
NAMÁHÁNÍ	N.max
VLÁKNO	BOD K2 -HP
MEZNÍ STAV	ULS (MSÚ)
VYUŽITÍ VLÁKNA PRŮŘEZU	0.51

Charakteristiky materiálu				
pás. horní	$f_{yf,k}$	230	MPa	
pás. dolní	$f_{yf,k}$	230	MPa	
stojina	$f_{yw,k}$	230	MPa	
výztuž	$f_{ys,k}$	500	MPa	
	γ_M =	1.10	γ_s =	1.15

Excentricita normálové síly				
Exc./Fáze	0	1	2	3
e_y	0.000	0.000	0.000	0.000
e_z	0.000	0.000	0.000	0.000
Ekvivalentní vzdál. stěn - příčný roznos				
b_{Mx}	0.000	0.000	0.000	0.000

Vliv stěny na únosnost průřezu				
Char./Fáze	0	1	2	3
A	0.00	0.00	0.00	0.00
Wy	0.00	0.00	0.00	0.00
Wz	0.00	0.00	0.00	0.00

Charakter. v kroucení			
$t_{w,y}$	0.000	[mm]	
$t_{w,z}$	0.000	[mm]	
κ	1.00		
I_t=	0.00E+00	[mm^4]	
Ω=2*A_{pz}	0.00E+00	[mm^2]	

Součinitele vzpěru a vlivu II.řádu					
Char./Fáze	0	1	2	3	
k_y	1.000	1.000	1.000	1.000	
k_z	1.000	1.000	1.000	1.000	
χ_{LT}	1.000	1.000	1.000	1.000	
χ_{min}	1.000	1.000	1.000	1.000	

Vnitřní síly od jednotlivých skupin zatěžovacích stavů

SKUPINA ZATĚŽOVACÍCH STAVŮ					- CHARAKTERISTICKÉ HODNOTY						DÍLČÍ SOUČINITELÉ ZATÍŽENÍ, DYNAMICKÝ SOUČINITEL						4	- NÁVRHOVÉ HODNOTY									
Č.	SKUP ZS	POPIS ZS	KAT.	FÁZE PRŮŘ.	N.k (kN)	Vy.k (kN)	Vz.k (kN)	Mx.k (kNm)	My.k (kNm)	Mz.k (kNm)	γ_{sup} (-)	γ_{inf} (-)	volba ψ_i hledat	ψ_i (-)	L_d (m)	δ (-)	Ψ_E KZ04	N.d (kN)	Vy.d (kN)	Vz.d (kN)	ΔVz.d (kN)	ΣVz.d (kN)	Mx.d (kNm)	My.d (kNm)	ΔMy.d (kNm)	ΣMy.d (kNm)	Mz.d (kNm)	ΔMz.d (kNm)	ΣMz.d (kNm)
1	G0	Vlastní tíha OK	G	0	39	0	1	0	-2	0	1.00	1.20		1.20	-	1.00	0.95	45	0	1	0	1	0	-2	0	-2	0	0	0
2	G1	Ostatní stálé - mostní vybavení	G	0	6	0	0	0	0	0	1.00	1.20		1.20	-	1.00	0.95	7	0	0	0	0	0	0	0	0	0	0	0
3	G2	Ostatní stálé - cizí zařízení	G	0	4	0	0	0	0	0	1.00	1.20		1.20	-	1.00	0.95	4	0	0	0	0	0	0	0	0	0	0	0
4	P1_71	a.LM71 - kolej 1 (bez dyn. souč.)	P	0	85	0	-1	0	-6	0	1.00	1.30		1.30	-	1.00	1.00	111	0	-2	0	-2	0	-7	0	-7	0	0	0
5	P2_71	a.LM71 - kolej 2 (bez dyn. souč.)	P	0	192	0	0	0	-3	0	1.00	1.30		1.30	-	1.00	1.00	249	0	0	0	0	0	-3	0	-3	0	0	0
6	P1_C3	TTZ C3 - kolej 1 (bez dyn. souč.)	P	0	69	0	-1	0	-4	0	1.00	vyp.		0.00	-	1.00	0.00	0	0	0	0	0	0	0	0	0	0	0	0
7	P2_C3	TTZ C3 - kolej 2 (bez dyn. souč.)	P	0	155	0	0	0	-2	0	1.00	vyp.		0.00	-	1.00	0.00	0	0	0	0	0	0	0	0	0	0	0	0
8	BR	Brzdné a rozjezdové síly	P	0	1	0	0	0	0	0	1.00	1.30		1.30	-	1.00	0.40	1	0	0	0	0	0	0	0	0	0	0	0
9	S	Boční ráz	P	0	3	0	0	0	-1	0	1.00	1.30		1.30	-	1.00	0.80	3	0	0	0	0	0	-1	0	-1	0	0	0
10	CH	Chodci na lávkách	Q	0	18	0	0	0	0	0	1.00	1.30		1.30	-	1.00	1.00	24	0	0	0	0	0	0	0	0	0	0	0
11	W	Vítr na konstrukci	Q	0	7	0	-1	0	-8	0	1.00	1.35		1.35	-	1.00	0.75	7	0	-1	0	-1	0	-8	0	-8	0	0	0
12	WP	Vítr na vozidla	Q	0	3	0	-1	0	-3	0	1.00	1.35		1.35	-	1.00	0.75	3	0	-1	0	-1	0	-3	0	-3	0	0	0
13	TR	Teplota rovnoměrná	Q	0	0	0	0	0	0	0	1.00	1.35		1.35	-	1.00	0.45	0	0	0	0	0	0	0	0	0	0	0	0
14	TN	Teplota nerovnoměrná	Q	0	17	0	-2	0	-1	0	1.00	1.35		1.35	-	1.00	0.60	14	0	-1	0	-1	0	-1	0	-1	0	0	0
15	FR	Třecí síly v ložiskách	Q	0	0	0	0	0	0	0	1.00	1.20		1.20	-	1.00	1.00	0	0	0	0	0	0	0	0	0	0	0	0
16	I	Imperfekce soustavy	Q	0	1	0	0	0	0	0	1.00	-1.20		-1.20	-	1.00	1.00	-2	0	0	0	0	0	0	0	0	0	0	0
27	ULS_LM	ULS - LM71 bez dynam	Q	0	470	0	-5	0	-26	1	1.00	vyp.	1	0.00	-	1.00	0.00	0	0	0	0	0	0	0	0	0	0	0	0
28	SLS_LM	SLS - LM71 bez dynam	Q	0	357	0	-2	0	-19	0	1.00	vyp.	1	0.00	-	1.00	0.00	0	0	0	0	0	0	0	0	0	0	0	0
29	ULS_C3	ULS - C3 bez dynam	Q	0	402	0	-4	0	-23	1	1.00	vyp.	1	0.00	-	1.00	0.00	0	0	0	0	0	0	0	0	0	0	0	0
30	SLS_C3	SLS - C3 bez dynam	Q	0	304	0	-2	0	-17	0	1.00	vyp.	1	0.00	-	1.00	0.00	0	0	0	0	0	0	0	0	0	0	0	0
		CELKEM - FÁZE PRŮŘEZU 0																466	0	-5	0	-5	-26	0	-26	1	0	1
		CELKEM - FÁZE PRŮŘEZU 1																0	0	0	0	0	0	0	0	0	0	0	0
		CELKEM - FÁZE PRŮŘEZU 2																0	0	0	0	0	0	0	0	0	0	0	0
		CELKEM - FÁZE PRŮŘEZU 3																0	0	0	0	0	0	0	0	0	0	0	0
		CELKEM - PRŮŘEZ																466	0	-5	0	-5	0		-26			1	

Napětí od jednotlivých zatěžovacích stavů

SKUPINA ZATĚŽOVACÍCH STAVŮ					Posouzení normálového napětí									Posouzení smykového napětí														
					Účinek síly N			Účinek momentu My			Účinek momentu Mz				Účinek ktoutícího momentu Mx				Účinek smykové síly Vy				Účinek smykové síly Vz				
Č.	SKUP ZS	Popis ZS	Kat.	fáze prúř.	δ^*N_d [kN]	χ^*A [mm^2]	σ_n [MPa]	$\delta^*M_{y,d}$ [kNm]	$\chi_{lt}{}^*W_{el,y}$ [mm^3]	σ_{my} [MPa]	$\delta^*M_{z,d}$ [kNm]	$W_{el,z}$ [mm^3]	σ_{mz} [MPa]	σ_x [MPa]	$\kappa^*\delta^*M_{x,d}$ [kNm]	$W_{v,y}$ [mm^2]	$\tau_{x,y}$ [MPa]	$W_{v,z}$ [mm^2]	$\tau_{x,z}$ [MPa]	$\delta^*V_{y,d}$ [kN]	$A_{v,y}$ [mm2]	$\tau_{v,y}$ [MPa]	$\tau_{v,y}$ [MPa]	$\delta^*V_{z,d}$ [kN]	$A_{v,z}$ [mm2]	$\tau_{v,z}$ [MPa]	$\tau_{v,z}$ [MPa]
1	G0	Vlastní tíha OK	G	0	44.7	6.64E+03	6.7	-1.7	-8.00E+05	2.2	-0.3	1.84E+05	-1.6	7.3	0.0E+00	-	-	-	-	-0.2	4.80E+03	0.0	0.0	0.6	2.61E+03	0.2	0.2
2	G1	Ostatní stálé - mostní vybavení	G	0	7.1	6.64E+03	1.1	-0.3	-8.00E+05	0.4	0.0	1.84E+05	0.0	1.4	0.0E+00	-	-	-	-	0.0	4.80E+03	0.0	0.0	0.0	2.61E+03	0.0	0.0
3	G2	Ostatní stálé - cizí zařízení	G	0	4.2	6.64E+03	0.6	0.0	-8.00E+05	0.0	0.0	1.84E+05	0.0	0.6	0.0E+00	-	-	-	-	0.0	4.80E+03	0.0	0.0	0.1	2.61E+03	0.0	0.0
4	P1_71	a.LM71 - kolej 1 (bez dyn. souč.)	P	0	110.6	6.64E+03	16.6	-7.2	-8.00E+05	8.9	0.2	1.84E+05	0.8	26.4	0.0E+00	-	-	-	-	0.0	4.80E+03	0.0	0.0	-1.9	2.61E+03	-0.7	-0.7
5	P2_71	a.LM71 - kolej 2 (bez dyn. souč.)	P	0	249.3	6.64E+03	37.5	-3.4	-8.00E+05	4.3	0.4	1.84E+05	2.4	44.2	0.0E+00	-	-	-	-	0.1	4.80E+03	0.0	0.0	0.3	2.61E+03	0.1	0.1
6	P1_C3	TTZ C3 - kolej 1 (bez dyn. souč.)	P	0	0.0	6.64E+03	0.0	0.0	-8.00E+05	0.0	0.0	1.84E+05	0.0	0.0	0.0E+00	-	-	-	-	0.0	4.80E+03	0.0	0.0	0.0	2.61E+03	0.0	0.0
7	P2_C3	TTZ C3 - kolej 2 (bez dyn. souč.)	P	0	0.0	6.64E+03	0.0	0.0	-8.00E+05	0.0	0.0	1.84E+05	0.0	0.0	0.0E+00	-	-	-	-	0.0	4.80E+03	0.0	0.0	0.0	2.61E+03	0.0	0.0
8	BR	Brzdné a rozjezdové síly	P	0	0.8	6.64E+03	0.1	-0.1	-8.00E+05	0.1	0.1	1.84E+05	0.5	0.7	0.0E+00	-	-	-	-	0.1	4.80E+03	0.0	0.0	0.0	2.61E+03	0.0	0.0
9	S	Boční ráz	P	0	3.4	6.64E+03	0.5	-1.0	-8.00E+05	1.3	0.0	1.84E+05	0.1	1.8	0.0E+00	-	-	-	-	0.0	4.80E+03	0.0	0.0	-0.4	2.61E+03	-0.1	-0.1
10	CH	Chodci na lávkách	Q	0	23.6	6.64E+03	3.6	-0.3	-8.00E+05	0.3	0.0	1.84E+05	0.1	4.0	0.0E+00	-	-	-	-	0.0	4.80E+03	0.0	0.0	0.0	2.61E+03	0.0	0.0
11	W	Vítr na konstrukci	Q	0	7.0	6.64E+03	1.1	-7.9	-8.00E+05	9.9	0.0	1.84E+05	0.1	11.0	0.0E+00	-	-	-	-	0.0	4.80E+03	0.0	0.0	-0.8	2.61E+03	-0.3	-0.3
12	WP	Vítr na vozidla	Q	0	2.9	6.64E+03	0.4	-3.1	-8.00E+05	3.9	0.1	1.84E+05	0.3	4.6	0.0E+00	-	-	-	-	0.0	4.80E+03	0.0	0.0	-1.4	2.61E+03	-0.5	-0.5
13	TR	Teplota rovnoměrná	Q	0	0.0	6.64E+03	0.0	0.0	-8.00E+05	0.0	0.0	1.84E+05	0.0	0.0	0.0E+00	-	-	-	-	0.0	4.80E+03	0.0	0.0	0.0	2.61E+03	0.0	0.0
14	TN	Teplota nerovnoměrná	Q	0	14.1	6.64E+03	2.1	-0.7	-8.00E+05	0.9	0.2	1.84E+05	1.2	4.2	0.0E+00	-	-	-	-	0.1	4.80E+03	0.0	0.0	-1.5	2.61E+03	-0.6	-0.6
15	FR	Třecí síly v ložiskách	Q	0	0.1	6.64E+03	0.0	0.0	-8.00E+05	0.0	0.0	1.84E+05	0.1	0.1	0.0E+00	-	-	-	-	0.0	4.80E+03	0.0	0.0	0.0	2.61E+03	0.0	0.0
16	I	Imperfekce soustavy	Q	0	-1.7	6.64E+03	-0.3	-0.4	-8.00E+05	0.5	0.0	1.84E+05	0.0	0.2	0.0E+00	-	-	-	-	0.0	4.80E+03	0.0	0.0	-0.3	2.61E+03	-0.1	-0.1
27	ULS_LM	ULS - LM71 bez dynam	Q	0	0.0	6.64E+03	0.0	0.0	-8.00E+05	0.0	0.0	1.84E+05	0.0	0.0	0.0E+00	-	-	-	-	0.0	4.80E+03	0.0	0.0	0.0	2.61E+03	0.0	0.0
28	SLS_LM	SLS - LM71 bez dynam	Q	0	0.0	6.64E+03	0.0	0.0	-8.00E+05	0.0	0.0	1.84E+05	0.0	0.0	0.0E+00	-	-	-	-	0.0	4.80E+03	0.0	0.0	0.0	2.61E+03	0.0	0.0
29	ULS_C3	ULS - C3 bez dynam	Q	0	0.0	6.64E+03	0.0	0.0	-8.00E+05	0.0	0.0	1.84E+05	0.0	0.0	0.0E+00	-	-	-	-	0.0	4.80E+03	0.0	0.0	0.0	2.61E+03	0.0	0.0
30	SLS_C3	SLS - C3 bez dynam	Q	0	0.0	6.64E+03	0.0	0.0	-8.00E+05	0.0	0.0	1.84E+05	0.0	0.0	0.0E+00	-	-	-	-	0.0	4.80E+03	0.0	0.0	0.0	2.61E+03	0.0	0.0
NAVÝŠENÍ NAPĚTÍ DO AKTIVACE TLAKU V DESCE MOSTOVKY						$\sigma_{P,red}$	0.0							0.0			0.0		0.0				0.0	0.0			-2.0	-2.0
NAPĚTÍ OD PRIMÁRNÍCH ÚČINKŮ NEROVNOMĚRNÉHO OTEPLENÍ						σ_T	0.0							0.0														
NAPĚTÍ OD REOLOGICKÝCH ÚČINKŮ BETONU V ČASE				t=0		σ_R	0.0	γ_{inf}=	1.20					0.0														
NAPĚTÍ V KRITICKÝCH VLÁKNECH OD KOMBINACE ZATÍŽENÍ						KZ04		[MPa]					$\Sigma\sigma_x$	106.6								$\Sigma\tau_y$	0.0			$\Sigma\tau_z$	-2.00
NAPĚTÍ OD POHYBLIVÉHO ZATÍŽENÍ								[MPa]					$\sigma_{x,P}$	73.2								τ_P	0.0			τ_P	-0.8
NAPĚTÍ OD OSTATNÍCH ZATÍŽENÍ								[MPa]			Φ_{Vy}	Φ_{Vz}	$\sigma_{x,rs}$	33.5								τ_{rs}	0.0			τ_{rs}	-1.2
NÁVRHOVÁ HODNOTA MEZE KLUZU S REDUKCÍ VLIVEM SMYKOVÉHO NAPĚTÍ								[MPa]			1.00	1.00	$f_{yw,d}$	209.1								$f_{yd}/3^{0,5}$	120.7			$f_{yd}/3^{0,5}$	120.7
NAPĚTÍ OD POHYBLIVÉHO ZATÍŽENÍ V GLOBÁLNÍM SYSTÉMU						$\sigma_{GLOB,P}$	0.0	[MPa]					$\Sigma\sigma_{GLOB}$	0.0													
NAPĚTÍ OD OSTATNÍCH ZATÍŽENÍ V GLOBÁLNÍM SYSTÉMU						$\sigma_{GLOB,rs}$	0.0	[MPa]					$\Sigma\sigma_x + \Sigma\sigma_{GLOB}$	106.6													
VYUŽITÍ PRŮŘEZU DLE NAPĚTÍ								[%]					η_1	0.51								η_3	0.00			η_3	0.02
NAPĚTÍ V PŘÍČNÉM SMĚRU OD POHYBLIVÉHO ZATÍŽENÍ						$\sigma_{z,P}$	0.0	[MPa]					$\Sigma\sigma_z$	0.0													
NAPĚTÍ V PŘÍČNÉM SMĚRU OD OSTATNÍCH ZATÍŽENÍ						$\sigma_{z,rs}$	0.0	[MPa]					η_2	0.00													
SROVNÁVACÍ NAPĚTÍ													$(\eta_2 + 0{,}8\,\eta_1)/1{,}4$ =	0.29													
VYUŽITÍ PRŮŘEZU CELKEM								[%]					eff	0.51	VYHOVUJE												
													z_{LM71} =	2.40													

TAB. V7.1.3 POSOUZENÍ - MEZNÍ STAV ÚNOSNOSTI

POPIS	SVISLICE V7
PRUT / POLOHA BODU	408 / 2/4
NAMÁHÁNÍ	N.max
VLÁKNO	BOD K4 -SP
MEZNÍ STAV	ULS (MSÚ)
VYUŽITÍ VLÁKNA PRŮŘEZU	0.33

Charakteristiky materiálu				
pás. horní	$f_{yf,k}$	230	MPa	
pás. dolní	$f_{yf,k}$	230	MPa	
stojina	$f_{yw,k}$	230	MPa	
výztuž	$f_{ys,k}$	500	MPa	
	γ_{M} =	1.10	γ_{s} =	1.15

Excentricita normálové síly				
Exc./Fáze	0	1	2	3
e_y	0.000	0.000	0.000	0.000
e_z	0.000	0.000	0.000	0.000
Ekvivalentní vzdál. stěn - příčný roznos				
b_{Mx}	0.000	0.000	0.000	0.000

Vliv stěny na únosnost průřezu				
Char./Fáze	0	1	2	3
A	0.00	0.00	0.00	0.00
Wy	0.00	0.00	0.00	0.00
Wz	0.00	0.00	0.00	0.00

Charakter. v kroucení			
$t_{w,y}$	0.000	[mm]	
$t_{w,z}$	0.000	[mm]	
κ	1.00		
I_t=	0.00E+00	[mm^4]	
Ω=2*A_{pr}	0.00E+00	[mm^2]	

Součinitele vzpěru a vlivu II.řádu					
Char./Fáze	0	1	2	3
k_y	1.000	1.000	1.000	1.000
k_z	1.000	1.000	1.000	1.000
χ_{LT}	1.000	1.000	1.000	1.000
χ_{min}	1.000	1.000	1.000	1.000

Vnitřní síly od jednotlivých skupin zatěžovacích stavů

SKUPINA ZATĚŽOVACÍCH STAVŮ — 3

Č.	SKUP ZS	POPIS ZS	KAT.	FÁZE PRŮŘ.	- CHARAKTERISTICKÉ HODNOTY N.k (kN)	Vy.k (kN)	Vz.k (kN)	Mx.k (kNm)	My.k (kNm)	Mz.k (kNm)	DÍLČÍ SOUČINITELÉ ZATÍŽENÍ, DYNAMICKÝ SOUČINITEL γ_{or} (-)	γ_{o} (-)	volba γ_i hledat	γ_i (-)	L_d (m)	δ (-)	γ_{s} KZ03	- NÁVRHOVÉ HODNOTY N.d (kN)	Vy.d (kN)	Vz.d (kN)	ΔVz.d (kN)	ΣVz.d (kN)	Mx.d (kNm)	My.d (kNm)	ΔMy.d (kNm)	ΣMy.d (kNm)	Mz.d (kNm)	ΔMz.d (kNm)	ΣMz.d (kNm)
1	G0	Vlastní tíha OK	G	0	39	0	1	0	-2	0	1.00	1.20		1.20	-	1.00	0.95	45	0	1	0	1	0	-2	0	-2	0	0	0
2	G1	Ostatní stálé - mostní vybavení	G	0	6	0	0	0	0	0	1.00	1.20		1.20	-	1.00	0.95	7	0	0	0	0	0	0	0	0	0	0	0
3	G2	Ostatní stálé - cizí zařízení	G	0	4	0	0	0	0	0	1.00	1.20		1.20	-	1.00	0.95	4	0	0	0	0	0	0	0	0	0	0	0
4	P1_71	a.LM71 - kolej 1 (bez dyn. souč.)	P	0	85	0	-1	0	-6	0	1.00	1.30		1.30	-	1.00	1.00	111	0	-2	0	-2	0	-7	0	-7	0	0	0
5	P2_71	a.LM71 - kolej 2 (bez dyn. souč.)	P	0	192	0	0	0	-3	0	1.00	1.30		1.30	-	1.00	1.00	249	0	0	0	0	0	-3	0	-3	0	0	0
6	P1_C3	TTZ C3 - kolej 1 (bez dyn. souč.)	P	0	69	0	-1	0	-4	0	1.00	vyp.		0.00	-	1.00	0.00	0	0	0	0	0	0	0	0	0	0	0	0
7	P2_C3	TTZ C3 - kolej 2 (bez dyn. souč.)	P	0	155	0	0	0	-2	0	1.00	vyp.		0.00	-	1.00	0.00	0	0	0	0	0	0	0	0	0	0	0	0
8	BR	Brzdné a rozjezdové síly	P	0	1	0	0	0	0	0	1.00	1.30		1.30	-	1.00	0.80	2	0	0	0	0	0	0	0	0	0	0	0
9	S	Boční ráz	P	0	3	0	0	0	-1	0	1.00	0.00		0.00	-	1.00	0.40	0	0	0	0	0	0	0	0	0	0	0	0
10	CH	Chodci na lávkách	Q	0	18	0	0	0	0	0	1.00	1.30		1.30	-	1.00	1.00	24	0	0	0	0	0	0	0	0	0	0	0
11	W	Vítr na konstrukci	Q	0	7	0	-1	0	-8	0	1.00	-1.35		-1.35	-	1.00	0.75	-7	0	1	0	1	0	8	0	8	0	0	0
12	WP	Vítr na vozidla	Q	0	3	0	-1	0	-3	0	1.00	-1.35		-1.35	-	1.00	0.75	-3	0	1	0	1	0	3	0	3	0	0	0
13	TR	Teplota rovnoměrná	Q	0	0	0	0	0	0	0	1.00	1.35		1.35	-	1.00	0.45	0	0	0	0	0	0	0	0	0	0	0	0
14	TN	Teplota nerovnoměrná	Q	0	17	0	-2	0	-1	0	1.00	1.35		1.35	-	1.00	0.60	14	0	-1	0	-1	0	-1	0	-1	0	0	0
15	FR	Třecí síly v ložiskách	Q	0	0	0	0	0	0	0	1.00	1.20		1.20	-	1.00	1.00	0	0	0	0	0	0	0	0	0	0	0	0
16	I	Imperfekce soustavy	Q	0	1	0	0	0	0	0	1.00	1.20		1.20	-	1.00	1.00	2	0	0	0	0	0	0	0	0	0	0	0
27	ULS_LM	ULS - LM71 bez dynam	Q	0	470	0	-5	0	-26	1	1.00	vyp.		0.00	-	1.00	0.00	0	0	0	0	0	0	0	0	0	0	0	0
28	SLS_LM	SLS - LM71 bez dynam	Q	0	357	0	-2	0	-19	0	1.00	vyp.	1	0.00	-	1.00	0.00	0	0	0	0	0	0	0	0	0	0	0	0
29	ULS_C3	ULS - C3 bez dynam	Q	0	402	0	-4	0	-23	1	1.00	vyp.	1	0.00	-	1.00	0.00	0	0	0	0	0	0	0	0	0	0	0	0
30	SLS_C3	SLS - C3 bez dynam	Q	0	304	0	-2	0	-17	0	1.00	vyp.	1	0.00	-	1.00	0.00	0	0	0	0	0	0	0	0	0	0	0	0
		CELKEM - FÁZE PRŮŘEZU 0																447	0	0	0	0	0	-2	0	-2	1	0	1
		CELKEM - FÁZE PRŮŘEZU 1																0	0	0	0	0	0	0	0	0	0	0	0
		CELKEM - FÁZE PRŮŘEZU 2																0	0	0	0	0	0	0	0	0	0	0	0
		CELKEM - FÁZE PRŮŘEZU 3																0	0	0	0	0	0	0	0	0	0	0	0
		CELKEM - PRŮŘEZ																447	0	0	0	0	0			-2			1

Napětí od jednotlivých zatěžovacích stavů

SKUPINA ZATĚŽOVACÍCH STAVŮ

Č.	SKUP ZS	Popis ZS	Kat.	fáze prúř.	Posouzení normálového napětí — Účinek síly N δ^*N_d [kN]	χ^*A [mm^2]	σ_n [MPa]	Účinek momentu My $\delta^*M_{y,d}$ [kNm]	$\chi_{lt}{}^*W_{el,y}$ [mm^3]	σ_{my} [MPa]	Účinek momentu Mz $\delta^*M_{z,d}$ [kNm]	$W_{el,z}$ [mm^3]	σ_{mz} [MPa]	σ_x [MPa]	Posouzení smykového napětí — Účinek kroutícího momentu Mx $\kappa^*\delta^*M_{x,d}$ [kNm]	$W_{v,y}$ [mm^2]	$\tau_{x,y}$ [MPa]	$W_{v,z}$ [mm^2]	$\tau_{x,z}$ [MPa]	Účinek smykové síly Vy $\delta^*V_{y,d}$ [kN]	$A_{v,y}$ [mm2]	$\tau_{v,y}$ [MPa]	$\tau_{v,y}$ [MPa]	Účinek smykové síly Vz $\delta^*V_{z,d}$ [kN]	$A_{v,z}$ [mm2]	$\tau_{v,z}$ [MPa]	$\tau_{v,z}$ [MPa]
1	G0	Vlastní tíha OK	G	0	44.7	6.64E+03	6.7	-1.7	8.00E+05	-2.2	-0.3	1.84E+05	-1.6	3.0	0.0E+00	-	-	-	-	-0.2	4.80E+03	0.0	0.0	0.6	2.61E+03	0.2	0.2
2	G1	Ostatní stálé - mostní vybavení	G	0	7.1	6.64E+03	1.1	-0.3	8.00E+05	-0.4	0.0	1.84E+05	0.0	0.7	0.0E+00	-	-	-	-	0.0	4.80E+03	0.0	0.0	0.0	2.61E+03	0.0	0.0
3	G2	Ostatní stálé - cizí zařízení	G	0	4.2	6.64E+03	0.6	0.0	8.00E+05	0.0	0.0	1.84E+05	0.0	0.7	0.0E+00	-	-	-	-	0.0	4.80E+03	0.0	0.0	0.1	2.61E+03	0.0	0.0
4	P1_71	a.LM71 - kolej 1 (bez dyn. souč.)	P	0	110.6	6.64E+03	16.6	-7.2	8.00E+05	-8.9	0.2	1.84E+05	0.8	8.5	0.0E+00	-	-	-	-	0.0	4.80E+03	0.0	0.0	-1.9	2.61E+03	-0.7	-0.7
5	P2_71	a.LM71 - kolej 2 (bez dyn. souč.)	P	0	249.3	6.64E+03	37.5	-3.4	8.00E+05	-4.3	0.4	1.84E+05	2.4	35.7	0.0E+00	-	-	-	-	0.1	4.80E+03	0.0	0.0	0.3	2.61E+03	0.1	0.1
6	P1_C3	TTZ C3 - kolej 1 (bez dyn. souč.)	P	0	0.0	6.64E+03	0.0	0.0	8.00E+05	0.0	0.0	1.84E+05	0.0	0.0	0.0E+00	-	-	-	-	0.0	4.80E+03	0.0	0.0	0.0	2.61E+03	0.0	0.0
7	P2_C3	TTZ C3 - kolej 2 (bez dyn. souč.)	P	0	0.0	6.64E+03	0.0	0.0	8.00E+05	0.0	0.0	1.84E+05	0.0	0.0	0.0E+00	-	-	-	-	0.0	4.80E+03	0.0	0.0	0.0	2.61E+03	0.0	0.0
8	BR	Brzdné a rozjezdové síly	P	0	1.5	6.64E+03	0.2	-0.2	8.00E+05	-0.2	0.2	1.84E+05	1.0	1.0	0.0E+00	-	-	-	-	0.1	4.80E+03	0.0	0.0	-0.1	2.61E+03	0.0	0.0
9	S	Boční ráz	P	0	0.0	6.64E+03	0.0	0.0	8.00E+05	0.0	0.0	1.84E+05	0.0	0.0	0.0E+00	-	-	-	-	0.0	4.80E+03	0.0	0.0	0.0	2.61E+03	0.0	0.0
10	CH	Chodci na lávkách	Q	0	23.6	6.64E+03	3.6	-0.3	8.00E+05	-0.3	0.0	1.84E+05	0.1	3.4	0.0E+00	-	-	-	-	0.0	4.80E+03	0.0	0.0	0.0	2.61E+03	0.0	0.0
11	W	Vítr na konstrukci	Q	0	-7.0	6.64E+03	-1.1	7.9	8.00E+05	9.9	0.0	1.84E+05	-0.1	8.8	0.0E+00	-	-	-	-	0.0	4.80E+03	0.0	0.0	0.8	2.61E+03	0.3	0.3
12	WP	Vítr na vozidla	Q	0	-2.9	6.64E+03	-0.4	3.1	8.00E+05	3.9	-0.1	1.84E+05	-0.3	3.1	0.0E+00	-	-	-	-	0.0	4.80E+03	0.0	0.0	1.4	2.61E+03	0.5	0.5
13	TR	Teplota rovnoměrná	Q	0	0.0	6.64E+03	0.0	0.0	8.00E+05	0.0	0.0	1.84E+05	0.0	0.0	0.0E+00	-	-	-	-	0.0	4.80E+03	0.0	0.0	0.0	2.61E+03	0.0	0.0
14	TN	Teplota nerovnoměrná	Q	0	14.1	6.64E+03	2.1	-0.7	8.00E+05	-0.9	0.2	1.84E+05	1.2	2.4	0.0E+00	-	-	-	-	0.1	4.80E+03	0.0	0.0	-1.5	2.61E+03	-0.6	-0.6
15	FR	Třecí síly v ložiskách	Q	0	0.1	6.64E+03	0.0	0.0	8.00E+05	0.0	0.0	1.84E+05	0.1	0.1	0.0E+00	-	-	-	-	0.0	4.80E+03	0.0	0.0	0.0	2.61E+03	0.0	0.0
16	I	Imperfekce soustavy	Q	0	1.7	6.64E+03	0.3	0.4	8.00E+05	0.5	0.0	1.84E+05	0.0	0.7	0.0E+00	-	-	-	-	0.0	4.80E+03	0.0	0.0	0.3	2.61E+03	0.1	0.1
27	ULS_LM	ULS - LM71 bez dynam	Q	0	0.0	6.64E+03	0.0	0.0	8.00E+05	0.0	0.0	1.84E+05	0.0	0.0	0.0E+00	-	-	-	-	0.0	4.80E+03	0.0	0.0	0.0	2.61E+03	0.0	0.0
28	SLS_LM	SLS - LM71 bez dynam	Q	0	0.0	6.64E+03	0.0	0.0	8.00E+05	0.0	0.0	1.84E+05	0.0	0.0	0.0E+00	-	-	-	-	0.0	4.80E+03	0.0	0.0	0.0	2.61E+03	0.0	0.0
29	ULS_C3	ULS - C3 bez dynam	Q	0	0.0	6.64E+03	0.0	0.0	8.00E+05	0.0	0.0	1.84E+05	0.0	0.0	0.0E+00	-	-	-	-	0.0	4.80E+03	0.0	0.0	0.0	2.61E+03	0.0	0.0
30	SLS_C3	SLS - C3 bez dynam	Q	0	0.0	6.64E+03	0.0	0.0	8.00E+05	0.0	0.0	1.84E+05	0.0	0.0	0.0E+00	-	-	-	-	0.0	4.80E+03	0.0	0.0	0.0	2.61E+03	0.0	0.0
		NAVÝŠENÍ NAPĚTÍ DO AKTIVACE TLAKU V DESCE MOSTOVKY				$\sigma_{P,red}$	0.0							0.0				0.0		0.0		0.0	0.0			0.0	0.0
		NAPĚTÍ OD PRIMÁRNÍCH ÚČINKŮ NEROVNOMĚRNÉHO OTEPLENÍ				σ_T	0.0							0.0													
		NAPĚTÍ OD REOLOGICKÝCH ÚČINKŮ BETONU V ČASE		t=0		σ_R	0.0	γ=	1.20					0.0													
		NAPĚTÍ V KRITICKÝCH VLÁKNECH OD KOMBINACE ZATÍŽENÍ				KZ03		[MPa]					$\Sigma\sigma_x$	68.0									$\Sigma\tau_y$	0.0			$\Sigma\tau_z$	0.0
		NAPĚTÍ OD POHYBLIVÉHO ZATÍŽENÍ						[MPa]					$\sigma_{x,P}$	45.2									τ_P	0.1			τ_P	-0.6
		NAPĚTÍ OD OSTATNÍCH ZATÍŽENÍ						[MPa]			Φ_{Vy}	Φ_{Vz}	$\sigma_{x,rs}$	22.8									τ_{rs}	0.0			τ_{rs}	0.7
		NÁVRHOVÁ HODNOTA MEZE KLUZU S REDUKCÍ VLIVEM SMYKOVÉHO NAPĚTÍ						[MPa]			1.00	1.00	$f_{yv,d}$	209.1									$f_{yd}/3^{0,5}$	120.7			$f_{yd}/3^{0,5}$	120.7
		NAPĚTÍ OD POHYBLIVÉHO ZATÍŽENÍ V GLOBÁLNÍM SYSTÉMU				$\sigma_{GLOB,P}$	0.0	[MPa]					$\Sigma\sigma_{GLOB}$	0.0														
		NAPĚTÍ OD OSTATNÍCH ZATÍŽENÍ V GLOBÁLNÍM SYSTÉMU				$\sigma_{GLOB,rs}$	0.0	[MPa]					$\Sigma\sigma_x + \Sigma\sigma_{GLOB}$	68.0														
		VYUŽITÍ PRŮŘEZU DLE NAPĚTÍ						[%]					η_1	0.33									η_3	0.00			η_3	0.00
		NAPĚTÍ V PŘÍČNÉM SMĚRU OD POHYBLIVÉHO ZATÍŽENÍ				$\sigma_{z,P}$	0.0	[MPa]					$\Sigma\sigma_z$	0.0														
		NAPĚTÍ V PŘÍČNÉM SMĚRU OD OSTATNÍCH ZATÍŽENÍ				$\sigma_{z,rs}$	0.0	[MPa]					η_2	0.00														
		SROVNÁVACÍ NAPĚTÍ											$(\eta 2 + 0{,}8\,\eta 1)/1{,}4$ =	0.19														
		VYUŽITÍ PRŮŘEZU CELKEM						[%]					eff	0.33	VYHOVUJE													
													z_{LM71} =	4.12														

TAB. V7.1.3 POSOUZENÍ - MEZNÍ STAV ÚNOSNOSTI

POPIS	SVISLICE V7
PRUT / POLOHA BODU	408 / 2/4
NAMÁHÁNÍ	Vz.min
VLÁKNO	BOD S5 -HL
MEZNÍ STAV	ULS (MSÚ)
VYUŽITÍ VLÁKNA PRŮŘEZU	0.07

Charakteristiky materiálu				
pás. horní	$f_{yf,k}$	230	MPa	
pás. dolní	$f_{yf,k}$	230	MPa	
stojina	$f_{yw,k}$	230	MPa	
výztuž	$f_{ys,k}$	500	MPa	
	γ_M =	1.10	γ_s =	1.15

Excentricita normálové síly				
Exc./Fáze	0	1	2	3
e_y	0.000	0.000	0.000	0.000
e_z	0.000	0.000	0.000	0.000
Ekvivalentní vzdál. stěn - příčný roznos				
b_{Mx}	0.000	0.000	0.000	0.000

Vliv stěny na únosnost průřezu				
Char./Fáze	0	1	2	3
A	0.00	0.00	0.00	0.00
Wy	0.00	0.00	0.00	0.00
Wz	0.00	0.00	0.00	0.00

Charakter. v kroucení			
$t_{w,y}$	0.000	[mm]	
$t_{w,z}$	0.000	[mm]	
κ	1.00		
I_t=	0.00E+00	[mm^4]	
Ω=2*A_{pz}	0.00E+00	[mm^2]	

Součinitele vzpěru a vlivu II.řádu					
Char./Fáze	0	1	2	3	4
k_y	1.000	1.000	1.000	1.000	
k_z	1.000	1.000	1.000	1.000	
χ_{LT}	1.000	1.000	1.000	1.000	
χ_{min}	1.000	1.000	1.000	1.000	

Vnitřní síly od jednotlivých skupin zatěžovacích stavů

SKUPINA ZATĚŽOVACÍCH STAVŮ — CHARAKTERISTICKÉ HODNOTY — DÍLČÍ SOUČINITELÉ ZATÍŽENÍ, DYNAMICKÝ SOUČINITEL — NÁVRHOVÉ HODNOTY

Č.	SKUP ZS	POPIS ZS	KAT.	FÁZE PRŮŘ.	N.k (kN)	Vy.k (kN)	Vz.k (kN)	Mx.k (kNm)	My.k (kNm)	Mz.k (kNm)	γ_{sr} (-)	γ_{fs} (-)	volba γ_f hledat	γ_f (-)	L_d (m)	δ (-)	Ψ_s KZ04	N.d (kN)	Vy.d (kN)	Vz.d (kN)	ΔVz.d (kN)	ΣVz.d (kN)	Mx.d (kNm)	My.d (kNm)	ΔMy.d (kNm)	ΣMy.d (kNm)	Mz.d (kNm)	ΔMz.d (kNm)	ΣMz.d (kNm)
1	G0	Vlastní tíha OK	G	0	39	0	1	0	-2	0	1.00	1.20		1.20	-	1.00	0.95	45	0	1	0	1	0	-2	0	-2	0	0	0
2	G1	Ostatní stálé - mostní vybavení	G	0	6	0	0	0	0	0	1.00	1.20		1.20	-	1.00	0.95	7	0	0	0	0	0	0	0	0	0	0	0
3	G2	Ostatní stálé - cizí zařízení	G	0	4	0	0	0	0	0	1.00	1.20		1.20	-	1.00	0.95	4	0	0	0	0	0	0	0	0	0	0	0
4	P1_71	a.LM71 - kolej 1 (bez dyn. souč.)	P	0	63	0	-2	0	-8	0	1.00	1.30		1.30	-	1.00	1.00	81	0	-3	0	-3	0	-11	0	-11	0	0	0
5	P2_71	a.LM71 - kolej 2 (bez dyn. souč.)	P	0	108	0	0	0	-3	0	1.00	1.30		1.30	-	1.00	1.00	141	0	0	0	0	0	-4	0	-4	0	0	0
6	P1_C3	TTZ C3 - kolej 1 (bez dyn. souč.)	P	0	47	0	-2	0	-7	0	1.00	vyp.		0.00	-	1.00	0.00	0	0	0	0	0	0	0	0	0	0	0	0
7	P2_C3	TTZ C3 - kolej 2 (bez dyn. souč.)	P	0	78	0	0	0	-2	0	1.00	vyp.		0.00	-	1.00	0.00	0	0	0	0	0	0	0	0	0	0	0	0
8	BR	Brzdné a rozjezdové síly	P	0	1	0	0	0	0	0	1.00	1.30		1.30	-	1.00	0.40	1	0	0	0	0	0	0	0	0	0	0	0
9	S	Boční ráz	P	0	2	0	0	0	-1	0	1.00	1.30		1.30	-	1.00	0.80	2	0	0	0	0	0	-1	0	-1	0	0	0
10	CH	Chodci na lávkách	Q	0	-7	0	0	0	0	0	1.00	1.30		1.30	-	1.00	1.00	-8	0	0	0	0	0	0	0	0	0	0	0
11	W	Vítr na konstrukci	Q	0	7	0	-1	0	-8	0	1.00	1.35		1.35	-	1.00	0.75	7	0	-1	0	-1	0	-8	0	-8	0	0	0
12	WP	Vítr na vozidla	Q	0	3	0	-1	0	-3	0	1.00	1.35		1.35	-	1.00	0.75	3	0	-1	0	-1	0	-3	0	-3	0	0	0
13	TR	Teplota rovnoměrná	Q	0	0	0	0	0	0	0	1.00	1.35		1.35	-	1.00	0.45	0	0	0	0	0	0	0	0	0	0	0	0
14	TN	Teplota nerovnoměrná	Q	0	17	0	-2	0	-1	0	1.00	1.35		1.35	-	1.00	0.60	14	0	-1	0	-1	0	-1	0	-1	0	0	0
15	FR	Třecí síly v ložiskách	Q	0	0	0	0	0	0	0	1.00	1.20		1.20	-	1.00	1.00	0	0	0	0	0	0	0	0	0	0	0	0
16	I	Imperfekce soustavy	Q	0	-1	0	0	0	0	0	1.00	1.20		1.20	-	1.00	1.00	-2	0	0	0	0	0	0	0	0	0	0	0
27	ULS_LM	ULS - LM71 bez dynam	Q	0	296	0	-7	0	-31	0	1.00	vyp.		0.00	-	1.00	0.00	0	0	0	0	0	0	0	0	0	0	0	0
28	SLS_LM	SLS - LM71 bez dynam	Q	0	222	0	-4	0	-23	0	1.00	vyp.	1	0.00	-	1.00	0.00	0	0	0	0	0	0	0	0	0	0	0	0
29	ULS_C3	ULS - C3 bez dynam	Q	0	237	0	-6	0	-28	0	1.00	vyp.	1	0.00	-	1.00	0.00	0	0	0	0	0	0	0	0	0	0	0	0
30	SLS_C3	SLS - C3 bez dynam	Q	0	177	0	-4	0	-21	0	1.00	vyp.	1	0.00	-	1.00	0.00	0	0	0	0	0	0	0	0	0	0	0	0
		CELKEM - FÁZE PRŮŘEZU 0																295	0	-7	0	-7	0	-30	0	-30	0	0	0
		CELKEM - FÁZE PRŮŘEZU 1																0	0	0	0	0	0	0	0	0	0	0	0
		CELKEM - FÁZE PRŮŘEZU 2																0	0	0	0	0	0	0	0	0	0	0	0
		CELKEM - FÁZE PRŮŘEZU 3																0	0	0	0	0	0	0	0	0	0	0	0
		CELKEM - PRŮŘEZ																295	0	-7	0	-7	0			-30			0

Napětí od jednotlivých zatěžovacích stavů

SKUPINA ZATĚŽOVACÍCH STAVŮ — Posouzení normálového napětí — Účinek síly N — Účinek momentu My — Účinek momentu Mz — Posouzení smykového napětí — Účinek kroutícího momentu Mx — Účinek smykové síly Vy — Účinek smykové síly Vz

Č.	SKUP ZS	Popis ZS	Kat.	fáze průř.	δ^*N_d [kN]	χ^*A [mm^2]	σ_n [MPa]	$\delta^*M_{y,d}$ [kNm]	$\chi_{lt}{}^*W_{el,y}$ [mm^3]	σ_{my} [MPa]	$\delta^*M_{z,d}$ [kNm]	$W_{el,z}$ [mm^3]	σ_{mz} [MPa]	σ_x [MPa]	$\kappa^*\delta^*M_{x,d}$ [kNm]	$W_{v,y}$ [mm^3]	$\tau_{x,y}$ [MPa]	$W_{v,z}$ [mm^3]	$\tau_{x,z}$ [MPa]	$\delta^*V_{y,d}$ [kN]	$A_{v,y}$ [mm2]	$\tau_{v,y}$ [MPa]	$\tau_{v,y}$ [MPa]	$\delta^*V_{z,d}$ [kN]	$A_{v,z}$ [mm2]	$\tau_{v,z}$ [MPa]	$\tau_{v,z}$ [MPa]
1	G0	Vlastní tíha OK	G	0	44.7	6.64E+03	6.7	-1.7	1.02E+06	-1.7	-0.3	-1.22E+06	0.2	5.3	0.0E+00	-	-	-	-	-0.2	4.80E+03	0.0	0.0	0.6	2.61E+03	0.2	0.2
2	G1	Ostatní stálé - mostní vybavení	G	0	7.1	6.64E+03	1.1	-0.3	1.02E+06	-0.3	0.0	-1.22E+06	0.0	0.8	0.0E+00	-	-	-	-	0.0	4.80E+03	0.0	0.0	0.0	2.61E+03	0.0	0.0
3	G2	Ostatní stálé - cizí zařízení	G	0	4.2	6.64E+03	0.6	0.0	1.02E+06	0.0	0.0	-1.22E+06	0.0	0.7	0.0E+00	-	-	-	-	0.0	4.80E+03	0.0	0.0	0.1	2.61E+03	0.0	0.0
4	P1_71	a.LM71 - kolej 1 (bez dyn. souč.)	P	0	81.3	6.64E+03	12.2	-10.6	1.02E+06	-10.4	0.0	-1.22E+06	0.0	1.8	0.0E+00	-	-	-	-	0.0	4.80E+03	0.0	0.0	-2.6	2.61E+03	-1.0	-1.0
5	P2_71	a.LM71 - kolej 2 (bez dyn. souč.)	P	0	140.5	6.64E+03	21.2	-3.9	1.02E+06	-3.8	0.4	-1.22E+06	-0.3	17.1	0.0E+00	-	-	-	-	0.1	4.80E+03	0.0	0.0	-0.4	2.61E+03	-0.2	-0.2
6	P1_C3	TTZ C3 - kolej 1 (bez dyn. souč.)	P	0	0.0	6.64E+03	0.0	0.0	1.02E+06	0.0	0.0	-1.22E+06	0.0	0.0	0.0E+00	-	-	-	-	0.0	4.80E+03	0.0	0.0	0.0	2.61E+03	0.0	0.0
7	P2_C3	TTZ C3 - kolej 2 (bez dyn. souč.)	P	0	0.0	6.64E+03	0.0	0.0	1.02E+06	0.0	0.0	-1.22E+06	0.0	0.0	0.0E+00	-	-	-	-	0.0	4.80E+03	0.0	0.0	0.0	2.61E+03	0.0	0.0
8	BR	Brzdné a rozjezdové síly	P	0	0.8	6.64E+03	0.1	-0.1	1.02E+06	-0.1	0.1	-1.22E+06	-0.1	0.0	0.0E+00	-	-	-	-	0.1	4.80E+03	0.0	0.0	0.0	2.61E+03	0.0	0.0
9	S	Boční ráz	P	0	2.4	6.64E+03	0.4	-1.3	1.02E+06	-1.3	0.0	-1.22E+06	0.0	-0.9	0.0E+00	-	-	-	-	0.0	4.80E+03	0.0	0.0	-0.5	2.61E+03	-0.2	-0.2
10	CH	Chodci na lávkách	Q	0	-8.5	6.64E+03	-1.3	-0.4	1.02E+06	-0.4	0.0	-1.22E+06	0.0	-1.7	0.0E+00	-	-	-	-	0.0	4.80E+03	0.0	0.0	-0.1	2.61E+03	0.0	0.0
11	W	Vítr na konstrukci	Q	0	7.0	6.64E+03	1.1	-7.9	1.02E+06	-7.7	0.0	-1.22E+06	0.0	-6.7	0.0E+00	-	-	-	-	0.0	4.80E+03	0.0	0.0	-0.8	2.61E+03	-0.3	-0.3
12	WP	Vítr na vozidla	Q	0	2.9	6.64E+03	0.4	-3.1	1.02E+06	-3.0	0.1	-1.22E+06	0.0	-2.6	0.0E+00	-	-	-	-	0.0	4.80E+03	0.0	0.0	-1.4	2.61E+03	-0.5	-0.5
13	TR	Teplota rovnoměrná	Q	0	0.0	6.64E+03	0.0	0.0	1.02E+06	0.0	0.0	-1.22E+06	0.0	0.0	0.0E+00	-	-	-	-	0.0	4.80E+03	0.0	0.0	0.0	2.61E+03	0.0	0.0
14	TN	Teplota nerovnoměrná	Q	0	14.1	6.64E+03	2.1	-0.7	1.02E+06	-0.7	0.2	-1.22E+06	-0.2	1.2	0.0E+00	-	-	-	-	0.1	4.80E+03	0.0	0.0	-1.5	2.61E+03	-0.6	-0.6
15	FR	Třecí síly v ložiskách	Q	0	0.1	6.64E+03	0.0	0.0	1.02E+06	0.0	0.0	-1.22E+06	0.0	0.0	0.0E+00	-	-	-	-	0.0	4.80E+03	0.0	0.0	0.0	2.61E+03	0.0	0.0
16	I	Imperfekce soustavy	Q	0	-1.7	6.64E+03	-0.3	-0.4	1.02E+06	-0.4	0.0	-1.22E+06	0.0	-0.6	0.0E+00	-	-	-	-	0.0	4.80E+03	0.0	0.0	-0.3	2.61E+03	-0.1	-0.1
27	ULS_LM	ULS - LM71 bez dynam	Q	0	0.0	6.64E+03	0.0	0.0	1.02E+06	0.0	0.0	-1.22E+06	0.0	0.0	0.0E+00	-	-	-	-	0.0	4.80E+03	0.0	0.0	0.0	2.61E+03	0.0	0.0
28	SLS_LM	SLS - LM71 bez dynam	Q	0	0.0	6.64E+03	0.0	0.0	1.02E+06	0.0	0.0	-1.22E+06	0.0	0.0	0.0E+00	-	-	-	-	0.0	4.80E+03	0.0	0.0	0.0	2.61E+03	0.0	0.0
29	ULS_C3	ULS - C3 bez dynam	Q	0	0.0	6.64E+03	0.0	0.0	1.02E+06	0.0	0.0	-1.22E+06	0.0	0.0	0.0E+00	-	-	-	-	0.0	4.80E+03	0.0	0.0	0.0	2.61E+03	0.0	0.0
30	SLS_C3	SLS - C3 bez dynam	Q	0	0.0	6.64E+03	0.0	0.0	1.02E+06	0.0	0.0	-1.22E+06	0.0	0.0	0.0E+00	-	-	-	-	0.0	4.80E+03	0.0	0.0	0.0	2.61E+03	0.0	0.0
NAVÝŠENÍ NAPĚTÍ DO AKTIVACE TLAKU V DESCE MOSTOVKY						$\sigma_{P,red}$	0.0							0.0			0.0		0.0				0.0	0.0			-2.6	-2.6
NAPĚTÍ OD PRIMÁRNÍCH ÚČINKŮ NEROVNOMĚRNÉHO OTEPLENÍ						σ_T	0.0							0.0														
NAPĚTÍ OD REOLOGICKÝCH ÚČINKŮ BETONU V ČASE		t=0				σ_R	0.0	$\gamma_{i=}$	1.20					0.0														
NAPĚTÍ V KRITICKÝCH VLÁKNECH OD KOMBINACE ZATÍŽENÍ						KZ04		[MPa]					$\Sigma\sigma_x$	14.3									$\Sigma\tau_y$	0.0			$\Sigma\tau_z$	-2.6
NAPĚTÍ OD POHYBLIVÉHO ZATÍŽENÍ								[MPa]					$\sigma_{x,P}$	17.9									τ_P	0.0			τ_P	-1.4
NAPĚTÍ OD OSTATNÍCH ZATÍŽENÍ								[MPa]			Φ_{Vy}	Φ_{Vz}	$\sigma_{x,rs}$	-3.6									τ_{rs}	0.0			τ_{rs}	-1.3
NÁVRHOVÁ HODNOTA MEZE KLUZU S REDUKCÍ VLIVEM SMYKOVÉHO NAPĚTÍ								[MPa]			1.00	1.00	$f_{yw,d}$	209.1									$f_{yd}/3^{0,5}$	120.7			$f_{yd}/3^{0,5}$	120.7
NAPĚTÍ OD POHYBLIVÉHO ZATÍŽENÍ V GLOBÁLNÍM SYSTÉMU						$\sigma_{GLOB,P}$	0.0	[MPa]					$\Sigma\sigma_{GLOB}$	0.0														
NAPĚTÍ OD OSTATNÍCH ZATÍŽENÍ V GLOBÁLNÍM SYSTÉMU						$\sigma_{GLOB,rs}$	0.0	[MPa]					$\Sigma\sigma_x + \Sigma\sigma_{GLOB}$	14.3														
VYUŽITÍ PRŮŘEZU DLE NAPĚTÍ								[%]					η_1	0.07									η_3	0.00			η_3	0.02
NAPĚTÍ V PŘÍČNÉM SMĚRU OD POHYBLIVÉHO ZATÍŽENÍ						$\sigma_{z,P}$	0.0	[MPa]					$\Sigma\sigma_z$	0.0														
NAPĚTÍ V PŘÍČNÉM SMĚRU OD OSTATNÍCH ZATÍŽENÍ						$\sigma_{z,rs}$	0.0	[MPa]					η_2	0.00														
SROVNÁVACÍ NAPĚTÍ													$(\eta 2 + 0{,}8\,\eta 1)/1{,}4 =$	0.04														
VYUŽITÍ PRŮŘEZU CELKEM								[%]					eff	0.07	VYHOVUJE													
													z_{LM71} =	>10														

VÝPOČET PRŮŘEZOVÝCH CHARAKTERISTIK

PRŮŘEZ: V7_2 **POPIS:** SVISLICE V7 - MIN MY

x = - **m**

DEFINOVÁNÍ PRŮŘEZU

ŠÍŘKA PÁSNICE ÚHELNÍKU	b f.t.l.o =	100	mm	**ÚHELNÍK HORNÍ VNĚJŠÍ LEVÝ**		**C.T.O.L**	
TLOUŠŤKA PÁSNICE ÚHELNÍKU	t f.t.l.o =	12	mm	OSLABENÍ PÁSNICE - TLOUŠŤKA	Δt f.t.l.o =	0	%
VÝŠKA STĚNY ÚHELNÍKU	h w.t.l.o =	68	mm				
TLOUŠŤKA STĚNY ÚHELNÍKU	t w.t.l.o =	12	mm	OSLABENÍ STĚNY - TLOUŠŤKA	Δt w.t.l.o =	15	%
ŠÍŘKA PÁSNICE ÚHELNÍKU	b f.t.r.o =	100	mm	**ÚHELNÍK HORNÍ VNĚJŠÍ PRAVÝ**		**C.T.O.R**	
TLOUŠŤKA PÁSNICE ÚHELNÍKU	t f.t.r.o =	12	mm	OSLABENÍ PÁSNICE - TLOUŠŤKA	Δt f.t.r.o =	0	%
VÝŠKA STĚNY ÚHELNÍKU	h w.t.r.o =	68	mm				
TLOUŠŤKA STĚNY ÚHELNÍKU	t w.t.r.o =	12	mm	OSLABENÍ STĚNY - TLOUŠŤKA	Δt w.t.r.o =	15	%
ŠÍŘKA PÁSNICE ÚHELNÍKU	b f.t.l.i =	0	mm	**ÚHELNÍK HORNÍ VNITŘNÍ LEVÝ**		**C.T.I.L**	
TLOUŠŤKA PÁSNICE ÚHELNÍKU	t f.t.l.i =	0	mm	OSLABENÍ PÁSNICE - TLOUŠŤKA	Δt f.b.l.o =	0	%
VÝŠKA STĚNY ÚHELNÍKU	h w.t.l.i =	0	mm				
TLOUŠŤKA STĚNY ÚHELNÍKU	t w.t.l.i =	0	mm	OSLABENÍ STĚNY - TLOUŠŤKA	Δt w.b.l.o =	0	%
ŠÍŘKA PÁSNICE ÚHELNÍKU	b f.t.r.i =	0	mm	**ÚHELNÍK HORNÍ VNITŘNÍ PRAVÝ**		**C.T.I.R**	
TLOUŠŤKA PÁSNICE ÚHELNÍKU	t f.t.r.i =	0	mm	OSLABENÍ PÁSNICE - TLOUŠŤKA	Δt f.b.r.o =	0	%
VÝŠKA STĚNY ÚHELNÍKU	h w.t.r.i =	0	mm				
TLOUŠŤKA STĚNY ÚHELNÍKU	t w.t.r.i =	0	mm	OSLABENÍ STĚNY - TLOUŠŤKA	Δt w.b.r.o =	0	%
ŠÍŘKA PÁSNICE ÚHELNÍKU	b f.b.l.o =	100	mm	**ÚHELNÍK DOLNÍ VNĚJŠÍ LEVÝ**		**C.B.O.L**	
TLOUŠŤKA PÁSNICE ÚHELNÍKU	t f.b.l.o =	12	mm	OSLABENÍ PÁSNICE - TLOUŠŤKA	Δt f.t.l.i =	0	%
VÝŠKA STĚNY ÚHELNÍKU	h w.b.l.o =	68	mm				
TLOUŠŤKA STĚNY ÚHELNÍKU	t w.b.l.o =	12	mm	OSLABENÍ STĚNY - TLOUŠŤKA	Δt w.t.l.i =	15	%
ŠÍŘKA PÁSNICE ÚHELNÍKU	b f.b.r.o =	100	mm	**ÚHELNÍK DOLNÍ VNĚJŠÍ PRAVÝ**		**C.B.O.R**	
TLOUŠŤKA PÁSNICE ÚHELNÍKU	t f.b.r.o =	12	mm	OSLABENÍ PÁSNICE - TLOUŠŤKA	Δt f.t.r.i =	0	%
VÝŠKA STĚNY ÚHELNÍKU	h w.b.r.o =	68	mm				
TLOUŠŤKA STĚNY ÚHELNÍKU	t w.b.r.o =	12	mm	OSLABENÍ STĚNY - TLOUŠŤKA	Δt w.t.r.i =	15	%
PÁSNICE DOLNÍHO LEVÉHO ÚHELNÍKU	b f.b.l.i =	0	mm	**ÚHELNÍK DOLNÍ VNITŘNÍ LEVÝ**		**C.B.I.L**	
TLOUŠŤKA PÁSNICE ÚHELNÍKU	t f.b.l.i =	0	mm	OSLABENÍ PÁSNICE - TLOUŠŤKA	Δt f.b.l.i =	0	%
VÝŠKA STĚNY ÚHELNÍKU	h w.b.l.i =	0	mm				
TLOUŠŤKA STĚNY ÚHELNÍKU	t w.b.l.i =	0	mm	OSLABENÍ STĚNY - TLOUŠŤKA	Δt w.b.l.i =	0	%
PÁSNICE DOLNÍHO PRAVÉHO ÚHELNÍKU	b f.b.r.i =	0	mm	**ÚHELNÍK DOLNÍ VNITŘNÍ PRAVÝ**		**C.B.I.R**	
TLOUŠŤKA PÁSNICE ÚHELNÍKU	t f.b.r.i =	0	mm	OSLABENÍ PÁSNICE - TLOUŠŤKA	Δt f.b.r.i =	0	%
VÝŠKA STĚNY ÚHELNÍKU	h w.b.r.i =	0	mm				
TLOUŠŤKA STĚNY ÚHELNÍKU	t w.b.r.i =	0	mm	OSLABENÍ STĚNY - TLOUŠŤKA	Δt w.b.r.i =	0	%

DOLNÍ

ŠÍŘKA HORNÍ VLOŽKY - VNĚJŠÍ	b f.t =	0	mm			**HOR.T.O**	
TLOUŠŤKA VLOŽKY	t f.t =	0	mm	OSLABENÍ VLOŽKY	Δt f.t =	0	%
ŠÍŘKA HORNÍ VLOŽKY - VNITŘNÍ	b f.t =	0	mm			**HOR.T.I**	
TLOUŠŤKA VLOŽKY	t f.t =	0	mm	OSLABENÍ VLOŽKY	Δt f.t =	0	%
ŠÍŘKA DOLNÍ VLOŽKY - VNĚJŠÍ	b f.t =	0	mm			**HOR.B.O**	
TLOUŠŤKA VLOŽKY	t f.t =	0	mm	OSLABENÍ VLOŽKY	Δt f.t =	0	%
ŠÍŘKA DOLNÍ VLOŽKY - VNITŘNÍ	b f.t =	0	mm			**HOR.B.I**	
TLOUŠŤKA VLOŽKY	t f.t =	0	mm	OSLABENÍ VLOŽKY - VNITŘNÍ	Δt f.t =	0	%

VZD. OKRAJŮ PÁSNIC VNITŘNÍCH ÚHELNÍKŮ	464	mm
CELKOVÁ TLOUŠŤKA MEZI PÁSNICEMI ÚHELNÍKŮ I A .o	0	mm
CELKOVÁ TLOUŠŤKA MEZI PÁSNICEMI ÚHELNÍKŮ I A .r	13	mm

ZADANÍ ČÁSTÍ PRŮŘEZU:

č.prvku	b [mm]	h [mm]	y_0 [mm]	z_0 [mm]	popis části	druh oslabení	lokální ultimate	boulení servic.
1	100.0	12.0	-56.5	238.0	pásnice	0	1.000	1.000
2	10.2	68.0	-11.6	278.0	stěna	0	1.000	1.000
3	100.0	12.0	56.5	238.0	pásnice	0	1.000	1.000
4	10.2	68.0	11.6	278.0	stěna	0	1.000	1.000
5	0.0	0.0	-6.5	232.0	pásnice	0	1.000	1.000
6	0.0	0.0	-6.5	232.0	stěna	0	1.000	1.000
7	0.0	0.0	6.5	232.0	pásnice	0	1.000	1.000
8	0.0	0.0	6.5	232.0	stěna	0	1.000	1.000
9	100.0	12.0	-56.5	-238.0	pásnice	0	1.000	1.000
10	10.2	68.0	-11.6	-278.0	stěna	0	1.000	1.000
11	100.0	12.0	56.5	-238.0	pásnice	0	1.000	1.000
12	10.2	68.0	11.6	-278.0	stěna	0	1.000	1.000
13	0.0	0.0	-6.5	-232.0	pásnice	0	1.000	1.000
14	0.0	0.0	-6.5	-232.0	stěna	0	1.000	1.000
15	0.0	0.0	6.5	-232.0	pásnice	0	1.000	1.000
16	0.0	0.0	6.5	-232.0	stěna	0	1.000	1.000
17						0	1.000	1.000
18						0	1.000	1.000
19						0	1.000	1.000
20						0	1.000	1.000
21						0	1.000	1.000
22						0	1.000	1.000
23						0	1.000	1.000
24						0	1.000	1.000
25						0	1.000	1.000
26						0	1.000	1.000
27						0	1.000	1.000
28						0	1.000	1.000
29						0	1.000	1.000
30						0	1.000	1.000
31						0	1.000	1.000
32						0	1.000	1.000
33						0	1.000	1.000
34						0	1.000	1.000
35						0	1.000	1.000
36						0	1.000	1.000
37						0	1.000	1.000
38						0	1.000	1.000
39						0	1.000	1.000
40						0	1.000	1.000
41	0.0	0.0	0.0	232.0	pásnice	0	1.000	1.000
42	0.0	0.0	0.0	232.0	pásnice	0	1.000	1.000
43	0.0	0.0	0.0	-232.0	pásnice	0	1.000	1.000
44	0.0	0.0	0.0	-232.0	pásnice	0	1.000	1.000
45						0	1.000	1.000
46						0	1.000	1.000
47						0	1.000	1.000
48						0	1.000	1.000
49						0	1.000	1.000
50						0	1.000	1.000
51						0	1.000	1.000
52						0	1.000	1.000
53						0	1.000	1.000
54						0	1.000	1.000
55						0	1.000	1.000
56						0	1.000	1.000
57						0	1.000	1.000
58						0	1.000	1.000
59						0	1.000	1.000
60						0	1.000	1.000
61						0	1.000	1.000
62						0	1.000	1.000
63						0	1.000	1.000
64						0	1.000	1.000
65						0	1.000	1.000
66						0	1.000	1.000
67						0	1.000	1.000
68						0	1.000	1.000
69						0	1.000	1.000
70						0	1.000	1.000
71	10.2	-20.0	-11.6	277.0	nýt	0	1.000	1.000
72	10.2	-20.0	11.6	277.0	nýt	0	1.000	1.000
73	0	0	0	0	nýt	0	1.000	1.000
74	0	0	0	0	nýt	0	1.000	1.000
75	0	0	-11.6	-277.0	nýt	0	1.000	1.000
76	0	0	11.6	-277.0	nýt	0	1.000	1.000
77	0	0	0	0	nýt	0	1.000	1.000
78	0	0	0	0	nýt	0	1.000	1.000
79						0	1.000	1.000
80						0	1.000	1.000
81	0	0	0	0	nýt	0	1.000	1.000
82	0	0	0	0	nýt	0	1.000	1.000
83	0	0	0	0	nýt	0	1.000	1.000
84	0	0	0	0	nýt	0	1.000	1.000
85	0	0	0	0	nýt	0	1.000	1.000
86	0	0	0	0	nýt	0	1.000	1.000
87	0	0	0	0	nýt	0	1.000	1.000
88	0	0	0	0	nýt	0	1.000	1.000
89						0	1.000	1.000
90						0	1.000	1.000
91	0	0	0	0	nýt	0	1.000	1.000
92	0	0	0	0	nýt	0	1.000	1.000
93	0	0	0	0	nýt	0	1.000	1.000
94	0	0	0	0	nýt	0	1.000	1.000
95	0	0	0	0	nýt	0	1.000	1.000
96	0	0	0	0	nýt	0	1.000	1.000
97	0	0	0	0	nýt	0	1.000	1.000
98	0	0	0	0	nýt	0	1.000	1.000
99						0	1.000	1.000
100						0	1.000	1.000

NÝT Č.	SKUPINA	ŘEZ	RED.	VELIKOST di [mm]	POLOHA oi [mm]	POPIS	AKTIVITA OTVORU		NAPĚTÍ sc [MPa]
1		-	1.00	20	35	nýt - t.o - úhelník	1		135.16
2		-	1.00	20	35	nýt - t.o - úhelník	1		135.35
3		-	1.00	0	35	nýt - t.i - úhelník	0	-	
4		-	1.00	0	35	nýt - t.i - úhelník	0	-	
5		-	1.00	20	35	nýt - b.o - úhelník	0		-51.97
6		-	1.00	20	35	nýt - b.o - úhelník	0		-51.79
7		-	1.00	0	35	nýt - b.i - úhelník	0	-	
8		-	1.00	0	35	nýt - b.i - úhelník	0	-	
9									
10									
11		-	1.00	0	50	nýt - t.i - úhelník	0	-	
12		-	1.00	0	50	nýt - t.i - úhelník	0	-	
13		-	1.00	0	50	nýt - t.r - úhelník	0	-	
14		-	1.00	0	50	nýt - t.r - úhelník	0	-	
15		-	1.00	0	50	nýt - b.l - úhelník	0	-	
16		-	1.00	0	50	nýt - b.l - úhelník	0	-	
17		-	1.00	0	50	nýt - b.r - úhelník	0	-	
18		-	1.00	0	50	nýt - b.r - úhelník	0	-	
19									
20									
21		-	1.00	0	-132	nýt - t.l	0	-	
22		-	1.00	0	-132	nýt - t.l	0	-	
23		-	1.00	0	132	nýt - t.r	0	-	
24		-	1.00	0	132	nýt - t.r	0	-	
25		-	1.00	0	-132	nýt - b.l	0	-	
26		-	1.00	0	-132	nýt - b.l	0	-	
27		-	1.00	0	132	nýt - b.r	0	-	
28		-	1.00	0	132	nýt - b.r	0	-	
29									
30									

VÝPOČET PRŮŘEZOVÝCH CHARAKTERISTIK

Properties	Basic	Ultimate		Serviceability	
y_i	0.0	0.0		0.0	[mm]
z_i	-15.8	-15.8		-15.8	[mm]
A_i	7.1664E+03	7.1664E+03		7.1664E+03	[mm²]
A_s	4.8000E+03	4.8000E+03		4.8000E+03	[mm²]
A_a	2.7744E+03	2.7744E+03		2.7744E+03	[mm²]
I_{yi}	4.5433E+08	4.5433E+08		4.5433E+08	[mm⁴]
I_{zi}	1.9662E+07	1.9662E+07		1.9662E+07	[mm⁴]
i_y	251.8	251.8		251.8	[mm]
i_z	52.4	52.4		52.4	[mm]
$W_{y,1}$	1.3861E+06	1.3861E+06		1.3861E+06	[mm³]
$W_{z,1}$	-1.8462E+05	-1.8462E+05		-1.8462E+05	[mm³]
$W_{y,2}$	-1.5337E+06	-1.5337E+06		-1.5337E+06	[mm³]
$W_{z,2}$	-1.8462E+05	-1.8462E+05		-1.8462E+05	[mm³]
KRAJNÍ VLÁKNA PRŮŘEZU					
y_1	-106.5	-106.5		-106.5	[mm] min
z_1	312.0	312.0		312.0	[mm] max
y_2	-106.5	-106.5		-106.5	[mm] min
z_2	-312.0	-312.0		-312.0	[mm] min
y_3	106.5	106.5		106.5	[mm] max
z_3	312.0	312.0		312.0	[mm] max
y_4	106.5	106.5		106.5	[mm] max
z_4	-312.0	-312.0		-312.0	[mm] min
y_5	-16.7	-16.7		-16.7	[mm]
z_5	-244.0	-244.0		-244.0	[mm]
y_6	-16.7	-16.7		-16.7	[mm]
z_6	-312.0	-312.0		-312.0	[mm]

ÚPRAVA MOMENTŮ SETRVAČNOSTI V DŮSLEDKU ČLENĚNÍ PRŮŘEZU

OSA Y 1.00 V BLÍZKOSTI STYČNÍKOVÉHO PLECHU PŘÍČNÍKU PEVNÉ -> JAKO NEČLENĚNÝ
OSA Z 1.00

SCHÉMA PROMĚNNÝCH

SCHÉMA ZADANÉHO PRŮŘEZU

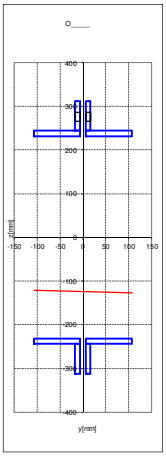

NEUTRÁLNÁ OSA

NAPĚTÍ [MPa]:

146.21	147.95
-64.57	-62.84

ZS: SLS_LM_MY MIN

	N [kN]	Vy [kN]	Vz [kN]	Mx [kNm]	My [kNm]	Mz [kNm]
import	283	0	-34	0	-153	0

TR_V7.2 POPIS: **SVISLICE V7** POSUDEK: **V7.2**

SKUPINA ZAT. STAVŮ	EXTRÉM	VYHODNOCOVANÉ VELIČINY					
		N	Vy	Vz	Mx	My	Mz
		kN	kN	kN	kNm	kNm	kNm
G0	N.min	**14**	-0.15	-1.22	0	-5.1	0.1
	N.max	**14**	-0.15	-1.22	0	-5.1	0.1
	Vy.min	14	**-0.15**	-1.22	0	-5.1	0.1
	Vy.max	14	**-0.15**	-1.22	0	-5.1	0.1
	Vz.min	14	-0.15	**-1.22**	0	-5.1	0.1
	Vz.max	14	-0.15	**-1.22**	0	-5.1	0.1
	Mx.min	14	-0.15	-1.22	**0**	-5.1	0.1
	Mx.max	14	-0.15	-1.22	**0**	-5.1	0.1
	My.min	14	-0.15	-1.22	0	**-5.1**	0.1
	My.max	14	-0.15	-1.22	0	**-5.1**	0.1
	Mz.min	14	-0.15	-1.22	0	-5.1	**0.1**
	Mz.max	14	-0.15	-1.22	0	-5.1	**0.1**
G1	N.min	**4.11**	0	-0.14	0	-0.79	0.01
	N.max	**4.11**	0	-0.14	0	-0.79	0.01
	Vy.min	4.11	**0**	-0.14	0	-0.79	0.01
	Vy.max	4.11	**0**	-0.14	0	-0.79	0.01
	Vz.min	4.11	0	**-0.14**	0	-0.79	0.01
	Vz.max	4.11	0	**-0.14**	0	-0.79	0.01
	Mx.min	4.11	0	-0.14	**0**	-0.79	0.01
	Mx.max	4.11	0	-0.14	**0**	-0.79	0.01
	My.min	4.11	0	-0.14	0	**-0.79**	0.01
	My.max	4.11	0	-0.14	0	**-0.79**	0.01
	Mz.min	4.11	0	-0.14	0	-0.79	**0.01**
	Mz.max	4.11	0	-0.14	0	-0.79	**0.01**
G2	N.min	**2.98**	0	0.12	0	0.64	0.01
	N.max	**2.98**	0	0.12	0	0.64	0.01
	Vy.min	2.98	**0**	0.12	0	0.64	0.01
	Vy.max	2.98	**0**	0.12	0	0.64	0.01
	Vz.min	2.98	0	**0.12**	0	0.64	0.01
	Vz.max	2.98	0	**0.12**	0	0.64	0.01
	Mx.min	2.98	0	0.12	**0**	0.64	0.01
	Mx.max	2.98	0	0.12	**0**	0.64	0.01
	My.min	2.98	0	0.12	0	**0.64**	0.01
	My.max	2.98	0	0.12	0	**0.64**	0.01
	Mz.min	2.98	0	0.12	0	0.64	**0.01**
	Mz.max	2.98	0	0.12	0	0.64	**0.01**
P1_71	N.min	**-38.96**	0.05	-2.13	0	-13.41	0.34
	N.max	**100.97**	0.01	-10.42	0	-50.63	-0.18
	Vy.min	29.14	**-0.21**	-2.6	0	-17.48	-0.29
	Vy.max	44.76	**0.25**	-10.29	0	-49.08	0.38
	Vz.min	64.36	0.06	**-12.71**	0	-64.41	0.13
	Vz.max	0	0	**0**	0	0	0
	Mx.min	-14.93	-0.05	-3.51	**0**	-21.65	0.16
	Mx.max	77.37	0.11	-9	**0**	-42.8	-0.01
	My.min	64.36	0.06	-12.71	0	**-64.41**	0.13
	My.max	0	0	0	0	**0**	0
	Mz.min	38.55	-0.2	-2.34	0	-14.41	**-0.33**
	Mz.max	7.67	0.18	-7.73	0	-38.96	**0.42**
P2_71	N.min	**-107.28**	0.03	5.08	0	21.98	0.61
	N.max	**237.77**	0.11	-4.16	0	-18.42	-0.32
	Vy.min	45.49	**-0.52**	5.52	0	21.55	-0.62
	Vy.max	110.97	**0.58**	-4.54	0	-18.28	0.76
	Vz.min	172.67	0.45	**-7.19**	0	-31.67	0.23
	Vz.max	-43.45	-0.36	**8.05**	0	34.16	0.02
	Mx.min	-39.75	-0.33	7.86	**0**	33.03	0.07
	Mx.max	171.87	0.42	-7.09	**0**	-30.98	0.18
	My.min	172.67	0.45	-7.19	0	**-31.67**	0.23
	My.max	-44.36	-0.35	8.04	0	**34.19**	0.03
	Mz.min	78.1	-0.47	3.49	0	13.92	**-0.69**
	Mz.max	73.73	0.53	-2.42	0	-10.13	**0.84**
P1_C3	N.min	**-31.41**	0.05	-1.75	0	-10.88	0.28
	N.max	**78.74**	-0.01	-7.78	0	-37.94	-0.17
	Vy.min	28.24	**-0.18**	-2.37	0	-15.81	-0.24
	Vy.max	24.88	**0.19**	-7.41	0	-35.1	0.33
	Vz.min	45.63	0.04	**-9.82**	0	-50.09	0.11
	Vz.max	0	0	**0**	0	0	0
	Mx.min	-9.71	-0.05	-2.96	**0**	-18.07	0.11
	Mx.max	53.64	0.08	-6.34	**0**	-30.02	-0.01
	My.min	45.79	0.04	-9.82	0	**-50.11**	0.11
	My.max	0	0	0	0	**0**	0
	Mz.min	30.33	-0.17	-1.9	0	-11.72	**-0.27**
	Mz.max	19.06	0.19	-7.76	0	-38.32	**0.37**
P2_C3	N.min	**-87.06**	0.02	4.24	0	18.19	0.51
	N.max	**185.3**	0.03	-2.52	0	-11.07	-0.32
	Vy.min	46.76	**-0.44**	4.31	0	16.22	-0.54
	Vy.max	62.1	**0.45**	-2.78	0	-10.43	0.67
	Vz.min	120.46	0.33	**-5.28**	0	-22.79	0.16
	Vz.max	-29.21	-0.34	**6.87**	0	28.73	-0.02
	Mx.min	-32.36	-0.31	6.76	**0**	28.17	0.03
	Mx.max	122.35	0.31	-5.23	**0**	-22.51	0.12
	My.min	120.46	0.33	-5.28	0	**-22.79**	0.16
	My.max	-29.21	-0.34	6.87	0	**28.73**	-0.02
	Mz.min	59.69	-0.39	2.84	0	11.37	**-0.57**
	Mz.max	39.72	0.41	-1.28	0	-4.89	**0.72**
BR	N.min	**-13.32**	0.53	0.41	-0.01	1.96	1.42
	N.max	**13.32**	-0.53	-0.41	0.01	-1.96	-1.42
	Vy.min	13.32	**-0.53**	-0.41	0.01	-1.96	-1.42
	Vy.max	-13.32	**0.53**	0.41	-0.01	1.96	1.42
	Vz.min	13.32	-0.53	**-0.41**	0.01	-1.96	-1.42
	Vz.max	-13.32	0.53	**0.41**	-0.01	1.96	1.42
	Mx.min	-13.32	0.53	0.41	**-0.01**	1.96	1.42
	Mx.max	13.32	-0.53	-0.41	**0.01**	-1.96	-1.42
	My.min	13.32	-0.53	-0.41	0.01	**-1.96**	-1.42
	My.max	-13.32	0.53	0.41	-0.01	**1.96**	1.42
	Mz.min	13.32	-0.53	-0.41	0.01	-1.96	**-1.42**
	Mz.max	-13.32	0.53	0.41	-0.01	1.96	**1.42**

TR_V7.2 POPIS: **SVISLICE V7** POSUDEK: **V7.2**

SKUPINA ZAT. STAVŮ	EXTRÉM	VYHODNOCOVANÉ VELIČINY					
		N	Vy	Vz	Mx	My	Mz
		kN	kN	kN	kNm	kNm	kNm
S	N.min	**-5.84**	-0.05	1.63	0	9.14	-0.08
	N.max	**5.84**	0.05	-1.63	0	-9.14	0.08
	Vy.min	-5.84	**-0.05**	1.63	0	9.14	-0.08
	Vy.max	5.84	**0.05**	-1.63	0	-9.14	0.08
	Vz.min	3.86	0	**-2.42**	0	-11.45	-0.02
	Vz.max	-3.86	0	**2.42**	0	11.45	0.02
	Mx.min	-4.5	-0.01	1.76	**0**	8.79	0.01
	Mx.max	4.5	0.01	-1.76	**0**	-8.79	-0.01
	My.min	3.86	0	-2.42	0	**-11.45**	-0.02
	My.max	-3.86	0	2.42	0	**11.45**	0.02
	Mz.min	-5.84	-0.05	1.63	0	9.14	**-0.08**
	Mz.max	5.84	0.05	-1.63	0	-9.14	**0.08**
CH	N.min	**-10.51**	0	-0.64	0	-3.08	0.06
	N.max	**19.71**	-0.01	-0.05	0	-0.35	-0.04
	Vy.min	19.71	**-0.01**	-0.05	0	-0.35	-0.04
	Vy.max	-10.51	**0**	-0.64	0	-3.08	0.06
	Vz.min	-10.51	0	**-0.64**	0	-3.08	0.06
	Vz.max	9.41	0	**0.45**	0	2.41	0.02
	Mx.min	19.71	-0.01	-0.05	**0**	-0.35	-0.04
	Mx.max	-10.51	0	-0.64	**0**	-3.08	0.06
	My.min	-10.51	0	-0.64	0	**-3.08**	0.06
	My.max	9.41	0	0.45	0	**2.41**	0.02
	Mz.min	19.71	-0.01	-0.05	0	-0.35	**-0.04**
	Mz.max	-10.51	0	-0.64	0	-3.08	**0.06**
W	N.min	**-9.41**	-0.02	-5.99	0	-12.16	-0.02
	N.max	**9.41**	0.02	5.99	0	12.15	0.02
	Vy.min	-9.41	**-0.02**	-5.99	0	-12.16	-0.02
	Vy.max	9.41	**0.02**	5.99	0	12.15	0.02
	Vz.min	-9.41	-0.02	**-5.99**	0	-12.16	-0.02
	Vz.max	9.41	0.02	**5.99**	0	12.15	0.02
	Mx.min	9.41	0.02	5.99	**0**	12.15	0.02
	Mx.max	-9.41	-0.02	-5.99	**0**	-12.16	-0.02
	My.min	-9.41	-0.02	-5.99	0	**-12.16**	-0.02
	My.max	9.41	0.02	5.99	0	**12.15**	0.02
	Mz.min	-9.41	-0.02	-5.99	0	-12.16	**-0.02**
	Mz.max	9.41	0.02	5.99	0	12.15	**0.02**
WP	N.min	**-12.21**	-0.06	6.1	0	31.21	-0.05
	N.max	**12.22**	0.06	-6.1	0	-31.21	0.05
	Vy.min	-12.21	**-0.06**	6.1	0	31.21	-0.05
	Vy.max	12.22	**0.06**	-6.1	0	-31.21	0.05
	Vz.min	12.22	0.06	**-6.1**	0	-31.21	0.05
	Vz.max	-12.21	-0.06	**6.1**	0	31.21	-0.05
	Mx.min	-12.21	-0.06	6.1	**0**	31.21	-0.05
	Mx.max	12.22	0.06	-6.1	**0**	-31.21	0.05
	My.min	12.22	0.06	-6.1	0	**-31.21**	0.05
	My.max	-12.21	-0.06	6.1	0	**31.21**	-0.05
	Mz.min	-12.21	-0.06	6.1	0	31.21	**-0.05**
	Mz.max	12.22	0.06	-6.1	0	-31.21	**0.05**
TR	N.min	**0**	0	0	0	0	0
	N.max	**0**	0	0	0	0	0
	Vy.min	0	**0**	0	0	0	0
	Vy.max	0	**0**	0	0	0	0
	Vz.min	0	0	**0**	0	0	0
	Vz.max	0	0	**0**	0	0	0
	Mx.min	0	0	0	**0**	0	0
	Mx.max	0	0	0	**0**	0	0
	My.min	0	0	0	0	**0**	0
	My.max	0	0	0	0	**0**	0
	Mz.min	0	0	0	0	0	**0**
	Mz.max	0	0	0	0	0	**0**
TN	N.min	**-53.47**	-0.24	0.38	0	1.91	-0.14
	N.max	**60.17**	0.24	-5.84	0	-29.22	0.14
	Vy.min	-53.47	**-0.24**	0.38	0	1.91	-0.14
	Vy.max	60.17	**0.24**	-5.84	0	-29.22	0.14
	Vz.min	60.17	0.24	**-5.84**	0	-29.22	0.14
	Vz.max	-4.21	0.01	**4.32**	0	22.47	0
	Mx.min	-4.21	0.01	4.32	**0**	22.47	0
	Mx.max	60.17	0.24	-5.84	**0**	-29.22	0.14
	My.min	60.17	0.24	-5.84	0	**-29.22**	0.14
	My.max	-4.21	0.01	4.32	0	**22.47**	0
	Mz.min	-53.47	-0.24	0.38	0	1.91	**-0.14**
	Mz.max	60.17	0.24	-5.84	0	-29.22	**0.14**
FR	N.min	**-1.43**	-0.01	0	0	0.01	0
	N.max	**1.43**	0.01	0	0	-0.01	0
	Vy.min	-1.43	**-0.01**	0	0	0.01	0
	Vy.max	1.43	**0.01**	0	0	-0.01	0
	Vz.min	-1.43	-0.01	**0**	0	0.01	0
	Vz.max	1.43	0.01	**0**	0	-0.01	0
	Mx.min	-1.43	-0.01	0	**0**	0.01	0
	Mx.max	1.43	0.01	0	**0**	-0.01	0
	My.min	1.43	0.01	0	0	**-0.01**	0
	My.max	-1.43	-0.01	0	0	**0.01**	0
	Mz.min	-1.43	-0.01	0	0	0.01	**0**
	Mz.max	1.43	0.01	0	0	-0.01	**0**
I	N.min	**-1.09**	0	-0.78	0	-4.08	**0**
	N.max	**1.09**	0	0.78	0	4.08	**0**
	Vy.min	1.09	**0**	0.78	0	4.08	**0**
	Vy.max	-1.09	**0**	-0.78	0	-4.08	**0**
	Vz.min	-1.09	0	**-0.78**	0	-4.08	**0**
	Vz.max	1.09	0	**0.78**	0	4.08	**0**
	Mx.min	1.09	0	0.78	**0**	4.08	**0**
	Mx.max	-1.09	0	-0.78	**0**	-4.08	**0**
	My.min	-1.09	0	-0.78	0	**-4.08**	**0**
	My.max	1.09	0	0.78	0	**4.08**	**0**
	Mz.min	1.09	0	0.78	0	4.08	**0**
	Mz.max	-1.09	0	-0.78	0	-4.08	**0**

TAB. V7.2.3 POSOUZENÍ - MEZNÍ STAV ÚNOSNOSTI

POPIS	SVISLICE V7
PRUT / POLOHA BODU	406 / I[346]
NAMÁHÁNÍ	My.min
VLÁKNO	BOD K2 -HP
MEZNÍ STAV	ULS (MSÚ)
VYUŽITÍ VLÁKNA PRŮŘEZU	1.03

Charakteristiky materiálu				
pás. horní	$f_{yf,k}$	230	MPa	
pás. dolní	$f_{yf,k}$	230	MPa	
stojina	$f_{yw,k}$	230	MPa	
výztuž	$f_{ys,k}$	500	MPa	
γ_M =	1.10	γ_s =	1.15	

Excentricita normálové síly				
Exc./Fáze	0	1	2	3
e_y	0.000	0.000	0.000	0.000
e_z	0.000	0.000	0.000	0.000
Ekvivalentní vzdál. stěn - příčný roznos				
b_{Mx}	0.000	0.000	0.000	0.000

Vliv stěny na únosnost průřezu				
Char./Fáze	0	1	2	3
A	0.00	0.00	0.00	0.00
Wy	0.00	0.00	0.00	0.00
Wz	0.00	0.00	0.00	0.00

Charakter. v kroucení			
$t_{w,y}$	0.000	[mm]	
$t_{w,z}$	0.000	[mm]	
κ	1.00		
I_t=	0.00E+00	[mm^4]	
$\Omega=2*A_{pr}$	0.00E+00	[mm^2]	

Součinitele vzpěru a vlivu II.řádu				
Char./Fáze	0	1	2	3
k_y	1.000	1.000	1.000	1.000
k_z	1.000	1.000	1.000	1.000
χ_{LT}	1.000	1.000	1.000	1.000
χ_{min}	1.000	1.000	1.000	1.000

Vnitřní síly od jednotlivých skupin zatěžovacích stavů

SKUPINA ZATĚŽOVACÍCH STAVŮ					- CHARAKTERISTICKÉ HODNOTY						DÍLČÍ SOUČINITELÉ ZATÍŽENÍ, DYNAMICKÝ SOUČINITEL						4	- NÁVRHOVÉ HODNOTY									
Č.	SKUP ZS	POPIS ZS	KAT.	FÁZE PRŮŘ.	N.k (kN)	Vy.k (kN)	Vz.k (kN)	Mx.k (kNm)	My.k (kNm)	Mz.k (kNm)	γ_{sup} (-)	γ_{inf} (-)	volba ψ_i hledat	ψ_i (-)	L_d (m)	δ (-)	Ψ_0 KZ04	N.d (kN)	Vy.d (kN)	Vz.d (kN)	ΔVz.d (kN)	ΣVz.d (kN)	Mx.d (kNm)	My.d (kNm)	ΔMy.d (kNm)	ΣMy.d (kNm)	Mz.d (kNm)	ΔMz.d (kNm)	ΣMz.d (kNm)
1	G0	Vlastní tíha OK	G	0	14	0	-1	0	-5	0	1.00	1.20		1.20	-	1.00	0.95	16	0	-1	0	-1	0	-6	0	-6	0	0	0
2	G1	Ostatní stálé - mostní vybavení	G	0	4	0	0	0	-1	0	1.00	1.20		1.20	-	1.00	0.95	5	0	0	0	0	0	-1	0	-1	0	0	0
3	G2	Ostatní stálé - cizí zařízení	G	0	3	0	0	0	1	0	1.00	1.00		1.00	-	1.00	0.95	3	0	0	0	0	0	1	0	1	0	0	0
4	P1_71	a.LM71 - kolej 1 (bez dyn. souč.)	P	0	64	0	-13	0	-64	0	1.00	1.30		1.30	-	1.00	1.00	84	0	-17	0	-17	0	-84	0	-84	0	0	0
5	P2_71	a.LM71 - kolej 2 (bez dyn. souč.)	P	0	173	0	-7	0	-32	0	1.00	1.30		1.30	-	1.00	1.00	224	1	-9	0	-9	0	-41	0	-41	0	0	0
6	P1_C3	TTZ C3 - kolej 1 (bez dyn. souč.)	P	0	46	0	-10	0	-50	0	1.00	vyp.		0.00	-	1.00	0.00	0	0	0	0	0	0	0	0	0	0	0	0
7	P2_C3	TTZ C3 - kolej 2 (bez dyn. souč.)	P	0	120	0	-5	0	-23	0	1.00	vyp.		0.00	-	1.00	0.00	0	0	0	0	0	0	0	0	0	0	0	0
8	BR	Brzdné a rozjezdové síly	P	0	13	-1	0	0	-2	-1	1.00	0.00		0.00	-	1.00	0.40	0	0	0	0	0	0	0	0	0	0	0	0
9	S	Boční ráz	P	0	4	0	-2	0	-11	0	1.00	1.30		1.30	-	1.00	0.80	4	0	-3	0	-3	0	-12	0	-12	0	0	0
10	CH	Chodci na lávkách	Q	0	-11	0	-1	0	-3	0	1.00	1.30		1.30	-	1.00	1.00	-14	0	-1	0	-1	0	-4	0	-4	0	0	0
11	W	Vítr na konstrukci	Q	0	-9	0	-6	0	-12	0	1.00	1.35		1.35	-	1.00	0.75	-10	0	-6	0	-6	0	-12	0	-12	0	0	0
12	WP	Vítr na vozidla	Q	0	12	0	-6	0	-31	0	1.00	1.35		1.35	-	1.00	0.75	12	0	-6	0	-6	0	-32	0	-32	0	0	0
13	TR	Teplota rovnoměrná	Q	0	0	0	0	0	0	0	1.00	1.35		1.35	-	1.00	0.45	0	0	0	0	0	0	0	0	0	0	0	0
14	TN	Teplota nerovnoměrná	Q	0	60	0	-6	0	-29	0	1.00	1.35		1.35	-	1.00	0.60	49	0	-5	0	-5	0	-24	0	-24	0	0	0
15	FR	Třecí síly v ložiskách	Q	0	1	0	0	0	0	0	1.00	1.20		1.20	-	1.00	1.00	2	0	0	0	0	0	0	0	0	0	0	0
16	I	Imperfekce soustavy	Q	0	-1	0	-1	0	-4	0	1.00	1.20		1.20	-	1.00	1.00	-1	0	-1	0	-1	0	-5	0	-5	0	0	0
27	ULS_LM	ULS - LM71 bez dynam	Q	0	384	0	-49	0	-224	0	1.00	vyp.		0.00	-	1.00	0.00	0	0	0	0	0	0	0	0	0	0	0	0
28	SLS_LM	SLS - LM71 bez dynam	Q	0	261	0	-34	0	-153	0	1.00	vyp.	1	0.00	-	1.00	0.00	0	0	0	0	0	0	0	0	0	0	0	0
29	ULS_C3	ULS - C3 bez dynam	Q	0	292	0	-43	0	-193	0	1.00	vyp.	1	0.00	-	1.00	0.00	0	0	0	0	0	0	0	0	0	0	0	0
30	SLS_C3	SLS - C3 bez dynam	Q	0	190	0	-29	0	-130	0	1.00	vyp.	1	0.00	-	1.00	0.00	0	0	0	0	0	0	0	0	0	0	0	0
		CELKEM - FÁZE PRŮŘEZU 0																374	1	-49	0	-49	0	-219	0	-219	1	0	1
		CELKEM - FÁZE PRŮŘEZU 1																0	0	0	0	0	0	0	0	0	0	0	0
		CELKEM - FÁZE PRŮŘEZU 2																0	0	0	0	0	0	0	0	0	0	0	0
		CELKEM - FÁZE PRŮŘEZU 3																0	0	0	0	0	0	0	0	0	0	0	0
		CELKEM - PRŮŘEZ																374	1	-49	0	-49	0			-219			1

Napětí od jednotlivých zatěžovacích stavů

SKUPINA ZATĚŽOVACÍCH STAVŮ					Posouzení normálového napětí										Posouzení smykového napětí													
					Účinek síly N			Účinek momentu My				Účinek momentu Mz				Účinek kroutícího momentu Mx				Účinek smykové síly Vy				Účinek smykové síly Vz			
Č.	SKUP ZS	Popis ZS	Kat.	fáze prúř.	δ^*N_d [kN]	χ^*A [mm^2]	σ_n [MPa]	$\delta^*M_{y,d}$ [kNm]	$\chi_{lt}*W_{el,y}$ [mm^3]	σ_{my} [MPa]	$\delta^*M_{z,d}$ [kNm]	$W_{el,z}$ [mm^3]	σ_{mz} [MPa]	σ_x [MPa]	$\kappa*\delta^*M_{x,d}$ [kNm]	$W_{v,y}$ [mm^2]	$\tau_{x,y}$ [MPa]	$W_{v,z}$ [mm^2]	$\tau_{x,z}$ [MPa]	$\delta^*V_{y,d}$ [kN]	$A_{v,y}$ [mm2]	$\tau_{v,y}$ [MPa]	$\tau_{v,y}$ [MPa]	$\delta^*V_{z,d}$ [kN]	$A_{v,z}$ [mm2]	$\tau_{v,z}$ [MPa]	$\tau_{v,z}$ [MPa]
1	G0	Vlastní tíha OK	G	0	16.0	7.17E+03	2.2	-5.8	-1.39E+06	4.2	0.1	1.85E+05	0.6	7.0	0.0E+00	-	-	-	-	-0.2	4.80E+03	0.0	0.0	-1.4	2.77E+03	-0.5	-0.5
2	G1	Ostatní stálé - mostní vybavení	G	0	4.7	7.17E+03	0.7	-0.9	-1.39E+06	0.6	0.0	1.85E+05	0.1	1.4	0.0E+00	-	-	-	-	0.0	4.80E+03	0.0	0.0	-0.2	2.77E+03	-0.1	-0.1
3	G2	Ostatní stálé - cizí zařízení	G	0	2.8	7.17E+03	0.4	0.6	-1.39E+06	-0.4	0.0	1.85E+05	0.1	0.0	0.0E+00	-	-	-	-	0.0	4.80E+03	0.0	0.0	0.1	2.77E+03	0.0	0.0
4	P1_71	a.LM71 - kolej 1 (bez dyn. souč.)	P	0	83.7	7.17E+03	11.7	-83.7	-1.39E+06	60.4	0.2	1.85E+05	0.9	73.0	0.0E+00	-	-	-	-	0.1	4.80E+03	0.0	0.0	-16.5	2.77E+03	-6.0	-6.0
5	P2_71	a.LM71 - kolej 2 (bez dyn. souč.)	P	0	224.5	7.17E+03	31.3	-41.2	-1.39E+06	29.7	0.3	1.85E+05	1.6	62.6	0.0E+00	-	-	-	-	0.6	4.80E+03	0.1	0.1	-9.3	2.77E+03	-3.4	-3.4
6	P1_C3	TTZ C3 - kolej 1 (bez dyn. souč.)	P	0	0.0	7.17E+03	0.0	0.0	-1.39E+06	0.0	0.0	1.85E+05	0.0	0.0	0.0E+00	-	-	-	-	0.0	4.80E+03	0.0	0.0	0.0	2.77E+03	0.0	0.0
7	P2_C3	TTZ C3 - kolej 2 (bez dyn. souč.)	P	0	0.0	7.17E+03	0.0	0.0	-1.39E+06	0.0	0.0	1.85E+05	0.0	0.0	0.0E+00	-	-	-	-	0.0	4.80E+03	0.0	0.0	0.0	2.77E+03	0.0	0.0
8	BR	Brzdné a rozjezdové síly	P	0	0.0	7.17E+03	0.0	0.0	-1.39E+06	0.0	0.0	1.85E+05	0.0	0.0	0.0E+00	-	-	-	-	0.0	4.80E+03	0.0	0.0	0.0	2.77E+03	0.0	0.0
9	S	Boční ráz	P	0	4.0	7.17E+03	0.6	-11.9	-1.39E+06	8.6	0.0	1.85E+05	-0.1	9.0	0.0E+00	-	-	-	-	0.0	4.80E+03	0.0	0.0	-2.5	2.77E+03	-0.9	-0.9
10	CH	Chodci na lávkách	Q	0	-13.7	7.17E+03	-1.9	-4.0	-1.39E+06	2.9	0.1	1.85E+05	0.4	1.4	0.0E+00	-	-	-	-	0.0	4.80E+03	0.0	0.0	-0.8	2.77E+03	-0.3	-0.3
11	W	Vítr na konstrukci	Q	0	-9.5	7.17E+03	-1.3	-12.3	-1.39E+06	8.9	0.0	1.85E+05	-0.1	7.4	0.0E+00	-	-	-	-	0.0	4.80E+03	0.0	0.0	-6.1	2.77E+03	-2.2	-2.2
12	WP	Vítr na vozidla	Q	0	12.4	7.17E+03	1.7	-31.6	-1.39E+06	22.8	0.1	1.85E+05	0.3	24.8	0.0E+00	-	-	-	-	0.1	4.80E+03	0.0	0.0	-6.2	2.77E+03	-2.2	-2.2
13	TR	Teplota rovnoměrná	Q	0	0.0	7.17E+03	0.0	0.0	-1.39E+06	0.0	0.0	1.85E+05	0.0	0.0	0.0E+00	-	-	-	-	0.0	4.80E+03	0.0	0.0	0.0	2.77E+03	0.0	0.0
14	TN	Teplota nerovnoměrná	Q	0	48.7	7.17E+03	6.8	-23.7	-1.39E+06	17.1	0.1	1.85E+05	0.6	24.5	0.0E+00	-	-	-	-	0.2	4.80E+03	0.0	0.0	-4.7	2.77E+03	-1.7	-1.7
15	FR	Třecí síly v ložiskách	Q	0	1.7	7.17E+03	0.2	0.0	-1.39E+06	0.0	0.0	1.85E+05	0.0	0.2	0.0E+00	-	-	-	-	0.0	4.80E+03	0.0	0.0	0.0	2.77E+03	0.0	0.0
16	I	Imperfekce soustavy	Q	0	-1.3	7.17E+03	-0.2	-4.9	-1.39E+06	3.5	0.0	1.85E+05	0.0	3.3	0.0E+00	-	-	-	-	0.0	4.80E+03	0.0	0.0	-0.9	2.77E+03	-0.3	-0.3
27	ULS_LM	ULS - LM71 bez dynam	Q	0	0.0	7.17E+03	0.0	0.0	-1.39E+06	0.0	0.0	1.85E+05	0.0	0.0	0.0E+00	-	-	-	-	0.0	4.80E+03	0.0	0.0	0.0	2.77E+03	0.0	0.0
28	SLS_LM	SLS - LM71 bez dynam	Q	0	0.0	7.17E+03	0.0	0.0	-1.39E+06	0.0	0.0	1.85E+05	0.0	0.0	0.0E+00	-	-	-	-	0.0	4.80E+03	0.0	0.0	0.0	2.77E+03	0.0	0.0
29	ULS_C3	ULS - C3 bez dynam	Q	0	0.0	7.17E+03	0.0	0.0	-1.39E+06	0.0	0.0	1.85E+05	0.0	0.0	0.0E+00	-	-	-	-	0.0	4.80E+03	0.0	0.0	0.0	2.77E+03	0.0	0.0
30	SLS_C3	SLS - C3 bez dynam	Q	0	0.0	7.17E+03	0.0	0.0	-1.39E+06	0.0	0.0	1.85E+05	0.0	0.0	0.0E+00	-	-	-	-	0.0	4.80E+03	0.0	0.0	0.0	2.77E+03	0.0	0.0
NAVÝŠENÍ NAPĚTÍ DO AKTIVACE TLAKU V DESCE MOSTOVKY						$\sigma_{P,red}$	0.0							0.0			0.0		0.0			0.2	0.2			-17.5	-17.5
NAPĚTÍ OD PRIMÁRNÍCH ÚČINKŮ NEROVNOMĚRNÉHO OTEPLENÍ						σ_T	0.0							0.0													
NAPĚTÍ OD REOLOGICKÝCH ÚČINKŮ BETONU V ČASE		t=0				σ_R	0.0	γ_{inf}=	1.20					0.0													
NAPĚTÍ V KRITICKÝCH VLÁKNECH OD KOMBINACE ZATÍŽENÍ				KZ04				[MPa]						$\Sigma\sigma_x$								$\Sigma\tau_y$	0.2			$\Sigma\tau_z$	-17.5
NAPĚTÍ OD POHYBLIVÉHO ZATÍŽENÍ								[MPa]						$\sigma_{x,P}$	144.7							τ_P	0.1			τ_P	-10.2
NAPĚTÍ OD OSTATNÍCH ZATÍŽENÍ								[MPa]			Φ_{Vy}	Φ_{Vz}		$\sigma_{x,rs}$	70.1							τ_{rs}	0.0			τ_{rs}	-7.3
NÁVRHOVÁ HODNOTA MEZE KLUZU S REDUKCÍ VLIVEM SMYKOVÉHO NAPĚTÍ								[MPa]			1.00	1.00		$f_{yv,d}$	209.1							$f_{yd}/3^{0,5}$	120.7			$f_{yd}/3^{0,5}$	120.7
NAPĚTÍ OD POHYBLIVÉHO ZATÍŽENÍ V GLOBÁLNÍM SYSTÉMU						$\sigma_{GLOB,P}$	0.0	[MPa]						$\Sigma\sigma_{GLOB}$	0.0												
NAPĚTÍ OD OSTATNÍCH ZATÍŽENÍ V GLOBÁLNÍM SYSTÉMU						$\sigma_{GLOB,rs}$	0.0	[MPa]						$\Sigma\sigma_x + \Sigma\sigma_{GLOB}$	214.8												
VYUŽITÍ PRŮŘEZU DLE NAPĚTÍ								[%]						η_1	1.03							η_3	0.00			η_3	0.14
NAPĚTÍ V PŘÍČNÉM SMĚRU OD POHYBLIVÉHO ZATÍŽENÍ						$\sigma_{z,P}$	0.0	[MPa]						$\Sigma\sigma_z$	0.0												
NAPĚTÍ V PŘÍČNÉM SMĚRU OD OSTATNÍCH ZATÍŽENÍ						$\sigma_{z,rs}$	0.0	[MPa]						η_2	0.00												
SROVNÁVACÍ NAPĚTÍ														$(\eta_2 + 0,8\,\eta_1)/1,4$ =	0.59												
VYUŽITÍ PRŮŘEZU CELKEM								[%]						eff	1.03	NEVYHOUJE											
														z_{LM71} =	0.96												

TAB. V7.2.3 POSOUZENÍ - MEZNÍ STAV ÚNOSNOSTI

POPIS	SVISLICE V7
PRUT / POLOHA BODU	406 / I[346]
NAMÁHÁNÍ	My.min
VLÁKNO	BOD K3 -SL
MEZNÍ STAV	ULS (MSÚ)
VYUŽITÍ VLÁKNA PRŮŘEZU	0.46

Charakteristiky materiálu				
pás. horní	$f_{yf,k}$	230	MPa	
pás. dolní	$f_{yf,k}$	230	MPa	
stojina	$f_{yw,k}$	230	MPa	
výztuž	$f_{ys,k}$	500	MPa	
	γ_M =	1.10	γ_s =	1.15

Excentricita normálové síly				
Exc./Fáze	0	1	2	3
e_y	0.000	0.000	0.000	0.000
e_z	0.000	0.000	0.000	0.000
Ekvivalentní vzdál. stěn - příčný roznos				
b_{Mx}	0.000	0.000	0.000	0.000

Vliv stěny na únosnost průřezu				
Char./Fáze	0	1	2	3
A	0.00	0.00	0.00	0.00
Wy	0.00	0.00	0.00	0.00
Wz	0.00	0.00	0.00	0.00

Charakter. v kroucení			
$t_{w,y}$	0.000	[mm]	
$t_{w,z}$	0.000	[mm]	
κ	1.00		
I_t=	0.00E+00	[mm^4]	
Ω=2*A_{pz}	0.00E+00	[mm^2]	

Součinitele vzpěru a vlivu II.řádu				
Char./Fáze	0	1	2	3
k_y	1.000	1.000	1.000	1.000
k_z	1.000	1.000	1.000	1.000
χ_{LT}	1.000	1.000	1.000	1.000
χ_{min}	1.000	1.000	1.000	1.000

Vnitřní síly od jednotlivých skupin zatěžovacích stavů

SKUPINA ZATĚŽOVACÍCH STAVŮ — CHARAKTERISTICKÉ HODNOTY — DÍLČÍ SOUČINITELÉ ZATÍŽENÍ, DYNAMICKÝ SOUČINITEL — NÁVRHOVÉ HODNOTY

Č.	SKUP ZS	POPIS ZS	KAT.	FÁZE PRŮŘ.	N.k (kN)	Vy.k (kN)	Vz.k (kN)	Mx.k (kNm)	My.k (kNm)	Mz.k (kNm)	γ_{sr} (-)	γ_{fs} (-)	volba γ_f hledat	γ_f (-)	L_d (m)	δ (-)	Ψ_s KZ04	N.d (kN)	Vy.d (kN)	Vz.d (kN)	ΔVz.d (kN)	ΣVz.d (kN)	Mx.d (kNm)	My.d (kNm)	ΔMy.d (kNm)	ΣMy.d (kNm)	Mz.d (kNm)	ΔMz.d (kNm)	ΣMz.d (kNm)
1	G0	Vlastní tíha OK	G	0	14	0	-1	0	-5	0	1.00	1.20		1.20	-	1.00	0.95	16	0	-1	0	-1	0	-6	0	-6	0	0	0
2	G1	Ostatní stálé - mostní vybavení	G	0	4	0	0	0	-1	0	1.00	1.20		1.20	-	1.00	0.95	5	0	0	0	0	0	-1	0	-1	0	0	0
3	G2	Ostatní stálé - cizí zařízení	G	0	3	0	0	0	1	0	1.00	1.00		1.00	-	1.00	0.95	3	0	0	0	0	0	1	0	1	0	0	0
4	P1_71	a.LM71 - kolej 1 (bez dyn. souč.)	P	0	64	0	-13	0	-64	0	1.00	1.30		1.30	-	1.00	1.00	84	0	-17	0	-17	0	-84	0	-84	0	0	0
5	P2_71	a.LM71 - kolej 2 (bez dyn. souč.)	P	0	173	0	-7	0	-32	0	1.00	1.30		1.30	-	1.00	1.00	224	1	-9	0	-9	0	-41	0	-41	0	0	0
6	P1_C3	TTZ C3 - kolej 1 (bez dyn. souč.)	P	0	46	0	-10	0	-50	0	1.00	vyp.		0.00	-	1.00	0.00	0	0	0	0	0	0	0	0	0	0	0	0
7	P2_C3	TTZ C3 - kolej 2 (bez dyn. souč.)	P	0	120	0	-5	0	-23	0	1.00	vyp.		0.00	-	1.00	0.00	0	0	0	0	0	0	0	0	0	0	0	0
8	BR	Brzdné a rozjezdové síly	P	0	13	-1	0	0	-2	-1	1.00	0.00		0.00	-	1.00	0.40	0	0	0	0	0	0	0	0	0	0	0	0
9	S	Boční ráz	P	0	4	0	-2	0	-11	0	1.00	1.30		1.30	-	1.00	0.80	4	0	-3	0	-3	0	-12	0	-12	0	0	0
10	CH	Chodci na lávkách	Q	0	-11	0	-1	0	-3	0	1.00	1.30		1.30	-	1.00	1.00	-14	0	-1	0	-1	0	-4	0	-4	0	0	0
11	W	Vítr na konstrukci	Q	0	-9	0	-6	0	-12	0	1.00	1.35		1.35	-	1.00	0.75	-10	0	-6	0	-6	0	-12	0	-12	0	0	0
12	WP	Vítr na vozidla	Q	0	12	0	-6	0	-31	0	1.00	1.35		1.35	-	1.00	0.75	12	0	-6	0	-6	0	-32	0	-32	0	0	0
13	TR	Teplota rovnoměrná	Q	0	0	0	0	0	0	0	1.00	1.35		1.35	-	1.00	0.45	0	0	0	0	0	0	0	0	0	0	0	0
14	TN	Teplota nerovnoměrná	Q	0	60	0	-6	0	-29	0	1.00	1.35		1.35	-	1.00	0.60	49	0	-5	0	-5	0	-24	0	-24	0	0	0
15	FR	Třecí síly v ložiskách	Q	0	1	0	0	0	0	0	1.00	-1.20		-1.20	-	1.00	1.00	-2	0	0	0	0	0	0	0	0	0	0	0
16	I	Imperfekce soustavy	Q	0	-1	0	-1	0	-4	0	1.00	1.20		1.20	-	1.00	1.00	-1	0	-1	0	-1	0	-5	0	-5	0	0	0
27	ULS_LM	ULS - LM71 bez dynam	Q	0	384	0	-49	0	-224	0	1.00	vyp.	1	0.00	-	1.00	0.00	0	0	0	0	0	0	0	0	0	0	0	0
28	SLS_LM	SLS - LM71 bez dynam	Q	0	261	0	-34	0	-153	0	1.00	vyp.	1	0.00	-	1.00	0.00	0	0	0	0	0	0	0	0	0	0	0	0
29	ULS_C3	ULS - C3 bez dynam	Q	0	292	0	-43	0	-193	0	1.00	vyp.	1	0.00	-	1.00	0.00	0	0	0	0	0	0	0	0	0	0	0	0
30	SLS_C3	SLS - C3 bez dynam	Q	0	190	0	-29	0	-130	0	1.00	vyp.	1	0.00	-	1.00	0.00	0	0	0	0	0	0	0	0	0	0	0	0
		CELKEM - FÁZE PRŮŘEZU 0																371	1	-49	0	-219	0	-219	0	-219	1	0	1
		CELKEM - FÁZE PRŮŘEZU 1																0	0	0	0	0	0	0	0	0	0	0	0
		CELKEM - FÁZE PRŮŘEZU 2																0	0	0	0	0	0	0	0	0	0	0	0
		CELKEM - FÁZE PRŮŘEZU 3																0	0	0	0	0	0	0	0	0	0	0	0
		CELKEM - PRŮŘEZ																371	1	-49	0	-49	0			-219			1

Napětí od jednotlivých zatěžovacích stavů

SKUPINA ZATĚŽOVACÍCH STAVŮ — Posouzení normálového napětí — Posouzení smykového napětí

Č.	SKUP ZS	Popis ZS	Kat.	fáze průř.	Účinek síly N: δ^*N_d [kN]	χ^*A [mm^2]	σ_n [MPa]	Účinek momentu My: $\delta^*M_{y,d}$ [kNm]	$\chi_t{}^*W_{el,y}$ [mm^3]	σ_{my} [MPa]	Účinek momentu Mz: $\delta^*M_{z,d}$ [kNm]	$W_{el,z}$ [mm^3]	σ_{mz} [MPa]	σ_x [MPa]	Účinek kroutícího momentu Mx: $\kappa^*\delta^*M_{x,d}$ [kNm]	$W_{v,y}$ [mm^3]	$\tau_{x,y}$ [MPa]	$W_{v,z}$ [mm^3]	$\tau_{x,z}$ [MPa]	Účinek smykové síly Vy: $\delta^*V_{y,d}$ [kN]	$A_{v,y}$ [mm2]	$\tau_{v,y}$ [MPa]	$\tau_{v,y}$ [MPa]	Účinek smykové síly Vz: $\delta^*V_{z,d}$ [kN]	$A_{v,z}$ [mm2]	$\tau_{v,z}$ [MPa]	$\tau_{v,z}$ [MPa]
1	G0	Vlastní tíha OK	G	0	16.0	7.17E+03	2.2	-5.8	1.53E+06	-3.8	0.1	-1.85E+05	-0.6	-2.2	0.0E+00	-	-	-	-	-0.2	4.80E+03	0.0	0.0	-1.4	2.77E+03	-0.5	-0.5
2	G1	Ostatní stálé - mostní vybavení	G	0	4.7	7.17E+03	0.7	-0.9	1.53E+06	-0.6	0.0	-1.85E+05	-0.1	0.0	0.0E+00	-	-	-	-	0.0	4.80E+03	0.0	0.0	-0.2	2.77E+03	-0.1	-0.1
3	G2	Ostatní stálé - cizí zařízení	G	0	2.8	7.17E+03	0.4	0.6	1.53E+06	0.4	0.0	-1.85E+05	-0.1	0.7	0.0E+00	-	-	-	-	0.0	4.80E+03	0.0	0.0	0.1	2.77E+03	0.0	0.0
4	P1_71	a.LM71 - kolej 1 (bez dyn. souč.)	P	0	83.7	7.17E+03	11.7	-83.7	1.53E+06	-54.6	0.2	-1.85E+05	-0.9	-43.8	0.0E+00	-	-	-	-	0.1	4.80E+03	0.0	0.0	-16.5	2.77E+03	-6.0	-6.0
5	P2_71	a.LM71 - kolej 2 (bez dyn. souč.)	P	0	224.5	7.17E+03	31.3	-41.2	1.53E+06	-26.8	0.3	-1.85E+05	-1.6	2.9	0.0E+00	-	-	-	-	0.6	4.80E+03	0.1	0.1	-9.3	2.77E+03	-3.4	-3.4
6	P1_C3	TTZ C3 - kolej 1 (bez dyn. souč.)	P	0	0.0	7.17E+03	0.0	0.0	1.53E+06	0.0	0.0	-1.85E+05	0.0	0.0	0.0E+00	-	-	-	-	0.0	4.80E+03	0.0	0.0	0.0	2.77E+03	0.0	0.0
7	P2_C3	TTZ C3 - kolej 2 (bez dyn. souč.)	P	0	0.0	7.17E+03	0.0	0.0	1.53E+06	0.0	0.0	-1.85E+05	0.0	0.0	0.0E+00	-	-	-	-	0.0	4.80E+03	0.0	0.0	0.0	2.77E+03	0.0	0.0
8	BR	Brzdné a rozjezdové síly	P	0	0.0	7.17E+03	0.0	0.0	1.53E+06	0.0	0.0	-1.85E+05	0.0	0.0	0.0E+00	-	-	-	-	0.0	4.80E+03	0.0	0.0	0.0	2.77E+03	0.0	0.0
9	S	Boční ráz	P	0	4.0	7.17E+03	0.6	-11.9	1.53E+06	-7.8	0.0	-1.85E+05	0.1	-7.1	0.0E+00	-	-	-	-	0.0	4.80E+03	0.0	0.0	-2.5	2.77E+03	-0.9	-0.9
10	CH	Chodci na lávkách	Q	0	-13.7	7.17E+03	-1.9	-4.0	1.53E+06	-2.6	0.1	-1.85E+05	-0.4	-4.9	0.0E+00	-	-	-	-	0.0	4.80E+03	0.0	0.0	-0.8	2.77E+03	-0.3	-0.3
11	W	Vítr na konstrukci	Q	0	-9.5	7.17E+03	-1.3	-12.3	1.53E+06	-8.0	0.0	-1.85E+05	0.1	-9.2	0.0E+00	-	-	-	-	0.0	4.80E+03	0.0	0.0	-6.1	2.77E+03	-2.2	-2.2
12	WP	Vítr na vozidla	Q	0	12.4	7.17E+03	1.7	-31.6	1.53E+06	-20.6	0.1	-1.85E+05	-0.3	-19.2	0.0E+00	-	-	-	-	0.1	4.80E+03	0.0	0.0	-6.2	2.77E+03	-2.2	-2.2
13	TR	Teplota rovnoměrná	Q	0	0.0	7.17E+03	0.0	0.0	1.53E+06	0.0	0.0	-1.85E+05	0.0	0.0	0.0E+00	-	-	-	-	0.0	4.80E+03	0.0	0.0	0.0	2.77E+03	0.0	0.0
14	TN	Teplota nerovnoměrná	Q	0	48.7	7.17E+03	6.8	-23.7	1.53E+06	-15.4	0.1	-1.85E+05	-0.6	-9.2	0.0E+00	-	-	-	-	0.2	4.80E+03	0.0	0.0	-4.7	2.77E+03	-1.7	-1.7
15	FR	Třecí síly v ložiskách	Q	0	-1.7	7.17E+03	-0.2	0.0	1.53E+06	0.0	0.0	-1.85E+05	0.0	-0.2	0.0E+00	-	-	-	-	0.0	4.80E+03	0.0	0.0	0.0	2.77E+03	0.0	0.0
16	I	Imperfekce soustavy	Q	0	-1.3	7.17E+03	-0.2	-4.9	1.53E+06	-3.2	0.0	-1.85E+05	0.0	-3.4	0.0E+00	-	-	-	-	0.0	4.80E+03	0.0	0.0	-0.9	2.77E+03	-0.3	-0.3
27	ULS_LM	ULS - LM71 bez dynam	Q	0	0.0	7.17E+03	0.0	0.0	1.53E+06	0.0	0.0	-1.85E+05	0.0	0.0	0.0E+00	-	-	-	-	0.0	4.80E+03	0.0	0.0	0.0	2.77E+03	0.0	0.0
28	SLS_LM	SLS - LM71 bez dynam	Q	0	0.0	7.17E+03	0.0	0.0	1.53E+06	0.0	0.0	-1.85E+05	0.0	0.0	0.0E+00	-	-	-	-	0.0	4.80E+03	0.0	0.0	0.0	2.77E+03	0.0	0.0
29	ULS_C3	ULS - C3 bez dynam	Q	0	0.0	7.17E+03	0.0	0.0	1.53E+06	0.0	0.0	-1.85E+05	0.0	0.0	0.0E+00	-	-	-	-	0.0	4.80E+03	0.0	0.0	0.0	2.77E+03	0.0	0.0
30	SLS_C3	SLS - C3 bez dynam	Q	0	0.0	7.17E+03	0.0	0.0	1.53E+06	0.0	0.0	-1.85E+05	0.0	0.0	0.0E+00	-	-	-	-	0.0	4.80E+03	0.0	0.0	0.0	2.77E+03	0.0	0.0
		NAVÝŠENÍ NAPĚTÍ DO AKTIVACE TLAKU V DESCE MOSTOVKY				$\sigma_{P,red}$	0.0							0.0			0.0		0.0				0.1	0.1			-17.5	-17.5
		NAPĚTÍ OD PRIMÁRNÍCH ÚČINKŮ NEROVNOMĚRNÉHO OTEPLENÍ				σ_T	0.0							0.0														
		NAPĚTÍ OD REOLOGICKÝCH ÚČINKŮ BETONU V ČASE		t=0		σ_R	0.0	γ_f=	1.20					0.0														
		NAPĚTÍ V KRITICKÝCH VLÁKNECH OD KOMBINACE ZATÍŽENÍ				KZ04		[MPa]					$\Sigma\sigma_x$	-95.7									$\Sigma\tau_y$	0.1			$\Sigma\tau_z$	-17.5
		NAPĚTÍ OD POHYBLIVÉHO ZATÍŽENÍ						[MPa]					$\sigma_{x,P}$	-48.1									τ_P	0.1			τ_P	-10.2
		NAPĚTÍ OD OSTATNÍCH ZATÍŽENÍ						[MPa]			Φ_{Vy}	Φ_{Vz}	$\sigma_{x,rs}$	-47.6									τ_{rs}	0.0			τ_{rs}	-7.3
		NÁVRHOVÁ HODNOTA MEZE KLUZU S REDUKCÍ VLIVEM SMYKOVÉHO NAPĚTÍ						[MPa]			1.00	1.00	$f_{yw,d}$	209.1									$f_{yd}/3^{0,5}$	120.7			$f_{yd}/3^{0,5}$	120.7
		NAPĚTÍ OD POHYBLIVÉHO ZATÍŽENÍ V GLOBÁLNÍM SYSTÉMU				$\sigma_{GLOB,P}$	0.0	[MPa]					$\Sigma\sigma_{GLOB}$	0.0														
		NAPĚTÍ OD OSTATNÍCH ZATÍŽENÍ V GLOBÁLNÍM SYSTÉMU				$\sigma_{GLOB,rs}$	0.0	[MPa]					$\Sigma\sigma_x + \Sigma\sigma_{GLOB}$	-95.7														
		VYUŽITÍ PRŮŘEZU DLE NAPĚTÍ						[%]					η_1	0.46									η_3	0.00			η_3	0.14
		NAPĚTÍ V PŘÍČNÉM SMĚRU OD POHYBLIVÉHO ZATÍŽENÍ				$\sigma_{z,P}$	0.0	[MPa]					$\Sigma\sigma_z$	0.0														
		NAPĚTÍ V PŘÍČNÉM SMĚRU OD OSTATNÍCH ZATÍŽENÍ				$\sigma_{z,rs}$	0.0	[MPa]					η_2	0.00														
		SROVNÁVACÍ NAPĚTÍ											$(\eta_2 + 0,8\,\eta_1)/1,4$ =	0.26														
		VYUŽITÍ PRŮŘEZU CELKEM						[%]					eff	0.46	VYHOVUJE													
													z_{LM71} =	3.36														

TAB. V7.2.3 POSOUZENÍ - MEZNÍ STAV ÚNOSNOSTI

POPIS	SVISLICE V7
PRUT / POLOHA BODU	406 / I[346]
NAMÁHÁNÍ	Vz.min
VLÁKNO	BOD S6 -HP
MEZNÍ STAV	ULS (MSÚ)
VYUŽITÍ VLÁKNA PRŮŘEZU	0.44

Charakteristiky materiálu				
pás. horní	$f_{yf,k}$	230	MPa	
pás. dolní	$f_{yf,k}$	230	MPa	
stojina	$f_{yw,k}$	230	MPa	
výztuž	$f_{ys,k}$	500	MPa	
γ_M =	1.10	γ_s =	1.15	

Excentricita normálové síly				
Exc./Fáze	0	1	2	3
e_y	0.000	0.000	0.000	0.000
e_z	0.000	0.000	0.000	0.000
Ekvivalentní vzdál. stěn - příčný roznos				
b_{Mx}	0.000	0.000	0.000	0.000

Vliv stěny na únosnost průřezu				
Char./Fáze	0	1	2	3
A	0.00	0.00	0.00	0.00
Wy	0.00	0.00	0.00	0.00
Wz	0.00	0.00	0.00	0.00

Charakter. v kroucení			
$t_{w,y}$	0.000	[mm]	
$t_{w,z}$	0.000	[mm]	
κ	1.00		
I_t=	0.00E+00	[mm^4]	
$\Omega=2*A_{pr}$	0.00E+00	[mm^2]	

Součinitele vzpěru a vlivu II.řádu					
Char./Fáze	0	1	2	3	4
k_y	1.000	1.000	1.000	1.000	
k_z	1.000	1.000	1.000	1.000	
χ_{LT}	1.000	1.000	1.000	1.000	
χ_{min}	1.000	1.000	1.000	1.000	

Vnitřní síly od jednotlivých skupin zatěžovacích stavů

SKUPINA ZATĚŽOVACÍCH STAVŮ					- CHARAKTERISTICKÉ HODNOTY						DÍLČÍ SOUČINITELÉ ZATÍŽENÍ, DYNAMICKÝ SOUČINITEL							- NÁVRHOVÉ HODNOTY									
Č.	SKUP ZS	POPIS ZS	KAT.	FÁZE PRŮŘ.	N.k (kN)	Vy.k (kN)	Vz.k (kN)	Mx.k (kNm)	My.k (kNm)	Mz.k (kNm)	γ_{sr} (-)	γ_{fs} (-)	volba γ_f hledat	γ_f (-)	L_d (m)	δ (-)	Ψ_s KZ04	N.d (kN)	Vy.d (kN)	Vz.d (kN)	ΔVz.d (kN)	ΣVz.d (kN)	Mx.d (kNm)	My.d (kNm)	ΔMy.d (kNm)	ΣMy.d (kNm)	Mz.d (kNm)	ΔMz.d (kNm)	ΣMz.d (kNm)
1	G0	Vlastní tíha OK	G	0	14	0	-1	0	-5	0	1.00	1.20		1.20	-	1.00	0.95	16	0	-1	0	-1	0	-6	0	-6	0	0	0
2	G1	Ostatní stálé - mostní vybavení	G	0	4	0	0	0	-1	0	1.00	1.20		1.20	-	1.00	0.95	5	0	0	0	0	0	-1	0	-1	0	0	0
3	G2	Ostatní stálé - cizí zařízení	G	0	3	0	0	0	1	0	1.00	1.00		1.00	-	1.00	0.95	3	0	0	0	0	0	1	0	1	0	0	0
4	P1_71	a.LM71 - kolej 1 (bez dyn. souč.)	P	0	64	0	-13	0	-64	0	1.00	1.30		1.30	-	1.00	1.00	84	0	-17	0	-17	0	-84	0	-84	0	0	0
5	P2_71	a.LM71 - kolej 2 (bez dyn. souč.)	P	0	173	0	-7	0	-32	0	1.00	1.30		1.30	-	1.00	1.00	224	1	-9	0	-9	0	-41	0	-41	0	0	0
6	P1_C3	TTZ C3 - kolej 1 (bez dyn. souč.)	P	0	46	0	-10	0	-50	0	1.00	vyp.		0.00	-	1.00	0.00	0	0	0	0	0	0	0	0	0	0	0	0
7	P2_C3	TTZ C3 - kolej 2 (bez dyn. souč.)	P	0	120	0	-5	0	-23	0	1.00	vyp.		0.00	-	1.00	0.00	0	0	0	0	0	0	0	0	0	0	0	0
8	BR	Brzdné a rozjezdové síly	P	0	13	-1	0	0	-2	-1	1.00	1.30		1.30	-	1.00	0.40	7	0	0	0	0	0	-1	0	-1	-1	0	-1
9	S	Boční ráz	P	0	4	0	-2	0	-11	0	1.00	1.30		1.30	-	1.00	0.80	4	0	-3	0	-3	0	-12	0	-12	0	0	0
10	CH	Chodci na lávkách	Q	0	-11	0	-1	0	-3	0	1.00	1.30		1.30	-	1.00	1.00	-14	0	-1	0	-1	0	-4	0	-4	0	0	0
11	W	Vítr na konstrukci	Q	0	-9	0	-6	0	-12	0	1.00	1.35		1.35	-	1.00	0.75	-10	0	-6	0	-6	0	-12	0	-12	0	0	0
12	WP	Vítr na vozidla	Q	0	12	0	-6	0	-31	0	1.00	1.35		1.35	-	1.00	0.75	12	0	-6	0	-6	0	-32	0	-32	0	0	0
13	TR	Teplota rovnoměrná	Q	0	0	0	0	0	0	0	1.00	1.35		1.35	-	1.00	0.45	0	0	0	0	0	0	0	0	0	0	0	0
14	TN	Teplota nerovnoměrná	Q	0	60	0	-6	0	-29	0	1.00	1.35		1.35	-	1.00	0.60	49	0	-5	0	-5	0	-24	0	-24	0	0	0
15	FR	Třecí síly v ložiskách	Q	0	-1	0	0	0	0	0	1.00	1.20		1.20	-	1.00	1.00	-2	0	0	0	0	0	0	0	0	0	0	0
16	I	Imperfekce soustavy	Q	0	-1	0	-1	0	-4	0	1.00	1.20		1.20	-	1.00	1.00	-1	0	-1	0	-1	0	-5	0	-5	0	0	0
27	ULS_LM	ULS - LM71 bez dynam	Q	0	381	0	-49	0	-224	0	1.00	vyp.		0.00	-	1.00	0.00	0	0	0	0	0	0	0	0	0	0	0	0
28	SLS_LM	SLS - LM71 bez dynam	Q	0	258	0	-34	0	-153	0	1.00	vyp.	1	0.00	-	1.00	0.00	0	0	0	0	0	0	0	0	0	0	0	0
29	ULS_C3	ULS - C3 bez dynam	Q	0	289	0	-43	0	-193	0	1.00	vyp.	1	0.00	-	1.00	0.00	0	0	0	0	0	0	0	0	0	0	0	0
30	SLS_C3	SLS - C3 bez dynam	Q	0	187	0	-29	0	-130	0	1.00	vyp.	1	0.00	-	1.00	0.00	0	0	0	0	0	0	0	0	0	0	0	0
		CELKEM - FÁZE PRŮŘEZU 0																377	0	-49	0	-49	0	-220	0	-220	0	0	0
		CELKEM - FÁZE PRŮŘEZU 1																0	0	0	0	0	0	0	0	0	0	0	0
		CELKEM - FÁZE PRŮŘEZU 2																0	0	0	0	0	0	0	0	0	0	0	0
		CELKEM - FÁZE PRŮŘEZU 3																0	0	0	0	0	0	0	0	0	0	0	0
		CELKEM - PRŮŘEZ																377	0	-49	0	-49	0			-220			0

Napětí od jednotlivých zatěžovacích stavů

SKUPINA ZATĚŽOVACÍCH STAVŮ					Posouzení normálového napětí										Posouzení smykového napětí													
					Účinek síly N			Účinek momentu My			Účinek momentu Mz				Účinek kroutícího momentu Mx				Účinek smykové síly Vy				Účinek smykové síly Vz			
Č.	SKUP ZS	Popis ZS	Kat.	fáze průř.	δ^*N_d [kN]	χ^*A [mm^2]	σ_n [MPa]	$\delta^*M_{y,d}$ [kNm]	$\chi_{lt}*W_{el,y}$ [mm^3]	σ_{my} [MPa]	$\delta^*M_{z,d}$ [kNm]	$W_{el,z}$ [mm^3]	σ_{mz} [MPa]	σ_x [MPa]	$\kappa^*\delta^*M_{x,d}$ [kNm]	$W_{v,y}$ [mm^2]	$\tau_{x,y}$ [MPa]	$W_{v,z}$ [mm^2]	$\tau_{x,z}$ [MPa]	$\delta^*V_{y,d}$ [kN]	$A_{v,y}$ [mm2]	$\tau_{v,y}$ [MPa]	$\tau_{v,y}$ [MPa]	$\delta^*V_{z,d}$ [kN]	$A_{v,z}$ [mm2]	$\tau_{v,z}$ [MPa]	$\tau_{v,z}$ [MPa]
1	G0	Vlastní tíha OK	G	0	16.0	7.17E+03	2.2	-5.8	1.53E+06	-3.8	0.1	-1.18E+06	-0.1	-1.7	0.0E+00	-	-	-	-	-0.2	4.80E+03	0.0	0.0	-1.4	2.77E+03	-0.5	-0.5
2	G1	Ostatní stálé - mostní vybavení	G	0	4.7	7.17E+03	0.7	-0.9	1.53E+06	-0.6	0.0	-1.18E+06	0.0	0.1	0.0E+00	-	-	-	-	0.0	4.80E+03	0.0	0.0	-0.2	2.77E+03	-0.1	-0.1
3	G2	Ostatní stálé - cizí zařízení	G	0	2.8	7.17E+03	0.4	0.6	1.53E+06	0.4	0.0	-1.18E+06	0.0	0.8	0.0E+00	-	-	-	-	0.0	4.80E+03	0.0	0.0	0.1	2.77E+03	0.0	0.0
4	P1_71	a.LM71 - kolej 1 (bez dyn. souč.)	P	0	83.7	7.17E+03	11.7	-83.7	1.53E+06	-54.6	0.2	-1.18E+06	-0.1	-43.1	0.0E+00	-	-	-	-	0.1	4.80E+03	0.0	0.0	-16.5	2.77E+03	-6.0	-6.0
5	P2_71	a.LM71 - kolej 2 (bez dyn. souč.)	P	0	224.5	7.17E+03	31.3	-41.2	1.53E+06	-26.8	0.3	-1.18E+06	-0.3	4.2	0.0E+00	-	-	-	-	0.6	4.80E+03	0.1	0.1	-9.3	2.77E+03	-3.4	-3.4
6	P1_C3	TTZ C3 - kolej 1 (bez dyn. souč.)	P	0	0.0	7.17E+03	0.0	0.0	1.53E+06	0.0	0.0	-1.18E+06	0.0	0.0	0.0E+00	-	-	-	-	0.0	4.80E+03	0.0	0.0	0.0	2.77E+03	0.0	0.0
7	P2_C3	TTZ C3 - kolej 2 (bez dyn. souč.)	P	0	0.0	7.17E+03	0.0	0.0	1.53E+06	0.0	0.0	-1.18E+06	0.0	0.0	0.0E+00	-	-	-	-	0.0	4.80E+03	0.0	0.0	0.0	2.77E+03	0.0	0.0
8	BR	Brzdné a rozjezdové síly	P	0	6.9	7.17E+03	1.0	-1.0	1.53E+06	-0.7	-0.7	-1.18E+06	0.6	0.9	5.2E-03	-	-	-	-	-0.3	4.80E+03	-0.1	-0.1	-0.2	2.77E+03	-0.1	-0.1
9	S	Boční ráz	P	0	4.0	7.17E+03	0.6	-11.9	1.53E+06	-7.8	0.0	-1.18E+06	0.0	-7.2	0.0E+00	-	-	-	-	0.0	4.80E+03	0.0	0.0	-2.5	2.77E+03	-0.9	-0.9
10	CH	Chodci na lávkách	Q	0	-13.7	7.17E+03	-1.9	-4.0	1.53E+06	-2.6	0.1	-1.18E+06	-0.1	-4.6	0.0E+00	-	-	-	-	0.0	4.80E+03	0.0	0.0	-0.8	2.77E+03	-0.3	-0.3
11	W	Vítr na konstrukci	Q	0	-9.5	7.17E+03	-1.3	-12.3	1.53E+06	-8.0	0.0	-1.18E+06	0.0	-9.3	0.0E+00	-	-	-	-	0.0	4.80E+03	0.0	0.0	-6.1	2.77E+03	-2.2	-2.2
12	WP	Vítr na vozidla	Q	0	12.4	7.17E+03	1.7	-31.6	1.53E+06	-20.6	0.1	-1.18E+06	0.0	-18.9	0.0E+00	-	-	-	-	0.1	4.80E+03	0.0	0.0	-6.2	2.77E+03	-2.2	-2.2
13	TR	Teplota rovnoměrná	Q	0	0.0	7.17E+03	0.0	0.0	1.53E+06	0.0	0.0	-1.18E+06	0.0	0.0	0.0E+00	-	-	-	-	0.0	4.80E+03	0.0	0.0	0.0	2.77E+03	0.0	0.0
14	TN	Teplota nerovnoměrná	Q	0	48.7	7.17E+03	6.8	-23.7	1.53E+06	-15.4	0.1	-1.18E+06	-0.1	-8.7	0.0E+00	-	-	-	-	0.2	4.80E+03	0.0	0.0	-4.7	2.77E+03	-1.7	-1.7
15	FR	Třecí síly v ložiskách	Q	0	-1.7	7.17E+03	-0.2	0.0	1.53E+06	0.0	0.0	-1.18E+06	0.0	-0.2	0.0E+00	-	-	-	-	0.0	4.80E+03	0.0	0.0	0.0	2.77E+03	0.0	0.0
16	I	Imperfekce soustavy	Q	0	-1.3	7.17E+03	-0.2	-4.9	1.53E+06	-3.2	0.0	-1.18E+06	0.0	-3.4	0.0E+00	-	-	-	-	0.0	4.80E+03	0.0	0.0	-0.9	2.77E+03	-0.3	-0.3
27	ULS_LM	ULS - LM71 bez dynam	Q	0	0.0	7.17E+03	0.0	0.0	1.53E+06	0.0	0.0	-1.18E+06	0.0	0.0	0.0E+00	-	-	-	-	0.0	4.80E+03	0.0	0.0	0.0	2.77E+03	0.0	0.0
28	SLS_LM	SLS - LM71 bez dynam	Q	0	0.0	7.17E+03	0.0	0.0	1.53E+06	0.0	0.0	-1.18E+06	0.0	0.0	0.0E+00	-	-	-	-	0.0	4.80E+03	0.0	0.0	0.0	2.77E+03	0.0	0.0
29	ULS_C3	ULS - C3 bez dynam	Q	0	0.0	7.17E+03	0.0	0.0	1.53E+06	0.0	0.0	-1.18E+06	0.0	0.0	0.0E+00	-	-	-	-	0.0	4.80E+03	0.0	0.0	0.0	2.77E+03	0.0	0.0
30	SLS_C3	SLS - C3 bez dynam	Q	0	0.0	7.17E+03	0.0	0.0	1.53E+06	0.0	0.0	-1.18E+06	0.0	0.0	0.0E+00	-	-	-	-	0.0	4.80E+03	0.0	0.0	0.0	2.77E+03	0.0	0.0
NAVÝŠENÍ NAPĚTÍ DO AKTIVACE TLAKU V DESCE MOSTOVKY						$\sigma_{P,red}$	0.0							0.0			0.0		0.0				0.1	0.1			-17.6	-17.6
NAPĚTÍ OD PRIMÁRNÍCH ÚČINKŮ NEROVNOMĚRNÉHO OTEPLENÍ						σ_T	0.0							0.0														
NAPĚTÍ OD REOLOGICKÝCH ÚČINKŮ BETONU V ČASE		t=0				σ_R	0.0	$\gamma_{i=}$	1.20					0.0														
NAPĚTÍ V KRITICKÝCH VLÁKNECH OD KOMBINACE ZATÍŽENÍ						KZ04		[MPa]					$\Sigma\sigma_x$	-91.1								$\Sigma\tau_y$	0.1			$\Sigma\tau_z$	-17.6
NAPĚTÍ OD POHYBLIVÉHO ZATÍŽENÍ								[MPa]					$\sigma_{x,P}$	-45.1								τ_P	0.1			τ_P	-10.3
NAPĚTÍ OD OSTATNÍCH ZATÍŽENÍ								[MPa]			Φ_{Vy}	Φ_{Vz}	$\sigma_{x,rs}$	-46.0								τ_{rs}	0.0			τ_{rs}	-7.3
NÁVRHOVÁ HODNOTA MEZE KLUZU S REDUKCÍ VLIVEM SMYKOVÉHO NAPĚTÍ								[MPa]			1.00	1.00	$f_{yw,d}$	209.1								$f_{yd}/3^{0,5}$	120.7			$f_{yd}/3^{0,5}$	120.7
NAPĚTÍ OD POHYBLIVÉHO ZATÍŽENÍ V GLOBÁLNÍM SYSTÉMU						$\sigma_{GLOB,P}$	0.0	[MPa]					$\Sigma\sigma_{GLOB}$	0.0													
NAPĚTÍ OD OSTATNÍCH ZATÍŽENÍ V GLOBÁLNÍM SYSTÉMU						$\sigma_{GLOB,rs}$	0.0	[MPa]					$\Sigma\sigma_x + \Sigma\sigma_{GLOB}$	-91.1													
VYUŽITÍ PRŮŘEZU DLE NAPĚTÍ								[%]					η_1	0.44								η_3	0.00			η_3	0.15
NAPĚTÍ V PŘÍČNÉM SMĚRU OD POHYBLIVÉHO ZATÍŽENÍ						$\sigma_{z,P}$	0.0	[MPa]					$\Sigma\sigma_z$	0.0													
NAPĚTÍ V PŘÍČNÉM SMĚRU OD OSTATNÍCH ZATÍŽENÍ						$\sigma_{z,rs}$	0.0	[MPa]					η_2	0.00													
SROVNÁVACÍ NAPĚTÍ													$(\eta2 + 0,8\ \eta1)/1,4 =$	0.25													
VYUŽITÍ PRŮŘEZU CELKEM								[%]					eff	0.44	VYHOVUJE												
													z_{LM71} =	3.62													

VÝPOČET PRŮŘEZOVÝCH CHARAKTERISTIK

PRŮŘEZ: V8_1 **POPIS:** SVISLICE V8 - N TAH

x = - **m**

DEFINOVÁNÍ PRŮŘEZU

ŠÍŘKA PÁSNICE ÚHELNÍKU	b f.t.l.o =	80	mm	**ÚHELNÍK HORNÍ VNĚJŠÍ LEVÝ**		**C.T.O.L**	
TLOUŠŤKA PÁSNICE ÚHELNÍKU	t f.t.l.o =	10	mm	OSLABENÍ PÁSNICE - TLOUŠŤKA	Δt f.t.l.o =	0	%
VÝŠKA STĚNY ÚHELNÍKU	h w.t.l.o =	70	mm				
TLOUŠŤKA STĚNY ÚHELNÍKU	t w.t.l.o =	10	mm	OSLABENÍ STĚNY - TLOUŠŤKA	Δt w.t.l.o =	20	%
ŠÍŘKA PÁSNICE ÚHELNÍKU	b f.t.r.o =	80	mm	**ÚHELNÍK HORNÍ VNĚJŠÍ PRAVÝ**		**C.T.O.R**	
TLOUŠŤKA PÁSNICE ÚHELNÍKU	t f.t.r.o =	10	mm	OSLABENÍ PÁSNICE - TLOUŠŤKA	Δt f.t.r.o =	0	%
VÝŠKA STĚNY ÚHELNÍKU	h w.t.r.o =	70	mm				
TLOUŠŤKA STĚNY ÚHELNÍKU	t w.t.r.o =	10	mm	OSLABENÍ STĚNY - TLOUŠŤKA	Δt w.t.r.0 =	20	%
ŠÍŘKA PÁSNICE ÚHELNÍKU	b f.t.l.i =	0	mm	**ÚHELNÍK HORNÍ VNITŘNÍ LEVÝ**		**C.T.I.L**	
TLOUŠŤKA PÁSNICE ÚHELNÍKU	t f.t.l.i =	0	mm	OSLABENÍ PÁSNICE - TLOUŠŤKA	Δt f.b.l.o =	0	%
VÝŠKA STĚNY ÚHELNÍKU	h w.t.l.i =	0	mm				
TLOUŠŤKA STĚNY ÚHELNÍKU	t w.t.l.i =	0	mm	OSLABENÍ STĚNY - TLOUŠŤKA	Δt w.b.l.o =	0	%
ŠÍŘKA PÁSNICE ÚHELNÍKU	b f.t.r.i =	0	mm	**ÚHELNÍK HORNÍ VNITŘNÍ PRAVÝ**		**C.T.I.R**	
TLOUŠŤKA PÁSNICE ÚHELNÍKU	t f.t.r.i =	0	mm	OSLABENÍ PÁSNICE - TLOUŠŤKA	Δt f.b.r.o =	0	%
VÝŠKA STĚNY ÚHELNÍKU	h w.t.r.i =	0	mm				
TLOUŠŤKA STĚNY ÚHELNÍKU	t w.t.r.i =	0	mm	OSLABENÍ STĚNY - TLOUŠŤKA	Δt w.b.r.o =	0	%
ŠÍŘKA PÁSNICE ÚHELNÍKU	b f.b.l.o =	80	mm	**ÚHELNÍK DOLNÍ VNĚJŠÍ LEVÝ**		**C.B.O.L**	
TLOUŠŤKA PÁSNICE ÚHELNÍKU	t f.b.l.o =	10	mm	OSLABENÍ PÁSNICE - TLOUŠŤKA	Δt f.t.l.i =	0	%
VÝŠKA STĚNY ÚHELNÍKU	h w.b.l.o =	70	mm				
TLOUŠŤKA STĚNY ÚHELNÍKU	t w.b.l.o =	10	mm	OSLABENÍ STĚNY - TLOUŠŤKA	Δt w.t.l.i =	20	%
ŠÍŘKA PÁSNICE ÚHELNÍKU	b f.b.r.o =	80	mm	**ÚHELNÍK DOLNÍ VNĚJŠÍ PRAVÝ**		**C.B.O.R**	
TLOUŠŤKA PÁSNICE ÚHELNÍKU	t f.b.r.o =	10	mm	OSLABENÍ PÁSNICE - TLOUŠŤKA	Δt f.t.r.i =	0	%
VÝŠKA STĚNY ÚHELNÍKU	h w.b.r.o =	70	mm				
TLOUŠŤKA STĚNY ÚHELNÍKU	t w.b.r.o =	10	mm	OSLABENÍ STĚNY - TLOUŠŤKA	Δt w.t.r.i =	20	%
PÁSNICE DOLNÍHO LEVÉHO ÚHELNÍKU	b f.b.l.i =	0	mm	**ÚHELNÍK DOLNÍ VNITŘNÍ LEVÝ**		**C.B.I.L**	
TLOUŠŤKA PÁSNICE ÚHELNÍKU	t f.b.l.i =	0	mm	OSLABENÍ PÁSNICE - TLOUŠŤKA	Δt f.b.l.i =	0	%
VÝŠKA STĚNY ÚHELNÍKU	h w.b.l.i =	0	mm				
TLOUŠŤKA STĚNY ÚHELNÍKU	t w.b.l.i =	0	mm	OSLABENÍ STĚNY - TLOUŠŤKA	Δt w.b.l.i =	0	%
PÁSNICE DOLNÍHO PRAVÉHO ÚHELNÍKU	b f.b.r.i =	0	mm	**ÚHELNÍK DOLNÍ VNITŘNÍ PRAVÝ**		**C.B.I.R**	
TLOUŠŤKA PÁSNICE ÚHELNÍKU	t f.b.r.i =	0	mm	OSLABENÍ PÁSNICE - TLOUŠŤKA	Δt f.b.r.i =	0	%
VÝŠKA STĚNY ÚHELNÍKU	h w.b.r.i =	0	mm				
TLOUŠŤKA STĚNY ÚHELNÍKU	t w.b.r.i =	0	mm	OSLABENÍ STĚNY - TLOUŠŤKA	Δt w.b.r.i =	0	%

HORNÍ

ŠÍŘKA HORNÍ VLOŽKY - VNĚJŠÍ	b f.t =	0	mm			**HOR.T.O**	
TLOUŠŤKA VLOŽKY	t f.t =	0	mm	OSLABENÍ VLOŽKY	Δt f.t =	0	%
ŠÍŘKA HORNÍ VLOŽKY - VNITŘNÍ	b f.t =	0	mm			**HOR.T.I**	
TLOUŠŤKA VLOŽKY	t f.t =	0	mm	OSLABENÍ VLOŽKY	Δt f.t =	0	%
ŠÍŘKA DOLNÍ VLOŽKY - VNĚJŠÍ	b f.t =	0	mm			**HOR.B.O**	
TLOUŠŤKA VLOŽKY	t f.t =	0	mm	OSLABENÍ VLOŽKY	Δt f.t =	0	%
ŠÍŘKA DOLNÍ VLOŽKY - VNITŘNÍ	b f.t =	0	mm			**HOR.B.I**	
TLOUŠŤKA VLOŽKY	t f.t =	0	mm	OSLABENÍ VLOŽKY - VNITŘNÍ	Δt f.t =	0	%

VZD. OKRAJŮ PÁSNIC VNITŘNÍCH ÚHELNÍKŮ	464	mm
CELKOVÁ TLOUŠŤKA MEZI PÁSNICEMI ÚHELNÍKŮ *l* A *o*	0	mm
CELKOVÁ TLOUŠŤKA MEZI PÁSNICEMI ÚHELNÍKŮ *l* A *r*	13	mm

ZADÁNÍ ČÁSTÍ PRŮŘEZU:

č.prvku	b [mm]	h [mm]	y_0 [mm]	z_0 [mm]	popis části	druh oslabení	lokální ultimate	boulení servic.
1	80.0	10.0	-46.5	237.0	pásnice	0	1.000	1.000
2	8.0	70.0	-10.5	277.0	stěna	0	1.000	1.000
3	80.0	10.0	46.5	237.0	pásnice	0	1.000	1.000
4	8.0	70.0	10.5	277.0	stěna	0	1.000	1.000
5	0.0	0.0	-6.5	232.0	pásnice	0	1.000	1.000
6	0.0	0.0	-6.5	232.0	stěna	0	1.000	1.000
7	0.0	0.0	6.5	232.0	pásnice	0	1.000	1.000
8	0.0	0.0	6.5	232.0	stěna	0	1.000	1.000
9	80.0	10.0	-46.5	-237.0	pásnice	0	1.000	1.000
10	8.0	70.0	-10.5	-277.0	stěna	0	1.000	1.000
11	80.0	10.0	46.5	-237.0	pásnice	0	1.000	1.000
12	8.0	70.0	10.5	-277.0	stěna	0	1.000	1.000
13	0.0	0.0	-6.5	-232.0	pásnice	0	1.000	1.000
14	0.0	0.0	-6.5	-232.0	stěna	0	1.000	1.000
15	0.0	0.0	6.5	-232.0	pásnice	0	1.000	1.000
16	0.0	0.0	6.5	-232.0	stěna	0	1.000	1.000
17						0	1.000	1.000
18						0	1.000	1.000
19						0	1.000	1.000
20						0	1.000	1.000
21						0	1.000	1.000
22						0	1.000	1.000
23						0	1.000	1.000
24						0	1.000	1.000
25						0	1.000	1.000
26						0	1.000	1.000
27						0	1.000	1.000
28						0	1.000	1.000
29						0	1.000	1.000
30						0	1.000	1.000
31						0	1.000	1.000
32						0	1.000	1.000
33						0	1.000	1.000
34						0	1.000	1.000
35						0	1.000	1.000
36						0	1.000	1.000
37						0	1.000	1.000
38						0	1.000	1.000
39						0	1.000	1.000
40						0	1.000	1.000
41	0.0	0.0	0.0	232.0	pásnice	0	1.000	1.000
42	0.0	0.0	0.0	232.0	pásnice	0	1.000	1.000
43	0.0	0.0	0.0	-232.0	pásnice	0	1.000	1.000
44	0.0	0.0	0.0	-232.0	pásnice	0	1.000	1.000
45						0	1.000	1.000
46						0	1.000	1.000
47						0	1.000	1.000
48						0	1.000	1.000
49						0	1.000	1.000
50						0	1.000	1.000
51						0	1.000	1.000
52						0	1.000	1.000
53						0	1.000	1.000
54						0	1.000	1.000
55						0	1.000	1.000
56						0	1.000	1.000
57						0	1.000	1.000
58						0	1.000	1.000
59						0	1.000	1.000
60						0	1.000	1.000
61						0	1.000	1.000
62						0	1.000	1.000
63						0	1.000	1.000
64						0	1.000	1.000
65						0	1.000	1.000
66						0	1.000	1.000
67						0	1.000	1.000
68						0	1.000	1.000
69						0	1.000	1.000
70						0	1.000	1.000
71	8.0	-20.0	-10.5	277.0	nýt	0	1.000	1.000
72	8.0	-20.0	10.5	277.0	nýt	0	1.000	1.000
73	0	0	0	0	nýt	0	1.000	1.000
74	0	0	0	0	nýt	0	1.000	1.000
75	8.0	-20.0	-10.5	-277.0	nýt	0	1.000	1.000
76	8.0	-20.0	10.5	-277.0	nýt	0	1.000	1.000
77	0	0	0	0	nýt	0	1.000	1.000
78	0	0	0	0	nýt	0	1.000	1.000
79						0	1.000	1.000
80						0	1.000	1.000
81	0	0	51.5	242.0	nýt	0	1.000	1.000
82	0	0	0	0	nýt	0	1.000	1.000
83	0	0	51.5	242.0	nýt	0	1.000	1.000
84	0	0	0	0	nýt	0	1.000	1.000
85	0	0	-51.5	-242.0	nýt	0	1.000	1.000
86	0	0	0	0	nýt	0	1.000	1.000
87	0	0	51.5	-242.0	nýt	0	1.000	1.000
88	0	0	0	0	nýt	0	1.000	1.000
89						0	1.000	1.000
90						0	1.000	1.000
91	0	0	0	0	nýt	0	1.000	1.000
92	0	0	0	0	nýt	0	1.000	1.000
93	0	0	0	0	nýt	0	1.000	1.000
94	0	0	0	0	nýt	0	1.000	1.000
95	0	0	0	0	nýt	0	1.000	1.000
96	0	0	0	0	nýt	0	1.000	1.000
97	0	0	0	0	nýt	0	1.000	1.000
98	0	0	0	0	nýt	0	1.000	1.000
99						0	1.000	1.000
100						0	1.000	1.000

NÝT Č.	SKUPINA	ŘEZ	RED.	VELIKOST di [mm]	POLOHA oi [mm]	POPIS	AKTIVITA OTVORU	NAPĚTÍ sc [MPa]
1		-	1.00	20	35	nýt - t.o - úhelník	1	80.17
2		-	1.00	20	35	nýt - t.o - úhelník	1	80.22
3		-	1.00	0	35	nýt - t.i - úhelník	0	-
4		-	1.00	0	35	nýt - t.i - úhelník	0	-
5		-	1.00	20	35	nýt - b.o - úhelník	1	46.24
6		-	1.00	20	35	nýt - b.o - úhelník	1	46.29
7		-	1.00	0	35	nýt - b.i - úhelník	0	-
8		-	1.00	0	35	nýt - b.i - úhelník	0	-
9								
10								
11		-	1.00	22	35	nýt - t.i - úhelník	0	77.93
12		-	1.00	0	35	nýt - t.i - úhelník	0	-
13		-	1.00	22	35	nýt - t.r - úhelník	0	78.17
14		-	1.00	0	35	nýt - t.r - úhelník	0	-
15		-	1.00	22	35	nýt - b.l - úhelník	0	48.29
16		-	1.00	0	35	nýt - b.l - úhelník	0	-
17		-	1.00	22	35	nýt - b.r - úhelník	0	48.52
18		-	1.00	0	35	nýt - b.r - úhelník	0	-
19								
20								
21		-	1.00	0	-132	nýt - t.l	0	-
22		-	1.00	0	-132	nýt - t.l	0	-
23		-	1.00	0	132	nýt - t.r	0	-
24		-	1.00	0	132	nýt - t.r	0	-
25		-	1.00	0	-132	nýt - b.l	0	-
26		-	1.00	0	-132	nýt - b.l	0	-
27		-	1.00	0	132	nýt - b.r	0	-
28		-	1.00	0	132	nýt - b.r	0	-
29								
30								

VÝPOČET PRŮŘEZOVÝCH CHARAKTERISTIK

Properties	Basic	Ultimate		Serviceability	
y_t	0.0	0.0		0.0	[mm]
z_t	0.0	0.0		0.0	[mm]
A_t	4.8000E+03	4.8000E+03		4.8000E+03	[mm²]
A_1	3.2000E+03	3.2000E+03		3.2000E+03	[mm²]
A_2	2.2400E+03	2.2400E+03		2.2400E+03	[mm²]
I_{y1}	1.8206E+08	1.8206E+08		1.8206E+08	[mm⁴]
I_w	8.8108E+06	8.8108E+06		8.8108E+06	[mm⁶]
i_y	194.8	194.8		194.8	[mm]
i_z	42.8	42.8		42.8	[mm]
$W_{y,1}$	5.8351E+05	5.8351E+05		5.8351E+05	[mm³]
$W_{z,1}$	-1.0186E+05	-1.0186E+05		-1.0186E+05	[mm³]
$W_{y,2}$	-5.8351E+05	-5.8351E+05		-5.8351E+05	[mm³]
$W_{z,2}$	-1.0186E+05	-1.0186E+05		-1.0186E+05	[mm³]
KRAJNÍ VLÁKNA PRŮŘEZU					
y_1	-86.5	-86.5		-86.5	[mm] min
z_1	312.0	312.0		312.0	[mm] max
y_2	86.5	86.5		-86.5	[mm] min
z_2	-312.0	-312.0		-312.0	[mm] min
y_3	86.5	86.5		86.5	[mm] max
z_3	312.0	312.0		312.0	[mm] max
y_4	86.5	86.5		86.5	[mm] max
z_4	-312.0	-312.0		-312.0	[mm] min
y_5	-14.5	-14.5		-14.5	[mm]
z_5	-242.0	-242.0		-242.0	[mm]
y_6	-14.5	-14.5		-14.5	[mm]
z_6	-312.0	-312.0		-312.0	[mm]

SCHÉMA PROMĚNNÝCH

SCHÉMA ZADANÉHO PRŮŘEZU

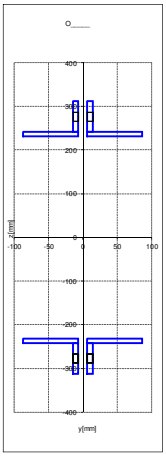

ÚPRAVA MOMENTŮ SETRVAČNOSTI V DŮSLEDKU ČLENĚNÍ PRŮŘEZU

OSA Y	0.60
OSA Z	1.00

NEUTRÁLNÁ OSA

NAPĚTÍ [MPa]:

82.14	82.53
43.92	44.32

ZS: SLS_LM_N.MAX

	N [kN]	Vy [kN]	Vz [kN]	Mx [kNm]	My [kNm]	Mz [kNm]
import	303	0	-7	0	-11	0

TR_V8.1 POPIS: **SVISLICE V8** POSUDEK: **V8.1**

SKUPINA ZAT. STAVŮ	EXTRÉM	VYHODNOCOVANÉ VELIČINY					
		N	Vy	Vz	Mx	My	Mz
		kN	kN	kN	kNm	kNm	kNm
G0	N.min	**56.64**	0	-1.05	0	1.28	0
	N.max	**56.64**	0	-1.05	0	1.28	0
	Vy.min	56.64	**0**	-1.05	0	1.28	0
	Vy.max	56.64	**0**	-1.05	0	1.28	0
	Vz.min	56.64	0	**-1.05**	0	1.28	0
	Vz.max	56.64	0	**-1.05**	0	1.28	0
	Mx.min	56.64	0	-1.05	**0**	1.28	0
	Mx.max	56.64	0	-1.05	**0**	1.28	0
	My.min	56.64	0	-1.05	0	**1.28**	0
	My.max	56.64	0	-1.05	0	**1.28**	0
	Mz.min	56.64	0	-1.05	0	1.28	**0**
	Mz.max	56.64	0	-1.05	0	1.28	**0**
G1	N.min	**6.38**	0	-0.04	0	-0.12	0
	N.max	**6.38**	0	-0.04	0	-0.12	0
	Vy.min	6.38	**0**	-0.04	0	-0.12	0
	Vy.max	6.38	**0**	-0.04	0	-0.12	0
	Vz.min	6.38	0	**-0.04**	0	-0.12	0
	Vz.max	6.38	0	**-0.04**	0	-0.12	0
	Mx.min	6.38	0	-0.04	**0**	-0.12	0
	Mx.max	6.38	0	-0.04	**0**	-0.12	0
	My.min	6.38	0	-0.04	0	**-0.12**	0
	My.max	6.38	0	-0.04	0	**-0.12**	0
	Mz.min	6.38	0	-0.04	0	-0.12	**0**
	Mz.max	6.38	0	-0.04	0	-0.12	**0**
G2	N.min	**4.03**	0	0.03	0	0.06	0
	N.max	**4.03**	0	0.03	0	0.06	0
	Vy.min	4.03	**0**	0.03	0	0.06	0
	Vy.max	4.03	**0**	0.03	0	0.06	0
	Vz.min	4.03	0	**0.03**	0	0.06	0
	Vz.max	4.03	0	**0.03**	0	0.06	0
	Mx.min	4.03	0	0.03	**0**	0.06	0
	Mx.max	4.03	0	0.03	**0**	0.06	0
	My.min	4.03	0	0.03	0	**0.06**	0
	My.max	4.03	0	0.03	0	**0.06**	0
	Mz.min	4.03	0	0.03	0	0.06	**0**
	Mz.max	4.03	0	0.03	0	0.06	**0**
P1_71	N.min	**0**	0	0	0	0	0
	N.max	**67.05**	0	-3.67	0	-4.75	0
	Vy.min	35.61	**-0.04**	-2.01	0	-2.67	-0.01
	Vy.max	30	**0.03**	-1.81	0	-2.33	0.01
	Vz.min	63.57	0	**-3.83**	0	-4.77	0
	Vz.max	0	0	**0**	0	0	0
	Mx.min	33.12	-0.04	-1.91	**0**	-2.52	-0.01
	Mx.max	33.29	0.03	-1.95	**0**	-2.55	0.01
	My.min	63.3	0	-3.83	0	**-4.77**	0
	My.max	0	0	0	0	**0**	0
	Mz.min	45.08	-0.03	-2.36	0	-3.21	**-0.01**
	Mz.max	23.54	0.03	-1.52	0	-1.85	**0.01**
P2_71	N.min	**-0.13**	0	0.01	0	0.01	0
	N.max	**146.27**	-0.01	1.12	0	-2.16	-0.01
	Vy.min	77.92	**-0.09**	0.59	0	-1.32	-0.02
	Vy.max	62.02	**0.08**	0.71	0	-0.95	0.02
	Vz.min	85.12	-0.01	**-0.51**	0	-2.55	-0.01
	Vz.max	66.11	0.01	**1.68**	0	0.22	0
	Mx.min	71.56	-0.03	0.51	**0**	-1.31	-0.01
	Mx.max	69.59	0.02	0.45	**0**	-1.34	0
	My.min	98.18	0	-0.36	0	**-2.99**	-0.01
	My.max	50.11	0.01	1.52	0	**0.75**	0
	Mz.min	106.4	-0.08	0.38	0	-1.94	**-0.03**
	Mz.max	46.26	0.08	0.82	0	-0.49	**0.02**
P1_C3	N.min	**0**	0	0	0	0	0
	N.max	**53.24**	0	-2.96	0	-3.69	0
	Vy.min	32.27	**-0.03**	-1.72	0	-2.26	-0.01
	Vy.max	24.08	**0.03**	-1.44	0	-1.82	0.01
	Vz.min	49.8	0	**-3.11**	0	-3.79	0
	Vz.max	0	0	**0**	0	0	0
	Mx.min	24.02	-0.03	-1.41	**0**	-1.8	-0.01
	Mx.max	24.08	0.03	-1.44	**0**	-1.82	0.01
	My.min	49.38	0	-3.11	0	**-3.8**	0
	My.max	0	0	0	0	**0**	0
	Mz.min	35.77	-0.03	-1.86	0	-2.47	**-0.01**
	Mz.max	18.89	0.03	-1.21	0	-1.46	**0.01**
P2_C3	N.min	**-0.14**	0	0.01	0	0	0
	N.max	**114.57**	0	1.12	0	-1.42	-0.01
	Vy.min	71.38	**-0.07**	0.45	0	-1.11	-0.02
	Vy.max	45.25	**0.07**	0.63	0	-0.58	0.01
	Vz.min	60.15	0	**-0.38**	0	-1.78	-0.01
	Vz.max	52.4	0	**1.45**	0	0.35	0
	Mx.min	50.36	-0.02	0.53	**0**	-0.75	-0.01
	Mx.max	46.47	0.01	0.41	**0**	-0.82	0
	My.min	69.17	0	-0.2	0	**-2.26**	-0.01
	My.max	42.89	0	1.32	0	**0.64**	0
	Mz.min	82.76	-0.07	0.4	0	-1.35	**-0.02**
	Mz.max	37.42	0.07	0.68	0	-0.36	**0.02**
BR	N.min	**-2.27**	0	0.09	0	0.06	0
	N.max	**2.27**	0	-0.09	0	-0.06	0
	Vy.min	2	**0**	-0.02	0	-0.03	0
	Vy.max	-2	**0**	0.02	0	0.03	0
	Vz.min	2.27	0	**-0.09**	0	-0.06	0
	Vz.max	-2.27	0	**0.09**	0	0.06	0
	Mx.min	2.27	0	-0.09	**0**	-0.06	0
	Mx.max	-2.27	0	0.09	**0**	0.06	0
	My.min	2.27	0	-0.09	0	**-0.06**	0
	My.max	-2.27	0	0.09	0	**0.06**	0
	Mz.min	1.91	0	-0.01	0	-0.02	**0**
	Mz.max	-1.91	0	0.01	0	0.02	**0**

TR_V8.1 POPIS: **SVISLICE V8** POSUDEK: **V8.1**

SKUPINA ZAT. STAVŮ	EXTRÉM	VYHODNOCOVANÉ VELIČINY					
		N	Vy	Vz	Mx	My	Mz
		kN	kN	kN	kNm	kNm	kNm
S	N.min	**-2.71**	0	0.69	0	0.41	0
	N.max	**2.71**	0	-0.69	0	-0.41	0
	Vy.min	2.71	**0**	-0.69	0	-0.41	0
	Vy.max	-2.71	**0**	0.69	0	0.41	0
	Vz.min	2.6	0	**-0.85**	0	-0.46	0
	Vz.max	-2.6	0	**0.85**	0	0.46	0
	Mx.min	-2.71	0	0.69	**0**	0.41	0
	Mx.max	2.71	0	-0.69	**0**	-0.41	0
	My.min	2.6	0	-0.85	0	**-0.46**	0
	My.max	-2.6	0	0.85	0	**0.46**	0
	Mz.min	2.6	0	-0.85	0	-0.46	**0**
	Mz.max	-2.6	0	0.85	0	0.46	**0**
CH	N.min	**6.1**	0.01	-0.16	0	-0.02	0
	N.max	**12.83**	0	0.12	0	0.24	0
	Vy.min	6.14	**-0.01**	-0.16	0	-0.02	0
	Vy.max	6.1	**0.01**	-0.16	0	-0.02	0
	Vz.min	6.14	-0.01	**-0.16**	0	-0.02	0
	Vz.max	12.83	0	**0.12**	0	0.24	0
	Mx.min	6.1	0.01	-0.16	**0**	-0.02	0
	Mx.max	6.14	-0.01	-0.16	**0**	-0.02	0
	My.min	6.14	-0.01	-0.16	0	**-0.02**	0
	My.max	12.83	0	0.12	0	**0.24**	0
	Mz.min	6.14	-0.01	-0.16	0	-0.02	**0**
	Mz.max	6.1	0.01	-0.16	0	-0.02	**0**
W	N.min	**-4.72**	0	1.17	0	5.97	0
	N.max	**4.73**	0	-1.17	0	-5.97	0
	Vy.min	4.73	**0**	-1.17	0	-5.97	0
	Vy.max	-4.72	**0**	1.17	0	5.97	0
	Vz.min	4.73	0	**-1.17**	0	-5.97	0
	Vz.max	-4.72	0	**1.17**	0	5.97	0
	Mx.min	-4.72	0	1.17	**0**	5.97	0
	Mx.max	4.73	0	-1.17	**0**	-5.97	0
	My.min	4.73	0	-1.17	0	**-5.97**	0
	My.max	-4.72	0	1.17	0	**5.97**	0
	Mz.min	4.73	0	-1.17	0	-5.97	**0**
	Mz.max	-4.72	0	1.17	0	5.97	**0**
WP	N.min	**-2.2**	0	2.38	0	1.36	0
	N.max	**2.2**	0	-2.38	0	-1.36	0
	Vy.min	2.2	**0**	-2.38	0	-1.36	0
	Vy.max	-2.2	**0**	2.38	0	1.36	0
	Vz.min	2.2	0	**-2.38**	0	-1.36	0
	Vz.max	-2.2	0	**2.38**	0	1.36	0
	Mx.min	-2.2	0	2.38	**0**	1.36	0
	Mx.max	2.2	0	-2.38	**0**	-1.36	0
	My.min	2.2	0	-2.38	0	**-1.36**	0
	My.max	-2.2	0	2.38	0	**1.36**	0
	Mz.min	2.2	0	-2.38	0	-1.36	**0**
	Mz.max	-2.2	0	2.38	0	1.36	**0**
TR	N.min	**0**	0	0	0	0	0
	N.max	**0**	0	0	0	0	0
	Vy.min	0	**0**	0	0	0	0
	Vy.max	0	**0**	0	0	0	0
	Vz.min	0	0	**0**	0	0	0
	Vz.max	0	0	**0**	0	0	0
	Mx.min	0	0	0	**0**	0	0
	Mx.max	0	0	0	**0**	0	0
	My.min	0	0	0	0	**0**	0
	My.max	0	0	0	0	**0**	0
	Mz.min	0	0	0	0	0	**0**
	Mz.max	0	0	0	0	0	**0**
TN	N.min	**-20.07**	0.01	0.14	0	0.07	0.01
	N.max	**25.45**	-0.01	-2.01	0	-1	-0.01
	Vy.min	20.07	**-0.01**	-0.14	0	-0.07	-0.01
	Vy.max	-20.07	**0.01**	0.14	0	0.07	0.01
	Vz.min	25.45	-0.01	**-2.01**	0	-1	-0.01
	Vz.max	-4.99	0	**1.8**	0	1.04	0
	Mx.min	25.45	-0.01	-2.01	**0**	-1	-0.01
	Mx.max	-4.99	0	1.8	**0**	1.04	0
	My.min	25.45	-0.01	-2.01	0	**-1**	-0.01
	My.max	-4.99	0	1.8	0	**1.04**	0
	Mz.min	25.45	-0.01	-2.01	0	-1	**-0.01**
	Mz.max	-20.07	0.01	0.14	0	0.07	**0.01**
FR	N.min	**-0.4**	0	0	0	0.01	0
	N.max	**0.4**	0	0	0	-0.01	0
	Vy.min	0.4	**0**	0	0	-0.01	0
	Vy.max	-0.4	**0**	0	0	0.01	0
	Vz.min	0.4	0	**0**	0	-0.01	0
	Vz.max	-0.4	0	**0**	0	0.01	0
	Mx.min	0.4	0	0	**0**	-0.01	0
	Mx.max	-0.4	0	0	**0**	0.01	0
	My.min	0.4	0	0	0	**-0.01**	0
	My.max	-0.4	0	0	0	**0.01**	0
	Mz.min	0.4	0	0	0	-0.01	**0**
	Mz.max	-0.4	0	0	0	0.01	**0**
I	N.min	**-0.84**	0	-0.27	0	-0.25	**0**
	N.max	**0.84**	0	0.27	0	0.25	**0**
	Vy.min	0.84	**0**	0.27	0	0.25	**0**
	Vy.max	-0.84	**0**	-0.27	0	-0.25	**0**
	Vz.min	-0.84	0	**-0.27**	0	-0.25	**0**
	Vz.max	0.84	0	**0.27**	0	0.25	**0**
	Mx.min	-0.84	0	-0.27	**0**	-0.25	**0**
	Mx.max	0.84	0	0.27	**0**	0.25	**0**
	My.min	-0.84	0	-0.27	0	**-0.25**	**0**
	My.max	0.84	0	0.27	0	**0.25**	**0**
	Mz.min	0.84	0	0.27	0	0.25	**0**
	Mz.max	-0.84	0	-0.27	0	-0.25	**0**

TAB. V8.1.3 POSOUZENÍ - MEZNÍ STAV ÚNOSNOSTI

POPIS	SVISLICE V8
PRUT / POLOHA BODU	402 / 2/4
NAMÁHÁNÍ	N.max
VLÁKNO	BOD K2 -HP
MEZNÍ STAV	ULS (MSÚ)
VYUŽITÍ VLÁKNA PRŮŘEZU	0.53

Charakteristiky materiálu				
pás. horní	$f_{yf,k}$	230	MPa	
pás. dolní	$f_{yf,k}$	230	MPa	
stojina	$f_{yw,k}$	230	MPa	
výztuž	$f_{ys,k}$	500	MPa	
γ_M =	1.10	γ_s =	1.15	

Excentricita normálové síly				
Exc./Fáze	0	1	2	3
e_y	0.000	0.000	0.000	0.000
e_z	0.000	0.000	0.000	0.000
Ekvivalentní vzdál. stěn - příčný roznos				
b_{Mx}	0.000	0.000	0.000	0.000

Vliv stěny na únosnost průřezu				
Char./Fáze	0	1	2	3
A	0.00	0.00	0.00	0.00
Wy	0.00	0.00	0.00	0.00
Wz	0.00	0.00	0.00	0.00

Charakter. v kroucení			
$t_{w,y}$	0.000	[mm]	
$t_{w,z}$	0.000	[mm]	
κ	1.00		
I_t=	0.00E+00	[mm^4]	
$\Omega=2*A_{pr}$	0.00E+00	[mm^2]	

Součinitele vzpěru a vlivu II.řádu				
Char./Fáze	0	1	2	3
k_y	1.000	1.000	1.000	1.000
k_z	1.000	1.000	1.000	1.000
χ_{LT}	1.000	1.000	1.000	1.000
χ_{min}	1.000	1.000	1.000	1.000

4

Vnitřní síly od jednotlivých skupin zatěžovacích stavů

SKUPINA ZATĚŽOVACÍCH STAVŮ					- CHARAKTERISTICKÉ HODNOTY						DÍLČÍ SOUČINITELÉ ZATÍŽENÍ, DYNAMICKÝ SOUČINITEL							- NÁVRHOVÉ HODNOTY									
Č.	SKUP ZS	POPIS ZS	KAT.	FÁZE PRŮŘ.	N.k (kN)	Vy.k (kN)	Vz.k (kN)	Mx.k (kNm)	My.k (kNm)	Mz.k (kNm)	γ_{sup} (-)	γ_{inf} (-)	volba γ_i hledat	γ_i (-)	L_d (m)	δ (-)	Ψ_0 KZ04	N.d (kN)	Vy.d (kN)	Vz.d (kN)	ΔVz.d (kN)	ΣVz.d (kN)	Mx.d (kNm)	My.d (kNm)	ΔMy.d (kNm)	ΣMy.d (kNm)	Mz.d (kNm)	ΔMz.d (kNm)	ΣMz.d (kNm)
1	G0	Vlastní tíha OK	G	0	57	0	-1	0	1	0	1.00	1.20		1.20	-	1.00	0.95	65	0	-1	0	-1	0	1	0	1	0	0	0
2	G1	Ostatní stálé - mostní vybavení	G	0	6	0	0	0	0	0	1.00	1.20		1.20	-	1.00	0.95	7	0	0	0	0	0	0	0	0	0	0	0
3	G2	Ostatní stálé - cizí zařízení	G	0	4	0	0	0	0	0	1.00	1.20		1.20	-	1.00	0.95	5	0	0	0	0	0	0	0	0	0	0	0
4	P1_71	a.LM71 - kolej 1 (bez dyn. souč.)	P	0	67	0	-4	0	-5	0	1.00	1.30		1.30	-	1.00	1.00	87	0	-5	0	-5	0	-6	0	-6	0	0	0
5	P2_71	a.LM71 - kolej 2 (bez dyn. souč.)	P	0	146	0	1	0	-2	0	1.00	1.30		1.30	-	1.00	1.00	190	0	1	0	1	0	-3	0	-3	0	0	0
6	P1_C3	TTZ C3 - kolej 1 (bez dyn. souč.)	P	0	53	0	-3	0	-4	0	1.00	vyp.		0.00	-	1.00	0.00	0	0	0	0	0	0	0	0	0	0	0	0
7	P2_C3	TTZ C3 - kolej 2 (bez dyn. souč.)	P	0	115	0	1	0	-1	0	1.00	vyp.		0.00	-	1.00	0.00	0	0	0	0	0	0	0	0	0	0	0	0
8	BR	Brzdné a rozjezdové síly	P	0	2	0	0	0	0	0	1.00	1.30		1.30	-	1.00	0.40	1	0	0	0	0	0	0	0	0	0	0	0
9	S	Boční ráz	P	0	3	0	-1	0	0	0	1.00	1.30		1.30	-	1.00	0.80	3	0	-1	0	-1	0	0	0	0	0	0	0
10	CH	Chodci na lávkách	Q	0	13	0	0	0	0	0	1.00	1.30		1.30	-	1.00	1.00	17	0	0	0	0	0	0	0	0	0	0	0
11	W	Vítr na konstrukci	Q	0	5	0	-1	0	-6	0	1.00	1.35		1.35	-	1.00	0.75	5	0	-1	0	-1	0	-6	0	-6	0	0	0
12	WP	Vítr na vozidla	Q	0	2	0	-2	0	-1	0	1.00	1.35		1.35	-	1.00	0.75	2	0	-2	0	-2	0	-1	0	-1	0	0	0
13	TR	Teplota rovnoměrná	Q	0	0	0	0	0	0	0	1.00	1.35		1.35	-	1.00	0.45	0	0	0	0	0	0	0	0	0	0	0	0
14	TN	Teplota nerovnoměrná	Q	0	25	0	-2	0	-1	0	1.00	1.35		1.35	-	1.00	0.60	21	0	-2	0	-2	0	-1	0	-1	0	0	0
15	FR	Třecí síly v ložiskách	Q	0	0	0	0	0	0	0	1.00	1.20		1.20	-	1.00	1.00	0	0	0	0	0	0	0	0	0	0	0	0
16	I	Imperfekce soustavy	Q	0	1	0	0	0	0	0	1.00	-1.20		-1.20	-	1.00	1.00	-1	0	0	0	0	0	0	0	0	0	0	0
27	ULS_LM	ULS - LM71 bez dynam	Q	0	405	0	-10	0	-16	0	1.00	vyp.	1	0.00	-	1.00	0.00	0	0	0	0	0	0	0	0	0	0	0	0
28	SLS_LM	SLS - LM71 bez dynam	Q	0	303	0	-7	0	-11	0	1.00	vyp.	1	0.00	-	1.00	0.00	0	0	0	0	0	0	0	0	0	0	0	0
29	ULS_C3	ULS - C3 bez dynam	Q	0	345	0	-9	0	-13	0	1.00	vyp.	1	0.00	-	1.00	0.00	0	0	0	0	0	0	0	0	0	0	0	0
30	SLS_C3	SLS - C3 bez dynam	Q	0	258	0	-6	0	-9	0	1.00	vyp.	1	0.00	-	1.00	0.00	0	0	0	0	0	0	0	0	0	0	0	0
		CELKEM - FÁZE PRŮŘEZU 0																402	0	-11	0	-11	0	-16	0	-16	0	0	0
		CELKEM - FÁZE PRŮŘEZU 1																0	0	0	0	0	0	0	0	0	0	0	0
		CELKEM - FÁZE PRŮŘEZU 2																0	0	0	0	0	0	0	0	0	0	0	0
		CELKEM - FÁZE PRŮŘEZU 3																0	0	0	0	0	0	0	0	0	0	0	0
		CELKEM - PRŮŘEZ																402	0	-11	0	-11	0			-16			0

Napětí od jednotlivých zatěžovacích stavů

SKUPINA ZATĚŽOVACÍCH STAVŮ					Posouzení normálového napětí										Posouzení smykového napětí													
					Účinek síly N			Účinek momentu My			Účinek momentu Mz				Účinek ktoutícího momentu Mx				Účinek smykové síly Vy				Účinek smykové síly Vz			
Č.	SKUP ZS	Popis ZS	Kat.	fáze prúř.	δ^*N_d [kN]	χ^*A [mm^2]	σ_n [MPa]	$\delta^*M_{y,d}$ [kNm]	$\chi_{lt}*W_{el,y}$ [mm^3]	σ_{my} [MPa]	$\delta^*M_{z,d}$ [kNm]	$W_{el,z}$ [mm^3]	σ_{mz} [MPa]	σ_x [MPa]	$\kappa*\delta^*M_{x,d}$ [kNm]	$W_{v,y}$ [mm^2]	$\tau_{x,y}$ [MPa]	$W_{v,z}$ [mm^2]	$\tau_{x,z}$ [MPa]	$\delta^*V_{y,d}$ [kN]	$A_{v,y}$ [mm2]	$\tau_{v,y}$ [MPa]	$\tau_{v,y}$ [MPa]	$\delta^*V_{z,d}$ [kN]	$A_{v,z}$ [mm2]	$\tau_{v,z}$ [MPa]	$\tau_{v,z}$ [MPa]
1	G0	Vlastní tíha OK	G	0	64.6	4.80E+03	13.5	1.5	-5.84E+05	-2.5	0.0	1.02E+05	0.0	11.0	0.0E+00	-	-	-	-	0.0	3.20E+03	0.0	0.0	-1.2	2.24E+03	-0.5	-0.5
2	G1	Ostatní stálé - mostní vybavení	G	0	7.3	4.80E+03	1.5	-0.1	-5.84E+05	0.2	0.0	1.02E+05	0.0	1.7	0.0E+00	-	-	-	-	0.0	3.20E+03	0.0	0.0	0.0	2.24E+03	0.0	0.0
3	G2	Ostatní stálé - cizí zařízení	G	0	4.6	4.80E+03	1.0	0.1	-5.84E+05	-0.1	0.0	1.02E+05	0.0	0.8	0.0E+00	-	-	-	-	0.0	3.20E+03	0.0	0.0	0.0	2.24E+03	0.0	0.0
4	P1_71	a.LM71 - kolej 1 (bez dyn. souč.)	P	0	87.2	4.80E+03	18.2	-6.2	-5.84E+05	10.6	0.0	1.02E+05	0.0	28.7	0.0E+00	-	-	-	-	0.0	3.20E+03	0.0	0.0	-4.8	2.24E+03	-2.1	-2.1
5	P2_71	a.LM71 - kolej 2 (bez dyn. souč.)	P	0	190.2	4.80E+03	39.6	-2.8	-5.84E+05	4.8	0.0	1.02E+05	-0.1	44.3	0.0E+00	-	-	-	-	0.0	3.20E+03	0.0	0.0	1.5	2.24E+03	0.7	0.7
6	P1_C3	TTZ C3 - kolej 1 (bez dyn. souč.)	P	0	0.0	4.80E+03	0.0	0.0	-5.84E+05	0.0	0.0	1.02E+05	0.0	0.0	0.0E+00	-	-	-	-	0.0	3.20E+03	0.0	0.0	0.0	2.24E+03	0.0	0.0
7	P2_C3	TTZ C3 - kolej 2 (bez dyn. souč.)	P	0	0.0	4.80E+03	0.0	0.0	-5.84E+05	0.0	0.0	1.02E+05	0.0	0.0	0.0E+00	-	-	-	-	0.0	3.20E+03	0.0	0.0	0.0	2.24E+03	0.0	0.0
8	BR	Brzdné a rozjezdové síly	P	0	1.2	4.80E+03	0.2	0.0	-5.84E+05	0.1	0.0	1.02E+05	0.0	0.3	0.0E+00	-	-	-	-	0.0	3.20E+03	0.0	0.0	0.0	2.24E+03	0.0	0.0
9	S	Boční ráz	P	0	2.8	4.80E+03	0.6	-0.4	-5.84E+05	0.7	0.0	1.02E+05	0.0	1.3	0.0E+00	-	-	-	-	0.0	3.20E+03	0.0	0.0	-0.7	2.24E+03	-0.3	-0.3
10	CH	Chodci na lávkách	Q	0	16.7	4.80E+03	3.5	0.3	-5.84E+05	-0.5	0.0	1.02E+05	0.0	2.9	0.0E+00	-	-	-	-	0.0	3.20E+03	0.0	0.0	0.2	2.24E+03	0.1	0.1
11	W	Vítr na konstrukci	Q	0	4.8	4.80E+03	1.0	-6.0	-5.84E+05	10.4	0.0	1.02E+05	0.0	11.4	0.0E+00	-	-	-	-	0.0	3.20E+03	0.0	0.0	-1.2	2.24E+03	-0.5	-0.5
12	WP	Vítr na vozidla	Q	0	2.2	4.80E+03	0.5	-1.4	-5.84E+05	2.4	0.0	1.02E+05	0.0	2.8	0.0E+00	-	-	-	-	0.0	3.20E+03	0.0	0.0	-2.4	2.24E+03	-1.1	-1.1
13	TR	Teplota rovnoměrná	Q	0	0.0	4.80E+03	0.0	0.0	-5.84E+05	0.0	0.0	1.02E+05	0.0	0.0	0.0E+00	-	-	-	-	0.0	3.20E+03	0.0	0.0	0.0	2.24E+03	0.0	0.0
14	TN	Teplota nerovnoměrná	Q	0	20.6	4.80E+03	4.3	-0.8	-5.84E+05	1.4	0.0	1.02E+05	-0.1	5.6	0.0E+00	-	-	-	-	0.0	3.20E+03	0.0	0.0	-1.6	2.24E+03	-0.7	-0.7
15	FR	Třecí síly v ložiskách	Q	0	0.5	4.80E+03	0.1	0.0	-5.84E+05	0.0	0.0	1.02E+05	0.0	0.1	0.0E+00	-	-	-	-	0.0	3.20E+03	0.0	0.0	0.0	2.24E+03	0.0	0.0
16	I	Imperfekce soustavy	Q	0	-1.0	4.80E+03	-0.2	-0.3	-5.84E+05	0.5	0.0	1.02E+05	0.0	0.3	0.0E+00	-	-	-	-	0.0	3.20E+03	0.0	0.0	-0.3	2.24E+03	-0.1	-0.1
27	ULS_LM	ULS - LM71 bez dynam	Q	0	0.0	4.80E+03	0.0	0.0	-5.84E+05	0.0	0.0	1.02E+05	0.0	0.0	0.0E+00	-	-	-	-	0.0	3.20E+03	0.0	0.0	0.0	2.24E+03	0.0	0.0
28	SLS_LM	SLS - LM71 bez dynam	Q	0	0.0	4.80E+03	0.0	0.0	-5.84E+05	0.0	0.0	1.02E+05	0.0	0.0	0.0E+00	-	-	-	-	0.0	3.20E+03	0.0	0.0	0.0	2.24E+03	0.0	0.0
29	ULS_C3	ULS - C3 bez dynam	Q	0	0.0	4.80E+03	0.0	0.0	-5.84E+05	0.0	0.0	1.02E+05	0.0	0.0	0.0E+00	-	-	-	-	0.0	3.20E+03	0.0	0.0	0.0	2.24E+03	0.0	0.0
30	SLS_C3	SLS - C3 bez dynam	Q	0	0.0	4.80E+03	0.0	0.0	-5.84E+05	0.0	0.0	1.02E+05	0.0	0.0	0.0E+00	-	-	-	-	0.0	3.20E+03	0.0	0.0	0.0	2.24E+03	0.0	0.0
NAVÝŠENÍ NAPĚTÍ DO AKTIVACE TLAKU V DESCE MOSTOVKY						$\sigma_{P,red}$	0.0							0.0			0.0		0.0							-4.8	-4.8
NAPĚTÍ OD PRIMÁRNÍCH ÚČINKŮ NEROVNOMĚRNÉHO OTEPLENÍ						σ_T	0.0							0.0													
NAPĚTÍ OD REOLOGICKÝCH ÚČINKŮ BETONU V ČASE				t=0		σ_R	0.0	γ=	1.20					0.0													
NAPĚTÍ V KRITICKÝCH VLÁKNECH OD KOMBINACE ZATÍŽENÍ						KZ04		[MPa]					$\Sigma\sigma_x$	111.3								$\Sigma\tau_y$	0.0			$\Sigma\tau_z$	-4.8
NAPĚTÍ OD POHYBLIVÉHO ZATÍŽENÍ								[MPa]					$\sigma_{x,P}$	74.7								τ_P	0.0			τ_P	-1.8
NAPĚTÍ OD OSTATNÍCH ZATÍŽENÍ								[MPa]			Φ_{Vy}	Φ_{Vz}	$\sigma_{x,rs}$	36.7								τ_{rs}	0.0			τ_{rs}	-2.9
NÁVRHOVÁ HODNOTA MEZE KLUZU S REDUKCÍ VLIVEM SMYKOVÉHO NAPĚTÍ								[MPa]			1.00	1.00	$f_{yw,d}$	209.1								$f_{yd}/3^{0,5}$	120.7			$f_{yd}/3^{0,5}$	120.7
NAPĚTÍ OD POHYBLIVÉHO ZATÍŽENÍ V GLOBÁLNÍM SYSTÉMU						$\sigma_{GLOB,P}$	0.0	[MPa]					$\Sigma\sigma_{GLOB}$	0.0													
NAPĚTÍ OD OSTATNÍCH ZATÍŽENÍ V GLOBÁLNÍM SYSTÉMU						$\sigma_{GLOB,rs}$	0.0	[MPa]					$\Sigma\sigma_x + \Sigma\sigma_{GLOB}$	111.3													
VYUŽITÍ PRŮŘEZU DLE NAPĚTÍ								[%]					η_1	0.53								η_3	0.00			η_3	0.04
NAPĚTÍ V PŘÍČNÉM SMĚRU OD POHYBLIVÉHO ZATÍŽENÍ						$\sigma_{z,P}$	0.0	[MPa]					$\Sigma\sigma_z$	0.0													
NAPĚTÍ V PŘÍČNÉM SMĚRU OD OSTATNÍCH ZATÍŽENÍ						$\sigma_{z,rs}$	0.0	[MPa]					η_2	0.00													
SROVNÁVACÍ NAPĚTÍ													$(\eta_2 + 0,8\,\eta_1)/1,4$ =	0.30													
VYUŽITÍ PRŮŘEZU CELKEM								[%]					eff	0.53	VYHOVUJE												
													z_{LM71} =	2.31													

TAB. V8.1.3 POSOUZENÍ - MEZNÍ STAV ÚNOSNOSTI

POPIS	SVISLICE V8
PRUT / POLOHA BODU	402 / 2/4
NAMÁHÁNÍ	N.max
VLÁKNO	BOD K4 -SP
MEZNÍ STAV	ULS (MSÚ)
VYUŽITÍ VLÁKNA PRŮŘEZU	0.38

Charakteristiky materiálu				
pás. horní	$f_{yf,k}$	230	MPa	
pás. dolní	$f_{yf,k}$	230	MPa	
stojina	$f_{yw,k}$	230	MPa	
výztuž	$f_{ys,k}$	500	MPa	
	γ_{M} =	1.10	γ_{s} =	1.15

Excentricita normálové síly				
Exc./Fáze	0	1	2	3
e_y	0.000	0.000	0.000	0.000
e_z	0.000	0.000	0.000	0.000
Ekvivalentní vzdál. stěn - příčný roznos				
b_{Mx}	0.000	0.000	0.000	0.000

Vliv stěny na únosnost průřezu				
Char./Fáze	0	1	2	3
A	0.00	0.00	0.00	0.00
Wy	0.00	0.00	0.00	0.00
Wz	0.00	0.00	0.00	0.00

Charakter. v kroucení			
$t_{w,y}$	0.000	[mm]	
$t_{w,z}$	0.000	[mm]	
κ	1.00		
I_t=	0.00E+00	[mm^4]	
$\Omega=2*A_{pr}$	0.00E+00	[mm^2]	

Součinitele vzpěru a vlivu II.řádu				
Char./Fáze	0	1	2	3
k_y	1.000	1.000	1.000	1.000
k_z	1.000	1.000	1.000	1.000
χ_{LT}	1.000	1.000	1.000	1.000
χ_{min}	1.000	1.000	1.000	1.000

Vnitřní síly od jednotlivých skupin zatěžovacích stavů

SKUPINA ZATĚŽOVACÍCH STAVŮ					- CHARAKTERISTICKÉ HODNOTY						DÍLČÍ SOUČINITELÉ ZATÍŽENÍ, DYNAMICKÝ SOUČINITEL						3	- NÁVRHOVÉ HODNOTY									
Č.	SKUP ZS	POPIS ZS	KAT.	FÁZE PRŮŘ.	N.k (kN)	Vy.k (kN)	Vz.k (kN)	Mx.k (kNm)	My.k (kNm)	Mz.k (kNm)	γ_{sr} (-)	γ_{Q} (-)	volba ψ_i hledat	ψ_i (-)	L_d (m)	δ (-)	ψ_0 KZ03	N.d (kN)	Vy.d (kN)	Vz.d (kN)	ΔVz.d (kN)	ΣVz.d (kN)	Mx.d (kNm)	My.d (kNm)	ΔMy.d (kNm)	ΣMy.d (kNm)	Mz.d (kNm)	ΔMz.d (kNm)	ΣMz.d (kNm)
1	G0	Vlastní tíha OK	G	0	57	0	-1	0	1	0	1.00	1.20		1.20	-	1.00	0.95	65	0	-1	0	-1	0	1	0	1	0	0	0
2	G1	Ostatní stálé - mostní vybavení	G	0	6	0	0	0	0	0	1.00	1.20		1.20	-	1.00	0.95	7	0	0	0	0	0	0	0	0	0	0	0
3	G2	Ostatní stálé - cizí zařízení	G	0	4	0	0	0	0	0	1.00	1.20		1.20	-	1.00	0.95	5	0	0	0	0	0	0	0	0	0	0	0
4	P1_71	a.LM71 - kolej 1 (bez dyn. souč.)	P	0	67	0	-4	0	-5	0	1.00	1.30		1.30	-	1.00	1.00	87	0	-5	0	-5	0	-6	0	-6	0	0	0
5	P2_71	a.LM71 - kolej 2 (bez dyn. souč.)	P	0	146	0	1	0	-2	0	1.00	1.30		1.30	-	1.00	1.00	190	0	1	0	1	0	-3	0	-3	0	0	0
6	P1_C3	TTZ C3 - kolej 1 (bez dyn. souč.)	P	0	53	0	-3	0	-4	0	1.00	vyp.		0.00	-	1.00	0.00	0	0	0	0	0	0	0	0	0	0	0	0
7	P2_C3	TTZ C3 - kolej 2 (bez dyn. souč.)	P	0	115	0	1	0	-1	0	1.00	vyp.		0.00	-	1.00	0.00	0	0	0	0	0	0	0	0	0	0	0	0
8	BR	Brzdné a rozjezdové síly	P	0	2	0	0	0	0	0	1.00	1.30		1.30	-	1.00	0.80	2	0	0	0	0	0	0	0	0	0	0	0
9	S	Boční ráz	P	0	3	0	-1	0	0	0	1.00	0.00		0.00	-	1.00	0.40	0	0	0	0	0	0	0	0	0	0	0	0
10	CH	Chodci na lávkách	Q	0	13	0	0	0	0	0	1.00	1.30		1.30	-	1.00	1.00	17	0	0	0	0	0	0	0	0	0	0	0
11	W	Vítr na konstrukci	Q	0	5	0	-1	0	-6	0	1.00	-1.35		-1.35	-	1.00	0.75	-5	0	1	0	1	0	6	0	6	0	0	0
12	WP	Vítr na vozidla	Q	0	2	0	-2	0	-1	0	1.00	-1.35		-1.35	-	1.00	0.75	-2	0	2	0	2	0	1	0	1	0	0	0
13	TR	Teplota rovnoměrná	Q	0	0	0	0	0	0	0	1.00	1.35		1.35	-	1.00	0.45	0	0	0	0	0	0	0	0	0	0	0	0
14	TN	Teplota nerovnoměrná	Q	0	25	0	-2	0	-1	0	1.00	1.35		1.35	-	1.00	0.60	21	0	-2	0	-2	0	-1	0	-1	0	0	0
15	FR	Třecí síly v ložiskách	Q	0	0	0	0	0	0	0	1.00	1.20		1.20	-	1.00	1.00	0	0	0	0	0	0	0	0	0	0	0	0
16	I	Imperfekce soustavy	Q	0	1	0	0	0	0	0	1.00	1.20		1.20	-	1.00	1.00	1	0	0	0	0	0	0	0	0	0	0	0
27	ULS_LM	ULS - LM71 bez dynam	Q	0	405	0	-10	0	-16	0	1.00	vyp.		0.00	-	1.00	0.00	0	0	0	0	0	0	0	0	0	0	0	0
28	SLS_LM	SLS - LM71 bez dynam	Q	0	303	0	-7	0	-11	0	1.00	vyp.	1	0.00	-	1.00	0.00	0	0	0	0	0	0	0	0	0	0	0	0
29	ULS_C3	ULS - C3 bez dynam	Q	0	345	0	-9	0	-13	0	1.00	vyp.	1	0.00	-	1.00	0.00	0	0	0	0	0	0	0	0	0	0	0	0
30	SLS_C3	SLS - C3 bez dynam	Q	0	258	0	-6	0	-9	0	1.00	vyp.	1	0.00	-	1.00	0.00	0	0	0	0	0	0	0	0	0	0	0	0
		CELKEM - FÁZE PRŮŘEZU 0																388	0	-2	0	-2	0		0			0
		CELKEM - FÁZE PRŮŘEZU 1																0	0	0	0	0	0	0	0	0	0	0	0
		CELKEM - FÁZE PRŮŘEZU 2																0	0	0	0	0	0	0	0	0	0	0	0
		CELKEM - FÁZE PRŮŘEZU 3																0	0	0	0	0	0	0	0	0	0	0	0
		CELKEM - PRŮŘEZ																388	0	-2	0	-2	0		0			0	

Napětí od jednotlivých zatěžovacích stavů

SKUPINA ZATĚŽOVACÍCH STAVŮ					Posouzení normálového napětí										Posouzení smykového napětí													
					Účinek síly N			Účinek momentu My			Účinek momentu Mz				Účinek kroutícího momentu Mx				Účinek smykové síly Vy				Účinek smykové síly Vz			
Č.	SKUP ZS	Popis ZS	Kat.	fáze průř.	δ^*N_d [kN]	χ^*A [mm^2]	σ_n [MPa]	$\delta^*M_{y,d}$ [kNm]	$\chi_{lt}*W_{el,y}$ [mm^3]	σ_{my} [MPa]	$\delta^*M_{z,d}$ [kNm]	$W_{el,z}$ [mm^3]	σ_{mz} [MPa]	σ_x [MPa]	$\kappa*\delta^*M_{x,d}$ [kNm]	$W_{v,y}$ [mm^2]	$\tau_{x,y}$ [MPa]	$W_{v,z}$ [mm^2]	$\tau_{x,z}$ [MPa]	$\delta^*V_{y,d}$ [kN]	$A_{v,y}$ [mm2]	$\tau_{v,y}$ [MPa]	$\tau_{v,y}$ [MPa]	$\delta^*V_{z,d}$ [kN]	$A_{v,z}$ [mm2]	$\tau_{v,z}$ [MPa]	$\tau_{v,z}$ [MPa]
1	G0	Vlastní tíha OK	G	0	64.6	4.80E+03	13.5	1.5	5.84E+05	2.5	0.0	1.02E+05	0.0	16.0	0.0E+00	-	-	-	-	0.0	3.20E+03	0.0	0.0	-1.2	2.24E+03	-0.5	-0.5
2	G1	Ostatní stálé - mostní vybavení	G	0	7.3	4.80E+03	1.5	-0.1	5.84E+05	-0.2	0.0	1.02E+05	0.0	1.3	0.0E+00	-	-	-	-	0.0	3.20E+03	0.0	0.0	0.0	2.24E+03	0.0	0.0
3	G2	Ostatní stálé - cizí zařízení	G	0	4.6	4.80E+03	1.0	0.1	5.84E+05	0.1	0.0	1.02E+05	0.0	1.1	0.0E+00	-	-	-	-	0.0	3.20E+03	0.0	0.0	0.0	2.24E+03	0.0	0.0
4	P1_71	a.LM71 - kolej 1 (bez dyn. souč.)	P	0	87.2	4.80E+03	18.2	-6.2	5.84E+05	-10.6	0.0	1.02E+05	0.0	7.6	0.0E+00	-	-	-	-	0.0	3.20E+03	0.0	0.0	-4.8	2.24E+03	-2.1	-2.1
5	P2_71	a.LM71 - kolej 2 (bez dyn. souč.)	P	0	190.2	4.80E+03	39.6	-2.8	5.84E+05	-4.8	0.0	1.02E+05	-0.1	34.7	0.0E+00	-	-	-	-	0.0	3.20E+03	0.0	0.0	1.5	2.24E+03	0.7	0.7
6	P1_C3	TTZ C3 - kolej 1 (bez dyn. souč.)	P	0	0.0	4.80E+03	0.0	0.0	5.84E+05	0.0	0.0	1.02E+05	0.0	0.0	0.0E+00	-	-	-	-	0.0	3.20E+03	0.0	0.0	0.0	2.24E+03	0.0	0.0
7	P2_C3	TTZ C3 - kolej 2 (bez dyn. souč.)	P	0	0.0	4.80E+03	0.0	0.0	5.84E+05	0.0	0.0	1.02E+05	0.0	0.0	0.0E+00	-	-	-	-	0.0	3.20E+03	0.0	0.0	0.0	2.24E+03	0.0	0.0
8	BR	Brzdné a rozjezdové síly	P	0	2.4	4.80E+03	0.5	-0.1	5.84E+05	-0.1	0.0	1.02E+05	0.0	0.4	0.0E+00	-	-	-	-	0.0	3.20E+03	0.0	0.0	-0.1	2.24E+03	0.0	0.0
9	S	Boční ráz	P	0	0.0	4.80E+03	0.0	0.0	5.84E+05	0.0	0.0	1.02E+05	0.0	0.0	0.0E+00	-	-	-	-	0.0	3.20E+03	0.0	0.0	0.0	2.24E+03	0.0	0.0
10	CH	Chodci na lávkách	Q	0	16.7	4.80E+03	3.5	0.3	5.84E+05	0.5	0.0	1.02E+05	0.0	4.0	0.0E+00	-	-	-	-	0.0	3.20E+03	0.0	0.0	0.2	2.24E+03	0.1	0.1
11	W	Vítr na konstrukci	Q	0	-4.8	4.80E+03	-1.0	6.0	5.84E+05	10.4	0.0	1.02E+05	0.0	9.4	0.0E+00	-	-	-	-	0.0	3.20E+03	0.0	0.0	1.2	2.24E+03	0.5	0.5
12	WP	Vítr na vozidla	Q	0	-2.2	4.80E+03	-0.5	1.4	5.84E+05	2.4	0.0	1.02E+05	0.0	1.9	0.0E+00	-	-	-	-	0.0	3.20E+03	0.0	0.0	2.4	2.24E+03	1.1	1.1
13	TR	Teplota rovnoměrná	Q	0	0.0	4.80E+03	0.0	0.0	5.84E+05	0.0	0.0	1.02E+05	0.0	0.0	0.0E+00	-	-	-	-	0.0	3.20E+03	0.0	0.0	0.0	2.24E+03	0.0	0.0
14	TN	Teplota nerovnoměrná	Q	0	20.6	4.80E+03	4.3	-0.8	5.84E+05	-1.4	0.0	1.02E+05	-0.1	2.8	0.0E+00	-	-	-	-	0.0	3.20E+03	0.0	0.0	-1.6	2.24E+03	-0.7	-0.7
15	FR	Třecí síly v ložiskách	Q	0	0.5	4.80E+03	0.1	0.0	5.84E+05	0.0	0.0	1.02E+05	0.0	0.1	0.0E+00	-	-	-	-	0.0	3.20E+03	0.0	0.0	0.0	2.24E+03	0.0	0.0
16	I	Imperfekce soustavy	Q	0	1.0	4.80E+03	0.2	0.3	5.84E+05	0.5	0.0	1.02E+05	0.0	0.7	0.0E+00	-	-	-	-	0.0	3.20E+03	0.0	0.0	0.3	2.24E+03	0.1	0.1
27	ULS_LM	ULS - LM71 bez dynam	Q	0	0.0	4.80E+03	0.0	0.0	5.84E+05	0.0	0.0	1.02E+05	0.0	0.0	0.0E+00	-	-	-	-	0.0	3.20E+03	0.0	0.0	0.0	2.24E+03	0.0	0.0
28	SLS_LM	SLS - LM71 bez dynam	Q	0	0.0	4.80E+03	0.0	0.0	5.84E+05	0.0	0.0	1.02E+05	0.0	0.0	0.0E+00	-	-	-	-	0.0	3.20E+03	0.0	0.0	0.0	2.24E+03	0.0	0.0
29	ULS_C3	ULS - C3 bez dynam	Q	0	0.0	4.80E+03	0.0	0.0	5.84E+05	0.0	0.0	1.02E+05	0.0	0.0	0.0E+00	-	-	-	-	0.0	3.20E+03	0.0	0.0	0.0	2.24E+03	0.0	0.0
30	SLS_C3	SLS - C3 bez dynam	Q	0	0.0	4.80E+03	0.0	0.0	5.84E+05	0.0	0.0	1.02E+05	0.0	0.0	0.0E+00	-	-	-	-	0.0	3.20E+03	0.0	0.0	0.0	2.24E+03	0.0	0.0
NAVÝŠENÍ NAPĚTÍ DO AKTIVACE TLAKU V DESCE MOSTOVKY						$\sigma_{P,red}$	0.0							0.0			0.0		0.0								-1.0	-1.0
NAPĚTÍ OD PRIMÁRNÍCH ÚČINKŮ NEROVNOMĚRNÉHO OTEPLENÍ						σ_T	0.0							0.0														
NAPĚTÍ OD REOLOGICKÝCH ÚČINKŮ BETONU V ČASE				t=0		σ_R	0.0	γ=	1.20					0.0														
NAPĚTÍ V KRITICKÝCH VLÁKNECH OD KOMBINACE ZATÍŽENÍ						KZ03		[MPa]					$\Sigma\sigma_x$	79.8								$\Sigma\tau_y$	0.0			$\Sigma\tau_z$	-1.0
NAPĚTÍ OD POHYBLIVÉHO ZATÍŽENÍ								[MPa]					$\sigma_{z,P}$	42.6								τ_P	0.0			τ_P	-1.5
NAPĚTÍ OD OSTATNÍCH ZATÍŽENÍ								[MPa]			Φ_{Vy}	Φ_{Vz}	$\sigma_{z,rs}$	37.2								τ_{rs}	0.0			τ_{rs}	0.6
NÁVRHOVÁ HODNOTA MEZE KLUZU S REDUKCÍ VLIVEM SMYKOVÉHO NAPĚTÍ								[MPa]			1.00	1.00	$f_{yv,d}$	209.1								$f_{yd}/3^{0,5}$	120.7			$f_{yd}/3^{0,5}$	120.7
NAPĚTÍ OD POHYBLIVÉHO ZATÍŽENÍ V GLOBÁLNÍM SYSTÉMU						$\sigma_{GLOB,P}$	0.0	[MPa]					$\Sigma\sigma_{GLOB}$	0.0													
NAPĚTÍ OD OSTATNÍCH ZATÍŽENÍ V GLOBÁLNÍM SYSTÉMU						$\sigma_{GLOB,rs}$	0.0	[MPa]					$\Sigma\sigma_z + \Sigma\sigma_{GLOB}$	79.8													
VYUŽITÍ PRŮŘEZU DLE NAPĚTÍ								[%]					η_1	0.38								η_3	0.00			η_3	0.01
NAPĚTÍ V PŘÍČNÉM SMĚRU OD POHYBLIVÉHO ZATÍŽENÍ						$\sigma_{z,P}$	0.0	[MPa]					$\Sigma\sigma_z$	0.0													
NAPĚTÍ V PŘÍČNÉM SMĚRU OD OSTATNÍCH ZATÍŽENÍ						$\sigma_{z,rs}$	0.0	[MPa]					η_2	0.00													
SROVNÁVACÍ NAPĚTÍ													$(\eta_2 + 0,8\,\eta_1)/1,4$ =	0.22													
VYUŽITÍ PRŮŘEZU CELKEM								[%]					eff	0.38	VYHOVUJE												
													z_{LM71} =	4.03													

TAB. V8.1.3 POSOUZENÍ - MEZNÍ STAV ÚNOSNOSTI

POPIS	SVISLICE V8
PRUT / POLOHA BODU	402 / 2/4
NAMÁHÁNÍ	Vz.min
VLÁKNO	BOD S5 -HL
MEZNÍ STAV	ULS (MSÚ)
VYUŽITÍ VLÁKNA PRŮŘEZU	0.20

Charakteristiky materiálu				
pás. horní	$f_{yf,k}$	230	MPa	
pás. dolní	$f_{yf,k}$	230	MPa	
stojina	$f_{yw,k}$	230	MPa	
výztuž	$f_{ys,k}$	500	MPa	
	γ_M =	1.10	γ_s =	1.15

Excentricita normálové síly				
Exc./Fáze	0	1	2	3
e_y	0.000	0.000	0.000	0.000
e_z	0.000	0.000	0.000	0.000
Ekvivalentní vzdál. stěn - příčný roznos				
b_{Mx}	0.000	0.000	0.000	0.000

Vliv stěny na únosnost průřezu				
Char./Fáze	0	1	2	3
A	0.00	0.00	0.00	0.00
Wy	0.00	0.00	0.00	0.00
Wz	0.00	0.00	0.00	0.00

Charakter. v kroucení			
$t_{w,y}$	0.000	[mm]	
$t_{w,z}$	0.000	[mm]	
κ	1.00		
I_t=	0.00E+00	[mm^4]	
Ω=2*A_{pz}	0.00E+00	[mm^2]	

Součinitele vzpěru a vlivu II.řádu					
Char./Fáze	0	1	2	3	4
k_y	1.000	1.000	1.000	1.000	
k_z	1.000	1.000	1.000	1.000	
χ_{LT}	1.000	1.000	1.000	1.000	
χ_{min}	1.000	1.000	1.000	1.000	

Vnitřní síly od jednotlivých skupin zatěžovacích stavů

SKUPINA ZATĚŽOVACÍCH STAVŮ — Návrhové hodnoty: KZ04

Č.	SKUP ZS	POPIS ZS	KAT.	FÁZE PRŮŘ.	- CHARAKTERISTICKÉ HODNOTY N.k (kN)	Vy.k (kN)	Vz.k (kN)	Mx.k (kNm)	My.k (kNm)	Mz.k (kNm)	DÍLČÍ SOUČINITELÉ ZATÍŽENÍ, DYNAMICKÝ SOUČINITEL γ_{sr} (-)	γ_{fs} (-)	volba γ_f hledat	γ_f (-)	L_d (m)	δ (-)	- NÁVRHOVÉ HODNOTY Ψ_E KZ04	N.d (kN)	Vy.d (kN)	Vz.d (kN)	ΔVz.d (kN)	ΣVz.d (kN)	Mx.d (kNm)	My.d (kNm)	ΔMy.d (kNm)	ΣMy.d (kNm)	Mz.d (kNm)	ΔMz.d (kNm)	ΣMz.d (kNm)
1	G0	Vlastní tíha OK	G	0	57	0	-1	0	1	0	1.00	1.20		1.20	-	1.00	0.95	65	0	-1	0	-1	0	1	0	1	0	0	0
2	G1	Ostatní stálé - mostní vybavení	G	0	6	0	0	0	0	0	1.00	1.20		1.20	-	1.00	0.95	7	0	0	0	0	0	0	0	0	0	0	0
3	G2	Ostatní stálé - cizí zařízení	G	0	4	0	0	0	0	0	1.00	1.00		1.00	-	1.00	0.95	4	0	0	0	0	0	0	0	0	0	0	0
4	P1_71	a.LM71 - kolej 1 (bez dyn. souč.)	P	0	64	0	-4	0	-5	0	1.00	1.30		1.30	-	1.00	1.00	83	0	-5	0	-5	0	-6	0	-6	0	0	0
5	P2_71	a.LM71 - kolej 2 (bez dyn. souč.)	P	0	85	0	-1	0	-3	0	1.00	1.30		1.30	-	1.00	1.00	111	0	-1	0	-1	0	-3	0	-3	0	0	0
6	P1_C3	TTZ C3 - kolej 1 (bez dyn. souč.)	P	0	50	0	-3	0	-4	0	1.00	vyp.		0.00	-	1.00	0.00	0	0	0	0	0	0	0	0	0	0	0	0
7	P2_C3	TTZ C3 - kolej 2 (bez dyn. souč.)	P	0	60	0	0	0	-2	0	1.00	vyp.		0.00	-	1.00	0.00	0	0	0	0	0	0	0	0	0	0	0	0
8	BR	Brzdné a rozjezdové síly	P	0	2	0	0	0	0	0	1.00	1.30		1.30	-	1.00	0.40	1	0	0	0	0	0	0	0	0	0	0	0
9	S	Boční ráz	P	0	3	0	-1	0	0	0	1.00	1.30		1.30	-	1.00	0.80	3	0	-1	0	-1	0	0	0	0	0	0	0
10	CH	Chodci na lávkách	Q	0	6	0	0	0	0	0	1.00	1.30		1.30	-	1.00	1.00	8	0	0	0	0	0	0	0	0	0	0	0
11	W	Vítr na konstrukci	Q	0	5	0	-1	0	-6	0	1.00	1.35		1.35	-	1.00	0.75	5	0	-1	0	-1	0	-6	0	-6	0	0	0
12	WP	Vítr na vozidla	Q	0	2	0	-2	0	-1	0	1.00	1.35		1.35	-	1.00	0.75	2	0	-2	0	-2	0	-1	0	-1	0	0	0
13	TR	Teplota rovnoměrná	Q	0	0	0	0	0	0	0	1.00	1.35		1.35	-	1.00	0.45	0	0	0	0	0	0	0	0	0	0	0	0
14	TN	Teplota nerovnoměrná	Q	0	25	0	-2	0	-1	0	1.00	1.35		1.35	-	1.00	0.60	21	0	-2	0	-2	0	-1	0	-1	0	0	0
15	FR	Třecí síly v ložiskách	Q	0	0	0	0	0	0	0	1.00	1.20		1.20	-	1.00	1.00	0	0	0	0	0	0	0	0	0	0	0	0
16	I	Imperfekce soustavy	Q	0	-1	0	0	0	0	0	1.00	1.20		1.20	-	1.00	1.00	-1	0	0	0	0	0	0	0	0	0	0	0
27	ULS_LM	ULS - LM71 bez dynam	Q	0	310	0	-14	0	-17	0	1.00	vyp.		0.00	-	1.00	0.00	0	0	0	0	0	0	0	0	0	0	0	0
28	SLS_LM	SLS - LM71 bez dynam	Q	0	230	0	-9	0	-12	0	1.00	vyp.	1	0.00	-	1.00	0.00	0	0	0	0	0	0	0	0	0	0	0	0
29	ULS_C3	ULS - C3 bez dynam	Q	0	259	0	-13	0	-15	0	1.00	vyp.	1	0.00	-	1.00	0.00	0	0	0	0	0	0	0	0	0	0	0	0
30	SLS_C3	SLS - C3 bez dynam	Q	0	192	0	-9	0	-11	0	1.00	vyp.	1	0.00	-	1.00	0.00	0	0	0	0	0	0	0	0	0	0	0	0
		CELKEM - FÁZE PRŮŘEZU 0																308	0	-14	0	-14	0	-17	0	-17	0	0	0
		CELKEM - FÁZE PRŮŘEZU 1																0	0	0	0	0	0	0	0	0	0	0	0
		CELKEM - FÁZE PRŮŘEZU 2																0	0	0	0	0	0	0	0	0	0	0	0
		CELKEM - FÁZE PRŮŘEZU 3																0	0	0	0	0	0	0	0	0	0	0	0
		CELKEM - PRŮŘEZ																308	0	-14	0	-14	0			-17			0

Napětí od jednotlivých zatěžovacích stavů

SKUPINA ZATĚŽOVACÍCH STAVŮ

Č.	SKUP ZS	Popis ZS	Kat.	fáze prúř.	Posouzení normálového napětí — Účinek síly N δ^*N_d [kN]	χ^*A [mm^2]	σ_n [MPa]	Účinek momentu My $\delta^*M_{y,d}$ [kNm]	$\chi_{lt}*W_{el,y}$ [mm^3]	σ_{my} [MPa]	Účinek momentu Mz $\delta^*M_{z,d}$ [kNm]	$W_{el,z}$ [mm^3]	σ_{mz} [MPa]	σ_x [MPa]	Posouzení smykového napětí — Účinek kroutícího momentu Mx $\kappa*\delta^*M_{x,d}$ [kNm]	$W_{v,y}$ [mm^2]	$\tau_{x,y}$ [MPa]	$W_{v,z}$ [mm^2]	$\tau_{x,z}$ [MPa]	Účinek smykové síly Vy $\delta^*V_{y,d}$ [kN]	$A_{v,y}$ [mm2]	$\tau_{v,y}$ [MPa]	$\tau_{v,y}$ [MPa]	Účinek smykové síly Vz $\delta^*V_{z,d}$ [kN]	$A_{v,z}$ [mm2]	$\tau_{v,z}$ [MPa]	$\tau_{v,z}$ [MPa]
1	G0	Vlastní tíha OK	G	0	64.6	4.80E+03	13.5	1.5	7.52E+05	1.9	0.0	-6.08E+05	0.0	15.4	0.0E+00	-	-	-	-	0.0	3.20E+03	0.0	0.0	-1.2	2.24E+03	-0.5	-0.5
2	G1	Ostatní stálé - mostní vybavení	G	0	7.3	4.80E+03	1.5	-0.1	7.52E+05	-0.2	0.0	-6.08E+05	0.0	1.3	0.0E+00	-	-	-	-	0.0	3.20E+03	0.0	0.0	0.0	2.24E+03	0.0	0.0
3	G2	Ostatní stálé - cizí zařízení	G	0	3.8	4.80E+03	0.8	0.1	7.52E+05	0.1	0.0	-6.08E+05	0.0	0.9	0.0E+00	-	-	-	-	0.0	3.20E+03	0.0	0.0	0.0	2.24E+03	0.0	0.0
4	P1_71	a.LM71 - kolej 1 (bez dyn. souč.)	P	0	82.6	4.80E+03	17.2	-6.2	7.52E+05	-8.2	0.0	-6.08E+05	0.0	9.0	0.0E+00	-	-	-	-	0.0	3.20E+03	0.0	0.0	-5.0	2.24E+03	-2.2	-2.2
5	P2_71	a.LM71 - kolej 2 (bez dyn. souč.)	P	0	110.7	4.80E+03	23.1	-3.3	7.52E+05	-4.4	0.0	-6.08E+05	0.0	18.7	0.0E+00	-	-	-	-	0.0	3.20E+03	0.0	0.0	-0.7	2.24E+03	-0.3	-0.3
6	P1_C3	TTZ C3 - kolej 1 (bez dyn. souč.)	P	0	0.0	4.80E+03	0.0	0.0	7.52E+05	0.0	0.0	-6.08E+05	0.0	0.0	0.0E+00	-	-	-	-	0.0	3.20E+03	0.0	0.0	0.0	2.24E+03	0.0	0.0
7	P2_C3	TTZ C3 - kolej 2 (bez dyn. souč.)	P	0	0.0	4.80E+03	0.0	0.0	7.52E+05	0.0	0.0	-6.08E+05	0.0	0.0	0.0E+00	-	-	-	-	0.0	3.20E+03	0.0	0.0	0.0	2.24E+03	0.0	0.0
8	BR	Brzdné a rozjezdové síly	P	0	1.2	4.80E+03	0.2	0.0	7.52E+05	0.0	0.0	-6.08E+05	0.0	0.2	0.0E+00	-	-	-	-	0.0	3.20E+03	0.0	0.0	0.0	2.24E+03	0.0	0.0
9	S	Boční ráz	P	0	2.7	4.80E+03	0.6	-0.5	7.52E+05	-0.6	0.0	-6.08E+05	0.0	-0.1	0.0E+00	-	-	-	-	0.0	3.20E+03	0.0	0.0	-0.9	2.24E+03	-0.4	-0.4
10	CH	Chodci na lávkách	Q	0	8.0	4.80E+03	1.7	0.0	7.52E+05	0.0	0.0	-6.08E+05	0.0	1.6	0.0E+00	-	-	-	-	0.0	3.20E+03	0.0	0.0	-0.2	2.24E+03	-0.1	-0.1
11	W	Vítr na konstrukci	Q	0	4.8	4.80E+03	1.0	-6.0	7.52E+05	-8.0	0.0	-6.08E+05	0.0	-7.0	0.0E+00	-	-	-	-	0.0	3.20E+03	0.0	0.0	-1.2	2.24E+03	-0.5	-0.5
12	WP	Vítr na vozidla	Q	0	2.2	4.80E+03	0.5	-1.4	7.52E+05	-1.8	0.0	-6.08E+05	0.0	-1.4	0.0E+00	-	-	-	-	0.0	3.20E+03	0.0	0.0	-2.4	2.24E+03	-1.1	-1.1
13	TR	Teplota rovnoměrná	Q	0	0.0	4.80E+03	0.0	0.0	7.52E+05	0.0	0.0	-6.08E+05	0.0	0.0	0.0E+00	-	-	-	-	0.0	3.20E+03	0.0	0.0	0.0	2.24E+03	0.0	0.0
14	TN	Teplota nerovnoměrná	Q	0	20.6	4.80E+03	4.3	-0.8	7.52E+05	-1.1	0.0	-6.08E+05	0.0	3.2	0.0E+00	-	-	-	-	0.0	3.20E+03	0.0	0.0	-1.6	2.24E+03	-0.7	-0.7
15	FR	Třecí síly v ložiskách	Q	0	0.5	4.80E+03	0.1	0.0	7.52E+05	0.0	0.0	-6.08E+05	0.0	0.1	0.0E+00	-	-	-	-	0.0	3.20E+03	0.0	0.0	0.0	2.24E+03	0.0	0.0
16	I	Imperfekce soustavy	Q	0	-1.0	4.80E+03	-0.2	-0.3	7.52E+05	-0.4	0.0	-6.08E+05	0.0	-0.6	0.0E+00	-	-	-	-	0.0	3.20E+03	0.0	0.0	-0.3	2.24E+03	-0.1	-0.1
27	ULS_LM	ULS - LM71 bez dynam	Q	0	0.0	4.80E+03	0.0	0.0	7.52E+05	0.0	0.0	-6.08E+05	0.0	0.0	0.0E+00	-	-	-	-	0.0	3.20E+03	0.0	0.0	0.0	2.24E+03	0.0	0.0
28	SLS_LM	SLS - LM71 bez dynam	Q	0	0.0	4.80E+03	0.0	0.0	7.52E+05	0.0	0.0	-6.08E+05	0.0	0.0	0.0E+00	-	-	-	-	0.0	3.20E+03	0.0	0.0	0.0	2.24E+03	0.0	0.0
29	ULS_C3	ULS - C3 bez dynam	Q	0	0.0	4.80E+03	0.0	0.0	7.52E+05	0.0	0.0	-6.08E+05	0.0	0.0	0.0E+00	-	-	-	-	0.0	3.20E+03	0.0	0.0	0.0	2.24E+03	0.0	0.0
30	SLS_C3	SLS - C3 bez dynam	Q	0	0.0	4.80E+03	0.0	0.0	7.52E+05	0.0	0.0	-6.08E+05	0.0	0.0	0.0E+00	-	-	-	-	0.0	3.20E+03	0.0	0.0	0.0	2.24E+03	0.0	0.0
NAVÝŠENÍ NAPĚTÍ DO AKTIVACE TLAKU V DESCE MOSTOVKY						$\sigma_{P,red}$	0.0							0.0			0.0		0.0						-6.0	-6.0
NAPĚTÍ OD PRIMÁRNÍCH ÚČINKŮ NEROVNOMĚRNÉHO OTEPLENÍ						σ_T	0.0							0.0												
NAPĚTÍ OD REOLOGICKÝCH ÚČINKŮ BETONU V ČASE		t=0				σ_R	0.0	γ_f=	1.20					0.0												
NAPĚTÍ V KRITICKÝCH VLÁKNECH OD KOMBINACE ZATÍŽENÍ					KZ04			[MPa]					$\Sigma\sigma_x$	41.3							$\Sigma\tau_y$	0.0			$\Sigma\tau_z$	-6.00
NAPĚTÍ OD POHYBLIVÉHO ZATÍŽENÍ								[MPa]					$\sigma_{x,P}$	27.8							τ_P	0.0			τ_P	-2.9
NAPĚTÍ OD OSTATNÍCH ZATÍŽENÍ								[MPa]			Φ_{Vy}	Φ_{Vz}	$\sigma_{x,rs}$	13.5							τ_{rs}	0.0			τ_{rs}	-3.1
NÁVRHOVÁ HODNOTA MEZE KLUZU S REDUKCÍ VLIVEM SMYKOVÉHO NAPĚTÍ								[MPa]			1.00	1.00	$f_{yw,d}$	209.1							$f_{yd}/3^{0,5}$	120.7			$f_{yd}/3^{0,5}$	120.7
NAPĚTÍ OD POHYBLIVÉHO ZATÍŽENÍ V GLOBÁLNÍM SYSTÉMU				$\sigma_{GLOB,P}$	0.0			[MPa]					$\Sigma\sigma_{GLOB}$	0.0												
NAPĚTÍ OD OSTATNÍCH ZATÍŽENÍ V GLOBÁLNÍM SYSTÉMU				$\sigma_{GLOB,rs}$	0.0			[MPa]					$\Sigma\sigma_x + \Sigma\sigma_{GLOB}$	41.3												
VYUŽITÍ PRŮŘEZU DLE NAPĚTÍ								[%]					η_1	0.20							η_3	0.00			η_3	0.05
NAPĚTÍ V PŘÍČNÉM SMĚRU OD POHYBLIVÉHO ZATÍŽENÍ				$\sigma_{z,P}$	0.0			[MPa]					$\Sigma\sigma_z$	0.0												
NAPĚTÍ V PŘÍČNÉM SMĚRU OD OSTATNÍCH ZATÍŽENÍ				$\sigma_{z,rs}$	0.0			[MPa]					η_2	0.00												
SROVNÁVACÍ NAPĚTÍ													$(\eta_2 + 0,8\,\eta_1)/1,4$ =	0.11												
VYUŽITÍ PRŮŘEZU CELKEM								[%]					eff	0.20	VYHOVUJE											
													z_{LM71} =	7.04												

VÝPOČET PRŮŘEZOVÝCH CHARAKTERISTIK

PRŮŘEZ: V8_2 **POPIS:** SVISLICE V8 - MIN MY

x = - **m**

DEFINOVÁNÍ PRŮŘEZU

ŠÍŘKA PÁSNICE ÚHELNÍKU	b f.t.l.o =	80	mm	**ÚHELNÍK HORNÍ VNĚJŠÍ LEVÝ**		**C.T.O.L**	
TLOUŠŤKA PÁSNICE ÚHELNÍKU	t f.t.l.o =	10	mm	OSLABENÍ PÁSNICE - TLOUŠŤKA	Δt f.t.l.o =	0	%
VÝŠKA STĚNY ÚHELNÍKU	h w.t.l.o =	70	mm				
TLOUŠŤKA STĚNY ÚHELNÍKU	t w.t.l.o =	10	mm	OSLABENÍ STĚNY - TLOUŠŤKA	Δt w.t.l.o =	15	%
ŠÍŘKA PÁSNICE ÚHELNÍKU	b f.t.r.o =	80	mm	**ÚHELNÍK HORNÍ VNĚJŠÍ PRAVÝ**		**C.T.O.R**	
TLOUŠŤKA PÁSNICE ÚHELNÍKU	t f.t.r.o =	10	mm	OSLABENÍ PÁSNICE - TLOUŠŤKA	Δt f.t.r.o =	0	%
VÝŠKA STĚNY ÚHELNÍKU	h w.t.r.o =	70	mm				
TLOUŠŤKA STĚNY ÚHELNÍKU	t w.t.r.o =	10	mm	OSLABENÍ STĚNY - TLOUŠŤKA	Δt w.t.r.0 =	15	%
ŠÍŘKA PÁSNICE ÚHELNÍKU	b f.t.l.i =	0	mm	**ÚHELNÍK HORNÍ VNITŘNÍ LEVÝ**		**C.T.I.L**	
TLOUŠŤKA PÁSNICE ÚHELNÍKU	t f.t.l.i =	0	mm	OSLABENÍ PÁSNICE - TLOUŠŤKA	Δt f.b.l.o =	0	%
VÝŠKA STĚNY ÚHELNÍKU	h w.t.l.i =	0	mm				
TLOUŠŤKA STĚNY ÚHELNÍKU	t w.t.l.i =	0	mm	OSLABENÍ STĚNY - TLOUŠŤKA	Δt w.b.l.o =	0	%
ŠÍŘKA PÁSNICE ÚHELNÍKU	b f.t.r.i =	0	mm	**ÚHELNÍK HORNÍ VNITŘNÍ PRAVÝ**		**C.T.I.R**	
TLOUŠŤKA PÁSNICE ÚHELNÍKU	t f.t.r.i =	0	mm	OSLABENÍ PÁSNICE - TLOUŠŤKA	Δt f.b.r.o =	0	%
VÝŠKA STĚNY ÚHELNÍKU	h w.t.r.i =	0	mm				
TLOUŠŤKA STĚNY ÚHELNÍKU	t w.t.r.i =	0	mm	OSLABENÍ STĚNY - TLOUŠŤKA	Δt w.b.r.o =	0	%
ŠÍŘKA PÁSNICE ÚHELNÍKU	b f.b.l.o =	80	mm	**ÚHELNÍK DOLNÍ VNĚJŠÍ LEVÝ**		**C.B.O.L**	
TLOUŠŤKA PÁSNICE ÚHELNÍKU	t f.b.l.o =	10	mm	OSLABENÍ PÁSNICE - TLOUŠŤKA	Δt f.t.l.i =	0	%
VÝŠKA STĚNY ÚHELNÍKU	h w.b.l.o =	70	mm				
TLOUŠŤKA STĚNY ÚHELNÍKU	t w.b.l.o =	10	mm	OSLABENÍ STĚNY - TLOUŠŤKA	Δt w.t.l.i =	15	%
ŠÍŘKA PÁSNICE ÚHELNÍKU	b f.b.r.o =	80	mm	**ÚHELNÍK DOLNÍ VNĚJŠÍ PRAVÝ**		**C.B.O.R**	
TLOUŠŤKA PÁSNICE ÚHELNÍKU	t f.b.r.o =	10	mm	OSLABENÍ PÁSNICE - TLOUŠŤKA	Δt f.t.r.i =	0	%
VÝŠKA STĚNY ÚHELNÍKU	h w.b.r.o =	70	mm				
TLOUŠŤKA STĚNY ÚHELNÍKU	t w.b.r.o =	10	mm	OSLABENÍ STĚNY - TLOUŠŤKA	Δt w.t.r.i =	15	%
PÁSNICE DOLNÍHO LEVÉHO ÚHELNÍKU	b f.b.l.i =	0	mm	**ÚHELNÍK DOLNÍ VNITŘNÍ LEVÝ**		**C.B.I.L**	
TLOUŠŤKA PÁSNICE ÚHELNÍKU	t f.b.l.i =	0	mm	OSLABENÍ PÁSNICE - TLOUŠŤKA	Δt f.b.l.i =	0	%
VÝŠKA STĚNY ÚHELNÍKU	h w.b.l.i =	0	mm				
TLOUŠŤKA STĚNY ÚHELNÍKU	t w.b.l.i =	0	mm	OSLABENÍ STĚNY - TLOUŠŤKA	Δt w.b.l.i =	0	%
PÁSNICE DOLNÍHO PRAVÉHO ÚHELNÍKU	b f.b.r.i =	0	mm	**ÚHELNÍK DOLNÍ VNITŘNÍ PRAVÝ**		**C.B.I.R**	
TLOUŠŤKA PÁSNICE ÚHELNÍKU	t f.b.r.i =	0	mm	OSLABENÍ PÁSNICE - TLOUŠŤKA	Δt f.b.r.i =	0	%
VÝŠKA STĚNY ÚHELNÍKU	h w.b.r.i =	0	mm				
TLOUŠŤKA STĚNY ÚHELNÍKU	t w.b.r.i =	0	mm	OSLABENÍ STĚNY - TLOUŠŤKA	Δt w.b.r.i =	0	%

DOLNÍ

ŠÍŘKA HORNÍ VLOŽKY - VNĚJŠÍ	b f.t =	0	mm			**HOR.T.O**	
TLOUŠŤKA VLOŽKY	t f.t =	0	mm	OSLABENÍ VLOŽKY	Δt f.t =	0	%
ŠÍŘKA HORNÍ VLOŽKY - VNITŘNÍ	b f.t =	0	mm			**HOR.T.I**	
TLOUŠŤKA VLOŽKY	t f.t =	0	mm	OSLABENÍ VLOŽKY	Δt f.t =	0	%
ŠÍŘKA DOLNÍ VLOŽKY - VNĚJŠÍ	b f.t =	0	mm			**HOR.B.O**	
TLOUŠŤKA VLOŽKY	t f.t =	0	mm	OSLABENÍ VLOŽKY	Δt f.t =	0	%
ŠÍŘKA DOLNÍ VLOŽKY - VNITŘNÍ	b f.t =	0	mm			**HOR.B.I**	
TLOUŠŤKA VLOŽKY	t f.t =	0	mm	OSLABENÍ VLOŽKY - VNITŘNÍ	Δt f.t =	0	%

VZD. OKRAJŮ PÁSNIC VNITŘNÍCH ÚHELNÍKŮ	464	mm
CELKOVÁ TLOUŠŤKA MEZI PÁSNICEMI ÚHELNÍKŮ I A .o	0	mm
CELKOVÁ TLOUŠŤKA MEZI PÁSNICEMI ÚHELNÍKŮ I A .r	13	mm

ZADÁNÍ ČÁSTI PRŮŘEZU:

č.prvku	b [mm]	h [mm]	y_0 [mm]	z_0 [mm]	popis části	druh oslabení	lokální ultimate	boulení servic.
1	80.0	10.0	-46.5	237.0	pásnice	0	1.000	1.000
2	8.5	70.0	-10.8	277.0	stěna	0	1.000	1.000
3	80.0	10.0	46.5	237.0	pásnice	0	1.000	1.000
4	8.5	70.0	10.8	277.0	stěna	0	1.000	1.000
5	0.0	0.0	-6.5	232.0	pásnice	0	1.000	1.000
6	0.0	0.0	-6.5	232.0	stěna	0	1.000	1.000
7	0.0	0.0	6.5	232.0	pásnice	0	1.000	1.000
8	0.0	0.0	6.5	232.0	stěna	0	1.000	1.000
9	80.0	10.0	-46.5	-237.0	pásnice	0	1.000	1.000
10	8.5	70.0	-10.8	-277.0	stěna	0	1.000	1.000
11	80.0	10.0	46.5	-237.0	pásnice	0	1.000	1.000
12	8.5	70.0	10.8	-277.0	stěna	0	1.000	1.000
13	0.0	0.0	-6.5	-232.0	pásnice	0	1.000	1.000
14	0.0	0.0	-6.5	-232.0	stěna	0	1.000	1.000
15	0.0	0.0	6.5	-232.0	pásnice	0	1.000	1.000
16	0.0	0.0	6.5	-232.0	stěna	0	1.000	1.000
17						0	1.000	1.000
18						0	1.000	1.000
19						0	1.000	1.000
20						0	1.000	1.000
21						0	1.000	1.000
22						0	1.000	1.000
23						0	1.000	1.000
24						0	1.000	1.000
25						0	1.000	1.000
26						0	1.000	1.000
27						0	1.000	1.000
28						0	1.000	1.000
29						0	1.000	1.000
30						0	1.000	1.000
31						0	1.000	1.000
32						0	1.000	1.000
33						0	1.000	1.000
34						0	1.000	1.000
35						0	1.000	1.000
36						0	1.000	1.000
37						0	1.000	1.000
38						0	1.000	1.000
39						0	1.000	1.000
40						0	1.000	1.000
41	0.0	0.0	0.0	232.0	pásnice	0	1.000	1.000
42	0.0	0.0	0.0	232.0	pásnice	0	1.000	1.000
43	0.0	0.0	0.0	-232.0	pásnice	0	1.000	1.000
44	0.0	0.0	0.0	-232.0	pásnice	0	1.000	1.000
45						0	1.000	1.000
46						0	1.000	1.000
47						0	1.000	1.000
48						0	1.000	1.000
49						0	1.000	1.000
50						0	1.000	1.000
51						0	1.000	1.000
52						0	1.000	1.000
53						0	1.000	1.000
54						0	1.000	1.000
55						0	1.000	1.000
56						0	1.000	1.000
57						0	1.000	1.000
58						0	1.000	1.000
59						0	1.000	1.000
60						0	1.000	1.000
61						0	1.000	1.000
62						0	1.000	1.000
63						0	1.000	1.000
64						0	1.000	1.000
65						0	1.000	1.000
66						0	1.000	1.000
67						0	1.000	1.000
68						0	1.000	1.000
69						0	1.000	1.000
70						0	1.000	1.000
71	8.5	-20.0	-10.8	277.0	nýt	0	1.000	1.000
72	8.5	-20.0	10.8	277.0	nýt	0	1.000	1.000
73	0	0	0	0	nýt	0	1.000	1.000
74	0	0	0	0	nýt	0	1.000	1.000
75	0	0	-10.8	-277.0	nýt	0	1.000	1.000
76	0	0	10.8	-277.0	nýt	0	1.000	1.000
77	0	0	0	0	nýt	0	1.000	1.000
78	0	0	0	0	nýt	0	1.000	1.000
79						0	1.000	1.000
80						0	1.000	1.000
81	0	0	0	0	nýt	0	1.000	1.000
82	0	0	0	0	nýt	0	1.000	1.000
83	0	0	0	0	nýt	0	1.000	1.000
84	0	0	0	0	nýt	0	1.000	1.000
85	0	0	0	0	nýt	0	1.000	1.000
86	0	0	0	0	nýt	0	1.000	1.000
87	0	0	0	0	nýt	0	1.000	1.000
88	0	0	0	0	nýt	0	1.000	1.000
89						0	1.000	1.000
90						0	1.000	1.000
91	0	0	0	0	nýt	0	1.000	1.000
92	0	0	0	0	nýt	0	1.000	1.000
93	0	0	0	0	nýt	0	1.000	1.000
94	0	0	0	0	nýt	0	1.000	1.000
95	0	0	0	0	nýt	0	1.000	1.000
96	0	0	0	0	nýt	0	1.000	1.000
97	0	0	0	0	nýt	0	1.000	1.000
98	0	0	0	0	nýt	0	1.000	1.000
99						0	1.000	1.000
100						0	1.000	1.000

VELIKOST POLOHA

NÝT Č.	SKUPINA	ŘEZ	RED.	di [mm]	ei [mm]	POPIS	AKTIVITA OTVORU	NAPĚTÍ sc [MPa]
1		-	1.00	20	35	nýt - t.o - úhelník	1	154.01
2		-	1.00	20	35	nýt - t.o - úhelník	1	153.76
3		-	1.00	0	35	nýt - t.i - úhelník	0	-
4		-	1.00	0	35	nýt - t.i - úhelník	0	-
5		-	1.00	20	35	nýt - b.o - úhelník	0	-54.62
6		-	1.00	20	35	nýt - b.o - úhelník	0	-54.87
7		-	1.00	0	35	nýt - b.i - úhelník	0	-
8		-	1.00	0	35	nýt - b.i - úhelník	0	-
9								
10								
11		-	1.00	0	35	nýt - t.i - úhelník	0	-
12		-	1.00	0	35	nýt - t.i - úhelník	0	-
13		-	1.00	0	35	nýt - t.r - úhelník	0	-
14		-	1.00	0	35	nýt - t.r - úhelník	0	-
15		-	1.00	0	35	nýt - b.l - úhelník	0	-
16		-	1.00	0	35	nýt - b.l - úhelník	0	-
17		-	1.00	0	35	nýt - b.r - úhelník	0	-
18		-	1.00	0	35	nýt - b.r - úhelník	0	-
19								
20								
21		-	1.00	0	-132	nýt - t.l	0	-
22		-	1.00	0	-132	nýt - t.l	0	-
23		-	1.00	0	132	nýt - t.r	0	-
24		-	1.00	0	132	nýt - t.r	0	-
25		-	1.00	0	-132	nýt - b.l	0	-
26		-	1.00	0	-132	nýt - b.l	0	-
27		-	1.00	0	132	nýt - b.r	0	-
28		-	1.00	0	132	nýt - b.r	0	-
29								
30								

VÝPOČET PRŮŘEZOVÝCH CHARAKTERISTIK

Properties	Basic	Ultimate		Serviceability	
y_i	0.0	0.0		0.0	[mm]
z_i	-18.0	-18.0		-18.0	[mm]
A_i	5.2400E+03	5.2400E+03		5.2400E+03	[mm²]
A_v	3.2000E+03	3.2000E+03		3.2000E+03	[mm²]
A_s	2.3800E+03	2.3800E+03		2.3800E+03	[mm²]
I_{y1}	3.3556E+08	3.3556E+08		3.3556E+08	[mm⁴]
I_w	8.8739E+06	8.8739E+06		8.8739E+06	[mm⁶]
i_y	253.1	253.1		253.1	[mm]
i_z	41.2	41.2		41.2	[mm]
$W_{y,1}$	1.0169E+06	1.0169E+06		1.0169E+06	[mm³]
$W_{z,1}$	-1.0259E+05	-1.0259E+05		-1.0259E+05	[mm³]
$W_{y,2}$	-1.1413E+06	-1.1413E+06		-1.1413E+06	[mm³]
$W_{z,2}$	-1.0259E+05	-1.0259E+05		-1.0259E+05	[mm³]
KRAJNÍ VLÁKNA PRŮŘEZU					
y_1	-86.5	-86.5		-86.5	[mm] min
z_1	312.0	312.0		312.0	[mm] max
y_2	86.5	86.5		-86.5	[mm] min
z_2	-312.0	-312.0		-312.0	[mm] min
y_3	86.5	86.5		86.5	[mm] max
z_3	312.0	312.0		312.0	[mm] max
y_4	86.5	86.5		86.5	[mm] max
z_4	-312.0	-312.0		-312.0	[mm] min
y_5	-15.0	-15.0		-15.0	[mm]
z_5	-242.0	-242.0		-242.0	[mm]
y_6	-15.0	-15.0		-15.0	[mm]
z_6	-312.0	-312.0		-312.0	[mm]

ÚPRAVA MOMENTŮ SETRVAČNOSTI V DŮSLEDKU ČLENĚNÍ PRŮŘEZU

OSA Y	1.00	V BLÍZKOSTI STYČNÍKOVÉHO PLECHU PŘÍČNÍKU PEVNÉ -> JAKO NEČLENĚNÝ
OSA Z	1.00	

SCHÉMA PROMĚNNÝCH

SCHÉMA ZADANÉHO PRŮŘEZU

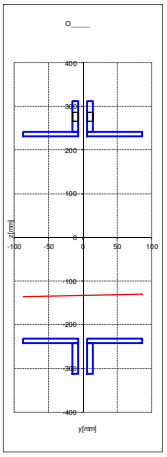

NEUTRÁLNÁ OSA

NAPĚTÍ [MPa]:

168.04	166.09
-66.95	-68.90

ZS: SLS_LM_MY MIN

	N [kN]	Vy [kN]	Vz [kN]	Mx [kNm]	My [kNm]	Mz [kNm]
import	224	0	-32	0	-126	0

TR_V8.2 POPIS: **SVISLICE V8** POSUDEK: **V8.2**

SKUPINA ZAT. STAVŮ	EXTRÉM	VYHODNOCOVANÉ VELIČINY					
		N	Vy	Vz	Mx	My	Mz
		kN	kN	kN	kNm	kNm	kNm
G0	N.min	**19.46**	0	-0.73	0	-3.43	0
	N.max	**19.46**	0	-0.73	0	-3.43	0
	Vy.min	19.46	**0**	-0.73	0	-3.43	0
	Vy.max	19.46	**0**	-0.73	0	-3.43	0
	Vz.min	19.46	0	**-0.73**	0	-3.43	0
	Vz.max	19.46	0	**-0.73**	0	-3.43	0
	Mx.min	19.46	0	-0.73	**0**	-3.43	0
	Mx.max	19.46	0	-0.73	**0**	-3.43	0
	My.min	19.46	0	-0.73	0	**-3.43**	0
	My.max	19.46	0	-0.73	0	**-3.43**	0
	Mz.min	19.46	0	-0.73	0	-3.43	**0**
	Mz.max	19.46	0	-0.73	0	-3.43	**0**
G1	N.min	**3.53**	0	-0.09	0	-0.53	0
	N.max	**3.53**	0	-0.09	0	-0.53	0
	Vy.min	3.53	**0**	-0.09	0	-0.53	0
	Vy.max	3.53	**0**	-0.09	0	-0.53	0
	Vz.min	3.53	0	**-0.09**	0	-0.53	0
	Vz.max	3.53	0	**-0.09**	0	-0.53	0
	Mx.min	3.53	0	-0.09	**0**	-0.53	0
	Mx.max	3.53	0	-0.09	**0**	-0.53	0
	My.min	3.53	0	-0.09	0	**-0.53**	0
	My.max	3.53	0	-0.09	0	**-0.53**	0
	Mz.min	3.53	0	-0.09	0	-0.53	**0**
	Mz.max	3.53	0	-0.09	0	-0.53	**0**
G2	N.min	**2.36**	0	0.1	0	0.5	0
	N.max	**2.36**	0	0.1	0	0.5	0
	Vy.min	2.36	**0**	0.1	0	0.5	0
	Vy.max	2.36	**0**	0.1	0	0.5	0
	Vz.min	2.36	0	**0.1**	0	0.5	0
	Vz.max	2.36	0	**0.1**	0	0.5	0
	Mx.min	2.36	0	0.1	**0**	0.5	0
	Mx.max	2.36	0	0.1	**0**	0.5	0
	My.min	2.36	0	0.1	0	**0.5**	0
	My.max	2.36	0	0.1	0	**0.5**	0
	Mz.min	2.36	0	0.1	0	0.5	**0**
	Mz.max	2.36	0	0.1	0	0.5	**0**
P1_71	N.min	**-2.84**	-0.01	-1.68	0	-11.61	-0.03
	N.max	**53.19**	0	-9.08	0	-38.77	0.01
	Vy.min	24.51	**-0.05**	-5.37	0	-25.17	-0.13
	Vy.max	9.46	**0.05**	-3.15	0	-16.68	0.12
	Vz.min	48.04	-0.01	**-10.96**	0	-50.72	-0.01
	Vz.max	0	0	**0**	0	0	0
	Mx.min	19.27	0.05	-4.54	**0**	-22.61	0.12
	Mx.max	17.54	-0.05	-4.29	**0**	-21.6	-0.13
	My.min	48.04	-0.01	-10.96	0	**-50.72**	-0.01
	My.max	0	0	0	0	**0**	0
	Mz.min	17.46	-0.05	-4.32	0	-21.59	**-0.13**
	Mz.max	14.4	0.05	-3.86	0	-19.91	**0.12**
P2_71	N.min	**-21.59**	0.02	7.55	0	27.92	0.05
	N.max	**132.67**	-0.01	-6.01	0	-22.12	-0.01
	Vy.min	43.91	**-0.12**	1.41	0	5.62	-0.3
	Vy.max	27.25	**0.12**	2.44	0	9.29	0.31
	Vz.min	121.77	-0.01	**-6.88**	0	-25.37	0
	Vz.max	-18.98	0.01	**8.36**	0	30.77	0.04
	Mx.min	43.42	-0.03	1.16	**0**	3.52	-0.03
	Mx.max	43.84	0.03	1.25	**0**	3.94	0.03
	My.min	128.8	-0.01	-6.86	0	**-25.83**	0
	My.max	-20.32	0.01	8.36	0	**30.85**	0.04
	Mz.min	42.83	-0.11	1.64	0	5.64	**-0.31**
	Mz.max	41.12	0.11	1.78	0	6.17	**0.31**
P1_C3	N.min	**-2.57**	-0.01	-1.27	0	-8.57	-0.03
	N.max	**38.66**	0.01	-6.86	0	-29.51	0.02
	Vy.min	26.84	**-0.04**	-5.36	0	-24.3	-0.11
	Vy.max	7.12	**0.04**	-2.51	0	-13.64	0.1
	Vz.min	34.22	0	**-8.43**	0	-39.46	-0.01
	Vz.max	0	0	**0**	0	0	0
	Mx.min	9.68	0.04	-2.86	**0**	-14.98	0.1
	Mx.max	5.82	-0.04	-2.33	**0**	-12.88	-0.11
	My.min	34.19	0	-8.43	0	**-39.47**	-0.01
	My.max	0	0	0	0	**0**	0
	Mz.min	15.38	-0.04	-3.7	0	-18.07	**-0.11**
	Mz.max	9.7	0.04	-2.88	0	-15.07	**0.1**
P2_C3	N.min	**-18.2**	0.01	6.12	0	22.49	0.01
	N.max	**95.26**	-0.01	-3.85	0	-14.34	0
	Vy.min	41.16	**-0.1**	0.63	0	2.78	-0.26
	Vy.max	35.26	**0.1**	1.04	0	4.28	0.26
	Vz.min	89.89	0	**-5.08**	0	-18.74	0
	Vz.max	-14.46	0.01	**7.19**	0	26.21	0.02
	Mx.min	15.39	-0.02	2.29	**0**	7.97	-0.03
	Mx.max	15.26	0.02	2.29	**0**	8.03	0.03
	My.min	89.89	0	-5.08	0	**-18.74**	0
	My.max	-14.46	0.01	7.19	0	**26.22**	0.02
	Mz.min	38.73	-0.1	1	0	3.73	**-0.26**
	Mz.max	38.17	0.1	1.06	0	3.98	**0.27**
BR	N.min	**-10.68**	-0.05	0.28	0	1.21	-0.22
	N.max	**10.68**	0.05	-0.28	0	-1.21	0.22
	Vy.min	-10.68	**-0.05**	0.28	0	1.21	-0.22
	Vy.max	10.68	**0.05**	-0.28	0	-1.21	0.22
	Vz.min	10.68	0.05	**-0.28**	0	-1.21	0.22
	Vz.max	-10.68	-0.05	**0.28**	0	1.21	-0.22
	Mx.min	-10.68	-0.05	0.28	**0**	1.21	-0.22
	Mx.max	10.68	0.05	-0.28	**0**	-1.21	0.22
	My.min	10.68	0.05	-0.28	0	**-1.21**	0.22
	My.max	-10.68	-0.05	0.28	0	**1.21**	-0.22
	Mz.min	-10.68	-0.05	0.28	0	1.21	**-0.22**
	Mz.max	10.68	0.05	-0.28	0	-1.21	**0.22**

TR_V8.2 POPIS: **SVISLICE V8** POSUDEK: **V8.2**

SKUPINA ZAT. STAVŮ	EXTRÉM	VYHODNOCOVANÉ VELIČINY					
		N	Vy	Vz	Mx	My	Mz
		kN	kN	kN	kNm	kNm	kNm
S	N.min	**-7.42**	0	1.7	0	7.75	-0.01
	N.max	**7.42**	0	-1.7	0	-7.75	0.01
	Vy.min	7.32	**-0.01**	-2.77	0	-11.3	-0.04
	Vy.max	-7.32	**0.01**	2.77	0	11.3	0.04
	Vz.min	7.32	0.01	**-2.78**	0	-11.3	0.03
	Vz.max	-7.32	-0.01	**2.78**	0	11.3	-0.03
	Mx.min	7.4	-0.01	-1.65	**0**	-7.59	-0.02
	Mx.max	-7.4	0.01	1.65	**0**	7.59	0.02
	My.min	7.32	0.01	-2.78	0	**-11.3**	0.03
	My.max	-7.32	-0.01	2.78	0	**11.3**	-0.03
	Mz.min	7.32	-0.01	-2.77	0	-11.3	**-0.04**
	Mz.max	-7.32	0.01	2.77	0	11.3	**0.04**
CH	N.min	**3.47**	0.01	-0.35	0	-1.55	0.02
	N.max	**7.42**	0	0.39	0	1.88	0
	Vy.min	3.56	**-0.01**	-0.36	0	-1.58	-0.03
	Vy.max	3.47	**0.01**	-0.35	0	-1.55	0.02
	Vz.min	3.56	-0.01	**-0.36**	0	-1.58	-0.03
	Vz.max	7.42	0	**0.39**	0	1.88	0
	Mx.min	3.56	-0.01	-0.36	**0**	-1.58	-0.03
	Mx.max	3.47	0.01	-0.35	**0**	-1.55	0.02
	My.min	3.56	-0.01	-0.36	0	**-1.58**	-0.03
	My.max	7.42	0	0.39	0	**1.88**	0
	Mz.min	3.56	-0.01	-0.36	0	-1.58	**-0.03**
	Mz.max	3.47	0.01	-0.35	0	-1.55	**0.02**
W	N.min	**-10.82**	0	-6.01	0	-11.6	0.01
	N.max	**10.83**	0	6.01	0	11.58	-0.01
	Vy.min	10.83	**0**	6.01	0	11.58	-0.01
	Vy.max	-10.82	**0**	-6.01	0	-11.6	0.01
	Vz.min	-10.82	0	**-6.01**	0	-11.6	0.01
	Vz.max	10.83	0	**6.01**	0	11.58	-0.01
	Mx.min	10.83	0	6.01	**0**	11.58	-0.01
	Mx.max	-10.82	0	-6.01	**0**	-11.6	0.01
	My.min	-10.82	0	-6.01	0	**-11.6**	0.01
	My.max	10.83	0	6.01	0	**11.58**	-0.01
	Mz.min	10.83	0	6.01	0	11.58	**-0.01**
	Mz.max	-10.82	0	-6.01	0	-11.6	**0.01**
WP	N.min	**-17.26**	0.01	6.18	0	27.61	0.01
	N.max	**17.26**	-0.01	-6.18	0	-27.61	-0.01
	Vy.min	17.26	**-0.01**	-6.18	0	-27.61	-0.01
	Vy.max	-17.26	**0.01**	6.18	0	27.61	0.01
	Vz.min	17.26	-0.01	**-6.18**	0	-27.61	-0.01
	Vz.max	-17.26	0.01	**6.18**	0	27.61	0.01
	Mx.min	17.26	-0.01	-6.18	**0**	-27.61	-0.01
	Mx.max	-17.26	0.01	6.18	**0**	27.61	0.01
	My.min	17.26	-0.01	-6.18	0	**-27.61**	-0.01
	My.max	-17.26	0.01	6.18	0	**27.61**	0.01
	Mz.min	17.26	-0.01	-6.18	0	-27.61	**-0.01**
	Mz.max	-17.26	0.01	6.18	0	27.61	**0.01**
TR	N.min	**0**	0	0	0	0	0
	N.max	**0**	0	0	0	0	0
	Vy.min	0	**0**	0	0	0	0
	Vy.max	0	**0**	0	0	0	0
	Vz.min	0	0	**0**	0	0	0
	Vz.max	0	0	**0**	0	0	0
	Mx.min	0	0	0	**0**	0	0
	Mx.max	0	0	0	**0**	0	0
	My.min	0	0	0	0	**0**	0
	My.max	0	0	0	0	**0**	0
	Mz.min	0	0	0	0	0	**0**
	Mz.max	0	0	0	0	0	**0**
TN	N.min	**-70.02**	0.01	0.38	0	1.73	0
	N.max	**76.13**	-0.01	-5.49	0	-24.68	0
	Vy.min	70.02	**-0.01**	-0.38	0	-1.73	0
	Vy.max	-70.02	**0.01**	0.38	0	1.73	0
	Vz.min	76.13	-0.01	**-5.49**	0	-24.68	0
	Vz.max	-2.81	0	**4.02**	0	18.74	0
	Mx.min	-2.81	0	4.02	**0**	18.74	0
	Mx.max	76.13	-0.01	-5.49	**0**	-24.68	0
	My.min	76.13	-0.01	-5.49	0	**-24.68**	0
	My.max	-2.81	0	4.02	0	**18.74**	0
	Mz.min	70.02	-0.01	-0.38	0	-1.73	**0**
	Mz.max	-70.02	0.01	0.38	0	1.73	**0**
FR	N.min	**-1.97**	0	0.02	0	0.08	0
	N.max	**1.97**	0	-0.02	0	-0.08	0
	Vy.min	1.97	**0**	-0.02	0	-0.08	0
	Vy.max	-1.97	**0**	0.02	0	0.08	0
	Vz.min	1.97	0	**-0.02**	0	-0.08	0
	Vz.max	-1.97	0	**0.02**	0	0.08	0
	Mx.min	1.97	0	-0.02	**0**	-0.08	0
	Mx.max	-1.97	0	0.02	**0**	0.08	0
	My.min	1.97	0	-0.02	0	**-0.08**	0
	My.max	-1.97	0	0.02	0	**0.08**	0
	Mz.min	1.97	0	-0.02	0	-0.08	**0**
	Mz.max	-1.97	0	0.02	0	0.08	**0**
I	N.min	**-0.93**	0	-0.73	0	-3.37	**0**
	N.max	**0.93**	0	0.73	0	3.37	**0**
	Vy.min	0.93	**0**	0.73	0	3.37	**0**
	Vy.max	-0.93	**0**	-0.73	0	-3.37	**0**
	Vz.min	-0.93	0	**-0.73**	0	-3.37	**0**
	Vz.max	0.93	0	**0.73**	0	3.37	**0**
	Mx.min	0.93	0	0.73	**0**	3.37	**0**
	Mx.max	-0.93	0	-0.73	**0**	-3.37	**0**
	My.min	-0.93	0	-0.73	0	**-3.37**	**0**
	My.max	0.93	0	0.73	0	**3.37**	**0**
	Mz.min	0.93	0	0.73	0	3.37	**0**
	Mz.max	-0.93	0	-0.73	0	-3.37	**0**

TAB. V8.2.3 POSOUZENÍ - MEZNÍ STAV ÚNOSNOSTI

POPIS	SVISLICE V8
PRUT / POLOHA BODU	401 / I[343]
NAMÁHÁNÍ	My.min
VLÁKNO	BOD K2 -HP
MEZNÍ STAV	ULS (MSÚ)
VYUŽITÍ VLÁKNA PRŮŘEZU	1.17

Charakteristiky materiálu				
pás. horní	$f_{yf,k}$	230	MPa	
pás. dolní	$f_{yf,k}$	230	MPa	
stojina	$f_{yw,k}$	230	MPa	
výztuž	$f_{ys,k}$	500	MPa	
γ_M =	1.10	γ_s =	1.15	

Excentricita normálové síly				
Exc./Fáze	0	1	2	3
e_y	0.000	0.000	0.000	0.000
e_z	0.000	0.000	0.000	0.000
Ekvivalentní vzdál. stěn - příčný roznos				
b_{ekv}	0.000	0.000	0.000	0.000

Vliv stěny na únosnost průřezu				
Char./Fáze	0	1	2	3
A	0.00	0.00	0.00	0.00
Wy	0.00	0.00	0.00	0.00
Wz	0.00	0.00	0.00	0.00

Charakter. v kroucení			
$t_{w,y}$	0.000	[mm]	
$t_{w,z}$	0.000	[mm]	
κ	1.00		
I_t=	0.00E+00	[mm^4]	
$\Omega=2*A_{pr}$	0.00E+00	[mm^2]	

Součinitele vzpěru a vlivu II.řádu				
Char./Fáze	0	1	2	3
k_y	1.000	1.000	1.000	1.000
k_z	1.000	1.000	1.000	1.000
χ_{LT}	1.000	1.000	1.000	1.000
χ_{min}	1.000	1.000	1.000	1.000

Vnitřní síly od jednotlivých skupin zatěžovacích stavů

SKUPINA ZATĚŽOVACÍCH STAVŮ					- CHARAKTERISTICKÉ HODNOTY						DÍLČÍ SOUČINITELÉ ZATÍŽENÍ, DYNAMICKÝ SOUČINITEL						4	- NÁVRHOVÉ HODNOTY									
Č.	SKUP ZS	POPIS ZS	KAT.	FÁZE PRŮŘ.	N.k (kN)	Vy.k (kN)	Vz.k (kN)	Mx.k (kNm)	My.k (kNm)	Mz.k (kNm)	γ_{sup} (-)	γ_{inf} (-)	volba γ_i hledat	γ_i (-)	L_d (m)	δ (-)	Ψ_0 KZ04	N.d (kN)	Vy.d (kN)	Vz.d (kN)	ΔVz.d (kN)	ΣVz.d (kN)	Mx.d (kNm)	My.d (kNm)	ΔMy.d (kNm)	ΣMy.d (kNm)	Mz.d (kNm)	ΔMz.d (kNm)	ΣMz.d (kNm)
1	G0	Vlastní tíha OK	G	0	19	0	-1	0	-3	0	1.00	1.20		1.20	-	1.00	0.95	22	0	-1	0	-1	0	-4	0	-4	0	0	0
2	G1	Ostatní stálé - mostní vybavení	G	0	4	0	0	0	-1	0	1.00	1.20		1.20	-	1.00	0.95	4	0	0	0	0	0	-1	0	-1	0	0	0
3	G2	Ostatní stálé - cizí zařízení	G	0	2	0	0	0	1	0	1.00	1.00		1.00	-	1.00	0.95	2	0	0	0	0	0	0	0	0	0	0	0
4	P1_71	a.LM71 - kolej 1 (bez dyn. souč.)	P	0	48	0	-11	0	-51	0	1.00	1.30		1.30	-	1.00	1.00	62	0	-14	0	-14	0	-66	0	-66	0	0	0
5	P2_71	a.LM71 - kolej 2 (bez dyn. souč.)	P	0	129	0	-7	0	-26	0	1.00	1.30		1.30	-	1.00	1.00	167	0	-9	0	-9	0	-34	0	-34	0	0	0
6	P1_C3	TTZ C3 - kolej 1 (bez dyn. souč.)	P	0	34	0	-8	0	-39	0	1.00	vyp.		0.00	-	1.00	0.00	0	0	0	0	0	0	0	0	0	0	0	0
7	P2_C3	TTZ C3 - kolej 2 (bez dyn. souč.)	P	0	90	0	-5	0	-19	0	1.00	vyp.		0.00	-	1.00	0.00	0	0	0	0	0	0	0	0	0	0	0	0
8	BR	Brzdné a rozjezdové síly	P	0	11	0	0	0	-1	0	1.00	1.30		1.30	-	1.00	0.40	6	0	0	0	0	0	-1	0	-1	0	0	0
9	S	Boční ráz	P	0	7	0	-3	0	-11	0	1.00	1.30		1.30	-	1.00	0.80	8	0	-3	0	-3	0	-12	0	-12	0	0	0
10	CH	Chodci na lávkách	Q	0	4	0	0	0	-2	0	1.00	1.30		1.30	-	1.00	1.00	5	0	0	0	0	0	-2	0	-2	0	0	0
11	W	Vítr na konstrukci	Q	0	-11	0	-6	0	-12	0	1.00	1.35		1.35	-	1.00	0.75	-11	0	-6	0	-6	0	-12	0	-12	0	0	0
12	WP	Vítr na vozidla	Q	0	17	0	-6	0	-28	0	1.00	1.35		1.35	-	1.00	0.75	17	0	-6	0	-6	0	-28	0	-28	0	0	0
13	TR	Teplota rovnoměrná	Q	0	0	0	0	0	0	0	1.00	1.35		1.35	-	1.00	0.45	0	0	0	0	0	0	0	0	0	0	0	0
14	TN	Teplota nerovnoměrná	Q	0	76	0	-5	0	-25	0	1.00	1.35		1.35	-	1.00	0.60	62	0	-4	0	-4	0	-20	0	-20	0	0	0
15	FR	Třecí síly v ložiskách	Q	0	2	0	0	0	0	0	1.00	1.20		1.20	-	1.00	1.00	2	0	0	0	0	0	0	0	0	0	0	0
16	I	Imperfekce soustavy	Q	0	-1	0	-1	0	-3	0	1.00	1.20		1.20	-	1.00	1.00	-1	0	-1	0	-1	0	-4	0	-4	0	0	0
27	ULS_LM	ULS - LM71 bez dynam	Q	0	349	0	-46	0	-185	0	1.00	vyp.		0.00	-	1.00	0.00	0	0	0	0	0	0	0	0	0	0	0	0
28	SLS_LM	SLS - LM71 bez dynam	Q	0	224	0	-32	0	-126	0	1.00	vyp.	1	0.00	-	1.00	0.00	0	0	0	0	0	0	0	0	0	0	0	0
29	ULS_C3	ULS - C3 bez dynam	Q	0	281	0	-40	0	-161	0	1.00	vyp.	1	0.00	-	1.00	0.00	0	0	0	0	0	0	0	0	0	0	0	0
30	SLS_C3	SLS - C3 bez dynam	Q	0	172	0	-27	0	-108	0	1.00	vyp.	1	0.00	-	1.00	0.00	0	0	0	0	0	0	0	0	0	0	0	0
		CELKEM - FÁZE PRŮŘEZU 0																346	0	-45	0	-45	0	-182	0	-182	0	0	0
		CELKEM - FÁZE PRŮŘEZU 1																0	0	0	0	0	0	0	0	0	0	0	0
		CELKEM - FÁZE PRŮŘEZU 2																0	0	0	0	0	0	0	0	0	0	0	0
		CELKEM - FÁZE PRŮŘEZU 3																0	0	0	0	0	0	0	0	0	0	0	0
		CELKEM - PRŮŘEZ																346	0	-45	0	-45	0			-182			0

Napětí od jednotlivých zatěžovacích stavů

SKUPINA ZATĚŽOVACÍCH STAVŮ					Posouzení normálového napětí										Posouzení smykového napětí													
					Účinek síly N			Účinek momentu My			Účinek momentu Mz				Účinek kroutícího momentu Mx				Účinek smykové síly Vy				Účinek smykové síly Vz			
Č.	SKUP ZS	Popis ZS	Kat.	fáze průř.	δ^*N_d [kN]	χ^*A [mm^2]	σ_n [MPa]	$\delta^*M_{y,d}$ [kNm]	$\chi_{lt}*W_{el,y}$ [mm^3]	σ_{my} [MPa]	$\delta^*M_{z,d}$ [kNm]	$W_{el,z}$ [mm^3]	σ_{mz} [MPa]	σ_x [MPa]	$\kappa*\delta^*M_{x,d}$ [kNm]	$W_{v,y}$ [mm^2]	$\tau_{x,y}$ [MPa]	$W_{v,z}$ [mm^2]	$\tau_{x,z}$ [MPa]	$\delta^*V_{y,d}$ [kN]	$A_{v,y}$ [mm2]	$\tau_{v,y}$ [MPa]	$\tau_{v,y}$ [MPa]	$\delta^*V_{z,d}$ [kN]	$A_{v,z}$ [mm2]	$\tau_{v,z}$ [MPa]	$\tau_{v,z}$ [MPa]
1	G0	Vlastní tíha OK	G	0	22.2	5.24E+03	4.2	-3.9	-1.02E+06	3.8	0.0	1.03E+05	0.0	8.1	0.0E+00	-	-	-	-	0.0	3.20E+03	0.0	0.0	-0.8	2.38E+03	-0.3	-0.3
2	G1	Ostatní stálé - mostní vybavení	G	0	4.0	5.24E+03	0.8	-0.6	-1.02E+06	0.6	0.0	1.03E+05	0.0	1.4	0.0E+00	-	-	-	-	0.0	3.20E+03	0.0	0.0	-0.1	2.38E+03	0.0	0.0
3	G2	Ostatní stálé - cizí zařízení	G	0	2.2	5.24E+03	0.4	0.5	-1.02E+06	-0.5	0.0	1.03E+05	0.0	0.0	0.0E+00	-	-	-	-	0.0	3.20E+03	0.0	0.0	0.1	2.38E+03	0.0	0.0
4	P1_71	a.LM71 - kolej 1 (bez dyn. souč.)	P	0	62.5	5.24E+03	11.9	-65.9	-1.02E+06	64.8	0.0	1.03E+05	-0.1	76.6	0.0E+00	-	-	-	-	0.0	3.20E+03	0.0	0.0	-14.2	2.38E+03	-6.0	-6.0
5	P2_71	a.LM71 - kolej 2 (bez dyn. souč.)	P	0	167.4	5.24E+03	32.0	-33.6	-1.02E+06	33.0	0.0	1.03E+05	0.0	65.0	0.0E+00	-	-	-	-	0.0	3.20E+03	0.0	0.0	-8.9	2.38E+03	-3.7	-3.7
6	P1_C3	TTZ C3 - kolej 1 (bez dyn. souč.)	P	0	0.0	5.24E+03	0.0	0.0	-1.02E+06	0.0	0.0	1.03E+05	0.0	0.0	0.0E+00	-	-	-	-	0.0	3.20E+03	0.0	0.0	0.0	2.38E+03	0.0	0.0
7	P2_C3	TTZ C3 - kolej 2 (bez dyn. souč.)	P	0	0.0	5.24E+03	0.0	0.0	-1.02E+06	0.0	0.0	1.03E+05	0.0	0.0	0.0E+00	-	-	-	-	0.0	3.20E+03	0.0	0.0	0.0	2.38E+03	0.0	0.0
8	BR	Brzdné a rozjezdové síly	P	0	5.6	5.24E+03	1.1	-0.6	-1.02E+06	0.6	0.1	1.03E+05	1.1	2.8	0.0E+00	-	-	-	-	0.0	3.20E+03	0.0	0.0	-0.1	2.38E+03	-0.1	-0.1
9	S	Boční ráz	P	0	7.6	5.24E+03	1.5	-11.8	-1.02E+06	11.6	0.0	1.03E+05	0.3	13.3	0.0E+00	-	-	-	-	0.0	3.20E+03	0.0	0.0	-2.9	2.38E+03	-1.2	-1.2
10	CH	Chodci na lávkách	Q	0	4.6	5.24E+03	0.9	-2.1	-1.02E+06	2.0	0.0	1.03E+05	-0.4	2.5	0.0E+00	-	-	-	-	0.0	3.20E+03	0.0	0.0	-0.5	2.38E+03	-0.2	-0.2
11	W	Vítr na konstrukci	Q	0	-11.0	5.24E+03	-2.1	-11.7	-1.02E+06	11.5	0.0	1.03E+05	0.1	9.6	0.0E+00	-	-	-	-	0.0	3.20E+03	0.0	0.0	-6.1	2.38E+03	-2.6	-2.6
12	WP	Vítr na vozidla	Q	0	17.5	5.24E+03	3.3	-28.0	-1.02E+06	27.5	0.0	1.03E+05	-0.1	30.7	0.0E+00	-	-	-	-	0.0	3.20E+03	0.0	0.0	-6.3	2.38E+03	-2.6	-2.6
13	TR	Teplota rovnoměrná	Q	0	0.0	5.24E+03	0.0	0.0	-1.02E+06	0.0	0.0	1.03E+05	0.0	0.0	0.0E+00	-	-	-	-	0.0	3.20E+03	0.0	0.0	0.0	2.38E+03	0.0	0.0
14	TN	Teplota nerovnoměrná	Q	0	61.7	5.24E+03	11.8	-20.0	-1.02E+06	19.7	0.0	1.03E+05	0.0	31.4	0.0E+00	-	-	-	-	0.0	3.20E+03	0.0	0.0	-4.4	2.38E+03	-1.9	-1.9
15	FR	Třecí síly v ložiskách	Q	0	2.4	5.24E+03	0.5	-0.1	-1.02E+06	0.1	0.0	1.03E+05	0.0	0.5	0.0E+00	-	-	-	-	0.0	3.20E+03	0.0	0.0	0.0	2.38E+03	0.0	0.0
16	I	Imperfekce soustavy	Q	0	-1.1	5.24E+03	-0.2	-4.0	-1.02E+06	4.0	0.0	1.03E+05	0.0	3.8	0.0E+00	-	-	-	-	0.0	3.20E+03	0.0	0.0	-0.9	2.38E+03	-0.4	-0.4
27	ULS_LM	ULS - LM71 bez dynam	Q	0	0.0	5.24E+03	0.0	0.0	-1.02E+06	0.0	0.0	1.03E+05	0.0	0.0	0.0E+00	-	-	-	-	0.0	3.20E+03	0.0	0.0	0.0	2.38E+03	0.0	0.0
28	SLS_LM	SLS - LM71 bez dynam	Q	0	0.0	5.24E+03	0.0	0.0	-1.02E+06	0.0	0.0	1.03E+05	0.0	0.0	0.0E+00	-	-	-	-	0.0	3.20E+03	0.0	0.0	0.0	2.38E+03	0.0	0.0
29	ULS_C3	ULS - C3 bez dynam	Q	0	0.0	5.24E+03	0.0	0.0	-1.02E+06	0.0	0.0	1.03E+05	0.0	0.0	0.0E+00	-	-	-	-	0.0	3.20E+03	0.0	0.0	0.0	2.38E+03	0.0	0.0
30	SLS_C3	SLS - C3 bez dynam	Q	0	0.0	5.24E+03	0.0	0.0	-1.02E+06	0.0	0.0	1.03E+05	0.0	0.0	0.0E+00	-	-	-	-	0.0	3.20E+03	0.0	0.0	0.0	2.38E+03	0.0	0.0
NAVÝŠENÍ NAPĚTÍ DO AKTIVACE TLAKU V DESCE MOSTOVKY						$\sigma_{P,red}$	0.0							0.0			0.0		0.0				0.0	0.0			-19.0	-19.0
NAPĚTÍ OD PRIMÁRNÍCH ÚČINKŮ NEROVNOMĚRNÉHO OTEPLENÍ						σ_T	0.0							0.0														
NAPĚTÍ OD REOLOGICKÝCH ÚČINKŮ BETONU V ČASE				t=0		σ_R	0.0	γ=	1.20					0.0														
NAPĚTÍ V KRITICKÝCH VLÁKNECH OD KOMBINACE ZATÍŽENÍ						KZ04		[MPa]					$\Sigma\sigma_x$	245.7								$\Sigma\tau_y$	0.0			$\Sigma\tau_z$	-19.0
NAPĚTÍ OD POHYBLIVÉHO ZATÍŽENÍ								[MPa]					$\sigma_{x,P}$	157.7								τ_P	0.0			τ_P	-11.0
NAPĚTÍ OD OSTATNÍCH ZATÍŽENÍ								[MPa]			Φ_{vy}	Φ_{vz}	$\sigma_{x,rs}$	87.9								τ_{rs}	0.0			τ_{rs}	-8.0
NÁVRHOVÁ HODNOTA MEZE KLUZU S REDUKCÍ VLIVEM SMYKOVÉHO NAPĚTÍ								[MPa]			1.00	1.00	$f_{yw,d}$	209.1								$f_{yd}/3^{0,5}$	120.7			$f_{yd}/3^{0,5}$	120.7
NAPĚTÍ OD POHYBLIVÉHO ZATÍŽENÍ V GLOBÁLNÍM SYSTÉMU						$\sigma_{GLOB,P}$	0.0	[MPa]					$\Sigma\sigma_{GLOB}$	0.0													
NAPĚTÍ OD OSTATNÍCH ZATÍŽENÍ V GLOBÁLNÍM SYSTÉMU						$\sigma_{GLOB,rs}$	0.0	[MPa]					$\Sigma\sigma_x + \Sigma\sigma_{GLOB}$	245.7													
VYUŽITÍ PRŮŘEZU DLE NAPĚTÍ								[%]					η_1	1.17								η_3	0.00			η_3	0.16
NAPĚTÍ V PŘÍČNÉM SMĚRU OD POHYBLIVÉHO ZATÍŽENÍ						$\sigma_{z,P}$	0.0	[MPa]					$\Sigma\sigma_z$	0.0													
NAPĚTÍ V PŘÍČNÉM SMĚRU OD OSTATNÍCH ZATÍŽENÍ						$\sigma_{z,rs}$	0.0	[MPa]					η_2	0.00													
SROVNÁVACÍ NAPĚTÍ													$(\eta2 + 0,8\ \eta1)/1,4 =$	0.67													
VYUŽITÍ PRŮŘEZU CELKEM								[%]					eff	1.17	NEVYHOUJE												
													Z_{LM71} =	0.77													

TAB. V8.2.3 POSOUZENÍ - MEZNÍ STAV ÚNOSNOSTI

POPIS	SVISLICE V8
PRUT / POLOHA BODU	401 / I[343]
NAMÁHÁNÍ	My.min
VLÁKNO	BOD K4 -SP
MEZNÍ STAV	ULS (MSÚ)
VYUŽITÍ VLÁKNA PRŮŘEZU	0.45

Charakteristiky materiálu				
pás. horní	$f_{yf,k}$	230	MPa	
pás. dolní	$f_{yf,k}$	230	MPa	
stojina	$f_{yw,k}$	230	MPa	
výztuž	$f_{ys,k}$	500	MPa	
γ_M =	1.10	γ_s =	1.15	

Excentricita normálové síly				
Exc./Fáze	0	1	2	3
e_y	0.000	0.000	0.000	0.000
e_z	0.000	0.000	0.000	0.000
Ekvivalentní vzdál. stěn - příčný roznos				
b_{ekv}	0.000	0.000	0.000	0.000

Vliv stěny na únosnost průřezu				
Char./Fáze	0	1	2	3
A	0.00	0.00	0.00	0.00
Wy	0.00	0.00	0.00	0.00
Wz	0.00	0.00	0.00	0.00

Charakter. v kroucení			
$t_{w,y}$	0.000	[mm]	
$t_{w,z}$	0.000	[mm]	
κ	1.00		
I_t=	0.00E+00	[mm^4]	
$\Omega=2*A_{pr}$	0.00E+00	[mm^2]	

Součinitele vzpěru a vlivu II.řádu				
Char./Fáze	0	1	2	3
k_y	1.000	1.000	1.000	1.000
k_z	1.000	1.000	1.000	1.000
χ_{LT}	1.000	1.000	1.000	1.000
χ_{min}	1.000	1.000	1.000	1.000

Vnitřní síly od jednotlivých skupin zatěžovacích stavů

SKUPINA ZATĚŽOVACÍCH STAVŮ					- CHARAKTERISTICKÉ HODNOTY						DÍLČÍ SOUČINITELÉ ZATÍŽENÍ, DYNAMICKÝ SOUČINITEL							- NÁVRHOVÉ HODNOTY									
Č.	SKUP ZS	POPIS ZS	KAT.	FÁZE PRŮŘ.	N.k (kN)	Vy.k (kN)	Vz.k (kN)	Mx.k (kNm)	My.k (kNm)	Mz.k (kNm)	γ_{sr} (-)	γ_{fs} (-)	volba γ_f hledat	γ_f (-)	L_d (m)	δ (-)	Ψ_s KZ04	N.d (kN)	Vy.d (kN)	Vz.d (kN)	ΔVz.d (kN)	ΣVz.d (kN)	Mx.d (kNm)	My.d (kNm)	ΔMy.d (kNm)	ΣMy.d (kNm)	Mz.d (kNm)	ΔMz.d (kNm)	ΣMz.d (kNm)
1	G0	Vlastní tíha OK	G	0	19	0	-1	0	-3	0	1.00	1.20		1.20	-	1.00	0.95	22	0	-1	0	-1	0	-4	0	-4	0	0	0
2	G1	Ostatní stálé - mostní vybavení	G	0	4	0	0	0	-1	0	1.00	1.20		1.20	-	1.00	0.95	4	0	0	0	0	0	-1	0	-1	0	0	0
3	G2	Ostatní stálé - cizí zařízení	G	0	2	0	0	0	1	0	1.00	1.00		1.00	-	1.00	0.95	2	0	0	0	0	0	0	0	0	0	0	0
4	P1_71	a.LM71 - kolej 1 (bez dyn. souč.)	P	0	48	0	-11	0	-51	0	1.00	1.30		1.30	-	1.00	1.00	62	0	-14	0	-14	0	-66	0	-66	0	0	0
5	P2_71	a.LM71 - kolej 2 (bez dyn. souč.)	P	0	129	0	-7	0	-26	0	1.00	1.30		1.30	-	1.00	1.00	167	0	-9	0	-9	0	-34	0	-34	0	0	0
6	P1_C3	TTZ C3 - kolej 1 (bez dyn. souč.)	P	0	34	0	-8	0	-39	0	1.00	vyp.		0.00	-	1.00	0.00	0	0	0	0	0	0	0	0	0	0	0	0
7	P2_C3	TTZ C3 - kolej 2 (bez dyn. souč.)	P	0	90	0	-5	0	-19	0	1.00	vyp.		0.00	-	1.00	0.00	0	0	0	0	0	0	0	0	0	0	0	0
8	BR	Brzdné a rozjezdové síly	P	0	11	0	0	0	-1	0	1.00	0.00		0.00	-	1.00	0.40	0	0	0	0	0	0	0	0	0	0	0	0
9	S	Boční ráz	P	0	7	0	-3	0	-11	0	1.00	1.30		1.30	-	1.00	0.80	8	0	-3	0	-3	0	-12	0	-12	0	0	0
10	CH	Chodci na lávkách	Q	0	4	0	0	0	-2	0	1.00	1.30		1.30	-	1.00	1.00	5	0	0	0	0	0	-2	0	-2	0	0	0
11	W	Vítr na konstrukci	Q	0	-11	0	-6	0	-12	0	1.00	1.35		1.35	-	1.00	0.75	-11	0	-6	0	-6	0	-12	0	-12	0	0	0
12	WP	Vítr na vozidla	Q	0	17	0	-6	0	-28	0	1.00	1.35		1.35	-	1.00	0.75	17	0	-6	0	-6	0	-28	0	-28	0	0	0
13	TR	Teplota rovnoměrná	Q	0	0	0	0	0	0	0	1.00	1.35		1.35	-	1.00	0.45	0	0	0	0	0	0	0	0	0	0	0	0
14	TN	Teplota nerovnoměrná	Q	0	76	0	-5	0	-25	0	1.00	1.35		1.35	-	1.00	0.60	62	0	-4	0	-4	0	-20	0	-20	0	0	0
15	FR	Třecí síly v ložiskách	Q	0	2	0	0	0	0	0	1.00	-1.20		-1.20	-	1.00	1.00	-2	0	0	0	0	0	0	0	0	0	0	0
16	I	Imperfekce soustavy	Q	0	-1	0	-1	0	-3	0	1.00	1.20		1.20	-	1.00	1.00	-1	0	-1	0	-1	0	-4	0	-4	0	0	0
27	ULS_LM	ULS - LM71 bez dynam	Q	0	349	0	-46	0	-185	0	1.00	vyp.		0.00	-	1.00	0.00	0	0	0	0	0	0	0	0	0	0	0	0
28	SLS_LM	SLS - LM71 bez dynam	Q	0	224	0	-32	0	-126	0	1.00	vyp.	1	0.00	-	1.00	0.00	0	0	0	0	0	0	0	0	0	0	0	0
29	ULS_C3	ULS - C3 bez dynam	Q	0	281	0	-40	0	-161	0	1.00	vyp.	1	0.00	-	1.00	0.00	0	0	0	0	0	0	0	0	0	0	0	0
30	SLS_C3	SLS - C3 bez dynam	Q	0	172	0	-27	0	-108	0	1.00	vyp.	1	0.00	-	1.00	0.00	0	0	0	0	0	0	0	0	0	0	0	0
		CELKEM - FÁZE PRŮŘEZU 0																335	0	-45	0	-45	0	-181	0	-181	0	0	0
		CELKEM - FÁZE PRŮŘEZU 1																0	0	0	0	0	0	0	0	0	0	0	0
		CELKEM - FÁZE PRŮŘEZU 2																0	0	0	0	0	0	0	0	0	0	0	0
		CELKEM - FÁZE PRŮŘEZU 3																0	0	0	0	0	0	0	0	0	0	0	0
		CELKEM - PRŮŘEZ																335	0	-45	0	-45	0			-181			0

Napětí od jednotlivých zatěžovacích stavů

SKUPINA ZATĚŽOVACÍCH STAVŮ					Posouzení normálového napětí										Posouzení smykového napětí													
					Účinek síly N			Účinek momentu My			Účinek momentu Mz				Účinek kroutícího momentu Mx				Účinek smykové síly Vy				Účinek smykové síly Vz			
Č.	SKUP ZS	Popis ZS	Kat.	fáze prúř.	δ^*N_d [kN]	χ^*A [mm^2]	σ_n [MPa]	$\delta^*M_{y,d}$ [kNm]	$\chi_{lt}*W_{el,y}$ [mm^3]	σ_{my} [MPa]	$\delta^*M_{z,d}$ [kNm]	$W_{el,z}$ [mm^3]	σ_{mz} [MPa]	σ_x [MPa]	$\kappa*\delta^*M_{x,d}$ [kNm]	$W_{v,y}$ [mm^2]	$\tau_{x,y}$ [MPa]	$W_{v,z}$ [mm^2]	$\tau_{x,z}$ [MPa]	$\delta^*V_{y,d}$ [kN]	$A_{v,y}$ [mm2]	$\tau_{v,y}$ [MPa]	$\tau_{v,y}$ [MPa]	$\delta^*V_{z,d}$ [kN]	$A_{v,z}$ [mm2]	$\tau_{v,z}$ [MPa]	$\tau_{v,z}$ [MPa]
1	G0	Vlastní tíha OK	G	0	22.2	5.24E+03	4.2	-3.9	1.14E+06	-3.4	0.0	1.03E+05	0.0	0.8	0.0E+00	-	-	-	-	0.0	3.20E+03	0.0	0.0	-0.8	2.38E+03	-0.3	-0.3
2	G1	Ostatní stálé - mostní vybavení	G	0	4.0	5.24E+03	0.8	-0.6	1.14E+06	-0.5	0.0	1.03E+05	0.0	0.2	0.0E+00	-	-	-	-	0.0	3.20E+03	0.0	0.0	-0.1	2.38E+03	0.0	0.0
3	G2	Ostatní stálé - cizí zařízení	G	0	2.2	5.24E+03	0.4	0.5	1.14E+06	0.4	0.0	1.03E+05	0.0	0.8	0.0E+00	-	-	-	-	0.0	3.20E+03	0.0	0.0	0.1	2.38E+03	0.0	0.0
4	P1_71	a.LM71 - kolej 1 (bez dyn. souč.)	P	0	62.5	5.24E+03	11.9	-65.9	1.14E+06	-57.8	0.0	1.03E+05	-0.1	-46.0	0.0E+00	-	-	-	-	0.0	3.20E+03	0.0	0.0	-14.2	2.38E+03	-6.0	-6.0
5	P2_71	a.LM71 - kolej 2 (bez dyn. souč.)	P	0	167.4	5.24E+03	32.0	-33.6	1.14E+06	-29.4	0.0	1.03E+05	0.0	2.5	0.0E+00	-	-	-	-	0.0	3.20E+03	0.0	0.0	-8.9	2.38E+03	-3.7	-3.7
6	P1_C3	TTZ C3 - kolej 1 (bez dyn. souč.)	P	0	0.0	5.24E+03	0.0	0.0	1.14E+06	0.0	0.0	1.03E+05	0.0	0.0	0.0E+00	-	-	-	-	0.0	3.20E+03	0.0	0.0	0.0	2.38E+03	0.0	0.0
7	P2_C3	TTZ C3 - kolej 2 (bez dyn. souč.)	P	0	0.0	5.24E+03	0.0	0.0	1.14E+06	0.0	0.0	1.03E+05	0.0	0.0	0.0E+00	-	-	-	-	0.0	3.20E+03	0.0	0.0	0.0	2.38E+03	0.0	0.0
8	BR	Brzdné a rozjezdové síly	P	0	0.0	5.24E+03	0.0	0.0	1.14E+06	0.0	0.0	1.03E+05	0.0	0.0	0.0E+00	-	-	-	-	0.0	3.20E+03	0.0	0.0	0.0	2.38E+03	0.0	0.0
9	S	Boční ráz	P	0	7.6	5.24E+03	1.5	-11.8	1.14E+06	-10.3	0.0	1.03E+05	0.3	-8.5	0.0E+00	-	-	-	-	0.0	3.20E+03	0.0	0.0	-2.9	2.38E+03	-1.2	-1.2
10	CH	Chodci na lávkách	Q	0	4.6	5.24E+03	0.9	-2.1	1.14E+06	-1.8	0.0	1.03E+05	-0.4	-1.3	0.0E+00	-	-	-	-	0.0	3.20E+03	0.0	0.0	-0.5	2.38E+03	-0.2	-0.2
11	W	Vítr na konstrukci	Q	0	-11.0	5.24E+03	-2.1	-11.7	1.14E+06	-10.3	0.0	1.03E+05	0.1	-12.3	0.0E+00	-	-	-	-	0.0	3.20E+03	0.0	0.0	-6.1	2.38E+03	-2.6	-2.6
12	WP	Vítr na vozidla	Q	0	17.5	5.24E+03	3.3	-28.0	1.14E+06	-24.5	0.0	1.03E+05	-0.1	-21.3	0.0E+00	-	-	-	-	0.0	3.20E+03	0.0	0.0	-6.3	2.38E+03	-2.6	-2.6
13	TR	Teplota rovnoměrná	Q	0	0.0	5.24E+03	0.0	0.0	1.14E+06	0.0	0.0	1.03E+05	0.0	0.0	0.0E+00	-	-	-	-	0.0	3.20E+03	0.0	0.0	0.0	2.38E+03	0.0	0.0
14	TN	Teplota nerovnoměrná	Q	0	61.7	5.24E+03	11.8	-20.0	1.14E+06	-17.5	0.0	1.03E+05	0.0	-5.7	0.0E+00	-	-	-	-	0.0	3.20E+03	0.0	0.0	-4.4	2.38E+03	-1.9	-1.9
15	FR	Třecí síly v ložiskách	Q	0	-2.4	5.24E+03	-0.5	0.1	1.14E+06	0.1	0.0	1.03E+05	0.0	-0.4	0.0E+00	-	-	-	-	0.0	3.20E+03	0.0	0.0	0.0	2.38E+03	0.0	0.0
16	I	Imperfekce soustavy	Q	0	-1.1	5.24E+03	-0.2	-4.0	1.14E+06	-3.5	0.0	1.03E+05	0.0	-3.8	0.0E+00	-	-	-	-	0.0	3.20E+03	0.0	0.0	-0.9	2.38E+03	-0.4	-0.4
27	ULS_LM	ULS - LM71 bez dynam	Q	0	0.0	5.24E+03	0.0	0.0	1.14E+06	0.0	0.0	1.03E+05	0.0	0.0	0.0E+00	-	-	-	-	0.0	3.20E+03	0.0	0.0	0.0	2.38E+03	0.0	0.0
28	SLS_LM	SLS - LM71 bez dynam	Q	0	0.0	5.24E+03	0.0	0.0	1.14E+06	0.0	0.0	1.03E+05	0.0	0.0	0.0E+00	-	-	-	-	0.0	3.20E+03	0.0	0.0	0.0	2.38E+03	0.0	0.0
29	ULS_C3	ULS - C3 bez dynam	Q	0	0.0	5.24E+03	0.0	0.0	1.14E+06	0.0	0.0	1.03E+05	0.0	0.0	0.0E+00	-	-	-	-	0.0	3.20E+03	0.0	0.0	0.0	2.38E+03	0.0	0.0
30	SLS_C3	SLS - C3 bez dynam	Q	0	0.0	5.24E+03	0.0	0.0	1.14E+06	0.0	0.0	1.03E+05	0.0	0.0	0.0E+00	-	-	-	-	0.0	3.20E+03	0.0	0.0	0.0	2.38E+03	0.0	0.0
NAVÝŠENÍ NAPĚTÍ DO AKTIVACE TLAKU V DESCE MOSTOVKY						$\sigma_{P,red}$	0.0							0.0			0.0		0.0							-18.9	-18.9
NAPĚTÍ OD PRIMÁRNÍCH ÚČINKŮ NEROVNOMĚRNÉHO OTEPLENÍ						σ_T	0.0							0.0													
NAPĚTÍ OD REOLOGICKÝCH ÚČINKŮ BETONU V ČASE				t=0		σ_R	0.0	γ_f=	1.20					0.0													
NAPĚTÍ V KRITICKÝCH VLÁKNECH OD KOMBINACE ZATÍŽENÍ						KZ04		[MPa]					$\Sigma\sigma_x$	-94.8								$\Sigma\tau_y$	0.0			$\Sigma\tau_z$	-18.9
NAPĚTÍ OD POHYBLIVÉHO ZATÍŽENÍ								[MPa]					$\sigma_{x,P}$	-52.0								τ_P	0.0			τ_P	-10.9
NAPĚTÍ OD OSTATNÍCH ZATÍŽENÍ								[MPa]			Φ_{Vy}	Φ_{Vz}	$\sigma_{x,rs}$	-42.8								τ_{rs}	0.0			τ_{rs}	-8.0
NÁVRHOVÁ HODNOTA MEZE KLUZU S REDUKCÍ VLIVEM SMYKOVÉHO NAPĚTÍ								[MPa]			1.00	1.00	$f_{yv,d}$	209.1								$f_{yd}/3^{0,5}$	120.7			$f_{yd}/3^{0,5}$	120.7
NAPĚTÍ OD POHYBLIVÉHO ZATÍŽENÍ V GLOBÁLNÍM SYSTÉMU						$\sigma_{GLOB,P}$	0.0	[MPa]					$\Sigma\sigma_{GLOB}$	0.0													
NAPĚTÍ OD OSTATNÍCH ZATÍŽENÍ V GLOBÁLNÍM SYSTÉMU						$\sigma_{GLOB,rs}$	0.0	[MPa]					$\Sigma\sigma_x + \Sigma\sigma_{GLOB}$	-94.8													
VYUŽITÍ PRŮŘEZU DLE NAPĚTÍ								[%]					η_1	0.45								η_3	0.00			η_3	0.16
NAPĚTÍ V PŘÍČNÉM SMĚRU OD POHYBLIVÉHO ZATÍŽENÍ						$\sigma_{z,P}$	0.0	[MPa]					$\Sigma\sigma_z$	0.0													
NAPĚTÍ V PŘÍČNÉM SMĚRU OD OSTATNÍCH ZATÍŽENÍ						$\sigma_{z,rs}$	0.0	[MPa]					η_2	0.00													
SROVNÁVACÍ NAPĚTÍ													$(\eta_2 + 0,8\,\eta_1)/1,4$ =	0.26													
VYUŽITÍ PRŮŘEZU CELKEM								[%]					eff	0.45	VYHOVUJE												
													z_{LM71} =	3.20													

TAB. V8.2.3 POSOUZENÍ - MEZNÍ STAV ÚNOSNOSTI

POPIS	SVISLICE V8
PRUT / POLOHA BODU	401 / I[343]
NAMÁHÁNÍ	Vz.min
VLÁKNO	BOD S6 -HP
MEZNÍ STAV	ULS (MSÚ)
VYUŽITÍ VLÁKNA PRŮŘEZU	0.45

Charakteristiky materiálu				
pás. horní	$f_{yf,k}$	230	MPa	
pás. dolní	$f_{yf,k}$	230	MPa	
stojina	$f_{yw,k}$	230	MPa	
výztuž	$f_{ys,k}$	500	MPa	
γ_M =	1.10	γ_s =	1.15	

Excentricita normálové síly				
Exc./Fáze	0	1	2	3
e_y	0.000	0.000	0.000	0.000
e_z	0.000	0.000	0.000	0.000
Ekvivalentní vzdál. stěn - příčný roznos				
b_{Mx}	0.000	0.000	0.000	0.000

Vliv stěny na únosnost průřezu				
Char./Fáze	0	1	2	3
A	0.00	0.00	0.00	0.00
Wy	0.00	0.00	0.00	0.00
Wz	0.00	0.00	0.00	0.00

Charakter. v kroucení			
$t_{w,y}$	0.000	[mm]	
$t_{w,z}$	0.000	[mm]	
κ	1.00		
I_t=	0.00E+00	[mm^4]	
Ω=2*A_{pz}	0.00E+00	[mm^2]	

Součinitele vzpěru a vlivu II.řádu					
Char./Fáze	0	1	2	3	
k_y	1.000	1.000	1.000	1.000	
k_z	1.000	1.000	1.000	1.000	
χ_{LT}	1.000	1.000	1.000	1.000	
χ_{min}	1.000	1.000	1.000	1.000	

4

Vnitřní síly od jednotlivých skupin zatěžovacích stavů

SKUPINA ZATĚŽOVACÍCH STAVŮ

Č.	SKUP ZS	POPIS ZS	KAT.	FÁZE PRŮŘ.	- CHARAKTERISTICKÉ HODNOTY N.k (kN)	Vy.k (kN)	Vz.k (kN)	Mx.k (kNm)	My.k (kNm)	Mz.k (kNm)	DÍLČÍ SOUČINITELÉ ZATÍŽENÍ, DYNAMICKÝ SOUČINITEL γ_{sr} (-)	γ_{fs} (-)	volba γ_f hledat	γ_f (-)	L_d (m)	δ (-)	γ_s KZ04	- NÁVRHOVÉ HODNOTY N.d (kN)	Vy.d (kN)	Vz.d (kN)	ΔVz.d (kN)	ΣVz.d (kN)	Mx.d (kNm)	My.d (kNm)	ΔMy.d (kNm)	ΣMy.d (kNm)	Mz.d (kNm)	ΔMz.d (kNm)	ΣMz.d (kNm)
1	G0	Vlastní tíha OK	G	0	19	0	-1	0	-3	0	1.00	1.20		1.20	-	1.00	0.95	22	0	-1	0	-1	0	-4	0	-4	0	0	0
2	G1	Ostatní stálé - mostní vybavení	G	0	4	0	0	0	-1	0	1.00	1.20		1.20	-	1.00	0.95	4	0	0	0	0	0	-1	0	-1	0	0	0
3	G2	Ostatní stálé - cizí zařízení	G	0	2	0	0	0	1	0	1.00	1.00		1.00	-	1.00	0.95	2	0	0	0	0	0	0	0	0	0	0	0
4	P1_71	a.LM71 - kolej 1 (bez dyn. souč.)	P	0	48	0	-11	0	-51	0	1.00	1.30		1.30	-	1.00	1.00	62	0	-14	0	-14	0	-66	0	-66	0	0	0
5	P2_71	a.LM71 - kolej 2 (bez dyn. souč.)	P	0	122	0	-7	0	-25	0	1.00	1.30		1.30	-	1.00	1.00	158	0	-9	0	-9	0	-33	0	-33	0	0	0
6	P1_C3	TTZ C3 - kolej 1 (bez dyn. souč.)	P	0	34	0	-8	0	-39	0	1.00	vyp.		0.00	-	1.00	0.00	0	0	0	0	0	0	0	0	0	0	0	0
7	P2_C3	TTZ C3 - kolej 2 (bez dyn. souč.)	P	0	90	0	-5	0	-19	0	1.00	vyp.		0.00	-	1.00	0.00	0	0	0	0	0	0	0	0	0	0	0	0
8	BR	Brzdné a rozjezdové síly	P	0	11	0	0	0	-1	0	1.00	1.30		1.30	-	1.00	0.40	6	0	0	0	0	0	-1	0	-1	0	0	0
9	S	Boční ráz	P	0	7	0	-3	0	-11	0	1.00	1.30		1.30	-	1.00	0.80	8	0	-3	0	-3	0	-12	0	-12	0	0	0
10	CH	Chodci na lávkách	Q	0	4	0	0	0	-2	0	1.00	1.30		1.30	-	1.00	1.00	5	0	0	0	0	0	-2	0	-2	0	0	0
11	W	Vítr na konstrukci	Q	0	-11	0	-6	0	-12	0	1.00	1.35		1.35	-	1.00	0.75	-11	0	-6	0	-6	0	-12	0	-12	0	0	0
12	WP	Vítr na vozidla	Q	0	17	0	-6	0	-28	0	1.00	1.35		1.35	-	1.00	0.75	17	0	-6	0	-6	0	-28	0	-28	0	0	0
13	TR	Teplota rovnoměrná	Q	0	0	0	0	0	0	0	1.00	1.35		1.35	-	1.00	0.45	0	0	0	0	0	0	0	0	0	0	0	0
14	TN	Teplota nerovnoměrná	Q	0	76	0	-5	0	-25	0	1.00	1.35		1.35	-	1.00	0.60	62	0	-4	0	-4	0	-20	0	-20	0	0	0
15	FR	Třecí síly v ložiskách	Q	0	2	0	0	0	0	0	1.00	1.20		1.20	-	1.00	1.00	2	0	0	0	0	0	0	0	0	0	0	0
16	I	Imperfekce soustavy	Q	0	-1	0	-1	0	-3	0	1.00	1.20		1.20	-	1.00	1.00	-1	0	-1	0	-1	0	-4	0	-4	0	0	0
27	ULS_LM	ULS - LM71 bez dynam	Q	0	340	0	-46	0	-184	0	1.00	vyp.		0.00	-	1.00	0.00	0	0	0	0	0	0	0	0	0	0	0	0
28	SLS_LM	SLS - LM71 bez dynam	Q	0	217	0	-32	0	-126	0	1.00	vyp.	1	0.00	-	1.00	0.00	0	0	0	0	0	0	0	0	0	0	0	0
29	ULS_C3	ULS - C3 bez dynam	Q	0	281	0	-40	0	-161	0	1.00	vyp.	1	0.00	-	1.00	0.00	0	0	0	0	0	0	0	0	0	0	0	0
30	SLS_C3	SLS - C3 bez dynam	Q	0	172	0	-27	0	-108	0	1.00	vyp.	1	0.00	-	1.00	0.00	0	0	0	0	0	0	0	0	0	0	0	0
		CELKEM - FÁZE PRŮŘEZU 0																336	0	-45	0	-45	0	-181	0	-181	0	0	0
		CELKEM - FÁZE PRŮŘEZU 1																0	0	0	0	0	0	0	0	0	0	0	0
		CELKEM - FÁZE PRŮŘEZU 2																0	0	0	0	0	0	0	0	0	0	0	0
		CELKEM - FÁZE PRŮŘEZU 3																0	0	0	0	0	0	0	0	0	0	0	0
		CELKEM - PRŮŘEZ																336	0	-45	0	-45	0			-181			0

Napětí od jednotlivých zatěžovacích stavů

SKUPINA ZATĚŽOVACÍCH STAVŮ

Č.	SKUP ZS	Popis ZS	Kat.	fáze průř.	Posouzení normálového napětí – Účinek síly N δ^*N_d [kN]	χ^*A [mm^2]	σ_n [MPa]	Účinek momentu My $\delta^*M_{y,d}$ [kNm]	$\chi_{lt}{}^*W_{el,y}$ [mm^3]	σ_{my} [MPa]	Účinek momentu Mz $\delta^*M_{z,d}$ [kNm]	$W_{el,z}$ [mm^3]	σ_{mz} [MPa]	σ_x [MPa]	Posouzení smykového napětí – Účinek kroutícího momentu Mx $\kappa^*\delta^*M_{x,d}$ [kNm]	$W_{v,y}$ [mm^2]	$\tau_{x,y}$ [MPa]	$W_{v,z}$ [mm^2]	$\tau_{x,z}$ [MPa]	Účinek smykové síly Vy $\delta^*V_{y,d}$ [kN]	$A_{v,y}$ [mm2]	$\tau_{v,y}$ [MPa]	$\tau_{v,y}$ [MPa]	Účinek smykové síly Vz $\delta^*V_{z,d}$ [kN]	$A_{v,z}$ [mm2]	$\tau_{v,z}$ [MPa]	$\tau_{v,z}$ [MPa]
1	G0	Vlastní tíha OK	G	0	22.2	5.24E+03	4.2	-3.9	1.14E+06	-3.4	0.0	-5.92E+05	0.0	0.8	0.0E+00	-	-	-	-	0.0	3.20E+03	0.0	0.0	-0.8	2.38E+03	-0.3	-0.3
2	G1	Ostatní stálé - mostní vybavení	G	0	4.0	5.24E+03	0.8	-0.6	1.14E+06	-0.5	0.0	-5.92E+05	0.0	0.2	0.0E+00	-	-	-	-	0.0	3.20E+03	0.0	0.0	-0.1	2.38E+03	0.0	0.0
3	G2	Ostatní stálé - cizí zařízení	G	0	2.2	5.24E+03	0.4	0.5	1.14E+06	0.4	0.0	-5.92E+05	0.0	0.8	0.0E+00	-	-	-	-	0.0	3.20E+03	0.0	0.0	0.1	2.38E+03	0.0	0.0
4	P1_71	a.LM71 - kolej 1 (bez dyn. souč.)	P	0	62.5	5.24E+03	11.9	-65.9	1.14E+06	-57.8	0.0	-5.92E+05	0.0	-45.8	0.0E+00	-	-	-	-	0.0	3.20E+03	0.0	0.0	-14.2	2.38E+03	-6.0	-6.0
5	P2_71	a.LM71 - kolej 2 (bez dyn. souč.)	P	0	158.3	5.24E+03	30.2	-33.0	1.14E+06	-28.9	0.0	-5.92E+05	0.0	1.3	0.0E+00	-	-	-	-	0.0	3.20E+03	0.0	0.0	-8.9	2.38E+03	-3.8	-3.8
6	P1_C3	TTZ C3 - kolej 1 (bez dyn. souč.)	P	0	0.0	5.24E+03	0.0	0.0	1.14E+06	0.0	0.0	-5.92E+05	0.0	0.0	0.0E+00	-	-	-	-	0.0	3.20E+03	0.0	0.0	0.0	2.38E+03	0.0	0.0
7	P2_C3	TTZ C3 - kolej 2 (bez dyn. souč.)	P	0	0.0	5.24E+03	0.0	0.0	1.14E+06	0.0	0.0	-5.92E+05	0.0	0.0	0.0E+00	-	-	-	-	0.0	3.20E+03	0.0	0.0	0.0	2.38E+03	0.0	0.0
8	BR	Brzdné a rozjezdové síly	P	0	5.6	5.24E+03	1.1	-0.6	1.14E+06	-0.6	0.1	-5.92E+05	-0.2	0.3	0.0E+00	-	-	-	-	0.0	3.20E+03	0.0	0.0	-0.1	2.38E+03	-0.1	-0.1
9	S	Boční ráz	P	0	7.6	5.24E+03	1.5	-11.8	1.14E+06	-10.3	0.0	-5.92E+05	-0.1	-8.9	0.0E+00	-	-	-	-	0.0	3.20E+03	0.0	0.0	-2.9	2.38E+03	-1.2	-1.2
10	CH	Chodci na lávkách	Q	0	4.6	5.24E+03	0.9	-2.1	1.14E+06	-1.8	0.0	-5.92E+05	0.1	-0.9	0.0E+00	-	-	-	-	0.0	3.20E+03	0.0	0.0	-0.5	2.38E+03	-0.2	-0.2
11	W	Vítr na konstrukci	Q	0	-11.0	5.24E+03	-2.1	-11.7	1.14E+06	-10.3	0.0	-5.92E+05	0.0	-12.4	0.0E+00	-	-	-	-	0.0	3.20E+03	0.0	0.0	-6.1	2.38E+03	-2.6	-2.6
12	WP	Vítr na vozidla	Q	0	17.5	5.24E+03	3.3	-28.0	1.14E+06	-24.5	0.0	-5.92E+05	0.0	-21.1	0.0E+00	-	-	-	-	0.0	3.20E+03	0.0	0.0	-6.3	2.38E+03	-2.6	-2.6
13	TR	Teplota rovnoměrná	Q	0	0.0	5.24E+03	0.0	0.0	1.14E+06	0.0	0.0	-5.92E+05	0.0	0.0	0.0E+00	-	-	-	-	0.0	3.20E+03	0.0	0.0	0.0	2.38E+03	0.0	0.0
14	TN	Teplota nerovnoměrná	Q	0	61.7	5.24E+03	11.8	-20.0	1.14E+06	-17.5	0.0	-5.92E+05	0.0	-5.7	0.0E+00	-	-	-	-	0.0	3.20E+03	0.0	0.0	-4.4	2.38E+03	-1.9	-1.9
15	FR	Třecí síly v ložiskách	Q	0	2.4	5.24E+03	0.5	-0.1	1.14E+06	-0.1	0.0	-5.92E+05	0.0	0.4	0.0E+00	-	-	-	-	0.0	3.20E+03	0.0	0.0	0.0	2.38E+03	0.0	0.0
16	I	Imperfekce soustavy	Q	0	-1.1	5.24E+03	-0.2	-4.0	1.14E+06	-3.5	0.0	-5.92E+05	0.0	-3.8	0.0E+00	-	-	-	-	0.0	3.20E+03	0.0	0.0	-0.9	2.38E+03	-0.4	-0.4
27	ULS_LM	ULS - LM71 bez dynam	Q	0	0.0	5.24E+03	0.0	0.0	1.14E+06	0.0	0.0	-5.92E+05	0.0	0.0	0.0E+00	-	-	-	-	0.0	3.20E+03	0.0	0.0	0.0	2.38E+03	0.0	0.0
28	SLS_LM	SLS - LM71 bez dynam	Q	0	0.0	5.24E+03	0.0	0.0	1.14E+06	0.0	0.0	-5.92E+05	0.0	0.0	0.0E+00	-	-	-	-	0.0	3.20E+03	0.0	0.0	0.0	2.38E+03	0.0	0.0
29	ULS_C3	ULS - C3 bez dynam	Q	0	0.0	5.24E+03	0.0	0.0	1.14E+06	0.0	0.0	-5.92E+05	0.0	0.0	0.0E+00	-	-	-	-	0.0	3.20E+03	0.0	0.0	0.0	2.38E+03	0.0	0.0
30	SLS_C3	SLS - C3 bez dynam	Q	0	0.0	5.24E+03	0.0	0.0	1.14E+06	0.0	0.0	-5.92E+05	0.0	0.0	0.0E+00	-	-	-	-	0.0	3.20E+03	0.0	0.0	0.0	2.38E+03	0.0	0.0
NAVÝŠENÍ NAPĚTÍ DO AKTIVACE TLAKU V DESCE MOSTOVKY						$\sigma_{P,red}$	0.0							0.0			0.0		0.0							-19.0	-19.0
NAPĚTÍ OD PRIMÁRNÍCH ÚČINKŮ NEROVNOMĚRNÉHO OTEPLENÍ						σ_T	0.0							0.0													
NAPĚTÍ OD REOLOGICKÝCH ÚČINKŮ BETONU V ČASE		t=0				σ_R	0.0	γ_f=	1.20					0.0													
NAPĚTÍ V KRITICKÝCH VLÁKNECH OD KOMBINACE ZATÍŽENÍ						KZ04		[MPa]					$\Sigma\sigma_x$	-94.7								$\Sigma\tau_y$	0.0			$\Sigma\tau_z$	-19.0
NAPĚTÍ OD POHYBLIVÉHO ZATÍŽENÍ								[MPa]					$\sigma_{x,P}$	-53.1								τ_P	0.0			τ_P	-11.0
NAPĚTÍ OD OSTATNÍCH ZATÍŽENÍ								[MPa]			Φ_{Vy}	Φ_{Vz}	$\sigma_{x,rs}$	-41.6								τ_{rs}	0.0			τ_{rs}	-8.0
NÁVRHOVÁ HODNOTA MEZE KLUZU S REDUKCÍ VLIVEM SMYKOVÉHO NAPĚTÍ								[MPa]			1.00	1.00	$f_{yv,d}$	209.1								$f_{yd}/3^{0,5}$	120.7			$f_{yd}/3^{0,5}$	120.7
NAPĚTÍ OD POHYBLIVÉHO ZATÍŽENÍ V GLOBÁLNÍM SYSTÉMU						$\sigma_{GLOB,P}$	0.0	[MPa]					$\Sigma\sigma_{GLOB}$	0.0													
NAPĚTÍ OD OSTATNÍCH ZATÍŽENÍ V GLOBÁLNÍM SYSTÉMU						$\sigma_{GLOB,rs}$	0.0	[MPa]					$\Sigma\sigma_x + \Sigma\sigma_{GLOB}$	-94.7													
VYUŽITÍ PRŮŘEZU DLE NAPĚTÍ								[%]					η_1	0.45								η_3	0.00			η_3	0.16
NAPĚTÍ V PŘÍČNÉM SMĚRU OD POHYBLIVÉHO ZATÍŽENÍ						$\sigma_{z,P}$	0.0	[MPa]					$\Sigma\sigma_z$	0.0													
NAPĚTÍ V PŘÍČNÉM SMĚRU OD OSTATNÍCH ZATÍŽENÍ						$\sigma_{z,rs}$	0.0	[MPa]					η_2	0.00													
SROVNÁVACÍ NAPĚTÍ													$(\eta_2 + 0{,}8\,\eta_1)/1{,}4$ =	0.26													
VYUŽITÍ PRŮŘEZU CELKEM								[%]					eff	0.45	VYHOVUJE											
													z_{LM71} =	3.15												

VÝPOČET PRŮŘEZOVÝCH CHARAKTERISTIK

PRŮŘEZ: L1_1a **POPIS:** PODÉLNÍK - 1 - KRAJ (U PŘÍČNÍKU 1) - ŘEZ a **x =** - **m**

DEFINOVÁNÍ PRŮŘEZU

PÁSNICE HORNÍHO LEVÉHO ÚHELNÍKU	b f.t.l.o =	8	mm				
TLOUŠŤKA PÁSNICE ÚHELNÍKU	t f.t.l.o =	8	mm	OSLABENÍ PÁSNICE - TLOUŠŤKA	Δt f.t.l.o =	0	%
VÝŠKA STĚNY ÚHELNÍKU	h w.t.l.o =	72	mm				
TLOUŠŤKA STĚNY ÚHELNÍKU	t w.t.l.o =	8	mm	OSLABENÍ STĚNY - TLOUŠŤKA	Δt w.t.l.o =	0	%
PÁSNICE HORNÍHO PRAVÉHO ÚHELNÍKU	b f.t.r.o =	8	mm				
TLOUŠŤKA PÁSNICE ÚHELNÍKU	t f.t.r.o =	8	mm	OSLABENÍ PÁSNICE - TLOUŠŤKA	Δt f.t.r.o =	0	%
VÝŠKA STĚNY ÚHELNÍKU	h w.t.r.o =	72	mm				
TLOUŠŤKA STĚNY ÚHELNÍKU	t w.t.r.o =	8	mm	OSLABENÍ STĚNY - TLOUŠŤKA	Δt w.t.r.0 =	0	%
PÁSNICE DOLNÍHO LEVÉHO ÚHELNÍKU	b f.b.l.o =	8	mm				
TLOUŠŤKA PÁSNICE ÚHELNÍKU	t f.b.l.o =	8	mm	OSLABENÍ PÁSNICE - TLOUŠŤKA	Δt f.b.l.o =	0	%
VÝŠKA STĚNY ÚHELNÍKU	h w.b.l.o =	72	mm				
TLOUŠŤKA STĚNY ÚHELNÍKU	t w.b.l.o =	8	mm	OSLABENÍ STĚNY - TLOUŠŤKA	Δt w.b.l.o =	0	%
PÁSNICE DOLNÍHO PRAVÉHO ÚHELNÍKU	b f.b.r.o =	8	mm				
TLOUŠŤKA PÁSNICE ÚHELNÍKU	t f.b.r.o =	8	mm	OSLABENÍ PÁSNICE - TLOUŠŤKA	Δt f.b.r.o =	0	%
VÝŠKA STĚNY ÚHELNÍKU	h w.b.r.o =	72	mm				
TLOUŠŤKA STĚNY ÚHELNÍKU	t w.b.r.o =	8	mm	OSLABENÍ STĚNY - TLOUŠŤKA	Δt w.b.r.o =	0	%
PŘÍLOŽKY STĚNY 2x	h w =	500	mm				
	t w =	8	mm	OSLABENÍ STĚNY	Δt w.l =	0	%
ŠÍŘKA HORNÍ PÁSNICE	b f.t =	0	mm	ARCH. DOK. - PÁSNICE UKONČENA PŘED PŘÍPOJEM			
TLOUŠŤKA HORNÍ PÁSNICE	t f.t =	0	mm	OSLABENÍ HORNÍ PÁSNICE	Δt f.t =	0	%
PŘESAH HORNÍ PÁSNICE	o f.t =	0	mm	HORNÍ PÁSNICE OBECNĚ NESYMETRICKÁ (PODÉLNÍK - PŘÍPOJ MOSTNICE)			
VÝŠKA STĚNY	h w =	690	mm				
TLOUŠŤKA STĚNY	t w =	10	mm	OSLABENÍ STĚNY	Δt w.l =	0	%
ŠÍŘKA DOLNÍ PÁSNICE	b f.b =	0	mm	PŘEDPOKLAD - PÁSNICE UKONČENA PŘED PŘÍPOJEM			
TLOUŠŤKA DOLNÍ PÁSNICE	t f.b =	0	mm	OSLABENÍ DOLNÍ PÁSNICE (DOLNÍ PÁSNICE SYMETRICKÁ)	Δt f.b =	0	%

NÝT Č.	SKUPINA	ŘEZ	RED.	VELIKOST d| [mm]	POLOHA e| [mm]	POPIS	AKTIVITA OTVORU		NAPĚTÍ sc [MPa]
1		-	1.00	0	-120	nýt - f.t	0	-	
2		-	1.00	0	-45	nýt - f.t - krční úhelník	0	-	
3		-	1.00	0	45	nýt - f.t - krční úhelník	0	-	
4		-	1.00			nýt - f.t		-	
5		-	1.00	20	645	nýt - w - krční úhelník	1		11.44
6		-	1.00			nýt - w		-	
7		-	1.00			nýt - w		-	
8		-	1.00			nýt - w		-	
9		-	1.00			nýt - w		-	
10		-	1.00	22	545	nýt - w	1		10.79
11		-	1.00	22	445	nýt - w	1		10.15
12		-	1.00	22	345	nýt - w	1		9.51
13		-	1.00	22	245	nýt - w	1		8.86
14		-	1.00	22	145	nýt - w	1		8.22
15		-	1.00	20	45	nýt - w - krční úhelník	1		7.58
16		-	1.00					-	
17		-	1.00					-	
18		-	1.00					-	
19		-	1.00			nýt - f.b		-	
20		-	1.00	0	-45	nýt - f.b. - krční úhelník	0	-	
21		-	1.00	0	45	nýt - f.b. - krční úhelník	0	-	
22		-	1.00			nýt - f.b		-	

ZADÁNÍ ČÁSTÍ PRŮŘEZU:

č.prvku	b [mm]	h [mm]	y_0 [mm]	z_0 [mm]	popis části	druh oslabení	lokální ultimate	boulení servic.
1	8.0	8.0	-9.0	686.0		0	1.000	1.000
2	8.0	72.0	-9.0	646.0		0	1.000	1.000
3	8.0	8.0	9.0	686.0		0	1.000	1.000
4	8.0	72.0	9.0	646.0		0	1.000	1.000
5	8.0	8.0	-9.0	4.0		0	1.000	1.000
6	8.0	72.0	-9.0	44.0		0	1.000	1.000
7	8.0	8.0	9.0	4.0		0	1.000	1.000
8	8.0	72.0	9.0	44.0		0	1.000	1.000
9	0.0	0.0	-13.0	690.0	pásnice	0	1.000	1.000
10	10.0	690.0	0.0	345.0	stěna	0	1.000	1.000
11	0.0	0.0	0.0	0.0	pásnice	0	1.000	1.000
12	8.0	500.0	-9.0	345.0	stěna	0	1.000	1.000
13	8.0	500.0	9.0	345.0	stěna	0	1.000	1.000
14						0	1.000	1.000
15						0	1.000	1.000
16						0	1.000	1.000
17						0	1.000	1.000
18						0	1.000	1.000
19						0	1.000	1.000
20						0	1.000	1.000
21						0	1.000	1.000
22						0	1.000	1.000
23						0	1.000	1.000
24						0	1.000	1.000
25						0	1.000	1.000
26						0	1.000	1.000
27						0	1.000	1.000
28						0	1.000	1.000
29						0	1.000	1.000
30						0	1.000	1.000
31						0	1.000	1.000
32						0	1.000	1.000
33						0	1.000	1.000
34						0	1.000	1.000
35						0	1.000	1.000
36						0	1.000	1.000
37						0	1.000	1.000
38						0	1.000	1.000
39						0	1.000	1.000
40						0	1.000	1.000
41						0	1.000	1.000
42						0	1.000	1.000
43						0	1.000	1.000
44						0	1.000	1.000
45						0	1.000	1.000
46						0	1.000	1.000
47						0	1.000	1.000
48						0	1.000	1.000
49						0	1.000	1.000
50						0	1.000	1.000
51	0	0	0	0	nýt - pásnice	0	1.000	1.000
52	0	0	0	0	nýt - pásnice	0	1.000	1.000
53	0	0	0	0	nýt - pásnice	0	1.000	1.000
54	0	0	0	0	nýt - pásnice	0	1.000	1.000
55	26.0	-20.0	0.0	645.0	nýt - stěna	0	1.000	1.000
56	0	0	0	0	nýt - stěna	0	1.000	1.000
57	0	0	0	0	nýt - stěna	0	1.000	1.000
58	0	0	0	0	nýt - stěna	0	1.000	1.000
59	0	0	0	0	nýt - stěna	0	1.000	1.000
60	26.0	-22.0	0.0	545.0	nýt - stěna	0	1.000	1.000
61	26.0	-22.0	0.0	445.0	nýt - stěna	0	1.000	1.000
62	26.0	-22.0	0.0	345.0	nýt - stěna	0	1.000	1.000
63	26.0	-22.0	0.0	245.0	nýt - stěna	0	1.000	1.000
64	26.0	-22.0	0.0	145.0	nýt - stěna	0	1.000	1.000
65	26.0	-20.0	0.0	45.0	nýt - stěna	0	1.000	1.000
66						0	1.000	1.000
67						0	1.000	1.000
68						0	1.000	1.000
69	0	0	0	0	nýt - pásnice	0	1.000	1.000
70	0	0	0	0	nýt - pásnice	0	1.000	1.000
71	0	0	0	0	nýt - pásnice	0	1.000	1.000
72	0	0	0	0	nýt - pásnice	0	1.000	1.000
73								
74								
75								
76								
77								
78								
79								
80								
81								
82								
83								
84								
85								
86								
87								
88								
89								
90								
91								
92								
93								
94								
95								
96								
97								
98								
99								
100								

VÝPOČET PRŮŘEZOVÝCH CHARAKTERISTIK

Properties	Basic	Ultimate		Serviceability	
y_t	0.0	0.0		0.0	[mm]
z_t	345.0	345.0		345.0	[mm]
A_i	1.3560E+04	1.3560E+04		1.3560E+04	[mm²]
A_s	0.0000E+00	0.0000E+00		0.0000E+00	[mm²]
A_b	1.1000E+04	1.1000E+04		1.1000E+04	[mm²]
I_{y1}	5.2898E+08	5.2898E+08		5.2898E+08	[mm⁴]
I_{z1}	7.4948E+05	7.4948E+05		7.4948E+05	[mm⁴]
i_y	197.5	197.5		197.5	[mm]
i_z	7.4	7.4		7.4	[mm]
$W_{y,1}$	1.5333E+06	1.5333E+06		1.5333E+06	[mm³]
$W_{z,1}$	-5.7652E+04	-5.7652E+04		-5.7652E+04	[mm³]
$W_{y,2}$	-1.5333E+06	-1.5333E+06		-1.5333E+06	[mm³]
$W_{z,2}$	-5.7652E+04	-5.7652E+04		-5.7652E+04	[mm³]
KRAJNÍ VLÁKNA PRŮŘEZU					
y_1	-13.0	-13.0		-13.0	[mm]
z_1	690.0	690.0		690.0	[mm]
y_2	-13.0	-13.0		-13.0	[mm]
z_2	0.0	0.0		0.0	[mm]
y_3	13.0	13.0		13.0	[mm]
z_3	690.0	690.0		690.0	[mm]
y_4	13.0	13.0		13.0	[mm]
z_4	0.0	0.0		0.0	[mm]
y_5	-5.0	-5.0		-5.0	[mm]
z_5	690.0	690.0		690.0	[mm]
y_6	-5.0	-5.0		-5.0	[mm]
z_6	0.0	0.0		0.0	[mm]

ÚPRAVA MOMENTŮ SETRVAČNOSTI V DŮSLEDKU ČLENĚNÍ PRŮŘEZU

OSA Y 1.00
OSA Z 1.00

SCHÉMA PROMĚNNÝCH

SCHÉMA ZADANÉHO PRŮŘEZU

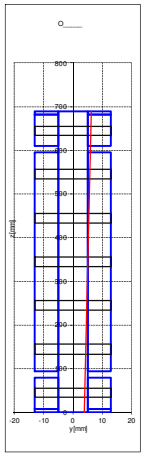

NEUTRÁLNÁ OSA

NAPĚTÍ [MPa]:

36.36	-12.91
31.92	-17.34

ZS: SLS, LM.VZ + MAX N-

	N [kN]	Vy [kN]	Vz [kN]	Mx [kNm]	My [kNm]	Mz [kNm]
import	129	-2	-92	0	-3	1

TR_L1.1 POPIS: **PODÉLNÍK L1.E - KRAJ** POSUDEK: **L1.1**

SKUPINA ZAT. STAVŮ	EXTRÉM	VYHODNOCOVANÉ VELIČINY					
		N	Vy	Vz	Mx	My	Mz
		kN	kN	kN	kNm	kNm	kNm
G0	N.min	**-4.52**	-0.5	-7.23	-0.01	0.64	-0.54
	N.max	**19.98**	-0.59	-4.55	-0.04	2.07	-1.02
	Vy.min	-4.52	**-0.5**	-7.23	-0.01	0.64	-0.54
	Vy.max	19.98	**-0.59**	-4.55	-0.04	2.07	-1.02
	Vz.min	-4.52	-0.5	**-7.23**	-0.01	0.64	-0.54
	Vz.max	19.98	-0.59	**-4.55**	-0.04	2.07	-1.02
	Mx.min	-4.52	-0.5	-7.23	**-0.01**	0.64	-0.54
	Mx.max	19.98	-0.59	-4.55	**-0.04**	2.07	-1.02
	My.min	-4.52	-0.5	-7.23	-0.01	**0.64**	-0.54
	My.max	19.98	-0.59	-4.55	-0.04	**2.07**	-1.02
	Mz.min	-4.52	-0.5	-7.23	-0.01	0.64	**-0.54**
	Mz.max	19.98	-0.59	-4.55	-0.04	2.07	**-1.02**
G1	N.min	**-0.35**	-0.04	-0.13	0	0.16	-0.04
	N.max	**-0.35**	-0.04	-0.13	0	0.16	-0.04
	Vy.min	-0.35	**-0.04**	-0.13	0	0.16	-0.04
	Vy.max	-0.35	**-0.04**	-0.13	0	0.16	-0.04
	Vz.min	-0.35	-0.04	**-0.13**	0	0.16	-0.04
	Vz.max	-0.35	-0.04	**-0.13**	0	0.16	-0.04
	Mx.min	-0.35	-0.04	-0.13	**0**	0.16	-0.04
	Mx.max	-0.35	-0.04	-0.13	**0**	0.16	-0.04
	My.min	-0.35	-0.04	-0.13	0	**0.16**	-0.04
	My.max	-0.35	-0.04	-0.13	0	**0.16**	-0.04
	Mz.min	-0.35	-0.04	-0.13	0	0.16	**-0.04**
	Mz.max	-0.35	-0.04	-0.13	0	0.16	**-0.04**
G2	N.min	**-0.23**	-0.03	-0.12	0	0.05	-0.03
	N.max	**-0.23**	-0.03	-0.12	0	0.05	-0.03
	Vy.min	-0.23	**-0.03**	-0.12	0	0.05	-0.03
	Vy.max	-0.23	**-0.03**	-0.12	0	0.05	-0.03
	Vz.min	-0.23	-0.03	**-0.12**	0	0.05	-0.03
	Vz.max	-0.23	-0.03	**-0.12**	0	0.05	-0.03
	Mx.min	-0.23	-0.03	-0.12	**0**	0.05	-0.03
	Mx.max	-0.23	-0.03	-0.12	**0**	0.05	-0.03
	My.min	-0.23	-0.03	-0.12	0	**0.05**	-0.03
	My.max	-0.23	-0.03	-0.12	0	**0.05**	-0.03
	Mz.min	-0.23	-0.03	-0.12	0	0.05	**-0.03**
	Mz.max	-0.23	-0.03	-0.12	0	0.05	**-0.03**
P1_71	N.min	**-13.81**	-0.6	-2.2	0	4.99	-0.54
	N.max	**3.04**	0	0.09	0	-1.55	-0.01
	Vy.min	-12.27	**-0.64**	-1.17	0	6.69	-0.53
	Vy.max	1.85	**0.05**	-0.74	0	-2.96	-0.01
	Vz.min	-5.72	-0.32	**-4.33**	-0.02	-4.82	-0.46
	Vz.max	-6.89	-0.3	**1.7**	0.02	8.19	-0.11
	Mx.min	-5.92	-0.31	-4.28	**-0.02**	-4.6	-0.45
	Mx.max	-6.69	-0.31	1.62	**0.02**	7.87	-0.13
	My.min	-4.83	-0.31	-4.25	-0.02	**-5.16**	-0.46
	My.max	-8.37	-0.31	1.53	0.02	**8.68**	-0.12
	Mz.min	-12.94	-0.63	-1.78	0	5.62	**-0.55**
	Mz.max	1.76	0.04	-0.12	0	-1.23	**0.01**
P2_71	N.min	**-6.73**	-0.59	1.12	0.01	-2.29	-0.55
	N.max	**3.81**	-0.25	-101.82	0.01	-6.7	-0.1
	Vy.min	-3.67	**-0.91**	-115.9	0.03	-4.73	-0.65
	Vy.max	2.32	**0.04**	-19.9	0	-5.9	0.01
	Vz.min	-1.86	-0.75	**-159.8**	0.04	-8.83	-0.61
	Vz.max	-1.47	-0.08	**8.97**	0	-1.64	-0.03
	Mx.min	-3.26	-0.47	-3.09	**-0.01**	-5.9	-0.64
	Mx.max	1.62	-0.3	-156.63	**0.05**	-9.23	-0.03
	My.min	0.06	-0.22	-46.89	0.02	**-17**	-0.2
	My.max	-2.53	-0.58	-75.57	0.01	**4.96**	-0.46
	Mz.min	-4.19	-0.69	-43.78	0.01	-5.24	**-0.71**
	Mz.max	2.53	0	-69.3	0.01	-5.58	**0.03**
P1_C3	N.min	**-9.48**	-0.44	-2.19	-0.01	2.31	-0.44
	N.max	**2.28**	0.02	-0.05	0	-1.39	0
	Vy.min	-8.42	**-0.47**	-1.49	0	3.48	-0.44
	Vy.max	1.52	**0.04**	-0.62	0	-2.44	-0.01
	Vz.min	-4.59	-0.28	**-3.24**	-0.01	-3.07	-0.39
	Vz.max	-4.32	-0.17	**1.08**	0.01	5.2	-0.06
	Mx.min	-4.46	-0.27	-3.2	**-0.02**	-3.06	-0.38
	Mx.max	-2.91	-0.15	0.94	**0.01**	4.18	-0.06
	My.min	-2.04	-0.25	-3.05	-0.01	**-3.98**	-0.38
	My.max	-4.91	-0.17	1.02	0.01	**5.46**	-0.06
	Mz.min	-8.63	-0.46	-2	0	2.29	**-0.45**
	Mz.max	1.41	0.03	-0.09	0	-0.99	**0**
P2_C3	N.min	**-5.93**	-0.51	0.31	0.01	-2.94	-0.49
	N.max	**2.99**	-0.2	-88.39	0.01	-6.66	-0.07
	Vy.min	-4.61	**-0.72**	-63.05	0.01	-0.7	-0.58
	Vy.max	1.91	**0.04**	-14.07	0	-5.45	0
	Vz.min	-1.56	-0.58	**-117.71**	0.02	-7.17	-0.54
	Vz.max	-1.17	-0.06	**7.18**	0	-1.31	-0.02
	Mx.min	-3.58	-0.42	0.11	**-0.01**	-3.67	-0.54
	Mx.max	0.62	-0.2	-80.08	**0.03**	-2.34	-0.03
	My.min	-0.63	-0.19	-38.22	0.01	**-13.27**	-0.16
	My.max	-2.33	-0.48	-48.09	0.01	**4**	-0.41
	Mz.min	-4.47	-0.67	-60.81	0.01	-3.4	**-0.59**
	Mz.max	1.76	0.01	-45.58	0.01	-3.78	**0.02**
BR	N.min	**-82.55**	-1.52	-7.89	-0.03	-2.88	-1.81
	N.max	**82.55**	1.52	7.89	0.03	2.88	1.81
	Vy.min	-82.55	**-1.52**	-7.89	-0.03	-2.88	-1.81
	Vy.max	82.55	**1.52**	7.89	0.03	2.88	1.81
	Vz.min	-82.55	-1.52	**-7.89**	-0.03	-2.88	-1.81
	Vz.max	82.55	1.52	**7.89**	0.03	2.88	1.81
	Mx.min	-71.19	-1.37	-7.63	**-0.04**	-2.35	-1.66
	Mx.max	71.19	1.37	7.63	**0.04**	2.35	1.66
	My.min	-82.55	-1.52	-7.89	-0.03	**-2.88**	-1.81
	My.max	82.55	1.52	7.89	0.03	**2.88**	1.81
	Mz.min	-82.55	-1.52	-7.89	-0.03	-2.88	**-1.81**
	Mz.max	82.55	1.52	7.89	0.03	2.88	**1.81**

TR_L1.1 POPIS: **PODÉLNÍK L1.E - KRAJ** POSUDEK: **L1.1**

SKUPINA ZAT. STAVŮ	EXTRÉM	VYHODNOCOVANÉ VELIČINY					
		N	Vy	Vz	Mx	My	Mz
		kN	kN	kN	kNm	kNm	kNm
S	N.min	**-17.29**	-0.07	-1.97	-0.03	-0.95	-0.22
	N.max	**17.29**	0.07	1.97	0.03	0.95	0.22
	Vy.min	8.82	**-14.85**	5.65	-0.16	1.17	-3
	Vy.max	-8.82	**14.85**	-5.65	0.16	-1.17	3
	Vz.min	-8.82	14.85	**-5.65**	0.16	-1.17	3
	Vz.max	8.82	-14.85	**5.65**	-0.16	1.17	-3
	Mx.min	8.82	-14.85	5.65	**-0.16**	1.17	-3
	Mx.max	-8.82	14.85	-5.65	**0.16**	-1.17	3
	My.min	-8.82	14.85	-5.65	0.16	**-1.17**	3
	My.max	8.82	-14.85	5.65	-0.16	**1.17**	-3
	Mz.min	8.82	-14.85	5.65	-0.16	1.17	**-3**
	Mz.max	-8.82	14.85	-5.65	0.16	-1.17	**3**
CH	N.min	**-0.52**	-0.06	-0.33	0	0	-0.08
	N.max	**-0.27**	-0.04	-0.25	0	-0.03	-0.06
	Vy.min	-0.52	**-0.06**	-0.33	0	0	-0.08
	Vy.max	-0.4	**-0.03**	-0.3	0	-0.18	-0.04
	Vz.min	-0.52	-0.06	**-0.33**	0	0	-0.08
	Vz.max	-0.27	-0.04	**-0.25**	0	-0.03	-0.06
	Mx.min	-0.52	-0.06	-0.33	**0**	0	-0.08
	Mx.max	-0.4	-0.03	-0.3	**0**	-0.18	-0.04
	My.min	-0.4	-0.03	-0.3	0	**-0.18**	-0.04
	My.max	-0.52	-0.06	-0.33	0	**0**	-0.08
	Mz.min	-0.52	-0.06	-0.33	0	0	**-0.08**
	Mz.max	-0.4	-0.03	-0.3	0	-0.18	**-0.04**
W	N.min	**-17.27**	-0.12	-2.46	-0.01	-1.51	-0.26
	N.max	**17.29**	0.12	2.45	0.01	1.51	0.26
	Vy.min	-17.27	**-0.12**	-2.46	-0.01	-1.51	-0.26
	Vy.max	17.29	**0.12**	2.45	0.01	1.51	0.26
	Vz.min	-17.27	-0.12	**-2.46**	-0.01	-1.51	-0.26
	Vz.max	17.29	0.12	**2.45**	0.01	1.51	0.26
	Mx.min	-17.27	-0.12	-2.46	**-0.01**	-1.51	-0.26
	Mx.max	17.29	0.12	2.45	**0.01**	1.51	0.26
	My.min	-17.27	-0.12	-2.46	-0.01	**-1.51**	-0.26
	My.max	17.29	0.12	2.45	0.01	**1.51**	0.26
	Mz.min	-17.27	-0.12	-2.46	-0.01	-1.51	**-0.26**
	Mz.max	17.29	0.12	2.45	0.01	1.51	**0.26**
WP	N.min	**-30.9**	3.34	8.39	-0.01	0.21	-0.03
	N.max	**30.76**	-3.35	-8.39	0.01	-0.17	0.02
	Vy.min	30.76	**-3.35**	-8.39	0.01	-0.17	0.02
	Vy.max	-30.9	**3.34**	8.39	-0.01	0.21	-0.03
	Vz.min	30.76	-3.35	**-8.39**	0.01	-0.17	0.02
	Vz.max	-30.9	3.34	**8.39**	-0.01	0.21	-0.03
	Mx.min	-30.9	3.34	8.39	**-0.01**	0.21	-0.03
	Mx.max	30.76	-3.35	-8.39	**0.01**	-0.17	0.02
	My.min	30.76	-3.35	-8.39	0.01	**-0.17**	0.02
	My.max	-30.9	3.34	8.39	-0.01	**0.21**	-0.03
	Mz.min	-30.9	3.34	8.39	-0.01	0.21	**-0.03**
	Mz.max	30.76	-3.35	-8.39	0.01	-0.17	**0.02**
TR	N.min	**0**	0	0	0	0	0
	N.max	**0**	0	0	0	0	0
	Vy.min	0	**0**	0	0	0	0
	Vy.max	0	**0**	0	0	0	0
	Vz.min	0	0	**0**	0	0	0
	Vz.max	0	0	**0**	0	0	0
	Mx.min	0	0	0	**0**	0	0
	Mx.max	0	0	0	**0**	0	0
	My.min	0	0	0	0	**0**	0
	My.max	0	0	0	0	**0**	0
	Mz.min	0	0	0	0	0	**0**
	Mz.max	0	0	0	0	0	**0**
TN	N.min	**-3.3**	-0.06	0.05	0	0.06	-0.08
	N.max	**3.07**	0.04	-1.3	0	-2.83	0.03
	Vy.min	-3.3	**-0.06**	0.05	0	0.06	-0.08
	Vy.max	3.07	**0.04**	-1.3	0	-2.83	0.03
	Vz.min	3.07	0.04	**-1.3**	0	-2.83	0.03
	Vz.max	0.01	0.02	**1.3**	0	2.94	0.05
	Mx.min	-0.01	-0.02	-1.3	**0**	-2.94	-0.05
	Mx.max	0.01	0.02	1.3	**0**	2.94	0.05
	My.min	-0.01	-0.02	-1.3	0	**-2.94**	-0.05
	My.max	0.01	0.02	1.3	0	**2.94**	0.05
	Mz.min	-3.3	-0.06	0.05	0	0.06	**-0.08**
	Mz.max	0.01	0.02	1.3	0	2.94	**0.05**
FR	N.min	**-0.17**	-0.05	-0.2	0	0.11	-0.06
	N.max	**0.17**	0.05	0.2	0	-0.11	0.06
	Vy.min	-0.17	**-0.05**	-0.2	0	0.11	-0.06
	Vy.max	0.17	**0.05**	0.2	0	-0.11	0.06
	Vz.min	-0.17	-0.05	**-0.2**	0	0.11	-0.06
	Vz.max	0.17	0.05	**0.2**	0	-0.11	0.06
	Mx.min	-0.17	-0.05	-0.2	**0**	0.11	-0.06
	Mx.max	0.17	0.05	0.2	**0**	-0.11	0.06
	My.min	0.17	0.05	0.2	0	**-0.11**	0.06
	My.max	-0.17	-0.05	-0.2	0	**0.11**	-0.06
	Mz.min	-0.17	-0.05	-0.2	0	0.11	**-0.06**
	Mz.max	0.17	0.05	0.2	0	-0.11	**0.06**
I	N.min	**-0.79**	0	-0.15	0	-0.22	**0**
	N.max	**0.79**	0	0.15	0	0.22	**0**
	Vy.min	0.79	**0**	0.15	0	0.22	**0**
	Vy.max	-0.79	**0**	-0.15	0	-0.22	**0**
	Vz.min	-0.79	0	**-0.15**	0	-0.22	**0**
	Vz.max	0.79	0	**0.15**	0	0.22	**0**
	Mx.min	-0.79	0	-0.15	**0**	-0.22	**0**
	Mx.max	0.79	0	0.15	**0**	0.22	**0**
	My.min	-0.79	0	-0.15	0	**-0.22**	**0**
	My.max	0.79	0	0.15	0	**0.22**	**0**
	Mz.min	-0.79	0	-0.15	0	-0.22	**0**
	Mz.max	0.79	0	0.15	0	0.22	**0**

TAB. L1.1.3 POSOUZENÍ - MEZNÍ STAV ÚNOSNOSTI

POPIS	PODÉLNÍK L1.E - KRAJ
PRUT / POLOHA BODU	876 / I[575]
NAMÁHÁNÍ	My.max
VLÁKNO	BOD K2 -HP
MEZNÍ STAV	ULS (MSÚ)
VYUŽITÍ VLÁKNA PRŮŘEZU	0.71

Charakteristiky materiálu				
pás. horní	$f_{yf,k}$	230	MPa	
pás. dolní	$f_{yf,k}$	230	MPa	
stojina	$f_{yw,k}$	230	MPa	
výztuž	$f_{ys,k}$	500	MPa	
γ_M =	1.10	γ_s =	1.15	

Excentricita normálové síly				
Exc./Fáze	0	1	2	3
e_y	0.000	0.000	0.000	0.000
e_z	0.000	0.000	0.000	0.000
Ekvivalentní vzdál. stěn - příčný roznos				
b_{Mx}	0.000	0.000	0.000	0.000

Vliv stěny na únosnost průřezu				
Char./Fáze	0	1	2	3
A	0.00	0.00	0.00	0.00
Wy	0.00	0.00	0.00	0.00
Wz	0.00	0.00	0.00	0.00

Charakter. v kroucení			
$t_{w,y}$	0.000	[mm]	
$t_{w,z}$	0.000	[mm]	
κ	1.00		
I_t=	0.00E+00	[mm⁴]	
$\Omega=2*A_{pr}$	0.00E+00	[mm²]	

Součinitele vzpěru a vlivu II.řádu					
Char./Fáze	0	1	2	3	4
k_y	1.000	1.000	1.000	1.000	
k_z	1.000	1.000	1.000	1.000	
χ_{LT}	1.000	1.000	1.000	1.000	
χ_{min}	1.000	1.000	1.000	1.000	

Vnitřní síly od jednotlivých skupin zatěžovacích stavů

SKUPINA ZATĚŽOVACÍCH STAVŮ					- CHARAKTERISTICKÉ HODNOTY						DÍLČÍ SOUČINITELÉ ZATÍŽENÍ, DYNAMICKÝ SOUČINITEL							- NÁVRHOVÉ HODNOTY									
Č.	SKUP ZS	POPIS ZS	KAT.	FÁZE PRŮŘ.	N.k (kN)	Vy.k (kN)	Vz.k (kN)	Mx.k (kNm)	My.k (kNm)	Mz.k (kNm)	γ_{sr} (-)	γ_{fs} (-)	volba γ_f hledat	γ_f (-)	L_d (m)	δ (-)	Ψ_0 KZ04	N.d (kN)	Vy.d (kN)	Vz.d (kN)	ΔVz.d (kN)	ΣVz.d (kN)	Mx.d (kNm)	My.d (kNm)	ΔMy.d (kNm)	ΣMy.d (kNm)	Mz.d (kNm)	ΔMz.d (kNm)	ΣMz.d (kNm)
1	G0	Vlastní tíha OK	G	0	20	-1	-5	0	2	-1	1.00	1.20		1.20	-	1.00	0.95	23	-1	-5	0	-5	0	2	0	2	-1	0	-1
2	G1	Ostatní stálé - mostní vybavení	G	0	0	0	0	0	0	0	1.00	1.20		1.20	-	1.00	0.95	0	0	0	0	0	0	0	0	0	0	0	0
3	G2	Ostatní stálé - cizí zařízení	G	0	0	0	0	0	0	0	1.00	1.20		1.20	-	1.00	0.95	0	0	0	0	0	0	0	0	0	0	0	0
4	P1_71	a.LM71 - kolej 1 (bez dyn. souč.)	P	0	-8	0	2	0	9	0	1.00	1.30		1.30	-	1.64	1.00	-18	-1	3	0	3	0	19	0	19	0	0	0
5	P2_71	a.LM71 - kolej 2 (bez dyn. souč.)	P	0	-3	-1	-76	0	5	0	1.00	1.30		1.30	-	1.64	1.00	-5	-1	-161	0	-161	0	11	0	11	-1	0	-1
6	P1_C3	TTZ C3 - kolej 1 (bez dyn. souč.)	P	0	-5	0	1	0	5	0	1.00	vyp.		0.00	-	1.00	0.00	0	0	0	0	0	0	0	0	0	0	0	0
7	P2_C3	TTZ C3 - kolej 2 (bez dyn. souč.)	P	0	-2	0	-48	0	4	0	1.00	vyp.		0.00	-	1.00	0.00	0	0	0	0	0	0	0	0	0	0	0	0
8	BR	Brzdné a rozjezdové síly	P	0	83	2	8	0	3	2	1.00	-1.30		-1.30	-	1.00	0.40	-43	-1	-4	0	-4	0	-1	0	-1	-1	0	-1
9	S	Boční ráz	P	0	9	-15	6	0	1	-3	1.00	1.30		1.30	-	1.00	0.80	9	-15	6	0	6	0	1	0	1	-3	0	-3
10	CH	Chodci na lávkách	Q	0	-1	0	0	0	0	0	1.00	1.30		1.30	-	1.00	1.00	-1	0	0	0	0	0	0	0	0	0	0	0
11	W	Vítr na konstrukci	Q	0	17	0	2	0	2	0	1.00	-1.35		-1.35	-	1.00	0.75	-18	0	-2	0	-2	0	-2	0	-2	0	0	0
12	WP	Vítr na vozidla	Q	0	-31	3	8	0	0	0	1.00	1.35		1.35	-	1.00	0.75	-31	3	8	0	8	0	0	0	0	0	0	0
13	TR	Teplota rovnoměrná	Q	0	0	0	0	0	0	0	1.00	1.35		1.35	-	1.00	0.45	0	0	0	0	0	0	0	0	0	0	0	0
14	TN	Teplota nerovnoměrná	Q	0	0	0	1	0	3	0	1.00	1.35		1.35	-	1.00	0.60	0	0	1	0	1	0	2	0	2	0	0	0
15	FR	Třecí síly v ložiskách	Q	0	0	0	0	0	0	0	1.00	1.20		1.20	-	1.00	1.00	0	0	0	0	0	0	0	0	0	0	0	0
16	I	Imperfekce soustavy	Q	0	1	0	0	0	0	0	1.00	1.20		1.20	-	1.00	1.00	1	0	0	0	0	0	0	0	0	0	0	0
27	ULS_LM	ULS - LM71 bez dynam	Q	0	79	-6	-79	0	28	-1	1.00	vyp.		0.00	-	1.00	0.00	0	0	0	0	0	0	0	0	0	0	0	0
28	SLS_LM	SLS - LM71 bez dynam	Q	0	61	-5	-63	0	20	-1	1.00	vyp.	1	0.00	-	1.00	0.00	0	0	0	0	0	0	0	0	0	0	0	0
29	ULS_C3	ULS - C3 bez dynam	Q	0	84	-6	-44	0	22	-1	1.00	vyp.	1	0.00	-	1.00	0.00	0	0	0	0	0	0	0	0	0	0	0	0
30	SLS_C3	SLS - C3 bez dynam	Q	0	65	-5	-36	0	15	-1	1.00	vyp.	1	0.00	-	1.00	0.00	0	0	0	0	0	0	0	0	0	0	0	0
		CELKEM - FÁZE PRŮŘEZU 0																-84	-16	-155	0	-155	0	33	0	33	-7	0	-7
		CELKEM - FÁZE PRŮŘEZU 1																0	0	0	0	0	0	0	0	0	0	0	0
		CELKEM - FÁZE PRŮŘEZU 2																0	0	0	0	0	0	0	0	0	0	0	0
		CELKEM - FÁZE PRŮŘEZU 3																0	0	0	0	0	0	0	0	0	0	0	0
		CELKEM - PRŮŘEZ																-84	-16	-155	0	-155	0			33			-7

Napětí od jednotlivých zatěžovacích stavů

SKUPINA ZATĚŽOVACÍCH STAVŮ					Posouzení normálového napětí										Posouzení smykového napětí													
					Účinek síly N			Účinek momentu My				Účinek momentu Mz				Účinek kroutícího momentu Mx				Účinek smykové síly Vy				Účinek smykové síly Vz			
Č.	SKUP ZS	Popis ZS	Kat.	fáze prúř.	δ^*N_d [kN]	χ^*A [mm²]	σ_n [MPa]	$\delta^*M_{y,d}$ [kNm]	$\chi_{lt}{}^*W_{el,y}$ [mm³]	σ_{my} [MPa]	$\delta^*M_{z,d}$ [kNm]	$W_{el,z}$ [mm³]	σ_{mz} [MPa]	σ_x [MPa]	$\kappa^*\delta^*M_{x,d}$ [kNm]	$W_{v,y}$ [mm³]	$\tau_{x,y}$ [MPa]	$W_{v,z}$ [mm³]	$\tau_{x,z}$ [MPa]	$\delta^*V_{y,d}$ [kN]	$A_{v,y}$ [mm2]	$\tau_{v,y}$ [MPa]	$\tau_{v,y}$ [MPa]	$\delta^*V_{z,d}$ [kN]	$A_{v,z}$ [mm2]	$\tau_{v,z}$ [MPa]	$\tau_{v,z}$ [MPa]
1	G0	Vlastní tíha OK	G	0	22.8	1.36E+04	1.7	2.4	-1.53E+06	-1.5	-1.2	5.77E+04	-20.2	-20.0	-4.6E-02	-	-	-	-	-0.7	0.00E+00	0.0	0.0	-5.2	1.10E+04	-0.5	-0.5
2	G1	Ostatní stálé - mostní vybavení	G	0	-0.4	1.36E+04	0.0	0.2	-1.53E+06	-0.1	0.0	5.77E+04	-0.8	-0.9	0.0E+00	-	-	-	-	0.0	0.00E+00	0.0	0.0	-0.1	1.10E+04	0.0	0.0
3	G2	Ostatní stálé - cizí zařízení	G	0	-0.3	1.36E+04	0.0	0.1	-1.53E+06	0.0	0.0	5.77E+04	-0.6	-0.6	0.0E+00	-	-	-	-	0.0	0.00E+00	0.0	0.0	-0.1	1.10E+04	0.0	0.0
4	P1_71	a.LM71 - kolej 1 (bez dyn. souč.)	P	0	-17.9	1.36E+04	-1.3	18.5	-1.53E+06	-12.1	-0.3	5.77E+04	-4.4	-17.8	4.3E-02	-	-	-	-	-0.7	0.00E+00	0.0	0.0	3.3	1.10E+04	0.3	0.3
5	P2_71	a.LM71 - kolej 2 (bez dyn. souč.)	P	0	-5.4	1.36E+04	-0.4	10.6	-1.53E+06	-6.9	-1.0	5.77E+04	-17.0	-24.3	2.1E-02	-	-	-	-	-1.2	0.00E+00	0.0	0.0	-161.3	1.10E+04	-14.7	-14.7
6	P1_C3	TTZ C3 - kolej 1 (bez dyn. souč.)	P	0	0.0	1.36E+04	0.0	0.0	-1.53E+06	0.0	0.0	5.77E+04	0.0	0.0	0.0E+00	-	-	-	-	0.0	0.00E+00	0.0	0.0	0.0	1.10E+04	0.0	0.0
7	P2_C3	TTZ C3 - kolej 2 (bez dyn. souč.)	P	0	0.0	1.36E+04	0.0	0.0	-1.53E+06	0.0	0.0	5.77E+04	0.0	0.0	0.0E+00	-	-	-	-	0.0	0.00E+00	0.0	0.0	0.0	1.10E+04	0.0	0.0
8	BR	Brzdné a rozjezdové síly	P	0	-42.9	1.36E+04	-3.2	-1.5	-1.53E+06	1.0	-0.9	5.77E+04	-16.3	-18.5	-1.6E-02	-	-	-	-	-0.8	0.00E+00	0.0	0.0	-4.1	1.10E+04	-0.4	-0.4
9	S	Boční ráz	P	0	9.2	1.36E+04	0.7	1.2	-1.53E+06	-0.8	-3.1	5.77E+04	-54.1	-54.2	-1.7E-01	-	-	-	-	-15.4	0.00E+00	0.0	0.0	5.9	1.10E+04	0.5	0.5
10	CH	Chodci na lávkách	Q	0	-0.7	1.36E+04	0.0	0.0	-1.53E+06	0.0	-0.1	5.77E+04	-1.8	-1.9	0.0E+00	-	-	-	-	-0.1	0.00E+00	0.0	0.0	-0.4	1.10E+04	0.0	0.0
11	W	Vítr na konstrukci	Q	0	-17.5	1.36E+04	-1.3	-1.5	-1.53E+06	1.0	-0.3	5.77E+04	-4.6	-4.9	-1.0E-02	-	-	-	-	-0.1	0.00E+00	0.0	0.0	-2.5	1.10E+04	-0.2	-0.2
12	WP	Vítr na vozidla	Q	0	-31.3	1.36E+04	-2.3	0.2	-1.53E+06	-0.1	0.0	5.77E+04	-0.5	-3.0	-1.0E-02	-	-	-	-	3.4	0.00E+00	0.0	0.0	8.5	1.10E+04	0.8	0.8
13	TR	Teplota rovnoměrná	Q	0	0.0	1.36E+04	0.0	0.0	-1.53E+06	0.0	0.0	5.77E+04	0.0	0.0	0.0E+00	-	-	-	-	0.0	0.00E+00	0.0	0.0	0.0	1.10E+04	0.0	0.0
14	TN	Teplota nerovnoměrná	Q	0	0.0	1.36E+04	0.0	2.4	-1.53E+06	-1.6	0.0	5.77E+04	0.7	-0.9	0.0E+00	-	-	-	-	0.0	0.00E+00	0.0	0.0	1.1	1.10E+04	0.1	0.1
15	FR	Třecí síly v ložiskách	Q	0	-0.2	1.36E+04	0.0	0.1	-1.53E+06	-0.1	-0.1	5.77E+04	-1.2	-1.3	0.0E+00	-	-	-	-	-0.1	0.00E+00	0.0	0.0	-0.2	1.10E+04	0.0	0.0
16	I	Imperfekce soustavy	Q	0	0.9	1.36E+04	0.1	0.3	-1.53E+06	-0.2	0.0	5.77E+04	0.0	-0.1	0.0E+00	-	-	-	-	0.0	0.00E+00	0.0	0.0	0.2	1.10E+04	0.0	0.0
27	ULS_LM	ULS - LM71 bez dynam	Q	0	0.0	1.36E+04	0.0	0.0	-1.53E+06	0.0	0.0	5.77E+04	0.0	0.0	0.0E+00	-	-	-	-	0.0	0.00E+00	0.0	0.0	0.0	1.10E+04	0.0	0.0
28	SLS_LM	SLS - LM71 bez dynam	Q	0	0.0	1.36E+04	0.0	0.0	-1.53E+06	0.0	0.0	5.77E+04	0.0	0.0	0.0E+00	-	-	-	-	0.0	0.00E+00	0.0	0.0	0.0	1.10E+04	0.0	0.0
29	ULS_C3	ULS - C3 bez dynam	Q	0	0.0	1.36E+04	0.0	0.0	-1.53E+06	0.0	0.0	5.77E+04	0.0	0.0	0.0E+00	-	-	-	-	0.0	0.00E+00	0.0	0.0	0.0	1.10E+04	0.0	0.0
30	SLS_C3	SLS - C3 bez dynam	Q	0	0.0	1.36E+04	0.0	0.0	-1.53E+06	0.0	0.0	5.77E+04	0.0	0.0	0.0E+00	-	-	-	-	0.0	0.00E+00	0.0	0.0	0.0	1.10E+04	0.0	0.0
NAVÝŠENÍ NAPĚTÍ DO AKTIVACE TLAKU V DESCE MOSTOVKY						$\sigma_{P,red}$	0.0							0.0			0.0		0.0			0.0	0.0			-14.1	-14.1
NAPĚTÍ OD PRIMÁRNÍCH ÚČINKŮ NEROVNOMĚRNÉHO OTEPLENÍ						σ_T	0.0							0.0													
NAPĚTÍ OD REOLOGICKÝCH ÚČINKŮ BETONU V ČASE				t=0		σ_R	0.0	γ=	1.20					0.0													
NAPĚTÍ V KRITICKÝCH VLÁKNECH OD KOMBINACE ZATÍŽENÍ						KZ04		[MPa]					$\Sigma\sigma_x$	-148.5								$\Sigma\tau_y$	0.0			$\Sigma\tau_z$	-14.1
NAPĚTÍ OD POHYBLIVÉHO ZATÍŽENÍ								[MPa]					$\sigma_{x,P}$	-114.9								τ_P	0.0			τ_P	-14.2
NAPĚTÍ OD OSTATNÍCH ZATÍŽENÍ								[MPa]			Φ_{Vy}	Φ_{Vz}	$\sigma_{x,rs}$	-33.6								τ_{rs}	0.0			τ_{rs}	0.1
NÁVRHOVÁ HODNOTA MEZE KLUZU S REDUKCÍ VLIVEM SMYKOVÉHO NAPĚTÍ								[MPa]			1.00	1.00	$f_{yv,d}$	209.1								$f_{yd}/3^{0,5}$	120.7			$f_{yd}/3^{0,5}$	120.7
NAPĚTÍ OD POHYBLIVÉHO ZATÍŽENÍ V GLOBÁLNÍM SYSTÉMU						$\sigma_{GLOB,P}$	0.0	[MPa]					$\Sigma\sigma_{GLOB}$	0.0													
NAPĚTÍ OD OSTATNÍCH ZATÍŽENÍ V GLOBÁLNÍM SYSTÉMU						$\sigma_{GLOB,rs}$	0.0	[MPa]					$\Sigma\sigma_x + \Sigma\sigma_{GLOB}$	-148.5													
VYUŽITÍ PRŮŘEZU DLE NAPĚTÍ								[%]					η_1	0.71								η_3	0.00			η_3	0.12
NAPĚTÍ V PŘÍČNÉM SMĚRU OD POHYBLIVÉHO ZATÍŽENÍ						$\sigma_{z,P}$	0.0	[MPa]					$\Sigma\sigma_z$	0.0													
NAPĚTÍ V PŘÍČNÉM SMĚRU OD OSTATNÍCH ZATÍŽENÍ						$\sigma_{z,rs}$	0.0	[MPa]					η_2	0.00													
SROVNÁVACÍ NAPĚTÍ													$(\eta_2 + 0,8\,\eta_1)/1,4 =$	0.41													
VYUŽITÍ PRŮŘEZU CELKEM								[%]					eff	0.71	VYHOVUJE												
													Z_{LM71} =	1.53													

TAB. L1.1.3 POSOUZENÍ - MEZNÍ STAV ÚNOSNOSTI

POPIS	PODĚLNÍK L1.E - KRAJ
PRUT / POLOHA BODU	876 / I[575]
NAMÁHÁNÍ	Vz.min
VLÁKNO	BOD K4 -SP
MEZNÍ STAV	ULS (MSÚ)
VYUŽITÍ VLÁKNA PRŮŘEZU	0.76

Charakteristiky materiálu				
pás. horní	$f_{yf,k}$	230	MPa	
pás. dolní	$f_{yf,k}$	230	MPa	
stojina	$f_{yw,k}$	230	MPa	
výztuž	$f_{ys,k}$	500	MPa	
γ_M =	1.10	γ_s =	1.15	

Excentricita normálové síly				
Exc./Fáze	0	1	2	3
e_y	0.000	0.000	0.000	0.000
e_z	0.000	0.000	0.000	0.000
Ekvivalentní vzdál. stěn - příčný roznos				
b_{Mx}	0.000	0.000	0.000	0.000

Vliv stěny na únosnost průřezu				
Char./Fáze	0	1	2	3
A	0.00	0.00	0.00	0.00
Wy	0.00	0.00	0.00	0.00
Wz	0.00	0.00	0.00	0.00

Charakter. v kroucení			
$t_{w,y}$	0.000	[mm]	
$t_{w,z}$	0.000	[mm]	
κ	1.00		
I_t=	0.00E+00	[mm^4]	
$\Omega=2*A_{pr}$	0.00E+00	[mm^2]	

Součinitele vzpěru a vlivu II.řádu				
Char./Fáze	0	1	2	3
k_y	1.000	1.000	1.000	1.000
k_z	1.000	1.000	1.000	1.000
χ_{LT}	1.000	1.000	1.000	1.000
χ_{min}	1.000	1.000	1.000	1.000

Vnitřní síly od jednotlivých skupin zatěžovacích stavů

SKUPINA ZATĚŽOVACÍCH STAVŮ					- CHARAKTERISTICKÉ HODNOTY						DÍLČÍ SOUČINITELÉ ZATÍŽENÍ, DYNAMICKÝ SOUČINITEL						4	- NÁVRHOVÉ HODNOTY									
Č.	SKUP ZS	POPIS ZS	KAT.	FÁZE PRŮŘ.	N.k (kN)	Vy.k (kN)	Vz.k (kN)	Mx.k (kNm)	My.k (kNm)	Mz.k (kNm)	γ_{sup} (-)	γ_{inf} (-)	volba γ_g hledat	γ_q (-)	L_d (m)	δ (-)	Ψ_0 KZ04	N.d (kN)	Vy.d (kN)	Vz.d (kN)	ΔVz.d (kN)	ΣVz.d (kN)	Mx.d (kNm)	My.d (kNm)	ΔMy.d (kNm)	ΣMy.d (kNm)	Mz.d (kNm)	ΔMz.d (kNm)	ΣMz.d (kNm)
1	G0	Vlastní tíha OK	G	0	-5	-1	-7	0	1	-1	1.00	1.20		1.20	-	1.00	0.95	-5	-1	-8	0	-8	0	1	0	1	-1	0	-1
2	G1	Ostatní stálé - mostní vybavení	G	0	0	0	0	0	0	0	1.00	1.20		1.20	-	1.00	0.95	0	0	0	0	0	0	0	0	0	0	0	0
3	G2	Ostatní stálé - cizí zařízení	G	0	0	0	0	0	0	0	1.00	1.20		1.20	-	1.00	0.95	0	0	0	0	0	0	0	0	0	0	0	0
4	P1_71	a.LM71 - kolej 1 (bez dyn. souč.)	P	0	-6	0	-4	0	-5	0	1.00	1.30		1.30	-	1.64	1.00	-12	-1	-9	0	-9	0	-10	0	-10	-1	0	-1
5	P2_71	a.LM71 - kolej 2 (bez dyn. souč.)	P	0	-2	-1	-160	0	-9	-1	1.00	1.30		1.30	-	1.64	1.00	-4	-2	-341	0	-341	0	-19	0	-19	-1	0	-1
6	P1_C3	TTZ C3 - kolej 1 (bez dyn. souč.)	P	0	-5	0	-3	0	-3	0	1.00	vyp.		0.00	-	1.00	0.00	0	0	0	0	0	0	0	0	0	0	0	0
7	P2_C3	TTZ C3 - kolej 2 (bez dyn. souč.)	P	0	-2	-1	-118	0	-7	-1	1.00	vyp.		0.00	-	1.00	0.00	0	0	0	0	0	0	0	0	0	0	0	0
8	BR	Brzdné a rozjezdové síly	P	0	-83	-2	-8	0	-3	-2	1.00	1.30		1.30	-	1.00	0.40	-43	-1	-4	0	-4	0	-1	0	-1	-1	0	-1
9	S	Boční ráz	P	0	-9	15	-6	0	-1	3	1.00	-1.30		-1.30	-	1.00	0.80	9	-15	6	0	6	0	1	0	1	-3	0	-3
10	CH	Chodci na lávkách	Q	0	-1	0	0	0	0	0	1.00	1.30		1.30	-	1.00	1.00	-1	0	0	0	0	0	0	0	0	0	0	0
11	W	Vítr na konstrukci	Q	0	-17	0	-2	0	-2	0	1.00	1.35		1.35	-	1.00	0.75	-17	0	-2	0	-2	0	-2	0	-2	0	0	0
12	WP	Vítr na vozidla	Q	0	31	-3	-8	0	0	0	1.00	-1.35		-1.35	-	1.00	0.75	-31	3	8	0	8	0	0	0	0	0	0	0
13	TR	Teplota rovnoměrná	Q	0	0	0	0	0	0	0	1.00	1.35		1.35	-	1.00	0.45	0	0	0	0	0	0	0	0	0	0	0	0
14	TN	Teplota nerovnoměrná	Q	0	3	0	-1	0	-3	0	1.00	1.35		1.35	-	1.00	0.60	2	0	-1	0	-1	0	-2	0	-2	0	0	0
15	FR	Třecí síly v ložiskách	Q	0	0	0	0	0	0	0	1.00	1.20		1.20	-	1.00	1.00	0	0	0	0	0	0	0	0	0	0	0	0
16	I	Imperfekce soustavy	Q	0	-1	0	0	0	0	0	1.00	1.20		1.20	-	1.00	1.00	-1	0	0	0	0	0	0	0	0	0	0	0
27	ULS_LM	ULS - LM71 bez dynam	Q	0	-114	2	-249	0	-25	-3	1.00	vyp.		0.00	-	1.00	0.00	0	0	0	0	0	0	0	0	0	0	0	0
28	SLS_LM	SLS - LM71 bez dynam	Q	0	-91	2	-191	0	-18	-2	1.00	vyp.	1	0.00	-	1.00	0.00	0	0	0	0	0	0	0	0	0	0	0	0
29	ULS_C3	ULS - C3 bez dynam	Q	0	-113	2	-193	0	-21	-3	1.00	vyp.	1	0.00	-	1.00	0.00	0	0	0	0	0	0	0	0	0	0	0	0
30	SLS_C3	SLS - C3 bez dynam	Q	0	-90	2	-148	0	-14	-2	1.00	vyp.	1	0.00	-	1.00	0.00	0	0	0	0	0	0	0	0	0	0	0	0
		CELKEM - FÁZE PRŮŘEZU 0																-104	-16	-353	0	-353	0	-32	0	-32	-7	0	-7
		CELKEM - FÁZE PRŮŘEZU 1																0	0	0	0	0	0	0	0	0	0	0	0
		CELKEM - FÁZE PRŮŘEZU 2																0	0	0	0	0	0	0	0	0	0	0	0
		CELKEM - FÁZE PRŮŘEZU 3																0	0	0	0	0	0	0	0	0	0	0	0
		CELKEM - PRŮŘEZ																-104	-16	-353	0	-353	0			-32			-7

Napětí od jednotlivých zatěžovacích stavů

SKUPINA ZATĚŽOVACÍCH STAVŮ					Posouzení normálového napětí										Posouzení smykového napětí													
					Účinek síly N			Účinek momentu My				Účinek momentu Mz					Účinek kroutícího momentu Mx				Účinek smykové síly Vy				Účinek smykové síly Vz			
Č.	SKUP ZS	Popis ZS	Kat.	fáze prúř.	δ^*N_d [kN]	χ^*A [mm^2]	σ_n [MPa]	$\delta^*M_{y,d}$ [kNm]	$\chi_{lt}*W_{el,y}$ [mm^3]	σ_{my} [MPa]	$\delta^*M_{z,d}$ [kNm]	$W_{el,z}$ [mm^3]	σ_{mz} [MPa]	σ_x [MPa]	$\kappa^*\delta^*M_{x,d}$ [kNm]	$W_{v,y}$ [mm^2]	$\tau_{x,y}$ [MPa]	$W_{v,z}$ [mm^2]	$\tau_{x,z}$ [MPa]	$\delta^*V_{y,d}$ [kN]	$A_{v,y}$ [mm2]	$\tau_{v,y}$ [MPa]	$\tau_{v,y}$ [MPa]	$\delta^*V_{z,d}$ [kN]	$A_{v,z}$ [mm2]	$\tau_{v,z}$ [MPa]	$\tau_{v,z}$ [MPa]
1	G0	Vlastní tíha OK	G	0	-5.2	1.36E+04	-0.4	0.7	1.53E+06	0.5	-0.6	5.77E+04	-10.7	-10.6	-1.1E-02	-	-	-	-	-0.6	0.00E+00	0.0	0.0	-8.2	1.10E+04	-0.7	-0.7
2	G1	Ostatní stálé - mostní vybavení	G	0	-0.4	1.36E+04	0.0	0.2	1.53E+06	0.1	0.0	5.77E+04	-0.8	-0.7	0.0E+00	-	-	-	-	0.0	0.00E+00	0.0	0.0	-0.1	1.10E+04	0.0	0.0
3	G2	Ostatní stálé - cizí zařízení	G	0	-0.3	1.36E+04	0.0	0.1	1.53E+06	0.0	0.0	5.77E+04	-0.6	-0.6	0.0E+00	-	-	-	-	0.0	0.00E+00	0.0	0.0	-0.1	1.10E+04	0.0	0.0
4	P1_71	a.LM71 - kolej 1 (bez dyn. souč.)	P	0	-12.2	1.36E+04	-0.9	-10.3	1.53E+06	-6.7	-1.0	5.77E+04	-17.0	-24.6	-4.3E-02	-	-	-	-	-0.7	0.00E+00	0.0	0.0	-9.2	1.10E+04	-0.8	-0.8
5	P2_71	a.LM71 - kolej 2 (bez dyn. souč.)	P	0	-4.0	1.36E+04	-0.3	-18.8	1.53E+06	-12.3	-1.3	5.77E+04	-22.6	-35.2	8.5E-02	-	-	-	-	-1.6	0.00E+00	0.0	0.0	-341.1	1.10E+04	-31.0	-31.0
6	P1_C3	TTZ C3 - kolej 1 (bez dyn. souč.)	P	0	0.0	1.36E+04	0.0	0.0	1.53E+06	0.0	0.0	5.77E+04	0.0	0.0	0.0E+00	-	-	-	-	0.0	0.00E+00	0.0	0.0	0.0	1.10E+04	0.0	0.0
7	P2_C3	TTZ C3 - kolej 2 (bez dyn. souč.)	P	0	0.0	1.36E+04	0.0	0.0	1.53E+06	0.0	0.0	5.77E+04	0.0	0.0	0.0E+00	-	-	-	-	0.0	0.00E+00	0.0	0.0	0.0	1.10E+04	0.0	0.0
8	BR	Brzdné a rozjezdové síly	P	0	-42.9	1.36E+04	-3.2	-1.5	1.53E+06	-1.0	-0.9	5.77E+04	-16.3	-20.5	-1.6E-02	-	-	-	-	-0.8	0.00E+00	0.0	0.0	-4.1	1.10E+04	-0.4	-0.4
9	S	Boční ráz	P	0	9.2	1.36E+04	0.7	1.2	1.53E+06	0.8	-3.1	5.77E+04	-54.1	-52.6	-1.7E-01	-	-	-	-	-15.4	0.00E+00	0.0	0.0	5.9	1.10E+04	0.5	0.5
10	CH	Chodci na lávkách	Q	0	-0.7	1.36E+04	0.0	0.0	1.53E+06	0.0	-0.1	5.77E+04	-1.8	-1.9	0.0E+00	-	-	-	-	-0.1	0.00E+00	0.0	0.0	-0.4	1.10E+04	0.0	0.0
11	W	Vítr na konstrukci	Q	0	-17.5	1.36E+04	-1.3	-1.5	1.53E+06	-1.0	-0.3	5.77E+04	-4.6	-6.9	-1.0E-02	-	-	-	-	-0.1	0.00E+00	0.0	0.0	-2.5	1.10E+04	-0.2	-0.2
12	WP	Vítr na vozidla	Q	0	-31.1	1.36E+04	-2.3	0.2	1.53E+06	0.1	0.0	5.77E+04	-0.4	-2.5	-1.0E-02	-	-	-	-	3.4	0.00E+00	0.0	0.0	8.5	1.10E+04	0.8	0.8
13	TR	Teplota rovnoměrná	Q	0	0.0	1.36E+04	0.0	0.0	1.53E+06	0.0	0.0	5.77E+04	0.0	0.0	0.0E+00	-	-	-	-	0.0	0.00E+00	0.0	0.0	0.0	1.10E+04	0.0	0.0
14	TN	Teplota nerovnoměrná	Q	0	2.5	1.36E+04	0.2	-2.3	1.53E+06	-1.5	0.0	5.77E+04	0.4	-0.9	0.0E+00	-	-	-	-	0.0	0.00E+00	0.0	0.0	-1.1	1.10E+04	-0.1	-0.1
15	FR	Třecí síly v ložiskách	Q	0	-0.2	1.36E+04	0.0	0.1	1.53E+06	0.1	-0.1	5.77E+04	-1.2	-1.2	0.0E+00	-	-	-	-	-0.1	0.00E+00	0.0	0.0	-0.2	1.10E+04	0.0	0.0
16	I	Imperfekce soustavy	Q	0	-0.9	1.36E+04	-0.1	-0.3	1.53E+06	-0.2	0.0	5.77E+04	0.0	-0.2	0.0E+00	-	-	-	-	0.0	0.00E+00	0.0	0.0	-0.2	1.10E+04	0.0	0.0
27	ULS_LM	ULS - LM71 bez dynam	Q	0	0.0	1.36E+04	0.0	0.0	1.53E+06	0.0	0.0	5.77E+04	0.0	0.0	0.0E+00	-	-	-	-	0.0	0.00E+00	0.0	0.0	0.0	1.10E+04	0.0	0.0
28	SLS_LM	SLS - LM71 bez dynam	Q	0	0.0	1.36E+04	0.0	0.0	1.53E+06	0.0	0.0	5.77E+04	0.0	0.0	0.0E+00	-	-	-	-	0.0	0.00E+00	0.0	0.0	0.0	1.10E+04	0.0	0.0
29	ULS_C3	ULS - C3 bez dynam	Q	0	0.0	1.36E+04	0.0	0.0	1.53E+06	0.0	0.0	5.77E+04	0.0	0.0	0.0E+00	-	-	-	-	0.0	0.00E+00	0.0	0.0	0.0	1.10E+04	0.0	0.0
30	SLS_C3	SLS - C3 bez dynam	Q	0	0.0	1.36E+04	0.0	0.0	1.53E+06	0.0	0.0	5.77E+04	0.0	0.0	0.0E+00	-	-	-	-	0.0	0.00E+00	0.0	0.0	0.0	1.10E+04	0.0	0.0
NAVÝŠENÍ NAPĚTÍ DO AKTIVACE TLAKU V DESCE MOSTOVKY							$\sigma_{P,red}$ 0.0							0.0				0.0		0.0			0.0	0.0			-32.1	-32.1
NAPĚTÍ OD PRIMÁRNÍCH ÚČINKŮ NEROVNOMĚRNÉHO OTEPLENÍ							σ_T 0.0							0.0														
NAPĚTÍ OD REOLOGICKÝCH ÚČINKŮ BETONU V ČASE				t=0			σ_R 0.0		γ= 1.20					0.0														
NAPĚTÍ V KRITICKÝCH VLÁKNECH OD KOMBINACE ZATÍŽENÍ							KZ04	[MPa]					$\Sigma\sigma_x$	-158.3								$\Sigma\tau_y$	0.0			$\Sigma\tau_z$	-32.1
NAPĚTÍ OD POHYBLIVÉHO ZATÍŽENÍ								[MPa]					$\sigma_{x,P}$	-132.9								τ_P	0.0			τ_P	-31.7
NAPĚTÍ OD OSTATNÍCH ZATÍŽENÍ								[MPa]			Φ_{vy}	Φ_{vz}	$\sigma_{x,rs}$	-25.4								τ_{rs}	0.0			τ_{rs}	-0.4
NÁVRHOVÁ HODNOTA MEZE KLUZU S REDUKCÍ VLIVEM SMYKOVÉHO NAPĚTÍ								[MPa]			1.00	1.00	$f_{yw,d}$	209.1								$f_{yd}/3^{0,5}$	120.7			$f_{yd}/3^{0,5}$	120.7
NAPĚTÍ OD POHYBLIVÉHO ZATÍŽENÍ V GLOBÁLNÍM SYSTÉMU							$\sigma_{GLOB,P}$ 0.0	[MPa]					$\Sigma\sigma_{GLOB}$	0.0													
NAPĚTÍ OD OSTATNÍCH ZATÍŽENÍ V GLOBÁLNÍM SYSTÉMU							$\sigma_{GLOB,rs}$ 0.0	[MPa]					$\Sigma\sigma_x + \Sigma\sigma_{GLOB}$	-158.3													
VYUŽITÍ PRŮŘEZU DLE NAPĚTÍ								[%]					η_1	0.76								η_3	0.00			η_3	0.27
NAPĚTÍ V PŘÍČNÉM SMĚRU OD POHYBLIVÉHO ZATÍŽENÍ							$\sigma_{z,P}$ 0.0	[MPa]					$\Sigma\sigma_z$	0.0													
NAPĚTÍ V PŘÍČNÉM SMĚRU OD OSTATNÍCH ZATÍŽENÍ							$\sigma_{z,rs}$ 0.0	[MPa]					η_2	0.00													
SROVNÁVACÍ NAPĚTÍ													$(\eta_2 + 0,8\,\eta_1)/1,4$ =	0.43													
VYUŽITÍ PRŮŘEZU CELKEM								[%]					eff	0.76	VYHOVUJE												
													Z_{LM71} =	1.38													

TAB. L1.1.3 POSOUZENÍ - MEZNÍ STAV ÚNOSNOSTI

POPIS	PODÉLNÍK L1.E - KRAJ
PRUT / POLOHA BODU	876 / I[575]
NAMÁHÁNÍ	Vz.min
VLÁKNO	BOD S5 -HL
MEZNÍ STAV	ULS (MSÚ)
VYUŽITÍ VLÁKNA PRŮŘEZU	0.29

Charakteristiky materiálu				
pás. horní	$f_{yf,k}$	230	MPa	
pás. dolní	$f_{yf,k}$	230	MPa	
stojina	$f_{yw,k}$	230	MPa	
výztuž	$f_{ys,k}$	500	MPa	
γ_M =	1.10	γ_s =	1.15	

Excentricita normálové síly				
Exc./Fáze	0	1	2	3
e_y	0.000	0.000	0.000	0.000
e_z	0.000	0.000	0.000	0.000
Ekvivalentní vzdál. stěn - příčný roznos				
b_{Mx}	0.000	0.000	0.000	0.000

Vliv stěny na únosnost průřezu				
Char./Fáze	0	1	2	3
A	0.00	0.00	0.00	0.00
Wy	0.00	0.00	0.00	0.00
Wz	0.00	0.00	0.00	0.00

Charakter. v kroucení			
$t_{w,y}$	0.000	[mm]	
$t_{w,z}$	0.000	[mm]	
κ	1.00		
I_t=	0.00E+00	[mm^4]	
$\Omega=2*A_{py}$	0.00E+00	[mm^2]	

Součinitele vzpěru a vlivu II.řádu					
Char./Fáze	0	1	2	3	
k_y	1.000	1.000	1.000	1.000	
k_z	1.000	1.000	1.000	1.000	
χ_{LT}	1.000	1.000	1.000	1.000	
χ_{min}	1.000	1.000	1.000	1.000	

Vnitřní síly od jednotlivých skupin zatěžovacích stavů

SKUPINA ZATĚŽOVACÍCH STAVŮ					- CHARAKTERISTICKÉ HODNOTY						DÍLČÍ SOUČINITELÉ ZATÍŽENÍ, DYNAMICKÝ SOUČINITEL						3	- NÁVRHOVÉ HODNOTY									
Č.	SKUP ZS	POPIS ZS	KAT.	FÁZE PRŮŘ.	N.k (kN)	Vy.k (kN)	Vz.k (kN)	Mx.k (kNm)	My.k (kNm)	Mz.k (kNm)	γ_{sr} (-)	γ_{sl} (-)	volba ψ_i hledat	ψ_i (-)	L_d (m)	δ (-)	ψ_o KZ03	N.d (kN)	Vy.d (kN)	Vz.d (kN)	ΔVz.d (kN)	ΣVz.d (kN)	Mx.d (kNm)	My.d (kNm)	ΔMy.d (kNm)	ΣMy.d (kNm)	Mz.d (kNm)	ΔMz.d (kNm)	ΣMz.d (kNm)
1	G0	Vlastní tíha OK	G	0	-5	-1	-7	0	1	-1	1.00	1.20		1.20	-	1.00	0.95	-5	-1	-8	0	-8	0	1	0	1	-1	0	-1
2	G1	Ostatní stálé - mostní vybavení	G	0	0	0	0	0	0	0	1.00	1.20		1.20	-	1.00	0.95	0	0	0	0	0	0	0	0	0	0	0	0
3	G2	Ostatní stálé - cizí zařízení	G	0	0	0	0	0	0	0	1.00	1.20		1.20	-	1.00	0.95	0	0	0	0	0	0	0	0	0	0	0	0
4	P1_71	a.LM71 - kolej 1 (bez dyn. souč.)	P	0	-6	0	-4	0	-5	0	1.00	1.30		1.30	-	1.64	1.00	-12	-1	-9	0	-9	0	-10	0	-10	-1	0	-1
5	P2_71	a.LM71 - kolej 2 (bez dyn. souč.)	P	0	-2	-1	-160	0	-9	-1	1.00	1.30		1.30	-	1.64	1.00	-4	-2	-341	0	-341	0	-19	0	-19	-1	0	-1
6	P1_C3	TTZ C3 - kolej 1 (bez dyn. souč.)	P	0	-5	0	-3	0	-3	0	1.00	vyp.		0.00	-	1.00	0.00	0	0	0	0	0	0	0	0	0	0	0	0
7	P2_C3	TTZ C3 - kolej 2 (bez dyn. souč.)	P	0	-2	-1	-118	0	-7	-1	1.00	vyp.		0.00	-	1.00	0.00	0	0	0	0	0	0	0	0	0	0	0	0
8	BR	Brzdné a rozjezdové síly	P	0	-83	-2	-8	0	-3	-2	1.00	1.30		1.30	-	1.00	0.80	-86	-2	-8	0	-8	0	-3	0	-3	-2	0	-2
9	S	Boční ráz	P	0	-9	15	-6	0	-1	3	1.00	1.30		1.30	-	1.00	0.40	-5	8	-3	0	-3	0	-1	0	-1	2	0	2
10	CH	Chodci na lávkách	Q	0	-1	0	0	0	0	0	1.00	1.30		1.30	-	1.00	1.00	-1	0	0	0	0	0	0	0	0	0	0	0
11	W	Vítr na konstrukci	Q	0	-17	0	-2	0	-2	0	1.00	1.35		1.35	-	1.00	0.75	-17	0	-2	0	-2	0	-2	0	-2	0	0	0
12	WP	Vítr na vozidla	Q	0	31	-3	-8	0	0	0	1.00	1.35		1.35	-	1.00	0.75	31	-3	-8	0	-8	0	0	0	0	0	0	0
13	TR	Teplota rovnoměrná	Q	0	0	0	0	0	0	0	1.00	1.35		1.35	-	1.00	0.45	0	0	0	0	0	0	0	0	0	0	0	0
14	TN	Teplota nerovnoměrná	Q	0	3	0	-1	0	-3	0	1.00	1.35		1.35	-	1.00	0.60	2	0	-1	0	-1	0	-2	0	-2	0	0	0
15	FR	Třecí síly v ložiskách	Q	0	0	0	0	0	0	0	1.00	1.20		1.20	-	1.00	1.00	0	0	0	0	0	0	0	0	0	0	0	0
16	I	Imperfekce soustavy	Q	0	-1	0	0	0	0	0	1.00	1.20		1.20	-	1.00	1.00	-1	0	0	0	0	0	0	0	0	0	0	0
27	ULS_LM	ULS - LM71 bez dynam	Q	0	-114	2	-249	0	-25	-3	1.00	vyp.		0.00	-	1.00	0.00	0	0	0	0	0	0	0	0	0	0	0	0
28	SLS_LM	SLS - LM71 bez dynam	Q	0	-91	2	-191	0	-18	-2	1.00	vyp.	1	0.00	-	1.00	0.00	0	0	0	0	0	0	0	0	0	0	0	0
29	ULS_C3	ULS - C3 bez dynam	Q	0	-113	2	-193	0	-21	-3	1.00	vyp.	1	0.00	-	1.00	0.00	0	0	0	0	0	0	0	0	0	0	0	0
30	SLS_C3	SLS - C3 bez dynam	Q	0	-90	2	-148	0	-14	-2	1.00	vyp.	1	0.00	-	1.00	0.00	0	0	0	0	0	0	0	0	0	0	0	0
		CELKEM - FÁZE PRŮŘEZU 0																-98	0	-383	0	-383	0	-36	0	-36	-4	0	-4
		CELKEM - FÁZE PRŮŘEZU 1																0	0	0	0	0	0	0	0	0	0	0	0
		CELKEM - FÁZE PRŮŘEZU 2																0	0	0	0	0	0	0	0	0	0	0	0
		CELKEM - FÁZE PRŮŘEZU 3																0	0	0	0	0	0	0	0	0	0	0	0
		CELKEM - PRŮŘEZ																-98	0	-383	0	-383	0			-36			-4

Napětí od jednotlivých zatěžovacích stavů

SKUPINA ZATĚŽOVACÍCH STAVŮ					Posouzení normálového napětí										Posouzení smykového napětí													
					Účinek síly N			Účinek momentu My			Účinek momentu Mz				Účinek kroutícího momentu Mx				Účinek smykové síly Vy				Účinek smykové síly Vz			
Č.	SKUP ZS	Popis ZS	Kat.	fáze průř.	δ^*N_d [kN]	χ^*A [mm^2]	σ_n [MPa]	$\delta^*M_{y,d}$ [kNm]	$\chi_{lt}*W_{el,y}$ [mm^3]	σ_{my} [MPa]	$\delta^*M_{z,d}$ [kNm]	$W_{el,z}$ [mm^3]	σ_{mz} [MPa]	σ_x [MPa]	$\kappa^*\delta^*M_{x,d}$ [kNm]	$W_{v,y}$ [mm^2]	$\tau_{x,y}$ [MPa]	$W_{v,z}$ [mm^2]	$\tau_{x,z}$ [MPa]	$\delta^*V_{y,d}$ [kN]	$A_{v,y}$ [mm2]	$\tau_{v,y}$ [MPa]	$\tau_{v,y}$ [MPa]	$\delta^*V_{z,d}$ [kN]	$A_{v,z}$ [mm2]	$\tau_{v,z}$ [MPa]	$\tau_{v,z}$ [MPa]
1	G0	Vlastní tíha OK	G	0	-5.2	1.36E+04	-0.4	0.7	-1.53E+06	-0.5	-0.6	-1.50E+05	4.1	3.3	-1.1E-02	-	-	-	-	-0.6	0.00E+00	0.0	0.0	-8.2	1.10E+04	-0.7	-0.7
2	G1	Ostatní stálé - mostní vybavení	G	0	-0.4	1.36E+04	0.0	0.2	-1.53E+06	-0.1	0.0	-1.50E+05	0.3	0.2	0.0E+00	-	-	-	-	0.0	0.00E+00	0.0	0.0	-0.1	1.10E+04	0.0	0.0
3	G2	Ostatní stálé - cizí zařízení	G	0	-0.3	1.36E+04	0.0	0.1	-1.53E+06	0.0	0.0	-1.50E+05	0.2	0.2	0.0E+00	-	-	-	-	0.0	0.00E+00	0.0	0.0	-0.1	1.10E+04	0.0	0.0
4	P1_71	a.LM71 - kolej 1 (bez dyn. souč.)	P	0	-12.2	1.36E+04	-0.9	-10.3	-1.53E+06	6.7	-1.0	-1.50E+05	6.6	12.4	-4.3E-02	-	-	-	-	-0.7	0.00E+00	0.0	0.0	-9.2	1.10E+04	-0.8	-0.8
5	P2_71	a.LM71 - kolej 2 (bez dyn. souč.)	P	0	-4.0	1.36E+04	-0.3	-18.8	-1.53E+06	12.3	-1.3	-1.50E+05	8.7	20.7	8.5E-02	-	-	-	-	-1.6	0.00E+00	0.0	0.0	-341.1	1.10E+04	-31.0	-31.0
6	P1_C3	TTZ C3 - kolej 1 (bez dyn. souč.)	P	0	0.0	1.36E+04	0.0	0.0	-1.53E+06	0.0	0.0	-1.50E+05	0.0	0.0	0.0E+00	-	-	-	-	0.0	0.00E+00	0.0	0.0	0.0	1.10E+04	0.0	0.0
7	P2_C3	TTZ C3 - kolej 2 (bez dyn. souč.)	P	0	0.0	1.36E+04	0.0	0.0	-1.53E+06	0.0	0.0	-1.50E+05	0.0	0.0	0.0E+00	-	-	-	-	0.0	0.00E+00	0.0	0.0	0.0	1.10E+04	0.0	0.0
8	BR	Brzdné a rozjezdové síly	P	0	-85.9	1.36E+04	-6.3	-3.0	-1.53E+06	2.0	-1.9	-1.50E+05	12.6	8.2	-3.1E-02	-	-	-	-	-1.6	0.00E+00	0.0	0.0	-8.2	1.10E+04	-0.7	-0.7
9	S	Boční ráz	P	0	-4.6	1.36E+04	-0.3	-0.6	-1.53E+06	0.4	1.6	-1.50E+05	-10.4	-10.3	8.3E-02	-	-	-	-	7.7	0.00E+00	0.0	0.0	-2.9	1.10E+04	-0.3	-0.3
10	CH	Chodci na lávkách	Q	0	-0.7	1.36E+04	0.0	0.0	-1.53E+06	0.0	-0.1	-1.50E+05	0.7	0.6	0.0E+00	-	-	-	-	-0.1	0.00E+00	0.0	0.0	-0.4	1.10E+04	0.0	0.0
11	W	Vítr na konstrukci	Q	0	-17.5	1.36E+04	-1.3	-1.5	-1.53E+06	1.0	-0.3	-1.50E+05	1.8	1.5	-1.0E-02	-	-	-	-	-0.1	0.00E+00	0.0	0.0	-2.5	1.10E+04	-0.2	-0.2
12	WP	Vítr na vozidla	Q	0	31.1	1.36E+04	2.3	-0.2	-1.53E+06	0.1	0.0	-1.50E+05	-0.1	2.3	1.0E-02	-	-	-	-	-3.4	0.00E+00	0.0	0.0	-8.5	1.10E+04	-0.8	-0.8
13	TR	Teplota rovnoměrná	Q	0	0.0	1.36E+04	0.0	0.0	-1.53E+06	0.0	0.0	-1.50E+05	0.0	0.0	0.0E+00	-	-	-	-	0.0	0.00E+00	0.0	0.0	0.0	1.10E+04	0.0	0.0
14	TN	Teplota nerovnoměrná	Q	0	2.5	1.36E+04	0.2	-2.3	-1.53E+06	1.5	0.0	-1.50E+05	-0.2	1.5	0.0E+00	-	-	-	-	0.0	0.00E+00	0.0	0.0	-1.1	1.10E+04	-0.1	-0.1
15	FR	Třecí síly v ložiskách	Q	0	-0.2	1.36E+04	0.0	0.1	-1.53E+06	-0.1	-0.1	-1.50E+05	0.5	0.4	0.0E+00	-	-	-	-	-0.1	0.00E+00	0.0	0.0	-0.2	1.10E+04	0.0	0.0
16	I	Imperfekce soustavy	Q	0	-0.9	1.36E+04	-0.1	-0.3	-1.53E+06	0.2	0.0	-1.50E+05	0.0	0.1	0.0E+00	-	-	-	-	0.0	0.00E+00	0.0	0.0	-0.2	1.10E+04	0.0	0.0
27	ULS_LM	ULS - LM71 bez dynam	Q	0	0.0	1.36E+04	0.0	0.0	-1.53E+06	0.0	0.0	-1.50E+05	0.0	0.0	0.0E+00	-	-	-	-	0.0	0.00E+00	0.0	0.0	0.0	1.10E+04	0.0	0.0
28	SLS_LM	SLS - LM71 bez dynam	Q	0	0.0	1.36E+04	0.0	0.0	-1.53E+06	0.0	0.0	-1.50E+05	0.0	0.0	0.0E+00	-	-	-	-	0.0	0.00E+00	0.0	0.0	0.0	1.10E+04	0.0	0.0
29	ULS_C3	ULS - C3 bez dynam	Q	0	0.0	1.36E+04	0.0	0.0	-1.53E+06	0.0	0.0	-1.50E+05	0.0	0.0	0.0E+00	-	-	-	-	0.0	0.00E+00	0.0	0.0	0.0	1.10E+04	0.0	0.0
30	SLS_C3	SLS - C3 bez dynam	Q	0	0.0	1.36E+04	0.0	0.0	-1.53E+06	0.0	0.0	-1.50E+05	0.0	0.0	0.0E+00	-	-	-	-	0.0	0.00E+00	0.0	0.0	0.0	1.10E+04	0.0	0.0
NAVÝŠENÍ NAPĚTÍ DO AKTIVACE TLAKU V DESCE MOSTOVKY						$\sigma_{P,red}$	0.0							0.0			0.0		0.0				0.0	0.0			-34.8	-34.8
NAPĚTÍ OD PRIMÁRNÍCH ÚČINKŮ NEROVNOMĚRNÉHO OTEPLENÍ						σ_T	0.0							0.0														
NAPĚTÍ OD REOLOGICKÝCH ÚČINKŮ BETONU V ČASE				t=0		σ_R	0.0	γ=	1.20					0.0														
NAPĚTÍ V KRITICKÝCH VLÁKNECH OD KOMBINACE ZATÍŽENÍ						KZ03		[MPa]					$\Sigma\sigma_x$	40.8								$\Sigma\tau_y$	0.0			$\Sigma\tau_z$	-34.8
NAPĚTÍ OD POHYBLIVÉHO ZATÍŽENÍ								[MPa]					$\sigma_{x,P}$	30.9								τ_P	0.0			τ_P	-32.9
NAPĚTÍ OD OSTATNÍCH ZATÍŽENÍ								[MPa]			Φ_{Vy}	Φ_{Vz}	$\sigma_{x,rs}$	10.0								τ_{rs}	0.0			τ_{rs}	-1.9
NÁVRHOVÁ HODNOTA MEZE KLUZU S REDUKCÍ VLIVEM SMYKOVÉHO NAPĚTÍ								[MPa]			1.00	1.00	$f_{yw,d}$	209.1								$f_{yd}/3^{0,5}$	120.7			$f_{yd}/3^{0,5}$	120.7
NAPĚTÍ OD POHYBLIVÉHO ZATÍŽENÍ V GLOBÁLNÍM SYSTÉMU						$\sigma_{GLOB,P}$	0.0	[MPa]					$\Sigma\sigma_{GLOB}$	0.0													
NAPĚTÍ OD OSTATNÍCH ZATÍŽENÍ V GLOBÁLNÍM SYSTÉMU						$\sigma_{GLOB,rs}$	0.0	[MPa]					$\Sigma\sigma_x + \Sigma\sigma_{GLOB}$	40.8													
VYUŽITÍ PRŮŘEZU DLE NAPĚTÍ								[%]					η_1	0.20								η_3	0.00			η_3	0.29
NAPĚTÍ V PŘÍČNÉM SMĚRU OD POHYBLIVÉHO ZATÍŽENÍ						$\sigma_{z,P}$	0.0	[MPa]					$\Sigma\sigma_z$	0.0													
NAPĚTÍ V PŘÍČNÉM SMĚRU OD OSTATNÍCH ZATÍŽENÍ						$\sigma_{z,rs}$	0.0	[MPa]					η_2	0.00													
SROVNÁVACÍ NAPĚTÍ													$(\eta_2 + 0,8\,\eta_1)/1,4$ =	0.11													
VYUŽITÍ PRŮŘEZU CELKEM								[%]					eff	0.29	VYHOVUJE												
													z_{LM71} =	3.61													

VÝPOČET PRŮŘEZOVÝCH CHARAKTERISTIK

PRŮŘEZ: L1_1b **POPIS:** PODÉLNÍK - 1 - KRAJ (U PŘÍČNÍKU 1) - ŘEZ b

x = - **m**

DEFINOVÁNÍ PRŮŘEZU

PÁSNICE HORNÍHO LEVÉHO ÚHELNÍKU	b f.t.l.o =	80	mm				
TLOUŠŤKA PÁSNICE ÚHELNÍKU	t f.t.l.o =	8	mm	OSLABENÍ PÁSNICE - TLOUŠŤKA	Δt f.t.l.o =	0	%
VÝŠKA STĚNY ÚHELNÍKU	h w.t.l.o =	72	mm				
TLOUŠŤKA STĚNY ÚHELNÍKU	t w.t.l.o =	8	mm	OSLABENÍ STĚNY - TLOUŠŤKA	Δt w.t.l.o =	0	%
PÁSNICE HORNÍHO PRAVÉHO ÚHELNÍKU	b f.t.r.o =	80	mm				
TLOUŠŤKA PÁSNICE ÚHELNÍKU	t f.t.r.o =	8	mm	OSLABENÍ PÁSNICE - TLOUŠŤKA	Δt f.t.r.o =	0	%
VÝŠKA STĚNY ÚHELNÍKU	h w.t.r.o =	72	mm				
TLOUŠŤKA STĚNY ÚHELNÍKU	t w.t.r.o =	8	mm	OSLABENÍ STĚNY - TLOUŠŤKA	Δt w.t.r.0 =	0	%
PÁSNICE DOLNÍHO LEVÉHO ÚHELNÍKU	b f.b.l.o =	80	mm				
TLOUŠŤKA PÁSNICE ÚHELNÍKU	t f.b.l.o =	8	mm	OSLABENÍ PÁSNICE - TLOUŠŤKA	Δt f.b.l.o =	0	%
VÝŠKA STĚNY ÚHELNÍKU	h w.b.l.o =	72	mm				
TLOUŠŤKA STĚNY ÚHELNÍKU	t w.b.l.o =	8	mm	OSLABENÍ STĚNY - TLOUŠŤKA	Δt w.b.l.o =	0	%
PÁSNICE DOLNÍHO PRAVÉHO ÚHELNÍKU	b f.b.r.o =	80	mm				
TLOUŠŤKA PÁSNICE ÚHELNÍKU	t f.b.r.o =	8	mm	OSLABENÍ PÁSNICE - TLOUŠŤKA	Δt f.b.r.o =	0	%
VÝŠKA STĚNY ÚHELNÍKU	h w.b.r.o =	72	mm				
TLOUŠŤKA STĚNY ÚHELNÍKU	t w.b.r.o =	8	mm	OSLABENÍ STĚNY - TLOUŠŤKA	Δt w.b.r.o =	0	%
PŘÍLOŽKY STĚNY 2x	h w =	0	mm				
	t w =	0	mm	OSLABENÍ STĚNY	Δt w.l =	0	%
ŠÍŘKA HORNÍ PÁSNICE	b f.t =	0	mm	ARCH. DOK. - PÁSNICE UKONČENA PŘED PŘÍPOJEM			
TLOUŠŤKA HORNÍ PÁSNICE	t f.t =	0	mm	OSLABENÍ HORNÍ PÁSNICE	Δt f.t =	0	%
PŘESAH HORNÍ PÁSNICE	o f.t =	0	mm	HORNÍ PÁSNICE OBECNĚ NESYMETRICKÁ (PODÉLNÍK - PŘÍPOJ MOSTNICE)			
VÝŠKA STĚNY	h w =	690	mm				
TLOUŠŤKA STĚNY	t w =	10	mm	OSLABENÍ STĚNY	Δt w.l =	0	%
ŠÍŘKA DOLNÍ PÁSNICE	b f.b =	0	mm	PŘEDPOKLAD - PÁSNICE UKONČENA PŘED PŘÍPOJEM			
TLOUŠŤKA DOLNÍ PÁSNICE	t f.b =	0	mm	OSLABENÍ DOLNÍ PÁSNICE (DOLNÍ PÁSNICE SYMETRICKÁ)	Δt f.b =	0	%

NÝT Č.	SKUPINA	ŘEZ	RED.	VELIKOST di [mm]	POLOHA ei [mm]	POPIS	AKTIVITA OTVORU	NAPĚTÍ sc [MPa]
1		-	1.00	0	-120	nýt - f.t	0 -	
2		-	1.00	20	-45	nýt - f.t - krční úhelník	1	28.10
3		-	1.00	20	45	nýt - f.t - krční úhelník	1	4.52
4		-	1.00			nýt - f.t	-	
5		-	1.00	20	645	nýt - w - krční úhelník	1	16.08
6		-	1.00			nýt - w	-	
7		-	1.00			nýt - w	-	
8		-	1.00			nýt - w	-	
9		-	1.00			nýt - w	-	
10		-	1.00	22	545	nýt - w	1	15.50
11		-	1.00	22	445	nýt - w	1	14.93
12		-	1.00	22	345	nýt - w	1	14.35
13		-	1.00	22	245	nýt - w	1	13.77
14		-	1.00	22	145	nýt - w	1	13.20
15		-	1.00	20	45	nýt - w - krční úhelník	1	12.62
16		-	1.00				-	
17		-	1.00				-	
18		-	1.00				-	
19		-	1.00			nýt - f.b	-	
20		-	1.00	20	-45	nýt - f.b. - krční úhelník	1	24.18
21		-	1.00	20	45	nýt - f.b. - krční úhelník	1	0.60
22		-	1.00			nýt - f.b	-	

ZADÁNÍ ČÁSTI PRŮŘEZU:

č.prvku	b [mm]	h [mm]	y_0 [mm]	z_0 [mm]	popis části	druh oslabení	lokální ultimate	boulení servic.
1	80.0	8.0	-45.0	686.0	pásnice	0	1.000	1.000
2	8.0	72.0	-9.0	646.0		0	1.000	1.000
3	80.0	8.0	45.0	686.0	pásnice	0	1.000	1.000
4	8.0	72.0	9.0	646.0		0	1.000	1.000
5	80.0	8.0	-45.0	4.0	pásnice	0	1.000	1.000
6	8.0	72.0	-9.0	44.0		0	1.000	1.000
7	80.0	8.0	45.0	4.0	pásnice	0	1.000	1.000
8	8.0	72.0	9.0	44.0		0	1.000	1.000
9	0.0	0.0	-85.0	690.0	pásnice	0	1.000	1.000
10	10.0	690.0	0.0	345.0	stěna	0	1.000	1.000
11	0.0	0.0	0.0	0.0	pásnice	0	1.000	1.000
12	0.0	0.0	-5.0	345.0	stěna	0	1.000	1.000
13	0.0	0.0	5.0	345.0	stěna	0	1.000	1.000
14						0	1.000	1.000
15						0	1.000	1.000
16						0	1.000	1.000
17						0	1.000	1.000
18						0	1.000	1.000
19						0	1.000	1.000
20						0	1.000	1.000
21						0	1.000	1.000
22						0	1.000	1.000
23						0	1.000	1.000
24						0	1.000	1.000
25						0	1.000	1.000
26						0	1.000	1.000
27						0	1.000	1.000
28						0	1.000	1.000
29						0	1.000	1.000
30						0	1.000	1.000
31						0	1.000	1.000
32						0	1.000	1.000
33						0	1.000	1.000
34						0	1.000	1.000
35						0	1.000	1.000
36						0	1.000	1.000
37						0	1.000	1.000
38						0	1.000	1.000
39						0	1.000	1.000
40						0	1.000	1.000
41						0	1.000	1.000
42						0	1.000	1.000
43						0	1.000	1.000
44						0	1.000	1.000
45						0	1.000	1.000
46						0	1.000	1.000
47						0	1.000	1.000
48						0	1.000	1.000
49						0	1.000	1.000
50						0	1.000	1.000
51	0	0	0	0	nýt - pásnice	0	1.000	1.000
52	-20.0	8.0	-45.0	686.0	nýt - pásnice	0	1.000	1.000
53	-20.0	8.0	45.0	686.0	nýt - pásnice	0	1.000	1.000
54	0	0	0	0	nýt - pásnice	0	1.000	1.000
55	10.0	-20.0	0.0	645.0	nýt - stěna	0	1.000	1.000
56	8.0	-20.0	-9.0	645.0		0	1.000	1.000
57	8.0	-20.0	9.0	645.0		0	1.000	1.000
58	0	0	0	0	nýt - stěna	0	1.000	1.000
59	0	0	0	0	nýt - stěna	0	1.000	1.000
60	10.0	-22.0	0.0	545.0	nýt - stěna	0	1.000	1.000
61	10.0	-22.0	0.0	445.0	nýt - stěna	0	1.000	1.000
62	10.0	-22.0	0.0	345.0	nýt - stěna	0	1.000	1.000
63	10.0	-22.0	0.0	245.0	nýt - stěna	0	1.000	1.000
64	10.0	-22.0	0.0	145.0	nýt - stěna	0	1.000	1.000
65	10.0	-20.0	0.0	45.0	nýt - stěna	0	1.000	1.000
66	8.0	-20.0	-9.0	45.0		0	1.000	1.000
67	8.0	-20.0	9.0	45.0		0	1.000	1.000
68						0	1.000	1.000
69	0	0	0	0	nýt - pásnice	0	1.000	1.000
70	-20.0	8.0	-45.0	4.0	nýt - pásnice	0	1.000	1.000
71	-20.0	8.0	45.0	4.0	nýt - pásnice	0	1.000	1.000
72	0	0	0	0	nýt - pásnice	0	1.000	1.000
73								
74								
75								
76								
77								
78								
79								
80								
81								
82								
83								
84								
85								
86								
87								
88								
89								
90								
91								
92								
93								
94								
95								
96								
97								
98								
99								
100								

VÝPOČET PRŮŘEZOVÝCH CHARAKTERISTIK

Properties	Basic	Ultimate		Serviceability	
y_t	0.0	0.0		0.0	[mm]
z_t	345.0	345.0		345.0	[mm]
A_i	8.9840E+03	8.9840E+03		8.9840E+03	[mm²]
A_t	1.9200E+03	1.9200E+03		1.9200E+03	[mm²]
A_b	5.4000E+03	5.4000E+03		5.4000E+03	[mm²]
I_{yt}	5.9109E+08	5.9109E+08		5.9109E+08	[mm⁴]
I_{yb}	5.4207E+06	5.4207E+06		5.4207E+06	[mm⁴]
i_y	256.5	256.5		256.5	[mm]
i_z	24.6	24.6		24.6	[mm]
$W_{y,1}$	1.7133E+06	1.7133E+06		1.7133E+06	[mm³]
$W_{y,t}$	-6.3772E+04	-6.3772E+04		-6.3772E+04	[mm³]
$W_{y,2}$	-1.7133E+06	-1.7133E+06		-1.7133E+06	[mm³]
$W_{y,b}$	-6.3772E+04	-6.3772E+04		-6.3772E+04	[mm³]
KRAJNÍ VLÁKNA PRŮŘEZU					
y_1	-85.0	-85.0		-85.0	[mm]
z_1	690.0	690.0		690.0	[mm]
y_2	-85.0	-85.0		-85.0	[mm]
z_2	0.0	0.0		0.0	[mm]
y_3	85.0	85.0		85.0	[mm]
z_3	690.0	690.0		690.0	[mm]
y_4	85.0	85.0		85.0	[mm]
z_4	0.0	0.0		0.0	[mm]
y_5	-5.0	-5.0		-5.0	[mm]
z_5	690.0	690.0		690.0	[mm]
y_6	-5.0	-5.0		-5.0	[mm]
z_6	0.0	0.0		0.0	[mm]

ÚPRAVA MOMENTŮ SETRVAČNOSTI V DŮSLEDKU ČLENĚNÍ PRŮŘEZU

OSA Y 1.00
OSA Z 1.00

SCHÉMA PROMĚNNÝCH

SCHÉMA ZADANÉHO PRŮŘEZU

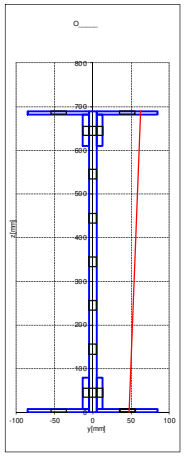

NEUTRÁLNÁ OSA

NAPĚTÍ [MPa]:

38.60	-5.93
34.63	-9.90

ZS: SLS, LM.VZ + MAX N

	N [kN]	Vy [kN]	Vz [kN]	Mx [kNm]	My [kNm]	Mz [kNm]
import	129	-2	-92	0	-3	1

TR_L1.1 POPIS: **PODÉLNÍK L1.E - KRAJ** POSUDEK: **L1.1**

SKUPINA ZAT. STAVŮ	EXTRÉM	VYHODNOCOVANÉ VELIČINY					
		N	Vy	Vz	Mx	My	Mz
		kN	kN	kN	kNm	kNm	kNm
G0	N.min	**-4.52**	-0.5	-7.23	-0.01	0.64	-0.54
	N.max	**19.98**	-0.59	-4.55	-0.04	2.07	-1.02
	Vy.min	-4.52	**-0.5**	-7.23	-0.01	0.64	-0.54
	Vy.max	19.98	**-0.59**	-4.55	-0.04	2.07	-1.02
	Vz.min	-4.52	-0.5	**-7.23**	-0.01	0.64	-0.54
	Vz.max	19.98	-0.59	**-4.55**	-0.04	2.07	-1.02
	Mx.min	-4.52	-0.5	-7.23	**-0.01**	0.64	-0.54
	Mx.max	19.98	-0.59	-4.55	**-0.04**	2.07	-1.02
	My.min	-4.52	-0.5	-7.23	-0.01	**0.64**	-0.54
	My.max	19.98	-0.59	-4.55	-0.04	**2.07**	-1.02
	Mz.min	-4.52	-0.5	-7.23	-0.01	0.64	**-0.54**
	Mz.max	19.98	-0.59	-4.55	-0.04	2.07	**-1.02**
G1	N.min	**-0.35**	-0.04	-0.13	0	0.16	-0.04
	N.max	**-0.35**	-0.04	-0.13	0	0.16	-0.04
	Vy.min	-0.35	**-0.04**	-0.13	0	0.16	-0.04
	Vy.max	-0.35	**-0.04**	-0.13	0	0.16	-0.04
	Vz.min	-0.35	-0.04	**-0.13**	0	0.16	-0.04
	Vz.max	-0.35	-0.04	**-0.13**	0	0.16	-0.04
	Mx.min	-0.35	-0.04	-0.13	**0**	0.16	-0.04
	Mx.max	-0.35	-0.04	-0.13	**0**	0.16	-0.04
	My.min	-0.35	-0.04	-0.13	0	**0.16**	-0.04
	My.max	-0.35	-0.04	-0.13	0	**0.16**	-0.04
	Mz.min	-0.35	-0.04	-0.13	0	0.16	**-0.04**
	Mz.max	-0.35	-0.04	-0.13	0	0.16	**-0.04**
G2	N.min	**-0.23**	-0.03	-0.12	0	0.05	-0.03
	N.max	**-0.23**	-0.03	-0.12	0	0.05	-0.03
	Vy.min	-0.23	**-0.03**	-0.12	0	0.05	-0.03
	Vy.max	-0.23	**-0.03**	-0.12	0	0.05	-0.03
	Vz.min	-0.23	-0.03	**-0.12**	0	0.05	-0.03
	Vz.max	-0.23	-0.03	**-0.12**	0	0.05	-0.03
	Mx.min	-0.23	-0.03	-0.12	**0**	0.05	-0.03
	Mx.max	-0.23	-0.03	-0.12	**0**	0.05	-0.03
	My.min	-0.23	-0.03	-0.12	0	**0.05**	-0.03
	My.max	-0.23	-0.03	-0.12	0	**0.05**	-0.03
	Mz.min	-0.23	-0.03	-0.12	0	0.05	**-0.03**
	Mz.max	-0.23	-0.03	-0.12	0	0.05	**-0.03**
P1_71	N.min	**-13.81**	-0.6	-2.2	0	4.99	-0.54
	N.max	**3.04**	0	0.09	0	-1.55	-0.01
	Vy.min	-12.27	**-0.64**	-1.17	0	6.69	-0.53
	Vy.max	1.85	**0.05**	-0.74	0	-2.96	-0.01
	Vz.min	-5.72	-0.32	**-4.33**	-0.02	-4.82	-0.46
	Vz.max	-6.89	-0.3	**1.7**	0.02	8.19	-0.11
	Mx.min	-5.92	-0.31	-4.28	**-0.02**	-4.6	-0.45
	Mx.max	-6.69	-0.31	1.62	**0.02**	7.87	-0.13
	My.min	-4.83	-0.31	-4.25	-0.02	**-5.16**	-0.46
	My.max	-8.37	-0.31	1.53	0.02	**8.68**	-0.12
	Mz.min	-12.94	-0.63	-1.78	0	5.62	**-0.55**
	Mz.max	1.76	0.04	-0.12	0	-1.23	**0.01**
P2_71	N.min	**-6.73**	-0.59	1.12	0.01	-2.29	-0.55
	N.max	**3.81**	-0.25	-101.82	0.01	-6.7	-0.1
	Vy.min	-3.67	**-0.91**	-115.9	0.03	-4.73	-0.65
	Vy.max	2.32	**0.04**	-19.9	0	-5.9	0.01
	Vz.min	-1.86	-0.75	**-159.8**	0.04	-8.83	-0.61
	Vz.max	-1.47	-0.08	**8.97**	0	-1.64	-0.03
	Mx.min	-3.26	-0.47	-3.09	**-0.01**	-5.9	-0.64
	Mx.max	1.62	-0.3	-156.63	**0.05**	-9.23	-0.03
	My.min	0.06	-0.22	-46.89	0.02	**-17**	-0.2
	My.max	-2.53	-0.58	-75.57	0.01	**4.96**	-0.46
	Mz.min	-4.19	-0.69	-43.78	0.01	-5.24	**-0.71**
	Mz.max	2.53	0	-69.3	0.01	-5.58	**0.03**
P1_C3	N.min	**-9.48**	-0.44	-2.19	-0.01	2.31	-0.44
	N.max	**2.28**	0.02	-0.05	0	-1.39	0
	Vy.min	-8.42	**-0.47**	-1.49	0	3.48	-0.44
	Vy.max	1.52	**0.04**	-0.62	0	-2.44	-0.01
	Vz.min	-4.59	-0.28	**-3.24**	-0.01	-3.07	-0.39
	Vz.max	-4.32	-0.17	**1.08**	0.01	5.2	-0.06
	Mx.min	-4.46	-0.27	-3.2	**-0.02**	-3.06	-0.38
	Mx.max	-2.91	-0.15	0.94	**0.01**	4.18	-0.06
	My.min	-2.04	-0.25	-3.05	-0.01	**-3.98**	-0.38
	My.max	-4.91	-0.17	1.02	0.01	**5.46**	-0.06
	Mz.min	-8.63	-0.46	-2	0	2.29	**-0.45**
	Mz.max	1.41	0.03	-0.09	0	-0.99	**0**
P2_C3	N.min	**-5.93**	-0.51	0.31	0.01	-2.94	-0.49
	N.max	**2.99**	-0.2	-88.39	0.01	-6.66	-0.07
	Vy.min	-4.61	**-0.72**	-63.05	0.01	-0.7	-0.58
	Vy.max	1.91	**0.04**	-14.07	0	-5.45	0
	Vz.min	-1.56	-0.58	**-117.71**	0.02	-7.17	-0.54
	Vz.max	-1.17	-0.06	**7.18**	0	-1.31	-0.02
	Mx.min	-3.58	-0.42	0.11	**-0.01**	-3.67	-0.54
	Mx.max	0.62	-0.2	-80.08	**0.03**	-2.34	-0.03
	My.min	-0.63	-0.19	-38.22	0.01	**-13.27**	-0.16
	My.max	-2.33	-0.48	-48.09	0.01	**4**	-0.41
	Mz.min	-4.47	-0.67	-60.81	0.01	-3.4	**-0.59**
	Mz.max	1.76	0.01	-45.58	0.01	-3.78	**0.02**
BR	N.min	**-82.55**	-1.52	-7.89	-0.03	-2.88	-1.81
	N.max	**82.55**	1.52	7.89	0.03	2.88	1.81
	Vy.min	-82.55	**-1.52**	-7.89	-0.03	-2.88	-1.81
	Vy.max	82.55	**1.52**	7.89	0.03	2.88	1.81
	Vz.min	-82.55	-1.52	**-7.89**	-0.03	-2.88	-1.81
	Vz.max	82.55	1.52	**7.89**	0.03	2.88	1.81
	Mx.min	-71.19	-1.37	-7.63	**-0.04**	-2.35	-1.66
	Mx.max	71.19	1.37	7.63	**0.04**	2.35	1.66
	My.min	-82.55	-1.52	-7.89	-0.03	**-2.88**	-1.81
	My.max	82.55	1.52	7.89	0.03	**2.88**	1.81
	Mz.min	-82.55	-1.52	-7.89	-0.03	-2.88	**-1.81**
	Mz.max	82.55	1.52	7.89	0.03	2.88	**1.81**

TR_L1.1 POPIS: **PODÉLNÍK L1.E - KRAJ** POSUDEK: **L1.1**

SKUPINA ZAT. STAVŮ	EXTRÉM	VYHODNOCOVANÉ VELIČINY					
		N	Vy	Vz	Mx	My	Mz
		kN	kN	kN	kNm	kNm	kNm
S	N.min	**-17.29**	-0.07	-1.97	-0.03	-0.95	-0.22
	N.max	**17.29**	0.07	1.97	0.03	0.95	0.22
	Vy.min	8.82	**-14.85**	5.65	-0.16	1.17	-3
	Vy.max	-8.82	**14.85**	-5.65	0.16	-1.17	3
	Vz.min	-8.82	14.85	**-5.65**	0.16	-1.17	3
	Vz.max	8.82	-14.85	**5.65**	-0.16	1.17	-3
	Mx.min	8.82	-14.85	5.65	**-0.16**	1.17	-3
	Mx.max	-8.82	14.85	-5.65	**0.16**	-1.17	3
	My.min	-8.82	14.85	-5.65	0.16	**-1.17**	3
	My.max	8.82	-14.85	5.65	-0.16	**1.17**	-3
	Mz.min	8.82	-14.85	5.65	-0.16	1.17	**-3**
	Mz.max	-8.82	14.85	-5.65	0.16	-1.17	**3**
CH	N.min	**-0.52**	-0.06	-0.33	0	0	-0.08
	N.max	**-0.27**	-0.04	-0.25	0	-0.03	-0.06
	Vy.min	-0.52	**-0.06**	-0.33	0	0	-0.08
	Vy.max	-0.4	**-0.03**	-0.3	0	-0.18	-0.04
	Vz.min	-0.52	-0.06	**-0.33**	0	0	-0.08
	Vz.max	-0.27	-0.04	**-0.25**	0	-0.03	-0.06
	Mx.min	-0.52	-0.06	-0.33	**0**	0	-0.08
	Mx.max	-0.4	-0.03	-0.3	**0**	-0.18	-0.04
	My.min	-0.4	-0.03	-0.3	0	**-0.18**	-0.04
	My.max	-0.52	-0.06	-0.33	0	**0**	-0.08
	Mz.min	-0.52	-0.06	-0.33	0	0	**-0.08**
	Mz.max	-0.4	-0.03	-0.3	0	-0.18	**-0.04**
W	N.min	**-17.27**	-0.12	-2.46	-0.01	-1.51	-0.26
	N.max	**17.29**	0.12	2.45	0.01	1.51	0.26
	Vy.min	-17.27	**-0.12**	-2.46	-0.01	-1.51	-0.26
	Vy.max	17.29	**0.12**	2.45	0.01	1.51	0.26
	Vz.min	-17.27	-0.12	**-2.46**	-0.01	-1.51	-0.26
	Vz.max	17.29	0.12	**2.45**	0.01	1.51	0.26
	Mx.min	-17.27	-0.12	-2.46	**-0.01**	-1.51	-0.26
	Mx.max	17.29	0.12	2.45	**0.01**	1.51	0.26
	My.min	-17.27	-0.12	-2.46	-0.01	**-1.51**	-0.26
	My.max	17.29	0.12	2.45	0.01	**1.51**	0.26
	Mz.min	-17.27	-0.12	-2.46	-0.01	-1.51	**-0.26**
	Mz.max	17.29	0.12	2.45	0.01	1.51	**0.26**
WP	N.min	**-30.9**	3.34	8.39	-0.01	0.21	-0.03
	N.max	**30.76**	-3.35	-8.39	0.01	-0.17	0.02
	Vy.min	30.76	**-3.35**	-8.39	0.01	-0.17	0.02
	Vy.max	-30.9	**3.34**	8.39	-0.01	0.21	-0.03
	Vz.min	30.76	-3.35	**-8.39**	0.01	-0.17	0.02
	Vz.max	-30.9	3.34	**8.39**	-0.01	0.21	-0.03
	Mx.min	-30.9	3.34	8.39	**-0.01**	0.21	-0.03
	Mx.max	30.76	-3.35	-8.39	**0.01**	-0.17	0.02
	My.min	30.76	-3.35	-8.39	0.01	**-0.17**	0.02
	My.max	-30.9	3.34	8.39	-0.01	**0.21**	-0.03
	Mz.min	-30.9	3.34	8.39	-0.01	0.21	**-0.03**
	Mz.max	30.76	-3.35	-8.39	0.01	-0.17	**0.02**
TR	N.min	**0**	0	0	0	0	0
	N.max	**0**	0	0	0	0	0
	Vy.min	0	**0**	0	0	0	0
	Vy.max	0	**0**	0	0	0	0
	Vz.min	0	0	**0**	0	0	0
	Vz.max	0	0	**0**	0	0	0
	Mx.min	0	0	0	**0**	0	0
	Mx.max	0	0	0	**0**	0	0
	My.min	0	0	0	0	**0**	0
	My.max	0	0	0	0	**0**	0
	Mz.min	0	0	0	0	0	**0**
	Mz.max	0	0	0	0	0	**0**
TN	N.min	**-3.3**	-0.06	0.05	0	0.06	-0.08
	N.max	**3.07**	0.04	-1.3	0	-2.83	0.03
	Vy.min	-3.3	**-0.06**	0.05	0	0.06	-0.08
	Vy.max	3.07	**0.04**	-1.3	0	-2.83	0.03
	Vz.min	3.07	0.04	**-1.3**	0	-2.83	0.03
	Vz.max	0.01	0.02	**1.3**	0	2.94	0.05
	Mx.min	-0.01	-0.02	-1.3	**0**	-2.94	-0.05
	Mx.max	0.01	0.02	1.3	**0**	2.94	0.05
	My.min	-0.01	-0.02	-1.3	0	**-2.94**	-0.05
	My.max	0.01	0.02	1.3	0	**2.94**	0.05
	Mz.min	-3.3	-0.06	0.05	0	0.06	**-0.08**
	Mz.max	0.01	0.02	1.3	0	2.94	**0.05**
FR	N.min	**-0.17**	-0.05	-0.2	0	0.11	-0.06
	N.max	**0.17**	0.05	0.2	0	-0.11	0.06
	Vy.min	-0.17	**-0.05**	-0.2	0	0.11	-0.06
	Vy.max	0.17	**0.05**	0.2	0	-0.11	0.06
	Vz.min	-0.17	-0.05	**-0.2**	0	0.11	-0.06
	Vz.max	0.17	0.05	**0.2**	0	-0.11	0.06
	Mx.min	-0.17	-0.05	-0.2	**0**	0.11	-0.06
	Mx.max	0.17	0.05	0.2	**0**	-0.11	0.06
	My.min	0.17	0.05	0.2	0	**-0.11**	0.06
	My.max	-0.17	-0.05	-0.2	0	**0.11**	-0.06
	Mz.min	-0.17	-0.05	-0.2	0	0.11	**-0.06**
	Mz.max	0.17	0.05	0.2	0	-0.11	**0.06**
I	N.min	**-0.79**	0	-0.15	0	-0.22	**0**
	N.max	**0.79**	0	0.15	0	0.22	**0**
	Vy.min	0.79	**0**	0.15	0	0.22	**0**
	Vy.max	-0.79	**0**	-0.15	0	-0.22	**0**
	Vz.min	-0.79	0	**-0.15**	0	-0.22	**0**
	Vz.max	0.79	0	**0.15**	0	0.22	**0**
	Mx.min	-0.79	0	-0.15	**0**	-0.22	**0**
	Mx.max	0.79	0	0.15	**0**	0.22	**0**
	My.min	-0.79	0	-0.15	0	**-0.22**	**0**
	My.max	0.79	0	0.15	0	**0.22**	**0**
	Mz.min	-0.79	0	-0.15	0	-0.22	**0**
	Mz.max	0.79	0	0.15	0	0.22	**0**

TAB. L1.1.3 POSOUZENÍ - MEZNÍ STAV ÚNOSNOSTI

POPIS	PODĚLNÍK L1.E - KRAJ
PRUT / POLOHA BODU	876 / I[575]
NAMÁHÁNÍ	Mz.min
VLÁKNO	BOD K2 -HP
MEZNÍ STAV	ULS (MSÚ)
VYUŽITÍ VLÁKNA PRŮŘEZU	0.67

Charakteristiky materiálu			
pás. horní	$f_{yf,k}$	230	MPa
pás. dolní	$f_{yf,k}$	230	MPa
stojina	$f_{yw,k}$	230	MPa
výztuž	$f_{ys,k}$	500	MPa
γ_M =	1.10	γ_s =	1.15

Excentricita normálové síly				
Exc./Fáze	0	1	2	3
e_y	0.000	0.000	0.000	0.000
e_z	0.000	0.000	0.000	0.000
Ekvivalentní vzdál. stěn - příčný roznos				
b_{Mx}	0.000	0.000	0.000	0.000

Vliv stěny na únosnost průřezu				
Char./Fáze	0	1	2	3
A	0.60	0.00	0.00	0.00
Wy	0.36	0.00	0.00	0.00
Wz	0.18	0.00	0.00	0.00

Charakter. v kroucení			
$t_{w,y}$	0.000	[mm]	
$t_{w,z}$	0.000	[mm]	
κ	1.00		
I_t=	0.00E+00	[mm^4]	
Ω=2*A_{pr}	0.00E+00	[mm^2]	

Součinitele vzpěru a vlivu II.řádu				
Char./Fáze	0	1	2	3
k_y	1.000	1.000	1.000	1.000
k_z	1.000	1.000	1.000	1.000
χ_{LT}	1.000	1.000	1.000	1.000
χ_{min}	1.000	1.000	1.000	1.000

Vnitřní síly od jednotlivých skupin zatěžovacích stavů

SKUPINA ZATĚŽOVACÍCH STAVŮ					- CHARAKTERISTICKÉ HODNOTY						DÍLČÍ SOUČINITELÉ ZATÍŽENÍ, DYNAMICKÝ SOUČINITEL						4	- NÁVRHOVÉ HODNOTY									
Č.	SKUP ZS	POPIS ZS	KAT.	FÁZE PRŮŘ.	N.k (kN)	Vy.k (kN)	Vz.k (kN)	Mx.k (kNm)	My.k (kNm)	Mz.k (kNm)	γ_{sup} (-)	γ_{inf} (-)	volba γ_i hledat	γ_i (-)	L_d (m)	δ (-)	Ψ_0 KZ04	N.d (kN)	Vy.d (kN)	Vz.d (kN)	ΔVz.d (kN)	ΣVz.d (kN)	Mx.d (kNm)	My.d (kNm)	ΔMy.d (kNm)	ΣMy.d (kNm)	Mz.d (kNm)	ΔMz.d (kNm)	ΣMz.d (kNm)
1	G0	Vlastní tíha OK	G	0	-5	-1	-7	0	1	-1	1.00	1.20		1.20	-	1.00	0.95	-5	-1	-8	0	-8	0	1	0	1	-1	0	-1
2	G1	Ostatní stálé - mostní vybavení	G	0	0	0	0	0	0	0	1.00	1.20		1.20	-	1.00	0.95	0	0	0	0	0	0	0	0	0	0	0	0
3	G2	Ostatní stálé - cizí zařízení	G	0	0	0	0	0	0	0	1.00	1.20		1.20	-	1.00	0.95	0	0	0	0	0	0	0	0	0	0	0	0
4	P1_71	a.LM71 - kolej 1 (bez dyn. souč.)	P	0	-13	-1	-2	0	6	-1	1.00	1.30		1.30	-	1.64	1.00	-28	-1	-4	0	-4	0	12	0	12	-1	0	-1
5	P2_71	a.LM71 - kolej 2 (bez dyn. souč.)	P	0	-4	-1	-44	0	-5	-1	1.00	1.30		1.30	-	1.64	1.00	-9	-1	-93	0	-93	0	-11	0	-11	-2	0	-2
6	P1_C3	TTZ C3 - kolej 1 (bez dyn. souč.)	P	0	-9	0	-2	0	2	0	1.00	vyp.		0.00	-	1.00	0.00	0	0	0	0	0	0	0	0	0	0	0	0
7	P2_C3	TTZ C3 - kolej 2 (bez dyn. souč.)	P	0	-4	-1	-61	0	-3	-1	1.00	vyp.		0.00	-	1.00	0.00	0	0	0	0	0	0	0	0	0	0	0	0
8	BR	Brzdné a rozjezdové síly	P	0	-83	-2	-8	0	-3	-2	1.00	1.30		1.30	-	1.00	0.40	-43	-1	-4	0	-4	0	-1	0	-1	-1	0	-1
9	S	Boční ráz	P	0	9	-15	6	0	1	-3	1.00	1.30		1.30	-	1.00	0.80	9	-15	6	0	6	0	1	0	1	-3	0	-3
10	CH	Chodci na lávkách	Q	0	-1	0	0	0	0	0	1.00	1.30		1.30	-	1.00	1.00	-1	0	0	0	0	0	0	0	0	0	0	0
11	W	Vítr na konstrukci	Q	0	-17	0	-2	0	-2	0	1.00	1.35		1.35	-	1.00	0.75	-17	0	-2	0	-2	0	-2	0	-2	0	0	0
12	WP	Vítr na vozidla	Q	0	-31	3	8	0	0	0	1.00	1.35		1.35	-	1.00	0.75	-31	3	8	0	8	0	0	0	0	0	0	0
13	TR	Teplota rovnoměrná	Q	0	0	0	0	0	0	0	1.00	1.35		1.35	-	1.00	0.45	0	0	0	0	0	0	0	0	0	0	0	0
14	TN	Teplota nerovnoměrná	Q	0	-3	0	0	0	0	0	1.00	1.35		1.35	-	1.00	0.60	-3	0	0	0	0	0	0	0	0	0	0	0
15	FR	Třecí síly v ložiskách	Q	0	0	0	0	0	0	0	1.00	1.20		1.20	-	1.00	1.00	0	0	0	0	0	0	0	0	0	0	0	0
16	I	Imperfekce soustavy	Q	0	-1	0	0	0	0	0	1.00	-1.20		-1.20	-	1.00	1.00	1	0	0	0	0	0	0	0	0	0	0	0
27	ULS_LM	ULS - LM71 bez dynam	Q	0	-124	-20	-60	0	0	-8	1.00	vyp.		0.00	-	1.00	0.00	0	0	0	0	0	0	0	0	0	0	0	0
28	SLS_LM	SLS - LM71 bez dynam	Q	0	-92	-15	-48	0	0	-6	1.00	vyp.	1	0.00	-	1.00	0.00	0	0	0	0	0	0	0	0	0	0	0	0
29	ULS_C3	ULS - C3 bez dynam	Q	0	-118	-19	-83	0	-2	-8	1.00	vyp.	1	0.00	-	1.00	0.00	0	0	0	0	0	0	0	0	0	0	0	0
30	SLS_C3	SLS - C3 bez dynam	Q	0	-88	-15	-65	0	-2	-6	1.00	vyp.	1	0.00	-	1.00	0.00	0	0	0	0	0	0	0	0	0	0	0	0
		CELKEM - FÁZE PRŮŘEZU 0																-128	-17	-98	0	-98	0	1	0	1	-8	0	-8
		CELKEM - FÁZE PRŮŘEZU 1																0	0	0	0	0	0	0	0	0	0	0	0
		CELKEM - FÁZE PRŮŘEZU 2																0	0	0	0	0	0	0	0	0	0	0	0
		CELKEM - FÁZE PRŮŘEZU 3																0	0	0	0	0	0	0	0	0	0	0	0
		CELKEM - PRŮŘEZ																-128	-17	-98	0	-98	0			1			-8

Napětí od jednotlivých zatěžovacích stavů

SKUPINA ZATĚŽOVACÍCH STAVŮ					Posouzení normálového napětí									Posouzení smykového napětí													
					Účinek síly N			Účinek momentu My			Účinek momentu Mz						Účinek kroutícího momentu Mx				Účinek smykové síly Vy				Účinek smykové síly Vz			
Č.	SKUP ZS	Popis ZS	Kat.	fáze prúř.	δ^*N_d [kN]	χ^*A [mm^2]	σ_n [MPa]	$\delta^*M_{y,d}$ [kNm]	$\chi_{lt}{}^*W_{el,y}$ [mm^3]	σ_{my} [MPa]	$\delta^*M_{z,d}$ [kNm]	$W_{el,z}$ [mm^3]	σ_{mz} [MPa]	σ_x [MPa]	$\kappa^*\delta^*M_{x,d}$ [kNm]	$W_{v,y}$ [mm^2]	$\tau_{x,y}$ [MPa]	$W_{v,z}$ [mm^2]	$\tau_{x,z}$ [MPa]	$\delta^*V_{y,d}$ [kN]	$A_{v,y}$ [mm2]	$\tau_{v,y}$ [MPa]	$\tau_{v,y}$ [MPa]	$\delta^*V_{z,d}$ [kN]	$A_{v,z}$ [mm2]	$\tau_{v,z}$ [MPa]	$\tau_{v,z}$ [MPa]
1	G0	Vlastní tíha OK	G	0	-5.2	8.98E+03	-0.6	0.7	-1.71E+06	-0.4	-0.6	6.38E+04	-9.7	-10.7	-1.1E-02	-	-	-	-	-0.6	1.92E+03	-0.3	-0.3	-8.2	5.40E+03	-1.5	-1.5
2	G1	Ostatní stálé - mostní vybavení	G	0	-0.4	8.98E+03	0.0	0.2	-1.71E+06	-0.1	0.0	6.38E+04	-0.7	-0.9	0.0E+00	-	-	-	-	0.0	1.92E+03	0.0	0.0	-0.1	5.40E+03	0.0	0.0
3	G2	Ostatní stálé - cizí zařízení	G	0	-0.3	8.98E+03	0.0	0.1	-1.71E+06	0.0	0.0	6.38E+04	-0.5	-0.6	0.0E+00	-	-	-	-	0.0	1.92E+03	0.0	0.0	-0.1	5.40E+03	0.0	0.0
4	P1_71	a.LM71 - kolej 1 (bez dyn. souč.)	P	0	-27.6	8.98E+03	-3.1	12.0	-1.71E+06	-7.0	-1.2	6.38E+04	-18.4	-28.5	0.0E+00	-	-	-	-	-1.3	1.92E+03	-0.7	-0.7	-3.8	5.40E+03	-0.7	-0.7
5	P2_71	a.LM71 - kolej 2 (bez dyn. souč.)	P	0	-8.9	8.98E+03	-1.0	-11.2	-1.71E+06	6.5	-1.5	6.38E+04	-23.8	-18.2	2.1E-02	-	-	-	-	-1.5	1.92E+03	-0.8	-0.8	-93.5	5.40E+03	-17.3	-17.3
6	P1_C3	TTZ C3 - kolej 1 (bez dyn. souč.)	P	0	0.0	8.98E+03	0.0	0.0	-1.71E+06	0.0	0.0	6.38E+04	0.0	0.0	0.0E+00	-	-	-	-	0.0	1.92E+03	0.0	0.0	0.0	5.40E+03	0.0	0.0
7	P2_C3	TTZ C3 - kolej 2 (bez dyn. souč.)	P	0	0.0	8.98E+03	0.0	0.0	-1.71E+06	0.0	0.0	6.38E+04	0.0	0.0	0.0E+00	-	-	-	-	0.0	1.92E+03	0.0	0.0	0.0	5.40E+03	0.0	0.0
8	BR	Brzdné a rozjezdové síly	P	0	-42.9	8.98E+03	-4.8	-1.5	-1.71E+06	0.9	-0.9	6.38E+04	-14.8	-18.7	-1.6E-02	-	-	-	-	-0.8	1.92E+03	-0.4	-0.4	-4.1	5.40E+03	-0.8	-0.8
9	S	Boční ráz	P	0	9.2	8.98E+03	1.0	1.2	-1.71E+06	-0.7	-3.1	6.38E+04	-48.9	-48.6	-1.7E-01	-	-	-	-	-15.4	1.92E+03	-8.0	-8.0	5.9	5.40E+03	1.1	1.1
10	CH	Chodci na lávkách	Q	0	-0.7	8.98E+03	-0.1	0.0	-1.71E+06	0.0	-0.1	6.38E+04	-1.6	-1.7	0.0E+00	-	-	-	-	-0.1	1.92E+03	0.0	0.0	-0.4	5.40E+03	-0.1	-0.1
11	W	Vítr na konstrukci	Q	0	-17.5	8.98E+03	-1.9	-1.5	-1.71E+06	0.9	-0.3	6.38E+04	-4.1	-5.2	-1.0E-02	-	-	-	-	-0.1	1.92E+03	-0.1	-0.1	-2.5	5.40E+03	-0.5	-0.5
12	WP	Vítr na vozidla	Q	0	-31.3	8.98E+03	-3.5	0.2	-1.71E+06	-0.1	0.0	6.38E+04	-0.5	-4.1	-1.0E-02	-	-	-	-	3.4	1.92E+03	1.8	1.8	8.5	5.40E+03	1.6	1.6
13	TR	Teplota rovnoměrná	Q	0	0.0	8.98E+03	0.0	0.0	-1.71E+06	0.0	0.0	6.38E+04	0.0	0.0	0.0E+00	-	-	-	-	0.0	1.92E+03	0.0	0.0	0.0	5.40E+03	0.0	0.0
14	TN	Teplota nerovnoměrná	Q	0	-2.7	8.98E+03	-0.3	0.0	-1.71E+06	0.0	-0.1	6.38E+04	-1.0	-1.3	0.0E+00	-	-	-	-	0.0	1.92E+03	0.0	0.0	0.0	5.40E+03	0.0	0.0
15	FR	Třecí síly v ložiskách	Q	0	-0.2	8.98E+03	0.0	0.1	-1.71E+06	-0.1	-0.1	6.38E+04	-1.1	-1.2	0.0E+00	-	-	-	-	-0.1	1.92E+03	0.0	0.0	-0.2	5.40E+03	0.0	0.0
16	I	Imperfekce soustavy	Q	0	0.9	8.98E+03	0.1	0.3	-1.71E+06	-0.2	0.0	6.38E+04	0.0	0.0	0.0E+00	-	-	-	-	0.0	1.92E+03	0.0	0.0	0.2	5.40E+03	0.0	0.0
27	ULS_LM	ULS - LM71 bez dynam	Q	0	0.0	8.98E+03	0.0	0.0	-1.71E+06	0.0	0.0	6.38E+04	0.0	0.0	0.0E+00	-	-	-	-	0.0	1.92E+03	0.0	0.0	0.0	5.40E+03	0.0	0.0
28	SLS_LM	SLS - LM71 bez dynam	Q	0	0.0	8.98E+03	0.0	0.0	-1.71E+06	0.0	0.0	6.38E+04	0.0	0.0	0.0E+00	-	-	-	-	0.0	1.92E+03	0.0	0.0	0.0	5.40E+03	0.0	0.0
29	ULS_C3	ULS - C3 bez dynam	Q	0	0.0	8.98E+03	0.0	0.0	-1.71E+06	0.0	0.0	6.38E+04	0.0	0.0	0.0E+00	-	-	-	-	0.0	1.92E+03	0.0	0.0	0.0	5.40E+03	0.0	0.0
30	SLS_C3	SLS - C3 bez dynam	Q	0	0.0	8.98E+03	0.0	0.0	-1.71E+06	0.0	0.0	6.38E+04	0.0	0.0	0.0E+00	-	-	-	-	0.0	1.92E+03	0.0	0.0	0.0	5.40E+03	0.0	0.0
NAVÝŠENÍ NAPĚTÍ DO AKTIVACE TLAKU V DESCE MOSTOVKY						$\sigma_{P,red}$	0.0							0.0			0.0		0.0				-8.7	-8.7			-18.2	-18.2
NAPĚTÍ OD PRIMÁRNÍCH ÚČINKŮ NEROVNOMĚRNÉHO OTEPLENÍ						σ_T	0.0							0.0														
NAPĚTÍ OD REOLOGICKÝCH ÚČINKŮ BETONU V ČASE				t=0		σ_R	0.0	γ=	1.20					0.0														
NAPĚTÍ V KRITICKÝCH VLÁKNECH OD KOMBINACE ZATÍŽENÍ						KZ04		[MPa]					$\Sigma\sigma_x$	-139.7								$\Sigma\tau_y$	-8.7			$\Sigma\tau_z$	-18.2	
NAPĚTÍ OD POHYBLIVÉHO ZATÍŽENÍ								[MPa]					$\sigma_{x,P}$	-114.0								τ_P	-9.9			τ_P	-17.7	
NAPĚTÍ OD OSTATNÍCH ZATÍŽENÍ								[MPa]			Φ_{Vy}	Φ_{Vz}	$\sigma_{x,rs}$	-25.7								τ_{rs}	1.3			τ_{rs}	-0.6	
NÁVRHOVÁ HODNOTA MEZE KLUZU S REDUKCÍ VLIVEM SMYKOVÉHO NAPĚTÍ								[MPa]			1.00	1.00	$f_{yw,d}$	209.1								$f_{yd}/3^{0,5}$	120.7			$f_{yd}/3^{0,5}$	120.7	
NAPĚTÍ OD POHYBLIVÉHO ZATÍŽENÍ V GLOBÁLNÍM SYSTÉMU						$\sigma_{GLOB,P}$	0.0	[MPa]					$\Sigma\sigma_{GLOB}$	0.0													
NAPĚTÍ OD OSTATNÍCH ZATÍŽENÍ V GLOBÁLNÍM SYSTÉMU						$\sigma_{GLOB,rs}$	0.0	[MPa]					$\Sigma\sigma_x + \Sigma\sigma_{GLOB}$	-139.7													
VYUŽITÍ PRŮŘEZU DLE NAPĚTÍ								[%]					η_1	0.67								η_3	0.07			η_3	0.15	
NAPĚTÍ V PŘÍČNÉM SMĚRU OD POHYBLIVÉHO ZATÍŽENÍ						$\sigma_{z,P}$	0.0	[MPa]					$\Sigma\sigma_z$	0.0													
NAPĚTÍ V PŘÍČNÉM SMĚRU OD OSTATNÍCH ZATÍŽENÍ						$\sigma_{z,rs}$	0.0	[MPa]					η_2	0.00													
SROVNÁVACÍ NAPĚTÍ													$(\eta_2 + 0,8\,\eta_1)/1,4$ =	0.38													
VYUŽITÍ PRŮŘEZU CELKEM								[%]					eff	0.67	VYHOVUJE												
													Z_{LM71} =	1.61													

TAB. L1.1.3 POSOUZENÍ - MEZNÍ STAV ÚNOSNOSTI

POPIS	PODĚLNÍK L1.E - KRAJ
PRUT / POLOHA BODU	876 / I[575]
NAMÁHÁNÍ	Vz.min
VLÁKNO	BOD K4 -SP
MEZNÍ STAV	ULS (MSÚ)
VYUŽITÍ VLÁKNA PRŮŘEZU	0.71

Charakteristiky materiálu			
pás. horní	$f_{yf,k}$	230	MPa
pás. dolní	$f_{yf,k}$	230	MPa
stojina	$f_{yw,k}$	230	MPa
výztuž	$f_{ys,k}$	500	MPa
γ_M =	1.10	γ_s =	1.15

Excentricita normálové síly				
Exc./Fáze	0	1	2	3
e_y	0.000	0.000	0.000	0.000
e_z	0.000	0.000	0.000	0.000
Ekvivalentní vzdál. stěn - příčný roznos				
b_{Mx}	0.000	0.000	0.000	0.000

Vliv stěny na únosnost průřezu				
Char./Fáze	0	1	2	3
A	0.60	0.00	0.00	0.00
Wy	0.36	0.00	0.00	0.00
Wz	0.18	0.00	0.00	0.00

Charakter. v kroucení		
$t_{w,y}$	0.000	[mm]
$t_{w,z}$	0.000	[mm]
κ	1.00	
I_t=	0.00E+00	[mm⁴]
$\Omega=2*A_{py}$	0.00E+00	[mm²]

Součinitele vzpěru a vlivu II.řádu				
Char./Fáze	0	1	2	3
k_y	1.000	1.000	1.000	1.000
k_z	1.000	1.000	1.000	1.000
χ_{LT}	1.000	1.000	1.000	1.000
χ_{min}	1.000	1.000	1.000	1.000

Vnitřní síly od jednotlivých skupin zatěžovacích stavů — 4

SKUPINA ZATĚŽOVACÍCH STAVŮ					- CHARAKTERISTICKÉ HODNOTY						DÍLČÍ SOUČINITELÉ ZATÍŽENÍ, DYNAMICKÝ SOUČINITEL						- NÁVRHOVÉ HODNOTY									
Č.	SKUP ZS	POPIS ZS	KAT.	FÁZE PRŮŘ.	N.k (kN)	Vy.k (kN)	Vz.k (kN)	Mx.k (kNm)	My.k (kNm)	Mz.k (kNm)	γ_{sr} (-)	γ_{fs} (-)	volba γ_f hledat	γ_f (-)	L_d (m)	δ (-)	Ψ_s KZ04	N.d (kN)	Vy.d (kN)	Vz.d (kN)	ΔVz.d (kN)	ΣVz.d (kN)	Mx.d (kNm)	My.d (kNm)	ΔMy.d (kNm)	ΣMy.d (kNm)	Mz.d (kNm)	ΔMz.d (kNm)	ΣMz.d (kNm)
1	G0	Vlastní tíha OK	G	0	-5	-1	-7	0	1	-1	1.00	1.20		1.20	-	1.00	0.95	-5	-1	-8	0	-8	0	1	0	1	-1	0	-1
2	G1	Ostatní stálé - mostní vybavení	G	0	0	0	0	0	0	0	1.00	1.20		1.20	-	1.00	0.95	0	0	0	0	0	0	0	0	0	0	0	0
3	G2	Ostatní stálé - cizí zařízení	G	0	0	0	0	0	0	0	1.00	1.20		1.20	-	1.00	0.95	0	0	0	0	0	0	0	0	0	0	0	0
4	P1_71	a.LM71 - kolej 1 (bez dyn. souč.)	P	0	-6	0	-4	0	-5	0	1.00	1.30		1.30	-	1.64	1.00	-12	-1	-9	0	-9	0	-10	0	-10	-1	0	-1
5	P2_71	a.LM71 - kolej 2 (bez dyn. souč.)	P	0	-2	-1	-160	0	-9	-1	1.00	1.30		1.30	-	1.64	1.00	-4	-2	-341	0	-341	0	-19	0	-19	-1	0	-1
6	P1_C3	TTZ C3 - kolej 1 (bez dyn. souč.)	P	0	-5	0	-3	0	-3	0	1.00	vyp.		0.00	-	1.00	0.00	0	0	0	0	0	0	0	0	0	0	0	0
7	P2_C3	TTZ C3 - kolej 2 (bez dyn. souč.)	P	0	-2	-1	-118	0	-7	-1	1.00	vyp.		0.00	-	1.00	0.00	0	0	0	0	0	0	0	0	0	0	0	0
8	BR	Brzdné a rozjezdové síly	P	0	-83	-2	-8	0	-3	-2	1.00	1.30		1.30	-	1.00	0.40	-43	-1	-4	0	-4	0	-1	0	-1	-1	0	-1
9	S	Boční ráz	P	0	-9	15	-6	0	-1	3	1.00	-1.30		-1.30	-	1.00	0.80	9	-15	6	0	6	0	1	0	1	-3	0	-3
10	CH	Chodci na lávkách	Q	0	-1	0	0	0	0	0	1.00	1.30		1.30	-	1.00	1.00	-1	0	0	0	0	0	0	0	0	0	0	0
11	W	Vítr na konstrukci	Q	0	-17	0	-2	0	-2	0	1.00	1.35		1.35	-	1.00	0.75	-17	0	-2	0	-2	0	-2	0	-2	0	0	0
12	WP	Vítr na vozidla	Q	0	31	-3	-8	0	0	0	1.00	-1.35		-1.35	-	1.00	0.75	-31	3	8	0	8	0	0	0	0	0	0	0
13	TR	Teplota rovnoměrná	Q	0	0	0	0	0	0	0	1.00	1.35		1.35	-	1.00	0.45	0	0	0	0	0	0	0	0	0	0	0	0
14	TN	Teplota nerovnoměrná	Q	0	3	0	-1	0	-3	0	1.00	1.35		1.35	-	1.00	0.60	2	0	-1	0	-1	0	-2	0	-2	0	0	0
15	FR	Třecí síly v ložiskách	Q	0	0	0	0	0	0	0	1.00	1.20		1.20	-	1.00	1.00	0	0	0	0	0	0	0	0	0	0	0	0
16	I	Imperfekce soustavy	Q	0	-1	0	0	0	0	0	1.00	1.20		1.20	-	1.00	1.00	-1	0	0	0	0	0	0	0	0	0	0	0
27	ULS_LM	ULS - LM71 bez dynam	Q	0	-114	2	-249	0	-25	-3	1.00	vyp.		0.00	-	1.00	0.00	0	0	0	0	0	0	0	0	0	0	0	0
28	SLS_LM	SLS - LM71 bez dynam	Q	0	-91	2	-191	0	-18	-2	1.00	vyp.	1	0.00	-	1.00	0.00	0	0	0	0	0	0	0	0	0	0	0	0
29	ULS_C3	ULS - C3 bez dynam	Q	0	-113	2	-193	0	-21	-3	1.00	vyp.	1	0.00	-	1.00	0.00	0	0	0	0	0	0	0	0	0	0	0	0
30	SLS_C3	SLS - C3 bez dynam	Q	0	-90	2	-148	0	-14	-2	1.00	vyp.	1	0.00	-	1.00	0.00	0	0	0	0	0	0	0	0	0	0	0	0
		CELKEM - FÁZE PRŮŘEZU 0																-104	-16	-353	0	-353	0	-32	0	-32	-7	0	-7
		CELKEM - FÁZE PRŮŘEZU 1																0	0	0	0	0	0	0	0	0	0	0	0
		CELKEM - FÁZE PRŮŘEZU 2																0	0	0	0	0	0	0	0	0	0	0	0
		CELKEM - FÁZE PRŮŘEZU 3																0	0	0	0	0	0	0	0	0	0	0	0
		CELKEM - PRŮŘEZ																-104	-16	-353	0	-353	0			-32			-7

Napětí od jednotlivých zatěžovacích stavů

SKUPINA ZATĚŽOVACÍCH STAVŮ					Posouzení normálového napětí										Posouzení smykového napětí													
					Účinek síly N			Účinek momentu My			Účinek momentu Mz				Účinek kroutícího momentu Mx				Účinek smykové síly Vy				Účinek smykové síly Vz			
Č.	SKUP ZS	Popis ZS	Kat.	fáze průř.	δ^*N_d [kN]	χ^*A [mm²]	σ_n [MPa]	$\delta^*M_{y,d}$ [kNm]	$\chi_{lt}*W_{el,y}$ [mm³]	σ_{my} [MPa]	$\delta^*M_{z,d}$ [kNm]	$W_{el,z}$ [mm³]	σ_{mz} [MPa]	σ_x [MPa]	$\kappa*\delta^*M_{x,d}$ [kNm]	$W_{v,y}$ [mm²]	$\tau_{x,y}$ [MPa]	$W_{v,z}$ [mm²]	$\tau_{x,z}$ [MPa]	$\delta^*V_{y,d}$ [kN]	$A_{v,y}$ [mm2]	$\tau_{v,y}$ [MPa]	$\tau_{v,y}$ [MPa]	$\delta^*V_{z,d}$ [kN]	$A_{v,z}$ [mm2]	$\tau_{v,z}$ [MPa]	$\tau_{v,z}$ [MPa]
1	G0	Vlastní tíha OK	G	0	-5.2	8.95E+03	-0.6	0.7	1.71E+06	0.4	-0.6	6.37E+04	-9.7	-9.8	-1.1E-02	-	-	-	-	-0.6	1.92E+03	-0.3	-0.3	-8.2	5.40E+03	-1.5	-1.5
2	G1	Ostatní stálé - mostní vybavení	G	0	-0.4	8.95E+03	0.0	0.2	1.71E+06	0.1	0.0	6.37E+04	-0.7	-0.7	0.0E+00	-	-	-	-	0.0	1.92E+03	0.0	0.0	-0.1	5.40E+03	0.0	0.0
3	G2	Ostatní stálé - cizí zařízení	G	0	-0.3	8.95E+03	0.0	0.1	1.71E+06	0.0	0.0	6.37E+04	-0.5	-0.5	0.0E+00	-	-	-	-	0.0	1.92E+03	0.0	0.0	-0.1	5.40E+03	0.0	0.0
4	P1_71	a.LM71 - kolej 1 (bez dyn. souč.)	P	0	-12.2	8.95E+03	-1.4	-10.3	1.71E+06	-6.0	-1.0	6.37E+04	-15.4	-22.8	-4.3E-02	-	-	-	-	-0.7	1.92E+03	-0.4	-0.4	-9.2	5.40E+03	-1.7	-1.7
5	P2_71	a.LM71 - kolej 2 (bez dyn. souč.)	P	0	-4.0	8.95E+03	-0.4	-18.8	1.71E+06	-11.0	-1.3	6.37E+04	-20.4	-31.9	8.5E-02	-	-	-	-	-1.6	1.92E+03	-0.8	-0.8	-341.1	5.40E+03	-63.2	-63.2
6	P1_C3	TTZ C3 - kolej 1 (bez dyn. souč.)	P	0	0.0	8.95E+03	0.0	0.0	1.71E+06	0.0	0.0	6.37E+04	0.0	0.0	0.0E+00	-	-	-	-	0.0	1.92E+03	0.0	0.0	0.0	5.40E+03	0.0	0.0
7	P2_C3	TTZ C3 - kolej 2 (bez dyn. souč.)	P	0	0.0	8.95E+03	0.0	0.0	1.71E+06	0.0	0.0	6.37E+04	0.0	0.0	0.0E+00	-	-	-	-	0.0	1.92E+03	0.0	0.0	0.0	5.40E+03	0.0	0.0
8	BR	Brzdné a rozjezdové síly	P	0	-42.9	8.95E+03	-4.8	-1.5	1.71E+06	-0.9	-0.9	6.37E+04	-14.8	-20.5	-1.6E-02	-	-	-	-	-0.8	1.92E+03	-0.4	-0.4	-4.1	5.40E+03	-0.8	-0.8
9	S	Boční ráz	P	0	9.2	8.95E+03	1.0	1.2	1.71E+06	0.7	-3.1	6.37E+04	-49.0	-47.2	-1.7E-01	-	-	-	-	-15.4	1.92E+03	-8.0	-8.0	5.9	5.40E+03	1.1	1.1
10	CH	Chodci na lávkách	Q	0	-0.7	8.95E+03	-0.1	0.0	1.71E+06	0.0	-0.1	6.37E+04	-1.6	-1.7	0.0E+00	-	-	-	-	-0.1	1.92E+03	0.0	0.0	-0.4	5.40E+03	-0.1	-0.1
11	W	Vítr na konstrukci	Q	0	-17.5	8.95E+03	-2.0	-1.5	1.71E+06	-0.9	-0.3	6.37E+04	-4.1	-7.0	-1.0E-02	-	-	-	-	-0.1	1.92E+03	-0.1	-0.1	-2.5	5.40E+03	-0.5	-0.5
12	WP	Vítr na vozidla	Q	0	-31.1	8.95E+03	-3.5	0.2	1.71E+06	0.1	0.0	6.37E+04	-0.3	-3.7	-1.0E-02	-	-	-	-	3.4	1.92E+03	1.8	1.8	8.5	5.40E+03	1.6	1.6
13	TR	Teplota rovnoměrná	Q	0	0.0	8.95E+03	0.0	0.0	1.71E+06	0.0	0.0	6.37E+04	0.0	0.0	0.0E+00	-	-	-	-	0.0	1.92E+03	0.0	0.0	0.0	5.40E+03	0.0	0.0
14	TN	Teplota nerovnoměrná	Q	0	2.5	8.95E+03	0.3	-2.3	1.71E+06	-1.3	0.0	6.37E+04	0.4	-0.7	0.0E+00	-	-	-	-	0.0	1.92E+03	0.0	0.0	-1.1	5.40E+03	-0.2	-0.2
15	FR	Třecí síly v ložiskách	Q	0	-0.2	8.95E+03	0.0	0.1	1.71E+06	0.1	-0.1	6.37E+04	-1.1	-1.1	0.0E+00	-	-	-	-	-0.1	1.92E+03	0.0	0.0	-0.2	5.40E+03	0.0	0.0
16	I	Imperfekce soustavy	Q	0	-0.9	8.95E+03	-0.1	-0.3	1.71E+06	-0.2	0.0	6.37E+04	0.0	-0.3	0.0E+00	-	-	-	-	0.0	1.92E+03	0.0	0.0	-0.2	5.40E+03	0.0	0.0
27	ULS_LM	ULS - LM71 bez dynam	Q	0	0.0	8.95E+03	0.0	0.0	1.71E+06	0.0	0.0	6.37E+04	0.0	0.0	0.0E+00	-	-	-	-	0.0	1.92E+03	0.0	0.0	0.0	5.40E+03	0.0	0.0
28	SLS_LM	SLS - LM71 bez dynam	Q	0	0.0	8.95E+03	0.0	0.0	1.71E+06	0.0	0.0	6.37E+04	0.0	0.0	0.0E+00	-	-	-	-	0.0	1.92E+03	0.0	0.0	0.0	5.40E+03	0.0	0.0
29	ULS_C3	ULS - C3 bez dynam	Q	0	0.0	8.95E+03	0.0	0.0	1.71E+06	0.0	0.0	6.37E+04	0.0	0.0	0.0E+00	-	-	-	-	0.0	1.92E+03	0.0	0.0	0.0	5.40E+03	0.0	0.0
30	SLS_C3	SLS - C3 bez dynam	Q	0	0.0	8.95E+03	0.0	0.0	1.71E+06	0.0	0.0	6.37E+04	0.0	0.0	0.0E+00	-	-	-	-	0.0	1.92E+03	0.0	0.0	0.0	5.40E+03	0.0	0.0
NAVÝŠENÍ NAPĚTÍ DO AKTIVACE TLAKU V DESCE MOSTOVKY						$\sigma_{P,red}$	0.0							0.0			0.0		0.0			-8.3	-8.3			-65.4	-65.4
NAPĚTÍ OD PRIMÁRNÍCH ÚČINKŮ NEROVNOMĚRNÉHO OTEPLENÍ						σ_T	0.0							0.0													
NAPĚTÍ OD REOLOGICKÝCH ÚČINKŮ BETONU V ČASE				t=0		σ_R	0.0	γ=	1.20					0.0													
NAPĚTÍ V KRITICKÝCH VLÁKNECH OD KOMBINACE ZATÍŽENÍ						KZ04		[MPa]					$\Sigma\sigma_x$	-147.8								$\Sigma\tau_y$	-8.3			$\Sigma\tau_z$	-65.4
NAPĚTÍ OD POHYBLIVÉHO ZATÍŽENÍ								[MPa]					$\sigma_{z,P}$	-122.4								τ_P	-9.6			τ_P	-64.6
NAPĚTÍ OD OSTATNÍCH ZATÍŽENÍ								[MPa]			Φ_{Vy}	Φ_{Vz}	$\sigma_{z,rs}$	-25.4								τ_{rs}	1.3			τ_{rs}	-0.8
NÁVRHOVÁ HODNOTA MEZE KLUZU S REDUKCÍ VLIVEM SMYKOVÉHO NAPĚTÍ								[MPa]			1.00	0.99	$f_{yw,d}$	209.1								$f_{yd}/3^{0,5}$	120.7			$f_{yd}/3^{0,5}$	120.7
NAPĚTÍ OD POHYBLIVÉHO ZATÍŽENÍ V GLOBÁLNÍM SYSTÉMU						$\sigma_{GLOB,P}$	0.0	[MPa]					$\Sigma\sigma_{GLOB}$	0.0													
NAPĚTÍ OD OSTATNÍCH ZATÍŽENÍ V GLOBÁLNÍM SYSTÉMU						$\sigma_{GLOB,rs}$	0.0	[MPa]					$\Sigma\sigma_z + \Sigma\sigma_{GLOB}$	-147.8													
VYUŽITÍ PRŮŘEZU DLE NAPĚTÍ								[%]					η_1	0.71								η_3	0.07			η_3	0.54
NAPĚTÍ V PŘÍČNÉM SMĚRU OD POHYBLIVÉHO ZATÍŽENÍ						$\sigma_{z,P}$	0.0	[MPa]					$\Sigma\sigma_z$	0.0													
NAPĚTÍ V PŘÍČNÉM SMĚRU OD OSTATNÍCH ZATÍŽENÍ						$\sigma_{z,rs}$	0.0	[MPa]					η_2	0.00													
SROVNÁVACÍ NAPĚTÍ													$(\eta_2 + 0,8\,\eta_1)/1,4$ =	0.40													
VYUŽITÍ PRŮŘEZU CELKEM								[%]					eff	0.71	VYHOVUJE												
													Z_{LM71} =	1.50													

TAB. L1.1.3 POSOUZENÍ - MEZNÍ STAV ÚNOSNOSTI

POPIS	PODÉLNÍK L1.E - KRAJ
PRUT / POLOHA BODU	876 / I[575]
NAMÁHÁNÍ	Vz.min
VLÁKNO	BOD S6 -HP
MEZNÍ STAV	ULS (MSÚ)
VYUŽITÍ VLÁKNA PRŮŘEZU	0.59

Charakteristiky materiálu				
pás. horní	$f_{yf,k}$	230	MPa	
pás. dolní	$f_{yf,k}$	230	MPa	
stojina	$f_{yw,k}$	230	MPa	
výztuž	$f_{ys,k}$	500	MPa	
γ_M =	1.10	γ_s =	1.15	

Excentricita normálové síly				
Exc./Fáze	0	1	2	3
e_y	0.000	0.000	0.000	0.000
e_z	0.000	0.000	0.000	0.000
Ekvivalentní vzdál. stěn - příčný roznos				
b_{Mx}	0.000	0.000	0.000	0.000

Vliv stěny na únosnost průřezu				
Char./Fáze	0	1	2	3
A	0.60	0.00	0.00	0.00
Wy	0.36	0.00	0.00	0.00
Wz	0.00	0.00	0.00	0.00

Charakter. v kroucení			
$t_{w,y}$	0.000	[mm]	
$t_{w,z}$	0.000	[mm]	
κ	1.00		
I_t=	0.00E+00	[mm⁴]	
$\Omega=2*A_{pr}$	0.00E+00	[mm²]	

Součinitele vzpěru a vlivu II.řádu					
Char./Fáze	0	1	2	3	
k_y	1.000	1.000	1.000	1.000	
k_z	1.000	1.000	1.000	1.000	
χ_{LT}	1.000	1.000	1.000	1.000	
χ_{min}	1.000	1.000	1.000	1.000	

Vnitřní síly od jednotlivých skupin zatěžovacích stavů

SKUPINA ZATĚŽOVACÍCH STAVŮ: 3

Č.	SKUP ZS	POPIS ZS	KAT.	FÁZE PRŮŘ.	- CHARAKTERISTICKÉ HODNOTY N.k (kN)	Vy.k (kN)	Vz.k (kN)	Mx.k (kNm)	My.k (kNm)	Mz.k (kNm)	DÍLČÍ SOUČINITELÉ ZATÍŽENÍ, DYNAMICKÝ SOUČINITEL γ_{sr} (-)	γ_{fs} (-)	volba γ_f hledat	γ_f (-)	L_d (m)	δ (-)	Ψ_s KZ03	- NÁVRHOVÉ HODNOTY N.d (kN)	Vy.d (kN)	Vz.d (kN)	ΔVz.d (kN)	ΣVz.d (kN)	Mx.d (kNm)	My.d (kNm)	ΔMy.d (kNm)	ΣMy.d (kNm)	Mz.d (kNm)	ΔMz.d (kNm)	ΣMz.d (kNm)
1	G0	Vlastní tíha OK	G	0	-5	-1	-7	0	1	-1	1.00	1.20		1.20	-	1.00	0.95	-5	-1	-8	0	-8	0	1	0	1	-1	0	-1
2	G1	Ostatní stálé - mostní vybavení	G	0	0	0	0	0	0	0	1.00	1.20		1.20	-	1.00	0.95	0	0	0	0	0	0	0	0	0	0	0	0
3	G2	Ostatní stálé - cizí zařízení	G	0	0	0	0	0	0	0	1.00	1.20		1.20	-	1.00	0.95	0	0	0	0	0	0	0	0	0	0	0	0
4	P1_71	a.LM71 - kolej 1 (bez dyn. souč.)	P	0	-6	0	-4	0	-5	0	1.00	1.30		1.30	-	1.64	1.00	-12	-1	-9	0	-9	0	-10	0	-10	-1	0	-1
5	P2_71	a.LM71 - kolej 2 (bez dyn. souč.)	P	0	-2	-1	-160	0	-9	-1	1.00	1.30		1.30	-	1.64	1.00	-4	-2	-341	0	-341	0	-19	0	-19	-1	0	-1
6	P1_C3	TTZ C3 - kolej 1 (bez dyn. souč.)	P	0	-5	0	-3	0	-3	0	1.00	vyp.		0.00	-	1.00	0.00	0	0	0	0	0	0	0	0	0	0	0	0
7	P2_C3	TTZ C3 - kolej 2 (bez dyn. souč.)	P	0	-2	-1	-118	0	-7	-1	1.00	vyp.		0.00	-	1.00	0.00	0	0	0	0	0	0	0	0	0	0	0	0
8	BR	Brzdné a rozjezdové síly	P	0	-83	-2	-8	0	-3	-2	1.00	1.30		1.30	-	1.00	0.80	-86	-2	-8	0	-8	0	-3	0	-3	-2	0	-2
9	S	Boční ráz	P	0	-9	15	-6	0	-1	3	1.00	1.30		1.30	-	1.00	0.40	-5	8	-3	0	-3	0	-1	0	-1	2	0	2
10	CH	Chodci na lávkách	Q	0	-1	0	0	0	0	0	1.00	1.30		1.30	-	1.00	1.00	-1	0	0	0	0	0	0	0	0	0	0	0
11	W	Vítr na konstrukci	Q	0	-17	0	-2	0	-2	0	1.00	1.35		1.35	-	1.00	0.75	-17	0	-2	0	-2	0	-2	0	-2	0	0	0
12	WP	Vítr na vozidla	Q	0	31	-3	-8	0	0	0	1.00	1.35		1.35	-	1.00	0.75	31	-3	-8	0	-8	0	0	0	0	0	0	0
13	TR	Teplota rovnoměrná	Q	0	0	0	0	0	0	0	1.00	1.35		1.35	-	1.00	0.45	0	0	0	0	0	0	0	0	0	0	0	0
14	TN	Teplota nerovnoměrná	Q	0	3	0	-1	0	-3	0	1.00	1.35		1.35	-	1.00	0.60	2	0	-1	0	-1	0	-2	0	-2	0	0	0
15	FR	Třecí síly v ložiskách	Q	0	0	0	0	0	0	0	1.00	1.20		1.20	-	1.00	1.00	0	0	0	0	0	0	0	0	0	0	0	0
16	I	Imperfekce soustavy	Q	0	-1	0	0	0	0	0	1.00	1.20		1.20	-	1.00	1.00	-1	0	0	0	0	0	0	0	0	0	0	0
27	ULS_LM	ULS - LM71 bez dynam	Q	0	-114	2	-249	0	-25	-3	1.00	vyp.		0.00	-	1.00	0.00	0	0	0	0	0	0	0	0	0	0	0	0
28	SLS_LM	SLS - LM71 bez dynam	Q	0	-91	2	-191	0	-18	-2	1.00	vyp.	1	0.00	-	1.00	0.00	0	0	0	0	0	0	0	0	0	0	0	0
29	ULS_C3	ULS - C3 bez dynam	Q	0	-113	2	-193	0	-21	-3	1.00	vyp.	1	0.00	-	1.00	0.00	0	0	0	0	0	0	0	0	0	0	0	0
30	SLS_C3	SLS - C3 bez dynam	Q	0	-90	2	-148	0	-14	-2	1.00	vyp.	1	0.00	-	1.00	0.00	0	0	0	0	0	0	0	0	0	0	0	0
		CELKEM - FÁZE PRŮŘEZU 0																-98	0	-383	0	-383	0	-36	0	-36	-4	0	-4
		CELKEM - FÁZE PRŮŘEZU 1																0	0	0	0	0	0	0	0	0	0	0	0
		CELKEM - FÁZE PRŮŘEZU 2																0	0	0	0	0	0	0	0	0	0	0	0
		CELKEM - FÁZE PRŮŘEZU 3																0	0	0	0	0	0	0	0	0	0	0	0
		CELKEM - PRŮŘEZ																-98	0	-383	0	-383	0			-36			-4

Napětí od jednotlivých zatěžovacích stavů

SKUPINA ZATĚŽOVACÍCH STAVŮ

Č.	SKUP ZS	Popis ZS	Kat.	fáze průř.	Posouzení normálového napětí – Účinek síly N δ^*N_d [kN]	χ^*A [mm²]	σ_n [MPa]	Účinek momentu My $\delta^*M_{y,d}$ [kNm]	$\chi_{lt}*W_{el,y}$ [mm³]	σ_{my} [MPa]	Účinek momentu Mz $\delta^*M_{z,d}$ [kNm]	$W_{el,z}$ [mm³]	σ_{mz} [MPa]	σ_x [MPa]	Posouzení smykového napětí – Účinek kroutícího momentu Mx $\kappa^*\delta^*M_{x,d}$ [kNm]	$W_{v,y}$ [mm³]	$\tau_{x,y}$ [MPa]	$W_{v,z}$ [mm³]	$\tau_{x,z}$ [MPa]	Účinek smykové síly Vy $\delta^*V_{y,d}$ [kN]	$A_{v,y}$ [mm2]	$\tau_{v,y}$ [MPa]	$\tau_{v,y}$ [MPa]	Účinek smykové síly Vz $\delta^*V_{z,d}$ [kN]	$A_{v,z}$ [mm2]	$\tau_{v,z}$ [MPa]	$\tau_{v,z}$ [MPa]
1	G0	Vlastní tíha OK	G	0	-5.2	8.82E+03	-0.6	0.7	1.69E+06	0.4	-0.6	-1.08E+06	0.6	0.4	-1.1E-02	-	-	-	-	-0.6	1.92E+03	-0.3	-0.3	-8.2	5.40E+03	-1.5	-1.5
2	G1	Ostatní stálé - mostní vybavení	G	0	-0.4	8.82E+03	0.0	0.2	1.69E+06	0.1	0.0	-1.08E+06	0.0	0.1	0.0E+00	-	-	-	-	0.0	1.92E+03	0.0	0.0	-0.1	5.40E+03	0.0	0.0
3	G2	Ostatní stálé - cizí zařízení	G	0	-0.3	8.82E+03	0.0	0.1	1.69E+06	0.0	0.0	-1.08E+06	0.0	0.0	0.0E+00	-	-	-	-	0.0	1.92E+03	0.0	0.0	-0.1	5.40E+03	0.0	0.0
4	P1_71	a.LM71 - kolej 1 (bez dyn. souč.)	P	0	-12.2	8.82E+03	-1.4	-10.3	1.69E+06	-6.1	-1.0	-1.08E+06	0.9	-6.6	-4.3E-02	-	-	-	-	-0.7	1.92E+03	-0.4	-0.4	-9.2	5.40E+03	-1.7	-1.7
5	P2_71	a.LM71 - kolej 2 (bez dyn. souč.)	P	0	-4.0	8.82E+03	-0.5	-18.8	1.69E+06	-11.1	-1.3	-1.08E+06	1.2	-10.4	8.5E-02	-	-	-	-	-1.6	1.92E+03	-0.8	-0.8	-341.1	5.40E+03	-63.2	-63.2
6	P1_C3	TTZ C3 - kolej 1 (bez dyn. souč.)	P	0	0.0	8.82E+03	0.0	0.0	1.69E+06	0.0	0.0	-1.08E+06	0.0	0.0	0.0E+00	-	-	-	-	0.0	1.92E+03	0.0	0.0	0.0	5.40E+03	0.0	0.0
7	P2_C3	TTZ C3 - kolej 2 (bez dyn. souč.)	P	0	0.0	8.82E+03	0.0	0.0	1.69E+06	0.0	0.0	-1.08E+06	0.0	0.0	0.0E+00	-	-	-	-	0.0	1.92E+03	0.0	0.0	0.0	5.40E+03	0.0	0.0
8	BR	Brzdné a rozjezdové síly	P	0	-85.9	8.82E+03	-9.7	-3.0	1.69E+06	-1.8	-1.9	-1.08E+06	1.7	-9.8	-3.1E-02	-	-	-	-	-1.6	1.92E+03	-0.8	-0.8	-8.2	5.40E+03	-1.5	-1.5
9	S	Boční ráz	P	0	-4.6	8.82E+03	-0.5	-0.6	1.69E+06	-0.4	1.6	-1.08E+06	-1.4	-2.3	8.3E-02	-	-	-	-	7.7	1.92E+03	4.0	4.0	-2.9	5.40E+03	-0.5	-0.5
10	CH	Chodci na lávkách	Q	0	-0.7	8.82E+03	-0.1	0.0	1.69E+06	0.0	-0.1	-1.08E+06	0.1	0.0	0.0E+00	-	-	-	-	-0.1	1.92E+03	0.0	0.0	-0.4	5.40E+03	-0.1	-0.1
11	W	Vítr na konstrukci	Q	0	-17.5	8.82E+03	-2.0	-1.5	1.69E+06	-0.9	-0.3	-1.08E+06	0.2	-2.6	-1.0E-02	-	-	-	-	-0.1	1.92E+03	-0.1	-0.1	-2.5	5.40E+03	-0.5	-0.5
12	WP	Vítr na vozidla	Q	0	31.1	8.82E+03	3.5	-0.2	1.69E+06	-0.1	0.0	-1.08E+06	0.0	3.4	1.0E-02	-	-	-	-	-3.4	1.92E+03	-1.8	-1.8	-8.5	5.40E+03	-1.6	-1.6
13	TR	Teplota rovnoměrná	Q	0	0.0	8.82E+03	0.0	0.0	1.69E+06	0.0	0.0	-1.08E+06	0.0	0.0	0.0E+00	-	-	-	-	0.0	1.92E+03	0.0	0.0	0.0	5.40E+03	0.0	0.0
14	TN	Teplota nerovnoměrná	Q	0	2.5	8.82E+03	0.3	-2.3	1.69E+06	-1.4	0.0	-1.08E+06	0.0	-1.1	0.0E+00	-	-	-	-	0.0	1.92E+03	0.0	0.0	-1.1	5.40E+03	-0.2	-0.2
15	FR	Třecí síly v ložiskách	Q	0	-0.2	8.82E+03	0.0	0.1	1.69E+06	0.1	-0.1	-1.08E+06	0.1	0.1	0.0E+00	-	-	-	-	-0.1	1.92E+03	0.0	0.0	-0.2	5.40E+03	0.0	0.0
16	I	Imperfekce soustavy	Q	0	-0.9	8.82E+03	-0.1	-0.3	1.69E+06	-0.2	0.0	-1.08E+06	0.0	-0.3	0.0E+00	-	-	-	-	0.0	1.92E+03	0.0	0.0	-0.2	5.40E+03	0.0	0.0
27	ULS_LM	ULS - LM71 bez dynam	Q	0	0.0	8.82E+03	0.0	0.0	1.69E+06	0.0	0.0	-1.08E+06	0.0	0.0	0.0E+00	-	-	-	-	0.0	1.92E+03	0.0	0.0	0.0	5.40E+03	0.0	0.0
28	SLS_LM	SLS - LM71 bez dynam	Q	0	0.0	8.82E+03	0.0	0.0	1.69E+06	0.0	0.0	-1.08E+06	0.0	0.0	0.0E+00	-	-	-	-	0.0	1.92E+03	0.0	0.0	0.0	5.40E+03	0.0	0.0
29	ULS_C3	ULS - C3 bez dynam	Q	0	0.0	8.82E+03	0.0	0.0	1.69E+06	0.0	0.0	-1.08E+06	0.0	0.0	0.0E+00	-	-	-	-	0.0	1.92E+03	0.0	0.0	0.0	5.40E+03	0.0	0.0
30	SLS_C3	SLS - C3 bez dynam	Q	0	0.0	8.82E+03	0.0	0.0	1.69E+06	0.0	0.0	-1.08E+06	0.0	0.0	0.0E+00	-	-	-	-	0.0	1.92E+03	0.0	0.0	0.0	5.40E+03	0.0	0.0
		NAVÝŠENÍ NAPĚTÍ DO AKTIVACE TLAKU V DESCE MOSTOVKY				$\sigma_{P,red}$	0.0							0.0			0.0		0.0				-0.2	-0.2			-70.9	-70.9
		NAPĚTÍ OD PRIMÁRNÍCH ÚČINKŮ NEROVNOMĚRNÉHO OTEPLENÍ				σ_T	0.0							0.0														
		NAPĚTÍ OD REOLOGICKÝCH ÚČINKŮ BETONU V ČASE		t=0		σ_R	0.0	γ_f=	1.20					0.0														
		NAPĚTÍ V KRITICKÝCH VLÁKNECH OD KOMBINACE ZATÍŽENÍ				KZ03		[MPa]					$\Sigma\sigma_x$	-28.9									$\Sigma\tau_y$	-0.2			$\Sigma\tau_z$	-70.9
		NAPĚTÍ OD POHYBLIVÉHO ZATÍŽENÍ						[MPa]					$\sigma_{x,P}$	-29.0									τ_P	2.0			τ_P	-66.9
		NAPĚTÍ OD OSTATNÍCH ZATÍŽENÍ						[MPa]			Φ_{Vy}	Φ_{Vz}	$\sigma_{x,rs}$	0.1									τ_{rs}	-2.2			τ_{rs}	-4.0
		NÁVRHOVÁ HODNOTA MEZE KLUZU S REDUKCÍ VLIVEM SMYKOVÉHO NAPĚTÍ						[MPa]			1.00	0.97	$f_{yv,d}$	209.1									$f_{yd}/3^{0,5}$	120.7			$f_{yd}/3^{0,5}$	120.7
		NAPĚTÍ OD POHYBLIVÉHO ZATÍŽENÍ V GLOBÁLNÍM SYSTÉMU				$\sigma_{GLOB,P}$	0.0	[MPa]					$\Sigma\sigma_{GLOB}$	0.0														
		NAPĚTÍ OD OSTATNÍCH ZATÍŽENÍ V GLOBÁLNÍM SYSTÉMU				$\sigma_{GLOB,rs}$	0.0	[MPa]					$\Sigma\sigma_x + \Sigma\sigma_{GLOB}$	-28.9														
		VYUŽITÍ PRŮŘEZU DLE NAPĚTÍ						[%]					η_1	0.14									η_3	0.00			η_3	0.59
		NAPĚTÍ V PŘÍČNÉM SMĚRU OD POHYBLIVÉHO ZATÍŽENÍ				$\sigma_{z,P}$	0.0	[MPa]					$\Sigma\sigma_z$	0.0														
		NAPĚTÍ V PŘÍČNÉM SMĚRU OD OSTATNÍCH ZATÍŽENÍ				$\sigma_{z,rs}$	0.0	[MPa]					η_2	0.00														
		SROVNÁVACÍ NAPĚTÍ											$(\eta_2 + 0,8\,\eta_1)/1,4$ =	0.08														
		VYUŽITÍ PRŮŘEZU CELKEM						[%]					eff	0.59	VYHOVUJE													
													z_{LM71} =	1.74														

VÝPOČET PRŮŘEZOVÝCH CHARAKTERISTIK

PRŮŘEZ: L1_2B **POPIS:** PODÉLNÍK - 1 - V POLI - MAX MZ

x = - **m**

DEFINOVÁNÍ PRŮŘEZU

PÁSNICE HORNÍHO LEVÉHO ÚHELNÍKU	b f.t.l.o =	80	mm				
TLOUŠŤKA PÁSNICE ÚHELNÍKU	t f.t.l.o =	8	mm	OSLABENÍ PÁSNICE - TLOUŠŤKA	Δt f.t.l.o =	0	%
VÝŠKA STĚNY ÚHELNÍKU	h w.t.l.o =	72	mm				
TLOUŠŤKA STĚNY ÚHELNÍKU	t w.t.l.o =	8	mm	OSLABENÍ STĚNY - TLOUŠŤKA	Δt w.t.l.o =	0	%
PÁSNICE HORNÍHO PRAVÉHO ÚHELNÍKU	b f.t.r.o =	80	mm				
TLOUŠŤKA PÁSNICE ÚHELNÍKU	t f.t.r.o =	8	mm	OSLABENÍ PÁSNICE - TLOUŠŤKA	Δt f.t.r.o =	0	%
VÝŠKA STĚNY ÚHELNÍKU	h w.t.r.o =	72	mm				
TLOUŠŤKA STĚNY ÚHELNÍKU	t w.t.r.o =	8	mm	OSLABENÍ STĚNY - TLOUŠŤKA	Δt w.t.r.0 =	0	%
PÁSNICE DOLNÍHO LEVÉHO ÚHELNÍKU	b f.b.l.o =	80	mm				
TLOUŠŤKA PÁSNICE ÚHELNÍKU	t f.b.l.o =	8	mm	OSLABENÍ PÁSNICE - TLOUŠŤKA	Δt f.b.l.o =	0	%
VÝŠKA STĚNY ÚHELNÍKU	h w.b.l.o =	72	mm				
TLOUŠŤKA STĚNY ÚHELNÍKU	t w.b.l.o =	8	mm	OSLABENÍ STĚNY - TLOUŠŤKA	Δt w.b.l.o =	0	%
PÁSNICE DOLNÍHO PRAVÉHO ÚHELNÍKU	b f.b.r.o =	80	mm				
TLOUŠŤKA PÁSNICE ÚHELNÍKU	t f.b.r.o =	8	mm	OSLABENÍ PÁSNICE - TLOUŠŤKA	Δt f.b.r.o =	0	%
VÝŠKA STĚNY ÚHELNÍKU	h w.b.r.o =	72	mm				
TLOUŠŤKA STĚNY ÚHELNÍKU	t w.b.r.o =	8	mm	OSLABENÍ STĚNY - TLOUŠŤKA	Δt w.b.r.o =	0	%

ŠÍŘKA HORNÍ PÁSNICE	b f.t =	250	mm				
TLOUŠŤKA HORNÍ PÁSNICE	t f.t =	10	mm	OSLABENÍ HORNÍ PÁSNICE	Δt f.t =	5	%
PŘESAH HORNÍ PÁSNICE	o f.t =	70	mm	HORNÍ PÁSNICE OBECNĚ NESYMETRICKÁ (PODÉLNÍK - PŘÍPOJ MOSTNICE)			
VÝŠKA STĚNY	h w =	690	mm				
TLOUŠŤKA STĚNY	t w =	10	mm	OSLABENÍ STĚNY	Δt w.l =	0	%
ŠÍŘKA DOLNÍ PÁSNICE	b f.b =	190	mm				
TLOUŠŤKA DOLNÍ PÁSNICE	t f.b =	10	mm	OSLABENÍ DOLNÍ PÁSNICE (DOLNÍ PÁSNICE SYMETRICKÁ)	Δt f.b =	0	%

NÝT Č.	SKUPINA	ŘEZ	RED.	VELIKOST d| [mm]	POLOHA e| [mm]	POPIS	AKTIVITA OTVORU	NAPĚTÍ sc [MPa]
1		-	1.00	22	-120	nýt - f.t	1	70.06
2	1	3	0.71	20	-45	nýt - f.t - krční úhelník	0	15.54
3	1	3	0.71	20	45	nýt - f.t - krční úhelník	0	-49.54
4		-	1.00			nýt - f.t	-	
5	1	3	0.71	20	645	nýt - w - krční úhelník	0	-23.21
6		-	1.00			nýt - w	-	
7		-	1.00			nýt - w	-	
8		-	1.00			nýt - w	-	
9		-	1.00			nýt - w	-	
10		-	1.00	20	545	nýt - w	1	-7.95
11		-	1.00	20	445	nýt - w	1	-2.10
12		-	1.00	20	345	nýt - w	1	3.76
13		-	1.00	20	245	nýt - w	1	9.62
14		-	1.00	20	145	nýt - w	1	15.47
15	2	3	0.71	20	45	nýt - w - krční úhelník	1	21.33
16		-	1.00				-	
17		-	1.00				-	
18		-	1.00				-	
19		-	1.00			nýt - f.b	-	
20	2	3	0.71	20	-45	nýt - f.b. - krční úhelník	1	56.56
21	2	3	0.71	20	45	nýt - f.b. - krční úhelník	1	-8.52
22		-	1.00			nýt - f.b	-	

ZADÁNÍ ČÁSTÍ PRŮŘEZU:

č.prvku	b [mm]	h [mm]	y_s [mm]	z_s [mm]	popis části	druh oslabení	lokální ultimate	boulení servic.
1	80.0	8.0	-45.0	686.0	pásnice	0	1.000	1.000
2	8.0	72.0	-9.0	646.0	stěna	0	1.000	1.000
3	80.0	8.0	45.0	686.0	pásnice	0	1.000	1.000
4	8.0	72.0	9.0	646.0	stěna	0	1.000	1.000
5	80.0	8.0	-45.0	4.0	pásnice	0	1.000	1.000
6	8.0	72.0	-9.0	44.0	stěna	0	1.000	1.000
7	80.0	8.0	45.0	4.0	pásnice	0	1.000	1.000
8	8.0	72.0	9.0	44.0	stěna	0	1.000	1.000
9	250.0	9.5	-30.0	694.8	pásnice	0	1.000	1.000
10	10.0	690.0	0.0	345.0	stěna	0	1.000	1.000
11	190.0	10.0	0.0	-5.0	pásnice	0	1.000	1.000
12						0	1.000	1.000
13						0	1.000	1.000
14						0	1.000	1.000
15						0	1.000	1.000
16						0	1.000	1.000
17						0	1.000	1.000
18						0	1.000	1.000
19						0	1.000	1.000
20						0	1.000	1.000
21						0	1.000	1.000
22						0	1.000	1.000
23						0	1.000	1.000
24						0	1.000	1.000
25						0	1.000	1.000
26						0	1.000	1.000
27						0	1.000	1.000
28						0	1.000	1.000
29						0	1.000	1.000
30						0	1.000	1.000
31						0	1.000	1.000
32						0	1.000	1.000
33						0	1.000	1.000
34						0	1.000	1.000
35						0	1.000	1.000
36						0	1.000	1.000
37						0	1.000	1.000
38						0	1.000	1.000
39						0	1.000	1.000
40						0	1.000	1.000
41						0	1.000	1.000
42						0	1.000	1.000
43						0	1.000	1.000
44						0	1.000	1.000
45						0	1.000	1.000
46						0	1.000	1.000
47						0	1.000	1.000
48						0	1.000	1.000
49						0	1.000	1.000
50						0	1.000	1.000
51	-22.0	9.5	-120.0	694.8	nýt - pásnice	0	1.000	1.000
52	0	0	-45.0	699.5	nýt - pásnice	0	1.000	1.000
53	0	0	45.0	699.5	nýt - pásnice	0	1.000	1.000
54	0	0	0	0	nýt - pásnice	0	1.000	1.000
55	0	0	13.0	645.0	nýt - stěna	0	1.000	1.000
56	0	0	0	0	nýt - stěna	0	1.000	1.000
57	0	0	0	0	nýt - stěna	0	1.000	1.000
58	0	0	0	0	nýt - stěna	0	1.000	1.000
59	0	0	0	0	nýt - stěna	0	1.000	1.000
60	10.0	-20.0	0.0	545.0	nýt - stěna	0	1.000	1.000
61	10.0	-20.0	0.0	445.0	nýt - stěna	0	1.000	1.000
62	10.0	-20.0	0.0	345.0	nýt - stěna	0	1.000	1.000
63	10.0	-20.0	0.0	245.0	nýt - stěna	0	1.000	1.000
64	10.0	-20.0	0.0	145.0	nýt - stěna	0	1.000	1.000
65	26.0	-14.2	0.0	45.0	nýt - stěna	0	1.000	1.000
66						0	1.000	1.000
67						0	1.000	1.000
68						0	1.000	1.000
69	0	0	0	0	nýt - pásnice	0	1.000	1.000
70	-14.2	18.0	-45.0	-1.0	nýt - pásnice	0	1.000	1.000
71	-14.2	18.0	45.0	-1.0	nýt - pásnice	0	1.000	1.000
72	0	0	0	0	nýt - pásnice	0	1.000	1.000
73								
74								
75								
76								
77								
78								
79								
80								
81								
82								
83								
84								
85								
86								
87								
88								
89								
90								
91								
92								
93								
94								
95								
96								
97								
98								
99								
100								

VÝPOČET PRŮŘEZOVÝCH CHARAKTERISTIK

Properties	Basic	Ultimate		Serviceability	
y_t	-3.3	-3.3		-3.3	[mm]
z_t	372.2	372.2		372.2	[mm]
A_i	1.3952E+04	1.3952E+04		1.3952E+04	[mm²]
A_t	6.1164E+03	6.1164E+03		6.1164E+03	[mm²]
A_s	7.8359E+03	7.8359E+03		7.8359E+03	[mm²]
I_{yt}	1.1544E+09	1.1544E+09		1.1544E+09	[mm⁴]
I_w	2.2789E+07	2.2789E+07		2.2789E+07	[mm⁶]
i_y	287.6	287.6		287.6	[mm]
i_z	40.4	40.4		40.4	[mm]
$W_{y,1}$	3.5270E+06	3.5270E+06		3.5270E+06	[mm³]
$W_{z,1}$	-1.5023E+05	-1.5023E+05		-1.5023E+05	[mm³]
$W_{y,2}$	-3.0206E+06	-3.0206E+06		-3.0206E+06	[mm³]
$W_{z,2}$	-2.4854E+05	-2.4854E+05		-2.4854E+05	[mm³]
KRAJNÍ VLÁKNA PRŮŘEZU					
y_1	-155.0	-155.0		-155.0	[mm]
z_1	699.5	699.5		699.5	[mm]
y_2	-95.0	-95.0		-95.0	[mm]
z_2	-10.0	-10.0		-10.0	[mm]
y_3	95.0	95.0		95.0	[mm]
z_3	699.5	699.5		699.5	[mm]
y_4	95.0	95.0		95.0	[mm]
z_4	-10.0	-10.0		-10.0	[mm]
y_5	-5.0	-5.0		-5.0	[mm]
z_5	690.0	690.0		690.0	[mm]
y_6	-5.0	-5.0		-5.0	[mm]
z_6	0.0	0.0		0.0	[mm]

ÚPRAVA MOMENTŮ SETRVAČNOSTI V DŮSLEDKU ČLENĚNÍ PRŮŘEZU

OSA Y 1.00
OSA Z 1.00

SCHÉMA PROMĚNNÝCH

SCHÉMA ZADANÉHO PRŮŘEZU

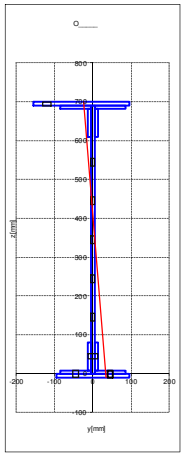

NEUTRÁLNÁ OSA

NAPĚTÍ [MPa]:

95.09	-85.70
136.64	-44.15

ZS: SLS_LM.MAX.MZ

	N [kN]	Vy [kN]	Vz [kN]	Mx [kNm]	My [kNm]	Mz [kNm]
import	64	12	-3	0	68	16

TR_L1.2 POPIS: **PODÉLNÍK L1.E - STŘED** POSUDEK: **L1.2**

SKUPINA ZAT. STAVŮ	EXTRÉM	VYHODNOCOVANÉ VELIČINY					
		N	Vy	Vz	Mx	My	Mz
		kN	kN	kN	kNm	kNm	kNm
G0	N.min	**13.16**	0.03	-2.22	0	3.54	0.07
	N.max	**19.92**	-0.33	0.15	0	5.86	-0.11
	Vy.min	13.16	**0.03**	-2.22	0	3.54	0.07
	Vy.max	19.92	**-0.33**	0.15	0	5.86	-0.11
	Vz.min	13.16	0.03	**-2.22**	0	3.54	0.07
	Vz.max	19.92	-0.33	**0.15**	0	5.86	-0.11
	Mx.min	13.16	0.03	-2.22	**0**	3.54	0.07
	Mx.max	19.92	-0.33	0.15	**0**	5.86	-0.11
	My.min	13.16	0.03	-2.22	0	**3.54**	0.07
	My.max	19.92	-0.33	0.15	0	**5.86**	-0.11
	Mz.min	13.16	0.03	-2.22	0	3.54	**0.07**
	Mz.max	19.92	-0.33	0.15	0	5.86	**-0.11**
G1	N.min	**0.98**	0	-0.13	0	0	0.01
	N.max	**0.98**	0	-0.13	0	0	0.01
	Vy.min	0.98	**0**	-0.13	0	0	0.01
	Vy.max	0.98	**0**	-0.13	0	0	0.01
	Vz.min	0.98	0	**-0.13**	0	0	0.01
	Vz.max	0.98	0	**-0.13**	0	0	0.01
	Mx.min	0.98	0	-0.13	**0**	0	0.01
	Mx.max	0.98	0	-0.13	**0**	0	0.01
	My.min	0.98	0	-0.13	0	**0**	0.01
	My.max	0.98	0	-0.13	0	**0**	0.01
	Mz.min	0.98	0	-0.13	0	0	**0.01**
	Mz.max	0.98	0	-0.13	0	0	**0.01**
G2	N.min	**0.83**	0	-0.12	0	-0.04	0
	N.max	**0.83**	0	-0.12	0	-0.04	0
	Vy.min	0.83	**0**	-0.12	0	-0.04	0
	Vy.max	0.83	**0**	-0.12	0	-0.04	0
	Vz.min	0.83	0	**-0.12**	0	-0.04	0
	Vz.max	0.83	0	**-0.12**	0	-0.04	0
	Mx.min	0.83	0	-0.12	**0**	-0.04	0
	Mx.max	0.83	0	-0.12	**0**	-0.04	0
	My.min	0.83	0	-0.12	0	**-0.04**	0
	My.max	0.83	0	-0.12	0	**-0.04**	0
	Mz.min	0.83	0	-0.12	0	-0.04	**0**
	Mz.max	0.83	0	-0.12	0	-0.04	**0**
P1_71	N.min	**-2.92**	0.08	1.88	0	4.96	0.2
	N.max	**13.97**	-0.02	-4.21	0	-4.27	-0.01
	Vy.min	2.36	**-0.06**	-1.02	0	-2.16	-0.03
	Vy.max	7.5	**0.1**	-0.55	0	3.46	0.22
	Vz.min	13.87	-0.02	**-4.38**	0.01	-4.45	-0.01
	Vz.max	-2.91	0.08	**1.91**	0	4.83	0.2
	Mx.min	-1.06	0.01	0.74	**-0.01**	1.27	0.07
	Mx.max	11.16	0.01	-2.58	**0.01**	-0.95	0.06
	My.min	13.87	-0.03	-4.34	0	**-4.57**	-0.01
	My.max	-2.85	0.09	1.81	0	**5**	0.2
	Mz.min	2.01	-0.05	-1.03	0	-2.05	**-0.06**
	Mz.max	7.93	0.07	-0.74	0	2.93	**0.24**
P2_71	N.min	**-2.42**	-0.11	23.05	0.03	19.39	0.31
	N.max	**17.94**	0.03	-11.18	0.01	44.03	-0.03
	Vy.min	14.34	**-0.38**	5.1	0	-18.34	0.14
	Vy.max	0.47	**0.37**	-0.53	0.04	123.44	0.14
	Vz.min	15.78	0.11	**-47.11**	0.02	51.86	0
	Vz.max	-0.75	0.14	**46.16**	0.02	85.49	0.19
	Mx.min	15.92	-0.07	-2.48	**-0.01**	-1.74	0.01
	Mx.max	-0.05	0.09	1.26	**0.06**	93.17	0.34
	My.min	13.5	-0.37	4.23	0	**-20.1**	0.16
	My.max	1.12	0.34	13.31	0.03	**132.06**	0.1
	Mz.min	2.81	0.13	-37.39	0.01	47.92	**-0.08**
	Mz.max	11.23	-0.03	8.71	0.05	83.25	**0.4**
P1_C3	N.min	**-1.85**	0.05	1.2	0	3.06	0.11
	N.max	**11.63**	-0.04	-3.21	0.01	-3.45	-0.03
	Vy.min	2.53	**-0.05**	-1.19	0	-2.17	-0.04
	Vy.max	7.3	**0.07**	-0.78	0	1.92	0.13
	Vz.min	11.25	-0.01	**-3.28**	0	-3.03	0
	Vz.max	-1.85	0.05	**1.2**	0	3.06	0.11
	Mx.min	-0.96	0.01	0.66	**-0.01**	1.31	0.06
	Mx.max	10.22	0.01	-2.48	**0.01**	-1.18	0.05
	My.min	11.62	-0.04	-3.21	0.01	**-3.45**	-0.03
	My.max	-1.78	0.06	1.16	0	**3.17**	0.12
	Mz.min	1.77	-0.04	-0.96	0	-1.86	**-0.05**
	Mz.max	8.07	0.05	-1.29	0	1	**0.14**
P2_C3	N.min	**-1.87**	-0.15	7.21	0.01	-6.82	0.17
	N.max	**14.92**	0.1	-0.98	0.01	70.6	-0.03
	Vy.min	13.23	**-0.32**	3.4	0	-15.66	0.11
	Vy.max	0.53	**0.24**	-10.05	0.02	84.75	0.08
	Vz.min	14.63	0.04	**-36.84**	0.01	38.24	-0.02
	Vz.max	-0.71	0.06	**36.5**	0.02	60.22	0.15
	Mx.min	12.78	-0.06	-2.01	**-0.01**	-1.37	0.01
	Mx.max	0.84	0.06	8.2	**0.04**	66.69	0.14
	My.min	13.01	-0.31	2.39	0	**-17.61**	0.12
	My.max	1.4	0.2	5.55	0.02	**90**	0.03
	Mz.min	2.8	0.09	-30.49	0.01	35.04	**-0.07**
	Mz.max	9.94	-0.1	28.48	0.02	40.1	**0.29**
BR	N.min	**-10.07**	0.03	-5.68	-0.01	-4.5	0.09
	N.max	**10.07**	-0.03	5.68	0.01	4.5	-0.09
	Vy.min	0.61	**-0.11**	-5.84	-0.01	-4.51	0.07
	Vy.max	-0.61	**0.11**	5.84	0.01	4.51	-0.07
	Vz.min	-3.23	-0.03	**-7.93**	-0.01	-5.99	0.12
	Vz.max	3.23	0.03	**7.93**	0.01	5.99	-0.12
	Mx.min	-3.23	-0.03	-7.93	**-0.01**	-5.99	0.12
	Mx.max	3.23	0.03	7.93	**0.01**	5.99	-0.12
	My.min	-3.23	-0.03	-7.93	-0.01	**-5.99**	0.12
	My.max	3.23	0.03	7.93	0.01	**5.99**	-0.12
	Mz.min	3.23	0.03	7.93	0.01	5.99	**-0.12**
	Mz.max	-3.23	-0.03	-7.93	-0.01	-5.99	**0.12**

TR_L1.2 POPIS: **PODÉLNÍK L1.E - STŘED** POSUDEK: **L1.2**

SKUPINA ZAT. STAVŮ	EXTRÉM	VYHODNOCOVANÉ VELIČINY					
		N	Vy	Vz	Mx	My	Mz
		kN	kN	kN	kNm	kNm	kNm
S	N.min	**-22.24**	-11.98	-0.83	-0.17	9.14	-14.56
	N.max	**22.24**	11.98	0.83	0.17	-9.14	14.56
	Vy.min	-22.24	**-11.98**	-0.83	-0.17	9.14	-14.56
	Vy.max	22.24	**11.98**	0.83	0.17	-9.14	14.56
	Vz.min	-2.94	-0.08	**-1.97**	0	-1.85	-0.04
	Vz.max	2.94	0.08	**1.97**	0	1.85	0.04
	Mx.min	-22.24	-11.98	-0.83	**-0.17**	9.14	-14.56
	Mx.max	22.24	11.98	0.83	**0.17**	-9.14	14.56
	My.min	22.24	11.98	0.83	0.17	**-9.14**	14.56
	My.max	-22.24	-11.98	-0.83	-0.17	**9.14**	-14.56
	Mz.min	-22.24	-11.98	-0.83	-0.17	9.14	**-14.56**
	Mz.max	22.24	11.98	0.83	0.17	-9.14	**14.56**
CH	N.min	**1.28**	0	-0.31	0	-0.23	0
	N.max	**2.16**	-0.01	-0.33	0	-0.2	0
	Vy.min	2.16	**-0.01**	-0.33	0	-0.2	0
	Vy.max	1.28	**0**	-0.31	0	-0.23	0
	Vz.min	2.16	-0.01	**-0.33**	0	-0.2	0
	Vz.max	1.63	0	**-0.26**	0	-0.16	0
	Mx.min	2.16	-0.01	-0.33	**0**	-0.2	0
	Mx.max	1.28	0	-0.31	**0**	-0.23	0
	My.min	1.28	0	-0.31	0	**-0.23**	0
	My.max	1.63	0	-0.26	0	**-0.16**	0
	Mz.min	1.63	0	-0.26	0	-0.16	**0**
	Mz.max	1.28	0	-0.31	0	-0.23	**0**
W	N.min	**-1.37**	-0.03	-2.45	0	-2.31	-0.06
	N.max	**1.42**	0.03	2.44	0	2.31	0.06
	Vy.min	-1.37	**-0.03**	-2.45	0	-2.31	-0.06
	Vy.max	1.42	**0.03**	2.44	0	2.31	0.06
	Vz.min	-1.37	-0.03	**-2.45**	0	-2.31	-0.06
	Vz.max	1.42	0.03	**2.44**	0	2.31	0.06
	Mx.min	1.42	0.03	2.44	**0**	2.31	0.06
	Mx.max	-1.37	-0.03	-2.45	**0**	-2.31	-0.06
	My.min	-1.37	-0.03	-2.45	0	**-2.31**	-0.06
	My.max	1.42	0.03	2.44	0	**2.31**	0.06
	Mz.min	-1.37	-0.03	-2.45	0	-2.31	**-0.06**
	Mz.max	1.42	0.03	2.44	0	2.31	**0.06**
WP	N.min	**-5.21**	0.01	-1.93	-0.02	-10.93	-1.6
	N.max	**5.22**	-0.01	1.92	0.02	10.94	1.61
	Vy.min	5.22	**-0.01**	1.92	0.02	10.94	1.61
	Vy.max	-5.21	**0.01**	-1.93	-0.02	-10.93	-1.6
	Vz.min	-5.21	0.01	**-1.93**	-0.02	-10.93	-1.6
	Vz.max	5.22	-0.01	**1.92**	0.02	10.94	1.61
	Mx.min	-5.21	0.01	-1.93	**-0.02**	-10.93	-1.6
	Mx.max	5.22	-0.01	1.92	**0.02**	10.94	1.61
	My.min	-5.21	0.01	-1.93	-0.02	**-10.93**	-1.6
	My.max	5.22	-0.01	1.92	0.02	**10.94**	1.61
	Mz.min	-5.21	0.01	-1.93	-0.02	-10.93	**-1.6**
	Mz.max	5.22	-0.01	1.92	0.02	10.94	**1.61**
TR	N.min	**0**	0	0	0	0	0
	N.max	**0**	0	0	0	0	0
	Vy.min	0	**0**	0	0	0	0
	Vy.max	0	**0**	0	0	0	0
	Vz.min	0	0	**0**	0	0	0
	Vz.max	0	0	**0**	0	0	0
	Mx.min	0	0	0	**0**	0	0
	Mx.max	0	0	0	**0**	0	0
	My.min	0	0	0	0	**0**	0
	My.max	0	0	0	0	**0**	0
	Mz.min	0	0	0	0	0	**0**
	Mz.max	0	0	0	0	0	**0**
TN	N.min	**-2.69**	0.01	1.33	0	1.96	0.02
	N.max	**4.12**	0.03	-1.33	0	-1.73	-0.02
	Vy.min	-1.65	**-0.05**	0.05	0	-0.13	0
	Vy.max	4.12	**0.03**	-1.33	0	-1.73	-0.02
	Vz.min	2.69	-0.01	**-1.33**	0	-1.96	-0.02
	Vz.max	-2.69	0.01	**1.33**	0	1.96	0.02
	Mx.min	-1.65	-0.05	0.05	**0**	-0.13	0
	Mx.max	4.12	0.03	-1.33	**0**	-1.73	-0.02
	My.min	2.69	-0.01	-1.33	0	**-1.96**	-0.02
	My.max	-2.69	0.01	1.33	0	**1.96**	0.02
	Mz.min	2.69	-0.01	-1.33	0	-1.96	**-0.02**
	Mz.max	-2.69	0.01	1.33	0	1.96	**0.02**
FR	N.min	**-1.63**	0	0.2	0	0.05	0
	N.max	**1.63**	0	-0.2	0	-0.05	0
	Vy.min	1.63	**0**	-0.2	0	-0.05	0
	Vy.max	-1.63	**0**	0.2	0	0.05	0
	Vz.min	1.63	0	**-0.2**	0	-0.05	0
	Vz.max	-1.63	0	**0.2**	0	0.05	0
	Mx.min	1.63	0	-0.2	**0**	-0.05	0
	Mx.max	-1.63	0	0.2	**0**	0.05	0
	My.min	1.63	0	-0.2	0	**-0.05**	0
	My.max	-1.63	0	0.2	0	**0.05**	0
	Mz.min	-1.63	0	0.2	0	0.05	**0**
	Mz.max	1.63	0	-0.2	0	-0.05	**0**
I	N.min	**-0.18**	0.01	-0.15	0	-0.19	**-0.01**
	N.max	**0.18**	-0.01	0.15	0	0.19	**0.01**
	Vy.min	0.18	**-0.01**	0.15	0	0.19	**0.01**
	Vy.max	-0.18	**0.01**	-0.15	0	-0.19	**-0.01**
	Vz.min	-0.18	0.01	**-0.15**	0	-0.19	**-0.01**
	Vz.max	0.18	-0.01	**0.15**	0	0.19	**0.01**
	Mx.min	0.18	-0.01	0.15	**0**	0.19	**0.01**
	Mx.max	-0.18	0.01	-0.15	**0**	-0.19	**-0.01**
	My.min	-0.18	0.01	-0.15	0	**-0.19**	**-0.01**
	My.max	0.18	-0.01	0.15	0	**0.19**	**0.01**
	Mz.min	-0.18	0.01	-0.15	0	-0.19	**-0.01**
	Mz.max	0.18	-0.01	0.15	0	0.19	**0.01**

TAB. L1.2.3 POSOUZENÍ - MEZNÍ STAV ÚNOSNOSTI

POPIS	PODĚLNÍK L1.E - STŘED
PRUT / POLOHA BODU	880 / I[739]
NAMÁHÁNÍ	My.max
VLÁKNO	BOD K1 -HL
MEZNÍ STAV	ULS (MSÚ)
VYUŽITÍ VLÁKNA PRŮŘEZU	0.95

Charakteristiky materiálu				
pás. horní	$f_{yf,k}$	230	MPa	
pás. dolní	$f_{yf,k}$	230	MPa	
stojina	$f_{yw,k}$	230	MPa	
výztuž	$f_{ys,k}$	500	MPa	
γ_M =	1.10	γ_s =	1.15	

Excentricita normálové síly				
Exc./Fáze	0	1	2	3
e_y	0.000	0.000	0.000	0.000
e_z	0.000	0.000	0.000	0.000
Ekvivalentní vzdál. stěn - příčný roznos				
b_{Mx}	0.000	0.000	0.000	0.000

Vliv stěny na únosnost průřezu				
Char./Fáze	0	1	2	3
A	0.00	0.00	0.00	0.00
Wy	0.00	0.00	0.00	0.00
Wz	0.00	0.00	0.00	0.00

Charakter. v kroucení			
$t_{w,y}$	0.000	[mm]	
$t_{w,z}$	0.000	[mm]	
κ	1.00		
I_t=	0.00E+00	[mm^4]	
Ω=2*A_{pr}	0.00E+00	[mm^2]	

Součinitele vzpěru a vlivu II.řádu					
Char./Fáze	0	1	2	3	4
k_y	1.000	1.000	1.000	1.000	
k_z	1.000	1.000	1.000	1.000	
χ_{LT}	1.000	1.000	1.000	1.000	
χ_{min}	1.000	1.000	1.000	1.000	

Vnitřní síly od jednotlivých skupin zatěžovacích stavů

SKUPINA ZATĚŽOVACÍCH STAVŮ

Č.	SKUP ZS	POPIS ZS	KAT.	FÁZE PRŮŘ.	- CHARAKTERISTICKÉ HODNOTY N.k (kN)	Vy.k (kN)	Vz.k (kN)	Mx.k (kNm)	My.k (kNm)	Mz.k (kNm)	DÍLČÍ SOUČINITELÉ ZATÍŽENÍ, DYNAMICKÝ SOUČINITEL γ_{sr} (-)	γ_{fs} (-)	volba ψ_i hledat	ψ_i (-)	L_d (m)	δ (-)	$\gamma_{F,c}$ KZ04	- NÁVRHOVÉ HODNOTY N.d (kN)	Vy.d (kN)	Vz.d (kN)	ΔVz.d (kN)	ΣVz.d (kN)	Mx.d (kNm)	My.d (kNm)	ΔMy.d (kNm)	ΣMy.d (kNm)	Mz.d (kNm)	ΔMz.d (kNm)	ΣMz.d (kNm)
1	G0	Vlastní tíha OK	G	0	20	0	0	0	6	0	1.00	1.20		1.20	-	1.00	0.95	23	0	0	0	0	0	7	0	7	0	0	0
2	G1	Ostatní stálé - mostní vybavení	G	0	1	0	0	0	0	0	1.00	1.20		1.20	-	1.00	0.95	1	0	0	0	0	0	0	0	0	0	0	0
3	G2	Ostatní stálé - cizí zařízení	G	0	1	0	0	0	0	0	1.00	1.20		1.20	-	1.00	0.95	1	0	0	0	0	0	0	0	0	0	0	0
4	P1_71	a.LM71 - kolej 1 (bez dyn. souč.)	P	0	-3	0	2	0	5	0	1.00	1.30		1.30	-	1.64	1.00	-6	0	4	0	4	0	11	0	11	0	0	0
5	P2_71	a.LM71 - kolej 2 (bez dyn. souč.)	P	0	1	0	13	0	132	0	1.00	1.30		1.30	-	1.64	1.00	2	1	28	0	28	0	282	0	282	0	0	0
6	P1_C3	TTZ C3 - kolej 1 (bez dyn. souč.)	P	0	-2	0	1	0	3	0	1.00	vyp.		0.00	-	1.00	0.00	0	0	0	0	0	0	0	0	0	0	0	0
7	P2_C3	TTZ C3 - kolej 2 (bez dyn. souč.)	P	0	1	0	6	0	90	0	1.00	vyp.		0.00	-	1.00	0.00	0	0	0	0	0	0	0	0	0	0	0	0
8	BR	Brzdné a rozjezdové síly	P	0	3	0	8	0	6	0	1.00	1.30		1.30	-	1.00	0.40	2	0	4	0	4	0	3	0	3	0	0	0
9	S	Boční ráz	P	0	-22	-12	-1	0	9	-15	1.00	-1.30		-1.30	-	1.00	0.80	23	12	1	0	1	0	-10	0	-10	15	0	15
10	CH	Chodci na lávkách	Q	0	2	0	0	0	0	0	1.00	0.00		0.00	-	1.00	1.00	0	0	0	0	0	0	0	0	0	0	0	0
11	W	Vítr na konstrukci	Q	0	1	0	2	0	2	0	1.00	1.35		1.35	-	1.00	0.75	1	0	2	0	2	0	2	0	2	0	0	0
12	WP	Vítr na vozidla	Q	0	5	0	2	0	11	2	1.00	1.35		1.35	-	1.00	0.75	5	0	2	0	2	0	11	0	11	2	0	2
13	TR	Teplota rovnoměrná	Q	0	0	0	0	0	0	0	1.00	1.35		1.35	-	1.00	0.45	0	0	0	0	0	0	0	0	0	0	0	0
14	TN	Teplota nerovnoměrná	Q	0	-3	0	1	0	2	0	1.00	1.35		1.35	-	1.00	0.60	-2	0	1	0	1	0	2	0	2	0	0	0
15	FR	Třecí síly v ložiskách	Q	0	-2	0	0	0	0	0	1.00	1.20		1.20	-	1.00	1.00	-2	0	0	0	0	0	0	0	0	0	0	0
16	I	Imperfekce soustavy	Q	0	0	0	0	0	0	0	1.00	1.20		1.20	-	1.00	1.00	0	0	0	0	0	0	0	0	0	0	0	0
27	ULS_LM	ULS - LM71 bez dynam	Q	0	-7	-15	27	0	213	-17	1.00	vyp.		0.00	-	1.00	0.00	0	0	0	0	0	0	0	0	0	0	0	0
28	SLS_LM	SLS - LM71 bez dynam	Q	0	-2	-11	19	0	163	-13	1.00	vyp.	1	0.00	-	1.00	0.00	0	0	0	0	0	0	0	0	0	0	0	0
29	ULS_C3	ULS - C3 bez dynam	Q	0	-5	-15	16	0	156	-17	1.00	vyp.	1	0.00	-	1.00	0.00	0	0	0	0	0	0	0	0	0	0	0	0
30	SLS_C3	SLS - C3 bez dynam	Q	0	-1	-12	11	0	119	-13	1.00	vyp.	1	0.00	-	1.00	0.00	0	0	0	0	0	0	0	0	0	0	0	0
		CELKEM - FÁZE PRŮŘEZU 0																49	13	43	0	43	0	308	0	308	17	0	17
		CELKEM - FÁZE PRŮŘEZU 1																0	0	0	0	0	0	0	0	0	0	0	0
		CELKEM - FÁZE PRŮŘEZU 2																0	0	0	0	0	0	0	0	0	0	0	0
		CELKEM - FÁZE PRŮŘEZU 3																0	0	0	0	0	0	0	0	0	0	0	0
		CELKEM - PRŮŘEZ																49	13	43	0	43	0			308			17

Napětí od jednotlivých zatěžovacích stavů

SKUPINA ZATĚŽOVACÍCH STAVŮ

Č.	SKUP ZS	Popis ZS	Kat.	fáze průř.	Posouzení normálového napětí – Účinek síly N δ^*N_d [kN]	χ^*A [mm^2]	σ_n [MPa]	Účinek momentu My $\delta^*M_{y,d}$ [kNm]	$\chi_{lt}{}^*W_{el,y}$ [mm^3]	σ_{my} [MPa]	Účinek momentu Mz $\delta^*M_{z,d}$ [kNm]	$W_{el,z}$ [mm^3]	σ_{mz} [MPa]	σ_x [MPa]	Posouzení smykového napětí – Účinek kroutícího momentu Mx $\kappa^*\delta^*M_{x,d}$ [kNm]	$W_{v,y}$ [mm^2]	$\tau_{x,y}$ [MPa]	$W_{v,z}$ [mm^2]	$\tau_{x,z}$ [MPa]	Účinek smykové síly Vy $\delta^*V_{y,d}$ [kN]	$A_{v,y}$ [mm2]	$\tau_{v,y}$ [MPa]	$\tau_{v,y}$ [MPa]	Účinek smykové síly Vz $\delta^*V_{z,d}$ [kN]	$A_{v,z}$ [mm2]	$\tau_{v,z}$ [MPa]	$\tau_{v,z}$ [MPa]
1	G0	Vlastní tíha OK	G	0	22.7	1.40E+04	1.6	6.7	-3.53E+06	-1.9	-0.1	-1.50E+05	0.8	0.6	0.0E+00	-	-	-	-	-0.4	6.12E+03	-0.1	-0.1	0.2	7.84E+03	0.0	0.0
2	G1	Ostatní stálé - mostní vybavení	G	0	1.1	1.40E+04	0.1	0.0	-3.53E+06	0.0	0.0	-1.50E+05	-0.1	0.0	0.0E+00	-	-	-	-	0.0	6.12E+03	0.0	0.0	-0.1	7.84E+03	0.0	0.0
3	G2	Ostatní stálé - cizí zařízení	G	0	0.9	1.40E+04	0.1	0.0	-3.53E+06	0.0	0.0	-1.50E+05	0.0	0.1	0.0E+00	-	-	-	-	0.0	6.12E+03	0.0	0.0	-0.1	7.84E+03	0.0	0.0
4	P1_71	a.LM71 - kolej 1 (bez dyn. souč.)	P	0	-6.1	1.40E+04	-0.4	10.7	-3.53E+06	-3.0	0.4	-1.50E+05	-2.8	-6.3	0.0E+00	-	-	-	-	0.2	6.12E+03	0.0	0.0	3.9	7.84E+03	0.5	0.5
5	P2_71	a.LM71 - kolej 2 (bez dyn. souč.)	P	0	2.4	1.40E+04	0.2	281.9	-3.53E+06	-79.9	0.2	-1.50E+05	-1.4	-81.2	6.4E-02	-	-	-	-	0.7	6.12E+03	0.1	0.1	28.4	7.84E+03	3.6	3.6
6	P1_C3	TTZ C3 - kolej 1 (bez dyn. souč.)	P	0	0.0	1.40E+04	0.0	0.0	-3.53E+06	0.0	0.0	-1.50E+05	0.0	0.0	0.0E+00	-	-	-	-	0.0	6.12E+03	0.0	0.0	0.0	7.84E+03	0.0	0.0
7	P2_C3	TTZ C3 - kolej 2 (bez dyn. souč.)	P	0	0.0	1.40E+04	0.0	0.0	-3.53E+06	0.0	0.0	-1.50E+05	0.0	0.0	0.0E+00	-	-	-	-	0.0	6.12E+03	0.0	0.0	0.0	7.84E+03	0.0	0.0
8	BR	Brzdné a rozjezdové síly	P	0	1.7	1.40E+04	0.1	3.1	-3.53E+06	-0.9	-0.1	-1.50E+05	0.4	-0.3	5.2E-03	-	-	-	-	0.0	6.12E+03	0.0	0.0	4.1	7.84E+03	0.5	0.5
9	S	Boční ráz	P	0	23.1	1.40E+04	1.7	-9.5	-3.53E+06	2.7	15.1	-1.50E+05	-100.8	-96.4	1.8E-01	-	-	-	-	12.5	6.12E+03	2.0	2.0	0.9	7.84E+03	0.1	0.1
10	CH	Chodci na lávkách	Q	0	0.0	1.40E+04	0.0	0.0	-3.53E+06	0.0	0.0	-1.50E+05	0.0	0.0	0.0E+00	-	-	-	-	0.0	6.12E+03	0.0	0.0	0.0	7.84E+03	0.0	0.0
11	W	Vítr na konstrukci	Q	0	1.4	1.40E+04	0.1	2.3	-3.53E+06	-0.7	0.1	-1.50E+05	-0.4	-1.0	0.0E+00	-	-	-	-	0.0	6.12E+03	0.0	0.0	2.5	7.84E+03	0.3	0.3
12	WP	Vítr na vozidla	Q	0	5.3	1.40E+04	0.4	11.1	-3.53E+06	-3.1	1.6	-1.50E+05	-10.9	-13.6	2.0E-02	-	-	-	-	0.0	6.12E+03	0.0	0.0	1.9	7.84E+03	0.2	0.2
13	TR	Teplota rovnoměrná	Q	0	0.0	1.40E+04	0.0	0.0	-3.53E+06	0.0	0.0	-1.50E+05	0.0	0.0	0.0E+00	-	-	-	-	0.0	6.12E+03	0.0	0.0	0.0	7.84E+03	0.0	0.0
14	TN	Teplota nerovnoměrná	Q	0	-2.2	1.40E+04	-0.2	1.6	-3.53E+06	-0.5	0.0	-1.50E+05	-0.1	-0.7	0.0E+00	-	-	-	-	0.0	6.12E+03	0.0	0.0	1.1	7.84E+03	0.1	0.1
15	FR	Třecí síly v ložiskách	Q	0	-2.0	1.40E+04	-0.1	0.1	-3.53E+06	0.0	0.0	-1.50E+05	0.0	-0.2	0.0E+00	-	-	-	-	0.0	6.12E+03	0.0	0.0	0.2	7.84E+03	0.0	0.0
16	I	Imperfekce soustavy	Q	0	0.2	1.40E+04	0.0	0.2	-3.53E+06	-0.1	0.0	-1.50E+05	-0.1	-0.1	0.0E+00	-	-	-	-	0.0	6.12E+03	0.0	0.0	0.2	7.84E+03	0.0	0.0
27	ULS_LM	ULS - LM71 bez dynam	Q	0	0.0	1.40E+04	0.0	0.0	-3.53E+06	0.0	0.0	-1.50E+05	0.0	0.0	0.0E+00	-	-	-	-	0.0	6.12E+03	0.0	0.0	0.0	7.84E+03	0.0	0.0
28	SLS_LM	SLS - LM71 bez dynam	Q	0	0.0	1.40E+04	0.0	0.0	-3.53E+06	0.0	0.0	-1.50E+05	0.0	0.0	0.0E+00	-	-	-	-	0.0	6.12E+03	0.0	0.0	0.0	7.84E+03	0.0	0.0
29	ULS_C3	ULS - C3 bez dynam	Q	0	0.0	1.40E+04	0.0	0.0	-3.53E+06	0.0	0.0	-1.50E+05	0.0	0.0	0.0E+00	-	-	-	-	0.0	6.12E+03	0.0	0.0	0.0	7.84E+03	0.0	0.0
30	SLS_C3	SLS - C3 bez dynam	Q	0	0.0	1.40E+04	0.0	0.0	-3.53E+06	0.0	0.0	-1.50E+05	0.0	0.0	0.0E+00	-	-	-	-	0.0	6.12E+03	0.0	0.0	0.0	7.84E+03	0.0	0.0
		NAVÝŠENÍ NAPĚTÍ DO AKTIVACE TLAKU V DESCE MOSTOVKY				$\sigma_{P,red}$	0.0							0.0			0.0		0.0			2.1	2.1			5.5	5.5
		NAPĚTÍ OD PRIMÁRNÍCH ÚČINKŮ NEROVNOMĚRNÉHO OTEPLENÍ				σ_T	0.0							0.0													
		NAPĚTÍ OD REOLOGICKÝCH ÚČINKŮ BETONU V ČASE		t=0		σ_R	0.0	γ_{G*}	1.20					0.0													
		NAPĚTÍ V KRITICKÝCH VLÁKNECH OD KOMBINACE ZATÍŽENÍ				KZ04		[MPa]					$\Sigma\sigma_x$	-199.2									$\Sigma\tau_y$	2.1			$\Sigma\tau_z$	5.5
		NAPĚTÍ OD POHYBLIVÉHO ZATÍŽENÍ						[MPa]					$\sigma_{x,P}$	-184.3									τ_P	2.2			τ_P	4.8
		NAPĚTÍ OD OSTATNÍCH ZATÍŽENÍ						[MPa]			Φ_{Vy}	Φ_{Vz}	$\sigma_{x,rs}$	-14.9									τ_{rs}	-0.1			τ_{rs}	0.7
		NÁVRHOVÁ HODNOTA MEZE KLUZU S REDUKCÍ VLIVEM SMYKOVÉHO NAPĚTÍ						[MPa]			1.00	1.00	$f_{yw,d}$	209.1									$f_{yd}/3^{0,5}$	120.7			$f_{yd}/3^{0,5}$	120.7
		NAPĚTÍ OD POHYBLIVÉHO ZATÍŽENÍ V GLOBÁLNÍM SYSTÉMU				$\sigma_{GLOB,P}$	0.0	[MPa]					$\Sigma\sigma_{GLOB}$	0.0														
		NAPĚTÍ OD OSTATNÍCH ZATÍŽENÍ V GLOBÁLNÍM SYSTÉMU				$\sigma_{GLOB,rs}$	0.0	[MPa]					$\Sigma\sigma_x + \Sigma\sigma_{GLOB}$	-199.2														
		VYUŽITÍ PRŮŘEZU DLE NAPĚTÍ						[%]					η_1	0.95									η_3	0.02			η_3	0.05
		NAPĚTÍ V PŘÍČNÉM SMĚRU OD POHYBLIVÉHO ZATÍŽENÍ				$\sigma_{z,P}$	0.0	[MPa]					$\Sigma\sigma_z$	0.0														
		NAPĚTÍ V PŘÍČNÉM SMĚRU OD OSTATNÍCH ZATÍŽENÍ				$\sigma_{z,rs}$	0.0	[MPa]					η_2	0.00														
		SROVNÁVACÍ NAPĚTÍ											$(\eta 2 + 0{,}8\,\eta 1)/1{,}4 =$	0.54														
		VYUŽITÍ PRŮŘEZU CELKEM						[%]					eff	0.95	VYHOVUJE													
													z_{LM71} =	1.05														

TAB. L1.2.3 POSOUZENÍ - MEZNÍ STAV ÚNOSNOSTI

POPIS	PODÉLNÍK L1.E - STŘED
PRUT / POLOHA BODU	880 / I[739]
NAMÁHÁNÍ	My.max
VLÁKNO	BOD K4 -SP
MEZNÍ STAV	ULS (MSÚ)
VYUŽITÍ VLÁKNA PRŮŘEZU	0.86

Charakteristiky materiálu				
pás. horní	$f_{yf,k}$	230	MPa	
pás. dolní	$f_{yf,k}$	230	MPa	
stojina	$f_{yw,k}$	230	MPa	
výztuž	$f_{ys,k}$	500	MPa	
γ_M =	1.10	γ_s =	1.15	

Excentricita normálové síly				
Exc./Fáze	0	1	2	3
e_y	0.000	0.000	0.000	0.000
e_z	0.000	0.000	0.000	0.000
Ekvivalentní vzdál. stěn - příčný roznos				
b_{Mx}	0.000	0.000	0.000	0.000

Vliv stěny na únosnost průřezu				
Char./Fáze	0	1	2	3
A	0.00	0.00	0.00	0.00
Wy	0.00	0.00	0.00	0.00
Wz	0.00	0.00	0.00	0.00

Charakter. v kroucení			
$t_{w,y}$	0.000	[mm]	
$t_{w,z}$	0.000	[mm]	
κ	1.00		
I_t=	0.00E+00	[mm^4]	
$\Omega=2*A_{pr}$	0.00E+00	[mm^2]	

Součinitele vzpěru a vlivu II.řádu					
Char./Fáze	0	1	2	3	
k_y	1.000	1.000	1.000	1.000	
k_z	1.000	1.000	1.000	1.000	
χ_{LT}	1.000	1.000	1.000	1.000	
χ_{min}	1.000	1.000	1.000	1.000	

Vnitřní síly od jednotlivých skupin zatěžovacích stavů

SKUPINA ZATĚŽOVACÍCH STAVŮ					- CHARAKTERISTICKÉ HODNOTY						DÍLČÍ SOUČINITELÉ ZATÍŽENÍ, DYNAMICKÝ SOUČINITEL						4	- NÁVRHOVÉ HODNOTY									
Č.	SKUP ZS	POPIS ZS	KAT.	FÁZE PRŮŘ.	N.k (kN)	Vy.k (kN)	Vz.k (kN)	Mx.k (kNm)	My.k (kNm)	Mz.k (kNm)	γ_{sr} (-)	γ_{sl} (-)	volba γ_g hledat	γ_g (-)	L_d (m)	δ (-)	Ψ_0 KZ04	N.d (kN)	Vy.d (kN)	Vz.d (kN)	ΔVz.d (kN)	ΣVz.d (kN)	Mx.d (kNm)	My.d (kNm)	ΔMy.d (kNm)	ΣMy.d (kNm)	Mz.d (kNm)	ΔMz.d (kNm)	ΣMz.d (kNm)
1	G0	Vlastní tíha OK	G	0	20	0	0	0	6	0	1.00	1.20		1.20	-	1.00	0.95	23	0	0	0	0	0	7	0	7	0	0	0
2	G1	Ostatní stálé - mostní vybavení	G	0	1	0	0	0	0	0	1.00	1.20		1.20	-	1.00	0.95	1	0	0	0	0	0	0	0	0	0	0	0
3	G2	Ostatní stálé - cizí zařízení	G	0	1	0	0	0	0	0	1.00	1.20		1.20	-	1.00	0.95	1	0	0	0	0	0	0	0	0	0	0	0
4	P1_71	a.LM71 - kolej 1 (bez dyn. souč.)	P	0	-3	0	2	0	5	0	1.00	1.30		1.30	-	1.64	1.00	-6	0	4	0	4	0	11	0	11	0	0	0
5	P2_71	a.LM71 - kolej 2 (bez dyn. souč.)	P	0	1	0	13	0	132	0	1.00	1.30		1.30	-	1.64	1.00	2	1	28	0	28	0	282	0	282	0	0	0
6	P1_C3	TTZ C3 - kolej 1 (bez dyn. souč.)	P	0	-2	0	1	0	3	0	1.00	vyp.		0.00	-	1.00	0.00	0	0	0	0	0	0	0	0	0	0	0	0
7	P2_C3	TTZ C3 - kolej 2 (bez dyn. souč.)	P	0	1	0	6	0	90	0	1.00	vyp.		0.00	-	1.00	0.00	0	0	0	0	0	0	0	0	0	0	0	0
8	BR	Brzdné a rozjezdové síly	P	0	3	0	8	0	6	0	1.00	1.30		1.30	-	1.00	0.40	2	0	4	0	4	0	3	0	3	0	0	0
9	S	Boční ráz	P	0	-22	-12	-1	0	9	-15	1.00	-1.30		1.30	-	1.00	0.80	23	12	1	0	1	0	-10	0	-10	15	0	15
10	CH	Chodci na lávkách	Q	0	2	0	0	0	0	0	1.00	1.30		1.30	-	1.00	1.00	2	0	0	0	0	0	0	0	0	0	0	0
11	W	Vítr na konstrukci	Q	0	1	0	2	0	2	0	1.00	1.35		1.35	-	1.00	0.75	1	0	2	0	2	0	2	0	2	0	0	0
12	WP	Vítr na vozidla	Q	0	5	0	2	0	11	2	1.00	1.35		1.35	-	1.00	0.75	5	0	2	0	2	0	11	0	11	2	0	2
13	TR	Teplota rovnoměrná	Q	0	0	0	0	0	0	0	1.00	1.35		1.35	-	1.00	0.45	0	0	0	0	0	0	0	0	0	0	0	0
14	TN	Teplota nerovnoměrná	Q	0	-3	0	1	0	2	0	1.00	1.35		1.35	-	1.00	0.60	-2	0	1	0	1	0	2	0	2	0	0	0
15	FR	Třecí síly v ložiskách	Q	0	-2	0	0	0	0	0	1.00	-1.20		-1.20	-	1.00	1.00	2	0	0	0	0	0	0	0	0	0	0	0
16	I	Imperfekce soustavy	Q	0	0	0	0	0	0	0	1.00	1.20		1.20	-	1.00	1.00	0	0	0	0	0	0	0	0	0	0	0	0
27	ULS_LM	ULS - LM71 bez dynam	Q	0	-7	-15	27	0	213	-17	1.00	vyp.		0.00	-	1.00	0.00	0	0	0	0	0	0	0	0	0	0	0	0
28	SLS_LM	SLS - LM71 bez dynam	Q	0	-2	-11	19	0	163	-13	1.00	vyp.	1	0.00	-	1.00	0.00	0	0	0	0	0	0	0	0	0	0	0	0
29	ULS_C3	ULS - C3 bez dynam	Q	0	-5	-15	16	0	156	-17	1.00	vyp.	1	0.00	-	1.00	0.00	0	0	0	0	0	0	0	0	0	0	0	0
30	SLS_C3	SLS - C3 bez dynam	Q	0	-1	-12	11	0	119	-13	1.00	vyp.	1	0.00	-	1.00	0.00	0	0	0	0	0	0	0	0	0	0	0	0
		CELKEM - FÁZE PRŮŘEZU 0																55	13	42	0	42	0	308	0	308	17	0	17
		CELKEM - FÁZE PRŮŘEZU 1																0	0	0	0	0	0	0	0	0	0	0	0
		CELKEM - FÁZE PRŮŘEZU 2																0	0	0	0	0	0	0	0	0	0	0	0
		CELKEM - FÁZE PRŮŘEZU 3																0	0	0	0	0	0	0	0	0	0	0	0
		CELKEM - PRŮŘEZ																55	13	42	0	42	0			308			17

Napětí od jednotlivých zatěžovacích stavů

SKUPINA ZATĚŽOVACÍCH STAVŮ					Posouzení normálového napětí										Posouzení smykového napětí													
					Účinek síly N			Účinek momentu My			Účinek momentu Mz				Účinek kroutícího momentu Mx				Účinek smykové síly Vy				Účinek smykové síly Vz			
Č.	SKUP ZS	Popis ZS	Kat.	fáze průř.	δ^*N_d [kN]	χ^*A [mm^2]	σ_n [MPa]	$\delta^*M_{y,d}$ [kNm]	$\chi_{lt}{}^*W_{el,y}$ [mm^3]	σ_{my} [MPa]	$\delta^*M_{z,d}$ [kNm]	$W_{el,z}$ [mm^3]	σ_{mz} [MPa]	σ_x [MPa]	$\kappa^*\delta^*M_{x,d}$ [kNm]	$W_{v,y}$ [mm^3]	$\tau_{x,y}$ [MPa]	$W_{v,z}$ [mm^3]	$\tau_{x,z}$ [MPa]	$\delta^*V_{y,d}$ [kN]	$A_{v,y}$ [mm2]	$\tau_{v,y}$ [MPa]	$\tau_{v,y}$ [MPa]	$\delta^*V_{z,d}$ [kN]	$A_{v,z}$ [mm2]	$\tau_{v,z}$ [MPa]	$\tau_{v,z}$ [MPa]
1	G0	Vlastní tíha OK	G	0	22.7	1.40E+04	1.6	6.7	3.02E+06	2.2	-0.1	2.32E+05	-0.5	3.3	0.0E+00	-	-	-	-	-0.4	6.12E+03	-0.1	-0.1	0.2	7.84E+03	0.0	0.0
2	G1	Ostatní stálé - mostní vybavení	G	0	1.1	1.40E+04	0.1	0.0	3.02E+06	0.0	0.0	2.32E+05	0.0	0.1	0.0E+00	-	-	-	-	0.0	6.12E+03	0.0	0.0	-0.1	7.84E+03	0.0	0.0
3	G2	Ostatní stálé - cizí zařízení	G	0	0.9	1.40E+04	0.1	0.0	3.02E+06	0.0	0.0	2.32E+05	0.0	0.1	0.0E+00	-	-	-	-	0.0	6.12E+03	0.0	0.0	-0.1	7.84E+03	0.0	0.0
4	P1_71	a.LM71 - kolej 1 (bez dyn. souč.)	P	0	-6.1	1.40E+04	-0.4	10.7	3.02E+06	3.5	0.4	2.32E+05	1.8	4.9	0.0E+00	-	-	-	-	0.2	6.12E+03	0.0	0.0	3.9	7.84E+03	0.5	0.5
5	P2_71	a.LM71 - kolej 2 (bez dyn. souč.)	P	0	2.4	1.40E+04	0.2	281.9	3.02E+06	93.3	0.2	2.32E+05	0.9	94.4	6.4E-02	-	-	-	-	0.7	6.12E+03	0.1	0.1	28.4	7.84E+03	3.6	3.6
6	P1_C3	TTZ C3 - kolej 1 (bez dyn. souč.)	P	0	0.0	1.40E+04	0.0	0.0	3.02E+06	0.0	0.0	2.32E+05	0.0	0.0	0.0E+00	-	-	-	-	0.0	6.12E+03	0.0	0.0	0.0	7.84E+03	0.0	0.0
7	P2_C3	TTZ C3 - kolej 2 (bez dyn. souč.)	P	0	0.0	1.40E+04	0.0	0.0	3.02E+06	0.0	0.0	2.32E+05	0.0	0.0	0.0E+00	-	-	-	-	0.0	6.12E+03	0.0	0.0	0.0	7.84E+03	0.0	0.0
8	BR	Brzdné a rozjezdové síly	P	0	1.7	1.40E+04	0.1	3.1	3.02E+06	1.0	-0.1	2.32E+05	-0.3	0.9	5.2E-03	-	-	-	-	0.0	6.12E+03	0.0	0.0	4.1	7.84E+03	0.5	0.5
9	S	Boční ráz	P	0	23.1	1.40E+04	1.7	-9.5	3.02E+06	-3.1	15.1	2.32E+05	65.3	63.8	1.8E-01	-	-	-	-	12.5	6.12E+03	2.0	2.0	0.9	7.84E+03	0.1	0.1
10	CH	Chodci na lávkách	Q	0	2.1	1.40E+04	0.2	-0.2	3.02E+06	-0.1	0.0	2.32E+05	0.0	0.1	0.0E+00	-	-	-	-	0.0	6.12E+03	0.0	0.0	-0.3	7.84E+03	0.0	0.0
11	W	Vítr na konstrukci	Q	0	1.4	1.40E+04	0.1	2.3	3.02E+06	0.8	0.1	2.32E+05	0.3	1.1	0.0E+00	-	-	-	-	0.0	6.12E+03	0.0	0.0	2.5	7.84E+03	0.3	0.3
12	WP	Vítr na vozidla	Q	0	5.3	1.40E+04	0.4	11.1	3.02E+06	3.7	1.6	2.32E+05	7.0	11.1	2.0E-02	-	-	-	-	0.0	6.12E+03	0.0	0.0	1.9	7.84E+03	0.2	0.2
13	TR	Teplota rovnoměrná	Q	0	0.0	1.40E+04	0.0	0.0	3.02E+06	0.0	0.0	2.32E+05	0.0	0.0	0.0E+00	-	-	-	-	0.0	6.12E+03	0.0	0.0	0.0	7.84E+03	0.0	0.0
14	TN	Teplota nerovnoměrná	Q	0	-2.2	1.40E+04	-0.2	1.6	3.02E+06	0.5	0.0	2.32E+05	0.1	0.4	0.0E+00	-	-	-	-	0.0	6.12E+03	0.0	0.0	1.1	7.84E+03	0.1	0.1
15	FR	Třecí síly v ložiskách	Q	0	2.0	1.40E+04	0.1	-0.1	3.02E+06	0.0	0.0	2.32E+05	0.0	0.1	0.0E+00	-	-	-	-	0.0	6.12E+03	0.0	0.0	-0.2	7.84E+03	0.0	0.0
16	I	Imperfekce soustavy	Q	0	0.2	1.40E+04	0.0	0.2	3.02E+06	0.1	0.0	2.32E+05	0.1	0.1	0.0E+00	-	-	-	-	0.0	6.12E+03	0.0	0.0	0.2	7.84E+03	0.0	0.0
27	ULS_LM	ULS - LM71 bez dynam	Q	0	0.0	1.40E+04	0.0	0.0	3.02E+06	0.0	0.0	2.32E+05	0.0	0.0	0.0E+00	-	-	-	-	0.0	6.12E+03	0.0	0.0	0.0	7.84E+03	0.0	0.0
28	SLS_LM	SLS - LM71 bez dynam	Q	0	0.0	1.40E+04	0.0	0.0	3.02E+06	0.0	0.0	2.32E+05	0.0	0.0	0.0E+00	-	-	-	-	0.0	6.12E+03	0.0	0.0	0.0	7.84E+03	0.0	0.0
29	ULS_C3	ULS - C3 bez dynam	Q	0	0.0	1.40E+04	0.0	0.0	3.02E+06	0.0	0.0	2.32E+05	0.0	0.0	0.0E+00	-	-	-	-	0.0	6.12E+03	0.0	0.0	0.0	7.84E+03	0.0	0.0
30	SLS_C3	SLS - C3 bez dynam	Q	0	0.0	1.40E+04	0.0	0.0	3.02E+06	0.0	0.0	2.32E+05	0.0	0.0	0.0E+00	-	-	-	-	0.0	6.12E+03	0.0	0.0	0.0	7.84E+03	0.0	0.0
NAVÝŠENÍ NAPĚTÍ DO AKTIVACE TLAKU V DESCE MOSTOVKY						$\sigma_{P,red}$	0.0							0.0			0.0		0.0			2.1	2.1			5.4	5.4
NAPĚTÍ OD PRIMÁRNÍCH ÚČINKŮ NEROVNOMĚRNÉHO OTEPLENÍ						σ_T	0.0							0.0													
NAPĚTÍ OD REOLOGICKÝCH ÚČINKŮ BETONU V ČASE				t=0		σ_R	0.0	γ=	1.20					0.0													
NAPĚTÍ V KRITICKÝCH VLÁKNECH OD KOMBINACE ZATÍŽENÍ						KZ04		[MPa]					$\Sigma\sigma_x$	180.6								$\Sigma\tau_y$	2.1			$\Sigma\tau_z$	5.4
NAPĚTÍ OD POHYBLIVÉHO ZATÍŽENÍ								[MPa]					$\sigma_{x,P}$	164.1								τ_P	2.2			τ_P	4.8
NAPĚTÍ OD OSTATNÍCH ZATÍŽENÍ								[MPa]			Φ_{vy}	Φ_{vz}	$\sigma_{x,rs}$	16.5								τ_{rs}	-0.1			τ_{rs}	0.6
NÁVRHOVÁ HODNOTA MEZE KLUZU S REDUKCÍ VLIVEM SMYKOVÉHO NAPĚTÍ								[MPa]			1.00	1.00	$f_{yw,d}$	209.1								$f_{yd}/3^{0,5}$	120.7			$f_{yd}/3^{0,5}$	120.7
NAPĚTÍ OD POHYBLIVÉHO ZATÍŽENÍ V GLOBÁLNÍM SYSTÉMU						$\sigma_{GLOB,P}$	0.0	[MPa]					$\Sigma\sigma_{GLOB}$	0.0													
NAPĚTÍ OD OSTATNÍCH ZATÍŽENÍ V GLOBÁLNÍM SYSTÉMU						$\sigma_{GLOB,rs}$	0.0	[MPa]					$\Sigma\sigma_x + \Sigma\sigma_{GLOB}$	180.6													
VYUŽITÍ PRŮŘEZU DLE NAPĚTÍ								[%]					η_1	0.86								η_3	0.02			η_3	0.04
NAPĚTÍ V PŘÍČNÉM SMĚRU OD POHYBLIVÉHO ZATÍŽENÍ						$\sigma_{z,P}$	0.0	[MPa]					$\Sigma\sigma_z$	0.0													
NAPĚTÍ V PŘÍČNÉM SMĚRU OD OSTATNÍCH ZATÍŽENÍ						$\sigma_{z,rs}$	0.0	[MPa]					η_2	0.00													
SROVNÁVACÍ NAPĚTÍ													$(\eta_2 + 0,8\,\eta_1)/1,4$ =	0.49													
VYUŽITÍ PRŮŘEZU CELKEM								[%]					eff	0.86	VYHOVUJE												
													z_{LM71} =	1.17													

TAB. L1.2.3 POSOUZENÍ - MEZNÍ STAV ÚNOSNOSTI

POPIS	PODÉLNÍK L1.E - STŘED
PRUT / POLOHA BODU	880 / I[739]
NAMÁHÁNÍ	Vz.min
VLÁKNO	BOD S6 -HP
MEZNÍ STAV	ULS (MSÚ)
VYUŽITÍ VLÁKNA PRŮŘEZU	0.15

Charakteristiky materiálu				
pás. horní	$f_{yf,k}$	230	MPa	
pás. dolní	$f_{yf,k}$	230	MPa	
stojina	$f_{yw,k}$	230	MPa	
výztuž	$f_{ys,k}$	500	MPa	
γ_M =	1.10	γ_s =	1.15	

Excentricita normálové síly				
Exc./Fáze	0	1	2	3
e_y	0.000	0.000	0.000	0.000
e_z	0.000	0.000	0.000	0.000
Ekvivalentní vzdál. stěn - příčný roznos				
b_{ekv}	0.000	0.000	0.000	0.000

Vliv stěny na únosnost průřezu				
Char./Fáze	0	1	2	3
A	0.00	0.00	0.00	0.00
Wy	0.00	0.00	0.00	0.00
Wz	0.00	0.00	0.00	0.00

Charakter. v kroucení			
$t_{w,y}$	0.000	[mm]	
$t_{w,z}$	0.000	[mm]	
κ	1.00		
I_t=	0.00E+00	[mm^4]	
$\Omega=2*A_{pr}$	0.00E+00	[mm^2]	

Součinitele vzpěru a vlivu II.řádu				
Char./Fáze	0	1	2	3
k_y	1.000	1.000	1.000	1.000
k_z	1.000	1.000	1.000	1.000
χ_{LT}	1.000	1.000	1.000	1.000
χ_{min}	1.000	1.000	1.000	1.000

Vnitřní síly od jednotlivých skupin zatěžovacích stavů — SKUPINA ZATĚŽOVACÍCH STAVŮ — Char./Fáze: 3

Č.	SKUP ZS	POPIS ZS	KAT.	FÁZE PRŮŘ.	- CHARAKTERISTICKÉ HODNOTY N.k (kN)	Vy.k (kN)	Vz.k (kN)	Mx.k (kNm)	My.k (kNm)	Mz.k (kNm)	DÍLČÍ SOUČINITELÉ ZATÍŽENÍ, DYNAMICKÝ SOUČINITEL γ_{sr} (-)	γ_{fs} (-)	volba γ_f hledat	γ_f (-)	L_d (m)	δ (-)	Ψ_0 KZ03	- NÁVRHOVÉ HODNOTY N.d (kN)	Vy.d (kN)	Vz.d (kN)	ΔVz.d (kN)	ΣVz.d (kN)	Mx.d (kNm)	My.d (kNm)	ΔMy.d (kNm)	ΣMy.d (kNm)	Mz.d (kNm)	ΔMz.d (kNm)	ΣMz.d (kNm)
1	G0	Vlastní tíha OK	G	0	13	0	-2	0	4	0	1.00	1.20		1.20	-	1.00	0.95	15	0	-3	0	-3	0	4	0	4	0	0	0
2	G1	Ostatní stálé - mostní vybavení	G	0	1	0	0	0	0	0	1.00	1.20		1.20	-	1.00	0.95	1	0	0	0	0	0	0	0	0	0	0	0
3	G2	Ostatní stálé - cizí zařízení	G	0	1	0	0	0	0	0	1.00	1.20		1.20	-	1.00	0.95	1	0	0	0	0	0	0	0	0	0	0	0
4	P1_71	a.LM71 - kolej 1 (bez dyn. souč.)	P	0	14	0	-4	0	-4	0	1.00	1.30		1.30	-	1.64	1.00	30	0	-9	0	-9	0	-9	0	-9	0	0	0
5	P2_71	a.LM71 - kolej 2 (bez dyn. souč.)	P	0	16	0	-47	0	52	0	1.00	1.30		1.30	-	1.64	1.00	34	0	-101	0	-101	0	111	0	111	0	0	0
6	P1_C3	TTZ C3 - kolej 1 (bez dyn. souč.)	P	0	11	0	-3	0	-3	0	1.00	vyp.		0.00	-	1.00	0.00	0	0	0	0	0	0	0	0	0	0	0	0
7	P2_C3	TTZ C3 - kolej 2 (bez dyn. souč.)	P	0	15	0	-37	0	38	0	1.00	vyp.		0.00	-	1.00	0.00	0	0	0	0	0	0	0	0	0	0	0	0
8	BR	Brzdné a rozjezdové síly	P	0	-3	0	-8	0	-6	0	1.00	1.30		1.30	-	1.00	0.80	-3	0	-8	0	-8	0	-6	0	-6	0	0	0
9	S	Boční ráz	P	0	-3	0	-2	0	-2	0	1.00	1.30		1.30	-	1.00	0.40	-2	0	-1	0	-1	0	-1	0	-1	0	0	0
10	CH	Chodci na lávkách	Q	0	2	0	0	0	0	0	1.00	1.30		1.30	-	1.00	1.00	3	0	0	0	0	0	0	0	0	0	0	0
11	W	Vítr na konstrukci	Q	0	-1	0	-2	0	-2	0	1.00	1.35		1.35	-	1.00	0.75	-1	0	-2	0	-2	0	-2	0	-2	0	0	0
12	WP	Vítr na vozidla	Q	0	-5	0	-2	0	-11	-2	1.00	1.35		1.35	-	1.00	0.75	-5	0	-2	0	-2	0	-11	0	-11	-2	0	-2
13	TR	Teplota rovnoměrná	Q	0	0	0	0	0	0	0	1.00	1.35		1.35	-	1.00	0.45	0	0	0	0	0	0	0	0	0	0	0	0
14	TN	Teplota nerovnoměrná	Q	0	3	0	-1	0	-2	0	1.00	1.35		1.35	-	1.00	0.60	2	0	-1	0	-1	0	-2	0	-2	0	0	0
15	FR	Třecí síly v ložiskách	Q	0	2	0	0	0	0	0	1.00	1.20		1.20	-	1.00	1.00	2	0	0	0	0	0	0	0	0	0	0	0
16	I	Imperfekce soustavy	Q	0	0	0	0	0	0	0	1.00	1.20		1.20	-	1.00	1.00	0	0	0	0	0	0	0	0	0	0	0	0
27	ULS_LM	ULS - LM71 bez dynam	Q	0	50	0	-88	0	41	-2	1.00	vyp.		0.00	-	1.00	0.00	0	0	0	0	0	0	0	0	0	0	0	0
28	SLS_LM	SLS - LM71 bez dynam	Q	0	39	0	-67	0	34	-1	1.00	vyp.	1	0.00	-	1.00	0.00	0	0	0	0	0	0	0	0	0	0	0	0
29	ULS_C3	ULS - C3 bez dynam	Q	0	45	0	-73	0	25	-2	1.00	vyp.	1	0.00	-	1.00	0.00	0	0	0	0	0	0	0	0	0	0	0	0
30	SLS_C3	SLS - C3 bez dynam	Q	0	35	0	-55	0	21	-1	1.00	vyp.	1	0.00	-	1.00	0.00	0	0	0	0	0	0	0	0	0	0	0	0
		CELKEM - FÁZE PRŮŘEZU 0																76	0	-128	0	-128	0	82	0	82	-2	0	-2
		CELKEM - FÁZE PRŮŘEZU 1																0	0	0	0	0	0	0	0	0	0	0	0
		CELKEM - FÁZE PRŮŘEZU 2																0	0	0	0	0	0	0	0	0	0	0	0
		CELKEM - FÁZE PRŮŘEZU 3																0	0	0	0	0	0	0	0	0	0	0	0
		CELKEM - PRŮŘEZ																76	0	-128	0	-128	0			82			-2

Napětí od jednotlivých zatěžovacích stavů — SKUPINA ZATĚŽOVACÍCH STAVŮ

Č.	SKUP ZS	Popis ZS	Kat.	fáze průř.	Posouzení normálového napětí — Účinek síly N δ^*N_d [kN]	χ^*A [mm^2]	σ_n [MPa]	Účinek momentu My $\delta^*M_{y,d}$ [kNm]	$\chi_{lt}{}^*W_{el,y}$ [mm^3]	σ_{my} [MPa]	Účinek momentu Mz $\delta^*M_{z,d}$ [kNm]	$W_{el,z}$ [mm^3]	σ_{mz} [MPa]	σ_x [MPa]	Posouzení smykového napětí — Účinek kroutícího momentu Mx $\kappa^*\delta^*M_{x,d}$ [kNm]	$W_{v,y}$ [mm^2]	$\tau_{x,y}$ [MPa]	$W_{v,z}$ [mm^2]	$\tau_{x,z}$ [MPa]	Účinek smykové síly Vy $\delta^*V_{y,d}$ [kN]	$A_{v,y}$ [mm2]	$\tau_{v,y}$ [MPa]	$\tau_{v,y}$ [MPa]	Účinek smykové síly Vz $\delta^*V_{z,d}$ [kN]	$A_{v,z}$ [mm2]	$\tau_{v,z}$ [MPa]	$\tau_{v,z}$ [MPa]
1	G0	Vlastní tíha OK	G	0	15.0	1.40E+04	1.1	4.0	3.10E+06	1.3	0.1	-1.35E+07	0.0	2.4	0.0E+00	-	-	-	-	0.0	6.12E+03	0.0	0.0	-2.5	7.84E+03	-0.3	-0.3
2	G1	Ostatní stálé - mostní vybavení	G	0	1.1	1.40E+04	0.1	0.0	3.10E+06	0.0	0.0	-1.35E+07	0.0	0.1	0.0E+00	-	-	-	-	0.0	6.12E+03	0.0	0.0	-0.1	7.84E+03	0.0	0.0
3	G2	Ostatní stálé - cizí zařízení	G	0	0.9	1.40E+04	0.1	0.0	3.10E+06	0.0	0.0	-1.35E+07	0.0	0.1	0.0E+00	-	-	-	-	0.0	6.12E+03	0.0	0.0	-0.1	7.84E+03	0.0	0.0
4	P1_71	a.LM71 - kolej 1 (bez dyn. souč.)	P	0	29.6	1.40E+04	2.1	-9.5	3.10E+06	-3.1	0.0	-1.35E+07	0.0	-0.9	2.1E-02	-	-	-	-	0.0	6.12E+03	0.0	0.0	-9.3	7.84E+03	-1.2	-1.2
5	P2_71	a.LM71 - kolej 2 (bez dyn. souč.)	P	0	33.7	1.40E+04	2.4	110.7	3.10E+06	35.7	0.0	-1.35E+07	0.0	38.1	4.3E-02	-	-	-	-	0.2	6.12E+03	0.0	0.0	-100.6	7.84E+03	-12.8	-12.8
6	P1_C3	TTZ C3 - kolej 1 (bez dyn. souč.)	P	0	0.0	1.40E+04	0.0	0.0	3.10E+06	0.0	0.0	-1.35E+07	0.0	0.0	0.0E+00	-	-	-	-	0.0	6.12E+03	0.0	0.0	0.0	7.84E+03	0.0	0.0
7	P2_C3	TTZ C3 - kolej 2 (bez dyn. souč.)	P	0	0.0	1.40E+04	0.0	0.0	3.10E+06	0.0	0.0	-1.35E+07	0.0	0.0	0.0E+00	-	-	-	-	0.0	6.12E+03	0.0	0.0	0.0	7.84E+03	0.0	0.0
8	BR	Brzdné a rozjezdové síly	P	0	-3.4	1.40E+04	-0.2	-6.2	3.10E+06	-2.0	0.1	-1.35E+07	0.0	-2.3	-1.0E-02	-	-	-	-	0.0	6.12E+03	0.0	0.0	-8.2	7.84E+03	-1.1	-1.1
9	S	Boční ráz	P	0	-1.5	1.40E+04	-0.1	-1.0	3.10E+06	-0.3	0.0	-1.35E+07	0.0	-0.4	0.0E+00	-	-	-	-	0.0	6.12E+03	0.0	0.0	-1.0	7.84E+03	-0.1	-0.1
10	CH	Chodci na lávkách	Q	0	2.8	1.40E+04	0.2	-0.3	3.10E+06	-0.1	0.0	-1.35E+07	0.0	0.1	0.0E+00	-	-	-	-	0.0	6.12E+03	0.0	0.0	-0.4	7.84E+03	-0.1	-0.1
11	W	Vítr na konstrukci	Q	0	-1.4	1.40E+04	-0.1	-2.3	3.10E+06	-0.8	-0.1	-1.35E+07	0.0	-0.8	0.0E+00	-	-	-	-	0.0	6.12E+03	0.0	0.0	-2.5	7.84E+03	-0.3	-0.3
12	WP	Vítr na vozidla	Q	0	-5.3	1.40E+04	-0.4	-11.1	3.10E+06	-3.6	-1.6	-1.35E+07	0.1	-3.8	-2.0E-02	-	-	-	-	0.0	6.12E+03	0.0	0.0	-2.0	7.84E+03	-0.2	-0.2
13	TR	Teplota rovnoměrná	Q	0	0.0	1.40E+04	0.0	0.0	3.10E+06	0.0	0.0	-1.35E+07	0.0	0.0	0.0E+00	-	-	-	-	0.0	6.12E+03	0.0	0.0	0.0	7.84E+03	0.0	0.0
14	TN	Teplota nerovnoměrná	Q	0	2.2	1.40E+04	0.2	-1.6	3.10E+06	-0.5	0.0	-1.35E+07	0.0	-0.4	0.0E+00	-	-	-	-	0.0	6.12E+03	0.0	0.0	-1.1	7.84E+03	-0.1	-0.1
15	FR	Třecí síly v ložiskách	Q	0	2.0	1.40E+04	0.1	-0.1	3.10E+06	0.0	0.0	-1.35E+07	0.0	0.1	0.0E+00	-	-	-	-	0.0	6.12E+03	0.0	0.0	-0.2	7.84E+03	0.0	0.0
16	I	Imperfekce soustavy	Q	0	-0.2	1.40E+04	0.0	-0.2	3.10E+06	-0.1	0.0	-1.35E+07	0.0	-0.1	0.0E+00	-	-	-	-	0.0	6.12E+03	0.0	0.0	-0.2	7.84E+03	0.0	0.0
27	ULS_LM	ULS - LM71 bez dynam	Q	0	0.0	1.40E+04	0.0	0.0	3.10E+06	0.0	0.0	-1.35E+07	0.0	0.0	0.0E+00	-	-	-	-	0.0	6.12E+03	0.0	0.0	0.0	7.84E+03	0.0	0.0
28	SLS_LM	SLS - LM71 bez dynam	Q	0	0.0	1.40E+04	0.0	0.0	3.10E+06	0.0	0.0	-1.35E+07	0.0	0.0	0.0E+00	-	-	-	-	0.0	6.12E+03	0.0	0.0	0.0	7.84E+03	0.0	0.0
29	ULS_C3	ULS - C3 bez dynam	Q	0	0.0	1.40E+04	0.0	0.0	3.10E+06	0.0	0.0	-1.35E+07	0.0	0.0	0.0E+00	-	-	-	-	0.0	6.12E+03	0.0	0.0	0.0	7.84E+03	0.0	0.0
30	SLS_C3	SLS - C3 bez dynam	Q	0	0.0	1.40E+04	0.0	0.0	3.10E+06	0.0	0.0	-1.35E+07	0.0	0.0	0.0E+00	-	-	-	-	0.0	6.12E+03	0.0	0.0	0.0	7.84E+03	0.0	0.0
		NAVÝŠENÍ NAPĚTÍ DO AKTIVACE TLAKU V DESCE MOSTOVKY				$\sigma_{P,red}$	0.0							0.0			0.0		0.0							-16.4	-16.4
		NAPĚTÍ OD PRIMÁRNÍCH ÚČINKŮ NEROVNOMĚRNÉHO OTEPLENÍ				σ_T	0.0							0.0														
		NAPĚTÍ OD REOLOGICKÝCH ÚČINKŮ BETONU V ČASE		t=0		σ_R	0.0	γ_f=	1.20					0.0														
		NAPĚTÍ V KRITICKÝCH VLÁKNECH OD KOMBINACE ZATÍŽENÍ				KZ03		[MPa]					$\Sigma\sigma_x$	32.1									$\Sigma\tau_y$	0.0			$\Sigma\tau_z$	-16.4
		NAPĚTÍ OD POHYBLIVÉHO ZATÍŽENÍ						[MPa]					$\sigma_{x,P}$	34.5									τ_P	0.0			τ_P	-15.2
		NAPĚTÍ OD OSTATNÍCH ZATÍŽENÍ						[MPa]			Φ_{Vy}	Φ_{Vz}	$\sigma_{x,rs}$	-2.4									τ_{rs}	0.0			τ_{rs}	-1.2
		NÁVRHOVÁ HODNOTA MEZE KLUZU S REDUKCÍ VLIVEM SMYKOVÉHO NAPĚTÍ						[MPa]			1.00	1.00	$f_{yw,d}$	209.1									$f_{yd}/3^{0,5}$	120.7			$f_{yd}/3^{0,5}$	120.7
		NAPĚTÍ OD POHYBLIVÉHO ZATÍŽENÍ V GLOBÁLNÍM SYSTÉMU				$\sigma_{GLOB,P}$	0.0	[MPa]					$\Sigma\sigma_{GLOB}$	0.0														
		NAPĚTÍ OD OSTATNÍCH ZATÍŽENÍ V GLOBÁLNÍM SYSTÉMU				$\sigma_{GLOB,rs}$	0.0	[MPa]					$\Sigma\sigma_x + \Sigma\sigma_{GLOB}$	32.1														
		VYUŽITÍ PRŮŘEZU DLE NAPĚTÍ						[%]					η_1	0.15									η_3	0.00			η_3	0.14
		NAPĚTÍ V PŘÍČNÉM SMĚRU OD POHYBLIVÉHO ZATÍŽENÍ				$\sigma_{z,P}$	0.0	[MPa]					$\Sigma\sigma_z$	0.0														
		NAPĚTÍ V PŘÍČNÉM SMĚRU OD OSTATNÍCH ZATÍŽENÍ				$\sigma_{z,rs}$	0.0	[MPa]					η_2	0.00														
		SROVNÁVACÍ NAPĚTÍ											$(\eta_2 + 0,8\,\eta_1)/1,4$ =	0.09														
		VYUŽITÍ PRŮŘEZU CELKEM						[%]					eff	0.15	VYHOVUJE													
													z_{LM71} =	5.99														

VÝPOČET PRŮŘEZOVÝCH CHARAKTERISTIK

PRŮŘEZ: L2_1a **POPIS:** PODÉLNÍK - 2 - KRAJ (U PŘÍČNÍKU 2) - ŘEZ a

x = - **m**

DEFINOVÁNÍ PRŮŘEZU

PÁSNICE HORNÍHO LEVÉHO ÚHELNÍKU	b f.t.l.o =	10	mm				
TLOUŠŤKA PÁSNICE ÚHELNÍKU	t f.t.l.o =	10	mm	OSLABENÍ PÁSNICE - TLOUŠŤKA	Δt f.t.l.o =	0	%
VÝŠKA STĚNY ÚHELNÍKU	h w.t.l.o =	70	mm				
TLOUŠŤKA STĚNY ÚHELNÍKU	t w.t.l.o =	10	mm	OSLABENÍ STĚNY - TLOUŠŤKA	Δt w.t.l.o =	0	%
PÁSNICE HORNÍHO PRAVÉHO ÚHELNÍKU	b f.t.r.o =	10	mm				
TLOUŠŤKA PÁSNICE ÚHELNÍKU	t f.t.r.o =	10	mm	OSLABENÍ PÁSNICE - TLOUŠŤKA	Δt f.t.r.o =	0	%
VÝŠKA STĚNY ÚHELNÍKU	h w.t.r.o =	70	mm				
TLOUŠŤKA STĚNY ÚHELNÍKU	t w.t.r.o =	10	mm	OSLABENÍ STĚNY - TLOUŠŤKA	Δt w.t.r.0 =	0	%
PÁSNICE DOLNÍHO LEVÉHO ÚHELNÍKU	b f.b.l.o =	10	mm				
TLOUŠŤKA PÁSNICE ÚHELNÍKU	t f.b.l.o =	10	mm	OSLABENÍ PÁSNICE - TLOUŠŤKA	Δt f.b.l.o =	0	%
VÝŠKA STĚNY ÚHELNÍKU	h w.b.l.o =	70	mm				
TLOUŠŤKA STĚNY ÚHELNÍKU	t w.b.l.o =	10	mm	OSLABENÍ STĚNY - TLOUŠŤKA	Δt w.b.l.o =	0	%
PÁSNICE DOLNÍHO PRAVÉHO ÚHELNÍKU	b f.b.r.o =	10	mm				
TLOUŠŤKA PÁSNICE ÚHELNÍKU	t f.b.r.o =	10	mm	OSLABENÍ PÁSNICE - TLOUŠŤKA	Δt f.b.r.o =	0	%
VÝŠKA STĚNY ÚHELNÍKU	h w.b.r.o =	70	mm				
TLOUŠŤKA STĚNY ÚHELNÍKU	t w.b.r.o =	10	mm	OSLABENÍ STĚNY - TLOUŠŤKA	Δt w.b.r.o =	0	%

PŘÍLOŽKY STĚNY 2x	h w =	500	mm				
	t w =	10	mm	OSLABENÍ STĚNY	Δt w.l =	0	%
ŠÍŘKA HORNÍ PÁSNICE	b f.t =	0	mm	ARCH. DOK. - PÁSNICE UKONČENA PŘED PŘÍPOJEM			
TLOUŠŤKA HORNÍ PÁSNICE	t f.t =	0	mm	OSLABENÍ HORNÍ PÁSNICE	Δt f.t =	0	%
PŘESAH HORNÍ PÁSNICE	o f.t =	0	mm	HORNÍ PÁSNICE OBECNĚ NESYMETRICKÁ (PODÉLNÍK - PŘÍPOJ MOSTNICE)			
VÝŠKA STĚNY	h w =	690	mm				
TLOUŠŤKA STĚNY	t w =	10	mm	OSLABENÍ STĚNY	Δt w.l =	0	%
ŠÍŘKA DOLNÍ PÁSNICE	b f.b =	0	mm	PŘEDPOKLAD - PÁSNICE UKONČENA PŘED PŘÍPOJEM			
TLOUŠŤKA DOLNÍ PÁSNICE	t f.b =	0	mm	OSLABENÍ DOLNÍ PÁSNICE (DOLNÍ PÁSNICE SYMETRICKÁ)	Δt f.b =	0	%

NÝT Č.	SKUPINA	ŘEZ	RED.	VELIKOST d| [mm]	POLOHA e| [mm]	POPIS	AKTIVITA OTVORU		NAPĚTÍ sc [MPa]
1		-	1.00	0	-120	nýt - f.t	0	-	
2		-	1.00	0	-45	nýt - f.t - krční úhelník	0	-	
3		-	1.00	0	45	nýt - f.t - krční úhelník	0	-	
4		-	1.00			nýt - f.t		-	
5		-	1.00	20	645	nýt - w - krční úhelník	1		9.94
6		-	1.00			nýt - w		-	
7		-	1.00			nýt - w		-	
8		-	1.00			nýt - w		-	
9		-	1.00			nýt - w		-	
10		-	1.00	22	545	nýt - w	1		9.38
11		-	1.00	22	445	nýt - w	1		8.82
12		-	1.00	22	345	nýt - w	1		8.26
13		-	1.00	22	245	nýt - w	1		7.70
14		-	1.00	22	145	nýt - w	1		7.14
15		-	1.00	20	45	nýt - w - krční úhelník	1		6.58
16		-	1.00					-	
17		-	1.00					-	
18		-	1.00					-	
19		-	1.00			nýt - f.b		-	
20		-	1.00	0	-45	nýt - f.b. - krční úhelník	0	-	
21		-	1.00	0	45	nýt - f.b. - krční úhelník	0	-	
22		-	1.00			nýt - f.b		-	

ZADANÍ ČÁSTÍ PRŮŘEZU:

č.prvku	b [mm]	h [mm]	y_0 [mm]	z_0 [mm]	popis části	druh oslabení	lokální ultimate	boulení servic.
1	10.0	10.0	-10.0	685.0		0	1.000	1.000
2	10.0	70.0	-10.0	645.0		0	1.000	1.000
3	10.0	10.0	10.0	685.0		0	1.000	1.000
4	10.0	70.0	10.0	645.0		0	1.000	1.000
5	10.0	10.0	-10.0	5.0		0	1.000	1.000
6	10.0	70.0	-10.0	45.0		0	1.000	1.000
7	10.0	10.0	10.0	5.0		0	1.000	1.000
8	10.0	70.0	10.0	45.0		0	1.000	1.000
9	0.0	0.0	-15.0	690.0	pásnice	0	1.000	1.000
10	10.0	690.0	0.0	345.0	stěna	0	1.000	1.000
11	0.0	0.0	0.0	0.0	pásnice	0	1.000	1.000
12	10.0	500.0	-10.0	345.0	stěna	0	1.000	1.000
13	10.0	500.0	10.0	345.0	stěna	0	1.000	1.000
14						0	1.000	1.000
15						0	1.000	1.000
16						0	1.000	1.000
17						0	1.000	1.000
18						0	1.000	1.000
19						0	1.000	1.000
20						0	1.000	1.000
21						0	1.000	1.000
22						0	1.000	1.000
23						0	1.000	1.000
24						0	1.000	1.000
25						0	1.000	1.000
26						0	1.000	1.000
27						0	1.000	1.000
28						0	1.000	1.000
29						0	1.000	1.000
30						0	1.000	1.000
31						0	1.000	1.000
32						0	1.000	1.000
33						0	1.000	1.000
34						0	1.000	1.000
35						0	1.000	1.000
36						0	1.000	1.000
37						0	1.000	1.000
38						0	1.000	1.000
39						0	1.000	1.000
40						0	1.000	1.000
41						0	1.000	1.000
42						0	1.000	1.000
43						0	1.000	1.000
44						0	1.000	1.000
45						0	1.000	1.000
46						0	1.000	1.000
47						0	1.000	1.000
48						0	1.000	1.000
49						0	1.000	1.000
50						0	1.000	1.000
51	0	0	0	0	nýt - pásnice	0	1.000	1.000
52	0	0	0	0	nýt - pásnice	0	1.000	1.000
53	0	0	0	0	nýt - pásnice	0	1.000	1.000
54	0	0	0	0	nýt - pásnice	0	1.000	1.000
55	30.0	-20.0	0.0	645.0	nýt - stěna	0	1.000	1.000
56	0	0	0	0	nýt - stěna	0	1.000	1.000
57	0	0	0	0	nýt - stěna	0	1.000	1.000
58	0	0	0	0	nýt - stěna	0	1.000	1.000
59	0	0	0	0	nýt - stěna	0	1.000	1.000
60	30.0	-22.0	0.0	545.0	nýt - stěna	0	1.000	1.000
61	30.0	-22.0	0.0	445.0	nýt - stěna	0	1.000	1.000
62	30.0	-22.0	0.0	345.0	nýt - stěna	0	1.000	1.000
63	30.0	-22.0	0.0	245.0	nýt - stěna	0	1.000	1.000
64	30.0	-22.0	0.0	145.0	nýt - stěna	0	1.000	1.000
65	30.0	-20.0	0.0	45.0	nýt - stěna	0	1.000	1.000
66						0	1.000	1.000
67						0	1.000	1.000
68						0	1.000	1.000
69	0	0	0	0	nýt - pásnice	0	1.000	1.000
70	0	0	0	0	nýt - pásnice	0	1.000	1.000
71	0	0	0	0	nýt - pásnice	0	1.000	1.000
72	0	0	0	0	nýt - pásnice	0	1.000	1.000
73								
74								
75								
76								
77								
78								
79								
80								
81								
82								
83								
84								
85								
86								
87								
88								
89								
90								
91								
92								
93								
94								
95								
96								
97								
98								
99								
100								

VÝPOČET PRŮŘEZOVÝCH CHARAKTERISTIK

Properties	Basic	Ultimate		Serviceability	
y_t	0.0	0.0		0.0	[mm]
z_t	345.0	345.0		345.0	[mm]
A_i	1.5600E+04	1.5600E+04		1.5600E+04	[mm²]
A_y	0.0000E+00	0.0000E+00		0.0000E+00	[mm²]
A_z	1.2400E+04	1.2400E+04		1.2400E+04	[mm²]
I_{y1}	6.0730E+08	6.0730E+08		6.0730E+08	[mm⁴]
I_w	1.1500E+06	1.1500E+06		1.1500E+06	[mm⁶]
i_y	197.3	197.3		197.3	[mm]
i_z	8.6	8.6		8.6	[mm]
$W_{y,1}$	1.7603E+06	1.7603E+06		1.7603E+06	[mm³]
$W_{z,1}$	-7.6667E+04	-7.6667E+04		-7.6667E+04	[mm³]
$W_{y,2}$	-1.7603E+06	-1.7603E+06		-1.7603E+06	[mm³]
$W_{z,2}$	-7.6667E+04	-7.6667E+04		-7.6667E+04	[mm³]
KRAJNÍ VLÁKNA PRŮŘEZU					
y_1	-15.0	-15.0		-15.0	[mm]
z_1	690.0	690.0		690.0	[mm]
y_2	-15.0	-15.0		-15.0	[mm]
z_2	0.0	0.0		0.0	[mm]
y_3	15.0	15.0		15.0	[mm]
z_3	690.0	690.0		690.0	[mm]
y_4	15.0	15.0		15.0	[mm]
z_4	0.0	0.0		0.0	[mm]
y_5	-5.0	-5.0		-5.0	[mm]
z_5	690.0	690.0		690.0	[mm]
y_6	-5.0	-5.0		-5.0	[mm]
z_6	0.0	0.0		0.0	[mm]

ÚPRAVA MOMENTŮ SETRVAČNOSTI V DŮSLEDKU ČLENĚNÍ PRŮŘEZU

OSA Y 1.00
OSA Z 1.00

SCHÉMA PROMĚNNÝCH

SCHÉMA ZADANÉHO PRŮŘEZU

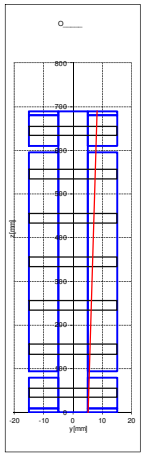

NEUTRÁLNÁ OSA

NAPĚTÍ [MPa]:

28.72	-8.33
24.85	-12.19

ZS: SLS, LM V,Z + MAX N-

	N [kN]	Vy [kN]	Vz [kN]	Mx [kNm]	My [kNm]	Mz [kNm]
import	129	-2	-92	0	-3	1

TR_L2.1 POPIS: **PODÉLNÍK L2.E - KRAJ** POSUDEK: **L2.1**

SKUPINA ZAT. STAVŮ	EXTRÉM	VYHODNOCOVANÉ VELIČINY					
		N	Vy	Vz	Mx	My	Mz
		kN	kN	kN	kNm	kNm	kNm
G0	N.min	**94.9**	-0.11	-15.57	-0.01	-3.98	-0.59
	N.max	**36.4**	-0.56	-7.32	-0.04	-1.42	-1.01
	Vy.min	94.9	**-0.11**	-15.57	-0.01	-3.98	-0.59
	Vy.max	36.4	**-0.56**	-7.32	-0.04	-1.42	-1.01
	Vz.min	94.9	-0.11	**-15.57**	-0.01	-3.98	-0.59
	Vz.max	36.4	-0.56	**-7.32**	-0.04	-1.42	-1.01
	Mx.min	94.9	-0.11	-15.57	**-0.01**	-3.98	-0.59
	Mx.max	36.4	-0.56	-7.32	**-0.04**	-1.42	-1.01
	My.min	94.9	-0.11	-15.57	-0.01	**-3.98**	-0.59
	My.max	36.4	-0.56	-7.32	-0.04	**-1.42**	-1.01
	Mz.min	94.9	-0.11	-15.57	-0.01	-3.98	**-0.59**
	Mz.max	36.4	-0.56	-7.32	-0.04	-1.42	**-1.01**
G1	N.min	**7.17**	-0.01	-0.69	0	-0.2	-0.04
	N.max	**7.17**	-0.01	-0.69	0	-0.2	-0.04
	Vy.min	7.17	**-0.01**	-0.69	0	-0.2	-0.04
	Vy.max	7.17	**-0.01**	-0.69	0	-0.2	-0.04
	Vz.min	7.17	-0.01	**-0.69**	0	-0.2	-0.04
	Vz.max	7.17	-0.01	**-0.69**	0	-0.2	-0.04
	Mx.min	7.17	-0.01	-0.69	**0**	-0.2	-0.04
	Mx.max	7.17	-0.01	-0.69	**0**	-0.2	-0.04
	My.min	7.17	-0.01	-0.69	0	**-0.2**	-0.04
	My.max	7.17	-0.01	-0.69	0	**-0.2**	-0.04
	Mz.min	7.17	-0.01	-0.69	0	-0.2	**-0.04**
	Mz.max	7.17	-0.01	-0.69	0	-0.2	**-0.04**
G2	N.min	**5.44**	-0.01	-0.48	0	-0.14	-0.04
	N.max	**5.44**	-0.01	-0.48	0	-0.14	-0.04
	Vy.min	5.44	**-0.01**	-0.48	0	-0.14	-0.04
	Vy.max	5.44	**-0.01**	-0.48	0	-0.14	-0.04
	Vz.min	5.44	-0.01	**-0.48**	0	-0.14	-0.04
	Vz.max	5.44	-0.01	**-0.48**	0	-0.14	-0.04
	Mx.min	5.44	-0.01	-0.48	**0**	-0.14	-0.04
	Mx.max	5.44	-0.01	-0.48	**0**	-0.14	-0.04
	My.min	5.44	-0.01	-0.48	0	**-0.14**	-0.04
	My.max	5.44	-0.01	-0.48	0	**-0.14**	-0.04
	Mz.min	5.44	-0.01	-0.48	0	-0.14	**-0.04**
	Mz.max	5.44	-0.01	-0.48	0	-0.14	**-0.04**
P1_71	N.min	**-0.12**	0	0.53	0	0.03	0
	N.max	**99.38**	-0.13	-10.52	-0.01	-3.47	-0.57
	Vy.min	97.98	**-0.15**	-11.21	-0.01	-6.01	-0.57
	Vy.max	0.07	**0**	0.71	0	-0.03	0
	Vz.min	90.51	-0.13	**-12.2**	-0.01	-7.67	-0.49
	Vz.max	3.88	-0.01	**1.68**	0.01	7.56	-0.03
	Mx.min	90.68	-0.11	-9.87	**-0.02**	-9.09	-0.55
	Mx.max	11.56	-0.04	-1.58	**0.02**	7.32	-0.02
	My.min	94.96	-0.14	-11.53	-0.02	**-10.88**	-0.55
	My.max	7.49	-0.03	0.57	0.02	**9.29**	-0.03
	Mz.min	95.56	-0.12	-8.97	-0.01	-3.12	**-0.58**
	Mz.max	6.98	-0.02	-2.53	0.01	-1.69	**0.01**
P2_71	N.min	**-1.49**	0.01	1.02	0	0.11	0
	N.max	**119.09**	-0.16	-98.94	0.02	-18.81	-0.76
	Vy.min	111.07	**-0.4**	-16.63	0.01	-24.83	-0.74
	Vy.max	9.99	**0.29**	-158.27	0.03	-4.88	-0.04
	Vz.min	115.05	-0.03	**-192.22**	0.04	-21.84	-0.72
	Vz.max	1.88	0	**1.6**	0	-1.25	-0.01
	Mx.min	101.04	-0.18	-8.58	**-0.01**	-6.91	-0.65
	Mx.max	24	0.07	-176.44	**0.05**	-19.13	-0.15
	My.min	111.42	-0.28	-70.16	0.02	**-29.01**	-0.72
	My.max	4.7	0.04	-59.51	0.02	**4.53**	-0.04
	Mz.min	117.46	-0.25	-84.14	0.01	-15.56	**-0.78**
	Mz.max	-1.38	0.02	-3.72	0	0.14	**0**
P1_C3	N.min	**-0.11**	0	0.42	0	0.03	0
	N.max	**81.03**	-0.11	-9.58	-0.01	-5.41	-0.46
	Vy.min	80.14	**-0.12**	-8.77	-0.01	-3.16	-0.46
	Vy.max	0.05	**0**	0.57	0	-0.02	0
	Vz.min	78.84	-0.1	**-10.06**	-0.01	-6.91	-0.44
	Vz.max	2.2	-0.01	**1.45**	0.01	4.97	-0.01
	Mx.min	73.87	-0.08	-7.82	**-0.02**	-6.43	-0.45
	Mx.max	7.4	-0.03	-1.29	**0.01**	3.94	-0.02
	My.min	77.81	-0.11	-9.56	-0.01	**-8.19**	-0.45
	My.max	2.19	-0.01	1	0.01	**5.68**	-0.02
	Mz.min	76.66	-0.1	-6.89	-0.01	-1.56	**-0.47**
	Mz.max	4.81	-0.01	-1.72	0	-1.26	**0.01**
P2_C3	N.min	**-1.21**	0.01	0.82	0	0.09	0
	N.max	**98.44**	-0.19	-60.07	0.01	-22.32	-0.63
	Vy.min	93.73	**-0.3**	-14.16	0.01	-17.4	-0.62
	Vy.max	5.62	**0.2**	-119.63	0.02	-4.3	-0.02
	Vz.min	94.72	-0.02	**-133.03**	0.02	-12.94	-0.59
	Vz.max	0.82	0	**1.18**	0	-0.73	0
	Mx.min	78.6	-0.14	-6.43	**-0.01**	-5.38	-0.52
	Mx.max	13.43	0.08	-126.6	**0.03**	-11.91	-0.08
	My.min	98.34	-0.21	-53.78	0.01	**-22.39**	-0.63
	My.max	2.5	0.03	-31.31	0.01	**3.61**	-0.03
	Mz.min	97.87	-0.25	-63.81	0.01	-19.7	**-0.64**
	Mz.max	-1.18	0.01	0.59	0	0.14	**0**
BR	N.min	**-214.9**	-0.01	28.23	0.05	9.01	1.85
	N.max	**214.9**	0.01	-28.23	-0.05	-9.01	-1.85
	Vy.min	-150.83	**-0.03**	21.46	0.03	6.2	1.4
	Vy.max	150.83	**0.03**	-21.46	-0.03	-6.2	-1.4
	Vz.min	214.9	0.01	**-28.23**	-0.05	-9.01	-1.85
	Vz.max	-214.9	-0.01	**28.23**	0.05	9.01	1.85
	Mx.min	200.09	0.03	-25.44	**-0.05**	-8.8	-1.67
	Mx.max	-200.09	-0.03	25.44	**0.05**	8.8	1.67
	My.min	214.9	0.01	-28.23	-0.05	**-9.01**	-1.85
	My.max	-214.9	-0.01	28.23	0.05	**9.01**	1.85
	Mz.min	214.9	0.01	-28.23	-0.05	-9.01	**-1.85**
	Mz.max	-214.9	-0.01	28.23	0.05	9.01	**1.85**

TR_L2.1 POPIS: **PODÉLNÍK L2.E - KRAJ** POSUDEK: **L2.1**

SKUPINA ZAT. STAVŮ	EXTRÉM	VYHODNOCOVANÉ VELIČINY					
		N	Vy	Vz	Mx	My	Mz
		kN	kN	kN	kNm	kNm	kNm
S	N.min	**-26.86**	4.29	-3.17	0.08	1.83	1.45
	N.max	**26.86**	-4.29	3.17	-0.08	-1.83	-1.45
	Vy.min	26.86	**-4.29**	3.17	-0.08	-1.83	-1.45
	Vy.max	-26.86	**4.29**	-3.17	0.08	1.83	1.45
	Vz.min	-26.86	4.29	**-3.17**	0.08	1.83	1.45
	Vz.max	26.86	-4.29	**3.17**	-0.08	-1.83	-1.45
	Mx.min	26.86	-4.29	3.17	**-0.08**	-1.83	-1.45
	Mx.max	-26.86	4.29	-3.17	**0.08**	1.83	1.45
	My.min	-4.24	-0.2	-3.15	-0.04	**-6.61**	-0.34
	My.max	4.24	0.2	3.15	0.04	**6.61**	0.34
	Mz.min	26.86	-4.29	3.17	-0.08	-1.83	**-1.45**
	Mz.max	-26.86	4.29	-3.17	0.08	1.83	**1.45**
CH	N.min	**8.28**	-0.01	-0.85	0	-0.42	-0.06
	N.max	**13.49**	-0.02	-1.1	0	-0.36	-0.09
	Vy.min	13.49	**-0.02**	-1.1	0	-0.36	-0.09
	Vy.max	8.28	**-0.01**	-0.85	0	-0.42	-0.06
	Vz.min	13.49	-0.02	**-1.1**	0	-0.36	-0.09
	Vz.max	8.28	-0.01	**-0.85**	0	-0.42	-0.06
	Mx.min	13.49	-0.02	-1.1	**0**	-0.36	-0.09
	Mx.max	8.28	-0.01	-0.85	**0**	-0.42	-0.06
	My.min	8.28	-0.01	-0.85	0	**-0.42**	-0.06
	My.max	10.36	-0.01	-0.86	0	**-0.27**	-0.07
	Mz.min	13.49	-0.02	-1.1	0	-0.36	**-0.09**
	Mz.max	8.28	-0.01	-0.85	0	-0.42	**-0.06**
W	N.min	**-2.8**	0.25	3.35	0.02	3.48	0.46
	N.max	**2.78**	-0.25	-3.35	-0.02	-3.49	-0.46
	Vy.min	2.78	**-0.25**	-3.35	-0.02	-3.49	-0.46
	Vy.max	-2.8	**0.25**	3.35	0.02	3.48	0.46
	Vz.min	2.78	-0.25	**-3.35**	-0.02	-3.49	-0.46
	Vz.max	-2.8	0.25	**3.35**	0.02	3.48	0.46
	Mx.min	2.78	-0.25	-3.35	**-0.02**	-3.49	-0.46
	Mx.max	-2.8	0.25	3.35	**0.02**	3.48	0.46
	My.min	2.78	-0.25	-3.35	-0.02	**-3.49**	-0.46
	My.max	-2.8	0.25	3.35	0.02	**3.48**	0.46
	Mz.min	2.78	-0.25	-3.35	-0.02	-3.49	**-0.46**
	Mz.max	-2.8	0.25	3.35	0.02	3.48	**0.46**
WP	N.min	**-7**	-2.62	-8.65	0.04	3.6	0.4
	N.max	**7.01**	2.62	8.62	-0.04	-3.61	-0.4
	Vy.min	-7	**-2.62**	-8.65	0.04	3.6	0.4
	Vy.max	7.01	**2.62**	8.62	-0.04	-3.61	-0.4
	Vz.min	-7	-2.62	**-8.65**	0.04	3.6	0.4
	Vz.max	7.01	2.62	**8.62**	-0.04	-3.61	-0.4
	Mx.min	7.01	2.62	8.62	**-0.04**	-3.61	-0.4
	Mx.max	-7	-2.62	-8.65	**0.04**	3.6	0.4
	My.min	7.01	2.62	8.62	-0.04	**-3.61**	-0.4
	My.max	-7	-2.62	-8.65	0.04	**3.6**	0.4
	Mz.min	7.01	2.62	8.62	-0.04	-3.61	**-0.4**
	Mz.max	-7	-2.62	-8.65	0.04	3.6	**0.4**
TR	N.min	**0**	0	0	0	0	0
	N.max	**0**	0	0	0	0	0
	Vy.min	0	**0**	0	0	0	0
	Vy.max	0	**0**	0	0	0	0
	Vz.min	0	0	**0**	0	0	0
	Vz.max	0	0	**0**	0	0	0
	Mx.min	0	0	0	**0**	0	0
	Mx.max	0	0	0	**0**	0	0
	My.min	0	0	0	0	**0**	0
	My.max	0	0	0	0	**0**	0
	Mz.min	0	0	0	0	0	**0**
	Mz.max	0	0	0	0	0	**0**
TN	N.min	**-8.26**	0.02	0.03	0	1.33	0.05
	N.max	**11.83**	0.01	-0.13	0	-1.03	0.03
	Vy.min	-3.25	**-0.02**	-0.01	0	-0.35	-0.07
	Vy.max	-8.26	**0.02**	0.03	0	1.33	0.05
	Vz.min	11.83	0.01	**-0.13**	0	-1.03	0.03
	Vz.max	-8.26	0.02	**0.03**	0	1.33	0.05
	Mx.min	8.26	-0.02	-0.03	**0**	-1.33	-0.05
	Mx.max	-8.26	0.02	0.03	**0**	1.33	0.05
	My.min	8.26	-0.02	-0.03	0	**-1.33**	-0.05
	My.max	-8.26	0.02	0.03	0	**1.33**	0.05
	Mz.min	-3.25	-0.02	-0.01	0	-0.35	**-0.07**
	Mz.max	-8.26	0.02	0.03	0	1.33	**0.05**
FR	N.min	**-11.07**	0	0.92	0	0.27	0.05
	N.max	**11.07**	0	-0.92	0	-0.27	-0.05
	Vy.min	11.07	**0**	-0.92	0	-0.27	-0.05
	Vy.max	-11.07	**0**	0.92	0	0.27	0.05
	Vz.min	11.07	0	**-0.92**	0	-0.27	-0.05
	Vz.max	-11.07	0	**0.92**	0	0.27	0.05
	Mx.min	11.07	0	-0.92	**0**	-0.27	-0.05
	Mx.max	-11.07	0	0.92	**0**	0.27	0.05
	My.min	11.07	0	-0.92	0	**-0.27**	-0.05
	My.max	-11.07	0	0.92	0	**0.27**	0.05
	Mz.min	11.07	0	-0.92	0	-0.27	**-0.05**
	Mz.max	-11.07	0	0.92	0	0.27	**0.05**
I	N.min	**-0.46**	-0.01	-0.15	0	-0.2	**-0.02**
	N.max	**0.46**	0.01	0.15	0	0.2	**0.02**
	Vy.min	-0.46	**-0.01**	-0.15	0	-0.2	**-0.02**
	Vy.max	0.46	**0.01**	0.15	0	0.2	**0.02**
	Vz.min	-0.46	-0.01	**-0.15**	0	-0.2	**-0.02**
	Vz.max	0.46	0.01	**0.15**	0	0.2	**0.02**
	Mx.min	-0.46	-0.01	-0.15	**0**	-0.2	**-0.02**
	Mx.max	0.46	0.01	0.15	**0**	0.2	**0.02**
	My.min	-0.46	-0.01	-0.15	0	**-0.2**	**-0.02**
	My.max	0.46	0.01	0.15	0	**0.2**	**0.02**
	Mz.min	-0.46	-0.01	-0.15	0	-0.2	**-0.02**
	Mz.max	0.46	0.01	0.15	0	0.2	**0.02**

TAB. L2.1.3 POSOUZENÍ - MEZNÍ STAV ÚNOSNOSTI

POPIS	PODĚLNÍK L2.E - KRAJ
PRUT / POLOHA BODU	866 / I[568]
NAMÁHÁNÍ	My.min
VLÁKNO	BOD K1 -HL
MEZNÍ STAV	ULS (MSÚ)
VYUŽITÍ VLÁKNA PRŮŘEZU	0.96

Charakteristiky materiálu				
pás. horní	$f_{yf,k}$	230	MPa	
pás. dolní	$f_{yf,k}$	230	MPa	
stojina	$f_{yw,k}$	230	MPa	
výztuž	$f_{ys,k}$	500	MPa	
γ_M =	1.10	γ_s =	1.15	

Excentricita normálové síly				
Exc./Fáze	0	1	2	3
e_y	0.000	0.000	0.000	0.000
e_z	0.000	0.000	0.000	0.000
Ekvivalentní vzdál. stěn - příčný roznos				
b_{Mx}	0.000	0.000	0.000	0.000

Vliv stěny na únosnost průřezu				
Char./Fáze	0	1	2	3
A	0.00	0.00	0.00	0.00
Wy	0.00	0.00	0.00	0.00
Wz	0.00	0.00	0.00	0.00

Charakter. v kroucení			
$t_{w,y}$	0.000	[mm]	
$t_{w,z}$	0.000	[mm]	
κ	1.00		
I_t=	0.00E+00	[mm^4]	
$\Omega=2*A_{pr}$	0.00E+00	[mm^2]	

Součinitele vzpěru a vlivu II.řádu				
Char./Fáze	0	1	2	3
k_y	1.000	1.000	1.000	1.000
k_z	1.000	1.000	1.000	1.000
χ_{LT}	1.000	1.000	1.000	1.000
χ_{min}	1.000	1.000	1.000	1.000

Vnitřní síly od jednotlivých skupin zatěžovacích stavů

SKUPINA ZATĚŽOVACÍCH STAVŮ — DÍLČÍ SOUČINITELÉ ZATÍŽENÍ, DYNAMICKÝ SOUČINITEL — 3

Č.	SKUP ZS	POPIS ZS	KAT.	FÁZE PRŮŘ.	- CHARAKTERISTICKÉ HODNOTY N.k (kN)	Vy.k (kN)	Vz.k (kN)	Mx.k (kNm)	My.k (kNm)	Mz.k (kNm)	γ_{sd} (-)	γ_{fs} (-)	volba γ_f hledat	γ_f (-)	L_d (m)	δ (-)	Ψ_s KZ03	- NÁVRHOVÉ HODNOTY N.d (kN)	Vy.d (kN)	Vz.d (kN)	ΔVz.d (kN)	ΣVz.d (kN)	Mx.d (kNm)	My.d (kNm)	ΔMy.d (kNm)	ΣMy.d (kNm)	Mz.d (kNm)	ΔMz.d (kNm)	ΣMz.d (kNm)
1	G0	Vlastní tíha OK	G	0	95	0	-16	0	-4	-1	1.00	1.20		1.20	-	1.00	0.95	108	0	-18	0	-18	0	-5	0	-5	-1	0	-1
2	G1	Ostatní stálé - mostní vybavení	G	0	7	0	-1	0	0	0	1.00	1.20		1.20	-	1.00	0.95	8	0	-1	0	-1	0	0	0	0	0	0	0
3	G2	Ostatní stálé - cizí zařízení	G	0	5	0	0	0	0	0	1.00	1.20		1.20	-	1.00	0.95	6	0	-1	0	-1	0	0	0	0	0	0	0
4	P1_71	a.LM71 - kolej 1 (bez dyn. souč.)	P	0	95	0	-12	0	-11	-1	1.00	1.30		1.30	-	1.61	1.00	199	0	-24	0	-24	0	-23	0	-23	-1	0	-1
5	P2_71	a.LM71 - kolej 2 (bez dyn. souč.)	P	0	111	0	-70	0	-29	-1	1.00	1.30		1.30	-	1.61	1.00	234	-1	-147	0	-147	0	-61	0	-61	-2	0	-2
6	P1_C3	TTZ C3 - kolej 1 (bez dyn. souč.)	P	0	78	0	-10	0	-8	0	1.00	vyp.		0.00	-	1.00	0.00	0	0	0	0	0	0	0	0	0	0	0	0
7	P2_C3	TTZ C3 - kolej 2 (bez dyn. souč.)	P	0	98	0	-54	0	-22	-1	1.00	vyp.		0.00	-	1.00	0.00	0	0	0	0	0	0	0	0	0	0	0	0
8	BR	Brzdné a rozjezdové síly	P	0	215	0	-28	0	-9	-2	1.00	1.30		1.30	-	1.00	0.80	223	0	-29	0	-29	0	-9	0	-9	-2	0	-2
9	S	Boční ráz	P	0	-4	0	-3	0	-7	0	1.00	1.30		1.30	-	1.00	0.40	-2	0	-2	0	-2	0	-3	0	-3	0	0	0
10	CH	Chodci na lávkách	Q	0	8	0	-1	0	0	0	1.00	1.30		1.30	-	1.00	1.00	11	0	-1	0	-1	0	-1	0	-1	0	0	0
11	W	Vítr na konstrukci	Q	0	3	0	-3	0	-3	0	1.00	1.35		1.35	-	1.00	0.75	3	0	-3	0	-3	0	-4	0	-4	0	0	0
12	WP	Vítr na vozidla	Q	0	7	3	9	0	-4	0	1.00	1.35		1.35	-	1.00	0.75	7	3	9	0	9	0	-4	0	-4	0	0	0
13	TR	Teplota rovnoměrná	Q	0	0	0	0	0	0	0	1.00	1.35		1.35	-	1.00	0.45	0	0	0	0	0	0	0	0	0	0	0	0
14	TN	Teplota nerovnoměrná	Q	0	8	0	0	0	-1	0	1.00	1.35		1.35	-	1.00	0.60	7	0	0	0	0	0	-1	0	-1	0	0	0
15	FR	Třecí síly v ložiskách	Q	0	11	0	-1	0	0	0	1.00	1.20		1.20	-	1.00	1.00	13	0	-1	0	-1	0	0	0	0	0	0	0
16	I	Imperfekce soustavy	Q	0	0	0	0	0	0	0	1.00	1.20		1.20	-	1.00	1.00	-1	0	0	0	0	0	0	0	0	0	0	0
27	ULS_LM	ULS - LM71 bez dynam	Q	0	708	2	-161	0	-82	-6	1.00	vyp.	1	0.00	-	1.00	0.00	0	0	0	0	0	0	0	0	0	0	0	0
28	SLS_LM	SLS - LM71 bez dynam	Q	0	553	1	-126	0	-63	-5	1.00	vyp.	1	0.00	-	1.00	0.00	0	0	0	0	0	0	0	0	0	0	0	0
29	ULS_C3	ULS - C3 bez dynam	Q	0	668	2	-137	0	-70	-6	1.00	vyp.	1	0.00	-	1.00	0.00	0	0	0	0	0	0	0	0	0	0	0	0
30	SLS_C3	SLS - C3 bez dynam	Q	0	523	1	-108	0	-53	-5	1.00	vyp.	1	0.00	-	1.00	0.00	0	0	0	0	0	0	0	0	0	0	0	0
		CELKEM - FÁZE PRŮŘEZU 0																817	1	-218	0	-218	0	-111	0	-111	-7	0	-7
		CELKEM - FÁZE PRŮŘEZU 1																0	0	0	0	0	0	0	0	0	0	0	0
		CELKEM - FÁZE PRŮŘEZU 2																0	0	0	0	0	0	0	0	0	0	0	0
		CELKEM - FÁZE PRŮŘEZU 3																0	0	0	0	0	0	0	0	0	0	0	0
		CELKEM - PRŮŘEZ																817	1	-218	0	-218	0			-111			-7

Napětí od jednotlivých zatěžovacích stavů

SKUPINA ZATĚŽOVACÍCH STAVŮ — Posouzení normálového napětí — Účinek síly N — Účinek momentu My — Účinek momentu Mz — Posouzení smykového napětí — Účinek kroutícího momentu Mx — Účinek smykové síly Vy — Účinek smykové síly Vz

Č.	SKUP ZS	Popis ZS	Kat.	fáze průř.	δ^*N_d [kN]	χ^*A [mm^2]	σ_n [MPa]	$\delta^*M_{y,d}$ [kNm]	$\chi_{lt}*W_{el,y}$ [mm^3]	σ_{my} [MPa]	$\delta^*M_{z,d}$ [kNm]	$W_{el,z}$ [mm^3]	σ_{mz} [MPa]	σ_x [MPa]	$\kappa*\delta^*M_{x,d}$ [kNm]	$W_{v,y}$ [mm^3]	$\tau_{x,y}$ [MPa]	$W_{v,z}$ [mm^3]	$\tau_{x,z}$ [MPa]	$\delta^*V_{y,d}$ [kN]	$A_{v,y}$ [mm2]	$\tau_{v,y}$ [MPa]	$\tau_{v,y}$ [MPa]	$\delta^*V_{z,d}$ [kN]	$A_{v,z}$ [mm2]	$\tau_{v,z}$ [MPa]	$\tau_{v,z}$ [MPa]
1	G0	Vlastní tíha OK	G	0	108.2	1.56E+04	6.9	-4.5	-1.76E+06	2.6	-0.7	-7.67E+04	8.8	18.3	-1.1E-02	-	-	-	-	-0.1	0.00E+00	0.0	0.0	-17.7	1.24E+04	-1.4	-1.4
2	G1	Ostatní stálé - mostní vybavení	G	0	8.2	1.56E+04	0.5	-0.2	-1.76E+06	0.1	0.0	-7.67E+04	0.6	1.2	0.0E+00	-	-	-	-	0.0	0.00E+00	0.0	0.0	-0.8	1.24E+04	-0.1	-0.1
3	G2	Ostatní stálé - cizí zařízení	G	0	6.2	1.56E+04	0.4	-0.2	-1.76E+06	0.1	0.0	-7.67E+04	0.6	1.1	0.0E+00	-	-	-	-	0.0	0.00E+00	0.0	0.0	-0.5	1.24E+04	0.0	0.0
4	P1_71	a.LM71 - kolej 1 (bez dyn. souč.)	P	0	199.1	1.56E+04	12.8	-22.8	-1.76E+06	13.0	-1.2	-7.67E+04	15.0	40.8	-4.2E-02	-	-	-	-	-0.3	0.00E+00	0.0	0.0	-24.2	1.24E+04	-1.9	-1.9
5	P2_71	a.LM71 - kolej 2 (bez dyn. souč.)	P	0	233.6	1.56E+04	15.0	-60.8	-1.76E+06	34.6	-1.5	-7.67E+04	19.7	69.2	4.2E-02	-	-	-	-	-0.6	0.00E+00	0.0	0.0	-147.1	1.24E+04	-11.9	-11.9
6	P1_C3	TTZ C3 - kolej 1 (bez dyn. souč.)	P	0	0.0	1.56E+04	0.0	0.0	-1.76E+06	0.0	0.0	-7.67E+04	0.0	0.0	0.0E+00	-	-	-	-	0.0	0.00E+00	0.0	0.0	0.0	1.24E+04	0.0	0.0
7	P2_C3	TTZ C3 - kolej 2 (bez dyn. souč.)	P	0	0.0	1.56E+04	0.0	0.0	-1.76E+06	0.0	0.0	-7.67E+04	0.0	0.0	0.0E+00	-	-	-	-	0.0	0.00E+00	0.0	0.0	0.0	1.24E+04	0.0	0.0
8	BR	Brzdné a rozjezdové síly	P	0	223.5	1.56E+04	14.3	-9.4	-1.76E+06	5.3	-1.9	-7.67E+04	25.1	44.7	-5.2E-02	-	-	-	-	0.0	0.00E+00	0.0	0.0	-29.4	1.24E+04	-2.4	-2.4
9	S	Boční ráz	P	0	-2.2	1.56E+04	-0.1	-3.4	-1.76E+06	2.0	-0.2	-7.67E+04	2.3	4.1	-2.1E-02	-	-	-	-	-0.1	0.00E+00	0.0	0.0	-1.6	1.24E+04	-0.1	-0.1
10	CH	Chodci na lávkách	Q	0	10.8	1.56E+04	0.7	-0.5	-1.76E+06	0.3	-0.1	-7.67E+04	1.0	2.0	0.0E+00	-	-	-	-	0.0	0.00E+00	0.0	0.0	-1.1	1.24E+04	-0.1	-0.1
11	W	Vítr na konstrukci	Q	0	2.8	1.56E+04	0.2	-3.5	-1.76E+06	2.0	-0.5	-7.67E+04	6.1	8.3	-2.0E-02	-	-	-	-	-0.3	0.00E+00	0.0	0.0	-3.4	1.24E+04	-0.3	-0.3
12	WP	Vítr na vozidla	Q	0	7.1	1.56E+04	0.5	-3.7	-1.76E+06	2.1	-0.4	-7.67E+04	5.3	7.8	-4.1E-02	-	-	-	-	2.7	0.00E+00	0.0	0.0	8.7	1.24E+04	0.7	0.7
13	TR	Teplota rovnoměrná	Q	0	0.0	1.56E+04	0.0	0.0	-1.76E+06	0.0	0.0	-7.67E+04	0.0	0.0	0.0E+00	-	-	-	-	0.0	0.00E+00	0.0	0.0	0.0	1.24E+04	0.0	0.0
14	TN	Teplota nerovnoměrná	Q	0	6.7	1.56E+04	0.4	-1.1	-1.76E+06	0.6	0.0	-7.67E+04	0.5	1.6	0.0E+00	-	-	-	-	0.0	0.00E+00	0.0	0.0	0.0	1.24E+04	0.0	0.0
15	FR	Třecí síly v ložiskách	Q	0	13.3	1.56E+04	0.9	-0.3	-1.76E+06	0.2	-0.1	-7.67E+04	0.8	1.8	0.0E+00	-	-	-	-	0.0	0.00E+00	0.0	0.0	-1.1	1.24E+04	-0.1	-0.1
16	I	Imperfekce soustavy	Q	0	-0.6	1.56E+04	0.0	-0.2	-1.76E+06	0.1	0.0	-7.67E+04	0.3	0.4	0.0E+00	-	-	-	-	0.0	0.00E+00	0.0	0.0	-0.2	1.24E+04	0.0	0.0
27	ULS_LM	ULS - LM71 bez dynam	Q	0	0.0	1.56E+04	0.0	0.0	-1.76E+06	0.0	0.0	-7.67E+04	0.0	0.0	0.0E+00	-	-	-	-	0.0	0.00E+00	0.0	0.0	0.0	1.24E+04	0.0	0.0
28	SLS_LM	SLS - LM71 bez dynam	Q	0	0.0	1.56E+04	0.0	0.0	-1.76E+06	0.0	0.0	-7.67E+04	0.0	0.0	0.0E+00	-	-	-	-	0.0	0.00E+00	0.0	0.0	0.0	1.24E+04	0.0	0.0
29	ULS_C3	ULS - C3 bez dynam	Q	0	0.0	1.56E+04	0.0	0.0	-1.76E+06	0.0	0.0	-7.67E+04	0.0	0.0	0.0E+00	-	-	-	-	0.0	0.00E+00	0.0	0.0	0.0	1.24E+04	0.0	0.0
30	SLS_C3	SLS - C3 bez dynam	Q	0	0.0	1.56E+04	0.0	0.0	-1.76E+06	0.0	0.0	-7.67E+04	0.0	0.0	0.0E+00	-	-	-	-	0.0	0.00E+00	0.0	0.0	0.0	1.24E+04	0.0	0.0
NAVÝŠENÍ NAPĚTÍ DO AKTIVACE TLAKU V DESCE MOSTOVKY						$\sigma_{P,red}$	0.0							0.0			0.0		0.0				0.0	0.0			-17.6	-17.6
NAPĚTÍ OD PRIMÁRNÍCH ÚČINKŮ NEROVNOMĚRNÉHO OTEPLENÍ						σ_T	0.0							0.0														
NAPĚTÍ OD REOLOGICKÝCH ÚČINKŮ BETONU V ČASE		t=0				σ_R	0.0	γ=	1.20					0.0														
NAPĚTÍ V KRITICKÝCH VLÁKNECH OD KOMBINACE ZATÍŽENÍ						KZ03		[MPa]						$\Sigma\sigma_x$	201.4								$\Sigma\tau_y$	0.0			$\Sigma\tau_z$	-17.6
NAPĚTÍ OD POHYBLIVÉHO ZATÍŽENÍ								[MPa]						$\sigma_{x,P}$	158.9								τ_P	0.0			τ_P	-16.3
NAPĚTÍ OD OSTATNÍCH ZATÍŽENÍ								[MPa]			Φ_{Vy}	Φ_{Vz}		$\sigma_{x,rs}$	42.5								τ_{rs}	0.0			τ_{rs}	-1.3
NÁVRHOVÁ HODNOTA MEZE KLUZU S REDUKCÍ VLIVEM SMYKOVÉHO NAPĚTÍ								[MPa]			1.00	1.00		$f_{yw,d}$	209.1								$f_{yd}/3^{0,5}$	120.7			$f_{yd}/3^{0,5}$	120.7
NAPĚTÍ OD POHYBLIVÉHO ZATÍŽENÍ V GLOBÁLNÍM SYSTÉMU						$\sigma_{GLOB,P}$	0.0	[MPa]						$\Sigma\sigma_{GLOB}$	0.0													
NAPĚTÍ OD OSTATNÍCH ZATÍŽENÍ V GLOBÁLNÍM SYSTÉMU						$\sigma_{GLOB,rs}$	0.0	[MPa]						$\Sigma\sigma_x + \Sigma\sigma_{GLOB}$	201.4													
VYUŽITÍ PRŮŘEZU DLE NAPĚTÍ								[%]						η_1	0.96								η_3	0.00			η_3	0.15
NAPĚTÍ V PŘÍČNÉM SMĚRU OD POHYBLIVÉHO ZATÍŽENÍ						$\sigma_{z,P}$	0.0	[MPa]						$\Sigma\sigma_z$	0.0													
NAPĚTÍ V PŘÍČNÉM SMĚRU OD OSTATNÍCH ZATÍŽENÍ						$\sigma_{z,rs}$	0.0	[MPa]						η_2	0.00													
SROVNÁVACÍ NAPĚTÍ														$(\eta_2 + 0,8\,\eta_1)/1,4$ =	0.55													
VYUŽITÍ PRŮŘEZU CELKEM								[%]						eff	0.96	VYHOVUJE												
														Z_{LM71} =	1.05													

TAB. L2.1.3 POSOUZENÍ - MEZNÍ STAV ÚNOSNOSTI

POPIS	PODĚLNÍK L2.E - KRAJ
PRUT / POLOHA BODU	866 / I[568]
NAMÁHÁNÍ	Mz.min
VLÁKNO	BOD K3 -SL
MEZNÍ STAV	ULS (MSÚ)
VYUŽITÍ VLÁKNA PRŮŘEZU	0.55

Charakteristiky materiálu				
pás. horní	$f_{yf,k}$	230	MPa	
pás. dolní	$f_{yf,k}$	230	MPa	
stojina	$f_{yw,k}$	230	MPa	
výztuž	$f_{ys,k}$	500	MPa	
γ_M =	1.10	γ_s =	1.15	

Excentricita normálové síly				
Exc./Fáze	0	1	2	3
e_y	0.000	0.000	0.000	0.000
e_z	0.000	0.000	0.000	0.000
Ekvivalentní vzdál. stěn - příčný roznos				
b_{Mx}	0.000	0.000	0.000	0.000

Vliv stěny na únosnost průřezu				
Char./Fáze	0	1	2	3
A	0.00	0.00	0.00	0.00
Wy	0.00	0.00	0.00	0.00
Wz	0.00	0.00	0.00	0.00

Charakter. v kroucení			
$t_{w,y}$	0.000	[mm]	
$t_{w,z}$	0.000	[mm]	
κ	1.00		
I_t=	0.00E+00	[mm⁴]	
$\Omega=2*A_{pr}$	0.00E+00	[mm²]	

Součinitele vzpěru a vlivu II.řádu				
Char./Fáze	0	1	2	3
k_y	1.000	1.000	1.000	1.000
k_z	1.000	1.000	1.000	1.000
χ_{LT}	1.000	1.000	1.000	1.000
χ_{min}	1.000	1.000	1.000	1.000

Vnitřní síly od jednotlivých skupin zatěžovacích stavů — 3

SKUPINA ZATĚŽOVACÍCH STAVŮ					- CHARAKTERISTICKÉ HODNOTY						DÍLČÍ SOUČINITELÉ ZATÍŽENÍ, DYNAMICKÝ SOUČINITEL							- NÁVRHOVÉ HODNOTY									
Č.	SKUP ZS	POPIS ZS	KAT.	FÁZE PRŮŘ.	N.k (kN)	Vy.k (kN)	Vz.k (kN)	Mx.k (kNm)	My.k (kNm)	Mz.k (kNm)	γ_{sr} (-)	γ_{fs} (-)	volba γ_f hledat	γ_f (-)	L_d (m)	δ (-)	Ψ_s KZ03	N.d (kN)	Vy.d (kN)	Vz.d (kN)	ΔVz.d (kN)	ΣVz.d (kN)	Mx.d (kNm)	My.d (kNm)	ΔMy.d (kNm)	ΣMy.d (kNm)	Mz.d (kNm)	ΔMz.d (kNm)	ΣMz.d (kNm)
1	G0	Vlastní tíha OK	G	0	95	0	-16	0	-4	-1	1.00	1.20		1.20	-	1.00	0.95	108	0	-18	0	-18	0	-5	0	-5	-1	0	-1
2	G1	Ostatní stálé - mostní vybavení	G	0	7	0	-1	0	0	0	1.00	1.20		1.20	-	1.00	0.95	8	0	-1	0	-1	0	0	0	0	0	0	0
3	G2	Ostatní stálé - cizí zařízení	G	0	5	0	0	0	0	0	1.00	1.20		1.20	-	1.00	0.95	6	0	-1	0	-1	0	0	0	0	0	0	0
4	P1_71	a.LM71 - kolej 1 (bez dyn. souč.)	P	0	96	0	-9	0	-3	-1	1.00	1.30		1.30	-	1.61	1.00	200	0	-19	0	-19	0	-7	0	-7	-1	0	-1
5	P2_71	a.LM71 - kolej 2 (bez dyn. souč.)	P	0	117	0	-84	0	-16	-1	1.00	1.30		1.30	-	1.61	1.00	246	-1	-176	0	-176	0	-33	0	-33	-2	0	-2
6	P1_C3	TTZ C3 - kolej 1 (bez dyn. souč.)	P	0	77	0	-7	0	-2	0	1.00	vyp.		0.00	-	1.00	0.00	0	0	0	0	0	0	0	0	0	0	0	0
7	P2_C3	TTZ C3 - kolej 2 (bez dyn. souč.)	P	0	98	0	-64	0	-20	-1	1.00	vyp.		0.00	-	1.00	0.00	0	0	0	0	0	0	0	0	0	0	0	0
8	BR	Brzdné a rozjezdové síly	P	0	215	0	-28	0	-9	-2	1.00	1.30		1.30	-	1.00	0.80	223	0	-29	0	-29	0	-9	0	-9	-2	0	-2
9	S	Boční ráz	P	0	27	-4	3	0	-2	-1	1.00	1.30		1.30	-	1.00	0.40	14	-2	2	0	2	0	-1	0	-1	-1	0	-1
10	CH	Chodci na lávkách	Q	0	13	0	-1	0	0	0	1.00	1.30		1.30	-	1.00	1.00	18	0	-1	0	-1	0	0	0	0	0	0	0
11	W	Vítr na konstrukci	Q	0	3	0	-3	0	-3	0	1.00	1.35		1.35	-	1.00	0.75	3	0	-3	0	-3	0	-4	0	-4	0	0	0
12	WP	Vítr na vozidla	Q	0	7	3	9	0	-4	0	1.00	1.35		1.35	-	1.00	0.75	7	3	9	0	9	0	-4	0	-4	0	0	0
13	TR	Teplota rovnoměrná	Q	0	0	0	0	0	0	0	1.00	1.35		1.35	-	1.00	0.45	0	0	0	0	0	0	0	0	0	0	0	0
14	TN	Teplota nerovnoměrná	Q	0	-3	0	0	0	0	0	1.00	1.35		1.35	-	1.00	0.60	-3	0	0	0	0	0	0	0	0	0	0	0
15	FR	Třecí síly v ložiskách	Q	0	11	0	-1	0	0	0	1.00	1.20		1.20	-	1.00	1.00	13	0	-1	0	-1	0	0	0	0	0	0	0
16	I	Imperfekce soustavy	Q	0	0	0	0	0	0	0	1.00	1.20		1.20	-	1.00	1.00	-1	0	0	0	0	0	0	0	0	0	0	0
27	ULS_LM	ULS - LM71 bez dynam	Q	0	734	-1	-172	0	-51	-7	1.00	vyp.		0.00	-	1.00	0.00	0	0	0	0	0	0	0	0	0	0	0	0
28	SLS_LM	SLS - LM71 bez dynam	Q	0	580	-1	-135	0	-39	-5	1.00	vyp.	1	0.00	-	1.00	0.00	0	0	0	0	0	0	0	0	0	0	0	0
29	ULS_C3	ULS - C3 bez dynam	Q	0	684	-1	-143	0	-54	-7	1.00	vyp.	1	0.00	-	1.00	0.00	0	0	0	0	0	0	0	0	0	0	0	0
30	SLS_C3	SLS - C3 bez dynam	Q	0	542	-1	-112	0	-42	-5	1.00	vyp.	1	0.00	-	1.00	0.00	0	0	0	0	0	0	0	0	0	0	0	0
		CELKEM - FÁZE PRŮŘEZU 0																844	-1	-239	0	-239	0	-63	0	-63	-7	0	-7
		CELKEM - FÁZE PRŮŘEZU 1																0	0	0	0	0	0	0	0	0	0	0	0
		CELKEM - FÁZE PRŮŘEZU 2																0	0	0	0	0	0	0	0	0	0	0	0
		CELKEM - FÁZE PRŮŘEZU 3																0	0	0	0	0	0	0	0	0	0	0	0
		CELKEM - PRŮŘEZ																844	-1	-239	0	-239	0			-63			-7

Napětí od jednotlivých zatěžovacích stavů

SKUPINA ZATĚŽOVACÍCH STAVŮ					Posouzení normálového napětí										Posouzení smykového napětí													
					Účinek síly N			Účinek momentu My			Účinek momentu Mz				Účinek kroutícího momentu Mx				Účinek smykové síly Vy				Účinek smykové síly Vz			
Č.	SKUP ZS	Popis ZS	Kat.	fáze průř.	δ^*N_d [kN]	χ^*A [mm²]	σ_n [MPa]	$\delta^*M_{y,d}$ [kNm]	$\chi_{lt}*W_{el,y}$ [mm³]	σ_{my} [MPa]	$\delta^*M_{z,d}$ [kNm]	$W_{el,z}$ [mm³]	σ_{mz} [MPa]	σ_x [MPa]	$\kappa*\delta^*M_{x,d}$ [kNm]	$W_{v,y}$ [mm²]	$\tau_{x,y}$ [MPa]	$W_{v,z}$ [mm²]	$\tau_{x,z}$ [MPa]	$\delta^*V_{y,d}$ [kN]	$A_{v,y}$ [mm2]	$\tau_{v,y}$ [MPa]	$\tau_{v,y}$ [MPa]	$\delta^*V_{z,d}$ [kN]	$A_{v,z}$ [mm2]	$\tau_{v,z}$ [MPa]	$\tau_{v,z}$ [MPa]
1	G0	Vlastní tíha OK	G	0	108.2	1.56E+04	6.9	-4.5	1.76E+06	-2.6	-0.7	-7.67E+04	8.8	13.1	-1.1E-02	-	-	-	-	-0.1	0.00E+00	0.0	0.0	-17.7	1.24E+04	-1.4	-1.4
2	G1	Ostatní stálé - mostní vybavení	G	0	8.2	1.56E+04	0.5	-0.2	1.76E+06	-0.1	0.0	-7.67E+04	0.6	1.0	0.0E+00	-	-	-	-	0.0	0.00E+00	0.0	0.0	-0.8	1.24E+04	-0.1	-0.1
3	G2	Ostatní stálé - cizí zařízení	G	0	6.2	1.56E+04	0.4	-0.2	1.76E+06	-0.1	0.0	-7.67E+04	0.6	0.9	0.0E+00	-	-	-	-	0.0	0.00E+00	0.0	0.0	-0.5	1.24E+04	0.0	0.0
4	P1_71	a.LM71 - kolej 1 (bez dyn. souč.)	P	0	200.4	1.56E+04	12.8	-6.5	1.76E+06	-3.7	-1.2	-7.67E+04	15.9	25.0	-2.1E-02	-	-	-	-	-0.3	0.00E+00	0.0	0.0	-18.8	1.24E+04	-1.5	-1.5
5	P2_71	a.LM71 - kolej 2 (bez dyn. souč.)	P	0	246.3	1.56E+04	15.8	-32.6	1.76E+06	-18.5	-1.6	-7.67E+04	21.3	18.6	2.1E-02	-	-	-	-	-0.5	0.00E+00	0.0	0.0	-176.4	1.24E+04	-14.2	-14.2
6	P1_C3	TTZ C3 - kolej 1 (bez dyn. souč.)	P	0	0.0	1.56E+04	0.0	0.0	1.76E+06	0.0	0.0	-7.67E+04	0.0	0.0	0.0E+00	-	-	-	-	0.0	0.00E+00	0.0	0.0	0.0	1.24E+04	0.0	0.0
7	P2_C3	TTZ C3 - kolej 2 (bez dyn. souč.)	P	0	0.0	1.56E+04	0.0	0.0	1.76E+06	0.0	0.0	-7.67E+04	0.0	0.0	0.0E+00	-	-	-	-	0.0	0.00E+00	0.0	0.0	0.0	1.24E+04	0.0	0.0
8	BR	Brzdné a rozjezdové síly	P	0	223.5	1.56E+04	14.3	-9.4	1.76E+06	-5.3	-1.9	-7.67E+04	25.1	34.1	-5.2E-02	-	-	-	-	0.0	0.00E+00	0.0	0.0	-29.4	1.24E+04	-2.4	-2.4
9	S	Boční ráz	P	0	14.0	1.56E+04	0.9	-1.0	1.76E+06	-0.5	-0.8	-7.67E+04	9.8	10.2	-4.2E-02	-	-	-	-	-2.2	0.00E+00	0.0	0.0	1.6	1.24E+04	0.1	0.1
10	CH	Chodci na lávkách	Q	0	17.5	1.56E+04	1.1	-0.5	1.76E+06	-0.3	-0.1	-7.67E+04	1.5	2.4	0.0E+00	-	-	-	-	0.0	0.00E+00	0.0	0.0	-1.4	1.24E+04	-0.1	-0.1
11	W	Vítr na konstrukci	Q	0	2.8	1.56E+04	0.2	-3.5	1.76E+06	-2.0	-0.5	-7.67E+04	6.1	4.2	-2.0E-02	-	-	-	-	-0.3	0.00E+00	0.0	0.0	-3.4	1.24E+04	-0.3	-0.3
12	WP	Vítr na vozidla	Q	0	7.1	1.56E+04	0.5	-3.7	1.76E+06	-2.1	-0.4	-7.67E+04	5.3	3.7	-4.1E-02	-	-	-	-	2.7	0.00E+00	0.0	0.0	8.7	1.24E+04	0.7	0.7
13	TR	Teplota rovnoměrná	Q	0	0.0	1.56E+04	0.0	0.0	1.76E+06	0.0	0.0	-7.67E+04	0.0	0.0	0.0E+00	-	-	-	-	0.0	0.00E+00	0.0	0.0	0.0	1.24E+04	0.0	0.0
14	TN	Teplota nerovnoměrná	Q	0	-2.6	1.56E+04	-0.2	-0.3	1.76E+06	-0.2	-0.1	-7.67E+04	0.7	0.4	0.0E+00	-	-	-	-	0.0	0.00E+00	0.0	0.0	0.0	1.24E+04	0.0	0.0
15	FR	Třecí síly v ložiskách	Q	0	13.3	1.56E+04	0.9	-0.3	1.76E+06	-0.2	-0.1	-7.67E+04	0.8	1.5	0.0E+00	-	-	-	-	0.0	0.00E+00	0.0	0.0	-1.1	1.24E+04	-0.1	-0.1
16	I	Imperfekce soustavy	Q	0	-0.6	1.56E+04	0.0	-0.2	1.76E+06	-0.1	0.0	-7.67E+04	0.3	0.1	0.0E+00	-	-	-	-	0.0	0.00E+00	0.0	0.0	-0.2	1.24E+04	0.0	0.0
27	ULS_LM	ULS - LM71 bez dynam	Q	0	0.0	1.56E+04	0.0	0.0	1.76E+06	0.0	0.0	-7.67E+04	0.0	0.0	0.0E+00	-	-	-	-	0.0	0.00E+00	0.0	0.0	0.0	1.24E+04	0.0	0.0
28	SLS_LM	SLS - LM71 bez dynam	Q	0	0.0	1.56E+04	0.0	0.0	1.76E+06	0.0	0.0	-7.67E+04	0.0	0.0	0.0E+00	-	-	-	-	0.0	0.00E+00	0.0	0.0	0.0	1.24E+04	0.0	0.0
29	ULS_C3	ULS - C3 bez dynam	Q	0	0.0	1.56E+04	0.0	0.0	1.76E+06	0.0	0.0	-7.67E+04	0.0	0.0	0.0E+00	-	-	-	-	0.0	0.00E+00	0.0	0.0	0.0	1.24E+04	0.0	0.0
30	SLS_C3	SLS - C3 bez dynam	Q	0	0.0	1.56E+04	0.0	0.0	1.76E+06	0.0	0.0	-7.67E+04	0.0	0.0	0.0E+00	-	-	-	-	0.0	0.00E+00	0.0	0.0	0.0	1.24E+04	0.0	0.0
NAVÝŠENÍ NAPĚTÍ DO AKTIVACE TLAKU V DESCE MOSTOVKY						$\sigma_{P,red}$	0.0							0.0			0.0		0.0				0.0	0.0			-19.3	-19.3
NAPĚTÍ OD PRIMÁRNÍCH ÚČINKŮ NEROVNOMĚRNÉHO OTEPLENÍ						σ_T	0.0							0.0														
NAPĚTÍ OD REOLOGICKÝCH ÚČINKŮ BETONU V ČASE				t=0		σ_R	0.0	$\gamma_{r=}$	1.20					0.0														
NAPĚTÍ V KRITICKÝCH VLÁKNECH OD KOMBINACE ZATÍŽENÍ						KZ03		[MPa]					$\Sigma\sigma_x$	115.2								$\Sigma\tau_y$	0.0			$\Sigma\tau_z$	-19.3
NAPĚTÍ OD POHYBLIVÉHO ZATÍŽENÍ								[MPa]					$\sigma_{x,P}$	87.9								τ_P	0.0			τ_P	-18.0
NAPĚTÍ OD OSTATNÍCH ZATÍŽENÍ								[MPa]			Φ_{Vy}	Φ_{Vz}	$\sigma_{x,rs}$	27.3								τ_{rs}	0.0			τ_{rs}	-1.3
NÁVRHOVÁ HODNOTA MEZE KLUZU S REDUKCÍ VLIVEM SMYKOVÉHO NAPĚTÍ								[MPa]			1.00	1.00	$f_{yw,d}$	209.1								$f_{yd}/3^{0,5}$	120.7			$f_{yd}/3^{0,5}$	120.7
NAPĚTÍ OD POHYBLIVÉHO ZATÍŽENÍ V GLOBÁLNÍM SYSTÉMU						$\sigma_{GLOB,P}$	0.0	[MPa]					$\Sigma\sigma_{GLOB}$	0.0													
NAPĚTÍ OD OSTATNÍCH ZATÍŽENÍ V GLOBÁLNÍM SYSTÉMU						$\sigma_{GLOB,rs}$	0.0	[MPa]					$\Sigma\sigma_x + \Sigma\sigma_{GLOB}$	115.2													
VYUŽITÍ PRŮŘEZU DLE NAPĚTÍ								[%]					η_1	0.55								η_3	0.00			η_3	0.16
NAPĚTÍ V PŘÍČNÉM SMĚRU OD POHYBLIVÉHO ZATÍŽENÍ						$\sigma_{z,P}$	0.0	[MPa]					$\Sigma\sigma_z$	0.0													
NAPĚTÍ V PŘÍČNÉM SMĚRU OD OSTATNÍCH ZATÍŽENÍ						$\sigma_{z,rs}$	0.0	[MPa]					η_2	0.00													
SROVNÁVACÍ NAPĚTÍ													$(\eta_2 + 0,8\,\eta_1)/1,4 =$	0.31													
VYUŽITÍ PRŮŘEZU CELKEM								[%]					eff	0.55	VYHOVUJE												
													z_{LM71} =	2.07													

TAB. L2.1.3 POSOUZENÍ - MEZNÍ STAV ÚNOSNOSTI

POPIS	PODÉLNÍK L2.E - KRAJ
PRUT / POLOHA BODU	866 / I[568]
NAMÁHÁNÍ	Vz.min
VLÁKNO	BOD S5 -HL
MEZNÍ STAV	ULS (MSÚ)
VYUŽITÍ VLÁKNA PRŮŘEZU	0.55

Charakteristiky materiálu				
pás. horní	$f_{yf,k}$	230	MPa	
pás. dolní	$f_{yf,k}$	230	MPa	
stojina	$f_{yw,k}$	230	MPa	
výztuž	$f_{ys,k}$	500	MPa	
γ_M =	1.10	γ_s =	1.15	

Excentricita normálové síly				
Exc./Fáze	0	1	2	3
e_y	0.000	0.000	0.000	0.000
e_z	0.000	0.000	0.000	0.000
Ekvivalentní vzdál. stěn - příčný roznos				
b_{Mx}	0.000	0.000	0.000	0.000

Vliv stěny na únosnost průřezu				
Char./Fáze	0	1	2	3
A	0.00	0.00	0.00	0.00
Wy	0.00	0.00	0.00	0.00
Wz	0.00	0.00	0.00	0.00

Charakter. v kroucení			
$t_{w,y}$	0.000	[mm]	
$t_{w,z}$	0.000	[mm]	
κ	1.00		
I_t=	0.00E+00	[mm^4]	
$\Omega=2*A_{pr}$	0.00E+00	[mm^2]	

Součinitele vzpěru a vlivu II.řádu				
Char./Fáze	0	1	2	3
k_y	1.000	1.000	1.000	1.000
k_z	1.000	1.000	1.000	1.000
χ_{LT}	1.000	1.000	1.000	1.000
χ_{min}	1.000	1.000	1.000	1.000

Vnitřní síly od jednotlivých skupin zatěžovacích stavů

SKUPINA ZATĚŽOVACÍCH STAVŮ					- CHARAKTERISTICKÉ HODNOTY						DÍLČÍ SOUČINITELÉ ZATÍŽENÍ, DYNAMICKÝ SOUČINITEL						3	- NÁVRHOVÉ HODNOTY									
Č.	SKUP ZS	POPIS ZS	KAT.	FÁZE PRŮŘ.	N.k (kN)	Vy.k (kN)	Vz.k (kN)	Mx.k (kNm)	My.k (kNm)	Mz.k (kNm)	γ_{sr} (-)	γ_{fs} (-)	volba ψ_i hledat	ψ_i (-)	L_d (m)	δ (-)	ψ_s KZ03	N.d (kN)	Vy.d (kN)	Vz.d (kN)	ΔVz.d (kN)	ΣVz.d (kN)	Mx.d (kNm)	My.d (kNm)	ΔMy.d (kNm)	ΣMy.d (kNm)	Mz.d (kNm)	ΔMz.d (kNm)	ΣMz.d (kNm)
1	G0	Vlastní tíha OK	G	0	95	0	-16	0	-4	-1	1.00	1.20		1.20	-	1.00	0.95	108	0	-18	0	-18	0	-5	0	-5	-1	0	-1
2	G1	Ostatní stálé - mostní vybavení	G	0	7	0	-1	0	0	0	1.00	1.20		1.20	-	1.00	0.95	8	0	-1	0	-1	0	0	0	0	0	0	0
3	G2	Ostatní stálé - cizí zařízení	G	0	5	0	0	0	0	0	1.00	1.20		1.20	-	1.00	0.95	6	0	-1	0	-1	0	0	0	0	0	0	0
4	P1_71	a.LM71 - kolej 1 (bez dyn. souč.)	P	0	91	0	-12	0	-8	0	1.00	1.30		1.30	-	1.61	1.00	190	0	-26	0	-26	0	-16	0	-16	-1	0	-1
5	P2_71	a.LM71 - kolej 2 (bez dyn. souč.)	P	0	115	0	-192	0	-22	-1	1.00	1.30		1.30	-	1.61	1.00	241	0	-403	0	-403	0	-46	0	-46	-2	0	-2
6	P1_C3	TTZ C3 - kolej 1 (bez dyn. souč.)	P	0	79	0	-10	0	-7	0	1.00	vyp.		0.00	-	1.00	0.00	0	0	0	0	0	0	0	0	0	0	0	0
7	P2_C3	TTZ C3 - kolej 2 (bez dyn. souč.)	P	0	95	0	-133	0	-13	-1	1.00	vyp.		0.00	-	1.00	0.00	0	0	0	0	0	0	0	0	0	0	0	0
8	BR	Brzdné a rozjezdové síly	P	0	215	0	-28	0	-9	-2	1.00	1.30		1.30	-	1.00	0.80	223	0	-29	0	-29	0	-9	0	-9	-2	0	-2
9	S	Boční ráz	P	0	-27	4	-3	0	2	1	1.00	1.30		1.30	-	1.00	0.40	-14	2	-2	0	-2	0	1	0	1	1	0	1
10	CH	Chodci na lávkách	Q	0	13	0	-1	0	0	0	1.00	1.30		1.30	-	1.00	1.00	18	0	-1	0	-1	0	0	0	0	0	0	0
11	W	Vítr na konstrukci	Q	0	3	0	-3	0	-3	0	1.00	1.35		1.35	-	1.00	0.75	3	0	-3	0	-3	0	-4	0	-4	0	0	0
12	WP	Vítr na vozidla	Q	0	-7	-3	-9	0	4	0	1.00	1.35		1.35	-	1.00	0.75	-7	-3	-9	0	-9	0	4	0	4	0	0	0
13	TR	Teplota rovnoměrná	Q	0	0	0	0	0	0	0	1.00	1.35		1.35	-	1.00	0.45	0	0	0	0	0	0	0	0	0	0	0	0
14	TN	Teplota nerovnoměrná	Q	0	12	0	0	0	-1	0	1.00	1.35		1.35	-	1.00	0.60	10	0	0	0	0	0	-1	0	-1	0	0	0
15	FR	Třecí síly v ložiskách	Q	0	11	0	-1	0	0	0	1.00	1.20		1.20	-	1.00	1.00	13	0	-1	0	-1	0	0	0	0	0	0	0
16	I	Imperfekce soustavy	Q	0	0	0	0	0	0	0	1.00	1.20		1.20	-	1.00	1.00	-1	0	0	0	0	0	0	0	0	0	0	0
27	ULS_LM	ULS - LM71 bez dynam	Q	0	687	-1	-339	0	-56	-4	1.00	vyp.		0.00	-	1.00	0.00	0	0	0	0	0	0	0	0	0	0	0	0
28	SLS_LM	SLS - LM71 bez dynam	Q	0	535	0	-262	0	-43	-3	1.00	vyp.	1	0.00	-	1.00	0.00	0	0	0	0	0	0	0	0	0	0	0	0
29	ULS_C3	ULS - C3 bez dynam	Q	0	646	0	-259	0	-43	-4	1.00	vyp.	1	0.00	-	1.00	0.00	0	0	0	0	0	0	0	0	0	0	0	0
30	SLS_C3	SLS - C3 bez dynam	Q	0	503	0	-201	0	-33	-3	1.00	vyp.	1	0.00	-	1.00	0.00	0	0	0	0	0	0	0	0	0	0	0	0
		CELKEM - FÁZE PRŮŘEZU 0																799	-1	-494	0	-494	0	-77	0	-77	-5	0	-5
		CELKEM - FÁZE PRŮŘEZU 1																0	0	0	0	0	0	0	0	0	0	0	0
		CELKEM - FÁZE PRŮŘEZU 2																0	0	0	0	0	0	0	0	0	0	0	0
		CELKEM - FÁZE PRŮŘEZU 3																0	0	0	0	0	0	0	0	0	0	0	0
		CELKEM - PRŮŘEZ																799	-1	-494	0	-494	0			-77			-5

Napětí od jednotlivých zatěžovacích stavů

SKUPINA ZATĚŽOVACÍCH STAVŮ					Posouzení normálového napětí										Posouzení smykového napětí													
					Účinek síly N			Účinek momentu My			Účinek momentu Mz				Účinek kroutícího momentu Mx				Účinek smykové síly Vy				Účinek smykové síly Vz			
Č.	SKUP ZS	Popis ZS	Kat.	fáze průř.	δ^*N_d [kN]	χ^*A [mm^2]	σ_n [MPa]	$\delta^*M_{y,d}$ [kNm]	$\chi_{lt}*W_{el,y}$ [mm^3]	σ_{my} [MPa]	$\delta^*M_{z,d}$ [kNm]	$W_{el,z}$ [mm^3]	σ_{mz} [MPa]	σ_x [MPa]	$\kappa*\delta^*M_{x,d}$ [kNm]	$W_{v,y}$ [mm^2]	$\tau_{x,y}$ [MPa]	$W_{v,z}$ [mm^2]	$\tau_{x,z}$ [MPa]	$\delta^*V_{y,d}$ [kN]	$A_{v,y}$ [mm2]	$\tau_{v,y}$ [MPa]	$\tau_{v,y}$ [MPa]	$\delta^*V_{z,d}$ [kN]	$A_{v,z}$ [mm2]	$\tau_{v,z}$ [MPa]	$\tau_{v,z}$ [MPa]
1	G0	Vlastní tíha OK	G	0	108.2	1.56E+04	6.9	-4.5	-1.76E+06	2.6	-0.7	-2.30E+05	2.9	12.4	-1.1E-02	-	-	-	-	-0.1	0.00E+00	0.0	0.0	-17.7	1.24E+04	-1.4	-1.4
2	G1	Ostatní stálé - mostní vybavení	G	0	8.2	1.56E+04	0.5	-0.2	-1.76E+06	0.1	0.0	-2.30E+05	0.2	0.9	0.0E+00	-	-	-	-	0.0	0.00E+00	0.0	0.0	-0.8	1.24E+04	-0.1	-0.1
3	G2	Ostatní stálé - cizí zařízení	G	0	6.2	1.56E+04	0.4	-0.2	-1.76E+06	0.1	0.0	-2.30E+05	0.2	0.7	0.0E+00	-	-	-	-	0.0	0.00E+00	0.0	0.0	-0.5	1.24E+04	0.0	0.0
4	P1_71	a.LM71 - kolej 1 (bez dyn. souč.)	P	0	189.8	1.56E+04	12.2	-16.1	-1.76E+06	9.1	-1.0	-2.30E+05	4.5	25.8	-2.1E-02	-	-	-	-	-0.3	0.00E+00	0.0	0.0	-25.6	1.24E+04	-2.1	-2.1
5	P2_71	a.LM71 - kolej 2 (bez dyn. souč.)	P	0	241.2	1.56E+04	15.5	-45.8	-1.76E+06	26.0	-1.5	-2.30E+05	6.6	48.0	8.4E-02	-	-	-	-	-0.1	0.00E+00	0.0	0.0	-403.1	1.24E+04	-32.5	-32.5
6	P1_C3	TTZ C3 - kolej 1 (bez dyn. souč.)	P	0	0.0	1.56E+04	0.0	0.0	-1.76E+06	0.0	0.0	-2.30E+05	0.0	0.0	0.0E+00	-	-	-	-	0.0	0.00E+00	0.0	0.0	0.0	1.24E+04	0.0	0.0
7	P2_C3	TTZ C3 - kolej 2 (bez dyn. souč.)	P	0	0.0	1.56E+04	0.0	0.0	-1.76E+06	0.0	0.0	-2.30E+05	0.0	0.0	0.0E+00	-	-	-	-	0.0	0.00E+00	0.0	0.0	0.0	1.24E+04	0.0	0.0
8	BR	Brzdné a rozjezdové síly	P	0	223.5	1.56E+04	14.3	-9.4	-1.76E+06	5.3	-1.9	-2.30E+05	8.4	28.0	-5.2E-02	-	-	-	-	0.0	0.00E+00	0.0	0.0	-29.4	1.24E+04	-2.4	-2.4
9	S	Boční ráz	P	0	-14.0	1.56E+04	-0.9	1.0	-1.76E+06	-0.5	0.8	-2.30E+05	-3.3	-4.7	4.2E-02	-	-	-	-	2.2	0.00E+00	0.0	0.0	-1.6	1.24E+04	-0.1	-0.1
10	CH	Chodci na lávkách	Q	0	17.5	1.56E+04	1.1	-0.5	-1.76E+06	0.3	-0.1	-2.30E+05	0.5	1.9	0.0E+00	-	-	-	-	0.0	0.00E+00	0.0	0.0	-1.4	1.24E+04	-0.1	-0.1
11	W	Vítr na konstrukci	Q	0	2.8	1.56E+04	0.2	-3.5	-1.76E+06	2.0	-0.5	-2.30E+05	2.0	4.2	-2.0E-02	-	-	-	-	-0.3	0.00E+00	0.0	0.0	-3.4	1.24E+04	-0.3	-0.3
12	WP	Vítr na vozidla	Q	0	-7.1	1.56E+04	-0.5	3.6	-1.76E+06	-2.1	0.4	-2.30E+05	-1.8	-4.3	4.1E-02	-	-	-	-	-2.7	0.00E+00	0.0	0.0	-8.8	1.24E+04	-0.7	-0.7
13	TR	Teplota rovnoměrná	Q	0	0.0	1.56E+04	0.0	0.0	-1.76E+06	0.0	0.0	-2.30E+05	0.0	0.0	0.0E+00	-	-	-	-	0.0	0.00E+00	0.0	0.0	0.0	1.24E+04	0.0	0.0
14	TN	Teplota nerovnoměrná	Q	0	9.6	1.56E+04	0.6	-0.8	-1.76E+06	0.5	0.0	-2.30E+05	-0.1	1.0	0.0E+00	-	-	-	-	0.0	0.00E+00	0.0	0.0	-0.1	1.24E+04	0.0	0.0
15	FR	Třecí síly v ložiskách	Q	0	13.3	1.56E+04	0.9	-0.3	-1.76E+06	0.2	-0.1	-2.30E+05	0.3	1.3	0.0E+00	-	-	-	-	0.0	0.00E+00	0.0	0.0	-1.1	1.24E+04	-0.1	-0.1
16	I	Imperfekce soustavy	Q	0	-0.6	1.56E+04	0.0	-0.2	-1.76E+06	0.1	0.0	-2.30E+05	0.1	0.2	0.0E+00	-	-	-	-	0.0	0.00E+00	0.0	0.0	-0.2	1.24E+04	0.0	0.0
27	ULS_LM	ULS - LM71 bez dynam	Q	0	0.0	1.56E+04	0.0	0.0	-1.76E+06	0.0	0.0	-2.30E+05	0.0	0.0	0.0E+00	-	-	-	-	0.0	0.00E+00	0.0	0.0	0.0	1.24E+04	0.0	0.0
28	SLS_LM	SLS - LM71 bez dynam	Q	0	0.0	1.56E+04	0.0	0.0	-1.76E+06	0.0	0.0	-2.30E+05	0.0	0.0	0.0E+00	-	-	-	-	0.0	0.00E+00	0.0	0.0	0.0	1.24E+04	0.0	0.0
29	ULS_C3	ULS - C3 bez dynam	Q	0	0.0	1.56E+04	0.0	0.0	-1.76E+06	0.0	0.0	-2.30E+05	0.0	0.0	0.0E+00	-	-	-	-	0.0	0.00E+00	0.0	0.0	0.0	1.24E+04	0.0	0.0
30	SLS_C3	SLS - C3 bez dynam	Q	0	0.0	1.56E+04	0.0	0.0	-1.76E+06	0.0	0.0	-2.30E+05	0.0	0.0	0.0E+00	-	-	-	-	0.0	0.00E+00	0.0	0.0	0.0	1.24E+04	0.0	0.0
NAVÝŠENÍ NAPĚTÍ DO AKTIVACE TLAKU V DESCE MOSTOVKY						$\sigma_{P,red}$	0.0							0.0			0.0		0.0				0.0	0.0			-39.8	-39.8
NAPĚTÍ OD PRIMÁRNÍCH ÚČINKŮ NEROVNOMĚRNÉHO OTEPLENÍ						σ_T	0.0							0.0														
NAPĚTÍ OD REOLOGICKÝCH ÚČINKŮ BETONU V ČASE				t=0		σ_R	0.0	γ_{lt}=	1.20					0.0														
NAPĚTÍ V KRITICKÝCH VLÁKNECH OD KOMBINACE ZATÍŽENÍ							KZ03	[MPa]					$\Sigma\sigma_x$	115.4								$\Sigma\tau_y$	0.0			$\Sigma\tau_z$	-39.8
NAPĚTÍ OD POHYBLIVÉHO ZATÍŽENÍ								[MPa]					$\sigma_{x,P}$	97.1								τ_P	0.0			τ_P	-37.1
NAPĚTÍ OD OSTATNÍCH ZATÍŽENÍ								[MPa]			Φ_{Vy}	Φ_{Vz}	$\sigma_{x,rs}$	18.3								τ_{rs}	0.0			τ_{rs}	-2.7
NÁVRHOVÁ HODNOTA MEZE KLUZU S REDUKCÍ VLIVEM SMYKOVÉHO NAPĚTÍ								[MPa]			1.00	1.00	$f_{yv,d}$	209.1								$f_{yd}/3^{0,5}$	120.7			$f_{yd}/3^{0,5}$	120.7
NAPĚTÍ OD POHYBLIVÉHO ZATÍŽENÍ V GLOBÁLNÍM SYSTÉMU						$\sigma_{GLOB,P}$	0.0	[MPa]					$\Sigma\sigma_{GLOB}$	0.0													
NAPĚTÍ OD OSTATNÍCH ZATÍŽENÍ V GLOBÁLNÍM SYSTÉMU						$\sigma_{GLOB,rs}$	0.0	[MPa]					$\Sigma\sigma_x + \Sigma\sigma_{GLOB}$	115.4													
VYUŽITÍ PRŮŘEZU DLE NAPĚTÍ								[%]					η_1	0.55								η_3	0.00			η_3	0.33
NAPĚTÍ V PŘÍČNÉM SMĚRU OD POHYBLIVÉHO ZATÍŽENÍ						$\sigma_{z,P}$	0.0	[MPa]					$\Sigma\sigma_z$	0.0													
NAPĚTÍ V PŘÍČNÉM SMĚRU OD OSTATNÍCH ZATÍŽENÍ						$\sigma_{z,rs}$	0.0	[MPa]					η_2	0.00													
SROVNÁVACÍ NAPĚTÍ													$(\eta_2 + 0,8\,\eta_1)/1,4$ =	0.32													
VYUŽITÍ PRŮŘEZU CELKEM								[%]					eff	0.55	VYHOVUJE												
													z_{LM71} =	1.96													

VÝPOČET PRŮŘEZOVÝCH CHARAKTERISTIK

PRŮŘEZ: L2_1b **POPIS:** PODÉLNÍK - 2 - KRAJ (U PŘÍČNÍKU 2) - ŘEZ b

x = - **m**

DEFINOVÁNÍ PRŮŘEZU

PÁSNICE HORNÍHO LEVÉHO ÚHELNÍKU	b f.t.l.o =	80	mm				
TLOUŠŤKA PÁSNICE ÚHELNÍKU	t f.t.l.o =	10	mm	OSLABENÍ PÁSNICE - TLOUŠŤKA	Δt f.t.l.o =	0	%
VÝŠKA STĚNY ÚHELNÍKU	h w.t.l.o =	70	mm				
TLOUŠŤKA STĚNY ÚHELNÍKU	t w.t.l.o =	10	mm	OSLABENÍ STĚNY - TLOUŠŤKA	Δt w.t.l.o =	0	%
PÁSNICE HORNÍHO PRAVÉHO ÚHELNÍKU	b f.t.r.o =	80	mm				
TLOUŠŤKA PÁSNICE ÚHELNÍKU	t f.t.r.o =	10	mm	OSLABENÍ PÁSNICE - TLOUŠŤKA	Δt f.t.r.o =	0	%
VÝŠKA STĚNY ÚHELNÍKU	h w.t.r.o =	70	mm				
TLOUŠŤKA STĚNY ÚHELNÍKU	t w.t.r.o =	10	mm	OSLABENÍ STĚNY - TLOUŠŤKA	Δt w.t.r.0 =	0	%
PÁSNICE DOLNÍHO LEVÉHO ÚHELNÍKU	b f.b.l.o =	80	mm				
TLOUŠŤKA PÁSNICE ÚHELNÍKU	t f.b.l.o =	10	mm	OSLABENÍ PÁSNICE - TLOUŠŤKA	Δt f.b.l.o =	0	%
VÝŠKA STĚNY ÚHELNÍKU	h w.b.l.o =	70	mm				
TLOUŠŤKA STĚNY ÚHELNÍKU	t w.b.l.o =	10	mm	OSLABENÍ STĚNY - TLOUŠŤKA	Δt w.b.l.o =	0	%
PÁSNICE DOLNÍHO PRAVÉHO ÚHELNÍKU	b f.b.r.o =	80	mm				
TLOUŠŤKA PÁSNICE ÚHELNÍKU	t f.b.r.o =	10	mm	OSLABENÍ PÁSNICE - TLOUŠŤKA	Δt f.b.r.o =	0	%
VÝŠKA STĚNY ÚHELNÍKU	h w.b.r.o =	70	mm				
TLOUŠŤKA STĚNY ÚHELNÍKU	t w.b.r.o =	10	mm	OSLABENÍ STĚNY - TLOUŠŤKA	Δt w.b.r.o =	0	%
PŘÍLOŽKY STĚNY 2x	h w =	0	mm				
	t w =	0	mm	OSLABENÍ STĚNY	Δt w.l =	0	%
ŠÍŘKA HORNÍ PÁSNICE	b f.t =	0	mm	ARCH. DOK. - PÁSNICE UKONČENA PŘED PŘÍPOJEM			
TLOUŠŤKA HORNÍ PÁSNICE	t f.t =	0	mm	OSLABENÍ HORNÍ PÁSNICE	Δt f.t =	0	%
PŘESAH HORNÍ PÁSNICE	o f.t =	0	mm	HORNÍ PÁSNICE OBECNĚ NESYMETRICKÁ (PODÉLNÍK - PŘÍPOJ MOSTNICE)			
VÝŠKA STĚNY	h w =	690	mm				
TLOUŠŤKA STĚNY	t w =	10	mm	OSLABENÍ STĚNY	Δt w.l =	0	%
ŠÍŘKA DOLNÍ PÁSNICE	b f.b =	0	mm	PŘEDPOKLAD - PÁSNICE UKONČENA PŘED PŘÍPOJEM			
TLOUŠŤKA DOLNÍ PÁSNICE	t f.b =	0	mm	OSLABENÍ DOLNÍ PÁSNICE (DOLNÍ PÁSNICE SYMETRICKÁ)	Δt f.b =	0	%

NÝT Č.	SKUPINA	ŘEZ	RED.	VELIKOST d	[mm]	POLOHA ei [mm]	POPIS	AKTIVITA OTVORU		NAPĚTÍ sc [MPa]
1		-	1.00	0	-120	nýt - f.t	0	-		
2		-	1.00	20	-45	nýt - f.t - krční úhelník	1			24.26
3		-	1.00	20	45	nýt - f.t - krční úhelník	1			5.47
4		-	1.00			nýt - f.t		-	0	nýt - pásnice
5		-	1.00	20	645	nýt - w - krční úhelník	1			14.67
6		-	1.00			nýt - w		-		
7		-	1.00			nýt - w		-		
8		-	1.00			nýt - w		-		
9		-	1.00			nýt - w		-		
10		-	1.00	22	545	nýt - w	1			14.16
11		-	1.00	22	445	nýt - w	1			13.66
12		-	1.00	22	345	nýt - w	1			13.16
13		-	1.00	22	245	nýt - w	1			12.65
14		-	1.00	22	145	nýt - w	1			12.15
15		-	1.00	20	45	nýt - w - krční úhelník	1			11.64
16		-	1.00					-		
17		-	1.00					-		
18		-	1.00					-		
19		-	1.00			nýt - f.b		-		
20		-	1.00	20	-45	nýt - f.b. - krční úhelník	1			20.84
21		-	1.00	20	45	nýt - f.b. - krční úhelník	1			2.05
22		-	1.00			nýt - f.b		-		

ZADANÍ ČÁSTI PRŮŘEZU:

č.prvku	b [mm]	h [mm]	y_0 [mm]	z_0 [mm]	popis části	druh oslabení	lokální ultimate	boulení servic.
1	80.0	10.0	-45.0	685.0	pásnice	0	1.000	1.000
2	10.0	70.0	-10.0	645.0		0	1.000	1.000
3	80.0	10.0	45.0	685.0	pásnice	0	1.000	1.000
4	10.0	70.0	10.0	645.0		0	1.000	1.000
5	80.0	10.0	-45.0	5.0	pásnice	0	1.000	1.000
6	10.0	70.0	-10.0	45.0		0	1.000	1.000
7	80.0	10.0	45.0	5.0	pásnice	0	1.000	1.000
8	10.0	70.0	10.0	45.0		0	1.000	1.000
9	0.0	0.0	-85.0	690.0	pásnice	0	1.000	1.000
10	10.0	690.0	0.0	345.0	stěna	0	1.000	1.000
11	0.0	0.0	0.0	0.0	pásnice	0	1.000	1.000
12	0.0	0.0	-5.0	345.0	stěna	0	1.000	1.000
13	0.0	0.0	5.0	345.0	stěna	0	1.000	1.000
14						0	1.000	1.000
15						0	1.000	1.000
16						0	1.000	1.000
17						0	1.000	1.000
18						0	1.000	1.000
19						0	1.000	1.000
20						0	1.000	1.000
21						0	1.000	1.000
22						0	1.000	1.000
23						0	1.000	1.000
24						0	1.000	1.000
25						0	1.000	1.000
26						0	1.000	1.000
27						0	1.000	1.000
28						0	1.000	1.000
29						0	1.000	1.000
30						0	1.000	1.000
31						0	1.000	1.000
32						0	1.000	1.000
33						0	1.000	1.000
34						0	1.000	1.000
35						0	1.000	1.000
36						0	1.000	1.000
37						0	1.000	1.000
38						0	1.000	1.000
39						0	1.000	1.000
40						0	1.000	1.000
41						0	1.000	1.000
42						0	1.000	1.000
43						0	1.000	1.000
44						0	1.000	1.000
45						0	1.000	1.000
46						0	1.000	1.000
47						0	1.000	1.000
48						0	1.000	1.000
49						0	1.000	1.000
50						0	1.000	1.000
51	0	0	0	0	nýt - pásnice	0	1.000	1.000
52	-20.0	10.0	-45.0	685.0	nýt - pásnice	0	1.000	1.000
53	-20.0	10.0	45.0	685.0	nýt - pásnice	0	1.000	1.000
54	0	0	0	0	nýt - pásnice	0	1.000	1.000
55	10.0	-20.0	0.0	645.0	nýt - stěna	0	1.000	1.000
56	10.0	-20.0	-10.0	645.0		0	1.000	1.000
57	10.0	-20.0	10.0	645.0		0	1.000	1.000
58	0	0	0	0	nýt - stěna	0	1.000	1.000
59	0	0	0	0	nýt - stěna	0	1.000	1.000
60	10.0	-22.0	0.0	545.0	nýt - stěna	0	1.000	1.000
61	10.0	-22.0	0.0	445.0	nýt - stěna	0	1.000	1.000
62	10.0	-22.0	0.0	345.0	nýt - stěna	0	1.000	1.000
63	10.0	-22.0	0.0	245.0	nýt - stěna	0	1.000	1.000
64	10.0	-22.0	0.0	145.0	nýt - stěna	0	1.000	1.000
65	10.0	-20.0	0.0	45.0	nýt - stěna	0	1.000	1.000
66	10.0	-20.0	-10.0	45.0		0	1.000	1.000
67	10.0	-20.0	10.0	45.0		0	1.000	1.000
68						0	1.000	1.000
69	0	0	0	0	nýt - pásnice	0	1.000	1.000
70	-20.0	10.0	-45.0	5.0	nýt - pásnice	0	1.000	1.000
71	-20.0	10.0	45.0	5.0	nýt - pásnice	0	1.000	1.000
72	0	0	0	0	nýt - pásnice	0	1.000	1.000
73								
74								
75								
76								
77								
78								
79								
80								
81								
82								
83								
84								
85								
86								
87								
88								
89								
90								
91								
92								
93								
94								
95								
96								
97								
98								
99								
100								

VÝPOČET PRŮŘEZOVÝCH CHARAKTERISTIK

Properties	Basic	Ultimate		Serviceability	
y_t	0.0	0.0		0.0	[mm]
z_t	345.0	345.0		345.0	[mm]
A_i	9.8000E+03	9.8000E+03		9.8000E+03	[mm²]
A_z	2.4000E+03	2.4000E+03		2.4000E+03	[mm²]
A_y	5.4000E+03	5.4000E+03		5.4000E+03	[mm²]
I_{y1}	6.7428E+08	6.7428E+08		6.7428E+08	[mm⁴]
I_{z0}	6.8017E+06	6.8017E+06		6.8017E+06	[mm⁴]
i_y	262.3	262.3		262.3	[mm]
i_z	26.3	26.3		26.3	[mm]
$W_{y,1}$	1.9544E+06	1.9544E+06		1.9544E+06	[mm³]
$W_{z,1}$	-8.0020E+04	-8.0020E+04		-8.0020E+04	[mm³]
$W_{y,2}$	-1.9544E+06	-1.9544E+06		-1.9544E+06	[mm³]
$W_{z,2}$	-8.0020E+04	-8.0020E+04		-8.0020E+04	[mm³]
KRAJNÍ VLÁKNA PRŮŘEZU					
y_1	-85.0	-85.0		-85.0	[mm]
z_1	690.0	690.0		690.0	[mm]
y_2	-85.0	-85.0		-85.0	[mm]
z_2	0.0	0.0		0.0	[mm]
y_3	85.0	85.0		85.0	[mm]
z_3	690.0	690.0		690.0	[mm]
y_4	85.0	85.0		85.0	[mm]
z_4	0.0	0.0		0.0	[mm]
y_5	-5.0	-5.0		-5.0	[mm]
z_5	690.0	690.0		690.0	[mm]
y_6	-5.0	-5.0		-5.0	[mm]
z_6	0.0	0.0		0.0	[mm]

ÚPRAVA MOMENTŮ SETRVAČNOSTI V DŮSLEDKU ČLENĚNÍ PRŮŘEZU

OSA Y 1.00
OSA Z 1.00

SCHÉMA PROMĚNNÝCH

SCHÉMA ZADANÉHO PRŮŘEZU

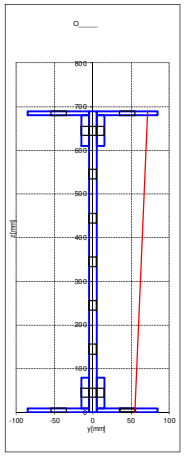

NEUTRÁLNÁ OSA

NAPĚTÍ [MPa]:

32.64	-2.85
29.16	-6.33

ZS: SLS, LM VZ + MAX N

	N [kN]	Vy [kN]	Vz [kN]	Mx [kNm]	My [kNm]	Mz [kNm]
import	129	-2	-92	0	-3	1

TR_L2.1 POPIS: **PODÉLNÍK L2.E - KRAJ** POSUDEK: **L2.1**

SKUPINA ZAT. STAVŮ	EXTRÉM	VYHODNOCOVANÉ VELIČINY					
		N	Vy	Vz	Mx	My	Mz
		kN	kN	kN	kNm	kNm	kNm
G0	N.min	**94.9**	-0.11	-15.57	-0.01	-3.98	-0.59
	N.max	**36.4**	-0.56	-7.32	-0.04	-1.42	-1.01
	Vy.min	94.9	**-0.11**	-15.57	-0.01	-3.98	-0.59
	Vy.max	36.4	**-0.56**	-7.32	-0.04	-1.42	-1.01
	Vz.min	94.9	-0.11	**-15.57**	-0.01	-3.98	-0.59
	Vz.max	36.4	-0.56	**-7.32**	-0.04	-1.42	-1.01
	Mx.min	94.9	-0.11	-15.57	**-0.01**	-3.98	-0.59
	Mx.max	36.4	-0.56	-7.32	**-0.04**	-1.42	-1.01
	My.min	94.9	-0.11	-15.57	-0.01	**-3.98**	-0.59
	My.max	36.4	-0.56	-7.32	-0.04	**-1.42**	-1.01
	Mz.min	94.9	-0.11	-15.57	-0.01	-3.98	**-0.59**
	Mz.max	36.4	-0.56	-7.32	-0.04	-1.42	**-1.01**
G1	N.min	**7.17**	-0.01	-0.69	0	-0.2	-0.04
	N.max	**7.17**	-0.01	-0.69	0	-0.2	-0.04
	Vy.min	7.17	**-0.01**	-0.69	0	-0.2	-0.04
	Vy.max	7.17	**-0.01**	-0.69	0	-0.2	-0.04
	Vz.min	7.17	-0.01	**-0.69**	0	-0.2	-0.04
	Vz.max	7.17	-0.01	**-0.69**	0	-0.2	-0.04
	Mx.min	7.17	-0.01	-0.69	**0**	-0.2	-0.04
	Mx.max	7.17	-0.01	-0.69	**0**	-0.2	-0.04
	My.min	7.17	-0.01	-0.69	0	**-0.2**	-0.04
	My.max	7.17	-0.01	-0.69	0	**-0.2**	-0.04
	Mz.min	7.17	-0.01	-0.69	0	-0.2	**-0.04**
	Mz.max	7.17	-0.01	-0.69	0	-0.2	**-0.04**
G2	N.min	**5.44**	-0.01	-0.48	0	-0.14	-0.04
	N.max	**5.44**	-0.01	-0.48	0	-0.14	-0.04
	Vy.min	5.44	**-0.01**	-0.48	0	-0.14	-0.04
	Vy.max	5.44	**-0.01**	-0.48	0	-0.14	-0.04
	Vz.min	5.44	-0.01	**-0.48**	0	-0.14	-0.04
	Vz.max	5.44	-0.01	**-0.48**	0	-0.14	-0.04
	Mx.min	5.44	-0.01	-0.48	**0**	-0.14	-0.04
	Mx.max	5.44	-0.01	-0.48	**0**	-0.14	-0.04
	My.min	5.44	-0.01	-0.48	0	**-0.14**	-0.04
	My.max	5.44	-0.01	-0.48	0	**-0.14**	-0.04
	Mz.min	5.44	-0.01	-0.48	0	-0.14	**-0.04**
	Mz.max	5.44	-0.01	-0.48	0	-0.14	**-0.04**
P1_71	N.min	**-0.12**	0	0.53	0	0.03	0
	N.max	**99.38**	-0.13	-10.52	-0.01	-3.47	-0.57
	Vy.min	97.98	**-0.15**	-11.21	-0.01	-6.01	-0.57
	Vy.max	0.07	**0**	0.71	0	-0.03	0
	Vz.min	90.51	-0.13	**-12.2**	-0.01	-7.67	-0.49
	Vz.max	3.88	-0.01	**1.68**	0.01	7.56	-0.03
	Mx.min	90.68	-0.11	-9.87	**-0.02**	-9.09	-0.55
	Mx.max	11.56	-0.04	-1.58	**0.02**	7.32	-0.02
	My.min	94.96	-0.14	-11.53	-0.02	**-10.88**	-0.55
	My.max	7.49	-0.03	0.57	0.02	**9.29**	-0.03
	Mz.min	95.56	-0.12	-8.97	-0.01	-3.12	**-0.58**
	Mz.max	6.98	-0.02	-2.53	0.01	-1.69	**0.01**
P2_71	N.min	**-1.49**	0.01	1.02	0	0.11	0
	N.max	**119.09**	-0.16	-98.94	0.02	-18.81	-0.76
	Vy.min	111.07	**-0.4**	-16.63	0.01	-24.83	-0.74
	Vy.max	9.99	**0.29**	-158.27	0.03	-4.88	-0.04
	Vz.min	115.05	-0.03	**-192.22**	0.04	-21.84	-0.72
	Vz.max	1.88	0	**1.6**	0	-1.25	-0.01
	Mx.min	101.04	-0.18	-8.58	**-0.01**	-6.91	-0.65
	Mx.max	24	0.07	-176.44	**0.05**	-19.13	-0.15
	My.min	111.42	-0.28	-70.16	0.02	**-29.01**	-0.72
	My.max	4.7	0.04	-59.51	0.02	**4.53**	-0.04
	Mz.min	117.46	-0.25	-84.14	0.01	-15.56	**-0.78**
	Mz.max	-1.38	0.02	-3.72	0	0.14	**0**
P1_C3	N.min	**-0.11**	0	0.42	0	0.03	0
	N.max	**81.03**	-0.11	-9.58	-0.01	-5.41	-0.46
	Vy.min	80.14	**-0.12**	-8.77	-0.01	-3.16	-0.46
	Vy.max	0.05	**0**	0.57	0	-0.02	0
	Vz.min	78.84	-0.1	**-10.06**	-0.01	-6.91	-0.44
	Vz.max	2.2	-0.01	**1.45**	0.01	4.97	-0.01
	Mx.min	73.87	-0.08	-7.82	**-0.02**	-6.43	-0.45
	Mx.max	7.4	-0.03	-1.29	**0.01**	3.94	-0.02
	My.min	77.81	-0.11	-9.56	-0.01	**-8.19**	-0.45
	My.max	2.19	-0.01	1	0.01	**5.68**	-0.02
	Mz.min	76.66	-0.1	-6.89	-0.01	-1.56	**-0.47**
	Mz.max	4.81	-0.01	-1.72	0	-1.26	**0.01**
P2_C3	N.min	**-1.21**	0.01	0.82	0	0.09	0
	N.max	**98.44**	-0.19	-60.07	0.01	-22.32	-0.63
	Vy.min	93.73	**-0.3**	-14.16	0.01	-17.4	-0.62
	Vy.max	5.62	**0.2**	-119.63	0.02	-4.3	-0.02
	Vz.min	94.72	-0.02	**-133.03**	0.02	-12.94	-0.59
	Vz.max	0.82	0	**1.18**	0	-0.73	0
	Mx.min	78.6	-0.14	-6.43	**-0.01**	-5.38	-0.52
	Mx.max	13.43	0.08	-126.6	**0.03**	-11.91	-0.08
	My.min	98.34	-0.21	-53.78	0.01	**-22.39**	-0.63
	My.max	2.5	0.03	-31.31	0.01	**3.61**	-0.03
	Mz.min	97.87	-0.25	-63.81	0.01	-19.7	**-0.64**
	Mz.max	-1.18	0.01	0.59	0	0.14	**0**
BR	N.min	**-214.9**	-0.01	28.23	0.05	9.01	1.85
	N.max	**214.9**	0.01	-28.23	-0.05	-9.01	-1.85
	Vy.min	-150.83	**-0.03**	21.46	0.03	6.2	1.4
	Vy.max	150.83	**0.03**	-21.46	-0.03	-6.2	-1.4
	Vz.min	214.9	0.01	**-28.23**	-0.05	-9.01	-1.85
	Vz.max	-214.9	-0.01	**28.23**	0.05	9.01	1.85
	Mx.min	200.09	0.03	-25.44	**-0.05**	-8.8	-1.67
	Mx.max	-200.09	-0.03	25.44	**0.05**	8.8	1.67
	My.min	214.9	0.01	-28.23	-0.05	**-9.01**	-1.85
	My.max	-214.9	-0.01	28.23	0.05	**9.01**	1.85
	Mz.min	214.9	0.01	-28.23	-0.05	-9.01	**-1.85**
	Mz.max	-214.9	-0.01	28.23	0.05	9.01	**1.85**

TR_L2.1 POPIS: **PODÉLNÍK L2.E - KRAJ** POSUDEK: **L2.1**

SKUPINA ZAT. STAVŮ	EXTRÉM	VYHODNOCOVANÉ VELIČINY					
		N	Vy	Vz	Mx	My	Mz
		kN	kN	kN	kNm	kNm	kNm
S	N.min	**-26.86**	4.29	-3.17	0.08	1.83	1.45
	N.max	**26.86**	-4.29	3.17	-0.08	-1.83	-1.45
	Vy.min	26.86	**-4.29**	3.17	-0.08	-1.83	-1.45
	Vy.max	-26.86	**4.29**	-3.17	0.08	1.83	1.45
	Vz.min	-26.86	4.29	**-3.17**	0.08	1.83	1.45
	Vz.max	26.86	-4.29	**3.17**	-0.08	-1.83	-1.45
	Mx.min	26.86	-4.29	3.17	**-0.08**	-1.83	-1.45
	Mx.max	-26.86	4.29	-3.17	**0.08**	1.83	1.45
	My.min	-4.24	-0.2	-3.15	-0.04	**-6.61**	-0.34
	My.max	4.24	0.2	3.15	0.04	**6.61**	0.34
	Mz.min	26.86	-4.29	3.17	-0.08	-1.83	**-1.45**
	Mz.max	-26.86	4.29	-3.17	0.08	1.83	**1.45**
CH	N.min	**8.28**	-0.01	-0.85	0	-0.42	-0.06
	N.max	**13.49**	-0.02	-1.1	0	-0.36	-0.09
	Vy.min	13.49	**-0.02**	-1.1	0	-0.36	-0.09
	Vy.max	8.28	**-0.01**	-0.85	0	-0.42	-0.06
	Vz.min	13.49	-0.02	**-1.1**	0	-0.36	-0.09
	Vz.max	8.28	-0.01	**-0.85**	0	-0.42	-0.06
	Mx.min	13.49	-0.02	-1.1	**0**	-0.36	-0.09
	Mx.max	8.28	-0.01	-0.85	**0**	-0.42	-0.06
	My.min	8.28	-0.01	-0.85	0	**-0.42**	-0.06
	My.max	10.36	-0.01	-0.86	0	**-0.27**	-0.07
	Mz.min	13.49	-0.02	-1.1	0	-0.36	**-0.09**
	Mz.max	8.28	-0.01	-0.85	0	-0.42	**-0.06**
W	N.min	**-2.8**	0.25	3.35	0.02	3.48	0.46
	N.max	**2.78**	-0.25	-3.35	-0.02	-3.49	-0.46
	Vy.min	2.78	**-0.25**	-3.35	-0.02	-3.49	-0.46
	Vy.max	-2.8	**0.25**	3.35	0.02	3.48	0.46
	Vz.min	2.78	-0.25	**-3.35**	-0.02	-3.49	-0.46
	Vz.max	-2.8	0.25	**3.35**	0.02	3.48	0.46
	Mx.min	2.78	-0.25	-3.35	**-0.02**	-3.49	-0.46
	Mx.max	-2.8	0.25	3.35	**0.02**	3.48	0.46
	My.min	2.78	-0.25	-3.35	-0.02	**-3.49**	-0.46
	My.max	-2.8	0.25	3.35	0.02	**3.48**	0.46
	Mz.min	2.78	-0.25	-3.35	-0.02	-3.49	**-0.46**
	Mz.max	-2.8	0.25	3.35	0.02	3.48	**0.46**
WP	N.min	**-7**	-2.62	-8.65	0.04	3.6	0.4
	N.max	**7.01**	2.62	8.62	-0.04	-3.61	-0.4
	Vy.min	-7	**-2.62**	-8.65	0.04	3.6	0.4
	Vy.max	7.01	**2.62**	8.62	-0.04	-3.61	-0.4
	Vz.min	-7	-2.62	**-8.65**	0.04	3.6	0.4
	Vz.max	7.01	2.62	**8.62**	-0.04	-3.61	-0.4
	Mx.min	7.01	2.62	8.62	**-0.04**	-3.61	-0.4
	Mx.max	-7	-2.62	-8.65	**0.04**	3.6	0.4
	My.min	7.01	2.62	8.62	-0.04	**-3.61**	-0.4
	My.max	-7	-2.62	-8.65	0.04	**3.6**	0.4
	Mz.min	7.01	2.62	8.62	-0.04	-3.61	**-0.4**
	Mz.max	-7	-2.62	-8.65	0.04	3.6	**0.4**
TR	N.min	**0**	0	0	0	0	0
	N.max	**0**	0	0	0	0	0
	Vy.min	0	**0**	0	0	0	0
	Vy.max	0	**0**	0	0	0	0
	Vz.min	0	0	**0**	0	0	0
	Vz.max	0	0	**0**	0	0	0
	Mx.min	0	0	0	**0**	0	0
	Mx.max	0	0	0	**0**	0	0
	My.min	0	0	0	0	**0**	0
	My.max	0	0	0	0	**0**	0
	Mz.min	0	0	0	0	0	**0**
	Mz.max	0	0	0	0	0	**0**
TN	N.min	**-8.26**	0.02	0.03	0	1.33	0.05
	N.max	**11.83**	0.01	-0.13	0	-1.03	0.03
	Vy.min	-3.25	**-0.02**	-0.01	0	-0.35	-0.07
	Vy.max	-8.26	**0.02**	0.03	0	1.33	0.05
	Vz.min	11.83	0.01	**-0.13**	0	-1.03	0.03
	Vz.max	-8.26	0.02	**0.03**	0	1.33	0.05
	Mx.min	8.26	-0.02	-0.03	**0**	-1.33	-0.05
	Mx.max	-8.26	0.02	0.03	**0**	1.33	0.05
	My.min	8.26	-0.02	-0.03	0	**-1.33**	-0.05
	My.max	-8.26	0.02	0.03	0	**1.33**	0.05
	Mz.min	-3.25	-0.02	-0.01	0	-0.35	**-0.07**
	Mz.max	-8.26	0.02	0.03	0	1.33	**0.05**
FR	N.min	**-11.07**	0	0.92	0	0.27	0.05
	N.max	**11.07**	0	-0.92	0	-0.27	-0.05
	Vy.min	11.07	**0**	-0.92	0	-0.27	-0.05
	Vy.max	-11.07	**0**	0.92	0	0.27	0.05
	Vz.min	11.07	0	**-0.92**	0	-0.27	-0.05
	Vz.max	-11.07	0	**0.92**	0	0.27	0.05
	Mx.min	11.07	0	-0.92	**0**	-0.27	-0.05
	Mx.max	-11.07	0	0.92	**0**	0.27	0.05
	My.min	11.07	0	-0.92	0	**-0.27**	-0.05
	My.max	-11.07	0	0.92	0	**0.27**	0.05
	Mz.min	11.07	0	-0.92	0	-0.27	**-0.05**
	Mz.max	-11.07	0	0.92	0	0.27	**0.05**
I	N.min	**-0.46**	-0.01	-0.15	0	-0.2	**-0.02**
	N.max	**0.46**	0.01	0.15	0	0.2	**0.02**
	Vy.min	-0.46	**-0.01**	-0.15	0	-0.2	**-0.02**
	Vy.max	0.46	**0.01**	0.15	0	0.2	**0.02**
	Vz.min	-0.46	-0.01	**-0.15**	0	-0.2	**-0.02**
	Vz.max	0.46	0.01	**0.15**	0	0.2	**0.02**
	Mx.min	-0.46	-0.01	-0.15	**0**	-0.2	**-0.02**
	Mx.max	0.46	0.01	0.15	**0**	0.2	**0.02**
	My.min	-0.46	-0.01	-0.15	0	**-0.2**	**-0.02**
	My.max	0.46	0.01	0.15	0	**0.2**	**0.02**
	Mz.min	-0.46	-0.01	-0.15	0	-0.2	**-0.02**
	Mz.max	0.46	0.01	0.15	0	0.2	**0.02**

TAB. L2.1.3 POSOUZENÍ - MEZNÍ STAV ÚNOSNOSTI

POPIS	PODĚLNÍK L2.E - KRAJ
PRUT / POLOHA BODU	866 / I[568]
NAMÁHÁNÍ	Vz.min
VLÁKNO	BOD K1 -HL
MEZNÍ STAV	ULS (MSÚ)
VYUŽITÍ VLÁKNA PRŮŘEZU	1.12

Charakteristiky materiálu				
pás. horní	$f_{yf,k}$	230	MPa	
pás. dolní	$f_{yf,k}$	230	MPa	
stojina	$f_{yw,k}$	230	MPa	
výztuž	$f_{ys,k}$	500	MPa	
γ_M =	1.10	γ_s =	1.15	

Excentricita normálové síly				
Exc./Fáze	0	1	2	3
e_y	0.000	0.000	0.000	0.000
e_z	0.000	0.000	0.000	0.000
Ekvivalentní vzdál. stěn - příčný roznos				
b_{Mx}	0.000	0.000	0.000	0.000

Vliv stěny na únosnost průřezu				
Char./Fáze	0	1	2	3
A	0.55	0.00	0.00	0.00
Wy	0.32	0.00	0.00	0.00
Wz	0.18	0.00	0.00	0.00

Charakter. v kroucení			
$t_{w,y}$	0.000	[mm]	
$t_{w,z}$	0.000	[mm]	
κ	1.00		
I_t=	0.00E+00	[mm^4]	
$\Omega=2*A_{pr}$	0.00E+00	[mm^2]	

Součinitele vzpěru a vlivu II.řádu				
Char./Fáze	0	1	2	3
k_y	1.000	1.000	1.000	1.000
k_z	1.000	1.000	1.000	1.000
χ_{LT}	1.000	1.000	1.000	1.000
χ_{min}	1.000	1.000	1.000	1.000

Vnitřní síly od jednotlivých skupin zatěžovacích stavů — SKUPINA ZATĚŽOVACÍCH STAVŮ — 3

Č.	SKUP ZS	POPIS ZS	KAT.	FÁZE PRŮŘ.	- CHARAKTERISTICKÉ HODNOTY N,k (kN)	Vy,k (kN)	Vz,k (kN)	Mx,k (kNm)	My,k (kNm)	Mz,k (kNm)	DÍLČÍ SOUČINITELÉ ZATÍŽENÍ, DYNAMICKÝ SOUČINITEL γ_{sr} (-)	γ_{fs} (-)	volba γ_f hledat	γ_f (-)	L_d (m)	δ (-)	$\gamma_{F,c}$ KZ03	- NÁVRHOVÉ HODNOTY N,d (kN)	Vy,d (kN)	Vz,d (kN)	ΔVz,d (kN)	ΣVz,d (kN)	Mx,d (kNm)	My,d (kNm)	ΔMy,d (kNm)	ΣMy,d (kNm)	Mz,d (kNm)	ΔMz,d (kNm)	ΣMz,d (kNm)
1	G0	Vlastní tíha OK	G	0	95	0	-16	0	-4	-1	1.00	1.20		1.20	-	1.00	0.95	108	0	-18	0	-18	0	-5	0	-5	-1	0	-1
2	G1	Ostatní stálé - mostní vybavení	G	0	7	0	-1	0	0	0	1.00	1.20		1.20	-	1.00	0.95	8	0	-1	0	-1	0	0	0	0	0	0	0
3	G2	Ostatní stálé - cizí zařízení	G	0	5	0	0	0	0	0	1.00	1.20		1.20	-	1.00	0.95	6	0	-1	0	-1	0	0	0	0	0	0	0
4	P1_71	a.LM71 - kolej 1 (bez dyn. souč.)	P	0	91	0	-12	0	-8	0	1.00	1.30		1.30	-	1.61	1.00	190	0	-26	0	-26	0	-16	0	-16	-1	0	-1
5	P2_71	a.LM71 - kolej 2 (bez dyn. souč.)	P	0	115	0	-192	0	-22	-1	1.00	1.30		1.30	-	1.61	1.00	241	0	-403	0	-403	0	-46	0	-46	-2	0	-2
6	P1_C3	TTZ C3 - kolej 1 (bez dyn. souč.)	P	0	79	0	-10	0	-7	0	1.00	vyp.		0.00	-	1.00	0.00	0	0	0	0	0	0	0	0	0	0	0	0
7	P2_C3	TTZ C3 - kolej 2 (bez dyn. souč.)	P	0	95	0	-133	0	-13	-1	1.00	vyp.		0.00	-	1.00	0.00	0	0	0	0	0	0	0	0	0	0	0	0
8	BR	Brzdné a rozjezdové síly	P	0	215	0	-28	0	-9	-2	1.00	1.30		1.30	-	1.00	0.80	223	0	-29	0	-29	0	-9	0	-9	-2	0	-2
9	S	Boční ráz	P	0	-27	4	-3	0	2	1	1.00	-1.30		-1.30	-	1.00	0.40	14	-2	2	0	2	0	-1	0	-1	-1	0	-1
10	CH	Chodci na lávkách	Q	0	13	0	-1	0	0	0	1.00	1.30		1.30	-	1.00	1.00	18	0	-1	0	-1	0	0	0	0	0	0	0
11	W	Vítr na konstrukci	Q	0	3	0	-3	0	-3	0	1.00	1.35		1.35	-	1.00	0.75	3	0	-3	0	-3	0	-4	0	-4	0	0	0
12	WP	Vítr na vozidla	Q	0	-7	-3	-9	0	4	0	1.00	-1.35		-1.35	-	1.00	0.75	7	3	9	0	9	0	-4	0	-4	0	0	0
13	TR	Teplota rovnoměrná	Q	0	0	0	0	0	0	0	1.00	1.35		1.35	-	1.00	0.45	0	0	0	0	0	0	0	0	0	0	0	0
14	TN	Teplota nerovnoměrná	Q	0	12	0	0	0	-1	0	1.00	1.35		1.35	-	1.00	0.60	10	0	0	0	0	0	-1	0	-1	0	0	0
15	FR	Třecí síly v ložiskách	Q	0	11	0	-1	0	0	0	1.00	1.20		1.20	-	1.00	1.00	13	0	-1	0	-1	0	0	0	0	0	0	0
16	I	Imperfekce soustavy	Q	0	0	0	0	0	0	0	1.00	1.20		1.20	-	1.00	1.00	-1	0	0	0	0	0	0	0	0	0	0	0
27	ULS_LM	ULS - LM71 bez dynam	Q	0	687	-1	-339	0	-56	-4	1.00	vyp.		0.00	-	1.00	0.00	0	0	0	0	0	0	0	0	0	0	0	0
28	SLS_LM	SLS - LM71 bez dynam	Q	0	535	0	-262	0	-43	-3	1.00	vyp.	1	0.00	-	1.00	0.00	0	0	0	0	0	0	0	0	0	0	0	0
29	ULS_C3	ULS - C3 bez dynam	Q	0	646	0	-259	0	-43	-4	1.00	vyp.	1	0.00	-	1.00	0.00	0	0	0	0	0	0	0	0	0	0	0	0
30	SLS_C3	SLS - C3 bez dynam	Q	0	503	0	-201	0	-33	-3	1.00	vyp.	1	0.00	-	1.00	0.00	0	0	0	0	0	0	0	0	0	0	0	0
		CELKEM - FÁZE PRŮŘEZU 0																841	0	-473	0	-473	0	-86	0	-86	-7	0	-7
		CELKEM - FÁZE PRŮŘEZU 1																0	0	0	0	0	0	0	0	0	0	0	0
		CELKEM - FÁZE PRŮŘEZU 2																0	0	0	0	0	0	0	0	0	0	0	0
		CELKEM - FÁZE PRŮŘEZU 3																0	0	0	0	0	0	0	0	0	0	0	0
		CELKEM - PRŮŘEZ																841	0	-473	0	-473	0			-86			-7

Napětí od jednotlivých zatěžovacích stavů — SKUPINA ZATĚŽOVACÍCH STAVŮ

Č.	SKUP ZS	Popis ZS	Kat.	fáze průř.	Posouzení normálového napětí — Účinek síly N: δ^*N_d [kN]	χ^*A [mm^2]	σ_n [MPa]	Účinek momentu My: $\delta^*M_{y,d}$ [kNm]	$\chi_{lt}{}^*W_{el,y}$ [mm^3]	σ_{my} [MPa]	Účinek momentu Mz: $\delta^*M_{z,d}$ [kNm]	$W_{el,z}$ [mm^3]	σ_{mz} [MPa]	σ_x [MPa]	Posouzení smykového napětí — Účinek kroutícího momentu Mx: $\kappa^*\delta^*M_{x,d}$ [kNm]	$W_{v,y}$ [mm^2]	$\tau_{x,y}$ [MPa]	$W_{v,z}$ [mm^2]	$\tau_{x,z}$ [MPa]	Účinek smykové síly Vy: $\delta^*V_{y,d}$ [kN]	$A_{v,y}$ [mm2]	$\tau_{v,y}$ [MPa]	$\tau_{v,y}$ [MPa]	Účinek smykové síly Vz: $\delta^*V_{z,d}$ [kN]	$A_{v,z}$ [mm2]	$\tau_{v,z}$ [MPa]	$\tau_{v,z}$ [MPa]
1	G0	Vlastní tíha OK	G	0	108.2	8.70E+03	12.4	-4.5	-1.83E+06	2.5	-0.7	-7.71E+04	8.7	23.6	-1.1E-02	-	-	-	-	-0.1	2.40E+03	-0.1	-0.1	-17.7	5.40E+03	-3.3	-3.3
2	G1	Ostatní stálé - mostní vybavení	G	0	8.2	8.70E+03	0.9	-0.2	-1.83E+06	0.1	0.0	-7.71E+04	0.6	1.7	0.0E+00	-	-	-	-	0.0	2.40E+03	0.0	0.0	-0.8	5.40E+03	-0.1	-0.1
3	G2	Ostatní stálé - cizí zařízení	G	0	6.2	8.70E+03	0.7	-0.2	-1.83E+06	0.1	0.0	-7.71E+04	0.6	1.4	0.0E+00	-	-	-	-	0.0	2.40E+03	0.0	0.0	-0.5	5.40E+03	-0.1	-0.1
4	P1_71	a.LM71 - kolej 1 (bez dyn. souč.)	P	0	189.8	8.70E+03	21.8	-16.1	-1.83E+06	8.8	-1.0	-7.71E+04	13.3	43.9	-2.1E-02	-	-	-	-	-0.3	2.40E+03	-0.1	-0.1	-25.6	5.40E+03	-4.7	-4.7
5	P2_71	a.LM71 - kolej 2 (bez dyn. souč.)	P	0	241.2	8.70E+03	27.7	-45.8	-1.83E+06	25.1	-1.5	-7.71E+04	19.6	72.4	8.4E-02	-	-	-	-	-0.1	2.40E+03	0.0	0.0	-403.1	5.40E+03	-74.6	-74.6
6	P1_C3	TTZ C3 - kolej 1 (bez dyn. souč.)	P	0	0.0	8.70E+03	0.0	0.0	-1.83E+06	0.0	0.0	-7.71E+04	0.0	0.0	0.0E+00	-	-	-	-	0.0	2.40E+03	0.0	0.0	0.0	5.40E+03	0.0	0.0
7	P2_C3	TTZ C3 - kolej 2 (bez dyn. souč.)	P	0	0.0	8.70E+03	0.0	0.0	-1.83E+06	0.0	0.0	-7.71E+04	0.0	0.0	0.0E+00	-	-	-	-	0.0	2.40E+03	0.0	0.0	0.0	5.40E+03	0.0	0.0
8	BR	Brzdné a rozjezdové síly	P	0	223.5	8.70E+03	25.7	-9.4	-1.83E+06	5.1	-1.9	-7.71E+04	25.0	55.8	-5.2E-02	-	-	-	-	0.0	2.40E+03	0.0	0.0	-29.4	5.40E+03	-5.4	-5.4
9	S	Boční ráz	P	0	14.0	8.70E+03	1.6	-1.0	-1.83E+06	0.5	-0.8	-7.71E+04	9.8	11.9	-4.2E-02	-	-	-	-	-2.2	2.40E+03	-0.9	-0.9	1.6	5.40E+03	0.3	0.3
10	CH	Chodci na lávkách	Q	0	17.5	8.70E+03	2.0	-0.5	-1.83E+06	0.3	-0.1	-7.71E+04	1.5	3.8	0.0E+00	-	-	-	-	0.0	2.40E+03	0.0	0.0	-1.4	5.40E+03	-0.3	-0.3
11	W	Vítr na konstrukci	Q	0	2.8	8.70E+03	0.3	-3.5	-1.83E+06	1.9	-0.5	-7.71E+04	6.0	8.3	-2.0E-02	-	-	-	-	-0.3	2.40E+03	-0.1	-0.1	-3.4	5.40E+03	-0.6	-0.6
12	WP	Vítr na vozidla	Q	0	7.1	8.70E+03	0.8	-3.6	-1.83E+06	2.0	-0.4	-7.71E+04	5.3	8.1	-4.1E-02	-	-	-	-	2.7	2.40E+03	1.1	1.1	8.8	5.40E+03	1.6	1.6
13	TR	Teplota rovnoměrná	Q	0	0.0	8.70E+03	0.0	0.0	-1.83E+06	0.0	0.0	-7.71E+04	0.0	0.0	0.0E+00	-	-	-	-	0.0	2.40E+03	0.0	0.0	0.0	5.40E+03	0.0	0.0
14	TN	Teplota nerovnoměrná	Q	0	9.6	8.70E+03	1.1	-0.8	-1.83E+06	0.5	0.0	-7.71E+04	-0.3	1.2	0.0E+00	-	-	-	-	0.0	2.40E+03	0.0	0.0	-0.1	5.40E+03	0.0	0.0
15	FR	Třecí síly v ložiskách	Q	0	13.3	8.70E+03	1.5	-0.3	-1.83E+06	0.2	-0.1	-7.71E+04	0.8	2.5	0.0E+00	-	-	-	-	0.0	2.40E+03	0.0	0.0	-1.1	5.40E+03	-0.2	-0.2
16	I	Imperfekce soustavy	Q	0	-0.6	8.70E+03	-0.1	-0.2	-1.83E+06	0.1	0.0	-7.71E+04	0.3	0.4	0.0E+00	-	-	-	-	0.0	2.40E+03	0.0	0.0	-0.2	5.40E+03	0.0	0.0
27	ULS_LM	ULS - LM71 bez dynam	Q	0	0.0	8.70E+03	0.0	0.0	-1.83E+06	0.0	0.0	-7.71E+04	0.0	0.0	0.0E+00	-	-	-	-	0.0	2.40E+03	0.0	0.0	0.0	5.40E+03	0.0	0.0
28	SLS_LM	SLS - LM71 bez dynam	Q	0	0.0	8.70E+03	0.0	0.0	-1.83E+06	0.0	0.0	-7.71E+04	0.0	0.0	0.0E+00	-	-	-	-	0.0	2.40E+03	0.0	0.0	0.0	5.40E+03	0.0	0.0
29	ULS_C3	ULS - C3 bez dynam	Q	0	0.0	8.70E+03	0.0	0.0	-1.83E+06	0.0	0.0	-7.71E+04	0.0	0.0	0.0E+00	-	-	-	-	0.0	2.40E+03	0.0	0.0	0.0	5.40E+03	0.0	0.0
30	SLS_C3	SLS - C3 bez dynam	Q	0	0.0	8.70E+03	0.0	0.0	-1.83E+06	0.0	0.0	-7.71E+04	0.0	0.0	0.0E+00	-	-	-	-	0.0	2.40E+03	0.0	0.0	0.0	5.40E+03	0.0	0.0
NAVÝŠENÍ NAPĚTÍ DO AKTIVACE TLAKU V DESCE MOSTOVKY						$\sigma_{P,red}$	0.0							0.0				0.0		0.0		-0.1	-0.1			-87.6	-87.6
NAPĚTÍ OD PRIMÁRNÍCH ÚČINKŮ NEROVNOMĚRNÉHO OTEPLENÍ						σ_T	0.0							0.0													
NAPĚTÍ OD REOLOGICKÝCH ÚČINKŮ BETONU V ČASE			t=0			σ_R	0.0	γ_f=	1.20					0.0													
NAPĚTÍ V KRITICKÝCH VLÁKNECH OD KOMBINACE ZATÍŽENÍ						KZ03	[MPa]						$\Sigma\sigma_x$	234.9								$\Sigma\tau_y$	-0.1			$\Sigma\tau_z$	-87.6
NAPĚTÍ OD POHYBLIVÉHO ZATÍŽENÍ							[MPa]						$\sigma_{x,P}$	184.0								τ_P	-1.1			τ_P	-84.5
NAPĚTÍ OD OSTATNÍCH ZATÍŽENÍ							[MPa]			Φ_{vy}		Φ_{vz}	$\sigma_{x,rs}$	50.9								τ_{rs}	0.9			τ_{rs}	-3.1
NÁVRHOVÁ HODNOTA MEZE KLUZU S REDUKCÍ VLIVEM SMYKOVÉHO NAPĚTÍ							[MPa]			1.00		0.80	$f_{yv,d}$	209.1								$f_{yd}/3^{0,5}$	120.7			$f_{yd}/3^{0,5}$	120.7
NAPĚTÍ OD POHYBLIVÉHO ZATÍŽENÍ V GLOBÁLNÍM SYSTÉMU						$\sigma_{GLOB,P}$	0.0	[MPa]					$\Sigma\sigma_{GLOB}$	0.0													
NAPĚTÍ OD OSTATNÍCH ZATÍŽENÍ V GLOBÁLNÍM SYSTÉMU						$\sigma_{GLOB,rs}$	0.0	[MPa]					$\Sigma\sigma_x + \Sigma\sigma_{GLOB}$	234.9													
VYUŽITÍ PRŮŘEZU DLE NAPĚTÍ								[%]					η_1	1.12								η_3	0.00			η_3	0.73
NAPĚTÍ V PŘÍČNÉM SMĚRU OD POHYBLIVÉHO ZATÍŽENÍ						$\sigma_{z,P}$	0.0	[MPa]					$\Sigma\sigma_z$	0.0													
NAPĚTÍ V PŘÍČNÉM SMĚRU OD OSTATNÍCH ZATÍŽENÍ						$\sigma_{z,rs}$	0.0	[MPa]					η_2	0.00													
SROVNÁVACÍ NAPĚTÍ													$(\eta_2 + 0{,}8\,\eta_1)/1{,}4$ =	0.64													
VYUŽITÍ PRŮŘEZU CELKEM								[%]					eff	1.12	NEVYHOVUJE												
													z_{LM71} =	0.86													

TAB. L2.1.3 POSOUZENÍ - MEZNÍ STAV ÚNOSNOSTI

POPIS	PODĚLNÍK L2.E - KRAJ
PRUT / POLOHA BODU	866 / I[568]
NAMÁHÁNÍ	Vz.min
VLÁKNO	BOD K3 -SL
MEZNÍ STAV	ULS (MSÚ)
VYUŽITÍ VLÁKNA PRŮŘEZU	0.76

Charakteristiky materiálu				
pás. horní	$f_{yf,k}$	230	MPa	
pás. dolní	$f_{yf,k}$	230	MPa	
stojina	$f_{yw,k}$	230	MPa	
výztuž	$f_{ys,k}$	500	MPa	
γ_M =	1.10	γ_s =	1.15	

Excentricita normálové síly				
Exc./Fáze	0	1	2	3
e_y	0.000	0.000	0.000	0.000
e_z	0.000	0.000	0.000	0.000
Ekvivalentní vzdál. stěn - příčný roznos				
b_{Mx}	0.000	0.000	0.000	0.000

Vliv stěny na únosnost průřezu				
Char./Fáze	0	1	2	3
A	0.55	0.00	0.00	0.00
Wy	0.32	0.00	0.00	0.00
Wz	0.18	0.00	0.00	0.00

Charakter. v kroucení			
$t_{w,y}$	0.000	[mm]	
$t_{w,z}$	0.000	[mm]	
κ	1.00		
I_t=	0.00E+00	[mm^4]	
$\Omega=2*A_{pr}$	0.00E+00	[mm^2]	

Součinitele vzpěru a vlivu II.řádu				
Char./Fáze	0	1	2	3
k_y	1.000	1.000	1.000	1.000
k_z	1.000	1.000	1.000	1.000
χ_{LT}	1.000	1.000	1.000	1.000
χ_{min}	1.000	1.000	1.000	1.000

Vnitřní síly od jednotlivých skupin zatěžovacích stavů

SKUPINA ZATĚŽOVACÍCH STAVŮ — CHARAKTERISTICKÉ HODNOTY — DÍLČÍ SOUČINITELÉ ZATÍŽENÍ, DYNAMICKÝ SOUČINITEL — NÁVRHOVÉ HODNOTY

Č.	SKUP ZS	POPIS ZS	KAT.	FÁZE PRŮŘ.	N.k (kN)	Vy.k (kN)	Vz.k (kN)	Mx.k (kNm)	My.k (kNm)	Mz.k (kNm)	γ_{sr} (-)	γ_{fs} (-)	volba γ_{fi} hledat	γ_{fi} (-)	L_d (m)	δ (-)	Ψ_0 KZ03	N.d (kN)	Vy.d (kN)	Vz.d (kN)	ΔVz.d (kN)	ΣVz.d (kN)	Mx.d (kNm)	My.d (kNm)	ΔMy.d (kNm)	ΣMy.d (kNm)	Mz.d (kNm)	ΔMz.d (kNm)	ΣMz.d (kNm)
1	G0	Vlastní tíha OK	G	0	95	0	-16	0	-4	-1	1.00	1.20		1.20	-	1.00	0.95	108	0	-18	0	-18	0	-5	0	-5	-1	0	-1
2	G1	Ostatní stálé - mostní vybavení	G	0	7	0	-1	0	0	0	1.00	1.20		1.20	-	1.00	0.95	8	0	-1	0	-1	0	0	0	0	0	0	0
3	G2	Ostatní stálé - cizí zařízení	G	0	5	0	0	0	0	0	1.00	1.20		1.20	-	1.00	0.95	6	0	-1	0	-1	0	0	0	0	0	0	0
4	P1_71	a.LM71 - kolej 1 (bez dyn. souč.)	P	0	91	0	-12	0	-8	0	1.00	1.30		1.30	-	1.61	1.00	190	0	-26	0	-26	0	-16	0	-16	-1	0	-1
5	P2_71	a.LM71 - kolej 2 (bez dyn. souč.)	P	0	115	0	-192	0	-22	-1	1.00	1.30		1.30	-	1.61	1.00	241	0	-403	0	-403	0	-46	0	-46	-2	0	-2
6	P1_C3	TTZ C3 - kolej 1 (bez dyn. souč.)	P	0	79	0	-10	0	-7	0	1.00	vyp.		0.00	-	1.00	0.00	0	0	0	0	0	0	0	0	0	0	0	0
7	P2_C3	TTZ C3 - kolej 2 (bez dyn. souč.)	P	0	95	0	-133	0	-13	-1	1.00	vyp.		0.00	-	1.00	0.00	0	0	0	0	0	0	0	0	0	0	0	0
8	BR	Brzdné a rozjezdové síly	P	0	215	0	-28	0	-9	-2	1.00	1.30		1.30	-	1.00	0.80	223	0	-29	0	-29	0	-9	0	-9	-2	0	-2
9	S	Boční ráz	P	0	-27	4	-3	0	2	1	1.00	1.30		1.30	-	1.00	0.40	-14	2	-2	0	-2	0	1	0	1	1	0	1
10	CH	Chodci na lávkách	Q	0	13	0	-1	0	0	0	1.00	1.30		1.30	-	1.00	1.00	18	0	-1	0	-1	0	0	0	0	0	0	0
11	W	Vítr na konstrukci	Q	0	3	0	-3	0	-3	0	1.00	1.35		1.35	-	1.00	0.75	3	0	-3	0	-3	0	-4	0	-4	0	0	0
12	WP	Vítr na vozidla	Q	0	-7	-3	-9	0	4	0	1.00	1.35		1.35	-	1.00	0.75	-7	-3	-9	0	-9	0	4	0	4	0	0	0
13	TR	Teplota rovnoměrná	Q	0	0	0	0	0	0	0	1.00	1.35		1.35	-	1.00	0.45	0	0	0	0	0	0	0	0	0	0	0	0
14	TN	Teplota nerovnoměrná	Q	0	12	0	0	0	-1	0	1.00	1.35		1.35	-	1.00	0.60	10	0	0	0	0	0	-1	0	-1	0	0	0
15	FR	Třecí síly v ložiskách	Q	0	11	0	-1	0	0	0	1.00	1.20		1.20	-	1.00	1.00	13	0	-1	0	-1	0	0	0	0	0	0	0
16	I	Imperfekce soustavy	Q	0	0	0	0	0	0	0	1.00	1.20		1.20	-	1.00	1.00	-1	0	0	0	0	0	0	0	0	0	0	0
27	ULS_LM	ULS - LM71 bez dynam	Q	0	687	-1	-339	0	-56	-4	1.00	vyp.		0.00	-	1.00	0.00	0	0	0	0	0	0	0	0	0	0	0	0
28	SLS_LM	SLS - LM71 bez dynam	Q	0	535	0	-262	0	-43	-3	1.00	vyp.	1	0.00	-	1.00	0.00	0	0	0	0	0	0	0	0	0	0	0	0
29	ULS_C3	ULS - C3 bez dynam	Q	0	646	0	-259	0	-43	-4	1.00	vyp.	1	0.00	-	1.00	0.00	0	0	0	0	0	0	0	0	0	0	0	0
30	SLS_C3	SLS - C3 bez dynam	Q	0	503	0	-201	0	-33	-3	1.00	vyp.	1	0.00	-	1.00	0.00	0	0	0	0	0	0	0	0	0	0	0	0
		CELKEM - FÁZE PRŮŘEZU 0																799	-1	-494	0	-494	0	-77	0	-77	-5	0	-5
		CELKEM - FÁZE PRŮŘEZU 1																0	0	0	0	0	0	0	0	0	0	0	0
		CELKEM - FÁZE PRŮŘEZU 2																0	0	0	0	0	0	0	0	0	0	0	0
		CELKEM - FÁZE PRŮŘEZU 3																0	0	0	0	0	0	0	0	0	0	0	0
		CELKEM - PRŮŘEZ																799	-1	-494	0	-494	0			-77			-5

Napětí od jednotlivých zatěžovacích stavů

SKUPINA ZATĚŽOVACÍCH STAVŮ — Posouzení normálového napětí — Účinek síly N — Účinek momentu My — Účinek momentu Mz — Posouzení smykového napětí — Účinek kroutícího momentu Mx — Účinek smykové síly Vy — Účinek smykové síly Vz

Č.	SKUP ZS	Popis ZS	Kat.	fáze průř.	δ^*N_d [kN]	χ^*A [mm^2]	σ_n [MPa]	$\delta^*M_{y,d}$ [kNm]	$\chi_t{}^*W_{el,y}$ [mm^3]	σ_{my} [MPa]	$\delta^*M_{z,d}$ [kNm]	$W_{el,z}$ [mm^3]	σ_{mz} [MPa]	σ_x [MPa]	$\kappa^*\delta^*M_{x,d}$ [kNm]	$W_{v,y}$ [mm^3]	$\tau_{x,y}$ [MPa]	$W_{v,z}$ [mm^3]	$\tau_{x,z}$ [MPa]	$\delta^*V_{y,d}$ [kN]	$A_{v,y}$ [mm2]	$\tau_{v,y}$ [MPa]	$\tau_{v,y}$ [MPa]	$\delta^*V_{z,d}$ [kN]	$A_{v,z}$ [mm2]	$\tau_{v,z}$ [MPa]	$\tau_{v,z}$ [MPa]
1	G0	Vlastní tíha OK	G	0	108.2	8.37E+03	12.9	-4.5	1.79E+06	-2.5	-0.7	-7.62E+04	8.8	19.2	-1.1E-02	-	-	-	-	-0.1	2.40E+03	-0.1	-0.1	-17.7	5.40E+03	-3.3	-3.3
2	G1	Ostatní stálé - mostní vybavení	G	0	8.2	8.37E+03	1.0	-0.2	1.79E+06	-0.1	0.0	-7.62E+04	0.6	1.4	0.0E+00	-	-	-	-	0.0	2.40E+03	0.0	0.0	-0.8	5.40E+03	-0.1	-0.1
3	G2	Ostatní stálé - cizí zařízení	G	0	6.2	8.37E+03	0.7	-0.2	1.79E+06	-0.1	0.0	-7.62E+04	0.6	1.3	0.0E+00	-	-	-	-	0.0	2.40E+03	0.0	0.0	-0.5	5.40E+03	-0.1	-0.1
4	P1_71	a.LM71 - kolej 1 (bez dyn. souč.)	P	0	189.8	8.37E+03	22.7	-16.1	1.79E+06	-9.0	-1.0	-7.62E+04	13.5	27.2	-2.1E-02	-	-	-	-	-0.3	2.40E+03	-0.1	-0.1	-25.6	5.40E+03	-4.7	-4.7
5	P2_71	a.LM71 - kolej 2 (bez dyn. souč.)	P	0	241.2	8.37E+03	28.8	-45.8	1.79E+06	-25.6	-1.5	-7.62E+04	19.8	23.0	8.4E-02	-	-	-	-	-0.1	2.40E+03	0.0	0.0	-403.1	5.40E+03	-74.6	-74.6
6	P1_C3	TTZ C3 - kolej 1 (bez dyn. souč.)	P	0	0.0	8.37E+03	0.0	0.0	1.79E+06	0.0	0.0	-7.62E+04	0.0	0.0	0.0E+00	-	-	-	-	0.0	2.40E+03	0.0	0.0	0.0	5.40E+03	0.0	0.0
7	P2_C3	TTZ C3 - kolej 2 (bez dyn. souč.)	P	0	0.0	8.37E+03	0.0	0.0	1.79E+06	0.0	0.0	-7.62E+04	0.0	0.0	0.0E+00	-	-	-	-	0.0	2.40E+03	0.0	0.0	0.0	5.40E+03	0.0	0.0
8	BR	Brzdné a rozjezdové síly	P	0	223.5	8.37E+03	26.7	-9.4	1.79E+06	-5.2	-1.9	-7.62E+04	25.2	46.7	-5.2E-02	-	-	-	-	0.0	2.40E+03	0.0	0.0	-29.4	5.40E+03	-5.4	-5.4
9	S	Boční ráz	P	0	-14.0	8.37E+03	-1.7	1.0	1.79E+06	0.5	0.8	-7.62E+04	-9.9	-11.0	4.2E-02	-	-	-	-	2.2	2.40E+03	0.9	0.9	-1.6	5.40E+03	-0.3	-0.3
10	CH	Chodci na lávkách	Q	0	17.5	8.37E+03	2.1	-0.5	1.79E+06	-0.3	-0.1	-7.62E+04	1.5	3.4	0.0E+00	-	-	-	-	0.0	2.40E+03	0.0	0.0	-1.4	5.40E+03	-0.3	-0.3
11	W	Vítr na konstrukci	Q	0	2.8	8.37E+03	0.3	-3.5	1.79E+06	-2.0	-0.5	-7.62E+04	6.1	4.5	-2.0E-02	-	-	-	-	-0.3	2.40E+03	-0.1	-0.1	-3.4	5.40E+03	-0.6	-0.6
12	WP	Vítr na vozidla	Q	0	-7.1	8.37E+03	-0.8	3.6	1.79E+06	2.0	0.4	-7.62E+04	-5.3	-4.1	4.1E-02	-	-	-	-	-2.7	2.40E+03	-1.1	-1.1	-8.8	5.40E+03	-1.6	-1.6
13	TR	Teplota rovnoměrná	Q	0	0.0	8.37E+03	0.0	0.0	1.79E+06	0.0	0.0	-7.62E+04	0.0	0.0	0.0E+00	-	-	-	-	0.0	2.40E+03	0.0	0.0	0.0	5.40E+03	0.0	0.0
14	TN	Teplota nerovnoměrná	Q	0	9.6	8.37E+03	1.1	-0.8	1.79E+06	-0.5	0.0	-7.62E+04	-0.3	0.4	0.0E+00	-	-	-	-	0.0	2.40E+03	0.0	0.0	-0.1	5.40E+03	0.0	0.0
15	FR	Třecí síly v ložiskách	Q	0	13.3	8.37E+03	1.6	-0.3	1.79E+06	-0.2	-0.1	-7.62E+04	0.8	2.2	0.0E+00	-	-	-	-	0.0	2.40E+03	0.0	0.0	-1.1	5.40E+03	-0.2	-0.2
16	I	Imperfekce soustavy	Q	0	-0.6	8.37E+03	-0.1	-0.2	1.79E+06	-0.1	0.0	-7.62E+04	0.3	0.1	0.0E+00	-	-	-	-	0.0	2.40E+03	0.0	0.0	-0.2	5.40E+03	0.0	0.0
27	ULS_LM	ULS - LM71 bez dynam	Q	0	0.0	8.37E+03	0.0	0.0	1.79E+06	0.0	0.0	-7.62E+04	0.0	0.0	0.0E+00	-	-	-	-	0.0	2.40E+03	0.0	0.0	0.0	5.40E+03	0.0	0.0
28	SLS_LM	SLS - LM71 bez dynam	Q	0	0.0	8.37E+03	0.0	0.0	1.79E+06	0.0	0.0	-7.62E+04	0.0	0.0	0.0E+00	-	-	-	-	0.0	2.40E+03	0.0	0.0	0.0	5.40E+03	0.0	0.0
29	ULS_C3	ULS - C3 bez dynam	Q	0	0.0	8.37E+03	0.0	0.0	1.79E+06	0.0	0.0	-7.62E+04	0.0	0.0	0.0E+00	-	-	-	-	0.0	2.40E+03	0.0	0.0	0.0	5.40E+03	0.0	0.0
30	SLS_C3	SLS - C3 bez dynam	Q	0	0.0	8.37E+03	0.0	0.0	1.79E+06	0.0	0.0	-7.62E+04	0.0	0.0	0.0E+00	-	-	-	-	0.0	2.40E+03	0.0	0.0	0.0	5.40E+03	0.0	0.0
NAVÝŠENÍ NAPĚTÍ DO AKTIVACE TLAKU V DESCE MOSTOVKY						$\sigma_{P,red}$	0.0							0.0			0.0		0.0				-0.5	-0.5			-91.4	-91.4
NAPĚTÍ OD PRIMÁRNÍCH ÚČINKŮ NEROVNOMĚRNÉHO OTEPLENÍ						σ_T	0.0							0.0														
NAPĚTÍ OD REOLOGICKÝCH ÚČINKŮ BETONU V ČASE				t=0		σ_R	0.0	$\gamma_{i=}$	1.20					0.0														
NAPĚTÍ V KRITICKÝCH VLÁKNECH OD KOMBINACE ZATÍŽENÍ						KZ03		[MPa]					$\Sigma\sigma_x$	114.2									$\Sigma\tau_y$	-0.5			$\Sigma\tau_z$	-91.4
NAPĚTÍ OD POHYBLIVÉHO ZATÍŽENÍ								[MPa]					$\sigma_{x,P}$	85.9									τ_P	0.8			τ_P	-85.1
NAPĚTÍ OD OSTATNÍCH ZATÍŽENÍ								[MPa]			Φ_{Vy}	Φ_{Vz}	$\sigma_{x,rs}$	28.3									τ_{rs}	-1.3			τ_{rs}	-6.3
NÁVRHOVÁ HODNOTA MEZE KLUZU S REDUKCÍ VLIVEM SMYKOVÉHO NAPĚTÍ								[MPa]			1.00	0.74	$f_{yv,d}$	209.1									$f_{yd}/3^{0,5}$	120.7			$f_{yd}/3^{0,5}$	120.7
NAPĚTÍ OD POHYBLIVÉHO ZATÍŽENÍ V GLOBÁLNÍM SYSTÉMU						$\sigma_{GLOB,P}$	0.0	[MPa]					$\Sigma\sigma_{GLOB}$	0.0														
NAPĚTÍ OD OSTATNÍCH ZATÍŽENÍ V GLOBÁLNÍM SYSTÉMU						$\sigma_{GLOB,rs}$	0.0	[MPa]					$\Sigma\sigma_x + \Sigma\sigma_{GLOB}$	114.2														
VYUŽITÍ PRŮŘEZU DLE NAPĚTÍ								[%]					η_1	0.55									η_3	0.00			η_3	0.76
NAPĚTÍ V PŘÍČNÉM SMĚRU OD POHYBLIVÉHO ZATÍŽENÍ						$\sigma_{z,P}$	0.0	[MPa]					$\Sigma\sigma_z$	0.0														
NAPĚTÍ V PŘÍČNÉM SMĚRU OD OSTATNÍCH ZATÍŽENÍ						$\sigma_{z,rs}$	0.0	[MPa]					η_2	0.00														
SROVNÁVACÍ NAPĚTÍ													$(\eta_2 + 0,8\,\eta_1)/1,4 =$	0.31														
VYUŽITÍ PRŮŘEZU CELKEM								[%]					eff	0.76	VYHOVUJE													
													Z_{LM71} =	1.34														

TAB. L2.1.3 POSOUZENÍ - MEZNÍ STAV ÚNOSNOSTI

POPIS	PODÉLNÍK L2.E - KRAJ
PRUT / POLOHA BODU	866 / I[568]
NAMÁHÁNÍ	Vz.min
VLÁKNO	BOD S5 -HL
MEZNÍ STAV	ULS (MSÚ)
VYUŽITÍ VLÁKNA PRŮŘEZU	0.76

Charakteristiky materiálu				
pás. horní	$f_{yf,k}$	230	MPa	
pás. dolní	$f_{yf,k}$	230	MPa	
stojina	$f_{yw,k}$	230	MPa	
výztuž	$f_{ys,k}$	500	MPa	
γ_M =	1.10	γ_s =	1.15	

Excentricita normálové síly				
Exc./Fáze	0	1	2	3
e_y	0.000	0.000	0.000	0.000
e_z	0.000	0.000	0.000	0.000
Ekvivalentní vzdál. stěn - příčný roznos				
b_{Mx}	0.000	0.000	0.000	0.000

Vliv stěny na únosnost průřezu				
Char./Fáze	0	1	2	3
A	0.55	0.00	0.00	0.00
Wy	0.32	0.00	0.00	0.00
Wz	0.00	0.00	0.00	0.00

Charakter. v kroucení			
$t_{w,y}$	0.000	[mm]	
$t_{w,z}$	0.000	[mm]	
κ	1.00		
I_t=	0.00E+00	[mm^4]	
$\Omega=2*A_{pr}$	0.00E+00	[mm^2]	

Součinitele vzpěru a vlivu II.řádu				
Char./Fáze	0	1	2	3
k_y	1.000	1.000	1.000	1.000
k_z	1.000	1.000	1.000	1.000
χ_{LT}	1.000	1.000	1.000	1.000
χ_{min}	1.000	1.000	1.000	1.000

Vnitřní síly od jednotlivých skupin zatěžovacích stavů

SKUPINA ZATĚŽOVACÍCH STAVŮ — DÍLČÍ SOUČINITELÉ ZATÍŽENÍ, DYNAMICKÝ SOUČINITEL — 3

Č.	SKUP ZS	POPIS ZS	KAT.	FÁZE PRŮŘ.	- CHARAKTERISTICKÉ HODNOTY N.k (kN)	Vy.k (kN)	Vz.k (kN)	Mx.k (kNm)	My.k (kNm)	Mz.k (kNm)	γ_{sr} (-)	γ_{fs} (-)	volba γ_f hledat	γ_f (-)	L_d (m)	δ (-)	Ψ_s KZ03	- NÁVRHOVÉ HODNOTY N.d (kN)	Vy.d (kN)	Vz.d (kN)	ΔVz.d (kN)	ΣVz.d (kN)	Mx.d (kNm)	My.d (kNm)	ΔMy.d (kNm)	ΣMy.d (kNm)	Mz.d (kNm)	ΔMz.d (kNm)	ΣMz.d (kNm)
1	G0	Vlastní tíha OK	G	0	95	0	-16	0	-4	-1	1.00	1.20		1.20	-	1.00	0.95	108	0	-18	0	-18	0	-5	0	-5	-1	0	-1
2	G1	Ostatní stálé - mostní vybavení	G	0	7	0	-1	0	0	0	1.00	1.20		1.20	-	1.00	0.95	8	0	-1	0	-1	0	0	0	0	0	0	0
3	G2	Ostatní stálé - cizí zařízení	G	0	5	0	0	0	0	0	1.00	1.20		1.20	-	1.00	0.95	6	0	-1	0	-1	0	0	0	0	0	0	0
4	P1_71	a.LM71 - kolej 1 (bez dyn. souč.)	P	0	91	0	-12	0	-8	0	1.00	1.30		1.30	-	1.61	1.00	190	0	-26	0	-26	0	-16	0	-16	-1	0	-1
5	P2_71	a.LM71 - kolej 2 (bez dyn. souč.)	P	0	115	0	-192	0	-22	-1	1.00	1.30		1.30	-	1.61	1.00	241	0	-403	0	-403	0	-46	0	-46	-2	0	-2
6	P1_C3	TTZ C3 - kolej 1 (bez dyn. souč.)	P	0	79	0	-10	0	-7	0	1.00	vyp.		0.00	-	1.00	0.00	0	0	0	0	0	0	0	0	0	0	0	0
7	P2_C3	TTZ C3 - kolej 2 (bez dyn. souč.)	P	0	95	0	-133	0	-13	-1	1.00	vyp.		0.00	-	1.00	0.00	0	0	0	0	0	0	0	0	0	0	0	0
8	BR	Brzdné a rozjezdové síly	P	0	215	0	-28	0	-9	-2	1.00	1.30		1.30	-	1.00	0.80	223	0	-29	0	-29	0	-9	0	-9	-2	0	-2
9	S	Boční ráz	P	0	-27	4	-3	0	2	1	1.00	1.30		1.30	-	1.00	0.40	-14	2	-2	0	-2	0	1	0	1	1	0	1
10	CH	Chodci na lávkách	Q	0	13	0	-1	0	0	0	1.00	1.30		1.30	-	1.00	1.00	18	0	-1	0	-1	0	0	0	0	0	0	0
11	W	Vítr na konstrukci	Q	0	3	0	-3	0	-3	0	1.00	1.35		1.35	-	1.00	0.75	3	0	-3	0	-3	0	-4	0	-4	0	0	0
12	WP	Vítr na vozidla	Q	0	-7	-3	-9	0	4	0	1.00	1.35		1.35	-	1.00	0.75	-7	-3	-9	0	-9	0	4	0	4	0	0	0
13	TR	Teplota rovnoměrná	Q	0	0	0	0	0	0	0	1.00	1.35		1.35	-	1.00	0.45	0	0	0	0	0	0	0	0	0	0	0	0
14	TN	Teplota nerovnoměrná	Q	0	12	0	0	0	-1	0	1.00	1.35		1.35	-	1.00	0.60	10	0	0	0	0	0	-1	0	-1	0	0	0
15	FR	Třecí síly v ložiskách	Q	0	11	0	-1	0	0	0	1.00	1.20		1.20	-	1.00	1.00	13	0	-1	0	-1	0	0	0	0	0	0	0
16	I	Imperfekce soustavy	Q	0	0	0	0	0	0	0	1.00	1.20		1.20	-	1.00	1.00	-1	0	0	0	0	0	0	0	0	0	0	0
27	ULS_LM	ULS - LM71 bez dynam	Q	0	687	-1	-339	0	-56	-4	1.00	vyp.		0.00	-	1.00	0.00	0	0	0	0	0	0	0	0	0	0	0	0
28	SLS_LM	SLS - LM71 bez dynam	Q	0	535	0	-262	0	-43	-3	1.00	vyp.	1	0.00	-	1.00	0.00	0	0	0	0	0	0	0	0	0	0	0	0
29	ULS_C3	ULS - C3 bez dynam	Q	0	646	0	-259	0	-43	-4	1.00	vyp.	1	0.00	-	1.00	0.00	0	0	0	0	0	0	0	0	0	0	0	0
30	SLS_C3	SLS - C3 bez dynam	Q	0	503	0	-201	0	-33	-3	1.00	vyp.	1	0.00	-	1.00	0.00	0	0	0	0	0	0	0	0	0	0	0	0
		CELKEM - FÁZE PRŮŘEZU 0																799	-1	-494	0	-494	0	-77	0	-77	-5	0	-5
		CELKEM - FÁZE PRŮŘEZU 1																0	0	0	0	0	0	0	0	0	0	0	0
		CELKEM - FÁZE PRŮŘEZU 2																0	0	0	0	0	0	0	0	0	0	0	0
		CELKEM - FÁZE PRŮŘEZU 3																0	0	0	0	0	0	0	0	0	0	0	0
		CELKEM - PRŮŘEZ																799	-1	-494	0	-494	0			-77			-5

Napětí od jednotlivých zatěžovacích stavů

SKUPINA ZATĚŽOVACÍCH STAVŮ — Posouzení normálového napětí — Účinek síly N — Účinek momentu My — Účinek momentu Mz — Posouzení smykového napětí — Účinek kroutícího momentu Mx — Účinek smykové síly Vy — Účinek smykové síly Vz

Č.	SKUP ZS	Popis ZS	Kat.	fáze průř.	δ^*N_d [kN]	χ^*A [mm^2]	σ_n [MPa]	$\delta^*M_{y,d}$ [kNm]	$\chi_{lt}{}^*W_{el,y}$ [mm^3]	σ_{my} [MPa]	$\delta^*M_{z,d}$ [kNm]	$W_{el,z}$ [mm^3]	σ_{mz} [MPa]	σ_x [MPa]	$\kappa^*\delta^*M_{x,d}$ [kNm]	$W_{v,y}$ [mm^3]	$\tau_{x,y}$ [MPa]	$W_{v,z}$ [mm^3]	$\tau_{x,z}$ [MPa]	$\delta^*V_{y,d}$ [kN]	$A_{v,y}$ [mm2]	$\tau_{v,y}$ [MPa]	$\tau_{v,y}$ [MPa]	$\delta^*V_{z,d}$ [kN]	$A_{v,z}$ [mm2]	$\tau_{v,z}$ [MPa]	$\tau_{v,z}$ [MPa]
1	G0	Vlastní tíha OK	G	0	108.2	8.37E+03	12.9	-4.5	-1.79E+06	2.5	-0.7	-1.36E+06	0.5	16.0	-1.1E-02	-	-	-	-	-0.1	2.40E+03	-0.1	-0.1	-17.7	5.40E+03	-3.3	-3.3
2	G1	Ostatní stálé - mostní vybavení	G	0	8.2	8.37E+03	1.0	-0.2	-1.79E+06	0.1	0.0	-1.36E+06	0.0	1.1	0.0E+00	-	-	-	-	0.0	2.40E+03	0.0	0.0	-0.8	5.40E+03	-0.1	-0.1
3	G2	Ostatní stálé - cizí zařízení	G	0	6.2	8.37E+03	0.7	-0.2	-1.79E+06	0.1	0.0	-1.36E+06	0.0	0.9	0.0E+00	-	-	-	-	0.0	2.40E+03	0.0	0.0	-0.5	5.40E+03	-0.1	-0.1
4	P1_71	a.LM71 - kolej 1 (bez dyn. souč.)	P	0	189.8	8.37E+03	22.7	-16.1	-1.79E+06	9.0	-1.0	-1.36E+06	0.8	32.4	-2.1E-02	-	-	-	-	-0.3	2.40E+03	-0.1	-0.1	-25.6	5.40E+03	-4.7	-4.7
5	P2_71	a.LM71 - kolej 2 (bez dyn. souč.)	P	0	241.2	8.37E+03	28.8	-45.8	-1.79E+06	25.6	-1.5	-1.36E+06	1.1	55.5	8.4E-02	-	-	-	-	-0.1	2.40E+03	0.0	0.0	-403.1	5.40E+03	-74.6	-74.6
6	P1_C3	TTZ C3 - kolej 1 (bez dyn. souč.)	P	0	0.0	8.37E+03	0.0	0.0	-1.79E+06	0.0	0.0	-1.36E+06	0.0	0.0	0.0E+00	-	-	-	-	0.0	2.40E+03	0.0	0.0	0.0	5.40E+03	0.0	0.0
7	P2_C3	TTZ C3 - kolej 2 (bez dyn. souč.)	P	0	0.0	8.37E+03	0.0	0.0	-1.79E+06	0.0	0.0	-1.36E+06	0.0	0.0	0.0E+00	-	-	-	-	0.0	2.40E+03	0.0	0.0	0.0	5.40E+03	0.0	0.0
8	BR	Brzdné a rozjezdové síly	P	0	223.5	8.37E+03	26.7	-9.4	-1.79E+06	5.2	-1.9	-1.36E+06	1.4	33.4	-5.2E-02	-	-	-	-	0.0	2.40E+03	0.0	0.0	-29.4	5.40E+03	-5.4	-5.4
9	S	Boční ráz	P	0	-14.0	8.37E+03	-1.7	1.0	-1.79E+06	-0.5	0.8	-1.36E+06	-0.6	-2.8	4.2E-02	-	-	-	-	2.2	2.40E+03	0.9	0.9	-1.6	5.40E+03	-0.3	-0.3
10	CH	Chodci na lávkách	Q	0	17.5	8.37E+03	2.1	-0.5	-1.79E+06	0.3	-0.1	-1.36E+06	0.1	2.4	0.0E+00	-	-	-	-	0.0	2.40E+03	0.0	0.0	-1.4	5.40E+03	-0.3	-0.3
11	W	Vítr na konstrukci	Q	0	2.8	8.37E+03	0.3	-3.5	-1.79E+06	2.0	-0.5	-1.36E+06	0.3	2.7	-2.0E-02	-	-	-	-	-0.3	2.40E+03	-0.1	-0.1	-3.4	5.40E+03	-0.6	-0.6
12	WP	Vítr na vozidla	Q	0	-7.1	8.37E+03	-0.8	3.6	-1.79E+06	-2.0	0.4	-1.36E+06	-0.3	-3.2	4.1E-02	-	-	-	-	-2.7	2.40E+03	-1.1	-1.1	-8.8	5.40E+03	-1.6	-1.6
13	TR	Teplota rovnoměrná	Q	0	0.0	8.37E+03	0.0	0.0	-1.79E+06	0.0	0.0	-1.36E+06	0.0	0.0	0.0E+00	-	-	-	-	0.0	2.40E+03	0.0	0.0	0.0	5.40E+03	0.0	0.0
14	TN	Teplota nerovnoměrná	Q	0	9.6	8.37E+03	1.1	-0.8	-1.79E+06	0.5	0.0	-1.36E+06	0.0	1.6	0.0E+00	-	-	-	-	0.0	2.40E+03	0.0	0.0	-0.1	5.40E+03	0.0	0.0
15	FR	Třecí síly v ložiskách	Q	0	13.3	8.37E+03	1.6	-0.3	-1.79E+06	0.2	-0.1	-1.36E+06	0.0	1.8	0.0E+00	-	-	-	-	0.0	2.40E+03	0.0	0.0	-1.1	5.40E+03	-0.2	-0.2
16	I	Imperfekce soustavy	Q	0	-0.6	8.37E+03	-0.1	-0.2	-1.79E+06	0.1	0.0	-1.36E+06	0.0	0.1	0.0E+00	-	-	-	-	0.0	2.40E+03	0.0	0.0	-0.2	5.40E+03	0.0	0.0
27	ULS_LM	ULS - LM71 bez dynam	Q	0	0.0	8.37E+03	0.0	0.0	-1.79E+06	0.0	0.0	-1.36E+06	0.0	0.0	0.0E+00	-	-	-	-	0.0	2.40E+03	0.0	0.0	0.0	5.40E+03	0.0	0.0
28	SLS_LM	SLS - LM71 bez dynam	Q	0	0.0	8.37E+03	0.0	0.0	-1.79E+06	0.0	0.0	-1.36E+06	0.0	0.0	0.0E+00	-	-	-	-	0.0	2.40E+03	0.0	0.0	0.0	5.40E+03	0.0	0.0
29	ULS_C3	ULS - C3 bez dynam	Q	0	0.0	8.37E+03	0.0	0.0	-1.79E+06	0.0	0.0	-1.36E+06	0.0	0.0	0.0E+00	-	-	-	-	0.0	2.40E+03	0.0	0.0	0.0	5.40E+03	0.0	0.0
30	SLS_C3	SLS - C3 bez dynam	Q	0	0.0	8.37E+03	0.0	0.0	-1.79E+06	0.0	0.0	-1.36E+06	0.0	0.0	0.0E+00	-	-	-	-	0.0	2.40E+03	0.0	0.0	0.0	5.40E+03	0.0	0.0
NAVÝŠENÍ NAPĚTÍ DO AKTIVACE TLAKU V DESCE MOSTOVKY						$\sigma_{P,red}$	0.0							0.0			0.0		0.0				-0.5	-0.5			-91.4	-91.4
NAPĚTÍ OD PRIMÁRNÍCH ÚČINKŮ NEROVNOMĚRNÉHO OTEPLENÍ						σ_T	0.0							0.0														
NAPĚTÍ OD REOLOGICKÝCH ÚČINKŮ BETONU V ČASE			t=0			σ_R	0.0	γ_{lt}=	1.20					0.0														
NAPĚTÍ V KRITICKÝCH VLÁKNECH OD KOMBINACE ZATÍŽENÍ						KZ03		[MPa]					$\Sigma\sigma_x$	141.9									$\Sigma\tau_y$	-0.5			$\Sigma\tau_z$	-91.4
NAPĚTÍ OD POHYBLIVÉHO ZATÍŽENÍ								[MPa]					$\sigma_{x,P}$	118.5									τ_P	0.8			τ_P	-85.1
NAPĚTÍ OD OSTATNÍCH ZATÍŽENÍ								[MPa]			Φ_{Vy}	Φ_{Vz}	$\sigma_{x,rs}$	23.4									τ_{rs}	-1.3			τ_{rs}	-6.3
NÁVRHOVÁ HODNOTA MEZE KLUZU S REDUKCÍ VLIVEM SMYKOVÉHO NAPĚTÍ								[MPa]			1.00	0.74	$f_{yv,d}$	209.1									$f_{yd}/3^{0,5}$	120.7			$f_{yd}/3^{0,5}$	120.7
NAPĚTÍ OD POHYBLIVÉHO ZATÍŽENÍ V GLOBÁLNÍM SYSTÉMU						$\sigma_{GLOB,P}$	0.0	[MPa]					$\Sigma\sigma_{GLOB}$	0.0														
NAPĚTÍ OD OSTATNÍCH ZATÍŽENÍ V GLOBÁLNÍM SYSTÉMU						$\sigma_{GLOB,rs}$	0.0	[MPa]					$\Sigma\sigma_x + \Sigma\sigma_{GLOB}$	141.9														
VYUŽITÍ PRŮŘEZU DLE NAPĚTÍ								[%]					η_1	0.68									η_3	0.00			η_3	0.76
NAPĚTÍ V PŘÍČNÉM SMĚRU OD POHYBLIVÉHO ZATÍŽENÍ						$\sigma_{z,P}$	0.0	[MPa]					$\Sigma\sigma_z$	0.0														
NAPĚTÍ V PŘÍČNÉM SMĚRU OD OSTATNÍCH ZATÍŽENÍ						$\sigma_{z,rs}$	0.0	[MPa]					η_2	0.00														
SROVNÁVACÍ NAPĚTÍ													$(\eta_2 + 0,8\,\eta_1)/1,4$ =	0.39														
VYUŽITÍ PRŮŘEZU CELKEM								[%]					eff	0.76	VYHOVUJE													
													z_{LM71} =	1.34														

VÝPOČET PRŮŘEZOVÝCH CHARAKTERISTIK

PRŮŘEZ: L2_2a **POPIS:** PODÉLNÍK - 2 - V POLI - MAX MY

x = - **m**

DEFINOVÁNÍ PRŮŘEZU

PÁSNICE HORNÍHO LEVÉHO ÚHELNÍKU	b f.t.l.o =	80	mm				
TLOUŠŤKA PÁSNICE ÚHELNÍKU	t f.t.l.o =	10	mm	OSLABENÍ PÁSNICE - TLOUŠŤKA	Δt f.t.l.o =	0	%
VÝŠKA STĚNY ÚHELNÍKU	h w.t.l.o =	70	mm				
TLOUŠŤKA STĚNY ÚHELNÍKU	t w.t.l.o =	10	mm	OSLABENÍ STĚNY - TLOUŠŤKA	Δt w.t.l.o =	5	%
PÁSNICE HORNÍHO PRAVÉHO ÚHELNÍKU	b f.t.r.o =	80	mm				
TLOUŠŤKA PÁSNICE ÚHELNÍKU	t f.t.r.o =	10	mm	OSLABENÍ PÁSNICE - TLOUŠŤKA	Δt f.t.r.o =	0	%
VÝŠKA STĚNY ÚHELNÍKU	h w.t.r.o =	70	mm				
TLOUŠŤKA STĚNY ÚHELNÍKU	t w.t.r.o =	10	mm	OSLABENÍ STĚNY - TLOUŠŤKA	Δt w.t.r.o =	5	%
PÁSNICE DOLNÍHO LEVÉHO ÚHELNÍKU	b f.b.l.o =	80	mm				
TLOUŠŤKA PÁSNICE ÚHELNÍKU	t f.b.l.o =	10	mm	OSLABENÍ PÁSNICE - TLOUŠŤKA	Δt f.b.l.o =	0	%
VÝŠKA STĚNY ÚHELNÍKU	h w.b.l.o =	70	mm				
TLOUŠŤKA STĚNY ÚHELNÍKU	t w.b.l.o =	10	mm	OSLABENÍ STĚNY - TLOUŠŤKA	Δt w.b.l.o =	5	%
PÁSNICE DOLNÍHO PRAVÉHO ÚHELNÍKU	b f.b.r.o =	80	mm				
TLOUŠŤKA PÁSNICE ÚHELNÍKU	t f.b.r.o =	10	mm	OSLABENÍ PÁSNICE - TLOUŠŤKA	Δt f.b.r.o =	0	%
VÝŠKA STĚNY ÚHELNÍKU	h w.b.r.o =	70	mm				
TLOUŠŤKA STĚNY ÚHELNÍKU	t w.b.r.o =	10	mm	OSLABENÍ STĚNY - TLOUŠŤKA	Δt w.b.r.o =	5	%

ŠÍŘKA HORNÍ PÁSNICE	b f.t =	250	mm				
TLOUŠŤKA HORNÍ PÁSNICE	t f.t =	10	mm	OSLABENÍ HORNÍ PÁSNICE	Δt f.t =	5	%
PŘESAH HORNÍ PÁSNICE	o f.t =	70	mm	HORNÍ PÁSNICE OBECNĚ NESYMETRICKÁ (PODÉLNÍK - PŘÍPOJ MOSTNICE)			
VÝŠKA STĚNY	h w =	690	mm				
TLOUŠŤKA STĚNY	t w =	10	mm	OSLABENÍ STĚNY	Δt w.l =	0	%
ŠÍŘKA DOLNÍ PÁSNICE	b f.b =	190	mm				
TLOUŠŤKA DOLNÍ PÁSNICE	t f.b =	10	mm	OSLABENÍ DOLNÍ PÁSNICE (DOLNÍ PÁSNICE SYMETRICKÁ)	Δt f.b =	0	%

NÝT Č.	SKUPINA	ŘEZ	RED.	VELIKOST d| [mm]	POLOHA e| [mm]	POPIS	AKTIVITA OTVORU	NAPĚTÍ sc [MPa]
1		-	1.00	22	-120	nýt - f.t	1	6.48
2	1	3	0.70	20	-45	nýt - f.t - krční úhelník	0	-17.59
3	1	3	0.70	20	45	nýt - f.t - krční úhelník	0	-45.29
4		-	1.00			nýt - f.t	-	
5	1	3	0.70	20	645	nýt - w - krční úhelník	0	-24.61
6		-	1.00			nýt - w	-	
7		-	1.00			nýt - w	-	
8		-	1.00			nýt - w	-	
9		-	1.00			nýt - w	-	
10		-	1.00	20	545	nýt - w	1	0.58
11		-	1.00	20	445	nýt - w	1	21.30
12		-	1.00	20	345	nýt - w	1	42.02
13		-	1.00	20	245	nýt - w	1	62.75
14		-	1.00	20	145	nýt - w	1	83.47
15	2	3	0.70	20	45	nýt - w - krční úhelník	1	104.19
16		-	1.00					
17		-	1.00					
18		-	1.00					
19		-	1.00			nýt - f.b	-	
20	2	3	0.70	20	-45	nýt - f.b. - krční úhelník	1	127.37
21	2	3	0.70	20	45	nýt - f.b. - krční úhelník	1	99.67
22		-	1.00			nýt - f.b	-	

ZADÁNÍ ČÁSTÍ PRŮŘEZU:

č.prvku	b [mm]	h [mm]	y_0 [mm]	z_0 [mm]	popis části	druh oslabení	lokální ultimate	boulení servic.
1	80.0	10.0	-45.0	685.0	pásnice	0	1.000	1.000
2	9.5	70.0	-9.8	645.0	stěna	0	1.000	1.000
3	80.0	10.0	45.0	685.0	pásnice	0	1.000	1.000
4	9.5	70.0	9.8	645.0	stěna	0	1.000	1.000
5	80.0	10.0	-45.0	5.0	pásnice	0	1.000	1.000
6	9.5	70.0	-9.8	45.0	stěna	0	1.000	1.000
7	80.0	10.0	45.0	5.0	pásnice	0	1.000	1.000
8	9.5	70.0	9.8	45.0	stěna	0	1.000	1.000
9	250.0	9.5	-30.0	694.8	pásnice	0	1.000	1.000
10	10.0	690.0	0.0	345.0	stěna	0	1.000	1.000
11	190.0	10.0	0.0	-5.0	pásnice	0	1.000	1.000
12						0	1.000	1.000
13						0	1.000	1.000
14						0	1.000	1.000
15						0	1.000	1.000
16						0	1.000	1.000
17						0	1.000	1.000
18						0	1.000	1.000
19						0	1.000	1.000
20						0	1.000	1.000
21						0	1.000	1.000
22						0	1.000	1.000
23						0	1.000	1.000
24						0	1.000	1.000
25						0	1.000	1.000
26						0	1.000	1.000
27						0	1.000	1.000
28						0	1.000	1.000
29						0	1.000	1.000
30						0	1.000	1.000
31						0	1.000	1.000
32						0	1.000	1.000
33						0	1.000	1.000
34						0	1.000	1.000
35						0	1.000	1.000
36						0	1.000	1.000
37						0	1.000	1.000
38						0	1.000	1.000
39						0	1.000	1.000
40						0	1.000	1.000
41						0	1.000	1.000
42						0	1.000	1.000
43						0	1.000	1.000
44						0	1.000	1.000
45						0	1.000	1.000
46						0	1.000	1.000
47						0	1.000	1.000
48						0	1.000	1.000
49						0	1.000	1.000
50						0	1.000	1.000
51	-22.0	9.5	-120.0	694.8	nýt - pásnice	0	1.000	1.000
52	0	0	-45.0	699.5	nýt - pásnice	0	1.000	1.000
53	0	0	45.0	699.5	nýt - pásnice	0	1.000	1.000
54	0	0	0	0	nýt - pásnice	0	1.000	1.000
55	0	0	14.5	645.0	nýt - stěna	0	1.000	1.000
56	0	0	0	0	nýt - stěna	0	1.000	1.000
57	0	0	0	0	nýt - stěna	0	1.000	1.000
58	0	0	0	0	nýt - stěna	0	1.000	1.000
59	0	0	0	0	nýt - stěna	0	1.000	1.000
60	10.0	-20.0	0.0	545.0	nýt - stěna	0	1.000	1.000
61	10.0	-20.0	0.0	445.0	nýt - stěna	0	1.000	1.000
62	10.0	-20.0	0.0	345.0	nýt - stěna	0	1.000	1.000
63	10.0	-20.0	0.0	245.0	nýt - stěna	0	1.000	1.000
64	10.0	-20.0	0.0	145.0	nýt - stěna	0	1.000	1.000
65	29.0	-14.0	0.0	45.0	nýt - stěna	0	1.000	1.000
66						0	1.000	1.000
67						0	1.000	1.000
68						0	1.000	1.000
69	0	0	0	0	nýt - pásnice	0	1.000	1.000
70	-14.0	20.0	-45.0	0.0	nýt - pásnice	0	1.000	1.000
71	-14.0	20.0	45.0	0.0	nýt - pásnice	0	1.000	1.000
72	0	0	0	0	nýt - pásnice	0	1.000	1.000
73								
74								
75								
76								
77								
78								
79								
80								
81								
82								
83								
84								
85								
86								
87								
88								
89								
90								
91								
92								
93								
94								
95								
96								
97								
98								
99								
100								

VÝPOČET PRŮŘEZOVÝCH CHARAKTERISTIK

Properties	Basic	Ultimate		Serviceability	
y_t	-3.1	-3.1		-3.1	[mm]
z_t	372.4	372.4		372.4	[mm]
A_i	1.4860E+04	1.4860E+04		1.4860E+04	[mm²]
A_t	6.7060E+03	6.7060E+03		6.7060E+03	[mm²]
A_s	8.1540E+03	8.1540E+03		8.1540E+03	[mm²]
$I_{y,t}$	1.2475E+09	1.2475E+09		1.2475E+09	[mm⁴]
I_w	2.4399E+07	2.4399E+07		2.4399E+07	[mm⁶]
i_y	289.7	289.7		289.7	[mm]
i_z	40.5	40.5		40.5	[mm]
$W_{y,1}$	3.8141E+06	3.8141E+06		3.8141E+06	[mm³]
$W_{y,1}$	-1.6063E+05	-1.6063E+05		-1.6063E+05	[mm³]
$W_{y,2}$	-3.2621E+06	-3.2621E+06		-3.2621E+06	[mm³]
$W_{z,2}$	-2.6551E+05	-2.6551E+05		-2.6551E+05	[mm³]
KRAJNÍ VLÁKNA PRŮŘEZU					
y_1	-155.0	-155.0		-155.0	[mm]
z_1	699.5	699.5		699.5	[mm]
y_2	-95.0	-95.0		-95.0	[mm]
z_2	-10.0	-10.0		-10.0	[mm]
y_3	95.0	95.0		95.0	[mm]
z_3	699.5	699.5		699.5	[mm]
y_4	95.0	95.0		95.0	[mm]
z_4	-10.0	-10.0		-10.0	[mm]
y_5	-5.0	-5.0		-5.0	[mm]
z_5	690.0	690.0		690.0	[mm]
y_6	-5.0	-5.0		-5.0	[mm]
z_6	0.0	0.0		0.0	[mm]

ÚPRAVA MOMENTŮ SETRVAČNOSTI V DŮSLEDKU ČLENĚNÍ PRŮŘEZU

OSA Y 1.00
OSA Z 1.00

SCHÉMA PROMĚNNÝCH

SCHÉMA ZADANÉHO PRŮŘEZU

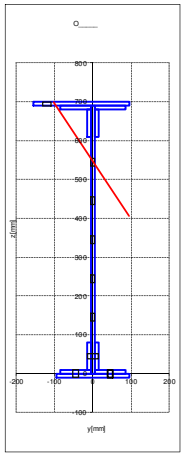

NEUTRÁLNÁ OSA

NAPĚTÍ [MPa]:

16.27	-60.68
163.30	86.35

ZS: SLS_LM.MAX.MY

	N [kN]	Vy [kN]	Vz [kN]	Mx [kNm]	My [kNm]	Mz [kNm]
import	554	-21	-56	0	259	9

TR_L2.2 POPIS: **PODÉLNÍK L2.E - STŘED** POSUDEK: **L2.2**

SKUPINA ZAT. STAVŮ	EXTRÉM	VYHODNOCOVANÉ VELIČINY					
		N	Vy	Vz	Mx	My	Mz
		kN	kN	kN	kNm	kNm	kNm
G0	N.min	**95.41**	-1.93	-8.66	-0.04	23.38	1.43
	N.max	**36.72**	-0.24	-0.35	0	7.21	0.08
	Vy.min	95.41	**-1.93**	-8.66	-0.04	23.38	1.43
	Vy.max	36.72	**-0.24**	-0.35	0	7.21	0.08
	Vz.min	95.41	-1.93	**-8.66**	-0.04	23.38	1.43
	Vz.max	36.72	-0.24	**-0.35**	0	7.21	0.08
	Mx.min	95.41	-1.93	-8.66	**-0.04**	23.38	1.43
	Mx.max	36.72	-0.24	-0.35	**0**	7.21	0.08
	My.min	95.41	-1.93	-8.66	-0.04	**23.38**	1.43
	My.max	36.72	-0.24	-0.35	0	**7.21**	0.08
	Mz.min	95.41	-1.93	-8.66	-0.04	23.38	**1.43**
	Mz.max	36.72	-0.24	-0.35	0	7.21	**0.08**
G1	N.min	**7.2**	-0.14	-0.69	0	1.35	0.11
	N.max	**7.2**	-0.14	-0.69	0	1.35	0.11
	Vy.min	7.2	**-0.14**	-0.69	0	1.35	0.11
	Vy.max	7.2	**-0.14**	-0.69	0	1.35	0.11
	Vz.min	7.2	-0.14	**-0.69**	0	1.35	0.11
	Vz.max	7.2	-0.14	**-0.69**	0	1.35	0.11
	Mx.min	7.2	-0.14	-0.69	**0**	1.35	0.11
	Mx.max	7.2	-0.14	-0.69	**0**	1.35	0.11
	My.min	7.2	-0.14	-0.69	0	**1.35**	0.11
	My.max	7.2	-0.14	-0.69	0	**1.35**	0.11
	Mz.min	7.2	-0.14	-0.69	0	1.35	**0.11**
	Mz.max	7.2	-0.14	-0.69	0	1.35	**0.11**
G2	N.min	**5.46**	-0.11	-0.48	0	0.94	0.08
	N.max	**5.46**	-0.11	-0.48	0	0.94	0.08
	Vy.min	5.46	**-0.11**	-0.48	0	0.94	0.08
	Vy.max	5.46	**-0.11**	-0.48	0	0.94	0.08
	Vz.min	5.46	-0.11	**-0.48**	0	0.94	0.08
	Vz.max	5.46	-0.11	**-0.48**	0	0.94	0.08
	Mx.min	5.46	-0.11	-0.48	**0**	0.94	0.08
	Mx.max	5.46	-0.11	-0.48	**0**	0.94	0.08
	My.min	5.46	-0.11	-0.48	0	**0.94**	0.08
	My.max	5.46	-0.11	-0.48	0	**0.94**	0.08
	Mz.min	5.46	-0.11	-0.48	0	0.94	**0.08**
	Mz.max	5.46	-0.11	-0.48	0	0.94	**0.08**
P1_71	N.min	**-0.22**	0.01	0.52	0	-1.11	-0.01
	N.max	**99.87**	-1.89	-10.61	0	19.82	1.38
	Vy.min	98.84	**-1.91**	-11.22	0	18.2	1.41
	Vy.max	2.13	**0.03**	1.32	0.01	3.01	-0.05
	Vz.min	91.76	-1.76	**-12.2**	0.02	19.37	1.29
	Vz.max	3.03	0.02	**1.7**	0.02	3.88	-0.07
	Mx.min	92.84	-1.72	-9.99	**-0.04**	12.2	1.35
	Mx.max	10.5	-0.16	-2.14	**0.07**	11.04	-0.01
	My.min	4.08	-0.05	-0.06	0	**-1.88**	0.06
	My.max	88.87	-1.69	-9.7	0.04	**23.68**	1.14
	Mz.min	4.38	-0.04	1.07	0.05	6.81	**-0.1**
	Mz.max	97.51	-1.87	-11.09	-0.03	16.23	**1.43**
P2_71	N.min	**-1.84**	0	1.02	0	-2.01	0
	N.max	**120.53**	-2.44	0.11	-0.09	93.66	1.86
	Vy.min	115.68	**-2.66**	3.51	-0.12	175.94	1.91
	Vy.max	6.54	**0.06**	-2.55	-0.01	-5.68	0.07
	Vz.min	111.78	-2.17	**-51.92**	-0.08	95.01	1.76
	Vz.max	5.39	-0.47	**64.84**	-0.05	100.25	0.16
	Mx.min	116.7	-2.27	7.63	**-0.13**	148.92	1.88
	Mx.max	-0.09	0	0.01	**0**	-0.02	0
	My.min	20.54	-0.11	-4.74	-0.02	**-9.05**	0.27
	My.max	104.11	-2.49	1.78	-0.11	**180.84**	1.72
	Mz.min	0.16	-0.03	3.67	-0.01	3.62	**-0.01**
	Mz.max	119.01	-2.59	7.72	-0.12	165.6	**1.96**
P1_C3	N.min	**-0.19**	0.01	0.42	0	-0.89	0
	N.max	**81.67**	-1.55	-9.59	0.01	15.69	1.13
	Vy.min	81.43	**-1.55**	-9.38	0.01	15.61	1.12
	Vy.max	1.69	**0.02**	0.97	0.01	2.46	-0.04
	Vz.min	79.74	-1.52	**-10.08**	-0.01	15.26	1.14
	Vz.max	1.62	0	**1.45**	0.02	1.86	-0.05
	Mx.min	75.69	-1.44	-7.41	**-0.03**	9.77	1.11
	Mx.max	5.34	-0.1	-1.19	**0.05**	5.32	-0.01
	My.min	4.39	-0.05	-0.33	0	**-1.53**	0.06
	My.max	78.6	-1.49	-8.53	0	**18.03**	1.07
	Mz.min	1.8	-0.02	1.07	0.03	3.09	**-0.07**
	Mz.max	78.7	-1.51	-9.6	-0.02	12.86	**1.17**
P2_C3	N.min	**-1.5**	0	0.82	0	-1.61	0
	N.max	**100.06**	-1.98	-11.51	-0.08	99.57	1.59
	Vy.min	96.46	**-2.16**	15.78	-0.09	111.85	1.55
	Vy.max	2.96	**0.05**	-1.01	-0.01	-4.81	0.03
	Vz.min	98.4	-1.85	**-40.84**	-0.07	70.64	1.53
	Vz.max	4.94	-0.37	**48.34**	-0.04	73.1	0.15
	Mx.min	96.82	-1.92	-0.45	**-0.09**	102.7	1.55
	Mx.max	-0.08	0	0.01	**0**	-0.01	0
	My.min	10.6	-0.1	-1.47	-0.01	**-6.71**	0.17
	My.max	83.8	-2	1.26	-0.08	**125.5**	1.34
	Mz.min	-0.92	-0.03	5.45	-0.01	5.15	**-0.02**
	Mz.max	99.84	-2.03	7.68	-0.08	110.13	**1.59**
BR	N.min	**-251.99**	7.13	28.73	0.15	-55.41	-5.08
	N.max	**251.99**	-7.13	-28.73	-0.15	55.41	5.08
	Vy.min	251.99	**-7.13**	-28.73	-0.15	55.41	5.08
	Vy.max	-251.99	**7.13**	28.73	0.15	-55.41	-5.08
	Vz.min	251.99	-7.13	**-28.73**	-0.15	55.41	5.08
	Vz.max	-251.99	7.13	**28.73**	0.15	-55.41	-5.08
	Mx.min	251.99	-7.13	-28.73	**-0.15**	55.41	5.08
	Mx.max	-251.99	7.13	28.73	**0.15**	-55.41	-5.08
	My.min	-251.99	7.13	28.73	0.15	**-55.41**	-5.08
	My.max	251.99	-7.13	-28.73	-0.15	**55.41**	5.08
	Mz.min	-251.99	7.13	28.73	0.15	-55.41	**-5.08**
	Mz.max	251.99	-7.13	-28.73	-0.15	55.41	**5.08**

TR_L2.2 POPIS: **PODÉLNÍK L2.E - STŘED** POSUDEK: **L2.2**

SKUPINA ZAT. STAVŮ	EXTRÉM	VYHODNOCOVANÉ VELIČINY					
		N	Vy	Vz	Mx	My	Mz
		kN	kN	kN	kNm	kNm	kNm
S	N.min	**-26.96**	-18.83	-0.14	-0.35	6.21	-4.19
	N.max	**26.96**	18.83	0.14	0.35	-6.21	4.19
	Vy.min	-26.96	**-18.83**	-0.14	-0.35	6.21	-4.19
	Vy.max	26.96	**18.83**	0.14	0.35	-6.21	4.19
	Vz.min	-4.27	-0.73	**-3.34**	-0.05	0.82	0.8
	Vz.max	4.27	0.73	**3.34**	0.05	-0.82	-0.8
	Mx.min	-26.96	-18.83	-0.14	**-0.35**	6.21	-4.19
	Mx.max	26.96	18.83	0.14	**0.35**	-6.21	4.19
	My.min	26.96	18.83	0.14	0.35	**-6.21**	4.19
	My.max	-26.96	-18.83	-0.14	-0.35	**6.21**	-4.19
	Mz.min	-26.96	-18.83	-0.14	-0.35	6.21	**-4.19**
	Mz.max	26.96	18.83	0.14	0.35	-6.21	**4.19**
CH	N.min	**8.31**	-0.2	-0.87	0	1.46	0.15
	N.max	**13.53**	-0.28	-1.12	-0.01	2.14	0.21
	Vy.min	13.53	**-0.28**	-1.12	-0.01	2.14	0.21
	Vy.max	8.31	**-0.2**	-0.87	0	1.46	0.15
	Vz.min	13.53	-0.28	**-1.12**	-0.01	2.14	0.21
	Vz.max	8.31	-0.2	**-0.87**	0	1.46	0.15
	Mx.min	13.53	-0.28	-1.12	**-0.01**	2.14	0.21
	Mx.max	10.39	-0.21	-0.87	**0**	1.67	0.16
	My.min	8.31	-0.2	-0.87	0	**1.46**	0.15
	My.max	13.53	-0.28	-1.12	-0.01	**2.14**	0.21
	Mz.min	8.31	-0.2	-0.87	0	1.46	**0.15**
	Mz.max	13.53	-0.28	-1.12	-0.01	2.14	**0.21**
W	N.min	**-2.77**	1.18	3.66	0.08	-4.36	-1.15
	N.max	**2.75**	-1.18	-3.66	-0.08	4.35	1.15
	Vy.min	2.75	**-1.18**	-3.66	-0.08	4.35	1.15
	Vy.max	-2.77	**1.18**	3.66	0.08	-4.36	-1.15
	Vz.min	2.75	-1.18	**-3.66**	-0.08	4.35	1.15
	Vz.max	-2.77	1.18	**3.66**	0.08	-4.36	-1.15
	Mx.min	2.75	-1.18	-3.66	**-0.08**	4.35	1.15
	Mx.max	-2.77	1.18	3.66	**0.08**	-4.36	-1.15
	My.min	-2.77	1.18	3.66	0.08	**-4.36**	-1.15
	My.max	2.75	-1.18	-3.66	-0.08	**4.35**	1.15
	Mz.min	-2.77	1.18	3.66	0.08	-4.36	**-1.15**
	Mz.max	2.75	-1.18	-3.66	-0.08	4.35	**1.15**
WP	N.min	**-6.94**	3.71	8.52	0.19	3.56	-1.52
	N.max	**6.95**	-3.71	-8.54	-0.19	-3.51	1.53
	Vy.min	6.95	**-3.71**	-8.54	-0.19	-3.51	1.53
	Vy.max	-6.94	**3.71**	8.52	0.19	3.56	-1.52
	Vz.min	6.95	-3.71	**-8.54**	-0.19	-3.51	1.53
	Vz.max	-6.94	3.71	**8.52**	0.19	3.56	-1.52
	Mx.min	6.95	-3.71	-8.54	**-0.19**	-3.51	1.53
	Mx.max	-6.94	3.71	8.52	**0.19**	3.56	-1.52
	My.min	6.95	-3.71	-8.54	-0.19	**-3.51**	1.53
	My.max	-6.94	3.71	8.52	0.19	**3.56**	-1.52
	Mz.min	-6.94	3.71	8.52	0.19	3.56	**-1.52**
	Mz.max	6.95	-3.71	-8.54	-0.19	-3.51	**1.53**
TR	N.min	**0**	0	0	0	0	0
	N.max	**0**	0	0	0	0	0
	Vy.min	0	**0**	0	0	0	0
	Vy.max	0	**0**	0	0	0	0
	Vz.min	0	0	**0**	0	0	0
	Vz.max	0	0	**0**	0	0	0
	Mx.min	0	0	0	**0**	0	0
	Mx.max	0	0	0	**0**	0	0
	My.min	0	0	0	0	**0**	0
	My.max	0	0	0	0	**0**	0
	Mz.min	0	0	0	0	0	**0**
	Mz.max	0	0	0	0	0	**0**
TN	N.min	**-8.29**	0.14	0.04	0	1.32	-0.11
	N.max	**11.88**	0.11	-0.08	0.01	-1.13	-0.09
	Vy.min	-3.24	**-0.25**	-0.06	-0.02	-0.01	0.21
	Vy.max	-8.29	**0.14**	0.04	0	1.32	-0.11
	Vz.min	11.88	0.11	**-0.08**	0.01	-1.13	-0.09
	Vz.max	-8.29	0.14	**0.04**	0	1.32	-0.11
	Mx.min	-3.24	-0.25	-0.06	**-0.02**	-0.01	0.21
	Mx.max	11.88	0.11	-0.08	**0.01**	-1.13	-0.09
	My.min	8.29	-0.14	-0.04	0	**-1.32**	0.11
	My.max	-8.29	0.14	0.04	0	**1.32**	-0.11
	Mz.min	-8.29	0.14	0.04	0	1.32	**-0.11**
	Mz.max	-3.24	-0.25	-0.06	-0.02	-0.01	**0.21**
FR	N.min	**-11.12**	0.21	0.93	0	-1.8	-0.15
	N.max	**11.12**	-0.21	-0.93	0	1.8	0.15
	Vy.min	11.12	**-0.21**	-0.93	0	1.8	0.15
	Vy.max	-11.12	**0.21**	0.93	0	-1.8	-0.15
	Vz.min	11.12	-0.21	**-0.93**	0	1.8	0.15
	Vz.max	-11.12	0.21	**0.93**	0	-1.8	-0.15
	Mx.min	11.12	-0.21	-0.93	**0**	1.8	0.15
	Mx.max	-11.12	0.21	0.93	**0**	-1.8	-0.15
	My.min	-11.12	0.21	0.93	0	**-1.8**	-0.15
	My.max	11.12	-0.21	-0.93	0	**1.8**	0.15
	Mz.min	-11.12	0.21	0.93	0	-1.8	**-0.15**
	Mz.max	11.12	-0.21	-0.93	0	1.8	**0.15**
I	N.min	**-0.47**	-0.07	-0.17	0	0.15	**0.07**
	N.max	**0.47**	0.07	0.17	0	-0.15	**-0.07**
	Vy.min	-0.47	**-0.07**	-0.17	0	0.15	**0.07**
	Vy.max	0.47	**0.07**	0.17	0	-0.15	**-0.07**
	Vz.min	-0.47	-0.07	**-0.17**	0	0.15	**0.07**
	Vz.max	0.47	0.07	**0.17**	0	-0.15	**-0.07**
	Mx.min	-0.47	-0.07	-0.17	**0**	0.15	**0.07**
	Mx.max	0.47	0.07	0.17	**0**	-0.15	**-0.07**
	My.min	0.47	0.07	0.17	0	**-0.15**	**-0.07**
	My.max	-0.47	-0.07	-0.17	0	**0.15**	**0.07**
	Mz.min	0.47	0.07	0.17	0	-0.15	**-0.07**
	Mz.max	-0.47	-0.07	-0.17	0	0.15	**0.07**

TAB. L2.2.3 POSOUZENÍ - MEZNÍ STAV ÚNOSNOSTI

POPIS	PODÉLNÍK L2.E - STŘED
PRUT / POLOHA BODU	871 / 43,192
NAMÁHÁNÍ	Vy.min
VLÁKNO	BOD K1 -HL
MEZNÍ STAV	ULS (MSÚ)
VYUŽITÍ VLÁKNA PRŮŘEZU	0.92

Charakteristiky materiálu				
pás. horní	$f_{yf,k}$	230	MPa	
pás. dolní	$f_{yf,k}$	230	MPa	
stojina	$f_{yw,k}$	230	MPa	
výztuž	$f_{ys,k}$	500	MPa	
γ_M =	1.10	γ_s =	1.15	

Excentricita normálové síly				
Exc./Fáze	0	1	2	3
e_y	0.000	0.000	0.000	0.000
e_z	0.000	0.000	0.000	0.000
Ekvivalentní vzdál. stěn - příčný roznos				
b_{Mx}	0.000	0.000	0.000	0.000

Vliv stěny na únosnost průřezu				
Char./Fáze	0	1	2	3
A	0.00	0.00	0.00	0.00
Wy	0.00	0.00	0.00	0.00
Wz	0.00	0.00	0.00	0.00

Charakter. v kroucení			
$t_{w,y}$	0.000	[mm]	
$t_{w,z}$	0.000	[mm]	
κ	1.00		
I_t=	0.00E+00	[mm^4]	
$\Omega=2*A_{pr}$	0.00E+00	[mm^2]	

Součinitele vzpěru a vlivu II.řádu				
Char./Fáze	0	1	2	3
k_y	1.000	1.000	1.000	1.000
k_z	1.000	1.000	1.000	1.000
χ_{LT}	1.000	1.000	1.000	1.000
χ_{min}	1.000	1.000	1.000	1.000

Vnitřní síly od jednotlivých skupin zatěžovacích stavů

SKUPINA ZATĚŽOVACÍCH STAVŮ					- CHARAKTERISTICKÉ HODNOTY						DÍLČÍ SOUČINITELÉ ZATÍŽENÍ, DYNAMICKÝ SOUČINITEL						3	- NÁVRHOVÉ HODNOTY									
Č.	SKUP ZS	POPIS ZS	KAT.	FÁZE PRŮŘ.	N.k (kN)	Vy.k (kN)	Vz.k (kN)	Mx.k (kNm)	My.k (kNm)	Mz.k (kNm)	γ_{sup} (-)	γ_{inf} (-)	volba ψ_i hledat	ψ_i (-)	L_d (m)	δ (-)	ψ_0 KZ03	N.d (kN)	Vy.d (kN)	Vz.d (kN)	ΔVz.d (kN)	ΣVz.d (kN)	Mx.d (kNm)	My.d (kNm)	ΔMy.d (kNm)	ΣMy.d (kNm)	Mz.d (kNm)	ΔMz.d (kNm)	ΣMz.d (kNm)
1	G0	Vlastní tíha OK	G	0	95	-2	-9	0	23	1	1.00	1.20		1.20	-	1.00	0.95	109	-2	-10	0	-10	0	27	0	27	2	0	2
2	G1	Ostatní stálé - mostní vybavení	G	0	7	0	-1	0	1	0	1.00	1.20		1.20	-	1.00	0.95	8	0	-1	0	-1	0	2	0	2	0	0	0
3	G2	Ostatní stálé - cizí zařízení	G	0	5	0	0	0	1	0	1.00	1.20		1.20	-	1.00	0.95	6	0	-1	0	-1	0	1	0	1	0	0	0
4	P1_71	a.LM71 - kolej 1 (bez dyn. souč.)	P	0	99	-2	-11	0	18	1	1.00	1.30		1.30	-	1.61	1.00	207	-4	-24	0	-24	0	38	0	38	3	0	3
5	P2_71	a.LM71 - kolej 2 (bez dyn. souč.)	P	0	116	-3	4	0	176	2	1.00	1.30		1.30	-	1.61	1.00	243	-6	7	0	7	0	369	0	369	4	0	4
6	P1_C3	TTZ C3 - kolej 1 (bez dyn. souč.)	P	0	81	-2	-9	0	16	1	1.00	vyp.		0.00	-	1.00	0.00	0	0	0	0	0	0	0	0	0	0	0	0
7	P2_C3	TTZ C3 - kolej 2 (bez dyn. souč.)	P	0	96	-2	16	0	112	2	1.00	vyp.		0.00	-	1.00	0.00	0	0	0	0	0	0	0	0	0	0	0	0
8	BR	Brzdné a rozjezdové síly	P	0	252	-7	-29	0	55	5	1.00	1.30		1.30	-	1.00	0.80	262	-7	-30	0	-30	0	58	0	58	5	0	5
9	S	Boční ráz	P	0	-27	-19	0	0	6	-4	1.00	-1.30		-1.30	-	1.00	0.40	14	10	0	0	0	0	-3	0	-3	2	0	2
10	CH	Chodci na lávkách	Q	0	14	0	-1	0	2	0	1.00	1.30		1.30	-	1.00	1.00	18	0	-1	0	-1	0	3	0	3	0	0	0
11	W	Vítr na konstrukci	Q	0	3	-1	-4	0	4	1	1.00	1.35		1.35	-	1.00	0.75	3	-1	-4	0	-4	0	4	0	4	1	0	1
12	WP	Vítr na vozidla	Q	0	7	-4	-9	0	-4	2	1.00	1.35		1.35	-	1.00	0.75	7	-4	-9	0	-9	0	-4	0	-4	2	0	2
13	TR	Teplota rovnoměrná	Q	0	0	0	0	0	0	0	1.00	1.35		1.35	-	1.00	0.45	0	0	0	0	0	0	0	0	0	0	0	0
14	TN	Teplota nerovnoměrná	Q	0	-3	0	0	0	0	0	1.00	1.35		1.35	-	1.00	0.60	-3	0	0	0	0	0	0	0	0	0	0	0
15	FR	Třecí síly v ložiskách	Q	0	11	0	-1	0	2	0	1.00	1.20		1.20	-	1.00	1.00	13	0	-1	0	-1	0	2	0	2	0	0	0
16	I	Imperfekce soustavy	Q	0	0	0	0	0	0	0	1.00	1.20		1.20	-	1.00	1.00	-1	0	0	0	0	0	0	0	0	0	0	0
27	ULS_LM	ULS - LM71 bez dynam	Q	0	568	-43	-55	-1	332	7	1.00	vyp.		0.00	-	1.00	0.00	0	0	0	0	0	0	0	0	0	0	0	0
28	SLS_LM	SLS - LM71 bez dynam	Q	0	453	-33	-43	-1	258	6	1.00	vyp.	1	0.00	-	1.00	0.00	0	0	0	0	0	0	0	0	0	0	0	0
29	ULS_C3	ULS - C3 bez dynam	Q	0	521	-42	-37	-1	245	7	1.00	vyp.	1	0.00	-	1.00	0.00	0	0	0	0	0	0	0	0	0	0	0	0
30	SLS_C3	SLS - C3 bez dynam	Q	0	416	-33	-29	-1	192	5	1.00	vyp.	1	0.00	-	1.00	0.00	0	0	0	0	0	0	0	0	0	0	0	0
		CELKEM - FÁZE PRŮŘEZU 0																887	-16	-72	0	-72	-1	497	0	497	20	0	20
		CELKEM - FÁZE PRŮŘEZU 1																0	0	0	0	0	0	0	0	0	0	0	0
		CELKEM - FÁZE PRŮŘEZU 2																0	0	0	0	0	0	0	0	0	0	0	0
		CELKEM - FÁZE PRŮŘEZU 3																0	0	0	0	0	0	0	0	0	0	0	0
		CELKEM - PRŮŘEZ																887	-16	-72	0	-72	-1			497			20

Napětí od jednotlivých zatěžovacích stavů

SKUPINA ZATĚŽOVACÍCH STAVŮ					Posouzení normálového napětí										Posouzení smykového napětí													
					Účinek síly N			Účinek momentu My				Účinek momentu Mz				Účinek kroutícího momentu Mx				Účinek smykové síly Vy				Účinek smykové síly Vz			
Č.	SKUP ZS	Popis ZS	Kat.	fáze prúř.	δ^*N_d [kN]	χ^*A [mm^2]	σ_n [MPa]	$\delta^*M_{y,d}$ [kNm]	$\chi_{lt}*W_{el,y}$ [mm^3]	σ_{my} [MPa]	$\delta^*M_{z,d}$ [kNm]	$W_{el,z}$ [mm^3]	σ_{mz} [MPa]	σ_x [MPa]	$\kappa*\delta^*M_{x,d}$ [kNm]	$W_{v,y}$ [mm^2]	$\tau_{x,y}$ [MPa]	$W_{v,z}$ [mm^2]	$\tau_{x,z}$ [MPa]	$\delta^*V_{y,d}$ [kN]	$A_{v,y}$ [mm2]	$\tau_{v,y}$ [MPa]	$\tau_{v,y}$ [MPa]	$\delta^*V_{z,d}$ [kN]	$A_{v,z}$ [mm2]	$\tau_{v,z}$ [MPa]	$\tau_{v,z}$ [MPa]
1	G0	Vlastní tíha OK	G	0	108.8	1.49E+04	7.3	26.7	-3.81E+06	-7.0	1.6	-1.61E+05	-10.1	-9.8	-4.6E-02	-	-	-	-	-2.2	6.71E+03	-0.3	-0.3	-9.9	8.15E+03	-1.2	-1.2
2	G1	Ostatní stálé - mostní vybavení	G	0	8.2	1.49E+04	0.6	1.5	-3.81E+06	-0.4	0.1	-1.61E+05	-0.8	-0.6	0.0E+00	-	-	-	-	-0.2	6.71E+03	0.0	0.0	-0.8	8.15E+03	-0.1	-0.1
3	G2	Ostatní stálé - cizí zařízení	G	0	6.2	1.49E+04	0.4	1.1	-3.81E+06	-0.3	0.1	-1.61E+05	-0.6	-0.4	0.0E+00	-	-	-	-	-0.1	6.71E+03	0.0	0.0	-0.5	8.15E+03	-0.1	-0.1
4	P1_71	a.LM71 - kolej 1 (bez dyn. souč.)	P	0	207.3	1.49E+04	13.9	38.2	-3.81E+06	-10.0	3.0	-1.61E+05	-18.4	-14.5	0.0E+00	-	-	-	-	-4.0	6.71E+03	-0.6	-0.6	-23.5	8.15E+03	-2.9	-2.9
5	P2_71	a.LM71 - kolej 2 (bez dyn. souč.)	P	0	242.6	1.49E+04	16.3	368.9	-3.81E+06	-96.7	4.0	-1.61E+05	-24.9	-105.3	-2.5E-01	-	-	-	-	-5.6	6.71E+03	-0.8	-0.8	7.4	8.15E+03	0.9	0.9
6	P1_C3	TTZ C3 - kolej 1 (bez dyn. souč.)	P	0	0.0	1.49E+04	0.0	0.0	-3.81E+06	0.0	0.0	-1.61E+05	0.0	0.0	0.0E+00	-	-	-	-	0.0	6.71E+03	0.0	0.0	0.0	8.15E+03	0.0	0.0
7	P2_C3	TTZ C3 - kolej 2 (bez dyn. souč.)	P	0	0.0	1.49E+04	0.0	0.0	-3.81E+06	0.0	0.0	-1.61E+05	0.0	0.0	0.0E+00	-	-	-	-	0.0	6.71E+03	0.0	0.0	0.0	8.15E+03	0.0	0.0
8	BR	Brzdné a rozjezdové síly	P	0	262.1	1.49E+04	17.6	57.6	-3.81E+06	-15.1	5.3	-1.61E+05	-32.9	-30.4	-1.6E-01	-	-	-	-	-7.4	6.71E+03	-1.1	-1.1	-29.9	8.15E+03	-3.7	-3.7
9	S	Boční ráz	P	0	14.0	1.49E+04	0.9	-3.2	-3.81E+06	0.8	2.2	-1.61E+05	-13.6	-11.8	1.8E-01	-	-	-	-	9.8	6.71E+03	1.5	1.5	0.1	8.15E+03	0.0	0.0
10	CH	Chodci na lávkách	Q	0	17.6	1.49E+04	1.2	2.8	-3.81E+06	-0.7	0.3	-1.61E+05	-1.7	-1.2	-1.3E-02	-	-	-	-	-0.4	6.71E+03	-0.1	-0.1	-1.5	8.15E+03	-0.2	-0.2
11	W	Vítr na konstrukci	Q	0	2.8	1.49E+04	0.2	4.4	-3.81E+06	-1.2	1.2	-1.61E+05	-7.2	-8.2	-8.1E-02	-	-	-	-	-1.2	6.71E+03	-0.2	-0.2	-3.7	8.15E+03	-0.5	-0.5
12	WP	Vítr na vozidla	Q	0	7.0	1.49E+04	0.5	-3.6	-3.81E+06	0.9	1.5	-1.61E+05	-9.6	-8.2	-1.9E-01	-	-	-	-	-3.8	6.71E+03	-0.6	-0.6	-8.6	8.15E+03	-1.1	-1.1
13	TR	Teplota rovnoměrná	Q	0	0.0	1.49E+04	0.0	0.0	-3.81E+06	0.0	0.0	-1.61E+05	0.0	0.0	0.0E+00	-	-	-	-	0.0	6.71E+03	0.0	0.0	0.0	8.15E+03	0.0	0.0
14	TN	Teplota nerovnoměrná	Q	0	-2.6	1.49E+04	-0.2	0.0	-3.81E+06	0.0	0.2	-1.61E+05	-1.1	-1.2	-1.6E-02	-	-	-	-	-0.2	6.71E+03	0.0	0.0	0.0	8.15E+03	0.0	0.0
15	FR	Třecí síly v ložiskách	Q	0	13.3	1.49E+04	0.9	2.2	-3.81E+06	-0.6	0.2	-1.61E+05	-1.1	-0.8	0.0E+00	-	-	-	-	-0.3	6.71E+03	0.0	0.0	-1.1	8.15E+03	-0.1	-0.1
16	I	Imperfekce soustavy	Q	0	-0.6	1.49E+04	0.0	0.2	-3.81E+06	0.0	0.1	-1.61E+05	-0.5	-0.6	0.0E+00	-	-	-	-	-0.1	6.71E+03	0.0	0.0	-0.2	8.15E+03	0.0	0.0
27	ULS_LM	ULS - LM71 bez dynam	Q	0	0.0	1.49E+04	0.0	0.0	-3.81E+06	0.0	0.0	-1.61E+05	0.0	0.0	0.0E+00	-	-	-	-	0.0	6.71E+03	0.0	0.0	0.0	8.15E+03	0.0	0.0
28	SLS_LM	SLS - LM71 bez dynam	Q	0	0.0	1.49E+04	0.0	0.0	-3.81E+06	0.0	0.0	-1.61E+05	0.0	0.0	0.0E+00	-	-	-	-	0.0	6.71E+03	0.0	0.0	0.0	8.15E+03	0.0	0.0
29	ULS_C3	ULS - C3 bez dynam	Q	0	0.0	1.49E+04	0.0	0.0	-3.81E+06	0.0	0.0	-1.61E+05	0.0	0.0	0.0E+00	-	-	-	-	0.0	6.71E+03	0.0	0.0	0.0	8.15E+03	0.0	0.0
30	SLS_C3	SLS - C3 bez dynam	Q	0	0.0	1.49E+04	0.0	0.0	-3.81E+06	0.0	0.0	-1.61E+05	0.0	0.0	0.0E+00	-	-	-	-	0.0	6.71E+03	0.0	0.0	0.0	8.15E+03	0.0	0.0
NAVÝŠENÍ NAPĚTÍ DO AKTIVACE TLAKU V DESCE MOSTOVKY						$\sigma_{P,red}$	0.0							0.0			0.0		0.0			-2.3	-2.3			-8.9	-8.9
NAPĚTÍ OD PRIMÁRNÍCH ÚČINKŮ NEROVNOMĚRNÉHO OTEPLENÍ						σ_T	0.0							0.0													
NAPĚTÍ OD REOLOGICKÝCH ÚČINKŮ BETONU V ČASE				t=0		σ_R	0.0	γ_{inf}=	1.20					0.0													
NAPĚTÍ V KRITICKÝCH VLÁKNECH OD KOMBINACE ZATÍŽENÍ						KZ03		[MPa]					$\Sigma\sigma_x$	-193.1								$\Sigma\tau_y$	-2.3			$\Sigma\tau_z$	-8.9
NAPĚTÍ OD POHYBLIVÉHO ZATÍŽENÍ								[MPa]					$\sigma_{x,P}$	-161.9								τ_P	-1.1			τ_P	-5.6
NAPĚTÍ OD OSTATNÍCH ZATÍŽENÍ								[MPa]			Φ_{Vy}	Φ_{Vz}	$\sigma_{x,rs}$	-31.2								τ_{rs}	-1.2			τ_{rs}	-3.2
NÁVRHOVÁ HODNOTA MEZE KLUZU S REDUKCÍ VLIVEM SMYKOVÉHO NAPĚTÍ								[MPa]			1.00	1.00	$f_{yw,d}$	209.1								$f_{yd}/3^{0,5}$	120.7			$f_{yd}/3^{0,5}$	120.7
NAPĚTÍ OD POHYBLIVÉHO ZATÍŽENÍ V GLOBÁLNÍM SYSTÉMU						$\sigma_{GLOB,P}$	0.0	[MPa]					$\Sigma\sigma_{GLOB}$	0.0													
NAPĚTÍ OD OSTATNÍCH ZATÍŽENÍ V GLOBÁLNÍM SYSTÉMU						$\sigma_{GLOB,rs}$	0.0	[MPa]					$\Sigma\sigma_x + \Sigma\sigma_{GLOB}$	-193.1													
VYUŽITÍ PRŮŘEZU DLE NAPĚTÍ								[%]					η_1	0.92								η_3	0.02			η_3	0.07
NAPĚTÍ V PŘÍČNÉM SMĚRU OD POHYBLIVÉHO ZATÍŽENÍ						$\sigma_{z,P}$	0.0	[MPa]					$\Sigma\sigma_z$	0.0													
NAPĚTÍ V PŘÍČNÉM SMĚRU OD OSTATNÍCH ZATÍŽENÍ						$\sigma_{z,rs}$	0.0	[MPa]					η_2	0.00													
SROVNÁVACÍ NAPĚTÍ													$(\eta_2 + 0,8\,\eta_1)/1,4$ =	0.53													
VYUŽITÍ PRŮŘEZU CELKEM								[%]					eff	0.92	VYHOVUJE												
													Z_{LM71} =	1.10													

TAB. L2.2.3 POSOUZENÍ - MEZNÍ STAV ÚNOSNOSTI

POPIS	PODĚLNÍK L2.E - STŘED
PRUT / POLOHA BODU	871 / 43,192
NAMÁHÁNÍ	My.max
VLÁKNO	BOD K4 -SP
MEZNÍ STAV	ULS (MSÚ)
VYUŽITÍ VLÁKNA PRŮŘEZU	1.31

Charakteristiky materiálu				
pás. horní	$f_{yf,k}$	230	MPa	
pás. dolní	$f_{yf,k}$	230	MPa	
stojina	$f_{yw,k}$	230	MPa	
výztuž	$f_{ys,k}$	500	MPa	
γ_M =	1.10	γ_s =	1.15	

Excentricita normálové síly				
Exc./Fáze	0	1	2	3
e_y	0.000	0.000	0.000	0.000
e_z	0.000	0.000	0.000	0.000
Ekvivalentní vzdál. stěn - příčný roznos				
b_{ekv}	0.000	0.000	0.000	0.000

Vliv stěny na únosnost průřezu				
Char./Fáze	0	1	2	3
A	0.00	0.00	0.00	0.00
Wy	0.00	0.00	0.00	0.00
Wz	0.00	0.00	0.00	0.00

Charakter. v kroucení			
$t_{w,y}$	0.000	[mm]	
$t_{w,z}$	0.000	[mm]	
κ	1.00		
I_t=	0.00E+00	[mm^4]	
$\Omega=2*A_{pr}$	0.00E+00	[mm^2]	

Součinitele vzpěru a vlivu II.řádu					
Char./Fáze	0	1	2	3	
k_y	1.000	1.000	1.000	1.000	
k_z	1.000	1.000	1.000	1.000	
χ_{LT}	1.000	1.000	1.000	1.000	
χ_{min}	1.000	1.000	1.000	1.000	

Vnitřní síly od jednotlivých skupin zatěžovacích stavů

SKUPINA ZATĚŽOVACÍCH STAVŮ — 3

Č.	SKUP ZS	POPIS ZS	KAT.	FÁZE PRŮŘ.	- CHARAKTERISTICKÉ HODNOTY N,k (kN)	Vy,k (kN)	Vz,k (kN)	Mx,k (kNm)	My,k (kNm)	Mz,k (kNm)	DÍLČÍ SOUČINITELÉ ZATÍŽENÍ, DYNAMICKÝ SOUČINITEL γ_{sr} (-)	γ_{fs} (-)	volba γ_f hledat	γ_f (-)	L_d (m)	δ (-)	γ_{Sc} KZ03	- NÁVRHOVÉ HODNOTY N,d (kN)	Vy,d (kN)	Vz,d (kN)	ΔVz,d (kN)	ΣVz,d (kN)	Mx,d (kNm)	My,d (kNm)	ΔMy,d (kNm)	ΣMy,d (kNm)	Mz,d (kNm)	ΔMz,d (kNm)	ΣMz,d (kNm)
1	G0	Vlastní tíha OK	G	0	37	0	0	0	7	0	1.00	1.20		1.20	-	1.00	0.95	42	0	0	0	0	0	8	0	8	0	0	0
2	G1	Ostatní stálé - mostní vybavení	G	0	7	0	-1	0	1	0	1.00	1.20		1.20	-	1.00	0.95	8	0	-1	0	-1	0	2	0	2	0	0	0
3	G2	Ostatní stálé - cizí zařízení	G	0	5	0	0	0	1	0	1.00	1.20		1.20	-	1.00	0.95	6	0	-1	0	-1	0	1	0	1	0	0	0
4	P1_71	a.LM71 - kolej 1 (bez dyn. souč.)	P	0	89	-2	-10	0	24	1	1.00	1.30		1.30	-	1.61	1.00	186	-4	-20	0	-20	0	50	0	50	2	0	2
5	P2_71	a.LM71 - kolej 2 (bez dyn. souč.)	P	0	104	-2	2	0	181	2	1.00	1.30		1.30	-	1.61	1.00	218	-5	4	0	4	0	379	0	379	4	0	4
6	P1_C3	TTZ C3 - kolej 1 (bez dyn. souč.)	P	0	79	-1	-9	0	18	1	1.00	vyp.		0.00	-	1.00	0.00	0	0	0	0	0	0	0	0	0	0	0	0
7	P2_C3	TTZ C3 - kolej 2 (bez dyn. souč.)	P	0	84	-2	1	0	126	1	1.00	vyp.		0.00	-	1.00	0.00	0	0	0	0	0	0	0	0	0	0	0	0
8	BR	Brzdné a rozjezdové síly	P	0	252	-7	-29	0	55	5	1.00	1.30		1.30	-	1.00	0.80	262	-7	-30	0	-30	0	58	0	58	5	0	5
9	S	Boční ráz	P	0	-27	-19	0	0	6	-4	1.00	-1.30		-1.30	-	1.00	0.40	14	10	0	0	0	0	-3	0	-3	2	0	2
10	CH	Chodci na lávkách	Q	0	14	0	-1	0	2	0	1.00	1.30		1.30	-	1.00	1.00	18	0	-1	0	-1	0	3	0	3	0	0	0
11	W	Vítr na konstrukci	Q	0	3	-1	-4	0	4	1	1.00	1.35		1.35	-	1.00	0.75	3	-1	-4	0	-4	0	4	0	4	1	0	1
12	WP	Vítr na vozidla	Q	0	-7	4	9	0	4	-2	1.00	-1.35		-1.35	-	1.00	0.75	7	-4	-9	0	-9	0	-4	0	-4	2	0	2
13	TR	Teplota rovnoměrná	Q	0	0	0	0	0	0	0	1.00	1.35		1.35	-	1.00	0.45	0	0	0	0	0	0	0	0	0	0	0	0
14	TN	Teplota nerovnoměrná	Q	0	-8	0	0	0	1	0	1.00	-1.35		-1.35	-	1.00	0.60	7	0	0	0	0	0	-1	0	-1	0	0	0
15	FR	Třecí síly v ložiskách	Q	0	11	0	-1	0	2	0	1.00	1.20		1.20	-	1.00	1.00	13	0	-1	0	-1	0	2	0	2	0	0	0
16	I	Imperfekce soustavy	Q	0	0	0	0	0	0	0	1.00	1.20		1.20	-	1.00	1.00	-1	0	0	0	0	0	0	0	0	0	0	0
27	ULS_LM	ULS - LM71 bez dynam	Q	0	704	-27	-57	0	385	10	1.00	vyp.		0.00	-	1.00	0.00	0	0	0	0	0	0	0	0	0	0	0	0
28	SLS_LM	SLS - LM71 bez dynam	Q	0	561	-22	-45	0	299	8	1.00	vyp.	1	0.00	-	1.00	0.00	0	0	0	0	0	0	0	0	0	0	0	0
29	ULS_C3	ULS - C3 bez dynam	Q	0	664	-27	-56	0	306	9	1.00	vyp.	1	0.00	-	1.00	0.00	0	0	0	0	0	0	0	0	0	0	0	0
30	SLS_C3	SLS - C3 bez dynam	Q	0	530	-21	-44	0	238	7	1.00	vyp.	1	0.00	-	1.00	0.00	0	0	0	0	0	0	0	0	0	0	0	0
		CELKEM - FÁZE PRŮŘEZU 0																784	-13	-63	0	-63	0	499	0	499	17	0	17
		CELKEM - FÁZE PRŮŘEZU 1																0	0	0	0	0	0	0	0	0	0	0	0
		CELKEM - FÁZE PRŮŘEZU 2																0	0	0	0	0	0	0	0	0	0	0	0
		CELKEM - FÁZE PRŮŘEZU 3																0	0	0	0	0	0	0	0	0	0	0	0
		CELKEM - PRŮŘEZ																784	-13	-63	0	-63	0			499			17

Napětí od jednotlivých zatěžovacích stavů

SKUPINA ZATĚŽOVACÍCH STAVŮ

Č.	SKUP ZS	Popis ZS	Kat.	fáze průř.	Posouzení normálového napětí — Účinek síly N δ^*N_d [kN]	χ^*A [mm^2]	σ_n [MPa]	Účinek momentu My $\delta^*M_{y,d}$ [kNm]	$\chi_{lt}*W_{el,y}$ [mm^3]	σ_{my} [MPa]	Účinek momentu Mz $\delta^*M_{z,d}$ [kNm]	$W_{el,z}$ [mm^3]	σ_{mz} [MPa]	σ_x [MPa]	Posouzení smykového napětí — Účinek kroutícího momentu Mx $\kappa*\delta^*M_{x,d}$ [kNm]	$W_{v,y}$ [mm^2]	$\tau_{x,y}$ [MPa]	$W_{v,z}$ [mm^2]	$\tau_{x,z}$ [MPa]	Účinek smykové síly Vy $\delta^*V_{y,d}$ [kN]	$A_{v,y}$ [mm2]	$\tau_{v,y}$ [MPa]	$\tau_{v,y}$ [MPa]	Účinek smykové síly Vz $\delta^*V_{z,d}$ [kN]	$A_{v,z}$ [mm2]	$\tau_{v,z}$ [MPa]	$\tau_{v,z}$ [MPa]
1	G0	Vlastní tíha OK	G	0	41.9	1.49E+04	2.8	8.2	3.26E+06	2.5	0.1	2.49E+05	0.4	5.7	0.0E+00	-	-	-	-	-0.3	6.71E+03	0.0	0.0	-0.4	8.15E+03	0.0	0.0
2	G1	Ostatní stálé - mostní vybavení	G	0	8.2	1.49E+04	0.6	1.5	3.26E+06	0.5	0.1	2.49E+05	0.5	1.5	0.0E+00	-	-	-	-	-0.2	6.71E+03	0.0	0.0	-0.8	8.15E+03	-0.1	-0.1
3	G2	Ostatní stálé - cizí zařízení	G	0	6.2	1.49E+04	0.4	1.1	3.26E+06	0.3	0.1	2.49E+05	0.4	1.1	0.0E+00	-	-	-	-	-0.1	6.71E+03	0.0	0.0	-0.5	8.15E+03	-0.1	-0.1
4	P1_71	a.LM71 - kolej 1 (bez dyn. souč.)	P	0	186.4	1.49E+04	12.5	49.7	3.26E+06	15.2	2.4	2.49E+05	9.6	37.4	8.4E-02	-	-	-	-	-3.5	6.71E+03	-0.5	-0.5	-20.3	8.15E+03	-2.5	-2.5
5	P2_71	a.LM71 - kolej 2 (bez dyn. souč.)	P	0	218.3	1.49E+04	14.7	379.2	3.26E+06	116.2	3.6	2.49E+05	14.5	145.4	-2.3E-01	-	-	-	-	-5.2	6.71E+03	-0.8	-0.8	3.7	8.15E+03	0.5	0.5
6	P1_C3	TTZ C3 - kolej 1 (bez dyn. souč.)	P	0	0.0	1.49E+04	0.0	0.0	3.26E+06	0.0	0.0	2.49E+05	0.0	0.0	0.0E+00	-	-	-	-	0.0	6.71E+03	0.0	0.0	0.0	8.15E+03	0.0	0.0
7	P2_C3	TTZ C3 - kolej 2 (bez dyn. souč.)	P	0	0.0	1.49E+04	0.0	0.0	3.26E+06	0.0	0.0	2.49E+05	0.0	0.0	0.0E+00	-	-	-	-	0.0	6.71E+03	0.0	0.0	0.0	8.15E+03	0.0	0.0
8	BR	Brzdné a rozjezdové síly	P	0	262.1	1.49E+04	17.6	57.6	3.26E+06	17.7	5.3	2.49E+05	21.2	56.5	-1.6E-01	-	-	-	-	-7.4	6.71E+03	-1.1	-1.1	-29.9	8.15E+03	-3.7	-3.7
9	S	Boční ráz	P	0	14.0	1.49E+04	0.9	-3.2	3.26E+06	-1.0	2.2	2.49E+05	8.8	8.7	1.8E-01	-	-	-	-	9.8	6.71E+03	1.5	1.5	0.1	8.15E+03	0.0	0.0
10	CH	Chodci na lávkách	Q	0	17.6	1.49E+04	1.2	2.8	3.26E+06	0.9	0.3	2.49E+05	1.1	3.1	-1.3E-02	-	-	-	-	-0.4	6.71E+03	-0.1	-0.1	-1.5	8.15E+03	-0.2	-0.2
11	W	Vítr na konstrukci	Q	0	2.8	1.49E+04	0.2	4.4	3.26E+06	1.4	1.2	2.49E+05	4.7	6.2	-8.1E-02	-	-	-	-	-1.2	6.71E+03	-0.2	-0.2	-3.7	8.15E+03	-0.5	-0.5
12	WP	Vítr na vozidla	Q	0	7.0	1.49E+04	0.5	-3.6	3.26E+06	-1.1	1.5	2.49E+05	6.2	5.6	-1.9E-01	-	-	-	-	-3.8	6.71E+03	-0.6	-0.6	-8.6	8.15E+03	-1.1	-1.1
13	TR	Teplota rovnoměrná	Q	0	0.0	1.49E+04	0.0	0.0	3.26E+06	0.0	0.0	2.49E+05	0.0	0.0	0.0E+00	-	-	-	-	0.0	6.71E+03	0.0	0.0	0.0	8.15E+03	0.0	0.0
14	TN	Teplota nerovnoměrná	Q	0	6.7	1.49E+04	0.5	-1.1	3.26E+06	-0.3	0.1	2.49E+05	0.4	0.5	0.0E+00	-	-	-	-	-0.1	6.71E+03	0.0	0.0	0.0	8.15E+03	0.0	0.0
15	FR	Třecí síly v ložiskách	Q	0	13.3	1.49E+04	0.9	2.2	3.26E+06	0.7	0.2	2.49E+05	0.7	2.3	0.0E+00	-	-	-	-	-0.3	6.71E+03	0.0	0.0	-1.1	8.15E+03	-0.1	-0.1
16	I	Imperfekce soustavy	Q	0	-0.6	1.49E+04	0.0	0.2	3.26E+06	0.1	0.1	2.49E+05	0.3	0.4	0.0E+00	-	-	-	-	-0.1	6.71E+03	0.0	0.0	-0.2	8.15E+03	0.0	0.0
27	ULS_LM	ULS - LM71 bez dynam	Q	0	0.0	1.49E+04	0.0	0.0	3.26E+06	0.0	0.0	2.49E+05	0.0	0.0	0.0E+00	-	-	-	-	0.0	6.71E+03	0.0	0.0	0.0	8.15E+03	0.0	0.0
28	SLS_LM	SLS - LM71 bez dynam	Q	0	0.0	1.49E+04	0.0	0.0	3.26E+06	0.0	0.0	2.49E+05	0.0	0.0	0.0E+00	-	-	-	-	0.0	6.71E+03	0.0	0.0	0.0	8.15E+03	0.0	0.0
29	ULS_C3	ULS - C3 bez dynam	Q	0	0.0	1.49E+04	0.0	0.0	3.26E+06	0.0	0.0	2.49E+05	0.0	0.0	0.0E+00	-	-	-	-	0.0	6.71E+03	0.0	0.0	0.0	8.15E+03	0.0	0.0
30	SLS_C3	SLS - C3 bez dynam	Q	0	0.0	1.49E+04	0.0	0.0	3.26E+06	0.0	0.0	2.49E+05	0.0	0.0	0.0E+00	-	-	-	-	0.0	6.71E+03	0.0	0.0	0.0	8.15E+03	0.0	0.0
NAVÝŠENÍ NAPĚTÍ DO AKTIVACE TLAKU V DESCE MOSTOVKY						$\sigma_{P,red}$	0.0							0.0				0.0		0.0			-1.9	-1.9			-7.8	-7.8
NAPĚTÍ OD PRIMÁRNÍCH ÚČINKŮ NEROVNOMĚRNÉHO OTEPLENÍ						σ_T	0.0							0.0														
NAPĚTÍ OD REOLOGICKÝCH ÚČINKŮ BETONU V ČASE				t=0		σ_R	0.0	γ_{sr}=	1.20					0.0														
NAPĚTÍ V KRITICKÝCH VLÁKNECH OD KOMBINACE ZATÍŽENÍ						KZ03		[MPa]					$\Sigma\sigma_x$	274.5								$\Sigma\tau_y$	-1.9				$\Sigma\tau_z$	-7.8
NAPĚTÍ OD POHYBLIVÉHO ZATÍŽENÍ								[MPa]					$\sigma_{x,P}$	248.1								τ_P	-1.0				τ_P	-5.7
NAPĚTÍ OD OSTATNÍCH ZATÍŽENÍ								[MPa]			Φ_{Vy}	Φ_{Vz}	$\sigma_{x,rs}$	26.4								τ_{rs}	-0.9				τ_{rs}	-2.1
NÁVRHOVÁ HODNOTA MEZE KLUZU S REDUKCÍ VLIVEM SMYKOVÉHO NAPĚTÍ								[MPa]			1.00	1.00	$f_{yw,d}$	209.1								$f_{yd}/3^{0,5}$	120.7				$f_{yd}/3^{0,5}$	120.7
NAPĚTÍ OD POHYBLIVÉHO ZATÍŽENÍ V GLOBÁLNÍM SYSTÉMU						$\sigma_{GLOB,P}$	0.0	[MPa]					$\Sigma\sigma_{GLOB}$	0.0														
NAPĚTÍ OD OSTATNÍCH ZATÍŽENÍ V GLOBÁLNÍM SYSTÉMU						$\sigma_{GLOB,rs}$	0.0	[MPa]					$\Sigma\sigma_x + \Sigma\sigma_{GLOB}$	274.5														
VYUŽITÍ PRŮŘEZU DLE NAPĚTÍ								[%]					η_1	1.31								η_3	0.02				η_3	0.06
NAPĚTÍ V PŘÍČNÉM SMĚRU OD POHYBLIVÉHO ZATÍŽENÍ						$\sigma_{z,P}$	0.0	[MPa]					$\Sigma\sigma_z$	0.0														
NAPĚTÍ V PŘÍČNÉM SMĚRU OD OSTATNÍCH ZATÍŽENÍ						$\sigma_{z,rs}$	0.0	[MPa]					η_2	0.00														
SROVNÁVACÍ NAPĚTÍ													$(\eta2 + 0,8\ \eta1)/1,4$ =	0.75														
VYUŽITÍ PRŮŘEZU CELKEM								[%]					eff	1.31	NEVYHOVUJE													
													z_{LM71} =	0.74														

TAB. L2.2.3 POSOUZENÍ - MEZNÍ STAV ÚNOSNOSTI

POPIS	PODÉLNÍK L2.E - STŘED
PRUT / POLOHA BODU	871 / 43,192
NAMÁHÁNÍ	Vz.max
VLÁKNO	BOD S6 -HP
MEZNÍ STAV	ULS (MSÚ)
VYUŽITÍ VLÁKNA PRŮŘEZU	0.20

Charakteristiky materiálu				
pás. horní	$f_{yf,k}$	230	MPa	
pás. dolní	$f_{yf,k}$	230	MPa	
stojina	$f_{yw,k}$	230	MPa	
výztuž	$f_{ys,k}$	500	MPa	
	γ_{M} =	1.20	γ_{s} =	1.15

Excentricita normálové síly				
Exc./Fáze	0	1	2	3
e_y	0.000	0.000	0.000	0.000
e_z	0.000	0.000	0.000	0.000
Ekvivalentní vzdál. stěn - příčný roznos				
b_{Mx}	0.000	0.000	0.000	0.000

Vliv stěny na únosnost průřezu				
Char./Fáze	0	1	2	3
A	0.00	0.00	0.00	0.00
Wy	0.00	0.00	0.00	0.00
Wz	0.00	0.00	0.00	0.00

Charakter. v kroucení			
$t_{w,y}$	0.000	[mm]	
$t_{w,z}$	0.000	[mm]	
κ	1.00		
I_t=	0.00E+00	[mm^4]	
Ω=2*A_{pr}	0.00E+00	[mm^2]	

Součinitele vzpěru a vlivu II.řádu					
Char./Fáze	0	1	2	3	
k_y	1.000	1.000	1.000	1.000	
k_z	1.000	1.000	1.000	1.000	
χ_{LT}	1.000	1.000	1.000	1.000	
χ_{min}	1.000	1.000	1.000	1.000	

Vnitřní síly od jednotlivých skupin zatěžovacích stavů

SKUPINA ZATĚŽOVACÍCH STAVŮ					- CHARAKTERISTICKÉ HODNOTY						DÍLČÍ SOUČINITELÉ ZATÍŽENÍ, DYNAMICKÝ SOUČINITEL						3	- NÁVRHOVÉ HODNOTY									
Č.	SKUP ZS	POPIS ZS	KAT.	FÁZE PRŮŘ.	N.k (kN)	Vy.k (kN)	Vz.k (kN)	Mx.k (kNm)	My.k (kNm)	Mz.k (kNm)	γ_{sr} (-)	γ_{s} (-)	volba ψ_i hledat	ψ_i (-)	L_d (m)	δ (-)	ψ_{2i} KZ03	N.d (kN)	Vy.d (kN)	Vz.d (kN)	ΔVz.d (kN)	ΣVz.d (kN)	Mx.d (kNm)	My.d (kNm)	ΔMy.d (kNm)	ΣMy.d (kNm)	Mz.d (kNm)	ΔMz.d (kNm)	ΣMz.d (kNm)
1	G0	Vlastní tíha OK	G	0	37	0	0	0	7	0	1.00	1.20		1.20	-	1.00	0.95	42	0	0	0	0	0	8	0	8	0	0	0
2	G1	Ostatní stálé - mostní vybavení	G	0	7	0	-1	0	1	0	1.00	1.20		1.20	-	1.00	0.95	8	0	-1	0	-1	0	2	0	2	0	0	0
3	G2	Ostatní stálé - cizí zařízení	G	0	5	0	0	0	1	0	1.00	1.20		1.20	-	1.00	0.95	6	0	-1	0	-1	0	1	0	1	0	0	0
4	P1_71	a.LM71 - kolej 1 (bez dyn. souč.)	P	0	3	0	2	0	4	0	1.00	1.30		1.30	-	1.61	1.00	6	0	4	0	4	0	8	0	8	0	0	0
5	P2_71	a.LM71 - kolej 2 (bez dyn. souč.)	P	0	5	0	65	0	100	0	1.00	1.30		1.30	-	1.61	1.00	11	-1	136	0	136	0	210	0	210	0	0	0
6	P1_C3	TTZ C3 - kolej 1 (bez dyn. souč.)	P	0	2	0	1	0	2	0	1.00	vyp.		0.00	-	1.00	0.00	0	0	0	0	0	0	0	0	0	0	0	0
7	P2_C3	TTZ C3 - kolej 2 (bez dyn. souč.)	P	0	5	0	48	0	73	0	1.00	vyp.		0.00	-	1.00	0.00	0	0	0	0	0	0	0	0	0	0	0	0
8	BR	Brzdné a rozjezdové síly	P	0	-252	7	29	0	-55	-5	1.00	1.30		1.30	-	1.00	0.80	-262	7	30	0	30	0	-58	0	-58	-5	0	-5
9	S	Boční ráz	P	0	4	1	3	0	-1	-1	1.00	1.30		1.30	-	1.00	0.40	2	0	2	0	2	0	0	0	0	0	0	0
10	CH	Chodci na lávkách	Q	0	8	0	-1	0	1	0	1.00	0.00		0.00	-	1.00	1.00	0	0	0	0	0	0	0	0	0	0	0	0
11	W	Vítr na konstrukci	Q	0	-3	1	4	0	-4	-1	1.00	1.35		1.35	-	1.00	0.75	-3	1	4	0	4	0	-4	0	-4	-1	0	-1
12	WP	Vítr na vozidla	Q	0	-7	4	9	0	4	-2	1.00	1.35		1.35	-	1.00	0.75	-7	4	9	0	9	0	4	0	4	-2	0	-2
13	TR	Teplota rovnoměrná	Q	0	0	0	0	0	0	0	1.00	1.35		1.35	-	1.00	0.45	0	0	0	0	0	0	0	0	0	0	0	0
14	TN	Teplota nerovnoměrná	Q	0	-8	0	0	0	1	0	1.00	1.35		1.35	-	1.00	0.60	-7	0	0	0	0	0	1	0	1	0	0	0
15	FR	Třecí síly v ložiskách	Q	0	-11	0	1	0	-2	0	1.00	1.20		1.20	-	1.00	1.00	-13	0	1	0	1	0	-2	0	-2	0	0	0
16	I	Imperfekce soustavy	Q	0	0	0	0	0	0	0	1.00	1.20		1.20	-	1.00	1.00	1	0	0	0	0	0	0	0	0	0	0	0
27	ULS_LM	ULS - LM71 bez dynam	Q	0	-209	12	127	0	92	-8	1.00	vyp.		0.00	-	1.00	0.00	0	0	0	0	0	0	0	0	0	0	0	0
28	SLS_LM	SLS - LM71 bez dynam	Q	0	-143	9	96	0	73	-6	1.00	vyp.	1	0.00	-	1.00	0.00	0	0	0	0	0	0	0	0	0	0	0	0
29	ULS_C3	ULS - C3 bez dynam	Q	0	-212	12	106	0	54	-8	1.00	vyp.	1	0.00	-	1.00	0.00	0	0	0	0	0	0	0	0	0	0	0	0
30	SLS_C3	SLS - C3 bez dynam	Q	0	-145	9	80	0	44	-6	1.00	vyp.	1	0.00	-	1.00	0.00	0	0	0	0	0	0	0	0	0	0	0	0
		CELKEM - FÁZE PRŮŘEZU 0			-215	12	183	0	169	-8								-215	12	183	0	183	0	169	0	169	-8	0	-8
		CELKEM - FÁZE PRŮŘEZU 1																0	0	0	0	0	0	0	0	0	0	0	0
		CELKEM - FÁZE PRŮŘEZU 2																0	0	0	0	0	0	0	0	0	0	0	0
		CELKEM - FÁZE PRŮŘEZU 3																0	0	0	0	0	0	0	0	0	0	0	0
		CELKEM - PRŮŘEZ																-215	12	183	0	183	0			169			-8

Napětí od jednotlivých zatěžovacích stavů

SKUPINA ZATĚŽOVACÍCH STAVŮ					Posouzení normálového napětí										Posouzení smykového napětí													
					Účinek síly N			Účinek momentu My				Účinek momentu Mz				Účinek kroutícího momentu Mx				Účinek smykové síly Vy				Účinek smykové síly Vz			
Č.	SKUP ZS	Popis ZS	Kat.	fáze prúř.	δ*N_d [kN]	χ*A [mm^2]	σ_n [MPa]	δ*$M_{y,d}$ [kNm]	χ_{lt}*$W_{el,y}$ [mm^3]	σ_{my} [MPa]	δ*$M_{z,d}$ [kNm]	$W_{el,z}$ [mm^3]	σ_{mz} [MPa]	σ_x [MPa]	κ*δ*$M_{x,d}$ [kNm]	$W_{v,y}$ [mm^2]	$\tau_{x,y}$ [MPa]	$W_{v,z}$ [mm^2]	$\tau_{x,z}$ [MPa]	δ*$V_{y,d}$ [kN]	$A_{v,y}$ [mm2]	$\tau_{v,y}$ [MPa]	$\tau_{v,y}$ [MPa]	δ*$V_{z,d}$ [kN]	$A_{v,z}$ [mm2]	$\tau_{v,z}$ [MPa]	$\tau_{v,z}$ [MPa]
1	G0	Vlastní tíha OK	G	0	41.9	1.49E+04	2.8	8.2	3.35E+06	2.5	0.1	-1.29E+07	0.0	5.3	0.0E+00	-	-	-	-	-0.3	6.71E+03	0.0	0.0	-0.4	8.15E+03	0.0	0.0
2	G1	Ostatní stálé - mostní vybavení	G	0	8.2	1.49E+04	0.6	1.5	3.35E+06	0.5	0.1	-1.29E+07	0.0	1.0	0.0E+00	-	-	-	-	-0.2	6.71E+03	0.0	0.0	-0.8	8.15E+03	-0.1	-0.1
3	G2	Ostatní stálé - cizí zařízení	G	0	6.2	1.49E+04	0.4	1.1	3.35E+06	0.3	0.1	-1.29E+07	0.0	0.7	0.0E+00	-	-	-	-	-0.1	6.71E+03	0.0	0.0	-0.5	8.15E+03	-0.1	-0.1
4	P1_71	a.LM71 - kolej 1 (bez dyn. souč.)	P	0	6.4	1.49E+04	0.4	8.1	3.35E+06	2.4	-0.1	-1.29E+07	0.0	2.9	4.2E-02	-	-	-	-	0.0	6.71E+03	0.0	0.0	3.6	8.15E+03	0.4	0.4
5	P2_71	a.LM71 - kolej 2 (bez dyn. souč.)	P	0	11.3	1.49E+04	0.8	210.2	3.35E+06	62.8	0.3	-1.29E+07	0.0	63.5	-1.0E-01	-	-	-	-	-1.0	6.71E+03	-0.1	-0.1	136.0	8.15E+03	16.7	16.7
6	P1_C3	TTZ C3 - kolej 1 (bez dyn. souč.)	P	0	0.0	1.49E+04	0.0	0.0	3.35E+06	0.0	0.0	-1.29E+07	0.0	0.0	0.0E+00	-	-	-	-	0.0	6.71E+03	0.0	0.0	0.0	8.15E+03	0.0	0.0
7	P2_C3	TTZ C3 - kolej 2 (bez dyn. souč.)	P	0	0.0	1.49E+04	0.0	0.0	3.35E+06	0.0	0.0	-1.29E+07	0.0	0.0	0.0E+00	-	-	-	-	0.0	6.71E+03	0.0	0.0	0.0	8.15E+03	0.0	0.0
8	BR	Brzdné a rozjezdové síly	P	0	-262.1	1.49E+04	-17.6	-57.6	3.35E+06	-17.2	-5.3	-1.29E+07	0.4	-34.4	1.6E-01	-	-	-	-	7.4	6.71E+03	1.1	1.1	29.9	8.15E+03	3.7	3.7
9	S	Boční ráz	P	0	2.2	1.49E+04	0.1	-0.4	3.35E+06	-0.1	-0.4	-1.29E+07	0.0	0.1	2.6E-02	-	-	-	-	0.4	6.71E+03	0.1	0.1	1.7	8.15E+03	0.2	0.2
10	CH	Chodci na lávkách	Q	0	0.0	1.49E+04	0.0	0.0	3.35E+06	0.0	0.0	-1.29E+07	0.0	0.0	0.0E+00	-	-	-	-	0.0	6.71E+03	0.0	0.0	0.0	8.15E+03	0.0	0.0
11	W	Vítr na konstrukci	Q	0	-2.8	1.49E+04	-0.2	-4.4	3.35E+06	-1.3	-1.2	-1.29E+07	0.1	-1.4	8.1E-02	-	-	-	-	1.2	6.71E+03	0.2	0.2	3.7	8.15E+03	0.5	0.5
12	WP	Vítr na vozidla	Q	0	-7.0	1.49E+04	-0.5	3.6	3.35E+06	1.1	-1.5	-1.29E+07	0.1	0.7	1.9E-01	-	-	-	-	3.8	6.71E+03	0.6	0.6	8.6	8.15E+03	1.1	1.1
13	TR	Teplota rovnoměrná	Q	0	0.0	1.49E+04	0.0	0.0	3.35E+06	0.0	0.0	-1.29E+07	0.0	0.0	0.0E+00	-	-	-	-	0.0	6.71E+03	0.0	0.0	0.0	8.15E+03	0.0	0.0
14	TN	Teplota nerovnoměrná	Q	0	-6.7	1.49E+04	-0.5	1.1	3.35E+06	0.3	-0.1	-1.29E+07	0.0	-0.1	0.0E+00	-	-	-	-	0.1	6.71E+03	0.0	0.0	0.0	8.15E+03	0.0	0.0
15	FR	Třecí síly v ložiskách	Q	0	-13.3	1.49E+04	-0.9	-2.2	3.35E+06	-0.6	-0.2	-1.29E+07	0.0	-1.5	0.0E+00	-	-	-	-	0.3	6.71E+03	0.0	0.0	1.1	8.15E+03	0.1	0.1
16	I	Imperfekce soustavy	Q	0	0.6	1.49E+04	0.0	-0.2	3.35E+06	-0.1	-0.1	-1.29E+07	0.0	0.0	0.0E+00	-	-	-	-	0.1	6.71E+03	0.0	0.0	0.2	8.15E+03	0.0	0.0
27	ULS_LM	ULS - LM71 bez dynam	Q	0	0.0	1.49E+04	0.0	0.0	3.35E+06	0.0	0.0	-1.29E+07	0.0	0.0	0.0E+00	-	-	-	-	0.0	6.71E+03	0.0	0.0	0.0	8.15E+03	0.0	0.0
28	SLS_LM	SLS - LM71 bez dynam	Q	0	0.0	1.49E+04	0.0	0.0	3.35E+06	0.0	0.0	-1.29E+07	0.0	0.0	0.0E+00	-	-	-	-	0.0	6.71E+03	0.0	0.0	0.0	8.15E+03	0.0	0.0
29	ULS_C3	ULS - C3 bez dynam	Q	0	0.0	1.49E+04	0.0	0.0	3.35E+06	0.0	0.0	-1.29E+07	0.0	0.0	0.0E+00	-	-	-	-	0.0	6.71E+03	0.0	0.0	0.0	8.15E+03	0.0	0.0
30	SLS_C3	SLS - C3 bez dynam	Q	0	0.0	1.49E+04	0.0	0.0	3.35E+06	0.0	0.0	-1.29E+07	0.0	0.0	0.0E+00	-	-	-	-	0.0	6.71E+03	0.0	0.0	0.0	8.15E+03	0.0	0.0
NAVÝŠENÍ NAPĚTÍ DO AKTIVACE TLAKU V DESCE MOSTOVKY						$\sigma_{P,red}$	0.0							0.0			0.0		0.0			1.7	1.7			22.5	22.5
NAPĚTÍ OD PRIMÁRNÍCH ÚČINKŮ NEROVNOMĚRNÉHO OTEPLENÍ						σ_T	0.0							0.0													
NAPĚTÍ OD REOLOGICKÝCH ÚČINKŮ BETONU V ČASE				t=0		σ_R	0.0	γ=	1.20					0.0													
NAPĚTÍ V KRITICKÝCH VLÁKNECH OD KOMBINACE ZATÍŽENÍ						KZ03		[MPa]					$\Sigma\sigma_x$	36.6								$\Sigma\tau_y$	1.7			$\Sigma\tau_z$	22.5
NAPĚTÍ OD POHYBLIVÉHO ZATÍŽENÍ								[MPa]					$\sigma_{x,P}$	32.0								τ_P	1.0			τ_P	21.0
NAPĚTÍ OD OSTATNÍCH ZATÍŽENÍ								[MPa]			Φ_{Vy}	Φ_{Vz}	$\sigma_{x,rs}$	4.6								τ_{rs}	0.7			τ_{rs}	1.5
NÁVRHOVÁ HODNOTA MEZE KLUZU S REDUKCÍ VLIVEM SMYKOVÉHO NAPĚTÍ								[MPa]			1.00	1.00	$f_{yw,d}$	209.1								$f_{yd}/3^{0,5}$	110.7			$f_{yd}/3^{0,5}$	110.7
NAPĚTÍ OD POHYBLIVÉHO ZATÍŽENÍ V GLOBÁLNÍM SYSTÉMU						$\sigma_{GLOB,P}$	0.0	[MPa]					$\Sigma\sigma_{GLOB}$	0.0													
NAPĚTÍ OD OSTATNÍCH ZATÍŽENÍ V GLOBÁLNÍM SYSTÉMU						$\sigma_{GLOB,rs}$	0.0	[MPa]					$\Sigma\sigma_x + \Sigma\sigma_{GLOB}$	36.6													
VYUŽITÍ PRŮŘEZU DLE NAPĚTÍ								[%]					η_1	0.18								η_3	0.02			η_3	0.20
NAPĚTÍ V PŘÍČNÉM SMĚRU OD POHYBLIVÉHO ZATÍŽENÍ						$\sigma_{z,P}$	0.0	[MPa]					$\Sigma\sigma_z$	0.0													
NAPĚTÍ V PŘÍČNÉM SMĚRU OD OSTATNÍCH ZATÍŽENÍ						$\sigma_{z,rs}$	0.0	[MPa]					η_2	0.00													
SROVNÁVACÍ NAPĚTÍ													$(\eta_2 + 0,8\,\eta_1)/1,4$ =	0.10													
VYUŽITÍ PRŮŘEZU CELKEM								[%]					eff	0.20	VYHOVUJE												
													z_{LM71} =	5.20													

VÝPOČET PRŮŘEZOVÝCH CHARAKTERISTIK

PRŮŘEZ: L3_1a **POPIS:** PODÉLNÍK - 3 - KRAJ (U PŘÍČNÍKU 3) - ŘEZ a

x = - **m**

DEFINOVÁNÍ PRŮŘEZU

PÁSNICE HORNÍHO LEVÉHO ÚHELNÍKU	b f.t.l.o =	10	mm				
TLOUŠŤKA PÁSNICE ÚHELNÍKU	t f.t.l.o =	10	mm	OSLABENÍ PÁSNICE - TLOUŠŤKA	Δt f.t.l.o =	0	%
VÝŠKA STĚNY ÚHELNÍKU	h w.t.l.o =	80	mm				
TLOUŠŤKA STĚNY ÚHELNÍKU	t w.t.l.o =	10	mm	OSLABENÍ STĚNY - TLOUŠŤKA	Δt w.t.l.o =	0	%
PÁSNICE HORNÍHO PRAVÉHO ÚHELNÍKU	b f.t.r.o =	10	mm				
TLOUŠŤKA PÁSNICE ÚHELNÍKU	t f.t.r.o =	10	mm	OSLABENÍ PÁSNICE - TLOUŠŤKA	Δt f.t.r.o =	0	%
VÝŠKA STĚNY ÚHELNÍKU	h w.t.r.o =	80	mm				
TLOUŠŤKA STĚNY ÚHELNÍKU	t w.t.r.o =	10	mm	OSLABENÍ STĚNY - TLOUŠŤKA	Δt w.t.r.0 =	0	%
PÁSNICE DOLNÍHO LEVÉHO ÚHELNÍKU	b f.b.l.o =	10	mm				
TLOUŠŤKA PÁSNICE ÚHELNÍKU	t f.b.l.o =	10	mm	OSLABENÍ PÁSNICE - TLOUŠŤKA	Δt f.b.l.o =	0	%
VÝŠKA STĚNY ÚHELNÍKU	h w.b.l.o =	80	mm				
TLOUŠŤKA STĚNY ÚHELNÍKU	t w.b.l.o =	10	mm	OSLABENÍ STĚNY - TLOUŠŤKA	Δt w.b.l.o =	0	%
PÁSNICE DOLNÍHO PRAVÉHO ÚHELNÍKU	b f.b.r.o =	10	mm				
TLOUŠŤKA PÁSNICE ÚHELNÍKU	t f.b.r.o =	10	mm	OSLABENÍ PÁSNICE - TLOUŠŤKA	Δt f.b.r.o =	0	%
VÝŠKA STĚNY ÚHELNÍKU	h w.b.r.o =	80	mm				
TLOUŠŤKA STĚNY ÚHELNÍKU	t w.b.r.o =	10	mm	OSLABENÍ STĚNY - TLOUŠŤKA	Δt w.b.r.o =	0	%

PŘÍLOŽKY STĚNY 2x	h w =	500	mm				
	t w =	10	mm	OSLABENÍ STĚNY	Δt w.l =	0	%
ŠÍŘKA HORNÍ PÁSNICE	b f.t =	0	mm	ARCH. DOK. - PÁSNICE UKONČENA PŘED PŘÍPOJEM			
TLOUŠŤKA HORNÍ PÁSNICE	t f.t =	0	mm	OSLABENÍ HORNÍ PÁSNICE	Δt f.t =	0	%
PŘESAH HORNÍ PÁSNICE	o f.t =	0	mm	HORNÍ PÁSNICE OBECNĚ NESYMETRICKÁ (PODÉLNÍK - PŘÍPOJ MOSTNICE)			
VÝŠKA STĚNY	h w =	690	mm				
TLOUŠŤKA STĚNY	t w =	10	mm	OSLABENÍ STĚNY	Δt w.l =	0	%
ŠÍŘKA DOLNÍ PÁSNICE	b f.b =	0	mm	PŘEDPOKLAD - PÁSNICE UKONČENA PŘED PŘÍPOJEM			
TLOUŠŤKA DOLNÍ PÁSNICE	t f.b =	0	mm	OSLABENÍ DOLNÍ PÁSNICE (DOLNÍ PÁSNICE SYMETRICKÁ)	Δt f.b =	0	%

NÝT Č.	SKUPINA	ŘEZ	RED.	VELIKOST di [mm]	POLOHA ei [mm]	POPIS	AKTIVITA OTVORU		NAPĚTÍ sc [MPa]
1		-	1.00	0	-125	nýt - f.t	0	-	
2		-	1.00	0	-50	nýt - f.t - krční úhelník	0	-	
3		-	1.00	0	50	nýt - f.t - krční úhelník	0	-	
4		-	1.00			nýt - f.t		-	
5		-	1.00	20	640	nýt - w - krční úhelník	1		9.63
6		-	1.00			nýt - w		-	
7		-	1.00			nýt - w		-	
8		-	1.00			nýt - w		-	
9		-	1.00			nýt - w		-	
10		-	1.00	22	545	nýt - w	1		9.12
11		-	1.00	22	445	nýt - w	1		8.59
12		-	1.00	22	345	nýt - w	1		8.06
13		-	1.00	22	245	nýt - w	1		7.52
14		-	1.00	22	145	nýt - w	1		6.99
15		-	1.00	20	50	nýt - w - krční úhelník	1		6.49
16		-	1.00					-	
17		-	1.00					-	
18		-	1.00					-	
19		-	1.00			nýt - f.b		-	
20		-	1.00	0	-50	nýt - f.b. - krční úhelník	0	-	
21		-	1.00	0	50	nýt - f.b. - krční úhelník	0	-	
22		-	1.00			nýt - f.b		-	

ZADANÍ ČÁSTÍ PRŮŘEZU:

č.prvku	b [mm]	h [mm]	y_0 [mm]	z_0 [mm]	popis části	druh oslabení	lokální ultimate	boulení servic.
1	10.0	10.0	-10.0	685.0		0	1.000	1.000
2	10.0	80.0	-10.0	640.0		0	1.000	1.000
3	10.0	10.0	10.0	685.0		0	1.000	1.000
4	10.0	80.0	10.0	640.0		0	1.000	1.000
5	10.0	10.0	-10.0	5.0		0	1.000	1.000
6	10.0	80.0	-10.0	50.0		0	1.000	1.000
7	10.0	10.0	10.0	5.0		0	1.000	1.000
8	10.0	80.0	10.0	50.0		0	1.000	1.000
9	0.0	0.0	-15.0	690.0	pásnice	0	1.000	1.000
10	10.0	690.0	0.0	345.0	stěna	0	1.000	1.000
11	0.0	0.0	0.0	0.0	pásnice	0	1.000	1.000
12	10.0	500.0	-10.0	345.0	stěna	0	1.000	1.000
13	10.0	500.0	10.0	345.0	stěna	0	1.000	1.000
14						0	1.000	1.000
15						0	1.000	1.000
16						0	1.000	1.000
17						0	1.000	1.000
18						0	1.000	1.000
19						0	1.000	1.000
20						0	1.000	1.000
21						0	1.000	1.000
22						0	1.000	1.000
23						0	1.000	1.000
24						0	1.000	1.000
25						0	1.000	1.000
26						0	1.000	1.000
27						0	1.000	1.000
28						0	1.000	1.000
29						0	1.000	1.000
30						0	1.000	1.000
31						0	1.000	1.000
32						0	1.000	1.000
33						0	1.000	1.000
34						0	1.000	1.000
35						0	1.000	1.000
36						0	1.000	1.000
37						0	1.000	1.000
38						0	1.000	1.000
39						0	1.000	1.000
40						0	1.000	1.000
41						0	1.000	1.000
42						0	1.000	1.000
43						0	1.000	1.000
44						0	1.000	1.000
45						0	1.000	1.000
46						0	1.000	1.000
47						0	1.000	1.000
48						0	1.000	1.000
49						0	1.000	1.000
50						0	1.000	1.000
51	0	0	0	0	nýt - pásnice	0	1.000	1.000
52	0	0	0	0	nýt - pásnice	0	1.000	1.000
53	0	0	0	0	nýt - pásnice	0	1.000	1.000
54	0	0	0	0	nýt - pásnice	0	1.000	1.000
55	30.0	-20.0	0.0	640.0	nýt - stěna	0	1.000	1.000
56	0	0	0	0	nýt - stěna	0	1.000	1.000
57	0	0	0	0	nýt - stěna	0	1.000	1.000
58	0	0	0	0	nýt - stěna	0	1.000	1.000
59	0	0	0	0	nýt - stěna	0	1.000	1.000
60	30.0	-22.0	0.0	545.0	nýt - stěna	0	1.000	1.000
61	30.0	-22.0	0.0	445.0	nýt - stěna	0	1.000	1.000
62	30.0	-22.0	0.0	345.0	nýt - stěna	0	1.000	1.000
63	30.0	-22.0	0.0	245.0	nýt - stěna	0	1.000	1.000
64	30.0	-22.0	0.0	145.0	nýt - stěna	0	1.000	1.000
65	30.0	-20.0	0.0	50.0	nýt - stěna	0	1.000	1.000
66						0	1.000	1.000
67						0	1.000	1.000
68						0	1.000	1.000
69	0	0	0	0	nýt - pásnice	0	1.000	1.000
70	0	0	0	0	nýt - pásnice	0	1.000	1.000
71	0	0	0	0	nýt - pásnice	0	1.000	1.000
72	0	0	0	0	nýt - pásnice	0	1.000	1.000
73								
74								
75								
76								
77								
78								
79								
80								
81								
82								
83								
84								
85								
86								
87								
88								
89								
90								
91								
92								
93								
94								
95								
96								
97								
98								
99								
100								

VÝPOČET PRŮŘEZOVÝCH CHARAKTERISTIK

Properties	Basic	Ultimate		Serviceability	
y_t	0.0	0.0		0.0	[mm]
z_t	345.0	345.0		345.0	[mm]
A_i	1.6000E+04	1.6000E+04		1.6000E+04	[mm²]
A_v	0.0000E+00	0.0000E+00		0.0000E+00	[mm²]
A_z	1.2400E+04	1.2400E+04		1.2400E+04	[mm²]
I_{y1}	6.3792E+08	6.3792E+08		6.3792E+08	[mm⁴]
I_w	1.1933E+06	1.1933E+06		1.1933E+06	[mm⁶]
i_y	199.7	199.7		199.7	[mm]
i_z	8.6	8.6		8.6	[mm]
$W_{y,1}$	1.8490E+06	1.8490E+06		1.8490E+06	[mm³]
$W_{z,1}$	-7.9556E+04	-7.9556E+04		-7.9556E+04	[mm³]
$W_{y,2}$	-1.8490E+06	-1.8490E+06		-1.8490E+06	[mm³]
$W_{z,2}$	-7.9556E+04	-7.9556E+04		-7.9556E+04	[mm³]
KRAJNÍ VLÁKNA PRŮŘEZU					
y_1	-15.0	-15.0		-15.0	[mm]
z_1	690.0	690.0		690.0	[mm]
y_2	-15.0	-15.0		-15.0	[mm]
z_2	0.0	0.0		0.0	[mm]
y_3	15.0	15.0		15.0	[mm]
z_3	690.0	690.0		690.0	[mm]
y_4	15.0	15.0		15.0	[mm]
z_4	0.0	0.0		0.0	[mm]
y_5	-5.0	-5.0		-5.0	[mm]
z_5	690.0	690.0		690.0	[mm]
y_6	-5.0	-5.0		-5.0	[mm]
z_6	0.0	0.0		0.0	[mm]

ÚPRAVA MOMENTŮ SETRVAČNOSTI V DŮSLEDKU ČLENĚNÍ PRŮŘEZU

OSA Y 1.00
OSA Z 1.00

SCHÉMA PROMĚNNÝCH

SCHÉMA ZADANÉHO PRŮŘEZU

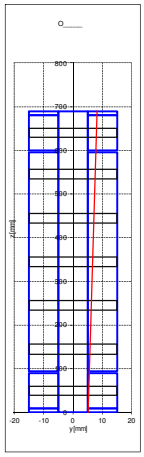

NEUTRÁLNÁ OSA

NAPĚTÍ [MPa]:

27.75	-7.95
24.07	-11.63

ZS: SLS_LM.VZ + MAX N-

	N [kN]	Vy [kN]	Vz [kN]	Mx [kNm]	My [kNm]	Mz [kNm]
import	129	-2	-92	0	-3	1

TR_L3.1 POPIS: **PODÉLNÍK L3.E - KRAJ** POSUDEK: **L3.1**

SKUPINA ZAT. STAVŮ	EXTRÉM	VYHODNOCOVANÉ VELIČINY					
		N	Vy	Vz	Mx	My	Mz
		kN	kN	kN	kNm	kNm	kNm
G0	N.min	**84.42**	-0.32	-8.65	0	0.67	-0.49
	N.max	**57.52**	-0.46	-6.64	-0.03	1.12	-0.94
	Vy.min	84.42	**-0.32**	-8.65	0	0.67	-0.49
	Vy.max	57.52	**-0.46**	-6.64	-0.03	1.12	-0.94
	Vz.min	84.42	-0.32	**-8.65**	0	0.67	-0.49
	Vz.max	57.52	-0.46	**-6.64**	-0.03	1.12	-0.94
	Mx.min	84.42	-0.32	-8.65	**0**	0.67	-0.49
	Mx.max	57.52	-0.46	-6.64	**-0.03**	1.12	-0.94
	My.min	84.42	-0.32	-8.65	0	**0.67**	-0.49
	My.max	57.52	-0.46	-6.64	-0.03	**1.12**	-0.94
	Mz.min	84.42	-0.32	-8.65	0	0.67	**-0.49**
	Mz.max	57.52	-0.46	-6.64	-0.03	1.12	**-0.94**
G1	N.min	**6.43**	-0.03	-0.09	0	0.21	-0.04
	N.max	**6.43**	-0.03	-0.09	0	0.21	-0.04
	Vy.min	6.43	**-0.03**	-0.09	0	0.21	-0.04
	Vy.max	6.43	**-0.03**	-0.09	0	0.21	-0.04
	Vz.min	6.43	-0.03	**-0.09**	0	0.21	-0.04
	Vz.max	6.43	-0.03	**-0.09**	0	0.21	-0.04
	Mx.min	6.43	-0.03	-0.09	**0**	0.21	-0.04
	Mx.max	6.43	-0.03	-0.09	**0**	0.21	-0.04
	My.min	6.43	-0.03	-0.09	0	**0.21**	-0.04
	My.max	6.43	-0.03	-0.09	0	**0.21**	-0.04
	Mz.min	6.43	-0.03	-0.09	0	0.21	**-0.04**
	Mz.max	6.43	-0.03	-0.09	0	0.21	**-0.04**
G2	N.min	**4.84**	-0.02	-0.09	0	0.11	-0.03
	N.max	**4.84**	-0.02	-0.09	0	0.11	-0.03
	Vy.min	4.84	**-0.02**	-0.09	0	0.11	-0.03
	Vy.max	4.84	**-0.02**	-0.09	0	0.11	-0.03
	Vz.min	4.84	-0.02	**-0.09**	0	0.11	-0.03
	Vz.max	4.84	-0.02	**-0.09**	0	0.11	-0.03
	Mx.min	4.84	-0.02	-0.09	**0**	0.11	-0.03
	Mx.max	4.84	-0.02	-0.09	**0**	0.11	-0.03
	My.min	4.84	-0.02	-0.09	0	**0.11**	-0.03
	My.max	4.84	-0.02	-0.09	0	**0.11**	-0.03
	Mz.min	4.84	-0.02	-0.09	0	0.11	**-0.03**
	Mz.max	4.84	-0.02	-0.09	0	0.11	**-0.03**
P1_71	N.min	**-0.09**	0	0.02	0	0.05	0
	N.max	**74.39**	-0.39	-2.43	0	2.19	-0.58
	Vy.min	54.99	**-0.61**	-0.23	0.01	11.13	-0.62
	Vy.max	17.06	**0.06**	-1.88	-0.01	-5.87	-0.05
	Vz.min	64.52	-0.2	**-5.17**	-0.01	-5.25	-0.45
	Vz.max	7.56	-0.37	**2.95**	0.02	11.53	-0.21
	Mx.min	65.51	-0.13	-3.03	**-0.02**	-4.64	-0.41
	Mx.max	8.59	-0.43	0.88	**0.03**	10.47	-0.27
	My.min	27.77	0.01	-3	-0.01	**-6.98**	-0.13
	My.max	48.36	-0.57	1.02	0.02	**12.72**	-0.55
	Mz.min	62.81	-0.59	-1.57	0.01	7.93	**-0.65**
	Mz.max	6.68	0.02	0.62	0	-0.4	**0**
P2_71	N.min	**-0.69**	0	0.01	0	0.01	0
	N.max	**121.15**	-0.59	-151.29	0.06	-22.75	-0.53
	Vy.min	94.56	**-0.91**	-152.28	0.06	-6.88	-0.62
	Vy.max	32.77	**0.1**	-4.59	0	-17.1	0
	Vz.min	102.45	-0.65	**-200.96**	0.07	-21.83	-0.51
	Vz.max	26.79	0	**2.68**	0	-1.86	-0.03
	Mx.min	93.22	-0.17	-2.02	**-0.01**	-7.52	-0.42
	Mx.max	41.19	-0.48	-186.82	**0.08**	-19.74	-0.17
	My.min	49.68	-0.13	-68.85	0.04	**-29.86**	-0.11
	My.max	74.6	-0.48	-61.07	0.02	**5.96**	-0.44
	Mz.min	103.71	-0.89	-153.23	0.06	-10.91	**-0.63**
	Mz.max	21.76	0.05	-19.88	0.01	-9.5	**0.03**
P1_C3	N.min	**-0.08**	0	0.01	0	0.04	0
	N.max	**60.64**	-0.29	-2.54	-0.01	-0.32	-0.46
	Vy.min	49.08	**-0.41**	-1.32	0	5.18	-0.48
	Vy.max	12.61	**0.04**	-1.18	-0.01	-4.2	-0.03
	Vz.min	55.27	-0.13	**-4.14**	-0.01	-5.02	-0.36
	Vz.max	4.8	-0.2	**2.04**	0.01	6.65	-0.11
	Mx.min	50.9	-0.12	-2.31	**-0.02**	-2.58	-0.34
	Mx.max	5.5	-0.24	-0.02	**0.02**	5.2	-0.15
	My.min	17.85	0.01	-2.8	-0.01	**-5.5**	-0.09
	My.max	43.25	-0.35	0.52	0	**7.33**	-0.4
	Mz.min	52.77	-0.4	-1.77	0	4.08	**-0.5**
	Mz.max	5.12	0.01	0.48	0	-0.3	**0**
P2_C3	N.min	**-0.57**	0	0.01	0	0.01	0
	N.max	**98.97**	-0.3	-29.82	0.02	-14.4	-0.41
	Vy.min	76.69	**-0.62**	-98.07	0.03	-0.31	-0.5
	Vy.max	23.58	**0.08**	-3.4	0	-10.84	0.01
	Vz.min	81.19	-0.42	**-134.08**	0.03	-12.09	-0.42
	Vz.max	17.06	-0.01	**1.63**	0	-0.72	-0.02
	Mx.min	74.16	-0.15	-1.28	**-0.01**	-4.68	-0.34
	Mx.max	20.27	-0.25	-102.91	**0.05**	-8.04	-0.08
	My.min	40.02	-0.09	-61.75	0.03	**-23.51**	-0.09
	My.max	68.71	-0.38	-47.58	0.01	**4.78**	-0.38
	Mz.min	82.46	-0.6	-108.45	0.03	-4.7	**-0.51**
	Mz.max	13.66	0.02	-21.94	0	-5.87	**0.02**
BR	N.min	**-110.67**	0.82	4.08	0.02	0.17	1.3
	N.max	**110.67**	-0.82	-4.08	-0.02	-0.17	-1.3
	Vy.min	90.46	**-1.08**	-5.69	-0.03	-0.61	-1.71
	Vy.max	-90.46	**1.08**	5.69	0.03	0.61	1.71
	Vz.min	90.46	-1.08	**-5.69**	-0.03	-0.61	-1.71
	Vz.max	-90.46	1.08	**5.69**	0.03	0.61	1.71
	Mx.min	98.86	-0.89	-5.65	**-0.03**	-0.48	-1.5
	Mx.max	-98.86	0.89	5.65	**0.03**	0.48	1.5
	My.min	49.19	-0.91	-3.89	-0.02	**-0.69**	-1.35
	My.max	-49.19	0.91	3.89	0.02	**0.69**	1.35
	Mz.min	90.46	-1.08	-5.69	-0.03	-0.61	**-1.71**
	Mz.max	-90.46	1.08	5.69	0.03	0.61	**1.71**

TR_L3.1 POPIS: **PODÉLNÍK L3.E - KRAJ** POSUDEK: **L3.1**

SKUPINA ZAT. STAVŮ	EXTRÉM	VYHODNOCOVANÉ VELIČINY					
		N	Vy	Vz	Mx	My	Mz
		kN	kN	kN	kNm	kNm	kNm
S	N.min	**-23.29**	-0.09	-1.89	-0.03	-1.63	-0.26
	N.max	**23.29**	0.09	1.89	0.03	1.63	0.26
	Vy.min	21.09	**-9.53**	5.78	-0.18	1.52	-3.29
	Vy.max	-21.09	**9.53**	-5.78	0.18	-1.52	3.29
	Vz.min	-21.09	9.53	**-5.78**	0.18	-1.52	3.29
	Vz.max	21.09	-9.53	**5.78**	-0.18	1.52	-3.29
	Mx.min	21.09	-9.53	5.78	**-0.18**	1.52	-3.29
	Mx.max	-21.09	9.53	-5.78	**0.18**	-1.52	3.29
	My.min	-23.29	-0.09	-1.89	-0.03	**-1.63**	-0.26
	My.max	23.29	0.09	1.89	0.03	**1.63**	0.26
	Mz.min	21.09	-9.53	5.78	-0.18	1.52	**-3.29**
	Mz.max	-21.09	9.53	-5.78	0.18	-1.52	**3.29**
CH	N.min	**5.64**	-0.02	-0.26	0	0.02	-0.05
	N.max	**11.83**	-0.03	-0.25	0	0.25	-0.07
	Vy.min	11.83	**-0.03**	-0.25	0	0.25	-0.07
	Vy.max	5.64	**-0.02**	-0.26	0	0.02	-0.05
	Vz.min	5.64	-0.02	**-0.26**	0	0.02	-0.05
	Vz.max	8.43	-0.02	**-0.22**	0	0.24	-0.05
	Mx.min	11.83	-0.03	-0.25	**0**	0.25	-0.07
	Mx.max	5.64	-0.02	-0.26	**0**	0.02	-0.05
	My.min	5.64	-0.02	-0.26	0	**0.02**	-0.05
	My.max	11.83	-0.03	-0.25	0	**0.25**	-0.07
	Mz.min	11.83	-0.03	-0.25	0	0.25	**-0.07**
	Mz.max	5.64	-0.02	-0.26	0	0.02	**-0.05**
W	N.min	**-29.53**	-0.14	-2.04	-0.01	-0.57	-0.32
	N.max	**29.51**	0.14	2.04	0.01	0.57	0.32
	Vy.min	-29.53	**-0.14**	-2.04	-0.01	-0.57	-0.32
	Vy.max	29.51	**0.14**	2.04	0.01	0.57	0.32
	Vz.min	-29.53	-0.14	**-2.04**	-0.01	-0.57	-0.32
	Vz.max	29.51	0.14	**2.04**	0.01	0.57	0.32
	Mx.min	-29.53	-0.14	-2.04	**-0.01**	-0.57	-0.32
	Mx.max	29.51	0.14	2.04	**0.01**	0.57	0.32
	My.min	-29.53	-0.14	-2.04	-0.01	**-0.57**	-0.32
	My.max	29.51	0.14	2.04	0.01	**0.57**	0.32
	Mz.min	-29.53	-0.14	-2.04	-0.01	-0.57	**-0.32**
	Mz.max	29.51	0.14	2.04	0.01	0.57	**0.32**
WP	N.min	**-43.61**	3.62	12.45	0	2.05	0.1
	N.max	**43.59**	-3.62	-12.46	0	-2.06	-0.1
	Vy.min	43.59	**-3.62**	-12.46	0	-2.06	-0.1
	Vy.max	-43.61	**3.62**	12.45	0	2.05	0.1
	Vz.min	43.59	-3.62	**-12.46**	0	-2.06	-0.1
	Vz.max	-43.61	3.62	**12.45**	0	2.05	0.1
	Mx.min	-43.61	3.62	12.45	**0**	2.05	0.1
	Mx.max	43.59	-3.62	-12.46	**0**	-2.06	-0.1
	My.min	43.59	-3.62	-12.46	0	**-2.06**	-0.1
	My.max	-43.61	3.62	12.45	0	**2.05**	0.1
	Mz.min	43.59	-3.62	-12.46	0	-2.06	**-0.1**
	Mz.max	-43.61	3.62	12.45	0	2.05	**0.1**
TR	N.min	**0**	0	0	0	0	0
	N.max	**0**	0	0	0	0	0
	Vy.min	0	**0**	0	0	0	0
	Vy.max	0	**0**	0	0	0	0
	Vz.min	0	0	**0**	0	0	0
	Vz.max	0	0	**0**	0	0	0
	Mx.min	0	0	0	**0**	0	0
	Mx.max	0	0	0	**0**	0	0
	My.min	0	0	0	0	**0**	0
	My.max	0	0	0	0	**0**	0
	Mz.min	0	0	0	0	0	**0**
	Mz.max	0	0	0	0	0	**0**
TN	N.min	**-6.73**	0	0.42	0	2.1	0.03
	N.max	**13.32**	0.02	-0.31	0	-1.56	0.02
	Vy.min	-6.36	**-0.02**	-0.07	0	-0.46	-0.05
	Vy.max	13.32	**0.02**	-0.31	0	-1.56	0.02
	Vz.min	6.73	0	**-0.42**	0	-2.1	-0.03
	Vz.max	-6.73	0	**0.42**	0	2.1	0.03
	Mx.min	13.32	0.02	-0.31	**0**	-1.56	0.02
	Mx.max	-6.73	0	0.42	**0**	2.1	0.03
	My.min	6.73	0	-0.42	0	**-2.1**	-0.03
	My.max	-6.73	0	0.42	0	**2.1**	0.03
	Mz.min	-6.36	-0.02	-0.07	0	-0.46	**-0.05**
	Mz.max	-6.73	0	0.42	0	2.1	**0.03**
FR	N.min	**-9.23**	0.01	0.14	0	-0.11	0.03
	N.max	**9.23**	-0.01	-0.14	0	0.11	-0.03
	Vy.min	9.23	**-0.01**	-0.14	0	0.11	-0.03
	Vy.max	-9.23	**0.01**	0.14	0	-0.11	0.03
	Vz.min	9.23	-0.01	**-0.14**	0	0.11	-0.03
	Vz.max	-9.23	0.01	**0.14**	0	-0.11	0.03
	Mx.min	9.23	-0.01	-0.14	**0**	0.11	-0.03
	Mx.max	-9.23	0.01	0.14	**0**	-0.11	0.03
	My.min	-9.23	0.01	0.14	0	**-0.11**	0.03
	My.max	9.23	-0.01	-0.14	0	**0.11**	-0.03
	Mz.min	9.23	-0.01	-0.14	0	0.11	**-0.03**
	Mz.max	-9.23	0.01	0.14	0	-0.11	**0.03**
I	N.min	**-2.44**	0	-0.11	0	-0.05	**-0.01**
	N.max	**2.44**	0	0.11	0	0.05	**0.01**
	Vy.min	-2.44	**0**	-0.11	0	-0.05	**-0.01**
	Vy.max	2.44	**0**	0.11	0	0.05	**0.01**
	Vz.min	-2.44	0	**-0.11**	0	-0.05	**-0.01**
	Vz.max	2.44	0	**0.11**	0	0.05	**0.01**
	Mx.min	-2.44	0	-0.11	**0**	-0.05	**-0.01**
	Mx.max	2.44	0	0.11	**0**	0.05	**0.01**
	My.min	-2.44	0	-0.11	0	**-0.05**	**-0.01**
	My.max	2.44	0	0.11	0	**0.05**	**0.01**
	Mz.min	-2.44	0	-0.11	0	-0.05	**-0.01**
	Mz.max	2.44	0	0.11	0	0.05	**0.01**

TAB. L3.1.3 POSOUZENÍ - MEZNÍ STAV ÚNOSNOSTI

POPIS	PODÉLNÍK L3.E - KRAJ
PRUT / POLOHA BODU	855 / I[558]
NAMÁHÁNÍ	Vz.min
VLÁKNO	BOD K1 -HL
MEZNÍ STAV	ULS (MSÚ)
VYUŽITÍ VLÁKNA PRŮŘEZU	0.77

Charakteristiky materiálu				
pás. horní	$f_{yf,k}$	230	MPa	
pás. dolní	$f_{yf,k}$	230	MPa	
stojina	$f_{yw,k}$	230	MPa	
výztuž	$f_{ys,k}$	500	MPa	
γ_M =	1.10	γ_s =	1.15	

Excentricita normálové síly				
Exc./Fáze	0	1	2	3
e_y	0.000	0.000	0.000	0.000
e_z	0.000	0.000	0.000	0.000
Ekvivalentní vzdál. stěn - příčný roznos				
b_{Mx}	0.000	0.000	0.000	0.000

Vliv stěny na únosnost průřezu				
Char./Fáze	0	1	2	3
A	0.00	0.00	0.00	0.00
Wy	0.00	0.00	0.00	0.00
Wz	0.00	0.00	0.00	0.00

Charakter. v kroucení			
$t_{w,y}$	0.000	[mm]	
$t_{w,z}$	0.000	[mm]	
κ	1.00		
I_t=	0.00E+00	[mm^4]	
$\Omega=2*A_{pr}$	0.00E+00	[mm^2]	

Součinitele vzpěru a vlivu II.řádu				
Char./Fáze	0	1	2	3
k_y	1.000	1.000	1.000	1.000
k_z	1.000	1.000	1.000	1.000
χ_{LT}	1.000	1.000	1.000	1.000
χ_{min}	1.000	1.000	1.000	1.000

4

Vnitřní síly od jednotlivých skupin zatěžovacích stavů

SKUPINA ZATĚŽOVACÍCH STAVŮ					- CHARAKTERISTICKÉ HODNOTY						DÍLČÍ SOUČINITELÉ ZATÍŽENÍ, DYNAMICKÝ SOUČINITEL							- NÁVRHOVÉ HODNOTY									
Č.	SKUP ZS	POPIS ZS	KAT.	FÁZE PRŮŘ.	N.k (kN)	Vy.k (kN)	Vz.k (kN)	Mx.k (kNm)	My.k (kNm)	Mz.k (kNm)	γ_{sr} (-)	γ_{Q} (-)	volba γ_{ψ} hledat	γ_{ψ} (-)	L_d (m)	δ (-)	γ_{Z} KZ04	N.d (kN)	Vy.d (kN)	Vz.d (kN)	ΔVz.d (kN)	ΣVz.d (kN)	Mx.d (kNm)	My.d (kNm)	ΔMy.d (kNm)	ΣMy.d (kNm)	Mz.d (kNm)	ΔMz.d (kNm)	ΣMz.d (kNm)
1	G0	Vlastní tíha OK	G	0	84	0	-9	0	1	0	1.00	1.20		1.20	-	1.00	0.95	96	0	-10	0	-10	0	1	0	1	-1	0	-1
2	G1	Ostatní stálé - mostní vybavení	G	0	6	0	0	0	0	0	1.00	1.20		1.20	-	1.00	0.95	7	0	0	0	0	0	0	0	0	0	0	0
3	G2	Ostatní stálé - cizí zařízení	G	0	5	0	0	0	0	0	1.00	1.20		1.20	-	1.00	0.95	6	0	0	0	0	0	0	0	0	0	0	0
4	P1_71	a.LM71 - kolej 1 (bez dyn. souč.)	P	0	65	0	-5	0	-5	0	1.00	1.30		1.30	-	1.59	1.00	133	0	-11	0	-11	0	-11	0	-11	-1	0	-1
5	P2_71	a.LM71 - kolej 2 (bez dyn. souč.)	P	0	102	-1	-201	0	-22	-1	1.00	1.30		1.30	-	1.59	1.00	211	-1	-415	0	-415	0	-45	0	-45	-1	0	-1
6	P1_C3	TTZ C3 - kolej 1 (bez dyn. souč.)	P	0	55	0	-4	0	-5	0	1.00	vyp.		0.00	-	1.00	0.00	0	0	0	0	0	0	0	0	0	0	0	0
7	P2_C3	TTZ C3 - kolej 2 (bez dyn. souč.)	P	0	81	0	-134	0	-12	0	1.00	vyp.		0.00	-	1.00	0.00	0	0	0	0	0	0	0	0	0	0	0	0
8	BR	Brzdné a rozjezdové síly	P	0	90	-1	-6	0	-1	-2	1.00	1.30		1.30	-	1.00	0.40	47	-1	-3	0	-3	0	0	0	0	-1	0	-1
9	S	Boční ráz	P	0	-21	10	-6	0	-2	3	1.00	-1.30		-1.30	-	1.00	0.80	22	-10	6	0	6	0	2	0	2	-3	0	-3
10	CH	Chodci na lávkách	Q	0	6	0	0	0	0	0	1.00	1.30		1.30	-	1.00	1.00	7	0	0	0	0	0	0	0	0	0	0	0
11	W	Vítr na konstrukci	Q	0	-30	0	-2	0	-1	0	1.00	1.35		1.35	-	1.00	0.75	-30	0	-2	0	-2	0	-1	0	-1	0	0	0
12	WP	Vítr na vozidla	Q	0	44	-4	-12	0	-2	0	1.00	1.35		1.35	-	1.00	0.75	44	-4	-13	0	-13	0	-2	0	-2	0	0	0
13	TR	Teplota rovnoměrná	Q	0	0	0	0	0	0	0	1.00	1.35		1.35	-	1.00	0.45	0	0	0	0	0	0	0	0	0	0	0	0
14	TN	Teplota nerovnoměrná	Q	0	7	0	0	0	-2	0	1.00	1.35		1.35	-	1.00	0.60	5	0	0	0	0	0	-2	0	-2	0	0	0
15	FR	Třecí síly v ložiskách	Q	0	9	0	0	0	0	0	1.00	1.20		1.20	-	1.00	1.00	11	0	0	0	0	0	0	0	0	0	0	0
16	I	Imperfekce soustavy	Q	0	-2	0	0	0	0	0	1.00	1.20		1.20	-	1.00	1.00	-3	0	0	0	0	0	0	0	0	0	0	0
27	ULS_LM	ULS - LM71 bez dynam	Q	0	393	6	-305	0	-41	1	1.00	vyp.		0.00	-	1.00	0.00	0	0	0	0	0	0	0	0	0	0	0	0
28	SLS_LM	SLS - LM71 bez dynam	Q	0	310	5	-235	0	-30	1	1.00	vyp.	1	0.00	-	1.00	0.00	0	0	0	0	0	0	0	0	0	0	0	0
29	ULS_C3	ULS - C3 bez dynam	Q	0	353	7	-217	0	-28	1	1.00	vyp.	1	0.00	-	1.00	0.00	0	0	0	0	0	0	0	0	0	0	0	0
30	SLS_C3	SLS - C3 bez dynam	Q	0	279	5	-167	0	-20	1	1.00	vyp.	1	0.00	-	1.00	0.00	0	0	0	0	0	0	0	0	0	0	0	0
		CELKEM - FÁZE PRŮŘEZU 0			558	-16	-448	0	-58	-7								-448	0	-58	0	-7							
		CELKEM - FÁZE PRŮŘEZU 1			0	0	0	0	0	0								0	0	0	0	0							
		CELKEM - FÁZE PRŮŘEZU 2			0	0	0	0	0	0								0	0	0	0	0							
		CELKEM - FÁZE PRŮŘEZU 3			0	0	0	0	0	0								0	0	0	0	0							
		CELKEM - PRŮŘEZ			558	-16	-448	0	-58	-7								-448	0	-58	0	-7							

Napětí od jednotlivých zatěžovacích stavů

SKUPINA ZATĚŽOVACÍCH STAVŮ					Posouzení normálového napětí										Posouzení smykového napětí													
					Účinek síly N			Účinek momentu My				Účinek momentu Mz				Účinek kroutícího momentu Mx				Účinek smykové síly Vy				Účinek smykové síly Vz			
Č.	SKUP ZS	Popis ZS	Kat.	fáze prúř.	δ^*N_d [kN]	χ^*A [mm^2]	σ_n [MPa]	$\delta^*M_{y,d}$ [kNm]	$\chi_{lt}{}^*W_{el,y}$ [mm^3]	σ_{my} [MPa]	$\delta^*M_{z,d}$ [kNm]	$W_{el,z}$ [mm^3]	σ_{mz} [MPa]	σ_x [MPa]	$\kappa^*\delta^*M_{x,d}$ [kNm]	$W_{v,y}$ [mm^2]	$\tau_{x,y}$ [MPa]	$W_{v,z}$ [mm^2]	$\tau_{x,z}$ [MPa]	$\delta^*V_{y,d}$ [kN]	$A_{v,y}$ [mm2]	$\tau_{v,y}$ [MPa]	$\tau_{v,y}$ [MPa]	$\delta^*V_{z,d}$ [kN]	$A_{v,z}$ [mm2]	$\tau_{v,z}$ [MPa]	$\tau_{v,z}$ [MPa]
1	G0	Vlastní tíha OK	G	0	96.2	1.60E+04	6.0	0.8	-1.85E+06	-0.4	-0.6	-7.96E+04	7.0	12.6	0.0E+00	-	-	-	-	-0.4	0.00E+00	0.0	0.0	-9.9	1.24E+04	-0.8	-0.8
2	G1	Ostatní stálé - mostní vybavení	G	0	7.3	1.60E+04	0.5	0.2	-1.85E+06	-0.1	0.0	-7.96E+04	0.6	0.9	0.0E+00	-	-	-	-	0.0	0.00E+00	0.0	0.0	-0.1	1.24E+04	0.0	0.0
3	G2	Ostatní stálé - cizí zařízení	G	0	5.5	1.60E+04	0.3	0.1	-1.85E+06	-0.1	0.0	-7.96E+04	0.4	0.7	0.0E+00	-	-	-	-	0.0	0.00E+00	0.0	0.0	-0.1	1.24E+04	0.0	0.0
4	P1_71	a.LM71 - kolej 1 (bez dyn. souč.)	P	0	133.1	1.60E+04	8.3	-10.8	-1.85E+06	5.9	-0.9	-7.96E+04	11.7	25.8	-2.1E-02	-	-	-	-	-0.4	0.00E+00	0.0	0.0	-10.7	1.24E+04	-0.9	-0.9
5	P2_71	a.LM71 - kolej 2 (bez dyn. souč.)	P	0	211.4	1.60E+04	13.2	-45.0	-1.85E+06	24.4	-1.1	-7.96E+04	13.2	50.8	1.4E-01	-	-	-	-	-1.3	0.00E+00	0.0	0.0	-414.6	1.24E+04	-33.4	-33.4
6	P1_C3	TTZ C3 - kolej 1 (bez dyn. souč.)	P	0	0.0	1.60E+04	0.0	0.0	-1.85E+06	0.0	0.0	-7.96E+04	0.0	0.0	0.0E+00	-	-	-	-	0.0	0.00E+00	0.0	0.0	0.0	1.24E+04	0.0	0.0
7	P2_C3	TTZ C3 - kolej 2 (bez dyn. souč.)	P	0	0.0	1.60E+04	0.0	0.0	-1.85E+06	0.0	0.0	-7.96E+04	0.0	0.0	0.0E+00	-	-	-	-	0.0	0.00E+00	0.0	0.0	0.0	1.24E+04	0.0	0.0
8	BR	Brzdné a rozjezdové síly	P	0	47.0	1.60E+04	2.9	-0.3	-1.85E+06	0.2	-0.9	-7.96E+04	11.2	14.3	-1.6E-02	-	-	-	-	-0.6	0.00E+00	0.0	0.0	-3.0	1.24E+04	-0.2	-0.2
9	S	Boční ráz	P	0	21.9	1.60E+04	1.4	1.6	-1.85E+06	-0.9	-3.4	-7.96E+04	43.0	43.5	-1.9E-01	-	-	-	-	-9.9	0.00E+00	0.0	0.0	6.0	1.24E+04	0.5	0.5
10	CH	Chodci na lávkách	Q	0	7.3	1.60E+04	0.5	0.0	-1.85E+06	0.0	-0.1	-7.96E+04	0.8	1.3	0.0E+00	-	-	-	-	0.0	0.00E+00	0.0	0.0	-0.3	1.24E+04	0.0	0.0
11	W	Vítr na konstrukci	Q	0	-29.9	1.60E+04	-1.9	-0.6	-1.85E+06	0.3	-0.3	-7.96E+04	4.1	2.5	-1.0E-02	-	-	-	-	-0.1	0.00E+00	0.0	0.0	-2.1	1.24E+04	-0.2	-0.2
12	WP	Vítr na vozidla	Q	0	44.1	1.60E+04	2.8	-2.1	-1.85E+06	1.1	-0.1	-7.96E+04	1.3	5.2	0.0E+00	-	-	-	-	-3.7	0.00E+00	0.0	0.0	-12.6	1.24E+04	-1.0	-1.0
13	TR	Teplota rovnoměrná	Q	0	0.0	1.60E+04	0.0	0.0	-1.85E+06	0.0	0.0	-7.96E+04	0.0	0.0	0.0E+00	-	-	-	-	0.0	0.00E+00	0.0	0.0	0.0	1.24E+04	0.0	0.0
14	TN	Teplota nerovnoměrná	Q	0	5.5	1.60E+04	0.3	-1.7	-1.85E+06	0.9	0.0	-7.96E+04	0.3	1.6	0.0E+00	-	-	-	-	0.0	0.00E+00	0.0	0.0	-0.3	1.24E+04	0.0	0.0
15	FR	Třecí síly v ložiskách	Q	0	11.1	1.60E+04	0.7	0.1	-1.85E+06	-0.1	0.0	-7.96E+04	0.5	1.1	0.0E+00	-	-	-	-	0.0	0.00E+00	0.0	0.0	-0.2	1.24E+04	0.0	0.0
16	I	Imperfekce soustavy	Q	0	-2.9	1.60E+04	-0.2	-0.1	-1.85E+06	0.0	0.0	-7.96E+04	0.2	0.0	0.0E+00	-	-	-	-	0.0	0.00E+00	0.0	0.0	-0.1	1.24E+04	0.0	0.0
27	ULS_LM	ULS - LM71 bez dynam	Q	0	0.0	1.60E+04	0.0	0.0	-1.85E+06	0.0	0.0	-7.96E+04	0.0	0.0	0.0E+00	-	-	-	-	0.0	0.00E+00	0.0	0.0	0.0	1.24E+04	0.0	0.0
28	SLS_LM	SLS - LM71 bez dynam	Q	0	0.0	1.60E+04	0.0	0.0	-1.85E+06	0.0	0.0	-7.96E+04	0.0	0.0	0.0E+00	-	-	-	-	0.0	0.00E+00	0.0	0.0	0.0	1.24E+04	0.0	0.0
29	ULS_C3	ULS - C3 bez dynam	Q	0	0.0	1.60E+04	0.0	0.0	-1.85E+06	0.0	0.0	-7.96E+04	0.0	0.0	0.0E+00	-	-	-	-	0.0	0.00E+00	0.0	0.0	0.0	1.24E+04	0.0	0.0
30	SLS_C3	SLS - C3 bez dynam	Q	0	0.0	1.60E+04	0.0	0.0	-1.85E+06	0.0	0.0	-7.96E+04	0.0	0.0	0.0E+00	-	-	-	-	0.0	0.00E+00	0.0	0.0	0.0	1.24E+04	0.0	0.0
		NAVÝŠENÍ NAPĚTÍ DO AKTIVACE TLAKU V DESCE MOSTOVKY				$\sigma_{P,red}$	0.0							0.0			0.0		0.0			0.0	0.0			-36.1	-36.1
		NAPĚTÍ OD PRIMÁRNÍCH ÚČINKŮ NEROVNOMĚRNÉHO OTEPLENÍ				σ_T	0.0							0.0													
		NAPĚTÍ OD REOLOGICKÝCH ÚČINKŮ BETONU V ČASE		t=0		σ_R	0.0	γ=	1.20					0.0													
		NAPĚTÍ V KRITICKÝCH VLÁKNECH OD KOMBINACE ZATÍŽENÍ				KZ04		[MPa]					$\Sigma\sigma_x$	160.3									$\Sigma\tau_y$	0.0		$\Sigma\tau_z$	-36.1
		NAPĚTÍ OD POHYBLIVÉHO ZATÍŽENÍ						[MPa]					$\sigma_{x,P}$	134.5									τ_P	0.0		τ_P	-34.0
		NAPĚTÍ OD OSTATNÍCH ZATÍŽENÍ						[MPa]			Φ_{Vy}	Φ_{Vz}	$\sigma_{x,rs}$	25.8									τ_{rs}	0.0		τ_{rs}	-2.1
		NÁVRHOVÁ HODNOTA MEZE KLUZU S REDUKCÍ VLIVEM SMYKOVÉHO NAPĚTÍ						[MPa]			1.00	1.00	$f_{yw,d}$	209.1									$f_{yd}/3^{0,5}$	120.7		$f_{yd}/3^{0,5}$	120.7
		NAPĚTÍ OD POHYBLIVÉHO ZATÍŽENÍ V GLOBÁLNÍM SYSTÉMU				$\sigma_{GLOB,P}$	0.0	[MPa]					$\Sigma\sigma_{GLOB}$	0.0													
		NAPĚTÍ OD OSTATNÍCH ZATÍŽENÍ V GLOBÁLNÍM SYSTÉMU				$\sigma_{GLOB,rs}$	0.0	[MPa]					$\Sigma\sigma_x + \Sigma\sigma_{GLOB}$	160.3													
		VYUŽITÍ PRŮŘEZU DLE NAPĚTÍ						[%]					η_1	0.77									η_3	0.00		η_3	0.30
		NAPĚTÍ V PŘÍČNÉM SMĚRU OD POHYBLIVÉHO ZATÍŽENÍ				$\sigma_{z,P}$	0.0	[MPa]					$\Sigma\sigma_z$	0.0													
		NAPĚTÍ V PŘÍČNÉM SMĚRU OD OSTATNÍCH ZATÍŽENÍ				$\sigma_{z,rs}$	0.0	[MPa]					η_2	0.00													
		SROVNÁVACÍ NAPĚTÍ											$(\eta_2 + 0,8\,\eta_1)/1,4$ =	0.44													
		VYUŽITÍ PRŮŘEZU CELKEM						[%]					eff	0.77	VYHOVUJE												
													Z_{LM71} =	1.36													

TAB. L3.1.3 POSOUZENÍ - MEZNÍ STAV ÚNOSNOSTI

POPIS	PODÉLNÍK L3.E - KRAJ
PRUT / POLOHA BODU	855 / I[558]
NAMÁHÁNÍ	Vy.min
VLÁKNO	BOD K3 -SL
MEZNÍ STAV	ULS (MSÚ)
VYUŽITÍ VLÁKNA PRŮŘEZU	0.67

Charakteristiky materiálu				
pás. horní	$f_{yf,k}$	230	MPa	
pás. dolní	$f_{yf,k}$	230	MPa	
stojina	$f_{yw,k}$	230	MPa	
výztuž	$f_{ys,k}$	500	MPa	
γ_M =	1.10	γ_s =	1.15	

Excentricita normálové síly				
Exc./Fáze	0	1	2	3
e_y	0.000	0.000	0.000	0.000
e_z	0.000	0.000	0.000	0.000
Ekvivalentní vzdál. stěn - příčný roznos				
b_{Mx}	0.000	0.000	0.000	0.000

Vliv stěny na únosnost průřezu				
Char./Fáze	0	1	2	3
A	0.00	0.00	0.00	0.00
Wy	0.00	0.00	0.00	0.00
Wz	0.00	0.00	0.00	0.00

Charakter. v kroucení			
$t_{w,y}$	0.000	[mm]	
$t_{w,z}$	0.000	[mm]	
κ	1.00		
I_t=	0.00E+00	[mm^4]	
$\Omega=2*A_{pr}$	0.00E+00	[mm^2]	

Součinitele vzpěru a vlivu II.řádu					
Char./Fáze	0	1	2	3	4
k_y	1.000	1.000	1.000	1.000	
k_z	1.000	1.000	1.000	1.000	
χ_{LT}	1.000	1.000	1.000	1.000	
χ_{min}	1.000	1.000	1.000	1.000	

Vnitřní síly od jednotlivých skupin zatěžovacích stavů

SKUPINA ZATĚŽOVACÍCH STAVŮ					- CHARAKTERISTICKÉ HODNOTY						DÍLČÍ SOUČINITELÉ ZATÍŽENÍ, DYNAMICKÝ SOUČINITEL							- NÁVRHOVÉ HODNOTY									
Č.	SKUP ZS	POPIS ZS	KAT.	FÁZE PRŮŘ.	N.k (kN)	Vy.k (kN)	Vz.k (kN)	Mx.k (kNm)	My.k (kNm)	Mz.k (kNm)	γ_{sr} (-)	γ_{fs} (-)	volba γ_f hledat	γ_f (-)	L_d (m)	δ (-)	Ψ_s KZ04	N.d (kN)	Vy.d (kN)	Vz.d (kN)	ΔVz.d (kN)	ΣVz.d (kN)	Mx.d (kNm)	My.d (kNm)	ΔMy.d (kNm)	ΣMy.d (kNm)	Mz.d (kNm)	ΔMz.d (kNm)	ΣMz.d (kNm)
1	G0	Vlastní tíha OK	G	0	84	0	-9	0	1	0	1.00	1.20		1.20	-	1.00	0.95	96	0	-10	0	-10	0	1	0	1	-1	0	-1
2	G1	Ostatní stálé - mostní vybavení	G	0	6	0	0	0	0	0	1.00	1.20		1.20	-	1.00	0.95	7	0	0	0	0	0	0	0	0	0	0	0
3	G2	Ostatní stálé - cizí zařízení	G	0	5	0	0	0	0	0	1.00	1.20		1.20	-	1.00	0.95	6	0	0	0	0	0	0	0	0	0	0	0
4	P1_71	a.LM71 - kolej 1 (bez dyn. souč.)	P	0	55	-1	0	0	11	-1	1.00	1.30		1.30	-	1.59	1.00	113	-1	0	0	0	0	23	0	23	-1	0	-1
5	P2_71	a.LM71 - kolej 2 (bez dyn. souč.)	P	0	95	-1	-152	0	-7	-1	1.00	1.30		1.30	-	1.59	1.00	195	-2	-314	0	-314	0	-14	0	-14	-1	0	-1
6	P1_C3	TTZ C3 - kolej 1 (bez dyn. souč.)	P	0	49	0	-1	0	5	0	1.00	vyp.		0.00	-	1.00	0.00	0	0	0	0	0	0	0	0	0	0	0	0
7	P2_C3	TTZ C3 - kolej 2 (bez dyn. souč.)	P	0	77	-1	-98	0	0	-1	1.00	vyp.		0.00	-	1.00	0.00	0	0	0	0	0	0	0	0	0	0	0	0
8	BR	Brzdné a rozjezdové síly	P	0	90	-1	-6	0	-1	-2	1.00	1.30		1.30	-	1.00	0.40	47	-1	-3	0	-3	0	0	0	0	-1	0	-1
9	S	Boční ráz	P	0	21	-10	6	0	2	-3	1.00	1.30		1.30	-	1.00	0.80	22	-10	6	0	6	0	2	0	2	-3	0	-3
10	CH	Chodci na lávkách	Q	0	12	0	0	0	0	0	1.00	1.30		1.30	-	1.00	1.00	15	0	0	0	0	0	0	0	0	0	0	0
11	W	Vítr na konstrukci	Q	0	-30	0	-2	0	-1	0	1.00	1.35		1.35	-	1.00	0.75	-30	0	-2	0	-2	0	-1	0	-1	0	0	0
12	WP	Vítr na vozidla	Q	0	44	-4	-12	0	-2	0	1.00	1.35		1.35	-	1.00	0.75	44	-4	-13	0	-13	0	-2	0	-2	0	0	0
13	TR	Teplota rovnoměrná	Q	0	0	0	0	0	0	0	1.00	1.35		1.35	-	1.00	0.45	0	0	0	0	0	0	0	0	0	0	0	0
14	TN	Teplota nerovnoměrná	Q	0	-6	0	0	0	0	0	1.00	-1.35		-1.35	-	1.00	0.60	5	0	0	0	0	0	0	0	0	0	0	0
15	FR	Třecí síly v ložiskách	Q	0	9	0	0	0	0	0	1.00	1.20		1.20	-	1.00	1.00	11	0	0	0	0	0	0	0	0	0	0	0
16	I	Imperfekce soustavy	Q	0	-2	0	0	0	0	0	1.00	-1.20		-1.20	-	1.00	1.00	3	0	0	0	0	0	0	0	0	0	0	0
27	ULS_LM	ULS - LM71 bez dynam	Q	0	422	-19	-220	0	6	-8	1.00	vyp.		0.00	-	1.00	0.00	0	0	0	0	0	0	0	0	0	0	0	0
28	SLS_LM	SLS - LM71 bez dynam	Q	0	341	-15	-170	0	5	-6	1.00	vyp.	1	0.00	-	1.00	0.00	0	0	0	0	0	0	0	0	0	0	0	0
29	ULS_C3	ULS - C3 bez dynam	Q	0	391	-19	-151	0	6	-8	1.00	vyp.	1	0.00	-	1.00	0.00	0	0	0	0	0	0	0	0	0	0	0	0
30	SLS_C3	SLS - C3 bez dynam	Q	0	317	-14	-117	0	5	-6	1.00	vyp.	1	0.00	-	1.00	0.00	0	0	0	0	0	0	0	0	0	0	0	0
		CELKEM - FÁZE PRŮŘEZU 0																535	-18	-337	0	-337	0	9	0	9	-8	0	-8
		CELKEM - FÁZE PRŮŘEZU 1																0	0	0	0	0	0	0	0	0	0	0	0
		CELKEM - FÁZE PRŮŘEZU 2																0	0	0	0	0	0	0	0	0	0	0	0
		CELKEM - FÁZE PRŮŘEZU 3																0	0	0	0	0	0	0	0	0	0	0	0
		CELKEM - PRŮŘEZ																535	-18	-337	0	-337	0			9			-8

Napětí od jednotlivých zatěžovacích stavů

SKUPINA ZATĚŽOVACÍCH STAVŮ					Posouzení normálového napětí										Posouzení smykového napětí													
					Účinek síly N			Účinek momentu My			Účinek momentu Mz				Účinek kroutícího momentu Mx				Účinek smykové síly Vy				Účinek smykové síly Vz			
Č.	SKUP ZS	Popis ZS	Kat.	fáze průř.	δ^*N_d [kN]	χ^*A [mm^2]	σ_n [MPa]	$\delta^*M_{y,d}$ [kNm]	$\chi_{lt}*W_{el,y}$ [mm^3]	σ_{my} [MPa]	$\delta^*M_{z,d}$ [kNm]	$W_{el,z}$ [mm^3]	σ_{mz} [MPa]	σ_x [MPa]	$\kappa^*\delta^*M_{x,d}$ [kNm]	$W_{v,y}$ [mm^2]	$\tau_{x,y}$ [MPa]	$W_{v,z}$ [mm^2]	$\tau_{x,z}$ [MPa]	$\delta^*V_{y,d}$ [kN]	$A_{v,y}$ [mm2]	$\tau_{v,y}$ [MPa]	$\tau_{v,y}$ [MPa]	$\delta^*V_{z,d}$ [kN]	$A_{v,z}$ [mm2]	$\tau_{v,z}$ [MPa]	$\tau_{v,z}$ [MPa]
1	G0	Vlastní tíha OK	G	0	96.2	1.60E+04	6.0	0.8	1.85E+06	0.4	-0.6	-7.96E+04	7.0	13.4	0.0E+00	-	-	-	-	-0.4	0.00E+00	0.0	0.0	-9.9	1.24E+04	-0.8	-0.8
2	G1	Ostatní stálé - mostní vybavení	G	0	7.3	1.60E+04	0.5	0.2	1.85E+06	0.1	0.0	-7.96E+04	0.6	1.2	0.0E+00	-	-	-	-	0.0	0.00E+00	0.0	0.0	-0.1	1.24E+04	0.0	0.0
3	G2	Ostatní stálé - cizí zařízení	G	0	5.5	1.60E+04	0.3	0.1	1.85E+06	0.1	0.0	-7.96E+04	0.4	0.8	0.0E+00	-	-	-	-	0.0	0.00E+00	0.0	0.0	-0.1	1.24E+04	0.0	0.0
4	P1_71	a.LM71 - kolej 1 (bez dyn. souč.)	P	0	113.4	1.60E+04	7.1	23.0	1.85E+06	12.4	-1.3	-7.96E+04	16.1	35.6	2.1E-02	-	-	-	-	-1.3	0.00E+00	0.0	0.0	-0.5	1.24E+04	0.0	0.0
5	P2_71	a.LM71 - kolej 2 (bez dyn. souč.)	P	0	195.1	1.60E+04	12.2	-14.2	1.85E+06	-7.7	-1.3	-7.96E+04	16.1	20.6	1.2E-01	-	-	-	-	-1.9	0.00E+00	0.0	0.0	-314.2	1.24E+04	-25.3	-25.3
6	P1_C3	TTZ C3 - kolej 1 (bez dyn. souč.)	P	0	0.0	1.60E+04	0.0	0.0	1.85E+06	0.0	0.0	-7.96E+04	0.0	0.0	0.0E+00	-	-	-	-	0.0	0.00E+00	0.0	0.0	0.0	1.24E+04	0.0	0.0
7	P2_C3	TTZ C3 - kolej 2 (bez dyn. souč.)	P	0	0.0	1.60E+04	0.0	0.0	1.85E+06	0.0	0.0	-7.96E+04	0.0	0.0	0.0E+00	-	-	-	-	0.0	0.00E+00	0.0	0.0	0.0	1.24E+04	0.0	0.0
8	BR	Brzdné a rozjezdové síly	P	0	47.0	1.60E+04	2.9	-0.3	1.85E+06	-0.2	-0.9	-7.96E+04	11.2	13.9	-1.6E-02	-	-	-	-	-0.6	0.00E+00	0.0	0.0	-3.0	1.24E+04	-0.2	-0.2
9	S	Boční ráz	P	0	21.9	1.60E+04	1.4	1.6	1.85E+06	0.9	-3.4	-7.96E+04	43.0	45.2	-1.9E-01	-	-	-	-	-9.9	0.00E+00	0.0	0.0	6.0	1.24E+04	0.5	0.5
10	CH	Chodci na lávkách	Q	0	15.4	1.60E+04	1.0	0.3	1.85E+06	0.2	-0.1	-7.96E+04	1.1	2.3	0.0E+00	-	-	-	-	0.0	0.00E+00	0.0	0.0	-0.3	1.24E+04	0.0	0.0
11	W	Vítr na konstrukci	Q	0	-29.9	1.60E+04	-1.9	-0.6	1.85E+06	-0.3	-0.3	-7.96E+04	4.1	1.9	-1.0E-02	-	-	-	-	-0.1	0.00E+00	0.0	0.0	-2.1	1.24E+04	-0.2	-0.2
12	WP	Vítr na vozidla	Q	0	44.1	1.60E+04	2.8	-2.1	1.85E+06	-1.1	-0.1	-7.96E+04	1.3	2.9	0.0E+00	-	-	-	-	-3.7	0.00E+00	0.0	0.0	-12.6	1.24E+04	-1.0	-1.0
13	TR	Teplota rovnoměrná	Q	0	0.0	1.60E+04	0.0	0.0	1.85E+06	0.0	0.0	-7.96E+04	0.0	0.0	0.0E+00	-	-	-	-	0.0	0.00E+00	0.0	0.0	0.0	1.24E+04	0.0	0.0
14	TN	Teplota nerovnoměrná	Q	0	5.2	1.60E+04	0.3	0.4	1.85E+06	0.2	0.0	-7.96E+04	-0.5	0.0	0.0E+00	-	-	-	-	0.0	0.00E+00	0.0	0.0	0.1	1.24E+04	0.0	0.0
15	FR	Třecí síly v ložiskách	Q	0	11.1	1.60E+04	0.7	0.1	1.85E+06	0.1	0.0	-7.96E+04	0.5	1.2	0.0E+00	-	-	-	-	0.0	0.00E+00	0.0	0.0	-0.2	1.24E+04	0.0	0.0
16	I	Imperfekce soustavy	Q	0	2.9	1.60E+04	0.2	0.1	1.85E+06	0.0	0.0	-7.96E+04	-0.2	0.1	0.0E+00	-	-	-	-	0.0	0.00E+00	0.0	0.0	0.1	1.24E+04	0.0	0.0
27	ULS_LM	ULS - LM71 bez dynam	Q	0	0.0	1.60E+04	0.0	0.0	1.85E+06	0.0	0.0	-7.96E+04	0.0	0.0	0.0E+00	-	-	-	-	0.0	0.00E+00	0.0	0.0	0.0	1.24E+04	0.0	0.0
28	SLS_LM	SLS - LM71 bez dynam	Q	0	0.0	1.60E+04	0.0	0.0	1.85E+06	0.0	0.0	-7.96E+04	0.0	0.0	0.0E+00	-	-	-	-	0.0	0.00E+00	0.0	0.0	0.0	1.24E+04	0.0	0.0
29	ULS_C3	ULS - C3 bez dynam	Q	0	0.0	1.60E+04	0.0	0.0	1.85E+06	0.0	0.0	-7.96E+04	0.0	0.0	0.0E+00	-	-	-	-	0.0	0.00E+00	0.0	0.0	0.0	1.24E+04	0.0	0.0
30	SLS_C3	SLS - C3 bez dynam	Q	0	0.0	1.60E+04	0.0	0.0	1.85E+06	0.0	0.0	-7.96E+04	0.0	0.0	0.0E+00	-	-	-	-	0.0	0.00E+00	0.0	0.0	0.0	1.24E+04	0.0	0.0
		$\sigma_{P,red}$			0.0									0.0			0.0		0.0			0.0	0.0			-27.1	-27.1
NAVÝŠENÍ NAPĚTÍ DO AKTIVACE TLAKU V DESCE MOSTOVKY		σ_T			0.0									0.0													
NAPĚTÍ OD PRIMÁRNÍCH ÚČINKŮ NEROVNOMĚRNÉHO OTEPLENÍ		σ_R		t=0	0.0			γ_f=	1.20					0.0													
NAPĚTÍ OD REOLOGICKÝCH ÚČINKŮ BETONU V ČASE																											
NAPĚTÍ V KRITICKÝCH VLÁKNECH OD KOMBINACE ZATÍŽENÍ				KZ04			[MPa]						$\Sigma\sigma_x$	139.2								$\Sigma\tau_y$	0.0			$\Sigma\tau_z$	-27.1
NAPĚTÍ OD POHYBLIVÉHO ZATÍŽENÍ							[MPa]						$\sigma_{x,P}$	115.4								τ_P	0.0			τ_P	-25.1
NAPĚTÍ OD OSTATNÍCH ZATÍŽENÍ							[MPa]				Φ_{Vy}	Φ_{Vz}	$\sigma_{x,rs}$	23.8								τ_{rs}	0.0			τ_{rs}	-2.0
NÁVRHOVÁ HODNOTA MEZE KLUZU S REDUKCÍ VLIVEM SMYKOVÉHO NAPĚTÍ							[MPa]				1.00	1.00	$f_{yv,d}$	209.1								$f_{yd}/3^{0,5}$	120.7			$f_{yd}/3^{0,5}$	120.7
NAPĚTÍ OD POHYBLIVÉHO ZATÍŽENÍ V GLOBÁLNÍM SYSTÉMU		$\sigma_{GLOB,P}$		0.0			[MPa]						$\Sigma\sigma_{GLOB}$	0.0													
NAPĚTÍ OD OSTATNÍCH ZATÍŽENÍ V GLOBÁLNÍM SYSTÉMU		$\sigma_{GLOB,rs}$		0.0			[MPa]						$\Sigma\sigma_x + \Sigma\sigma_{GLOB}$	139.2													
VYUŽITÍ PRŮŘEZU DLE NAPĚTÍ							[%]						η_1	0.67								η_3	0.00			η_3	0.22
NAPĚTÍ V PŘÍČNÉM SMĚRU OD POHYBLIVÉHO ZATÍŽENÍ		$\sigma_{z,P}$		0.0			[MPa]						$\Sigma\sigma_z$	0.0													
NAPĚTÍ V PŘÍČNÉM SMĚRU OD OSTATNÍCH ZATÍŽENÍ		$\sigma_{z,rs}$		0.0			[MPa]						η_2	0.00													
SROVNÁVACÍ NAPĚTÍ													$(\eta_2 + 0,8\,\eta_1)/1,4$ =	0.38													
VYUŽITÍ PRŮŘEZU CELKEM							[%]						eff	0.67	VYHOVUJE												
													Z_{LM71} =	1.61													

TAB. L3.1.3 POSOUZENÍ - MEZNÍ STAV ÚNOSNOSTI

POPIS	PODÉLNÍK L3.E - KRAJ
PRUT / POLOHA BODU	855 / I[558]
NAMÁHÁNÍ	Vz.min
VLÁKNO	BOD S5 -HL
MEZNÍ STAV	ULS (MSÚ)
VYUŽITÍ VLÁKNA PRŮŘEZU	0.32

Charakteristiky materiálu				
pás. horní	$f_{yf,k}$	230	MPa	
pás. dolní	$f_{yf,k}$	230	MPa	
stojina	$f_{yw,k}$	230	MPa	
výztuž	$f_{ys,k}$	500	MPa	
γ_M =	1.10	γ_s =	1.15	

Excentricita normálové síly				
Exc./Fáze	0	1	2	3
e_y	0.000	0.000	0.000	0.000
e_z	0.000	0.000	0.000	0.000
Ekvivalentní vzdál. stěn - příčný roznos				
b_{Mx}	0.000	0.000	0.000	0.000

Vliv stěny na únosnost průřezu				
Char./Fáze	0	1	2	3
A	0.00	0.00	0.00	0.00
Wy	0.00	0.00	0.00	0.00
Wz	0.00	0.00	0.00	0.00

Charakter. v kroucení			
$t_{w,y}$	0.000	[mm]	
$t_{w,z}$	0.000	[mm]	
κ	1.00		
I_t=	0.00E+00	[mm^4]	
$\Omega=2*A_{py}$	0.00E+00	[mm^2]	

Součinitele vzpěru a vlivu II.řádu					
Char./Fáze	0	1	2	3	
k_y	1.000	1.000	1.000	1.000	
k_z	1.000	1.000	1.000	1.000	
χ_{LT}	1.000	1.000	1.000	1.000	
χ_{min}	1.000	1.000	1.000	1.000	

Vnitřní síly od jednotlivých skupin zatěžovacích stavů

SKUPINA ZATĚŽOVACÍCH STAVŮ					- CHARAKTERISTICKÉ HODNOTY						DÍLČÍ SOUČINITELÉ ZATÍŽENÍ, DYNAMICKÝ SOUČINITEL						4	- NÁVRHOVÉ HODNOTY									
Č.	SKUP ZS	POPIS ZS	KAT.	FÁZE PRŮŘ.	N.k (kN)	Vy.k (kN)	Vz.k (kN)	Mx.k (kNm)	My.k (kNm)	Mz.k (kNm)	γ_{sup} (-)	γ_{inf} (-)	volba ψ_i hledat	ψ_i (-)	L_d (m)	δ (-)	Ψ_0 KZ04	N.d (kN)	Vy.d (kN)	Vz.d (kN)	ΔVz.d (kN)	ΣVz.d (kN)	Mx.d (kNm)	My.d (kNm)	ΔMy.d (kNm)	ΣMy.d (kNm)	Mz.d (kNm)	ΔMz.d (kNm)	ΣMz.d (kNm)
1	G0	Vlastní tíha OK	G	0	84	0	-9	0	1	0	1.00	1.20		1.20	-	1.00	0.95	96	0	-10	0	-10	0	1	0	1	-1	0	-1
2	G1	Ostatní stálé - mostní vybavení	G	0	6	0	0	0	0	0	1.00	1.20		1.20	-	1.00	0.95	7	0	0	0	0	0	0	0	0	0	0	0
3	G2	Ostatní stálé - cizí zařízení	G	0	5	0	0	0	0	0	1.00	1.20		1.20	-	1.00	0.95	6	0	0	0	0	0	0	0	0	0	0	0
4	P1_71	a.LM71 - kolej 1 (bez dyn. souč.)	P	0	65	0	-5	0	-5	0	1.00	1.30		1.30	-	1.59	1.00	133	0	-11	0	-11	0	-11	0	-11	-1	0	-1
5	P2_71	a.LM71 - kolej 2 (bez dyn. souč.)	P	0	102	-1	-201	0	-22	-1	1.00	1.30		1.30	-	1.59	1.00	211	-1	-415	0	-415	0	-45	0	-45	-1	0	-1
6	P1_C3	TTZ C3 - kolej 1 (bez dyn. souč.)	P	0	55	0	-4	0	-5	0	1.00	vyp.		0.00	-	1.00	0.00	0	0	0	0	0	0	0	0	0	0	0	0
7	P2_C3	TTZ C3 - kolej 2 (bez dyn. souč.)	P	0	81	0	-134	0	-12	0	1.00	vyp.		0.00	-	1.00	0.00	0	0	0	0	0	0	0	0	0	0	0	0
8	BR	Brzdné a rozjezdové síly	P	0	90	-1	-6	0	-1	-2	1.00	1.30		1.30	-	1.00	0.40	47	-1	-3	0	-3	0	0	0	0	-1	0	-1
9	S	Boční ráz	P	0	-21	10	-6	0	-2	3	1.00	1.30		1.30	-	1.00	0.80	-22	10	-6	0	-6	0	-2	0	-2	3	0	3
10	CH	Chodci na lávkách	Q	0	6	0	0	0	0	0	1.00	1.30		1.30	-	1.00	1.00	7	0	0	0	0	0	0	0	0	0	0	0
11	W	Vítr na konstrukci	Q	0	-30	0	-2	0	-1	0	1.00	1.35		1.35	-	1.00	0.75	-30	0	-2	0	-2	0	-1	0	-1	0	0	0
12	WP	Vítr na vozidla	Q	0	44	-4	-12	0	-2	0	1.00	1.35		1.35	-	1.00	0.75	44	-4	-13	0	-13	0	-2	0	-2	0	0	0
13	TR	Teplota rovnoměrná	Q	0	0	0	0	0	0	0	1.00	1.35		1.35	-	1.00	0.45	0	0	0	0	0	0	0	0	0	0	0	0
14	TN	Teplota nerovnoměrná	Q	0	7	0	0	0	-2	0	1.00	1.35		1.35	-	1.00	0.60	5	0	0	0	0	0	-2	0	-2	0	0	0
15	FR	Třecí síly v ložiskách	Q	0	9	0	0	0	0	0	1.00	1.20		1.20	-	1.00	1.00	11	0	0	0	0	0	0	0	0	0	0	0
16	I	Imperfekce soustavy	Q	0	-2	0	0	0	0	0	1.00	1.20		1.20	-	1.00	1.00	-3	0	0	0	0	0	0	0	0	0	0	0
27	ULS_LM	ULS - LM71 bez dynam	Q	0	393	6	-305	0	-41	1	1.00	vyp.		0.00	-	1.00	0.00	0	0	0	0	0	0	0	0	0	0	0	0
28	SLS_LM	SLS - LM71 bez dynam	Q	0	310	5	-235	0	-30	1	1.00	vyp.	1	0.00	-	1.00	0.00	0	0	0	0	0	0	0	0	0	0	0	0
29	ULS_C3	ULS - C3 bez dynam	Q	0	353	7	-217	0	-28	1	1.00	vyp.	1	0.00	-	1.00	0.00	0	0	0	0	0	0	0	0	0	0	0	0
30	SLS_C3	SLS - C3 bez dynam	Q	0	279	5	-167	0	-20	1	1.00	vyp.	1	0.00	-	1.00	0.00	0	0	0	0	0	0	0	0	0	0	0	0
		CELKEM - FÁZE PRŮŘEZU 0																514	3	-460	0	-460	0	-61	0	-61	-1	0	-1
		CELKEM - FÁZE PRŮŘEZU 1																0	0	0	0	0	0	0	0	0	0	0	0
		CELKEM - FÁZE PRŮŘEZU 2																0	0	0	0	0	0	0	0	0	0	0	0
		CELKEM - FÁZE PRŮŘEZU 3																0	0	0	0	0	0	0	0	0	0	0	0
		CELKEM - PRŮŘEZ																514	3	-460	0	-460	0			-61			-1

Napětí od jednotlivých zatěžovacích stavů

SKUPINA ZATĚŽOVACÍCH STAVŮ					Posouzení normálového napětí										Posouzení smykového napětí													
					Účinek síly N			Účinek momentu My			Účinek momentu Mz				Účinek kroutícího momentu Mx				Účinek smykové síly Vy				Účinek smykové síly Vz			
Č.	SKUP ZS	Popis ZS	Kat.	fáze průř.	δ^*N_d [kN]	χ^*A [mm^2]	σ_n [MPa]	$\delta^*M_{y,d}$ [kNm]	$\chi_{lt}*W_{el,y}$ [mm^3]	σ_{my} [MPa]	$\delta^*M_{z,d}$ [kNm]	$W_{el,z}$ [mm^3]	σ_{mz} [MPa]	σ_x [MPa]	$\kappa*\delta^*M_{x,d}$ [kNm]	$W_{v,y}$ [mm^2]	$\tau_{x,y}$ [MPa]	$W_{v,z}$ [mm^2]	$\tau_{x,z}$ [MPa]	$\delta^*V_{y,d}$ [kN]	$A_{v,y}$ [mm2]	$\tau_{v,y}$ [MPa]	$\tau_{v,y}$ [MPa]	$\delta^*V_{z,d}$ [kN]	$A_{v,z}$ [mm2]	$\tau_{v,z}$ [MPa]	$\tau_{v,z}$ [MPa]
1	G0	Vlastní tíha OK	G	0	96.2	1.60E+04	6.0	0.8	-1.85E+06	-0.4	-0.6	-2.39E+05	2.3	7.9	0.0E+00	-	-	-	-	-0.4	0.00E+00	0.0	0.0	-9.9	1.24E+04	-0.8	-0.8
2	G1	Ostatní stálé - mostní vybavení	G	0	7.3	1.60E+04	0.5	0.2	-1.85E+06	-0.1	0.0	-2.39E+05	0.2	0.5	0.0E+00	-	-	-	-	0.0	0.00E+00	0.0	0.0	-0.1	1.24E+04	0.0	0.0
3	G2	Ostatní stálé - cizí zařízení	G	0	5.5	1.60E+04	0.3	0.1	-1.85E+06	-0.1	0.0	-2.39E+05	0.1	0.4	0.0E+00	-	-	-	-	0.0	0.00E+00	0.0	0.0	-0.1	1.24E+04	0.0	0.0
4	P1_71	a.LM71 - kolej 1 (bez dyn. souč.)	P	0	133.1	1.60E+04	8.3	-10.8	-1.85E+06	5.9	-0.9	-2.39E+05	3.9	18.1	-2.1E-02	-	-	-	-	-0.4	0.00E+00	0.0	0.0	-10.7	1.24E+04	-0.9	-0.9
5	P2_71	a.LM71 - kolej 2 (bez dyn. souč.)	P	0	211.4	1.60E+04	13.2	-45.0	-1.85E+06	24.4	-1.1	-2.39E+05	4.4	42.0	1.4E-01	-	-	-	-	-1.3	0.00E+00	0.0	0.0	-414.6	1.24E+04	-33.4	-33.4
6	P1_C3	TTZ C3 - kolej 1 (bez dyn. souč.)	P	0	0.0	1.60E+04	0.0	0.0	-1.85E+06	0.0	0.0	-2.39E+05	0.0	0.0	0.0E+00	-	-	-	-	0.0	0.00E+00	0.0	0.0	0.0	1.24E+04	0.0	0.0
7	P2_C3	TTZ C3 - kolej 2 (bez dyn. souč.)	P	0	0.0	1.60E+04	0.0	0.0	-1.85E+06	0.0	0.0	-2.39E+05	0.0	0.0	0.0E+00	-	-	-	-	0.0	0.00E+00	0.0	0.0	0.0	1.24E+04	0.0	0.0
8	BR	Brzdné a rozjezdové síly	P	0	47.0	1.60E+04	2.9	-0.3	-1.85E+06	0.2	-0.9	-2.39E+05	3.7	6.8	-1.6E-02	-	-	-	-	-0.6	0.00E+00	0.0	0.0	-3.0	1.24E+04	-0.2	-0.2
9	S	Boční ráz	P	0	-21.9	1.60E+04	-1.4	-1.6	-1.85E+06	0.9	3.4	-2.39E+05	-14.3	-14.9	1.9E-01	-	-	-	-	9.9	0.00E+00	0.0	0.0	-6.0	1.24E+04	-0.5	-0.5
10	CH	Chodci na lávkách	Q	0	7.3	1.60E+04	0.5	0.0	-1.85E+06	0.0	-0.1	-2.39E+05	0.3	0.7	0.0E+00	-	-	-	-	0.0	0.00E+00	0.0	0.0	-0.3	1.24E+04	0.0	0.0
11	W	Vítr na konstrukci	Q	0	-29.9	1.60E+04	-1.9	-0.6	-1.85E+06	0.3	-0.3	-2.39E+05	1.4	-0.2	-1.0E-02	-	-	-	-	-0.1	0.00E+00	0.0	0.0	-2.1	1.24E+04	-0.2	-0.2
12	WP	Vítr na vozidla	Q	0	44.1	1.60E+04	2.8	-2.1	-1.85E+06	1.1	-0.1	-2.39E+05	0.4	4.3	0.0E+00	-	-	-	-	-3.7	0.00E+00	0.0	0.0	-12.6	1.24E+04	-1.0	-1.0
13	TR	Teplota rovnoměrná	Q	0	0.0	1.60E+04	0.0	0.0	-1.85E+06	0.0	0.0	-2.39E+05	0.0	0.0	0.0E+00	-	-	-	-	0.0	0.00E+00	0.0	0.0	0.0	1.24E+04	0.0	0.0
14	TN	Teplota nerovnoměrná	Q	0	5.5	1.60E+04	0.3	-1.7	-1.85E+06	0.9	0.0	-2.39E+05	0.1	1.4	0.0E+00	-	-	-	-	0.0	0.00E+00	0.0	0.0	-0.3	1.24E+04	0.0	0.0
15	FR	Třecí síly v ložiskách	Q	0	11.1	1.60E+04	0.7	0.1	-1.85E+06	-0.1	0.0	-2.39E+05	0.2	0.8	0.0E+00	-	-	-	-	0.0	0.00E+00	0.0	0.0	-0.2	1.24E+04	0.0	0.0
16	I	Imperfekce soustavy	Q	0	-2.9	1.60E+04	-0.2	-0.1	-1.85E+06	0.0	0.0	-2.39E+05	0.1	-0.1	0.0E+00	-	-	-	-	0.0	0.00E+00	0.0	0.0	-0.1	1.24E+04	0.0	0.0
27	ULS_LM	ULS - LM71 bez dynam	Q	0	0.0	1.60E+04	0.0	0.0	-1.85E+06	0.0	0.0	-2.39E+05	0.0	0.0	0.0E+00	-	-	-	-	0.0	0.00E+00	0.0	0.0	0.0	1.24E+04	0.0	0.0
28	SLS_LM	SLS - LM71 bez dynam	Q	0	0.0	1.60E+04	0.0	0.0	-1.85E+06	0.0	0.0	-2.39E+05	0.0	0.0	0.0E+00	-	-	-	-	0.0	0.00E+00	0.0	0.0	0.0	1.24E+04	0.0	0.0
29	ULS_C3	ULS - C3 bez dynam	Q	0	0.0	1.60E+04	0.0	0.0	-1.85E+06	0.0	0.0	-2.39E+05	0.0	0.0	0.0E+00	-	-	-	-	0.0	0.00E+00	0.0	0.0	0.0	1.24E+04	0.0	0.0
30	SLS_C3	SLS - C3 bez dynam	Q	0	0.0	1.60E+04	0.0	0.0	-1.85E+06	0.0	0.0	-2.39E+05	0.0	0.0	0.0E+00	-	-	-	-	0.0	0.00E+00	0.0	0.0	0.0	1.24E+04	0.0	0.0
NAVÝŠENÍ NAPĚTÍ DO AKTIVACE TLAKU V DESCE MOSTOVKY						$\sigma_{P,red}$	0.0							0.0			0.0		0.0				0.0	0.0			-37.1	-37.1
NAPĚTÍ OD PRIMÁRNÍCH ÚČINKŮ NEROVNOMĚRNÉHO OTEPLENÍ						σ_T	0.0							0.0														
NAPĚTÍ OD REOLOGICKÝCH ÚČINKŮ BETONU V ČASE				t=0		σ_R	0.0	γ=	1.20					0.0														
NAPĚTÍ V KRITICKÝCH VLÁKNECH OD KOMBINACE ZATÍŽENÍ						KZ04		[MPa]					$\Sigma\sigma_x$	67.8								$\Sigma\tau_y$	0.0			$\Sigma\tau_z$	-37.1
NAPĚTÍ OD POHYBLIVÉHO ZATÍŽENÍ								[MPa]					$\sigma_{x,P}$	52.0								τ_P	0.0			τ_P	-35.0
NAPĚTÍ OD OSTATNÍCH ZATÍŽENÍ								[MPa]			Φ_{Vy}	Φ_{Vz}	$\sigma_{x,rs}$	15.7								τ_{rs}	0.0			τ_{rs}	-2.1
NÁVRHOVÁ HODNOTA MEZE KLUZU S REDUKCÍ VLIVEM SMYKOVÉHO NAPĚTÍ								[MPa]			1.00	1.00	$f_{yv,d}$	209.1								$f_{yd}/3^{0,5}$	120.7			$f_{yd}/3^{0,5}$	120.7
NAPĚTÍ OD POHYBLIVÉHO ZATÍŽENÍ V GLOBÁLNÍM SYSTÉMU						$\sigma_{GLOB,P}$	0.0	[MPa]					$\Sigma\sigma_{GLOB}$	0.0													
NAPĚTÍ OD OSTATNÍCH ZATÍŽENÍ V GLOBÁLNÍM SYSTÉMU						$\sigma_{GLOB,rs}$	0.0	[MPa]					$\Sigma\sigma_x + \Sigma\sigma_{GLOB}$	67.8													
VYUŽITÍ PRŮŘEZU DLE NAPĚTÍ								[%]					η_1	0.32								η_3	0.00			η_3	0.31
NAPĚTÍ V PŘÍČNÉM SMĚRU OD POHYBLIVÉHO ZATÍŽENÍ						$\sigma_{z,P}$	0.0	[MPa]					$\Sigma\sigma_z$	0.0													
NAPĚTÍ V PŘÍČNÉM SMĚRU OD OSTATNÍCH ZATÍŽENÍ						$\sigma_{z,rs}$	0.0	[MPa]					η_2	0.00													
SROVNÁVACÍ NAPĚTÍ													$(\eta_2 + 0,8\,\eta_1)/1,4$ =	0.19													
VYUŽITÍ PRŮŘEZU CELKEM								[%]					eff	0.32	VYHOVUJE												
													z_{LM71} =	3.39													

VÝPOČET PRŮŘEZOVÝCH CHARAKTERISTIK

PRŮŘEZ: L3_1b **POPIS:** PODÉLNÍK - 3 - KRAJ (U PŘÍČNÍKU 3) - ŘEZ b **x =** - **m**

DEFINOVÁNÍ PRŮŘEZU

PÁSNICE HORNÍHO LEVÉHO ÚHELNÍKU	b f.t.l.o =	90	mm				
TLOUŠŤKA PÁSNICE ÚHELNÍKU	t f.t.l.o =	10	mm	OSLABENÍ PÁSNICE - TLOUŠŤKA	Δt f.t.l.o =	0	%
VÝŠKA STĚNY ÚHELNÍKU	h w.t.l.o =	80	mm				
TLOUŠŤKA STĚNY ÚHELNÍKU	t w.t.l.o =	10	mm	OSLABENÍ STĚNY - TLOUŠŤKA	Δt w.t.l.o =	0	%
PÁSNICE HORNÍHO PRAVÉHO ÚHELNÍKU	b f.t.r.o =	90	mm				
TLOUŠŤKA PÁSNICE ÚHELNÍKU	t f.t.r.o =	10	mm	OSLABENÍ PÁSNICE - TLOUŠŤKA	Δt f.t.r.o =	0	%
VÝŠKA STĚNY ÚHELNÍKU	h w.t.r.o =	80	mm				
TLOUŠŤKA STĚNY ÚHELNÍKU	t w.t.r.o =	10	mm	OSLABENÍ STĚNY - TLOUŠŤKA	Δt w.t.r.0 =	0	%
PÁSNICE DOLNÍHO LEVÉHO ÚHELNÍKU	b f.b.l.o =	90	mm				
TLOUŠŤKA PÁSNICE ÚHELNÍKU	t f.b.l.o =	10	mm	OSLABENÍ PÁSNICE - TLOUŠŤKA	Δt f.b.l.o =	0	%
VÝŠKA STĚNY ÚHELNÍKU	h w.b.l.o =	80	mm				
TLOUŠŤKA STĚNY ÚHELNÍKU	t w.b.l.o =	10	mm	OSLABENÍ STĚNY - TLOUŠŤKA	Δt w.b.l.o =	0	%
PÁSNICE DOLNÍHO PRAVÉHO ÚHELNÍKU	b f.b.r.o =	90	mm				
TLOUŠŤKA PÁSNICE ÚHELNÍKU	t f.b.r.o =	10	mm	OSLABENÍ PÁSNICE - TLOUŠŤKA	Δt f.b.r.o =	0	%
VÝŠKA STĚNY ÚHELNÍKU	h w.b.r.o =	80	mm				
TLOUŠŤKA STĚNY ÚHELNÍKU	t w.b.r.o =	10	mm	OSLABENÍ STĚNY - TLOUŠŤKA	Δt w.b.r.o =	0	%
PŘÍLOŽKY STĚNY 2x	h w =	0	mm				
	t w =	0	mm	OSLABENÍ STĚNY	Δt w.l =	0	%
ŠÍŘKA HORNÍ PÁSNICE	b f.t =	0	mm	ARCH. DOK. - PÁSNICE UKONČENA PŘED PŘÍPOJEM			
TLOUŠŤKA HORNÍ PÁSNICE	t f.t =	0	mm	OSLABENÍ HORNÍ PÁSNICE	Δt f.t =	0	%
PŘESAH HORNÍ PÁSNICE	o f.t =	0	mm	HORNÍ PÁSNICE OBECNĚ NESYMETRICKÁ (PODÉLNÍK - PŘÍPOJ MOSTNICE)			
VÝŠKA STĚNY	h w =	690	mm				
TLOUŠŤKA STĚNY	t w =	10	mm	OSLABENÍ STĚNY	Δt w.l =	0	%
ŠÍŘKA DOLNÍ PÁSNICE	b f.b =	0	mm	PŘEDPOKLAD - PÁSNICE UKONČENA PŘED PŘÍPOJEM			
TLOUŠŤKA DOLNÍ PÁSNICE	t f.b =	0	mm	OSLABENÍ DOLNÍ PÁSNICE (DOLNÍ PÁSNICE SYMETRICKÁ)	Δt f.b =	0	%

NÝT Č.	SKUPINA	ŘEZ	RED.	VELIKOST d| [mm]	POLOHA e| [mm]	POPIS	AKTIVITA OTVORU	NAPĚTÍ sc [MPa]
1		-	1.00	0	-125	nýt - f.t	0	-
2		-	1.00	20	-50	nýt - f.t - krční úhelník	1	21.01
3		-	1.00	20	50	nýt - f.t - krční úhelník	1	6.39
4		-	1.00			nýt - f.t	-	
5		-	1.00	20	640	nýt - w - krční úhelník	1	13.50
6		-	1.00			nýt - w	-	
7		-	1.00			nýt - w	-	
8		-	1.00			nýt - w	-	
9		-	1.00			nýt - w	-	
10		-	1.00	22	545	nýt - w	1	13.07
11		-	1.00	22	445	nýt - w	1	12.61
12		-	1.00	22	345	nýt - w	1	12.16
13		-	1.00	22	245	nýt - w	1	11.71
14		-	1.00	22	145	nýt - w	1	11.26
15		-	1.00	20	50	nýt - w - krční úhelník	1	10.83
16		-	1.00				-	
17		-	1.00				-	
18		-	1.00				-	
19		-	1.00			nýt - f.b	-	
20		-	1.00	20	-50	nýt - f.b. - krční úhelník	1	17.94
21		-	1.00	20	50	nýt - f.b. - krční úhelník	1	3.31
22		-	1.00			nýt - f.b	-	

ZADANÉ ČÁSTI PRŮŘEZU:

č.prvku	b [mm]	h [mm]	y_0 [mm]	z_0 [mm]	popis části	druh oslabení	lokální ultimate	boulení servic.
1	90.0	10.0	-50.0	685.0	pásnice	0	1.000	1.000
2	10.0	80.0	-10.0	640.0		0	1.000	1.000
3	90.0	10.0	50.0	685.0	pásnice	0	1.000	1.000
4	10.0	80.0	10.0	640.0		0	1.000	1.000
5	90.0	10.0	-50.0	5.0	pásnice	0	1.000	1.000
6	10.0	80.0	-10.0	50.0		0	1.000	1.000
7	90.0	10.0	50.0	5.0	pásnice	0	1.000	1.000
8	10.0	80.0	10.0	50.0		0	1.000	1.000
9	0.0	0.0	-95.0	690.0	pásnice	0	1.000	1.000
10	10.0	690.0	0.0	345.0	stěna	0	1.000	1.000
11	0.0	0.0	0.0	0.0	pásnice	0	1.000	1.000
12	0.0	0.0	-5.0	345.0	stěna	0	1.000	1.000
13	0.0	0.0	5.0	345.0	stěna	0	1.000	1.000
14						0	1.000	1.000
15						0	1.000	1.000
16						0	1.000	1.000
17						0	1.000	1.000
18						0	1.000	1.000
19						0	1.000	1.000
20						0	1.000	1.000
21						0	1.000	1.000
22						0	1.000	1.000
23						0	1.000	1.000
24						0	1.000	1.000
25						0	1.000	1.000
26						0	1.000	1.000
27						0	1.000	1.000
28						0	1.000	1.000
29						0	1.000	1.000
30						0	1.000	1.000
31						0	1.000	1.000
32						0	1.000	1.000
33						0	1.000	1.000
34						0	1.000	1.000
35						0	1.000	1.000
36						0	1.000	1.000
37						0	1.000	1.000
38						0	1.000	1.000
39						0	1.000	1.000
40						0	1.000	1.000
41						0	1.000	1.000
42						0	1.000	1.000
43						0	1.000	1.000
44						0	1.000	1.000
45						0	1.000	1.000
46						0	1.000	1.000
47						0	1.000	1.000
48						0	1.000	1.000
49						0	1.000	1.000
50						0	1.000	1.000
51	0	0	0	0	nýt - pásnice	0	1.000	1.000
52	-20.0	10.0	-50.0	685.0	nýt - pásnice	0	1.000	1.000
53	-20.0	10.0	50.0	685.0	nýt - pásnice	0	1.000	1.000
54	0	0	0	0	nýt - pásnice	0	1.000	1.000
55	10.0	-20.0	0.0	640.0	nýt - stěna	0	1.000	1.000
56	10.0	-20.0	-10.0	640.0		0	1.000	1.000
57	10.0	-20.0	10.0	640.0		0	1.000	1.000
58	0	0	0	0	nýt - stěna	0	1.000	1.000
59	0	0	0	0	nýt - stěna	0	1.000	1.000
60	10.0	-22.0	0.0	545.0	nýt - stěna	0	1.000	1.000
61	10.0	-22.0	0.0	445.0	nýt - stěna	0	1.000	1.000
62	10.0	-22.0	0.0	345.0	nýt - stěna	0	1.000	1.000
63	10.0	-22.0	0.0	245.0	nýt - stěna	0	1.000	1.000
64	10.0	-22.0	0.0	145.0	nýt - stěna	0	1.000	1.000
65	10.0	-20.0	0.0	50.0	nýt - stěna	0	1.000	1.000
66	10.0	-20.0	-10.0	50.0		0	1.000	1.000
67	10.0	-20.0	10.0	50.0		0	1.000	1.000
68						0	1.000	1.000
69	0	0	0	0	nýt - pásnice	0	1.000	1.000
70	-20.0	10.0	-50.0	5.0	nýt - pásnice	0	1.000	1.000
71	-20.0	10.0	50.0	5.0	nýt - pásnice	0	1.000	1.000
72	0	0	0	0	nýt - pásnice	0	1.000	1.000
73								
74								
75								
76								
77								
78								
79								
80								
81								
82								
83								
84								
85								
86								
87								
88								
89								
90								
91								
92								
93								
94								
95								
96								
97								
98								
99								
100								

VÝPOČET PRŮŘEZOVÝCH CHARAKTERISTIK

Properties	Basic	Ultimate		Serviceability	
y_t	0.0	0.0		0.0	[mm]
z_t	345.0	345.0		345.0	[mm]
A_i	1.0600E+04	1.0600E+04		1.0600E+04	[mm²]
A_s	2.8000E+03	2.8000E+03		2.8000E+03	[mm²]
A_b	5.4000E+03	5.4000E+03		5.4000E+03	[mm²]
I_{yi}	7.5113E+08	7.5113E+08		7.5113E+08	[mm⁴]
I_{zi}	9.7083E+06	9.7083E+06		9.7083E+06	[mm⁴]
i_y	266.2	266.2		266.2	[mm]
i_z	30.3	30.3		30.3	[mm]
$W_{y,1}$	2.1772E+06	2.1772E+06		2.1772E+06	[mm³]
$W_{z,1}$	-1.0219E+05	-1.0219E+05		-1.0219E+05	[mm³]
$W_{y,2}$	-2.1772E+06	-2.1772E+06		-2.1772E+06	[mm³]
$W_{z,2}$	-1.0219E+05	-1.0219E+05		-1.0219E+05	[mm³]
KRAJNÍ VLÁKNA PRŮŘEZU					
y_1	-95.0	-95.0		-95.0	[mm]
z_1	690.0	690.0		690.0	[mm]
y_2	-95.0	-95.0		-95.0	[mm]
z_2	0.0	0.0		0.0	[mm]
y_3	95.0	95.0		95.0	[mm]
z_3	690.0	690.0		690.0	[mm]
y_4	95.0	95.0		95.0	[mm]
z_4	0.0	0.0		0.0	[mm]
y_5	-5.0	-5.0		-5.0	[mm]
z_5	690.0	690.0		690.0	[mm]
y_6	-5.0	-5.0		-5.0	[mm]
z_6	0.0	0.0		0.0	[mm]

ÚPRAVA MOMENTŮ SETRVAČNOSTI V DŮSLEDKU ČLENĚNÍ PRŮŘEZU

OSA Y 1.00
OSA Z 1.00

SCHÉMA PROMĚNNÝCH

SCHÉMA ZADANÉHO PRŮŘEZU

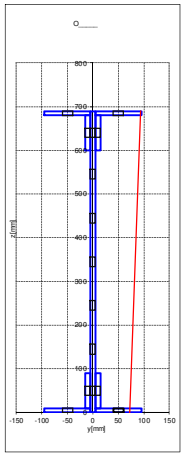

NEUTRÁLNÁ OSA

NAPĚTÍ [MPa]:

27.02	-0.17
24.59	-3.29

ZS: SLS_LM.VZ + MAX N-

	N [kN]	Vy [kN]	Vz [kN]	Mx [kNm]	My [kNm]	Mz [kNm]
import	129	-2	-92	0	-3	1

TR_L3.1 POPIS: **PODÉLNÍK L3.E - KRAJ** POSUDEK: **L3.1**

SKUPINA ZAT. STAVŮ	EXTRÉM	VYHODNOCOVANÉ VELIČINY					
		N	Vy	Vz	Mx	My	Mz
		kN	kN	kN	kNm	kNm	kNm
G0	N.min	**84.42**	-0.32	-8.65	0	0.67	-0.49
	N.max	**57.52**	-0.46	-6.64	-0.03	1.12	-0.94
	Vy.min	84.42	**-0.32**	-8.65	0	0.67	-0.49
	Vy.max	57.52	**-0.46**	-6.64	-0.03	1.12	-0.94
	Vz.min	84.42	-0.32	**-8.65**	0	0.67	-0.49
	Vz.max	57.52	-0.46	**-6.64**	-0.03	1.12	-0.94
	Mx.min	84.42	-0.32	-8.65	**0**	0.67	-0.49
	Mx.max	57.52	-0.46	-6.64	**-0.03**	1.12	-0.94
	My.min	84.42	-0.32	-8.65	0	**0.67**	-0.49
	My.max	57.52	-0.46	-6.64	-0.03	**1.12**	-0.94
	Mz.min	84.42	-0.32	-8.65	0	0.67	**-0.49**
	Mz.max	57.52	-0.46	-6.64	-0.03	1.12	**-0.94**
G1	N.min	**6.43**	-0.03	-0.09	0	0.21	-0.04
	N.max	**6.43**	-0.03	-0.09	0	0.21	-0.04
	Vy.min	6.43	**-0.03**	-0.09	0	0.21	-0.04
	Vy.max	6.43	**-0.03**	-0.09	0	0.21	-0.04
	Vz.min	6.43	-0.03	**-0.09**	0	0.21	-0.04
	Vz.max	6.43	-0.03	**-0.09**	0	0.21	-0.04
	Mx.min	6.43	-0.03	-0.09	**0**	0.21	-0.04
	Mx.max	6.43	-0.03	-0.09	**0**	0.21	-0.04
	My.min	6.43	-0.03	-0.09	0	**0.21**	-0.04
	My.max	6.43	-0.03	-0.09	0	**0.21**	-0.04
	Mz.min	6.43	-0.03	-0.09	0	0.21	**-0.04**
	Mz.max	6.43	-0.03	-0.09	0	0.21	**-0.04**
G2	N.min	**4.84**	-0.02	-0.09	0	0.11	-0.03
	N.max	**4.84**	-0.02	-0.09	0	0.11	-0.03
	Vy.min	4.84	**-0.02**	-0.09	0	0.11	-0.03
	Vy.max	4.84	**-0.02**	-0.09	0	0.11	-0.03
	Vz.min	4.84	-0.02	**-0.09**	0	0.11	-0.03
	Vz.max	4.84	-0.02	**-0.09**	0	0.11	-0.03
	Mx.min	4.84	-0.02	-0.09	**0**	0.11	-0.03
	Mx.max	4.84	-0.02	-0.09	**0**	0.11	-0.03
	My.min	4.84	-0.02	-0.09	0	**0.11**	-0.03
	My.max	4.84	-0.02	-0.09	0	**0.11**	-0.03
	Mz.min	4.84	-0.02	-0.09	0	0.11	**-0.03**
	Mz.max	4.84	-0.02	-0.09	0	0.11	**-0.03**
P1_71	N.min	**-0.09**	0	0.02	0	0.05	0
	N.max	**74.39**	-0.39	-2.43	0	2.19	-0.58
	Vy.min	54.99	**-0.61**	-0.23	0.01	11.13	-0.62
	Vy.max	17.06	**0.06**	-1.88	-0.01	-5.87	-0.05
	Vz.min	64.52	-0.2	**-5.17**	-0.01	-5.25	-0.45
	Vz.max	7.56	-0.37	**2.95**	0.02	11.53	-0.21
	Mx.min	65.51	-0.13	-3.03	**-0.02**	-4.64	-0.41
	Mx.max	8.59	-0.43	0.88	**0.03**	10.47	-0.27
	My.min	27.77	0.01	-3	-0.01	**-6.98**	-0.13
	My.max	48.36	-0.57	1.02	0.02	**12.72**	-0.55
	Mz.min	62.81	-0.59	-1.57	0.01	7.93	**-0.65**
	Mz.max	6.68	0.02	0.62	0	-0.4	**0**
P2_71	N.min	**-0.69**	0	0.01	0	0.01	0
	N.max	**121.15**	-0.59	-151.29	0.06	-22.75	-0.53
	Vy.min	94.56	**-0.91**	-152.28	0.06	-6.88	-0.62
	Vy.max	32.77	**0.1**	-4.59	0	-17.1	0
	Vz.min	102.45	-0.65	**-200.96**	0.07	-21.83	-0.51
	Vz.max	26.79	0	**2.68**	0	-1.86	-0.03
	Mx.min	93.22	-0.17	-2.02	**-0.01**	-7.52	-0.42
	Mx.max	41.19	-0.48	-186.82	**0.08**	-19.74	-0.17
	My.min	49.68	-0.13	-68.85	0.04	**-29.86**	-0.11
	My.max	74.6	-0.48	-61.07	0.02	**5.96**	-0.44
	Mz.min	103.71	-0.89	-153.23	0.06	-10.91	**-0.63**
	Mz.max	21.76	0.05	-19.88	0.01	-9.5	**0.03**
P1_C3	N.min	**-0.08**	0	0.01	0	0.04	0
	N.max	**60.64**	-0.29	-2.54	-0.01	-0.32	-0.46
	Vy.min	49.08	**-0.41**	-1.32	0	5.18	-0.48
	Vy.max	12.61	**0.04**	-1.18	-0.01	-4.2	-0.03
	Vz.min	55.27	-0.13	**-4.14**	-0.01	-5.02	-0.36
	Vz.max	4.8	-0.2	**2.04**	0.01	6.65	-0.11
	Mx.min	50.9	-0.12	-2.31	**-0.02**	-2.58	-0.34
	Mx.max	5.5	-0.24	-0.02	**0.02**	5.2	-0.15
	My.min	17.85	0.01	-2.8	-0.01	**-5.5**	-0.09
	My.max	43.25	-0.35	0.52	0	**7.33**	-0.4
	Mz.min	52.77	-0.4	-1.77	0	4.08	**-0.5**
	Mz.max	5.12	0.01	0.48	0	-0.3	**0**
P2_C3	N.min	**-0.57**	0	0.01	0	0.01	0
	N.max	**98.97**	-0.3	-29.82	0.02	-14.4	-0.41
	Vy.min	76.69	**-0.62**	-98.07	0.03	-0.31	-0.5
	Vy.max	23.58	**0.08**	-3.4	0	-10.84	0.01
	Vz.min	81.19	-0.42	**-134.08**	0.03	-12.09	-0.42
	Vz.max	17.06	-0.01	**1.63**	0	-0.72	-0.02
	Mx.min	74.16	-0.15	-1.28	**-0.01**	-4.68	-0.34
	Mx.max	20.27	-0.25	-102.91	**0.05**	-8.04	-0.08
	My.min	40.02	-0.09	-61.75	0.03	**-23.51**	-0.09
	My.max	68.71	-0.38	-47.58	0.01	**4.78**	-0.38
	Mz.min	82.46	-0.6	-108.45	0.03	-4.7	**-0.51**
	Mz.max	13.66	0.02	-21.94	0	-5.87	**0.02**
BR	N.min	**-110.67**	0.82	4.08	0.02	0.17	1.3
	N.max	**110.67**	-0.82	-4.08	-0.02	-0.17	-1.3
	Vy.min	90.46	**-1.08**	-5.69	-0.03	-0.61	-1.71
	Vy.max	-90.46	**1.08**	5.69	0.03	0.61	1.71
	Vz.min	90.46	-1.08	**-5.69**	-0.03	-0.61	-1.71
	Vz.max	-90.46	1.08	**5.69**	0.03	0.61	1.71
	Mx.min	98.86	-0.89	-5.65	**-0.03**	-0.48	-1.5
	Mx.max	-98.86	0.89	5.65	**0.03**	0.48	1.5
	My.min	49.19	-0.91	-3.89	-0.02	**-0.69**	-1.35
	My.max	-49.19	0.91	3.89	0.02	**0.69**	1.35
	Mz.min	90.46	-1.08	-5.69	-0.03	-0.61	**-1.71**
	Mz.max	-90.46	1.08	5.69	0.03	0.61	**1.71**

TR_L3.1 POPIS: **PODÉLNÍK L3.E - KRAJ** POSUDEK: **L3.1**

SKUPINA ZAT. STAVŮ	EXTRÉM	VYHODNOCOVANÉ VELIČINY					
		N	Vy	Vz	Mx	My	Mz
		kN	kN	kN	kNm	kNm	kNm
S	N.min	**-23.29**	-0.09	-1.89	-0.03	-1.63	-0.26
	N.max	**23.29**	0.09	1.89	0.03	1.63	0.26
	Vy.min	21.09	**-9.53**	5.78	-0.18	1.52	-3.29
	Vy.max	-21.09	**9.53**	-5.78	0.18	-1.52	3.29
	Vz.min	-21.09	9.53	**-5.78**	0.18	-1.52	3.29
	Vz.max	21.09	-9.53	**5.78**	-0.18	1.52	-3.29
	Mx.min	21.09	-9.53	5.78	**-0.18**	1.52	-3.29
	Mx.max	-21.09	9.53	-5.78	**0.18**	-1.52	3.29
	My.min	-23.29	-0.09	-1.89	-0.03	**-1.63**	-0.26
	My.max	23.29	0.09	1.89	0.03	**1.63**	0.26
	Mz.min	21.09	-9.53	5.78	-0.18	1.52	**-3.29**
	Mz.max	-21.09	9.53	-5.78	0.18	-1.52	**3.29**
CH	N.min	**5.64**	-0.02	-0.26	0	0.02	-0.05
	N.max	**11.83**	-0.03	-0.25	0	0.25	-0.07
	Vy.min	11.83	**-0.03**	-0.25	0	0.25	-0.07
	Vy.max	5.64	**-0.02**	-0.26	0	0.02	-0.05
	Vz.min	5.64	-0.02	**-0.26**	0	0.02	-0.05
	Vz.max	8.43	-0.02	**-0.22**	0	0.24	-0.05
	Mx.min	11.83	-0.03	-0.25	**0**	0.25	-0.07
	Mx.max	5.64	-0.02	-0.26	**0**	0.02	-0.05
	My.min	5.64	-0.02	-0.26	0	**0.02**	-0.05
	My.max	11.83	-0.03	-0.25	0	**0.25**	-0.07
	Mz.min	11.83	-0.03	-0.25	0	0.25	**-0.07**
	Mz.max	5.64	-0.02	-0.26	0	0.02	**-0.05**
W	N.min	**-29.53**	-0.14	-2.04	-0.01	-0.57	-0.32
	N.max	**29.51**	0.14	2.04	0.01	0.57	0.32
	Vy.min	-29.53	**-0.14**	-2.04	-0.01	-0.57	-0.32
	Vy.max	29.51	**0.14**	2.04	0.01	0.57	0.32
	Vz.min	-29.53	-0.14	**-2.04**	-0.01	-0.57	-0.32
	Vz.max	29.51	0.14	**2.04**	0.01	0.57	0.32
	Mx.min	-29.53	-0.14	-2.04	**-0.01**	-0.57	-0.32
	Mx.max	29.51	0.14	2.04	**0.01**	0.57	0.32
	My.min	-29.53	-0.14	-2.04	-0.01	**-0.57**	-0.32
	My.max	29.51	0.14	2.04	0.01	**0.57**	0.32
	Mz.min	-29.53	-0.14	-2.04	-0.01	-0.57	**-0.32**
	Mz.max	29.51	0.14	2.04	0.01	0.57	**0.32**
WP	N.min	**-43.61**	3.62	12.45	0	2.05	0.1
	N.max	**43.59**	-3.62	-12.46	0	-2.06	-0.1
	Vy.min	43.59	**-3.62**	-12.46	0	-2.06	-0.1
	Vy.max	-43.61	**3.62**	12.45	0	2.05	0.1
	Vz.min	43.59	-3.62	**-12.46**	0	-2.06	-0.1
	Vz.max	-43.61	3.62	**12.45**	0	2.05	0.1
	Mx.min	-43.61	3.62	12.45	**0**	2.05	0.1
	Mx.max	43.59	-3.62	-12.46	**0**	-2.06	-0.1
	My.min	43.59	-3.62	-12.46	0	**-2.06**	-0.1
	My.max	-43.61	3.62	12.45	0	**2.05**	0.1
	Mz.min	43.59	-3.62	-12.46	0	-2.06	**-0.1**
	Mz.max	-43.61	3.62	12.45	0	2.05	**0.1**
TR	N.min	**0**	0	0	0	0	0
	N.max	**0**	0	0	0	0	0
	Vy.min	0	**0**	0	0	0	0
	Vy.max	0	**0**	0	0	0	0
	Vz.min	0	0	**0**	0	0	0
	Vz.max	0	0	**0**	0	0	0
	Mx.min	0	0	0	**0**	0	0
	Mx.max	0	0	0	**0**	0	0
	My.min	0	0	0	0	**0**	0
	My.max	0	0	0	0	**0**	0
	Mz.min	0	0	0	0	0	**0**
	Mz.max	0	0	0	0	0	**0**
TN	N.min	**-6.73**	0	0.42	0	2.1	0.03
	N.max	**13.32**	0.02	-0.31	0	-1.56	0.02
	Vy.min	-6.36	**-0.02**	-0.07	0	-0.46	-0.05
	Vy.max	13.32	**0.02**	-0.31	0	-1.56	0.02
	Vz.min	6.73	0	**-0.42**	0	-2.1	-0.03
	Vz.max	-6.73	0	**0.42**	0	2.1	0.03
	Mx.min	13.32	0.02	-0.31	**0**	-1.56	0.02
	Mx.max	-6.73	0	0.42	**0**	2.1	0.03
	My.min	6.73	0	-0.42	0	**-2.1**	-0.03
	My.max	-6.73	0	0.42	0	**2.1**	0.03
	Mz.min	-6.36	-0.02	-0.07	0	-0.46	**-0.05**
	Mz.max	-6.73	0	0.42	0	2.1	**0.03**
FR	N.min	**-9.23**	0.01	0.14	0	-0.11	0.03
	N.max	**9.23**	-0.01	-0.14	0	0.11	-0.03
	Vy.min	9.23	**-0.01**	-0.14	0	0.11	-0.03
	Vy.max	-9.23	**0.01**	0.14	0	-0.11	0.03
	Vz.min	9.23	-0.01	**-0.14**	0	0.11	-0.03
	Vz.max	-9.23	0.01	**0.14**	0	-0.11	0.03
	Mx.min	9.23	-0.01	-0.14	**0**	0.11	-0.03
	Mx.max	-9.23	0.01	0.14	**0**	-0.11	0.03
	My.min	-9.23	0.01	0.14	0	**-0.11**	0.03
	My.max	9.23	-0.01	-0.14	0	**0.11**	-0.03
	Mz.min	9.23	-0.01	-0.14	0	0.11	**-0.03**
	Mz.max	-9.23	0.01	0.14	0	-0.11	**0.03**
I	N.min	**-2.44**	0	-0.11	0	-0.05	**-0.01**
	N.max	**2.44**	0	0.11	0	0.05	**0.01**
	Vy.min	-2.44	**0**	-0.11	0	-0.05	**-0.01**
	Vy.max	2.44	**0**	0.11	0	0.05	**0.01**
	Vz.min	-2.44	0	**-0.11**	0	-0.05	**-0.01**
	Vz.max	2.44	0	**0.11**	0	0.05	**0.01**
	Mx.min	-2.44	0	-0.11	**0**	-0.05	**-0.01**
	Mx.max	2.44	0	0.11	**0**	0.05	**0.01**
	My.min	-2.44	0	-0.11	0	**-0.05**	**-0.01**
	My.max	2.44	0	0.11	0	**0.05**	**0.01**
	Mz.min	-2.44	0	-0.11	0	-0.05	**-0.01**
	Mz.max	2.44	0	0.11	0	0.05	**0.01**

TAB. L3.1.3 POSOUZENÍ - MEZNÍ STAV ÚNOSNOSTI

POPIS	PODĚLNÍK L3.E - KRAJ
PRUT / POLOHA BODU	855 / I[558]
NAMÁHÁNÍ	Vz.min
VLÁKNO	BOD K1 -HL
MEZNÍ STAV	ULS (MSÚ)
VYUŽITÍ VLÁKNA PRŮŘEZU	0.76

Charakteristiky materiálu				
pás. horní	$f_{yf,k}$	230	MPa	
pás. dolní	$f_{yf,k}$	230	MPa	
stojina	$f_{yw,k}$	230	MPa	
výztuž	$f_{ys,k}$	500	MPa	
γ_M =	1.10	γ_s =	1.15	

Excentricita normálové síly				
Exc./Fáze	0	1	2	3
e_y	0.000	0.000	0.000	0.000
e_z	0.000	0.000	0.000	0.000
Ekvivalentní vzdál. stěn - příčný roznos				
b_{Mx}	0.000	0.000	0.000	0.000

Vliv stěny na únosnost průřezu				
Char./Fáze	0	1	2	3
A	0.51	0.00	0.00	0.00
Wy	0.29	0.00	0.00	0.00
Wz	0.15	0.00	0.00	0.00

Charakter. v kroucení			
$t_{w,y}$	0.000	[mm]	
$t_{w,z}$	0.000	[mm]	
κ	1.00		
I_t=	0.00E+00	[mm^4]	
Ω=2*A_{pr}	0.00E+00	[mm^2]	

Součinitele vzpěru a vlivu II.řádu					
Char./Fáze	0	1	2	3	
k_y	1.000	1.000	1.000	1.000	
k_z	1.000	1.000	1.000	1.000	
χ_{LT}	1.000	1.000	1.000	1.000	
χ_{min}	1.000	1.000	1.000	1.000	

Vnitřní síly od jednotlivých skupin zatěžovacích stavů

SKUPINA ZATĚŽOVACÍCH STAVŮ					- CHARAKTERISTICKÉ HODNOTY						DÍLČÍ SOUČINITELÉ ZATÍŽENÍ, DYNAMICKÝ SOUČINITEL							- NÁVRHOVÉ HODNOTY									
Č.	SKUP ZS	POPIS ZS	KAT.	FÁZE PRŮŘ.	N.k (kN)	Vy.k (kN)	Vz.k (kN)	Mx.k (kNm)	My.k (kNm)	Mz.k (kNm)	γ_{sr} (-)	γ_{fs} (-)	volba ψ_1 hledat	ψ_1 (-)	L_d (m)	δ (-)	Ψ_c KZ04	N.d (kN)	Vy.d (kN)	Vz.d (kN)	ΔVz.d (kN)	ΣVz.d (kN)	Mx.d (kNm)	My.d (kNm)	ΔMy.d (kNm)	ΣMy.d (kNm)	Mz.d (kNm)	ΔMz.d (kNm)	ΣMz.d (kNm)
1	G0	Vlastní tíha OK	G	0	84	0	-9	0	1	0	1.00	1.20		1.20	-	1.00	0.95	96	0	-10	0	-10	0	1	0	1	-1	0	-1
2	G1	Ostatní stálé - mostní vybavení	G	0	6	0	0	0	0	0	1.00	1.20		1.20	-	1.00	0.95	7	0	0	0	0	0	0	0	0	0	0	0
3	G2	Ostatní stálé - cizí zařízení	G	0	5	0	0	0	0	0	1.00	1.20		1.20	-	1.00	0.95	6	0	0	0	0	0	0	0	0	0	0	0
4	P1_71	a.LM71 - kolej 1 (bez dyn. souč.)	P	0	65	0	-5	0	-5	0	1.00	1.30		1.30	-	1.59	1.00	133	0	-11	0	-11	0	-11	0	-11	-1	0	-1
5	P2_71	a.LM71 - kolej 2 (bez dyn. souč.)	P	0	102	-1	-201	0	-22	-1	1.00	1.30		1.30	-	1.59	1.00	211	-1	-415	0	-415	0	-45	0	-45	-1	0	-1
6	P1_C3	TTZ C3 - kolej 1 (bez dyn. souč.)	P	0	55	0	-4	0	-5	0	1.00	vyp.		0.00	-	1.00	0.00	0	0	0	0	0	0	0	0	0	0	0	0
7	P2_C3	TTZ C3 - kolej 2 (bez dyn. souč.)	P	0	81	0	-134	0	-12	0	1.00	vyp.		0.00	-	1.00	0.00	0	0	0	0	0	0	0	0	0	0	0	0
8	BR	Brzdné a rozjezdové síly	P	0	90	-1	-6	0	-1	-2	1.00	1.30		1.30	-	1.00	0.40	47	-1	-3	0	-3	0	0	0	0	-1	0	-1
9	S	Boční ráz	P	0	-21	10	-6	0	-2	3	1.00	-1.30		-1.30	-	1.00	0.80	22	-10	6	0	6	0	2	0	2	-3	0	-3
10	CH	Chodci na lávkách	Q	0	6	0	0	0	0	0	1.00	1.30		1.30	-	1.00	1.00	7	0	0	0	0	0	0	0	0	0	0	0
11	W	Vítr na konstrukci	Q	0	-30	0	-2	0	-1	0	1.00	1.35		1.35	-	1.00	0.75	-30	0	-2	0	-2	0	-1	0	-1	0	0	0
12	WP	Vítr na vozidla	Q	0	44	-4	-12	0	-2	0	1.00	1.35		1.35	-	1.00	0.75	44	-4	-13	0	-13	0	-2	0	-2	0	0	0
13	TR	Teplota rovnoměrná	Q	0	0	0	0	0	0	0	1.00	1.35		1.35	-	1.00	0.45	0	0	0	0	0	0	0	0	0	0	0	0
14	TN	Teplota nerovnoměrná	Q	0	7	0	0	0	-2	0	1.00	1.35		1.35	-	1.00	0.60	5	0	0	0	0	0	-2	0	-2	0	0	0
15	FR	Třecí síly v ložiskách	Q	0	9	0	0	0	0	0	1.00	1.20		1.20	-	1.00	1.00	11	0	0	0	0	0	0	0	0	0	0	0
16	I	Imperfekce soustavy	Q	0	-2	0	0	0	0	0	1.00	-1.20		-1.20	-	1.00	1.00	3	0	0	0	0	0	0	0	0	0	0	0
27	ULS_LM	ULS - LM71 bez dynam	Q	0	393	6	-305	0	-41	1	1.00	vyp.	1	0.00	-	1.00	0.00	0	0	0	0	0	0	0	0	0	0	0	0
28	SLS_LM	SLS - LM71 bez dynam	Q	0	310	5	-235	0	-30	1	1.00	vyp.	1	0.00	-	1.00	0.00	0	0	0	0	0	0	0	0	0	0	0	0
29	ULS_C3	ULS - C3 bez dynam	Q	0	353	7	-217	0	-28	1	1.00	vyp.	1	0.00	-	1.00	0.00	0	0	0	0	0	0	0	0	0	0	0	0
30	SLS_C3	SLS - C3 bez dynam	Q	0	279	5	-167	0	-20	1	1.00	vyp.	1	0.00	-	1.00	0.00	0	0	0	0	0	0	0	0	0	0	0	0
		CELKEM - FÁZE PRŮŘEZU 0																564	-16	-448	0	-448	0	-58	0	-58	-7	0	-7
		CELKEM - FÁZE PRŮŘEZU 1																0	0	0	0	0	0	0	0	0	0	0	0
		CELKEM - FÁZE PRŮŘEZU 2																0	0	0	0	0	0	0	0	0	0	0	0
		CELKEM - FÁZE PRŮŘEZU 3																0	0	0	0	0	0	0	0	0	0	0	0
		CELKEM - PRŮŘEZ																564	-16	-448	0	-448	0			-58			-7

Napětí od jednotlivých zatěžovacích stavů

SKUPINA ZATĚŽOVACÍCH STAVŮ					Posouzení normálového napětí										Posouzení smykového napětí													
					Účinek síly N			Účinek momentu My				Účinek momentu Mz				Účinek kroutícího momentu Mx				Účinek smykové síly Vy				Účinek smykové síly Vz			
Č.	SKUP ZS	Popis ZS	Kat.	fáze prúř.	δ^*N_d [kN]	χ^*A [mm^2]	σ_n [MPa]	$\delta^*M_{y,d}$ [kNm]	$\chi_{lt}*W_{el,y}$ [mm^3]	σ_{my} [MPa]	$\delta^*M_{z,d}$ [kNm]	$W_{el,z}$ [mm^3]	σ_{mz} [MPa]	σ_x [MPa]	$\kappa*\delta^*M_{x,d}$ [kNm]	$W_{v,y}$ [mm^2]	$\tau_{x,y}$ [MPa]	$W_{v,z}$ [mm^2]	$\tau_{x,z}$ [MPa]	$\delta^*V_{y,d}$ [kN]	$A_{v,y}$ [mm2]	$\tau_{v,y}$ [MPa]	$\tau_{v,y}$ [MPa]	$\delta^*V_{z,d}$ [kN]	$A_{v,z}$ [mm2]	$\tau_{v,z}$ [MPa]	$\tau_{v,z}$ [MPa]
1	G0	Vlastní tíha OK	G	0	96.2	9.85E+03	9.8	0.8	-2.09E+06	-0.4	-0.6	-1.00E+05	5.6	15.0	0.0E+00	-	-	-	-	-0.4	2.80E+03	-0.1	-0.1	-9.9	5.40E+03	-1.8	-1.8
2	G1	Ostatní stálé - mostní vybavení	G	0	7.3	9.85E+03	0.7	0.2	-2.09E+06	-0.1	0.0	-1.00E+05	0.5	1.1	0.0E+00	-	-	-	-	0.0	2.80E+03	0.0	0.0	-0.1	5.40E+03	0.0	0.0
3	G2	Ostatní stálé - cizí zařízení	G	0	5.5	9.85E+03	0.6	0.1	-2.09E+06	-0.1	0.0	-1.00E+05	0.3	0.8	0.0E+00	-	-	-	-	0.0	2.80E+03	0.0	0.0	-0.1	5.40E+03	0.0	0.0
4	P1_71	a.LM71 - kolej 1 (bez dyn. souč.)	P	0	133.1	9.85E+03	13.5	-10.8	-2.09E+06	5.2	-0.9	-1.00E+05	9.3	28.0	-2.1E-02	-	-	-	-	-0.4	2.80E+03	-0.1	-0.1	-10.7	5.40E+03	-2.0	-2.0
5	P2_71	a.LM71 - kolej 2 (bez dyn. souč.)	P	0	211.4	9.85E+03	21.5	-45.0	-2.09E+06	21.6	-1.1	-1.00E+05	10.5	53.5	1.4E-01	-	-	-	-	-1.3	2.80E+03	-0.5	-0.5	-414.6	5.40E+03	-76.8	-76.8
6	P1_C3	TTZ C3 - kolej 1 (bez dyn. souč.)	P	0	0.0	9.85E+03	0.0	0.0	-2.09E+06	0.0	0.0	-1.00E+05	0.0	0.0	0.0E+00	-	-	-	-	0.0	2.80E+03	0.0	0.0	0.0	5.40E+03	0.0	0.0
7	P2_C3	TTZ C3 - kolej 2 (bez dyn. souč.)	P	0	0.0	9.85E+03	0.0	0.0	-2.09E+06	0.0	0.0	-1.00E+05	0.0	0.0	0.0E+00	-	-	-	-	0.0	2.80E+03	0.0	0.0	0.0	5.40E+03	0.0	0.0
8	BR	Brzdné a rozjezdové síly	P	0	47.0	9.85E+03	4.8	-0.3	-2.09E+06	0.2	-0.9	-1.00E+05	8.9	13.8	-1.6E-02	-	-	-	-	-0.6	2.80E+03	-0.2	-0.2	-3.0	5.40E+03	-0.5	-0.5
9	S	Boční ráz	P	0	21.9	9.85E+03	2.2	1.6	-2.09E+06	-0.8	-3.4	-1.00E+05	34.2	35.7	-1.9E-01	-	-	-	-	-9.9	2.80E+03	-3.5	-3.5	6.0	5.40E+03	1.1	1.1
10	CH	Chodci na lávkách	Q	0	7.3	9.85E+03	0.7	0.0	-2.09E+06	0.0	-0.1	-1.00E+05	0.7	1.4	0.0E+00	-	-	-	-	0.0	2.80E+03	0.0	0.0	-0.3	5.40E+03	-0.1	-0.1
11	W	Vítr na konstrukci	Q	0	-29.9	9.85E+03	-3.0	-0.6	-2.09E+06	0.3	-0.3	-1.00E+05	3.2	0.5	-1.0E-02	-	-	-	-	-0.1	2.80E+03	-0.1	-0.1	-2.1	5.40E+03	-0.4	-0.4
12	WP	Vítr na vozidla	Q	0	44.1	9.85E+03	4.5	-2.1	-2.09E+06	1.0	-0.1	-1.00E+05	1.0	6.5	0.0E+00	-	-	-	-	-3.7	2.80E+03	-1.3	-1.3	-12.6	5.40E+03	-2.3	-2.3
13	TR	Teplota rovnoměrná	Q	0	0.0	9.85E+03	0.0	0.0	-2.09E+06	0.0	0.0	-1.00E+05	0.0	0.0	0.0E+00	-	-	-	-	0.0	2.80E+03	0.0	0.0	0.0	5.40E+03	0.0	0.0
14	TN	Teplota nerovnoměrná	Q	0	5.5	9.85E+03	0.6	-1.7	-2.09E+06	0.8	0.0	-1.00E+05	0.2	1.6	0.0E+00	-	-	-	-	0.0	2.80E+03	0.0	0.0	-0.3	5.40E+03	-0.1	-0.1
15	FR	Třecí síly v ložiskách	Q	0	11.1	9.85E+03	1.1	0.1	-2.09E+06	-0.1	0.0	-1.00E+05	0.4	1.4	0.0E+00	-	-	-	-	0.0	2.80E+03	0.0	0.0	-0.2	5.40E+03	0.0	0.0
16	I	Imperfekce soustavy	Q	0	2.9	9.85E+03	0.3	0.1	-2.09E+06	0.0	0.0	-1.00E+05	-0.1	0.1	0.0E+00	-	-	-	-	0.0	2.80E+03	0.0	0.0	0.1	5.40E+03	0.0	0.0
27	ULS_LM	ULS - LM71 bez dynam	Q	0	0.0	9.85E+03	0.0	0.0	-2.09E+06	0.0	0.0	-1.00E+05	0.0	0.0	0.0E+00	-	-	-	-	0.0	2.80E+03	0.0	0.0	0.0	5.40E+03	0.0	0.0
28	SLS_LM	SLS - LM71 bez dynam	Q	0	0.0	9.85E+03	0.0	0.0	-2.09E+06	0.0	0.0	-1.00E+05	0.0	0.0	0.0E+00	-	-	-	-	0.0	2.80E+03	0.0	0.0	0.0	5.40E+03	0.0	0.0
29	ULS_C3	ULS - C3 bez dynam	Q	0	0.0	9.85E+03	0.0	0.0	-2.09E+06	0.0	0.0	-1.00E+05	0.0	0.0	0.0E+00	-	-	-	-	0.0	2.80E+03	0.0	0.0	0.0	5.40E+03	0.0	0.0
30	SLS_C3	SLS - C3 bez dynam	Q	0	0.0	9.85E+03	0.0	0.0	-2.09E+06	0.0	0.0	-1.00E+05	0.0	0.0	0.0E+00	-	-	-	-	0.0	2.80E+03	0.0	0.0	0.0	5.40E+03	0.0	0.0
NAVÝŠENÍ NAPĚTÍ DO AKTIVACE TLAKU V DESCE MOSTOVKY						$\sigma_{P,red}$	0.0							0.0			0.0		0.0			-5.9	-5.9			-82.9	-82.9
NAPĚTÍ OD PRIMÁRNÍCH ÚČINKŮ NEROVNOMĚRNÉHO OTEPLENÍ						σ_T	0.0							0.0													
NAPĚTÍ OD REOLOGICKÝCH ÚČINKŮ BETONU V ČASE				t=0		σ_R	0.0	γ_{lt}=	1.20					0.0													
NAPĚTÍ V KRITICKÝCH VLÁKNECH OD KOMBINACE ZATÍŽENÍ						KZ04		[MPa]					$\Sigma\sigma_x$	159.5								$\Sigma\tau_y$	-5.9			$\Sigma\tau_z$	-82.9
NAPĚTÍ OD POHYBLIVÉHO ZATÍŽENÍ								[MPa]					$\sigma_{x,P}$	131.0								τ_P	-4.4			τ_P	-78.2
NAPĚTÍ OD OSTATNÍCH ZATÍŽENÍ								[MPa]			Φ_{Vy}	Φ_{Vz}	$\sigma_{x,rs}$	28.5								τ_{rs}	-1.5			τ_{rs}	-4.7
NÁVRHOVÁ HODNOTA MEZE KLUZU S REDUKCÍ VLIVEM SMYKOVÉHO NAPĚTÍ								[MPa]			1.00	0.86	$f_{yw,d}$	209.1								$f_{yd}/3^{0,5}$	120.7			$f_{yd}/3^{0,5}$	120.7
NAPĚTÍ OD POHYBLIVÉHO ZATÍŽENÍ V GLOBÁLNÍM SYSTÉMU						$\sigma_{GLOB,P}$	0.0	[MPa]					$\Sigma\sigma_{GLOB}$	0.0													
NAPĚTÍ OD OSTATNÍCH ZATÍŽENÍ V GLOBÁLNÍM SYSTÉMU						$\sigma_{GLOB,rs}$	0.0	[MPa]					$\Sigma\sigma_x + \Sigma\sigma_{GLOB}$	159.5													
VYUŽITÍ PRŮŘEZU DLE NAPĚTÍ								[%]					η_1	0.76								η_3	0.05			η_3	0.69
NAPĚTÍ V PŘÍČNÉM SMĚRU OD POHYBLIVÉHO ZATÍŽENÍ						$\sigma_{z,P}$	0.0	[MPa]					$\Sigma\sigma_z$	0.0													
NAPĚTÍ V PŘÍČNÉM SMĚRU OD OSTATNÍCH ZATÍŽENÍ						$\sigma_{z,rs}$	0.0	[MPa]					η_2	0.00													
SROVNÁVACÍ NAPĚTÍ													$(\eta_2 + 0,8\,\eta_1)/1,4$ =	0.44													
VYUŽITÍ PRŮŘEZU CELKEM								[%]					eff	0.76	VYHOVUJE												
													Z_{LM71} =	1.38													

TAB. L3.1.3 POSOUZENÍ - MEZNÍ STAV ÚNOSNOSTI

POPIS	PODĚLNÍK L3.E - KRAJ
PRUT / POLOHA BODU	855 / I[558]
NAMÁHÁNÍ	Vz.min
VLÁKNO	BOD K3 -SL
MEZNÍ STAV	ULS (MSÚ)
VYUŽITÍ VLÁKNA PRŮŘEZU	0.71

Charakteristiky materiálu				
pás. horní	$f_{yf,k}$	230	MPa	
pás. dolní	$f_{yf,k}$	230	MPa	
stojina	$f_{yw,k}$	230	MPa	
výztuž	$f_{ys,k}$	500	MPa	
γ_M =	1.10	γ_s =	1.15	

Excentricita normálové síly				
Exc./Fáze	0	1	2	3
e_y	0.000	0.000	0.000	0.000
e_z	0.000	0.000	0.000	0.000
Ekvivalentní vzdál. stěn - příčný roznos				
b_{Mx}	0.000	0.000	0.000	0.000

Vliv stěny na únosnost průřezu				
Char./Fáze	0	1	2	3
A	0.51	0.00	0.00	0.00
Wy	0.29	0.00	0.00	0.00
Wz	0.15	0.00	0.00	0.00

Charakter. v kroucení			
$t_{w,y}$	0.000	[mm]	
$t_{w,z}$	0.000	[mm]	
κ	1.00		
I_t=	0.00E+00	[mm^4]	
$\Omega=2*A_{pr}$	0.00E+00	[mm^2]	

Součinitele vzpěru a vlivu II.řádu				
Char./Fáze	0	1	2	3
k_y	1.000	1.000	1.000	1.000
k_z	1.000	1.000	1.000	1.000
χ_{LT}	1.000	1.000	1.000	1.000
χ_{min}	1.000	1.000	1.000	1.000

Vnitřní síly od jednotlivých skupin zatěžovacích stavů

SKUPINA ZATĚŽOVACÍCH STAVŮ					- CHARAKTERISTICKÉ HODNOTY						DÍLČÍ SOUČINITELÉ ZATÍŽENÍ, DYNAMICKÝ SOUČINITEL						4	- NÁVRHOVÉ HODNOTY									
Č.	SKUP ZS	POPIS ZS	KAT.	FÁZE PRŮŘ.	N.k (kN)	Vy.k (kN)	Vz.k (kN)	Mx.k (kNm)	My.k (kNm)	Mz.k (kNm)	γ_{sr} (-)	γ_{fs} (-)	volba ψ_i hledat	ψ_i (-)	L_d (m)	δ (-)	ψ_0 KZ04	N.d (kN)	Vy.d (kN)	Vz.d (kN)	ΔVz.d (kN)	ΣVz.d (kN)	Mx.d (kNm)	My.d (kNm)	ΔMy.d (kNm)	ΣMy.d (kNm)	Mz.d (kNm)	ΔMz.d (kNm)	ΣMz.d (kNm)
1	G0	Vlastní tíha OK	G	0	84	0	-9	0	1	0	1.00	1.20		1.20	-	1.00	0.95	96	0	-10	0	-10	0	1	0	1	-1	0	-1
2	G1	Ostatní stálé - mostní vybavení	G	0	6	0	0	0	0	0	1.00	1.20		1.20	-	1.00	0.95	7	0	0	0	0	0	0	0	0	0	0	0
3	G2	Ostatní stálé - cizí zařízení	G	0	5	0	0	0	0	0	1.00	1.20		1.20	-	1.00	0.95	6	0	0	0	0	0	0	0	0	0	0	0
4	P1_71	a.LM71 - kolej 1 (bez dyn. souč.)	P	0	65	0	-5	0	-5	0	1.00	1.30		1.30	-	1.59	1.00	133	0	-11	0	-11	0	-11	0	-11	-1	0	-1
5	P2_71	a.LM71 - kolej 2 (bez dyn. souč.)	P	0	102	-1	-201	0	-22	-1	1.00	1.30		1.30	-	1.59	1.00	211	-1	-415	0	-415	0	-45	0	-45	-1	0	-1
6	P1_C3	TTZ C3 - kolej 1 (bez dyn. souč.)	P	0	55	0	-4	0	-5	0	1.00	vyp.		0.00	-	1.00	0.00	0	0	0	0	0	0	0	0	0	0	0	0
7	P2_C3	TTZ C3 - kolej 2 (bez dyn. souč.)	P	0	81	0	-134	0	-12	0	1.00	vyp.		0.00	-	1.00	0.00	0	0	0	0	0	0	0	0	0	0	0	0
8	BR	Brzdné a rozjezdové síly	P	0	90	-1	-6	0	-1	-2	1.00	1.30		1.30	-	1.00	0.40	47	-1	-3	0	-3	0	0	0	0	-1	0	-1
9	S	Boční ráz	P	0	-21	10	-6	0	-2	3	1.00	1.30		1.30	-	1.00	0.80	-22	10	-6	0	-6	0	-2	0	-2	3	0	3
10	CH	Chodci na lávkách	Q	0	6	0	0	0	0	0	1.00	1.30		1.30	-	1.00	1.00	7	0	0	0	0	0	0	0	0	0	0	0
11	W	Vítr na konstrukci	Q	0	-30	0	-2	0	-1	0	1.00	1.35		1.35	-	1.00	0.75	-30	0	-2	0	-2	0	-1	0	-1	0	0	0
12	WP	Vítr na vozidla	Q	0	44	-4	-12	0	-2	0	1.00	1.35		1.35	-	1.00	0.75	44	-4	-13	0	-13	0	-2	0	-2	0	0	0
13	TR	Teplota rovnoměrná	Q	0	0	0	0	0	0	0	1.00	1.35		1.35	-	1.00	0.45	0	0	0	0	0	0	0	0	0	0	0	0
14	TN	Teplota nerovnoměrná	Q	0	7	0	0	0	-2	0	1.00	1.35		1.35	-	1.00	0.60	5	0	0	0	0	0	-2	0	-2	0	0	0
15	FR	Třecí síly v ložiskách	Q	0	9	0	0	0	0	0	1.00	1.20		1.20	-	1.00	1.00	11	0	0	0	0	0	0	0	0	0	0	0
16	I	Imperfekce soustavy	Q	0	-2	0	0	0	0	0	1.00	1.20		1.20	-	1.00	1.00	-3	0	0	0	0	0	0	0	0	0	0	0
27	ULS_LM	ULS - LM71 bez dynam	Q	0	393	6	-305	0	-41	1	1.00	vyp.		0.00	-	1.00	0.00	0	0	0	0	0	0	0	0	0	0	0	0
28	SLS_LM	SLS - LM71 bez dynam	Q	0	310	5	-235	0	-30	1	1.00	vyp.	1	0.00	-	1.00	0.00	0	0	0	0	0	0	0	0	0	0	0	0
29	ULS_C3	ULS - C3 bez dynam	Q	0	353	7	-217	0	-28	1	1.00	vyp.	1	0.00	-	1.00	0.00	0	0	0	0	0	0	0	0	0	0	0	0
30	SLS_C3	SLS - C3 bez dynam	Q	0	279	5	-167	0	-20	1	1.00	vyp.	1	0.00	-	1.00	0.00	0	0	0	0	0	0	0	0	0	0	0	0
		CELKEM - FÁZE PRŮŘEZU 0																514	3	-460	0	-460	0	-61	0	-61	-1	0	-1
		CELKEM - FÁZE PRŮŘEZU 1																0	0	0	0	0	0	0	0	0	0	0	0
		CELKEM - FÁZE PRŮŘEZU 2																0	0	0	0	0	0	0	0	0	0	0	0
		CELKEM - FÁZE PRŮŘEZU 3																0	0	0	0	0	0	0	0	0	0	0	0
		CELKEM - PRŮŘEZ																514	3	-460	0	-460	0			-61			-1

Napětí od jednotlivých zatěžovacích stavů

SKUPINA ZATĚŽOVACÍCH STAVŮ					Posouzení normálového napětí										Posouzení smykového napětí													
					Účinek síly N			Účinek momentu My			Účinek momentu Mz				Účinek kroutícího momentu Mx				Účinek smykové síly Vy						Účinek smykové síly Vz			
Č.	SKUP ZS	Popis ZS	Kat.	fáze prúř.	δ^*N_d [kN]	χ^*A [mm^2]	σ_n [MPa]	$\delta^*M_{y,d}$ [kNm]	$\chi_{lt}*W_{el,y}$ [mm^3]	σ_{my} [MPa]	$\delta^*M_{z,d}$ [kNm]	$W_{el,z}$ [mm^3]	σ_{mz} [MPa]	σ_x [MPa]	$\kappa*\delta^*M_{x,d}$ [kNm]	$W_{v,y}$ [mm^2]	$\tau_{x,y}$ [MPa]	$W_{v,z}$ [mm^2]	$\tau_{x,z}$ [MPa]	$\delta^*V_{y,d}$ [kN]	$A_{v,y}$ [mm2]	$\tau_{v,y}$ [MPa]	$\tau_{v,y}$ [MPa]	$\delta^*V_{z,d}$ [kN]	$A_{v,z}$ [mm2]	$\tau_{v,z}$ [MPa]	$\tau_{v,z}$ [MPa]
1	G0	Vlastní tíha OK	G	0	96.2	9.69E+03	9.9	0.8	2.07E+06	0.4	-0.6	-9.95E+04	5.6	15.9	0.0E+00	-	-	-	-	-0.4	2.80E+03	-0.1	-0.1	-9.9	5.40E+03	-1.8	-1.8
2	G1	Ostatní stálé - mostní vybavení	G	0	7.3	9.69E+03	0.8	0.2	2.07E+06	0.1	0.0	-9.95E+04	0.5	1.3	0.0E+00	-	-	-	-	0.0	2.80E+03	0.0	0.0	-0.1	5.40E+03	0.0	0.0
3	G2	Ostatní stálé - cizí zařízení	G	0	5.5	9.69E+03	0.6	0.1	2.07E+06	0.1	0.0	-9.95E+04	0.3	1.0	0.0E+00	-	-	-	-	0.0	2.80E+03	0.0	0.0	-0.1	5.40E+03	0.0	0.0
4	P1_71	a.LM71 - kolej 1 (bez dyn. souč.)	P	0	133.1	9.69E+03	13.7	-10.8	2.07E+06	-5.2	-0.9	-9.95E+04	9.3	17.8	-2.1E-02	-	-	-	-	-0.4	2.80E+03	-0.1	-0.1	-10.7	5.40E+03	-2.0	-2.0
5	P2_71	a.LM71 - kolej 2 (bez dyn. souč.)	P	0	211.4	9.69E+03	21.8	-45.0	2.07E+06	-21.7	-1.1	-9.95E+04	10.6	10.6	1.4E-01	-	-	-	-	-1.3	2.80E+03	-0.5	-0.5	-414.6	5.40E+03	-76.8	-76.8
6	P1_C3	TTZ C3 - kolej 1 (bez dyn. souč.)	P	0	0.0	9.69E+03	0.0	0.0	2.07E+06	0.0	0.0	-9.95E+04	0.0	0.0	0.0E+00	-	-	-	-	0.0	2.80E+03	0.0	0.0	0.0	5.40E+03	0.0	0.0
7	P2_C3	TTZ C3 - kolej 2 (bez dyn. souč.)	P	0	0.0	9.69E+03	0.0	0.0	2.07E+06	0.0	0.0	-9.95E+04	0.0	0.0	0.0E+00	-	-	-	-	0.0	2.80E+03	0.0	0.0	0.0	5.40E+03	0.0	0.0
8	BR	Brzdné a rozjezdové síly	P	0	47.0	9.69E+03	4.9	-0.3	2.07E+06	-0.2	-0.9	-9.95E+04	8.9	13.6	-1.6E-02	-	-	-	-	-0.6	2.80E+03	-0.2	-0.2	-3.0	5.40E+03	-0.5	-0.5
9	S	Boční ráz	P	0	-21.9	9.69E+03	-2.3	-1.6	2.07E+06	-0.8	3.4	-9.95E+04	-34.4	-37.4	1.9E-01	-	-	-	-	9.9	2.80E+03	3.5	3.5	-6.0	5.40E+03	-1.1	-1.1
10	CH	Chodci na lávkách	Q	0	7.3	9.69E+03	0.8	0.0	2.07E+06	0.0	-0.1	-9.95E+04	0.7	1.4	0.0E+00	-	-	-	-	0.0	2.80E+03	0.0	0.0	-0.3	5.40E+03	-0.1	-0.1
11	W	Vítr na konstrukci	Q	0	-29.9	9.69E+03	-3.1	-0.6	2.07E+06	-0.3	-0.3	-9.95E+04	3.3	-0.1	-1.0E-02	-	-	-	-	-0.1	2.80E+03	-0.1	-0.1	-2.1	5.40E+03	-0.4	-0.4
12	WP	Vítr na vozidla	Q	0	44.1	9.69E+03	4.6	-2.1	2.07E+06	-1.0	-0.1	-9.95E+04	1.0	4.6	0.0E+00	-	-	-	-	-3.7	2.80E+03	-1.3	-1.3	-12.6	5.40E+03	-2.3	-2.3
13	TR	Teplota rovnoměrná	Q	0	0.0	9.69E+03	0.0	0.0	2.07E+06	0.0	0.0	-9.95E+04	0.0	0.0	0.0E+00	-	-	-	-	0.0	2.80E+03	0.0	0.0	0.0	5.40E+03	0.0	0.0
14	TN	Teplota nerovnoměrná	Q	0	5.5	9.69E+03	0.6	-1.7	2.07E+06	-0.8	0.0	-9.95E+04	0.2	0.0	0.0E+00	-	-	-	-	0.0	2.80E+03	0.0	0.0	-0.3	5.40E+03	-0.1	-0.1
15	FR	Třecí síly v ložiskách	Q	0	11.1	9.69E+03	1.1	0.1	2.07E+06	0.1	0.0	-9.95E+04	0.4	1.6	0.0E+00	-	-	-	-	0.0	2.80E+03	0.0	0.0	-0.2	5.40E+03	0.0	0.0
16	I	Imperfekce soustavy	Q	0	-2.9	9.69E+03	-0.3	-0.1	2.07E+06	0.0	0.0	-9.95E+04	0.1	-0.2	0.0E+00	-	-	-	-	0.0	2.80E+03	0.0	0.0	-0.1	5.40E+03	0.0	0.0
27	ULS_LM	ULS - LM71 bez dynam	Q	0	0.0	9.69E+03	0.0	0.0	2.07E+06	0.0	0.0	-9.95E+04	0.0	0.0	0.0E+00	-	-	-	-	0.0	2.80E+03	0.0	0.0	0.0	5.40E+03	0.0	0.0
28	SLS_LM	SLS - LM71 bez dynam	Q	0	0.0	9.69E+03	0.0	0.0	2.07E+06	0.0	0.0	-9.95E+04	0.0	0.0	0.0E+00	-	-	-	-	0.0	2.80E+03	0.0	0.0	0.0	5.40E+03	0.0	0.0
29	ULS_C3	ULS - C3 bez dynam	Q	0	0.0	9.69E+03	0.0	0.0	2.07E+06	0.0	0.0	-9.95E+04	0.0	0.0	0.0E+00	-	-	-	-	0.0	2.80E+03	0.0	0.0	0.0	5.40E+03	0.0	0.0
30	SLS_C3	SLS - C3 bez dynam	Q	0	0.0	9.69E+03	0.0	0.0	2.07E+06	0.0	0.0	-9.95E+04	0.0	0.0	0.0E+00	-	-	-	-	0.0	2.80E+03	0.0	0.0	0.0	5.40E+03	0.0	0.0
NAVÝŠENÍ NAPĚTÍ DO AKTIVACE TLAKU V DESCE MOSTOVKY						$\sigma_{P,red}$	0.0							0.0			0.0		0.0			1.2	1.2			-85.2	-85.2
NAPĚTÍ OD PRIMÁRNÍCH ÚČINKŮ NEROVNOMĚRNÉHO OTEPLENÍ						σ_T	0.0							0.0													
NAPĚTÍ OD REOLOGICKÝCH ÚČINKŮ BETONU V ČASE				t=0		σ_R	0.0	γ_{G}=	1.20					0.0													
NAPĚTÍ V KRITICKÝCH VLÁKNECH OD KOMBINACE ZATÍŽENÍ						KZ04		[MPa]					$\Sigma\sigma_x$	30.2								$\Sigma\tau_y$	1.2			$\Sigma\tau_z$	-85.2
NAPĚTÍ OD POHYBLIVÉHO ZATÍŽENÍ								[MPa]					$\sigma_{x,P}$	4.7								τ_P	2.7			τ_P	-80.4
NAPĚTÍ OD OSTATNÍCH ZATÍŽENÍ								[MPa]			Φ_{Vy}	Φ_{Vz}	$\sigma_{x,rs}$	25.4								τ_{rs}	-1.5			τ_{rs}	-4.8
NÁVRHOVÁ HODNOTA MEZE KLUZU S REDUKCÍ VLIVEM SMYKOVÉHO NAPĚTÍ								[MPa]			1.00	0.83	$f_{yv,d}$	209.1								$f_{yd}/3^{0,5}$	120.7			$f_{yd}/3^{0,5}$	120.7
NAPĚTÍ OD POHYBLIVÉHO ZATÍŽENÍ V GLOBÁLNÍM SYSTÉMU						$\sigma_{GLOB,P}$	0.0	[MPa]					$\Sigma\sigma_{GLOB}$	0.0													
NAPĚTÍ OD OSTATNÍCH ZATÍŽENÍ V GLOBÁLNÍM SYSTÉMU						$\sigma_{GLOB,rs}$	0.0	[MPa]					$\Sigma\sigma_x + \Sigma\sigma_{GLOB}$	30.2													
VYUŽITÍ PRŮŘEZU DLE NAPĚTÍ								[%]					η_1	0.14								η_3	0.01			η_3	0.71
NAPĚTÍ V PŘÍČNÉM SMĚRU OD POHYBLIVÉHO ZATÍŽENÍ						$\sigma_{z,P}$	0.0	[MPa]					$\Sigma\sigma_z$	0.0													
NAPĚTÍ V PŘÍČNÉM SMĚRU OD OSTATNÍCH ZATÍŽENÍ						$\sigma_{z,rs}$	0.0	[MPa]					η_2	0.00													
SROVNÁVACÍ NAPĚTÍ													$(\eta_2 + 0,8\,\eta_1)/1,4$ =	0.08													
VYUŽITÍ PRŮŘEZU CELKEM								[%]					eff	0.71	VYHOVUJE												
													Z_{LM71} =	1.44													

TAB. L3.1.3 POSOUZENÍ - MEZNÍ STAV ÚNOSNOSTI

POPIS	PODÉLNÍK L3.E - KRAJ
PRUT / POLOHA BODU	855 / I[558]
NAMÁHÁNÍ	Vz.min
VLÁKNO	BOD S5 -HL
MEZNÍ STAV	ULS (MSÚ)
VYUŽITÍ VLÁKNA PRŮŘEZU	0.71

Charakteristiky materiálu				
pás. horní	$f_{yf,k}$	230	MPa	
pás. dolní	$f_{yf,k}$	230	MPa	
stojina	$f_{yw,k}$	230	MPa	
výztuž	$f_{ys,k}$	500	MPa	
γ_M =	1.10	γ_s =	1.15	

Excentricita normálové síly				
Exc./Fáze	0	1	2	3
e_y	0.000	0.000	0.000	0.000
e_z	0.000	0.000	0.000	0.000
Ekvivalentní vzdál. stěn - příčný roznos				
b_{Mx}	0.000	0.000	0.000	0.000

Vliv stěny na únosnost průřezu				
Char./Fáze	0	1	2	3
A	0.51	0.00	0.00	0.00
Wy	0.29	0.00	0.00	0.00
Wz	0.00	0.00	0.00	0.00

Charakter. v kroucení			
$t_{w,y}$	0.000	[mm]	
$t_{w,z}$	0.000	[mm]	
κ	1.00		
I_t=	0.00E+00	[mm^4]	
$\Omega=2*A_{pr}$	0.00E+00	[mm^2]	

Součinitele vzpěru a vlivu II.řádu					
Char./Fáze	0	1	2	3	4
k_y	1.000	1.000	1.000	1.000	
k_z	1.000	1.000	1.000	1.000	
χ_{LT}	1.000	1.000	1.000	1.000	
χ_{min}	1.000	1.000	1.000	1.000	

Vnitřní síly od jednotlivých skupin zatěžovacích stavů

SKUPINA ZATĚŽOVACÍCH STAVŮ					- CHARAKTERISTICKÉ HODNOTY						DÍLČÍ SOUČINITELÉ ZATÍŽENÍ, DYNAMICKÝ SOUČINITEL							- NÁVRHOVÉ HODNOTY									
Č.	SKUP ZS	POPIS ZS	KAT.	FÁZE PRŮŘ.	N.k (kN)	Vy.k (kN)	Vz.k (kN)	Mx.k (kNm)	My.k (kNm)	Mz.k (kNm)	γ_{sr} (-)	γ_{fs} (-)	volba γ_f hledat	γ_f (-)	L_d (m)	δ (-)	Ψ_0 KZ04	N.d (kN)	Vy.d (kN)	Vz.d (kN)	ΔVz.d (kN)	ΣVz.d (kN)	Mx.d (kNm)	My.d (kNm)	ΔMy.d (kNm)	ΣMy.d (kNm)	Mz.d (kNm)	ΔMz.d (kNm)	ΣMz.d (kNm)
1	G0	Vlastní tíha OK	G	0	84	0	-9	0	1	0	1.00	1.20		1.20	-	1.00	0.95	96	0	-10	0	-10	0	1	0	1	-1	0	-1
2	G1	Ostatní stálé - mostní vybavení	G	0	6	0	0	0	0	0	1.00	1.20		1.20	-	1.00	0.95	7	0	0	0	0	0	0	0	0	0	0	0
3	G2	Ostatní stálé - cizí zařízení	G	0	5	0	0	0	0	0	1.00	1.20		1.20	-	1.00	0.95	6	0	0	0	0	0	0	0	0	0	0	0
4	P1_71	a.LM71 - kolej 1 (bez dyn. souč.)	P	0	65	0	-5	0	-5	0	1.00	1.30		1.30	-	1.59	1.00	133	0	-11	0	-11	0	-11	0	-11	-1	0	-1
5	P2_71	a.LM71 - kolej 2 (bez dyn. souč.)	P	0	102	-1	-201	0	-22	-1	1.00	1.30		1.30	-	1.59	1.00	211	-1	-415	0	-415	0	-45	0	-45	-1	0	-1
6	P1_C3	TTZ C3 - kolej 1 (bez dyn. souč.)	P	0	55	0	-4	0	-5	0	1.00	vyp.		0.00	-	1.00	0.00	0	0	0	0	0	0	0	0	0	0	0	0
7	P2_C3	TTZ C3 - kolej 2 (bez dyn. souč.)	P	0	81	0	-134	0	-12	0	1.00	vyp.		0.00	-	1.00	0.00	0	0	0	0	0	0	0	0	0	0	0	0
8	BR	Brzdné a rozjezdové síly	P	0	90	-1	-6	0	-1	-2	1.00	1.30		1.30	-	1.00	0.40	47	-1	-3	0	-3	0	0	0	0	-1	0	-1
9	S	Boční ráz	P	0	-21	10	-6	0	-2	3	1.00	1.30		1.30	-	1.00	0.80	-22	10	-6	0	-6	0	-2	0	-2	3	0	3
10	CH	Chodci na lávkách	Q	0	6	0	0	0	0	0	1.00	1.30		1.30	-	1.00	1.00	7	0	0	0	0	0	0	0	0	0	0	0
11	W	Vítr na konstrukci	Q	0	-30	0	-2	0	-1	0	1.00	1.35		1.35	-	1.00	0.75	-30	0	-2	0	-2	0	-1	0	-1	0	0	0
12	WP	Vítr na vozidla	Q	0	44	-4	-12	0	-2	0	1.00	1.35		1.35	-	1.00	0.75	44	-4	-13	0	-13	0	-2	0	-2	0	0	0
13	TR	Teplota rovnoměrná	Q	0	0	0	0	0	0	0	1.00	1.35		1.35	-	1.00	0.45	0	0	0	0	0	0	0	0	0	0	0	0
14	TN	Teplota nerovnoměrná	Q	0	7	0	0	0	-2	0	1.00	1.35		1.35	-	1.00	0.60	5	0	0	0	0	0	-2	0	-2	0	0	0
15	FR	Třecí síly v ložiskách	Q	0	9	0	0	0	0	0	1.00	1.20		1.20	-	1.00	1.00	11	0	0	0	0	0	0	0	0	0	0	0
16	I	Imperfekce soustavy	Q	0	-2	0	0	0	0	0	1.00	1.20		1.20	-	1.00	1.00	-3	0	0	0	0	0	0	0	0	0	0	0
27	ULS_LM	ULS - LM71 bez dynam	Q	0	393	6	-305	0	-41	1	1.00	vyp.		0.00	-	1.00	0.00	0	0	0	0	0	0	0	0	0	0	0	0
28	SLS_LM	SLS - LM71 bez dynam	Q	0	310	5	-235	0	-30	1	1.00	vyp.	1	0.00	-	1.00	0.00	0	0	0	0	0	0	0	0	0	0	0	0
29	ULS_C3	ULS - C3 bez dynam	Q	0	353	7	-217	0	-28	1	1.00	vyp.	1	0.00	-	1.00	0.00	0	0	0	0	0	0	0	0	0	0	0	0
30	SLS_C3	SLS - C3 bez dynam	Q	0	279	5	-167	0	-20	1	1.00	vyp.	1	0.00	-	1.00	0.00	0	0	0	0	0	0	0	0	0	0	0	0
		CELKEM - FÁZE PRŮŘEZU 0																514	3	-460	0	-460	0	-61	0	-61	-1	0	-1
		CELKEM - FÁZE PRŮŘEZU 1																0	0	0	0	0	0	0	0	0	0	0	0
		CELKEM - FÁZE PRŮŘEZU 2																0	0	0	0	0	0	0	0	0	0	0	0
		CELKEM - FÁZE PRŮŘEZU 3																0	0	0	0	0	0	0	0	0	0	0	0
		CELKEM - PRŮŘEZ																514	3	-460	0	-460	0			-61			-1

Napětí od jednotlivých zatěžovacích stavů

SKUPINA ZATĚŽOVACÍCH STAVŮ					Posouzení normálového napětí										Posouzení smykového napětí													
					Účinek síly N			Účinek momentu My				Účinek momentu Mz				Účinek kroutícího momentu Mx				Účinek smykové síly Vy				Účinek smykové síly Vz			
Č.	SKUP ZS	Popis ZS	Kat.	fáze prúř.	δ^*N_d [kN]	χ^*A [mm^2]	σ_n [MPa]	$\delta^*M_{y,d}$ [kNm]	$\chi_{lt}*W_{el,y}$ [mm^3]	σ_{my} [MPa]	$\delta^*M_{z,d}$ [kNm]	$W_{el,z}$ [mm^3]	σ_{mz} [MPa]	σ_x [MPa]	$\kappa*\delta^*M_{x,d}$ [kNm]	$W_{v,y}$ [mm^2]	$\tau_{x,y}$ [MPa]	$W_{v,z}$ [mm^2]	$\tau_{x,z}$ [MPa]	$\delta^*V_{y,d}$ [kN]	$A_{v,y}$ [mm2]	$\tau_{v,y}$ [MPa]	$\tau_{v,y}$ [MPa]	$\delta^*V_{z,d}$ [kN]	$A_{v,z}$ [mm2]	$\tau_{v,z}$ [MPa]	$\tau_{v,z}$ [MPa]
1	G0	Vlastní tíha OK	G	0	96.2	9.69E+03	9.9	0.8	-2.07E+06	-0.4	-0.6	-1.94E+06	0.3	9.9	0.0E+00	-	-	-	-	-0.4	2.80E+03	-0.1	-0.1	-9.9	5.40E+03	-1.8	-1.8
2	G1	Ostatní stálé - mostní vybavení	G	0	7.3	9.69E+03	0.8	0.2	-2.07E+06	-0.1	0.0	-1.94E+06	0.0	0.7	0.0E+00	-	-	-	-	0.0	2.80E+03	0.0	0.0	-0.1	5.40E+03	0.0	0.0
3	G2	Ostatní stálé - cizí zařízení	G	0	5.5	9.69E+03	0.6	0.1	-2.07E+06	-0.1	0.0	-1.94E+06	0.0	0.5	0.0E+00	-	-	-	-	0.0	2.80E+03	0.0	0.0	-0.1	5.40E+03	0.0	0.0
4	P1_71	a.LM71 - kolej 1 (bez dyn. souč.)	P	0	133.1	9.69E+03	13.7	-10.8	-2.07E+06	5.2	-0.9	-1.94E+06	0.5	19.4	-2.1E-02	-	-	-	-	-0.4	2.80E+03	-0.1	-0.1	-10.7	5.40E+03	-2.0	-2.0
5	P2_71	a.LM71 - kolej 2 (bez dyn. souč.)	P	0	211.4	9.69E+03	21.8	-45.0	-2.07E+06	21.7	-1.1	-1.94E+06	0.5	44.1	1.4E-01	-	-	-	-	-1.3	2.80E+03	-0.5	-0.5	-414.6	5.40E+03	-76.8	-76.8
6	P1_C3	TTZ C3 - kolej 1 (bez dyn. souč.)	P	0	0.0	9.69E+03	0.0	0.0	-2.07E+06	0.0	0.0	-1.94E+06	0.0	0.0	0.0E+00	-	-	-	-	0.0	2.80E+03	0.0	0.0	0.0	5.40E+03	0.0	0.0
7	P2_C3	TTZ C3 - kolej 2 (bez dyn. souč.)	P	0	0.0	9.69E+03	0.0	0.0	-2.07E+06	0.0	0.0	-1.94E+06	0.0	0.0	0.0E+00	-	-	-	-	0.0	2.80E+03	0.0	0.0	0.0	5.40E+03	0.0	0.0
8	BR	Brzdné a rozjezdové síly	P	0	47.0	9.69E+03	4.9	-0.3	-2.07E+06	0.2	-0.9	-1.94E+06	0.5	5.5	-1.6E-02	-	-	-	-	-0.6	2.80E+03	-0.2	-0.2	-3.0	5.40E+03	-0.5	-0.5
9	S	Boční ráz	P	0	-21.9	9.69E+03	-2.3	-1.6	-2.07E+06	0.8	3.4	-1.94E+06	-1.8	-3.3	1.9E-01	-	-	-	-	9.9	2.80E+03	3.5	3.5	-6.0	5.40E+03	-1.1	-1.1
10	CH	Chodci na lávkách	Q	0	7.3	9.69E+03	0.8	0.0	-2.07E+06	0.0	-0.1	-1.94E+06	0.0	0.8	0.0E+00	-	-	-	-	0.0	2.80E+03	0.0	0.0	-0.3	5.40E+03	-0.1	-0.1
11	W	Vítr na konstrukci	Q	0	-29.9	9.69E+03	-3.1	-0.6	-2.07E+06	0.3	-0.3	-1.94E+06	0.2	-2.6	-1.0E-02	-	-	-	-	-0.1	2.80E+03	-0.1	-0.1	-2.1	5.40E+03	-0.4	-0.4
12	WP	Vítr na vozidla	Q	0	44.1	9.69E+03	4.6	-2.1	-2.07E+06	1.0	-0.1	-1.94E+06	0.1	5.6	0.0E+00	-	-	-	-	-3.7	2.80E+03	-1.3	-1.3	-12.6	5.40E+03	-2.3	-2.3
13	TR	Teplota rovnoměrná	Q	0	0.0	9.69E+03	0.0	0.0	-2.07E+06	0.0	0.0	-1.94E+06	0.0	0.0	0.0E+00	-	-	-	-	0.0	2.80E+03	0.0	0.0	0.0	5.40E+03	0.0	0.0
14	TN	Teplota nerovnoměrná	Q	0	5.5	9.69E+03	0.6	-1.7	-2.07E+06	0.8	0.0	-1.94E+06	0.0	1.4	0.0E+00	-	-	-	-	0.0	2.80E+03	0.0	0.0	-0.3	5.40E+03	-0.1	-0.1
15	FR	Třecí síly v ložiskách	Q	0	11.1	9.69E+03	1.1	0.1	-2.07E+06	-0.1	0.0	-1.94E+06	0.0	1.1	0.0E+00	-	-	-	-	0.0	2.80E+03	0.0	0.0	-0.2	5.40E+03	0.0	0.0
16	I	Imperfekce soustavy	Q	0	-2.9	9.69E+03	-0.3	-0.1	-2.07E+06	0.0	0.0	-1.94E+06	0.0	-0.3	0.0E+00	-	-	-	-	0.0	2.80E+03	0.0	0.0	-0.1	5.40E+03	0.0	0.0
27	ULS_LM	ULS - LM71 bez dynam	Q	0	0.0	9.69E+03	0.0	0.0	-2.07E+06	0.0	0.0	-1.94E+06	0.0	0.0	0.0E+00	-	-	-	-	0.0	2.80E+03	0.0	0.0	0.0	5.40E+03	0.0	0.0
28	SLS_LM	SLS - LM71 bez dynam	Q	0	0.0	9.69E+03	0.0	0.0	-2.07E+06	0.0	0.0	-1.94E+06	0.0	0.0	0.0E+00	-	-	-	-	0.0	2.80E+03	0.0	0.0	0.0	5.40E+03	0.0	0.0
29	ULS_C3	ULS - C3 bez dynam	Q	0	0.0	9.69E+03	0.0	0.0	-2.07E+06	0.0	0.0	-1.94E+06	0.0	0.0	0.0E+00	-	-	-	-	0.0	2.80E+03	0.0	0.0	0.0	5.40E+03	0.0	0.0
30	SLS_C3	SLS - C3 bez dynam	Q	0	0.0	9.69E+03	0.0	0.0	-2.07E+06	0.0	0.0	-1.94E+06	0.0	0.0	0.0E+00	-	-	-	-	0.0	2.80E+03	0.0	0.0	0.0	5.40E+03	0.0	0.0
NAVÝŠENÍ NAPĚTÍ DO AKTIVACE TLAKU V DESCE MOSTOVKY						$\sigma_{P,red}$	0.0							0.0			0.0		0.0				1.2	1.2			-85.2	-85.2
NAPĚTÍ OD PRIMÁRNÍCH ÚČINKŮ NEROVNOMĚRNÉHO OTEPLENÍ						σ_T	0.0							0.0														
NAPĚTÍ OD REOLOGICKÝCH ÚČINKŮ BETONU V ČASE				t=0		σ_R	0.0	γ_{lt}=	1.20					0.0														
NAPĚTÍ V KRITICKÝCH VLÁKNECH OD KOMBINACE ZATÍŽENÍ						KZ04		[MPa]						$\Sigma\sigma_x$	82.8								$\Sigma\tau_y$	1.2			$\Sigma\tau_z$	-85.2
NAPĚTÍ OD POHYBLIVÉHO ZATÍŽENÍ								[MPa]						$\sigma_{x,P}$	65.8								τ_P	2.7			τ_P	-80.4
NAPĚTÍ OD OSTATNÍCH ZATÍŽENÍ								[MPa]			Φ_{Vy}	Φ_{Vz}		$\sigma_{x,rs}$	17.0								τ_{rs}	-1.5			τ_{rs}	-4.8
NÁVRHOVÁ HODNOTA MEZE KLUZU S REDUKCÍ VLIVEM SMYKOVÉHO NAPĚTÍ								[MPa]			1.00	0.83		$f_{yv,d}$	209.1								$f_{yd}/3^{0,5}$	120.7			$f_{yd}/3^{0,5}$	120.7
NAPĚTÍ OD POHYBLIVÉHO ZATÍŽENÍ V GLOBÁLNÍM SYSTÉMU						$\sigma_{GLOB,P}$	0.0	[MPa]						$\Sigma\sigma_{GLOB}$	0.0													
NAPĚTÍ OD OSTATNÍCH ZATÍŽENÍ V GLOBÁLNÍM SYSTÉMU						$\sigma_{GLOB,rs}$	0.0	[MPa]						$\Sigma\sigma_x + \Sigma\sigma_{GLOB}$	82.8													
VYUŽITÍ PRŮŘEZU DLE NAPĚTÍ								[%]						η_1	0.40								η_3	0.01			η_3	0.71
NAPĚTÍ V PŘÍČNÉM SMĚRU OD POHYBLIVÉHO ZATÍŽENÍ						$\sigma_{z,P}$	0.0	[MPa]						$\Sigma\sigma_z$	0.0													
NAPĚTÍ V PŘÍČNÉM SMĚRU OD OSTATNÍCH ZATÍŽENÍ						$\sigma_{z,rs}$	0.0	[MPa]						η_2	0.00													
SROVNÁVACÍ NAPĚTÍ														$(\eta_2 + 0,8\,\eta_1)/1,4$ =	0.23													
VYUŽITÍ PRŮŘEZU CELKEM								[%]						eff	0.71	VYHOVUJE												
														Z_{LM71} =	1.44													

VÝPOČET PRŮŘEZOVÝCH CHARAKTERISTIK

PRŮŘEZ: L3_2 **POPIS:** PODÉLNÍK - 3

DEFINOVÁNÍ PRŮŘEZU

PÁSNICE HORNÍHO LEVÉHO ÚHELNÍKU	b f.t.l.o =	90	mm				
TLOUŠŤKA PÁSNICE ÚHELNÍKU	t f.t.l.o =	10	mm	OSLABENÍ PÁSNICE - TLOUŠŤKA	Δt f.t.l.o =	0	%
VÝŠKA STĚNY ÚHELNÍKU	h w.t.l.o =	80	mm				
TLOUŠŤKA STĚNY ÚHELNÍKU	t w.t.l.o =	10	mm	OSLABENÍ STĚNY - TLOUŠŤKA	Δt w.t.l.o =	0	%
PÁSNICE HORNÍHO PRAVÉHO ÚHELNÍKU	b f.t.r.o =	90	mm				
TLOUŠŤKA PÁSNICE ÚHELNÍKU	t f.t.r.o =	10	mm	OSLABENÍ PÁSNICE - TLOUŠŤKA	Δt f.t.r.o =	0	%
VÝŠKA STĚNY ÚHELNÍKU	h w.t.r.o =	80	mm				
TLOUŠŤKA STĚNY ÚHELNÍKU	t w.t.r.o =	10	mm	OSLABENÍ STĚNY - TLOUŠŤKA	Δt w.t.r.0 =	0	%
PÁSNICE DOLNÍHO LEVÉHO ÚHELNÍKU	b f.b.l.o =	90	mm				
TLOUŠŤKA PÁSNICE ÚHELNÍKU	t f.b.l.o =	10	mm	OSLABENÍ PÁSNICE - TLOUŠŤKA	Δt f.b.l.o =	0	%
VÝŠKA STĚNY ÚHELNÍKU	h w.b.l.o =	80	mm				
TLOUŠŤKA STĚNY ÚHELNÍKU	t w.b.l.o =	10	mm	OSLABENÍ STĚNY - TLOUŠŤKA	Δt w.b.l.o =	0	%
PÁSNICE DOLNÍHO PRAVÉHO ÚHELNÍKU	b f.b.r.o =	90	mm				
TLOUŠŤKA PÁSNICE ÚHELNÍKU	t f.b.r.o =	10	mm	OSLABENÍ PÁSNICE - TLOUŠŤKA	Δt f.b.r.o =	0	%
VÝŠKA STĚNY ÚHELNÍKU	h w.b.r.o =	80	mm				
TLOUŠŤKA STĚNY ÚHELNÍKU	t w.b.r.o =	10	mm	OSLABENÍ STĚNY - TLOUŠŤKA	Δt w.b.r.o =	0	%

ŠÍŘKA HORNÍ PÁSNICE	b f.t =	250	mm				
TLOUŠŤKA HORNÍ PÁSNICE	t f.t =	10	mm	OSLABENÍ HORNÍ PÁSNICE	Δt f.t =	5	%
PŘESAH HORNÍ PÁSNICE	o f.t =	60	mm	HORNÍ PÁSNICE OBECNĚ NESYMETRICKÁ (PODÉLNÍK - PŘÍPOJ MOSTNICE)			
VÝŠKA STĚNY	h w =	690	mm				
TLOUŠŤKA STĚNY	t w =	10	mm	OSLABENÍ STĚNY	Δt w.l =	0	%
ŠÍŘKA DOLNÍ PÁSNICE	b f.b =	190	mm				
TLOUŠŤKA DOLNÍ PÁSNICE	t f.b =	10	mm	OSLABENÍ DOLNÍ PÁSNICE (DOLNÍ PÁSNICE SYMETRICKÁ)	Δt f.b =	0	%

NÝT Č.	SKUPINA	ŘEZ	RED.	VELIKOST d| [mm]	POLOHA e| [mm]	POPIS	AKTIVITA OTVORU	NAPĚTÍ sc [MPa]
1		-	1.00	22	-125	nýt - f.t	1	58.36
2	1	3	0.74	20	-50	nýt - f.t - krční úhelník	1	30.33
3	1	3	0.74	20	50	nýt - f.t - krční úhelník	1	-7.57
4		-	1.00			nýt - f.t	-	
5	1	3	0.74	20	640	nýt - w - krční úhelník	1	15.32
6		-	1.00			nýt - w	-	
7		-	1.00			nýt - w	-	
8		-	1.00			nýt - w	-	
9		-	1.00			nýt - w	-	
10		-	1.00	20	545	nýt - w	1	22.86
11		-	1.00	20	445	nýt - w	1	30.78
12		-	1.00	20	345	nýt - w	1	38.71
13		-	1.00	20	245	nýt - w	1	46.64
14		-	1.00	20	145	nýt - w	1	54.57
15	2	3	0.74	20	50	nýt - w - krční úhelník	1	62.10
16		-	1.00				-	
17		-	1.00				-	
18		-	1.00				-	
19		-	1.00			nýt - f.b	-	
20	2	3	0.74	20	-50	nýt - f.b. - krční úhelník	1	85.01
21	2	3	0.74	20	50	nýt - f.b. - krční úhelník	1	47.11
22		-	1.00			nýt - f.b	-	

ZADÁNÍ ČÁSTI PRŮŘEZU: x = - m

č.prvku	b [mm]	h [mm]	y_0 [mm]	z_0 [mm]	popis části	druh oslabení	lokální ultimate	boulení servic.
1	90.0	10.0	-50.0	685.0	pásnice	0	1.000	1.000
2	10.0	80.0	-10.0	640.0	stěna	0	1.000	1.000
3	90.0	10.0	50.0	685.0	pásnice	0	1.000	1.000
4	10.0	80.0	10.0	640.0	stěna	0	1.000	1.000
5	90.0	10.0	-50.0	5.0	pásnice	0	1.000	1.000
6	10.0	80.0	-10.0	50.0	stěna	0	1.000	1.000
7	90.0	10.0	50.0	5.0	pásnice	0	1.000	1.000
8	10.0	80.0	10.0	50.0	stěna	0	1.000	1.000
9	250.0	9.5	-30.0	694.8	pásnice	0	1.000	1.000
10	10.0	690.0	0.0	345.0	stěna	0	1.000	1.000
11	190.0	10.0	0.0	-5.0	pásnice	0	1.000	1.000
12						0	1.000	1.000
13						0	1.000	1.000
14						0	1.000	1.000
15						0	1.000	1.000
16						0	1.000	1.000
17						0	1.000	1.000
18						0	1.000	1.000
19						0	1.000	1.000
20						0	1.000	1.000
21						0	1.000	1.000
22						0	1.000	1.000
23						0	1.000	1.000
24						0	1.000	1.000
25						0	1.000	1.000
26						0	1.000	1.000
27						0	1.000	1.000
28						0	1.000	1.000
29						0	1.000	1.000
30						0	1.000	1.000
31						0	1.000	1.000
32						0	1.000	1.000
33						0	1.000	1.000
34						0	1.000	1.000
35						0	1.000	1.000
36						0	1.000	1.000
37						0	1.000	1.000
38						0	1.000	1.000
39						0	1.000	1.000
40						0	1.000	1.000
41						0	1.000	1.000
42						0	1.000	1.000
43						0	1.000	1.000
44						0	1.000	1.000
45						0	1.000	1.000
46						0	1.000	1.000
47						0	1.000	1.000
48						0	1.000	1.000
49						0	1.000	1.000
50						0	1.000	1.000
51	-22.0	9.5	-125.0	694.8	nýt - pásnice	0	1.000	1.000
52	-14.7	19.5	-50.0	689.8	nýt - pásnice	0	1.000	1.000
53	-14.7	19.5	50.0	689.8	nýt - pásnice	0	1.000	1.000
54	0	0	0	0	nýt - pásnice	0	1.000	1.000
55	30.0	-14.7	0.0	640.0	nýt - stěna	0	1.000	1.000
56	0	0	0	0	nýt - stěna	0	1.000	1.000
57	0	0	0	0	nýt - stěna	0	1.000	1.000
58	0	0	0	0	nýt - stěna	0	1.000	1.000
59	0	0	0	0	nýt - stěna	0	1.000	1.000
60	10.0	-20.0	0.0	545.0	nýt - stěna	0	1.000	1.000
61	10.0	-20.0	0.0	445.0	nýt - stěna	0	1.000	1.000
62	10.0	-20.0	0.0	345.0	nýt - stěna	0	1.000	1.000
63	10.0	-20.0	0.0	245.0	nýt - stěna	0	1.000	1.000
64	10.0	-20.0	0.0	145.0	nýt - stěna	0	1.000	1.000
65	30.0	-14.7	0.0	50.0	nýt - stěna	0	1.000	1.000
66						0	1.000	1.000
67						0	1.000	1.000
68						0	1.000	1.000
69	0	0	0	0	nýt - pásnice	0	1.000	1.000
70	-14.7	20.0	-50.0	0.0	nýt - pásnice	0	1.000	1.000
71	-14.7	20.0	50.0	0.0	nýt - pásnice	0	1.000	1.000
72	0	0	0	0	nýt - pásnice	0	1.000	1.000
73								
74								
75								
76								
77								
78								
79								
80								
81								
82								
83								
84								
85								
86								
87								
88								
89								
90								
91								
92								
93								
94								
95								
96								
97								
98								
99								
100								

VÝPOČET PRŮŘEZOVÝCH CHARAKTERISTIK

Properties	Basic	Ultimate		Serviceability	
y_t	-3.1	-3.1		-3.1	[mm]
z_t	351.6	351.6		351.6	[mm]
A_i	1.4722E+04	1.4722E+04		1.4722E+04	[mm²]
A_s	6.5042E+03	6.5042E+03		6.5042E+03	[mm²]
A_{st}	8.2176E+03	8.2176E+03		8.2176E+03	[mm²]
I_{y1}	1.2322E+09	1.2322E+09		1.2322E+09	[mm⁴]
I_w	2.5645E+07	2.5645E+07		2.5645E+07	[mm⁶]
i_y	289.3	289.3		289.3	[mm]
i_z	41.7	41.7		41.7	[mm]
$W_{y,1}$	3.5422E+06	3.5422E+06		3.5422E+06	[mm³]
$W_{z,1}$	-1.6879E+05	-1.6879E+05		-1.6879E+05	[mm³]
$W_{y,2}$	-3.4072E+06	-3.4072E+06		-3.4072E+06	[mm³]
$W_{z,2}$	-2.7895E+05	-2.7895E+05		-2.7895E+05	[mm³]
KRAJNÍ VLÁKNA PRŮŘEZU					
y_1	-155.0	-155.0		-155.0	[mm]
z_1	699.5	699.5		699.5	[mm]
y_2	-95.0	-95.0		-95.0	[mm]
z_2	-10.0	-10.0		-10.0	[mm]
y_3	95.0	95.0		95.0	[mm]
z_3	699.5	699.5		699.5	[mm]
y_4	95.0	95.0		95.0	[mm]
z_4	-10.0	-10.0		-10.0	[mm]
y_5	-5.0	-5.0		-5.0	[mm]
z_5	690.0	690.0		690.0	[mm]
y_6	-5.0	-5.0		-5.0	[mm]
z_6	0.0	0.0		0.0	[mm]

ÚPRAVA MOMENTŮ SETRVAČNOSTI V DŮSLEDKU ČLENĚNÍ PRŮŘEZU

OSA Y 1.00
OSA Z 1.00

SCHÉMA PROMĚNNÝCH

SCHÉMA ZADANÉHO PRŮŘEZU

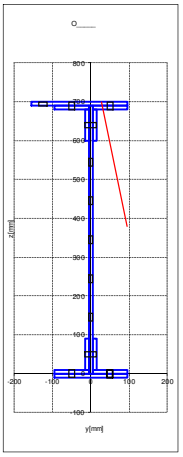

TR_L3.2	SLS_LM				
-105	-5	1	0	4	-10
579	5	-10	0	98	10
376	-12	-10	0	12	-15
106	11	20	0	141	15
462	0	-66	0	61	-1
8	0	58	0	129	2
83	-11	-1	0	13	-17
398	10	-22	0	111	18
439	10	-14	0	-42	15
42	-10	21	0	196	-15
118	-11	-37	0	47	-18
355	11	-9	0	121	18

NEUTRÁLNÁ OSA

NAPĚTÍ [MPa]:

69.36	-25.40
125.60	30.85

ZS: SLS_LM.MAX.N

	N [kN]	Vy [kN]	Vz [kN]	Mx [kNm]	My [kNm]	Mz [kNm]
import	579	5	-10	0	98	10

TR_L3.2 POPIS: **PODÉLNÍK L3.E - STŘED** POSUDEK: **L3.2**

SKUPINA ZAT. STAVŮ	EXTRÉM	VYHODNOCOVANÉ VELIČINY					
		N	Vy	Vz	Mx	My	Mz
		kN	kN	kN	kNm	kNm	kNm
G0	N.min	**101.91**	-0.08	-1.81	0	6.9	0.04
	N.max	**57.61**	-0.23	-0.11	0	8.21	-0.04
	Vy.min	101.91	**-0.08**	-1.81	0	6.9	0.04
	Vy.max	57.61	**-0.23**	-0.11	0	8.21	-0.04
	Vz.min	101.91	-0.08	**-1.81**	0	6.9	0.04
	Vz.max	57.61	-0.23	**-0.11**	0	8.21	-0.04
	Mx.min	101.91	-0.08	-1.81	**0**	6.9	0.04
	Mx.max	57.61	-0.23	-0.11	**0**	8.21	-0.04
	My.min	101.91	-0.08	-1.81	0	**6.9**	0.04
	My.max	57.61	-0.23	-0.11	0	**8.21**	-0.04
	Mz.min	101.91	-0.08	-1.81	0	6.9	**0.04**
	Mz.max	57.61	-0.23	-0.11	0	8.21	**-0.04**
G1	N.min	**7.67**	-0.01	-0.09	0	0.07	0
	N.max	**7.67**	-0.01	-0.09	0	0.07	0
	Vy.min	7.67	**-0.01**	-0.09	0	0.07	0
	Vy.max	7.67	**-0.01**	-0.09	0	0.07	0
	Vz.min	7.67	-0.01	**-0.09**	0	0.07	0
	Vz.max	7.67	-0.01	**-0.09**	0	0.07	0
	Mx.min	7.67	-0.01	-0.09	**0**	0.07	0
	Mx.max	7.67	-0.01	-0.09	**0**	0.07	0
	My.min	7.67	-0.01	-0.09	0	**0.07**	0
	My.max	7.67	-0.01	-0.09	0	**0.07**	0
	Mz.min	7.67	-0.01	-0.09	0	0.07	**0**
	Mz.max	7.67	-0.01	-0.09	0	0.07	**0**
G2	N.min	**5.91**	-0.01	-0.09	0	0.02	0
	N.max	**5.91**	-0.01	-0.09	0	0.02	0
	Vy.min	5.91	**-0.01**	-0.09	0	0.02	0
	Vy.max	5.91	**-0.01**	-0.09	0	0.02	0
	Vz.min	5.91	-0.01	**-0.09**	0	0.02	0
	Vz.max	5.91	-0.01	**-0.09**	0	0.02	0
	Mx.min	5.91	-0.01	-0.09	**0**	0.02	0
	Mx.max	5.91	-0.01	-0.09	**0**	0.02	0
	My.min	5.91	-0.01	-0.09	0	**0.02**	0
	My.max	5.91	-0.01	-0.09	0	**0.02**	0
	Mz.min	5.91	-0.01	-0.09	0	0.02	**0**
	Mz.max	5.91	-0.01	-0.09	0	0.02	**0**
P1_71	N.min	**-0.11**	0	0.02	0	0.03	0
	N.max	**100.35**	-0.12	-2.66	0	-0.94	0.07
	Vy.min	92.83	**-0.23**	-3.91	0.01	-5.45	-0.06
	Vy.max	13.6	**0.19**	1.91	-0.01	6.52	0.24
	Vz.min	80.67	-0.14	**-5.27**	-0.01	0.13	-0.07
	Vz.max	16.91	0.12	**3.19**	0.01	3.35	0.24
	Mx.min	5.02	0.1	-1.35	**-0.03**	5.13	0.04
	Mx.max	96.25	-0.13	-0.93	**0.02**	-2.65	0.14
	My.min	92.01	-0.21	-3.04	0.01	**-6.14**	-0.03
	My.max	12.58	0.16	0.2	-0.02	**7.5**	0.18
	Mz.min	72.01	-0.17	-4.52	0	-1.24	**-0.09**
	Mz.max	24.38	0.13	2.22	-0.01	4.53	**0.28**
P2_71	N.min	**-0.81**	0	0.01	0	0.05	0
	N.max	**134.46**	-0.02	-2.97	0.03	86.05	0.03
	Vy.min	117.79	**-0.32**	-0.9	0.01	-15.07	0
	Vy.max	22.39	**0.52**	-10.08	0.05	195.26	0.16
	Vz.min	97.81	0.12	**-59.15**	0.03	88.71	-0.13
	Vz.max	34.21	0.21	**58.09**	0.03	121.16	0.28
	Mx.min	98.14	-0.14	-1.23	**0**	-1.25	-0.01
	Mx.max	46.1	0.33	-8.94	**0.08**	156.13	0.37
	My.min	113.03	-0.27	-4.08	0.02	**-18.59**	0
	My.max	29.57	0.5	12.02	0.05	**202.22**	0.12
	Mz.min	57.19	0.07	-38.15	0.02	52.89	**-0.16**
	Mz.max	71.7	0.29	3.67	0.07	144.77	**0.48**
P1_C3	N.min	**-0.1**	0	0.02	0	0.02	0
	N.max	**81.57**	-0.07	-0.87	0	-0.29	0.1
	Vy.min	74.36	**-0.18**	-3.25	0.01	-3.2	-0.06
	Vy.max	7.84	**0.11**	1.06	-0.01	3.33	0.13
	Vz.min	70.79	-0.14	**-4.23**	0	-1.37	-0.07
	Vz.max	9.69	0.05	**2.18**	0.01	1.5	0.14
	Mx.min	2.58	0.07	-0.57	**-0.02**	2.92	0.03
	Mx.max	80.49	-0.12	-1.07	**0.01**	-2.09	0.08
	My.min	72.35	-0.16	-1.83	0.01	**-4.2**	-0.02
	My.max	8.42	0.08	0.01	0	**4.59**	0.11
	Mz.min	63.45	-0.14	-3.82	0	-1.75	**-0.07**
	Mz.max	12.79	0.06	1.56	0	2.02	**0.16**
P2_C3	N.min	**-0.67**	0	0.01	0	0.04	0
	N.max	**109.86**	0.07	-3.09	0.03	115.26	0.13
	Vy.min	99.57	**-0.24**	-2.13	0.01	-11.34	-0.03
	Vy.max	10.02	**0.32**	-4.73	0.03	130.83	0.06
	Vz.min	95.93	0.04	**-45.23**	0.02	62.52	-0.09
	Vz.max	27.59	0.11	**43.74**	0.02	89.62	0.18
	Mx.min	76.86	-0.11	-0.98	**0**	-0.93	-0.01
	Mx.max	32.55	0.16	-3.99	**0.05**	101.42	0.24
	My.min	96.04	-0.23	-2.17	0.01	**-12.87**	0
	My.max	20.69	0.3	5.25	0.03	**134.14**	0.03
	Mz.min	49.04	0.02	-25.9	0.02	31.57	**-0.12**
	Mz.max	58.97	0.14	26.18	0.04	94.98	**0.31**
BR	N.min	**-174.92**	0.16	5.62	0	3.62	-0.1
	N.max	**174.92**	-0.16	-5.62	0	-3.62	0.1
	Vy.min	145.33	**-0.22**	-4.59	0	-3.01	0.02
	Vy.max	-145.33	**0.22**	4.59	0	3.01	-0.02
	Vz.min	174.92	-0.16	**-5.62**	0	-3.62	0.1
	Vz.max	-174.92	0.16	**5.62**	0	3.62	-0.1
	Mx.min	-171.77	0.21	5.59	**0**	3.58	-0.06
	Mx.max	171.77	-0.21	-5.59	**0**	-3.58	0.06
	My.min	174.92	-0.16	-5.62	0	**-3.62**	0.1
	My.max	-174.92	0.16	5.62	0	**3.62**	-0.1
	Mz.min	-115.48	0.04	3.82	0	2.41	**-0.11**
	Mz.max	115.48	-0.04	-3.82	0	-2.41	**0.11**

TR_L3.2 POPIS: **PODÉLNÍK L3.E - STŘED** POSUDEK: **L3.2**

SKUPINA ZAT. STAVŮ	EXTRÉM	VYHODNOCOVANÉ VELIČINY					
		N	Vy	Vz	Mx	My	Mz
		kN	kN	kN	kNm	kNm	kNm
S	N.min	**-43.28**	-10.71	0.17	-0.21	12.58	-16.15
	N.max	**43.28**	10.71	-0.17	0.21	-12.58	16.15
	Vy.min	-43.28	**-10.71**	0.17	-0.21	12.58	-16.15
	Vy.max	43.28	**10.71**	-0.17	0.21	-12.58	16.15
	Vz.min	-7.08	-0.03	**-1.85**	0	-2.2	0.01
	Vz.max	7.08	0.03	**1.85**	0	2.2	-0.01
	Mx.min	-43.28	-10.71	0.17	**-0.21**	12.58	-16.15
	Mx.max	43.28	10.71	-0.17	**0.21**	-12.58	16.15
	My.min	43.28	10.71	-0.17	0.21	**-12.58**	16.15
	My.max	-43.28	-10.71	0.17	-0.21	**12.58**	-16.15
	Mz.min	-43.28	-10.71	0.17	-0.21	12.58	**-16.15**
	Mz.max	43.28	10.71	-0.17	0.21	-12.58	**16.15**
CH	N.min	**8.13**	-0.01	-0.27	0	-0.17	-0.01
	N.max	**14.72**	-0.02	-0.25	0	-0.02	0
	Vy.min	14.72	**-0.02**	-0.25	0	-0.02	0
	Vy.max	8.13	**-0.01**	-0.27	0	-0.17	-0.01
	Vz.min	8.13	-0.01	**-0.27**	0	-0.17	-0.01
	Vz.max	10.92	-0.02	**-0.22**	0	0	0
	Mx.min	14.72	-0.02	-0.25	**0**	-0.02	0
	Mx.max	8.13	-0.01	-0.27	**0**	-0.17	-0.01
	My.min	8.13	-0.01	-0.27	0	**-0.17**	-0.01
	My.max	10.92	-0.02	-0.22	0	**0**	0
	Mz.min	8.13	-0.01	-0.27	0	-0.17	**-0.01**
	Mz.max	14.72	-0.02	-0.25	0	-0.02	**0**
W	N.min	**-10.05**	-0.03	-2	0	-1.81	-0.04
	N.max	**10.06**	0.03	2	0	1.81	0.05
	Vy.min	-10.05	**-0.03**	-2	0	-1.81	-0.04
	Vy.max	10.06	**0.03**	2	0	1.81	0.05
	Vz.min	-10.05	-0.03	**-2**	0	-1.81	-0.04
	Vz.max	10.06	0.03	**2**	0	1.81	0.05
	Mx.min	10.06	0.03	2	**0**	1.81	0.05
	Mx.max	-10.05	-0.03	-2	**0**	-1.81	-0.04
	My.min	-10.05	-0.03	-2	0	**-1.81**	-0.04
	My.max	10.06	0.03	2	0	**1.81**	0.05
	Mz.min	-10.05	-0.03	-2	0	-1.81	**-0.04**
	Mz.max	10.06	0.03	2	0	1.81	**0.05**
WP	N.min	**-15.21**	0.21	-1.11	-0.03	-15.53	-1.79
	N.max	**15.21**	-0.21	1.1	0.03	15.53	1.79
	Vy.min	15.21	**-0.21**	1.1	0.03	15.53	1.79
	Vy.max	-15.21	**0.21**	-1.11	-0.03	-15.53	-1.79
	Vz.min	-15.21	0.21	**-1.11**	-0.03	-15.53	-1.79
	Vz.max	15.21	-0.21	**1.1**	0.03	15.53	1.79
	Mx.min	-15.21	0.21	-1.11	**-0.03**	-15.53	-1.79
	Mx.max	15.21	-0.21	1.1	**0.03**	15.53	1.79
	My.min	-15.21	0.21	-1.11	-0.03	**-15.53**	-1.79
	My.max	15.21	-0.21	1.1	0.03	**15.53**	1.79
	Mz.min	-15.21	0.21	-1.11	-0.03	-15.53	**-1.79**
	Mz.max	15.21	-0.21	1.1	0.03	15.53	**1.79**
TR	N.min	**0**	0	0	0	0	0
	N.max	**0**	0	0	0	0	0
	Vy.min	0	**0**	0	0	0	0
	Vy.max	0	**0**	0	0	0	0
	Vz.min	0	0	**0**	0	0	0
	Vz.max	0	0	**0**	0	0	0
	Mx.min	0	0	0	**0**	0	0
	Mx.max	0	0	0	**0**	0	0
	My.min	0	0	0	0	**0**	0
	My.max	0	0	0	0	**0**	0
	Mz.min	0	0	0	0	0	**0**
	Mz.max	0	0	0	0	0	**0**
TN	N.min	**-8.81**	0.03	0.43	0	1.95	0.01
	N.max	**14.28**	-0.03	-0.33	0	-1.51	0.01
	Vy.min	8.81	**-0.03**	-0.43	0	-1.95	-0.01
	Vy.max	-8.81	**0.03**	0.43	0	1.95	0.01
	Vz.min	8.81	-0.03	**-0.43**	0	-1.95	-0.01
	Vz.max	-8.81	0.03	**0.43**	0	1.95	0.01
	Mx.min	-5.28	0	-0.06	**0**	-0.42	-0.02
	Mx.max	14.28	-0.03	-0.33	**0**	-1.51	0.01
	My.min	8.81	-0.03	-0.43	0	**-1.95**	-0.01
	My.max	-8.81	0.03	0.43	0	**1.95**	0.01
	Mz.min	-5.28	0	-0.06	0	-0.42	**-0.02**
	Mz.max	-8.81	0.03	0.43	0	1.95	**0.01**
FR	N.min	**-10.79**	0.02	0.14	0	0.04	0
	N.max	**10.79**	-0.02	-0.14	0	-0.04	0
	Vy.min	10.79	**-0.02**	-0.14	0	-0.04	0
	Vy.max	-10.79	**0.02**	0.14	0	0.04	0
	Vz.min	10.79	-0.02	**-0.14**	0	-0.04	0
	Vz.max	-10.79	0.02	**0.14**	0	0.04	0
	Mx.min	-10.79	0.02	0.14	**0**	0.04	0
	Mx.max	10.79	-0.02	-0.14	**0**	-0.04	0
	My.min	10.79	-0.02	-0.14	0	**-0.04**	0
	My.max	-10.79	0.02	0.14	0	**0.04**	0
	Mz.min	-10.79	0.02	0.14	0	0.04	**0**
	Mz.max	10.79	-0.02	-0.14	0	-0.04	**0**
I	N.min	**-1.56**	0	-0.1	0	-0.09	**0**
	N.max	**1.56**	0	0.1	0	0.09	**0**
	Vy.min	1.56	**0**	0.1	0	0.09	**0**
	Vy.max	-1.56	**0**	-0.1	0	-0.09	**0**
	Vz.min	-1.56	0	**-0.1**	0	-0.09	**0**
	Vz.max	1.56	0	**0.1**	0	0.09	**0**
	Mx.min	1.56	0	0.1	**0**	0.09	**0**
	Mx.max	-1.56	0	-0.1	**0**	-0.09	**0**
	My.min	-1.56	0	-0.1	0	**-0.09**	**0**
	My.max	1.56	0	0.1	0	**0.09**	**0**
	Mz.min	-1.56	0	-0.1	0	-0.09	**0**
	Mz.max	1.56	0	0.1	0	0.09	**0**

TAB. L3.2.3 POSOUZENÍ - MEZNÍ STAV ÚNOSNOSTI

POPIS	PODĚLNÍK L3.E - STŘED
PRUT / POLOHA BODU	860 / I[721]
NAMÁHÁNÍ	My.max
VLÁKNO	BOD K1 -HL
MEZNÍ STAV	ULS (MSÚ)
VYUŽITÍ VLÁKNA PRŮŘEZU	1.09

Charakteristiky materiálu				
pás. horní	$f_{yf,k}$	230	MPa	
pás. dolní	$f_{yf,k}$	230	MPa	
stojina	$f_{yw,k}$	230	MPa	
výztuž	$f_{ys,k}$	500	MPa	
γ_M =	1.10	γ_s =	1.15	

Excentricita normálové síly				
Exc./Fáze	0	1	2	3
e_y	0.000	0.000	0.000	0.000
e_z	0.000	0.000	0.000	0.000
Ekvivalentní vzdál. stěn - příčný roznos				
b_{Mx}	0.000	0.000	0.000	0.000

Vliv stěny na únosnost průřezu				
Char./Fáze	0	1	2	3
A	0.00	0.00	0.00	0.00
Wy	0.00	0.00	0.00	0.00
Wz	0.00	0.00	0.00	0.00

Charakter. v kroucení			
$t_{w,y}$	0.000	[mm]	
$t_{w,z}$	0.000	[mm]	
κ	1.00		
I_t=	0.00E+00	[mm^4]	
$\Omega=2*A_{pr}$	0.00E+00	[mm^2]	

Součinitele vzpěru a vlivu II.řádu				
Char./Fáze	0	1	2	3
k_y	1.000	1.000	1.000	1.000
k_z	1.000	1.000	1.000	1.000
χ_{LT}	1.000	1.000	1.000	1.000
χ_{min}	1.000	1.000	1.000	1.000

Vnitřní síly od jednotlivých skupin zatěžovacích stavů

SKUPINA ZATĚŽOVACÍCH STAVŮ — CHARAKTERISTICKÉ HODNOTY — DÍLČÍ SOUČINITELÉ ZATÍŽENÍ, DYNAMICKÝ SOUČINITEL — NÁVRHOVÉ HODNOTY

Č.	SKUP ZS	POPIS ZS	KAT.	FÁZE PRŮŘ.	N.k (kN)	Vy.k (kN)	Vz.k (kN)	Mx.k (kNm)	My.k (kNm)	Mz.k (kNm)	γ_{sr} (-)	γ_{fs} (-)	volba γ_f hledat	γ_f (-)	L_d (m)	δ (-)	Ψ_s KZ04	N.d (kN)	Vy.d (kN)	Vz.d (kN)	ΔVz.d (kN)	ΣVz.d (kN)	Mx.d (kNm)	My.d (kNm)	ΔMy.d (kNm)	ΣMy.d (kNm)	Mz.d (kNm)	ΔMz.d (kNm)	ΣMz.d (kNm)
1	G0	Vlastní tíha OK	G	0	58	0	0	0	8	0	1.00	1.20		1.20	-	1.00	0.95	66	0	0	0	0	0	9	0	9	0	0	0
2	G1	Ostatní stálé - mostní vybavení	G	0	8	0	0	0	0	0	1.00	1.20		1.20	-	1.00	0.95	9	0	0	0	0	0	0	0	0	0	0	0
3	G2	Ostatní stálé - cizí zařízení	G	0	6	0	0	0	0	0	1.00	1.20		1.20	-	1.00	0.95	7	0	0	0	0	0	0	0	0	0	0	0
4	P1_71	a.LM71 - kolej 1 (bez dyn. souč.)	P	0	13	0	0	0	8	0	1.00	0.00		0.00	-	1.59	1.00	0	0	0	0	0	0	0	0	0	0	0	0
5	P2_71	a.LM71 - kolej 2 (bez dyn. souč.)	P	0	30	1	12	0	202	0	1.00	1.30		1.30	-	1.59	1.00	61	1	25	0	25	0	417	0	417	0	0	0
6	P1_C3	TTZ C3 - kolej 1 (bez dyn. souč.)	P	0	8	0	0	0	5	0	1.00	vyp.		0.00	-	1.00	0.00	0	0	0	0	0	0	0	0	0	0	0	0
7	P2_C3	TTZ C3 - kolej 2 (bez dyn. souč.)	P	0	21	0	5	0	134	0	1.00	vyp.		0.00	-	1.00	0.00	0	0	0	0	0	0	0	0	0	0	0	0
8	BR	Brzdné a rozjezdové síly	P	0	-175	0	6	0	4	0	1.00	1.30		1.30	-	1.00	0.40	-91	0	3	0	3	0	2	0	2	0	0	0
9	S	Boční ráz	P	0	-43	-11	0	0	13	-16	1.00	-1.30		-1.30	-	1.00	0.80	45	11	0	0	0	0	-13	0	-13	17	0	17
10	CH	Chodci na lávkách	Q	0	11	0	0	0	0	0	1.00	0.00		0.00	-	1.00	1.00	0	0	0	0	0	0	0	0	0	0	0	0
11	W	Vítr na konstrukci	Q	0	10	0	2	0	2	0	1.00	1.35		1.35	-	1.00	0.75	10	0	2	0	2	0	2	0	2	0	0	0
12	WP	Vítr na vozidla	Q	0	15	0	1	0	16	2	1.00	1.35		1.35	-	1.00	0.75	15	0	1	0	1	0	16	0	16	2	0	2
13	TR	Teplota rovnoměrná	Q	0	0	0	0	0	0	0	1.00	1.35		1.35	-	1.00	0.45	0	0	0	0	0	0	0	0	0	0	0	0
14	TN	Teplota nerovnoměrná	Q	0	-9	0	0	0	2	0	1.00	1.35		1.35	-	1.00	0.60	-7	0	0	0	0	0	2	0	2	0	0	0
15	FR	Třecí síly v ložiskách	Q	0	-11	0	0	0	0	0	1.00	1.20		1.20	-	1.00	1.00	-13	0	0	0	0	0	0	0	0	0	0	0
16	I	Imperfekce soustavy	Q	0	2	0	0	0	0	0	1.00	-1.20		-1.20	-	1.00	1.00	-2	0	0	0	0	0	0	0	0	0	0	0
27	ULS_LM	ULS - LM71 bez dynam	Q	0	38	-13	21	0	319	-19	1.00	vyp.		0.00	-	1.00	0.00	0	0	0	0	0	0	0	0	0	0	0	0
28	SLS_LM	SLS - LM71 bez dynam	Q	0	48	-10	16	0	244	-14	1.00	vyp.	1	0.00	-	1.00	0.00	0	0	0	0	0	0	0	0	0	0	0	0
29	ULS_C3	ULS - C3 bez dynam	Q	0	21	-14	12	0	226	-19	1.00	vyp.	1	0.00	-	1.00	0.00	0	0	0	0	0	0	0	0	0	0	0	0
30	SLS_C3	SLS - C3 bez dynam	Q	0	34	-10	9	0	173	-15	1.00	vyp.	1	0.00	-	1.00	0.00	0	0	0	0	0	0	0	0	0	0	0	0
		CELKEM - FÁZE PRŮŘEZU 0																100	12	31	0	31	0	435	0	435	19	0	19
		CELKEM - FÁZE PRŮŘEZU 1																0	0	0	0	0	0	0	0	0	0	0	0
		CELKEM - FÁZE PRŮŘEZU 2																0	0	0	0	0	0	0	0	0	0	0	0
		CELKEM - FÁZE PRŮŘEZU 3																0	0	0	0	0	0	0	0	0	0	0	0
		CELKEM - PRŮŘEZ																100	12	31	0	31	0			435			19

Napětí od jednotlivých zatěžovacích stavů

SKUPINA ZATĚŽOVACÍCH STAVŮ — Posouzení normálového napětí — Účinek síly N — Účinek momentu My — Účinek momentu Mz — Posouzení smykového napětí — Účinek kroutícího momentu Mx — Účinek smykové síly Vy — Účinek smykové síly Vz

Č.	SKUP ZS	Popis ZS	Kat.	fáze průř.	δ^*N_d [kN]	χ^*A [mm^2]	σ_n [MPa]	$\delta^*M_{y,d}$ [kNm]	$\chi_{lt}*W_{el,y}$ [mm^3]	σ_{my} [MPa]	$\delta^*M_{z,d}$ [kNm]	$W_{el,z}$ [mm^3]	σ_{mz} [MPa]	σ_x [MPa]	$\kappa*\delta^*M_{x,d}$ [kNm]	$W_{v,y}$ [mm^3]	$\tau_{x,y}$ [MPa]	$W_{v,z}$ [mm^3]	$\tau_{x,z}$ [MPa]	$\delta^*V_{y,d}$ [kN]	$A_{v,y}$ [mm2]	$\tau_{v,y}$ [MPa]	$\tau_{v,y}$ [MPa]	$\delta^*V_{z,d}$ [kN]	$A_{v,z}$ [mm2]	$\tau_{v,z}$ [MPa]	$\tau_{v,z}$ [MPa]
1	G0	Vlastní tíha OK	G	0	65.7	1.47E+04	4.5	9.4	-3.54E+06	-2.6	0.0	-1.69E+05	0.3	2.1	0.0E+00	-	-	-	-	-0.3	6.50E+03	0.0	0.0	-0.1	8.22E+03	0.0	0.0
2	G1	Ostatní stálé - mostní vybavení	G	0	8.7	1.47E+04	0.6	0.1	-3.54E+06	0.0	0.0	-1.69E+05	0.0	0.6	0.0E+00	-	-	-	-	0.0	6.50E+03	0.0	0.0	-0.1	8.22E+03	0.0	0.0
3	G2	Ostatní stálé - cizí zařízení	G	0	6.7	1.47E+04	0.5	0.0	-3.54E+06	0.0	0.0	-1.69E+05	0.0	0.5	0.0E+00	-	-	-	-	0.0	6.50E+03	0.0	0.0	-0.1	8.22E+03	0.0	0.0
4	P1_71	a.LM71 - kolej 1 (bez dyn. souč.)	P	0	0.0	1.47E+04	0.0	0.0	-3.54E+06	0.0	0.0	-1.69E+05	0.0	0.0	0.0E+00	-	-	-	-	0.0	6.50E+03	0.0	0.0	0.0	8.22E+03	0.0	0.0
5	P2_71	a.LM71 - kolej 2 (bez dyn. souč.)	P	0	61.0	1.47E+04	4.1	417.2	-3.54E+06	-117.8	0.2	-1.69E+05	-1.5	-115.1	1.0E-01	-	-	-	-	1.0	6.50E+03	0.2	0.2	24.8	8.22E+03	3.0	3.0
6	P1_C3	TTZ C3 - kolej 1 (bez dyn. souč.)	P	0	0.0	1.47E+04	0.0	0.0	-3.54E+06	0.0	0.0	-1.69E+05	0.0	0.0	0.0E+00	-	-	-	-	0.0	6.50E+03	0.0	0.0	0.0	8.22E+03	0.0	0.0
7	P2_C3	TTZ C3 - kolej 2 (bez dyn. souč.)	P	0	0.0	1.47E+04	0.0	0.0	-3.54E+06	0.0	0.0	-1.69E+05	0.0	0.0	0.0E+00	-	-	-	-	0.0	6.50E+03	0.0	0.0	0.0	8.22E+03	0.0	0.0
8	BR	Brzdné a rozjezdové síly	P	0	-91.0	1.47E+04	-6.2	1.9	-3.54E+06	-0.5	-0.1	-1.69E+05	0.3	-6.4	0.0E+00	-	-	-	-	0.1	6.50E+03	0.0	0.0	2.9	8.22E+03	0.4	0.4
9	S	Boční ráz	P	0	45.0	1.47E+04	3.1	-13.1	-3.54E+06	3.7	16.8	-1.69E+05	-99.5	-92.8	2.2E-01	-	-	-	-	11.1	6.50E+03	1.7	1.7	-0.2	8.22E+03	0.0	0.0
10	CH	Chodci na lávkách	Q	0	0.0	1.47E+04	0.0	0.0	-3.54E+06	0.0	0.0	-1.69E+05	0.0	0.0	0.0E+00	-	-	-	-	0.0	6.50E+03	0.0	0.0	0.0	8.22E+03	0.0	0.0
11	W	Vítr na konstrukci	Q	0	10.2	1.47E+04	0.7	1.8	-3.54E+06	-0.5	0.1	-1.69E+05	-0.3	-0.1	0.0E+00	-	-	-	-	0.0	6.50E+03	0.0	0.0	2.0	8.22E+03	0.2	0.2
12	WP	Vítr na vozidla	Q	0	15.4	1.47E+04	1.0	15.7	-3.54E+06	-4.4	1.8	-1.69E+05	-10.7	-14.1	3.0E-02	-	-	-	-	-0.2	6.50E+03	0.0	0.0	1.1	8.22E+03	0.1	0.1
13	TR	Teplota rovnoměrná	Q	0	0.0	1.47E+04	0.0	0.0	-3.54E+06	0.0	0.0	-1.69E+05	0.0	0.0	0.0E+00	-	-	-	-	0.0	6.50E+03	0.0	0.0	0.0	8.22E+03	0.0	0.0
14	TN	Teplota nerovnoměrná	Q	0	-7.1	1.47E+04	-0.5	1.6	-3.54E+06	-0.4	0.0	-1.69E+05	0.0	-1.0	0.0E+00	-	-	-	-	0.0	6.50E+03	0.0	0.0	0.3	8.22E+03	0.0	0.0
15	FR	Třecí síly v ložiskách	Q	0	-12.9	1.47E+04	-0.9	0.0	-3.54E+06	0.0	0.0	-1.69E+05	0.0	-0.9	0.0E+00	-	-	-	-	0.0	6.50E+03	0.0	0.0	0.2	8.22E+03	0.0	0.0
16	I	Imperfekce soustavy	Q	0	-1.9	1.47E+04	-0.1	-0.1	-3.54E+06	0.0	0.0	-1.69E+05	0.0	-0.1	0.0E+00	-	-	-	-	0.0	6.50E+03	0.0	0.0	-0.1	8.22E+03	0.0	0.0
27	ULS_LM	ULS - LM71 bez dynam	Q	0	0.0	1.47E+04	0.0	0.0	-3.54E+06	0.0	0.0	-1.69E+05	0.0	0.0	0.0E+00	-	-	-	-	0.0	6.50E+03	0.0	0.0	0.0	8.22E+03	0.0	0.0
28	SLS_LM	SLS - LM71 bez dynam	Q	0	0.0	1.47E+04	0.0	0.0	-3.54E+06	0.0	0.0	-1.69E+05	0.0	0.0	0.0E+00	-	-	-	-	0.0	6.50E+03	0.0	0.0	0.0	8.22E+03	0.0	0.0
29	ULS_C3	ULS - C3 bez dynam	Q	0	0.0	1.47E+04	0.0	0.0	-3.54E+06	0.0	0.0	-1.69E+05	0.0	0.0	0.0E+00	-	-	-	-	0.0	6.50E+03	0.0	0.0	0.0	8.22E+03	0.0	0.0
30	SLS_C3	SLS - C3 bez dynam	Q	0	0.0	1.47E+04	0.0	0.0	-3.54E+06	0.0	0.0	-1.69E+05	0.0	0.0	0.0E+00	-	-	-	-	0.0	6.50E+03	0.0	0.0	0.0	8.22E+03	0.0	0.0
NAVÝŠENÍ NAPĚTÍ DO AKTIVACE TLAKU V DESCE MOSTOVKY						$\sigma_{P,red}$	0.0							0.0			0.0		0.0				1.8	1.8			3.7	3.7
NAPĚTÍ OD PRIMÁRNÍCH ÚČINKŮ NEROVNOMĚRNÉHO OTEPLENÍ						σ_T	0.0							0.0														
NAPĚTÍ OD REOLOGICKÝCH ÚČINKŮ BETONU V ČASE			t=0			σ_R	0.0	γ_f=	1.20					0.0														
NAPĚTÍ V KRITICKÝCH VLÁKNECH OD KOMBINACE ZATÍŽENÍ						KZ04		[MPa]					$\Sigma\sigma_x$	-227.4								$\Sigma\tau_y$	1.8				$\Sigma\tau_z$	3.7
NAPĚTÍ OD POHYBLIVÉHO ZATÍŽENÍ								[MPa]					$\sigma_{x,P}$	-214.3								τ_P	1.9				τ_P	3.4
NAPĚTÍ OD OSTATNÍCH ZATÍŽENÍ								[MPa]			Φ_{Vy}	Φ_{Vz}	$\sigma_{x,rs}$	-13.1								τ_{rs}	-0.1				τ_{rs}	0.4
NÁVRHOVÁ HODNOTA MEZE KLUZU S REDUKCÍ VLIVEM SMYKOVÉHO NAPĚTÍ								[MPa]			1.00	1.00	$f_{yv,d}$	209.1								$f_{yd}/3^{0,5}$	120.7				$f_{yd}/3^{0,5}$	120.7
NAPĚTÍ OD POHYBLIVÉHO ZATÍŽENÍ V GLOBÁLNÍM SYSTÉMU						$\sigma_{GLOB,P}$	0.0	[MPa]					$\Sigma\sigma_{GLOB}$	0.0														
NAPĚTÍ OD OSTATNÍCH ZATÍŽENÍ V GLOBÁLNÍM SYSTÉMU						$\sigma_{GLOB,rs}$	0.0	[MPa]					$\Sigma\sigma_x + \Sigma\sigma_{GLOB}$	-227.4														
VYUŽITÍ PRŮŘEZU DLE NAPĚTÍ								[%]					η_1	1.09								η_3	0.02				η_3	0.03
NAPĚTÍ V PŘÍČNÉM SMĚRU OD POHYBLIVÉHO ZATÍŽENÍ						$\sigma_{z,P}$	0.0	[MPa]					$\Sigma\sigma_z$	0.0														
NAPĚTÍ V PŘÍČNÉM SMĚRU OD OSTATNÍCH ZATÍŽENÍ						$\sigma_{z,rs}$	0.0	[MPa]					η_2	0.00														
SROVNÁVACÍ NAPĚTÍ													$(\eta_2 + 0,8\,\eta_1)/1,4$ =	0.62														
VYUŽITÍ PRŮŘEZU CELKEM								[%]					eff	1.09	NEVYHOVUJE													
													z_{LM71} =	0.91														

TAB. L3.2.3 POSOUZENÍ - MEZNÍ STAV ÚNOSNOSTI

POPIS	PODĚLNÍK L3.E - STŘED
PRUT / POLOHA BODU	860 / I[721]
NAMÁHÁNÍ	My.max
VLÁKNO	BOD K4 -SP
MEZNÍ STAV	ULS (MSÚ)
VYUŽITÍ VLÁKNA PRŮŘEZU	1.09

Charakteristiky materiálu				
pás. horní	$f_{yf,k}$	230	MPa	
pás. dolní	$f_{yf,k}$	230	MPa	
stojina	$f_{yw,k}$	230	MPa	
výztuž	$f_{ys,k}$	500	MPa	
	γ_M =	1.10	γ_s =	1.15

Excentricita normálové síly				
Exc./Fáze	0	1	2	3
e_y	0.000	0.000	0.000	0.000
e_z	0.000	0.000	0.000	0.000
Ekvivalentní vzdál. stěn - příčný roznos				
b_{Mx}	0.000	0.000	0.000	0.000

Vliv stěny na únosnost průřezu				
Char./Fáze	0	1	2	3
A	0.00	0.00	0.00	0.00
Wy	0.00	0.00	0.00	0.00
Wz	0.00	0.00	0.00	0.00

Charakter. v kroucení			
$t_{w,y}$	0.000	[mm]	
$t_{w,z}$	0.000	[mm]	
κ	1.00		
I_t=	0.00E+00	[mm^4]	
Ω=2*A_{pr}	0.00E+00	[mm^2]	

Součinitele vzpěru a vlivu II.řádu					
Char./Fáze	0	1	2	3	
k_y	1.000	1.000	1.000	1.000	
k_z	1.000	1.000	1.000	1.000	
χ_{LT}	1.000	1.000	1.000	1.000	
χ_{min}	1.000	1.000	1.000	1.000	

Vnitřní síly od jednotlivých skupin zatěžovacích stavů

SKUPINA ZATĚŽOVACÍCH STAVŮ

Č.	SKUP ZS	POPIS ZS	KAT.	FÁZE PRŮŘ.	- CHARAKTERISTICKÉ HODNOTY N.k (kN)	Vy.k (kN)	Vz.k (kN)	Mx.k (kNm)	My.k (kNm)	Mz.k (kNm)	DÍLČÍ SOUČINITELÉ ZATÍŽENÍ, DYNAMICKÝ SOUČINITEL γ_{or} (-)	γ_{Q} (-)	volba ψ_i hledat	ψ_i (-)	L_d (m)	δ (-)	∇_z KZ04	- NÁVRHOVÉ HODNOTY N.d (kN)	Vy.d (kN)	Vz.d (kN)	ΔVz.d (kN)	ΣVz.d (kN)	Mx.d (kNm)	My.d (kNm)	ΔMy.d (kNm)	ΣMy.d (kNm)	Mz.d (kNm)	ΔMz.d (kNm)	ΣMz.d (kNm)
1	G0	Vlastní tíha OK	G	0	58	0	0	0	8	0	1.00	1.20		1.20	-	1.00	0.95	66	0	0	0	0	0	9	0	9	0	0	0
2	G1	Ostatní stálé - mostní vybavení	G	0	8	0	0	0	0	0	1.00	1.20		1.20	-	1.00	0.95	9	0	0	0	0	0	0	0	0	0	0	0
3	G2	Ostatní stálé - cizí zařízení	G	0	6	0	0	0	0	0	1.00	1.20		1.20	-	1.00	0.95	7	0	0	0	0	0	0	0	0	0	0	0
4	P1_71	a.LM71 - kolej 1 (bez dyn. souč.)	P	0	13	0	0	0	8	0	1.00	1.30		1.30	-	1.59	1.00	26	0	0	0	0	0	15	0	15	0	0	0
5	P2_71	a.LM71 - kolej 2 (bez dyn. souč.)	P	0	30	1	12	0	202	0	1.00	1.30		1.30	-	1.59	1.00	61	1	25	0	25	0	417	0	417	0	0	0
6	P1_C3	TTZ C3 - kolej 1 (bez dyn. souč.)	P	0	8	0	0	0	5	0	1.00	vyp.		0.00	-	1.00	0.00	0	0	0	0	0	0	0	0	0	0	0	0
7	P2_C3	TTZ C3 - kolej 2 (bez dyn. souč.)	P	0	21	0	5	0	134	0	1.00	vyp.		0.00	-	1.00	0.00	0	0	0	0	0	0	0	0	0	0	0	0
8	BR	Brzdné a rozjezdové síly	P	0	-175	0	6	0	4	0	1.00	-1.30		-1.30	-	1.00	0.40	91	0	-3	0	-3	0	-2	0	-2	0	0	0
9	S	Boční ráz	P	0	-43	-11	0	0	13	-16	1.00	-1.30		-1.30	-	1.00	0.80	45	11	0	0	0	0	-13	0	-13	17	0	17
10	CH	Chodci na lávkách	Q	0	11	0	0	0	0	0	1.00	1.30		1.30	-	1.00	1.00	14	0	0	0	0	0	0	0	0	0	0	0
11	W	Vítr na konstrukci	Q	0	10	0	2	0	2	0	1.00	1.35		1.35	-	1.00	0.75	10	0	2	0	2	0	2	0	2	0	0	0
12	WP	Vítr na vozidla	Q	0	15	0	1	0	16	2	1.00	1.35		1.35	-	1.00	0.75	15	0	1	0	1	0	16	0	16	2	0	2
13	TR	Teplota rovnoměrná	Q	0	0	0	0	0	0	0	1.00	1.35		1.35	-	1.00	0.45	0	0	0	0	0	0	0	0	0	0	0	0
14	TN	Teplota nerovnoměrná	Q	0	-9	0	0	0	2	0	1.00	1.35		1.35	-	1.00	0.60	-7	0	0	0	0	0	2	0	2	0	0	0
15	FR	Třecí síly v ložiskách	Q	0	-11	0	0	0	0	0	1.00	-1.20		-1.20	-	1.00	1.00	13	0	0	0	0	0	0	0	0	0	0	0
16	I	Imperfekce soustavy	Q	0	2	0	0	0	0	0	1.00	1.20		1.20	-	1.00	1.00	2	0	0	0	0	0	0	0	0	0	0	0
27	ULS_LM	ULS - LM71 bez dynam	Q	0	38	-13	21	0	319	-19	1.00	vyp.		0.00	-	1.00	0.00	0	0	0	0	0	0	0	0	0	0	0	0
28	SLS_LM	SLS - LM71 bez dynam	Q	0	48	-10	16	0	244	-14	1.00	vyp.	1	0.00	-	1.00	0.00	0	0	0	0	0	0	0	0	0	0	0	0
29	ULS_C3	ULS - C3 bez dynam	Q	0	21	-14	12	0	226	-19	1.00	vyp.	1	0.00	-	1.00	0.00	0	0	0	0	0	0	0	0	0	0	0	0
30	SLS_C3	SLS - C3 bez dynam	Q	0	34	-10	9	0	173	-15	1.00	vyp.	1	0.00	-	1.00	0.00	0	0	0	0	0	0	0	0	0	0	0	0
		CELKEM - FÁZE PRŮŘEZU 0																352	12	25	0	25	0	446	0	446	19	0	19
		CELKEM - FÁZE PRŮŘEZU 1																0	0	0	0	0	0	0	0	0	0	0	0
		CELKEM - FÁZE PRŮŘEZU 2																0	0	0	0	0	0	0	0	0	0	0	0
		CELKEM - FÁZE PRŮŘEZU 3																0	0	0	0	0	0	0	0	0	0	0	0
		CELKEM - PRŮŘEZ																352	12	25	0	25	0			446			19

Napětí od jednotlivých zatěžovacích stavů

SKUPINA ZATĚŽOVACÍCH STAVŮ

Č.	SKUP ZS	Popis ZS	Kat.	fáze průř.	Posouzení normálového napětí – Účinek síly N δ^*N_d [kN]	χ^*A [mm^2]	σ_n [MPa]	Účinek momentu My $\delta^*M_{y,d}$ [kNm]	$\chi_{lt}{}^*W_{el,y}$ [mm^3]	σ_{my} [MPa]	Účinek momentu Mz $\delta^*M_{z,d}$ [kNm]	$W_{el,z}$ [mm^3]	σ_{mz} [MPa]	σ_x [MPa]	Posouzení smykového napětí – Účinek kroutícího momentu Mx $\kappa^*\delta^*M_{x,d}$ [kNm]	$W_{v,y}$ [mm^2]	$\tau_{x,y}$ [MPa]	$W_{v,z}$ [mm^2]	$\tau_{x,z}$ [MPa]	Účinek smykové síly Vy $\delta^*V_{y,d}$ [kN]	$A_{v,y}$ [mm2]	$\tau_{v,y}$ [MPa]	$\tau_{v,y}$ [MPa]	Účinek smykové síly Vz $\delta^*V_{z,d}$ [kN]	$A_{v,z}$ [mm2]	$\tau_{v,z}$ [MPa]	$\tau_{v,z}$ [MPa]
1	G0	Vlastní tíha OK	G	0	65.7	1.47E+04	4.5	9.4	3.41E+06	2.7	0.0	2.62E+05	-0.2	7.0	0.0E+00	-	-	-	-	-0.3	6.50E+03	0.0	0.0	-0.1	8.22E+03	0.0	0.0
2	G1	Ostatní stálé - mostní vybavení	G	0	8.7	1.47E+04	0.6	0.1	3.41E+06	0.0	0.0	2.62E+05	0.0	0.6	0.0E+00	-	-	-	-	0.0	6.50E+03	0.0	0.0	-0.1	8.22E+03	0.0	0.0
3	G2	Ostatní stálé - cizí zařízení	G	0	6.7	1.47E+04	0.5	0.0	3.41E+06	0.0	0.0	2.62E+05	0.0	0.5	0.0E+00	-	-	-	-	0.0	6.50E+03	0.0	0.0	-0.1	8.22E+03	0.0	0.0
4	P1_71	a.LM71 - kolej 1 (bez dyn. souč.)	P	0	26.0	1.47E+04	1.8	15.5	3.41E+06	4.5	0.4	2.62E+05	1.4	7.7	-4.1E-02	-	-	-	-	0.3	6.50E+03	0.1	0.1	0.4	8.22E+03	0.1	0.1
5	P2_71	a.LM71 - kolej 2 (bez dyn. souč.)	P	0	61.0	1.47E+04	4.1	417.2	3.41E+06	122.4	0.2	2.62E+05	0.9	127.5	1.0E-01	-	-	-	-	1.0	6.50E+03	0.2	0.2	24.8	8.22E+03	3.0	3.0
6	P1_C3	TTZ C3 - kolej 1 (bez dyn. souč.)	P	0	0.0	1.47E+04	0.0	0.0	3.41E+06	0.0	0.0	2.62E+05	0.0	0.0	0.0E+00	-	-	-	-	0.0	6.50E+03	0.0	0.0	0.0	8.22E+03	0.0	0.0
7	P2_C3	TTZ C3 - kolej 2 (bez dyn. souč.)	P	0	0.0	1.47E+04	0.0	0.0	3.41E+06	0.0	0.0	2.62E+05	0.0	0.0	0.0E+00	-	-	-	-	0.0	6.50E+03	0.0	0.0	0.0	8.22E+03	0.0	0.0
8	BR	Brzdné a rozjezdové síly	P	0	91.0	1.47E+04	6.2	-1.9	3.41E+06	-0.6	0.1	2.62E+05	0.2	5.8	0.0E+00	-	-	-	-	-0.1	6.50E+03	0.0	0.0	-2.9	8.22E+03	-0.4	-0.4
9	S	Boční ráz	P	0	45.0	1.47E+04	3.1	-13.1	3.41E+06	-3.8	16.8	2.62E+05	64.2	63.4	2.2E-01	-	-	-	-	11.1	6.50E+03	1.7	1.7	-0.2	8.22E+03	0.0	0.0
10	CH	Chodci na lávkách	Q	0	14.2	1.47E+04	1.0	0.0	3.41E+06	0.0	0.0	2.62E+05	0.0	1.0	0.0E+00	-	-	-	-	0.0	6.50E+03	0.0	0.0	-0.3	8.22E+03	0.0	0.0
11	W	Vítr na konstrukci	Q	0	10.2	1.47E+04	0.7	1.8	3.41E+06	0.5	0.1	2.62E+05	0.2	1.4	0.0E+00	-	-	-	-	0.0	6.50E+03	0.0	0.0	2.0	8.22E+03	0.2	0.2
12	WP	Vítr na vozidla	Q	0	15.4	1.47E+04	1.0	15.7	3.41E+06	4.6	1.8	2.62E+05	6.9	12.6	3.0E-02	-	-	-	-	-0.2	6.50E+03	0.0	0.0	1.1	8.22E+03	0.1	0.1
13	TR	Teplota rovnoměrná	Q	0	0.0	1.47E+04	0.0	0.0	3.41E+06	0.0	0.0	2.62E+05	0.0	0.0	0.0E+00	-	-	-	-	0.0	6.50E+03	0.0	0.0	0.0	8.22E+03	0.0	0.0
14	TN	Teplota nerovnoměrná	Q	0	-7.1	1.47E+04	-0.5	1.6	3.41E+06	0.5	0.0	2.62E+05	0.0	0.0	0.0E+00	-	-	-	-	0.0	6.50E+03	0.0	0.0	0.3	8.22E+03	0.0	0.0
15	FR	Třecí síly v ložiskách	Q	0	12.9	1.47E+04	0.9	0.0	3.41E+06	0.0	0.0	2.62E+05	0.0	0.9	0.0E+00	-	-	-	-	0.0	6.50E+03	0.0	0.0	-0.2	8.22E+03	0.0	0.0
16	I	Imperfekce soustavy	Q	0	1.9	1.47E+04	0.1	0.1	3.41E+06	0.0	0.0	2.62E+05	0.0	0.2	0.0E+00	-	-	-	-	0.0	6.50E+03	0.0	0.0	0.1	8.22E+03	0.0	0.0
27	ULS_LM	ULS - LM71 bez dynam	Q	0	0.0	1.47E+04	0.0	0.0	3.41E+06	0.0	0.0	2.62E+05	0.0	0.0	0.0E+00	-	-	-	-	0.0	6.50E+03	0.0	0.0	0.0	8.22E+03	0.0	0.0
28	SLS_LM	SLS - LM71 bez dynam	Q	0	0.0	1.47E+04	0.0	0.0	3.41E+06	0.0	0.0	2.62E+05	0.0	0.0	0.0E+00	-	-	-	-	0.0	6.50E+03	0.0	0.0	0.0	8.22E+03	0.0	0.0
29	ULS_C3	ULS - C3 bez dynam	Q	0	0.0	1.47E+04	0.0	0.0	3.41E+06	0.0	0.0	2.62E+05	0.0	0.0	0.0E+00	-	-	-	-	0.0	6.50E+03	0.0	0.0	0.0	8.22E+03	0.0	0.0
30	SLS_C3	SLS - C3 bez dynam	Q	0	0.0	1.47E+04	0.0	0.0	3.41E+06	0.0	0.0	2.62E+05	0.0	0.0	0.0E+00	-	-	-	-	0.0	6.50E+03	0.0	0.0	0.0	8.22E+03	0.0	0.0
		NAVÝŠENÍ NAPĚTÍ DO AKTIVACE TLAKU V DESCE MOSTOVKY				$\sigma_{P,red}$	0.0							0.0			0.0		0.0			1.8	1.8			3.0	3.0
		NAPĚTÍ OD PRIMÁRNÍCH ÚČINKŮ NEROVNOMĚRNÉHO OTEPLENÍ				σ_T	0.0							0.0													
		NAPĚTÍ OD REOLOGICKÝCH ÚČINKŮ BETONU V ČASE		t=0		σ_R	0.0	γ_{lt}=	1.20					0.0													
		NAPĚTÍ V KRITICKÝCH VLÁKNECH OD KOMBINACE ZATÍŽENÍ				KZ04		[MPa]					$\Sigma\sigma_x$	228.7									$\Sigma\tau_y$	1.8			$\Sigma\tau_z$	3.0
		NAPĚTÍ OD POHYBLIVÉHO ZATÍŽENÍ						[MPa]					$\sigma_{x,P}$	204.5									τ_P	1.9			τ_P	2.7
		NAPĚTÍ OD OSTATNÍCH ZATÍŽENÍ						[MPa]			Φ_{Vy}	Φ_{Vz}	$\sigma_{x,rs}$	24.1									τ_{rs}	-0.1			τ_{rs}	0.3
		NÁVRHOVÁ HODNOTA MEZE KLUZU S REDUKCÍ VLIVEM SMYKOVÉHO NAPĚTÍ						[MPa]			1.00	1.00	$f_{yw,d}$	209.1									$f_{yd}/3^{0,5}$	120.7			$f_{yd}/3^{0,5}$	120.7
		NAPĚTÍ OD POHYBLIVÉHO ZATÍŽENÍ V GLOBÁLNÍM SYSTÉMU				$\sigma_{GLOB,P}$	0.0	[MPa]					$\Sigma\sigma_{GLOB}$	0.0														
		NAPĚTÍ OD OSTATNÍCH ZATÍŽENÍ V GLOBÁLNÍM SYSTÉMU				$\sigma_{GLOB,rs}$	0.0	[MPa]					$\Sigma\sigma_x + \Sigma\sigma_{GLOB}$	228.7														
		VYUŽITÍ PRŮŘEZU DLE NAPĚTÍ						[%]					η_1	1.09									η_3	0.02			η_3	0.03
		NAPĚTÍ V PŘÍČNÉM SMĚRU OD POHYBLIVÉHO ZATÍŽENÍ				$\sigma_{z,P}$	0.0	[MPa]					$\Sigma\sigma_z$	0.0														
		NAPĚTÍ V PŘÍČNÉM SMĚRU OD OSTATNÍCH ZATÍŽENÍ				$\sigma_{z,rs}$	0.0	[MPa]					η_2	0.00														
		SROVNÁVACÍ NAPĚTÍ											$(\eta_2 + 0,8\,\eta_1)/1,4$ =	0.62														
		VYUŽITÍ PRŮŘEZU CELKEM						[%]					eff	1.09	NEVYHOVUJE													
													z_{LM71} =	0.90														

TAB. L3.2.3 POSOUZENÍ - MEZNÍ STAV ÚNOSNOSTI

POPIS	PODÉLNÍK L3.E - STŘED
PRUT / POLOHA BODU	860 / I[721]
NAMÁHÁNÍ	Vz.min
VLÁKNO	BOD S6 -HP
MEZNÍ STAV	ULS (MSÚ)
VYUŽITÍ VLÁKNA PRŮŘEZU	0.45

Charakteristiky materiálu				
pás. horní	$f_{yf,k}$	230	MPa	
pás. dolní	$f_{yf,k}$	230	MPa	
stojina	$f_{yw,k}$	230	MPa	
výztuž	$f_{ys,k}$	500	MPa	
γ_M =	1.10	γ_s =	1.15	

Excentricita normálové síly				
Exc./Fáze	0	1	2	3
e_y	0.000	0.000	0.000	0.000
e_z	0.000	0.000	0.000	0.000
Ekvivalentní vzdál. stěn - příčný roznos				
b_{Mx}	0.000	0.000	0.000	0.000

Vliv stěny na únosnost průřezu				
Char./Fáze	0	1	2	3
A	0.00	0.00	0.00	0.00
Wy	0.00	0.00	0.00	0.00
Wz	0.00	0.00	0.00	0.00

Charakter. v kroucení			
$t_{w,y}$	0.000	[mm]	
$t_{w,z}$	0.000	[mm]	
κ	1.00		
I_t=	0.00E+00	[mm^4]	
$\Omega=2*A_{pr}$	0.00E+00	[mm^2]	

Součinitele vzpěru a vlivu II.řádu				
Char./Fáze	0	1	2	3
k_y	1.000	1.000	1.000	1.000
k_z	1.000	1.000	1.000	1.000
χ_{LT}	1.000	1.000	1.000	1.000
χ_{min}	1.000	1.000	1.000	1.000

Vnitřní síly od jednotlivých skupin zatěžovacích stavů

SKUPINA ZATĚŽOVACÍCH STAVŮ — CHARAKTERISTICKÉ HODNOTY — DÍLČÍ SOUČINITELÉ ZATÍŽENÍ, DYNAMICKÝ SOUČINITEL — NÁVRHOVÉ HODNOTY

Č.	SKUP ZS	POPIS ZS	KAT.	FÁZE PRŮŘ.	N.k (kN)	Vy.k (kN)	Vz.k (kN)	Mx.k (kNm)	My.k (kNm)	Mz.k (kNm)	γ_{sr} (-)	γ_{fs} (-)	volba γ_f hledat	γ_f (-)	L_d (m)	δ (-)	Ψ_s KZ03	N.d (kN)	Vy.d (kN)	Vz.d (kN)	ΔVz.d (kN)	ΣVz.d (kN)	Mx.d (kNm)	My.d (kNm)	ΔMy.d (kNm)	ΣMy.d (kNm)	Mz.d (kNm)	ΔMz.d (kNm)	ΣMz.d (kNm)
1	G0	Vlastní tíha OK	G	0	102	0	-2	0	7	0	1.00	1.20		1.20	-	1.00	0.95	116	0	-2	0	-2	0	8	0	8	0	0	0
2	G1	Ostatní stálé - mostní vybavení	G	0	8	0	0	0	0	0	1.00	1.20		1.20	-	1.00	0.95	9	0	0	0	0	0	0	0	0	0	0	0
3	G2	Ostatní stálé - cizí zařízení	G	0	6	0	0	0	0	0	1.00	1.20		1.20	-	1.00	0.95	7	0	0	0	0	0	0	0	0	0	0	0
4	P1_71	a.LM71 - kolej 1 (bez dyn. souč.)	P	0	81	0	-5	0	0	0	1.00	1.30		1.30	-	1.59	1.00	166	0	-11	0	-11	0	0	0	0	0	0	0
5	P2_71	a.LM71 - kolej 2 (bez dyn. souč.)	P	0	98	0	-59	0	89	0	1.00	1.30		1.30	-	1.59	1.00	202	0	-122	0	-122	0	183	0	183	0	0	0
6	P1_C3	TTZ C3 - kolej 1 (bez dyn. souč.)	P	0	71	0	-4	0	-1	0	1.00	vyp.		0.00	-	1.00	0.00	0	0	0	0	0	0	0	0	0	0	0	0
7	P2_C3	TTZ C3 - kolej 2 (bez dyn. souč.)	P	0	96	0	-45	0	63	0	1.00	vyp.		0.00	-	1.00	0.00	0	0	0	0	0	0	0	0	0	0	0	0
8	BR	Brzdné a rozjezdové síly	P	0	175	0	-6	0	-4	0	1.00	1.30		1.30	-	1.00	0.80	182	0	-6	0	-6	0	-4	0	-4	0	0	0
9	S	Boční ráz	P	0	-7	0	-2	0	-2	0	1.00	1.30		1.30	-	1.00	0.40	-4	0	-1	0	-1	0	-1	0	-1	0	0	0
10	CH	Chodci na lávkách	Q	0	8	0	0	0	0	0	1.00	1.30		1.30	-	1.00	1.00	11	0	0	0	0	0	0	0	0	0	0	0
11	W	Vítr na konstrukci	Q	0	-10	0	-2	0	-2	0	1.00	1.35		1.35	-	1.00	0.75	-10	0	-2	0	-2	0	-2	0	-2	0	0	0
12	WP	Vítr na vozidla	Q	0	-15	0	-1	0	-16	-2	1.00	1.35		1.35	-	1.00	0.75	-15	0	-1	0	-1	0	-16	0	-16	-2	0	-2
13	TR	Teplota rovnoměrná	Q	0	0	0	0	0	0	0	1.00	1.35		1.35	-	1.00	0.45	0	0	0	0	0	0	0	0	0	0	0	0
14	TN	Teplota nerovnoměrná	Q	0	9	0	0	0	-2	0	1.00	1.35		1.35	-	1.00	0.60	7	0	0	0	0	0	-2	0	-2	0	0	0
15	FR	Třecí síly v ložiskách	Q	0	11	0	0	0	0	0	1.00	1.20		1.20	-	1.00	1.00	13	0	0	0	0	0	0	0	0	0	0	0
16	I	Imperfekce soustavy	Q	0	-2	0	0	0	0	0	1.00	1.20		1.20	-	1.00	1.00	-2	0	0	0	0	0	0	0	0	0	0	0
27	ULS_LM	ULS - LM71 bez dynam	Q	0	590	0	-99	0	98	-2	1.00	vyp.		0.00	-	1.00	0.00	0	0	0	0	0	0	0	0	0	0	0	0
28	SLS_LM	SLS - LM71 bez dynam	Q	0	464	0	-76	0	78	-1	1.00	vyp.	1	0.00	-	1.00	0.00	0	0	0	0	0	0	0	0	0	0	0	0
29	ULS_C3	ULS - C3 bez dynam	Q	0	574	0	-79	0	62	-2	1.00	vyp.	1	0.00	-	1.00	0.00	0	0	0	0	0	0	0	0	0	0	0	0
30	SLS_C3	SLS - C3 bez dynam	Q	0	452	0	-61	0	50	-1	1.00	vyp.	1	0.00	-	1.00	0.00	0	0	0	0	0	0	0	0	0	0	0	0
		CELKEM - FÁZE PRŮŘEZU 0																681	0	-146	0	-146	0	167	0	167	-2	0	-2
		CELKEM - FÁZE PRŮŘEZU 1																0	0	0	0	0	0	0	0	0	0	0	0
		CELKEM - FÁZE PRŮŘEZU 2																0	0	0	0	0	0	0	0	0	0	0	0
		CELKEM - FÁZE PRŮŘEZU 3																0	0	0	0	0	0	0	0	0	0	0	0
		CELKEM - PRŮŘEZ																681	0	-146	0	-146	0			167			-2

Napětí od jednotlivých zatěžovacích stavů

SKUPINA ZATĚŽOVACÍCH STAVŮ — Posouzení normálového napětí — Účinek síly N — Účinek momentu My — Účinek momentu Mz — Posouzení smykového napětí — Účinek kroutícího momentu Mx — Účinek smykové síly Vy — Účinek smykové síly Vz

Č.	SKUP ZS	Popis ZS	Kat.	fáze průř.	δ^*N_d [kN]	χ^*A [mm^2]	σ_n [MPa]	$\delta^*M_{y,d}$ [kNm]	$\chi_{lt}*W_{el,y}$ [mm^3]	σ_{my} [MPa]	$\delta^*M_{z,d}$ [kNm]	$W_{el,z}$ [mm^3]	σ_{mz} [MPa]	σ_x [MPa]	$\kappa*\delta^*M_{x,d}$ [kNm]	$W_{v,y}$ [mm^2]	$\tau_{x,y}$ [MPa]	$W_{v,z}$ [mm^2]	$\tau_{x,z}$ [MPa]	$\delta^*V_{y,d}$ [kN]	$A_{v,y}$ [mm2]	$\tau_{v,y}$ [MPa]	$\tau_{v,y}$ [MPa]	$\delta^*V_{z,d}$ [kN]	$A_{v,z}$ [mm2]	$\tau_{v,z}$ [MPa]	$\tau_{v,z}$ [MPa]
1	G0	Vlastní tíha OK	G	0	116.2	1.47E+04	7.9	7.9	3.50E+06	2.2	0.0	-1.33E+07	0.0	10.1	0.0E+00	-	-	-	-	-0.1	6.50E+03	0.0	0.0	-2.1	8.22E+03	-0.3	-0.3
2	G1	Ostatní stálé - mostní vybavení	G	0	8.7	1.47E+04	0.6	0.1	3.50E+06	0.0	0.0	-1.33E+07	0.0	0.6	0.0E+00	-	-	-	-	0.0	6.50E+03	0.0	0.0	-0.1	8.22E+03	0.0	0.0
3	G2	Ostatní stálé - cizí zařízení	G	0	6.7	1.47E+04	0.5	0.0	3.50E+06	0.0	0.0	-1.33E+07	0.0	0.5	0.0E+00	-	-	-	-	0.0	6.50E+03	0.0	0.0	-0.1	8.22E+03	0.0	0.0
4	P1_71	a.LM71 - kolej 1 (bez dyn. souč.)	P	0	166.4	1.47E+04	11.3	0.3	3.50E+06	0.1	-0.1	-1.33E+07	0.0	11.4	-2.1E-02	-	-	-	-	-0.3	6.50E+03	0.0	0.0	-10.9	8.22E+03	-1.3	-1.3
5	P2_71	a.LM71 - kolej 2 (bez dyn. souč.)	P	0	201.8	1.47E+04	13.7	183.0	3.50E+06	52.2	-0.3	-1.33E+07	0.0	66.0	6.2E-02	-	-	-	-	0.2	6.50E+03	0.0	0.0	-122.0	8.22E+03	-14.9	-14.9
6	P1_C3	TTZ C3 - kolej 1 (bez dyn. souč.)	P	0	0.0	1.47E+04	0.0	0.0	3.50E+06	0.0	0.0	-1.33E+07	0.0	0.0	0.0E+00	-	-	-	-	0.0	6.50E+03	0.0	0.0	0.0	8.22E+03	0.0	0.0
7	P2_C3	TTZ C3 - kolej 2 (bez dyn. souč.)	P	0	0.0	1.47E+04	0.0	0.0	3.50E+06	0.0	0.0	-1.33E+07	0.0	0.0	0.0E+00	-	-	-	-	0.0	6.50E+03	0.0	0.0	0.0	8.22E+03	0.0	0.0
8	BR	Brzdné a rozjezdové síly	P	0	181.9	1.47E+04	12.4	-3.8	3.50E+06	-1.1	0.1	-1.33E+07	0.0	11.3	0.0E+00	-	-	-	-	-0.2	6.50E+03	0.0	0.0	-5.8	8.22E+03	-0.7	-0.7
9	S	Boční ráz	P	0	-3.7	1.47E+04	-0.3	-1.1	3.50E+06	-0.3	0.0	-1.33E+07	0.0	-0.6	0.0E+00	-	-	-	-	0.0	6.50E+03	0.0	0.0	-1.0	8.22E+03	-0.1	-0.1
10	CH	Chodci na lávkách	Q	0	10.6	1.47E+04	0.7	-0.2	3.50E+06	-0.1	0.0	-1.33E+07	0.0	0.7	0.0E+00	-	-	-	-	0.0	6.50E+03	0.0	0.0	-0.4	8.22E+03	0.0	0.0
11	W	Vítr na konstrukci	Q	0	-10.2	1.47E+04	-0.7	-1.8	3.50E+06	-0.5	0.0	-1.33E+07	0.0	-1.2	0.0E+00	-	-	-	-	0.0	6.50E+03	0.0	0.0	-2.0	8.22E+03	-0.2	-0.2
12	WP	Vítr na vozidla	Q	0	-15.4	1.47E+04	-1.0	-15.7	3.50E+06	-4.5	-1.8	-1.33E+07	0.1	-5.4	-3.0E-02	-	-	-	-	0.2	6.50E+03	0.0	0.0	-1.1	8.22E+03	-0.1	-0.1
13	TR	Teplota rovnoměrná	Q	0	0.0	1.47E+04	0.0	0.0	3.50E+06	0.0	0.0	-1.33E+07	0.0	0.0	0.0E+00	-	-	-	-	0.0	6.50E+03	0.0	0.0	0.0	8.22E+03	0.0	0.0
14	TN	Teplota nerovnoměrná	Q	0	7.1	1.47E+04	0.5	-1.6	3.50E+06	-0.5	0.0	-1.33E+07	0.0	0.0	0.0E+00	-	-	-	-	0.0	6.50E+03	0.0	0.0	-0.3	8.22E+03	0.0	0.0
15	FR	Třecí síly v ložiskách	Q	0	12.9	1.47E+04	0.9	0.0	3.50E+06	0.0	0.0	-1.33E+07	0.0	0.9	0.0E+00	-	-	-	-	0.0	6.50E+03	0.0	0.0	-0.2	8.22E+03	0.0	0.0
16	I	Imperfekce soustavy	Q	0	-1.9	1.47E+04	-0.1	-0.1	3.50E+06	0.0	0.0	-1.33E+07	0.0	-0.2	0.0E+00	-	-	-	-	0.0	6.50E+03	0.0	0.0	-0.1	8.22E+03	0.0	0.0
27	ULS_LM	ULS - LM71 bez dynam	Q	0	0.0	1.47E+04	0.0	0.0	3.50E+06	0.0	0.0	-1.33E+07	0.0	0.0	0.0E+00	-	-	-	-	0.0	6.50E+03	0.0	0.0	0.0	8.22E+03	0.0	0.0
28	SLS_LM	SLS - LM71 bez dynam	Q	0	0.0	1.47E+04	0.0	0.0	3.50E+06	0.0	0.0	-1.33E+07	0.0	0.0	0.0E+00	-	-	-	-	0.0	6.50E+03	0.0	0.0	0.0	8.22E+03	0.0	0.0
29	ULS_C3	ULS - C3 bez dynam	Q	0	0.0	1.47E+04	0.0	0.0	3.50E+06	0.0	0.0	-1.33E+07	0.0	0.0	0.0E+00	-	-	-	-	0.0	6.50E+03	0.0	0.0	0.0	8.22E+03	0.0	0.0
30	SLS_C3	SLS - C3 bez dynam	Q	0	0.0	1.47E+04	0.0	0.0	3.50E+06	0.0	0.0	-1.33E+07	0.0	0.0	0.0E+00	-	-	-	-	0.0	6.50E+03	0.0	0.0	0.0	8.22E+03	0.0	0.0
NAVÝŠENÍ NAPĚTÍ DO AKTIVACE TLAKU V DESCE MOSTOVKY						$\sigma_{P,red}$	0.0							0.0			0.0		0.0				0.0				-17.8	-17.8
NAPĚTÍ OD PRIMÁRNÍCH ÚČINKŮ NEROVNOMĚRNÉHO OTEPLENÍ						σ_T	0.0							0.0														
NAPĚTÍ OD REOLOGICKÝCH ÚČINKŮ BETONU V ČASE				t=0		σ_R	0.0	γ_f=	1.20					0.0														
NAPĚTÍ V KRITICKÝCH VLÁKNECH OD KOMBINACE ZATÍŽENÍ						KZ03		[MPa]					$\Sigma\sigma_x$	94.1									$\Sigma\tau_y$	0.0			$\Sigma\tau_z$	-17.8
NAPĚTÍ OD POHYBLIVÉHO ZATÍŽENÍ								[MPa]					$\sigma_{x,P}$	88.0									τ_P	0.0			τ_P	-17.0
NAPĚTÍ OD OSTATNÍCH ZATÍŽENÍ								[MPa]			Φ_{Vy}	Φ_{Vz}	$\sigma_{x,rs}$	6.0									τ_{rs}	0.0			τ_{rs}	-0.8
NÁVRHOVÁ HODNOTA MEZE KLUZU S REDUKCÍ VLIVEM SMYKOVÉHO NAPĚTÍ								[MPa]			1.00	1.00	$f_{yw,d}$	209.1									$f_{yd}/3^{0,5}$	120.7			$f_{yd}/3^{0,5}$	120.7
NAPĚTÍ OD POHYBLIVÉHO ZATÍŽENÍ V GLOBÁLNÍM SYSTÉMU						$\sigma_{GLOB,P}$	0.0	[MPa]					$\Sigma\sigma_{GLOB}$	0.0														
NAPĚTÍ OD OSTATNÍCH ZATÍŽENÍ V GLOBÁLNÍM SYSTÉMU						$\sigma_{GLOB,rs}$	0.0	[MPa]					$\Sigma\sigma_x + \Sigma\sigma_{GLOB}$	94.1														
VYUŽITÍ PRŮŘEZU DLE NAPĚTÍ								[%]					η_1	0.45									η_3	0.00			η_3	0.15
NAPĚTÍ V PŘÍČNÉM SMĚRU OD POHYBLIVÉHO ZATÍŽENÍ						$\sigma_{z,P}$	0.0	[MPa]					$\Sigma\sigma_z$	0.0														
NAPĚTÍ V PŘÍČNÉM SMĚRU OD OSTATNÍCH ZATÍŽENÍ						$\sigma_{z,rs}$	0.0	[MPa]					η_2	0.00														
SROVNÁVACÍ NAPĚTÍ													$(\eta_2 + 0,8\,\eta_1)/1,4$ =	0.26														
VYUŽITÍ PRŮŘEZU CELKEM								[%]					eff	0.45	VYHOVUJE													
													z_{LM71} =	2.31														

VÝPOČET PRŮŘEZOVÝCH CHARAKTERISTIK

PRŮŘEZ: L4_1a **POPIS:** PODÉLNÍK - 4 - KRAJ (U PŘÍČNÍKU 4) - ŘEZ a **x =** - **m**

DEFINOVÁNÍ PRŮŘEZU

PÁSNICE HORNÍHO LEVÉHO ÚHELNÍKU	b f.t.l.o =	11	mm				
TLOUŠŤKA PÁSNICE ÚHELNÍKU	t f.t.l.o =	11	mm	OSLABENÍ PÁSNICE - TLOUŠŤKA	Δt f.t.l.o =	0	%
VÝŠKA STĚNY ÚHELNÍKU	h w.t.l.o =	89	mm				
TLOUŠŤKA STĚNY ÚHELNÍKU	t w.t.l.o =	11	mm	OSLABENÍ STĚNY - TLOUŠŤKA	Δt w.t.l.o =	0	%
PÁSNICE HORNÍHO PRAVÉHO ÚHELNÍKU	b f.t.r.o =	11	mm				
TLOUŠŤKA PÁSNICE ÚHELNÍKU	t f.t.r.o =	11	mm	OSLABENÍ PÁSNICE - TLOUŠŤKA	Δt f.t.r.o =	0	%
VÝŠKA STĚNY ÚHELNÍKU	h w.t.r.o =	89	mm				
TLOUŠŤKA STĚNY ÚHELNÍKU	t w.t.r.o =	11	mm	OSLABENÍ STĚNY - TLOUŠŤKA	Δt w.t.r.o =	0	%
PÁSNICE DOLNÍHO LEVÉHO ÚHELNÍKU	b f.b.l.o =	11	mm				
TLOUŠŤKA PÁSNICE ÚHELNÍKU	t f.b.l.o =	11	mm	OSLABENÍ PÁSNICE - TLOUŠŤKA	Δt f.b.l.o =	0	%
VÝŠKA STĚNY ÚHELNÍKU	h w.b.l.o =	89	mm				
TLOUŠŤKA STĚNY ÚHELNÍKU	t w.b.l.o =	11	mm	OSLABENÍ STĚNY - TLOUŠŤKA	Δt w.b.l.o =	0	%
PÁSNICE DOLNÍHO PRAVÉHO ÚHELNÍKU	b f.b.r.o =	11	mm				
TLOUŠŤKA PÁSNICE ÚHELNÍKU	t f.b.r.o =	11	mm	OSLABENÍ PÁSNICE - TLOUŠŤKA	Δt f.b.r.o =	0	%
VÝŠKA STĚNY ÚHELNÍKU	h w.b.r.o =	89	mm				
TLOUŠŤKA STĚNY ÚHELNÍKU	t w.b.r.o =	11	mm	OSLABENÍ STĚNY - TLOUŠŤKA	Δt w.b.r.o =	0	%
PŘILOŽKY STĚNY 2x	h w =	480	mm				
	t w =	11	mm	OSLABENÍ STĚNY	Δt w.l =	0	%
ŠÍŘKA HORNÍ PÁSNICE	b f.t =	0	mm	ARCH. DOK. - PÁSNICE UKONČENA PŘED PŘÍPOJEM			
TLOUŠŤKA HORNÍ PÁSNICE	t f.t =	0	mm	OSLABENÍ HORNÍ PÁSNICE	Δt f.t =	0	%
PŘESAH HORNÍ PÁSNICE	o f.t =	0	mm	HORNÍ PÁSNICE OBECNĚ NESYMETRICKÁ (PODÉLNÍK - PŘÍPOJ MOSTNICE)			
VÝŠKA STĚNY	h w =	690	mm				
TLOUŠŤKA STĚNY	t w =	10	mm	OSLABENÍ STĚNY	Δt w.l =	0	%
ŠÍŘKA DOLNÍ PÁSNICE	b f.b =	0	mm	PŘEDPOKLAD - PÁSNICE UKONČENA PŘED PŘÍPOJEM			
TLOUŠŤKA DOLNÍ PÁSNICE	t f.b =	0	mm	OSLABENÍ DOLNÍ PÁSNICE (DOLNÍ PÁSNICE SYMETRICKÁ)	Δt f.b =	0	%

NÝT Č.	SKUPINA	ŘEZ	RED.	VELIKOST d| [mm]	POLOHA e| [mm]	POPIS	AKTIVITA OTVORU		NAPĚTÍ sc [MPa]
1		-	1.00	0	-135	nýt - f.t	0	-	
2		-	1.00	0	-55	nýt - f.t - krční úhelník	0	-	
3		-	1.00	0	55	nýt - f.t - krční úhelník	0	-	
4		-	1.00			nýt - f.t		-	
5		-	1.00	20	635	nýt - w - krční úhelník	1		9.00
6		-	1.00			nýt - w		-	
7		-	1.00			nýt - w		-	
8		-	1.00			nýt - w		-	
9		-	1.00			nýt - w		-	
10		-	1.00	22	545	nýt - w	1		8.55
11		-	1.00	22	445	nýt - w	1		8.05
12		-	1.00	22	345	nýt - w	1		7.56
13		-	1.00	22	245	nýt - w	1		7.06
14		-	1.00	22	145	nýt - w	1		6.56
15		-	1.00	20	55	nýt - w - krční úhelník	1		6.12
16		-	1.00					-	
17		-	1.00					-	
18		-	1.00					-	
19		-	1.00			nýt - f.b		-	
20		-	1.00	0	-55	nýt - f.b. - krční úhelník	0	-	
21		-	1.00	0	55	nýt - f.b. - krční úhelník	0	-	
22		-	1.00			nýt - f.b		-	

ZADANÍ ČÁSTI PRŮŘEZU:

č.prvku	b [mm]	h [mm]	y_0 [mm]	z_0 [mm]	popis části	druh oslabení	lokální ultimate	boulení servic.
1	11.0	11.0	-10.5	684.5		0	1.000	1.000
2	11.0	89.0	-10.5	634.5		0	1.000	1.000
3	11.0	11.0	10.5	684.5		0	1.000	1.000
4	11.0	89.0	10.5	634.5		0	1.000	1.000
5	11.0	11.0	-10.5	5.5		0	1.000	1.000
6	11.0	89.0	-10.5	55.5		0	1.000	1.000
7	11.0	11.0	10.5	5.5		0	1.000	1.000
8	11.0	89.0	10.5	55.5		0	1.000	1.000
9	0.0	0.0	-16.0	690.0	pásnice	0	1.000	1.000
10	10.0	690.0	0.0	345.0	stěna	0	1.000	1.000
11	0.0	0.0	0.0	0.0	pásnice	0	1.000	1.000
12	11.0	480.0	-10.5	345.0	stěna	0	1.000	1.000
13	11.0	480.0	10.5	345.0	stěna	0	1.000	1.000
14						0	1.000	1.000
15						0	1.000	1.000
16						0	1.000	1.000
17						0	1.000	1.000
18						0	1.000	1.000
19						0	1.000	1.000
20						0	1.000	1.000
21						0	1.000	1.000
22						0	1.000	1.000
23						0	1.000	1.000
24						0	1.000	1.000
25						0	1.000	1.000
26						0	1.000	1.000
27						0	1.000	1.000
28						0	1.000	1.000
29						0	1.000	1.000
30						0	1.000	1.000
31						0	1.000	1.000
32						0	1.000	1.000
33						0	1.000	1.000
34						0	1.000	1.000
35						0	1.000	1.000
36						0	1.000	1.000
37						0	1.000	1.000
38						0	1.000	1.000
39						0	1.000	1.000
40						0	1.000	1.000
41						0	1.000	1.000
42						0	1.000	1.000
43						0	1.000	1.000
44						0	1.000	1.000
45						0	1.000	1.000
46						0	1.000	1.000
47						0	1.000	1.000
48						0	1.000	1.000
49						0	1.000	1.000
50						0	1.000	1.000
51	0	0	0	0	nýt - pásnice	0	1.000	1.000
52	0	0	0	0	nýt - pásnice	0	1.000	1.000
53	0	0	0	0	nýt - pásnice	0	1.000	1.000
54	0	0	0	0	nýt - pásnice	0	1.000	1.000
55	32.0	-20.0	0.0	635.0	nýt - stěna	0	1.000	1.000
56	0	0	0	0	nýt - stěna	0	1.000	1.000
57	0	0	0	0	nýt - stěna	0	1.000	1.000
58	0	0	0	0	nýt - stěna	0	1.000	1.000
59	0	0	0	0	nýt - stěna	0	1.000	1.000
60	32.0	-22.0	0.0	545.0	nýt - stěna	0	1.000	1.000
61	32.0	-22.0	0.0	445.0	nýt - stěna	0	1.000	1.000
62	32.0	-22.0	0.0	345.0	nýt - stěna	0	1.000	1.000
63	32.0	-22.0	0.0	245.0	nýt - stěna	0	1.000	1.000
64	32.0	-22.0	0.0	145.0	nýt - stěna	0	1.000	1.000
65	32.0	-20.0	0.0	55.0	nýt - stěna	0	1.000	1.000
66						0	1.000	1.000
67						0	1.000	1.000
68						0	1.000	1.000
69	0	0	0	0	nýt - pásnice	0	1.000	1.000
70	0	0	0	0	nýt - pásnice	0	1.000	1.000
71	0	0	0	0	nýt - pásnice	0	1.000	1.000
72	0	0	0	0	nýt - pásnice	0	1.000	1.000
73								
74								
75								
76								
77								
78								
79								
80								
81								
82								
83								
84								
85								
86								
87								
88								
89								
90								
91								
92								
93								
94								
95								
96								
97								
98								
99								
100								

VÝPOČET PRŮŘEZOVÝCH CHARAKTERISTIK

Properties	Basic	Ultimate		Serviceability	
y_t	0.0	0.0		0.0	[mm]
z_t	345.0	345.0		345.0	[mm]
A_i	1.7060E+04	1.7060E+04		1.7060E+04	[mm²]
A_s	0.0000E+00	0.0000E+00		0.0000E+00	[mm²]
A_b	1.2660E+04	1.2660E+04		1.2660E+04	[mm²]
I_{y1}	6.8485E+08	6.8485E+08		6.8485E+08	[mm⁴]
I_{z0}	1.4481E+06	1.4481E+06		1.4481E+06	[mm⁴]
i_y	200.4	200.4		200.4	[mm]
i_z	9.2	9.2		9.2	[mm]
$W_{y,1}$	1.9851E+06	1.9851E+06		1.9851E+06	[mm³]
$W_{z,1}$	-9.0505E+04	-9.0505E+04		-9.0505E+04	[mm³]
$W_{y,2}$	-1.9851E+06	-1.9851E+06		-1.9851E+06	[mm³]
$W_{z,2}$	-9.0505E+04	-9.0505E+04		-9.0505E+04	[mm³]
KRAJNÍ VLÁKNA PRŮŘEZU					
y_1	-16.0	-16.0		-16.0	[mm]
z_1	690.0	690.0		690.0	[mm]
y_2	-16.0	-16.0		-16.0	[mm]
z_2	0.0	0.0		0.0	[mm]
y_3	16.0	16.0		16.0	[mm]
z_3	690.0	690.0		690.0	[mm]
y_4	16.0	16.0		16.0	[mm]
z_4	0.0	0.0		0.0	[mm]
y_5	-5.0	-5.0		-5.0	[mm]
z_5	690.0	690.0		690.0	[mm]
y_6	-5.0	-5.0		-5.0	[mm]
z_6	0.0	0.0		0.0	[mm]

ÚPRAVA MOMENTŮ SETRVAČNOSTI V DŮSLEDKU ČLENĚNÍ PRŮŘEZU

OSA Y 1.00
OSA Z 1.00

SCHÉMA PROMĚNNÝCH

SCHÉMA ZADANÉHO PRŮŘEZU

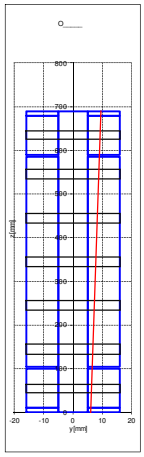

NEUTRÁLNÁ OSA

NAPĚTÍ [MPa]:

24.96	-6.42
21.53	-9.85

ZS: SLS_LM.VZ + MAX N-

	N [kN]	Vy [kN]	Vz [kN]	Mx [kNm]	My [kNm]	Mz [kNm]
import	129	-2	-92	0	-3	1

TR_L4.1 POPIS: **PODÉLNÍK L4.E - KRAJ** POSUDEK: **L4.1**

SKUPINA ZAT. STAVŮ	EXTRÉM	VYHODNOCOVANÉ VELIČINY					
		N	Vy	Vz	Mx	My	Mz
		kN	kN	kN	kNm	kNm	kNm
G0	N.min	**95.06**	-0.48	-9.48	0	-2.13	-0.56
	N.max	**67.51**	-0.47	-8.45	-0.03	-0.57	-1.01
	Vy.min	95.06	**-0.48**	-9.48	0	-2.13	-0.56
	Vy.max	67.51	**-0.47**	-8.45	-0.03	-0.57	-1.01
	Vz.min	95.06	-0.48	**-9.48**	0	-2.13	-0.56
	Vz.max	67.51	-0.47	**-8.45**	-0.03	-0.57	-1.01
	Mx.min	95.06	-0.48	-9.48	**0**	-2.13	-0.56
	Mx.max	67.51	-0.47	-8.45	**-0.03**	-0.57	-1.01
	My.min	95.06	-0.48	-9.48	0	**-2.13**	-0.56
	My.max	67.51	-0.47	-8.45	-0.03	**-0.57**	-1.01
	Mz.min	95.06	-0.48	-9.48	0	-2.13	**-0.56**
	Mz.max	67.51	-0.47	-8.45	-0.03	-0.57	**-1.01**
G1	N.min	**7.13**	-0.04	-0.13	0	-0.06	-0.04
	N.max	**7.13**	-0.04	-0.13	0	-0.06	-0.04
	Vy.min	7.13	**-0.04**	-0.13	0	-0.06	-0.04
	Vy.max	7.13	**-0.04**	-0.13	0	-0.06	-0.04
	Vz.min	7.13	-0.04	**-0.13**	0	-0.06	-0.04
	Vz.max	7.13	-0.04	**-0.13**	0	-0.06	-0.04
	Mx.min	7.13	-0.04	-0.13	**0**	-0.06	-0.04
	Mx.max	7.13	-0.04	-0.13	**0**	-0.06	-0.04
	My.min	7.13	-0.04	-0.13	0	**-0.06**	-0.04
	My.max	7.13	-0.04	-0.13	0	**-0.06**	-0.04
	Mz.min	7.13	-0.04	-0.13	0	-0.06	**-0.04**
	Mz.max	7.13	-0.04	-0.13	0	-0.06	**-0.04**
G2	N.min	**5.51**	-0.03	-0.07	0	0	-0.03
	N.max	**5.51**	-0.03	-0.07	0	0	-0.03
	Vy.min	5.51	**-0.03**	-0.07	0	0	-0.03
	Vy.max	5.51	**-0.03**	-0.07	0	0	-0.03
	Vz.min	5.51	-0.03	**-0.07**	0	0	-0.03
	Vz.max	5.51	-0.03	**-0.07**	0	0	-0.03
	Mx.min	5.51	-0.03	-0.07	**0**	0	-0.03
	Mx.max	5.51	-0.03	-0.07	**0**	0	-0.03
	My.min	5.51	-0.03	-0.07	0	**0**	-0.03
	My.max	5.51	-0.03	-0.07	0	**0**	-0.03
	Mz.min	5.51	-0.03	-0.07	0	0	**-0.03**
	Mz.max	5.51	-0.03	-0.07	0	0	**-0.03**
P1_71	N.min	**-0.12**	0	-0.01	0	0.01	0
	N.max	**85.54**	-0.55	-2.7	0	-4.57	-0.55
	Vy.min	72.84	**-0.61**	-4.13	0	-5.46	-0.55
	Vy.max	8.54	**0.02**	2.05	0.01	7.28	-0.01
	Vz.min	68.44	-0.58	**-5.24**	0	-8.7	-0.53
	Vz.max	16.15	-0.02	**3.22**	0.02	11.4	-0.04
	Mx.min	71.14	-0.41	-2.53	**-0.02**	-8.63	-0.47
	Mx.max	16.97	-0.16	0.76	**0.03**	10.05	-0.1
	My.min	76.45	-0.52	-4.09	-0.01	**-11.28**	-0.53
	My.max	13.72	-0.05	2.58	0.03	**12.53**	-0.05
	Mz.min	77.7	-0.53	-2.18	0	-1.8	**-0.57**
	Mz.max	8.97	0	0.34	0	0.08	**0.02**
P2_71	N.min	**-0.49**	0	0	0	0.01	0
	N.max	**134.56**	-0.61	-107.2	0.04	-24.85	-0.71
	Vy.min	119.31	**-0.9**	-11.07	0.03	-28.64	-0.74
	Vy.max	22.9	**0.44**	-179.79	0.04	-6.39	0.03
	Vz.min	118.31	-0.33	**-217**	0.07	-26.85	-0.65
	Vz.max	24.17	-0.09	**3.26**	0	-2.39	-0.07
	Mx.min	53.78	-0.21	1.15	**0**	-2.25	-0.2
	Mx.max	97.36	-0.27	-198.36	**0.08**	-26.03	-0.52
	My.min	115.53	-0.69	-76.45	0.04	**-34.69**	-0.68
	My.max	20.87	0.03	-60.61	0.03	**5.72**	-0.05
	Mz.min	121.41	-0.78	-116.72	0.05	-27.37	**-0.84**
	Mz.max	17.78	0.33	-158	0.04	-1.53	**0.05**
P1_C3	N.min	**-0.11**	0	0	0	0.01	0
	N.max	**68.44**	-0.47	-2.62	0	-3.91	-0.45
	Vy.min	62.1	**-0.48**	-2.69	0	-3.64	-0.47
	Vy.max	5.51	**0.01**	1.27	0.01	4.65	0
	Vz.min	58.07	-0.44	**-4.03**	-0.01	-8.37	-0.44
	Vz.max	11.54	0.01	**2.3**	0.01	6.65	-0.01
	Mx.min	56.71	-0.32	-1.65	**-0.01**	-5.56	-0.38
	Mx.max	10.31	-0.1	0.07	**0.02**	5.44	-0.06
	My.min	61.52	-0.44	-3.68	-0.01	**-8.59**	-0.44
	My.max	7.73	-0.01	1.68	0.01	**7.1**	-0.01
	Mz.min	62.19	-0.48	-2.68	0	-3.68	**-0.47**
	Mz.max	4.73	0	0.16	0	0.06	**0.01**
P2_C3	N.min	**-0.41**	0	0	0	0	0
	N.max	**109.66**	-0.37	-99.45	0.04	-22.36	-0.55
	Vy.min	97.39	**-0.72**	-8.81	0.02	-19.71	-0.63
	Vy.max	15.84	**0.29**	-131.47	0.03	-6.73	0.03
	Vz.min	94.86	-0.33	**-140.48**	0.04	-15.84	-0.53
	Vz.max	15	-0.05	**1.98**	0	-1.39	-0.03
	Mx.min	43.4	-0.2	0.39	**0**	-2.24	-0.2
	Mx.max	75.63	-0.23	-136.75	**0.05**	-16.6	-0.4
	My.min	102.27	-0.47	-82.46	0.03	**-27.88**	-0.58
	My.max	23.26	0	-46.25	0.01	**4.48**	-0.06
	Mz.min	100.19	-0.68	-52.53	0.03	-23.48	**-0.68**
	Mz.max	15.2	0.21	-97.93	0.02	-2.11	**0.04**
BR	N.min	**-82.51**	1.2	2.67	0.01	4.31	1.65
	N.max	**82.51**	-1.2	-2.67	-0.01	-4.31	-1.65
	Vy.min	36.89	**-1.39**	-3.91	-0.02	-6.38	-2.1
	Vy.max	-36.89	**1.39**	3.91	0.02	6.38	2.1
	Vz.min	70.16	-1.25	**-3.99**	-0.02	-6.38	-1.87
	Vz.max	-70.16	1.25	**3.99**	0.02	6.38	1.87
	Mx.min	70.16	-1.25	-3.99	**-0.02**	-6.38	-1.87
	Mx.max	-70.16	1.25	3.99	**0.02**	6.38	1.87
	My.min	36.89	-1.39	-3.91	-0.02	**-6.38**	-2.1
	My.max	-36.89	1.39	3.91	0.02	**6.38**	2.1
	Mz.min	36.89	-1.39	-3.91	-0.02	-6.38	**-2.1**
	Mz.max	-36.89	1.39	3.91	0.02	6.38	**2.1**

TR_L4.1 POPIS: **PODÉLNÍK L4.E - KRAJ** POSUDEK: **L4.1**

SKUPINA ZAT. STAVŮ	EXTRÉM	VYHODNOCOVANÉ VELIČINY					
		N	Vy	Vz	Mx	My	Mz
		kN	kN	kN	kNm	kNm	kNm
S	N.min	**-59.35**	6.51	-6.78	0.17	3.59	3.29
	N.max	**59.35**	-6.51	6.78	-0.17	-3.59	-3.29
	Vy.min	59.35	**-6.51**	6.78	-0.17	-3.59	-3.29
	Vy.max	-59.35	**6.51**	-6.78	0.17	3.59	3.29
	Vz.min	-59.35	6.51	**-6.78**	0.17	3.59	3.29
	Vz.max	59.35	-6.51	**6.78**	-0.17	-3.59	-3.29
	Mx.min	59.35	-6.51	6.78	**-0.17**	-3.59	-3.29
	Mx.max	-59.35	6.51	-6.78	**0.17**	3.59	3.29
	My.min	-22.57	-0.11	-2.31	-0.03	**-6.7**	-0.32
	My.max	22.57	0.11	2.31	0.03	**6.7**	0.32
	Mz.min	59.35	-6.51	6.78	-0.17	-3.59	**-3.29**
	Mz.max	-59.35	6.51	-6.78	0.17	3.59	**3.29**
CH	N.min	**6.39**	-0.04	-0.19	0	-0.25	-0.06
	N.max	**13.76**	-0.07	-0.15	0	0.02	-0.08
	Vy.min	13.76	**-0.07**	-0.15	0	0.02	-0.08
	Vy.max	6.39	**-0.04**	-0.19	0	-0.25	-0.06
	Vz.min	6.39	-0.04	**-0.19**	0	-0.25	-0.06
	Vz.max	9.69	-0.04	**-0.13**	0	0.06	-0.05
	Mx.min	9.69	-0.04	-0.13	**0**	0.06	-0.05
	Mx.max	6.39	-0.04	-0.19	**0**	-0.25	-0.06
	My.min	6.39	-0.04	-0.19	0	**-0.25**	-0.06
	My.max	9.69	-0.04	-0.13	0	**0.06**	-0.05
	Mz.min	13.76	-0.07	-0.15	0	0.02	**-0.08**
	Mz.max	9.69	-0.04	-0.13	0	0.06	**-0.05**
W	N.min	**-33.24**	-0.09	-1.45	-0.01	-2.38	-0.35
	N.max	**33.22**	0.09	1.45	0.01	2.38	0.35
	Vy.min	-33.24	**-0.09**	-1.45	-0.01	-2.38	-0.35
	Vy.max	33.22	**0.09**	1.45	0.01	2.38	0.35
	Vz.min	-33.24	-0.09	**-1.45**	-0.01	-2.38	-0.35
	Vz.max	33.22	0.09	**1.45**	0.01	2.38	0.35
	Mx.min	-33.24	-0.09	-1.45	**-0.01**	-2.38	-0.35
	Mx.max	33.22	0.09	1.45	**0.01**	2.38	0.35
	My.min	-33.24	-0.09	-1.45	-0.01	**-2.38**	-0.35
	My.max	33.22	0.09	1.45	0.01	**2.38**	0.35
	Mz.min	-33.24	-0.09	-1.45	-0.01	-2.38	**-0.35**
	Mz.max	33.22	0.09	1.45	0.01	2.38	**0.35**
WP	N.min	**-55.14**	3.4	14.33	-0.01	-0.63	0.13
	N.max	**55.12**	-3.4	-14.33	0.01	0.62	-0.13
	Vy.min	55.12	**-3.4**	-14.33	0.01	0.62	-0.13
	Vy.max	-55.14	**3.4**	14.33	-0.01	-0.63	0.13
	Vz.min	55.12	-3.4	**-14.33**	0.01	0.62	-0.13
	Vz.max	-55.14	3.4	**14.33**	-0.01	-0.63	0.13
	Mx.min	-55.14	3.4	14.33	**-0.01**	-0.63	0.13
	Mx.max	55.12	-3.4	-14.33	**0.01**	0.62	-0.13
	My.min	-55.14	3.4	14.33	-0.01	**-0.63**	0.13
	My.max	55.12	-3.4	-14.33	0.01	**0.62**	-0.13
	Mz.min	55.12	-3.4	-14.33	0.01	0.62	**-0.13**
	Mz.max	-55.14	3.4	14.33	-0.01	-0.63	**0.13**
TR	N.min	**0**	0	0	0	0	0
	N.max	**0**	0	0	0	0	0
	Vy.min	0	**0**	0	0	0	0
	Vy.max	0	**0**	0	0	0	0
	Vz.min	0	0	**0**	0	0	0
	Vz.max	0	0	**0**	0	0	0
	Mx.min	0	0	0	**0**	0	0
	Mx.max	0	0	0	**0**	0	0
	My.min	0	0	0	0	**0**	0
	My.max	0	0	0	0	**0**	0
	Mz.min	0	0	0	0	0	**0**
	Mz.max	0	0	0	0	0	**0**
TN	N.min	**-8.23**	0.04	-0.12	0	1.5	0.04
	N.max	**16.04**	-0.03	0.09	0	-1.1	0.02
	Vy.min	8.23	**-0.04**	0.12	0	-1.5	-0.04
	Vy.max	-8.23	**0.04**	-0.12	0	1.5	0.04
	Vz.min	-8.23	0.04	**-0.12**	0	1.5	0.04
	Vz.max	8.23	-0.04	**0.12**	0	-1.5	-0.04
	Mx.min	16.04	-0.03	0.09	**0**	-1.1	0.02
	Mx.max	-7.62	-0.01	0.02	**0**	-0.41	-0.05
	My.min	8.23	-0.04	0.12	0	**-1.5**	-0.04
	My.max	-8.23	0.04	-0.12	0	**1.5**	0.04
	Mz.min	-7.62	-0.01	0.02	0	-0.41	**-0.05**
	Mz.max	-8.23	0.04	-0.12	0	1.5	**0.04**
FR	N.min	**-9.52**	0.03	0.09	0	0.1	0.03
	N.max	**9.52**	-0.03	-0.09	0	-0.1	-0.03
	Vy.min	9.52	**-0.03**	-0.09	0	-0.1	-0.03
	Vy.max	-9.52	**0.03**	0.09	0	0.1	0.03
	Vz.min	9.52	-0.03	**-0.09**	0	-0.1	-0.03
	Vz.max	-9.52	0.03	**0.09**	0	0.1	0.03
	Mx.min	9.52	-0.03	-0.09	**0**	-0.1	-0.03
	Mx.max	-9.52	0.03	0.09	**0**	0.1	0.03
	My.min	9.52	-0.03	-0.09	0	**-0.1**	-0.03
	My.max	-9.52	0.03	0.09	0	**0.1**	0.03
	Mz.min	9.52	-0.03	-0.09	0	-0.1	**-0.03**
	Mz.max	-9.52	0.03	0.09	0	0.1	**0.03**
I	N.min	**-2.91**	0	-0.07	0	-0.11	**-0.01**
	N.max	**2.91**	0	0.07	0	0.11	**0.01**
	Vy.min	2.91	**0**	0.07	0	0.11	**0.01**
	Vy.max	-2.91	**0**	-0.07	0	-0.11	**-0.01**
	Vz.min	-2.91	0	**-0.07**	0	-0.11	**-0.01**
	Vz.max	2.91	0	**0.07**	0	0.11	**0.01**
	Mx.min	-2.91	0	-0.07	**0**	-0.11	**-0.01**
	Mx.max	2.91	0	0.07	**0**	0.11	**0.01**
	My.min	-2.91	0	-0.07	0	**-0.11**	**-0.01**
	My.max	2.91	0	0.07	0	**0.11**	**0.01**
	Mz.min	-2.91	0	-0.07	0	-0.11	**-0.01**
	Mz.max	2.91	0	0.07	0	0.11	**0.01**

TAB. L4.1.3 POSOUZENÍ - MEZNÍ STAV ÚNOSNOSTI

POPIS	PODĚLNÍK L4.E - KRAJ
PRUT / POLOHA BODU	844 / I[547]
NAMÁHÁNÍ	Vy.min
VLÁKNO	BOD K1 -HL
MEZNÍ STAV	ULS (MSÚ)
VYUŽITÍ VLÁKNA PRŮŘEZU	0.83

Charakteristiky materiálu				
pás. horní	$f_{yf,k}$	230	MPa	
pás. dolní	$f_{yf,k}$	230	MPa	
stojina	$f_{yw,k}$	230	MPa	
výztuž	$f_{ys,k}$	500	MPa	
γ_M =	1.10	γ_s =	1.15	

Excentricita normálové síly				
Exc./Fáze	0	1	2	3
e_y	0.000	0.000	0.000	0.000
e_z	0.000	0.000	0.000	0.000
Ekvivalentní vzdál. stěn - příčný roznos				
b_{Mx}	0.000	0.000	0.000	0.000

Vliv stěny na únosnost průřezu				
Char./Fáze	0	1	2	3
A	0.00	0.00	0.00	0.00
Wy	0.00	0.00	0.00	0.00
Wz	0.00	0.00	0.00	0.00

Charakter. v kroucení			
$t_{w,y}$	0.000	[mm]	
$t_{w,z}$	0.000	[mm]	
κ	1.00		
I_t=	0.00E+00	[mm^4]	
$\Omega=2*A_{pr}$	0.00E+00	[mm^2]	

Součinitele vzpěru a vlivu II.řádu					
Char./Fáze	0	1	2	3	4
k_y	1.000	1.000	1.000	1.000	
k_z	1.000	1.000	1.000	1.000	
χ_{LT}	1.000	1.000	1.000	1.000	
χ_{min}	1.000	1.000	1.000	1.000	

Vnitřní síly od jednotlivých skupin zatěžovacích stavů

SKUPINA ZATĚŽOVACÍCH STAVŮ — **- CHARAKTERISTICKÉ HODNOTY** — **DÍLČÍ SOUČINITELÉ ZATÍŽENÍ, DYNAMICKÝ SOUČINITEL** — **- NÁVRHOVÉ HODNOTY**

Č.	SKUP ZS	POPIS ZS	KAT.	FÁZE PRŮŘ.	N.k (kN)	Vy.k (kN)	Vz.k (kN)	Mx.k (kNm)	My.k (kNm)	Mz.k (kNm)	γ_{sup} (-)	γ_{inf} (-)	volba γ_g hledat	γ_q (-)	L_d (m)	δ (-)	Ψ_0 KZ04	N.d (kN)	Vy.d (kN)	Vz.d (kN)	ΔVz.d (kN)	ΣVz.d (kN)	Mx.d (kNm)	My.d (kNm)	ΔMy.d (kNm)	ΣMy.d (kNm)	Mz.d (kNm)	ΔMz.d (kNm)	ΣMz.d (kNm)
1	G0	Vlastní tíha OK	G	0	95	0	-9	0	-2	-1	1.00	1.20		1.20	-	1.00	0.95	108	-1	-11	0	-11	0	-2	0	-2	-1	0	-1
2	G1	Ostatní stálé - mostní vybavení	G	0	7	0	0	0	0	0	1.00	1.20		1.20	-	1.00	0.95	8	0	0	0	0	0	0	0	0	0	0	0
3	G2	Ostatní stálé - cizí zařízení	G	0	6	0	0	0	0	0	1.00	1.20		1.20	-	1.00	0.95	6	0	0	0	0	0	0	0	0	0	0	0
4	P1_71	a.LM71 - kolej 1 (bez dyn. souč.)	P	0	73	-1	-4	0	-5	-1	1.00	1.30		1.30	-	1.56	1.00	148	-1	-8	0	-8	0	-11	0	-11	-1	0	-1
5	P2_71	a.LM71 - kolej 2 (bez dyn. souč.)	P	0	119	-1	-11	0	-29	-1	1.00	1.30		1.30	-	1.56	1.00	242	-2	-22	0	-22	0	-58	0	-58	-2	0	-2
6	P1_C3	TTZ C3 - kolej 1 (bez dyn. souč.)	P	0	62	0	-3	0	-4	0	1.00	vyp.		0.00	-	1.00	0.00	0	0	0	0	0	0	0	0	0	0	0	0
7	P2_C3	TTZ C3 - kolej 2 (bez dyn. souč.)	P	0	97	-1	-9	0	-20	-1	1.00	vyp.		0.00	-	1.00	0.00	0	0	0	0	0	0	0	0	0	0	0	0
8	BR	Brzdné a rozjezdové síly	P	0	37	-1	-4	0	-6	-2	1.00	1.30		1.30	-	1.00	0.40	19	-1	-2	0	-2	0	-3	0	-3	-1	0	-1
9	S	Boční ráz	P	0	59	-7	7	0	-4	-3	1.00	1.30		1.30	-	1.00	0.80	62	-7	7	0	7	0	-4	0	-4	-3	0	-3
10	CH	Chodci na lávkách	Q	0	14	0	0	0	0	0	1.00	1.30		1.30	-	1.00	1.00	18	0	0	0	0	0	0	0	0	0	0	0
11	W	Vítr na konstrukci	Q	0	-33	0	-1	0	-2	0	1.00	1.35		1.35	-	1.00	0.75	-34	0	-1	0	-1	0	-2	0	-2	0	0	0
12	WP	Vítr na vozidla	Q	0	55	-3	-14	0	1	0	1.00	1.35		1.35	-	1.00	0.75	56	-3	-15	0	-15	0	1	0	1	0	0	0
13	TR	Teplota rovnoměrná	Q	0	0	0	0	0	0	0	1.00	1.35		1.35	-	1.00	0.45	0	0	0	0	0	0	0	0	0	0	0	0
14	TN	Teplota nerovnoměrná	Q	0	8	0	0	0	-2	0	1.00	1.35		1.35	-	1.00	0.60	7	0	0	0	0	0	-1	0	-1	0	0	0
15	FR	Třecí síly v ložiskách	Q	0	10	0	0	0	0	0	1.00	1.20		1.20	-	1.00	1.00	11	0	0	0	0	0	0	0	0	0	0	0
16	I	Imperfekce soustavy	Q	0	3	0	0	0	0	0	1.00	1.20		1.20	-	1.00	1.00	3	0	0	0	0	0	0	0	0	0	0	0
27	ULS_LM	ULS - LM71 bez dynam	Q	0	535	-16	-41	0	-59	-9	1.00	vyp.		0.00	-	1.00	0.00	0	0	0	0	0	0	0	0	0	0	0	0
28	SLS_LM	SLS - LM71 bez dynam	Q	0	420	-12	-32	0	-44	-7	1.00	vyp.	1	0.00	-	1.00	0.00	0	0	0	0	0	0	0	0	0	0	0	0
29	ULS_C3	ULS - C3 bez dynam	Q	0	493	-15	-36	0	-45	-8	1.00	vyp.	1	0.00	-	1.00	0.00	0	0	0	0	0	0	0	0	0	0	0	0
30	SLS_C3	SLS - C3 bez dynam	Q	0	388	-12	-28	0	-34	-7	1.00	vyp.	1	0.00	-	1.00	0.00	0	0	0	0	0	0	0	0	0	0	0	0
		CELKEM - FÁZE PRŮŘEZU 0																656	-15	-53	0	-53	0	-82	0	-82	-8	0	-8
		CELKEM - FÁZE PRŮŘEZU 1																0	0	0	0	0	0	0	0	0	0	0	0
		CELKEM - FÁZE PRŮŘEZU 2																0	0	0	0	0	0	0	0	0	0	0	0
		CELKEM - FÁZE PRŮŘEZU 3																0	0	0	0	0	0	0	0	0	0	0	0
		CELKEM - PRŮŘEZ																656	-15	-53	0	-53	0			-82			-8

Napětí od jednotlivých zatěžovacích stavů

SKUPINA ZATĚŽOVACÍCH STAVŮ — **Posouzení normálového napětí** — **Posouzení smykového napětí**

Č.	SKUP ZS	Popis ZS	Kat.	fáze průř.	Účinek síly N: δ^*N_d [kN]	χ^*A [mm^2]	σ_n [MPa]	Účinek momentu My: $\delta^*M_{y,d}$ [kNm]	$\chi_{lt}^*W_{el,y}$ [mm^3]	σ_{my} [MPa]	Účinek momentu Mz: $\delta^*M_{z,d}$ [kNm]	$W_{el,z}$ [mm^3]	σ_{mz} [MPa]	σ_x [MPa]	Účinek kroutícího momentu Mx: $\kappa^*\delta^*M_{x,d}$ [kNm]	$W_{v,y}$ [mm^3]	$\tau_{x,y}$ [MPa]	$W_{v,z}$ [mm^3]	$\tau_{x,z}$ [MPa]	Účinek smykové síly Vy: $\delta^*V_{y,d}$ [kN]	$A_{v,y}$ [mm2]	$\tau_{v,y}$ [MPa]	$\tau_{v,y}$ [MPa]	Účinek smykové síly Vz: $\delta^*V_{z,d}$ [kN]	$A_{v,z}$ [mm2]	$\tau_{v,z}$ [MPa]	$\tau_{v,z}$ [MPa]
1	G0	Vlastní tíha OK	G	0	108.4	1.71E+04	6.4	-2.4	-1.99E+06	1.2	-0.6	-9.05E+04	7.1	14.6	0.0E+00	-	-	-	-	-0.5	0.00E+00	0.0	0.0	-10.8	1.27E+04	-0.9	-0.9
2	G1	Ostatní stálé - mostní vybavení	G	0	8.1	1.71E+04	0.5	-0.1	-1.99E+06	0.0	0.0	-9.05E+04	0.5	1.0	0.0E+00	-	-	-	-	0.0	0.00E+00	0.0	0.0	-0.1	1.27E+04	0.0	0.0
3	G2	Ostatní stálé - cizí zařízení	G	0	6.3	1.71E+04	0.4	0.0	-1.99E+06	0.0	0.0	-9.05E+04	0.4	0.7	0.0E+00	-	-	-	-	0.0	0.00E+00	0.0	0.0	-0.1	1.27E+04	0.0	0.0
4	P1_71	a.LM71 - kolej 1 (bez dyn. souč.)	P	0	148.0	1.71E+04	8.7	-11.1	-1.99E+06	5.6	-1.1	-9.05E+04	12.3	26.6	0.0E+00	-	-	-	-	-1.2	0.00E+00	0.0	0.0	-8.4	1.27E+04	-0.7	-0.7
5	P2_71	a.LM71 - kolej 2 (bez dyn. souč.)	P	0	242.4	1.71E+04	14.2	-58.2	-1.99E+06	29.3	-1.5	-9.05E+04	16.6	60.1	6.1E-02	-	-	-	-	-1.8	0.00E+00	0.0	0.0	-22.5	1.27E+04	-1.8	-1.8
6	P1_C3	TTZ C3 - kolej 1 (bez dyn. souč.)	P	0	0.0	1.71E+04	0.0	0.0	-1.99E+06	0.0	0.0	-9.05E+04	0.0	0.0	0.0E+00	-	-	-	-	0.0	0.00E+00	0.0	0.0	0.0	1.27E+04	0.0	0.0
7	P2_C3	TTZ C3 - kolej 2 (bez dyn. souč.)	P	0	0.0	1.71E+04	0.0	0.0	-1.99E+06	0.0	0.0	-9.05E+04	0.0	0.0	0.0E+00	-	-	-	-	0.0	0.00E+00	0.0	0.0	0.0	1.27E+04	0.0	0.0
8	BR	Brzdné a rozjezdové síly	P	0	19.2	1.71E+04	1.1	-3.3	-1.99E+06	1.7	-1.1	-9.05E+04	12.1	14.9	-1.0E-02	-	-	-	-	-0.7	0.00E+00	0.0	0.0	-2.0	1.27E+04	-0.2	-0.2
9	S	Boční ráz	P	0	61.7	1.71E+04	3.6	-3.7	-1.99E+06	1.9	-3.4	-9.05E+04	37.8	43.3	-1.8E-01	-	-	-	-	-6.8	0.00E+00	0.0	0.0	7.1	1.27E+04	0.6	0.6
10	CH	Chodci na lávkách	Q	0	17.9	1.71E+04	1.0	0.0	-1.99E+06	0.0	-0.1	-9.05E+04	1.1	2.2	0.0E+00	-	-	-	-	-0.1	0.00E+00	0.0	0.0	-0.2	1.27E+04	0.0	0.0
11	W	Vítr na konstrukci	Q	0	-33.7	1.71E+04	-2.0	-2.4	-1.99E+06	1.2	-0.4	-9.05E+04	3.9	3.2	-1.0E-02	-	-	-	-	-0.1	0.00E+00	0.0	0.0	-1.5	1.27E+04	-0.1	-0.1
12	WP	Vítr na vozidla	Q	0	55.8	1.71E+04	3.3	0.6	-1.99E+06	-0.3	-0.1	-9.05E+04	1.5	4.4	1.0E-02	-	-	-	-	-3.4	0.00E+00	0.0	0.0	-14.5	1.27E+04	-1.1	-1.1
13	TR	Teplota rovnoměrná	Q	0	0.0	1.71E+04	0.0	0.0	-1.99E+06	0.0	0.0	-9.05E+04	0.0	0.0	0.0E+00	-	-	-	-	0.0	0.00E+00	0.0	0.0	0.0	1.27E+04	0.0	0.0
14	TN	Teplota nerovnoměrná	Q	0	6.7	1.71E+04	0.4	-1.2	-1.99E+06	0.6	0.0	-9.05E+04	0.4	1.4	0.0E+00	-	-	-	-	0.0	0.00E+00	0.0	0.0	0.1	1.27E+04	0.0	0.0
15	FR	Třecí síly v ložiskách	Q	0	11.4	1.71E+04	0.7	-0.1	-1.99E+06	0.1	0.0	-9.05E+04	0.4	1.1	0.0E+00	-	-	-	-	0.0	0.00E+00	0.0	0.0	-0.1	1.27E+04	0.0	0.0
16	I	Imperfekce soustavy	Q	0	3.5	1.71E+04	0.2	0.1	-1.99E+06	-0.1	0.0	-9.05E+04	-0.1	0.0	0.0E+00	-	-	-	-	0.0	0.00E+00	0.0	0.0	0.1	1.27E+04	0.0	0.0
27	ULS_LM	ULS - LM71 bez dynam	Q	0	0.0	1.71E+04	0.0	0.0	-1.99E+06	0.0	0.0	-9.05E+04	0.0	0.0	0.0E+00	-	-	-	-	0.0	0.00E+00	0.0	0.0	0.0	1.27E+04	0.0	0.0
28	SLS_LM	SLS - LM71 bez dynam	Q	0	0.0	1.71E+04	0.0	0.0	-1.99E+06	0.0	0.0	-9.05E+04	0.0	0.0	0.0E+00	-	-	-	-	0.0	0.00E+00	0.0	0.0	0.0	1.27E+04	0.0	0.0
29	ULS_C3	ULS - C3 bez dynam	Q	0	0.0	1.71E+04	0.0	0.0	-1.99E+06	0.0	0.0	-9.05E+04	0.0	0.0	0.0E+00	-	-	-	-	0.0	0.00E+00	0.0	0.0	0.0	1.27E+04	0.0	0.0
30	SLS_C3	SLS - C3 bez dynam	Q	0	0.0	1.71E+04	0.0	0.0	-1.99E+06	0.0	0.0	-9.05E+04	0.0	0.0	0.0E+00	-	-	-	-	0.0	0.00E+00	0.0	0.0	0.0	1.27E+04	0.0	0.0
		NAVÝŠENÍ NAPĚTÍ DO AKTIVACE TLAKU V DESCE MOSTOVKY				$\sigma_{P,red}$	0.0							0.0			0.0		0.0			0.0	0.0			-4.2	-4.2
		NAPĚTÍ OD PRIMÁRNÍCH ÚČINKŮ NEROVNOMĚRNÉHO OTEPLENÍ				σ_T	0.0							0.0													
		NAPĚTÍ OD REOLOGICKÝCH ÚČINKŮ BETONU V ČASE		t=0		σ_R	0.0	γ=	1.20					0.0													
		NAPĚTÍ V KRITICKÝCH VLÁKNECH OD KOMBINACE ZATÍŽENÍ				KZ04		[MPa]					$\Sigma\sigma_x$	173.6									$\Sigma\tau_y$	0.0			$\Sigma\tau_z$	-4.2
		NAPĚTÍ OD POHYBLIVÉHO ZATÍŽENÍ						[MPa]					$\sigma_{x,P}$	144.9									τ_P	0.0			τ_P	-2.0
		NAPĚTÍ OD OSTATNÍCH ZATÍŽENÍ						[MPa]			Φ_{Vy}	Φ_{Vz}	$\sigma_{x,rs}$	28.6									τ_{rs}	0.0			τ_{rs}	-2.1
		NÁVRHOVÁ HODNOTA MEZE KLUZU S REDUKCÍ VLIVEM SMYKOVÉHO NAPĚTÍ						[MPa]			1.00	1.00	$f_{yw,d}$	209.1									$f_{yd}/3^{0,5}$	120.7			$f_{yd}/3^{0,5}$	120.7
		NAPĚTÍ OD POHYBLIVÉHO ZATÍŽENÍ V GLOBÁLNÍM SYSTÉMU				$\sigma_{GLOB,P}$	0.0	[MPa]					$\Sigma\sigma_{GLOB}$	0.0														
		NAPĚTÍ OD OSTATNÍCH ZATÍŽENÍ V GLOBÁLNÍM SYSTÉMU				$\sigma_{GLOB,rs}$	0.0	[MPa]					$\Sigma\sigma_x + \Sigma\sigma_{GLOB}$	173.6														
		VYUŽITÍ PRŮŘEZU DLE NAPĚTÍ						[%]					η_1	0.83									η_3	0.00			η_3	0.03
		NAPĚTÍ V PŘÍČNÉM SMĚRU OD POHYBLIVÉHO ZATÍŽENÍ				$\sigma_{z,P}$	0.0	[MPa]					$\Sigma\sigma_z$	0.0														
		NAPĚTÍ V PŘÍČNÉM SMĚRU OD OSTATNÍCH ZATÍŽENÍ				$\sigma_{z,rs}$	0.0	[MPa]					η_2	0.00														
		SROVNÁVACÍ NAPĚTÍ											$(\eta_2 + 0,8\,\eta_1)/1,4$ =	0.47														
		VYUŽITÍ PRŮŘEZU CELKEM						[%]					eff	0.83	VYHOVUJE													
													Z_{LM71} =	1.25														

TAB. L4.1.3 POSOUZENÍ - MEZNÍ STAV ÚNOSNOSTI

POPIS	PODÉLNÍK L4.E - KRAJ
PRUT / POLOHA BODU	844 / I[547]
NAMÁHÁNÍ	N.max
VLÁKNO	BOD K3 -SL
MEZNÍ STAV	ULS (MSÚ)
VYUŽITÍ VLÁKNA PRŮŘEZU	0.49

Charakteristiky materiálu				
pás. horní	$f_{yf,k}$	230	MPa	
pás. dolní	$f_{yf,k}$	230	MPa	
stojina	$f_{yw,k}$	230	MPa	
výztuž	$f_{ys,k}$	500	MPa	
γ_M =	1.10	γ_s =	1.15	

Excentricita normálové síly				
Exc./Fáze	0	1	2	3
e_y	0.000	0.000	0.000	0.000
e_z	0.000	0.000	0.000	0.000
Ekvivalentní vzdál. stěn - příčný roznos				
b_{Mx}	0.000	0.000	0.000	0.000

Vliv stěny na únosnost průřezu				
Char./Fáze	0	1	2	3
A	0.00	0.00	0.00	0.00
Wy	0.00	0.00	0.00	0.00
Wz	0.00	0.00	0.00	0.00

Charakter. v kroucení			
$t_{w,y}$	0.000	[mm]	
$t_{w,z}$	0.000	[mm]	
κ	1.00		
I_t=	0.00E+00	[mm^4]	
$\Omega=2*A_{pr}$	0.00E+00	[mm^2]	

Součinitele vzpěru a vlivu II.řádu				
Char./Fáze	0	1	2	3
k_y	1.000	1.000	1.000	1.000
k_z	1.000	1.000	1.000	1.000
χ_{LT}	1.000	1.000	1.000	1.000
χ_{min}	1.000	1.000	1.000	1.000

Vnitřní síly od jednotlivých skupin zatěžovacích stavů

SKUPINA ZATĚŽOVACÍCH STAVŮ					- CHARAKTERISTICKÉ HODNOTY						DÍLČÍ SOUČINITELÉ ZATÍŽENÍ, DYNAMICKÝ SOUČINITEL							- NÁVRHOVÉ HODNOTY									
Č.	SKUP ZS	POPIS ZS	KAT.	FÁZE PRŮŘ.	N.k (kN)	Vy.k (kN)	Vz.k (kN)	Mx.k (kNm)	My.k (kNm)	Mz.k (kNm)	γ_{sr} (-)	γ_{fs} (-)	volba γ_f hledat	γ_f (-)	L_d (m)	δ (-)	Ψ_s KZ04	N.d (kN)	Vy.d (kN)	Vz.d (kN)	ΔVz.d (kN)	ΣVz.d (kN)	Mx.d (kNm)	My.d (kNm)	ΔMy.d (kNm)	ΣMy.d (kNm)	Mz.d (kNm)	ΔMz.d (kNm)	ΣMz.d (kNm)
1	G0	Vlastní tíha OK	G	0	68	0	-8	0	-1	-1	1.00	1.20		1.20	-	1.00	0.95	77	-1	-10	0	-10	0	-1	0	-1	-1	0	-1
2	G1	Ostatní stálé - mostní vybavení	G	0	7	0	0	0	0	0	1.00	1.20		1.20	-	1.00	0.95	8	0	0	0	0	0	0	0	0	0	0	0
3	G2	Ostatní stálé - cizí zařízení	G	0	6	0	0	0	0	0	1.00	1.20		1.20	-	1.00	0.95	6	0	0	0	0	0	0	0	0	0	0	0
4	P1_71	a.LM71 - kolej 1 (bez dyn. souč.)	P	0	86	-1	-3	0	-5	-1	1.00	1.30		1.30	-	1.56	1.00	174	-1	-5	0	-5	0	-9	0	-9	-1	0	-1
5	P2_71	a.LM71 - kolej 2 (bez dyn. souč.)	P	0	135	-1	-107	0	-25	-1	1.00	1.30		1.30	-	1.56	1.00	273	-1	-218	0	-218	0	-50	0	-50	-1	0	-1
6	P1_C3	TTZ C3 - kolej 1 (bez dyn. souč.)	P	0	68	0	-3	0	-4	0	1.00	vyp.		0.00	-	1.00	0.00	0	0	0	0	0	0	0	0	0	0	0	0
7	P2_C3	TTZ C3 - kolej 2 (bez dyn. souč.)	P	0	110	0	-99	0	-22	-1	1.00	vyp.		0.00	-	1.00	0.00	0	0	0	0	0	0	0	0	0	0	0	0
8	BR	Brzdné a rozjezdové síly	P	0	83	-1	-3	0	-4	-2	1.00	1.30		1.30	-	1.00	0.40	43	-1	-1	0	-1	0	-2	0	-2	-1	0	-1
9	S	Boční ráz	P	0	59	-7	7	0	-4	-3	1.00	1.30		1.30	-	1.00	0.80	62	-7	7	0	7	0	-4	0	-4	-3	0	-3
10	CH	Chodci na lávkách	Q	0	14	0	0	0	0	0	1.00	1.30		1.30	-	1.00	1.00	18	0	0	0	0	0	0	0	0	0	0	0
11	W	Vítr na konstrukci	Q	0	33	0	1	0	2	0	1.00	-1.35		-1.35	-	1.00	0.75	-34	0	-1	0	-1	0	-2	0	-2	0	0	0
12	WP	Vítr na vozidla	Q	0	55	-3	-14	0	1	0	1.00	1.35		1.35	-	1.00	0.75	56	-3	-15	0	-15	0	1	0	1	0	0	0
13	TR	Teplota rovnoměrná	Q	0	0	0	0	0	0	0	1.00	1.35		1.35	-	1.00	0.45	0	0	0	0	0	0	0	0	0	0	0	0
14	TN	Teplota nerovnoměrná	Q	0	16	0	0	0	-1	0	1.00	1.35		1.35	-	1.00	0.60	13	0	0	0	0	0	-1	0	-1	0	0	0
15	FR	Třecí síly v ložiskách	Q	0	10	0	0	0	0	0	1.00	1.20		1.20	-	1.00	1.00	11	0	0	0	0	0	0	0	0	0	0	0
16	I	Imperfekce soustavy	Q	0	3	0	0	0	0	0	1.00	1.20		1.20	-	1.00	1.00	3	0	0	0	0	0	0	0	0	0	0	0
27	ULS_LM	ULS - LM71 bez dynam	Q	0	690	-11	-166	0	-46	-7	1.00	vyp.		0.00	-	1.00	0.00	0	0	0	0	0	0	0	0	0	0	0	0
28	SLS_LM	SLS - LM71 bez dynam	Q	0	532	-9	-129	0	-35	-5	1.00	vyp.	1	0.00	-	1.00	0.00	0	0	0	0	0	0	0	0	0	0	0	0
29	ULS_C3	ULS - C3 bez dynam	Q	0	635	-11	-156	0	-42	-6	1.00	vyp.	1	0.00	-	1.00	0.00	0	0	0	0	0	0	0	0	0	0	0	0
30	SLS_C3	SLS - C3 bez dynam	Q	0	490	-8	-121	0	-32	-5	1.00	vyp.	1	0.00	-	1.00	0.00	0	0	0	0	0	0	0	0	0	0	0	0
		CELKEM - FÁZE PRŮŘEZU 0																711	-14	-244	0	-244	0	-69	0	-69	-9	0	-9
		CELKEM - FÁZE PRŮŘEZU 1																0	0	0	0	0	0	0	0	0	0	0	0
		CELKEM - FÁZE PRŮŘEZU 2																0	0	0	0	0	0	0	0	0	0	0	0
		CELKEM - FÁZE PRŮŘEZU 3																0	0	0	0	0	0	0	0	0	0	0	0
		CELKEM - PRŮŘEZ																711	-14	-244	0	-244	0			-69			-9

Napětí od jednotlivých zatěžovacích stavů

SKUPINA ZATĚŽOVACÍCH STAVŮ					Posouzení normálového napětí										Posouzení smykového napětí													
					Účinek síly N			Účinek momentu My				Účinek momentu Mz				Účinek kroutícího momentu Mx				Účinek smykové síly Vy				Účinek smykové síly Vz			
Č.	SKUP ZS	Popis ZS	Kat.	fáze prúř.	δ^*N_d [kN]	χ^*A [mm^2]	σ_n [MPa]	$\delta^*M_{y,d}$ [kNm]	$\chi_{lt}{}^*W_{el,y}$ [mm^3]	σ_{my} [MPa]	$\delta^*M_{z,d}$ [kNm]	$W_{el,z}$ [mm^3]	σ_{mz} [MPa]	σ_x [MPa]	$\kappa^*\delta^*M_{x,d}$ [kNm]	$W_{v,y}$ [mm^2]	$\tau_{x,y}$ [MPa]	$W_{v,z}$ [mm^2]	$\tau_{x,z}$ [MPa]	$\delta^*V_{y,d}$ [kN]	$A_{v,y}$ [mm2]	$\tau_{v,y}$ [MPa]	$\tau_{v,y}$ [MPa]	$\delta^*V_{z,d}$ [kN]	$A_{v,z}$ [mm2]	$\tau_{v,z}$ [MPa]	$\tau_{v,z}$ [MPa]
1	G0	Vlastní tíha OK	G	0	77.0	1.71E+04	4.5	-0.6	1.99E+06	-0.3	-1.2	-9.05E+04	12.7	16.9	-3.4E-02	-	-	-	-	-0.5	0.00E+00	0.0	0.0	-9.6	1.27E+04	-0.8	-0.8
2	G1	Ostatní stálé - mostní vybavení	G	0	8.1	1.71E+04	0.5	-0.1	1.99E+06	0.0	0.0	-9.05E+04	0.5	0.9	0.0E+00	-	-	-	-	0.0	0.00E+00	0.0	0.0	-0.1	1.27E+04	0.0	0.0
3	G2	Ostatní stálé - cizí zařízení	G	0	6.3	1.71E+04	0.4	0.0	1.99E+06	0.0	0.0	-9.05E+04	0.4	0.7	0.0E+00	-	-	-	-	0.0	0.00E+00	0.0	0.0	-0.1	1.27E+04	0.0	0.0
4	P1_71	a.LM71 - kolej 1 (bez dyn. souč.)	P	0	173.8	1.71E+04	10.2	-9.3	1.99E+06	-4.7	-1.1	-9.05E+04	12.3	17.9	0.0E+00	-	-	-	-	-1.1	0.00E+00	0.0	0.0	-5.5	1.27E+04	-0.4	-0.4
5	P2_71	a.LM71 - kolej 2 (bez dyn. souč.)	P	0	273.4	1.71E+04	16.0	-50.5	1.99E+06	-25.4	-1.4	-9.05E+04	15.9	6.5	8.1E-02	-	-	-	-	-1.2	0.00E+00	0.0	0.0	-217.8	1.27E+04	-17.2	-17.2
6	P1_C3	TTZ C3 - kolej 1 (bez dyn. souč.)	P	0	0.0	1.71E+04	0.0	0.0	1.99E+06	0.0	0.0	-9.05E+04	0.0	0.0	0.0E+00	-	-	-	-	0.0	0.00E+00	0.0	0.0	0.0	1.27E+04	0.0	0.0
7	P2_C3	TTZ C3 - kolej 2 (bez dyn. souč.)	P	0	0.0	1.71E+04	0.0	0.0	1.99E+06	0.0	0.0	-9.05E+04	0.0	0.0	0.0E+00	-	-	-	-	0.0	0.00E+00	0.0	0.0	0.0	1.27E+04	0.0	0.0
8	BR	Brzdné a rozjezdové síly	P	0	42.9	1.71E+04	2.5	-2.2	1.99E+06	-1.1	-0.9	-9.05E+04	9.5	10.9	-5.2E-03	-	-	-	-	-0.6	0.00E+00	0.0	0.0	-1.4	1.27E+04	-0.1	-0.1
9	S	Boční ráz	P	0	61.7	1.71E+04	3.6	-3.7	1.99E+06	-1.9	-3.4	-9.05E+04	37.8	39.5	-1.8E-01	-	-	-	-	-6.8	0.00E+00	0.0	0.0	7.1	1.27E+04	0.6	0.6
10	CH	Chodci na lávkách	Q	0	17.9	1.71E+04	1.0	0.0	1.99E+06	0.0	-0.1	-9.05E+04	1.1	2.2	0.0E+00	-	-	-	-	-0.1	0.00E+00	0.0	0.0	-0.2	1.27E+04	0.0	0.0
11	W	Vítr na konstrukci	Q	0	-33.6	1.71E+04	-2.0	-2.4	1.99E+06	-1.2	-0.4	-9.05E+04	3.9	0.7	-1.0E-02	-	-	-	-	-0.1	0.00E+00	0.0	0.0	-1.5	1.27E+04	-0.1	-0.1
12	WP	Vítr na vozidla	Q	0	55.8	1.71E+04	3.3	0.6	1.99E+06	0.3	-0.1	-9.05E+04	1.5	5.0	1.0E-02	-	-	-	-	-3.4	0.00E+00	0.0	0.0	-14.5	1.27E+04	-1.1	-1.1
13	TR	Teplota rovnoměrná	Q	0	0.0	1.71E+04	0.0	0.0	1.99E+06	0.0	0.0	-9.05E+04	0.0	0.0	0.0E+00	-	-	-	-	0.0	0.00E+00	0.0	0.0	0.0	1.27E+04	0.0	0.0
14	TN	Teplota nerovnoměrná	Q	0	13.0	1.71E+04	0.8	-0.9	1.99E+06	-0.4	0.0	-9.05E+04	-0.2	0.1	0.0E+00	-	-	-	-	0.0	0.00E+00	0.0	0.0	0.1	1.27E+04	0.0	0.0
15	FR	Třecí síly v ložiskách	Q	0	11.4	1.71E+04	0.7	-0.1	1.99E+06	-0.1	0.0	-9.05E+04	0.4	1.0	0.0E+00	-	-	-	-	0.0	0.00E+00	0.0	0.0	-0.1	1.27E+04	0.0	0.0
16	I	Imperfekce soustavy	Q	0	3.5	1.71E+04	0.2	0.1	1.99E+06	0.1	0.0	-9.05E+04	-0.1	0.1	0.0E+00	-	-	-	-	0.0	0.00E+00	0.0	0.0	0.1	1.27E+04	0.0	0.0
27	ULS_LM	ULS - LM71 bez dynam	Q	0	0.0	1.71E+04	0.0	0.0	1.99E+06	0.0	0.0	-9.05E+04	0.0	0.0	0.0E+00	-	-	-	-	0.0	0.00E+00	0.0	0.0	0.0	1.27E+04	0.0	0.0
28	SLS_LM	SLS - LM71 bez dynam	Q	0	0.0	1.71E+04	0.0	0.0	1.99E+06	0.0	0.0	-9.05E+04	0.0	0.0	0.0E+00	-	-	-	-	0.0	0.00E+00	0.0	0.0	0.0	1.27E+04	0.0	0.0
29	ULS_C3	ULS - C3 bez dynam	Q	0	0.0	1.71E+04	0.0	0.0	1.99E+06	0.0	0.0	-9.05E+04	0.0	0.0	0.0E+00	-	-	-	-	0.0	0.00E+00	0.0	0.0	0.0	1.27E+04	0.0	0.0
30	SLS_C3	SLS - C3 bez dynam	Q	0	0.0	1.71E+04	0.0	0.0	1.99E+06	0.0	0.0	-9.05E+04	0.0	0.0	0.0E+00	-	-	-	-	0.0	0.00E+00	0.0	0.0	0.0	1.27E+04	0.0	0.0
NAVÝŠENÍ NAPĚTÍ DO AKTIVACE TLAKU V DESCE MOSTOVKY						$\sigma_{P,red}$	0.0							0.0			0.0		0.0			0.0	0.0			-19.2	-19.2
NAPĚTÍ OD PRIMÁRNÍCH ÚČINKŮ NEROVNOMĚRNÉHO OTEPLENÍ						σ_T	0.0							0.0													
NAPĚTÍ OD REOLOGICKÝCH ÚČINKŮ BETONU V ČASE		t=0				σ_R	0.0	γ=	1.20					0.0													
NAPĚTÍ V KRITICKÝCH VLÁKNECH OD KOMBINACE ZATÍŽENÍ						KZ04		[MPa]					$\Sigma\sigma_x$	102.7								$\Sigma\tau_y$	0.0			$\Sigma\tau_z$	-19.2
NAPĚTÍ OD POHYBLIVÉHO ZATÍŽENÍ								[MPa]					$\sigma_{x,P}$	74.8								τ_P	0.0			τ_P	-17.2
NAPĚTÍ OD OSTATNÍCH ZATÍŽENÍ								[MPa]			Φ_{Vy}	Φ_{Vz}	$\sigma_{x,rs}$	27.9								τ_{rs}	0.0			τ_{rs}	-2.1
NÁVRHOVÁ HODNOTA MEZE KLUZU S REDUKCÍ VLIVEM SMYKOVÉHO NAPĚTÍ								[MPa]			1.00	1.00	$f_{yv,d}$	209.1								$f_{yd}/3^{0,5}$	120.7			$f_{yd}/3^{0,5}$	120.7
NAPĚTÍ OD POHYBLIVÉHO ZATÍŽENÍ V GLOBÁLNÍM SYSTÉMU						$\sigma_{GLOB,P}$	0.0	[MPa]					$\Sigma\sigma_{GLOB}$	0.0													
NAPĚTÍ OD OSTATNÍCH ZATÍŽENÍ V GLOBÁLNÍM SYSTÉMU						$\sigma_{GLOB,rs}$	0.0	[MPa]					$\Sigma\sigma_x + \Sigma\sigma_{GLOB}$	102.7													
VYUŽITÍ PRŮŘEZU DLE NAPĚTÍ								[%]					η_1	0.49								η_3	0.00			η_3	0.16
NAPĚTÍ V PŘÍČNÉM SMĚRU OD POHYBLIVÉHO ZATÍŽENÍ						$\sigma_{z,P}$	0.0	[MPa]					$\Sigma\sigma_z$	0.0													
NAPĚTÍ V PŘÍČNÉM SMĚRU OD OSTATNÍCH ZATÍŽENÍ						$\sigma_{z,rs}$	0.0	[MPa]					η_2	0.00													
SROVNÁVACÍ NAPĚTÍ													$(\eta_2 + 0,8\,\eta_1)/1,4$ =	0.28													
VYUŽITÍ PRŮŘEZU CELKEM								[%]					eff	0.49	VYHOVUJE												
													z_{LM71} =	2.42													

TAB. L4.1.3 POSOUZENÍ - MEZNÍ STAV ÚNOSNOSTI

POPIS	PODÉLNÍK L4.E - KRAJ
PRUT / POLOHA BODU	844 / I[547]
NAMÁHÁNÍ	Vz.min
VLÁKNO	BOD S5 -HL
MEZNÍ STAV	ULS (MSÚ)
VYUŽITÍ VLÁKNA PRŮŘEZU	0.34

Charakteristiky materiálu				
pás. horní	$f_{yf,k}$	230	MPa	
pás. dolní	$f_{yf,k}$	230	MPa	
stojina	$f_{yw,k}$	230	MPa	
výztuž	$f_{ys,k}$	500	MPa	
γ_M =	1.10	γ_s =	1.15	

Excentricita normálové síly				
Exc./Fáze	0	1	2	3
e_y	0.000	0.000	0.000	0.000
e_z	0.000	0.000	0.000	0.000
Ekvivalentní vzdál. stěn - příčný roznos				
b_{Mx}	0.000	0.000	0.000	0.000

Vliv stěny na únosnost průřezu				
Char./Fáze	0	1	2	3
A	0.00	0.00	0.00	0.00
Wy	0.00	0.00	0.00	0.00
Wz	0.00	0.00	0.00	0.00

Charakter. v kroucení			
$t_{w,y}$	0.000	[mm]	
$t_{w,z}$	0.000	[mm]	
κ	1.00		
I_t=	0.00E+00	[mm^4]	
$\Omega=2*A_{pz}$	0.00E+00	[mm^2]	

Součinitele vzpěru a vlivu II.řádu				
Char./Fáze	0	1	2	3
k_y	1.000	1.000	1.000	1.000
k_z	1.000	1.000	1.000	1.000
χ_{LT}	1.000	1.000	1.000	1.000
χ_{min}	1.000	1.000	1.000	1.000

4

Vnitřní síly od jednotlivých skupin zatěžovacích stavů

SKUPINA ZATĚŽOVACÍCH STAVŮ					- CHARAKTERISTICKÉ HODNOTY						DÍLČÍ SOUČINITELÉ ZATÍŽENÍ, DYNAMICKÝ SOUČINITEL							- NÁVRHOVÉ HODNOTY									
Č.	SKUP ZS	POPIS ZS	KAT.	FÁZE PRŮŘ.	N.k (kN)	Vy.k (kN)	Vz.k (kN)	Mx.k (kNm)	My.k (kNm)	Mz.k (kNm)	γ_{sr} (-)	γ_{fs} (-)	volba γ_f hledat	γ_f (-)	L_d (m)	δ (-)	Ψ_s KZ04	N.d (kN)	Vy.d (kN)	Vz.d (kN)	ΔVz.d (kN)	ΣVz.d (kN)	Mx.d (kNm)	My.d (kNm)	ΔMy.d (kNm)	ΣMy.d (kNm)	Mz.d (kNm)	ΔMz.d (kNm)	ΣMz.d (kNm)
1	G0	Vlastní tíha OK	G	0	95	0	-9	0	-2	-1	1.00	1.20		1.20	-	1.00	0.95	108	-1	-11	0	-11	0	-2	0	-2	-1	0	-1
2	G1	Ostatní stálé - mostní vybavení	G	0	7	0	0	0	0	0	1.00	1.20		1.20	-	1.00	0.95	8	0	0	0	0	0	0	0	0	0	0	0
3	G2	Ostatní stálé - cizí zařízení	G	0	6	0	0	0	0	0	1.00	1.20		1.20	-	1.00	0.95	6	0	0	0	0	0	0	0	0	0	0	0
4	P1_71	a.LM71 - kolej 1 (bez dyn. souč.)	P	0	68	-1	-5	0	-9	-1	1.00	1.30		1.30	-	1.56	1.00	139	-1	-11	0	-11	0	-18	0	-18	-1	0	-1
5	P2_71	a.LM71 - kolej 2 (bez dyn. souč.)	P	0	118	0	-217	0	-27	-1	1.00	1.30		1.30	-	1.56	1.00	240	-1	-441	0	-441	0	-55	0	-55	-1	0	-1
6	P1_C3	TTZ C3 - kolej 1 (bez dyn. souč.)	P	0	58	0	-4	0	-8	0	1.00	vyp.		0.00	-	1.00	0.00	0	0	0	0	0	0	0	0	0	0	0	0
7	P2_C3	TTZ C3 - kolej 2 (bez dyn. souč.)	P	0	95	0	-140	0	-16	-1	1.00	vyp.		0.00	-	1.00	0.00	0	0	0	0	0	0	0	0	0	0	0	0
8	BR	Brzdné a rozjezdové síly	P	0	70	-1	-4	0	-6	-2	1.00	1.30		1.30	-	1.00	0.40	36	-1	-2	0	-2	0	-3	0	-3	-1	0	-1
9	S	Boční ráz	P	0	-59	7	-7	0	4	3	1.00	1.30		1.30	-	1.00	0.80	-62	7	-7	0	-7	0	4	0	4	3	0	3
10	CH	Chodci na lávkách	Q	0	6	0	0	0	0	0	1.00	1.30		1.30	-	1.00	1.00	8	0	0	0	0	0	0	0	0	0	0	0
11	W	Vítr na konstrukci	Q	0	-33	0	-1	0	-2	0	1.00	1.35		1.35	-	1.00	0.75	-34	0	-1	0	-1	0	-2	0	-2	0	0	0
12	WP	Vítr na vozidla	Q	0	55	-3	-14	0	1	0	1.00	1.35		1.35	-	1.00	0.75	56	-3	-15	0	-15	0	1	0	1	0	0	0
13	TR	Teplota rovnoměrná	Q	0	0	0	0	0	0	0	1.00	1.35		1.35	-	1.00	0.45	0	0	0	0	0	0	0	0	0	0	0	0
14	TN	Teplota nerovnoměrná	Q	0	-8	0	0	0	2	0	1.00	1.35		1.35	-	1.00	0.60	-7	0	0	0	0	0	1	0	1	0	0	0
15	FR	Třecí síly v ložiskách	Q	0	10	0	0	0	0	0	1.00	1.20		1.20	-	1.00	1.00	11	0	0	0	0	0	0	0	0	0	0	0
16	I	Imperfekce soustavy	Q	0	-3	0	0	0	0	0	1.00	1.20		1.20	-	1.00	1.00	-3	0	0	0	0	0	0	0	0	0	0	0
27	ULS_LM	ULS - LM71 bez dynam	Q	0	366	2	-328	0	-49	0	1.00	vyp.		0.00	-	1.00	0.00	0	0	0	0	0	0	0	0	0	0	0	0
28	SLS_LM	SLS - LM71 bez dynam	Q	0	300	2	-253	0	-39	0	1.00	vyp.	1	0.00	-	1.00	0.00	0	0	0	0	0	0	0	0	0	0	0	0
29	ULS_C3	ULS - C3 bez dynam	Q	0	322	2	-227	0	-35	1	1.00	vyp.	1	0.00	-	1.00	0.00	0	0	0	0	0	0	0	0	0	0	0	0
30	SLS_C3	SLS - C3 bez dynam	Q	0	266	2	-175	0	-28	0	1.00	vyp.	1	0.00	-	1.00	0.00	0	0	0	0	0	0	0	0	0	0	0	0
		CELKEM - FÁZE PRŮŘEZU 0																509	0	-488	0	-488	0	-75	0	-75	-1	0	-1
		CELKEM - FÁZE PRŮŘEZU 1																0	0	0	0	0	0	0	0	0	0	0	0
		CELKEM - FÁZE PRŮŘEZU 2																0	0	0	0	0	0	0	0	0	0	0	0
		CELKEM - FÁZE PRŮŘEZU 3																0	0	0	0	0	0	0	0	0	0	0	0
		CELKEM - PRŮŘEZ																509	0	-488	0	-488	0			-75			-1

Napětí od jednotlivých zatěžovacích stavů

SKUPINA ZATĚŽOVACÍCH STAVŮ					Posouzení normálového napětí										Posouzení smykového napětí													
					Účinek síly N			Účinek momentu My			Účinek momentu Mz				Účinek kroutícího momentu Mx				Účinek smykové síly Vy				Účinek smykové síly Vz			
Č.	SKUP ZS	Popis ZS	Kat.	fáze průř.	δ^*N_d [kN]	χ^*A [mm^2]	σ_n [MPa]	$\delta^*M_{y,d}$ [kNm]	$\chi_{lt}*W_{el,y}$ [mm^3]	σ_{my} [MPa]	$\delta^*M_{z,d}$ [kNm]	$W_{el,z}$ [mm^3]	σ_{mz} [MPa]	σ_x [MPa]	$\kappa*\delta^*M_{x,d}$ [kNm]	$W_{v,y}$ [mm^2]	$\tau_{x,y}$ [MPa]	$W_{v,z}$ [mm^2]	$\tau_{x,z}$ [MPa]	$\delta^*V_{y,d}$ [kN]	$A_{v,y}$ [mm2]	$\tau_{v,y}$ [MPa]	$\tau_{v,y}$ [MPa]	$\delta^*V_{z,d}$ [kN]	$A_{v,z}$ [mm2]	$\tau_{v,z}$ [MPa]	$\tau_{v,z}$ [MPa]
1	G0	Vlastní tíha OK	G	0	108.4	1.71E+04	6.4	-2.4	-1.99E+06	1.2	-0.6	-2.90E+05	2.2	9.8	0.0E+00	-	-	-	-	-0.5	0.00E+00	0.0	0.0	-10.8	1.27E+04	-0.9	-0.9
2	G1	Ostatní stálé - mostní vybavení	G	0	8.1	1.71E+04	0.5	-0.1	-1.99E+06	0.0	0.0	-2.90E+05	0.2	0.7	0.0E+00	-	-	-	-	0.0	0.00E+00	0.0	0.0	-0.1	1.27E+04	0.0	0.0
3	G2	Ostatní stálé - cizí zařízení	G	0	6.3	1.71E+04	0.4	0.0	-1.99E+06	0.0	0.0	-2.90E+05	0.1	0.5	0.0E+00	-	-	-	-	0.0	0.00E+00	0.0	0.0	-0.1	1.27E+04	0.0	0.0
4	P1_71	a.LM71 - kolej 1 (bez dyn. souč.)	P	0	139.1	1.71E+04	8.2	-17.7	-1.99E+06	8.9	-1.1	-2.90E+05	3.7	20.8	0.0E+00	-	-	-	-	-1.2	0.00E+00	0.0	0.0	-10.6	1.27E+04	-0.8	-0.8
5	P2_71	a.LM71 - kolej 2 (bez dyn. souč.)	P	0	240.4	1.71E+04	14.1	-54.6	-1.99E+06	27.5	-1.3	-2.90E+05	4.6	46.1	1.4E-01	-	-	-	-	-0.7	0.00E+00	0.0	0.0	-440.9	1.27E+04	-34.8	-34.8
6	P1_C3	TTZ C3 - kolej 1 (bez dyn. souč.)	P	0	0.0	1.71E+04	0.0	0.0	-1.99E+06	0.0	0.0	-2.90E+05	0.0	0.0	0.0E+00	-	-	-	-	0.0	0.00E+00	0.0	0.0	0.0	1.27E+04	0.0	0.0
7	P2_C3	TTZ C3 - kolej 2 (bez dyn. souč.)	P	0	0.0	1.71E+04	0.0	0.0	-1.99E+06	0.0	0.0	-2.90E+05	0.0	0.0	0.0E+00	-	-	-	-	0.0	0.00E+00	0.0	0.0	0.0	1.27E+04	0.0	0.0
8	BR	Brzdné a rozjezdové síly	P	0	36.5	1.71E+04	2.1	-3.3	-1.99E+06	1.7	-1.0	-2.90E+05	3.4	7.2	-1.0E-02	-	-	-	-	-0.7	0.00E+00	0.0	0.0	-2.1	1.27E+04	-0.2	-0.2
9	S	Boční ráz	P	0	-61.7	1.71E+04	-3.6	3.7	-1.99E+06	-1.9	3.4	-2.90E+05	-11.8	-17.3	1.8E-01	-	-	-	-	6.8	0.00E+00	0.0	0.0	-7.1	1.27E+04	-0.6	-0.6
10	CH	Chodci na lávkách	Q	0	8.3	1.71E+04	0.5	-0.3	-1.99E+06	0.2	-0.1	-2.90E+05	0.3	0.9	0.0E+00	-	-	-	-	-0.1	0.00E+00	0.0	0.0	-0.2	1.27E+04	0.0	0.0
11	W	Vítr na konstrukci	Q	0	-33.7	1.71E+04	-2.0	-2.4	-1.99E+06	1.2	-0.4	-2.90E+05	1.2	0.5	-1.0E-02	-	-	-	-	-0.1	0.00E+00	0.0	0.0	-1.5	1.27E+04	-0.1	-0.1
12	WP	Vítr na vozidla	Q	0	55.8	1.71E+04	3.3	0.6	-1.99E+06	-0.3	-0.1	-2.90E+05	0.5	3.4	1.0E-02	-	-	-	-	-3.4	0.00E+00	0.0	0.0	-14.5	1.27E+04	-1.1	-1.1
13	TR	Teplota rovnoměrná	Q	0	0.0	1.71E+04	0.0	0.0	-1.99E+06	0.0	0.0	-2.90E+05	0.0	0.0	0.0E+00	-	-	-	-	0.0	0.00E+00	0.0	0.0	0.0	1.27E+04	0.0	0.0
14	TN	Teplota nerovnoměrná	Q	0	-6.7	1.71E+04	-0.4	1.2	-1.99E+06	-0.6	0.0	-2.90E+05	-0.1	-1.1	0.0E+00	-	-	-	-	0.0	0.00E+00	0.0	0.0	-0.1	1.27E+04	0.0	0.0
15	FR	Třecí síly v ložiskách	Q	0	11.4	1.71E+04	0.7	-0.1	-1.99E+06	0.1	0.0	-2.90E+05	0.1	0.9	0.0E+00	-	-	-	-	0.0	0.00E+00	0.0	0.0	-0.1	1.27E+04	0.0	0.0
16	I	Imperfekce soustavy	Q	0	-3.5	1.71E+04	-0.2	-0.1	-1.99E+06	0.1	0.0	-2.90E+05	0.0	-0.1	0.0E+00	-	-	-	-	0.0	0.00E+00	0.0	0.0	-0.1	1.27E+04	0.0	0.0
27	ULS_LM	ULS - LM71 bez dynam	Q	0	0.0	1.71E+04	0.0	0.0	-1.99E+06	0.0	0.0	-2.90E+05	0.0	0.0	0.0E+00	-	-	-	-	0.0	0.00E+00	0.0	0.0	0.0	1.27E+04	0.0	0.0
28	SLS_LM	SLS - LM71 bez dynam	Q	0	0.0	1.71E+04	0.0	0.0	-1.99E+06	0.0	0.0	-2.90E+05	0.0	0.0	0.0E+00	-	-	-	-	0.0	0.00E+00	0.0	0.0	0.0	1.27E+04	0.0	0.0
29	ULS_C3	ULS - C3 bez dynam	Q	0	0.0	1.71E+04	0.0	0.0	-1.99E+06	0.0	0.0	-2.90E+05	0.0	0.0	0.0E+00	-	-	-	-	0.0	0.00E+00	0.0	0.0	0.0	1.27E+04	0.0	0.0
30	SLS_C3	SLS - C3 bez dynam	Q	0	0.0	1.71E+04	0.0	0.0	-1.99E+06	0.0	0.0	-2.90E+05	0.0	0.0	0.0E+00	-	-	-	-	0.0	0.00E+00	0.0	0.0	0.0	1.27E+04	0.0	0.0
NAVÝŠENÍ NAPĚTÍ DO AKTIVACE TLAKU V DESCE MOSTOVKY						$\sigma_{P,red}$	0.0							0.0			0.0		0.0				0.0	0.0			-38.6	-38.6
NAPĚTÍ OD PRIMÁRNÍCH ÚČINKŮ NEROVNOMĚRNÉHO OTEPLENÍ						σ_T	0.0							0.0														
NAPĚTÍ OD REOLOGICKÝCH ÚČINKŮ BETONU V ČASE				t=0		σ_R	0.0	γ=	1.20					0.0														
NAPĚTÍ V KRITICKÝCH VLÁKNECH OD KOMBINACE ZATÍŽENÍ						KZ04		[MPa]					$\Sigma\sigma_x$	72.1								$\Sigma\tau_y$	0.0			$\Sigma\tau_z$	-38.6
NAPĚTÍ OD POHYBLIVÉHO ZATÍŽENÍ								[MPa]					$\sigma_{x,P}$	56.8								τ_P	0.0			τ_P	-36.4
NAPĚTÍ OD OSTATNÍCH ZATÍŽENÍ								[MPa]			Φ_{Vy}	Φ_{Vz}	$\sigma_{x,rs}$	15.4								τ_{rs}	0.0			τ_{rs}	-2.2
NÁVRHOVÁ HODNOTA MEZE KLUZU S REDUKCÍ VLIVEM SMYKOVÉHO NAPĚTÍ								[MPa]			1.00	1.00	$f_{yw,d}$	209.1								$f_{yd}/3^{0,5}$	120.7			$f_{yd}/3^{0,5}$	120.7
NAPĚTÍ OD POHYBLIVÉHO ZATÍŽENÍ V GLOBÁLNÍM SYSTÉMU						$\sigma_{GLOB,P}$	0.0	[MPa]					$\Sigma\sigma_{GLOB}$	0.0													
NAPĚTÍ OD OSTATNÍCH ZATÍŽENÍ V GLOBÁLNÍM SYSTÉMU						$\sigma_{GLOB,rs}$	0.0	[MPa]					$\Sigma\sigma_x + \Sigma\sigma_{GLOB}$	72.1													
VYUŽITÍ PRŮŘEZU DLE NAPĚTÍ								[%]					η_1	0.34								η_3	0.00			η_3	0.32
NAPĚTÍ V PŘÍČNÉM SMĚRU OD POHYBLIVÉHO ZATÍŽENÍ						$\sigma_{z,P}$	0.0	[MPa]					$\Sigma\sigma_z$	0.0													
NAPĚTÍ V PŘÍČNÉM SMĚRU OD OSTATNÍCH ZATÍŽENÍ						$\sigma_{z,rs}$	0.0	[MPa]					η_2	0.00													
SROVNÁVACÍ NAPĚTÍ													$(\eta_2 + 0,8\,\eta_1)/1,4$ =	0.20													
VYUŽITÍ PRŮŘEZU CELKEM								[%]					eff	0.34	VYHOVUJE												
													z_{LM71} =	3.26													

VÝPOČET PRŮŘEZOVÝCH CHARAKTERISTIK

PRŮŘEZ: L4_1b **POPIS:** PODÉLNÍK - 4 - KRAJ (U PŘÍČNÍKU 4) - ŘEZ b

x = - **m**

DEFINOVÁNÍ PRŮŘEZU

PÁSNICE HORNÍHO LEVÉHO ÚHELNÍKU	b f.t.l.o =	100	mm				
TLOUŠŤKA PÁSNICE ÚHELNÍKU	t f.t.l.o =	11	mm	OSLABENÍ PÁSNICE - TLOUŠŤKA	Δt f.t.l.o =	0	%
VÝŠKA STĚNY ÚHELNÍKU	h w.t.l.o =	89	mm				
TLOUŠŤKA STĚNY ÚHELNÍKU	t w.t.l.o =	11	mm	OSLABENÍ STĚNY - TLOUŠŤKA	Δt w.t.l.o =	0	%
PÁSNICE HORNÍHO PRAVÉHO ÚHELNÍKU	b f.t.r.o =	100	mm				
TLOUŠŤKA PÁSNICE ÚHELNÍKU	t f.t.r.o =	11	mm	OSLABENÍ PÁSNICE - TLOUŠŤKA	Δt f.t.r.o =	0	%
VÝŠKA STĚNY ÚHELNÍKU	h w.t.r.o =	89	mm				
TLOUŠŤKA STĚNY ÚHELNÍKU	t w.t.r.o =	11	mm	OSLABENÍ STĚNY - TLOUŠŤKA	Δt w.t.r.0 =	0	%
PÁSNICE DOLNÍHO LEVÉHO ÚHELNÍKU	b f.b.l.o =	100	mm				
TLOUŠŤKA PÁSNICE ÚHELNÍKU	t f.b.l.o =	11	mm	OSLABENÍ PÁSNICE - TLOUŠŤKA	Δt f.b.l.o =	0	%
VÝŠKA STĚNY ÚHELNÍKU	h w.b.l.o =	89	mm				
TLOUŠŤKA STĚNY ÚHELNÍKU	t w.b.l.o =	11	mm	OSLABENÍ STĚNY - TLOUŠŤKA	Δt w.b.l.o =	0	%
PÁSNICE DOLNÍHO PRAVÉHO ÚHELNÍKU	b f.b.r.o =	100	mm				
TLOUŠŤKA PÁSNICE ÚHELNÍKU	t f.b.r.o =	11	mm	OSLABENÍ PÁSNICE - TLOUŠŤKA	Δt f.b.r.o =	0	%
VÝŠKA STĚNY ÚHELNÍKU	h w.b.r.o =	89	mm				
TLOUŠŤKA STĚNY ÚHELNÍKU	t w.b.r.o =	11	mm	OSLABENÍ STĚNY - TLOUŠŤKA	Δt w.b.r.o =	0	%
PŘÍLOŽKY STĚNY 2x	h w =	0	mm				
	t w =	0	mm	OSLABENÍ STĚNY	Δt w.l =	0	%
ŠÍŘKA HORNÍ PÁSNICE	b f.t =	0	mm	ARCH. DOK. - PÁSNICE UKONČENA PŘED PŘÍPOJEM			
TLOUŠŤKA HORNÍ PÁSNICE	t f.t =	0	mm	OSLABENÍ HORNÍ PÁSNICE	Δt f.t =	0	%
PŘESAH HORNÍ PÁSNICE	o f.t =	0	mm	HORNÍ PÁSNICE OBECNĚ NESYMETRICKÁ (PODÉLNÍK - PŘÍPOJ MOSTNICE)			
VÝŠKA STĚNY	h w =	690	mm				
TLOUŠŤKA STĚNY	t w =	10	mm	OSLABENÍ STĚNY	Δt w.l =	0	%
ŠÍŘKA DOLNÍ PÁSNICE	b f.b =	0	mm	PŘEDPOKLAD - PÁSNICE UKONČENA PŘED PŘÍPOJEM			
TLOUŠŤKA DOLNÍ PÁSNICE	t f.b =	0	mm	OSLABENÍ DOLNÍ PÁSNICE (DOLNÍ PÁSNICE SYMETRICKÁ)	Δt f.b =	0	%

NÝT Č.	SKUPINA	ŘEZ	RED.	VELIKOST di [mm]	POLOHA ei [mm]	POPIS	AKTIVITA OTVORU		NAPĚTÍ sc [MPa]
1		-	1.00	0	-135	nýt - f.t	0	-	
2		-	1.00	20	-55	nýt - f.t - krční úhelník	1		17.41
3		-	1.00	20	55	nýt - f.t - krční úhelník	1		6.78
4		-	1.00			nýt - f.t		-	
5		-	1.00	20	635	nýt - w - krční úhelník	1		11.90
6		-	1.00			nýt - w		-	
7		-	1.00			nýt - w		-	
8		-	1.00			nýt - w		-	
9		-	1.00			nýt - w		-	
10		-	1.00	22	545	nýt - w	1		11.56
11		-	1.00	22	445	nýt - w	1		11.17
12		-	1.00	22	345	nýt - w	1		10.78
13		-	1.00	22	245	nýt - w	1		10.40
14		-	1.00	22	145	nýt - w	1		10.01
15		-	1.00	20	55	nýt - w - krční úhelník	1		9.66
16		-	1.00					-	
17		-	1.00					-	
18		-	1.00					-	
19		-	1.00			nýt - f.b		-	
20		-	1.00	20	-55	nýt - f.b. - krční úhelník	1		14.79
21		-	1.00	20	55	nýt - f.b. - krční úhelník	1		4.16
22		-	1.00			nýt - f.b		-	

ZADANÉ ČÁSTI PRŮŘEZU:

č.prvku	b [mm]	h [mm]	y_0 [mm]	z_0 [mm]	popis části	druh oslabení	lokální ultimate	boulení servic.
1	100.0	11.0	-55.0	684.5	pásnice	0	1.000	1.000
2	11.0	89.0	-10.5	634.5		0	1.000	1.000
3	100.0	11.0	55.0	684.5	pásnice	0	1.000	1.000
4	11.0	89.0	10.5	634.5		0	1.000	1.000
5	100.0	11.0	-55.0	5.5	pásnice	0	1.000	1.000
6	11.0	89.0	-10.5	55.5		0	1.000	1.000
7	100.0	11.0	55.0	5.5	pásnice	0	1.000	1.000
8	11.0	89.0	10.5	55.5		0	1.000	1.000
9	0.0	0.0	-105.0	690.0	pásnice	0	1.000	1.000
10	10.0	690.0	0.0	345.0	stěna	0	1.000	1.000
11	0.0	0.0	0.0	0.0	pásnice	0	1.000	1.000
12	0.0	0.0	-5.0	345.0	stěna	0	1.000	1.000
13	0.0	0.0	5.0	345.0	stěna	0	1.000	1.000
14						0	1.000	1.000
15						0	1.000	1.000
16						0	1.000	1.000
17						0	1.000	1.000
18						0	1.000	1.000
19						0	1.000	1.000
20						0	1.000	1.000
21						0	1.000	1.000
22						0	1.000	1.000
23						0	1.000	1.000
24						0	1.000	1.000
25						0	1.000	1.000
26						0	1.000	1.000
27						0	1.000	1.000
28						0	1.000	1.000
29						0	1.000	1.000
30						0	1.000	1.000
31						0	1.000	1.000
32						0	1.000	1.000
33						0	1.000	1.000
34						0	1.000	1.000
35						0	1.000	1.000
36						0	1.000	1.000
37						0	1.000	1.000
38						0	1.000	1.000
39						0	1.000	1.000
40						0	1.000	1.000
41						0	1.000	1.000
42						0	1.000	1.000
43						0	1.000	1.000
44						0	1.000	1.000
45						0	1.000	1.000
46						0	1.000	1.000
47						0	1.000	1.000
48						0	1.000	1.000
49						0	1.000	1.000
50						0	1.000	1.000
51	0	0	0	0	nýt - plásnic	0	1.000	1.000
52	-20.0	11.0	-55.0	684.5	nýt - plásnic	0	1.000	1.000
53	-20.0	11.0	55.0	684.5	nýt - plásnic	0	1.000	1.000
54	0	0	0	0	nýt - plásnic	0	1.000	1.000
55	10.0	-20.0	0.0	635.0	nýt - stěna	0	1.000	1.000
56	11.0	-20.0	-10.5	635.0		0	1.000	1.000
57	11.0	-20.0	10.5	635.0		0	1.000	1.000
58	0	0	0	0	nýt - stěna	0	1.000	1.000
59	0	0	0	0	nýt - stěna	0	1.000	1.000
60	10.0	-22.0	0.0	545.0	nýt - stěna	0	1.000	1.000
61	10.0	-22.0	0.0	445.0	nýt - stěna	0	1.000	1.000
62	10.0	-22.0	0.0	345.0	nýt - stěna	0	1.000	1.000
63	10.0	-22.0	0.0	245.0	nýt - stěna	0	1.000	1.000
64	10.0	-22.0	0.0	145.0	nýt - stěna	0	1.000	1.000
65	10.0	-20.0	0.0	55.0	nýt - stěna	0	1.000	1.000
66	11.0	-20.0	-10.5	55.0		0	1.000	1.000
67	11.0	-20.0	10.5	55.0		0	1.000	1.000
68						0	1.000	1.000
69	0	0	0	0	nýt - plásnic	0	1.000	1.000
70	-20.0	11.0	-55.0	5.5	nýt - plásnic	0	1.000	1.000
71	-20.0	11.0	55.0	5.5	nýt - plásnic	0	1.000	1.000
72	0	0	0	0	nýt - plásnic	0	1.000	1.000
73								
74								
75								
76								
77								
78								
79								
80								
81								
82								
83								
84								
85								
86								
87								
88								
89								
90								
91								
92								
93								
94								
95								
96								
97								
98								
99								
100								

VÝPOČET PRŮŘEZOVÝCH CHARAKTERISTIK

Properties	Basic	Ultimate		Serviceability	
y_t	0.0	0.0		0.0	[mm]
z_t	345.0	345.0		345.0	[mm]
A_i	1.1956E+04	1.1956E+04		1.1956E+04	[mm²]
A_t	3.5200E+03	3.5200E+03		3.5200E+03	[mm²]
A_b	5.4000E+03	5.4000E+03		5.4000E+03	[mm²]
I_{yt}	8.8056E+08	8.8056E+08		8.8056E+08	[mm⁴]
I_{yb}	1.4696E+07	1.4696E+07		1.4696E+07	[mm⁴]
i_y	271.4	271.4		271.4	[mm]
i_z	35.1	35.1		35.1	[mm]
$W_{y,t}$	2.5523E+06	2.5523E+06		2.5523E+06	[mm³]
$W_{z,t}$	-1.3996E+05	-1.3996E+05		-1.3996E+05	[mm³]
$W_{y,b}$	-2.5523E+06	-2.5523E+06		-2.5523E+06	[mm³]
$W_{z,b}$	-1.3996E+05	-1.3996E+05		-1.3996E+05	[mm³]
KRAJNÍ VLÁKNA PRŮŘEZU					
y_1	-105.0	-105.0		-105.0	[mm]
z_1	690.0	690.0		690.0	[mm]
y_2	-105.0	-105.0		-105.0	[mm]
z_2	0.0	0.0		0.0	[mm]
y_3	105.0	105.0		105.0	[mm]
z_3	690.0	690.0		690.0	[mm]
y_4	105.0	105.0		105.0	[mm]
z_4	0.0	0.0		0.0	[mm]
y_5	-5.0	-5.0		-5.0	[mm]
z_5	690.0	690.0		690.0	[mm]
y_6	-5.0	-5.0		-5.0	[mm]
z_6	0.0	0.0		0.0	[mm]

ÚPRAVA MOMENTŮ SETRVAČNOSTI V DŮSLEDKU ČLENĚNÍ PRŮŘEZU

OSA Y 1.00
OSA Z 1.00

SCHÉMA PROMĚNNÝCH

SCHÉMA ZADANÉHO PRŮŘEZU

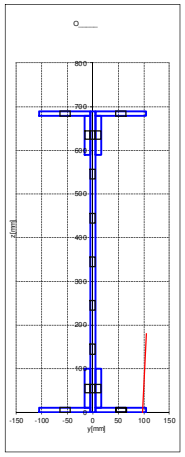

NEUTRÁLNÁ OSA

NAPĚTÍ [MPa]:

22.26	1.97
19.60	-0.70

ZS: SLS_LM.VZ + MAX N-

	N [kN]	Vy [kN]	Vz [kN]	Mx [kNm]	My [kNm]	Mz [kNm]
import	129	-2	-92	0	-3	1

TR_L4.1 POPIS: **PODÉLNÍK L4.E - KRAJ** POSUDEK: **L4.1**

SKUPINA ZAT. STAVŮ	EXTRÉM	VYHODNOCOVANÉ VELIČINY					
		N	Vy	Vz	Mx	My	Mz
		kN	kN	kN	kNm	kNm	kNm
G0	N.min	**95.06**	-0.48	-9.48	0	-2.13	-0.56
	N.max	**67.51**	-0.47	-8.45	-0.03	-0.57	-1.01
	Vy.min	95.06	**-0.48**	-9.48	0	-2.13	-0.56
	Vy.max	67.51	**-0.47**	-8.45	-0.03	-0.57	-1.01
	Vz.min	95.06	-0.48	**-9.48**	0	-2.13	-0.56
	Vz.max	67.51	-0.47	**-8.45**	-0.03	-0.57	-1.01
	Mx.min	95.06	-0.48	-9.48	**0**	-2.13	-0.56
	Mx.max	67.51	-0.47	-8.45	**-0.03**	-0.57	-1.01
	My.min	95.06	-0.48	-9.48	0	**-2.13**	-0.56
	My.max	67.51	-0.47	-8.45	-0.03	**-0.57**	-1.01
	Mz.min	95.06	-0.48	-9.48	0	-2.13	**-0.56**
	Mz.max	67.51	-0.47	-8.45	-0.03	-0.57	**-1.01**
G1	N.min	**7.13**	-0.04	-0.13	0	-0.06	-0.04
	N.max	**7.13**	-0.04	-0.13	0	-0.06	-0.04
	Vy.min	7.13	**-0.04**	-0.13	0	-0.06	-0.04
	Vy.max	7.13	**-0.04**	-0.13	0	-0.06	-0.04
	Vz.min	7.13	-0.04	**-0.13**	0	-0.06	-0.04
	Vz.max	7.13	-0.04	**-0.13**	0	-0.06	-0.04
	Mx.min	7.13	-0.04	-0.13	**0**	-0.06	-0.04
	Mx.max	7.13	-0.04	-0.13	**0**	-0.06	-0.04
	My.min	7.13	-0.04	-0.13	0	**-0.06**	-0.04
	My.max	7.13	-0.04	-0.13	0	**-0.06**	-0.04
	Mz.min	7.13	-0.04	-0.13	0	-0.06	**-0.04**
	Mz.max	7.13	-0.04	-0.13	0	-0.06	**-0.04**
G2	N.min	**5.51**	-0.03	-0.07	0	0	-0.03
	N.max	**5.51**	-0.03	-0.07	0	0	-0.03
	Vy.min	5.51	**-0.03**	-0.07	0	0	-0.03
	Vy.max	5.51	**-0.03**	-0.07	0	0	-0.03
	Vz.min	5.51	-0.03	**-0.07**	0	0	-0.03
	Vz.max	5.51	-0.03	**-0.07**	0	0	-0.03
	Mx.min	5.51	-0.03	-0.07	**0**	0	-0.03
	Mx.max	5.51	-0.03	-0.07	**0**	0	-0.03
	My.min	5.51	-0.03	-0.07	0	**0**	-0.03
	My.max	5.51	-0.03	-0.07	0	**0**	-0.03
	Mz.min	5.51	-0.03	-0.07	0	0	**-0.03**
	Mz.max	5.51	-0.03	-0.07	0	0	**-0.03**
P1_71	N.min	**-0.12**	0	-0.01	0	0.01	0
	N.max	**85.54**	-0.55	-2.7	0	-4.57	-0.55
	Vy.min	72.84	**-0.61**	-4.13	0	-5.46	-0.55
	Vy.max	8.54	**0.02**	2.05	0.01	7.28	-0.01
	Vz.min	68.44	-0.58	**-5.24**	0	-8.7	-0.53
	Vz.max	16.15	-0.02	**3.22**	0.02	11.4	-0.04
	Mx.min	71.14	-0.41	-2.53	**-0.02**	-8.63	-0.47
	Mx.max	16.97	-0.16	0.76	**0.03**	10.05	-0.1
	My.min	76.45	-0.52	-4.09	-0.01	**-11.28**	-0.53
	My.max	13.72	-0.05	2.58	0.03	**12.53**	-0.05
	Mz.min	77.7	-0.53	-2.18	0	-1.8	**-0.57**
	Mz.max	8.97	0	0.34	0	0.08	**0.02**
P2_71	N.min	**-0.49**	0	0	0	0.01	0
	N.max	**134.56**	-0.61	-107.2	0.04	-24.85	-0.71
	Vy.min	119.31	**-0.9**	-11.07	0.03	-28.64	-0.74
	Vy.max	22.9	**0.44**	-179.79	0.04	-6.39	0.03
	Vz.min	118.31	-0.33	**-217**	0.07	-26.85	-0.65
	Vz.max	24.17	-0.09	**3.26**	0	-2.39	-0.07
	Mx.min	53.78	-0.21	1.15	**0**	-2.25	-0.2
	Mx.max	97.36	-0.27	-198.36	**0.08**	-26.03	-0.52
	My.min	115.53	-0.69	-76.45	0.04	**-34.69**	-0.68
	My.max	20.87	0.03	-60.61	0.03	**5.72**	-0.05
	Mz.min	121.41	-0.78	-116.72	0.05	-27.37	**-0.84**
	Mz.max	17.78	0.33	-158	0.04	-1.53	**0.05**
P1_C3	N.min	**-0.11**	0	0	0	0.01	0
	N.max	**68.44**	-0.47	-2.62	0	-3.91	-0.45
	Vy.min	62.1	**-0.48**	-2.69	0	-3.64	-0.47
	Vy.max	5.51	**0.01**	1.27	0.01	4.65	0
	Vz.min	58.07	-0.44	**-4.03**	-0.01	-8.37	-0.44
	Vz.max	11.54	0.01	**2.3**	0.01	6.65	-0.01
	Mx.min	56.71	-0.32	-1.65	**-0.01**	-5.56	-0.38
	Mx.max	10.31	-0.1	0.07	**0.02**	5.44	-0.06
	My.min	61.52	-0.44	-3.68	-0.01	**-8.59**	-0.44
	My.max	7.73	-0.01	1.68	0.01	**7.1**	-0.01
	Mz.min	62.19	-0.48	-2.68	0	-3.68	**-0.47**
	Mz.max	4.73	0	0.16	0	0.06	**0.01**
P2_C3	N.min	**-0.41**	0	0	0	0	0
	N.max	**109.66**	-0.37	-99.45	0.04	-22.36	-0.55
	Vy.min	97.39	**-0.72**	-8.81	0.02	-19.71	-0.63
	Vy.max	15.84	**0.29**	-131.47	0.03	-6.73	0.03
	Vz.min	94.86	-0.33	**-140.48**	0.04	-15.84	-0.53
	Vz.max	15	-0.05	**1.98**	0	-1.39	-0.03
	Mx.min	43.4	-0.2	0.39	**0**	-2.24	-0.2
	Mx.max	75.63	-0.23	-136.75	**0.05**	-16.6	-0.4
	My.min	102.27	-0.47	-82.46	0.03	**-27.88**	-0.58
	My.max	23.26	0	-46.25	0.01	**4.48**	-0.06
	Mz.min	100.19	-0.68	-52.53	0.03	-23.48	**-0.68**
	Mz.max	15.2	0.21	-97.93	0.02	-2.11	**0.04**
BR	N.min	**-82.51**	1.2	2.67	0.01	4.31	1.65
	N.max	**82.51**	-1.2	-2.67	-0.01	-4.31	-1.65
	Vy.min	36.89	**-1.39**	-3.91	-0.02	-6.38	-2.1
	Vy.max	-36.89	**1.39**	3.91	0.02	6.38	2.1
	Vz.min	70.16	-1.25	**-3.99**	-0.02	-6.38	-1.87
	Vz.max	-70.16	1.25	**3.99**	0.02	6.38	1.87
	Mx.min	70.16	-1.25	-3.99	**-0.02**	-6.38	-1.87
	Mx.max	-70.16	1.25	3.99	**0.02**	6.38	1.87
	My.min	36.89	-1.39	-3.91	-0.02	**-6.38**	-2.1
	My.max	-36.89	1.39	3.91	0.02	**6.38**	2.1
	Mz.min	36.89	-1.39	-3.91	-0.02	-6.38	**-2.1**
	Mz.max	-36.89	1.39	3.91	0.02	6.38	**2.1**

TR_L4.1 POPIS: **PODÉLNÍK L4.E - KRAJ** POSUDEK: **L4.1**

SKUPINA ZAT. STAVŮ	EXTRÉM	VYHODNOCOVANÉ VELIČINY					
		N	Vy	Vz	Mx	My	Mz
		kN	kN	kN	kNm	kNm	kNm
S	N.min	**-59.35**	6.51	-6.78	0.17	3.59	3.29
	N.max	**59.35**	-6.51	6.78	-0.17	-3.59	-3.29
	Vy.min	59.35	**-6.51**	6.78	-0.17	-3.59	-3.29
	Vy.max	-59.35	**6.51**	-6.78	0.17	3.59	3.29
	Vz.min	-59.35	6.51	**-6.78**	0.17	3.59	3.29
	Vz.max	59.35	-6.51	**6.78**	-0.17	-3.59	-3.29
	Mx.min	59.35	-6.51	6.78	**-0.17**	-3.59	-3.29
	Mx.max	-59.35	6.51	-6.78	**0.17**	3.59	3.29
	My.min	-22.57	-0.11	-2.31	-0.03	**-6.7**	-0.32
	My.max	22.57	0.11	2.31	0.03	**6.7**	0.32
	Mz.min	59.35	-6.51	6.78	-0.17	-3.59	**-3.29**
	Mz.max	-59.35	6.51	-6.78	0.17	3.59	**3.29**
CH	N.min	**6.39**	-0.04	-0.19	0	-0.25	-0.06
	N.max	**13.76**	-0.07	-0.15	0	0.02	-0.08
	Vy.min	13.76	**-0.07**	-0.15	0	0.02	-0.08
	Vy.max	6.39	**-0.04**	-0.19	0	-0.25	-0.06
	Vz.min	6.39	-0.04	**-0.19**	0	-0.25	-0.06
	Vz.max	9.69	-0.04	**-0.13**	0	0.06	-0.05
	Mx.min	9.69	-0.04	-0.13	**0**	0.06	-0.05
	Mx.max	6.39	-0.04	-0.19	**0**	-0.25	-0.06
	My.min	6.39	-0.04	-0.19	0	**-0.25**	-0.06
	My.max	9.69	-0.04	-0.13	0	**0.06**	-0.05
	Mz.min	13.76	-0.07	-0.15	0	0.02	**-0.08**
	Mz.max	9.69	-0.04	-0.13	0	0.06	**-0.05**
W	N.min	**-33.24**	-0.09	-1.45	-0.01	-2.38	-0.35
	N.max	**33.22**	0.09	1.45	0.01	2.38	0.35
	Vy.min	-33.24	**-0.09**	-1.45	-0.01	-2.38	-0.35
	Vy.max	33.22	**0.09**	1.45	0.01	2.38	0.35
	Vz.min	-33.24	-0.09	**-1.45**	-0.01	-2.38	-0.35
	Vz.max	33.22	0.09	**1.45**	0.01	2.38	0.35
	Mx.min	-33.24	-0.09	-1.45	**-0.01**	-2.38	-0.35
	Mx.max	33.22	0.09	1.45	**0.01**	2.38	0.35
	My.min	-33.24	-0.09	-1.45	-0.01	**-2.38**	-0.35
	My.max	33.22	0.09	1.45	0.01	**2.38**	0.35
	Mz.min	-33.24	-0.09	-1.45	-0.01	-2.38	**-0.35**
	Mz.max	33.22	0.09	1.45	0.01	2.38	**0.35**
WP	N.min	**-55.14**	3.4	14.33	-0.01	-0.63	0.13
	N.max	**55.12**	-3.4	-14.33	0.01	0.62	-0.13
	Vy.min	55.12	**-3.4**	-14.33	0.01	0.62	-0.13
	Vy.max	-55.14	**3.4**	14.33	-0.01	-0.63	0.13
	Vz.min	55.12	-3.4	**-14.33**	0.01	0.62	-0.13
	Vz.max	-55.14	3.4	**14.33**	-0.01	-0.63	0.13
	Mx.min	-55.14	3.4	14.33	**-0.01**	-0.63	0.13
	Mx.max	55.12	-3.4	-14.33	**0.01**	0.62	-0.13
	My.min	-55.14	3.4	14.33	-0.01	**-0.63**	0.13
	My.max	55.12	-3.4	-14.33	0.01	**0.62**	-0.13
	Mz.min	55.12	-3.4	-14.33	0.01	0.62	**-0.13**
	Mz.max	-55.14	3.4	14.33	-0.01	-0.63	**0.13**
TR	N.min	**0**	0	0	0	0	0
	N.max	**0**	0	0	0	0	0
	Vy.min	0	**0**	0	0	0	0
	Vy.max	0	**0**	0	0	0	0
	Vz.min	0	0	**0**	0	0	0
	Vz.max	0	0	**0**	0	0	0
	Mx.min	0	0	0	**0**	0	0
	Mx.max	0	0	0	**0**	0	0
	My.min	0	0	0	0	**0**	0
	My.max	0	0	0	0	**0**	0
	Mz.min	0	0	0	0	0	**0**
	Mz.max	0	0	0	0	0	**0**
TN	N.min	**-8.23**	0.04	-0.12	0	1.5	0.04
	N.max	**16.04**	-0.03	0.09	0	-1.1	0.02
	Vy.min	8.23	**-0.04**	0.12	0	-1.5	-0.04
	Vy.max	-8.23	**0.04**	-0.12	0	1.5	0.04
	Vz.min	-8.23	0.04	**-0.12**	0	1.5	0.04
	Vz.max	8.23	-0.04	**0.12**	0	-1.5	-0.04
	Mx.min	16.04	-0.03	0.09	**0**	-1.1	0.02
	Mx.max	-7.62	-0.01	0.02	**0**	-0.41	-0.05
	My.min	8.23	-0.04	0.12	0	**-1.5**	-0.04
	My.max	-8.23	0.04	-0.12	0	**1.5**	0.04
	Mz.min	-7.62	-0.01	0.02	0	-0.41	**-0.05**
	Mz.max	-8.23	0.04	-0.12	0	1.5	**0.04**
FR	N.min	**-9.52**	0.03	0.09	0	0.1	0.03
	N.max	**9.52**	-0.03	-0.09	0	-0.1	-0.03
	Vy.min	9.52	**-0.03**	-0.09	0	-0.1	-0.03
	Vy.max	-9.52	**0.03**	0.09	0	0.1	0.03
	Vz.min	9.52	-0.03	**-0.09**	0	-0.1	-0.03
	Vz.max	-9.52	0.03	**0.09**	0	0.1	0.03
	Mx.min	9.52	-0.03	-0.09	**0**	-0.1	-0.03
	Mx.max	-9.52	0.03	0.09	**0**	0.1	0.03
	My.min	9.52	-0.03	-0.09	0	**-0.1**	-0.03
	My.max	-9.52	0.03	0.09	0	**0.1**	0.03
	Mz.min	9.52	-0.03	-0.09	0	-0.1	**-0.03**
	Mz.max	-9.52	0.03	0.09	0	0.1	**0.03**
I	N.min	**-2.91**	0	-0.07	0	-0.11	**-0.01**
	N.max	**2.91**	0	0.07	0	0.11	**0.01**
	Vy.min	2.91	**0**	0.07	0	0.11	**0.01**
	Vy.max	-2.91	**0**	-0.07	0	-0.11	**-0.01**
	Vz.min	-2.91	0	**-0.07**	0	-0.11	**-0.01**
	Vz.max	2.91	0	**0.07**	0	0.11	**0.01**
	Mx.min	-2.91	0	-0.07	**0**	-0.11	**-0.01**
	Mx.max	2.91	0	0.07	**0**	0.11	**0.01**
	My.min	-2.91	0	-0.07	0	**-0.11**	**-0.01**
	My.max	2.91	0	0.07	0	**0.11**	**0.01**
	Mz.min	-2.91	0	-0.07	0	-0.11	**-0.01**
	Mz.max	2.91	0	0.07	0	0.11	**0.01**

TAB. L4.1.3 POSOUZENÍ - MEZNÍ STAV ÚNOSNOSTI

POPIS	PODĚLNÍK L4.E - KRAJ
PRUT / POLOHA BODU	844 / I[547]
NAMÁHÁNÍ	Vz.min
VLÁKNO	BOD K1 -HL
MEZNÍ STAV	ULS (MSÚ)
VYUŽITÍ VLÁKNA PRŮŘEZU	0.75

Charakteristiky materiálu				
pás. horní	$f_{yf,k}$	230	MPa	
pás. dolní	$f_{yf,k}$	230	MPa	
stojina	$f_{yw,k}$	230	MPa	
výztuž	$f_{ys,k}$	500	MPa	
γ_M =	1.10	γ_s =	1.15	

Excentricita normálové síly				
Exc./Fáze	0	1	2	3
e_y	0.000	0.000	0.000	0.000
e_z	0.000	0.000	0.000	0.000
Ekvivalentní vzdál. stěn - příčný roznos				
b_{Mx}	0.000	0.000	0.000	0.000

Vliv stěny na únosnost průřezu				
Char./Fáze	0	1	2	3
A	0.45	0.00	0.00	0.00
Wy	0.25	0.00	0.00	0.00
Wz	0.14	0.00	0.00	0.00

Charakter. v kroucení			
$t_{w,y}$	0.000	[mm]	
$t_{w,z}$	0.000	[mm]	
κ	1.00		
I_t=	0.00E+00	[mm^4]	
Ω=2*A_{py}	0.00E+00	[mm^2]	

Součinitele vzpěru a vlivu II.řádu					
Char./Fáze	0	1	2	3	4
k_y	1.000	1.000	1.000	1.000	
k_z	1.000	1.000	1.000	1.000	
χ_{LT}	1.000	1.000	1.000	1.000	
χ_{min}	1.000	1.000	1.000	1.000	

Vnitřní síly od jednotlivých skupin zatěžovacích stavů

SKUPINA ZATĚŽOVACÍCH STAVŮ — CHARAKTERISTICKÉ HODNOTY — DÍLČÍ SOUČINITELÉ ZATÍŽENÍ, DYNAMICKÝ SOUČINITEL — NÁVRHOVÉ HODNOTY

Č.	SKUP ZS	POPIS ZS	KAT.	FÁZE PRŮŘ.	N.k (kN)	Vy.k (kN)	Vz.k (kN)	Mx.k (kNm)	My.k (kNm)	Mz.k (kNm)	γ_{sr} (-)	γ_{fs} (-)	volba γ_f hledat	γ_f (-)	L_d (m)	δ (-)	Ψ_s KZ04	N.d (kN)	Vy.d (kN)	Vz.d (kN)	ΔVz.d (kN)	ΣVz.d (kN)	Mx.d (kNm)	My.d (kNm)	ΔMy.d (kNm)	ΣMy.d (kNm)	Mz.d (kNm)	ΔMz.d (kNm)	ΣMz.d (kNm)
1	G0	Vlastní tíha OK	G	0	95	0	-9	0	-2	-1	1.00	1.20		1.20	-	1.00	0.95	108	-1	-11	0	-11	0	-2	0	-2	-1	0	-1
2	G1	Ostatní stálé - mostní vybavení	G	0	7	0	0	0	0	0	1.00	1.20		1.20	-	1.00	0.95	8	0	0	0	0	0	0	0	0	0	0	0
3	G2	Ostatní stálé - cizí zařízení	G	0	6	0	0	0	0	0	1.00	1.20		1.20	-	1.00	0.95	6	0	0	0	0	0	0	0	0	0	0	0
4	P1_71	a.LM71 - kolej 1 (bez dyn. souč.)	P	0	68	-1	-5	0	-9	-1	1.00	1.30		1.30	-	1.56	1.00	139	-1	-11	0	-11	0	-18	0	-18	-1	0	-1
5	P2_71	a.LM71 - kolej 2 (bez dyn. souč.)	P	0	118	0	-217	0	-27	-1	1.00	1.30		1.30	-	1.56	1.00	240	-1	-441	0	-441	0	-55	0	-55	-1	0	-1
6	P1_C3	TTZ C3 - kolej 1 (bez dyn. souč.)	P	0	58	0	-4	0	-8	0	1.00	vyp.		0.00	-	1.00	0.00	0	0	0	0	0	0	0	0	0	0	0	0
7	P2_C3	TTZ C3 - kolej 2 (bez dyn. souč.)	P	0	95	0	-140	0	-16	-1	1.00	vyp.		0.00	-	1.00	0.00	0	0	0	0	0	0	0	0	0	0	0	0
8	BR	Brzdné a rozjezdové síly	P	0	70	-1	-4	0	-6	-2	1.00	1.30		1.30	-	1.00	0.40	36	-1	-2	0	-2	0	-3	0	-3	-1	0	-1
9	S	Boční ráz	P	0	-59	7	-7	0	4	3	1.00	1.30		1.30	-	1.00	0.80	-62	7	-7	0	-7	0	4	0	4	3	0	3
10	CH	Chodci na lávkách	Q	0	6	0	0	0	0	0	1.00	1.30		1.30	-	1.00	1.00	8	0	0	0	0	0	0	0	0	0	0	0
11	W	Vítr na konstrukci	Q	0	-33	0	-1	0	-2	0	1.00	1.35		1.35	-	1.00	0.75	-34	0	-1	0	-1	0	-2	0	-2	0	0	0
12	WP	Vítr na vozidla	Q	0	55	-3	-14	0	1	0	1.00	1.35		1.35	-	1.00	0.75	56	-3	-15	0	-15	0	1	0	1	0	0	0
13	TR	Teplota rovnoměrná	Q	0	0	0	0	0	0	0	1.00	1.35		1.35	-	1.00	0.45	0	0	0	0	0	0	0	0	0	0	0	0
14	TN	Teplota nerovnoměrná	Q	0	-8	0	0	0	2	0	1.00	1.35		1.35	-	1.00	0.60	-7	0	0	0	0	0	1	0	1	0	0	0
15	FR	Třecí síly v ložiskách	Q	0	10	0	0	0	0	0	1.00	1.20		1.20	-	1.00	1.00	11	0	0	0	0	0	0	0	0	0	0	0
16	I	Imperfekce soustavy	Q	0	-3	0	0	0	0	0	1.00	1.20		1.20	-	1.00	1.00	-3	0	0	0	0	0	0	0	0	0	0	0
27	ULS_LM	ULS - LM71 bez dynam	Q	0	366	2	-328	0	-49	0	1.00	vyp.		0.00	-	1.00	0.00	0	0	0	0	0	0	0	0	0	0	0	0
28	SLS_LM	SLS - LM71 bez dynam	Q	0	300	2	-253	0	-39	0	1.00	vyp.	1	0.00	-	1.00	0.00	0	0	0	0	0	0	0	0	0	0	0	0
29	ULS_C3	ULS - C3 bez dynam	Q	0	322	2	-227	0	-35	1	1.00	vyp.	1	0.00	-	1.00	0.00	0	0	0	0	0	0	0	0	0	0	0	0
30	SLS_C3	SLS - C3 bez dynam	Q	0	266	2	-175	0	-28	0	1.00	vyp.	1	0.00	-	1.00	0.00	0	0	0	0	0	0	0	0	0	0	0	0
		CELKEM - FÁZE PRŮŘEZU 0																509	0	-488	0	-488	0	-75	0	-75	-1	0	-1
		CELKEM - FÁZE PRŮŘEZU 1																0	0	0	0	0	0	0	0	0	0	0	0
		CELKEM - FÁZE PRŮŘEZU 2																0	0	0	0	0	0	0	0	0	0	0	0
		CELKEM - FÁZE PRŮŘEZU 3																0	0	0	0	0	0	0	0	0	0	0	0
		CELKEM - PRŮŘEZ																509	0	-488	0	-488	0			-75			-1

Napětí od jednotlivých zatěžovacích stavů

SKUPINA ZATĚŽOVACÍCH STAVŮ — Posouzení normálového napětí — Posouzení smykového napětí

Č.	SKUP ZS	Popis ZS	Kat.	fáze průř.	Účinek síly N: δ^*N_d [kN]	χ^*A [mm^2]	σ_n [MPa]	Účinek momentu My: $\delta^*M_{y,d}$ [kNm]	$\chi_{lt}{}^*W_{el,y}$ [mm^3]	σ_{my} [MPa]	Účinek momentu Mz: $\delta^*M_{z,d}$ [kNm]	$W_{el,z}$ [mm^3]	σ_{mz} [MPa]	σ_x [MPa]	Účinek kroutícího momentu Mx: $\kappa^*\delta^*M_{x,d}$ [kNm]	$W_{v,y}$ [mm^3]	$\tau_{x,y}$ [MPa]	$W_{v,z}$ [mm^3]	$\tau_{x,z}$ [MPa]	Účinek smykové síly Vy: $\delta^*V_{y,d}$ [kN]	$A_{v,y}$ [mm2]	$\tau_{v,y}$ [MPa]	$\tau_{v,y}$ [MPa]	Účinek smykové síly Vz: $\delta^*V_{z,d}$ [kN]	$A_{v,z}$ [mm2]	$\tau_{v,z}$ [MPa]	$\tau_{v,z}$ [MPa]
1	G0	Vlastní tíha OK	G	0	108.4	1.06E+04	10.2	-2.4	-2.40E+06	1.0	-0.6	-1.35E+05	4.7	15.9	0.0E+00	-	-	-	-	-0.5	3.52E+03	-0.2	-0.2	-10.8	5.40E+03	-2.0	-2.0
2	G1	Ostatní stálé - mostní vybavení	G	0	8.1	1.06E+04	0.8	-0.1	-2.40E+06	0.0	0.0	-1.35E+05	0.3	1.1	0.0E+00	-	-	-	-	0.0	3.52E+03	0.0	0.0	-0.1	5.40E+03	0.0	0.0
3	G2	Ostatní stálé - cizí zařízení	G	0	6.3	1.06E+04	0.6	0.0	-2.40E+06	0.0	0.0	-1.35E+05	0.3	0.8	0.0E+00	-	-	-	-	0.0	3.52E+03	0.0	0.0	-0.1	5.40E+03	0.0	0.0
4	P1_71	a.LM71 - kolej 1 (bez dyn. souč.)	P	0	139.1	1.06E+04	13.1	-17.7	-2.40E+06	7.4	-1.1	-1.35E+05	8.0	28.4	0.0E+00	-	-	-	-	-1.2	3.52E+03	-0.3	-0.3	-10.6	5.40E+03	-2.0	-2.0
5	P2_71	a.LM71 - kolej 2 (bez dyn. souč.)	P	0	240.4	1.06E+04	22.6	-54.6	-2.40E+06	22.8	-1.3	-1.35E+05	9.8	55.2	1.4E-01	-	-	-	-	-0.7	3.52E+03	-0.2	-0.2	-440.9	5.40E+03	-81.7	-81.7
6	P1_C3	TTZ C3 - kolej 1 (bez dyn. souč.)	P	0	0.0	1.06E+04	0.0	0.0	-2.40E+06	0.0	0.0	-1.35E+05	0.0	0.0	0.0E+00	-	-	-	-	0.0	3.52E+03	0.0	0.0	0.0	5.40E+03	0.0	0.0
7	P2_C3	TTZ C3 - kolej 2 (bez dyn. souč.)	P	0	0.0	1.06E+04	0.0	0.0	-2.40E+06	0.0	0.0	-1.35E+05	0.0	0.0	0.0E+00	-	-	-	-	0.0	3.52E+03	0.0	0.0	0.0	5.40E+03	0.0	0.0
8	BR	Brzdné a rozjezdové síly	P	0	36.5	1.06E+04	3.4	-3.3	-2.40E+06	1.4	-1.0	-1.35E+05	7.2	12.0	-1.0E-02	-	-	-	-	-0.7	3.52E+03	-0.2	-0.2	-2.1	5.40E+03	-0.4	-0.4
9	S	Boční ráz	P	0	-61.7	1.06E+04	-5.8	3.7	-2.40E+06	-1.6	3.4	-1.35E+05	-25.3	-32.7	1.8E-01	-	-	-	-	6.8	3.52E+03	1.9	1.9	-7.1	5.40E+03	-1.3	-1.3
10	CH	Chodci na lávkách	Q	0	8.3	1.06E+04	0.8	-0.3	-2.40E+06	0.1	-0.1	-1.35E+05	0.6	1.5	0.0E+00	-	-	-	-	-0.1	3.52E+03	0.0	0.0	-0.2	5.40E+03	0.0	0.0
11	W	Vítr na konstrukci	Q	0	-33.7	1.06E+04	-3.2	-2.4	-2.40E+06	1.0	-0.4	-1.35E+05	2.6	0.5	-1.0E-02	-	-	-	-	-0.1	3.52E+03	0.0	0.0	-1.5	5.40E+03	-0.3	-0.3
12	WP	Vítr na vozidla	Q	0	55.8	1.06E+04	5.3	0.6	-2.40E+06	-0.3	-0.1	-1.35E+05	1.0	6.0	1.0E-02	-	-	-	-	-3.4	3.52E+03	-1.0	-1.0	-14.5	5.40E+03	-2.7	-2.7
13	TR	Teplota rovnoměrná	Q	0	0.0	1.06E+04	0.0	0.0	-2.40E+06	0.0	0.0	-1.35E+05	0.0	0.0	0.0E+00	-	-	-	-	0.0	3.52E+03	0.0	0.0	0.0	5.40E+03	0.0	0.0
14	TN	Teplota nerovnoměrná	Q	0	-6.7	1.06E+04	-0.6	1.2	-2.40E+06	-0.5	0.0	-1.35E+05	-0.2	-1.4	0.0E+00	-	-	-	-	0.0	3.52E+03	0.0	0.0	-0.1	5.40E+03	0.0	0.0
15	FR	Třecí síly v ložiskách	Q	0	11.4	1.06E+04	1.1	-0.1	-2.40E+06	0.1	0.0	-1.35E+05	0.3	1.4	0.0E+00	-	-	-	-	0.0	3.52E+03	0.0	0.0	-0.1	5.40E+03	0.0	0.0
16	I	Imperfekce soustavy	Q	0	-3.5	1.06E+04	-0.3	-0.1	-2.40E+06	0.1	0.0	-1.35E+05	0.1	-0.2	0.0E+00	-	-	-	-	0.0	3.52E+03	0.0	0.0	-0.1	5.40E+03	0.0	0.0
27	ULS_LM	ULS - LM71 bez dynam	Q	0	0.0	1.06E+04	0.0	0.0	-2.40E+06	0.0	0.0	-1.35E+05	0.0	0.0	0.0E+00	-	-	-	-	0.0	3.52E+03	0.0	0.0	0.0	5.40E+03	0.0	0.0
28	SLS_LM	SLS - LM71 bez dynam	Q	0	0.0	1.06E+04	0.0	0.0	-2.40E+06	0.0	0.0	-1.35E+05	0.0	0.0	0.0E+00	-	-	-	-	0.0	3.52E+03	0.0	0.0	0.0	5.40E+03	0.0	0.0
29	ULS_C3	ULS - C3 bez dynam	Q	0	0.0	1.06E+04	0.0	0.0	-2.40E+06	0.0	0.0	-1.35E+05	0.0	0.0	0.0E+00	-	-	-	-	0.0	3.52E+03	0.0	0.0	0.0	5.40E+03	0.0	0.0
30	SLS_C3	SLS - C3 bez dynam	Q	0	0.0	1.06E+04	0.0	0.0	-2.40E+06	0.0	0.0	-1.35E+05	0.0	0.0	0.0E+00	-	-	-	-	0.0	3.52E+03	0.0	0.0	0.0	5.40E+03	0.0	0.0
		NAVÝŠENÍ NAPĚTÍ DO AKTIVACE TLAKU V DESCE MOSTOVKY				$\sigma_{P,red}$	0.0							0.0			0.0		0.0			0.0				-90.4	-90.4
		NAPĚTÍ OD PRIMÁRNÍCH ÚČINKŮ NEROVNOMĚRNÉHO OTEPLENÍ				σ_T	0.0							0.0														
		NAPĚTÍ OD REOLOGICKÝCH ÚČINKŮ BETONU V ČASE		t=0		σ_R	0.0	γ=	1.20					0.0														
		NAPĚTÍ V KRITICKÝCH VLÁKNECH OD KOMBINACE ZATÍŽENÍ				KZ04		[MPa]					$\Sigma\sigma_x$	88.6									$\Sigma\tau_y$	0.0			$\Sigma\tau_z$	-90.4
		NAPĚTÍ OD POHYBLIVÉHO ZATÍŽENÍ						[MPa]					$\sigma_{x,P}$	63.0									τ_P	1.2			τ_P	-85.3
		NAPĚTÍ OD OSTATNÍCH ZATÍŽENÍ						[MPa]			Φ_{Vy}	Φ_{Vz}	$\sigma_{x,rs}$	25.7									τ_{rs}	-1.2			τ_{rs}	-5.1
		NÁVRHOVÁ HODNOTA MEZE KLUZU S REDUKCÍ VLIVEM SMYKOVÉHO NAPĚTÍ						[MPa]			1.00	0.75	$f_{yv,d}$	209.1									$f_{yd}/3^{0,5}$	120.7			$f_{yd}/3^{0,5}$	120.7
		NAPĚTÍ OD POHYBLIVÉHO ZATÍŽENÍ V GLOBÁLNÍM SYSTÉMU				$\sigma_{GLOB,P}$	0.0	[MPa]					$\Sigma\sigma_{GLOB}$	0.0														
		NAPĚTÍ OD OSTATNÍCH ZATÍŽENÍ V GLOBÁLNÍM SYSTÉMU				$\sigma_{GLOB,rs}$	0.0	[MPa]					$\Sigma\sigma_x + \Sigma\sigma_{GLOB}$	88.6														
		VYUŽITÍ PRŮŘEZU DLE NAPĚTÍ						[%]					η_1	0.42									η_3	0.00			η_3	0.75
		NAPĚTÍ V PŘÍČNÉM SMĚRU OD POHYBLIVÉHO ZATÍŽENÍ				$\sigma_{z,P}$	0.0	[MPa]					$\Sigma\sigma_z$	0.0														
		NAPĚTÍ V PŘÍČNÉM SMĚRU OD OSTATNÍCH ZATÍŽENÍ				$\sigma_{z,rs}$	0.0	[MPa]					η_2	0.00														
		SROVNÁVACÍ NAPĚTÍ											$(\eta_2 + 0,8\,\eta_1)/1,4$ =	0.24														
		VYUŽITÍ PRŮŘEZU CELKEM						[%]					eff	0.75	VYHOVUJE													
													Z_{LM71} =	1.36														

TAB. L4.1.3 POSOUZENÍ - MEZNÍ STAV ÚNOSNOSTI

POPIS	PODĚLNÍK L4.E - KRAJ
PRUT / POLOHA BODU	844 / I[547]
NAMÁHÁNÍ	Vz.min
VLÁKNO	BOD K3 -SL
MEZNÍ STAV	ULS (MSÚ)
VYUŽITÍ VLÁKNA PRŮŘEZU	0.75

Charakteristiky materiálu				
pás. horní	$f_{yf,k}$	230	MPa	
pás. dolní	$f_{yf,k}$	230	MPa	
stojina	$f_{yw,k}$	230	MPa	
výztuž	$f_{ys,k}$	500	MPa	
γ_M =	1.10	γ_s =	1.15	

Excentricita normálové síly				
Exc./Fáze	0	1	2	3
e_y	0.000	0.000	0.000	0.000
e_z	0.000	0.000	0.000	0.000
Ekvivalentní vzdál. stěn - příčný roznos				
b_{Mx}	0.000	0.000	0.000	0.000

Vliv stěny na únosnost průřezu				
Char./Fáze	0	1	2	3
A	0.45	0.00	0.00	0.00
Wy	0.25	0.00	0.00	0.00
Wz	0.14	0.00	0.00	0.00

Charakter. v kroucení			
$t_{w,y}$	0.000	[mm]	
$t_{w,z}$	0.000	[mm]	
κ	1.00		
I_t=	0.00E+00	[mm^4]	
$\Omega=2*A_{pr}$	0.00E+00	[mm^2]	

Součinitele vzpěru a vlivu II.řádu					
Char./Fáze	0	1	2	3	4
k_y	1.000	1.000	1.000	1.000	
k_z	1.000	1.000	1.000	1.000	
χ_{LT}	1.000	1.000	1.000	1.000	
χ_{min}	1.000	1.000	1.000	1.000	

Vnitřní síly od jednotlivých skupin zatěžovacích stavů

SKUPINA ZATĚŽOVACÍCH STAVŮ

Č.	SKUP ZS	POPIS ZS	KAT.	FÁZE PRŮŘ.	- CHARAKTERISTICKÉ HODNOTY N.k (kN)	Vy.k (kN)	Vz.k (kN)	Mx.k (kNm)	My.k (kNm)	Mz.k (kNm)	DÍLČÍ SOUČINITELÉ ZATÍŽENÍ, DYNAMICKÝ SOUČINITEL γ_{sr} (-)	γ_{fs} (-)	volba ψ_i hledat	ψ_i (-)	L_d (m)	δ (-)	Ψ_z KZ04	- NÁVRHOVÉ HODNOTY N.d (kN)	Vy.d (kN)	Vz.d (kN)	ΔVz.d (kN)	ΣVz.d (kN)	Mx.d (kNm)	My.d (kNm)	ΔMy.d (kNm)	ΣMy.d (kNm)	Mz.d (kNm)	ΔMz.d (kNm)	ΣMz.d (kNm)
1	G0	Vlastní tíha OK	G	0	95	0	-9	0	-2	-1	1.00	1.20		1.20	-	1.00	0.95	108	-1	-11	0	-11	0	-2	0	-2	-1	0	-1
2	G1	Ostatní stálé - mostní vybavení	G	0	7	0	0	0	0	0	1.00	1.20		1.20	-	1.00	0.95	8	0	0	0	0	0	0	0	0	0	0	0
3	G2	Ostatní stálé - cizí zařízení	G	0	6	0	0	0	0	0	1.00	1.20		1.20	-	1.00	0.95	6	0	0	0	0	0	0	0	0	0	0	0
4	P1_71	a.LM71 - kolej 1 (bez dyn. souč.)	P	0	68	-1	-5	0	-9	-1	1.00	1.30		1.30	-	1.56	1.00	139	-1	-11	0	-11	0	-18	0	-18	-1	0	-1
5	P2_71	a.LM71 - kolej 2 (bez dyn. souč.)	P	0	118	0	-217	0	-27	-1	1.00	1.30		1.30	-	1.56	1.00	240	-1	-441	0	-441	0	-55	0	-55	-1	0	-1
6	P1_C3	TTZ C3 - kolej 1 (bez dyn. souč.)	P	0	58	0	-4	0	-8	0	1.00	vyp.		0.00	-	1.00	0.00	0	0	0	0	0	0	0	0	0	0	0	0
7	P2_C3	TTZ C3 - kolej 2 (bez dyn. souč.)	P	0	95	0	-140	0	-16	-1	1.00	vyp.		0.00	-	1.00	0.00	0	0	0	0	0	0	0	0	0	0	0	0
8	BR	Brzdné a rozjezdové síly	P	0	70	-1	-4	0	-6	-2	1.00	1.30		1.30	-	1.00	0.40	36	-1	-2	0	-2	0	-3	0	-3	-1	0	-1
9	S	Boční ráz	P	0	-59	7	-7	0	4	3	1.00	1.30		1.30	-	1.00	0.80	-62	7	-7	0	-7	0	4	0	4	3	0	3
10	CH	Chodci na lávkách	Q	0	6	0	0	0	0	0	1.00	1.30		1.30	-	1.00	1.00	8	0	0	0	0	0	0	0	0	0	0	0
11	W	Vítr na konstrukci	Q	0	-33	0	-1	0	-2	0	1.00	1.35		1.35	-	1.00	0.75	-34	0	-1	0	-1	0	-2	0	-2	0	0	0
12	WP	Vítr na vozidla	Q	0	55	-3	-14	0	1	0	1.00	1.35		1.35	-	1.00	0.75	56	-3	-15	0	-15	0	1	0	1	0	0	0
13	TR	Teplota rovnoměrná	Q	0	0	0	0	0	0	0	1.00	1.35		1.35	-	1.00	0.45	0	0	0	0	0	0	0	0	0	0	0	0
14	TN	Teplota nerovnoměrná	Q	0	-8	0	0	0	2	0	1.00	1.35		1.35	-	1.00	0.60	-7	0	0	0	0	0	1	0	1	0	0	0
15	FR	Třecí síly v ložiskách	Q	0	10	0	0	0	0	0	1.00	1.20		1.20	-	1.00	1.00	11	0	0	0	0	0	0	0	0	0	0	0
16	I	Imperfekce soustavy	Q	0	-3	0	0	0	0	0	1.00	1.20		1.20	-	1.00	1.00	-3	0	0	0	0	0	0	0	0	0	0	0
27	ULS_LM	ULS - LM71 bez dynam	Q	0	366	2	-328	0	-49	0	1.00	vyp.		0.00	-	1.00	0.00	0	0	0	0	0	0	0	0	0	0	0	0
28	SLS_LM	SLS - LM71 bez dynam	Q	0	300	2	-253	0	-39	0	1.00	vyp.	1	0.00	-	1.00	0.00	0	0	0	0	0	0	0	0	0	0	0	0
29	ULS_C3	ULS - C3 bez dynam	Q	0	322	2	-227	0	-35	1	1.00	vyp.	1	0.00	-	1.00	0.00	0	0	0	0	0	0	0	0	0	0	0	0
30	SLS_C3	SLS - C3 bez dynam	Q	0	266	2	-175	0	-28	0	1.00	vyp.	1	0.00	-	1.00	0.00	0	0	0	0	0	0	0	0	0	0	0	0
		CELKEM - FÁZE PRŮŘEZU 0																509	0	-488	0	-488	0	-75	0	-75	-1	0	-1
		CELKEM - FÁZE PRŮŘEZU 1																0	0	0	0	0	0	0	0	0	0	0	0
		CELKEM - FÁZE PRŮŘEZU 2																0	0	0	0	0	0	0	0	0	0	0	0
		CELKEM - FÁZE PRŮŘEZU 3																0	0	0	0	0	0	0	0	0	0	0	0
		CELKEM - PRŮŘEZ																509	0	-488	0	-488	0			-75			-1

Napětí od jednotlivých zatěžovacích stavů

SKUPINA ZATĚŽOVACÍCH STAVŮ

Č.	SKUP ZS	Popis ZS	Kat.	fáze průř.	Posouzení normálového napětí – Účinek síly N δ^*N_d [kN]	χ^*A [mm^2]	σ_n [MPa]	Účinek momentu My $\delta^*M_{y,d}$ [kNm]	$\chi_{lt}*W_{el,y}$ [mm^3]	σ_{my} [MPa]	Účinek momentu Mz $\delta^*M_{z,d}$ [kNm]	$W_{el,z}$ [mm^3]	σ_{mz} [MPa]	σ_x [MPa]	Posouzení smykového napětí – Účinek kroutícího momentu Mx $\kappa*\delta^*M_{x,d}$ [kNm]	$W_{v,y}$ [mm^2]	$\tau_{x,y}$ [MPa]	$W_{v,z}$ [mm^2]	$\tau_{x,z}$ [MPa]	Účinek smykové síly Vy $\delta^*V_{y,d}$ [kN]	$A_{v,y}$ [mm2]	$\tau_{v,y}$ [MPa]	$\tau_{v,y}$ [MPa]	Účinek smykové síly Vz $\delta^*V_{z,d}$ [kN]	$A_{v,z}$ [mm2]	$\tau_{v,z}$ [MPa]	$\tau_{v,z}$ [MPa]
1	G0	Vlastní tíha OK	G	0	108.4	1.06E+04	10.2	-2.4	2.40E+06	-1.0	-0.6	-1.35E+05	4.7	13.9	0.0E+00	-	-	-	-	-0.5	3.52E+03	-0.2	-0.2	-10.8	5.40E+03	-2.0	-2.0
2	G1	Ostatní stálé - mostní vybavení	G	0	8.1	1.06E+04	0.8	-0.1	2.40E+06	0.0	0.0	-1.35E+05	0.3	1.1	0.0E+00	-	-	-	-	0.0	3.52E+03	0.0	0.0	-0.1	5.40E+03	0.0	0.0
3	G2	Ostatní stálé - cizí zařízení	G	0	6.3	1.06E+04	0.6	0.0	2.40E+06	0.0	0.0	-1.35E+05	0.3	0.8	0.0E+00	-	-	-	-	0.0	3.52E+03	0.0	0.0	-0.1	5.40E+03	0.0	0.0
4	P1_71	a.LM71 - kolej 1 (bez dyn. souč.)	P	0	139.1	1.06E+04	13.1	-17.7	2.40E+06	-7.4	-1.1	-1.35E+05	8.0	13.7	0.0E+00	-	-	-	-	-1.2	3.52E+03	-0.3	-0.3	-10.6	5.40E+03	-2.0	-2.0
5	P2_71	a.LM71 - kolej 2 (bez dyn. souč.)	P	0	240.4	1.06E+04	22.6	-54.6	2.40E+06	-22.8	-1.3	-1.35E+05	9.8	9.6	1.4E-01	-	-	-	-	-0.7	3.52E+03	-0.2	-0.2	-440.9	5.40E+03	-81.7	-81.7
6	P1_C3	TTZ C3 - kolej 1 (bez dyn. souč.)	P	0	0.0	1.06E+04	0.0	0.0	2.40E+06	0.0	0.0	-1.35E+05	0.0	0.0	0.0E+00	-	-	-	-	0.0	3.52E+03	0.0	0.0	0.0	5.40E+03	0.0	0.0
7	P2_C3	TTZ C3 - kolej 2 (bez dyn. souč.)	P	0	0.0	1.06E+04	0.0	0.0	2.40E+06	0.0	0.0	-1.35E+05	0.0	0.0	0.0E+00	-	-	-	-	0.0	3.52E+03	0.0	0.0	0.0	5.40E+03	0.0	0.0
8	BR	Brzdné a rozjezdové síly	P	0	36.5	1.06E+04	3.4	-3.3	2.40E+06	-1.4	-1.0	-1.35E+05	7.2	9.2	-1.0E-02	-	-	-	-	-0.7	3.52E+03	-0.2	-0.2	-2.1	5.40E+03	-0.4	-0.4
9	S	Boční ráz	P	0	-61.7	1.06E+04	-5.8	3.7	2.40E+06	1.6	3.4	-1.35E+05	-25.3	-29.6	1.8E-01	-	-	-	-	6.8	3.52E+03	1.9	1.9	-7.1	5.40E+03	-1.3	-1.3
10	CH	Chodci na lávkách	Q	0	8.3	1.06E+04	0.8	-0.3	2.40E+06	-0.1	-0.1	-1.35E+05	0.6	1.2	0.0E+00	-	-	-	-	-0.1	3.52E+03	0.0	0.0	-0.2	5.40E+03	0.0	0.0
11	W	Vítr na konstrukci	Q	0	-33.7	1.06E+04	-3.2	-2.4	2.40E+06	-1.0	-0.4	-1.35E+05	2.6	-1.6	-1.0E-02	-	-	-	-	-0.1	3.52E+03	0.0	0.0	-1.5	5.40E+03	-0.3	-0.3
12	WP	Vítr na vozidla	Q	0	55.8	1.06E+04	5.3	0.6	2.40E+06	0.3	-0.1	-1.35E+05	1.0	6.5	1.0E-02	-	-	-	-	-3.4	3.52E+03	-1.0	-1.0	-14.5	5.40E+03	-2.7	-2.7
13	TR	Teplota rovnoměrná	Q	0	0.0	1.06E+04	0.0	0.0	2.40E+06	0.0	0.0	-1.35E+05	0.0	0.0	0.0E+00	-	-	-	-	0.0	3.52E+03	0.0	0.0	0.0	5.40E+03	0.0	0.0
14	TN	Teplota nerovnoměrná	Q	0	-6.7	1.06E+04	-0.6	1.2	2.40E+06	0.5	0.0	-1.35E+05	-0.2	-0.4	0.0E+00	-	-	-	-	0.0	3.52E+03	0.0	0.0	-0.1	5.40E+03	0.0	0.0
15	FR	Třecí síly v ložiskách	Q	0	11.4	1.06E+04	1.1	-0.1	2.40E+06	-0.1	0.0	-1.35E+05	0.3	1.3	0.0E+00	-	-	-	-	0.0	3.52E+03	0.0	0.0	-0.1	5.40E+03	0.0	0.0
16	I	Imperfekce soustavy	Q	0	-3.5	1.06E+04	-0.3	-0.1	2.40E+06	-0.1	0.0	-1.35E+05	0.1	-0.3	0.0E+00	-	-	-	-	0.0	3.52E+03	0.0	0.0	-0.1	5.40E+03	0.0	0.0
27	ULS_LM	ULS - LM71 bez dynam	Q	0	0.0	1.06E+04	0.0	0.0	2.40E+06	0.0	0.0	-1.35E+05	0.0	0.0	0.0E+00	-	-	-	-	0.0	3.52E+03	0.0	0.0	0.0	5.40E+03	0.0	0.0
28	SLS_LM	SLS - LM71 bez dynam	Q	0	0.0	1.06E+04	0.0	0.0	2.40E+06	0.0	0.0	-1.35E+05	0.0	0.0	0.0E+00	-	-	-	-	0.0	3.52E+03	0.0	0.0	0.0	5.40E+03	0.0	0.0
29	ULS_C3	ULS - C3 bez dynam	Q	0	0.0	1.06E+04	0.0	0.0	2.40E+06	0.0	0.0	-1.35E+05	0.0	0.0	0.0E+00	-	-	-	-	0.0	3.52E+03	0.0	0.0	0.0	5.40E+03	0.0	0.0
30	SLS_C3	SLS - C3 bez dynam	Q	0	0.0	1.06E+04	0.0	0.0	2.40E+06	0.0	0.0	-1.35E+05	0.0	0.0	0.0E+00	-	-	-	-	0.0	3.52E+03	0.0	0.0	0.0	5.40E+03	0.0	0.0
NAVÝŠENÍ NAPĚTÍ DO AKTIVACE TLAKU V DESCE MOSTOVKY						$\sigma_{P,red}$	0.0							0.0			0.0		0.0			0.0	0.0			-90.4	-90.4
NAPĚTÍ OD PRIMÁRNÍCH ÚČINKŮ NEROVNOMĚRNÉHO OTEPLENÍ						σ_T	0.0							0.0													
NAPĚTÍ OD REOLOGICKÝCH ÚČINKŮ BETONU V ČASE		t=0				σ_R	0.0	γ_{sr}=	1.20					0.0													
NAPĚTÍ V KRITICKÝCH VLÁKNECH OD KOMBINACE ZATÍŽENÍ						KZ04		[MPa]					$\Sigma\sigma_x$	25.6								$\Sigma\tau_y$	0.0			$\Sigma\tau_z$	-90.4
NAPĚTÍ OD POHYBLIVÉHO ZATÍŽENÍ								[MPa]					$\sigma_{x,P}$	3.0								τ_P	1.2			τ_P	-85.3
NAPĚTÍ OD OSTATNÍCH ZATÍŽENÍ								[MPa]			Φ_{Vy}	Φ_{Vz}	$\sigma_{x,rs}$	22.6								τ_{rs}	-1.2			τ_{rs}	-5.1
NÁVRHOVÁ HODNOTA MEZE KLUZU S REDUKCÍ VLIVEM SMYKOVÉHO NAPĚTÍ								[MPa]			1.00	0.75	$f_{yv,d}$	209.1								$f_{yd}/3^{0,5}$	120.7			$f_{yd}/3^{0,5}$	120.7
NAPĚTÍ OD POHYBLIVÉHO ZATÍŽENÍ V GLOBÁLNÍM SYSTÉMU						$\sigma_{GLOB,P}$	0.0	[MPa]					$\Sigma\sigma_{GLOB}$	0.0													
NAPĚTÍ OD OSTATNÍCH ZATÍŽENÍ V GLOBÁLNÍM SYSTÉMU						$\sigma_{GLOB,rs}$	0.0	[MPa]					$\Sigma\sigma_x + \Sigma\sigma_{GLOB}$	25.6													
VYUŽITÍ PRŮŘEZU DLE NAPĚTÍ								[%]					η_1	0.12								η_3	0.00			η_3	0.75
NAPĚTÍ V PŘÍČNÉM SMĚRU OD POHYBLIVÉHO ZATÍŽENÍ						$\sigma_{z,P}$	0.0	[MPa]					$\Sigma\sigma_z$	0.0													
NAPĚTÍ V PŘÍČNÉM SMĚRU OD OSTATNÍCH ZATÍŽENÍ						$\sigma_{z,rs}$	0.0	[MPa]					η_2	0.00													
SROVNÁVACÍ NAPĚTÍ													$(\eta_2 + 0,8\,\eta_1)/1,4$ =	0.07													
VYUŽITÍ PRŮŘEZU CELKEM								[%]					eff	0.75	VYHOVUJE												
													Z_{LM71} =	1.36													

TAB. L4.1.3 POSOUZENÍ - MEZNÍ STAV ÚNOSNOSTI

POPIS	PODĚLNÍK L4.E - KRAJ
PRUT / POLOHA BODU	844 / I[547]
NAMÁHÁNÍ	Vz.min
VLÁKNO	BOD S5 -HL
MEZNÍ STAV	ULS (MSÚ)
VYUŽITÍ VLÁKNA PRŮŘEZU	0.75

Charakteristiky materiálu				
pás. horní	$f_{yf,k}$	230	MPa	
pás. dolní	$f_{yf,k}$	230	MPa	
stojina	$f_{yw,k}$	230	MPa	
výztuž	$f_{ys,k}$	500	MPa	
γ_M =	1.10	γ_s =	1.15	

Excentricita normálové síly				
Exc./Fáze	0	1	2	3
e_y	0.000	0.000	0.000	0.000
e_z	0.000	0.000	0.000	0.000
Ekvivalentní vzdál. stěn - příčný rozmos				
b_{Mx}	0.000	0.000	0.000	0.000

Vliv stěny na únosnost průřezu				
Char./Fáze	0	1	2	3
A	0.45	0.00	0.00	0.00
Wy	0.25	0.00	0.00	0.00
Wz	0.00	0.00	0.00	0.00

Charakter. v kroucení			
$t_{w,y}$	0.000	[mm]	
$t_{w,z}$	0.000	[mm]	
κ	1.00		
I_t=	0.00E+00	[mm^4]	
$\Omega=2*A_{pr}$	0.00E+00	[mm^2]	

Součinitele vzpěru a vlivu II.řádu				
Char./Fáze	0	1	2	3
k_y	1.000	1.000	1.000	1.000
k_z	1.000	1.000	1.000	1.000
χ_{LT}	1.000	1.000	1.000	1.000
χ_{min}	1.000	1.000	1.000	1.000

Vnitřní síly od jednotlivých skupin zatěžovacích stavů

SKUPINA ZATĚŽOVACÍCH STAVŮ					- CHARAKTERISTICKÉ HODNOTY						DÍLČÍ SOUČINITELÉ ZATÍŽENÍ, DYNAMICKÝ SOUČINITEL							- NÁVRHOVÉ HODNOTY									
Č.	SKUP ZS	POPIS ZS	KAT.	FÁZE PRŮŘ.	N.k (kN)	Vy.k (kN)	Vz.k (kN)	Mx.k (kNm)	My.k (kNm)	Mz.k (kNm)	γ_{sr} (-)	γ_{fs} (-)	volba ψ_i hledat	ψ_i (-)	L_d (m)	δ (-)	∇_z KZ04	N.d (kN)	Vy.d (kN)	Vz.d (kN)	ΔVz.d (kN)	ΣVz.d (kN)	Mx.d (kNm)	My.d (kNm)	ΔMy.d (kNm)	ΣMy.d (kNm)	Mz.d (kNm)	ΔMz.d (kNm)	ΣMz.d (kNm)
1	G0	Vlastní tíha OK	G	0	95	0	-9	0	-2	-1	1.00	1.20		1.20	-	1.00	0.95	108	-1	-11	0	-11	0	-2	0	-2	-1	0	-1
2	G1	Ostatní stálé - mostní vybavení	G	0	7	0	0	0	0	0	1.00	1.20		1.20	-	1.00	0.95	8	0	0	0	0	0	0	0	0	0	0	0
3	G2	Ostatní stálé - cizí zařízení	G	0	6	0	0	0	0	0	1.00	1.20		1.20	-	1.00	0.95	6	0	0	0	0	0	0	0	0	0	0	0
4	P1_71	a.LM71 - kolej 1 (bez dyn. souč.)	P	0	68	-1	-5	0	-9	-1	1.00	1.30		1.30	-	1.56	1.00	139	-1	-11	0	-11	0	-18	0	-18	-1	0	-1
5	P2_71	a.LM71 - kolej 2 (bez dyn. souč.)	P	0	118	0	-217	0	-27	-1	1.00	1.30		1.30	-	1.56	1.00	240	-1	-441	0	-441	0	-55	0	-55	-1	0	-1
6	P1_C3	TTZ C3 - kolej 1 (bez dyn. souč.)	P	0	58	0	-4	0	-8	0	1.00	vyp.		0.00	-	1.00	0.00	0	0	0	0	0	0	0	0	0	0	0	0
7	P2_C3	TTZ C3 - kolej 2 (bez dyn. souč.)	P	0	95	0	-140	0	-16	-1	1.00	vyp.		0.00	-	1.00	0.00	0	0	0	0	0	0	0	0	0	0	0	0
8	BR	Brzdné a rozjezdové síly	P	0	70	-1	-4	0	-6	-2	1.00	1.30		1.30	-	1.00	0.40	36	-1	-2	0	-2	0	-3	0	-3	-1	0	-1
9	S	Boční ráz	P	0	-59	7	-7	0	4	3	1.00	1.30		1.30	-	1.00	0.80	-62	7	-7	0	-7	0	4	0	4	3	0	3
10	CH	Chodci na lávkách	Q	0	6	0	0	0	0	0	1.00	1.30		1.30	-	1.00	1.00	8	0	0	0	0	0	0	0	0	0	0	0
11	W	Vítr na konstrukci	Q	0	-33	0	-1	0	-2	0	1.00	1.35		1.35	-	1.00	0.75	-34	0	-1	0	-1	0	-2	0	-2	0	0	0
12	WP	Vítr na vozidla	Q	0	55	-3	-14	0	1	0	1.00	1.35		1.35	-	1.00	0.75	56	-3	-15	0	-15	0	1	0	1	0	0	0
13	TR	Teplota rovnoměrná	Q	0	0	0	0	0	0	0	1.00	1.35		1.35	-	1.00	0.45	0	0	0	0	0	0	0	0	0	0	0	0
14	TN	Teplota nerovnoměrná	Q	0	-8	0	0	0	2	0	1.00	1.35		1.35	-	1.00	0.60	-7	0	0	0	0	0	1	0	1	0	0	0
15	FR	Třecí síly v ložiskách	Q	0	10	0	0	0	0	0	1.00	1.20		1.20	-	1.00	1.00	11	0	0	0	0	0	0	0	0	0	0	0
16	I	Imperfekce soustavy	Q	0	-3	0	0	0	0	0	1.00	1.20		1.20	-	1.00	1.00	-3	0	0	0	0	0	0	0	0	0	0	0
27	ULS_LM	ULS - LM71 bez dynam	Q	0	366	2	-328	0	-49	0	1.00	vyp.		0.00	-	1.00	0.00	0	0	0	0	0	0	0	0	0	0	0	0
28	SLS_LM	SLS - LM71 bez dynam	Q	0	300	2	-253	0	-39	0	1.00	vyp.	1	0.00	-	1.00	0.00	0	0	0	0	0	0	0	0	0	0	0	0
29	ULS_C3	ULS - C3 bez dynam	Q	0	322	2	-227	0	-35	1	1.00	vyp.	1	0.00	-	1.00	0.00	0	0	0	0	0	0	0	0	0	0	0	0
30	SLS_C3	SLS - C3 bez dynam	Q	0	266	2	-175	0	-28	0	1.00	vyp.	1	0.00	-	1.00	0.00	0	0	0	0	0	0	0	0	0	0	0	0
		CELKEM - FÁZE PRŮŘEZU 0																509	0	-488	0	-488	0	-75	0	-75	-1	0	-1
		CELKEM - FÁZE PRŮŘEZU 1																0	0	0	0	0	0	0	0	0	0	0	0
		CELKEM - FÁZE PRŮŘEZU 2																0	0	0	0	0	0	0	0	0	0	0	0
		CELKEM - FÁZE PRŮŘEZU 3																0	0	0	0	0	0	0	0	0	0	0	0
		CELKEM - PRŮŘEZ																509	0	-488	0	-488	0			-75			-1

Napětí od jednotlivých zatěžovacích stavů

SKUPINA ZATĚŽOVACÍCH STAVŮ					Posouzení normálového napětí										Posouzení smykového napětí													
					Účinek síly N			Účinek momentu My				Účinek momentu Mz				Účinek ktoutícího momentu Mx				Účinek smykové síly Vy				Účinek smykové síly Vz			
Č.	SKUP ZS	Popis ZS	Kat.	fáze prúř.	δ^*N_d [kN]	χ^*A [mm^2]	σ_n [MPa]	$\delta^*M_{y,d}$ [kNm]	$\chi_{lt}*W_{el,y}$ [mm^3]	σ_{my} [MPa]	$\delta^*M_{z,d}$ [kNm]	$W_{el,z}$ [mm^3]	σ_{mz} [MPa]	σ_x [MPa]	$\kappa*\delta^*M_{x,d}$ [kNm]	$W_{v,y}$ [mm^2]	$\tau_{x,y}$ [MPa]	$W_{v,z}$ [mm^2]	$\tau_{x,z}$ [MPa]	$\delta^*V_{y,d}$ [kN]	$A_{v,y}$ [mm2]	$\tau_{v,y}$ [MPa]	$\tau_{v,y}$ [MPa]	$\delta^*V_{z,d}$ [kN]	$A_{v,z}$ [mm2]	$\tau_{v,z}$ [MPa]	$\tau_{v,z}$ [MPa]
1	G0	Vlastní tíha OK	G	0	108.4	1.06E+04	10.2	-2.4	-2.40E+06	1.0	-0.6	-2.94E+06	0.2	11.4	0.0E+00	-	-	-	-	-0.5	3.52E+03	-0.2	-0.2	-10.8	5.40E+03	-2.0	-2.0
2	G1	Ostatní stálé - mostní vybavení	G	0	8.1	1.06E+04	0.8	-0.1	-2.40E+06	0.0	0.0	-2.94E+06	0.0	0.8	0.0E+00	-	-	-	-	0.0	3.52E+03	0.0	0.0	-0.1	5.40E+03	0.0	0.0
3	G2	Ostatní stálé - cizí zařízení	G	0	6.3	1.06E+04	0.6	0.0	-2.40E+06	0.0	0.0	-2.94E+06	0.0	0.6	0.0E+00	-	-	-	-	0.0	3.52E+03	0.0	0.0	-0.1	5.40E+03	0.0	0.0
4	P1_71	a.LM71 - kolej 1 (bez dyn. souč.)	P	0	139.1	1.06E+04	13.1	-17.7	-2.40E+06	7.4	-1.1	-2.94E+06	0.4	20.8	0.0E+00	-	-	-	-	-1.2	3.52E+03	-0.3	-0.3	-10.6	5.40E+03	-2.0	-2.0
5	P2_71	a.LM71 - kolej 2 (bez dyn. souč.)	P	0	240.4	1.06E+04	22.6	-54.6	-2.40E+06	22.8	-1.3	-2.94E+06	0.4	45.9	1.4E-01	-	-	-	-	-0.7	3.52E+03	-0.2	-0.2	-440.9	5.40E+03	-81.7	-81.7
6	P1_C3	TTZ C3 - kolej 1 (bez dyn. souč.)	P	0	0.0	1.06E+04	0.0	0.0	-2.40E+06	0.0	0.0	-2.94E+06	0.0	0.0	0.0E+00	-	-	-	-	0.0	3.52E+03	0.0	0.0	0.0	5.40E+03	0.0	0.0
7	P2_C3	TTZ C3 - kolej 2 (bez dyn. souč.)	P	0	0.0	1.06E+04	0.0	0.0	-2.40E+06	0.0	0.0	-2.94E+06	0.0	0.0	0.0E+00	-	-	-	-	0.0	3.52E+03	0.0	0.0	0.0	5.40E+03	0.0	0.0
8	BR	Brzdné a rozjezdové síly	P	0	36.5	1.06E+04	3.4	-3.3	-2.40E+06	1.4	-1.0	-2.94E+06	0.3	5.2	-1.0E-02	-	-	-	-	-0.7	3.52E+03	-0.2	-0.2	-2.1	5.40E+03	-0.4	-0.4
9	S	Boční ráz	P	0	-61.7	1.06E+04	-5.8	3.7	-2.40E+06	-1.6	3.4	-2.94E+06	-1.2	-8.5	1.8E-01	-	-	-	-	6.8	3.52E+03	1.9	1.9	-7.1	5.40E+03	-1.3	-1.3
10	CH	Chodci na lávkách	Q	0	8.3	1.06E+04	0.8	-0.3	-2.40E+06	0.1	-0.1	-2.94E+06	0.0	0.9	0.0E+00	-	-	-	-	-0.1	3.52E+03	0.0	0.0	-0.2	5.40E+03	0.0	0.0
11	W	Vítr na konstrukci	Q	0	-33.7	1.06E+04	-3.2	-2.4	-2.40E+06	1.0	-0.4	-2.94E+06	0.1	-2.0	-1.0E-02	-	-	-	-	-0.1	3.52E+03	0.0	0.0	-1.5	5.40E+03	-0.3	-0.3
12	WP	Vítr na vozidla	Q	0	55.8	1.06E+04	5.3	0.6	-2.40E+06	-0.3	-0.1	-2.94E+06	0.0	5.0	1.0E-02	-	-	-	-	-3.4	3.52E+03	-1.0	-1.0	-14.5	5.40E+03	-2.7	-2.7
13	TR	Teplota rovnoměrná	Q	0	0.0	1.06E+04	0.0	0.0	-2.40E+06	0.0	0.0	-2.94E+06	0.0	0.0	0.0E+00	-	-	-	-	0.0	3.52E+03	0.0	0.0	0.0	5.40E+03	0.0	0.0
14	TN	Teplota nerovnoměrná	Q	0	-6.7	1.06E+04	-0.6	1.2	-2.40E+06	-0.5	0.0	-2.94E+06	0.0	-1.1	0.0E+00	-	-	-	-	0.0	3.52E+03	0.0	0.0	-0.1	5.40E+03	0.0	0.0
15	FR	Třecí síly v ložiskách	Q	0	11.4	1.06E+04	1.1	-0.1	-2.40E+06	0.1	0.0	-2.94E+06	0.0	1.1	0.0E+00	-	-	-	-	0.0	3.52E+03	0.0	0.0	-0.1	5.40E+03	0.0	0.0
16	I	Imperfekce soustavy	Q	0	-3.5	1.06E+04	-0.3	-0.1	-2.40E+06	0.1	0.0	-2.94E+06	0.0	-0.3	0.0E+00	-	-	-	-	0.0	3.52E+03	0.0	0.0	-0.1	5.40E+03	0.0	0.0
27	ULS_LM	ULS - LM71 bez dynam	Q	0	0.0	1.06E+04	0.0	0.0	-2.40E+06	0.0	0.0	-2.94E+06	0.0	0.0	0.0E+00	-	-	-	-	0.0	3.52E+03	0.0	0.0	0.0	5.40E+03	0.0	0.0
28	SLS_LM	SLS - LM71 bez dynam	Q	0	0.0	1.06E+04	0.0	0.0	-2.40E+06	0.0	0.0	-2.94E+06	0.0	0.0	0.0E+00	-	-	-	-	0.0	3.52E+03	0.0	0.0	0.0	5.40E+03	0.0	0.0
29	ULS_C3	ULS - C3 bez dynam	Q	0	0.0	1.06E+04	0.0	0.0	-2.40E+06	0.0	0.0	-2.94E+06	0.0	0.0	0.0E+00	-	-	-	-	0.0	3.52E+03	0.0	0.0	0.0	5.40E+03	0.0	0.0
30	SLS_C3	SLS - C3 bez dynam	Q	0	0.0	1.06E+04	0.0	0.0	-2.40E+06	0.0	0.0	-2.94E+06	0.0	0.0	0.0E+00	-	-	-	-	0.0	3.52E+03	0.0	0.0	0.0	5.40E+03	0.0	0.0
NAVÝŠENÍ NAPĚTÍ DO AKTIVACE TLAKU V DESCE MOSTOVKY						$\sigma_{P,red}$	0.0							0.0			0.0		0.0				0.0	0.0			-90.4	-90.4
NAPĚTÍ OD PRIMÁRNÍCH ÚČINKŮ NEROVNOMĚRNÉHO OTEPLENÍ						σ_T	0.0							0.0														
NAPĚTÍ OD REOLOGICKÝCH ÚČINKŮ BETONU V ČASE				t=0		σ_R	0.0	γ_r=	1.20					0.0														
NAPĚTÍ V KRITICKÝCH VLÁKNECH OD KOMBINACE ZATÍŽENÍ						KZ04		[MPa]					$\Sigma\sigma_x$	79.8								$\Sigma\tau_y$	0.0			$\Sigma\tau_z$	-90.4
NAPĚTÍ OD POHYBLIVÉHO ZATÍŽENÍ								[MPa]					$\sigma_{x,P}$	63.3								τ_P	1.2			τ_P	-85.3
NAPĚTÍ OD OSTATNÍCH ZATÍŽENÍ								[MPa]			Φ_{Vy}	Φ_{Vz}	$\sigma_{x,rs}$	16.5								τ_{rs}	-1.2			τ_{rs}	-5.1
NÁVRHOVÁ HODNOTA MEZE KLUZU S REDUKCÍ VLIVEM SMYKOVÉHO NAPĚTÍ								[MPa]			1.00	0.75	$f_{yv,d}$	209.1								$f_{yd}/3^{0,5}$	120.7			$f_{yd}/3^{0,5}$	120.7
NAPĚTÍ OD POHYBLIVÉHO ZATÍŽENÍ V GLOBÁLNÍM SYSTÉMU						$\sigma_{GLOB,P}$	0.0	[MPa]					$\Sigma\sigma_{GLOB}$	0.0													
NAPĚTÍ OD OSTATNÍCH ZATÍŽENÍ V GLOBÁLNÍM SYSTÉMU						$\sigma_{GLOB,rs}$	0.0	[MPa]					$\Sigma\sigma_x + \Sigma\sigma_{GLOB}$	79.8													
VYUŽITÍ PRŮŘEZU DLE NAPĚTÍ								[%]					η_1	0.38								η_3	0.00			η_3	0.75
NAPĚTÍ V PŘÍČNÉM SMĚRU OD POHYBLIVÉHO ZATÍŽENÍ						$\sigma_{z,P}$	0.0	[MPa]					$\Sigma\sigma_z$	0.0													
NAPĚTÍ V PŘÍČNÉM SMĚRU OD OSTATNÍCH ZATÍŽENÍ						$\sigma_{z,rs}$	0.0	[MPa]					η_2	0.00													
SROVNÁVACÍ NAPĚTÍ													$(\eta_2 + 0,8\,\eta_1)/1,4 =$	0.22													
VYUŽITÍ PRŮŘEZU CELKEM								[%]					eff	0.75	VYHOVUJE												
													Z_{LM71} =	1.36													

VÝPOČET PRŮŘEZOVÝCH CHARAKTERISTIK

PRŮŘEZ: L4_2 **POPIS:** PODÉLNÍK - 4-8 - V POLI **x =** - **m**

DEFINOVÁNÍ PRŮŘEZU

PÁSNICE HORNÍHO LEVÉHO ÚHELNÍKU	b f.t.l.o =	100	mm				
TLOUŠŤKA PÁSNICE ÚHELNÍKU	t f.t.l.o =	11	mm	OSLABENÍ PÁSNICE - TLOUŠŤKA	Δt f.t.l.o =	0	%
VÝŠKA STĚNY ÚHELNÍKU	h w.t.l.o =	89	mm				
TLOUŠŤKA STĚNY ÚHELNÍKU	t w.t.l.o =	11	mm	OSLABENÍ STĚNY - TLOUŠŤKA	Δt w.t.l.o =	0	%
PÁSNICE HORNÍHO PRAVÉHO ÚHELNÍKU	b f.t.r.o =	100	mm				
TLOUŠŤKA PÁSNICE ÚHELNÍKU	t f.t.r.o =	11	mm	OSLABENÍ PÁSNICE - TLOUŠŤKA	Δt f.t.r.o =	0	%
VÝŠKA STĚNY ÚHELNÍKU	h w.t.r.o =	89	mm				
TLOUŠŤKA STĚNY ÚHELNÍKU	t w.t.r.o =	11	mm	OSLABENÍ STĚNY - TLOUŠŤKA	Δt w.t.r.0 =	0	%
PÁSNICE DOLNÍHO LEVÉHO ÚHELNÍKU	b f.b.l.o =	100	mm				
TLOUŠŤKA PÁSNICE ÚHELNÍKU	t f.b.l.o =	11	mm	OSLABENÍ PÁSNICE - TLOUŠŤKA	Δt f.b.l.o =	0	%
VÝŠKA STĚNY ÚHELNÍKU	h w.b.l.o =	89	mm				
TLOUŠŤKA STĚNY ÚHELNÍKU	t w.b.l.o =	11	mm	OSLABENÍ STĚNY - TLOUŠŤKA	Δt w.b.l.o =	0	%
PÁSNICE DOLNÍHO PRAVÉHO ÚHELNÍKU	b f.b.r.o =	100	mm				
TLOUŠŤKA PÁSNICE ÚHELNÍKU	t f.b.r.o =	11	mm	OSLABENÍ PÁSNICE - TLOUŠŤKA	Δt f.b.r.o =	0	%
VÝŠKA STĚNY ÚHELNÍKU	h w.b.r.o =	89	mm				
TLOUŠŤKA STĚNY ÚHELNÍKU	t w.b.r.o =	11	mm	OSLABENÍ STĚNY - TLOUŠŤKA	Δt w.b.r.o =	0	%

ŠÍŘKA HORNÍ PÁSNICE	b f.t =	280	mm				
TLOUŠŤKA HORNÍ PÁSNICE	t f.t =	10	mm	OSLABENÍ HORNÍ PÁSNICE	Δt f.t =	0	%
PŘESAH HORNÍ PÁSNICE	o f.t =	60	mm	HORNÍ PÁSNICE OBECNĚ NESYMETRICKÁ (PODÉLNÍK - PŘÍPOJ MOSTNICE)			
VÝŠKA STĚNY	h w =	690	mm				
TLOUŠŤKA STĚNY	t w =	10	mm	OSLABENÍ STĚNY	Δt w.1 =	0	%
ŠÍŘKA DOLNÍ PÁSNICE	b f.b =	220	mm				
TLOUŠŤKA DOLNÍ PÁSNICE	t f.b =	10	mm	OSLABENÍ DOLNÍ PÁSNICE (DOLNÍ PÁSNICE SYMETRICKÁ)	Δt f.b =	0	%

NÝT Č.	SKUPINA	ŘEZ	RED.	VELIKOST d1 [mm]	POLOHA e1 [mm]	POPIS	AKTIVITA OTVORU	NAPĚTÍ sc [MPa]
1		-	1.00	22	-135	nýt - f.t	1	34.51
2	1	3	0.76	20	-55	nýt - f.t - krční úhelník	1	16.18
3	1	3	0.76	20	55	nýt - f.t - krční úhelník	1	-9.68
4		-	1.00			nýt - f.t	-	
5	1	3	0.76	20	635	nýt - w - krční úhelník	1	7.93
6		-	1.00			nýt - w	-	
7		-	1.00			nýt - w	-	
8		-	1.00			nýt - w	-	
9		-	1.00			nýt - w	-	
10		-	1.00	20	545	nýt - w	1	15.67
11		-	1.00	20	445	nýt - w	1	24.28
12		-	1.00	20	345	nýt - w	1	32.88
13		-	1.00	20	245	nýt - w	1	41.48
14		-	1.00	20	145	nýt - w	1	50.08
15	2	3	0.76	20	55	nýt - w - krční úhelník	1	57.82
16		-	1.00				-	
17		-	1.00				-	
18		-	1.00				-	
19		-	1.00			nýt - f.b	-	
20	2	3	0.76	20	-55	nýt - f.b. - krční úhelník	1	75.44
21	2	3	0.76	20	55	nýt - f.b. - krční úhelník	1	49.58
22		-	1.00			nýt - f.b	-	

ZADÁNÍ ČÁSTI PRŮŘEZU:

č.prvku	b [mm]	h [mm]	y_0 [mm]	z_0 [mm]	popis části	druh oslabení	lokální ultimate	boulení servic.
1	100.0	11.0	-55.0	684.5	pásnice	0	1.000	1.000
2	11.0	89.0	-10.5	634.5	stěna	0	1.000	1.000
3	100.0	11.0	55.0	684.5	pásnice	0	1.000	1.000
4	11.0	89.0	10.5	634.5	stěna	0	1.000	1.000
5	100.0	11.0	-55.0	5.5	pásnice	0	1.000	1.000
6	11.0	89.0	-10.5	55.5	stěna	0	1.000	1.000
7	100.0	11.0	55.0	5.5	pásnice	0	1.000	1.000
8	11.0	89.0	10.5	55.5	stěna	0	1.000	1.000
9	280.0	10.0	-25.0	695.0	pásnice	0	1.000	1.000
10	10.0	690.0	0.0	345.0	stěna	0	1.000	1.000
11	220.0	10.0	0.0	-5.0	pásnice	0	1.000	1.000
12						0	1.000	1.000
13						0	1.000	1.000
14						0	1.000	1.000
15						0	1.000	1.000
16						0	1.000	1.000
17						0	1.000	1.000
18						0	1.000	1.000
19						0	1.000	1.000
20						0	1.000	1.000
21						0	1.000	1.000
22						0	1.000	1.000
23						0	1.000	1.000
24						0	1.000	1.000
25						0	1.000	1.000
26						0	1.000	1.000
27						0	1.000	1.000
28						0	1.000	1.000
29						0	1.000	1.000
30						0	1.000	1.000
31						0	1.000	1.000
32						0	1.000	1.000
33						0	1.000	1.000
34						0	1.000	1.000
35						0	1.000	1.000
36						0	1.000	1.000
37						0	1.000	1.000
38						0	1.000	1.000
39						0	1.000	1.000
40						0	1.000	1.000
41						0	1.000	1.000
42						0	1.000	1.000
43						0	1.000	1.000
44						0	1.000	1.000
45						0	1.000	1.000
46						0	1.000	1.000
47						0	1.000	1.000
48						0	1.000	1.000
49						0	1.000	1.000
50						0	1.000	1.000
51	-22.0	10.0	-135.0	695.0	nýt - pásnice	0	1.000	1.000
52	-15.2	21.0	-55.0	689.5	nýt - pásnice	0	1.000	1.000
53	-15.2	21.0	55.0	689.5	nýt - pásnice	0	1.000	1.000
54	0	0	0	0	nýt - pásnice	0	1.000	1.000
55	32.0	-15.2	0.0	635.0	nýt - stěna	0	1.000	1.000
56	0	0	0	0	nýt - stěna	0	1.000	1.000
57	0	0	0	0	nýt - stěna	0	1.000	1.000
58	0	0	0	0	nýt - stěna	0	1.000	1.000
59	0	0	0	0	nýt - stěna	0	1.000	1.000
60	10.0	-20.0	0.0	545.0	nýt - stěna	0	1.000	1.000
61	10.0	-20.0	0.0	445.0	nýt - stěna	0	1.000	1.000
62	10.0	-20.0	0.0	345.0	nýt - stěna	0	1.000	1.000
63	10.0	-20.0	0.0	245.0	nýt - stěna	0	1.000	1.000
64	10.0	-20.0	0.0	145.0	nýt - stěna	0	1.000	1.000
65	32.0	-15.2	0.0	55.0	nýt - stěna	0	1.000	1.000
66						0	1.000	1.000
67						0	1.000	1.000
68						0	1.000	1.000
69	0	0	0	0	nýt - pásnice	0	1.000	1.000
70	-15.2	21.0	-55.0	0.5	nýt - pásnice	0	1.000	1.000
71	-15.2	21.0	55.0	0.5	nýt - pásnice	0	1.000	1.000
72	0	0	0	0	nýt - pásnice	0	1.000	1.000
73								
74								
75								
76								
77								
78								
79								
80								
81								
82								
83								
84								
85								
86								
87								
88								
89								
90								
91								
92								
93								
94								
95								
96								
97								
98								
99								
100								

VÝPOČET PRŮŘEZOVÝCH CHARAKTERISTIK

Properties	Basic	Ultimate		Serviceability	
y_t	-2.4	-2.4		-2.4	[mm]
z_t	352.9	352.9		352.9	[mm]
A_i	1.6745E+04	1.6745E+04		1.6745E+04	[mm²]
A_y	7.9021E+03	7.9021E+03		7.9021E+03	[mm²]
A_z	8.8424E+03	8.8424E+03		8.8424E+03	[mm²]
I_{y1}	1.4426E+09	1.4426E+09		1.4426E+09	[mm⁴]
I_w	3.8325E+07	3.8325E+07		3.8325E+07	[mm⁶]
i_y	293.5	293.5		293.5	[mm]
i_z	47.8	47.8		47.8	[mm]
$W_{y,1}$	4.1567E+06	4.1567E+06		4.1567E+06	[mm³]
$W_{z,1}$	-2.3571E+05	-2.3571E+05		-2.3571E+05	[mm³]
$W_{y,2}$	-3.9748E+06	-3.9748E+06		-3.9748E+06	[mm³]
$W_{z,2}$	-3.5620E+05	-3.5620E+05		-3.5620E+05	[mm³]
KRAJNÍ VLÁKNA PRŮŘEZU					
y_1	-165.0	-165.0		-165.0	[mm]
z_1	700.0	700.0		700.0	[mm]
y_2	-110.0	-110.0		-110.0	[mm]
z_2	-10.0	-10.0		-10.0	[mm]
y_3	115.0	115.0		115.0	[mm]
z_3	700.0	700.0		700.0	[mm]
y_4	110.0	110.0		110.0	[mm]
z_4	-10.0	-10.0		-10.0	[mm]
y_5	-5.0	-5.0		-5.0	[mm]
z_5	690.0	690.0		690.0	[mm]
y_6	-5.0	-5.0		-5.0	[mm]
z_6	0.0	0.0		0.0	[mm]

ÚPRAVA MOMENTŮ SETRVAČNOSTI V DŮSLEDKU ČLENĚNÍ PRŮŘEZU

OSA Y 1.00
OSA Z 1.00

SCHÉMA PROMĚNNÝCH

SCHÉMA ZADANÉHO PRŮŘEZU

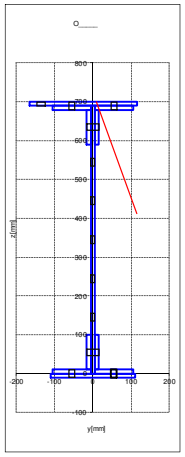

NEUTRÁLNÁ OSA

NAPĚTÍ [MPa]:

41.13	**-24.69**
102.20	**36.38**

TR_L4.2 SLS_LM

-104	-11	-3	0	8	-9
549	12	23	0	124	9
-58	-21	31	1	199	-16
508	21	-1	-1	-8	16
312	0	-50	0	82	-1
132	1	86	0	153	2
446	21	12	-1	148	16
-8	-20	-2	1	19	-16
175	20	-3	-1	-35	13
282	-19	53	0	235	-12
69	-20	27	1	68	-16
370	21	18	-1	144	17

ZS: SLS_LM.MAX N

	N [kN]	Vy [kN]	Vz [kN]	Mx [kNm]	My [kNm]	Mz [kNm]
import	549	12	23	0	124	9

TR_L4.2 POPIS: **PODÉLNÍK L4.E - STŘED** POSUDEK: **L4.2**

SKUPINA ZAT. STAVŮ	EXTRÉM	VYHODNOCOVANÉ VELIČINY					
		N	Vy	Vz	Mx	My	Mz
		kN	kN	kN	kNm	kNm	kNm
G0	N.min	**95.36**	0.21	-0.05	-0.02	11.26	0.04
	N.max	**67.78**	-0.17	0.84	-0.01	10.25	0.07
	Vy.min	95.36	**0.21**	-0.05	-0.02	11.26	0.04
	Vy.max	67.78	**-0.17**	0.84	-0.01	10.25	0.07
	Vz.min	95.36	0.21	**-0.05**	-0.02	11.26	0.04
	Vz.max	67.78	-0.17	**0.84**	-0.01	10.25	0.07
	Mx.min	95.36	0.21	-0.05	**-0.02**	11.26	0.04
	Mx.max	67.78	-0.17	0.84	**-0.01**	10.25	0.07
	My.min	95.36	0.21	-0.05	-0.02	**11.26**	0.04
	My.max	67.78	-0.17	0.84	-0.01	**10.25**	0.07
	Mz.min	95.36	0.21	-0.05	-0.02	11.26	**0.04**
	Mz.max	67.78	-0.17	0.84	-0.01	10.25	**0.07**
G1	N.min	**7.15**	0.02	-0.12	0	0.27	0.01
	N.max	**7.15**	0.02	-0.12	0	0.27	0.01
	Vy.min	7.15	**0.02**	-0.12	0	0.27	0.01
	Vy.max	7.15	**0.02**	-0.12	0	0.27	0.01
	Vz.min	7.15	0.02	**-0.12**	0	0.27	0.01
	Vz.max	7.15	0.02	**-0.12**	0	0.27	0.01
	Mx.min	7.15	0.02	-0.12	**0**	0.27	0.01
	Mx.max	7.15	0.02	-0.12	**0**	0.27	0.01
	My.min	7.15	0.02	-0.12	0	**0.27**	0.01
	My.max	7.15	0.02	-0.12	0	**0.27**	0.01
	Mz.min	7.15	0.02	-0.12	0	0.27	**0.01**
	Mz.max	7.15	0.02	-0.12	0	0.27	**0.01**
G2	N.min	**5.52**	0.02	-0.06	0	0.19	0
	N.max	**5.52**	0.02	-0.06	0	0.19	0
	Vy.min	5.52	**0.02**	-0.06	0	0.19	0
	Vy.max	5.52	**0.02**	-0.06	0	0.19	0
	Vz.min	5.52	0.02	**-0.06**	0	0.19	0
	Vz.max	5.52	0.02	**-0.06**	0	0.19	0
	Mx.min	5.52	0.02	-0.06	**0**	0.19	0
	Mx.max	5.52	0.02	-0.06	**0**	0.19	0
	My.min	5.52	0.02	-0.06	0	**0.19**	0
	My.max	5.52	0.02	-0.06	0	**0.19**	0
	Mz.min	5.52	0.02	-0.06	0	0.19	**0**
	Mz.max	5.52	0.02	-0.06	0	0.19	**0**
P1_71	N.min	**-0.13**	0	-0.01	0	0.03	0
	N.max	**85.9**	0.2	-2.55	0.01	1.74	0.07
	Vy.min	7.27	**-0.25**	0.08	0.07	6.57	0.11
	Vy.max	81.15	**0.34**	-2.46	-0.03	-2	0.04
	Vz.min	69.93	0.1	**-5.1**	0.01	4.69	0.23
	Vz.max	14.79	-0.04	**3.21**	0.03	3.03	-0.1
	Mx.min	77.9	0.28	-2.82	**-0.04**	0.2	0.15
	Mx.max	7.59	-0.23	0.27	**0.08**	6.34	0.01
	My.min	30.19	0.19	-1.37	-0.01	**-4.41**	0
	My.max	59.85	-0.08	-1.57	0.06	**9.94**	0.12
	Mz.min	48.22	0.04	2.32	0.03	3.78	**-0.11**
	Mz.max	31.64	-0.1	-3.63	0.04	5.19	**0.28**
P2_71	N.min	**-0.52**	0	0	0	0.01	0
	N.max	**135.98**	0.32	23.06	-0.11	107.06	0.15
	Vy.min	21.54	**-0.41**	49.81	-0.1	230.64	0.1
	Vy.max	123.1	**0.6**	-3.82	-0.06	-15.9	0.1
	Vz.min	106.05	0.29	**-40.17**	-0.08	82.29	0.34
	Vz.max	30.51	-0.23	**90.21**	-0.09	163.97	-0.1
	Mx.min	131.75	0.3	48.14	**-0.22**	190.7	0.6
	Mx.max	-0.19	0	0	**0**	0	0
	My.min	48.48	0.35	0.82	-0.05	**-17.91**	0.05
	My.max	96.21	-0.21	61.2	-0.13	**240.96**	0.15
	Mz.min	62.7	0.01	34.56	-0.06	56.91	**-0.16**
	Mz.max	73.08	0.13	20.24	-0.19	176.94	**0.68**
P1_C3	N.min	**-0.12**	0	0	0	0.02	0
	N.max	**68.95**	0.1	-2.51	0.03	2.5	0.08
	Vy.min	3.44	**-0.17**	0	0.05	3.19	0.06
	Vy.max	64.9	**0.25**	-1.27	-0.02	-0.84	0.02
	Vz.min	59	0.18	**-3.91**	-0.02	1.66	0.15
	Vz.max	10.68	0.01	**2.3**	0	0.69	-0.07
	Mx.min	66.01	0.24	-2.17	**-0.03**	0.53	0.09
	Mx.max	5.22	-0.15	0.03	**0.06**	3.4	0
	My.min	14.74	0.09	-0.42	-0.01	**-3.24**	-0.01
	My.max	49.45	0.03	-1.1	0.02	**6.4**	0.08
	Mz.min	40.7	0.05	1.15	0.02	1.87	**-0.07**
	Mz.max	24.4	-0.03	-2.31	0.02	2.68	**0.16**
P2_C3	N.min	**-0.44**	0	0	0	0.01	0
	N.max	**110.78**	0.19	20.81	-0.1	138.02	0.18
	Vy.min	11.2	**-0.27**	49.44	-0.06	149.03	0.01
	Vy.max	99.17	**0.45**	-2.79	-0.04	-10.1	0.07
	Vz.min	94.07	0.28	**-30.57**	-0.06	59.77	0.26
	Vz.max	24.72	-0.15	**66.23**	-0.06	118.31	-0.04
	Mx.min	108.66	0.31	17.55	**-0.14**	118.92	0.36
	Mx.max	-0.26	0	0	**0**	0	0
	My.min	34.88	0.29	-0.94	-0.03	**-13.53**	0.04
	My.max	74.52	-0.1	27.79	-0.07	**154.91**	0.06
	Mz.min	55.96	0.04	24.25	-0.04	38.99	**-0.12**
	Mz.max	56.42	0.14	18.86	-0.1	106.84	**0.43**
BR	N.min	**-109.42**	-0.36	2.51	0.02	-2.77	0.03
	N.max	**109.42**	0.36	-2.51	-0.02	2.77	-0.03
	Vy.min	-109.42	**-0.36**	2.51	0.02	-2.77	0.03
	Vy.max	109.42	**0.36**	-2.51	-0.02	2.77	-0.03
	Vz.min	97.03	0.23	**-3.8**	-0.03	4.28	0.03
	Vz.max	-97.03	-0.23	**3.8**	0.03	-4.28	-0.03
	Mx.min	97.03	0.23	-3.8	**-0.03**	4.28	0.03
	Mx.max	-97.03	-0.23	3.8	**0.03**	-4.28	-0.03
	My.min	-97.03	-0.23	3.8	0.03	**-4.28**	-0.03
	My.max	97.03	0.23	-3.8	-0.03	**4.28**	0.03
	Mz.min	-27.45	0	3.17	0.01	-3.6	**-0.05**
	Mz.max	27.45	0	-3.17	-0.01	3.6	**0.05**

TR_L4.2 POPIS: **PODÉLNÍK L4.E - STŘED** POSUDEK: **L4.2**

SKUPINA ZAT. STAVŮ	EXTRÉM	VYHODNOCOVANÉ VELIČINY					
		N	Vy	Vz	Mx	My	Mz
		kN	kN	kN	kNm	kNm	kNm
S	N.min	**-59.51**	-19.44	-0.95	0.55	15.3	-14.18
	N.max	**59.51**	19.44	0.95	-0.55	-15.3	14.18
	Vy.min	-59.51	**-19.44**	-0.95	0.55	15.3	-14.18
	Vy.max	59.51	**19.44**	0.95	-0.55	-15.3	14.18
	Vz.min	-22.63	-0.06	**-2.28**	0	-0.41	0.05
	Vz.max	22.63	0.06	**2.28**	0	0.41	-0.05
	Mx.min	59.51	19.44	0.95	**-0.55**	-15.3	14.18
	Mx.max	-59.51	-19.44	-0.95	**0.55**	15.3	-14.18
	My.min	59.51	19.44	0.95	-0.55	**-15.3**	14.18
	My.max	-59.51	-19.44	-0.95	0.55	**15.3**	-14.18
	Mz.min	-59.51	-19.44	-0.95	0.55	15.3	**-14.18**
	Mz.max	59.51	19.44	0.95	-0.55	-15.3	**14.18**
CH	N.min	**6.41**	0.02	-0.18	0	0.2	-0.01
	N.max	**13.78**	0.03	-0.13	0	0.42	-0.01
	Vy.min	6.41	**0.02**	-0.18	0	0.2	-0.01
	Vy.max	13.78	**0.03**	-0.13	0	0.42	-0.01
	Vz.min	6.41	0.02	**-0.18**	0	0.2	-0.01
	Vz.max	9.7	0.02	**-0.12**	0	0.39	-0.01
	Mx.min	6.41	0.02	-0.18	**0**	0.2	-0.01
	Mx.max	9.7	0.02	-0.12	**0**	0.39	-0.01
	My.min	6.41	0.02	-0.18	0	**0.2**	-0.01
	My.max	13.78	0.03	-0.13	0	**0.42**	-0.01
	Mz.min	6.41	0.02	-0.18	0	0.2	**-0.01**
	Mz.max	13.78	0.03	-0.13	0	0.42	**-0.01**
W	N.min	**-33.32**	-0.13	-1.45	0	1.5	0
	N.max	**33.31**	0.13	1.45	0	-1.5	0
	Vy.min	-33.32	**-0.13**	-1.45	0	1.5	0
	Vy.max	33.31	**0.13**	1.45	0	-1.5	0
	Vz.min	-33.32	-0.13	**-1.45**	0	1.5	0
	Vz.max	33.31	0.13	**1.45**	0	-1.5	0
	Mx.min	-33.32	-0.13	-1.45	**0**	1.5	0
	Mx.max	33.31	0.13	1.45	**0**	-1.5	0
	My.min	33.31	0.13	1.45	0	**-1.5**	0
	My.max	-33.32	-0.13	-1.45	0	**1.5**	0
	Mz.min	-33.32	-0.13	-1.45	0	1.5	**0**
	Mz.max	33.31	0.13	1.45	0	-1.5	**0**
WP	N.min	**-55.35**	-0.82	-4.93	0.1	-12.58	-2.23
	N.max	**55.33**	0.82	4.93	-0.1	12.59	2.23
	Vy.min	-55.35	**-0.82**	-4.93	0.1	-12.58	-2.23
	Vy.max	55.33	**0.82**	4.93	-0.1	12.59	2.23
	Vz.min	-55.35	-0.82	**-4.93**	0.1	-12.58	-2.23
	Vz.max	55.33	0.82	**4.93**	-0.1	12.59	2.23
	Mx.min	55.33	0.82	4.93	**-0.1**	12.59	2.23
	Mx.max	-55.35	-0.82	-4.93	**0.1**	-12.58	-2.23
	My.min	-55.35	-0.82	-4.93	0.1	**-12.58**	-2.23
	My.max	55.33	0.82	4.93	-0.1	**12.59**	2.23
	Mz.min	-55.35	-0.82	-4.93	0.1	-12.58	**-2.23**
	Mz.max	55.33	0.82	4.93	-0.1	12.59	**2.23**
TR	N.min	**0**	0	0	0	0	0
	N.max	**0**	0	0	0	0	0
	Vy.min	0	**0**	0	0	0	0
	Vy.max	0	**0**	0	0	0	0
	Vz.min	0	0	**0**	0	0	0
	Vz.max	0	0	**0**	0	0	0
	Mx.min	0	0	0	**0**	0	0
	Mx.max	0	0	0	**0**	0	0
	My.min	0	0	0	0	**0**	0
	My.max	0	0	0	0	**0**	0
	Mz.min	0	0	0	0	0	**0**
	Mz.max	0	0	0	0	0	**0**
TN	N.min	**-8.25**	-0.04	-0.14	0	1.89	0.01
	N.max	**16.08**	0.07	0.11	0	-1.61	0.01
	Vy.min	-8.25	**-0.04**	-0.14	0	1.89	0.01
	Vy.max	16.08	**0.07**	0.11	0	-1.61	0.01
	Vz.min	-8.25	-0.04	**-0.14**	0	1.89	0.01
	Vz.max	8.25	0.04	**0.14**	0	-1.89	-0.01
	Mx.min	-7.63	-0.02	0.01	**0**	-0.27	-0.02
	Mx.max	-8.25	-0.04	-0.14	**0**	1.89	0.01
	My.min	8.25	0.04	0.14	0	**-1.89**	-0.01
	My.max	-8.25	-0.04	-0.14	0	**1.89**	0.01
	Mz.min	-7.63	-0.02	0.01	0	-0.27	**-0.02**
	Mz.max	-8.25	-0.04	-0.14	0	1.89	**0.01**
FR	N.min	**-9.54**	-0.02	0.08	0	-0.12	0
	N.max	**9.54**	0.02	-0.08	0	0.12	0
	Vy.min	-9.54	**-0.02**	0.08	0	-0.12	0
	Vy.max	9.54	**0.02**	-0.08	0	0.12	0
	Vz.min	9.54	0.02	**-0.08**	0	0.12	0
	Vz.max	-9.54	-0.02	**0.08**	0	-0.12	0
	Mx.min	9.54	0.02	-0.08	**0**	0.12	0
	Mx.max	-9.54	-0.02	0.08	**0**	-0.12	0
	My.min	-9.54	-0.02	0.08	0	**-0.12**	0
	My.max	9.54	0.02	-0.08	0	**0.12**	0
	Mz.min	-9.54	-0.02	0.08	0	-0.12	**0**
	Mz.max	9.54	0.02	-0.08	0	0.12	**0**
I	N.min	**-2.91**	-0.01	-0.07	0	0.08	**0**
	N.max	**2.91**	0.01	0.07	0	-0.08	**0**
	Vy.min	-2.91	**-0.01**	-0.07	0	0.08	**0**
	Vy.max	2.91	**0.01**	0.07	0	-0.08	**0**
	Vz.min	-2.91	-0.01	**-0.07**	0	0.08	**0**
	Vz.max	2.91	0.01	**0.07**	0	-0.08	**0**
	Mx.min	-2.91	-0.01	-0.07	**0**	0.08	**0**
	Mx.max	2.91	0.01	0.07	**0**	-0.08	**0**
	My.min	2.91	0.01	0.07	0	**-0.08**	**0**
	My.max	-2.91	-0.01	-0.07	0	**0.08**	**0**
	Mz.min	-2.91	-0.01	-0.07	0	0.08	**0**
	Mz.max	2.91	0.01	0.07	0	-0.08	**0**

TAB. L4.2.3 POSOUZENÍ - MEZNÍ STAV ÚNOSNOSTI

POPIS	PODÉLNÍK L4.E - STŘED
PRUT / POLOHA BODU	850 / I[712]
NAMÁHÁNÍ	Vy.min
VLÁKNO	BOD K1 -HL
MEZNÍ STAV	ULS (MSÚ)
VYUŽITÍ VLÁKNA PRŮŘEZU	0.85

Charakteristiky materiálu				
pás. horní	$f_{yf,k}$	230	MPa	
pás. dolní	$f_{yf,k}$	230	MPa	
stojina	$f_{yw,k}$	230	MPa	
výztuž	$f_{ys,k}$	500	MPa	
γ_M =	1.10	γ_s =	1.15	

Excentricita normálové síly				
Exc./Fáze	0	1	2	3
e_y	0.000	0.000	0.000	0.000
e_z	0.000	0.000	0.000	0.000
Ekvivalentní vzdál. stěn - příčný rozmos				
b_{Mx}	0.000	0.000	0.000	0.000

Vliv stěny na únosnost průřezu				
Char./Fáze	0	1	2	3
A	0.00	0.00	0.00	0.00
Wy	0.00	0.00	0.00	0.00
Wz	0.00	0.00	0.00	0.00

Charakter. v kroucení			
$t_{w,y}$	0.000	[mm]	
$t_{w,z}$	0.000	[mm]	
κ	1.00		
I_t=	0.00E+00	[mm^4]	
$\Omega=2*A_{pr}$	0.00E+00	[mm^2]	

Součinitele vzpěru a vlivu II.řádu					
Char./Fáze	0	1	2	3	
k_y	1.000	1.000	1.000	1.000	
k_z	1.000	1.000	1.000	1.000	
χ_{LT}	1.000	1.000	1.000	1.000	
χ_{min}	1.000	1.000	1.000	1.000	

4

Vnitřní síly od jednotlivých skupin zatěžovacích stavů

SKUPINA ZATĚŽOVACÍCH STAVŮ

Č.	SKUP ZS	POPIS ZS	KAT.	FÁZE PRŮŘ.	- CHARAKTERISTICKÉ HODNOTY N.k (kN)	Vy.k (kN)	Vz.k (kN)	Mx.k (kNm)	My.k (kNm)	Mz.k (kNm)	DÍLČÍ SOUČINITELÉ ZATÍŽENÍ, DYNAMICKÝ SOUČINITEL γ_{sr} (-)	γ_{sl} (-)	volba γ_s hledat	γ_s (-)	L_d (m)	δ (-)	γ_{Sc} KZ04	- NÁVRHOVÉ HODNOTY N.d (kN)	Vy.d (kN)	Vz.d (kN)	ΔVz.d (kN)	ΣVz.d (kN)	Mx.d (kNm)	My.d (kNm)	ΔMy.d (kNm)	ΣMy.d (kNm)	Mz.d (kNm)	ΔMz.d (kNm)	ΣMz.d (kNm)
1	G0	Vlastní tíha OK	G	0	95	0	0	0	11	0	1.00	1.20		1.20	-	1.00	0.95	109	0	0	0	0	0	13	0	13	0	0	0
2	G1	Ostatní stálé - mostní vybavení	G	0	7	0	0	0	0	0	1.00	1.20		1.20	-	1.00	0.95	8	0	0	0	0	0	0	0	0	0	0	0
3	G2	Ostatní stálé - cizí zařízení	G	0	6	0	0	0	0	0	1.00	1.20		1.20	-	1.00	0.95	6	0	0	0	0	0	0	0	0	0	0	0
4	P1_71	a.LM71 - kolej 1 (bez dyn. souč.)	P	0	7	0	0	0	7	0	1.00	0.00		0.00	-	1.56	1.00	0	0	0	0	0	0	0	0	0	0	0	0
5	P2_71	a.LM71 - kolej 2 (bez dyn. souč.)	P	0	22	0	50	0	231	0	1.00	1.30		1.30	-	1.56	1.00	44	-1	101	0	101	0	469	0	469	0	0	0
6	P1_C3	TTZ C3 - kolej 1 (bez dyn. souč.)	P	0	3	0	0	0	3	0	1.00	vyp.		0.00	-	1.00	0.00	0	0	0	0	0	0	0	0	0	0	0	0
7	P2_C3	TTZ C3 - kolej 2 (bez dyn. souč.)	P	0	11	0	49	0	149	0	1.00	vyp.		0.00	-	1.00	0.00	0	0	0	0	0	0	0	0	0	0	0	0
8	BR	Brzdné a rozjezdové síly	P	0	-109	0	3	0	-3	0	1.00	1.30		1.30	-	1.00	0.40	-57	0	1	0	1	0	-1	0	-1	0	0	0
9	S	Boční ráz	P	0	-60	-19	-1	1	15	-14	1.00	-1.30		-1.30	-	1.00	0.80	62	20	1	0	1	-1	-16	0	-16	15	0	15
10	CH	Chodci na lávkách	Q	0	6	0	0	0	0	0	1.00	0.00		0.00	-	1.00	1.00	0	0	0	0	0	0	0	0	0	0	0	0
11	W	Vítr na konstrukci	Q	0	-33	0	-1	0	2	0	1.00	1.35		1.35	-	1.00	0.75	-34	0	-1	0	-1	0	2	0	2	0	0	0
12	WP	Vítr na vozidla	Q	0	-55	-1	-5	0	-13	-2	1.00	-1.35		-1.35	-	1.00	0.75	56	1	5	0	5	0	13	0	13	2	0	2
13	TR	Teplota rovnoměrná	Q	0	0	0	0	0	0	0	1.00	1.35		1.35	-	1.00	0.45	0	0	0	0	0	0	0	0	0	0	0	0
14	TN	Teplota nerovnoměrná	Q	0	-8	0	0	0	2	0	1.00	1.35		1.35	-	1.00	0.60	-7	0	0	0	0	0	2	0	2	0	0	0
15	FR	Třecí síly v ložiskách	Q	0	-10	0	0	0	0	0	1.00	1.20		1.20	-	1.00	1.00	-11	0	0	0	0	0	0	0	0	0	0	0
16	I	Imperfekce soustavy	Q	0	-3	0	0	0	0	0	1.00	1.20		1.20	-	1.00	1.00	-3	0	0	0	0	0	0	0	0	0	0	0
27	ULS_LM	ULS - LM71 bez dynam	Q	0	-91	-27	58	1	330	-20	1.00	vyp.		0.00	-	1.00	0.00	0	0	0	0	0	0	0	0	0	0	0	0
28	SLS_LM	SLS - LM71 bez dynam	Q	0	-50	-21	45	1	255	-16	1.00	vyp.	1	0.00	-	1.00	0.00	0	0	0	0	0	0	0	0	0	0	0	0
29	ULS_C3	ULS - C3 bez dynam	Q	0	-109	-27	58	1	220	-21	1.00	vyp.	1	0.00	-	1.00	0.00	0	0	0	0	0	0	0	0	0	0	0	0
30	SLS_C3	SLS - C3 bez dynam	Q	0	-64	-21	45	1	170	-16	1.00	vyp.	1	0.00	-	1.00	0.00	0	0	0	0	0	0	0	0	0	0	0	0
		CELKEM - FÁZE PRŮŘEZU 0			173	20	107	0	480	17								173	20	107	0	107	-1	480	0	480	17	0	17
		CELKEM - FÁZE PRŮŘEZU 1			0	0	0	0	0	0								0	0	0	0	0	0	0	0	0	0	0	0
		CELKEM - FÁZE PRŮŘEZU 2			0	0	0	0	0	0								0	0	0	0	0	0	0	0	0	0	0	0
		CELKEM - FÁZE PRŮŘEZU 3			0	0	0	0	0	0								0	0	0	0	0	0	0	0	0	0	0	0
		CELKEM - PRŮŘEZ			173	20	107	0	480	17								173	20	107	0	107	-1			480			17

Napětí od jednotlivých zatěžovacích stavů

SKUPINA ZATĚŽOVACÍCH STAVŮ

Č.	SKUP ZS	Popis ZS	Kat.	fáze průř.	Posouzení normálového napětí – Účinek síly N δ^*N_d [kN]	χ^*A [mm^2]	σ_n [MPa]	Účinek momentu My $\delta^*M_{y,d}$ [kNm]	$\chi_{lt}*W_{el,y}$ [mm^3]	σ_{my} [MPa]	Účinek momentu Mz $\delta^*M_{z,d}$ [kNm]	$W_{el,z}$ [mm^3]	σ_{mz} [MPa]	σ_x [MPa]	Posouzení smykového napětí – Účinek kroutícího momentu Mx $\kappa*\delta^*M_{x,d}$ [kNm]	$W_{v,y}$ [mm^2]	$\tau_{x,y}$ [MPa]	$W_{v,z}$ [mm^2]	$\tau_{x,z}$ [MPa]	Účinek smykové síly Vy $\delta^*V_{y,d}$ [kN]	$A_{v,y}$ [mm2]	$\tau_{v,y}$ [MPa]	$\tau_{v,y}$ [MPa]	Účinek smykové síly Vz $\delta^*V_{z,d}$ [kN]	$A_{v,z}$ [mm2]	$\tau_{v,z}$ [MPa]	$\tau_{v,z}$ [MPa]
1	G0	Vlastní tíha OK	G	0	108.7	1.67E+04	6.5	12.8	-4.16E+06	-3.1	0.0	-2.36E+05	-0.2	3.2	-2.3E-02	-	-	-	-	0.2	7.90E+03	0.0	0.0	-0.1	8.84E+03	0.0	0.0
2	G1	Ostatní stálé - mostní vybavení	G	0	8.2	1.67E+04	0.5	0.3	-4.16E+06	-0.1	0.0	-2.36E+05	0.0	0.4	0.0E+00	-	-	-	-	0.0	7.90E+03	0.0	0.0	-0.1	8.84E+03	0.0	0.0
3	G2	Ostatní stálé - cizí zařízení	G	0	6.3	1.67E+04	0.4	0.2	-4.16E+06	-0.1	0.0	-2.36E+05	0.0	0.3	0.0E+00	-	-	-	-	0.0	7.90E+03	0.0	0.0	-0.1	8.84E+03	0.0	0.0
4	P1_71	a.LM71 - kolej 1 (bez dyn. souč.)	P	0	0.0	1.67E+04	0.0	0.0	-4.16E+06	0.0	0.0	-2.36E+05	0.0	0.0	0.0E+00	-	-	-	-	0.0	7.90E+03	0.0	0.0	0.0	8.84E+03	0.0	0.0
5	P2_71	a.LM71 - kolej 2 (bez dyn. souč.)	P	0	43.8	1.67E+04	2.6	468.6	-4.16E+06	-112.7	0.2	-2.36E+05	-0.9	-111.0	-2.0E-01	-	-	-	-	-0.8	7.90E+03	-0.1	-0.1	101.2	8.84E+03	11.4	11.4
6	P1_C3	TTZ C3 - kolej 1 (bez dyn. souč.)	P	0	0.0	1.67E+04	0.0	0.0	-4.16E+06	0.0	0.0	-2.36E+05	0.0	0.0	0.0E+00	-	-	-	-	0.0	7.90E+03	0.0	0.0	0.0	8.84E+03	0.0	0.0
7	P2_C3	TTZ C3 - kolej 2 (bez dyn. souč.)	P	0	0.0	1.67E+04	0.0	0.0	-4.16E+06	0.0	0.0	-2.36E+05	0.0	0.0	0.0E+00	-	-	-	-	0.0	7.90E+03	0.0	0.0	0.0	8.84E+03	0.0	0.0
8	BR	Brzdné a rozjezdové síly	P	0	-56.9	1.67E+04	-3.4	-1.4	-4.16E+06	0.3	0.0	-2.36E+05	-0.1	-3.1	1.0E-02	-	-	-	-	-0.2	7.90E+03	0.0	0.0	1.3	8.84E+03	0.1	0.1
9	S	Boční ráz	P	0	61.9	1.67E+04	3.7	-15.9	-4.16E+06	3.8	14.7	-2.36E+05	-62.6	-55.0	-5.7E-01	-	-	-	-	20.2	7.90E+03	2.6	2.6	1.0	8.84E+03	0.1	0.1
10	CH	Chodci na lávkách	Q	0	0.0	1.67E+04	0.0	0.0	-4.16E+06	0.0	0.0	-2.36E+05	0.0	0.0	0.0E+00	-	-	-	-	0.0	7.90E+03	0.0	0.0	0.0	8.84E+03	0.0	0.0
11	W	Vítr na konstrukci	Q	0	-33.7	1.67E+04	-2.0	1.5	-4.16E+06	-0.4	0.0	-2.36E+05	0.0	-2.4	0.0E+00	-	-	-	-	-0.1	7.90E+03	0.0	0.0	-1.5	8.84E+03	-0.2	-0.2
12	WP	Vítr na vozidla	Q	0	56.0	1.67E+04	3.3	12.7	-4.16E+06	-3.1	2.3	-2.36E+05	-9.6	-9.3	-1.0E-01	-	-	-	-	0.8	7.90E+03	0.1	0.1	5.0	8.84E+03	0.6	0.6
13	TR	Teplota rovnoměrná	Q	0	0.0	1.67E+04	0.0	0.0	-4.16E+06	0.0	0.0	-2.36E+05	0.0	0.0	0.0E+00	-	-	-	-	0.0	7.90E+03	0.0	0.0	0.0	8.84E+03	0.0	0.0
14	TN	Teplota nerovnoměrná	Q	0	-6.7	1.67E+04	-0.4	1.5	-4.16E+06	-0.4	0.0	-2.36E+05	0.0	-0.8	0.0E+00	-	-	-	-	0.0	7.90E+03	0.0	0.0	-0.1	8.84E+03	0.0	0.0
15	FR	Třecí síly v ložiskách	Q	0	-11.4	1.67E+04	-0.7	-0.1	-4.16E+06	0.0	0.0	-2.36E+05	0.0	-0.6	0.0E+00	-	-	-	-	0.0	7.90E+03	0.0	0.0	0.1	8.84E+03	0.0	0.0
16	I	Imperfekce soustavy	Q	0	-3.5	1.67E+04	-0.2	0.1	-4.16E+06	0.0	0.0	-2.36E+05	0.0	-0.2	0.0E+00	-	-	-	-	0.0	7.90E+03	0.0	0.0	-0.1	8.84E+03	0.0	0.0
27	ULS_LM	ULS - LM71 bez dynam	Q	0	0.0	1.67E+04	0.0	0.0	-4.16E+06	0.0	0.0	-2.36E+05	0.0	0.0	0.0E+00	-	-	-	-	0.0	7.90E+03	0.0	0.0	0.0	8.84E+03	0.0	0.0
28	SLS_LM	SLS - LM71 bez dynam	Q	0	0.0	1.67E+04	0.0	0.0	-4.16E+06	0.0	0.0	-2.36E+05	0.0	0.0	0.0E+00	-	-	-	-	0.0	7.90E+03	0.0	0.0	0.0	8.84E+03	0.0	0.0
29	ULS_C3	ULS - C3 bez dynam	Q	0	0.0	1.67E+04	0.0	0.0	-4.16E+06	0.0	0.0	-2.36E+05	0.0	0.0	0.0E+00	-	-	-	-	0.0	7.90E+03	0.0	0.0	0.0	8.84E+03	0.0	0.0
30	SLS_C3	SLS - C3 bez dynam	Q	0	0.0	1.67E+04	0.0	0.0	-4.16E+06	0.0	0.0	-2.36E+05	0.0	0.0	0.0E+00	-	-	-	-	0.0	7.90E+03	0.0	0.0	0.0	8.84E+03	0.0	0.0
NAVÝŠENÍ NAPĚTÍ DO AKTIVACE TLAKU V DESCE MOSTOVKY						$\sigma_{P,red}$	0.0							0.0				0.0				2.5	2.5			12.1	12.1
NAPĚTÍ OD PRIMÁRNÍCH ÚČINKŮ NEROVNOMĚRNÉHO OTEPLENÍ						σ_T	0.0							0.0													
NAPĚTÍ OD REOLOGICKÝCH ÚČINKŮ BETONU V ČASE			t=0			σ_R	0.0	γ_{sr}=	1.20					0.0													
NAPĚTÍ V KRITICKÝCH VLÁKNECH OD KOMBINACE ZATÍŽENÍ					KZ04			[MPa]					$\Sigma\sigma_x$	-178.6							$\Sigma\tau_y$	2.5				$\Sigma\tau_z$	12.1
NAPĚTÍ OD POHYBLIVÉHO ZATÍŽENÍ								[MPa]					$\sigma_{x,P}$	-169.1							τ_P	2.4				τ_P	11.7
NAPĚTÍ OD OSTATNÍCH ZATÍŽENÍ								[MPa]			Φ_{vy}	Φ_{vz}	$\sigma_{x,rs}$	-9.5							τ_{rs}	0.1				τ_{rs}	0.4
NÁVRHOVÁ HODNOTA MEZE KLUZU S REDUKCÍ VLIVEM SMYKOVÉHO NAPĚTÍ								[MPa]			1.00	1.00	$f_{yv,d}$	209.1							$f_{yd}/3^{0,5}$	120.7				$f_{yd}/3^{0,5}$	120.7
NAPĚTÍ OD POHYBLIVÉHO ZATÍŽENÍ V GLOBÁLNÍM SYSTÉMU						$\sigma_{GLOB,P}$	0.0	[MPa]					$\Sigma\sigma_{GLOB}$	0.0													
NAPĚTÍ OD OSTATNÍCH ZATÍŽENÍ V GLOBÁLNÍM SYSTÉMU						$\sigma_{GLOB,rs}$	0.0	[MPa]					$\Sigma\sigma_x + \Sigma\sigma_{GLOB}$	-178.6													
VYUŽITÍ PRŮŘEZU DLE NAPĚTÍ								[%]					η_1	0.85							η_3	0.02				η_3	0.10
NAPĚTÍ V PŘÍČNÉM SMĚRU OD POHYBLIVÉHO ZATÍŽENÍ						$\sigma_{z,P}$	0.0	[MPa]					$\Sigma\sigma_z$	0.0													
NAPĚTÍ V PŘÍČNÉM SMĚRU OD OSTATNÍCH ZATÍŽENÍ						$\sigma_{z,rs}$	0.0	[MPa]					η_2	0.00													
SROVNÁVACÍ NAPĚTÍ													$(\eta_2 + 0,8\,\eta_1)/1,4$ =	0.49													
VYUŽITÍ PRŮŘEZU CELKEM								[%]					eff	0.85	VYHOVUJE												
													Z_{LM71} =	1.18													

TAB. L4.2.3 POSOUZENÍ - MEZNÍ STAV ÚNOSNOSTI

POPIS	PODÉLNÍK L4.E - STŘED
PRUT / POLOHA BODU	850 / I[712]
NAMÁHÁNÍ	My.max
VLÁKNO	BOD K4 -SP
MEZNÍ STAV	ULS (MSÚ)
VYUŽITÍ VLÁKNA PRŮŘEZU	1.06

Charakteristiky materiálu				
pás. horní	$f_{yf,k}$	230	MPa	
pás. dolní	$f_{yf,k}$	230	MPa	
stojina	$f_{yw,k}$	230	MPa	
výztuž	$f_{ys,k}$	500	MPa	
γ_M =	1.10	γ_s =	1.15	

Excentricita normálové síly				
Exc./Fáze	0	1	2	3
e_y	0.000	0.000	0.000	0.000
e_z	0.000	0.000	0.000	0.000
Ekvivalentní vzdál. stěn - příčný roznos				
b_{Mx}	0.000	0.000	0.000	0.000

Vliv stěny na únosnost průřezu				
Char./Fáze	0	1	2	3
A	0.00	0.00	0.00	0.00
Wy	0.00	0.00	0.00	0.00
Wz	0.00	0.00	0.00	0.00

Charakter. v kroucení			
$t_{w,y}$	0.000	[mm]	
$t_{w,z}$	0.000	[mm]	
κ	1.00		
I_t=	0.00E+00	[mm^4]	
Ω=2*A_{pr}	0.00E+00	[mm^2]	

Součinitele vzpěru a vlivu II.řádu					
Char./Fáze	0	1	2	3	
k_y	1.000	1.000	1.000	1.000	
k_z	1.000	1.000	1.000	1.000	
χ_{LT}	1.000	1.000	1.000	1.000	
χ_{min}	1.000	1.000	1.000	1.000	

Vnitřní síly od jednotlivých skupin zatěžovacích stavů

SKUPINA ZATĚŽOVACÍCH STAVŮ					- CHARAKTERISTICKÉ HODNOTY						DÍLČÍ SOUČINITELÉ ZATÍŽENÍ, DYNAMICKÝ SOUČINITEL						4	- NÁVRHOVÉ HODNOTY									
Č.	SKUP ZS	POPIS ZS	KAT.	FÁZE PRŮŘ.	N.k (kN)	Vy.k (kN)	Vz.k (kN)	Mx.k (kNm)	My.k (kNm)	Mz.k (kNm)	γ_{sr} (-)	γ_{Q} (-)	volba ψ_i hledat	ψ_i (-)	L_d (m)	δ (-)	Ψ_E KZ04	N.d (kN)	Vy.d (kN)	Vz.d (kN)	ΔVz.d (kN)	ΣVz.d (kN)	Mx.d (kNm)	My.d (kNm)	ΔMy.d (kNm)	ΣMy.d (kNm)	Mz.d (kNm)	ΔMz.d (kNm)	ΣMz.d (kNm)
1	G0	Vlastní tíha OK	G	0	68	0	1	0	10	0	1.00	1.20		1.20	-	1.00	0.95	77	0	1	0	1	0	12	0	12	0	0	0
2	G1	Ostatní stálé - mostní vybavení	G	0	7	0	0	0	0	0	1.00	1.20		1.20	-	1.00	0.95	8	0	0	0	0	0	0	0	0	0	0	0
3	G2	Ostatní stálé - cizí zařízení	G	0	6	0	0	0	0	0	1.00	1.20		1.20	-	1.00	0.95	6	0	0	0	0	0	0	0	0	0	0	0
4	P1_71	a.LM71 - kolej 1 (bez dyn. souč.)	P	0	60	0	-2	0	10	0	1.00	1.30		1.30	-	1.56	1.00	122	0	-3	0	-3	0	20	0	20	0	0	0
5	P2_71	a.LM71 - kolej 2 (bez dyn. souč.)	P	0	96	0	61	0	241	0	1.00	1.30		1.30	-	1.56	1.00	195	0	124	0	124	0	490	0	490	0	0	0
6	P1_C3	TTZ C3 - kolej 1 (bez dyn. souč.)	P	0	49	0	-1	0	6	0	1.00	vyp.		0.00	-	1.00	0.00	0	0	0	0	0	0	0	0	0	0	0	0
7	P2_C3	TTZ C3 - kolej 2 (bez dyn. souč.)	P	0	75	0	28	0	155	0	1.00	vyp.		0.00	-	1.00	0.00	0	0	0	0	0	0	0	0	0	0	0	0
8	BR	Brzdné a rozjezdové síly	P	0	97	0	-4	0	4	0	1.00	1.30		1.30	-	1.00	0.40	50	0	-2	0	-2	0	2	0	2	0	0	0
9	S	Boční ráz	P	0	-60	-19	-1	1	15	-14	1.00	-1.30		-1.30	-	1.00	0.80	62	20	1	0	1	-1	-16	0	-16	15	0	15
10	CH	Chodci na lávkách	Q	0	14	0	0	0	0	0	1.00	1.30		1.30	-	1.00	1.00	18	0	0	0	0	0	1	0	1	0	0	0
11	W	Vítr na konstrukci	Q	0	-33	0	-1	0	2	0	1.00	-1.35		-1.35	-	1.00	0.75	34	0	1	0	1	0	-2	0	-2	0	0	0
12	WP	Vítr na vozidla	Q	0	55	1	5	0	13	2	1.00	1.35		1.35	-	1.00	0.75	56	1	5	0	5	0	13	0	13	2	0	2
13	TR	Teplota rovnoměrná	Q	0	0	0	0	0	0	0	1.00	1.35		1.35	-	1.00	0.45	0	0	0	0	0	0	0	0	0	0	0	0
14	TN	Teplota nerovnoměrná	Q	0	-8	0	0	0	2	0	1.00	1.35		1.35	-	1.00	0.60	-7	0	0	0	0	0	2	0	2	0	0	0
15	FR	Třecí síly v ložiskách	Q	0	10	0	0	0	0	0	1.00	1.20		1.20	-	1.00	1.00	11	0	0	0	0	0	0	0	0	0	0	0
16	I	Imperfekce soustavy	Q	0	-3	0	0	0	0	0	1.00	-1.20		-1.20	-	1.00	1.00	3	0	0	0	0	0	0	0	0	0	0	0
27	ULS_LM	ULS - LM71 bez dynam	Q	0	353	-24	77	0	379	-16	1.00	vyp.	1	0.00	-	1.00	0.00	0	0	0	0	0	0	0	0	0	0	0	0
28	SLS_LM	SLS - LM71 bez dynam	Q	0	290	-19	59	0	291	-12	1.00	vyp.	1	0.00	-	1.00	0.00	0	0	0	0	0	0	0	0	0	0	0	0
29	ULS_C3	ULS - C3 bez dynam	Q	0	311	-24	34	0	262	-16	1.00	vyp.	1	0.00	-	1.00	0.00	0	0	0	0	0	0	0	0	0	0	0	0
30	SLS_C3	SLS - C3 bez dynam	Q	0	258	-19	26	0	202	-12	1.00	vyp.	1	0.00	-	1.00	0.00	0	0	0	0	0	0	0	0	0	0	0	0
		CELKEM - FÁZE PRŮŘEZU 0																637	21	127	0	127	-1	522	0	522	18	0	18
		CELKEM - FÁZE PRŮŘEZU 1																0	0	0	0	0	0	0	0	0	0	0	0
		CELKEM - FÁZE PRŮŘEZU 2																0	0	0	0	0	0	0	0	0	0	0	0
		CELKEM - FÁZE PRŮŘEZU 3																0	0	0	0	0	0	0	0	0	0	0	0
		CELKEM - PRŮŘEZ																637	21	127	0	127	-1			522			18

Napětí od jednotlivých zatěžovacích stavů

SKUPINA ZATĚŽOVACÍCH STAVŮ					Posouzení normálového napětí									Posouzení smykového napětí														
					Účinek síly N			Účinek momentu My			Účinek momentu Mz				Účinek ktoutícího momentu Mx				Účinek smykové síly Vy				Účinek smykové síly Vz				
Č.	SKUP ZS	Popis ZS	Kat.	fáze prúř.	δ^*N_d [kN]	χ^*A [mm^2]	σ_n [MPa]	$\delta^*M_{y,d}$ [kNm]	$\chi_{lt}^*W_{el,y}$ [mm^3]	σ_{my} [MPa]	$\delta^*M_{z,d}$ [kNm]	$W_{el,z}$ [mm^3]	σ_{mz} [MPa]	σ_x [MPa]	$\kappa^*\delta^*M_{x,d}$ [kNm]	$W_{v,y}$ [mm^2]	$\tau_{x,y}$ [MPa]	$W_{v,z}$ [mm^2]	$\tau_{x,z}$ [MPa]	$\delta^*V_{y,d}$ [kN]	$A_{v,y}$ [mm2]	$\tau_{v,y}$ [MPa]	$\tau_{v,y}$ [MPa]	$\delta^*V_{z,d}$ [kN]	$A_{v,z}$ [mm2]	$\tau_{v,z}$ [MPa]	$\tau_{v,z}$ [MPa]
1	G0	Vlastní tíha OK	G	0	77.3	1.67E+04	4.6	11.7	3.97E+06	2.9	0.1	3.41E+05	0.2	7.8	-1.1E-02	-	-	-	-	-0.2	7.90E+03	0.0	0.0	1.0	8.84E+03	0.1	0.1
2	G1	Ostatní stálé - mostní vybavení	G	0	8.2	1.67E+04	0.5	0.3	3.97E+06	0.1	0.0	3.41E+05	0.0	0.6	0.0E+00	-	-	-	-	0.0	7.90E+03	0.0	0.0	-0.1	8.84E+03	0.0	0.0
3	G2	Ostatní stálé - cizí zařízení	G	0	6.3	1.67E+04	0.4	0.2	3.97E+06	0.1	0.0	3.41E+05	0.0	0.4	0.0E+00	-	-	-	-	0.0	7.90E+03	0.0	0.0	-0.1	8.84E+03	0.0	0.0
4	P1_71	a.LM71 - kolej 1 (bez dyn. souč.)	P	0	121.6	1.67E+04	7.3	20.2	3.97E+06	5.1	0.2	3.41E+05	0.7	13.1	1.2E-01	-	-	-	-	-0.2	7.90E+03	0.0	0.0	-3.2	8.84E+03	-0.4	-0.4
5	P2_71	a.LM71 - kolej 2 (bez dyn. souč.)	P	0	195.5	1.67E+04	11.7	489.6	3.97E+06	123.2	0.3	3.41E+05	0.9	135.7	-2.6E-01	-	-	-	-	-0.4	7.90E+03	-0.1	-0.1	124.4	8.84E+03	14.1	14.1
6	P1_C3	TTZ C3 - kolej 1 (bez dyn. souč.)	P	0	0.0	1.67E+04	0.0	0.0	3.97E+06	0.0	0.0	3.41E+05	0.0	0.0	0.0E+00	-	-	-	-	0.0	7.90E+03	0.0	0.0	0.0	8.84E+03	0.0	0.0
7	P2_C3	TTZ C3 - kolej 2 (bez dyn. souč.)	P	0	0.0	1.67E+04	0.0	0.0	3.97E+06	0.0	0.0	3.41E+05	0.0	0.0	0.0E+00	-	-	-	-	0.0	7.90E+03	0.0	0.0	0.0	8.84E+03	0.0	0.0
8	BR	Brzdné a rozjezdové síly	P	0	50.5	1.67E+04	3.0	2.2	3.97E+06	0.6	0.0	3.41E+05	0.0	3.6	-1.6E-02	-	-	-	-	0.1	7.90E+03	0.0	0.0	-2.0	8.84E+03	-0.2	-0.2
9	S	Boční ráz	P	0	61.9	1.67E+04	3.7	-15.9	3.97E+06	-4.0	14.7	3.41E+05	43.3	42.9	-5.7E-01	-	-	-	-	20.2	7.90E+03	2.6	2.6	1.0	8.84E+03	0.1	0.1
10	CH	Chodci na lávkách	Q	0	17.9	1.67E+04	1.1	0.5	3.97E+06	0.1	0.0	3.41E+05	0.0	1.2	0.0E+00	-	-	-	-	0.0	7.90E+03	0.0	0.0	-0.2	8.84E+03	0.0	0.0
11	W	Vítr na konstrukci	Q	0	33.7	1.67E+04	2.0	-1.5	3.97E+06	-0.4	0.0	3.41E+05	0.0	1.6	0.0E+00	-	-	-	-	0.1	7.90E+03	0.0	0.0	1.5	8.84E+03	0.2	0.2
12	WP	Vítr na vozidla	Q	0	56.0	1.67E+04	3.3	12.7	3.97E+06	3.2	2.3	3.41E+05	6.6	13.2	-1.0E-01	-	-	-	-	0.8	7.90E+03	0.1	0.1	5.0	8.84E+03	0.6	0.6
13	TR	Teplota rovnoměrná	Q	0	0.0	1.67E+04	0.0	0.0	3.97E+06	0.0	0.0	3.41E+05	0.0	0.0	0.0E+00	-	-	-	-	0.0	7.90E+03	0.0	0.0	0.0	8.84E+03	0.0	0.0
14	TN	Teplota nerovnoměrná	Q	0	-6.7	1.67E+04	-0.4	1.5	3.97E+06	0.4	0.0	3.41E+05	0.0	0.0	0.0E+00	-	-	-	-	0.0	7.90E+03	0.0	0.0	-0.1	8.84E+03	0.0	0.0
15	FR	Třecí síly v ložiskách	Q	0	11.4	1.67E+04	0.7	0.1	3.97E+06	0.0	0.0	3.41E+05	0.0	0.7	0.0E+00	-	-	-	-	0.0	7.90E+03	0.0	0.0	-0.1	8.84E+03	0.0	0.0
16	I	Imperfekce soustavy	Q	0	3.5	1.67E+04	0.2	-0.1	3.97E+06	0.0	0.0	3.41E+05	0.0	0.2	0.0E+00	-	-	-	-	0.0	7.90E+03	0.0	0.0	0.1	8.84E+03	0.0	0.0
27	ULS_LM	ULS - LM71 bez dynam	Q	0	0.0	1.67E+04	0.0	0.0	3.97E+06	0.0	0.0	3.41E+05	0.0	0.0	0.0E+00	-	-	-	-	0.0	7.90E+03	0.0	0.0	0.0	8.84E+03	0.0	0.0
28	SLS_LM	SLS - LM71 bez dynam	Q	0	0.0	1.67E+04	0.0	0.0	3.97E+06	0.0	0.0	3.41E+05	0.0	0.0	0.0E+00	-	-	-	-	0.0	7.90E+03	0.0	0.0	0.0	8.84E+03	0.0	0.0
29	ULS_C3	ULS - C3 bez dynam	Q	0	0.0	1.67E+04	0.0	0.0	3.97E+06	0.0	0.0	3.41E+05	0.0	0.0	0.0E+00	-	-	-	-	0.0	7.90E+03	0.0	0.0	0.0	8.84E+03	0.0	0.0
30	SLS_C3	SLS - C3 bez dynam	Q	0	0.0	1.67E+04	0.0	0.0	3.97E+06	0.0	0.0	3.41E+05	0.0	0.0	0.0E+00	-	-	-	-	0.0	7.90E+03	0.0	0.0	0.0	8.84E+03	0.0	0.0
NAVÝŠENÍ NAPĚTÍ DO AKTIVACE TLAKU V DESCE MOSTOVKY						$\sigma_{P,red}$	0.0							0.0					0.0				2.6	2.6			14.4	14.4
NAPĚTÍ OD PRIMÁRNÍCH ÚČINKŮ NEROVNOMĚRNÉHO OTEPLENÍ						σ_T	0.0							0.0														
NAPĚTÍ OD REOLOGICKÝCH ÚČINKŮ BETONU V ČASE				t=0		σ_R	0.0	γ_{lt}=	1.20					0.0														
NAPĚTÍ V KRITICKÝCH VLÁKNECH OD KOMBINACE ZATÍŽENÍ						KZ04		[MPa]					$\Sigma\sigma_x$	221.1								$\Sigma\tau_y$	2.6				$\Sigma\tau_z$	14.4
NAPĚTÍ OD POHYBLIVÉHO ZATÍŽENÍ								[MPa]					$\sigma_{x,P}$	195.4								τ_P	2.5				τ_P	13.6
NAPĚTÍ OD OSTATNÍCH ZATÍŽENÍ								[MPa]			Φ_{Vy}	Φ_{Vz}	$\sigma_{x,rs}$	25.7								τ_{rs}	0.1				τ_{rs}	0.8
NÁVRHOVÁ HODNOTA MEZE KLUZU S REDUKCÍ VLIVEM SMYKOVÉHO NAPĚTÍ								[MPa]			1.00	1.00	$f_{yw,d}$	209.1								$f_{yd}/3^{0,5}$	120.7				$f_{yd}/3^{0,5}$	120.7
NAPĚTÍ OD POHYBLIVÉHO ZATÍŽENÍ V GLOBÁLNÍM SYSTÉMU						$\sigma_{GLOB,P}$	0.0	[MPa]					$\Sigma\sigma_{GLOB}$	0.0														
NAPĚTÍ OD OSTATNÍCH ZATÍŽENÍ V GLOBÁLNÍM SYSTÉMU						$\sigma_{GLOB,rs}$	0.0	[MPa]					$\Sigma\sigma_x + \Sigma\sigma_{GLOB}$	221.1														
VYUŽITÍ PRŮŘEZU DLE NAPĚTÍ								[%]					η_1	1.06								η_3	0.02				η_3	0.12
NAPĚTÍ V PŘÍČNÉM SMĚRU OD POHYBLIVÉHO ZATÍŽENÍ						$\sigma_{z,P}$	0.0	[MPa]					$\Sigma\sigma_z$	0.0														
NAPĚTÍ V PŘÍČNÉM SMĚRU OD OSTATNÍCH ZATÍŽENÍ						$\sigma_{z,rs}$	0.0	[MPa]					η_2	0.00														
SROVNÁVACÍ NAPĚTÍ													$(\eta_2 + 0,8\,\eta_1)/1,4$ =	0.60														
VYUŽITÍ PRŮŘEZU CELKEM								[%]					eff	1.06	NEVYHOVUJE													
													z_{LM71} =	0.94														

TAB. L4.2.3 POSOUZENÍ - MEZNÍ STAV ÚNOSNOSTI

POPIS	PODÉLNÍK L4.E - STŘED
PRUT / POLOHA BODU	850 / I[712]
NAMÁHÁNÍ	Vz.max
VLÁKNO	BOD S6 -HP
MEZNÍ STAV	ULS (MSÚ)
VYUŽITÍ VLÁKNA PRŮŘEZU	0.47

Charakteristiky materiálu				
pás. horní	$f_{yf,k}$	230	MPa	
pás. dolní	$f_{yf,k}$	230	MPa	
stojina	$f_{yw,k}$	230	MPa	
výztuž	$f_{ys,k}$	500	MPa	
γ_M =	1.10	γ_s =	1.15	

Excentricita normálové síly				
Exc./Fáze	0	1	2	3
e_y	0.000	0.000	0.000	0.000
e_z	0.000	0.000	0.000	0.000
Ekvivalentní vzdál. stěn - příčný roznos				
b_{Mx}	0.000	0.000	0.000	0.000

Vliv stěny na únosnost průřezu				
Char./Fáze	0	1	2	3
A	0.00	0.00	0.00	0.00
Wy	0.00	0.00	0.00	0.00
Wz	0.00	0.00	0.00	0.00

Charakter. v kroucení			
$t_{w,y}$	0.000	[mm]	
$t_{w,z}$	0.000	[mm]	
κ	1.00		
I_t=	0.00E+00	[mm^4]	
Ω=2*A_{pr}	0.00E+00	[mm^2]	

Součinitele vzpěru a vlivu II.řádu					
Char./Fáze	0	1	2	3	
k_y	1.000	1.000	1.000	1.000	
k_z	1.000	1.000	1.000	1.000	
χ_{LT}	1.000	1.000	1.000	1.000	
χ_{min}	1.000	1.000	1.000	1.000	

Vnitřní síly od jednotlivých skupin zatěžovacích stavů

SKUPINA ZATĚŽOVACÍCH STAVŮ					- CHARAKTERISTICKÉ HODNOTY						DÍLČÍ SOUČINITELÉ ZATÍŽENÍ, DYNAMICKÝ SOUČINITEL						3	- NÁVRHOVÉ HODNOTY									
Č.	SKUP ZS	POPIS ZS	KAT.	FÁZE PRŮŘ.	N.k (kN)	Vy.k (kN)	Vz.k (kN)	Mx.k (kNm)	My.k (kNm)	Mz.k (kNm)	γ_{sup} (-)	γ_{inf} (-)	volba ψ_i hledat	ψ_i (-)	L_d (m)	δ (-)	ψ_0 KZ03	N.d (kN)	Vy.d (kN)	Vz.d (kN)	ΔVz.d (kN)	ΣVz.d (kN)	Mx.d (kNm)	My.d (kNm)	ΔMy.d (kNm)	ΣMy.d (kNm)	Mz.d (kNm)	ΔMz.d (kNm)	ΣMz.d (kNm)
1	G0	Vlastní tíha OK	G	0	68	0	1	0	10	0	1.00	1.20		1.20	-	1.00	0.95	77	0	1	0	1	0	12	0	12	0	0	0
2	G1	Ostatní stálé - mostní vybavení	G	0	7	0	0	0	0	0	1.00	1.00		1.00	-	1.00	0.95	7	0	0	0	0	0	0	0	0	0	0	0
3	G2	Ostatní stálé - cizí zařízení	G	0	6	0	0	0	0	0	1.00	1.00		1.00	-	1.00	0.95	5	0	0	0	0	0	0	0	0	0	0	0
4	P1_71	a.LM71 - kolej 1 (bez dyn. souč.)	P	0	15	0	3	0	3	0	1.00	1.30		1.30	-	1.56	1.00	30	0	7	0	7	0	6	0	6	0	0	0
5	P2_71	a.LM71 - kolej 2 (bez dyn. souč.)	P	0	31	0	90	0	164	0	1.00	1.30		1.30	-	1.56	1.00	62	0	183	0	183	0	333	0	333	0	0	0
6	P1_C3	TTZ C3 - kolej 1 (bez dyn. souč.)	P	0	11	0	2	0	1	0	1.00	vyp.		0.00	-	1.00	0.00	0	0	0	0	0	0	0	0	0	0	0	0
7	P2_C3	TTZ C3 - kolej 2 (bez dyn. souč.)	P	0	25	0	66	0	118	0	1.00	vyp.		0.00	-	1.00	0.00	0	0	0	0	0	0	0	0	0	0	0	0
8	BR	Brzdné a rozjezdové síly	P	0	-97	0	4	0	-4	0	1.00	1.30		1.30	-	1.00	0.80	-101	0	4	0	4	0	-4	0	-4	0	0	0
9	S	Boční ráz	P	0	23	0	2	0	0	0	1.00	1.30		1.30	-	1.00	0.40	12	0	1	0	1	0	0	0	0	0	0	0
10	CH	Chodci na lávkách	Q	0	10	0	0	0	0	0	1.00	0.00		0.00	-	1.00	1.00	0	0	0	0	0	0	0	0	0	0	0	0
11	W	Vítr na konstrukci	Q	0	33	0	1	0	-2	0	1.00	1.35		1.35	-	1.00	0.75	34	0	1	0	1	0	-2	0	-2	0	0	0
12	WP	Vítr na vozidla	Q	0	55	1	5	0	13	2	1.00	1.35		1.35	-	1.00	0.75	56	1	5	0	5	0	13	0	13	2	0	2
13	TR	Teplota rovnoměrná	Q	0	0	0	0	0	0	0	1.00	1.35		1.35	-	1.00	0.45	0	0	0	0	0	0	0	0	0	0	0	0
14	TN	Teplota nerovnoměrná	Q	0	8	0	0	0	-2	0	1.00	1.35		1.35	-	1.00	0.60	7	0	0	0	0	0	-2	0	-2	0	0	0
15	FR	Třecí síly v ložiskách	Q	0	-10	0	0	0	0	0	1.00	1.20		1.20	-	1.00	1.00	-11	0	0	0	0	0	0	0	0	0	0	0
16	I	Imperfekce soustavy	Q	0	3	0	0	0	0	0	1.00	1.20		1.20	-	1.00	1.00	3	0	0	0	0	0	0	0	0	0	0	0
27	ULS_LM	ULS - LM71 bez dynam	Q	0	172	1	134	0	235	2	1.00	vyp.	1	0.00	-	1.00	0.00	0	0	0	0	0	0	0	0	0	0	0	0
28	SLS_LM	SLS - LM71 bez dynam	Q	0	137	0	103	0	183	1	1.00	vyp.	1	0.00	-	1.00	0.00	0	0	0	0	0	0	0	0	0	0	0	0
29	ULS_C3	ULS - C3 bez dynam	Q	0	159	1	102	0	173	2	1.00	vyp.	1	0.00	-	1.00	0.00	0	0	0	0	0	0	0	0	0	0	0	0
30	SLS_C3	SLS - C3 bez dynam	Q	0	127	1	78	0	135	2	1.00	vyp.	1	0.00	-	1.00	0.00	0	0	0	0	0	0	0	0	0	0	0	0
		CELKEM - FÁZE PRŮŘEZU 0																181	0	202	0	202	0	357	0	357	2	0	2
		CELKEM - FÁZE PRŮŘEZU 1																0	0	0	0	0	0	0	0	0	0	0	0
		CELKEM - FÁZE PRŮŘEZU 2																0	0	0	0	0	0	0	0	0	0	0	0
		CELKEM - FÁZE PRŮŘEZU 3																0	0	0	0	0	0	0	0	0	0	0	0
		CELKEM - PRŮŘEZ																181	0	202	0	202	0			357			2

Napětí od jednotlivých zatěžovacích stavů

SKUPINA ZATĚŽOVACÍCH STAVŮ					Posouzení normálového napětí											Posouzení smykového napětí												
					Účinek síly N			Účinek momentu My			Účinek momentu Mz					Účinek kroutícího momentu Mx				Účinek smykové síly Vy				Účinek smykové síly Vz			
Č.	SKUP ZS	Popis ZS	Kat.	fáze průř.	δ^*N_d [kN]	χ^*A [mm^2]	σ_n [MPa]	$\delta^*M_{y,d}$ [kNm]	$\chi_{lt}{}^*W_{el,y}$ [mm^3]	σ_{my} [MPa]	$\delta^*M_{z,d}$ [kNm]	$W_{el,z}$ [mm^3]	σ_{mz} [MPa]	σ_x [MPa]	$\kappa^*\delta^*M_{x,d}$ [kNm]	$W_{v,y}$ [mm^2]	$\tau_{x,y}$ [MPa]	$W_{v,z}$ [mm^2]	$\tau_{x,z}$ [MPa]	$\delta^*V_{y,d}$ [kN]	$A_{v,y}$ [mm2]	$\tau_{v,y}$ [MPa]	$\tau_{v,y}$ [MPa]	$\delta^*V_{z,d}$ [kN]	$A_{v,z}$ [mm2]	$\tau_{v,z}$ [MPa]	$\tau_{v,z}$ [MPa]
1	G0	Vlastní tíha OK	G	0	77.3	1.67E+04	4.6	11.7	4.09E+06	2.9	0.1	-1.48E+07	0.0	7.5	-1.1E-02	-	-	-	-	-0.2	7.90E+03	0.0	0.0	1.0	8.84E+03	0.1	0.1
2	G1	Ostatní stálé - mostní vybavení	G	0	6.8	1.67E+04	0.4	0.3	4.09E+06	0.1	0.0	-1.48E+07	0.0	0.5	0.0E+00	-	-	-	-	0.0	7.90E+03	0.0	0.0	-0.1	8.84E+03	0.0	0.0
3	G2	Ostatní stálé - cizí zařízení	G	0	5.2	1.67E+04	0.3	0.2	4.09E+06	0.0	0.0	-1.48E+07	0.0	0.4	0.0E+00	-	-	-	-	0.0	7.90E+03	0.0	0.0	-0.1	8.84E+03	0.0	0.0
4	P1_71	a.LM71 - kolej 1 (bez dyn. souč.)	P	0	30.1	1.67E+04	1.8	6.2	4.09E+06	1.5	-0.2	-1.48E+07	0.0	3.3	6.1E-02	-	-	-	-	-0.1	7.90E+03	0.0	0.0	6.5	8.84E+03	0.7	0.7
5	P2_71	a.LM71 - kolej 2 (bez dyn. souč.)	P	0	62.0	1.67E+04	3.7	333.2	4.09E+06	81.5	-0.2	-1.48E+07	0.0	85.2	-1.8E-01	-	-	-	-	-0.5	7.90E+03	-0.1	-0.1	183.3	8.84E+03	20.7	20.7
6	P1_C3	TTZ C3 - kolej 1 (bez dyn. souč.)	P	0	0.0	1.67E+04	0.0	0.0	4.09E+06	0.0	0.0	-1.48E+07	0.0	0.0	0.0E+00	-	-	-	-	0.0	7.90E+03	0.0	0.0	0.0	8.84E+03	0.0	0.0
7	P2_C3	TTZ C3 - kolej 2 (bez dyn. souč.)	P	0	0.0	1.67E+04	0.0	0.0	4.09E+06	0.0	0.0	-1.48E+07	0.0	0.0	0.0E+00	-	-	-	-	0.0	7.90E+03	0.0	0.0	0.0	8.84E+03	0.0	0.0
8	BR	Brzdné a rozjezdové síly	P	0	-100.9	1.67E+04	-6.0	-4.5	4.09E+06	-1.1	0.0	-1.48E+07	0.0	-7.1	3.1E-02	-	-	-	-	-0.2	7.90E+03	0.0	0.0	4.0	8.84E+03	0.4	0.4
9	S	Boční ráz	P	0	11.8	1.67E+04	0.7	0.2	4.09E+06	0.1	0.0	-1.48E+07	0.0	0.8	0.0E+00	-	-	-	-	0.0	7.90E+03	0.0	0.0	1.2	8.84E+03	0.1	0.1
10	CH	Chodci na lávkách	Q	0	0.0	1.67E+04	0.0	0.0	4.09E+06	0.0	0.0	-1.48E+07	0.0	0.0	0.0E+00	-	-	-	-	0.0	7.90E+03	0.0	0.0	0.0	8.84E+03	0.0	0.0
11	W	Vítr na konstrukci	Q	0	33.7	1.67E+04	2.0	-1.5	4.09E+06	-0.4	0.0	-1.48E+07	0.0	1.6	0.0E+00	-	-	-	-	0.1	7.90E+03	0.0	0.0	1.5	8.84E+03	0.2	0.2
12	WP	Vítr na vozidla	Q	0	56.0	1.67E+04	3.3	12.7	4.09E+06	3.1	2.3	-1.48E+07	-0.2	6.3	-1.0E-01	-	-	-	-	0.8	7.90E+03	0.1	0.1	5.0	8.84E+03	0.6	0.6
13	TR	Teplota rovnoměrná	Q	0	0.0	1.67E+04	0.0	0.0	4.09E+06	0.0	0.0	-1.48E+07	0.0	0.0	0.0E+00	-	-	-	-	0.0	7.90E+03	0.0	0.0	0.0	8.84E+03	0.0	0.0
14	TN	Teplota nerovnoměrná	Q	0	6.7	1.67E+04	0.4	-1.5	4.09E+06	-0.4	0.0	-1.48E+07	0.0	0.0	0.0E+00	-	-	-	-	0.0	7.90E+03	0.0	0.0	0.1	8.84E+03	0.0	0.0
15	FR	Třecí síly v ložiskách	Q	0	-11.4	1.67E+04	-0.7	-0.1	4.09E+06	0.0	0.0	-1.48E+07	0.0	-0.7	0.0E+00	-	-	-	-	0.0	7.90E+03	0.0	0.0	0.1	8.84E+03	0.0	0.0
16	I	Imperfekce soustavy	Q	0	3.5	1.67E+04	0.2	-0.1	4.09E+06	0.0	0.0	-1.48E+07	0.0	0.2	0.0E+00	-	-	-	-	0.0	7.90E+03	0.0	0.0	0.1	8.84E+03	0.0	0.0
27	ULS_LM	ULS - LM71 bez dynam	Q	0	0.0	1.67E+04	0.0	0.0	4.09E+06	0.0	0.0	-1.48E+07	0.0	0.0	0.0E+00	-	-	-	-	0.0	7.90E+03	0.0	0.0	0.0	8.84E+03	0.0	0.0
28	SLS_LM	SLS - LM71 bez dynam	Q	0	0.0	1.67E+04	0.0	0.0	4.09E+06	0.0	0.0	-1.48E+07	0.0	0.0	0.0E+00	-	-	-	-	0.0	7.90E+03	0.0	0.0	0.0	8.84E+03	0.0	0.0
29	ULS_C3	ULS - C3 bez dynam	Q	0	0.0	1.67E+04	0.0	0.0	4.09E+06	0.0	0.0	-1.48E+07	0.0	0.0	0.0E+00	-	-	-	-	0.0	7.90E+03	0.0	0.0	0.0	8.84E+03	0.0	0.0
30	SLS_C3	SLS - C3 bez dynam	Q	0	0.0	1.67E+04	0.0	0.0	4.09E+06	0.0	0.0	-1.48E+07	0.0	0.0	0.0E+00	-	-	-	-	0.0	7.90E+03	0.0	0.0	0.0	8.84E+03	0.0	0.0
NAVÝŠENÍ NAPĚTÍ DO AKTIVACE TLAKU V DESCE MOSTOVKY						$\sigma_{P,red}$	0.0							0.0			0.0		0.0			0.0	0.0			22.9	22.9
NAPĚTÍ OD PRIMÁRNÍCH ÚČINKŮ NEROVNOMĚRNÉHO OTEPLENÍ						σ_T	0.0							0.0													
NAPĚTÍ OD REOLOGICKÝCH ÚČINKŮ BETONU V ČASE		t=0				σ_R	0.0	γ_{inf}=	1.20					0.0													
NAPĚTÍ V KRITICKÝCH VLÁKNECH OD KOMBINACE ZATÍŽENÍ						KZ03		[MPa]					$\Sigma\sigma_x$	97.9								$\Sigma\tau_y$	0.0			$\Sigma\tau_z$	22.9
NAPĚTÍ OD POHYBLIVÉHO ZATÍŽENÍ								[MPa]					$\sigma_{x,P}$	82.2								τ_P	-0.1			τ_P	22.0
NAPĚTÍ OD OSTATNÍCH ZATÍŽENÍ								[MPa]			Φ_{Vy}	Φ_{Vz}	$\sigma_{x,rs}$	15.7								τ_{rs}	0.1			τ_{rs}	0.9
NÁVRHOVÁ HODNOTA MEZE KLUZU S REDUKCÍ VLIVEM SMYKOVÉHO NAPĚTÍ								[MPa]			1.00	1.00	$f_{yv,d}$	209.1								$f_{yd}/3^{0,5}$	120.7			$f_{yd}/3^{0,5}$	120.7
NAPĚTÍ OD POHYBLIVÉHO ZATÍŽENÍ V GLOBÁLNÍM SYSTÉMU						$\sigma_{GLOB,P}$	0.0	[MPa]					$\Sigma\sigma_{GLOB}$	0.0													
NAPĚTÍ OD OSTATNÍCH ZATÍŽENÍ V GLOBÁLNÍM SYSTÉMU						$\sigma_{GLOB,rs}$	0.0	[MPa]					$\Sigma\sigma_x + \Sigma\sigma_{GLOB}$	97.9													
VYUŽITÍ PRŮŘEZU DLE NAPĚTÍ								[%]					η_1	0.47								η_3	0.00			η_3	0.19
NAPĚTÍ V PŘÍČNÉM SMĚRU OD POHYBLIVÉHO ZATÍŽENÍ						$\sigma_{z,P}$	0.0	[MPa]					$\Sigma\sigma_z$	0.0													
NAPĚTÍ V PŘÍČNÉM SMĚRU OD OSTATNÍCH ZATÍŽENÍ						$\sigma_{z,rs}$	0.0	[MPa]					η_2	0.00													
SROVNÁVACÍ NAPĚTÍ													$(\eta_2 + 0,8\,\eta_1)/1,4$ =	0.27													
VYUŽITÍ PRŮŘEZU CELKEM								[%]					eff	0.47	VYHOVUJE												
													z_{LM71} =	2.35													

VÝPOČET PRŮŘEZOVÝCH CHARAKTERISTIK

PRŮŘEZ: L4_2t **POPIS:** PODÉLNÍK - 4-8 - V POLI - TRHLINA U MOSTNICE 75 (PŘÍHRADA 7)

x = - **m**

DEFINOVÁNÍ PRŮŘEZU

PÁSNICE HORNÍHO LEVÉHO ÚHELNÍKU	b f.t.l.o =	100	mm				
TLOUŠŤKA PÁSNICE ÚHELNÍKU	t f.t.l.o =	11	mm	OSLABENÍ PÁSNICE - TLOUŠŤKA	Δt f.t.l.o =	5	%
VÝŠKA STĚNY ÚHELNÍKU	h w.t.l.o =	89	mm				
TLOUŠŤKA STĚNY ÚHELNÍKU	t w.t.l.o =	11	mm	OSLABENÍ STĚNY - TLOUŠŤKA	Δt w.t.l.o =	5	%
PÁSNICE HORNÍHO PRAVÉHO ÚHELNÍKU	b f.t.r.o =	100	mm				
TLOUŠŤKA PÁSNICE ÚHELNÍKU	t f.t.r.o =	11	mm	OSLABENÍ PÁSNICE - TLOUŠŤKA	Δt f.t.r.o =	5	%
VÝŠKA STĚNY ÚHELNÍKU	h w.t.r.o =	89	mm				
TLOUŠŤKA STĚNY ÚHELNÍKU	t w.t.r.o =	11	mm	OSLABENÍ STĚNY - TLOUŠŤKA	Δt w.t.r.0 =	5	%
PÁSNICE DOLNÍHO LEVÉHO ÚHELNÍKU	b f.b.l.o =	100	mm				
TLOUŠŤKA PÁSNICE ÚHELNÍKU	t f.b.l.o =	11	mm	OSLABENÍ PÁSNICE - TLOUŠŤKA	Δt f.b.l.o =	5	%
VÝŠKA STĚNY ÚHELNÍKU	h w.b.l.o =	89	mm				
TLOUŠŤKA STĚNY ÚHELNÍKU	t w.b.l.o =	11	mm	OSLABENÍ STĚNY - TLOUŠŤKA	Δt w.b.l.o =	5	%
PÁSNICE DOLNÍHO PRAVÉHO ÚHELNÍKU	b f.b.r.o =	100	mm				
TLOUŠŤKA PÁSNICE ÚHELNÍKU	t f.b.r.o =	11	mm	OSLABENÍ PÁSNICE - TLOUŠŤKA	Δt f.b.r.o =	5	%
VÝŠKA STĚNY ÚHELNÍKU	h w.b.r.o =	89	mm				
TLOUŠŤKA STĚNY ÚHELNÍKU	t w.b.r.o =	11	mm	OSLABENÍ STĚNY - TLOUŠŤKA	Δt w.b.r.o =	5	%

OSLABENÍ PRO POLE 8

ŠÍŘKA HORNÍ PÁSNICE	b f.t =	0	mm				
TLOUŠŤKA HORNÍ PÁSNICE	t f.t =	0	mm	OSLABENÍ HORNÍ PÁSNICE	Δt f.t =	5	%
PŘESAH HORNÍ PÁSNICE	o f.t =	0	mm	HORNÍ PÁSNICE OBECNĚ NESYMETRICKÁ (PODÉLNÍK - PŘÍPOJ MOSTNICE)			
VÝŠKA STĚNY	h w =	690	mm				
TLOUŠŤKA STĚNY	t w =	10	mm	OSLABENÍ STĚNY	Δt w.l =	0	%
ŠÍŘKA DOLNÍ PÁSNICE	b f.b =	220	mm				
TLOUŠŤKA DOLNÍ PÁSNICE	t f.b =	10	mm	OSLABENÍ DOLNÍ PÁSNICE (DOLNÍ PÁSNICE SYMETRICKÁ)	Δt f.b =	0	%

NÝT Č.	SKUPINA	ŘEZ	RED.	VELIKOST d.i [mm]	POLOHA e.i [mm]	POPIS	AKTIVITA OTVORU	NAPĚTÍ sc [MPa]
1		-	1.00	22	-135	nýt - f.t	0	48.62
2	1	3	0.76	20	-55	nýt - f.t - krční úhelník	1	17.22
3	1	3	0.76	20	55	nýt - f.t - krční úhelník	1	-26.76
4		-	1.00			nýt - f.t	-	
5	1	3	0.76	20	635	nýt - w - krční úhelník	1	0.85
6		-	1.00			nýt - w	-	
7		-	1.00			nýt - w	-	
8		-	1.00			nýt - w	-	
9		-	1.00			nýt - w	-	
10		-	1.00	20	545	nýt - w	1	11.00
11		-	1.00	20	445	nýt - w	1	22.27
12		-	1.00	20	345	nýt - w	1	33.55
13		-	1.00	20	245	nýt - w	1	44.83
14		-	1.00	20	145	nýt - w	1	56.11
15	2	3	0.76	20	55	nýt - w - krční úhelník	1	66.26
16		-	1.00				-	
17		-	1.00				-	
18		-	1.00				-	
19		-	1.00			nýt - f.b	-	
20	2	3	0.76	20	-55	nýt - f.b. - krční úhelník	1	94.42
21	2	3	0.76	20	55	nýt - f.b. - krční úhelník	1	50.44
22		-	1.00			nýt - f.b	-	

ZADÁNÍ ČÁSTÍ PRŮŘEZU:

č.prvku	b [mm]	h [mm]	y_0 [mm]	z_0 [mm]	popis části	druh oslabení	lokální ultimate	boulení servic.
1	100.0	10.5	-55.0	684.8	pásnice	0	1.000	1.000
2	10.5	89.0	-10.2	635.1	stěna	0	1.000	1.000
3	100.0	10.5	55.0	684.8	pásnice	0	1.000	1.000
4	10.5	89.0	10.2	635.1	stěna	0	1.000	1.000
5	100.0	10.5	-55.0	5.2	pásnice	0	1.000	1.000
6	10.5	89.0	-10.2	55.0	stěna	0	1.000	1.000
7	100.0	10.5	55.0	5.2	pásnice	0	1.000	1.000
8	10.5	89.0	10.2	55.0	stěna	0	1.000	1.000
9	0.0	0.0	-105.0	690.0	pásnice	0	1.000	1.000
10	10.0	690.0	0.0	345.0	stěna	0	1.000	1.000
11	220.0	10.0	0.0	-5.0	pásnice	0	1.000	1.000
12						0	1.000	1.000
13						0	1.000	1.000
14						0	1.000	1.000
15						0	1.000	1.000
16						0	1.000	1.000
17						0	1.000	1.000
18						0	1.000	1.000
19						0	1.000	1.000
20						0	1.000	1.000
21						0	1.000	1.000
22						0	1.000	1.000
23						0	1.000	1.000
24						0	1.000	1.000
25						0	1.000	1.000
26						0	1.000	1.000
27						0	1.000	1.000
28						0	1.000	1.000
29						0	1.000	1.000
30						0	1.000	1.000
31						0	1.000	1.000
32						0	1.000	1.000
33						0	1.000	1.000
34						0	1.000	1.000
35						0	1.000	1.000
36						0	1.000	1.000
37						0	1.000	1.000
38						0	1.000	1.000
39						0	1.000	1.000
40						0	1.000	1.000
41						0	1.000	1.000
42						0	1.000	1.000
43						0	1.000	1.000
44						0	1.000	1.000
45						0	1.000	1.000
46						0	1.000	1.000
47						0	1.000	1.000
48						0	1.000	1.000
49						0	1.000	1.000
50						0	1.000	1.000
51	0	0	-135.0	690.0	nýt - pásnice	0	1.000	1.000
52	-15.2	10.5	-55.0	684.8	nýt - pásnice	0	1.000	1.000
53	-15.2	10.5	55.0	684.8	nýt - pásnice	0	1.000	1.000
54	0	0	0	0	nýt - pásnice	0	1.000	1.000
55	30.9	-15.2	0.0	635.0	nýt - stěna	0	1.000	1.000
56	0	0	0	0	nýt - stěna	0	1.000	1.000
57	0	0	0	0	nýt - stěna	0	1.000	1.000
58	0	0	0	0	nýt - stěna	0	1.000	1.000
59	0	0	0	0	nýt - stěna	0	1.000	1.000
60	10.0	-20.0	0.0	545.0	nýt - stěna	0	1.000	1.000
61	10.0	-20.0	0.0	445.0	nýt - stěna	0	1.000	1.000
62	10.0	-20.0	0.0	345.0	nýt - stěna	0	1.000	1.000
63	10.0	-20.0	0.0	245.0	nýt - stěna	0	1.000	1.000
64	10.0	-20.0	0.0	145.0	nýt - stěna	0	1.000	1.000
65	30.9	-15.2	0.0	55.0	nýt - stěna	0	1.000	1.000
66						0	1.000	1.000
67						0	1.000	1.000
68						0	1.000	1.000
69	0	0	0	0	nýt - pásnice	0	1.000	1.000
70	-15.2	20.5	-55.0	0.2	nýt - pásnice	0	1.000	1.000
71	-15.2	20.5	55.0	0.2	nýt - pásnice	0	1.000	1.000
72	0	0	0	0	nýt - pásnice	0	1.000	1.000
73								
74								
75								
76								
77								
78								
79								
80								
81								
82								
83								
84								
85								
86								
87								
88								
89								
90								
91								
92								
93								
94								
95								
96								
97								
98								
99								
100								

VÝPOČET PRŮŘEZOVÝCH CHARAKTERISTIK

Properties	Basic	Ultimate		Serviceability	
y_i	0.0	0.0		0.0	[mm]
z_i	298.0	298.0		298.0	[mm]
A_i	1.4120E-04	1.4120E-04		1.4120E-04	[mm²]
A_1	5.4399E-03	5.4399E-03		5.4399E-03	[mm²]
A_2	8.6801E-03	8.6801E-03		8.6801E-03	[mm²]
I_{y1}	1.1003E+09	1.1003E+09		1.1003E+09	[mm⁴]
I_{z0}	2.2536E+07	2.2536E+07		2.2536E+07	[mm⁴]
i_y	279.2	279.2		279.2	[mm]
i_z	40.0	40.0		40.0	[mm]
$W_{y,1}$	2.8070E+06	2.8070E+06		2.8070E+06	[mm³]
$W_{z,1}$	-2.1463E+05	-2.1463E+05		-2.1463E+05	[mm³]
$W_{y,2}$	-3.5724E+06	-3.5724E+06		-3.5724E+06	[mm³]
$W_{z,2}$	-2.0487E+05	-2.0487E+05		-2.0487E+05	[mm³]
KRAJNÍ VLÁKNA PRŮŘEZU					
y_1	-105.0	-105.0		-105.0	[mm]
z_1	690.0	690.0		690.0	[mm]
y_2	-110.0	-110.0		-110.0	[mm]
z_2	-10.0	-10.0		-10.0	[mm]
y_3	105.0	105.0		105.0	[mm]
z_3	690.0	690.0		690.0	[mm]
y_4	110.0	110.0		110.0	[mm]
z_4	-10.0	-10.0		-10.0	[mm]
y_5	-5.0	-5.0		-5.0	[mm]
z_5	690.0	690.0		690.0	[mm]
y_6	-5.0	-5.0		-5.0	[mm]
z_6	0.0	0.0		0.0	[mm]

ÚPRAVA MOMENTŮ SETRVAČNOSTI V DŮSLEDKU ČLENĚNÍ PRŮŘEZU

OSA Y 1.00
OSA Z 1.00

SCHÉMA PROMĚNNÝCH

SCHÉMA ZADANÉHO PRŮŘEZU

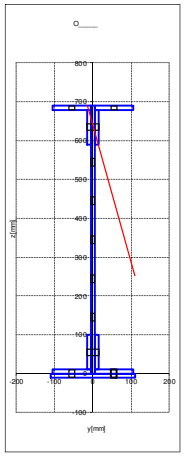

TR_L4.2	SLS_LM				
-104	-11	-3	0	8	-9
549	12	23	0	124	9
-58	-21	31	1	199	-16
508	21	-1	-1	-8	16
312	0	-50	0	82	-1
132	1	86	0	153	2
446	21	12	-1	148	16
-8	-20	-2	1	19	-16
175	20	-3	-1	-35	13
282	-19	53	0	235	-12
69	-20	27	1	68	-16
370	21	18	-1	144	17

NEUTRÁLNÁ OSA

NAPĚTÍ [MPa]:

48.62	-49.33
127.56	29.61

ZS: SLS_LM.MAX.N

	N [kN]	Vy [kN]	Vz [kN]	Mx [kNm]	My [kNm]	Mz [kNm]
import	549	12	23	0	124	9

TR_L4.2 POPIS: **PODÉLNÍK L4.E - STŘED** POSUDEK: **L4.2**

SKUPINA ZAT. STAVŮ	EXTRÉM	VYHODNOCOVANÉ VELIČINY					
		N	Vy	Vz	Mx	My	Mz
		kN	kN	kN	kNm	kNm	kNm
G0	N.min	**95.36**	0.21	-0.05	-0.02	11.26	0.04
	N.max	**67.78**	-0.17	0.84	-0.01	10.25	0.07
	Vy.min	95.36	**0.21**	-0.05	-0.02	11.26	0.04
	Vy.max	67.78	**-0.17**	0.84	-0.01	10.25	0.07
	Vz.min	95.36	0.21	**-0.05**	-0.02	11.26	0.04
	Vz.max	67.78	-0.17	**0.84**	-0.01	10.25	0.07
	Mx.min	95.36	0.21	-0.05	**-0.02**	11.26	0.04
	Mx.max	67.78	-0.17	0.84	**-0.01**	10.25	0.07
	My.min	95.36	0.21	-0.05	-0.02	**11.26**	0.04
	My.max	67.78	-0.17	0.84	-0.01	**10.25**	0.07
	Mz.min	95.36	0.21	-0.05	-0.02	11.26	**0.04**
	Mz.max	67.78	-0.17	0.84	-0.01	10.25	**0.07**
G1	N.min	**7.15**	0.02	-0.12	0	0.27	0.01
	N.max	**7.15**	0.02	-0.12	0	0.27	0.01
	Vy.min	7.15	**0.02**	-0.12	0	0.27	0.01
	Vy.max	7.15	**0.02**	-0.12	0	0.27	0.01
	Vz.min	7.15	0.02	**-0.12**	0	0.27	0.01
	Vz.max	7.15	0.02	**-0.12**	0	0.27	0.01
	Mx.min	7.15	0.02	-0.12	**0**	0.27	0.01
	Mx.max	7.15	0.02	-0.12	**0**	0.27	0.01
	My.min	7.15	0.02	-0.12	0	**0.27**	0.01
	My.max	7.15	0.02	-0.12	0	**0.27**	0.01
	Mz.min	7.15	0.02	-0.12	0	0.27	**0.01**
	Mz.max	7.15	0.02	-0.12	0	0.27	**0.01**
G2	N.min	**5.52**	0.02	-0.06	0	0.19	0
	N.max	**5.52**	0.02	-0.06	0	0.19	0
	Vy.min	5.52	**0.02**	-0.06	0	0.19	0
	Vy.max	5.52	**0.02**	-0.06	0	0.19	0
	Vz.min	5.52	0.02	**-0.06**	0	0.19	0
	Vz.max	5.52	0.02	**-0.06**	0	0.19	0
	Mx.min	5.52	0.02	-0.06	**0**	0.19	0
	Mx.max	5.52	0.02	-0.06	**0**	0.19	0
	My.min	5.52	0.02	-0.06	0	**0.19**	0
	My.max	5.52	0.02	-0.06	0	**0.19**	0
	Mz.min	5.52	0.02	-0.06	0	0.19	**0**
	Mz.max	5.52	0.02	-0.06	0	0.19	**0**
P1_71	N.min	**-0.13**	0	-0.01	0	0.03	0
	N.max	**85.9**	0.2	-2.55	0.01	1.74	0.07
	Vy.min	7.27	**-0.25**	0.08	0.07	6.57	0.11
	Vy.max	81.15	**0.34**	-2.46	-0.03	-2	0.04
	Vz.min	69.93	0.1	**-5.1**	0.01	4.69	0.23
	Vz.max	14.79	-0.04	**3.21**	0.03	3.03	-0.1
	Mx.min	77.9	0.28	-2.82	**-0.04**	0.2	0.15
	Mx.max	7.59	-0.23	0.27	**0.08**	6.34	0.01
	My.min	30.19	0.19	-1.37	-0.01	**-4.41**	0
	My.max	59.85	-0.08	-1.57	0.06	**9.94**	0.12
	Mz.min	48.22	0.04	2.32	0.03	3.78	**-0.11**
	Mz.max	31.64	-0.1	-3.63	0.04	5.19	**0.28**
P2_71	N.min	**-0.52**	0	0	0	0.01	0
	N.max	**135.98**	0.32	23.06	-0.11	107.06	0.15
	Vy.min	21.54	**-0.41**	49.81	-0.1	230.64	0.1
	Vy.max	123.1	**0.6**	-3.82	-0.06	-15.9	0.1
	Vz.min	106.05	0.29	**-40.17**	-0.08	82.29	0.34
	Vz.max	30.51	-0.23	**90.21**	-0.09	163.97	-0.1
	Mx.min	131.75	0.3	48.14	**-0.22**	190.7	0.6
	Mx.max	-0.19	0	0	**0**	0	0
	My.min	48.48	0.35	0.82	-0.05	**-17.91**	0.05
	My.max	96.21	-0.21	61.2	-0.13	**240.96**	0.15
	Mz.min	62.7	0.01	34.56	-0.06	56.91	**-0.16**
	Mz.max	73.08	0.13	20.24	-0.19	176.94	**0.68**
P1_C3	N.min	**-0.12**	0	0	0	0.02	0
	N.max	**68.95**	0.1	-2.51	0.03	2.5	0.08
	Vy.min	3.44	**-0.17**	0	0.05	3.19	0.06
	Vy.max	64.9	**0.25**	-1.27	-0.02	-0.84	0.02
	Vz.min	59	0.18	**-3.91**	-0.02	1.66	0.15
	Vz.max	10.68	0.01	**2.3**	0	0.69	-0.07
	Mx.min	66.01	0.24	-2.17	**-0.03**	0.53	0.09
	Mx.max	5.22	-0.15	0.03	**0.06**	3.4	0
	My.min	14.74	0.09	-0.42	-0.01	**-3.24**	-0.01
	My.max	49.45	0.03	-1.1	0.02	**6.4**	0.08
	Mz.min	40.7	0.05	1.15	0.02	1.87	**-0.07**
	Mz.max	24.4	-0.03	-2.31	0.02	2.68	**0.16**
P2_C3	N.min	**-0.44**	0	0	0	0.01	0
	N.max	**110.78**	0.19	20.81	-0.1	138.02	0.18
	Vy.min	11.2	**-0.27**	49.44	-0.06	149.03	0.01
	Vy.max	99.17	**0.45**	-2.79	-0.04	-10.1	0.07
	Vz.min	94.07	0.28	**-30.57**	-0.06	59.77	0.26
	Vz.max	24.72	-0.15	**66.23**	-0.06	118.31	-0.04
	Mx.min	108.66	0.31	17.55	**-0.14**	118.92	0.36
	Mx.max	-0.26	0	0	**0**	0	0
	My.min	34.88	0.29	-0.94	-0.03	**-13.53**	0.04
	My.max	74.52	-0.1	27.79	-0.07	**154.91**	0.06
	Mz.min	55.96	0.04	24.25	-0.04	38.99	**-0.12**
	Mz.max	56.42	0.14	18.86	-0.1	106.84	**0.43**
BR	N.min	**-109.42**	-0.36	2.51	0.02	-2.77	0.03
	N.max	**109.42**	0.36	-2.51	-0.02	2.77	-0.03
	Vy.min	-109.42	**-0.36**	2.51	0.02	-2.77	0.03
	Vy.max	109.42	**0.36**	-2.51	-0.02	2.77	-0.03
	Vz.min	97.03	0.23	**-3.8**	-0.03	4.28	0.03
	Vz.max	-97.03	-0.23	**3.8**	0.03	-4.28	-0.03
	Mx.min	97.03	0.23	-3.8	**-0.03**	4.28	0.03
	Mx.max	-97.03	-0.23	3.8	**0.03**	-4.28	-0.03
	My.min	-97.03	-0.23	3.8	0.03	**-4.28**	-0.03
	My.max	97.03	0.23	-3.8	-0.03	**4.28**	0.03
	Mz.min	-27.45	0	3.17	0.01	-3.6	**-0.05**
	Mz.max	27.45	0	-3.17	-0.01	3.6	**0.05**

TR_L4.2 POPIS: **PODÉLNÍK L4.E - STŘED** POSUDEK: **L4.2**

SKUPINA ZAT. STAVŮ	EXTRÉM	VYHODNOCOVANÉ VELIČINY					
		N	Vy	Vz	Mx	My	Mz
		kN	kN	kN	kNm	kNm	kNm
S	N.min	**-59.51**	-19.44	-0.95	0.55	15.3	-14.18
	N.max	**59.51**	19.44	0.95	-0.55	-15.3	14.18
	Vy.min	-59.51	**-19.44**	-0.95	0.55	15.3	-14.18
	Vy.max	59.51	**19.44**	0.95	-0.55	-15.3	14.18
	Vz.min	-22.63	-0.06	**-2.28**	0	-0.41	0.05
	Vz.max	22.63	0.06	**2.28**	0	0.41	-0.05
	Mx.min	59.51	19.44	0.95	**-0.55**	-15.3	14.18
	Mx.max	-59.51	-19.44	-0.95	**0.55**	15.3	-14.18
	My.min	59.51	19.44	0.95	-0.55	**-15.3**	14.18
	My.max	-59.51	-19.44	-0.95	0.55	**15.3**	-14.18
	Mz.min	-59.51	-19.44	-0.95	0.55	15.3	**-14.18**
	Mz.max	59.51	19.44	0.95	-0.55	-15.3	**14.18**
CH	N.min	**6.41**	0.02	-0.18	0	0.2	-0.01
	N.max	**13.78**	0.03	-0.13	0	0.42	-0.01
	Vy.min	6.41	**0.02**	-0.18	0	0.2	-0.01
	Vy.max	13.78	**0.03**	-0.13	0	0.42	-0.01
	Vz.min	6.41	0.02	**-0.18**	0	0.2	-0.01
	Vz.max	9.7	0.02	**-0.12**	0	0.39	-0.01
	Mx.min	6.41	0.02	-0.18	**0**	0.2	-0.01
	Mx.max	9.7	0.02	-0.12	**0**	0.39	-0.01
	My.min	6.41	0.02	-0.18	0	**0.2**	-0.01
	My.max	13.78	0.03	-0.13	0	**0.42**	-0.01
	Mz.min	6.41	0.02	-0.18	0	0.2	**-0.01**
	Mz.max	13.78	0.03	-0.13	0	0.42	**-0.01**
W	N.min	**-33.32**	-0.13	-1.45	0	1.5	0
	N.max	**33.31**	0.13	1.45	0	-1.5	0
	Vy.min	-33.32	**-0.13**	-1.45	0	1.5	0
	Vy.max	33.31	**0.13**	1.45	0	-1.5	0
	Vz.min	-33.32	-0.13	**-1.45**	0	1.5	0
	Vz.max	33.31	0.13	**1.45**	0	-1.5	0
	Mx.min	-33.32	-0.13	-1.45	**0**	1.5	0
	Mx.max	33.31	0.13	1.45	**0**	-1.5	0
	My.min	33.31	0.13	1.45	0	**-1.5**	0
	My.max	-33.32	-0.13	-1.45	0	**1.5**	0
	Mz.min	-33.32	-0.13	-1.45	0	1.5	**0**
	Mz.max	33.31	0.13	1.45	0	-1.5	**0**
WP	N.min	**-55.35**	-0.82	-4.93	0.1	-12.58	-2.23
	N.max	**55.33**	0.82	4.93	-0.1	12.59	2.23
	Vy.min	-55.35	**-0.82**	-4.93	0.1	-12.58	-2.23
	Vy.max	55.33	**0.82**	4.93	-0.1	12.59	2.23
	Vz.min	-55.35	-0.82	**-4.93**	0.1	-12.58	-2.23
	Vz.max	55.33	0.82	**4.93**	-0.1	12.59	2.23
	Mx.min	55.33	0.82	4.93	**-0.1**	12.59	2.23
	Mx.max	-55.35	-0.82	-4.93	**0.1**	-12.58	-2.23
	My.min	-55.35	-0.82	-4.93	0.1	**-12.58**	-2.23
	My.max	55.33	0.82	4.93	-0.1	**12.59**	2.23
	Mz.min	-55.35	-0.82	-4.93	0.1	-12.58	**-2.23**
	Mz.max	55.33	0.82	4.93	-0.1	12.59	**2.23**
TR	N.min	**0**	0	0	0	0	0
	N.max	**0**	0	0	0	0	0
	Vy.min	0	**0**	0	0	0	0
	Vy.max	0	**0**	0	0	0	0
	Vz.min	0	0	**0**	0	0	0
	Vz.max	0	0	**0**	0	0	0
	Mx.min	0	0	0	**0**	0	0
	Mx.max	0	0	0	**0**	0	0
	My.min	0	0	0	0	**0**	0
	My.max	0	0	0	0	**0**	0
	Mz.min	0	0	0	0	0	**0**
	Mz.max	0	0	0	0	0	**0**
TN	N.min	**-8.25**	-0.04	-0.14	0	1.89	0.01
	N.max	**16.08**	0.07	0.11	0	-1.61	0.01
	Vy.min	-8.25	**-0.04**	-0.14	0	1.89	0.01
	Vy.max	16.08	**0.07**	0.11	0	-1.61	0.01
	Vz.min	-8.25	-0.04	**-0.14**	0	1.89	0.01
	Vz.max	8.25	0.04	**0.14**	0	-1.89	-0.01
	Mx.min	-7.63	-0.02	0.01	**0**	-0.27	-0.02
	Mx.max	-8.25	-0.04	-0.14	**0**	1.89	0.01
	My.min	8.25	0.04	0.14	0	**-1.89**	-0.01
	My.max	-8.25	-0.04	-0.14	0	**1.89**	0.01
	Mz.min	-7.63	-0.02	0.01	0	-0.27	**-0.02**
	Mz.max	-8.25	-0.04	-0.14	0	1.89	**0.01**
FR	N.min	**-9.54**	-0.02	0.08	0	-0.12	0
	N.max	**9.54**	0.02	-0.08	0	0.12	0
	Vy.min	-9.54	**-0.02**	0.08	0	-0.12	0
	Vy.max	9.54	**0.02**	-0.08	0	0.12	0
	Vz.min	9.54	0.02	**-0.08**	0	0.12	0
	Vz.max	-9.54	-0.02	**0.08**	0	-0.12	0
	Mx.min	9.54	0.02	-0.08	**0**	0.12	0
	Mx.max	-9.54	-0.02	0.08	**0**	-0.12	0
	My.min	-9.54	-0.02	0.08	0	**-0.12**	0
	My.max	9.54	0.02	-0.08	0	**0.12**	0
	Mz.min	-9.54	-0.02	0.08	0	-0.12	**0**
	Mz.max	9.54	0.02	-0.08	0	0.12	**0**
I	N.min	**-2.91**	-0.01	-0.07	0	0.08	**0**
	N.max	**2.91**	0.01	0.07	0	-0.08	**0**
	Vy.min	-2.91	**-0.01**	-0.07	0	0.08	**0**
	Vy.max	2.91	**0.01**	0.07	0	-0.08	**0**
	Vz.min	-2.91	-0.01	**-0.07**	0	0.08	**0**
	Vz.max	2.91	0.01	**0.07**	0	-0.08	**0**
	Mx.min	-2.91	-0.01	-0.07	**0**	0.08	**0**
	Mx.max	2.91	0.01	0.07	**0**	-0.08	**0**
	My.min	2.91	0.01	0.07	0	**-0.08**	**0**
	My.max	-2.91	-0.01	-0.07	0	**0.08**	**0**
	Mz.min	-2.91	-0.01	-0.07	0	0.08	**0**
	Mz.max	2.91	0.01	0.07	0	-0.08	**0**

TAB. L4.2.3 POSOUZENÍ - MEZNÍ STAV ÚNOSNOSTI

POPIS	PODĚLNÍK L4.E - STŘED
PRUT / POLOHA BODU	850 / I[712]
NAMÁHÁNÍ	Vy.min
VLÁKNO	BOD K2 -HP
MEZNÍ STAV	ULS (MSÚ)
VYUŽITÍ VLÁKNA PRŮŘEZU	1.22

Charakteristiky materiálu				
pás. horní	$f_{yf,k}$	230	MPa	
pás. dolní	$f_{yf,k}$	230	MPa	
stojina	$f_{yw,k}$	230	MPa	
výztuž	$f_{ys,k}$	500	MPa	
γ_M =	1.20	γ_s =	1.15	

Excentricita normálové síly				
Exc./Fáze	0	1	2	3
e_y	0.000	0.000	0.000	0.000
e_z	0.000	0.000	0.000	0.000
Ekvivalentní vzdál. stěn - příčný roznos				
b_{Mx}	0.000	0.000	0.000	0.000

Vliv stěny na únosnost průřezu				
Char./Fáze	0	1	2	3
A	0.00	0.00	0.00	0.00
Wy	0.00	0.00	0.00	0.00
Wz	0.00	0.00	0.00	0.00

Charakter. v kroucení			
$t_{w,y}$	0.000	[mm]	
$t_{w,z}$	0.000	[mm]	
κ	1.00		
I_t=	0.00E+00	[mm^4]	
$\Omega=2*A_{pr}$	0.00E+00	[mm^2]	

Součinitele vzpěru a vlivu II.řádu				
Char./Fáze	0	1	2	3
k_y	1.000	1.000	1.000	1.000
k_z	1.000	1.000	1.000	1.000
χ_{LT}	1.000	1.000	1.000	1.000
χ_{min}	1.000	1.000	1.000	1.000

Vnitřní síly od jednotlivých skupin zatěžovacích stavů — 4

SKUPINA ZATĚŽOVACÍCH STAVŮ					- CHARAKTERISTICKÉ HODNOTY						DÍLČÍ SOUČINITELÉ ZATÍŽENÍ, DYNAMICKÝ SOUČINITEL						- NÁVRHOVÉ HODNOTY								
Č.	SKUP ZS	POPIS ZS	KAT.	FÁZE PRŮŘ.	N.k (kN)	Vy.k (kN)	Vz.k (kN)	Mx.k (kNm)	My.k (kNm)	Mz.k (kNm)	γ_{sr} (-)	γ_{sd} (-)	volba ψ_i hledat	ψ_i (-)	L_d (m)	δ (-)	Ψ_E KZ04	N.d (kN)	Vy.d (kN)	Vz.d (kN)	ΔVz.d (kN)	ΣVz.d (kN)	Mx.d (kNm)	My.d (kNm)	ΔMy.d (kNm)	ΣMy.d (kNm)	Mz.d (kNm)	ΔMz.d (kNm)	ΣMz.d (kNm)
1	G0	Vlastní tíha OK	G	0	95	0	0	0	11	0	1.00	1.20		1.20	-	1.00	0.95	109	0	0	0	0	0	13	0	13	0	0	0
2	G1	Ostatní stálé - mostní vybavení	G	0	7	0	0	0	0	0	1.00	1.20		1.20	-	1.00	0.95	8	0	0	0	0	0	0	0	0	0	0	0
3	G2	Ostatní stálé - cizí zařízení	G	0	6	0	0	0	0	0	1.00	1.20		1.20	-	1.00	0.95	6	0	0	0	0	0	0	0	0	0	0	0
4	P1_71	a.LM71 - kolej 1 (bez dyn. souč.)	P	0	7	0	0	0	7	0	1.00	0.00		0.00	-	1.56	1.00	0	0	0	0	0	0	0	0	0	0	0	0
5	P2_71	a.LM71 - kolej 2 (bez dyn. souč.)	P	0	22	0	50	0	231	0	1.00	1.30		1.30	-	1.56	1.00	44	-1	101	0	101	0	469	0	469	0	0	0
6	P1_C3	TTZ C3 - kolej 1 (bez dyn. souč.)	P	0	3	0	0	0	3	0	1.00	vyp.		0.00	-	1.00	0.00	0	0	0	0	0	0	0	0	0	0	0	0
7	P2_C3	TTZ C3 - kolej 2 (bez dyn. souč.)	P	0	11	0	49	0	149	0	1.00	vyp.		0.00	-	1.00	0.00	0	0	0	0	0	0	0	0	0	0	0	0
8	BR	Brzdné a rozjezdové síly	P	0	-109	0	3	0	-3	0	1.00	1.30		1.30	-	1.00	0.40	-57	0	1	0	1	0	-1	0	-1	0	0	0
9	S	Boční ráz	P	0	-60	-19	-1	1	15	-14	1.00	1.30		1.30	-	1.00	0.80	-62	-20	-1	0	-1	1	16	0	16	-15	0	-15
10	CH	Chodci na lávkách	Q	0	6	0	0	0	0	0	1.00	0.00		0.00	-	1.00	1.00	0	0	0	0	0	0	0	0	0	0	0	0
11	W	Vítr na konstrukci	Q	0	-33	0	-1	0	2	0	1.00	1.35		1.35	-	1.00	0.75	-34	0	-1	0	-1	0	2	0	2	0	0	0
12	WP	Vítr na vozidla	Q	0	-55	-1	-5	0	-13	-2	1.00	1.35		1.35	-	1.00	0.75	-56	-1	-5	0	-5	0	-13	0	-13	-2	0	-2
13	TR	Teplota rovnoměrná	Q	0	0	0	0	0	0	0	1.00	1.35		1.35	-	1.00	0.45	0	0	0	0	0	0	0	0	0	0	0	0
14	TN	Teplota nerovnoměrná	Q	0	-8	0	0	0	2	0	1.00	1.35		1.35	-	1.00	0.60	-7	0	0	0	0	0	2	0	2	0	0	0
15	FR	Třecí síly v ložiskách	Q	0	-10	0	0	0	0	0	1.00	1.20		1.20	-	1.00	1.00	-11	0	0	0	0	0	0	0	0	0	0	0
16	I	Imperfekce soustavy	Q	0	-3	0	0	0	0	0	1.00	1.20		1.20	-	1.00	1.00	-3	0	0	0	0	0	0	0	0	0	0	0
27	ULS_LM	ULS - LM71 bez dynam	Q	0	-91	-27	58	1	330	-20	1.00	vyp.		0.00	-	1.00	0.00	0	0	0	0	0	0	0	0	0	0	0	0
28	SLS_LM	SLS - LM71 bez dynam	Q	0	-50	-21	45	1	255	-16	1.00	vyp.	1	0.00	-	1.00	0.00	0	0	0	0	0	0	0	0	0	0	0	0
29	ULS_C3	ULS - C3 bez dynam	Q	0	-109	-27	58	1	220	-21	1.00	vyp.	1	0.00	-	1.00	0.00	0	0	0	0	0	0	0	0	0	0	0	0
30	SLS_C3	SLS - C3 bez dynam	Q	0	-64	-21	45	1	170	-16	1.00	vyp.	1	0.00	-	1.00	0.00	0	0	0	0	0	0	0	0	0	0	0	0
		CELKEM - FÁZE PRŮŘEZU 0																-63	-22	95	0	95	0	487	0	487	-17	0	-17
		CELKEM - FÁZE PRŮŘEZU 1																0	0	0	0	0	0	0	0	0	0	0	0
		CELKEM - FÁZE PRŮŘEZU 2																0	0	0	0	0	0	0	0	0	0	0	0
		CELKEM - FÁZE PRŮŘEZU 3																0	0	0	0	0	0	0	0	0	0	0	0
		CELKEM - PRŮŘEZ																-63	-22	95	0	95	0			487			-17

Napětí od jednotlivých zatěžovacích stavů

SKUPINA ZATĚŽOVACÍCH STAVŮ					Posouzení normálového napětí										Posouzení smykového napětí													
					Účinek síly N			Účinek momentu My				Účinek momentu Mz				Účinek kroutícího momentu Mx				Účinek smykové síly Vy				Účinek smykové síly Vz			
Č.	SKUP ZS	Popis ZS	Kat.	fáze prúř.	δ^*N_d [kN]	χ^*A [mm^2]	σ_n [MPa]	$\delta^*M_{y,d}$ [kNm]	$\chi_{lt}*W_{el,y}$ [mm^3]	σ_{my} [MPa]	$\delta^*M_{z,d}$ [kNm]	$W_{el,z}$ [mm^3]	σ_{mz} [MPa]	σ_x [MPa]	$\kappa*\delta^*M_{x,d}$ [kNm]	$W_{v,y}$ [mm^2]	$\tau_{x,y}$ [MPa]	$W_{v,z}$ [mm^2]	$\tau_{x,z}$ [MPa]	$\delta^*V_{y,d}$ [kN]	$A_{v,y}$ [mm2]	$\tau_{v,y}$ [MPa]	$\tau_{v,y}$ [MPa]	$\delta^*V_{z,d}$ [kN]	$A_{v,z}$ [mm2]	$\tau_{v,z}$ [MPa]	$\tau_{v,z}$ [MPa]
1	G0	Vlastní tíha OK	G	0	108.7	1.41E+04	7.7	12.8	-2.81E+06	-4.6	0.0	2.15E+05	0.2	3.3	-2.3E-02	-	-	-	-	0.2	5.44E+03	0.0	0.0	-0.1	8.68E+03	0.0	0.0
2	G1	Ostatní stálé - mostní vybavení	G	0	8.2	1.41E+04	0.6	0.3	-2.81E+06	-0.1	0.0	2.15E+05	0.1	0.5	0.0E+00	-	-	-	-	0.0	5.44E+03	0.0	0.0	-0.1	8.68E+03	0.0	0.0
3	G2	Ostatní stálé - cizí zařízení	G	0	6.3	1.41E+04	0.4	0.2	-2.81E+06	-0.1	0.0	2.15E+05	0.0	0.4	0.0E+00	-	-	-	-	0.0	5.44E+03	0.0	0.0	-0.1	8.68E+03	0.0	0.0
4	P1_71	a.LM71 - kolej 1 (bez dyn. souč.)	P	0	0.0	1.41E+04	0.0	0.0	-2.81E+06	0.0	0.0	2.15E+05	0.0	0.0	0.0E+00	-	-	-	-	0.0	5.44E+03	0.0	0.0	0.0	8.68E+03	0.0	0.0
5	P2_71	a.LM71 - kolej 2 (bez dyn. souč.)	P	0	43.8	1.41E+04	3.1	468.6	-2.81E+06	-167.0	0.2	2.15E+05	0.9	-162.9	-2.0E-01	-	-	-	-	-0.8	5.44E+03	-0.2	-0.2	101.2	8.68E+03	11.7	11.7
6	P1_C3	TTZ C3 - kolej 1 (bez dyn. souč.)	P	0	0.0	1.41E+04	0.0	0.0	-2.81E+06	0.0	0.0	2.15E+05	0.0	0.0	0.0E+00	-	-	-	-	0.0	5.44E+03	0.0	0.0	0.0	8.68E+03	0.0	0.0
7	P2_C3	TTZ C3 - kolej 2 (bez dyn. souč.)	P	0	0.0	1.41E+04	0.0	0.0	-2.81E+06	0.0	0.0	2.15E+05	0.0	0.0	0.0E+00	-	-	-	-	0.0	5.44E+03	0.0	0.0	0.0	8.68E+03	0.0	0.0
8	BR	Brzdné a rozjezdové síly	P	0	-56.9	1.41E+04	-4.0	-1.4	-2.81E+06	0.5	0.0	2.15E+05	0.1	-3.4	1.0E-02	-	-	-	-	-0.2	5.44E+03	0.0	0.0	1.3	8.68E+03	0.2	0.2
9	S	Boční ráz	P	0	-61.9	1.41E+04	-4.4	15.9	-2.81E+06	-5.7	-14.7	2.15E+05	-68.7	-78.8	5.7E-01	-	-	-	-	-20.2	5.44E+03	-3.7	-3.7	-1.0	8.68E+03	-0.1	-0.1
10	CH	Chodci na lávkách	Q	0	0.0	1.41E+04	0.0	0.0	-2.81E+06	0.0	0.0	2.15E+05	0.0	0.0	0.0E+00	-	-	-	-	0.0	5.44E+03	0.0	0.0	0.0	8.68E+03	0.0	0.0
11	W	Vítr na konstrukci	Q	0	-33.7	1.41E+04	-2.4	1.5	-2.81E+06	-0.5	0.0	2.15E+05	0.0	-2.9	0.0E+00	-	-	-	-	-0.1	5.44E+03	0.0	0.0	-1.5	8.68E+03	-0.2	-0.2
12	WP	Vítr na vozidla	Q	0	-56.0	1.41E+04	-4.0	-12.7	-2.81E+06	4.5	-2.3	2.15E+05	-10.5	-10.0	1.0E-01	-	-	-	-	-0.8	5.44E+03	-0.2	-0.2	-5.0	8.68E+03	-0.6	-0.6
13	TR	Teplota rovnoměrná	Q	0	0.0	1.41E+04	0.0	0.0	-2.81E+06	0.0	0.0	2.15E+05	0.0	0.0	0.0E+00	-	-	-	-	0.0	5.44E+03	0.0	0.0	0.0	8.68E+03	0.0	0.0
14	TN	Teplota nerovnoměrná	Q	0	-6.7	1.41E+04	-0.5	1.5	-2.81E+06	-0.5	0.0	2.15E+05	0.0	-1.0	0.0E+00	-	-	-	-	0.0	5.44E+03	0.0	0.0	-0.1	8.68E+03	0.0	0.0
15	FR	Třecí síly v ložiskách	Q	0	-11.4	1.41E+04	-0.8	-0.1	-2.81E+06	0.1	0.0	2.15E+05	0.0	-0.8	0.0E+00	-	-	-	-	0.0	5.44E+03	0.0	0.0	0.1	8.68E+03	0.0	0.0
16	I	Imperfekce soustavy	Q	0	-3.5	1.41E+04	-0.2	0.1	-2.81E+06	0.0	0.0	2.15E+05	0.0	-0.3	0.0E+00	-	-	-	-	0.0	5.44E+03	0.0	0.0	-0.1	8.68E+03	0.0	0.0
27	ULS_LM	ULS - LM71 bez dynam	Q	0	0.0	1.41E+04	0.0	0.0	-2.81E+06	0.0	0.0	2.15E+05	0.0	0.0	0.0E+00	-	-	-	-	0.0	5.44E+03	0.0	0.0	0.0	8.68E+03	0.0	0.0
28	SLS_LM	SLS - LM71 bez dynam	Q	0	0.0	1.41E+04	0.0	0.0	-2.81E+06	0.0	0.0	2.15E+05	0.0	0.0	0.0E+00	-	-	-	-	0.0	5.44E+03	0.0	0.0	0.0	8.68E+03	0.0	0.0
29	ULS_C3	ULS - C3 bez dynam	Q	0	0.0	1.41E+04	0.0	0.0	-2.81E+06	0.0	0.0	2.15E+05	0.0	0.0	0.0E+00	-	-	-	-	0.0	5.44E+03	0.0	0.0	0.0	8.68E+03	0.0	0.0
30	SLS_C3	SLS - C3 bez dynam	Q	0	0.0	1.41E+04	0.0	0.0	-2.81E+06	0.0	0.0	2.15E+05	0.0	0.0	0.0E+00	-	-	-	-	0.0	5.44E+03	0.0	0.0	0.0	8.68E+03	0.0	0.0
NAVÝŠENÍ NAPĚTÍ DO AKTIVACE TLAKU V DESCE MOSTOVKY						$\sigma_{P,red}$	0.0							0.0			0.0		0.0			-4.0	-4.0			10.9	10.9
NAPĚTÍ OD PRIMÁRNÍCH ÚČINKŮ NEROVNOMĚRNÉHO OTEPLENÍ						σ_T	0.0							0.0													
NAPĚTÍ OD REOLOGICKÝCH ÚČINKŮ BETONU V ČASE				t=0		σ_R	0.0	γ_{rr}=	1.20					0.0													
NAPĚTÍ V KRITICKÝCH VLÁKNECH OD KOMBINACE ZATÍŽENÍ						KZ04		[MPa]					$\Sigma\sigma_x$	-255.8								$\Sigma\tau_y$	-4.0			$\Sigma\tau_z$	10.9
NAPĚTÍ OD POHYBLIVÉHO ZATÍŽENÍ								[MPa]					$\sigma_{x,P}$	-245.1								τ_P	-3.9			τ_P	11.7
NAPĚTÍ OD OSTATNÍCH ZATÍŽENÍ								[MPa]			Φ_{Vy}	Φ_{Vz}	$\sigma_{x,rs}$	-10.7								τ_{rs}	-0.1			τ_{rs}	-0.8
NÁVRHOVÁ HODNOTA MEZE KLUZU S REDUKCÍ VLIVEM SMYKOVÉHO NAPĚTÍ								[MPa]			1.00	1.00	$f_{yw,d}$	209.1								$f_{yd}/3^{0,5}$	110.7			$f_{yd}/3^{0,5}$	110.7
NAPĚTÍ OD POHYBLIVÉHO ZATÍŽENÍ V GLOBÁLNÍM SYSTÉMU						$\sigma_{GLOB,P}$	0.0	[MPa]					$\Sigma\sigma_{GLOB}$	0.0													
NAPĚTÍ OD OSTATNÍCH ZATÍŽENÍ V GLOBÁLNÍM SYSTÉMU						$\sigma_{GLOB,rs}$	0.0	[MPa]					$\Sigma\sigma_x + \Sigma\sigma_{GLOB}$	-255.8													
VYUŽITÍ PRŮŘEZU DLE NAPĚTÍ								[%]					η_1	1.22								η_3	0.04			η_3	0.10
NAPĚTÍ V PŘÍČNÉM SMĚRU OD POHYBLIVÉHO ZATÍŽENÍ						$\sigma_{z,P}$	0.0	[MPa]					$\Sigma\sigma_z$	0.0													
NAPĚTÍ V PŘÍČNÉM SMĚRU OD OSTATNÍCH ZATÍŽENÍ						$\sigma_{z,rs}$	0.0	[MPa]					η_2	0.00													
SROVNÁVACÍ NAPĚTÍ													$(\eta_2 + 0,8\,\eta_1)/1,4$ =	0.70													
VYUŽITÍ PRŮŘEZU CELKEM								[%]					eff	1.22	NEVYHOVUJE												
													z_{LM71} =	0.81													

TAB. L4.2.3 POSOUZENÍ - MEZNÍ STAV ÚNOSNOSTI

POPIS	PODĚLNÍK L4.E - STŘED
PRUT / POLOHA BODU	850 / I[712]
NAMÁHÁNÍ	My.max
VLÁKNO	BOD K4 -SP
MEZNÍ STAV	ULS (MSÚ)
VYUŽITÍ VLÁKNA PRŮŘEZU	1.33

Charakteristiky materiálu				
pás. horní	$f_{yf,k}$	230	MPa	
pás. dolní	$f_{yf,k}$	230	MPa	
stojina	$f_{yw,k}$	230	MPa	
výztuž	$f_{ys,k}$	500	MPa	
γ_M =	1.10	γ_s =	1.15	

Excentricita normálové síly				
Exc./Fáze	0	1	2	3
e_y	0.000	0.000	0.000	0.000
e_z	0.000	0.000	0.000	0.000
Ekvivalentní vzdál. stěn - příčný roznos				
b_{Mx}	0.000	0.000	0.000	0.000

Vliv stěny na únosnost průřezu				
Char./Fáze	0	1	2	3
A	0.00	0.00	0.00	0.00
Wy	0.00	0.00	0.00	0.00
Wz	0.00	0.00	0.00	0.00

Charakter. v kroucení			
$t_{w,y}$	0.000	[mm]	
$t_{w,z}$	0.000	[mm]	
κ	1.00		
I_t=	0.00E+00	[mm^4]	
$\Omega=2*A_{pr}$	0.00E+00	[mm^2]	

Součinitele vzpěru a vlivu II.řádu				
Char./Fáze	0	1	2	3
k_y	1.000	1.000	1.000	1.000
k_z	1.000	1.000	1.000	1.000
χ_{LT}	1.000	1.000	1.000	1.000
χ_{min}	1.000	1.000	1.000	1.000

Vnitřní síly od jednotlivých skupin zatěžovacích stavů

SKUPINA ZATĚŽOVACÍCH STAVŮ — CHARAKTERISTICKÉ HODNOTY — DÍLČÍ SOUČINITELÉ ZATÍŽENÍ, DYNAMICKÝ SOUČINITEL — NÁVRHOVÉ HODNOTY

Č.	SKUP ZS	POPIS ZS	KAT.	FÁZE PRŮŘ.	N.k (kN)	Vy.k (kN)	Vz.k (kN)	Mx.k (kNm)	My.k (kNm)	Mz.k (kNm)	γ_{sr} (-)	γ_{fs} (-)	volba γ_f hledat	γ_f (-)	L_d (m)	δ (-)	Ψ_s KZ04	N.d (kN)	Vy.d (kN)	Vz.d (kN)	ΔVz.d (kN)	ΣVz.d (kN)	Mx.d (kNm)	My.d (kNm)	ΔMy.d (kNm)	ΣMy.d (kNm)	Mz.d (kNm)	ΔMz.d (kNm)	ΣMz.d (kNm)
1	G0	Vlastní tíha OK	G	0	68	0	1	0	10	0	1.00	1.20		1.20	-	1.00	0.95	77	0	1	0	1	0	12	0	12	0	0	0
2	G1	Ostatní stálé - mostní vybavení	G	0	7	0	0	0	0	0	1.00	1.20		1.20	-	1.00	0.95	8	0	0	0	0	0	0	0	0	0	0	0
3	G2	Ostatní stálé - cizí zařízení	G	0	6	0	0	0	0	0	1.00	1.20		1.20	-	1.00	0.95	6	0	0	0	0	0	0	0	0	0	0	0
4	P1_71	a.LM71 - kolej 1 (bez dyn. souč.)	P	0	60	0	-2	0	10	0	1.00	1.30		1.30	-	1.56	1.00	122	0	-3	0	-3	0	20	0	20	0	0	0
5	P2_71	a.LM71 - kolej 2 (bez dyn. souč.)	P	0	96	0	61	0	241	0	1.00	1.30		1.30	-	1.56	1.00	195	0	124	0	124	0	490	0	490	0	0	0
6	P1_C3	TTZ C3 - kolej 1 (bez dyn. souč.)	P	0	49	0	-1	0	6	0	1.00	vyp.		0.00	-	1.00	0.00	0	0	0	0	0	0	0	0	0	0	0	0
7	P2_C3	TTZ C3 - kolej 2 (bez dyn. souč.)	P	0	75	0	28	0	155	0	1.00	vyp.		0.00	-	1.00	0.00	0	0	0	0	0	0	0	0	0	0	0	0
8	BR	Brzdné a rozjezdové síly	P	0	97	0	-4	0	4	0	1.00	1.30		1.30	-	1.00	0.40	50	0	-2	0	-2	0	2	0	2	0	0	0
9	S	Boční ráz	P	0	-60	-19	-1	1	15	-14	1.00	-1.30		-1.30	-	1.00	0.80	62	20	1	0	1	-1	-16	0	-16	15	0	15
10	CH	Chodci na lávkách	Q	0	14	0	0	0	0	0	1.00	1.30		1.30	-	1.00	1.00	18	0	0	0	0	0	1	0	1	0	0	0
11	W	Vítr na konstrukci	Q	0	-33	0	-1	0	2	0	1.00	-1.35		-1.35	-	1.00	0.75	34	0	1	0	1	0	-2	0	-2	0	0	0
12	WP	Vítr na vozidla	Q	0	55	1	5	0	13	2	1.00	1.35		1.35	-	1.00	0.75	56	1	5	0	5	0	13	0	13	2	0	2
13	TR	Teplota rovnoměrná	Q	0	0	0	0	0	0	0	1.00	1.35		1.35	-	1.00	0.45	0	0	0	0	0	0	0	0	0	0	0	0
14	TN	Teplota nerovnoměrná	Q	0	-8	0	0	0	2	0	1.00	-1.35		-1.35	-	1.00	0.60	7	0	0	0	0	0	-2	0	-2	0	0	0
15	FR	Třecí síly v ložiskách	Q	0	10	0	0	0	0	0	1.00	1.20		1.20	-	1.00	1.00	11	0	0	0	0	0	0	0	0	0	0	0
16	I	Imperfekce soustavy	Q	0	-3	0	0	0	0	0	1.00	-1.20		-1.20	-	1.00	1.00	3	0	0	0	0	0	0	0	0	0	0	0
27	ULS_LM	ULS - LM71 bez dynam	Q	0	353	-24	77	0	379	-16	1.00	vyp.		0.00	-	1.00	0.00	0	0	0	0	0	0	0	0	0	0	0	0
28	SLS_LM	SLS - LM71 bez dynam	Q	0	290	-19	59	0	291	-12	1.00	vyp.	1	0.00	-	1.00	0.00	0	0	0	0	0	0	0	0	0	0	0	0
29	ULS_C3	ULS - C3 bez dynam	Q	0	311	-24	34	0	262	-16	1.00	vyp.	1	0.00	-	1.00	0.00	0	0	0	0	0	0	0	0	0	0	0	0
30	SLS_C3	SLS - C3 bez dynam	Q	0	258	-19	26	0	202	-12	1.00	vyp.	1	0.00	-	1.00	0.00	0	0	0	0	0	0	0	0	0	0	0	0
		CELKEM - FÁZE PRŮŘEZU 0																650	21	127	0	127	-1	519	0	519	18	0	18
		CELKEM - FÁZE PRŮŘEZU 1																0	0	0	0	0	0	0	0	0	0	0	0
		CELKEM - FÁZE PRŮŘEZU 2																0	0	0	0	0	0	0	0	0	0	0	0
		CELKEM - FÁZE PRŮŘEZU 3																0	0	0	0	0	0	0	0	0	0	0	0
		CELKEM - PRŮŘEZ																650	21	127	0	127	-1			519			18

Napětí od jednotlivých zatěžovacích stavů

SKUPINA ZATĚŽOVACÍCH STAVŮ — Posouzení normálového napětí — Posouzení smykového napětí

Č.	SKUP ZS	Popis ZS	Kat.	fáze průř.	Účinek síly N: δ^*N_d [kN]	χ^*A [mm^2]	σ_n [MPa]	Účinek momentu My: $\delta^*M_{y,d}$ [kNm]	$\chi_{lt}*W_{el,y}$ [mm^3]	σ_{my} [MPa]	Účinek momentu Mz: $\delta^*M_{z,d}$ [kNm]	$W_{el,z}$ [mm^3]	σ_{mz} [MPa]	σ_x [MPa]	Účinek kroutícího momentu Mx: $\kappa*\delta^*M_{x,d}$ [kNm]	$W_{v,y}$ [mm^3]	$\tau_{x,y}$ [MPa]	$W_{v,z}$ [mm^3]	$\tau_{x,z}$ [MPa]	Účinek smykové síly Vy: $\delta^*V_{y,d}$ [kN]	$A_{v,y}$ [mm2]	$\tau_{v,y}$ [MPa]	$\tau_{v,y}$ [MPa]	Účinek smykové síly Vz: $\delta^*V_{z,d}$ [kN]	$A_{v,z}$ [mm2]	$\tau_{v,z}$ [MPa]	$\tau_{v,z}$ [MPa]
1	G0	Vlastní tíha OK	G	0	77.3	1.41E+04	5.5	11.7	3.57E+06	3.3	0.1	2.05E+05	0.4	9.1	-1.1E-02	-	-	-	-	-0.2	5.44E+03	0.0	0.0	1.0	8.68E+03	0.1	0.1
2	G1	Ostatní stálé - mostní vybavení	G	0	8.2	1.41E+04	0.6	0.3	3.57E+06	0.1	0.0	2.05E+05	0.1	0.7	0.0E+00	-	-	-	-	0.0	5.44E+03	0.0	0.0	-0.1	8.68E+03	0.0	0.0
3	G2	Ostatní stálé - cizí zařízení	G	0	6.3	1.41E+04	0.4	0.2	3.57E+06	0.1	0.0	2.05E+05	0.0	0.5	0.0E+00	-	-	-	-	0.0	5.44E+03	0.0	0.0	-0.1	8.68E+03	0.0	0.0
4	P1_71	a.LM71 - kolej 1 (bez dyn. souč.)	P	0	121.6	1.41E+04	8.6	20.2	3.57E+06	5.7	0.2	2.05E+05	1.2	15.5	1.2E-01	-	-	-	-	-0.2	5.44E+03	0.0	0.0	-3.2	8.68E+03	-0.4	-0.4
5	P2_71	a.LM71 - kolej 2 (bez dyn. souč.)	P	0	195.5	1.41E+04	13.8	489.6	3.57E+06	137.1	0.3	2.05E+05	1.5	152.4	-2.6E-01	-	-	-	-	-0.4	5.44E+03	-0.1	-0.1	124.4	8.68E+03	14.3	14.3
6	P1_C3	TTZ C3 - kolej 1 (bez dyn. souč.)	P	0	0.0	1.41E+04	0.0	0.0	3.57E+06	0.0	0.0	2.05E+05	0.0	0.0	0.0E+00	-	-	-	-	0.0	5.44E+03	0.0	0.0	0.0	8.68E+03	0.0	0.0
7	P2_C3	TTZ C3 - kolej 2 (bez dyn. souč.)	P	0	0.0	1.41E+04	0.0	0.0	3.57E+06	0.0	0.0	2.05E+05	0.0	0.0	0.0E+00	-	-	-	-	0.0	5.44E+03	0.0	0.0	0.0	8.68E+03	0.0	0.0
8	BR	Brzdné a rozjezdové síly	P	0	50.5	1.41E+04	3.6	2.2	3.57E+06	0.6	0.0	2.05E+05	0.1	4.3	-1.6E-02	-	-	-	-	0.1	5.44E+03	0.0	0.0	-2.0	8.68E+03	-0.2	-0.2
9	S	Boční ráz	P	0	61.9	1.41E+04	4.4	-15.9	3.57E+06	-4.5	14.7	2.05E+05	72.0	71.9	-5.7E-01	-	-	-	-	20.2	5.44E+03	3.7	3.7	1.0	8.68E+03	0.1	0.1
10	CH	Chodci na lávkách	Q	0	17.9	1.41E+04	1.3	0.5	3.57E+06	0.2	0.0	2.05E+05	-0.1	1.4	0.0E+00	-	-	-	-	0.0	5.44E+03	0.0	0.0	-0.2	8.68E+03	0.0	0.0
11	W	Vítr na konstrukci	Q	0	33.7	1.41E+04	2.4	-1.5	3.57E+06	-0.4	0.0	2.05E+05	0.0	2.0	0.0E+00	-	-	-	-	0.1	5.44E+03	0.0	0.0	1.5	8.68E+03	0.2	0.2
12	WP	Vítr na vozidla	Q	0	56.0	1.41E+04	4.0	12.7	3.57E+06	3.6	2.3	2.05E+05	11.0	18.6	-1.0E-01	-	-	-	-	0.8	5.44E+03	0.2	0.2	5.0	8.68E+03	0.6	0.6
13	TR	Teplota rovnoměrná	Q	0	0.0	1.41E+04	0.0	0.0	3.57E+06	0.0	0.0	2.05E+05	0.0	0.0	0.0E+00	-	-	-	-	0.0	5.44E+03	0.0	0.0	0.0	8.68E+03	0.0	0.0
14	TN	Teplota nerovnoměrná	Q	0	6.7	1.41E+04	0.5	-1.5	3.57E+06	-0.4	0.0	2.05E+05	0.0	0.0	0.0E+00	-	-	-	-	0.0	5.44E+03	0.0	0.0	0.1	8.68E+03	0.0	0.0
15	FR	Třecí síly v ložiskách	Q	0	11.4	1.41E+04	0.8	0.1	3.57E+06	0.0	0.0	2.05E+05	0.0	0.9	0.0E+00	-	-	-	-	0.0	5.44E+03	0.0	0.0	-0.1	8.68E+03	0.0	0.0
16	I	Imperfekce soustavy	Q	0	3.5	1.41E+04	0.2	-0.1	3.57E+06	0.0	0.0	2.05E+05	0.0	0.2	0.0E+00	-	-	-	-	0.0	5.44E+03	0.0	0.0	0.1	8.68E+03	0.0	0.0
27	ULS_LM	ULS - LM71 bez dynam	Q	0	0.0	1.41E+04	0.0	0.0	3.57E+06	0.0	0.0	2.05E+05	0.0	0.0	0.0E+00	-	-	-	-	0.0	5.44E+03	0.0	0.0	0.0	8.68E+03	0.0	0.0
28	SLS_LM	SLS - LM71 bez dynam	Q	0	0.0	1.41E+04	0.0	0.0	3.57E+06	0.0	0.0	2.05E+05	0.0	0.0	0.0E+00	-	-	-	-	0.0	5.44E+03	0.0	0.0	0.0	8.68E+03	0.0	0.0
29	ULS_C3	ULS - C3 bez dynam	Q	0	0.0	1.41E+04	0.0	0.0	3.57E+06	0.0	0.0	2.05E+05	0.0	0.0	0.0E+00	-	-	-	-	0.0	5.44E+03	0.0	0.0	0.0	8.68E+03	0.0	0.0
30	SLS_C3	SLS - C3 bez dynam	Q	0	0.0	1.41E+04	0.0	0.0	3.57E+06	0.0	0.0	2.05E+05	0.0	0.0	0.0E+00	-	-	-	-	0.0	5.44E+03	0.0	0.0	0.0	8.68E+03	0.0	0.0
NAVÝŠENÍ NAPĚTÍ DO AKTIVACE TLAKU V DESCE MOSTOVKY						$\sigma_{P,red}$	0.0							0.0								3.8	3.8			14.7	14.7
NAPĚTÍ OD PRIMÁRNÍCH ÚČINKŮ NEROVNOMĚRNÉHO OTEPLENÍ						σ_T	0.0							0.0													
NAPĚTÍ OD REOLOGICKÝCH ÚČINKŮ BETONU V ČASE				t=0		σ_R	0.0	γ=	1.20					0.0													
NAPĚTÍ V KRITICKÝCH VLÁKNECH OD KOMBINACE ZATÍŽENÍ						KZ04		[MPa]					$\Sigma\sigma_x$	277.3							$\Sigma\tau_y$	3.8				$\Sigma\tau_z$	14.7
NAPĚTÍ OD POHYBLIVÉHO ZATÍŽENÍ								[MPa]					$\sigma_{x,P}$	244.0							τ_P	3.6				τ_P	13.8
NAPĚTÍ OD OSTATNÍCH ZATÍŽENÍ								[MPa]			Φ_{Vy}	Φ_{Vz}	$\sigma_{x,rs}$	33.3							τ_{rs}	0.2				τ_{rs}	0.8
NÁVRHOVÁ HODNOTA MEZE KLUZU S REDUKCÍ VLIVEM SMYKOVÉHO NAPĚTÍ								[MPa]			1.00	1.00	$f_{yw,d}$	209.1							$f_{yd}/3^{0,5}$	120.7				$f_{yd}/3^{0,5}$	120.7
NAPĚTÍ OD POHYBLIVÉHO ZATÍŽENÍ V GLOBÁLNÍM SYSTÉMU						$\sigma_{GLOB,P}$	0.0	[MPa]					$\Sigma\sigma_{GLOB}$	0.0													
NAPĚTÍ OD OSTATNÍCH ZATÍŽENÍ V GLOBÁLNÍM SYSTÉMU						$\sigma_{GLOB,rs}$	0.0	[MPa]					$\Sigma\sigma_x + \Sigma\sigma_{GLOB}$	277.3													
VYUŽITÍ PRŮŘEZU DLE NAPĚTÍ								[%]					η_1	1.33							η_3	0.03				η_3	0.12
NAPĚTÍ V PŘÍČNÉM SMĚRU OD POHYBLIVÉHO ZATÍŽENÍ						$\sigma_{z,P}$	0.0	[MPa]					$\Sigma\sigma_z$	0.0													
NAPĚTÍ V PŘÍČNÉM SMĚRU OD OSTATNÍCH ZATÍŽENÍ						$\sigma_{z,rs}$	0.0	[MPa]					η_2	0.00													
SROVNÁVACÍ NAPĚTÍ													$(\eta_2 + 0,8\,\eta_1)/1,4$ =	0.76													
VYUŽITÍ PRŮŘEZU CELKEM								[%]					eff	1.33	NEVYHOVUJE												
													z_{LM71} =	0.72													

TAB. L4.2.3 POSOUZENÍ - MEZNÍ STAV ÚNOSNOSTI

POPIS	PODÉLNÍK L4.E - STŘED
PRUT / POLOHA BODU	850 / I[712]
NAMÁHÁNÍ	Vz.max
VLÁKNO	BOD S5 -HL
MEZNÍ STAV	ULS (MSÚ)
VYUŽITÍ VLÁKNA PRŮŘEZU	0.55

Charakteristiky materiálu				
pás. horní	$f_{yf,k}$	230	MPa	
pás. dolní	$f_{yf,k}$	230	MPa	
stojina	$f_{yw,k}$	230	MPa	
výztuž	$f_{ys,k}$	500	MPa	
γ_M =	1.10	γ_s =	1.15	

Excentricita normálové síly				
Exc./Fáze	0	1	2	3
e_y	0.000	0.000	0.000	0.000
e_z	0.000	0.000	0.000	0.000
Ekvivalentní vzdál. stěn - příčný roznos				
b_{Mx}	0.000	0.000	0.000	0.000

Vliv stěny na únosnost průřezu				
Char./Fáze	0	1	2	3
A	0.00	0.00	0.00	0.00
Wy	0.00	0.00	0.00	0.00
Wz	0.00	0.00	0.00	0.00

Charakter. v kroucení			
$t_{w,y}$	0.000	[mm]	
$t_{w,z}$	0.000	[mm]	
κ	1.00		
I_t=	0.00E+00	[mm^4]	
$\Omega=2*A_{pr}$	0.00E+00	[mm^2]	

Součinitele vzpěru a vlivu II.řádu					
Char./Fáze	0	1	2	3	
k_y	1.000	1.000	1.000	1.000	
k_z	1.000	1.000	1.000	1.000	
χ_{LT}	1.000	1.000	1.000	1.000	
χ_{min}	1.000	1.000	1.000	1.000	

Vnitřní síly od jednotlivých skupin zatěžovacích stavů

SKUPINA ZATĚŽOVACÍCH STAVŮ					- CHARAKTERISTICKÉ HODNOTY						DÍLČÍ SOUČINITELÉ ZATÍŽENÍ, DYNAMICKÝ SOUČINITEL							- NÁVRHOVÉ HODNOTY									
Č.	SKUP ZS	POPIS ZS	KAT.	FÁZE PRŮŘ.	N.k (kN)	Vy.k (kN)	Vz.k (kN)	Mx.k (kNm)	My.k (kNm)	Mz.k (kNm)	γ_{sr} (-)	γ_{fs} (-)	volba ψ_i hledat	ψ_i (-)	L_d (m)	δ (-)	∇_z KZ03	N.d (kN)	Vy.d (kN)	Vz.d (kN)	ΔVz.d (kN)	ΣVz.d (kN)	Mx.d (kNm)	My.d (kNm)	ΔMy.d (kNm)	ΣMy.d (kNm)	Mz.d (kNm)	ΔMz.d (kNm)	ΣMz.d (kNm)
1	G0	Vlastní tíha OK	G	0	68	0	1	0	10	0	1.00	1.20		1.20	-	1.00	0.95	77	0	1	0	1	0	12	0	12	0	0	0
2	G1	Ostatní stálé - mostní vybavení	G	0	7	0	0	0	0	0	1.00	1.00		1.00	-	1.00	0.95	7	0	0	0	0	0	0	0	0	0	0	0
3	G2	Ostatní stálé - cizí zařízení	G	0	6	0	0	0	0	0	1.00	1.00		1.00	-	1.00	0.95	5	0	0	0	0	0	0	0	0	0	0	0
4	P1_71	a.LM71 - kolej 1 (bez dyn. souč.)	P	0	15	0	3	0	3	0	1.00	1.30		1.30	-	1.56	1.00	30	0	7	0	7	0	6	0	6	0	0	0
5	P2_71	a.LM71 - kolej 2 (bez dyn. souč.)	P	0	31	0	90	0	164	0	1.00	1.30		1.30	-	1.56	1.00	62	0	183	0	183	0	333	0	333	0	0	0
6	P1_C3	TTZ C3 - kolej 1 (bez dyn. souč.)	P	0	11	0	2	0	1	0	1.00	vyp.		0.00	-	1.00	0.00	0	0	0	0	0	0	0	0	0	0	0	0
7	P2_C3	TTZ C3 - kolej 2 (bez dyn. souč.)	P	0	25	0	66	0	118	0	1.00	vyp.		0.00	-	1.00	0.00	0	0	0	0	0	0	0	0	0	0	0	0
8	BR	Brzdné a rozjezdové síly	P	0	-97	0	4	0	-4	0	1.00	1.30		1.30	-	1.00	0.80	-101	0	4	0	4	0	-4	0	-4	0	0	0
9	S	Boční ráz	P	0	23	0	2	0	0	0	1.00	1.30		1.30	-	1.00	0.40	12	0	1	0	1	0	0	0	0	0	0	0
10	CH	Chodci na lávkách	Q	0	10	0	0	0	0	0	1.00	0.00		0.00	-	1.00	1.00	0	0	0	0	0	0	0	0	0	0	0	0
11	W	Vítr na konstrukci	Q	0	33	0	1	0	-2	0	1.00	1.35		1.35	-	1.00	0.75	34	0	1	0	1	0	-2	0	-2	0	0	0
12	WP	Vítr na vozidla	Q	0	55	1	5	0	13	2	1.00	1.35		1.35	-	1.00	0.75	56	1	5	0	5	0	13	0	13	2	0	2
13	TR	Teplota rovnoměrná	Q	0	0	0	0	0	0	0	1.00	1.35		1.35	-	1.00	0.45	0	0	0	0	0	0	0	0	0	0	0	0
14	TN	Teplota nerovnoměrná	Q	0	8	0	0	0	-2	0	1.00	1.35		1.35	-	1.00	0.60	7	0	0	0	0	0	-2	0	-2	0	0	0
15	FR	Třecí síly v ložiskách	Q	0	-10	0	0	0	0	0	1.00	1.20		1.20	-	1.00	1.00	-11	0	0	0	0	0	0	0	0	0	0	0
16	I	Imperfekce soustavy	Q	0	3	0	0	0	0	0	1.00	1.20		1.20	-	1.00	1.00	3	0	0	0	0	0	0	0	0	0	0	0
27	ULS_LM	ULS - LM71 bez dynam	Q	0	172	1	134	0	235	2	1.00	vyp.		0.00	-	1.00	0.00	0	0	0	0	0	0	0	0	0	0	0	0
28	SLS_LM	SLS - LM71 bez dynam	Q	0	137	0	103	0	183	1	1.00	vyp.	1	0.00	-	1.00	0.00	0	0	0	0	0	0	0	0	0	0	0	0
29	ULS_C3	ULS - C3 bez dynam	Q	0	159	1	102	0	173	2	1.00	vyp.	1	0.00	-	1.00	0.00	0	0	0	0	0	0	0	0	0	0	0	0
30	SLS_C3	SLS - C3 bez dynam	Q	0	127	1	78	0	135	2	1.00	vyp.	1	0.00	-	1.00	0.00	0	0	0	0	0	0	0	0	0	0	0	0
		CELKEM - FÁZE PRŮŘEZU 0																181	0	202	0	202	0	357	0	357	2	0	2
		CELKEM - FÁZE PRŮŘEZU 1																0	0	0	0	0	0	0	0	0	0	0	0
		CELKEM - FÁZE PRŮŘEZU 2																0	0	0	0	0	0	0	0	0	0	0	0
		CELKEM - FÁZE PRŮŘEZU 3																0	0	0	0	0	0	0	0	0	0	0	0
		CELKEM - PRŮŘEZ																181	0	202	0	202	0			357			2

Napětí od jednotlivých zatěžovacích stavů

SKUPINA ZATĚŽOVACÍCH STAVŮ					Posouzení normálového napětí											Posouzení smykového napětí												
					Účinek síly N			Účinek momentu My				Účinek momentu Mz				Účinek kroutícího momentu Mx				Účinek smykové síly Vy				Účinek smykové síly Vz			
Č.	SKUP ZS	Popis ZS	Kat.	fáze prúř.	δ^*N_d [kN]	χ^*A [mm^2]	σ_n [MPa]	$\delta^*M_{y,d}$ [kNm]	$\chi_{lt}^*W_{el,y}$ [mm^3]	σ_{my} [MPa]	$\delta^*M_{z,d}$ [kNm]	$W_{el,z}$ [mm^3]	σ_{mz} [MPa]	σ_x [MPa]	$\kappa^*\delta^*M_{x,d}$ [kNm]	$W_{v,y}$ [mm^3]	$\tau_{x,y}$ [MPa]	$W_{v,z}$ [mm^3]	$\tau_{x,z}$ [MPa]	$\delta^*V_{y,d}$ [kN]	$A_{v,y}$ [mm2]	$\tau_{v,y}$ [MPa]	$\tau_{v,y}$ [MPa]	$\delta^*V_{z,d}$ [kN]	$A_{v,z}$ [mm2]	$\tau_{v,z}$ [MPa]	$\tau_{v,z}$ [MPa]
1	G0	Vlastní tíha OK	G	0	77.3	1.41E+04	5.5	11.7	-2.81E+06	-4.2	0.1	-4.51E+06	0.0	1.3	-1.1E-02	-	-	-	-	-0.2	5.44E+03	0.0	0.0	1.0	8.68E+03	0.1	0.1
2	G1	Ostatní stálé - mostní vybavení	G	0	6.8	1.41E+04	0.5	0.3	-2.81E+06	-0.1	0.0	-4.51E+06	0.0	0.4	0.0E+00	-	-	-	-	0.0	5.44E+03	0.0	0.0	-0.1	8.68E+03	0.0	0.0
3	G2	Ostatní stálé - cizí zařízení	G	0	5.2	1.41E+04	0.4	0.2	-2.81E+06	-0.1	0.0	-4.51E+06	0.0	0.3	0.0E+00	-	-	-	-	0.0	5.44E+03	0.0	0.0	-0.1	8.68E+03	0.0	0.0
4	P1_71	a.LM71 - kolej 1 (bez dyn. souč.)	P	0	30.1	1.41E+04	2.1	6.2	-2.81E+06	-2.2	-0.2	-4.51E+06	0.0	0.0	6.1E-02	-	-	-	-	-0.1	5.44E+03	0.0	0.0	6.5	8.68E+03	0.8	0.8
5	P2_71	a.LM71 - kolej 2 (bez dyn. souč.)	P	0	62.0	1.41E+04	4.4	333.2	-2.81E+06	-118.7	-0.2	-4.51E+06	0.0	-114.3	-1.8E-01	-	-	-	-	-0.5	5.44E+03	-0.1	-0.1	183.3	8.68E+03	21.1	21.1
6	P1_C3	TTZ C3 - kolej 1 (bez dyn. souč.)	P	0	0.0	1.41E+04	0.0	0.0	-2.81E+06	0.0	0.0	-4.51E+06	0.0	0.0	0.0E+00	-	-	-	-	0.0	5.44E+03	0.0	0.0	0.0	8.68E+03	0.0	0.0
7	P2_C3	TTZ C3 - kolej 2 (bez dyn. souč.)	P	0	0.0	1.41E+04	0.0	0.0	-2.81E+06	0.0	0.0	-4.51E+06	0.0	0.0	0.0E+00	-	-	-	-	0.0	5.44E+03	0.0	0.0	0.0	8.68E+03	0.0	0.0
8	BR	Brzdné a rozjezdové síly	P	0	-100.9	1.41E+04	-7.1	-4.5	-2.81E+06	1.6	0.0	-4.51E+06	0.0	-5.6	3.1E-02	-	-	-	-	-0.2	5.44E+03	0.0	0.0	4.0	8.68E+03	0.5	0.5
9	S	Boční ráz	P	0	11.8	1.41E+04	0.8	0.2	-2.81E+06	-0.1	0.0	-4.51E+06	0.0	0.8	0.0E+00	-	-	-	-	0.0	5.44E+03	0.0	0.0	1.2	8.68E+03	0.1	0.1
10	CH	Chodci na lávkách	Q	0	0.0	1.41E+04	0.0	0.0	-2.81E+06	0.0	0.0	-4.51E+06	0.0	0.0	0.0E+00	-	-	-	-	0.0	5.44E+03	0.0	0.0	0.0	8.68E+03	0.0	0.0
11	W	Vítr na konstrukci	Q	0	33.7	1.41E+04	2.4	-1.5	-2.81E+06	0.5	0.0	-4.51E+06	0.0	2.9	0.0E+00	-	-	-	-	0.1	5.44E+03	0.0	0.0	1.5	8.68E+03	0.2	0.2
12	WP	Vítr na vozidla	Q	0	56.0	1.41E+04	4.0	12.7	-2.81E+06	-4.5	2.3	-4.51E+06	-0.5	-1.1	-1.0E-01	-	-	-	-	0.8	5.44E+03	0.2	0.2	5.0	8.68E+03	0.6	0.6
13	TR	Teplota rovnoměrná	Q	0	0.0	1.41E+04	0.0	0.0	-2.81E+06	0.0	0.0	-4.51E+06	0.0	0.0	0.0E+00	-	-	-	-	0.0	5.44E+03	0.0	0.0	0.0	8.68E+03	0.0	0.0
14	TN	Teplota nerovnoměrná	Q	0	6.7	1.41E+04	0.5	-1.5	-2.81E+06	0.5	0.0	-4.51E+06	0.0	1.0	0.0E+00	-	-	-	-	0.0	5.44E+03	0.0	0.0	0.1	8.68E+03	0.0	0.0
15	FR	Třecí síly v ložiskách	Q	0	-11.4	1.41E+04	-0.8	-0.1	-2.81E+06	0.1	0.0	-4.51E+06	0.0	-0.8	0.0E+00	-	-	-	-	0.0	5.44E+03	0.0	0.0	0.1	8.68E+03	0.0	0.0
16	I	Imperfekce soustavy	Q	0	3.5	1.41E+04	0.2	-0.1	-2.81E+06	0.0	0.0	-4.51E+06	0.0	0.3	0.0E+00	-	-	-	-	0.0	5.44E+03	0.0	0.0	0.1	8.68E+03	0.0	0.0
27	ULS_LM	ULS - LM71 bez dynam	Q	0	0.0	1.41E+04	0.0	0.0	-2.81E+06	0.0	0.0	-4.51E+06	0.0	0.0	0.0E+00	-	-	-	-	0.0	5.44E+03	0.0	0.0	0.0	8.68E+03	0.0	0.0
28	SLS_LM	SLS - LM71 bez dynam	Q	0	0.0	1.41E+04	0.0	0.0	-2.81E+06	0.0	0.0	-4.51E+06	0.0	0.0	0.0E+00	-	-	-	-	0.0	5.44E+03	0.0	0.0	0.0	8.68E+03	0.0	0.0
29	ULS_C3	ULS - C3 bez dynam	Q	0	0.0	1.41E+04	0.0	0.0	-2.81E+06	0.0	0.0	-4.51E+06	0.0	0.0	0.0E+00	-	-	-	-	0.0	5.44E+03	0.0	0.0	0.0	8.68E+03	0.0	0.0
30	SLS_C3	SLS - C3 bez dynam	Q	0	0.0	1.41E+04	0.0	0.0	-2.81E+06	0.0	0.0	-4.51E+06	0.0	0.0	0.0E+00	-	-	-	-	0.0	5.44E+03	0.0	0.0	0.0	8.68E+03	0.0	0.0
NAVÝŠENÍ NAPĚTÍ DO AKTIVACE TLAKU V DESCE MOSTOVKY						$\sigma_{P,red}$	0.0							0.0			0.0		0.0			0.0	0.0			23.3	23.3
NAPĚTÍ OD PRIMÁRNÍCH ÚČINKŮ NEROVNOMĚRNÉHO OTEPLENÍ						σ_T	0.0							0.0													
NAPĚTÍ OD REOLOGICKÝCH ÚČINKŮ BETONU V ČASE		t=0				σ_R	0.0	$\gamma_{i=}$	1.20					0.0													
NAPĚTÍ V KRITICKÝCH VLÁKNECH OD KOMBINACE ZATÍŽENÍ						KZ03		[MPa]						$\Sigma\sigma_x$	-114.7							$\Sigma\tau_y$	0.0			$\Sigma\tau_z$	23.3
NAPĚTÍ OD POHYBLIVÉHO ZATÍŽENÍ								[MPa]						$\sigma_{x,P}$	-119.1							τ_P	-0.1			τ_P	22.5
NAPĚTÍ OD OSTATNÍCH ZATÍŽENÍ								[MPa]			Φ_{Vy}	Φ_{Vz}		$\sigma_{x,rs}$	4.4							τ_{rs}	0.2			τ_{rs}	0.9
NÁVRHOVÁ HODNOTA MEZE KLUZU S REDUKCÍ VLIVEM SMYKOVÉHO NAPĚTÍ								[MPa]			1.00	1.00		$f_{yw,d}$	209.1							$f_{yd}/3^{0,5}$	120.7			$f_{yd}/3^{0,5}$	120.7
NAPĚTÍ OD POHYBLIVÉHO ZATÍŽENÍ V GLOBÁLNÍM SYSTÉMU						$\sigma_{GLOB,P}$	0.0	[MPa]						$\Sigma\sigma_{GLOB}$	0.0												
NAPĚTÍ OD OSTATNÍCH ZATÍŽENÍ V GLOBÁLNÍM SYSTÉMU						$\sigma_{GLOB,rs}$	0.0	[MPa]						$\Sigma\sigma_x + \Sigma\sigma_{GLOB}$	-114.7												
VYUŽITÍ PRŮŘEZU DLE NAPĚTÍ								[%]						η_1	0.55							η_3	0.00			η_3	0.19
NAPĚTÍ V PŘÍČNÉM SMĚRU OD POHYBLIVÉHO ZATÍŽENÍ						$\sigma_{z,P}$	0.0	[MPa]						$\Sigma\sigma_z$	0.0												
NAPĚTÍ V PŘÍČNÉM SMĚRU OD OSTATNÍCH ZATÍŽENÍ						$\sigma_{z,rs}$	0.0	[MPa]						η_2	0.00												
SROVNÁVACÍ NAPĚTÍ														$(\eta_2 + 0,8\,\eta_1)/1,4 =$	0.31												
VYUŽITÍ PRŮŘEZU CELKEM								[%]						eff	0.55	VYHOVUJE											
														Z_{LM71} =	1.72												

VÝPOČET PRŮŘEZOVÝCH CHARAKTERISTIK

PRŮŘEZ: P0_K **POPIS:** PŘÍČNÍK - 0 - KRAJ **x =** - **m**

DEFINOVÁNÍ PRŮŘEZU

PÁSNICE HORNÍHO LEVÉHO ÚHELNÍKU	b f.t.l.o =	110	mm			
TLOUŠŤKA PÁSNICE ÚHELNÍKU	t f.t.l.o =	13	mm	OSLABENÍ PÁSNICE - TLOUŠŤKA	Δt f.t.l.o =	0 %
VÝŠKA STĚNY ÚHELNÍKU	h w.t.l.o =	97	mm			
TLOUŠŤKA STĚNY ÚHELNÍKU	t w .t.l.o =	13	mm	OSLABENÍ STĚNY - TLOUŠŤKA	Δt w .t.l.o =	0 %
PÁSNICE HORNÍHO PRAVÉHO ÚHELNÍKU	b f.t.r.o =	110	mm			
TLOUŠŤKA PÁSNICE ÚHELNÍKU	t f.t.r.o =	13	mm	OSLABENÍ PÁSNICE - TLOUŠŤKA	Δt f.t.r.o =	0 %
VÝŠKA STĚNY ÚHELNÍKU	h w .t.r.o =	97	mm			
TLOUŠŤKA STĚNY ÚHELNÍKU	t w .t.r.o =	13	mm	OSLABENÍ STĚNY - TLOUŠŤKA	Δt w .t.r.0 =	0 %
PÁSNICE DOLNÍHO LEVÉHO ÚHELNÍKU	b f.b.l.o =	110	mm			
TLOUŠŤKA PÁSNICE ÚHELNÍKU	t f.b.l.o =	13	mm	OSLABENÍ PÁSNICE - TLOUŠŤKA	Δt f.b.l.o =	0 %
VÝŠKA STĚNY ÚHELNÍKU	h w .b.l.o =	97	mm			
TLOUŠŤKA STĚNY ÚHELNÍKU	t w .b.l.o =	13	mm	OSLABENÍ STĚNY - TLOUŠŤKA	Δt w .b.l.o =	0 %
PÁSNICE DOLNÍHO PRAVÉHO ÚHELNÍKU	b f.b.r.o =	110	mm			
TLOUŠŤKA PÁSNICE ÚHELNÍKU	t f.b.r.o =	13	mm	OSLABENÍ PÁSNICE - TLOUŠŤKA	Δt f.b.r.o =	0 %
VÝŠKA STĚNY ÚHELNÍKU	h w .b.r.o =	97	mm			
TLOUŠŤKA STĚNY ÚHELNÍKU	t w .b.r.o =	13	mm	OSLABENÍ STĚNY - TLOUŠŤKA	Δt w .b.r.o =	0 %

ŠÍŘKA HORNÍ PÁSNICE	b f.t =	400	mm			
TLOUŠŤKA HORNÍ PÁSNICE	t f.t =	10	mm	OSLABENÍ HORNÍ PÁSNICE	Δt f.t =	5 %
PŘESAH HORNÍ PÁSNICE	o f.t =	84	mm	HORNÍ PÁSNICE OBECNĚ NESYMETRICKÁ (PODÉLNÍK - PŘÍPOJ MOSTNICE)		
VÝŠKA STĚNY	h w =	1030	mm			
TLOUŠŤKA STĚNY	t w =	13	mm	OSLABENÍ STĚNY	Δt w .l =	0 %
ŠÍŘKA DOLNÍ PÁSNICE	b f.b =	400	mm			
TLOUŠŤKA DOLNÍ PÁSNICE	t f.b =	10	mm	OSLABENÍ DOLNÍ PÁSNICE (DOLNÍ PÁSNICE SYMETRICKÁ)	Δt f.b =	0 %

OTVOR VE STĚNĚ
POLOHA - VZD. Z 515 mm
VÝŠKA 0 mm

NÝT Č.	SKUPINA	ŘEZ	RED.	VELIKOST d| [mm]	POLOHA e| [mm]	POPIS	AKTIVITA OTVORU	NAPĚTÍ σc [MPa]
1		-	1.00	20	-160	nýt - f.t	0	-49.08
2		-	1.00	22	-67	nýt - f.t - krční úhelník	0	-33.61
3		-	1.00	22	67	nýt - f.t - krční úhelník	0	-11.24
4		-	1.00	20	160	nýt - f.t	0	4.74
5		-	1.00	22	985	nýt - w - krční úhelník	0	-16.16
6		-	1.00	22	875	nýt - w	0	-13.40
7		-	1.00	22	785	nýt - w	0	-8.47
8		-	1.00	22	695	nýt - w	0	-3.53
9		-	1.00	22	605	nýt - w	1	1.41
10		-	1.00	22	515	nýt - w	1	6.35
11		-	1.00	22	425	nýt - w	1	11.29
12		-	1.00	22	335	nýt - w	1	16.22
13		-	1.00	22	245	nýt - w	1	21.16
14		-	1.00	22	155	nýt - w	1	26.10
15		-	1.00	22	45	nýt - w - krční úhelník	1	32.13
16		-	1.00				-	
17		-	1.00				-	
18		-	1.00				-	
19	1	3	0.78	20	-160	nýt - f.b	1	7.97
20	1	3	0.78	22	-67	nýt - f.b. - krční úhelník	1	23.34
21	1	3	0.78	22	67	nýt - f.b. - krční úhelník	1	45.71
22	1	3	0.78	20	160	nýt - f.b	1	61.79

ZADÁNÍ ČÁSTÍ PRŮŘEZU:

č.prvku	b [mm]	h [mm]	y_0 [mm]	z_0 [mm]	popis části	druh oslabení	lokální ultimate	boulení servic.
1	110.0	13.0	-61.5	1023.5	pásnice	0	1.000	1.000
2	13.0	97.0	-13.0	968.5		0	1.000	1.000
3	110.0	13.0	61.5	1023.5	pásnice	0	1.000	1.000
4	13.0	97.0	13.0	968.5		0	1.000	1.000
5	110.0	13.0	-61.5	6.5	pásnice	0	1.000	1.000
6	13.0	97.0	-13.0	61.5		0	1.000	1.000
7	110.0	13.0	61.5	6.5	pásnice	0	1.000	1.000
8	13.0	97.0	13.0	61.5		0	1.000	1.000
9	400.0	9.5	0.0	1034.8	pásnice	0	1.000	1.000
10	13.0	1030.0	0.0	515.0	stěna	0	1.000	1.000
11	400.0	10.0	0.0	-5.0	pásnice	0	1.000	1.000
12						0	1.000	1.000
13						0	1.000	1.000
14						0	1.000	1.000
15						0	1.000	1.000
16						0	1.000	1.000
17						0	1.000	1.000
18						0	1.000	1.000
19						0	1.000	1.000
20						0	1.000	1.000
21						0	1.000	1.000
22						0	1.000	1.000
23						0	1.000	1.000
24						0	1.000	1.000
25	-13.0	0.0	0.0	515.0	stěna	0	1.000	1.000
26						0	1.000	1.000
27						0	1.000	1.000
28						0	1.000	1.000
29						0	1.000	1.000
30						0	1.000	1.000
31						0	1.000	1.000
32						0	1.000	1.000
33						0	1.000	1.000
34						0	1.000	1.000
35						0	1.000	1.000
36						0	1.000	1.000
37						0	1.000	1.000
38						0	1.000	1.000
39						0	1.000	1.000
40						0	1.000	1.000
41						0	1.000	1.000
42						0	1.000	1.000
43						0	1.000	1.000
44						0	1.000	1.000
45						0	1.000	1.000
46						0	1.000	1.000
47						0	1.000	1.000
48						0	1.000	1.000
49						0	1.000	1.000
50						0	1.000	1.000
51	0	0	-160.0	1034.8	nýt - pásnice	0	1.000	1.000
52	0	0	-66.5	1039.5	nýt - pásnice	0	1.000	1.000
53	0	0	66.5	1039.5	nýt - pásnice	0	1.000	1.000
54	0	0	160.0	1034.8	nýt - pásnice	0	1.000	1.000
55	0	0	19.5	985.0	nýt - stěna	0	1.000	1.000
56	0	0	0.0	875.0	nýt - stěna	0	1.000	1.000
57	0	0	0.0	785.0	nýt - stěna	0	1.000	1.000
58	0	0	0.0	695.0	nýt - stěna	0	1.000	1.000
59	13.0	-22.0	0.0	605.0	nýt - stěna	0	1.000	1.000
60	13.0	-22.0	0.0	515.0	nýt - stěna	0	1.000	1.000
61	13.0	-22.0	0.0	425.0	nýt - stěna	0	1.000	1.000
62	13.0	-22.0	0.0	335.0	nýt - stěna	0	1.000	1.000
63	13.0	-22.0	0.0	245.0	nýt - stěna	0	1.000	1.000
64	13.0	-22.0	0.0	155.0	nýt - stěna	0	1.000	1.000
65	39.0	-22.0	0.0	45.0	nýt - stěna	0	1.000	1.000
66						0	1.000	1.000
67						0	1.000	1.000
68						0	1.000	1.000
69	-15.8	10.8	-160.0	-5.0	nýt - pásnice	0	1.000	1.000
70	-17.2	23.0	-66.5	1.5	nýt - pásnice	0	1.000	1.000
71	-17.2	23.0	66.5	1.5	nýt - pásnice	0	1.000	1.000
72	-15.8	10.8	160.0	-5.0	nýt - pásnice	0	1.000	1.000
73								
74								
75								
76								
77								
78								
79								
80								
81								
82								
83								
84								
85								
86								
87								
88								
89								
90								
91								
92								
93								
94								
95								
96								
97								
98								
99								
100								

VÝPOČET PRŮŘEZOVÝCH CHARAKTERISTIK

Properties	Basic	Ultimate		Serviceability	
y_t	0.0	0.0		0.0	[mm]
z_t	553.8	553.8		553.8	[mm]
A_i	2.8278E+04	2.8278E+04		2.8278E+04	[mm²]
A_y	1.2418E+04	1.2418E+04		1.2418E+04	[mm²]
A_z	1.0816E+04	1.0816E+04		1.0816E+04	[mm²]
I_{y1}	5.2157E+09	5.2157E+09		5.2157E+09	[mm⁴]
I_w	1.2087E+08	1.2087E+08		1.2087E+08	[mm⁶]
i_y	429.5	429.5		429.5	[mm]
i_z	65.4	65.4		65.4	[mm]
$W_{y,1}$	1.0739E+07	1.0739E+07		1.0739E+07	[mm³]
$W_{z,1}$	-6.0437E+05	-6.0437E+05		-6.0437E+05	[mm³]
$W_{y,2}$	-9.2507E+06	-9.2507E+06		-9.2507E+06	[mm³]
$W_{z,2}$	-6.0437E+05	-6.0437E+05		-6.0437E+05	[mm³]
KRAJNÍ VLÁKNA PRŮŘEZU					
y_1	-200.0	-200.0		-200.0	[mm]
z_1	1039.5	1039.5		1039.5	[mm]
y_2	200.0	200.0		200.0	[mm]
z_2	-10.0	-10.0		-10.0	[mm]
y_3	200.0	200.0		200.0	[mm]
z_3	1039.5	1039.5		1039.5	[mm]
y_4	200.0	200.0		200.0	[mm]
z_4	-10.0	-10.0		-10.0	[mm]
y_5	-6.5	-6.5		-6.5	[mm]
z_5	1030.0	1030.0		1030.0	[mm]
y_6	-6.5	-6.5		-6.5	[mm]
z_6	0.0	0.0		0.0	[mm]

ÚPRAVA MOMENTŮ SETRVAČNOSTI V DŮSLEDKU ČLENĚNÍ PRŮŘEZU

OSA Y 1.00
OSA Z 1.00

SCHÉMA PROMĚNNÝCH

SCHÉMA ZADANÉHO PRŮŘEZU

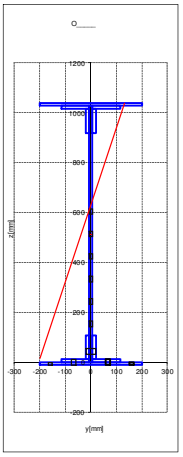

TR_P0.1	SLS_LM				
-183	47	-461	0	-69	-24
119	33	67	0	286	-20
-46	-29	-363	0	-59	40
-15	108	21	0	249	-84
-84	16	-516	0	-161	10
18	63	118	0	397	-54
62	28	-84	-1	335	-11
-127	52	-321	0	-97	-33
-96	58	-246	0	-359	-28
38	22	-148	0	590	-17
-17	108	-66	0	388	-84
-50	-29	-387	0	-125	40

NEUTRÁLNÁ OSA

NAPĚTÍ [MPa]:

-56.07	11.21
1.51	68.79

ZS: SLS_LM (MAX N + MY)

	N [kN]	Vy [kN]	Vz [kN]	Mx [kNm]	My [kNm]	Mz [kNm]
import	119	33	67	0	286	-20

TR_P0.1 POPIS: **PŘÍČNÍK P0 - VNĚJŠÍ PODÉLNÍK** POSUDEK: **P0.1**

SKUPINA ZAT. STAVŮ	EXTRÉM	VYHODNOCOVANÉ VELIČINY					
		N	Vy	Vz	Mx	My	Mz
		kN	kN	kN	kNm	kNm	kNm
G0	N.min	**-1.56**	17.27	-25.99	-0.08	20.64	-9.52
	N.max	**-1.56**	17.27	-25.99	-0.08	20.64	-9.52
	Vy.min	-1.56	**17.27**	-25.99	-0.08	20.64	-9.52
	Vy.max	-1.56	**17.27**	-25.99	-0.08	20.64	-9.52
	Vz.min	-1.56	17.27	**-25.99**	-0.08	20.64	-9.52
	Vz.max	-1.56	17.27	**-25.99**	-0.08	20.64	-9.52
	Mx.min	-1.56	17.27	-25.99	**-0.08**	20.64	-9.52
	Mx.max	-1.56	17.27	-25.99	**-0.08**	20.64	-9.52
	My.min	-1.56	17.27	-25.99	-0.08	**20.64**	-9.52
	My.max	-1.56	17.27	-25.99	-0.08	**20.64**	-9.52
	Mz.min	-1.56	17.27	-25.99	-0.08	20.64	**-9.52**
	Mz.max	-1.56	17.27	-25.99	-0.08	20.64	**-9.52**
G1	N.min	**-0.5**	1.29	-2.71	-0.01	1.74	-0.72
	N.max	**-0.5**	1.29	-2.71	-0.01	1.74	-0.72
	Vy.min	-0.5	**1.29**	-2.71	-0.01	1.74	-0.72
	Vy.max	-0.5	**1.29**	-2.71	-0.01	1.74	-0.72
	Vz.min	-0.5	1.29	**-2.71**	-0.01	1.74	-0.72
	Vz.max	-0.5	1.29	**-2.71**	-0.01	1.74	-0.72
	Mx.min	-0.5	1.29	-2.71	**-0.01**	1.74	-0.72
	Mx.max	-0.5	1.29	-2.71	**-0.01**	1.74	-0.72
	My.min	-0.5	1.29	-2.71	-0.01	**1.74**	-0.72
	My.max	-0.5	1.29	-2.71	-0.01	**1.74**	-0.72
	Mz.min	-0.5	1.29	-2.71	-0.01	1.74	**-0.72**
	Mz.max	-0.5	1.29	-2.71	-0.01	1.74	**-0.72**
G2	N.min	**0.86**	1.06	-1.33	0	-0.74	-0.6
	N.max	**0.86**	1.06	-1.33	0	-0.74	-0.6
	Vy.min	0.86	**1.06**	-1.33	0	-0.74	-0.6
	Vy.max	0.86	**1.06**	-1.33	0	-0.74	-0.6
	Vz.min	0.86	1.06	**-1.33**	0	-0.74	-0.6
	Vz.max	0.86	1.06	**-1.33**	0	-0.74	-0.6
	Mx.min	0.86	1.06	-1.33	**0**	-0.74	-0.6
	Mx.max	0.86	1.06	-1.33	**0**	-0.74	-0.6
	My.min	0.86	1.06	-1.33	0	**-0.74**	-0.6
	My.max	0.86	1.06	-1.33	0	**-0.74**	-0.6
	Mz.min	0.86	1.06	-1.33	0	-0.74	**-0.6**
	Mz.max	0.86	1.06	-1.33	0	-0.74	**-0.6**
P1_71	N.min	**-37.92**	8.34	-108.24	-0.06	37.37	-5.27
	N.max	**1.25**	7.86	12.53	-0.03	42.54	-5.17
	Vy.min	-26.07	**-0.6**	-121.06	0.01	-12.75	0.64
	Vy.max	-8.96	**16.79**	26.86	-0.08	90.64	-11.07
	Vz.min	-30.85	-0.37	**-124.01**	-0.02	-8.04	0.53
	Vz.max	-11.3	16.24	**31.22**	-0.07	90.33	-11.03
	Mx.min	-22.53	15.58	0.39	**-0.12**	85.51	-10.22
	Mx.max	-18.25	-0.45	-92.8	**0.03**	-13.73	0.41
	My.min	-21.39	-0.47	-101.48	0.02	**-16.95**	0.46
	My.max	-10.13	16.48	24.43	-0.09	**98.96**	-10.99
	Mz.min	-13.09	16.68	28.32	-0.08	85.51	**-11.18**
	Mz.max	-26.93	-0.59	-122.01	0	-11.73	**0.66**
P2_71	N.min	**-41.91**	2.41	-311.83	0.03	187.74	-0.64
	N.max	**2.88**	19.44	-24.04	-0.09	-65.58	-9.5
	Vy.min	-23.9	**-1.83**	-209.59	-0.12	140.87	2.17
	Vy.max	-9.28	**23.2**	-64.17	-0.08	-48.83	-11.74
	Vz.min	-30.73	18	**-342.7**	0	149.55	-8.08
	Vz.max	-14.63	3.43	**3.69**	-0.05	-5.35	-2.22
	Mx.min	-31.09	19.48	-163.09	**-0.27**	33.49	-8.56
	Mx.max	-8.92	0.9	-159.52	**0.23**	101.69	-1.07
	My.min	-4.75	22.82	-24.43	-0.11	**-74.96**	-11.46
	My.max	-32.98	-0.58	-320.06	0.08	**212.33**	1
	Mz.min	-15.8	23.02	-61.95	-0.08	-43.93	**-11.97**
	Mz.max	-24.62	-1.79	-194.28	-0.14	131.86	**2.24**
P1_C3	N.min	**-25.25**	7.46	-68.58	-0.04	33.81	-4.8
	N.max	**0.77**	5.96	9.16	-0.02	30.83	-3.87
	Vy.min	-16.56	**-0.4**	-80.59	0.02	-10.11	0.4
	Vy.max	-8.45	**13.66**	23.14	-0.06	70.85	-9.06
	Vz.min	-20.04	-0.17	**-81.98**	0	-7.05	0.26
	Vz.max	-6.67	13.37	**25.26**	-0.05	75.35	-9
	Mx.min	-12.57	13.42	11.66	**-0.09**	73.23	-8.77
	Mx.max	-14.31	-0.35	-72.04	**0.02**	-10.43	0.32
	My.min	-15.41	-0.32	-73.34	0.02	**-12.66**	0.31
	My.max	-8.68	13.04	17.97	-0.08	**79.65**	-8.62
	Mz.min	-8.44	13.66	23.14	-0.06	70.84	**-9.06**
	Mz.max	-16.56	-0.4	-80.59	0.02	-10.11	**0.4**
P2_C3	N.min	**-27.33**	2.38	-209.17	0.02	123.4	-1.03
	N.max	**2.28**	15.56	-18.92	-0.07	-52.07	-7.53
	Vy.min	-13.49	**-1.19**	-113.57	-0.09	76.96	1.39
	Vy.max	-14.77	**19.62**	-137.49	0.07	16.66	-10.38
	Vz.min	-18.73	16.96	**-235.24**	-0.02	83.32	-8.07
	Vz.max	-8.45	1.75	**2.38**	-0.03	-2.17	-1.15
	Mx.min	-19.48	17.45	-120.02	**-0.19**	10.86	-8.07
	Mx.max	-6.56	0.75	-119.4	**0.18**	76.13	-0.88
	My.min	-5.97	18.73	-18.46	-0.09	**-60.21**	-9.47
	My.max	-20.55	-0.1	-214.45	0.06	**141.01**	0.31
	Mz.min	-14.77	19.62	-137.49	0.07	16.66	**-10.38**
	Mz.max	-13.32	-1.19	-108.99	-0.09	74.12	**1.4**
BR	N.min	**-36.9**	36.87	0.16	0.07	-20.27	-32.91
	N.max	**36.9**	-36.87	-0.16	-0.07	20.27	32.91
	Vy.min	36.52	**-41.2**	-4.44	-0.07	8.83	37.27
	Vy.max	-36.52	**41.2**	4.44	0.07	-8.83	-37.27
	Vz.min	36.52	-41.2	**-4.44**	-0.07	8.83	37.27
	Vz.max	-36.52	41.2	**4.44**	0.07	-8.83	-37.27
	Mx.min	34.94	-32.74	0	**-0.07**	16.61	29.67
	Mx.max	-34.94	32.74	0	**0.07**	-16.61	-29.67
	My.min	-36.9	36.87	0.16	0.07	**-20.27**	-32.91
	My.max	36.9	-36.87	-0.16	-0.07	**20.27**	32.91
	Mz.min	-36.52	41.2	4.44	0.07	-8.83	**-37.27**
	Mz.max	36.52	-41.2	-4.44	-0.07	8.83	**37.27**

TR_P0.1 POPIS: **PŘÍČNÍK P0 - VNĚJŠÍ PODÉLNÍK** POSUDEK: **P0.1**

SKUPINA ZAT. STAVŮ	EXTRÉM	VYHODNOCOVANÉ VELIČINY					
		N	Vy	Vz	Mx	My	Mz
		kN	kN	kN	kNm	kNm	kNm
S	N.min	**-48.93**	-1.64	-10.51	0.04	-26.82	2.12
	N.max	**48.93**	1.64	10.51	-0.04	26.82	-2.12
	Vy.min	-10.69	**-1.79**	-10.48	0.01	-26.71	2.78
	Vy.max	10.69	**1.79**	10.48	-0.01	26.71	-2.78
	Vz.min	-9.56	-1.67	**-10.67**	0.01	-27.81	2.82
	Vz.max	9.56	1.67	**10.67**	-0.01	27.81	-2.82
	Mx.min	48.93	1.64	10.51	**-0.04**	26.82	-2.12
	Mx.max	-48.93	-1.64	-10.51	**0.04**	-26.82	2.12
	My.min	-8.5	-1.53	-10.61	0	**-28.15**	2.78
	My.max	8.5	1.53	10.61	0	**28.15**	-2.78
	Mz.min	9.56	1.67	10.67	-0.01	27.81	**-2.82**
	Mz.max	-9.56	-1.67	-10.67	0.01	-27.81	**2.82**
CH	N.min	**1.85**	1.49	5.42	0	14.7	-0.96
	N.max	**3.94**	2.71	0.05	-0.01	-3.46	-1.54
	Vy.min	1.85	**1.49**	5.42	0	14.7	-0.96
	Vy.max	3.94	**2.71**	0.05	-0.01	-3.46	-1.54
	Vz.min	3.94	2.71	**0.05**	-0.01	-3.46	-1.54
	Vz.max	1.85	1.49	**5.42**	0	14.7	-0.96
	Mx.min	3.94	2.71	0.05	**-0.01**	-3.46	-1.54
	Mx.max	1.85	1.49	5.42	**0**	14.7	-0.96
	My.min	3.94	2.71	0.05	-0.01	**-3.46**	-1.54
	My.max	1.85	1.49	5.42	0	**14.7**	-0.96
	Mz.min	3.94	2.71	0.05	-0.01	-3.46	**-1.54**
	Mz.max	1.85	1.49	5.42	0	14.7	**-0.96**
W	N.min	**-15.79**	-1.56	-63.53	0	-185.16	4.52
	N.max	**14.85**	1.6	63.56	0	185.27	-4.53
	Vy.min	-15.79	**-1.56**	-63.53	0	-185.16	4.52
	Vy.max	14.85	**1.6**	63.56	0	185.27	-4.53
	Vz.min	-15.79	-1.56	**-63.53**	0	-185.16	4.52
	Vz.max	14.85	1.6	**63.56**	0	185.27	-4.53
	Mx.min	14.85	1.6	63.56	**0**	185.27	-4.53
	Mx.max	-15.79	-1.56	-63.53	**0**	-185.16	4.52
	My.min	-15.79	-1.56	-63.53	0	**-185.16**	4.52
	My.max	14.85	1.6	63.56	0	**185.27**	-4.53
	Mz.min	14.85	1.6	63.56	0	185.27	**-4.53**
	Mz.max	-15.79	-1.56	-63.53	0	-185.16	**4.52**
WP	N.min	**-43.39**	-3.67	-51.3	0.01	-109.25	8.46
	N.max	**40.41**	3.69	52.09	-0.01	108.61	-8.48
	Vy.min	-43.39	**-3.67**	-51.3	0.01	-109.25	8.46
	Vy.max	40.41	**3.69**	52.09	-0.01	108.61	-8.48
	Vz.min	-43.39	-3.67	**-51.3**	0.01	-109.25	8.46
	Vz.max	40.41	3.69	**52.09**	-0.01	108.61	-8.48
	Mx.min	40.41	3.69	52.09	**-0.01**	108.61	-8.48
	Mx.max	-43.39	-3.67	-51.3	**0.01**	-109.25	8.46
	My.min	-43.39	-3.67	-51.3	0.01	**-109.25**	8.46
	My.max	40.41	3.69	52.09	-0.01	**108.61**	-8.48
	Mz.min	40.41	3.69	52.09	-0.01	108.61	**-8.48**
	Mz.max	-43.39	-3.67	-51.3	0.01	-109.25	**8.46**
TR	N.min	**0**	0	0	0	0	0
	N.max	**0**	0	0	0	0	0
	Vy.min	0	**0**	0	0	0	0
	Vy.max	0	**0**	0	0	0	0
	Vz.min	0	0	**0**	0	0	0
	Vz.max	0	0	**0**	0	0	0
	Mx.min	0	0	0	**0**	0	0
	Mx.max	0	0	0	**0**	0	0
	My.min	0	0	0	0	**0**	0
	My.max	0	0	0	0	**0**	0
	Mz.min	0	0	0	0	0	**0**
	Mz.max	0	0	0	0	0	**0**
TN	N.min	**-14.91**	-2.87	-2.12	0.02	16.13	2.01
	N.max	**14.91**	2.87	2.12	-0.02	-16.13	-2.01
	Vy.min	-14.91	**-2.87**	-2.12	0.02	16.13	2.01
	Vy.max	1.86	**3.39**	25.44	-0.04	58.84	-1.61
	Vz.min	2.7	-0.66	**-23.32**	0.01	-85.54	-0.3
	Vz.max	1.86	3.39	**25.44**	-0.04	58.84	-1.61
	Mx.min	1.86	3.39	25.44	**-0.04**	58.84	-1.61
	Mx.max	-14.91	-2.87	-2.12	**0.02**	16.13	2.01
	My.min	2.7	-0.66	-23.32	0.01	**-85.54**	-0.3
	My.max	1.86	3.39	25.44	-0.04	**58.84**	-1.61
	Mz.min	14.91	2.87	2.12	-0.02	-16.13	**-2.01**
	Mz.max	-14.91	-2.87	-2.12	0.02	16.13	**2.01**
FR	N.min	**-3.35**	1.93	-0.04	0.01	-0.8	-1.12
	N.max	**3.35**	-1.93	0.04	-0.01	0.8	1.12
	Vy.min	3.35	**-1.93**	0.04	-0.01	0.8	1.12
	Vy.max	-3.35	**1.93**	-0.04	0.01	-0.8	-1.12
	Vz.min	-3.35	1.93	**-0.04**	0.01	-0.8	-1.12
	Vz.max	3.35	-1.93	**0.04**	-0.01	0.8	1.12
	Mx.min	3.35	-1.93	0.04	**-0.01**	0.8	1.12
	Mx.max	-3.35	1.93	-0.04	**0.01**	-0.8	-1.12
	My.min	-3.35	1.93	-0.04	0.01	**-0.8**	-1.12
	My.max	3.35	-1.93	0.04	-0.01	**0.8**	1.12
	Mz.min	-3.35	1.93	-0.04	0.01	-0.8	**-1.12**
	Mz.max	3.35	-1.93	0.04	-0.01	0.8	**1.12**
I	N.min	**-0.72**	0.1	-11.06	0	-33.19	**0.14**
	N.max	**0.72**	-0.1	11.06	0	33.19	**-0.14**
	Vy.min	0.72	**-0.1**	11.06	0	33.19	**-0.14**
	Vy.max	-0.72	**0.1**	-11.06	0	-33.19	**0.14**
	Vz.min	-0.72	0.1	**-11.06**	0	-33.19	**0.14**
	Vz.max	0.72	-0.1	**11.06**	0	33.19	**-0.14**
	Mx.min	-0.72	0.1	-11.06	**0**	-33.19	**0.14**
	Mx.max	0.72	-0.1	11.06	**0**	33.19	**-0.14**
	My.min	-0.72	0.1	-11.06	0	**-33.19**	**0.14**
	My.max	0.72	-0.1	11.06	0	**33.19**	**-0.14**
	Mz.min	0.72	-0.1	11.06	0	33.19	**-0.14**
	Mz.max	-0.72	0.1	-11.06	0	-33.19	**0.14**

TAB. P0.1.3 POSOUZENÍ - MEZNÍ STAV ÚNOSNOSTI

POPIS	PŘÍČNÍK P0 - VNĚJŠÍ PODÉLNÍK
PRUT / POLOHA BODU	706 / 3/4
NAMÁHÁNÍ	My.max
VLÁKNO	BOD K2 -HP
MEZNÍ STAV	ULS (MSÚ)
VYUŽITÍ VLÁKNA PRŮŘEZU	1.18

Charakteristiky materiálu				
pás. horní	$f_{yf,k}$	230	MPa	
pás. dolní	$f_{yf,k}$	230	MPa	
stojina	$f_{yw,k}$	230	MPa	
výztuž	$f_{ys,k}$	500	MPa	
γ_M =	1.10	γ_s =	1.15	

Excentricita normálové síly				
Exc./Fáze	0	1	2	3
e_y	0.000	0.000	0.000	0.000
e_z	0.000	0.000	0.000	0.000
Ekvivalentní vzdál. stěn - příčný roznos				
b_{Mx}	0.000	0.000	0.000	0.000

Vliv stěny na únosnost průřezu				
Char./Fáze	0	1	2	3
A	0.40	0.00	0.00	0.00
Wy	0.19	0.00	0.00	0.00
Wz	0.06	0.00	0.00	0.00

Charakter. v kroucení			
$t_{w,y}$	0.000	[mm]	
$t_{w,z}$	0.000	[mm]	
κ	1.00		
I_t=	0.00E+00	[mm^4]	
$\Omega=2*A_{pr}$	0.00E+00	[mm^2]	

Součinitele vzpěru a vlivu II.řádu					
Char./Fáze	0	1	2	3
k_y	1.000	1.000	1.000	1.000
k_z	1.000	1.000	1.000	1.000
χ_{LT}	1.000	1.000	1.000	1.000
χ_{min}	1.000	1.000	1.000	1.000

δ_{LOK} 1.00

Vnitřní síly od jednotlivých skupin zatěžovacích stavů

SKUPINA ZATĚŽOVACÍCH STAVŮ — 3

Č.	SKUP ZS	POPIS ZS	KAT.	FÁZE PRŮŘ.	- CHARAKTERISTICKÉ HODNOTY N.k (kN)	Vy.k (kN)	Vz.k (kN)	Mx.k (kNm)	My.k (kNm)	Mz.k (kNm)	DÍLČÍ SOUČINITELÉ ZATÍŽENÍ, DYNAMICKÝ SOUČINITEL γ_{sr} (-)	γ_{fs} (-)	volba γ_f hledat	γ_f (-)	L_d (m)	δ (-)	Ψ_0 KZ03	- NÁVRHOVÉ HODNOTY N.d (kN)	Vy.d (kN)	Vz.d (kN)	ΔVz.d (kN)	ΣVz.d (kN)	Mx.d (kNm)	My.d (kNm)	ΔMy.d (kNm)	ΣMy.d (kNm)	Mz.d (kNm)	ΔMz.d (kNm)	ΣMz.d (kNm)
1	G0	Vlastní tíha OK	G	0	-2	17	-26	0	21	-10	1.00	1.20		1.20	-	1.00	0.95	-2	20	-30	0	-30	0	24	0	24	-11	0	-11
2	G1	Ostatní stálé - mostní vybavení	G	0	-1	1	-3	0	2	-1	1.00	1.20		1.20	-	1.00	0.95	-1	1	-3	0	-3	0	2	0	2	-1	0	-1
3	G2	Ostatní stálé - cizí zařízení	G	0	1	1	-1	0	-1	-1	1.00	1.20		1.20	-	1.00	0.95	1	1	-2	0	-2	0	-1	0	-1	-1	0	-1
4	P1_71	a.LM71 - kolej 1 (bez dyn. souč.)	P	0	-10	16	24	0	99	-11	1.00	1.30		1.30	-	2.00	1.00	-26	43	64	0	64	0	257	0	257	-29	14	-14
5	P2_71	a.LM71 - kolej 2 (bez dyn. souč.)	P	0	-33	-1	-320	0	212	1	1.00	1.30		1.30	-	2.00	1.00	-86	-2	-832	0	-832	0	552	0	552	3	-1	1
6	P1_C3	TTZ C3 - kolej 1 (bez dyn. souč.)	P	0	-9	13	18	0	80	-9	1.00	vyp.		0.00	-	1.00	0.00	0	0	0	0	0	0	0	0	0	0	0	0
7	P2_C3	TTZ C3 - kolej 2 (bez dyn. souč.)	P	0	-21	0	-214	0	141	0	1.00	vyp.		0.00	-	1.00	0.00	0	0	0	0	0	0	0	0	0	0	0	0
8	BR	Brzdné a rozjezdové síly	P	0	37	-37	0	0	20	33	1.00	-1.30		-1.30	-	1.00	0.80	-38	38	0	0	0	0	-21	0	-21	-34	0	-34
9	S	Boční ráz	P	0	9	2	11	0	28	-3	1.00	1.30		1.30	-	1.00	0.40	4	1	6	0	6	0	15	0	15	-1	0	-1
10	CH	Chodci na lávkách	Q	0	2	1	5	0	15	-1	1.00	1.30		1.30	-	1.00	1.00	2	2	7	0	7	0	19	0	19	-1	0	-1
11	W	Vítr na konstrukci	Q	0	15	2	64	0	185	-5	1.00	1.35		1.35	-	1.00	0.75	15	2	64	0	64	0	188	0	188	-5	0	-5
12	WP	Vítr na vozidla	Q	0	40	4	52	0	109	-8	1.00	1.35		1.35	-	1.00	0.75	41	4	53	0	53	0	110	0	110	-9	0	-9
13	TR	Teplota rovnoměrná	Q	0	0	0	0	0	0	0	1.00	1.35		1.35	-	1.00	0.45	0	0	0	0	0	0	0	0	0	0	0	0
14	TN	Teplota nerovnoměrná	Q	0	2	3	25	0	59	-2	1.00	1.35		1.35	-	1.00	0.60	2	3	21	0	21	0	48	0	48	-1	0	-1
15	FR	Třecí síly v ložiskách	Q	0	3	-2	0	0	1	1	1.00	-1.20		-1.20	-	1.00	1.00	-4	2	0	0	0	0	-1	0	-1	-1	0	-1
16	I	Imperfekce soustavy	Q	0	1	0	11	0	33	0	1.00	1.20		1.20	-	1.00	1.00	1	0	13	0	13	0	40	0	40	0	0	0
27	ULS_LM	ULS - LM71 bez dynam	Q	0	42	29	-247	0	884	-22	1.00	vyp.		0.00	-	1.00	0.00	0	0	0	0	0	0	0	0	0	0	0	0
28	SLS_LM	SLS - LM71 bez dynam	Q	0	30	22	-212	0	640	-17	1.00	vyp.	1	0.00	-	1.00	0.00	0	0	0	0	0	0	0	0	0	0	0	0
29	ULS_C3	ULS - C3 bez dynam	Q	0	60	25	-118	0	767	-20	1.00	vyp.	1	0.00	-	1.00	0.00	0	0	0	0	0	0	0	0	0	0	0	0
30	SLS_C3	SLS - C3 bez dynam	Q	0	44	19	-113	0	550	-15	1.00	vyp.	1	0.00	-	1.00	0.00	0	0	0	0	0	0	0	0	0	0	0	0
		CELKEM - FÁZE PRŮŘEZU 0																-91	115	-639	0	-639	0	1 231	0	1 231	-91	13	-78
		CELKEM - FÁZE PRŮŘEZU 1																0	0	0	0	0	0	0	0	0	0	0	0
		CELKEM - FÁZE PRŮŘEZU 2																0	0	0	0	0	0	0	0	0	0	0	0
		CELKEM - FÁZE PRŮŘEZU 3																0	0	0	0	0	0	0	0	0	0	0	0
		CELKEM - PRŮŘEZ																-91	115	-639	0	-639	0			1 231			-78

Napětí od jednotlivých zatěžovacích stavů

SKUPINA ZATĚŽOVACÍCH STAVŮ

Č.	SKUP ZS	Popis ZS	Kat.	fáze prúř.	Posouzení normálového napětí — Účinek síly N δ^*N_d [kN]	χ^*A [mm^2]	σ_n [MPa]	Účinek momentu My $\delta^*M_{y,d}$ [kNm]	$\chi_{lt}*W_{el,y}$ [mm^3]	σ_{my} [MPa]	Účinek momentu Mz $\delta^*M_{z,d}$ [kNm]	$W_{el,z}$ [mm^3]	σ_{mz} [MPa]	σ_x [MPa]	Posouzení smykového napětí — Účinek kroutícího momentu Mx $\kappa*\delta^*M_{x,d}$ [kNm]	$W_{v,y}$ [mm^2]	$\tau_{x,y}$ [MPa]	$W_{v,z}$ [mm^2]	$\tau_{x,z}$ [MPa]	Účinek smykové síly Vy $\delta^*V_{y,d}$ [kN]	$A_{v,y}$ [mm2]	$\tau_{v,y}$ [MPa]	$\tau_{v,y}$ [MPa]	Účinek smykové síly Vz $\delta^*V_{z,d}$ [kN]	$A_{v,z}$ [mm2]	$\tau_{v,z}$ [MPa]	$\tau_{v,z}$ [MPa]
1	G0	Vlastní tíha OK	G	0	-1.8	2.83E+04	-0.1	23.5	-1.07E+07	-2.2	-10.9	6.04E+05	-18.0	-20.2	-9.1E-02	-	-	-	-	19.7	1.24E+04	1.6	1.6	-29.6	1.08E+04	-2.7	-2.7
2	G1	Ostatní stálé - mostní vybavení	G	0	-0.6	2.83E+04	0.0	2.0	-1.07E+07	-0.2	-0.8	6.04E+05	-1.4	-1.6	-1.1E-02	-	-	-	-	1.5	1.24E+04	0.1	0.1	-3.1	1.08E+04	-0.3	-0.3
3	G2	Ostatní stálé - cizí zařízení	G	0	1.0	2.83E+04	0.0	-0.8	-1.07E+07	0.1	-0.7	6.04E+05	-1.1	-1.0	0.0E+00	-	-	-	-	1.2	1.24E+04	0.1	0.1	-1.5	1.08E+04	-0.1	-0.1
4	P1_71	a.LM71 - kolej 1 (bez dyn. souč.)	P	0	-26.3	2.83E+04	-0.9	257.3	-1.07E+07	-24.0	-14.3	6.04E+05	-23.6	-48.5	-2.3E-01	-	-	-	-	42.8	1.24E+04	3.5	3.5	63.5	1.08E+04	5.9	5.9
5	P2_71	a.LM71 - kolej 2 (bez dyn. souč.)	P	0	-85.7	2.83E+04	-3.0	552.1	-1.07E+07	-51.4	1.3	6.04E+05	2.2	-52.3	2.1E-01	-	-	-	-	-1.5	1.24E+04	-0.1	-0.1	-832.2	1.08E+04	-76.9	-76.9
6	P1_C3	TTZ C3 - kolej 1 (bez dyn. souč.)	P	0	0.0	2.83E+04	0.0	0.0	-1.07E+07	0.0	0.0	6.04E+05	0.0	0.0	0.0E+00	-	-	-	-	0.0	1.24E+04	0.0	0.0	0.0	1.08E+04	0.0	0.0
7	P2_C3	TTZ C3 - kolej 2 (bez dyn. souč.)	P	0	0.0	2.83E+04	0.0	0.0	-1.07E+07	0.0	0.0	6.04E+05	0.0	0.0	0.0E+00	-	-	-	-	0.0	1.24E+04	0.0	0.0	0.0	1.08E+04	0.0	0.0
8	BR	Brzdné a rozjezdové síly	P	0	-38.4	2.83E+04	-1.4	-21.1	-1.07E+07	2.0	-34.2	6.04E+05	-56.6	-56.0	7.3E-02	-	-	-	-	38.3	1.24E+04	3.1	3.1	0.2	1.08E+04	0.0	0.0
9	S	Boční ráz	P	0	4.4	2.83E+04	0.2	14.6	-1.07E+07	-1.4	-1.4	6.04E+05	-2.4	-3.6	0.0E+00	-	-	-	-	0.8	1.24E+04	0.1	0.1	5.5	1.08E+04	0.5	0.5
10	CH	Chodci na lávkách	Q	0	2.4	2.83E+04	0.1	19.1	-1.07E+07	-1.8	-1.2	6.04E+05	-2.1	-3.8	0.0E+00	-	-	-	-	1.9	1.24E+04	0.2	0.2	7.0	1.08E+04	0.7	0.7
11	W	Vítr na konstrukci	Q	0	15.0	2.83E+04	0.5	187.6	-1.07E+07	-17.5	-4.6	6.04E+05	-7.6	-24.5	0.0E+00	-	-	-	-	1.6	1.24E+04	0.1	0.1	64.4	1.08E+04	5.9	5.9
12	WP	Vítr na vozidla	Q	0	40.9	2.83E+04	1.4	110.0	-1.07E+07	-10.2	-8.6	6.04E+05	-14.2	-23.0	-1.0E-02	-	-	-	-	3.7	1.24E+04	0.3	0.3	52.7	1.08E+04	4.9	4.9
13	TR	Teplota rovnoměrná	Q	0	0.0	2.83E+04	0.0	0.0	-1.07E+07	0.0	0.0	6.04E+05	0.0	0.0	0.0E+00	-	-	-	-	0.0	1.24E+04	0.0	0.0	0.0	1.08E+04	0.0	0.0
14	TN	Teplota nerovnoměrná	Q	0	1.5	2.83E+04	0.1	47.7	-1.07E+07	-4.4	-1.3	6.04E+05	-2.2	-6.5	-3.2E-02	-	-	-	-	2.7	1.24E+04	0.2	0.2	20.6	1.08E+04	1.9	1.9
15	FR	Třecí síly v ložiskách	Q	0	-4.0	2.83E+04	-0.1	-1.0	-1.07E+07	0.1	-1.3	6.04E+05	-2.2	-2.3	1.2E-02	-	-	-	-	2.3	1.24E+04	0.2	0.2	0.0	1.08E+04	0.0	0.0
16	I	Imperfekce soustavy	Q	0	0.9	2.83E+04	0.0	39.8	-1.07E+07	-3.7	-0.2	6.04E+05	-0.3	-4.0	0.0E+00	-	-	-	-	-0.1	1.24E+04	0.0	0.0	13.3	1.08E+04	1.2	1.2
27	ULS_LM	ULS - LM71 bez dynam	Q	0	0.0	2.83E+04	0.0	0.0	-1.07E+07	0.0	0.0	6.04E+05	0.0	0.0	0.0E+00	-	-	-	-	0.0	1.24E+04	0.0	0.0	0.0	1.08E+04	0.0	0.0
28	SLS_LM	SLS - LM71 bez dynam	Q	0	0.0	2.83E+04	0.0	0.0	-1.07E+07	0.0	0.0	6.04E+05	0.0	0.0	0.0E+00	-	-	-	-	0.0	1.24E+04	0.0	0.0	0.0	1.08E+04	0.0	0.0
29	ULS_C3	ULS - C3 bez dynam	Q	0	0.0	2.83E+04	0.0	0.0	-1.07E+07	0.0	0.0	6.04E+05	0.0	0.0	0.0E+00	-	-	-	-	0.0	1.24E+04	0.0	0.0	0.0	1.08E+04	0.0	0.0
30	SLS_C3	SLS - C3 bez dynam	Q	0	0.0	2.83E+04	0.0	0.0	-1.07E+07	0.0	0.0	6.04E+05	0.0	0.0	0.0E+00	-	-	-	-	0.0	1.24E+04	0.0	0.0	0.0	1.08E+04	0.0	0.0
NAVÝŠENÍ NAPĚTÍ DO AKTIVACE TLAKU V DESCE MOSTOVKY						$\sigma_{P,red}$	0.0							0.0				0.0				9.3	9.3			-59.1	-59.1
NAPĚTÍ OD PRIMÁRNÍCH ÚČINKŮ NEROVNOMĚRNÉHO OTEPLENÍ						σ_T	0.0							0.0													
NAPĚTÍ OD REOLOGICKÝCH ÚČINKŮ BETONU V ČASE				t=0		σ_R	0.0	$\gamma_{f=}$	1.20					0.0													
NAPĚTÍ V KRITICKÝCH VLÁKNECH OD KOMBINACE ZATÍŽENÍ						KZ03		[MPa]					$\Sigma\sigma_x$	-247.3								$\Sigma\tau_y$	9.3				$\Sigma\tau_z$	-59.1
NAPĚTÍ OD POHYBLIVÉHO ZATÍŽENÍ								[MPa]					$\sigma_{x,P}$	-160.4									6.5				τ_P	-70.5
NAPĚTÍ OD OSTATNÍCH ZATÍŽENÍ								[MPa]			Φ_{Vy}	Φ_{Vz}	$\sigma_{x,rs}$	-86.9								τ_{rs}	2.8				τ_{rs}	11.4
NÁVRHOVÁ HODNOTA MEZE KLUZU S REDUKCÍ VLIVEM SMYKOVÉHO NAPĚTÍ								[MPa]			1.00	1.00	$f_{yw,d}$	209.1								$f_{yd}/3^{0,5}$	120.7				$f_{yd}/3^{0,5}$	120.7
NAPĚTÍ OD POHYBLIVÉHO ZATÍŽENÍ V GLOBÁLNÍM SYSTÉMU						$\sigma_{GLOB,P}$	0.0	[MPa]					$\Sigma\sigma_{GLOB}$	0.0														
NAPĚTÍ OD OSTATNÍCH ZATÍŽENÍ V GLOBÁLNÍM SYSTÉMU						$\sigma_{GLOB,rs}$	0.0	[MPa]					$\Sigma\sigma_x + \Sigma\sigma_{GLOB}$	-247.3														
VYUŽITÍ PRŮŘEZU DLE NAPĚTÍ								[%]					η_1	1.18								η_3	0.08				η_3	0.49
NAPĚTÍ V PŘÍČNÉM SMĚRU OD POHYBLIVÉHO ZATÍŽENÍ						$\sigma_{z,P}$	0.0	[MPa]					$\Sigma\sigma_z$	0.0														
NAPĚTÍ V PŘÍČNÉM SMĚRU OD OSTATNÍCH ZATÍŽENÍ						$\sigma_{z,rs}$	0.0	[MPa]					η_2	0.00														
SROVNÁVACÍ NAPĚTÍ													$(\eta2 + 0,8\ \eta1)/1,4 =$	0.68														
VYUŽITÍ PRŮŘEZU CELKEM								[%]					eff	1.18	NEVYHOVUJE													
STANOVENÍ ZATÍŽITELNOSTI													Z_{LM71} =	0.76														

TAB. P0.1.3 POSOUZENÍ - MEZNÍ STAV ÚNOSNOSTI

POPIS	PŘÍČNÍK P0 - VNĚJŠÍ PODÉLNÍK
PRUT / POLOHA BODU	706 / 3/4
NAMÁHÁNÍ	My.max
VLÁKNO	BOD K3 -SL
MEZNÍ STAV	ULS (MSÚ)
VYUŽITÍ VLÁKNA PRŮŘEZU	1.24

Charakteristiky materiálu				
pás. horní	$f_{yf,k}$	230	MPa	
pás. dolní	$f_{yf,k}$	230	MPa	
stojina	$f_{yw,k}$	230	MPa	
výztuž	$f_{ys,k}$	500	MPa	
γ_M =	1.10	γ_s =	1.15	

Excentricita normálové síly				
Exc./Fáze	0	1	2	3
e_y	0.000	0.000	0.000	0.000
e_z	0.000	0.000	0.000	0.000
Ekvivalentní vzdál. stěn - příčný roznos				
b_{Mx}	0.000	0.000	0.000	0.000

Vliv stěny na únosnost průřezu				
Char./Fáze	0	1	2	3
A	0.40	0.00	0.00	0.00
Wy	0.21	0.00	0.00	0.00
Wz	0.05	0.00	0.00	0.00

Charakter. v kroucení			
$t_{w,y}$	0.000	[mm]	
$t_{w,z}$	0.000	[mm]	
κ	1.00		
I_t=	0.00E+00	[mm⁴]	
$\Omega=2*A_{pr}$	0.00E+00	[mm²]	

Součinitele vzpěru a vlivu II.řádu					
Char./Fáze	0	1	2	3	
k_y	1.000	1.000	1.000	1.000	
k_z	1.000	1.000	1.000	1.000	
χ_{LT}	1.000	1.000	1.000	1.000	
χ_{min}	1.000	1.000	1.000	1.000	

δ_{LOK} 1.00

Vnitřní síly od jednotlivých skupin zatěžovacích stavů

SKUPINA ZATĚŽOVACÍCH STAVŮ					- CHARAKTERISTICKÉ HODNOTY						DÍLČÍ SOUČINITELÉ ZATÍŽENÍ, DYNAMICKÝ SOUČINITEL						3	- NÁVRHOVÉ HODNOTY									
Č.	SKUP ZS	POPIS ZS	KAT.	FÁZE PRŮŘ.	N.k (kN)	Vy.k (kN)	Vz.k (kN)	Mx.k (kNm)	My.k (kNm)	Mz.k (kNm)	γ_{sr} (-)	γ_{fs} (-)	volba ψ_i hledat	ψ_i (-)	L_d (m)	δ (-)	ψ_0 KZ03	N.d (kN)	Vy.d (kN)	Vz.d (kN)	ΔVz.d (kN)	ΣVz.d (kN)	Mx.d (kNm)	My.d (kNm)	ΔMy.d (kNm)	ΣMy.d (kNm)	Mz.d (kNm)	ΔMz.d (kNm)	ΣMz.d (kNm)
1	G0	Vlastní tíha OK	G	0	-2	17	-26	0	21	-10	1.00	1.20		1.20	-	1.00	0.95	-2	20	-30	0	-30	0	24	0	24	-11	0	-11
2	G1	Ostatní stálé - mostní vybavení	G	0	-1	1	-3	0	2	-1	1.00	1.20		1.20	-	1.00	0.95	-1	1	-3	0	-3	0	2	0	2	-1	0	-1
3	G2	Ostatní stálé - cizí zařízení	G	0	1	1	-1	0	-1	-1	1.00	1.20		1.20	-	1.00	0.95	1	1	-2	0	-2	0	-1	0	-1	-1	0	-1
4	P1_71	a.LM71 - kolej 1 (bez dyn. souč.)	P	0	-10	16	24	0	99	-11	1.00	1.30		1.30	-	2.00	1.00	-26	43	64	0	64	0	257	0	257	-29	14	-14
5	P2_71	a.LM71 - kolej 2 (bez dyn. souč.)	P	0	-33	-1	-320	0	212	1	1.00	1.30		1.30	-	2.00	1.00	-86	-2	-832	0	-832	0	552	0	552	3	-1	1
6	P1_C3	TTZ C3 - kolej 1 (bez dyn. souč.)	P	0	-9	13	18	0	80	-9	1.00	vyp.		0.00	-	1.00	0.00	0	0	0	0	0	0	0	0	0	0	0	0
7	P2_C3	TTZ C3 - kolej 2 (bez dyn. souč.)	P	0	-21	0	-214	0	141	0	1.00	vyp.		0.00	-	1.00	0.00	0	0	0	0	0	0	0	0	0	0	0	0
8	BR	Brzdné a rozjezdové síly	P	0	37	-37	0	0	20	33	1.00	-1.30		-1.30	-	1.00	0.80	-38	38	0	0	0	0	0	-21	0	-21	-34	0	-34
9	S	Boční ráz	P	0	9	2	11	0	28	-3	1.00	1.30		1.30	-	1.00	0.40	4	1	6	0	6	0	15	0	15	-1	0	-1
10	CH	Chodci na lávkách	Q	0	2	1	5	0	15	-1	1.00	1.30		1.30	-	1.00	1.00	2	2	7	0	7	0	19	0	19	-1	0	-1
11	W	Vítr na konstrukci	Q	0	15	2	64	0	185	-5	1.00	1.35		1.35	-	1.00	0.75	15	2	64	0	64	0	188	0	188	-5	0	-5
12	WP	Vítr na vozidla	Q	0	40	4	52	0	109	-8	1.00	1.35		1.35	-	1.00	0.75	41	4	53	0	53	0	110	0	110	-9	0	-9
13	TR	Teplota rovnoměrná	Q	0	0	0	0	0	0	0	1.00	1.35		1.35	-	1.00	0.45	0	0	0	0	0	0	0	0	0	0	0	0
14	TN	Teplota nerovnoměrná	Q	0	2	3	25	0	59	-2	1.00	1.35		1.35	-	1.00	0.60	2	3	21	0	21	0	48	0	48	-1	0	-1
15	FR	Třecí síly v ložiskách	Q	0	3	-2	0	0	1	1	1.00	-1.20		-1.20	-	1.00	1.00	-4	2	0	0	0	0	-1	0	-1	-1	0	-1
16	I	Imperfekce soustavy	Q	0	1	0	11	0	33	0	1.00	1.20		1.20	-	1.00	1.00	1	0	13	0	13	0	40	0	40	0	0	0
27	ULS_LM	ULS - LM71 bez dynam	Q	0	42	29	-247	0	884	-22	1.00	vyp.		0.00	-	1.00	0.00	0	0	0	0	0	0	0	0	0	0	0	0
28	SLS_LM	SLS - LM71 bez dynam	Q	0	30	22	-212	0	640	-17	1.00	vyp.	1	0.00	-	1.00	0.00	0	0	0	0	0	0	0	0	0	0	0	0
29	ULS_C3	ULS - C3 bez dynam	Q	0	60	25	-118	0	767	-20	1.00	vyp.	1	0.00	-	1.00	0.00	0	0	0	0	0	0	0	0	0	0	0	0
30	SLS_C3	SLS - C3 bez dynam	Q	0	44	19	-113	0	550	-15	1.00	vyp.	1	0.00	-	1.00	0.00	0	0	0	0	0	0	0	0	0	0	0	0
		CELKEM - FÁZE PRŮŘEZU 0																-91	115	-639	0	-639	0	1 231	0	1 231	-91	13	-78
		CELKEM - FÁZE PRŮŘEZU 1																0	0	0	0	0	0	0	0	0	0	0	0
		CELKEM - FÁZE PRŮŘEZU 2																0	0	0	0	0	0	0	0	0	0	0	0
		CELKEM - FÁZE PRŮŘEZU 3																0	0	0	0	0	0	0	0	0	0	0	0
		CELKEM - PRŮŘEZ																-91	115	-639	0	-639	0			1 231			-78

Napětí od jednotlivých zatěžovacích stavů

SKUPINA ZATĚŽOVACÍCH STAVŮ					Posouzení normálového napětí										Posouzení smykového napětí													
					Účinek síly N			Účinek momentu My			Účinek momentu Mz				Účinek kroutícího momentu Mx				Účinek smykové síly Vy				Účinek smykové síly Vz			
Č.	SKUP ZS	Popis ZS	Kat.	fáze průř.	δ^*N_d [kN]	χ^*A [mm²]	σ_n [MPa]	$\delta^*M_{y,d}$ [kNm]	$\chi_t{}^*W_{el,y}$ [mm³]	σ_{my} [MPa]	$\delta^*M_{z,d}$ [kNm]	$W_{el,z}$ [mm³]	σ_{mz} [MPa]	σ_x [MPa]	$\kappa^*\delta^*M_{x,d}$ [kNm]	$W_{v,y}$ [mm³]	$\tau_{x,y}$ [MPa]	$W_{v,z}$ [mm³]	$\tau_{x,z}$ [MPa]	$\delta^*V_{y,d}$ [kN]	$A_{v,y}$ [mm2]	$\tau_{v,y}$ [MPa]	$\tau_{v,y}$ [MPa]	$\delta^*V_{z,d}$ [kN]	$A_{v,z}$ [mm2]	$\tau_{v,z}$ [MPa]	$\tau_{v,z}$ [MPa]
1	G0	Vlastní tíha OK	G	0	-1.8	2.83E+04	-0.1	23.5	9.25E+06	2.5	-10.9	-6.04E+05	18.0	20.4	-9.1E-02	-	-	-	-	19.7	1.24E+04	1.6	1.6	-29.6	1.08E+04	-2.7	-2.7
2	G1	Ostatní stálé - mostní vybavení	G	0	-0.6	2.83E+04	0.0	2.0	9.25E+06	0.2	-0.8	-6.04E+05	1.4	1.6	-1.1E-02	-	-	-	-	1.5	1.24E+04	0.1	0.1	-3.1	1.08E+04	-0.3	-0.3
3	G2	Ostatní stálé - cizí zařízení	G	0	1.0	2.83E+04	0.0	-0.8	9.25E+06	-0.1	-0.7	-6.04E+05	1.1	1.1	0.0E+00	-	-	-	-	1.2	1.24E+04	0.1	0.1	-1.5	1.08E+04	-0.1	-0.1
4	P1_71	a.LM71 - kolej 1 (bez dyn. souč.)	P	0	-26.3	2.83E+04	-0.9	257.3	9.25E+06	27.8	-14.3	-6.04E+05	23.6	50.5	-2.3E-01	-	-	-	-	42.8	1.24E+04	3.5	3.5	63.5	1.08E+04	5.9	5.9
5	P2_71	a.LM71 - kolej 2 (bez dyn. souč.)	P	0	-85.7	2.83E+04	-3.0	552.1	9.25E+06	59.7	1.3	-6.04E+05	-2.2	54.5	2.1E-01	-	-	-	-	-1.5	1.24E+04	-0.1	-0.1	-832.2	1.08E+04	-76.9	-76.9
6	P1_C3	TTZ C3 - kolej 1 (bez dyn. souč.)	P	0	0.0	2.83E+04	0.0	0.0	9.25E+06	0.0	0.0	-6.04E+05	0.0	0.0	0.0E+00	-	-	-	-	0.0	1.24E+04	0.0	0.0	0.0	1.08E+04	0.0	0.0
7	P2_C3	TTZ C3 - kolej 2 (bez dyn. souč.)	P	0	0.0	2.83E+04	0.0	0.0	9.25E+06	0.0	0.0	-6.04E+05	0.0	0.0	0.0E+00	-	-	-	-	0.0	1.24E+04	0.0	0.0	0.0	1.08E+04	0.0	0.0
8	BR	Brzdné a rozjezdové síly	P	0	-38.4	2.83E+04	-1.4	-21.1	9.25E+06	-2.3	-34.2	-6.04E+05	56.6	53.0	7.3E-02	-	-	-	-	38.3	1.24E+04	3.1	3.1	0.2	1.08E+04	0.0	0.0
9	S	Boční ráz	P	0	4.4	2.83E+04	0.2	14.6	9.25E+06	1.6	-1.4	-6.04E+05	2.4	4.1	0.0E+00	-	-	-	-	0.8	1.24E+04	0.1	0.1	5.5	1.08E+04	0.5	0.5
10	CH	Chodci na lávkách	Q	0	2.4	2.83E+04	0.1	19.1	9.25E+06	2.1	-1.2	-6.04E+05	2.1	4.2	0.0E+00	-	-	-	-	1.9	1.24E+04	0.2	0.2	7.0	1.08E+04	0.7	0.7
11	W	Vítr na konstrukci	Q	0	15.0	2.83E+04	0.5	187.6	9.25E+06	20.3	-4.6	-6.04E+05	7.6	28.4	0.0E+00	-	-	-	-	1.6	1.24E+04	0.1	0.1	64.4	1.08E+04	5.9	5.9
12	WP	Vítr na vozidla	Q	0	40.9	2.83E+04	1.4	110.0	9.25E+06	11.9	-8.6	-6.04E+05	14.2	27.5	-1.0E-02	-	-	-	-	3.7	1.24E+04	0.3	0.3	52.7	1.08E+04	4.9	4.9
13	TR	Teplota rovnoměrná	Q	0	0.0	2.83E+04	0.0	0.0	9.25E+06	0.0	0.0	-6.04E+05	0.0	0.0	0.0E+00	-	-	-	-	0.0	1.24E+04	0.0	0.0	0.0	1.08E+04	0.0	0.0
14	TN	Teplota nerovnoměrná	Q	0	1.5	2.83E+04	0.1	47.7	9.25E+06	5.2	-1.3	-6.04E+05	2.2	7.4	-3.2E-02	-	-	-	-	2.7	1.24E+04	0.2	0.2	20.6	1.08E+04	1.9	1.9
15	FR	Třecí síly v ložiskách	Q	0	-4.0	2.83E+04	-0.1	-1.0	9.25E+06	-0.1	-1.3	-6.04E+05	2.2	2.0	1.2E-02	-	-	-	-	2.3	1.24E+04	0.2	0.2	0.0	1.08E+04	0.0	0.0
16	I	Imperfekce soustavy	Q	0	0.9	2.83E+04	0.0	39.8	9.25E+06	4.3	-0.2	-6.04E+05	0.3	4.6	0.0E+00	-	-	-	-	-0.1	1.24E+04	0.0	0.0	13.3	1.08E+04	1.2	1.2
27	ULS_LM	ULS - LM71 bez dynam	Q	0	0.0	2.83E+04	0.0	0.0	9.25E+06	0.0	0.0	-6.04E+05	0.0	0.0	0.0E+00	-	-	-	-	0.0	1.24E+04	0.0	0.0	0.0	1.08E+04	0.0	0.0
28	SLS_LM	SLS - LM71 bez dynam	Q	0	0.0	2.83E+04	0.0	0.0	9.25E+06	0.0	0.0	-6.04E+05	0.0	0.0	0.0E+00	-	-	-	-	0.0	1.24E+04	0.0	0.0	0.0	1.08E+04	0.0	0.0
29	ULS_C3	ULS - C3 bez dynam	Q	0	0.0	2.83E+04	0.0	0.0	9.25E+06	0.0	0.0	-6.04E+05	0.0	0.0	0.0E+00	-	-	-	-	0.0	1.24E+04	0.0	0.0	0.0	1.08E+04	0.0	0.0
30	SLS_C3	SLS - C3 bez dynam	Q	0	0.0	2.83E+04	0.0	0.0	9.25E+06	0.0	0.0	-6.04E+05	0.0	0.0	0.0E+00	-	-	-	-	0.0	1.24E+04	0.0	0.0	0.0	1.08E+04	0.0	0.0
NAVÝŠENÍ NAPĚTÍ DO AKTIVACE TLAKU V DESCE MOSTOVKY						$\sigma_{P,red}$	0.0							0.0			0.0		0.0			9.3	9.3			-59.1	-59.1
NAPĚTÍ OD PRIMÁRNÍCH ÚČINKŮ NEROVNOMĚRNÉHO OTEPLENÍ						σ_T	0.0							0.0													
NAPĚTÍ OD REOLOGICKÝCH ÚČINKŮ BETONU V ČASE				t=0		σ_R	0.0	γ=	1.20					0.0													
NAPĚTÍ V KRITICKÝCH VLÁKNECH OD KOMBINACE ZATÍŽENÍ						KZ03		[MPa]					$\Sigma\sigma_x$	259.3								$\Sigma\tau_y$	9.3				$\Sigma\tau_z$	-59.1
NAPĚTÍ OD POHYBLIVÉHO ZATÍŽENÍ								[MPa]					$\sigma_{x,P}$	162.1								τ_P	6.5				τ_P	-70.5
NAPĚTÍ OD OSTATNÍCH ZATÍŽENÍ								[MPa]			Φ_{Vy}	Φ_{Vz}	$\sigma_{x,rs}$	97.2								τ_{rs}	2.8				τ_{rs}	11.4
NÁVRHOVÁ HODNOTA MEZE KLUZU S REDUKCÍ VLIVEM SMYKOVÉHO NAPĚTÍ								[MPa]			1.00	1.00	$f_{yw,d}$	209.1								$f_{yd}/3^{0,5}$	120.7				$f_{yd}/3^{0,5}$	120.7
NAPĚTÍ OD POHYBLIVÉHO ZATÍŽENÍ V GLOBÁLNÍM SYSTÉMU						$\sigma_{GLOB,P}$	0.0	[MPa]					$\Sigma\sigma_{GLOB}$	0.0														
NAPĚTÍ OD OSTATNÍCH ZATÍŽENÍ V GLOBÁLNÍM SYSTÉMU						$\sigma_{GLOB,rs}$	0.0	[MPa]					$\Sigma\sigma_x + \Sigma\sigma_{GLOB}$	259.3														
VYUŽITÍ PRŮŘEZU DLE NAPĚTÍ								[%]					η_1	1.24								η_3	0.08				η_3	0.49
NAPĚTÍ V PŘÍČNÉM SMĚRU OD POHYBLIVÉHO ZATÍŽENÍ						$\sigma_{z,P}$	0.0	[MPa]					$\Sigma\sigma_z$	0.0														
NAPĚTÍ V PŘÍČNÉM SMĚRU OD OSTATNÍCH ZATÍŽENÍ						$\sigma_{z,rs}$	0.0	[MPa]					η_2	0.00														
SROVNÁVACÍ NAPĚTÍ													$(\eta_2 + 0,8\ \eta_1)/1,4$ =	0.71														
VYUŽITÍ PRŮŘEZU CELKEM								[%]					eff	1.24	NEVYHOVUJE													
STANOVENÍ ZATÍŽITELNOSTI													Z_{LM71} =	0.69														

TAB. P0.1.3 POSOUZENÍ - MEZNÍ STAV ÚNOSNOSTI

POPIS	PŘÍČNÍK P0 - VNĚJŠÍ PODÉLNÍK
PRUT / POLOHA BODU	706 / 3/4
NAMÁHÁNÍ	Vz.min
VLÁKNO	BOD S6 -HP
MEZNÍ STAV	ULS (MSÚ)
VYUŽITÍ VLÁKNA PRŮŘEZU	1.08

Charakteristiky materiálu				
pás. horní	$f_{yf,k}$	230	MPa	
pás. dolní	$f_{yf,k}$	230	MPa	
stojina	$f_{yw,k}$	230	MPa	
výztuž	$f_{ys,k}$	500	MPa	
γ_M =	1.10	γ_s =	1.15	

Excentricita normálové síly				
Exc./Fáze	0	1	2	3
e_y	0.000	0.000	0.000	0.000
e_z	0.000	0.000	0.000	0.000
Ekvivalentní vzdál. stěn - příčný roznos				
b_{Mx}	0.000	0.000	0.000	0.000

Vliv stěny na únosnost průřezu				
Char./Fáze	0	1	2	3
A	0.40	0.00	0.00	0.00
Wy	0.21	0.00	0.00	0.00
Wz	0.00	0.00	0.00	0.00

Charakter. v kroucení			
$t_{w,y}$	0.000	[mm]	
$t_{w,z}$	0.000	[mm]	
κ	1.00		
I_t=	0.00E+00	[mm^4]	
$\Omega=2*A_{pr}$	0.00E+00	[mm^2]	

Součinitele vzpěru a vlivu II.řádu				
Char./Fáze	0	1	2	3
k_y	1.000	1.000	1.000	1.000
k_z	1.000	1.000	1.000	1.000
χ_{LT}	1.000	1.000	1.000	1.000
χ_{min}	1.000	1.000	1.000	1.000

δ_{LOK} 1.00

Vnitřní síly od jednotlivých skupin zatěžovacích stavů

SKUPINA ZATĚŽOVACÍCH STAVŮ — CHARAKTERISTICKÉ HODNOTY — DÍLČÍ SOUČINITELÉ ZATÍŽENÍ, DYNAMICKÝ SOUČINITEL — NÁVRHOVÉ HODNOTY

Č.	SKUP ZS	POPIS ZS	KAT.	FÁZE PRŮŘ.	N.k (kN)	Vy.k (kN)	Vz.k (kN)	Mx.k (kNm)	My.k (kNm)	Mz.k (kNm)	γ_{sr} (-)	γ_{fs} (-)	volba γ_{fi} hledat	γ_{fi} (-)	L_d (m)	δ (-)	Ψ_z KZ04	N.d (kN)	Vy.d (kN)	Vz.d (kN)	ΔVz.d (kN)	ΣVz.d (kN)	Mx.d (kNm)	My.d (kNm)	ΔMy.d (kNm)	ΣMy.d (kNm)	Mz.d (kNm)	ΔMz.d (kNm)	ΣMz.d (kNm)
1	G0	Vlastní tíha OK	G	0	-2	17	-26	0	21	-10	1.00	1.20		1.20	-	1.00	0.95	-2	20	-30	0	-30	0	24	0	24	-11	0	-11
2	G1	Ostatní stálé - mostní vybavení	G	0	-1	1	-3	0	2	-1	1.00	1.20		1.20	-	1.00	0.95	-1	1	-3	0	-3	0	2	0	2	-1	0	-1
3	G2	Ostatní stálé - cizí zařízení	G	0	1	1	-1	0	-1	-1	1.00	1.20		1.20	-	1.00	0.95	1	1	-2	0	-2	0	-1	0	-1	-1	0	-1
4	P1_71	a.LM71 - kolej 1 (bez dyn. souč.)	P	0	-31	0	-124	0	-8	1	1.00	1.30		1.30	-	2.00	1.00	-80	-1	-322	0	-322	0	-21	0	-21	1	-1	1
5	P2_71	a.LM71 - kolej 2 (bez dyn. souč.)	P	0	-31	18	-343	0	150	-8	1.00	1.30		1.30	-	2.00	1.00	-80	47	-891	0	-891	0	389	0	389	-21	11	-11
6	P1_C3	TTZ C3 - kolej 1 (bez dyn. souč.)	P	0	-20	0	-82	0	-7	0	1.00	vyp.		0.00	-	1.00	0.00	0	0	0	0	0	0	0	0	0	0	0	0
7	P2_C3	TTZ C3 - kolej 2 (bez dyn. souč.)	P	0	-19	17	-235	0	83	-8	1.00	vyp.		0.00	-	1.00	0.00	0	0	0	0	0	0	0	0	0	0	0	0
8	BR	Brzdné a rozjezdové síly	P	0	37	-41	-4	0	9	37	1.00	1.30		1.30	-	1.00	0.40	19	-21	-2	0	-2	0	5	0	5	19	0	19
9	S	Boční ráz	P	0	-10	-2	-11	0	-28	3	1.00	1.30		1.30	-	1.00	0.80	-10	-2	-11	0	-11	0	-29	0	-29	3	0	3
10	CH	Chodci na lávkách	Q	0	4	3	0	0	-3	-2	1.00	0.00		0.00	-	1.00	1.00	0	0	0	0	0	0	0	0	0	0	0	0
11	W	Vítr na konstrukci	Q	0	-16	-2	-64	0	-185	5	1.00	1.35		1.35	-	1.00	0.75	-16	-2	-64	0	-64	0	-187	0	-187	5	0	5
12	WP	Vítr na vozidla	Q	0	-43	-4	-51	0	-109	8	1.00	1.35		1.35	-	1.00	0.75	-44	-4	-52	0	-52	0	-111	0	-111	9	0	9
13	TR	Teplota rovnoměrná	Q	0	0	0	0	0	0	0	1.00	1.35		1.35	-	1.00	0.45	0	0	0	0	0	0	0	0	0	0	0	0
14	TN	Teplota nerovnoměrná	Q	0	3	-1	-23	0	-86	0	1.00	1.35		1.35	-	1.00	0.60	2	-1	-19	0	-19	0	-69	0	-69	0	0	0
15	FR	Třecí síly v ložiskách	Q	0	-3	2	0	0	-1	-1	1.00	1.20		1.20	-	1.00	1.00	-4	2	0	0	0	0	-1	0	-1	-1	0	-1
16	I	Imperfekce soustavy	Q	0	-1	0	-11	0	-33	0	1.00	1.20		1.20	-	1.00	1.00	-1	0	-13	0	-13	0	-40	0	-40	0	0	0
27	ULS_LM	ULS - LM71 bez dynam	Q	0	-128	16	-806	0	-235	15	1.00	vyp.		0.00	-	1.00	0.00	0	0	0	0	0	0	0	0	0	0	0	0
28	SLS_LM	SLS - LM71 bez dynam	Q	0	-99	16	-607	0	-119	10	1.00	vyp.	1	0.00	-	1.00	0.00	0	0	0	0	0	0	0	0	0	0	0	0
29	ULS_C3	ULS - C3 bez dynam	Q	0	-98	15	-612	0	-319	15	1.00	vyp.	1	0.00	-	1.00	0.00	0	0	0	0	0	0	0	0	0	0	0	0
30	SLS_C3	SLS - C3 bez dynam	Q	0	-76	15	-457	0	-184	10	1.00	vyp.	1	0.00	-	1.00	0.00	0	0	0	0	0	0	0	0	0	0	0	0
		CELKEM - FÁZE PRŮŘEZU 0			-215	42	-1 410	0										-215	42	-1 410	0	-1 410	0			-40			12
		CELKEM - FÁZE PRŮŘEZU 1			0	0	0	0										0	0	0	0	0	0			0			0
		CELKEM - FÁZE PRŮŘEZU 2			0	0	0	0										0	0	0	0	0	0			0			0
		CELKEM - FÁZE PRŮŘEZU 3			0	0	0	0										0	0	0	0	0	0			0			0
		CELKEM - PRŮŘEZ			-215	42	-1 410	0										-215	42	-1 410	0	-1 410	0			-40			12

Napětí od jednotlivých zatěžovacích stavů

SKUPINA ZATĚŽOVACÍCH STAVŮ — Posouzení normálového napětí — Účinek síly N — Účinek momentu My — Účinek momentu Mz — Posouzení smykového napětí — Účinek kroutícího momentu Mx — Účinek smykové síly Vy — Účinek smykové síly Vz

Č.	SKUP ZS	Popis ZS	Kat.	fáze prúř.	δ^*N_d [kN]	χ^*A [mm^2]	σ_n [MPa]	$\delta^*M_{y,d}$ [kNm]	$\chi_{lt}*W_{el,y}$ [mm^3]	σ_{my} [MPa]	$\delta^*M_{z,d}$ [kNm]	$W_{el,z}$ [mm^3]	σ_{mz} [MPa]	σ_x [MPa]	$\kappa*\delta^*M_{x,d}$ [kNm]	$W_{v,y}$ [mm^3]	$\tau_{x,y}$ [MPa]	$W_{v,z}$ [mm^3]	$\tau_{x,z}$ [MPa]	$\delta^*V_{y,d}$ [kN]	$A_{v,y}$ [mm2]	$\tau_{v,y}$ [MPa]	$\tau_{v,y}$ [MPa]	$\delta^*V_{z,d}$ [kN]	$A_{v,z}$ [mm2]	$\tau_{v,z}$ [MPa]	$\tau_{v,z}$ [MPa]
1	G0	Vlastní tíha OK	G	0	-1.8	1.30E+04	-0.1	23.5	6.82E+06	3.4	-10.9	-1.86E+07	0.6	3.9	-9.1E-02	-	-	-	-	19.7	1.24E+04	1.6	1.6	-29.6	1.08E+04	-2.7	-2.7
2	G1	Ostatní stálé - mostní vybavení	G	0	-0.6	1.30E+04	0.0	2.0	6.82E+06	0.3	-0.8	-1.86E+07	0.0	0.3	-1.1E-02	-	-	-	-	1.5	1.24E+04	0.1	0.1	-3.1	1.08E+04	-0.3	-0.3
3	G2	Ostatní stálé - cizí zařízení	G	0	1.0	1.30E+04	0.1	-0.8	6.82E+06	-0.1	-0.7	-1.86E+07	0.0	0.0	0.0E+00	-	-	-	-	1.2	1.24E+04	0.1	0.1	-1.5	1.08E+04	-0.1	-0.1
4	P1_71	a.LM71 - kolej 1 (bez dyn. souč.)	P	0	-80.2	1.30E+04	-6.2	-20.9	6.82E+06	-3.1	0.7	-1.86E+07	0.0	-9.3	-5.2E-02	-	-	-	-	-1.0	1.24E+04	-0.1	-0.1	-322.4	1.08E+04	-29.8	-29.8
5	P2_71	a.LM71 - kolej 2 (bez dyn. souč.)	P	0	-79.9	1.30E+04	-6.2	388.8	6.82E+06	57.0	-10.5	-1.86E+07	0.6	51.4	0.0E+00	-	-	-	-	46.8	1.24E+04	3.8	3.8	-891.0	1.08E+04	-82.4	-82.4
6	P1_C3	TTZ C3 - kolej 1 (bez dyn. souč.)	P	0	0.0	1.30E+04	0.0	0.0	6.82E+06	0.0	0.0	-1.86E+07	0.0	0.0	0.0E+00	-	-	-	-	0.0	1.24E+04	0.0	0.0	0.0	1.08E+04	0.0	0.0
7	P2_C3	TTZ C3 - kolej 2 (bez dyn. souč.)	P	0	0.0	1.30E+04	0.0	0.0	6.82E+06	0.0	0.0	-1.86E+07	0.0	0.0	0.0E+00	-	-	-	-	0.0	1.24E+04	0.0	0.0	0.0	1.08E+04	0.0	0.0
8	BR	Brzdné a rozjezdové síly	P	0	19.0	1.30E+04	1.5	4.6	6.82E+06	0.7	19.4	-1.86E+07	-1.0	1.1	-3.6E-02	-	-	-	-	-21.4	1.24E+04	-1.7	-1.7	-2.3	1.08E+04	-0.2	-0.2
9	S	Boční ráz	P	0	-9.9	1.30E+04	-0.8	-28.9	6.82E+06	-4.2	2.9	-1.86E+07	-0.2	-5.2	1.0E-02	-	-	-	-	-1.7	1.24E+04	-0.1	-0.1	-11.1	1.08E+04	-1.0	-1.0
10	CH	Chodci na lávkách	Q	0	0.0	1.30E+04	0.0	0.0	6.82E+06	0.0	0.0	-1.86E+07	0.0	0.0	0.0E+00	-	-	-	-	0.0	1.24E+04	0.0	0.0	0.0	1.08E+04	0.0	0.0
11	W	Vítr na konstrukci	Q	0	-16.0	1.30E+04	-1.2	-187.5	6.82E+06	-27.5	4.6	-1.86E+07	-0.2	-29.0	0.0E+00	-	-	-	-	-1.6	1.24E+04	-0.1	-0.1	-64.3	1.08E+04	-5.9	-5.9
12	WP	Vítr na vozidla	Q	0	-43.9	1.30E+04	-3.4	-110.6	6.82E+06	-16.2	8.6	-1.86E+07	-0.5	-20.1	1.0E-02	-	-	-	-	-3.7	1.24E+04	-0.3	-0.3	-51.9	1.08E+04	-4.8	-4.8
13	TR	Teplota rovnoměrná	Q	0	0.0	1.30E+04	0.0	0.0	6.82E+06	0.0	0.0	-1.86E+07	0.0	0.0	0.0E+00	-	-	-	-	0.0	1.24E+04	0.0	0.0	0.0	1.08E+04	0.0	0.0
14	TN	Teplota nerovnoměrná	Q	0	2.2	1.30E+04	0.2	-69.3	6.82E+06	-10.2	-0.2	-1.86E+07	0.0	-10.0	8.1E-03	-	-	-	-	-0.5	1.24E+04	0.0	0.0	-18.9	1.08E+04	-1.7	-1.7
15	FR	Třecí síly v ložiskách	Q	0	-4.0	1.30E+04	-0.3	-1.0	6.82E+06	-0.1	-1.3	-1.86E+07	0.1	-0.4	1.2E-02	-	-	-	-	2.3	1.24E+04	0.2	0.2	0.0	1.08E+04	0.0	0.0
16	I	Imperfekce soustavy	Q	0	-0.9	1.30E+04	-0.1	-39.8	6.82E+06	-5.8	0.2	-1.86E+07	0.0	-5.9	0.0E+00	-	-	-	-	0.1	1.24E+04	0.0	0.0	-13.3	1.08E+04	-1.2	-1.2
27	ULS_LM	ULS - LM71 bez dynam	Q	0	0.0	1.30E+04	0.0	0.0	6.82E+06	0.0	0.0	-1.86E+07	0.0	0.0	0.0E+00	-	-	-	-	0.0	1.24E+04	0.0	0.0	0.0	1.08E+04	0.0	0.0
28	SLS_LM	SLS - LM71 bez dynam	Q	0	0.0	1.30E+04	0.0	0.0	6.82E+06	0.0	0.0	-1.86E+07	0.0	0.0	0.0E+00	-	-	-	-	0.0	1.24E+04	0.0	0.0	0.0	1.08E+04	0.0	0.0
29	ULS_C3	ULS - C3 bez dynam	Q	0	0.0	1.30E+04	0.0	0.0	6.82E+06	0.0	0.0	-1.86E+07	0.0	0.0	0.0E+00	-	-	-	-	0.0	1.24E+04	0.0	0.0	0.0	1.08E+04	0.0	0.0
30	SLS_C3	SLS - C3 bez dynam	Q	0	0.0	1.30E+04	0.0	0.0	6.82E+06	0.0	0.0	-1.86E+07	0.0	0.0	0.0E+00	-	-	-	-	0.0	1.24E+04	0.0	0.0	0.0	1.08E+04	0.0	0.0
		NAVÝŠENÍ NAPĚTÍ DO AKTIVACE TLAKU V DESCE MOSTOVKY				$\sigma_{P,red}$	0.0							0.0			0.0		0.0				3.4	3.4			-130.3	-130.3
		NAPĚTÍ OD PRIMÁRNÍCH ÚČINKŮ NEROVNOMĚRNÉHO OTEPLENÍ				σ_T	0.0							0.0														
		NAPĚTÍ OD REOLOGICKÝCH ÚČINKŮ BETONU V ČASE		t=0		σ_R	0.0	γ_{lt}=	1.20					0.0														
		NAPĚTÍ V KRITICKÝCH VLÁKNECH OD KOMBINACE ZATÍŽENÍ				KZ04		[MPa]					$\Sigma\sigma_x$	-23.0									$\Sigma\tau_y$	3.4				$\Sigma\tau_z$	-130.3
		NAPĚTÍ OD POHYBLIVÉHO ZATÍŽENÍ						[MPa]					$\sigma_{x,P}$	38.1									τ_P	1.8				τ_P	-113.4
		NAPĚTÍ OD OSTATNÍCH ZATÍŽENÍ						[MPa]			Φ_{vy}	Φ_{vz}	$\sigma_{x,rs}$	-61.1									τ_{rs}	1.5				τ_{rs}	-16.9
		NÁVRHOVÁ HODNOTA MEZE KLUZU S REDUKCÍ VLIVEM SMYKOVÉHO NAPĚTÍ						[MPa]			1.00	-0.34	$f_{yv,d}$	209.1									$f_{yd}/3^{0,5}$	120.7				$f_{yd}/3^{0,5}$	120.7
		NAPĚTÍ OD POHYBLIVÉHO ZATÍŽENÍ V GLOBÁLNÍM SYSTÉMU				$\sigma_{GLOB,P}$	0.0	[MPa]					$\Sigma\sigma_{GLOB}$	0.0															
		NAPĚTÍ OD OSTATNÍCH ZATÍŽENÍ V GLOBÁLNÍM SYSTÉMU				$\sigma_{GLOB,rs}$	0.0	[MPa]					$\Sigma\sigma_x + \Sigma\sigma_{GLOB}$	-23.0															
		VYUŽITÍ PRŮŘEZU DLE NAPĚTÍ						[%]					η_1	0.11									η_3	0.03				η_3	1.08
		NAPĚTÍ V PŘÍČNÉM SMĚRU OD POHYBLIVÉHO ZATÍŽENÍ				$\sigma_{z,P}$	0.0	[MPa]					$\Sigma\sigma_z$	0.0															
		NAPĚTÍ V PŘÍČNÉM SMĚRU OD OSTATNÍCH ZATÍŽENÍ				$\sigma_{z,rs}$	0.0	[MPa]					η_2	0.00															
		SROVNÁVACÍ NAPĚTÍ											$(\eta2 + 0,8\ \eta1)/1,4$ =	0.06															
		VYUŽITÍ PRŮŘEZU CELKEM						[%]					eff	1.08	NEVYHOVUJE														
		STANOVENÍ ZATÍŽITELNOSTI											Z_{LM71} =	0.92															

VÝPOČET PRŮŘEZOVÝCH CHARAKTERISTIK

PRŮŘEZ: P0_S **POPIS:** PŘÍČNÍK - 0 - STŘED **x =** - **m**

DEFINOVÁNÍ PRŮŘEZU

PÁSNICE HORNÍHO LEVÉHO ÚHELNÍKU	b f.t.l.o =	110	mm			
TLOUŠŤKA PÁSNICE ÚHELNÍKU	t f.t.l.o =	13	mm	OSLABENÍ PÁSNICE - TLOUŠŤKA	Δt f.t.l.o =	0 %
VÝŠKA STĚNY ÚHELNÍKU	h w.t.l.o =	97	mm			
TLOUŠŤKA STĚNY ÚHELNÍKU	t w.t.l.o =	13	mm	OSLABENÍ STĚNY - TLOUŠŤKA	Δt w.t.l.o =	0 %
PÁSNICE HORNÍHO PRAVÉHO ÚHELNÍKU	b f.t.r.o =	110	mm			
TLOUŠŤKA PÁSNICE ÚHELNÍKU	t f.t.r.o =	13	mm	OSLABENÍ PÁSNICE - TLOUŠŤKA	Δt f.t.r.o =	0 %
VÝŠKA STĚNY ÚHELNÍKU	h w.t.r.o =	97	mm			
TLOUŠŤKA STĚNY ÚHELNÍKU	t w.t.r.o =	13	mm	OSLABENÍ STĚNY - TLOUŠŤKA	Δt w.t.r.0 =	0 %
PÁSNICE DOLNÍHO LEVÉHO ÚHELNÍKU	b f.b.l.o =	110	mm			
TLOUŠŤKA PÁSNICE ÚHELNÍKU	t f.b.l.o =	13	mm	OSLABENÍ PÁSNICE - TLOUŠŤKA	Δt f.b.l.o =	0 %
VÝŠKA STĚNY ÚHELNÍKU	h w.b.l.o =	97	mm			
TLOUŠŤKA STĚNY ÚHELNÍKU	t w.b.l.o =	13	mm	OSLABENÍ STĚNY - TLOUŠŤKA	Δt w.b.l.o =	0 %
PÁSNICE DOLNÍHO PRAVÉHO ÚHELNÍKU	b f.b.r.o =	110	mm			
TLOUŠŤKA PÁSNICE ÚHELNÍKU	t f.b.r.o =	13	mm	OSLABENÍ PÁSNICE - TLOUŠŤKA	Δt f.b.r.o =	0 %
VÝŠKA STĚNY ÚHELNÍKU	h w.b.r.o =	97	mm			
TLOUŠŤKA STĚNY ÚHELNÍKU	t w.b.r.o =	13	mm	OSLABENÍ STĚNY - TLOUŠŤKA	Δt w.b.r.o =	0 %

ŠÍŘKA HORNÍ PÁSNICE	b f.t =	400	mm			
TLOUŠŤKA HORNÍ PÁSNICE	t f.t =	20	mm	OSLABENÍ HORNÍ PÁSNICE	Δt f.t =	3 %
PŘESAH HORNÍ PÁSNICE	o f.t =	84	mm	HORNÍ PÁSNICE OBECNĚ NESYMETRICKÁ (PODÉLNÍK - PŘÍPOJ MOSTNICE)		
VÝŠKA STĚNY	h w =	1030	mm			
TLOUŠŤKA STĚNY	t w =	13	mm	OSLABENÍ STĚNY	Δt w.l =	0 %
ŠÍŘKA DOLNÍ PÁSNICE	b f.b =	400	mm			
TLOUŠŤKA DOLNÍ PÁSNICE	t f.b =	20	mm	OSLABENÍ DOLNÍ PÁSNICE (DOLNÍ PÁSNICE SYMETRICKÁ)	Δt f.b =	4 %

OTVOR VE STĚNĚ

POLOHA - VZD. Z	515	mm
VÝŠKA	0	mm

NÝT Č.	SKUPINA	ŘEZ	RED.	VELIKOST d [mm]	POLOHA ei [mm]	POPIS	AKTIVITA OTVORU	NAPĚTÍ sc [MPa]
1		-	1.00	20	-160	nýt - f.t	0	3.08
2		-	1.00	22	-67	nýt - f.t - krční úhelník	0	-4.17
3		-	1.00	22	67	nýt - f.t - krční úhelník	0	-14.18
4		-	1.00	20	160	nýt - f.t	0	-20.98
5		-	1.00	22	985	nýt - w - krční úhelník	0	-9.16
6		-	1.00	22	875	nýt - w	0	-5.17
7		-	1.00	22	785	nýt - w	0	-3.10
8		-	1.00	22	695	nýt - w	0	-1.03
9		-	1.00	22	605	nýt - w	1	1.04
10		-	1.00	22	515	nýt - w	1	3.11
11		-	1.00	22	425	nýt - w	1	5.17
12		-	1.00	22	335	nýt - w	1	7.24
13		-	1.00	22	245	nýt - w	1	9.31
14		-	1.00	22	155	nýt - w	1	11.38
15		-	1.00	22	45	nýt - w - krční úhelník	1	13.91
16		-	1.00				-	
17		-	1.00				-	
18		-	1.00				-	
19	1	3	0.78	20	-160	nýt - f.b	1	27.19
20	1	3	0.78	22	-67	nýt - f.b. - krční úhelník	1	20.01
21	1	3	0.78	22	67	nýt - f.b. - krční úhelník	1	10.01
22	1	3	0.78	20	160	nýt - f.b	1	3.13

ZADÁNÍ ČÁSTÍ PRŮŘEZU:

č.prvku	b [mm]	h [mm]	y_s [mm]	z_s [mm]	popis části	druh oslabení	lokální ultimate	boulení servic.
1	110.0	13.0	-61.5	1023.5	pásnice	0	1.000	1.000
2	13.0	97.0	-13.0	968.5		0	1.000	1.000
3	110.0	13.0	61.5	1023.5	pásnice	0	1.000	1.000
4	13.0	97.0	13.0	968.5		0	1.000	1.000
5	110.0	13.0	-61.5	6.5	pásnice	0	1.000	1.000
6	13.0	97.0	-13.0	61.5		0	1.000	1.000
7	110.0	13.0	61.5	6.5	pásnice	0	1.000	1.000
8	13.0	97.0	13.0	61.5		0	1.000	1.000
9	400.0	19.4	0.0	1039.7	pásnice	0	1.000	1.000
10	13.0	1030.0	0.0	515.0	stěna	0	1.000	1.000
11	400.0	19.2	0.0	-9.6	pásnice	0	1.000	1.000
12						0	1.000	1.000
13						0	1.000	1.000
14						0	1.000	1.000
15						0	1.000	1.000
16						0	1.000	1.000
17						0	1.000	1.000
18						0	1.000	1.000
19						0	1.000	1.000
20						0	1.000	1.000
21						0	1.000	1.000
22						0	1.000	1.000
23						0	1.000	1.000
24						0	1.000	1.000
25	-13.0	0.0	0.0	515.0	stěna	0	1.000	1.000
26						0	1.000	1.000
27						0	1.000	1.000
28						0	1.000	1.000
29						0	1.000	1.000
30						0	1.000	1.000
31						0	1.000	1.000
32						0	1.000	1.000
33						0	1.000	1.000
34						0	1.000	1.000
35						0	1.000	1.000
36						0	1.000	1.000
37						0	1.000	1.000
38						0	1.000	1.000
39						0	1.000	1.000
40						0	1.000	1.000
41						0	1.000	1.000
42						0	1.000	1.000
43						0	1.000	1.000
44						0	1.000	1.000
45						0	1.000	1.000
46						0	1.000	1.000
47						0	1.000	1.000
48						0	1.000	1.000
49						0	1.000	1.000
50						0	1.000	1.000
51	0	0	-160.0	1039.7	nýt - pásnice	0	1.000	1.000
52	0	0	-66.5	1049.4	nýt - pásnice	0	1.000	1.000
53	0	0	66.5	1049.4	nýt - pásnice	0	1.000	1.000
54	0	0	160.0	1039.7	nýt - pásnice	0	1.000	1.000
55	0	0	19.5	985.0	nýt - stěna	0	1.000	1.000
56	0	0	0.0	875.0	nýt - stěna	0	1.000	1.000
57	0	0	0.0	785.0	nýt - stěna	0	1.000	1.000
58	0	0	0.0	695.0	nýt - stěna	0	1.000	1.000
59	13.0	-22.0	0.0	605.0	nýt - stěna	0	1.000	1.000
60	13.0	-22.0	0.0	515.0	nýt - stěna	0	1.000	1.000
61	13.0	-22.0	0.0	425.0	nýt - stěna	0	1.000	1.000
62	13.0	-22.0	0.0	335.0	nýt - stěna	0	1.000	1.000
63	13.0	-22.0	0.0	245.0	nýt - stěna	0	1.000	1.000
64	13.0	-22.0	0.0	155.0	nýt - stěna	0	1.000	1.000
65	39.0	-22.0	0.0	45.0	nýt - stěna	0	1.000	1.000
66						0	1.000	1.000
67						0	1.000	1.000
68						0	1.000	1.000
69	-15.8	19.2	-160.0	-9.6	nýt - pásnice	0	1.000	1.000
70	-17.2	32.2	-66.5	-3.1	nýt - pásnice	0	1.000	1.000
71	-17.2	32.2	66.5	-3.1	nýt - pásnice	0	1.000	1.000
72	-15.8	19.2	160.0	-9.6	nýt - pásnice	0	1.000	1.000
73								
74								
75								
76								
77								
78								
79								
80								
81								
82								
83								
84								
85								
86								
87								
88								
89								
90								
91								
92								
93								
94								
95								
96								
97								
98								
99								
100								

VÝPOČET PRŮŘEZOVÝCH CHARAKTERISTIK

Properties	Basic	Ultimate		Serviceability	
y_i	0.0	0.0		0.0	[mm]
z_i	559.3	559.3		559.3	[mm]
A_i	3.5315E+04	3.5315E+04		3.5315E+04	[mm²]
A_t	1.9455E+04	1.9455E+04		1.9455E+04	[mm²]
A_b	1.0816E+04	1.0816E+04		1.0816E+04	[mm²]
I_{yi}	7.1621E+09	7.1621E+09		7.1621E+09	[mm⁴]
I_{yt}	2.1398E+08	2.1398E+08		2.1398E+08	[mm⁴]
i_y	450.3	450.3		450.3	[mm]
i_z	77.8	77.8		77.8	[mm]
$W_{y,i}$	1.4614E+07	1.4614E+07		1.4614E+07	[mm³]
$W_{y,t}$	-1.0699E+06	-1.0699E+06		-1.0699E+06	[mm³]
$W_{y,b}$	-1.2380E+07	-1.2380E+07		-1.2380E+07	[mm³]
$W_{z,t}$	-1.0699E+06	-1.0699E+06		-1.0699E+06	[mm³]
KRAJNÍ VLÁKNA PRŮŘEZU					
y_1	-200.0	-200.0		-200.0	[mm]
z_1	1049.4	1049.4		1049.4	[mm]
y_2	200.0	-200.0		-200.0	[mm]
z_2	-19.2	-19.2		-19.2	[mm]
y_3	200.0	200.0		200.0	[mm]
z_3	1049.4	1049.4		1049.4	[mm]
y_4	200.0	200.0		200.0	[mm]
z_4	-19.2	-19.2		-19.2	[mm]
y_5	-6.5	-6.5		-6.5	[mm]
z_5	1030.0	1030.0		1030.0	[mm]
y_6	-6.5	-6.5		-6.5	[mm]
z_6	0.0	0.0		0.0	[mm]

ÚPRAVA MOMENTŮ SETRVAČNOSTI V DŮSLEDKU ČLENĚNÍ PRŮŘEZU

OSA Y	1.00
OSA Z	1.00

SCHÉMA PROMĚNNÝCH

SCHÉMA ZADANÉHO PRŮŘEZU

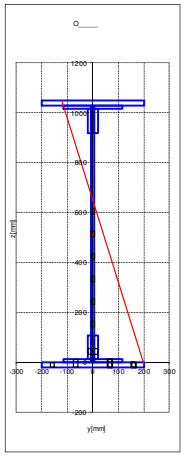

NEUTRÁLNÁ OSA

NAPĚTÍ [MPa]:

5.86	-24.21
30.42	0.34

ZS: SLS_LM (MAX N + MY)

	N [kN]	Vy [kN]	Vz [kN]	Mx [kNm]	My [kNm]	Mz [kNm]
import	74	9	102	0	165	16

TR_P0.2	SLS_LM				
-205	-9	-105	0	573	-32
74	9	102	0	165	16
-12	-24	-118	0	270	-25
-124	25	113	0	517	8
-108	-20	-238	0	137	-33
-22	20	233	0	604	16
-35	19	148	0	533	15
-102	-19	-153	0	235	-31
-6	-15	-140	0	-65	-17
-134	15	132	0	798	1
-145	-23	-119	0	352	-43
9	23	82	0	410	26

TR_P0.2 POPIS: **PŘÍČNÍK P0 - VNITŘNÍ PODÉLNÍK** POSUDEK: **P0.2**

SKUPINA ZAT. STAVŮ	EXTRÉM	VYHODNOCOVANÉ VELIČINY					
		N	Vy	Vz	Mx	My	Mz
		kN	kN	kN	kNm	kNm	kNm
G0	N.min	**-16.01**	-0.07	-3.25	0	60.74	-3.68
	N.max	**-16.01**	-0.07	-3.25	0	60.74	-3.68
	Vy.min	-16.01	**-0.07**	-3.25	0	60.74	-3.68
	Vy.max	-16.01	**-0.07**	-3.25	0	60.74	-3.68
	Vz.min	-16.01	-0.07	**-3.25**	0	60.74	-3.68
	Vz.max	-16.01	-0.07	**-3.25**	0	60.74	-3.68
	Mx.min	-16.01	-0.07	-3.25	**0**	60.74	-3.68
	Mx.max	-16.01	-0.07	-3.25	**0**	60.74	-3.68
	My.min	-16.01	-0.07	-3.25	0	**60.74**	-3.68
	My.max	-16.01	-0.07	-3.25	0	**60.74**	-3.68
	Mz.min	-16.01	-0.07	-3.25	0	60.74	**-3.68**
	Mz.max	-16.01	-0.07	-3.25	0	60.74	**-3.68**
G1	N.min	**-1.6**	0	-0.86	0	6.04	-0.27
	N.max	**-1.6**	0	-0.86	0	6.04	-0.27
	Vy.min	-1.6	**0**	-0.86	0	6.04	-0.27
	Vy.max	-1.6	**0**	-0.86	0	6.04	-0.27
	Vz.min	-1.6	0	**-0.86**	0	6.04	-0.27
	Vz.max	-1.6	0	**-0.86**	0	6.04	-0.27
	Mx.min	-1.6	0	-0.86	**0**	6.04	-0.27
	Mx.max	-1.6	0	-0.86	**0**	6.04	-0.27
	My.min	-1.6	0	-0.86	0	**6.04**	-0.27
	My.max	-1.6	0	-0.86	0	**6.04**	-0.27
	Mz.min	-1.6	0	-0.86	0	6.04	**-0.27**
	Mz.max	-1.6	0	-0.86	0	6.04	**-0.27**
G2	N.min	**0**	0	-1.32	0	2.45	-0.21
	N.max	**0**	0	-1.32	0	2.45	-0.21
	Vy.min	0	**0**	-1.32	0	2.45	-0.21
	Vy.max	0	**0**	-1.32	0	2.45	-0.21
	Vz.min	0	0	**-1.32**	0	2.45	-0.21
	Vz.max	0	0	**-1.32**	0	2.45	-0.21
	Mx.min	0	0	-1.32	**0**	2.45	-0.21
	Mx.max	0	0	-1.32	**0**	2.45	-0.21
	My.min	0	0	-1.32	0	**2.45**	-0.21
	My.max	0	0	-1.32	0	**2.45**	-0.21
	Mz.min	0	0	-1.32	0	2.45	**-0.21**
	Mz.max	0	0	-1.32	0	2.45	**-0.21**
P1_71	N.min	**-53.89**	2.84	-95.28	0.04	278.23	-0.97
	N.max	**0.01**	0	-0.08	0	-0.09	0
	Vy.min	-16.95	**-0.7**	-68.55	-0.06	139.31	-1.16
	Vy.max	-39.01	**3.51**	-34.87	0.1	155.56	0.1
	Vz.min	-26.71	0.13	**-119.11**	0.07	233.12	-0.51
	Vz.max	-24.83	2.99	**29.19**	-0.03	48.4	-0.58
	Mx.min	-48.59	2.27	-44.82	**-0.09**	189.95	-1.37
	Mx.max	-9.36	0.76	-57.72	**0.13**	104.02	0.57
	My.min	-9.09	0.42	1.92	0	**-1.69**	0.52
	My.max	-49.21	2.62	-96.25	0.04	**279.04**	-1.24
	Mz.min	-27.53	0.67	-52.29	-0.07	173.9	**-2.64**
	Mz.max	-28.34	2.02	-6.63	0.01	41.61	**1.7**
P2_71	N.min	**-54.13**	-2.86	95.48	-0.04	468.9	-6.67
	N.max	**0.01**	0	0.08	0	0.08	0
	Vy.min	-39.25	**-3.53**	35.07	-0.1	225.43	-6.94
	Vy.max	-16.96	**0.7**	68.56	0.06	276.42	0.24
	Vz.min	-25.09	-3.01	**-28.99**	0.03	-9.91	-6.57
	Vz.max	-26.75	-0.13	**119.11**	-0.07	471.37	-0.78
	Mx.min	-9.36	-0.76	57.71	**-0.13**	219.45	-0.96
	Mx.max	-48.84	-2.29	45.04	**0.09**	279.73	-5.93
	My.min	-26.6	-2.85	-27.26	0.02	**-16.09**	-6.01
	My.max	-34.58	-0.68	118.22	-0.06	**479.15**	-1.41
	Mz.min	-41.67	-3.47	49.44	-0.1	280.99	**-6.97**
	Mz.max	-10.85	0.6	41.44	0.05	168.21	**0.34**
P1_C3	N.min	**-38.06**	2.41	-59.12	0.02	192.45	-0.85
	N.max	**0.01**	0	-0.07	0	-0.07	0
	Vy.min	-12.04	**-0.49**	-51.46	-0.04	103.14	-0.83
	Vy.max	-33.49	**3.1**	-24.99	0.08	126.38	0.1
	Vz.min	-15.72	-0.01	**-80.6**	0.04	152.93	-0.41
	Vz.max	-23.52	2.56	**23.53**	-0.03	39.8	-0.25
	Mx.min	-34.34	1.79	-30.75	**-0.07**	141.88	-1.37
	Mx.max	-7.39	0.61	-45.64	**0.11**	82.17	0.46
	My.min	-6.89	0.32	1.46	0	**-1.26**	0.39
	My.max	-36.82	2.35	-59.28	0.02	**192.66**	-0.93
	Mz.min	-22.67	0.77	-36.29	-0.06	137.46	**-2.21**
	Mz.max	-23.18	1.87	-40.33	0.09	95.46	**1.41**
P2_C3	N.min	**-38.27**	-2.42	59.29	-0.02	310.79	-5.68
	N.max	**0.01**	0	0.07	0	0.06	0
	Vy.min	-33.7	**-3.11**	25.17	-0.08	176.46	-6.11
	Vy.max	-12.05	**0.49**	51.46	0.04	206.06	0.15
	Vz.min	-23.75	-2.57	**-23.36**	0.03	-7.16	-5.38
	Vz.max	-15.73	0.01	**80.6**	-0.04	314.13	-0.39
	Mx.min	-7.39	-0.61	45.63	**-0.11**	173.44	-0.76
	Mx.max	-34.55	-1.81	30.92	**0.07**	203.48	-4.96
	My.min	-19.08	-2.16	-22.66	0.02	**-12.08**	-4.95
	My.max	-21.16	-0.41	79.87	-0.04	**318.63**	-0.85
	Mz.min	-32.69	-3.01	35.23	-0.08	215.46	**-6.15**
	Mz.max	-6.63	0.39	23.13	0.03	95	**0.25**
BR	N.min	**-81.83**	3.55	-1.62	0	6.99	-7.25
	N.max	**81.83**	-3.55	1.62	0	-6.99	7.25
	Vy.min	54.61	**-7.29**	-1.43	0	-8.16	0.55
	Vy.max	-54.61	**7.29**	1.43	0	8.16	-0.55
	Vz.min	-68.05	-5.52	**-2.24**	0	3.97	-13.87
	Vz.max	68.05	5.52	**2.24**	0	-3.97	13.87
	Mx.min	68.05	5.52	2.24	**0**	-3.97	13.87
	Mx.max	-68.05	-5.52	-2.24	**0**	3.97	-13.87
	My.min	81.66	3.54	-1.6	0	**-10.26**	14.35
	My.max	-81.66	-3.54	1.6	0	**10.26**	-14.35
	Mz.min	-54.75	-7.29	-1.43	0	5.26	**-15.14**
	Mz.max	54.75	7.29	1.43	0	-5.26	**15.14**

TR_P0.2 POPIS: **PŘÍČNÍK P0 - VNITŘNÍ PODÉLNÍK** POSUDEK: **P0.2**

SKUPINA ZAT. STAVŮ	EXTRÉM	VYHODNOCOVANÉ VELIČINY					
		N	Vy	Vz	Mx	My	Mz
		kN	kN	kN	kNm	kNm	kNm
S	N.min	**-1.19**	-3.8	-11.61	0.01	-11.95	-3.8
	N.max	**1.19**	3.8	11.61	-0.01	11.95	3.8
	Vy.min	-1.13	**-4.02**	-10.71	0	-11.02	-4.03
	Vy.max	1.13	**4.02**	10.71	0	11.02	4.03
	Vz.min	-1.19	-3.8	**-11.61**	0.01	-11.95	-3.8
	Vz.max	1.19	3.8	**11.61**	-0.01	11.95	3.8
	Mx.min	1.19	3.8	11.61	**-0.01**	11.95	3.8
	Mx.max	-1.19	-3.8	-11.61	**0.01**	-11.95	-3.8
	My.min	-1.19	-3.8	-11.61	0.01	**-11.95**	-3.8
	My.max	1.19	3.8	11.61	-0.01	**11.95**	3.8
	Mz.min	-1.13	-4.02	-10.71	0	-11.02	**-4.03**
	Mz.max	1.13	4.02	10.71	0	11.02	**4.03**
CH	N.min	**0.52**	0.32	5.34	0	4.62	-0.06
	N.max	**2.19**	0.12	2.07	0	-0.61	-0.32
	Vy.min	1.79	**0**	-0.04	0	-2.31	-0.54
	Vy.max	0.52	**0.32**	5.34	0	4.62	-0.06
	Vz.min	1.79	0	**-0.04**	0	-2.31	-0.54
	Vz.max	0.52	0.32	**5.34**	0	4.62	-0.06
	Mx.min	0.52	0.32	5.34	**0**	4.62	-0.06
	Mx.max	1.79	0	-0.04	**0**	-2.31	-0.54
	My.min	1.79	0	-0.04	0	**-2.31**	-0.54
	My.max	0.52	0.32	5.34	0	**4.62**	-0.06
	Mz.min	1.79	0	-0.04	0	-2.31	**-0.54**
	Mz.max	0.52	0.32	5.34	0	4.62	**-0.06**
W	N.min	**-2.95**	-5.1	-63.38	0.02	-64.06	-5.1
	N.max	**1.99**	5.1	63.41	-0.02	64.12	5.1
	Vy.min	-2.95	**-5.1**	-63.38	0.02	-64.06	-5.1
	Vy.max	1.99	**5.1**	63.41	-0.02	64.12	5.1
	Vz.min	-2.95	-5.1	**-63.38**	0.02	-64.06	-5.1
	Vz.max	1.99	5.1	**63.41**	-0.02	64.12	5.1
	Mx.min	1.99	5.1	63.41	**-0.02**	64.12	5.1
	Mx.max	-2.95	-5.1	-63.38	**0.02**	-64.06	-5.1
	My.min	-2.95	-5.1	-63.38	0.02	**-64.06**	-5.1
	My.max	1.99	5.1	63.41	-0.02	**64.12**	5.1
	Mz.min	-2.95	-5.1	-63.38	0.02	-64.06	**-5.1**
	Mz.max	1.99	5.1	63.41	-0.02	64.12	**5.1**
WP	N.min	**-3.3**	-9.18	-51.81	0.02	-52.76	-9.19
	N.max	**0.2**	9.21	52.65	-0.02	50.56	9.25
	Vy.min	-3.3	**-9.18**	-51.81	0.02	-52.76	-9.19
	Vy.max	0.2	**9.21**	52.65	-0.02	50.56	9.25
	Vz.min	-3.3	-9.18	**-51.81**	0.02	-52.76	-9.19
	Vz.max	0.2	9.21	**52.65**	-0.02	50.56	9.25
	Mx.min	0.2	9.21	52.65	**-0.02**	50.56	9.25
	Mx.max	-3.3	-9.18	-51.81	**0.02**	-52.76	-9.19
	My.min	-3.3	-9.18	-51.81	0.02	**-52.76**	-9.19
	My.max	0.2	9.21	52.65	-0.02	**50.56**	9.25
	Mz.min	-3.3	-9.18	-51.81	0.02	-52.76	**-9.19**
	Mz.max	0.2	9.21	52.65	-0.02	50.56	**9.25**
TR	N.min	**0**	0	0	0	0	0
	N.max	**0**	0	0	0	0	0
	Vy.min	0	**0**	0	0	0	0
	Vy.max	0	**0**	0	0	0	0
	Vz.min	0	0	**0**	0	0	0
	Vz.max	0	0	**0**	0	0	0
	Mx.min	0	0	0	**0**	0	0
	Mx.max	0	0	0	**0**	0	0
	My.min	0	0	0	0	**0**	0
	My.max	0	0	0	0	**0**	0
	Mz.min	0	0	0	0	0	**0**
	Mz.max	0	0	0	0	0	**0**
TN	N.min	**-12.95**	0.01	-0.07	0	17.46	0.13
	N.max	**12.95**	-0.01	0.07	0	-17.46	-0.13
	Vy.min	1.3	**-0.03**	-23.55	0.02	-37.72	-0.09
	Vy.max	-12.95	**0.01**	-0.07	0	17.46	0.13
	Vz.min	1.3	-0.03	**-23.55**	0.02	-37.72	-0.09
	Vz.max	1.3	0.01	**23.77**	-0.02	9.6	-0.06
	Mx.min	1.3	0.01	23.77	**-0.02**	9.6	-0.06
	Mx.max	1.3	-0.03	-23.55	**0.02**	-37.72	-0.09
	My.min	1.3	-0.03	-23.55	0.02	**-37.72**	-0.09
	My.max	-12.95	0.01	-0.07	0	**17.46**	0.13
	Mz.min	12.95	-0.01	0.07	0	-17.46	**-0.13**
	Mz.max	-12.95	0.01	-0.07	0	17.46	**0.13**
FR	N.min	**-4.81**	0	0	0	0.1	-0.35
	N.max	**4.81**	0	0	0	-0.1	0.35
	Vy.min	4.81	**0**	0	0	-0.1	0.35
	Vy.max	-4.81	**0**	0	0	0.1	-0.35
	Vz.min	-4.81	0	**0**	0	0.1	-0.35
	Vz.max	4.81	0	**0**	0	-0.1	0.35
	Mx.min	-4.81	0	0	**0**	0.1	-0.35
	Mx.max	4.81	0	0	**0**	-0.1	0.35
	My.min	4.81	0	0	0	**-0.1**	0.35
	My.max	-4.81	0	0	0	**0.1**	-0.35
	Mz.min	-4.81	0	0	0	0.1	**-0.35**
	Mz.max	4.81	0	0	0	-0.1	**0.35**
I	N.min	**-0.24**	-0.29	-11	0	-11.07	**-0.29**
	N.max	**0.24**	0.29	11	0	11.07	**0.29**
	Vy.min	-0.24	**-0.29**	-11	0	-11.07	**-0.29**
	Vy.max	0.24	**0.29**	11	0	11.07	**0.29**
	Vz.min	-0.24	-0.29	**-11**	0	-11.07	**-0.29**
	Vz.max	0.24	0.29	**11**	0	11.07	**0.29**
	Mx.min	0.24	0.29	11	**0**	11.07	**0.29**
	Mx.max	-0.24	-0.29	-11	**0**	-11.07	**-0.29**
	My.min	-0.24	-0.29	-11	0	**-11.07**	**-0.29**
	My.max	0.24	0.29	11	0	**11.07**	**0.29**
	Mz.min	-0.24	-0.29	-11	0	-11.07	**-0.29**
	Mz.max	0.24	0.29	11	0	11.07	**0.29**

TAB. P0.2.3 POSOUZENÍ - MEZNÍ STAV ÚNOSNOSTI

POPIS	PŘÍČNÍK P0 - VNITŘNÍ PODĚLNÍK
PRUT / POLOHA BODU	708 / I[583]
NAMÁHÁNÍ	My.max
VLÁKNO	BOD K2 -HP
MEZNÍ STAV	ULS (MSÚ)
VYUŽITÍ VLÁKNA PRŮŘEZU	0.87

Charakteristiky materiálu			
pás. horní	$f_{yf,k}$	230	MPa
pás. dolní	$f_{yf,k}$	230	MPa
stojina	$f_{yw,k}$	230	MPa
výztuž	$f_{ys,k}$	500	MPa
γ_M =	1.10	γ_s =	1.15

Excentricita normálové síly				
Exc./Fáze	0	1	2	3
e_y	0.000	0.000	0.000	0.000
e_z	0.000	0.000	0.000	0.000
Ekvivalentní vzdál. stěn - příčný roznos				
b_{Mx}	0.000	0.000	0.000	0.000

Vliv stěny na únosnost průřezu				
Char./Fáze	0	1	2	3
A	0.00	0.00	0.00	0.00
Wy	0.00	0.00	0.00	0.00
Wz	0.00	0.00	0.00	0.00

Charakter. v kroucení			
$t_{w,y}$	0.000	[mm]	
$t_{w,z}$	0.000	[mm]	
κ	1.00		
I_t=	0.00E+00	[mm^4]	
$\Omega=2*A_{pr}$	0.00E+00	[mm^2]	

Součinitele vzpěru a vlivu II.řádu				
Char./Fáze	0	1	2	3
k_y	1.000	1.000	1.000	1.000
k_z	1.000	1.000	1.000	1.000
χ_{LT}	1.000	1.000	1.000	1.000
χ_{min}	1.000	1.000	1.000	1.000

3

δ_{LOK} 1.00

Vnitřní síly od jednotlivých skupin zatěžovacích stavů

SKUPINA ZATĚŽOVACÍCH STAVŮ					- CHARAKTERISTICKÉ HODNOTY						DÍLČÍ SOUČINITELÉ ZATÍŽENÍ, DYNAMICKÝ SOUČINITEL							- NÁVRHOVÉ HODNOTY									
Č.	SKUP ZS	POPIS ZS	KAT.	FÁZE PRŮŘ.	N.k (kN)	Vy.k (kN)	Vz.k (kN)	Mx.k (kNm)	My.k (kNm)	Mz.k (kNm)	γ_{sr} (-)	γ_{sl} (-)	volba ψ_i hledat	ψ_i (-)	L_d (m)	δ (-)	ψ_{2i} KZ03	N.d (kN)	Vy.d (kN)	Vz.d (kN)	ΔVz.d (kN)	ΣVz.d (kN)	Mx.d (kNm)	My.d (kNm)	ΔMy.d (kNm)	ΣMy.d (kNm)	Mz.d (kNm)	ΔMz.d (kNm)	ΣMz.d (kNm)
1	G0	Vlastní tíha OK	G	0	-16	0	-3	0	61	-4	1.00	1.20		1.20	-	0.95	0.95	-18	0	-4	0	-4	0	69	0	69	-4	0	-4
2	G1	Ostatní stálé - mostní vybavení	G	0	-2	0	-1	0	6	0	1.00	1.20		1.20	-	1.00	0.95	-2	0	-1	0	-1	0	7	0	7	0	0	0
3	G2	Ostatní stálé - cizí zařízení	G	0	0	0	-1	0	2	0	1.00	1.20		1.20	-	1.00	0.95	0	0	-2	0	-2	0	3	0	3	0	0	0
4	P1_71	a.LM71 - kolej 1 (bez dyn. souč.)	P	0	-49	3	-96	0	279	-1	1.00	1.30		1.30	-	2.00	1.00	-128	7	-250	0	-250	0	726	0	726	-3	2	-2
5	P2_71	a.LM71 - kolej 2 (bez dyn. souč.)	P	0	-35	-1	118	0	479	-1	1.00	1.30		1.30	-	2.00	1.00	-90	-2	307	0	307	0	1 246	0	1 246	-4	2	-2
6	P1_C3	TTZ C3 - kolej 1 (bez dyn. souč.)	P	0	-37	2	-59	0	193	-1	1.00	vyp.		0.00	-	1.00	0.00	0	0	0	0	0	0	0	0	0	0	0	0
7	P2_C3	TTZ C3 - kolej 2 (bez dyn. souč.)	P	0	-21	0	80	0	319	-1	1.00	vyp.		0.00	-	1.00	0.00	0	0	0	0	0	0	0	0	0	0	0	0
8	BR	Brzdné a rozjezdové síly	P	0	-82	-4	2	0	10	-14	1.00	1.30		1.30	-	1.00	0.80	-85	-4	2	0	2	0	11	0	11	-15	0	-15
9	S	Boční ráz	P	0	1	4	12	0	12	4	1.00	-1.30		-1.30	-	1.00	0.40	-1	-2	-6	0	-6	0	-6	0	-6	-2	0	-2
10	CH	Chodci na lávkách	Q	0	1	0	5	0	5	0	1.00	1.30		1.30	-	1.00	1.00	1	0	7	0	7	0	6	0	6	0	0	0
11	W	Vítr na konstrukci	Q	0	2	5	63	0	64	5	1.00	-1.35		-1.35	-	1.00	0.75	-2	-5	-64	0	-64	0	-65	0	-65	-5	0	-5
12	WP	Vítr na vozidla	Q	0	0	9	53	0	51	9	1.00	-1.35		-1.35	-	1.00	0.75	0	-9	-53	0	-53	0	-51	0	-51	-9	0	-9
13	TR	Teplota rovnoměrná	Q	0	0	0	0	0	0	0	1.00	1.35		1.35	-	1.00	0.45	0	0	0	0	0	0	0	0	0	0	0	0
14	TN	Teplota nerovnoměrná	Q	0	-13	0	0	0	17	0	1.00	1.35		1.35	-	1.00	0.60	-10	0	0	0	0	0	14	0	14	0	0	0
15	FR	Třecí síly v ložiskách	Q	0	-5	0	0	0	0	0	1.00	1.20		1.20	-	1.00	1.00	-6	0	0	0	0	0	0	0	0	0	0	0
16	I	Imperfekce soustavy	Q	0	0	0	11	0	11	0	1.00	1.20		1.20	-	1.00	1.00	0	0	13	0	13	0	13	0	13	0	0	0
27	ULS_LM	ULS - LM71 bez dynam	Q	0	-194	20	176	0	1 237	2	1.00	vyp.		0.00	-	1.00	0.00	0	0	0	0	0	0	0	0	0	0	0	0
28	SLS_LM	SLS - LM71 bez dynam	Q	0	-143	15	132	0	946	0	1.00	vyp.	1	0.00	-	1.00	0.00	0	0	0	0	0	0	0	0	0	0	0	0
29	ULS_C3	ULS - C3 bez dynam	Q	0	-160	20	174	0	916	3	1.00	vyp.	1	0.00	-	1.00	0.00	0	0	0	0	0	0	0	0	0	0	0	0
30	SLS_C3	SLS - C3 bez dynam	Q	0	-118	15	131	0	699	1	1.00	vyp.	1	0.00	-	1.00	0.00	0	0	0	0	0	0	0	0	0	0	0	0
		CELKEM - FÁZE PRŮŘEZU 0																-341	-14	-51	0	-51	0	1 972	0	1 972	-43	3	-40
		CELKEM - FÁZE PRŮŘEZU 1																0	0	0	0	0	0	0	0	0	0	0	0
		CELKEM - FÁZE PRŮŘEZU 2																0	0	0	0	0	0	0	0	0	0	0	0
		CELKEM - FÁZE PRŮŘEZU 3																0	0	0	0	0	0	0	0	0	0	0	0
		CELKEM - PRŮŘEZ																-341	-14	-51	0	-51	0			1 972			-40

Napětí od jednotlivých zatěžovacích stavů

SKUPINA ZATĚŽOVACÍCH STAVŮ					Posouzení normálového napětí										Posouzení smykového napětí													
					Účinek síly N			Účinek momentu My			Účinek momentu Mz				Účinek kroutícího momentu Mx				Účinek smykové síly Vy				Účinek smykové síly Vz			
Č.	SKUP ZS	Popis ZS	Kat.	fáze průř.	δ^*N_d [kN]	χ^*A [mm^2]	σ_n [MPa]	$\delta^*M_{y,d}$ [kNm]	$\chi_{lt}^*W_{el,y}$ [mm^3]	σ_{my} [MPa]	$\delta^*M_{z,d}$ [kNm]	$W_{el,z}$ [mm^3]	σ_{mz} [MPa]	σ_x [MPa]	$\kappa^*\delta^*M_{x,d}$ [kNm]	$W_{v,y}$ [mm^2]	$\tau_{x,y}$ [MPa]	$W_{v,z}$ [mm^2]	$\tau_{x,z}$ [MPa]	$\delta^*V_{y,d}$ [kN]	$A_{v,y}$ [mm2]	$\tau_{v,y}$ [MPa]	$\tau_{v,y}$ [MPa]	$\delta^*V_{z,d}$ [kN]	$A_{v,z}$ [mm2]	$\tau_{v,z}$ [MPa]	$\tau_{v,z}$ [MPa]
1	G0	Vlastní tíha OK	G	0	-18.3	3.53E+04	-0.5	69.2	-1.46E+07	-4.7	-4.2	1.07E+06	-3.9	-9.2	0.0E+00	-	-	-	-	-0.1	1.95E+04	0.0	0.0	-3.7	1.08E+04	-0.3	-0.3
2	G1	Ostatní stálé - mostní vybavení	G	0	-1.8	3.53E+04	-0.1	6.9	-1.46E+07	-0.5	-0.3	1.07E+06	-0.3	-0.8	0.0E+00	-	-	-	-	0.0	1.95E+04	0.0	0.0	-1.0	1.08E+04	-0.1	-0.1
3	G2	Ostatní stálé - cizí zařízení	G	0	0.0	3.53E+04	0.0	2.8	-1.46E+07	-0.2	-0.2	1.07E+06	-0.2	-0.4	0.0E+00	-	-	-	-	0.0	1.95E+04	0.0	0.0	-1.5	1.08E+04	-0.1	-0.1
4	P1_71	a.LM71 - kolej 1 (bez dyn. souč.)	P	0	-127.9	3.53E+04	-3.6	725.5	-1.46E+07	-49.6	-1.6	1.07E+06	-1.5	-54.8	1.0E-01	-	-	-	-	6.8	1.95E+04	0.4	0.4	-250.2	1.08E+04	-23.1	-23.1
5	P2_71	a.LM71 - kolej 2 (bez dyn. souč.)	P	0	-89.9	3.53E+04	-2.5	1 245.8	-1.46E+07	-85.2	-1.8	1.07E+06	-1.7	-89.5	-1.6E-01	-	-	-	-	-1.8	1.95E+04	-0.1	-0.1	307.4	1.08E+04	28.4	28.4
6	P1_C3	TTZ C3 - kolej 1 (bez dyn. souč.)	P	0	0.0	3.53E+04	0.0	0.0	-1.46E+07	0.0	0.0	1.07E+06	0.0	0.0	0.0E+00	-	-	-	-	0.0	1.95E+04	0.0	0.0	0.0	1.08E+04	0.0	0.0
7	P2_C3	TTZ C3 - kolej 2 (bez dyn. souč.)	P	0	0.0	3.53E+04	0.0	0.0	-1.46E+07	0.0	0.0	1.07E+06	0.0	0.0	0.0E+00	-	-	-	-	0.0	1.95E+04	0.0	0.0	0.0	1.08E+04	0.0	0.0
8	BR	Brzdné a rozjezdové síly	P	0	-84.9	3.53E+04	-2.4	10.7	-1.46E+07	-0.7	-14.9	1.07E+06	-13.9	-17.1	0.0E+00	-	-	-	-	-3.7	1.95E+04	-0.2	-0.2	1.7	1.08E+04	0.2	0.2
9	S	Boční ráz	P	0	-0.6	3.53E+04	0.0	-6.2	-1.46E+07	0.4	-2.0	1.07E+06	-1.8	-1.4	5.2E-03	-	-	-	-	-2.0	1.95E+04	-0.1	-0.1	-6.0	1.08E+04	-0.6	-0.6
10	CH	Chodci na lávkách	Q	0	0.7	3.53E+04	0.0	6.0	-1.46E+07	-0.4	-0.1	1.07E+06	-0.1	-0.5	0.0E+00	-	-	-	-	0.4	1.95E+04	0.0	0.0	6.9	1.08E+04	0.6	0.6
11	W	Vítr na konstrukci	Q	0	-2.0	3.53E+04	-0.1	-64.9	-1.46E+07	4.4	-5.2	1.07E+06	-4.8	-0.4	2.0E-02	-	-	-	-	-5.2	1.95E+04	-0.3	-0.3	-64.2	1.08E+04	-5.9	-5.9
12	WP	Vítr na vozidla	Q	0	-0.2	3.53E+04	0.0	-51.2	-1.46E+07	3.5	-9.4	1.07E+06	-8.8	-5.3	2.0E-02	-	-	-	-	-9.3	1.95E+04	-0.5	-0.5	-53.3	1.08E+04	-4.9	-4.9
13	TR	Teplota rovnoměrná	Q	0	0.0	3.53E+04	0.0	0.0	-1.46E+07	0.0	0.0	1.07E+06	0.0	0.0	0.0E+00	-	-	-	-	0.0	1.95E+04	0.0	0.0	0.0	1.08E+04	0.0	0.0
14	TN	Teplota nerovnoměrná	Q	0	-10.5	3.53E+04	-0.3	14.1	-1.46E+07	-1.0	0.1	1.07E+06	0.1	-1.2	0.0E+00	-	-	-	-	0.0	1.95E+04	0.0	0.0	-0.1	1.08E+04	0.0	0.0
15	FR	Třecí síly v ložiskách	Q	0	-5.8	3.53E+04	-0.2	0.1	-1.46E+07	0.0	-0.4	1.07E+06	-0.4	-0.6	0.0E+00	-	-	-	-	0.0	1.95E+04	0.0	0.0	0.0	1.08E+04	0.0	0.0
16	I	Imperfekce soustavy	Q	0	0.3	3.53E+04	0.0	13.3	-1.46E+07	-0.9	0.3	1.07E+06	0.3	-0.6	0.0E+00	-	-	-	-	0.3	1.95E+04	0.0	0.0	13.2	1.08E+04	1.2	1.2
27	ULS_LM	ULS - LM71 bez dynam	Q	0	0.0	3.53E+04	0.0	0.0	-1.46E+07	0.0	0.0	1.07E+06	0.0	0.0	0.0E+00	-	-	-	-	0.0	1.95E+04	0.0	0.0	0.0	1.08E+04	0.0	0.0
28	SLS_LM	SLS - LM71 bez dynam	Q	0	0.0	3.53E+04	0.0	0.0	-1.46E+07	0.0	0.0	1.07E+06	0.0	0.0	0.0E+00	-	-	-	-	0.0	1.95E+04	0.0	0.0	0.0	1.08E+04	0.0	0.0
29	ULS_C3	ULS - C3 bez dynam	Q	0	0.0	3.53E+04	0.0	0.0	-1.46E+07	0.0	0.0	1.07E+06	0.0	0.0	0.0E+00	-	-	-	-	0.0	1.95E+04	0.0	0.0	0.0	1.08E+04	0.0	0.0
30	SLS_C3	SLS - C3 bez dynam	Q	0	0.0	3.53E+04	0.0	0.0	-1.46E+07	0.0	0.0	1.07E+06	0.0	0.0	0.0E+00	-	-	-	-	0.0	1.95E+04	0.0	0.0	0.0	1.08E+04	0.0	0.0
NAVÝŠENÍ NAPĚTÍ DO AKTIVACE TLAKU V DESCE MOSTOVKY						$\sigma_{P,red}$	0.0							0.0			0.0		0.0				-0.7	-0.7			-4.7	-4.7
NAPĚTÍ OD PRIMÁRNÍCH ÚČINKŮ NEROVNOMĚRNÉHO OTEPLENÍ						σ_T	0.0							0.0														
NAPĚTÍ OD REOLOGICKÝCH ÚČINKŮ BETONU V ČASE				t=0		σ_R	0.0	γ_{sl}=	1.20					0.0														
NAPĚTÍ V KRITICKÝCH VLÁKNECH OD KOMBINACE ZATÍŽENÍ						KZ03		[MPa]					$\Sigma\sigma_x$	-181.7								$\Sigma\tau_y$	-0.7				$\Sigma\tau_z$	-4.7
NAPĚTÍ OD POHYBLIVÉHO ZATÍŽENÍ								[MPa]					$\sigma_{x,P}$	-162.8									0.0				τ_P	4.9
NAPĚTÍ OD OSTATNÍCH ZATÍŽENÍ								[MPa]			Φ_{Vy}	Φ_{Vz}	$\sigma_{x,rs}$	-18.9								τ_{rs}	-0.7				τ_{rs}	-9.6
NÁVRHOVÁ HODNOTA MEZE KLUZU S REDUKCÍ VLIVEM SMYKOVÉHO NAPĚTÍ								[MPa]			1.00	1.00	$f_{yw,d}$	209.1								$f_{yd}/3^{0,5}$	120.7				$f_{yd}/3^{0,5}$	120.7
NAPĚTÍ OD POHYBLIVÉHO ZATÍŽENÍ V GLOBÁLNÍM SYSTÉMU						$\sigma_{GLOB,P}$	0.0	[MPa]					$\Sigma\sigma_{GLOB}$	0.0														
NAPĚTÍ OD OSTATNÍCH ZATÍŽENÍ V GLOBÁLNÍM SYSTÉMU						$\sigma_{GLOB,rs}$	0.0	[MPa]					$\Sigma\sigma_x + \Sigma\sigma_{GLOB}$	-181.7														
VYUŽITÍ PRŮŘEZU DLE NAPĚTÍ								[%]					η_1	0.87								η_3	0.01				η_3	0.04
NAPĚTÍ V PŘÍČNÉM SMĚRU OD POHYBLIVÉHO ZATÍŽENÍ						$\sigma_{z,P}$	0.0	[MPa]					$\Sigma\sigma_z$	0.0														
NAPĚTÍ V PŘÍČNÉM SMĚRU OD OSTATNÍCH ZATÍŽENÍ						$\sigma_{z,rs}$	0.0	[MPa]					η_2	0.00														
SROVNÁVACÍ NAPĚTÍ													$(\eta_2 + 0,8\ \eta_1)/1,4$ =	0.50														
VYUŽITÍ PRŮŘEZU CELKEM								[%]					eff	0.87	VYHOVUJE													
STANOVENÍ ZATÍŽITELNOSTI													z_{LM71} =	1.17														

TAB. P0.2.3 POSOUZENÍ - MEZNÍ STAV ÚNOSNOSTI

POPIS	PŘÍČNÍK P0 - VNITŘNÍ PODĚLNÍK
PRUT / POLOHA BODU	708 / I[583]
NAMÁHÁNÍ	My.max
VLÁKNO	BOD K4 -SP
MEZNÍ STAV	ULS (MSÚ)
VYUŽITÍ VLÁKNA PRŮŘEZU	0.93

Charakteristiky materiálu				
pás. horní	$f_{yf,k}$	230	MPa	
pás. dolní	$f_{yf,k}$	230	MPa	
stojina	$f_{yw,k}$	230	MPa	
výztuž	$f_{ys,k}$	500	MPa	
γ_M =	1.10	γ_s =	1.15	

Excentricita normálové síly				
Exc./Fáze	0	1	2	3
e_y	0.000	0.000	0.000	0.000
e_z	0.000	0.000	0.000	0.000
Ekvivalentní vzdál. stěn - příčný roznos				
b_{Mx}	0.000	0.000	0.000	0.000

Vliv stěny na únosnost průřezu				
Char./Fáze	0	1	2	3
A	0.00	0.00	0.00	0.00
Wy	0.00	0.00	0.00	0.00
Wz	0.00	0.00	0.00	0.00

Charakter. v kroucení			
$t_{w,y}$	0.000	[mm]	
$t_{w,z}$	0.000	[mm]	
κ	1.00		
I_t=	0.00E+00	[mm^4]	
Ω=2*A_{pr}	0.00E+00	[mm^2]	

Součinitele vzpěru a vlivu II.řádu					
Char./Fáze	0	1	2	3	
k_y	1.000	1.000	1.000	1.000	
k_z	1.000	1.000	1.000	1.000	
χ_{LT}	1.000	1.000	1.000	1.000	
χ_{min}	1.000	1.000	1.000	1.000	

δ_{LOK} = 1.00

Vnitřní síly od jednotlivých skupin zatěžovacích stavů

SKUPINA ZATĚŽOVACÍCH STAVŮ: 3

Č.	SKUP ZS	POPIS ZS	KAT.	FÁZE PRŮŘ.	- CHARAKTERISTICKÉ HODNOTY N.k (kN)	Vy.k (kN)	Vz.k (kN)	Mx.k (kNm)	My.k (kNm)	Mz.k (kNm)	DÍLČÍ SOUČINITELÉ ZATÍŽENÍ, DYNAMICKÝ SOUČINITEL γ_{sr} (-)	γ_{fs} (-)	volba γ_f hledat	γ_f (-)	L_d (m)	δ (-)	Ψ_0 KZ03	- NÁVRHOVÉ HODNOTY N.d (kN)	Vy.d (kN)	Vz.d (kN)	ΔVz.d (kN)	ΣVz.d (kN)	Mx.d (kNm)	My.d (kNm)	ΔMy.d (kNm)	ΣMy.d (kNm)	Mz.d (kNm)	ΔMz.d (kNm)	ΣMz.d (kNm)
1	G0	Vlastní tíha OK	G	0	-16	0	-3	0	61	-4	1.00	1.20		1.20	-	1.00	0.95	-18	0	-4	0	-4	0	69	0	69	-4	0	-4
2	G1	Ostatní stálé - mostní vybavení	G	0	-2	0	-1	0	6	0	1.00	1.20		1.20	-	1.00	0.95	-2	0	-1	0	-1	0	7	0	7	0	0	0
3	G2	Ostatní stálé - cizí zařízení	G	0	0	0	-1	0	2	0	1.00	1.20		1.20	-	1.00	0.95	0	0	-2	0	-2	0	3	0	3	0	0	0
4	P1_71	a.LM71 - kolej 1 (bez dyn. souč.)	P	0	-49	3	-96	0	279	-1	1.00	1.30		1.30	-	2.00	1.00	-128	7	-250	0	-250	0	726	0	726	-3	2	-2
5	P2_71	a.LM71 - kolej 2 (bez dyn. souč.)	P	0	-35	-1	118	0	479	-1	1.00	1.30		1.30	-	2.00	1.00	-90	-2	307	0	307	0	1 246	0	1 246	-4	2	-2
6	P1_C3	TTZ C3 - kolej 1 (bez dyn. souč.)	P	0	-37	2	-59	0	193	-1	1.00	vyp.		0.00	-	1.00	0.00	0	0	0	0	0	0	0	0	0	0	0	0
7	P2_C3	TTZ C3 - kolej 2 (bez dyn. souč.)	P	0	-21	0	80	0	319	-1	1.00	vyp.		0.00	-	1.00	0.00	0	0	0	0	0	0	0	0	0	0	0	0
8	BR	Brzdné a rozjezdové síly	P	0	-82	-4	2	0	10	-14	1.00	-1.30		-1.30	-	1.00	0.80	85	4	-2	0	-2	0	-11	0	-11	15	0	15
9	S	Boční ráz	P	0	1	4	12	0	12	4	1.00	1.30		1.30	-	1.00	0.40	1	2	6	0	6	0	6	0	6	2	0	2
10	CH	Chodci na lávkách	Q	0	1	0	5	0	5	0	1.00	1.30		1.30	-	1.00	1.00	1	0	7	0	7	0	6	0	6	0	0	0
11	W	Vítr na konstrukci	Q	0	2	5	63	0	64	5	1.00	1.35		1.35	-	1.00	0.75	2	5	64	0	64	0	65	0	65	5	0	5
12	WP	Vítr na vozidla	Q	0	0	9	53	0	51	9	1.00	1.35		1.35	-	1.00	0.75	0	9	53	0	53	0	51	0	51	9	0	9
13	TR	Teplota rovnoměrná	Q	0	0	0	0	0	0	0	1.00	1.35		1.35	-	1.00	0.45	0	0	0	0	0	0	0	0	0	0	0	0
14	TN	Teplota nerovnoměrná	Q	0	-13	0	0	0	17	0	1.00	1.35		1.35	-	1.00	0.60	-10	0	0	0	0	0	14	0	14	0	0	0
15	FR	Třecí síly v ložiskách	Q	0	-5	0	0	0	0	0	1.00	-1.20		-1.20	-	1.00	1.00	6	0	0	0	0	0	0	0	0	0	0	0
16	I	Imperfekce soustavy	Q	0	0	0	11	0	11	0	1.00	1.20		1.20	-	1.00	1.00	0	0	13	0	13	0	13	0	13	0	0	0
27	ULS_LM	ULS - LM71 bez dynam	Q	0	-194	20	176	0	1 237	2	1.00	vyp.		0.00	-	1.00	0.00	0	0	0	0	0	0	0	0	0	0	0	0
28	SLS_LM	SLS - LM71 bez dynam	Q	0	-143	15	132	0	946	0	1.00	vyp.	1	0.00	-	1.00	0.00	0	0	0	0	0	0	0	0	0	0	0	0
29	ULS_C3	ULS - C3 bez dynam	Q	0	-160	20	174	0	916	3	1.00	vyp.	1	0.00	-	1.00	0.00	0	0	0	0	0	0	0	0	0	0	0	0
30	SLS_C3	SLS - C3 bez dynam	Q	0	-118	15	131	0	699	1	1.00	vyp.	1	0.00	-	1.00	0.00	0	0	0	0	0	0	0	0	0	0	0	0
		CELKEM - FÁZE PRŮŘEZU 0			-154	26	193	0	2 195	21								-154	26	193	0	193	0	2 195	0	2 195	21	3	24
		CELKEM - FÁZE PRŮŘEZU 1																0	0	0	0	0	0	0	0	0	0	0	0
		CELKEM - FÁZE PRŮŘEZU 2																0	0	0	0	0	0	0	0	0	0	0	0
		CELKEM - FÁZE PRŮŘEZU 3																0	0	0	0	0	0	0	0	0	0	0	0
		CELKEM - PRŮŘEZ																-154	26	193	0	193	0			2 195			24

Napětí od jednotlivých zatěžovacích stavů

SKUPINA ZATĚŽOVACÍCH STAVŮ

Č.	SKUP ZS	Popis ZS	Kat.	fáze prúř.	Posouzení normálového napětí – Účinek síly N δ^*N_d [kN]	χ^*A [mm^2]	σ_n [MPa]	Účinek momentu My $\delta^*M_{y,d}$ [kNm]	$\chi_{lt}{}^*W_{el,y}$ [mm^3]	σ_{my} [MPa]	Účinek momentu Mz $\delta^*M_{z,d}$ [kNm]	$W_{el,z}$ [mm^3]	σ_{mz} [MPa]	σ_x [MPa]	Posouzení smykového napětí – Účinek kroutícího momentu Mx $\kappa^*\delta^*M_{x,d}$ [kNm]	$W_{v,y}$ [mm^2]	$\tau_{x,y}$ [MPa]	$W_{v,z}$ [mm^2]	$\tau_{x,z}$ [MPa]	Účinek smykové síly Vy $\delta^*V_{y,d}$ [kN]	$A_{v,y}$ [mm2]	$\tau_{v,y}$ [MPa]	$\tau_{v,y}$ [MPa]	Účinek smykové síly Vz $\delta^*V_{z,d}$ [kN]	$A_{v,z}$ [mm2]	$\tau_{v,z}$ [MPa]	$\tau_{v,z}$ [MPa]
1	G0	Vlastní tíha OK	G	0	-18.3	3.53E+04	-0.5	69.2	1.24E+07	5.6	-4.2	1.07E+06	-3.9	1.2	0.0E+00	-	-	-	-	-0.1	1.95E+04	0.0	0.0	-3.7	1.08E+04	-0.3	-0.3
2	G1	Ostatní stálé - mostní vybavení	G	0	-1.8	3.53E+04	-0.1	6.9	1.24E+07	0.6	-0.3	1.07E+06	-0.3	0.2	0.0E+00	-	-	-	-	0.0	1.95E+04	0.0	0.0	-1.0	1.08E+04	-0.1	-0.1
3	G2	Ostatní stálé - cizí zařízení	G	0	0.0	3.53E+04	0.0	2.8	1.24E+07	0.2	-0.2	1.07E+06	-0.2	0.0	0.0E+00	-	-	-	-	0.0	1.95E+04	0.0	0.0	-1.5	1.08E+04	-0.1	-0.1
4	P1_71	a.LM71 - kolej 1 (bez dyn. souč.)	P	0	-127.9	3.53E+04	-3.6	725.5	1.24E+07	58.6	-1.6	1.07E+06	-1.5	53.5	1.0E-01	-	-	-	-	6.8	1.95E+04	0.4	0.4	-250.2	1.08E+04	-23.1	-23.1
5	P2_71	a.LM71 - kolej 2 (bez dyn. souč.)	P	0	-89.9	3.53E+04	-2.5	1 245.8	1.24E+07	100.6	-1.8	1.07E+06	-1.7	96.4	-1.6E-01	-	-	-	-	-1.8	1.95E+04	-0.1	-0.1	307.4	1.08E+04	28.4	28.4
6	P1_C3	TTZ C3 - kolej 1 (bez dyn. souč.)	P	0	0.0	3.53E+04	0.0	0.0	1.24E+07	0.0	0.0	1.07E+06	0.0	0.0	0.0E+00	-	-	-	-	0.0	1.95E+04	0.0	0.0	0.0	1.08E+04	0.0	0.0
7	P2_C3	TTZ C3 - kolej 2 (bez dyn. souč.)	P	0	0.0	3.53E+04	0.0	0.0	1.24E+07	0.0	0.0	1.07E+06	0.0	0.0	0.0E+00	-	-	-	-	0.0	1.95E+04	0.0	0.0	0.0	1.08E+04	0.0	0.0
8	BR	Brzdné a rozjezdové síly	P	0	84.9	3.53E+04	2.4	-10.7	1.24E+07	-0.9	14.9	1.07E+06	13.9	15.5	0.0E+00	-	-	-	-	3.7	1.95E+04	0.2	0.2	-1.7	1.08E+04	-0.2	-0.2
9	S	Boční ráz	P	0	0.6	3.53E+04	0.0	6.2	1.24E+07	0.5	2.0	1.07E+06	1.8	2.4	-5.2E-03	-	-	-	-	2.0	1.95E+04	0.1	0.1	6.0	1.08E+04	0.6	0.6
10	CH	Chodci na lávkách	Q	0	0.7	3.53E+04	0.0	6.0	1.24E+07	0.5	-0.1	1.07E+06	-0.1	0.4	0.0E+00	-	-	-	-	0.4	1.95E+04	0.0	0.0	6.9	1.08E+04	0.6	0.6
11	W	Vítr na konstrukci	Q	0	2.0	3.53E+04	0.1	64.9	1.24E+07	5.2	5.2	1.07E+06	4.8	10.1	-2.0E-02	-	-	-	-	5.2	1.95E+04	0.3	0.3	64.2	1.08E+04	5.9	5.9
12	WP	Vítr na vozidla	Q	0	0.2	3.53E+04	0.0	51.2	1.24E+07	4.1	9.4	1.07E+06	8.8	12.9	-2.0E-02	-	-	-	-	9.3	1.95E+04	0.5	0.5	53.3	1.08E+04	4.9	4.9
13	TR	Teplota rovnoměrná	Q	0	0.0	3.53E+04	0.0	0.0	1.24E+07	0.0	0.0	1.07E+06	0.0	0.0	0.0E+00	-	-	-	-	0.0	1.95E+04	0.0	0.0	0.0	1.08E+04	0.0	0.0
14	TN	Teplota nerovnoměrná	Q	0	-10.5	3.53E+04	-0.3	14.1	1.24E+07	1.1	0.1	1.07E+06	0.1	0.9	0.0E+00	-	-	-	-	0.0	1.95E+04	0.0	0.0	-0.1	1.08E+04	0.0	0.0
15	FR	Třecí síly v ložiskách	Q	0	5.8	3.53E+04	0.2	-0.1	1.24E+07	0.0	0.4	1.07E+06	0.4	0.5	0.0E+00	-	-	-	-	0.0	1.95E+04	0.0	0.0	0.0	1.08E+04	0.0	0.0
16	I	Imperfekce soustavy	Q	0	0.3	3.53E+04	0.0	13.3	1.24E+07	1.1	0.3	1.07E+06	0.3	1.4	0.0E+00	-	-	-	-	0.3	1.95E+04	0.0	0.0	13.2	1.08E+04	1.2	1.2
27	ULS_LM	ULS - LM71 bez dynam	Q	0	0.0	3.53E+04	0.0	0.0	1.24E+07	0.0	0.0	1.07E+06	0.0	0.0	0.0E+00	-	-	-	-	0.0	1.95E+04	0.0	0.0	0.0	1.08E+04	0.0	0.0
28	SLS_LM	SLS - LM71 bez dynam	Q	0	0.0	3.53E+04	0.0	0.0	1.24E+07	0.0	0.0	1.07E+06	0.0	0.0	0.0E+00	-	-	-	-	0.0	1.95E+04	0.0	0.0	0.0	1.08E+04	0.0	0.0
29	ULS_C3	ULS - C3 bez dynam	Q	0	0.0	3.53E+04	0.0	0.0	1.24E+07	0.0	0.0	1.07E+06	0.0	0.0	0.0E+00	-	-	-	-	0.0	1.95E+04	0.0	0.0	0.0	1.08E+04	0.0	0.0
30	SLS_C3	SLS - C3 bez dynam	Q	0	0.0	3.53E+04	0.0	0.0	1.24E+07	0.0	0.0	1.07E+06	0.0	0.0	0.0E+00	-	-	-	-	0.0	1.95E+04	0.0	0.0	0.0	1.08E+04	0.0	0.0
NAVÝŠENÍ NAPĚTÍ DO AKTIVACE TLAKU V DESCE MOSTOVKY						$\sigma_{P,red}$	0.0							0.0			0.0		0.0			1.3	1.3			17.8	17.8
NAPĚTÍ OD PRIMÁRNÍCH ÚČINKŮ NEROVNOMĚRNÉHO OTEPLENÍ						σ_T	0.0							0.0													
NAPĚTÍ OD REOLOGICKÝCH ÚČINKŮ BETONU V ČASE			t=0			σ_R	0.0	γ_f=	1.20					0.0													
NAPĚTÍ V KRITICKÝCH VLÁKNECH OD KOMBINACE ZATÍŽENÍ						KZ03		[MPa]					$\Sigma\sigma_x$	195.4								$\Sigma\tau_y$	1.3			$\Sigma\tau_z$	17.8
NAPĚTÍ OD POHYBLIVÉHO ZATÍŽENÍ								[MPa]					$\sigma_{x,P}$	167.7								τ_P	0.6			τ_P	5.7
NAPĚTÍ OD OSTATNÍCH ZATÍŽENÍ								[MPa]			Φ_{Vy}	Φ_{Vz}	$\sigma_{x,rs}$	27.7								τ_{rs}	0.8			τ_{rs}	12.1
NÁVRHOVÁ HODNOTA MEZE KLUZU S REDUKCÍ VLIVEM SMYKOVÉHO NAPĚTÍ								[MPa]			1.00	1.00	$f_{yw,d}$	209.1								$f_{yd}/3^{0,5}$	120.7			$f_{yd}/3^{0,5}$	120.7
NAPĚTÍ OD POHYBLIVÉHO ZATÍŽENÍ V GLOBÁLNÍM SYSTÉMU						$\sigma_{GLOB,P}$	0.0	[MPa]					$\Sigma\sigma_{GLOB}$	0.0													
NAPĚTÍ OD OSTATNÍCH ZATÍŽENÍ V GLOBÁLNÍM SYSTÉMU						$\sigma_{GLOB,rs}$	0.0	[MPa]					$\Sigma\sigma_x + \Sigma\sigma_{GLOB}$	195.4													
VYUŽITÍ PRŮŘEZU DLE NAPĚTÍ								[%]					η_1	0.93								η_3	0.01			η_3	0.15
NAPĚTÍ V PŘÍČNÉM SMĚRU OD POHYBLIVÉHO ZATÍŽENÍ						$\sigma_{z,P}$	0.0	[MPa]					$\Sigma\sigma_z$	0.0													
NAPĚTÍ V PŘÍČNÉM SMĚRU OD OSTATNÍCH ZATÍŽENÍ						$\sigma_{z,rs}$	0.0	[MPa]					η_2	0.00													
SROVNÁVACÍ NAPĚTÍ													$(\eta 2 + 0{,}8\ \eta 1)/1{,}4$ =	0.53													
VYUŽITÍ PRŮŘEZU CELKEM								[%]					eff	0.93	VYHOVUJE												
STANOVENÍ ZATÍŽITELNOSTI													Z_{LM71} =	1.08													

TAB. P0.2.3 POSOUZENÍ - MEZNÍ STAV ÚNOSNOSTI

POPIS	PŘÍČNÍK P0 - VNITŘNÍ PODÉLNÍK
PRUT / POLOHA BODU	708 / I[583]
NAMÁHÁNÍ	Vz.min
VLÁKNO	BOD S5 -HL
MEZNÍ STAV	ULS (MSÚ)
VYUŽITÍ VLÁKNA PRŮŘEZU	0.42

Charakteristiky materiálu				
pás. horní	$f_{yf,k}$	230	MPa	
pás. dolní	$f_{yf,k}$	230	MPa	
stojina	$f_{yw,k}$	230	MPa	
výztuž	$f_{ys,k}$	500	MPa	
γ_M =	1.10	γ_s =	1.15	

Excentricita normálové síly				
Exc./Fáze	0	1	2	3
e_y	0.000	0.000	0.000	0.000
e_z	0.000	0.000	0.000	0.000
Ekvivalentní vzdál. stěn - příčný roznos				
b_{ekv}	0.000	0.000	0.000	0.000

Vliv stěny na únosnost průřezu				
Char./Fáze	0	1	2	3
A	0.00	0.00	0.00	0.00
Wy	0.00	0.00	0.00	0.00
Wz	0.00	0.00	0.00	0.00

Charakter. v kroucení			
$t_{w,y}$	0.000	[mm]	
$t_{w,z}$	0.000	[mm]	
κ	1.00		
I_t=	0.00E+00	[mm^4]	
$\Omega=2*A_{pr}$	0.00E+00	[mm^2]	

Součinitele vzpěru a vlivu II.řádu				
Char./Fáze	0	1	2	3
k_y	1.000	1.000	1.000	1.000
k_z	1.000	1.000	1.000	1.000
χ_{LT}	1.000	1.000	1.000	1.000
χ_{min}	1.000	1.000	1.000	1.000

δ_{LOK} 1.00

Vnitřní síly od jednotlivých skupin zatěžovacích stavů

SKUPINA ZATĚŽOVACÍCH STAVŮ — 4

Č.	SKUP ZS	POPIS ZS	KAT.	FÁZE PRŮŘ.	- CHARAKTERISTICKÉ HODNOTY N.k (kN)	Vy.k (kN)	Vz.k (kN)	Mx.k (kNm)	My.k (kNm)	Mz.k (kNm)	DÍLČÍ SOUČINITELÉ ZATÍŽENÍ, DYNAMICKÝ SOUČINITEL γ_{sr} (-)	γ_{sl} (-)	volba γ_{sl} hledat	γ_{sl} (-)	L_d (m)	δ (-)	Ψ_s KZ04	- NÁVRHOVÉ HODNOTY N.d (kN)	Vy.d (kN)	Vz.d (kN)	ΔVz.d (kN)	ΣVz.d (kN)	Mx.d (kNm)	My.d (kNm)	ΔMy.d (kNm)	ΣMy.d (kNm)	Mz.d (kNm)	ΔMz.d (kNm)	ΣMz.d (kNm)
1	G0	Vlastní tíha OK	G	0	-16	0	-3	0	61	-4	1.00	1.20		1.20	-	1.00	0.95	-18	0	-4	0	-4	0	69	0	69	-4	0	-4
2	G1	Ostatní stálé - mostní vybavení	G	0	-2	0	-1	0	6	0	1.00	1.20		1.20	-	1.00	0.95	-2	0	-1	0	-1	0	7	0	7	0	0	0
3	G2	Ostatní stálé - cizí zařízení	G	0	0	0	-1	0	2	0	1.00	1.20		1.20	-	1.00	0.95	0	0	-2	0	-2	0	3	0	3	0	0	0
4	P1_71	a.LM71 - kolej 1 (bez dyn. souč.)	P	0	-27	0	-119	0	233	-1	1.00	1.30		1.30	-	2.00	1.00	-69	0	-310	0	-310	0	606	0	606	-1	1	-1
5	P2_71	a.LM71 - kolej 2 (bez dyn. souč.)	P	0	-25	-3	-29	0	-10	-7	1.00	1.30		1.30	-	2.00	1.00	-65	-8	-75	0	-75	0	-26	0	-26	-17	9	-9
6	P1_C3	TTZ C3 - kolej 1 (bez dyn. souč.)	P	0	-16	0	-81	0	153	0	1.00	vyp.		0.00	-	1.00	0.00	0	0	0	0	0	0	0	0	0	0	0	0
7	P2_C3	TTZ C3 - kolej 2 (bez dyn. souč.)	P	0	-24	-3	-23	0	-7	-5	1.00	vyp.		0.00	-	1.00	0.00	0	0	0	0	0	0	0	0	0	0	0	0
8	BR	Brzdné a rozjezdové síly	P	0	-68	-6	-2	0	4	-14	1.00	1.30		1.30	-	1.00	0.40	-35	-3	-1	0	-1	0	2	0	2	-7	0	-7
9	S	Boční ráz	P	0	-1	-4	-12	0	-12	-4	1.00	1.30		1.30	-	1.00	0.80	-1	-4	-12	0	-12	0	-12	0	-12	-4	0	-4
10	CH	Chodci na lávkách	Q	0	2	0	0	0	-2	-1	1.00	1.30		1.30	-	1.00	1.00	2	0	0	0	0	0	-3	0	-3	-1	0	-1
11	W	Vítr na konstrukci	Q	0	-3	-5	-63	0	-64	-5	1.00	1.35		1.35	-	1.00	0.75	-3	-5	-64	0	-64	0	-65	0	-65	-5	0	-5
12	WP	Vítr na vozidla	Q	0	-3	-9	-52	0	-53	-9	1.00	1.35		1.35	-	1.00	0.75	-3	-9	-52	0	-52	0	-53	0	-53	-9	0	-9
13	TR	Teplota rovnoměrná	Q	0	0	0	0	0	0	0	1.00	1.35		1.35	-	1.00	0.45	0	0	0	0	0	0	0	0	0	0	0	0
14	TN	Teplota nerovnoměrná	Q	0	1	0	-24	0	-38	0	1.00	1.35		1.35	-	1.00	0.60	1	0	-19	0	-19	0	-31	0	-31	0	0	0
15	FR	Třecí síly v ložiskách	Q	0	-5	0	0	0	0	0	1.00	1.20		1.20	-	1.00	1.00	-6	0	0	0	0	0	0	0	0	0	0	0
16	I	Imperfekce soustavy	Q	0	0	0	-11	0	-11	0	1.00	1.20		1.20	-	1.00	1.00	0	0	-13	0	-13	0	-13	0	-13	0	0	0
27	ULS_LM	ULS - LM71 bez dynam	Q	0	-142	-27	-364	0	191	-44	1.00	vyp.		0.00	-	1.00	0.00	0	0	0	0	0	0	0	0	0	0	0	0
28	SLS_LM	SLS - LM71 bez dynam	Q	0	-113	-20	-264	0	182	-34	1.00	vyp.	1	0.00	-	1.00	0.00	0	0	0	0	0	0	0	0	0	0	0	0
29	ULS_C3	ULS - C3 bez dynam	Q	0	-126	-27	-307	0	90	-42	1.00	vyp.	1	0.00	-	1.00	0.00	0	0	0	0	0	0	0	0	0	0	0	0
30	SLS_C3	SLS - C3 bez dynam	Q	0	-100	-20	-220	0	104	-33	1.00	vyp.	1	0.00	-	1.00	0.00	0	0	0	0	0	0	0	0	0	0	0	0
		CELKEM - FÁZE PRŮŘEZU 0			-200	-29	-553	0	484	-50								-200	-29	-553	0	-553	0	484	0	484	-50	9	-41
		CELKEM - FÁZE PRŮŘEZU 1			0	0	0	0	0	0								0	0	0	0	0	0	0	0	0	0	0	0
		CELKEM - FÁZE PRŮŘEZU 2			0	0	0	0	0	0								0	0	0	0	0	0	0	0	0	0	0	0
		CELKEM - FÁZE PRŮŘEZU 3			0	0	0	0	0	0								0	0	0	0	0	0	0	0	0	0	0	0
		CELKEM - PRŮŘEZ			-200	-29	-553	0	484	-50								-200	-29	-553	0	-553	0			484			-41

Napětí od jednotlivých zatěžovacích stavů

SKUPINA ZATĚŽOVACÍCH STAVŮ

Č.	SKUP ZS	Popis ZS	Kat.	fáze prúř.	Posouzení normálového napětí — Účinek síly N: δ^*N_d [kN]	χ^*A [mm^2]	σ_n [MPa]	Účinek momentu My: $\delta^*M_{y,d}$ [kNm]	$\chi_{lt}{}^*W_{el,y}$ [mm^3]	σ_{my} [MPa]	Účinek momentu Mz: $\delta^*M_{z,d}$ [kNm]	$W_{el,z}$ [mm^3]	σ_{mz} [MPa]	σ_x [MPa]	Posouzení smykového napětí — Účinek kroutícího momentu Mx: $\kappa^*\delta^*M_{x,d}$ [kNm]	$W_{v,y}$ [mm^2]	$\tau_{x,y}$ [MPa]	$W_{v,z}$ [mm^2]	$\tau_{x,z}$ [MPa]	Účinek smykové síly Vy: $\delta^*V_{y,d}$ [kN]	$A_{v,y}$ [mm2]	$\tau_{v,y}$ [MPa]	$\tau_{v,y}$ [MPa]	Účinek smykové síly Vz: $\delta^*V_{z,d}$ [kN]	$A_{v,z}$ [mm2]	$\tau_{v,z}$ [MPa]	$\tau_{v,z}$ [MPa]
1	G0	Vlastní tíha OK	G	0	-18.3	3.53E+04	-0.5	69.2	-1.52E+07	-4.6	-4.2	-3.29E+07	0.1	-4.9	0.0E+00	-	-	-	-	-0.1	1.95E+04	0.0	0.0	-3.7	1.08E+04	-0.3	-0.3
2	G1	Ostatní stálé - mostní vybavení	G	0	-1.8	3.53E+04	-0.1	6.9	-1.52E+07	-0.5	-0.3	-3.29E+07	0.0	-0.5	0.0E+00	-	-	-	-	0.0	1.95E+04	0.0	0.0	-1.0	1.08E+04	-0.1	-0.1
3	G2	Ostatní stálé - cizí zařízení	G	0	0.0	3.53E+04	0.0	2.8	-1.52E+07	-0.2	-0.2	-3.29E+07	0.0	-0.2	0.0E+00	-	-	-	-	0.0	1.95E+04	0.0	0.0	-1.5	1.08E+04	-0.1	-0.1
4	P1_71	a.LM71 - kolej 1 (bez dyn. souč.)	P	0	-69.4	3.53E+04	-2.0	606.1	-1.52E+07	-39.8	-0.7	-3.29E+07	0.0	-41.8	1.8E-01	-	-	-	-	0.3	1.95E+04	0.0	0.0	-309.7	1.08E+04	-28.6	-28.6
5	P2_71	a.LM71 - kolej 2 (bez dyn. souč.)	P	0	-65.2	3.53E+04	-1.8	-25.8	-1.52E+07	1.7	-8.5	-3.29E+07	0.3	0.1	7.8E-02	-	-	-	-	-7.8	1.95E+04	-0.4	-0.4	-75.4	1.08E+04	-7.0	-7.0
6	P1_C3	TTZ C3 - kolej 1 (bez dyn. souč.)	P	0	0.0	3.53E+04	0.0	0.0	-1.52E+07	0.0	0.0	-3.29E+07	0.0	0.0	0.0E+00	-	-	-	-	0.0	1.95E+04	0.0	0.0	0.0	1.08E+04	0.0	0.0
7	P2_C3	TTZ C3 - kolej 2 (bez dyn. souč.)	P	0	0.0	3.53E+04	0.0	0.0	-1.52E+07	0.0	0.0	-3.29E+07	0.0	0.0	0.0E+00	-	-	-	-	0.0	1.95E+04	0.0	0.0	0.0	1.08E+04	0.0	0.0
8	BR	Brzdné a rozjezdové síly	P	0	-35.4	3.53E+04	-1.0	2.1	-1.52E+07	-0.1	-7.2	-3.29E+07	0.2	-0.9	0.0E+00	-	-	-	-	-2.9	1.95E+04	-0.1	-0.1	-1.2	1.08E+04	-0.1	-0.1
9	S	Boční ráz	P	0	-1.2	3.53E+04	0.0	-12.4	-1.52E+07	0.8	-4.0	-3.29E+07	0.1	0.9	1.0E-02	-	-	-	-	-4.0	1.95E+04	-0.2	-0.2	-12.1	1.08E+04	-1.1	-1.1
10	CH	Chodci na lávkách	Q	0	2.3	3.53E+04	0.1	-3.0	-1.52E+07	0.2	-0.7	-3.29E+07	0.0	0.3	0.0E+00	-	-	-	-	0.0	1.95E+04	0.0	0.0	-0.1	1.08E+04	0.0	0.0
11	W	Vítr na konstrukci	Q	0	-3.0	3.53E+04	-0.1	-64.9	-1.52E+07	4.3	-5.2	-3.29E+07	0.2	4.3	2.0E-02	-	-	-	-	-5.2	1.95E+04	-0.3	-0.3	-64.2	1.08E+04	-5.9	-5.9
12	WP	Vítr na vozidla	Q	0	-3.3	3.53E+04	-0.1	-53.4	-1.52E+07	3.5	-9.3	-3.29E+07	0.3	3.7	2.0E-02	-	-	-	-	-9.3	1.95E+04	-0.5	-0.5	-52.5	1.08E+04	-4.9	-4.9
13	TR	Teplota rovnoměrná	Q	0	0.0	3.53E+04	0.0	0.0	-1.52E+07	0.0	0.0	-3.29E+07	0.0	0.0	0.0E+00	-	-	-	-	0.0	1.95E+04	0.0	0.0	0.0	1.08E+04	0.0	0.0
14	TN	Teplota nerovnoměrná	Q	0	1.1	3.53E+04	0.0	-30.6	-1.52E+07	2.0	-0.1	-3.29E+07	0.0	2.0	1.6E-02	-	-	-	-	0.0	1.95E+04	0.0	0.0	-19.1	1.08E+04	-1.8	-1.8
15	FR	Třecí síly v ložiskách	Q	0	-5.8	3.53E+04	-0.2	0.1	-1.52E+07	0.0	-0.4	-3.29E+07	0.0	-0.2	0.0E+00	-	-	-	-	0.0	1.95E+04	0.0	0.0	0.0	1.08E+04	0.0	0.0
16	I	Imperfekce soustavy	Q	0	-0.3	3.53E+04	0.0	-13.3	-1.52E+07	0.9	-0.3	-3.29E+07	0.0	0.9	0.0E+00	-	-	-	-	-0.3	1.95E+04	0.0	0.0	-13.2	1.08E+04	-1.2	-1.2
27	ULS_LM	ULS - LM71 bez dynam	Q	0	0.0	3.53E+04	0.0	0.0	-1.52E+07	0.0	0.0	-3.29E+07	0.0	0.0	0.0E+00	-	-	-	-	0.0	1.95E+04	0.0	0.0	0.0	1.08E+04	0.0	0.0
28	SLS_LM	SLS - LM71 bez dynam	Q	0	0.0	3.53E+04	0.0	0.0	-1.52E+07	0.0	0.0	-3.29E+07	0.0	0.0	0.0E+00	-	-	-	-	0.0	1.95E+04	0.0	0.0	0.0	1.08E+04	0.0	0.0
29	ULS_C3	ULS - C3 bez dynam	Q	0	0.0	3.53E+04	0.0	0.0	-1.52E+07	0.0	0.0	-3.29E+07	0.0	0.0	0.0E+00	-	-	-	-	0.0	1.95E+04	0.0	0.0	0.0	1.08E+04	0.0	0.0
30	SLS_C3	SLS - C3 bez dynam	Q	0	0.0	3.53E+04	0.0	0.0	-1.52E+07	0.0	0.0	-3.29E+07	0.0	0.0	0.0E+00	-	-	-	-	0.0	1.95E+04	0.0	0.0	0.0	1.08E+04	0.0	0.0
NAVÝŠENÍ NAPĚTÍ DO AKTIVACE TLAKU V DESCE MOSTOVKY						$\sigma_{P,red}$	0.0							0.0			0.0		0.0			-1.5	-1.5			-51.2	-51.2
NAPĚTÍ OD PRIMÁRNÍCH ÚČINKŮ NEROVNOMĚRNÉHO OTEPLENÍ						σ_T	0.0							0.0													
NAPĚTÍ OD REOLOGICKÝCH ÚČINKŮ BETONU V ČASE			t=0			σ_R	0.0	γ=	1.20					0.0													
NAPĚTÍ V KRITICKÝCH VLÁKNECH OD KOMBINACE ZATÍŽENÍ						KZ04	[MPa]						$\Sigma\sigma_x$	-36.2								$\Sigma\tau_y$	-1.5			$\Sigma\tau_z$	-51.2
NAPĚTÍ OD POHYBLIVÉHO ZATÍŽENÍ							[MPa]						$\sigma_{x,P}$	-41.7								τ_P	-0.7			τ_P	-36.8
NAPĚTÍ OD OSTATNÍCH ZATÍŽENÍ							[MPa]			Φ_{Vy}	Φ_{Vz}		$\sigma_{x,rs}$	5.5								τ_{rs}	-0.8			τ_{rs}	-14.3
NÁVRHOVÁ HODNOTA MEZE KLUZU S REDUKCÍ VLIVEM SMYKOVÉHO NAPĚTÍ							[MPa]			1.00	1.00		$f_{yv,d}$	209.1								$f_{yd}/3^{0,5}$	120.7			$f_{yd}/3^{0,5}$	120.7
NAPĚTÍ OD POHYBLIVÉHO ZATÍŽENÍ V GLOBÁLNÍM SYSTÉMU						$\sigma_{GLOB,P}$	0.0	[MPa]					$\Sigma\sigma_{GLOB}$	0.0													
NAPĚTÍ OD OSTATNÍCH ZATÍŽENÍ V GLOBÁLNÍM SYSTÉMU						$\sigma_{GLOB,rs}$	0.0	[MPa]					$\Sigma\sigma_x + \Sigma\sigma_{GLOB}$	-36.2													
VYUŽITÍ PRŮŘEZU DLE NAPĚTÍ								[%]					η_1	0.17								η_3	0.01			η_3	0.42
NAPĚTÍ V PŘÍČNÉM SMĚRU OD POHYBLIVÉHO ZATÍŽENÍ						$\sigma_{z,P}$	0.0	[MPa]					$\Sigma\sigma_z$	0.0													
NAPĚTÍ V PŘÍČNÉM SMĚRU OD OSTATNÍCH ZATÍŽENÍ						$\sigma_{z,rs}$	0.0	[MPa]					η_2	0.00													
SROVNÁVACÍ NAPĚTÍ													$(\eta_2 + 0,8\ \eta_1)/1,4$ =	0.10													
VYUŽITÍ PRŮŘEZU CELKEM								[%]					eff	0.42	VYHOVUJE											
STANOVENÍ ZATÍŽITELNOSTI													z_{LM71} =	2.89												

VÝPOČET PRŮŘEZOVÝCH CHARAKTERISTIK

PRŮŘEZ: P0_SO **POPIS:** PŘÍČNÍK - 0 - STŘED - S OTVOREM

x = - **m**

DEFINOVÁNÍ PRŮŘEZU

PÁSNICE HORNÍHO LEVÉHO ÚHELNÍKU	b f.t.l.o =	110	mm				
TLOUŠŤKA PÁSNICE ÚHELNÍKU	t f.t.l.o =	13	mm	OSLABENÍ PÁSNICE - TLOUŠŤKA	Δt f.t.l.o =	0	%
VÝŠKA STĚNY ÚHELNÍKU	h w.t.l.o =	97	mm				
TLOUŠŤKA STĚNY ÚHELNÍKU	t w.t.l.o =	13	mm	OSLABENÍ STĚNY - TLOUŠŤKA	Δt w.t.l.o =	0	%
PÁSNICE HORNÍHO PRAVÉHO ÚHELNÍKU	b f.t.r.o =	110	mm				
TLOUŠŤKA PÁSNICE ÚHELNÍKU	t f.t.r.o =	13	mm	OSLABENÍ PÁSNICE - TLOUŠŤKA	Δt f.t.r.o =	0	%
VÝŠKA STĚNY ÚHELNÍKU	h w.t.r.o =	97	mm				
TLOUŠŤKA STĚNY ÚHELNÍKU	t w.t.r.o =	13	mm	OSLABENÍ STĚNY - TLOUŠŤKA	Δt w.t.r.0 =	0	%
PÁSNICE DOLNÍHO LEVÉHO ÚHELNÍKU	b f.b.l.o =	110	mm				
TLOUŠŤKA PÁSNICE ÚHELNÍKU	t f.b.l.o =	13	mm	OSLABENÍ PÁSNICE - TLOUŠŤKA	Δt f.b.l.o =	0	%
VÝŠKA STĚNY ÚHELNÍKU	h w.b.l.o =	97	mm				
TLOUŠŤKA STĚNY ÚHELNÍKU	t w.b.l.o =	13	mm	OSLABENÍ STĚNY - TLOUŠŤKA	Δt w.b.l.o =	0	%
PÁSNICE DOLNÍHO PRAVÉHO ÚHELNÍKU	b f.b.r.o =	110	mm				
TLOUŠŤKA PÁSNICE ÚHELNÍKU	t f.b.r.o =	13	mm	OSLABENÍ PÁSNICE - TLOUŠŤKA	Δt f.b.r.o =	0	%
VÝŠKA STĚNY ÚHELNÍKU	h w.b.r.o =	97	mm				
TLOUŠŤKA STĚNY ÚHELNÍKU	t w.b.r.o =	13	mm	OSLABENÍ STĚNY - TLOUŠŤKA	Δt w.b.r.o =	0	%

ŠÍŘKA HORNÍ PÁSNICE	b f.t =	400	mm				
TLOUŠŤKA HORNÍ PÁSNICE	t f.t =	20	mm	OSLABENÍ HORNÍ PÁSNICE	Δt f.t =	3	%
PŘESAH HORNÍ PÁSNICE	o f.t =	84	mm	HORNÍ PÁSNICE OBECNĚ NESYMETRICKÁ (PODÉLNÍK - PŘÍPOJ MOSTNICE)			
VÝŠKA STĚNY	h w =	1030	mm				
TLOUŠŤKA STĚNY	t w =	13	mm	OSLABENÍ STĚNY	Δt w.l =	0	%
ŠÍŘKA DOLNÍ PÁSNICE	b f.b =	400	mm				
TLOUŠŤKA DOLNÍ PÁSNICE	t f.b =	20	mm	OSLABENÍ DOLNÍ PÁSNICE (DOLNÍ PÁSNICE SYMETRICKÁ)	Δt f.b =	4	%

OTVOR VE STĚNĚ

POLOHA - VZD. Z	515	mm
VÝŠKA	400	mm

NÝT Č.	SKUPINA	ŘEZ	RED.	VELIKOST d1 [mm]	POLOHA e1 [mm]	POPIS	AKTIVITA OTVORU	NAPĚTÍ sc [MPa]
1		-	1.00	20	-160	nýt - f.t	0	-68.97
2		-	1.00	22	-67	nýt - f.t - krční úhelník	0	-59.88
3		-	1.00	22	67	nýt - f.t - krční úhelník	0	-45.63
4		-	1.00	20	160	nýt - f.t	0	-34.69
5		-	1.00	22	985	nýt - w - krční úhelník	0	-44.53
6		-	1.00	0	875	nýt - w	0	-
7		-	1.00	0	785	nýt - w	0	-
8		-	1.00	0	695	nýt - w	0	-
9		-	1.00	0	605	nýt - w	0	-
10		-	1.00	0	515	nýt - w	0	-
11		-	1.00	0	425	nýt - w	0	-
12		-	1.00	0	335	nýt - w	0	-
13		-	1.00	0	245	nýt - w	0	-
14		-	1.00	0	155	nýt - w	0	-
15		-	1.00	22	45	nýt - w - krční úhelník	1	42.86
16		-	1.00					-
17		-	1.00					-
18		-	1.00					-
19	1	3	0.78	20	-160	nýt - f.b	1	30.91
20	1	3	0.78	22	-67	nýt - f.b. - krční úhelník	1	40.31
21	1	3	0.78	22	67	nýt - f.b. - krční úhelník	1	54.56
22	1	3	0.78	20	160	nýt - f.b	1	65.20

ZADÁNÍ ČÁSTÍ PRŮŘEZU:

č.prvku	b [mm]	h [mm]	y_s [mm]	z_s [mm]	popis části	druh oslabení	lokální ultimate	boulení servic.
1	110.0	13.0	-61.5	1023.5	pásnice	0	1.000	1.000
2	13.0	97.0	-13.0	968.5		0	1.000	1.000
3	110.0	13.0	61.5	1023.5	pásnice	0	1.000	1.000
4	13.0	97.0	13.0	968.5		0	1.000	1.000
5	110.0	13.0	-61.5	6.5	pásnice	0	1.000	1.000
6	13.0	97.0	-13.0	61.5		0	1.000	1.000
7	110.0	13.0	61.5	6.5	pásnice	0	1.000	1.000
8	13.0	97.0	13.0	61.5		0	1.000	1.000
9	400.0	19.4	0.0	1039.7	pásnice	0	1.000	1.000
10	13.0	1030.0	0.0	515.0	stěna	0	1.000	1.000
11	400.0	19.2	0.0	-9.6	pásnice	0	1.000	1.000
12						0	1.000	1.000
13						0	1.000	1.000
14						0	1.000	1.000
15						0	1.000	1.000
16						0	1.000	1.000
17						0	1.000	1.000
18						0	1.000	1.000
19						0	1.000	1.000
20						0	1.000	1.000
21						0	1.000	1.000
22						0	1.000	1.000
23						0	1.000	1.000
24						0	1.000	1.000
25	-13.0	400.0	0.0	515.0	stěna	0	1.000	1.000
26						0	1.000	1.000
27						0	1.000	1.000
28						0	1.000	1.000
29						0	1.000	1.000
30						0	1.000	1.000
31						0	1.000	1.000
32						0	1.000	1.000
33						0	1.000	1.000
34						0	1.000	1.000
35						0	1.000	1.000
36						0	1.000	1.000
37						0	1.000	1.000
38						0	1.000	1.000
39						0	1.000	1.000
40						0	1.000	1.000
41						0	1.000	1.000
42						0	1.000	1.000
43						0	1.000	1.000
44						0	1.000	1.000
45						0	1.000	1.000
46						0	1.000	1.000
47						0	1.000	1.000
48						0	1.000	1.000
49						0	1.000	1.000
50						0	1.000	1.000
51	0	0	-160.0	1039.7	nýt - pásnice	0	1.000	1.000
52	0	0	-66.5	1049.4	nýt - pásnice	0	1.000	1.000
53	0	0	66.5	1049.4	nýt - pásnice	0	1.000	1.000
54	0	0	160.0	1039.7	nýt - pásnice	0	1.000	1.000
55	0	0	19.5	985.0	nýt - stěna	0	1.000	1.000
56	0	0	0	0	nýt - stěna	0	1.000	1.000
57	0	0	0	0	nýt - stěna	0	1.000	1.000
58	0	0	0	0	nýt - stěna	0	1.000	1.000
59	0	0	0	0	nýt - stěna	0	1.000	1.000
60	0	0	0	0	nýt - stěna	0	1.000	1.000
61	0	0	0	0	nýt - stěna	0	1.000	1.000
62	0	0	0	0	nýt - stěna	0	1.000	1.000
63	0	0	0	0	nýt - stěna	0	1.000	1.000
64	0	0	0	0	nýt - stěna	0	1.000	1.000
65	39.0	-22.0	0.0	45.0	nýt - stěna	0	1.000	1.000
66						0	1.000	1.000
67						0	1.000	1.000
68						0	1.000	1.000
69	-15.8	19.2	-160.0	-9.6	nýt - pásnice	0	1.000	1.000
70	-17.2	32.2	-66.5	-3.1	nýt - pásnice	0	1.000	1.000
71	-17.2	32.2	66.5	-3.1	nýt - pásnice	0	1.000	1.000
72	-15.8	19.2	160.0	-9.6	nýt - pásnice	0	1.000	1.000
73								
74								
75								
76								
77								
78								
79								
80								
81								
82								
83								
84								
85								
86								
87								
88								
89								
90								
91								
92								
93								
94								
95								
96								
97								
98								
99								
100								

VÝPOČET PRŮŘEZOVÝCH CHARAKTERISTIK

Properties	Basic	Ultimate		Serviceability	
y_t	0.0	0.0		0.0	[mm]
z_t	556.9	556.9		556.9	[mm]
A_i	3.1831E+04	3.1831E+04		3.1831E+04	[mm²]
A_t	1.9455E+04	1.9455E+04		1.9455E+04	[mm²]
A_s	7.3320E+03	7.3320E+03		7.3320E+03	[mm²]
I_{yi}	7.1782E+09	7.1782E+09		7.1782E+09	[mm⁴]
I_w	2.1393E+08	2.1393E+08		2.1393E+08	[mm⁶]
i_y	474.9	474.9		474.9	[mm]
i_z	82.0	82.0		82.0	[mm]
$W_{y,1}$	1.4574E+07	1.4574E+07		1.4574E+07	[mm³]
$W_{z,1}$	-1.0697E+06	-1.0697E+06		-1.0697E+06	[mm³]
$W_{y,2}$	-1.2460E+07	-1.2460E+07		-1.2460E+07	[mm³]
$W_{z,2}$	-1.0697E+06	-1.0697E+06		-1.0697E+06	[mm³]
KRAJNÍ VLÁKNA PRŮŘEZU					
y_1	-200.0	-200.0		-200.0	[mm]
z_1	1049.4	1049.4		1049.4	[mm]
y_2	-200.0	-200.0		-200.0	[mm]
z_2	-19.2	-19.2		-19.2	[mm]
y_3	200.0	200.0		200.0	[mm]
z_3	1049.4	1049.4		1049.4	[mm]
y_4	200.0	200.0		200.0	[mm]
z_4	-19.2	-19.2		-19.2	[mm]
y_5	-6.5	-6.5		-6.5	[mm]
z_5	1030.0	1030.0		1030.0	[mm]
y_6	-6.5	-6.5		-6.5	[mm]
z_6	0.0	0.0		0.0	[mm]

ÚPRAVA MOMENTŮ SETRVAČNOSTI V DŮSLEDKU ČLENĚNÍ PRŮŘEZU

OSA Y	1.00
OSA Z	1.00

SCHÉMA PROMĚNNÝCH

SCHÉMA ZADANÉHO PRŮŘEZU

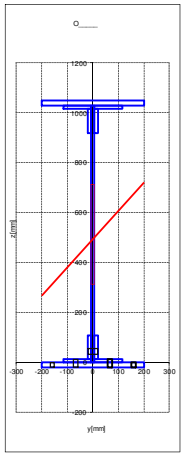

TR_P0.3	SLS_LM					
-205	-9	-97	0	675	-23	
74	9	110	0	60	7	
-12	-24	-111	0	385	0	
-124	25	121	0	401	-16	
-108	-20	-230	0	372	-13	
-22	20	240	0	368	-4	
-35	19	156	0	383	-4	
-102	-19	-146	0	386	-12	
49	4	-22	0	52	7	
-187	-4	35	0	683	-23	
-183	-10	-102	0	564	-23	
41	10	112	0	268	7	

NEUTRÁLNÁ OSA

NAPĚTÍ [MPa]:

-74.16	-31.32
27.54	70.40

ZS: SLS_LM (MAX MY)

	N [kN]	Vy [kN]	Vz [kN]	Mx [kNm]	My [kNm]	Mz [kNm]
import	-187	-4	35	0	683	-23

TR_P0.3 POPIS: **PŘÍČNÍK P0 - STŘED** POSUDEK: **P0.3**

SKUPINA ZAT. STAVŮ	EXTRÉM	VYHODNOCOVANÉ VELIČINY					
		N	Vy	Vz	Mx	My	Mz
		kN	kN	kN	kNm	kNm	kNm
G0	N.min	**-16.01**	-0.07	0.69	0	62.02	-3.61
	N.max	**-16.01**	-0.07	0.69	0	62.02	-3.61
	Vy.min	-16.01	**-0.07**	0.69	0	62.02	-3.61
	Vy.max	-16.01	**-0.07**	0.69	0	62.02	-3.61
	Vz.min	-16.01	-0.07	**0.69**	0	62.02	-3.61
	Vz.max	-16.01	-0.07	**0.69**	0	62.02	-3.61
	Mx.min	-16.01	-0.07	0.69	**0**	62.02	-3.61
	Mx.max	-16.01	-0.07	0.69	**0**	62.02	-3.61
	My.min	-16.01	-0.07	0.69	0	**62.02**	-3.61
	My.max	-16.01	-0.07	0.69	0	**62.02**	-3.61
	Mz.min	-16.01	-0.07	0.69	0	62.02	**-3.61**
	Mz.max	-16.01	-0.07	0.69	0	62.02	**-3.61**
G1	N.min	**-1.6**	0	0	0	6.48	-0.27
	N.max	**-1.6**	0	0	0	6.48	-0.27
	Vy.min	-1.6	**0**	0	0	6.48	-0.27
	Vy.max	-1.6	**0**	0	0	6.48	-0.27
	Vz.min	-1.6	0	**0**	0	6.48	-0.27
	Vz.max	-1.6	0	**0**	0	6.48	-0.27
	Mx.min	-1.6	0	0	**0**	6.48	-0.27
	Mx.max	-1.6	0	0	**0**	6.48	-0.27
	My.min	-1.6	0	0	0	**6.48**	-0.27
	My.max	-1.6	0	0	0	**6.48**	-0.27
	Mz.min	-1.6	0	0	0	6.48	**-0.27**
	Mz.max	-1.6	0	0	0	6.48	**-0.27**
G2	N.min	**0**	0	1.29	0	3.77	-0.21
	N.max	**0**	0	1.29	0	3.77	-0.21
	Vy.min	0	**0**	1.29	0	3.77	-0.21
	Vy.max	0	**0**	1.29	0	3.77	-0.21
	Vz.min	0	0	**1.29**	0	3.77	-0.21
	Vz.max	0	0	**1.29**	0	3.77	-0.21
	Mx.min	0	0	1.29	**0**	3.77	-0.21
	Mx.max	0	0	1.29	**0**	3.77	-0.21
	My.min	0	0	1.29	0	**3.77**	-0.21
	My.max	0	0	1.29	0	**3.77**	-0.21
	Mz.min	0	0	1.29	0	3.77	**-0.21**
	Mz.max	0	0	1.29	0	3.77	**-0.21**
P1_71	N.min	**-53.89**	2.84	-95.28	0.04	373.51	-3.81
	N.max	**0.01**	0	-0.08	0	-0.01	0
	Vy.min	-16.95	**-0.7**	-68.55	-0.06	207.86	-0.46
	Vy.max	-39.01	**3.51**	-34.87	0.1	190.44	-3.41
	Vz.min	-26.71	0.13	**-119.11**	0.07	352.23	-0.64
	Vz.max	-24.83	2.99	**29.19**	-0.03	19.21	-3.57
	Mx.min	-48.59	2.27	-44.82	**-0.09**	234.78	-3.64
	Mx.max	-9.36	0.76	-57.72	**0.13**	161.74	-0.19
	My.min	-13.8	0.74	3.42	0	**-4.22**	0.08
	My.max	-47.16	2.49	-96.94	0.05	**375.62**	-3.85
	Mz.min	-28.79	2.35	-13.56	-0.04	141.46	**-3.98**
	Mz.max	-15.79	0.91	3.16	-0.01	-1.75	**0.18**
P2_71	N.min	**-54.13**	-2.86	95.48	-0.04	373.43	-3.81
	N.max	**0.01**	0	0.08	0	-0.01	0
	Vy.min	-39.25	**-3.53**	35.07	-0.1	190.35	-3.41
	Vy.max	-16.96	**0.7**	68.56	0.06	207.86	-0.46
	Vz.min	-25.09	-3.01	**-28.99**	0.03	19.08	-3.57
	Vz.max	-26.75	-0.13	**119.11**	-0.07	352.26	-0.64
	Mx.min	-9.36	-0.76	57.71	**-0.13**	161.74	-0.19
	Mx.max	-48.84	-2.29	45.04	**0.09**	234.69	-3.64
	My.min	-13.84	-0.75	-3.28	0	**-4.23**	0.08
	My.max	-47.38	-2.5	97.07	-0.05	**375.54**	-3.85
	Mz.min	-29.04	-2.36	13.69	0.04	141.37	**-3.98**
	Mz.max	-15.83	-0.92	-3.04	0.01	-1.77	**0.18**
P1_C3	N.min	**-38.06**	2.41	-59.12	0.02	251.57	-3.26
	N.max	**0.01**	0	-0.07	0	-0.01	0
	Vy.min	-12.04	**-0.49**	-51.46	-0.04	154.6	-0.34
	Vy.max	-33.49	**3.1**	-24.99	0.08	151.37	-3
	Vz.min	-15.72	-0.01	**-80.6**	0.04	233.53	-0.4
	Vz.max	-23.52	2.56	**23.53**	-0.03	16.27	-2.8
	Mx.min	-34.34	1.79	-30.75	**-0.07**	172.63	-3.16
	Mx.max	-7.39	0.61	-45.64	**0.11**	127.81	-0.15
	My.min	-7.75	0.37	1.75	0	**-2.92**	0.07
	My.max	-33.78	2.17	-60.08	0.02	**252.28**	-3.31
	Mz.min	-29.4	1.91	-43.1	-0.03	206.36	**-3.35**
	Mz.max	-14.73	0.83	-27.72	0.07	81.89	**0.19**
P2_C3	N.min	**-38.27**	-2.42	59.29	-0.02	251.5	-3.26
	N.max	**0.01**	0	0.07	0	-0.01	0
	Vy.min	-33.7	**-3.11**	25.17	-0.08	151.3	-3
	Vy.max	-12.05	**0.49**	51.46	0.04	154.6	-0.34
	Vz.min	-23.75	-2.57	**-23.36**	0.03	16.2	-2.8
	Vz.max	-15.73	0.01	**80.6**	-0.04	233.53	-0.4
	Mx.min	-7.39	-0.61	45.63	**-0.11**	127.81	-0.15
	Mx.max	-34.55	-1.81	30.92	**0.07**	172.56	-3.15
	My.min	-7.77	-0.38	-1.67	0	**-2.92**	0.07
	My.max	-33.98	-2.18	60.21	-0.02	**252.21**	-3.31
	Mz.min	-25.66	-1.64	31.2	0.05	171.75	**-3.35**
	Mz.max	-14.75	-0.83	27.78	-0.07	81.88	**0.19**
BR	N.min	**-81.83**	3.55	-1.62	0	8.61	-10.8
	N.max	**81.83**	-3.55	1.62	0	-8.61	10.8
	Vy.min	54.61	**-7.29**	-1.43	0	-6.73	7.85
	Vy.max	-54.61	**7.29**	1.43	0	6.73	-7.85
	Vz.min	-68.05	-5.52	**-2.24**	0	6.21	-8.36
	Vz.max	68.05	5.52	**2.24**	0	-6.21	8.36
	Mx.min	68.05	5.52	2.24	**0**	-6.21	8.36
	Mx.max	-68.05	-5.52	-2.24	**0**	6.21	-8.36
	My.min	81.66	3.54	-1.6	0	**-8.66**	10.8
	My.max	-81.66	-3.54	1.6	0	**8.66**	-10.8
	Mz.min	-81.83	3.55	-1.62	0	8.61	**-10.8**
	Mz.max	81.83	-3.55	1.62	0	-8.61	**10.8**

TR_P0.3 POPIS: **PŘÍČNÍK P0 - STŘED** POSUDEK: **P0.3**

SKUPINA ZAT. STAVŮ	EXTRÉM	VYHODNOCOVANÉ VELIČINY					
		N	Vy	Vz	Mx	My	Mz
		kN	kN	kN	kNm	kNm	kNm
S	N.min	**-1.19**	-3.8	-11.61	0.01	-0.34	0
	N.max	**1.19**	3.8	11.61	-0.01	0.34	0
	Vy.min	-1.13	**-4.02**	-10.71	0	-0.31	-0.01
	Vy.max	1.13	**4.02**	10.71	0	0.31	0.01
	Vz.min	-1.19	-3.8	**-11.61**	0.01	-0.34	0
	Vz.max	1.19	3.8	**11.61**	-0.01	0.34	0
	Mx.min	1.19	3.8	11.61	**-0.01**	0.34	0
	Mx.max	-1.19	-3.8	-11.61	**0.01**	-0.34	0
	My.min	-1.19	-3.8	-11.61	0.01	**-0.34**	0
	My.max	1.19	3.8	11.61	-0.01	**0.34**	0
	Mz.min	-1.13	-4.02	-10.71	0	-0.31	**-0.01**
	Mz.max	1.13	4.02	10.71	0	0.31	**0.01**
CH	N.min	**0.52**	0.32	5.34	0	-0.72	-0.38
	N.max	**2.19**	0.12	2.07	0	-2.67	-0.43
	Vy.min	1.79	**0**	-0.04	0	-2.27	-0.54
	Vy.max	0.52	**0.32**	5.34	0	-0.72	-0.38
	Vz.min	1.79	0	**-0.04**	0	-2.27	-0.54
	Vz.max	0.52	0.32	**5.34**	0	-0.72	-0.38
	Mx.min	0.52	0.32	5.34	**0**	-0.72	-0.38
	Mx.max	1.79	0	-0.04	**0**	-2.27	-0.54
	My.min	2.19	0.12	2.07	0	**-2.67**	-0.43
	My.max	0.52	0.32	5.34	0	**-0.72**	-0.38
	Mz.min	1.79	0	-0.04	0	-2.27	**-0.54**
	Mz.max	0.52	0.32	5.34	0	-0.72	**-0.38**
W	N.min	**-2.95**	-5.1	-63.38	0.02	-0.68	0
	N.max	**1.99**	5.1	63.41	-0.02	0.72	0
	Vy.min	-2.95	**-5.1**	-63.38	0.02	-0.68	0
	Vy.max	1.99	**5.1**	63.41	-0.02	0.72	0
	Vz.min	-2.95	-5.1	**-63.38**	0.02	-0.68	0
	Vz.max	1.99	5.1	**63.41**	-0.02	0.72	0
	Mx.min	1.99	5.1	63.41	**-0.02**	0.72	0
	Mx.max	-2.95	-5.1	-63.38	**0.02**	-0.68	0
	My.min	-2.95	-5.1	-63.38	0.02	**-0.68**	0
	My.max	1.99	5.1	63.41	-0.02	**0.72**	0
	Mz.min	-2.95	-5.1	-63.38	0.02	-0.68	**0**
	Mz.max	1.99	5.1	63.41	-0.02	0.72	**0**
WP	N.min	**-3.3**	-9.18	-51.81	0.02	-0.95	0
	N.max	**0.2**	9.21	52.65	-0.02	-2.09	0.04
	Vy.min	-3.3	**-9.18**	-51.81	0.02	-0.95	0
	Vy.max	0.2	**9.21**	52.65	-0.02	-2.09	0.04
	Vz.min	-3.3	-9.18	**-51.81**	0.02	-0.95	0
	Vz.max	0.2	9.21	**52.65**	-0.02	-2.09	0.04
	Mx.min	0.2	9.21	52.65	**-0.02**	-2.09	0.04
	Mx.max	-3.3	-9.18	-51.81	**0.02**	-0.95	0
	My.min	0.2	9.21	52.65	-0.02	**-2.09**	0.04
	My.max	-3.3	-9.18	-51.81	0.02	**-0.95**	0
	Mz.min	-3.3	-9.18	-51.81	0.02	-0.95	**0**
	Mz.max	0.2	9.21	52.65	-0.02	-2.09	**0.04**
TR	N.min	**0**	0	0	0	0	0
	N.max	**0**	0	0	0	0	0
	Vy.min	0	**0**	0	0	0	0
	Vy.max	0	**0**	0	0	0	0
	Vz.min	0	0	**0**	0	0	0
	Vz.max	0	0	**0**	0	0	0
	Mx.min	0	0	0	**0**	0	0
	Mx.max	0	0	0	**0**	0	0
	My.min	0	0	0	0	**0**	0
	My.max	0	0	0	0	**0**	0
	Mz.min	0	0	0	0	0	**0**
	Mz.max	0	0	0	0	0	**0**
TN	N.min	**-12.95**	0.01	-0.07	0	17.53	0.12
	N.max	**12.95**	-0.01	0.07	0	-17.53	-0.12
	Vy.min	1.3	**-0.03**	-23.55	0.02	-14.18	-0.06
	Vy.max	-12.95	**0.01**	-0.07	0	17.53	0.12
	Vz.min	1.3	-0.03	**-23.55**	0.02	-14.18	-0.06
	Vz.max	1.3	0.01	**23.77**	-0.02	-14.16	-0.06
	Mx.min	1.3	0.01	23.77	**-0.02**	-14.16	-0.06
	Mx.max	1.3	-0.03	-23.55	**0.02**	-14.18	-0.06
	My.min	12.95	-0.01	0.07	0	**-17.53**	-0.12
	My.max	-12.95	0.01	-0.07	0	**17.53**	0.12
	Mz.min	12.95	-0.01	0.07	0	-17.53	**-0.12**
	Mz.max	-12.95	0.01	-0.07	0	17.53	**0.12**
FR	N.min	**-4.81**	0	0	0	0.1	-0.35
	N.max	**4.81**	0	0	0	-0.1	0.35
	Vy.min	4.81	**0**	0	0	-0.1	0.35
	Vy.max	-4.81	**0**	0	0	0.1	-0.35
	Vz.min	-4.81	0	**0**	0	0.1	-0.35
	Vz.max	4.81	0	**0**	0	-0.1	0.35
	Mx.min	-4.81	0	0	**0**	0.1	-0.35
	Mx.max	4.81	0	0	**0**	-0.1	0.35
	My.min	4.81	0	0	0	**-0.1**	0.35
	My.max	-4.81	0	0	0	**0.1**	-0.35
	Mz.min	-4.81	0	0	0	0.1	**-0.35**
	Mz.max	4.81	0	0	0	-0.1	**0.35**
I	N.min	**-0.24**	-0.29	-11	0	-0.07	**0**
	N.max	**0.24**	0.29	11	0	0.07	**0**
	Vy.min	-0.24	**-0.29**	-11	0	-0.07	**0**
	Vy.max	0.24	**0.29**	11	0	0.07	**0**
	Vz.min	-0.24	-0.29	**-11**	0	-0.07	**0**
	Vz.max	0.24	0.29	**11**	0	0.07	**0**
	Mx.min	0.24	0.29	11	**0**	0.07	**0**
	Mx.max	-0.24	-0.29	-11	**0**	-0.07	**0**
	My.min	-0.24	-0.29	-11	0	**-0.07**	**0**
	My.max	0.24	0.29	11	0	**0.07**	**0**
	Mz.min	-0.24	-0.29	-11	0	-0.07	**0**
	Mz.max	0.24	0.29	11	0	0.07	**0**

TAB. P0.3.3 POSOUZENÍ - MEZNÍ STAV ÚNOSNOSTI

POPIS	PŘÍČNÍK P0 - STŘED
PRUT / POLOHA BODU	709 / I[584]
NAMÁHÁNÍ	N.min
VLÁKNO	BOD K2 -HP
MEZNÍ STAV	ULS (MSÚ)
VYUŽITÍ VLÁKNA PRŮŘEZU	0.85

Charakteristiky materiálu				
pás. horní	$f_{yf,k}$	230	MPa	
pás. dolní	$f_{yf,k}$	230	MPa	
stojina	$f_{yw,k}$	230	MPa	
výztuž	$f_{ys,k}$	500	MPa	
γ_M =	1.10	γ_s =	1.15	

Excentricita normálové síly				
Exc./Fáze	0	1	2	3
e_y	0.000	0.000	0.000	0.000
e_z	0.000	0.000	0.000	0.000
Ekvivalentní vzdál. stěn - příčný roznos				
b_{Mx}	0.000	0.000	0.000	0.000

Vliv stěny na únosnost průřezu				
Char./Fáze	0	1	2	3
A	0.25	0.00	0.00	0.00
Wy	0.13	0.00	0.00	0.00
Wz	0.04	0.00	0.00	0.00

Charakter. v kroucení			
$t_{w,y}$	0.000	[mm]	
$t_{w,z}$	0.000	[mm]	
κ	1.00		
I_t=	0.00E+00	[mm^4]	
Ω=2*A_{pr}	0.00E+00	[mm^2]	

Součinitele vzpěru a vlivu II.řádu					
Char./Fáze	0	1	2	3
k_y	1.000	1.000	1.000	1.000
k_z	1.000	1.000	1.000	1.000
χ_{LT}	1.000	1.000	1.000	1.000
χ_{min}	1.000	1.000	1.000	1.000

δ_{LOK} 1.00

Vnitřní síly od jednotlivých skupin zatěžovacích stavů

SKUPINA ZATĚŽOVACÍCH STAVŮ — 3

Č.	SKUP ZS	POPIS ZS	KAT.	FÁZE PRŮŘ.	- CHARAKTERISTICKÉ HODNOTY N.k (kN)	Vy.k (kN)	Vz.k (kN)	Mx.k (kNm)	My.k (kNm)	Mz.k (kNm)	DÍLČÍ SOUČINITELÉ ZATÍŽENÍ, DYNAMICKÝ SOUČINITEL γ_{sr} (-)	γ_{fs} (-)	volba γ_f hledat	γ_f (-)	L_d (m)	δ (-)	Ψ_s KZ03	- NÁVRHOVÉ HODNOTY N.d (kN)	Vy.d (kN)	Vz.d (kN)	ΔVz.d (kN)	ΣVz.d (kN)	Mx.d (kNm)	My.d (kNm)	ΔMy.d (kNm)	ΣMy.d (kNm)	Mz.d (kNm)	ΔMz.d (kNm)	ΣMz.d (kNm)
1	G0	Vlastní tíha OK	G	0	-16	0	1	0	62	-4	1.00	1.20		1.20	-	1.00	0.95	-18	0	1	0	1	0	71	0	71	-4	0	-4
2	G1	Ostatní stálé - mostní vybavení	G	0	-2	0	0	0	6	0	1.00	1.20		1.20	-	1.00	0.95	-2	0	0	0	0	0	7	0	7	0	0	0
3	G2	Ostatní stálé - cizí zařízení	G	0	0	0	1	0	4	0	1.00	1.20		1.20	-	1.00	0.95	0	0	1	0	1	0	4	0	4	0	0	0
4	P1_71	a.LM71 - kolej 1 (bez dyn. souč.)	P	0	-54	3	-95	0	374	-4	1.00	1.30		1.30	-	2.00	1.00	-140	7	-248	0	-248	0	971	0	971	-10	5	-5
5	P2_71	a.LM71 - kolej 2 (bez dyn. souč.)	P	0	-54	-3	95	0	373	-4	1.00	1.30		1.30	-	2.00	1.00	-141	-7	248	0	248	0	971	0	971	-10	5	-5
6	P1_C3	TTZ C3 - kolej 1 (bez dyn. souč.)	P	0	-38	2	-59	0	252	-3	1.00	vyp.		0.00	-	1.00	0.00	0	0	0	0	0	0	0	0	0	0	0	0
7	P2_C3	TTZ C3 - kolej 2 (bez dyn. souč.)	P	0	-38	-2	59	0	252	-3	1.00	vyp.		0.00	-	1.00	0.00	0	0	0	0	0	0	0	0	0	0	0	0
8	BR	Brzdné a rozjezdové síly	P	0	-82	4	-2	0	9	-11	1.00	1.30		1.30	-	1.00	0.80	-85	4	-2	0	-2	0	9	0	9	-11	0	-11
9	S	Boční ráz	P	0	-1	-4	-12	0	0	0	1.00	1.30		1.30	-	1.00	0.40	-1	-2	-6	0	-6	0	0	0	0	0	0	0
10	CH	Chodci na lávkách	Q	0	1	0	5	0	-1	0	1.00	1.30		1.30	-	1.00	1.00	1	0	7	0	7	0	-1	0	-1	0	0	0
11	W	Vítr na konstrukci	Q	0	-3	-5	-63	0	-1	0	1.00	1.35		1.35	-	1.00	0.75	-3	-5	-64	0	-64	0	-1	0	-1	0	0	0
12	WP	Vítr na vozidla	Q	0	-3	-9	-52	0	-1	0	1.00	1.35		1.35	-	1.00	0.75	-3	-9	-52	0	-52	0	-1	0	-1	0	0	0
13	TR	Teplota rovnoměrná	Q	0	0	0	0	0	0	0	1.00	1.35		1.35	-	1.00	0.45	0	0	0	0	0	0	0	0	0	0	0	0
14	TN	Teplota nerovnoměrná	Q	0	-13	0	0	0	18	0	1.00	1.35		1.35	-	1.00	0.60	-10	0	0	0	0	0	14	0	14	0	0	0
15	FR	Třecí síly v ložiskách	Q	0	-5	0	0	0	0	0	1.00	1.20		1.20	-	1.00	1.00	-6	0	0	0	0	0	0	0	0	0	0	0
16	I	Imperfekce soustavy	Q	0	0	0	-11	0	0	0	1.00	1.20		1.20	-	1.00	1.00	0	0	-13	0	-13	0	0	0	0	0	0	0
27	ULS_LM	ULS - LM71 bez dynam	Q	0	-290	-12	-130	0	1 076	-29	1.00	vyp.	1	0.00	-	1.00	0.00	0	0	0	0	0	0	0	0	0	0	0	0
28	SLS_LM	SLS - LM71 bez dynam	Q	0	-217	-9	-97	0	826	-23	1.00	vyp.	1	0.00	-	1.00	0.00	0	0	0	0	0	0	0	0	0	0	0	0
29	ULS_C3	ULS - C3 bez dynam	Q	0	-249	-12	-130	0	759	-28	1.00	vyp.	1	0.00	-	1.00	0.00	0	0	0	0	0	0	0	0	0	0	0	0
30	SLS_C3	SLS - C3 bez dynam	Q	0	-186	-9	-97	0	582	-22	1.00	vyp.	1	0.00	-	1.00	0.00	0	0	0	0	0	0	0	0	0	0	0	0
		CELKEM - FÁZE PRŮŘEZU 0																-409	-13	-128	0	-128	0	2 045	0	2 045	-37	10	-27
		CELKEM - FÁZE PRŮŘEZU 1																0	0	0	0	0	0	0	0	0	0	0	0
		CELKEM - FÁZE PRŮŘEZU 2																0	0	0	0	0	0	0	0	0	0	0	0
		CELKEM - FÁZE PRŮŘEZU 3																0	0	0	0	0	0	0	0	0	0	0	0
		CELKEM - PRŮŘEZ																-409	-13	-128	0	-128	0			2 045			-27

Napětí od jednotlivých zatěžovacích stavů

SKUPINA ZATĚŽOVACÍCH STAVŮ

Č.	SKUP ZS	Popis ZS	Kat.	fáze prúř.	Posouzení normálového napětí — Účinek síly N: δ^*N_d [kN]	χ^*A [mm^2]	σ_n [MPa]	Účinek momentu My: $\delta^*M_{y,d}$ [kNm]	$\chi_{lt}{}^*W_{el,y}$ [mm^3]	σ_{my} [MPa]	Účinek momentu Mz: $\delta^*M_{z,d}$ [kNm]	$W_{el,z}$ [mm^3]	σ_{mz} [MPa]	σ_x [MPa]	Posouzení smykového napětí — Účinek kroutícího momentu Mx: $\kappa^*\delta^*M_{x,d}$ [kNm]	$W_{v,y}$ [mm^2]	$\tau_{x,y}$ [MPa]	$W_{v,z}$ [mm^2]	$\tau_{x,z}$ [MPa]	Účinek smykové síly Vy: $\delta^*V_{y,d}$ [kN]	$A_{v,y}$ [mm2]	$\tau_{v,y}$ [MPa]	$\tau_{v,y}$ [MPa]	Účinek smykové síly Vz: $\delta^*V_{z,d}$ [kN]	$A_{v,z}$ [mm2]	$\tau_{v,z}$ [MPa]	$\tau_{v,z}$ [MPa]
1	G0	Vlastní tíha OK	G	0	-18.3	3.18E+04	-0.6	70.7	-1.46E+07	-4.9	-4.1	1.07E+06	-3.8	-9.3	0.0E+00	-	-	-	-	-0.1	1.95E+04	0.0	0.0	0.8	7.33E+03	0.1	0.1
2	G1	Ostatní stálé - mostní vybavení	G	0	-1.8	3.18E+04	-0.1	7.4	-1.46E+07	-0.5	-0.3	1.07E+06	-0.3	-0.9	0.0E+00	-	-	-	-	0.0	1.95E+04	0.0	0.0	0.0	7.33E+03	0.0	0.0
3	G2	Ostatní stálé - cizí zařízení	G	0	0.0	3.18E+04	0.0	4.3	-1.46E+07	-0.3	-0.2	1.07E+06	-0.2	-0.5	0.0E+00	-	-	-	-	0.0	1.95E+04	0.0	0.0	1.5	7.33E+03	0.2	0.2
4	P1_71	a.LM71 - kolej 1 (bez dyn. souč.)	P	0	-140.1	3.18E+04	-4.4	971.1	-1.46E+07	-66.6	-5.0	1.07E+06	-4.6	-75.7	1.0E-01	-	-	-	-	7.4	1.95E+04	0.4	0.4	-247.7	7.33E+03	-33.8	-33.8
5	P2_71	a.LM71 - kolej 2 (bez dyn. souč.)	P	0	-140.7	3.18E+04	-4.4	970.9	-1.46E+07	-66.6	-5.0	1.07E+06	-4.6	-75.7	-1.0E-01	-	-	-	-	-7.4	1.95E+04	-0.4	-0.4	248.2	7.33E+03	33.9	33.9
6	P1_C3	TTZ C3 - kolej 1 (bez dyn. souč.)	P	0	0.0	3.18E+04	0.0	0.0	-1.46E+07	0.0	0.0	1.07E+06	0.0	0.0	0.0E+00	-	-	-	-	0.0	1.95E+04	0.0	0.0	0.0	7.33E+03	0.0	0.0
7	P2_C3	TTZ C3 - kolej 2 (bez dyn. souč.)	P	0	0.0	3.18E+04	0.0	0.0	-1.46E+07	0.0	0.0	1.07E+06	0.0	0.0	0.0E+00	-	-	-	-	0.0	1.95E+04	0.0	0.0	0.0	7.33E+03	0.0	0.0
8	BR	Brzdné a rozjezdové síly	P	0	-85.1	3.18E+04	-2.7	9.0	-1.46E+07	-0.6	-11.2	1.07E+06	-10.5	-13.8	0.0E+00	-	-	-	-	3.7	1.95E+04	0.2	0.2	-1.7	7.33E+03	-0.2	-0.2
9	S	Boční ráz	P	0	-0.6	3.18E+04	0.0	-0.2	-1.46E+07	0.0	0.0	1.07E+06	0.0	0.0	5.2E-03	-	-	-	-	-2.0	1.95E+04	-0.1	-0.1	-6.0	7.33E+03	-0.8	-0.8
10	CH	Chodci na lávkách	Q	0	0.7	3.18E+04	0.0	-0.9	-1.46E+07	0.1	-0.5	1.07E+06	-0.5	-0.4	0.0E+00	-	-	-	-	0.4	1.95E+04	0.0	0.0	6.9	7.33E+03	0.9	0.9
11	W	Vítr na konstrukci	Q	0	-3.0	3.18E+04	-0.1	-0.7	-1.46E+07	0.0	0.0	1.07E+06	0.0	0.0	2.0E-02	-	-	-	-	-5.2	1.95E+04	-0.3	-0.3	-64.2	7.33E+03	-8.8	-8.8
12	WP	Vítr na vozidla	Q	0	-3.3	3.18E+04	-0.1	-1.0	-1.46E+07	0.1	0.0	1.07E+06	0.0	0.0	2.0E-02	-	-	-	-	-9.3	1.95E+04	-0.5	-0.5	-52.5	7.33E+03	-7.2	-7.2
13	TR	Teplota rovnoměrná	Q	0	0.0	3.18E+04	0.0	0.0	-1.46E+07	0.0	0.0	1.07E+06	0.0	0.0	0.0E+00	-	-	-	-	0.0	1.95E+04	0.0	0.0	0.0	7.33E+03	0.0	0.0
14	TN	Teplota nerovnoměrná	Q	0	-10.5	3.18E+04	-0.3	14.2	-1.46E+07	-1.0	0.1	1.07E+06	0.1	-1.2	0.0E+00	-	-	-	-	0.0	1.95E+04	0.0	0.0	-0.1	7.33E+03	0.0	0.0
15	FR	Třecí síly v ložiskách	Q	0	-5.8	3.18E+04	-0.2	0.1	-1.46E+07	0.0	-0.4	1.07E+06	-0.4	-0.6	0.0E+00	-	-	-	-	0.0	1.95E+04	0.0	0.0	0.0	7.33E+03	0.0	0.0
16	I	Imperfekce soustavy	Q	0	-0.3	3.18E+04	0.0	-0.1	-1.46E+07	0.0	0.0	1.07E+06	0.0	0.0	0.0E+00	-	-	-	-	-0.3	1.95E+04	0.0	0.0	-13.2	7.33E+03	-1.8	-1.8
27	ULS_LM	ULS - LM71 bez dynam	Q	0	0.0	3.18E+04	0.0	0.0	-1.46E+07	0.0	0.0	1.07E+06	0.0	0.0	0.0E+00	-	-	-	-	0.0	1.95E+04	0.0	0.0	0.0	7.33E+03	0.0	0.0
28	SLS_LM	SLS - LM71 bez dynam	Q	0	0.0	3.18E+04	0.0	0.0	-1.46E+07	0.0	0.0	1.07E+06	0.0	0.0	0.0E+00	-	-	-	-	0.0	1.95E+04	0.0	0.0	0.0	7.33E+03	0.0	0.0
29	ULS_C3	ULS - C3 bez dynam	Q	0	0.0	3.18E+04	0.0	0.0	-1.46E+07	0.0	0.0	1.07E+06	0.0	0.0	0.0E+00	-	-	-	-	0.0	1.95E+04	0.0	0.0	0.0	7.33E+03	0.0	0.0
30	SLS_C3	SLS - C3 bez dynam	Q	0	0.0	3.18E+04	0.0	0.0	-1.46E+07	0.0	0.0	1.07E+06	0.0	0.0	0.0E+00	-	-	-	-	0.0	1.95E+04	0.0	0.0	0.0	7.33E+03	0.0	0.0
		NAVÝŠENÍ NAPĚTÍ DO AKTIVACE TLAKU V DESCE MOSTOVKY				$\sigma_{P,red}$	0.0							0.0			0.0		0.0				-0.7	-0.7			-17.4	-17.4
		NAPĚTÍ OD PRIMÁRNÍCH ÚČINKŮ NEROVNOMĚRNÉHO OTEPLENÍ				σ_T	0.0							0.0														
		NAPĚTÍ OD REOLOGICKÝCH ÚČINKŮ BETONU V ČASE		t=0		σ_R	0.0	γ_f=	1.20					0.0														
		NAPĚTÍ V KRITICKÝCH VLÁKNECH OD KOMBINACE ZATÍŽENÍ				KZ03		[MPa]					$\Sigma\sigma_x$	-178.0									$\Sigma\tau_y$	-0.7			$\Sigma\tau_z$	-17.4
		NAPĚTÍ OD POHYBLIVÉHO ZATÍŽENÍ						[MPa]					$\sigma_{x,P}$	-165.1										0.1			τ_P	-1.0
		NAPĚTÍ OD OSTATNÍCH ZATÍŽENÍ						[MPa]			Φ_{Vy}	Φ_{Vz}	$\sigma_{x,rs}$	-12.9									τ_{rs}	-0.7			τ_{rs}	-16.5
		NÁVRHOVÁ HODNOTA MEZE KLUZU S REDUKCÍ VLIVEM SMYKOVÉHO NAPĚTÍ						[MPa]			1.00	1.00	$f_{yw,d}$	209.1									$f_{yd}/3^{0,5}$	120.7			$f_{yd}/3^{0,5}$	120.7
		NAPĚTÍ OD POHYBLIVÉHO ZATÍŽENÍ V GLOBÁLNÍM SYSTÉMU				$\sigma_{GLOB,P}$	0.0	[MPa]					$\Sigma\sigma_{GLOB}$	0.0														
		NAPĚTÍ OD OSTATNÍCH ZATÍŽENÍ V GLOBÁLNÍM SYSTÉMU				$\sigma_{GLOB,rs}$	0.0	[MPa]					$\Sigma\sigma_x + \Sigma\sigma_{GLOB}$	-178.0														
		VYUŽITÍ PRŮŘEZU DLE NAPĚTÍ						[%]					η_1	0.85									η_3	0.01			η_3	0.14
		NAPĚTÍ V PŘÍČNÉM SMĚRU OD POHYBLIVÉHO ZATÍŽENÍ				$\sigma_{z,P}$	0.0	[MPa]					$\Sigma\sigma_z$	0.0														
		NAPĚTÍ V PŘÍČNÉM SMĚRU OD OSTATNÍCH ZATÍŽENÍ				$\sigma_{z,rs}$	0.0	[MPa]					η_2	0.00														
		SROVNÁVACÍ NAPĚTÍ											$(\eta 2 + 0{,}8\,\eta 1)/1{,}4$ =	0.49														
		VYUŽITÍ PRŮŘEZU CELKEM						[%]					eff	0.85	VYHOVUJE													
		STANOVENÍ ZATÍŽITELNOSTI											Z_{LM71} =	1.19														

TAB. P0.3.3 POSOUZENÍ - MEZNÍ STAV ÚNOSNOSTI

POPIS	PŘÍČNÍK P0 - STŘED
PRUT / POLOHA BODU	709 / I[584]
NAMÁHÁNÍ	My.max
VLÁKNO	BOD K3 -SL
MEZNÍ STAV	ULS (MSÚ)
VYUŽITÍ VLÁKNA PRŮŘEZU	0.86

Charakteristiky materiálu				
pás. horní	$f_{yf,k}$	230	MPa	
pás. dolní	$f_{yf,k}$	230	MPa	
stojina	$f_{yw,k}$	230	MPa	
výztuž	$f_{ys,k}$	500	MPa	
γ_M =	1.10	γ_s =	1.15	

Excentricita normálové síly				
Exc./Fáze	0	1	2	3
e_y	0.000	0.000	0.000	0.000
e_z	0.000	0.000	0.000	0.000
Ekvivalentní vzdál. stěn - příčný roznos				
b_{Mx}	0.000	0.000	0.000	0.000

Vliv stěny na únosnost průřezu				
Char./Fáze	0	1	2	3
A	0.25	0.00	0.00	0.00
Wy	0.16	0.00	0.00	0.00
Wz	0.03	0.00	0.00	0.00

Charakter. v kroucení			
$t_{w,y}$	0.000	[mm]	
$t_{w,z}$	0.000	[mm]	
κ	1.00		
I_t=	0.00E+00	[mm^4]	
Ω=2*A_{pz}	0.00E+00	[mm^2]	

Součinitele vzpěru a vlivu II.řádu					
Char./Fáze	0	1	2	3
k_y	1.000	1.000	1.000	1.000
k_z	1.000	1.000	1.000	1.000
χ_{LT}	1.000	1.000	1.000	1.000
χ_{min}	1.000	1.000	1.000	1.000

δ_{LOK} 1.00

Vnitřní síly od jednotlivých skupin zatěžovacích stavů

SKUPINA ZATĚŽOVACÍCH STAVŮ — 3

Č.	SKUP ZS	POPIS ZS	KAT.	FÁZE PRŮŘ.	- CHARAKTERISTICKÉ HODNOTY N,k (kN)	Vy,k (kN)	Vz,k (kN)	Mx,k (kNm)	My,k (kNm)	Mz,k (kNm)	DÍLČÍ SOUČINITELÉ ZATÍŽENÍ, DYNAMICKÝ SOUČINITEL γ_{sr} (-)	γ_{fs} (-)	volba γ_f hledat	γ_f (-)	L_d (m)	δ (-)	Ψ_s KZ03	- NÁVRHOVÉ HODNOTY N,d (kN)	Vy,d (kN)	Vz,d (kN)	ΔVz,d (kN)	ΣVz,d (kN)	Mx,d (kNm)	My,d (kNm)	ΔMy,d (kNm)	ΣMy,d (kNm)	Mz,d (kNm)	ΔMz,d (kNm)	ΣMz,d (kNm)
1	G0	Vlastní tíha OK	G	0	-16	0	1	0	62	-4	1.00	1.20		1.20	-	1.00	0.95	-18	0	1	0	1	0	71	0	71	-4	0	-4
2	G1	Ostatní stálé - mostní vybavení	G	0	-2	0	0	0	6	0	1.00	1.20		1.20	-	1.00	0.95	-2	0	0	0	0	0	7	0	7	0	0	0
3	G2	Ostatní stálé - cizí zařízení	G	0	0	0	1	0	4	0	1.00	1.20		1.20	-	1.00	0.95	0	0	1	0	1	0	4	0	4	0	0	0
4	P1_71	a.LM71 - kolej 1 (bez dyn. souč.)	P	0	-47	2	-97	0	376	-4	1.00	1.30		1.30	-	2.00	1.00	-123	6	-252	0	-252	0	977	0	977	-10	5	-5
5	P2_71	a.LM71 - kolej 2 (bez dyn. souč.)	P	0	-47	-3	97	0	376	-4	1.00	1.30		1.30	-	2.00	1.00	-123	-7	252	0	252	0	976	0	976	-10	5	-5
6	P1_C3	TTZ C3 - kolej 1 (bez dyn. souč.)	P	0	-34	2	-60	0	252	-3	1.00	vyp.		0.00	-	1.00	0.00	0	0	0	0	0	0	0	0	0	0	0	0
7	P2_C3	TTZ C3 - kolej 2 (bez dyn. souč.)	P	0	-34	-2	60	0	252	-3	1.00	vyp.		0.00	-	1.00	0.00	0	0	0	0	0	0	0	0	0	0	0	0
8	BR	Brzdné a rozjezdové síly	P	0	-82	-4	2	0	9	-11	1.00	1.30		1.30	-	1.00	0.80	-85	-4	2	0	2	0	9	0	9	-11	0	-11
9	S	Boční ráz	P	0	1	4	12	0	0	0	1.00	1.30		1.30	-	1.00	0.40	1	2	6	0	6	0	0	0	0	0	0	0
10	CH	Chodci na lávkách	Q	0	1	0	5	0	-1	0	1.00	1.30		1.30	-	1.00	1.00	1	0	7	0	7	0	-1	0	-1	0	0	0
11	W	Vítr na konstrukci	Q	0	2	5	63	0	1	0	1.00	1.35		1.35	-	1.00	0.75	2	5	64	0	64	0	1	0	1	0	0	0
12	WP	Vítr na vozidla	Q	0	-3	-9	-52	0	-1	0	1.00	-1.35		-1.35	-	1.00	0.75	3	9	52	0	52	0	1	0	1	0	0	0
13	TR	Teplota rovnoměrná	Q	0	0	0	0	0	0	0	1.00	1.35		1.35	-	1.00	0.45	0	0	0	0	0	0	0	0	0	0	0	0
14	TN	Teplota nerovnoměrná	Q	0	-13	0	0	0	18	0	1.00	1.35		1.35	-	1.00	0.60	-10	0	0	0	0	0	14	0	14	0	0	0
15	FR	Třecí síly v ložiskách	Q	0	-5	0	0	0	0	0	1.00	1.20		1.20	-	1.00	1.00	-6	0	0	0	0	0	0	0	0	0	0	0
16	I	Imperfekce soustavy	Q	0	0	0	11	0	0	0	1.00	1.20		1.20	-	1.00	1.00	0	0	13	0	13	0	0	0	0	0	0	0
27	ULS_LM	ULS - LM71 bez dynam	Q	0	-265	-6	44	0	1 084	-30	1.00	vyp.		0.00	-	1.00	0.00	0	0	0	0	0	0	0	0	0	0	0	0
28	SLS_LM	SLS - LM71 bez dynam	Q	0	-198	-4	35	0	832	-23	1.00	vyp.	1	0.00	-	1.00	0.00	0	0	0	0	0	0	0	0	0	0	0	0
29	ULS_C3	ULS - C3 bez dynam	Q	0	-230	-6	44	0	763	-28	1.00	vyp.	1	0.00	-	1.00	0.00	0	0	0	0	0	0	0	0	0	0	0	0
30	SLS_C3	SLS - C3 bez dynam	Q	0	-171	-4	35	0	585	-22	1.00	vyp.	1	0.00	-	1.00	0.00	0	0	0	0	0	0	0	0	0	0	0	0
		CELKEM - FÁZE PRŮŘEZU 0			-360	13	147	0	2 060	-37								-360	13	147	0	147	0	2 060	0	2 060	-37	10	-27
		CELKEM - FÁZE PRŮŘEZU 1																0	0	0	0	0	0	0	0	0	0	0	0
		CELKEM - FÁZE PRŮŘEZU 2																0	0	0	0	0	0	0	0	0	0	0	0
		CELKEM - FÁZE PRŮŘEZU 3																0	0	0	0	0	0	0	0	0	0	0	0
		CELKEM - PRŮŘEZ																-360	13	147	0	147	0			2 060			-27

Napětí od jednotlivých zatěžovacích stavů

SKUPINA ZATĚŽOVACÍCH STAVŮ

Č.	SKUP ZS	Popis ZS	Kat.	fáze průř.	Posouzení normálového napětí — Účinek síly N: δ^*N_d [kN]	χ^*A [mm^2]	σ_n [MPa]	Účinek momentu My: $\delta^*M_{y,d}$ [kNm]	$\chi_{lt}{}^*W_{el,y}$ [mm^3]	σ_{my} [MPa]	Účinek momentu Mz: $\delta^*M_{z,d}$ [kNm]	$W_{el,z}$ [mm^3]	σ_{mz} [MPa]	σ_x [MPa]	Posouzení smykového napětí — Účinek kroutícího momentu Mx: $\kappa^*\delta^*M_{x,d}$ [kNm]	$W_{v,y}$ [mm^2]	$\tau_{x,y}$ [MPa]	$W_{v,z}$ [mm^2]	$\tau_{x,z}$ [MPa]	Účinek smykové síly Vy: $\delta^*V_{y,d}$ [kN]	$A_{v,y}$ [mm2]	$\tau_{v,y}$ [MPa]	$\tau_{v,y}$ [MPa]	Účinek smykové síly Vz: $\delta^*V_{z,d}$ [kN]	$A_{v,z}$ [mm2]	$\tau_{v,z}$ [MPa]	$\tau_{v,z}$ [MPa]
1	G0	Vlastní tíha OK	G	0	-18.3	3.18E+04	-0.6	70.7	1.25E+07	5.7	-4.1	-1.07E+06	3.8	8.9	0.0E+00	-	-	-	-	-0.1	1.95E+04	0.0	0.0	0.8	7.33E+03	0.1	0.1
2	G1	Ostatní stálé - mostní vybavení	G	0	-1.8	3.18E+04	-0.1	7.4	1.25E+07	0.6	-0.3	-1.07E+06	0.3	0.8	0.0E+00	-	-	-	-	0.0	1.95E+04	0.0	0.0	0.0	7.33E+03	0.0	0.0
3	G2	Ostatní stálé - cizí zařízení	G	0	0.0	3.18E+04	0.0	4.3	1.25E+07	0.3	-0.2	-1.07E+06	0.2	0.6	0.0E+00	-	-	-	-	0.0	1.95E+04	0.0	0.0	1.5	7.33E+03	0.2	0.2
4	P1_71	a.LM71 - kolej 1 (bez dyn. souč.)	P	0	-122.6	3.18E+04	-3.9	976.6	1.25E+07	78.4	-5.0	-1.07E+06	4.7	79.2	1.3E-01	-	-	-	-	6.5	1.95E+04	0.3	0.3	-252.0	7.33E+03	-34.4	-34.4
5	P2_71	a.LM71 - kolej 2 (bez dyn. souč.)	P	0	-123.2	3.18E+04	-3.9	976.4	1.25E+07	78.4	-5.0	-1.07E+06	4.7	79.2	-1.3E-01	-	-	-	-	-6.5	1.95E+04	-0.3	-0.3	252.4	7.33E+03	34.4	34.4
6	P1_C3	TTZ C3 - kolej 1 (bez dyn. souč.)	P	0	0.0	3.18E+04	0.0	0.0	1.25E+07	0.0	0.0	-1.07E+06	0.0	0.0	0.0E+00	-	-	-	-	0.0	1.95E+04	0.0	0.0	0.0	7.33E+03	0.0	0.0
7	P2_C3	TTZ C3 - kolej 2 (bez dyn. souč.)	P	0	0.0	3.18E+04	0.0	0.0	1.25E+07	0.0	0.0	-1.07E+06	0.0	0.0	0.0E+00	-	-	-	-	0.0	1.95E+04	0.0	0.0	0.0	7.33E+03	0.0	0.0
8	BR	Brzdné a rozjezdové síly	P	0	-84.9	3.18E+04	-2.7	9.0	1.25E+07	0.7	-11.2	-1.07E+06	10.5	8.6	0.0E+00	-	-	-	-	-3.7	1.95E+04	-0.2	-0.2	1.7	7.33E+03	0.2	0.2
9	S	Boční ráz	P	0	0.6	3.18E+04	0.0	0.2	1.25E+07	0.0	0.0	-1.07E+06	0.0	0.0	-5.2E-03	-	-	-	-	2.0	1.95E+04	0.1	0.1	6.0	7.33E+03	0.8	0.8
10	CH	Chodci na lávkách	Q	0	0.7	3.18E+04	0.0	-0.9	1.25E+07	-0.1	-0.5	-1.07E+06	0.5	0.4	0.0E+00	-	-	-	-	0.4	1.95E+04	0.0	0.0	6.9	7.33E+03	0.9	0.9
11	W	Vítr na konstrukci	Q	0	2.0	3.18E+04	0.1	0.7	1.25E+07	0.1	0.0	-1.07E+06	0.0	0.1	-2.0E-02	-	-	-	-	5.2	1.95E+04	0.3	0.3	64.2	7.33E+03	8.8	8.8
12	WP	Vítr na vozidla	Q	0	3.3	3.18E+04	0.1	1.0	1.25E+07	0.1	0.0	-1.07E+06	0.0	0.2	-2.0E-02	-	-	-	-	9.3	1.95E+04	0.5	0.5	52.5	7.33E+03	7.2	7.2
13	TR	Teplota rovnoměrná	Q	0	0.0	3.18E+04	0.0	0.0	1.25E+07	0.0	0.0	-1.07E+06	0.0	0.0	0.0E+00	-	-	-	-	0.0	1.95E+04	0.0	0.0	0.0	7.33E+03	0.0	0.0
14	TN	Teplota nerovnoměrná	Q	0	-10.5	3.18E+04	-0.3	14.2	1.25E+07	1.1	0.1	-1.07E+06	-0.1	0.7	0.0E+00	-	-	-	-	0.0	1.95E+04	0.0	0.0	-0.1	7.33E+03	0.0	0.0
15	FR	Třecí síly v ložiskách	Q	0	-5.8	3.18E+04	-0.2	0.1	1.25E+07	0.0	-0.4	-1.07E+06	0.4	0.2	0.0E+00	-	-	-	-	0.0	1.95E+04	0.0	0.0	0.0	7.33E+03	0.0	0.0
16	I	Imperfekce soustavy	Q	0	0.3	3.18E+04	0.0	0.1	1.25E+07	0.0	0.0	-1.07E+06	0.0	0.0	0.0E+00	-	-	-	-	0.3	1.95E+04	0.0	0.0	13.2	7.33E+03	1.8	1.8
27	ULS_LM	ULS - LM71 bez dynam	Q	0	0.0	3.18E+04	0.0	0.0	1.25E+07	0.0	0.0	-1.07E+06	0.0	0.0	0.0E+00	-	-	-	-	0.0	1.95E+04	0.0	0.0	0.0	7.33E+03	0.0	0.0
28	SLS_LM	SLS - LM71 bez dynam	Q	0	0.0	3.18E+04	0.0	0.0	1.25E+07	0.0	0.0	-1.07E+06	0.0	0.0	0.0E+00	-	-	-	-	0.0	1.95E+04	0.0	0.0	0.0	7.33E+03	0.0	0.0
29	ULS_C3	ULS - C3 bez dynam	Q	0	0.0	3.18E+04	0.0	0.0	1.25E+07	0.0	0.0	-1.07E+06	0.0	0.0	0.0E+00	-	-	-	-	0.0	1.95E+04	0.0	0.0	0.0	7.33E+03	0.0	0.0
30	SLS_C3	SLS - C3 bez dynam	Q	0	0.0	3.18E+04	0.0	0.0	1.25E+07	0.0	0.0	-1.07E+06	0.0	0.0	0.0E+00	-	-	-	-	0.0	1.95E+04	0.0	0.0	0.0	7.33E+03	0.0	0.0
NAVÝŠENÍ NAPĚTÍ DO AKTIVACE TLAKU V DESCE MOSTOVKY						$\sigma_{P,red}$	0.0							0.0			0.0		0.0				0.7	0.7			20.1	20.1
NAPĚTÍ OD PRIMÁRNÍCH ÚČINKŮ NEROVNOMĚRNÉHO OTEPLENÍ						σ_T	0.0							0.0														
NAPĚTÍ OD REOLOGICKÝCH ÚČINKŮ BETONU V ČASE			t=0			σ_R	0.0	γ_f=	1.20					0.0														
NAPĚTÍ V KRITICKÝCH VLÁKNECH OD KOMBINACE ZATÍŽENÍ						KZ03		[MPa]					$\Sigma\sigma_x$	179.0								$\Sigma\tau_y$	0.7			$\Sigma\tau_z$	20.1	
NAPĚTÍ OD POHYBLIVÉHO ZATÍŽENÍ								[MPa]					$\sigma_{x,P}$	167.0								τ_P	-0.1			τ_P	1.1	
NAPĚTÍ OD OSTATNÍCH ZATÍŽENÍ								[MPa]			Φ_{Vy}	Φ_{Vz}	$\sigma_{x,rs}$	12.0								τ_{rs}	0.8			τ_{rs}	19.0	
NÁVRHOVÁ HODNOTA MEZE KLUZU S REDUKCÍ VLIVEM SMYKOVÉHO NAPĚTÍ								[MPa]			1.00	1.00	$f_{yw,d}$	209.1								$f_{yd}/3^{0,5}$	120.7			$f_{yd}/3^{0,5}$	120.7	
NAPĚTÍ OD POHYBLIVÉHO ZATÍŽENÍ V GLOBÁLNÍM SYSTÉMU						$\sigma_{GLOB,P}$	0.0	[MPa]					$\Sigma\sigma_{GLOB}$	0.0														
NAPĚTÍ OD OSTATNÍCH ZATÍŽENÍ V GLOBÁLNÍM SYSTÉMU						$\sigma_{GLOB,rs}$	0.0	[MPa]					$\Sigma\sigma_x + \Sigma\sigma_{GLOB}$	179.0														
VYUŽITÍ PRŮŘEZU DLE NAPĚTÍ								[%]					η_1	0.86								η_3	0.01			η_3	0.17	
NAPĚTÍ V PŘÍČNÉM SMĚRU OD POHYBLIVÉHO ZATÍŽENÍ						$\sigma_{z,P}$	0.0	[MPa]					$\Sigma\sigma_z$	0.0														
NAPĚTÍ V PŘÍČNÉM SMĚRU OD OSTATNÍCH ZATÍŽENÍ						$\sigma_{z,rs}$	0.0	[MPa]					η_2	0.00														
SROVNÁVACÍ NAPĚTÍ													$(\eta 2 + 0{,}8\,\eta 1)/1{,}4$ =	0.49														
VYUŽITÍ PRŮŘEZU CELKEM								[%]					eff	0.86	VYHOVUJE													
STANOVENÍ ZATÍŽITELNOSTI													Z_{LM71} =	1.18														

TAB. P0.3.3 POSOUZENÍ - MEZNÍ STAV ÚNOSNOSTI

POPIS	PŘÍČNÍK P0 - STŘED
PRUT / POLOHA BODU	709 / I[584]
NAMÁHÁNÍ	Vz.max
VLÁKNO	BOD S6 -HP
MEZNÍ STAV	ULS (MSÚ)
VYUŽITÍ VLÁKNA PRŮŘEZU	0.63

Charakteristiky materiálu				
pás. horní	$f_{yf,k}$	230	MPa	
pás. dolní	$f_{yf,k}$	230	MPa	
stojina	$f_{yw,k}$	230	MPa	
výztuž	$f_{ys,k}$	500	MPa	
γ_M =	1.10	γ_s =	1.15	

Excentricita normálové síly				
Exc./Fáze	0	1	2	3
e_y	0.000	0.000	0.000	0.000
e_z	0.000	0.000	0.000	0.000
Ekvivalentní vzdál. stěn - příčný roznos				
b_{Mx}	0.000	0.000	0.000	0.000

Vliv stěny na únosnost průřezu				
Char./Fáze	0	1	2	3
A	0.25	0.00	0.00	0.00
Wy	0.16	0.00	0.00	0.00
Wz	0.00	0.00	0.00	0.00

Charakter. v kroucení			
$t_{w,y}$	0.000	[mm]	
$t_{w,z}$	0.000	[mm]	
κ	1.00		
I_t=	0.00E+00	[mm^4]	
Ω=2*A_{pr}	0.00E+00	[mm^2]	

Součinitele vzpěru a vlivu II.řádu				
Char./Fáze	0	1	2	3
k_y	1.000	1.000	1.000	1.000
k_z	1.000	1.000	1.000	1.000
χ_{LT}	1.000	1.000	1.000	1.000
χ_{min}	1.000	1.000	1.000	1.000

δ_{LOK} 1.00

Vnitřní síly od jednotlivých skupin zatěžovacích stavů

SKUPINA ZATĚŽOVACÍCH STAVŮ — 4

Č.	SKUP ZS	POPIS ZS	KAT.	FÁZE PRŮŘ.	- CHARAKTERISTICKÉ HODNOTY N.k (kN)	Vy.k (kN)	Vz.k (kN)	Mx.k (kNm)	My.k (kNm)	Mz.k (kNm)	DÍLČÍ SOUČINITELÉ ZATÍŽENÍ, DYNAMICKÝ SOUČINITEL γ_{sr} (-)	γ_{fs} (-)	volba γ_f hledat	γ_f (-)	L_d (m)	δ (-)	Ψ_s KZ04	- NÁVRHOVÉ HODNOTY N.d (kN)	Vy.d (kN)	Vz.d (kN)	ΔVz.d (kN)	ΣVz.d (kN)	Mx.d (kNm)	My.d (kNm)	ΔMy.d (kNm)	ΣMy.d (kNm)	Mz.d (kNm)	ΔMz.d (kNm)	ΣMz.d (kNm)
1	G0	Vlastní tíha OK	G	0	-16	0	1	0	62	-4	1.00	1.20		1.20	-	1.00	0.95	-18	0	1	0	1	0	71	0	71	-4	0	-4
2	G1	Ostatní stálé - mostní vybavení	G	0	-2	0	0	0	6	0	1.00	1.20		1.20	-	1.00	0.95	-2	0	0	0	0	0	7	0	7	0	0	0
3	G2	Ostatní stálé - cizí zařízení	G	0	0	0	1	0	4	0	1.00	1.20		1.20	-	1.00	0.95	0	0	1	0	1	0	4	0	4	0	0	0
4	P1_71	a.LM71 - kolej 1 (bez dyn. souč.)	P	0	-25	3	29	0	19	-4	1.00	1.30		1.30	-	2.00	1.00	-65	8	76	0	76	0	50	0	50	-9	5	-5
5	P2_71	a.LM71 - kolej 2 (bez dyn. souč.)	P	0	-27	0	119	0	352	-1	1.00	1.30		1.30	-	2.00	1.00	-70	0	310	0	310	0	916	0	916	-2	1	-1
6	P1_C3	TTZ C3 - kolej 1 (bez dyn. souč.)	P	0	-24	3	24	0	16	-3	1.00	vyp.		0.00	-	1.00	0.00	0	0	0	0	0	0	0	0	0	0	0	0
7	P2_C3	TTZ C3 - kolej 2 (bez dyn. souč.)	P	0	-16	0	81	0	234	0	1.00	vyp.		0.00	-	1.00	0.00	0	0	0	0	0	0	0	0	0	0	0	0
8	BR	Brzdné a rozjezdové síly	P	0	68	6	2	0	-6	8	1.00	1.30		1.30	-	1.00	0.40	35	3	1	0	1	0	-3	0	-3	4	0	4
9	S	Boční ráz	P	0	1	4	12	0	0	0	1.00	1.30		1.30	-	1.00	0.80	1	4	12	0	12	0	0	0	0	0	0	0
10	CH	Chodci na lávkách	Q	0	1	0	5	0	-1	0	1.00	1.30		1.30	-	1.00	1.00	1	0	7	0	7	0	-1	0	-1	0	0	0
11	W	Vítr na konstrukci	Q	0	2	5	63	0	1	0	1.00	1.35		1.35	-	1.00	0.75	2	5	64	0	64	0	1	0	1	0	0	0
12	WP	Vítr na vozidla	Q	0	0	9	53	0	-2	0	1.00	1.35		1.35	-	1.00	0.75	0	9	53	0	53	0	-2	0	-2	0	0	0
13	TR	Teplota rovnoměrná	Q	0	0	0	0	0	0	0	1.00	1.35		1.35	-	1.00	0.45	0	0	0	0	0	0	0	0	0	0	0	0
14	TN	Teplota nerovnoměrná	Q	0	1	0	24	0	-14	0	1.00	1.35		1.35	-	1.00	0.60	1	0	19	0	19	0	-11	0	-11	0	0	0
15	FR	Třecí síly v ložiskách	Q	0	5	0	0	0	0	0	1.00	1.20		1.20	-	1.00	1.00	6	0	0	0	0	0	0	0	0	0	0	0
16	I	Imperfekce soustavy	Q	0	0	0	11	0	0	0	1.00	1.20		1.20	-	1.00	1.00	0	0	13	0	13	0	0	0	0	0	0	0
27	ULS_LM	ULS - LM71 bez dynam	Q	0	-31	27	369	0	548	-5	1.00	vyp.		0.00	-	1.00	0.00	0	0	0	0	0	0	0	0	0	0	0	0
28	SLS_LM	SLS - LM71 bez dynam	Q	0	-27	21	266	0	439	-4	1.00	vyp.	1	0.00	-	1.00	0.00	0	0	0	0	0	0	0	0	0	0	0	0
29	ULS_C3	ULS - C3 bez dynam	Q	0	-15	27	311	0	390	-3	1.00	vyp.	1	0.00	-	1.00	0.00	0	0	0	0	0	0	0	0	0	0	0	0
30	SLS_C3	SLS - C3 bez dynam	Q	0	-14	20	222	0	318	-3	1.00	vyp.	1	0.00	-	1.00	0.00	0	0	0	0	0	0	0	0	0	0	0	0
		CELKEM - FÁZE PRŮŘEZU 0			-108	29	558	0	1 032	-11								-108	29	558	0	558	0	1 032	0	1 032	-11	5	-6
		CELKEM - FÁZE PRŮŘEZU 1			0	0	0	0	0	0								0	0	0	0	0	0	0	0	0	0	0	0
		CELKEM - FÁZE PRŮŘEZU 2			0	0	0	0	0	0								0	0	0	0	0	0	0	0	0	0	0	0
		CELKEM - FÁZE PRŮŘEZU 3			0	0	0	0	0	0								0	0	0	0	0	0	0	0	0	0	0	0
		CELKEM - PRŮŘEZ			-108	29	558	0										-108	29	558	0	558	0			1 032			-6

Napětí od jednotlivých zatěžovacích stavů

SKUPINA ZATĚŽOVACÍCH STAVŮ

Č.	SKUP ZS	Popis ZS	Kat.	fáze prúř.	Posouzení normálového napětí — Účinek síly N δ^*N_d [kN]	χ^*A [mm^2]	σ_n [MPa]	Účinek momentu My $\delta^*M_{y,d}$ [kNm]	$\chi_{lt}{}^*W_{el,y}$ [mm^3]	σ_{my} [MPa]	Účinek momentu Mz $\delta^*M_{z,d}$ [kNm]	$W_{el,z}$ [mm^3]	σ_{mz} [MPa]	σ_x [MPa]	Posouzení smykového napětí — Účinek kroutícího momentu Mx $\kappa^*\delta^*M_{x,d}$ [kNm]	$W_{v,y}$ [mm^2]	$\tau_{x,y}$ [MPa]	$W_{v,z}$ [mm^2]	$\tau_{x,z}$ [MPa]	Účinek smykové síly Vy $\delta^*V_{y,d}$ [kN]	$A_{v,y}$ [mm2]	$\tau_{v,y}$ [MPa]	$\tau_{v,y}$ [MPa]	Účinek smykové síly Vz $\delta^*V_{z,d}$ [kN]	$A_{v,z}$ [mm2]	$\tau_{v,z}$ [MPa]	$\tau_{v,z}$ [MPa]
1	G0	Vlastní tíha OK	G	0	-18.3	3.13E+04	-0.6	70.7	1.28E+07	5.5	-4.1	-3.29E+07	0.1	5.1	0.0E+00	-	-	-	-	-0.1	1.95E+04	0.0	0.0	0.8	7.33E+03	0.1	0.1
2	G1	Ostatní stálé - mostní vybavení	G	0	-1.8	3.13E+04	-0.1	7.4	1.28E+07	0.6	-0.3	-3.29E+07	0.0	0.5	0.0E+00	-	-	-	-	0.0	1.95E+04	0.0	0.0	0.0	7.33E+03	0.0	0.0
3	G2	Ostatní stálé - cizí zařízení	G	0	0.0	3.13E+04	0.0	4.3	1.28E+07	0.3	-0.2	-3.29E+07	0.0	0.3	0.0E+00	-	-	-	-	0.0	1.95E+04	0.0	0.0	1.5	7.33E+03	0.2	0.2
4	P1_71	a.LM71 - kolej 1 (bez dyn. souč.)	P	0	-64.6	3.13E+04	-2.1	49.9	1.28E+07	3.9	-4.6	-3.29E+07	0.1	2.0	-7.8E-02	-	-	-	-	7.8	1.95E+04	0.4	0.4	75.9	7.33E+03	10.4	10.4
5	P2_71	a.LM71 - kolej 2 (bez dyn. souč.)	P	0	-69.6	3.13E+04	-2.2	915.9	1.28E+07	71.8	-0.8	-3.29E+07	0.0	69.6	-1.8E-01	-	-	-	-	-0.3	1.95E+04	0.0	0.0	309.7	7.33E+03	42.2	42.2
6	P1_C3	TTZ C3 - kolej 1 (bez dyn. souč.)	P	0	0.0	3.13E+04	0.0	0.0	1.28E+07	0.0	0.0	-3.29E+07	0.0	0.0	0.0E+00	-	-	-	-	0.0	1.95E+04	0.0	0.0	0.0	7.33E+03	0.0	0.0
7	P2_C3	TTZ C3 - kolej 2 (bez dyn. souč.)	P	0	0.0	3.13E+04	0.0	0.0	1.28E+07	0.0	0.0	-3.29E+07	0.0	0.0	0.0E+00	-	-	-	-	0.0	1.95E+04	0.0	0.0	0.0	7.33E+03	0.0	0.0
8	BR	Brzdné a rozjezdové síly	P	0	35.4	3.13E+04	1.1	-3.2	1.28E+07	-0.3	4.3	-3.29E+07	-0.1	0.7	0.0E+00	-	-	-	-	2.9	1.95E+04	0.1	0.1	1.2	7.33E+03	0.2	0.2
9	S	Boční ráz	P	0	1.2	3.13E+04	0.0	0.4	1.28E+07	0.0	0.0	-3.29E+07	0.0	0.1	-1.0E-02	-	-	-	-	4.0	1.95E+04	0.2	0.2	12.1	7.33E+03	1.6	1.6
10	CH	Chodci na lávkách	Q	0	0.7	3.13E+04	0.0	-0.9	1.28E+07	-0.1	-0.5	-3.29E+07	0.0	0.0	0.0E+00	-	-	-	-	0.4	1.95E+04	0.0	0.0	6.9	7.33E+03	0.9	0.9
11	W	Vítr na konstrukci	Q	0	2.0	3.13E+04	0.1	0.7	1.28E+07	0.1	0.0	-3.29E+07	0.0	0.1	-2.0E-02	-	-	-	-	5.2	1.95E+04	0.3	0.3	64.2	7.33E+03	8.8	8.8
12	WP	Vítr na vozidla	Q	0	0.2	3.13E+04	0.0	-2.1	1.28E+07	-0.2	0.0	-3.29E+07	0.0	-0.2	-2.0E-02	-	-	-	-	9.3	1.95E+04	0.5	0.5	53.3	7.33E+03	7.3	7.3
13	TR	Teplota rovnoměrná	Q	0	0.0	3.13E+04	0.0	0.0	1.28E+07	0.0	0.0	-3.29E+07	0.0	0.0	0.0E+00	-	-	-	-	0.0	1.95E+04	0.0	0.0	0.0	7.33E+03	0.0	0.0
14	TN	Teplota nerovnoměrná	Q	0	1.1	3.13E+04	0.0	-11.5	1.28E+07	-0.9	0.0	-3.29E+07	0.0	-0.9	-1.6E-02	-	-	-	-	0.0	1.95E+04	0.0	0.0	19.3	7.33E+03	2.6	2.6
15	FR	Třecí síly v ložiskách	Q	0	5.8	3.13E+04	0.2	-0.1	1.28E+07	0.0	0.4	-3.29E+07	0.0	0.2	0.0E+00	-	-	-	-	0.0	1.95E+04	0.0	0.0	0.0	7.33E+03	0.0	0.0
16	I	Imperfekce soustavy	Q	0	0.3	3.13E+04	0.0	0.1	1.28E+07	0.0	0.0	-3.29E+07	0.0	0.0	0.0E+00	-	-	-	-	0.3	1.95E+04	0.0	0.0	13.2	7.33E+03	1.8	1.8
27	ULS_LM	ULS - LM71 bez dynam	Q	0	0.0	3.13E+04	0.0	0.0	1.28E+07	0.0	0.0	-3.29E+07	0.0	0.0	0.0E+00	-	-	-	-	0.0	1.95E+04	0.0	0.0	0.0	7.33E+03	0.0	0.0
28	SLS_LM	SLS - LM71 bez dynam	Q	0	0.0	3.13E+04	0.0	0.0	1.28E+07	0.0	0.0	-3.29E+07	0.0	0.0	0.0E+00	-	-	-	-	0.0	1.95E+04	0.0	0.0	0.0	7.33E+03	0.0	0.0
29	ULS_C3	ULS - C3 bez dynam	Q	0	0.0	3.13E+04	0.0	0.0	1.28E+07	0.0	0.0	-3.29E+07	0.0	0.0	0.0E+00	-	-	-	-	0.0	1.95E+04	0.0	0.0	0.0	7.33E+03	0.0	0.0
30	SLS_C3	SLS - C3 bez dynam	Q	0	0.0	3.13E+04	0.0	0.0	1.28E+07	0.0	0.0	-3.29E+07	0.0	0.0	0.0E+00	-	-	-	-	0.0	1.95E+04	0.0	0.0	0.0	7.33E+03	0.0	0.0
NAVÝŠENÍ NAPĚTÍ DO AKTIVACE TLAKU V DESCE MOSTOVKY						$\sigma_{P,red}$	0.0							0.0			0.0		0.0			1.5	1.5			76.1	76.1
NAPĚTÍ OD PRIMÁRNÍCH ÚČINKŮ NEROVNOMĚRNÉHO OTEPLENÍ						σ_T	0.0							0.0													
NAPĚTÍ OD REOLOGICKÝCH ÚČINKŮ BETONU V ČASE			t=0			σ_R	0.0	γ_f=	1.20					0.0													
NAPĚTÍ V KRITICKÝCH VLÁKNECH OD KOMBINACE ZATÍŽENÍ						KZ04		[MPa]					$\Sigma\sigma_x$	77.6								$\Sigma\tau_y$	1.5			$\Sigma\tau_z$	76.1
NAPĚTÍ OD POHYBLIVÉHO ZATÍŽENÍ								[MPa]					$\sigma_{x,P}$	72.4								τ_P	0.7			τ_P	54.4
NAPĚTÍ OD OSTATNÍCH ZATÍŽENÍ								[MPa]			Φ_{Vy}	Φ_{Vz}	$\sigma_{x,rs}$	5.2								τ_{rs}	0.8			τ_{rs}	21.7
NÁVRHOVÁ HODNOTA MEZE KLUZU S REDUKCÍ VLIVEM SMYKOVÉHO NAPĚTÍ								[MPa]			1.00	0.93	$f_{yw,d}$	209.1								$f_{yd}/3^{0,5}$	120.7			$f_{yd}/3^{0,5}$	120.7
NAPĚTÍ OD POHYBLIVÉHO ZATÍŽENÍ V GLOBÁLNÍM SYSTÉMU						$\sigma_{GLOB,P}$	0.0	[MPa]					$\Sigma\sigma_{GLOB}$	0.0													
NAPĚTÍ OD OSTATNÍCH ZATÍŽENÍ V GLOBÁLNÍM SYSTÉMU						$\sigma_{GLOB,rs}$	0.0	[MPa]					$\Sigma\sigma_x + \Sigma\sigma_{GLOB}$	77.6													
VYUŽITÍ PRŮŘEZU DLE NAPĚTÍ								[%]					η_1	0.37								η_3	0.01			η_3	0.63
NAPĚTÍ V PŘÍČNÉM SMĚRU OD POHYBLIVÉHO ZATÍŽENÍ						$\sigma_{z,P}$	0.0	[MPa]					$\Sigma\sigma_z$	0.0													
NAPĚTÍ V PŘÍČNÉM SMĚRU OD OSTATNÍCH ZATÍŽENÍ						$\sigma_{z,rs}$	0.0	[MPa]					η_2	0.00													
SROVNÁVACÍ NAPĚTÍ													$(\eta 2 + 0{,}8\,\eta 1)/1{,}4$ =	0.21													
VYUŽITÍ PRŮŘEZU CELKEM								[%]					eff	0.63	VYHOVUJE												
STANOVENÍ ZATÍŽITELNOSTI													Z_{LM71} =	1.82													

VÝPOČET PRŮŘEZOVÝCH CHARAKTERISTIK

PRŮŘEZ: P2_K **POPIS:** PŘÍČNÍK - 1-2 - KRAJ **x =** - **m**

DEFINOVÁNÍ PRŮŘEZU

PÁSNICE HORNÍHO LEVÉHO ÚHELNÍKU	b f.t.l.o =	110	mm				
TLOUŠŤKA PÁSNICE ÚHELNÍKU	t f.t.l.o =	13	mm	OSLABENÍ PÁSNICE - TLOUŠŤKA	Δt f.t.l.o =	0	%
VÝŠKA STĚNY ÚHELNÍKU	h w.t.l.o =	97	mm				
TLOUŠŤKA STĚNY ÚHELNÍKU	t w.t.l.o =	13	mm	OSLABENÍ STĚNY - TLOUŠŤKA	Δt w.t.l.o =	15	%
PÁSNICE HORNÍHO PRAVÉHO ÚHELNÍKU	b f.t.r.o =	110	mm				
TLOUŠŤKA PÁSNICE ÚHELNÍKU	t f.t.r.o =	13	mm	OSLABENÍ PÁSNICE - TLOUŠŤKA	Δt f.t.r.o =	0	%
VÝŠKA STĚNY ÚHELNÍKU	h w.t.r.o =	97	mm				
TLOUŠŤKA STĚNY ÚHELNÍKU	t w.t.r.o =	13	mm	OSLABENÍ STĚNY - TLOUŠŤKA	Δt w.t.r.0 =	15	%
PÁSNICE DOLNÍHO LEVÉHO ÚHELNÍKU	b f.b.l.o =	110	mm				
TLOUŠŤKA PÁSNICE ÚHELNÍKU	t f.b.l.o =	13	mm	OSLABENÍ PÁSNICE - TLOUŠŤKA	Δt f.b.l.o =	0	%
VÝŠKA STĚNY ÚHELNÍKU	h w.b.l.o =	97	mm				
TLOUŠŤKA STĚNY ÚHELNÍKU	t w.b.l.o =	13	mm	OSLABENÍ STĚNY - TLOUŠŤKA	Δt w.b.l.o =	15	%
PÁSNICE DOLNÍHO PRAVÉHO ÚHELNÍKU	b f.b.r.o =	110	mm				
TLOUŠŤKA PÁSNICE ÚHELNÍKU	t f.b.r.o =	13	mm	OSLABENÍ PÁSNICE - TLOUŠŤKA	Δt f.b.r.o =	0	%
VÝŠKA STĚNY ÚHELNÍKU	h w.b.r.o =	97	mm				
TLOUŠŤKA STĚNY ÚHELNÍKU	t w.b.r.o =	13	mm	OSLABENÍ STĚNY - TLOUŠŤKA	Δt w.b.r.o =	15	%

OSLABENÍ: MAX. U KRAJE A VNĚJŠÍHO PODÉLNÍKU

ŠÍŘKA HORNÍ PÁSNICE	b f.t =	400	mm				
TLOUŠŤKA HORNÍ PÁSNICE	t f.t =	14	mm	OSLABENÍ HORNÍ PÁSNICE	Δt f.t =	5	%
PŘESAH HORNÍ PÁSNICE	o f.t =	84	mm	HORNÍ PÁSNICE OBECNĚ NESYMETRICKÁ (PODÉLNÍK - PŘÍPOJ MOSTNICE)			
VÝŠKA STĚNY	h w =	1030	mm				
TLOUŠŤKA STĚNY	t w =	13	mm	OSLABENÍ STĚNY	Δt w.l =	0	%
ŠÍŘKA DOLNÍ PÁSNICE	b f.b =	400	mm				
TLOUŠŤKA DOLNÍ PÁSNICE	t f.b =	14	mm	OSLABENÍ DOLNÍ PÁSNICE (DOLNÍ PÁSNICE SYMETRICKÁ)	Δt f.b =	0	%
OTVOR VE STĚNĚ							
POLOHA - VZD. Z		515	mm				
VÝŠKA		0	mm				

NÝT Č.	SKUPINA	ŘEZ	RED.	VELIKOST d.i [mm]	POLOHA ei [mm]	POPIS	AKTIVITA OTVORU	NAPĚTÍ sc [MPa]
1		-	1.00	20	-160	nýt - f.t	0	-9.20
2		-	1.00	22	-67	nýt - f.t - krční úhelník	0	-30.84
3		-	1.00	22	67	nýt - f.t - krční úhelník	0	-60.57
4		-	1.00	20	160	nýt - f.t	0	-80.72
5		-	1.00	22	985	nýt - w - krční úhelník	0	-43.13
6		-	1.00	22	875	nýt - w	0	-26.94
7		-	1.00	22	785	nýt - w	0	-16.91
8		-	1.00	22	695	nýt - w	0	-6.88
9		-	1.00	22	605	nýt - w	1	3.16
10		-	1.00	22	515	nýt - w	1	13.19
11		-	1.00	22	425	nýt - w	1	23.22
12		-	1.00	22	335	nýt - w	1	33.25
13		-	1.00	22	245	nýt - w	1	43.29
14		-	1.00	22	155	nýt - w	1	53.32
15		-	1.00	22	45	nýt - w - krční úhelník	1	65.58
16		-	1.00				-	
17		-	1.00				-	
18		-	1.00				-	
19	1	3	0.78	20	-160	nýt - f.b	1	107.14
20	1	3	0.78	22	-67	nýt - f.b. - krční úhelník	1	85.52
21	1	3	0.78	22	67	nýt - f.b. - krční úhelník	1	55.79
22	1	3	0.78	20	160	nýt - f.b	1	35.62

ZADÁNÍ ČÁSTÍ PRŮŘEZU:

č.prvku	b [mm]	h [mm]	y_s [mm]	z_s [mm]	popis části	druh oslabení	lokální ultimate	boulení servic.
1	110.0	13.0	-61.5	1023.5	pásnice	0	1.000	1.000
2	11.1	97.0	-12.0	968.5		0	1.000	1.000
3	110.0	13.0	61.5	1023.5	pásnice	0	1.000	1.000
4	11.1	97.0	12.0	968.5		0	1.000	1.000
5	110.0	13.0	-61.5	6.5	pásnice	0	1.000	1.000
6	11.1	97.0	-12.0	61.5		0	1.000	1.000
7	110.0	13.0	61.5	6.5	pásnice	0	1.000	1.000
8	11.1	97.0	12.0	61.5		0	1.000	1.000
9	400.0	13.3	0.0	1036.7	pásnice	0	1.000	1.000
10	13.0	1030.0	0.0	515.0	stěna	0	1.000	1.000
11	400.0	14.0	0.0	-7.0	pásnice	0	1.000	1.000
12						0	1.000	1.000
13						0	1.000	1.000
14						0	1.000	1.000
15						0	1.000	1.000
16						0	1.000	1.000
17						0	1.000	1.000
18						0	1.000	1.000
19						0	1.000	1.000
20						0	1.000	1.000
21						0	1.000	1.000
22						0	1.000	1.000
23						0	1.000	1.000
24						0	1.000	1.000
25	-13.0	0.0	0.0	515.0	stěna	0	1.000	1.000
26						0	1.000	1.000
27						0	1.000	1.000
28						0	1.000	1.000
29						0	1.000	1.000
30						0	1.000	1.000
31						0	1.000	1.000
32						0	1.000	1.000
33						0	1.000	1.000
34						0	1.000	1.000
35						0	1.000	1.000
36						0	1.000	1.000
37						0	1.000	1.000
38						0	1.000	1.000
39						0	1.000	1.000
40						0	1.000	1.000
41						0	1.000	1.000
42						0	1.000	1.000
43						0	1.000	1.000
44						0	1.000	1.000
45						0	1.000	1.000
46						0	1.000	1.000
47						0	1.000	1.000
48						0	1.000	1.000
49						0	1.000	1.000
50						0	1.000	1.000
51	0	0	-160.0	1036.7	nýt - pásnice	0	1.000	1.000
52	0	0	-66.5	1043.3	nýt - pásnice	0	1.000	1.000
53	0	0	66.5	1043.3	nýt - pásnice	0	1.000	1.000
54	0	0	160.0	1036.7	nýt - pásnice	0	1.000	1.000
55	0	0	17.6	985.0	nýt - stěna	0	1.000	1.000
56	0	0	0.0	875.0	nýt - stěna	0	1.000	1.000
57	0	0	0.0	785.0	nýt - stěna	0	1.000	1.000
58	0	0	0.0	695.0	nýt - stěna	0	1.000	1.000
59	13.0	-22.0	0.0	605.0	nýt - stěna	0	1.000	1.000
60	13.0	-22.0	0.0	515.0	nýt - stěna	0	1.000	1.000
61	13.0	-22.0	0.0	425.0	nýt - stěna	0	1.000	1.000
62	13.0	-22.0	0.0	335.0	nýt - stěna	0	1.000	1.000
63	13.0	-22.0	0.0	245.0	nýt - stěna	0	1.000	1.000
64	13.0	-22.0	0.0	155.0	nýt - stěna	0	1.000	1.000
65	35.1	-22.0	0.0	45.0	nýt - stěna	0	1.000	1.000
66						0	1.000	1.000
67						0	1.000	1.000
68						0	1.000	1.000
69	-15.8	14.0	-160.0	-7.0	nýt - pásnice	0	1.000	1.000
70	-17.2	27.0	-66.5	-0.5	nýt - pásnice	0	1.000	1.000
71	-17.2	27.0	66.5	-0.5	nýt - pásnice	0	1.000	1.000
72	-15.8	14.0	160.0	-7.0	nýt - pásnice	0	1.000	1.000
73								
74								
75								
76								
77								
78								
79								
80								
81								
82								
83								
84								
85								
86								
87								
88								
89								
90								
91								
92								
93								
94								
95								
96								
97								
98								
99								
100								

VÝPOČET PRŮŘEZOVÝCH CHARAKTERISTIK

Properties	Basic	Ultimate		Serviceability	
y_i	0.0	0.0		0.0	[mm]
z_i	552.8	552.8		552.8	[mm]
A_i	3.0465E+04	3.0465E+04		3.0465E+04	[mm²]
A_z	1.5276E+04	1.5276E+04		1.5276E+04	[mm²]
A_y	1.0902E+04	1.0902E+04		1.0902E+04	[mm²]
I_{y1}	5.8702E+09	5.8702E+09		5.8702E+09	[mm⁴]
I_w	1.5843E+08	1.5843E+08		1.5843E+08	[mm⁶]
i_y	439.0	439.0		439.0	[mm]
i_z	72.1	72.1		72.1	[mm]
$W_{y,1}$	1.1969E+07	1.1969E+07		1.1969E+07	[mm³]
$W_{z,1}$	-7.9217E+05	-7.9217E+05		-7.9217E+05	[mm³]
$W_{y,2}$	-1.0356E+07	-1.0356E+07		-1.0356E+07	[mm³]
$W_{z,2}$	-7.9217E+05	-7.9217E+05		-7.9217E+05	[mm³]
KRAJNÍ VLÁKNA PRŮŘEZU					
y_1	-200.0	-200.0		-200.0	[mm]
z_1	1043.3	1043.3		1043.3	[mm]
y_2	-200.0	-200.0		-200.0	[mm]
z_2	-14.0	-14.0		-14.0	[mm]
y_3	200.0	200.0		200.0	[mm]
z_3	1043.3	1043.3		1043.3	[mm]
y_4	200.0	200.0		200.0	[mm]
z_4	-14.0	-14.0		-14.0	[mm]
y_5	-6.5	-6.5		-6.5	[mm]
z_5	1030.0	1030.0		1030.0	[mm]
y_6	-6.5	-6.5		-6.5	[mm]
z_6	0.0	0.0		0.0	[mm]

ÚPRAVA MOMENTŮ SETRVAČNOSTI V DŮSLEDKU ČLENĚNÍ PRŮŘEZU

OSA Y 1.00
OSA Z 1.00

SCHÉMA PROMĚNNÝCH

SCHÉMA ZADANÉHO PRŮŘEZU

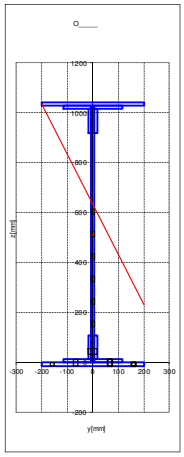

NEUTRÁLNÁ OSA

NAPĚTÍ [MPa]:

-1.00	-90.40
116.86	27.46

TR_PI.1	SLS_LM					
-891	-48	-50	0	110	-107
380	28	-186	0	254	46
-840	-53	-54	0	20	-105
332	34	-234	0	418	44
-364	-13	-320	0	368	-47
-136	-6	24	0	86	-12
254	23	-150	0	300	28
-758	-42	-120	0	195	-89
-781	-34	-57	0	-187	-96
273	15	-209	0	654	35
-879	-50	-47	0	32	-111
372	32	-234	0	424	50

ZS: SLS_LM (MAX MY)

	N [kN]	Vy [kN]	Vz [kN]	Mx [kNm]	My [kNm]	Mz [kNm]
import	273	15	-209	0	654	35

VÝPOČET PRŮŘEZOVÝCH CHARAKTERISTIK

PRŮŘEZ: P2_S **POPIS:** PŘÍČNÍK - 1-2 - STŘED **x =** - **m**

DEFINOVÁNÍ PRŮŘEZU

PÁSNICE HORNÍHO LEVÉHO ÚHELNÍKU	b f.t.l.o =	110	mm				
TLOUŠŤKA PÁSNICE ÚHELNÍKU	t f.t.l.o =	13	mm	OSLABENÍ PÁSNICE - TLOUŠŤKA	Δt f.t.l.o =	0	%
VÝŠKA STĚNY ÚHELNÍKU	h w.t.l.o =	97	mm				
TLOUŠŤKA STĚNY ÚHELNÍKU	t w.t.l.o =	13	mm	OSLABENÍ STĚNY - TLOUŠŤKA	Δt w.t.l.o =	10	%
PÁSNICE HORNÍHO PRAVÉHO ÚHELNÍKU	b f.t.r.o =	110	mm				
TLOUŠŤKA PÁSNICE ÚHELNÍKU	t f.t.r.o =	13	mm	OSLABENÍ PÁSNICE - TLOUŠŤKA	Δt f.t.r.o =	0	%
VÝŠKA STĚNY ÚHELNÍKU	h w.t.r.o =	97	mm				
TLOUŠŤKA STĚNY ÚHELNÍKU	t w.t.r.o =	13	mm	OSLABENÍ STĚNY - TLOUŠŤKA	Δt w.t.r.0 =	10	%
PÁSNICE DOLNÍHO LEVÉHO ÚHELNÍKU	b f.b.l.o =	110	mm				
TLOUŠŤKA PÁSNICE ÚHELNÍKU	t f.b.l.o =	13	mm	OSLABENÍ PÁSNICE - TLOUŠŤKA	Δt f.b.l.o =	0	%
VÝŠKA STĚNY ÚHELNÍKU	h w.b.l.o =	97	mm				
TLOUŠŤKA STĚNY ÚHELNÍKU	t w.b.l.o =	13	mm	OSLABENÍ STĚNY - TLOUŠŤKA	Δt w.b.l.o =	10	%
PÁSNICE DOLNÍHO PRAVÉHO ÚHELNÍKU	b f.b.r.o =	110	mm				
TLOUŠŤKA PÁSNICE ÚHELNÍKU	t f.b.r.o =	13	mm	OSLABENÍ PÁSNICE - TLOUŠŤKA	Δt f.b.r.o =	0	%
VÝŠKA STĚNY ÚHELNÍKU	h w.b.r.o =	97	mm				
TLOUŠŤKA STĚNY ÚHELNÍKU	t w.b.r.o =	13	mm	OSLABENÍ STĚNY - TLOUŠŤKA	Δt w.b.r.o =	10	%

STŘEDNÍ ÚH. - STŘED - STŘEDNÍ ÚH.

ŠÍŘKA HORNÍ PÁSNICE	b f.t =	400	mm				
TLOUŠŤKA HORNÍ PÁSNICE	t f.t =	26	mm	OSLABENÍ HORNÍ PÁSNICE	Δt f.t =	3	%
PŘESAH HORNÍ PÁSNICE	o f.t =	84	mm	HORNÍ PÁSNICE OBECNĚ NESYMETRICKÁ (PODÉLNÍK - PŘÍPOJ MOSTNICE)			
VÝŠKA STĚNY	h w =	1030	mm				
TLOUŠŤKA STĚNY	t w =	13	mm	OSLABENÍ STĚNY	Δt w.l =	0	%
ŠÍŘKA DOLNÍ PÁSNICE	b f.b =	400	mm				
TLOUŠŤKA DOLNÍ PÁSNICE	t f.b =	26	mm	OSLABENÍ DOLNÍ PÁSNICE (DOLNÍ PÁSNICE SYMETRICKÁ)	Δt f.b =	0	%
OTVOR VE STĚNĚ							
POLOHA - VZD. Z		515	mm				
VÝŠKA		0	mm				

NÝT Č.	SKUPINA	ŘEZ	RED.	VELIKOST d	[mm]	POLOHA ei [mm]	POPIS	AKTIVITA OTVORU	NAPĚTÍ sc [MPa]
1		-	1.00	20	-160	nýt - f.t	0		-36.31
2		-	1.00	22	-67	nýt - f.t - krční úhelník	0		-35.50
3		-	1.00	22	67	nýt - f.t - krční úhelník	0		-32.81
4		-	1.00	20	160	nýt - f.t	0		-29.83
5		-	1.00	22	985	nýt - w - krční úhelník	0		-27.73
6		-	1.00	22	875	nýt - w	0		-18.62
7		-	1.00	22	785	nýt - w	0		-10.86
8		-	1.00	22	695	nýt - w	0		-3.10
9		-	1.00	22	605	nýt - w	1		4.66
10		-	1.00	22	515	nýt - w	1		12.42
11		-	1.00	22	425	nýt - w	1		20.18
12		-	1.00	22	335	nýt - w	1		27.95
13		-	1.00	22	245	nýt - w	1		35.71
14		-	1.00	22	155	nýt - w	1		43.47
15		-	1.00	22	45	nýt - w - krční úhelník	1		52.95
16		-	1.00					-	
17		-	1.00					-	
18		-	1.00					-	
19	1	3	0.78	20	-160	nýt - f.b	1		54.71
20	1	3	0.78	22	-67	nýt - f.b. - krční úhelník	1		56.04
21	1	3	0.78	22	67	nýt - f.b. - krční úhelník	1		58.74
22	1	3	0.78	20	160	nýt - f.b	1		61.19

ZADÁNÍ ČÁSTÍ PRŮŘEZU:

č.prvku	b [mm]	h [mm]	y_s [mm]	z_s [mm]	popis části	druh oslabení	lokální ultimate	boulení servic.
1	110.0	13.0	-61.5	1023.5	pásnice	0	1.000	1.000
2	11.7	97.0	-12.4	968.5		0	1.000	1.000
3	110.0	13.0	61.5	1023.5	pásnice	0	1.000	1.000
4	11.7	97.0	12.4	968.5		0	1.000	1.000
5	110.0	13.0	-61.5	6.5	pásnice	0	1.000	1.000
6	11.7	97.0	-12.4	61.5		0	1.000	1.000
7	110.0	13.0	61.5	6.5	pásnice	0	1.000	1.000
8	11.7	97.0	12.4	61.5		0	1.000	1.000
9	400.0	25.2	0.0	1042.6	pásnice	0	1.000	1.000
10	13.0	1030.0	0.0	515.0	stěna	0	1.000	1.000
11	400.0	26.0	0.0	-13.0	pásnice	0	1.000	1.000
12						0	1.000	1.000
13						0	1.000	1.000
14						0	1.000	1.000
15						0	1.000	1.000
16						0	1.000	1.000
17						0	1.000	1.000
18						0	1.000	1.000
19						0	1.000	1.000
20						0	1.000	1.000
21						0	1.000	1.000
22						0	1.000	1.000
23						0	1.000	1.000
24						0	1.000	1.000
25	-13.0	0.0	0.0	515.0	stěna	0	1.000	1.000
26						0	1.000	1.000
27						0	1.000	1.000
28						0	1.000	1.000
29						0	1.000	1.000
30						0	1.000	1.000
31						0	1.000	1.000
32						0	1.000	1.000
33						0	1.000	1.000
34						0	1.000	1.000
35						0	1.000	1.000
36						0	1.000	1.000
37						0	1.000	1.000
38						0	1.000	1.000
39						0	1.000	1.000
40						0	1.000	1.000
41						0	1.000	1.000
42						0	1.000	1.000
43						0	1.000	1.000
44						0	1.000	1.000
45						0	1.000	1.000
46						0	1.000	1.000
47						0	1.000	1.000
48						0	1.000	1.000
49						0	1.000	1.000
50						0	1.000	1.000
51	0	0	-160.0	1042.6	nýt - pásnice	0	1.000	1.000
52	0	0	-66.5	1055.2	nýt - pásnice	0	1.000	1.000
53	0	0	66.5	1055.2	nýt - pásnice	0	1.000	1.000
54	0	0	160.0	1042.6	nýt - pásnice	0	1.000	1.000
55	0	0	18.2	985.0	nýt - stěna	0	1.000	1.000
56	0	0	0.0	875.0	nýt - stěna	0	1.000	1.000
57	0	0	0.0	785.0	nýt - stěna	0	1.000	1.000
58	0	0	0.0	695.0	nýt - stěna	0	1.000	1.000
59	13.0	-22.0	0.0	605.0	nýt - stěna	0	1.000	1.000
60	13.0	-22.0	0.0	515.0	nýt - stěna	0	1.000	1.000
61	13.0	-22.0	0.0	425.0	nýt - stěna	0	1.000	1.000
62	13.0	-22.0	0.0	335.0	nýt - stěna	0	1.000	1.000
63	13.0	-22.0	0.0	245.0	nýt - stěna	0	1.000	1.000
64	13.0	-22.0	0.0	155.0	nýt - stěna	0	1.000	1.000
65	36.4	-22.0	0.0	45.0	nýt - stěna	0	1.000	1.000
66						0	1.000	1.000
67						0	1.000	1.000
68						0	1.000	1.000
69	-15.6	26.0	-160.0	-13.0	nýt - pásnice	0	1.000	1.000
70	-17.2	39.0	-66.5	-6.5	nýt - pásnice	0	1.000	1.000
71	-17.2	39.0	66.5	-6.5	nýt - pásnice	0	1.000	1.000
72	-15.6	26.0	160.0	-13.0	nýt - pásnice	0	1.000	1.000
73								
74								
75								
76								
77								
78								
79								
80								
81								
82								
83								
84								
85								
86								
87								
88								
89								
90								
91								
92								
93								
94								
95								
96								
97								
98								
99								
100								

VÝPOČET PRŮŘEZOVÝCH CHARAKTERISTIK

Properties	Basic	Ultimate		Serviceability	
y_t	0.0	0.0		0.0	[mm]
z_t	554.7	554.7		554.7	[mm]
A_i	3.9470E+04	3.9470E+04		3.9470E+04	[mm²]
A_z	2.4058E+04	2.4058E+04		2.4058E+04	[mm²]
A_y	1.0873E+04	1.0873E+04		1.0873E+04	[mm²]
I_{y1}	8.4072E+09	8.4072E+09		8.4072E+09	[mm⁴]
I_w	2.7465E+08	2.7465E+08		2.7465E+08	[mm⁶]
i_y	461.5	461.5		461.5	[mm]
i_z	83.4	83.4		83.4	[mm]
$W_{y,1}$	1.6796E+07	1.6796E+07		1.6796E+07	[mm³]
$W_{z,1}$	-1.3733E+06	-1.3733E+06		-1.3733E+06	[mm³]
$W_{y,2}$	-1.4478E+07	-1.4478E+07		-1.4478E+07	[mm³]
$W_{z,2}$	-1.3733E+06	-1.3733E+06		-1.3733E+06	[mm³]
KRAJNÍ VLÁKNA PRŮŘEZU					
y_1	-200.0	-200.0		-200.0	[mm]
z_1	1055.2	1055.2		1055.2	[mm]
y_2	-200.0	-200.0		-200.0	[mm]
z_2	-26.0	-26.0		-26.0	[mm]
y_3	200.0	200.0		200.0	[mm]
z_3	1055.2	1055.2		1055.2	[mm]
y_4	200.0	200.0		200.0	[mm]
z_4	-26.0	-26.0		-26.0	[mm]
y_5	-6.5	-6.5		-6.5	[mm]
z_5	1030.0	1030.0		1030.0	[mm]
y_6	-6.5	-6.5		-6.5	[mm]
z_6	0.0	0.0		0.0	[mm]

ÚPRAVA MOMENTŮ SETRVAČNOSTI V DŮSLEDKU ČLENĚNÍ PRŮŘEZU

OSA Y 1.00
OSA Z 1.00

SCHÉMA PROMĚNNÝCH

SCHÉMA ZADANÉHO PRŮŘEZU

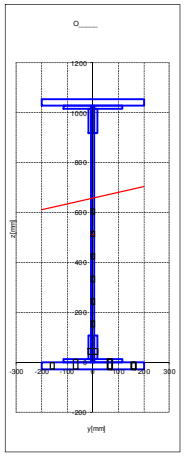

NEUTRÁLNÁ OSA

NAPĚTÍ [MPa]:

-38.20	-30.11
55.02	63.12

ZS: SLS_LM (MAX N + MY)

	N [kN]	Vy [kN]	Vz [kN]	Mx [kNm]	My [kNm]	Mz [kNm]
import	355	-69	-70	2	725	-6

TR_PI.2	SLS_LM				
-876	61	58	-5	163	-20
355	-69	-70	2	725	-6
-420	-108	-25	-3	449	-55
-103	100	6	0	479	30
-296	-83	-203	-3	322	-44
-218	76	184	0	648	19
-862	69	57	-5	223	-10
337	-77	-68	2	711	-15
-719	-77	-54	-5	-96	-56
205	69	35	2	1061	31
-584	-103	-59	-4	505	-66
61	95	0	1	234	40

VÝPOČET PRŮŘEZOVÝCH CHARAKTERISTIK

PRŮŘEZ: P2_SO **POPIS:** PŘÍČNÍK - 1-2 - STŘED - S OTVOREM

x = - **m**

DEFINOVÁNÍ PRŮŘEZU

PÁSNICE HORNÍHO LEVÉHO ÚHELNÍKU	b f.t.l.o =	110	mm				
TLOUŠŤKA PÁSNICE ÚHELNÍKU	t f.t.l.o =	13	mm	OSLABENÍ PÁSNICE - TLOUŠŤKA	Δt f.t.l.o =	0	%
VÝŠKA STĚNY ÚHELNÍKU	h w.t.l.o =	97	mm				
TLOUŠŤKA STĚNY ÚHELNÍKU	t w.t.l.o =	13	mm	OSLABENÍ STĚNY - TLOUŠŤKA	Δt w.t.l.o =	10	%
PÁSNICE HORNÍHO PRAVÉHO ÚHELNÍKU	b f.t.r.o =	110	mm				
TLOUŠŤKA PÁSNICE ÚHELNÍKU	t f.t.r.o =	13	mm	OSLABENÍ PÁSNICE - TLOUŠŤKA	Δt f.t.r.o =	0	%
VÝŠKA STĚNY ÚHELNÍKU	h w.t.r.o =	97	mm				
TLOUŠŤKA STĚNY ÚHELNÍKU	t w.t.r.o =	13	mm	OSLABENÍ STĚNY - TLOUŠŤKA	Δt w.t.r.0 =	10	%
PÁSNICE DOLNÍHO LEVÉHO ÚHELNÍKU	b f.b.l.o =	110	mm				
TLOUŠŤKA PÁSNICE ÚHELNÍKU	t f.b.l.o =	13	mm	OSLABENÍ PÁSNICE - TLOUŠŤKA	Δt f.b.l.o =	0	%
VÝŠKA STĚNY ÚHELNÍKU	h w.b.l.o =	97	mm				
TLOUŠŤKA STĚNY ÚHELNÍKU	t w.b.l.o =	13	mm	OSLABENÍ STĚNY - TLOUŠŤKA	Δt w.b.l.o =	10	%
PÁSNICE DOLNÍHO PRAVÉHO ÚHELNÍKU	b f.b.r.o =	110	mm				
TLOUŠŤKA PÁSNICE ÚHELNÍKU	t f.b.r.o =	13	mm	OSLABENÍ PÁSNICE - TLOUŠŤKA	Δt f.b.r.o =	0	%
VÝŠKA STĚNY ÚHELNÍKU	h w.b.r.o =	97	mm				
TLOUŠŤKA STĚNY ÚHELNÍKU	t w.b.r.o =	13	mm	OSLABENÍ STĚNY - TLOUŠŤKA	Δt w.b.r.o =	10	%

STŘEDNÍ ÚH. - STŘED - STŘEDNÍ ÚH.

ŠÍŘKA HORNÍ PÁSNICE	b f.t =	400	mm				
TLOUŠŤKA HORNÍ PÁSNICE	t f.t =	26	mm	OSLABENÍ HORNÍ PÁSNICE	Δt f.t =	3	%
PŘESAH HORNÍ PÁSNICE	o f.t =	84	mm	HORNÍ PÁSNICE OBECNĚ NESYMETRICKÁ (PODÉLNÍK - PŘÍPOJ MOSTNICE)			
VÝŠKA STĚNY	h w =	1030	mm				
TLOUŠŤKA STĚNY	t w =	13	mm	OSLABENÍ STĚNY	Δt w.f =	0	%
ŠÍŘKA DOLNÍ PÁSNICE	b f.b =	400	mm				
TLOUŠŤKA DOLNÍ PÁSNICE	t f.b =	26	mm	OSLABENÍ DOLNÍ PÁSNICE (DOLNÍ PÁSNICE SYMETRICKÁ)	Δt f.b =	0	%

OTVOR VE STĚNĚ

POLOHA - VZD. Z	515	mm
VÝŠKA	400	mm

NÝT Č.	SKUPINA	ŘEZ	RED.	VELIKOST di [mm]	POLOHA ei [mm]	POPIS	AKTIVITA OTVORU	NAPĚTÍ sc [MPa]
1		-	1.00	20	-160	nýt - f.t	0	-23.02
2		-	1.00	22	-67	nýt - f.t - krční úhelník	0	-27.17
3		-	1.00	22	67	nýt - f.t - krční úhelník	0	-32.01
4		-	1.00	20	160	nýt - f.t	0	-34.67
5		-	1.00	22	985	nýt - w - krční úhelník	0	-26.09
6		-	1.00	0	875	nýt - w	0	-
7		-	1.00	0	785	nýt - w	0	-
8		-	1.00	0	695	nýt - w	0	-
9		-	1.00	0	605	nýt - w	0	-
10		-	1.00	0	515	nýt - w	0	-
11		-	1.00	0	425	nýt - w	0	-
12		-	1.00	0	335	nýt - w	0	-
13		-	1.00	0	245	nýt - w	0	-
14		-	1.00	0	155	nýt - w	0	-
15		-	1.00	22	45	nýt - w - krční úhelník	1	30.38
16		-	1.00					-
17		-	1.00					-
18		-	1.00					-
19	1	3	0.78	20	-160	nýt - f.b	1	39.65
20	1	3	0.78	22	-67	nýt - f.b. - krční úhelník	1	35.86
21	1	3	0.78	22	67	nýt - f.b. - krční úhelník	1	31.02
22	1	3	0.78	20	160	nýt - f.b	1	28.00

ZADANÍ ČÁSTI PRŮŘEZU:

č.prvku	b [mm]	h [mm]	y_s [mm]	z_s [mm]	popis části	druh oslabení	lokální ultimate	boulení servic.
1	110.0	13.0	-61.5	1023.5	pásnice	0	1.000	1.000
2	11.7	97.0	-12.4	968.5		0	1.000	1.000
3	110.0	13.0	61.5	1023.5	pásnice	0	1.000	1.000
4	11.7	97.0	12.4	968.5		0	1.000	1.000
5	110.0	13.0	-61.5	6.5	pásnice	0	1.000	1.000
6	11.7	97.0	-12.4	61.5		0	1.000	1.000
7	110.0	13.0	61.5	6.5	pásnice	0	1.000	1.000
8	11.7	97.0	12.4	61.5		0	1.000	1.000
9	400.0	25.2	0.0	1042.6	pásnice	0	1.000	1.000
10	13.0	1030.0	0.0	515.0	stěna	0	1.000	1.000
11	400.0	26.0	0.0	-13.0	pásnice	0	1.000	1.000
12						0	1.000	1.000
13						0	1.000	1.000
14						0	1.000	1.000
15						0	1.000	1.000
16						0	1.000	1.000
17						0	1.000	1.000
18						0	1.000	1.000
19						0	1.000	1.000
20						0	1.000	1.000
21						0	1.000	1.000
22						0	1.000	1.000
23						0	1.000	1.000
24						0	1.000	1.000
25	-13.0	400.0	0.0	515.0	stěna	0	1.000	1.000
26						0	1.000	1.000
27						0	1.000	1.000
28						0	1.000	1.000
29						0	1.000	1.000
30						0	1.000	1.000
31						0	1.000	1.000
32						0	1.000	1.000
33						0	1.000	1.000
34						0	1.000	1.000
35						0	1.000	1.000
36						0	1.000	1.000
37						0	1.000	1.000
38						0	1.000	1.000
39						0	1.000	1.000
40						0	1.000	1.000
41						0	1.000	1.000
42						0	1.000	1.000
43						0	1.000	1.000
44						0	1.000	1.000
45						0	1.000	1.000
46						0	1.000	1.000
47						0	1.000	1.000
48						0	1.000	1.000
49						0	1.000	1.000
50						0	1.000	1.000
51	0	0	-160.0	1042.6	nýt - pásnice	0	1.000	1.000
52	0	0	-66.5	1055.2	nýt - pásnice	0	1.000	1.000
53	0	0	66.5	1055.2	nýt - pásnice	0	1.000	1.000
54	0	0	160.0	1042.6	nýt - pásnice	0	1.000	1.000
55	0	0	18.2	985.0	nýt - stěna	0	1.000	1.000
56	0	0	0	0	nýt - stěna	0	1.000	1.000
57	0	0	0	0	nýt - stěna	0	1.000	1.000
58	0	0	0	0	nýt - stěna	0	1.000	1.000
59	0	0	0	0	nýt - stěna	0	1.000	1.000
60	0	0	0	0	nýt - stěna	0	1.000	1.000
61	0	0	0	0	nýt - stěna	0	1.000	1.000
62	0	0	0	0	nýt - stěna	0	1.000	1.000
63	0	0	0	0	nýt - stěna	0	1.000	1.000
64	0	0	0	0	nýt - stěna	0	1.000	1.000
65	36.4	-22.0	0.0	45.0	nýt - stěna	0	1.000	1.000
66						0	1.000	1.000
67						0	1.000	1.000
68						0	1.000	1.000
69	-15.6	26.0	-160.0	-13.0	nýt - pásnice	0	1.000	1.000
70	-17.2	39.0	-66.5	-6.5	nýt - pásnice	0	1.000	1.000
71	-17.2	39.0	66.5	-6.5	nýt - pásnice	0	1.000	1.000
72	-15.6	26.0	160.0	-13.0	nýt - pásnice	0	1.000	1.000
73								
74								
75								
76								
77								
78								
79								
80								
81								
82								
83								
84								
85								
86								
87								
88								
89								
90								
91								
92								
93								
94								
95								
96								
97								
98								
99								
100								

VÝPOČET PRŮŘEZOVÝCH CHARAKTERISTIK

Properties	Basic	Ultimate		Serviceability	
y_t	0.0	0.0		0.0	[mm]
z_t	552.1	552.1		552.1	[mm]
A_i	3.5986E+04	3.5986E+04		3.5986E+04	[mm²]
A_z	2.4058E+04	2.4058E+04		2.4058E+04	[mm²]
A_k	7.3892E+03	7.3892E+03		7.3892E+03	[mm²]
I_{y1}	8.4225E+09	8.4225E+09		8.4225E+09	[mm⁴]
I_w	2.7460E+08	2.7460E+08		2.7460E+08	[mm⁶]
i_y	483.8	483.8		483.8	[mm]
i_z	87.4	87.4		87.4	[mm]
$W_{y,1}$	1.6740E+07	1.6740E+07		1.6740E+07	[mm³]
$W_{y,1}$	-1.3730E+06	-1.3730E+06		-1.3730E+06	[mm³]
$W_{y,2}$	-1.4570E+07	-1.4570E+07		-1.4570E+07	[mm³]
$W_{y,2}$	-1.3730E+06	-1.3730E+06		-1.3730E+06	[mm³]
KRAJNÍ VLÁKNA PRŮŘEZU					
y_1	-200.0	-200.0		-200.0	[mm]
z_1	1055.2	1055.2		1055.2	[mm]
y_2	-200.0	-200.0		-200.0	[mm]
z_2	-26.0	-26.0		-26.0	[mm]
y_3	200.0	200.0		200.0	[mm]
z_3	1055.2	1055.2		1055.2	[mm]
y_4	200.0	200.0		200.0	[mm]
z_4	-26.0	-26.0		-26.0	[mm]
y_5	-6.5	-6.5		-6.5	[mm]
z_5	1030.0	1030.0		1030.0	[mm]
y_6	-6.5	-6.5		-6.5	[mm]
z_6	0.0	0.0		0.0	[mm]

ÚPRAVA MOMENTŮ SETRVAČNOSTI V DŮSLEDKU ČLENĚNÍ PRŮŘEZU

OSA Y 1.00
OSA Z 1.00

SCHÉMA PROMĚNNÝCH

SCHÉMA ZADANÉHO PRŮŘEZU

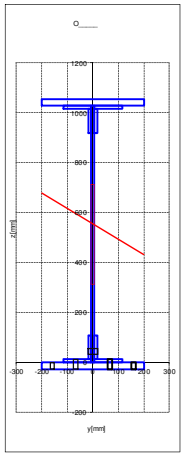

NEUTRÁLNÁ OSA

NAPĚTÍ [MPa]:

-22.31	-36.87
41.88	27.31

ZS:

	N [kN]	Vy [kN]	Vz [kN]	Mx [kNm]	My [kNm]	Mz [kNm]
import	10	0	0	0	500	10

TR_P1.1 POPIS: **PŘÍČNÍK P1 - VNĚJŠÍ PODÉLNÍK** POSUDEK: **P1.1**

SKUPINA ZAT. STAVŮ	EXTRÉM	VYHODNOCOVANÉ VELIČINY					
		N	Vy	Vz	Mx	My	Mz
		kN	kN	kN	kNm	kNm	kNm
G0	N.min	**-112.09**	-4.14	-26.88	0.01	21.38	-13.21
	N.max	**-112.09**	-4.14	-26.88	0.01	21.38	-13.21
	Vy.min	-112.09	**-4.14**	-26.88	0.01	21.38	-13.21
	Vy.max	-112.09	**-4.14**	-26.88	0.01	21.38	-13.21
	Vz.min	-112.09	-4.14	**-26.88**	0.01	21.38	-13.21
	Vz.max	-112.09	-4.14	**-26.88**	0.01	21.38	-13.21
	Mx.min	-112.09	-4.14	-26.88	**0.01**	21.38	-13.21
	Mx.max	-112.09	-4.14	-26.88	**0.01**	21.38	-13.21
	My.min	-112.09	-4.14	-26.88	0.01	**21.38**	-13.21
	My.max	-112.09	-4.14	-26.88	0.01	**21.38**	-13.21
	Mz.min	-112.09	-4.14	-26.88	0.01	21.38	**-13.21**
	Mz.max	-112.09	-4.14	-26.88	0.01	21.38	**-13.21**
G1	N.min	**-8.32**	-0.32	-5.04	0	3.84	-0.99
	N.max	**-8.32**	-0.32	-5.04	0	3.84	-0.99
	Vy.min	-8.32	**-0.32**	-5.04	0	3.84	-0.99
	Vy.max	-8.32	**-0.32**	-5.04	0	3.84	-0.99
	Vz.min	-8.32	-0.32	**-5.04**	0	3.84	-0.99
	Vz.max	-8.32	-0.32	**-5.04**	0	3.84	-0.99
	Mx.min	-8.32	-0.32	-5.04	**0**	3.84	-0.99
	Mx.max	-8.32	-0.32	-5.04	**0**	3.84	-0.99
	My.min	-8.32	-0.32	-5.04	0	**3.84**	-0.99
	My.max	-8.32	-0.32	-5.04	0	**3.84**	-0.99
	Mz.min	-8.32	-0.32	-5.04	0	3.84	**-0.99**
	Mz.max	-8.32	-0.32	-5.04	0	3.84	**-0.99**
G2	N.min	**-6.74**	-0.28	-2.79	0	-4.77	-0.84
	N.max	**-6.74**	-0.28	-2.79	0	-4.77	-0.84
	Vy.min	-6.74	**-0.28**	-2.79	0	-4.77	-0.84
	Vy.max	-6.74	**-0.28**	-2.79	0	-4.77	-0.84
	Vz.min	-6.74	-0.28	**-2.79**	0	-4.77	-0.84
	Vz.max	-6.74	-0.28	**-2.79**	0	-4.77	-0.84
	Mx.min	-6.74	-0.28	-2.79	**0**	-4.77	-0.84
	Mx.max	-6.74	-0.28	-2.79	**0**	-4.77	-0.84
	My.min	-6.74	-0.28	-2.79	0	**-4.77**	-0.84
	My.max	-6.74	-0.28	-2.79	0	**-4.77**	-0.84
	Mz.min	-6.74	-0.28	-2.79	0	-4.77	**-0.84**
	Mz.max	-6.74	-0.28	-2.79	0	-4.77	**-0.84**
P1_71	N.min	**-122.98**	-7.23	-2.11	-0.02	8.26	-15.02
	N.max	**4.74**	1.39	-134.49	0.01	88.26	1.21
	Vy.min	-115.76	**-7.89**	-26.69	-0.03	33.1	-15.28
	Vy.max	3.9	**1.77**	-114.1	0.02	75.74	1.49
	Vz.min	0	-0.11	**-162.63**	-0.01	120.33	-0.52
	Vz.max	-103.85	-5.1	**7.95**	0	-5.46	-11.81
	Mx.min	-62.81	-5.51	-67.48	**-0.03**	62.89	-9.5
	Mx.max	-45.9	-0.52	-72.7	**0.02**	48.43	-4.17
	My.min	-117.12	-6.19	7.05	0	**-9.11**	-13.65
	My.max	-0.16	-0.19	-161.8	-0.01	**120.57**	-0.6
	Mz.min	-116.99	-7.8	-19.81	-0.03	27.09	**-15.42**
	Mz.max	4.23	1.76	-125.17	0.02	83.49	**1.51**
P2_71	N.min	**-123.95**	-3.03	-36.31	0.03	141	-14.76
	N.max	**3.28**	0.32	-40.63	0.01	196.4	-0.38
	Vy.min	-114.7	**-4.56**	-19.07	0.01	35.52	-16.32
	Vy.max	-1.97	**2.26**	-128.97	0.01	433.84	2.37
	Vz.min	-93.05	-1.25	**-148.64**	0.02	462.26	-10.65
	Vz.max	-16.21	-0.67	**4.82**	0.01	-8.21	-1.84
	Mx.min	-5.87	-0.75	-63.53	**-0.02**	216.01	-2.75
	Mx.max	-107.42	-1.82	-79	**0.05**	238.05	-11
	My.min	-103.83	-3.08	-1.54	0.03	**-32.22**	-12.77
	My.max	-5.6	1.17	-101.71	0	**507.9**	0.09
	Mz.min	-114.29	-4.54	-23.47	0.01	50.06	**-16.36**
	Mz.max	-3.05	2.16	-116.38	0.01	391.84	**2.44**
P1_C3	N.min	**-98.96**	-5.98	-0.09	-0.02	7.6	-12.31
	N.max	**2.84**	0.9	-73.21	0.01	47.15	0.79
	Vy.min	-98.38	**-6.13**	-12.73	-0.02	18.13	-12.44
	Vy.max	2.45	**1.01**	-69.71	0.01	46.18	0.86
	Vz.min	-0.3	-0.29	**-92.7**	-0.01	71.18	-0.61
	Vz.max	-94.62	-4.71	**7.1**	0	-5.11	-10.8
	Mx.min	-53.57	-4.11	-37.85	**-0.02**	34.68	-7.49
	Mx.max	-41.52	-0.96	-31.63	**0.01**	21.61	-4.1
	My.min	-96.07	-4.94	5.5	0	**-6.38**	-11.1
	My.max	0.26	-0.26	-92.68	-0.01	**71.32**	-0.54
	Mz.min	-98.54	-6.04	-7.5	-0.02	14.01	**-12.5**
	Mz.max	2.71	1	-78.56	0.01	52.39	**0.88**
P2_C3	N.min	**-101.26**	-2.58	-22.05	0.03	81.22	-11.75
	N.max	**2.32**	0.14	-20.48	0	99.53	-0.25
	Vy.min	-97.73	**-3.63**	-10.15	0.02	10.03	-13.11
	Vy.max	-0.77	**1.42**	-75.61	0	254.06	1.42
	Vz.min	-83.1	-1.88	**-86.51**	0.02	255.63	-10.18
	Vz.max	-17.86	-0.71	**4.22**	0.01	-6.63	-2.11
	Mx.min	-2.91	-0.53	-33.01	**-0.01**	113.02	-1.7
	Mx.max	-93.22	-1.92	-41.05	**0.04**	168.89	-10.93
	My.min	-93.61	-2.76	-1.52	0.03	**-28.56**	-11.51
	My.max	-2.71	0.38	-58.55	0	**288.44**	-0.26
	Mz.min	-96.74	-3.44	-18.08	0.02	49.48	**-13.33**
	Mz.max	-0.92	1.36	-72.24	0	240.67	**1.54**
BR	N.min	**-406.34**	-13.58	-1.94	0.04	-74.09	-47.01
	N.max	**406.34**	13.58	1.94	-0.04	74.09	47.01
	Vy.min	-366.87	**-15.5**	-2.34	0.05	-67.71	-41.15
	Vy.max	366.87	**15.5**	2.34	-0.05	67.71	41.15
	Vz.min	-312.76	-7.97	**-2.69**	0.02	-58.88	-36.68
	Vz.max	312.76	7.97	**2.69**	-0.02	58.88	36.68
	Mx.min	366.87	15.5	2.34	**-0.05**	67.71	41.15
	Mx.max	-366.87	-15.5	-2.34	**0.05**	-67.71	-41.15
	My.min	-406.34	-13.58	-1.94	0.04	**-74.09**	-47.01
	My.max	406.34	13.58	1.94	-0.04	**74.09**	47.01
	Mz.min	-406.34	-13.58	-1.94	0.04	-74.09	**-47.01**
	Mz.max	406.34	13.58	1.94	-0.04	74.09	**47.01**

TR_P1.1 POPIS: **PŘÍČNÍK P1 - VNĚJŠÍ PODÉLNÍK** POSUDEK: **P1.1**

SKUPINA ZAT. STAVŮ	EXTRÉM	VYHODNOCOVANÉ VELIČINY					
		N	Vy	Vz	Mx	My	Mz
		kN	kN	kN	kNm	kNm	kNm
S	N.min	**-18.2**	-2.53	7.16	0.02	-12.58	-1.17
	N.max	**18.2**	2.53	-7.16	-0.02	12.58	1.17
	Vy.min	-11.3	**-5.6**	1	0.01	0.06	-3.77
	Vy.max	11.3	**5.6**	-1	-0.01	-0.06	3.77
	Vz.min	12.04	2.4	**-11.75**	0.02	7.87	2.47
	Vz.max	-12.04	-2.4	**11.75**	-0.02	-7.87	-2.47
	Mx.min	18.2	2.53	-7.16	**-0.02**	12.58	1.17
	Mx.max	-18.2	-2.53	7.16	**0.02**	-12.58	-1.17
	My.min	-18.2	-2.53	7.16	0.02	**-12.58**	-1.17
	My.max	18.2	2.53	-7.16	-0.02	**12.58**	1.17
	Mz.min	-12.49	-5.37	1.24	0.01	0.5	**-3.87**
	Mz.max	12.49	5.37	-1.24	-0.01	-0.5	**3.87**
CH	N.min	**-17.43**	-0.74	-0.12	0	-21.86	-2.17
	N.max	**-12.25**	-0.66	3.65	0	-1.8	-1.34
	Vy.min	-17.43	**-0.74**	-0.12	0	-21.86	-2.17
	Vy.max	-12.25	**-0.66**	3.65	0	-1.8	-1.34
	Vz.min	-17.43	-0.74	**-0.12**	0	-21.86	-2.17
	Vz.max	-12.25	-0.66	**3.65**	0	-1.8	-1.34
	Mx.min	-12.25	-0.66	3.65	**0**	-1.8	-1.34
	Mx.max	-17.43	-0.74	-0.12	**0**	-21.86	-2.17
	My.min	-17.43	-0.74	-0.12	0	**-21.86**	-2.17
	My.max	-12.25	-0.66	3.65	0	**-1.8**	-1.34
	Mz.min	-17.43	-0.74	-0.12	0	-21.86	**-2.17**
	Mz.max	-12.25	-0.66	3.65	0	-1.8	**-1.34**
W	N.min	**-55.95**	-8.03	27.46	0.01	54.31	-5.96
	N.max	**53.59**	8	-27.45	-0.01	-54.29	5.93
	Vy.min	-55.95	**-8.03**	27.46	0.01	54.31	-5.96
	Vy.max	53.59	**8**	-27.45	-0.01	-54.29	5.93
	Vz.min	53.59	8	**-27.45**	-0.01	-54.29	5.93
	Vz.max	-55.95	-8.03	**27.46**	0.01	54.31	-5.96
	Mx.min	53.59	8	-27.45	**-0.01**	-54.29	5.93
	Mx.max	-55.95	-8.03	27.46	**0.01**	54.31	-5.96
	My.min	53.59	8	-27.45	-0.01	**-54.29**	5.93
	My.max	-55.95	-8.03	27.46	0.01	**54.31**	-5.96
	Mz.min	-55.95	-8.03	27.46	0.01	54.31	**-5.96**
	Mz.max	53.59	8	-27.45	-0.01	-54.29	**5.93**
WP	N.min	**-52.23**	-14.24	-4.44	0.02	-12.51	-11.18
	N.max	**52.15**	14.2	4.36	-0.02	12.37	11.16
	Vy.min	-52.23	**-14.24**	-4.44	0.02	-12.51	-11.18
	Vy.max	52.15	**14.2**	4.36	-0.02	12.37	11.16
	Vz.min	-52.23	-14.24	**-4.44**	0.02	-12.51	-11.18
	Vz.max	52.15	14.2	**4.36**	-0.02	12.37	11.16
	Mx.min	52.15	14.2	4.36	**-0.02**	12.37	11.16
	Mx.max	-52.23	-14.24	-4.44	**0.02**	-12.51	-11.18
	My.min	-52.23	-14.24	-4.44	0.02	**-12.51**	-11.18
	My.max	52.15	14.2	4.36	-0.02	**12.37**	11.16
	Mz.min	-52.23	-14.24	-4.44	0.02	-12.51	**-11.18**
	Mz.max	52.15	14.2	4.36	-0.02	12.37	**11.16**
TR	N.min	**0**	0	0	0	0	0
	N.max	**0**	0	0	0	0	0
	Vy.min	0	**0**	0	0	0	0
	Vy.max	0	**0**	0	0	0	0
	Vz.min	0	0	**0**	0	0	0
	Vz.max	0	0	**0**	0	0	0
	Mx.min	0	0	0	**0**	0	0
	Mx.max	0	0	0	**0**	0	0
	My.min	0	0	0	0	**0**	0
	My.max	0	0	0	0	**0**	0
	Mz.min	0	0	0	0	0	**0**
	Mz.max	0	0	0	0	0	**0**
TN	N.min	**-6.94**	-0.7	1.73	-0.02	-2.45	-1.7
	N.max	**6.35**	0.93	1.24	0	10.28	1.99
	Vy.min	-6.35	**-0.93**	-1.24	0	-10.28	-1.99
	Vy.max	6.35	**0.93**	1.24	0	10.28	1.99
	Vz.min	0	-0.11	**-2.7**	0.02	-12.2	-0.13
	Vz.max	-6.94	-0.7	**1.73**	-0.02	-2.45	-1.7
	Mx.min	-6.94	-0.7	1.73	**-0.02**	-2.45	-1.7
	Mx.max	0	-0.11	-2.7	**0.02**	-12.2	-0.13
	My.min	0	-0.11	-2.7	0.02	**-12.2**	-0.13
	My.max	6.35	0.93	1.24	0	**10.28**	1.99
	Mz.min	-6.35	-0.93	-1.24	0	-10.28	**-1.99**
	Mz.max	6.35	0.93	1.24	0	10.28	**1.99**
FR	N.min	**-12.34**	-0.49	0.08	0	-2.6	-1.44
	N.max	**12.34**	0.49	-0.08	0	2.6	1.44
	Vy.min	-12.34	**-0.49**	0.08	0	-2.6	-1.44
	Vy.max	12.34	**0.49**	-0.08	0	2.6	1.44
	Vz.min	12.34	0.49	**-0.08**	0	2.6	1.44
	Vz.max	-12.34	-0.49	**0.08**	0	-2.6	-1.44
	Mx.min	12.34	0.49	-0.08	**0**	2.6	1.44
	Mx.max	-12.34	-0.49	0.08	**0**	-2.6	-1.44
	My.min	-12.34	-0.49	0.08	0	**-2.6**	-1.44
	My.max	12.34	0.49	-0.08	0	**2.6**	1.44
	Mz.min	-12.34	-0.49	0.08	0	-2.6	**-1.44**
	Mz.max	12.34	0.49	-0.08	0	2.6	**1.44**
I	N.min	**-5.81**	-0.4	5.43	0	12.16	**-0.18**
	N.max	**5.81**	0.4	-5.43	0	-12.16	**0.18**
	Vy.min	-5.81	**-0.4**	5.43	0	12.16	**-0.18**
	Vy.max	5.81	**0.4**	-5.43	0	-12.16	**0.18**
	Vz.min	5.81	0.4	**-5.43**	0	-12.16	**0.18**
	Vz.max	-5.81	-0.4	**5.43**	0	12.16	**-0.18**
	Mx.min	-5.81	-0.4	5.43	**0**	12.16	**-0.18**
	Mx.max	5.81	0.4	-5.43	**0**	-12.16	**0.18**
	My.min	5.81	0.4	-5.43	0	**-12.16**	**0.18**
	My.max	-5.81	-0.4	5.43	0	**12.16**	**-0.18**
	Mz.min	-5.81	-0.4	5.43	0	12.16	**-0.18**
	Mz.max	5.81	0.4	-5.43	0	-12.16	**0.18**

TAB. P1.1.3 POSOUZENÍ - MEZNÍ STAV ÚNOSNOSTI

POPIS	PŘÍČNÍK P1 - VNĚJŠÍ PODÉLNÍK
PRUT / POLOHA BODU	699 / I[575]
NAMÁHÁNÍ	My.max
VLÁKNO	BOD K2 -HP
MEZNÍ STAV	ULS (MSÚ)
VYUŽITÍ VLÁKNA PRŮŘEZU	1.07

Charakteristiky materiálu				
pás. horní	$f_{yf,k}$	230	MPa	
pás. dolní	$f_{yf,k}$	230	MPa	
stojina	$f_{yw,k}$	230	MPa	
výztuž	$f_{ys,k}$	500	MPa	
γ_M =	1.10	γ_s =	1.15	

Excentricita normálové síly				
Exc./Fáze	0	1	2	3
e_y	0.000	0.000	0.000	0.000
e_z	0.000	0.000	0.000	0.000
Ekvivalentní vzdál. stěn - příčný roznos				
b_{ekv}	0.000	0.000	0.000	0.000

Vliv stěny na únosnost průřezu				
Char./Fáze	0	1	2	3
A	0.00	0.00	0.00	0.00
Wy	0.00	0.00	0.00	0.00
Wz	0.00	0.00	0.00	0.00

Charakter. v kroucení			
$t_{w,y}$	0.000	[mm]	
$t_{w,z}$	0.000	[mm]	
κ	1.00		
I_t=	0.00E+00	[mm^4]	
Ω=2*A_{pr}	0.00E+00	[mm^2]	

Součinitele vzpěru a vlivu II.řádu					
Char./Fáze	0	1	2	3	
k_y	1.000	1.000	1.000	1.000	
k_z	1.000	1.000	1.000	1.000	
χ_{LT}	1.000	1.000	1.000	1.000	
χ_{min}	1.000	1.000	1.000	1.000	

δ_{LOK} 1.00

Vnitřní síly od jednotlivých skupin zatěžovacích stavů

SKUPINA ZATĚŽOVACÍCH STAVŮ: 3

Č.	SKUP ZS	POPIS ZS	KAT.	FÁZE PRŮŘ.	- CHARAKTERISTICKÉ HODNOTY N.k (kN)	Vy.k (kN)	Vz.k (kN)	Mx.k (kNm)	My.k (kNm)	Mz.k (kNm)	DÍLČÍ SOUČINITELÉ ZATÍŽENÍ, DYNAMICKÝ SOUČINITEL γ_{sr} (-)	γ_{fs} (-)	volba ψ_i hledat	ψ_i (-)	L_σ (m)	δ (-)	ψ_s KZ03	- NÁVRHOVÉ HODNOTY N.d (kN)	Vy.d (kN)	Vz.d (kN)	ΔVz.d (kN)	ΣVz.d (kN)	Mx.d (kNm)	My.d (kNm)	ΔMy.d (kNm)	ΣMy.d (kNm)	Mz.d (kNm)	ΔMz.d (kNm)	ΣMz.d (kNm)
1	G0	Vlastní tíha OK	G	0	-112	-4	-27	0	21	-13	1.00	1.20		1.20	-	1.00	0.95	-128	-5	-31	0	-31	0	24	0	24	-15	0	-15
2	G1	Ostatní stálé - mostní vybavení	G	0	-8	0	-5	0	4	-1	1.00	1.20		1.20	-	1.00	0.95	-9	0	-6	0	-6	0	4	0	4	-1	0	-1
3	G2	Ostatní stálé - cizí zařízení	G	0	-7	0	-3	0	-5	-1	1.00	1.20		1.20	-	1.00	0.95	-8	0	-3	0	-3	0	-5	0	-5	-1	0	-1
4	P1_71	a.LM71 - kolej 1 (bez dyn. souč.)	P	0	0	0	-162	0	121	-1	1.00	1.30		1.30	-	1.27	1.00	0	0	-267	0	-267	0	199	0	199	-1	0	-1
5	P2_71	a.LM71 - kolej 2 (bez dyn. souč.)	P	0	-6	1	-102	0	508	0	1.00	1.30		1.30	-	1.27	1.00	-9	2	-168	0	-168	0	839	0	839	0	0	0
6	P1_C3	TTZ C3 - kolej 1 (bez dyn. souč.)	P	0	0	0	-93	0	71	-1	1.00	vyp.		0.00	-	1.00	0.00	0	0	0	0	0	0	0	0	0	0	0	0
7	P2_C3	TTZ C3 - kolej 2 (bez dyn. souč.)	P	0	-3	0	-59	0	288	0	1.00	vyp.		0.00	-	1.00	0.00	0	0	0	0	0	0	0	0	0	0	0	0
8	BR	Brzdné a rozjezdové síly	P	0	406	14	2	0	74	47	1.00	-1.30		-1.30	-	1.00	0.80	-423	-14	-2	0	-2	0	-77	0	-77	-49	0	-49
9	S	Boční ráz	P	0	18	3	-7	0	13	1	1.00	-1.30		-1.30	-	1.00	0.40	-9	-1	4	0	4	0	-7	0	-7	-1	0	-1
10	CH	Chodci na lávkách	Q	0	-12	-1	4	0	-2	-1	1.00	1.30		1.30	-	1.00	1.00	-16	-1	5	0	5	0	-2	0	-2	-2	0	-2
11	W	Vítr na konstrukci	Q	0	-56	-8	27	0	54	-6	1.00	1.35		1.35	-	1.00	0.75	-57	-8	28	0	28	0	55	0	55	-6	0	-6
12	WP	Vítr na vozidla	Q	0	52	14	4	0	12	11	1.00	-1.35		-1.35	-	1.00	0.75	-53	-14	-4	0	-4	0	-13	0	-13	-11	0	-11
13	TR	Teplota rovnoměrná	Q	0	0	0	0	0	0	0	1.00	1.35		1.35	-	1.00	0.45	0	0	0	0	0	0	0	0	0	0	0	0
14	TN	Teplota nerovnoměrná	Q	0	6	1	1	0	10	2	1.00	-1.35		-1.35	-	1.00	0.60	-5	-1	-1	0	-1	0	-8	0	-8	-2	0	-2
15	FR	Třecí síly v ložiskách	Q	0	12	0	0	0	3	1	1.00	-1.20		-1.20	-	1.00	1.00	-15	-1	0	0	0	0	-3	0	-3	-2	0	-2
16	I	Imperfekce soustavy	Q	0	-6	0	5	0	12	0	1.00	1.20		1.20	-	1.00	1.00	-7	0	7	0	7	0	15	0	15	0	0	0
27	ULS_LM	ULS - LM71 bez dynam	Q	0	381	21	-340	0	1 036	51	1.00	vyp.		0.00	-	1.00	0.00	0	0	0	0	0	0	0	0	0	0	0	0
28	SLS_LM	SLS - LM71 bez dynam	Q	0	274	15	-267	0	792	36	1.00	vyp.	1	0.00	-	1.00	0.00	0	0	0	0	0	0	0	0	0	0	0	0
29	ULS_C3	ULS - C3 bez dynam	Q	0	385	20	-194	0	687	50	1.00	vyp.	1	0.00	-	1.00	0.00	0	0	0	0	0	0	0	0	0	0	0	0
30	SLS_C3	SLS - C3 bez dynam	Q	0	277	14	-155	0	524	36	1.00	vyp.	1	0.00	-	1.00	0.00	0	0	0	0	0	0	0	0	0	0	0	0
		CELKEM - FÁZE PRŮŘEZU 0																-739	-44	-440	0	-440	0	1 021	0	1 021	-90	0	-90
		CELKEM - FÁZE PRŮŘEZU 1																0	0	0	0	0	0	0	0	0	0	0	0
		CELKEM - FÁZE PRŮŘEZU 2																0	0	0	0	0	0	0	0	0	0	0	0
		CELKEM - FÁZE PRŮŘEZU 3																0	0	0	0	0	0	0	0	0	0	0	0
		CELKEM - PRŮŘEZ																-739	-44	-440	0	-440	0			1 021			-90

Napětí od jednotlivých zatěžovacích stavů

SKUPINA ZATĚŽOVACÍCH STAVŮ

Č.	SKUP ZS	Popis ZS	Kat.	fáze prúř.	Posouzení normálového napětí: Účinek síly N δ^*N_d [kN]	χ^*A [mm^2]	σ_n [MPa]	Účinek momentu My $\delta^*M_{y,d}$ [kNm]	$\chi_{lt}{}^*W_{el,y}$ [mm^3]	σ_{my} [MPa]	Účinek momentu Mz $\delta^*M_{z,d}$ [kNm]	$W_{el,z}$ [mm^3]	σ_{mz} [MPa]	σ_x [MPa]	Posouzení smykového napětí: Účinek kroutícího momentu Mx $\kappa^*\delta^*M_{x,d}$ [kNm]	$W_{v,y}$ [mm^2]	$\tau_{x,y}$ [MPa]	$W_{v,z}$ [mm^2]	$\tau_{x,z}$ [MPa]	Účinek smykové síly Vy $\delta^*V_{y,d}$ [kN]	$A_{v,y}$ [mm2]	$\tau_{v,y}$ [MPa]	$\tau_{v,y}$ [MPa]	Účinek smykové síly Vz $\delta^*V_{z,d}$ [kN]	$A_{v,z}$ [mm2]	$\tau_{v,z}$ [MPa]	$\tau_{v,z}$ [MPa]
1	G0	Vlastní tíha OK	G	0	-127.8	3.05E+04	-4.2	24.4	-1.20E+07	-2.0	-15.1	7.92E+05	-19.0	-25.2	1.1E-02	-	-	-	-	-4.7	1.53E+04	-0.3	-0.3	-30.6	1.09E+04	-2.8	-2.8
2	G1	Ostatní stálé - mostní vybavení	G	0	-9.5	3.05E+04	-0.3	4.4	-1.20E+07	-0.4	-1.1	7.92E+05	-1.4	-2.1	0.0E+00	-	-	-	-	-0.4	1.53E+04	0.0	0.0	-5.7	1.09E+04	-0.5	-0.5
3	G2	Ostatní stálé - cizí zařízení	G	0	-7.7	3.05E+04	-0.3	-5.4	-1.20E+07	0.5	-1.0	7.92E+05	-1.2	-1.0	0.0E+00	-	-	-	-	-0.3	1.53E+04	0.0	0.0	-3.2	1.09E+04	-0.3	-0.3
4	P1_71	a.LM71 - kolej 1 (bez dyn. souč.)	P	0	-0.3	3.05E+04	0.0	199.2	-1.20E+07	-16.6	-0.8	7.92E+05	-1.0	-17.6	-1.7E-02	-	-	-	-	-0.3	1.53E+04	0.0	0.0	-267.3	1.09E+04	-24.5	-24.5
5	P2_71	a.LM71 - kolej 2 (bez dyn. souč.)	P	0	-9.3	3.05E+04	-0.3	839.2	-1.20E+07	-70.1	0.1	7.92E+05	0.1	-70.3	0.0E+00	-	-	-	-	1.9	1.53E+04	0.1	0.1	-168.1	1.09E+04	-15.4	-15.4
6	P1_C3	TTZ C3 - kolej 1 (bez dyn. souč.)	P	0	0.0	3.05E+04	0.0	0.0	-1.20E+07	0.0	0.0	7.92E+05	0.0	0.0	0.0E+00	-	-	-	-	0.0	1.53E+04	0.0	0.0	0.0	1.09E+04	0.0	0.0
7	P2_C3	TTZ C3 - kolej 2 (bez dyn. souč.)	P	0	0.0	3.05E+04	0.0	0.0	-1.20E+07	0.0	0.0	7.92E+05	0.0	0.0	0.0E+00	-	-	-	-	0.0	1.53E+04	0.0	0.0	0.0	1.09E+04	0.0	0.0
8	BR	Brzdné a rozjezdové síly	P	0	-422.6	3.05E+04	-13.9	-77.1	-1.20E+07	6.4	-48.9	7.92E+05	-61.7	-69.2	4.2E-02	-	-	-	-	-14.1	1.53E+04	-0.9	-0.9	-2.0	1.09E+04	-0.2	-0.2
9	S	Boční ráz	P	0	-9.5	3.05E+04	-0.3	-6.5	-1.20E+07	0.5	-0.6	7.92E+05	-0.8	-0.5	1.0E-02	-	-	-	-	-1.3	1.53E+04	-0.1	-0.1	3.7	1.09E+04	0.3	0.3
10	CH	Chodci na lávkách	Q	0	-15.9	3.05E+04	-0.5	-2.3	-1.20E+07	0.2	-1.7	7.92E+05	-2.2	-2.5	0.0E+00	-	-	-	-	-0.9	1.53E+04	-0.1	-0.1	4.7	1.09E+04	0.4	0.4
11	W	Vítr na konstrukci	Q	0	-56.6	3.05E+04	-1.9	55.0	-1.20E+07	-4.6	-6.0	7.92E+05	-7.6	-14.1	1.0E-02	-	-	-	-	-8.1	1.53E+04	-0.5	-0.5	27.8	1.09E+04	2.6	2.6
12	WP	Vítr na vozidla	Q	0	-52.8	3.05E+04	-1.7	-12.5	-1.20E+07	1.0	-11.3	7.92E+05	-14.3	-15.0	2.0E-02	-	-	-	-	-14.4	1.53E+04	-0.9	-0.9	-4.4	1.09E+04	-0.4	-0.4
13	TR	Teplota rovnoměrná	Q	0	0.0	3.05E+04	0.0	0.0	-1.20E+07	0.0	0.0	7.92E+05	0.0	0.0	0.0E+00	-	-	-	-	0.0	1.53E+04	0.0	0.0	0.0	1.09E+04	0.0	0.0
14	TN	Teplota nerovnoměrná	Q	0	-5.1	3.05E+04	-0.2	-8.3	-1.20E+07	0.7	-1.6	7.92E+05	-2.0	-1.5	0.0E+00	-	-	-	-	-0.8	1.53E+04	0.0	0.0	-1.0	1.09E+04	-0.1	-0.1
15	FR	Třecí síly v ložiskách	Q	0	-14.8	3.05E+04	-0.5	-3.1	-1.20E+07	0.3	-1.7	7.92E+05	-2.2	-2.4	0.0E+00	-	-	-	-	-0.6	1.53E+04	0.0	0.0	0.1	1.09E+04	0.0	0.0
16	I	Imperfekce soustavy	Q	0	-7.0	3.05E+04	-0.2	14.6	-1.20E+07	-1.2	-0.2	7.92E+05	-0.3	-1.7	0.0E+00	-	-	-	-	-0.5	1.53E+04	0.0	0.0	6.5	1.09E+04	0.6	0.6
27	ULS_LM	ULS - LM71 bez dynam	Q	0	0.0	3.05E+04	0.0	0.0	-1.20E+07	0.0	0.0	7.92E+05	0.0	0.0	0.0E+00	-	-	-	-	0.0	1.53E+04	0.0	0.0	0.0	1.09E+04	0.0	0.0
28	SLS_LM	SLS - LM71 bez dynam	Q	0	0.0	3.05E+04	0.0	0.0	-1.20E+07	0.0	0.0	7.92E+05	0.0	0.0	0.0E+00	-	-	-	-	0.0	1.53E+04	0.0	0.0	0.0	1.09E+04	0.0	0.0
29	ULS_C3	ULS - C3 bez dynam	Q	0	0.0	3.05E+04	0.0	0.0	-1.20E+07	0.0	0.0	7.92E+05	0.0	0.0	0.0E+00	-	-	-	-	0.0	1.53E+04	0.0	0.0	0.0	1.09E+04	0.0	0.0
30	SLS_C3	SLS - C3 bez dynam	Q	0	0.0	3.05E+04	0.0	0.0	-1.20E+07	0.0	0.0	7.92E+05	0.0	0.0	0.0E+00	-	-	-	-	0.0	1.53E+04	0.0	0.0	0.0	1.09E+04	0.0	0.0
		NAVÝŠENÍ NAPĚTÍ DO AKTIVACE TLAKU V DESCE MOSTOVKY				$\sigma_{P,red}$	0.0							0.0			0.0		0.0			-2.9	-2.9			-40.3	-40.3
		NAPĚTÍ OD PRIMÁRNÍCH ÚČINKŮ NEROVNOMĚRNÉHO OTEPLENÍ				σ_T	0.0							0.0													
		NAPĚTÍ OD REOLOGICKÝCH ÚČINKŮ BETONU V ČASE		t=0		σ_R	0.0	γ=	1.20					0.0													
		NAPĚTÍ V KRITICKÝCH VLÁKNECH OD KOMBINACE ZATÍŽENÍ				KZ03		[MPa]					$\Sigma\sigma_x$	-223.1									$\Sigma\tau_y$	-2.9			$\Sigma\tau_z$	-40.3
		NAPĚTÍ OD POHYBLIVÉHO ZATÍŽENÍ						[MPa]					$\sigma_{x,P}$	-157.6										-0.9			τ_P	-39.8
		NAPĚTÍ OD OSTATNÍCH ZATÍŽENÍ						[MPa]			Φ_{Vy}	Φ_{Vz}	$\sigma_{x,rs}$	-65.5									τ_{rs}	-2.0			τ_{rs}	-0.5
		NÁVRHOVÁ HODNOTA MEZE KLUZU S REDUKCÍ VLIVEM SMYKOVÉHO NAPĚTÍ						[MPa]			1.00	1.00	$f_{yv,d}$	209.1									$f_{yd}/3^{0,5}$	120.7			$f_{yd}/3^{0,5}$	120.7
		NAPĚTÍ OD POHYBLIVÉHO ZATÍŽENÍ V GLOBÁLNÍM SYSTÉMU				$\sigma_{GLOB,P}$	0.0	[MPa]					$\Sigma\sigma_{GLOB}$	0.0														
		NAPĚTÍ OD OSTATNÍCH ZATÍŽENÍ V GLOBÁLNÍM SYSTÉMU				$\sigma_{GLOB,rs}$	0.0	[MPa]					$\Sigma\sigma_x + \Sigma\sigma_{GLOB}$	-223.1														
		VYUŽITÍ PRŮŘEZU DLE NAPĚTÍ						[%]					η_1	1.07									η_3	0.02			η_3	0.33
		NAPĚTÍ V PŘÍČNÉM SMĚRU OD POHYBLIVÉHO ZATÍŽENÍ				$\sigma_{z,P}$	0.0	[MPa]					$\Sigma\sigma_z$	0.0														
		NAPĚTÍ V PŘÍČNÉM SMĚRU OD OSTATNÍCH ZATÍŽENÍ				$\sigma_{z,rs}$	0.0	[MPa]					η_2	0.00														
		SROVNÁVACÍ NAPĚTÍ											$(\eta_2 + 0,8\ \eta_1)/1,4$ =	0.61														
		VYUŽITÍ PRŮŘEZU CELKEM						[%]					eff	1.07	NEVYHOVUJE													
		STANOVENÍ ZATÍŽITELNOSTI											z_{LM71} =	0.91														

TAB. P1.1.3 POSOUZENÍ - MEZNÍ STAV ÚNOSNOSTI

POPIS	PŘÍČNÍK P1 - VNĚJŠÍ PODÉLNÍK
PRUT / POLOHA BODU	699 / I[575]
NAMÁHÁNÍ	My.min
VLÁKNO	BOD K4 -SP
MEZNÍ STAV	ULS (MSÚ)
VYUŽITÍ VLÁKNA PRŮŘEZU	0.98

Charakteristiky materiálu				
pás. horní	$f_{yf,k}$	230	MPa	
pás. dolní	$f_{yf,k}$	230	MPa	
stojina	$f_{yw,k}$	230	MPa	
výztuž	$f_{ys,k}$	500	MPa	
γ_M =	1.10	γ_s =	1.15	

Excentricita normálové síly				
Exc./Fáze	0	1	2	3
e_y	0.000	0.000	0.000	0.000
e_z	0.000	0.000	0.000	0.000
Ekvivalentní vzdál. stěn - příčný roznos				
b_{Mx}	0.000	0.000	0.000	0.000

Vliv stěny na únosnost průřezu				
Char./Fáze	0	1	2	3
A	0.00	0.00	0.00	0.00
Wy	0.00	0.00	0.00	0.00
Wz	0.00	0.00	0.00	0.00

Charakter. v kroucení			
$t_{w,y}$	0.000	[mm]	
$t_{w,z}$	0.000	[mm]	
κ	1.00		
I_t=	0.00E+00	[mm^4]	
Ω=2*A_{pz}	0.00E+00	[mm^2]	

Součinitele vzpěru a vlivu II.řádu				
Char./Fáze	0	1	2	3
k_y	1.000	1.000	1.000	1.000
k_z	1.000	1.000	1.000	1.000
χ_{LT}	1.000	1.000	1.000	1.000
χ_{min}	1.000	1.000	1.000	1.000

3

δ_{LOK} 1.00

Vnitřní síly od jednotlivých skupin zatěžovacích stavů

SKUPINA ZATĚŽOVACÍCH STAVŮ - CHARAKTERISTICKÉ HODNOTY | DÍLČÍ SOUČINITELÉ ZATÍŽENÍ, DYNAMICKÝ SOUČINITEL | - NÁVRHOVÉ HODNOTY

Č.	SKUP ZS	POPIS ZS	KAT.	FÁZE PRŮŘ.	N.k (kN)	Vy.k (kN)	Vz.k (kN)	Mx.k (kNm)	My.k (kNm)	Mz.k (kNm)	γ_{sr} (-)	γ_{fs} (-)	volba ψ_1 hledat	ψ_1 (-)	L_d (m)	δ (-)	ψ_2 KZ03	N.d (kN)	Vy.d (kN)	Vz.d (kN)	ΔVz.d (kN)	ΣVz.d (kN)	Mx.d (kNm)	My.d (kNm)	ΔMy.d (kNm)	ΣMy.d (kNm)	Mz.d (kNm)	ΔMz.d (kNm)	ΣMz.d (kNm)
1	G0	Vlastní tíha OK	G	0	-112	-4	-27	0	21	-13	1.00	1.20		1.20	-	1.00	0.95	-128	-5	-31	0	-31	0	24	0	24	-15	0	-15
2	G1	Ostatní stálé - mostní vybavení	G	0	-8	0	-5	0	4	-1	1.00	1.20		1.20	-	1.00	0.95	-9	0	-6	0	-6	0	4	0	4	-1	0	-1
3	G2	Ostatní stálé - cizí zařízení	G	0	-7	0	-3	0	-5	-1	1.00	1.20		1.20	-	1.00	0.95	-8	0	-3	0	-3	0	-5	0	-5	-1	0	-1
4	P1_71	a.LM71 - kolej 1 (bez dyn. souč.)	P	0	-117	-6	7	0	-9	-14	1.00	1.30		1.30	-	1.27	1.00	-194	-10	12	0	12	0	-15	0	-15	-23	5	-18
5	P2_71	a.LM71 - kolej 2 (bez dyn. souč.)	P	0	-104	-3	-2	0	-32	-13	1.00	1.30		1.30	-	1.27	1.00	-172	-5	-3	0	-3	0	-53	0	-53	-21	4	-17
6	P1_C3	TTZ C3 - kolej 1 (bez dyn. souč.)	P	0	-96	-5	6	0	-6	-11	1.00	vyp.		0.00	-	1.00	0.00	0	0	0	0	0	0	0	0	0	0	0	0
7	P2_C3	TTZ C3 - kolej 2 (bez dyn. souč.)	P	0	-94	-3	-2	0	-29	-12	1.00	vyp.		0.00	-	1.00	0.00	0	0	0	0	0	0	0	0	0	0	0	0
8	BR	Brzdné a rozjezdové síly	P	0	-406	-14	-2	0	-74	-47	1.00	1.30		1.30	-	1.00	0.80	-423	-14	-2	0	-2	0	-77	0	-77	-49	0	-49
9	S	Boční ráz	P	0	-18	-3	7	0	-13	-1	1.00	1.30		1.30	-	1.00	0.40	-9	-1	4	0	4	0	-7	0	-7	-1	0	-1
10	CH	Chodci na lávkách	Q	0	-17	-1	0	0	-22	-2	1.00	1.30		1.30	-	1.00	1.00	-23	-1	0	0	0	0	-28	0	-28	-3	0	-3
11	W	Vítr na konstrukci	Q	0	54	8	-27	0	-54	6	1.00	-1.35		-1.35	-	1.00	0.75	-54	-8	28	0	28	0	55	0	55	-6	0	-6
12	WP	Vítr na vozidla	Q	0	-52	-14	-4	0	-13	-11	1.00	1.35		1.35	-	1.00	0.75	-53	-14	-4	0	-4	0	-13	0	-13	-11	0	-11
13	TR	Teplota rovnoměrná	Q	0	0	0	0	0	0	0	1.00	1.35		1.35	-	1.00	0.45	0	0	0	0	0	0	0	0	0	0	0	0
14	TN	Teplota nerovnoměrná	Q	0	0	0	-3	0	-12	0	1.00	1.35		1.35	-	1.00	0.60	0	0	-2	0	-2	0	-10	0	-10	0	0	0
15	FR	Třecí síly v ložiskách	Q	0	-12	0	0	0	-3	-1	1.00	1.20		1.20	-	1.00	1.00	-15	-1	0	0	0	0	-3	0	-3	-2	0	-2
16	I	Imperfekce soustavy	Q	0	6	0	-5	0	-12	0	1.00	1.20		1.20	-	1.00	1.00	7	0	-7	0	-7	0	-15	0	-15	0	0	0
27	ULS_LM	ULS - LM71 bez dynam	Q	0	-1 001	-44	-71	0	-259	-123	1.00	vyp.		0.00	-	1.00	0.00	0	0	0	0	0	0	0	0	0	0	0	0
28	SLS_LM	SLS - LM71 bez dynam	Q	0	-786	-34	-57	0	-188	-96	1.00	vyp.	1	0.00	-	1.00	0.00	0	0	0	0	0	0	0	0	0	0	0	0
29	ULS_C3	ULS - C3 bez dynam	Q	0	-961	-42	-73	0	-250	-118	1.00	vyp.	1	0.00	-	1.00	0.00	0	0	0	0	0	0	0	0	0	0	0	0
30	SLS_C3	SLS - C3 bez dynam	Q	0	-755	-33	-58	0	-182	-93	1.00	vyp.	1	0.00	-	1.00	0.00	0	0	0	0	0	0	0	0	0	0	0	0
		CELKEM - FÁZE PRŮŘEZU 0																-1 080	-60	-14	0	-14	0	-142	0	-142	-132	9	-123
		CELKEM - FÁZE PRŮŘEZU 1																0	0	0	0	0	0	0	0	0	0	0	0
		CELKEM - FÁZE PRŮŘEZU 2																0	0	0	0	0	0	0	0	0	0	0	0
		CELKEM - FÁZE PRŮŘEZU 3																0	0	0	0	0	0	0	0	0	0	0	0
		CELKEM - PRŮŘEZ																-1 080	-60	-14	0	-14	0			-142			-123

Napětí od jednotlivých zatěžovacích stavů

SKUPINA ZATĚŽOVACÍCH STAVŮ — Posouzení normálového napětí | Posouzení smykového napětí

Účinek síly N | Účinek momentu My | Účinek momentu Mz | Účinek kroutícího momentu Mx | Účinek smykové síly Vy | Účinek smykové síly Vz

Č.	SKUP ZS	Popis ZS	Kat.	fáze prúř.	δ^*N_d [kN]	χ^*A [mm^2]	σ_n [MPa]	$\delta^*M_{y,d}$ [kNm]	$\chi_{lt}{}^*W_{el,y}$ [mm^3]	σ_{my} [MPa]	$\delta^*M_{z,d}$ [kNm]	$W_{el,z}$ [mm^3]	σ_{mz} [MPa]	σ_x [MPa]	$\kappa^*\delta^*M_{x,d}$ [kNm]	$W_{v,y}$ [mm^3]	$\tau_{x,y}$ [MPa]	$W_{v,z}$ [mm^3]	$\tau_{x,z}$ [MPa]	$\delta^*V_{y,d}$ [kN]	$A_{v,y}$ [mm2]	$\tau_{v,y}$ [MPa]	$\tau_{v,y}$ [MPa]	$\delta^*V_{z,d}$ [kN]	$A_{v,z}$ [mm2]	$\tau_{v,z}$ [MPa]	$\tau_{v,z}$ [MPa]
1	G0	Vlastní tíha OK	G	0	-127.8	3.05E+04	-4.2	24.4	1.04E+07	2.4	-15.1	7.92E+05	-19.0	-20.9	1.1E-02	-	-	-	-	-4.7	1.53E+04	-0.3	-0.3	-30.6	1.09E+04	-2.8	-2.8
2	G1	Ostatní stálé - mostní vybavení	G	0	-9.5	3.05E+04	-0.3	4.4	1.04E+07	0.4	-1.1	7.92E+05	-1.4	-1.3	0.0E+00	-	-	-	-	-0.4	1.53E+04	0.0	0.0	-5.7	1.09E+04	-0.5	-0.5
3	G2	Ostatní stálé - cizí zařízení	G	0	-7.7	3.05E+04	-0.3	-5.4	1.04E+07	-0.5	-1.0	7.92E+05	-1.2	-2.0	0.0E+00	-	-	-	-	-0.3	1.53E+04	0.0	0.0	-3.2	1.09E+04	-0.3	-0.3
4	P1_71	a.LM71 - kolej 1 (bez dyn. souč.)	P	0	-193.5	3.05E+04	-6.4	-15.1	1.04E+07	-1.5	-17.7	7.92E+05	-22.4	-30.2	0.0E+00	-	-	-	-	-10.2	1.53E+04	-0.7	-0.7	11.6	1.09E+04	1.1	1.1
5	P2_71	a.LM71 - kolej 2 (bez dyn. souč.)	P	0	-171.6	3.05E+04	-5.6	-53.2	1.04E+07	-5.1	-16.6	7.92E+05	-21.0	-31.7	5.0E-02	-	-	-	-	-5.1	1.53E+04	-0.3	-0.3	-2.5	1.09E+04	-0.2	-0.2
6	P1_C3	TTZ C3 - kolej 1 (bez dyn. souč.)	P	0	0.0	3.05E+04	0.0	0.0	1.04E+07	0.0	0.0	7.92E+05	0.0	0.0	0.0E+00	-	-	-	-	0.0	1.53E+04	0.0	0.0	0.0	1.09E+04	0.0	0.0
7	P2_C3	TTZ C3 - kolej 2 (bez dyn. souč.)	P	0	0.0	3.05E+04	0.0	0.0	1.04E+07	0.0	0.0	7.92E+05	0.0	0.0	0.0E+00	-	-	-	-	0.0	1.53E+04	0.0	0.0	0.0	1.09E+04	0.0	0.0
8	BR	Brzdné a rozjezdové síly	P	0	-422.6	3.05E+04	-13.9	-77.1	1.04E+07	-7.4	-48.9	7.92E+05	-61.7	-83.0	4.2E-02	-	-	-	-	-14.1	1.53E+04	-0.9	-0.9	-2.0	1.09E+04	-0.2	-0.2
9	S	Boční ráz	P	0	-9.5	3.05E+04	-0.3	-6.5	1.04E+07	-0.6	-0.6	7.92E+05	-0.8	-1.7	1.0E-02	-	-	-	-	-1.3	1.53E+04	-0.1	-0.1	3.7	1.09E+04	0.3	0.3
10	CH	Chodci na lávkách	Q	0	-22.7	3.05E+04	-0.7	-28.4	1.04E+07	-2.7	-2.8	7.92E+05	-3.6	-7.0	0.0E+00	-	-	-	-	-1.0	1.53E+04	-0.1	-0.1	-0.2	1.09E+04	0.0	0.0
11	W	Vítr na konstrukci	Q	0	-54.3	3.05E+04	-1.8	55.0	1.04E+07	5.3	-6.0	7.92E+05	-7.6	-4.1	1.0E-02	-	-	-	-	-8.1	1.53E+04	-0.5	-0.5	27.8	1.09E+04	2.5	2.5
12	WP	Vítr na vozidla	Q	0	-52.9	3.05E+04	-1.7	-12.7	1.04E+07	-1.2	-11.3	7.92E+05	-14.3	-17.2	2.0E-02	-	-	-	-	-14.4	1.53E+04	-0.9	-0.9	-4.5	1.09E+04	-0.4	-0.4
13	TR	Teplota rovnoměrná	Q	0	0.0	3.05E+04	0.0	0.0	1.04E+07	0.0	0.0	7.92E+05	0.0	0.0	0.0E+00	-	-	-	-	0.0	1.53E+04	0.0	0.0	0.0	1.09E+04	0.0	0.0
14	TN	Teplota nerovnoměrná	Q	0	0.0	3.05E+04	0.0	-9.9	1.04E+07	-1.0	-0.1	7.92E+05	-0.1	-1.1	1.6E-02	-	-	-	-	-0.1	1.53E+04	0.0	0.0	-2.2	1.09E+04	-0.2	-0.2
15	FR	Třecí síly v ložiskách	Q	0	-14.8	3.05E+04	-0.5	-3.1	1.04E+07	-0.3	-1.7	7.92E+05	-2.2	-3.0	0.0E+00	-	-	-	-	-0.6	1.53E+04	0.0	0.0	0.1	1.09E+04	0.0	0.0
16	I	Imperfekce soustavy	Q	0	7.0	3.05E+04	0.2	-14.6	1.04E+07	-1.4	0.2	7.92E+05	0.3	-0.9	0.0E+00	-	-	-	-	0.5	1.53E+04	0.0	0.0	-6.5	1.09E+04	-0.6	-0.6
27	ULS_LM	ULS - LM71 bez dynam	Q	0	0.0	3.05E+04	0.0	0.0	1.04E+07	0.0	0.0	7.92E+05	0.0	0.0	0.0E+00	-	-	-	-	0.0	1.53E+04	0.0	0.0	0.0	1.09E+04	0.0	0.0
28	SLS_LM	SLS - LM71 bez dynam	Q	0	0.0	3.05E+04	0.0	0.0	1.04E+07	0.0	0.0	7.92E+05	0.0	0.0	0.0E+00	-	-	-	-	0.0	1.53E+04	0.0	0.0	0.0	1.09E+04	0.0	0.0
29	ULS_C3	ULS - C3 bez dynam	Q	0	0.0	3.05E+04	0.0	0.0	1.04E+07	0.0	0.0	7.92E+05	0.0	0.0	0.0E+00	-	-	-	-	0.0	1.53E+04	0.0	0.0	0.0	1.09E+04	0.0	0.0
30	SLS_C3	SLS - C3 bez dynam	Q	0	0.0	3.05E+04	0.0	0.0	1.04E+07	0.0	0.0	7.92E+05	0.0	0.0	0.0E+00	-	-	-	-	0.0	1.53E+04	0.0	0.0	0.0	1.09E+04	0.0	0.0
		$\sigma_{P,red}$					0.0							0.0			0.0		0.0				-3.9	-3.9			-1.3	-1.3
		NAVÝŠENÍ NAPĚTÍ DO AKTIVACE TLAKU V DÉSCE MOSTOVKY				σ_T	0.0							0.0														
		NAPĚTÍ OD PRIMÁRNÍCH ÚČINKŮ NEROVNOMĚRNÉHO OTEPLENÍ				σ_R	0.0							0.0														
		NAPĚTÍ OD REOLOGICKÝCH ÚČINKŮ BETONU V ČASE		t=0				γ_{lt}=	1.20																			
		NAPĚTÍ V KRITICKÝCH VLÁKNECH OD KOMBINACE ZATÍŽENÍ					KZ03						$\Sigma\sigma_x$	-204.1								$\Sigma\tau_y$	-3.9	-3.9			$\Sigma\tau_z$	-1.3
		NAPĚTÍ OD POHYBLIVÉHO ZATÍŽENÍ											$\sigma_{z,P}$	-146.7								τ_P	-2.0				τ_P	1.0
		NAPĚTÍ OD OSTATNÍCH ZATÍŽENÍ									Φ_{Vy}	Φ_{Vz}	$\sigma_{z,rs}$	-57.5								τ_{rs}	-1.9				τ_{rs}	-2.3
		NÁVRHOVÁ HODNOTA MEZE KLUZU S REDUKCÍ VLIVEM SMYKOVÉHO NAPĚTÍ									1.00	1.00	$f_{yw,d}$	209.1								$f_{yd}/3^{0,5}$	120.7				$f_{yd}/3^{0,5}$	120.7
		NAPĚTÍ OD POHYBLIVÉHO ZATÍŽENÍ V GLOBÁLNÍM SYSTÉMU				$\sigma_{GLOB,P}$	0.0						$\Sigma\sigma_{GLOB}$	0.0														
		NAPĚTÍ OD OSTATNÍCH ZATÍŽENÍ V GLOBÁLNÍM SYSTÉMU				$\sigma_{GLOB,rs}$	0.0						$\Sigma\sigma_z + \Sigma\sigma_{GLOB}$	-204.1														
		VYUŽITÍ PRŮŘEZU DLE NAPĚTÍ						[%]					η_1	0.98								η_3	0.03				η_3	0.01
		NAPĚTÍ V PŘÍČNÉM SMĚRU OD POHYBLIVÉHO ZATÍŽENÍ				$\sigma_{z,P}$	0.0	[MPa]					$\Sigma\sigma_z$	0.0														
		NAPĚTÍ V PŘÍČNÉM SMĚRU OD OSTATNÍCH ZATÍŽENÍ				$\sigma_{z,rs}$	0.0	[MPa]					η_2	0.00														
		SROVNÁVACÍ NAPĚTÍ											$(\eta_2 + 0,8\,\eta_1)/1,4$ =	0.56														
		VYUŽITÍ PRŮŘEZU CELKEM						[%]					eff	0.98	VYHOVUJE													
		STANOVENÍ ZATÍŽITELNOSTI											z_{LM71} =	1.03														

TAB. P1.1.3 POSOUZENÍ - MEZNÍ STAV ÚNOSNOSTI

POPIS	PŘÍČNÍK P1 - VNĚJŠÍ PODÉLNÍK
PRUT / POLOHA BODU	699 / I[575]
NAMÁHÁNÍ	Vz.min
VLÁKNO	BOD S5 -HL
MEZNÍ STAV	ULS (MSÚ)
VYUŽITÍ VLÁKNA PRŮŘEZU	0.46

Charakteristiky materiálu				
pás. horní	$f_{yf,k}$	230	MPa	
pás. dolní	$f_{yf,k}$	230	MPa	
stojina	$f_{yw,k}$	230	MPa	
výztuž	$f_{ys,k}$	500	MPa	
γ_M =	1.10	γ_s =	1.15	

Excentricita normálové síly				
Exc./Fáze	0	1	2	3
e_y	0.000	0.000	0.000	0.000
e_z	0.000	0.000	0.000	0.000
Ekvivalentní vzdál. stěn - příčný roznos				
b_{Mx}	0.000	0.000	0.000	0.000

Vliv stěny na únosnost průřezu				
Char./Fáze	0	1	2	3
A	0.00	0.00	0.00	0.00
Wy	0.00	0.00	0.00	0.00
Wz	0.00	0.00	0.00	0.00

Charakter. v kroucení			
$t_{w,y}$	0.000	[mm]	
$t_{w,z}$	0.000	[mm]	
κ	1.00		
I_t=	0.00E+00	[mm^4]	
$\Omega=2*A_{pr}$	0.00E+00	[mm^2]	

Součinitele vzpěru a vlivu II.řádu				
Char./Fáze	0	1	2	3
k_y	1.000	1.000	1.000	1.000
k_z	1.000	1.000	1.000	1.000
χ_{LT}	1.000	1.000	1.000	1.000
χ_{min}	1.000	1.000	1.000	1.000

δ_{LOK} 1.00

Vnitřní síly od jednotlivých skupin zatěžovacích stavů

SKUPINA ZATĚŽOVACÍCH STAVŮ — 4

Č.	SKUP ZS	POPIS ZS	KAT.	FÁZE PRŮŘ.	- CHARAKTERISTICKÉ HODNOTY N.k (kN)	Vy.k (kN)	Vz.k (kN)	Mx.k (kNm)	My.k (kNm)	Mz.k (kNm)	DÍLČÍ SOUČINITELÉ ZATÍŽENÍ, DYNAMICKÝ SOUČINITEL γ_{sr} (-)	γ_{fs} (-)	volba ψ_i hledat	ψ_i (-)	L_d (m)	δ (-)	Ψ_z KZ04	- NÁVRHOVÉ HODNOTY N.d (kN)	Vy.d (kN)	Vz.d (kN)	ΔVz.d (kN)	ΣVz.d (kN)	Mx.d (kNm)	My.d (kNm)	ΔMy.d (kNm)	ΣMy.d (kNm)	Mz.d (kNm)	ΔMz.d (kNm)	ΣMz.d (kNm)
1	G0	Vlastní tíha OK	G	0	-112	-4	-27	0	21	-13	1.00	1.20		1.20	-	1.00	0.95	-128	-5	-31	0	-31	0	24	0	24	-15	0	-15
2	G1	Ostatní stálé - mostní vybavení	G	0	-8	0	-5	0	4	-1	1.00	1.20		1.20	-	1.00	0.95	-9	0	-6	0	-6	0	4	0	4	-1	0	-1
3	G2	Ostatní stálé - cizí zařízení	G	0	-7	0	-3	0	-5	-1	1.00	1.20		1.20	-	1.00	0.95	-8	0	-3	0	-3	0	-5	0	-5	-1	0	-1
4	P1_71	a.LM71 - kolej 1 (bez dyn. souč.)	P	0	0	0	-163	0	120	-1	1.00	1.30		1.30	-	1.27	1.00	0	0	-269	0	-269	0	199	0	199	-1	0	-1
5	P2_71	a.LM71 - kolej 2 (bez dyn. souč.)	P	0	-93	-1	-149	0	462	-11	1.00	1.30		1.30	-	1.27	1.00	-154	-2	-246	0	-246	0	764	0	764	-18	4	-14
6	P1_C3	TTZ C3 - kolej 1 (bez dyn. souč.)	P	0	0	0	-93	0	71	-1	1.00	vyp.		0.00	-	1.00	0.00	0	0	0	0	0	0	0	0	0	0	0	0
7	P2_C3	TTZ C3 - kolej 2 (bez dyn. souč.)	P	0	-83	-2	-87	0	256	-10	1.00	vyp.		0.00	-	1.00	0.00	0	0	0	0	0	0	0	0	0	0	0	0
8	BR	Brzdné a rozjezdové síly	P	0	-313	-8	-3	0	-59	-37	1.00	1.30		1.30	-	1.00	0.40	-163	-4	-1	0	-1	0	-31	0	-31	-19	0	-19
9	S	Boční ráz	P	0	12	2	-12	0	8	2	1.00	1.30		1.30	-	1.00	0.80	13	2	-12	0	-12	0	8	0	8	3	0	3
10	CH	Chodci na lávkách	Q	0	-17	-1	0	0	-22	-2	1.00	1.30		1.30	-	1.00	1.00	-23	-1	0	0	0	0	-28	0	-28	-3	0	-3
11	W	Vítr na konstrukci	Q	0	54	8	-27	0	-54	6	1.00	1.35		1.35	-	1.00	0.75	54	8	-28	0	-28	0	-55	0	-55	6	0	6
12	WP	Vítr na vozidla	Q	0	-52	-14	-4	0	-13	-11	1.00	1.35		1.35	-	1.00	0.75	-53	-14	-4	0	-4	0	-13	0	-13	-11	0	-11
13	TR	Teplota rovnoměrná	Q	0	0	0	0	0	0	0	1.00	1.35		1.35	-	1.00	0.45	0	0	0	0	0	0	0	0	0	0	0	0
14	TN	Teplota nerovnoměrná	Q	0	0	0	-3	0	-12	0	1.00	1.35		1.35	-	1.00	0.60	0	0	-2	0	-2	0	-10	0	-10	0	0	0
15	FR	Třecí síly v ložiskách	Q	0	12	0	0	0	3	1	1.00	1.20		1.20	-	1.00	1.00	15	1	0	0	0	0	3	0	3	2	0	2
16	I	Imperfekce soustavy	Q	0	6	0	-5	0	-12	0	1.00	1.20		1.20	-	1.00	1.00	7	0	-7	0	-7	0	-15	0	-15	0	0	0
27	ULS_LM	ULS - LM71 bez dynam	Q	0	-453	-16	-503	0	635	-59	1.00	vyp.		0.00	-	1.00	0.00	0	0	0	0	0	0	0	0	0	0	0	0
28	SLS_LM	SLS - LM71 bez dynam	Q	0	-363	-12	-389	0	500	-47	1.00	vyp.	1	0.00	-	1.00	0.00	0	0	0	0	0	0	0	0	0	0	0	0
29	ULS_C3	ULS - C3 bez dynam	Q	0	-440	-17	-331	0	303	-58	1.00	vyp.	1	0.00	-	1.00	0.00	0	0	0	0	0	0	0	0	0	0	0	0
30	SLS_C3	SLS - C3 bez dynam	Q	0	-353	-13	-257	0	244	-46	1.00	vyp.	1	0.00	-	1.00	0.00	0	0	0	0	0	0	0	0	0	0	0	0
		CELKEM - FÁZE PRŮŘEZU 0																-448	-16	-609	0	-609	0	846	0	846	-58	4	-54
		CELKEM - FÁZE PRŮŘEZU 1																0	0	0	0	0	0	0	0	0	0	0	0
		CELKEM - FÁZE PRŮŘEZU 2																0	0	0	0	0	0	0	0	0	0	0	0
		CELKEM - FÁZE PRŮŘEZU 3																0	0	0	0	0	0	0	0	0	0	0	0
		CELKEM - PRŮŘEZ																-448	-16	-609	0	-609	0			846			-54

Napětí od jednotlivých zatěžovacích stavů

SKUPINA ZATĚŽOVACÍCH STAVŮ

Č.	SKUP ZS	Popis ZS	Kat.	fáze průř.	Posouzení normálového napětí — Účinek síly N δ^*N_d [kN]	χ^*A [mm^2]	σ_n [MPa]	Účinek momentu My $\delta^*M_{y,d}$ [kNm]	$\chi_t{}^*W_{el,y}$ [mm^3]	σ_{my} [MPa]	Účinek momentu Mz $\delta^*M_{z,d}$ [kNm]	$W_{el,z}$ [mm^3]	σ_{mz} [MPa]	σ_x [MPa]	Posouzení smykového napětí — Účinek kroutícího momentu Mx $\kappa^*\delta^*M_{x,d}$ [kNm]	$W_{v,y}$ [mm^2]	$\tau_{x,y}$ [MPa]	$W_{v,z}$ [mm^2]	$\tau_{x,z}$ [MPa]	Účinek smykové síly Vy $\delta^*V_{y,d}$ [kN]	$A_{v,y}$ [mm2]	$\tau_{v,y}$ [MPa]	$\tau_{v,y}$ [MPa]	Účinek smykové síly Vz $\delta^*V_{z,d}$ [kN]	$A_{v,z}$ [mm2]	$\tau_{v,z}$ [MPa]	$\tau_{v,z}$ [MPa]
1	G0	Vlastní tíha OK	G	0	-127.8	3.05E+04	-4.2	24.4	-1.23E+07	-2.0	-15.1	-2.44E+07	0.6	-5.6	1.1E-02	-	-	-	-	-4.7	1.53E+04	-0.3	-0.3	-30.6	1.09E+04	-2.8	-2.8
2	G1	Ostatní stálé - mostní vybavení	G	0	-9.5	3.05E+04	-0.3	4.4	-1.23E+07	-0.4	-1.1	-2.44E+07	0.0	-0.6	0.0E+00	-	-	-	-	-0.4	1.53E+04	0.0	0.0	-5.7	1.09E+04	-0.5	-0.5
3	G2	Ostatní stálé - cizí zařízení	G	0	-7.7	3.05E+04	-0.3	-5.4	-1.23E+07	0.4	-1.0	-2.44E+07	0.0	0.2	0.0E+00	-	-	-	-	-0.3	1.53E+04	0.0	0.0	-3.2	1.09E+04	-0.3	-0.3
4	P1_71	a.LM71 - kolej 1 (bez dyn. souč.)	P	0	0.0	3.05E+04	0.0	198.8	-1.23E+07	-16.2	-0.7	-2.44E+07	0.0	-16.1	-1.7E-02	-	-	-	-	-0.2	1.53E+04	0.0	0.0	-268.7	1.09E+04	-24.6	-24.6
5	P2_71	a.LM71 - kolej 2 (bez dyn. souč.)	P	0	-153.7	3.05E+04	-5.0	763.8	-1.23E+07	-62.1	-13.8	-2.44E+07	0.6	-66.6	3.3E-02	-	-	-	-	-2.1	1.53E+04	-0.1	-0.1	-245.6	1.09E+04	-22.5	-22.5
6	P1_C3	TTZ C3 - kolej 1 (bez dyn. souč.)	P	0	0.0	3.05E+04	0.0	0.0	-1.23E+07	0.0	0.0	-2.44E+07	0.0	0.0	0.0E+00	-	-	-	-	0.0	1.53E+04	0.0	0.0	0.0	1.09E+04	0.0	0.0
7	P2_C3	TTZ C3 - kolej 2 (bez dyn. souč.)	P	0	0.0	3.05E+04	0.0	0.0	-1.23E+07	0.0	0.0	-2.44E+07	0.0	0.0	0.0E+00	-	-	-	-	0.0	1.53E+04	0.0	0.0	0.0	1.09E+04	0.0	0.0
8	BR	Brzdné a rozjezdové síly	P	0	-162.6	3.05E+04	-5.3	-30.6	-1.23E+07	2.5	-19.1	-2.44E+07	0.8	-2.1	1.0E-02	-	-	-	-	-4.1	1.53E+04	-0.3	-0.3	-1.4	1.09E+04	-0.1	-0.1
9	S	Boční ráz	P	0	12.5	3.05E+04	0.4	8.2	-1.23E+07	-0.7	2.6	-2.44E+07	-0.1	-0.4	2.1E-02	-	-	-	-	2.5	1.53E+04	0.2	0.2	-12.2	1.09E+04	-1.1	-1.1
10	CH	Chodci na lávkách	Q	0	-22.7	3.05E+04	-0.7	-28.4	-1.23E+07	2.3	-2.8	-2.44E+07	0.1	1.7	0.0E+00	-	-	-	-	-1.0	1.53E+04	-0.1	-0.1	-0.2	1.09E+04	0.0	0.0
11	W	Vítr na konstrukci	Q	0	54.3	3.05E+04	1.8	-55.0	-1.23E+07	4.5	6.0	-2.44E+07	-0.2	6.0	-1.0E-02	-	-	-	-	8.1	1.53E+04	0.5	0.5	-27.8	1.09E+04	-2.5	-2.5
12	WP	Vítr na vozidla	Q	0	-52.9	3.05E+04	-1.7	-12.7	-1.23E+07	1.0	-11.3	-2.44E+07	0.5	-0.2	2.0E-02	-	-	-	-	-14.4	1.53E+04	-0.9	-0.9	-4.5	1.09E+04	-0.4	-0.4
13	TR	Teplota rovnoměrná	Q	0	0.0	3.05E+04	0.0	0.0	-1.23E+07	0.0	0.0	-2.44E+07	0.0	0.0	0.0E+00	-	-	-	-	0.0	1.53E+04	0.0	0.0	0.0	1.09E+04	0.0	0.0
14	TN	Teplota nerovnoměrná	Q	0	0.0	3.05E+04	0.0	-9.9	-1.23E+07	0.8	-0.1	-2.44E+07	0.0	0.8	1.6E-02	-	-	-	-	-0.1	1.53E+04	0.0	0.0	-2.2	1.09E+04	-0.2	-0.2
15	FR	Třecí síly v ložiskách	Q	0	14.8	3.05E+04	0.5	3.1	-1.23E+07	-0.3	1.7	-2.44E+07	-0.1	0.2	0.0E+00	-	-	-	-	0.6	1.53E+04	0.0	0.0	-0.1	1.09E+04	0.0	0.0
16	I	Imperfekce soustavy	Q	0	7.0	3.05E+04	0.2	-14.6	-1.23E+07	1.2	0.2	-2.44E+07	0.0	1.4	0.0E+00	-	-	-	-	0.5	1.53E+04	0.0	0.0	-6.5	1.09E+04	-0.6	-0.6
27	ULS_LM	ULS - LM71 bez dynam	Q	0	0.0	3.05E+04	0.0	0.0	-1.23E+07	0.0	0.0	-2.44E+07	0.0	0.0	0.0E+00	-	-	-	-	0.0	1.53E+04	0.0	0.0	0.0	1.09E+04	0.0	0.0
28	SLS_LM	SLS - LM71 bez dynam	Q	0	0.0	3.05E+04	0.0	0.0	-1.23E+07	0.0	0.0	-2.44E+07	0.0	0.0	0.0E+00	-	-	-	-	0.0	1.53E+04	0.0	0.0	0.0	1.09E+04	0.0	0.0
29	ULS_C3	ULS - C3 bez dynam	Q	0	0.0	3.05E+04	0.0	0.0	-1.23E+07	0.0	0.0	-2.44E+07	0.0	0.0	0.0E+00	-	-	-	-	0.0	1.53E+04	0.0	0.0	0.0	1.09E+04	0.0	0.0
30	SLS_C3	SLS - C3 bez dynam	Q	0	0.0	3.05E+04	0.0	0.0	-1.23E+07	0.0	0.0	-2.44E+07	0.0	0.0	0.0E+00	-	-	-	-	0.0	1.53E+04	0.0	0.0	0.0	1.09E+04	0.0	0.0
		NAVÝŠENÍ NAPĚTÍ DO AKTIVACE TLAKU V DESCE MOSTOVKY				$\sigma_{P,red}$	0.0							0.0			0.0		0.0			-1.0	-1.0			-55.8	-55.8
		NAPĚTÍ OD PRIMÁRNÍCH ÚČINKŮ NEROVNOMĚRNÉHO OTEPLENÍ				σ_T	0.0							0.0													
		NAPĚTÍ OD REOLOGICKÝCH ÚČINKŮ BETONU V ČASE		t=0		σ_R	0.0	γ=	1.20					0.0													
		NAPĚTÍ V KRITICKÝCH VLÁKNECH OD KOMBINACE ZATÍŽENÍ				KZ04		[MPa]					$\Sigma\sigma_x$	-81.3								$\Sigma\tau_y$	-1.0				$\Sigma\tau_z$	-55.8
		NAPĚTÍ OD POHYBLIVÉHO ZATÍŽENÍ						[MPa]					$\sigma_{x,P}$	-85.1								τ_P	-0.3				τ_P	-48.4
		NAPĚTÍ OD OSTATNÍCH ZATÍŽENÍ						[MPa]			Φ_{Vy}	Φ_{Vz}	$\sigma_{x,rs}$	3.9								τ_{rs}	-0.8				τ_{rs}	-7.4
		NÁVRHOVÁ HODNOTA MEZE KLUZU S REDUKCÍ VLIVEM SMYKOVÉHO NAPĚTÍ						[MPa]			1.00	1.00	$f_{yv,d}$	209.1								$f_{yd}/3^{0,5}$	120.7				$f_{yd}/3^{0,5}$	120.7
		NAPĚTÍ OD POHYBLIVÉHO ZATÍŽENÍ V GLOBÁLNÍM SYSTÉMU				$\sigma_{GLOB,P}$	0.0	[MPa]					$\Sigma\sigma_{GLOB}$	0.0														
		NAPĚTÍ OD OSTATNÍCH ZATÍŽENÍ V GLOBÁLNÍM SYSTÉMU				$\sigma_{GLOB,rs}$	0.0	[MPa]					$\Sigma\sigma_x + \Sigma\sigma_{GLOB}$	-81.3														
		VYUŽITÍ PRŮŘEZU DLE NAPĚTÍ						[%]					η_1	0.39								η_3	0.01				η_3	0.46
		NAPĚTÍ V PŘÍČNÉM SMĚRU OD POHYBLIVÉHO ZATÍŽENÍ				$\sigma_{z,P}$	0.0	[MPa]					$\Sigma\sigma_z$	0.0														
		NAPĚTÍ V PŘÍČNÉM SMĚRU OD OSTATNÍCH ZATÍŽENÍ				$\sigma_{z,rs}$	0.0	[MPa]					η_2	0.00														
		SROVNÁVACÍ NAPĚTÍ											$(\eta_2 + 0,8\ \eta_1)/1,4$ =	0.22														
		VYUŽITÍ PRŮŘEZU CELKEM						[%]					eff	0.46	VYHOVUJE													
		STANOVENÍ ZATÍŽITELNOSTI											Z_{LM71} =	2.34														

TR_P1.2 POPIS: **PŘÍČNÍK P1 - VNITŘNÍ PODÉLNÍK** POSUDEK: **P1.2**

SKUPINA ZAT. STAVŮ	EXTRÉM	VYHODNOCOVANÉ VELIČINY					
		N	Vy	Vz	Mx	My	Mz
		kN	kN	kN	kNm	kNm	kNm
G0	N.min	**-113.53**	-1.83	-6.73	-0.69	62.24	-5.67
	N.max	**-113.53**	-1.83	-6.73	-0.69	62.24	-5.67
	Vy.min	-113.53	**-1.83**	-6.73	-0.69	62.24	-5.67
	Vy.max	-113.53	**-1.83**	-6.73	-0.69	62.24	-5.67
	Vz.min	-113.53	-1.83	**-6.73**	-0.69	62.24	-5.67
	Vz.max	-113.53	-1.83	**-6.73**	-0.69	62.24	-5.67
	Mx.min	-113.53	-1.83	-6.73	**-0.69**	62.24	-5.67
	Mx.max	-113.53	-1.83	-6.73	**-0.69**	62.24	-5.67
	My.min	-113.53	-1.83	-6.73	-0.69	**62.24**	-5.67
	My.max	-113.53	-1.83	-6.73	-0.69	**62.24**	-5.67
	Mz.min	-113.53	-1.83	-6.73	-0.69	62.24	**-5.67**
	Mz.max	-113.53	-1.83	-6.73	-0.69	62.24	**-5.67**
G1	N.min	**-8.47**	-0.12	-1.84	-0.05	9.93	-0.41
	N.max	**-8.47**	-0.12	-1.84	-0.05	9.93	-0.41
	Vy.min	-8.47	**-0.12**	-1.84	-0.05	9.93	-0.41
	Vy.max	-8.47	**-0.12**	-1.84	-0.05	9.93	-0.41
	Vz.min	-8.47	-0.12	**-1.84**	-0.05	9.93	-0.41
	Vz.max	-8.47	-0.12	**-1.84**	-0.05	9.93	-0.41
	Mx.min	-8.47	-0.12	-1.84	**-0.05**	9.93	-0.41
	Mx.max	-8.47	-0.12	-1.84	**-0.05**	9.93	-0.41
	My.min	-8.47	-0.12	-1.84	-0.05	**9.93**	-0.41
	My.max	-8.47	-0.12	-1.84	-0.05	**9.93**	-0.41
	Mz.min	-8.47	-0.12	-1.84	-0.05	9.93	**-0.41**
	Mz.max	-8.47	-0.12	-1.84	-0.05	9.93	**-0.41**
G2	N.min	**-6.82**	-0.1	-2.81	-0.05	0.2	-0.32
	N.max	**-6.82**	-0.1	-2.81	-0.05	0.2	-0.32
	Vy.min	-6.82	**-0.1**	-2.81	-0.05	0.2	-0.32
	Vy.max	-6.82	**-0.1**	-2.81	-0.05	0.2	-0.32
	Vz.min	-6.82	-0.1	**-2.81**	-0.05	0.2	-0.32
	Vz.max	-6.82	-0.1	**-2.81**	-0.05	0.2	-0.32
	Mx.min	-6.82	-0.1	-2.81	**-0.05**	0.2	-0.32
	Mx.max	-6.82	-0.1	-2.81	**-0.05**	0.2	-0.32
	My.min	-6.82	-0.1	-2.81	-0.05	**0.2**	-0.32
	My.max	-6.82	-0.1	-2.81	-0.05	**0.2**	-0.32
	Mz.min	-6.82	-0.1	-2.81	-0.05	0.2	**-0.32**
	Mz.max	-6.82	-0.1	-2.81	-0.05	0.2	**-0.32**
P1_71	N.min	**-132.72**	-3.2	-8.27	-0.76	36.19	-2.31
	N.max	**7.82**	0.79	-140.6	0.07	322.53	-0.06
	Vy.min	-108.8	**-4.24**	-67.15	-0.75	152.26	-3.73
	Vy.max	-6.34	**1.71**	-92.82	0.16	253.45	1.35
	Vz.min	3.79	0.38	**-170.1**	0.06	404.82	-0.36
	Vz.max	-115.83	-3.03	**9.83**	-0.69	-13.77	-2.29
	Mx.min	-127.95	-3.63	-23.07	**-0.81**	49.94	-2.91
	Mx.max	-1.08	1.65	-97.28	**0.18**	264.25	1.25
	My.min	-123.42	-2.74	5.88	-0.75	**-22.01**	-2.39
	My.max	-0.41	0.48	-169.46	0.07	**412.2**	-0.15
	Mz.min	-102.96	-4.05	-88.92	-0.72	203.39	**-4.1**
	Mz.max	-18.19	1.42	-49.27	0.09	153.15	**1.57**
P2_71	N.min	**-121.22**	-0.39	29.3	-0.71	148.08	-8.79
	N.max	**4.36**	-0.44	99.71	0.17	426.6	-1.34
	Vy.min	-86.2	**-1.3**	88.32	-0.18	419.31	-7.73
	Vy.max	-34.03	**1.09**	71.02	-0.34	304.28	-1.9
	Vz.min	-101.97	-0.15	**-9.75**	-0.63	-26	-7.44
	Vz.max	-4.72	-0.03	**170.19**	0.12	740.74	-1.73
	Mx.min	-108.15	0.41	72.58	**-0.81**	312.55	-7.49
	Mx.max	-5.37	-0.66	91.88	**0.33**	434.32	-1.58
	My.min	-99.84	-0.15	-9.27	-0.66	**-32.39**	-6.99
	My.max	-8.57	-0.09	169.74	0.14	**746.82**	-1.91
	Mz.min	-117.35	-0.64	75.4	-0.61	342.49	**-9.89**
	Mz.max	-3.51	0.48	-3.05	-0.06	-6.91	**0.41**
P1_C3	N.min	**-107.76**	-2.91	-22.18	-0.62	73.1	-2.49
	N.max	**5.42**	0.64	-79.9	0.05	181.97	0.09
	Vy.min	-95.65	**-3.5**	-27.03	-0.64	65.01	-2.97
	Vy.max	-4.13	**1.09**	-63.69	0.08	165.37	0.78
	Vz.min	1.76	0.24	**-95.51**	0.05	228.45	-0.19
	Vz.max	-103.69	-2.6	**8.68**	-0.6	-5.74	-1.89
	Mx.min	-106.48	-3.28	-29.21	**-0.69**	68.08	-2.98
	Mx.max	-0.88	0.84	-53.7	**0.1**	146.71	0.62
	My.min	-101.73	-2.73	7.99	-0.64	**-18.44**	-2.44
	My.max	-0.11	0.34	-95.32	0.08	**237.8**	0.02
	Mz.min	-94.42	-3.41	-29.56	-0.64	71.85	**-3.2**
	Mz.max	-10.14	0.88	-32.11	0.05	94.99	**0.92**
P2_C3	N.min	**-101.08**	-0.14	47.56	-0.57	229.86	-7.1
	N.max	**3.2**	-0.33	77.4	0.13	331.28	-1.01
	Vy.min	-74.03	**-1.04**	60.46	-0.3	268.28	-6.7
	Vy.max	-34.8	**0.79**	17.4	-0.3	81.95	-1.92
	Vz.min	-91.11	-0.15	**-8.59**	-0.54	-16.22	-6.68
	Vz.max	-2.99	0.01	**95.57**	0.07	417.01	-0.84
	Mx.min	-98.01	0.05	29.42	**-0.7**	130.23	-6.78
	Mx.max	-2.17	-0.46	63.95	**0.19**	292.2	-1.14
	My.min	-90.7	-0.2	-7.95	-0.59	**-28.43**	-6.4
	My.max	-5.29	0.01	95.39	0.09	**425.77**	-0.88
	Mz.min	-94.14	-0.62	80.35	-0.5	351.13	**-8.31**
	Mz.max	-2.8	0.38	-2.43	-0.05	-5.52	**0.33**
BR	N.min	**-385.76**	-10.11	0.21	-2.6	-67.87	-22.56
	N.max	**385.76**	10.11	-0.21	2.6	67.87	22.56
	Vy.min	-279.24	**-15.37**	-0.92	-1.86	-48.51	-22.65
	Vy.max	279.24	**15.37**	0.92	1.86	48.51	22.65
	Vz.min	-297.02	-13.73	**-1.04**	-2.01	-54.33	-21.08
	Vz.max	297.02	13.73	**1.04**	2.01	54.33	21.08
	Mx.min	-384.85	-2.18	-0.26	**-2.62**	-67.87	-12.75
	Mx.max	384.85	2.18	0.26	**2.62**	67.87	12.75
	My.min	-385.76	-10.11	0.21	-2.6	**-67.87**	-22.56
	My.max	385.76	10.11	-0.21	2.6	**67.87**	22.56
	Mz.min	-279.24	-15.37	-0.92	-1.86	-48.51	**-22.65**
	Mz.max	279.24	15.37	0.92	1.86	48.51	**22.65**

TR_P1.2 POPIS: **PŘÍČNÍK P1 - VNITŘNÍ PODÉLNÍK** POSUDEK: **P1.2**

SKUPINA ZAT. STAVŮ	EXTRÉM	VYHODNOCOVANÉ VELIČINY					
		N	Vy	Vz	Mx	My	Mz
		kN	kN	kN	kNm	kNm	kNm
S	N.min	**-53.44**	16.25	4.81	-0.04	-23.49	4.79
	N.max	**53.44**	-16.25	-4.81	0.04	23.49	-4.79
	Vy.min	4.69	**-23.03**	-2.07	0.03	0.43	-6.73
	Vy.max	-4.69	**23.03**	2.07	-0.03	-0.43	6.73
	Vz.min	48.26	-4.8	**-5.43**	-0.02	20.12	0.63
	Vz.max	-48.26	4.8	**5.43**	0.02	-20.12	-0.63
	Mx.min	-53.44	16.25	4.81	**-0.04**	-23.49	4.79
	Mx.max	53.44	-16.25	-4.81	**0.04**	23.49	-4.79
	My.min	-53.44	16.25	4.81	-0.04	**-23.49**	4.79
	My.max	53.44	-16.25	-4.81	0.04	**23.49**	-4.79
	Mz.min	4.69	-23.03	-2.07	0.03	0.43	**-6.73**
	Mz.max	-4.69	23.03	2.07	-0.03	-0.43	**6.73**
CH	N.min	**-17.47**	-0.28	-0.03	-0.13	-21.85	-0.82
	N.max	**-13.51**	-0.47	3.82	-0.09	-8.32	-0.14
	Vy.min	-13.51	**-0.47**	3.82	-0.09	-8.32	-0.14
	Vy.max	-17.47	**-0.28**	-0.03	-0.13	-21.85	-0.82
	Vz.min	-17.47	-0.28	**-0.03**	-0.13	-21.85	-0.82
	Vz.max	-13.51	-0.47	**3.82**	-0.09	-8.32	-0.14
	Mx.min	-17.47	-0.28	-0.03	**-0.13**	-21.85	-0.82
	Mx.max	-13.51	-0.47	3.82	**-0.09**	-8.32	-0.14
	My.min	-17.47	-0.28	-0.03	-0.13	**-21.85**	-0.82
	My.max	-13.51	-0.47	3.82	-0.09	**-8.32**	-0.14
	Mz.min	-17.47	-0.28	-0.03	-0.13	-21.85	**-0.82**
	Mz.max	-13.51	-0.47	3.82	-0.09	-8.32	**-0.14**
W	N.min	**-40.41**	34.01	28.89	-0.05	8.25	8.99
	N.max	**38.06**	-33.97	-28.88	0.05	-8.24	-8.98
	Vy.min	38.06	**-33.97**	-28.88	0.05	-8.24	-8.98
	Vy.max	-40.41	**34.01**	28.89	-0.05	8.25	8.99
	Vz.min	38.06	-33.97	**-28.88**	0.05	-8.24	-8.98
	Vz.max	-40.41	34.01	**28.89**	-0.05	8.25	8.99
	Mx.min	-40.41	34.01	28.89	**-0.05**	8.25	8.99
	Mx.max	38.06	-33.97	-28.88	**0.05**	-8.24	-8.98
	My.min	38.06	-33.97	-28.88	0.05	**-8.24**	-8.98
	My.max	-40.41	34.01	28.89	-0.05	**8.25**	8.99
	Mz.min	38.06	-33.97	-28.88	0.05	-8.24	**-8.98**
	Mz.max	-40.41	34.01	28.89	-0.05	8.25	**8.99**
WP	N.min	**-39.44**	55.49	23.98	-0.07	3.27	15.21
	N.max	**39.4**	-55.41	-24.14	0.07	-3.29	-15.15
	Vy.min	39.4	**-55.41**	-24.14	0.07	-3.29	-15.15
	Vy.max	-39.44	**55.49**	23.98	-0.07	3.27	15.21
	Vz.min	39.4	-55.41	**-24.14**	0.07	-3.29	-15.15
	Vz.max	-39.44	55.49	**23.98**	-0.07	3.27	15.21
	Mx.min	-39.44	55.49	23.98	**-0.07**	3.27	15.21
	Mx.max	39.4	-55.41	-24.14	**0.07**	-3.29	-15.15
	My.min	39.4	-55.41	-24.14	0.07	**-3.29**	-15.15
	My.max	-39.44	55.49	23.98	-0.07	**3.27**	15.21
	Mz.min	39.4	-55.41	-24.14	0.07	-3.29	**-15.15**
	Mz.max	-39.44	55.49	23.98	-0.07	3.27	**15.21**
TR	N.min	**0**	0	0	0	0	0
	N.max	**0**	0	0	0	0	0
	Vy.min	0	**0**	0	0	0	0
	Vy.max	0	**0**	0	0	0	0
	Vz.min	0	0	**0**	0	0	0
	Vz.max	0	0	**0**	0	0	0
	Mx.min	0	0	0	**0**	0	0
	Mx.max	0	0	0	**0**	0	0
	My.min	0	0	0	0	**0**	0
	My.max	0	0	0	0	**0**	0
	Mz.min	0	0	0	0	0	**0**
	Mz.max	0	0	0	0	0	**0**
TN	N.min	**-6.51**	-0.17	0.05	-0.06	-8.79	-0.32
	N.max	**6.51**	0.17	-0.05	0.06	8.79	0.32
	Vy.min	-4.94	**-6.2**	2.34	-0.05	-5.45	-0.55
	Vy.max	-1.86	**5.98**	-2.2	-0.01	-8.17	0.17
	Vz.min	-1.86	5.98	**-2.2**	-0.01	-8.17	0.17
	Vz.max	-4.94	-6.2	**2.34**	-0.05	-5.45	-0.55
	Mx.min	-6.51	-0.17	0.05	**-0.06**	-8.79	-0.32
	Mx.max	6.51	0.17	-0.05	**0.06**	8.79	0.32
	My.min	-6.51	-0.17	0.05	-0.06	**-8.79**	-0.32
	My.max	6.51	0.17	-0.05	0.06	**8.79**	0.32
	Mz.min	-4.94	-6.2	2.34	-0.05	-5.45	**-0.55**
	Mz.max	6.51	0.17	-0.05	0.06	8.79	**0.32**
FR	N.min	**-12.06**	-0.21	0	-0.09	-2.76	-0.56
	N.max	**12.06**	0.21	0	0.09	2.76	0.56
	Vy.min	-12.06	**-0.21**	0	-0.09	-2.76	-0.56
	Vy.max	12.06	**0.21**	0	0.09	2.76	0.56
	Vz.min	-12.06	-0.21	**0**	-0.09	-2.76	-0.56
	Vz.max	12.06	0.21	**0**	0.09	2.76	0.56
	Mx.min	-12.06	-0.21	0	**-0.09**	-2.76	-0.56
	Mx.max	12.06	0.21	0	**0.09**	2.76	0.56
	My.min	-12.06	-0.21	0	-0.09	**-2.76**	-0.56
	My.max	12.06	0.21	0	0.09	**2.76**	0.56
	Mz.min	-12.06	-0.21	0	-0.09	-2.76	**-0.56**
	Mz.max	12.06	0.21	0	0.09	2.76	**0.56**
I	N.min	**-5.6**	2.09	5.59	0	2.66	**0.56**
	N.max	**5.6**	-2.09	-5.59	0	-2.66	**-0.56**
	Vy.min	5.6	**-2.09**	-5.59	0	-2.66	**-0.56**
	Vy.max	-5.6	**2.09**	5.59	0	2.66	**0.56**
	Vz.min	5.6	-2.09	**-5.59**	0	-2.66	**-0.56**
	Vz.max	-5.6	2.09	**5.59**	0	2.66	**0.56**
	Mx.min	-5.6	2.09	5.59	**0**	2.66	**0.56**
	Mx.max	5.6	-2.09	-5.59	**0**	-2.66	**-0.56**
	My.min	5.6	-2.09	-5.59	0	**-2.66**	**-0.56**
	My.max	-5.6	2.09	5.59	0	**2.66**	**0.56**
	Mz.min	5.6	-2.09	-5.59	0	-2.66	**-0.56**
	Mz.max	-5.6	2.09	5.59	0	2.66	**0.56**

TAB. P1.2.3 POSOUZENÍ - MEZNÍ STAV ÚNOSNOSTI

POPIS	PŘÍČNÍK P1 - VNITŘNÍ PODÉLNÍK
PRUT / POLOHA BODU	700 / I[576]
NAMÁHÁNÍ	My.max
VLÁKNO	BOD K2 -HP
MEZNÍ STAV	ULS (MSÚ)
VYUŽITÍ VLÁKNA PRŮŘEZU	0.82

Charakteristiky materiálu				
pás. horní	$f_{yf,k}$	230	MPa	
pás. dolní	$f_{yf,k}$	230	MPa	
stojina	$f_{yw,k}$	230	MPa	
výztuž	$f_{ys,k}$	500	MPa	
γ_M =	1.10	γ_s =	1.15	

Excentricita normálové síly				
Exc./Fáze	0	1	2	3
e_y	0.000	0.000	0.000	0.000
e_z	0.000	0.000	0.000	0.000
Ekvivalentní vzdál. stěn - příčný roznos				
b_{ekv}	0.000	0.000	0.000	0.000

Vliv stěny na únosnost průřezu				
Char./Fáze	0	1	2	3
A	0.00	0.00	0.00	0.00
Wy	0.00	0.00	0.00	0.00
Wz	0.00	0.00	0.00	0.00

Charakter. v kroucení			
$t_{w,y}$	0.000	[mm]	
$t_{w,z}$	0.000	[mm]	
κ	1.00		
I_t=	0.00E+00	[mm^4]	
$\Omega=2*A_{pr}$	0.00E+00	[mm^2]	

Součinitele vzpěru a vlivu II.řádu					
Char./Fáze	0	1	2	3
k_y	1.000	1.000	1.000	1.000
k_z	1.000	1.000	1.000	1.000
χ_{LT}	1.000	1.000	1.000	1.000
χ_{min}	1.000	1.000	1.000	1.000

δ_{LOK} 1.00

Vnitřní síly od jednotlivých skupin zatěžovacích stavů — 3

SKUPINA ZATĚŽOVACÍCH STAVŮ					- CHARAKTERISTICKÉ HODNOTY						DÍLČÍ SOUČINITELÉ ZATÍŽENÍ, DYNAMICKÝ SOUČINITEL							- NÁVRHOVÉ HODNOTY									
Č.	SKUP ZS	POPIS ZS	KAT.	FÁZE PRŮŘ.	N.k (kN)	Vy.k (kN)	Vz.k (kN)	Mx.k (kNm)	My.k (kNm)	Mz.k (kNm)	γ_{sr} (-)	γ_{fs} (-)	volba γ_f hledat	γ_f (-)	L_d (m)	δ (-)	Ψ_s KZ03	N.d (kN)	Vy.d (kN)	Vz.d (kN)	ΔVz.d (kN)	ΣVz.d (kN)	Mx.d (kNm)	My.d (kNm)	ΔMy.d (kNm)	ΣMy.d (kNm)	Mz.d (kNm)	ΔMz.d (kNm)	ΣMz.d (kNm)
1	G0	Vlastní tíha OK	G	0	-114	-2	-7	-1	62	-6	1.00	1.20		1.20	-	1.00	0.95	-129	-2	-8	0	-8	-1	71	0	71	-6	0	-6
2	G1	Ostatní stálé - mostní vybavení	G	0	-8	0	-2	0	10	0	1.00	1.20		1.20	-	1.00	0.95	-10	0	-2	0	-2	0	11	0	11	0	0	0
3	G2	Ostatní stálé - cizí zařízení	G	0	-7	0	-3	0	0	0	1.00	1.20		1.20	-	1.00	0.95	-8	0	-3	0	-3	0	0	0	0	0	0	0
4	P1_71	a.LM71 - kolej 1 (bez dyn. souč.)	P	0	0	0	-169	0	412	0	1.00	1.30		1.30	-	1.27	1.00	-1	1	-280	0	-280	0	681	0	681	0	0	0
5	P2_71	a.LM71 - kolej 2 (bez dyn. souč.)	P	0	-9	0	170	0	747	-2	1.00	1.30		1.30	-	1.27	1.00	-14	0	280	0	280	0	1 234	0	1 234	-3	1	-2
6	P1_C3	TTZ C3 - kolej 1 (bez dyn. souč.)	P	0	0	0	-95	0	238	0	1.00	vyp.		0.00	-	1.00	0.00	0	0	0	0	0	0	0	0	0	0	0	0
7	P2_C3	TTZ C3 - kolej 2 (bez dyn. souč.)	P	0	-5	0	95	0	426	-1	1.00	vyp.		0.00	-	1.00	0.00	0	0	0	0	0	0	0	0	0	0	0	0
8	BR	Brzdné a rozjezdové síly	P	0	386	10	0	3	68	23	1.00	-1.30		-1.30	-	1.00	0.80	-401	-11	0	0	0	-3	-71	0	-71	-23	0	-23
9	S	Boční ráz	P	0	53	-16	-5	0	23	-5	1.00	1.30		1.30	-	1.00	0.40	28	-8	-3	0	-3	0	12	0	12	-2	0	-2
10	CH	Chodci na lávkách	Q	0	-14	0	4	0	-8	0	1.00	0.00		0.00	-	1.00	1.00	0	0	0	0	0	0	0	0	0	0	0	0
11	W	Vítr na konstrukci	Q	0	-40	34	29	0	8	9	1.00	-1.35		-1.35	-	1.00	0.75	41	-34	-29	0	-29	0	-8	0	-8	-9	0	-9
12	WP	Vítr na vozidla	Q	0	-39	55	24	0	3	15	1.00	-1.35		-1.35	-	1.00	0.75	40	-56	-24	0	-24	0	-3	0	-3	-15	0	-15
13	TR	Teplota rovnoměrná	Q	0	0	0	0	0	0	0	1.00	1.35		1.35	-	1.00	0.45	0	0	0	0	0	0	0	0	0	0	0	0
14	TN	Teplota nerovnoměrná	Q	0	7	0	0	0	9	0	1.00	1.35		1.35	-	1.00	0.60	5	0	0	0	0	0	7	0	7	0	0	0
15	FR	Třecí síly v ložiskách	Q	0	12	0	0	0	3	1	1.00	-1.20		-1.20	-	1.00	1.00	-14	0	0	0	0	-3	0	0	-3	-1	0	-1
16	I	Imperfekce soustavy	Q	0	-6	2	6	0	3	1	1.00	-1.20		-1.20	-	1.00	1.00	7	-3	-7	0	-7	0	-3	0	-3	-1	0	-1
27	ULS_LM	ULS - LM71 bez dynam	Q	0	292	94	49	3	1 707	42	1.00	vyp.		0.00	-	1.00	0.00	0	0	0	0	0	0	0	0	0	0	0	0
28	SLS_LM	SLS - LM71 bez dynam	Q	0	208	69	35	2	1 317	31	1.00	vyp.	1	0.00	-	1.00	0.00	0	0	0	0	0	0	0	0	0	0	0	0
29	ULS_C3	ULS - C3 bez dynam	Q	0	297	94	49	3	1 063	44	1.00	vyp.	1	0.00	-	1.00	0.00	0	0	0	0	0	0	0	0	0	0	0	0
30	SLS_C3	SLS - C3 bez dynam	Q	0	211	69	35	2	821	32	1.00	vyp.	1	0.00	-	1.00	0.00	0	0	0	0	0	0	0	0	0	0	0	0
		CELKEM - FÁZE PRŮŘEZU 0																-457	-114	-75	0	-75	-3	1 928	0	1 928	-62	1	-62
		CELKEM - FÁZE PRŮŘEZU 1																0	0	0	0	0	0	0	0	0	0	0	0
		CELKEM - FÁZE PRŮŘEZU 2																0	0	0	0	0	0	0	0	0	0	0	0
		CELKEM - FÁZE PRŮŘEZU 3																0	0	0	0	0	0	0	0	0	0	0	0
		CELKEM - PRŮŘEZ																-457	-114	-75	0	-75	-3			1 928			-62

Napětí od jednotlivých zatěžovacích stavů

SKUPINA ZATĚŽOVACÍCH STAVŮ					Posouzení normálového napětí										Posouzení smykového napětí													
					Účinek síly N			Účinek momentu My			Účinek momentu Mz				Účinek kroutícího momentu Mx				Účinek smykové síly Vy				Účinek smykové síly Vz			
Č.	SKUP ZS	Popis ZS	Kat.	fáze průř.	δ^*N_d [kN]	χ^*A [mm^2]	σ_n [MPa]	$\delta^*M_{y,d}$ [kNm]	$\chi_{lt}*W_{el,y}$ [mm^3]	σ_{my} [MPa]	$\delta^*M_{z,d}$ [kNm]	$W_{el,z}$ [mm^3]	σ_{mz} [MPa]	σ_x [MPa]	$\kappa*\delta^*M_{x,d}$ [kNm]	$W_{v,y}$ [mm^2]	$\tau_{x,y}$ [MPa]	$W_{v,z}$ [mm^2]	$\tau_{x,z}$ [MPa]	$\delta^*V_{y,d}$ [kN]	$A_{v,y}$ [mm2]	$\tau_{v,y}$ [MPa]	$\tau_{v,y}$ [MPa]	$\delta^*V_{z,d}$ [kN]	$A_{v,z}$ [mm2]	$\tau_{v,z}$ [MPa]	$\tau_{v,z}$ [MPa]
1	G0	Vlastní tíha OK	G	0	-129.4	3.95E+04	-3.3	71.0	-1.68E+07	-4.2	-6.5	1.37E+06	-4.7	-12.2	-7.9E-01	-	-	-	-	-2.1	2.41E+04	-0.1	-0.1	-7.7	1.09E+04	-0.7	-0.7
2	G1	Ostatní stálé - mostní vybavení	G	0	-9.7	3.95E+04	-0.2	11.3	-1.68E+07	-0.7	-0.5	1.37E+06	-0.3	-1.3	-5.7E-02	-	-	-	-	-0.1	2.41E+04	0.0	0.0	-2.1	1.09E+04	-0.2	-0.2
3	G2	Ostatní stálé - cizí zařízení	G	0	-7.8	3.95E+04	-0.2	0.2	-1.68E+07	0.0	-0.4	1.37E+06	-0.3	-0.5	-5.7E-02	-	-	-	-	-0.1	2.41E+04	0.0	0.0	-3.2	1.09E+04	-0.3	-0.3
4	P1_71	a.LM71 - kolej 1 (bez dyn. souč.)	P	0	-0.7	3.95E+04	0.0	681.1	-1.68E+07	-40.5	-0.2	1.37E+06	-0.1	-40.7	1.2E-01	-	-	-	-	0.8	2.41E+04	0.0	0.0	-280.0	1.09E+04	-25.8	-25.8
5	P2_71	a.LM71 - kolej 2 (bez dyn. souč.)	P	0	-14.2	3.95E+04	-0.4	1 234.0	-1.68E+07	-73.5	-2.5	1.37E+06	-1.8	-75.6	2.3E-01	-	-	-	-	-0.1	2.41E+04	0.0	0.0	280.5	1.09E+04	25.8	25.8
6	P1_C3	TTZ C3 - kolej 1 (bez dyn. souč.)	P	0	0.0	3.95E+04	0.0	0.0	-1.68E+07	0.0	0.0	1.37E+06	0.0	0.0	0.0E+00	-	-	-	-	0.0	2.41E+04	0.0	0.0	0.0	1.09E+04	0.0	0.0
7	P2_C3	TTZ C3 - kolej 2 (bez dyn. souč.)	P	0	0.0	3.95E+04	0.0	0.0	-1.68E+07	0.0	0.0	1.37E+06	0.0	0.0	0.0E+00	-	-	-	-	0.0	2.41E+04	0.0	0.0	0.0	1.09E+04	0.0	0.0
8	BR	Brzdné a rozjezdové síly	P	0	-401.2	3.95E+04	-10.2	-70.6	-1.68E+07	4.2	-23.5	1.37E+06	-17.1	-23.0	-2.7E+00	-	-	-	-	-10.5	2.41E+04	-0.4	-0.4	0.2	1.09E+04	0.0	0.0
9	S	Boční ráz	P	0	27.8	3.95E+04	0.7	12.2	-1.68E+07	-0.7	-2.5	1.37E+06	-1.8	-1.8	2.1E-02	-	-	-	-	-8.5	2.41E+04	-0.4	-0.4	-2.5	1.09E+04	-0.2	-0.2
10	CH	Chodci na lávkách	Q	0	0.0	3.95E+04	0.0	0.0	-1.68E+07	0.0	0.0	1.37E+06	0.0	0.0	0.0E+00	-	-	-	-	0.0	2.41E+04	0.0	0.0	0.0	1.09E+04	0.0	0.0
11	W	Vítr na konstrukci	Q	0	40.9	3.95E+04	1.0	-8.4	-1.68E+07	0.5	-9.1	1.37E+06	-6.6	-5.1	5.1E-02	-	-	-	-	-34.4	2.41E+04	-1.4	-1.4	-29.3	1.09E+04	-2.7	-2.7
12	WP	Vítr na vozidla	Q	0	39.9	3.95E+04	1.0	-3.3	-1.68E+07	0.2	-15.4	1.37E+06	-11.2	-10.0	7.1E-02	-	-	-	-	-56.2	2.41E+04	-2.3	-2.3	-24.3	1.09E+04	-2.2	-2.2
13	TR	Teplota rovnoměrná	Q	0	0.0	3.95E+04	0.0	0.0	-1.68E+07	0.0	0.0	1.37E+06	0.0	0.0	0.0E+00	-	-	-	-	0.0	2.41E+04	0.0	0.0	0.0	1.09E+04	0.0	0.0
14	TN	Teplota nerovnoměrná	Q	0	5.3	3.95E+04	0.1	7.1	-1.68E+07	-0.4	0.3	1.37E+06	0.2	-0.1	4.9E-02	-	-	-	-	0.1	2.41E+04	0.0	0.0	0.0	1.09E+04	0.0	0.0
15	FR	Třecí síly v ložiskách	Q	0	-14.5	3.95E+04	-0.4	-3.3	-1.68E+07	0.2	-0.7	1.37E+06	-0.5	-0.7	-1.1E-01	-	-	-	-	-0.3	2.41E+04	0.0	0.0	0.0	1.09E+04	0.0	0.0
16	I	Imperfekce soustavy	Q	0	6.7	3.95E+04	0.2	-3.2	-1.68E+07	0.2	-0.7	1.37E+06	-0.5	-0.1	0.0E+00	-	-	-	-	-2.5	2.41E+04	-0.1	-0.1	-6.7	1.09E+04	-0.6	-0.6
27	ULS_LM	ULS - LM71 bez dynam	Q	0	0.0	3.95E+04	0.0	0.0	-1.68E+07	0.0	0.0	1.37E+06	0.0	0.0	0.0E+00	-	-	-	-	0.0	2.41E+04	0.0	0.0	0.0	1.09E+04	0.0	0.0
28	SLS_LM	SLS - LM71 bez dynam	Q	0	0.0	3.95E+04	0.0	0.0	-1.68E+07	0.0	0.0	1.37E+06	0.0	0.0	0.0E+00	-	-	-	-	0.0	2.41E+04	0.0	0.0	0.0	1.09E+04	0.0	0.0
29	ULS_C3	ULS - C3 bez dynam	Q	0	0.0	3.95E+04	0.0	0.0	-1.68E+07	0.0	0.0	1.37E+06	0.0	0.0	0.0E+00	-	-	-	-	0.0	2.41E+04	0.0	0.0	0.0	1.09E+04	0.0	0.0
30	SLS_C3	SLS - C3 bez dynam	Q	0	0.0	3.95E+04	0.0	0.0	-1.68E+07	0.0	0.0	1.37E+06	0.0	0.0	0.0E+00	-	-	-	-	0.0	2.41E+04	0.0	0.0	0.0	1.09E+04	0.0	0.0
NAVÝŠENÍ NAPĚTÍ DO AKTIVACE TLAKU V DESCE MOSTOVKY						$\sigma_{P,red}$	0.0							0.0			0.0		0.0				-4.7	-4.7			-6.9	-6.9
NAPĚTÍ OD PRIMÁRNÍCH ÚČINKŮ NEROVNOMĚRNÉHO OTEPLENÍ						σ_T	0.0							0.0														
NAPĚTÍ OD REOLOGICKÝCH ÚČINKŮ BETONU V ČASE				t=0		σ_R	0.0	γ_f=	1.20					0.0														
NAPĚTÍ V KRITICKÝCH VLÁKNECH OD KOMBINACE ZATÍŽENÍ						KZ03		[MPa]					$\Sigma\sigma_x$	-171.2								$\Sigma\tau_y$	-4.7				$\Sigma\tau_z$	-6.9
NAPĚTÍ OD POHYBLIVÉHO ZATÍŽENÍ								[MPa]					$\sigma_{x,P}$	-141.2									-0.8				τ_P	-0.2
NAPĚTÍ OD OSTATNÍCH ZATÍŽENÍ								[MPa]			Φ_{Vy}	Φ_{Vz}	$\sigma_{x,rs}$	-29.9								τ_{rs}	-4.0				τ_{rs}	-6.7
NÁVRHOVÁ HODNOTA MEZE KLUZU S REDUKCÍ VLIVEM SMYKOVÉHO NAPĚTÍ								[MPa]			1.00	1.00	$f_{yv,d}$	209.1								$f_{yd}/3^{0,5}$	120.7				$f_{yd}/3^{0,5}$	120.7
NAPĚTÍ OD POHYBLIVÉHO ZATÍŽENÍ V GLOBÁLNÍM SYSTÉMU						$\sigma_{GLOB,P}$	0.0	[MPa]					$\Sigma\sigma_{GLOB}$	0.0														
NAPĚTÍ OD OSTATNÍCH ZATÍŽENÍ V GLOBÁLNÍM SYSTÉMU						$\sigma_{GLOB,rs}$	0.0	[MPa]					$\Sigma\sigma_x + \Sigma\sigma_{GLOB}$	-171.2														
VYUŽITÍ PRŮŘEZU DLE NAPĚTÍ								[%]					η_1	0.82								η_3	0.04				η_3	0.06
NAPĚTÍ V PŘÍČNÉM SMĚRU OD POHYBLIVÉHO ZATÍŽENÍ						$\sigma_{z,P}$	0.0	[MPa]					$\Sigma\sigma_z$	0.0														
NAPĚTÍ V PŘÍČNÉM SMĚRU OD OSTATNÍCH ZATÍŽENÍ						$\sigma_{z,rs}$	0.0	[MPa]					η_2	0.00														
SROVNÁVACÍ NAPĚTÍ													$(\eta_2 + 0,8\ \eta_1)/1,4$ =	0.47														
VYUŽITÍ PRŮŘEZU CELKEM								[%]					eff	0.82	VYHOVUJE													
STANOVENÍ ZATÍŽITELNOSTI													z_{LM71} =	1.27														

TAB. P1.2.3 POSOUZENÍ - MEZNÍ STAV ÚNOSNOSTI

POPIS	PŘÍČNÍK P1 - VNITŘNÍ PODÉLNÍK
PRUT / POLOHA BODU	700 / I[576]
NAMÁHÁNÍ	My.max
VLÁKNO	BOD K4 -SP
MEZNÍ STAV	ULS (MSÚ)
VYUŽITÍ VLÁKNA PRŮŘEZU	0.85

Charakteristiky materiálu				
pás. horní	$f_{yf,k}$	230	MPa	
pás. dolní	$f_{yf,k}$	230	MPa	
stojina	$f_{yw,k}$	230	MPa	
výztuž	$f_{ys,k}$	500	MPa	
γ_M =	1.10	γ_s =	1.15	

Excentricita normálové síly				
Exc./Fáze	0	1	2	3
e_y	0.000	0.000	0.000	0.000
e_z	0.000	0.000	0.000	0.000
Ekvivalentní vzdál. stěn - příčný roznos				
b_{Mx}	0.000	0.000	0.000	0.000

Vliv stěny na únosnost průřezu				
Char./Fáze	0	1	2	3
A	0.00	0.00	0.00	0.00
Wy	0.00	0.00	0.00	0.00
Wz	0.00	0.00	0.00	0.00

Charakter. v kroucení			
$t_{w,y}$	0.000	[mm]	
$t_{w,z}$	0.000	[mm]	
κ	1.00		
I_t=	0.00E+00	[mm^4]	
Ω=2*A_{pr}	0.00E+00	[mm^2]	

Součinitele vzpěru a vlivu II.řádu				
Char./Fáze	0	1	2	3
k_y	1.000	1.000	1.000	1.000
k_z	1.000	1.000	1.000	1.000
χ_{LT}	1.000	1.000	1.000	1.000
χ_{min}	1.000	1.000	1.000	1.000

δ_{LOK} 1.00

Vnitřní síly od jednotlivých skupin zatěžovacích stavů

SKUPINA ZATĚŽOVACÍCH STAVŮ: 3

Č.	SKUP ZS	POPIS ZS	KAT.	FÁZE PRŮŘ.	- CHARAKTERISTICKÉ HODNOTY N.k (kN)	Vy.k (kN)	Vz.k (kN)	Mx.k (kNm)	My.k (kNm)	Mz.k (kNm)	DÍLČÍ SOUČINITELÉ ZATÍŽENÍ, DYNAMICKÝ SOUČINITEL γ_{sr} (-)	γ_{fs} (-)	volba ψ_i hledat	ψ_i (-)	L_d (m)	δ (-)	∇_z KZ03	- NÁVRHOVÉ HODNOTY N.d (kN)	Vy.d (kN)	Vz.d (kN)	ΔVz.d (kN)	ΣVz.d (kN)	Mx.d (kNm)	My.d (kNm)	ΔMy.d (kNm)	ΣMy.d (kNm)	Mz.d (kNm)	ΔMz.d (kNm)	ΣMz.d (kNm)
1	G0	Vlastní tíha OK	G	0	-114	-2	-7	-1	62	-6	1.00	1.20		1.20	-	0.95	0.95	-129	-2	-8	0	-8	-1	71	0	71	-6	0	-6
2	G1	Ostatní stálé - mostní vybavení	G	0	-8	0	-2	0	10	0	1.00	1.00		1.00	-	1.00	0.95	-8	0	-2	0	-2	0	9	0	9	0	0	0
3	G2	Ostatní stálé - cizí zařízení	G	0	-7	0	-3	0	0	0	1.00	1.20		1.20	-	1.00	0.95	-8	0	-3	0	-3	0	0	0	0	0	0	0
4	P1_71	a.LM71 - kolej 1 (bez dyn. souč.)	P	0	0	0	-169	0	412	0	1.00	1.30		1.30	-	1.27	1.00	-1	1	-280	0	-280	0	681	0	681	0	0	0
5	P2_71	a.LM71 - kolej 2 (bez dyn. souč.)	P	0	-9	0	170	0	747	-2	1.00	1.30		1.30	-	1.27	1.00	-14	0	280	0	280	0	1 234	0	1 234	-3	1	-2
6	P1_C3	TTZ C3 - kolej 1 (bez dyn. souč.)	P	0	0	0	-95	0	238	0	1.00	vyp.		0.00	-	1.00	0.00	0	0	0	0	0	0	0	0	0	0	0	0
7	P2_C3	TTZ C3 - kolej 2 (bez dyn. souč.)	P	0	-5	0	95	0	426	-1	1.00	vyp.		0.00	-	1.00	0.00	0	0	0	0	0	0	0	0	0	0	0	0
8	BR	Brzdné a rozjezdové síly	P	0	386	10	0	3	68	23	1.00	1.30		1.30	-	1.00	0.80	401	11	0	0	0	3	71	0	71	23	0	23
9	S	Boční ráz	P	0	53	-16	-5	0	23	-5	1.00	-1.30		-1.30	-	1.00	0.40	-28	8	3	0	3	0	-12	0	-12	2	0	2
10	CH	Chodci na lávkách	Q	0	-14	0	4	0	-8	0	1.00	0.00		0.00	-	1.00	1.00	0	0	0	0	0	0	0	0	0	0	0	0
11	W	Vítr na konstrukci	Q	0	-40	34	29	0	8	9	1.00	1.35		1.35	-	1.00	0.75	-41	34	29	0	29	0	8	0	8	9	0	9
12	WP	Vítr na vozidla	Q	0	-39	55	24	0	3	15	1.00	1.35		1.35	-	1.00	0.75	-40	56	24	0	24	0	3	0	3	15	0	15
13	TR	Teplota rovnoměrná	Q	0	0	0	0	0	0	0	1.00	1.35		1.35	-	1.00	0.45	0	0	0	0	0	0	0	0	0	0	0	0
14	TN	Teplota nerovnoměrná	Q	0	7	0	0	0	9	0	1.00	1.35		1.35	-	1.00	0.60	5	0	0	0	0	0	7	0	7	0	0	0
15	FR	Třecí síly v ložiskách	Q	0	12	0	0	0	3	1	1.00	1.20		1.20	-	1.00	1.00	14	0	0	0	0	0	3	0	3	1	0	1
16	I	Imperfekce soustavy	Q	0	-6	2	6	0	3	1	1.00	1.20		1.20	-	1.00	1.00	-7	3	7	0	7	0	3	0	3	1	0	1
27	ULS_LM	ULS - LM71 bez dynam	Q	0	292	94	49	3	1 707	42	1.00	vyp.	1	0.00	-	1.00	0.00	0	0	0	0	0	0	0	0	0	0	0	0
28	SLS_LM	SLS - LM71 bez dynam	Q	0	208	69	35	2	1 317	31	1.00	vyp.	1	0.00	-	1.00	0.00	0	0	0	0	0	0	0	0	0	0	0	0
29	ULS_C3	ULS - C3 bez dynam	Q	0	297	94	49	3	1 063	44	1.00	vyp.	1	0.00	-	1.00	0.00	0	0	0	0	0	0	0	0	0	0	0	0
30	SLS_C3	SLS - C3 bez dynam	Q	0	211	69	35	2	821	32	1.00	vyp.	1	0.00	-	1.00	0.00	0	0	0	0	0	0	0	0	0	0	0	0
		CELKEM - FÁZE PRŮŘEZU 0			145	111	50	0	2 079	41								145	111	50	0	50	2	2 079	0	2 079	41	1	42
		CELKEM - FÁZE PRŮŘEZU 1			0	0	0	0	0	0								0	0	0	0	0	0	0	0	0	0	0	0
		CELKEM - FÁZE PRŮŘEZU 2			0	0	0	0	0	0								0	0	0	0	0	0	0	0	0	0	0	0
		CELKEM - FÁZE PRŮŘEZU 3			0	0	0	0	0	0								0	0	0	0	0	0	0	0	0	0	0	0
		CELKEM - PRŮŘEZ			145	111	50	0	2 079	42								145	111	50	0	50	2			2 079			42

Napětí od jednotlivých zatěžovacích stavů

SKUPINA ZATĚŽOVACÍCH STAVŮ

Č.	SKUP ZS	Popis ZS	Kat.	fáze prúř.	Posouzení normálového napětí: Účinek síly N δ^*N_d [kN]	χ^*A [mm^2]	σ_n [MPa]	Účinek momentu My $\delta^*M_{y,d}$ [kNm]	$\chi_{lt}{}^*W_{el,y}$ [mm^3]	σ_{my} [MPa]	Účinek momentu Mz $\delta^*M_{z,d}$ [kNm]	$W_{el,z}$ [mm^3]	σ_{mz} [MPa]	σ_x [MPa]	Posouzení smykového napětí: Účinek kroutícího momentu Mx $\kappa^*\delta^*M_{x,d}$ [kNm]	$W_{v,y}$ [mm^3]	$\tau_{x,y}$ [MPa]	$W_{v,z}$ [mm^3]	$\tau_{x,z}$ [MPa]	Účinek smykové síly Vy $\delta^*V_{y,d}$ [kN]	$A_{v,y}$ [mm2]	$\tau_{v,y}$ [MPa]	$\tau_{v,y}$ [MPa]	Účinek smykové síly Vz $\delta^*V_{z,d}$ [kN]	$A_{v,z}$ [mm2]	$\tau_{v,z}$ [MPa]	$\tau_{v,z}$ [MPa]
1	G0	Vlastní tíha OK	G	0	-129.4	3.95E+04	-3.3	71.0	1.45E+07	4.9	-6.5	1.37E+06	-4.7	-3.1	-7.9E-01	-	-	-	-	-2.1	2.41E+04	-0.1	-0.1	-7.7	1.09E+04	-0.7	-0.7
2	G1	Ostatní stálé - mostní vybavení	G	0	-8.0	3.95E+04	-0.2	9.4	1.45E+07	0.7	-0.4	1.37E+06	-0.3	0.2	-4.8E-02	-	-	-	-	-0.1	2.41E+04	0.0	0.0	-1.7	1.09E+04	-0.2	-0.2
3	G2	Ostatní stálé - cizí zařízení	G	0	-7.8	3.95E+04	-0.2	0.2	1.45E+07	0.0	-0.4	1.37E+06	-0.3	-0.4	-5.7E-02	-	-	-	-	-0.1	2.41E+04	0.0	0.0	-3.2	1.09E+04	-0.3	-0.3
4	P1_71	a.LM71 - kolej 1 (bez dyn. souč.)	P	0	-0.7	3.95E+04	0.0	681.1	1.45E+07	47.0	-0.2	1.37E+06	-0.1	46.9	1.2E-01	-	-	-	-	0.8	2.41E+04	0.0	0.0	-280.0	1.09E+04	-25.8	-25.8
5	P2_71	a.LM71 - kolej 2 (bez dyn. souč.)	P	0	-14.2	3.95E+04	-0.4	1 234.0	1.45E+07	85.2	-2.5	1.37E+06	-1.8	83.1	2.3E-01	-	-	-	-	-0.1	2.41E+04	0.0	0.0	280.5	1.09E+04	25.8	25.8
6	P1_C3	TTZ C3 - kolej 1 (bez dyn. souč.)	P	0	0.0	3.95E+04	0.0	0.0	1.45E+07	0.0	0.0	1.37E+06	0.0	0.0	0.0E+00	-	-	-	-	0.0	2.41E+04	0.0	0.0	0.0	1.09E+04	0.0	0.0
7	P2_C3	TTZ C3 - kolej 2 (bez dyn. souč.)	P	0	0.0	3.95E+04	0.0	0.0	1.45E+07	0.0	0.0	1.37E+06	0.0	0.0	0.0E+00	-	-	-	-	0.0	2.41E+04	0.0	0.0	0.0	1.09E+04	0.0	0.0
8	BR	Brzdné a rozjezdové síly	P	0	401.2	3.95E+04	10.2	70.6	1.45E+07	4.9	23.5	1.37E+06	17.1	32.1	2.7E+00	-	-	-	-	10.5	2.41E+04	0.4	0.4	-0.2	1.09E+04	0.0	0.0
9	S	Boční ráz	P	0	-27.8	3.95E+04	-0.7	-12.2	1.45E+07	-0.8	2.5	1.37E+06	1.8	0.3	-2.1E-02	-	-	-	-	8.5	2.41E+04	0.4	0.4	2.5	1.09E+04	0.2	0.2
10	CH	Chodci na lávkách	Q	0	0.0	3.95E+04	0.0	0.0	1.45E+07	0.0	0.0	1.37E+06	0.0	0.0	0.0E+00	-	-	-	-	0.0	2.41E+04	0.0	0.0	0.0	1.09E+04	0.0	0.0
11	W	Vítr na konstrukci	Q	0	-40.9	3.95E+04	-1.0	8.4	1.45E+07	0.6	9.1	1.37E+06	6.6	6.2	-5.1E-02	-	-	-	-	34.4	2.41E+04	1.4	1.4	29.3	1.09E+04	2.7	2.7
12	WP	Vítr na vozidla	Q	0	-39.9	3.95E+04	-1.0	3.3	1.45E+07	0.2	15.4	1.37E+06	11.2	10.4	-7.1E-02	-	-	-	-	56.2	2.41E+04	2.3	2.3	24.3	1.09E+04	2.2	2.2
13	TR	Teplota rovnoměrná	Q	0	0.0	3.95E+04	0.0	0.0	1.45E+07	0.0	0.0	1.37E+06	0.0	0.0	0.0E+00	-	-	-	-	0.0	2.41E+04	0.0	0.0	0.0	1.09E+04	0.0	0.0
14	TN	Teplota nerovnoměrná	Q	0	5.3	3.95E+04	0.1	7.1	1.45E+07	0.5	0.3	1.37E+06	0.2	0.8	4.9E-02	-	-	-	-	0.1	2.41E+04	0.0	0.0	0.0	1.09E+04	0.0	0.0
15	FR	Třecí síly v ložiskách	Q	0	14.5	3.95E+04	0.4	3.3	1.45E+07	0.2	0.7	1.37E+06	0.5	1.1	1.1E-01	-	-	-	-	0.3	2.41E+04	0.0	0.0	0.0	1.09E+04	0.0	0.0
16	I	Imperfekce soustavy	Q	0	-6.7	3.95E+04	-0.2	3.2	1.45E+07	0.2	0.7	1.37E+06	0.5	0.5	0.0E+00	-	-	-	-	2.5	2.41E+04	0.1	0.1	6.7	1.09E+04	0.6	0.6
27	ULS_LM	ULS - LM71 bez dynam	Q	0	0.0	3.95E+04	0.0	0.0	1.45E+07	0.0	0.0	1.37E+06	0.0	0.0	0.0E+00	-	-	-	-	0.0	2.41E+04	0.0	0.0	0.0	1.09E+04	0.0	0.0
28	SLS_LM	SLS - LM71 bez dynam	Q	0	0.0	3.95E+04	0.0	0.0	1.45E+07	0.0	0.0	1.37E+06	0.0	0.0	0.0E+00	-	-	-	-	0.0	2.41E+04	0.0	0.0	0.0	1.09E+04	0.0	0.0
29	ULS_C3	ULS - C3 bez dynam	Q	0	0.0	3.95E+04	0.0	0.0	1.45E+07	0.0	0.0	1.37E+06	0.0	0.0	0.0E+00	-	-	-	-	0.0	2.41E+04	0.0	0.0	0.0	1.09E+04	0.0	0.0
30	SLS_C3	SLS - C3 bez dynam	Q	0	0.0	3.95E+04	0.0	0.0	1.45E+07	0.0	0.0	1.37E+06	0.0	0.0	0.0E+00	-	-	-	-	0.0	2.41E+04	0.0	0.0	0.0	1.09E+04	0.0	0.0
		NAVÝŠENÍ NAPĚTÍ DO AKTIVACE TLAKU V DESCE MOSTOVKY				$\sigma_{P,red}$	0.0							0.0			0.0		0.0			4.6	4.6			4.6	4.6
		NAPĚTÍ OD PRIMÁRNÍCH ÚČINKŮ NEROVNOMĚRNÉHO OTEPLENÍ				σ_T	0.0							0.0													
		NAPĚTÍ OD REOLOGICKÝCH ÚČINKŮ BETONU V ČASE		t=0		σ_R	0.0	$\gamma_{i=}$	1.20					0.0													
		NAPĚTÍ V KRITICKÝCH VLÁKNECH OD KOMBINACE ZATÍŽENÍ				KZ03		[MPa]					$\Sigma\sigma_x$	178.0								$\Sigma\tau_y$	4.6				$\Sigma\tau_z$	4.6
		NAPĚTÍ OD POHYBLIVÉHO ZATÍŽENÍ						[MPa]					$\sigma_{x,P}$	162.3								τ_P	0.8				τ_P	0.3
		NAPĚTÍ OD OSTATNÍCH ZATÍŽENÍ						[MPa]			Φ_{Vy}	Φ_{Vz}	$\sigma_{x,rs}$	15.7								τ_{rs}	3.8				τ_{rs}	4.4
		NÁVRHOVÁ HODNOTA MEZE KLUZU S REDUKCÍ VLIVEM SMYKOVÉHO NAPĚTÍ						[MPa]			1.00	1.00	$f_{yv,d}$	209.1								$f_{yd}/3^{0,5}$	120.7				$f_{yd}/3^{0,5}$	120.7
		NAPĚTÍ OD POHYBLIVÉHO ZATÍŽENÍ V GLOBÁLNÍM SYSTÉMU				$\sigma_{GLOB,P}$	0.0	[MPa]					$\Sigma\sigma_{GLOB}$	0.0														
		NAPĚTÍ OD OSTATNÍCH ZATÍŽENÍ V GLOBÁLNÍM SYSTÉMU				$\sigma_{GLOB,rs}$	0.0	[MPa]					$\Sigma\sigma_x + \Sigma\sigma_{GLOB}$	178.0														
		VYUŽITÍ PRŮŘEZU DLE NAPĚTÍ						[%]					η_1	0.85								η_3	0.04				η_3	0.04
		NAPĚTÍ V PŘÍČNÉM SMĚRU OD POHYBLIVÉHO ZATÍŽENÍ				$\sigma_{z,P}$	0.0	[MPa]					$\Sigma\sigma_z$	0.0														
		NAPĚTÍ V PŘÍČNÉM SMĚRU OD OSTATNÍCH ZATÍŽENÍ				$\sigma_{z,rs}$	0.0	[MPa]					η_2	0.00														
		SROVNÁVACÍ NAPĚTÍ											$(\eta 2 + 0{,}8\ \eta 1)/1{,}4 =$	0.49														
		VYUŽITÍ PRŮŘEZU CELKEM						[%]					eff	0.85	VYHOVUJE													
		STANOVENÍ ZATÍŽITELNOSTI											Z_{LM71} =	1.19														

TAB. P1.2.3 POSOUZENÍ - MEZNÍ STAV ÚNOSNOSTI

POPIS	PŘÍČNÍK P1 - VNITŘNÍ PODÉLNÍK
PRUT / POLOHA BODU	700 / I[576]
NAMÁHÁNÍ	Vz.min
VLÁKNO	BOD S5 -HL
MEZNÍ STAV	ULS (MSÚ)
VYUŽITÍ VLÁKNA PRŮŘEZU	0.29

Charakteristiky materiálu				
pás. horní	$f_{yf,k}$	230	MPa	
pás. dolní	$f_{yf,k}$	230	MPa	
stojina	$f_{yw,k}$	230	MPa	
výztuž	$f_{ys,k}$	500	MPa	
γ_M =	1.10	γ_s =	1.15	

Excentricita normálové síly				
Exc./Fáze	0	1	2	3
e_y	0.000	0.000	0.000	0.000
e_z	0.000	0.000	0.000	0.000
Ekvivalentní vzdál. stěn - příčný roznos				
b_{Mx}	0.000	0.000	0.000	0.000

Vliv stěny na únosnost průřezu				
Char./Fáze	0	1	2	3
A	0.00	0.00	0.00	0.00
Wy	0.00	0.00	0.00	0.00
Wz	0.00	0.00	0.00	0.00

Charakter. v kroucení			
$t_{w,y}$	0.000	[mm]	
$t_{w,z}$	0.000	[mm]	
κ	1.00		
I_t=	0.00E+00	[mm^4]	
$\Omega=2*A_{pr}$	0.00E+00	[mm^2]	

Součinitele vzpěru a vlivu II.řádu				
Char./Fáze	0	1	2	3
k_y	1.000	1.000	1.000	1.000
k_z	1.000	1.000	1.000	1.000
χ_{LT}	1.000	1.000	1.000	1.000
χ_{min}	1.000	1.000	1.000	1.000

δ_{LOK} 1.00

Vnitřní síly od jednotlivých skupin zatěžovacích stavů

SKUPINA ZATĚŽOVACÍCH STAVŮ — 4

Č.	SKUP ZS	POPIS ZS	KAT.	FÁZE PRŮŘ.	- CHARAKTERISTICKÉ HODNOTY N.k (kN)	Vy.k (kN)	Vz.k (kN)	Mx.k (kNm)	My.k (kNm)	Mz.k (kNm)	DÍLČÍ SOUČINITELÉ ZATÍŽENÍ, DYNAMICKÝ SOUČINITEL γ_{sr} (-)	γ_{fs} (-)	volba γ_f hledat	γ_f (-)	L_d (m)	δ (-)	Ψ_s KZ04	- NÁVRHOVÉ HODNOTY N.d (kN)	Vy.d (kN)	Vz.d (kN)	ΔVz.d (kN)	ΣVz.d (kN)	Mx.d (kNm)	My.d (kNm)	ΔMy.d (kNm)	ΣMy.d (kNm)	Mz.d (kNm)	ΔMz.d (kNm)	ΣMz.d (kNm)
1	G0	Vlastní tíha OK	G	0	-114	-2	-7	-1	62	-6	1.00	1.20		1.20	-	1.00	0.95	-129	-2	-8	0	-8	-1	71	0	71	-6	0	-6
2	G1	Ostatní stálé - mostní vybavení	G	0	-8	0	-2	0	10	0	1.00	1.20		1.20	-	1.00	0.95	-10	0	-2	0	-2	0	11	0	11	0	0	0
3	G2	Ostatní stálé - cizí zařízení	G	0	-7	0	-3	0	0	0	1.00	1.20		1.20	-	1.00	0.95	-8	0	-3	0	-3	0	0	0	0	0	0	0
4	P1_71	a.LM71 - kolej 1 (bez dyn. souč.)	P	0	4	0	-170	0	405	0	1.00	1.30		1.30	-	1.27	1.00	6	1	-281	0	-281	0	669	0	669	-1	0	0
5	P2_71	a.LM71 - kolej 2 (bez dyn. souč.)	P	0	-102	0	-10	-1	-26	-7	1.00	1.30		1.30	-	1.27	1.00	-168	0	-16	0	-16	-1	-43	0	-43	-12	3	-10
6	P1_C3	TTZ C3 - kolej 1 (bez dyn. souč.)	P	0	2	0	-96	0	228	0	1.00	vyp.		0.00	-	1.00	0.00	0	0	0	0	0	0	0	0	0	0	0	0
7	P2_C3	TTZ C3 - kolej 2 (bez dyn. souč.)	P	0	-91	0	-9	-1	-16	-7	1.00	vyp.		0.00	-	1.00	0.00	0	0	0	0	0	0	0	0	0	0	0	0
8	BR	Brzdné a rozjezdové síly	P	0	-297	-14	-1	-2	-54	-21	1.00	1.30		1.30	-	1.00	0.40	-154	-7	-1	0	-1	-1	-28	0	-28	-11	0	-11
9	S	Boční ráz	P	0	48	-5	5	0	20	1	1.00	1.30		1.30	-	1.00	0.80	50	-5	-6	0	-6	0	21	0	21	1	0	1
10	CH	Chodci na lávkách	Q	0	-17	0	0	0	-22	-1	1.00	1.30		1.30	-	1.00	1.00	-23	0	0	0	0	0	-28	0	-28	-1	0	-1
11	W	Vítr na konstrukci	Q	0	38	-34	-29	0	-8	-9	1.00	1.35		1.35	-	1.00	0.75	39	-34	-29	0	-29	0	-8	0	-8	-9	0	-9
12	WP	Vítr na vozidla	Q	0	39	-55	-24	0	-3	-15	1.00	1.35		1.35	-	1.00	0.75	40	-56	-24	0	-24	0	-3	0	-3	-15	0	-15
13	TR	Teplota rovnoměrná	Q	0	0	0	0	0	0	0	1.00	1.35		1.35	-	1.00	0.45	0	0	0	0	0	0	0	0	0	0	0	0
14	TN	Teplota nerovnoměrná	Q	0	-2	6	-2	0	-8	0	1.00	1.35		1.35	-	1.00	0.60	-2	5	-2	0	-2	0	-7	0	-7	0	0	0
15	FR	Třecí síly v ložiskách	Q	0	-12	0	0	0	-3	-1	1.00	-1.20		-1.20	-	1.00	1.00	14	0	0	0	0	0	3	0	3	1	0	1
16	I	Imperfekce soustavy	Q	0	6	-2	-6	0	-3	-1	1.00	1.20		1.20	-	1.00	1.00	7	-3	-7	0	-7	0	-3	0	-3	-1	0	-1
27	ULS_LM	ULS - LM71 bez dynam	Q	0	-358	-106	-317	-3	513	-57	1.00	vyp.		0.00	-	1.00	0.00	0	0	0	0	0	0	0	0	0	0	0	0
28	SLS_LM	SLS - LM71 bez dynam	Q	0	-293	-83	-243	-3	408	-44	1.00	vyp.	1	0.00	-	1.00	0.00	0	0	0	0	0	0	0	0	0	0	0	0
29	ULS_C3	ULS - C3 bez dynam	Q	0	-347	-106	-218	-3	296	-56	1.00	vyp.	1	0.00	-	1.00	0.00	0	0	0	0	0	0	0	0	0	0	0	0
30	SLS_C3	SLS - C3 bez dynam	Q	0	-284	-83	-167	-2	242	-43	1.00	vyp.	1	0.00	-	1.00	0.00	0	0	0	0	0	0	0	0	0	0	0	0
		CELKEM - FÁZE PRŮŘEZU 0																-338	-102	-379	0	-379	-3	655	0	655	-56	3	-53
		CELKEM - FÁZE PRŮŘEZU 1																0	0	0	0	0	0	0	0	0	0	0	0
		CELKEM - FÁZE PRŮŘEZU 2																0	0	0	0	0	0	0	0	0	0	0	0
		CELKEM - FÁZE PRŮŘEZU 3																0	0	0	0	0	0	0	0	0	0	0	0
		CELKEM - PRŮŘEZ																-338	-102	-379	0	-379	-3			655			-53

Napětí od jednotlivých zatěžovacích stavů

SKUPINA ZATĚŽOVACÍCH STAVŮ

Č.	SKUP ZS	Popis ZS	Kat.	fáze prúř.	Posouzení normálového napětí — Účinek síly N δ^*N_d [kN]	χ^*A [mm^2]	σ_n [MPa]	Účinek momentu My $\delta^*M_{y,d}$ [kNm]	$\chi_{lt}*W_{el,y}$ [mm^3]	σ_{my} [MPa]	Účinek momentu Mz $\delta^*M_{z,d}$ [kNm]	$W_{el,z}$ [mm^3]	σ_{mz} [MPa]	σ_x [MPa]	Posouzení smykového napětí — Účinek kroutícího momentu Mx $\kappa*\delta^*M_{x,d}$ [kNm]	$W_{v,y}$ [mm^2]	$\tau_{x,y}$ [MPa]	$W_{v,z}$ [mm^2]	$\tau_{x,z}$ [MPa]	Účinek smykové síly Vy $\delta^*V_{y,d}$ [kN]	$A_{v,y}$ [mm2]	$\tau_{v,y}$ [MPa]	$\tau_{v,y}$ [MPa]	Účinek smykové síly Vz $\delta^*V_{z,d}$ [kN]	$A_{v,z}$ [mm2]	$\tau_{v,z}$ [MPa]	$\tau_{v,z}$ [MPa]
1	G0	Vlastní tíha OK	G	0	-129.4	3.95E+04	-3.3	71.0	-1.77E+07	-4.0	-6.5	-4.23E+07	0.2	-7.1	-7.9E-01	-	-	-	-	-2.1	2.41E+04	-0.1	-0.1	-7.7	1.09E+04	-0.7	-0.7
2	G1	Ostatní stálé - mostní vybavení	G	0	-9.7	3.95E+04	-0.2	11.3	-1.77E+07	-0.6	-0.5	-4.23E+07	0.0	-0.9	-5.7E-02	-	-	-	-	-0.1	2.41E+04	0.0	0.0	-2.1	1.09E+04	-0.2	-0.2
3	G2	Ostatní stálé - cizí zařízení	G	0	-7.8	3.95E+04	-0.2	0.2	-1.77E+07	0.0	-0.4	-4.23E+07	0.0	-0.2	-5.7E-02	-	-	-	-	-0.1	2.41E+04	0.0	0.0	-3.2	1.09E+04	-0.3	-0.3
4	P1_71	a.LM71 - kolej 1 (bez dyn. souč.)	P	0	6.3	3.95E+04	0.2	668.9	-1.77E+07	-37.8	-0.5	-4.23E+07	0.0	-37.6	9.9E-02	-	-	-	-	0.6	2.41E+04	0.0	0.0	-281.1	1.09E+04	-25.8	-25.8
5	P2_71	a.LM71 - kolej 2 (bez dyn. souč.)	P	0	-168.5	3.95E+04	-4.3	-43.0	-1.77E+07	2.4	-9.7	-4.23E+07	0.2	-1.6	-1.0E+00	-	-	-	-	-0.2	2.41E+04	0.0	0.0	-16.1	1.09E+04	-1.5	-1.5
6	P1_C3	TTZ C3 - kolej 1 (bez dyn. souč.)	P	0	0.0	3.95E+04	0.0	0.0	-1.77E+07	0.0	0.0	-4.23E+07	0.0	0.0	0.0E+00	-	-	-	-	0.0	2.41E+04	0.0	0.0	0.0	1.09E+04	0.0	0.0
7	P2_C3	TTZ C3 - kolej 2 (bez dyn. souč.)	P	0	0.0	3.95E+04	0.0	0.0	-1.77E+07	0.0	0.0	-4.23E+07	0.0	0.0	0.0E+00	-	-	-	-	0.0	2.41E+04	0.0	0.0	0.0	1.09E+04	0.0	0.0
8	BR	Brzdné a rozjezdové síly	P	0	-154.5	3.95E+04	-3.9	-28.3	-1.77E+07	1.6	-11.0	-4.23E+07	0.3	-2.1	-1.0E+00	-	-	-	-	-7.1	2.41E+04	-0.3	-0.3	-0.5	1.09E+04	0.0	0.0
9	S	Boční ráz	P	0	50.2	3.95E+04	1.3	20.9	-1.77E+07	-1.2	0.7	-4.23E+07	0.0	0.1	-2.1E-02	-	-	-	-	-5.0	2.41E+04	-0.2	-0.2	-5.6	1.09E+04	-0.5	-0.5
10	CH	Chodci na lávkách	Q	0	-22.7	3.95E+04	-0.6	-28.4	-1.77E+07	1.6	-1.1	-4.23E+07	0.0	1.1	-1.7E-01	-	-	-	-	-0.4	2.41E+04	0.0	0.0	0.0	1.09E+04	0.0	0.0
11	W	Vítr na konstrukci	Q	0	38.5	3.95E+04	1.0	-8.3	-1.77E+07	0.5	-9.1	-4.23E+07	0.2	1.7	5.1E-02	-	-	-	-	-34.4	2.41E+04	-1.4	-1.4	-29.2	1.09E+04	-2.7	-2.7
12	WP	Vítr na vozidla	Q	0	39.9	3.95E+04	1.0	-3.3	-1.77E+07	0.2	-15.3	-4.23E+07	0.4	1.6	7.1E-02	-	-	-	-	-56.1	2.41E+04	-2.3	-2.3	-24.4	1.09E+04	-2.2	-2.2
13	TR	Teplota rovnoměrná	Q	0	0.0	3.95E+04	0.0	0.0	-1.77E+07	0.0	0.0	-4.23E+07	0.0	0.0	0.0E+00	-	-	-	-	0.0	2.41E+04	0.0	0.0	0.0	1.09E+04	0.0	0.0
14	TN	Teplota nerovnoměrná	Q	0	-1.5	3.95E+04	0.0	-6.6	-1.77E+07	0.4	0.1	-4.23E+07	0.0	0.3	-8.1E-03	-	-	-	-	4.8	2.41E+04	0.2	0.2	-1.8	1.09E+04	-0.2	-0.2
15	FR	Třecí síly v ložiskách	Q	0	14.5	3.95E+04	0.4	3.3	-1.77E+07	-0.2	0.7	-4.23E+07	0.0	0.2	1.1E-01	-	-	-	-	0.3	2.41E+04	0.0	0.0	0.0	1.09E+04	0.0	0.0
16	I	Imperfekce soustavy	Q	0	6.7	3.95E+04	0.2	-3.2	-1.77E+07	0.2	-0.7	-4.23E+07	0.0	0.4	0.0E+00	-	-	-	-	-2.5	2.41E+04	-0.1	-0.1	-6.7	1.09E+04	-0.6	-0.6
27	ULS_LM	ULS - LM71 bez dynam	Q	0	0.0	3.95E+04	0.0	0.0	-1.77E+07	0.0	0.0	-4.23E+07	0.0	0.0	0.0E+00	-	-	-	-	0.0	2.41E+04	0.0	0.0	0.0	1.09E+04	0.0	0.0
28	SLS_LM	SLS - LM71 bez dynam	Q	0	0.0	3.95E+04	0.0	0.0	-1.77E+07	0.0	0.0	-4.23E+07	0.0	0.0	0.0E+00	-	-	-	-	0.0	2.41E+04	0.0	0.0	0.0	1.09E+04	0.0	0.0
29	ULS_C3	ULS - C3 bez dynam	Q	0	0.0	3.95E+04	0.0	0.0	-1.77E+07	0.0	0.0	-4.23E+07	0.0	0.0	0.0E+00	-	-	-	-	0.0	2.41E+04	0.0	0.0	0.0	1.09E+04	0.0	0.0
30	SLS_C3	SLS - C3 bez dynam	Q	0	0.0	3.95E+04	0.0	0.0	-1.77E+07	0.0	0.0	-4.23E+07	0.0	0.0	0.0E+00	-	-	-	-	0.0	2.41E+04	0.0	0.0	0.0	1.09E+04	0.0	0.0
NAVÝŠENÍ NAPĚTÍ DO AKTIVACE TLAKU V DESCE MOSTOVKY						$\sigma_{P,red}$	0.0							0.0			0.0		0.0			-4.3	-4.3			-34.8	-34.8
NAPĚTÍ OD PRIMÁRNÍCH ÚČINKŮ NEROVNOMĚRNÉHO OTEPLENÍ						σ_T	0.0							0.0													
NAPĚTÍ OD REOLOGICKÝCH ÚČINKŮ BETONU V ČASE		t=0				σ_R	0.0	$\gamma_{f=}$	1.20					0.0													
NAPĚTÍ V KRITICKÝCH VLÁKNECH OD KOMBINACE ZATÍŽENÍ						KZ04		[MPa]					$\Sigma\sigma_x$	-44.3								$\Sigma\tau_y$	-4.3			$\Sigma\tau_z$	-34.8
NAPĚTÍ OD POHYBLIVÉHO ZATÍŽENÍ								[MPa]					$\sigma_{x,P}$	-41.2								τ_P	-0.5			τ_P	-27.9
NAPĚTÍ OD OSTATNÍCH ZATÍŽENÍ								[MPa]			Φ_{Vy}	Φ_{Vz}	$\sigma_{x,rs}$	-3.1								τ_{rs}	-3.8			τ_{rs}	-6.9
NÁVRHOVÁ HODNOTA MEZE KLUZU S REDUKCÍ VLIVEM SMYKOVÉHO NAPĚTÍ								[MPa]			1.00	1.00	$f_{yw,d}$	209.1								$f_{yd}/3^{0,5}$	120.7			$f_{yd}/3^{0,5}$	120.7
NAPĚTÍ OD POHYBLIVÉHO ZATÍŽENÍ V GLOBÁLNÍM SYSTÉMU						$\sigma_{GLOB,P}$	0.0	[MPa]					$\Sigma\sigma_{GLOB}$	0.0													
NAPĚTÍ OD OSTATNÍCH ZATÍŽENÍ V GLOBÁLNÍM SYSTÉMU						$\sigma_{GLOB,rs}$	0.0	[MPa]					$\Sigma\sigma_x + \Sigma\sigma_{GLOB}$	-44.3													
VYUŽITÍ PRŮŘEZU DLE NAPĚTÍ								[%]					η_1	0.21								η_3	0.04			η_3	0.29
NAPĚTÍ V PŘÍČNÉM SMĚRU OD POHYBLIVÉHO ZATÍŽENÍ						$\sigma_{z,P}$	0.0	[MPa]					$\Sigma\sigma_z$	0.0													
NAPĚTÍ V PŘÍČNÉM SMĚRU OD OSTATNÍCH ZATÍŽENÍ						$\sigma_{z,rs}$	0.0	[MPa]					η_2	0.00													
SROVNÁVACÍ NAPĚTÍ													$(\eta_2 + 0,8\ \eta_1)/1,4 =$	0.12													
VYUŽITÍ PRŮŘEZU CELKEM								[%]					eff	0.29	VYHOVUJE												
STANOVENÍ ZATÍŽITELNOSTI													z_{LM71} =	4.08													

TR_P1.3 POPIS: **PŘÍČNÍK P1 - STŘED** POSUDEK: **P1.3**

SKUPINA ZAT. STAVŮ	EXTRÉM	VYHODNOCOVANÉ VELIČINY					
		N	Vy	Vz	Mx	My	Mz
		kN	kN	kN	kNm	kNm	kNm
G0	N.min	**-112.81**	1.27	3.21	0.69	67.15	-4.19
	N.max	**-112.81**	1.27	3.21	0.69	67.15	-4.19
	Vy.min	-112.81	**1.27**	3.21	0.69	67.15	-4.19
	Vy.max	-112.81	**1.27**	3.21	0.69	67.15	-4.19
	Vz.min	-112.81	1.27	**3.21**	0.69	67.15	-4.19
	Vz.max	-112.81	1.27	**3.21**	0.69	67.15	-4.19
	Mx.min	-112.81	1.27	3.21	**0.69**	67.15	-4.19
	Mx.max	-112.81	1.27	3.21	**0.69**	67.15	-4.19
	My.min	-112.81	1.27	3.21	0.69	**67.15**	-4.19
	My.max	-112.81	1.27	3.21	0.69	**67.15**	-4.19
	Mz.min	-112.81	1.27	3.21	0.69	67.15	**-4.19**
	Mz.max	-112.81	1.27	3.21	0.69	67.15	**-4.19**
G1	N.min	**-8.47**	0.12	0	0.05	10.85	-0.3
	N.max	**-8.47**	0.12	0	0.05	10.85	-0.3
	Vy.min	-8.47	**0.12**	0	0.05	10.85	-0.3
	Vy.max	-8.47	**0.12**	0	0.05	10.85	-0.3
	Vz.min	-8.47	0.12	**0**	0.05	10.85	-0.3
	Vz.max	-8.47	0.12	**0**	0.05	10.85	-0.3
	Mx.min	-8.47	0.12	0	**0.05**	10.85	-0.3
	Mx.max	-8.47	0.12	0	**0.05**	10.85	-0.3
	My.min	-8.47	0.12	0	0.05	**10.85**	-0.3
	My.max	-8.47	0.12	0	0.05	**10.85**	-0.3
	Mz.min	-8.47	0.12	0	0.05	10.85	**-0.3**
	Mz.max	-8.47	0.12	0	0.05	10.85	**-0.3**
G2	N.min	**-6.83**	0.11	2.8	0.05	3.01	-0.21
	N.max	**-6.83**	0.11	2.8	0.05	3.01	-0.21
	Vy.min	-6.83	**0.11**	2.8	0.05	3.01	-0.21
	Vy.max	-6.83	**0.11**	2.8	0.05	3.01	-0.21
	Vz.min	-6.83	0.11	**2.8**	0.05	3.01	-0.21
	Vz.max	-6.83	0.11	**2.8**	0.05	3.01	-0.21
	Mx.min	-6.83	0.11	2.8	**0.05**	3.01	-0.21
	Mx.max	-6.83	0.11	2.8	**0.05**	3.01	-0.21
	My.min	-6.83	0.11	2.8	0.05	**3.01**	-0.21
	My.max	-6.83	0.11	2.8	0.05	**3.01**	-0.21
	Mz.min	-6.83	0.11	2.8	0.05	3.01	**-0.21**
	Mz.max	-6.83	0.11	2.8	0.05	3.01	**-0.21**
P1_71	N.min	**-121.1**	0.31	-29.11	0.71	118.5	-8.46
	N.max	**4.38**	0.43	-99.72	-0.17	326.99	-0.91
	Vy.min	-34.33	**-1.1**	-70.99	0.34	233.19	-3.03
	Vy.max	-78.19	**1.2**	-82.77	0.16	309.11	-6.22
	Vz.min	-4.65	-0.01	**-170.15**	-0.12	570.38	-1.72
	Vz.max	-101.92	0.1	**9.84**	0.63	-16.22	-7.32
	Mx.min	-5.31	0.61	-91.8	**-0.33**	342.4	-0.95
	Mx.max	-108.07	-0.46	-72.5	**0.81**	239.88	-7.94
	My.min	-99.6	0.1	9.31	0.66	**-23.22**	-6.86
	My.max	-8.74	0.04	-169.62	-0.14	**577.09**	-1.86
	Mz.min	-117.92	0.4	-74.15	0.65	262.22	**-9.37**
	Mz.max	-1.01	0.02	-1.57	-0.03	11.61	**0.03**
P2_71	N.min	**-132.63**	3.12	8.38	0.76	44.62	0.84
	N.max	**7.84**	-0.81	140.63	-0.07	463.16	-0.85
	Vy.min	-7.11	**-1.78**	92.97	-0.15	346.11	-0.39
	Vy.max	-107.97	**4.2**	67.23	0.75	219.98	0.48
	Vz.min	-115.74	2.98	**-9.74**	0.69	-23.57	0.71
	Vz.max	3.78	-0.42	**170.14**	-0.06	575.12	-0.76
	Mx.min	-1.02	-1.71	97.37	**-0.18**	361.67	-0.44
	Mx.max	-127.87	3.57	23.14	**0.81**	73.12	0.69
	My.min	-111.87	3.07	-9.25	0.71	**-29.62**	0.31
	My.max	-0.09	-0.55	169.64	-0.08	**581.8**	-0.67
	Mz.min	-42.06	0.63	149.59	0.25	490.68	**-1.18**
	Mz.max	-104.25	2.27	8.09	0.58	43.16	**1.11**
P1_C3	N.min	**-100.98**	0.07	-47.44	0.57	182.22	-7.01
	N.max	**3.22**	0.32	-77.39	-0.13	253.87	-0.69
	Vy.min	-34.79	**-0.79**	-17.39	0.3	64.51	-2.71
	Vy.max	-75.04	**0.98**	-60.55	0.31	208.43	-5.79
	Vz.min	-2.97	-0.03	**-95.54**	-0.07	321.43	-0.87
	Vz.max	-91.03	0.1	**8.68**	0.54	-7.71	-6.56
	Mx.min	-2.13	0.43	-63.91	**-0.19**	228.25	-0.69
	Mx.max	-97.93	-0.1	-29.33	**0.7**	100.73	-6.86
	My.min	-90.65	0.16	7.99	0.59	**-20.56**	-6.22
	My.max	-5.26	-0.04	-95.35	-0.09	**330.37**	-0.91
	Mz.min	-95.08	0.43	-79.97	0.52	271.46	**-7.78**
	Mz.max	-1.86	0.02	-2.59	-0.05	20.6	**0.03**
P2_C3	N.min	**-107.68**	2.84	22.29	0.62	95.46	0.38
	N.max	**5.43**	-0.65	79.91	-0.05	261.88	-0.56
	Vy.min	-4.09	**-1.13**	63.74	-0.08	229.11	-0.34
	Vy.max	-95.61	**3.47**	27.08	0.64	92.17	0.51
	Vz.min	-103.63	2.54	**-8.59**	0.6	-14.26	0.68
	Vz.max	1.77	-0.26	**95.54**	-0.05	323.99	-0.44
	Mx.min	-0.85	-0.87	53.74	**-0.1**	200.45	-0.25
	Mx.max	-106.42	3.23	29.29	**0.69**	97.44	0.27
	My.min	-101.72	2.69	-7.95	0.64	**-26.32**	0.27
	My.max	-0.09	-0.37	95.36	-0.08	**333.16**	-0.33
	Mz.min	-40.58	0.68	84.27	0.25	272.01	**-0.86**
	Mz.max	-84.68	2.36	10.55	0.48	56.54	**0.94**
BR	N.min	**-385.77**	10.12	-0.22	2.6	-68.09	-12.45
	N.max	**385.77**	-10.12	0.22	-2.6	68.09	12.45
	Vy.min	279.25	**-15.38**	-0.91	-1.86	47.59	7.28
	Vy.max	-279.25	**15.38**	0.91	1.86	-47.59	-7.28
	Vz.min	297.04	-13.74	**-1.04**	-2.01	53.28	7.35
	Vz.max	-297.04	13.74	**1.04**	2.01	-53.28	-7.35
	Mx.min	384.85	-2.19	-0.26	**-2.62**	67.61	10.56
	Mx.max	-384.85	2.19	0.26	**2.62**	-67.61	-10.56
	My.min	-385.77	10.12	-0.22	2.6	**-68.09**	-12.45
	My.max	385.77	-10.12	0.22	-2.6	**68.09**	12.45
	Mz.min	-385.77	10.12	-0.22	2.6	-68.09	**-12.45**
	Mz.max	385.77	-10.12	0.22	-2.6	68.09	**12.45**

TR_P1.3 POPIS: **PŘÍČNÍK P1 - STŘED** POSUDEK: **P1.3**

SKUPINA ZAT. STAVŮ	EXTRÉM	VYHODNOCOVANÉ VELIČINY					
		N	Vy	Vz	Mx	My	Mz
		kN	kN	kN	kNm	kNm	kNm
S	N.min	**-53.44**	-16.25	-4.81	0.04	-28.35	-11.46
	N.max	**53.44**	16.25	4.81	-0.04	28.35	11.46
	Vy.min	-4.8	**-23.04**	-2.07	0.03	-2.53	-16.34
	Vy.max	4.8	**23.04**	2.07	-0.03	2.53	16.34
	Vz.min	-48.24	-4.81	**-5.43**	-0.02	-25.59	-5.43
	Vz.max	48.24	4.81	**5.43**	0.02	25.59	5.43
	Mx.min	53.44	16.25	4.81	**-0.04**	28.35	11.46
	Mx.max	-53.44	-16.25	-4.81	**0.04**	-28.35	-11.46
	My.min	-53.44	-16.25	-4.81	0.04	**-28.35**	-11.46
	My.max	53.44	16.25	4.81	-0.04	**28.35**	11.46
	Mz.min	-4.8	-23.04	-2.07	0.03	-2.53	**-16.34**
	Mz.max	4.8	23.04	2.07	-0.03	2.53	**16.34**
CH	N.min	**-17.52**	0.31	-0.03	0.13	-21.84	-0.52
	N.max	**-10.74**	-0.07	3.82	0.08	-10.67	-1.1
	Vy.min	-10.74	**-0.07**	3.82	0.08	-10.67	-1.1
	Vy.max	-17.52	**0.31**	-0.03	0.13	-21.84	-0.52
	Vz.min	-17.52	0.31	**-0.03**	0.13	-21.84	-0.52
	Vz.max	-10.74	-0.07	**3.82**	0.08	-10.67	-1.1
	Mx.min	-10.74	-0.07	3.82	**0.08**	-10.67	-1.1
	Mx.max	-17.52	0.31	-0.03	**0.13**	-21.84	-0.52
	My.min	-17.52	0.31	-0.03	0.13	**-21.84**	-0.52
	My.max	-10.74	-0.07	3.82	0.08	**-10.67**	-1.1
	Mz.min	-10.74	-0.07	3.82	0.08	-10.67	**-1.1**
	Mz.max	-17.52	0.31	-0.03	0.13	-21.84	**-0.52**
W	N.min	**-40.38**	-33.97	-28.88	0.04	-20.92	-24.99
	N.max	**38.08**	34.02	28.89	-0.04	20.96	25.02
	Vy.min	-40.38	**-33.97**	-28.88	0.04	-20.92	-24.99
	Vy.max	38.08	**34.02**	28.89	-0.04	20.96	25.02
	Vz.min	-40.38	-33.97	**-28.88**	0.04	-20.92	-24.99
	Vz.max	38.08	34.02	**28.89**	-0.04	20.96	25.02
	Mx.min	38.08	34.02	28.89	**-0.04**	20.96	25.02
	Mx.max	-40.38	-33.97	-28.88	**0.04**	-20.92	-24.99
	My.min	-40.38	-33.97	-28.88	0.04	**-20.92**	-24.99
	My.max	38.08	34.02	28.89	-0.04	**20.96**	25.02
	Mz.min	-40.38	-33.97	-28.88	0.04	-20.92	**-24.99**
	Mz.max	38.08	34.02	28.89	-0.04	20.96	**25.02**
WP	N.min	**-39.41**	-55.42	-24.14	0.06	-20.91	-40.27
	N.max	**39.04**	55.5	23.98	-0.06	20.87	40.22
	Vy.min	-39.41	**-55.42**	-24.14	0.06	-20.91	-40.27
	Vy.max	39.04	**55.5**	23.98	-0.06	20.87	40.22
	Vz.min	-39.41	-55.42	**-24.14**	0.06	-20.91	-40.27
	Vz.max	39.04	55.5	**23.98**	-0.06	20.87	40.22
	Mx.min	39.04	55.5	23.98	**-0.06**	20.87	40.22
	Mx.max	-39.41	-55.42	-24.14	**0.06**	-20.91	-40.27
	My.min	-39.41	-55.42	-24.14	0.06	**-20.91**	-40.27
	My.max	39.04	55.5	23.98	-0.06	**20.87**	40.22
	Mz.min	-39.41	-55.42	-24.14	0.06	-20.91	**-40.27**
	Mz.max	39.04	55.5	23.98	-0.06	20.87	**40.22**
TR	N.min	**0**	0	0	0	0	0
	N.max	**0**	0	0	0	0	0
	Vy.min	0	**0**	0	0	0	0
	Vy.max	0	**0**	0	0	0	0
	Vz.min	0	0	**0**	0	0	0
	Vz.max	0	0	**0**	0	0	0
	Mx.min	0	0	0	**0**	0	0
	Mx.max	0	0	0	**0**	0	0
	My.min	0	0	0	0	**0**	0
	My.max	0	0	0	0	**0**	0
	Mz.min	0	0	0	0	0	**0**
	Mz.max	0	0	0	0	0	**0**
TN	N.min	**-6.44**	0.11	0.05	0.06	-8.8	-0.19
	N.max	**6.44**	-0.11	-0.05	-0.06	8.8	0.19
	Vy.min	-1.73	**-6.07**	2.34	0.01	-6.1	-5.86
	Vy.max	-4.84	**6.11**	-2.2	0.04	-7.54	5.6
	Vz.min	-4.84	6.11	**-2.2**	0.04	-7.54	5.6
	Vz.max	-1.73	-6.07	**2.34**	0.01	-6.1	-5.86
	Mx.min	6.44	-0.11	-0.05	**-0.06**	8.8	0.19
	Mx.max	-6.44	0.11	0.05	**0.06**	-8.8	-0.19
	My.min	-6.44	0.11	0.05	0.06	**-8.8**	-0.19
	My.max	6.44	-0.11	-0.05	-0.06	**8.8**	0.19
	Mz.min	-1.73	-6.07	2.34	0.01	-6.1	**-5.86**
	Mz.max	-4.84	6.11	-2.2	0.04	-7.54	**5.6**
FR	N.min	**-12.06**	0.21	0	0.09	-2.75	-0.35
	N.max	**12.06**	-0.21	0	-0.09	2.75	0.35
	Vy.min	12.06	**-0.21**	0	-0.09	2.75	0.35
	Vy.max	-12.06	**0.21**	0	0.09	-2.75	-0.35
	Vz.min	12.06	-0.21	**0**	-0.09	2.75	0.35
	Vz.max	-12.06	0.21	**0**	0.09	-2.75	-0.35
	Mx.min	12.06	-0.21	0	**-0.09**	2.75	0.35
	Mx.max	-12.06	0.21	0	**0.09**	-2.75	-0.35
	My.min	-12.06	0.21	0	0.09	**-2.75**	-0.35
	My.max	12.06	-0.21	0	-0.09	**2.75**	0.35
	Mz.min	-12.06	0.21	0	0.09	-2.75	**-0.35**
	Mz.max	12.06	-0.21	0	-0.09	2.75	**0.35**
I	N.min	**-5.6**	-2.09	-5.59	0	-3	**-1.53**
	N.max	**5.6**	2.09	5.59	0	3	**1.53**
	Vy.min	-5.6	**-2.09**	-5.59	0	-3	**-1.53**
	Vy.max	5.6	**2.09**	5.59	0	3	**1.53**
	Vz.min	-5.6	-2.09	**-5.59**	0	-3	**-1.53**
	Vz.max	5.6	2.09	**5.59**	0	3	**1.53**
	Mx.min	5.6	2.09	5.59	**0**	3	**1.53**
	Mx.max	-5.6	-2.09	-5.59	**0**	-3	**-1.53**
	My.min	-5.6	-2.09	-5.59	0	**-3**	**-1.53**
	My.max	5.6	2.09	5.59	0	**3**	**1.53**
	Mz.min	-5.6	-2.09	-5.59	0	-3	**-1.53**
	Mz.max	5.6	2.09	5.59	0	3	**1.53**

TAB. P1.3.3 POSOUZENÍ - MEZNÍ STAV ÚNOSNOSTI

POPIS	PŘÍČNÍK P1 - STŘED
PRUT / POLOHA BODU	701 / I[577]
NAMÁHÁNÍ	My.max
VLÁKNO	BOD K2 -HP
MEZNÍ STAV	ULS (MSÚ)
VYUŽITÍ VLÁKNA PRŮŘEZU	0.96

Charakteristiky materiálu				
pás. horní	$f_{yf,k}$	230	MPa	
pás. dolní	$f_{yf,k}$	230	MPa	
stojina	$f_{yw,k}$	230	MPa	
výztuž	$f_{ys,k}$	500	MPa	
γ_M =	1.10	γ_s =	1.15	

Excentricita normálové síly				
Exc./Fáze	0	1	2	3
e_y	0.000	0.000	0.000	0.000
e_z	0.000	0.000	0.000	0.000
Ekvivalentní vzdál. stěn - příčný roznos				
b_{Mx}	0.000	0.000	0.000	0.000

Vliv stěny na únosnost průřezu				
Char./Fáze	0	1	2	3
A	0.00	0.00	0.00	0.00
Wy	0.00	0.00	0.00	0.00
Wz	0.00	0.00	0.00	0.00

Charakter. v kroucení			
$t_{w,y}$	0.000	[mm]	
$t_{w,z}$	0.000	[mm]	
κ	1.00		
I_t=	0.00E+00	[mm^4]	
Ω=2*A_{pr}	0.00E+00	[mm^2]	

Součinitele vzpěru a vlivu II.řádu				
Char./Fáze	0	1	2	3
k_y	1.000	1.000	1.000	1.000
k_z	1.000	1.000	1.000	1.000
χ_{LT}	1.000	1.000	1.000	1.000
χ_{min}	1.000	1.000	1.000	1.000

δ_{LOK} 1.00

Vnitřní síly od jednotlivých skupin zatěžovacích stavů

SKUPINA ZATĚŽOVACÍCH STAVŮ — 3

Č.	SKUP ZS	POPIS ZS	KAT.	FÁZE PRŮŘ.	- CHARAKTERISTICKÉ HODNOTY N.k (kN)	Vy.k (kN)	Vz.k (kN)	Mx.k (kNm)	My.k (kNm)	Mz.k (kNm)	DÍLČÍ SOUČINITELÉ ZATÍŽENÍ, DYNAMICKÝ SOUČINITEL γ_{sr} (-)	γ_{fs} (-)	volba γ_f hledat	γ_f (-)	L_d (m)	δ (-)	Ψ_0 KZ03	- NÁVRHOVÉ HODNOTY N.d (kN)	Vy.d (kN)	Vz.d (kN)	ΔVz.d (kN)	ΣVz.d (kN)	Mx.d (kNm)	My.d (kNm)	ΔMy.d (kNm)	ΣMy.d (kNm)	Mz.d (kNm)	ΔMz.d (kNm)	ΣMz.d (kNm)
1	G0	Vlastní tíha OK	G	0	-113	1	3	1	67	-4	1.00	1.20		1.20	-	1.00	0.95	-129	1	4	0	4	1	77	0	77	-5	0	-5
2	G1	Ostatní stálé - mostní vybavení	G	0	-8	0	0	0	11	0	1.00	1.20		1.20	-	1.00	0.95	-10	0	0	0	0	0	12	0	12	0	0	0
3	G2	Ostatní stálé - cizí zařízení	G	0	-7	0	3	0	3	0	1.00	1.20		1.20	-	1.00	0.95	-8	0	3	0	3	0	3	0	3	0	0	0
4	P1_71	a.LM71 - kolej 1 (bez dyn. souč.)	P	0	-9	0	-170	0	577	-2	1.00	1.30		1.30	-	1.27	1.00	-14	0	-280	0	-280	0	954	0	954	-3	1	-2
5	P2_71	a.LM71 - kolej 2 (bez dyn. souč.)	P	0	0	-1	170	0	582	-1	1.00	1.30		1.30	-	1.27	1.00	0	-1	280	0	280	0	961	0	961	-1	0	-1
6	P1_C3	TTZ C3 - kolej 1 (bez dyn. souč.)	P	0	-5	0	-95	0	330	-1	1.00	vyp.		0.00	-	1.00	0.00	0	0	0	0	0	0	0	0	0	0	0	0
7	P2_C3	TTZ C3 - kolej 2 (bez dyn. souč.)	P	0	0	0	95	0	333	0	1.00	vyp.		0.00	-	1.00	0.00	0	0	0	0	0	0	0	0	0	0	0	0
8	BR	Brzdné a rozjezdové síly	P	0	386	-10	0	-3	68	12	1.00	-1.30		-1.30	-	1.00	0.80	-401	11	0	0	0	3	-71	0	-71	-13	0	-13
9	S	Boční ráz	P	0	53	16	5	0	28	11	1.00	-1.30		-1.30	-	1.00	0.40	-28	-8	-3	0	-3	0	-15	0	-15	-6	0	-6
10	CH	Chodci na lávkách	Q	0	-11	0	4	0	-11	-1	1.00	1.30		1.30	-	1.00	1.00	-14	0	5	0	5	0	-14	0	-14	-1	0	-1
11	W	Vítr na konstrukci	Q	0	38	34	29	0	21	25	1.00	-1.35		-1.35	-	1.00	0.75	-39	-34	-29	0	-29	0	-21	0	-21	-25	0	-25
12	WP	Vítr na vozidla	Q	0	39	56	24	0	21	40	1.00	-1.35		-1.35	-	1.00	0.75	-40	-56	-24	0	-24	0	-21	0	-21	-41	0	-41
13	TR	Teplota rovnoměrná	Q	0	0	0	0	0	0	0	1.00	1.35		1.35	-	1.00	0.45	0	0	0	0	0	0	0	0	0	0	0	0
14	TN	Teplota nerovnoměrná	Q	0	6	0	0	0	9	0	1.00	1.35		1.35	-	1.00	0.60	5	0	0	0	0	0	7	0	7	0	0	0
15	FR	Třecí síly v ložiskách	Q	0	12	0	0	0	3	0	1.00	-1.20		-1.20	-	1.00	1.00	-14	0	0	0	0	0	-3	0	-3	0	0	0
16	I	Imperfekce soustavy	Q	0	6	2	6	0	3	2	1.00	-1.20		-1.20	-	1.00	1.00	-7	-3	-7	0	-7	0	-4	0	-4	-2	0	-2
27	ULS_LM	ULS - LM71 bez dynam	Q	0	469	91	75	-3	1 748	82	1.00	vyp.		0.00	-	1.00	0.00	0	0	0	0	0	0	0	0	0	0	0	0
28	SLS_LM	SLS - LM71 bez dynam	Q	0	340	68	58	-2	1 349	61	1.00	vyp.	1	0.00	-	1.00	0.00	0	0	0	0	0	0	0	0	0	0	0	0
29	ULS_C3	ULS - C3 bez dynam	Q	0	474	91	75	-3	1 104	84	1.00	vyp.	1	0.00	-	1.00	0.00	0	0	0	0	0	0	0	0	0	0	0	0
30	SLS_C3	SLS - C3 bez dynam	Q	0	344	68	58	-2	853	62	1.00	vyp.	1	0.00	-	1.00	0.00	0	0	0	0	0	0	0	0	0	0	0	0
		CELKEM - FÁZE PRŮŘEZU 0																-698	-90	-51	0	-51	4	1 866	0	1 866	-98	1	-97
		CELKEM - FÁZE PRŮŘEZU 1																0	0	0	0	0	0	0	0	0	0	0	0
		CELKEM - FÁZE PRŮŘEZU 2																0	0	0	0	0	0	0	0	0	0	0	0
		CELKEM - FÁZE PRŮŘEZU 3																0	0	0	0	0	0	0	0	0	0	0	0
		CELKEM - PRŮŘEZ																-698	-90	-51	0	-51	4			1 866			-97

Napětí od jednotlivých zatěžovacích stavů

SKUPINA ZATĚŽOVACÍCH STAVŮ

Č.	SKUP ZS	Popis ZS	Kat.	fáze průř.	Posouzení normálového napětí — Účinek síly N: δ^*N_d [kN]	χ^*A [mm^2]	σ_n [MPa]	Účinek momentu My: $\delta^*M_{y,d}$ [kNm]	$\chi_{lt}{}^*W_{el,y}$ [mm^3]	σ_{my} [MPa]	Účinek momentu Mz: $\delta^*M_{z,d}$ [kNm]	$W_{el,z}$ [mm^3]	σ_{mz} [MPa]	σ_x [MPa]	Posouzení smykového napětí — Účinek kroutícího momentu Mx: $\kappa^*\delta^*M_{x,d}$ [kNm]	$W_{v,y}$ [mm^3]	$\tau_{x,y}$ [MPa]	$W_{v,z}$ [mm^3]	$\tau_{x,z}$ [MPa]	Účinek smykové síly Vy: $\delta^*V_{y,d}$ [kN]	$A_{v,y}$ [mm2]	$\tau_{v,y}$ [MPa]	$\tau_{v,y}$ [MPa]	Účinek smykové síly Vz: $\delta^*V_{z,d}$ [kN]	$A_{v,z}$ [mm2]	$\tau_{v,z}$ [MPa]	$\tau_{v,z}$ [MPa]
1	G0	Vlastní tíha OK	G	0	-128.6	3.60E+04	-3.6	76.6	-1.67E+07	-4.6	-4.8	1.37E+06	-3.5	-11.6	7.9E-01	-	-	-	-	1.4	2.41E+04	0.1	0.1	3.7	7.39E+03	0.5	0.5
2	G1	Ostatní stálé - mostní vybavení	G	0	-9.7	3.60E+04	-0.3	12.4	-1.67E+07	-0.7	-0.3	1.37E+06	-0.2	-1.3	5.7E-02	-	-	-	-	0.1	2.41E+04	0.0	0.0	0.0	7.39E+03	0.0	0.0
3	G2	Ostatní stálé - cizí zařízení	G	0	-7.8	3.60E+04	-0.2	3.4	-1.67E+07	-0.2	-0.2	1.37E+06	-0.2	-0.6	5.7E-02	-	-	-	-	0.1	2.41E+04	0.0	0.0	3.2	7.39E+03	0.4	0.4
4	P1_71	a.LM71 - kolej 1 (bez dyn. souč.)	P	0	-14.4	3.60E+04	-0.4	953.5	-1.67E+07	-57.0	-2.4	1.37E+06	-1.8	-59.1	-2.3E-01	-	-	-	-	0.1	2.41E+04	0.0	0.0	-280.3	7.39E+03	-37.9	-37.9
5	P2_71	a.LM71 - kolej 2 (bez dyn. souč.)	P	0	-0.1	3.60E+04	0.0	961.3	-1.67E+07	-57.4	-0.9	1.37E+06	-0.6	-58.1	-1.3E-01	-	-	-	-	-0.9	2.41E+04	0.0	0.0	280.3	7.39E+03	37.9	37.9
6	P1_C3	TTZ C3 - kolej 1 (bez dyn. souč.)	P	0	0.0	3.60E+04	0.0	0.0	-1.67E+07	0.0	0.0	1.37E+06	0.0	0.0	0.0E+00	-	-	-	-	0.0	2.41E+04	0.0	0.0	0.0	7.39E+03	0.0	0.0
7	P2_C3	TTZ C3 - kolej 2 (bez dyn. souč.)	P	0	0.0	3.60E+04	0.0	0.0	-1.67E+07	0.0	0.0	1.37E+06	0.0	0.0	0.0E+00	-	-	-	-	0.0	2.41E+04	0.0	0.0	0.0	7.39E+03	0.0	0.0
8	BR	Brzdné a rozjezdové síly	P	0	-401.2	3.60E+04	-11.1	-70.8	-1.67E+07	4.2	-12.9	1.37E+06	-9.4	-16.3	2.7E+00	-	-	-	-	10.5	2.41E+04	0.4	0.4	-0.2	7.39E+03	0.0	0.0
9	S	Boční ráz	P	0	-27.8	3.60E+04	-0.8	-14.7	-1.67E+07	0.9	-6.0	1.37E+06	-4.3	-4.2	2.1E-02	-	-	-	-	-8.5	2.41E+04	-0.4	-0.4	-2.5	7.39E+03	-0.3	-0.3
10	CH	Chodci na lávkách	Q	0	-14.0	3.60E+04	-0.4	-13.9	-1.67E+07	0.8	-1.4	1.37E+06	-1.0	-0.6	1.0E-01	-	-	-	-	-0.1	2.41E+04	0.0	0.0	5.0	7.39E+03	0.7	0.7
11	W	Vítr na konstrukci	Q	0	-38.6	3.60E+04	-1.1	-21.2	-1.67E+07	1.3	-25.3	1.37E+06	-18.5	-18.3	4.1E-02	-	-	-	-	-34.4	2.41E+04	-1.4	-1.4	-29.3	7.39E+03	-4.0	-4.0
12	WP	Vítr na vozidla	Q	0	-39.5	3.60E+04	-1.1	-21.1	-1.67E+07	1.3	-40.7	1.37E+06	-29.7	-29.5	6.1E-02	-	-	-	-	-56.2	2.41E+04	-2.3	-2.3	-24.3	7.39E+03	-3.3	-3.3
13	TR	Teplota rovnoměrná	Q	0	0.0	3.60E+04	0.0	0.0	-1.67E+07	0.0	0.0	1.37E+06	0.0	0.0	0.0E+00	-	-	-	-	0.0	2.41E+04	0.0	0.0	0.0	7.39E+03	0.0	0.0
14	TN	Teplota nerovnoměrná	Q	0	5.2	3.60E+04	0.1	7.1	-1.67E+07	-0.4	0.2	1.37E+06	0.1	-0.2	-4.9E-02	-	-	-	-	-0.1	2.41E+04	0.0	0.0	0.0	7.39E+03	0.0	0.0
15	FR	Třecí síly v ložiskách	Q	0	-14.5	3.60E+04	-0.4	-3.3	-1.67E+07	0.2	-0.4	1.37E+06	-0.3	-0.5	1.1E-01	-	-	-	-	0.3	2.41E+04	0.0	0.0	0.0	7.39E+03	0.0	0.0
16	I	Imperfekce soustavy	Q	0	-6.7	3.60E+04	-0.2	-3.6	-1.67E+07	0.2	-1.8	1.37E+06	-1.3	-1.3	0.0E+00	-	-	-	-	-2.5	2.41E+04	-0.1	-0.1	-6.7	7.39E+03	-0.9	-0.9
27	ULS_LM	ULS - LM71 bez dynam	Q	0	0.0	3.60E+04	0.0	0.0	-1.67E+07	0.0	0.0	1.37E+06	0.0	0.0	0.0E+00	-	-	-	-	0.0	2.41E+04	0.0	0.0	0.0	7.39E+03	0.0	0.0
28	SLS_LM	SLS - LM71 bez dynam	Q	0	0.0	3.60E+04	0.0	0.0	-1.67E+07	0.0	0.0	1.37E+06	0.0	0.0	0.0E+00	-	-	-	-	0.0	2.41E+04	0.0	0.0	0.0	7.39E+03	0.0	0.0
29	ULS_C3	ULS - C3 bez dynam	Q	0	0.0	3.60E+04	0.0	0.0	-1.67E+07	0.0	0.0	1.37E+06	0.0	0.0	0.0E+00	-	-	-	-	0.0	2.41E+04	0.0	0.0	0.0	7.39E+03	0.0	0.0
30	SLS_C3	SLS - C3 bez dynam	Q	0	0.0	3.60E+04	0.0	0.0	-1.67E+07	0.0	0.0	1.37E+06	0.0	0.0	0.0E+00	-	-	-	-	0.0	2.41E+04	0.0	0.0	0.0	7.39E+03	0.0	0.0
		NAVÝŠENÍ NAPĚTÍ DO AKTIVACE TLAKU V DESCE MOSTOVKY				$\sigma_{P,red}$	0.0							0.0				0.0		0.0		-3.7	-3.7			-6.9	-6.9
		NAPĚTÍ OD PRIMÁRNÍCH ÚČINKŮ NEROVNOMĚRNÉHO OTEPLENÍ				σ_T	0.0							0.0													
		NAPĚTÍ OD REOLOGICKÝCH ÚČINKŮ BETONU V ČASE		t=0		σ_R	0.0	γ_f=	1.20					0.0													
		NAPĚTÍ V KRITICKÝCH VLÁKNECH OD KOMBINACE ZATÍŽENÍ				KZ03		[MPa]					$\Sigma\sigma_x$	-201.6								$\Sigma\tau_y$	-3.7	-3.7			$\Sigma\tau_z$	-6.9
		NAPĚTÍ OD POHYBLIVÉHO ZATÍŽENÍ						[MPa]					$\sigma_{x,P}$	-137.8									0.1				τ_P	-0.4
		NAPĚTÍ OD OSTATNÍCH ZATÍŽENÍ						[MPa]			Φ_{Vy}	Φ_{Vz}	$\sigma_{x,rs}$	-63.8								τ_{rs}	-3.8				τ_{rs}	-6.6
		NÁVRHOVÁ HODNOTA MEZE KLUZU S REDUKCÍ VLIVEM SMYKOVÉHO NAPĚTÍ						[MPa]			1.00	1.00	$f_{yv,d}$	209.1								$f_{yd}/3^{0,5}$	120.7				$f_{yd}/3^{0,5}$	120.7
		NAPĚTÍ OD POHYBLIVÉHO ZATÍŽENÍ V GLOBÁLNÍM SYSTÉMU				$\sigma_{GLOB,P}$	0.0	[MPa]					$\Sigma\sigma_{GLOB}$	0.0														
		NAPĚTÍ OD OSTATNÍCH ZATÍŽENÍ V GLOBÁLNÍM SYSTÉMU				$\sigma_{GLOB,rs}$	0.0	[MPa]					$\Sigma\sigma_x + \Sigma\sigma_{GLOB}$	-201.6														
		VYUŽITÍ PRŮŘEZU DLE NAPĚTÍ						[%]					η_1	0.96								η_3	0.03				η_3	0.06
		NAPĚTÍ V PŘÍČNÉM SMĚRU OD POHYBLIVÉHO ZATÍŽENÍ				$\sigma_{z,P}$	0.0	[MPa]					$\Sigma\sigma_z$	0.0														
		NAPĚTÍ V PŘÍČNÉM SMĚRU OD OSTATNÍCH ZATÍŽENÍ				$\sigma_{z,rs}$	0.0	[MPa]					η_2	0.00														
		SROVNÁVACÍ NAPĚTÍ											$(\eta_2 + 0{,}8\,\eta_1)/1{,}4$ =	0.55														
		VYUŽITÍ PRŮŘEZU CELKEM						[%]					eff	0.96	VYHOVUJE													
		STANOVENÍ ZATÍŽITELNOSTI											z_{LM71} =	1.05														

TAB. P1.3.3 POSOUZENÍ - MEZNÍ STAV ÚNOSNOSTI

POPIS	PŘÍČNÍK P1 - STŘED
PRUT / POLOHA BODU	701 / I[577]
NAMÁHÁNÍ	My.max
VLÁKNO	BOD K4 -SP
MEZNÍ STAV	ULS (MSÚ)
VYUŽITÍ VLÁKNA PRŮŘEZU	1.03

Charakteristiky materiálu				
pás. horní	$f_{yf,k}$	230	MPa	
pás. dolní	$f_{yf,k}$	230	MPa	
stojina	$f_{yw,k}$	230	MPa	
výztuž	$f_{ys,k}$	500	MPa	
γ_M =	1.10	γ_s =	1.15	

Excentricita normálové síly				
Exc./Fáze	0	1	2	3
e_y	0.000	0.000	0.000	0.000
e_z	0.000	0.000	0.000	0.000
Ekvivalentní vzdál. stěn - příčný roznos				
b_{ekv}	0.000	0.000	0.000	0.000

Vliv stěny na únosnost průřezu				
Char./Fáze	0	1	2	3
A	0.00	0.00	0.00	0.00
Wy	0.00	0.00	0.00	0.00
Wz	0.00	0.00	0.00	0.00

Charakter. v kroucení			
$t_{w,y}$	0.000	[mm]	
$t_{w,z}$	0.000	[mm]	
κ	1.00		
I_t=	0.00E+00	[mm^4]	
Ω=2*A_{pr}	0.00E+00	[mm^2]	

Součinitele vzpěru a vlivu II.řádu					
Char./Fáze	0	1	2	3	
k_y	1.000	1.000	1.000	1.000	
k_z	1.000	1.000	1.000	1.000	
χ_{LT}	1.000	1.000	1.000	1.000	
χ_{min}	1.000	1.000	1.000	1.000	

δ_{LOK} 1.00

Vnitřní síly od jednotlivých skupin zatěžovacích stavů

SKUPINA ZATĚŽOVACÍCH STAVŮ: 3

Č.	SKUP ZS	POPIS ZS	KAT.	FÁZE PRŮŘ.	- CHARAKTERISTICKÉ HODNOTY N.k (kN)	Vy.k (kN)	Vz.k (kN)	Mx.k (kNm)	My.k (kNm)	Mz.k (kNm)	DÍLČÍ SOUČINITELÉ ZATÍŽENÍ, DYNAMICKÝ SOUČINITEL γ_{sr} (-)	γ_{fs} (-)	volba ψ_i hledat	ψ_i (-)	L_d (m)	δ (-)	Ψ_z KZ03	- NÁVRHOVÉ HODNOTY N.d (kN)	Vy.d (kN)	Vz.d (kN)	ΔVz.d (kN)	ΣVz.d (kN)	Mx.d (kNm)	My.d (kNm)	ΔMy.d (kNm)	ΣMy.d (kNm)	Mz.d (kNm)	ΔMz.d (kNm)	ΣMz.d (kNm)
1	G0	Vlastní tíha OK	G	0	-113	1	3	1	67	-4	1.00	1.20		1.20	-	0.95	0.95	-129	1	4	0	4	1	77	0	77	-5	0	-5
2	G1	Ostatní stálé - mostní vybavení	G	0	-8	0	0	0	11	0	1.00	1.00		1.00	-	1.00	0.95	-8	0	0	0	0	0	10	0	10	0	0	0
3	G2	Ostatní stálé - cizí zařízení	G	0	-7	0	3	0	3	0	1.00	1.20		1.20	-	1.00	0.95	-8	0	3	0	3	0	3	0	3	0	0	0
4	P1_71	a.LM71 - kolej 1 (bez dyn. souč.)	P	0	-9	0	-170	0	577	-2	1.00	1.30		1.30	-	1.27	1.00	-14	0	-280	0	-280	0	954	0	954	-3	1	-2
5	P2_71	a.LM71 - kolej 2 (bez dyn. souč.)	P	0	0	-1	170	0	582	-1	1.00	1.30		1.30	-	1.27	1.00	0	-1	280	0	280	0	961	0	961	-1	0	-1
6	P1_C3	TTZ C3 - kolej 1 (bez dyn. souč.)	P	0	-5	0	-95	0	330	-1	1.00	vyp.		0.00	-	1.00	0.00	0	0	0	0	0	0	0	0	0	0	0	0
7	P2_C3	TTZ C3 - kolej 2 (bez dyn. souč.)	P	0	0	0	95	0	333	0	1.00	vyp.		0.00	-	1.00	0.00	0	0	0	0	0	0	0	0	0	0	0	0
8	BR	Brzdné a rozjezdové síly	P	0	386	-10	0	-3	68	12	1.00	1.30		1.30	-	1.00	0.80	401	-11	0	0	0	-3	71	0	71	13	0	13
9	S	Boční ráz	P	0	53	16	5	0	28	11	1.00	1.30		1.30	-	1.00	0.40	28	8	3	0	3	0	15	0	15	6	0	6
10	CH	Chodci na lávkách	Q	0	-11	0	4	0	-11	-1	1.00	0.00		0.00	-	1.00	1.00	0	0	0	0	0	0	0	0	0	0	0	0
11	W	Vítr na konstrukci	Q	0	38	34	29	0	21	25	1.00	1.35		1.35	-	1.00	0.75	39	34	29	0	29	0	21	0	21	25	0	25
12	WP	Vítr na vozidla	Q	0	39	56	24	0	21	40	1.00	1.35		1.35	-	1.00	0.75	40	56	24	0	24	0	21	0	21	41	0	41
13	TR	Teplota rovnoměrná	Q	0	0	0	0	0	0	0	1.00	1.35		1.35	-	1.00	0.45	0	0	0	0	0	0	0	0	0	0	0	0
14	TN	Teplota nerovnoměrná	Q	0	6	0	0	0	9	0	1.00	1.35		1.35	-	1.00	0.60	5	0	0	0	0	0	7	0	7	0	0	0
15	FR	Třecí síly v ložiskách	Q	0	12	0	0	0	3	0	1.00	1.20		1.20	-	1.00	1.00	14	0	0	0	0	0	3	0	3	0	0	0
16	I	Imperfekce soustavy	Q	0	6	2	6	0	3	2	1.00	1.20		1.20	-	1.00	1.00	7	3	7	0	7	0	4	0	4	2	0	2
27	ULS_LM	ULS - LM71 bez dynam	Q	0	469	91	75	-3	1 748	82	1.00	vyp.		0.00	-	1.00	0.00	0	0	0	0	0	0	0	0	0	0	0	0
28	SLS_LM	SLS - LM71 bez dynam	Q	0	340	68	58	-2	1 349	61	1.00	vyp.	1	0.00	-	1.00	0.00	0	0	0	0	0	0	0	0	0	0	0	0
29	ULS_C3	ULS - C3 bez dynam	Q	0	474	91	75	-3	1 104	84	1.00	vyp.	1	0.00	-	1.00	0.00	0	0	0	0	0	0	0	0	0	0	0	0
30	SLS_C3	SLS - C3 bez dynam	Q	0	344	68	58	-2	853	62	1.00	vyp.	1	0.00	-	1.00	0.00	0	0	0	0	0	0	0	0	0	0	0	0
		CELKEM - FÁZE PRŮŘEZU 0			374	92	70	0										70	-2	2 147	0	2 147	78	1	79			
		CELKEM - FÁZE PRŮŘEZU 1			0	0	0	0										0	0	0	0	0	0	0	0	0	0	0	0
		CELKEM - FÁZE PRŮŘEZU 2			0	0	0	0										0	0	0	0	0	0	0	0	0	0	0	0
		CELKEM - FÁZE PRŮŘEZU 3			0	0	0	0										0	0	0	0	0	0	0	0	0	0	0	0
		CELKEM - PRŮŘEZ			374	92	70	0										70	-2			2 147						79

Napětí od jednotlivých zatěžovacích stavů

SKUPINA ZATĚŽOVACÍCH STAVŮ

Č.	SKUP ZS	Popis ZS	Kat.	fáze průř.	Posouzení normálového napětí: Účinek síly N δ^*N_d [kN]	χ^*A [mm^2]	σ_n [MPa]	Účinek momentu My $\delta^*M_{y,d}$ [kNm]	$\chi_{lt}{}^*W_{el,y}$ [mm^3]	σ_{my} [MPa]	Účinek momentu Mz $\delta^*M_{z,d}$ [kNm]	$W_{el,z}$ [mm^3]	σ_{mz} [MPa]	σ_x [MPa]	Posouzení smykového napětí: Účinek kroutícího momentu Mx $\kappa^*\delta^*M_{x,d}$ [kNm]	$W_{v,y}$ [mm^3]	$\tau_{x,y}$ [MPa]	$W_{v,z}$ [mm^3]	$\tau_{x,z}$ [MPa]	Účinek smykové síly Vy $\delta^*V_{y,d}$ [kN]	$A_{v,y}$ [mm2]	$\tau_{v,y}$ [MPa]	$\tau_{v,y}$ [MPa]	Účinek smykové síly Vz $\delta^*V_{z,d}$ [kN]	$A_{v,z}$ [mm2]	$\tau_{v,z}$ [MPa]	$\tau_{v,z}$ [MPa]
1	G0	Vlastní tíha OK	G	0	-128.6	3.60E+04	-3.6	76.6	1.46E+07	5.3	-4.8	1.37E+06	-3.5	-1.8	7.9E-01	-	-	-	-	1.4	2.41E+04	0.1	0.1	3.7	7.39E+03	0.5	0.5
2	G1	Ostatní stálé - mostní vybavení	G	0	-8.0	3.60E+04	-0.2	10.3	1.46E+07	0.7	-0.3	1.37E+06	-0.2	0.3	4.8E-02	-	-	-	-	0.1	2.41E+04	0.0	0.0	0.0	7.39E+03	0.0	0.0
3	G2	Ostatní stálé - cizí zařízení	G	0	-7.8	3.60E+04	-0.2	3.4	1.46E+07	0.2	-0.2	1.37E+06	-0.2	-0.2	5.7E-02	-	-	-	-	0.1	2.41E+04	0.0	0.0	3.2	7.39E+03	0.4	0.4
4	P1_71	a.LM71 - kolej 1 (bez dyn. souč.)	P	0	-14.4	3.60E+04	-0.4	953.5	1.46E+07	65.4	-2.4	1.37E+06	-1.8	63.3	-2.3E-01	-	-	-	-	0.1	2.41E+04	0.0	0.0	-280.3	7.39E+03	-37.9	-37.9
5	P2_71	a.LM71 - kolej 2 (bez dyn. souč.)	P	0	-0.1	3.60E+04	0.0	961.3	1.46E+07	66.0	-0.9	1.37E+06	-0.6	65.3	-1.3E-01	-	-	-	-	-0.9	2.41E+04	0.0	0.0	280.3	7.39E+03	37.9	37.9
6	P1_C3	TTZ C3 - kolej 1 (bez dyn. souč.)	P	0	0.0	3.60E+04	0.0	0.0	1.46E+07	0.0	0.0	1.37E+06	0.0	0.0	0.0E+00	-	-	-	-	0.0	2.41E+04	0.0	0.0	0.0	7.39E+03	0.0	0.0
7	P2_C3	TTZ C3 - kolej 2 (bez dyn. souč.)	P	0	0.0	3.60E+04	0.0	0.0	1.46E+07	0.0	0.0	1.37E+06	0.0	0.0	0.0E+00	-	-	-	-	0.0	2.41E+04	0.0	0.0	0.0	7.39E+03	0.0	0.0
8	BR	Brzdné a rozjezdové síly	P	0	401.2	3.60E+04	11.1	70.8	1.46E+07	4.9	12.9	1.37E+06	9.4	25.4	-2.7E+00	-	-	-	-	-10.5	2.41E+04	-0.4	-0.4	0.2	7.39E+03	0.0	0.0
9	S	Boční ráz	P	0	27.8	3.60E+04	0.8	14.7	1.46E+07	1.0	6.0	1.37E+06	4.3	6.1	-2.1E-02	-	-	-	-	8.5	2.41E+04	0.4	0.4	2.5	7.39E+03	0.3	0.3
10	CH	Chodci na lávkách	Q	0	0.0	3.60E+04	0.0	0.0	1.46E+07	0.0	0.0	1.37E+06	0.0	0.0	0.0E+00	-	-	-	-	0.0	2.41E+04	0.0	0.0	0.0	7.39E+03	0.0	0.0
11	W	Vítr na konstrukci	Q	0	38.6	3.60E+04	1.1	21.2	1.46E+07	1.5	25.3	1.37E+06	18.5	21.0	-4.1E-02	-	-	-	-	34.4	2.41E+04	1.4	1.4	29.3	7.39E+03	4.0	4.0
12	WP	Vítr na vozidla	Q	0	39.5	3.60E+04	1.1	21.1	1.46E+07	1.5	40.7	1.37E+06	29.7	32.2	-6.1E-02	-	-	-	-	56.2	2.41E+04	2.3	2.3	24.3	7.39E+03	3.3	3.3
13	TR	Teplota rovnoměrná	Q	0	0.0	3.60E+04	0.0	0.0	1.46E+07	0.0	0.0	1.37E+06	0.0	0.0	0.0E+00	-	-	-	-	0.0	2.41E+04	0.0	0.0	0.0	7.39E+03	0.0	0.0
14	TN	Teplota nerovnoměrná	Q	0	5.2	3.60E+04	0.1	7.1	1.46E+07	0.5	0.2	1.37E+06	0.1	0.7	-4.9E-02	-	-	-	-	-0.1	2.41E+04	0.0	0.0	0.0	7.39E+03	0.0	0.0
15	FR	Třecí síly v ložiskách	Q	0	14.5	3.60E+04	0.4	3.3	1.46E+07	0.2	0.4	1.37E+06	0.3	0.9	-1.1E-01	-	-	-	-	-0.3	2.41E+04	0.0	0.0	0.0	7.39E+03	0.0	0.0
16	I	Imperfekce soustavy	Q	0	6.7	3.60E+04	0.2	3.6	1.46E+07	0.2	1.8	1.37E+06	1.3	1.8	0.0E+00	-	-	-	-	2.5	2.41E+04	0.1	0.1	6.7	7.39E+03	0.9	0.9
27	ULS_LM	ULS - LM71 bez dynam	Q	0	0.0	3.60E+04	0.0	0.0	1.46E+07	0.0	0.0	1.37E+06	0.0	0.0	0.0E+00	-	-	-	-	0.0	2.41E+04	0.0	0.0	0.0	7.39E+03	0.0	0.0
28	SLS_LM	SLS - LM71 bez dynam	Q	0	0.0	3.60E+04	0.0	0.0	1.46E+07	0.0	0.0	1.37E+06	0.0	0.0	0.0E+00	-	-	-	-	0.0	2.41E+04	0.0	0.0	0.0	7.39E+03	0.0	0.0
29	ULS_C3	ULS - C3 bez dynam	Q	0	0.0	3.60E+04	0.0	0.0	1.46E+07	0.0	0.0	1.37E+06	0.0	0.0	0.0E+00	-	-	-	-	0.0	2.41E+04	0.0	0.0	0.0	7.39E+03	0.0	0.0
30	SLS_C3	SLS - C3 bez dynam	Q	0	0.0	3.60E+04	0.0	0.0	1.46E+07	0.0	0.0	1.37E+06	0.0	0.0	0.0E+00	-	-	-	-	0.0	2.41E+04	0.0	0.0	0.0	7.39E+03	0.0	0.0
		NAVÝŠENÍ NAPĚTÍ DO AKTIVACE TLAKU V DESCE MOSTOVKY				$\sigma_{P,red}$	0.0							0.0				0.0		0.0		3.8	3.8			9.4	9.4
		NAPĚTÍ OD PRIMÁRNÍCH ÚČINKŮ NEROVNOMĚRNÉHO OTEPLENÍ				σ_T	0.0							0.0													
		NAPĚTÍ OD REOLOGICKÝCH ÚČINKŮ BETONU V ČASE		t=0		σ_R	0.0	γ_{fr}=	1.20					0.0													
		NAPĚTÍ V KRITICKÝCH VLÁKNECH OD KOMBINACE ZATÍŽENÍ				KZ03		[MPa]					$\Sigma\sigma_x$	215.2								$\Sigma\tau_y$	3.8	3.8			$\Sigma\tau_z$	9.4
		NAPĚTÍ OD POHYBLIVÉHO ZATÍŽENÍ						[MPa]					$\sigma_{x,P}$	160.2								τ_P	-0.1				τ_P	0.4
		NAPĚTÍ OD OSTATNÍCH ZATÍŽENÍ						[MPa]			Φ_{vy}	Φ_{vz}	$\sigma_{x,rs}$	55.0								τ_{rs}	3.9				τ_{rs}	9.1
		NÁVRHOVÁ HODNOTA MEZE KLUZU S REDUKCÍ VLIVEM SMYKOVÉHO NAPĚTÍ						[MPa]			1.00	1.00	$f_{yv,d}$	209.1								$f_{yd}/3^{0,5}$	120.7				$f_{yd}/3^{0,5}$	120.7
		NAPĚTÍ OD POHYBLIVÉHO ZATÍŽENÍ V GLOBÁLNÍM SYSTÉMU				$\sigma_{GLOB,P}$	0.0	[MPa]					$\Sigma\sigma_{GLOB}$	0.0														
		NAPĚTÍ OD OSTATNÍCH ZATÍŽENÍ V GLOBÁLNÍM SYSTÉMU				$\sigma_{GLOB,rs}$	0.0	[MPa]					$\Sigma\sigma_x + \Sigma\sigma_{GLOB}$	215.2														
		VYUŽITÍ PRŮŘEZU DLE NAPĚTÍ						[%]					η_1	1.03								η_3	0.03				η_3	0.08
		NAPĚTÍ V PŘÍČNÉM SMĚRU OD POHYBLIVÉHO ZATÍŽENÍ				$\sigma_{z,P}$	0.0	[MPa]					$\Sigma\sigma_z$	0.0														
		NAPĚTÍ V PŘÍČNÉM SMĚRU OD OSTATNÍCH ZATÍŽENÍ				$\sigma_{z,rs}$	0.0	[MPa]					η_2	0.00														
		SROVNÁVACÍ NAPĚTÍ											$(\eta_2 + 0,8\,\eta_1)/1,4$ =	0.59														
		VYUŽITÍ PRŮŘEZU CELKEM						[%]					eff	1.03	NEVYHOVUJE													
		STANOVENÍ ZATÍŽITELNOSTI											z_{LM71} =	0.96														

TAB. P1.3.3 POSOUZENÍ - MEZNÍ STAV ÚNOSNOSTI

POPIS	PŘÍČNÍK P1 - STŘED
PRUT / POLOHA BODU	701 / I[577]
NAMÁHÁNÍ	Vz.max
VLÁKNO	BOD S5 -HL
MEZNÍ STAV	ULS (MSÚ)
VYUŽITÍ VLÁKNA PRŮŘEZU	0.42

Charakteristiky materiálu				
pás. horní	$f_{yf,k}$	230	MPa	
pás. dolní	$f_{yf,k}$	230	MPa	
stojina	$f_{yw,k}$	230	MPa	
výztuž	$f_{ys,k}$	500	MPa	
γ_M =	1.10	γ_s =	1.15	

Excentricita normálové síly				
Exc./Fáze	0	1	2	3
e_y	0.000	0.000	0.000	0.000
e_z	0.000	0.000	0.000	0.000
Ekvivalentní vzdál. stěn - příčný roznos				
b_{Mx}	0.000	0.000	0.000	0.000

Vliv stěny na únosnost průřezu				
Char./Fáze	0	1	2	3
A	0.00	0.00	0.00	0.00
Wy	0.00	0.00	0.00	0.00
Wz	0.00	0.00	0.00	0.00

Charakter. v kroucení			
$t_{w,y}$	0.000	[mm]	
$t_{w,z}$	0.000	[mm]	
κ	1.00		
I_t=	0.00E+00	[mm^4]	
$\Omega=2*A_{pr}$	0.00E+00	[mm^2]	

Součinitele vzpěru a vlivu II.řádu				
Char./Fáze	0	1	2	3
k_y	1.000	1.000	1.000	1.000
k_z	1.000	1.000	1.000	1.000
χ_{LT}	1.000	1.000	1.000	1.000
χ_{min}	1.000	1.000	1.000	1.000

δ_{LOK} 1.00

Vnitřní síly od jednotlivých skupin zatěžovacích stavů

SKUPINA ZATĚŽOVACÍCH STAVŮ — 4

Č.	SKUP ZS	POPIS ZS	KAT.	FÁZE PRŮŘ.	- CHARAKTERISTICKÉ HODNOTY N.k (kN)	Vy.k (kN)	Vz.k (kN)	Mx.k (kNm)	My.k (kNm)	Mz.k (kNm)	DÍLČÍ SOUČINITELÉ ZATÍŽENÍ, DYNAMICKÝ SOUČINITEL γ_{sr} (-)	γ_{fs} (-)	volba γ_f hledat	γ_f (-)	L_d (m)	δ (-)	Ψ_s KZ04	- NÁVRHOVÉ HODNOTY N.d (kN)	Vy.d (kN)	Vz.d (kN)	ΔVz.d (kN)	ΣVz.d (kN)	Mx.d (kNm)	My.d (kNm)	ΔMy.d (kNm)	ΣMy.d (kNm)	Mz.d (kNm)	ΔMz.d (kNm)	ΣMz.d (kNm)
1	G0	Vlastní tíha OK	G	0	-113	1	3	1	67	-4	1.00	1.20		1.20	-	0.95	0.95	-129	1	4	0	4	1	77	0	77	-5	0	-5
2	G1	Ostatní stálé - mostní vybavení	G	0	-8	0	0	0	11	0	1.00	1.00		1.00	-	1.00	0.95	-8	0	0	0	0	0	10	0	10	0	0	0
3	G2	Ostatní stálé - cizí zařízení	G	0	-7	0	3	0	3	0	1.00	1.20		1.20	-	1.00	0.95	-8	0	3	0	3	0	3	0	3	0	0	0
4	P1_71	a.LM71 - kolej 1 (bez dyn. souč.)	P	0	-102	0	10	1	-16	-7	1.00	1.30		1.30	-	1.27	1.00	-168	0	16	0	16	1	-27	0	-27	-12	3	-10
5	P2_71	a.LM71 - kolej 2 (bez dyn. souč.)	P	0	4	0	170	0	575	-1	1.00	1.30		1.30	-	1.27	1.00	6	-1	281	0	281	0	950	0	950	-1	0	-1
6	P1_C3	TTZ C3 - kolej 1 (bez dyn. souč.)	P	0	-91	0	9	1	-8	-7	1.00	vyp.		0.00	-	1.00	0.00	0	0	0	0	0	0	0	0	0	0	0	0
7	P2_C3	TTZ C3 - kolej 2 (bez dyn. souč.)	P	0	2	0	96	0	324	0	1.00	vyp.		0.00	-	1.00	0.00	0	0	0	0	0	0	0	0	0	0	0	0
8	BR	Brzdné a rozjezdové síly	P	0	-297	14	1	2	-53	-7	1.00	1.30		1.30	-	1.00	0.40	-154	7	1	0	1	1	-28	0	-28	-4	0	-4
9	S	Boční ráz	P	0	48	5	5	0	26	5	1.00	1.30		1.30	-	1.00	0.80	50	5	6	0	6	0	27	0	27	6	0	6
10	CH	Chodci na lávkách	Q	0	-11	0	4	0	-11	-1	1.00	1.30		1.30	-	1.00	1.00	-14	0	5	0	5	0	-14	0	-14	-1	0	-1
11	W	Vítr na konstrukci	Q	0	38	34	29	0	21	25	1.00	1.35		1.35	-	1.00	0.75	39	34	29	0	29	0	21	0	21	25	0	25
12	WP	Vítr na vozidla	Q	0	39	56	24	0	21	40	1.00	1.35		1.35	-	1.00	0.75	40	56	24	0	24	0	21	0	21	41	0	41
13	TR	Teplota rovnoměrná	Q	0	0	0	0	0	0	0	1.00	1.35		1.35	-	1.00	0.45	0	0	0	0	0	0	0	0	0	0	0	0
14	TN	Teplota nerovnoměrná	Q	0	-2	-6	2	0	-6	-6	1.00	1.35		1.35	-	1.00	0.60	-1	-5	2	0	2	0	-5	0	-5	-5	0	-5
15	FR	Třecí síly v ložiskách	Q	0	-12	0	0	0	-3	0	1.00	-1.20		-1.20	-	1.00	1.00	14	0	0	0	0	0	3	0	3	0	0	0
16	I	Imperfekce soustavy	Q	0	6	2	6	0	3	2	1.00	1.20		1.20	-	1.00	1.00	7	3	7	0	7	0	4	0	4	2	0	2
27	ULS_LM	ULS - LM71 bez dynam	Q	0	-349	105	316	3	841	48	1.00	vyp.		0.00	-	1.00	0.00	0	0	0	0	0	0	0	0	0	0	0	0
28	SLS_LM	SLS - LM71 bez dynam	Q	0	-286	82	241	2	660	38	1.00	vyp.	1	0.00	-	1.00	0.00	0	0	0	0	0	0	0	0	0	0	0	0
29	ULS_C3	ULS - C3 bez dynam	Q	0	-337	105	217	3	526	49	1.00	vyp.	1	0.00	-	1.00	0.00	0	0	0	0	0	0	0	0	0	0	0	0
30	SLS_C3	SLS - C3 bez dynam	Q	0	-277	82	165	2	417	39	1.00	vyp.	1	0.00	-	1.00	0.00	0	0	0	0	0	0	0	0	0	0	0	0
		CELKEM - FÁZE PRŮŘEZU 0			-327	101	378	0	1 043	45								-327	101	378	0	378	3	1 043	0	1 043	45	3	48
		CELKEM - FÁZE PRŮŘEZU 1			0	0	0	0	0	0								0	0	0	0	0	0	0	0	0	0	0	0
		CELKEM - FÁZE PRŮŘEZU 2			0	0	0	0	0	0								0	0	0	0	0	0	0	0	0	0	0	0
		CELKEM - FÁZE PRŮŘEZU 3			0	0	0	0	0	0								0	0	0	0	0	0	0	0	0	0	0	0
		CELKEM - PRŮŘEZ			-327	101	378	0	1 043	45								-327	101	378	0	378	3			1 043			48

Napětí od jednotlivých zatěžovacích stavů

SKUPINA ZATĚŽOVACÍCH STAVŮ

Č.	SKUP ZS	Popis ZS	Kat.	fáze průř.	Posouzení normálového napětí — Účinek síly N: δ^*N_d [kN]	χ^*A [mm^2]	σ_n [MPa]	Účinek momentu My: $\delta^*M_{y,d}$ [kNm]	$\chi_{lt}{}^*W_{el,y}$ [mm^3]	σ_{my} [MPa]	Účinek momentu Mz: $\delta^*M_{z,d}$ [kNm]	$W_{el,z}$ [mm^3]	σ_{mz} [MPa]	σ_x [MPa]	Posouzení smykového napětí — Účinek kroutícího momentu Mx: $\kappa^*\delta^*M_{x,d}$ [kNm]	$W_{v,y}$ [mm^2]	$\tau_{x,y}$ [MPa]	$W_{v,z}$ [mm^2]	$\tau_{x,z}$ [MPa]	Účinek smykové síly Vy: $\delta^*V_{y,d}$ [kN]	$A_{v,y}$ [mm2]	$\tau_{v,y}$ [MPa]	$\tau_{v,y}$ [MPa]	Účinek smykové síly Vz: $\delta^*V_{z,d}$ [kN]	$A_{v,z}$ [mm2]	$\tau_{v,z}$ [MPa]	$\tau_{v,z}$ [MPa]
1	G0	Vlastní tíha OK	G	0	-128.6	3.60E+04	-3.6	76.6	-1.76E+07	-4.3	-4.8	-4.22E+07	0.1	-7.8	7.9E-01	-	-	-	-	1.4	2.41E+04	0.1	0.1	3.7	7.39E+03	0.5	0.5
2	G1	Ostatní stálé - mostní vybavení	G	0	-8.0	3.60E+04	-0.2	10.3	-1.76E+07	-0.6	-0.3	-4.22E+07	0.0	-0.8	4.8E-02	-	-	-	-	0.1	2.41E+04	0.0	0.0	0.0	7.39E+03	0.0	0.0
3	G2	Ostatní stálé - cizí zařízení	G	0	-7.8	3.60E+04	-0.2	3.4	-1.76E+07	-0.2	-0.2	-4.22E+07	0.0	-0.4	5.7E-02	-	-	-	-	0.1	2.41E+04	0.0	0.0	3.2	7.39E+03	0.4	0.4
4	P1_71	a.LM71 - kolej 1 (bez dyn. souč.)	P	0	-168.4	3.60E+04	-4.7	-26.8	-1.76E+07	1.5	-9.5	-4.22E+07	0.2	-2.9	1.0E+00	-	-	-	-	0.2	2.41E+04	0.0	0.0	16.3	7.39E+03	2.2	2.2
5	P2_71	a.LM71 - kolej 2 (bez dyn. souč.)	P	0	6.2	3.60E+04	0.2	950.3	-1.76E+07	-53.9	-1.0	-4.22E+07	0.0	-53.7	-9.9E-02	-	-	-	-	-0.7	2.41E+04	0.0	0.0	281.1	7.39E+03	38.0	38.0
6	P1_C3	TTZ C3 - kolej 1 (bez dyn. souč.)	P	0	0.0	3.60E+04	0.0	0.0	-1.76E+07	0.0	0.0	-4.22E+07	0.0	0.0	0.0E+00	-	-	-	-	0.0	2.41E+04	0.0	0.0	0.0	7.39E+03	0.0	0.0
7	P2_C3	TTZ C3 - kolej 2 (bez dyn. souč.)	P	0	0.0	3.60E+04	0.0	0.0	-1.76E+07	0.0	0.0	-4.22E+07	0.0	0.0	0.0E+00	-	-	-	-	0.0	2.41E+04	0.0	0.0	0.0	7.39E+03	0.0	0.0
8	BR	Brzdné a rozjezdové síly	P	0	-154.5	3.60E+04	-4.3	-27.7	-1.76E+07	1.6	-3.8	-4.22E+07	0.1	-2.6	1.0E+00	-	-	-	-	7.1	2.41E+04	0.3	0.3	0.5	7.39E+03	0.1	0.1
9	S	Boční ráz	P	0	50.2	3.60E+04	1.4	26.6	-1.76E+07	-1.5	5.6	-4.22E+07	-0.1	-0.2	2.1E-02	-	-	-	-	5.0	2.41E+04	0.2	0.2	5.6	7.39E+03	0.8	0.8
10	CH	Chodci na lávkách	Q	0	-14.0	3.60E+04	-0.4	-13.9	-1.76E+07	0.8	-1.4	-4.22E+07	0.0	0.4	1.0E-01	-	-	-	-	-0.1	2.41E+04	0.0	0.0	5.0	7.39E+03	0.7	0.7
11	W	Vítr na konstrukci	Q	0	38.6	3.60E+04	1.1	21.2	-1.76E+07	-1.2	25.3	-4.22E+07	-0.6	-0.7	-4.1E-02	-	-	-	-	34.4	2.41E+04	1.4	1.4	29.3	7.39E+03	4.0	4.0
12	WP	Vítr na vozidla	Q	0	39.5	3.60E+04	1.1	21.1	-1.76E+07	-1.2	40.7	-4.22E+07	-1.0	-1.1	-6.1E-02	-	-	-	-	56.2	2.41E+04	2.3	2.3	24.3	7.39E+03	3.3	3.3
13	TR	Teplota rovnoměrná	Q	0	0.0	3.60E+04	0.0	0.0	-1.76E+07	0.0	0.0	-4.22E+07	0.0	0.0	0.0E+00	-	-	-	-	0.0	2.41E+04	0.0	0.0	0.0	7.39E+03	0.0	0.0
14	TN	Teplota nerovnoměrná	Q	0	-1.4	3.60E+04	0.0	-4.9	-1.76E+07	0.3	-4.7	-4.22E+07	0.1	0.4	8.1E-03	-	-	-	-	-4.9	2.41E+04	-0.2	-0.2	1.9	7.39E+03	0.3	0.3
15	FR	Třecí síly v ložiskách	Q	0	14.5	3.60E+04	0.4	3.3	-1.76E+07	-0.2	0.4	-4.22E+07	0.0	0.2	-1.1E-01	-	-	-	-	-0.3	2.41E+04	0.0	0.0	0.0	7.39E+03	0.0	0.0
16	I	Imperfekce soustavy	Q	0	6.7	3.60E+04	0.2	3.6	-1.76E+07	-0.2	1.8	-4.22E+07	0.0	-0.1	0.0E+00	-	-	-	-	2.5	2.41E+04	0.1	0.1	6.7	7.39E+03	0.9	0.9
27	ULS_LM	ULS - LM71 bez dynam	Q	0	0.0	3.60E+04	0.0	0.0	-1.76E+07	0.0	0.0	-4.22E+07	0.0	0.0	0.0E+00	-	-	-	-	0.0	2.41E+04	0.0	0.0	0.0	7.39E+03	0.0	0.0
28	SLS_LM	SLS - LM71 bez dynam	Q	0	0.0	3.60E+04	0.0	0.0	-1.76E+07	0.0	0.0	-4.22E+07	0.0	0.0	0.0E+00	-	-	-	-	0.0	2.41E+04	0.0	0.0	0.0	7.39E+03	0.0	0.0
29	ULS_C3	ULS - C3 bez dynam	Q	0	0.0	3.60E+04	0.0	0.0	-1.76E+07	0.0	0.0	-4.22E+07	0.0	0.0	0.0E+00	-	-	-	-	0.0	2.41E+04	0.0	0.0	0.0	7.39E+03	0.0	0.0
30	SLS_C3	SLS - C3 bez dynam	Q	0	0.0	3.60E+04	0.0	0.0	-1.76E+07	0.0	0.0	-4.22E+07	0.0	0.0	0.0E+00	-	-	-	-	0.0	2.41E+04	0.0	0.0	0.0	7.39E+03	0.0	0.0
		NAVÝŠENÍ NAPĚTÍ DO AKTIVACE TLAKU V DESCE MOSTOVKY				$\sigma_{P,red}$	0.0							0.0			0.0		0.0			4.2	4.2			51.1	51.1
		NAPĚTÍ OD PRIMÁRNÍCH ÚČINKŮ NEROVNOMĚRNÉHO OTEPLENÍ				σ_T	0.0							0.0													
		NAPĚTÍ OD REOLOGICKÝCH ÚČINKŮ BETONU V ČASE		t=0		σ_R	0.0	$\gamma_{f=}$	1.20					0.0													
		NAPĚTÍ V KRITICKÝCH VLÁKNECH OD KOMBINACE ZATÍŽENÍ				KZ04		[MPa]					$\Sigma\sigma_x$	-69.4								$\Sigma\tau_y$	4.2				$\Sigma\tau_z$	51.1
		NAPĚTÍ OD POHYBLIVÉHO ZATÍŽENÍ						[MPa]					$\sigma_{x,P}$	-59.5								τ_P	0.5				τ_P	41.1
		NAPĚTÍ OD OSTATNÍCH ZATÍŽENÍ						[MPa]			Φ_{Vy}	Φ_{Vz}	$\sigma_{x,rs}$	-9.9								τ_{rs}	3.7				τ_{rs}	10.0
		NÁVRHOVÁ HODNOTA MEZE KLUZU S REDUKCÍ VLIVEM SMYKOVÉHO NAPĚTÍ						[MPa]			1.00	1.00	$f_{yv,d}$	209.1								$f_{yd}/3^{0,5}$	120.7				$f_{yd}/3^{0,5}$	120.7
		NAPĚTÍ OD POHYBLIVÉHO ZATÍŽENÍ V GLOBÁLNÍM SYSTÉMU				$\sigma_{GLOB,P}$	0.0	[MPa]					$\Sigma\sigma_{GLOB}$	0.0														
		NAPĚTÍ OD OSTATNÍCH ZATÍŽENÍ V GLOBÁLNÍM SYSTÉMU				$\sigma_{GLOB,rs}$	0.0	[MPa]					$\Sigma\sigma_x + \Sigma\sigma_{GLOB}$	-69.4														
		VYUŽITÍ PRŮŘEZU DLE NAPĚTÍ						[%]					η_1	0.33								η_3	0.03				η_3	0.42
		NAPĚTÍ V PŘÍČNÉM SMĚRU OD POHYBLIVÉHO ZATÍŽENÍ				$\sigma_{z,P}$	0.0	[MPa]					$\Sigma\sigma_z$	0.0														
		NAPĚTÍ V PŘÍČNÉM SMĚRU OD OSTATNÍCH ZATÍŽENÍ				$\sigma_{z,rs}$	0.0	[MPa]					η_2	0.00														
		SROVNÁVACÍ NAPĚTÍ											$(\eta_2 + 0,8\,\eta_1)/1,4 =$	0.19														
		VYUŽITÍ PRŮŘEZU CELKEM						[%]					eff	0.42	VYHOVUJE													
		STANOVENÍ ZATÍŽITELNOSTI											Z_{LM71} =	2.69														

TR_P2.1 POPIS: **PŘÍČNÍK P2 - VNĚJŠÍ PODÉLNÍK** POSUDEK: **P2.1**

SKUPINA ZAT. STAVŮ	EXTRÉM	VYHODNOCOVANÉ VELIČINY					
		N	Vy	Vz	Mx	My	Mz
		kN	kN	kN	kNm	kNm	kNm
G0	N.min	**-28.99**	-7.49	-27.07	0.01	40.93	-16.99
	N.max	**-28.99**	-7.49	-27.07	0.01	40.93	-16.99
	Vy.min	-28.99	**-7.49**	-27.07	0.01	40.93	-16.99
	Vy.max	-28.99	**-7.49**	-27.07	0.01	40.93	-16.99
	Vz.min	-28.99	-7.49	**-27.07**	0.01	40.93	-16.99
	Vz.max	-28.99	-7.49	**-27.07**	0.01	40.93	-16.99
	Mx.min	-28.99	-7.49	-27.07	**0.01**	40.93	-16.99
	Mx.max	-28.99	-7.49	-27.07	**0.01**	40.93	-16.99
	My.min	-28.99	-7.49	-27.07	0.01	**40.93**	-16.99
	My.max	-28.99	-7.49	-27.07	0.01	**40.93**	-16.99
	Mz.min	-28.99	-7.49	-27.07	0.01	40.93	**-16.99**
	Mz.max	-28.99	-7.49	-27.07	0.01	40.93	**-16.99**
G1	N.min	**-2.46**	-0.57	-5.86	0	6.24	-1.27
	N.max	**-2.46**	-0.57	-5.86	0	6.24	-1.27
	Vy.min	-2.46	**-0.57**	-5.86	0	6.24	-1.27
	Vy.max	-2.46	**-0.57**	-5.86	0	6.24	-1.27
	Vz.min	-2.46	-0.57	**-5.86**	0	6.24	-1.27
	Vz.max	-2.46	-0.57	**-5.86**	0	6.24	-1.27
	Mx.min	-2.46	-0.57	-5.86	**0**	6.24	-1.27
	Mx.max	-2.46	-0.57	-5.86	**0**	6.24	-1.27
	My.min	-2.46	-0.57	-5.86	0	**6.24**	-1.27
	My.max	-2.46	-0.57	-5.86	0	**6.24**	-1.27
	Mz.min	-2.46	-0.57	-5.86	0	6.24	**-1.27**
	Mz.max	-2.46	-0.57	-5.86	0	6.24	**-1.27**
G2	N.min	**-0.52**	-0.47	-3.16	0	-4.76	-1.05
	N.max	**-0.52**	-0.47	-3.16	0	-4.76	-1.05
	Vy.min	-0.52	**-0.47**	-3.16	0	-4.76	-1.05
	Vy.max	-0.52	**-0.47**	-3.16	0	-4.76	-1.05
	Vz.min	-0.52	-0.47	**-3.16**	0	-4.76	-1.05
	Vz.max	-0.52	-0.47	**-3.16**	0	-4.76	-1.05
	Mx.min	-0.52	-0.47	-3.16	**0**	-4.76	-1.05
	Mx.max	-0.52	-0.47	-3.16	**0**	-4.76	-1.05
	My.min	-0.52	-0.47	-3.16	0	**-4.76**	-1.05
	My.max	-0.52	-0.47	-3.16	0	**-4.76**	-1.05
	Mz.min	-0.52	-0.47	-3.16	0	-4.76	**-1.05**
	Mz.max	-0.52	-0.47	-3.16	0	-4.76	**-1.05**
P1_71	N.min	**-63.87**	-10.46	-103.26	-0.01	83.67	-17.78
	N.max	**0.01**	0	-0.04	0	-0.11	-0.01
	Vy.min	-51.72	**-11.29**	-89.37	-0.02	64.76	-18.24
	Vy.max	-22.07	**1.45**	-16.97	0.02	22.75	1.23
	Vz.min	-49.34	-9.19	**-183.08**	-0.01	152.63	-15.8
	Vz.max	-10.03	-0.69	**0.91**	0	-8.7	-1.23
	Mx.min	-41.27	-7.09	-78.08	**-0.03**	66.35	-11.4
	Mx.max	-33.14	-2.85	-78.89	**0.02**	75.17	-5.83
	My.min	-33.12	-8	-1.38	0	**-16.72**	-13.35
	My.max	-35.87	-3.55	-181.57	0	**157.33**	-5.93
	Mz.min	-50.38	-11.12	-88.88	-0.02	61.13	**-18.45**
	Mz.max	-23.96	1.43	-23.49	0.02	29.03	**1.25**
P2_71	N.min	**-64.41**	-6.93	-83.26	0.02	321.94	-20.37
	N.max	**0**	0.01	0.03	0	0.07	0.03
	Vy.min	-50.15	**-7.81**	-64.22	0.01	249.27	-21.27
	Vy.max	-25.1	**1.53**	-32.56	0.03	126.78	1.36
	Vz.min	-32.74	-1.12	**-159.91**	0	568.92	-4.31
	Vz.max	-35.56	-6.44	**5.88**	0.03	3.7	-18.35
	Mx.min	-22.94	-1.87	-86.85	**-0.03**	307.76	-4.33
	Mx.max	-49.13	-4.49	-76.3	**0.06**	295.56	-15.64
	My.min	-11.86	-0.94	3.06	0	**-4**	-2.09
	My.max	-47.29	-5.93	-111.43	0.03	**599.61**	-18.41
	Mz.min	-50.99	-7.43	-51.99	0.02	303.07	**-21.53**
	Mz.max	-21.25	1.31	-12.43	0.02	54.88	**1.71**
P1_C3	N.min	**-48.2**	-8.07	-75.11	-0.01	63.57	-13.92
	N.max	**0.01**	0	-0.03	0	-0.09	0
	Vy.min	-35.52	**-9.07**	-80.97	-0.01	57.31	-14.66
	Vy.max	-11.55	**0.88**	-6.11	0.01	12.42	0.73
	Vz.min	-31.96	-7.58	**-103.4**	-0.01	84.1	-13.03
	Vz.max	-12.57	-1.01	**0.9**	0	-9.53	-1.67
	Mx.min	-30.03	-6.92	-55.36	**-0.02**	38.41	-11.42
	Mx.max	-19.43	-2.73	-51.59	**0.01**	47.96	-5.48
	My.min	-22.07	-6.03	-0.6	0	**-13.21**	-10.33
	My.max	-24.61	-2.21	-101.02	0	**89.9**	-4.08
	Mz.min	-32.24	-8.87	-90.81	-0.02	68.69	**-14.98**
	Mz.max	-13.03	0.86	-11.25	0.01	17.43	**0.77**
P2_C3	N.min	**-48.72**	-5.25	-59.83	0.02	234.8	-16.17
	N.max	**0**	0.01	0.02	0	0.06	0.02
	Vy.min	-32.94	**-6.48**	-66.57	0.01	249.95	-17.28
	Vy.max	-13.74	**0.96**	-18.48	0.02	71.77	0.84
	Vz.min	-16.06	-0.7	**-90.04**	0	318.79	-2.7
	Vz.max	-24.5	-5.23	**4.67**	0.02	2.17	-14.55
	Mx.min	-18.57	-1.54	-49.52	**-0.02**	178.41	-3.27
	Mx.max	-34.91	-4.63	-51.06	**0.04**	200.28	-14.46
	My.min	-12.65	-0.96	3.08	0	**-3.96**	-2.15
	My.max	-30.76	-5.17	-62.1	0.02	**338.39**	-15.58
	Mz.min	-35.49	-6.14	-50.22	0.01	283.97	**-17.81**
	Mz.max	-12.49	0.84	-7.59	0.01	32.97	**1.13**
BR	N.min	**-52.87**	-19.22	2.13	0.03	-8.3	-51.47
	N.max	**52.87**	19.22	-2.13	-0.03	8.3	51.47
	Vy.min	-52.75	**-21.21**	1.6	0.04	-10.39	-44.65
	Vy.max	52.75	**21.21**	-1.6	-0.04	10.39	44.65
	Vz.min	52.87	19.22	**-2.13**	-0.03	8.3	51.47
	Vz.max	-52.87	-19.22	**2.13**	0.03	-8.3	-51.47
	Mx.min	52.75	21.21	-1.6	**-0.04**	10.39	44.65
	Mx.max	-52.75	-21.21	1.6	**0.04**	-10.39	-44.65
	My.min	-51.49	-17.27	0.98	0.03	**-11.67**	-32.46
	My.max	51.49	17.27	-0.98	-0.03	**11.67**	32.46
	Mz.min	-52.87	-19.22	2.13	0.03	-8.3	**-51.47**
	Mz.max	52.87	19.22	-2.13	-0.03	8.3	**51.47**

TR_P2.1 POPIS: **PŘÍČNÍK P2 - VNĚJŠÍ PODÉLNÍK** POSUDEK: **P2.1**

SKUPINA ZAT. STAVŮ	EXTRÉM	VYHODNOCOVANÉ VELIČINY					
		N	Vy	Vz	Mx	My	Mz
		kN	kN	kN	kNm	kNm	kNm
S	N.min	**-5.97**	1.4	-3.78	0.01	-7.39	1.34
	N.max	**5.97**	-1.4	3.78	-0.01	7.39	-1.34
	Vy.min	-0.1	**-5.67**	-2.12	0.01	-5.08	-4.51
	Vy.max	0.1	**5.67**	2.12	-0.01	5.08	4.51
	Vz.min	-4.07	3.33	**-6.58**	-0.03	-13.18	2.2
	Vz.max	4.07	-3.33	**6.58**	0.03	13.18	-2.2
	Mx.min	-4.07	3.33	-6.58	**-0.03**	-13.18	2.2
	Mx.max	4.07	-3.33	6.58	**0.03**	13.18	-2.2
	My.min	-4.07	3.33	-6.58	-0.03	**-13.18**	2.2
	My.max	4.07	-3.33	6.58	0.03	**13.18**	-2.2
	Mz.min	-0.09	-5.39	-1.71	0.01	-4.85	**-4.52**
	Mz.max	0.09	5.39	1.71	-0.01	4.85	**4.52**
CH	N.min	**0.03**	-1.02	2.72	0	-4.74	-1.62
	N.max	**1.14**	-1.03	-0.03	0	-24.77	-1.98
	Vy.min	0.74	**-1.21**	-0.02	0	-24.62	-2.68
	Vy.max	0.03	**-1.02**	2.72	0	-4.74	-1.62
	Vz.min	1.14	-1.03	**-0.03**	0	-24.77	-1.98
	Vz.max	0.03	-1.02	**2.72**	0	-4.74	-1.62
	Mx.min	0.03	-1.02	2.72	**0**	-4.74	-1.62
	Mx.max	0.74	-1.21	-0.02	**0**	-24.62	-2.68
	My.min	1.14	-1.03	-0.03	0	**-24.77**	-1.98
	My.max	0.03	-1.02	2.72	0	**-4.74**	-1.62
	Mz.min	0.74	-1.21	-0.02	0	-24.62	**-2.68**
	Mz.max	0.03	-1.02	2.72	0	-4.74	**-1.62**
W	N.min	**-1.87**	-7.73	11.3	0.01	31.3	-6.29
	N.max	**-0.69**	7.71	-11.3	-0.01	-31.28	6.27
	Vy.min	-1.87	**-7.73**	11.3	0.01	31.3	-6.29
	Vy.max	-0.69	**7.71**	-11.3	-0.01	-31.28	6.27
	Vz.min	-0.69	7.71	**-11.3**	-0.01	-31.28	6.27
	Vz.max	-1.87	-7.73	**11.3**	0.01	31.3	-6.29
	Mx.min	-0.69	7.71	-11.3	**-0.01**	-31.28	6.27
	Mx.max	-1.87	-7.73	11.3	**0.01**	31.3	-6.29
	My.min	-0.69	7.71	-11.3	-0.01	**-31.28**	6.27
	My.max	-1.87	-7.73	11.3	0.01	**31.3**	-6.29
	Mz.min	-1.87	-7.73	11.3	0.01	31.3	**-6.29**
	Mz.max	-0.69	7.71	-11.3	-0.01	-31.28	**6.27**
WP	N.min	**-6.84**	13.73	19.23	-0.02	24.2	11.74
	N.max	**6.96**	-13.76	-19.26	0.02	-24.11	-11.75
	Vy.min	6.96	**-13.76**	-19.26	0.02	-24.11	-11.75
	Vy.max	-6.84	**13.73**	19.23	-0.02	24.2	11.74
	Vz.min	6.96	-13.76	**-19.26**	0.02	-24.11	-11.75
	Vz.max	-6.84	13.73	**19.23**	-0.02	24.2	11.74
	Mx.min	-6.84	13.73	19.23	**-0.02**	24.2	11.74
	Mx.max	6.96	-13.76	-19.26	**0.02**	-24.11	-11.75
	My.min	6.96	-13.76	-19.26	0.02	**-24.11**	-11.75
	My.max	-6.84	13.73	19.23	-0.02	**24.2**	11.74
	Mz.min	6.96	-13.76	-19.26	0.02	-24.11	**-11.75**
	Mz.max	-6.84	13.73	19.23	-0.02	24.2	**11.74**
TR	N.min	**0**	0	0	0	0	0
	N.max	**0**	0	0	0	0	0
	Vy.min	0	**0**	0	0	0	0
	Vy.max	0	**0**	0	0	0	0
	Vz.min	0	0	**0**	0	0	0
	Vz.max	0	0	**0**	0	0	0
	Mx.min	0	0	0	**0**	0	0
	Mx.max	0	0	0	**0**	0	0
	My.min	0	0	0	0	**0**	0
	My.max	0	0	0	0	**0**	0
	Mz.min	0	0	0	0	0	**0**
	Mz.max	0	0	0	0	0	**0**
TN	N.min	**-5.48**	0.63	-0.59	0	4.69	1.4
	N.max	**5.48**	-0.63	0.59	0	-4.69	-1.4
	Vy.min	1.63	**-0.71**	-4.92	-0.01	-20.56	-1.21
	Vy.max	-5.48	**0.63**	-0.59	0	4.69	1.4
	Vz.min	1.63	-0.71	**-4.92**	-0.01	-20.56	-1.21
	Vz.max	1.06	0.17	**5.43**	0.01	9.67	-0.07
	Mx.min	1.63	-0.71	-4.92	**-0.01**	-20.56	-1.21
	Mx.max	1.06	0.17	5.43	**0.01**	9.67	-0.07
	My.min	1.63	-0.71	-4.92	-0.01	**-20.56**	-1.21
	My.max	1.06	0.17	5.43	0.01	**9.67**	-0.07
	Mz.min	5.48	-0.63	0.59	0	-4.69	**-1.4**
	Mz.max	-5.48	0.63	-0.59	0	4.69	**1.4**
FR	N.min	**-6.64**	-0.33	-0.02	0	-1.97	-0.99
	N.max	**6.64**	0.33	0.02	0	1.97	0.99
	Vy.min	-6.64	**-0.33**	-0.02	0	-1.97	-0.99
	Vy.max	6.64	**0.33**	0.02	0	1.97	0.99
	Vz.min	-6.64	-0.33	**-0.02**	0	-1.97	-0.99
	Vz.max	6.64	0.33	**0.02**	0	1.97	0.99
	Mx.min	6.64	0.33	0.02	**0**	1.97	0.99
	Mx.max	-6.64	-0.33	-0.02	**0**	-1.97	-0.99
	My.min	-6.64	-0.33	-0.02	0	**-1.97**	-0.99
	My.max	6.64	0.33	0.02	0	**1.97**	0.99
	Mz.min	-6.64	-0.33	-0.02	0	-1.97	**-0.99**
	Mz.max	6.64	0.33	0.02	0	1.97	**0.99**
I	N.min	**-0.12**	-0.34	2.77	0	7.82	**-0.14**
	N.max	**0.12**	0.34	-2.77	0	-7.82	**0.14**
	Vy.min	-0.12	**-0.34**	2.77	0	7.82	**-0.14**
	Vy.max	0.12	**0.34**	-2.77	0	-7.82	**0.14**
	Vz.min	0.12	0.34	**-2.77**	0	-7.82	**0.14**
	Vz.max	-0.12	-0.34	**2.77**	0	7.82	**-0.14**
	Mx.min	0.12	0.34	-2.77	**0**	-7.82	**0.14**
	Mx.max	-0.12	-0.34	2.77	**0**	7.82	**-0.14**
	My.min	0.12	0.34	-2.77	0	**-7.82**	**0.14**
	My.max	-0.12	-0.34	2.77	0	**7.82**	**-0.14**
	Mz.min	-0.12	-0.34	2.77	0	7.82	**-0.14**
	Mz.max	0.12	0.34	-2.77	0	-7.82	**0.14**

TAB. P2.1.3 POSOUZENÍ - MEZNÍ STAV ÚNOSNOSTI

POPIS	PŘÍČNÍK P2 - VNĚJŠÍ PODÉLNÍK
PRUT / POLOHA BODU	691 / I[568]
NAMÁHÁNÍ	Vz.min
VLÁKNO	BOD K2 -HP
MEZNÍ STAV	ULS (MSÚ)
VYUŽITÍ VLÁKNA PRŮŘEZU	1.28

Charakteristiky materiálu				
pás. horní	$f_{yf,k}$	230	MPa	
pás. dolní	$f_{yf,k}$	230	MPa	
stojina	$f_{yw,k}$	230	MPa	
výztuž	$f_{ys,k}$	500	MPa	
	γ_M =	1.10	γ_s =	1.15

Excentricita normálové síly				
Exc./Fáze	0	1	2	3
e_y	0.000	0.000	0.000	0.000
e_z	0.000	0.000	0.000	0.000
Ekvivalentní vzdál. stěn - příčný roznos				
b_{Mx}	0.000	0.000	0.000	0.000

Vliv stěny na únosnost průřezu				
Char./Fáze	0	1	2	3
A	0.00	0.00	0.00	0.00
Wy	0.00	0.00	0.00	0.00
Wz	0.00	0.00	0.00	0.00

Charakter. v kroucení			
$t_{w,y}$	0.000	[mm]	
$t_{w,z}$	0.000	[mm]	
κ	1.00		
I_t=	0.00E+00	[mm^4]	
Ω=2*A_{pz}	0.00E+00	[mm^2]	

Součinitele vzpěru a vlivu II.řádu					
Char./Fáze	0	1	2	3	
k_y	1.000	1.000	1.000	1.000	
k_z	1.000	1.000	1.000	1.000	
χ_{LT}	1.000	1.000	1.000	1.000	
χ_{min}	1.000	1.000	1.000	1.000	

δ_{LOK} 1.00

Vnitřní síly od jednotlivých skupin zatěžovacích stavů

SKUPINA ZATĚŽOVACÍCH STAVŮ — 3

Č.	SKUP ZS	POPIS ZS	KAT.	FÁZE PRŮŘ.	- CHARAKTERISTICKÉ HODNOTY N.k (kN)	Vy.k (kN)	Vz.k (kN)	Mx.k (kNm)	My.k (kNm)	Mz.k (kNm)	DÍLČÍ SOUČINITELÉ ZATÍŽENÍ, DYNAMICKÝ SOUČINITEL γ_{sr} (-)	γ_{fs} (-)	volba ψ_i hledat	ψ_i (-)	L_d (m)	δ (-)	$\gamma_{F,c}$ KZ03	- NÁVRHOVÉ HODNOTY N.d (kN)	Vy.d (kN)	Vz.d (kN)	ΔVz.d (kN)	ΣVz.d (kN)	Mx.d (kNm)	My.d (kNm)	ΔMy.d (kNm)	ΣMy.d (kNm)	Mz.d (kNm)	ΔMz.d (kNm)	ΣMz.d (kNm)
1	G0	Vlastní tíha OK	G	0	-29	-7	-27	0	41	-17	1.00	1.20		1.20	-	1.00	0.95	-33	-9	-31	0	-31	0	47	0	47	-19	0	-19
2	G1	Ostatní stálé - mostní vybavení	G	0	-2	-1	-6	0	6	-1	1.00	1.20		1.20	-	1.00	0.95	-3	-1	-7	0	-7	0	7	0	7	-1	0	-1
3	G2	Ostatní stálé - cizí zařízení	G	0	-1	0	-3	0	-5	-1	1.00	1.20		1.20	-	1.00	0.95	-1	-1	-4	0	-4	0	-5	0	-5	-1	0	-1
4	P1_71	a.LM71 - kolej 1 (bez dyn. souč.)	P	0	-49	-9	-183	0	153	-16	1.00	1.30		1.30	-	1.27	1.00	-82	-15	-303	0	-303	0	252	0	252	-26	6	-21
5	P2_71	a.LM71 - kolej 2 (bez dyn. souč.)	P	0	-33	-1	-160	0	569	-4	1.00	1.30		1.30	-	1.27	1.00	-54	-2	-264	0	-264	0	940	0	940	-7	2	-6
6	P1_C3	TTZ C3 - kolej 1 (bez dyn. souč.)	P	0	-32	-8	-103	0	84	-13	1.00	vyp.		0.00	-	1.00	0.00	0	0	0	0	0	0	0	0	0	0	0	0
7	P2_C3	TTZ C3 - kolej 2 (bez dyn. souč.)	P	0	-16	-1	-90	0	319	-3	1.00	vyp.		0.00	-	1.00	0.00	0	0	0	0	0	0	0	0	0	0	0	0
8	BR	Brzdné a rozjezdové síly	P	0	53	19	-2	0	8	51	1.00	-1.30		-1.30	-	1.00	0.80	-55	-20	2	0	2	0	-9	0	-9	-54	0	-54
9	S	Boční ráz	P	0	-4	3	-7	0	-13	2	1.00	-1.30		-1.30	-	1.00	0.40	2	-2	3	0	3	0	7	0	7	-1	0	-1
10	CH	Chodci na lávkách	Q	0	1	-1	0	0	-25	-2	1.00	1.30		1.30	-	1.00	1.00	1	-1	0	0	0	0	-32	0	-32	-3	0	-3
11	W	Vítr na konstrukci	Q	0	-1	8	-11	0	-31	6	1.00	-1.35		-1.35	-	1.00	0.75	1	-8	11	0	11	0	32	0	32	-6	0	-6
12	WP	Vítr na vozidla	Q	0	7	-14	-19	0	-24	-12	1.00	1.35		1.35	-	1.00	0.75	7	-14	-20	0	-20	0	-24	0	-24	-12	0	-12
13	TR	Teplota rovnoměrná	Q	0	0	0	0	0	0	0	1.00	1.35		1.35	-	1.00	0.45	0	0	0	0	0	0	0	0	0	0	0	0
14	TN	Teplota nerovnoměrná	Q	0	2	-1	-5	0	-21	-1	1.00	-1.35		-1.35	-	1.00	0.60	-1	1	4	0	4	0	17	0	17	1	0	1
15	FR	Třecí síly v ložiskách	Q	0	-7	0	0	0	-2	-1	1.00	1.20		1.20	-	1.00	1.00	-8	0	0	0	0	0	-2	0	-2	-1	0	-1
16	I	Imperfekce soustavy	Q	0	0	0	-3	0	-8	0	1.00	-1.20		-1.20	-	1.00	1.00	0	0	3	0	3	0	9	0	9	0	0	0
27	ULS_LM	ULS - LM71 bez dynam	Q	0	-113	-14	-535	0	858	-22	1.00	vyp.		0.00	-	1.00	0.00	0	0	0	0	0	0	0	0	0	0	0	0
28	SLS_LM	SLS - LM71 bez dynam	Q	0	-92	-11	-412	0	679	-18	1.00	vyp.	1	0.00	-	1.00	0.00	0	0	0	0	0	0	0	0	0	0	0	0
29	ULS_C3	ULS - C3 bez dynam	Q	0	-68	-12	-341	0	444	-16	1.00	vyp.	1	0.00	-	1.00	0.00	0	0	0	0	0	0	0	0	0	0	0	0
30	SLS_C3	SLS - C3 bez dynam	Q	0	-58	-9	-263	0	360	-14	1.00	vyp.	1	0.00	-	1.00	0.00	0	0	0	0	0	0	0	0	0	0	0	0
		CELKEM - FÁZE PRŮŘEZU 0			-225	-72	-603	0	1 238	-131								-603	0	1 238	0	-131	7	-124				
		CELKEM - FÁZE PRŮŘEZU 1			0	0	0	0	0	0								0	0	0	0	0	0	0				
		CELKEM - FÁZE PRŮŘEZU 2			0	0	0	0	0	0								0	0	0	0	0	0	0				
		CELKEM - FÁZE PRŮŘEZU 3			0	0	0	0	0	0								0	0	0	0	0	0	0				
		CELKEM - PRŮŘEZ			-225	-72	-603	0	1 238	-131								-603	0	1 238								

Napětí od jednotlivých zatěžovacích stavů

SKUPINA ZATĚŽOVACÍCH STAVŮ

Č.	SKUP ZS	Popis ZS	Kat.	fáze prúř.	Posouzení normálového napětí — Účinek síly N δ^*N_d [kN]	χ^*A [mm^2]	σ_n [MPa]	Účinek momentu My $\delta^*M_{y,d}$ [kNm]	$\chi_{lt}{}^*W_{el,y}$ [mm^3]	σ_{my} [MPa]	Účinek momentu Mz $\delta^*M_{z,d}$ [kNm]	$W_{el,z}$ [mm^3]	σ_{mz} [MPa]	σ_x [MPa]	Posouzení smykového napětí — Účinek kroutícího momentu Mx $\kappa^*\delta^*M_{x,d}$ [kNm]	$W_{v,y}$ [mm^2]	$\tau_{x,y}$ [MPa]	$W_{v,z}$ [mm^2]	$\tau_{x,z}$ [MPa]	Účinek smykové síly Vy $\delta^*V_{y,d}$ [kN]	$A_{v,y}$ [mm2]	$\tau_{v,y}$ [MPa]	$\tau_{v,y}$ [MPa]	Účinek smykové síly Vz $\delta^*V_{z,d}$ [kN]	$A_{v,z}$ [mm2]	$\tau_{v,z}$ [MPa]	$\tau_{v,z}$ [MPa]
1	G0	Vlastní tíha OK	G	0	-33.0	3.05E+04	-1.1	46.7	-1.20E+07	-3.9	-19.4	7.92E+05	-24.5	-29.4	1.1E-02	-	-	-	-	-8.5	1.53E+04	-0.6	-0.6	-30.9	1.09E+04	-2.8	-2.8
2	G1	Ostatní stálé - mostní vybavení	G	0	-2.8	3.05E+04	-0.1	7.1	-1.20E+07	-0.6	-1.4	7.92E+05	-1.8	-2.5	0.0E+00	-	-	-	-	-0.6	1.53E+04	0.0	0.0	-6.7	1.09E+04	-0.6	-0.6
3	G2	Ostatní stálé - cizí zařízení	G	0	-0.6	3.05E+04	0.0	-5.4	-1.20E+07	0.5	-1.2	7.92E+05	-1.5	-1.1	0.0E+00	-	-	-	-	-0.5	1.53E+04	0.0	0.0	-3.6	1.09E+04	-0.3	-0.3
4	P1_71	a.LM71 - kolej 1 (bez dyn. souč.)	P	0	-81.5	3.05E+04	-2.7	252.2	-1.20E+07	-21.1	-20.5	7.92E+05	-25.9	-49.7	-1.7E-02	-	-	-	-	-15.2	1.53E+04	-1.0	-1.0	-302.5	1.09E+04	-27.7	-27.7
5	P2_71	a.LM71 - kolej 2 (bez dyn. souč.)	P	0	-54.1	3.05E+04	-1.8	940.0	-1.20E+07	-78.5	-5.6	7.92E+05	-7.1	-87.4	0.0E+00	-	-	-	-	-1.9	1.53E+04	-0.1	-0.1	-264.2	1.09E+04	-24.2	-24.2
6	P1_C3	TTZ C3 - kolej 1 (bez dyn. souč.)	P	0	0.0	3.05E+04	0.0	0.0	-1.20E+07	0.0	0.0	7.92E+05	0.0	0.0	0.0E+00	-	-	-	-	0.0	1.53E+04	0.0	0.0	0.0	1.09E+04	0.0	0.0
7	P2_C3	TTZ C3 - kolej 2 (bez dyn. souč.)	P	0	0.0	3.05E+04	0.0	0.0	-1.20E+07	0.0	0.0	7.92E+05	0.0	0.0	0.0E+00	-	-	-	-	0.0	1.53E+04	0.0	0.0	0.0	1.09E+04	0.0	0.0
8	BR	Brzdné a rozjezdové síly	P	0	-55.0	3.05E+04	-1.8	-8.6	-1.20E+07	0.7	-53.5	7.92E+05	-67.6	-68.7	3.1E-02	-	-	-	-	-20.0	1.53E+04	-1.3	-1.3	2.2	1.09E+04	0.2	0.2
9	S	Boční ráz	P	0	2.1	3.05E+04	0.1	6.9	-1.20E+07	-0.6	-1.1	7.92E+05	-1.4	-1.9	1.6E-02	-	-	-	-	-1.7	1.53E+04	-0.1	-0.1	3.4	1.09E+04	0.3	0.3
10	CH	Chodci na lávkách	Q	0	1.5	3.05E+04	0.0	-32.2	-1.20E+07	2.7	-2.6	7.92E+05	-3.2	-0.5	0.0E+00	-	-	-	-	-1.3	1.53E+04	-0.1	-0.1	0.0	1.09E+04	0.0	0.0
11	W	Vítr na konstrukci	Q	0	0.7	3.05E+04	0.0	31.7	-1.20E+07	-2.6	-6.3	7.92E+05	-8.0	-10.6	1.0E-02	-	-	-	-	-7.8	1.53E+04	-0.5	-0.5	11.4	1.09E+04	1.0	1.0
12	WP	Vítr na vozidla	Q	0	7.0	3.05E+04	0.2	-24.4	-1.20E+07	2.0	-11.9	7.92E+05	-15.0	-12.7	2.0E-02	-	-	-	-	-13.9	1.53E+04	-0.9	-0.9	-19.5	1.09E+04	-1.8	-1.8
13	TR	Teplota rovnoměrná	Q	0	0.0	3.05E+04	0.0	0.0	-1.20E+07	0.0	0.0	7.92E+05	0.0	0.0	0.0E+00	-	-	-	-	0.0	1.53E+04	0.0	0.0	0.0	1.09E+04	0.0	0.0
14	TN	Teplota nerovnoměrná	Q	0	-1.3	3.05E+04	0.0	16.7	-1.20E+07	-1.4	1.0	7.92E+05	1.2	-0.2	8.1E-03	-	-	-	-	0.6	1.53E+04	0.0	0.0	4.0	1.09E+04	0.4	0.4
15	FR	Třecí síly v ložiskách	Q	0	-8.0	3.05E+04	-0.3	-2.4	-1.20E+07	0.2	-1.2	7.92E+05	-1.5	-1.6	0.0E+00	-	-	-	-	-0.4	1.53E+04	0.0	0.0	0.0	1.09E+04	0.0	0.0
16	I	Imperfekce soustavy	Q	0	-0.1	3.05E+04	0.0	9.4	-1.20E+07	-0.8	-0.2	7.92E+05	-0.2	-1.0	0.0E+00	-	-	-	-	-0.4	1.53E+04	0.0	0.0	3.3	1.09E+04	0.3	0.3
27	ULS_LM	ULS - LM71 bez dynam	Q	0	0.0	3.05E+04	0.0	0.0	-1.20E+07	0.0	0.0	7.92E+05	0.0	0.0	0.0E+00	-	-	-	-	0.0	1.53E+04	0.0	0.0	0.0	1.09E+04	0.0	0.0
28	SLS_LM	SLS - LM71 bez dynam	Q	0	0.0	3.05E+04	0.0	0.0	-1.20E+07	0.0	0.0	7.92E+05	0.0	0.0	0.0E+00	-	-	-	-	0.0	1.53E+04	0.0	0.0	0.0	1.09E+04	0.0	0.0
29	ULS_C3	ULS - C3 bez dynam	Q	0	0.0	3.05E+04	0.0	0.0	-1.20E+07	0.0	0.0	7.92E+05	0.0	0.0	0.0E+00	-	-	-	-	0.0	1.53E+04	0.0	0.0	0.0	1.09E+04	0.0	0.0
30	SLS_C3	SLS - C3 bez dynam	Q	0	0.0	3.05E+04	0.0	0.0	-1.20E+07	0.0	0.0	7.92E+05	0.0	0.0	0.0E+00	-	-	-	-	0.0	1.53E+04	0.0	0.0	0.0	1.09E+04	0.0	0.0
NAVÝŠENÍ NAPĚTÍ DO AKTIVACE TLAKU V DESCE MOSTOVKY						$\sigma_{P,red}$	0.0							0.0				0.0		0.0			-4.7	-4.7			-55.3	-55.3
NAPĚTÍ OD PRIMÁRNÍCH ÚČINKŮ NEROVNOMĚRNÉHO OTEPLENÍ						σ_T	0.0							0.0														
NAPĚTÍ OD REOLOGICKÝCH ÚČINKŮ BETONU V ČASE			t=0			σ_R	0.0	γ_{F}=	1.20					0.0														
NAPĚTÍ V KRITICKÝCH VLÁKNECH OD KOMBINACE ZATÍŽENÍ						KZ03		[MPa]					$\Sigma\sigma_x$	-267.4									$\Sigma\tau_y$	-4.7			$\Sigma\tau_z$	-55.3
NAPĚTÍ OD POHYBLIVÉHO ZATÍŽENÍ								[MPa]					$\sigma_{x,P}$	-207.7										-2.5			τ_P	-51.5
NAPĚTÍ OD OSTATNÍCH ZATÍŽENÍ								[MPa]			Φ_{Vy}	Φ_{Vz}	$\sigma_{x,rs}$	-59.7									τ_{rs}	-2.2			τ_{rs}	-3.8
NÁVRHOVÁ HODNOTA MEZE KLUZU S REDUKCÍ VLIVEM SMYKOVÉHO NAPĚTÍ								[MPa]			1.00	1.00	$f_{yw,d}$	209.1									$f_{yd}/3^{0,5}$	120.7			$f_{yd}/3^{0,5}$	120.7
NAPĚTÍ OD POHYBLIVÉHO ZATÍŽENÍ V GLOBÁLNÍM SYSTÉMU						$\sigma_{GLOB,P}$	0.0	[MPa]					$\Sigma\sigma_{GLOB}$	0.0														
NAPĚTÍ OD OSTATNÍCH ZATÍŽENÍ V GLOBÁLNÍM SYSTÉMU						$\sigma_{GLOB,rs}$	0.0	[MPa]					$\Sigma\sigma_x + \Sigma\sigma_{GLOB}$	-267.4														
VYUŽITÍ PRŮŘEZU DLE NAPĚTÍ								[%]					η_1	1.28									η_3	0.04			η_3	0.46
NAPĚTÍ V PŘÍČNÉM SMĚRU OD POHYBLIVÉHO ZATÍŽENÍ						$\sigma_{z,P}$	0.0	[MPa]					$\Sigma\sigma_z$	0.0														
NAPĚTÍ V PŘÍČNÉM SMĚRU OD OSTATNÍCH ZATÍŽENÍ						$\sigma_{z,rs}$	0.0	[MPa]					η_2	0.00														
SROVNÁVACÍ NAPĚTÍ													$(\eta2 + 0,8\ \eta1)/1,4$ =	0.73														
VYUŽITÍ PRŮŘEZU CELKEM								[%]					eff	1.28	NEVYHOVUJE													
STANOVENÍ ZATÍŽITELNOSTI													z_{LM71} =	0.72														

TAB. P2.1.3 POSOUZENÍ - MEZNÍ STAV ÚNOSNOSTI

POPIS	PŘÍČNÍK P2 - VNĚJŠÍ PODÉLNÍK
PRUT / POLOHA BODU	691 / I[568]
NAMÁHÁNÍ	Vz.min
VLÁKNO	BOD K3 -SL
MEZNÍ STAV	ULS (MSÚ)
VYUŽITÍ VLÁKNA PRŮŘEZU	1.28

Charakteristiky materiálu				
pás. horní	$f_{yf,k}$	230	MPa	
pás. dolní	$f_{yf,k}$	230	MPa	
stojina	$f_{yw,k}$	230	MPa	
výztuž	$f_{ys,k}$	500	MPa	
γ_M =	1.10	γ_s =	1.15	

Excentricita normálové síly				
Exc./Fáze	0	1	2	3
e_y	0.000	0.000	0.000	0.000
e_z	0.000	0.000	0.000	0.000
Ekvivalentní vzdál. stěn - příčný roznos				
b_{Mx}	0.000	0.000	0.000	0.000

Vliv stěny na únosnost průřezu				
Char./Fáze	0	1	2	3
A	0.00	0.00	0.00	0.00
Wy	0.00	0.00	0.00	0.00
Wz	0.00	0.00	0.00	0.00

Charakter. v kroucení			
$t_{w,y}$	0.000	[mm]	
$t_{w,z}$	0.000	[mm]	
κ	1.00		
I_t=	0.00E+00	[mm^4]	
$\Omega=2*A_{pr}$	0.00E+00	[mm^2]	

Součinitele vzpěru a vlivu II.řádu				
Char./Fáze	0	1	2	3
k_y	1.000	1.000	1.000	1.000
k_z	1.000	1.000	1.000	1.000
χ_{LT}	1.000	1.000	1.000	1.000
χ_{min}	1.000	1.000	1.000	1.000

δ_{LOK} 1.00

Vnitřní síly od jednotlivých skupin zatěžovacích stavů

SKUPINA ZATĚŽOVACÍCH STAVŮ — 3

Č.	SKUP ZS	POPIS ZS	KAT.	FÁZE PRŮŘ.	- CHARAKTERISTICKÉ HODNOTY N.k (kN)	Vy.k (kN)	Vz.k (kN)	Mx.k (kNm)	My.k (kNm)	Mz.k (kNm)	DÍLČÍ SOUČINITELÉ ZATÍŽENÍ, DYNAMICKÝ SOUČINITEL γ_{sr} (-)	γ_{fs} (-)	volba γ_f hledat	γ_f (-)	L_d (m)	δ (-)	Ψ_0 KZ03	- NÁVRHOVÉ HODNOTY N.d (kN)	Vy.d (kN)	Vz.d (kN)	ΔVz.d (kN)	ΣVz.d (kN)	Mx.d (kNm)	My.d (kNm)	ΔMy.d (kNm)	ΣMy.d (kNm)	Mz.d (kNm)	ΔMz.d (kNm)	ΣMz.d (kNm)
1	G0	Vlastní tíha OK	G	0	-29	-7	-27	0	41	-17	1.00	1.20		1.20	-	1.00	0.95	-33	-9	-31	0	-31	0	47	0	47	-19	0	-19
2	G1	Ostatní stálé - mostní vybavení	G	0	-2	-1	-6	0	6	-1	1.00	1.20		1.20	-	1.00	0.95	-3	-1	-7	0	-7	0	7	0	7	-1	0	-1
3	G2	Ostatní stálé - cizí zařízení	G	0	-1	0	-3	0	-5	-1	1.00	1.20		1.20	-	1.00	0.95	-1	-1	-4	0	-4	0	-5	0	-5	-1	0	-1
4	P1_71	a.LM71 - kolej 1 (bez dyn. souč.)	P	0	-49	-9	-183	0	153	-16	1.00	1.30		1.30	-	1.27	1.00	-82	-15	-303	0	-303	0	252	0	252	-26	6	-21
5	P2_71	a.LM71 - kolej 2 (bez dyn. souč.)	P	0	-33	-1	-160	0	569	-4	1.00	1.30		1.30	-	1.27	1.00	-54	-2	-264	0	-264	0	940	0	940	-7	2	-6
6	P1_C3	TTZ C3 - kolej 1 (bez dyn. souč.)	P	0	-32	-8	-103	0	84	-13	1.00	vyp.		0.00	-	1.00	0.00	0	0	0	0	0	0	0	0	0	0	0	0
7	P2_C3	TTZ C3 - kolej 2 (bez dyn. souč.)	P	0	-16	-1	-90	0	319	-3	1.00	vyp.		0.00	-	1.00	0.00	0	0	0	0	0	0	0	0	0	0	0	0
8	BR	Brzdné a rozjezdové síly	P	0	53	19	-2	0	8	51	1.00	-1.30		-1.30	-	1.00	0.80	-55	-20	2	0	2	0	-9	0	-9	-54	0	-54
9	S	Boční ráz	P	0	-4	3	-7	0	-13	2	1.00	-1.30		-1.30	-	1.00	0.40	2	-2	3	0	3	0	7	0	7	-1	0	-1
10	CH	Chodci na lávkách	Q	0	1	-1	0	0	-25	-2	1.00	1.30		1.30	-	1.00	1.00	1	-1	0	0	0	0	-32	0	-32	-3	0	-3
11	W	Vítr na konstrukci	Q	0	-1	8	-11	0	-31	6	1.00	-1.35		-1.35	-	1.00	0.75	1	-8	11	0	11	0	32	0	32	-6	0	-6
12	WP	Vítr na vozidla	Q	0	7	-14	-19	0	-24	-12	1.00	1.35		1.35	-	1.00	0.75	7	-14	-20	0	-20	0	-24	0	-24	-12	0	-12
13	TR	Teplota rovnoměrná	Q	0	0	0	0	0	0	0	1.00	1.35		1.35	-	1.00	0.45	0	0	0	0	0	0	0	0	0	0	0	0
14	TN	Teplota nerovnoměrná	Q	0	2	-1	-5	0	-21	-1	1.00	-1.35		-1.35	-	1.00	0.60	-1	1	4	0	4	0	17	0	17	1	0	1
15	FR	Třecí síly v ložiskách	Q	0	-7	0	0	0	-2	-1	1.00	1.20		1.20	-	1.00	1.00	-8	0	0	0	0	0	-2	0	-2	-1	0	-1
16	I	Imperfekce soustavy	Q	0	0	0	-3	0	-8	0	1.00	-1.20		-1.20	-	1.00	1.00	0	0	3	0	3	0	9	0	9	0	0	0
27	ULS_LM	ULS - LM71 bez dynam	Q	0	-113	-14	-535	0	858	-22	1.00	vyp.		0.00	-	1.00	0.00	0	0	0	0	0	0	0	0	0	0	0	0
28	SLS_LM	SLS - LM71 bez dynam	Q	0	-92	-11	-412	0	679	-18	1.00	vyp.	1	0.00	-	1.00	0.00	0	0	0	0	0	0	0	0	0	0	0	0
29	ULS_C3	ULS - C3 bez dynam	Q	0	-68	-12	-341	0	444	-16	1.00	vyp.	1	0.00	-	1.00	0.00	0	0	0	0	0	0	0	0	0	0	0	0
30	SLS_C3	SLS - C3 bez dynam	Q	0	-58	-9	-263	0	360	-14	1.00	vyp.	1	0.00	-	1.00	0.00	0	0	0	0	0	0	0	0	0	0	0	0
		CELKEM - FÁZE PRŮŘEZU 0																-225	-72	-603	0	-603	0	1 238	0	1 238	-131	7	-124
		CELKEM - FÁZE PRŮŘEZU 1																0	0	0	0	0	0	0	0	0	0	0	0
		CELKEM - FÁZE PRŮŘEZU 2																0	0	0	0	0	0	0	0	0	0	0	0
		CELKEM - FÁZE PRŮŘEZU 3																0	0	0	0	0	0	0	0	0	0	0	0
		CELKEM - PRŮŘEZ																-225	-72	-603	0	-603	0			1 238			-124

Napětí od jednotlivých zatěžovacích stavů

SKUPINA ZATĚŽOVACÍCH STAVŮ

Č.	SKUP ZS	Popis ZS	Kat.	fáze průř.	Posouzení normálového napětí — Účinek síly N: δ^*N_d [kN]	χ^*A [mm^2]	σ_n [MPa]	Účinek momentu My: $\delta^*M_{y,d}$ [kNm]	$\chi_{lt}{}^*W_{el,y}$ [mm^3]	σ_{my} [MPa]	Účinek momentu Mz: $\delta^*M_{z,d}$ [kNm]	$W_{el,z}$ [mm^3]	σ_{mz} [MPa]	σ_x [MPa]	Posouzení smykového napětí — Účinek kroutícího momentu Mx: $\kappa^*\delta^*M_{x,d}$ [kNm]	$W_{v,y}$ [mm^2]	$\tau_{x,y}$ [MPa]	$W_{v,z}$ [mm^2]	$\tau_{x,z}$ [MPa]	Účinek smykové síly Vy: $\delta^*V_{y,d}$ [kN]	$A_{v,y}$ [mm2]	$\tau_{v,y}$ [MPa]	$\tau_{v,y}$ [MPa]	Účinek smykové síly Vz: $\delta^*V_{z,d}$ [kN]	$A_{v,z}$ [mm2]	$\tau_{v,z}$ [MPa]	$\tau_{v,z}$ [MPa]
1	G0	Vlastní tíha OK	G	0	-33.0	3.05E+04	-1.1	46.7	1.04E+07	4.5	-19.4	-7.92E+05	24.5	27.9	1.1E-02	-	-	-	-	-8.5	1.53E+04	-0.6	-0.6	-30.9	1.09E+04	-2.8	-2.8
2	G1	Ostatní stálé - mostní vybavení	G	0	-2.8	3.05E+04	-0.1	7.1	1.04E+07	0.7	-1.4	-7.92E+05	1.8	2.4	0.0E+00	-	-	-	-	-0.6	1.53E+04	0.0	0.0	-6.7	1.09E+04	-0.6	-0.6
3	G2	Ostatní stálé - cizí zařízení	G	0	-0.6	3.05E+04	0.0	-5.4	1.04E+07	-0.5	-1.2	-7.92E+05	1.5	1.0	0.0E+00	-	-	-	-	-0.5	1.53E+04	0.0	0.0	-3.6	1.09E+04	-0.3	-0.3
4	P1_71	a.LM71 - kolej 1 (bez dyn. souč.)	P	0	-81.5	3.05E+04	-2.7	252.2	1.04E+07	24.4	-20.5	-7.92E+05	25.9	47.6	-1.7E-02	-	-	-	-	-15.2	1.53E+04	-1.0	-1.0	-302.5	1.09E+04	-27.7	-27.7
5	P2_71	a.LM71 - kolej 2 (bez dyn. souč.)	P	0	-54.1	3.05E+04	-1.8	940.0	1.04E+07	90.8	-5.6	-7.92E+05	7.1	96.1	0.0E+00	-	-	-	-	-1.9	1.53E+04	-0.1	-0.1	-264.2	1.09E+04	-24.2	-24.2
6	P1_C3	TTZ C3 - kolej 1 (bez dyn. souč.)	P	0	0.0	3.05E+04	0.0	0.0	1.04E+07	0.0	0.0	-7.92E+05	0.0	0.0	0.0E+00	-	-	-	-	0.0	1.53E+04	0.0	0.0	0.0	1.09E+04	0.0	0.0
7	P2_C3	TTZ C3 - kolej 2 (bez dyn. souč.)	P	0	0.0	3.05E+04	0.0	0.0	1.04E+07	0.0	0.0	-7.92E+05	0.0	0.0	0.0E+00	-	-	-	-	0.0	1.53E+04	0.0	0.0	0.0	1.09E+04	0.0	0.0
8	BR	Brzdné a rozjezdové síly	P	0	-55.0	3.05E+04	-1.8	-8.6	1.04E+07	-0.8	-53.5	-7.92E+05	67.6	64.9	3.1E-02	-	-	-	-	-20.0	1.53E+04	-1.3	-1.3	2.2	1.09E+04	0.2	0.2
9	S	Boční ráz	P	0	2.1	3.05E+04	0.1	6.9	1.04E+07	0.7	-1.1	-7.92E+05	1.4	2.2	1.6E-02	-	-	-	-	-1.7	1.53E+04	-0.1	-0.1	3.4	1.09E+04	0.3	0.3
10	CH	Chodci na lávkách	Q	0	1.5	3.05E+04	0.0	-32.2	1.04E+07	-3.1	-2.6	-7.92E+05	3.2	0.2	0.0E+00	-	-	-	-	-1.3	1.53E+04	-0.1	-0.1	0.0	1.09E+04	0.0	0.0
11	W	Vítr na konstrukci	Q	0	0.7	3.05E+04	0.0	31.7	1.04E+07	3.1	-6.3	-7.92E+05	8.0	11.1	1.0E-02	-	-	-	-	-7.8	1.53E+04	-0.5	-0.5	11.4	1.09E+04	1.0	1.0
12	WP	Vítr na vozidla	Q	0	7.0	3.05E+04	0.2	-24.4	1.04E+07	-2.4	-11.9	-7.92E+05	15.0	12.9	2.0E-02	-	-	-	-	-13.9	1.53E+04	-0.9	-0.9	-19.5	1.09E+04	-1.8	-1.8
13	TR	Teplota rovnoměrná	Q	0	0.0	3.05E+04	0.0	0.0	1.04E+07	0.0	0.0	-7.92E+05	0.0	0.0	0.0E+00	-	-	-	-	0.0	1.53E+04	0.0	0.0	0.0	1.09E+04	0.0	0.0
14	TN	Teplota nerovnoměrná	Q	0	-1.3	3.05E+04	0.0	16.7	1.04E+07	1.6	1.0	-7.92E+05	-1.2	0.3	8.1E-03	-	-	-	-	0.6	1.53E+04	0.0	0.0	4.0	1.09E+04	0.4	0.4
15	FR	Třecí síly v ložiskách	Q	0	-8.0	3.05E+04	-0.3	-2.4	1.04E+07	-0.2	-1.2	-7.92E+05	1.5	1.0	0.0E+00	-	-	-	-	-0.4	1.53E+04	0.0	0.0	0.0	1.09E+04	0.0	0.0
16	I	Imperfekce soustavy	Q	0	-0.1	3.05E+04	0.0	9.4	1.04E+07	0.9	-0.2	-7.92E+05	0.2	1.1	0.0E+00	-	-	-	-	-0.4	1.53E+04	0.0	0.0	3.3	1.09E+04	0.3	0.3
27	ULS_LM	ULS - LM71 bez dynam	Q	0	0.0	3.05E+04	0.0	0.0	1.04E+07	0.0	0.0	-7.92E+05	0.0	0.0	0.0E+00	-	-	-	-	0.0	1.53E+04	0.0	0.0	0.0	1.09E+04	0.0	0.0
28	SLS_LM	SLS - LM71 bez dynam	Q	0	0.0	3.05E+04	0.0	0.0	1.04E+07	0.0	0.0	-7.92E+05	0.0	0.0	0.0E+00	-	-	-	-	0.0	1.53E+04	0.0	0.0	0.0	1.09E+04	0.0	0.0
29	ULS_C3	ULS - C3 bez dynam	Q	0	0.0	3.05E+04	0.0	0.0	1.04E+07	0.0	0.0	-7.92E+05	0.0	0.0	0.0E+00	-	-	-	-	0.0	1.53E+04	0.0	0.0	0.0	1.09E+04	0.0	0.0
30	SLS_C3	SLS - C3 bez dynam	Q	0	0.0	3.05E+04	0.0	0.0	1.04E+07	0.0	0.0	-7.92E+05	0.0	0.0	0.0E+00	-	-	-	-	0.0	1.53E+04	0.0	0.0	0.0	1.09E+04	0.0	0.0
NAVÝŠENÍ NAPĚTÍ DO AKTIVACE TLAKU V DESCE MOSTOVKY						$\sigma_{P,red}$	0.0							0.0			0.0		0.0			-4.7	-4.7			-55.3	-55.3
NAPĚTÍ OD PRIMÁRNÍCH ÚČINKŮ NEROVNOMĚRNÉHO OTEPLENÍ						σ_T	0.0							0.0													
NAPĚTÍ OD REOLOGICKÝCH ÚČINKŮ BETONU V ČASE				t=0		σ_R	0.0	$\gamma_{f=}$	1.20					0.0													
NAPĚTÍ V KRITICKÝCH VLÁKNECH OD KOMBINACE ZATÍŽENÍ						KZ03		[MPa]					$\Sigma\sigma_x$	268.7								$\Sigma\tau_y$	-4.7			$\Sigma\tau_z$	-55.3
NAPĚTÍ OD POHYBLIVÉHO ZATÍŽENÍ								[MPa]					$\sigma_{x,P}$	210.8								τ_P	-2.5			τ_P	-51.5
NAPĚTÍ OD OSTATNÍCH ZATÍŽENÍ								[MPa]			Φ_{Vy}	Φ_{Vz}	$\sigma_{x,rs}$	57.9								τ_{rs}	-2.2			τ_{rs}	-3.8
NÁVRHOVÁ HODNOTA MEZE KLUZU S REDUKCÍ VLIVEM SMYKOVÉHO NAPĚTÍ								[MPa]			1.00	1.00	$f_{yw,d}$	209.1								$f_{yd}/3^{0,5}$	120.7			$f_{yd}/3^{0,5}$	120.7
NAPĚTÍ OD POHYBLIVÉHO ZATÍŽENÍ V GLOBÁLNÍM SYSTÉMU						$\sigma_{GLOB,P}$	0.0	[MPa]					$\Sigma\sigma_{GLOB}$	0.0													
NAPĚTÍ OD OSTATNÍCH ZATÍŽENÍ V GLOBÁLNÍM SYSTÉMU						$\sigma_{GLOB,rs}$	0.0	[MPa]					$\Sigma\sigma_x + \Sigma\sigma_{GLOB}$	268.7													
VYUŽITÍ PRŮŘEZU DLE NAPĚTÍ								[%]					η_1	1.28								η_3	0.04			η_3	0.46
NAPĚTÍ V PŘÍČNÉM SMĚRU OD POHYBLIVÉHO ZATÍŽENÍ						$\sigma_{z,P}$	0.0	[MPa]					$\Sigma\sigma_z$	0.0													
NAPĚTÍ V PŘÍČNÉM SMĚRU OD OSTATNÍCH ZATÍŽENÍ						$\sigma_{z,rs}$	0.0	[MPa]					η_2	0.00													
SROVNÁVACÍ NAPĚTÍ													$(\eta_2 + 0{,}8\,\eta_1)/1{,}4 =$	0.73													
VYUŽITÍ PRŮŘEZU CELKEM								[%]					eff	1.28	NEVYHOVUJE												
STANOVENÍ ZATÍŽITELNOSTI													z_{LM71} =	0.72													

TAB. P2.1.3 POSOUZENÍ - MEZNÍ STAV ÚNOSNOSTI

POPIS	PŘÍČNÍK P2 - VNĚJŠÍ PODÉLNÍK
PRUT / POLOHA BODU	691 / I[568]
NAMÁHÁNÍ	Vz.min
VLÁKNO	BOD S6 -HP
MEZNÍ STAV	ULS (MSÚ)
VYUŽITÍ VLÁKNA PRŮŘEZU	0.50

Charakteristiky materiálu				
pás. horní	$f_{yf,k}$	230	MPa	
pás. dolní	$f_{yf,k}$	230	MPa	
stojina	$f_{yw,k}$	230	MPa	
výztuž	$f_{ys,k}$	500	MPa	
	γ_M =	1.10	γ_s =	1.15

Excentricita normálové síly				
Exc./Fáze	0	1	2	3
e_y	0.000	0.000	0.000	0.000
e_z	0.000	0.000	0.000	0.000
Ekvivalentní vzdál. stěn - příčný roznos				
b_{Mx}	0.000	0.000	0.000	0.000

Vliv stěny na únosnost průřezu				
Char./Fáze	0	1	2	3
A	0.00	0.00	0.00	0.00
Wy	0.00	0.00	0.00	0.00
Wz	0.00	0.00	0.00	0.00

Charakter. v kroucení		
$t_{w,y}$	0.000	[mm]
$t_{w,z}$	0.000	[mm]
κ	1.00	
I_t=	0.00E+00	[mm⁴]
$\Omega=2*A_{pr}$	0.00E+00	[mm²]

Součinitele vzpěru a vlivu II.řádu					
Char./Fáze	0	1	2	3	
k_y	1.000	1.000	1.000	1.000	
k_z	1.000	1.000	1.000	1.000	
χ_{LT}	1.000	1.000	1.000	1.000	
χ_{min}	1.000	1.000	1.000	1.000	

δ_{LOK} 1.00

Vnitřní síly od jednotlivých skupin zatěžovacích stavů

SKUPINA ZATĚŽOVACÍCH STAVŮ					- CHARAKTERISTICKÉ HODNOTY						DÍLČÍ SOUČINITELÉ ZATÍŽENÍ, DYNAMICKÝ SOUČINITEL						4	- NÁVRHOVÉ HODNOTY									
Č.	SKUP ZS	POPIS ZS	KAT.	FÁZE PRŮŘ.	N.k (kN)	Vy.k (kN)	Vz.k (kN)	Mx.k (kNm)	My.k (kNm)	Mz.k (kNm)	γ_{sr} (-)	γ_{sl} (-)	volba γ_{sl} hledat	γ_{sl} (-)	L_d (m)	δ (-)	Ψ_0 KZ04	N.d (kN)	Vy.d (kN)	Vz.d (kN)	ΔVz.d (kN)	ΣVz.d (kN)	Mx.d (kNm)	My.d (kNm)	ΔMy.d (kNm)	ΣMy.d (kNm)	Mz.d (kNm)	ΔMz.d (kNm)	ΣMz.d (kNm)
1	G0	Vlastní tíha OK	G	0	-29	-7	-27	0	41	-17	1.00	1.20		1.20	-	1.00	0.95	-33	-9	-31	0	-31	0	47	0	47	-19	0	-19
2	G1	Ostatní stálé - mostní vybavení	G	0	-2	-1	-6	0	6	-1	1.00	1.20		1.20	-	1.00	0.95	-3	-1	-7	0	-7	0	7	0	7	-1	0	-1
3	G2	Ostatní stálé - cizí zařízení	G	0	-1	0	-3	0	-5	-1	1.00	1.20		1.20	-	1.00	0.95	-1	-1	-4	0	-4	0	-5	0	-5	-1	0	-1
4	P1_71	a.LM71 - kolej 1 (bez dyn. souč.)	P	0	-49	-9	-183	0	153	-16	1.00	1.30		1.30	-	1.27	1.00	-82	-15	-303	0	-303	0	252	0	252	-26	6	-21
5	P2_71	a.LM71 - kolej 2 (bez dyn. souč.)	P	0	-33	-1	-160	0	569	-4	1.00	1.30		1.30	-	1.27	1.00	-54	-2	-264	0	-264	0	940	0	940	-7	2	-6
6	P1_C3	TTZ C3 - kolej 1 (bez dyn. souč.)	P	0	-32	-8	-103	0	84	-13	1.00	vyp.		0.00	-	1.00	0.00	0	0	0	0	0	0	0	0	0	0	0	0
7	P2_C3	TTZ C3 - kolej 2 (bez dyn. souč.)	P	0	-16	-1	-90	0	319	-3	1.00	vyp.		0.00	-	1.00	0.00	0	0	0	0	0	0	0	0	0	0	0	0
8	BR	Brzdné a rozjezdové síly	P	0	53	19	-2	0	8	51	1.00	1.30		1.30	-	1.00	0.40	27	10	-1	0	-1	0	4	0	4	27	0	27
9	S	Boční ráz	P	0	-4	3	-7	0	-13	2	1.00	1.30		1.30	-	1.00	0.80	-4	3	-7	0	-7	0	-14	0	-14	2	0	2
10	CH	Chodci na lávkách	Q	0	1	-1	0	0	-25	-2	1.00	1.30		1.30	-	1.00	1.00	1	-1	0	0	0	0	-32	0	-32	-3	0	-3
11	W	Vítr na konstrukci	Q	0	-1	8	-11	0	-31	6	1.00	1.35		1.35	-	1.00	0.75	-1	8	-11	0	-11	0	-32	0	-32	6	0	6
12	WP	Vítr na vozidla	Q	0	7	-14	-19	0	-24	-12	1.00	1.35		1.35	-	1.00	0.75	7	-14	-20	0	-20	0	-24	0	-24	-12	0	-12
13	TR	Teplota rovnoměrná	Q	0	0	0	0	0	0	0	1.00	1.35		1.35	-	1.00	0.45	0	0	0	0	0	0	0	0	0	0	0	0
14	TN	Teplota nerovnoměrná	Q	0	2	-1	-5	0	-21	-1	1.00	1.35		1.35	-	1.00	0.60	1	-1	-4	0	-4	0	-17	0	-17	-1	0	-1
15	FR	Třecí síly v ložiskách	Q	0	-7	0	0	0	-2	-1	1.00	1.20		1.20	-	1.00	1.00	-8	0	0	0	0	0	-2	0	-2	-1	0	-1
16	I	Imperfekce soustavy	Q	0	0	0	-3	0	-8	0	1.00	1.20		1.20	-	1.00	1.00	0	0	-3	0	-3	0	-9	0	-9	0	0	0
27	ULS_LM	ULS - LM71 bez dynam	Q	0	-113	-14	-535	0	858	-22	1.00	vyp.		0.00	-	1.00	0.00	0	0	0	0	0	0	0	0	0	0	0	0
28	SLS_LM	SLS - LM71 bez dynam	Q	0	-92	-11	-412	0	679	-18	1.00	vyp.	1	0.00	-	1.00	0.00	0	0	0	0	0	0	0	0	0	0	0	0
29	ULS_C3	ULS - C3 bez dynam	Q	0	-68	-12	-341	0	444	-16	1.00	vyp.	1	0.00	-	1.00	0.00	0	0	0	0	0	0	0	0	0	0	0	0
30	SLS_C3	SLS - C3 bez dynam	Q	0	-58	-9	-263	0	360	-14	1.00	vyp.	1	0.00	-	1.00	0.00	0	0	0	0	0	0	0	0	0	0	0	0
		CELKEM - FÁZE PRŮŘEZU 0																-147	-21	-654	0	-654	0	1 114	0	1 114	-36	7	-29
		CELKEM - FÁZE PRŮŘEZU 1																0	0	0	0	0	0	0	0	0	0	0	0
		CELKEM - FÁZE PRŮŘEZU 2																0	0	0	0	0	0	0	0	0	0	0	0
		CELKEM - FÁZE PRŮŘEZU 3																0	0	0	0	0	0	0	0	0	0	0	0
		CELKEM - PRŮŘEZ																-147	-21	-654	0	-654	0			1 114			-29

Napětí od jednotlivých zatěžovacích stavů

SKUPINA ZATĚŽOVACÍCH STAVŮ					Posouzení normálového napětí										Posouzení smykového napětí													
					Účinek síly N			Účinek momentu My				Účinek momentu Mz				Účinek kroutícího momentu Mx				Účinek smykové síly Vy				Účinek smykové síly Vz			
Č.	SKUP ZS	Popis ZS	Kat.	fáze průř.	δ^*N_d [kN]	χ^*A [mm²]	σ_n [MPa]	$\delta^*M_{y,d}$ [kNm]	$\chi_{lt}*W_{el,y}$ [mm³]	σ_{my} [MPa]	$\delta^*M_{z,d}$ [kNm]	$W_{el,z}$ [mm³]	σ_{mz} [MPa]	σ_x [MPa]	$\kappa*\delta^*M_{x,d}$ [kNm]	$W_{v,y}$ [mm²]	$\tau_{x,y}$ [MPa]	$W_{v,z}$ [mm²]	$\tau_{x,z}$ [MPa]	$\delta^*V_{y,d}$ [kN]	$A_{v,y}$ [mm2]	$\tau_{v,y}$ [MPa]	$\tau_{v,y}$ [MPa]	$\delta^*V_{z,d}$ [kN]	$A_{v,z}$ [mm2]	$\tau_{v,z}$ [MPa]	$\tau_{v,z}$ [MPa]
1	G0	Vlastní tíha OK	G	0	-33.0	3.05E+04	-1.1	46.7	1.06E+07	4.4	-19.4	-2.44E+07	0.8	4.1	1.1E-02	-	-	-	-	-8.5	1.53E+04	-0.6	-0.6	-30.9	1.09E+04	-2.8	-2.8
2	G1	Ostatní stálé - mostní vybavení	G	0	-2.8	3.05E+04	-0.1	7.1	1.06E+07	0.7	-1.4	-2.44E+07	0.1	0.6	0.0E+00	-	-	-	-	-0.6	1.53E+04	0.0	0.0	-6.7	1.09E+04	-0.6	-0.6
3	G2	Ostatní stálé - cizí zařízení	G	0	-0.6	3.05E+04	0.0	-5.4	1.06E+07	-0.5	-1.2	-2.44E+07	0.0	-0.5	0.0E+00	-	-	-	-	-0.5	1.53E+04	0.0	0.0	-3.6	1.09E+04	-0.3	-0.3
4	P1_71	a.LM71 - kolej 1 (bez dyn. souč.)	P	0	-81.5	3.05E+04	-2.7	252.2	1.06E+07	23.8	-20.5	-2.44E+07	0.8	21.9	-1.7E-02	-	-	-	-	-15.2	1.53E+04	-1.0	-1.0	-302.5	1.09E+04	-27.7	-27.7
5	P2_71	a.LM71 - kolej 2 (bez dyn. souč.)	P	0	-54.1	3.05E+04	-1.8	940.0	1.06E+07	88.5	-5.6	-2.44E+07	0.2	87.0	0.0E+00	-	-	-	-	-1.9	1.53E+04	-0.1	-0.1	-264.2	1.09E+04	-24.2	-24.2
6	P1_C3	TTZ C3 - kolej 1 (bez dyn. souč.)	P	0	0.0	3.05E+04	0.0	0.0	1.06E+07	0.0	0.0	-2.44E+07	0.0	0.0	0.0E+00	-	-	-	-	0.0	1.53E+04	0.0	0.0	0.0	1.09E+04	0.0	0.0
7	P2_C3	TTZ C3 - kolej 2 (bez dyn. souč.)	P	0	0.0	3.05E+04	0.0	0.0	1.06E+07	0.0	0.0	-2.44E+07	0.0	0.0	0.0E+00	-	-	-	-	0.0	1.53E+04	0.0	0.0	0.0	1.09E+04	0.0	0.0
8	BR	Brzdné a rozjezdové síly	P	0	27.5	3.05E+04	0.9	4.3	1.06E+07	0.4	26.8	-2.44E+07	-1.1	0.2	-1.6E-02	-	-	-	-	10.0	1.53E+04	0.7	0.7	-1.1	1.09E+04	-0.1	-0.1
9	S	Boční ráz	P	0	-4.2	3.05E+04	-0.1	-13.7	1.06E+07	-1.3	2.3	-2.44E+07	-0.1	-1.5	-3.1E-02	-	-	-	-	3.5	1.53E+04	0.2	0.2	-6.8	1.09E+04	-0.6	-0.6
10	CH	Chodci na lávkách	Q	0	1.5	3.05E+04	0.0	-32.2	1.06E+07	-3.0	-2.6	-2.44E+07	0.1	-2.9	0.0E+00	-	-	-	-	-1.3	1.53E+04	-0.1	-0.1	0.0	1.09E+04	0.0	0.0
11	W	Vítr na konstrukci	Q	0	-0.7	3.05E+04	0.0	-31.7	1.06E+07	-3.0	6.3	-2.44E+07	-0.3	-3.3	-1.0E-02	-	-	-	-	7.8	1.53E+04	0.5	0.5	-11.4	1.09E+04	-1.0	-1.0
12	WP	Vítr na vozidla	Q	0	7.0	3.05E+04	0.2	-24.4	1.06E+07	-2.3	-11.9	-2.44E+07	0.5	-1.6	2.0E-02	-	-	-	-	-13.9	1.53E+04	-0.9	-0.9	-19.5	1.09E+04	-1.8	-1.8
13	TR	Teplota rovnoměrná	Q	0	0.0	3.05E+04	0.0	0.0	1.06E+07	0.0	0.0	-2.44E+07	0.0	0.0	0.0E+00	-	-	-	-	0.0	1.53E+04	0.0	0.0	0.0	1.09E+04	0.0	0.0
14	TN	Teplota nerovnoměrná	Q	0	1.3	3.05E+04	0.0	-16.7	1.06E+07	-1.6	-1.0	-2.44E+07	0.0	-1.5	-8.1E-03	-	-	-	-	-0.6	1.53E+04	0.0	0.0	-4.0	1.09E+04	-0.4	-0.4
15	FR	Třecí síly v ložiskách	Q	0	-8.0	3.05E+04	-0.3	-2.4	1.06E+07	-0.2	-1.2	-2.44E+07	0.0	-0.4	0.0E+00	-	-	-	-	-0.4	1.53E+04	0.0	0.0	0.0	1.09E+04	0.0	0.0
16	I	Imperfekce soustavy	Q	0	0.1	3.05E+04	0.0	-9.4	1.06E+07	-0.9	0.2	-2.44E+07	0.0	-0.9	0.0E+00	-	-	-	-	0.4	1.53E+04	0.0	0.0	-3.3	1.09E+04	-0.3	-0.3
27	ULS_LM	ULS - LM71 bez dynam	Q	0	0.0	3.05E+04	0.0	0.0	1.06E+07	0.0	0.0	-2.44E+07	0.0	0.0	0.0E+00	-	-	-	-	0.0	1.53E+04	0.0	0.0	0.0	1.09E+04	0.0	0.0
28	SLS_LM	SLS - LM71 bez dynam	Q	0	0.0	3.05E+04	0.0	0.0	1.06E+07	0.0	0.0	-2.44E+07	0.0	0.0	0.0E+00	-	-	-	-	0.0	1.53E+04	0.0	0.0	0.0	1.09E+04	0.0	0.0
29	ULS_C3	ULS - C3 bez dynam	Q	0	0.0	3.05E+04	0.0	0.0	1.06E+07	0.0	0.0	-2.44E+07	0.0	0.0	0.0E+00	-	-	-	-	0.0	1.53E+04	0.0	0.0	0.0	1.09E+04	0.0	0.0
30	SLS_C3	SLS - C3 bez dynam	Q	0	0.0	3.05E+04	0.0	0.0	1.06E+07	0.0	0.0	-2.44E+07	0.0	0.0	0.0E+00	-	-	-	-	0.0	1.53E+04	0.0	0.0	0.0	1.09E+04	0.0	0.0
NAVÝŠENÍ NAPĚTÍ DO AKTIVACE TLAKU V DESCE MOSTOVKY						$\sigma_{P,red}$	0.0							0.0			0.0		0.0				-1.4	-1.4			-60.0	-60.0
NAPĚTÍ OD PRIMÁRNÍCH ÚČINKŮ NEROVNOMĚRNÉHO OTEPLENÍ						σ_T	0.0							0.0														
NAPĚTÍ OD REOLOGICKÝCH ÚČINKŮ BETONU V ČASE				t=0		σ_R	0.0	γ_{sl}=	1.20					0.0														
NAPĚTÍ V KRITICKÝCH VLÁKNECH OD KOMBINACE ZATÍŽENÍ						KZ04		[MPa]					$\Sigma\sigma_x$	101.3								$\Sigma\tau_y$	-1.4				$\Sigma\tau_z$	-60.0
NAPĚTÍ OD POHYBLIVÉHO ZATÍŽENÍ								[MPa]					$\sigma_{x,P}$	107.6								τ_P	-0.2				τ_P	-52.7
NAPĚTÍ OD OSTATNÍCH ZATÍŽENÍ								[MPa]			Φ_{Vy}	Φ_{Vz}	$\sigma_{x,rs}$	-6.3								τ_{rs}	-1.2				τ_{rs}	-7.3
NÁVRHOVÁ HODNOTA MEZE KLUZU S REDUKCÍ VLIVEM SMYKOVÉHO NAPĚTÍ								[MPa]			1.00	1.00	$f_{yw,d}$	209.1								$f_{yd}/3^{0,5}$	120.7				$f_{yd}/3^{0,5}$	120.7
NAPĚTÍ OD POHYBLIVÉHO ZATÍŽENÍ V GLOBÁLNÍM SYSTÉMU						$\sigma_{GLOB,P}$	0.0	[MPa]					$\Sigma\sigma_{GLOB}$	0.0														
NAPĚTÍ OD OSTATNÍCH ZATÍŽENÍ V GLOBÁLNÍM SYSTÉMU						$\sigma_{GLOB,rs}$	0.0	[MPa]					$\Sigma\sigma_x + \Sigma\sigma_{GLOB}$	101.3														
VYUŽITÍ PRŮŘEZU DLE NAPĚTÍ								[%]					η_1	0.48								η_3	0.01				η_3	0.50
NAPĚTÍ V PŘÍČNÉM SMĚRU OD POHYBLIVÉHO ZATÍŽENÍ						$\sigma_{z,P}$	0.0	[MPa]					$\Sigma\sigma_z$	0.0														
NAPĚTÍ V PŘÍČNÉM SMĚRU OD OSTATNÍCH ZATÍŽENÍ						$\sigma_{z,rs}$	0.0	[MPa]					η_2	0.00														
SROVNÁVACÍ NAPĚTÍ													$(\eta_2 + 0,8\ \eta_1)/1,4$ =	0.28														
VYUŽITÍ PRŮŘEZU CELKEM								[%]					eff	0.50	VYHOVUJE													
STANOVENÍ ZATÍŽITELNOSTI													z_{LM71} =	1.89														

TR_P2.2 POPIS: **PŘÍČNÍK P2 - VNITŘNÍ PODÉLNÍK** POSUDEK: **P2.2**

SKUPINA ZAT. STAVŮ	EXTRÉM	VYHODNOCOVANÉ VELIČINY					
		N	Vy	Vz	Mx	My	Mz
		kN	kN	kN	kNm	kNm	kNm
G0	N.min	**-28.54**	-0.1	-4.29	0	82.52	-3.31
	N.max	**-28.54**	-0.1	-4.29	0	82.52	-3.31
	Vy.min	-28.54	**-0.1**	-4.29	0	82.52	-3.31
	Vy.max	-28.54	**-0.1**	-4.29	0	82.52	-3.31
	Vz.min	-28.54	-0.1	**-4.29**	0	82.52	-3.31
	Vz.max	-28.54	-0.1	**-4.29**	0	82.52	-3.31
	Mx.min	-28.54	-0.1	-4.29	**0**	82.52	-3.31
	Mx.max	-28.54	-0.1	-4.29	**0**	82.52	-3.31
	My.min	-28.54	-0.1	-4.29	0	**82.52**	-3.31
	My.max	-28.54	-0.1	-4.29	0	**82.52**	-3.31
	Mz.min	-28.54	-0.1	-4.29	0	82.52	**-3.31**
	Mz.max	-28.54	-0.1	-4.29	0	82.52	**-3.31**
G1	N.min	**-2.42**	0	-2.08	0	13.42	-0.24
	N.max	**-2.42**	0	-2.08	0	13.42	-0.24
	Vy.min	-2.42	**0**	-2.08	0	13.42	-0.24
	Vy.max	-2.42	**0**	-2.08	0	13.42	-0.24
	Vz.min	-2.42	0	**-2.08**	0	13.42	-0.24
	Vz.max	-2.42	0	**-2.08**	0	13.42	-0.24
	Mx.min	-2.42	0	-2.08	**0**	13.42	-0.24
	Mx.max	-2.42	0	-2.08	**0**	13.42	-0.24
	My.min	-2.42	0	-2.08	0	**13.42**	-0.24
	My.max	-2.42	0	-2.08	0	**13.42**	-0.24
	Mz.min	-2.42	0	-2.08	0	13.42	**-0.24**
	Mz.max	-2.42	0	-2.08	0	13.42	**-0.24**
G2	N.min	**-0.48**	0	-3.15	0	0.92	-0.18
	N.max	**-0.48**	0	-3.15	0	0.92	-0.18
	Vy.min	-0.48	**0**	-3.15	0	0.92	-0.18
	Vy.max	-0.48	**0**	-3.15	0	0.92	-0.18
	Vz.min	-0.48	0	**-3.15**	0	0.92	-0.18
	Vz.max	-0.48	0	**-3.15**	0	0.92	-0.18
	Mx.min	-0.48	0	-3.15	**0**	0.92	-0.18
	Mx.max	-0.48	0	-3.15	**0**	0.92	-0.18
	My.min	-0.48	0	-3.15	0	**0.92**	-0.18
	My.max	-0.48	0	-3.15	0	**0.92**	-0.18
	Mz.min	-0.48	0	-3.15	0	0.92	**-0.18**
	Mz.max	-0.48	0	-3.15	0	0.92	**-0.18**
P1_71	N.min	**-63.39**	4.62	-100.68	-0.03	269.56	1.42
	N.max	**0.01**	0	-0.04	0	-0.04	0
	Vy.min	-18.08	**-0.84**	-25.87	-0.02	77.98	-1.4
	Vy.max	-53.55	**5.39**	-94.88	-0.04	249.21	2.45
	Vz.min	-50.85	4.19	**-188.96**	-0.04	469.34	0.97
	Vz.max	-13.9	0.72	**0.66**	-0.01	14.5	0.65
	Mx.min	-43.41	3.9	-101.79	**-0.11**	267.61	1.31
	Mx.max	-27.77	0.83	-89.41	**0.07**	246.17	-0.28
	My.min	-29.33	2.5	-2.36	-0.01	**-14.75**	1.08
	My.max	-39.21	2.66	-186.9	-0.03	**484.47**	0.62
	Mz.min	-25.4	0.17	-32.54	-0.02	102.08	**-1.63**
	Mz.max	-48.7	4.7	-84.33	-0.03	219.04	**2.6**
P2_71	N.min	**-63.93**	-4.66	100.74	0.03	471.85	-7.85
	N.max	**0**	0	0.02	0	0.02	0.01
	Vy.min	-54.11	**-5.43**	94.92	0.04	439.92	-8.36
	Vy.max	-18.13	**0.83**	25.46	0.02	128.14	0.28
	Vz.min	-14.02	-0.73	**-0.66**	0.01	13.37	-0.8
	Vz.max	-51.31	-4.22	**188.96**	0.04	847.89	-7.44
	Mx.min	-27.88	-0.84	89.38	**-0.07**	425.15	-1.95
	Mx.max	-43.87	-3.93	101.82	**0.11**	471.96	-6.5
	My.min	-23.77	-1.26	1.43	0.01	**-10.89**	-1.72
	My.max	-45.27	-3.94	187.86	0.04	**860.14**	-6.92
	Mz.min	-49.26	-5.26	95.13	0.03	431.24	**-8.59**
	Mz.max	-11.63	0.64	22.39	0.02	101.21	**0.37**
P1_C3	N.min	**-47.8**	3.78	-71.51	0	198.78	0.91
	N.max	**0**	0	-0.03	0	-0.03	0
	Vy.min	-10.95	**-0.51**	-35.34	-0.03	93.11	-0.78
	Vy.max	-38.29	**4.52**	-74.83	0	193.37	1.98
	Vz.min	-40.5	3.75	**-106.67**	-0.02	262.86	1.1
	Vz.max	-11.09	0.57	**0.47**	0	11.6	0.52
	Mx.min	-31.77	3.13	-62.75	**-0.07**	159.9	0.84
	Mx.max	-16.67	0.57	-64.46	**0.05**	164.49	-0.04
	My.min	-19.03	1.53	-1.76	-0.01	**-12.55**	0.51
	My.max	-22.04	2.07	-104.96	-0.01	**272.81**	0.51
	Mz.min	-17.82	0.33	-34.99	-0.03	104.65	**-1.08**
	Mz.max	-34.2	3.87	-80.46	0	199.98	**2.13**
P2_C3	N.min	**-48.22**	-3.81	71.55	0	342.53	-6.67
	N.max	**0**	0	0.02	0	0.02	0
	Vy.min	-38.71	**-4.55**	74.86	0	343.73	-7.08
	Vy.max	-11.01	**0.51**	35.32	0.03	163.86	0.25
	Vz.min	-11.16	-0.58	**-0.47**	0	10.77	-0.64
	Vz.max	-42.49	-3.83	**106.7**	0.02	476.55	-6.48
	Mx.min	-16.74	-0.58	64.44	**-0.05**	293.53	-1.19
	Mx.max	-32.14	-3.15	62.79	**0.07**	286.01	-5.44
	My.min	-14.35	-0.57	1	0	**-9.7**	-0.83
	My.max	-27.23	-3.12	105.78	0.01	**484.19**	-5.47
	Mz.min	-40.54	-4.45	68.08	0	321.99	**-7.1**
	Mz.max	-9.29	0.46	35.14	0.03	159.27	**0.28**
BR	N.min	**-51.27**	-5.42	0.57	0	-12.2	-16.36
	N.max	**51.27**	5.42	-0.57	0	12.2	16.36
	Vy.min	26.56	**-10.89**	0.94	0	7.25	-3.02
	Vy.max	-26.56	**10.89**	-0.94	0	-7.25	3.02
	Vz.min	-26.56	10.89	**-0.94**	0	-7.25	3.02
	Vz.max	26.56	-10.89	**0.94**	0	7.25	-3.02
	Mx.min	26.58	10.88	-0.94	**0**	5.39	18.74
	Mx.max	-26.58	-10.88	0.94	**0**	-5.39	-18.74
	My.min	-50.31	8.18	-0.65	0	**-13.48**	-0.39
	My.max	50.31	-8.18	0.65	0	**13.48**	0.39
	Mz.min	-26.58	-10.88	0.94	0	-5.39	**-18.74**
	Mz.max	26.58	10.88	-0.94	0	5.39	**18.74**

TR_P2.2 POPIS: **PŘÍČNÍK P2 - VNITŘNÍ PODÉLNÍK** POSUDEK: **P2.2**

SKUPINA ZAT. STAVŮ	EXTRÉM	VYHODNOCOVANÉ VELIČINY					
		N	Vy	Vz	Mx	My	Mz
		kN	kN	kN	kNm	kNm	kNm
S	N.min	**-0.25**	6.9	1.6	-0.01	1.42	6.93
	N.max	**0.25**	-6.9	-1.6	0.01	-1.42	-6.93
	Vy.min	0.25	**-6.9**	-1.6	0.01	-1.42	-6.93
	Vy.max	-0.25	**6.9**	1.6	-0.01	1.42	6.93
	Vz.min	0.25	-6.9	**-1.6**	0.01	-1.42	-6.93
	Vz.max	-0.25	6.9	**1.6**	-0.01	1.42	6.93
	Mx.min	-0.25	6.9	1.6	**-0.01**	1.42	6.93
	Mx.max	0.25	-6.9	-1.6	**0.01**	-1.42	-6.93
	My.min	0.03	5.73	-1.58	0	**-1.77**	5.73
	My.max	-0.03	-5.73	1.58	0	**1.77**	-5.73
	Mz.min	0.25	-6.9	-1.6	0.01	-1.42	**-6.93**
	Mz.max	-0.25	6.9	1.6	-0.01	1.42	**6.93**
CH	N.min	**0.08**	0.6	2.65	0	-9.64	0.26
	N.max	**1.22**	0.27	-0.04	0	-24.71	-0.1
	Vy.min	0.84	**0.01**	-0.01	0	-24.61	-0.46
	Vy.max	0.08	**0.6**	2.65	0	-9.64	0.26
	Vz.min	1.22	0.27	**-0.04**	0	-24.71	-0.1
	Vz.max	0.08	0.6	**2.65**	0	-9.64	0.26
	Mx.min	0.08	0.6	2.65	**0**	-9.64	0.26
	Mx.max	0.84	0.01	-0.01	**0**	-24.61	-0.46
	My.min	1.22	0.27	-0.04	0	**-24.71**	-0.1
	My.max	0.08	0.6	2.65	0	**-9.64**	0.26
	Mz.min	0.84	0.01	-0.01	0	-24.61	**-0.46**
	Mz.max	0.08	0.6	2.65	0	-9.64	**0.26**
W	N.min	**-1.67**	8.49	10.69	-0.01	10.97	8.49
	N.max	**-0.89**	-8.48	-10.7	0.01	-10.94	-8.48
	Vy.min	-0.89	**-8.48**	-10.7	0.01	-10.94	-8.48
	Vy.max	-1.67	**8.49**	10.69	-0.01	10.97	8.49
	Vz.min	-0.89	-8.48	**-10.7**	0.01	-10.94	-8.48
	Vz.max	-1.67	8.49	**10.69**	-0.01	10.97	8.49
	Mx.min	-1.67	8.49	10.69	**-0.01**	10.97	8.49
	Mx.max	-0.89	-8.48	-10.7	**0.01**	-10.94	-8.48
	My.min	-0.89	-8.48	-10.7	0.01	**-10.94**	-8.48
	My.max	-1.67	8.49	10.69	-0.01	**10.97**	8.49
	Mz.min	-0.89	-8.48	-10.7	0.01	-10.94	**-8.48**
	Mz.max	-1.67	8.49	10.69	-0.01	10.97	**8.49**
WP	N.min	**0.06**	-14.67	-11.24	0.01	-10.72	-14.67
	N.max	**0.06**	14.72	11.23	-0.01	10.85	14.7
	Vy.min	0.06	**-14.67**	-11.24	0.01	-10.72	-14.67
	Vy.max	0.06	**14.72**	11.23	-0.01	10.85	14.7
	Vz.min	0.06	-14.67	**-11.24**	0.01	-10.72	-14.67
	Vz.max	0.06	14.72	**11.23**	-0.01	10.85	14.7
	Mx.min	0.06	14.72	11.23	**-0.01**	10.85	14.7
	Mx.max	0.06	-14.67	-11.24	**0.01**	-10.72	-14.67
	My.min	0.06	-14.67	-11.24	0.01	**-10.72**	-14.67
	My.max	0.06	14.72	11.23	-0.01	**10.85**	14.7
	Mz.min	0.06	-14.67	-11.24	0.01	-10.72	**-14.67**
	Mz.max	0.06	14.72	11.23	-0.01	10.85	**14.7**
TR	N.min	**0**	0	0	0	0	0
	N.max	**0**	0	0	0	0	0
	Vy.min	0	**0**	0	0	0	0
	Vy.max	0	**0**	0	0	0	0
	Vz.min	0	0	**0**	0	0	0
	Vz.max	0	0	**0**	0	0	0
	Mx.min	0	0	0	**0**	0	0
	Mx.max	0	0	0	**0**	0	0
	My.min	0	0	0	0	**0**	0
	My.max	0	0	0	0	**0**	0
	Mz.min	0	0	0	0	0	**0**
	Mz.max	0	0	0	0	0	**0**
TN	N.min	**-5.55**	0.01	-0.01	0	5.76	0.26
	N.max	**5.55**	-0.01	0.01	0	-5.76	-0.26
	Vy.min	1.09	**-0.14**	5.34	0.01	-0.09	-0.27
	Vy.max	1.68	**0.11**	-5.29	-0.01	-11.71	-0.03
	Vz.min	1.68	0.11	**-5.29**	-0.01	-11.71	-0.03
	Vz.max	1.09	-0.14	**5.34**	0.01	-0.09	-0.27
	Mx.min	1.68	0.11	-5.29	**-0.01**	-11.71	-0.03
	Mx.max	1.09	-0.14	5.34	**0.01**	-0.09	-0.27
	My.min	1.68	0.11	-5.29	-0.01	**-11.71**	-0.03
	My.max	-5.55	0.01	-0.01	0	**5.76**	0.26
	Mz.min	1.09	-0.14	5.34	0.01	-0.09	**-0.27**
	Mz.max	-5.55	0.01	-0.01	0	5.76	**0.26**
FR	N.min	**-6.59**	0	0	0	-1.95	-0.38
	N.max	**6.59**	0	0	0	1.95	0.38
	Vy.min	6.59	**0**	0	0	1.95	0.38
	Vy.max	-6.59	**0**	0	0	-1.95	-0.38
	Vz.min	-6.59	0	**0**	0	-1.95	-0.38
	Vz.max	6.59	0	**0**	0	1.95	0.38
	Mx.min	-6.59	0	0	**0**	-1.95	-0.38
	Mx.max	6.59	0	0	**0**	1.95	0.38
	My.min	-6.59	0	0	0	**-1.95**	-0.38
	My.max	6.59	0	0	0	**1.95**	0.38
	Mz.min	-6.59	0	0	0	-1.95	**-0.38**
	Mz.max	6.59	0	0	0	1.95	**0.38**
I	N.min	**-0.11**	0.53	2.68	0	2.83	**0.53**
	N.max	**0.11**	-0.53	-2.68	0	-2.83	**-0.53**
	Vy.min	0.11	**-0.53**	-2.68	0	-2.83	**-0.53**
	Vy.max	-0.11	**0.53**	2.68	0	2.83	**0.53**
	Vz.min	0.11	-0.53	**-2.68**	0	-2.83	**-0.53**
	Vz.max	-0.11	0.53	**2.68**	0	2.83	**0.53**
	Mx.min	-0.11	0.53	2.68	**0**	2.83	**0.53**
	Mx.max	0.11	-0.53	-2.68	**0**	-2.83	**-0.53**
	My.min	0.11	-0.53	-2.68	0	**-2.83**	**-0.53**
	My.max	-0.11	0.53	2.68	0	**2.83**	**0.53**
	Mz.min	0.11	-0.53	-2.68	0	-2.83	**-0.53**
	Mz.max	-0.11	0.53	2.68	0	2.83	**0.53**

TAB. P2.2.3 POSOUZENÍ - MEZNÍ STAV ÚNOSNOSTI

POPIS	PŘÍČNÍK P2 - VNITŘNÍ PODÉLNÍK
PRUT / POLOHA BODU	692 / I[569]
NAMÁHÁNÍ	My.max
VLÁKNO	BOD K2 -HP
MEZNÍ STAV	ULS (MSÚ)
VYUŽITÍ VLÁKNA PRŮŘEZU	0.83

Charakteristiky materiálu				
pás. horní	$f_{yf,k}$	230	MPa	
pás. dolní	$f_{yf,k}$	230	MPa	
stojina	$f_{yw,k}$	230	MPa	
výztuž	$f_{ys,k}$	500	MPa	
γ_M =	1.10	γ_s =	1.15	

Excentricita normálové síly				
Exc./Fáze	0	1	2	3
e_y	0.000	0.000	0.000	0.000
e_z	0.000	0.000	0.000	0.000
Ekvivalentní vzdál. stěn - příčný roznos				
b_{Mx}	0.000	0.000	0.000	0.000

Vliv stěny na únosnost průřezu				
Char./Fáze	0	1	2	3
A	0.00	0.00	0.00	0.00
Wy	0.00	0.00	0.00	0.00
Wz	0.00	0.00	0.00	0.00

Charakter. v kroucení			
$t_{w,y}$	0.000	[mm]	
$t_{w,z}$	0.000	[mm]	
κ	1.00		
I_t=	0.00E+00	[mm^4]	
$\Omega=2*A_{pz}$	0.00E+00	[mm^2]	

Součinitele vzpěru a vlivu II.řádu					
Char./Fáze	0	1	2	3	
k_y	1.000	1.000	1.000	1.000	
k_z	1.000	1.000	1.000	1.000	
χ_{LT}	1.000	1.000	1.000	1.000	
χ_{min}	1.000	1.000	1.000	1.000	

δ_{LOK} 1.00

Vnitřní síly od jednotlivých skupin zatěžovacích stavů

SKUPINA ZATĚŽOVACÍCH STAVŮ					- CHARAKTERISTICKÉ HODNOTY						DÍLČÍ SOUČINITELÉ ZATÍŽENÍ, DYNAMICKÝ SOUČINITEL						4	- NÁVRHOVÉ HODNOTY									
Č.	SKUP ZS	POPIS ZS	KAT.	FÁZE PRŮŘ.	N.k (kN)	Vy.k (kN)	Vz.k (kN)	Mx.k (kNm)	My.k (kNm)	Mz.k (kNm)	γ_{sr} (-)	γ_{sl} (-)	volba ψ_i hledat	ψ_i (-)	L_d (m)	δ (-)	ψ_E KZ04	N.d (kN)	Vy.d (kN)	Vz.d (kN)	ΔVz.d (kN)	ΣVz.d (kN)	Mx.d (kNm)	My.d (kNm)	ΔMy.d (kNm)	ΣMy.d (kNm)	Mz.d (kNm)	ΔMz.d (kNm)	ΣMz.d (kNm)
1	G0	Vlastní tíha OK	G	0	-29	0	-4	0	83	-3	1.00	1.20		1.20	-	1.00	0.95	-33	0	-5	0	-5	0	94	0	94	-4	0	-4
2	G1	Ostatní stálé - mostní vybavení	G	0	-2	0	-2	0	13	0	1.00	1.20		1.20	-	1.00	0.95	-3	0	-2	0	-2	0	15	0	15	0	0	0
3	G2	Ostatní stálé - cizí zařízení	G	0	0	0	-3	0	1	0	1.00	1.20		1.20	-	1.00	0.95	-1	0	-4	0	-4	0	1	0	1	0	0	0
4	P1_71	a.LM71 - kolej 1 (bez dyn. souč.)	P	0	-39	3	-187	0	484	1	1.00	1.30		1.30	-	1.27	1.00	-65	4	-309	0	-309	0	800	0	800	1	0	1
5	P2_71	a.LM71 - kolej 2 (bez dyn. souč.)	P	0	-45	-4	188	0	860	-7	1.00	1.30		1.30	-	1.27	1.00	-75	-7	310	0	310	0	1 421	0	1 421	-11	2	-9
6	P1_C3	TTZ C3 - kolej 1 (bez dyn. souč.)	P	0	-22	2	-105	0	273	1	1.00	vyp.		0.00	-	1.00	0.00	0	0	0	0	0	0	0	0	0	0	0	0
7	P2_C3	TTZ C3 - kolej 2 (bez dyn. souč.)	P	0	-27	-3	106	0	484	-5	1.00	vyp.		0.00	-	1.00	0.00	0	0	0	0	0	0	0	0	0	0	0	0
8	BR	Brzdné a rozjezdové síly	P	0	50	-8	1	0	13	0	1.00	-1.30		-1.30	-	1.00	0.40	-26	4	0	0	0	0	-7	0	-7	0	0	0
9	S	Boční ráz	P	0	0	-6	2	0	2	-6	1.00	1.30		1.30	-	1.00	0.80	0	-6	2	0	2	0	2	0	2	-6	0	-6
10	CH	Chodci na lávkách	Q	0	0	1	3	0	-10	0	1.00	0.00		0.00	-	1.00	1.00	0	0	0	0	0	0	0	0	0	0	0	0
11	W	Vítr na konstrukci	Q	0	-2	8	11	0	11	8	1.00	-1.35		-1.35	-	1.00	0.75	2	-9	-11	0	-11	0	-11	0	-11	-9	0	-9
12	WP	Vítr na vozidla	Q	0	0	15	11	0	11	15	1.00	-1.35		-1.35	-	1.00	0.75	0	-15	-11	0	-11	0	-11	0	-11	-15	0	-15
13	TR	Teplota rovnoměrná	Q	0	0	0	0	0	0	0	1.00	1.35		1.35	-	1.00	0.45	0	0	0	0	0	0	0	0	0	0	0	0
14	TN	Teplota nerovnoměrná	Q	0	-6	0	0	0	6	0	1.00	1.35		1.35	-	1.00	0.60	-4	0	0	0	0	0	5	0	5	0	0	0
15	FR	Třecí síly v ložiskách	Q	0	7	0	0	0	2	0	1.00	-1.20		-1.20	-	1.00	1.00	-8	0	0	0	0	0	-2	0	-2	0	0	0
16	I	Imperfekce soustavy	Q	0	0	1	3	0	3	1	1.00	-1.20		-1.20	-	1.00	1.00	0	-1	-3	0	-3	0	-3	0	-3	-1	0	-1
27	ULS_LM	ULS - LM71 bez dynam	Q	0	-79	9	21	0	1 897	9	1.00	vyp.		0.00	-	1.00	0.00	0	0	0	0	0	0	0	0	0	0	0	0
28	SLS_LM	SLS - LM71 bez dynam	Q	0	-60	6	15	0	1 467	6	1.00	vyp.	1	0.00	-	1.00	0.00	0	0	0	0	0	0	0	0	0	0	0	0
29	ULS_C3	ULS - C3 bez dynam	Q	0	-33	9	21	0	1 133	11	1.00	vyp.	1	0.00	-	1.00	0.00	0	0	0	0	0	0	0	0	0	0	0	0
30	SLS_C3	SLS - C3 bez dynam	Q	0	-25	6	15	0	880	7	1.00	vyp.	1	0.00	-	1.00	0.00	0	0	0	0	0	0	0	0	0	0	0	0
		CELKEM - FÁZE PRŮŘEZU 0																-212	-28	-33	0	-33	0	2 304	0	2 304	-45	2	-43
		CELKEM - FÁZE PRŮŘEZU 1																0	0	0	0	0	0	0	0	0	0	0	0
		CELKEM - FÁZE PRŮŘEZU 2																0	0	0	0	0	0	0	0	0	0	0	0
		CELKEM - FÁZE PRŮŘEZU 3																0	0	0	0	0	0	0	0	0	0	0	0
		CELKEM - PRŮŘEZ																-212	-28	-33	0	-33	0			2 304			-43

Napětí od jednotlivých zatěžovacích stavů

SKUPINA ZATĚŽOVACÍCH STAVŮ					Posouzení normálového napětí										Posouzení smykového napětí													
					Účinek síly N			Účinek momentu My			Účinek momentu Mz				Účinek kroutícího momentu Mx				Účinek smykové síly Vy					Účinek smykové síly Vz				
Č.	SKUP ZS	Popis ZS	Kat.	fáze průř.	δ^*N_d [kN]	χ^*A [mm^2]	σ_n [MPa]	$\delta^*M_{y,d}$ [kNm]	$\chi_{lt}{}^*W_{el,y}$ [mm^3]	σ_{my} [MPa]	$\delta^*M_{z,d}$ [kNm]	$W_{el,z}$ [mm^3]	σ_{mz} [MPa]	σ_x [MPa]	$\kappa^*\delta^*M_{x,d}$ [kNm]	$W_{v,y}$ [mm^2]	$\tau_{x,y}$ [MPa]	$W_{v,z}$ [mm^2]	$\tau_{x,z}$ [MPa]	$\delta^*V_{y,d}$ [kN]	$A_{v,y}$ [mm2]	$\tau_{v,y}$ [MPa]	$\tau_{v,y}$ [MPa]	$\delta^*V_{z,d}$ [kN]	$A_{v,z}$ [mm2]	$\tau_{v,z}$ [MPa]	$\tau_{v,z}$ [MPa]
1	G0	Vlastní tíha OK	G	0	-32.5	3.95E+04	-0.8	94.1	-1.68E+07	-5.6	-3.8	1.37E+06	-2.7	-9.2	0.0E+00	-	-	-	-	-0.1	2.41E+04	0.0	0.0	-4.9	1.09E+04	-0.4	-0.4
2	G1	Ostatní stálé - mostní vybavení	G	0	-2.8	3.95E+04	-0.1	15.3	-1.68E+07	-0.9	-0.3	1.37E+06	-0.2	-1.2	0.0E+00	-	-	-	-	0.0	2.41E+04	0.0	0.0	-2.4	1.09E+04	-0.2	-0.2
3	G2	Ostatní stálé - cizí zařízení	G	0	-0.5	3.95E+04	0.0	1.0	-1.68E+07	-0.1	-0.2	1.37E+06	-0.1	-0.2	0.0E+00	-	-	-	-	0.0	2.41E+04	0.0	0.0	-3.6	1.09E+04	-0.3	-0.3
4	P1_71	a.LM71 - kolej 1 (bez dyn. souč.)	P	0	-64.8	3.95E+04	-1.6	800.5	-1.68E+07	-47.7	0.8	1.37E+06	0.6	-48.7	-5.0E-02	-	-	-	-	4.4	2.41E+04	0.2	0.2	-308.8	1.09E+04	-28.4	-28.4
5	P2_71	a.LM71 - kolej 2 (bez dyn. souč.)	P	0	-74.8	3.95E+04	-1.9	1 421.2	-1.68E+07	-84.6	-9.0	1.37E+06	-6.6	-93.1	6.6E-02	-	-	-	-	-6.5	2.41E+04	-0.3	-0.3	310.4	1.09E+04	28.5	28.5
6	P1_C3	TTZ C3 - kolej 1 (bez dyn. souč.)	P	0	0.0	3.95E+04	0.0	0.0	-1.68E+07	0.0	0.0	1.37E+06	0.0	0.0	0.0E+00	-	-	-	-	0.0	2.41E+04	0.0	0.0	0.0	1.09E+04	0.0	0.0
7	P2_C3	TTZ C3 - kolej 2 (bez dyn. souč.)	P	0	0.0	3.95E+04	0.0	0.0	-1.68E+07	0.0	0.0	1.37E+06	0.0	0.0	0.0E+00	-	-	-	-	0.0	2.41E+04	0.0	0.0	0.0	1.09E+04	0.0	0.0
8	BR	Brzdné a rozjezdové síly	P	0	-26.2	3.95E+04	-0.7	-7.0	-1.68E+07	0.4	-0.2	1.37E+06	-0.1	-0.4	0.0E+00	-	-	-	-	4.3	2.41E+04	0.2	0.2	-0.3	1.09E+04	0.0	0.0
9	S	Boční ráz	P	0	0.0	3.95E+04	0.0	1.8	-1.68E+07	-0.1	-6.0	1.37E+06	-4.3	-4.4	0.0E+00	-	-	-	-	-6.0	2.41E+04	-0.2	-0.2	1.6	1.09E+04	0.2	0.2
10	CH	Chodci na lávkách	Q	0	0.0	3.95E+04	0.0	0.0	-1.68E+07	0.0	0.0	1.37E+06	0.0	0.0	0.0E+00	-	-	-	-	0.0	2.41E+04	0.0	0.0	0.0	1.09E+04	0.0	0.0
11	W	Vítr na konstrukci	Q	0	1.7	3.95E+04	0.0	-11.1	-1.68E+07	0.7	-8.6	1.37E+06	-6.3	-5.6	1.0E-02	-	-	-	-	-8.6	2.41E+04	-0.4	-0.4	-10.8	1.09E+04	-1.0	-1.0
12	WP	Vítr na vozidla	Q	0	-0.1	3.95E+04	0.0	-11.0	-1.68E+07	0.7	-14.9	1.37E+06	-10.8	-10.2	1.0E-02	-	-	-	-	-14.9	2.41E+04	-0.6	-0.6	-11.4	1.09E+04	-1.0	-1.0
13	TR	Teplota rovnoměrná	Q	0	0.0	3.95E+04	0.0	0.0	-1.68E+07	0.0	0.0	1.37E+06	0.0	0.0	0.0E+00	-	-	-	-	0.0	2.41E+04	0.0	0.0	0.0	1.09E+04	0.0	0.0
14	TN	Teplota nerovnoměrná	Q	0	-4.5	3.95E+04	-0.1	4.7	-1.68E+07	-0.3	0.2	1.37E+06	0.2	-0.2	0.0E+00	-	-	-	-	0.0	2.41E+04	0.0	0.0	0.0	1.09E+04	0.0	0.0
15	FR	Třecí síly v ložiskách	Q	0	-7.9	3.95E+04	-0.2	-2.3	-1.68E+07	0.1	-0.5	1.37E+06	-0.3	-0.4	0.0E+00	-	-	-	-	0.0	2.41E+04	0.0	0.0	0.0	1.09E+04	0.0	0.0
16	I	Imperfekce soustavy	Q	0	0.1	3.95E+04	0.0	-3.4	-1.68E+07	0.2	-0.6	1.37E+06	-0.5	-0.3	0.0E+00	-	-	-	-	-0.6	2.41E+04	0.0	0.0	-3.2	1.09E+04	-0.3	-0.3
27	ULS_LM	ULS - LM71 bez dynam	Q	0	0.0	3.95E+04	0.0	0.0	-1.68E+07	0.0	0.0	1.37E+06	0.0	0.0	0.0E+00	-	-	-	-	0.0	2.41E+04	0.0	0.0	0.0	1.09E+04	0.0	0.0
28	SLS_LM	SLS - LM71 bez dynam	Q	0	0.0	3.95E+04	0.0	0.0	-1.68E+07	0.0	0.0	1.37E+06	0.0	0.0	0.0E+00	-	-	-	-	0.0	2.41E+04	0.0	0.0	0.0	1.09E+04	0.0	0.0
29	ULS_C3	ULS - C3 bez dynam	Q	0	0.0	3.95E+04	0.0	0.0	-1.68E+07	0.0	0.0	1.37E+06	0.0	0.0	0.0E+00	-	-	-	-	0.0	2.41E+04	0.0	0.0	0.0	1.09E+04	0.0	0.0
30	SLS_C3	SLS - C3 bez dynam	Q	0	0.0	3.95E+04	0.0	0.0	-1.68E+07	0.0	0.0	1.37E+06	0.0	0.0	0.0E+00	-	-	-	-	0.0	2.41E+04	0.0	0.0	0.0	1.09E+04	0.0	0.0
NAVÝŠENÍ NAPĚTÍ DO AKTIVACE TLAKU V DESCE MOSTOVKY						$\sigma_{P,red}$	0.0							0.0			0.0		0.0				-1.2	-1.2			-3.1	-3.1
NAPĚTÍ OD PRIMÁRNÍCH ÚČINKŮ NEROVNOMĚRNÉHO OTEPLENÍ						σ_T	0.0							0.0														
NAPĚTÍ OD REOLOGICKÝCH ÚČINKŮ BETONU V ČASE				t=0		σ_R	0.0	$\gamma_{i=}$	1.20					0.0														
NAPĚTÍ V KRITICKÝCH VLÁKNECH OD KOMBINACE ZATÍŽENÍ						KZ04		[MPa]					$\Sigma\sigma_x$	-173.8								$\Sigma\tau_y$	-1.2				$\Sigma\tau_z$	-3.1
NAPĚTÍ OD POHYBLIVÉHO ZATÍŽENÍ								[MPa]					$\sigma_{x,P}$	-146.6									-0.2				τ_P	0.3
NAPĚTÍ OD OSTATNÍCH ZATÍŽENÍ								[MPa]			Φ_{Vy}	Φ_{Vz}	$\sigma_{x,rs}$	-27.2								τ_{rs}	-1.0				τ_{rs}	-3.3
NÁVRHOVÁ HODNOTA MEZE KLUZU S REDUKCÍ VLIVEM SMYKOVÉHO NAPĚTÍ								[MPa]			1.00	1.00	$f_{yv,d}$	209.1								$f_{yd}/3^{0,5}$	120.7				$f_{yd}/3^{0,5}$	120.7
NAPĚTÍ OD POHYBLIVÉHO ZATÍŽENÍ V GLOBÁLNÍM SYSTÉMU						$\sigma_{GLOB,P}$	0.0	[MPa]					$\Sigma\sigma_{GLOB}$	0.0														
NAPĚTÍ OD OSTATNÍCH ZATÍŽENÍ V GLOBÁLNÍM SYSTÉMU						$\sigma_{GLOB,rs}$	0.0	[MPa]					$\Sigma\sigma_x + \Sigma\sigma_{GLOB}$	-173.8														
VYUŽITÍ PRŮŘEZU DLE NAPĚTÍ								[%]					η_1	0.83								η_3	0.01				η_3	0.03
NAPĚTÍ V PŘÍČNÉM SMĚRU OD POHYBLIVÉHO ZATÍŽENÍ						$\sigma_{z,P}$	0.0	[MPa]					$\Sigma\sigma_z$	0.0														
NAPĚTÍ V PŘÍČNÉM SMĚRU OD OSTATNÍCH ZATÍŽENÍ						$\sigma_{z,rs}$	0.0	[MPa]					η_2	0.00														
SROVNÁVACÍ NAPĚTÍ													$(\eta_2 + 0,8\ \eta_1)/1,4 =$	0.48														
VYUŽITÍ PRŮŘEZU CELKEM								[%]					eff	0.83	VYHOVUJE													
STANOVENÍ ZATÍŽITELNOSTI													z_{LM71} =	1.24														

TAB. P2.2.3 POSOUZENÍ - MEZNÍ STAV ÚNOSNOSTI

POPIS	PŘÍČNÍK P2 - VNITŘNÍ PODÉLNÍK
PRUT / POLOHA BODU	692 / I[569]
NAMÁHÁNÍ	My.max
VLÁKNO	BOD K3 -SL
MEZNÍ STAV	ULS (MSÚ)
VYUŽITÍ VLÁKNA PRŮŘEZU	0.89

Charakteristiky materiálu				
pás. horní	$f_{yf,k}$	230	MPa	
pás. dolní	$f_{yf,k}$	230	MPa	
stojina	$f_{yw,k}$	230	MPa	
výztuž	$f_{ys,k}$	500	MPa	
γ_M =	1.10	γ_s =	1.15	

Excentricita normálové síly				
Exc./Fáze	0	1	2	3
e_y	0.000	0.000	0.000	0.000
e_z	0.000	0.000	0.000	0.000
Ekvivalentní vzdál. stěn - příčný roznos				
b_{Mx}	0.000	0.000	0.000	0.000

Vliv stěny na únosnost průřezu				
Char./Fáze	0	1	2	3
A	0.00	0.00	0.00	0.00
Wy	0.00	0.00	0.00	0.00
Wz	0.00	0.00	0.00	0.00

Charakter. v kroucení			
$t_{w,y}$	0.000	[mm]	
$t_{w,z}$	0.000	[mm]	
κ	1.00		
I_t=	0.00E+00	[mm^4]	
Ω=2*A_{pr}	0.00E+00	[mm^2]	

Součinitele vzpěru a vlivu II.řádu					
Char./Fáze	0	1	2	3	
k_y	1.000	1.000	1.000	1.000	
k_z	1.000	1.000	1.000	1.000	
χ_{LT}	1.000	1.000	1.000	1.000	
χ_{min}	1.000	1.000	1.000	1.000	

δ_{LOK} 1.00

Vnitřní síly od jednotlivých skupin zatěžovacích stavů

SKUPINA ZATĚŽOVACÍCH STAVŮ — 4

Č.	SKUP ZS	POPIS ZS	KAT.	FÁZE PRŮŘ.	- CHARAKTERISTICKÉ HODNOTY N.k (kN)	Vy.k (kN)	Vz.k (kN)	Mx.k (kNm)	My.k (kNm)	Mz.k (kNm)	DÍLČÍ SOUČINITELÉ ZATÍŽENÍ, DYNAMICKÝ SOUČINITEL γ_{sr} (-)	γ_{sl} (-)	volba γ_{sl} hledat	γ_{sl} (-)	L_d (m)	δ (-)	Ψ_0 KZ04	- NÁVRHOVÉ HODNOTY N.d (kN)	Vy.d (kN)	Vz.d (kN)	ΔVz.d (kN)	ΣVz.d (kN)	Mx.d (kNm)	My.d (kNm)	ΔMy.d (kNm)	ΣMy.d (kNm)	Mz.d (kNm)	ΔMz.d (kNm)	ΣMz.d (kNm)
1	G0	Vlastní tíha OK	G	0	-29	0	-4	0	83	-3	1.00	1.20		1.20	-	1.00	0.95	-33	0	-5	0	-5	0	94	0	94	-4	0	-4
2	G1	Ostatní stálé - mostní vybavení	G	0	-2	0	-2	0	13	0	1.00	1.20		1.20	-	1.00	0.95	-3	0	-2	0	-2	0	15	0	15	0	0	0
3	G2	Ostatní stálé - cizí zařízení	G	0	0	0	-3	0	1	0	1.00	1.20		1.20	-	1.00	0.95	-1	0	-4	0	-4	0	1	0	1	0	0	0
4	P1_71	a.LM71 - kolej 1 (bez dyn. souč.)	P	0	-39	3	-187	0	484	1	1.00	1.30		1.30	-	1.27	1.00	-65	4	-309	0	-309	0	800	0	800	1	0	1
5	P2_71	a.LM71 - kolej 2 (bez dyn. souč.)	P	0	-45	-4	188	0	860	-7	1.00	1.30		1.30	-	1.27	1.00	-75	-7	310	0	310	0	1 421	0	1 421	-11	2	-9
6	P1_C3	TTZ C3 - kolej 1 (bez dyn. souč.)	P	0	-22	2	-105	0	273	1	1.00	vyp.		0.00	-	1.00	0.00	0	0	0	0	0	0	0	0	0	0	0	0
7	P2_C3	TTZ C3 - kolej 2 (bez dyn. souč.)	P	0	-27	-3	106	0	484	-5	1.00	vyp.		0.00	-	1.00	0.00	0	0	0	0	0	0	0	0	0	0	0	0
8	BR	Brzdné a rozjezdové síly	P	0	50	-8	1	0	13	0	1.00	1.30		1.30	-	1.00	0.40	26	-4	0	0	0	0	7	0	7	0	0	0
9	S	Boční ráz	P	0	0	-6	2	0	2	-6	1.00	1.30		1.30	-	1.00	0.80	0	-6	2	0	2	0	2	0	2	-6	0	-6
10	CH	Chodci na lávkách	Q	0	0	1	3	0	-10	0	1.00	0.00		0.00	-	1.00	1.00	0	0	0	0	0	0	0	0	0	0	0	0
11	W	Vítr na konstrukci	Q	0	-2	8	11	0	11	8	1.00	-1.35		-1.35	-	1.00	0.75	2	-9	-11	0	-11	0	-11	0	-11	-9	0	-9
12	WP	Vítr na vozidla	Q	0	0	15	11	0	11	15	1.00	-1.35		-1.35	-	1.00	0.75	0	-15	-11	0	-11	0	-11	0	-11	-15	0	-15
13	TR	Teplota rovnoměrná	Q	0	0	0	0	0	0	0	1.00	1.35		1.35	-	1.00	0.45	0	0	0	0	0	0	0	0	0	0	0	0
14	TN	Teplota nerovnoměrná	Q	0	-6	0	0	0	6	0	1.00	1.35		1.35	-	1.00	0.60	-4	0	0	0	0	0	5	0	5	0	0	0
15	FR	Třecí síly v ložiskách	Q	0	7	0	0	0	2	0	1.00	1.20		1.20	-	1.00	1.00	8	0	0	0	0	0	2	0	2	0	0	0
16	I	Imperfekce soustavy	Q	0	0	1	3	0	3	1	1.00	-1.20		-1.20	-	1.00	1.00	0	-1	-3	0	-3	0	-3	0	-3	-1	0	-1
27	ULS_LM	ULS - LM71 bez dynam	Q	0	-79	9	21	0	1 897	9	1.00	vyp.		0.00	-	1.00	0.00	0	0	0	0	0	0	0	0	0	0	0	0
28	SLS_LM	SLS - LM71 bez dynam	Q	0	-60	6	15	0	1 467	6	1.00	vyp.	1	0.00	-	1.00	0.00	0	0	0	0	0	0	0	0	0	0	0	0
29	ULS_C3	ULS - C3 bez dynam	Q	0	-33	9	21	0	1 133	11	1.00	vyp.	1	0.00	-	1.00	0.00	0	0	0	0	0	0	0	0	0	0	0	0
30	SLS_C3	SLS - C3 bez dynam	Q	0	-25	6	15	0	880	7	1.00	vyp.	1	0.00	-	1.00	0.00	0	0	0	0	0	0	0	0	0	0	0	0
		CELKEM - FÁZE PRŮŘEZU 0			-144	-37	-33	0	-33	0								-33	0	2 322	0	2 322	-44	2	-42			
		CELKEM - FÁZE PRŮŘEZU 1			0	0	0	0	0	0								0	0	0	0	0	0	0	0	0	0	0	0
		CELKEM - FÁZE PRŮŘEZU 2			0	0	0	0	0	0								0	0	0	0	0	0	0	0	0	0	0	0
		CELKEM - FÁZE PRŮŘEZU 3			0	0	0	0	0	0								0	0	0	0	0	0	0	0	0	0	0	0
		CELKEM - PRŮŘEZ			-144	-37	-33	0	-33	0														2 322				-42

Napětí od jednotlivých zatěžovacích stavů

SKUPINA ZATĚŽOVACÍCH STAVŮ

Č.	SKUP ZS	Popis ZS	Kat.	fáze průř.	Posouzení normálového napětí — Účinek síly N δ^*N_d [kN]	χ^*A [mm^2]	σ_n [MPa]	Účinek momentu My $\delta^*M_{y,d}$ [kNm]	$\chi_t{}^*W_{el,y}$ [mm^3]	σ_{my} [MPa]	Účinek momentu Mz $\delta^*M_{z,d}$ [kNm]	$W_{el,z}$ [mm^3]	σ_{mz} [MPa]	σ_x [MPa]	Posouzení smykového napětí — Účinek kroutícího momentu Mx $\kappa^*\delta^*M_{x,d}$ [kNm]	$W_{v,y}$ [mm^2]	$\tau_{x,y}$ [MPa]	$W_{v,z}$ [mm^2]	$\tau_{x,z}$ [MPa]	Účinek smykové síly Vy $\delta^*V_{y,d}$ [kN]	$A_{v,y}$ [mm2]	$\tau_{v,y}$ [MPa]	$\tau_{v,y}$ [MPa]	Účinek smykové síly Vz $\delta^*V_{z,d}$ [kN]	$A_{v,z}$ [mm2]	$\tau_{v,z}$ [MPa]	$\tau_{v,z}$ [MPa]
1	G0	Vlastní tíha OK	G	0	-32.5	3.95E+04	-0.8	94.1	1.45E+07	6.5	-3.8	-1.37E+06	2.7	8.4	0.0E+00	-	-	-	-	-0.1	2.41E+04	0.0	0.0	-4.9	1.09E+04	-0.4	-0.4
2	G1	Ostatní stálé - mostní vybavení	G	0	-2.8	3.95E+04	-0.1	15.3	1.45E+07	1.1	-0.3	-1.37E+06	0.2	1.2	0.0E+00	-	-	-	-	0.0	2.41E+04	0.0	0.0	-2.4	1.09E+04	-0.2	-0.2
3	G2	Ostatní stálé - cizí zařízení	G	0	-0.5	3.95E+04	0.0	1.0	1.45E+07	0.1	-0.2	-1.37E+06	0.1	0.2	0.0E+00	-	-	-	-	0.0	2.41E+04	0.0	0.0	-3.6	1.09E+04	-0.3	-0.3
4	P1_71	a.LM71 - kolej 1 (bez dyn. souč.)	P	0	-64.8	3.95E+04	-1.6	800.5	1.45E+07	55.3	0.8	-1.37E+06	-0.6	53.1	-5.0E-02	-	-	-	-	4.4	2.41E+04	0.2	0.2	-308.8	1.09E+04	-28.4	-28.4
5	P2_71	a.LM71 - kolej 2 (bez dyn. souč.)	P	0	-74.8	3.95E+04	-1.9	1 421.2	1.45E+07	98.2	-9.0	-1.37E+06	6.6	102.8	6.6E-02	-	-	-	-	-6.5	2.41E+04	-0.3	-0.3	310.4	1.09E+04	28.5	28.5
6	P1_C3	TTZ C3 - kolej 1 (bez dyn. souč.)	P	0	0.0	3.95E+04	0.0	0.0	1.45E+07	0.0	0.0	-1.37E+06	0.0	0.0	0.0E+00	-	-	-	-	0.0	2.41E+04	0.0	0.0	0.0	1.09E+04	0.0	0.0
7	P2_C3	TTZ C3 - kolej 2 (bez dyn. souč.)	P	0	0.0	3.95E+04	0.0	0.0	1.45E+07	0.0	0.0	-1.37E+06	0.0	0.0	0.0E+00	-	-	-	-	0.0	2.41E+04	0.0	0.0	0.0	1.09E+04	0.0	0.0
8	BR	Brzdné a rozjezdové síly	P	0	26.2	3.95E+04	0.7	7.0	1.45E+07	0.5	0.2	-1.37E+06	-0.1	1.0	0.0E+00	-	-	-	-	-4.3	2.41E+04	-0.2	-0.2	0.3	1.09E+04	0.0	0.0
9	S	Boční ráz	P	0	0.0	3.95E+04	0.0	1.8	1.45E+07	0.1	-6.0	-1.37E+06	4.3	4.5	0.0E+00	-	-	-	-	-6.0	2.41E+04	-0.2	-0.2	1.6	1.09E+04	0.2	0.2
10	CH	Chodci na lávkách	Q	0	0.0	3.95E+04	0.0	0.0	1.45E+07	0.0	0.0	-1.37E+06	0.0	0.0	0.0E+00	-	-	-	-	0.0	2.41E+04	0.0	0.0	0.0	1.09E+04	0.0	0.0
11	W	Vítr na konstrukci	Q	0	1.7	3.95E+04	0.0	-11.1	1.45E+07	-0.8	-8.6	-1.37E+06	6.3	5.5	1.0E-02	-	-	-	-	-8.6	2.41E+04	-0.4	-0.4	-10.8	1.09E+04	-1.0	-1.0
12	WP	Vítr na vozidla	Q	0	-0.1	3.95E+04	0.0	-11.0	1.45E+07	-0.8	-14.9	-1.37E+06	10.8	10.1	1.0E-02	-	-	-	-	-14.9	2.41E+04	-0.6	-0.6	-11.4	1.09E+04	-1.0	-1.0
13	TR	Teplota rovnoměrná	Q	0	0.0	3.95E+04	0.0	0.0	1.45E+07	0.0	0.0	-1.37E+06	0.0	0.0	0.0E+00	-	-	-	-	0.0	2.41E+04	0.0	0.0	0.0	1.09E+04	0.0	0.0
14	TN	Teplota nerovnoměrná	Q	0	-4.5	3.95E+04	-0.1	4.7	1.45E+07	0.3	0.2	-1.37E+06	-0.2	0.1	0.0E+00	-	-	-	-	0.0	2.41E+04	0.0	0.0	0.0	1.09E+04	0.0	0.0
15	FR	Třecí síly v ložiskách	Q	0	7.9	3.95E+04	0.2	2.3	1.45E+07	0.2	0.5	-1.37E+06	-0.3	0.0	0.0E+00	-	-	-	-	0.0	2.41E+04	0.0	0.0	0.0	1.09E+04	0.0	0.0
16	I	Imperfekce soustavy	Q	0	0.1	3.95E+04	0.0	-3.4	1.45E+07	-0.2	-0.6	-1.37E+06	0.5	0.2	0.0E+00	-	-	-	-	-0.6	2.41E+04	0.0	0.0	-3.2	1.09E+04	-0.3	-0.3
27	ULS_LM	ULS - LM71 bez dynam	Q	0	0.0	3.95E+04	0.0	0.0	1.45E+07	0.0	0.0	-1.37E+06	0.0	0.0	0.0E+00	-	-	-	-	0.0	2.41E+04	0.0	0.0	0.0	1.09E+04	0.0	0.0
28	SLS_LM	SLS - LM71 bez dynam	Q	0	0.0	3.95E+04	0.0	0.0	1.45E+07	0.0	0.0	-1.37E+06	0.0	0.0	0.0E+00	-	-	-	-	0.0	2.41E+04	0.0	0.0	0.0	1.09E+04	0.0	0.0
29	ULS_C3	ULS - C3 bez dynam	Q	0	0.0	3.95E+04	0.0	0.0	1.45E+07	0.0	0.0	-1.37E+06	0.0	0.0	0.0E+00	-	-	-	-	0.0	2.41E+04	0.0	0.0	0.0	1.09E+04	0.0	0.0
30	SLS_C3	SLS - C3 bez dynam	Q	0	0.0	3.95E+04	0.0	0.0	1.45E+07	0.0	0.0	-1.37E+06	0.0	0.0	0.0E+00	-	-	-	-	0.0	2.41E+04	0.0	0.0	0.0	1.09E+04	0.0	0.0
		NAVÝŠENÍ NAPĚTÍ DO AKTIVACE TLAKU V DESCE MOSTOVKY				$\sigma_{P,red}$	0.0							0.0			0.0		0.0			-1.5	-1.5			-3.0	-3.0
		NAPĚTÍ OD PRIMÁRNÍCH ÚČINKŮ NEROVNOMĚRNÉHO OTEPLENÍ				σ_T	0.0							0.0													
		NAPĚTÍ OD REOLOGICKÝCH ÚČINKŮ BETONU V ČASE		t=0		σ_R	0.0	γ=	1.20					0.0													
		NAPĚTÍ V KRITICKÝCH VLÁKNECH OD KOMBINACE ZATÍŽENÍ				KZ04		[MPa]					$\Sigma\sigma_x$	187.1								$\Sigma\tau_y$	-1.5				$\Sigma\tau_z$	-3.0
		NAPĚTÍ OD POHYBLIVÉHO ZATÍŽENÍ						[MPa]					$\sigma_{x,P}$	161.3								τ_P	-0.5				τ_P	0.3
		NAPĚTÍ OD OSTATNÍCH ZATÍŽENÍ						[MPa]			Φ_{Vy}	Φ_{Vz}	$\sigma_{x,rs}$	25.7								τ_{rs}	-1.0				τ_{rs}	-3.3
		NÁVRHOVÁ HODNOTA MEZE KLUZU S REDUKCÍ VLIVEM SMYKOVÉHO NAPĚTÍ						[MPa]			1.00	1.00	$f_{yv,d}$	209.1								$f_{yd}/3^{0,5}$	120.7				$f_{yd}/3^{0,5}$	120.7
		NAPĚTÍ OD POHYBLIVÉHO ZATÍŽENÍ V GLOBÁLNÍM SYSTÉMU				$\sigma_{GLOB,P}$	0.0	[MPa]					$\Sigma\sigma_{GLOB}$	0.0													
		NAPĚTÍ OD OSTATNÍCH ZATÍŽENÍ V GLOBÁLNÍM SYSTÉMU				$\sigma_{GLOB,rs}$	0.0	[MPa]					$\Sigma\sigma_x + \Sigma\sigma_{GLOB}$	187.1													
		VYUŽITÍ PRŮŘEZU DLE NAPĚTÍ						[%]					η_1	0.89								η_3	0.01				η_3	0.02
		NAPĚTÍ V PŘÍČNÉM SMĚRU OD POHYBLIVÉHO ZATÍŽENÍ				$\sigma_{z,P}$	0.0	[MPa]					$\Sigma\sigma_z$	0.0													
		NAPĚTÍ V PŘÍČNÉM SMĚRU OD OSTATNÍCH ZATÍŽENÍ				$\sigma_{z,rs}$	0.0	[MPa]					η_2	0.00													
		SROVNÁVACÍ NAPĚTÍ											$(\eta_2 + 0,8\,\eta_1)/1,4$ =	0.51													
		VYUŽITÍ PRŮŘEZU CELKEM						[%]					eff	0.89	VYHOVUJE												
		STANOVENÍ ZATÍŽITELNOSTI											z_{LM71} =	1.14													

TAB. P2.2.3 POSOUZENÍ - MEZNÍ STAV ÚNOSNOSTI

POPIS	PŘÍČNÍK P2 - VNITŘNÍ PODÉLNÍK
PRUT / POLOHA BODU	692 / I[569]
NAMÁHÁNÍ	Vz.min
VLÁKNO	BOD S6 -HP
MEZNÍ STAV	ULS (MSÚ)
VYUŽITÍ VLÁKNA PRŮŘEZU	0.27

Charakteristiky materiálu				
pás. horní	$f_{yf,k}$	230	MPa	
pás. dolní	$f_{yf,k}$	230	MPa	
stojina	$f_{yw,k}$	230	MPa	
výztuž	$f_{ys,k}$	500	MPa	
γ_M =	1.10	γ_s =	1.15	

Excentricita normálové síly				
Exc./Fáze	0	1	2	3
e_y	0.000	0.000	0.000	0.000
e_z	0.000	0.000	0.000	0.000
Ekvivalentní vzdál. stěn - příčný roznos				
b_{Mx}	0.000	0.000	0.000	0.000

Vliv stěny na únosnost průřezu				
Char./Fáze	0	1	2	3
A	0.00	0.00	0.00	0.00
Wy	0.00	0.00	0.00	0.00
Wz	0.00	0.00	0.00	0.00

Charakter. v kroucení			
$t_{w,y}$	0.000	[mm]	
$t_{w,z}$	0.000	[mm]	
κ	1.00		
I_t=	0.00E+00	[mm^4]	
$\Omega=2*A_{pz}$	0.00E+00	[mm^2]	

Součinitele vzpěru a vlivu II.řádu				
Char./Fáze	0	1	2	3
k_y	1.000	1.000	1.000	1.000
k_z	1.000	1.000	1.000	1.000
χ_{LT}	1.000	1.000	1.000	1.000
χ_{min}	1.000	1.000	1.000	1.000

δ_{LOK} 1.00

Vnitřní síly od jednotlivých skupin zatěžovacích stavů

SKUPINA ZATĚŽOVACÍCH STAVŮ — 4

Č.	SKUP ZS	POPIS ZS	KAT.	FÁZE PRŮŘ.	- CHARAKTERISTICKÉ HODNOTY N.k (kN)	Vy.k (kN)	Vz.k (kN)	Mx.k (kNm)	My.k (kNm)	Mz.k (kNm)	DÍLČÍ SOUČINITELÉ ZATÍŽENÍ, DYNAMICKÝ SOUČINITEL γ_{sr} (-)	γ_{sl} (-)	volba γ_{sl} hledat	γ_{sl} (-)	L_d (m)	δ (-)	Ψ_0 KZ04	- NÁVRHOVÉ HODNOTY N.d (kN)	Vy.d (kN)	Vz.d (kN)	ΔVz.d (kN)	ΣVz.d (kN)	Mx.d (kNm)	My.d (kNm)	ΔMy.d (kNm)	ΣMy.d (kNm)	Mz.d (kNm)	ΔMz.d (kNm)	ΣMz.d (kNm)
1	G0	Vlastní tíha OK	G	0	-29	0	-4	0	83	-3	1.00	1.20		1.20	-	1.00	0.95	-33	0	-5	0	-5	0	94	0	94	-4	0	-4
2	G1	Ostatní stálé - mostní vybavení	G	0	-2	0	-2	0	13	0	1.00	1.20		1.20	-	1.00	0.95	-3	0	-2	0	-2	0	15	0	15	0	0	0
3	G2	Ostatní stálé - cizí zařízení	G	0	0	0	-3	0	1	0	1.00	1.20		1.20	-	1.00	0.95	-1	0	-4	0	-4	0	1	0	1	0	0	0
4	P1_71	a.LM71 - kolej 1 (bez dyn. souč.)	P	0	-51	4	-189	0	469	1	1.00	1.30		1.30	-	1.27	1.00	-84	7	-312	0	-312	0	775	0	775	2	0	1
5	P2_71	a.LM71 - kolej 2 (bez dyn. souč.)	P	0	-14	-1	-1	0	13	-1	1.00	1.30		1.30	-	1.27	1.00	-23	-1	-1	0	-1	0	22	0	22	-1	0	-1
6	P1_C3	TTZ C3 - kolej 1 (bez dyn. souč.)	P	0	-41	4	-107	0	263	1	1.00	vyp.		0.00	-	1.00	0.00	0	0	0	0	0	0	0	0	0	0	0	0
7	P2_C3	TTZ C3 - kolej 2 (bez dyn. souč.)	P	0	-11	-1	0	0	11	-1	1.00	vyp.		0.00	-	1.00	0.00	0	0	0	0	0	0	0	0	0	0	0	0
8	BR	Brzdné a rozjezdové síly	P	0	-27	11	-1	0	-7	3	1.00	1.30		1.30	-	1.00	0.40	-14	6	0	0	0	0	-4	0	-4	2	0	2
9	S	Boční ráz	P	0	0	-7	-2	0	-1	-7	1.00	1.30		1.30	-	1.00	0.80	0	-7	-2	0	-2	0	-1	0	-1	-7	0	-7
10	CH	Chodci na lávkách	Q	0	1	0	0	0	-25	0	1.00	1.30		1.30	-	1.00	1.00	2	0	0	0	0	0	-32	0	-32	0	0	0
11	W	Vítr na konstrukci	Q	0	-1	-8	-11	0	-11	-8	1.00	1.35		1.35	-	1.00	0.75	-1	-9	-11	0	-11	0	-11	0	-11	-9	0	-9
12	WP	Vítr na vozidla	Q	0	0	-15	-11	0	-11	-15	1.00	1.35		1.35	-	1.00	0.75	0	-15	-11	0	-11	0	-11	0	-11	-15	0	-15
13	TR	Teplota rovnoměrná	Q	0	0	0	0	0	0	0	1.00	1.35		1.35	-	1.00	0.45	0	0	0	0	0	0	0	0	0	0	0	0
14	TN	Teplota nerovnoměrná	Q	0	2	0	-5	0	-12	0	1.00	1.35		1.35	-	1.00	0.60	1	0	-4	0	-4	0	-9	0	-9	0	0	0
15	FR	Třecí síly v ložiskách	Q	0	-7	0	0	0	-2	0	1.00	1.20		1.20	-	1.00	1.00	-8	0	0	0	0	0	-2	0	-2	0	0	0
16	I	Imperfekce soustavy	Q	0	0	-1	-3	0	-3	-1	1.00	1.20		1.20	-	1.00	1.00	0	-1	-3	0	-3	0	-3	0	-3	-1	0	-1
27	ULS_LM	ULS - LM71 bez dynam	Q	0	-143	-21	-290	0	662	-36	1.00	vyp.		0.00	-	1.00	0.00	0	0	0	0	0	0	0	0	0	0	0	0
28	SLS_LM	SLS - LM71 bez dynam	Q	0	-115	-16	-220	0	529	-27	1.00	vyp.	1	0.00	-	1.00	0.00	0	0	0	0	0	0	0	0	0	0	0	0
29	ULS_C3	ULS - C3 bez dynam	Q	0	-126	-22	-183	0	390	-35	1.00	vyp.	1	0.00	-	1.00	0.00	0	0	0	0	0	0	0	0	0	0	0	0
30	SLS_C3	SLS - C3 bez dynam	Q	0	-102	-16	-138	0	320	-27	1.00	vyp.	1	0.00	-	1.00	0.00	0	0	0	0	0	0	0	0	0	0	0	0
		CELKEM - FÁZE PRŮŘEZU 0																-162	-20	-356	0	-356	0	833	0	833	-34	0	-34
		CELKEM - FÁZE PRŮŘEZU 1																0	0	0	0	0	0	0	0	0	0	0	0
		CELKEM - FÁZE PRŮŘEZU 2																0	0	0	0	0	0	0	0	0	0	0	0
		CELKEM - FÁZE PRŮŘEZU 3																0	0	0	0	0	0	0	0	0	0	0	0
		CELKEM - PRŮŘEZ																-162	-20	-356	0	-356	0			833			-34

Napětí od jednotlivých zatěžovacích stavů

SKUPINA ZATĚŽOVACÍCH STAVŮ

Č.	SKUP ZS	Popis ZS	Kat.	fáze prúř.	Posouzení normálového napětí — Účinek síly N δ^*N_d [kN]	χ^*A [mm^2]	σ_n [MPa]	Účinek momentu My $\delta^*M_{y,d}$ [kNm]	$\chi_{lt}*W_{el,y}$ [mm^3]	σ_{my} [MPa]	Účinek momentu Mz $\delta^*M_{z,d}$ [kNm]	$W_{el,z}$ [mm^3]	σ_{mz} [MPa]	σ_x [MPa]	Posouzení smykového napětí — Účinek kroutícího momentu Mx $\kappa*\delta^*M_{x,d}$ [kNm]	$W_{v,y}$ [mm^2]	$\tau_{x,y}$ [MPa]	$W_{v,z}$ [mm^2]	$\tau_{x,z}$ [MPa]	Účinek smykové síly Vy $\delta^*V_{y,d}$ [kN]	$A_{v,y}$ [mm2]	$\tau_{v,y}$ [MPa]	$\tau_{v,y}$ [MPa]	Účinek smykové síly Vz $\delta^*V_{z,d}$ [kN]	$A_{v,z}$ [mm2]	$\tau_{v,z}$ [MPa]	$\tau_{v,z}$ [MPa]
1	G0	Vlastní tíha OK	G	0	-32.5	3.95E+04	-0.8	94.1	1.52E+07	6.2	-3.8	-4.23E+07	0.1	5.5	0.0E+00	-	-	-	-	-0.1	2.41E+04	0.0	0.0	-4.9	1.09E+04	-0.4	-0.4
2	G1	Ostatní stálé - mostní vybavení	G	0	-2.8	3.95E+04	-0.1	15.3	1.52E+07	1.0	-0.3	-4.23E+07	0.0	0.9	0.0E+00	-	-	-	-	0.0	2.41E+04	0.0	0.0	-2.4	1.09E+04	-0.2	-0.2
3	G2	Ostatní stálé - cizí zařízení	G	0	-0.5	3.95E+04	0.0	1.0	1.52E+07	0.1	-0.2	-4.23E+07	0.0	0.1	0.0E+00	-	-	-	-	0.0	2.41E+04	0.0	0.0	-3.6	1.09E+04	-0.3	-0.3
4	P1_71	a.LM71 - kolej 1 (bez dyn. souč.)	P	0	-84.0	3.95E+04	-2.1	775.5	1.52E+07	51.2	1.3	-4.23E+07	0.0	49.0	-6.6E-02	-	-	-	-	6.9	2.41E+04	0.3	0.3	-312.2	1.09E+04	-28.7	-28.7
5	P2_71	a.LM71 - kolej 2 (bez dyn. souč.)	P	0	-23.2	3.95E+04	-0.6	22.1	1.52E+07	1.5	-1.0	-4.23E+07	0.0	0.9	1.7E-02	-	-	-	-	-1.2	2.41E+04	-0.1	-0.1	-1.1	1.09E+04	-0.1	-0.1
6	P1_C3	TTZ C3 - kolej 1 (bez dyn. souč.)	P	0	0.0	3.95E+04	0.0	0.0	1.52E+07	0.0	0.0	-4.23E+07	0.0	0.0	0.0E+00	-	-	-	-	0.0	2.41E+04	0.0	0.0	0.0	1.09E+04	0.0	0.0
7	P2_C3	TTZ C3 - kolej 2 (bez dyn. souč.)	P	0	0.0	3.95E+04	0.0	0.0	1.52E+07	0.0	0.0	-4.23E+07	0.0	0.0	0.0E+00	-	-	-	-	0.0	2.41E+04	0.0	0.0	0.0	1.09E+04	0.0	0.0
8	BR	Brzdné a rozjezdové síly	P	0	-13.8	3.95E+04	-0.3	-3.8	1.52E+07	-0.2	1.6	-4.23E+07	0.0	-0.6	0.0E+00	-	-	-	-	5.7	2.41E+04	0.2	0.2	-0.5	1.09E+04	0.0	0.0
9	S	Boční ráz	P	0	0.3	3.95E+04	0.0	-1.5	1.52E+07	-0.1	-7.2	-4.23E+07	0.2	0.1	1.0E-02	-	-	-	-	-7.2	2.41E+04	-0.3	-0.3	-1.7	1.09E+04	-0.2	-0.2
10	CH	Chodci na lávkách	Q	0	1.6	3.95E+04	0.0	-32.1	1.52E+07	-2.1	-0.1	-4.23E+07	0.0	-2.1	0.0E+00	-	-	-	-	0.4	2.41E+04	0.0	0.0	-0.1	1.09E+04	0.0	0.0
11	W	Vítr na konstrukci	Q	0	-0.9	3.95E+04	0.0	-11.1	1.52E+07	-0.7	-8.6	-4.23E+07	0.2	-0.6	1.0E-02	-	-	-	-	-8.6	2.41E+04	-0.4	-0.4	-10.8	1.09E+04	-1.0	-1.0
12	WP	Vítr na vozidla	Q	0	0.1	3.95E+04	0.0	-10.9	1.52E+07	-0.7	-14.9	-4.23E+07	0.4	-0.4	1.0E-02	-	-	-	-	-14.9	2.41E+04	-0.6	-0.6	-11.4	1.09E+04	-1.0	-1.0
13	TR	Teplota rovnoměrná	Q	0	0.0	3.95E+04	0.0	0.0	1.52E+07	0.0	0.0	-4.23E+07	0.0	0.0	0.0E+00	-	-	-	-	0.0	2.41E+04	0.0	0.0	0.0	1.09E+04	0.0	0.0
14	TN	Teplota nerovnoměrná	Q	0	1.4	3.95E+04	0.0	-9.5	1.52E+07	-0.6	0.0	-4.23E+07	0.0	-0.6	-8.1E-03	-	-	-	-	0.1	2.41E+04	0.0	0.0	-4.3	1.09E+04	-0.4	-0.4
15	FR	Třecí síly v ložiskách	Q	0	-7.9	3.95E+04	-0.2	-2.3	1.52E+07	-0.2	-0.5	-4.23E+07	0.0	-0.3	0.0E+00	-	-	-	-	0.0	2.41E+04	0.0	0.0	0.0	1.09E+04	0.0	0.0
16	I	Imperfekce soustavy	Q	0	0.1	3.95E+04	0.0	-3.4	1.52E+07	-0.2	-0.6	-4.23E+07	0.0	-0.2	0.0E+00	-	-	-	-	-0.6	2.41E+04	0.0	0.0	-3.2	1.09E+04	-0.3	-0.3
27	ULS_LM	ULS - LM71 bez dynam	Q	0	0.0	3.95E+04	0.0	0.0	1.52E+07	0.0	0.0	-4.23E+07	0.0	0.0	0.0E+00	-	-	-	-	0.0	2.41E+04	0.0	0.0	0.0	1.09E+04	0.0	0.0
28	SLS_LM	SLS - LM71 bez dynam	Q	0	0.0	3.95E+04	0.0	0.0	1.52E+07	0.0	0.0	-4.23E+07	0.0	0.0	0.0E+00	-	-	-	-	0.0	2.41E+04	0.0	0.0	0.0	1.09E+04	0.0	0.0
29	ULS_C3	ULS - C3 bez dynam	Q	0	0.0	3.95E+04	0.0	0.0	1.52E+07	0.0	0.0	-4.23E+07	0.0	0.0	0.0E+00	-	-	-	-	0.0	2.41E+04	0.0	0.0	0.0	1.09E+04	0.0	0.0
30	SLS_C3	SLS - C3 bez dynam	Q	0	0.0	3.95E+04	0.0	0.0	1.52E+07	0.0	0.0	-4.23E+07	0.0	0.0	0.0E+00	-	-	-	-	0.0	2.41E+04	0.0	0.0	0.0	1.09E+04	0.0	0.0
NAVÝŠENÍ NAPĚTÍ DO AKTIVACE TLAKU V DESCE MOSTOVKY						$\sigma_{P,red}$	0.0							0.0				0.0					-0.8	-0.8			-32.7	-32.7
NAPĚTÍ OD PRIMÁRNÍCH ÚČINKŮ NEROVNOMĚRNÉHO OTEPLENÍ						σ_T	0.0							0.0														
NAPĚTÍ OD REOLOGICKÝCH ÚČINKŮ BETONU V ČASE				t=0		σ_R	0.0	γ_{sl}=	1.20					0.0														
NAPĚTÍ V KRITICKÝCH VLÁKNECH OD KOMBINACE ZATÍŽENÍ						KZ04		[MPa]					$\Sigma\sigma_x$	51.7									$\Sigma\tau_y$	-0.8			$\Sigma\tau_z$	-32.7
NAPĚTÍ OD POHYBLIVÉHO ZATÍŽENÍ								[MPa]					$\sigma_{x,P}$	49.3									τ_P	0.2			τ_P	-29.0
NAPĚTÍ OD OSTATNÍCH ZATÍŽENÍ								[MPa]			Φ_{Vy}	Φ_{Vz}	$\sigma_{x,rs}$	2.3									τ_{rs}	-1.0			τ_{rs}	-3.7
NÁVRHOVÁ HODNOTA MEZE KLUZU S REDUKCÍ VLIVEM SMYKOVÉHO NAPĚTÍ								[MPa]			1.00	1.00	$f_{yw,d}$	209.1									$f_{yd}/3^{0,5}$	120.7			$f_{yd}/3^{0,5}$	120.7
NAPĚTÍ OD POHYBLIVÉHO ZATÍŽENÍ V GLOBÁLNÍM SYSTÉMU						$\sigma_{GLOB,P}$	0.0	[MPa]					$\Sigma\sigma_{GLOB}$	0.0														
NAPĚTÍ OD OSTATNÍCH ZATÍŽENÍ V GLOBÁLNÍM SYSTÉMU						$\sigma_{GLOB,rs}$	0.0	[MPa]					$\Sigma\sigma_x + \Sigma\sigma_{GLOB}$	51.7														
VYUŽITÍ PRŮŘEZU DLE NAPĚTÍ								[%]					η_1	0.25									η_3	0.01			η_3	0.27
NAPĚTÍ V PŘÍČNÉM SMĚRU OD POHYBLIVÉHO ZATÍŽENÍ						$\sigma_{z,P}$	0.0	[MPa]					$\Sigma\sigma_z$	0.0														
NAPĚTÍ V PŘÍČNÉM SMĚRU OD OSTATNÍCH ZATÍŽENÍ						$\sigma_{z,rs}$	0.0	[MPa]					η_2	0.00														
SROVNÁVACÍ NAPĚTÍ													$(\eta_2 + 0,8\ \eta_1)/1,4$ =	0.14														
VYUŽITÍ PRŮŘEZU CELKEM								[%]					eff	0.27	VYHOVUJE													
STANOVENÍ ZATÍŽITELNOSTI													z_{LM71} =	4.03														

TR_P2.3 POPIS: **PŘÍČNÍK P2 - STŘED** POSUDEK: **P2.3**

SKUPINA ZAT. STAVŮ	EXTRÉM	VYHODNOCOVANÉ VELIČINY					
		N	Vy	Vz	Mx	My	Mz
		kN	kN	kN	kNm	kNm	kNm
G0	N.min	**-28.54**	-0.1	0.11	0	84.61	-3.21
	N.max	**-28.54**	-0.1	0.11	0	84.61	-3.21
	Vy.min	-28.54	**-0.1**	0.11	0	84.61	-3.21
	Vy.max	-28.54	**-0.1**	0.11	0	84.61	-3.21
	Vz.min	-28.54	-0.1	**0.11**	0	84.61	-3.21
	Vz.max	-28.54	-0.1	**0.11**	0	84.61	-3.21
	Mx.min	-28.54	-0.1	0.11	**0**	84.61	-3.21
	Mx.max	-28.54	-0.1	0.11	**0**	84.61	-3.21
	My.min	-28.54	-0.1	0.11	0	**84.61**	-3.21
	My.max	-28.54	-0.1	0.11	0	**84.61**	-3.21
	Mz.min	-28.54	-0.1	0.11	0	84.61	**-3.21**
	Mz.max	-28.54	-0.1	0.11	0	84.61	**-3.21**
G1	N.min	**-2.42**	0	0	0	14.46	-0.24
	N.max	**-2.42**	0	0	0	14.46	-0.24
	Vy.min	-2.42	**0**	0	0	14.46	-0.24
	Vy.max	-2.42	**0**	0	0	14.46	-0.24
	Vz.min	-2.42	0	**0**	0	14.46	-0.24
	Vz.max	-2.42	0	**0**	0	14.46	-0.24
	Mx.min	-2.42	0	0	**0**	14.46	-0.24
	Mx.max	-2.42	0	0	**0**	14.46	-0.24
	My.min	-2.42	0	0	0	**14.46**	-0.24
	My.max	-2.42	0	0	0	**14.46**	-0.24
	Mz.min	-2.42	0	0	0	14.46	**-0.24**
	Mz.max	-2.42	0	0	0	14.46	**-0.24**
G2	N.min	**-0.48**	0	3.15	0	4.07	-0.18
	N.max	**-0.48**	0	3.15	0	4.07	-0.18
	Vy.min	-0.48	**0**	3.15	0	4.07	-0.18
	Vy.max	-0.48	**0**	3.15	0	4.07	-0.18
	Vz.min	-0.48	0	**3.15**	0	4.07	-0.18
	Vz.max	-0.48	0	**3.15**	0	4.07	-0.18
	Mx.min	-0.48	0	3.15	**0**	4.07	-0.18
	Mx.max	-0.48	0	3.15	**0**	4.07	-0.18
	My.min	-0.48	0	3.15	0	**4.07**	-0.18
	My.max	-0.48	0	3.15	0	**4.07**	-0.18
	Mz.min	-0.48	0	3.15	0	4.07	**-0.18**
	Mz.max	-0.48	0	3.15	0	4.07	**-0.18**
P1_71	N.min	**-63.39**	4.62	-100.68	-0.03	370.24	-3.2
	N.max	**0.01**	0	-0.04	0	0	0
	Vy.min	-18.08	**-0.84**	-25.87	-0.02	103.85	-0.56
	Vy.max	-53.55	**5.39**	-94.88	-0.04	344.1	-2.94
	Vz.min	-50.85	4.19	**-188.96**	-0.04	658.3	-3.22
	Vz.max	-13.9	0.72	**0.66**	-0.01	13.85	-0.08
	Mx.min	-43.41	3.9	-101.79	**-0.11**	369.4	-2.58
	Mx.max	-27.77	0.83	-89.41	**0.07**	335.58	-1.11
	My.min	-24.64	1.46	-1.58	-0.01	**-12.75**	-0.61
	My.max	-43.81	3.69	-187.69	-0.04	**671.74**	-2.85
	Mz.min	-61.58	4.22	-110.79	0.01	416.67	**-3.67**
	Mz.max	-1.27	-0.19	-0.16	0	-3.93	**0.04**
P2_71	N.min	**-63.93**	-4.66	100.74	0.03	371.12	-3.19
	N.max	**0**	0	0.02	0	0	0
	Vy.min	-54.11	**-5.43**	94.92	0.04	344.99	-2.93
	Vy.max	-18.13	**0.83**	25.46	0.02	102.68	-0.56
	Vz.min	-14.02	-0.73	**-0.66**	0.01	14.03	-0.08
	Vz.max	-51.31	-4.22	**188.96**	0.04	658.93	-3.22
	Mx.min	-27.88	-0.84	89.38	**-0.07**	335.77	-1.11
	Mx.max	-43.87	-3.93	101.82	**0.11**	370.14	-2.58
	My.min	-24.66	-1.44	1.6	0.01	**-12.4**	-0.58
	My.max	-44.44	-3.76	187.69	0.04	**672.36**	-2.88
	Mz.min	-62.05	-4.25	110.41	-0.01	416.09	**-3.66**
	Mz.max	-1.28	0.19	0.16	0	-3.9	**0.04**
P1_C3	N.min	**-47.8**	3.78	-71.51	0	270.29	-2.87
	N.max	**0**	0	-0.03	0	0	0
	Vy.min	-10.95	**-0.51**	-35.34	-0.03	128.44	-0.26
	Vy.max	-38.29	**4.52**	-74.83	0	268.2	-2.54
	Vz.min	-40.5	3.75	**-106.67**	-0.02	369.53	-2.65
	Vz.max	-11.09	0.57	**0.47**	0	11.13	-0.06
	Mx.min	-31.77	3.13	-62.75	**-0.07**	222.64	-2.29
	Mx.max	-16.67	0.57	-64.46	**0.05**	228.96	-0.61
	My.min	-15.42	0.8	-1.19	0	**-11.04**	-0.41
	My.max	-26	2.91	-105.61	-0.01	**378.08**	-2.24
	Mz.min	-45.13	3.82	-63.47	-0.04	245.99	**-2.95**
	Mz.max	-1.01	-0.15	-0.13	0	-3.14	**0.03**
P2_C3	N.min	**-48.22**	-3.81	71.55	0	270.98	-2.87
	N.max	**0**	0	0.02	0	0	0
	Vy.min	-38.71	**-4.55**	74.86	0	268.87	-2.54
	Vy.max	-11.01	**0.51**	35.32	0.03	128.55	-0.26
	Vz.min	-11.16	-0.58	**-0.47**	0	11.24	-0.06
	Vz.max	-42.49	-3.83	**106.7**	0.02	369.85	-2.65
	Mx.min	-16.74	-0.58	64.44	**-0.05**	229.09	-0.61
	Mx.max	-32.14	-3.15	62.79	**0.07**	223.23	-2.28
	My.min	-15.57	-0.82	1.23	0	**-10.8**	-0.41
	My.max	-26.27	-2.93	105.61	0.01	**378.51**	-2.24
	Mz.min	-45.58	-3.84	63.5	0.04	246.71	**-2.94**
	Mz.max	-1.02	0.15	0.13	0	-3.12	**0.03**
BR	N.min	**-51.27**	-5.42	0.57	0	-12.78	-10.95
	N.max	**51.27**	5.42	-0.57	0	12.78	10.95
	Vy.min	26.56	**-10.89**	0.94	0	6.31	7.86
	Vy.max	-26.56	**10.89**	-0.94	0	-6.31	-7.86
	Vz.min	-26.56	10.89	**-0.94**	0	-6.31	-7.86
	Vz.max	26.56	-10.89	**0.94**	0	6.31	7.86
	Mx.min	26.58	10.88	-0.94	**0**	6.32	7.86
	Mx.max	-26.58	-10.88	0.94	**0**	-6.32	-7.86
	My.min	-50.32	-8.17	0.65	0	**-12.83**	-8.56
	My.max	50.32	8.17	-0.65	0	**12.83**	8.56
	Mz.min	-51.24	5.42	-0.58	0	-12.75	**-10.95**
	Mz.max	51.24	-5.42	0.58	0	12.75	**10.95**

TR_P2.3 POPIS: **PŘÍČNÍK P2 - STŘED** POSUDEK: **P2.3**

SKUPINA ZAT. STAVŮ	EXTRÉM	VYHODNOCOVANÉ VELIČINY					
		N	Vy	Vz	Mx	My	Mz
		kN	kN	kN	kNm	kNm	kNm
S	N.min	**-0.25**	6.9	1.6	-0.01	-0.17	0.03
	N.max	**0.25**	-6.9	-1.6	0.01	0.17	-0.03
	Vy.min	0.25	**-6.9**	-1.6	0.01	0.17	-0.03
	Vy.max	-0.25	**6.9**	1.6	-0.01	-0.17	0.03
	Vz.min	0.25	-6.9	**-1.6**	0.01	0.17	-0.03
	Vz.max	-0.25	6.9	**1.6**	-0.01	-0.17	0.03
	Mx.min	-0.25	6.9	1.6	**-0.01**	-0.17	0.03
	Mx.max	0.25	-6.9	-1.6	**0.01**	0.17	-0.03
	My.min	0.03	6.33	-1.05	0	**-0.21**	0
	My.max	-0.03	-6.33	1.05	0	**0.21**	0
	Mz.min	0.25	-6.9	-1.6	0.01	0.17	**-0.03**
	Mz.max	-0.25	6.9	1.6	-0.01	-0.17	**0.03**
CH	N.min	**0.08**	0.6	2.65	0	-12.29	-0.33
	N.max	**1.22**	0.27	-0.04	0	-24.68	-0.37
	Vy.min	0.84	**0.01**	-0.01	0	-24.6	-0.47
	Vy.max	0.08	**0.6**	2.65	0	-12.29	-0.33
	Vz.min	1.22	0.27	**-0.04**	0	-24.68	-0.37
	Vz.max	0.08	0.6	**2.65**	0	-12.29	-0.33
	Mx.min	0.08	0.6	2.65	**0**	-12.29	-0.33
	Mx.max	0.84	0.01	-0.01	**0**	-24.6	-0.47
	My.min	1.22	0.27	-0.04	0	**-24.68**	-0.37
	My.max	0.08	0.6	2.65	0	**-12.29**	-0.33
	Mz.min	0.84	0.01	-0.01	0	-24.6	**-0.47**
	Mz.max	0.08	0.6	2.65	0	-12.29	**-0.33**
W	N.min	**-1.67**	8.49	10.69	-0.01	0.27	0
	N.max	**-0.89**	-8.48	-10.7	0.01	-0.24	0
	Vy.min	-0.89	**-8.48**	-10.7	0.01	-0.24	0
	Vy.max	-1.67	**8.49**	10.69	-0.01	0.27	0
	Vz.min	-0.89	-8.48	**-10.7**	0.01	-0.24	0
	Vz.max	-1.67	8.49	**10.69**	-0.01	0.27	0
	Mx.min	-1.67	8.49	10.69	**-0.01**	0.27	0
	Mx.max	-0.89	-8.48	-10.7	**0.01**	-0.24	0
	My.min	-0.89	-8.48	-10.7	0.01	**-0.24**	0
	My.max	-1.67	8.49	10.69	-0.01	**0.27**	0
	Mz.min	-1.67	8.49	10.69	-0.01	0.27	**0**
	Mz.max	-0.89	-8.48	-10.7	0.01	-0.24	**0**
WP	N.min	**0.06**	-14.67	-11.24	0.01	0.52	0
	N.max	**0.06**	14.72	11.23	-0.01	-0.38	-0.02
	Vy.min	0.06	**-14.67**	-11.24	0.01	0.52	0
	Vy.max	0.06	**14.72**	11.23	-0.01	-0.38	-0.02
	Vz.min	0.06	-14.67	**-11.24**	0.01	0.52	0
	Vz.max	0.06	14.72	**11.23**	-0.01	-0.38	-0.02
	Mx.min	0.06	14.72	11.23	**-0.01**	-0.38	-0.02
	Mx.max	0.06	-14.67	-11.24	**0.01**	0.52	0
	My.min	0.06	14.72	11.23	-0.01	**-0.38**	-0.02
	My.max	0.06	-14.67	-11.24	0.01	**0.52**	0
	Mz.min	0.06	14.72	11.23	-0.01	-0.38	**-0.02**
	Mz.max	0.06	-14.67	-11.24	0.01	0.52	**0**
TR	N.min	**0**	0	0	0	0	0
	N.max	**0**	0	0	0	0	0
	Vy.min	0	**0**	0	0	0	0
	Vy.max	0	**0**	0	0	0	0
	Vz.min	0	0	**0**	0	0	0
	Vz.max	0	0	**0**	0	0	0
	Mx.min	0	0	0	**0**	0	0
	Mx.max	0	0	0	**0**	0	0
	My.min	0	0	0	0	**0**	0
	My.max	0	0	0	0	**0**	0
	Mz.min	0	0	0	0	0	**0**
	Mz.max	0	0	0	0	0	**0**
TN	N.min	**-5.55**	0.01	-0.01	0	5.76	0.25
	N.max	**5.55**	-0.01	0.01	0	-5.76	-0.25
	Vy.min	1.09	**-0.14**	5.34	0.01	-5.43	-0.13
	Vy.max	1.68	**0.11**	-5.29	-0.01	-6.42	-0.13
	Vz.min	1.68	0.11	**-5.29**	-0.01	-6.42	-0.13
	Vz.max	1.09	-0.14	**5.34**	0.01	-5.43	-0.13
	Mx.min	1.68	0.11	-5.29	**-0.01**	-6.42	-0.13
	Mx.max	1.09	-0.14	5.34	**0.01**	-5.43	-0.13
	My.min	1.68	0.11	-5.29	-0.01	**-6.42**	-0.13
	My.max	-5.55	0.01	-0.01	0	**5.76**	0.25
	Mz.min	5.55	-0.01	0.01	0	-5.76	**-0.25**
	Mz.max	-5.55	0.01	-0.01	0	5.76	**0.25**
FR	N.min	**-6.59**	0	0	0	-1.95	-0.38
	N.max	**6.59**	0	0	0	1.95	0.38
	Vy.min	6.59	**0**	0	0	1.95	0.38
	Vy.max	-6.59	**0**	0	0	-1.95	-0.38
	Vz.min	-6.59	0	**0**	0	-1.95	-0.38
	Vz.max	6.59	0	**0**	0	1.95	0.38
	Mx.min	-6.59	0	0	**0**	-1.95	-0.38
	Mx.max	6.59	0	0	**0**	1.95	0.38
	My.min	-6.59	0	0	0	**-1.95**	-0.38
	My.max	6.59	0	0	0	**1.95**	0.38
	Mz.min	-6.59	0	0	0	-1.95	**-0.38**
	Mz.max	6.59	0	0	0	1.95	**0.38**
I	N.min	**-0.11**	0.53	2.68	0	0.15	**0**
	N.max	**0.11**	-0.53	-2.68	0	-0.15	**0**
	Vy.min	0.11	**-0.53**	-2.68	0	-0.15	**0**
	Vy.max	-0.11	**0.53**	2.68	0	0.15	**0**
	Vz.min	0.11	-0.53	**-2.68**	0	-0.15	**0**
	Vz.max	-0.11	0.53	**2.68**	0	0.15	**0**
	Mx.min	-0.11	0.53	2.68	**0**	0.15	**0**
	Mx.max	0.11	-0.53	-2.68	**0**	-0.15	**0**
	My.min	0.11	-0.53	-2.68	0	**-0.15**	**0**
	My.max	-0.11	0.53	2.68	0	**0.15**	**0**
	Mz.min	0.11	-0.53	-2.68	0	-0.15	**0**
	Mz.max	-0.11	0.53	2.68	0	0.15	**0**

TAB. P2.3.3 POSOUZENÍ - MEZNÍ STAV ÚNOSNOSTI

POPIS	PŘÍČNÍK P2 - STŘED
PRUT / POLOHA BODU	693 / I[570]
NAMÁHÁNÍ	My.max
VLÁKNO	BOD K2 -HP
MEZNÍ STAV	ULS (MSÚ)
VYUŽITÍ VLÁKNA PRŮŘEZU	0.77

Charakteristiky materiálu				
pás. horní	$f_{yf,k}$	230	MPa	
pás. dolní	$f_{yf,k}$	230	MPa	
stojina	$f_{yw,k}$	230	MPa	
výztuž	$f_{ys,k}$	500	MPa	
γ_M =	1.10	γ_s =	1.15	

Excentricita normálové síly				
Exc./Fáze	0	1	2	3
e_y	0.000	0.000	0.000	0.000
e_z	0.000	0.000	0.000	0.000
Ekvivalentní vzdál. stěn - příčný roznos				
b_{Mx}	0.000	0.000	0.000	0.000

Vliv stěny na únosnost průřezu				
Char./Fáze	0	1	2	3
A	0.00	0.00	0.00	0.00
Wy	0.00	0.00	0.00	0.00
Wz	0.00	0.00	0.00	0.00

Charakter. v kroucení			
$t_{w,y}$	0.000	[mm]	
$t_{w,z}$	0.000	[mm]	
κ	1.00		
I_t=	0.00E+00	[mm^4]	
Ω=2*A_{pr}	0.00E+00	[mm^2]	

Součinitele vzpěru a vlivu II.řádu					
Char./Fáze	0	1	2	3	
k_y	1.000	1.000	1.000	1.000	
k_z	1.000	1.000	1.000	1.000	
χ_{LT}	1.000	1.000	1.000	1.000	
χ_{min}	1.000	1.000	1.000	1.000	

δ_{LOK} 1.00

Vnitřní síly od jednotlivých skupin zatěžovacích stavů

SKUPINA ZATĚŽOVACÍCH STAVŮ — 3

Č.	SKUP ZS	POPIS ZS	KAT.	FÁZE PRŮŘ.	- CHARAKTERISTICKÉ HODNOTY N.k (kN)	Vy.k (kN)	Vz.k (kN)	Mx.k (kNm)	My.k (kNm)	Mz.k (kNm)	DÍLČÍ SOUČINITELÉ ZATÍŽENÍ, DYNAMICKÝ SOUČINITEL γ_{or} (-)	γ_{Q} (-)	volba ψ_i hledat	ψ_i (-)	L_d (m)	δ (-)	γ_{Sd} KZ03	- NÁVRHOVÉ HODNOTY N.d (kN)	Vy.d (kN)	Vz.d (kN)	ΔVz.d (kN)	ΣVz.d (kN)	Mx.d (kNm)	My.d (kNm)	ΔMy.d (kNm)	ΣMy.d (kNm)	Mz.d (kNm)	ΔMz.d (kNm)	ΣMz.d (kNm)
1	G0	Vlastní tíha OK	G	0	-29	0	0	0	85	-3	1.00	1.20		1.20	-	1.00	0.95	-33	0	0	0	0	0	96	0	96	-4	0	-4
2	G1	Ostatní stálé - mostní vybavení	G	0	-2	0	0	0	14	0	1.00	1.20		1.20	-	1.00	0.95	-3	0	0	0	0	0	16	0	16	0	0	0
3	G2	Ostatní stálé - cizí zařízení	G	0	0	0	3	0	4	0	1.00	1.20		1.20	-	1.00	0.95	-1	0	4	0	4	0	5	0	5	0	0	0
4	P1_71	a.LM71 - kolej 1 (bez dyn. souč.)	P	0	-44	4	-188	0	672	-3	1.00	1.30		1.30	-	1.27	1.00	-72	6	-310	0	-310	0	1 110	0	1 110	-5	1	-4
5	P2_71	a.LM71 - kolej 2 (bez dyn. souč.)	P	0	-44	-4	188	0	672	-3	1.00	1.30		1.30	-	1.27	1.00	-73	-6	310	0	310	0	1 111	0	1 111	-5	1	-4
6	P1_C3	TTZ C3 - kolej 1 (bez dyn. souč.)	P	0	-26	3	-106	0	378	-2	1.00	vyp.		0.00	-	1.00	0.00	0	0	0	0	0	0	0	0	0	0	0	0
7	P2_C3	TTZ C3 - kolej 2 (bez dyn. souč.)	P	0	-26	-3	106	0	379	-2	1.00	vyp.		0.00	-	1.00	0.00	0	0	0	0	0	0	0	0	0	0	0	0
8	BR	Brzdné a rozjezdové síly	P	0	50	8	-1	0	13	9	1.00	-1.30		-1.30	-	1.00	0.80	-52	-8	1	0	1	0	-13	0	-13	-9	0	-9
9	S	Boční ráz	P	0	0	-6	1	0	0	0	1.00	1.30		1.30	-	1.00	0.40	0	-3	1	0	1	0	0	0	0	0	0	0
10	CH	Chodci na lávkách	Q	0	0	1	3	0	-12	0	1.00	0.00		0.00	-	1.00	1.00	0	0	0	0	0	0	0	0	0	0	0	0
11	W	Vítr na konstrukci	Q	0	-2	8	11	0	0	0	1.00	1.35		1.35	-	1.00	0.75	-2	9	11	0	11	0	0	0	0	0	0	0
12	WP	Vítr na vozidla	Q	0	0	-15	-11	0	1	0	1.00	1.35		1.35	-	1.00	0.75	0	-15	-11	0	-11	0	1	0	1	0	0	0
13	TR	Teplota rovnoměrná	Q	0	0	0	0	0	0	0	1.00	1.35		1.35	-	1.00	0.45	0	0	0	0	0	0	0	0	0	0	0	0
14	TN	Teplota nerovnoměrná	Q	0	-6	0	0	0	6	0	1.00	1.35		1.35	-	1.00	0.60	-4	0	0	0	0	0	5	0	5	0	0	0
15	FR	Třecí síly v ložiskách	Q	0	7	0	0	0	2	0	1.00	-1.20		-1.20	-	1.00	1.00	-8	0	0	0	0	0	-2	0	-2	0	0	0
16	I	Imperfekce soustavy	Q	0	0	1	3	0	0	0	1.00	1.20		1.20	-	1.00	1.00	0	1	3	0	3	0	0	0	0	0	0	0
27	ULS_LM	ULS - LM71 bez dynam	Q	0	-83	1	10	0	1 874	0	1.00	vyp.		0.00	-	1.00	0.00	0	0	0	0	0	0	0	0	0	0	0	0
28	SLS_LM	SLS - LM71 bez dynam	Q	0	-64	1	8	0	1 451	-1	1.00	vyp.	1	0.00	-	1.00	0.00	0	0	0	0	0	0	0	0	0	0	0	0
29	ULS_C3	ULS - C3 bez dynam	Q	0	-37	2	10	0	1 110	1	1.00	vyp.	1	0.00	-	1.00	0.00	0	0	0	0	0	0	0	0	0	0	0	0
30	SLS_C3	SLS - C3 bez dynam	Q	0	-28	1	8	0	863	0	1.00	vyp.	1	0.00	-	1.00	0.00	0	0	0	0	0	0	0	0	0	0	0	0
		CELKEM - FÁZE PRŮŘEZU 0																-248	-18	8	0	8	0	2 329	0	2 329	-23	2	-21
		CELKEM - FÁZE PRŮŘEZU 1																0	0	0	0	0	0	0	0	0	0	0	0
		CELKEM - FÁZE PRŮŘEZU 2																0	0	0	0	0	0	0	0	0	0	0	0
		CELKEM - FÁZE PRŮŘEZU 3																0	0	0	0	0	0	0	0	0	0	0	0
		CELKEM - PRŮŘEZ																-248	-18	8	0	8	0			2 329			-21

Napětí od jednotlivých zatěžovacích stavů

SKUPINA ZATĚŽOVACÍCH STAVŮ

Č.	SKUP ZS	Popis ZS	Kat.	fáze průř.	Posouzení normálového napětí — Účinek síly N: δ^*N_d [kN]	χ^*A [mm^2]	σ_n [MPa]	Účinek momentu My: $\delta^*M_{y,d}$ [kNm]	$\chi_{lt}{}^*W_{el,y}$ [mm^3]	σ_{my} [MPa]	Účinek momentu Mz: $\delta^*M_{z,d}$ [kNm]	$W_{el,z}$ [mm^3]	σ_{mz} [MPa]	σ_x [MPa]	Posouzení smykového napětí — Účinek kroutícího momentu Mx: $\kappa^*\delta^*M_{x,d}$ [kNm]	$W_{v,y}$ [mm^2]	$\tau_{x,y}$ [MPa]	$W_{v,z}$ [mm^2]	$\tau_{x,z}$ [MPa]	Účinek smykové síly Vy: $\delta^*V_{y,d}$ [kN]	$A_{v,y}$ [mm2]	$\tau_{v,y}$ [MPa]	$\tau_{v,y}$ [MPa]	Účinek smykové síly Vz: $\delta^*V_{z,d}$ [kN]	$A_{v,z}$ [mm2]	$\tau_{v,z}$ [MPa]	$\tau_{v,z}$ [MPa]
1	G0	Vlastní tíha OK	G	0	-32.5	3.60E+04	-0.9	96.5	-1.67E+07	-5.8	-3.7	1.37E+06	-2.7	-9.3	0.0E+00	-	-	-	-	-0.1	2.41E+04	0.0	0.0	0.1	7.39E+03	0.0	0.0
2	G1	Ostatní stálé - mostní vybavení	G	0	-2.8	3.60E+04	-0.1	16.5	-1.67E+07	-1.0	-0.3	1.37E+06	-0.2	-1.3	0.0E+00	-	-	-	-	0.0	2.41E+04	0.0	0.0	0.0	7.39E+03	0.0	0.0
3	G2	Ostatní stálé - cizí zařízení	G	0	-0.5	3.60E+04	0.0	4.6	-1.67E+07	-0.3	-0.2	1.37E+06	-0.1	-0.4	0.0E+00	-	-	-	-	0.0	2.41E+04	0.0	0.0	3.6	7.39E+03	0.5	0.5
4	P1_71	a.LM71 - kolej 1 (bez dyn. souč.)	P	0	-72.4	3.60E+04	-2.0	1 109.9	-1.67E+07	-66.3	-3.7	1.37E+06	-2.7	-71.0	-6.6E-02	-	-	-	-	6.1	2.41E+04	0.3	0.3	-310.1	7.39E+03	-42.0	-42.0
5	P2_71	a.LM71 - kolej 2 (bez dyn. souč.)	P	0	-73.4	3.60E+04	-2.0	1 110.9	-1.67E+07	-66.4	-3.7	1.37E+06	-2.7	-71.1	6.6E-02	-	-	-	-	-6.2	2.41E+04	-0.3	-0.3	310.1	7.39E+03	42.0	42.0
6	P1_C3	TTZ C3 - kolej 1 (bez dyn. souč.)	P	0	0.0	3.60E+04	0.0	0.0	-1.67E+07	0.0	0.0	1.37E+06	0.0	0.0	0.0E+00	-	-	-	-	0.0	2.41E+04	0.0	0.0	0.0	7.39E+03	0.0	0.0
7	P2_C3	TTZ C3 - kolej 2 (bez dyn. souč.)	P	0	0.0	3.60E+04	0.0	0.0	-1.67E+07	0.0	0.0	1.37E+06	0.0	0.0	0.0E+00	-	-	-	-	0.0	2.41E+04	0.0	0.0	0.0	7.39E+03	0.0	0.0
8	BR	Brzdné a rozjezdové síly	P	0	-52.3	3.60E+04	-1.5	-13.3	-1.67E+07	0.8	-8.9	1.37E+06	-6.5	-7.1	0.0E+00	-	-	-	-	-8.5	2.41E+04	-0.4	-0.4	0.7	7.39E+03	0.1	0.1
9	S	Boční ráz	P	0	0.0	3.60E+04	0.0	0.1	-1.67E+07	0.0	0.0	1.37E+06	0.0	0.0	0.0E+00	-	-	-	-	-3.3	2.41E+04	-0.1	-0.1	0.5	7.39E+03	0.1	0.1
10	CH	Chodci na lávkách	Q	0	0.0	3.60E+04	0.0	0.0	-1.67E+07	0.0	0.0	1.37E+06	0.0	0.0	0.0E+00	-	-	-	-	0.0	2.41E+04	0.0	0.0	0.0	7.39E+03	0.0	0.0
11	W	Vítr na konstrukci	Q	0	-1.7	3.60E+04	0.0	0.3	-1.67E+07	0.0	0.0	1.37E+06	0.0	-0.1	-1.0E-02	-	-	-	-	8.6	2.41E+04	0.4	0.4	10.8	7.39E+03	1.5	1.5
12	WP	Vítr na vozidla	Q	0	0.1	3.60E+04	0.0	0.5	-1.67E+07	0.0	0.0	1.37E+06	0.0	0.0	1.0E-02	-	-	-	-	-14.9	2.41E+04	-0.6	-0.6	-11.4	7.39E+03	-1.5	-1.5
13	TR	Teplota rovnoměrná	Q	0	0.0	3.60E+04	0.0	0.0	-1.67E+07	0.0	0.0	1.37E+06	0.0	0.0	0.0E+00	-	-	-	-	0.0	2.41E+04	0.0	0.0	0.0	7.39E+03	0.0	0.0
14	TN	Teplota nerovnoměrná	Q	0	-4.5	3.60E+04	-0.1	4.7	-1.67E+07	-0.3	0.2	1.37E+06	0.1	-0.3	0.0E+00	-	-	-	-	0.0	2.41E+04	0.0	0.0	0.0	7.39E+03	0.0	0.0
15	FR	Třecí síly v ložiskách	Q	0	-7.9	3.60E+04	-0.2	-2.3	-1.67E+07	0.1	-0.5	1.37E+06	-0.3	-0.4	0.0E+00	-	-	-	-	0.0	2.41E+04	0.0	0.0	0.0	7.39E+03	0.0	0.0
16	I	Imperfekce soustavy	Q	0	-0.1	3.60E+04	0.0	0.2	-1.67E+07	0.0	0.0	1.37E+06	0.0	0.0	0.0E+00	-	-	-	-	0.6	2.41E+04	0.0	0.0	3.2	7.39E+03	0.4	0.4
27	ULS_LM	ULS - LM71 bez dynam	Q	0	0.0	3.60E+04	0.0	0.0	-1.67E+07	0.0	0.0	1.37E+06	0.0	0.0	0.0E+00	-	-	-	-	0.0	2.41E+04	0.0	0.0	0.0	7.39E+03	0.0	0.0
28	SLS_LM	SLS - LM71 bez dynam	Q	0	0.0	3.60E+04	0.0	0.0	-1.67E+07	0.0	0.0	1.37E+06	0.0	0.0	0.0E+00	-	-	-	-	0.0	2.41E+04	0.0	0.0	0.0	7.39E+03	0.0	0.0
29	ULS_C3	ULS - C3 bez dynam	Q	0	0.0	3.60E+04	0.0	0.0	-1.67E+07	0.0	0.0	1.37E+06	0.0	0.0	0.0E+00	-	-	-	-	0.0	2.41E+04	0.0	0.0	0.0	7.39E+03	0.0	0.0
30	SLS_C3	SLS - C3 bez dynam	Q	0	0.0	3.60E+04	0.0	0.0	-1.67E+07	0.0	0.0	1.37E+06	0.0	0.0	0.0E+00	-	-	-	-	0.0	2.41E+04	0.0	0.0	0.0	7.39E+03	0.0	0.0
		NAVÝŠENÍ NAPĚTÍ DO AKTIVACE TLAKU V DESCE MOSTOVKY				$\sigma_{P,red}$	0.0							0.0			0.0		0.0				-0.7	-0.7			1.0	1.0
		NAPĚTÍ OD PRIMÁRNÍCH ÚČINKŮ NEROVNOMĚRNÉHO OTEPLENÍ				σ_T	0.0							0.0													
		NAPĚTÍ OD REOLOGICKÝCH ÚČINKŮ BETONU V ČASE		t=0		σ_R	0.0	$\gamma_{i=}$	1.20					0.0													
		NAPĚTÍ V KRITICKÝCH VLÁKNECH OD KOMBINACE ZATÍŽENÍ				KZ03		[MPa]					$\Sigma\sigma_x$	-161.1									$\Sigma\tau_y$	-0.7			$\Sigma\tau_z$	1.0
		NAPĚTÍ OD POHYBLIVÉHO ZATÍŽENÍ						[MPa]					$\sigma_{x,P}$	-149.3										-0.5			τ_P	0.2
		NAPĚTÍ OD OSTATNÍCH ZATÍŽENÍ						[MPa]			Φ_{Vy}	Φ_{Vz}	$\sigma_{x,rs}$	-11.8									τ_{rs}	-0.2			τ_{rs}	0.9
		NÁVRHOVÁ HODNOTA MEZE KLUZU S REDUKCÍ VLIVEM SMYKOVÉHO NAPĚTÍ						[MPa]			1.00	1.00	$f_{yw,d}$	209.1									$f_{yd}/3^{0,5}$	120.7			$f_{yd}/3^{0,5}$	120.7
		NAPĚTÍ OD POHYBLIVÉHO ZATÍŽENÍ V GLOBÁLNÍM SYSTÉMU				$\sigma_{GLOB,P}$	0.0	[MPa]					$\Sigma\sigma_{GLOB}$	0.0														
		NAPĚTÍ OD OSTATNÍCH ZATÍŽENÍ V GLOBÁLNÍM SYSTÉMU				$\sigma_{GLOB,rs}$	0.0	[MPa]					$\Sigma\sigma_x + \Sigma\sigma_{GLOB}$	-161.1														
		VYUŽITÍ PRŮŘEZU DLE NAPĚTÍ						[%]					η_1	0.77									η_3	0.01			η_3	0.01
		NAPĚTÍ V PŘÍČNÉM SMĚRU OD POHYBLIVÉHO ZATÍŽENÍ				$\sigma_{z,P}$	0.0	[MPa]					$\Sigma\sigma_z$	0.0														
		NAPĚTÍ V PŘÍČNÉM SMĚRU OD OSTATNÍCH ZATÍŽENÍ				$\sigma_{z,rs}$	0.0	[MPa]					η_2	0.00														
		SROVNÁVACÍ NAPĚTÍ											$(\eta_2 + 0{,}8\,\eta_1)/1{,}4$ =	0.44														
		VYUŽITÍ PRŮŘEZU CELKEM						[%]					eff	0.77	VYHOVUJE													
		STANOVENÍ ZATÍŽITELNOSTI											z_{LM71} =	1.32														

TAB. P2.3.3 POSOUZENÍ - MEZNÍ STAV ÚNOSNOSTI

POPIS	PŘÍČNÍK P2 - STŘED
PRUT / POLOHA BODU	693 / I[570]
NAMÁHÁNÍ	My.max
VLÁKNO	BOD K3 -SL
MEZNÍ STAV	ULS (MSÚ)
VYUŽITÍ VLÁKNA PRŮŘEZU	0.80

Charakteristiky materiálu				
pás. horní	$f_{yf,k}$	230	MPa	
pás. dolní	$f_{yf,k}$	230	MPa	
stojina	$f_{yw,k}$	230	MPa	
výztuž	$f_{ys,k}$	500	MPa	
γ_M =	1.10	γ_s =	1.15	

Excentricita normálové síly				
Exc./Fáze	0	1	2	3
e_y	0.000	0.000	0.000	0.000
e_z	0.000	0.000	0.000	0.000
Ekvivalentní vzdál. stěn - příčný roznos				
b_{Mx}	0.000	0.000	0.000	0.000

Vliv stěny na únosnost průřezu				
Char./Fáze	0	1	2	3
A	0.00	0.00	0.00	0.00
Wy	0.00	0.00	0.00	0.00
Wz	0.00	0.00	0.00	0.00

Charakter. v kroucení			
$t_{w,y}$	0.000	[mm]	
$t_{w,z}$	0.000	[mm]	
κ	1.00		
I_t=	0.00E+00	[mm⁴]	
Ω=2*A_{pr}	0.00E+00	[mm²]	

Součinitele vzpěru a vlivu II.řádu				
Char./Fáze	0	1	2	3
k_y	1.000	1.000	1.000	1.000
k_z	1.000	1.000	1.000	1.000
χ_{LT}	1.000	1.000	1.000	1.000
χ_{min}	1.000	1.000	1.000	1.000

δ_{LOK} 1.00

Vnitřní síly od jednotlivých skupin zatěžovacích stavů

SKUPINA ZATĚŽOVACÍCH STAVŮ					- CHARAKTERISTICKÉ HODNOTY						DÍLČÍ SOUČINITELÉ ZATÍŽENÍ, DYNAMICKÝ SOUČINITEL						3	- NÁVRHOVÉ HODNOTY									
Č.	SKUP ZS	POPIS ZS	KAT.	FÁZE PRŮŘ.	N.k (kN)	Vy.k (kN)	Vz.k (kN)	Mx.k (kNm)	My.k (kNm)	Mz.k (kNm)	γ_{sr} (-)	γ_{sl} (-)	volba ψ_i hledat	ψ_i (-)	L_d (m)	δ (-)	ψ_0 KZ03	N.d (kN)	Vy.d (kN)	Vz.d (kN)	ΔVz.d (kN)	ΣVz.d (kN)	Mx.d (kNm)	My.d (kNm)	ΔMy.d (kNm)	ΣMy.d (kNm)	Mz.d (kNm)	ΔMz.d (kNm)	ΣMz.d (kNm)
1	G0	Vlastní tíha OK	G	0	-29	0	0	0	85	-3	1.00	1.20		1.20	-	1.00	0.95	-33	0	0	0	0	0	96	0	96	-4	0	-4
2	G1	Ostatní stálé - mostní vybavení	G	0	-2	0	0	0	14	0	1.00	1.20		1.20	-	1.00	0.95	-3	0	0	0	0	0	16	0	16	0	0	0
3	G2	Ostatní stálé - cizí zařízení	G	0	0	0	3	0	4	0	1.00	1.20		1.20	-	1.00	0.95	-1	0	4	0	4	0	5	0	5	0	0	0
4	P1_71	a.LM71 - kolej 1 (bez dyn. souč.)	P	0	-44	4	-188	0	672	-3	1.00	1.30		1.30	-	1.27	1.00	-72	6	-310	0	-310	0	1 110	0	1 110	-5	1	-4
5	P2_71	a.LM71 - kolej 2 (bez dyn. souč.)	P	0	-44	-4	188	0	672	-3	1.00	1.30		1.30	-	1.27	1.00	-73	-6	310	0	310	0	1 111	0	1 111	-5	1	-4
6	P1_C3	TTZ C3 - kolej 1 (bez dyn. souč.)	P	0	-26	3	-106	0	378	-2	1.00	vyp.		0.00	-	1.00	0.00	0	0	0	0	0	0	0	0	0	0	0	0
7	P2_C3	TTZ C3 - kolej 2 (bez dyn. souč.)	P	0	-26	-3	106	0	379	-2	1.00	vyp.		0.00	-	1.00	0.00	0	0	0	0	0	0	0	0	0	0	0	0
8	BR	Brzdné a rozjezdové síly	P	0	50	8	-1	0	13	9	1.00	-1.30		-1.30	-	1.00	0.80	-52	-8	1	0	1	0	-13	0	-13	-9	0	-9
9	S	Boční ráz	P	0	0	-6	1	0	0	0	1.00	1.30		1.30	-	1.00	0.40	0	-3	1	0	1	0	0	0	0	0	0	0
10	CH	Chodci na lávkách	Q	0	0	1	3	0	-12	0	1.00	0.00		0.00	-	1.00	1.00	0	0	0	0	0	0	0	0	0	0	0	0
11	W	Vítr na konstrukci	Q	0	-2	8	11	0	0	0	1.00	-1.35		-1.35	-	1.00	0.75	2	-9	-11	0	-11	0	0	0	0	0	0	0
12	WP	Vítr na vozidla	Q	0	0	-15	-11	0	1	0	1.00	1.35		1.35	-	1.00	0.75	0	-15	-11	0	-11	0	1	0	1	0	0	0
13	TR	Teplota rovnoměrná	Q	0	0	0	0	0	0	0	1.00	1.35		1.35	-	1.00	0.45	0	0	0	0	0	0	0	0	0	0	0	0
14	TN	Teplota nerovnoměrná	Q	0	-6	0	0	0	6	0	1.00	1.35		1.35	-	1.00	0.60	-4	0	0	0	0	0	5	0	5	0	0	0
15	FR	Třecí síly v ložiskách	Q	0	7	0	0	0	2	0	1.00	1.20		1.20	-	1.00	1.00	8	0	0	0	0	0	2	0	2	0	0	0
16	I	Imperfekce soustavy	Q	0	0	1	3	0	0	0	1.00	1.20		1.20	-	1.00	1.00	0	1	3	0	3	0	0	0	0	0	0	0
27	ULS_LM	ULS - LM71 bez dynam	Q	0	-83	1	10	0	1 874	0	1.00	vyp.	1	0.00	-	1.00	0.00	0	0	0	0	0	0	0	0	0	0	0	0
28	SLS_LM	SLS - LM71 bez dynam	Q	0	-64	1	8	0	1 451	-1	1.00	vyp.	1	0.00	-	1.00	0.00	0	0	0	0	0	0	0	0	0	0	0	0
29	ULS_C3	ULS - C3 bez dynam	Q	0	-37	2	10	0	1 110	1	1.00	vyp.	1	0.00	-	1.00	0.00	0	0	0	0	0	0	0	0	0	0	0	0
30	SLS_C3	SLS - C3 bez dynam	Q	0	-28	1	8	0	863	0	1.00	vyp.	1	0.00	-	1.00	0.00	0	0	0	0	0	0	0	0	0	0	0	0
		CELKEM - FÁZE PRŮŘEZU 0																-229	-35	-14	0	-14	0	2 333	0	2 333	-22	2	-20
		CELKEM - FÁZE PRŮŘEZU 1																0	0	0	0	0	0	0	0	0	0	0	0
		CELKEM - FÁZE PRŮŘEZU 2																0	0	0	0	0	0	0	0	0	0	0	0
		CELKEM - FÁZE PRŮŘEZU 3																0	0	0	0	0	0	0	0	0	0	0	0
		CELKEM - PRŮŘEZ																-229	-35	-14	0	-14	0			2 333			-20

Napětí od jednotlivých zatěžovacích stavů

SKUPINA ZATĚŽOVACÍCH STAVŮ					Posouzení normálového napětí										Posouzení smykového napětí													
					Účinek síly N			Účinek momentu My			Účinek momentu Mz				Účinek kroutícího momentu Mx				Účinek smykové síly Vy					Účinek smykové síly Vz				
Č.	SKUP ZS	Popis ZS	Kat.	fáze průř.	δ^*N_d [kN]	χ^*A [mm²]	σ_n [MPa]	$\delta^*M_{y,d}$ [kNm]	$\chi_{lt}{}^*W_{el,y}$ [mm³]	σ_{my} [MPa]	$\delta^*M_{z,d}$ [kNm]	$W_{el,z}$ [mm³]	σ_{mz} [MPa]	σ_x [MPa]	$\kappa^*\delta^*M_{x,d}$ [kNm]	$W_{v,y}$ [mm²]	$\tau_{x,y}$ [MPa]	$W_{v,z}$ [mm²]	$\tau_{x,z}$ [MPa]	$\delta^*V_{y,d}$ [kN]	$A_{v,y}$ [mm2]	$\tau_{v,y}$ [MPa]	$\tau_{v,y}$ [MPa]	$\delta^*V_{z,d}$ [kN]	$A_{v,z}$ [mm2]	$\tau_{v,z}$ [MPa]	$\tau_{v,z}$ [MPa]
1	G0	Vlastní tíha OK	G	0	-32.5	3.60E+04	-0.9	96.5	1.46E+07	6.6	-3.7	-1.37E+06	2.7	8.4	0.0E+00	-	-	-	-	-0.1	2.41E+04	0.0	0.0	0.1	7.39E+03	0.0	0.0
2	G1	Ostatní stálé - mostní vybavení	G	0	-2.8	3.60E+04	-0.1	16.5	1.46E+07	1.1	-0.3	-1.37E+06	0.2	1.3	0.0E+00	-	-	-	-	0.0	2.41E+04	0.0	0.0	0.0	7.39E+03	0.0	0.0
3	G2	Ostatní stálé - cizí zařízení	G	0	-0.5	3.60E+04	0.0	4.6	1.46E+07	0.3	-0.2	-1.37E+06	0.1	0.5	0.0E+00	-	-	-	-	0.0	2.41E+04	0.0	0.0	3.6	7.39E+03	0.5	0.5
4	P1_71	a.LM71 - kolej 1 (bez dyn. souč.)	P	0	-72.4	3.60E+04	-2.0	1 109.9	1.46E+07	76.2	-3.7	-1.37E+06	2.7	76.9	-6.6E-02	-	-	-	-	6.1	2.41E+04	0.3	0.3	-310.1	7.39E+03	-42.0	-42.0
5	P2_71	a.LM71 - kolej 2 (bez dyn. souč.)	P	0	-73.4	3.60E+04	-2.0	1 110.9	1.46E+07	76.3	-3.7	-1.37E+06	2.7	76.9	6.6E-02	-	-	-	-	-6.2	2.41E+04	-0.3	-0.3	310.1	7.39E+03	42.0	42.0
6	P1_C3	TTZ C3 - kolej 1 (bez dyn. souč.)	P	0	0.0	3.60E+04	0.0	0.0	1.46E+07	0.0	0.0	-1.37E+06	0.0	0.0	0.0E+00	-	-	-	-	0.0	2.41E+04	0.0	0.0	0.0	7.39E+03	0.0	0.0
7	P2_C3	TTZ C3 - kolej 2 (bez dyn. souč.)	P	0	0.0	3.60E+04	0.0	0.0	1.46E+07	0.0	0.0	-1.37E+06	0.0	0.0	0.0E+00	-	-	-	-	0.0	2.41E+04	0.0	0.0	0.0	7.39E+03	0.0	0.0
8	BR	Brzdné a rozjezdové síly	P	0	-52.3	3.60E+04	-1.5	-13.3	1.46E+07	-0.9	-8.9	-1.37E+06	6.5	4.1	0.0E+00	-	-	-	-	-8.5	2.41E+04	-0.4	-0.4	0.7	7.39E+03	0.1	0.1
9	S	Boční ráz	P	0	0.0	3.60E+04	0.0	0.1	1.46E+07	0.0	0.0	-1.37E+06	0.0	0.0	0.0E+00	-	-	-	-	-3.3	2.41E+04	-0.1	-0.1	0.5	7.39E+03	0.1	0.1
10	CH	Chodci na lávkách	Q	0	0.0	3.60E+04	0.0	0.0	1.46E+07	0.0	0.0	-1.37E+06	0.0	0.0	0.0E+00	-	-	-	-	0.0	2.41E+04	0.0	0.0	0.0	7.39E+03	0.0	0.0
11	W	Vítr na konstrukci	Q	0	1.7	3.60E+04	0.0	-0.3	1.46E+07	0.0	0.0	-1.37E+06	0.0	0.0	1.0E-02	-	-	-	-	-8.6	2.41E+04	-0.4	-0.4	-10.8	7.39E+03	-1.5	-1.5
12	WP	Vítr na vozidla	Q	0	0.1	3.60E+04	0.0	0.5	1.46E+07	0.0	0.0	-1.37E+06	0.0	0.0	1.0E-02	-	-	-	-	-14.9	2.41E+04	-0.6	-0.6	-11.4	7.39E+03	-1.5	-1.5
13	TR	Teplota rovnoměrná	Q	0	0.0	3.60E+04	0.0	0.0	1.46E+07	0.0	0.0	-1.37E+06	0.0	0.0	0.0E+00	-	-	-	-	0.0	2.41E+04	0.0	0.0	0.0	7.39E+03	0.0	0.0
14	TN	Teplota nerovnoměrná	Q	0	-4.5	3.60E+04	-0.1	4.7	1.46E+07	0.3	0.2	-1.37E+06	-0.1	0.0	0.0E+00	-	-	-	-	0.0	2.41E+04	0.0	0.0	0.0	7.39E+03	0.0	0.0
15	FR	Třecí síly v ložiskách	Q	0	7.9	3.60E+04	0.2	2.3	1.46E+07	0.2	0.5	-1.37E+06	-0.3	0.0	0.0E+00	-	-	-	-	0.0	2.41E+04	0.0	0.0	0.0	7.39E+03	0.0	0.0
16	I	Imperfekce soustavy	Q	0	-0.1	3.60E+04	0.0	0.2	1.46E+07	0.0	0.0	-1.37E+06	0.0	0.0	0.0E+00	-	-	-	-	0.6	2.41E+04	0.0	0.0	3.2	7.39E+03	0.4	0.4
27	ULS_LM	ULS - LM71 bez dynam	Q	0	0.0	3.60E+04	0.0	0.0	1.46E+07	0.0	0.0	-1.37E+06	0.0	0.0	0.0E+00	-	-	-	-	0.0	2.41E+04	0.0	0.0	0.0	7.39E+03	0.0	0.0
28	SLS_LM	SLS - LM71 bez dynam	Q	0	0.0	3.60E+04	0.0	0.0	1.46E+07	0.0	0.0	-1.37E+06	0.0	0.0	0.0E+00	-	-	-	-	0.0	2.41E+04	0.0	0.0	0.0	7.39E+03	0.0	0.0
29	ULS_C3	ULS - C3 bez dynam	Q	0	0.0	3.60E+04	0.0	0.0	1.46E+07	0.0	0.0	-1.37E+06	0.0	0.0	0.0E+00	-	-	-	-	0.0	2.41E+04	0.0	0.0	0.0	7.39E+03	0.0	0.0
30	SLS_C3	SLS - C3 bez dynam	Q	0	0.0	3.60E+04	0.0	0.0	1.46E+07	0.0	0.0	-1.37E+06	0.0	0.0	0.0E+00	-	-	-	-	0.0	2.41E+04	0.0	0.0	0.0	7.39E+03	0.0	0.0
						$\sigma_{P,red}$	0.0							0.0			0.0		0.0			-1.4	-1.4			-1.9	-1.9
NAVÝŠENÍ NAPĚTÍ DO AKTIVACE TLAKU V DESCE MOSTOVKY						σ_T	0.0							0.0													
NAPĚTÍ OD PRIMÁRNÍCH ÚČINKŮ NEROVNOMĚRNÉHO OTEPLENÍ																											
NAPĚTÍ OD REOLOGICKÝCH ÚČINKŮ BETONU V ČASE				t=0		σ_R	0.0							0.0													
								γ_F=	1.20																			
NAPĚTÍ V KRITICKÝCH VLÁKNECH OD KOMBINACE ZATÍŽENÍ						KZ03		[MPa]					$\Sigma\sigma_x$	168.2								$\Sigma\tau_y$	-1.4				$\Sigma\tau_z$	-1.9
NAPĚTÍ OD POHYBLIVÉHO ZATÍŽENÍ								[MPa]					$\sigma_{x,P}$	157.9								τ_P	-0.5				τ_P	0.2
NAPĚTÍ OD OSTATNÍCH ZATÍŽENÍ								[MPa]			Φ_{Vy}	Φ_{Vz}	$\sigma_{x,rs}$	10.3								τ_{rs}	-1.0				τ_{rs}	-2.1
NÁVRHOVÁ HODNOTA MEZE KLUZU S REDUKCÍ VLIVEM SMYKOVÉHO NAPĚTÍ								[MPa]			1.00	1.00	$f_{yv,d}$	209.1								$f_{yd}/3^{0,5}$	120.7				$f_{yd}/3^{0,5}$	120.7
NAPĚTÍ OD POHYBLIVÉHO ZATÍŽENÍ V GLOBÁLNÍM SYSTÉMU						$\sigma_{GLOB,P}$	0.0	[MPa]					$\Sigma\sigma_{GLOB}$	0.0														
NAPĚTÍ OD OSTATNÍCH ZATÍŽENÍ V GLOBÁLNÍM SYSTÉMU						$\sigma_{GLOB,rs}$	0.0	[MPa]					$\Sigma\sigma_x + \Sigma\sigma_{GLOB}$	168.2														
VYUŽITÍ PRŮŘEZU DLE NAPĚTÍ								[%]					η_1	0.80								η_3	0.01				η_3	0.02
NAPĚTÍ V PŘÍČNÉM SMĚRU OD POHYBLIVÉHO ZATÍŽENÍ						$\sigma_{z,P}$	0.0	[MPa]					$\Sigma\sigma_z$	0.0														
NAPĚTÍ V PŘÍČNÉM SMĚRU OD OSTATNÍCH ZATÍŽENÍ						$\sigma_{z,rs}$	0.0	[MPa]					η_2	0.00														
SROVNÁVACÍ NAPĚTÍ													$(\eta_2 + 0,8\,\eta_1)/1,4$ =	0.46														
VYUŽITÍ PRŮŘEZU CELKEM								[%]					eff	0.80	VYHOVUJE													
STANOVENÍ ZATÍŽITELNOSTI													z_{LM71} =	1.26														

TAB. P2.3.3 POSOUZENÍ - MEZNÍ STAV ÚNOSNOSTI

POPIS	PŘÍČNÍK P2 - STŘED
PRUT / POLOHA BODU	693 / I[570]
NAMÁHÁNÍ	Vz.max
VLÁKNO	BOD S6 -HP
MEZNÍ STAV	ULS (MSÚ)
VYUŽITÍ VLÁKNA PRŮŘEZU	0.39

Charakteristiky materiálu				
pás. horní	$f_{yf,k}$	230	MPa	
pás. dolní	$f_{yf,k}$	230	MPa	
stojina	$f_{yw,k}$	230	MPa	
výztuž	$f_{ys,k}$	500	MPa	
γ_M =	1.10	γ_s =	1.15	

Excentricita normálové síly				
Exc./Fáze	0	1	2	3
e_y	0.000	0.000	0.000	0.000
e_z	0.000	0.000	0.000	0.000
Ekvivalentní vzdál. stěn - příčný roznos				
b_{Mx}	0.000	0.000	0.000	0.000

Vliv stěny na únosnost průřezu				
Char./Fáze	0	1	2	3
A	0.00	0.00	0.00	0.00
Wy	0.00	0.00	0.00	0.00
Wz	0.00	0.00	0.00	0.00

Charakter. v kroucení			
$t_{w,y}$	0.000	[mm]	
$t_{w,z}$	0.000	[mm]	
κ	1.00		
I_t=	0.00E+00	[mm^4]	
Ω=2*A_{pr}	0.00E+00	[mm^2]	

Součinitele vzpěru a vlivu II.řádu					
Char./Fáze	0	1	2	3	
k_y	1.000	1.000	1.000	1.000	
k_z	1.000	1.000	1.000	1.000	
χ_{LT}	1.000	1.000	1.000	1.000	
χ_{min}	1.000	1.000	1.000	1.000	

δ_{LOK} 1.00

Vnitřní síly od jednotlivých skupin zatěžovacích stavů

SKUPINA ZATĚŽOVACÍCH STAVŮ: 3

Č.	SKUP ZS	POPIS ZS	KAT.	FÁZE PRŮŘ.	- CHARAKTERISTICKÉ HODNOTY N.k (kN)	Vy.k (kN)	Vz.k (kN)	Mx.k (kNm)	My.k (kNm)	Mz.k (kNm)	DÍLČÍ SOUČINITELÉ ZATÍŽENÍ, DYNAMICKÝ SOUČINITEL γ_{or} (-)	γ_{fs} (-)	volba γ_f hledat	γ_f (-)	L_d (m)	δ (-)	γ_z KZ03	- NÁVRHOVÉ HODNOTY N.d (kN)	Vy.d (kN)	Vz.d (kN)	ΔVz.d (kN)	ΣVz.d (kN)	Mx.d (kNm)	My.d (kNm)	ΔMy.d (kNm)	ΣMy.d (kNm)	Mz.d (kNm)	ΔMz.d (kNm)	ΣMz.d (kNm)
1	G0	Vlastní tíha OK	G	0	-29	0	0	0	85	-3	1.00	1.20		1.20	-	1.00	0.95	-33	0	0	0	0	0	96	0	96	-4	0	-4
2	G1	Ostatní stálé - mostní vybavení	G	0	-2	0	0	0	14	0	1.00	1.20		1.20	-	1.00	0.95	-3	0	0	0	0	0	16	0	16	0	0	0
3	G2	Ostatní stálé - cizí zařízení	G	0	0	0	3	0	4	0	1.00	1.20		1.20	-	1.00	0.95	-1	0	4	0	4	0	5	0	5	0	0	0
4	P1_71	a.LM71 - kolej 1 (bez dyn. souč.)	P	0	-14	1	1	0	14	0	1.00	1.30		1.30	-	1.27	1.00	-23	1	1	0	1	0	23	0	23	0	0	0
5	P2_71	a.LM71 - kolej 2 (bez dyn. souč.)	P	0	-51	-4	189	0	659	-3	1.00	1.30		1.30	-	1.27	1.00	-85	-7	312	0	312	0	1 089	0	1 089	-5	1	-4
6	P1_C3	TTZ C3 - kolej 1 (bez dyn. souč.)	P	0	-11	1	0	0	11	0	1.00	vyp.		0.00	-	1.00	0.00	0	0	0	0	0	0	0	0	0	0	0	0
7	P2_C3	TTZ C3 - kolej 2 (bez dyn. souč.)	P	0	-42	-4	107	0	370	-3	1.00	vyp.		0.00	-	1.00	0.00	0	0	0	0	0	0	0	0	0	0	0	0
8	BR	Brzdné a rozjezdové síly	P	0	27	-11	1	0	6	8	1.00	1.30		1.30	-	1.00	0.80	28	-11	1	0	1	0	7	0	7	8	0	8
9	S	Boční ráz	P	0	0	7	2	0	0	0	1.00	1.30		1.30	-	1.00	0.40	0	4	1	0	1	0	0	0	0	0	0	0
10	CH	Chodci na lávkách	Q	0	0	1	3	0	-12	0	1.00	1.30		1.30	-	1.00	1.00	0	1	3	0	3	0	-16	0	-16	0	0	0
11	W	Vítr na konstrukci	Q	0	-2	8	11	0	0	0	1.00	1.35		1.35	-	1.00	0.75	-2	9	11	0	11	0	0	0	0	0	0	0
12	WP	Vítr na vozidla	Q	0	0	15	11	0	0	0	1.00	1.35		1.35	-	1.00	0.75	0	15	11	0	11	0	0	0	0	0	0	0
13	TR	Teplota rovnoměrná	Q	0	0	0	0	0	0	0	1.00	1.35		1.35	-	1.00	0.45	0	0	0	0	0	0	0	0	0	0	0	0
14	TN	Teplota nerovnoměrná	Q	0	1	0	5	0	-5	0	1.00	1.35		1.35	-	1.00	0.60	1	0	4	0	4	0	-4	0	-4	0	0	0
15	FR	Třecí síly v ložiskách	Q	0	7	0	0	0	2	0	1.00	1.20		1.20	-	1.00	1.00	8	0	0	0	0	0	2	0	2	0	0	0
16	I	Imperfekce soustavy	Q	0	0	1	3	0	0	0	1.00	1.20		1.20	-	1.00	1.00	0	1	3	0	3	0	0	0	0	0	0	0
27	ULS_LM	ULS - LM71 bez dynam	Q	0	-97	22	286	0	978	-3	1.00	vyp.		0.00	-	1.00	0.00	0	0	0	0	0	0	0	0	0	0	0	0
28	SLS_LM	SLS - LM71 bez dynam	Q	0	-78	16	217	0	769	-3	1.00	vyp.	1	0.00	-	1.00	0.00	0	0	0	0	0	0	0	0	0	0	0	0
29	ULS_C3	ULS - C3 bez dynam	Q	0	-81	22	179	0	599	-3	1.00	vyp.	1	0.00	-	1.00	0.00	0	0	0	0	0	0	0	0	0	0	0	0
30	SLS_C3	SLS - C3 bez dynam	Q	0	-67	17	134	0	477	-2	1.00	vyp.	1	0.00	-	1.00	0.00	0	0	0	0	0	0	0	0	0	0	0	0
		CELKEM - FÁZE PRŮŘEZU 0																-109	11	352	0	352	0	1 218	0	1 218	-1	1	0
		CELKEM - FÁZE PRŮŘEZU 1																0	0	0	0	0	0	0	0	0	0	0	0
		CELKEM - FÁZE PRŮŘEZU 2																0	0	0	0	0	0	0	0	0	0	0	0
		CELKEM - FÁZE PRŮŘEZU 3																0	0	0	0	0	0	0	0	0	0	0	0
		CELKEM - PRŮŘEZ																-109	11	352	0	352	0			1 218			0

Napětí od jednotlivých zatěžovacích stavů

SKUPINA ZATĚŽOVACÍCH STAVŮ

Č.	SKUP ZS	Popis ZS	Kat.	fáze průř.	Posouzení normálového napětí: Účinek síly N δ^*N_d [kN]	χ^*A [mm^2]	σ_n [MPa]	Účinek momentu My $\delta^*M_{y,d}$ [kNm]	$\chi_{lt}{}^*W_{el,y}$ [mm^3]	σ_{my} [MPa]	Účinek momentu Mz $\delta^*M_{z,d}$ [kNm]	$W_{el,z}$ [mm^3]	σ_{mz} [MPa]	σ_x [MPa]	Posouzení smykového napětí: Účinek kroutícího momentu Mx $\kappa^*\delta^*M_{x,d}$ [kNm]	$W_{v,y}$ [mm^2]	$\tau_{x,y}$ [MPa]	$W_{v,z}$ [mm^2]	$\tau_{x,z}$ [MPa]	Účinek smykové síly Vy $\delta^*V_{y,d}$ [kN]	$A_{v,y}$ [mm2]	$\tau_{v,y}$ [MPa]	$\tau_{v,y}$ [MPa]	Účinek smykové síly Vz $\delta^*V_{z,d}$ [kN]	$A_{v,z}$ [mm2]	$\tau_{v,z}$ [MPa]	$\tau_{v,z}$ [MPa]
1	G0	Vlastní tíha OK	G	0	-32.5	3.60E+04	-0.9	96.5	1.53E+07	6.3	-3.7	-4.22E+07	0.1	5.5	0.0E+00	-	-	-	-	-0.1	2.41E+04	0.0	0.0	0.1	7.39E+03	0.0	0.0
2	G1	Ostatní stálé - mostní vybavení	G	0	-2.8	3.60E+04	-0.1	16.5	1.53E+07	1.1	-0.3	-4.22E+07	0.0	1.0	0.0E+00	-	-	-	-	0.0	2.41E+04	0.0	0.0	0.0	7.39E+03	0.0	0.0
3	G2	Ostatní stálé - cizí zařízení	G	0	-0.5	3.60E+04	0.0	4.6	1.53E+07	0.3	-0.2	-4.22E+07	0.0	0.3	0.0E+00	-	-	-	-	0.0	2.41E+04	0.0	0.0	3.6	7.39E+03	0.5	0.5
4	P1_71	a.LM71 - kolej 1 (bez dyn. souč.)	P	0	-23.0	3.60E+04	-0.6	22.9	1.53E+07	1.5	-0.1	-4.22E+07	0.0	0.9	-1.7E-02	-	-	-	-	1.2	2.41E+04	0.0	0.0	1.1	7.39E+03	0.1	0.1
5	P2_71	a.LM71 - kolej 2 (bez dyn. souč.)	P	0	-84.8	3.60E+04	-2.4	1 088.8	1.53E+07	71.4	-4.2	-4.22E+07	0.1	69.1	6.6E-02	-	-	-	-	-7.0	2.41E+04	-0.3	-0.3	312.2	7.39E+03	42.3	42.3
6	P1_C3	TTZ C3 - kolej 1 (bez dyn. souč.)	P	0	0.0	3.60E+04	0.0	0.0	1.53E+07	0.0	0.0	-4.22E+07	0.0	0.0	0.0E+00	-	-	-	-	0.0	2.41E+04	0.0	0.0	0.0	7.39E+03	0.0	0.0
7	P2_C3	TTZ C3 - kolej 2 (bez dyn. souč.)	P	0	0.0	3.60E+04	0.0	0.0	1.53E+07	0.0	0.0	-4.22E+07	0.0	0.0	0.0E+00	-	-	-	-	0.0	2.41E+04	0.0	0.0	0.0	7.39E+03	0.0	0.0
8	BR	Brzdné a rozjezdové síly	P	0	27.6	3.60E+04	0.8	6.6	1.53E+07	0.4	8.2	-4.22E+07	-0.2	1.0	0.0E+00	-	-	-	-	-11.3	2.41E+04	-0.5	-0.5	1.0	7.39E+03	0.1	0.1
9	S	Boční ráz	P	0	-0.1	3.60E+04	0.0	-0.1	1.53E+07	0.0	0.0	-4.22E+07	0.0	0.0	-5.2E-03	-	-	-	-	3.6	2.41E+04	0.1	0.1	0.8	7.39E+03	0.1	0.1
10	CH	Chodci na lávkách	Q	0	0.1	3.60E+04	0.0	-16.0	1.53E+07	-1.0	-0.4	-4.22E+07	0.0	-1.0	0.0E+00	-	-	-	-	0.8	2.41E+04	0.0	0.0	3.4	7.39E+03	0.5	0.5
11	W	Vítr na konstrukci	Q	0	-1.7	3.60E+04	0.0	0.3	1.53E+07	0.0	0.0	-4.22E+07	0.0	0.0	-1.0E-02	-	-	-	-	8.6	2.41E+04	0.4	0.4	10.8	7.39E+03	1.5	1.5
12	WP	Vítr na vozidla	Q	0	0.1	3.60E+04	0.0	-0.4	1.53E+07	0.0	0.0	-4.22E+07	0.0	0.0	-1.0E-02	-	-	-	-	14.9	2.41E+04	0.6	0.6	11.4	7.39E+03	1.5	1.5
13	TR	Teplota rovnoměrná	Q	0	0.0	3.60E+04	0.0	0.0	1.53E+07	0.0	0.0	-4.22E+07	0.0	0.0	0.0E+00	-	-	-	-	0.0	2.41E+04	0.0	0.0	0.0	7.39E+03	0.0	0.0
14	TN	Teplota nerovnoměrná	Q	0	0.9	3.60E+04	0.0	-4.4	1.53E+07	-0.3	-0.1	-4.22E+07	0.0	-0.3	8.1E-03	-	-	-	-	-0.1	2.41E+04	0.0	0.0	4.3	7.39E+03	0.6	0.6
15	FR	Třecí síly v ložiskách	Q	0	7.9	3.60E+04	0.2	2.3	1.53E+07	0.2	0.5	-4.22E+07	0.0	0.4	0.0E+00	-	-	-	-	0.0	2.41E+04	0.0	0.0	0.0	7.39E+03	0.0	0.0
16	I	Imperfekce soustavy	Q	0	-0.1	3.60E+04	0.0	0.2	1.53E+07	0.0	0.0	-4.22E+07	0.0	0.0	0.0E+00	-	-	-	-	0.6	2.41E+04	0.0	0.0	3.2	7.39E+03	0.4	0.4
27	ULS_LM	ULS - LM71 bez dynam	Q	0	0.0	3.60E+04	0.0	0.0	1.53E+07	0.0	0.0	-4.22E+07	0.0	0.0	0.0E+00	-	-	-	-	0.0	2.41E+04	0.0	0.0	0.0	7.39E+03	0.0	0.0
28	SLS_LM	SLS - LM71 bez dynam	Q	0	0.0	3.60E+04	0.0	0.0	1.53E+07	0.0	0.0	-4.22E+07	0.0	0.0	0.0E+00	-	-	-	-	0.0	2.41E+04	0.0	0.0	0.0	7.39E+03	0.0	0.0
29	ULS_C3	ULS - C3 bez dynam	Q	0	0.0	3.60E+04	0.0	0.0	1.53E+07	0.0	0.0	-4.22E+07	0.0	0.0	0.0E+00	-	-	-	-	0.0	2.41E+04	0.0	0.0	0.0	7.39E+03	0.0	0.0
30	SLS_C3	SLS - C3 bez dynam	Q	0	0.0	3.60E+04	0.0	0.0	1.53E+07	0.0	0.0	-4.22E+07	0.0	0.0	0.0E+00	-	-	-	-	0.0	2.41E+04	0.0	0.0	0.0	7.39E+03	0.0	0.0
		NAVÝŠENÍ NAPĚTÍ DO AKTIVACE TLAKU V DESCE MOSTOVKY				$\sigma_{P,red}$	0.0							0.0			0.0		0.0			0.5	0.5			47.6	47.6
		NAPĚTÍ OD PRIMÁRNÍCH ÚČINKŮ NEROVNOMĚRNÉHO OTEPLENÍ				σ_T	0.0							0.0													
		NAPĚTÍ OD REOLOGICKÝCH ÚČINKŮ BETONU V ČASE		t=0		σ_R	0.0	γ=	1.20					0.0													
		NAPĚTÍ V KRITICKÝCH VLÁKNECH OD KOMBINACE ZATÍŽENÍ				KZ03		[MPa]					$\Sigma\sigma_x$	76.8									$\Sigma\tau_y$	0.5			$\Sigma\tau_z$	47.6
		NAPĚTÍ OD POHYBLIVÉHO ZATÍŽENÍ						[MPa]					$\sigma_{x,P}$	71.0									τ_P	-0.6			τ_P	42.6
		NAPĚTÍ OD OSTATNÍCH ZATÍŽENÍ						[MPa]			Φ_{Vy}	Φ_{Vz}	$\sigma_{x,rs}$	5.8									τ_{rs}	1.0			τ_{rs}	5.0
		NÁVRHOVÁ HODNOTA MEZE KLUZU S REDUKCÍ VLIVEM SMYKOVÉHO NAPĚTÍ						[MPa]			1.00	1.00	$f_{yv,d}$	209.1									$f_{yd}/3^{0,5}$	120.7			$f_{yd}/3^{0,5}$	120.7
		NAPĚTÍ OD POHYBLIVÉHO ZATÍŽENÍ V GLOBÁLNÍM SYSTÉMU				$\sigma_{GLOB,P}$	0.0	[MPa]					$\Sigma\sigma_{GLOB}$	0.0														
		NAPĚTÍ OD OSTATNÍCH ZATÍŽENÍ V GLOBÁLNÍM SYSTÉMU				$\sigma_{GLOB,rs}$	0.0	[MPa]					$\Sigma\sigma_x + \Sigma\sigma_{GLOB}$	76.8														
		VYUŽITÍ PRŮŘEZU DLE NAPĚTÍ						[%]					η_1	0.37									η_3	0.00			η_3	0.39
		NAPĚTÍ V PŘÍČNÉM SMĚRU OD POHYBLIVÉHO ZATÍŽENÍ				$\sigma_{z,P}$	0.0	[MPa]					$\Sigma\sigma_z$	0.0														
		NAPĚTÍ V PŘÍČNÉM SMĚRU OD OSTATNÍCH ZATÍŽENÍ				$\sigma_{z,rs}$	0.0	[MPa]					η_2	0.00														
		SROVNÁVACÍ NAPĚTÍ											$(\eta_2 + 0,8\,\eta_1)/1,4$ =	0.21														
		VYUŽITÍ PRŮŘEZU CELKEM						[%]					eff	0.39	VYHOVUJE													
		STANOVENÍ ZATÍŽITELNOSTI											z_{LM71} =	2.71														

VÝPOČET PRŮŘEZOVÝCH CHARAKTERISTIK

PRŮŘEZ: P6_K **POPIS:** PŘÍČNÍK - 3-8 - KRAJ **x =** - **m**

DEFINOVÁNÍ PRŮŘEZU

PÁSNICE HORNÍHO LEVÉHO ÚHELNÍKU	b f.t.l.o =	110	mm				
TLOUŠŤKA PÁSNICE ÚHELNÍKU	t f.t.l.o =	13	mm	OSLABENÍ PÁSNICE - TLOUŠŤKA	Δt f.t.l.o =	0	%
VÝŠKA STĚNY ÚHELNÍKU	h w.t.l.o =	97	mm				
TLOUŠŤKA STĚNY ÚHELNÍKU	t w.t.l.o =	13	mm	OSLABENÍ STĚNY - TLOUŠŤKA	Δt w.t.l.o =	0	%
PÁSNICE HORNÍHO PRAVÉHO ÚHELNÍKU	b f.t.r.o =	110	mm				
TLOUŠŤKA PÁSNICE ÚHELNÍKU	t f.t.r.o =	13	mm	OSLABENÍ PÁSNICE - TLOUŠŤKA	Δt f.t.r.o =	0	%
VÝŠKA STĚNY ÚHELNÍKU	h w.t.r.o =	97	mm				
TLOUŠŤKA STĚNY ÚHELNÍKU	t w.t.r.o =	13	mm	OSLABENÍ STĚNY - TLOUŠŤKA	Δt w.t.r.0 =	0	%
PÁSNICE DOLNÍHO LEVÉHO ÚHELNÍKU	b f.b.l.o =	110	mm				
TLOUŠŤKA PÁSNICE ÚHELNÍKU	t f.b.l.o =	13	mm	OSLABENÍ PÁSNICE - TLOUŠŤKA	Δt f.b.l.o =	0	%
VÝŠKA STĚNY ÚHELNÍKU	h w.b.l.o =	97	mm				
TLOUŠŤKA STĚNY ÚHELNÍKU	t w.b.l.o =	13	mm	OSLABENÍ STĚNY - TLOUŠŤKA	Δt w.b.l.o =	0	%
PÁSNICE DOLNÍHO PRAVÉHO ÚHELNÍKU	b f.b.r.o =	110	mm				
TLOUŠŤKA PÁSNICE ÚHELNÍKU	t f.b.r.o =	13	mm	OSLABENÍ PÁSNICE - TLOUŠŤKA	Δt f.b.r.o =	0	%
VÝŠKA STĚNY ÚHELNÍKU	h w.b.r.o =	97	mm				
TLOUŠŤKA STĚNY ÚHELNÍKU	t w.b.r.o =	13	mm	OSLABENÍ STĚNY - TLOUŠŤKA	Δt w.b.r.o =	0	%

ŠÍŘKA HORNÍ PÁSNICE	b f.t =	400	mm				
TLOUŠŤKA HORNÍ PÁSNICE	t f.t =	10	mm	OSLABENÍ HORNÍ PÁSNICE	Δt f.t =	5	%
PŘESAH HORNÍ PÁSNICE	o f.t =	84	mm	HORNÍ PÁSNICE OBECNĚ NESYMETRICKÁ (PODÉLNÍK - PŘÍPOJ MOSTNICE)			
VÝŠKA STĚNY	h w =	1030	mm				
TLOUŠŤKA STĚNY	t w =	13	mm	OSLABENÍ STĚNY	Δt w.f =	0	%
ŠÍŘKA DOLNÍ PÁSNICE	b f.b =	400	mm				
TLOUŠŤKA DOLNÍ PÁSNICE	t f.b =	10	mm	OSLABENÍ DOLNÍ PÁSNICE (DOLNÍ PÁSNICE SYMETRICKÁ)	Δt f.b =	0	%

OTVOR VE STĚNĚ

POLOHA - VZD. Z	515	mm	
VÝŠKA	0	mm	

NÝT Č.	SKUPINA	ŘEZ	RED.	VELIKOST d| [mm]	POLOHA e| [mm]	POPIS	AKTIVITA OTVORU	NAPĚTÍ sc [MPa]
1		-	1.00	20	-160	nýt - f.t	0	-117.13
2		-	1.00	22	-67	nýt - f.t - krční úhelník	0	-85.80
3		-	1.00	22	67	nýt - f.t - krční úhelník	0	-40.36
4		-	1.00	20	160	nýt - f.t	0	-7.80
5		-	1.00	22	985	nýt - w - krční úhelník	0	-49.35
6		-	1.00	22	875	nýt - w	0	-41.75
7		-	1.00	22	785	nýt - w	0	-30.08
8		-	1.00	22	695	nýt - w	0	-18.41
9		-	1.00	22	605	nýt - w	0	-6.74
10		-	1.00	22	515	nýt - w	1	4.93
11		-	1.00	22	425	nýt - w	1	16.60
12		-	1.00	22	335	nýt - w	1	28.27
13		-	1.00	22	245	nýt - w	1	39.94
14		-	1.00	22	155	nýt - w	1	51.61
15		-	1.00	22	45	nýt - w - krční úhelník	1	65.88
16		-	1.00				-	
17		-	1.00				-	
18		-	1.00				-	
19	1	3	0.88	20	-160	nýt - f.b	1	17.69
20	1	3	0.88	22	-67	nýt - f.b. - krční úhelník	1	48.80
21	1	3	0.88	22	67	nýt - f.b. - krční úhelník	1	94.24
22	1	3	0.88	20	160	nýt - f.b	1	127.02

ZADÁNÍ ČÁSTI PRŮŘEZU:

č.prvku	b [mm]	h [mm]	y_0 [mm]	z_0 [mm]	popis části	druh oslabení	lokální ultimate	boulení servic.
1	110.0	13.0	-61.5	1023.5	pásnice	0	1.000	1.000
2	13.0	97.0	-13.0	968.5		0	1.000	1.000
3	110.0	13.0	61.5	1023.5	pásnice	0	1.000	1.000
4	13.0	97.0	13.0	968.5		0	1.000	1.000
5	110.0	13.0	-61.5	6.5	pásnice	0	1.000	1.000
6	13.0	97.0	-13.0	61.5		0	1.000	1.000
7	110.0	13.0	61.5	6.5	pásnice	0	1.000	1.000
8	13.0	97.0	13.0	61.5		0	1.000	1.000
9	400.0	9.5	0.0	1034.8	pásnice	0	1.000	1.000
10	13.0	1030.0	0.0	515.0	stěna	0	1.000	1.000
11	400.0	10.0	0.0	-5.0	pásnice	0	1.000	1.000
12						0	1.000	1.000
13						0	1.000	1.000
14						0	1.000	1.000
15						0	1.000	1.000
16						0	1.000	1.000
17						0	1.000	1.000
18						0	1.000	1.000
19						0	1.000	1.000
20						0	1.000	1.000
21						0	1.000	1.000
22						0	1.000	1.000
23						0	1.000	1.000
24						0	1.000	1.000
25	-13.0	0.0	0.0	515.0	stěna	0	1.000	1.000
26						0	1.000	1.000
27						0	1.000	1.000
28						0	1.000	1.000
29						0	1.000	1.000
30						0	1.000	1.000
31						0	1.000	1.000
32						0	1.000	1.000
33						0	1.000	1.000
34						0	1.000	1.000
35						0	1.000	1.000
36						0	1.000	1.000
37						0	1.000	1.000
38						0	1.000	1.000
39						0	1.000	1.000
40						0	1.000	1.000
41						0	1.000	1.000
42						0	1.000	1.000
43						0	1.000	1.000
44						0	1.000	1.000
45						0	1.000	1.000
46						0	1.000	1.000
47						0	1.000	1.000
48						0	1.000	1.000
49						0	1.000	1.000
50						0	1.000	1.000
51	0	0	-160.0	1034.8	nýt - pásnice	0	1.000	1.000
52	0	0	-66.5	1039.5	nýt - pásnice	0	1.000	1.000
53	0	0	66.5	1039.5	nýt - pásnice	0	1.000	1.000
54	0	0	160.0	1034.8	nýt - pásnice	0	1.000	1.000
55	0	0	19.5	985.0	nýt - stěna	0	1.000	1.000
56	0	0	0.0	875.0	nýt - stěna	0	1.000	1.000
57	0	0	0.0	785.0	nýt - stěna	0	1.000	1.000
58	0	0	0.0	695.0	nýt - stěna	0	1.000	1.000
59	0	0	0.0	605.0	nýt - stěna	0	1.000	1.000
60	13.0	-22.0	0.0	515.0	nýt - stěna	0	1.000	1.000
61	13.0	-22.0	0.0	425.0	nýt - stěna	0	1.000	1.000
62	13.0	-22.0	0.0	335.0	nýt - stěna	0	1.000	1.000
63	13.0	-22.0	0.0	245.0	nýt - stěna	0	1.000	1.000
64	13.0	-22.0	0.0	155.0	nýt - stěna	0	1.000	1.000
65	39.0	-22.0	0.0	45.0	nýt - stěna	0	1.000	1.000
66						0	1.000	1.000
67						0	1.000	1.000
68						0	1.000	1.000
69	-17.5	10.0	-160.0	-5.0	nýt - pásnice	0	1.000	1.000
70	-19.3	23.0	-66.5	1.5	nýt - pásnice	0	1.000	1.000
71	-19.3	23.0	66.5	1.5	nýt - pásnice	0	1.000	1.000
72	-17.5	10.0	160.0	-5.0	nýt - pásnice	0	1.000	1.000
73								
74								
75								
76								
77								
78								
79								
80								
81								
82								
83								
84								
85								
86								
87								
88								
89								
90								
91								
92								
93								
94								
95								
96								
97								
98								
99								
100								

VÝPOČET PRŮŘEZOVÝCH CHARAKTERISTIK

Properties	Basic	Ultimate		Serviceability	
y_t	0.0	0.0		0.0	[mm]
z_t	557.0	557.0		557.0	[mm]
A_i	2.8428E-04	2.8428E-04		2.8428E-04	[mm²]
A_y	1.2282E-04	1.2282E-04		1.2282E-04	[mm²]
A_z	1.1102E-04	1.1102E-04		1.1102E-04	[mm²]
I_{yi}	5.1743E-09	5.1743E-09		5.1743E-09	[mm⁴]
I_w	1.1945E-08	1.1945E-08		1.1945E-08	[mm⁶]
i_y	426.6	426.6		426.6	[mm]
i_z	64.8	64.8		64.8	[mm]
$W_{y,1}$	1.0724E-07	1.0724E-07		1.0724E-07	[mm³]
$W_{z,1}$	-5.9724E-05	-5.9724E-05		-5.9724E-05	[mm³]
$W_{y,2}$	-9.1260E-06	-9.1260E-06		-9.1260E-06	[mm³]
$W_{z,2}$	-5.9724E-05	-5.9724E-05		-5.9724E-05	[mm³]
KRAJNÍ VLÁKNA PRŮŘEZU					
y_1	-200.0	-200.0		-200.0	[mm]
z_1	1039.5	1039.5		1039.5	[mm]
y_2	-200.0	-200.0		-200.0	[mm]
z_2	-10.0	-10.0		-10.0	[mm]
y_3	200.0	200.0		200.0	[mm]
z_3	1039.5	1039.5		1039.5	[mm]
y_4	200.0	200.0		200.0	[mm]
z_4	-10.0	-10.0		-10.0	[mm]
y_5	-6.5	-6.5		-6.5	[mm]
z_5	1030.0	1030.0		1030.0	[mm]
y_6	-6.5	-6.5		-6.5	[mm]
z_6	0.0	0.0		0.0	[mm]

ÚPRAVA MOMENTŮ SETRVAČNOSTI V DŮSLEDKU ČLENĚNÍ PRŮŘEZU

OSA Y 1.00
OSA Z 1.00

SCHÉMA PROMĚNNÝCH

SCHÉMA ZADANÉHO PRŮŘEZU

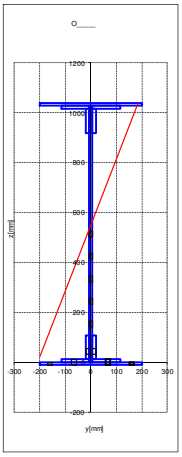

TR_PS.1	SLS_LM					
-44	50	-121	0	192	-45	
50	17	-524	0	404	-12	
3	-35	-67	0	48	48	
-1	100	-415	0	385	-103	
19	41	-626	0	575	-35	
-11	25	-20	0	18	-22	
11	74	-353	0	308	-75	
-7	-8	-278	0	258	19	
24	18	-56	0	-82	-15	
-15	47	-592	0	671	-41	
-1	100	-415	0	385	-103	
2	-35	-68	0	51	48	

NEUTRÁLNÁ OSA

NAPĚTÍ [MPa]:

-131.41	5.25
4.69	141.34

ZS: SLS_LM (MAX MY)

	N [kN]	Vy [kN]	Vz [kN]	Mx [kNm]	My [kNm]	Mz [kNm]
import	-15	47	-592	0	671	-41

VÝPOČET PRŮŘEZOVÝCH CHARAKTERISTIK

PRŮŘEZ: P6_LK **POPIS:** PŘÍČNÍK - 3-8 - PODÉLNÍK U KRAJE

x = - **m**

DEFINOVÁNÍ PRŮŘEZU

PÁSNICE HORNÍHO LEVÉHO ÚHELNÍKU	b f.t.l.o =	110	mm				
TLOUŠŤKA PÁSNICE ÚHELNÍKU	t f.t.l.o =	13	mm	OSLABENÍ PÁSNICE - TLOUŠŤKA	Δt f.t.l.o =	15	%
VÝŠKA STĚNY ÚHELNÍKU	h w.t.l.o =	97	mm				
TLOUŠŤKA STĚNY ÚHELNÍKU	t w.t.l.o =	13	mm	OSLABENÍ STĚNY - TLOUŠŤKA	Δt w.t.l.o =	15	%
PÁSNICE HORNÍHO PRAVÉHO ÚHELNÍKU	b f.t.r.o =	110	mm				
TLOUŠŤKA PÁSNICE ÚHELNÍKU	t f.t.r.o =	13	mm	OSLABENÍ PÁSNICE - TLOUŠŤKA	Δt f.t.r.o =	15	%
VÝŠKA STĚNY ÚHELNÍKU	h w.t.r.o =	97	mm				
TLOUŠŤKA STĚNY ÚHELNÍKU	t w.t.r.o =	13	mm	OSLABENÍ STĚNY - TLOUŠŤKA	Δt w.t.r.0 =	15	%
PÁSNICE DOLNÍHO LEVÉHO ÚHELNÍKU	b f.b.l.o =	110	mm				
TLOUŠŤKA PÁSNICE ÚHELNÍKU	t f.b.l.o =	13	mm	OSLABENÍ PÁSNICE - TLOUŠŤKA	Δt f.b.l.o =	15	%
VÝŠKA STĚNY ÚHELNÍKU	h w.b.l.o =	97	mm				
TLOUŠŤKA STĚNY ÚHELNÍKU	t w.b.l.o =	13	mm	OSLABENÍ STĚNY - TLOUŠŤKA	Δt w.b.l.o =	15	%
PÁSNICE DOLNÍHO PRAVÉHO ÚHELNÍKU	b f.b.r.o =	110	mm				
TLOUŠŤKA PÁSNICE ÚHELNÍKU	t f.b.r.o =	13	mm	OSLABENÍ PÁSNICE - TLOUŠŤKA	Δt f.b.r.o =	15	%
VÝŠKA STĚNY ÚHELNÍKU	h w.b.r.o =	97	mm				
TLOUŠŤKA STĚNY ÚHELNÍKU	t w.b.r.o =	13	mm	OSLABENÍ STĚNY - TLOUŠŤKA	Δt w.b.r.o =	15	%

ŠÍŘKA HORNÍ PÁSNICE	b f.t =	400	mm				
TLOUŠŤKA HORNÍ PÁSNICE	t f.t =	20	mm	OSLABENÍ HORNÍ PÁSNICE	Δt f.t =	3	%
PŘESAH HORNÍ PÁSNICE	o f.t =	84	mm	HORNÍ PÁSNICE OBECNĚ NESYMETRICKÁ (PODÉLNÍK - PŘÍPOJ MOSTNICE)			
VÝŠKA STĚNY	h w =	1030	mm				
TLOUŠŤKA STĚNY	t w =	13	mm	OSLABENÍ STĚNY	Δt w.l =	0	%
ŠÍŘKA DOLNÍ PÁSNICE	b f.b =	400	mm				
TLOUŠŤKA DOLNÍ PÁSNICE	t f.b =	20	mm	OSLABENÍ DOLNÍ PÁSNICE (DOLNÍ PÁSNICE SYMETRICKÁ)	Δt f.b =	0	%

OTVOR VE STĚNĚ

POLOHA - VZD. Z	515	mm	
VÝŠKA	0	mm	

NÝT Č.	SKUPINA	ŘEZ	RED.	VELIKOST d1 [mm]	POLOHA e1 [mm]	POPIS	AKTIVITA OTVORU	NAPĚTÍ sc [MPa]
1		-	1.00	20	-160	nýt - f.t	0	-78.48
2		-	1.00	22	-67	nýt - f.t - krční úhelník	0	-61.33
3		-	1.00	22	67	nýt - f.t - krční úhelník	0	-35.59
4		-	1.00	20	160	nýt - f.t	0	-16.55
5		-	1.00	22	985	nýt - w - krční úhelník	0	-38.76
6		-	1.00	22	875	nýt - w	0	-31.40
7		-	1.00	22	785	nýt - w	0	-22.60
8		-	1.00	22	695	nýt - w	0	-13.79
9		-	1.00	22	605	nýt - w	0	-4.99
10		-	1.00	22	515	nýt - w	1	3.81
11		-	1.00	22	425	nýt - w	1	12.62
12		-	1.00	22	335	nýt - w	1	21.42
13		-	1.00	22	245	nýt - w	1	30.22
14		-	1.00	22	155	nýt - w	1	39.03
15		-	1.00	22	45	nýt - w - krční úhelník	1	49.79
16		-	1.00				-	
17		-	1.00				-	
18		-	1.00				-	
19	1	3	0.88	20	-160	nýt - f.b	1	24.20
20	1	3	0.88	22	-67	nýt - f.b. - krční úhelník	1	41.76
21	1	3	0.88	22	67	nýt - f.b. - krční úhelník	1	67.50
22	1	3	0.88	20	160	nýt - f.b	1	86.13

ZADÁNÍ ČÁSTI PRŮŘEZU:

č.prvku	b [mm]	h [mm]	y_0 [mm]	z_0 [mm]	popis části	druh oslabení	lokální ultimate	boulení servic.
1	110.0	11.1	-61.5	1024.5	pásnice	0	1.000	1.000
2	11.1	97.0	-12.0	970.5		0	1.000	1.000
3	110.0	11.1	61.5	1024.5	pásnice	0	1.000	1.000
4	11.1	97.0	12.0	970.5		0	1.000	1.000
5	110.0	11.1	-61.5	5.5	pásnice	0	1.000	1.000
6	11.1	97.0	-12.0	59.6		0	1.000	1.000
7	110.0	11.1	61.5	5.5	pásnice	0	1.000	1.000
8	11.1	97.0	12.0	59.6		0	1.000	1.000
9	400.0	19.4	0.0	1039.7	pásnice	0	1.000	1.000
10	13.0	1030.0	0.0	515.0	stěna	0	1.000	1.000
11	400.0	20.0	0.0	-10.0	pásnice	0	1.000	1.000
12						0	1.000	1.000
13						0	1.000	1.000
14						0	1.000	1.000
15						0	1.000	1.000
16						0	1.000	1.000
17						0	1.000	1.000
18						0	1.000	1.000
19						0	1.000	1.000
20						0	1.000	1.000
21						0	1.000	1.000
22						0	1.000	1.000
23						0	1.000	1.000
24						0	1.000	1.000
25	-13.0	0.0	0.0	515.0	stěna	0	1.000	1.000
26						0	1.000	1.000
27						0	1.000	1.000
28						0	1.000	1.000
29						0	1.000	1.000
30						0	1.000	1.000
31						0	1.000	1.000
32						0	1.000	1.000
33						0	1.000	1.000
34						0	1.000	1.000
35						0	1.000	1.000
36						0	1.000	1.000
37						0	1.000	1.000
38						0	1.000	1.000
39						0	1.000	1.000
40						0	1.000	1.000
41						0	1.000	1.000
42						0	1.000	1.000
43						0	1.000	1.000
44						0	1.000	1.000
45						0	1.000	1.000
46						0	1.000	1.000
47						0	1.000	1.000
48						0	1.000	1.000
49						0	1.000	1.000
50						0	1.000	1.000
51	0	0	-160.0	1039.7	nýt - pásnice	0	1.000	1.000
52	0	0	-66.5	1049.4	nýt - pásnice	0	1.000	1.000
53	0	0	66.5	1049.4	nýt - pásnice	0	1.000	1.000
54	0	0	160.0	1039.7	nýt - pásnice	0	1.000	1.000
55	0	0	17.6	985.0	nýt - stěna	0	1.000	1.000
56	0	0	0.0	875.0	nýt - stěna	0	1.000	1.000
57	0	0	0.0	785.0	nýt - stěna	0	1.000	1.000
58	0	0	0.0	695.0	nýt - stěna	0	1.000	1.000
59	0	0	0.0	605.0	nýt - stěna	0	1.000	1.000
60	13.0	-22.0	0.0	515.0	nýt - stěna	0	1.000	1.000
61	13.0	-22.0	0.0	425.0	nýt - stěna	0	1.000	1.000
62	13.0	-22.0	0.0	335.0	nýt - stěna	0	1.000	1.000
63	13.0	-22.0	0.0	245.0	nýt - stěna	0	1.000	1.000
64	13.0	-22.0	0.0	155.0	nýt - stěna	0	1.000	1.000
65	35.1	-22.0	0.0	45.0	nýt - stěna	0	1.000	1.000
66						0	1.000	1.000
67						0	1.000	1.000
68						0	1.000	1.000
69	-17.5	20.0	-160.0	-10.0	nýt - pásnice	0	1.000	1.000
70	-19.3	31.1	-66.5	-4.5	nýt - pásnice	0	1.000	1.000
71	-19.3	31.1	66.5	-4.5	nýt - pásnice	0	1.000	1.000
72	-17.5	20.0	160.0	-10.0	nýt - pásnice	0	1.000	1.000
73								
74								
75								
76								
77								
78								
79								
80								
81								
82								
83								
84								
85								
86								
87								
88								
89								
90								
91								
92								
93								
94								
95								
96								
97								
98								
99								
100								

VÝPOČET PRŮŘEZOVÝCH CHARAKTERISTIK

Properties	Basic	Ultimate		Serviceability	
y_t	0.0	0.0		0.0	[mm]
z_t	558.3	558.3		558.3	[mm]
A_i	3.4198E+04	3.4198E+04		3.4198E+04	[mm²]
A_y	1.8723E+04	1.8723E+04		1.8723E+04	[mm²]
A_z	1.1188E+04	1.1188E+04		1.1188E+04	[mm²]
I_{y1}	6.8594E+09	6.8594E+09		6.8594E+09	[mm⁴]
I_w	2.1087E+08	2.1087E+08		2.1087E+08	[mm⁶]
i_y	447.9	447.9		447.9	[mm]
i_z	78.5	78.5		78.5	[mm]
$W_{y,1}$	1.3969E+07	1.3969E+07		1.3969E+07	[mm³]
$W_{z,1}$	-1.0543E+06	-1.0543E+06		-1.0543E+06	[mm³]
$W_{y,2}$	-1.1860E+07	-1.1860E+07		-1.1860E+07	[mm³]
$W_{z,2}$	-1.0543E+06	-1.0543E+06		-1.0543E+06	[mm³]
KRAJNÍ VLÁKNA PRŮŘEZU					
y_1	-200.0	-200.0		-200.0	[mm]
z_1	1049.4	1049.4		1049.4	[mm]
y_2	-200.0	-200.0		-200.0	[mm]
z_2	-20.0	-20.0		-20.0	[mm]
y_3	200.0	200.0		200.0	[mm]
z_3	1049.4	1049.4		1049.4	[mm]
y_4	200.0	200.0		200.0	[mm]
z_4	-20.0	-20.0		-20.0	[mm]
y_5	-6.5	-6.5		-6.5	[mm]
z_5	1030.0	1030.0		1030.0	[mm]
y_6	-6.5	-6.5		-6.5	[mm]
z_6	0.0	0.0		0.0	[mm]

ÚPRAVA MOMENTŮ SETRVAČNOSTI V DŮSLEDKU ČLENĚNÍ PRŮŘEZU

OSA Y	1.00
OSA Z	1.00

SCHÉMA PROMĚNNÝCH

SCHÉMA ZADANÉHO PRŮŘEZU

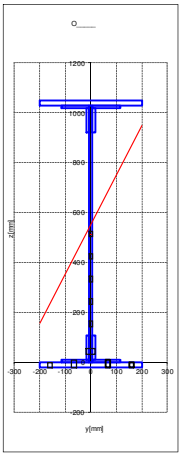

NEUTRÁLNÁ OSA

NAPĚTÍ [MPa]:

-67.17	-9.75
17.44	94.85

ZS:

	N [kN]	Vy [kN]	Vz [kN]	Mx [kNm]	My [kNm]	Mz [kNm]
import	-15	47	-582	0	671	-41

VÝPOČET PRŮŘEZOVÝCH CHARAKTERISTIK

PRŮŘEZ: P6_LS **POPIS:** PŘÍČNÍK - 3-8 - PODÉLNÍK U STŘEDU **x =** - **m**

DEFINOVÁNÍ PRŮŘEZU

PÁSNICE HORNÍHO LEVÉHO ÚHELNÍKU	b f.t.l.o =	110	mm				
TLOUŠŤKA PÁSNICE ÚHELNÍKU	t f.t.l.o =	13	mm	OSLABENÍ PÁSNICE - TLOUŠŤKA	Δt f.t.l.o =	15	%
VÝŠKA STĚNY ÚHELNÍKU	h w.t.l.o =	97	mm				
TLOUŠŤKA STĚNY ÚHELNÍKU	t w.t.l.o =	13	mm	OSLABENÍ STĚNY - TLOUŠŤKA	Δt w.t.l.o =	10	%
PÁSNICE HORNÍHO PRAVÉHO ÚHELNÍKU	b f.t.r.o =	110	mm				
TLOUŠŤKA PÁSNICE ÚHELNÍKU	t f.t.r.o =	13	mm	OSLABENÍ PÁSNICE - TLOUŠŤKA	Δt f.t.r.o =	15	%
VÝŠKA STĚNY ÚHELNÍKU	h w.t.r.o =	97	mm				
TLOUŠŤKA STĚNY ÚHELNÍKU	t w.t.r.o =	13	mm	OSLABENÍ STĚNY - TLOUŠŤKA	Δt w.t.r.0 =	10	%
PÁSNICE DOLNÍHO LEVÉHO ÚHELNÍKU	b f.b.l.o =	110	mm				
TLOUŠŤKA PÁSNICE ÚHELNÍKU	t f.b.l.o =	13	mm	OSLABENÍ PÁSNICE - TLOUŠŤKA	Δt f.b.l.o =	15	%
VÝŠKA STĚNY ÚHELNÍKU	h w.b.l.o =	97	mm				
TLOUŠŤKA STĚNY ÚHELNÍKU	t w.b.l.o =	13	mm	OSLABENÍ STĚNY - TLOUŠŤKA	Δt w.b.l.o =	10	%
PÁSNICE DOLNÍHO PRAVÉHO ÚHELNÍKU	b f.b.r.o =	110	mm				
TLOUŠŤKA PÁSNICE ÚHELNÍKU	t f.b.r.o =	13	mm	OSLABENÍ PÁSNICE - TLOUŠŤKA	Δt f.b.r.o =	15	%
VÝŠKA STĚNY ÚHELNÍKU	h w.b.r.o =	97	mm				
TLOUŠŤKA STĚNY ÚHELNÍKU	t w.b.r.o =	13	mm	OSLABENÍ STĚNY - TLOUŠŤKA	Δt w.b.r.o =	10	%

ŠÍŘKA HORNÍ PÁSNICE	b f.t =	400	mm				
TLOUŠŤKA HORNÍ PÁSNICE	t f.t =	30	mm	OSLABENÍ HORNÍ PÁSNICE	Δt f.t =	3	%
PŘESAH HORNÍ PÁSNICE	o f.t =	84	mm	HORNÍ PÁSNICE OBECNĚ NESYMETRICKÁ (PODÉLNÍK - PŘÍPOJ MOSTNICE)			
VÝŠKA STĚNY	h w =	1030	mm				
TLOUŠŤKA STĚNY	t w =	13	mm	OSLABENÍ STĚNY	Δt w J =	0	%
ŠÍŘKA DOLNÍ PÁSNICE	b f.b =	400	mm				
TLOUŠŤKA DOLNÍ PÁSNICE	t f.b =	30	mm	OSLABENÍ DOLNÍ PÁSNICE (DOLNÍ PÁSNICE SYMETRICKÁ)	Δt f.b =	0	%

OTVOR VE STĚNĚ

POLOHA - VZD. Z	515	mm
VÝŠKA	0	mm

NÝT Č.	SKUPINA	ŘEZ	RED.	VELIKOST d| [mm]	POLOHA e| [mm]	POPIS	AKTIVITA OTVORU	NAPĚTÍ sc [MPa]
1		-	1.00	20	-160	nýt - f.t	0	-57.88
2		-	1.00	22	-67	nýt - f.t - krční úhelník	0	-46.54
3		-	1.00	22	67	nýt - f.t - krční úhelník	0	-28.88
4		-	1.00	20	160	nýt - f.t	0	-15.38
5		-	1.00	22	985	nýt - w - krční úhelník	0	-29.78
6		-	1.00	22	875	nýt - w	0	-24.02
7		-	1.00	22	785	nýt - w	0	-17.32
8		-	1.00	22	695	nýt - w	0	-10.63
9		-	1.00	22	605	nýt - w	0	-3.94
10		-	1.00	22	515	nýt - w	1	2.76
11		-	1.00	22	425	nýt - w	1	9.45
12		-	1.00	22	335	nýt - w	1	16.15
13		-	1.00	22	245	nýt - w	1	22.84
14		-	1.00	22	155	nýt - w	1	29.53
15		-	1.00	22	45	nýt - w - krční úhelník	1	37.72
16		-	1.00				-	
17		-	1.00				-	
18		-	1.00				-	
19	1	3	0.82	20	-160	nýt - f.b	1	20.93
20	1	3	0.82	22	-67	nýt - f.b. - krční úhelník	1	32.94
21	1	3	0.82	22	67	nýt - f.b. - krční úhelník	1	50.60
22	1	3	0.82	20	160	nýt - f.b	1	63.43

ZADÁNÍ ČÁSTÍ PRŮŘEZU:

č.prvku	b [mm]	h [mm]	y_0 [mm]	z_0 [mm]	popis části	druh oslabení	lokální ultimate	boulení servic.
1	110.0	11.1	-61.5	1024.5	pásnice	0	1.000	1.000
2	11.7	97.0	-12.4	970.5		0	1.000	1.000
3	110.0	11.1	61.5	1024.5	pásnice	0	1.000	1.000
4	11.7	97.0	12.4	970.5		0	1.000	1.000
5	110.0	11.1	-61.5	5.5	pásnice	0	1.000	1.000
6	11.7	97.0	-12.4	59.6		0	1.000	1.000
7	110.0	11.1	61.5	5.5	pásnice	0	1.000	1.000
8	11.7	97.0	12.4	59.6		0	1.000	1.000
9	400.0	29.1	0.0	1044.6	pásnice	0	1.000	1.000
10	13.0	1030.0	0.0	515.0	stěna	0	1.000	1.000
11	400.0	30.0	0.0	-15.0	pásnice	0	1.000	1.000
12						0	1.000	1.000
13						0	1.000	1.000
14						0	1.000	1.000
15						0	1.000	1.000
16						0	1.000	1.000
17						0	1.000	1.000
18						0	1.000	1.000
19						0	1.000	1.000
20						0	1.000	1.000
21						0	1.000	1.000
22						0	1.000	1.000
23						0	1.000	1.000
24						0	1.000	1.000
25	-13.0	0.0	0.0	515.0	stěna	0	1.000	1.000
26						0	1.000	1.000
27						0	1.000	1.000
28						0	1.000	1.000
29						0	1.000	1.000
30						0	1.000	1.000
31						0	1.000	1.000
32						0	1.000	1.000
33						0	1.000	1.000
34						0	1.000	1.000
35						0	1.000	1.000
36						0	1.000	1.000
37						0	1.000	1.000
38						0	1.000	1.000
39						0	1.000	1.000
40						0	1.000	1.000
41						0	1.000	1.000
42						0	1.000	1.000
43						0	1.000	1.000
44						0	1.000	1.000
45						0	1.000	1.000
46						0	1.000	1.000
47						0	1.000	1.000
48						0	1.000	1.000
49						0	1.000	1.000
50						0	1.000	1.000
51	0	0	-160.0	1044.6	nýt - pásnice	0	1.000	1.000
52	0	0	-66.5	1059.1	nýt - pásnice	0	1.000	1.000
53	0	0	66.5	1059.1	nýt - pásnice	0	1.000	1.000
54	0	0	160.0	1044.6	nýt - pásnice	0	1.000	1.000
55	0	0	18.2	985.0	nýt - stěna	0	1.000	1.000
56	0	0	0.0	875.0	nýt - stěna	0	1.000	1.000
57	0	0	0.0	785.0	nýt - stěna	0	1.000	1.000
58	0	0	0.0	695.0	nýt - stěna	0	1.000	1.000
59	0	0	0.0	605.0	nýt - stěna	0	1.000	1.000
60	13.0	-22.0	0.0	515.0	nýt - stěna	0	1.000	1.000
61	13.0	-22.0	0.0	425.0	nýt - stěna	0	1.000	1.000
62	13.0	-22.0	0.0	335.0	nýt - stěna	0	1.000	1.000
63	13.0	-22.0	0.0	245.0	nýt - stěna	0	1.000	1.000
64	13.0	-22.0	0.0	155.0	nýt - stěna	0	1.000	1.000
65	36.4	-22.0	0.0	45.0	nýt - stěna	0	1.000	1.000
66						0	1.000	1.000
67						0	1.000	1.000
68						0	1.000	1.000
69	-16.5	30.0	-160.0	-15.0	nýt - pásnice	0	1.000	1.000
70	-18.1	41.1	-66.5	-9.5	nýt - pásnice	0	1.000	1.000
71	-18.1	41.1	66.5	-9.5	nýt - pásnice	0	1.000	1.000
72	-16.5	30.0	160.0	-15.0	nýt - pásnice	0	1.000	1.000
73								
74								
75								
76								
77								
78								
79								
80								
81								
82								
83								
84								
85								
86								
87								
88								
89								
90								
91								
92								
93								
94								
95								
96								
97								
98								
99								
100								

VÝPOČET PRŮŘEZOVÝCH CHARAKTERISTIK

Properties	Basic	Ultimate		Serviceability	
y_t	0.0	0.0		0.0	[mm]
z_t	556.8	556.8		556.8	[mm]
A_i	4.1722E+04	4.1722E+04		4.1722E+04	[mm²]
A_y	2.6023E+04	2.6023E+04		2.6023E+04	[mm²]
A_z	1.1159E+04	1.1159E+04		1.1159E+04	[mm²]
I_{y1}	9.0205E+09	9.0205E+09		9.0205E+09	[mm⁴]
I_w	3.0734E+08	3.0734E+08		3.0734E+08	[mm⁶]
i_y	465.0	465.0		465.0	[mm]
i_z	85.8	85.8		85.8	[mm]
$W_{y,1}$	1.7958E+07	1.7958E+07		1.7958E+07	[mm³]
$W_{z,1}$	-1.5367E+06	-1.5367E+06		-1.5367E+06	[mm³]
$W_{y,2}$	-1.5373E+07	-1.5373E+07		-1.5373E+07	[mm³]
$W_{z,2}$	-1.5367E+06	-1.5367E+06		-1.5367E+06	[mm³]
KRAJNÍ VLÁKNA PRŮŘEZU					
y_1	-200.0	-200.0		-200.0	[mm]
z_1	1059.1	1059.1		1059.1	[mm]
y_2	-200.0	-200.0		-200.0	[mm]
z_2	-30.0	-30.0		-30.0	[mm]
y_3	200.0	200.0		200.0	[mm]
z_3	1059.1	1059.1		1059.1	[mm]
y_4	200.0	200.0		200.0	[mm]
z_4	-30.0	-30.0		-30.0	[mm]
y_5	-6.5	-6.5		-6.5	[mm]
z_5	1030.0	1030.0		1030.0	[mm]
y_6	-6.5	-6.5		-6.5	[mm]
z_6	0.0	0.0		0.0	[mm]

ÚPRAVA MOMENTŮ SETRVAČNOSTI V DŮSLEDKU ČLENĚNÍ PRŮŘEZU

OSA Y	1.00
OSA Z	1.00

SCHÉMA PROMĚNNÝCH

SCHÉMA ZADANÉHO PRŮŘEZU

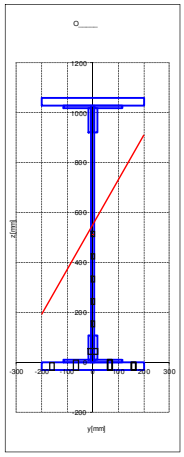

NEUTRÁLNÁ OSA

NAPĚTÍ [MPa]:

-64.27	-11.16
16.74	69.85

ZS:

	N [kN]	Vy [kN]	Vz [kN]	Mx [kNm]	My [kNm]	Mz [kNm]
import	-15	47	-582	0	671	-41

VÝPOČET PRŮŘEZOVÝCH CHARAKTERISTIK

PRŮŘEZ: P8_SO **POPIS:** PŘÍČNÍK - 3-8 - STŘED - S OTVOREM

x = - **m**

DEFINOVÁNÍ PRŮŘEZU

PÁSNICE HORNÍHO LEVÉHO ÚHELNÍKU	b f.t.l.o =	110	mm				
TLOUŠŤKA PÁSNICE ÚHELNÍKU	t f.t.l.o =	13	mm	OSLABENÍ PÁSNICE - TLOUŠŤKA	Δt f.t.l.o =	15	%
VÝŠKA STĚNY ÚHELNÍKU	h w.t.l.o =	97	mm				
TLOUŠŤKA STĚNY ÚHELNÍKU	t w.t.l.o =	13	mm	OSLABENÍ STĚNY - TLOUŠŤKA	Δt w.t.l.o =	10	%
PÁSNICE HORNÍHO PRAVÉHO ÚHELNÍKU	b f.t.r.o =	110	mm				
TLOUŠŤKA PÁSNICE ÚHELNÍKU	t f.t.r.o =	13	mm	OSLABENÍ PÁSNICE - TLOUŠŤKA	Δt f.t.r.o =	15	%
VÝŠKA STĚNY ÚHELNÍKU	h w.t.r.o =	97	mm				
TLOUŠŤKA STĚNY ÚHELNÍKU	t w.t.r.o =	13	mm	OSLABENÍ STĚNY - TLOUŠŤKA	Δt w.t.r.0 =	10	%
PÁSNICE DOLNÍHO LEVÉHO ÚHELNÍKU	b f.b.l.o =	110	mm				
TLOUŠŤKA PÁSNICE ÚHELNÍKU	t f.b.l.o =	13	mm	OSLABENÍ PÁSNICE - TLOUŠŤKA	Δt f.b.l.o =	15	%
VÝŠKA STĚNY ÚHELNÍKU	h w.b.l.o =	97	mm				
TLOUŠŤKA STĚNY ÚHELNÍKU	t w.b.l.o =	13	mm	OSLABENÍ STĚNY - TLOUŠŤKA	Δt w.b.l.o =	10	%
PÁSNICE DOLNÍHO PRAVÉHO ÚHELNÍKU	b f.b.r.o =	110	mm				
TLOUŠŤKA PÁSNICE ÚHELNÍKU	t f.b.r.o =	13	mm	OSLABENÍ PÁSNICE - TLOUŠŤKA	Δt f.b.r.o =	15	%
VÝŠKA STĚNY ÚHELNÍKU	h w.b.r.o =	97	mm				
TLOUŠŤKA STĚNY ÚHELNÍKU	t w.b.r.o =	13	mm	OSLABENÍ STĚNY - TLOUŠŤKA	Δt w.b.r.o =	10	%

ŠÍŘKA HORNÍ PÁSNICE	b f.t =	400	mm				
TLOUŠŤKA HORNÍ PÁSNICE	t f.t =	30	mm	OSLABENÍ HORNÍ PÁSNICE	Δt f.t =	3	%
PŘESAH HORNÍ PÁSNICE	o f.t =	84	mm	HORNÍ PÁSNICE OBECNĚ NESYMETRICKÁ (PODÉLNÍK - PŘÍPOJ MOSTNICE)			
VÝŠKA STĚNY	h w =	1030	mm				
TLOUŠŤKA STĚNY	t w =	13	mm	OSLABENÍ STĚNY	Δt w.l =	0	%
ŠÍŘKA DOLNÍ PÁSNICE	b f.b =	400	mm				
TLOUŠŤKA DOLNÍ PÁSNICE	t f.b =	30	mm	OSLABENÍ DOLNÍ PÁSNICE (DOLNÍ PÁSNICE SYMETRICKÁ)	Δt f.b =	0	%

OTVOR VE STĚNĚ

POLOHA - VZD. Z	515	mm
VÝŠKA	400	mm

NÝT Č.	SKUPINA	ŘEZ	RED.	VELIKOST d| [mm]	POLOHA e| [mm]	POPIS	AKTIVITA OTVORU	NAPĚTÍ sc [MPa]
1		-	1.00	20	-160	nýt - f.t	0	-57.91
2		-	1.00	22	-67	nýt - f.t - krční úhelník	0	-46.63
3		-	1.00	22	67	nýt - f.t - krční úhelník	0	-29.07
4		-	1.00	20	160	nýt - f.t	0	-15.64
5		-	1.00	22	985	nýt - w - krční úhelník	0	-29.97
6		-	1.00	0	875	nýt - w	0 -	
7		-	1.00	0	785	nýt - w	0 -	
8		-	1.00	0	695	nýt - w	0 -	
9		-	1.00	0	605	nýt - w	0 -	
10		-	1.00	0	515	nýt - w	0 -	
11		-	1.00	0	425	nýt - w	0 -	
12		-	1.00	0	335	nýt - w	0 -	
13		-	1.00	0	245	nýt - w	0 -	
14		-	1.00	0	155	nýt - w	0 -	
15		-	1.00	22	45	nýt - w - krční úhelník	1	37.10
16		-	1.00				-	
17		-	1.00				-	
18		-	1.00				-	
19	1	3	0.78	20	-160	nýt - f.b	1	20.41
20	1	3	0.78	22	-67	nýt - f.b. - krční úhelník	1	32.35
21	1	3	0.78	22	67	nýt - f.b. - krční úhelník	1	49.91
22	1	3	0.78	20	160	nýt - f.b	1	62.67

ZADÁNÍ ČÁSTI PRŮŘEZU:

č.prvku	b [mm]	h [mm]	y_0 [mm]	z_0 [mm]	popis části	druh oslabení	lokální ultimate	boulení servic.
1	110.0	11.1	-61.5	1024.5	pásnice	0	1.000	1.000
2	11.7	97.0	-12.4	970.5		0	1.000	1.000
3	110.0	11.1	61.5	1024.5	pásnice	0	1.000	1.000
4	11.7	97.0	12.4	970.5		0	1.000	1.000
5	110.0	11.1	-61.5	5.5	pásnice	0	1.000	1.000
6	11.7	97.0	-12.4	59.6		0	1.000	1.000
7	110.0	11.1	61.5	5.5	pásnice	0	1.000	1.000
8	11.7	97.0	12.4	59.6		0	1.000	1.000
9	400.0	29.1	0.0	1044.6	pásnice	0	1.000	1.000
10	13.0	1030.0	0.0	515.0	stěna	0	1.000	1.000
11	400.0	30.0	0.0	-15.0	pásnice	0	1.000	1.000
12						0	1.000	1.000
13						0	1.000	1.000
14						0	1.000	1.000
15						0	1.000	1.000
16						0	1.000	1.000
17						0	1.000	1.000
18						0	1.000	1.000
19						0	1.000	1.000
20						0	1.000	1.000
21						0	1.000	1.000
22						0	1.000	1.000
23						0	1.000	1.000
24						0	1.000	1.000
25	-13.0	400.0	0.0	515.0	stěna	0	1.000	1.000
26						0	1.000	1.000
27						0	1.000	1.000
28						0	1.000	1.000
29						0	1.000	1.000
30						0	1.000	1.000
31						0	1.000	1.000
32						0	1.000	1.000
33						0	1.000	1.000
34						0	1.000	1.000
35						0	1.000	1.000
36						0	1.000	1.000
37						0	1.000	1.000
38						0	1.000	1.000
39						0	1.000	1.000
40						0	1.000	1.000
41						0	1.000	1.000
42						0	1.000	1.000
43						0	1.000	1.000
44						0	1.000	1.000
45						0	1.000	1.000
46						0	1.000	1.000
47						0	1.000	1.000
48						0	1.000	1.000
49						0	1.000	1.000
50						0	1.000	1.000
51	0	0	-160.0	1044.6	nýt - pásnice	0	1.000	1.000
52	0	0	-66.5	1059.1	nýt - pásnice	0	1.000	1.000
53	0	0	66.5	1059.1	nýt - pásnice	0	1.000	1.000
54	0	0	160.0	1044.6	nýt - pásnice	0	1.000	1.000
55	0	0	18.2	985.0	nýt - stěna	0	1.000	1.000
56	0	0	0	0	nýt - stěna	0	1.000	1.000
57	0	0	0	0	nýt - stěna	0	1.000	1.000
58	0	0	0	0	nýt - stěna	0	1.000	1.000
59	0	0	0	0	nýt - stěna	0	1.000	1.000
60	0	0	0	0	nýt - stěna	0	1.000	1.000
61	0	0	0	0	nýt - stěna	0	1.000	1.000
62	0	0	0	0	nýt - stěna	0	1.000	1.000
63	0	0	0	0	nýt - stěna	0	1.000	1.000
64	0	0	0	0	nýt - stěna	0	1.000	1.000
65	36.4	-22.0	0.0	45.0	nýt - stěna	0	1.000	1.000
66						0	1.000	1.000
67						0	1.000	1.000
68						0	1.000	1.000
69	-15.6	30.0	-160.0	-15.0	nýt - pásnice	0	1.000	1.000
70	-17.2	41.1	-66.5	-9.5	nýt - pásnice	0	1.000	1.000
71	-17.2	41.1	66.5	-9.5	nýt - pásnice	0	1.000	1.000
72	-15.6	30.0	160.0	-15.0	nýt - pásnice	0	1.000	1.000
73								
74								
75								
76								
77								
78								
79								
80								
81								
82								
83								
84								
85								
86								
87								
88								
89								
90								
91								
92								
93								
94								
95								
96								
97								
98								
99								
100								

VÝPOČET PRŮŘEZOVÝCH CHARAKTERISTIK

Properties	Basic	Ultimate		Serviceability	
y_t	0.0	0.0		0.0	[mm]
z_t	552.2	552.2		552.2	[mm]
A_t	3.8085E+04	3.8085E+04		3.8085E+04	[mm²]
A_z	2.6156E+04	2.6156E+04		2.6156E+04	[mm²]
A_k	7.3892E+03	7.3892E+03		7.3892E+03	[mm²]
I_{y1}	9.0779E+09	9.0779E+09		9.0779E+09	[mm⁴]
I_w	3.0901E+08	3.0901E+08		3.0901E+08	[mm⁶]
i_y	488.2	488.2		488.2	[mm]
i_z	90.1	90.1		90.1	[mm]
$W_{y,1}$	1.7908E+07	1.7908E+07		1.7908E+07	[mm³]
$W_{z,1}$	-1.5450E+06	-1.5450E+06		-1.5450E+06	[mm³]
$W_{y,2}$	-1.5593E+07	-1.5593E+07		-1.5593E+07	[mm³]
$W_{z,2}$	-1.5450E+06	-1.5450E+06		-1.5450E+06	[mm³]
KRAJNÍ VLÁKNA PRŮŘEZU					
y_1	-200.0	-200.0		-200.0	[mm]
z_1	1059.1	1059.1		1059.1	[mm]
y_2	-200.0	-200.0		-200.0	[mm]
z_2	-30.0	-30.0		-30.0	[mm]
y_3	200.0	200.0		200.0	[mm]
z_3	1059.1	1059.1		1059.1	[mm]
y_4	200.0	200.0		200.0	[mm]
z_4	-30.0	-30.0		-30.0	[mm]
y_5	-6.5	-6.5		-6.5	[mm]
z_5	1030.0	1030.0		1030.0	[mm]
y_6	-6.5	-6.5		-6.5	[mm]
z_6	0.0	0.0		0.0	[mm]

ÚPRAVA MOMENTŮ SETRVAČNOSTI V DŮSLEDKU ČLENĚNÍ PRŮŘEZU

OSA Y	1.00
OSA Z	1.00

SCHÉMA PROMĚNNÝCH

SCHÉMA ZADANÉHO PRŮŘEZU

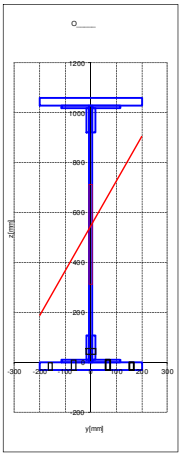

NEUTRÁLNÁ OSA

NAPĚTÍ [MPa]:

-64.26	-11.44
16.23	69.06

ZS:

	N [kN]	Vy [kN]	Vz [kN]	Mx [kNm]	My [kNm]	Mz [kNm]
import	-15	47	-582	0	671	-41

TR_P3.1 POPIS: **PŘÍČNÍK P3 - ZÁKLADNÍ ČÁST** POSUDEK: **P3.1**

SKUPINA ZAT. STAVŮ	EXTRÉM	VYHODNOCOVANÉ VELIČINY					
		N	Vy	Vz	Mx	My	Mz
		kN	kN	kN	kNm	kNm	kNm
G0	N.min	**-0.15**	12.97	-45.25	-0.03	37.34	-9.45
	N.max	**-0.15**	12.97	-45.25	-0.03	37.34	-9.45
	Vy.min	-0.15	**12.97**	-45.25	-0.03	37.34	-9.45
	Vy.max	-0.15	**12.97**	-45.25	-0.03	37.34	-9.45
	Vz.min	-0.15	12.97	**-45.25**	-0.03	37.34	-9.45
	Vz.max	-0.15	12.97	**-45.25**	-0.03	37.34	-9.45
	Mx.min	-0.15	12.97	-45.25	**-0.03**	37.34	-9.45
	Mx.max	-0.15	12.97	-45.25	**-0.03**	37.34	-9.45
	My.min	-0.15	12.97	-45.25	-0.03	**37.34**	-9.45
	My.max	-0.15	12.97	-45.25	-0.03	**37.34**	-9.45
	Mz.min	-0.15	12.97	-45.25	-0.03	37.34	**-9.45**
	Mz.max	-0.15	12.97	-45.25	-0.03	37.34	**-9.45**
G1	N.min	**0.02**	0.99	-6.84	0	5.78	-0.72
	N.max	**0.02**	0.99	-6.84	0	5.78	-0.72
	Vy.min	0.02	**0.99**	-6.84	0	5.78	-0.72
	Vy.max	0.02	**0.99**	-6.84	0	5.78	-0.72
	Vz.min	0.02	0.99	**-6.84**	0	5.78	-0.72
	Vz.max	0.02	0.99	**-6.84**	0	5.78	-0.72
	Mx.min	0.02	0.99	-6.84	**0**	5.78	-0.72
	Mx.max	0.02	0.99	-6.84	**0**	5.78	-0.72
	My.min	0.02	0.99	-6.84	0	**5.78**	-0.72
	My.max	0.02	0.99	-6.84	0	**5.78**	-0.72
	Mz.min	0.02	0.99	-6.84	0	5.78	**-0.72**
	Mz.max	0.02	0.99	-6.84	0	5.78	**-0.72**
G2	N.min	**-0.18**	0.85	-3.42	0	-6.38	-0.73
	N.max	**-0.18**	0.85	-3.42	0	-6.38	-0.73
	Vy.min	-0.18	**0.85**	-3.42	0	-6.38	-0.73
	Vy.max	-0.18	**0.85**	-3.42	0	-6.38	-0.73
	Vz.min	-0.18	0.85	**-3.42**	0	-6.38	-0.73
	Vz.max	-0.18	0.85	**-3.42**	0	-6.38	-0.73
	Mx.min	-0.18	0.85	-3.42	**0**	-6.38	-0.73
	Mx.max	-0.18	0.85	-3.42	**0**	-6.38	-0.73
	My.min	-0.18	0.85	-3.42	0	**-6.38**	-0.73
	My.max	-0.18	0.85	-3.42	0	**-6.38**	-0.73
	Mz.min	-0.18	0.85	-3.42	0	-6.38	**-0.73**
	Mz.max	-0.18	0.85	-3.42	0	-6.38	**-0.73**
P1_71	N.min	**-3.36**	1.04	-19.34	0.03	20.51	-0.84
	N.max	**20.9**	13.04	-175.74	-0.06	107.33	-12.47
	Vy.min	0.33	**-0.7**	-0.41	0.01	-2.49	0.93
	Vy.max	11.09	**14.46**	-114.5	-0.05	69.71	-13.77
	Vz.min	18.48	12.69	**-201.7**	-0.04	139.98	-11.99
	Vz.max	0.35	2.08	**2.21**	-0.01	-10.02	-1.93
	Mx.min	16.24	13.62	-117.51	**-0.08**	73.21	-13.05
	Mx.max	-1.01	0.59	-59.39	**0.04**	51.85	-0.29
	My.min	3	11.43	-2.15	-0.03	**-21.5**	-10.89
	My.max	16.01	3.7	-198.25	-0.01	**149.07**	-3.49
	Mz.min	11.41	14.45	-114.65	-0.05	70.02	**-13.78**
	Mz.max	0.18	-0.7	-0.87	0.01	-1.83	**0.93**
P2_71	N.min	**-17.51**	14.89	-60.15	0.07	114.13	-11.45
	N.max	**13.01**	3.32	-430.53	-0.1	461.38	-2.61
	Vy.min	-1.18	**-1.06**	4.43	0.01	2.23	1.36
	Vy.max	-6.43	**18.66**	-258.79	-0.04	321.54	-14.76
	Vz.min	7.48	4.74	**-492.46**	-0.04	542.7	-3.83
	Vz.max	-10.84	14.73	**16.2**	-0.03	20.62	-11.26
	Mx.min	1.6	16.1	-267.72	**-0.19**	325.21	-12.49
	Mx.max	-7.14	2.56	-210.7	**0.15**	246.28	-1.97
	My.min	0.04	-0.67	2.65	0	**-0.28**	0.82
	My.max	-0.59	17.76	-481.71	-0.06	**560.37**	-13.84
	Mz.min	-6.28	18.66	-258.8	-0.04	321.23	**-14.76**
	Mz.max	-1.35	-1.06	4.49	0.01	2.65	**1.36**
P1_C3	N.min	**-2.36**	1.48	-11.6	0.01	10.71	-1.35
	N.max	**13.14**	10.55	-101.16	-0.05	56.65	-10.09
	Vy.min	0.28	**-0.43**	0.08	0	-1.85	0.56
	Vy.max	9.76	**11.7**	-113.45	-0.03	73.52	-11.11
	Vz.min	11.63	10.08	**-115.48**	-0.03	76.25	-9.51
	Vz.max	0.54	0.88	**1.56**	0	-6.73	-0.76
	Mx.min	11.69	11.17	-86.83	**-0.05**	50.71	-10.67
	Mx.max	-0.88	0.14	-27.16	**0.02**	24.18	0.05
	My.min	2.48	9.06	-2.08	-0.02	**-16.07**	-8.6
	My.max	8.14	2.43	-111.47	-0.01	**84.9**	-2.31
	Mz.min	9.99	11.7	-113.56	-0.03	73.1	**-11.12**
	Mz.max	0.27	-0.43	0.05	0	-1.81	**0.56**
P2_C3	N.min	**-12.77**	13.12	-11.63	0.02	48.85	-10.25
	N.max	**7.73**	2.12	-246.86	-0.05	267.73	-1.64
	Vy.min	-0.44	**-0.7**	2.72	0	0.6	0.88
	Vy.max	-6.87	**15.16**	-234.19	0	290.93	-11.95
	Vz.min	5.38	2.54	**-279.43**	-0.02	305.79	-2.06
	Vz.max	-8.14	11.7	**12.15**	-0.02	17.28	-8.84
	Mx.min	-0.62	13.42	-166.45	**-0.13**	207.81	-10.41
	Mx.max	-3.23	1.39	-137.12	**0.09**	158.37	-1
	My.min	0.01	-0.41	1.55	0	**-0.2**	0.5
	My.max	-3.12	14.52	-268.65	-0.04	**323.36**	-11.26
	Mz.min	-6.87	15.16	-233.96	0	290.93	**-11.95**
	Mz.max	-0.44	-0.7	2.72	0	0.6	**0.88**
BR	N.min	**-0.82**	34.92	-0.39	0	0.48	-39.16
	N.max	**0.82**	-34.92	0.39	0	-0.48	39.16
	Vy.min	0.13	**-40.31**	1.02	0	0.55	45.06
	Vy.max	-0.13	**40.31**	-1.02	0	-0.55	-45.06
	Vz.min	0.04	32.64	**-1.11**	0	0.17	-36.55
	Vz.max	-0.04	-32.64	**1.11**	0	-0.17	36.55
	Mx.min	0.04	32.64	-1.11	**0**	0.17	-36.55
	Mx.max	-0.04	-32.64	1.11	**0**	-0.17	36.55
	My.min	0.41	-24.11	0.28	0	**-0.9**	26.76
	My.max	-0.41	24.11	-0.28	0	**0.9**	-26.76
	Mz.min	-0.13	40.31	-1.02	0	-0.55	**-45.06**
	Mz.max	0.13	-40.31	1.02	0	0.55	**45.06**

TR_P3.1 POPIS: **PŘÍČNÍK P3 - ZÁKLADNÍ ČÁST** POSUDEK: **P3.1**

SKUPINA ZAT. STAVŮ	EXTRÉM	VYHODNOCOVANÉ VELIČINY					
		N	Vy	Vz	Mx	My	Mz
		kN	kN	kN	kNm	kNm	kNm
S	N.min	**-5.2**	0.59	-2.58	0	16.15	-0.49
	N.max	**5.2**	-0.59	2.58	0	-16.15	0.49
	Vy.min	-4.54	**-3.44**	-1.78	0.01	14.11	4.53
	Vy.max	4.54	**3.44**	1.78	-0.01	-14.11	-4.53
	Vz.min	-5.2	0.59	**-2.58**	0	16.15	-0.49
	Vz.max	5.2	-0.59	**2.58**	0	-16.15	0.49
	Mx.min	4.54	3.44	1.78	**-0.01**	-14.11	-4.53
	Mx.max	-4.54	-3.44	-1.78	**0.01**	14.11	4.53
	My.min	5.2	-0.59	2.58	0	**-16.15**	0.49
	My.max	-5.2	0.59	-2.58	0	**16.15**	-0.49
	Mz.min	4.54	3.44	1.78	-0.01	-14.11	**-4.53**
	Mz.max	-4.54	-3.44	-1.78	0.01	14.11	**4.53**
CH	N.min	**-0.8**	2.16	0.04	0	-29.16	-1.85
	N.max	**0.42**	1.37	2.54	0	-6.41	-1.29
	Vy.min	0.42	**1.37**	2.54	0	-6.41	-1.29
	Vy.max	-0.8	**2.16**	0.04	0	-29.16	-1.85
	Vz.min	-0.44	1.44	**-0.34**	0	-30.21	-1.35
	Vz.max	0.42	1.37	**2.54**	0	-6.41	-1.29
	Mx.min	-0.8	2.16	0.04	**0**	-29.16	-1.85
	Mx.max	-0.44	1.44	-0.34	**0**	-30.21	-1.35
	My.min	-0.44	1.44	-0.34	0	**-30.21**	-1.35
	My.max	0.42	1.37	2.54	0	**-6.41**	-1.29
	Mz.min	-0.8	2.16	0.04	0	-29.16	**-1.85**
	Mz.max	0.42	1.37	2.54	0	-6.41	**-1.29**
W	N.min	**-16.17**	3.79	8.17	-0.01	21.41	-6.09
	N.max	**13.16**	-3.77	-8.18	0.01	-21.42	6.08
	Vy.min	13.16	**-3.77**	-8.18	0.01	-21.42	6.08
	Vy.max	-16.17	**3.79**	8.17	-0.01	21.41	-6.09
	Vz.min	13.16	-3.77	**-8.18**	0.01	-21.42	6.08
	Vz.max	-16.17	3.79	**8.17**	-0.01	21.41	-6.09
	Mx.min	-16.17	3.79	8.17	**-0.01**	21.41	-6.09
	Mx.max	13.16	-3.77	-8.18	**0.01**	-21.42	6.08
	My.min	13.16	-3.77	-8.18	0.01	**-21.42**	6.08
	My.max	-16.17	3.79	8.17	-0.01	**21.41**	-6.09
	Mz.min	-16.17	3.79	8.17	-0.01	21.41	**-6.09**
	Mz.max	13.16	-3.77	-8.18	0.01	-21.42	**6.08**
WP	N.min	**-7.95**	-7.35	-9.8	0.01	42.26	11.06
	N.max	**7.95**	7.36	9.8	-0.01	-42.27	-11.07
	Vy.min	-7.95	**-7.35**	-9.8	0.01	42.26	11.06
	Vy.max	7.95	**7.36**	9.8	-0.01	-42.27	-11.07
	Vz.min	-7.95	-7.35	**-9.8**	0.01	42.26	11.06
	Vz.max	7.95	7.36	**9.8**	-0.01	-42.27	-11.07
	Mx.min	7.95	7.36	9.8	**-0.01**	-42.27	-11.07
	Mx.max	-7.95	-7.35	-9.8	**0.01**	42.26	11.06
	My.min	7.95	7.36	9.8	-0.01	**-42.27**	-11.07
	My.max	-7.95	-7.35	-9.8	0.01	**42.26**	11.06
	Mz.min	7.95	7.36	9.8	-0.01	-42.27	**-11.07**
	Mz.max	-7.95	-7.35	-9.8	0.01	42.26	**11.06**
TR	N.min	**0**	0	0	0	0	0
	N.max	**0**	0	0	0	0	0
	Vy.min	0	**0**	0	0	0	0
	Vy.max	0	**0**	0	0	0	0
	Vz.min	0	0	**0**	0	0	0
	Vz.max	0	0	**0**	0	0	0
	Mx.min	0	0	0	**0**	0	0
	Mx.max	0	0	0	**0**	0	0
	My.min	0	0	0	0	**0**	0
	My.max	0	0	0	0	**0**	0
	Mz.min	0	0	0	0	0	**0**
	Mz.max	0	0	0	0	0	**0**
TN	N.min	**-4.49**	-0.09	8.09	0.01	18.24	-0.32
	N.max	**6.11**	1.09	-8.74	-0.03	-27.85	-0.54
	Vy.min	-0.55	**-1.06**	0.8	0.02	4.26	0.93
	Vy.max	6.11	**1.09**	-8.74	-0.03	-27.85	-0.54
	Vz.min	6.11	1.09	**-8.74**	-0.03	-27.85	-0.54
	Vz.max	-4.49	-0.09	**8.09**	0.01	18.24	-0.32
	Mx.min	6.11	1.09	-8.74	**-0.03**	-27.85	-0.54
	Mx.max	-0.55	-1.06	0.8	**0.02**	4.26	0.93
	My.min	6.11	1.09	-8.74	-0.03	**-27.85**	-0.54
	My.max	-4.49	-0.09	8.09	0.01	**18.24**	-0.32
	Mz.min	0.55	1.06	-0.8	-0.02	-4.26	**-0.93**
	Mz.max	-0.55	-1.06	0.8	0.02	4.26	**0.93**
FR	N.min	**-0.1**	0.7	0.07	0	-0.28	-0.53
	N.max	**0.1**	-0.7	-0.07	0	0.28	0.53
	Vy.min	0.1	**-0.7**	-0.07	0	0.28	0.53
	Vy.max	-0.1	**0.7**	0.07	0	-0.28	-0.53
	Vz.min	0.1	-0.7	**-0.07**	0	0.28	0.53
	Vz.max	-0.1	0.7	**0.07**	0	-0.28	-0.53
	Mx.min	0.1	-0.7	-0.07	**0**	0.28	0.53
	Mx.max	-0.1	0.7	0.07	**0**	-0.28	-0.53
	My.min	-0.1	0.7	0.07	0	**-0.28**	-0.53
	My.max	0.1	-0.7	-0.07	0	**0.28**	0.53
	Mz.min	-0.1	0.7	0.07	0	-0.28	**-0.53**
	Mz.max	0.1	-0.7	-0.07	0	0.28	**0.53**
I	N.min	**-1.07**	0.03	2.15	0	6.38	**-0.2**
	N.max	**1.07**	-0.03	-2.15	0	-6.38	**0.2**
	Vy.min	1.07	**-0.03**	-2.15	0	-6.38	**0.2**
	Vy.max	-1.07	**0.03**	2.15	0	6.38	**-0.2**
	Vz.min	1.07	-0.03	**-2.15**	0	-6.38	**0.2**
	Vz.max	-1.07	0.03	**2.15**	0	6.38	**-0.2**
	Mx.min	-1.07	0.03	2.15	**0**	6.38	**-0.2**
	Mx.max	1.07	-0.03	-2.15	**0**	-6.38	**0.2**
	My.min	1.07	-0.03	-2.15	0	**-6.38**	**0.2**
	My.max	-1.07	0.03	2.15	0	**6.38**	**-0.2**
	Mz.min	-1.07	0.03	2.15	0	6.38	**-0.2**
	Mz.max	1.07	-0.03	-2.15	0	-6.38	**0.2**

TAB. P3.1.3 POSOUZENÍ - MEZNÍ STAV ÚNOSNOSTI

POPIS	PŘÍČNÍK P3 - ZÁKLADNÍ ČÁST
PRUT / POLOHA BODU	679 / I[557]
NAMÁHÁNÍ	Mz.min
VLÁKNO	BOD K2 -HP
MEZNÍ STAV	ULS (MSÚ)
VYUŽITÍ VLÁKNA PRŮŘEZU	1.24

Charakteristiky materiálu				
pás. horní	$f_{yf,k}$	230	MPa	
pás. dolní	$f_{yf,k}$	230	MPa	
stojina	$f_{yw,k}$	230	MPa	
výztuž	$f_{ys,k}$	500	MPa	
γ_M =	1.10	γ_s =	1.15	

Excentricita normálové síly				
Exc./Fáze	0	1	2	3
e_y	0.000	0.000	0.000	0.000
e_z	0.000	0.000	0.000	0.000
Ekvivalentní vzdál. stěn - příčný roznos				
b_{Mx}	0.000	0.000	0.000	0.000

Vliv stěny na únosnost průřezu				
Char./Fáze	0	1	2	3
A	0.41	0.00	0.00	0.00
Wy	0.19	0.00	0.00	0.00
Wz	0.06	0.00	0.00	0.00

Charakter. v kroucení			
$t_{w,y}$	0.000	[mm]	
$t_{w,z}$	0.000	[mm]	
κ	1.00		
I_t=	0.00E+00	[mm^4]	
Ω=2*A_{pr}	0.00E+00	[mm^2]	

Součinitele vzpěru a vlivu II.řádu					
Char./Fáze	0	1	2	3	
k_y	1.000	1.000	1.000	1.000	
k_z	1.000	1.000	1.000	1.000	
χ_{LT}	1.000	1.000	1.000	1.000	
χ_{min}	1.000	1.000	1.000	1.000	

δ_{LOK} = 1.00

Vnitřní síly od jednotlivých skupin zatěžovacích stavů

SKUPINA ZATĚŽOVACÍCH STAVŮ						- CHARAKTERISTICKÉ HODNOTY						DÍLČÍ SOUČINITELÉ ZATÍŽENÍ, DYNAMICKÝ SOUČINITEL						3	- NÁVRHOVÉ HODNOTY									
Č.	SKUP ZS	POPIS ZS	KAT.	FÁZE PRŮŘ.		N.k (kN)	Vy.k (kN)	Vz.k (kN)	Mx.k (kNm)	My.k (kNm)	Mz.k (kNm)	γ_{sup} (-)	γ_{inf} (-)	volba ψ_i hledat	ψ_i (-)	L_d (m)	δ (-)	ψ_E KZ03	N.d (kN)	Vy.d (kN)	Vz.d (kN)	ΔVz.d (kN)	ΣVz.d (kN)	Mx.d (kNm)	My.d (kNm)	ΔMy.d (kNm)	ΣMy.d (kNm)	Mz.d (kNm)	ΔMz.d (kNm)	ΣMz.d (kNm)
1	G0	Vlastní tíha OK	G	0		0	13	-45	0	37	-9	1.00	1.20		1.20	-	1.00	0.95	0	15	-52	0	-52	0	43	0	43	-11	0	-11
2	G1	Ostatní stálé - mostní vybavení	G	0		0	1	-7	0	6	-1	1.00	1.20		1.20	-	1.00	0.95	0	1	-8	0	-8	0	7	0	7	-1	0	-1
3	G2	Ostatní stálé - cizí zařízení	G	0		0	1	-3	0	-6	-1	1.00	1.20		1.20	-	1.00	0.95	0	1	-4	0	-4	0	-7	0	-7	-1	0	-1
4	P1_71	a.LM71 - kolej 1 (bez dyn. souč.)	P	0		11	14	-115	0	70	-14	1.00	1.30		1.30	-	1.27	1.00	19	24	-189	0	-189	0	116	0	116	-23	5	-18
5	P2_71	a.LM71 - kolej 2 (bez dyn. souč.)	P	0		-6	19	-259	0	321	-15	1.00	1.30		1.30	-	1.27	1.00	-10	31	-428	0	-428	0	531	0	531	-24	5	-19
6	P1_C3	TTZ C3 - kolej 1 (bez dyn. souč.)	P	0		10	12	-114	0	73	-11	1.00	vyp.		0.00	-	1.00	0.00	0	0	0	0	0	0	0	0	0	0	0	0
7	P2_C3	TTZ C3 - kolej 2 (bez dyn. souč.)	P	0		-7	15	-234	0	291	-12	1.00	vyp.		0.00	-	1.00	0.00	0	0	0	0	0	0	0	0	0	0	0	0
8	BR	Brzdné a rozjezdové síly	P	0		0	40	-1	0	-1	-45	1.00	1.30		1.30	-	1.00	0.80	0	42	-1	0	-1	0	-1	0	-1	-47	0	-47
9	S	Boční ráz	P	0		5	3	2	0	-14	-5	1.00	1.30		1.30	-	1.00	0.40	2	2	1	0	1	0	-7	0	-7	-2	0	-2
10	CH	Chodci na lávkách	Q	0		-1	2	0	0	-29	-2	1.00	1.30		1.30	-	1.00	1.00	-1	3	0	0	0	0	-38	0	-38	-2	0	-2
11	W	Vítr na konstrukci	Q	0		-16	4	8	0	21	-6	1.00	1.35		1.35	-	1.00	0.75	-16	4	8	0	8	0	22	0	22	-6	0	-6
12	WP	Vítr na vozidla	Q	0		8	7	10	0	-42	-11	1.00	1.35		1.35	-	1.00	0.75	8	7	10	0	10	0	-43	0	-43	-11	0	-11
13	TR	Teplota rovnoměrná	Q	0		0	0	0	0	0	0	1.00	1.35		1.35	-	1.00	0.45	0	0	0	0	0	0	0	0	0	0	0	0
14	TN	Teplota nerovnoměrná	Q	0		1	1	-1	0	-4	-1	1.00	1.35		1.35	-	1.00	0.60	0	1	-1	0	-1	0	-3	0	-3	-1	0	-1
15	FR	Třecí síly v ložiskách	Q	0		0	1	0	0	0	-1	1.00	1.20		1.20	-	1.00	1.00	0	1	0	0	0	0	0	0	0	-1	0	-1
16	I	Imperfekce soustavy	Q	0		-1	0	2	0	6	0	1.00	1.20		1.20	-	1.00	1.00	-1	0	3	0	3	0	8	0	8	0	0	0
27	ULS_LM	ULS - LM71 bez dynam	Q	0		-1	132	-530	0	488	-135	1.00	vyp.		0.00	-	1.00	0.00	0	0	0	0	0	0	0	0	0	0	0	0
28	SLS_LM	SLS - LM71 bez dynam	Q	0		-1	102	-415	0	384	-105	1.00	vyp.	1	0.00	-	1.00	0.00	0	0	0	0	0	0	0	0	0	0	0	0
29	ULS_C3	ULS - C3 bez dynam	Q	0		-4	124	-497	0	453	-128	1.00	vyp.	1	0.00	-	1.00	0.00	0	0	0	0	0	0	0	0	0	0	0	0
30	SLS_C3	SLS - C3 bez dynam	Q	0		-3	96	-389	0	357	-99	1.00	vyp.	1	0.00	-	1.00	0.00	0	0	0	0	0	0	0	0	0	0	0	0
		CELKEM - FÁZE PRŮŘEZU 0																	0	131	-660	0	-660	0	625	0	625	-130	10	-120
		CELKEM - FÁZE PRŮŘEZU 1																	0	0	0	0	0	0	0	0	0	0	0	0
		CELKEM - FÁZE PRŮŘEZU 2																	0	0	0	0	0	0	0	0	0	0	0	0
		CELKEM - FÁZE PRŮŘEZU 3																	0	0	0	0	0	0	0	0	0	0	0	0
		CELKEM - PRŮŘEZ																	0	131	-660	0	-660	0			625			-120

Napětí od jednotlivých zatěžovacích stavů

SKUPINA ZATĚŽOVACÍCH STAVŮ					Posouzení normálového napětí											Posouzení smykového napětí													
					Účinek síly N				Účinek momentu My				Účinek momentu Mz				Účinek kroutícího momentu Mx				Účinek smykové síly Vy				Účinek smykové síly Vz			
Č.	SKUP ZS	Popis ZS	Kat.	fáze prúř.	δ^*N_d [kN]	χ^*A [mm^2]	σ_n [MPa]		$\delta^*M_{y,d}$ [kNm]	$\chi_{lt}{}^*W_{el,y}$ [mm^3]	σ_{my} [MPa]		$\delta^*M_{z,d}$ [kNm]	$W_{el,z}$ [mm^3]	σ_{mz} [MPa]	σ_x [MPa]	$\kappa^*\delta^*M_{x,d}$ [kNm]	$W_{v,y}$ [mm^2]	$\tau_{x,y}$ [MPa]	$W_{v,z}$ [mm^2]	$\tau_{x,z}$ [MPa]	$\delta^*V_{y,d}$ [kN]	$A_{v,y}$ [mm2]	$\tau_{v,y}$ [MPa]	$\tau_{v,y}$ [MPa]	$\delta^*V_{z,d}$ [kN]	$A_{v,z}$ [mm2]	$\tau_{v,z}$ [MPa]	$\tau_{v,z}$ [MPa]
1	G0	Vlastní tíha OK	G	0	-0.2	2.84E+04	0.0		42.6	-1.07E+07	-4.0		-10.8	5.97E+05	-18.0	-22.0	-3.4E-02	-	-	-	-	14.8	1.23E+04	1.2	1.2	-51.6	1.11E+04	-4.6	-4.6
2	G1	Ostatní stálé - mostní vybavení	G	0	0.0	2.84E+04	0.0		6.6	-1.07E+07	-0.6		-0.8	5.97E+05	-1.4	-2.0	0.0E+00	-	-	-	-	1.1	1.23E+04	0.1	0.1	-7.8	1.11E+04	-0.7	-0.7
3	G2	Ostatní stálé - cizí zařízení	G	0	-0.2	2.84E+04	0.0		-7.3	-1.07E+07	0.7		-0.8	5.97E+05	-1.4	-0.7	0.0E+00	-	-	-	-	1.0	1.23E+04	0.1	0.1	-3.9	1.11E+04	-0.4	-0.4
4	P1_71	a.LM71 - kolej 1 (bez dyn. souč.)	P	0	18.9	2.84E+04	0.7		115.7	-1.07E+07	-10.8		-17.9	5.97E+05	-30.0	-40.1	-8.3E-02	-	-	-	-	23.9	1.23E+04	1.9	1.9	-189.4	1.11E+04	-17.1	-17.1
5	P2_71	a.LM71 - kolej 2 (bez dyn. souč.)	P	0	-10.4	2.84E+04	-0.4		530.8	-1.07E+07	-49.5		-19.2	5.97E+05	-32.1	-82.0	-6.6E-02	-	-	-	-	30.8	1.23E+04	2.5	2.5	-427.6	1.11E+04	-38.5	-38.5
6	P1_C3	TTZ C3 - kolej 1 (bez dyn. souč.)	P	0	0.0	2.84E+04	0.0		0.0	-1.07E+07	0.0		0.0	5.97E+05	0.0	0.0	0.0E+00	-	-	-	-	0.0	1.23E+04	0.0	0.0	0.0	1.11E+04	0.0	0.0
7	P2_C3	TTZ C3 - kolej 2 (bez dyn. souč.)	P	0	0.0	2.84E+04	0.0		0.0	-1.07E+07	0.0		0.0	5.97E+05	0.0	0.0	0.0E+00	-	-	-	-	0.0	1.23E+04	0.0	0.0	0.0	1.11E+04	0.0	0.0
8	BR	Brzdné a rozjezdové síly	P	0	-0.1	2.84E+04	0.0		-0.6	-1.07E+07	0.1		-46.9	5.97E+05	-78.5	-78.4	0.0E+00	-	-	-	-	41.9	1.23E+04	3.4	3.4	-1.1	1.11E+04	-0.1	-0.1
9	S	Boční ráz	P	0	2.4	2.84E+04	0.1		-7.3	-1.07E+07	0.7		-2.4	5.97E+05	-3.9	-3.2	-5.2E-03	-	-	-	-	1.8	1.23E+04	0.1	0.1	0.9	1.11E+04	0.1	0.1
10	CH	Chodci na lávkách	Q	0	-1.0	2.84E+04	0.0		-37.9	-1.07E+07	3.5		-2.4	5.97E+05	-4.0	-0.5	0.0E+00	-	-	-	-	2.8	1.23E+04	0.2	0.2	0.1	1.11E+04	0.0	0.0
11	W	Vítr na konstrukci	Q	0	-16.4	2.84E+04	-0.6		21.7	-1.07E+07	-2.0		-6.2	5.97E+05	-10.3	-12.9	-1.0E-02	-	-	-	-	3.8	1.23E+04	0.3	0.3	8.3	1.11E+04	0.7	0.7
12	WP	Vítr na vozidla	Q	0	8.0	2.84E+04	0.3		-42.8	-1.07E+07	4.0		-11.2	5.97E+05	-18.8	-14.5	-1.0E-02	-	-	-	-	7.5	1.23E+04	0.6	0.6	9.9	1.11E+04	0.9	0.9
13	TR	Teplota rovnoměrná	Q	0	0.0	2.84E+04	0.0		0.0	-1.07E+07	0.0		0.0	5.97E+05	0.0	0.0	0.0E+00	-	-	-	-	0.0	1.23E+04	0.0	0.0	0.0	1.11E+04	0.0	0.0
14	TN	Teplota nerovnoměrná	Q	0	0.4	2.84E+04	0.0		-3.5	-1.07E+07	0.3		-0.8	5.97E+05	-1.3	-0.9	-1.6E-02	-	-	-	-	0.9	1.23E+04	0.1	0.1	-0.6	1.11E+04	-0.1	-0.1
15	FR	Třecí síly v ložiskách	Q	0	-0.1	2.84E+04	0.0		-0.3	-1.07E+07	0.0		-0.6	5.97E+05	-1.1	-1.0	0.0E+00	-	-	-	-	0.8	1.23E+04	0.1	0.1	0.1	1.11E+04	0.0	0.0
16	I	Imperfekce soustavy	Q	0	-1.3	2.84E+04	0.0		7.7	-1.07E+07	-0.7		-0.2	5.97E+05	-0.4	-1.2	0.0E+00	-	-	-	-	0.0	1.23E+04	0.0	0.0	2.6	1.11E+04	0.2	0.2
27	ULS_LM	ULS - LM71 bez dynam	Q	0	0.0	2.84E+04	0.0		0.0	-1.07E+07	0.0		0.0	5.97E+05	0.0	0.0	0.0E+00	-	-	-	-	0.0	1.23E+04	0.0	0.0	0.0	1.11E+04	0.0	0.0
28	SLS_LM	SLS - LM71 bez dynam	Q	0	0.0	2.84E+04	0.0		0.0	-1.07E+07	0.0		0.0	5.97E+05	0.0	0.0	0.0E+00	-	-	-	-	0.0	1.23E+04	0.0	0.0	0.0	1.11E+04	0.0	0.0
29	ULS_C3	ULS - C3 bez dynam	Q	0	0.0	2.84E+04	0.0		0.0	-1.07E+07	0.0		0.0	5.97E+05	0.0	0.0	0.0E+00	-	-	-	-	0.0	1.23E+04	0.0	0.0	0.0	1.11E+04	0.0	0.0
30	SLS_C3	SLS - C3 bez dynam	Q	0	0.0	2.84E+04	0.0		0.0	-1.07E+07	0.0		0.0	5.97E+05	0.0	0.0	0.0E+00	-	-	-	-	0.0	1.23E+04	0.0	0.0	0.0	1.11E+04	0.0	0.0
NAVÝŠENÍ NAPĚTÍ DO AKTIVACE TLAKU V DESCE MOSTOVKY							$\sigma_{P,red}$	0.0								0.0			0.0		0.0			10.7	10.7			-59.5	-59.5
NAPĚTÍ OD PRIMÁRNÍCH ÚČINKŮ NEROVNOMĚRNÉHO OTEPLENÍ							σ_T	0.0								0.0													
NAPĚTÍ OD REOLOGICKÝCH ÚČINKŮ BETONU V ČASE				t=0			σ_R	0.0	γ=	1.20						0.0													
NAPĚTÍ V KRITICKÝCH VLÁKNECH OD KOMBINACE ZATÍŽENÍ						KZ03			[MPa]						$\Sigma\sigma_x$	-259.5								$\Sigma\tau_y$	10.7			$\Sigma\tau_z$	-59.5
NAPĚTÍ OD POHYBLIVÉHO ZATÍŽENÍ									[MPa]						$\sigma_{x,P}$	-203.7									8.0			τ_P	-55.6
NAPĚTÍ OD OSTATNÍCH ZATÍŽENÍ									[MPa]			Φ_{Vy}		Φ_{Vz}	$\sigma_{x,rs}$	-55.8								τ_{rs}	2.7			τ_{rs}	-3.9
NÁVRHOVÁ HODNOTA MEZE KLUZU S REDUKCÍ VLIVEM SMYKOVÉHO NAPĚTÍ									[MPa]			1.00		1.00	$f_{yw,d}$	209.1								$f_{yd}/3^{0,5}$	120.7			$f_{yd}/3^{0,5}$	120.7
NAPĚTÍ OD POHYBLIVÉHO ZATÍŽENÍ V GLOBÁLNÍM SYSTÉMU							$\sigma_{GLOB,P}$	0.0	[MPa]						$\Sigma\sigma_{GLOB}$	0.0													
NAPĚTÍ OD OSTATNÍCH ZATÍŽENÍ V GLOBÁLNÍM SYSTÉMU							$\sigma_{GLOB,rs}$	0.0	[MPa]						$\Sigma\sigma_x + \Sigma\sigma_{GLOB}$	-259.5													
VYUŽITÍ PRŮŘEZU DLE NAPĚTÍ									[%]						η_1	1.24								η_3	0.09			η_3	0.49
NAPĚTÍ V PŘÍČNÉM SMĚRU OD POHYBLIVÉHO ZATÍŽENÍ							$\sigma_{z,P}$	0.0	[MPa]						$\Sigma\sigma_z$	0.0													
NAPĚTÍ V PŘÍČNÉM SMĚRU OD OSTATNÍCH ZATÍŽENÍ							$\sigma_{z,rs}$	0.0	[MPa]						η_2	0.00													
SROVNÁVACÍ NAPĚTÍ															$(\eta_2 + 0,8\ \eta_1)/1,4$ =	0.71													
VYUŽITÍ PRŮŘEZU CELKEM									[%]						eff	1.24	NEVYHOVUJE												
STANOVENÍ ZATÍŽITELNOSTI															z_{LM71} =	0.75													

TAB. P3.1.3 POSOUZENÍ - MEZNÍ STAV ÚNOSNOSTI

POPIS	PŘÍČNÍK P3 - ZÁKLADNÍ ČÁST
PRUT / POLOHA BODU	679 / I[557]
NAMÁHÁNÍ	Vz.min
VLÁKNO	BOD K3 -SL
MEZNÍ STAV	ULS (MSÚ)
VYUŽITÍ VLÁKNA PRŮŘEZU	1.45

Charakteristiky materiálu				
pás. horní	$f_{yf,k}$	230	MPa	
pás. dolní	$f_{yf,k}$	230	MPa	
stojina	$f_{yw,k}$	230	MPa	
výztuž	$f_{ys,k}$	500	MPa	
γ_M =	1.10	γ_s =	1.15	

Excentricita normálové síly				
Exc./Fáze	0	1	2	3
e_y	0.000	0.000	0.000	0.000
e_z	0.000	0.000	0.000	0.000
Ekvivalentní vzdál. stěn - příčný roznos				
b_{Mx}	0.000	0.000	0.000	0.000

Vliv stěny na únosnost průřezu				
Char./Fáze	0	1	2	3
A	0.41	0.00	0.00	0.00
Wy	0.21	0.00	0.00	0.00
Wz	0.05	0.00	0.00	0.00

Charakter. v kroucení			
$t_{w,y}$	0.000	[mm]	
$t_{w,z}$	0.000	[mm]	
κ	1.00		
I_t=	0.00E+00	[mm^4]	
$\Omega=2*A_{pr}$	0.00E+00	[mm^2]	

Součinitele vzpěru a vlivu II.řádu				
Char./Fáze	0	1	2	3
k_y	1.000	1.000	1.000	1.000
k_z	1.000	1.000	1.000	1.000
χ_{LT}	1.000	1.000	1.000	1.000
χ_{min}	1.000	1.000	1.000	1.000

3

δ_{LOK} 1.00

Vnitřní síly od jednotlivých skupin zatěžovacích stavů

SKUPINA ZATĚŽOVACÍCH STAVŮ					- CHARAKTERISTICKÉ HODNOTY						DÍLČÍ SOUČINITELÉ ZATÍŽENÍ, DYNAMICKÝ SOUČINITEL							- NÁVRHOVÉ HODNOTY									
Č.	SKUP ZS	POPIS ZS	KAT.	FÁZE PRŮŘ.	N.k	Vy.k	Vz.k	Mx.k	My.k	Mz.k	γ_{sr}	γ_{fs}	volba ψ_i hledat	ψ_i	L_d	δ	Ψ_z	N.d	Vy.d	Vz.d	ΔVz.d	ΣVz.d	Mx.d	My.d	ΔMy.d	ΣMy.d	Mz.d	ΔMz.d	ΣMz.d
					(kN)	(kN)	(kN)	(kNm)	(kNm)	(kNm)	(-)	(-)		(-)	(m)	(-)	KZ03	(kN)	(kN)	(kN)	(kN)	(kN)	(kNm)	(kNm)	(kNm)	(kNm)	(kNm)	(kNm)	(kNm)
1	G0	Vlastní tíha OK	G	0	0	13	-45	0	37	-9	1.00	1.20		1.20	-	1.00	0.95	0	15	-52	0	-52	0	43	0	43	-11	0	-11
2	G1	Ostatní stálé - mostní vybavení	G	0	0	1	-7	0	6	-1	1.00	1.20		1.20	-	1.00	0.95	0	1	-8	0	-8	0	7	0	7	-1	0	-1
3	G2	Ostatní stálé - cizí zařízení	G	0	0	1	-3	0	-6	-1	1.00	1.20		1.20	-	1.00	0.95	0	1	-4	0	-4	0	-7	0	-7	-1	0	-1
4	P1_71	a.LM71 - kolej 1 (bez dyn. souč.)	P	0	18	13	-202	0	140	-12	1.00	1.30		1.30	-	1.27	1.00	31	21	-333	0	-333	0	231	0	231	-20	4	-16
5	P2_71	a.LM71 - kolej 2 (bez dyn. souč.)	P	0	7	5	-492	0	543	-4	1.00	1.30		1.30	-	1.27	1.00	12	8	-814	0	-814	0	897	0	897	-6	1	-5
6	P1_C3	TTZ C3 - kolej 1 (bez dyn. souč.)	P	0	12	10	-115	0	76	-10	1.00	vyp.		0.00	-	1.00	0.00	0	0	0	0	0	0	0	0	0	0	0	0
7	P2_C3	TTZ C3 - kolej 2 (bez dyn. souč.)	P	0	5	3	-279	0	306	-2	1.00	vyp.		0.00	-	1.00	0.00	0	0	0	0	0	0	0	0	0	0	0	0
8	BR	Brzdné a rozjezdové síly	P	0	0	33	-1	0	0	-37	1.00	1.30		1.30	-	1.00	0.80	0	34	-1	0	-1	0	0	0	0	-38	0	-38
9	S	Boční ráz	P	0	-5	1	-3	0	16	0	1.00	1.30		1.30	-	1.00	0.40	-3	0	-1	0	-1	0	8	0	8	0	0	0
10	CH	Chodci na lávkách	Q	0	0	1	0	0	-30	-1	1.00	0.00		0.00	-	1.00	1.00	0	0	0	0	0	0	0	0	0	0	0	0
11	W	Vítr na konstrukci	Q	0	13	-4	8	0	-21	6	1.00	-1.35		-1.35	-	1.00	0.75	-13	4	8	0	8	0	22	0	22	-6	0	-6
12	WP	Vítr na vozidla	Q	0	-8	-7	-10	0	42	11	1.00	-1.35		-1.35	-	1.00	0.75	8	7	10	0	10	0	-43	0	-43	-11	0	-11
13	TR	Teplota rovnoměrná	Q	0	0	0	0	0	0	0	1.00	1.35		1.35	-	1.00	0.45	0	0	0	0	0	0	0	0	0	0	0	0
14	TN	Teplota nerovnoměrná	Q	0	6	1	-9	0	-28	-1	1.00	-1.35		-1.35	-	1.00	0.60	-5	-1	7	0	7	0	23	0	23	0	0	0
15	FR	Třecí síly v ložiskách	Q	0	0	-1	0	0	0	1	1.00	-1.20		-1.20	-	1.00	1.00	0	1	0	0	0	0	0	0	0	-1	0	-1
16	I	Imperfekce soustavy	Q	0	1	0	-2	0	-6	0	1.00	-1.20		-1.20	-	1.00	1.00	-1	0	3	0	3	0	8	0	8	0	0	0
27	ULS_LM	ULS - LM71 bez dynam	Q	0	38	53	-1 000	0	905	-44	1.00	vyp.		0.00	-	1.00	0.00	0	0	0	0	0	0	0	0	0	0	0	0
28	SLS_LM	SLS - LM71 bez dynam	Q	0	25	43	-770	0	717	-36	1.00	vyp.	1	0.00	-	1.00	0.00	0	0	0	0	0	0	0	0	0	0	0	0
29	ULS_C3	ULS - C3 bez dynam	Q	0	26	47	-611	0	514	-39	1.00	vyp.	1	0.00	-	1.00	0.00	0	0	0	0	0	0	0	0	0	0	0	0
30	SLS_C3	SLS - C3 bez dynam	Q	0	16	38	-471	0	417	-32	1.00	vyp.	1	0.00	-	1.00	0.00	0	0	0	0	0	0	0	0	0	0	0	0
		CELKEM - FÁZE PRŮŘEZU 0																28	91	-1 185	0	-1 185	0	1 187	0	1 187	-95	6	-89
		CELKEM - FÁZE PRŮŘEZU 1																0	0	0	0	0	0	0	0	0	0	0	0
		CELKEM - FÁZE PRŮŘEZU 2																0	0	0	0	0	0	0	0	0	0	0	0
		CELKEM - FÁZE PRŮŘEZU 3																0	0	0	0	0	0	0	0	0	0	0	0
		CELKEM - PRŮŘEZ																28	91	-1 185	0	-1 185	0			1 187			-89

Napětí od jednotlivých zatěžovacích stavů

SKUPINA ZATĚŽOVACÍCH STAVŮ					Posouzení normálového napětí										Posouzení smykového napětí													
					Účinek síly N			Účinek momentu My			Účinek momentu Mz				Účinek kroutícího momentu Mx				Účinek smykové síly Vy				Účinek smykové síly Vz			
Č.	SKUP ZS	Popis ZS	Kat.	fáze průř.	δ^*N_d	χ^*A	σ_n	$\delta^*M_{y,d}$	$\chi_{lt}*W_{el,y}$	σ_{my}	$\delta^*M_{z,d}$	$W_{el,z}$	σ_{mz}	σ_x	$\kappa*\delta^*M_{x,d}$	$W_{v,y}$	$\tau_{x,y}$	$W_{v,z}$	$\tau_{x,z}$	$\delta^*V_{y,d}$	$A_{v,y}$	$\tau_{v,y}$	$\tau_{v,y}$	$\delta^*V_{z,d}$	$A_{v,z}$	$\tau_{v,z}$	$\tau_{v,z}$
					[kN]	[mm^2]	[MPa]	[kNm]	[mm^3]	[MPa]	[kNm]	[mm^3]	[MPa]	[MPa]	[kNm]	[mm^3]	[MPa]	[mm^3]	[MPa]	[kN]	[mm2]	[MPa]	[MPa]	[kN]	[mm2]	[MPa]	[MPa]
1	G0	Vlastní tíha OK	G	0	-0.2	2.15E+04	0.0	42.6	8.00E+06	5.3	-10.8	-5.80E+05	18.6	23.9	-3.4E-02	-	-	-	-	14.8	1.23E+04	1.2	1.2	-51.6	1.11E+04	-4.6	-4.6
2	G1	Ostatní stálé - mostní vybavení	G	0	0.0	2.15E+04	0.0	6.6	8.00E+06	0.8	-0.8	-5.80E+05	1.4	2.2	0.0E+00	-	-	-	-	1.1	1.23E+04	0.1	0.1	-7.8	1.11E+04	-0.7	-0.7
3	G2	Ostatní stálé - cizí zařízení	G	0	-0.2	2.15E+04	0.0	-7.3	8.00E+06	-0.9	-0.8	-5.80E+05	1.4	0.5	0.0E+00	-	-	-	-	1.0	1.23E+04	0.1	0.1	-3.9	1.11E+04	-0.4	-0.4
4	P1_71	a.LM71 - kolej 1 (bez dyn. souč.)	P	0	30.5	2.15E+04	1.4	231.3	8.00E+06	28.9	-15.6	-5.80E+05	26.9	57.2	-6.6E-02	-	-	-	-	21.0	1.23E+04	1.7	1.7	-333.3	1.11E+04	-30.0	-30.0
5	P2_71	a.LM71 - kolej 2 (bez dyn. souč.)	P	0	12.4	2.15E+04	0.6	896.7	8.00E+06	112.1	-5.0	-5.80E+05	8.6	121.2	-6.6E-02	-	-	-	-	7.8	1.23E+04	0.6	0.6	-813.7	1.11E+04	-73.3	-73.3
6	P1_C3	TTZ C3 - kolej 1 (bez dyn. souč.)	P	0	0.0	2.15E+04	0.0	0.0	8.00E+06	0.0	0.0	-5.80E+05	0.0	0.0	0.0E+00	-	-	-	-	0.0	1.23E+04	0.0	0.0	0.0	1.11E+04	0.0	0.0
7	P2_C3	TTZ C3 - kolej 2 (bez dyn. souč.)	P	0	0.0	2.15E+04	0.0	0.0	8.00E+06	0.0	0.0	-5.80E+05	0.0	0.0	0.0E+00	-	-	-	-	0.0	1.23E+04	0.0	0.0	0.0	1.11E+04	0.0	0.0
8	BR	Brzdné a rozjezdové síly	P	0	0.0	2.15E+04	0.0	0.2	8.00E+06	0.0	-38.0	-5.80E+05	65.5	65.5	0.0E+00	-	-	-	-	33.9	1.23E+04	2.8	2.8	-1.2	1.11E+04	-0.1	-0.1
9	S	Boční ráz	P	0	-2.7	2.15E+04	-0.1	8.4	8.00E+06	1.0	-0.3	-5.80E+05	0.4	1.4	0.0E+00	-	-	-	-	0.3	1.23E+04	0.0	0.0	-1.3	1.11E+04	-0.1	-0.1
10	CH	Chodci na lávkách	Q	0	0.0	2.15E+04	0.0	0.0	8.00E+06	0.0	0.0	-5.80E+05	0.0	0.0	0.0E+00	-	-	-	-	0.0	1.23E+04	0.0	0.0	0.0	1.11E+04	0.0	0.0
11	W	Vítr na konstrukci	Q	0	-13.3	2.15E+04	-0.6	21.7	8.00E+06	2.7	-6.2	-5.80E+05	10.6	12.7	-1.0E-02	-	-	-	-	3.8	1.23E+04	0.3	0.3	8.3	1.11E+04	0.7	0.7
12	WP	Vítr na vozidla	Q	0	8.0	2.15E+04	0.4	-42.8	8.00E+06	-5.3	-11.2	-5.80E+05	19.3	14.3	-1.0E-02	-	-	-	-	7.4	1.23E+04	0.6	0.6	9.9	1.11E+04	0.9	0.9
13	TR	Teplota rovnoměrná	Q	0	0.0	2.15E+04	0.0	0.0	8.00E+06	0.0	0.0	-5.80E+05	0.0	0.0	0.0E+00	-	-	-	-	0.0	1.23E+04	0.0	0.0	0.0	1.11E+04	0.0	0.0
14	TN	Teplota nerovnoměrná	Q	0	-4.9	2.15E+04	-0.2	22.6	8.00E+06	2.8	0.4	-5.80E+05	-0.8	1.8	2.4E-02	-	-	-	-	-0.9	1.23E+04	-0.1	-0.1	7.1	1.11E+04	0.6	0.6
15	FR	Třecí síly v ložiskách	Q	0	-0.1	2.15E+04	0.0	-0.3	8.00E+06	0.0	-0.6	-5.80E+05	1.1	1.0	0.0E+00	-	-	-	-	0.8	1.23E+04	0.1	0.1	0.1	1.11E+04	0.0	0.0
16	I	Imperfekce soustavy	Q	0	-1.3	2.15E+04	-0.1	7.7	8.00E+06	1.0	-0.2	-5.80E+05	0.4	1.3	0.0E+00	-	-	-	-	0.0	1.23E+04	0.0	0.0	2.6	1.11E+04	0.2	0.2
27	ULS_LM	ULS - LM71 bez dynam	Q	0	0.0	2.15E+04	0.0	0.0	8.00E+06	0.0	0.0	-5.80E+05	0.0	0.0	0.0E+00	-	-	-	-	0.0	1.23E+04	0.0	0.0	0.0	1.11E+04	0.0	0.0
28	SLS_LM	SLS - LM71 bez dynam	Q	0	0.0	2.15E+04	0.0	0.0	8.00E+06	0.0	0.0	-5.80E+05	0.0	0.0	0.0E+00	-	-	-	-	0.0	1.23E+04	0.0	0.0	0.0	1.11E+04	0.0	0.0
29	ULS_C3	ULS - C3 bez dynam	Q	0	0.0	2.15E+04	0.0	0.0	8.00E+06	0.0	0.0	-5.80E+05	0.0	0.0	0.0E+00	-	-	-	-	0.0	1.23E+04	0.0	0.0	0.0	1.11E+04	0.0	0.0
30	SLS_C3	SLS - C3 bez dynam	Q	0	0.0	2.15E+04	0.0	0.0	8.00E+06	0.0	0.0	-5.80E+05	0.0	0.0	0.0E+00	-	-	-	-	0.0	1.23E+04	0.0	0.0	0.0	1.11E+04	0.0	0.0
NAVÝŠENÍ NAPĚTÍ DO AKTIVACE TLAKU V DESCE MOSTOVKY							$\sigma_{P,red}$	0.0						0.0						0.0								
NAPĚTÍ OD PRIMÁRNÍCH ÚČINKŮ NEROVNOMĚRNÉHO OTEPLENÍ							σ_T	0.0						0.0														
NAPĚTÍ OD REOLOGICKÝCH ÚČINKŮ BETONU V ČASE				t=0			σ_R	0.0	γ=	1.20				0.0														
NAPĚTÍ V KRITICKÝCH VLÁKNECH OD KOMBINACE ZATÍŽENÍ						KZ03		[MPa]					$\Sigma\sigma_x$	303.2								$\Sigma\tau_y$	7.4			$\Sigma\tau_z$	-106.7
NAPĚTÍ OD POHYBLIVÉHO ZATÍŽENÍ								[MPa]					$\sigma_{x,P}$	245.3								τ_P	5.1			τ_P	-103.5
NAPĚTÍ OD OSTATNÍCH ZATÍŽENÍ								[MPa]			Φ_{Vy}	Φ_{Vz}	$\sigma_{x,rs}$	57.9								τ_{rs}	2.3			τ_{rs}	-3.2
NÁVRHOVÁ HODNOTA MEZE KLUZU S REDUKCÍ VLIVEM SMYKOVÉHO NAPĚTÍ								[MPa]			1.00	0.41	$f_{yv,d}$	209.1								$f_{yd}/3^{0,5}$	120.7			$f_{yd}/3^{0,5}$	120.7
NAPĚTÍ OD POHYBLIVÉHO ZATÍŽENÍ V GLOBÁLNÍM SYSTÉMU							$\sigma_{GLOB,P}$	0.0	[MPa]				$\Sigma\sigma_{GLOB}$	0.0													
NAPĚTÍ OD OSTATNÍCH ZATÍŽENÍ V GLOBÁLNÍM SYSTÉMU							$\sigma_{GLOB,rs}$	0.0	[MPa]				$\Sigma\sigma_x + \Sigma\sigma_{GLOB}$	303.2													
VYUŽITÍ PRŮŘEZU DLE NAPĚTÍ									[%]				η_1	1.45								η_3	0.06			η_3	0.88
NAPĚTÍ V PŘÍČNÉM SMĚRU OD POHYBLIVÉHO ZATÍŽENÍ							$\sigma_{z,P}$	0.0	[MPa]				$\Sigma\sigma_z$	0.0													
NAPĚTÍ V PŘÍČNÉM SMĚRU OD OSTATNÍCH ZATÍŽENÍ							$\sigma_{z,rs}$	0.0	[MPa]				η_2	0.00													
SROVNÁVACÍ NAPĚTÍ													$(\eta2 + 0,8\ \eta1)/1,4$ =	0.83													
VYUŽITÍ PRŮŘEZU CELKEM									[%]				eff	1.45	NEVYHOVUJE												
STANOVENÍ ZATÍŽITELNOSTI													z_{LM71} =	0.62													

TAB. P3.1.3 POSOUZENÍ - MEZNÍ STAV ÚNOSNOSTI

POPIS	PŘÍČNÍK P3 - ZÁKLADNÍ ČÁST
PRUT / POLOHA BODU	679 / I[557]
NAMÁHÁNÍ	Vz.min
VLÁKNO	BOD S6 -HP
MEZNÍ STAV	ULS (MSÚ)
VYUŽITÍ VLÁKNA PRŮŘEZU	0.93

Charakteristiky materiálu				
pás. horní	$f_{yf,k}$	230	MPa	
pás. dolní	$f_{yf,k}$	230	MPa	
stojina	$f_{yw,k}$	230	MPa	
výztuž	$f_{ys,k}$	500	MPa	
γ_M =	1.10	γ_s =	1.15	

Excentricita normálové síly				
Exc./Fáze	0	1	2	3
e_y	0.000	0.000	0.000	0.000
e_z	0.000	0.000	0.000	0.000
Ekvivalentní vzdál. stěn - příčný roznos				
b_{Mx}	0.000	0.000	0.000	0.000

Vliv stěny na únosnost průřezu				
Char./Fáze	0	1	2	3
A	0.41	0.00	0.00	0.00
Wy	0.21	0.00	0.00	0.00
Wz	0.00	0.00	0.00	0.00

Charakter. v kroucení			
$t_{w,y}$	0.000	[mm]	
$t_{w,z}$	0.000	[mm]	
κ	1.00		
I_t=	0.00E+00	[mm^4]	
Ω=2*A_{pr}	0.00E+00	[mm^2]	

Součinitele vzpěru a vlivu II.řádu					
Char./Fáze	0	1	2	3	
k_y	1.000	1.000	1.000	1.000	
k_z	1.000	1.000	1.000	1.000	
χ_{LT}	1.000	1.000	1.000	1.000	
χ_{min}	1.000	1.000	1.000	1.000	

δ_{LOK} = 1.00

Vnitřní síly od jednotlivých skupin zatěžovacích stavů

SKUPINA ZATĚŽOVACÍCH STAVŮ					- CHARAKTERISTICKÉ HODNOTY						DÍLČÍ SOUČINITELÉ ZATÍŽENÍ, DYNAMICKÝ SOUČINITEL						4	- NÁVRHOVÉ HODNOTY									
Č.	SKUP ZS	POPIS ZS	KAT.	FÁZE PRŮŘ.	N.k (kN)	Vy.k (kN)	Vz.k (kN)	Mx.k (kNm)	My.k (kNm)	Mz.k (kNm)	γ_{sup} (-)	γ_{inf} (-)	volba ψ_i hledat	ψ_i (-)	L_d (m)	δ (-)	Ψ_s KZ04	N.d (kN)	Vy.d (kN)	Vz.d (kN)	ΔVz.d (kN)	ΣVz.d (kN)	Mx.d (kNm)	My.d (kNm)	ΔMy.d (kNm)	ΣMy.d (kNm)	Mz.d (kNm)	ΔMz.d (kNm)	ΣMz.d (kNm)
1	G0	Vlastní tíha OK	G	0	0	13	-45	0	37	-9	1.00	1.20		1.20	-	1.00	0.95	0	15	-52	0	-52	0	43	0	43	-11	0	-11
2	G1	Ostatní stálé - mostní vybavení	G	0	0	1	-7	0	6	-1	1.00	1.20		1.20	-	1.00	0.95	0	1	-8	0	-8	0	7	0	7	-1	0	-1
3	G2	Ostatní stálé - cizí zařízení	G	0	0	1	-3	0	-6	-1	1.00	1.20		1.20	-	1.00	0.95	0	1	-4	0	-4	0	-7	0	-7	-1	0	-1
4	P1_71	a.LM71 - kolej 1 (bez dyn. souč.)	P	0	18	13	-202	0	140	-12	1.00	1.30		1.30	-	1.27	1.00	31	21	-333	0	-333	0	231	0	231	-20	4	-16
5	P2_71	a.LM71 - kolej 2 (bez dyn. souč.)	P	0	7	5	-492	0	543	-4	1.00	1.30		1.30	-	1.27	1.00	12	8	-814	0	-814	0	897	0	897	-6	1	-5
6	P1_C3	TTZ C3 - kolej 1 (bez dyn. souč.)	P	0	12	10	-115	0	76	-10	1.00	vyp.		0.00	-	1.00	0.00	0	0	0	0	0	0	0	0	0	0	0	0
7	P2_C3	TTZ C3 - kolej 2 (bez dyn. souč.)	P	0	5	3	-279	0	306	-2	1.00	vyp.		0.00	-	1.00	0.00	0	0	0	0	0	0	0	0	0	0	0	0
8	BR	Brzdné a rozjezdové síly	P	0	0	33	-1	0	0	-37	1.00	1.30		1.30	-	1.00	0.40	0	17	-1	0	-1	0	0	0	0	-19	0	-19
9	S	Boční ráz	P	0	-5	1	-3	0	16	0	1.00	1.30		1.30	-	1.00	0.80	-5	1	-3	0	-3	0	17	0	17	-1	0	-1
10	CH	Chodci na lávkách	Q	0	0	1	0	0	-30	-1	1.00	1.30		1.30	-	1.00	1.00	-1	2	0	0	0	0	-39	0	-39	-2	0	-2
11	W	Vítr na konstrukci	Q	0	13	-4	-8	0	-21	6	1.00	1.35		1.35	-	1.00	0.75	13	-4	-8	0	-8	0	-22	0	-22	6	0	6
12	WP	Vítr na vozidla	Q	0	-8	-7	-10	0	42	11	1.00	1.35		1.35	-	1.00	0.75	-8	-7	-10	0	-10	0	43	0	43	11	0	11
13	TR	Teplota rovnoměrná	Q	0	0	0	0	0	0	0	1.00	1.35		1.35	-	1.00	0.45	0	0	0	0	0	0	0	0	0	0	0	0
14	TN	Teplota nerovnoměrná	Q	0	6	1	-9	0	-28	-1	1.00	1.35		1.35	-	1.00	0.60	5	1	-7	0	-7	0	-23	0	-23	0	0	0
15	FR	Třecí síly v ložiskách	Q	0	0	-1	0	0	0	1	1.00	1.20		1.20	-	1.00	1.00	0	-1	0	0	0	0	0	0	0	1	0	1
16	I	Imperfekce soustavy	Q	0	1	0	-2	0	-6	0	1.00	1.20		1.20	-	1.00	1.00	1	0	-3	0	-3	0	-8	0	-8	0	0	0
27	ULS_LM	ULS - LM71 bez dynam	Q	0	38	53	-1 000	0	905	-44	1.00	vyp.		0.00	-	1.00	0.00	0	0	0	0	0	0	0	0	0	0	0	0
28	SLS_LM	SLS - LM71 bez dynam	Q	0	25	43	-770	0	717	-36	1.00	vyp.	1	0.00	-	1.00	0.00	0	0	0	0	0	0	0	0	0	0	0	0
29	ULS_C3	ULS - C3 bez dynam	Q	0	26	47	-611	0	514	-39	1.00	vyp.	1	0.00	-	1.00	0.00	0	0	0	0	0	0	0	0	0	0	0	0
30	SLS_C3	SLS - C3 bez dynam	Q	0	16	38	-471	0	417	-32	1.00	vyp.	1	0.00	-	1.00	0.00	0	0	0	0	0	0	0	0	0	0	0	0
		CELKEM - FÁZE PRŮŘEZU 0			48	54	-1 242	0	1 139	-42	6	-36																
		CELKEM - FÁZE PRŮŘEZU 1			0	0	0	0	0	0	0	0																
		CELKEM - FÁZE PRŮŘEZU 2			0	0	0	0	0	0	0	0																
		CELKEM - FÁZE PRŮŘEZU 3			0	0	0	0	0	0	0	0																
		CELKEM - PRŮŘEZ			48	54	-1 242	0	-1 242	0													1 139					

Napětí od jednotlivých zatěžovacích stavů

SKUPINA ZATĚŽOVACÍCH STAVŮ					Posouzení normálového napětí											Posouzení smykového napětí												
					Účinek síly N			Účinek momentu My			Účinek momentu Mz					Účinek kroutícího momentu Mx				Účinek smykové síly Vy				Účinek smykové síly Vz			
Č.	SKUP ZS	Popis ZS	Kat.	fáze prúř.	δ^*N_d [kN]	χ^*A [mm^2]	σ_n [MPa]	$\delta^*M_{y,d}$ [kNm]	$\chi_{lt}{}^*W_{el,y}$ [mm^3]	σ_{my} [MPa]	$\delta^*M_{z,d}$ [kNm]	$W_{el,z}$ [mm^3]	σ_{mz} [MPa]	σ_x [MPa]	$\kappa^*\delta^*M_{x,d}$ [kNm]	$W_{v,y}$ [mm^2]	$\tau_{x,y}$ [MPa]	$W_{v,z}$ [mm^2]	$\tau_{x,z}$ [MPa]	$\delta^*V_{y,d}$ [kN]	$A_{v,y}$ [mm2]	$\tau_{v,y}$ [MPa]	$\tau_{v,y}$ [MPa]	$\delta^*V_{z,d}$ [kN]	$A_{v,z}$ [mm2]	$\tau_{v,z}$ [MPa]	$\tau_{v,z}$ [MPa]
1	G0	Vlastní tíha OK	G	0	-0.2	1.99E+04	0.0	42.6	7.88E+06	5.4	-10.8	-1.84E+07	0.6	6.0	-3.4E-02	-	-	-	-	14.8	1.23E+04	1.2	1.2	-51.6	1.11E+04	-4.6	-4.6
2	G1	Ostatní stálé - mostní vybavení	G	0	0.0	1.99E+04	0.0	6.6	7.88E+06	0.8	-0.8	-1.84E+07	0.0	0.9	0.0E+00	-	-	-	-	1.1	1.23E+04	0.1	0.1	-7.8	1.11E+04	-0.7	-0.7
3	G2	Ostatní stálé - cizí zařízení	G	0	-0.2	1.99E+04	0.0	-7.3	7.88E+06	-0.9	-0.8	-1.84E+07	0.0	-0.9	0.0E+00	-	-	-	-	1.0	1.23E+04	0.1	0.1	-3.9	1.11E+04	-0.4	-0.4
4	P1_71	a.LM71 - kolej 1 (bez dyn. souč.)	P	0	30.5	1.99E+04	1.5	231.3	7.88E+06	29.4	-15.6	-1.84E+07	0.8	31.7	-6.6E-02	-	-	-	-	21.0	1.23E+04	1.7	1.7	-333.3	1.11E+04	-30.0	-30.0
5	P2_71	a.LM71 - kolej 2 (bez dyn. souč.)	P	0	12.4	1.99E+04	0.6	896.7	7.88E+06	113.9	-5.0	-1.84E+07	0.3	114.7	-6.6E-02	-	-	-	-	7.8	1.23E+04	0.6	0.6	-813.7	1.11E+04	-73.3	-73.3
6	P1_C3	TTZ C3 - kolej 1 (bez dyn. souč.)	P	0	0.0	1.99E+04	0.0	0.0	7.88E+06	0.0	0.0	-1.84E+07	0.0	0.0	0.0E+00	-	-	-	-	0.0	1.23E+04	0.0	0.0	0.0	1.11E+04	0.0	0.0
7	P2_C3	TTZ C3 - kolej 2 (bez dyn. souč.)	P	0	0.0	1.99E+04	0.0	0.0	7.88E+06	0.0	0.0	-1.84E+07	0.0	0.0	0.0E+00	-	-	-	-	0.0	1.23E+04	0.0	0.0	0.0	1.11E+04	0.0	0.0
8	BR	Brzdné a rozjezdové síly	P	0	0.0	1.99E+04	0.0	0.1	7.88E+06	0.0	-19.0	-1.84E+07	1.0	1.0	0.0E+00	-	-	-	-	17.0	1.23E+04	1.4	1.4	-0.6	1.11E+04	-0.1	-0.1
9	S	Boční ráz	P	0	-5.4	1.99E+04	-0.3	16.8	7.88E+06	2.1	-0.5	-1.84E+07	0.0	1.9	0.0E+00	-	-	-	-	0.6	1.23E+04	0.0	0.0	-2.7	1.11E+04	-0.2	-0.2
10	CH	Chodci na lávkách	Q	0	-0.6	1.99E+04	0.0	-39.3	7.88E+06	-5.0	-1.8	-1.84E+07	0.1	-4.9	0.0E+00	-	-	-	-	1.9	1.23E+04	0.2	0.2	-0.4	1.11E+04	0.0	0.0
11	W	Vítr na konstrukci	Q	0	13.3	1.99E+04	0.7	-21.7	7.88E+06	-2.8	6.2	-1.84E+07	-0.3	-2.4	1.0E-02	-	-	-	-	-3.8	1.23E+04	-0.3	-0.3	-8.3	1.11E+04	-0.7	-0.7
12	WP	Vítr na vozidla	Q	0	-8.0	1.99E+04	-0.4	42.8	7.88E+06	5.4	11.2	-1.84E+07	-0.6	4.4	1.0E-02	-	-	-	-	-7.4	1.23E+04	-0.6	-0.6	-9.9	1.11E+04	-0.9	-0.9
13	TR	Teplota rovnoměrná	Q	0	0.0	1.99E+04	0.0	0.0	7.88E+06	0.0	0.0	-1.84E+07	0.0	0.0	0.0E+00	-	-	-	-	0.0	1.23E+04	0.0	0.0	0.0	1.11E+04	0.0	0.0
14	TN	Teplota nerovnoměrná	Q	0	4.9	1.99E+04	0.2	-22.6	7.88E+06	-2.9	-0.4	-1.84E+07	0.0	-2.6	-2.4E-02	-	-	-	-	0.9	1.23E+04	0.1	0.1	-7.1	1.11E+04	-0.6	-0.6
15	FR	Třecí síly v ložiskách	Q	0	0.1	1.99E+04	0.0	0.3	7.88E+06	0.0	0.6	-1.84E+07	0.0	0.0	0.0E+00	-	-	-	-	-0.8	1.23E+04	-0.1	-0.1	-0.1	1.11E+04	0.0	0.0
16	I	Imperfekce soustavy	Q	0	1.3	1.99E+04	0.1	-7.7	7.88E+06	-1.0	0.2	-1.84E+07	0.0	-0.9	0.0E+00	-	-	-	-	0.0	1.23E+04	0.0	0.0	-2.6	1.11E+04	-0.2	-0.2
27	ULS_LM	ULS - LM71 bez dynam	Q	0	0.0	1.99E+04	0.0	0.0	7.88E+06	0.0	0.0	-1.84E+07	0.0	0.0	0.0E+00	-	-	-	-	0.0	1.23E+04	0.0	0.0	0.0	1.11E+04	0.0	0.0
28	SLS_LM	SLS - LM71 bez dynam	Q	0	0.0	1.99E+04	0.0	0.0	7.88E+06	0.0	0.0	-1.84E+07	0.0	0.0	0.0E+00	-	-	-	-	0.0	1.23E+04	0.0	0.0	0.0	1.11E+04	0.0	0.0
29	ULS_C3	ULS - C3 bez dynam	Q	0	0.0	1.99E+04	0.0	0.0	7.88E+06	0.0	0.0	-1.84E+07	0.0	0.0	0.0E+00	-	-	-	-	0.0	1.23E+04	0.0	0.0	0.0	1.11E+04	0.0	0.0
30	SLS_C3	SLS - C3 bez dynam	Q	0	0.0	1.99E+04	0.0	0.0	7.88E+06	0.0	0.0	-1.84E+07	0.0	0.0	0.0E+00	-	-	-	-	0.0	1.23E+04	0.0	0.0	0.0	1.11E+04	0.0	0.0
NAVÝŠENÍ NAPĚTÍ DO AKTIVACE TLAKU V DESCE MOSTOVKY						$\sigma_{P,red}$	0.0							0.0			0.0		0.0				4.4	4.4			-111.9	-111.9
NAPĚTÍ OD PRIMÁRNÍCH ÚČINKŮ NEROVNOMĚRNÉHO OTEPLENÍ						σ_T	0.0							0.0														
NAPĚTÍ OD REOLOGICKÝCH ÚČINKŮ BETONU V ČASE				t=0		σ_R	0.0	γ_{inf}=	1.20					0.0														
NAPĚTÍ V KRITICKÝCH VLÁKNECH OD KOMBINACE ZATÍŽENÍ						KZ04		[MPa]					$\Sigma\sigma_x$	149.0								$\Sigma\tau_y$	4.4				$\Sigma\tau_z$	-111.9
NAPĚTÍ OD POHYBLIVÉHO ZATÍŽENÍ								[MPa]					$\sigma_{x,P}$	149.4								τ_P	3.8				τ_P	-103.6
NAPĚTÍ OD OSTATNÍCH ZATÍŽENÍ								[MPa]			Φ_{Vy}	Φ_{Vz}	$\sigma_{x,rs}$	-0.4								τ_{rs}	0.6				τ_{rs}	-8.3
NÁVRHOVÁ HODNOTA MEZE KLUZU S REDUKCÍ VLIVEM SMYKOVÉHO NAPĚTÍ								[MPa]			1.00	0.27	$f_{yw,d}$	209.1								$f_{yd}/3^{0,5}$	120.7				$f_{yd}/3^{0,5}$	120.7
NAPĚTÍ OD POHYBLIVÉHO ZATÍŽENÍ V GLOBÁLNÍM SYSTÉMU						$\sigma_{GLOB,P}$	0.0	[MPa]					$\Sigma\sigma_{GLOB}$	0.0														
NAPĚTÍ OD OSTATNÍCH ZATÍŽENÍ V GLOBÁLNÍM SYSTÉMU						$\sigma_{GLOB,rs}$	0.0	[MPa]					$\Sigma\sigma_x + \Sigma\sigma_{GLOB}$	149.0														
VYUŽITÍ PRŮŘEZU DLE NAPĚTÍ								[%]					η_1	0.71								η_3	0.04				η_3	0.93
NAPĚTÍ V PŘÍČNÉM SMĚRU OD POHYBLIVÉHO ZATÍŽENÍ						$\sigma_{z,P}$	0.0	[MPa]					$\Sigma\sigma_z$	0.0														
NAPĚTÍ V PŘÍČNÉM SMĚRU OD OSTATNÍCH ZATÍŽENÍ						$\sigma_{z,rs}$	0.0	[MPa]					η_2	0.00														
SROVNÁVACÍ NAPĚTÍ													$(\eta 2 + 0{,}8\ \eta 1)/1{,}4$ =	0.41														
VYUŽITÍ PRŮŘEZU CELKEM								[%]					eff	0.93	VYHOVUJE													
STANOVENÍ ZATÍŽITELNOSTI													Z_{LM71} =	1.09														

TR_P3.2 POPIS: **PŘÍČNÍK P3 - VNĚJŠÍ PODÉLNÍK** POSUDEK: **P3.2**

SKUPINA ZAT. STAVŮ	EXTRÉM	VYHODNOCOVANÉ VELIČINY					
		N	Vy	Vz	Mx	My	Mz
		kN	kN	kN	kNm	kNm	kNm
G0	N.min	**-0.27**	2.67	-29.87	0	50.74	-11.15
	N.max	**-0.27**	2.67	-29.87	0	50.74	-11.15
	Vy.min	-0.27	**2.67**	-29.87	0	50.74	-11.15
	Vy.max	-0.27	**2.67**	-29.87	0	50.74	-11.15
	Vz.min	-0.27	2.67	**-29.87**	0	50.74	-11.15
	Vz.max	-0.27	2.67	**-29.87**	0	50.74	-11.15
	Mx.min	-0.27	2.67	-29.87	**0**	50.74	-11.15
	Mx.max	-0.27	2.67	-29.87	**0**	50.74	-11.15
	My.min	-0.27	2.67	-29.87	0	**50.74**	-11.15
	My.max	-0.27	2.67	-29.87	0	**50.74**	-11.15
	Mz.min	-0.27	2.67	-29.87	0	50.74	**-11.15**
	Mz.max	-0.27	2.67	-29.87	0	50.74	**-11.15**
G1	N.min	**0.01**	0.2	-6.25	0	7.72	-0.85
	N.max	**0.01**	0.2	-6.25	0	7.72	-0.85
	Vy.min	0.01	**0.2**	-6.25	0	7.72	-0.85
	Vy.max	0.01	**0.2**	-6.25	0	7.72	-0.85
	Vz.min	0.01	0.2	**-6.25**	0	7.72	-0.85
	Vz.max	0.01	0.2	**-6.25**	0	7.72	-0.85
	Mx.min	0.01	0.2	-6.25	**0**	7.72	-0.85
	Mx.max	0.01	0.2	-6.25	**0**	7.72	-0.85
	My.min	0.01	0.2	-6.25	0	**7.72**	-0.85
	My.max	0.01	0.2	-6.25	0	**7.72**	-0.85
	Mz.min	0.01	0.2	-6.25	0	7.72	**-0.85**
	Mz.max	0.01	0.2	-6.25	0	7.72	**-0.85**
G2	N.min	**-0.19**	-0.43	-3.39	0	-5.35	-0.92
	N.max	**-0.19**	-0.43	-3.39	0	-5.35	-0.92
	Vy.min	-0.19	**-0.43**	-3.39	0	-5.35	-0.92
	Vy.max	-0.19	**-0.43**	-3.39	0	-5.35	-0.92
	Vz.min	-0.19	-0.43	**-3.39**	0	-5.35	-0.92
	Vz.max	-0.19	-0.43	**-3.39**	0	-5.35	-0.92
	Mx.min	-0.19	-0.43	-3.39	**0**	-5.35	-0.92
	Mx.max	-0.19	-0.43	-3.39	**0**	-5.35	-0.92
	My.min	-0.19	-0.43	-3.39	0	**-5.35**	-0.92
	My.max	-0.19	-0.43	-3.39	0	**-5.35**	-0.92
	Mz.min	-0.19	-0.43	-3.39	0	-5.35	**-0.92**
	Mz.max	-0.19	-0.43	-3.39	0	-5.35	**-0.92**
P1_71	N.min	**-3.45**	-0.55	-16.3	0.02	25.78	-0.97
	N.max	**21.46**	-9.96	-178.77	-0.02	160.65	-15.3
	Vy.min	12.95	**-11.5**	-110.65	-0.02	99.34	-16.89
	Vy.max	-0.01	**1.25**	-1.28	0.01	-0.8	1.14
	Vz.min	19.06	-9.69	**-202.75**	-0.01	199.36	-15.14
	Vz.max	0.66	0.06	**0.91**	0	-7.61	-0.36
	Mx.min	14.35	-10.47	-85.13	**-0.03**	74.16	-15.45
	Mx.max	1.51	-1.09	-84.97	**0.02**	95.9	-2.1
	My.min	2.8	-8.66	-3.28	-0.01	**-20.85**	-13.38
	My.max	16.66	-2.93	-199.56	0	**208.46**	-4.34
	Mz.min	11.55	-11.26	-114.42	-0.01	104.3	**-17.01**
	Mz.max	-0.19	1.23	-1.49	0.01	0.2	**1.14**
P2_71	N.min	**-17.88**	-3.81	-11.86	0.02	131.05	-14.77
	N.max	**13.98**	-1.57	-148.77	-0.01	592.81	-3.4
	Vy.min	4.9	**-6.43**	-123.49	0	533.26	-17.47
	Vy.max	-7.69	**1.24**	-7.75	0.01	46.45	0.82
	Vz.min	8.73	-1.52	**-166.61**	0	666.3	-4.96
	Vz.max	-10.58	-4.39	**11.84**	0.02	14.16	-14.47
	Mx.min	8.38	-2	-86.46	**-0.02**	350.04	-3.76
	Mx.max	-11.44	-3.69	-79.17	**0.04**	362.75	-14.89
	My.min	-0.9	0.45	3.06	0	**-1.21**	0.75
	My.max	-0.13	-5.48	-108.13	0.02	**704.83**	-18
	Mz.min	-6.27	-5.86	-56.45	0.02	398.79	**-18.92**
	Mz.max	-1.38	0.99	2.57	0	1.3	**1.65**
P1_C3	N.min	**-2.43**	-1.11	-10.09	0.01	14.2	-1.65
	N.max	**13.41**	-8.08	-102.85	-0.01	87.29	-12.46
	Vy.min	9.61	**-9.05**	-89.09	-0.01	81.17	-13.4
	Vy.max	0.28	**0.73**	-0.11	0	-1.96	0.68
	Vz.min	12.04	-7.88	**-115.97**	-0.01	109.02	-12.31
	Vz.max	0.53	-0.08	**0.64**	0	-6.12	-0.44
	Mx.min	8.87	-8.4	-49.32	**-0.02**	38.54	-12.54
	Mx.max	0.31	-0.58	-38.56	**0.01**	44.12	-1.3
	My.min	2.35	-6.73	-2.83	0	**-15.44**	-10.6
	My.max	10.21	-1.54	-113.1	0	**118.34**	-2.22
	Mz.min	10.19	-8.8	-114.03	0	107.13	**-13.71**
	Mz.max	0.25	0.73	-0.14	0	-1.82	**0.68**
P2_C3	N.min	**-13.09**	-3.91	-0.82	0.02	54.6	-13.34
	N.max	**8.23**	-0.98	-85.1	-0.01	341.7	-2.11
	Vy.min	1.83	**-5.21**	-78.01	0	346.95	-14.54
	Vy.max	-4.76	**0.75**	-7.14	0.01	36.36	0.34
	Vz.min	5.71	-0.76	**-94.51**	0	377.55	-2.66
	Vz.max	-7.58	-3.51	**8.86**	0.01	11.56	-11.44
	Mx.min	4.16	-1.27	-49.77	**-0.02**	204.64	-2.58
	Mx.max	-8.06	-3.25	-45.15	**0.03**	218.51	-12.42
	My.min	-0.36	0.4	1.97	0	**-0.85**	0.75
	My.max	-2.94	-4.45	-57.95	0.02	**403.93**	-14.63
	Mz.min	-6.82	-4.69	-51.73	0.02	361.04	**-15.34**
	Mz.max	-0.46	0.59	1.57	0	-0.21	**1.07**
BR	N.min	**-1.12**	-24.19	1.35	0.02	0.61	-46.17
	N.max	**1.12**	24.19	-1.35	-0.02	-0.61	46.17
	Vy.min	-1.12	**-24.19**	1.35	0.02	0.61	-46.17
	Vy.max	1.12	**24.19**	-1.35	-0.02	-0.61	46.17
	Vz.min	1.12	24.19	**-1.35**	-0.02	-0.61	46.17
	Vz.max	-1.12	-24.19	**1.35**	0.02	0.61	-46.17
	Mx.min	1.12	24.19	-1.35	**-0.02**	-0.61	46.17
	Mx.max	-1.12	-24.19	1.35	**0.02**	0.61	-46.17
	My.min	0.54	21.2	-0.92	-0.02	**-0.99**	31.59
	My.max	-0.54	-21.2	0.92	0.02	**0.99**	-31.59
	Mz.min	-0.46	-21.68	0.82	0.02	-0.23	**-53.21**
	Mz.max	0.46	21.68	-0.82	-0.02	0.23	**53.21**

TR_P3.2 POPIS: **PŘÍČNÍK P3 - VNĚJŠÍ PODÉLNÍK** POSUDEK: **P3.2**

SKUPINA ZAT. STAVŮ	EXTRÉM	VYHODNOCOVANÉ VELIČINY					
		N	Vy	Vz	Mx	My	Mz
		kN	kN	kN	kNm	kNm	kNm
S	N.min	**-4.36**	-2.27	8.97	-0.02	-16.62	-2.67
	N.max	**4.36**	2.27	-8.97	0.02	16.62	2.67
	Vy.min	1.68	**-7.09**	-2.56	0.01	-6.17	-4.81
	Vy.max	-1.68	**7.09**	2.56	-0.01	6.17	4.81
	Vz.min	4.36	2.27	**-8.97**	0.02	16.62	2.67
	Vz.max	-4.36	-2.27	**8.97**	-0.02	-16.62	-2.67
	Mx.min	0.15	4.1	-7.32	**-0.03**	14.57	2.04
	Mx.max	-0.15	-4.1	7.32	**0.03**	-14.57	-2.04
	My.min	-4.36	-2.27	8.97	-0.02	**-16.62**	-2.67
	My.max	4.36	2.27	-8.97	0.02	**16.62**	2.67
	Mz.min	2.28	-6.79	-2.33	0.01	-5.08	**-4.82**
	Mz.max	-2.28	6.79	2.33	-0.01	5.08	**4.82**
CH	N.min	**-0.85**	-1.08	0.13	0	-29.16	-2.32
	N.max	**0.39**	-1.08	2.61	0	-7.17	-1.59
	Vy.min	0.39	**-1.08**	2.61	0	-7.17	-1.59
	Vy.max	-0.47	**-0.96**	-0.26	0	-30.1	-1.66
	Vz.min	-0.47	-0.96	**-0.26**	0	-30.1	-1.66
	Vz.max	0.39	-1.08	**2.61**	0	-7.17	-1.59
	Mx.min	0.39	-1.08	2.61	**0**	-7.17	-1.59
	Mx.max	-0.85	-1.08	0.13	**0**	-29.16	-2.32
	My.min	-0.47	-0.96	-0.26	0	**-30.1**	-1.66
	My.max	0.39	-1.08	2.61	0	**-7.17**	-1.59
	Mz.min	-0.85	-1.08	0.13	0	-29.16	**-2.32**
	Mz.max	0.39	-1.08	2.61	0	-7.17	**-1.59**
W	N.min	**-16.15**	-9.48	8.75	0.01	18.95	-6.59
	N.max	**13.15**	9.47	-8.76	-0.01	-18.96	6.57
	Vy.min	-16.15	**-9.48**	8.75	0.01	18.95	-6.59
	Vy.max	13.15	**9.47**	-8.76	-0.01	-18.96	6.57
	Vz.min	13.15	9.47	**-8.76**	-0.01	-18.96	6.57
	Vz.max	-16.15	-9.48	**8.75**	0.01	18.95	-6.59
	Mx.min	13.15	9.47	-8.76	**-0.01**	-18.96	6.57
	Mx.max	-16.15	-9.48	8.75	**0.01**	18.95	-6.59
	My.min	13.15	9.47	-8.76	-0.01	**-18.96**	6.57
	My.max	-16.15	-9.48	8.75	0.01	**18.95**	-6.59
	Mz.min	-16.15	-9.48	8.75	0.01	18.95	**-6.59**
	Mz.max	13.15	9.47	-8.76	-0.01	-18.96	**6.57**
WP	N.min	**-0.13**	-16.48	-22.5	0.01	-44.88	-11.97
	N.max	**0.13**	16.46	22.49	-0.01	44.88	11.95
	Vy.min	-0.13	**-16.48**	-22.5	0.01	-44.88	-11.97
	Vy.max	0.13	**16.46**	22.49	-0.01	44.88	11.95
	Vz.min	-0.13	-16.48	**-22.5**	0.01	-44.88	-11.97
	Vz.max	0.13	16.46	**22.49**	-0.01	44.88	11.95
	Mx.min	0.13	16.46	22.49	**-0.01**	44.88	11.95
	Mx.max	-0.13	-16.48	-22.5	**0.01**	-44.88	-11.97
	My.min	-0.13	-16.48	-22.5	0.01	**-44.88**	-11.97
	My.max	0.13	16.46	22.49	-0.01	**44.88**	11.95
	Mz.min	-0.13	-16.48	-22.5	0.01	-44.88	**-11.97**
	Mz.max	0.13	16.46	22.49	-0.01	44.88	**11.95**
TR	N.min	**0**	0	0	0	0	0
	N.max	**0**	0	0	0	0	0
	Vy.min	0	**0**	0	0	0	0
	Vy.max	0	**0**	0	0	0	0
	Vz.min	0	0	**0**	0	0	0
	Vz.max	0	0	**0**	0	0	0
	Mx.min	0	0	0	**0**	0	0
	Mx.max	0	0	0	**0**	0	0
	My.min	0	0	0	0	**0**	0
	My.max	0	0	0	0	**0**	0
	Mz.min	0	0	0	0	0	**0**
	Mz.max	0	0	0	0	0	**0**
TN	N.min	**-4.51**	-0.07	8.16	0.01	15.81	-0.18
	N.max	**6.07**	-0.4	-8.33	-0.01	-25.22	-0.9
	Vy.min	0.5	**-0.53**	-0.28	0	-4.02	-1.16
	Vy.max	-0.5	**0.53**	0.28	0	4.02	1.16
	Vz.min	6.07	-0.4	**-8.33**	-0.01	-25.22	-0.9
	Vz.max	-4.51	-0.07	**8.16**	0.01	15.81	-0.18
	Mx.min	6.07	-0.4	-8.33	**-0.01**	-25.22	-0.9
	Mx.max	-4.51	-0.07	8.16	**0.01**	15.81	-0.18
	My.min	6.07	-0.4	-8.33	-0.01	**-25.22**	-0.9
	My.max	-4.51	-0.07	8.16	0.01	**15.81**	-0.18
	Mz.min	0.5	-0.53	-0.28	0	-4.02	**-1.16**
	Mz.max	-0.5	0.53	0.28	0	4.02	**1.16**
FR	N.min	**-0.12**	-0.22	0.12	0	-0.3	-0.67
	N.max	**0.12**	0.22	-0.12	0	0.3	0.67
	Vy.min	-0.12	**-0.22**	0.12	0	-0.3	-0.67
	Vy.max	0.12	**0.22**	-0.12	0	0.3	0.67
	Vz.min	0.12	0.22	**-0.12**	0	0.3	0.67
	Vz.max	-0.12	-0.22	**0.12**	0	-0.3	-0.67
	Mx.min	0.12	0.22	-0.12	**0**	0.3	0.67
	Mx.max	-0.12	-0.22	0.12	**0**	-0.3	-0.67
	My.min	-0.12	-0.22	0.12	0	**-0.3**	-0.67
	My.max	0.12	0.22	-0.12	0	**0.3**	0.67
	Mz.min	-0.12	-0.22	0.12	0	-0.3	**-0.67**
	Mz.max	0.12	0.22	-0.12	0	0.3	**0.67**
I	N.min	**-1.07**	-0.45	2.18	0	5.73	**-0.19**
	N.max	**1.07**	0.45	-2.18	0	-5.73	**0.19**
	Vy.min	-1.07	**-0.45**	2.18	0	5.73	**-0.19**
	Vy.max	1.07	**0.45**	-2.18	0	-5.73	**0.19**
	Vz.min	1.07	0.45	**-2.18**	0	-5.73	**0.19**
	Vz.max	-1.07	-0.45	**2.18**	0	5.73	**-0.19**
	Mx.min	1.07	0.45	-2.18	**0**	-5.73	**0.19**
	Mx.max	-1.07	-0.45	2.18	**0**	5.73	**-0.19**
	My.min	1.07	0.45	-2.18	0	**-5.73**	**0.19**
	My.max	-1.07	-0.45	2.18	0	**5.73**	**-0.19**
	Mz.min	-1.07	-0.45	2.18	0	5.73	**-0.19**
	Mz.max	1.07	0.45	-2.18	0	-5.73	**0.19**

TAB. P3.2.3 POSOUZENÍ - MEZNÍ STAV ÚNOSNOSTI

POPIS	PŘÍČNÍK P3 - VNĚJŠÍ PODÉLNÍK
PRUT / POLOHA BODU	680 / I[558]
NAMÁHÁNÍ	Vz.min
VLÁKNO	BOD K2 -HP
MEZNÍ STAV	ULS (MSÚ)
VYUŽITÍ VLÁKNA PRŮŘEZU	1.00

Charakteristiky materiálu				
pás. horní	$f_{yf,k}$	230	MPa	
pás. dolní	$f_{yf,k}$	230	MPa	
stojina	$f_{yw,k}$	230	MPa	
výztuž	$f_{ys,k}$	500	MPa	
γ_M =	1.10	γ_s =	1.15	

Excentricita normálové síly				
Exc./Fáze	0	1	2	3
e_y	0.000	0.000	0.000	0.000
e_z	0.000	0.000	0.000	0.000
Ekvivalentní vzdál. stěn - příčný roznos				
b_{Mx}	0.000	0.000	0.000	0.000

Vliv stěny na únosnost průřezu				
Char./Fáze	0	1	2	3
A	0.00	0.00	0.00	0.00
Wy	0.00	0.00	0.00	0.00
Wz	0.00	0.00	0.00	0.00

Charakter. v kroucení			
$t_{w,y}$	0.000	[mm]	
$t_{w,z}$	0.000	[mm]	
κ	1.00		
I_t=	0.00E+00	[mm^4]	
Ω=2*A_{pz}	0.00E+00	[mm^2]	

Součinitele vzpěru a vlivu II.řádu				
Char./Fáze	0	1	2	3
k_y	1.000	1.000	1.000	1.000
k_z	1.000	1.000	1.000	1.000
χ_{LT}	1.000	1.000	1.000	1.000
χ_{min}	1.000	1.000	1.000	1.000

δ_{LOK} 1.00

Vnitřní síly od jednotlivých skupin zatěžovacích stavů — SKUPINA ZATĚŽOVACÍCH STAVŮ — 3

Č.	SKUP ZS	POPIS ZS	KAT.	FÁZE PRŮŘ.	- CHARAKTERISTICKÉ HODNOTY N.k (kN)	Vy.k (kN)	Vz.k (kN)	Mx.k (kNm)	My.k (kNm)	Mz.k (kNm)	DÍLČÍ SOUČINITELÉ ZATÍŽENÍ, DYNAMICKÝ SOUČINITEL γ_{sr} (-)	γ_{fs} (-)	volba ψ_i hledat	ψ_i (-)	L_d (m)	δ (-)	Ψ_E KZ03	- NÁVRHOVÉ HODNOTY N.d (kN)	Vy.d (kN)	Vz.d (kN)	ΔVz.d (kN)	ΣVz.d (kN)	Mx.d (kNm)	My.d (kNm)	ΔMy.d (kNm)	ΣMy.d (kNm)	Mz.d (kNm)	ΔMz.d (kNm)	ΣMz.d (kNm)
1	G0	Vlastní tíha OK	G	0	0	3	-30	0	51	-11	1.00	1.20		1.20	-	1.00	0.95	0	3	-34	0	-34	0	58	0	58	-13	0	-13
2	G1	Ostatní stálé - mostní vybavení	G	0	0	0	-6	0	8	-1	1.00	1.20		1.20	-	1.00	0.95	0	0	-7	0	-7	0	9	0	9	-1	0	-1
3	G2	Ostatní stálé - cizí zařízení	G	0	0	0	-3	0	-5	-1	1.00	1.20		1.20	-	1.00	0.95	0	0	-4	0	-4	0	-6	0	-6	-1	0	-1
4	P1_71	a.LM71 - kolej 1 (bez dyn. souč.)	P	0	19	-10	-203	0	199	-15	1.00	1.30		1.30	-	1.27	1.00	31	-16	-335	0	-335	0	329	0	329	-25	5	-20
5	P2_71	a.LM71 - kolej 2 (bez dyn. souč.)	P	0	9	-2	-167	0	666	-5	1.00	1.30		1.30	-	1.27	1.00	14	-3	-275	0	-275	0	1 101	0	1 101	-8	2	-6
6	P1_C3	TTZ C3 - kolej 1 (bez dyn. souč.)	P	0	12	-8	-116	0	109	-12	1.00	vyp.		0.00	-	1.00	0.00	0	0	0	0	0	0	0	0	0	0	0	0
7	P2_C3	TTZ C3 - kolej 2 (bez dyn. souč.)	P	0	6	-1	-95	0	378	-3	1.00	vyp.		0.00	-	1.00	0.00	0	0	0	0	0	0	0	0	0	0	0	0
8	BR	Brzdné a rozjezdové síly	P	0	1	24	-1	0	-1	46	1.00	-1.30		-1.30	-	1.00	0.80	-1	-25	1	0	1	0	1	0	1	-48	0	-48
9	S	Boční ráz	P	0	4	2	-9	0	17	3	1.00	-1.30		-1.30	-	1.00	0.40	-2	-1	5	0	5	0	-9	0	-9	-1	0	-1
10	CH	Chodci na lávkách	Q	0	0	-1	0	0	-30	-2	1.00	0.00		0.00	-	1.00	1.00	0	0	0	0	0	0	0	0	0	0	0	0
11	W	Vítr na konstrukci	Q	0	13	9	-9	0	-19	7	1.00	-1.35		-1.35	-	1.00	0.75	-13	-10	9	0	9	0	19	0	19	-7	0	-7
12	WP	Vítr na vozidla	Q	0	0	-16	-23	0	-45	-12	1.00	1.35		1.35	-	1.00	0.75	0	-17	-23	0	-23	0	-45	0	-45	-12	0	-12
13	TR	Teplota rovnoměrná	Q	0	0	0	0	0	0	0	1.00	1.35		1.35	-	1.00	0.45	0	0	0	0	0	0	0	0	0	0	0	0
14	TN	Teplota nerovnoměrná	Q	0	6	0	-8	0	-25	-1	1.00	-1.35		-1.35	-	1.00	0.60	-5	0	7	0	7	0	20	0	20	1	0	1
15	FR	Třecí síly v ložiskách	Q	0	0	0	0	0	0	1	1.00	-1.20		-1.20	-	1.00	1.00	0	0	0	0	0	0	0	0	0	-1	0	-1
16	I	Imperfekce soustavy	Q	0	1	0	-2	0	-6	0	1.00	-1.20		-1.20	-	1.00	1.00	-1	-1	3	0	3	0	7	0	7	0	0	0
27	ULS_LM	ULS - LM71 bez dynam	Q	0	61	-13	-579	0	1 079	-19	1.00	vyp.		0.00	-	1.00	0.00	0	0	0	0	0	0	0	0	0	0	0	0
28	SLS_LM	SLS - LM71 bez dynam	Q	0	43	-10	-445	0	854	-16	1.00	vyp.	1	0.00	-	1.00	0.00	0	0	0	0	0	0	0	0	0	0	0	0
29	ULS_C3	ULS - C3 bez dynam	Q	0	48	-9	-373	0	587	-13	1.00	vyp.	1	0.00	-	1.00	0.00	0	0	0	0	0	0	0	0	0	0	0	0
30	SLS_C3	SLS - C3 bez dynam	Q	0	33	-8	-286	0	475	-11	1.00	vyp.	1	0.00	-	1.00	0.00	0	0	0	0	0	0	0	0	0	0	0	0
		CELKEM - FÁZE PRŮŘEZU 0																22	-69	-654	0	-654	0	1 484	0	1 484	-116	7	-109
		CELKEM - FÁZE PRŮŘEZU 1																0	0	0	0	0	0	0	0	0	0	0	0
		CELKEM - FÁZE PRŮŘEZU 2																0	0	0	0	0	0	0	0	0	0	0	0
		CELKEM - FÁZE PRŮŘEZU 3																0	0	0	0	0	0	0	0	0	0	0	0
		CELKEM - PRŮŘEZ																22	-69	-654	0	-654	0			1 484			-109

Napětí od jednotlivých zatěžovacích stavů — SKUPINA ZATĚŽOVACÍCH STAVŮ

Č.	SKUP ZS	Popis ZS	Kat.	fáze průř.	Posouzení normálového napětí — Účinek síly N δ^*N_d [kN]	χ^*A [mm^2]	σ_n [MPa]	Účinek momentu My $\delta^*M_{y,d}$ [kNm]	$\chi_{lt}{}^*W_{el,y}$ [mm^3]	σ_{my} [MPa]	Účinek momentu Mz $\delta^*M_{z,d}$ [kNm]	$W_{el,z}$ [mm^3]	σ_{mz} [MPa]	σ_x [MPa]	Posouzení smykového napětí — Účinek kroutícího momentu Mx $\kappa^*\delta^*M_{x,d}$ [kNm]	$W_{v,y}$ [mm^2]	$\tau_{x,y}$ [MPa]	$W_{v,z}$ [mm^2]	$\tau_{x,z}$ [MPa]	Účinek smykové síly Vy $\delta^*V_{y,d}$ [kN]	$A_{v,y}$ [mm2]	$\tau_{v,y}$ [MPa]	$\tau_{v,y}$ [MPa]	Účinek smykové síly Vz $\delta^*V_{z,d}$ [kN]	$A_{v,z}$ [mm2]	$\tau_{v,z}$ [MPa]	$\tau_{v,z}$ [MPa]
1	G0	Vlastní tíha OK	G	0	-0.3	3.42E+04	0.0	57.8	-1.40E+07	-4.1	-12.7	1.05E+06	-12.1	-16.2	0.0E+00	-	-	-	-	3.0	1.87E+04	0.2	0.2	-34.1	1.12E+04	-3.0	-3.0
2	G1	Ostatní stálé - mostní vybavení	G	0	0.0	3.42E+04	0.0	8.8	-1.40E+07	-0.6	-1.0	1.05E+06	-0.9	-1.5	0.0E+00	-	-	-	-	0.2	1.87E+04	0.0	0.0	-7.1	1.12E+04	-0.6	-0.6
3	G2	Ostatní stálé - cizí zařízení	G	0	-0.2	3.42E+04	0.0	-6.1	-1.40E+07	0.4	-1.0	1.05E+06	-1.0	-0.6	0.0E+00	-	-	-	-	-0.5	1.87E+04	0.0	0.0	-3.9	1.12E+04	-0.3	-0.3
4	P1_71	a.LM71 - kolej 1 (bez dyn. souč.)	P	0	31.5	3.42E+04	0.9	329.4	-1.40E+07	-23.6	-19.7	1.05E+06	-18.7	-41.3	-1.7E-02	-	-	-	-	-16.0	1.87E+04	-0.9	-0.9	-335.0	1.12E+04	-29.9	-29.9
5	P2_71	a.LM71 - kolej 2 (bez dyn. souč.)	P	0	14.4	3.42E+04	0.4	1 100.9	-1.40E+07	-78.8	-6.4	1.05E+06	-6.1	-84.5	0.0E+00	-	-	-	-	-2.5	1.87E+04	-0.1	-0.1	-275.3	1.12E+04	-24.6	-24.6
6	P1_C3	TTZ C3 - kolej 1 (bez dyn. souč.)	P	0	0.0	3.42E+04	0.0	0.0	-1.40E+07	0.0	0.0	1.05E+06	0.0	0.0	0.0E+00	-	-	-	-	0.0	1.87E+04	0.0	0.0	0.0	1.12E+04	0.0	0.0
7	P2_C3	TTZ C3 - kolej 2 (bez dyn. souč.)	P	0	0.0	3.42E+04	0.0	0.0	-1.40E+07	0.0	0.0	1.05E+06	0.0	0.0	0.0E+00	-	-	-	-	0.0	1.87E+04	0.0	0.0	0.0	1.12E+04	0.0	0.0
8	BR	Brzdné a rozjezdové síly	P	0	-1.2	3.42E+04	0.0	0.6	-1.40E+07	0.0	-48.0	1.05E+06	-45.5	-45.6	2.1E-02	-	-	-	-	-25.2	1.87E+04	-1.3	-1.3	1.4	1.12E+04	0.1	0.1
9	S	Boční ráz	P	0	-2.3	3.42E+04	-0.1	-8.6	-1.40E+07	0.6	-1.4	1.05E+06	-1.3	-0.8	-1.0E-02	-	-	-	-	-1.2	1.87E+04	-0.1	-0.1	4.7	1.12E+04	0.4	0.4
10	CH	Chodci na lávkách	Q	0	0.0	3.42E+04	0.0	0.0	-1.40E+07	0.0	0.0	1.05E+06	0.0	0.0	0.0E+00	-	-	-	-	0.0	1.87E+04	0.0	0.0	0.0	1.12E+04	0.0	0.0
11	W	Vítr na konstrukci	Q	0	-13.3	3.42E+04	-0.4	19.2	-1.40E+07	-1.4	-6.7	1.05E+06	-6.3	-8.1	1.0E-02	-	-	-	-	-9.6	1.87E+04	-0.5	-0.5	8.9	1.12E+04	0.8	0.8
12	WP	Vítr na vozidla	Q	0	-0.1	3.42E+04	0.0	-45.4	-1.40E+07	3.3	-12.1	1.05E+06	-11.5	-8.2	1.0E-02	-	-	-	-	-16.7	1.87E+04	-0.9	-0.9	-22.8	1.12E+04	-2.0	-2.0
13	TR	Teplota rovnoměrná	Q	0	0.0	3.42E+04	0.0	0.0	-1.40E+07	0.0	0.0	1.05E+06	0.0	0.0	0.0E+00	-	-	-	-	0.0	1.87E+04	0.0	0.0	0.0	1.12E+04	0.0	0.0
14	TN	Teplota nerovnoměrná	Q	0	-4.9	3.42E+04	-0.1	20.4	-1.40E+07	-1.5	0.7	1.05E+06	0.7	-0.9	8.1E-03	-	-	-	-	0.3	1.87E+04	0.0	0.0	6.7	1.12E+04	0.6	0.6
15	FR	Třecí síly v ložiskách	Q	0	-0.1	3.42E+04	0.0	-0.4	-1.40E+07	0.0	-0.8	1.05E+06	-0.8	-0.7	0.0E+00	-	-	-	-	-0.3	1.87E+04	0.0	0.0	0.1	1.12E+04	0.0	0.0
16	I	Imperfekce soustavy	Q	0	-1.3	3.42E+04	0.0	6.9	-1.40E+07	-0.5	-0.2	1.05E+06	-0.2	-0.7	0.0E+00	-	-	-	-	-0.5	1.87E+04	0.0	0.0	2.6	1.12E+04	0.2	0.2
27	ULS_LM	ULS - LM71 bez dynam	Q	0	0.0	3.42E+04	0.0	0.0	-1.40E+07	0.0	0.0	1.05E+06	0.0	0.0	0.0E+00	-	-	-	-	0.0	1.87E+04	0.0	0.0	0.0	1.12E+04	0.0	0.0
28	SLS_LM	SLS - LM71 bez dynam	Q	0	0.0	3.42E+04	0.0	0.0	-1.40E+07	0.0	0.0	1.05E+06	0.0	0.0	0.0E+00	-	-	-	-	0.0	1.87E+04	0.0	0.0	0.0	1.12E+04	0.0	0.0
29	ULS_C3	ULS - C3 bez dynam	Q	0	0.0	3.42E+04	0.0	0.0	-1.40E+07	0.0	0.0	1.05E+06	0.0	0.0	0.0E+00	-	-	-	-	0.0	1.87E+04	0.0	0.0	0.0	1.12E+04	0.0	0.0
30	SLS_C3	SLS - C3 bez dynam	Q	0	0.0	3.42E+04	0.0	0.0	-1.40E+07	0.0	0.0	1.05E+06	0.0	0.0	0.0E+00	-	-	-	-	0.0	1.87E+04	0.0	0.0	0.0	1.12E+04	0.0	0.0
		NAVÝŠENÍ NAPĚTÍ DO AKTIVACE TLAKU V DESCE MOSTOVKY				$\sigma_{P,red}$	0.0							0.0			0.0		0.0			-3.7	-3.7			-58.4	-58.4
		NAPĚTÍ OD PRIMÁRNÍCH ÚČINKŮ NEROVNOMĚRNÉHO OTEPLENÍ				σ_T	0.0							0.0													
		NAPĚTÍ OD REOLOGICKÝCH ÚČINKŮ BETONU V ČASE		t=0		σ_R	0.0	γ_{sr}=	1.20					0.0													
		NAPĚTÍ V KRITICKÝCH VLÁKNECH OD KOMBINACE ZATÍŽENÍ				KZ03		[MPa]					$\Sigma\sigma_x$	-209.3								$\Sigma\tau_y$	-3.7			$\Sigma\tau_z$	-58.4
		NAPĚTÍ OD POHYBLIVÉHO ZATÍŽENÍ						[MPa]					$\sigma_{x,P}$	-172.2									-2.4			τ_P	-54.0
		NAPĚTÍ OD OSTATNÍCH ZATÍŽENÍ						[MPa]			Φ_{Vy}	Φ_{Vz}	$\sigma_{x,rs}$	-37.0								$\tau_{x,s}$	-1.3			$\tau_{x,s}$	-4.4
		NÁVRHOVÁ HODNOTA MEZE KLUZU S REDUKCÍ VLIVEM SMYKOVÉHO NAPĚTÍ						[MPa]			1.00	1.00	$f_{yw,d}$	209.1								$f_{yd}/3^{0,5}$	120.7			$f_{yd}/3^{0,5}$	120.7
		NAPĚTÍ OD POHYBLIVÉHO ZATÍŽENÍ V GLOBÁLNÍM SYSTÉMU				$\sigma_{GLOB,P}$	0.0	[MPa]					$\Sigma\sigma_{GLOB}$	0.0													
		NAPĚTÍ OD OSTATNÍCH ZATÍŽENÍ V GLOBÁLNÍM SYSTÉMU				$\sigma_{GLOB,rs}$	0.0	[MPa]					$\Sigma\sigma_x + \Sigma\sigma_{GLOB}$	-209.3													
		VYUŽITÍ PRŮŘEZU DLE NAPĚTÍ						[%]					η_1	1.00								η_3	0.03			η_3	0.48
		NAPĚTÍ V PŘÍČNÉM SMĚRU OD POHYBLIVÉHO ZATÍŽENÍ				$\sigma_{z,P}$	0.0	[MPa]					$\Sigma\sigma_z$	0.0													
		NAPĚTÍ V PŘÍČNÉM SMĚRU OD OSTATNÍCH ZATÍŽENÍ				$\sigma_{z,rs}$	0.0	[MPa]					η_2	0.00													
		SROVNÁVACÍ NAPĚTÍ											$(\eta_2 + 0,8\ \eta_1)/1,4$ =	0.57													
		VYUŽITÍ PRŮŘEZU CELKEM						[%]					eff	1.00	NEVYHOVUJE												
		STANOVENÍ ZATÍŽITELNOSTI											Z_{LM71} =	1.00													

TAB. P3.2.3 POSOUZENÍ - MEZNÍ STAV ÚNOSNOSTI

POPIS	PŘÍČNÍK P3 - VNĚJŠÍ PODÉLNÍK
PRUT / POLOHA BODU	680 / I[558]
NAMÁHÁNÍ	Vz.min
VLÁKNO	BOD K3 -SL
MEZNÍ STAV	ULS (MSÚ)
VYUŽITÍ VLÁKNA PRŮŘEZU	1.10

Charakteristiky materiálu				
pás. horní	$f_{yf,k}$	230	MPa	
pás. dolní	$f_{yf,k}$	230	MPa	
stojina	$f_{yw,k}$	230	MPa	
výztuž	$f_{ys,k}$	500	MPa	
γ_M =	1.10	γ_s =	1.15	

Excentricita normálové síly				
Exc./Fáze	0	1	2	3
e_y	0.000	0.000	0.000	0.000
e_z	0.000	0.000	0.000	0.000
Ekvivalentní vzdál. stěn - příčný roznos				
b_{Mx}	0.000	0.000	0.000	0.000

Vliv stěny na únosnost průřezu				
Char./Fáze	0	1	2	3
A	0.00	0.00	0.00	0.00
Wy	0.00	0.00	0.00	0.00
Wz	0.00	0.00	0.00	0.00

Charakter. v kroucení			
$t_{w,y}$	0.000	[mm]	
$t_{w,z}$	0.000	[mm]	
κ	1.00		
I_t=	0.00E+00	[mm^4]	
Ω=2*A_{pz}	0.00E+00	[mm^2]	

Součinitele vzpěru a vlivu II.řádu				
Char./Fáze	0	1	2	3
k_y	1.000	1.000	1.000	1.000
k_z	1.000	1.000	1.000	1.000
χ_{LT}	1.000	1.000	1.000	1.000
χ_{min}	1.000	1.000	1.000	1.000

δ_{LOK} 1.00

Vnitřní síly od jednotlivých skupin zatěžovacích stavů

SKUPINA ZATĚŽOVACÍCH STAVŮ					- CHARAKTERISTICKÉ HODNOTY						DÍLČÍ SOUČINITELÉ ZATÍŽENÍ, DYNAMICKÝ SOUČINITEL						3	- NÁVRHOVÉ HODNOTY									
Č.	SKUP ZS	POPIS ZS	KAT.	FÁZE PRŮŘ.	N.k (kN)	Vy.k (kN)	Vz.k (kN)	Mx.k (kNm)	My.k (kNm)	Mz.k (kNm)	γ_{sup} (-)	γ_{inf} (-)	volba ψ_i hledat	ψ_i (-)	L_d (m)	δ (-)	Ψ_z KZ03	N.d (kN)	Vy.d (kN)	Vz.d (kN)	ΔVz.d (kN)	ΣVz.d (kN)	Mx.d (kNm)	My.d (kNm)	ΔMy.d (kNm)	ΣMy.d (kNm)	Mz.d (kNm)	ΔMz.d (kNm)	ΣMz.d (kNm)
1	G0	Vlastní tíha OK	G	0	0	3	-30	0	51	-11	1.00	1.20		1.20	-	1.00	0.95	0	3	-34	0	-34	0	58	0	58	-13	0	-13
2	G1	Ostatní stálé - mostní vybavení	G	0	0	0	-6	0	8	-1	1.00	1.20		1.20	-	1.00	0.95	0	0	-7	0	-7	0	9	0	9	-1	0	-1
3	G2	Ostatní stálé - cizí zařízení	G	0	0	0	-3	0	-5	-1	1.00	1.20		1.20	-	1.00	0.95	0	0	-4	0	-4	0	-6	0	-6	-1	0	-1
4	P1_71	a.LM71 - kolej 1 (bez dyn. souč.)	P	0	19	-10	-203	0	199	-15	1.00	1.30		1.30	-	1.27	1.00	31	-16	-335	0	-335	0	329	0	329	-25	5	-20
5	P2_71	a.LM71 - kolej 2 (bez dyn. souč.)	P	0	9	-2	-167	0	666	-5	1.00	1.30		1.30	-	1.27	1.00	14	-3	-275	0	-275	0	1 101	0	1 101	-8	2	-6
6	P1_C3	TTZ C3 - kolej 1 (bez dyn. souč.)	P	0	12	-8	-116	0	109	-12	1.00	vyp.		0.00	-	1.00	0.00	0	0	0	0	0	0	0	0	0	0	0	0
7	P2_C3	TTZ C3 - kolej 2 (bez dyn. souč.)	P	0	6	-1	-95	0	378	-3	1.00	vyp.		0.00	-	1.00	0.00	0	0	0	0	0	0	0	0	0	0	0	0
8	BR	Brzdné a rozjezdové síly	P	0	1	24	-1	0	-1	46	1.00	-1.30		-1.30	-	1.00	0.80	-1	-25	1	0	1	0	1	0	1	-48	0	-48
9	S	Boční ráz	P	0	4	2	-9	0	17	3	1.00	-1.30		-1.30	-	1.00	0.40	-2	-1	5	0	5	0	-9	0	-9	-1	0	-1
10	CH	Chodci na lávkách	Q	0	0	-1	0	0	-30	-2	1.00	0.00		0.00	-	1.00	1.00	0	0	0	0	0	0	0	0	0	0	0	0
11	W	Vítr na konstrukci	Q	0	13	9	-9	0	-19	7	1.00	-1.35		-1.35	-	1.00	0.75	-13	-10	9	0	9	0	19	0	19	-7	0	-7
12	WP	Vítr na vozidla	Q	0	0	-16	-23	0	-45	-12	1.00	1.35		1.35	-	1.00	0.75	0	-17	-23	0	-23	0	-45	0	-45	-12	0	-12
13	TR	Teplota rovnoměrná	Q	0	0	0	0	0	0	0	1.00	1.35		1.35	-	1.00	0.45	0	0	0	0	0	0	0	0	0	0	0	0
14	TN	Teplota nerovnoměrná	Q	0	6	0	-8	0	-25	-1	1.00	-1.35		-1.35	-	1.00	0.60	-5	0	7	0	7	0	20	0	20	1	0	1
15	FR	Třecí síly v ložiskách	Q	0	0	0	0	0	0	1	1.00	-1.20		-1.20	-	1.00	1.00	0	0	0	0	0	0	0	0	0	-1	0	-1
16	I	Imperfekce soustavy	Q	0	1	0	-2	0	-6	0	1.00	-1.20		-1.20	-	1.00	1.00	-1	-1	3	0	3	0	7	0	7	0	0	0
27	ULS_LM	ULS - LM71 bez dynam	Q	0	61	-13	-579	0	1 079	-19	1.00	vyp.	1	0.00	-	1.00	0.00	0	0	0	0	0	0	0	0	0	0	0	0
28	SLS_LM	SLS - LM71 bez dynam	Q	0	43	-10	-445	0	854	-16	1.00	vyp.	1	0.00	-	1.00	0.00	0	0	0	0	0	0	0	0	0	0	0	0
29	ULS_C3	ULS - C3 bez dynam	Q	0	48	-9	-373	0	587	-13	1.00	vyp.	1	0.00	-	1.00	0.00	0	0	0	0	0	0	0	0	0	0	0	0
30	SLS_C3	SLS - C3 bez dynam	Q	0	33	-8	-286	0	475	-11	1.00	vyp.	1	0.00	-	1.00	0.00	0	0	0	0	0	0	0	0	0	0	0	0
		CELKEM - FÁZE PRŮŘEZU 0																22	-69	-654	0	-654	0	1 484	0	1 484	-116	7	-109
		CELKEM - FÁZE PRŮŘEZU 1																0	0	0	0	0	0	0	0	0	0	0	0
		CELKEM - FÁZE PRŮŘEZU 2																0	0	0	0	0	0	0	0	0	0	0	0
		CELKEM - FÁZE PRŮŘEZU 3																0	0	0	0	0	0	0	0	0	0	0	0
		CELKEM - PRŮŘEZ																22	-69	-654	0	-654	0			1 484			-109

Napětí od jednotlivých zatěžovacích stavů

SKUPINA ZATĚŽOVACÍCH STAVŮ					Posouzení normálového napětí										Posouzení smykového napětí													
					Účinek síly N			Účinek momentu My				Účinek momentu Mz				Účinek kroutícího momentu Mx				Účinek smykové síly Vy				Účinek smykové síly Vz			
Č.	SKUP ZS	Popis ZS	Kat.	fáze prúř.	δ^*N_d [kN]	χ^*A [mm^2]	σ_n [MPa]	$\delta^*M_{y,d}$ [kNm]	$\chi_{lt}{}^*W_{el,y}$ [mm^3]	σ_{my} [MPa]	$\delta^*M_{z,d}$ [kNm]	$W_{el,z}$ [mm^3]	σ_{mz} [MPa]	σ_x [MPa]	$\kappa^*\delta^*M_{x,d}$ [kNm]	$W_{v,y}$ [mm^2]	$\tau_{x,y}$ [MPa]	$W_{v,z}$ [mm^2]	$\tau_{x,z}$ [MPa]	$\delta^*V_{y,d}$ [kN]	$A_{v,y}$ [mm2]	$\tau_{v,y}$ [MPa]	$\tau_{v,y}$ [MPa]	$\delta^*V_{z,d}$ [kN]	$A_{v,z}$ [mm2]	$\tau_{v,z}$ [MPa]	$\tau_{v,z}$ [MPa]
1	G0	Vlastní tíha OK	G	0	-0.3	3.42E+04	0.0	57.8	1.19E+07	4.9	-12.7	-1.05E+06	12.1	16.9	0.0E+00	-	-	-	-	3.0	1.87E+04	0.2	0.2	-34.1	1.12E+04	-3.0	-3.0
2	G1	Ostatní stálé - mostní vybavení	G	0	0.0	3.42E+04	0.0	8.8	1.19E+07	0.7	-1.0	-1.05E+06	0.9	1.7	0.0E+00	-	-	-	-	0.2	1.87E+04	0.0	0.0	-7.1	1.12E+04	-0.6	-0.6
3	G2	Ostatní stálé - cizí zařízení	G	0	-0.2	3.42E+04	0.0	-6.1	1.19E+07	-0.5	-1.0	-1.05E+06	1.0	0.5	0.0E+00	-	-	-	-	-0.5	1.87E+04	0.0	0.0	-3.9	1.12E+04	-0.3	-0.3
4	P1_71	a.LM71 - kolej 1 (bez dyn. souč.)	P	0	31.5	3.42E+04	0.9	329.4	1.19E+07	27.8	-19.7	-1.05E+06	18.7	47.4	-1.7E-02	-	-	-	-	-16.0	1.87E+04	-0.9	-0.9	-335.0	1.12E+04	-29.9	-29.9
5	P2_71	a.LM71 - kolej 2 (bez dyn. souč.)	P	0	14.4	3.42E+04	0.4	1 100.9	1.19E+07	92.8	-6.4	-1.05E+06	6.1	99.4	0.0E+00	-	-	-	-	-2.5	1.87E+04	-0.1	-0.1	-275.3	1.12E+04	-24.6	-24.6
6	P1_C3	TTZ C3 - kolej 1 (bez dyn. souč.)	P	0	0.0	3.42E+04	0.0	0.0	1.19E+07	0.0	0.0	-1.05E+06	0.0	0.0	0.0E+00	-	-	-	-	0.0	1.87E+04	0.0	0.0	0.0	1.12E+04	0.0	0.0
7	P2_C3	TTZ C3 - kolej 2 (bez dyn. souč.)	P	0	0.0	3.42E+04	0.0	0.0	1.19E+07	0.0	0.0	-1.05E+06	0.0	0.0	0.0E+00	-	-	-	-	0.0	1.87E+04	0.0	0.0	0.0	1.12E+04	0.0	0.0
8	BR	Brzdné a rozjezdové síly	P	0	-1.2	3.42E+04	0.0	0.6	1.19E+07	0.1	-48.0	-1.05E+06	45.5	45.6	2.1E-02	-	-	-	-	-25.2	1.87E+04	-1.3	-1.3	1.4	1.12E+04	0.1	0.1
9	S	Boční ráz	P	0	-2.3	3.42E+04	-0.1	-8.6	1.19E+07	-0.7	-1.4	-1.05E+06	1.3	0.5	-1.0E-02	-	-	-	-	-1.2	1.87E+04	-0.1	-0.1	4.7	1.12E+04	0.4	0.4
10	CH	Chodci na lávkách	Q	0	0.0	3.42E+04	0.0	0.0	1.19E+07	0.0	0.0	-1.05E+06	0.0	0.0	0.0E+00	-	-	-	-	0.0	1.87E+04	0.0	0.0	0.0	1.12E+04	0.0	0.0
11	W	Vítr na konstrukci	Q	0	-13.3	3.42E+04	-0.4	19.2	1.19E+07	1.6	-6.7	-1.05E+06	6.3	7.5	1.0E-02	-	-	-	-	-9.6	1.87E+04	-0.5	-0.5	8.9	1.12E+04	0.8	0.8
12	WP	Vítr na vozidla	Q	0	-0.1	3.42E+04	0.0	-45.4	1.19E+07	-3.8	-12.1	-1.05E+06	11.5	7.7	1.0E-02	-	-	-	-	-16.7	1.87E+04	-0.9	-0.9	-22.8	1.12E+04	-2.0	-2.0
13	TR	Teplota rovnoměrná	Q	0	0.0	3.42E+04	0.0	0.0	1.19E+07	0.0	0.0	-1.05E+06	0.0	0.0	0.0E+00	-	-	-	-	0.0	1.87E+04	0.0	0.0	0.0	1.12E+04	0.0	0.0
14	TN	Teplota nerovnoměrná	Q	0	-4.9	3.42E+04	-0.1	20.4	1.19E+07	1.7	0.7	-1.05E+06	-0.7	0.9	8.1E-03	-	-	-	-	0.3	1.87E+04	0.0	0.0	6.7	1.12E+04	0.6	0.6
15	FR	Třecí síly v ložiskách	Q	0	-0.1	3.42E+04	0.0	-0.4	1.19E+07	0.0	-0.8	-1.05E+06	0.8	0.7	0.0E+00	-	-	-	-	-0.3	1.87E+04	0.0	0.0	0.1	1.12E+04	0.0	0.0
16	I	Imperfekce soustavy	Q	0	-1.3	3.42E+04	0.0	6.9	1.19E+07	0.6	-0.2	-1.05E+06	0.2	0.8	0.0E+00	-	-	-	-	-0.5	1.87E+04	0.0	0.0	2.6	1.12E+04	0.2	0.2
27	ULS_LM	ULS - LM71 bez dynam	Q	0	0.0	3.42E+04	0.0	0.0	1.19E+07	0.0	0.0	-1.05E+06	0.0	0.0	0.0E+00	-	-	-	-	0.0	1.87E+04	0.0	0.0	0.0	1.12E+04	0.0	0.0
28	SLS_LM	SLS - LM71 bez dynam	Q	0	0.0	3.42E+04	0.0	0.0	1.19E+07	0.0	0.0	-1.05E+06	0.0	0.0	0.0E+00	-	-	-	-	0.0	1.87E+04	0.0	0.0	0.0	1.12E+04	0.0	0.0
29	ULS_C3	ULS - C3 bez dynam	Q	0	0.0	3.42E+04	0.0	0.0	1.19E+07	0.0	0.0	-1.05E+06	0.0	0.0	0.0E+00	-	-	-	-	0.0	1.87E+04	0.0	0.0	0.0	1.12E+04	0.0	0.0
30	SLS_C3	SLS - C3 bez dynam	Q	0	0.0	3.42E+04	0.0	0.0	1.19E+07	0.0	0.0	-1.05E+06	0.0	0.0	0.0E+00	-	-	-	-	0.0	1.87E+04	0.0	0.0	0.0	1.12E+04	0.0	0.0
NAVÝŠENÍ NAPĚTÍ DO AKTIVACE TLAKU V DESCE MOSTOVKY							$\sigma_{P,red}$ 0.0							0.0			0.0		0.0			-3.7	-3.7			-58.4	-58.4
NAPĚTÍ OD PRIMÁRNÍCH ÚČINKŮ NEROVNOMĚRNÉHO OTEPLENÍ							σ_T 0.0							0.0													
NAPĚTÍ OD REOLOGICKÝCH ÚČINKŮ BETONU V ČASE				t=0			σ_R 0.0	γ= 1.20						0.0													
NAPĚTÍ V KRITICKÝCH VLÁKNECH OD KOMBINACE ZATÍŽENÍ							KZ03	[MPa]					$\Sigma\sigma_x$	229.4								$\Sigma\tau_y$	-3.7			$\Sigma\tau_z$	-58.4
NAPĚTÍ OD POHYBLIVÉHO ZATÍŽENÍ								[MPa]					$\sigma_{x,P}$	192.8								τ_P	-2.4			τ_P	-54.0
NAPĚTÍ OD OSTATNÍCH ZATÍŽENÍ								[MPa]			Φ_{Vy}	Φ_{Vz}	$\sigma_{x,rs}$	36.6								τ_{rs}	-1.3			τ_{rs}	-4.4
NÁVRHOVÁ HODNOTA MEZE KLUZU S REDUKCÍ VLIVEM SMYKOVÉHO NAPĚTÍ								[MPa]			1.00	1.00	$f_{yw,d}$	209.1								$f_{yd}/3^{0,5}$	120.7			$f_{yd}/3^{0,5}$	120.7
NAPĚTÍ OD POHYBLIVÉHO ZATÍŽENÍ V GLOBÁLNÍM SYSTÉMU							$\sigma_{GLOB,P}$ 0.0	[MPa]					$\Sigma\sigma_{GLOB}$	0.0													
NAPĚTÍ OD OSTATNÍCH ZATÍŽENÍ V GLOBÁLNÍM SYSTÉMU							$\sigma_{GLOB,rs}$ 0.0	[MPa]					$\Sigma\sigma_x + \Sigma\sigma_{GLOB}$	229.4													
VYUŽITÍ PRŮŘEZU DLE NAPĚTÍ								[%]					η_1	1.10								η_3	0.03			η_3	0.48
NAPĚTÍ V PŘÍČNÉM SMĚRU OD POHYBLIVÉHO ZATÍŽENÍ							$\sigma_{z,P}$ 0.0	[MPa]					$\Sigma\sigma_z$	0.0													
NAPĚTÍ V PŘÍČNÉM SMĚRU OD OSTATNÍCH ZATÍŽENÍ							$\sigma_{z,rs}$ 0.0	[MPa]					η_2	0.00													
SROVNÁVACÍ NAPĚTÍ													$(\eta_2 + 0,8\ \eta_1)/1,4$ =	0.63													
VYUŽITÍ PRŮŘEZU CELKEM								[%]					eff	1.10	NEVYHOVUJE												
STANOVENÍ ZATÍŽITELNOSTI													z_{LM71} =	0.89													

TAB. P3.2.3 POSOUZENÍ - MEZNÍ STAV ÚNOSNOSTI

POPIS	PŘÍČNÍK P3 - VNĚJŠÍ PODÉLNÍK
PRUT / POLOHA BODU	680 / I[558]
NAMÁHÁNÍ	Vz.min
VLÁKNO	BOD S6 -HP
MEZNÍ STAV	ULS (MSÚ)
VYUŽITÍ VLÁKNA PRŮŘEZU	0.55

Charakteristiky materiálu				
pás. horní	$f_{yf,k}$	230	MPa	
pás. dolní	$f_{yf,k}$	230	MPa	
stojina	$f_{yw,k}$	230	MPa	
výztuž	$f_{ys,k}$	500	MPa	
γ_M =	1.10	γ_s =	1.15	

Excentricita normálové síly				
Exc./Fáze	0	1	2	3
e_y	0.000	0.000	0.000	0.000
e_z	0.000	0.000	0.000	0.000
Ekvivalentní vzdál. stěn - příčný roznos				
b_{Mx}	0.000	0.000	0.000	0.000

Vliv stěny na únosnost průřezu				
Char./Fáze	0	1	2	3
A	0.00	0.00	0.00	0.00
Wy	0.00	0.00	0.00	0.00
Wz	0.00	0.00	0.00	0.00

Charakter. v kroucení			
$t_{w,y}$	0.000	[mm]	
$t_{w,z}$	0.000	[mm]	
κ	1.00		
I_t=	0.00E+00	[mm^4]	
$\Omega=2*A_{pr}$	0.00E+00	[mm^2]	

Součinitele vzpěru a vlivu II.řádu				
Char./Fáze	0	1	2	3
k_y	1.000	1.000	1.000	1.000
k_z	1.000	1.000	1.000	1.000
χ_{LT}	1.000	1.000	1.000	1.000
χ_{min}	1.000	1.000	1.000	1.000

δ_{LOK} 1.00

Vnitřní síly od jednotlivých skupin zatěžovacích stavů

SKUPINA ZATĚŽOVACÍCH STAVŮ — 4

Č.	SKUP ZS	POPIS ZS	KAT.	FÁZE PRŮŘ.	- CHARAKTERISTICKÉ HODNOTY N,k (kN)	Vy,k (kN)	Vz,k (kN)	Mx,k (kNm)	My,k (kNm)	Mz,k (kNm)	DÍLČÍ SOUČINITELÉ ZATÍŽENÍ, DYNAMICKÝ SOUČINITEL γ_{sr} (-)	γ_{fs} (-)	volba γ_f hledat	γ_f (-)	L_d (m)	δ (-)	Ψ_s KZ04	- NÁVRHOVÉ HODNOTY N,d (kN)	V,d (kN)	Vz,d (kN)	ΔVz,d (kN)	ΣVz,d (kN)	Mx,d (kNm)	My,d (kNm)	ΔMy,d (kNm)	ΣMy,d (kNm)	Mz,d (kNm)	ΔMz,d (kNm)	ΣMz,d (kNm)
1	G0	Vlastní tíha OK	G	0	0	3	-30	0	51	-11	1.00	1.20		1.20	-	1.00	0.95	0	3	-34	0	-34	0	58	0	58	-13	0	-13
2	G1	Ostatní stálé - mostní vybavení	G	0	0	0	-6	0	8	-1	1.00	1.20		1.20	-	1.00	0.95	0	0	-7	0	-7	0	9	0	9	-1	0	-1
3	G2	Ostatní stálé - cizí zařízení	G	0	0	0	-3	0	-5	-1	1.00	1.20		1.20	-	1.00	0.95	0	0	-4	0	-4	0	-6	0	-6	-1	0	-1
4	P1_71	a.LM71 - kolej 1 (bez dyn. souč.)	P	0	19	-10	-203	0	199	-15	1.00	1.30		1.30	-	1.27	1.00	31	-16	-335	0	-335	0	329	0	329	-25	5	-20
5	P2_71	a.LM71 - kolej 2 (bez dyn. souč.)	P	0	9	-2	-167	0	666	-5	1.00	1.30		1.30	-	1.27	1.00	14	-3	-275	0	-275	0	1 101	0	1 101	-8	2	-6
6	P1_C3	TTZ C3 - kolej 1 (bez dyn. souč.)	P	0	12	-8	-116	0	109	-12	1.00	vyp.		0.00	-	1.00	0.00	0	0	0	0	0	0	0	0	0	0	0	0
7	P2_C3	TTZ C3 - kolej 2 (bez dyn. souč.)	P	0	6	-1	-95	0	378	-3	1.00	vyp.		0.00	-	1.00	0.00	0	0	0	0	0	0	0	0	0	0	0	0
8	BR	Brzdné a rozjezdové síly	P	0	1	24	-1	0	-1	46	1.00	1.30		1.30	-	1.00	0.40	1	13	-1	0	-1	0	0	0	0	24	0	24
9	S	Boční ráz	P	0	4	2	-9	0	17	3	1.00	1.30		1.30	-	1.00	0.80	5	2	-9	0	-9	0	17	0	17	3	0	3
10	CH	Chodci na lávkách	Q	0	0	-1	0	0	-30	-2	1.00	1.30		1.30	-	1.00	1.00	-1	-1	0	0	0	0	-39	0	-39	-2	0	-2
11	W	Vítr na konstrukci	Q	0	13	9	-9	0	-19	7	1.00	1.35		1.35	-	1.00	0.75	13	10	-9	0	-9	0	-19	0	-19	7	0	7
12	WP	Vítr na vozidla	Q	0	0	-16	-23	0	-45	-12	1.00	1.35		1.35	-	1.00	0.75	0	-17	-23	0	-23	0	-45	0	-45	-12	0	-12
13	TR	Teplota rovnoměrná	Q	0	0	0	0	0	0	0	1.00	1.35		1.35	-	1.00	0.45	0	0	0	0	0	0	0	0	0	0	0	0
14	TN	Teplota nerovnoměrná	Q	0	6	0	-8	0	-25	-1	1.00	1.35		1.35	-	1.00	0.60	5	0	-7	0	-7	0	-20	0	-20	-1	0	-1
15	FR	Třecí síly v ložiskách	Q	0	0	0	0	0	0	1	1.00	1.20		1.20	-	1.00	1.00	0	0	0	0	0	0	0	0	0	1	0	1
16	I	Imperfekce soustavy	Q	0	1	0	-2	0	-6	0	1.00	1.20		1.20	-	1.00	1.00	1	1	-3	0	-3	0	-7	0	-7	0	0	0
27	ULS_LM	ULS - LM71 bez dynam	Q	0	61	-13	-579	0	1 079	-19	1.00	vyp.		0.00	-	1.00	0.00	0	0	0	0	0	0	0	0	0	0	0	0
28	SLS_LM	SLS - LM71 bez dynam	Q	0	43	-10	-445	0	854	-16	1.00	vyp.	1	0.00	-	1.00	0.00	0	0	0	0	0	0	0	0	0	0	0	0
29	ULS_C3	ULS - C3 bez dynam	Q	0	48	-9	-373	0	587	-13	1.00	vyp.	1	0.00	-	1.00	0.00	0	0	0	0	0	0	0	0	0	0	0	0
30	SLS_C3	SLS - C3 bez dynam	Q	0	33	-8	-286	0	475	-11	1.00	vyp.	1	0.00	-	1.00	0.00	0	0	0	0	0	0	0	0	0	0	0	0
		CELKEM - FÁZE PRŮŘEZU 0																69	-9	-707	0	-707	0	1 377	0	1 377	-28	7	-21
		CELKEM - FÁZE PRŮŘEZU 1																0	0	0	0	0	0	0	0	0	0	0	0
		CELKEM - FÁZE PRŮŘEZU 2																0	0	0	0	0	0	0	0	0	0	0	0
		CELKEM - FÁZE PRŮŘEZU 3																0	0	0	0	0	0	0	0	0	0	0	0
		CELKEM - PRŮŘEZ																69	-9	-707	0	-707	0			1 377			-21

Napětí od jednotlivých zatěžovacích stavů

SKUPINA ZATĚŽOVACÍCH STAVŮ

Č.	SKUP ZS	Popis ZS	Kat.	fáze průř.	Posouzení normálového napětí — Účinek síly N δ^*N_d [kN]	χ^*A [mm^2]	σ_n [MPa]	Účinek momentu My $\delta^*M_{y,d}$ [kNm]	$\chi_t{}^*W_{el,y}$ [mm^3]	σ_{my} [MPa]	Účinek momentu Mz $\delta^*M_{z,d}$ [kNm]	$W_{el,z}$ [mm^3]	σ_{mz} [MPa]	σ_x [MPa]	Posouzení smykového napětí — Účinek kroutícího momentu Mx $\kappa^*\delta^*M_{x,d}$ [kNm]	$W_{v,y}$ [mm^2]	$\tau_{x,y}$ [MPa]	$W_{v,z}$ [mm^2]	$\tau_{x,z}$ [MPa]	Účinek smykové síly Vy $\delta^*V_{y,d}$ [kN]	$A_{v,y}$ [mm2]	$\tau_{v,y}$ [MPa]	$\tau_{v,y}$ [MPa]	Účinek smykové síly Vz $\delta^*V_{z,d}$ [kN]	$A_{v,z}$ [mm2]	$\tau_{v,z}$ [MPa]	$\tau_{v,z}$ [MPa]
1	G0	Vlastní tíha OK	G	0	-0.3	3.42E+04	0.0	57.8	1.23E+07	4.7	-12.7	-3.24E+07	0.4	5.1	0.0E+00	-	-	-	-	3.0	1.87E+04	0.2	0.2	-34.1	1.12E+04	-3.0	-3.0
2	G1	Ostatní stálé - mostní vybavení	G	0	0.0	3.42E+04	0.0	8.8	1.23E+07	0.7	-1.0	-3.24E+07	0.0	0.7	0.0E+00	-	-	-	-	0.2	1.87E+04	0.0	0.0	-7.1	1.12E+04	-0.6	-0.6
3	G2	Ostatní stálé - cizí zařízení	G	0	-0.2	3.42E+04	0.0	-6.1	1.23E+07	-0.5	-1.0	-3.24E+07	0.0	-0.5	0.0E+00	-	-	-	-	-0.5	1.87E+04	0.0	0.0	-3.9	1.12E+04	-0.3	-0.3
4	P1_71	a.LM71 - kolej 1 (bez dyn. souč.)	P	0	31.5	3.42E+04	0.9	329.4	1.23E+07	26.8	-19.7	-3.24E+07	0.6	28.3	-1.7E-02	-	-	-	-	-16.0	1.87E+04	-0.9	-0.9	-335.0	1.12E+04	-29.9	-29.9
5	P2_71	a.LM71 - kolej 2 (bez dyn. souč.)	P	0	14.4	3.42E+04	0.4	1 100.9	1.23E+07	89.6	-6.4	-3.24E+07	0.2	90.2	0.0E+00	-	-	-	-	-2.5	1.87E+04	-0.1	-0.1	-275.3	1.12E+04	-24.6	-24.6
6	P1_C3	TTZ C3 - kolej 1 (bez dyn. souč.)	P	0	0.0	3.42E+04	0.0	0.0	1.23E+07	0.0	0.0	-3.24E+07	0.0	0.0	0.0E+00	-	-	-	-	0.0	1.87E+04	0.0	0.0	0.0	1.12E+04	0.0	0.0
7	P2_C3	TTZ C3 - kolej 2 (bez dyn. souč.)	P	0	0.0	3.42E+04	0.0	0.0	1.23E+07	0.0	0.0	-3.24E+07	0.0	0.0	0.0E+00	-	-	-	-	0.0	1.87E+04	0.0	0.0	0.0	1.12E+04	0.0	0.0
8	BR	Brzdné a rozjezdové síly	P	0	0.6	3.42E+04	0.0	-0.3	1.23E+07	0.0	24.0	-3.24E+07	-0.7	-0.7	-1.0E-02	-	-	-	-	12.6	1.87E+04	0.7	0.7	-0.7	1.12E+04	-0.1	-0.1
9	S	Boční ráz	P	0	4.5	3.42E+04	0.1	17.3	1.23E+07	1.4	2.8	-3.24E+07	-0.1	1.5	2.1E-02	-	-	-	-	2.4	1.87E+04	0.1	0.1	-9.3	1.12E+04	-0.8	-0.8
10	CH	Chodci na lávkách	Q	0	-0.6	3.42E+04	0.0	-39.1	1.23E+07	-3.2	-2.2	-3.24E+07	0.1	-3.1	0.0E+00	-	-	-	-	-1.2	1.87E+04	-0.1	-0.1	-0.3	1.12E+04	0.0	0.0
11	W	Vítr na konstrukci	Q	0	13.3	3.42E+04	0.4	-19.2	1.23E+07	-1.6	6.7	-3.24E+07	-0.2	-1.4	-1.0E-02	-	-	-	-	9.6	1.87E+04	0.5	0.5	-8.9	1.12E+04	-0.8	-0.8
12	WP	Vítr na vozidla	Q	0	-0.1	3.42E+04	0.0	-45.4	1.23E+07	-3.7	-12.1	-3.24E+07	0.4	-3.3	1.0E-02	-	-	-	-	-16.7	1.87E+04	-0.9	-0.9	-22.8	1.12E+04	-2.0	-2.0
13	TR	Teplota rovnoměrná	Q	0	0.0	3.42E+04	0.0	0.0	1.23E+07	0.0	0.0	-3.24E+07	0.0	0.0	0.0E+00	-	-	-	-	0.0	1.87E+04	0.0	0.0	0.0	1.12E+04	0.0	0.0
14	TN	Teplota nerovnoměrná	Q	0	4.9	3.42E+04	0.1	-20.4	1.23E+07	-1.7	-0.7	-3.24E+07	0.0	-1.5	-8.1E-03	-	-	-	-	-0.3	1.87E+04	0.0	0.0	-6.7	1.12E+04	-0.6	-0.6
15	FR	Třecí síly v ložiskách	Q	0	0.1	3.42E+04	0.0	0.4	1.23E+07	0.0	0.8	-3.24E+07	0.0	0.0	0.0E+00	-	-	-	-	0.3	1.87E+04	0.0	0.0	-0.1	1.12E+04	0.0	0.0
16	I	Imperfekce soustavy	Q	0	1.3	3.42E+04	0.0	-6.9	1.23E+07	-0.6	0.2	-3.24E+07	0.0	-0.5	0.0E+00	-	-	-	-	0.5	1.87E+04	0.0	0.0	-2.6	1.12E+04	-0.2	-0.2
27	ULS_LM	ULS - LM71 bez dynam	Q	0	0.0	3.42E+04	0.0	0.0	1.23E+07	0.0	0.0	-3.24E+07	0.0	0.0	0.0E+00	-	-	-	-	0.0	1.87E+04	0.0	0.0	0.0	1.12E+04	0.0	0.0
28	SLS_LM	SLS - LM71 bez dynam	Q	0	0.0	3.42E+04	0.0	0.0	1.23E+07	0.0	0.0	-3.24E+07	0.0	0.0	0.0E+00	-	-	-	-	0.0	1.87E+04	0.0	0.0	0.0	1.12E+04	0.0	0.0
29	ULS_C3	ULS - C3 bez dynam	Q	0	0.0	3.42E+04	0.0	0.0	1.23E+07	0.0	0.0	-3.24E+07	0.0	0.0	0.0E+00	-	-	-	-	0.0	1.87E+04	0.0	0.0	0.0	1.12E+04	0.0	0.0
30	SLS_C3	SLS - C3 bez dynam	Q	0	0.0	3.42E+04	0.0	0.0	1.23E+07	0.0	0.0	-3.24E+07	0.0	0.0	0.0E+00	-	-	-	-	0.0	1.87E+04	0.0	0.0	0.0	1.12E+04	0.0	0.0
		NAVÝŠENÍ NAPĚTÍ DO AKTIVACE TLAKU V DESCE MOSTOVKY				$\sigma_{P,red}$	0.0							0.0			-	0.0		0.0			-0.5	-0.5			-63.2	-63.2
		NAPĚTÍ OD PRIMÁRNÍCH ÚČINKŮ NEROVNOMĚRNÉHO OTEPLENÍ				σ_T	0.0							0.0														
		NAPĚTÍ OD REOLOGICKÝCH ÚČINKŮ BETONU V ČASE		t=0		σ_R	0.0	γ_f=	1.20					0.0														
		NAPĚTÍ V KRITICKÝCH VLÁKNECH OD KOMBINACE ZATÍŽENÍ				KZ04		[MPa]					$\Sigma\sigma_x$	114.8									$\Sigma\tau_y$	-0.5			$\Sigma\tau_z$	-63.2
		NAPĚTÍ OD POHYBLIVÉHO ZATÍŽENÍ						[MPa]					$\sigma_{x,P}$	119.3									τ_P	-0.2			τ_P	-55.4
		NAPĚTÍ OD OSTATNÍCH ZATÍŽENÍ						[MPa]			Φ_{Vy}	Φ_{Vz}	$\sigma_{x,rs}$	-4.5									τ_{rs}	-0.3			τ_{rs}	-7.7
		NÁVRHOVÁ HODNOTA MEZE KLUZU S REDUKCÍ VLIVEM SMYKOVÉHO NAPĚTÍ						[MPa]			1.00	1.00	$f_{yv,d}$	209.1									$f_{yd}/3^{0,5}$	120.7			$f_{yd}/3^{0,5}$	120.7
		NAPĚTÍ OD POHYBLIVÉHO ZATÍŽENÍ V GLOBÁLNÍM SYSTÉMU				$\sigma_{GLOB,P}$	0.0	[MPa]					$\Sigma\sigma_{GLOB}$	0.0														
		NAPĚTÍ OD OSTATNÍCH ZATÍŽENÍ V GLOBÁLNÍM SYSTÉMU				$\sigma_{GLOB,rs}$	0.0	[MPa]					$\Sigma\sigma_x + \Sigma\sigma_{GLOB}$	114.8														
		VYUŽITÍ PRŮŘEZU DLE NAPĚTÍ						[%]					η_1	0.55									η_3	0.00			η_3	0.52
		NAPĚTÍ V PŘÍČNÉM SMĚRU OD POHYBLIVÉHO ZATÍŽENÍ				$\sigma_{z,P}$	0.0	[MPa]					$\Sigma\sigma_z$	0.0														
		NAPĚTÍ V PŘÍČNÉM SMĚRU OD OSTATNÍCH ZATÍŽENÍ				$\sigma_{z,rs}$	0.0	[MPa]					η_2	0.00														
		SROVNÁVACÍ NAPĚTÍ											$(\eta_2 + 0,8\,\eta_1)/1,4$ =	0.31														
		VYUŽITÍ PRŮŘEZU CELKEM						[%]					eff	0.55	VYHOVUJE													
		STANOVENÍ ZATÍŽITELNOSTI											z_{LM71} =	1.72														

TR_P3.3 POPIS: **PŘÍČNÍK P3 - VNITŘNÍ PODÉLNÍK** POSUDEK: **P3.3**

SKUPINA ZAT. STAVŮ	EXTRÉM	VYHODNOCOVANÉ VELIČINY					
		N	Vy	Vz	Mx	My	Mz
		kN	kN	kN	kNm	kNm	kNm
G0	N.min	**-0.33**	-2.8	-7.66	-1.06	97.43	-15.27
	N.max	**-0.33**	-2.8	-7.66	-1.06	97.43	-15.27
	Vy.min	-0.33	**-2.8**	-7.66	-1.06	97.43	-15.27
	Vy.max	-0.33	**-2.8**	-7.66	-1.06	97.43	-15.27
	Vz.min	-0.33	-2.8	**-7.66**	-1.06	97.43	-15.27
	Vz.max	-0.33	-2.8	**-7.66**	-1.06	97.43	-15.27
	Mx.min	-0.33	-2.8	-7.66	**-1.06**	97.43	-15.27
	Mx.max	-0.33	-2.8	-7.66	**-1.06**	97.43	-15.27
	My.min	-0.33	-2.8	-7.66	-1.06	**97.43**	-15.27
	My.max	-0.33	-2.8	-7.66	-1.06	**97.43**	-15.27
	Mz.min	-0.33	-2.8	-7.66	-1.06	97.43	**-15.27**
	Mz.max	-0.33	-2.8	-7.66	-1.06	97.43	**-15.27**
G1	N.min	**0**	-0.2	-2.27	-0.08	15.3	-1.16
	N.max	**0**	-0.2	-2.27	-0.08	15.3	-1.16
	Vy.min	0	**-0.2**	-2.27	-0.08	15.3	-1.16
	Vy.max	0	**-0.2**	-2.27	-0.08	15.3	-1.16
	Vz.min	0	-0.2	**-2.27**	-0.08	15.3	-1.16
	Vz.max	0	-0.2	**-2.27**	-0.08	15.3	-1.16
	Mx.min	0	-0.2	-2.27	**-0.08**	15.3	-1.16
	Mx.max	0	-0.2	-2.27	**-0.08**	15.3	-1.16
	My.min	0	-0.2	-2.27	-0.08	**15.3**	-1.16
	My.max	0	-0.2	-2.27	-0.08	**15.3**	-1.16
	Mz.min	0	-0.2	-2.27	-0.08	15.3	**-1.16**
	Mz.max	0	-0.2	-2.27	-0.08	15.3	**-1.16**
G2	N.min	**0.15**	-0.08	-3.45	-0.03	0.64	-0.14
	N.max	**0.15**	-0.08	-3.45	-0.03	0.64	-0.14
	Vy.min	0.15	**-0.08**	-3.45	-0.03	0.64	-0.14
	Vy.max	0.15	**-0.08**	-3.45	-0.03	0.64	-0.14
	Vz.min	0.15	-0.08	**-3.45**	-0.03	0.64	-0.14
	Vz.max	0.15	-0.08	**-3.45**	-0.03	0.64	-0.14
	Mx.min	0.15	-0.08	-3.45	**-0.03**	0.64	-0.14
	Mx.max	0.15	-0.08	-3.45	**-0.03**	0.64	-0.14
	My.min	0.15	-0.08	-3.45	-0.03	**0.64**	-0.14
	My.max	0.15	-0.08	-3.45	-0.03	**0.64**	-0.14
	Mz.min	0.15	-0.08	-3.45	-0.03	0.64	**-0.14**
	Mz.max	0.15	-0.08	-3.45	-0.03	0.64	**-0.14**
P1_71	N.min	**-5.05**	0.02	-8.81	-0.22	58.44	-0.14
	N.max	**33.99**	0.36	-193.88	-0.5	485.85	2.98
	Vy.min	11.08	**-1.31**	-56.86	-0.34	139.72	-0.39
	Vy.max	13.37	**1.56**	-73.69	-0.18	213.45	3.2
	Vz.min	30.57	-0.04	**-211.12**	-0.59	548.36	2.26
	Vz.max	-0.56	0.2	**0.19**	-0.03	8.65	0.15
	Mx.min	13.06	0.27	-121.61	**-0.81**	327.71	2.24
	Mx.max	11.26	0.29	-61.15	**0.15**	194.24	0.77
	My.min	8.44	-0.14	-6.13	-0.52	**-17.18**	2.01
	My.max	22.81	0.48	-206.01	-0.16	**566.19**	1.04
	Mz.min	4.48	-0.95	-40.99	-0.09	111.19	**-1.2**
	Mz.max	19.46	1.24	-91.01	-0.48	243.52	**4.12**
P2_71	N.min	**-16.65**	-3.27	31.56	-0.58	172	-6.58
	N.max	**12.27**	-0.35	189.53	-0.07	855.35	-2.01
	Vy.min	-12.07	**-4.69**	113.66	-0.88	533.47	-8.8
	Vy.max	4.34	**1.23**	52.56	0.14	237.48	0.52
	Vz.min	-2.84	-0.36	**-0.2**	-0.03	7.29	-0.69
	Vz.max	3.56	-2.85	**211.19**	-0.52	957.38	-7.12
	Mx.min	-11.21	-4.46	112.87	**-0.92**	519.04	-8.48
	Mx.max	6.09	0.77	93.3	**0.33**	454.84	-0.06
	My.min	-3.97	-0.83	3.07	-0.13	**-12.12**	-2.08
	My.max	3.88	-2.79	209.19	-0.45	**970.22**	-6.44
	Mz.min	-9.19	-4.3	152.08	-0.74	705.81	**-8.95**
	Mz.max	3.97	1.18	44.23	0.13	200.17	**0.56**
P1_C3	N.min	**-3.51**	0.01	-5.33	-0.14	37.89	-0.05
	N.max	**22.25**	0.24	-113.87	-0.44	279.44	2.43
	Vy.min	12.48	**-0.96**	-79.22	-0.37	202.61	0.06
	Vy.max	12.36	**1.08**	-84.63	-0.24	237.05	2.38
	Vz.min	20.88	-0.06	**-121.37**	-0.46	304.45	1.95
	Vz.max	-0.22	0.27	**0.2**	-0.02	9.68	0.3
	Mx.min	12.97	0.12	-97.39	**-0.62**	247.04	1.92
	Mx.max	6.54	-0.06	-33.21	**0.09**	103.24	0.12
	My.min	6.82	-0.25	-4.75	-0.42	**-11.96**	1.4
	My.max	13.62	0.4	-116.53	-0.07	**321.11**	0.68
	Mz.min	5.74	-0.59	-57.65	-0.09	156.52	**-0.73**
	Mz.max	17.11	0.78	-87.05	-0.44	227.75	**3.14**
P2_C3	N.min	**-11.87**	-2.39	11.71	-0.36	73.91	-4.99
	N.max	**6.97**	-0.16	98.77	-0.07	444.9	-1.41
	Vy.min	-6.95	**-3.61**	75.89	-0.62	350.27	-7.04
	Vy.max	4.84	**0.96**	54.99	0.16	254.34	0.43
	Vz.min	-2.51	-0.36	**-0.2**	-0.02	8.19	-0.67
	Vz.max	2.62	-2.24	**121.45**	-0.42	538.52	-5.73
	Mx.min	-6.18	-3.47	75.69	**-0.68**	335.91	-6.84
	Mx.max	4.14	0.48	61.1	**0.2**	291.4	-0.15
	My.min	-1.85	-0.13	1.57	-0.05	**-8.2**	-0.89
	My.max	3.12	-2.07	119.17	-0.36	**550.23**	-4.78
	Mz.min	-6.19	-3.39	87.44	-0.53	404.65	**-7.18**
	Mz.max	4.9	0.93	54.97	0.16	254.7	**0.45**
BR	N.min	**-10.95**	9.93	0.28	1.99	5.22	14.19
	N.max	**10.95**	-9.93	-0.28	-1.99	-5.22	-14.19
	Vy.min	7.62	**-17.87**	-0.35	-1.48	-2.44	-19.07
	Vy.max	-7.62	**17.87**	0.35	1.48	2.44	19.07
	Vz.min	7.62	-17.87	**-0.35**	-1.48	-2.44	-19.07
	Vz.max	-7.62	17.87	**0.35**	1.48	2.44	19.07
	Mx.min	9.81	0.18	0.28	**-1.99**	-5.2	-2.09
	Mx.max	-9.81	-0.18	-0.28	**1.99**	5.2	2.09
	My.min	8.23	8.03	0.21	-1.51	**-5.38**	3.83
	My.max	-8.23	-8.03	-0.21	1.51	**5.38**	-3.83
	Mz.min	7.62	-17.87	-0.35	-1.48	-2.44	**-19.07**
	Mz.max	-7.62	17.87	0.35	1.48	2.44	**19.07**

TR_P3.3 POPIS: **PŘÍČNÍK P3 - VNITŘNÍ PODÉLNÍK** POSUDEK: **P3.3**

SKUPINA ZAT. STAVŮ	EXTRÉM	VYHODNOCOVANÉ VELIČINY					
		N	Vy	Vz	Mx	My	Mz
		kN	kN	kN	kNm	kNm	kNm
S	N.min	**-43.37**	0.92	1.12	0.04	-22.46	-1.47
	N.max	**43.37**	-0.92	-1.12	-0.04	22.46	1.47
	Vy.min	-1.76	**-23.01**	2.33	0.02	1.59	-8.61
	Vy.max	1.76	**23.01**	-2.33	-0.02	-1.59	8.61
	Vz.min	2.87	21.12	**-2.42**	-0.02	-1.07	7.98
	Vz.max	-2.87	-21.12	**2.42**	0.02	1.07	-7.98
	Mx.min	-34.14	19.93	0.43	**-0.05**	-17.86	8.55
	Mx.max	34.14	-19.93	-0.43	**0.05**	17.86	-8.55
	My.min	-43.37	0.92	1.12	0.04	**-22.46**	-1.47
	My.max	43.37	-0.92	-1.12	-0.04	**22.46**	1.47
	Mz.min	-1.76	-23.01	2.33	0.02	1.59	**-8.61**
	Mz.max	1.76	23.01	-2.33	-0.02	-1.59	**8.61**
CH	N.min	**0.28**	-0.2	-0.01	-0.09	-29.76	-0.37
	N.max	**1**	0.07	2.52	-0.07	-12.07	0.39
	Vy.min	0.28	**-0.2**	-0.01	-0.09	-29.76	-0.37
	Vy.max	1	**0.07**	2.52	-0.07	-12.07	0.39
	Vz.min	0.48	-0.15	**-0.37**	-0.07	-29.94	0.08
	Vz.max	1	0.07	**2.52**	-0.07	-12.07	0.39
	Mx.min	0.28	-0.2	-0.01	**-0.09**	-29.76	-0.37
	Mx.max	1	0.07	2.52	**-0.07**	-12.07	0.39
	My.min	0.48	-0.15	-0.37	-0.07	**-29.94**	0.08
	My.max	1	0.07	2.52	-0.07	**-12.07**	0.39
	Mz.min	0.28	-0.2	-0.01	-0.09	-29.76	**-0.37**
	Mz.max	1	0.07	2.52	-0.07	-12.07	**0.39**
W	N.min	**-13.73**	28.93	8.51	-0.03	2.45	11.27
	N.max	**10.72**	-28.89	-8.51	0.03	-2.44	-11.26
	Vy.min	10.72	**-28.89**	-8.51	0.03	-2.44	-11.26
	Vy.max	-13.73	**28.93**	8.51	-0.03	2.45	11.27
	Vz.min	10.72	-28.89	**-8.51**	0.03	-2.44	-11.26
	Vz.max	-13.73	28.93	**8.51**	-0.03	2.45	11.27
	Mx.min	-13.73	28.93	8.51	**-0.03**	2.45	11.27
	Mx.max	10.72	-28.89	-8.51	**0.03**	-2.44	-11.26
	My.min	10.72	-28.89	-8.51	0.03	**-2.44**	-11.26
	My.max	-13.73	28.93	8.51	-0.03	**2.45**	11.27
	Mz.min	10.72	-28.89	-8.51	0.03	-2.44	**-11.26**
	Mz.max	-13.73	28.93	8.51	-0.03	2.45	**11.27**
WP	N.min	**-17.5**	49.98	9.05	-0.04	-0.84	19.2
	N.max	**17.5**	-49.96	-9.05	0.04	0.84	-19.19
	Vy.min	17.5	**-49.96**	-9.05	0.04	0.84	-19.19
	Vy.max	-17.5	**49.98**	9.05	-0.04	-0.84	19.2
	Vz.min	17.5	-49.96	**-9.05**	0.04	0.84	-19.19
	Vz.max	-17.5	49.98	**9.05**	-0.04	-0.84	19.2
	Mx.min	-17.5	49.98	9.05	**-0.04**	-0.84	19.2
	Mx.max	17.5	-49.96	-9.05	**0.04**	0.84	-19.19
	My.min	-17.5	49.98	9.05	-0.04	**-0.84**	19.2
	My.max	17.5	-49.96	-9.05	0.04	**0.84**	-19.19
	Mz.min	17.5	-49.96	-9.05	0.04	0.84	**-19.19**
	Mz.max	-17.5	49.98	9.05	-0.04	-0.84	**19.2**
TR	N.min	**0**	0	0	0	0	0
	N.max	**0**	0	0	0	0	0
	Vy.min	0	**0**	0	0	0	0
	Vy.max	0	**0**	0	0	0	0
	Vz.min	0	0	**0**	0	0	0
	Vz.max	0	0	**0**	0	0	0
	Mx.min	0	0	0	**0**	0	0
	Mx.max	0	0	0	**0**	0	0
	My.min	0	0	0	0	**0**	0
	My.max	0	0	0	0	**0**	0
	Mz.min	0	0	0	0	0	**0**
	Mz.max	0	0	0	0	0	**0**
TN	N.min	**-4.58**	4.2	8.37	-0.01	1.14	0.03
	N.max	**7.41**	-4.38	-8.32	-0.02	-10.64	-0.26
	Vy.min	7.41	**-4.38**	-8.32	-0.02	-10.64	-0.26
	Vy.max	-4.58	**4.2**	8.37	-0.01	1.14	0.03
	Vz.min	7.41	-4.38	**-8.32**	-0.02	-10.64	-0.26
	Vz.max	-4.58	4.2	**8.37**	-0.01	1.14	0.03
	Mx.min	1.73	-0.12	0.01	**-0.04**	-3.91	-0.2
	Mx.max	-1.73	0.12	-0.01	**0.04**	3.91	0.2
	My.min	7.41	-4.38	-8.32	-0.02	**-10.64**	-0.26
	My.max	-1.73	0.12	-0.01	0.04	**3.91**	0.2
	Mz.min	7.41	-4.38	-8.32	-0.02	-10.64	**-0.26**
	Mz.max	-1.73	0.12	-0.01	0.04	3.91	**0.2**
FR	N.min	**-0.53**	0.08	0	0.03	0.71	0.26
	N.max	**0.53**	-0.08	0	-0.03	-0.71	-0.26
	Vy.min	0.53	**-0.08**	0	-0.03	-0.71	-0.26
	Vy.max	-0.53	**0.08**	0	0.03	0.71	0.26
	Vz.min	-0.53	0.08	**0**	0.03	0.71	0.26
	Vz.max	0.53	-0.08	**0**	-0.03	-0.71	-0.26
	Mx.min	0.53	-0.08	0	**-0.03**	-0.71	-0.26
	Mx.max	-0.53	0.08	0	**0.03**	0.71	0.26
	My.min	0.53	-0.08	0	-0.03	**-0.71**	-0.26
	My.max	-0.53	0.08	0	0.03	**0.71**	0.26
	Mz.min	0.53	-0.08	0	-0.03	-0.71	**-0.26**
	Mz.max	-0.53	0.08	0	0.03	0.71	**0.26**
I	N.min	**-1.08**	1.37	2.18	0	1.81	**0.66**
	N.max	**1.08**	-1.37	-2.18	0	-1.81	**-0.66**
	Vy.min	1.08	**-1.37**	-2.18	0	-1.81	**-0.66**
	Vy.max	-1.08	**1.37**	2.18	0	1.81	**0.66**
	Vz.min	1.08	-1.37	**-2.18**	0	-1.81	**-0.66**
	Vz.max	-1.08	1.37	**2.18**	0	1.81	**0.66**
	Mx.min	-1.08	1.37	2.18	**0**	1.81	**0.66**
	Mx.max	1.08	-1.37	-2.18	**0**	-1.81	**-0.66**
	My.min	1.08	-1.37	-2.18	0	**-1.81**	**-0.66**
	My.max	-1.08	1.37	2.18	0	**1.81**	**0.66**
	Mz.min	1.08	-1.37	-2.18	0	-1.81	**-0.66**
	Mz.max	-1.08	1.37	2.18	0	1.81	**0.66**

TAB. P3.3.3 POSOUZENÍ - MEZNÍ STAV ÚNOSNOSTI

POPIS	PŘÍČNÍK P3 - VNITŘNÍ PODÉLNÍK
PRUT / POLOHA BODU	682 / I[560]
NAMÁHÁNÍ	My.max
VLÁKNO	BOD K2 -HP
MEZNÍ STAV	ULS (MSÚ)
VYUŽITÍ VLÁKNA PRŮŘEZU	0.90

Charakteristiky materiálu				
pás. horní	$f_{yf,k}$	230	MPa	
pás. dolní	$f_{yf,k}$	230	MPa	
stojina	$f_{yw,k}$	230	MPa	
výztuž	$f_{ys,k}$	500	MPa	
γ_M =	1.10	γ_s =	1.15	

Excentricita normálové síly				
Exc./Fáze	0	1	2	3
e_y	0.000	0.000	0.000	0.000
e_z	0.000	0.000	0.000	0.000
Ekvivalentní vzdál. stěn - příčný roznos				
b_{Mx}	0.000	0.000	0.000	0.000

Vliv stěny na únosnost průřezu				
Char./Fáze	0	1	2	3
A	0.00	0.00	0.00	0.00
Wy	0.00	0.00	0.00	0.00
Wz	0.00	0.00	0.00	0.00

Charakter. v kroucení			
$t_{w,y}$	0.000	[mm]	
$t_{w,z}$	0.000	[mm]	
κ	1.00		
I_t=	0.00E+00	[mm^4]	
$\Omega=2*A_{pz}$	0.00E+00	[mm^2]	

Součinitele vzpěru a vlivu II.řádu				
Char./Fáze	0	1	2	3
k_y	1.000	1.000	1.000	1.000
k_z	1.000	1.000	1.000	1.000
χ_{LT}	1.000	1.000	1.000	1.000
χ_{min}	1.000	1.000	1.000	1.000

3

δ_{LOK} 1.00

Vnitřní síly od jednotlivých skupin zatěžovacích stavů

SKUPINA ZATĚŽOVACÍCH STAVŮ					- CHARAKTERISTICKÉ HODNOTY						DÍLČÍ SOUČINITELÉ ZATÍŽENÍ, DYNAMICKÝ SOUČINITEL							- NÁVRHOVÉ HODNOTY									
Č.	SKUP ZS	POPIS ZS	KAT.	FÁZE PRŮŘ.	N.k (kN)	Vy.k (kN)	Vz.k (kN)	Mx.k (kNm)	My.k (kNm)	Mz.k (kNm)	γ_{sr} (-)	γ_{fs} (-)	volba γ_f hledat	γ_f (-)	L_d (m)	δ (-)	Ψ_z KZ03	N.d (kN)	Vy.d (kN)	Vz.d (kN)	ΔVz.d (kN)	ΣVz.d (kN)	Mx.d (kNm)	My.d (kNm)	ΔMy.d (kNm)	ΣMy.d (kNm)	Mz.d (kNm)	ΔMz.d (kNm)	ΣMz.d (kNm)
1	G0	Vlastní tíha OK	G	0	0	-3	-8	-1	97	-15	1.00	1.20		1.20	-	1.00	0.95	0	-3	-9	0	-9	-1	111	0	111	-17	0	-17
2	G1	Ostatní stálé - mostní vybavení	G	0	0	0	-2	0	15	-1	1.00	1.20		1.20	-	1.00	0.95	0	0	-3	0	-3	0	17	0	17	-1	0	-1
3	G2	Ostatní stálé - cizí zařízení	G	0	0	0	-3	0	1	0	1.00	1.20		1.20	-	1.00	0.95	0	0	-4	0	-4	0	1	0	1	0	0	0
4	P1_71	a.LM71 - kolej 1 (bez dyn. souč.)	P	0	23	0	-206	0	566	1	1.00	1.30		1.30	-	1.27	1.00	38	1	-340	0	-340	0	936	0	936	2	0	1
5	P2_71	a.LM71 - kolej 2 (bez dyn. souč.)	P	0	4	-3	209	0	970	-6	1.00	1.30		1.30	-	1.27	1.00	6	-5	346	0	346	-1	1 603	0	1 603	-11	2	-8
6	P1_C3	TTZ C3 - kolej 1 (bez dyn. souč.)	P	0	14	0	-117	0	321	1	1.00	vyp.		0.00	-	1.00	0.00	0	0	0	0	0	0	0	0	0	0	0	0
7	P2_C3	TTZ C3 - kolej 2 (bez dyn. souč.)	P	0	3	-2	119	0	550	-5	1.00	vyp.		0.00	-	1.00	0.00	0	0	0	0	0	0	0	0	0	0	0	0
8	BR	Brzdné a rozjezdové síly	P	0	-8	-8	0	2	5	-4	1.00	1.30		1.30	-	1.00	0.80	-9	-8	0	0	0	2	6	0	6	-4	0	-4
9	S	Boční ráz	P	0	43	-1	-1	0	22	1	1.00	-1.30		-1.30	-	1.00	0.40	-23	0	1	0	1	0	-12	0	-12	-1	0	-1
10	CH	Chodci na lávkách	Q	0	1	0	3	0	-12	0	1.00	0.00		0.00	-	1.00	1.00	0	0	0	0	0	0	0	0	0	0	0	0
11	W	Vítr na konstrukci	Q	0	-14	29	9	0	2	11	1.00	-1.35		-1.35	-	1.00	0.75	14	-29	-9	0	-9	0	-2	0	-2	-11	0	-11
12	WP	Vítr na vozidla	Q	0	18	-50	-9	0	1	-19	1.00	1.35		1.35	-	1.00	0.75	18	-51	-9	0	-9	0	1	0	1	-19	0	-19
13	TR	Teplota rovnoměrná	Q	0	0	0	0	0	0	0	1.00	1.35		1.35	-	1.00	0.45	0	0	0	0	0	0	0	0	0	0	0	0
14	TN	Teplota nerovnoměrná	Q	0	-2	0	0	0	4	0	1.00	1.35		1.35	-	1.00	0.60	-1	0	0	0	0	0	3	0	3	0	0	0
15	FR	Třecí síly v ložiskách	Q	0	-1	0	0	0	1	0	1.00	-1.20		-1.20	-	1.00	1.00	1	0	0	0	0	0	-1	0	-1	0	0	0
16	I	Imperfekce soustavy	Q	0	-1	1	2	0	2	1	1.00	-1.20		-1.20	-	1.00	1.00	1	-2	-3	0	-3	0	-2	0	-2	-1	0	-1
27	ULS_LM	ULS - LM71 bez dynam	Q	0	94	-31	-7	-1	2 154	-17	1.00	vyp.		0.00	-	1.00	0.00	0	0	0	0	0	0	0	0	0	0	0	0
28	SLS_LM	SLS - LM71 bez dynam	Q	0	74	-23	-7	-1	1 669	-13	1.00	vyp.	1	0.00	-	1.00	0.00	0	0	0	0	0	0	0	0	0	0	0	0
29	ULS_C3	ULS - C3 bez dynam	Q	0	81	-30	-8	0	1 290	-15	1.00	vyp.	1	0.00	-	1.00	0.00	0	0	0	0	0	0	0	0	0	0	0	0
30	SLS_C3	SLS - C3 bez dynam	Q	0	64	-23	-8	0	1 004	-12	1.00	vyp.	1	0.00	-	1.00	0.00	0	0	0	0	0	0	0	0	0	0	0	0
		CELKEM - FÁZE PRŮŘEZU 0																45	-97	-30	0	-30	-1	2 660	0	2 660	-64	2	-62
		CELKEM - FÁZE PRŮŘEZU 1																0	0	0	0	0	0	0	0	0	0	0	0
		CELKEM - FÁZE PRŮŘEZU 2																0	0	0	0	0	0	0	0	0	0	0	0
		CELKEM - FÁZE PRŮŘEZU 3																0	0	0	0	0	0	0	0	0	0	0	0
		CELKEM - PRŮŘEZ																45	-97	-30	0	-30	-1			2 660			-62

Napětí od jednotlivých zatěžovacích stavů

SKUPINA ZATĚŽOVACÍCH STAVŮ					Posouzení normálového napětí										Posouzení smykového napětí													
					Účinek síly N			Účinek momentu My			Účinek momentu Mz				Účinek kroutícího momentu Mx				Účinek smykové síly Vy					Účinek smykové síly Vz				
Č.	SKUP ZS	Popis ZS	Kat.	fáze prúř.	δ^*N_d [kN]	χ^*A [mm^2]	σ_n [MPa]	$\delta^*M_{y,d}$ [kNm]	$\chi_{lt}{}^*W_{el,y}$ [mm^3]	σ_{my} [MPa]	$\delta^*M_{z,d}$ [kNm]	$W_{el,z}$ [mm^3]	σ_{mz} [MPa]	σ_x [MPa]	$\kappa^*\delta^*M_{x,d}$ [kNm]	$W_{v,y}$ [mm^2]	$\tau_{x,y}$ [MPa]	$W_{v,z}$ [mm^2]	$\tau_{x,z}$ [MPa]	$\delta^*V_{y,d}$ [kN]	$A_{v,y}$ [mm2]	$\tau_{v,y}$ [MPa]	$\tau_{v,y}$ [MPa]	$\delta^*V_{z,d}$ [kN]	$A_{v,z}$ [mm2]	$\tau_{v,z}$ [MPa]	$\tau_{v,z}$ [MPa]
1	G0	Vlastní tíha OK	G	0	-0.4	4.17E+04	0.0	111.1	-1.80E+07	-6.2	-17.4	1.54E+06	-11.3	-17.5	-1.2E+00	-	-	-	-	-3.2	2.60E+04	-0.1	-0.1	-8.7	1.12E+04	-0.8	-0.8
2	G1	Ostatní stálé - mostní vybavení	G	0	0.0	4.17E+04	0.0	17.4	-1.80E+07	-1.0	-1.3	1.54E+06	-0.9	-1.8	-9.1E-02	-	-	-	-	-0.2	2.60E+04	0.0	0.0	-2.6	1.12E+04	-0.2	-0.2
3	G2	Ostatní stálé - cizí zařízení	G	0	0.2	4.17E+04	0.0	0.7	-1.80E+07	0.0	-0.2	1.54E+06	-0.1	-0.1	-3.4E-02	-	-	-	-	-0.1	2.60E+04	0.0	0.0	-3.9	1.12E+04	-0.4	-0.4
4	P1_71	a.LM71 - kolej 1 (bez dyn. souč.)	P	0	37.7	4.17E+04	0.9	935.5	-1.80E+07	-52.1	1.4	1.54E+06	0.9	-50.3	-2.6E-01	-	-	-	-	0.8	2.60E+04	0.0	0.0	-340.4	1.12E+04	-30.5	-30.5
5	P2_71	a.LM71 - kolej 2 (bez dyn. souč.)	P	0	6.4	4.17E+04	0.2	1 603.1	-1.80E+07	-89.3	-8.4	1.54E+06	-5.4	-94.6	-7.4E-01	-	-	-	-	-4.6	2.60E+04	-0.2	-0.2	345.6	1.12E+04	31.0	31.0
6	P1_C3	TTZ C3 - kolej 1 (bez dyn. souč.)	P	0	0.0	4.17E+04	0.0	0.0	-1.80E+07	0.0	0.0	1.54E+06	0.0	0.0	0.0E+00	-	-	-	-	0.0	2.60E+04	0.0	0.0	0.0	1.12E+04	0.0	0.0
7	P2_C3	TTZ C3 - kolej 2 (bez dyn. souč.)	P	0	0.0	4.17E+04	0.0	0.0	-1.80E+07	0.0	0.0	1.54E+06	0.0	0.0	0.0E+00	-	-	-	-	0.0	2.60E+04	0.0	0.0	0.0	1.12E+04	0.0	0.0
8	BR	Brzdné a rozjezdové síly	P	0	-8.6	4.17E+04	-0.2	5.6	-1.80E+07	-0.3	-4.0	1.54E+06	-2.6	-3.1	1.6E+00	-	-	-	-	-8.4	2.60E+04	-0.3	-0.3	-0.2	1.12E+04	0.0	0.0
9	S	Boční ráz	P	0	-22.6	4.17E+04	-0.5	-11.7	-1.80E+07	0.7	-0.8	1.54E+06	-0.5	-0.4	2.1E-02	-	-	-	-	0.5	2.60E+04	0.0	0.0	0.6	1.12E+04	0.1	0.1
10	CH	Chodci na lávkách	Q	0	0.0	4.17E+04	0.0	0.0	-1.80E+07	0.0	0.0	1.54E+06	0.0	0.0	0.0E+00	-	-	-	-	0.0	2.60E+04	0.0	0.0	0.0	1.12E+04	0.0	0.0
11	W	Vítr na konstrukci	Q	0	13.9	4.17E+04	0.3	-2.5	-1.80E+07	0.1	-11.4	1.54E+06	-7.4	-7.0	3.0E-02	-	-	-	-	-29.3	2.60E+04	-1.1	-1.1	-8.6	1.12E+04	-0.8	-0.8
12	WP	Vítr na vozidla	Q	0	17.7	4.17E+04	0.4	0.9	-1.80E+07	0.0	-19.4	1.54E+06	-12.6	-12.3	4.1E-02	-	-	-	-	-50.6	2.60E+04	-1.9	-1.9	-9.2	1.12E+04	-0.8	-0.8
13	TR	Teplota rovnoměrná	Q	0	0.0	4.17E+04	0.0	0.0	-1.80E+07	0.0	0.0	1.54E+06	0.0	0.0	0.0E+00	-	-	-	-	0.0	2.60E+04	0.0	0.0	0.0	1.12E+04	0.0	0.0
14	TN	Teplota nerovnoměrná	Q	0	-1.4	4.17E+04	0.0	3.2	-1.80E+07	-0.2	0.2	1.54E+06	0.1	-0.1	3.2E-02	-	-	-	-	0.1	2.60E+04	0.0	0.0	0.0	1.12E+04	0.0	0.0
15	FR	Třecí síly v ložiskách	Q	0	0.6	4.17E+04	0.0	-0.9	-1.80E+07	0.0	-0.3	1.54E+06	-0.2	-0.1	-3.6E-02	-	-	-	-	-0.1	2.60E+04	0.0	0.0	0.0	1.12E+04	0.0	0.0
16	I	Imperfekce soustavy	Q	0	1.3	4.17E+04	0.0	-2.2	-1.80E+07	0.1	-0.8	1.54E+06	-0.5	-0.4	0.0E+00	-	-	-	-	-1.6	2.60E+04	-0.1	-0.1	-2.6	1.12E+04	-0.2	-0.2
27	ULS_LM	ULS - LM71 bez dynam	Q	0	0.0	4.17E+04	0.0	0.0	-1.80E+07	0.0	0.0	1.54E+06	0.0	0.0	0.0E+00	-	-	-	-	0.0	2.60E+04	0.0	0.0	0.0	1.12E+04	0.0	0.0
28	SLS_LM	SLS - LM71 bez dynam	Q	0	0.0	4.17E+04	0.0	0.0	-1.80E+07	0.0	0.0	1.54E+06	0.0	0.0	0.0E+00	-	-	-	-	0.0	2.60E+04	0.0	0.0	0.0	1.12E+04	0.0	0.0
29	ULS_C3	ULS - C3 bez dynam	Q	0	0.0	4.17E+04	0.0	0.0	-1.80E+07	0.0	0.0	1.54E+06	0.0	0.0	0.0E+00	-	-	-	-	0.0	2.60E+04	0.0	0.0	0.0	1.12E+04	0.0	0.0
30	SLS_C3	SLS - C3 bez dynam	Q	0	0.0	4.17E+04	0.0	0.0	-1.80E+07	0.0	0.0	1.54E+06	0.0	0.0	0.0E+00	-	-	-	-	0.0	2.60E+04	0.0	0.0	0.0	1.12E+04	0.0	0.0
NAVÝŠENÍ NAPĚTÍ DO AKTIVACE TLAKU V DESCE MOSTOVKY						$\sigma_{P,red}$	0.0							0.0			0.0		0.0			-3.7	-3.7			-2.7	-2.7
NAPĚTÍ OD PRIMÁRNÍCH ÚČINKŮ NEROVNOMĚRNÉHO OTEPLENÍ						σ_T	0.0							0.0													
NAPĚTÍ OD REOLOGICKÝCH ÚČINKŮ BETONU V ČASE		t=0				σ_R	0.0	γ=	1.20					0.0													
NAPĚTÍ V KRITICKÝCH VLÁKNECH OD KOMBINACE ZATÍŽENÍ						KZ03		[MPa]					$\Sigma\sigma_x$	-187.7								$\Sigma\tau_y$	-3.7				$\Sigma\tau_z$	-2.7
NAPĚTÍ OD POHYBLIVÉHO ZATÍŽENÍ								[MPa]					$\sigma_{x,P}$	-148.4									-0.4				τ_P	0.5
NAPĚTÍ OD OSTATNÍCH ZATÍŽENÍ								[MPa]			Φ_{Vy}	Φ_{Vz}	$\sigma_{x,rs}$	-39.3								$\tau_{x,s}$	-3.3				$\tau_{z,s}$	-3.2
NÁVRHOVÁ HODNOTA MEZE KLUZU S REDUKCÍ VLIVEM SMYKOVÉHO NAPĚTÍ								[MPa]			1.00	1.00	$f_{yv,d}$	209.1								$f_{yd}/3^{0,5}$	120.7				$f_{yd}/3^{0,5}$	120.7
NAPĚTÍ OD POHYBLIVÉHO ZATÍŽENÍ V GLOBÁLNÍM SYSTÉMU						$\sigma_{GLOB,P}$	0.0	[MPa]					$\Sigma\sigma_{GLOB}$	0.0														
NAPĚTÍ OD OSTATNÍCH ZATÍŽENÍ V GLOBÁLNÍM SYSTÉMU						$\sigma_{GLOB,rs}$	0.0	[MPa]					$\Sigma\sigma_x + \Sigma\sigma_{GLOB}$	-187.7														
VYUŽITÍ PRŮŘEZU DLE NAPĚTÍ								[%]					η_1	0.90								η_3	0.03				η_3	0.02
NAPĚTÍ V PŘÍČNÉM SMĚRU OD POHYBLIVÉHO ZATÍŽENÍ						$\sigma_{z,P}$	0.0	[MPa]					$\Sigma\sigma_z$	0.0														
NAPĚTÍ V PŘÍČNÉM SMĚRU OD OSTATNÍCH ZATÍŽENÍ						$\sigma_{z,rs}$	0.0	[MPa]					η_2	0.00														
SROVNÁVACÍ NAPĚTÍ													$(\eta_2 + 0,8\ \eta_1)/1,4 =$	0.51														
VYUŽITÍ PRŮŘEZU CELKEM								[%]					eff	0.90	VYHOVUJE													
STANOVENÍ ZATÍŽITELNOSTI													z_{LM71} =	1.14														

TAB. P3.3.3 POSOUZENÍ - MEZNÍ STAV ÚNOSNOSTI

POPIS	PŘÍČNÍK P3 - VNITŘNÍ PODÉLNÍK
PRUT / POLOHA BODU	682 / I[560]
NAMÁHÁNÍ	My.max
VLÁKNO	BOD K3 -SL
MEZNÍ STAV	ULS (MSÚ)
VYUŽITÍ VLÁKNA PRŮŘEZU	1.03

Charakteristiky materiálu				
pás. horní	$f_{yf,k}$	230	MPa	
pás. dolní	$f_{yf,k}$	230	MPa	
stojina	$f_{yw,k}$	230	MPa	
výztuž	$f_{ys,k}$	500	MPa	
γ_M =	1.10	γ_s =	1.15	

Excentricita normálové síly				
Exc./Fáze	0	1	2	3
e_y	0.000	0.000	0.000	0.000
e_z	0.000	0.000	0.000	0.000
Ekvivalentní vzdál. stěn - příčný roznos				
b_{Mx}	0.000	0.000	0.000	0.000

Vliv stěny na únosnost průřezu				
Char./Fáze	0	1	2	3
A	0.00	0.00	0.00	0.00
Wy	0.00	0.00	0.00	0.00
Wz	0.00	0.00	0.00	0.00

Charakter. v kroucení			
$t_{w,y}$	0.000	[mm]	
$t_{w,z}$	0.000	[mm]	
κ	1.00		
I_t=	0.00E+00	[mm^4]	
Ω=2*A_{pr}	0.00E+00	[mm^2]	

Součinitele vzpěru a vlivu II.řádu				
Char./Fáze	0	1	2	3
k_y	1.000	1.000	1.000	1.000
k_z	1.000	1.000	1.000	1.000
χ_{LT}	1.000	1.000	1.000	1.000
χ_{min}	1.000	1.000	1.000	1.000

3

δ_{LOK} 1.00

Vnitřní síly od jednotlivých skupin zatěžovacích stavů

SKUPINA ZATĚŽOVACÍCH STAVŮ						- CHARAKTERISTICKÉ HODNOTY						DÍLČÍ SOUČINITELÉ ZATÍŽENÍ, DYNAMICKÝ SOUČINITEL							- NÁVRHOVÉ HODNOTY									
Č.	SKUP ZS	POPIS ZS	KAT.	FÁZE PRŮŘ.	N.k (kN)	Vy.k (kN)	Vz.k (kN)	Mx.k (kNm)	My.k (kNm)	Mz.k (kNm)	γ_{sr} (-)	γ_{fs} (-)	volba ψ_1 hledat	ψ_1 (-)	L_d (m)	δ (-)	ψ_2 KZ03	N.d (kN)	Vy.d (kN)	Vz.d (kN)	ΔVz.d (kN)	ΣVz.d (kN)	Mx.d (kNm)	My.d (kNm)	ΔMy.d (kNm)	ΣMy.d (kNm)	Mz.d (kNm)	ΔMz.d (kNm)	ΣMz.d (kNm)
1	G0	Vlastní tíha OK	G	0	0	-3	-8	-1	97	-15	1.00	1.20		1.20	-	1.00	0.95	0	-3	-9	0	-9	-1	111	0	111	-17	0	-17
2	G1	Ostatní stálé - mostní vybavení	G	0	0	0	-2	0	15	-1	1.00	1.20		1.20	-	1.00	0.95	0	0	-3	0	-3	0	17	0	17	-1	0	-1
3	G2	Ostatní stálé - cizí zařízení	G	0	0	0	-3	0	1	0	1.00	1.20		1.20	-	1.00	0.95	0	0	-4	0	-4	0	1	0	1	0	0	0
4	P1_71	a.LM71 - kolej 1 (bez dyn. souč.)	P	0	23	0	-206	0	566	1	1.00	1.30		1.30	-	1.27	1.00	38	1	-340	0	-340	0	936	0	936	2	0	1
5	P2_71	a.LM71 - kolej 2 (bez dyn. souč.)	P	0	4	-3	209	0	970	-6	1.00	1.30		1.30	-	1.27	1.00	6	-5	346	0	346	-1	1 603	0	1 603	-11	2	-8
6	P1_C3	TTZ C3 - kolej 1 (bez dyn. souč.)	P	0	14	0	-117	0	321	1	1.00	vyp.		0.00	-	1.00	0.00	0	0	0	0	0	0	0	0	0	0	0	0
7	P2_C3	TTZ C3 - kolej 2 (bez dyn. souč.)	P	0	3	-2	119	0	550	-5	1.00	vyp.		0.00	-	1.00	0.00	0	0	0	0	0	0	0	0	0	0	0	0
8	BR	Brzdné a rozjezdové síly	P	0	-8	-8	0	2	5	-4	1.00	1.30		1.30	-	1.00	0.80	-9	-8	0	0	0	2	6	0	6	-4	0	-4
9	S	Boční ráz	P	0	43	-1	-1	0	22	1	1.00	1.30		1.30	-	1.00	0.40	23	0	-1	0	-1	0	12	0	12	1	0	1
10	CH	Chodci na lávkách	Q	0	1	0	3	0	-12	0	1.00	0.00		0.00	-	1.00	1.00	0	0	0	0	0	0	0	0	0	0	0	0
11	W	Vítr na konstrukci	Q	0	-14	29	9	0	2	11	1.00	-1.35		-1.35	-	1.00	0.75	14	-29	-9	0	-9	0	-2	0	-2	-11	0	-11
12	WP	Vítr na vozidla	Q	0	18	-50	-9	0	1	-19	1.00	1.35		1.35	-	1.00	0.75	18	-51	-9	0	-9	0	1	0	1	-19	0	-19
13	TR	Teplota rovnoměrná	Q	0	0	0	0	0	0	0	1.00	1.35		1.35	-	1.00	0.45	0	0	0	0	0	0	0	0	0	0	0	0
14	TN	Teplota nerovnoměrná	Q	0	-2	0	0	0	4	0	1.00	1.35		1.35	-	1.00	0.60	-1	0	0	0	0	0	3	0	3	0	0	0
15	FR	Třecí síly v ložiskách	Q	0	-1	0	0	0	1	0	1.00	-1.20		-1.20	-	1.00	1.00	1	0	0	0	0	0	-1	0	-1	0	0	0
16	I	Imperfekce soustavy	Q	0	-1	1	2	0	2	1	1.00	-1.20		-1.20	-	1.00	1.00	1	-2	-3	0	-3	0	-2	0	-2	-1	0	-1
27	ULS_LM	ULS - LM71 bez dynam	Q	0	94	-31	-7	-1	2 154	-17	1.00	vyp.	1	0.00	-	1.00	0.00	0	0	0	0	0	0	0	0	0	0	0	0
28	SLS_LM	SLS - LM71 bez dynam	Q	0	74	-23	-7	-1	1 669	-13	1.00	vyp.	1	0.00	-	1.00	0.00	0	0	0	0	0	0	0	0	0	0	0	0
29	ULS_C3	ULS - C3 bez dynam	Q	0	81	-30	-8	0	1 290	-15	1.00	vyp.	1	0.00	-	1.00	0.00	0	0	0	0	0	0	0	0	0	0	0	0
30	SLS_C3	SLS - C3 bez dynam	Q	0	64	-23	-8	0	1 004	-12	1.00	vyp.	1	0.00	-	1.00	0.00	0	0	0	0	0	0	0	0	0	0	0	0
		CELKEM - FÁZE PRŮŘEZU 0																90	-98	-31	0	-31	-1	2 684	0	2 684	-63	2	-61
		CELKEM - FÁZE PRŮŘEZU 1																0	0	0	0	0	0	0	0	0	0	0	0
		CELKEM - FÁZE PRŮŘEZU 2																0	0	0	0	0	0	0	0	0	0	0	0
		CELKEM - FÁZE PRŮŘEZU 3																0	0	0	0	0	0	0	0	0	0	0	0
		CELKEM - PRŮŘEZ																90	-98	-31	0	-31	-1			2 684			-61

Napětí od jednotlivých zatěžovacích stavů

SKUPINA ZATĚŽOVACÍCH STAVŮ					Posouzení normálového napětí										Posouzení smykového napětí													
					Účinek síly N			Účinek momentu My			Účinek momentu Mz				Účinek kroutícího momentu Mx				Účinek smykové síly Vy				Účinek smykové síly Vz			
Č.	SKUP ZS	Popis ZS	Kat.	fáze průř.	δ^*N_d [kN]	χ^*A [mm^2]	σ_n [MPa]	$\delta^*M_{y,d}$ [kNm]	$\chi_{lt}{}^*W_{el,y}$ [mm^3]	σ_{my} [MPa]	$\delta^*M_{z,d}$ [kNm]	$W_{el,z}$ [mm^3]	σ_{mz} [MPa]	σ_x [MPa]	$\kappa^*\delta^*M_{x,d}$ [kNm]	$W_{v,y}$ [mm^2]	$\tau_{x,y}$ [MPa]	$W_{v,z}$ [mm^2]	$\tau_{x,z}$ [MPa]	$\delta^*V_{y,d}$ [kN]	$A_{v,y}$ [mm2]	$\tau_{v,y}$ [MPa]	$\tau_{v,y}$ [MPa]	$\delta^*V_{z,d}$ [kN]	$A_{v,z}$ [mm2]	$\tau_{v,z}$ [MPa]	$\tau_{v,z}$ [MPa]
1	G0	Vlastní tíha OK	G	0	-0.4	4.17E+04	0.0	111.1	1.54E+07	7.2	-17.4	-1.54E+06	11.3	18.5	-1.2E+00	-	-	-	-	-3.2	2.60E+04	-0.1	-0.1	-8.7	1.12E+04	-0.8	-0.8
2	G1	Ostatní stálé - mostní vybavení	G	0	0.0	4.17E+04	0.0	17.4	1.54E+07	1.1	-1.3	-1.54E+06	0.9	2.0	-9.1E-02	-	-	-	-	-0.2	2.60E+04	0.0	0.0	-2.6	1.12E+04	-0.2	-0.2
3	G2	Ostatní stálé - cizí zařízení	G	0	0.2	4.17E+04	0.0	0.7	1.54E+07	0.0	-0.2	-1.54E+06	0.1	0.2	-3.4E-02	-	-	-	-	-0.1	2.60E+04	0.0	0.0	-3.9	1.12E+04	-0.4	-0.4
4	P1_71	a.LM71 - kolej 1 (bez dyn. souč.)	P	0	37.7	4.17E+04	0.9	935.5	1.54E+07	60.9	1.4	-1.54E+06	-0.9	60.9	-2.6E-01	-	-	-	-	0.8	2.60E+04	0.0	0.0	-340.4	1.12E+04	-30.5	-30.5
5	P2_71	a.LM71 - kolej 2 (bez dyn. souč.)	P	0	6.4	4.17E+04	0.2	1 603.1	1.54E+07	104.3	-8.4	-1.54E+06	5.4	109.9	-7.4E-01	-	-	-	-	-4.6	2.60E+04	-0.2	-0.2	345.6	1.12E+04	31.0	31.0
6	P1_C3	TTZ C3 - kolej 1 (bez dyn. souč.)	P	0	0.0	4.17E+04	0.0	0.0	1.54E+07	0.0	0.0	-1.54E+06	0.0	0.0	0.0E+00	-	-	-	-	0.0	2.60E+04	0.0	0.0	0.0	1.12E+04	0.0	0.0
7	P2_C3	TTZ C3 - kolej 2 (bez dyn. souč.)	P	0	0.0	4.17E+04	0.0	0.0	1.54E+07	0.0	0.0	-1.54E+06	0.0	0.0	0.0E+00	-	-	-	-	0.0	2.60E+04	0.0	0.0	0.0	1.12E+04	0.0	0.0
8	BR	Brzdné a rozjezdové síly	P	0	-8.6	4.17E+04	-0.2	5.6	1.54E+07	0.4	-4.0	-1.54E+06	2.6	2.8	1.6E+00	-	-	-	-	-8.4	2.60E+04	-0.3	-0.3	-0.2	1.12E+04	0.0	0.0
9	S	Boční ráz	P	0	22.6	4.17E+04	0.5	11.7	1.54E+07	0.8	0.8	-1.54E+06	-0.5	0.8	-2.1E-02	-	-	-	-	-0.5	2.60E+04	0.0	0.0	-0.6	1.12E+04	-0.1	-0.1
10	CH	Chodci na lávkách	Q	0	0.0	4.17E+04	0.0	0.0	1.54E+07	0.0	0.0	-1.54E+06	0.0	0.0	0.0E+00	-	-	-	-	0.0	2.60E+04	0.0	0.0	0.0	1.12E+04	0.0	0.0
11	W	Vítr na konstrukci	Q	0	13.9	4.17E+04	0.3	-2.5	1.54E+07	-0.2	-11.4	-1.54E+06	7.4	7.6	3.0E-02	-	-	-	-	-29.3	2.60E+04	-1.1	-1.1	-8.6	1.12E+04	-0.8	-0.8
12	WP	Vítr na vozidla	Q	0	17.7	4.17E+04	0.4	0.9	1.54E+07	0.1	-19.4	-1.54E+06	12.6	13.1	4.1E-02	-	-	-	-	-50.6	2.60E+04	-1.9	-1.9	-9.2	1.12E+04	-0.8	-0.8
13	TR	Teplota rovnoměrná	Q	0	0.0	4.17E+04	0.0	0.0	1.54E+07	0.0	0.0	-1.54E+06	0.0	0.0	0.0E+00	-	-	-	-	0.0	2.60E+04	0.0	0.0	0.0	1.12E+04	0.0	0.0
14	TN	Teplota nerovnoměrná	Q	0	-1.4	4.17E+04	0.0	3.2	1.54E+07	0.2	0.2	-1.54E+06	-0.1	0.1	3.2E-02	-	-	-	-	0.1	2.60E+04	0.0	0.0	0.0	1.12E+04	0.0	0.0
15	FR	Třecí síly v ložiskách	Q	0	0.6	4.17E+04	0.0	-0.9	1.54E+07	-0.1	-0.3	-1.54E+06	0.2	0.2	-3.6E-02	-	-	-	-	-0.1	2.60E+04	0.0	0.0	0.0	1.12E+04	0.0	0.0
16	I	Imperfekce soustavy	Q	0	1.3	4.17E+04	0.0	-2.2	1.54E+07	-0.1	-0.8	-1.54E+06	0.5	0.4	0.0E+00	-	-	-	-	-1.6	2.60E+04	-0.1	-0.1	-2.6	1.12E+04	-0.2	-0.2
27	ULS_LM	ULS - LM71 bez dynam	Q	0	0.0	4.17E+04	0.0	0.0	1.54E+07	0.0	0.0	-1.54E+06	0.0	0.0	0.0E+00	-	-	-	-	0.0	2.60E+04	0.0	0.0	0.0	1.12E+04	0.0	0.0
28	SLS_LM	SLS - LM71 bez dynam	Q	0	0.0	4.17E+04	0.0	0.0	1.54E+07	0.0	0.0	-1.54E+06	0.0	0.0	0.0E+00	-	-	-	-	0.0	2.60E+04	0.0	0.0	0.0	1.12E+04	0.0	0.0
29	ULS_C3	ULS - C3 bez dynam	Q	0	0.0	4.17E+04	0.0	0.0	1.54E+07	0.0	0.0	-1.54E+06	0.0	0.0	0.0E+00	-	-	-	-	0.0	2.60E+04	0.0	0.0	0.0	1.12E+04	0.0	0.0
30	SLS_C3	SLS - C3 bez dynam	Q	0	0.0	4.17E+04	0.0	0.0	1.54E+07	0.0	0.0	-1.54E+06	0.0	0.0	0.0E+00	-	-	-	-	0.0	2.60E+04	0.0	0.0	0.0	1.12E+04	0.0	0.0
NAVÝŠENÍ NAPĚTÍ DO AKTIVACE TLAKU V DESCE MOSTOVKY						$\sigma_{P,red}$	0.0							0.0			0.0		0.0				-3.8	-3.8			-2.8	-2.8
NAPĚTÍ OD PRIMÁRNÍCH ÚČINKŮ NEROVNOMĚRNÉHO OTEPLENÍ						σ_T	0.0							0.0														
NAPĚTÍ OD REOLOGICKÝCH ÚČINKŮ BETONU V ČASE				t=0		σ_R	0.0	γ_{lt}=	1.20					0.0														
NAPĚTÍ V KRITICKÝCH VLÁKNECH OD KOMBINACE ZATÍŽENÍ						KZ03		[MPa]					$\Sigma\sigma_x$	216.4								$\Sigma\tau_y$	-3.8			$\Sigma\tau_z$	-2.8
NAPĚTÍ OD POHYBLIVÉHO ZATÍŽENÍ								[MPa]					$\sigma_{x,P}$	174.3								τ_P	-0.5			τ_P	0.4
NAPĚTÍ OD OSTATNÍCH ZATÍŽENÍ								[MPa]			Φ_{vy}	Φ_{vz}	$\sigma_{x,rs}$	42.1								τ_{rs}	-3.3			τ_{rs}	-3.2
NÁVRHOVÁ HODNOTA MEZE KLUZU S REDUKCÍ VLIVEM SMYKOVÉHO NAPĚTÍ								[MPa]			1.00	1.00	$f_{yw,d}$	209.1								$f_{yd}/3^{0,5}$	120.7			$f_{yd}/3^{0,5}$	120.7
NAPĚTÍ OD POHYBLIVÉHO ZATÍŽENÍ V GLOBÁLNÍM SYSTÉMU						$\sigma_{GLOB,P}$	0.0	[MPa]					$\Sigma\sigma_{GLOB}$	0.0													
NAPĚTÍ OD OSTATNÍCH ZATÍŽENÍ V GLOBÁLNÍM SYSTÉMU						$\sigma_{GLOB,rs}$	0.0	[MPa]					$\Sigma\sigma_x + \Sigma\sigma_{GLOB}$	216.4													
VYUŽITÍ PRŮŘEZU DLE NAPĚTÍ								[%]					η_1	1.03								η_3	0.03			η_3	0.02
NAPĚTÍ V PŘÍČNÉM SMĚRU OD POHYBLIVÉHO ZATÍŽENÍ						$\sigma_{z,P}$	0.0	[MPa]					$\Sigma\sigma_z$	0.0													
NAPĚTÍ V PŘÍČNÉM SMĚRU OD OSTATNÍCH ZATÍŽENÍ						$\sigma_{z,rs}$	0.0	[MPa]					η_2	0.00													
SROVNÁVACÍ NAPĚTÍ													$(\eta_2 + 0{,}8\,\eta_1)/1{,}4$ =	0.59													
VYUŽITÍ PRŮŘEZU CELKEM								[%]					eff	1.03	NEVYHOVUJE												
STANOVENÍ ZATÍŽITELNOSTI													z_{LM71} =	0.96													

TAB. P3.3.3 POSOUZENÍ - MEZNÍ STAV ÚNOSNOSTI

POPIS	PŘÍČNÍK P3 - VNITŘNÍ PODÉLNÍK
PRUT / POLOHA BODU	682 / I[560]
NAMÁHÁNÍ	Vz.min
VLÁKNO	BOD S6 -HP
MEZNÍ STAV	ULS (MSÚ)
VYUŽITÍ VLÁKNA PRŮŘEZU	0.31

Charakteristiky materiálu				
pás. horní	$f_{yf,k}$	230	MPa	
pás. dolní	$f_{yf,k}$	230	MPa	
stojina	$f_{yw,k}$	230	MPa	
výztuž	$f_{ys,k}$	500	MPa	
γ_M =	1.10	γ_s =	1.15	

Excentricita normálové síly				
Exc./Fáze	0	1	2	3
e_y	0.000	0.000	0.000	0.000
e_z	0.000	0.000	0.000	0.000
Ekvivalentní vzdál. stěn - příčný roznos				
b_{Mx}	0.000	0.000	0.000	0.000

Vliv stěny na únosnost průřezu				
Char./Fáze	0	1	2	3
A	0.00	0.00	0.00	0.00
Wy	0.00	0.00	0.00	0.00
Wz	0.00	0.00	0.00	0.00

Charakter. v kroucení			
$t_{w,y}$	0.000	[mm]	
$t_{w,z}$	0.000	[mm]	
κ	1.00		
I_t=	0.00E+00	[mm^4]	
$\Omega=2*A_{pr}$	0.00E+00	[mm^2]	

Součinitele vzpěru a vlivu II.řádu				
Char./Fáze	0	1	2	3
k_y	1.000	1.000	1.000	1.000
k_z	1.000	1.000	1.000	1.000
χ_{LT}	1.000	1.000	1.000	1.000
χ_{min}	1.000	1.000	1.000	1.000

δ_{LOK} 1.00

Vnitřní síly od jednotlivých skupin zatěžovacích stavů

SKUPINA ZATĚŽOVACÍCH STAVŮ — CHARAKTERISTICKÉ HODNOTY — DÍLČÍ SOUČINITELÉ ZATÍŽENÍ, DYNAMICKÝ SOUČINITEL — NÁVRHOVÉ HODNOTY

4

Č.	SKUP ZS	POPIS ZS	KAT.	FÁZE PRŮŘ.	N.k (kN)	Vy.k (kN)	Vz.k (kN)	Mx.k (kNm)	My.k (kNm)	Mz.k (kNm)	γ_{sr} (-)	γ_{fs} (-)	volba γ_f hledat	γ_f (-)	L_d (m)	δ (-)	Ψ_s KZ04	N.d (kN)	Vy.d (kN)	Vz.d (kN)	ΔVz.d (kN)	ΣVz.d (kN)	Mx.d (kNm)	My.d (kNm)	ΔMy.d (kNm)	ΣMy.d (kNm)	Mz.d (kNm)	ΔMz.d (kNm)	ΣMz.d (kNm)
1	G0	Vlastní tíha OK	G	0	0	-3	-8	-1	97	-15	1.00	1.20		1.20	-	1.00	0.95	0	-3	-9	0	-9	-1	111	0	111	-17	0	-17
2	G1	Ostatní stálé - mostní vybavení	G	0	0	0	-2	0	15	-1	1.00	1.20		1.20	-	1.00	0.95	0	0	-3	0	-3	0	17	0	17	-1	0	-1
3	G2	Ostatní stálé - cizí zařízení	G	0	0	0	-3	0	1	0	1.00	1.20		1.20	-	1.00	0.95	0	0	-4	0	-4	0	1	0	1	0	0	0
4	P1_71	a.LM71 - kolej 1 (bez dyn. souč.)	P	0	31	0	-211	-1	548	2	1.00	1.30		1.30	-	1.27	1.00	51	0	-349	0	-349	-1	906	0	906	4	-1	3
5	P2_71	a.LM71 - kolej 2 (bez dyn. souč.)	P	0	-3	0	0	0	7	-1	1.00	1.30		1.30	-	1.27	1.00	-5	-1	0	0	0	0	12	0	12	-1	0	-1
6	P1_C3	TTZ C3 - kolej 1 (bez dyn. souč.)	P	0	21	0	-121	0	304	2	1.00	vyp.		0.00	-	1.00	0.00	0	0	0	0	0	0	0	0	0	0	0	0
7	P2_C3	TTZ C3 - kolej 2 (bez dyn. souč.)	P	0	-3	0	0	0	8	-1	1.00	vyp.		0.00	-	1.00	0.00	0	0	0	0	0	0	0	0	0	0	0	0
8	BR	Brzdné a rozjezdové síly	P	0	8	-18	0	-1	-2	-19	1.00	1.30		1.30	-	1.00	0.40	4	-9	0	0	0	-1	-1	0	-1	-10	0	-10
9	S	Boční ráz	P	0	3	21	-2	0	-1	8	1.00	1.30		1.30	-	1.00	0.80	3	22	-3	0	-3	0	-1	0	-1	8	0	8
10	CH	Chodci na lávkách	Q	0	0	0	0	0	-30	0	1.00	1.30		1.30	-	1.00	1.00	1	0	0	0	0	0	-39	0	-39	0	0	0
11	W	Vítr na konstrukci	Q	0	11	-29	-9	0	-2	-11	1.00	1.35		1.35	-	1.00	0.75	11	-29	-9	0	-9	0	-2	0	-2	-11	0	-11
12	WP	Vítr na vozidla	Q	0	18	-50	-9	0	1	-19	1.00	1.35		1.35	-	1.00	0.75	18	-51	-9	0	-9	0	1	0	1	-19	0	-19
13	TR	Teplota rovnoměrná	Q	0	0	0	0	0	0	0	1.00	1.35		1.35	-	1.00	0.45	0	0	0	0	0	0	0	0	0	0	0	0
14	TN	Teplota nerovnoměrná	Q	0	7	-4	-8	0	-11	0	1.00	1.35		1.35	-	1.00	0.60	6	-4	-7	0	-7	0	-9	0	-9	0	0	0
15	FR	Třecí síly v ložiskách	Q	0	-1	0	0	0	1	0	1.00	-1.20		-1.20	-	1.00	1.00	1	0	0	0	0	0	-1	0	-1	0	0	0
16	I	Imperfekce soustavy	Q	0	1	-1	-2	0	-2	-1	1.00	1.20		1.20	-	1.00	1.00	1	-2	-3	0	-3	0	-2	0	-2	-1	0	-1
27	ULS_LM	ULS - LM71 bez dynam	Q	0	87	-72	-321	-3	799	-35	1.00	vyp.		0.00	-	1.00	0.00	0	0	0	0	0	0	0	0	0	0	0	0
28	SLS_LM	SLS - LM71 bez dynam	Q	0	62	-51	-243	-2	636	-26	1.00	vyp.	1	0.00	-	1.00	0.00	0	0	0	0	0	0	0	0	0	0	0	0
29	ULS_C3	ULS - C3 bez dynam	Q	0	75	-72	-204	-2	484	-35	1.00	vyp.	1	0.00	-	1.00	0.00	0	0	0	0	0	0	0	0	0	0	0	0
30	SLS_C3	SLS - C3 bez dynam	Q	0	53	-51	-153	-2	393	-26	1.00	vyp.	1	0.00	-	1.00	0.00	0	0	0	0	0	0	0	0	0	0	0	0
		CELKEM - FÁZE PRŮŘEZU 0																90	-77	-395	0	-395	-3	993	0	993	-50	-1	-51
		CELKEM - FÁZE PRŮŘEZU 1																0	0	0	0	0	0	0	0	0	0	0	0
		CELKEM - FÁZE PRŮŘEZU 2																0	0	0	0	0	0	0	0	0	0	0	0
		CELKEM - FÁZE PRŮŘEZU 3																0	0	0	0	0	0	0	0	0	0	0	0
		CELKEM - PRŮŘEZ																90	-77	-395	0	-395	-3			993			-51

Napětí od jednotlivých zatěžovacích stavů

SKUPINA ZATĚŽOVACÍCH STAVŮ — Posouzení normálového napětí — Účinek síly N — Účinek momentu My — Účinek momentu Mz — Posouzení smykového napětí — Účinek kroutícího momentu Mx — Účinek smykové síly Vy — Účinek smykové síly Vz

Č.	SKUP ZS	Popis ZS	Kat.	fáze průř.	δ^*N_d [kN]	χ^*A [mm^2]	σ_n [MPa]	$\delta^*M_{y,d}$ [kNm]	$\chi_{lt}*W_{el,y}$ [mm^3]	σ_{my} [MPa]	$\delta^*M_{z,d}$ [kNm]	$W_{el,z}$ [mm^3]	σ_{mz} [MPa]	σ_x [MPa]	$\kappa*\delta^*M_{x,d}$ [kNm]	$W_{v,y}$ [mm^2]	$\tau_{x,y}$ [MPa]	$W_{v,z}$ [mm^2]	$\tau_{x,z}$ [MPa]	$\delta^*V_{y,d}$ [kN]	$A_{v,y}$ [mm2]	$\tau_{v,y}$ [MPa]	$\tau_{v,y}$ [MPa]	$\delta^*V_{z,d}$ [kN]	$A_{v,z}$ [mm2]	$\tau_{v,z}$ [MPa]	$\tau_{v,z}$ [MPa]
1	G0	Vlastní tíha OK	G	0	-0.4	4.17E+04	0.0	111.1	1.62E+07	6.9	-17.4	-4.73E+07	0.4	7.2	-1.2E+00	-	-	-	-	-3.2	2.60E+04	-0.1	-0.1	-8.7	1.12E+04	-0.8	-0.8
2	G1	Ostatní stálé - mostní vybavení	G	0	0.0	4.17E+04	0.0	17.4	1.62E+07	1.1	-1.3	-4.73E+07	0.0	1.1	-9.1E-02	-	-	-	-	-0.2	2.60E+04	0.0	0.0	-2.6	1.12E+04	-0.2	-0.2
3	G2	Ostatní stálé - cizí zařízení	G	0	0.2	4.17E+04	0.0	0.7	1.62E+07	0.0	-0.2	-4.73E+07	0.0	0.1	-3.4E-02	-	-	-	-	-0.1	2.60E+04	0.0	0.0	-3.9	1.12E+04	-0.4	-0.4
4	P1_71	a.LM71 - kolej 1 (bez dyn. souč.)	P	0	50.5	4.17E+04	1.2	906.1	1.62E+07	55.9	2.9	-4.73E+07	-0.1	57.1	-9.7E-01	-	-	-	-	-0.1	2.60E+04	0.0	0.0	-348.8	1.12E+04	-31.3	-31.3
5	P2_71	a.LM71 - kolej 2 (bez dyn. souč.)	P	0	-4.7	4.17E+04	-0.1	12.0	1.62E+07	0.7	-0.9	-4.73E+07	0.0	0.6	-5.0E-02	-	-	-	-	-0.6	2.60E+04	0.0	0.0	-0.3	1.12E+04	0.0	0.0
6	P1_C3	TTZ C3 - kolej 1 (bez dyn. souč.)	P	0	0.0	4.17E+04	0.0	0.0	1.62E+07	0.0	0.0	-4.73E+07	0.0	0.0	0.0E+00	-	-	-	-	0.0	2.60E+04	0.0	0.0	0.0	1.12E+04	0.0	0.0
7	P2_C3	TTZ C3 - kolej 2 (bez dyn. souč.)	P	0	0.0	4.17E+04	0.0	0.0	1.62E+07	0.0	0.0	-4.73E+07	0.0	0.0	0.0E+00	-	-	-	-	0.0	2.60E+04	0.0	0.0	0.0	1.12E+04	0.0	0.0
8	BR	Brzdné a rozjezdové síly	P	0	4.0	4.17E+04	0.1	-1.3	1.62E+07	-0.1	-9.9	-4.73E+07	0.2	0.2	-7.7E-01	-	-	-	-	-9.3	2.60E+04	-0.4	-0.4	-0.2	1.12E+04	0.0	0.0
9	S	Boční ráz	P	0	3.0	4.17E+04	0.1	-1.1	1.62E+07	-0.1	8.3	-4.73E+07	-0.2	-0.2	-2.1E-02	-	-	-	-	22.0	2.60E+04	0.8	0.8	-2.5	1.12E+04	-0.2	-0.2
10	CH	Chodci na lávkách	Q	0	0.6	4.17E+04	0.0	-38.9	1.62E+07	-2.4	0.1	-4.73E+07	0.0	-2.4	-9.1E-02	-	-	-	-	-0.2	2.60E+04	0.0	0.0	-0.5	1.12E+04	0.0	0.0
11	W	Vítr na konstrukci	Q	0	10.9	4.17E+04	0.3	-2.5	1.62E+07	-0.2	-11.4	-4.73E+07	0.2	0.3	3.0E-02	-	-	-	-	-29.3	2.60E+04	-1.1	-1.1	-8.6	1.12E+04	-0.8	-0.8
12	WP	Vítr na vozidla	Q	0	17.7	4.17E+04	0.4	0.9	1.62E+07	0.1	-19.4	-4.73E+07	0.4	0.9	4.1E-02	-	-	-	-	-50.6	2.60E+04	-1.9	-1.9	-9.2	1.12E+04	-0.8	-0.8
13	TR	Teplota rovnoměrná	Q	0	0.0	4.17E+04	0.0	0.0	1.62E+07	0.0	0.0	-4.73E+07	0.0	0.0	0.0E+00	-	-	-	-	0.0	2.60E+04	0.0	0.0	0.0	1.12E+04	0.0	0.0
14	TN	Teplota nerovnoměrná	Q	0	6.0	4.17E+04	0.1	-8.6	1.62E+07	-0.5	-0.2	-4.73E+07	0.0	-0.4	-1.6E-02	-	-	-	-	-3.5	2.60E+04	-0.1	-0.1	-6.7	1.12E+04	-0.6	-0.6
15	FR	Třecí síly v ložiskách	Q	0	0.6	4.17E+04	0.0	-0.9	1.62E+07	-0.1	-0.3	-4.73E+07	0.0	0.0	-3.6E-02	-	-	-	-	-0.1	2.60E+04	0.0	0.0	0.0	1.12E+04	0.0	0.0
16	I	Imperfekce soustavy	Q	0	1.3	4.17E+04	0.0	-2.2	1.62E+07	-0.1	-0.8	-4.73E+07	0.0	-0.1	0.0E+00	-	-	-	-	-1.6	2.60E+04	-0.1	-0.1	-2.6	1.12E+04	-0.2	-0.2
27	ULS_LM	ULS - LM71 bez dynam	Q	0	0.0	4.17E+04	0.0	0.0	1.62E+07	0.0	0.0	-4.73E+07	0.0	0.0	0.0E+00	-	-	-	-	0.0	2.60E+04	0.0	0.0	0.0	1.12E+04	0.0	0.0
28	SLS_LM	SLS - LM71 bez dynam	Q	0	0.0	4.17E+04	0.0	0.0	1.62E+07	0.0	0.0	-4.73E+07	0.0	0.0	0.0E+00	-	-	-	-	0.0	2.60E+04	0.0	0.0	0.0	1.12E+04	0.0	0.0
29	ULS_C3	ULS - C3 bez dynam	Q	0	0.0	4.17E+04	0.0	0.0	1.62E+07	0.0	0.0	-4.73E+07	0.0	0.0	0.0E+00	-	-	-	-	0.0	2.60E+04	0.0	0.0	0.0	1.12E+04	0.0	0.0
30	SLS_C3	SLS - C3 bez dynam	Q	0	0.0	4.17E+04	0.0	0.0	1.62E+07	0.0	0.0	-4.73E+07	0.0	0.0	0.0E+00	-	-	-	-	0.0	2.60E+04	0.0	0.0	0.0	1.12E+04	0.0	0.0
NAVÝŠENÍ NAPĚTÍ DO AKTIVACE TLAKU V DESCE MOSTOVKY						$\sigma_{P,red}$	0.0							0.0				0.0				-3.0	-3.0			-35.4	-35.4
NAPĚTÍ OD PRIMÁRNÍCH ÚČINKŮ NEROVNOMĚRNÉHO OTEPLENÍ						σ_T	0.0							0.0													
NAPĚTÍ OD REOLOGICKÝCH ÚČINKŮ BETONU V ČASE		t=0				σ_R	0.0	γ_{lt}=	1.20					0.0													
NAPĚTÍ V KRITICKÝCH VLÁKNECH OD KOMBINACE ZATÍŽENÍ						KZ04		[MPa]					$\Sigma\sigma_x$	64.5								$\Sigma\tau_y$	-3.0				$\Sigma\tau_z$	-35.4
NAPĚTÍ OD POHYBLIVÉHO ZATÍŽENÍ								[MPa]					$\sigma_{x,P}$	57.8								τ_P	0.5				τ_P	-31.5
NAPĚTÍ OD OSTATNÍCH ZATÍŽENÍ								[MPa]			Φ_{Vy}	Φ_{Vz}	$\sigma_{x,rs}$	6.7								τ_s	-3.4				τ_s	-3.8
NÁVRHOVÁ HODNOTA MEZE KLUZU S REDUKCÍ VLIVEM SMYKOVÉHO NAPĚTÍ								[MPa]			1.00	1.00	$f_{yw,d}$	209.1								$f_{yd}/3^{0,5}$	120.7				$f_{yd}/3^{0,5}$	120.7
NAPĚTÍ OD POHYBLIVÉHO ZATÍŽENÍ V GLOBÁLNÍM SYSTÉMU						$\sigma_{GLOB,P}$	0.0	[MPa]					$\Sigma\sigma_{GLOB}$	0.0														
NAPĚTÍ OD OSTATNÍCH ZATÍŽENÍ V GLOBÁLNÍM SYSTÉMU						$\sigma_{GLOB,rs}$	0.0	[MPa]					$\Sigma\sigma_x + \Sigma\sigma_{GLOB}$	64.5														
VYUŽITÍ PRŮŘEZU DLE NAPĚTÍ								[%]					η_1	0.31								η_3	0.02				η_3	0.29
NAPĚTÍ V PŘÍČNÉM SMĚRU OD POHYBLIVÉHO ZATÍŽENÍ						$\sigma_{z,P}$	0.0	[MPa]					$\Sigma\sigma_z$	0.0														
NAPĚTÍ V PŘÍČNÉM SMĚRU OD OSTATNÍCH ZATÍŽENÍ						$\sigma_{z,rs}$	0.0	[MPa]					η_2	0.00														
SROVNÁVACÍ NAPĚTÍ													$(\eta_2 + 0,8\,\eta_1)/1,4$ =	0.18														
VYUŽITÍ PRŮŘEZU CELKEM								[%]					eff	0.31	VYHOVUJE													
STANOVENÍ ZATÍŽITELNOSTI													z_{LM71} =	3.50														

TR_P3.4 POPIS: **PŘÍČNÍK P3 - STŘED** POSUDEK: **P3.4**

SKUPINA ZAT. STAVŮ	EXTRÉM	VYHODNOCOVANÉ VELIČINY					
		N	Vy	Vz	Mx	My	Mz
		kN	kN	kN	kNm	kNm	kNm
G0	N.min	**-0.6**	2.26	3.18	1.06	102.59	-12.87
	N.max	**-0.6**	2.26	3.18	1.06	102.59	-12.87
	Vy.min	-0.6	**2.26**	3.18	1.06	102.59	-12.87
	Vy.max	-0.6	**2.26**	3.18	1.06	102.59	-12.87
	Vz.min	-0.6	2.26	**3.18**	1.06	102.59	-12.87
	Vz.max	-0.6	2.26	**3.18**	1.06	102.59	-12.87
	Mx.min	-0.6	2.26	3.18	**1.06**	102.59	-12.87
	Mx.max	-0.6	2.26	3.18	**1.06**	102.59	-12.87
	My.min	-0.6	2.26	3.18	1.06	**102.59**	-12.87
	My.max	-0.6	2.26	3.18	1.06	**102.59**	-12.87
	Mz.min	-0.6	2.26	3.18	1.06	102.59	**-12.87**
	Mz.max	-0.6	2.26	3.18	1.06	102.59	**-12.87**
G1	N.min	**0.01**	0.19	0	0.08	16.44	-0.96
	N.max	**0.01**	0.19	0	0.08	16.44	-0.96
	Vy.min	0.01	**0.19**	0	0.08	16.44	-0.96
	Vy.max	0.01	**0.19**	0	0.08	16.44	-0.96
	Vz.min	0.01	0.19	**0**	0.08	16.44	-0.96
	Vz.max	0.01	0.19	**0**	0.08	16.44	-0.96
	Mx.min	0.01	0.19	0	**0.08**	16.44	-0.96
	Mx.max	0.01	0.19	0	**0.08**	16.44	-0.96
	My.min	0.01	0.19	0	0.08	**16.44**	-0.96
	My.max	0.01	0.19	0	0.08	**16.44**	-0.96
	Mz.min	0.01	0.19	0	0.08	16.44	**-0.96**
	Mz.max	0.01	0.19	0	0.08	16.44	**-0.96**
G2	N.min	**0.15**	0.09	3.45	0.03	4.1	-0.06
	N.max	**0.15**	0.09	3.45	0.03	4.1	-0.06
	Vy.min	0.15	**0.09**	3.45	0.03	4.1	-0.06
	Vy.max	0.15	**0.09**	3.45	0.03	4.1	-0.06
	Vz.min	0.15	0.09	**3.45**	0.03	4.1	-0.06
	Vz.max	0.15	0.09	**3.45**	0.03	4.1	-0.06
	Mx.min	0.15	0.09	3.45	**0.03**	4.1	-0.06
	Mx.max	0.15	0.09	3.45	**0.03**	4.1	-0.06
	My.min	0.15	0.09	3.45	0.03	**4.1**	-0.06
	My.max	0.15	0.09	3.45	0.03	**4.1**	-0.06
	Mz.min	0.15	0.09	3.45	0.03	4.1	**-0.06**
	Mz.max	0.15	0.09	3.45	0.03	4.1	**-0.06**
P1_71	N.min	**-16.45**	3.13	-31.35	0.57	139.57	-3.28
	N.max	**12.37**	0.3	-189.68	0.09	665.23	-1.86
	Vy.min	4.5	**-1.26**	-53.93	-0.14	189.46	-0.73
	Vy.max	-11.9	**4.57**	-112.27	0.88	414.13	-4.22
	Vz.min	3.84	2.67	**-211.16**	0.52	745.2	-4.41
	Vz.max	-2.79	0.36	**0.19**	0.03	7.36	-0.34
	Mx.min	6.23	-0.83	-93.28	**-0.33**	361.06	-0.91
	Mx.max	-11.02	4.35	-112.88	**0.92**	405.39	-4.12
	My.min	-4.05	2.32	-6.11	0.49	**-17.64**	-3.72
	My.max	4.35	1.1	-206.1	0.1	**762.26**	-1.34
	Mz.min	-4.58	3.1	-111.04	0.58	386.03	**-5.21**
	Mz.max	-0.03	0.05	-0.06	0	-0.02	**0.04**
P2_71	N.min	**-5.19**	0.01	8.9	0.22	67.88	-0.12
	N.max	**33.61**	-0.53	193.82	0.5	680.35	2.68
	Vy.min	14.13	**-1.65**	79.04	0.19	305.11	1.71
	Vy.max	10.22	**1.25**	53.78	0.34	187.2	0.89
	Vz.min	-0.64	-0.2	**-0.19**	0.04	8.58	-0.05
	Vz.max	30.21	-0.15	**211.15**	0.59	760.42	2.35
	Mx.min	11.09	-0.34	61.26	**-0.15**	256.12	0.47
	Mx.max	12.71	-0.4	121.52	**0.8**	449.73	2.02
	My.min	3.39	-0.13	3.13	0.15	**-11.35**	0.81
	My.max	27.67	-0.43	209.11	0.52	**773.72**	1.94
	Mz.min	-1.1	0.55	0.59	0.1	10.34	**-0.43**
	Mz.max	20.94	-0.77	111.04	0.61	396.52	**3.1**
P1_C3	N.min	**-11.66**	2.31	-11.61	0.35	61.63	-2.65
	N.max	**7.04**	0.19	-98.96	0.09	345.71	-1.47
	Vy.min	4.89	**-0.98**	-55	-0.16	199.14	-0.55
	Vy.max	-6.58	**3.5**	-75.13	0.64	267.7	-3.51
	Vz.min	2.92	2.1	**-121.4**	0.42	416.28	-3.59
	Vz.max	-2.49	0.36	**0.2**	0.02	8.28	-0.32
	Mx.min	4.22	-0.52	-61.09	**-0.2**	230.01	-0.67
	Mx.max	-5.96	3.36	-75.66	**0.68**	259.56	-3.46
	My.min	-2.57	1.74	-4.75	0.4	**-12.2**	-3.06
	My.max	3.46	0.64	-116.53	0.05	**432.19**	-0.69
	Mz.min	-4.63	2.38	-87.04	0.4	313.94	**-4.3**
	Mz.max	-0.02	0.04	-0.05	0	-0.02	**0.03**
P2_C3	N.min	**-3.6**	0.01	5.31	0.14	43.27	-0.04
	N.max	**21.96**	-0.36	113.92	0.44	394.2	2.23
	Vy.min	11.14	**-1.16**	81.6	0.22	309.07	1.15
	Vy.max	8.01	**0.89**	48.81	0.3	171.65	0.86
	Vz.min	-0.28	-0.28	**-0.2**	0.02	9.58	0.03
	Vz.max	20.62	-0.09	**121.42**	0.46	426.63	2.02
	Mx.min	6.42	0.03	33.21	**-0.09**	136.69	0.18
	Mx.max	12.74	-0.24	97.41	**0.62**	345.07	1.82
	My.min	2.18	0.15	1.57	0.06	**-7.64**	0.25
	My.max	17.69	-0.3	119.17	0.39	**438.87**	1.45
	Mz.min	-0.19	0.16	0.15	0.04	2.71	**-0.28**
	Mz.max	16.64	-0.51	99.5	0.51	361.18	**2.49**
BR	N.min	**-10.93**	-9.84	-0.28	-1.99	4.88	4.32
	N.max	**10.93**	9.84	0.28	1.99	-4.88	-4.32
	Vy.min	-7.52	**-17.8**	-0.36	-1.48	2.02	1.36
	Vy.max	7.52	**17.8**	0.36	1.48	-2.02	-1.36
	Vz.min	-7.52	-17.8	**-0.36**	-1.48	2.02	1.36
	Vz.max	7.52	17.8	**0.36**	1.48	-2.02	-1.36
	Mx.min	-9.9	0.27	0.27	**-1.99**	5.49	2.2
	Mx.max	9.9	-0.27	-0.27	**1.99**	-5.49	-2.2
	My.min	8.36	-8.09	-0.21	1.51	**-5.61**	-4.06
	My.max	-8.36	8.09	0.21	-1.51	**5.61**	4.06
	Mz.min	10.93	9.84	0.28	1.99	-4.88	**-4.32**
	Mz.max	-10.93	-9.84	-0.28	-1.99	4.88	**4.32**

TR_P3.4 POPIS: **PŘÍČNÍK P3 - STŘED** POSUDEK: **P3.4**

SKUPINA ZAT. STAVŮ	EXTRÉM	VYHODNOCOVANÉ VELIČINY					
		N	Vy	Vz	Mx	My	Mz
		kN	kN	kN	kNm	kNm	kNm
S	N.min	**-44.66**	-0.9	-1.12	-0.03	-23.07	-3.98
	N.max	**44.66**	0.9	1.12	0.03	23.07	3.98
	Vy.min	1.73	**-23.01**	2.33	0.02	1.11	-14.23
	Vy.max	-1.73	**23.01**	-2.33	-0.02	-1.11	14.23
	Vz.min	-2.84	21.12	**-2.42**	-0.02	-1.68	12.99
	Vz.max	2.84	-21.12	**2.42**	0.02	1.68	-12.99
	Mx.min	34.18	19.94	0.43	**-0.05**	17.92	11.19
	Mx.max	-34.18	-19.94	-0.43	**0.05**	-17.92	-11.19
	My.min	-44.66	-0.9	-1.12	-0.03	**-23.07**	-3.98
	My.max	44.66	0.9	1.12	0.03	**23.07**	3.98
	Mz.min	1.73	-23.01	2.33	0.02	1.11	**-14.23**
	Mz.max	-1.73	23.01	-2.33	-0.02	-1.11	**14.23**
CH	N.min	**-0.42**	0.38	2.52	0.06	-15.35	-0.55
	N.max	**0.29**	0.24	-0.01	0.09	-29.74	-0.14
	Vy.min	-0.15	**0.19**	-0.37	0.07	-29.91	-0.49
	Vy.max	-0.42	**0.38**	2.52	0.06	-15.35	-0.55
	Vz.min	-0.15	0.19	**-0.37**	0.07	-29.91	-0.49
	Vz.max	-0.42	0.38	**2.52**	0.06	-15.35	-0.55
	Mx.min	-0.42	0.38	2.52	**0.06**	-15.35	-0.55
	Mx.max	0.29	0.24	-0.01	**0.09**	-29.74	-0.14
	My.min	-0.15	0.19	-0.37	0.07	**-29.91**	-0.49
	My.max	-0.42	0.38	2.52	0.06	**-15.35**	-0.55
	Mz.min	-0.42	0.38	2.52	0.06	-15.35	**-0.55**
	Mz.max	0.29	0.24	-0.01	0.09	-29.74	**-0.14**
W	N.min	**-13.24**	-28.89	-8.51	0.03	-6.63	-17.41
	N.max	**10.26**	28.93	8.51	-0.03	6.66	17.44
	Vy.min	-13.24	**-28.89**	-8.51	0.03	-6.63	-17.41
	Vy.max	10.26	**28.93**	8.51	-0.03	6.66	17.44
	Vz.min	-13.24	-28.89	**-8.51**	0.03	-6.63	-17.41
	Vz.max	10.26	28.93	**8.51**	-0.03	6.66	17.44
	Mx.min	10.26	28.93	8.51	**-0.03**	6.66	17.44
	Mx.max	-13.24	-28.89	-8.51	**0.03**	-6.63	-17.41
	My.min	-13.24	-28.89	-8.51	0.03	**-6.63**	-17.41
	My.max	10.26	28.93	8.51	-0.03	**6.66**	17.44
	Mz.min	-13.24	-28.89	-8.51	0.03	-6.63	**-17.41**
	Mz.max	10.26	28.93	8.51	-0.03	6.66	**17.44**
WP	N.min	**-17.88**	-49.96	-9.05	0.04	-8.85	-30.71
	N.max	**17.89**	49.99	9.05	-0.04	8.86	30.71
	Vy.min	-17.88	**-49.96**	-9.05	0.04	-8.85	-30.71
	Vy.max	17.89	**49.99**	9.05	-0.04	8.86	30.71
	Vz.min	-17.88	-49.96	**-9.05**	0.04	-8.85	-30.71
	Vz.max	17.89	49.99	**9.05**	-0.04	8.86	30.71
	Mx.min	17.89	49.99	9.05	**-0.04**	8.86	30.71
	Mx.max	-17.88	-49.96	-9.05	**0.04**	-8.85	-30.71
	My.min	-17.88	-49.96	-9.05	0.04	**-8.85**	-30.71
	My.max	17.89	49.99	9.05	-0.04	**8.86**	30.71
	Mz.min	-17.88	-49.96	-9.05	0.04	-8.85	**-30.71**
	Mz.max	17.89	49.99	9.05	-0.04	8.86	**30.71**
TR	N.min	**0**	0	0	0	0	0
	N.max	**0**	0	0	0	0	0
	Vy.min	0	**0**	0	0	0	0
	Vy.max	0	**0**	0	0	0	0
	Vz.min	0	0	**0**	0	0	0
	Vz.max	0	0	**0**	0	0	0
	Mx.min	0	0	0	**0**	0	0
	Mx.max	0	0	0	**0**	0	0
	My.min	0	0	0	0	**0**	0
	My.max	0	0	0	0	**0**	0
	Mz.min	0	0	0	0	0	**0**
	Mz.max	0	0	0	0	0	**0**
TN	N.min	**-4.08**	-4.3	-8.32	0.01	-8.41	-4.2
	N.max	**6.85**	4.27	8.37	0.02	-1.16	4.03
	Vy.min	-4.08	**-4.3**	-8.32	0.01	-8.41	-4.2
	Vy.max	6.85	**4.27**	8.37	0.02	-1.16	4.03
	Vz.min	-4.08	-4.3	**-8.32**	0.01	-8.41	-4.2
	Vz.max	6.85	4.27	**8.37**	0.02	-1.16	4.03
	Mx.min	-1.69	-0.06	-0.01	**-0.04**	3.94	0.11
	Mx.max	1.69	0.06	0.01	**0.04**	-3.94	-0.11
	My.min	-4.08	-4.3	-8.32	0.01	**-8.41**	-4.2
	My.max	-1.69	-0.06	-0.01	-0.04	**3.94**	0.11
	Mz.min	-4.08	-4.3	-8.32	0.01	-8.41	**-4.2**
	Mz.max	6.85	4.27	8.37	0.02	-1.16	**4.03**
FR	N.min	**-0.53**	-0.08	0	-0.03	0.71	0.18
	N.max	**0.53**	0.08	0	0.03	-0.71	-0.18
	Vy.min	-0.53	**-0.08**	0	-0.03	0.71	0.18
	Vy.max	0.53	**0.08**	0	0.03	-0.71	-0.18
	Vz.min	0.53	0.08	**0**	0.03	-0.71	-0.18
	Vz.max	-0.53	-0.08	**0**	-0.03	0.71	0.18
	Mx.min	-0.53	-0.08	0	**-0.03**	0.71	0.18
	Mx.max	0.53	0.08	0	**0.03**	-0.71	-0.18
	My.min	0.53	0.08	0	0.03	**-0.71**	-0.18
	My.max	-0.53	-0.08	0	-0.03	**0.71**	0.18
	Mz.min	0.53	0.08	0	0.03	-0.71	**-0.18**
	Mz.max	-0.53	-0.08	0	-0.03	0.71	**0.18**
I	N.min	**-0.92**	-1.37	-2.18	0	-0.69	**-0.7**
	N.max	**0.92**	1.37	2.18	0	0.69	**0.7**
	Vy.min	-0.92	**-1.37**	-2.18	0	-0.69	**-0.7**
	Vy.max	0.92	**1.37**	2.18	0	0.69	**0.7**
	Vz.min	-0.92	-1.37	**-2.18**	0	-0.69	**-0.7**
	Vz.max	0.92	1.37	**2.18**	0	0.69	**0.7**
	Mx.min	0.92	1.37	2.18	**0**	0.69	**0.7**
	Mx.max	-0.92	-1.37	-2.18	**0**	-0.69	**-0.7**
	My.min	-0.92	-1.37	-2.18	0	**-0.69**	**-0.7**
	My.max	0.92	1.37	2.18	0	**0.69**	**0.7**
	Mz.min	-0.92	-1.37	-2.18	0	-0.69	**-0.7**
	Mz.max	0.92	1.37	2.18	0	0.69	**0.7**

TAB. P3.4.3 POSOUZENÍ - MEZNÍ STAV ÚNOSNOSTI

POPIS	PŘÍČNÍK P3 - STŘED
PRUT / POLOHA BODU	683 / I[561]
NAMÁHÁNÍ	My.max
VLÁKNO	BOD K2 -HP
MEZNÍ STAV	ULS (MSÚ)
VYUŽITÍ VLÁKNA PRŮŘEZU	0.93

Charakteristiky materiálu				
pás. horní	$f_{yf,k}$	230	MPa	
pás. dolní	$f_{yf,k}$	230	MPa	
stojina	$f_{yw,k}$	230	MPa	
výztuž	$f_{ys,k}$	500	MPa	
γ_M =	1.10	γ_s =	1.15	

Excentricita normálové síly				
Exc./Fáze	0	1	2	3
e_y	0.000	0.000	0.000	0.000
e_z	0.000	0.000	0.000	0.000
Ekvivalentní vzdál. stěn - příčný roznos				
b_{Mx}	0.000	0.000	0.000	0.000

Vliv stěny na únosnost průřezu				
Char./Fáze	0	1	2	3
A	0.00	0.00	0.00	0.00
Wy	0.00	0.00	0.00	0.00
Wz	0.00	0.00	0.00	0.00

Charakter. v kroucení			
$t_{w,y}$	0.000	[mm]	
$t_{w,z}$	0.000	[mm]	
κ	1.00		
I_t=	0.00E+00	[mm^4]	
Ω=2*A_{pr}	0.00E+00	[mm^2]	

Součinitele vzpěru a vlivu II.řádu				
Char./Fáze	0	1	2	3
k_y	1.000	1.000	1.000	1.000
k_z	1.000	1.000	1.000	1.000
χ_{LT}	1.000	1.000	1.000	1.000
χ_{min}	1.000	1.000	1.000	1.000

δ_{LOK} 1.00

Vnitřní síly od jednotlivých skupin zatěžovacích stavů

SKUPINA ZATĚŽOVACÍCH STAVŮ — 4

Č.	SKUP ZS	POPIS ZS	KAT.	FÁZE PRŮŘ.	- CHARAKTERISTICKÉ HODNOTY N.k (kN)	Vy.k (kN)	Vz.k (kN)	Mx.k (kNm)	My.k (kNm)	Mz.k (kNm)	DÍLČÍ SOUČINITELÉ ZATÍŽENÍ, DYNAMICKÝ SOUČINITEL γ_{sr} (-)	γ_{fs} (-)	volba ψ_i hledat	ψ_i (-)	L_d (m)	δ (-)	γ_{Sc} KZ04	- NÁVRHOVÉ HODNOTY N.d (kN)	Vy.d (kN)	Vz.d (kN)	ΔVz.d (kN)	ΣVz.d (kN)	Mx.d (kNm)	My.d (kNm)	ΔMy.d (kNm)	ΣMy.d (kNm)	Mz.d (kNm)	ΔMz.d (kNm)	ΣMz.d (kNm)
1	G0	Vlastní tíha OK	G	0	-1	2	3	1	103	-13	1.00	1.20		1.20	-	1.00	0.95	-1	3	4	0	4	1	117	0	117	-15	0	-15
2	G1	Ostatní stálé - mostní vybavení	G	0	0	0	0	0	16	-1	1.00	1.20		1.20	-	1.00	0.95	0	0	0	0	0	0	19	0	19	-1	0	-1
3	G2	Ostatní stálé - cizí zařízení	G	0	0	0	3	0	4	0	1.00	1.20		1.20	-	1.00	0.95	0	0	4	0	4	0	5	0	5	0	0	0
4	P1_71	a.LM71 - kolej 1 (bez dyn. souč.)	P	0	4	1	-206	0	762	-1	1.00	1.30		1.30	-	1.27	1.00	7	2	-341	0	-341	0	1 259	0	1 259	-2	0	-2
5	P2_71	a.LM71 - kolej 2 (bez dyn. souč.)	P	0	28	0	209	1	774	2	1.00	1.30		1.30	-	1.27	1.00	46	-1	346	0	346	1	1 278	0	1 278	3	-1	3
6	P1_C3	TTZ C3 - kolej 1 (bez dyn. souč.)	P	0	3	1	-117	0	432	-1	1.00	vyp.		0.00	-	1.00	0.00	0	0	0	0	0	0	0	0	0	0	0	0
7	P2_C3	TTZ C3 - kolej 2 (bez dyn. souč.)	P	0	18	0	119	0	439	1	1.00	vyp.		0.00	-	1.00	0.00	0	0	0	0	0	0	0	0	0	0	0	0
8	BR	Brzdné a rozjezdové síly	P	0	-8	8	0	-2	6	4	1.00	-1.30		-1.30	-	1.00	0.40	4	-4	0	0	0	1	-3	0	-3	-2	0	-2
9	S	Boční ráz	P	0	45	1	1	0	23	4	1.00	-1.30		-1.30	-	1.00	0.80	-46	-1	-1	0	-1	0	-24	0	-24	-4	0	-4
10	CH	Chodci na lávkách	Q	0	0	0	3	0	-15	-1	1.00	0.00		0.00	-	1.00	1.00	0	0	0	0	0	0	0	0	0	0	0	0
11	W	Vítr na konstrukci	Q	0	10	29	9	0	7	17	1.00	-1.35		-1.35	-	1.00	0.75	-10	-29	-9	0	-9	0	-7	0	-7	-18	0	-18
12	WP	Vítr na vozidla	Q	0	18	50	9	0	9	31	1.00	-1.35		-1.35	-	1.00	0.75	-18	-51	-9	0	-9	0	-9	0	-9	-31	0	-31
13	TR	Teplota rovnoměrná	Q	0	0	0	0	0	0	0	1.00	1.35		1.35	-	1.00	0.45	0	0	0	0	0	0	0	0	0	0	0	0
14	TN	Teplota nerovnoměrná	Q	0	-2	0	0	0	4	0	1.00	1.35		1.35	-	1.00	0.60	-1	0	0	0	0	0	3	0	3	0	0	0
15	FR	Třecí síly v ložiskách	Q	0	-1	0	0	0	1	0	1.00	-1.20		-1.20	-	1.00	1.00	1	0	0	0	0	0	-1	0	-1	0	0	0
16	I	Imperfekce soustavy	Q	0	1	1	2	0	1	1	1.00	-1.20		-1.20	-	1.00	1.00	-1	-2	-3	0	-3	0	-1	0	-1	-1	0	-1
27	ULS_LM	ULS - LM71 bez dynam	Q	0	127	91	37	1	2 173	56	1.00	vyp.		0.00	-	1.00	0.00	0	0	0	0	0	0	0	0	0	0	0	0
28	SLS_LM	SLS - LM71 bez dynam	Q	0	99	68	29	1	1 684	42	1.00	vyp.	1	0.00	-	1.00	0.00	0	0	0	0	0	0	0	0	0	0	0	0
29	ULS_C3	ULS - C3 bez dynam	Q	0	113	90	36	0	1 308	56	1.00	vyp.	1	0.00	-	1.00	0.00	0	0	0	0	0	0	0	0	0	0	0	0
30	SLS_C3	SLS - C3 bez dynam	Q	0	88	67	28	0	1 019	42	1.00	vyp.	1	0.00	-	1.00	0.00	0	0	0	0	0	0	0	0	0	0	0	0
		CELKEM - FÁZE PRŮŘEZU 0																-20	-83	-9	0	-9	3	2 637	0	2 637	-71	0	-71
		CELKEM - FÁZE PRŮŘEZU 1																0	0	0	0	0	0	0	0	0	0	0	0
		CELKEM - FÁZE PRŮŘEZU 2																0	0	0	0	0	0	0	0	0	0	0	0
		CELKEM - FÁZE PRŮŘEZU 3																0	0	0	0	0	0	0	0	0	0	0	0
		CELKEM - PRŮŘEZ																-20	-83	-9	0	-9	3			2 637			-71

Napětí od jednotlivých zatěžovacích stavů

SKUPINA ZATĚŽOVACÍCH STAVŮ

Č.	SKUP ZS	Popis ZS	Kat.	fáze prúř.	Posouzení normálového napětí — Účinek síly N: δ^*N_d [kN]	χ^*A [mm^2]	σ_n [MPa]	Účinek momentu My: $\delta^*M_{y,d}$ [kNm]	$\chi_{lt}{}^*W_{el,y}$ [mm^3]	σ_{my} [MPa]	Účinek momentu Mz: $\delta^*M_{z,d}$ [kNm]	$W_{el,z}$ [mm^3]	σ_{mz} [MPa]	σ_x [MPa]	Posouzení smykového napětí — Účinek kroutícího momentu Mx: $\kappa^*\delta^*M_{x,d}$ [kNm]	$W_{v,y}$ [mm^2]	$\tau_{x,y}$ [MPa]	$W_{v,z}$ [mm^2]	$\tau_{x,z}$ [MPa]	Účinek smykové síly Vy: $\delta^*V_{y,d}$ [kN]	$A_{v,y}$ [mm2]	$\tau_{v,y}$ [MPa]	$\tau_{v,y}$ [MPa]	Účinek smykové síly Vz: $\delta^*V_{z,d}$ [kN]	$A_{v,z}$ [mm2]	$\tau_{v,z}$ [MPa]	$\tau_{v,z}$ [MPa]
1	G0	Vlastní tíha OK	G	0	-0.7	3.81E+04	0.0	117.0	-1.79E+07	-6.5	-14.7	1.55E+06	-9.5	-16.0	1.2E+00	-	-	-	-	2.6	2.62E+04	0.1	0.1	3.6	7.39E+03	0.5	0.5
2	G1	Ostatní stálé - mostní vybavení	G	0	0.0	3.81E+04	0.0	18.7	-1.79E+07	-1.0	-1.1	1.55E+06	-0.7	-1.8	9.1E-02	-	-	-	-	0.2	2.62E+04	0.0	0.0	0.0	7.39E+03	0.0	0.0
3	G2	Ostatní stálé - cizí zařízení	G	0	0.2	3.81E+04	0.0	4.7	-1.79E+07	-0.3	-0.1	1.55E+06	0.0	-0.3	3.4E-02	-	-	-	-	0.1	2.62E+04	0.0	0.0	3.9	7.39E+03	0.5	0.5
4	P1_71	a.LM71 - kolej 1 (bez dyn. souč.)	P	0	7.2	3.81E+04	0.2	1 259.5	-1.79E+07	-70.3	-1.7	1.55E+06	-1.1	-71.3	1.7E-01	-	-	-	-	1.8	2.62E+04	0.1	0.1	-340.5	7.39E+03	-46.1	-46.1
5	P2_71	a.LM71 - kolej 2 (bez dyn. souč.)	P	0	45.7	3.81E+04	1.2	1 278.4	-1.79E+07	-71.4	2.5	1.55E+06	1.6	-68.6	8.6E-01	-	-	-	-	-0.7	2.62E+04	0.0	0.0	345.5	7.39E+03	46.8	46.8
6	P1_C3	TTZ C3 - kolej 1 (bez dyn. souč.)	P	0	0.0	3.81E+04	0.0	0.0	-1.79E+07	0.0	0.0	1.55E+06	0.0	0.0	0.0E+00	-	-	-	-	0.0	2.62E+04	0.0	0.0	0.0	7.39E+03	0.0	0.0
7	P2_C3	TTZ C3 - kolej 2 (bez dyn. souč.)	P	0	0.0	3.81E+04	0.0	0.0	-1.79E+07	0.0	0.0	1.55E+06	0.0	0.0	0.0E+00	-	-	-	-	0.0	2.62E+04	0.0	0.0	0.0	7.39E+03	0.0	0.0
8	BR	Brzdné a rozjezdové síly	P	0	4.3	3.81E+04	0.1	-2.9	-1.79E+07	0.2	-2.1	1.55E+06	-1.4	-1.1	7.9E-01	-	-	-	-	-4.2	2.62E+04	-0.2	-0.2	-0.1	7.39E+03	0.0	0.0
9	S	Boční ráz	P	0	-46.4	3.81E+04	-1.2	-24.0	-1.79E+07	1.3	-4.1	1.55E+06	-2.7	-2.6	-3.1E-02	-	-	-	-	-0.9	2.62E+04	0.0	0.0	-1.2	7.39E+03	-0.2	-0.2
10	CH	Chodci na lávkách	Q	0	0.0	3.81E+04	0.0	0.0	-1.79E+07	0.0	0.0	1.55E+06	0.0	0.0	0.0E+00	-	-	-	-	0.0	2.62E+04	0.0	0.0	0.0	7.39E+03	0.0	0.0
11	W	Vítr na konstrukci	Q	0	-10.4	3.81E+04	-0.3	-6.7	-1.79E+07	0.4	-17.7	1.55E+06	-11.4	-11.3	3.0E-02	-	-	-	-	-29.3	2.62E+04	-1.1	-1.1	-8.6	7.39E+03	-1.2	-1.2
12	WP	Vítr na vozidla	Q	0	-18.1	3.81E+04	-0.5	-9.0	-1.79E+07	0.5	-31.1	1.55E+06	-20.1	-20.1	4.1E-02	-	-	-	-	-50.6	2.62E+04	-1.9	-1.9	-9.2	7.39E+03	-1.2	-1.2
13	TR	Teplota rovnoměrná	Q	0	0.0	3.81E+04	0.0	0.0	-1.79E+07	0.0	0.0	1.55E+06	0.0	0.0	0.0E+00	-	-	-	-	0.0	2.62E+04	0.0	0.0	0.0	7.39E+03	0.0	0.0
14	TN	Teplota nerovnoměrná	Q	0	-1.4	3.81E+04	0.0	3.2	-1.79E+07	-0.2	0.1	1.55E+06	0.1	-0.2	-3.2E-02	-	-	-	-	0.0	2.62E+04	0.0	0.0	0.0	7.39E+03	0.0	0.0
15	FR	Třecí síly v ložiskách	Q	0	0.6	3.81E+04	0.0	-0.9	-1.79E+07	0.0	-0.2	1.55E+06	-0.1	-0.1	3.6E-02	-	-	-	-	0.1	2.62E+04	0.0	0.0	0.0	7.39E+03	0.0	0.0
16	I	Imperfekce soustavy	Q	0	-1.1	3.81E+04	0.0	-0.8	-1.79E+07	0.0	-0.8	1.55E+06	-0.5	-0.5	0.0E+00	-	-	-	-	-1.6	2.62E+04	-0.1	-0.1	-2.6	7.39E+03	-0.4	-0.4
27	ULS_LM	ULS - LM71 bez dynam	Q	0	0.0	3.81E+04	0.0	0.0	-1.79E+07	0.0	0.0	1.55E+06	0.0	0.0	0.0E+00	-	-	-	-	0.0	2.62E+04	0.0	0.0	0.0	7.39E+03	0.0	0.0
28	SLS_LM	SLS - LM71 bez dynam	Q	0	0.0	3.81E+04	0.0	0.0	-1.79E+07	0.0	0.0	1.55E+06	0.0	0.0	0.0E+00	-	-	-	-	0.0	2.62E+04	0.0	0.0	0.0	7.39E+03	0.0	0.0
29	ULS_C3	ULS - C3 bez dynam	Q	0	0.0	3.81E+04	0.0	0.0	-1.79E+07	0.0	0.0	1.55E+06	0.0	0.0	0.0E+00	-	-	-	-	0.0	2.62E+04	0.0	0.0	0.0	7.39E+03	0.0	0.0
30	SLS_C3	SLS - C3 bez dynam	Q	0	0.0	3.81E+04	0.0	0.0	-1.79E+07	0.0	0.0	1.55E+06	0.0	0.0	0.0E+00	-	-	-	-	0.0	2.62E+04	0.0	0.0	0.0	7.39E+03	0.0	0.0
		NAVÝŠENÍ NAPĚTÍ DO AKTIVACE TLAKU V DESCE MOSTOVKY				$\sigma_{P,red}$	0.0							0.0			0.0		0.0				-3.2	-3.2			-1.2	-1.2
		NAPĚTÍ OD PRIMÁRNÍCH ÚČINKŮ NEROVNOMĚRNÉHO OTEPLENÍ				σ_T	0.0							0.0														
		NAPĚTÍ OD REOLOGICKÝCH ÚČINKŮ BETONU V ČASE		t=0		σ_R	0.0	$\gamma_{f=}$	1.20					0.0														
		NAPĚTÍ V KRITICKÝCH VLÁKNECH OD KOMBINACE ZATÍŽENÍ				KZ04		[MPa]					$\Sigma\sigma_x$	-193.8									$\Sigma\tau_y$	-3.2				$\Sigma\tau_z$	-1.2
		NAPĚTÍ OD POHYBLIVÉHO ZATÍŽENÍ						[MPa]					$\sigma_{x,P}$	-143.5										-0.2				τ_P	0.5
		NAPĚTÍ OD OSTATNÍCH ZATÍŽENÍ						[MPa]			Φ_{Vy}	Φ_{Vz}	$\sigma_{x,rs}$	-50.3									τ_{Ts}	-3.0				τ_{Ts}	-1.7
		NÁVRHOVÁ HODNOTA MEZE KLUZU S REDUKCÍ VLIVEM SMYKOVÉHO NAPĚTÍ						[MPa]			1.00	1.00	$f_{yw,d}$	209.1									$f_{yd}/3^{0,5}$	120.7				$f_{yd}/3^{0,5}$	120.7
		NAPĚTÍ OD POHYBLIVÉHO ZATÍŽENÍ V GLOBÁLNÍM SYSTÉMU				$\sigma_{GLOB,P}$	0.0	[MPa]					$\Sigma\sigma_{GLOB}$	0.0															
		NAPĚTÍ OD OSTATNÍCH ZATÍŽENÍ V GLOBÁLNÍM SYSTÉMU				$\sigma_{GLOB,rs}$	0.0	[MPa]					$\Sigma\sigma_x + \Sigma\sigma_{GLOB}$	-193.8															
		VYUŽITÍ PRŮŘEZU DLE NAPĚTÍ						[%]					η_1	0.93									η_3	0.03				η_3	0.01
		NAPĚTÍ V PŘÍČNÉM SMĚRU OD POHYBLIVÉHO ZATÍŽENÍ				$\sigma_{z,P}$	0.0	[MPa]					$\Sigma\sigma_z$	0.0															
		NAPĚTÍ V PŘÍČNÉM SMĚRU OD OSTATNÍCH ZATÍŽENÍ				$\sigma_{z,rs}$	0.0	[MPa]					η_2	0.00															
		SROVNÁVACÍ NAPĚTÍ											$(\eta_2 + 0,8\,\eta_1)/1,4 =$	0.53															
		VYUŽITÍ PRŮŘEZU CELKEM						[%]					eff	0.93	VYHOVUJE														
		STANOVENÍ ZATÍŽITELNOSTI											z_{LM71} =	1.11															

TAB. P3.4.3 POSOUZENÍ - MEZNÍ STAV ÚNOSNOSTI

POPIS	PŘÍČNÍK P3 - STŘED
PRUT / POLOHA BODU	683 / I[561]
NAMÁHÁNÍ	My.max
VLÁKNO	BOD K3 -SL
MEZNÍ STAV	ULS (MSÚ)
VYUŽITÍ VLÁKNA PRŮŘEZU	1.03

Charakteristiky materiálu				
pás. horní	$f_{yf,k}$	230	MPa	
pás. dolní	$f_{yf,k}$	230	MPa	
stojina	$f_{yw,k}$	230	MPa	
výztuž	$f_{ys,k}$	500	MPa	
γ_M =	1.10	γ_s =	1.15	

Excentricita normálové síly				
Exc./Fáze	0	1	2	3
e_y	0.000	0.000	0.000	0.000
e_z	0.000	0.000	0.000	0.000
Ekvivalentní vzdál. stěn - příčný roznos				
b_{Mx}	0.000	0.000	0.000	0.000

Vliv stěny na únosnost průřezu				
Char./Fáze	0	1	2	3
A	0.00	0.00	0.00	0.00
Wy	0.00	0.00	0.00	0.00
Wz	0.00	0.00	0.00	0.00

Charakter. v kroucení			
$t_{w,y}$	0.000	[mm]	
$t_{w,z}$	0.000	[mm]	
κ	1.00		
I_t=	0.00E+00	[mm^4]	
Ω=2*A_{pr}	0.00E+00	[mm^2]	

Součinitele vzpěru a vlivu II.řádu				
Char./Fáze	0	1	2	3
k_y	1.000	1.000	1.000	1.000
k_z	1.000	1.000	1.000	1.000
χ_{LT}	1.000	1.000	1.000	1.000
χ_{min}	1.000	1.000	1.000	1.000

δ_{LOK} 1.00

Vnitřní síly od jednotlivých skupin zatěžovacích stavů

SKUPINA ZATĚŽOVACÍCH STAVŮ — CHARAKTERISTICKÉ HODNOTY — DÍLČÍ SOUČINITELÉ ZATÍŽENÍ, DYNAMICKÝ SOUČINITEL — NÁVRHOVÉ HODNOTY

3

Č.	SKUP ZS	POPIS ZS	KAT.	FÁZE PRŮŘ.	N.k (kN)	Vy.k (kN)	Vz.k (kN)	Mx.k (kNm)	My.k (kNm)	Mz.k (kNm)	γ_{sr} (-)	γ_{fs} (-)	volba γ_f hledat	γ_f (-)	L_d (m)	δ (-)	Ψ_z KZ03	N.d (kN)	Vy.d (kN)	Vz.d (kN)	ΔVz.d (kN)	ΣVz.d (kN)	Mx.d (kNm)	My.d (kNm)	ΔMy.d (kNm)	ΣMy.d (kNm)	Mz.d (kNm)	ΔMz.d (kNm)	ΣMz.d (kNm)
1	G0	Vlastní tíha OK	G	0	-1	2	3	1	103	-13	1.00	1.20		1.20	-	1.00	0.95	-1	3	4	0	4	1	117	0	117	-15	0	-15
2	G1	Ostatní stálé - mostní vybavení	G	0	0	0	0	0	16	-1	1.00	1.20		1.20	-	1.00	0.95	0	0	0	0	0	0	19	0	19	-1	0	-1
3	G2	Ostatní stálé - cizí zařízení	G	0	0	0	3	0	4	0	1.00	1.20		1.20	-	1.00	0.95	0	0	4	0	4	0	5	0	5	0	0	0
4	P1_71	a.LM71 - kolej 1 (bez dyn. souč.)	P	0	4	1	-206	0	762	-1	1.00	1.30		1.30	-	1.27	1.00	7	2	-341	0	-341	0	1 259	0	1 259	-2	0	-2
5	P2_71	a.LM71 - kolej 2 (bez dyn. souč.)	P	0	28	0	209	1	774	2	1.00	1.30		1.30	-	1.27	1.00	46	-1	346	0	346	1	1 278	0	1 278	3	-1	3
6	P1_C3	TTZ C3 - kolej 1 (bez dyn. souč.)	P	0	3	1	-117	0	432	-1	1.00	vyp.		0.00	-	1.00	0.00	0	0	0	0	0	0	0	0	0	0	0	0
7	P2_C3	TTZ C3 - kolej 2 (bez dyn. souč.)	P	0	18	0	119	0	439	1	1.00	vyp.		0.00	-	1.00	0.00	0	0	0	0	0	0	0	0	0	0	0	0
8	BR	Brzdné a rozjezdové síly	P	0	-8	8	0	-2	6	4	1.00	-1.30		-1.30	-	1.00	0.80	9	-8	0	0	0	2	-6	0	-6	-4	0	-4
9	S	Boční ráz	P	0	45	1	1	0	23	4	1.00	1.30		1.30	-	1.00	0.40	23	0	1	0	1	0	12	0	12	2	0	2
10	CH	Chodci na lávkách	Q	0	0	0	3	0	-15	-1	1.00	0.00		0.00	-	1.00	1.00	0	0	0	0	0	0	0	0	0	0	0	0
11	W	Vítr na konstrukci	Q	0	10	29	9	0	7	17	1.00	-1.35		-1.35	-	1.00	0.75	-10	-29	-9	0	-9	0	-7	0	-7	-18	0	-18
12	WP	Vítr na vozidla	Q	0	18	50	9	0	9	31	1.00	-1.35		-1.35	-	1.00	0.75	-18	-51	-9	0	-9	0	-9	0	-9	-31	0	-31
13	TR	Teplota rovnoměrná	Q	0	0	0	0	0	0	0	1.00	1.35		1.35	-	1.00	0.45	0	0	0	0	0	0	0	0	0	0	0	0
14	TN	Teplota nerovnoměrná	Q	0	-2	0	0	0	4	0	1.00	1.35		1.35	-	1.00	0.60	-1	0	0	0	0	0	3	0	3	0	0	0
15	FR	Třecí síly v ložiskách	Q	0	-1	0	0	0	1	0	1.00	-1.20		-1.20	-	1.00	1.00	1	0	0	0	0	0	-1	0	-1	0	0	0
16	I	Imperfekce soustavy	Q	0	1	1	2	0	1	1	1.00	-1.20		-1.20	-	1.00	1.00	-1	-2	-3	0	-3	0	-1	0	-1	-1	0	-1
27	ULS_LM	ULS - LM71 bez dynam	Q	0	127	91	37	1	2 173	56	1.00	vyp.	1	0.00	-	1.00	0.00	0	0	0	0	0	0	0	0	0	0	0	0
28	SLS_LM	SLS - LM71 bez dynam	Q	0	99	68	29	1	1 684	42	1.00	vyp.	1	0.00	-	1.00	0.00	0	0	0	0	0	0	0	0	0	0	0	0
29	ULS_C3	ULS - C3 bez dynam	Q	0	113	90	36	0	1 308	56	1.00	vyp.	1	0.00	-	1.00	0.00	0	0	0	0	0	0	0	0	0	0	0	0
30	SLS_C3	SLS - C3 bez dynam	Q	0	88	67	28	0	1 019	42	1.00	vyp.	1	0.00	-	1.00	0.00	0	0	0	0	0	0	0	0	0	0	0	0
		CELKEM - FÁZE PRŮŘEZU 0																54	-85	-8	0	-8	4	2 670	0	2 670	-67	0	-67
		CELKEM - FÁZE PRŮŘEZU 1																0	0	0	0	0	0	0	0	0	0	0	0
		CELKEM - FÁZE PRŮŘEZU 2																0	0	0	0	0	0	0	0	0	0	0	0
		CELKEM - FÁZE PRŮŘEZU 3																0	0	0	0	0	0	0	0	0	0	0	0
		CELKEM - PRŮŘEZ																54	-85	-8	0	-8	4			2 670			-67

Napětí od jednotlivých zatěžovacích stavů

SKUPINA ZATĚŽOVACÍCH STAVŮ — Posouzení normálového napětí — Účinek síly N — Účinek momentu My — Účinek momentu Mz — Posouzení smykového napětí — Účinek kroutícího momentu Mx — Účinek smykové síly Vy — Účinek smykové síly Vz

Č.	SKUP ZS	Popis ZS	Kat.	fáze průř.	δ^*N_d [kN]	χ^*A [mm^2]	σ_n [MPa]	$\delta^*M_{y,d}$ [kNm]	$\chi_{lt}{}^*W_{el,y}$ [mm^3]	σ_{my} [MPa]	$\delta^*M_{z,d}$ [kNm]	$W_{el,z}$ [mm^3]	σ_{mz} [MPa]	σ_x [MPa]	$\kappa^*\delta^*M_{x,d}$ [kNm]	$W_{v,y}$ [mm^3]	$\tau_{x,y}$ [MPa]	$W_{v,z}$ [mm^3]	$\tau_{x,z}$ [MPa]	$\delta^*V_{y,d}$ [kN]	$A_{v,y}$ [mm2]	$\tau_{v,y}$ [MPa]	$\tau_{v,y}$ [MPa]	$\delta^*V_{z,d}$ [kN]	$A_{v,z}$ [mm2]	$\tau_{v,z}$ [MPa]	$\tau_{v,z}$ [MPa]
1	G0	Vlastní tíha OK	G	0	-0.7	3.81E+04	0.0	117.0	1.56E+07	7.5	-14.7	-1.55E+06	9.5	17.0	1.2E+00	-	-	-	-	2.6	2.62E+04	0.1	0.1	3.6	7.39E+03	0.5	0.5
2	G1	Ostatní stálé - mostní vybavení	G	0	0.0	3.81E+04	0.0	18.7	1.56E+07	1.2	-1.1	-1.55E+06	0.7	1.9	9.1E-02	-	-	-	-	0.2	2.62E+04	0.0	0.0	0.0	7.39E+03	0.0	0.0
3	G2	Ostatní stálé - cizí zařízení	G	0	0.2	3.81E+04	0.0	4.7	1.56E+07	0.3	-0.1	-1.55E+06	0.0	0.3	3.4E-02	-	-	-	-	0.1	2.62E+04	0.0	0.0	3.9	7.39E+03	0.5	0.5
4	P1_71	a.LM71 - kolej 1 (bez dyn. souč.)	P	0	7.2	3.81E+04	0.2	1 259.5	1.56E+07	80.8	-1.7	-1.55E+06	1.1	82.1	1.7E-01	-	-	-	-	1.8	2.62E+04	0.1	0.1	-340.5	7.39E+03	-46.1	-46.1
5	P2_71	a.LM71 - kolej 2 (bez dyn. souč.)	P	0	45.7	3.81E+04	1.2	1 278.4	1.56E+07	82.0	2.5	-1.55E+06	-1.6	81.6	8.6E-01	-	-	-	-	-0.7	2.62E+04	0.0	0.0	345.5	7.39E+03	46.8	46.8
6	P1_C3	TTZ C3 - kolej 1 (bez dyn. souč.)	P	0	0.0	3.81E+04	0.0	0.0	1.56E+07	0.0	0.0	-1.55E+06	0.0	0.0	0.0E+00	-	-	-	-	0.0	2.62E+04	0.0	0.0	0.0	7.39E+03	0.0	0.0
7	P2_C3	TTZ C3 - kolej 2 (bez dyn. souč.)	P	0	0.0	3.81E+04	0.0	0.0	1.56E+07	0.0	0.0	-1.55E+06	0.0	0.0	0.0E+00	-	-	-	-	0.0	2.62E+04	0.0	0.0	0.0	7.39E+03	0.0	0.0
8	BR	Brzdné a rozjezdové síly	P	0	8.7	3.81E+04	0.2	-5.8	1.56E+07	-0.4	-4.2	-1.55E+06	2.7	2.6	1.6E+00	-	-	-	-	-8.4	2.62E+04	-0.3	-0.3	-0.2	7.39E+03	0.0	0.0
9	S	Boční ráz	P	0	23.2	3.81E+04	0.6	12.0	1.56E+07	0.8	2.1	-1.55E+06	-1.3	0.0	1.6E-02	-	-	-	-	0.5	2.62E+04	0.0	0.0	0.6	7.39E+03	0.1	0.1
10	CH	Chodci na lávkách	Q	0	0.0	3.81E+04	0.0	0.0	1.56E+07	0.0	0.0	-1.55E+06	0.0	0.0	0.0E+00	-	-	-	-	0.0	2.62E+04	0.0	0.0	0.0	7.39E+03	0.0	0.0
11	W	Vítr na konstrukci	Q	0	-10.4	3.81E+04	-0.3	-6.7	1.56E+07	-0.4	-17.7	-1.55E+06	11.4	10.7	3.0E-02	-	-	-	-	-29.3	2.62E+04	-1.1	-1.1	-8.6	7.39E+03	-1.2	-1.2
12	WP	Vítr na vozidla	Q	0	-18.1	3.81E+04	-0.5	-9.0	1.56E+07	-0.6	-31.1	-1.55E+06	20.1	19.1	4.1E-02	-	-	-	-	-50.6	2.62E+04	-1.9	-1.9	-9.2	7.39E+03	-1.2	-1.2
13	TR	Teplota rovnoměrná	Q	0	0.0	3.81E+04	0.0	0.0	1.56E+07	0.0	0.0	-1.55E+06	0.0	0.0	0.0E+00	-	-	-	-	0.0	2.62E+04	0.0	0.0	0.0	7.39E+03	0.0	0.0
14	TN	Teplota nerovnoměrná	Q	0	-1.4	3.81E+04	0.0	3.2	1.56E+07	0.2	0.1	-1.55E+06	-0.1	0.1	-3.2E-02	-	-	-	-	0.0	2.62E+04	0.0	0.0	0.0	7.39E+03	0.0	0.0
15	FR	Třecí síly v ložiskách	Q	0	0.6	3.81E+04	0.0	-0.9	1.56E+07	-0.1	-0.2	-1.55E+06	0.1	0.1	3.6E-02	-	-	-	-	0.1	2.62E+04	0.0	0.0	0.0	7.39E+03	0.0	0.0
16	I	Imperfekce soustavy	Q	0	-1.1	3.81E+04	0.0	-0.8	1.56E+07	-0.1	-0.8	-1.55E+06	0.5	0.5	0.0E+00	-	-	-	-	-1.6	2.62E+04	-0.1	-0.1	-2.6	7.39E+03	-0.4	-0.4
27	ULS_LM	ULS - LM71 bez dynam	Q	0	0.0	3.81E+04	0.0	0.0	1.56E+07	0.0	0.0	-1.55E+06	0.0	0.0	0.0E+00	-	-	-	-	0.0	2.62E+04	0.0	0.0	0.0	7.39E+03	0.0	0.0
28	SLS_LM	SLS - LM71 bez dynam	Q	0	0.0	3.81E+04	0.0	0.0	1.56E+07	0.0	0.0	-1.55E+06	0.0	0.0	0.0E+00	-	-	-	-	0.0	2.62E+04	0.0	0.0	0.0	7.39E+03	0.0	0.0
29	ULS_C3	ULS - C3 bez dynam	Q	0	0.0	3.81E+04	0.0	0.0	1.56E+07	0.0	0.0	-1.55E+06	0.0	0.0	0.0E+00	-	-	-	-	0.0	2.62E+04	0.0	0.0	0.0	7.39E+03	0.0	0.0
30	SLS_C3	SLS - C3 bez dynam	Q	0	0.0	3.81E+04	0.0	0.0	1.56E+07	0.0	0.0	-1.55E+06	0.0	0.0	0.0E+00	-	-	-	-	0.0	2.62E+04	0.0	0.0	0.0	7.39E+03	0.0	0.0
NAVÝŠENÍ NAPĚTÍ DO AKTIVACE TLAKU V DESCE MOSTOVKY						$\sigma_{P,red}$	0.0							0.0													
NAPĚTÍ OD PRIMÁRNÍCH ÚČINKŮ NEROVNOMĚRNÉHO OTEPLENÍ						σ_T	0.0							0.0													
NAPĚTÍ OD REOLOGICKÝCH ÚČINKŮ BETONU V ČASE		t=0				σ_R	0.0			γ=	1.20			0.0													
NAPĚTÍ V KRITICKÝCH VLÁKNECH OD KOMBINACE ZATÍŽENÍ						KZ03		[MPa]					$\Sigma\sigma_x$	216.0								$\Sigma\tau_y$	-3.3				$\Sigma\tau_z$	-1.0
NAPĚTÍ OD POHYBLIVÉHO ZATÍŽENÍ								[MPa]					$\sigma_{x,P}$	166.3								τ_P	-0.3				τ_P	0.7
NAPĚTÍ OD OSTATNÍCH ZATÍŽENÍ								[MPa]			Φ_{Vy}	Φ_{Vz}	$\sigma_{x,rs}$	49.7								τ_{rs}	-3.0				τ_{rs}	-1.7
NÁVRHOVÁ HODNOTA MEZE KLUZU S REDUKCÍ VLIVEM SMYKOVÉHO NAPĚTÍ								[MPa]			1.00	1.00	$f_{yv,d}$	209.1								$f_{yd}/3^{0,5}$	120.7				$f_{yd}/3^{0,5}$	120.7
NAPĚTÍ OD POHYBLIVÉHO ZATÍŽENÍ V GLOBÁLNÍM SYSTÉMU						$\sigma_{GLOB,P}$	0.0	[MPa]					$\Sigma\sigma_{GLOB}$	0.0														
NAPĚTÍ OD OSTATNÍCH ZATÍŽENÍ V GLOBÁLNÍM SYSTÉMU						$\sigma_{GLOB,rs}$	0.0	[MPa]					$\Sigma\sigma_x + \Sigma\sigma_{GLOB}$	216.0														
VYUŽITÍ PRŮŘEZU DLE NAPĚTÍ								[%]					η_1	1.03								η_3	0.03				η_3	0.01
NAPĚTÍ V PŘÍČNÉM SMĚRU OD POHYBLIVÉHO ZATÍŽENÍ						$\sigma_{z,P}$	0.0	[MPa]					$\Sigma\sigma_z$	0.0														
NAPĚTÍ V PŘÍČNÉM SMĚRU OD OSTATNÍCH ZATÍŽENÍ						$\sigma_{z,rs}$	0.0	[MPa]					η_2	0.00														
SROVNÁVACÍ NAPĚTÍ													$(\eta_2 + 0{,}8\,\eta_1)/1{,}4$ =	0.59														
VYUŽITÍ PRŮŘEZU CELKEM								[%]					eff	1.03	NEVYHOVUJE													
STANOVENÍ ZATÍŽITELNOSTI													z_{LM71} =	0.96														

TAB. P3.4.3 POSOUZENÍ - MEZNÍ STAV ÚNOSNOSTI

POPIS	PŘÍČNÍK P3 - STŘED
PRUT / POLOHA BODU	683 / I[561]
NAMÁHÁNÍ	Vz.max
VLÁKNO	BOD S6 -HP
MEZNÍ STAV	ULS (MSÚ)
VYUŽITÍ VLÁKNA PRŮŘEZU	0.44

Charakteristiky materiálu				
pás. horní	$f_{yf,k}$	230	MPa	
pás. dolní	$f_{yf,k}$	230	MPa	
stojina	$f_{yw,k}$	230	MPa	
výztuž	$f_{ys,k}$	500	MPa	
γ_M =	1.10	γ_s =	1.15	

Excentricita normálové síly				
Exc./Fáze	0	1	2	3
e_y	0.000	0.000	0.000	0.000
e_z	0.000	0.000	0.000	0.000
Ekvivalentní vzdál. stěn - příčný roznos				
b_{Mx}	0.000	0.000	0.000	0.000

Vliv stěny na únosnost průřezu				
Char./Fáze	0	1	2	3
A	0.00	0.00	0.00	0.00
Wy	0.00	0.00	0.00	0.00
Wz	0.00	0.00	0.00	0.00

Charakter. v kroucení			
$t_{w,y}$	0.000	[mm]	
$t_{w,z}$	0.000	[mm]	
κ	1.00		
I_t=	0.00E+00	[mm^4]	
$\Omega=2*A_{pr}$	0.00E+00	[mm^2]	

Součinitele vzpěru a vlivu II.řádu				
Char./Fáze	0	1	2	3
k_y	1.000	1.000	1.000	1.000
k_z	1.000	1.000	1.000	1.000
χ_{LT}	1.000	1.000	1.000	1.000
χ_{min}	1.000	1.000	1.000	1.000

δ_{LOK} 1.00

Vnitřní síly od jednotlivých skupin zatěžovacích stavů

SKUPINA ZATĚŽOVACÍCH STAVŮ — 4

Č.	SKUP ZS	POPIS ZS	KAT.	FÁZE PRŮŘ.	- CHARAKTERISTICKÉ HODNOTY N.k (kN)	Vy.k (kN)	Vz.k (kN)	Mx.k (kNm)	My.k (kNm)	Mz.k (kNm)	DÍLČÍ SOUČINITELÉ ZATÍŽENÍ, DYNAMICKÝ SOUČINITEL γ_{sr} (-)	γ_{sl} (-)	volba γ_{sl} hledat	γ_{sl} (-)	L_d (m)	δ (-)	γ_{sc} KZ04	- NÁVRHOVÉ HODNOTY N.d (kN)	Vy.d (kN)	Vz.d (kN)	ΔVz.d (kN)	ΣVz.d (kN)	Mx.d (kNm)	My.d (kNm)	ΔMy.d (kNm)	ΣMy.d (kNm)	Mz.d (kNm)	ΔMz.d (kNm)	ΣMz.d (kNm)
1	G0	Vlastní tíha OK	G	0	-1	2	3	1	103	-13	1.00	1.20		1.20	-	1.00	0.95	-1	3	4	0	4	1	117	0	117	-15	0	-15
2	G1	Ostatní stálé - mostní vybavení	G	0	0	0	0	0	16	-1	1.00	1.20		1.20	-	1.00	0.95	0	0	0	0	0	0	19	0	19	-1	0	-1
3	G2	Ostatní stálé - cizí zařízení	G	0	0	0	3	0	4	0	1.00	1.20		1.20	-	1.00	0.95	0	0	4	0	4	0	5	0	5	0	0	0
4	P1_71	a.LM71 - kolej 1 (bez dyn. souč.)	P	0	-3	0	0	0	7	0	1.00	1.30		1.30	-	1.27	1.00	-5	1	0	0	0	0	12	0	12	-1	0	0
5	P2_71	a.LM71 - kolej 2 (bez dyn. souč.)	P	0	30	0	211	1	760	2	1.00	1.30		1.30	-	1.27	1.00	50	0	349	0	349	1	1 256	0	1 256	4	-1	3
6	P1_C3	TTZ C3 - kolej 1 (bez dyn. souč.)	P	0	-2	0	0	0	8	0	1.00	vyp.		0.00	-	1.00	0.00	0	0	0	0	0	0	0	0	0	0	0	0
7	P2_C3	TTZ C3 - kolej 2 (bez dyn. souč.)	P	0	21	0	121	0	427	2	1.00	vyp.		0.00	-	1.00	0.00	0	0	0	0	0	0	0	0	0	0	0	0
8	BR	Brzdné a rozjezdové síly	P	0	8	18	0	1	-2	-1	1.00	1.30		1.30	-	1.00	0.40	4	9	0	0	0	1	-1	0	-1	-1	0	-1
9	S	Boční ráz	P	0	3	-21	2	0	2	-13	1.00	1.30		1.30	-	1.00	0.80	3	-22	3	0	3	0	2	0	2	-14	0	-14
10	CH	Chodci na lávkách	Q	0	0	0	3	0	-15	-1	1.00	1.30		1.30	-	1.00	1.00	-1	0	3	0	3	0	-20	0	-20	-1	0	-1
11	W	Vítr na konstrukci	Q	0	10	29	9	0	7	17	1.00	1.35		1.35	-	1.00	0.75	10	29	9	0	9	0	7	0	7	18	0	18
12	WP	Vítr na vozidla	Q	0	18	50	9	0	9	31	1.00	1.35		1.35	-	1.00	0.75	18	51	9	0	9	0	9	0	9	31	0	31
13	TR	Teplota rovnoměrná	Q	0	0	0	0	0	0	0	1.00	1.35		1.35	-	1.00	0.45	0	0	0	0	0	0	0	0	0	0	0	0
14	TN	Teplota nerovnoměrná	Q	0	7	4	8	0	-1	4	1.00	1.35		1.35	-	1.00	0.60	6	3	7	0	7	0	-1	0	-1	3	0	3
15	FR	Třecí síly v ložiskách	Q	0	-1	0	0	0	1	0	1.00	-1.20		-1.20	-	1.00	1.00	1	0	0	0	0	0	-1	0	-1	0	0	0
16	I	Imperfekce soustavy	Q	0	1	1	2	0	1	1	1.00	1.20		1.20	-	1.00	1.00	1	2	3	0	3	0	1	0	1	1	0	1
27	ULS_LM	ULS - LM71 bez dynam	Q	0	84	71	316	3	1 137	36	1.00	vyp.		0.00	-	1.00	0.00	0	0	0	0	0	0	0	0	0	0	0	0
28	SLS_LM	SLS - LM71 bez dynam	Q	0	60	50	238	2	890	23	1.00	vyp.	1	0.00	-	1.00	0.00	0	0	0	0	0	0	0	0	0	0	0	0
29	ULS_C3	ULS - C3 bez dynam	Q	0	72	71	200	2	704	35	1.00	vyp.	1	0.00	-	1.00	0.00	0	0	0	0	0	0	0	0	0	0	0	0
30	SLS_C3	SLS - C3 bez dynam	Q	0	51	50	149	2	558	23	1.00	vyp.	1	0.00	-	1.00	0.00	0	0	0	0	0	0	0	0	0	0	0	0
		CELKEM - FÁZE PRŮŘEZU 0			87	76	390	0										390	3	1 404	0	1 404	25	-1	24			
		CELKEM - FÁZE PRŮŘEZU 1			0	0	0	0										0	0	0	0	0	0	0	0	0	0	0	0
		CELKEM - FÁZE PRŮŘEZU 2			0	0	0	0										0	0	0	0	0	0	0	0	0	0	0	0
		CELKEM - FÁZE PRŮŘEZU 3			0	0	0	0										0	0	0	0	0	0	0	0	0	0	0	0
		CELKEM - PRŮŘEZ			87	76	390	0										390	3			1 404						24

Napětí od jednotlivých zatěžovacích stavů

SKUPINA ZATĚŽOVACÍCH STAVŮ

Č.	SKUP ZS	Popis ZS	Kat.	fáze průř.	Posouzení normálového napětí — Účinek síly N δ^*N_d [kN]	χ^*A [mm^2]	σ_n [MPa]	Účinek momentu My $\delta^*M_{y,d}$ [kNm]	$\chi_{lt}*W_{el,y}$ [mm^3]	σ_{my} [MPa]	Účinek momentu Mz $\delta^*M_{z,d}$ [kNm]	$W_{el,z}$ [mm^3]	σ_{mz} [MPa]	σ_x [MPa]	Posouzení smykového napětí — Účinek kroutícího momentu Mx $\kappa*\delta^*M_{x,d}$ [kNm]	$W_{v,y}$ [mm^2]	$\tau_{x,y}$ [MPa]	$W_{v,z}$ [mm^2]	$\tau_{x,z}$ [MPa]	Účinek smykové síly Vy $\delta^*V_{y,d}$ [kN]	$A_{v,y}$ [mm2]	$\tau_{v,y}$ [MPa]	$\tau_{v,y}$ [MPa]	Účinek smykové síly Vz $\delta^*V_{z,d}$ [kN]	$A_{v,z}$ [mm2]	$\tau_{v,z}$ [MPa]	$\tau_{v,z}$ [MPa]
1	G0	Vlastní tíha OK	G	0	-0.7	3.81E+04	0.0	117.0	1.64E+07	7.1	-14.7	-4.75E+07	0.3	7.4	1.2E+00	-	-	-	-	2.6	2.62E+04	0.1	0.1	3.6	7.39E+03	0.5	0.5
2	G1	Ostatní stálé - mostní vybavení	G	0	0.0	3.81E+04	0.0	18.7	1.64E+07	1.1	-1.1	-4.75E+07	0.0	1.2	9.1E-02	-	-	-	-	0.2	2.62E+04	0.0	0.0	0.0	7.39E+03	0.0	0.0
3	G2	Ostatní stálé - cizí zařízení	G	0	0.2	3.81E+04	0.0	4.7	1.64E+07	0.3	-0.1	-4.75E+07	0.0	0.3	3.4E-02	-	-	-	-	0.1	2.62E+04	0.0	0.0	3.9	7.39E+03	0.5	0.5
4	P1_71	a.LM71 - kolej 1 (bez dyn. souč.)	P	0	-4.6	3.81E+04	-0.1	12.2	1.64E+07	0.7	-0.4	-4.75E+07	0.0	0.6	5.0E-02	-	-	-	-	0.6	2.62E+04	0.0	0.0	0.3	7.39E+03	0.0	0.0
5	P2_71	a.LM71 - kolej 2 (bez dyn. souč.)	P	0	49.9	3.81E+04	1.3	1 256.4	1.64E+07	76.4	3.1	-4.75E+07	-0.1	77.7	9.7E-01	-	-	-	-	-0.2	2.62E+04	0.0	0.0	348.9	7.39E+03	47.2	47.2
6	P1_C3	TTZ C3 - kolej 1 (bez dyn. souč.)	P	0	0.0	3.81E+04	0.0	0.0	1.64E+07	0.0	0.0	-4.75E+07	0.0	0.0	0.0E+00	-	-	-	-	0.0	2.62E+04	0.0	0.0	0.0	7.39E+03	0.0	0.0
7	P2_C3	TTZ C3 - kolej 2 (bez dyn. souč.)	P	0	0.0	3.81E+04	0.0	0.0	1.64E+07	0.0	0.0	-4.75E+07	0.0	0.0	0.0E+00	-	-	-	-	0.0	2.62E+04	0.0	0.0	0.0	7.39E+03	0.0	0.0
8	BR	Brzdné a rozjezdové síly	P	0	3.9	3.81E+04	0.1	-1.1	1.64E+07	-0.1	-0.7	-4.75E+07	0.0	0.1	7.7E-01	-	-	-	-	9.3	2.62E+04	0.4	0.4	0.2	7.39E+03	0.0	0.0
9	S	Boční ráz	P	0	3.0	3.81E+04	0.1	1.7	1.64E+07	0.1	-13.5	-4.75E+07	0.3	0.5	2.1E-02	-	-	-	-	-22.0	2.62E+04	-0.8	-0.8	2.5	7.39E+03	0.3	0.3
10	CH	Chodci na lávkách	Q	0	-0.5	3.81E+04	0.0	-20.0	1.64E+07	-1.2	-0.7	-4.75E+07	0.0	-1.2	7.8E-02	-	-	-	-	0.5	2.62E+04	0.0	0.0	3.3	7.39E+03	0.4	0.4
11	W	Vítr na konstrukci	Q	0	10.4	3.81E+04	0.3	6.7	1.64E+07	0.4	17.7	-4.75E+07	-0.4	0.3	-3.0E-02	-	-	-	-	29.3	2.62E+04	1.1	1.1	8.6	7.39E+03	1.2	1.2
12	WP	Vítr na vozidla	Q	0	18.1	3.81E+04	0.5	9.0	1.64E+07	0.5	31.1	-4.75E+07	-0.7	0.4	-4.1E-02	-	-	-	-	50.6	2.62E+04	1.9	1.9	9.2	7.39E+03	1.2	1.2
13	TR	Teplota rovnoměrná	Q	0	0.0	3.81E+04	0.0	0.0	1.64E+07	0.0	0.0	-4.75E+07	0.0	0.0	0.0E+00	-	-	-	-	0.0	2.62E+04	0.0	0.0	0.0	7.39E+03	0.0	0.0
14	TN	Teplota nerovnoměrná	Q	0	5.5	3.81E+04	0.1	-0.9	1.64E+07	-0.1	3.3	-4.75E+07	-0.1	0.0	1.6E-02	-	-	-	-	3.5	2.62E+04	0.1	0.1	6.8	7.39E+03	0.9	0.9
15	FR	Třecí síly v ložiskách	Q	0	0.6	3.81E+04	0.0	-0.9	1.64E+07	-0.1	-0.2	-4.75E+07	0.0	0.0	3.6E-02	-	-	-	-	0.1	2.62E+04	0.0	0.0	0.0	7.39E+03	0.0	0.0
16	I	Imperfekce soustavy	Q	0	1.1	3.81E+04	0.0	0.8	1.64E+07	0.1	0.8	-4.75E+07	0.0	0.1	0.0E+00	-	-	-	-	1.6	2.62E+04	0.1	0.1	2.6	7.39E+03	0.4	0.4
27	ULS_LM	ULS - LM71 bez dynam	Q	0	0.0	3.81E+04	0.0	0.0	1.64E+07	0.0	0.0	-4.75E+07	0.0	0.0	0.0E+00	-	-	-	-	0.0	2.62E+04	0.0	0.0	0.0	7.39E+03	0.0	0.0
28	SLS_LM	SLS - LM71 bez dynam	Q	0	0.0	3.81E+04	0.0	0.0	1.64E+07	0.0	0.0	-4.75E+07	0.0	0.0	0.0E+00	-	-	-	-	0.0	2.62E+04	0.0	0.0	0.0	7.39E+03	0.0	0.0
29	ULS_C3	ULS - C3 bez dynam	Q	0	0.0	3.81E+04	0.0	0.0	1.64E+07	0.0	0.0	-4.75E+07	0.0	0.0	0.0E+00	-	-	-	-	0.0	2.62E+04	0.0	0.0	0.0	7.39E+03	0.0	0.0
30	SLS_C3	SLS - C3 bez dynam	Q	0	0.0	3.81E+04	0.0	0.0	1.64E+07	0.0	0.0	-4.75E+07	0.0	0.0	0.0E+00	-	-	-	-	0.0	2.62E+04	0.0	0.0	0.0	7.39E+03	0.0	0.0
NAVÝŠENÍ NAPĚTÍ DO AKTIVACE TLAKU V DESCE MOSTOVKY						$\sigma_{P,red}$	0.0							0.0			0.0		0.0			2.9	2.9			52.8	52.8
NAPĚTÍ OD PRIMÁRNÍCH ÚČINKŮ NEROVNOMĚRNÉHO OTEPLENÍ						σ_T	0.0							0.0													
NAPĚTÍ OD REOLOGICKÝCH ÚČINKŮ BETONU V ČASE		t=0				σ_R	0.0	γ=	1.20					0.0													
NAPĚTÍ V KRITICKÝCH VLÁKNECH OD KOMBINACE ZATÍŽENÍ						KZ04		[MPa]					$\Sigma\sigma_x$	87.2							$\Sigma\tau_y$	2.9				$\Sigma\tau_z$	52.8
NAPĚTÍ OD POHYBLIVÉHO ZATÍŽENÍ								[MPa]					$\sigma_{x,P}$	78.8							τ_P	-0.5				τ_P	47.6
NAPĚTÍ OD OSTATNÍCH ZATÍŽENÍ								[MPa]			Φ_{Vy}	Φ_{Vz}	$\sigma_{x,rs}$	8.4							τ_{rs}	3.4				τ_{rs}	5.1
NÁVRHOVÁ HODNOTA MEZE KLUZU S REDUKCÍ VLIVEM SMYKOVÉHO NAPĚTÍ								[MPa]			1.00	1.00	$f_{yv,d}$	209.1							$f_{yd}/3^{0,5}$	120.7				$f_{yd}/3^{0,5}$	120.7
NAPĚTÍ OD POHYBLIVÉHO ZATÍŽENÍ V GLOBÁLNÍM SYSTÉMU						$\sigma_{GLOB,P}$	0.0	[MPa]					$\Sigma\sigma_{GLOB}$	0.0													
NAPĚTÍ OD OSTATNÍCH ZATÍŽENÍ V GLOBÁLNÍM SYSTÉMU						$\sigma_{GLOB,rs}$	0.0	[MPa]					$\Sigma\sigma_x + \Sigma\sigma_{GLOB}$	87.2													
VYUŽITÍ PRŮŘEZU DLE NAPĚTÍ								[%]					η_1	0.42							η_3	0.02				η_3	0.44
NAPĚTÍ V PŘÍČNÉM SMĚRU OD POHYBLIVÉHO ZATÍŽENÍ						$\sigma_{z,P}$	0.0	[MPa]					$\Sigma\sigma_z$	0.0													
NAPĚTÍ V PŘÍČNÉM SMĚRU OD OSTATNÍCH ZATÍŽENÍ						$\sigma_{z,rs}$	0.0	[MPa]					η_2	0.00													
SROVNÁVACÍ NAPĚTÍ													$(\eta_2 + 0,8\,\eta_1)/1,4$ =	0.24													
VYUŽITÍ PRŮŘEZU CELKEM								[%]					eff	0.44	VYHOVUJE												
STANOVENÍ ZATÍŽITELNOSTI													z_{LM71} =	2.43													

TR_P4.1 POPIS: **PŘÍČNÍK P4 - ZÁKLADNÍ ČÁST** POSUDEK: **P4.1**

SKUPINA ZAT. STAVŮ	EXTRÉM	VYHODNOCOVANÉ VELIČINY					
		N	Vy	Vz	Mx	My	Mz
		kN	kN	kN	kNm	kNm	kNm
G0	N.min	**-57.12**	11.58	-47.8	-0.02	18.17	-7.12
	N.max	**-57.12**	11.58	-47.8	-0.02	18.17	-7.12
	Vy.min	-57.12	**11.58**	-47.8	-0.02	18.17	-7.12
	Vy.max	-57.12	**11.58**	-47.8	-0.02	18.17	-7.12
	Vz.min	-57.12	11.58	**-47.8**	-0.02	18.17	-7.12
	Vz.max	-57.12	11.58	**-47.8**	-0.02	18.17	-7.12
	Mx.min	-57.12	11.58	-47.8	**-0.02**	18.17	-7.12
	Mx.max	-57.12	11.58	-47.8	**-0.02**	18.17	-7.12
	My.min	-57.12	11.58	-47.8	-0.02	**18.17**	-7.12
	My.max	-57.12	11.58	-47.8	-0.02	**18.17**	-7.12
	Mz.min	-57.12	11.58	-47.8	-0.02	18.17	**-7.12**
	Mz.max	-57.12	11.58	-47.8	-0.02	18.17	**-7.12**
G1	N.min	**-4.85**	0.88	-7.52	0	4.38	-0.54
	N.max	**-4.85**	0.88	-7.52	0	4.38	-0.54
	Vy.min	-4.85	**0.88**	-7.52	0	4.38	-0.54
	Vy.max	-4.85	**0.88**	-7.52	0	4.38	-0.54
	Vz.min	-4.85	0.88	**-7.52**	0	4.38	-0.54
	Vz.max	-4.85	0.88	**-7.52**	0	4.38	-0.54
	Mx.min	-4.85	0.88	-7.52	**0**	4.38	-0.54
	Mx.max	-4.85	0.88	-7.52	**0**	4.38	-0.54
	My.min	-4.85	0.88	-7.52	0	**4.38**	-0.54
	My.max	-4.85	0.88	-7.52	0	**4.38**	-0.54
	Mz.min	-4.85	0.88	-7.52	0	4.38	**-0.54**
	Mz.max	-4.85	0.88	-7.52	0	4.38	**-0.54**
G2	N.min	**-1.69**	0.78	-3.63	0	-7.47	-0.6
	N.max	**-1.69**	0.78	-3.63	0	-7.47	-0.6
	Vy.min	-1.69	**0.78**	-3.63	0	-7.47	-0.6
	Vy.max	-1.69	**0.78**	-3.63	0	-7.47	-0.6
	Vz.min	-1.69	0.78	**-3.63**	0	-7.47	-0.6
	Vz.max	-1.69	0.78	**-3.63**	0	-7.47	-0.6
	Mx.min	-1.69	0.78	-3.63	**0**	-7.47	-0.6
	Mx.max	-1.69	0.78	-3.63	**0**	-7.47	-0.6
	My.min	-1.69	0.78	-3.63	0	**-7.47**	-0.6
	My.max	-1.69	0.78	-3.63	0	**-7.47**	-0.6
	Mz.min	-1.69	0.78	-3.63	0	-7.47	**-0.6**
	Mz.max	-1.69	0.78	-3.63	0	-7.47	**-0.6**
P1_71	N.min	**-97.61**	12.62	-207.09	-0.03	93.95	-11.1
	N.max	**0.37**	0	-0.18	0	-0.35	0.01
	Vy.min	-9.18	**-0.76**	-0.02	0	-9.43	0.93
	Vy.max	-77.34	**13.58**	-123.61	-0.04	40.6	-12.12
	Vz.min	-81.96	11.87	**-210.53**	-0.04	108.03	-10.49
	Vz.max	-21.3	0.77	**1.39**	0	-17.99	-0.59
	Mx.min	-60.74	12.42	-121.68	**-0.08**	48.16	-11.22
	Mx.max	-45.28	1	-61.06	**0.05**	30.3	-0.59
	My.min	-54.9	10.57	-6.01	-0.03	**-49.74**	-9.44
	My.max	-53.39	3.5	-204.72	-0.01	**132.74**	-3.11
	Mz.min	-76.63	13.58	-123.67	-0.04	41.2	**-12.12**
	Mz.max	-9.88	-0.76	0.05	0	-10.03	**0.93**
P2_71	N.min	**-104.4**	16.37	-446.74	0.03	492.63	-11.26
	N.max	**0.36**	0.03	0.15	0	0.65	-0.05
	Vy.min	-7.36	**-1.07**	1.72	0	-1.39	1.27
	Vy.max	-84.28	**17.64**	-271.18	-0.02	318.39	-12.35
	Vz.min	-55.97	4.67	**-512.03**	-0.02	551.28	-3.25
	Vz.max	-58.34	13.52	**15.53**	-0.02	6.24	-9.1
	Mx.min	-64.55	14.37	-295.36	**-0.19**	338.41	-9.71
	Mx.max	-52.38	3.19	-247.61	**0.17**	271.97	-2.2
	My.min	-30.44	0.74	8.28	0	**-7.37**	-0.06
	My.max	-82.31	15.41	-505.99	-0.03	**561.82**	-10.63
	Mz.min	-83.8	17.47	-265.23	-0.02	304.74	**-12.36**
	Mz.max	-10.54	-1.06	2.68	0	-2.56	**1.28**
P1_C3	N.min	**-74.2**	10.38	-120.36	-0.03	38.3	-9.11
	N.max	**0.3**	0	-0.13	0	-0.26	0.01
	Vy.min	-4.49	**-0.44**	-0.09	0	-4.87	0.53
	Vy.max	-67.35	**10.82**	-120.04	-0.03	45.16	-9.65
	Vz.min	-60.96	9.62	**-121.26**	-0.03	49.8	-8.47
	Vz.max	-19.26	1.09	**1.2**	0	-16.83	-0.9
	Mx.min	-45.31	10.14	-88.86	**-0.06**	30.79	-9.12
	Mx.max	-26.7	0.5	-29.7	**0.03**	11.97	-0.25
	My.min	-45.82	8.53	-6.33	-0.02	**-38.52**	-7.57
	My.max	-30.34	2.02	-115.89	-0.01	**75.28**	-1.8
	Mz.min	-67.3	10.82	-120.18	-0.03	45.25	**-9.65**
	Mz.max	-4.49	-0.44	-0.09	0	-4.87	**0.53**
P2_C3	N.min	**-77.94**	13.52	-263.18	-0.01	295.64	-9.33
	N.max	**0.29**	0.02	0.12	0	0.52	-0.03
	Vy.min	-2.99	**-0.67**	0.55	0	-0.4	0.77
	Vy.max	-72.36	**14.17**	-266.66	-0.01	306.37	-9.95
	Vz.min	-28.7	2.51	**-290.42**	-0.01	311.86	-1.76
	Vz.max	-47.79	10.95	**11.68**	-0.01	5.93	-7.32
	Mx.min	-46.46	12.07	-169.09	**-0.12**	200.16	-8.18
	Mx.max	-32.46	1.56	-145.88	**0.11**	160.18	-0.92
	My.min	-20.04	1.28	6.07	0	**-4.97**	-0.72
	My.max	-55.47	12.42	-284.58	-0.02	**321.59**	-8.62
	Mz.min	-72.36	14.17	-266.66	-0.01	306.37	**-9.95**
	Mz.max	-4.22	-0.66	0.92	0	-0.88	**0.77**
BR	N.min	**-30.17**	41.93	-0.79	-0.02	-12.76	-45.64
	N.max	**30.17**	-41.93	0.79	0.02	12.76	45.64
	Vy.min	30.17	**-41.93**	0.79	0.02	12.76	45.64
	Vy.max	-30.17	**41.93**	-0.79	-0.02	-12.76	-45.64
	Vz.min	-30.17	41.93	**-0.79**	-0.02	-12.76	-45.64
	Vz.max	30.17	-41.93	**0.79**	0.02	12.76	45.64
	Mx.min	-30.17	41.93	-0.79	**-0.02**	-12.76	-45.64
	Mx.max	30.17	-41.93	0.79	**0.02**	12.76	45.64
	My.min	-30.17	41.93	-0.79	-0.02	**-12.76**	-45.64
	My.max	30.17	-41.93	0.79	0.02	**12.76**	45.64
	Mz.min	-30.17	41.93	-0.79	-0.02	-12.76	**-45.64**
	Mz.max	30.17	-41.93	0.79	0.02	12.76	**45.64**

TR_P4.1 POPIS: **PŘÍČNÍK P4 - ZÁKLADNÍ ČÁST** POSUDEK: **P4.1**

SKUPINA ZAT. STAVŮ	EXTRÉM	VYHODNOCOVANÉ VELIČINY					
		N	Vy	Vz	Mx	My	Mz
		kN	kN	kN	kNm	kNm	kNm
S	N.min	**-48.16**	0.49	0.96	-0.02	-3.21	-0.33
	N.max	**48.16**	-0.49	-0.96	0.02	3.21	0.33
	Vy.min	-1.69	**-3.59**	2.82	0.01	9.89	4.75
	Vy.max	1.69	**3.59**	-2.82	-0.01	-9.89	-4.75
	Vz.min	1.69	3.59	**-2.82**	-0.01	-9.89	-4.75
	Vz.max	-1.69	-3.59	**2.82**	0.01	9.89	4.75
	Mx.min	38.98	3.5	-1.49	**-0.04**	0.43	-4.57
	Mx.max	-38.98	-3.5	1.49	**0.04**	-0.43	4.57
	My.min	1.69	3.59	-2.82	-0.01	**-9.89**	-4.75
	My.max	-1.69	-3.59	2.82	0.01	**9.89**	4.75
	Mz.min	1.69	3.59	-2.82	-0.01	-9.89	**-4.75**
	Mz.max	-1.69	-3.59	2.82	0.01	9.89	**4.75**
CH	N.min	**-1.88**	1.38	2.32	0	-8.99	-1.2
	N.max	**-0.32**	1.19	-0.59	0	-33.27	-1.06
	Vy.min	-0.32	**1.19**	-0.59	0	-33.27	-1.06
	Vy.max	-1.44	**1.97**	-0.01	0	-31.7	-1.53
	Vz.min	-0.32	1.19	**-0.59**	0	-33.27	-1.06
	Vz.max	-1.88	1.38	**2.32**	0	-8.99	-1.2
	Mx.min	-1.88	1.38	2.32	**0**	-8.99	-1.2
	Mx.max	-0.32	1.19	-0.59	**0**	-33.27	-1.06
	My.min	-0.32	1.19	-0.59	0	**-33.27**	-1.06
	My.max	-1.88	1.38	2.32	0	**-8.99**	-1.2
	Mz.min	-1.44	1.97	-0.01	0	-31.7	**-1.53**
	Mz.max	-0.32	1.19	-0.59	0	-33.27	**-1.06**
W	N.min	**-3.16**	3.84	6.56	-0.02	20.74	-6.15
	N.max	**0.19**	-3.82	-6.56	0.02	-20.7	6.14
	Vy.min	0.19	**-3.82**	-6.56	0.02	-20.7	6.14
	Vy.max	-3.16	**3.84**	6.56	-0.02	20.74	-6.15
	Vz.min	0.19	-3.82	**-6.56**	0.02	-20.7	6.14
	Vz.max	-3.16	3.84	**6.56**	-0.02	20.74	-6.15
	Mx.min	-3.16	3.84	6.56	**-0.02**	20.74	-6.15
	Mx.max	0.19	-3.82	-6.56	**0.02**	-20.7	6.14
	My.min	0.19	-3.82	-6.56	0.02	**-20.7**	6.14
	My.max	-3.16	3.84	6.56	-0.02	**20.74**	-6.15
	Mz.min	-3.16	3.84	6.56	-0.02	20.74	**-6.15**
	Mz.max	0.19	-3.82	-6.56	0.02	-20.7	**6.14**
WP	N.min	**-32.07**	-7.25	-7.44	0.03	42.74	10.87
	N.max	**32.05**	7.26	7.44	-0.03	-42.76	-10.88
	Vy.min	-32.07	**-7.25**	-7.44	0.03	42.74	10.87
	Vy.max	32.05	**7.26**	7.44	-0.03	-42.76	-10.88
	Vz.min	-32.07	-7.25	**-7.44**	0.03	42.74	10.87
	Vz.max	32.05	7.26	**7.44**	-0.03	-42.76	-10.88
	Mx.min	32.05	7.26	7.44	**-0.03**	-42.76	-10.88
	Mx.max	-32.07	-7.25	-7.44	**0.03**	42.74	10.87
	My.min	32.05	7.26	7.44	-0.03	**-42.76**	-10.88
	My.max	-32.07	-7.25	-7.44	0.03	**42.74**	10.87
	Mz.min	32.05	7.26	7.44	-0.03	-42.76	**-10.88**
	Mz.max	-32.07	-7.25	-7.44	0.03	42.74	**10.87**
TR	N.min	**0**	0	0	0	0	0
	N.max	**0**	0	0	0	0	0
	Vy.min	0	**0**	0	0	0	0
	Vy.max	0	**0**	0	0	0	0
	Vz.min	0	0	**0**	0	0	0
	Vz.max	0	0	**0**	0	0	0
	Mx.min	0	0	0	**0**	0	0
	Mx.max	0	0	0	**0**	0	0
	My.min	0	0	0	0	**0**	0
	My.max	0	0	0	0	**0**	0
	Mz.min	0	0	0	0	0	**0**
	Mz.max	0	0	0	0	0	**0**
TN	N.min	**-3.32**	-0.89	-0.51	0.02	2.69	0.7
	N.max	**3.32**	0.89	0.51	-0.02	-2.69	-0.7
	Vy.min	-3.32	**-0.89**	-0.51	0.02	2.69	0.7
	Vy.max	3.32	**0.89**	0.51	-0.02	-2.69	-0.7
	Vz.min	1.97	0.86	**-9.33**	-0.03	-35.79	-0.22
	Vz.max	-0.4	-0.01	**9.8**	0	26.38	-0.43
	Mx.min	1.97	0.86	-9.33	**-0.03**	-35.79	-0.22
	Mx.max	-3.32	-0.89	-0.51	**0.02**	2.69	0.7
	My.min	1.97	0.86	-9.33	-0.03	**-35.79**	-0.22
	My.max	-0.4	-0.01	9.8	0	**26.38**	-0.43
	Mz.min	3.32	0.89	0.51	-0.02	-2.69	**-0.7**
	Mz.max	-3.32	-0.89	-0.51	0.02	2.69	**0.7**
FR	N.min	**-4.02**	0.53	-0.09	0	-1.55	-0.34
	N.max	**4.02**	-0.53	0.09	0	1.55	0.34
	Vy.min	4.02	**-0.53**	0.09	0	1.55	0.34
	Vy.max	-4.02	**0.53**	-0.09	0	-1.55	-0.34
	Vz.min	-4.02	0.53	**-0.09**	0	-1.55	-0.34
	Vz.max	4.02	-0.53	**0.09**	0	1.55	0.34
	Mx.min	4.02	-0.53	0.09	**0**	1.55	0.34
	Mx.max	-4.02	0.53	-0.09	**0**	-1.55	-0.34
	My.min	-4.02	0.53	-0.09	0	**-1.55**	-0.34
	My.max	4.02	-0.53	0.09	0	**1.55**	0.34
	Mz.min	-4.02	0.53	-0.09	0	-1.55	**-0.34**
	Mz.max	4.02	-0.53	0.09	0	1.55	**0.34**
I	N.min	**-0.34**	0.03	2	0	6.49	**-0.22**
	N.max	**0.34**	-0.03	-2	0	-6.49	**0.22**
	Vy.min	0.34	**-0.03**	-2	0	-6.49	**0.22**
	Vy.max	-0.34	**0.03**	2	0	6.49	**-0.22**
	Vz.min	0.34	-0.03	**-2**	0	-6.49	**0.22**
	Vz.max	-0.34	0.03	**2**	0	6.49	**-0.22**
	Mx.min	-0.34	0.03	2	**0**	6.49	**-0.22**
	Mx.max	0.34	-0.03	-2	**0**	-6.49	**0.22**
	My.min	0.34	-0.03	-2	0	**-6.49**	**0.22**
	My.max	-0.34	0.03	2	0	**6.49**	**-0.22**
	Mz.min	-0.34	0.03	2	0	6.49	**-0.22**
	Mz.max	0.34	-0.03	-2	0	-6.49	**0.22**

TAB. P4.1.3 POSOUZENÍ - MEZNÍ STAV ÚNOSNOSTI

POPIS	PŘÍČNÍK P4 - ZÁKLADNÍ ČÁST
PRUT / POLOHA BODU	667 / I[546]
NAMÁHÁNÍ	My.max
VLÁKNO	BOD K2 -HP
MEZNÍ STAV	ULS (MSÚ)
VYUŽITÍ VLÁKNA PRŮŘEZU	1.46

Charakteristiky materiálu				
pás. horní	$f_{yf,k}$	230	MPa	
pás. dolní	$f_{yf,k}$	230	MPa	
stojina	$f_{yw,k}$	230	MPa	
výztuž	$f_{ys,k}$	500	MPa	
γ_M =	1.10	γ_s =	1.15	

Excentricita normálové síly				
Exc./Fáze	0	1	2	3
e_y	0.000	0.000	0.000	0.000
e_z	0.000	0.000	0.000	0.000
Ekvivalentní vzdál. stěn - příčný roznos				
b_{Mx}	0.000	0.000	0.000	0.000

Vliv stěny na únosnost průřezu				
Char./Fáze	0	1	2	3
A	0.41	0.00	0.00	0.00
Wy	0.19	0.00	0.00	0.00
Wz	0.06	0.00	0.00	0.00

Charakter. v kroucení			
$t_{w,y}$	0.000	[mm]	
$t_{w,z}$	0.000	[mm]	
κ	1.00		
I_t=	0.00E+00	[mm^4]	
Ω=2*A_{pr}	0.00E+00	[mm^2]	

Součinitele vzpěru a vlivu II.řádu				
Char./Fáze	0	1	2	3
k_y	1.000	1.000	1.000	1.000
k_z	1.000	1.000	1.000	1.000
χ_{LT}	1.000	1.000	1.000	1.000
χ_{min}	1.000	1.000	1.000	1.000

3

δ_{LOK} 1.00

Vnitřní síly od jednotlivých skupin zatěžovacích stavů

SKUPINA ZATĚŽOVACÍCH STAVŮ					- CHARAKTERISTICKÉ HODNOTY						DÍLČÍ SOUČINITELÉ ZATÍŽENÍ, DYNAMICKÝ SOUČINITEL							- NÁVRHOVÉ HODNOTY									
Č.	SKUP ZS	POPIS ZS	KAT.	FÁZE PRŮŘ.	N.k (kN)	Vy.k (kN)	Vz.k (kN)	Mx.k (kNm)	My.k (kNm)	Mz.k (kNm)	γ_{sr} (-)	γ_{fs} (-)	volba γ_f hledat	γ_f (-)	L_d (m)	δ (-)	Ψ_s KZ03	N.d (kN)	Vy.d (kN)	Vz.d (kN)	ΔVz.d (kN)	ΣVz.d (kN)	Mx.d (kNm)	My.d (kNm)	ΔMy.d (kNm)	ΣMy.d (kNm)	Mz.d (kNm)	ΔMz.d (kNm)	ΣMz.d (kNm)
1	G0	Vlastní tíha OK	G	0	-57	12	-48	0	18	-7	1.00	1.20		1.20	-	1.00	0.95	-65	13	-54	0	-54	0	21	0	21	-8	0	-8
2	G1	Ostatní stálé - mostní vybavení	G	0	-5	1	-8	0	4	-1	1.00	1.20		1.20	-	1.00	0.95	-6	1	-9	0	-9	0	5	0	5	-1	0	-1
3	G2	Ostatní stálé - cizí zařízení	G	0	-2	1	-4	0	-7	-1	1.00	1.20		1.20	-	1.00	0.95	-2	1	-4	0	-4	0	-9	0	-9	-1	0	-1
4	P1_71	a.LM71 - kolej 1 (bez dyn. souč.)	P	0	-53	4	-205	0	133	-3	1.00	1.30		1.30	-	1.27	1.00	-88	6	-338	0	-338	0	219	0	219	-5	1	-4
5	P2_71	a.LM71 - kolej 2 (bez dyn. souč.)	P	0	-82	15	-506	0	562	-11	1.00	1.30		1.30	-	1.27	1.00	-136	25	-836	0	-836	0	928	0	928	-18	4	-14
6	P1_C3	TTZ C3 - kolej 1 (bez dyn. souč.)	P	0	-30	2	-116	0	75	-2	1.00	vyp.		0.00	-	1.00	0.00	0	0	0	0	0	0	0	0	0	0	0	0
7	P2_C3	TTZ C3 - kolej 2 (bez dyn. souč.)	P	0	-55	12	-285	0	322	-9	1.00	vyp.		0.00	-	1.00	0.00	0	0	0	0	0	0	0	0	0	0	0	0
8	BR	Brzdné a rozjezdové síly	P	0	30	-42	1	0	13	46	1.00	-1.30		-1.30	-	1.00	0.80	-31	44	-1	0	-1	0	-13	0	-13	-47	0	-47
9	S	Boční ráz	P	0	-2	-4	3	0	10	5	1.00	-1.30		-1.30	-	1.00	0.40	1	2	-1	0	-1	0	-5	0	-5	-2	0	-2
10	CH	Chodci na lávkách	Q	0	-2	1	2	0	-9	-1	1.00	1.30		1.30	-	1.00	1.00	-2	2	3	0	3	0	-12	0	-12	-2	0	-2
11	W	Vítr na konstrukci	Q	0	-3	4	7	0	21	-6	1.00	1.35		1.35	-	1.00	0.75	-3	4	7	0	7	0	21	0	21	-6	0	-6
12	WP	Vítr na vozidla	Q	0	-32	-7	-7	0	43	11	1.00	-1.35		-1.35	-	1.00	0.75	32	7	8	0	8	0	-43	0	-43	-11	0	-11
13	TR	Teplota rovnoměrná	Q	0	0	0	0	0	0	0	1.00	1.35		1.35	-	1.00	0.45	0	0	0	0	0	0	0	0	0	0	0	0
14	TN	Teplota nerovnoměrná	Q	0	0	0	10	0	26	0	1.00	1.35		1.35	-	1.00	0.60	0	0	8	0	8	0	21	0	21	0	0	0
15	FR	Třecí síly v ložiskách	Q	0	4	-1	0	0	2	0	1.00	-1.20		-1.20	-	1.00	1.00	-5	1	0	0	0	0	-2	0	-2	0	0	0
16	I	Imperfekce soustavy	Q	0	0	0	2	0	6	0	1.00	1.20		1.20	-	1.00	1.00	0	0	2	0	2	0	8	0	8	0	0	0
27	ULS_LM	ULS - LM71 bez dynam	Q	0	-241	-18	-976	0	1 029	35	1.00	vyp.		0.00	-	1.00	0.00	0	0	0	0	0	0	0	0	0	0	0	0
28	SLS_LM	SLS - LM71 bez dynam	Q	0	-192	-12	-764	0	776	25	1.00	vyp.	1	0.00	-	1.00	0.00	0	0	0	0	0	0	0	0	0	0	0	0
29	ULS_C3	ULS - C3 bez dynam	Q	0	-177	-23	-573	0	642	39	1.00	vyp.	1	0.00	-	1.00	0.00	0	0	0	0	0	0	0	0	0	0	0	0
30	SLS_C3	SLS - C3 bez dynam	Q	0	-142	-16	-454	0	478	29	1.00	vyp.	1	0.00	-	1.00	0.00	0	0	0	0	0	0	0	0	0	0	0	0
		CELKEM - FÁZE PRŮŘEZU 0																-306	105	-1 216	0	-1 216	0	1 140	0	1 140	-102	5	-97
		CELKEM - FÁZE PRŮŘEZU 1																0	0	0	0	0	0	0	0	0	0	0	0
		CELKEM - FÁZE PRŮŘEZU 2																0	0	0	0	0	0	0	0	0	0	0	0
		CELKEM - FÁZE PRŮŘEZU 3																0	0	0	0	0	0	0	0	0	0	0	0
		CELKEM - PRŮŘEZ																-306	105	-1 216	0	-1 216	0			1 140			-97

Napětí od jednotlivých zatěžovacích stavů

SKUPINA ZATĚŽOVACÍCH STAVŮ					Posouzení normálového napětí										Posouzení smykového napětí													
					Účinek síly N			Účinek momentu My			Účinek momentu Mz				Účinek kroutícího momentu Mx				Účinek smykové síly Vy				Účinek smykové síly Vz			
Č.	SKUP ZS	Popis ZS	Kat.	fáze průř.	δ*N_d [kN]	χ*A [mm^2]	σ_n [MPa]	δ*$M_{y,d}$ [kNm]	χ_{lt}*$W_{el,y}$ [mm^3]	σ_{my} [MPa]	δ*$M_{z,d}$ [kNm]	$W_{el,z}$ [mm^3]	σ_{mz} [MPa]	σ_x [MPa]	κ*δ*$M_{x,d}$ [kNm]	$W_{v,y}$ [mm^3]	$\tau_{x,y}$ [MPa]	$W_{v,z}$ [mm^3]	$\tau_{x,z}$ [MPa]	δ*$V_{y,d}$ [kN]	$A_{v,y}$ [mm2]	$\tau_{v,y}$ [MPa]	$\tau_{v,y}$ [MPa]	δ*$V_{z,d}$ [kN]	$A_{v,z}$ [mm2]	$\tau_{v,z}$ [MPa]	$\tau_{v,z}$ [MPa]
1	G0	Vlastní tíha OK	G	0	-65.1	2.07E+04	-3.1	20.7	-9.36E+06	-2.2	-8.1	5.72E+05	-14.2	-19.6	-2.3E-02	-	-	-	-	13.2	1.23E+04	1.1	1.1	-54.5	1.11E+04	-4.9	-4.9
2	G1	Ostatní stálé - mostní vybavení	G	0	-5.5	2.07E+04	-0.3	5.0	-9.36E+06	-0.5	-0.6	5.72E+05	-1.1	-1.9	0.0E+00	-	-	-	-	1.0	1.23E+04	0.1	0.1	-8.6	1.11E+04	-0.8	-0.8
3	G2	Ostatní stálé - cizí zařízení	G	0	-1.9	2.07E+04	-0.1	-8.5	-9.36E+06	0.9	-0.7	5.72E+05	-1.2	-0.4	0.0E+00	-	-	-	-	0.9	1.23E+04	0.1	0.1	-4.1	1.11E+04	-0.4	-0.4
4	P1_71	a.LM71 - kolej 1 (bez dyn. souč.)	P	0	-88.2	2.07E+04	-4.3	219.3	-9.36E+06	-23.4	-4.0	5.72E+05	-7.1	-34.8	-1.7E-02	-	-	-	-	5.8	1.23E+04	0.5	0.5	-338.3	1.11E+04	-30.5	-30.5
5	P2_71	a.LM71 - kolej 2 (bez dyn. souč.)	P	0	-136.0	2.07E+04	-6.6	928.3	-9.36E+06	-99.1	-13.8	5.72E+05	-24.2	-129.9	-5.0E-02	-	-	-	-	25.5	1.23E+04	2.1	2.1	-836.0	1.11E+04	-75.3	-75.3
6	P1_C3	TTZ C3 - kolej 1 (bez dyn. souč.)	P	0	0.0	2.07E+04	0.0	0.0	-9.36E+06	0.0	0.0	5.72E+05	0.0	0.0	0.0E+00	-	-	-	-	0.0	1.23E+04	0.0	0.0	0.0	1.11E+04	0.0	0.0
7	P2_C3	TTZ C3 - kolej 2 (bez dyn. souč.)	P	0	0.0	2.07E+04	0.0	0.0	-9.36E+06	0.0	0.0	5.72E+05	0.0	0.0	0.0E+00	-	-	-	-	0.0	1.23E+04	0.0	0.0	0.0	1.11E+04	0.0	0.0
8	BR	Brzdné a rozjezdové síly	P	0	-31.4	2.07E+04	-1.5	-13.3	-9.36E+06	1.4	-47.5	5.72E+05	-83.1	-83.2	-2.1E-02	-	-	-	-	43.6	1.23E+04	3.6	3.6	-0.8	1.11E+04	-0.1	-0.1
9	S	Boční ráz	P	0	0.9	2.07E+04	0.0	-5.1	-9.36E+06	0.5	-2.5	5.72E+05	-4.3	-3.7	-5.2E-03	-	-	-	-	1.9	1.23E+04	0.2	0.2	-1.5	1.11E+04	-0.1	-0.1
10	CH	Chodci na lávkách	Q	0	-2.4	2.07E+04	-0.1	-11.7	-9.36E+06	1.2	-1.6	5.72E+05	-2.7	-1.6	0.0E+00	-	-	-	-	1.8	1.23E+04	0.1	0.1	3.0	1.11E+04	0.3	0.3
11	W	Vítr na konstrukci	Q	0	-3.2	2.07E+04	-0.2	21.0	-9.36E+06	-2.2	-6.2	5.72E+05	-10.9	-13.3	-2.0E-02	-	-	-	-	3.9	1.23E+04	0.3	0.3	6.6	1.11E+04	0.6	0.6
12	WP	Vítr na vozidla	Q	0	32.5	2.07E+04	1.6	-43.3	-9.36E+06	4.6	-11.0	5.72E+05	-19.3	-13.1	-3.0E-02	-	-	-	-	7.3	1.23E+04	0.6	0.6	7.5	1.11E+04	0.7	0.7
13	TR	Teplota rovnoměrná	Q	0	0.0	2.07E+04	0.0	0.0	-9.36E+06	0.0	0.0	5.72E+05	0.0	0.0	0.0E+00	-	-	-	-	0.0	1.23E+04	0.0	0.0	0.0	1.11E+04	0.0	0.0
14	TN	Teplota nerovnoměrná	Q	0	-0.3	2.07E+04	0.0	21.4	-9.36E+06	-2.3	-0.3	5.72E+05	-0.6	-2.9	0.0E+00	-	-	-	-	0.0	1.23E+04	0.0	0.0	7.9	1.11E+04	0.7	0.7
15	FR	Třecí síly v ložiskách	Q	0	-4.8	2.07E+04	-0.2	-1.9	-9.36E+06	0.2	-0.4	5.72E+05	-0.7	-0.7	0.0E+00	-	-	-	-	0.6	1.23E+04	0.1	0.1	-0.1	1.11E+04	0.0	0.0
16	I	Imperfekce soustavy	Q	0	-0.4	2.07E+04	0.0	7.8	-9.36E+06	-0.8	-0.3	5.72E+05	-0.5	-1.3	0.0E+00	-	-	-	-	0.0	1.23E+04	0.0	0.0	2.4	1.11E+04	0.2	0.2
27	ULS_LM	ULS - LM71 bez dynam	Q	0	0.0	2.07E+04	0.0	0.0	-9.36E+06	0.0	0.0	5.72E+05	0.0	0.0	0.0E+00	-	-	-	-	0.0	1.23E+04	0.0	0.0	0.0	1.11E+04	0.0	0.0
28	SLS_LM	SLS - LM71 bez dynam	Q	0	0.0	2.07E+04	0.0	0.0	-9.36E+06	0.0	0.0	5.72E+05	0.0	0.0	0.0E+00	-	-	-	-	0.0	1.23E+04	0.0	0.0	0.0	1.11E+04	0.0	0.0
29	ULS_C3	ULS - C3 bez dynam	Q	0	0.0	2.07E+04	0.0	0.0	-9.36E+06	0.0	0.0	5.72E+05	0.0	0.0	0.0E+00	-	-	-	-	0.0	1.23E+04	0.0	0.0	0.0	1.11E+04	0.0	0.0
30	SLS_C3	SLS - C3 bez dynam	Q	0	0.0	2.07E+04	0.0	0.0	-9.36E+06	0.0	0.0	5.72E+05	0.0	0.0	0.0E+00	-	-	-	-	0.0	1.23E+04	0.0	0.0	0.0	1.11E+04	0.0	0.0
NAVÝŠENÍ NAPĚTÍ DO AKTIVACE TLAKU V DESCE MOSTOVKY						$\sigma_{P,red}$	0.0							0.0			0.0		0.0			8.6	8.6			-109.6	-109.6
NAPĚTÍ OD PRIMÁRNÍCH ÚČINKŮ NEROVNOMĚRNÉHO OTEPLENÍ						σ_T	0.0							0.0													
NAPĚTÍ OD REOLOGICKÝCH ÚČINKŮ BETONU V ČASE		t=0				σ_R	0.0	$\gamma_{i=}$	1.20					0.0													
NAPĚTÍ V KRITICKÝCH VLÁKNECH OD KOMBINACE ZATÍŽENÍ						KZ03		[MPa]					$\Sigma\sigma_x$	-306.3								$\Sigma\tau_y$	8.6			$\Sigma\tau_z$	-109.6
NAPĚTÍ OD POHYBLIVÉHO ZATÍŽENÍ								[MPa]					$\sigma_{x,P}$	-251.5									6.2			τ_P	-106.0
NAPĚTÍ OD OSTATNÍCH ZATÍŽENÍ								[MPa]			Φ_{Vy}	Φ_{Vz}	$\sigma_{x,rs}$	-54.7								τ_{rs}	2.3			τ_{rs}	-3.6
NÁVRHOVÁ HODNOTA MEZE KLUZU S REDUKCÍ VLIVEM SMYKOVÉHO NAPĚTÍ								[MPa]			1.00	0.34	$f_{yv,d}$	209.1								$f_{yd}/3^{0,5}$	120.7			$f_{yd}/3^{0,5}$	120.7
NAPĚTÍ OD POHYBLIVÉHO ZATÍŽENÍ V GLOBÁLNÍM SYSTÉMU						$\sigma_{GLOB,P}$	0.0	[MPa]					$\Sigma\sigma_{GLOB}$	0.0													
NAPĚTÍ OD OSTATNÍCH ZATÍŽENÍ V GLOBÁLNÍM SYSTÉMU						$\sigma_{GLOB,rs}$	0.0	[MPa]					$\Sigma\sigma_x + \Sigma\sigma_{GLOB}$	-306.3													
VYUŽITÍ PRŮŘEZU DLE NAPĚTÍ								[%]					η_1	1.46								η_3	0.07			η_3	0.91
NAPĚTÍ V PŘÍČNÉM SMĚRU OD POHYBLIVÉHO ZATÍŽENÍ						$\sigma_{z,P}$	0.0	[MPa]					$\Sigma\sigma_z$	0.0													
NAPĚTÍ V PŘÍČNÉM SMĚRU OD OSTATNÍCH ZATÍŽENÍ						$\sigma_{z,rs}$	0.0	[MPa]					η_2	0.00													
SROVNÁVACÍ NAPĚTÍ													$(\eta_2 + 0{,}8\,\eta_1)/1{,}4$ =	0.84													
VYUŽITÍ PRŮŘEZU CELKEM								[%]					eff	1.46	NEVYHOVUJE												
STANOVENÍ ZATÍŽITELNOSTI													z_{LM71} =	0.61													

TAB. P4.1.3 POSOUZENÍ - MEZNÍ STAV ÚNOSNOSTI

POPIS	PŘÍČNÍK P4 - ZÁKLADNÍ ČÁST
PRUT / POLOHA BODU	667 / I[546]
NAMÁHÁNÍ	My.max
VLÁKNO	BOD K3 -SL
MEZNÍ STAV	ULS (MSÚ)
VYUŽITÍ VLÁKNA PRŮŘEZU	1.43

Charakteristiky materiálu				
pás. horní	$f_{yf,k}$	230	MPa	
pás. dolní	$f_{yf,k}$	230	MPa	
stojina	$f_{yw,k}$	230	MPa	
výztuž	$f_{ys,k}$	500	MPa	
	γ_M =	1.10	γ_s =	1.15

Excentricita normálové síly				
Exc./Fáze	0	1	2	3
e_y	0.000	0.000	0.000	0.000
e_z	0.000	0.000	0.000	0.000
Ekvivalentní vzdál. stěn - příčný roznos				
b_{Mx}	0.000	0.000	0.000	0.000

Vliv stěny na únosnost průřezu				
Char./Fáze	0	1	2	3
A	0.41	0.00	0.00	0.00
Wy	0.21	0.00	0.00	0.00
Wz	0.05	0.00	0.00	0.00

Charakter. v kroucení			
$t_{w,y}$	0.000	[mm]	
$t_{w,z}$	0.000	[mm]	
κ	1.00		
I_t=	0.00E+00	[mm^4]	
Ω=2*A_{pr}	0.00E+00	[mm^2]	

Součinitele vzpěru a vlivu II.řádu					
Char./Fáze	0	1	2	3
k_y	1.000	1.000	1.000	1.000
k_z	1.000	1.000	1.000	1.000
χ_{LT}	1.000	1.000	1.000	1.000
χ_{min}	1.000	1.000	1.000	1.000

δ_{LOK} 1.00

Vnitřní síly od jednotlivých skupin zatěžovacích stavů — SKUPINA ZATĚŽOVACÍCH STAVŮ — 3

Č.	SKUP ZS	POPIS ZS	KAT.	FÁZE PRŮŘ.	- CHARAKTERISTICKÉ HODNOTY N.k (kN)	Vy.k (kN)	Vz.k (kN)	Mx.k (kNm)	My.k (kNm)	Mz.k (kNm)	DÍLČÍ SOUČINITELÉ ZATÍŽENÍ, DYNAMICKÝ SOUČINITEL γ_{or} (-)	γ_{fs} (-)	volba γ_f hledat	γ_f (-)	L_ϕ (m)	δ (-)	Ψ_z KZ03	- NÁVRHOVÉ HODNOTY N.d (kN)	Vy.d (kN)	Vz.d (kN)	ΔVz.d (kN)	ΣVz.d (kN)	Mx.d (kNm)	My.d (kNm)	ΔMy.d (kNm)	ΣMy.d (kNm)	Mz.d (kNm)	ΔMz.d (kNm)	ΣMz.d (kNm)
1	G0	Vlastní tíha OK	G	0	-57	12	-48	0	18	-7	1.00	1.20		1.20	-	1.00	0.95	-65	13	-54	0	-54	0	21	0	21	-8	0	-8
2	G1	Ostatní stálé - mostní vybavení	G	0	-5	1	-8	0	4	-1	1.00	1.20		1.20	-	1.00	0.95	-6	1	-9	0	-9	0	5	0	5	-1	0	-1
3	G2	Ostatní stálé - cizí zařízení	G	0	-2	1	-4	0	-7	-1	1.00	1.20		1.20	-	1.00	0.95	-2	1	-4	0	-4	0	-9	0	-9	-1	0	-1
4	P1_71	a.LM71 - kolej 1 (bez dyn. souč.)	P	0	-53	4	-205	0	133	-3	1.00	1.30		1.30	-	1.27	1.00	-88	6	-338	0	-338	0	219	0	219	-5	1	-4
5	P2_71	a.LM71 - kolej 2 (bez dyn. souč.)	P	0	-82	15	-506	0	562	-11	1.00	1.30		1.30	-	1.27	1.00	-136	25	-836	0	-836	0	928	0	928	-18	4	-14
6	P1_C3	TTZ C3 - kolej 1 (bez dyn. souč.)	P	0	-30	2	-116	0	75	-2	1.00	vyp.		0.00	-	1.00	0.00	0	0	0	0	0	0	0	0	0	0	0	0
7	P2_C3	TTZ C3 - kolej 2 (bez dyn. souč.)	P	0	-55	12	-285	0	322	-9	1.00	vyp.		0.00	-	1.00	0.00	0	0	0	0	0	0	0	0	0	0	0	0
8	BR	Brzdné a rozjezdové síly	P	0	30	-42	1	0	13	46	1.00	-1.30		-1.30	-	1.00	0.80	-31	44	-1	0	-1	0	-13	0	-13	-47	0	-47
9	S	Boční ráz	P	0	-2	-4	3	0	10	5	1.00	-1.30		-1.30	-	1.00	0.40	1	2	-1	0	-1	0	-5	0	-5	-2	0	-2
10	CH	Chodci na lávkách	Q	0	-2	1	2	0	-9	-1	1.00	1.30		1.30	-	1.00	1.00	-2	2	3	0	3	0	-12	0	-12	-2	0	-2
11	W	Vítr na konstrukci	Q	0	-3	4	7	0	21	-6	1.00	1.35		1.35	-	1.00	0.75	-3	4	7	0	7	0	21	0	21	-6	0	-6
12	WP	Vítr na vozidla	Q	0	-32	-7	-7	0	43	11	1.00	-1.35		-1.35	-	1.00	0.75	32	7	8	0	8	0	-43	0	-43	-11	0	-11
13	TR	Teplota rovnoměrná	Q	0	0	0	0	0	0	0	1.00	1.35		1.35	-	1.00	0.45	0	0	0	0	0	0	0	0	0	0	0	0
14	TN	Teplota nerovnoměrná	Q	0	0	0	10	0	26	0	1.00	1.35		1.35	-	1.00	0.60	0	0	8	0	8	0	21	0	21	0	0	0
15	FR	Třecí síly v ložiskách	Q	0	4	-1	0	0	2	0	1.00	-1.20		-1.20	-	1.00	1.00	-5	1	0	0	0	0	-2	0	-2	0	0	0
16	I	Imperfekce soustavy	Q	0	0	0	2	0	6	0	1.00	1.20		1.20	-	1.00	1.00	0	0	2	0	2	0	8	0	8	0	0	0
27	ULS_LM	ULS - LM71 bez dynam	Q	0	-241	-18	-976	0	1 029	35	1.00	vyp.		0.00	-	1.00	0.00	0	0	0	0	0	0	0	0	0	0	0	0
28	SLS_LM	SLS - LM71 bez dynam	Q	0	-192	-12	-764	0	776	25	1.00	vyp.	1	0.00	-	1.00	0.00	0	0	0	0	0	0	0	0	0	0	0	0
29	ULS_C3	ULS - C3 bez dynam	Q	0	-177	-23	-573	0	642	39	1.00	vyp.	1	0.00	-	1.00	0.00	0	0	0	0	0	0	0	0	0	0	0	0
30	SLS_C3	SLS - C3 bez dynam	Q	0	-142	-16	-454	0	478	29	1.00	vyp.	1	0.00	-	1.00	0.00	0	0	0	0	0	0	0	0	0	0	0	0
		CELKEM - FÁZE PRŮŘEZU 0																-306	105	-1 216	0	-1 216	0	1 140	0	1 140	-102	5	-97
		CELKEM - FÁZE PRŮŘEZU 1																0	0	0	0	0	0	0	0	0	0	0	0
		CELKEM - FÁZE PRŮŘEZU 2																0	0	0	0	0	0	0	0	0	0	0	0
		CELKEM - FÁZE PRŮŘEZU 3																0	0	0	0	0	0	0	0	0	0	0	0
		CELKEM - PRŮŘEZ																-306	105	-1 216	0	-1 216	0			1 140			-97

Napětí od jednotlivých zatěžovacích stavů — SKUPINA ZATĚŽOVACÍCH STAVŮ

Č.	SKUP ZS	Popis ZS	Kat.	fáze prúř.	Posouzení normálového napětí — Účinek síly N δ^*N_d [kN]	χ^*A [mm^2]	σ_n [MPa]	Účinek momentu My $\delta^*M_{y,d}$ [kNm]	$\chi_{lt}{}^*W_{el,y}$ [mm^3]	σ_{my} [MPa]	Účinek momentu Mz $\delta^*M_{z,d}$ [kNm]	$W_{el,z}$ [mm^3]	σ_{mz} [MPa]	σ_x [MPa]	Posouzení smykového napětí — Účinek kroutícího momentu Mx $\kappa^*\delta^*M_{x,d}$ [kNm]	$W_{v,y}$ [mm^3]	$\tau_{x,y}$ [MPa]	$W_{v,z}$ [mm^3]	$\tau_{x,z}$ [MPa]	Účinek smykové síly Vy $\delta^*V_{y,d}$ [kN]	$A_{v,y}$ [mm2]	$\tau_{v,y}$ [MPa]	$\tau_{v,y}$ [MPa]	Účinek smykové síly Vz $\delta^*V_{z,d}$ [kN]	$A_{v,z}$ [mm2]	$\tau_{v,z}$ [MPa]	$\tau_{v,z}$ [MPa]
1	G0	Vlastní tíha OK	G	0	-65.1	2.07E+04	-3.1	20.7	7.86E+06	2.6	-8.1	-5.78E+05	14.0	13.5	-2.3E-02	-	-	-	-	13.2	1.23E+04	1.1	1.1	-54.5	1.11E+04	-4.9	-4.9
2	G1	Ostatní stálé - mostní vybavení	G	0	-5.5	2.07E+04	-0.3	5.0	7.86E+06	0.6	-0.6	-5.78E+05	1.1	1.4	0.0E+00	-	-	-	-	1.0	1.23E+04	0.1	0.1	-8.6	1.11E+04	-0.8	-0.8
3	G2	Ostatní stálé - cizí zařízení	G	0	-1.9	2.07E+04	-0.1	-8.5	7.86E+06	-1.1	-0.7	-5.78E+05	1.2	0.0	0.0E+00	-	-	-	-	0.9	1.23E+04	0.1	0.1	-4.1	1.11E+04	-0.4	-0.4
4	P1_71	a.LM71 - kolej 1 (bez dyn. souč.)	P	0	-88.2	2.07E+04	-4.3	219.3	7.86E+06	27.9	-4.0	-5.78E+05	7.0	30.6	-1.7E-02	-	-	-	-	5.8	1.23E+04	0.5	0.5	-338.3	1.11E+04	-30.5	-30.5
5	P2_71	a.LM71 - kolej 2 (bez dyn. souč.)	P	0	-136.0	2.07E+04	-6.6	928.3	7.86E+06	118.1	-13.8	-5.78E+05	23.9	135.4	-5.0E-02	-	-	-	-	25.5	1.23E+04	2.1	2.1	-836.0	1.11E+04	-75.3	-75.3
6	P1_C3	TTZ C3 - kolej 1 (bez dyn. souč.)	P	0	0.0	2.07E+04	0.0	0.0	7.86E+06	0.0	0.0	-5.78E+05	0.0	0.0	0.0E+00	-	-	-	-	0.0	1.23E+04	0.0	0.0	0.0	1.11E+04	0.0	0.0
7	P2_C3	TTZ C3 - kolej 2 (bez dyn. souč.)	P	0	0.0	2.07E+04	0.0	0.0	7.86E+06	0.0	0.0	-5.78E+05	0.0	0.0	0.0E+00	-	-	-	-	0.0	1.23E+04	0.0	0.0	0.0	1.11E+04	0.0	0.0
8	BR	Brzdné a rozjezdové síly	P	0	-31.4	2.07E+04	-1.5	-13.3	7.86E+06	-1.7	-47.5	-5.78E+05	82.1	78.9	-2.1E-02	-	-	-	-	43.6	1.23E+04	3.6	3.6	-0.8	1.11E+04	-0.1	-0.1
9	S	Boční ráz	P	0	0.9	2.07E+04	0.0	-5.1	7.86E+06	-0.7	-2.5	-5.78E+05	4.3	3.7	-5.2E-03	-	-	-	-	1.9	1.23E+04	0.2	0.2	-1.5	1.11E+04	-0.1	-0.1
10	CH	Chodci na lávkách	Q	0	-2.4	2.07E+04	-0.1	-11.7	7.86E+06	-1.5	-1.6	-5.78E+05	2.7	1.1	0.0E+00	-	-	-	-	1.8	1.23E+04	0.1	0.1	3.0	1.11E+04	0.3	0.3
11	W	Vítr na konstrukci	Q	0	-3.2	2.07E+04	-0.2	21.0	7.86E+06	2.7	-6.2	-5.78E+05	10.8	13.3	-2.0E-02	-	-	-	-	3.9	1.23E+04	0.3	0.3	6.6	1.11E+04	0.6	0.6
12	WP	Vítr na vozidla	Q	0	32.5	2.07E+04	1.6	-43.3	7.86E+06	-5.5	-11.0	-5.78E+05	19.0	15.1	-3.0E-02	-	-	-	-	7.3	1.23E+04	0.6	0.6	7.5	1.11E+04	0.7	0.7
13	TR	Teplota rovnoměrná	Q	0	0.0	2.07E+04	0.0	0.0	7.86E+06	0.0	0.0	-5.78E+05	0.0	0.0	0.0E+00	-	-	-	-	0.0	1.23E+04	0.0	0.0	0.0	1.11E+04	0.0	0.0
14	TN	Teplota nerovnoměrná	Q	0	-0.3	2.07E+04	0.0	21.4	7.86E+06	2.7	-0.3	-5.78E+05	0.6	3.3	0.0E+00	-	-	-	-	0.0	1.23E+04	0.0	0.0	7.9	1.11E+04	0.7	0.7
15	FR	Třecí síly v ložiskách	Q	0	-4.8	2.07E+04	-0.2	-1.9	7.86E+06	-0.2	-0.4	-5.78E+05	0.7	0.2	0.0E+00	-	-	-	-	0.6	1.23E+04	0.1	0.1	-0.1	1.11E+04	0.0	0.0
16	I	Imperfekce soustavy	Q	0	-0.4	2.07E+04	0.0	7.8	7.86E+06	1.0	-0.3	-5.78E+05	0.5	1.4	0.0E+00	-	-	-	-	0.0	1.23E+04	0.0	0.0	2.4	1.11E+04	0.2	0.2
27	ULS_LM	ULS - LM71 bez dynam	Q	0	0.0	2.07E+04	0.0	0.0	7.86E+06	0.0	0.0	-5.78E+05	0.0	0.0	0.0E+00	-	-	-	-	0.0	1.23E+04	0.0	0.0	0.0	1.11E+04	0.0	0.0
28	SLS_LM	SLS - LM71 bez dynam	Q	0	0.0	2.07E+04	0.0	0.0	7.86E+06	0.0	0.0	-5.78E+05	0.0	0.0	0.0E+00	-	-	-	-	0.0	1.23E+04	0.0	0.0	0.0	1.11E+04	0.0	0.0
29	ULS_C3	ULS - C3 bez dynam	Q	0	0.0	2.07E+04	0.0	0.0	7.86E+06	0.0	0.0	-5.78E+05	0.0	0.0	0.0E+00	-	-	-	-	0.0	1.23E+04	0.0	0.0	0.0	1.11E+04	0.0	0.0
30	SLS_C3	SLS - C3 bez dynam	Q	0	0.0	2.07E+04	0.0	0.0	7.86E+06	0.0	0.0	-5.78E+05	0.0	0.0	0.0E+00	-	-	-	-	0.0	1.23E+04	0.0	0.0	0.0	1.11E+04	0.0	0.0
		NAVÝŠENÍ NAPĚTÍ DO AKTIVACE TLAKU V DESCE MOSTOVKY				$\sigma_{P,red}$	0.0							0.0				0.0		0.0		8.6	8.6			-109.6	-109.6
		NAPĚTÍ OD PRIMÁRNÍCH ÚČINKŮ NEROVNOMĚRNÉHO OTEPLENÍ				σ_T	0.0							0.0													
		NAPĚTÍ OD REOLOGICKÝCH ÚČINKŮ BETONU V ČASE		t=0		σ_R	0.0	γ_f=	1.20					0.0													
		NAPĚTÍ V KRITICKÝCH VLÁKNECH OD KOMBINACE ZATÍŽENÍ				KZ03		[MPa]					$\Sigma\sigma_x$	298.1					$\Sigma\tau_y$	8.6			$\Sigma\tau_z$	-109.6	
		NAPĚTÍ OD POHYBLIVÉHO ZATÍŽENÍ						[MPa]					$\sigma_{x,P}$	248.6					τ_P	6.2			τ_P	-106.0	
		NAPĚTÍ OD OSTATNÍCH ZATÍŽENÍ						[MPa]			Φ_{vy}	Φ_{vz}	$\sigma_{x,rs}$	49.4					τ_{rs}	2.3			τ_{rs}	-3.6	
		NÁVRHOVÁ HODNOTA MEZE KLUZU S REDUKCÍ VLIVEM SMYKOVÉHO NAPĚTÍ						[MPa]			1.00	0.34	$f_{yv,d}$	209.1					$f_{yd}/3^{0,5}$	120.7			$f_{yd}/3^{0,5}$	120.7	
		NAPĚTÍ OD POHYBLIVÉHO ZATÍŽENÍ V GLOBÁLNÍM SYSTÉMU				$\sigma_{GLOB,P}$	0.0	[MPa]					$\Sigma\sigma_{GLOB}$	0.0												
		NAPĚTÍ OD OSTATNÍCH ZATÍŽENÍ V GLOBÁLNÍM SYSTÉMU				$\sigma_{GLOB,rs}$	0.0	[MPa]					$\Sigma\sigma_x + \Sigma\sigma_{GLOB}$	298.1												
		VYUŽITÍ PRŮŘEZU DLE NAPĚTÍ						[%]					η_1	1.43					η_3	0.07			η_3	0.91	
		NAPĚTÍ V PŘÍČNÉM SMĚRU OD POHYBLIVÉHO ZATÍŽENÍ				$\sigma_{z,P}$	0.0	[MPa]					$\Sigma\sigma_z$	0.0												
		NAPĚTÍ V PŘÍČNÉM SMĚRU OD OSTATNÍCH ZATÍŽENÍ				$\sigma_{z,rs}$	0.0	[MPa]					η_2	0.00												
		SROVNÁVACÍ NAPĚTÍ											$(\eta_2 + 0,8\,\eta_1)/1,4$ =	0.81												
		VYUŽITÍ PRŮŘEZU CELKEM						[%]					eff	1.43	NEVYHOVUJE											
		STANOVENÍ ZATÍŽITELNOSTI											z_{LM71} =	0.64												

TAB. P4.1.3 POSOUZENÍ - MEZNÍ STAV ÚNOSNOSTI

POPIS	PŘÍČNÍK P4 - ZÁKLADNÍ ČÁST
PRUT / POLOHA BODU	667 / I[546]
NAMÁHÁNÍ	Vz.min
VLÁKNO	BOD S5 -HL
MEZNÍ STAV	ULS (MSÚ)
VYUŽITÍ VLÁKNA PRŮŘEZU	0.96

Charakteristiky materiálu				
pás. horní	$f_{yf,k}$	230	MPa	
pás. dolní	$f_{yf,k}$	230	MPa	
stojina	$f_{yw,k}$	230	MPa	
výztuž	$f_{ys,k}$	500	MPa	
γ_M =	1.10	γ_s =	1.15	

Excentricita normálové síly				
Exc./Fáze	0	1	2	3
e_y	0.000	0.000	0.000	0.000
e_z	0.000	0.000	0.000	0.000
Ekvivalentní vzdál. stěn - příčný roznos				
b_{Mx}	0.000	0.000	0.000	0.000

Vliv stěny na únosnost průřezu				
Char./Fáze	0	1	2	3
A	0.41	0.00	0.00	0.00
Wy	0.19	0.00	0.00	0.00
Wz	0.00	0.00	0.00	0.00

Charakter. v kroucení			
$t_{w,y}$	0.000	[mm]	
$t_{w,z}$	0.000	[mm]	
κ	1.00		
I_t=	0.00E+00	[mm^4]	
$\Omega=2*A_{pr}$	0.00E+00	[mm^2]	

Součinitele vzpěru a vlivu II.řádu					
Char./Fáze	0	1	2	3	
k_y	1.000	1.000	1.000	1.000	
k_z	1.000	1.000	1.000	1.000	
χ_{LT}	1.000	1.000	1.000	1.000	
χ_{min}	1.000	1.000	1.000	1.000	

δ_{LOK} 1.00

Vnitřní síly od jednotlivých skupin zatěžovacích stavů

SKUPINA ZATĚŽOVACÍCH STAVŮ

Č.	SKUP ZS	POPIS ZS	KAT.	FÁZE PRŮŘ.	- CHARAKTERISTICKÉ HODNOTY N.k (kN)	Vy.k (kN)	Vz.k (kN)	Mx.k (kNm)	My.k (kNm)	Mz.k (kNm)	DÍLČÍ SOUČINITELÉ ZATÍŽENÍ, DYNAMICKÝ SOUČINITEL γ_{sr} (-)	γ_{fs} (-)	volba γ_f hledat	γ_f (-)	L_d (m)	δ (-)	Ψ_z KZ04	- NÁVRHOVÉ HODNOTY N.d (kN)	Vy.d (kN)	Vz.d (kN)	ΔVz.d (kN)	ΣVz.d (kN)	Mx.d (kNm)	My.d (kNm)	ΔMy.d (kNm)	ΣMy.d (kNm)	Mz.d (kNm)	ΔMz.d (kNm)	ΣMz.d (kNm)
1	G0	Vlastní tíha OK	G	0	-57	12	-48	0	18	-7	1.00	1.20		1.20	-	1.00	0.95	-65	13	-54	0	-54	0	21	0	21	-8	0	-8
2	G1	Ostatní stálé - mostní vybavení	G	0	-5	1	-8	0	4	-1	1.00	1.20		1.20	-	1.00	0.95	-6	1	-9	0	-9	0	5	0	5	-1	0	-1
3	G2	Ostatní stálé - cizí zařízení	G	0	-2	1	-4	0	-7	-1	1.00	1.20		1.20	-	1.00	0.95	-2	1	-4	0	-4	0	-9	0	-9	-1	0	-1
4	P1_71	a.LM71 - kolej 1 (bez dyn. souč.)	P	0	-82	12	-211	0	108	-10	1.00	1.30		1.30	-	1.27	1.00	-135	20	-348	0	-348	0	178	0	178	-17	4	-14
5	P2_71	a.LM71 - kolej 2 (bez dyn. souč.)	P	0	-56	5	-512	0	551	-3	1.00	1.30		1.30	-	1.27	1.00	-92	8	-846	0	-846	0	911	0	911	-5	1	-4
6	P1_C3	TTZ C3 - kolej 1 (bez dyn. souč.)	P	0	-61	10	-121	0	50	-8	1.00	vyp.		0.00	-	1.00	0.00	0	0	0	0	0	0	0	0	0	0	0	0
7	P2_C3	TTZ C3 - kolej 2 (bez dyn. souč.)	P	0	-29	3	-290	0	312	-2	1.00	vyp.		0.00	-	1.00	0.00	0	0	0	0	0	0	0	0	0	0	0	0
8	BR	Brzdné a rozjezdové síly	P	0	-30	42	-1	0	-13	-46	1.00	1.30		1.30	-	1.00	0.40	-16	22	0	0	0	0	-7	0	-7	-24	0	-24
9	S	Boční ráz	P	0	2	4	-3	0	-10	-5	1.00	1.30		1.30	-	1.00	0.80	2	4	-3	0	-3	0	-10	0	-10	-5	0	-5
10	CH	Chodci na lávkách	Q	0	0	1	-1	0	-33	-1	1.00	1.30		1.30	-	1.00	1.00	0	2	-1	0	-1	0	-43	0	-43	-1	0	-1
11	W	Vítr na konstrukci	Q	0	0	-4	-7	0	-21	6	1.00	1.35		1.35	-	1.00	0.75	0	-4	-7	0	-7	0	-21	0	-21	6	0	6
12	WP	Vítr na vozidla	Q	0	-32	-7	-7	0	43	11	1.00	1.35		1.35	-	1.00	0.75	-32	-7	-8	0	-8	0	43	0	43	11	0	11
13	TR	Teplota rovnoměrná	Q	0	0	0	0	0	0	0	1.00	1.35		1.35	-	1.00	0.45	0	0	0	0	0	0	0	0	0	0	0	0
14	TN	Teplota nerovnoměrná	Q	0	2	1	-9	0	-36	0	1.00	1.35		1.35	-	1.00	0.60	2	1	-8	0	-8	0	-29	0	-29	0	0	0
15	FR	Třecí síly v ložiskách	Q	0	-4	1	0	0	-2	0	1.00	1.20		1.20	-	1.00	1.00	-5	1	0	0	0	0	-2	0	-2	0	0	0
16	I	Imperfekce soustavy	Q	0	0	0	-2	0	-6	0	1.00	1.20		1.20	-	1.00	1.00	0	0	-2	0	-2	0	-8	0	-8	0	0	0
27	ULS_LM	ULS - LM71 bez dynam	Q	0	-301	62	-1 036	0	795	-51	1.00	vyp.	1	0.00	-	1.00	0.00	0	0	0	0	0	0	0	0	0	0	0	0
28	SLS_LM	SLS - LM71 bez dynam	Q	0	-240	49	-798	0	635	-41	1.00	vyp.	1	0.00	-	1.00	0.00	0	0	0	0	0	0	0	0	0	0	0	0
29	ULS_C3	ULS - C3 bez dynam	Q	0	-239	56	-632	0	409	-47	1.00	vyp.	1	0.00	-	1.00	0.00	0	0	0	0	0	0	0	0	0	0	0	0
30	SLS_C3	SLS - C3 bez dynam	Q	0	-192	45	-487	0	337	-38	1.00	vyp.	1	0.00	-	1.00	0.00	0	0	0	0	0	0	0	0	0	0	0	0
		CELKEM - FÁZE PRŮŘEZU 0																-350	60	-1 289	0	-1 289	0	1 030	0	1 030	-45	5	-40
		CELKEM - FÁZE PRŮŘEZU 1																0	0	0	0	0	0	0	0	0	0	0	0
		CELKEM - FÁZE PRŮŘEZU 2																0	0	0	0	0	0	0	0	0	0	0	0
		CELKEM - FÁZE PRŮŘEZU 3																0	0	0	0	0	0	0	0	0	0	0	0
		CELKEM - PRŮŘEZ																-350	60	-1 289	0	-1 289	0			1 030			-40

Napětí od jednotlivých zatěžovacích stavů

SKUPINA ZATĚŽOVACÍCH STAVŮ

Č.	SKUP ZS	Popis ZS	Kat.	fáze prúř.	Posouzení normálového napětí – Účinek síly N δ^*N_d [kN]	χ^*A [mm^2]	σ_n [MPa]	Účinek momentu My $\delta^*M_{y,d}$ [kNm]	$\chi_{lt}*W_{el,y}$ [mm^3]	σ_{my} [MPa]	Účinek momentu Mz $\delta^*M_{z,d}$ [kNm]	$W_{el,z}$ [mm^3]	σ_{mz} [MPa]	σ_x [MPa]	Posouzení smykového napětí – Účinek kroutícího momentu Mx $\kappa*\delta^*M_{x,d}$ [kNm]	$W_{v,y}$ [mm^2]	$\tau_{x,y}$ [MPa]	$W_{v,z}$ [mm^2]	$\tau_{x,z}$ [MPa]	Účinek smykové síly Vy $\delta^*V_{y,d}$ [kN]	$A_{v,y}$ [mm2]	$\tau_{v,y}$ [MPa]	$\tau_{v,y}$ [MPa]	Účinek smykové síly Vz $\delta^*V_{z,d}$ [kN]	$A_{v,z}$ [mm2]	$\tau_{v,z}$ [MPa]	$\tau_{v,z}$ [MPa]
1	G0	Vlastní tíha OK	G	0	-65.1	1.85E+04	-3.5	20.7	-9.16E+06	-2.3	-8.1	-1.84E+07	0.4	-5.3	-2.3E-02	-	-	-	-	13.2	1.23E+04	1.1	1.1	-54.5	1.11E+04	-4.9	-4.9
2	G1	Ostatní stálé - mostní vybavení	G	0	-5.5	1.85E+04	-0.3	5.0	-9.16E+06	-0.5	-0.6	-1.84E+07	0.0	-0.8	0.0E+00	-	-	-	-	1.0	1.23E+04	0.1	0.1	-8.6	1.11E+04	-0.8	-0.8
3	G2	Ostatní stálé - cizí zařízení	G	0	-1.9	1.85E+04	-0.1	-8.5	-9.16E+06	0.9	-0.7	-1.84E+07	0.0	0.9	0.0E+00	-	-	-	-	0.9	1.23E+04	0.1	0.1	-4.1	1.11E+04	-0.4	-0.4
4	P1_71	a.LM71 - kolej 1 (bez dyn. souč.)	P	0	-135.4	1.85E+04	-7.3	178.5	-9.16E+06	-19.5	-13.6	-1.84E+07	0.7	-26.1	-6.6E-02	-	-	-	-	19.6	1.23E+04	1.6	1.6	-347.9	1.11E+04	-31.3	-31.3
5	P2_71	a.LM71 - kolej 2 (bez dyn. souč.)	P	0	-92.5	1.85E+04	-5.0	910.9	-9.16E+06	-99.5	-4.2	-1.84E+07	0.2	-104.2	-3.3E-02	-	-	-	-	7.7	1.23E+04	0.6	0.6	-846.0	1.11E+04	-76.2	-76.2
6	P1_C3	TTZ C3 - kolej 1 (bez dyn. souč.)	P	0	0.0	1.85E+04	0.0	0.0	-9.16E+06	0.0	0.0	-1.84E+07	0.0	0.0	0.0E+00	-	-	-	-	0.0	1.23E+04	0.0	0.0	0.0	1.11E+04	0.0	0.0
7	P2_C3	TTZ C3 - kolej 2 (bez dyn. souč.)	P	0	0.0	1.85E+04	0.0	0.0	-9.16E+06	0.0	0.0	-1.84E+07	0.0	0.0	0.0E+00	-	-	-	-	0.0	1.23E+04	0.0	0.0	0.0	1.11E+04	0.0	0.0
8	BR	Brzdné a rozjezdové síly	P	0	-15.7	1.85E+04	-0.8	-6.6	-9.16E+06	0.7	-23.7	-1.84E+07	1.3	1.2	-1.0E-02	-	-	-	-	21.8	1.23E+04	1.8	1.8	-0.4	1.11E+04	0.0	0.0
9	S	Boční ráz	P	0	1.8	1.85E+04	0.1	-10.3	-9.16E+06	1.1	-4.9	-1.84E+07	0.3	1.5	-1.0E-02	-	-	-	-	3.7	1.23E+04	0.3	0.3	-2.9	1.11E+04	-0.3	-0.3
10	CH	Chodci na lávkách	Q	0	-0.4	1.85E+04	0.0	-43.3	-9.16E+06	4.7	-1.4	-1.84E+07	0.1	4.8	0.0E+00	-	-	-	-	1.5	1.23E+04	0.1	0.1	-0.8	1.11E+04	-0.1	-0.1
11	W	Vítr na konstrukci	Q	0	0.2	1.85E+04	0.0	-21.0	-9.16E+06	2.3	6.2	-1.84E+07	-0.3	2.0	2.0E-02	-	-	-	-	-3.9	1.23E+04	-0.3	-0.3	-6.6	1.11E+04	-0.6	-0.6
12	WP	Vítr na vozidla	Q	0	-32.5	1.85E+04	-1.8	43.3	-9.16E+06	-4.7	11.0	-1.84E+07	-0.6	-7.1	3.0E-02	-	-	-	-	-7.3	1.23E+04	-0.6	-0.6	-7.5	1.11E+04	-0.7	-0.7
13	TR	Teplota rovnoměrná	Q	0	0.0	1.85E+04	0.0	0.0	-9.16E+06	0.0	0.0	-1.84E+07	0.0	0.0	0.0E+00	-	-	-	-	0.0	1.23E+04	0.0	0.0	0.0	1.11E+04	0.0	0.0
14	TN	Teplota nerovnoměrná	Q	0	1.6	1.85E+04	0.1	-29.0	-9.16E+06	3.2	-0.2	-1.84E+07	0.0	3.3	-2.4E-02	-	-	-	-	0.7	1.23E+04	0.1	0.1	-7.6	1.11E+04	-0.7	-0.7
15	FR	Třecí síly v ložiskách	Q	0	-4.8	1.85E+04	-0.3	-1.9	-9.16E+06	0.2	-0.4	-1.84E+07	0.0	0.0	0.0E+00	-	-	-	-	0.6	1.23E+04	0.1	0.1	-0.1	1.11E+04	0.0	0.0
16	I	Imperfekce soustavy	Q	0	0.4	1.85E+04	0.0	-7.8	-9.16E+06	0.9	0.3	-1.84E+07	0.0	0.9	0.0E+00	-	-	-	-	0.0	1.23E+04	0.0	0.0	-2.4	1.11E+04	-0.2	-0.2
27	ULS_LM	ULS - LM71 bez dynam	Q	0	0.0	1.85E+04	0.0	0.0	-9.16E+06	0.0	0.0	-1.84E+07	0.0	0.0	0.0E+00	-	-	-	-	0.0	1.23E+04	0.0	0.0	0.0	1.11E+04	0.0	0.0
28	SLS_LM	SLS - LM71 bez dynam	Q	0	0.0	1.85E+04	0.0	0.0	-9.16E+06	0.0	0.0	-1.84E+07	0.0	0.0	0.0E+00	-	-	-	-	0.0	1.23E+04	0.0	0.0	0.0	1.11E+04	0.0	0.0
29	ULS_C3	ULS - C3 bez dynam	Q	0	0.0	1.85E+04	0.0	0.0	-9.16E+06	0.0	0.0	-1.84E+07	0.0	0.0	0.0E+00	-	-	-	-	0.0	1.23E+04	0.0	0.0	0.0	1.11E+04	0.0	0.0
30	SLS_C3	SLS - C3 bez dynam	Q	0	0.0	1.85E+04	0.0	0.0	-9.16E+06	0.0	0.0	-1.84E+07	0.0	0.0	0.0E+00	-	-	-	-	0.0	1.23E+04	0.0	0.0	0.0	1.11E+04	0.0	0.0
		NAVÝŠENÍ NAPĚTÍ DO AKTIVACE TLAKU V DESCE MOSTOVKY				$\sigma_{P,red}$	0.0							0.0				0.0		0.0		4.9	4.9			-116.1	-116.1
		NAPĚTÍ OD PRIMÁRNÍCH ÚČINKŮ NEROVNOMĚRNÉHO OTEPLENÍ				σ_T	0.0							0.0													
		NAPĚTÍ OD REOLOGICKÝCH ÚČINKŮ BETONU V ČASE		t=0		σ_R	0.0	γ_f=	1.20					0.0													
		NAPĚTÍ V KRITICKÝCH VLÁKNECH OD KOMBINACE ZATÍŽENÍ				KZ04		[MPa]					$\Sigma\sigma_x$	-129.2								$\Sigma\tau_y$	4.9			$\Sigma\tau_z$	-116.1
		NAPĚTÍ OD POHYBLIVÉHO ZATÍŽENÍ						[MPa]					$\sigma_{x,P}$	-127.7								τ_P	4.3			τ_P	-107.8
		NAPĚTÍ OD OSTATNÍCH ZATÍŽENÍ						[MPa]			Φ_{Vy}	Φ_{Vz}	$\sigma_{x,rs}$	-1.6								τ_{rs}	0.5			τ_{rs}	-8.3
		NÁVRHOVÁ HODNOTA MEZE KLUZU S REDUKCÍ VLIVEM SMYKOVÉHO NAPĚTÍ						[MPa]			1.00	0.15	$f_{yv,d}$	209.1								$f_{yd}/3^{0,5}$	120.7			$f_{yd}/3^{0,5}$	120.7
		NAPĚTÍ OD POHYBLIVÉHO ZATÍŽENÍ V GLOBÁLNÍM SYSTÉMU				$\sigma_{GLOB,P}$	0.0	[MPa]					$\Sigma\sigma_{GLOB}$	0.0													
		NAPĚTÍ OD OSTATNÍCH ZATÍŽENÍ V GLOBÁLNÍM SYSTÉMU				$\sigma_{GLOB,rs}$	0.0	[MPa]					$\Sigma\sigma_x + \Sigma\sigma_{GLOB}$	-129.2													
		VYUŽITÍ PRŮŘEZU DLE NAPĚTÍ						[%]					η_1	0.62								η_3	0.04			η_3	0.96
		NAPĚTÍ V PŘÍČNÉM SMĚRU OD POHYBLIVÉHO ZATÍŽENÍ				$\sigma_{z,P}$	0.0	[MPa]					$\Sigma\sigma_z$	0.0													
		NAPĚTÍ V PŘÍČNÉM SMĚRU OD OSTATNÍCH ZATÍŽENÍ				$\sigma_{z,rs}$	0.0	[MPa]					η_2	0.00													
		SROVNÁVACÍ NAPĚTÍ											$(\eta_2 + 0,8\ \eta_1)/1,4$ =	0.35													
		VYUŽITÍ PRŮŘEZU CELKEM						[%]					eff	0.96	VYHOVUJE												
		STANOVENÍ ZATÍŽITELNOSTI											z_{LM71} =	1.04													

TR_P4.2 POPIS: **PŘÍČNÍK P4 - VNĚJŠÍ PODÉLNÍK** POSUDEK: **P4.2**

SKUPINA ZAT. STAVŮ	EXTRÉM	VYHODNOCOVANÉ VELIČINY					
		N	Vy	Vz	Mx	My	Mz
		kN	kN	kN	kNm	kNm	kNm
G0	N.min	**-57.08**	2.19	-29.96	0	32.32	-8.6
	N.max	**-57.08**	2.19	-29.96	0	32.32	-8.6
	Vy.min	-57.08	**2.19**	-29.96	0	32.32	-8.6
	Vy.max	-57.08	**2.19**	-29.96	0	32.32	-8.6
	Vz.min	-57.08	2.19	**-29.96**	0	32.32	-8.6
	Vz.max	-57.08	2.19	**-29.96**	0	32.32	-8.6
	Mx.min	-57.08	2.19	-29.96	**0**	32.32	-8.6
	Mx.max	-57.08	2.19	-29.96	**0**	32.32	-8.6
	My.min	-57.08	2.19	-29.96	0	**32.32**	-8.6
	My.max	-57.08	2.19	-29.96	0	**32.32**	-8.6
	Mz.min	-57.08	2.19	-29.96	0	32.32	**-8.6**
	Mz.max	-57.08	2.19	-29.96	0	32.32	**-8.6**
G1	N.min	**-4.85**	0.17	-6.72	0	6.53	-0.65
	N.max	**-4.85**	0.17	-6.72	0	6.53	-0.65
	Vy.min	-4.85	**0.17**	-6.72	0	6.53	-0.65
	Vy.max	-4.85	**0.17**	-6.72	0	6.53	-0.65
	Vz.min	-4.85	0.17	**-6.72**	0	6.53	-0.65
	Vz.max	-4.85	0.17	**-6.72**	0	6.53	-0.65
	Mx.min	-4.85	0.17	-6.72	**0**	6.53	-0.65
	Mx.max	-4.85	0.17	-6.72	**0**	6.53	-0.65
	My.min	-4.85	0.17	-6.72	0	**6.53**	-0.65
	My.max	-4.85	0.17	-6.72	0	**6.53**	-0.65
	Mz.min	-4.85	0.17	-6.72	0	6.53	**-0.65**
	Mz.max	-4.85	0.17	-6.72	0	6.53	**-0.65**
G2	N.min	**-1.78**	-0.39	-3.6	0	-6.35	-0.78
	N.max	**-1.78**	-0.39	-3.6	0	-6.35	-0.78
	Vy.min	-1.78	**-0.39**	-3.6	0	-6.35	-0.78
	Vy.max	-1.78	**-0.39**	-3.6	0	-6.35	-0.78
	Vz.min	-1.78	-0.39	**-3.6**	0	-6.35	-0.78
	Vz.max	-1.78	-0.39	**-3.6**	0	-6.35	-0.78
	Mx.min	-1.78	-0.39	-3.6	**0**	-6.35	-0.78
	Mx.max	-1.78	-0.39	-3.6	**0**	-6.35	-0.78
	My.min	-1.78	-0.39	-3.6	0	**-6.35**	-0.78
	My.max	-1.78	-0.39	-3.6	0	**-6.35**	-0.78
	Mz.min	-1.78	-0.39	-3.6	0	-6.35	**-0.78**
	Mz.max	-1.78	-0.39	-3.6	0	-6.35	**-0.78**
P1_71	N.min	**-100.65**	-9.1	-145.94	0.01	102.69	-13.25
	N.max	**0.38**	0.05	-0.17	0	-0.3	0.02
	Vy.min	-82.21	**-11**	-118.11	-0.02	70.6	-14.78
	Vy.max	-19.94	**1.01**	-2.95	0.01	-7.51	0.9
	Vz.min	-88.72	-9.65	**-211.86**	0	163.86	-13.91
	Vz.max	-14.2	0.04	**0.32**	0	-11.28	0.05
	Mx.min	-59.66	-7.79	-91.36	**-0.03**	61.55	-10.72
	Mx.max	-53.89	-2.54	-86.03	**0.03**	73.73	-4.11
	My.min	-57.74	-8.4	-6.48	0	**-46.51**	-11.63
	My.max	-50.62	-2.79	-206.65	0	**192.83**	-4
	Mz.min	-80.26	-10.72	-122.71	0	79.51	**-15.1**
	Mz.max	-10.35	0.99	-0.4	0	-9.9	**1.11**
P2_71	N.min	**-101.58**	-4.6	-108.12	0.03	455.15	-14.43
	N.max	**0.38**	-0.07	0.16	0	0.62	-0.05
	Vy.min	-72.46	**-5.71**	-87.57	0.02	376.75	-16.06
	Vy.max	-22.68	**1.05**	0.81	0	2.36	1.25
	Vz.min	-51.67	-1.41	**-174.07**	0	676.38	-4.41
	Vz.max	-56.62	-3.92	**11.24**	0.01	1.58	-11.99
	Mx.min	-34.67	-0.7	-89.43	**-0.03**	350.03	-1.85
	Mx.max	-78.3	-4.44	-83.86	**0.05**	357.71	-13.87
	My.min	-32.84	0.43	5.29	0	**-9.48**	-0.35
	My.max	-73.1	-4.69	-116.79	0.02	**711.17**	-13.95
	Mz.min	-81.27	-5.33	-60.11	0.02	399.19	**-16.33**
	Mz.max	-10.67	0.89	2	0	-3.31	**1.54**
P1_C3	N.min	**-75.55**	-7.94	-121.96	0	74.91	-11.38
	N.max	**0.31**	0.04	-0.13	0	-0.22	0.01
	Vy.min	-57.37	**-8.69**	-96.27	-0.01	61.12	-11.74
	Vy.max	-16.74	**0.6**	-3.78	0.01	-0.18	0.38
	Vz.min	-68.29	-7.96	**-122.14**	0	80.92	-11.44
	Vz.max	-11.78	-0.01	**0.24**	0	-9.39	-0.01
	Mx.min	-41.78	-5.68	-53.34	**-0.02**	28.15	-8.05
	Mx.max	-33.68	-2.44	-63.76	**0.01**	52.76	-3.75
	My.min	-47.16	-6.6	-5.75	0	**-35.27**	-9.24
	My.max	-31.04	-1.66	-116.75	0	**109.57**	-2.41
	Mz.min	-68.52	-8.48	-121.06	0	81.77	**-12.03**
	Mz.max	-4.71	0.56	-0.28	0	-4.78	**0.63**
P2_C3	N.min	**-76.21**	-3.96	-90.56	0.01	384.04	-12.02
	N.max	**0.3**	-0.06	0.12	0	0.48	-0.04
	Vy.min	-63.04	**-4.71**	-90.85	0.01	380.83	-13
	Vy.max	-16.28	**0.66**	-5.73	0	34.8	0.58
	Vz.min	-29.06	-0.7	**-98.57**	0	383.08	-2.34
	Vz.max	-44.07	-3.04	**8.37**	0.01	1.82	-9.53
	Mx.min	-23.75	-0.57	-50.78	**-0.02**	200.9	-1.25
	Mx.max	-54.68	-3.83	-51.24	**0.03**	227.11	-11.45
	My.min	-20.7	-0.09	3.87	0	**-6.57**	-1
	My.max	-49.76	-3.78	-64.65	0.01	**405.95**	-11.07
	Mz.min	-68.05	-4.44	-57.11	0.01	369.5	**-13.15**
	Mz.max	-4.25	0.47	0.76	0	-1.14	**0.93**
BR	N.min	**-30.05**	-16.3	-0.1	0.02	-11.43	-42.46
	N.max	**30.05**	16.3	0.1	-0.02	11.43	42.46
	Vy.min	-28.57	**-26.99**	0.58	0.02	-10.99	-47.36
	Vy.max	28.57	**26.99**	-0.58	-0.02	10.99	47.36
	Vz.min	12.75	23.23	**-0.61**	-0.02	6.06	31.93
	Vz.max	-12.75	-23.23	**0.61**	0.02	-6.06	-31.93
	Mx.min	28.57	26.99	-0.58	**-0.02**	10.99	47.36
	Mx.max	-28.57	-26.99	0.58	**0.02**	-10.99	-47.36
	My.min	-28.45	-25.07	-0.15	0.02	**-13.01**	-54.07
	My.max	28.45	25.07	0.15	-0.02	**13.01**	54.07
	Mz.min	-28.45	-25.07	-0.15	0.02	-13.01	**-54.07**
	Mz.max	28.45	25.07	0.15	-0.02	13.01	**54.07**

TR_P4.2 POPIS: **PŘÍČNÍK P4 - VNĚJŠÍ PODÉLNÍK** POSUDEK: **P4.2**

SKUPINA ZAT. STAVŮ	EXTRÉM	VYHODNOCOVANÉ VELIČINY					
		N	Vy	Vz	Mx	My	Mz
		kN	kN	kN	kNm	kNm	kNm
S	N.min	**-9.76**	2.39	-7.16	0.02	-13.53	2.89
	N.max	**9.76**	-2.39	7.16	-0.02	13.53	-2.89
	Vy.min	0.21	**-6.9**	-3.34	0.01	-8.59	-5.23
	Vy.max	-0.21	**6.9**	3.34	-0.01	8.59	5.23
	Vz.min	-9.76	2.39	**-7.16**	0.02	-13.53	2.89
	Vz.max	9.76	-2.39	**7.16**	-0.02	13.53	-2.89
	Mx.min	-4.96	3.89	-5.78	**-0.03**	-10.82	2.52
	Mx.max	4.96	-3.89	5.78	**0.03**	10.82	-2.52
	My.min	-9.76	2.39	-7.16	0.02	**-13.53**	2.89
	My.max	9.76	-2.39	7.16	-0.02	**13.53**	-2.89
	Mz.min	0.19	-6.63	-2.77	0.01	-7.84	**-5.23**
	Mz.max	-0.19	6.63	2.77	-0.01	7.84	**5.23**
CH	N.min	**-1.9**	-1.06	2.34	0	-9.67	-1.51
	N.max	**-0.79**	-0.89	-0.59	0	-32.94	-1.32
	Vy.min	-1.9	**-1.06**	2.34	0	-9.67	-1.51
	Vy.max	-0.79	**-0.89**	-0.59	0	-32.94	-1.32
	Vz.min	-0.79	-0.89	**-0.59**	0	-32.94	-1.32
	Vz.max	-1.9	-1.06	**2.34**	0	-9.67	-1.51
	Mx.min	-1.9	-1.06	2.34	**0**	-9.67	-1.51
	Mx.max	-1.86	-1	-0.01	**0**	-31.55	-1.97
	My.min	-0.79	-0.89	-0.59	0	**-32.94**	-1.32
	My.max	-1.9	-1.06	2.34	0	**-9.67**	-1.51
	Mz.min	-1.86	-1	-0.01	0	-31.55	**-1.97**
	Mz.max	-0.79	-0.89	-0.59	0	-32.94	**-1.32**
W	N.min	**-1.59**	8.52	-6.6	-0.01	-18.15	6.62
	N.max	**-1.35**	-8.53	6.6	0.01	18.18	-6.64
	Vy.min	-1.35	**-8.53**	6.6	0.01	18.18	-6.64
	Vy.max	-1.59	**8.52**	-6.6	-0.01	-18.15	6.62
	Vz.min	-1.59	8.52	**-6.6**	-0.01	-18.15	6.62
	Vz.max	-1.35	-8.53	**6.6**	0.01	18.18	-6.64
	Mx.min	-1.59	8.52	-6.6	**-0.01**	-18.15	6.62
	Mx.max	-1.35	-8.53	6.6	**0.01**	18.18	-6.64
	My.min	-1.59	8.52	-6.6	-0.01	**-18.15**	6.62
	My.max	-1.35	-8.53	6.6	0.01	**18.18**	-6.64
	Mz.min	-1.35	-8.53	6.6	0.01	18.18	**-6.64**
	Mz.max	-1.59	8.52	-6.6	-0.01	-18.15	**6.62**
WP	N.min	**-9.06**	14.67	26.07	-0.01	39.82	11.86
	N.max	**9.05**	-14.68	-26.07	0.01	-39.83	-11.87
	Vy.min	9.05	**-14.68**	-26.07	0.01	-39.83	-11.87
	Vy.max	-9.06	**14.67**	26.07	-0.01	39.82	11.86
	Vz.min	9.05	-14.68	**-26.07**	0.01	-39.83	-11.87
	Vz.max	-9.06	14.67	**26.07**	-0.01	39.82	11.86
	Mx.min	-9.06	14.67	26.07	**-0.01**	39.82	11.86
	Mx.max	9.05	-14.68	-26.07	**0.01**	-39.83	-11.87
	My.min	9.05	-14.68	-26.07	0.01	**-39.83**	-11.87
	My.max	-9.06	14.67	26.07	-0.01	**39.82**	11.86
	Mz.min	9.05	-14.68	-26.07	0.01	-39.83	**-11.87**
	Mz.max	-9.06	14.67	26.07	-0.01	39.82	**11.86**
TR	N.min	**0**	0	0	0	0	0
	N.max	**0**	0	0	0	0	0
	Vy.min	0	**0**	0	0	0	0
	Vy.max	0	**0**	0	0	0	0
	Vz.min	0	0	**0**	0	0	0
	Vz.max	0	0	**0**	0	0	0
	Mx.min	0	0	0	**0**	0	0
	Mx.max	0	0	0	**0**	0	0
	My.min	0	0	0	0	**0**	0
	My.max	0	0	0	0	**0**	0
	Mz.min	0	0	0	0	0	**0**
	Mz.max	0	0	0	0	0	**0**
TN	N.min	**-2.6**	0.44	-0.21	0	2.61	0.89
	N.max	**2.6**	-0.44	0.21	0	-2.61	-0.89
	Vy.min	2.6	**-0.44**	0.21	0	-2.61	-0.89
	Vy.max	-2.6	**0.44**	-0.21	0	2.61	0.89
	Vz.min	0.77	-0.27	**-9.53**	-0.01	-32.6	-0.51
	Vz.max	0.04	-0.12	**9.72**	0.01	23.3	-0.33
	Mx.min	0.77	-0.27	-9.53	**-0.01**	-32.6	-0.51
	Mx.max	0.04	-0.12	9.72	**0.01**	23.3	-0.33
	My.min	0.77	-0.27	-9.53	-0.01	**-32.6**	-0.51
	My.max	0.04	-0.12	9.72	0.01	**23.3**	-0.33
	Mz.min	2.6	-0.44	0.21	0	-2.61	**-0.89**
	Mz.max	-2.6	0.44	-0.21	0	2.61	**0.89**
FR	N.min	**-4.14**	-0.18	-0.04	0	-1.48	-0.45
	N.max	**4.14**	0.18	0.04	0	1.48	0.45
	Vy.min	-4.14	**-0.18**	-0.04	0	-1.48	-0.45
	Vy.max	4.14	**0.18**	0.04	0	1.48	0.45
	Vz.min	-4.14	-0.18	**-0.04**	0	-1.48	-0.45
	Vz.max	4.14	0.18	**0.04**	0	1.48	0.45
	Mx.min	4.14	0.18	0.04	**0**	1.48	0.45
	Mx.max	-4.14	-0.18	-0.04	**0**	-1.48	-0.45
	My.min	-4.14	-0.18	-0.04	0	**-1.48**	-0.45
	My.max	4.14	0.18	0.04	0	**1.48**	0.45
	Mz.min	-4.14	-0.18	-0.04	0	-1.48	**-0.45**
	Mz.max	4.14	0.18	0.04	0	1.48	**0.45**
I	N.min	**-0.06**	-0.39	2.02	0	5.8	**-0.2**
	N.max	**0.06**	0.39	-2.02	0	-5.8	**0.2**
	Vy.min	-0.06	**-0.39**	2.02	0	5.8	**-0.2**
	Vy.max	0.06	**0.39**	-2.02	0	-5.8	**0.2**
	Vz.min	0.06	0.39	**-2.02**	0	-5.8	**0.2**
	Vz.max	-0.06	-0.39	**2.02**	0	5.8	**-0.2**
	Mx.min	0.06	0.39	-2.02	**0**	-5.8	**0.2**
	Mx.max	-0.06	-0.39	2.02	**0**	5.8	**-0.2**
	My.min	0.06	0.39	-2.02	0	**-5.8**	**0.2**
	My.max	-0.06	-0.39	2.02	0	**5.8**	**-0.2**
	Mz.min	-0.06	-0.39	2.02	0	5.8	**-0.2**
	Mz.max	0.06	0.39	-2.02	0	-5.8	**0.2**

TAB. P4.2.3 POSOUZENÍ - MEZNÍ STAV ÚNOSNOSTI

POPIS	PŘÍČNÍK P4 - VNĚJŠÍ PODÉLNÍK
PRUT / POLOHA BODU	668 / I[547]
NAMÁHÁNÍ	My.max
VLÁKNO	BOD K2 -HP
MEZNÍ STAV	ULS (MSÚ)
VYUŽITÍ VLÁKNA PRŮŘEZU	1.08

Charakteristiky materiálu				
pás. horní	$f_{yf,k}$	230	MPa	
pás. dolní	$f_{yf,k}$	230	MPa	
stojina	$f_{yw,k}$	230	MPa	
výztuž	$f_{ys,k}$	500	MPa	
γ_M =	1.10	γ_s =	1.15	

Excentricita normálové síly				
Exc./Fáze	0	1	2	3
e_y	0.000	0.000	0.000	0.000
e_z	0.000	0.000	0.000	0.000
Ekvivalentní vzdál. stěn - příčný roznos				
b_{ekv}	0.000	0.000	0.000	0.000

Vliv stěny na únosnost průřezu				
Char./Fáze	0	1	2	3
A	0.00	0.00	0.00	0.00
Wy	0.00	0.00	0.00	0.00
Wz	0.00	0.00	0.00	0.00

Charakter. v kroucení			
$t_{w,y}$	0.000	[mm]	
$t_{w,z}$	0.000	[mm]	
κ	1.00		
I_t=	0.00E+00	[mm^4]	
$\Omega=2*A_{pr}$	0.00E+00	[mm^2]	

Součinitele vzpěru a vlivu II.řádu				
Char./Fáze	0	1	2	3
k_y	1.000	1.000	1.000	1.000
k_z	1.000	1.000	1.000	1.000
χ_{LT}	1.000	1.000	1.000	1.000
χ_{min}	1.000	1.000	1.000	1.000

3

δ_{LOK} 1.00

Vnitřní síly od jednotlivých skupin zatěžovacích stavů

SKUPINA ZATĚŽOVACÍCH STAVŮ					- CHARAKTERISTICKÉ HODNOTY						DÍLČÍ SOUČINITELÉ ZATÍŽENÍ, DYNAMICKÝ SOUČINITEL							- NÁVRHOVÉ HODNOTY									
Č.	SKUP ZS	POPIS ZS	KAT.	FÁZE PRŮŘ.	N.k (kN)	Vy.k (kN)	Vz.k (kN)	Mx.k (kNm)	My.k (kNm)	Mz.k (kNm)	γ_{sup} (-)	γ_{inf} (-)	volba γ_i hledat	γ_i (-)	L_d (m)	δ (-)	Ψ_0 KZ03	N.d (kN)	Vy.d (kN)	Vz.d (kN)	ΔVz.d (kN)	ΣVz.d (kN)	Mx.d (kNm)	My.d (kNm)	ΔMy.d (kNm)	ΣMy.d (kNm)	Mz.d (kNm)	ΔMz.d (kNm)	ΣMz.d (kNm)
1	G0	Vlastní tíha OK	G	0	-57	2	-30	0	32	-9	1.00	1.20		1.20	-	1.00	0.95	-65	2	-34	0	-34	0	37	0	37	-10	0	-10
2	G1	Ostatní stálé - mostní vybavení	G	0	-5	0	-7	0	7	-1	1.00	1.20		1.20	-	1.00	0.95	-6	0	-8	0	-8	0	7	0	7	-1	0	-1
3	G2	Ostatní stálé - cizí zařízení	G	0	-2	0	-4	0	-6	-1	1.00	1.20		1.20	-	1.00	0.95	-2	0	-4	0	-4	0	-7	0	-7	-1	0	-1
4	P1_71	a.LM71 - kolej 1 (bez dyn. souč.)	P	0	-51	-3	-207	0	193	-4	1.00	1.30		1.30	-	1.27	1.00	-84	-5	-341	0	-341	0	319	0	319	-7	1	-5
5	P2_71	a.LM71 - kolej 2 (bez dyn. souč.)	P	0	-73	-5	-117	0	711	-14	1.00	1.30		1.30	-	1.27	1.00	-121	-8	-193	0	-193	0	1 175	0	1 175	-23	5	-18
6	P1_C3	TTZ C3 - kolej 1 (bez dyn. souč.)	P	0	-31	-2	-117	0	110	-2	1.00	vyp.		0.00	-	1.00	0.00	0	0	0	0	0	0	0	0	0	0	0	0
7	P2_C3	TTZ C3 - kolej 2 (bez dyn. souč.)	P	0	-50	-4	-65	0	406	-11	1.00	vyp.		0.00	-	1.00	0.00	0	0	0	0	0	0	0	0	0	0	0	0
8	BR	Brzdné a rozjezdové síly	P	0	28	25	0	0	13	54	1.00	-1.30		-1.30	-	1.00	0.80	-30	-26	0	0	0	0	-14	0	-14	-56	0	-56
9	S	Boční ráz	P	0	10	-2	7	0	14	-3	1.00	1.30		1.30	-	1.00	0.40	5	-1	4	0	4	0	7	0	7	-2	0	-2
10	CH	Chodci na lávkách	Q	0	-2	-1	2	0	-10	-2	1.00	1.30		1.30	-	1.00	1.00	-2	-1	3	0	3	0	-13	0	-13	-2	0	-2
11	W	Vítr na konstrukci	Q	0	-1	-9	7	0	18	-7	1.00	1.35		1.35	-	1.00	0.75	-1	-9	7	0	7	0	18	0	18	-7	0	-7
12	WP	Vítr na vozidla	Q	0	-9	15	26	0	40	12	1.00	-1.35		-1.35	-	1.00	0.75	9	-15	-26	0	-26	0	-40	0	-40	-12	0	-12
13	TR	Teplota rovnoměrná	Q	0	0	0	0	0	0	0	1.00	1.35		1.35	-	1.00	0.45	0	0	0	0	0	0	0	0	0	0	0	0
14	TN	Teplota nerovnoměrná	Q	0	0	0	10	0	23	0	1.00	1.35		1.35	-	1.00	0.60	0	0	8	0	8	0	19	0	19	0	0	0
15	FR	Třecí síly v ložiskách	Q	0	4	0	0	0	1	0	1.00	-1.20		-1.20	-	1.00	1.00	-5	0	0	0	0	0	-2	0	-2	-1	0	-1
16	I	Imperfekce soustavy	Q	0	0	0	2	0	6	0	1.00	1.20		1.20	-	1.00	1.00	0	0	2	0	2	0	7	0	7	0	0	0
27	ULS_LM	ULS - LM71 bez dynam	Q	0	-208	0	-410	0	1 314	-5	1.00	vyp.		0.00	-	1.00	0.00	0	0	0	0	0	0	0	0	0	0	0	0
28	SLS_LM	SLS - LM71 bez dynam	Q	0	-167	-1	-328	0	1 000	-6	1.00	vyp.	1	0.00	-	1.00	0.00	0	0	0	0	0	0	0	0	0	0	0	0
29	ULS_C3	ULS - C3 bez dynam	Q	0	-152	2	-226	0	809	1	1.00	vyp.	1	0.00	-	1.00	0.00	0	0	0	0	0	0	0	0	0	0	0	0
30	SLS_C3	SLS - C3 bez dynam	Q	0	-124	1	-186	0	611	-1	1.00	vyp.	1	0.00	-	1.00	0.00	0	0	0	0	0	0	0	0	0	0	0	0
		CELKEM - FÁZE PRŮŘEZU 0																-301	-63	-583	0	-583	0	1 514	0	1 514	-121	6	-114
		CELKEM - FÁZE PRŮŘEZU 1																0	0	0	0	0	0	0	0	0	0	0	0
		CELKEM - FÁZE PRŮŘEZU 2																0	0	0	0	0	0	0	0	0	0	0	0
		CELKEM - FÁZE PRŮŘEZU 3																0	0	0	0	0	0	0	0	0	0	0	0
		CELKEM - PRŮŘEZ																-301	-63	-583	0	-583	0			1 514			-114

Napětí od jednotlivých zatěžovacích stavů

SKUPINA ZATĚŽOVACÍCH STAVŮ					Posouzení normálového napětí										Posouzení smykového napětí													
					Účinek síly N			Účinek momentu My			Účinek momentu Mz				Účinek kroutícího momentu Mx				Účinek smykové síly Vy				Účinek smykové síly Vz			
Č.	SKUP ZS	Popis ZS	Kat.	fáze průř.	δ^*N_d [kN]	χ^*A [mm^2]	σ_n [MPa]	$\delta^*M_{y,d}$ [kNm]	$\chi_{lt}^*W_{el,y}$ [mm^3]	σ_{my} [MPa]	$\delta^*M_{z,d}$ [kNm]	$W_{el,z}$ [mm^3]	σ_{mz} [MPa]	σ_x [MPa]	$\kappa^*\delta^*M_{x,d}$ [kNm]	$W_{v,y}$ [mm^2]	$\tau_{x,y}$ [MPa]	$W_{v,z}$ [mm^2]	$\tau_{x,z}$ [MPa]	$\delta^*V_{y,d}$ [kN]	$A_{v,y}$ [mm2]	$\tau_{v,y}$ [MPa]	$\tau_{v,y}$ [MPa]	$\delta^*V_{z,d}$ [kN]	$A_{v,z}$ [mm2]	$\tau_{v,z}$ [MPa]	$\tau_{v,z}$ [MPa]
1	G0	Vlastní tíha OK	G	0	-65.1	3.42E+04	-1.9	36.8	-1.40E+07	-2.6	-9.8	1.05E+06	-9.3	-13.8	0.0E+00	-	-	-	-	2.5	1.87E+04	0.1	0.1	-34.2	1.12E+04	-3.1	-3.1
2	G1	Ostatní stálé - mostní vybavení	G	0	-5.5	3.42E+04	-0.2	7.4	-1.40E+07	-0.5	-0.7	1.05E+06	-0.7	-1.4	0.0E+00	-	-	-	-	0.2	1.87E+04	0.0	0.0	-7.7	1.12E+04	-0.7	-0.7
3	G2	Ostatní stálé - cizí zařízení	G	0	-2.0	3.42E+04	-0.1	-7.2	-1.40E+07	0.5	-0.9	1.05E+06	-0.8	-0.4	0.0E+00	-	-	-	-	-0.4	1.87E+04	0.0	0.0	-4.1	1.12E+04	-0.4	-0.4
4	P1_71	a.LM71 - kolej 1 (bez dyn. souč.)	P	0	-83.6	3.42E+04	-2.4	318.6	-1.40E+07	-22.8	-5.2	1.05E+06	-4.9	-30.2	0.0E+00	-	-	-	-	-4.6	1.87E+04	-0.2	-0.2	-341.4	1.12E+04	-30.5	-30.5
5	P2_71	a.LM71 - kolej 2 (bez dyn. souč.)	P	0	-120.8	3.42E+04	-3.5	1 175.1	-1.40E+07	-84.1	-18.1	1.05E+06	-17.2	-104.9	3.3E-02	-	-	-	-	-7.7	1.87E+04	-0.4	-0.4	-193.0	1.12E+04	-17.2	-17.2
6	P1_C3	TTZ C3 - kolej 1 (bez dyn. souč.)	P	0	0.0	3.42E+04	0.0	0.0	-1.40E+07	0.0	0.0	1.05E+06	0.0	0.0	0.0E+00	-	-	-	-	0.0	1.87E+04	0.0	0.0	0.0	1.12E+04	0.0	0.0
7	P2_C3	TTZ C3 - kolej 2 (bez dyn. souč.)	P	0	0.0	3.42E+04	0.0	0.0	-1.40E+07	0.0	0.0	1.05E+06	0.0	0.0	0.0E+00	-	-	-	-	0.0	1.87E+04	0.0	0.0	0.0	1.12E+04	0.0	0.0
8	BR	Brzdné a rozjezdové síly	P	0	-29.6	3.42E+04	-0.9	-13.5	-1.40E+07	1.0	-56.2	1.05E+06	-53.3	-53.2	2.1E-02	-	-	-	-	-26.1	1.87E+04	-1.4	-1.4	-0.2	1.12E+04	0.0	0.0
9	S	Boční ráz	P	0	5.1	3.42E+04	0.1	7.0	-1.40E+07	-0.5	-1.5	1.05E+06	-1.4	-1.8	-1.0E-02	-	-	-	-	-1.2	1.87E+04	-0.1	-0.1	3.7	1.12E+04	0.3	0.3
10	CH	Chodci na lávkách	Q	0	-2.5	3.42E+04	-0.1	-12.6	-1.40E+07	0.9	-2.0	1.05E+06	-1.9	-1.0	0.0E+00	-	-	-	-	-1.4	1.87E+04	-0.1	-0.1	3.0	1.12E+04	0.3	0.3
11	W	Vítr na konstrukci	Q	0	-1.4	3.42E+04	0.0	18.4	-1.40E+07	-1.3	-6.7	1.05E+06	-6.4	-7.7	1.0E-02	-	-	-	-	-8.6	1.87E+04	-0.5	-0.5	6.7	1.12E+04	0.6	0.6
12	WP	Vítr na vozidla	Q	0	9.2	3.42E+04	0.3	-40.3	-1.40E+07	2.9	-12.0	1.05E+06	-11.4	-8.2	1.0E-02	-	-	-	-	-14.9	1.87E+04	-0.8	-0.8	-26.4	1.12E+04	-2.4	-2.4
13	TR	Teplota rovnoměrná	Q	0	0.0	3.42E+04	0.0	0.0	-1.40E+07	0.0	0.0	1.05E+06	0.0	0.0	0.0E+00	-	-	-	-	0.0	1.87E+04	0.0	0.0	0.0	1.12E+04	0.0	0.0
14	TN	Teplota nerovnoměrná	Q	0	0.0	3.42E+04	0.0	18.9	-1.40E+07	-1.4	-0.3	1.05E+06	-0.3	-1.6	8.1E-03	-	-	-	-	-0.1	1.87E+04	0.0	0.0	7.9	1.12E+04	0.7	0.7
15	FR	Třecí síly v ložiskách	Q	0	-5.0	3.42E+04	-0.1	-1.8	-1.40E+07	0.1	-0.5	1.05E+06	-0.5	-0.5	0.0E+00	-	-	-	-	-0.2	1.87E+04	0.0	0.0	0.0	1.12E+04	0.0	0.0
16	I	Imperfekce soustavy	Q	0	-0.1	3.42E+04	0.0	7.0	-1.40E+07	-0.5	-0.2	1.05E+06	-0.2	-0.7	0.0E+00	-	-	-	-	-0.5	1.87E+04	0.0	0.0	2.4	1.12E+04	0.2	0.2
27	ULS_LM	ULS - LM71 bez dynam	Q	0	0.0	3.42E+04	0.0	0.0	-1.40E+07	0.0	0.0	1.05E+06	0.0	0.0	0.0E+00	-	-	-	-	0.0	1.87E+04	0.0	0.0	0.0	1.12E+04	0.0	0.0
28	SLS_LM	SLS - LM71 bez dynam	Q	0	0.0	3.42E+04	0.0	0.0	-1.40E+07	0.0	0.0	1.05E+06	0.0	0.0	0.0E+00	-	-	-	-	0.0	1.87E+04	0.0	0.0	0.0	1.12E+04	0.0	0.0
29	ULS_C3	ULS - C3 bez dynam	Q	0	0.0	3.42E+04	0.0	0.0	-1.40E+07	0.0	0.0	1.05E+06	0.0	0.0	0.0E+00	-	-	-	-	0.0	1.87E+04	0.0	0.0	0.0	1.12E+04	0.0	0.0
30	SLS_C3	SLS - C3 bez dynam	Q	0	0.0	3.42E+04	0.0	0.0	-1.40E+07	0.0	0.0	1.05E+06	0.0	0.0	0.0E+00	-	-	-	-	0.0	1.87E+04	0.0	0.0	0.0	1.12E+04	0.0	0.0
NAVÝŠENÍ NAPĚTÍ DO AKTIVACE TLAKU V DESCE MOSTOVKY						$\sigma_{P,red}$	0.0							0.0			0.0		0.0				-3.4	-3.4			-52.1	-52.1
NAPĚTÍ OD PRIMÁRNÍCH ÚČINKŮ NEROVNOMĚRNÉHO OTEPLENÍ						σ_T	0.0							0.0														
NAPĚTÍ OD REOLOGICKÝCH ÚČINKŮ BETONU V ČASE			t=0			σ_R	0.0	γ=	1.20					0.0														
NAPĚTÍ V KRITICKÝCH VLÁKNECH OD KOMBINACE ZATÍŽENÍ						KZ03		[MPa]					$\Sigma\sigma_x$	-225.5								$\Sigma\tau_y$	-3.4				$\Sigma\tau_z$	-52.1
NAPĚTÍ OD POHYBLIVÉHO ZATÍŽENÍ								[MPa]					$\sigma_{x,P}$	-190.1									-2.1				τ_P	-47.4
NAPĚTÍ OD OSTATNÍCH ZATÍŽENÍ								[MPa]			Φ_{Vy}	Φ_{Vz}	$\sigma_{x,rs}$	-35.5								τ_{rs}	-1.2				τ_{rs}	-4.7
NÁVRHOVÁ HODNOTA MEZE KLUZU S REDUKCÍ VLIVEM SMYKOVÉHO NAPĚTÍ								[MPa]			1.00	1.00	$f_{yw,d}$	209.1								$f_{yd}/3^{0,5}$	120.7				$f_{yd}/3^{0,5}$	120.7
NAPĚTÍ OD POHYBLIVÉHO ZATÍŽENÍ V GLOBÁLNÍM SYSTÉMU						$\sigma_{GLOB,P}$	0.0	[MPa]					$\Sigma\sigma_{GLOB}$	0.0														
NAPĚTÍ OD OSTATNÍCH ZATÍŽENÍ V GLOBÁLNÍM SYSTÉMU						$\sigma_{GLOB,rs}$	0.0	[MPa]					$\Sigma\sigma_x + \Sigma\sigma_{GLOB}$	-225.5														
VYUŽITÍ PRŮŘEZU DLE NAPĚTÍ								[%]					η_1	1.08								η_3	0.03				η_3	0.43
NAPĚTÍ V PŘÍČNÉM SMĚRU OD POHYBLIVÉHO ZATÍŽENÍ						$\sigma_{z,P}$	0.0	[MPa]					$\Sigma\sigma_z$	0.0														
NAPĚTÍ V PŘÍČNÉM SMĚRU OD OSTATNÍCH ZATÍŽENÍ						$\sigma_{z,rs}$	0.0	[MPa]					η_2	0.00														
SROVNÁVACÍ NAPĚTÍ													$(\eta_2 + 0,8\ \eta_1)/1,4$ =	0.62														
VYUŽITÍ PRŮŘEZU CELKEM								[%]					eff	1.08	NEVYHOVUJE													
STANOVENÍ ZATÍŽITELNOSTI													z_{LM71} =	0.91														

TAB. P4.2.3 POSOUZENÍ - MEZNÍ STAV ÚNOSNOSTI

POPIS	PŘÍČNÍK P4 - VNĚJŠÍ PODÉLNÍK
PRUT / POLOHA BODU	668 / I[547]
NAMÁHÁNÍ	My.max
VLÁKNO	BOD K3 -SL
MEZNÍ STAV	ULS (MSÚ)
VYUŽITÍ VLÁKNA PRŮŘEZU	1.09

Charakteristiky materiálu				
pás. horní	$f_{yf,k}$	230	MPa	
pás. dolní	$f_{yf,k}$	230	MPa	
stojina	$f_{yw,k}$	230	MPa	
výztuž	$f_{ys,k}$	500	MPa	
γ_M =	1.10	γ_s =	1.15	

Excentricita normálové síly				
Exc./Fáze	0	1	2	3
e_y	0.000	0.000	0.000	0.000
e_z	0.000	0.000	0.000	0.000
Ekvivalentní vzdál. stěn - příčný roznos				
b_{Mx}	0.000	0.000	0.000	0.000

Vliv stěny na únosnost průřezu				
Char./Fáze	0	1	2	3
A	0.00	0.00	0.00	0.00
Wy	0.00	0.00	0.00	0.00
Wz	0.00	0.00	0.00	0.00

Charakter. v kroucení			
$t_{w,y}$	0.000	[mm]	
$t_{w,z}$	0.000	[mm]	
κ	1.00		
I_t=	0.00E+00	[mm^4]	
Ω=2*A_{pr}	0.00E+00	[mm^2]	

Součinitele vzpěru a vlivu II.řádu					
Char./Fáze	0	1	2	3	
k_y	1.000	1.000	1.000	1.000	
k_z	1.000	1.000	1.000	1.000	
χ_{LT}	1.000	1.000	1.000	1.000	
χ_{min}	1.000	1.000	1.000	1.000	

δ_{LOK} 1.00

3

Vnitřní síly od jednotlivých skupin zatěžovacích stavů

SKUPINA ZATĚŽOVACÍCH STAVŮ					- CHARAKTERISTICKÉ HODNOTY						DÍLČÍ SOUČINITELÉ ZATÍŽENÍ, DYNAMICKÝ SOUČINITEL							- NÁVRHOVÉ HODNOTY									
Č.	SKUP ZS	POPIS ZS	KAT.	FÁZE PRŮŘ.	N.k (kN)	Vy.k (kN)	Vz.k (kN)	Mx.k (kNm)	My.k (kNm)	Mz.k (kNm)	γ_{sr} (-)	γ_{fs} (-)	volba γ_f hledat	γ_f (-)	L_d (m)	δ (-)	Ψ_0 KZ03	N.d (kN)	Vy.d (kN)	Vz.d (kN)	ΔVz.d (kN)	ΣVz.d (kN)	Mx.d (kNm)	My.d (kNm)	ΔMy.d (kNm)	ΣMy.d (kNm)	Mz.d (kNm)	ΔMz.d (kNm)	ΣMz.d (kNm)
1	G0	Vlastní tíha OK	G	0	-57	2	-30	0	32	-9	1.00	1.20		1.20	-	1.00	0.95	-65	2	-34	0	-34	0	37	0	37	-10	0	-10
2	G1	Ostatní stálé - mostní vybavení	G	0	-5	0	-7	0	7	-1	1.00	1.20		1.20	-	1.00	0.95	-6	0	-8	0	-8	0	7	0	7	-1	0	-1
3	G2	Ostatní stálé - cizí zařízení	G	0	-2	0	-4	0	-6	-1	1.00	1.20		1.20	-	1.00	0.95	-2	0	-4	0	-4	0	-7	0	-7	-1	0	-1
4	P1_71	a.LM71 - kolej 1 (bez dyn. souč.)	P	0	-51	-3	-207	0	193	-4	1.00	1.30		1.30	-	1.27	1.00	-84	-5	-341	0	-341	0	319	0	319	-7	1	-5
5	P2_71	a.LM71 - kolej 2 (bez dyn. souč.)	P	0	-73	-5	-117	0	711	-14	1.00	1.30		1.30	-	1.27	1.00	-121	-8	-193	0	-193	0	1 175	0	1 175	-23	5	-18
6	P1_C3	TTZ C3 - kolej 1 (bez dyn. souč.)	P	0	-31	-2	-117	0	110	-2	1.00	vyp.		0.00	-	1.00	0.00	0	0	0	0	0	0	0	0	0	0	0	0
7	P2_C3	TTZ C3 - kolej 2 (bez dyn. souč.)	P	0	-50	-4	-65	0	406	-11	1.00	vyp.		0.00	-	1.00	0.00	0	0	0	0	0	0	0	0	0	0	0	0
8	BR	Brzdné a rozjezdové síly	P	0	28	25	0	0	13	54	1.00	-1.30		-1.30	-	1.00	0.80	-30	-26	0	0	0	0	-14	0	-14	-56	0	-56
9	S	Boční ráz	P	0	10	-2	7	0	14	-3	1.00	1.30		1.30	-	1.00	0.40	5	-1	4	0	4	0	7	0	7	-2	0	-2
10	CH	Chodci na lávkách	Q	0	-2	-1	2	0	-10	-2	1.00	1.30		1.30	-	1.00	1.00	-2	-1	3	0	3	0	-13	0	-13	-2	0	-2
11	W	Vítr na konstrukci	Q	0	-1	-9	7	0	18	-7	1.00	1.35		1.35	-	1.00	0.75	-1	-9	7	0	7	0	18	0	18	-7	0	-7
12	WP	Vítr na vozidla	Q	0	-9	15	26	0	40	12	1.00	-1.35		-1.35	-	1.00	0.75	9	-15	-26	0	-26	0	-40	0	-40	-12	0	-12
13	TR	Teplota rovnoměrná	Q	0	0	0	0	0	0	0	1.00	1.35		1.35	-	1.00	0.45	0	0	0	0	0	0	0	0	0	0	0	0
14	TN	Teplota nerovnoměrná	Q	0	0	0	10	0	23	0	1.00	1.35		1.35	-	1.00	0.60	0	0	8	0	8	0	19	0	19	0	0	0
15	FR	Třecí síly v ložiskách	Q	0	4	0	0	0	1	0	1.00	-1.20		-1.20	-	1.00	1.00	-5	0	0	0	0	0	-2	0	-2	-1	0	-1
16	I	Imperfekce soustavy	Q	0	0	0	2	0	6	0	1.00	1.20		1.20	-	1.00	1.00	0	0	2	0	2	0	7	0	7	0	0	0
27	ULS_LM	ULS - LM71 bez dynam	Q	0	-208	0	-410	0	1 314	-5	1.00	vyp.		0.00	-	1.00	0.00	0	0	0	0	0	0	0	0	0	0	0	0
28	SLS_LM	SLS - LM71 bez dynam	Q	0	-167	-1	-328	0	1 000	-6	1.00	vyp.	1	0.00	-	1.00	0.00	0	0	0	0	0	0	0	0	0	0	0	0
29	ULS_C3	ULS - C3 bez dynam	Q	0	-152	2	-226	0	809	1	1.00	vyp.	1	0.00	-	1.00	0.00	0	0	0	0	0	0	0	0	0	0	0	0
30	SLS_C3	SLS - C3 bez dynam	Q	0	-124	1	-186	0	611	-1	1.00	vyp.	1	0.00	-	1.00	0.00	0	0	0	0	0	0	0	0	0	0	0	0
		CELKEM - FÁZE PRŮŘEZU 0																-301	-63	-583	0	-583	0	1 514	0	1 514	-121	6	-114
		CELKEM - FÁZE PRŮŘEZU 1																0	0	0	0	0	0	0	0	0	0	0	0
		CELKEM - FÁZE PRŮŘEZU 2																0	0	0	0	0	0	0	0	0	0	0	0
		CELKEM - FÁZE PRŮŘEZU 3																0	0	0	0	0	0	0	0	0	0	0	0
		CELKEM - PRŮŘEZ																-301	-63	-583	0	-583	0			1 514			-114

Napětí od jednotlivých zatěžovacích stavů

SKUPINA ZATĚŽOVACÍCH STAVŮ					Posouzení normálového napětí										Posouzení smykového napětí													
					Účinek síly N			Účinek momentu My			Účinek momentu Mz				Účinek kroutícího momentu Mx				Účinek smykové síly Vy				Účinek smykové síly Vz			
Č.	SKUP ZS	Popis ZS	Kat.	fáze průř.	δ^*N_d [kN]	χ^*A [mm^2]	σ_n [MPa]	$\delta^*M_{y,d}$ [kNm]	$\chi_{lt}{}^*W_{el,y}$ [mm^3]	σ_{my} [MPa]	$\delta^*M_{z,d}$ [kNm]	$W_{el,z}$ [mm^3]	σ_{mz} [MPa]	σ_x [MPa]	$\kappa^*\delta^*M_{x,d}$ [kNm]	$W_{v,y}$ [mm^3]	$\tau_{x,y}$ [MPa]	$W_{v,z}$ [mm^3]	$\tau_{x,z}$ [MPa]	$\delta^*V_{y,d}$ [kN]	$A_{v,y}$ [mm2]	$\tau_{v,y}$ [MPa]	$\tau_{v,y}$ [MPa]	$\delta^*V_{z,d}$ [kN]	$A_{v,z}$ [mm2]	$\tau_{v,z}$ [MPa]	$\tau_{v,z}$ [MPa]
1	G0	Vlastní tíha OK	G	0	-65.1	3.42E+04	-1.9	36.8	1.19E+07	3.1	-9.8	-1.05E+06	9.3	10.5	0.0E+00	-	-	-	-	2.5	1.87E+04	0.1	0.1	-34.2	1.12E+04	-3.1	-3.1
2	G1	Ostatní stálé - mostní vybavení	G	0	-5.5	3.42E+04	-0.2	7.4	1.19E+07	0.6	-0.7	-1.05E+06	0.7	1.2	0.0E+00	-	-	-	-	0.2	1.87E+04	0.0	0.0	-7.7	1.12E+04	-0.7	-0.7
3	G2	Ostatní stálé - cizí zařízení	G	0	-2.0	3.42E+04	-0.1	-7.2	1.19E+07	-0.6	-0.9	-1.05E+06	0.8	0.2	0.0E+00	-	-	-	-	-0.4	1.87E+04	0.0	0.0	-4.1	1.12E+04	-0.4	-0.4
4	P1_71	a.LM71 - kolej 1 (bez dyn. souč.)	P	0	-83.6	3.42E+04	-2.4	318.6	1.19E+07	26.9	-5.2	-1.05E+06	4.9	29.4	0.0E+00	-	-	-	-	-4.6	1.87E+04	-0.2	-0.2	-341.4	1.12E+04	-30.5	-30.5
5	P2_71	a.LM71 - kolej 2 (bez dyn. souč.)	P	0	-120.8	3.42E+04	-3.5	1 175.1	1.19E+07	99.1	-18.1	-1.05E+06	17.2	112.7	3.3E-02	-	-	-	-	-7.7	1.87E+04	-0.4	-0.4	-193.0	1.12E+04	-17.2	-17.2
6	P1_C3	TTZ C3 - kolej 1 (bez dyn. souč.)	P	0	0.0	3.42E+04	0.0	0.0	1.19E+07	0.0	0.0	-1.05E+06	0.0	0.0	0.0E+00	-	-	-	-	0.0	1.87E+04	0.0	0.0	0.0	1.12E+04	0.0	0.0
7	P2_C3	TTZ C3 - kolej 2 (bez dyn. souč.)	P	0	0.0	3.42E+04	0.0	0.0	1.19E+07	0.0	0.0	-1.05E+06	0.0	0.0	0.0E+00	-	-	-	-	0.0	1.87E+04	0.0	0.0	0.0	1.12E+04	0.0	0.0
8	BR	Brzdné a rozjezdové síly	P	0	-29.6	3.42E+04	-0.9	-13.5	1.19E+07	-1.1	-56.2	-1.05E+06	53.3	51.3	2.1E-02	-	-	-	-	-26.1	1.87E+04	-1.4	-1.4	-0.2	1.12E+04	0.0	0.0
9	S	Boční ráz	P	0	5.1	3.42E+04	0.1	7.0	1.19E+07	0.6	-1.5	-1.05E+06	1.4	2.2	-1.0E-02	-	-	-	-	-1.2	1.87E+04	-0.1	-0.1	3.7	1.12E+04	0.3	0.3
10	CH	Chodci na lávkách	Q	0	-2.5	3.42E+04	-0.1	-12.6	1.19E+07	-1.1	-2.0	-1.05E+06	1.9	0.7	0.0E+00	-	-	-	-	-1.4	1.87E+04	-0.1	-0.1	3.0	1.12E+04	0.3	0.3
11	W	Vítr na konstrukci	Q	0	-1.4	3.42E+04	0.0	18.4	1.19E+07	1.6	-6.7	-1.05E+06	6.4	7.9	1.0E-02	-	-	-	-	-8.6	1.87E+04	-0.5	-0.5	6.7	1.12E+04	0.6	0.6
12	WP	Vítr na vozidla	Q	0	9.2	3.42E+04	0.3	-40.3	1.19E+07	-3.4	-12.0	-1.05E+06	11.4	8.3	1.0E-02	-	-	-	-	-14.9	1.87E+04	-0.8	-0.8	-26.4	1.12E+04	-2.4	-2.4
13	TR	Teplota rovnoměrná	Q	0	0.0	3.42E+04	0.0	0.0	1.19E+07	0.0	0.0	-1.05E+06	0.0	0.0	0.0E+00	-	-	-	-	0.0	1.87E+04	0.0	0.0	0.0	1.12E+04	0.0	0.0
14	TN	Teplota nerovnoměrná	Q	0	0.0	3.42E+04	0.0	18.9	1.19E+07	1.6	-0.3	-1.05E+06	0.3	1.8	8.1E-03	-	-	-	-	-0.1	1.87E+04	0.0	0.0	7.9	1.12E+04	0.7	0.7
15	FR	Třecí síly v ložiskách	Q	0	-5.0	3.42E+04	-0.1	-1.8	1.19E+07	-0.1	-0.5	-1.05E+06	0.5	0.2	0.0E+00	-	-	-	-	-0.2	1.87E+04	0.0	0.0	0.0	1.12E+04	0.0	0.0
16	I	Imperfekce soustavy	Q	0	-0.1	3.42E+04	0.0	7.0	1.19E+07	0.6	-0.2	-1.05E+06	0.2	0.8	0.0E+00	-	-	-	-	-0.5	1.87E+04	0.0	0.0	2.4	1.12E+04	0.2	0.2
27	ULS_LM	ULS - LM71 bez dynam	Q	0	0.0	3.42E+04	0.0	0.0	1.19E+07	0.0	0.0	-1.05E+06	0.0	0.0	0.0E+00	-	-	-	-	0.0	1.87E+04	0.0	0.0	0.0	1.12E+04	0.0	0.0
28	SLS_LM	SLS - LM71 bez dynam	Q	0	0.0	3.42E+04	0.0	0.0	1.19E+07	0.0	0.0	-1.05E+06	0.0	0.0	0.0E+00	-	-	-	-	0.0	1.87E+04	0.0	0.0	0.0	1.12E+04	0.0	0.0
29	ULS_C3	ULS - C3 bez dynam	Q	0	0.0	3.42E+04	0.0	0.0	1.19E+07	0.0	0.0	-1.05E+06	0.0	0.0	0.0E+00	-	-	-	-	0.0	1.87E+04	0.0	0.0	0.0	1.12E+04	0.0	0.0
30	SLS_C3	SLS - C3 bez dynam	Q	0	0.0	3.42E+04	0.0	0.0	1.19E+07	0.0	0.0	-1.05E+06	0.0	0.0	0.0E+00	-	-	-	-	0.0	1.87E+04	0.0	0.0	0.0	1.12E+04	0.0	0.0
NAVÝŠENÍ NAPĚTÍ DO AKTIVACE TLAKU V DESCE MOSTOVKY						$\sigma_{P,red}$	0.0							0.0			0.0		0.0			-3.4	-3.4			-52.1	-52.1
NAPĚTÍ OD PRIMÁRNÍCH ÚČINKŮ NEROVNOMĚRNÉHO OTEPLENÍ						σ_T	0.0							0.0													
NAPĚTÍ OD REOLOGICKÝCH ÚČINKŮ BETONU V ČASE		t=0				σ_R	0.0	γ=	1.20					0.0													
NAPĚTÍ V KRITICKÝCH VLÁKNECH OD KOMBINACE ZATÍŽENÍ						KZ03		[MPa]					$\Sigma\sigma_x$	227.2								$\Sigma\tau_y$	-3.4			$\Sigma\tau_z$	-52.1
NAPĚTÍ OD POHYBLIVÉHO ZATÍŽENÍ								[MPa]					$\sigma_{x,P}$	195.6								τ_P	-2.1			τ_P	-47.4
NAPĚTÍ OD OSTATNÍCH ZATÍŽENÍ								[MPa]			Φ_{Vy}	Φ_{Vz}	$\sigma_{x,rs}$	31.6								τ_s	-1.2			τ_s	-4.7
NÁVRHOVÁ HODNOTA MEZE KLUZU S REDUKCÍ VLIVEM SMYKOVÉHO NAPĚTÍ								[MPa]			1.00	1.00	$f_{yw,d}$	209.1								$f_{yd}/3^{0,5}$	120.7			$f_{yd}/3^{0,5}$	120.7
NAPĚTÍ OD POHYBLIVÉHO ZATÍŽENÍ V GLOBÁLNÍM SYSTÉMU						$\sigma_{GLOB,P}$	0.0	[MPa]					$\Sigma\sigma_{GLOB}$	0.0													
NAPĚTÍ OD OSTATNÍCH ZATÍŽENÍ V GLOBÁLNÍM SYSTÉMU						$\sigma_{GLOB,rs}$	0.0	[MPa]					$\Sigma\sigma_x + \Sigma\sigma_{GLOB}$	227.2													
VYUŽITÍ PRŮŘEZU DLE NAPĚTÍ								[%]					η_1	1.09								η_3	0.03			η_3	0.43
NAPĚTÍ V PŘÍČNÉM SMĚRU OD POHYBLIVÉHO ZATÍŽENÍ						$\sigma_{z,P}$	0.0	[MPa]					$\Sigma\sigma_z$	0.0													
NAPĚTÍ V PŘÍČNÉM SMĚRU OD OSTATNÍCH ZATÍŽENÍ						$\sigma_{z,rs}$	0.0	[MPa]					η_2	0.00													
SROVNÁVACÍ NAPĚTÍ													$(\eta_2 + 0,8\ \eta_1)/1,4$ =	0.62													
VYUŽITÍ PRŮŘEZU CELKEM								[%]					eff	1.09	NEVYHOVUJE												
STANOVENÍ ZATÍŽITELNOSTI													z_{LM71} =	0.91													

TAB. P4.2.3 POSOUZENÍ - MEZNÍ STAV ÚNOSNOSTI

POPIS	PŘÍČNÍK P4 - VNĚJŠÍ PODÉLNÍK
PRUT / POLOHA BODU	668 / I[547]
NAMÁHÁNÍ	Vz.min
VLÁKNO	BOD S5 -HL
MEZNÍ STAV	ULS (MSÚ)
VYUŽITÍ VLÁKNA PRŮŘEZU	0.54

Charakteristiky materiálu				
pás. horní	$f_{yf,k}$	230	MPa	
pás. dolní	$f_{yf,k}$	230	MPa	
stojina	$f_{yw,k}$	230	MPa	
výztuž	$f_{ys,k}$	500	MPa	
γ_M =	1.10	γ_s =	1.15	

Excentricita normálové síly				
Exc./Fáze	0	1	2	3
e_y	0.000	0.000	0.000	0.000
e_z	0.000	0.000	0.000	0.000
Ekvivalentní vzdál. stěn - příčný roznos				
b_{Mx}	0.000	0.000	0.000	0.000

Vliv stěny na únosnost průřezu				
Char./Fáze	0	1	2	3
A	0.00	0.00	0.00	0.00
Wy	0.00	0.00	0.00	0.00
Wz	0.00	0.00	0.00	0.00

Charakter. v kroucení			
$t_{w,y}$	0.000	[mm]	
$t_{w,z}$	0.000	[mm]	
κ	1.00		
I_t=	0.00E+00	[mm^4]	
$\Omega=2*A_{pr}$	0.00E+00	[mm^2]	

Součinitele vzpěru a vlivu II.řádu				
Char./Fáze	0	1	2	3
k_y	1.000	1.000	1.000	1.000
k_z	1.000	1.000	1.000	1.000
χ_{LT}	1.000	1.000	1.000	1.000
χ_{min}	1.000	1.000	1.000	1.000

δ_{LOK} 1.00

Vnitřní síly od jednotlivých skupin zatěžovacích stavů

SKUPINA ZATĚŽOVACÍCH STAVŮ — 4

Č.	SKUP ZS	POPIS ZS	KAT.	FÁZE PRŮŘ.	- CHARAKTERISTICKÉ HODNOTY N.k (kN)	Vy.k (kN)	Vz.k (kN)	Mx.k (kNm)	My.k (kNm)	Mz.k (kNm)	DÍLČÍ SOUČINITELÉ ZATÍŽENÍ, DYNAMICKÝ SOUČINITEL γ_{sr} (-)	γ_{fs} (-)	volba γ_f hledat	γ_f (-)	L_d (m)	δ (-)	Ψ_0 KZ04	- NÁVRHOVÉ HODNOTY N.d (kN)	Vy.d (kN)	Vz.d (kN)	ΔVz.d (kN)	ΣVz.d (kN)	Mx.d (kNm)	My.d (kNm)	ΔMy.d (kNm)	ΣMy.d (kNm)	Mz.d (kNm)	ΔMz.d (kNm)	ΣMz.d (kNm)
1	G0	Vlastní tíha OK	G	0	-57	2	-30	0	32	-9	1.00	1.20		1.20	-	1.00	0.95	-65	2	-34	0	-34	0	37	0	37	-10	0	-10
2	G1	Ostatní stálé - mostní vybavení	G	0	-5	0	-7	0	7	-1	1.00	1.20		1.20	-	1.00	0.95	-6	0	-8	0	-8	0	7	0	7	-1	0	-1
3	G2	Ostatní stálé - cizí zařízení	G	0	-2	0	-4	0	-6	-1	1.00	1.20		1.20	-	1.00	0.95	-2	0	-4	0	-4	0	-7	0	-7	-1	0	-1
4	P1_71	a.LM71 - kolej 1 (bez dyn. souč.)	P	0	-89	-10	-212	0	164	-14	1.00	1.30		1.30	-	1.27	1.00	-147	-16	-350	0	-350	0	271	0	271	-23	5	-18
5	P2_71	a.LM71 - kolej 2 (bez dyn. souč.)	P	0	-52	-1	-174	0	676	-4	1.00	1.30		1.30	-	1.27	1.00	-85	-2	-288	0	-288	0	1 118	0	1 118	-7	2	-6
6	P1_C3	TTZ C3 - kolej 1 (bez dyn. souč.)	P	0	-68	-8	-122	0	81	-11	1.00	vyp.		0.00	-	1.00	0.00	0	0	0	0	0	0	0	0	0	0	0	0
7	P2_C3	TTZ C3 - kolej 2 (bez dyn. souč.)	P	0	-29	-1	-99	0	383	-2	1.00	vyp.		0.00	-	1.00	0.00	0	0	0	0	0	0	0	0	0	0	0	0
8	BR	Brzdné a rozjezdové síly	P	0	13	23	-1	0	6	32	1.00	1.30		1.30	-	1.00	0.40	7	12	0	0	0	0	3	0	3	17	0	17
9	S	Boční ráz	P	0	-10	2	-7	0	-14	3	1.00	1.30		1.30	-	1.00	0.80	-10	2	-7	0	-7	0	-14	0	-14	3	0	3
10	CH	Chodci na lávkách	Q	0	-1	-1	-1	0	-33	-1	1.00	1.30		1.30	-	1.00	1.00	-1	-1	-1	0	-1	0	-43	0	-43	-2	0	-2
11	W	Vítr na konstrukci	Q	0	-2	9	-7	0	-18	7	1.00	1.35		1.35	-	1.00	0.75	-2	9	-7	0	-7	0	-18	0	-18	7	0	7
12	WP	Vítr na vozidla	Q	0	9	-15	-26	0	-40	-12	1.00	1.35		1.35	-	1.00	0.75	9	-15	-26	0	-26	0	-40	0	-40	-12	0	-12
13	TR	Teplota rovnoměrná	Q	0	0	0	0	0	0	0	1.00	1.35		1.35	-	1.00	0.45	0	0	0	0	0	0	0	0	0	0	0	0
14	TN	Teplota nerovnoměrná	Q	0	1	0	-10	0	-33	-1	1.00	1.35		1.35	-	1.00	0.60	1	0	-8	0	-8	0	-26	0	-26	0	0	0
15	FR	Třecí síly v ložiskách	Q	0	-4	0	0	0	-1	0	1.00	1.20		1.20	-	1.00	1.00	-5	0	0	0	0	0	-2	0	-2	-1	0	-1
16	I	Imperfekce soustavy	Q	0	0	0	-2	0	-6	0	1.00	1.20		1.20	-	1.00	1.00	0	0	-2	0	-2	0	-7	0	-7	0	0	0
27	ULS_LM	ULS - LM71 bez dynam	Q	0	-255	-12	-601	0	981	-24	1.00	vyp.		0.00	-	1.00	0.00	0	0	0	0	0	0	0	0	0	0	0	0
28	SLS_LM	SLS - LM71 bez dynam	Q	0	-205	-10	-461	0	781	-20	1.00	vyp.	1	0.00	-	1.00	0.00	0	0	0	0	0	0	0	0	0	0	0	0
29	ULS_C3	ULS - C3 bez dynam	Q	0	-199	-9	-387	0	492	-18	1.00	vyp.	1	0.00	-	1.00	0.00	0	0	0	0	0	0	0	0	0	0	0	0
30	SLS_C3	SLS - C3 bez dynam	Q	0	-161	-7	-296	0	404	-15	1.00	vyp.	1	0.00	-	1.00	0.00	0	0	0	0	0	0	0	0	0	0	0	0
		CELKEM - FÁZE PRŮŘEZU 0																-306	-9	-735	0	-735	0	1 278	0	1 278	-30	6	-23
		CELKEM - FÁZE PRŮŘEZU 1																0	0	0	0	0	0	0	0	0	0	0	0
		CELKEM - FÁZE PRŮŘEZU 2																0	0	0	0	0	0	0	0	0	0	0	0
		CELKEM - FÁZE PRŮŘEZU 3																0	0	0	0	0	0	0	0	0	0	0	0
		CELKEM - PRŮŘEZ																-306	-9	-735	0	-735	0			1 278			-23

Napětí od jednotlivých zatěžovacích stavů

SKUPINA ZATĚŽOVACÍCH STAVŮ

Č.	SKUP ZS	Popis ZS	Kat.	fáze průř.	Posouzení normálového napětí — Účinek síly N δ^*N_d [kN]	χ^*A [mm^2]	σ_n [MPa]	Účinek momentu My $\delta^*M_{y,d}$ [kNm]	$\chi_{lt}*W_{el,y}$ [mm^3]	σ_{my} [MPa]	Účinek momentu Mz $\delta^*M_{z,d}$ [kNm]	$W_{el,z}$ [mm^3]	σ_{mz} [MPa]	σ_x [MPa]	Posouzení smykového napětí — Účinek kroutícího momentu Mx $\kappa*\delta^*M_{x,d}$ [kNm]	$W_{v,y}$ [mm^2]	$\tau_{x,y}$ [MPa]	$W_{v,z}$ [mm^2]	$\tau_{x,z}$ [MPa]	Účinek smykové síly Vy $\delta^*V_{y,d}$ [kN]	$A_{v,y}$ [mm2]	$\tau_{v,y}$ [MPa]	$\tau_{v,y}$ [MPa]	Účinek smykové síly Vz $\delta^*V_{z,d}$ [kN]	$A_{v,z}$ [mm2]	$\tau_{v,z}$ [MPa]	$\tau_{v,z}$ [MPa]
1	G0	Vlastní tíha OK	G	0	-65.1	3.42E+04	-1.9	36.8	-1.45E+07	-2.5	-9.8	-3.24E+07	0.3	-4.1	0.0E+00	-	-	-	-	2.5	1.87E+04	0.1	0.1	-34.2	1.12E+04	-3.1	-3.1
2	G1	Ostatní stálé - mostní vybavení	G	0	-5.5	3.42E+04	-0.2	7.4	-1.45E+07	-0.5	-0.7	-3.24E+07	0.0	-0.7	0.0E+00	-	-	-	-	0.2	1.87E+04	0.0	0.0	-7.7	1.12E+04	-0.7	-0.7
3	G2	Ostatní stálé - cizí zařízení	G	0	-2.0	3.42E+04	-0.1	-7.2	-1.45E+07	0.5	-0.9	-3.24E+07	0.0	0.5	0.0E+00	-	-	-	-	-0.4	1.87E+04	0.0	0.0	-4.1	1.12E+04	-0.4	-0.4
4	P1_71	a.LM71 - kolej 1 (bez dyn. souč.)	P	0	-146.6	3.42E+04	-4.3	270.7	-1.45E+07	-18.6	-18.1	-3.24E+07	0.6	-22.3	0.0E+00	-	-	-	-	-15.9	1.87E+04	-0.9	-0.9	-350.1	1.12E+04	-31.3	-31.3
5	P2_71	a.LM71 - kolej 2 (bez dyn. souč.)	P	0	-85.4	3.42E+04	-2.5	1 117.6	-1.45E+07	-76.8	-5.7	-3.24E+07	0.2	-79.2	0.0E+00	-	-	-	-	-2.3	1.87E+04	-0.1	-0.1	-287.6	1.12E+04	-25.7	-25.7
6	P1_C3	TTZ C3 - kolej 1 (bez dyn. souč.)	P	0	0.0	3.42E+04	0.0	0.0	-1.45E+07	0.0	0.0	-3.24E+07	0.0	0.0	0.0E+00	-	-	-	-	0.0	1.87E+04	0.0	0.0	0.0	1.12E+04	0.0	0.0
7	P2_C3	TTZ C3 - kolej 2 (bez dyn. souč.)	P	0	0.0	3.42E+04	0.0	0.0	-1.45E+07	0.0	0.0	-3.24E+07	0.0	0.0	0.0E+00	-	-	-	-	0.0	1.87E+04	0.0	0.0	0.0	1.12E+04	0.0	0.0
8	BR	Brzdné a rozjezdové síly	P	0	6.6	3.42E+04	0.2	3.2	-1.45E+07	-0.2	16.6	-3.24E+07	-0.5	-0.5	-1.0E-02	-	-	-	-	12.1	1.87E+04	0.6	0.6	-0.3	1.12E+04	0.0	0.0
9	S	Boční ráz	P	0	-10.2	3.42E+04	-0.3	-14.1	-1.45E+07	1.0	3.0	-3.24E+07	-0.1	0.6	2.1E-02	-	-	-	-	2.5	1.87E+04	0.1	0.1	-7.4	1.12E+04	-0.7	-0.7
10	CH	Chodci na lávkách	Q	0	-1.0	3.42E+04	0.0	-42.8	-1.45E+07	2.9	-1.7	-3.24E+07	0.1	3.0	0.0E+00	-	-	-	-	-1.2	1.87E+04	-0.1	-0.1	-0.8	1.12E+04	-0.1	-0.1
11	W	Vítr na konstrukci	Q	0	-1.6	3.42E+04	0.0	-18.4	-1.45E+07	1.3	6.7	-3.24E+07	-0.2	1.0	-1.0E-02	-	-	-	-	8.6	1.87E+04	0.5	0.5	-6.7	1.12E+04	-0.6	-0.6
12	WP	Vítr na vozidla	Q	0	9.2	3.42E+04	0.3	-40.3	-1.45E+07	2.8	-12.0	-3.24E+07	0.4	3.4	1.0E-02	-	-	-	-	-14.9	1.87E+04	-0.8	-0.8	-26.4	1.12E+04	-2.4	-2.4
13	TR	Teplota rovnoměrná	Q	0	0.0	3.42E+04	0.0	0.0	-1.45E+07	0.0	0.0	-3.24E+07	0.0	0.0	0.0E+00	-	-	-	-	0.0	1.87E+04	0.0	0.0	0.0	1.12E+04	0.0	0.0
14	TN	Teplota nerovnoměrná	Q	0	0.6	3.42E+04	0.0	-26.4	-1.45E+07	1.8	-0.4	-3.24E+07	0.0	1.8	-8.1E-03	-	-	-	-	-0.2	1.87E+04	0.0	0.0	-7.7	1.12E+04	-0.7	-0.7
15	FR	Třecí síly v ložiskách	Q	0	-5.0	3.42E+04	-0.1	-1.8	-1.45E+07	0.1	-0.5	-3.24E+07	0.0	0.0	0.0E+00	-	-	-	-	-0.2	1.87E+04	0.0	0.0	0.0	1.12E+04	0.0	0.0
16	I	Imperfekce soustavy	Q	0	0.1	3.42E+04	0.0	-7.0	-1.45E+07	0.5	0.2	-3.24E+07	0.0	0.5	0.0E+00	-	-	-	-	0.5	1.87E+04	0.0	0.0	-2.4	1.12E+04	-0.2	-0.2
27	ULS_LM	ULS - LM71 bez dynam	Q	0	0.0	3.42E+04	0.0	0.0	-1.45E+07	0.0	0.0	-3.24E+07	0.0	0.0	0.0E+00	-	-	-	-	0.0	1.87E+04	0.0	0.0	0.0	1.12E+04	0.0	0.0
28	SLS_LM	SLS - LM71 bez dynam	Q	0	0.0	3.42E+04	0.0	0.0	-1.45E+07	0.0	0.0	-3.24E+07	0.0	0.0	0.0E+00	-	-	-	-	0.0	1.87E+04	0.0	0.0	0.0	1.12E+04	0.0	0.0
29	ULS_C3	ULS - C3 bez dynam	Q	0	0.0	3.42E+04	0.0	0.0	-1.45E+07	0.0	0.0	-3.24E+07	0.0	0.0	0.0E+00	-	-	-	-	0.0	1.87E+04	0.0	0.0	0.0	1.12E+04	0.0	0.0
30	SLS_C3	SLS - C3 bez dynam	Q	0	0.0	3.42E+04	0.0	0.0	-1.45E+07	0.0	0.0	-3.24E+07	0.0	0.0	0.0E+00	-	-	-	-	0.0	1.87E+04	0.0	0.0	0.0	1.12E+04	0.0	0.0
NAVÝŠENÍ NAPĚTÍ DO AKTIVACE TLAKU V DESCE MOSTOVKY						$\sigma_{P,red}$	0.0							0.0			0.0		0.0			-0.5	-0.5			-65.7	-65.7
NAPĚTÍ OD PRIMÁRNÍCH ÚČINKŮ NEROVNOMĚRNÉHO OTEPLENÍ						σ_T	0.0							0.0													
NAPĚTÍ OD REOLOGICKÝCH ÚČINKŮ BETONU V ČASE			t=0			σ_R	0.0	γ_{lt}=	1.20					0.0													
NAPĚTÍ V KRITICKÝCH VLÁKNECH OD KOMBINACE ZATÍŽENÍ						KZ04	[MPa]						$\Sigma\sigma_x$	-96.1								$\Sigma\tau_y$	-0.5			$\Sigma\tau_z$	-65.7
NAPĚTÍ OD POHYBLIVÉHO ZATÍŽENÍ							[MPa]						$\sigma_{x,P}$	-101.5								τ_P	-0.2			τ_P	-57.7
NAPĚTÍ OD OSTATNÍCH ZATÍŽENÍ							[MPa]			Φ_{vy}		Φ_{vz}	$\sigma_{x,rs}$	5.4								τ_s	-0.3			τ_s	-8.0
NÁVRHOVÁ HODNOTA MEZE KLUZU S REDUKCÍ VLIVEM SMYKOVÉHO NAPĚTÍ							[MPa]			1.00		0.99	$f_{yv,d}$	209.1								$f_{yd}/3^{0,5}$	120.7			$f_{yd}/3^{0,5}$	120.7
NAPĚTÍ OD POHYBLIVÉHO ZATÍŽENÍ V GLOBÁLNÍM SYSTÉMU						$\sigma_{GLOB,P}$	0.0	[MPa]					$\Sigma\sigma_{GLOB}$	0.0													
NAPĚTÍ OD OSTATNÍCH ZATÍŽENÍ V GLOBÁLNÍM SYSTÉMU						$\sigma_{GLOB,rs}$	0.0	[MPa]					$\Sigma\sigma_x + \Sigma\sigma_{GLOB}$	-96.1													
VYUŽITÍ PRŮŘEZU DLE NAPĚTÍ								[%]					η_1	0.46								η_3	0.00			η_3	0.54
NAPĚTÍ V PŘÍČNÉM SMĚRU OD POHYBLIVÉHO ZATÍŽENÍ						$\sigma_{z,P}$	0.0	[MPa]					$\Sigma\sigma_z$	0.0													
NAPĚTÍ V PŘÍČNÉM SMĚRU OD OSTATNÍCH ZATÍŽENÍ						$\sigma_{z,rs}$	0.0	[MPa]					η_2	0.00													
SROVNÁVACÍ NAPĚTÍ													$(\eta_2 + 0,8\,\eta_1)/1,4$ =	0.26													
VYUŽITÍ PRŮŘEZU CELKEM								[%]					eff	0.54	VYHOVUJE												
STANOVENÍ ZATÍŽITELNOSTI													z_{LM71} =	1.95													

TR_P4.3 POPIS: **PŘÍČNÍK P4 - VNITŘNÍ PODÉLNÍK** POSUDEK: **P4.3**

SKUPINA ZAT. STAVŮ	EXTRÉM	VYHODNOCOVANÉ VELIČINY					
		N	Vy	Vz	Mx	My	Mz
		kN	kN	kN	kNm	kNm	kNm
G0	N.min	**-57.19**	0.04	-4.62	0	79.19	-11.89
	N.max	**-57.19**	0.04	-4.62	0	79.19	-11.89
	Vy.min	-57.19	**0.04**	-4.62	0	79.19	-11.89
	Vy.max	-57.19	**0.04**	-4.62	0	79.19	-11.89
	Vz.min	-57.19	0.04	**-4.62**	0	79.19	-11.89
	Vz.max	-57.19	0.04	**-4.62**	0	79.19	-11.89
	Mx.min	-57.19	0.04	-4.62	**0**	79.19	-11.89
	Mx.max	-57.19	0.04	-4.62	**0**	79.19	-11.89
	My.min	-57.19	0.04	-4.62	0	**79.19**	-11.89
	My.max	-57.19	0.04	-4.62	0	**79.19**	-11.89
	Mz.min	-57.19	0.04	-4.62	0	79.19	**-11.89**
	Mz.max	-57.19	0.04	-4.62	0	79.19	**-11.89**
G1	N.min	**-4.86**	0	-2.37	0	14.8	-0.91
	N.max	**-4.86**	0	-2.37	0	14.8	-0.91
	Vy.min	-4.86	**0**	-2.37	0	14.8	-0.91
	Vy.max	-4.86	**0**	-2.37	0	14.8	-0.91
	Vz.min	-4.86	0	**-2.37**	0	14.8	-0.91
	Vz.max	-4.86	0	**-2.37**	0	14.8	-0.91
	Mx.min	-4.86	0	-2.37	**0**	14.8	-0.91
	Mx.max	-4.86	0	-2.37	**0**	14.8	-0.91
	My.min	-4.86	0	-2.37	0	**14.8**	-0.91
	My.max	-4.86	0	-2.37	0	**14.8**	-0.91
	Mz.min	-4.86	0	-2.37	0	14.8	**-0.91**
	Mz.max	-4.86	0	-2.37	0	14.8	**-0.91**
G2	N.min	**-1.77**	0	-3.6	0	0.14	-0.06
	N.max	**-1.77**	0	-3.6	0	0.14	-0.06
	Vy.min	-1.77	**0**	-3.6	0	0.14	-0.06
	Vy.max	-1.77	**0**	-3.6	0	0.14	-0.06
	Vz.min	-1.77	0	**-3.6**	0	0.14	-0.06
	Vz.max	-1.77	0	**-3.6**	0	0.14	-0.06
	Mx.min	-1.77	0	-3.6	**0**	0.14	-0.06
	Mx.max	-1.77	0	-3.6	**0**	0.14	-0.06
	My.min	-1.77	0	-3.6	0	**0.14**	-0.06
	My.max	-1.77	0	-3.6	0	**0.14**	-0.06
	Mz.min	-1.77	0	-3.6	0	0.14	**-0.06**
	Mz.max	-1.77	0	-3.6	0	0.14	**-0.06**
P1_71	N.min	**-100.55**	4.83	-141.11	0.01	365.44	3.43
	N.max	**0.38**	-0.08	-0.16	0	0	-0.08
	Vy.min	-12.02	**-0.62**	-32.68	-0.03	83.33	-0.83
	Vy.max	-87.51	**6.02**	-116.86	-0.03	287.18	5.24
	Vz.min	-84.61	4.57	**-217.72**	-0.02	533.08	3.55
	Vz.max	-17.44	0.33	**0.38**	0	8.84	0.09
	Mx.min	-67.87	4.42	-115.17	**-0.1**	286.21	3.99
	Mx.max	-43.98	0.92	-109.89	**0.09**	301.56	0.08
	My.min	-54.53	4.33	-7.4	-0.01	**-35.45**	3.65
	My.max	-53.7	1.57	-211.94	-0.01	**565.38**	1.18
	Mz.min	-27.67	-0.46	-35.53	-0.02	91.65	**-1.04**
	Mz.max	-74.09	5.88	-106.72	-0.02	256.32	**5.42**
P2_71	N.min	**-101.48**	-4.85	141.14	-0.01	649.88	-6.25
	N.max	**0.37**	0.08	0.16	0	0.34	0.08
	Vy.min	-87.23	**-6.06**	116.79	0.03	521.59	-6.81
	Vy.max	-13.65	**0.62**	32.24	0.03	148.9	0.37
	Vz.min	-17.5	-0.32	**-0.38**	0	8.42	-0.55
	Vz.max	-85.55	-4.61	**217.69**	0.02	970.51	-5.63
	Mx.min	-44.25	-0.91	109.85	**-0.09**	521.94	-1.75
	Mx.max	-68.66	-4.46	115.17	**0.1**	518.44	-4.89
	My.min	-52.45	-3.34	5.91	0.01	**-20.49**	-3.89
	My.max	-57.44	-2.24	212.72	0.01	**990.3**	-2.73
	Mz.min	-84.4	-6.02	115.15	0.02	505.44	**-7.1**
	Mz.max	-7.13	0.59	31	0.03	138.71	**0.5**
P1_C3	N.min	**-75.58**	4.06	-125.43	-0.01	294.48	3.13
	N.max	**0.31**	-0.06	-0.12	0	0.01	-0.06
	Vy.min	-7.48	**-0.44**	-34.17	-0.03	85.76	-0.48
	Vy.max	-62.72	**4.8**	-94.23	0.01	222.69	4.11
	Vz.min	-63.63	3.77	**-125.69**	-0.01	292.53	2.96
	Vz.max	-15.44	0.37	**0.36**	0	8.54	0.23
	Mx.min	-50.6	3.51	-65.37	**-0.07**	152.56	3.09
	Mx.max	-32.08	0.55	-61.36	**0.06**	163.49	-0.14
	My.min	-41.74	3.34	-5.63	-0.01	**-26.08**	2.6
	My.max	-31.19	0.9	-120.17	-0.01	**320.79**	0.74
	Mz.min	-27.14	-0.26	-39.53	-0.02	106.48	**-0.73**
	Mz.max	-52.85	4.74	-93.92	0.01	221.06	**4.27**
P2_C3	N.min	**-76.34**	-4.09	125.45	0.01	547.16	-5.01
	N.max	**0.3**	0.06	0.12	0	0.27	0.07
	Vy.min	-61.62	**-4.83**	94.25	-0.01	411.25	-5.48
	Vy.max	-7.56	**0.44**	34.15	0.03	154.27	0.39
	Vz.min	-15	-0.46	**-0.35**	0	8.19	-0.55
	Vz.max	-64.31	-3.8	**125.71**	0.01	545.54	-4.61
	Mx.min	-32.27	-0.54	61.35	**-0.06**	286.67	-1.23
	Mx.max	-51.23	-3.55	65.4	**0.07**	284.78	-3.97
	My.min	-39.4	-2.44	4.34	0.01	**-14.63**	-3.07
	My.max	-34.32	-1.48	120.79	0.01	**561.72**	-1.7
	Mz.min	-72.29	-4.79	116.84	0.01	507.29	**-5.69**
	Mz.max	-7.25	0.43	33.54	0.03	152	**0.39**
BR	N.min	**-29.81**	-10.62	-0.09	0	-11.26	-13.63
	N.max	**29.81**	10.62	0.09	0	11.26	13.63
	Vy.min	12.7	**-13.32**	-0.25	0	7.15	-10.75
	Vy.max	-12.7	**13.32**	0.25	0	-7.15	10.75
	Vz.min	-28.32	-5.38	**-0.32**	0	-12.75	-9.1
	Vz.max	28.32	5.38	**0.32**	0	12.75	9.1
	Mx.min	-12.7	13.32	0.25	**0**	-7.15	10.75
	Mx.max	12.7	-13.32	-0.25	**0**	7.15	-10.75
	My.min	-28.32	-5.38	-0.32	0	**-12.75**	-9.1
	My.max	28.32	5.38	0.32	0	**12.75**	9.1
	Mz.min	-12.69	-13.31	-0.25	0	-7.69	**-15.88**
	Mz.max	12.69	13.31	0.25	0	7.69	**15.88**

TR_P4.3 POPIS: **PŘÍČNÍK P4 - VNITŘNÍ PODÉLNÍK** POSUDEK: **P4.3**

SKUPINA ZAT. STAVŮ	EXTRÉM	VYHODNOCOVANÉ VELIČINY					
		N	Vy	Vz	Mx	My	Mz
		kN	kN	kN	kNm	kNm	kNm
S	N.min	**-0.16**	-8.14	-0.87	0.01	-0.49	-8.14
	N.max	**0.16**	8.14	0.87	-0.01	0.49	8.14
	Vy.min	-0.16	**-8.14**	-0.87	0.01	-0.49	-8.14
	Vy.max	0.16	**8.14**	0.87	-0.01	0.49	8.14
	Vz.min	0.14	7.28	**-2.55**	0	-2.86	7.27
	Vz.max	-0.14	-7.28	**2.55**	0	2.86	-7.27
	Mx.min	0.16	8.14	0.87	**-0.01**	0.49	8.14
	Mx.max	-0.16	-8.14	-0.87	**0.01**	-0.49	-8.14
	My.min	0.14	7.28	-2.55	0	**-2.86**	7.27
	My.max	-0.14	-7.28	2.55	0	**2.86**	-7.27
	Mz.min	-0.16	-8.14	-0.87	0.01	-0.49	**-8.14**
	Mz.max	0.16	8.14	0.87	-0.01	0.49	**8.14**
CH	N.min	**-1.88**	0.56	2.3	0	-13.88	0.43
	N.max	**-0.74**	0.45	-0.56	0	-31.89	0.31
	Vy.min	-1.8	**0.01**	0	0	-31.54	-0.17
	Vy.max	-1.88	**0.56**	2.3	0	-13.88	0.43
	Vz.min	-0.74	0.45	**-0.56**	0	-31.89	0.31
	Vz.max	-1.88	0.56	**2.3**	0	-13.88	0.43
	Mx.min	-1.88	0.56	2.3	**0**	-13.88	0.43
	Mx.max	-1.8	0.01	0	**0**	-31.54	-0.17
	My.min	-0.74	0.45	-0.56	0	**-31.89**	0.31
	My.max	-1.88	0.56	2.3	0	**-13.88**	0.43
	Mz.min	-1.8	0.01	0	0	-31.54	**-0.17**
	Mz.max	-1.88	0.56	2.3	0	-13.88	**0.43**
W	N.min	**-1.48**	-9.44	-6.2	0.01	-6.28	-9.44
	N.max	**-1.46**	9.45	6.2	-0.01	6.31	9.45
	Vy.min	-1.48	**-9.44**	-6.2	0.01	-6.28	-9.44
	Vy.max	-1.46	**9.45**	6.2	-0.01	6.31	9.45
	Vz.min	-1.48	-9.44	**-6.2**	0.01	-6.28	-9.44
	Vz.max	-1.46	9.45	**6.2**	-0.01	6.31	9.45
	Mx.min	-1.46	9.45	6.2	**-0.01**	6.31	9.45
	Mx.max	-1.48	-9.44	-6.2	**0.01**	-6.28	-9.44
	My.min	-1.48	-9.44	-6.2	0.01	**-6.28**	-9.44
	My.max	-1.46	9.45	6.2	-0.01	**6.31**	9.45
	Mz.min	-1.48	-9.44	-6.2	0.01	-6.28	**-9.44**
	Mz.max	-1.46	9.45	6.2	-0.01	6.31	**9.45**
WP	N.min	**-0.46**	-15.75	-8.47	0.01	-7.44	-15.75
	N.max	**0.45**	15.77	8.47	-0.01	7.43	15.76
	Vy.min	-0.46	**-15.75**	-8.47	0.01	-7.44	-15.75
	Vy.max	0.45	**15.77**	8.47	-0.01	7.43	15.76
	Vz.min	-0.46	-15.75	**-8.47**	0.01	-7.44	-15.75
	Vz.max	0.45	15.77	**8.47**	-0.01	7.43	15.76
	Mx.min	0.45	15.77	8.47	**-0.01**	7.43	15.76
	Mx.max	-0.46	-15.75	-8.47	**0.01**	-7.44	-15.75
	My.min	-0.46	-15.75	-8.47	0.01	**-7.44**	-15.75
	My.max	0.45	15.77	8.47	-0.01	**7.43**	15.76
	Mz.min	-0.46	-15.75	-8.47	0.01	-7.44	**-15.75**
	Mz.max	0.45	15.77	8.47	-0.01	7.43	**15.76**
TR	N.min	**0**	0	0	0	0	0
	N.max	**0**	0	0	0	0	0
	Vy.min	0	**0**	0	0	0	0
	Vy.max	0	**0**	0	0	0	0
	Vz.min	0	0	**0**	0	0	0
	Vz.max	0	0	**0**	0	0	0
	Mx.min	0	0	0	**0**	0	0
	Mx.max	0	0	0	**0**	0	0
	My.min	0	0	0	0	**0**	0
	My.max	0	0	0	0	**0**	0
	Mz.min	0	0	0	0	0	**0**
	Mz.max	0	0	0	0	0	**0**
TN	N.min	**-2.65**	0.01	-0.01	0	2.99	0.1
	N.max	**2.65**	-0.01	0.01	0	-2.99	-0.1
	Vy.min	0.87	**-0.04**	-9.56	-0.01	-15.46	-0.08
	Vy.max	-2.65	**0.01**	-0.01	0	2.99	0.1
	Vz.min	0.87	-0.04	**-9.56**	-0.01	-15.46	-0.08
	Vz.max	-0.01	0	**9.59**	0.01	5.81	-0.04
	Mx.min	0.87	-0.04	-9.56	**-0.01**	-15.46	-0.08
	Mx.max	-0.01	0	9.59	**0.01**	5.81	-0.04
	My.min	0.87	-0.04	-9.56	-0.01	**-15.46**	-0.08
	My.max	-0.01	0	9.59	0.01	**5.81**	-0.04
	Mz.min	2.65	-0.01	0.01	0	-2.99	**-0.1**
	Mz.max	-2.65	0.01	-0.01	0	2.99	**0.1**
FR	N.min	**-4.11**	0	0	0	-1.41	-0.13
	N.max	**4.11**	0	0	0	1.41	0.13
	Vy.min	4.11	**0**	0	0	1.41	0.13
	Vy.max	-4.11	**0**	0	0	-1.41	-0.13
	Vz.min	-4.11	0	**0**	0	-1.41	-0.13
	Vz.max	4.11	0	**0**	0	1.41	0.13
	Mx.min	-4.11	0	0	**0**	-1.41	-0.13
	Mx.max	4.11	0	0	**0**	1.41	0.13
	My.min	-4.11	0	0	0	**-1.41**	-0.13
	My.max	4.11	0	0	0	**1.41**	0.13
	Mz.min	-4.11	0	0	0	-1.41	**-0.13**
	Mz.max	4.11	0	0	0	1.41	**0.13**
I	N.min	**-0.07**	0.54	1.97	0	2.17	**0.54**
	N.max	**0.07**	-0.54	-1.97	0	-2.17	**-0.54**
	Vy.min	0.07	**-0.54**	-1.97	0	-2.17	**-0.54**
	Vy.max	-0.07	**0.54**	1.97	0	2.17	**0.54**
	Vz.min	0.07	-0.54	**-1.97**	0	-2.17	**-0.54**
	Vz.max	-0.07	0.54	**1.97**	0	2.17	**0.54**
	Mx.min	-0.07	0.54	1.97	**0**	2.17	**0.54**
	Mx.max	0.07	-0.54	-1.97	**0**	-2.17	**-0.54**
	My.min	0.07	-0.54	-1.97	0	**-2.17**	**-0.54**
	My.max	-0.07	0.54	1.97	0	**2.17**	**0.54**
	Mz.min	0.07	-0.54	-1.97	0	-2.17	**-0.54**
	Mz.max	-0.07	0.54	1.97	0	2.17	**0.54**

TAB. P4.3.3 POSOUZENÍ - MEZNÍ STAV ÚNOSNOSTI

POPIS	PŘÍČNÍK P4 - VNITŘNÍ PODÉLNÍK
PRUT / POLOHA BODU	670 / I[549]
NAMÁHÁNÍ	My.max
VLÁKNO	BOD K2 -HP
MEZNÍ STAV	ULS (MSÚ)
VYUŽITÍ VLÁKNA PRŮŘEZU	0.91

Charakteristiky materiálu				
pás. horní	$f_{yf,k}$	230	MPa	
pás. dolní	$f_{yf,k}$	230	MPa	
stojina	$f_{yw,k}$	230	MPa	
výztuž	$f_{ys,k}$	500	MPa	
γ_M =	1.10	γ_s =	1.15	

Excentricita normálové síly				
Exc./Fáze	0	1	2	3
e_y	0.000	0.000	0.000	0.000
e_z	0.000	0.000	0.000	0.000
Ekvivalentní vzdál. stěn - příčný roznos				
b_{ekv}	0.000	0.000	0.000	0.000

Vliv stěny na únosnost průřezu				
Char./Fáze	0	1	2	3
A	0.00	0.00	0.00	0.00
Wy	0.00	0.00	0.00	0.00
Wz	0.00	0.00	0.00	0.00

Charakter. v kroucení			
$t_{w,y}$	0.000	[mm]	
$t_{w,z}$	0.000	[mm]	
κ	1.00		
I_t=	0.00E+00	[mm^4]	
Ω=2*A_{pr}	0.00E+00	[mm^2]	

Součinitele vzpěru a vlivu II.řádu				
Char./Fáze	0	1	2	3
k_y	1.000	1.000	1.000	1.000
k_z	1.000	1.000	1.000	1.000
χ_{LT}	1.000	1.000	1.000	1.000
χ_{min}	1.000	1.000	1.000	1.000

3

δ_{LOK} 1.00

Vnitřní síly od jednotlivých skupin zatěžovacích stavů

SKUPINA ZATĚŽOVACÍCH STAVŮ					- CHARAKTERISTICKÉ HODNOTY						DÍLČÍ SOUČINITELÉ ZATÍŽENÍ, DYNAMICKÝ SOUČINITEL							- NÁVRHOVÉ HODNOTY									
Č.	SKUP ZS	POPIS ZS	KAT.	FÁZE PRŮŘ.	N.k (kN)	Vy.k (kN)	Vz.k (kN)	Mx.k (kNm)	My.k (kNm)	Mz.k (kNm)	γ_{sup} (-)	γ_{inf} (-)	volba γ_i hledat	γ_i (-)	L_d (m)	δ (-)	Ψ_0 KZ03	N.d (kN)	Vy.d (kN)	Vz.d (kN)	ΔVz.d (kN)	ΣVz.d (kN)	Mx.d (kNm)	My.d (kNm)	ΔMy.d (kNm)	ΣMy.d (kNm)	Mz.d (kNm)	ΔMz.d (kNm)	ΣMz.d (kNm)
1	G0	Vlastní tíha OK	G	0	-57	0	-5	0	79	-12	1.00	1.20		1.20	-	1.00	0.95	-65	0	-5	0	-5	0	90	0	90	-14	0	-14
2	G1	Ostatní stálé - mostní vybavení	G	0	-5	0	-2	0	15	-1	1.00	1.20		1.20	-	1.00	0.95	-6	0	-3	0	-3	0	17	0	17	-1	0	-1
3	G2	Ostatní stálé - cizí zařízení	G	0	-2	0	-4	0	0	0	1.00	1.20		1.20	-	1.00	0.95	-2	0	-4	0	-4	0	0	0	0	0	0	0
4	P1_71	a.LM71 - kolej 1 (bez dyn. souč.)	P	0	-54	2	-212	0	565	1	1.00	1.30		1.30	-	1.27	1.00	-89	3	-350	0	-350	0	934	0	934	2	0	2
5	P2_71	a.LM71 - kolej 2 (bez dyn. souč.)	P	0	-57	-2	213	0	990	-3	1.00	1.30		1.30	-	1.27	1.00	-95	-4	351	0	351	0	1 636	0	1 636	-5	1	-4
6	P1_C3	TTZ C3 - kolej 1 (bez dyn. souč.)	P	0	-31	1	-120	0	321	1	1.00	vyp.		0.00	-	1.00	0.00	0	0	0	0	0	0	0	0	0	0	0	0
7	P2_C3	TTZ C3 - kolej 2 (bez dyn. souč.)	P	0	-34	-1	121	0	562	-2	1.00	vyp.		0.00	-	1.00	0.00	0	0	0	0	0	0	0	0	0	0	0	0
8	BR	Brzdné a rozjezdové síly	P	0	28	5	0	0	13	9	1.00	-1.30		-1.30	-	1.00	0.80	-29	-6	0	0	0	0	-13	0	-13	-9	0	-9
9	S	Boční ráz	P	0	0	-7	3	0	3	-7	1.00	1.30		1.30	-	1.00	0.40	0	-4	1	0	1	0	1	0	1	-4	0	-4
10	CH	Chodci na lávkách	Q	0	-2	1	2	0	-14	0	1.00	0.00		0.00	-	1.00	1.00	0	0	0	0	0	0	0	0	0	0	0	0
11	W	Vítr na konstrukci	Q	0	-1	9	6	0	6	9	1.00	-1.35		-1.35	-	1.00	0.75	1	-10	-6	0	-6	0	-6	0	-6	-10	0	-10
12	WP	Vítr na vozidla	Q	0	0	16	8	0	7	16	1.00	-1.35		-1.35	-	1.00	0.75	0	-16	-9	0	-9	0	-8	0	-8	-16	0	-16
13	TR	Teplota rovnoměrná	Q	0	0	0	0	0	0	0	1.00	1.35		1.35	-	1.00	0.45	0	0	0	0	0	0	0	0	0	0	0	0
14	TN	Teplota nerovnoměrná	Q	0	0	0	10	0	6	0	1.00	1.35		1.35	-	1.00	0.60	0	0	8	0	8	0	5	0	5	0	0	0
15	FR	Třecí síly v ložiskách	Q	0	4	0	0	0	1	0	1.00	-1.20		-1.20	-	1.00	1.00	-5	0	0	0	0	0	-2	0	-2	0	0	0
16	I	Imperfekce soustavy	Q	0	0	1	2	0	2	1	1.00	-1.20		-1.20	-	1.00	1.00	0	-1	-2	0	-2	0	-3	0	-3	-1	0	-1
27	ULS_LM	ULS - LM71 bez dynam	Q	0	-176	28	19	0	2 155	30	1.00	vyp.	1	0.00	-	1.00	0.00	0	0	0	0	0	0	0	0	0	0	0	0
28	SLS_LM	SLS - LM71 bez dynam	Q	0	-143	21	7	0	1 666	23	1.00	vyp.	1	0.00	-	1.00	0.00	0	0	0	0	0	0	0	0	0	0	0	0
29	ULS_C3	ULS - C3 bez dynam	Q	0	-117	28	19	0	1 280	31	1.00	vyp.	1	0.00	-	1.00	0.00	0	0	0	0	0	0	0	0	0	0	0	0
30	SLS_C3	SLS - C3 bez dynam	Q	0	-97	21	7	0	993	23	1.00	vyp.	1	0.00	-	1.00	0.00	0	0	0	0	0	0	0	0	0	0	0	0
		CELKEM - FÁZE PRŮŘEZU 0																-290	-37	-19	0	-19	0	2 652	0	2 652	-57	1	-56
		CELKEM - FÁZE PRŮŘEZU 1																0	0	0	0	0	0	0	0	0	0	0	0
		CELKEM - FÁZE PRŮŘEZU 2																0	0	0	0	0	0	0	0	0	0	0	0
		CELKEM - FÁZE PRŮŘEZU 3																0	0	0	0	0	0	0	0	0	0	0	0
		CELKEM - PRŮŘEZ																-290	-37	-19	0	-19	0			2 652			-56

Napětí od jednotlivých zatěžovacích stavů

SKUPINA ZATĚŽOVACÍCH STAVŮ					Posouzení normálového napětí										Posouzení smykového napětí													
					Účinek síly N			Účinek momentu My			Účinek momentu Mz				Účinek kroutícího momentu Mx				Účinek smykové síly Vy				Účinek smykové síly Vz			
Č.	SKUP ZS	Popis ZS	Kat.	fáze průř.	δ^*N_d [kN]	χ^*A [mm^2]	σ_n [MPa]	$\delta^*M_{y,d}$ [kNm]	$\chi_{lt}{}^*W_{el,y}$ [mm^3]	σ_{my} [MPa]	$\delta^*M_{z,d}$ [kNm]	$W_{el,z}$ [mm^3]	σ_{mz} [MPa]	σ_x [MPa]	$\kappa^*\delta^*M_{x,d}$ [kNm]	$W_{v,y}$ [mm^2]	$\tau_{x,y}$ [MPa]	$W_{v,z}$ [mm^2]	$\tau_{x,z}$ [MPa]	$\delta^*V_{y,d}$ [kN]	$A_{v,y}$ [mm2]	$\tau_{v,y}$ [MPa]	$\tau_{v,y}$ [MPa]	$\delta^*V_{z,d}$ [kN]	$A_{v,z}$ [mm2]	$\tau_{v,z}$ [MPa]	$\tau_{v,z}$ [MPa]
1	G0	Vlastní tíha OK	G	0	-65.2	4.17E+04	-1.6	90.3	-1.80E+07	-5.0	-13.6	1.54E+06	-8.8	-15.4	0.0E+00	-	-	-	-	0.0	2.60E+04	0.0	0.0	-5.3	1.12E+04	-0.5	-0.5
2	G1	Ostatní stálé - mostní vybavení	G	0	-5.5	4.17E+04	-0.1	16.9	-1.80E+07	-0.9	-1.0	1.54E+06	-0.7	-1.7	0.0E+00	-	-	-	-	0.0	2.60E+04	0.0	0.0	-2.7	1.12E+04	-0.2	-0.2
3	G2	Ostatní stálé - cizí zařízení	G	0	-2.0	4.17E+04	0.0	0.2	-1.80E+07	0.0	-0.1	1.54E+06	0.0	-0.1	0.0E+00	-	-	-	-	0.0	2.60E+04	0.0	0.0	-4.1	1.12E+04	-0.4	-0.4
4	P1_71	a.LM71 - kolej 1 (bez dyn. souč.)	P	0	-88.7	4.17E+04	-2.1	934.2	-1.80E+07	-52.0	1.5	1.54E+06	1.0	-53.1	-1.7E-02	-	-	-	-	2.6	2.60E+04	0.1	0.1	-350.2	1.12E+04	-31.4	-31.4
5	P2_71	a.LM71 - kolej 2 (bez dyn. souč.)	P	0	-94.9	4.17E+04	-2.3	1 636.3	-1.80E+07	-91.1	-3.5	1.54E+06	-2.3	-95.7	1.7E-02	-	-	-	-	-3.7	2.60E+04	-0.1	-0.1	351.5	1.12E+04	31.5	31.5
6	P1_C3	TTZ C3 - kolej 1 (bez dyn. souč.)	P	0	0.0	4.17E+04	0.0	0.0	-1.80E+07	0.0	0.0	1.54E+06	0.0	0.0	0.0E+00	-	-	-	-	0.0	2.60E+04	0.0	0.0	0.0	1.12E+04	0.0	0.0
7	P2_C3	TTZ C3 - kolej 2 (bez dyn. souč.)	P	0	0.0	4.17E+04	0.0	0.0	-1.80E+07	0.0	0.0	1.54E+06	0.0	0.0	0.0E+00	-	-	-	-	0.0	2.60E+04	0.0	0.0	0.0	1.12E+04	0.0	0.0
8	BR	Brzdné a rozjezdové síly	P	0	-29.5	4.17E+04	-0.7	-13.3	-1.80E+07	0.7	-9.5	1.54E+06	-6.2	-6.1	0.0E+00	-	-	-	-	-5.6	2.60E+04	-0.2	-0.2	-0.3	1.12E+04	0.0	0.0
9	S	Boční ráz	P	0	-0.1	4.17E+04	0.0	1.5	-1.80E+07	-0.1	-3.8	1.54E+06	-2.5	-2.5	0.0E+00	-	-	-	-	-3.8	2.60E+04	-0.1	-0.1	1.3	1.12E+04	0.1	0.1
10	CH	Chodci na lávkách	Q	0	0.0	4.17E+04	0.0	0.0	-1.80E+07	0.0	0.0	1.54E+06	0.0	0.0	0.0E+00	-	-	-	-	0.0	2.60E+04	0.0	0.0	0.0	1.12E+04	0.0	0.0
11	W	Vítr na konstrukci	Q	0	1.5	4.17E+04	0.0	-6.4	-1.80E+07	0.4	-9.6	1.54E+06	-6.2	-5.8	1.0E-02	-	-	-	-	-9.6	2.60E+04	-0.4	-0.4	-6.3	1.12E+04	-0.6	-0.6
12	WP	Vítr na vozidla	Q	0	-0.5	4.17E+04	0.0	-7.5	-1.80E+07	0.4	-16.0	1.54E+06	-10.4	-10.0	1.0E-02	-	-	-	-	-16.0	2.60E+04	-0.6	-0.6	-8.6	1.12E+04	-0.8	-0.8
13	TR	Teplota rovnoměrná	Q	0	0.0	4.17E+04	0.0	0.0	-1.80E+07	0.0	0.0	1.54E+06	0.0	0.0	0.0E+00	-	-	-	-	0.0	2.60E+04	0.0	0.0	0.0	1.12E+04	0.0	0.0
14	TN	Teplota nerovnoměrná	Q	0	0.0	4.17E+04	0.0	4.7	-1.80E+07	-0.3	0.0	1.54E+06	0.0	-0.3	8.1E-03	-	-	-	-	0.0	2.60E+04	0.0	0.0	7.8	1.12E+04	0.7	0.7
15	FR	Třecí síly v ložiskách	Q	0	-4.9	4.17E+04	-0.1	-1.7	-1.80E+07	0.1	-0.2	1.54E+06	-0.1	-0.1	0.0E+00	-	-	-	-	0.0	2.60E+04	0.0	0.0	0.0	1.12E+04	0.0	0.0
16	I	Imperfekce soustavy	Q	0	0.1	4.17E+04	0.0	-2.6	-1.80E+07	0.1	-0.6	1.54E+06	-0.4	-0.3	0.0E+00	-	-	-	-	-0.6	2.60E+04	0.0	0.0	-2.4	1.12E+04	-0.2	-0.2
27	ULS_LM	ULS - LM71 bez dynam	Q	0	0.0	4.17E+04	0.0	0.0	-1.80E+07	0.0	0.0	1.54E+06	0.0	0.0	0.0E+00	-	-	-	-	0.0	2.60E+04	0.0	0.0	0.0	1.12E+04	0.0	0.0
28	SLS_LM	SLS - LM71 bez dynam	Q	0	0.0	4.17E+04	0.0	0.0	-1.80E+07	0.0	0.0	1.54E+06	0.0	0.0	0.0E+00	-	-	-	-	0.0	2.60E+04	0.0	0.0	0.0	1.12E+04	0.0	0.0
29	ULS_C3	ULS - C3 bez dynam	Q	0	0.0	4.17E+04	0.0	0.0	-1.80E+07	0.0	0.0	1.54E+06	0.0	0.0	0.0E+00	-	-	-	-	0.0	2.60E+04	0.0	0.0	0.0	1.12E+04	0.0	0.0
30	SLS_C3	SLS - C3 bez dynam	Q	0	0.0	4.17E+04	0.0	0.0	-1.80E+07	0.0	0.0	1.54E+06	0.0	0.0	0.0E+00	-	-	-	-	0.0	2.60E+04	0.0	0.0	0.0	1.12E+04	0.0	0.0
NAVÝŠENÍ NAPĚTÍ DO AKTIVACE TLAKU V DESCE MOSTOVKY						$\sigma_{P,red}$	0.0							0.0			0.0		0.0				-1.4	-1.4			-1.7	-1.7
NAPĚTÍ OD PRIMÁRNÍCH ÚČINKŮ NEROVNOMĚRNÉHO OTEPLENÍ						σ_T	0.0							0.0														
NAPĚTÍ OD REOLOGICKÝCH ÚČINKŮ BETONU V ČASE				t=0		σ_R	0.0	γ_{inf}=	1.20					0.0														
NAPĚTÍ V KRITICKÝCH VLÁKNECH OD KOMBINACE ZATÍŽENÍ						KZ03		[MPa]					$\Sigma\sigma_x$	-191.3								$\Sigma\tau_y$	-1.4				$\Sigma\tau_z$	-1.7
NAPĚTÍ OD POHYBLIVÉHO ZATÍŽENÍ								[MPa]					$\sigma_{x,P}$	-157.5									-0.4				τ_P	0.2
NAPĚTÍ OD OSTATNÍCH ZATÍŽENÍ								[MPa]			Φ_{Vy}	Φ_{Vz}	$\sigma_{x,rs}$	-33.8								τ_{rs}	-1.0				τ_{rs}	-1.9
NÁVRHOVÁ HODNOTA MEZE KLUZU S REDUKCÍ VLIVEM SMYKOVÉHO NAPĚTÍ								[MPa]			1.00	1.00	$f_{yw,d}$	209.1								$f_{yd}/3^{0,5}$	120.7				$f_{yd}/3^{0,5}$	120.7
NAPĚTÍ OD POHYBLIVÉHO ZATÍŽENÍ V GLOBÁLNÍM SYSTÉMU						$\sigma_{GLOB,P}$	0.0	[MPa]					$\Sigma\sigma_{GLOB}$	0.0														
NAPĚTÍ OD OSTATNÍCH ZATÍŽENÍ V GLOBÁLNÍM SYSTÉMU						$\sigma_{GLOB,rs}$	0.0	[MPa]					$\Sigma\sigma_x + \Sigma\sigma_{GLOB}$	-191.3														
VYUŽITÍ PRŮŘEZU DLE NAPĚTÍ								[%]					η_1	0.91								η_3	0.01				η_3	0.01
NAPĚTÍ V PŘÍČNÉM SMĚRU OD POHYBLIVÉHO ZATÍŽENÍ						$\sigma_{z,P}$	0.0	[MPa]					$\Sigma\sigma_z$	0.0														
NAPĚTÍ V PŘÍČNÉM SMĚRU OD OSTATNÍCH ZATÍŽENÍ						$\sigma_{z,rs}$	0.0	[MPa]					η_2	0.00														
SROVNÁVACÍ NAPĚTÍ													$(\eta 2 + 0{,}8\ \eta 1)/1{,}4$ =	0.52														
VYUŽITÍ PRŮŘEZU CELKEM								[%]					eff	0.91	VYHOVUJE													
STANOVENÍ ZATÍŽITELNOSTI													Z_{LM71} =	1.11														

TAB. P4.3.3 POSOUZENÍ - MEZNÍ STAV ÚNOSNOSTI

POPIS	PŘÍČNÍK P4 - VNITŘNÍ PODÉLNÍK
PRUT / POLOHA BODU	670 / I[549]
NAMÁHÁNÍ	My.max
VLÁKNO	BOD K3 -SL
MEZNÍ STAV	ULS (MSÚ)
VYUŽITÍ VLÁKNA PRŮŘEZU	0.97

Charakteristiky materiálu			
pás. horní	$f_{yf,k}$	230	MPa
pás. dolní	$f_{yf,k}$	230	MPa
stojina	$f_{yw,k}$	230	MPa
výztuž	$f_{ys,k}$	500	MPa
γ_M =	1.10	γ_s =	1.15

Excentricita normálové síly				
Exc./Fáze	0	1	2	3
e_y	0.000	0.000	0.000	0.000
e_z	0.000	0.000	0.000	0.000
Ekvivalentní vzdál. stěn - příčný roznos				
b_{Mx}	0.000	0.000	0.000	0.000

Vliv stěny na únosnost průřezu				
Char./Fáze	0	1	2	3
A	0.00	0.00	0.00	0.00
Wy	0.00	0.00	0.00	0.00
Wz	0.00	0.00	0.00	0.00

Charakter. v kroucení			
$t_{w,y}$	0.000	[mm]	
$t_{w,z}$	0.000	[mm]	
κ	1.00		
I_t=	0.00E+00	[mm^4]	
$\Omega=2*A_{pz}$	0.00E+00	[mm^2]	

Součinitele vzpěru a vlivu II.řádu					
Char./Fáze	0	1	2	3
k_y	1.000	1.000	1.000	1.000
k_z	1.000	1.000	1.000	1.000
χ_{LT}	1.000	1.000	1.000	1.000
χ_{min}	1.000	1.000	1.000	1.000

δ_{LOK} 1.00

Vnitřní síly od jednotlivých skupin zatěžovacích stavů

SKUPINA ZATĚŽOVACÍCH STAVŮ

Č.	SKUP ZS	POPIS ZS	KAT.	FÁZE PRŮŘ.	- CHARAKTERISTICKÉ HODNOTY N.k (kN)	Vy.k (kN)	Vz.k (kN)	Mx.k (kNm)	My.k (kNm)	Mz.k (kNm)	DÍLČÍ SOUČINITELÉ ZATÍŽENÍ, DYNAMICKÝ SOUČINITEL γ_{sr} (-)	γ_{fs} (-)	volba γ_f hledat	γ_f (-)	L_d (m)	δ (-)	Ψ_0 KZ04	- NÁVRHOVÉ HODNOTY N.d (kN)	Vy.d (kN)	Vz.d (kN)	ΔVz.d (kN)	ΣVz.d (kN)	Mx.d (kNm)	My.d (kNm)	ΔMy.d (kNm)	ΣMy.d (kNm)	Mz.d (kNm)	ΔMz.d (kNm)	ΣMz.d (kNm)
1	G0	Vlastní tíha OK	G	0	-57	0	-5	0	79	-12	1.00	1.20		1.20	-	1.00	0.95	-65	0	-5	0	-5	0	90	0	90	-14	0	-14
2	G1	Ostatní stálé - mostní vybavení	G	0	-5	0	-2	0	15	-1	1.00	1.20		1.20	-	1.00	0.95	-6	0	-3	0	-3	0	17	0	17	-1	0	-1
3	G2	Ostatní stálé - cizí zařízení	G	0	-2	0	-4	0	0	0	1.00	1.20		1.20	-	1.00	0.95	-2	0	-4	0	-4	0	0	0	0	0	0	0
4	P1_71	a.LM71 - kolej 1 (bez dyn. souč.)	P	0	-54	2	-212	0	565	1	1.00	1.30		1.30	-	1.27	1.00	-89	3	-350	0	-350	0	934	0	934	2	0	2
5	P2_71	a.LM71 - kolej 2 (bez dyn. souč.)	P	0	-57	-2	213	0	990	-3	1.00	1.30		1.30	-	1.27	1.00	-95	-4	351	0	351	0	1 636	0	1 636	-5	1	-4
6	P1_C3	TTZ C3 - kolej 1 (bez dyn. souč.)	P	0	-31	1	-120	0	321	1	1.00	vyp.		0.00	-	1.00	0.00	0	0	0	0	0	0	0	0	0	0	0	0
7	P2_C3	TTZ C3 - kolej 2 (bez dyn. souč.)	P	0	-34	-1	121	0	562	-2	1.00	vyp.		0.00	-	1.00	0.00	0	0	0	0	0	0	0	0	0	0	0	0
8	BR	Brzdné a rozjezdové síly	P	0	28	5	0	0	13	9	1.00	-1.30		-1.30	-	1.00	0.40	-15	-3	0	0	0	0	-7	0	-7	-5	0	-5
9	S	Boční ráz	P	0	0	-7	3	0	3	-7	1.00	1.30		1.30	-	1.00	0.80	0	-8	3	0	3	0	3	0	3	-8	0	-8
10	CH	Chodci na lávkách	Q	0	-2	1	2	0	-14	0	1.00	0.00		0.00	-	1.00	1.00	0	0	0	0	0	0	0	0	0	0	0	0
11	W	Vítr na konstrukci	Q	0	-1	9	6	0	6	9	1.00	-1.35		-1.35	-	1.00	0.75	1	-10	-6	0	-6	0	-6	0	-6	-10	0	-10
12	WP	Vítr na vozidla	Q	0	0	16	8	0	7	16	1.00	-1.35		-1.35	-	1.00	0.75	0	-16	-9	0	-9	0	-8	0	-8	-16	0	-16
13	TR	Teplota rovnoměrná	Q	0	0	0	0	0	0	0	1.00	1.35		1.35	-	1.00	0.45	0	0	0	0	0	0	0	0	0	0	0	0
14	TN	Teplota nerovnoměrná	Q	0	0	0	10	0	6	0	1.00	1.35		1.35	-	1.00	0.60	0	0	8	0	8	0	5	0	5	0	0	0
15	FR	Třecí síly v ložiskách	Q	0	4	0	0	0	1	0	1.00	1.20		1.20	-	1.00	1.00	5	0	0	0	0	0	2	0	2	0	0	0
16	I	Imperfekce soustavy	Q	0	0	1	2	0	2	1	1.00	-1.20		-1.20	-	1.00	1.00	0	-1	-2	0	-2	0	-3	0	-3	-1	0	-1
27	ULS_LM	ULS - LM71 bez dynam	Q	0	-176	28	19	0	2 155	30	1.00	vyp.	1	0.00	-	1.00	0.00	0	0	0	0	0	0	0	0	0	0	0	0
28	SLS_LM	SLS - LM71 bez dynam	Q	0	-143	21	7	0	1 666	23	1.00	vyp.	1	0.00	-	1.00	0.00	0	0	0	0	0	0	0	0	0	0	0	0
29	ULS_C3	ULS - C3 bez dynam	Q	0	-117	28	19	0	1 280	31	1.00	vyp.	1	0.00	-	1.00	0.00	0	0	0	0	0	0	0	0	0	0	0	0
30	SLS_C3	SLS - C3 bez dynam	Q	0	-97	21	7	0	993	23	1.00	vyp.	1	0.00	-	1.00	0.00	0	0	0	0	0	0	0	0	0	0	0	0
		CELKEM - FÁZE PRŮŘEZU 0			-265	-38	-18	0	2 664	-56								-265	-38	-18	0	-18	0	2 664	0	2 664	-56	1	-55
		CELKEM - FÁZE PRŮŘEZU 1			0	0	0	0	0	0								0	0	0	0	0	0	0	0	0	0	0	0
		CELKEM - FÁZE PRŮŘEZU 2			0	0	0	0	0	0								0	0	0	0	0	0	0	0	0	0	0	0
		CELKEM - FÁZE PRŮŘEZU 3			0	0	0	0	0	0								0	0	0	0	0	0	0	0	0	0	0	0
		CELKEM - PRŮŘEZ			-265	-38	-18	0	2 664	-56								-265	-38	-18	0	-18	0			2 664			-55

Napětí od jednotlivých zatěžovacích stavů

SKUPINA ZATĚŽOVACÍCH STAVŮ

Č.	SKUP ZS	Popis ZS	Kat.	fáze prúř.	Posouzení normálového napětí – Účinek síly N δ^*N_d [kN]	χ^*A [mm^2]	σ_n [MPa]	Účinek momentu My $\delta^*M_{y,d}$ [kNm]	$\chi_{lt}*W_{el,y}$ [mm^3]	σ_{my} [MPa]	Účinek momentu Mz $\delta^*M_{z,d}$ [kNm]	$W_{el,z}$ [mm^3]	σ_{mz} [MPa]	σ_x [MPa]	Posouzení smykového napětí – Účinek kroutícího momentu Mx $\kappa*\delta^*M_{x,d}$ [kNm]	$W_{v,y}$ [mm^2]	$\tau_{x,y}$ [MPa]	$W_{v,z}$ [mm^2]	$\tau_{x,z}$ [MPa]	Účinek smykové síly Vy $\delta^*V_{y,d}$ [kN]	$A_{v,y}$ [mm2]	$\tau_{v,y}$ [MPa]	$\tau_{v,y}$ [MPa]	Účinek smykové síly Vz $\delta^*V_{z,d}$ [kN]	$A_{v,z}$ [mm2]	$\tau_{v,z}$ [MPa]	$\tau_{v,z}$ [MPa]
1	G0	Vlastní tíha OK	G	0	-65.2	4.17E+04	-1.6	90.3	1.54E+07	5.9	-13.6	-1.54E+06	8.8	13.1	0.0E+00	-	-	-	-	0.0	2.60E+04	0.0	0.0	-5.3	1.12E+04	-0.5	-0.5
2	G1	Ostatní stálé - mostní vybavení	G	0	-5.5	4.17E+04	-0.1	16.9	1.54E+07	1.1	-1.0	-1.54E+06	0.7	1.6	0.0E+00	-	-	-	-	0.0	2.60E+04	0.0	0.0	-2.7	1.12E+04	-0.2	-0.2
3	G2	Ostatní stálé - cizí zařízení	G	0	-2.0	4.17E+04	0.0	0.2	1.54E+07	0.0	-0.1	-1.54E+06	0.0	0.0	0.0E+00	-	-	-	-	0.0	2.60E+04	0.0	0.0	-4.1	1.12E+04	-0.4	-0.4
4	P1_71	a.LM71 - kolej 1 (bez dyn. souč.)	P	0	-88.7	4.17E+04	-2.1	934.2	1.54E+07	60.8	1.5	-1.54E+06	-1.0	57.6	-1.7E-02	-	-	-	-	2.6	2.60E+04	0.1	0.1	-350.2	1.12E+04	-31.4	-31.4
5	P2_71	a.LM71 - kolej 2 (bez dyn. souč.)	P	0	-94.9	4.17E+04	-2.3	1 636.3	1.54E+07	106.4	-3.5	-1.54E+06	2.3	106.5	1.7E-02	-	-	-	-	-3.7	2.60E+04	-0.1	-0.1	351.5	1.12E+04	31.5	31.5
6	P1_C3	TTZ C3 - kolej 1 (bez dyn. souč.)	P	0	0.0	4.17E+04	0.0	0.0	1.54E+07	0.0	0.0	-1.54E+06	0.0	0.0	0.0E+00	-	-	-	-	0.0	2.60E+04	0.0	0.0	0.0	1.12E+04	0.0	0.0
7	P2_C3	TTZ C3 - kolej 2 (bez dyn. souč.)	P	0	0.0	4.17E+04	0.0	0.0	1.54E+07	0.0	0.0	-1.54E+06	0.0	0.0	0.0E+00	-	-	-	-	0.0	2.60E+04	0.0	0.0	0.0	1.12E+04	0.0	0.0
8	BR	Brzdné a rozjezdové síly	P	0	-14.7	4.17E+04	-0.4	-6.6	1.54E+07	-0.4	-4.7	-1.54E+06	3.1	2.3	0.0E+00	-	-	-	-	-2.8	2.60E+04	-0.1	-0.1	-0.2	1.12E+04	0.0	0.0
9	S	Boční ráz	P	0	-0.1	4.17E+04	0.0	3.0	1.54E+07	0.2	-7.6	-1.54E+06	4.9	5.1	0.0E+00	-	-	-	-	-7.6	2.60E+04	-0.3	-0.3	2.7	1.12E+04	0.2	0.2
10	CH	Chodci na lávkách	Q	0	0.0	4.17E+04	0.0	0.0	1.54E+07	0.0	0.0	-1.54E+06	0.0	0.0	0.0E+00	-	-	-	-	0.0	2.60E+04	0.0	0.0	0.0	1.12E+04	0.0	0.0
11	W	Vítr na konstrukci	Q	0	1.5	4.17E+04	0.0	-6.4	1.54E+07	-0.4	-9.6	-1.54E+06	6.2	5.8	1.0E-02	-	-	-	-	-9.6	2.60E+04	-0.4	-0.4	-6.3	1.12E+04	-0.6	-0.6
12	WP	Vítr na vozidla	Q	0	-0.5	4.17E+04	0.0	-7.5	1.54E+07	-0.5	-16.0	-1.54E+06	10.4	9.9	1.0E-02	-	-	-	-	-16.0	2.60E+04	-0.6	-0.6	-8.6	1.12E+04	-0.8	-0.8
13	TR	Teplota rovnoměrná	Q	0	0.0	4.17E+04	0.0	0.0	1.54E+07	0.0	0.0	-1.54E+06	0.0	0.0	0.0E+00	-	-	-	-	0.0	2.60E+04	0.0	0.0	0.0	1.12E+04	0.0	0.0
14	TN	Teplota nerovnoměrná	Q	0	0.0	4.17E+04	0.0	4.7	1.54E+07	0.3	0.0	-1.54E+06	0.0	0.3	8.1E-03	-	-	-	-	0.0	2.60E+04	0.0	0.0	7.8	1.12E+04	0.7	0.7
15	FR	Třecí síly v ložiskách	Q	0	4.9	4.17E+04	0.1	1.7	1.54E+07	0.1	0.2	-1.54E+06	-0.1	0.1	0.0E+00	-	-	-	-	0.0	2.60E+04	0.0	0.0	0.0	1.12E+04	0.0	0.0
16	I	Imperfekce soustavy	Q	0	0.1	4.17E+04	0.0	-2.6	1.54E+07	-0.2	-0.6	-1.54E+06	0.4	0.3	0.0E+00	-	-	-	-	-0.6	2.60E+04	0.0	0.0	-2.4	1.12E+04	-0.2	-0.2
27	ULS_LM	ULS - LM71 bez dynam	Q	0	0.0	4.17E+04	0.0	0.0	1.54E+07	0.0	0.0	-1.54E+06	0.0	0.0	0.0E+00	-	-	-	-	0.0	2.60E+04	0.0	0.0	0.0	1.12E+04	0.0	0.0
28	SLS_LM	SLS - LM71 bez dynam	Q	0	0.0	4.17E+04	0.0	0.0	1.54E+07	0.0	0.0	-1.54E+06	0.0	0.0	0.0E+00	-	-	-	-	0.0	2.60E+04	0.0	0.0	0.0	1.12E+04	0.0	0.0
29	ULS_C3	ULS - C3 bez dynam	Q	0	0.0	4.17E+04	0.0	0.0	1.54E+07	0.0	0.0	-1.54E+06	0.0	0.0	0.0E+00	-	-	-	-	0.0	2.60E+04	0.0	0.0	0.0	1.12E+04	0.0	0.0
30	SLS_C3	SLS - C3 bez dynam	Q	0	0.0	4.17E+04	0.0	0.0	1.54E+07	0.0	0.0	-1.54E+06	0.0	0.0	0.0E+00	-	-	-	-	0.0	2.60E+04	0.0	0.0	0.0	1.12E+04	0.0	0.0
NAVÝŠENÍ NAPĚTÍ DO AKTIVACE TLAKU V DESCE MOSTOVKY						$\sigma_{P,red}$	0.0							0.0				0.0		0.0			-1.4	-1.4			-1.6	-1.6
NAPĚTÍ OD PRIMÁRNÍCH ÚČINKŮ NEROVNOMĚRNÉHO OTEPLENÍ						σ_T	0.0							0.0														
NAPĚTÍ OD REOLOGICKÝCH ÚČINKŮ BETONU V ČASE			t=0			σ_R	0.0	γ_{G}=	1.20					0.0														
NAPĚTÍ V KRITICKÝCH VLÁKNECH OD KOMBINACE ZATÍŽENÍ						KZ04		[MPa]					$\Sigma\sigma_x$	202.7									$\Sigma\tau_y$	-1.4			$\Sigma\tau_z$	-1.6
NAPĚTÍ OD POHYBLIVÉHO ZATÍŽENÍ								[MPa]					$\sigma_{x,P}$	171.5									τ_P	-0.4			τ_P	0.3
NAPĚTÍ OD OSTATNÍCH ZATÍŽENÍ								[MPa]			Φ_{Vy}	Φ_{Vz}	$\sigma_{x,rs}$	31.2									τ_{rs}	-1.0			τ_{rs}	-1.9
NÁVRHOVÁ HODNOTA MEZE KLUZU S REDUKCÍ VLIVEM SMYKOVÉHO NAPĚTÍ								[MPa]			1.00	1.00	$f_{yv,d}$	209.1									$f_{yd}/3^{0,5}$	120.7			$f_{yd}/3^{0,5}$	120.7
NAPĚTÍ OD POHYBLIVÉHO ZATÍŽENÍ V GLOBÁLNÍM SYSTÉMU				$\sigma_{GLOB,P}$	0.0			[MPa]					$\Sigma\sigma_{GLOB}$	0.0														
NAPĚTÍ OD OSTATNÍCH ZATÍŽENÍ V GLOBÁLNÍM SYSTÉMU				$\sigma_{GLOB,rs}$	0.0			[MPa]					$\Sigma\sigma_x + \Sigma\sigma_{GLOB}$	202.7														
VYUŽITÍ PRŮŘEZU DLE NAPĚTÍ								[%]					η_1	0.97									η_3	0.01			η_3	0.01
NAPĚTÍ V PŘÍČNÉM SMĚRU OD POHYBLIVÉHO ZATÍŽENÍ				$\sigma_{z,P}$	0.0			[MPa]					$\Sigma\sigma_z$	0.0														
NAPĚTÍ V PŘÍČNÉM SMĚRU OD OSTATNÍCH ZATÍŽENÍ				$\sigma_{z,rs}$	0.0			[MPa]					η_2	0.00														
SROVNÁVACÍ NAPĚTÍ													$(\eta_2 + 0,8\ \eta_1)/1,4$ =	0.55														
VYUŽITÍ PRŮŘEZU CELKEM								[%]					eff	0.97	VYHOVUJE													
STANOVENÍ ZATÍŽITELNOSTI													z_{LM71} =	1.04														

TAB. P4.3.3 POSOUZENÍ - MEZNÍ STAV ÚNOSNOSTI

POPIS	PŘÍČNÍK P4 - VNITŘNÍ PODÉLNÍK
PRUT / POLOHA BODU	670 / I[549]
NAMÁHÁNÍ	Vz.min
VLÁKNO	BOD S5 -HL
MEZNÍ STAV	ULS (MSÚ)
VYUŽITÍ VLÁKNA PRŮŘEZU	0.30

Charakteristiky materiálu				
pás. horní	$f_{yf,k}$	230	MPa	
pás. dolní	$f_{yf,k}$	230	MPa	
stojina	$f_{yw,k}$	230	MPa	
výztuž	$f_{ys,k}$	500	MPa	
γ_M =	1.10	γ_s =	1.15	

Excentricita normálové síly				
Exc./Fáze	0	1	2	3
e_y	0.000	0.000	0.000	0.000
e_z	0.000	0.000	0.000	0.000
Ekvivalentní vzdál. stěn - příčný roznos				
b_{sh}	0.000	0.000	0.000	0.000

Vliv stěny na únosnost průřezu				
Char./Fáze	0	1	2	3
A	0.00	0.00	0.00	0.00
Wy	0.00	0.00	0.00	0.00
Wz	0.00	0.00	0.00	0.00

Charakter. v kroucení			
$t_{w,y}$	0.000	[mm]	
$t_{w,z}$	0.000	[mm]	
κ	1.00		
I_t=	0.00E+00	[mm^4]	
$\Omega=2*A_{pz}$	0.00E+00	[mm^2]	

Součinitele vzpěru a vlivu II.řádu				
Char./Fáze	0	1	2	3
k_y	1.000	1.000	1.000	1.000
k_z	1.000	1.000	1.000	1.000
χ_{LT}	1.000	1.000	1.000	1.000
χ_{min}	1.000	1.000	1.000	1.000

δ_{LOK} 1.00

Vnitřní síly od jednotlivých skupin zatěžovacích stavů

SKUPINA ZATĚŽOVACÍCH STAVŮ					- CHARAKTERISTICKÉ HODNOTY						DÍLČÍ SOUČINITELÉ ZATÍŽENÍ, DYNAMICKÝ SOUČINITEL						4	- NÁVRHOVÉ HODNOTY									
Č.	SKUP ZS	POPIS ZS	KAT.	FÁZE PRŮŘ.	N.k (kN)	Vy.k (kN)	Vz.k (kN)	Mx.k (kNm)	My.k (kNm)	Mz.k (kNm)	γ_{sr} (-)	γ_{sl} (-)	volba ψ_1 hledat	ψ_1 (-)	L_d (m)	δ (-)	ψ_2 KZ04	N.d (kN)	Vy.d (kN)	Vz.d (kN)	ΔVz.d (kN)	ΣVz.d (kN)	Mx.d (kNm)	My.d (kNm)	ΔMy.d (kNm)	ΣMy.d (kNm)	Mz.d (kNm)	ΔMz.d (kNm)	ΣMz.d (kNm)
1	G0	Vlastní tíha OK	G	0	-57	0	-5	0	79	-12	1.00	1.20		1.20	-	1.00	0.95	-65	0	-5	0	-5	0	90	0	90	-14	0	-14
2	G1	Ostatní stálé - mostní vybavení	G	0	-5	0	-2	0	15	-1	1.00	1.20		1.20	-	1.00	0.95	-6	0	-3	0	-3	0	17	0	17	-1	0	-1
3	G2	Ostatní stálé - cizí zařízení	G	0	-2	0	-4	0	0	0	1.00	1.20		1.20	-	1.00	0.95	-2	0	-4	0	-4	0	0	0	0	0	0	0
4	P1_71	a.LM71 - kolej 1 (bez dyn. souč.)	P	0	-85	5	-218	0	533	4	1.00	1.30		1.30	-	1.27	1.00	-140	8	-360	0	-360	0	881	0	881	6	-1	5
5	P2_71	a.LM71 - kolej 2 (bez dyn. souč.)	P	0	-18	0	0	0	8	-1	1.00	1.30		1.30	-	1.27	1.00	-29	-1	-1	0	-1	0	14	0	14	-1	0	-1
6	P1_C3	TTZ C3 - kolej 1 (bez dyn. souč.)	P	0	-64	4	-126	0	293	3	1.00	vyp.		0.00	-	1.00	0.00	0	0	0	0	0	0	0	0	0	0	0	0
7	P2_C3	TTZ C3 - kolej 2 (bez dyn. souč.)	P	0	-15	0	0	0	8	-1	1.00	vyp.		0.00	-	1.00	0.00	0	0	0	0	0	0	0	0	0	0	0	0
8	BR	Brzdné a rozjezdové síly	P	0	-28	-5	0	0	-13	-9	1.00	1.30		1.30	-	1.00	0.40	-15	-3	0	0	0	0	-7	0	-7	-5	0	-5
9	S	Boční ráz	P	0	0	7	-3	0	-3	7	1.00	1.30		1.30	-	1.00	0.80	0	8	-3	0	-3	0	-3	0	-3	8	0	8
10	CH	Chodci na lávkách	Q	0	-1	0	-1	0	-32	0	1.00	1.30		1.30	-	1.00	1.00	-1	1	-1	0	-1	0	-41	0	-41	0	0	0
11	W	Vítr na konstrukci	Q	0	-1	-9	-6	0	-6	-9	1.00	1.35		1.35	-	1.00	0.75	-1	-10	-6	0	-6	0	-6	0	-6	-10	0	-10
12	WP	Vítr na vozidla	Q	0	0	-16	-8	0	-7	-16	1.00	1.35		1.35	-	1.00	0.75	0	-16	-9	0	-9	0	-8	0	-8	-16	0	-16
13	TR	Teplota rovnoměrná	Q	0	0	0	0	0	0	0	1.00	1.35		1.35	-	1.00	0.45	0	0	0	0	0	0	0	0	0	0	0	0
14	TN	Teplota nerovnoměrná	Q	0	1	0	-10	0	-15	0	1.00	1.35		1.35	-	1.00	0.60	1	0	-8	0	-8	0	-13	0	-13	0	0	0
15	FR	Třecí síly v ložiskách	Q	0	-4	0	0	0	-1	0	1.00	1.20		1.20	-	1.00	1.00	-5	0	0	0	0	0	-2	0	-2	0	0	0
16	I	Imperfekce soustavy	Q	0	0	-1	-2	0	-2	-1	1.00	1.20		1.20	-	1.00	1.00	0	-1	-2	0	-2	0	-3	0	-3	-1	0	-1
27	ULS_LM	ULS - LM71 bez dynam	Q	0	-228	-14	-325	0	729	-20	1.00	vyp.		0.00	-	1.00	0.00	0	0	0	0	0	0	0	0	0	0	0	0
28	SLS_LM	SLS - LM71 bez dynam	Q	0	-184	-10	-245	0	583	-15	1.00	vyp.	1	0.00	-	1.00	0.00	0	0	0	0	0	0	0	0	0	0	0	0
29	ULS_C3	ULS - C3 bez dynam	Q	0	-197	-15	-205	0	416	-21	1.00	vyp.	1	0.00	-	1.00	0.00	0	0	0	0	0	0	0	0	0	0	0	0
30	SLS_C3	SLS - C3 bez dynam	Q	0	-160	-11	-153	0	342	-15	1.00	vyp.	1	0.00	-	1.00	0.00	0	0	0	0	0	0	0	0	0	0	0	0
		CELKEM - FÁZE PRŮŘEZU 0			-263	-14	-401	0	920	-33								-401	0	-401	0	-401	0	920	0	920	-33	-1	-34
		CELKEM - FÁZE PRŮŘEZU 1			0	0	0	0	0	0								0	0	0	0	0	0	0	0	0	0	0	0
		CELKEM - FÁZE PRŮŘEZU 2			0	0	0	0	0	0								0	0	0	0	0	0	0	0	0	0	0	0
		CELKEM - FÁZE PRŮŘEZU 3			0	0	0	0	0	0								0	0	0	0	0	0	0	0	0	0	0	0
		CELKEM - PRŮŘEZ			-263	-14	-401	0	920	-33								-401	0	-401	0	-401	0			920			-34

Napětí od jednotlivých zatěžovacích stavů

SKUPINA ZATĚŽOVACÍCH STAVŮ					Posouzení normálového napětí										Posouzení smykového napětí													
					Účinek síly N			Účinek momentu My				Účinek momentu Mz				Účinek kroutícího momentu Mx				Účinek smykové síly Vy				Účinek smykové síly Vz			
Č.	SKUP ZS	Popis ZS	Kat.	fáze prúř.	δ^*N_d [kN]	χ^*A [mm^2]	σ_n [MPa]	$\delta^*M_{y,d}$ [kNm]	$\chi_{lt}{}^*W_{el,y}$ [mm^3]	σ_{my} [MPa]	$\delta^*M_{z,d}$ [kNm]	$W_{el,z}$ [mm^3]	σ_{mz} [MPa]	σ_x [MPa]	$\kappa^*\delta^*M_{x,d}$ [kNm]	$W_{v,y}$ [mm^3]	$\tau_{x,y}$ [MPa]	$W_{v,z}$ [mm^3]	$\tau_{x,z}$ [MPa]	$\delta^*V_{y,d}$ [kN]	$A_{v,y}$ [mm2]	$\tau_{v,y}$ [MPa]	$\tau_{v,y}$ [MPa]	$\delta^*V_{z,d}$ [kN]	$A_{v,z}$ [mm2]	$\tau_{v,z}$ [MPa]	$\tau_{v,z}$ [MPa]
1	G0	Vlastní tíha OK	G	0	-65.2	4.17E+04	-1.6	90.3	-1.91E+07	-4.7	-13.6	-4.73E+07	0.3	-6.0	0.0E+00	-	-	-	-	0.0	2.60E+04	0.0	0.0	-5.3	1.12E+04	-0.5	-0.5
2	G1	Ostatní stálé - mostní vybavení	G	0	-5.5	4.17E+04	-0.1	16.9	-1.91E+07	-0.9	-1.0	-4.73E+07	0.0	-1.0	0.0E+00	-	-	-	-	0.0	2.60E+04	0.0	0.0	-2.7	1.12E+04	-0.2	-0.2
3	G2	Ostatní stálé - cizí zařízení	G	0	-2.0	4.17E+04	0.0	0.2	-1.91E+07	0.0	-0.1	-4.73E+07	0.0	-0.1	0.0E+00	-	-	-	-	0.0	2.60E+04	0.0	0.0	-4.1	1.12E+04	-0.4	-0.4
4	P1_71	a.LM71 - kolej 1 (bez dyn. souč.)	P	0	-139.8	4.17E+04	-3.4	880.8	-1.91E+07	-46.2	4.6	-4.73E+07	-0.1	-49.7	-3.3E-02	-	-	-	-	7.6	2.60E+04	0.3	0.3	-359.7	1.12E+04	-32.2	-32.2
5	P2_71	a.LM71 - kolej 2 (bez dyn. souč.)	P	0	-28.9	4.17E+04	-0.7	13.9	-1.91E+07	-0.7	-0.7	-4.73E+07	0.0	-1.4	0.0E+00	-	-	-	-	-0.5	2.60E+04	0.0	0.0	-0.6	1.12E+04	-0.1	-0.1
6	P1_C3	TTZ C3 - kolej 1 (bez dyn. souč.)	P	0	0.0	4.17E+04	0.0	0.0	-1.91E+07	0.0	0.0	-4.73E+07	0.0	0.0	0.0E+00	-	-	-	-	0.0	2.60E+04	0.0	0.0	0.0	1.12E+04	0.0	0.0
7	P2_C3	TTZ C3 - kolej 2 (bez dyn. souč.)	P	0	0.0	4.17E+04	0.0	0.0	-1.91E+07	0.0	0.0	-4.73E+07	0.0	0.0	0.0E+00	-	-	-	-	0.0	2.60E+04	0.0	0.0	0.0	1.12E+04	0.0	0.0
8	BR	Brzdné a rozjezdové síly	P	0	-14.7	4.17E+04	-0.4	-6.6	-1.91E+07	0.3	-4.7	-4.73E+07	0.1	0.1	0.0E+00	-	-	-	-	-2.8	2.60E+04	-0.1	-0.1	-0.2	1.12E+04	0.0	0.0
9	S	Boční ráz	P	0	0.1	4.17E+04	0.0	-3.0	-1.91E+07	0.2	7.6	-4.73E+07	-0.2	0.0	0.0E+00	-	-	-	-	7.6	2.60E+04	0.3	0.3	-2.7	1.12E+04	-0.2	-0.2
10	CH	Chodci na lávkách	Q	0	-1.0	4.17E+04	0.0	-41.5	-1.91E+07	2.2	0.4	-4.73E+07	0.0	2.1	0.0E+00	-	-	-	-	0.6	2.60E+04	0.0	0.0	-0.7	1.12E+04	-0.1	-0.1
11	W	Vítr na konstrukci	Q	0	-1.5	4.17E+04	0.0	-6.4	-1.91E+07	0.3	-9.6	-4.73E+07	0.2	0.5	1.0E-02	-	-	-	-	-9.6	2.60E+04	-0.4	-0.4	-6.3	1.12E+04	-0.6	-0.6
12	WP	Vítr na vozidla	Q	0	-0.5	4.17E+04	0.0	-7.5	-1.91E+07	0.4	-15.9	-4.73E+07	0.3	0.7	1.0E-02	-	-	-	-	-15.9	2.60E+04	-0.6	-0.6	-8.6	1.12E+04	-0.8	-0.8
13	TR	Teplota rovnoměrná	Q	0	0.0	4.17E+04	0.0	0.0	-1.91E+07	0.0	0.0	-4.73E+07	0.0	0.0	0.0E+00	-	-	-	-	0.0	2.60E+04	0.0	0.0	0.0	1.12E+04	0.0	0.0
14	TN	Teplota nerovnoměrná	Q	0	0.7	4.17E+04	0.0	-12.5	-1.91E+07	0.7	-0.1	-4.73E+07	0.0	0.7	-8.1E-03	-	-	-	-	0.0	2.60E+04	0.0	0.0	-7.7	1.12E+04	-0.7	-0.7
15	FR	Třecí síly v ložiskách	Q	0	-4.9	4.17E+04	-0.1	-1.7	-1.91E+07	0.1	-0.2	-4.73E+07	0.0	0.0	0.0E+00	-	-	-	-	0.0	2.60E+04	0.0	0.0	0.0	1.12E+04	0.0	0.0
16	I	Imperfekce soustavy	Q	0	0.1	4.17E+04	0.0	-2.6	-1.91E+07	0.1	-0.6	-4.73E+07	0.0	0.2	0.0E+00	-	-	-	-	-0.6	2.60E+04	0.0	0.0	-2.4	1.12E+04	-0.2	-0.2
27	ULS_LM	ULS - LM71 bez dynam	Q	0	0.0	4.17E+04	0.0	0.0	-1.91E+07	0.0	0.0	-4.73E+07	0.0	0.0	0.0E+00	-	-	-	-	0.0	2.60E+04	0.0	0.0	0.0	1.12E+04	0.0	0.0
28	SLS_LM	SLS - LM71 bez dynam	Q	0	0.0	4.17E+04	0.0	0.0	-1.91E+07	0.0	0.0	-4.73E+07	0.0	0.0	0.0E+00	-	-	-	-	0.0	2.60E+04	0.0	0.0	0.0	1.12E+04	0.0	0.0
29	ULS_C3	ULS - C3 bez dynam	Q	0	0.0	4.17E+04	0.0	0.0	-1.91E+07	0.0	0.0	-4.73E+07	0.0	0.0	0.0E+00	-	-	-	-	0.0	2.60E+04	0.0	0.0	0.0	1.12E+04	0.0	0.0
30	SLS_C3	SLS - C3 bez dynam	Q	0	0.0	4.17E+04	0.0	0.0	-1.91E+07	0.0	0.0	-4.73E+07	0.0	0.0	0.0E+00	-	-	-	-	0.0	2.60E+04	0.0	0.0	0.0	1.12E+04	0.0	0.0
NAVÝŠENÍ NAPĚTÍ DO AKTIVACE TLAKU V DESCE MOSTOVKY						$\sigma_{P,red}$	0.0							0.0			0.0		0.0			-0.5	-0.5			-35.9	-35.9
NAPĚTÍ OD PRIMÁRNÍCH ÚČINKŮ NEROVNOMĚRNÉHO OTEPLENÍ						σ_T	0.0							0.0													
NAPĚTÍ OD REOLOGICKÝCH ÚČINKŮ BETONU V ČASE		t=0				σ_R	0.0	γ_{sl}=	1.20					0.0													
NAPĚTÍ V KRITICKÝCH VLÁKNECH OD KOMBINACE ZATÍŽENÍ						KZ04		[MPa]					$\Sigma\sigma_x$	-53.9								$\Sigma\tau_y$	-0.5			$\Sigma\tau_z$	-35.9
NAPĚTÍ OD POHYBLIVÉHO ZATÍŽENÍ								[MPa]					$\sigma_{x,P}$	-51.0								τ_P	0.5			τ_P	-32.5
NAPĚTÍ OD OSTATNÍCH ZATÍŽENÍ								[MPa]			Φ_{vy}	Φ_{vz}	$\sigma_{x,rs}$	-2.9								τ_{rs}	-1.0			τ_{rs}	-3.4
NÁVRHOVÁ HODNOTA MEZE KLUZU S REDUKCÍ VLIVEM SMYKOVÉHO NAPĚTÍ								[MPa]			1.00	1.00	$f_{yw,d}$	209.1								$f_{yd}/3^{0,5}$	120.7			$f_{yd}/3^{0,5}$	120.7
NAPĚTÍ OD POHYBLIVÉHO ZATÍŽENÍ V GLOBÁLNÍM SYSTÉMU						$\sigma_{GLOB,P}$	0.0	[MPa]					$\Sigma\sigma_{GLOB}$	0.0													
NAPĚTÍ OD OSTATNÍCH ZATÍŽENÍ V GLOBÁLNÍM SYSTÉMU						$\sigma_{GLOB,rs}$	0.0	[MPa]					$\Sigma\sigma_x + \Sigma\sigma_{GLOB}$	-53.9													
VYUŽITÍ PRŮŘEZU DLE NAPĚTÍ								[%]					η_1	0.26								η_3	0.00			η_3	0.30
NAPĚTÍ V PŘÍČNÉM SMĚRU OD POHYBLIVÉHO ZATÍŽENÍ						$\sigma_{z,P}$	0.0	[MPa]					$\Sigma\sigma_z$	0.0													
NAPĚTÍ V PŘÍČNÉM SMĚRU OD OSTATNÍCH ZATÍŽENÍ						$\sigma_{z,rs}$	0.0	[MPa]					η_2	0.00													
SROVNÁVACÍ NAPĚTÍ													$(\eta_2 + 0,8\,\eta_1)/1,4$ =	0.15													
VYUŽITÍ PRŮŘEZU CELKEM								[%]					eff	0.30	VYHOVUJE												
STANOVENÍ ZATÍŽITELNOSTI													z_{LM71} =	3.61													

TR_P4.4 POPIS: **PŘÍČNÍK P4 - STŘED** POSUDEK: **P4.4**

SKUPINA ZAT. STAVŮ	EXTRÉM	VYHODNOCOVANÉ VELIČINY					
		N	Vy	Vz	Mx	My	Mz
		kN	kN	kN	kNm	kNm	kNm
G0	N.min	**-57.19**	0.04	0.1	0	81.45	-11.93
	N.max	**-57.19**	0.04	0.1	0	81.45	-11.93
	Vy.min	-57.19	**0.04**	0.1	0	81.45	-11.93
	Vy.max	-57.19	**0.04**	0.1	0	81.45	-11.93
	Vz.min	-57.19	0.04	**0.1**	0	81.45	-11.93
	Vz.max	-57.19	0.04	**0.1**	0	81.45	-11.93
	Mx.min	-57.19	0.04	0.1	**0**	81.45	-11.93
	Mx.max	-57.19	0.04	0.1	**0**	81.45	-11.93
	My.min	-57.19	0.04	0.1	0	**81.45**	-11.93
	My.max	-57.19	0.04	0.1	0	**81.45**	-11.93
	Mz.min	-57.19	0.04	0.1	0	81.45	**-11.93**
	Mz.max	-57.19	0.04	0.1	0	81.45	**-11.93**
G1	N.min	**-4.86**	0	0	0	15.98	-0.91
	N.max	**-4.86**	0	0	0	15.98	-0.91
	Vy.min	-4.86	**0**	0	0	15.98	-0.91
	Vy.max	-4.86	**0**	0	0	15.98	-0.91
	Vz.min	-4.86	0	**0**	0	15.98	-0.91
	Vz.max	-4.86	0	**0**	0	15.98	-0.91
	Mx.min	-4.86	0	0	**0**	15.98	-0.91
	Mx.max	-4.86	0	0	**0**	15.98	-0.91
	My.min	-4.86	0	0	0	**15.98**	-0.91
	My.max	-4.86	0	0	0	**15.98**	-0.91
	Mz.min	-4.86	0	0	0	15.98	**-0.91**
	Mz.max	-4.86	0	0	0	15.98	**-0.91**
G2	N.min	**-1.77**	0	3.6	0	3.74	-0.07
	N.max	**-1.77**	0	3.6	0	3.74	-0.07
	Vy.min	-1.77	**0**	3.6	0	3.74	-0.07
	Vy.max	-1.77	**0**	3.6	0	3.74	-0.07
	Vz.min	-1.77	0	**3.6**	0	3.74	-0.07
	Vz.max	-1.77	0	**3.6**	0	3.74	-0.07
	Mx.min	-1.77	0	3.6	**0**	3.74	-0.07
	Mx.max	-1.77	0	3.6	**0**	3.74	-0.07
	My.min	-1.77	0	3.6	0	**3.74**	-0.07
	My.max	-1.77	0	3.6	0	**3.74**	-0.07
	Mz.min	-1.77	0	3.6	0	3.74	**-0.07**
	Mz.max	-1.77	0	3.6	0	3.74	**-0.07**
P1_71	N.min	**-100.55**	4.83	-141.11	0.01	506.55	-1.4
	N.max	**0.38**	-0.08	-0.16	0	0.16	0
	Vy.min	-12.02	**-0.62**	-32.68	-0.03	116.01	-0.21
	Vy.max	-87.51	**6.02**	-116.86	-0.03	404.05	-0.78
	Vz.min	-84.61	4.57	**-217.72**	-0.02	750.8	-1.03
	Vz.max	-17.44	0.33	**0.38**	0	8.46	-0.23
	Mx.min	-67.87	4.42	-115.17	**-0.1**	401.38	-0.43
	Mx.max	-43.98	0.92	-109.89	**0.09**	411.45	-0.84
	My.min	-55.3	3.98	-6.65	-0.01	**-28.72**	-0.66
	My.max	-53.51	1.55	-211.98	-0.01	**777.34**	-0.39
	Mz.min	-73.12	3.53	-88.74	0.03	300.77	**-1.65**
	Mz.max	-40.93	1.82	-33.42	-0.05	129.21	**0.38**
P2_71	N.min	**-101.48**	-4.85	141.14	-0.01	508.75	-1.4
	N.max	**0.37**	0.08	0.16	0	0.18	0
	Vy.min	-87.23	**-6.06**	116.79	0.03	404.8	-0.75
	Vy.max	-13.65	**0.62**	32.24	0.03	116.66	-0.25
	Vz.min	-17.5	-0.32	**-0.38**	0	8.79	-0.23
	Vz.max	-85.55	-4.61	**217.69**	0.02	752.82	-1.03
	Mx.min	-44.25	-0.91	109.85	**-0.09**	412.08	-0.84
	Mx.max	-68.66	-4.46	115.17	**0.1**	403.27	-0.42
	My.min	-55.84	-4.02	6.77	0.01	**-27.14**	-0.66
	My.max	-54.05	-1.56	211.86	0.01	**778.32**	-0.39
	Mz.min	-73.78	-3.53	88.75	-0.03	302.19	**-1.64**
	Mz.max	-41.32	-1.84	33.45	0.05	130.29	**0.39**
P1_C3	N.min	**-75.58**	4.06	-125.43	-0.01	419.91	-0.93
	N.max	**0.31**	-0.06	-0.12	0	0.13	0
	Vy.min	-7.48	**-0.44**	-34.17	-0.03	119.93	-0.04
	Vy.max	-62.72	**4.8**	-94.23	0.01	316.91	-0.69
	Vz.min	-63.63	3.77	**-125.69**	-0.01	418.21	-0.81
	Vz.max	-15.44	0.37	**0.36**	0	8.19	-0.15
	Mx.min	-50.6	3.51	-65.37	**-0.07**	217.93	-0.42
	Mx.max	-32.08	0.55	-61.36	**0.06**	224.85	-0.69
	My.min	-42.26	3.05	-5.07	-0.01	**-20.9**	-0.73
	My.max	-31.19	0.9	-120.17	-0.01	**440.96**	-0.16
	Mz.min	-50.93	3.21	-66.73	0.05	223.91	**-1.17**
	Mz.max	-24.23	0.88	-31.56	-0.04	111.85	**0.23**
P2_C3	N.min	**-76.34**	-4.09	125.45	0.01	421.7	-0.92
	N.max	**0.3**	0.06	0.12	0	0.15	0
	Vy.min	-61.62	**-4.83**	94.25	-0.01	317	-0.65
	Vy.max	-7.56	**0.44**	34.15	0.03	120.12	-0.04
	Vz.min	-15	-0.46	**-0.35**	0	8.54	-0.09
	Vz.max	-64.31	-3.8	**125.71**	0.01	419.83	-0.81
	Mx.min	-32.27	-0.54	61.35	**-0.06**	225.31	-0.69
	Mx.max	-51.23	-3.55	65.4	**0.07**	219.38	-0.42
	My.min	-42.79	-3.08	5.17	0.01	**-19.69**	-0.73
	My.max	-31.42	-0.91	120.1	0.01	**441.52**	-0.16
	Mz.min	-51.48	-3.22	66.79	-0.05	225.2	**-1.17**
	Mz.max	-24.45	-0.89	31.55	0.04	112.37	**0.23**
BR	N.min	**-29.81**	-10.62	-0.09	0	-11.17	-3.01
	N.max	**29.81**	10.62	0.09	0	11.17	3.01
	Vy.min	12.7	**-13.32**	-0.25	0	7.4	2.57
	Vy.max	-12.7	**13.32**	0.25	0	-7.4	-2.57
	Vz.min	-28.32	-5.38	**-0.32**	0	-12.43	-3.72
	Vz.max	28.32	5.38	**0.32**	0	12.43	3.72
	Mx.min	-12.7	13.32	0.25	**0**	-7.4	-2.57
	Mx.max	12.7	-13.32	-0.25	**0**	7.4	2.57
	My.min	-28.32	-5.38	-0.32	0	**-12.43**	-3.72
	My.max	28.32	5.38	0.32	0	**12.43**	3.72
	Mz.min	-28.35	5.39	0.32	0	-12.36	**-3.72**
	Mz.max	28.35	-5.39	-0.32	0	12.36	**3.72**

TR_P4.4 POPIS: **PŘÍČNÍK P4 - STŘED** POSUDEK: **P4.4**

SKUPINA ZAT. STAVŮ	EXTRÉM	VYHODNOCOVANÉ VELIČINY					
		N	Vy	Vz	Mx	My	Mz
		kN	kN	kN	kNm	kNm	kNm
S	N.min	**-0.16**	-8.14	-0.87	0.01	0.38	0
	N.max	**0.16**	8.14	0.87	-0.01	-0.38	0
	Vy.min	-0.16	**-8.14**	-0.87	0.01	0.38	0
	Vy.max	0.16	**8.14**	0.87	-0.01	-0.38	0
	Vz.min	0.14	7.28	**-2.55**	0	-0.31	0
	Vz.max	-0.14	-7.28	**2.55**	0	0.31	0
	Mx.min	0.16	8.14	0.87	**-0.01**	-0.38	0
	Mx.max	-0.16	-8.14	-0.87	**0.01**	0.38	0
	My.min	0.16	8.14	0.87	-0.01	**-0.38**	0
	My.max	-0.16	-8.14	-0.87	0.01	**0.38**	0
	Mz.min	-0.06	1.79	1.7	0	0.14	**-0.02**
	Mz.max	0.06	-1.79	-1.7	0	-0.14	**0.02**
CH	N.min	**-1.88**	0.56	2.3	0	-16.18	-0.12
	N.max	**-0.74**	0.45	-0.56	0	-31.33	-0.14
	Vy.min	-1.8	**0.01**	0	0	-31.54	-0.17
	Vy.max	-1.88	**0.56**	2.3	0	-16.18	-0.12
	Vz.min	-0.74	0.45	**-0.56**	0	-31.33	-0.14
	Vz.max	-1.88	0.56	**2.3**	0	-16.18	-0.12
	Mx.min	-1.88	0.56	2.3	**0**	-16.18	-0.12
	Mx.max	-1.8	0.01	0	**0**	-31.54	-0.17
	My.min	-1.8	0.01	0	0	**-31.54**	-0.17
	My.max	-1.88	0.56	2.3	0	**-16.18**	-0.12
	Mz.min	-1.8	0.01	0	0	-31.54	**-0.17**
	Mz.max	-1.88	0.56	2.3	0	-16.18	**-0.12**
W	N.min	**-1.48**	-9.44	-6.2	0.01	-0.07	0
	N.max	**-1.46**	9.45	6.2	-0.01	0.11	0
	Vy.min	-1.48	**-9.44**	-6.2	0.01	-0.07	0
	Vy.max	-1.46	**9.45**	6.2	-0.01	0.11	0
	Vz.min	-1.48	-9.44	**-6.2**	0.01	-0.07	0
	Vz.max	-1.46	9.45	**6.2**	-0.01	0.11	0
	Mx.min	-1.46	9.45	6.2	**-0.01**	0.11	0
	Mx.max	-1.48	-9.44	-6.2	**0.01**	-0.07	0
	My.min	-1.48	-9.44	-6.2	0.01	**-0.07**	0
	My.max	-1.46	9.45	6.2	-0.01	**0.11**	0
	Mz.min	-1.46	9.45	6.2	-0.01	0.11	**0**
	Mz.max	-1.48	-9.44	-6.2	0.01	-0.07	**0**
WP	N.min	**-0.46**	-15.75	-8.47	0.01	1.03	0
	N.max	**0.45**	15.77	8.47	-0.01	-1.05	-0.01
	Vy.min	-0.46	**-15.75**	-8.47	0.01	1.03	0
	Vy.max	0.45	**15.77**	8.47	-0.01	-1.05	-0.01
	Vz.min	-0.46	-15.75	**-8.47**	0.01	1.03	0
	Vz.max	0.45	15.77	**8.47**	-0.01	-1.05	-0.01
	Mx.min	0.45	15.77	8.47	**-0.01**	-1.05	-0.01
	Mx.max	-0.46	-15.75	-8.47	**0.01**	1.03	0
	My.min	0.45	15.77	8.47	-0.01	**-1.05**	-0.01
	My.max	-0.46	-15.75	-8.47	0.01	**1.03**	0
	Mz.min	0.45	15.77	8.47	-0.01	-1.05	**-0.01**
	Mz.max	-0.46	-15.75	-8.47	0.01	1.03	**0**
TR	N.min	**0**	0	0	0	0	0
	N.max	**0**	0	0	0	0	0
	Vy.min	0	**0**	0	0	0	0
	Vy.max	0	**0**	0	0	0	0
	Vz.min	0	0	**0**	0	0	0
	Vz.max	0	0	**0**	0	0	0
	Mx.min	0	0	0	**0**	0	0
	Mx.max	0	0	0	**0**	0	0
	My.min	0	0	0	0	**0**	0
	My.max	0	0	0	0	**0**	0
	Mz.min	0	0	0	0	0	**0**
	Mz.max	0	0	0	0	0	**0**
TN	N.min	**-2.65**	0.01	-0.01	0	3	0.09
	N.max	**2.65**	-0.01	0.01	0	-3	-0.09
	Vy.min	0.87	**-0.04**	-9.56	-0.01	-5.9	-0.04
	Vy.max	-2.65	**0.01**	-0.01	0	3	0.09
	Vz.min	0.87	-0.04	**-9.56**	-0.01	-5.9	-0.04
	Vz.max	-0.01	0	**9.59**	0.01	-3.78	-0.04
	Mx.min	0.87	-0.04	-9.56	**-0.01**	-5.9	-0.04
	Mx.max	-0.01	0	9.59	**0.01**	-3.78	-0.04
	My.min	0.87	-0.04	-9.56	-0.01	**-5.9**	-0.04
	My.max	-2.65	0.01	-0.01	0	**3**	0.09
	Mz.min	2.65	-0.01	0.01	0	-3	**-0.09**
	Mz.max	-2.65	0.01	-0.01	0	3	**0.09**
FR	N.min	**-4.11**	0	0	0	-1.41	-0.13
	N.max	**4.11**	0	0	0	1.41	0.13
	Vy.min	4.11	**0**	0	0	1.41	0.13
	Vy.max	-4.11	**0**	0	0	-1.41	-0.13
	Vz.min	-4.11	0	**0**	0	-1.41	-0.13
	Vz.max	4.11	0	**0**	0	1.41	0.13
	Mx.min	-4.11	0	0	**0**	-1.41	-0.13
	Mx.max	4.11	0	0	**0**	1.41	0.13
	My.min	-4.11	0	0	0	**-1.41**	-0.13
	My.max	4.11	0	0	0	**1.41**	0.13
	Mz.min	-4.11	0	0	0	-1.41	**-0.13**
	Mz.max	4.11	0	0	0	1.41	**0.13**
I	N.min	**-0.07**	0.54	1.97	0	0.19	**0**
	N.max	**0.07**	-0.54	-1.97	0	-0.19	**0**
	Vy.min	0.07	**-0.54**	-1.97	0	-0.19	**0**
	Vy.max	-0.07	**0.54**	1.97	0	0.19	**0**
	Vz.min	0.07	-0.54	**-1.97**	0	-0.19	**0**
	Vz.max	-0.07	0.54	**1.97**	0	0.19	**0**
	Mx.min	-0.07	0.54	1.97	**0**	0.19	**0**
	Mx.max	0.07	-0.54	-1.97	**0**	-0.19	**0**
	My.min	0.07	-0.54	-1.97	0	**-0.19**	**0**
	My.max	-0.07	0.54	1.97	0	**0.19**	**0**
	Mz.min	-0.07	0.54	1.97	0	0.19	**0**
	Mz.max	0.07	-0.54	-1.97	0	-0.19	**0**

TAB. P4.4.3 POSOUZENÍ - MEZNÍ STAV ÚNOSNOSTI

POPIS	PŘÍČNÍK P4 - STŘED
PRUT / POLOHA BODU	671 / I[550]
NAMÁHÁNÍ	My.max
VLÁKNO	BOD K2 -HP
MEZNÍ STAV	ULS (MSÚ)
VYUŽITÍ VLÁKNA PRŮŘEZU	0.81

Charakteristiky materiálu				
pás. horní	$f_{yf,k}$	230	MPa	
pás. dolní	$f_{yf,k}$	230	MPa	
stojina	$f_{yw,k}$	230	MPa	
výztuž	$f_{ys,k}$	500	MPa	
γ_M =	1.10	γ_s =	1.15	

Excentricita normálové síly				
Exc./Fáze	0	1	2	3
e_y	0.000	0.000	0.000	0.000
e_z	0.000	0.000	0.000	0.000
Ekvivalentní vzdál. stěn - příčný roznos				
b_{Mx}	0.000	0.000	0.000	0.000

Vliv stěny na únosnost průřezu				
Char./Fáze	0	1	2	3
A	0.00	0.00	0.00	0.00
Wy	0.00	0.00	0.00	0.00
Wz	0.00	0.00	0.00	0.00

Charakter. v kroucení			
$t_{w,y}$	0.000	[mm]	
$t_{w,z}$	0.000	[mm]	
κ	1.00		
I_t=	0.00E+00	[mm⁴]	
Ω=2*A_{pr}	0.00E+00	[mm²]	

Součinitele vzpěru a vlivu II.řádu				
Char./Fáze	0	1	2	3
k_y	1.000	1.000	1.000	1.000
k_z	1.000	1.000	1.000	1.000
χ_{LT}	1.000	1.000	1.000	1.000
χ_{min}	1.000	1.000	1.000	1.000

3

δ_{LOK} 1.00

Vnitřní síly od jednotlivých skupin zatěžovacích stavů

SKUPINA ZATĚŽOVACÍCH STAVŮ					- CHARAKTERISTICKÉ HODNOTY						DÍLČÍ SOUČINITELÉ ZATÍŽENÍ, DYNAMICKÝ SOUČINITEL							- NÁVRHOVÉ HODNOTY									
Č.	SKUP ZS	POPIS ZS	KAT.	FÁZE PRŮŘ.	N.k (kN)	Vy.k (kN)	Vz.k (kN)	Mx.k (kNm)	My.k (kNm)	Mz.k (kNm)	γ_{sr} (-)	γ_{sl} (-)	volba ψ_1 hledat	ψ_1 (-)	L_d (m)	δ (-)	ψ_2 KZ03	N.d (kN)	Vy.d (kN)	Vz.d (kN)	ΔVz.d (kN)	ΣVz.d (kN)	Mx.d (kNm)	My.d (kNm)	ΔMy.d (kNm)	ΣMy.d (kNm)	Mz.d (kNm)	ΔMz.d (kNm)	ΣMz.d (kNm)
1	G0	Vlastní tíha OK	G	0	-57	0	0	0	81	-12	1.00	1.20		1.20	-	1.00	0.95	-65	0	0	0	0	0	93	0	93	-14	0	-14
2	G1	Ostatní stálé - mostní vybavení	G	0	-5	0	0	0	16	-1	1.00	1.20		1.20	-	1.00	0.95	-6	0	0	0	0	0	18	0	18	-1	0	-1
3	G2	Ostatní stálé - cizí zařízení	G	0	-2	0	4	0	4	0	1.00	1.20		1.20	-	1.00	0.95	-2	0	4	0	4	0	4	0	4	0	0	0
4	P1_71	a.LM71 - kolej 1 (bez dyn. souč.)	P	0	-54	2	-212	0	777	0	1.00	1.30		1.30	-	1.27	1.00	-88	3	-350	0	-350	0	1 284	0	1 284	-1	0	-1
5	P2_71	a.LM71 - kolej 2 (bez dyn. souč.)	P	0	-54	-2	212	0	778	0	1.00	1.30		1.30	-	1.27	1.00	-89	-3	350	0	350	0	1 286	0	1 286	-1	0	-1
6	P1_C3	TTZ C3 - kolej 1 (bez dyn. souč.)	P	0	-31	1	-120	0	441	0	1.00	vyp.		0.00	-	1.00	0.00	0	0	0	0	0	0	0	0	0	0	0	0
7	P2_C3	TTZ C3 - kolej 2 (bez dyn. souč.)	P	0	-31	-1	120	0	442	0	1.00	vyp.		0.00	-	1.00	0.00	0	0	0	0	0	0	0	0	0	0	0	0
8	BR	Brzdné a rozjezdové síly	P	0	28	5	0	0	12	4	1.00	-1.30		-1.30	-	1.00	0.80	-29	-6	0	0	0	0	-13	0	-13	-4	0	-4
9	S	Boční ráz	P	0	0	-8	-1	0	0	0	1.00	1.30		1.30	-	1.00	0.40	0	-4	0	0	0	0	0	0	0	0	0	0
10	CH	Chodci na lávkách	Q	0	-2	1	2	0	-16	0	1.00	0.00		0.00	-	1.00	1.00	0	0	0	0	0	0	0	0	0	0	0	0
11	W	Vítr na konstrukci	Q	0	-1	9	6	0	0	0	1.00	1.35		1.35	-	1.00	0.75	-1	10	6	0	6	0	0	0	0	0	0	0
12	WP	Vítr na vozidla	Q	0	0	-16	-8	0	1	0	1.00	1.35		1.35	-	1.00	0.75	0	-16	-9	0	-9	0	1	0	1	0	0	0
13	TR	Teplota rovnoměrná	Q	0	0	0	0	0	0	0	1.00	1.35		1.35	-	1.00	0.45	0	0	0	0	0	0	0	0	0	0	0	0
14	TN	Teplota nerovnoměrná	Q	0	-3	0	0	0	3	0	1.00	1.35		1.35	-	1.00	0.60	-2	0	0	0	0	0	2	0	2	0	0	0
15	FR	Třecí síly v ložiskách	Q	0	4	0	0	0	1	0	1.00	-1.20		-1.20	-	1.00	1.00	-5	0	0	0	0	0	-2	0	-2	0	0	0
16	I	Imperfekce soustavy	Q	0	0	1	2	0	0	0	1.00	1.20		1.20	-	1.00	1.00	0	1	2	0	2	0	0	0	0	0	0	0
27	ULS_LM	ULS - LM71 bez dynam	Q	0	-175	-3	7	0	2 141	2	1.00	vyp.		0.00	-	1.00	0.00	0	0	0	0	0	0	0	0	0	0	0	0
28	SLS_LM	SLS - LM71 bez dynam	Q	0	-140	-2	6	0	1 658	2	1.00	vyp.	1	0.00	-	1.00	0.00	0	0	0	0	0	0	0	0	0	0	0	0
29	ULS_C3	ULS - C3 bez dynam	Q	0	-116	-3	7	0	1 266	3	1.00	vyp.	1	0.00	-	1.00	0.00	0	0	0	0	0	0	0	0	0	0	0	0
30	SLS_C3	SLS - C3 bez dynam	Q	0	-95	-2	6	0	985	2	1.00	vyp.	1	0.00	-	1.00	0.00	0	0	0	0	0	0	0	0	0	0	0	0
		CELKEM - FÁZE PRŮŘEZU 0																-289	-16	3	0	3	0	2 675	0	2 675	-20	0	-20
		CELKEM - FÁZE PRŮŘEZU 1																0	0	0	0	0	0	0	0	0	0	0	0
		CELKEM - FÁZE PRŮŘEZU 2																0	0	0	0	0	0	0	0	0	0	0	0
		CELKEM - FÁZE PRŮŘEZU 3																0	0	0	0	0	0	0	0	0	0	0	0
		CELKEM - PRŮŘEZ																-289	-16	3	0	3	0			2 675			-20

Napětí od jednotlivých zatěžovacích stavů

SKUPINA ZATĚŽOVACÍCH STAVŮ					Posouzení normálového napětí										Posouzení smykového napětí													
					Účinek síly N			Účinek momentu My			Účinek momentu Mz				Účinek kroutícího momentu Mx				Účinek smykové síly Vy				Účinek smykové síly Vz			
Č.	SKUP ZS	Popis ZS	Kat.	fáze průř.	δ^*N_d [kN]	χ^*A [mm²]	σ_n [MPa]	$\delta^*M_{y,d}$ [kNm]	$\chi_{lt}{}^*W_{el,y}$ [mm³]	σ_{my} [MPa]	$\delta^*M_{z,d}$ [kNm]	$W_{el,z}$ [mm³]	σ_{mz} [MPa]	σ_x [MPa]	$\kappa^*\delta^*M_{x,d}$ [kNm]	$W_{v,y}$ [mm³]	$\tau_{x,y}$ [MPa]	$W_{v,z}$ [mm³]	$\tau_{x,z}$ [MPa]	$\delta^*V_{y,d}$ [kN]	$A_{v,y}$ [mm2]	$\tau_{v,y}$ [MPa]	$\tau_{v,y}$ [MPa]	$\delta^*V_{z,d}$ [kN]	$A_{v,z}$ [mm2]	$\tau_{v,z}$ [MPa]	$\tau_{v,z}$ [MPa]
1	G0	Vlastní tíha OK	G	0	-65.2	3.81E+04	-1.7	92.9	-1.79E+07	-5.2	-13.6	1.55E+06	-8.8	-15.7	0.0E+00	-	-	-	-	0.0	2.62E+04	0.0	0.0	0.1	7.39E+03	0.0	0.0
2	G1	Ostatní stálé - mostní vybavení	G	0	-5.5	3.81E+04	-0.1	18.2	-1.79E+07	-1.0	-1.0	1.55E+06	-0.7	-1.8	0.0E+00	-	-	-	-	0.0	2.62E+04	0.0	0.0	0.0	7.39E+03	0.0	0.0
3	G2	Ostatní stálé - cizí zařízení	G	0	-2.0	3.81E+04	-0.1	4.3	-1.79E+07	-0.2	-0.1	1.55E+06	-0.1	-0.3	0.0E+00	-	-	-	-	0.0	2.62E+04	0.0	0.0	4.1	7.39E+03	0.6	0.6
4	P1_71	a.LM71 - kolej 1 (bez dyn. souč.)	P	0	-88.4	3.81E+04	-2.3	1 284.4	-1.79E+07	-71.7	-0.5	1.55E+06	-0.3	-74.4	-1.7E-02	-	-	-	-	2.6	2.62E+04	0.1	0.1	-350.3	7.39E+03	-47.4	-47.4
5	P2_71	a.LM71 - kolej 2 (bez dyn. souč.)	P	0	-89.3	3.81E+04	-2.3	1 286.0	-1.79E+07	-71.8	-0.5	1.55E+06	-0.3	-74.5	1.7E-02	-	-	-	-	-2.6	2.62E+04	-0.1	-0.1	350.1	7.39E+03	47.4	47.4
6	P1_C3	TTZ C3 - kolej 1 (bez dyn. souč.)	P	0	0.0	3.81E+04	0.0	0.0	-1.79E+07	0.0	0.0	1.55E+06	0.0	0.0	0.0E+00	-	-	-	-	0.0	2.62E+04	0.0	0.0	0.0	7.39E+03	0.0	0.0
7	P2_C3	TTZ C3 - kolej 2 (bez dyn. souč.)	P	0	0.0	3.81E+04	0.0	0.0	-1.79E+07	0.0	0.0	1.55E+06	0.0	0.0	0.0E+00	-	-	-	-	0.0	2.62E+04	0.0	0.0	0.0	7.39E+03	0.0	0.0
8	BR	Brzdné a rozjezdové síly	P	0	-29.5	3.81E+04	-0.8	-12.9	-1.79E+07	0.7	-3.9	1.55E+06	-2.5	-2.6	0.0E+00	-	-	-	-	-5.6	2.62E+04	-0.2	-0.2	-0.3	7.39E+03	0.0	0.0
9	S	Boční ráz	P	0	-0.1	3.81E+04	0.0	0.2	-1.79E+07	0.0	0.0	1.55E+06	0.0	0.0	5.2E-03	-	-	-	-	-4.2	2.62E+04	-0.2	-0.2	-0.5	7.39E+03	-0.1	-0.1
10	CH	Chodci na lávkách	Q	0	0.0	3.81E+04	0.0	0.0	-1.79E+07	0.0	0.0	1.55E+06	0.0	0.0	0.0E+00	-	-	-	-	0.0	2.62E+04	0.0	0.0	0.0	7.39E+03	0.0	0.0
11	W	Vítr na konstrukci	Q	0	-1.5	3.81E+04	0.0	0.1	-1.79E+07	0.0	0.0	1.55E+06	0.0	0.0	-1.0E-02	-	-	-	-	9.6	2.62E+04	0.4	0.4	6.3	7.39E+03	0.8	0.8
12	WP	Vítr na vozidla	Q	0	-0.5	3.81E+04	0.0	1.0	-1.79E+07	-0.1	0.0	1.55E+06	0.0	-0.1	1.0E-02	-	-	-	-	-15.9	2.62E+04	-0.6	-0.6	-8.6	7.39E+03	-1.2	-1.2
13	TR	Teplota rovnoměrná	Q	0	0.0	3.81E+04	0.0	0.0	-1.79E+07	0.0	0.0	1.55E+06	0.0	0.0	0.0E+00	-	-	-	-	0.0	2.62E+04	0.0	0.0	0.0	7.39E+03	0.0	0.0
14	TN	Teplota nerovnoměrná	Q	0	-2.1	3.81E+04	-0.1	2.4	-1.79E+07	-0.1	0.1	1.55E+06	0.0	-0.1	0.0E+00	-	-	-	-	0.0	2.62E+04	0.0	0.0	0.0	7.39E+03	0.0	0.0
15	FR	Třecí síly v ložiskách	Q	0	-4.9	3.81E+04	0.1	-1.7	-1.79E+07	0.1	-0.2	1.55E+06	-0.1	-0.1	0.0E+00	-	-	-	-	0.0	2.62E+04	0.0	0.0	0.0	7.39E+03	0.0	0.0
16	I	Imperfekce soustavy	Q	0	-0.1	3.81E+04	0.0	0.2	-1.79E+07	0.0	0.0	1.55E+06	0.0	0.0	0.0E+00	-	-	-	-	0.6	2.62E+04	0.0	0.0	2.4	7.39E+03	0.3	0.3
27	ULS_LM	ULS - LM71 bez dynam	Q	0	0.0	3.81E+04	0.0	0.0	-1.79E+07	0.0	0.0	1.55E+06	0.0	0.0	0.0E+00	-	-	-	-	0.0	2.62E+04	0.0	0.0	0.0	7.39E+03	0.0	0.0
28	SLS_LM	SLS - LM71 bez dynam	Q	0	0.0	3.81E+04	0.0	0.0	-1.79E+07	0.0	0.0	1.55E+06	0.0	0.0	0.0E+00	-	-	-	-	0.0	2.62E+04	0.0	0.0	0.0	7.39E+03	0.0	0.0
29	ULS_C3	ULS - C3 bez dynam	Q	0	0.0	3.81E+04	0.0	0.0	-1.79E+07	0.0	0.0	1.55E+06	0.0	0.0	0.0E+00	-	-	-	-	0.0	2.62E+04	0.0	0.0	0.0	7.39E+03	0.0	0.0
30	SLS_C3	SLS - C3 bez dynam	Q	0	0.0	3.81E+04	0.0	0.0	-1.79E+07	0.0	0.0	1.55E+06	0.0	0.0	0.0E+00	-	-	-	-	0.0	2.62E+04	0.0	0.0	0.0	7.39E+03	0.0	0.0
NAVÝŠENÍ NAPĚTÍ DO AKTIVACE TLAKU V DESCE MOSTOVKY						$\sigma_{P,red}$	0.0							0.0			0.0		0.0			-0.6	-0.6			0.4	0.4
NAPĚTÍ OD PRIMÁRNÍCH ÚČINKŮ NEROVNOMĚRNÉHO OTEPLENÍ						σ_T	0.0							0.0													
NAPĚTÍ OD REOLOGICKÝCH ÚČINKŮ BETONU V ČASE				t=0		σ_R	0.0	γ_{lt}=	1.20					0.0													
NAPĚTÍ V KRITICKÝCH VLÁKNECH OD KOMBINACE ZATÍŽENÍ						KZ03		[MPa]					$\Sigma\sigma_x$	-169.7								$\Sigma\tau_y$	-0.6			$\Sigma\tau_z$	0.4
NAPĚTÍ OD POHYBLIVÉHO ZATÍŽENÍ								[MPa]					$\sigma_{x,P}$	-151.4									-0.4			τ_P	-0.1
NAPĚTÍ OD OSTATNÍCH ZATÍŽENÍ								[MPa]			Φ_{Vy}	Φ_{Vz}	$\sigma_{x,rs}$	-18.3								τ_{rs}	-0.2			τ_{rs}	0.6
NÁVRHOVÁ HODNOTA MEZE KLUZU S REDUKCÍ VLIVEM SMYKOVÉHO NAPĚTÍ								[MPa]			1.00	1.00	$f_{yv,d}$	209.1								$f_{yd}/3^{0,5}$	120.7			$f_{yd}/3^{0,5}$	120.7
NAPĚTÍ OD POHYBLIVÉHO ZATÍŽENÍ V GLOBÁLNÍM SYSTÉMU						$\sigma_{GLOB,P}$	0.0	[MPa]					$\Sigma\sigma_{GLOB}$	0.0													
NAPĚTÍ OD OSTATNÍCH ZATÍŽENÍ V GLOBÁLNÍM SYSTÉMU						$\sigma_{GLOB,rs}$	0.0	[MPa]					$\Sigma\sigma_x + \Sigma\sigma_{GLOB}$	-169.7													
VYUŽITÍ PRŮŘEZU DLE NAPĚTÍ								[%]					η_1	0.81								η_3	0.00			η_3	0.00
NAPĚTÍ V PŘÍČNÉM SMĚRU OD POHYBLIVÉHO ZATÍŽENÍ						$\sigma_{z,P}$	0.0	[MPa]					$\Sigma\sigma_z$	0.0													
NAPĚTÍ V PŘÍČNÉM SMĚRU OD OSTATNÍCH ZATÍŽENÍ						$\sigma_{z,rs}$	0.0	[MPa]					η_2	0.00													
SROVNÁVACÍ NAPĚTÍ													$(\eta_2 + 0{,}8\,\eta_1)/1{,}4$ =	0.46													
VYUŽITÍ PRŮŘEZU CELKEM								[%]					eff	0.81	VYHOVUJE												
STANOVENÍ ZATÍŽITELNOSTI													z_{LM71} =	1.26													

TAB. P4.4.3 POSOUZENÍ - MEZNÍ STAV ÚNOSNOSTI

POPIS	PŘÍČNÍK P4 - STŘED
PRUT / POLOHA BODU	671 / I[550]
NAMÁHÁNÍ	My.max
VLÁKNO	BOD K3 -SL
MEZNÍ STAV	ULS (MSÚ)
VYUŽITÍ VLÁKNA PRŮŘEZU	0.85

Charakteristiky materiálu				
pás. horní	$f_{yf,k}$	230	MPa	
pás. dolní	$f_{yf,k}$	230	MPa	
stojina	$f_{yw,k}$	230	MPa	
výztuž	$f_{ys,k}$	500	MPa	
γ_M =	1.10	γ_s =	1.15	

Excentricita normálové síly				
Exc./Fáze	0	1	2	3
e_y	0.000	0.000	0.000	0.000
e_z	0.000	0.000	0.000	0.000
Ekvivalentní vzdál. stěn - příčný roznos				
b_{Mx}	0.000	0.000	0.000	0.000

Vliv stěny na únosnost průřezu				
Char./Fáze	0	1	2	3
A	0.00	0.00	0.00	0.00
Wy	0.00	0.00	0.00	0.00
Wz	0.00	0.00	0.00	0.00

Charakter. v kroucení			
$t_{w,y}$	0.000	[mm]	
$t_{w,z}$	0.000	[mm]	
κ	1.00		
I_t=	0.00E+00	[mm^4]	
$\Omega=2*A_{pr}$	0.00E+00	[mm^2]	

Součinitele vzpěru a vlivu II.řádu					
Char./Fáze	0	1	2	3	
k_y	1.000	1.000	1.000	1.000	
k_z	1.000	1.000	1.000	1.000	
χ_{LT}	1.000	1.000	1.000	1.000	
χ_{min}	1.000	1.000	1.000	1.000	

3

δ_{LOK} 1.00

Vnitřní síly od jednotlivých skupin zatěžovacích stavů

SKUPINA ZATĚŽOVACÍCH STAVŮ					- CHARAKTERISTICKÉ HODNOTY						DÍLČÍ SOUČINITELÉ ZATÍŽENÍ, DYNAMICKÝ SOUČINITEL							- NÁVRHOVÉ HODNOTY									
Č.	SKUP ZS	POPIS ZS	KAT.	FÁZE PRŮŘ.	N.k (kN)	Vy.k (kN)	Vz.k (kN)	Mx.k (kNm)	My.k (kNm)	Mz.k (kNm)	γ_{sr} (-)	γ_{fs} (-)	volba ψ_i hledat	ψ_i (-)	L_d (m)	δ (-)	ψ_{2i} KZ03	N.d (kN)	Vy.d (kN)	Vz.d (kN)	ΔVz.d (kN)	ΣVz.d (kN)	Mx.d (kNm)	My.d (kNm)	ΔMy.d (kNm)	ΣMy.d (kNm)	Mz.d (kNm)	ΔMz.d (kNm)	ΣMz.d (kNm)
1	G0	Vlastní tíha OK	G	0	-57	0	0	0	81	-12	1.00	1.20		1.20	-	1.00	0.95	-65	0	0	0	0	0	93	0	93	-14	0	-14
2	G1	Ostatní stálé - mostní vybavení	G	0	-5	0	0	0	16	-1	1.00	1.20		1.20	-	1.00	0.95	-6	0	0	0	0	0	18	0	18	-1	0	-1
3	G2	Ostatní stálé - cizí zařízení	G	0	-2	0	4	0	4	0	1.00	1.20		1.20	-	1.00	0.95	-2	0	4	0	4	0	4	0	4	0	0	0
4	P1_71	a.LM71 - kolej 1 (bez dyn. souč.)	P	0	-54	2	-212	0	777	0	1.00	1.30		1.30	-	1.27	1.00	-88	3	-350	0	-350	0	1 284	0	1 284	-1	0	-1
5	P2_71	a.LM71 - kolej 2 (bez dyn. souč.)	P	0	-54	-2	212	0	778	0	1.00	1.30		1.30	-	1.27	1.00	-89	-3	350	0	350	0	1 286	0	1 286	-1	0	-1
6	P1_C3	TTZ C3 - kolej 1 (bez dyn. souč.)	P	0	-31	1	-120	0	441	0	1.00	vyp.		0.00	-	1.00	0.00	0	0	0	0	0	0	0	0	0	0	0	0
7	P2_C3	TTZ C3 - kolej 2 (bez dyn. souč.)	P	0	-31	-1	120	0	442	0	1.00	vyp.		0.00	-	1.00	0.00	0	0	0	0	0	0	0	0	0	0	0	0
8	BR	Brzdné a rozjezdové síly	P	0	28	5	0	0	12	4	1.00	-1.30		-1.30	-	1.00	0.80	-29	-6	0	0	0	0	-13	0	-13	-4	0	-4
9	S	Boční ráz	P	0	0	-8	-1	0	0	0	1.00	1.30		1.30	-	1.00	0.40	0	-4	0	0	0	0	0	0	0	0	0	0
10	CH	Chodci na lávkách	Q	0	-2	1	2	0	-16	0	1.00	0.00		0.00	-	1.00	1.00	0	0	0	0	0	0	0	0	0	0	0	0
11	W	Vítr na konstrukci	Q	0	-1	9	6	0	0	0	1.00	-1.35		-1.35	-	1.00	0.75	1	-10	-6	0	-6	0	0	0	0	0	0	0
12	WP	Vítr na vozidla	Q	0	0	-16	-8	0	1	0	1.00	1.35		1.35	-	1.00	0.75	0	-16	-9	0	-9	0	1	0	1	0	0	0
13	TR	Teplota rovnoměrná	Q	0	0	0	0	0	0	0	1.00	1.35		1.35	-	1.00	0.45	0	0	0	0	0	0	0	0	0	0	0	0
14	TN	Teplota nerovnoměrná	Q	0	-3	0	0	0	3	0	1.00	1.35		1.35	-	1.00	0.60	-2	0	0	0	0	0	2	0	2	0	0	0
15	FR	Třecí síly v ložiskách	Q	0	4	0	0	0	1	0	1.00	1.20		1.20	-	1.00	1.00	5	0	0	0	0	0	2	0	2	0	0	0
16	I	Imperfekce soustavy	Q	0	0	1	2	0	0	0	1.00	1.20		1.20	-	1.00	1.00	0	1	2	0	2	0	0	0	0	0	0	0
27	ULS_LM	ULS - LM71 bez dynam	Q	0	-175	-3	7	0	2 141	2	1.00	vyp.		0.00	-	1.00	0.00	0	0	0	0	0	0	0	0	0	0	0	0
28	SLS_LM	SLS - LM71 bez dynam	Q	0	-140	-2	6	0	1 658	2	1.00	vyp.	1	0.00	-	1.00	0.00	0	0	0	0	0	0	0	0	0	0	0	0
29	ULS_C3	ULS - C3 bez dynam	Q	0	-116	-3	7	0	1 266	3	1.00	vyp.	1	0.00	-	1.00	0.00	0	0	0	0	0	0	0	0	0	0	0	0
30	SLS_C3	SLS - C3 bez dynam	Q	0	-95	-2	6	0	985	2	1.00	vyp.	1	0.00	-	1.00	0.00	0	0	0	0	0	0	0	0	0	0	0	0
		CELKEM - FÁZE PRŮŘEZU 0																-276	-35	-9	0	-9	0	2 678	0	2 678	-20	0	-19
		CELKEM - FÁZE PRŮŘEZU 1																0	0	0	0	0	0	0	0	0	0	0	0
		CELKEM - FÁZE PRŮŘEZU 2																0	0	0	0	0	0	0	0	0	0	0	0
		CELKEM - FÁZE PRŮŘEZU 3																0	0	0	0	0	0	0	0	0	0	0	0
		CELKEM - PRŮŘEZ																-276	-35	-9	0	-9	0			2 678			-19

Napětí od jednotlivých zatěžovacích stavů

SKUPINA ZATĚŽOVACÍCH STAVŮ					Posouzení normálového napětí										Posouzení smykového napětí													
					Účinek síly N			Účinek momentu My			Účinek momentu Mz				Účinek kroutícího momentu Mx				Účinek smykové síly Vy				Účinek smykové síly Vz			
Č.	SKUP ZS	Popis ZS	Kat.	fáze průř.	δ^*N_d [kN]	χ^*A [mm^2]	σ_n [MPa]	$\delta^*M_{y,d}$ [kNm]	$\chi_{lt}{}^*W_{el,y}$ [mm^3]	σ_{my} [MPa]	$\delta^*M_{z,d}$ [kNm]	$W_{el,z}$ [mm^3]	σ_{mz} [MPa]	σ_x [MPa]	$\kappa^*\delta^*M_{x,d}$ [kNm]	$W_{v,y}$ [mm^3]	$\tau_{x,y}$ [MPa]	$W_{v,z}$ [mm^3]	$\tau_{x,z}$ [MPa]	$\delta^*V_{y,d}$ [kN]	$A_{v,y}$ [mm2]	$\tau_{v,y}$ [MPa]	$\tau_{v,y}$ [MPa]	$\delta^*V_{z,d}$ [kN]	$A_{v,z}$ [mm2]	$\tau_{v,z}$ [MPa]	$\tau_{v,z}$ [MPa]
1	G0	Vlastní tíha OK	G	0	-65.2	3.81E+04	-1.7	92.9	1.56E+07	6.0	-13.6	-1.55E+06	8.8	13.0	0.0E+00	-	-	-	-	0.0	2.62E+04	0.0	0.0	0.1	7.39E+03	0.0	0.0
2	G1	Ostatní stálé - mostní vybavení	G	0	-5.5	3.81E+04	-0.1	18.2	1.56E+07	1.2	-1.0	-1.55E+06	0.7	1.7	0.0E+00	-	-	-	-	0.0	2.62E+04	0.0	0.0	0.0	7.39E+03	0.0	0.0
3	G2	Ostatní stálé - cizí zařízení	G	0	-2.0	3.81E+04	-0.1	4.3	1.56E+07	0.3	-0.1	-1.55E+06	0.1	0.3	0.0E+00	-	-	-	-	0.0	2.62E+04	0.0	0.0	4.1	7.39E+03	0.6	0.6
4	P1_71	a.LM71 - kolej 1 (bez dyn. souč.)	P	0	-88.4	3.81E+04	-2.3	1 284.4	1.56E+07	82.4	-0.5	-1.55E+06	0.3	80.4	-1.7E-02	-	-	-	-	2.6	2.62E+04	0.1	0.1	-350.3	7.39E+03	-47.4	-47.4
5	P2_71	a.LM71 - kolej 2 (bez dyn. souč.)	P	0	-89.3	3.81E+04	-2.3	1 286.0	1.56E+07	82.5	-0.5	-1.55E+06	0.3	80.5	1.7E-02	-	-	-	-	-2.6	2.62E+04	-0.1	-0.1	350.1	7.39E+03	47.4	47.4
6	P1_C3	TTZ C3 - kolej 1 (bez dyn. souč.)	P	0	0.0	3.81E+04	0.0	0.0	1.56E+07	0.0	0.0	-1.55E+06	0.0	0.0	0.0E+00	-	-	-	-	0.0	2.62E+04	0.0	0.0	0.0	7.39E+03	0.0	0.0
7	P2_C3	TTZ C3 - kolej 2 (bez dyn. souč.)	P	0	0.0	3.81E+04	0.0	0.0	1.56E+07	0.0	0.0	-1.55E+06	0.0	0.0	0.0E+00	-	-	-	-	0.0	2.62E+04	0.0	0.0	0.0	7.39E+03	0.0	0.0
8	BR	Brzdné a rozjezdové síly	P	0	-29.5	3.81E+04	-0.8	-12.9	1.56E+07	-0.8	-3.9	-1.55E+06	2.5	0.9	0.0E+00	-	-	-	-	-5.6	2.62E+04	-0.2	-0.2	-0.3	7.39E+03	0.0	0.0
9	S	Boční ráz	P	0	-0.1	3.81E+04	0.0	0.2	1.56E+07	0.0	0.0	-1.55E+06	0.0	0.0	5.2E-03	-	-	-	-	-4.2	2.62E+04	-0.2	-0.2	-0.5	7.39E+03	-0.1	-0.1
10	CH	Chodci na lávkách	Q	0	0.0	3.81E+04	0.0	0.0	1.56E+07	0.0	0.0	-1.55E+06	0.0	0.0	0.0E+00	-	-	-	-	0.0	2.62E+04	0.0	0.0	0.0	7.39E+03	0.0	0.0
11	W	Vítr na konstrukci	Q	0	1.5	3.81E+04	0.0	-0.1	1.56E+07	0.0	0.0	-1.55E+06	0.0	0.0	1.0E-02	-	-	-	-	-9.6	2.62E+04	-0.4	-0.4	-6.3	7.39E+03	-0.8	-0.8
12	WP	Vítr na vozidla	Q	0	-0.5	3.81E+04	0.0	1.0	1.56E+07	0.1	0.0	-1.55E+06	0.0	0.1	1.0E-02	-	-	-	-	-15.9	2.62E+04	-0.6	-0.6	-8.6	7.39E+03	-1.2	-1.2
13	TR	Teplota rovnoměrná	Q	0	0.0	3.81E+04	0.0	0.0	1.56E+07	0.0	0.0	-1.55E+06	0.0	0.0	0.0E+00	-	-	-	-	0.0	2.62E+04	0.0	0.0	0.0	7.39E+03	0.0	0.0
14	TN	Teplota nerovnoměrná	Q	0	-2.1	3.81E+04	-0.1	2.4	1.56E+07	0.2	0.1	-1.55E+06	0.0	0.1	0.0E+00	-	-	-	-	0.0	2.62E+04	0.0	0.0	0.0	7.39E+03	0.0	0.0
15	FR	Třecí síly v ložiskách	Q	0	4.9	3.81E+04	0.1	1.7	1.56E+07	0.1	0.2	-1.55E+06	-0.1	0.1	0.0E+00	-	-	-	-	0.0	2.62E+04	0.0	0.0	0.0	7.39E+03	0.0	0.0
16	I	Imperfekce soustavy	Q	0	-0.1	3.81E+04	0.0	0.2	1.56E+07	0.0	0.0	-1.55E+06	0.0	0.0	0.0E+00	-	-	-	-	0.6	2.62E+04	0.0	0.0	2.4	7.39E+03	0.3	0.3
27	ULS_LM	ULS - LM71 bez dynam	Q	0	0.0	3.81E+04	0.0	0.0	1.56E+07	0.0	0.0	-1.55E+06	0.0	0.0	0.0E+00	-	-	-	-	0.0	2.62E+04	0.0	0.0	0.0	7.39E+03	0.0	0.0
28	SLS_LM	SLS - LM71 bez dynam	Q	0	0.0	3.81E+04	0.0	0.0	1.56E+07	0.0	0.0	-1.55E+06	0.0	0.0	0.0E+00	-	-	-	-	0.0	2.62E+04	0.0	0.0	0.0	7.39E+03	0.0	0.0
29	ULS_C3	ULS - C3 bez dynam	Q	0	0.0	3.81E+04	0.0	0.0	1.56E+07	0.0	0.0	-1.55E+06	0.0	0.0	0.0E+00	-	-	-	-	0.0	2.62E+04	0.0	0.0	0.0	7.39E+03	0.0	0.0
30	SLS_C3	SLS - C3 bez dynam	Q	0	0.0	3.81E+04	0.0	0.0	1.56E+07	0.0	0.0	-1.55E+06	0.0	0.0	0.0E+00	-	-	-	-	0.0	2.62E+04	0.0	0.0	0.0	7.39E+03	0.0	0.0
NAVÝŠENÍ NAPĚTÍ DO AKTIVACE TLAKU V DESCE MOSTOVKY						$\sigma_{P,red}$	0.0							0.0			0.0		0.0				-1.3	-1.3			-1.3	-1.3
NAPĚTÍ OD PRIMÁRNÍCH ÚČINKŮ NEROVNOMĚRNÉHO OTEPLENÍ						σ_T	0.0							0.0														
NAPĚTÍ OD REOLOGICKÝCH ÚČINKŮ BETONU V ČASE				t=0		σ_R	0.0	$\gamma_{i=}$	1.20					0.0														
NAPĚTÍ V KRITICKÝCH VLÁKNECH OD KOMBINACE ZATÍŽENÍ							KZ03	[MPa]					$\Sigma\sigma_x$	177.0								$\Sigma\tau_y$	-1.3			$\Sigma\tau_z$	-1.3
NAPĚTÍ OD POHYBLIVÉHO ZATÍŽENÍ								[MPa]					$\sigma_{x,P}$	161.7								τ_P	-0.4			τ_P	-0.1
NAPĚTÍ OD OSTATNÍCH ZATÍŽENÍ								[MPa]			Φ_{Vy}	Φ_{Vz}	$\sigma_{x,rs}$	15.3								τ_{rs}	-0.9			τ_{rs}	-1.1
NÁVRHOVÁ HODNOTA MEZE KLUZU S REDUKCÍ VLIVEM SMYKOVÉHO NAPĚTÍ								[MPa]			1.00	1.00	$f_{yw,d}$	209.1								$f_{yd}/3^{0,5}$	120.7			$f_{yd}/3^{0,5}$	120.7
NAPĚTÍ OD POHYBLIVÉHO ZATÍŽENÍ V GLOBÁLNÍM SYSTÉMU						$\sigma_{GLOB,P}$	0.0	[MPa]					$\Sigma\sigma_{GLOB}$	0.0													
NAPĚTÍ OD OSTATNÍCH ZATÍŽENÍ V GLOBÁLNÍM SYSTÉMU						$\sigma_{GLOB,rs}$	0.0	[MPa]					$\Sigma\sigma_x + \Sigma\sigma_{GLOB}$	177.0													
VYUŽITÍ PRŮŘEZU DLE NAPĚTÍ								[%]					η_1	0.85								η_3	0.01			η_3	0.01
NAPĚTÍ V PŘÍČNÉM SMĚRU OD POHYBLIVÉHO ZATÍŽENÍ						$\sigma_{z,P}$	0.0	[MPa]					$\Sigma\sigma_z$	0.0													
NAPĚTÍ V PŘÍČNÉM SMĚRU OD OSTATNÍCH ZATÍŽENÍ						$\sigma_{z,rs}$	0.0	[MPa]					η_2	0.00													
SROVNÁVACÍ NAPĚTÍ													$(\eta2 + 0,8\ \eta1)/1,4 =$	0.48													
VYUŽITÍ PRŮŘEZU CELKEM								[%]					eff	0.85	VYHOVUJE												
STANOVENÍ ZATÍŽITELNOSTI													z_{LM71} =	1.20													

TAB. P4.4.3 POSOUZENÍ - MEZNÍ STAV ÚNOSNOSTI

POPIS	PŘÍČNÍK P4 - STŘED
PRUT / POLOHA BODU	671 / I[550]
NAMÁHÁNÍ	Vz.max
VLÁKNO	BOD S5 -HL
MEZNÍ STAV	ULS (MSÚ)
VYUŽITÍ VLÁKNA PRŮŘEZU	0.44

Charakteristiky materiálu				
pás. horní	$f_{yf,k}$	230	MPa	
pás. dolní	$f_{yf,k}$	230	MPa	
stojina	$f_{yw,k}$	230	MPa	
výztuž	$f_{ys,k}$	500	MPa	
γ_M =	1.10	γ_s =	1.15	

Excentricita normálové síly				
Exc./Fáze	0	1	2	3
e_y	0.000	0.000	0.000	0.000
e_z	0.000	0.000	0.000	0.000
Ekvivalentní vzdál. stěn - příčný roznos				
b_{Mx}	0.000	0.000	0.000	0.000

Vliv stěny na únosnost průřezu				
Char./Fáze	0	1	2	3
A	0.00	0.00	0.00	0.00
Wy	0.00	0.00	0.00	0.00
Wz	0.00	0.00	0.00	0.00

Charakter. v kroucení			
$t_{w,y}$	0.000	[mm]	
$t_{w,z}$	0.000	[mm]	
κ	1.00		
I_t=	0.00E+00	[mm^4]	
Ω=2*A_{pr}	0.00E+00	[mm^2]	

Součinitele vzpěru a vlivu II.řádu					
Char./Fáze	0	1	2	3	
k_y	1.000	1.000	1.000	1.000	
k_z	1.000	1.000	1.000	1.000	
χ_{LT}	1.000	1.000	1.000	1.000	
χ_{min}	1.000	1.000	1.000	1.000	

δ_{LOK} 1.00

Vnitřní síly od jednotlivých skupin zatěžovacích stavů

SKUPINA ZATĚŽOVACÍCH STAVŮ — 4

Č.	SKUP ZS	POPIS ZS	KAT.	FÁZE PRŮŘ.	- CHARAKTERISTICKÉ HODNOTY N.k (kN)	Vy.k (kN)	Vz.k (kN)	Mx.k (kNm)	My.k (kNm)	Mz.k (kNm)	DÍLČÍ SOUČINITELÉ ZATÍŽENÍ, DYNAMICKÝ SOUČINITEL γ_{sr} (-)	γ_{sl} (-)	volba γ_{sl} hledat	γ_{sl} (-)	L_d (m)	δ (-)	Ψ_0 KZ04	- NÁVRHOVÉ HODNOTY N.d (kN)	Vy.d (kN)	Vz.d (kN)	ΔVz.d (kN)	ΣVz.d (kN)	Mx.d (kNm)	My.d (kNm)	ΔMy.d (kNm)	ΣMy.d (kNm)	Mz.d (kNm)	ΔMz.d (kNm)	ΣMz.d (kNm)
1	G0	Vlastní tíha OK	G	0	-57	0	0	0	81	-12	1.00	1.20		1.20	-	1.00	0.95	-65	0	0	0	0	0	93	0	93	-14	0	-14
2	G1	Ostatní stálé - mostní vybavení	G	0	-5	0	0	0	16	-1	1.00	1.20		1.20	-	1.00	0.95	-6	0	0	0	0	0	18	0	18	-1	0	-1
3	G2	Ostatní stálé - cizí zařízení	G	0	-2	0	4	0	4	0	1.00	1.20		1.20	-	1.00	0.95	-2	0	4	0	4	0	4	0	4	0	0	0
4	P1_71	a.LM71 - kolej 1 (bez dyn. souč.)	P	0	-17	0	0	0	8	0	1.00	1.30		1.30	-	1.27	1.00	-29	1	1	0	1	0	14	0	14	0	0	0
5	P2_71	a.LM71 - kolej 2 (bez dyn. souč.)	P	0	-86	-5	218	0	753	-1	1.00	1.30		1.30	-	1.27	1.00	-141	-8	360	0	360	0	1 244	0	1 244	-2	0	-1
6	P1_C3	TTZ C3 - kolej 1 (bez dyn. souč.)	P	0	-15	0	0	0	8	0	1.00	vyp.		0.00	-	1.00	0.00	0	0	0	0	0	0	0	0	0	0	0	0
7	P2_C3	TTZ C3 - kolej 2 (bez dyn. souč.)	P	0	-64	-4	126	0	420	-1	1.00	vyp.		0.00	-	1.00	0.00	0	0	0	0	0	0	0	0	0	0	0	0
8	BR	Brzdné a rozjezdové síly	P	0	28	5	0	0	12	4	1.00	1.30		1.30	-	1.00	0.40	15	3	0	0	0	0	6	0	6	2	0	2
9	S	Boční ráz	P	0	0	-7	3	0	0	0	1.00	1.30		1.30	-	1.00	0.80	0	-8	3	0	3	0	0	0	0	0	0	0
10	CH	Chodci na lávkách	Q	0	-2	1	2	0	-16	0	1.00	1.30		1.30	-	1.00	1.00	-2	1	3	0	3	0	-21	0	-21	0	0	0
11	W	Vítr na konstrukci	Q	0	-1	9	6	0	0	0	1.00	1.35		1.35	-	1.00	0.75	-1	10	6	0	6	0	0	0	0	0	0	0
12	WP	Vítr na vozidla	Q	0	0	16	8	0	-1	0	1.00	1.35		1.35	-	1.00	0.75	0	16	9	0	9	0	-1	0	-1	0	0	0
13	TR	Teplota rovnoměrná	Q	0	0	0	0	0	0	0	1.00	1.35		1.35	-	1.00	0.45	0	0	0	0	0	0	0	0	0	0	0	0
14	TN	Teplota nerovnoměrná	Q	0	0	0	10	0	-4	0	1.00	1.35		1.35	-	1.00	0.60	0	0	8	0	8	0	-3	0	-3	0	0	0
15	FR	Třecí síly v ložiskách	Q	0	4	0	0	0	1	0	1.00	1.20		1.20	-	1.00	1.00	5	0	0	0	0	0	2	0	2	0	0	0
16	I	Imperfekce soustavy	Q	0	0	1	2	0	0	0	1.00	1.20		1.20	-	1.00	1.00	0	1	2	0	2	0	0	0	0	0	0	0
27	ULS_LM	ULS - LM71 bez dynam	Q	0	-184	15	319	0	1 093	-1	1.00	vyp.		0.00	-	1.00	0.00	0	0	0	0	0	0	0	0	0	0	0	0
28	SLS_LM	SLS - LM71 bez dynam	Q	0	-149	11	240	0	856	-1	1.00	vyp.	1	0.00	-	1.00	0.00	0	0	0	0	0	0	0	0	0	0	0	0
29	ULS_C3	ULS - C3 bez dynam	Q	0	-154	16	200	0	659	0	1.00	vyp.	1	0.00	-	1.00	0.00	0	0	0	0	0	0	0	0	0	0	0	0
30	SLS_C3	SLS - C3 bez dynam	Q	0	-126	12	148	0	522	0	1.00	vyp.	1	0.00	-	1.00	0.00	0	0	0	0	0	0	0	0	0	0	0	0
		CELKEM - FÁZE PRŮŘEZU 0																-227	15	395	0	395	0	1 357	0	1 357	-15	0	-14
		CELKEM - FÁZE PRŮŘEZU 1																0	0	0	0	0	0	0	0	0	0	0	0
		CELKEM - FÁZE PRŮŘEZU 2																0	0	0	0	0	0	0	0	0	0	0	0
		CELKEM - FÁZE PRŮŘEZU 3																0	0	0	0	0	0	0	0	0	0	0	0
		CELKEM - PRŮŘEZ																-227	15	395	0	395	0			1 357			-14

Napětí od jednotlivých zatěžovacích stavů

SKUPINA ZATĚŽOVACÍCH STAVŮ

Č.	SKUP ZS	Popis ZS	Kat.	fáze prúř.	Posouzení normálového napětí — Účinek síly N: δ^*N_d [kN]	χ^*A [mm^2]	σ_n [MPa]	Účinek momentu My: $\delta^*M_{y,d}$ [kNm]	$\chi_{lt}{}^*W_{el,y}$ [mm^3]	σ_{my} [MPa]	Účinek momentu Mz: $\delta^*M_{z,d}$ [kNm]	$W_{el,z}$ [mm^3]	σ_{mz} [MPa]	σ_x [MPa]	Posouzení smykového napětí — Účinek kroutícího momentu Mx: $\kappa^*\delta^*M_{x,d}$ [kNm]	$W_{v,y}$ [mm^2]	$\tau_{x,y}$ [MPa]	$W_{v,z}$ [mm^2]	$\tau_{x,z}$ [MPa]	Účinek smykové síly Vy: $\delta^*V_{y,d}$ [kN]	$A_{v,y}$ [mm2]	$\tau_{v,y}$ [MPa]	$\tau_{v,y}$ [MPa]	Účinek smykové síly Vz: $\delta^*V_{z,d}$ [kN]	$A_{v,z}$ [mm2]	$\tau_{v,z}$ [MPa]	$\tau_{v,z}$ [MPa]
1	G0	Vlastní tíha OK	G	0	-65.2	3.81E+04	-1.7	92.9	-1.90E+07	-4.9	-13.6	-4.75E+07	0.3	-6.3	0.0E+00	-	-	-	-	0.0	2.62E+04	0.0	0.0	0.1	7.39E+03	0.0	0.0
2	G1	Ostatní stálé - mostní vybavení	G	0	-5.5	3.81E+04	-0.1	18.2	-1.90E+07	-1.0	-1.0	-4.75E+07	0.0	-1.1	0.0E+00	-	-	-	-	0.0	2.62E+04	0.0	0.0	0.0	7.39E+03	0.0	0.0
3	G2	Ostatní stálé - cizí zařízení	G	0	-2.0	3.81E+04	-0.1	4.3	-1.90E+07	-0.2	-0.1	-4.75E+07	0.0	-0.3	0.0E+00	-	-	-	-	0.0	2.62E+04	0.0	0.0	4.1	7.39E+03	0.6	0.6
4	P1_71	a.LM71 - kolej 1 (bez dyn. souč.)	P	0	-28.8	3.81E+04	-0.8	14.0	-1.90E+07	-0.7	-0.3	-4.75E+07	0.0	-1.5	0.0E+00	-	-	-	-	0.5	2.62E+04	0.0	0.0	0.6	7.39E+03	0.1	0.1
5	P2_71	a.LM71 - kolej 2 (bez dyn. souč.)	P	0	-141.4	3.81E+04	-3.7	1 243.9	-1.90E+07	-65.5	-1.3	-4.75E+07	0.0	-69.2	3.3E-02	-	-	-	-	-7.6	2.62E+04	-0.3	-0.3	359.7	7.39E+03	48.7	48.7
6	P1_C3	TTZ C3 - kolej 1 (bez dyn. souč.)	P	0	0.0	3.81E+04	0.0	0.0	-1.90E+07	0.0	0.0	-4.75E+07	0.0	0.0	0.0E+00	-	-	-	-	0.0	2.62E+04	0.0	0.0	0.0	7.39E+03	0.0	0.0
7	P2_C3	TTZ C3 - kolej 2 (bez dyn. souč.)	P	0	0.0	3.81E+04	0.0	0.0	-1.90E+07	0.0	0.0	-4.75E+07	0.0	0.0	0.0E+00	-	-	-	-	0.0	2.62E+04	0.0	0.0	0.0	7.39E+03	0.0	0.0
8	BR	Brzdné a rozjezdové síly	P	0	14.7	3.81E+04	0.4	6.5	-1.90E+07	-0.3	1.9	-4.75E+07	0.0	0.0	0.0E+00	-	-	-	-	2.8	2.62E+04	0.1	0.1	0.2	7.39E+03	0.0	0.0
9	S	Boční ráz	P	0	-0.1	3.81E+04	0.0	0.3	-1.90E+07	0.0	0.0	-4.75E+07	0.0	0.0	0.0E+00	-	-	-	-	-7.6	2.62E+04	-0.3	-0.3	2.7	7.39E+03	0.4	0.4
10	CH	Chodci na lávkách	Q	0	-2.4	3.81E+04	-0.1	-21.0	-1.90E+07	1.1	-0.2	-4.75E+07	0.0	1.0	0.0E+00	-	-	-	-	0.7	2.62E+04	0.0	0.0	3.0	7.39E+03	0.4	0.4
11	W	Vítr na konstrukci	Q	0	-1.5	3.81E+04	0.0	0.1	-1.90E+07	0.0	0.0	-4.75E+07	0.0	0.0	-1.0E-02	-	-	-	-	9.6	2.62E+04	0.4	0.4	6.3	7.39E+03	0.8	0.8
12	WP	Vítr na vozidla	Q	0	0.5	3.81E+04	0.0	-1.1	-1.90E+07	0.1	0.0	-4.75E+07	0.0	0.1	-1.0E-02	-	-	-	-	16.0	2.62E+04	0.6	0.6	8.6	7.39E+03	1.2	1.2
13	TR	Teplota rovnoměrná	Q	0	0.0	3.81E+04	0.0	0.0	-1.90E+07	0.0	0.0	-4.75E+07	0.0	0.0	0.0E+00	-	-	-	-	0.0	2.62E+04	0.0	0.0	0.0	7.39E+03	0.0	0.0
14	TN	Teplota nerovnoměrná	Q	0	0.0	3.81E+04	0.0	-3.1	-1.90E+07	0.2	0.0	-4.75E+07	0.0	0.2	8.1E-03	-	-	-	-	0.0	2.62E+04	0.0	0.0	7.8	7.39E+03	1.1	1.1
15	FR	Třecí síly v ložiskách	Q	0	4.9	3.81E+04	0.1	1.7	-1.90E+07	-0.1	0.2	-4.75E+07	0.0	0.0	0.0E+00	-	-	-	-	0.0	2.62E+04	0.0	0.0	0.0	7.39E+03	0.0	0.0
16	I	Imperfekce soustavy	Q	0	-0.1	3.81E+04	0.0	0.2	-1.90E+07	0.0	0.0	-4.75E+07	0.0	0.0	0.0E+00	-	-	-	-	0.6	2.62E+04	0.0	0.0	2.4	7.39E+03	0.3	0.3
27	ULS_LM	ULS - LM71 bez dynam	Q	0	0.0	3.81E+04	0.0	0.0	-1.90E+07	0.0	0.0	-4.75E+07	0.0	0.0	0.0E+00	-	-	-	-	0.0	2.62E+04	0.0	0.0	0.0	7.39E+03	0.0	0.0
28	SLS_LM	SLS - LM71 bez dynam	Q	0	0.0	3.81E+04	0.0	0.0	-1.90E+07	0.0	0.0	-4.75E+07	0.0	0.0	0.0E+00	-	-	-	-	0.0	2.62E+04	0.0	0.0	0.0	7.39E+03	0.0	0.0
29	ULS_C3	ULS - C3 bez dynam	Q	0	0.0	3.81E+04	0.0	0.0	-1.90E+07	0.0	0.0	-4.75E+07	0.0	0.0	0.0E+00	-	-	-	-	0.0	2.62E+04	0.0	0.0	0.0	7.39E+03	0.0	0.0
30	SLS_C3	SLS - C3 bez dynam	Q	0	0.0	3.81E+04	0.0	0.0	-1.90E+07	0.0	0.0	-4.75E+07	0.0	0.0	0.0E+00	-	-	-	-	0.0	2.62E+04	0.0	0.0	0.0	7.39E+03	0.0	0.0
		NAVÝŠENÍ NAPĚTÍ DO AKTIVACE TLAKU V DESCE MOSTOVKY				$\sigma_{P,red}$	0.0							0.0			0.0		0.0				0.6	0.6			53.5	53.5
		NAPĚTÍ OD PRIMÁRNÍCH ÚČINKŮ NEROVNOMĚRNÉHO OTEPLENÍ				σ_T	0.0							0.0														
		NAPĚTÍ OD REOLOGICKÝCH ÚČINKŮ BETONU V ČASE		t=0		σ_R	0.0	γ_{sl}=	1.20					0.0														
		NAPĚTÍ V KRITICKÝCH VLÁKNECH OD KOMBINACE ZATÍŽENÍ				KZ04		[MPa]					$\Sigma\sigma_x$	-77.1									$\Sigma\tau_y$	0.6			$\Sigma\tau_z$	53.5
		NAPĚTÍ OD POHYBLIVÉHO ZATÍŽENÍ						[MPa]					$\sigma_{x,P}$	-70.7									τ_P	-0.5			τ_P	49.1
		NAPĚTÍ OD OSTATNÍCH ZATÍŽENÍ						[MPa]			Φ_{Vy}	Φ_{Vz}	$\sigma_{x,rs}$	-6.4									τ_{rs}	1.0			τ_{rs}	4.4
		NÁVRHOVÁ HODNOTA MEZE KLUZU S REDUKCÍ VLIVEM SMYKOVÉHO NAPĚTÍ						[MPa]			1.00	1.00	$f_{yv,d}$	209.1									$f_{yd}/3^{0,5}$	120.7			$f_{yd}/3^{0,5}$	120.7
		NAPĚTÍ OD POHYBLIVÉHO ZATÍŽENÍ V GLOBÁLNÍM SYSTÉMU				$\sigma_{GLOB,P}$	0.0	[MPa]					$\Sigma\sigma_{GLOB}$	0.0														
		NAPĚTÍ OD OSTATNÍCH ZATÍŽENÍ V GLOBÁLNÍM SYSTÉMU				$\sigma_{GLOB,rs}$	0.0	[MPa]					$\Sigma\sigma_x + \Sigma\sigma_{GLOB}$	-77.1														
		VYUŽITÍ PRŮŘEZU DLE NAPĚTÍ						[%]					η_1	0.37									η_3	0.00			η_3	0.44
		NAPĚTÍ V PŘÍČNÉM SMĚRU OD POHYBLIVÉHO ZATÍŽENÍ				$\sigma_{z,P}$	0.0	[MPa]					$\Sigma\sigma_z$	0.0														
		NAPĚTÍ V PŘÍČNÉM SMĚRU OD OSTATNÍCH ZATÍŽENÍ				$\sigma_{z,rs}$	0.0	[MPa]					η_2	0.00														
		SROVNÁVACÍ NAPĚTÍ											$(\eta_2 + 0{,}8\,\eta_1)/1{,}4$ =	0.21														
		VYUŽITÍ PRŮŘEZU CELKEM						[%]					eff	0.44	VYHOVUJE													
		STANOVENÍ ZATÍŽITELNOSTI											Z_{LM71} =	2.37														

TR_P5.1 POPIS: **PŘÍČNÍK P5 - ZÁKLADNÍ ČÁST** POSUDEK: **P5.1**

SKUPINA ZAT. STAVŮ	EXTRÉM	VYHODNOCOVANÉ VELIČINY					
		N	Vy	Vz	Mx	My	Mz
		kN	kN	kN	kNm	kNm	kNm
G0	N.min	**0**	0	0	0	0	0
	N.max	**-1.38**	6.87	-48.1	-0.01	39.33	-4.73
	Vy.min	0	**0**	0	0	0	0
	Vy.max	-1.38	**6.87**	-48.1	-0.01	39.33	-4.73
	Vz.min	0	0	**0**	0	0	0
	Vz.max	-1.38	6.87	**-48.1**	-0.01	39.33	-4.73
	Mx.min	0	0	0	**0**	0	0
	Mx.max	-1.38	6.87	-48.1	**-0.01**	39.33	-4.73
	My.min	0	0	0	0	**0**	0
	My.max	-1.38	6.87	-48.1	-0.01	**39.33**	-4.73
	Mz.min	0	0	0	0	0	**0**
	Mz.max	-1.38	6.87	-48.1	-0.01	39.33	**-4.73**
G1	N.min	**-0.1**	0.53	-7.22	0	6.21	-0.36
	N.max	**-0.1**	0.53	-7.22	0	6.21	-0.36
	Vy.min	-0.1	**0.53**	-7.22	0	6.21	-0.36
	Vy.max	-0.1	**0.53**	-7.22	0	6.21	-0.36
	Vz.min	-0.1	0.53	**-7.22**	0	6.21	-0.36
	Vz.max	-0.1	0.53	**-7.22**	0	6.21	-0.36
	Mx.min	-0.1	0.53	-7.22	**0**	6.21	-0.36
	Mx.max	-0.1	0.53	-7.22	**0**	6.21	-0.36
	My.min	-0.1	0.53	-7.22	0	**6.21**	-0.36
	My.max	-0.1	0.53	-7.22	0	**6.21**	-0.36
	Mz.min	-0.1	0.53	-7.22	0	6.21	**-0.36**
	Mz.max	-0.1	0.53	-7.22	0	6.21	**-0.36**
G2	N.min	**-0.15**	0.51	-3.6	0	-7.1	-0.44
	N.max	**-0.15**	0.51	-3.6	0	-7.1	-0.44
	Vy.min	-0.15	**0.51**	-3.6	0	-7.1	-0.44
	Vy.max	-0.15	**0.51**	-3.6	0	-7.1	-0.44
	Vz.min	-0.15	0.51	**-3.6**	0	-7.1	-0.44
	Vz.max	-0.15	0.51	**-3.6**	0	-7.1	-0.44
	Mx.min	-0.15	0.51	-3.6	**0**	-7.1	-0.44
	Mx.max	-0.15	0.51	-3.6	**0**	-7.1	-0.44
	My.min	-0.15	0.51	-3.6	0	**-7.1**	-0.44
	My.max	-0.15	0.51	-3.6	0	**-7.1**	-0.44
	Mz.min	-0.15	0.51	-3.6	0	-7.1	**-0.44**
	Mz.max	-0.15	0.51	-3.6	0	-7.1	**-0.44**
P1_71	N.min	**-0.36**	0.64	-8.99	0.02	4.89	-0.55
	N.max	**14.15**	8.53	-180.98	-0.04	119.25	-8.5
	Vy.min	0.03	**-0.73**	-0.62	0	-3.76	0.86
	Vy.max	9.2	**9.62**	-123.4	-0.02	74.66	-9.52
	Vz.min	12.65	8.23	**-210.27**	-0.02	153.63	-8.05
	Vz.max	0.79	0.66	**2.1**	0	-12.87	-0.61
	Mx.min	11.22	8.68	-120.58	**-0.07**	80.61	-8.73
	Mx.max	1.99	0.66	-63.26	**0.05**	48.67	-0.39
	My.min	2.58	7.18	-5.34	-0.02	**-30.88**	-7.11
	My.max	11.05	2.75	-204.9	-0.01	**168.51**	-2.69
	Mz.min	9.86	9.55	-117.22	-0.02	63.91	**-9.54**
	Mz.max	0.02	-0.73	-0.63	0	-3.87	**0.86**
P2_71	N.min	**-14.43**	9.26	-109.29	0.13	175.74	-7.08
	N.max	**3.41**	1.82	-352.13	-0.14	406.1	-1.43
	Vy.min	-1.2	**-1**	1.41	0	1.84	1.14
	Vy.max	-10.49	**11.31**	-265.55	-0.01	351.8	-8.9
	Vz.min	-0.58	3.23	**-503.42**	-0.02	588.82	-2.56
	Vz.max	-10.14	7.32	**15.93**	0.01	19.17	-5.47
	Mx.min	-3.66	8.72	-269.32	**-0.18**	343.14	-6.63
	Mx.max	-7.49	2.32	-219.51	**0.17**	274	-1.77
	My.min	-1.22	0.13	5.42	0	**-1.04**	-0.07
	My.max	-8.71	10.29	-494.13	-0.02	**607.35**	-7.87
	Mz.min	-9.65	11.26	-259.35	-0.01	338.27	**-8.95**
	Mz.max	-1.2	-1	1.41	0	1.84	**1.14**
P1_C3	N.min	**-0.35**	0.56	-6.31	0.01	1.14	-0.48
	N.max	**9.08**	6.6	-102.64	-0.03	59.06	-6.56
	Vy.min	0.05	**-0.41**	-0.33	0	-1.76	0.48
	Vy.max	8.34	**7.58**	-119.84	-0.02	74.68	-7.48
	Vz.min	7.69	6.84	**-121.28**	-0.02	81.05	-6.71
	Vz.max	0.44	0.83	**1.61**	0	-10.37	-0.8
	Mx.min	7.63	7.11	-88.95	**-0.05**	55.94	-7.13
	Mx.max	1.16	0.21	-34.87	**0.03**	24.79	-0.03
	My.min	2.42	5.69	-4.76	-0.01	**-23.45**	-5.63
	My.max	6.02	1.7	-116.21	0	**95.69**	-1.67
	Mz.min	8.86	7.52	-113.46	-0.02	64.6	**-7.5**
	Mz.max	0.05	-0.41	-0.34	0	-1.85	**0.49**
P2_C3	N.min	**-10.64**	7.53	-75.39	0.07	122.21	-5.71
	N.max	**2.02**	1.32	-231.5	-0.07	267.25	-1.05
	Vy.min	-0.65	**-0.59**	0.77	0	0.97	0.68
	Vy.max	-9.04	**9.01**	-213.1	0.04	284.85	-7.08
	Vz.min	0.01	1.69	**-285.84**	-0.01	331.81	-1.36
	Vz.max	-8.94	6.68	**12**	0	18.84	-4.96
	Mx.min	-3.81	7.44	-167.6	**-0.12**	218.75	-5.74
	Mx.max	-4.91	1.2	-141.48	**0.11**	176.32	-0.83
	My.min	-0.86	0.09	3.94	0	**-0.76**	-0.05
	My.max	-8.1	8.33	-276.62	-0.01	**350.83**	-6.33
	Mz.min	-9.04	9.01	-212.48	0.04	284.19	**-7.08**
	Mz.max	-0.65	-0.59	0.77	0	0.97	**0.68**
BR	N.min	**-1.3**	33.02	0.62	0	-0.34	-38.48
	N.max	**1.3**	-33.02	-0.62	0	0.34	38.48
	Vy.min	0.36	**-37.04**	-0.3	0	3.16	42.77
	Vy.max	-0.36	**37.04**	0.3	0	-3.16	-42.77
	Vz.min	1.3	-33.02	**-0.62**	0	0.34	38.48
	Vz.max	-1.3	33.02	**0.62**	0	-0.34	-38.48
	Mx.min	0.85	-29.78	-0.39	**0**	1.85	34.84
	Mx.max	-0.85	29.78	0.39	**0**	-1.85	-34.84
	My.min	-0.36	37.04	0.3	0	**-3.16**	-42.77
	My.max	0.36	-37.04	-0.3	0	**3.16**	42.77
	Mz.min	-0.36	37.04	0.3	0	-3.16	**-42.77**
	Mz.max	0.36	-37.04	-0.3	0	3.16	**42.77**

TR_P5.1 POPIS: **PŘÍČNÍK P5 - ZÁKLADNÍ ČÁST** POSUDEK: **P5.1**

SKUPINA ZAT. STAVŮ	EXTRÉM	VYHODNOCOVANÉ VELIČINY					
		N	Vy	Vz	Mx	My	Mz
		kN	kN	kN	kNm	kNm	kNm
S	N.min	**-6.2**	0.9	-1.59	0	17.64	-0.91
	N.max	**6.2**	-0.9	1.59	0	-17.64	0.91
	Vy.min	-1.25	**-3.57**	2.03	0	10.13	4.67
	Vy.max	1.25	**3.57**	-2.03	0	-10.13	-4.67
	Vz.min	2.14	3.38	**-2.45**	0	-7.96	-4.49
	Vz.max	-2.14	-3.38	**2.45**	0	7.96	4.49
	Mx.min	4.46	3.57	1.15	**-0.01**	-16.7	-4.61
	Mx.max	-4.46	-3.57	-1.15	**0.01**	16.7	4.61
	My.min	6.2	-0.9	1.59	0	**-17.64**	0.91
	My.max	-6.2	0.9	-1.59	0	**17.64**	-0.91
	Mz.min	1.25	3.57	-2.03	0	-10.13	**-4.67**
	Mz.max	-1.25	-3.57	2.03	0	10.13	**4.67**
CH	N.min	**-0.52**	1.28	-0.05	0	-32.39	-1.11
	N.max	**0.36**	1.02	2.29	0	-8.42	-0.96
	Vy.min	-0.01	**0.74**	-0.62	0	-34.45	-0.75
	Vy.max	-0.52	**1.28**	-0.05	0	-32.39	-1.11
	Vz.min	-0.01	0.74	**-0.62**	0	-34.45	-0.75
	Vz.max	0.36	1.02	**2.29**	0	-8.42	-0.96
	Mx.min	0.36	1.02	2.29	**0**	-8.42	-0.96
	Mx.max	-0.52	1.28	-0.05	**0**	-32.39	-1.11
	My.min	-0.01	0.74	-0.62	0	**-34.45**	-0.75
	My.max	0.36	1.02	2.29	0	**-8.42**	-0.96
	Mz.min	-0.52	1.28	-0.05	0	-32.39	**-1.11**
	Mz.max	-0.01	0.74	-0.62	0	-34.45	**-0.75**
W	N.min	**-14.19**	3.62	5.61	0	12.01	-5.34
	N.max	**11.06**	-3.61	-5.61	0	-12.03	5.34
	Vy.min	11.06	**-3.61**	-5.61	0	-12.03	5.34
	Vy.max	-14.19	**3.62**	5.61	0	12.01	-5.34
	Vz.min	11.06	-3.61	**-5.61**	0	-12.03	5.34
	Vz.max	-14.19	3.62	**5.61**	0	12.01	-5.34
	Mx.min	-14.19	3.62	5.61	**0**	12.01	-5.34
	Mx.max	11.06	-3.61	-5.61	**0**	-12.03	5.34
	My.min	11.06	-3.61	-5.61	0	**-12.03**	5.34
	My.max	-14.19	3.62	5.61	0	**12.01**	-5.34
	Mz.min	-14.19	3.62	5.61	0	12.01	**-5.34**
	Mz.max	11.06	-3.61	-5.61	0	-12.03	**5.34**
WP	N.min	**-8.83**	-6.46	-8.1	0.01	54.38	9.21
	N.max	**8.83**	6.47	8.09	-0.01	-54.38	-9.22
	Vy.min	-8.83	**-6.46**	-8.1	0.01	54.38	9.21
	Vy.max	8.83	**6.47**	8.09	-0.01	-54.38	-9.22
	Vz.min	-8.83	-6.46	**-8.1**	0.01	54.38	9.21
	Vz.max	8.83	6.47	**8.09**	-0.01	-54.38	-9.22
	Mx.min	8.83	6.47	8.09	**-0.01**	-54.38	-9.22
	Mx.max	-8.83	-6.46	-8.1	**0.01**	54.38	9.21
	My.min	8.83	6.47	8.09	-0.01	**-54.38**	-9.22
	My.max	-8.83	-6.46	-8.1	0.01	**54.38**	9.21
	Mz.min	8.83	6.47	8.09	-0.01	-54.38	**-9.22**
	Mz.max	-8.83	-6.46	-8.1	0.01	54.38	**9.21**
TR	N.min	**0**	0	0	0	0	0
	N.max	**0**	0	0	0	0	0
	Vy.min	0	**0**	0	0	0	0
	Vy.max	0	**0**	0	0	0	0
	Vz.min	0	0	**0**	0	0	0
	Vz.max	0	0	**0**	0	0	0
	Mx.min	0	0	0	**0**	0	0
	Mx.max	0	0	0	**0**	0	0
	My.min	0	0	0	0	**0**	0
	My.max	0	0	0	0	**0**	0
	Mz.min	0	0	0	0	0	**0**
	Mz.max	0	0	0	0	0	**0**
TN	N.min	**-3.5**	0.14	9.44	0	23.61	-0.43
	N.max	**4.86**	0.33	-10.22	-0.02	-32.55	0.03
	Vy.min	-0.33	**-0.5**	0.78	0.02	2.62	0.43
	Vy.max	0.33	**0.5**	-0.78	-0.02	-2.62	-0.43
	Vz.min	4.86	0.33	**-10.22**	-0.02	-32.55	0.03
	Vz.max	-3.5	0.14	**9.44**	0	23.61	-0.43
	Mx.min	4.86	0.33	-10.22	**-0.02**	-32.55	0.03
	Mx.max	-0.33	-0.5	0.78	**0.02**	2.62	0.43
	My.min	4.86	0.33	-10.22	-0.02	**-32.55**	0.03
	My.max	-3.5	0.14	9.44	0	**23.61**	-0.43
	Mz.min	0.33	0.5	-0.78	-0.02	-2.62	**-0.43**
	Mz.max	-0.33	-0.5	0.78	0.02	2.62	**0.43**
FR	N.min	**-0.13**	0.3	0.08	0	-0.24	-0.22
	N.max	**0.13**	-0.3	-0.08	0	0.24	0.22
	Vy.min	0.13	**-0.3**	-0.08	0	0.24	0.22
	Vy.max	-0.13	**0.3**	0.08	0	-0.24	-0.22
	Vz.min	0.13	-0.3	**-0.08**	0	0.24	0.22
	Vz.max	-0.13	0.3	**0.08**	0	-0.24	-0.22
	Mx.min	0.13	-0.3	-0.08	**0**	0.24	0.22
	Mx.max	-0.13	0.3	0.08	**0**	-0.24	-0.22
	My.min	-0.13	0.3	0.08	0	**-0.24**	-0.22
	My.max	0.13	-0.3	-0.08	0	**0.24**	0.22
	Mz.min	-0.13	0.3	0.08	0	-0.24	**-0.22**
	Mz.max	0.13	-0.3	-0.08	0	0.24	**0.22**
I	N.min	**-0.69**	0.07	1.7	0	5.09	**-0.19**
	N.max	**0.69**	-0.07	-1.7	0	-5.09	**0.19**
	Vy.min	0.69	**-0.07**	-1.7	0	-5.09	**0.19**
	Vy.max	-0.69	**0.07**	1.7	0	5.09	**-0.19**
	Vz.min	0.69	-0.07	**-1.7**	0	-5.09	**0.19**
	Vz.max	-0.69	0.07	**1.7**	0	5.09	**-0.19**
	Mx.min	-0.69	0.07	1.7	**0**	5.09	**-0.19**
	Mx.max	0.69	-0.07	-1.7	**0**	-5.09	**0.19**
	My.min	0.69	-0.07	-1.7	0	**-5.09**	**0.19**
	My.max	-0.69	0.07	1.7	0	**5.09**	**-0.19**
	Mz.min	-0.69	0.07	1.7	0	5.09	**-0.19**
	Mz.max	0.69	-0.07	-1.7	0	-5.09	**0.19**

TAB. P5.1.3 POSOUZENÍ - MEZNÍ STAV ÚNOSNOSTI

POPIS	PŘÍČNÍK P5 - ZÁKLADNÍ ČÁST
PRUT / POLOHA BODU	655 / I[535]
NAMÁHÁNÍ	My.max
VLÁKNO	BOD K2 -HP
MEZNÍ STAV	ULS (MSÚ)
VYUŽITÍ VLÁKNA PRŮŘEZU	1.34

Charakteristiky materiálu				
pás. horní	$f_{yf,k}$	230	MPa	
pás. dolní	$f_{yf,k}$	230	MPa	
stojina	$f_{yw,k}$	230	MPa	
výztuž	$f_{ys,k}$	500	MPa	
γ_M =	1.10	γ_s =	1.15	

Excentricita normálové síly				
Exc./Fáze	0	1	2	3
e_y	0.000	0.000	0.000	0.000
e_z	0.000	0.000	0.000	0.000
Ekvivalentní vzdál. stěn - příčný roznos				
b_{Mx}	0.000	0.000	0.000	0.000

Vliv stěny na únosnost průřezu				
Char./Fáze	0	1	2	3
A	0.41	0.00	0.00	0.00
Wy	0.19	0.00	0.00	0.00
Wz	0.06	0.00	0.00	0.00

Charakter. v kroucení			
$t_{w,y}$	0.000	[mm]	
$t_{w,z}$	0.000	[mm]	
κ	1.00		
I_t=	0.00E+00	[mm^4]	
Ω=2*A_{pr}	0.00E+00	[mm^2]	

Součinitele vzpěru a vlivu II.řádu				
Char./Fáze	0	1	2	3
k_y	1.000	1.000	1.000	1.000
k_z	1.000	1.000	1.000	1.000
χ_{LT}	1.000	1.000	1.000	1.000
χ_{min}	1.000	1.000	1.000	1.000

3

δ_{LOK} 1.00

Vnitřní síly od jednotlivých skupin zatěžovacích stavů

SKUPINA ZATĚŽOVACÍCH STAVŮ					- CHARAKTERISTICKÉ HODNOTY						DÍLČÍ SOUČINITELÉ ZATÍŽENÍ, DYNAMICKÝ SOUČINITEL							- NÁVRHOVÉ HODNOTY									
Č.	SKUP ZS	POPIS ZS	KAT.	FÁZE PRŮŘ.	N.k (kN)	Vy.k (kN)	Vz.k (kN)	Mx.k (kNm)	My.k (kNm)	Mz.k (kNm)	γ_{sr} (-)	γ_{ti} (-)	volba γ_t hledat	γ_t (-)	L_d (m)	δ (-)	ψ_s KZ03	N.d (kN)	Vy.d (kN)	Vz.d (kN)	ΔVz.d (kN)	ΣVz.d (kN)	Mx.d (kNm)	My.d (kNm)	ΔMy.d (kNm)	ΣMy.d (kNm)	Mz.d (kNm)	ΔMz.d (kNm)	ΣMz.d (kNm)
1	G0	Vlastní tíha OK	G	0	-1	7	-48	0	39	-5	1.00	1.20		1.20	-	1.00	0.95	-2	8	-55	0	-55	0	45	0	45	-5	0	-5
2	G1	Ostatní stálé - mostní vybavení	G	0	0	1	-7	0	6	0	1.00	1.20		1.20	-	1.00	0.95	0	1	-8	0	-8	0	7	0	7	0	0	0
3	G2	Ostatní stálé - cizí zařízení	G	0	0	1	-4	0	-7	0	1.00	1.20		1.20	-	1.00	0.95	0	1	-4	0	-4	0	-8	0	-8	-1	0	-1
4	P1_71	a.LM71 - kolej 1 (bez dyn. souč.)	P	0	11	3	-205	0	169	-3	1.00	1.30		1.30	-	1.27	1.00	18	5	-339	0	-339	0	278	0	278	-4	1	-3
5	P2_71	a.LM71 - kolej 2 (bez dyn. souč.)	P	0	-9	10	-494	0	607	-8	1.00	1.30		1.30	-	1.27	1.00	-14	17	-816	0	-816	0	1 004	0	1 004	-13	3	-10
6	P1_C3	TTZ C3 - kolej 1 (bez dyn. souč.)	P	0	6	2	-116	0	96	-2	1.00	vyp.		0.00	-	1.00	0.00	0	0	0	0	0	0	0	0	0	0	0	0
7	P2_C3	TTZ C3 - kolej 2 (bez dyn. souč.)	P	0	-8	8	-277	0	351	-6	1.00	vyp.		0.00	-	1.00	0.00	0	0	0	0	0	0	0	0	0	0	0	0
8	BR	Brzdné a rozjezdové síly	P	0	0	-37	0	0	3	43	1.00	-1.30		-1.30	-	1.00	0.80	0	39	0	0	0	0	-3	0	-3	-44	0	-44
9	S	Boční ráz	P	0	-6	1	-2	0	18	-1	1.00	1.30		1.30	-	1.00	0.40	-3	0	-1	0	-1	0	9	0	9	0	0	0
10	CH	Chodci na lávkách	Q	0	0	1	2	0	-8	-1	1.00	1.30		1.30	-	1.00	1.00	0	1	3	0	3	0	-11	0	-11	-1	0	-1
11	W	Vítr na konstrukci	Q	0	-14	4	6	0	12	-5	1.00	1.35		1.35	-	1.00	0.75	-14	4	6	0	6	0	12	0	12	-5	0	-5
12	WP	Vítr na vozidla	Q	0	-9	-6	-8	0	54	9	1.00	-1.35		-1.35	-	1.00	0.75	9	7	8	0	8	0	-55	0	-55	-9	0	-9
13	TR	Teplota rovnoměrná	Q	0	0	0	0	0	0	0	1.00	1.35		1.35	-	1.00	0.45	0	0	0	0	0	0	0	0	0	0	0	0
14	TN	Teplota nerovnoměrná	Q	0	-4	0	9	0	24	0	1.00	1.35		1.35	-	1.00	0.60	-3	0	8	0	8	0	19	0	19	0	0	0
15	FR	Třecí síly v ložiskách	Q	0	0	0	0	0	0	0	1.00	-1.20		-1.20	-	1.00	1.00	0	0	0	0	0	0	0	0	0	0	0	0
16	I	Imperfekce soustavy	Q	0	-1	0	2	0	5	0	1.00	1.20		1.20	-	1.00	1.00	-1	0	2	0	2	0	6	0	6	0	0	0
27	ULS_LM	ULS - LM71 bez dynam	Q	0	-33	3	-969	0	1 161	6	1.00	vyp.	1	0.00	-	1.00	0.00	0	0	0	0	0	0	0	0	0	0	0	0
28	SLS_LM	SLS - LM71 bez dynam	Q	0	-23	4	-759	0	881	4	1.00	vyp.	1	0.00	-	1.00	0.00	0	0	0	0	0	0	0	0	0	0	0	0
29	ULS_C3	ULS - C3 bez dynam	Q	0	-39	-1	-571	0	733	9	1.00	vyp.	1	0.00	-	1.00	0.00	0	0	0	0	0	0	0	0	0	0	0	0
30	SLS_C3	SLS - C3 bez dynam	Q	0	-27	1	-452	0	552	6	1.00	vyp.	1	0.00	-	1.00	0.00	0	0	0	0	0	0	0	0	0	0	0	0
		CELKEM - FÁZE PRŮŘEZU 0																-10	82	-1 196	0	-1 196	0	1 303	0	1 303	-86	4	-82
		CELKEM - FÁZE PRŮŘEZU 1																0	0	0	0	0	0	0	0	0	0	0	0
		CELKEM - FÁZE PRŮŘEZU 2																0	0	0	0	0	0	0	0	0	0	0	0
		CELKEM - FÁZE PRŮŘEZU 3																0	0	0	0	0	0	0	0	0	0	0	0
		CELKEM - PRŮŘEZ																-10	82	-1 196	0	-1 196	0			1 303			-82

Napětí od jednotlivých zatěžovacích stavů

SKUPINA ZATĚŽOVACÍCH STAVŮ					Posouzení normálového napětí										Posouzení smykového napětí													
					Účinek síly N			Účinek momentu My			Účinek momentu Mz				Účinek kroutícího momentu Mx				Účinek smykové síly Vy				Účinek smykové síly Vz			
Č.	SKUP ZS	Popis ZS	Kat.	fáze průř.	δ^*N_d [kN]	χ^*A [mm^2]	σ_n [MPa]	$\delta^*M_{y,d}$ [kNm]	$\chi_{lt}{}^*W_{el,y}$ [mm^3]	σ_{my} [MPa]	$\delta^*M_{z,d}$ [kNm]	$W_{el,z}$ [mm^3]	σ_{mz} [MPa]	σ_x [MPa]	$\kappa^*\delta^*M_{x,d}$ [kNm]	$W_{v,y}$ [mm^3]	$\tau_{x,y}$ [MPa]	$W_{v,z}$ [mm^3]	$\tau_{x,z}$ [MPa]	$\delta^*V_{y,d}$ [kN]	$A_{v,y}$ [mm2]	$\tau_{v,y}$ [MPa]	$\tau_{v,y}$ [MPa]	$\delta^*V_{z,d}$ [kN]	$A_{v,z}$ [mm2]	$\tau_{v,z}$ [MPa]	$\tau_{v,z}$ [MPa]
1	G0	Vlastní tíha OK	G	0	-1.6	2.12E+04	-0.1	44.8	-9.46E+06	-4.7	-5.4	5.73E+05	-9.4	-14.2	-1.1E-02	-	-	-	-	7.8	1.23E+04	0.6	0.6	-54.8	1.11E+04	-4.9	-4.9
2	G1	Ostatní stálé - mostní vybavení	G	0	-0.1	2.12E+04	0.0	7.1	-9.46E+06	-0.7	-0.4	5.73E+05	-0.7	-1.5	0.0E+00	-	-	-	-	0.6	1.23E+04	0.0	0.0	-8.2	1.11E+04	-0.7	-0.7
3	G2	Ostatní stálé - cizí zařízení	G	0	-0.2	2.12E+04	0.0	-8.1	-9.46E+06	0.9	-0.5	5.73E+05	-0.9	0.0	0.0E+00	-	-	-	-	0.6	1.23E+04	0.0	0.0	-4.1	1.11E+04	-0.4	-0.4
4	P1_71	a.LM71 - kolej 1 (bez dyn. souč.)	P	0	18.3	2.12E+04	0.9	278.4	-9.46E+06	-29.4	-3.5	5.73E+05	-6.1	-34.7	-1.7E-02	-	-	-	-	4.5	1.23E+04	0.4	0.4	-338.6	1.11E+04	-30.5	-30.5
5	P2_71	a.LM71 - kolej 2 (bez dyn. souč.)	P	0	-14.4	2.12E+04	-0.7	1 003.5	-9.46E+06	-106.0	-10.2	5.73E+05	-17.8	-124.6	-3.3E-02	-	-	-	-	17.0	1.23E+04	1.4	1.4	-816.5	1.11E+04	-73.5	-73.5
6	P1_C3	TTZ C3 - kolej 1 (bez dyn. souč.)	P	0	0.0	2.12E+04	0.0	0.0	-9.46E+06	0.0	0.0	5.73E+05	0.0	0.0	0.0E+00	-	-	-	-	0.0	1.23E+04	0.0	0.0	0.0	1.11E+04	0.0	0.0
7	P2_C3	TTZ C3 - kolej 2 (bez dyn. souč.)	P	0	0.0	2.12E+04	0.0	0.0	-9.46E+06	0.0	0.0	5.73E+05	0.0	0.0	0.0E+00	-	-	-	-	0.0	1.23E+04	0.0	0.0	0.0	1.11E+04	0.0	0.0
8	BR	Brzdné a rozjezdové síly	P	0	-0.4	2.12E+04	0.0	-3.3	-9.46E+06	0.3	-44.5	5.73E+05	-77.6	-77.2	0.0E+00	-	-	-	-	38.5	1.23E+04	3.1	3.1	0.3	1.11E+04	0.0	0.0
9	S	Boční ráz	P	0	-3.2	2.12E+04	-0.2	9.2	-9.46E+06	-1.0	-0.5	5.73E+05	-0.8	-1.9	0.0E+00	-	-	-	-	0.5	1.23E+04	0.0	0.0	-0.8	1.11E+04	-0.1	-0.1
10	CH	Chodci na lávkách	Q	0	0.5	2.12E+04	0.0	-10.9	-9.46E+06	1.2	-1.2	5.73E+05	-2.2	-1.0	0.0E+00	-	-	-	-	1.3	1.23E+04	0.1	0.1	3.0	1.11E+04	0.3	0.3
11	W	Vítr na konstrukci	Q	0	-14.4	2.12E+04	-0.7	12.2	-9.46E+06	-1.3	-5.4	5.73E+05	-9.4	-11.4	0.0E+00	-	-	-	-	3.7	1.23E+04	0.3	0.3	5.7	1.11E+04	0.5	0.5
12	WP	Vítr na vozidla	Q	0	8.9	2.12E+04	0.4	-55.1	-9.46E+06	5.8	-9.3	5.73E+05	-16.3	-10.0	-1.0E-02	-	-	-	-	6.5	1.23E+04	0.5	0.5	8.2	1.11E+04	0.7	0.7
13	TR	Teplota rovnoměrná	Q	0	0.0	2.12E+04	0.0	0.0	-9.46E+06	0.0	0.0	5.73E+05	0.0	0.0	0.0E+00	-	-	-	-	0.0	1.23E+04	0.0	0.0	0.0	1.11E+04	0.0	0.0
14	TN	Teplota nerovnoměrná	Q	0	-2.8	2.12E+04	-0.1	19.1	-9.46E+06	-2.0	-0.3	5.73E+05	-0.6	-2.8	0.0E+00	-	-	-	-	0.1	1.23E+04	0.0	0.0	7.6	1.11E+04	0.7	0.7
15	FR	Třecí síly v ložiskách	Q	0	-0.2	2.12E+04	0.0	-0.3	-9.46E+06	0.0	-0.3	5.73E+05	-0.5	-0.4	0.0E+00	-	-	-	-	0.4	1.23E+04	0.0	0.0	0.1	1.11E+04	0.0	0.0
16	I	Imperfekce soustavy	Q	0	-0.8	2.12E+04	0.0	6.1	-9.46E+06	-0.6	-0.2	5.73E+05	-0.4	-1.1	0.0E+00	-	-	-	-	0.1	1.23E+04	0.0	0.0	2.0	1.11E+04	0.2	0.2
27	ULS_LM	ULS - LM71 bez dynam	Q	0	0.0	2.12E+04	0.0	0.0	-9.46E+06	0.0	0.0	5.73E+05	0.0	0.0	0.0E+00	-	-	-	-	0.0	1.23E+04	0.0	0.0	0.0	1.11E+04	0.0	0.0
28	SLS_LM	SLS - LM71 bez dynam	Q	0	0.0	2.12E+04	0.0	0.0	-9.46E+06	0.0	0.0	5.73E+05	0.0	0.0	0.0E+00	-	-	-	-	0.0	1.23E+04	0.0	0.0	0.0	1.11E+04	0.0	0.0
29	ULS_C3	ULS - C3 bez dynam	Q	0	0.0	2.12E+04	0.0	0.0	-9.46E+06	0.0	0.0	5.73E+05	0.0	0.0	0.0E+00	-	-	-	-	0.0	1.23E+04	0.0	0.0	0.0	1.11E+04	0.0	0.0
30	SLS_C3	SLS - C3 bez dynam	Q	0	0.0	2.12E+04	0.0	0.0	-9.46E+06	0.0	0.0	5.73E+05	0.0	0.0	0.0E+00	-	-	-	-	0.0	1.23E+04	0.0	0.0	0.0	1.11E+04	0.0	0.0
NAVÝŠENÍ NAPĚTÍ DO AKTIVACE TLAKU V DESCE MOSTOVKY						$\sigma_{P,red}$	0.0							0.0			0.0		0.0				6.6	6.6			-107.7	-107.7
NAPĚTÍ OD PRIMÁRNÍCH ÚČINKŮ NEROVNOMĚRNÉHO OTEPLENÍ						σ_T	0.0							0.0														
NAPĚTÍ OD REOLOGICKÝCH ÚČINKŮ BETONU V ČASE				t=0		σ_R	0.0	γ=	1.20					0.0														
NAPĚTÍ V KRITICKÝCH VLÁKNECH OD KOMBINACE ZATÍŽENÍ						KZ03		[MPa]					$\Sigma\sigma_x$	-280.8								$\Sigma\tau_y$	6.6			$\Sigma\tau_z$	-107.7
NAPĚTÍ OD POHYBLIVÉHO ZATÍŽENÍ								[MPa]					$\sigma_{x,P}$	-238.4									4.9			τ_P	-104.1
NAPĚTÍ OD OSTATNÍCH ZATÍŽENÍ								[MPa]			Φ_{Vy}	Φ_{Vz}	$\sigma_{x,rs}$	-42.4								τ_{rs}	1.7			τ_{rs}	-3.7
NÁVRHOVÁ HODNOTA MEZE KLUZU S REDUKCÍ VLIVEM SMYKOVÉHO NAPĚTÍ								[MPa]			1.00	0.38	$f_{yv,d}$	209.1								$f_{yd}/3^{0,5}$	120.7			$f_{yd}/3^{0,5}$	120.7
NAPĚTÍ OD POHYBLIVÉHO ZATÍŽENÍ V GLOBÁLNÍM SYSTÉMU						$\sigma_{GLOB,P}$	0.0	[MPa]					$\Sigma\sigma_{GLOB}$	0.0													
NAPĚTÍ OD OSTATNÍCH ZATÍŽENÍ V GLOBÁLNÍM SYSTÉMU						$\sigma_{GLOB,rs}$	0.0	[MPa]					$\Sigma\sigma_x + \Sigma\sigma_{GLOB}$	-280.8													
VYUŽITÍ PRŮŘEZU DLE NAPĚTÍ								[%]					η_1	1.34								η_3	0.06			η_3	0.89
NAPĚTÍ V PŘÍČNÉM SMĚRU OD POHYBLIVÉHO ZATÍŽENÍ						$\sigma_{z,P}$	0.0	[MPa]					$\Sigma\sigma_z$	0.0													
NAPĚTÍ V PŘÍČNÉM SMĚRU OD OSTATNÍCH ZATÍŽENÍ						$\sigma_{z,rs}$	0.0	[MPa]					η_2	0.00													
SROVNÁVACÍ NAPĚTÍ													$(\eta_2 + 0,8\,\eta_1)/1,4$ =	0.77													
VYUŽITÍ PRŮŘEZU CELKEM								[%]					eff	1.34	NEVYHOVUJE												
STANOVENÍ ZATÍŽITELNOSTI													z_{LM71} =	0.70													

TAB. P5.1.3 POSOUZENÍ - MEZNÍ STAV ÚNOSNOSTI

POPIS	PŘÍČNÍK P5 - ZÁKLADNÍ ČÁST
PRUT / POLOHA BODU	655 / I[535]
NAMÁHÁNÍ	My.max
VLÁKNO	BOD K3 -SL
MEZNÍ STAV	ULS (MSÚ)
VYUŽITÍ VLÁKNA PRŮŘEZU	1.46

Charakteristiky materiálu				
pás. horní	$f_{yf,k}$	230	MPa	
pás. dolní	$f_{yf,k}$	230	MPa	
stojina	$f_{yw,k}$	230	MPa	
výztuž	$f_{ys,k}$	500	MPa	
γ_M =	1.10	γ_s =	1.15	

Excentricita normálové síly				
Exc./Fáze	0	1	2	3
e_y	0.000	0.000	0.000	0.000
e_z	0.000	0.000	0.000	0.000
Ekvivalentní vzdál. stěn - příčný roznos				
b_{Mx}	0.000	0.000	0.000	0.000

Vliv stěny na únosnost průřezu				
Char./Fáze	0	1	2	3
A	0.41	0.00	0.00	0.00
Wy	0.21	0.00	0.00	0.00
Wz	0.05	0.00	0.00	0.00

Charakter. v kroucení			
$t_{w,y}$	0.000	[mm]	
$t_{w,z}$	0.000	[mm]	
κ	1.00		
I_t=	0.00E+00	[mm^4]	
$\Omega=2*A_{pr}$	0.00E+00	[mm^2]	

Součinitele vzpěru a vlivu II.řádu					
Char./Fáze	0	1	2	3	
k_y	1.000	1.000	1.000	1.000	
k_z	1.000	1.000	1.000	1.000	
χ_{LT}	1.000	1.000	1.000	1.000	
χ_{min}	1.000	1.000	1.000	1.000	

δ_{LOK} 1.00

Vnitřní síly od jednotlivých skupin zatěžovacích stavů

SKUPINA ZATĚŽOVACÍCH STAVŮ: 3

Č.	SKUP ZS	POPIS ZS	KAT.	FÁZE PRŮŘ.	- CHARAKTERISTICKÉ HODNOTY N.k (kN)	Vy.k (kN)	Vz.k (kN)	Mx.k (kNm)	My.k (kNm)	Mz.k (kNm)	DÍLČÍ SOUČINITELÉ ZATÍŽENÍ, DYNAMICKÝ SOUČINITEL γ_{sr} (-)	γ_{fs} (-)	volba γ_f hledat	γ_f (-)	L_d (m)	δ (-)	Ψ_0 KZ03	- NÁVRHOVÉ HODNOTY N.d (kN)	Vy.d (kN)	Vz.d (kN)	ΔVz.d (kN)	ΣVz.d (kN)	Mx.d (kNm)	My.d (kNm)	ΔMy.d (kNm)	ΣMy.d (kNm)	Mz.d (kNm)	ΔMz.d (kNm)	ΣMz.d (kNm)
1	G0	Vlastní tíha OK	G	0	-1	7	-48	0	39	-5	1.00	1.20		1.20	-	1.00	0.95	-2	8	-55	0	-55	0	45	0	45	-5	0	-5
2	G1	Ostatní stálé - mostní vybavení	G	0	0	1	-7	0	6	0	1.00	1.20		1.20	-	1.00	0.95	0	1	-8	0	-8	0	7	0	7	0	0	0
3	G2	Ostatní stálé - cizí zařízení	G	0	0	1	-4	0	-7	0	1.00	1.00		1.00	-	1.00	0.95	0	0	-3	0	-3	0	-7	0	-7	0	0	0
4	P1_71	a.LM71 - kolej 1 (bez dyn. souč.)	P	0	11	3	-205	0	169	-3	1.00	1.30		1.30	-	1.27	1.00	18	5	-339	0	-339	0	278	0	278	-4	1	-3
5	P2_71	a.LM71 - kolej 2 (bez dyn. souč.)	P	0	-9	10	-494	0	607	-8	1.00	1.30		1.30	-	1.27	1.00	-14	17	-816	0	-816	0	1 004	0	1 004	-13	3	-10
6	P1_C3	TTZ C3 - kolej 1 (bez dyn. souč.)	P	0	6	2	-116	0	96	-2	1.00	vyp.		0.00	-	1.00	0.00	0	0	0	0	0	0	0	0	0	0	0	0
7	P2_C3	TTZ C3 - kolej 2 (bez dyn. souč.)	P	0	-8	8	-277	0	351	-6	1.00	vyp.		0.00	-	1.00	0.00	0	0	0	0	0	0	0	0	0	0	0	0
8	BR	Brzdné a rozjezdové síly	P	0	0	-37	0	0	3	43	1.00	-1.30		-1.30	-	1.00	0.80	0	39	0	0	0	0	-3	0	-3	-44	0	-44
9	S	Boční ráz	P	0	-6	1	-2	0	18	-1	1.00	1.30		1.30	-	1.00	0.40	-3	0	-1	0	-1	0	9	0	9	0	0	0
10	CH	Chodci na lávkách	Q	0	0	1	2	0	-8	-1	1.00	1.30		1.30	-	1.00	1.00	0	1	3	0	3	0	-11	0	-11	-1	0	-1
11	W	Vítr na konstrukci	Q	0	-14	4	6	0	12	-5	1.00	1.35		1.35	-	1.00	0.75	-14	4	6	0	6	0	12	0	12	-5	0	-5
12	WP	Vítr na vozidla	Q	0	-9	-6	-8	0	54	9	1.00	-1.35		-1.35	-	1.00	0.75	9	7	8	0	8	0	-55	0	-55	-9	0	-9
13	TR	Teplota rovnoměrná	Q	0	0	0	0	0	0	0	1.00	1.35		1.35	-	1.00	0.45	0	0	0	0	0	0	0	0	0	0	0	0
14	TN	Teplota nerovnoměrná	Q	0	-4	0	9	0	24	0	1.00	1.35		1.35	-	1.00	0.60	-3	0	8	0	8	0	19	0	19	0	0	0
15	FR	Třecí síly v ložiskách	Q	0	0	0	0	0	0	0	1.00	-1.20		-1.20	-	1.00	1.00	0	0	0	0	0	0	0	0	0	0	0	0
16	I	Imperfekce soustavy	Q	0	-1	0	2	0	5	0	1.00	1.20		1.20	-	1.00	1.00	-1	0	2	0	2	0	6	0	6	0	0	0
27	ULS_LM	ULS - LM71 bez dynam	Q	0	-33	3	-969	0	1 161	6	1.00	vyp.	1	0.00	-	1.00	0.00	0	0	0	0	0	0	0	0	0	0	0	0
28	SLS_LM	SLS - LM71 bez dynam	Q	0	-23	4	-759	0	881	4	1.00	vyp.	1	0.00	-	1.00	0.00	0	0	0	0	0	0	0	0	0	0	0	0
29	ULS_C3	ULS - C3 bez dynam	Q	0	-39	-1	-571	0	733	9	1.00	vyp.	1	0.00	-	1.00	0.00	0	0	0	0	0	0	0	0	0	0	0	0
30	SLS_C3	SLS - C3 bez dynam	Q	0	-27	1	-452	0	552	6	1.00	vyp.	1	0.00	-	1.00	0.00	0	0	0	0	0	0	0	0	0	0	0	0
		CELKEM - FÁZE PRŮŘEZU 0																-10	82	-1 195	0	-1 195	0	1 304	0	1 304	-85	4	-82
		CELKEM - FÁZE PRŮŘEZU 1																0	0	0	0	0	0	0	0	0	0	0	0
		CELKEM - FÁZE PRŮŘEZU 2																0	0	0	0	0	0	0	0	0	0	0	0
		CELKEM - FÁZE PRŮŘEZU 3																0	0	0	0	0	0	0	0	0	0	0	0
		CELKEM - PRŮŘEZ																-10	82	-1 195	0	-1 195	0			1 304			-82

Napětí od jednotlivých zatěžovacích stavů

SKUPINA ZATĚŽOVACÍCH STAVŮ

Č.	SKUP ZS	Popis ZS	Kat.	fáze prúř.	Posouzení normálového napětí: Účinek síly N δ^*N_d [kN]	χ^*A [mm^2]	σ_n [MPa]	Účinek momentu My $\delta^*M_{y,d}$ [kNm]	$\chi_{lt}*W_{el,y}$ [mm^3]	σ_{my} [MPa]	Účinek momentu Mz $\delta^*M_{z,d}$ [kNm]	$W_{el,z}$ [mm^3]	σ_{mz} [MPa]	σ_x [MPa]	Posouzení smykového napětí: Účinek kroutícího momentu Mx $\kappa*\delta^*M_{x,d}$ [kNm]	$W_{v,y}$ [mm^2]	$\tau_{x,y}$ [MPa]	$W_{v,z}$ [mm^2]	$\tau_{x,z}$ [MPa]	Účinek smykové síly Vy $\delta^*V_{y,d}$ [kN]	$A_{v,y}$ [mm2]	$\tau_{v,y}$ [MPa]	$\tau_{v,y}$ [MPa]	Účinek smykové síly Vz $\delta^*V_{z,d}$ [kN]	$A_{v,z}$ [mm2]	$\tau_{v,z}$ [MPa]	$\tau_{v,z}$ [MPa]
1	G0	Vlastní tíha OK	G	0	-1.6	2.13E+04	-0.1	44.8	7.95E+06	5.6	-5.4	-5.80E+05	9.3	14.9	-1.1E-02	-	-	-	-	7.8	1.23E+04	0.6	0.6	-54.8	1.11E+04	-4.9	-4.9
2	G1	Ostatní stálé - mostní vybavení	G	0	-0.1	2.13E+04	0.0	7.1	7.95E+06	0.9	-0.4	-5.80E+05	0.7	1.6	0.0E+00	-	-	-	-	0.6	1.23E+04	0.0	0.0	-8.2	1.11E+04	-0.7	-0.7
3	G2	Ostatní stálé - cizí zařízení	G	0	-0.1	2.13E+04	0.0	-6.7	7.95E+06	-0.8	-0.4	-5.80E+05	0.7	-0.1	0.0E+00	-	-	-	-	0.5	1.23E+04	0.0	0.0	-3.4	1.11E+04	-0.3	-0.3
4	P1_71	a.LM71 - kolej 1 (bez dyn. souč.)	P	0	18.3	2.13E+04	0.9	278.4	7.95E+06	35.0	-3.5	-5.80E+05	6.0	41.9	-1.7E-02	-	-	-	-	4.5	1.23E+04	0.4	0.4	-338.6	1.11E+04	-30.5	-30.5
5	P2_71	a.LM71 - kolej 2 (bez dyn. souč.)	P	0	-14.4	2.13E+04	-0.7	1 003.5	7.95E+06	126.2	-10.2	-5.80E+05	17.7	143.1	-3.3E-02	-	-	-	-	17.0	1.23E+04	1.4	1.4	-816.5	1.11E+04	-73.5	-73.5
6	P1_C3	TTZ C3 - kolej 1 (bez dyn. souč.)	P	0	0.0	2.13E+04	0.0	0.0	7.95E+06	0.0	0.0	-5.80E+05	0.0	0.0	0.0E+00	-	-	-	-	0.0	1.23E+04	0.0	0.0	0.0	1.11E+04	0.0	0.0
7	P2_C3	TTZ C3 - kolej 2 (bez dyn. souč.)	P	0	0.0	2.13E+04	0.0	0.0	7.95E+06	0.0	0.0	-5.80E+05	0.0	0.0	0.0E+00	-	-	-	-	0.0	1.23E+04	0.0	0.0	0.0	1.11E+04	0.0	0.0
8	BR	Brzdné a rozjezdové síly	P	0	-0.4	2.13E+04	0.0	-3.3	7.95E+06	-0.4	-44.5	-5.80E+05	76.8	76.3	0.0E+00	-	-	-	-	38.5	1.23E+04	3.1	3.1	0.3	1.11E+04	0.0	0.0
9	S	Boční ráz	P	0	-3.2	2.13E+04	-0.2	9.2	7.95E+06	1.2	-0.5	-5.80E+05	0.8	1.8	0.0E+00	-	-	-	-	0.5	1.23E+04	0.0	0.0	-0.8	1.11E+04	-0.1	-0.1
10	CH	Chodci na lávkách	Q	0	0.5	2.13E+04	0.0	-10.9	7.95E+06	-1.4	-1.2	-5.80E+05	2.2	0.8	0.0E+00	-	-	-	-	1.3	1.23E+04	0.1	0.1	3.0	1.11E+04	0.3	0.3
11	W	Vítr na konstrukci	Q	0	-14.4	2.13E+04	-0.7	12.2	7.95E+06	1.5	-5.4	-5.80E+05	9.3	10.2	0.0E+00	-	-	-	-	3.7	1.23E+04	0.3	0.3	5.7	1.11E+04	0.5	0.5
12	WP	Vítr na vozidla	Q	0	8.9	2.13E+04	0.4	-55.1	7.95E+06	-6.9	-9.3	-5.80E+05	16.1	9.6	-1.0E-02	-	-	-	-	6.5	1.23E+04	0.5	0.5	8.2	1.11E+04	0.7	0.7
13	TR	Teplota rovnoměrná	Q	0	0.0	2.13E+04	0.0	0.0	7.95E+06	0.0	0.0	-5.80E+05	0.0	0.0	0.0E+00	-	-	-	-	0.0	1.23E+04	0.0	0.0	0.0	1.11E+04	0.0	0.0
14	TN	Teplota nerovnoměrná	Q	0	-2.8	2.13E+04	-0.1	19.1	7.95E+06	2.4	-0.3	-5.80E+05	0.6	2.9	0.0E+00	-	-	-	-	0.1	1.23E+04	0.0	0.0	7.6	1.11E+04	0.7	0.7
15	FR	Třecí síly v ložiskách	Q	0	-0.2	2.13E+04	0.0	-0.3	7.95E+06	0.0	-0.3	-5.80E+05	0.5	0.4	0.0E+00	-	-	-	-	0.4	1.23E+04	0.0	0.0	0.1	1.11E+04	0.0	0.0
16	I	Imperfekce soustavy	Q	0	-0.8	2.13E+04	0.0	6.1	7.95E+06	0.8	-0.2	-5.80E+05	0.4	1.1	0.0E+00	-	-	-	-	0.1	1.23E+04	0.0	0.0	2.0	1.11E+04	0.2	0.2
27	ULS_LM	ULS - LM71 bez dynam	Q	0	0.0	2.13E+04	0.0	0.0	7.95E+06	0.0	0.0	-5.80E+05	0.0	0.0	0.0E+00	-	-	-	-	0.0	1.23E+04	0.0	0.0	0.0	1.11E+04	0.0	0.0
28	SLS_LM	SLS - LM71 bez dynam	Q	0	0.0	2.13E+04	0.0	0.0	7.95E+06	0.0	0.0	-5.80E+05	0.0	0.0	0.0E+00	-	-	-	-	0.0	1.23E+04	0.0	0.0	0.0	1.11E+04	0.0	0.0
29	ULS_C3	ULS - C3 bez dynam	Q	0	0.0	2.13E+04	0.0	0.0	7.95E+06	0.0	0.0	-5.80E+05	0.0	0.0	0.0E+00	-	-	-	-	0.0	1.23E+04	0.0	0.0	0.0	1.11E+04	0.0	0.0
30	SLS_C3	SLS - C3 bez dynam	Q	0	0.0	2.13E+04	0.0	0.0	7.95E+06	0.0	0.0	-5.80E+05	0.0	0.0	0.0E+00	-	-	-	-	0.0	1.23E+04	0.0	0.0	0.0	1.11E+04	0.0	0.0
NAVÝŠENÍ NAPĚTÍ DO AKTIVACE TLAKU V DESCE MOSTOVKY						$\sigma_{P,red}$	0.0							0.0				0.0		0.0			6.6	6.6			-107.7	-107.7
NAPĚTÍ OD PRIMÁRNÍCH ÚČINKŮ NEROVNOMĚRNÉHO OTEPLENÍ						σ_T	0.0							0.0														
NAPĚTÍ OD REOLOGICKÝCH ÚČINKŮ BETONU V ČASE			t=0			σ_R	0.0	$\gamma_{f=}$	1.20					0.0														
NAPĚTÍ V KRITICKÝCH VLÁKNECH OD KOMBINACE ZATÍŽENÍ						KZ03		[MPa]					$\Sigma\sigma_x$	304.5								$\Sigma\tau_y$	6.6			$\Sigma\tau_z$	-107.7
NAPĚTÍ OD POHYBLIVÉHO ZATÍŽENÍ								[MPa]					$\sigma_{x,P}$	263.2								τ_P	4.9			τ_P	-104.1
NAPĚTÍ OD OSTATNÍCH ZATÍŽENÍ								[MPa]			Φ_{Vy}	Φ_{Vz}	$\sigma_{x,rs}$	41.3								τ_{rs}	1.7			τ_{rs}	-3.6
NÁVRHOVÁ HODNOTA MEZE KLUZU S REDUKCÍ VLIVEM SMYKOVÉHO NAPĚTÍ								[MPa]			1.00	0.39	$f_{yv,d}$	209.1								$f_{yd}/3^{0,5}$	120.7			$f_{yd}/3^{0,5}$	120.7
NAPĚTÍ OD POHYBLIVÉHO ZATÍŽENÍ V GLOBÁLNÍM SYSTÉMU						$\sigma_{GLOB,P}$	0.0	[MPa]					$\Sigma\sigma_{GLOB}$	0.0													
NAPĚTÍ OD OSTATNÍCH ZATÍŽENÍ V GLOBÁLNÍM SYSTÉMU						$\sigma_{GLOB,rs}$	0.0	[MPa]					$\Sigma\sigma_x + \Sigma\sigma_{GLOB}$	304.5													
VYUŽITÍ PRŮŘEZU DLE NAPĚTÍ								[%]					η_1	1.46								η_3	0.05			η_3	0.89
NAPĚTÍ V PŘÍČNÉM SMĚRU OD POHYBLIVÉHO ZATÍŽENÍ						$\sigma_{z,P}$	0.0	[MPa]					$\Sigma\sigma_z$	0.0													
NAPĚTÍ V PŘÍČNÉM SMĚRU OD OSTATNÍCH ZATÍŽENÍ						$\sigma_{z,rs}$	0.0	[MPa]					η_2	0.00													
SROVNÁVACÍ NAPĚTÍ													$(\eta2 + 0,8\ \eta1)/1,4 =$	0.83													
VYUŽITÍ PRŮŘEZU CELKEM								[%]					eff	1.46	NEVYHOVUJE												
STANOVENÍ ZATÍŽITELNOSTI													z_{LM71} =	0.64													

TAB. P5.1.3 POSOUZENÍ - MEZNÍ STAV ÚNOSNOSTI

POPIS	PŘÍČNÍK P5 - ZÁKLADNÍ ČÁST
PRUT / POLOHA BODU	655 / I[535]
NAMÁHÁNÍ	My.max
VLÁKNO	BOD S6 -HP
MEZNÍ STAV	ULS (MSÚ)
VYUŽITÍ VLÁKNA PRŮŘEZU	0.93

Charakteristiky materiálu				
pás. horní	$f_{yf,k}$	230	MPa	
pás. dolní	$f_{yf,k}$	230	MPa	
stojina	$f_{yw,k}$	230	MPa	
výztuž	$f_{ys,k}$	500	MPa	
γ_M =	1.10	γ_s =	1.15	

Excentricita normálové síly				
Exc./Fáze	0	1	2	3
e_y	0.000	0.000	0.000	0.000
e_z	0.000	0.000	0.000	0.000
Ekvivalentní vzdál. stěn - příčný roznos				
b_{Mx}	0.000	0.000	0.000	0.000

Vliv stěny na únosnost průřezu				
Char./Fáze	0	1	2	3
A	0.41	0.00	0.00	0.00
Wy	0.21	0.00	0.00	0.00
Wz	0.00	0.00	0.00	0.00

Charakter. v kroucení			
$t_{w,y}$	0.000	[mm]	
$t_{w,z}$	0.000	[mm]	
κ	1.00		
I_t=	0.00E+00	[mm^4]	
$\Omega=2*A_{pr}$	0.00E+00	[mm^2]	

Součinitele vzpěru a vlivu II.řádu					
Char./Fáze	0	1	2	3	
k_y	1.000	1.000	1.000	1.000	
k_z	1.000	1.000	1.000	1.000	
χ_{LT}	1.000	1.000	1.000	1.000	
χ_{min}	1.000	1.000	1.000	1.000	

δ_{LOK} 1.00

Vnitřní síly od jednotlivých skupin zatěžovacích stavů

SKUPINA ZATĚŽOVACÍCH STAVŮ

Č.	SKUP ZS	POPIS ZS	KAT.	FÁZE PRŮŘ.	- CHARAKTERISTICKÉ HODNOTY N.k (kN)	Vy.k (kN)	Vz.k (kN)	Mx.k (kNm)	My.k (kNm)	Mz.k (kNm)	DÍLČÍ SOUČINITELÉ ZATÍŽENÍ, DYNAMICKÝ SOUČINITEL γ_{sr} (-)	γ_{fs} (-)	volba γ_f hledat	γ_f (-)	L_d (m)	δ (-)	Ψ_0 KZ04	- NÁVRHOVÉ HODNOTY N.d (kN)	Vy.d (kN)	Vz.d (kN)	ΔVz.d (kN)	ΣVz.d (kN)	Mx.d (kNm)	My.d (kNm)	ΔMy.d (kNm)	ΣMy.d (kNm)	Mz.d (kNm)	ΔMz.d (kNm)	ΣMz.d (kNm)
1	G0	Vlastní tíha OK	G	0	-1	7	-48	0	39	-5	1.00	1.20		1.20	-	1.00	0.95	-2	8	-55	0	-55	0	45	0	45	-5	0	-5
2	G1	Ostatní stálé - mostní vybavení	G	0	0	1	-7	0	6	0	1.00	1.20		1.20	-	1.00	0.95	0	1	-8	0	-8	0	7	0	7	0	0	0
3	G2	Ostatní stálé - cizí zařízení	G	0	0	1	-4	0	-7	0	1.00	1.20		1.20	-	1.00	0.95	0	1	-4	0	-4	0	-8	0	-8	-1	0	-1
4	P1_71	a.LM71 - kolej 1 (bez dyn. souč.)	P	0	11	3	-205	0	169	-3	1.00	1.30		1.30	-	1.27	1.00	18	5	-339	0	-339	0	278	0	278	-4	1	-3
5	P2_71	a.LM71 - kolej 2 (bez dyn. souč.)	P	0	-9	10	-494	0	607	-8	1.00	1.30		1.30	-	1.27	1.00	-14	17	-816	0	-816	0	1 004	0	1 004	-13	3	-10
6	P1_C3	TTZ C3 - kolej 1 (bez dyn. souč.)	P	0	6	2	-116	0	96	-2	1.00	vyp.		0.00	-	1.00	0.00	0	0	0	0	0	0	0	0	0	0	0	0
7	P2_C3	TTZ C3 - kolej 2 (bez dyn. souč.)	P	0	-8	8	-277	0	351	-6	1.00	vyp.		0.00	-	1.00	0.00	0	0	0	0	0	0	0	0	0	0	0	0
8	BR	Brzdné a rozjezdové síly	P	0	0	-37	0	0	3	43	1.00	1.30		1.30	-	1.00	0.40	0	-19	0	0	0	0	2	0	2	22	0	22
9	S	Boční ráz	P	0	-6	1	-2	0	18	-1	1.00	1.30		1.30	-	1.00	0.80	-6	1	-2	0	-2	0	18	0	18	-1	0	-1
10	CH	Chodci na lávkách	Q	0	0	1	2	0	-8	-1	1.00	0.00		0.00	-	1.00	1.00	0	0	0	0	0	0	0	0	0	0	0	0
11	W	Vítr na konstrukci	Q	0	-14	4	6	0	12	-5	1.00	-1.35		-1.35	-	1.00	0.75	14	-4	-6	0	-6	0	-12	0	-12	5	0	5
12	WP	Vítr na vozidla	Q	0	-9	-6	-8	0	54	9	1.00	1.35		1.35	-	1.00	0.75	-9	-7	-8	0	-8	0	55	0	55	9	0	9
13	TR	Teplota rovnoměrná	Q	0	0	0	0	0	0	0	1.00	1.35		1.35	-	1.00	0.45	0	0	0	0	0	0	0	0	0	0	0	0
14	TN	Teplota nerovnoměrná	Q	0	-4	0	9	0	24	0	1.00	-1.35		-1.35	-	1.00	0.60	3	0	-8	0	-8	0	-19	0	-19	0	0	0
15	FR	Třecí síly v ložiskách	Q	0	0	0	0	0	0	0	1.00	1.20		1.20	-	1.00	1.00	0	0	0	0	0	0	0	0	0	0	0	0
16	I	Imperfekce soustavy	Q	0	-1	0	2	0	5	0	1.00	-1.20		-1.20	-	1.00	1.00	1	0	-2	0	-2	0	-6	0	-6	0	0	0
27	ULS_LM	ULS - LM71 bez dynam	Q	0	-33	3	-969	0	1 161	6	1.00	vyp.	1	0.00	-	1.00	0.00	0	0	0	0	0	0	0	0	0	0	0	0
28	SLS_LM	SLS - LM71 bez dynam	Q	0	-23	4	-759	0	881	4	1.00	vyp.	1	0.00	-	1.00	0.00	0	0	0	0	0	0	0	0	0	0	0	0
29	ULS_C3	ULS - C3 bez dynam	Q	0	-39	-1	-571	0	733	9	1.00	vyp.	1	0.00	-	1.00	0.00	0	0	0	0	0	0	0	0	0	0	0	0
30	SLS_C3	SLS - C3 bez dynam	Q	0	-27	1	-452	0	552	6	1.00	vyp.	1	0.00	-	1.00	0.00	0	0	0	0	0	0	0	0	0	0	0	0
		CELKEM - FÁZE PRŮŘEZU 0																5	1	-1 248	0	-1 248	0	1 364	0	1 364	13	4	17
		CELKEM - FÁZE PRŮŘEZU 1																0	0	0	0	0	0	0	0	0	0	0	0
		CELKEM - FÁZE PRŮŘEZU 2																0	0	0	0	0	0	0	0	0	0	0	0
		CELKEM - FÁZE PRŮŘEZU 3																0	0	0	0	0	0	0	0	0	0	0	0
		CELKEM - PRŮŘEZ																5	1	-1 248	0	-1 248	0			1 364			17

Napětí od jednotlivých zatěžovacích stavů

SKUPINA ZATĚŽOVACÍCH STAVŮ

Č.	SKUP ZS	Popis ZS	Kat.	fáze prúř.	Posouzení normálového napětí: Účinek síly N δ^*N_d [kN]	χ^*A [mm^2]	σ_n [MPa]	Účinek momentu My $\delta^*M_{y,d}$ [kNm]	$\chi_{lt}*W_{el,y}$ [mm^3]	σ_{my} [MPa]	Účinek momentu Mz $\delta^*M_{z,d}$ [kNm]	$W_{el,z}$ [mm^3]	σ_{mz} [MPa]	σ_x [MPa]	Posouzení smykového napětí: Účinek kroutícího momentu Mx $\kappa*\delta^*M_{x,d}$ [kNm]	$W_{v,y}$ [mm^2]	$\tau_{x,y}$ [MPa]	$W_{v,z}$ [mm^2]	$\tau_{x,z}$ [MPa]	Účinek smykové síly Vy $\delta^*V_{y,d}$ [kN]	$A_{v,y}$ [mm2]	$\tau_{v,y}$ [MPa]	$\tau_{v,y}$ [MPa]	Účinek smykové síly Vz $\delta^*V_{z,d}$ [kN]	$A_{v,z}$ [mm2]	$\tau_{v,z}$ [MPa]	$\tau_{v,z}$ [MPa]
1	G0	Vlastní tíha OK	G	0	-1.6	1.98E+04	-0.1	44.8	7.85E+06	5.7	-5.4	-1.84E+07	0.3	5.9	-1.1E-02	-	-	-	-	7.8	1.23E+04	0.6	0.6	-54.8	1.11E+04	-4.9	-4.9
2	G1	Ostatní stálé - mostní vybavení	G	0	-0.1	1.98E+04	0.0	7.1	7.85E+06	0.9	-0.4	-1.84E+07	0.0	0.9	0.0E+00	-	-	-	-	0.6	1.23E+04	0.0	0.0	-8.2	1.11E+04	-0.7	-0.7
3	G2	Ostatní stálé - cizí zařízení	G	0	-0.2	1.98E+04	0.0	-8.1	7.85E+06	-1.0	-0.5	-1.84E+07	0.0	-1.0	0.0E+00	-	-	-	-	0.6	1.23E+04	0.0	0.0	-4.1	1.11E+04	-0.4	-0.4
4	P1_71	a.LM71 - kolej 1 (bez dyn. souč.)	P	0	18.3	1.98E+04	0.9	278.4	7.85E+06	35.5	-3.5	-1.84E+07	0.2	36.6	-1.7E-02	-	-	-	-	4.5	1.23E+04	0.4	0.4	-338.6	1.11E+04	-30.5	-30.5
5	P2_71	a.LM71 - kolej 2 (bez dyn. souč.)	P	0	-14.4	1.98E+04	-0.7	1 003.5	7.85E+06	127.9	-10.2	-1.84E+07	0.6	127.7	-3.3E-02	-	-	-	-	17.0	1.23E+04	1.4	1.4	-816.5	1.11E+04	-73.5	-73.5
6	P1_C3	TTZ C3 - kolej 1 (bez dyn. souč.)	P	0	0.0	1.98E+04	0.0	0.0	7.85E+06	0.0	0.0	-1.84E+07	0.0	0.0	0.0E+00	-	-	-	-	0.0	1.23E+04	0.0	0.0	0.0	1.11E+04	0.0	0.0
7	P2_C3	TTZ C3 - kolej 2 (bez dyn. souč.)	P	0	0.0	1.98E+04	0.0	0.0	7.85E+06	0.0	0.0	-1.84E+07	0.0	0.0	0.0E+00	-	-	-	-	0.0	1.23E+04	0.0	0.0	0.0	1.11E+04	0.0	0.0
8	BR	Brzdné a rozjezdové síly	P	0	0.2	1.98E+04	0.0	1.6	7.85E+06	0.2	22.2	-1.84E+07	-1.2	-1.0	0.0E+00	-	-	-	-	-19.3	1.23E+04	-1.6	-1.6	-0.2	1.11E+04	0.0	0.0
9	S	Boční ráz	P	0	-6.4	1.98E+04	-0.3	18.3	7.85E+06	2.3	-0.9	-1.84E+07	0.1	2.1	0.0E+00	-	-	-	-	0.9	1.23E+04	0.1	0.1	-1.7	1.11E+04	-0.1	-0.1
10	CH	Chodci na lávkách	Q	0	0.0	1.98E+04	0.0	0.0	7.85E+06	0.0	0.0	-1.84E+07	0.0	0.0	0.0E+00	-	-	-	-	0.0	1.23E+04	0.0	0.0	0.0	1.11E+04	0.0	0.0
11	W	Vítr na konstrukci	Q	0	14.4	1.98E+04	0.7	-12.2	7.85E+06	-1.5	5.4	-1.84E+07	-0.3	-1.1	0.0E+00	-	-	-	-	-3.7	1.23E+04	-0.3	-0.3	-5.7	1.11E+04	-0.5	-0.5
12	WP	Vítr na vozidla	Q	0	-8.9	1.98E+04	-0.5	55.1	7.85E+06	7.0	9.3	-1.84E+07	-0.5	6.1	1.0E-02	-	-	-	-	-6.5	1.23E+04	-0.5	-0.5	-8.2	1.11E+04	-0.7	-0.7
13	TR	Teplota rovnoměrná	Q	0	0.0	1.98E+04	0.0	0.0	7.85E+06	0.0	0.0	-1.84E+07	0.0	0.0	0.0E+00	-	-	-	-	0.0	1.23E+04	0.0	0.0	0.0	1.11E+04	0.0	0.0
14	TN	Teplota nerovnoměrná	Q	0	2.8	1.98E+04	0.1	-19.1	7.85E+06	-2.4	0.3	-1.84E+07	0.0	-2.3	0.0E+00	-	-	-	-	-0.1	1.23E+04	0.0	0.0	-7.6	1.11E+04	-0.7	-0.7
15	FR	Třecí síly v ložiskách	Q	0	0.2	1.98E+04	0.0	0.3	7.85E+06	0.0	0.3	-1.84E+07	0.0	0.0	0.0E+00	-	-	-	-	-0.4	1.23E+04	0.0	0.0	-0.1	1.11E+04	0.0	0.0
16	I	Imperfekce soustavy	Q	0	0.8	1.98E+04	0.0	-6.1	7.85E+06	-0.8	0.2	-1.84E+07	0.0	-0.7	0.0E+00	-	-	-	-	-0.1	1.23E+04	0.0	0.0	-2.0	1.11E+04	-0.2	-0.2
27	ULS_LM	ULS - LM71 bez dynam	Q	0	0.0	1.98E+04	0.0	0.0	7.85E+06	0.0	0.0	-1.84E+07	0.0	0.0	0.0E+00	-	-	-	-	0.0	1.23E+04	0.0	0.0	0.0	1.11E+04	0.0	0.0
28	SLS_LM	SLS - LM71 bez dynam	Q	0	0.0	1.98E+04	0.0	0.0	7.85E+06	0.0	0.0	-1.84E+07	0.0	0.0	0.0E+00	-	-	-	-	0.0	1.23E+04	0.0	0.0	0.0	1.11E+04	0.0	0.0
29	ULS_C3	ULS - C3 bez dynam	Q	0	0.0	1.98E+04	0.0	0.0	7.85E+06	0.0	0.0	-1.84E+07	0.0	0.0	0.0E+00	-	-	-	-	0.0	1.23E+04	0.0	0.0	0.0	1.11E+04	0.0	0.0
30	SLS_C3	SLS - C3 bez dynam	Q	0	0.0	1.98E+04	0.0	0.0	7.85E+06	0.0	0.0	-1.84E+07	0.0	0.0	0.0E+00	-	-	-	-	0.0	1.23E+04	0.0	0.0	0.0	1.11E+04	0.0	0.0
NAVÝŠENÍ NAPĚTÍ DO AKTIVACE TLAKU V DESCE MOSTOVKY						$\sigma_{P,red}$	0.0							0.0				0.0				0.1	0.1			-112.4	-112.4
NAPĚTÍ OD PRIMÁRNÍCH ÚČINKŮ NEROVNOMĚRNÉHO OTEPLENÍ						σ_T	0.0							0.0													
NAPĚTÍ OD REOLOGICKÝCH ÚČINKŮ BETONU V ČASE		t=0				σ_R	0.0	$\gamma_{f=}$	1.20					0.0													
NAPĚTÍ V KRITICKÝCH VLÁKNECH OD KOMBINACE ZATÍŽENÍ						KZ04		[MPa]					$\Sigma\sigma_x$	173.1								$\Sigma\tau_y$	0.1			$\Sigma\tau_z$	-112.4
NAPĚTÍ OD POHYBLIVÉHO ZATÍŽENÍ								[MPa]					$\sigma_{x,P}$	165.4								τ_P	0.3			τ_P	-104.2
NAPĚTÍ OD OSTATNÍCH ZATÍŽENÍ								[MPa]			Φ_{Vy}	Φ_{Vz}	$\sigma_{x,rs}$	7.7								τ_{rs}	-0.1			τ_{rs}	-8.2
NÁVRHOVÁ HODNOTA MEZE KLUZU S REDUKCÍ VLIVEM SMYKOVÉHO NAPĚTÍ								[MPa]			1.00	0.26	$f_{yw,d}$	209.1								$f_{yd}/3^{0,5}$	120.7			$f_{yd}/3^{0,5}$	120.7
NAPĚTÍ OD POHYBLIVÉHO ZATÍŽENÍ V GLOBÁLNÍM SYSTÉMU				$\sigma_{GLOB,P}$	0.0			[MPa]					$\Sigma\sigma_{GLOB}$	0.0													
NAPĚTÍ OD OSTATNÍCH ZATÍŽENÍ V GLOBÁLNÍM SYSTÉMU				$\sigma_{GLOB,rs}$	0.0			[MPa]					$\Sigma\sigma_x + \Sigma\sigma_{GLOB}$	173.1													
VYUŽITÍ PRŮŘEZU DLE NAPĚTÍ								[%]					η_1	0.83								η_3	0.00			η_3	0.93
NAPĚTÍ V PŘÍČNÉM SMĚRU OD POHYBLIVÉHO ZATÍŽENÍ				$\sigma_{z,P}$	0.0			[MPa]					$\Sigma\sigma_z$	0.0													
NAPĚTÍ V PŘÍČNÉM SMĚRU OD OSTATNÍCH ZATÍŽENÍ				$\sigma_{z,rs}$	0.0			[MPa]					η_2	0.00													
SROVNÁVACÍ NAPĚTÍ													$(\eta_2 + 0,8\ \eta_1)/1,4 =$	0.47													
VYUŽITÍ PRŮŘEZU CELKEM								[%]					eff	0.93	VYHOVUJE												
STANOVENÍ ZATÍŽITELNOSTI													Z_{LM71} =	1.08													

TR_P5.2 POPIS: **PŘÍČNÍK P5 - VNĚJŠÍ PODÉLNÍK** POSUDEK: **P5.2**

SKUPINA ZAT. STAVŮ	EXTRÉM	VYHODNOCOVANÉ VELIČINY					
		N	Vy	Vz	Mx	My	Mz
		kN	kN	kN	kNm	kNm	kNm
G0	N.min	**-1.39**	2.65	-31.05	0	53.57	-5.34
	N.max	**-1.39**	2.65	-31.05	0	53.57	-5.34
	Vy.min	-1.39	**2.65**	-31.05	0	53.57	-5.34
	Vy.max	-1.39	**2.65**	-31.05	0	53.57	-5.34
	Vz.min	-1.39	2.65	**-31.05**	0	53.57	-5.34
	Vz.max	-1.39	2.65	**-31.05**	0	53.57	-5.34
	Mx.min	-1.39	2.65	-31.05	**0**	53.57	-5.34
	Mx.max	-1.39	2.65	-31.05	**0**	53.57	-5.34
	My.min	-1.39	2.65	-31.05	0	**53.57**	-5.34
	My.max	-1.39	2.65	-31.05	0	**53.57**	-5.34
	Mz.min	-1.39	2.65	-31.05	0	53.57	**-5.34**
	Mz.max	-1.39	2.65	-31.05	0	53.57	**-5.34**
G1	N.min	**-0.09**	0.2	-6.56	0	8.27	-0.41
	N.max	**-0.09**	0.2	-6.56	0	8.27	-0.41
	Vy.min	-0.09	**0.2**	-6.56	0	8.27	-0.41
	Vy.max	-0.09	**0.2**	-6.56	0	8.27	-0.41
	Vz.min	-0.09	0.2	**-6.56**	0	8.27	-0.41
	Vz.max	-0.09	0.2	**-6.56**	0	8.27	-0.41
	Mx.min	-0.09	0.2	-6.56	**0**	8.27	-0.41
	Mx.max	-0.09	0.2	-6.56	**0**	8.27	-0.41
	My.min	-0.09	0.2	-6.56	0	**8.27**	-0.41
	My.max	-0.09	0.2	-6.56	0	**8.27**	-0.41
	Mz.min	-0.09	0.2	-6.56	0	8.27	**-0.41**
	Mz.max	-0.09	0.2	-6.56	0	8.27	**-0.41**
G2	N.min	**-0.16**	-0.27	-3.56	0	-6.02	-0.55
	N.max	**-0.16**	-0.27	-3.56	0	-6.02	-0.55
	Vy.min	-0.16	**-0.27**	-3.56	0	-6.02	-0.55
	Vy.max	-0.16	**-0.27**	-3.56	0	-6.02	-0.55
	Vz.min	-0.16	-0.27	**-3.56**	0	-6.02	-0.55
	Vz.max	-0.16	-0.27	**-3.56**	0	-6.02	-0.55
	Mx.min	-0.16	-0.27	-3.56	**0**	-6.02	-0.55
	Mx.max	-0.16	-0.27	-3.56	**0**	-6.02	-0.55
	My.min	-0.16	-0.27	-3.56	0	**-6.02**	-0.55
	My.max	-0.16	-0.27	-3.56	0	**-6.02**	-0.55
	Mz.min	-0.16	-0.27	-3.56	0	-6.02	**-0.55**
	Mz.max	-0.16	-0.27	-3.56	0	-6.02	**-0.55**
P1_71	N.min	**-0.44**	-0.27	-8.64	0.01	9.83	-0.77
	N.max	**14.75**	-7.61	-186.12	-0.01	176.88	-10.26
	Vy.min	9.52	**-8.94**	-113.37	-0.01	98.97	-11.43
	Vy.max	0.39	**1.04**	-3.96	0.01	-2.8	0.86
	Vz.min	13.24	-7.45	**-212.06**	0	213.58	-10.31
	Vz.max	0.69	0.02	**0.76**	0	-9.32	-0.21
	Mx.min	9.97	-7.51	-86.94	**-0.03**	81.78	-9.76
	Mx.max	3.11	-0.53	-86.51	**0.03**	95.31	-1.42
	My.min	2.33	-6.4	-5.84	-0.01	**-29.29**	-8.64
	My.max	11.84	-2.35	-207.21	0	**229.9**	-3.3
	Mz.min	10.07	-8.74	-116.59	0	99	**-11.61**
	Mz.max	0.01	0.82	-0.73	0	-3.73	**1.03**
P2_71	N.min	**-14.76**	-2.08	-17.35	0.01	182.42	-9.01
	N.max	**4.28**	-1.22	-133.9	-0.02	564.57	-2.08
	Vy.min	-3.25	**-3.56**	-120.82	-0.01	551.76	-9.8
	Vy.max	-4.34	**0.78**	-14.98	0.01	80.25	0.58
	Vz.min	0.8	-1.07	**-168.58**	0	715.09	-3.34
	Vz.max	-11.01	-1.86	**12.19**	0.01	14.45	-7.6
	Mx.min	1.5	-0.84	-84.91	**-0.03**	370.06	-1.13
	Mx.max	-10.66	-2.22	-80.65	**0.04**	386.6	-9.76
	My.min	-2.88	0.02	5.25	0	**-3.12**	-0.33
	My.max	-7.12	-2.72	-109.37	0.01	**755.63**	-9.98
	Mz.min	-9.36	-3.25	-84.41	0.01	415.97	**-11.42**
	Mz.max	-1.22	0.67	1.31	0	1.42	**1.37**
P1_C3	N.min	**-0.41**	-0.3	-5.23	0.01	3.03	-0.58
	N.max	**9.38**	-5.74	-113.55	-0.01	100.52	-7.91
	Vy.min	7.9	**-7.02**	-89.33	-0.01	81.2	-8.85
	Vy.max	0.43	**0.71**	-3.73	0.01	-0.02	0.38
	Vz.min	7.95	-6.23	**-122.12**	0	113.74	-8.74
	Vz.max	0.43	-0.19	**0.57**	0	-8.15	-0.41
	Mx.min	6.69	-5.95	-51.36	**-0.02**	39.42	-7.64
	Mx.max	1.8	-0.43	-49.25	**0.02**	52.63	-0.99
	My.min	1.93	-4.74	-4.18	0	**-22.37**	-6.46
	My.max	6.43	-1.47	-117.04	0	**130.49**	-2.02
	Mz.min	9.2	-6.67	-114.77	0	98.94	**-9.12**
	Mz.max	0.04	0.45	-0.38	0	-1.74	**0.58**
P2_C3	N.min	**-10.83**	-1.63	-11.32	0.01	134.15	-7.33
	N.max	**2.57**	-0.72	-85.41	-0.01	360.3	-1.46
	Vy.min	-4.97	**-2.89**	-64.54	0	313.03	-8.31
	Vy.max	-4.51	**0.5**	-17.03	0.01	85.79	-0.16
	Vz.min	0.07	-0.6	**-95.49**	0	405.36	-1.94
	Vz.max	-8.39	-1.68	**9.3**	0.01	12.48	-6.38
	Mx.min	-0.09	-0.35	-48.21	**-0.02**	214.05	-0.49
	Mx.max	-7.68	-1.96	-43.93	**0.03**	221.77	-8.06
	My.min	-2.09	-0.02	3.68	0	**-2.3**	-0.29
	My.max	-6.68	-2.24	-59.64	0.01	**433.91**	-7.98
	Mz.min	-9.07	-2.33	-46.19	0	348.71	**-9.03**
	Mz.max	-0.66	0.38	0.71	0	0.74	**0.82**
BR	N.min	**-1.33**	-24.77	0.87	0.02	-0.53	-45.03
	N.max	**1.33**	24.77	-0.87	-0.02	0.53	45.03
	Vy.min	-1.33	**-24.77**	0.87	0.02	-0.53	-45.03
	Vy.max	1.33	**24.77**	-0.87	-0.02	0.53	45.03
	Vz.min	1.33	24.77	**-0.87**	-0.02	0.53	45.03
	Vz.max	-1.33	-24.77	**0.87**	0.02	-0.53	-45.03
	Mx.min	0.29	23.77	-0.33	**-0.02**	3.26	50.11
	Mx.max	-0.29	-23.77	0.33	**0.02**	-3.26	-50.11
	My.min	-0.29	-23.77	0.33	0.02	**-3.26**	-50.11
	My.max	0.29	23.77	-0.33	-0.02	**3.26**	50.11
	Mz.min	-0.29	-23.77	0.33	0.02	-3.26	**-50.11**
	Mz.max	0.29	23.77	-0.33	-0.02	3.26	**50.11**

TR_P5.2 POPIS: **PŘÍČNÍK P5 - VNĚJŠÍ PODÉLNÍK** POSUDEK: **P5.2**

SKUPINA ZAT. STAVŮ	EXTRÉM	VYHODNOCOVANÉ VELIČINY					
		N	Vy	Vz	Mx	My	Mz
		kN	kN	kN	kNm	kNm	kNm
S	N.min	**-3.26**	-1.94	8	-0.02	-17.85	-2.78
	N.max	**3.26**	1.94	-8	0.02	17.85	2.78
	Vy.min	1.26	**-7.33**	-3.12	0.01	-9.52	-5.14
	Vy.max	-1.26	**7.33**	3.12	-0.01	9.52	5.14
	Vz.min	3.26	1.94	**-8**	0.02	17.85	2.78
	Vz.max	-3.26	-1.94	**8**	-0.02	-17.85	-2.78
	Mx.min	0.2	3.92	-6.69	**-0.03**	16.96	2.12
	Mx.max	-0.2	-3.92	6.69	**0.03**	-16.96	-2.12
	My.min	-3.26	-1.94	8	-0.02	**-17.85**	-2.78
	My.max	3.26	1.94	-8	0.02	**17.85**	2.78
	Mz.min	1.26	-7.33	-3.12	0.01	-9.52	**-5.14**
	Mz.max	-1.26	7.33	3.12	-0.01	9.52	**5.14**
CH	N.min	**-0.57**	-0.69	0.06	0	-32.36	-1.39
	N.max	**0.32**	-0.79	2.44	0	-9.1	-1.18
	Vy.min	0.32	**-0.79**	2.44	0	-9.1	-1.18
	Vy.max	-0.57	**-0.69**	0.06	0	-32.36	-1.39
	Vz.min	-0.04	-0.7	**-0.62**	0	-34.26	-0.91
	Vz.max	0.32	-0.79	**2.44**	0	-9.1	-1.18
	Mx.min	-0.04	-0.7	-0.62	**0**	-34.26	-0.91
	Mx.max	-0.57	-0.69	0.06	**0**	-32.36	-1.39
	My.min	-0.04	-0.7	-0.62	0	**-34.26**	-0.91
	My.max	0.32	-0.79	2.44	0	**-9.1**	-1.18
	Mz.min	-0.57	-0.69	0.06	0	-32.36	**-1.39**
	Mz.max	-0.04	-0.7	-0.62	0	-34.26	**-0.91**
W	N.min	**-14.15**	-7.95	5.92	0.01	10.33	-5.85
	N.max	**11.02**	7.94	-5.93	-0.01	-10.34	5.84
	Vy.min	-14.15	**-7.95**	5.92	0.01	10.33	-5.85
	Vy.max	11.02	**7.94**	-5.93	-0.01	-10.34	5.84
	Vz.min	11.02	7.94	**-5.93**	-0.01	-10.34	5.84
	Vz.max	-14.15	-7.95	**5.92**	0.01	10.33	-5.85
	Mx.min	11.02	7.94	-5.93	**-0.01**	-10.34	5.84
	Mx.max	-14.15	-7.95	5.92	**0.01**	10.33	-5.85
	My.min	11.02	7.94	-5.93	-0.01	**-10.34**	5.84
	My.max	-14.15	-7.95	5.92	0.01	**10.33**	-5.85
	Mz.min	-14.15	-7.95	5.92	0.01	10.33	**-5.85**
	Mz.max	11.02	7.94	-5.93	-0.01	-10.34	**5.84**
WP	N.min	**-0.43**	13.33	25.99	-0.01	56.48	10.15
	N.max	**0.43**	-13.34	-25.99	0.01	-56.48	-10.16
	Vy.min	0.43	**-13.34**	-25.99	0.01	-56.48	-10.16
	Vy.max	-0.43	**13.33**	25.99	-0.01	56.48	10.15
	Vz.min	0.43	-13.34	**-25.99**	0.01	-56.48	-10.16
	Vz.max	-0.43	13.33	**25.99**	-0.01	56.48	10.15
	Mx.min	-0.43	13.33	25.99	**-0.01**	56.48	10.15
	Mx.max	0.43	-13.34	-25.99	**0.01**	-56.48	-10.16
	My.min	0.43	-13.34	-25.99	0.01	**-56.48**	-10.16
	My.max	-0.43	13.33	25.99	-0.01	**56.48**	10.15
	Mz.min	0.43	-13.34	-25.99	0.01	-56.48	**-10.16**
	Mz.max	-0.43	13.33	25.99	-0.01	56.48	**10.15**
TR	N.min	**0**	0	0	0	0	0
	N.max	**0**	0	0	0	0	0
	Vy.min	0	**0**	0	0	0	0
	Vy.max	0	**0**	0	0	0	0
	Vz.min	0	0	**0**	0	0	0
	Vz.max	0	0	**0**	0	0	0
	Mx.min	0	0	0	**0**	0	0
	Mx.max	0	0	0	**0**	0	0
	My.min	0	0	0	0	**0**	0
	My.max	0	0	0	0	**0**	0
	Mz.min	0	0	0	0	0	**0**
	Mz.max	0	0	0	0	0	**0**
TN	N.min	**-3.51**	-0.32	9.46	0	20.78	-0.4
	N.max	**4.82**	0.1	-9.74	0	-29.48	-0.1
	Vy.min	-3.51	**-0.32**	9.46	0	20.78	-0.4
	Vy.max	-0.29	**0.25**	0.3	0	2.39	0.54
	Vz.min	4.82	0.1	**-9.74**	0	-29.48	-0.1
	Vz.max	-3.51	-0.32	**9.46**	0	20.78	-0.4
	Mx.min	4.82	0.1	-9.74	**0**	-29.48	-0.1
	Mx.max	-3.51	-0.32	9.46	**0**	20.78	-0.4
	My.min	4.82	0.1	-9.74	0	**-29.48**	-0.1
	My.max	-3.51	-0.32	9.46	0	**20.78**	-0.4
	Mz.min	0.29	-0.25	-0.3	0	-2.39	**-0.54**
	Mz.max	-0.29	0.25	0.3	0	2.39	**0.54**
FR	N.min	**-0.15**	-0.11	0.08	0	-0.26	-0.28
	N.max	**0.15**	0.11	-0.08	0	0.26	0.28
	Vy.min	-0.15	**-0.11**	0.08	0	-0.26	-0.28
	Vy.max	0.15	**0.11**	-0.08	0	0.26	0.28
	Vz.min	0.15	0.11	**-0.08**	0	0.26	0.28
	Vz.max	-0.15	-0.11	**0.08**	0	-0.26	-0.28
	Mx.min	0.15	0.11	-0.08	**0**	0.26	0.28
	Mx.max	-0.15	-0.11	0.08	**0**	-0.26	-0.28
	My.min	-0.15	-0.11	0.08	0	**-0.26**	-0.28
	My.max	0.15	0.11	-0.08	0	**0.26**	0.28
	Mz.min	-0.15	-0.11	0.08	0	-0.26	**-0.28**
	Mz.max	0.15	0.11	-0.08	0	0.26	**0.28**
I	N.min	**-0.69**	-0.35	1.71	0	4.58	**-0.2**
	N.max	**0.69**	0.35	-1.71	0	-4.58	**0.2**
	Vy.min	-0.69	**-0.35**	1.71	0	4.58	**-0.2**
	Vy.max	0.69	**0.35**	-1.71	0	-4.58	**0.2**
	Vz.min	0.69	0.35	**-1.71**	0	-4.58	**0.2**
	Vz.max	-0.69	-0.35	**1.71**	0	4.58	**-0.2**
	Mx.min	0.69	0.35	-1.71	**0**	-4.58	**0.2**
	Mx.max	-0.69	-0.35	1.71	**0**	4.58	**-0.2**
	My.min	0.69	0.35	-1.71	0	**-4.58**	**0.2**
	My.max	-0.69	-0.35	1.71	0	**4.58**	**-0.2**
	Mz.min	-0.69	-0.35	1.71	0	4.58	**-0.2**
	Mz.max	0.69	0.35	-1.71	0	-4.58	**0.2**

TAB. P5.2.3 POSOUZENÍ - MEZNÍ STAV ÚNOSNOSTI

POPIS	PŘÍČNÍK P5 - VNĚJŠÍ PODÉLNÍK
PRUT / POLOHA BODU	656 / I[536]
NAMÁHÁNÍ	My.max
VLÁKNO	BOD K2 -HP
MEZNÍ STAV	ULS (MSÚ)
VYUŽITÍ VLÁKNA PRŮŘEZU	1.00

Charakteristiky materiálu				
pás. horní	$f_{yf,k}$	230	MPa	
pás. dolní	$f_{yf,k}$	230	MPa	
stojina	$f_{yw,k}$	230	MPa	
výztuž	$f_{ys,k}$	500	MPa	
γ_M =	1.10	γ_s =	1.15	

Excentricita normálové síly				
Exc./Fáze	0	1	2	3
e_y	0.000	0.000	0.000	0.000
e_z	0.000	0.000	0.000	0.000
Ekvivalentní vzdál. stěn - příčný roznos				
b_{Mx}	0.000	0.000	0.000	0.000

Vliv stěny na únosnost průřezu				
Char./Fáze	0	1	2	3
A	0.00	0.00	0.00	0.00
Wy	0.00	0.00	0.00	0.00
Wz	0.00	0.00	0.00	0.00

Charakter. v kroucení			
$t_{w,y}$	0.000	[mm]	
$t_{w,z}$	0.000	[mm]	
κ	1.00		
I_t=	0.00E+00	[mm^4]	
Ω=2*A_{pr}	0.00E+00	[mm^2]	

Součinitele vzpěru a vlivu II.řádu					
Char./Fáze	0	1	2	3	
k_y	1.000	1.000	1.000	1.000	
k_z	1.000	1.000	1.000	1.000	
χ_{LT}	1.000	1.000	1.000	1.000	
χ_{min}	1.000	1.000	1.000	1.000	

δ_{LOK} = 1.00

Vnitřní síly od jednotlivých skupin zatěžovacích stavů

SKUPINA ZATĚŽOVACÍCH STAVŮ: 3

Č.	SKUP ZS	POPIS ZS	KAT.	FÁZE PRŮŘ.	- CHARAKTERISTICKÉ HODNOTY N.k (kN)	Vy.k (kN)	Vz.k (kN)	Mx.k (kNm)	My.k (kNm)	Mz.k (kNm)	DÍLČÍ SOUČINITELÉ ZATÍŽENÍ, DYNAMICKÝ SOUČINITEL γ_{or} (-)	γ_{ro} (-)	volba γ_{ro} hledat	γ_{ro} (-)	L_d (m)	δ (-)	γ_{Sc} KZ03	- NÁVRHOVÉ HODNOTY N.d (kN)	Vy.d (kN)	Vz.d (kN)	ΔVz.d (kN)	ΣVz.d (kN)	Mx.d (kNm)	My.d (kNm)	ΔMy.d (kNm)	ΣMy.d (kNm)	Mz.d (kNm)	ΔMz.d (kNm)	ΣMz.d (kNm)
1	G0	Vlastní tíha OK	G	0	-1	3	-31	0	54	-5	1.00	1.20		1.20	-	1.00	0.95	-2	3	-35	0	-35	0	61	0	61	-6	0	-6
2	G1	Ostatní stálé - mostní vybavení	G	0	0	0	-7	0	8	0	1.00	1.20		1.20	-	1.00	0.95	0	0	-7	0	-7	0	9	0	9	0	0	0
3	G2	Ostatní stálé - cizí zařízení	G	0	0	0	-4	0	-6	-1	1.00	1.20		1.20	-	1.00	0.95	0	0	-4	0	-4	0	-7	0	-7	-1	0	-1
4	P1_71	a.LM71 - kolej 1 (bez dyn. souč.)	P	0	12	-2	-207	0	230	-3	1.00	1.30		1.30	-	1.27	1.00	20	-4	-342	0	-342	0	380	0	380	-5	1	-4
5	P2_71	a.LM71 - kolej 2 (bez dyn. souč.)	P	0	-7	-3	-109	0	756	-10	1.00	1.30		1.30	-	1.27	1.00	-12	-4	-181	0	-181	0	1 249	0	1 249	-16	4	-13
6	P1_C3	TTZ C3 - kolej 1 (bez dyn. souč.)	P	0	6	-1	-117	0	130	-2	1.00	vyp.		0.00	-	1.00	0.00	0	0	0	0	0	0	0	0	0	0	0	0
7	P2_C3	TTZ C3 - kolej 2 (bez dyn. souč.)	P	0	-7	-2	-60	0	434	-8	1.00	vyp.		0.00	-	1.00	0.00	0	0	0	0	0	0	0	0	0	0	0	0
8	BR	Brzdné a rozjezdové síly	P	0	0	24	0	0	3	50	1.00	-1.30		-1.30	-	1.00	0.80	0	-25	0	0	0	0	-3	0	-3	-52	0	-52
9	S	Boční ráz	P	0	3	2	-8	0	18	3	1.00	-1.30		-1.30	-	1.00	0.40	-2	-1	4	0	4	0	-9	0	-9	-1	0	-1
10	CH	Chodci na lávkách	Q	0	0	-1	2	0	-9	-1	1.00	1.30		1.30	-	1.00	1.00	0	-1	3	0	3	0	-12	0	-12	-2	0	-2
11	W	Vítr na konstrukci	Q	0	-14	-8	6	0	10	-6	1.00	1.35		1.35	-	1.00	0.75	-14	-8	6	0	6	0	10	0	10	-6	0	-6
12	WP	Vítr na vozidla	Q	0	0	13	26	0	56	10	1.00	-1.35		-1.35	-	1.00	0.75	0	-13	-26	0	-26	0	-57	0	-57	-10	0	-10
13	TR	Teplota rovnoměrná	Q	0	0	0	0	0	0	0	1.00	1.35		1.35	-	1.00	0.45	0	0	0	0	0	0	0	0	0	0	0	0
14	TN	Teplota nerovnoměrná	Q	0	-4	0	9	0	21	0	1.00	1.35		1.35	-	1.00	0.60	-3	0	8	0	8	0	17	0	17	0	0	0
15	FR	Třecí síly v ložiskách	Q	0	0	0	0	0	0	0	1.00	-1.20		-1.20	-	1.00	1.00	0	0	0	0	0	0	0	0	0	0	0	0
16	I	Imperfekce soustavy	Q	0	-1	0	2	0	5	0	1.00	1.20		1.20	-	1.00	1.00	-1	0	2	0	2	0	5	0	5	0	0	0
27	ULS_LM	ULS - LM71 bez dynam	Q	0	-9	9	-424	0	1 450	10	1.00	vyp.	1	0.00	-	1.00	0.00	0	0	0	0	0	0	0	0	0	0	0	0
28	SLS_LM	SLS - LM71 bez dynam	Q	0	-5	7	-338	0	1 108	6	1.00	vyp.	1	0.00	-	1.00	0.00	0	0	0	0	0	0	0	0	0	0	0	0
29	ULS_C3	ULS - C3 bez dynam	Q	0	-16	11	-242	0	903	14	1.00	vyp.	1	0.00	-	1.00	0.00	0	0	0	0	0	0	0	0	0	0	0	0
30	SLS_C3	SLS - C3 bez dynam	Q	0	-10	8	-198	0	687	10	1.00	vyp.	1	0.00	-	1.00	0.00	0	0	0	0	0	0	0	0	0	0	0	0
		CELKEM - FÁZE PRŮŘEZU 0			-13	-55	-573	0	1 643	-101								-573	0	1 643	0	-573	0	1 643	0	1 643	-101	5	-97
		CELKEM - FÁZE PRŮŘEZU 1			0	0	0	0	0	0								0	0	0	0	0	0	0	0	0	0	0	0
		CELKEM - FÁZE PRŮŘEZU 2			0	0	0	0	0	0								0	0	0	0	0	0	0	0	0	0	0	0
		CELKEM - FÁZE PRŮŘEZU 3			0	0	0	0	0	0								0	0	0	0	0	0	0	0	0	0	0	0
		CELKEM - PRŮŘEZ			-13	-55	-573	0	1 643	-101								-573	0	1 643						1 643			-97

Napětí od jednotlivých zatěžovacích stavů

SKUPINA ZATĚŽOVACÍCH STAVŮ

Č.	SKUP ZS	Popis ZS	Kat.	fáze prúř.	Posouzení normálového napětí: Účinek síly N δ^*N_d [kN]	χ^*A [mm^2]	σ_n [MPa]	Účinek momentu My $\delta^*M_{y,d}$ [kNm]	$\chi_{lt}{}^*W_{el,y}$ [mm^3]	σ_{my} [MPa]	Účinek momentu Mz $\delta^*M_{z,d}$ [kNm]	$W_{el,z}$ [mm^3]	σ_{mz} [MPa]	σ_x [MPa]	Posouzení smykového napětí: Účinek kroutícího momentu Mx $k^*\delta^*M_{x,d}$ [kNm]	$W_{v,y}$ [mm^2]	$\tau_{x,y}$ [MPa]	$W_{v,z}$ [mm^2]	$\tau_{x,z}$ [MPa]	Účinek smykové síly Vy $\delta^*V_{y,d}$ [kN]	$A_{v,y}$ [mm2]	$\tau_{v,y}$ [MPa]	$\tau_{v,y}$ [MPa]	Účinek smykové síly Vz $\delta^*V_{z,d}$ [kN]	$A_{v,z}$ [mm2]	$\tau_{v,z}$ [MPa]	$\tau_{v,z}$ [MPa]
1	G0	Vlastní tíha OK	G	0	-1.6	3.42E+04	0.0	61.1	-1.40E+07	-4.4	-6.1	1.05E+06	-5.8	-10.2	0.0E+00	-	-	-	-	3.0	1.87E+04	0.2	0.2	-35.4	1.12E+04	-3.2	-3.2
2	G1	Ostatní stálé - mostní vybavení	G	0	-0.1	3.42E+04	0.0	9.4	-1.40E+07	-0.7	-0.5	1.05E+06	-0.4	-1.1	0.0E+00	-	-	-	-	0.2	1.87E+04	0.0	0.0	-7.5	1.12E+04	-0.7	-0.7
3	G2	Ostatní stálé - cizí zařízení	G	0	-0.2	3.42E+04	0.0	-6.9	-1.40E+07	0.5	-0.6	1.05E+06	-0.6	-0.1	0.0E+00	-	-	-	-	-0.3	1.87E+04	0.0	0.0	-4.1	1.12E+04	-0.4	-0.4
4	P1_71	a.LM71 - kolej 1 (bez dyn. souč.)	P	0	19.6	3.42E+04	0.6	379.9	-1.40E+07	-27.2	-4.3	1.05E+06	-4.1	-30.7	0.0E+00	-	-	-	-	-3.9	1.87E+04	-0.2	-0.2	-342.4	1.12E+04	-30.6	-30.6
5	P2_71	a.LM71 - kolej 2 (bez dyn. souč.)	P	0	-11.8	3.42E+04	-0.3	1 248.5	-1.40E+07	-89.4	-13.0	1.05E+06	-12.3	-102.0	1.7E-02	-	-	-	-	-4.5	1.87E+04	-0.2	-0.2	-180.7	1.12E+04	-16.2	-16.2
6	P1_C3	TTZ C3 - kolej 1 (bez dyn. souč.)	P	0	0.0	3.42E+04	0.0	0.0	-1.40E+07	0.0	0.0	1.05E+06	0.0	0.0	0.0E+00	-	-	-	-	0.0	1.87E+04	0.0	0.0	0.0	1.12E+04	0.0	0.0
7	P2_C3	TTZ C3 - kolej 2 (bez dyn. souč.)	P	0	0.0	3.42E+04	0.0	0.0	-1.40E+07	0.0	0.0	1.05E+06	0.0	0.0	0.0E+00	-	-	-	-	0.0	1.87E+04	0.0	0.0	0.0	1.12E+04	0.0	0.0
8	BR	Brzdné a rozjezdové síly	P	0	-0.3	3.42E+04	0.0	-3.4	-1.40E+07	0.2	-52.1	1.05E+06	-49.4	-49.2	2.1E-02	-	-	-	-	-24.7	1.87E+04	-1.3	-1.3	0.3	1.12E+04	0.0	0.0
9	S	Boční ráz	P	0	-1.7	3.42E+04	0.0	-9.3	-1.40E+07	0.7	-1.4	1.05E+06	-1.4	-0.8	-1.0E-02	-	-	-	-	-1.0	1.87E+04	-0.1	-0.1	4.2	1.12E+04	0.4	0.4
10	CH	Chodci na lávkách	Q	0	0.4	3.42E+04	0.0	-11.8	-1.40E+07	0.8	-1.5	1.05E+06	-1.5	-0.6	0.0E+00	-	-	-	-	-1.0	1.87E+04	-0.1	-0.1	3.2	1.12E+04	0.3	0.3
11	W	Vítr na konstrukci	Q	0	-14.3	3.42E+04	-0.4	10.5	-1.40E+07	-0.7	-5.9	1.05E+06	-5.6	-6.8	1.0E-02	-	-	-	-	-8.0	1.87E+04	-0.4	-0.4	6.0	1.12E+04	0.5	0.5
12	WP	Vítr na vozidla	Q	0	0.4	3.42E+04	0.0	-57.2	-1.40E+07	4.1	-10.3	1.05E+06	-9.7	-5.6	1.0E-02	-	-	-	-	-13.5	1.87E+04	-0.7	-0.7	-26.3	1.12E+04	-2.4	-2.4
13	TR	Teplota rovnoměrná	Q	0	0.0	3.42E+04	0.0	0.0	-1.40E+07	0.0	0.0	1.05E+06	0.0	0.0	0.0E+00	-	-	-	-	0.0	1.87E+04	0.0	0.0	0.0	1.12E+04	0.0	0.0
14	TN	Teplota nerovnoměrná	Q	0	-2.8	3.42E+04	-0.1	16.8	-1.40E+07	-1.2	-0.3	1.05E+06	-0.3	-1.6	0.0E+00	-	-	-	-	-0.3	1.87E+04	0.0	0.0	7.7	1.12E+04	0.7	0.7
15	FR	Třecí síly v ložiskách	Q	0	-0.2	3.42E+04	0.0	-0.3	-1.40E+07	0.0	-0.3	1.05E+06	-0.3	-0.3	0.0E+00	-	-	-	-	-0.1	1.87E+04	0.0	0.0	0.1	1.12E+04	0.0	0.0
16	I	Imperfekce soustavy	Q	0	-0.8	3.42E+04	0.0	5.5	-1.40E+07	-0.4	-0.2	1.05E+06	-0.2	-0.6	0.0E+00	-	-	-	-	-0.4	1.87E+04	0.0	0.0	2.1	1.12E+04	0.2	0.2
27	ULS_LM	ULS - LM71 bez dynam	Q	0	0.0	3.42E+04	0.0	0.0	-1.40E+07	0.0	0.0	1.05E+06	0.0	0.0	0.0E+00	-	-	-	-	0.0	1.87E+04	0.0	0.0	0.0	1.12E+04	0.0	0.0
28	SLS_LM	SLS - LM71 bez dynam	Q	0	0.0	3.42E+04	0.0	0.0	-1.40E+07	0.0	0.0	1.05E+06	0.0	0.0	0.0E+00	-	-	-	-	0.0	1.87E+04	0.0	0.0	0.0	1.12E+04	0.0	0.0
29	ULS_C3	ULS - C3 bez dynam	Q	0	0.0	3.42E+04	0.0	0.0	-1.40E+07	0.0	0.0	1.05E+06	0.0	0.0	0.0E+00	-	-	-	-	0.0	1.87E+04	0.0	0.0	0.0	1.12E+04	0.0	0.0
30	SLS_C3	SLS - C3 bez dynam	Q	0	0.0	3.42E+04	0.0	0.0	-1.40E+07	0.0	0.0	1.05E+06	0.0	0.0	0.0E+00	-	-	-	-	0.0	1.87E+04	0.0	0.0	0.0	1.12E+04	0.0	0.0
		NAVÝŠENÍ NAPĚTÍ DO AKTIVACE TLAKU V DESCE MOSTOVKY				$\sigma_{P,red}$	0.0							0.0			0.0		0.0			-2.9	-2.9			-51.2	-51.2
		NAPĚTÍ OD PRIMÁRNÍCH ÚČINKŮ NEROVNOMĚRNÉHO OTEPLENÍ				σ_T	0.0							0.0													
		NAPĚTÍ OD REOLOGICKÝCH ÚČINKŮ BETONU V ČASE		t=0		σ_R	0.0	γ=	1.20					0.0													
		NAPĚTÍ V KRITICKÝCH VLÁKNECH OD KOMBINACE ZATÍŽENÍ				KZ03		[MPa]					$\Sigma\sigma_x$	-209.7								$\Sigma\tau_y$	-2.9			$\Sigma\tau_z$	-51.2
		NAPĚTÍ OD POHYBLIVÉHO ZATÍŽENÍ						[MPa]					$\sigma_{x,P}$	-182.7									-1.8			τ_P	-46.4
		NAPĚTÍ OD OSTATNÍCH ZATÍŽENÍ						[MPa]			Φ_{Vy}	Φ_{Vz}	$\sigma_{x,rs}$	-27.0								τ_{rs}	-1.1			τ_{rs}	-4.9
		NÁVRHOVÁ HODNOTA MEZE KLUZU S REDUKCÍ VLIVEM SMYKOVÉHO NAPĚTÍ						[MPa]			1.00	1.00	$f_{yw,d}$	209.1								$f_{yd}/3^{0,5}$	120.7			$f_{yd}/3^{0,5}$	120.7
		NAPĚTÍ OD POHYBLIVÉHO ZATÍŽENÍ V GLOBÁLNÍM SYSTÉMU				$\sigma_{GLOB,P}$	0.0	[MPa]					$\Sigma\sigma_{GLOB}$	0.0													
		NAPĚTÍ OD OSTATNÍCH ZATÍŽENÍ V GLOBÁLNÍM SYSTÉMU				$\sigma_{GLOB,rs}$	0.0	[MPa]					$\Sigma\sigma_x + \Sigma\sigma_{GLOB}$	-209.7													
		VYUŽITÍ PRŮŘEZU DLE NAPĚTÍ						[%]					η_1	1.00								η_3	0.02			η_3	0.42
		NAPĚTÍ V PŘÍČNÉM SMĚRU OD POHYBLIVÉHO ZATÍŽENÍ				$\sigma_{z,P}$	0.0	[MPa]					$\Sigma\sigma_z$	0.0													
		NAPĚTÍ V PŘÍČNÉM SMĚRU OD OSTATNÍCH ZATÍŽENÍ				$\sigma_{z,rs}$	0.0	[MPa]					η_2	0.00													
		SROVNÁVACÍ NAPĚTÍ											$(\eta_2 + 0,8\ \eta_1)/1,4$ =	0.57													
		VYUŽITÍ PRŮŘEZU CELKEM						[%]					eff	1.00	NEVYHOVUJE												
		STANOVENÍ ZATÍŽITELNOSTI											Z_{LM71} =	1.00													

TAB. P5.2.3 POSOUZENÍ - MEZNÍ STAV ÚNOSNOSTI

POPIS	PŘÍČNÍK P5 - VNĚJŠÍ PODÉLNÍK
PRUT / POLOHA BODU	656 / I[536]
NAMÁHÁNÍ	My.max
VLÁKNO	BOD K3 -SL
MEZNÍ STAV	ULS (MSÚ)
VYUŽITÍ VLÁKNA PRŮŘEZU	1.10

Charakteristiky materiálu				
pás. horní	$f_{yf,k}$	230	MPa	
pás. dolní	$f_{yf,k}$	230	MPa	
stojina	$f_{yw,k}$	230	MPa	
výztuž	$f_{ys,k}$	500	MPa	
γ_M =	1.10	γ_s =	1.15	

Excentricita normálové síly				
Exc./Fáze	0	1	2	3
e_y	0.000	0.000	0.000	0.000
e_z	0.000	0.000	0.000	0.000
Ekvivalentní vzdál. stěn - příčný roznos				
b_{Mx}	0.000	0.000	0.000	0.000

Vliv stěny na únosnost průřezu				
Char./Fáze	0	1	2	3
A	0.00	0.00	0.00	0.00
Wy	0.00	0.00	0.00	0.00
Wz	0.00	0.00	0.00	0.00

Charakter. v kroucení			
$t_{w,y}$	0.000	[mm]	
$t_{w,z}$	0.000	[mm]	
κ	1.00		
I_t=	0.00E+00	[mm^4]	
Ω=2*A_{pr}	0.00E+00	[mm^2]	

Součinitele vzpěru a vlivu II.řádu				
Char./Fáze	0	1	2	3
k_y	1.000	1.000	1.000	1.000
k_z	1.000	1.000	1.000	1.000
χ_{LT}	1.000	1.000	1.000	1.000
χ_{min}	1.000	1.000	1.000	1.000

3

δ_{LOK} 1.00

Vnitřní síly od jednotlivých skupin zatěžovacích stavů

SKUPINA ZATĚŽOVACÍCH STAVŮ					- CHARAKTERISTICKÉ HODNOTY						DÍLČÍ SOUČINITELÉ ZATÍŽENÍ, DYNAMICKÝ SOUČINITEL							- NÁVRHOVÉ HODNOTY									
Č.	SKUP ZS	POPIS ZS	KAT.	FÁZE PRŮŘ.	N.k (kN)	Vy.k (kN)	Vz.k (kN)	Mx.k (kNm)	My.k (kNm)	Mz.k (kNm)	γ_{sr} (-)	γ_{fs} (-)	volba γ_f hledat	γ_f (-)	L_d (m)	δ (-)	ψ_s KZ03	N.d (kN)	Vy.d (kN)	Vz.d (kN)	ΔVz.d (kN)	ΣVz.d (kN)	Mx.d (kNm)	My.d (kNm)	ΔMy.d (kNm)	ΣMy.d (kNm)	Mz.d (kNm)	ΔMz.d (kNm)	ΣMz.d (kNm)
1	G0	Vlastní tíha OK	G	0	-1	3	-31	0	54	-5	1.00	1.20		1.20	-	1.00	0.95	-2	3	-35	0	-35	0	61	0	61	-6	0	-6
2	G1	Ostatní stálé - mostní vybavení	G	0	0	0	-7	0	8	0	1.00	1.20		1.20	-	1.00	0.95	0	0	-7	0	-7	0	9	0	9	0	0	0
3	G2	Ostatní stálé - cizí zařízení	G	0	0	0	-4	0	-6	-1	1.00	1.20		1.20	-	1.00	0.95	0	0	-4	0	-4	0	-7	0	-7	-1	0	-1
4	P1_71	a.LM71 - kolej 1 (bez dyn. souč.)	P	0	12	-2	-207	0	230	-3	1.00	1.30		1.30	-	1.27	1.00	20	-4	-342	0	-342	0	380	0	380	-5	1	-4
5	P2_71	a.LM71 - kolej 2 (bez dyn. souč.)	P	0	-7	-3	-109	0	756	-10	1.00	1.30		1.30	-	1.27	1.00	-12	-4	-181	0	-181	0	1 249	0	1 249	-16	4	-13
6	P1_C3	TTZ C3 - kolej 1 (bez dyn. souč.)	P	0	6	-1	-117	0	130	-2	1.00	vyp.		0.00	-	1.00	0.00	0	0	0	0	0	0	0	0	0	0	0	0
7	P2_C3	TTZ C3 - kolej 2 (bez dyn. souč.)	P	0	-7	-2	-60	0	434	-8	1.00	vyp.		0.00	-	1.00	0.00	0	0	0	0	0	0	0	0	0	0	0	0
8	BR	Brzdné a rozjezdové síly	P	0	0	24	0	0	3	50	1.00	-1.30		-1.30	-	1.00	0.80	0	-25	0	0	0	0	-3	0	-3	-52	0	-52
9	S	Boční ráz	P	0	3	2	-8	0	18	3	1.00	-1.30		-1.30	-	1.00	0.40	-2	-1	4	0	4	0	-9	0	-9	-1	0	-1
10	CH	Chodci na lávkách	Q	0	0	-1	2	0	-9	-1	1.00	1.30		1.30	-	1.00	1.00	0	-1	3	0	3	0	-12	0	-12	-2	0	-2
11	W	Vítr na konstrukci	Q	0	-14	-8	6	0	10	-6	1.00	1.35		1.35	-	1.00	0.75	-14	-8	6	0	6	0	10	0	10	-6	0	-6
12	WP	Vítr na vozidla	Q	0	0	13	26	0	56	10	1.00	-1.35		-1.35	-	1.00	0.75	0	-13	-26	0	-26	0	-57	0	-57	-10	0	-10
13	TR	Teplota rovnoměrná	Q	0	0	0	0	0	0	0	1.00	1.35		1.35	-	1.00	0.45	0	0	0	0	0	0	0	0	0	0	0	0
14	TN	Teplota nerovnoměrná	Q	0	-4	0	9	0	21	0	1.00	1.35		1.35	-	1.00	0.60	-3	0	8	0	8	0	17	0	17	0	0	0
15	FR	Třecí síly v ložiskách	Q	0	0	0	0	0	0	0	1.00	-1.20		-1.20	-	1.00	1.00	0	0	0	0	0	0	0	0	0	0	0	0
16	I	Imperfekce soustavy	Q	0	-1	0	2	0	5	0	1.00	1.20		1.20	-	1.00	1.00	-1	0	2	0	2	0	5	0	5	0	0	0
27	ULS_LM	ULS - LM71 bez dynam	Q	0	-9	9	-424	0	1 450	10	1.00	vyp.		0.00	-	1.00	0.00	0	0	0	0	0	0	0	0	0	0	0	0
28	SLS_LM	SLS - LM71 bez dynam	Q	0	-5	7	-338	0	1 108	6	1.00	vyp.	1	0.00	-	1.00	0.00	0	0	0	0	0	0	0	0	0	0	0	0
29	ULS_C3	ULS - C3 bez dynam	Q	0	-16	11	-242	0	903	14	1.00	vyp.	1	0.00	-	1.00	0.00	0	0	0	0	0	0	0	0	0	0	0	0
30	SLS_C3	SLS - C3 bez dynam	Q	0	-10	8	-198	0	687	10	1.00	vyp.	1	0.00	-	1.00	0.00	0	0	0	0	0	0	0	0	0	0	0	0
		CELKEM - FÁZE PRŮŘEZU 0			-13	-55	-573	0	1 643	-101								-13	-55	-573	0	-573	0	1 643	0	1 643	-101	5	-97
		CELKEM - FÁZE PRŮŘEZU 1			0	0	0	0	0	0								0	0	0	0	0	0	0	0	0	0	0	0
		CELKEM - FÁZE PRŮŘEZU 2			0	0	0	0	0	0								0	0	0	0	0	0	0	0	0	0	0	0
		CELKEM - FÁZE PRŮŘEZU 3			0	0	0	0	0	0								0	0	0	0	0	0	0	0	0	0	0	0
		CELKEM - PRŮŘEZ			-13	-55	-573	0	1 643	-97								-13	-55	-573	0	-573	0			1 643			-97

Napětí od jednotlivých zatěžovacích stavů

SKUPINA ZATĚŽOVACÍCH STAVŮ					Posouzení normálového napětí										Posouzení smykového napětí													
					Účinek síly N			Účinek momentu My			Účinek momentu Mz				Účinek kroutícího momentu Mx				Účinek smykové síly Vy					Účinek smykové síly Vz			
Č.	SKUP ZS	Popis ZS	Kat.	fáze prúř.	δ^*N_d [kN]	χ^*A [mm^2]	σ_n [MPa]	$\delta^*M_{y,d}$ [kNm]	$\chi_{lt}{}^*W_{el,y}$ [mm^3]	σ_{my} [MPa]	$\delta^*M_{z,d}$ [kNm]	$W_{el,z}$ [mm^3]	σ_{mz} [MPa]	σ_x [MPa]	$\kappa^*\delta^*M_{x,d}$ [kNm]	$W_{v,y}$ [mm^2]	$\tau_{x,y}$ [MPa]	$W_{v,z}$ [mm^2]	$\tau_{x,z}$ [MPa]	$\delta^*V_{y,d}$ [kN]	$A_{v,y}$ [mm2]	$\tau_{v,y}$ [MPa]	$\tau_{v,y}$ [MPa]	$\delta^*V_{z,d}$ [kN]	$A_{v,z}$ [mm2]	$\tau_{v,z}$ [MPa]	$\tau_{v,z}$ [MPa]
1	G0	Vlastní tíha OK	G	0	-1.6	3.42E+04	0.0	61.1	1.19E+07	5.1	-6.1	-1.05E+06	5.8	10.9	0.0E+00	-	-	-	-	3.0	1.87E+04	0.2	0.2	-35.4	1.12E+04	-3.2	-3.2
2	G1	Ostatní stálé - mostní vybavení	G	0	-0.1	3.42E+04	0.0	9.4	1.19E+07	0.8	-0.5	-1.05E+06	0.4	1.2	0.0E+00	-	-	-	-	0.2	1.87E+04	0.0	0.0	-7.5	1.12E+04	-0.7	-0.7
3	G2	Ostatní stálé - cizí zařízení	G	0	-0.2	3.42E+04	0.0	-6.9	1.19E+07	-0.6	-0.6	-1.05E+06	0.6	0.0	0.0E+00	-	-	-	-	-0.3	1.87E+04	0.0	0.0	-4.1	1.12E+04	-0.4	-0.4
4	P1_71	a.LM71 - kolej 1 (bez dyn. souč.)	P	0	19.6	3.42E+04	0.6	379.9	1.19E+07	32.0	-4.3	-1.05E+06	4.1	36.7	0.0E+00	-	-	-	-	-3.9	1.87E+04	-0.2	-0.2	-342.4	1.12E+04	-30.6	-30.6
5	P2_71	a.LM71 - kolej 2 (bez dyn. souč.)	P	0	-11.8	3.42E+04	-0.3	1 248.5	1.19E+07	105.3	-13.0	-1.05E+06	12.3	117.2	1.7E-02	-	-	-	-	-4.5	1.87E+04	-0.2	-0.2	-180.7	1.12E+04	-16.2	-16.2
6	P1_C3	TTZ C3 - kolej 1 (bez dyn. souč.)	P	0	0.0	3.42E+04	0.0	0.0	1.19E+07	0.0	0.0	-1.05E+06	0.0	0.0	0.0E+00	-	-	-	-	0.0	1.87E+04	0.0	0.0	0.0	1.12E+04	0.0	0.0
7	P2_C3	TTZ C3 - kolej 2 (bez dyn. souč.)	P	0	0.0	3.42E+04	0.0	0.0	1.19E+07	0.0	0.0	-1.05E+06	0.0	0.0	0.0E+00	-	-	-	-	0.0	1.87E+04	0.0	0.0	0.0	1.12E+04	0.0	0.0
8	BR	Brzdné a rozjezdové síly	P	0	-0.3	3.42E+04	0.0	-3.4	1.19E+07	-0.3	-52.1	-1.05E+06	49.4	49.1	2.1E-02	-	-	-	-	-24.7	1.87E+04	-1.3	-1.3	0.3	1.12E+04	0.0	0.0
9	S	Boční ráz	P	0	-1.7	3.42E+04	0.0	-9.3	1.19E+07	-0.8	-1.4	-1.05E+06	1.4	0.5	-1.0E-02	-	-	-	-	-1.0	1.87E+04	-0.1	-0.1	4.2	1.12E+04	0.4	0.4
10	CH	Chodci na lávkách	Q	0	0.4	3.42E+04	0.0	-11.8	1.19E+07	-1.0	-1.5	-1.05E+06	1.5	0.5	0.0E+00	-	-	-	-	-1.0	1.87E+04	-0.1	-0.1	3.2	1.12E+04	0.3	0.3
11	W	Vítr na konstrukci	Q	0	-14.3	3.42E+04	-0.4	10.5	1.19E+07	0.9	-5.9	-1.05E+06	5.6	6.1	1.0E-02	-	-	-	-	-8.0	1.87E+04	-0.4	-0.4	6.0	1.12E+04	0.5	0.5
12	WP	Vítr na vozidla	Q	0	0.4	3.42E+04	0.0	-57.2	1.19E+07	-4.8	-10.3	-1.05E+06	9.7	4.9	1.0E-02	-	-	-	-	-13.5	1.87E+04	-0.7	-0.7	-26.3	1.12E+04	-2.4	-2.4
13	TR	Teplota rovnoměrná	Q	0	0.0	3.42E+04	0.0	0.0	1.19E+07	0.0	0.0	-1.05E+06	0.0	0.0	0.0E+00	-	-	-	-	0.0	1.87E+04	0.0	0.0	0.0	1.12E+04	0.0	0.0
14	TN	Teplota nerovnoměrná	Q	0	-2.8	3.42E+04	-0.1	16.8	1.19E+07	1.4	-0.3	-1.05E+06	0.3	1.6	0.0E+00	-	-	-	-	-0.3	1.87E+04	0.0	0.0	7.7	1.12E+04	0.7	0.7
15	FR	Třecí síly v ložiskách	Q	0	-0.2	3.42E+04	0.0	-0.3	1.19E+07	0.0	-0.3	-1.05E+06	0.3	0.3	0.0E+00	-	-	-	-	-0.1	1.87E+04	0.0	0.0	0.1	1.12E+04	0.0	0.0
16	I	Imperfekce soustavy	Q	0	-0.8	3.42E+04	0.0	5.5	1.19E+07	0.5	-0.2	-1.05E+06	0.2	0.7	0.0E+00	-	-	-	-	-0.4	1.87E+04	0.0	0.0	2.1	1.12E+04	0.2	0.2
27	ULS_LM	ULS - LM71 bez dynam	Q	0	0.0	3.42E+04	0.0	0.0	1.19E+07	0.0	0.0	-1.05E+06	0.0	0.0	0.0E+00	-	-	-	-	0.0	1.87E+04	0.0	0.0	0.0	1.12E+04	0.0	0.0
28	SLS_LM	SLS - LM71 bez dynam	Q	0	0.0	3.42E+04	0.0	0.0	1.19E+07	0.0	0.0	-1.05E+06	0.0	0.0	0.0E+00	-	-	-	-	0.0	1.87E+04	0.0	0.0	0.0	1.12E+04	0.0	0.0
29	ULS_C3	ULS - C3 bez dynam	Q	0	0.0	3.42E+04	0.0	0.0	1.19E+07	0.0	0.0	-1.05E+06	0.0	0.0	0.0E+00	-	-	-	-	0.0	1.87E+04	0.0	0.0	0.0	1.12E+04	0.0	0.0
30	SLS_C3	SLS - C3 bez dynam	Q	0	0.0	3.42E+04	0.0	0.0	1.19E+07	0.0	0.0	-1.05E+06	0.0	0.0	0.0E+00	-	-	-	-	0.0	1.87E+04	0.0	0.0	0.0	1.12E+04	0.0	0.0
NAVÝŠENÍ NAPĚTÍ DO AKTIVACE TLAKU V DESCE MOSTOVKY						$\sigma_{P,red}$	0.0							0.0			0.0		0.0			-2.9	-2.9			-51.2	-51.2
NAPĚTÍ OD PRIMÁRNÍCH ÚČINKŮ NEROVNOMĚRNÉHO OTEPLENÍ						σ_T	0.0							0.0													
NAPĚTÍ OD REOLOGICKÝCH ÚČINKŮ BETONU V ČASE				t=0		σ_R	0.0	γ_{lt}=	1.20					0.0													
NAPĚTÍ V KRITICKÝCH VLÁKNECH OD KOMBINACE ZATÍŽENÍ						KZ03		[MPa]					$\Sigma\sigma_x$	229.8								$\Sigma\tau_y$	-2.9			$\Sigma\tau_z$	-51.2
NAPĚTÍ OD POHYBLIVÉHO ZATÍŽENÍ								[MPa]					$\sigma_{x,P}$	203.6								τ_P	-1.8			τ_P	-46.4
NAPĚTÍ OD OSTATNÍCH ZATÍŽENÍ								[MPa]			Φ_{Vy}	Φ_{Vz}	$\sigma_{x,rs}$	26.2								τ_{rs}	-1.1			τ_{rs}	-4.9
NÁVRHOVÁ HODNOTA MEZE KLUZU S REDUKCÍ VLIVEM SMYKOVÉHO NAPĚTÍ								[MPa]			1.00	1.00	$f_{yw,d}$	209.1								$f_{yd}/3^{0,5}$	120.7			$f_{yd}/3^{0,5}$	120.7
NAPĚTÍ OD POHYBLIVÉHO ZATÍŽENÍ V GLOBÁLNÍM SYSTÉMU						$\sigma_{GLOB,P}$	0.0	[MPa]					$\Sigma\sigma_{GLOB}$	0.0													
NAPĚTÍ OD OSTATNÍCH ZATÍŽENÍ V GLOBÁLNÍM SYSTÉMU						$\sigma_{GLOB,rs}$	0.0	[MPa]					$\Sigma\sigma_x + \Sigma\sigma_{GLOB}$	229.8													
VYUŽITÍ PRŮŘEZU DLE NAPĚTÍ								[%]					η_1	1.10								η_3	0.02			η_3	0.42
NAPĚTÍ V PŘÍČNÉM SMĚRU OD POHYBLIVÉHO ZATÍŽENÍ						$\sigma_{z,P}$	0.0	[MPa]					$\Sigma\sigma_z$	0.0													
NAPĚTÍ V PŘÍČNÉM SMĚRU OD OSTATNÍCH ZATÍŽENÍ						$\sigma_{z,rs}$	0.0	[MPa]					η_2	0.00													
SROVNÁVACÍ NAPĚTÍ													$(\eta_2 + 0{,}8\,\eta_1)/1{,}4$ =	0.63													
VYUŽITÍ PRŮŘEZU CELKEM								[%]					eff	1.10	NEVYHOVUJE												
STANOVENÍ ZATÍŽITELNOSTI													z_{LM71} =	0.90													

TAB. P5.2.3 POSOUZENÍ - MEZNÍ STAV ÚNOSNOSTI

POPIS	PŘÍČNÍK P5 - VNĚJŠÍ PODÉLNÍK
PRUT / POLOHA BODU	656 / I[536]
NAMÁHÁNÍ	Vz.min
VLÁKNO	BOD S6 -HP
MEZNÍ STAV	ULS (MSÚ)
VYUŽITÍ VLÁKNA PRŮŘEZU	0.58

Charakteristiky materiálu				
pás. horní	$f_{yf,k}$	230	MPa	
pás. dolní	$f_{yf,k}$	230	MPa	
stojina	$f_{yw,k}$	230	MPa	
výztuž	$f_{ys,k}$	500	MPa	
γ_M =	1.10	γ_s =	1.15	

Excentricita normálové síly				
Exc./Fáze	0	1	2	3
e_y	0.000	0.000	0.000	0.000
e_z	0.000	0.000	0.000	0.000
Ekvivalentní vzdál. stěn - příčný roznos				
b_{Mx}	0.000	0.000	0.000	0.000

Vliv stěny na únosnost průřezu				
Char./Fáze	0	1	2	3
A	0.00	0.00	0.00	0.00
Wy	0.00	0.00	0.00	0.00
Wz	0.00	0.00	0.00	0.00

Charakter. v kroucení			
$t_{w,y}$	0.000	[mm]	
$t_{w,z}$	0.000	[mm]	
κ	1.00		
I_t=	0.00E+00	[mm^4]	
Ω=2*A_{pr}	0.00E+00	[mm^2]	

Součinitele vzpěru a vlivu II.řádu					
Char./Fáze	0	1	2	3	
k_y	1.000	1.000	1.000	1.000	
k_z	1.000	1.000	1.000	1.000	
χ_{LT}	1.000	1.000	1.000	1.000	
χ_{min}	1.000	1.000	1.000	1.000	

δ_{LOK} 1.00

Vnitřní síly od jednotlivých skupin zatěžovacích stavů

SKUPINA ZATĚŽOVACÍCH STAVŮ

Č.	SKUP ZS	POPIS ZS	KAT.	FÁZE PRŮŘ.	- CHARAKTERISTICKÉ HODNOTY N.k (kN)	Vy.k (kN)	Vz.k (kN)	Mx.k (kNm)	My.k (kNm)	Mz.k (kNm)	DÍLČÍ SOUČINITELÉ ZATÍŽENÍ, DYNAMICKÝ SOUČINITEL γ_{sr} (-)	γ_{fs} (-)	volba ψ_i hledat	ψ_i (-)	L_d (m)	δ (-)	γ_{Sc} KZ04	- NÁVRHOVÉ HODNOTY N.d (kN)	Vy.d (kN)	Vz.d (kN)	ΔVz.d (kN)	ΣVz.d (kN)	Mx.d (kNm)	My.d (kNm)	ΔMy.d (kNm)	ΣMy.d (kNm)	Mz.d (kNm)	ΔMz.d (kNm)	ΣMz.d (kNm)
1	G0	Vlastní tíha OK	G	0	-1	3	-31	0	54	-5	1.00	1.20		1.20	-	1.00	0.95	-2	3	-35	0	-35	0	61	0	61	-6	0	-6
2	G1	Ostatní stálé - mostní vybavení	G	0	0	0	-7	0	8	0	1.00	1.20		1.20	-	1.00	0.95	0	0	-7	0	-7	0	9	0	9	0	0	0
3	G2	Ostatní stálé - cizí zařízení	G	0	0	0	-4	0	-6	-1	1.00	1.20		1.20	-	1.00	0.95	0	0	-4	0	-4	0	-7	0	-7	-1	0	-1
4	P1_71	a.LM71 - kolej 1 (bez dyn. souč.)	P	0	13	-7	-212	0	214	-10	1.00	1.30		1.30	-	1.27	1.00	22	-12	-350	0	-350	0	353	0	353	-17	4	-13
5	P2_71	a.LM71 - kolej 2 (bez dyn. souč.)	P	0	1	-1	-169	0	715	-3	1.00	1.30		1.30	-	1.27	1.00	1	-2	-279	0	-279	0	1 182	0	1 182	-6	1	-4
6	P1_C3	TTZ C3 - kolej 1 (bez dyn. souč.)	P	0	8	-6	-122	0	114	-9	1.00	vyp.		0.00	-	1.00	0.00	0	0	0	0	0	0	0	0	0	0	0	0
7	P2_C3	TTZ C3 - kolej 2 (bez dyn. souč.)	P	0	0	-1	-95	0	405	-2	1.00	vyp.		0.00	-	1.00	0.00	0	0	0	0	0	0	0	0	0	0	0	0
8	BR	Brzdné a rozjezdové síly	P	0	1	25	-1	0	1	45	1.00	1.30		1.30	-	1.00	0.40	1	13	0	0	0	0	0	0	0	23	0	23
9	S	Boční ráz	P	0	3	2	-8	0	18	3	1.00	1.30		1.30	-	1.00	0.80	3	2	-8	0	-8	0	19	0	19	3	0	3
10	CH	Chodci na lávkách	Q	0	0	-1	-1	0	-34	-1	1.00	1.30		1.30	-	1.00	1.00	0	-1	-1	0	-1	0	-45	0	-45	-1	0	-1
11	W	Vítr na konstrukci	Q	0	11	8	-6	0	-10	6	1.00	1.35		1.35	-	1.00	0.75	11	8	-6	0	-6	0	-10	0	-10	6	0	6
12	WP	Vítr na vozidla	Q	0	0	-13	-26	0	-56	-10	1.00	1.35		1.35	-	1.00	0.75	0	-14	-26	0	-26	0	-57	0	-57	-10	0	-10
13	TR	Teplota rovnoměrná	Q	0	0	0	0	0	0	0	1.00	1.35		1.35	-	1.00	0.45	0	0	0	0	0	0	0	0	0	0	0	0
14	TN	Teplota nerovnoměrná	Q	0	5	0	-10	0	-29	0	1.00	1.35		1.35	-	1.00	0.60	4	0	-8	0	-8	0	-24	0	-24	0	0	0
15	FR	Třecí síly v ložiskách	Q	0	0	0	0	0	0	0	1.00	1.20		1.20	-	1.00	1.00	0	0	0	0	0	0	0	0	0	0	0	0
16	I	Imperfekce soustavy	Q	0	1	0	-2	0	-5	0	1.00	1.20		1.20	-	1.00	1.00	1	0	-2	0	-2	0	-5	0	-5	0	0	0
27	ULS_LM	ULS - LM71 bez dynam	Q	0	38	-4	-596	0	1 155	-2	1.00	vyp.		0.00	-	1.00	0.00	0	0	0	0	0	0	0	0	0	0	0	0
28	SLS_LM	SLS - LM71 bez dynam	Q	0	26	-4	-457	0	915	-2	1.00	vyp.	1	0.00	-	1.00	0.00	0	0	0	0	0	0	0	0	0	0	0	0
29	ULS_C3	ULS - C3 bez dynam	Q	0	30	-2	-384	0	622	2	1.00	vyp.	1	0.00	-	1.00	0.00	0	0	0	0	0	0	0	0	0	0	0	0
30	SLS_C3	SLS - C3 bez dynam	Q	0	20	-2	-294	0	506	1	1.00	vyp.	1	0.00	-	1.00	0.00	0	0	0	0	0	0	0	0	0	0	0	0
		CELKEM - FÁZE PRŮŘEZU 0																42	-2	-728	0	-728	0	1 476	0	1 476	-8	5	-4
		CELKEM - FÁZE PRŮŘEZU 1																0	0	0	0	0	0	0	0	0	0	0	0
		CELKEM - FÁZE PRŮŘEZU 2																0	0	0	0	0	0	0	0	0	0	0	0
		CELKEM - FÁZE PRŮŘEZU 3																0	0	0	0	0	0	0	0	0	0	0	0
		CELKEM - PRŮŘEZ																42	-2	-728	0	-728	0			1 476			-4

Napětí od jednotlivých zatěžovacích stavů

SKUPINA ZATĚŽOVACÍCH STAVŮ

Č.	SKUP ZS	Popis ZS	Kat.	fáze průř.	Posouzení normálového napětí — Účinek síly N δ^*N_d [kN]	χ^*A [mm^2]	σ_n [MPa]	Účinek momentu My $\delta^*M_{y,d}$ [kNm]	$\chi_{lt}{}^*W_{el,y}$ [mm^3]	σ_{my} [MPa]	Účinek momentu Mz $\delta^*M_{z,d}$ [kNm]	$W_{el,z}$ [mm^3]	σ_{mz} [MPa]	σ_x [MPa]	Posouzení smykového napětí — Účinek kroutícího momentu Mx $\kappa^*\delta^*M_{x,d}$ [kNm]	$W_{v,y}$ [mm^3]	$\tau_{x,y}$ [MPa]	$W_{v,z}$ [mm^3]	$\tau_{x,z}$ [MPa]	Účinek smykové síly Vy $\delta^*V_{y,d}$ [kN]	$A_{v,y}$ [mm2]	$\tau_{v,y}$ [MPa]	$\tau_{v,y}$ [MPa]	Účinek smykové síly Vz $\delta^*V_{z,d}$ [kN]	$A_{v,z}$ [mm2]	$\tau_{v,z}$ [MPa]	$\tau_{v,z}$ [MPa]
1	G0	Vlastní tíha OK	G	0	-1.6	3.42E+04	0.0	61.1	1.23E+07	5.0	-6.1	-3.24E+07	0.2	5.1	0.0E+00	-	-	-	-	3.0	1.87E+04	0.2	0.2	-35.4	1.12E+04	-3.2	-3.2
2	G1	Ostatní stálé - mostní vybavení	G	0	-0.1	3.42E+04	0.0	9.4	1.23E+07	0.8	-0.5	-3.24E+07	0.0	0.8	0.0E+00	-	-	-	-	0.2	1.87E+04	0.0	0.0	-7.5	1.12E+04	-0.7	-0.7
3	G2	Ostatní stálé - cizí zařízení	G	0	-0.2	3.42E+04	0.0	-6.9	1.23E+07	-0.6	-0.6	-3.24E+07	0.0	-0.5	0.0E+00	-	-	-	-	-0.3	1.87E+04	0.0	0.0	-4.1	1.12E+04	-0.4	-0.4
4	P1_71	a.LM71 - kolej 1 (bez dyn. souč.)	P	0	21.9	3.42E+04	0.6	352.9	1.23E+07	28.7	-13.4	-3.24E+07	0.4	29.8	0.0E+00	-	-	-	-	-12.3	1.87E+04	-0.7	-0.7	-350.4	1.12E+04	-31.3	-31.3
5	P2_71	a.LM71 - kolej 2 (bez dyn. souč.)	P	0	1.3	3.42E+04	0.0	1 181.5	1.23E+07	96.2	-4.3	-3.24E+07	0.1	96.3	0.0E+00	-	-	-	-	-1.8	1.87E+04	-0.1	-0.1	-278.5	1.12E+04	-24.9	-24.9
6	P1_C3	TTZ C3 - kolej 1 (bez dyn. souč.)	P	0	0.0	3.42E+04	0.0	0.0	1.23E+07	0.0	0.0	-3.24E+07	0.0	0.0	0.0E+00	-	-	-	-	0.0	1.87E+04	0.0	0.0	0.0	1.12E+04	0.0	0.0
7	P2_C3	TTZ C3 - kolej 2 (bez dyn. souč.)	P	0	0.0	3.42E+04	0.0	0.0	1.23E+07	0.0	0.0	-3.24E+07	0.0	0.0	0.0E+00	-	-	-	-	0.0	1.87E+04	0.0	0.0	0.0	1.12E+04	0.0	0.0
8	BR	Brzdné a rozjezdové síly	P	0	0.7	3.42E+04	0.0	0.3	1.23E+07	0.0	23.4	-3.24E+07	-0.7	-0.7	-1.0E-02	-	-	-	-	12.9	1.87E+04	0.7	0.7	-0.5	1.12E+04	0.0	0.0
9	S	Boční ráz	P	0	3.4	3.42E+04	0.1	18.6	1.23E+07	1.5	2.9	-3.24E+07	-0.1	1.5	2.1E-02	-	-	-	-	2.0	1.87E+04	0.1	0.1	-8.3	1.12E+04	-0.7	-0.7
10	CH	Chodci na lávkách	Q	0	-0.1	3.42E+04	0.0	-44.5	1.23E+07	-3.6	-1.2	-3.24E+07	0.0	-3.6	0.0E+00	-	-	-	-	-0.9	1.87E+04	0.0	0.0	-0.8	1.12E+04	-0.1	-0.1
11	W	Vítr na konstrukci	Q	0	11.2	3.42E+04	0.3	-10.5	1.23E+07	-0.9	5.9	-3.24E+07	-0.2	-0.7	-1.0E-02	-	-	-	-	8.0	1.87E+04	0.4	0.4	-6.0	1.12E+04	-0.5	-0.5
12	WP	Vítr na vozidla	Q	0	0.4	3.42E+04	0.0	-57.2	1.23E+07	-4.7	-10.3	-3.24E+07	0.3	-4.3	1.0E-02	-	-	-	-	-13.5	1.87E+04	-0.7	-0.7	-26.3	1.12E+04	-2.4	-2.4
13	TR	Teplota rovnoměrná	Q	0	0.0	3.42E+04	0.0	0.0	1.23E+07	0.0	0.0	-3.24E+07	0.0	0.0	0.0E+00	-	-	-	-	0.0	1.87E+04	0.0	0.0	0.0	1.12E+04	0.0	0.0
14	TN	Teplota nerovnoměrná	Q	0	3.9	3.42E+04	0.1	-23.9	1.23E+07	-1.9	-0.1	-3.24E+07	0.0	-1.8	0.0E+00	-	-	-	-	0.1	1.87E+04	0.0	0.0	-7.9	1.12E+04	-0.7	-0.7
15	FR	Třecí síly v ložiskách	Q	0	0.2	3.42E+04	0.0	0.3	1.23E+07	0.0	0.3	-3.24E+07	0.0	0.0	0.0E+00	-	-	-	-	0.1	1.87E+04	0.0	0.0	-0.1	1.12E+04	0.0	0.0
16	I	Imperfekce soustavy	Q	0	0.8	3.42E+04	0.0	-5.5	1.23E+07	-0.4	0.2	-3.24E+07	0.0	-0.4	0.0E+00	-	-	-	-	0.4	1.87E+04	0.0	0.0	-2.1	1.12E+04	-0.2	-0.2
27	ULS_LM	ULS - LM71 bez dynam	Q	0	0.0	3.42E+04	0.0	0.0	1.23E+07	0.0	0.0	-3.24E+07	0.0	0.0	0.0E+00	-	-	-	-	0.0	1.87E+04	0.0	0.0	0.0	1.12E+04	0.0	0.0
28	SLS_LM	SLS - LM71 bez dynam	Q	0	0.0	3.42E+04	0.0	0.0	1.23E+07	0.0	0.0	-3.24E+07	0.0	0.0	0.0E+00	-	-	-	-	0.0	1.87E+04	0.0	0.0	0.0	1.12E+04	0.0	0.0
29	ULS_C3	ULS - C3 bez dynam	Q	0	0.0	3.42E+04	0.0	0.0	1.23E+07	0.0	0.0	-3.24E+07	0.0	0.0	0.0E+00	-	-	-	-	0.0	1.87E+04	0.0	0.0	0.0	1.12E+04	0.0	0.0
30	SLS_C3	SLS - C3 bez dynam	Q	0	0.0	3.42E+04	0.0	0.0	1.23E+07	0.0	0.0	-3.24E+07	0.0	0.0	0.0E+00	-	-	-	-	0.0	1.87E+04	0.0	0.0	0.0	1.12E+04	0.0	0.0
NAVÝŠENÍ NAPĚTÍ DO AKTIVACE TLAKU V DESCE MOSTOVKY						$\sigma_{P,red}$	0.0							0.0				0.0				-0.1	-0.1			-65.1	-65.1
NAPĚTÍ OD PRIMÁRNÍCH ÚČINKŮ NEROVNOMĚRNÉHO OTEPLENÍ						σ_T	0.0							0.0													
NAPĚTÍ OD REOLOGICKÝCH ÚČINKŮ BETONU V ČASE				t=0		σ_R	0.0	γ_{lt}=	1.20					0.0													
NAPĚTÍ V KRITICKÝCH VLÁKNECH OD KOMBINACE ZATÍŽENÍ						KZ04		[MPa]					$\Sigma\sigma_x$	121.5								$\Sigma\tau_y$	-0.1			$\Sigma\tau_z$	-65.1
NAPĚTÍ OD POHYBLIVÉHO ZATÍŽENÍ								[MPa]					$\sigma_{x,P}$	127.0								τ_P	0.0			τ_P	-57.0
NAPĚTÍ OD OSTATNÍCH ZATÍŽENÍ								[MPa]			Φ_{Vy}	Φ_{Vz}	$\sigma_{x,rs}$	-5.5								τ_{rs}	-0.1			τ_{rs}	-8.1
NÁVRHOVÁ HODNOTA MEZE KLUZU S REDUKCÍ VLIVEM SMYKOVÉHO NAPĚTÍ								[MPa]			1.00	0.99	$f_{yv,d}$	209.1								$f_{yd}/3^{0,5}$	120.7			$f_{yd}/3^{0,5}$	120.7
NAPĚTÍ OD POHYBLIVÉHO ZATÍŽENÍ V GLOBÁLNÍM SYSTÉMU						$\sigma_{GLOB,P}$	0.0	[MPa]					$\Sigma\sigma_{GLOB}$	0.0													
NAPĚTÍ OD OSTATNÍCH ZATÍŽENÍ V GLOBÁLNÍM SYSTÉMU						$\sigma_{GLOB,rs}$	0.0	[MPa]					$\Sigma\sigma_x + \Sigma\sigma_{GLOB}$	121.5													
VYUŽITÍ PRŮŘEZU DLE NAPĚTÍ								[%]					η_1	0.58								η_3	0.00			η_3	0.54
NAPĚTÍ V PŘÍČNÉM SMĚRU OD POHYBLIVÉHO ZATÍŽENÍ						$\sigma_{z,P}$	0.0	[MPa]					$\Sigma\sigma_z$	0.0													
NAPĚTÍ V PŘÍČNÉM SMĚRU OD OSTATNÍCH ZATÍŽENÍ						$\sigma_{z,rs}$	0.0	[MPa]					η_2	0.00													
SROVNÁVACÍ NAPĚTÍ													$(\eta_2 + 0{,}8\,\eta_1)/1{,}4$ =	0.33													
VYUŽITÍ PRŮŘEZU CELKEM								[%]					eff	0.58	VYHOVUJE												
STANOVENÍ ZATÍŽITELNOSTI													z_{LM71} =	1.60													

TR_P5.3 POPIS: **PŘÍČNÍK P5 - VNITŘNÍ PODÉLNÍK** POSUDEK: **P5.3**

SKUPINA ZAT. STAVŮ	EXTRÉM	VYHODNOCOVANÉ VELIČINY					
		N	Vy	Vz	Mx	My	Mz
		kN	kN	kN	kNm	kNm	kNm
G0	N.min	**-1.46**	-1.69	-7.2	-0.65	102.39	-9.62
	N.max	**-1.46**	-1.69	-7.2	-0.65	102.39	-9.62
	Vy.min	-1.46	**-1.69**	-7.2	-0.65	102.39	-9.62
	Vy.max	-1.46	**-1.69**	-7.2	-0.65	102.39	-9.62
	Vz.min	-1.46	-1.69	**-7.2**	-0.65	102.39	-9.62
	Vz.max	-1.46	-1.69	**-7.2**	-0.65	102.39	-9.62
	Mx.min	-1.46	-1.69	-7.2	**-0.65**	102.39	-9.62
	Mx.max	-1.46	-1.69	-7.2	**-0.65**	102.39	-9.62
	My.min	-1.46	-1.69	-7.2	-0.65	**102.39**	-9.62
	My.max	-1.46	-1.69	-7.2	-0.65	**102.39**	-9.62
	Mz.min	-1.46	-1.69	-7.2	-0.65	102.39	**-9.62**
	Mz.max	-1.46	-1.69	-7.2	-0.65	102.39	**-9.62**
G1	N.min	**-0.1**	-0.11	-2.37	-0.05	16.24	-0.73
	N.max	**-0.1**	-0.11	-2.37	-0.05	16.24	-0.73
	Vy.min	-0.1	**-0.11**	-2.37	-0.05	16.24	-0.73
	Vy.max	-0.1	**-0.11**	-2.37	-0.05	16.24	-0.73
	Vz.min	-0.1	-0.11	**-2.37**	-0.05	16.24	-0.73
	Vz.max	-0.1	-0.11	**-2.37**	-0.05	16.24	-0.73
	Mx.min	-0.1	-0.11	-2.37	**-0.05**	16.24	-0.73
	Mx.max	-0.1	-0.11	-2.37	**-0.05**	16.24	-0.73
	My.min	-0.1	-0.11	-2.37	-0.05	**16.24**	-0.73
	My.max	-0.1	-0.11	-2.37	-0.05	**16.24**	-0.73
	Mz.min	-0.1	-0.11	-2.37	-0.05	16.24	**-0.73**
	Mz.max	-0.1	-0.11	-2.37	-0.05	16.24	**-0.73**
G2	N.min	**0.12**	-0.04	-3.6	-0.02	0.3	-0.05
	N.max	**0.12**	-0.04	-3.6	-0.02	0.3	-0.05
	Vy.min	0.12	**-0.04**	-3.6	-0.02	0.3	-0.05
	Vy.max	0.12	**-0.04**	-3.6	-0.02	0.3	-0.05
	Vz.min	0.12	-0.04	**-3.6**	-0.02	0.3	-0.05
	Vz.max	0.12	-0.04	**-3.6**	-0.02	0.3	-0.05
	Mx.min	0.12	-0.04	-3.6	**-0.02**	0.3	-0.05
	Mx.max	0.12	-0.04	-3.6	**-0.02**	0.3	-0.05
	My.min	0.12	-0.04	-3.6	-0.02	**0.3**	-0.05
	My.max	0.12	-0.04	-3.6	-0.02	**0.3**	-0.05
	Mz.min	0.12	-0.04	-3.6	-0.02	0.3	**-0.05**
	Mz.max	0.12	-0.04	-3.6	-0.02	0.3	**-0.05**
P1_71	N.min	**-1.61**	-0.34	-5.12	-0.21	43.11	-0.53
	N.max	**25.97**	2.52	-206.23	-0.29	524.61	3.83
	Vy.min	3.66	**-0.78**	-41.8	-0.22	125.57	-1.17
	Vy.max	17.59	**3.27**	-116.69	-0.18	310.98	4.9
	Vz.min	23.34	1.97	**-221.2**	-0.37	579.98	3.11
	Vz.max	0.19	0.02	**0.24**	-0.04	7.92	-0.01
	Mx.min	11.32	1.41	-114.5	**-0.65**	308.32	2.21
	Mx.max	8.16	0.98	-60.71	**0.22**	198.69	1.38
	My.min	7.18	1.31	-7.01	-0.28	**-21.8**	1.93
	My.max	17.53	0.73	-214.88	-0.13	**601.59**	1.05
	Mz.min	2.89	-0.71	-30.22	-0.22	92.99	**-1.26**
	Mz.max	17.2	3.21	-115.93	-0.17	311.96	**4.96**
P2_71	N.min	**-13.9**	-4.36	93.02	-0.6	430.35	-5.7
	N.max	**1.97**	0.05	127.66	0.09	592.22	-0.06
	Vy.min	-11.73	**-5.07**	130.41	-0.71	609.25	-6.25
	Vy.max	1.02	**0.93**	108.29	0.29	507.2	0.76
	Vz.min	-2.09	-0.22	**-0.25**	-0.05	6.41	-0.32
	Vz.max	-6.3	-3.64	**221.25**	-0.34	1008.85	-4.83
	Mx.min	-11.12	-4.64	109.06	**-0.8**	502.43	-5.88
	Mx.max	-0.43	0.42	95.95	**0.4**	473.87	0.33
	My.min	-4.06	-0.38	3.47	-0.05	**-16.1**	-0.72
	My.max	-4.67	-3.47	218.46	-0.33	**1024.58**	-4.48
	Mz.min	-9.61	-4.93	94.53	-0.48	414.68	**-6.32**
	Mz.max	1.31	0.9	97.98	0.31	469.2	**0.8**
P1_C3	N.min	**-1.19**	-0.25	-2.73	-0.14	27.99	-0.39
	N.max	**17.31**	1.83	-120.6	-0.27	298.46	2.93
	Vy.min	5.19	**-0.59**	-57.92	-0.11	156.43	-0.72
	Vy.max	13.78	**2.64**	-95.16	-0.21	244.02	3.89
	Vz.min	15.52	1.39	**-127.63**	-0.3	321.02	2.36
	Vz.max	0.32	0.17	**0.22**	-0.02	9.86	0.2
	Mx.min	9.18	1.55	-80.54	**-0.46**	205.57	2.26
	Mx.max	4.63	0.45	-32.08	**0.14**	104.72	0.6
	My.min	5.72	1.18	-5.82	-0.23	**-16.32**	1.95
	My.max	9.97	0.5	-121.66	-0.08	**341.06**	0.73
	Mz.min	3.57	-0.56	-37.38	-0.12	102.57	**-0.9**
	Mz.max	13.1	2.55	-91.73	-0.23	243.29	**3.98**
P2_C3	N.min	**-10.26**	-3.8	94.03	-0.37	426.21	-4.92
	N.max	**1.42**	-0.02	89.11	0.05	413.43	-0.1
	Vy.min	-8.77	**-4.12**	78.18	-0.46	355.19	-5.06
	Vy.max	0.99	**0.75**	60.78	0.17	282.05	0.59
	Vz.min	-1.92	-0.26	**-0.22**	-0.02	8.46	-0.33
	Vz.max	-3.74	-2.74	**127.69**	-0.28	567.84	-3.75
	Mx.min	-6.76	-3.79	67.75	**-0.56**	303.34	-4.73
	Mx.max	-0.25	0.32	60.98	**0.25**	295.11	0.17
	My.min	-2.77	-0.28	2.4	-0.02	**-11.69**	-0.47
	My.max	-2.22	-2.52	124.81	-0.25	**582.05**	-3.37
	Mz.min	-9.35	-4.09	88.91	-0.45	397.41	**-5.11**
	Mz.max	1.06	0.71	48.08	0.19	232.56	**0.62**
BR	N.min	**-2**	15.28	0.07	1.35	3.83	14.07
	N.max	**2**	-15.28	-0.07	-1.35	-3.83	-14.07
	Vy.min	-0.87	**-16.35**	-0.15	-1.26	-1.69	-15.32
	Vy.max	0.87	**16.35**	0.15	1.26	1.69	15.32
	Vz.min	0.25	-6.51	**-0.16**	-1.75	-3.99	-7.45
	Vz.max	-0.25	6.51	**0.16**	1.75	3.99	7.45
	Mx.min	0.25	-6.51	-0.16	**-1.75**	-3.99	-7.45
	Mx.max	-0.25	6.51	0.16	**1.75**	3.99	7.45
	My.min	0.25	-6.51	-0.16	-1.75	**-3.99**	-7.45
	My.max	-0.25	6.51	0.16	1.75	**3.99**	7.45
	Mz.min	-0.87	-16.35	-0.15	-1.26	-1.69	**-15.32**
	Mz.max	0.87	16.35	0.15	1.26	1.69	**15.32**

TR_P5.3 POPIS: **PŘÍČNÍK P5 - VNITŘNÍ PODÉLNÍK** POSUDEK: **P5.3**

SKUPINA ZAT. STAVŮ	EXTRÉM	VYHODNOCOVANÉ VELIČINY					
		N	Vy	Vz	Mx	My	Mz
		kN	kN	kN	kNm	kNm	kNm
S	N.min	**-41.68**	-1.88	0.22	0.04	-22.23	-2.85
	N.max	**41.68**	1.88	-0.22	-0.04	22.23	2.85
	Vy.min	0.58	**-20.5**	2.67	0.02	3.32	-8.79
	Vy.max	-0.58	**20.5**	-2.67	-0.02	-3.32	8.79
	Vz.min	-0.58	20.5	**-2.67**	-0.02	-3.32	8.79
	Vz.max	0.58	-20.5	**2.67**	0.02	3.32	-8.79
	Mx.min	-34.78	17.01	-0.11	**-0.05**	-18.92	8.18
	Mx.max	34.78	-17.01	0.11	**0.05**	18.92	-8.18
	My.min	-41.68	-1.88	0.22	0.04	**-22.23**	-2.85
	My.max	41.68	1.88	-0.22	-0.04	**22.23**	2.85
	Mz.min	0.58	-20.5	2.67	0.02	3.32	**-8.79**
	Mz.max	-0.58	20.5	-2.67	-0.02	-3.32	**8.79**
CH	N.min	**0.39**	-0.1	-0.01	-0.05	-32.79	-0.14
	N.max	**0.91**	0.25	2.44	-0.04	-13.69	0.26
	Vy.min	0.39	**-0.1**	-0.01	-0.05	-32.79	-0.14
	Vy.max	0.91	**0.25**	2.44	-0.04	-13.69	0.26
	Vz.min	0.79	0.14	**-0.73**	-0.04	-33.41	0.36
	Vz.max	0.91	0.25	**2.44**	-0.04	-13.69	0.26
	Mx.min	0.39	-0.1	-0.01	**-0.05**	-32.79	-0.14
	Mx.max	0.79	0.14	-0.73	**-0.04**	-33.41	0.36
	My.min	0.79	0.14	-0.73	-0.04	**-33.41**	0.36
	My.max	0.91	0.25	2.44	-0.04	**-13.69**	0.26
	Mz.min	0.39	-0.1	-0.01	-0.05	-32.79	**-0.14**
	Mz.max	0.79	0.14	-0.73	-0.04	-33.41	**0.36**
W	N.min	**-13.61**	20.58	5.88	-0.02	-0.5	9.14
	N.max	**10.47**	-20.56	-5.89	0.02	0.5	-9.13
	Vy.min	10.47	**-20.56**	-5.89	0.02	0.5	-9.13
	Vy.max	-13.61	**20.58**	5.88	-0.02	-0.5	9.14
	Vz.min	10.47	-20.56	**-5.89**	0.02	0.5	-9.13
	Vz.max	-13.61	20.58	**5.88**	-0.02	-0.5	9.14
	Mx.min	-13.61	20.58	5.88	**-0.02**	-0.5	9.14
	Mx.max	10.47	-20.56	-5.89	**0.02**	0.5	-9.13
	My.min	-13.61	20.58	5.88	-0.02	**-0.5**	9.14
	My.max	10.47	-20.56	-5.89	0.02	**0.5**	-9.13
	Mz.min	10.47	-20.56	-5.89	0.02	0.5	**-9.13**
	Mz.max	-13.61	20.58	5.88	-0.02	-0.5	**9.14**
WP	N.min	**-21.02**	34.41	7.27	-0.03	-4.98	14.97
	N.max	**21.02**	-34.41	-7.27	0.03	4.98	-14.97
	Vy.min	21.02	**-34.41**	-7.27	0.03	4.98	-14.97
	Vy.max	-21.02	**34.41**	7.27	-0.03	-4.98	14.97
	Vz.min	21.02	-34.41	**-7.27**	0.03	4.98	-14.97
	Vz.max	-21.02	34.41	**7.27**	-0.03	-4.98	14.97
	Mx.min	-21.02	34.41	7.27	**-0.03**	-4.98	14.97
	Mx.max	21.02	-34.41	-7.27	**0.03**	4.98	-14.97
	My.min	-21.02	34.41	7.27	-0.03	**-4.98**	14.97
	My.max	21.02	-34.41	-7.27	0.03	**4.98**	-14.97
	Mz.min	21.02	-34.41	-7.27	0.03	4.98	**-14.97**
	Mz.max	-21.02	34.41	7.27	-0.03	-4.98	**14.97**
TR	N.min	**0**	0	0	0	0	0
	N.max	**0**	0	0	0	0	0
	Vy.min	0	**0**	0	0	0	0
	Vy.max	0	**0**	0	0	0	0
	Vz.min	0	0	**0**	0	0	0
	Vz.max	0	0	**0**	0	0	0
	Mx.min	0	0	0	**0**	0	0
	Mx.max	0	0	0	**0**	0	0
	My.min	0	0	0	0	**0**	0
	My.max	0	0	0	0	**0**	0
	Mz.min	0	0	0	0	0	**0**
	Mz.max	0	0	0	0	0	**0**
TN	N.min	**-3.87**	2.28	9.7	0	3.85	0.24
	N.max	**6.18**	-2.39	-9.66	-0.01	-12.37	-0.35
	Vy.min	6.18	**-2.39**	-9.66	-0.01	-12.37	-0.35
	Vy.max	-3.87	**2.28**	9.7	0	3.85	0.24
	Vz.min	6.18	-2.39	**-9.66**	-0.01	-12.37	-0.35
	Vz.max	-3.87	2.28	**9.7**	0	3.85	0.24
	Mx.min	1.25	-0.05	0.01	**-0.01**	-2.16	-0.08
	Mx.max	-1.25	0.05	-0.01	**0.01**	2.16	0.08
	My.min	6.18	-2.39	-9.66	-0.01	**-12.37**	-0.35
	My.max	-3.87	2.28	9.7	0	**3.85**	0.24
	Mz.min	6.18	-2.39	-9.66	-0.01	-12.37	**-0.35**
	Mz.max	-3.87	2.28	9.7	0	3.85	**0.24**
FR	N.min	**-0.29**	0.03	0	0.01	0.56	0.08
	N.max	**0.29**	-0.03	0	-0.01	-0.56	-0.08
	Vy.min	0.29	**-0.03**	0	-0.01	-0.56	-0.08
	Vy.max	-0.29	**0.03**	0	0.01	0.56	0.08
	Vz.min	0.29	-0.03	**0**	-0.01	-0.56	-0.08
	Vz.max	-0.29	0.03	**0**	0.01	0.56	0.08
	Mx.min	0.29	-0.03	0	**-0.01**	-0.56	-0.08
	Mx.max	-0.29	0.03	0	**0.01**	0.56	0.08
	My.min	0.29	-0.03	0	-0.01	**-0.56**	-0.08
	My.max	-0.29	0.03	0	0.01	**0.56**	0.08
	Mz.min	0.29	-0.03	0	-0.01	-0.56	**-0.08**
	Mz.max	-0.29	0.03	0	0.01	0.56	**0.08**
I	N.min	**-0.72**	0.85	1.71	0	1.51	**0.46**
	N.max	**0.72**	-0.85	-1.71	0	-1.51	**-0.46**
	Vy.min	0.72	**-0.85**	-1.71	0	-1.51	**-0.46**
	Vy.max	-0.72	**0.85**	1.71	0	1.51	**0.46**
	Vz.min	0.72	-0.85	**-1.71**	0	-1.51	**-0.46**
	Vz.max	-0.72	0.85	**1.71**	0	1.51	**0.46**
	Mx.min	-0.72	0.85	1.71	**0**	1.51	**0.46**
	Mx.max	0.72	-0.85	-1.71	**0**	-1.51	**-0.46**
	My.min	0.72	-0.85	-1.71	0	**-1.51**	**-0.46**
	My.max	-0.72	0.85	1.71	0	**1.51**	**0.46**
	Mz.min	0.72	-0.85	-1.71	0	-1.51	**-0.46**
	Mz.max	-0.72	0.85	1.71	0	1.51	**0.46**

TAB. P5.3.3 POSOUZENÍ - MEZNÍ STAV ÚNOSNOSTI

POPIS	PŘÍČNÍK P5 - VNITŘNÍ PODÉLNÍK
PRUT / POLOHA BODU	658 / I[538]
NAMÁHÁNÍ	My.max
VLÁKNO	BOD K2 -HP
MEZNÍ STAV	ULS (MSÚ)
VYUŽITÍ VLÁKNA PRŮŘEZU	0.90

Charakteristiky materiálu				
pás. horní	$f_{yf,k}$	230	MPa	
pás. dolní	$f_{yf,k}$	230	MPa	
stojina	$f_{yw,k}$	230	MPa	
výztuž	$f_{ys,k}$	500	MPa	
	γ_M =	1.10	γ_s =	1.15

Excentricita normálové síly				
Exc./Fáze	0	1	2	3
e_y	0.000	0.000	0.000	0.000
e_z	0.000	0.000	0.000	0.000
Ekvivalentní vzdál. stěn - příčný roznos				
b_{Mx}	0.000	0.000	0.000	0.000

Vliv stěny na únosnost průřezu				
Char./Fáze	0	1	2	3
A	0.00	0.00	0.00	0.00
Wy	0.00	0.00	0.00	0.00
Wz	0.00	0.00	0.00	0.00

Charakter. v kroucení			
$t_{w,y}$	0.000	[mm]	
$t_{w,z}$	0.000	[mm]	
κ	1.00		
I_t=	0.00E+00	[mm^4]	
$\Omega=2*A_{pr}$	0.00E+00	[mm^2]	

Součinitele vzpěru a vlivu II.řádu				
Char./Fáze	0	1	2	3
k_y	1.000	1.000	1.000	1.000
k_z	1.000	1.000	1.000	1.000
χ_{LT}	1.000	1.000	1.000	1.000
χ_{min}	1.000	1.000	1.000	1.000

3

δ_{LOK} 1.00

Vnitřní síly od jednotlivých skupin zatěžovacích stavů

SKUPINA ZATĚŽOVACÍCH STAVŮ					- CHARAKTERISTICKÉ HODNOTY						DÍLČÍ SOUČINITELÉ ZATÍŽENÍ, DYNAMICKÝ SOUČINITEL							- NÁVRHOVÉ HODNOTY									
Č.	SKUP ZS	POPIS ZS	KAT.	FÁZE PRŮŘ.	N.k (kN)	Vy.k (kN)	Vz.k (kN)	Mx.k (kNm)	My.k (kNm)	Mz.k (kNm)	γ_{sr} (-)	γ_{fs} (-)	volba ψ_i hledat	ψ_i (-)	L_d (m)	δ (-)	ψ_s KZ03	N.d (kN)	Vy.d (kN)	Vz.d (kN)	ΔVz.d (kN)	ΣVz.d (kN)	Mx.d (kNm)	My.d (kNm)	ΔMy.d (kNm)	ΣMy.d (kNm)	Mz.d (kNm)	ΔMz.d (kNm)	ΣMz.d (kNm)
1	G0	Vlastní tíha OK	G	0	-1	-2	-7	-1	102	-10	1.00	1.20		1.20	-	1.00	0.95	-2	-2	-8	0	-8	-1	117	0	117	-11	0	-11
2	G1	Ostatní stálé - mostní vybavení	G	0	0	0	-2	0	16	-1	1.00	1.20		1.20	-	1.00	0.95	0	0	-3	0	-3	0	19	0	19	-1	0	-1
3	G2	Ostatní stálé - cizí zařízení	G	0	0	0	-4	0	0	0	1.00	1.20		1.20	-	1.00	0.95	0	0	-4	0	-4	0	0	0	0	0	0	0
4	P1_71	a.LM71 - kolej 1 (bez dyn. souč.)	P	0	18	1	-215	0	602	1	1.00	1.30		1.30	-	1.27	1.00	29	1	-355	0	-355	0	994	0	994	2	0	1
5	P2_71	a.LM71 - kolej 2 (bez dyn. souč.)	P	0	-5	-3	218	0	1 025	-4	1.00	1.30		1.30	-	1.27	1.00	-8	-6	361	0	361	-1	1 693	0	1 693	-7	2	-6
6	P1_C3	TTZ C3 - kolej 1 (bez dyn. souč.)	P	0	10	1	-122	0	341	1	1.00	vyp.		0.00	-	1.00	0.00	0	0	0	0	0	0	0	0	0	0	0	0
7	P2_C3	TTZ C3 - kolej 2 (bez dyn. souč.)	P	0	-2	-3	125	0	582	-3	1.00	vyp.		0.00	-	1.00	0.00	0	0	0	0	0	0	0	0	0	0	0	0
8	BR	Brzdné a rozjezdové síly	P	0	0	7	0	2	4	7	1.00	-1.30		-1.30	-	1.00	0.80	0	-7	0	0	0	-2	-4	0	-4	-8	0	-8
9	S	Boční ráz	P	0	42	2	0	0	22	3	1.00	-1.30		-1.30	-	1.00	0.40	-22	-1	0	0	0	0	-12	0	-12	-1	0	-1
10	CH	Chodci na lávkách	Q	0	1	0	2	0	-14	0	1.00	0.00		0.00	-	1.00	1.00	0	0	0	0	0	0	0	0	0	0	0	0
11	W	Vítr na konstrukci	Q	0	10	-21	-6	0	1	-9	1.00	1.35		1.35	-	1.00	0.75	11	-21	-6	0	-6	0	1	0	1	-9	0	-9
12	WP	Vítr na vozidla	Q	0	21	-34	-7	0	5	-15	1.00	1.35		1.35	-	1.00	0.75	21	-35	-7	0	-7	0	5	0	5	-15	0	-15
13	TR	Teplota rovnoměrná	Q	0	0	0	0	0	0	0	1.00	1.35		1.35	-	1.00	0.45	0	0	0	0	0	0	0	0	0	0	0	0
14	TN	Teplota nerovnoměrná	Q	0	-4	2	10	0	4	0	1.00	1.35		1.35	-	1.00	0.60	-3	2	8	0	8	0	3	0	3	0	0	0
15	FR	Třecí síly v ložiskách	Q	0	0	0	0	0	1	0	1.00	-1.20		-1.20	-	1.00	1.00	0	0	0	0	0	0	-1	0	-1	0	0	0
16	I	Imperfekce soustavy	Q	0	-1	1	2	0	2	0	1.00	-1.20		-1.20	-	1.00	1.00	1	-1	-2	0	-2	0	-2	0	-2	-1	0	-1
27	ULS_LM	ULS - LM71 bez dynam	Q	0	103	-51	-11	0	2 275	-20	1.00	vyp.		0.00	-	1.00	0.00	0	0	0	0	0	0	0	0	0	0	0	0
28	SLS_LM	SLS - LM71 bez dynam	Q	0	81	-39	-15	0	1 762	-15	1.00	vyp.	1	0.00	-	1.00	0.00	0	0	0	0	0	0	0	0	0	0	0	0
29	ULS_C3	ULS - C3 bez dynam	Q	0	96	-50	-11	0	1 361	-19	1.00	vyp.	1	0.00	-	1.00	0.00	0	0	0	0	0	0	0	0	0	0	0	0
30	SLS_C3	SLS - C3 bez dynam	Q	0	76	-38	-16	0	1 059	-15	1.00	vyp.	1	0.00	-	1.00	0.00	0	0	0	0	0	0	0	0	0	0	0	0
		CELKEM - FÁZE PRŮŘEZU 0																28	-69	-17	0	-17	-3	2 813	0	2 813	-52	1	-50
		CELKEM - FÁZE PRŮŘEZU 1																0	0	0	0	0	0	0	0	0	0	0	0
		CELKEM - FÁZE PRŮŘEZU 2																0	0	0	0	0	0	0	0	0	0	0	0
		CELKEM - FÁZE PRŮŘEZU 3																0	0	0	0	0	0	0	0	0	0	0	0
		CELKEM - PRŮŘEZ																28	-69	-17	0	-17	-3			2 813			-50

Napětí od jednotlivých zatěžovacích stavů

SKUPINA ZATĚŽOVACÍCH STAVŮ					Posouzení normálového napětí										Posouzení smykového napětí													
					Účinek síly N			Účinek momentu My			Účinek momentu Mz				Účinek kroutícího momentu Mx				Účinek smykové síly Vy						Účinek smykové síly Vz			
Č.	SKUP ZS	Popis ZS	Kat.	fáze prúř.	δ^*N_d [kN]	χ^*A [mm^2]	σ_n [MPa]	$\delta^*M_{y,d}$ [kNm]	$\chi_{lt}{}^*W_{el,y}$ [mm^3]	σ_{my} [MPa]	$\delta^*M_{z,d}$ [kNm]	$W_{el,z}$ [mm^3]	σ_{mz} [MPa]	σ_x [MPa]	$\kappa^*\delta^*M_{x,d}$ [kNm]	$W_{v,y}$ [mm^2]	$\tau_{x,y}$ [MPa]	$W_{v,z}$ [mm^2]	$\tau_{x,z}$ [MPa]	$\delta^*V_{y,d}$ [kN]	$A_{v,y}$ [mm2]	$\tau_{v,y}$ [MPa]	$\tau_{v,y}$ [MPa]	$\delta^*V_{z,d}$ [kN]	$A_{v,z}$ [mm2]	$\tau_{v,z}$ [MPa]	$\tau_{v,z}$ [MPa]
1	G0	Vlastní tíha OK	G	0	-1.7	4.17E+04	0.0	116.7	-1.80E+07	-6.5	-11.0	1.54E+06	-7.1	-13.7	-7.4E-01	-	-	-	-	-1.9	2.60E+04	-0.1	-0.1	-8.2	1.12E+04	-0.7	-0.7
2	G1	Ostatní stálé - mostní vybavení	G	0	-0.1	4.17E+04	0.0	18.5	-1.80E+07	-1.0	-0.8	1.54E+06	-0.5	-1.6	-5.7E-02	-	-	-	-	-0.1	2.60E+04	0.0	0.0	-2.7	1.12E+04	-0.2	-0.2
3	G2	Ostatní stálé - cizí zařízení	G	0	0.1	4.17E+04	0.0	0.3	-1.80E+07	0.0	-0.1	1.54E+06	0.0	-0.1	-2.3E-02	-	-	-	-	0.0	2.60E+04	0.0	0.0	-4.1	1.12E+04	-0.4	-0.4
4	P1_71	a.LM71 - kolej 1 (bez dyn. souč.)	P	0	29.0	4.17E+04	0.7	994.0	-1.80E+07	-55.4	1.4	1.54E+06	0.9	-53.8	-2.1E-01	-	-	-	-	1.2	2.60E+04	0.0	0.0	-355.0	1.12E+04	-31.8	-31.8
5	P2_71	a.LM71 - kolej 2 (bez dyn. souč.)	P	0	-7.7	4.17E+04	-0.2	1 692.9	-1.80E+07	-94.3	-5.8	1.54E+06	-3.8	-98.2	-5.5E-01	-	-	-	-	-5.7	2.60E+04	-0.2	-0.2	361.0	1.12E+04	32.3	32.3
6	P1_C3	TTZ C3 - kolej 1 (bez dyn. souč.)	P	0	0.0	4.17E+04	0.0	0.0	-1.80E+07	0.0	0.0	1.54E+06	0.0	0.0	0.0E+00	-	-	-	-	0.0	2.60E+04	0.0	0.0	0.0	1.12E+04	0.0	0.0
7	P2_C3	TTZ C3 - kolej 2 (bez dyn. souč.)	P	0	0.0	4.17E+04	0.0	0.0	-1.80E+07	0.0	0.0	1.54E+06	0.0	0.0	0.0E+00	-	-	-	-	0.0	2.60E+04	0.0	0.0	0.0	1.12E+04	0.0	0.0
8	BR	Brzdné a rozjezdové síly	P	0	0.3	4.17E+04	0.0	-4.1	-1.80E+07	0.2	-7.7	1.54E+06	-5.0	-4.8	-1.8E+00	-	-	-	-	-6.8	2.60E+04	-0.3	-0.3	-0.2	1.12E+04	0.0	0.0
9	S	Boční ráz	P	0	-21.7	4.17E+04	-0.5	-11.6	-1.80E+07	0.6	-1.5	1.54E+06	-1.0	-0.8	2.1E-02	-	-	-	-	-1.0	2.60E+04	0.0	0.0	0.1	1.12E+04	0.0	0.0
10	CH	Chodci na lávkách	Q	0	0.0	4.17E+04	0.0	0.0	-1.80E+07	0.0	0.0	1.54E+06	0.0	0.0	0.0E+00	-	-	-	-	0.0	2.60E+04	0.0	0.0	0.0	1.12E+04	0.0	0.0
11	W	Vítr na konstrukci	Q	0	10.6	4.17E+04	0.3	0.5	-1.80E+07	0.0	-9.2	1.54E+06	-6.0	-5.8	2.0E-02	-	-	-	-	-20.8	2.60E+04	-0.8	-0.8	-6.0	1.12E+04	-0.5	-0.5
12	WP	Vítr na vozidla	Q	0	21.3	4.17E+04	0.5	5.0	-1.80E+07	-0.3	-15.2	1.54E+06	-9.9	-9.6	3.0E-02	-	-	-	-	-34.8	2.60E+04	-1.3	-1.3	-7.4	1.12E+04	-0.7	-0.7
13	TR	Teplota rovnoměrná	Q	0	0.0	4.17E+04	0.0	0.0	-1.80E+07	0.0	0.0	1.54E+06	0.0	0.0	0.0E+00	-	-	-	-	0.0	2.60E+04	0.0	0.0	0.0	1.12E+04	0.0	0.0
14	TN	Teplota nerovnoměrná	Q	0	-3.1	4.17E+04	-0.1	3.1	-1.80E+07	-0.2	0.2	1.54E+06	0.1	-0.1	0.0E+00	-	-	-	-	1.8	2.60E+04	0.1	0.1	7.9	1.12E+04	0.7	0.7
15	FR	Třecí síly v ložiskách	Q	0	0.3	4.17E+04	0.0	-0.7	-1.80E+07	0.0	-0.1	1.54E+06	-0.1	0.0	-1.2E-02	-	-	-	-	0.0	2.60E+04	0.0	0.0	0.0	1.12E+04	0.0	0.0
16	I	Imperfekce soustavy	Q	0	0.9	4.17E+04	0.0	-1.8	-1.80E+07	0.1	-0.6	1.54E+06	-0.4	-0.2	0.0E+00	-	-	-	-	-1.0	2.60E+04	0.0	0.0	-2.1	1.12E+04	-0.2	-0.2
27	ULS_LM	ULS - LM71 bez dynam	Q	0	0.0	4.17E+04	0.0	0.0	-1.80E+07	0.0	0.0	1.54E+06	0.0	0.0	0.0E+00	-	-	-	-	0.0	2.60E+04	0.0	0.0	0.0	1.12E+04	0.0	0.0
28	SLS_LM	SLS - LM71 bez dynam	Q	0	0.0	4.17E+04	0.0	0.0	-1.80E+07	0.0	0.0	1.54E+06	0.0	0.0	0.0E+00	-	-	-	-	0.0	2.60E+04	0.0	0.0	0.0	1.12E+04	0.0	0.0
29	ULS_C3	ULS - C3 bez dynam	Q	0	0.0	4.17E+04	0.0	0.0	-1.80E+07	0.0	0.0	1.54E+06	0.0	0.0	0.0E+00	-	-	-	-	0.0	2.60E+04	0.0	0.0	0.0	1.12E+04	0.0	0.0
30	SLS_C3	SLS - C3 bez dynam	Q	0	0.0	4.17E+04	0.0	0.0	-1.80E+07	0.0	0.0	1.54E+06	0.0	0.0	0.0E+00	-	-	-	-	0.0	2.60E+04	0.0	0.0	0.0	1.12E+04	0.0	0.0
NAVÝŠENÍ NAPĚTÍ DO AKTIVACE TLAKU V DESCE MOSTOVKY						$\sigma_{P,red}$	0.0							0.0			0.0		0.0				-2.7	-2.7			-1.5	-1.5
NAPĚTÍ OD PRIMÁRNÍCH ÚČINKŮ NEROVNOMĚRNÉHO OTEPLENÍ						σ_T	0.0							0.0														
NAPĚTÍ OD REOLOGICKÝCH ÚČINKŮ BETONU V ČASE				t=0		σ_R	0.0	γ=	1.20					0.0														
NAPĚTÍ V KRITICKÝCH VLÁKNECH OD KOMBINACE ZATÍŽENÍ						KZ03		[MPa]					$\Sigma\sigma_x$	-188.8								$\Sigma\tau_y$	-2.7				$\Sigma\tau_z$	-1.5
NAPĚTÍ OD POHYBLIVÉHO ZATÍŽENÍ								[MPa]					$\sigma_{x,P}$	-157.7									-0.5				τ_P	0.5
NAPĚTÍ OD OSTATNÍCH ZATÍŽENÍ								[MPa]			Φ_{Vy}	Φ_{Vz}	$\sigma_{x,rs}$	-31.1								τ_{rs}	-2.2				τ_{rs}	-2.0
NÁVRHOVÁ HODNOTA MEZE KLUZU S REDUKCÍ VLIVEM SMYKOVÉHO NAPĚTÍ								[MPa]			1.00	1.00	$f_{yv,d}$	209.1								$f_{yd}/3^{0,5}$	120.7				$f_{yd}/3^{0,5}$	120.7
NAPĚTÍ OD POHYBLIVÉHO ZATÍŽENÍ V GLOBÁLNÍM SYSTÉMU						$\sigma_{GLOB,P}$	0.0	[MPa]					$\Sigma\sigma_{GLOB}$	0.0														
NAPĚTÍ OD OSTATNÍCH ZATÍŽENÍ V GLOBÁLNÍM SYSTÉMU						$\sigma_{GLOB,rs}$	0.0	[MPa]					$\Sigma\sigma_x + \Sigma\sigma_{GLOB}$	-188.8														
VYUŽITÍ PRŮŘEZU DLE NAPĚTÍ								[%]					η_1	0.90								η_3	0.02				η_3	0.01
NAPĚTÍ V PŘÍČNÉM SMĚRU OD POHYBLIVÉHO ZATÍŽENÍ						$\sigma_{z,P}$	0.0	[MPa]					$\Sigma\sigma_z$	0.0														
NAPĚTÍ V PŘÍČNÉM SMĚRU OD OSTATNÍCH ZATÍŽENÍ						$\sigma_{z,rs}$	0.0	[MPa]					η_2	0.00														
SROVNÁVACÍ NAPĚTÍ													$(\eta_2 + 0,8\ \eta_1)/1,4$ =	0.52														
VYUŽITÍ PRŮŘEZU CELKEM								[%]					eff	0.90	VYHOVUJE													
STANOVENÍ ZATÍŽITELNOSTI													z_{LM71} =	1.13														

TAB. P5.3.3 POSOUZENÍ - MEZNÍ STAV ÚNOSNOSTI

POPIS	PŘÍČNÍK P5 - VNITŘNÍ PODÉLNÍK
PRUT / POLOHA BODU	658 / I[538]
NAMÁHÁNÍ	My.max
VLÁKNO	BOD K3 -SL
MEZNÍ STAV	ULS (MSÚ)
VYUŽITÍ VLÁKNA PRŮŘEZU	1.04

Charakteristiky materiálu				
pás. horní	$f_{yf,k}$	230	MPa	
pás. dolní	$f_{yf,k}$	230	MPa	
stojina	$f_{yw,k}$	230	MPa	
výztuž	$f_{ys,k}$	500	MPa	
	γ_M =	1.10	γ_s =	1.15

Excentricita normálové síly				
Exc./Fáze	0	1	2	3
e_y	0.000	0.000	0.000	0.000
e_z	0.000	0.000	0.000	0.000
Ekvivalentní vzdál. stěn - příčný roznos				
b_{Mx}	0.000	0.000	0.000	0.000

Vliv stěny na únosnost průřezu				
Char./Fáze	0	1	2	3
A	0.00	0.00	0.00	0.00
Wy	0.00	0.00	0.00	0.00
Wz	0.00	0.00	0.00	0.00

Charakter. v kroucení			
$t_{w,y}$	0.000	[mm]	
$t_{w,z}$	0.000	[mm]	
κ	1.00		
I_t=	0.00E+00	[mm^4]	
Ω=2*A_{pr}	0.00E+00	[mm^2]	

Součinitele vzpěru a vlivu II.řádu					
Char./Fáze	0	1	2	3	
k_y	1.000	1.000	1.000	1.000	
k_z	1.000	1.000	1.000	1.000	
χ_{LT}	1.000	1.000	1.000	1.000	
χ_{min}	1.000	1.000	1.000	1.000	

δ_{LOK} 1.00

Vnitřní síly od jednotlivých skupin zatěžovacích stavů

SKUPINA ZATĚŽOVACÍCH STAVŮ: 3

Č.	SKUP ZS	POPIS ZS	KAT.	FÁZE PRŮŘ.	- CHARAKTERISTICKÉ HODNOTY N.k (kN)	Vy.k (kN)	Vz.k (kN)	Mx.k (kNm)	My.k (kNm)	Mz.k (kNm)	DÍLČÍ SOUČINITELÉ ZATÍŽENÍ, DYNAMICKÝ SOUČINITEL γ_{sr} (-)	γ_{fs} (-)	volba γ_f hledat	γ_f (-)	L_d (m)	δ (-)	Ψ_z KZ03	- NÁVRHOVÉ HODNOTY N.d (kN)	Vy.d (kN)	Vz.d (kN)	ΔVz.d (kN)	ΣVz.d (kN)	Mx.d (kNm)	My.d (kNm)	ΔMy.d (kNm)	ΣMy.d (kNm)	Mz.d (kNm)	ΔMz.d (kNm)	ΣMz.d (kNm)
1	G0	Vlastní tíha OK	G	0	-1	-2	-7	-1	102	-10	1.00	1.20		1.20	-	1.00	0.95	-2	-2	-8	0	-8	-1	117	0	117	-11	0	-11
2	G1	Ostatní stálé - mostní vybavení	G	0	0	0	-2	0	16	-1	1.00	1.20		1.20	-	1.00	0.95	0	0	-3	0	-3	0	19	0	19	-1	0	-1
3	G2	Ostatní stálé - cizí zařízení	G	0	0	0	-4	0	0	0	1.00	1.20		1.20	-	1.00	0.95	0	0	-4	0	-4	0	0	0	0	0	0	0
4	P1_71	a.LM71 - kolej 1 (bez dyn. souč.)	P	0	18	1	-215	0	602	1	1.00	1.30		1.30	-	1.27	1.00	29	1	-355	0	-355	0	994	0	994	2	0	1
5	P2_71	a.LM71 - kolej 2 (bez dyn. souč.)	P	0	-5	-3	218	0	1 025	-4	1.00	1.30		1.30	-	1.27	1.00	-8	-6	361	0	361	-1	1 693	0	1 693	-7	2	-6
6	P1_C3	TTZ C3 - kolej 1 (bez dyn. souč.)	P	0	10	1	-122	0	341	1	1.00	vyp.		0.00	-	1.00	0.00	0	0	0	0	0	0	0	0	0	0	0	0
7	P2_C3	TTZ C3 - kolej 2 (bez dyn. souč.)	P	0	-2	-3	125	0	582	-3	1.00	vyp.		0.00	-	1.00	0.00	0	0	0	0	0	0	0	0	0	0	0	0
8	BR	Brzdné a rozjezdové síly	P	0	0	7	0	2	4	7	1.00	-1.30		-1.30	-	1.00	0.80	0	-7	0	0	0	-2	-4	0	-4	-8	0	-8
9	S	Boční ráz	P	0	42	2	0	0	22	3	1.00	1.30		1.30	-	1.00	0.40	22	1	0	0	0	0	12	0	12	1	0	1
10	CH	Chodci na lávkách	Q	0	1	0	2	0	-14	0	1.00	0.00		0.00	-	1.00	1.00	0	0	0	0	0	0	0	0	0	0	0	0
11	W	Vítr na konstrukci	Q	0	10	-21	-6	0	1	-9	1.00	1.35		1.35	-	1.00	0.75	11	-21	-6	0	-6	0	1	0	1	-9	0	-9
12	WP	Vítr na vozidla	Q	0	21	-34	-7	0	5	-15	1.00	1.35		1.35	-	1.00	0.75	21	-35	-7	0	-7	0	5	0	5	-15	0	-15
13	TR	Teplota rovnoměrná	Q	0	0	0	0	0	0	0	1.00	1.35		1.35	-	1.00	0.45	0	0	0	0	0	0	0	0	0	0	0	0
14	TN	Teplota nerovnoměrná	Q	0	-4	2	10	0	4	0	1.00	1.35		1.35	-	1.00	0.60	-3	2	8	0	8	0	3	0	3	0	0	0
15	FR	Třecí síly v ložiskách	Q	0	0	0	0	0	1	0	1.00	-1.20		-1.20	-	1.00	1.00	0	0	0	0	0	0	-1	0	-1	0	0	0
16	I	Imperfekce soustavy	Q	0	-1	1	2	0	2	0	1.00	-1.20		-1.20	-	1.00	1.00	1	-1	-2	0	-2	0	-2	0	-2	-1	0	-1
27	ULS_LM	ULS - LM71 bez dynam	Q	0	103	-51	-11	0	2 275	-20	1.00	vyp.		0.00	-	1.00	0.00	0	0	0	0	0	0	0	0	0	0	0	0
28	SLS_LM	SLS - LM71 bez dynam	Q	0	81	-39	-15	0	1 762	-15	1.00	vyp.	1	0.00	-	1.00	0.00	0	0	0	0	0	0	0	0	0	0	0	0
29	ULS_C3	ULS - C3 bez dynam	Q	0	96	-50	-11	0	1 361	-19	1.00	vyp.	1	0.00	-	1.00	0.00	0	0	0	0	0	0	0	0	0	0	0	0
30	SLS_C3	SLS - C3 bez dynam	Q	0	76	-38	-16	0	1 059	-15	1.00	vyp.	1	0.00	-	1.00	0.00	0	0	0	0	0	0	0	0	0	0	0	0
		CELKEM - FÁZE PRŮŘEZU 0																72	-67	-17	0	-17	-3	2 836	0	2 836	-49	1	-47
		CELKEM - FÁZE PRŮŘEZU 1																0	0	0	0	0	0	0	0	0	0	0	0
		CELKEM - FÁZE PRŮŘEZU 2																0	0	0	0	0	0	0	0	0	0	0	0
		CELKEM - FÁZE PRŮŘEZU 3																0	0	0	0	0	0	0	0	0	0	0	0
		CELKEM - PRŮŘEZ																72	-67	-17	0	-17	-3			2 836			-47

Napětí od jednotlivých zatěžovacích stavů

SKUPINA ZATĚŽOVACÍCH STAVŮ

Č.	SKUP ZS	Popis ZS	Kat.	fáze prúř.	Posouzení normálového napětí: Účinek síly N δ^*N_d [kN]	χ^*A [mm^2]	σ_n [MPa]	Účinek momentu My $\delta^*M_{y,d}$ [kNm]	$\chi_{lt}{}^*W_{el,y}$ [mm^3]	σ_{my} [MPa]	Účinek momentu Mz $\delta^*M_{z,d}$ [kNm]	$W_{el,z}$ [mm^3]	σ_{mz} [MPa]	σ_x [MPa]	Posouzení smykového napětí: Účinek kroutícího momentu Mx $\kappa^*\delta^*M_{x,d}$ [kNm]	$W_{v,y}$ [mm^3]	$\tau_{x,y}$ [MPa]	$W_{v,z}$ [mm^3]	$\tau_{x,z}$ [MPa]	Účinek smykové síly Vy $\delta^*V_{y,d}$ [kN]	$A_{v,y}$ [mm2]	$\tau_{v,y}$ [MPa]	$\tau_{v,y}$ [MPa]	Účinek smykové síly Vz $\delta^*V_{z,d}$ [kN]	$A_{v,z}$ [mm2]	$\tau_{v,z}$ [MPa]	$\tau_{v,z}$ [MPa]
1	G0	Vlastní tíha OK	G	0	-1.7	4.17E+04	0.0	116.7	1.54E+07	7.6	-11.0	-1.54E+06	7.1	14.7	-7.4E-01	-	-	-	-	-1.9	2.60E+04	-0.1	-0.1	-8.2	1.12E+04	-0.7	-0.7
2	G1	Ostatní stálé - mostní vybavení	G	0	-0.1	4.17E+04	0.0	18.5	1.54E+07	1.2	-0.8	-1.54E+06	0.5	1.7	-5.7E-02	-	-	-	-	-0.1	2.60E+04	0.0	0.0	-2.7	1.12E+04	-0.2	-0.2
3	G2	Ostatní stálé - cizí zařízení	G	0	0.1	4.17E+04	0.0	0.3	1.54E+07	0.0	-0.1	-1.54E+06	0.0	0.1	-2.3E-02	-	-	-	-	0.0	2.60E+04	0.0	0.0	-4.1	1.12E+04	-0.4	-0.4
4	P1_71	a.LM71 - kolej 1 (bez dyn. souč.)	P	0	29.0	4.17E+04	0.7	994.0	1.54E+07	64.7	1.4	-1.54E+06	-0.9	64.5	-2.1E-01	-	-	-	-	1.2	2.60E+04	0.0	0.0	-355.0	1.12E+04	-31.8	-31.8
5	P2_71	a.LM71 - kolej 2 (bez dyn. souč.)	P	0	-7.7	4.17E+04	-0.2	1 692.9	1.54E+07	110.1	-5.8	-1.54E+06	3.8	113.7	-5.5E-01	-	-	-	-	-5.7	2.60E+04	-0.2	-0.2	361.0	1.12E+04	32.3	32.3
6	P1_C3	TTZ C3 - kolej 1 (bez dyn. souč.)	P	0	0.0	4.17E+04	0.0	0.0	1.54E+07	0.0	0.0	-1.54E+06	0.0	0.0	0.0E+00	-	-	-	-	0.0	2.60E+04	0.0	0.0	0.0	1.12E+04	0.0	0.0
7	P2_C3	TTZ C3 - kolej 2 (bez dyn. souč.)	P	0	0.0	4.17E+04	0.0	0.0	1.54E+07	0.0	0.0	-1.54E+06	0.0	0.0	0.0E+00	-	-	-	-	0.0	2.60E+04	0.0	0.0	0.0	1.12E+04	0.0	0.0
8	BR	Brzdné a rozjezdové síly	P	0	0.3	4.17E+04	0.0	-4.1	1.54E+07	-0.3	-7.7	-1.54E+06	5.0	4.8	-1.8E+00	-	-	-	-	-6.8	2.60E+04	-0.3	-0.3	-0.2	1.12E+04	0.0	0.0
9	S	Boční ráz	P	0	21.7	4.17E+04	0.5	11.6	1.54E+07	0.8	1.5	-1.54E+06	-1.0	0.3	-2.1E-02	-	-	-	-	1.0	2.60E+04	0.0	0.0	-0.1	1.12E+04	0.0	0.0
10	CH	Chodci na lávkách	Q	0	0.0	4.17E+04	0.0	0.0	1.54E+07	0.0	0.0	-1.54E+06	0.0	0.0	0.0E+00	-	-	-	-	0.0	2.60E+04	0.0	0.0	0.0	1.12E+04	0.0	0.0
11	W	Vítr na konstrukci	Q	0	10.6	4.17E+04	0.3	0.5	1.54E+07	0.0	-9.2	-1.54E+06	6.0	6.3	2.0E-02	-	-	-	-	-20.8	2.60E+04	-0.8	-0.8	-6.0	1.12E+04	-0.5	-0.5
12	WP	Vítr na vozidla	Q	0	21.3	4.17E+04	0.5	5.0	1.54E+07	0.3	-15.2	-1.54E+06	9.9	10.7	3.0E-02	-	-	-	-	-34.8	2.60E+04	-1.3	-1.3	-7.4	1.12E+04	-0.7	-0.7
13	TR	Teplota rovnoměrná	Q	0	0.0	4.17E+04	0.0	0.0	1.54E+07	0.0	0.0	-1.54E+06	0.0	0.0	0.0E+00	-	-	-	-	0.0	2.60E+04	0.0	0.0	0.0	1.12E+04	0.0	0.0
14	TN	Teplota nerovnoměrná	Q	0	-3.1	4.17E+04	-0.1	3.1	1.54E+07	0.2	0.2	-1.54E+06	-0.1	0.0	0.0E+00	-	-	-	-	1.8	2.60E+04	0.1	0.1	7.9	1.12E+04	0.7	0.7
15	FR	Třecí síly v ložiskách	Q	0	0.3	4.17E+04	0.0	-0.7	1.54E+07	0.0	-0.1	-1.54E+06	0.1	0.0	-1.2E-02	-	-	-	-	0.0	2.60E+04	0.0	0.0	0.0	1.12E+04	0.0	0.0
16	I	Imperfekce soustavy	Q	0	0.9	4.17E+04	0.0	-1.8	1.54E+07	-0.1	-0.6	-1.54E+06	0.4	0.3	0.0E+00	-	-	-	-	-1.0	2.60E+04	0.0	0.0	-2.1	1.12E+04	-0.2	-0.2
27	ULS_LM	ULS - LM71 bez dynam	Q	0	0.0	4.17E+04	0.0	0.0	1.54E+07	0.0	0.0	-1.54E+06	0.0	0.0	0.0E+00	-	-	-	-	0.0	2.60E+04	0.0	0.0	0.0	1.12E+04	0.0	0.0
28	SLS_LM	SLS - LM71 bez dynam	Q	0	0.0	4.17E+04	0.0	0.0	1.54E+07	0.0	0.0	-1.54E+06	0.0	0.0	0.0E+00	-	-	-	-	0.0	2.60E+04	0.0	0.0	0.0	1.12E+04	0.0	0.0
29	ULS_C3	ULS - C3 bez dynam	Q	0	0.0	4.17E+04	0.0	0.0	1.54E+07	0.0	0.0	-1.54E+06	0.0	0.0	0.0E+00	-	-	-	-	0.0	2.60E+04	0.0	0.0	0.0	1.12E+04	0.0	0.0
30	SLS_C3	SLS - C3 bez dynam	Q	0	0.0	4.17E+04	0.0	0.0	1.54E+07	0.0	0.0	-1.54E+06	0.0	0.0	0.0E+00	-	-	-	-	0.0	2.60E+04	0.0	0.0	0.0	1.12E+04	0.0	0.0
		NAVÝŠENÍ NAPĚTÍ DO AKTIVACE TLAKU V DESCE MOSTOVKY				$\sigma_{P,red}$	0.0							0.0				0.0		0.0				-2.6	-2.6			-1.5	-1.5
		NAPĚTÍ OD PRIMÁRNÍCH ÚČINKŮ NEROVNOMĚRNÉHO OTEPLENÍ				σ_T	0.0							0.0															
		NAPĚTÍ OD REOLOGICKÝCH ÚČINKŮ BETONU V ČASE		t=0		σ_R	0.0	$\gamma_{f=}$	1.20					0.0															
		NAPĚTÍ V KRITICKÝCH VLÁKNECH OD KOMBINACE ZATÍŽENÍ				KZ03		[MPa]					$\Sigma\sigma_x$	217.1										$\Sigma\tau_y$	-2.6			$\Sigma\tau_z$	-1.5
		NAPĚTÍ OD POHYBLIVÉHO ZATÍŽENÍ						[MPa]					$\sigma_{x,P}$	183.3										τ_P	-0.4			τ_P	0.5
		NAPĚTÍ OD OSTATNÍCH ZATÍŽENÍ						[MPa]			Φ_{Vy}	Φ_{Vz}	$\sigma_{x,rs}$	33.8										τ_{rs}	-2.2			τ_{rs}	-2.0
		NÁVRHOVÁ HODNOTA MEZE KLUZU S REDUKCÍ VLIVEM SMYKOVÉHO NAPĚTÍ						[MPa]			1.00	1.00	$f_{yv,d}$	209.1										$f_{yd}/3^{0,5}$	120.7			$f_{yd}/3^{0,5}$	120.7
		NAPĚTÍ OD POHYBLIVÉHO ZATÍŽENÍ V GLOBÁLNÍM SYSTÉMU				$\sigma_{GLOB,P}$	0.0	[MPa]					$\Sigma\sigma_{GLOB}$	0.0															
		NAPĚTÍ OD OSTATNÍCH ZATÍŽENÍ V GLOBÁLNÍM SYSTÉMU				$\sigma_{GLOB,rs}$	0.0	[MPa]					$\Sigma\sigma_x + \Sigma\sigma_{GLOB}$	217.1															
		VYUŽITÍ PRŮŘEZU DLE NAPĚTÍ						[%]					η_1	1.04										η_3	0.02			η_3	0.01
		NAPĚTÍ V PŘÍČNÉM SMĚRU OD POHYBLIVÉHO ZATÍŽENÍ				$\sigma_{z,P}$	0.0	[MPa]					$\Sigma\sigma_z$	0.0															
		NAPĚTÍ V PŘÍČNÉM SMĚRU OD OSTATNÍCH ZATÍŽENÍ				$\sigma_{z,rs}$	0.0	[MPa]					η_2	0.00															
		SROVNÁVACÍ NAPĚTÍ											$(\eta_2 + 0,8\ \eta_1)/1,4$ =	0.59															
		VYUŽITÍ PRŮŘEZU CELKEM						[%]					eff	1.04	NEVYHOVUJE														
		STANOVENÍ ZATÍŽITELNOSTI											z_{LM71} =	0.96															

TAB. P5.3.3 POSOUZENÍ - MEZNÍ STAV ÚNOSNOSTI

POPIS	PŘÍČNÍK P5 - VNITŘNÍ PODÉLNÍK
PRUT / POLOHA BODU	658 / I[538]
NAMÁHÁNÍ	Vz.min
VLÁKNO	BOD S6 -HP
MEZNÍ STAV	ULS (MSÚ)
VYUŽITÍ VLÁKNA PRŮŘEZU	0.32

Charakteristiky materiálu				
pás. horní	$f_{yf,k}$	230	MPa	
pás. dolní	$f_{yf,k}$	230	MPa	
stojina	$f_{yw,k}$	230	MPa	
výztuž	$f_{ys,k}$	500	MPa	
γ_M =	1.10	γ_s =	1.15	

Excentricita normálové síly				
Exc./Fáze	0	1	2	3
e_y	0.000	0.000	0.000	0.000
e_z	0.000	0.000	0.000	0.000
Ekvivalentní vzdál. stěn - příčný roznos				
b_{Mx}	0.000	0.000	0.000	0.000

Vliv stěny na únosnost průřezu				
Char./Fáze	0	1	2	3
A	0.00	0.00	0.00	0.00
Wy	0.00	0.00	0.00	0.00
Wz	0.00	0.00	0.00	0.00

Charakter. v kroucení			
$t_{w,y}$	0.000	[mm]	
$t_{w,z}$	0.000	[mm]	
κ	1.00		
I_t=	0.00E+00	[mm^4]	
$\Omega=2*A_{pr}$	0.00E+00	[mm^2]	

Součinitele vzpěru a vlivu II.řádu				
Char./Fáze	0	1	2	3
k_y	1.000	1.000	1.000	1.000
k_z	1.000	1.000	1.000	1.000
χ_{LT}	1.000	1.000	1.000	1.000
χ_{min}	1.000	1.000	1.000	1.000

δ_{LOK} 1.00

Vnitřní síly od jednotlivých skupin zatěžovacích stavů

SKUPINA ZATĚŽOVACÍCH STAVŮ — 4

Č.	SKUP ZS	POPIS ZS	KAT.	FÁZE PRŮŘ.	- CHARAKTERISTICKÉ HODNOTY N.k (kN)	Vy.k (kN)	Vz.k (kN)	Mx.k (kNm)	My.k (kNm)	Mz.k (kNm)	DÍLČÍ SOUČINITELÉ ZATÍŽENÍ, DYNAMICKÝ SOUČINITEL γ_{sr} (-)	γ_{fs} (-)	volba γ_f hledat	γ_f (-)	L_d (m)	δ (-)	Ψ_z KZ04	- NÁVRHOVÉ HODNOTY N.d (kN)	Vy.d (kN)	Vz.d (kN)	ΔVz.d (kN)	ΣVz.d (kN)	Mx.d (kNm)	My.d (kNm)	ΔMy.d (kNm)	ΣMy.d (kNm)	Mz.d (kNm)	ΔMz.d (kNm)	ΣMz.d (kNm)
1	G0	Vlastní tíha OK	G	0	-1	-2	-7	-1	102	-10	1.00	1.20		1.20	-	1.00	0.95	-2	-2	-8	0	-8	-1	117	0	117	-11	0	-11
2	G1	Ostatní stálé - mostní vybavení	G	0	0	0	-2	0	16	-1	1.00	1.20		1.20	-	1.00	0.95	0	0	-3	0	-3	0	19	0	19	-1	0	-1
3	G2	Ostatní stálé - cizí zařízení	G	0	0	0	-4	0	0	0	1.00	1.20		1.20	-	1.00	0.95	0	0	-4	0	-4	0	0	0	0	0	0	0
4	P1_71	a.LM71 - kolej 1 (bez dyn. souč.)	P	0	23	2	-221	0	580	3	1.00	1.30		1.30	-	1.27	1.00	39	3	-365	0	-365	-1	958	0	958	5	-1	4
5	P2_71	a.LM71 - kolej 2 (bez dyn. souč.)	P	0	-2	0	0	0	6	0	1.00	1.30		1.30	-	1.27	1.00	-3	0	0	0	0	0	11	0	11	-1	0	0
6	P1_C3	TTZ C3 - kolej 1 (bez dyn. souč.)	P	0	16	1	-128	0	321	2	1.00	vyp.		0.00	-	1.00	0.00	0	0	0	0	0	0	0	0	0	0	0	0
7	P2_C3	TTZ C3 - kolej 2 (bez dyn. souč.)	P	0	-2	0	0	0	8	0	1.00	vyp.		0.00	-	1.00	0.00	0	0	0	0	0	0	0	0	0	0	0	0
8	BR	Brzdné a rozjezdové síly	P	0	0	-7	0	-2	-4	-7	1.00	1.30		1.30	-	1.00	0.40	0	-3	0	0	0	-1	-2	0	-2	-4	0	-4
9	S	Boční ráz	P	0	-1	21	-3	0	-3	9	1.00	1.30		1.30	-	1.00	0.80	-1	21	-3	0	-3	0	-3	0	-3	9	0	9
10	CH	Chodci na lávkách	Q	0	1	0	-1	0	-33	0	1.00	1.30		1.30	-	1.00	1.00	1	0	-1	0	-1	0	-43	0	-43	0	0	0
11	W	Vítr na konstrukci	Q	0	10	-21	-6	0	1	-9	1.00	1.35		1.35	-	1.00	0.75	11	-21	-6	0	-6	0	1	0	1	-9	0	-9
12	WP	Vítr na vozidla	Q	0	21	-34	-7	0	5	-15	1.00	1.35		1.35	-	1.00	0.75	21	-35	-7	0	-7	0	5	0	5	-15	0	-15
13	TR	Teplota rovnoměrná	Q	0	0	0	0	0	0	0	1.00	1.35		1.35	-	1.00	0.45	0	0	0	0	0	0	0	0	0	0	0	0
14	TN	Teplota nerovnoměrná	Q	0	6	-2	-10	0	-12	0	1.00	1.35		1.35	-	1.00	0.60	5	-2	-8	0	-8	0	-10	0	-10	0	0	0
15	FR	Třecí síly v ložiskách	Q	0	0	0	0	0	-1	0	1.00	1.20		1.20	-	1.00	1.00	0	0	0	0	0	0	-1	0	-1	0	0	0
16	I	Imperfekce soustavy	Q	0	1	-1	-2	0	-2	0	1.00	1.20		1.20	-	1.00	1.00	1	-1	-2	0	-2	0	-2	0	-2	-1	0	-1
27	ULS_LM	ULS - LM71 bez dynam	Q	0	70	-35	-331	-2	841	-16	1.00	vyp.		0.00	-	1.00	0.00	0	0	0	0	0	0	0	0	0	0	0	0
28	SLS_LM	SLS - LM71 bez dynam	Q	0	49	-24	-250	-2	669	-12	1.00	vyp.	1	0.00	-	1.00	0.00	0	0	0	0	0	0	0	0	0	0	0	0
29	ULS_C3	ULS - C3 bez dynam	Q	0	60	-36	-209	-2	507	-17	1.00	vyp.	1	0.00	-	1.00	0.00	0	0	0	0	0	0	0	0	0	0	0	0
30	SLS_C3	SLS - C3 bez dynam	Q	0	42	-25	-156	-2	412	-12	1.00	vyp.	1	0.00	-	1.00	0.00	0	0	0	0	0	0	0	0	0	0	0	0
		CELKEM - FÁZE PRŮŘEZU 0			72	-40	-408	0	-408	-2	1 049	0	1 049	-27	-1	-28													
		CELKEM - FÁZE PRŮŘEZU 1			0	0	0	0	0	0	0	0	0	0	0	0													
		CELKEM - FÁZE PRŮŘEZU 2			0	0	0	0	0	0	0	0	0	0	0	0													
		CELKEM - FÁZE PRŮŘEZU 3			0	0	0	0	0	0	0	0	0	0	0	0													
		CELKEM - PRŮŘEZ			72	-40	-408	0	-408	-2			1 049			-28													

Napětí od jednotlivých zatěžovacích stavů

SKUPINA ZATĚŽOVACÍCH STAVŮ

Č.	SKUP ZS	Popis ZS	Kat.	fáze prúř.	Posouzení normálového napětí — Účinek síly N: δ^*N_d [kN]	χ^*A [mm^2]	σ_n [MPa]	Účinek momentu My: $\delta^*M_{y,d}$ [kNm]	$\chi_{lt}{}^*W_{el,y}$ [mm^3]	σ_{my} [MPa]	Účinek momentu Mz: $\delta^*M_{z,d}$ [kNm]	$W_{el,z}$ [mm^3]	σ_{mz} [MPa]	σ_x [MPa]	Posouzení smykového napětí — Účinek kroutícího momentu Mx: $\kappa^*\delta^*M_{x,d}$ [kNm]	$W_{v,y}$ [mm^2]	$\tau_{x,y}$ [MPa]	$W_{v,z}$ [mm^2]	$\tau_{x,z}$ [MPa]	Účinek smykové síly Vy: $\delta^*V_{y,d}$ [kN]	$A_{v,y}$ [mm2]	$\tau_{v,y}$ [MPa]	$\tau_{v,y}$ [MPa]	Účinek smykové síly Vz: $\delta^*V_{z,d}$ [kN]	$A_{v,z}$ [mm2]	$\tau_{v,z}$ [MPa]	$\tau_{v,z}$ [MPa]
1	G0	Vlastní tíha OK	G	0	-1.7	4.17E+04	0.0	116.7	1.62E+07	7.2	-11.0	-4.73E+07	0.2	7.4	-7.4E-01	-	-	-	-	-1.9	2.60E+04	-0.1	-0.1	-8.2	1.12E+04	-0.7	-0.7
2	G1	Ostatní stálé - mostní vybavení	G	0	-0.1	4.17E+04	0.0	18.5	1.62E+07	1.1	-0.8	-4.73E+07	0.0	1.2	-5.7E-02	-	-	-	-	-0.1	2.60E+04	0.0	0.0	-2.7	1.12E+04	-0.2	-0.2
3	G2	Ostatní stálé - cizí zařízení	G	0	0.1	4.17E+04	0.0	0.3	1.62E+07	0.0	-0.1	-4.73E+07	0.0	0.0	-2.3E-02	-	-	-	-	0.0	2.60E+04	0.0	0.0	-4.1	1.12E+04	-0.4	-0.4
4	P1_71	a.LM71 - kolej 1 (bez dyn. souč.)	P	0	38.6	4.17E+04	0.9	958.3	1.62E+07	59.2	4.0	-4.73E+07	-0.1	60.0	-6.1E-01	-	-	-	-	3.3	2.60E+04	0.1	0.1	-365.5	1.12E+04	-32.8	-32.8
5	P2_71	a.LM71 - kolej 2 (bez dyn. souč.)	P	0	-3.5	4.17E+04	-0.1	10.6	1.62E+07	0.7	-0.4	-4.73E+07	0.0	0.6	-8.3E-02	-	-	-	-	-0.4	2.60E+04	0.0	0.0	-0.4	1.12E+04	0.0	0.0
6	P1_C3	TTZ C3 - kolej 1 (bez dyn. souč.)	P	0	0.0	4.17E+04	0.0	0.0	1.62E+07	0.0	0.0	-4.73E+07	0.0	0.0	0.0E+00	-	-	-	-	0.0	2.60E+04	0.0	0.0	0.0	1.12E+04	0.0	0.0
7	P2_C3	TTZ C3 - kolej 2 (bez dyn. souč.)	P	0	0.0	4.17E+04	0.0	0.0	1.62E+07	0.0	0.0	-4.73E+07	0.0	0.0	0.0E+00	-	-	-	-	0.0	2.60E+04	0.0	0.0	0.0	1.12E+04	0.0	0.0
8	BR	Brzdné a rozjezdové síly	P	0	0.1	4.17E+04	0.0	-2.1	1.62E+07	-0.1	-3.9	-4.73E+07	0.1	0.0	-9.1E-01	-	-	-	-	-3.4	2.60E+04	-0.1	-0.1	-0.1	1.12E+04	0.0	0.0
9	S	Boční ráz	P	0	-0.6	4.17E+04	0.0	-3.5	1.62E+07	-0.2	9.1	-4.73E+07	-0.2	-0.4	-2.1E-02	-	-	-	-	21.3	2.60E+04	0.8	0.8	-2.8	1.12E+04	-0.2	-0.2
10	CH	Chodci na lávkách	Q	0	1.0	4.17E+04	0.0	-43.4	1.62E+07	-2.7	0.5	-4.73E+07	0.0	-2.7	-5.2E-02	-	-	-	-	0.2	2.60E+04	0.0	0.0	-0.9	1.12E+04	-0.1	-0.1
11	W	Vítr na konstrukci	Q	0	10.6	4.17E+04	0.3	0.5	1.62E+07	0.0	-9.2	-4.73E+07	0.2	0.5	2.0E-02	-	-	-	-	-20.8	2.60E+04	-0.8	-0.8	-6.0	1.12E+04	-0.5	-0.5
12	WP	Vítr na vozidla	Q	0	21.3	4.17E+04	0.5	5.0	1.62E+07	0.3	-15.2	-4.73E+07	0.3	1.1	3.0E-02	-	-	-	-	-34.8	2.60E+04	-1.3	-1.3	-7.4	1.12E+04	-0.7	-0.7
13	TR	Teplota rovnoměrná	Q	0	0.0	4.17E+04	0.0	0.0	1.62E+07	0.0	0.0	-4.73E+07	0.0	0.0	0.0E+00	-	-	-	-	0.0	2.60E+04	0.0	0.0	0.0	1.12E+04	0.0	0.0
14	TN	Teplota nerovnoměrná	Q	0	5.0	4.17E+04	0.1	-10.0	1.62E+07	-0.6	-0.3	-4.73E+07	0.0	-0.5	-8.1E-03	-	-	-	-	-1.9	2.60E+04	-0.1	-0.1	-7.8	1.12E+04	-0.7	-0.7
15	FR	Třecí síly v ložiskách	Q	0	0.3	4.17E+04	0.0	-0.7	1.62E+07	0.0	-0.1	-4.73E+07	0.0	0.0	-1.2E-02	-	-	-	-	0.0	2.60E+04	0.0	0.0	0.0	1.12E+04	0.0	0.0
16	I	Imperfekce soustavy	Q	0	0.9	4.17E+04	0.0	-1.8	1.62E+07	-0.1	-0.6	-4.73E+07	0.0	-0.1	0.0E+00	-	-	-	-	-1.0	2.60E+04	0.0	0.0	-2.1	1.12E+04	-0.2	-0.2
27	ULS_LM	ULS - LM71 bez dynam	Q	0	0.0	4.17E+04	0.0	0.0	1.62E+07	0.0	0.0	-4.73E+07	0.0	0.0	0.0E+00	-	-	-	-	0.0	2.60E+04	0.0	0.0	0.0	1.12E+04	0.0	0.0
28	SLS_LM	SLS - LM71 bez dynam	Q	0	0.0	4.17E+04	0.0	0.0	1.62E+07	0.0	0.0	-4.73E+07	0.0	0.0	0.0E+00	-	-	-	-	0.0	2.60E+04	0.0	0.0	0.0	1.12E+04	0.0	0.0
29	ULS_C3	ULS - C3 bez dynam	Q	0	0.0	4.17E+04	0.0	0.0	1.62E+07	0.0	0.0	-4.73E+07	0.0	0.0	0.0E+00	-	-	-	-	0.0	2.60E+04	0.0	0.0	0.0	1.12E+04	0.0	0.0
30	SLS_C3	SLS - C3 bez dynam	Q	0	0.0	4.17E+04	0.0	0.0	1.62E+07	0.0	0.0	-4.73E+07	0.0	0.0	0.0E+00	-	-	-	-	0.0	2.60E+04	0.0	0.0	0.0	1.12E+04	0.0	0.0
		NAVÝŠENÍ NAPĚTÍ DO AKTIVACE TLAKU V DESCE MOSTOVKY				$\sigma_{P,red}$	0.0							0.0			0.0		0.0			-1.5	-1.5			-36.6	-36.6
		NAPĚTÍ OD PRIMÁRNÍCH ÚČINKŮ NEROVNOMĚRNÉHO OTEPLENÍ				σ_T	0.0							0.0													
		NAPĚTÍ OD REOLOGICKÝCH ÚČINKŮ BETONU V ČASE		t=0		σ_R	0.0	γ_f=	1.20					0.0													
		NAPĚTÍ V KRITICKÝCH VLÁKNECH OD KOMBINACE ZATÍŽENÍ				KZ04		[MPa]					$\Sigma\sigma_x$	67.0								$\Sigma\tau_y$	-1.5			$\Sigma\tau_z$	-36.6
		NAPĚTÍ OD POHYBLIVÉHO ZATÍŽENÍ						[MPa]					$\sigma_{x,P}$	60.1								τ_P	0.8			τ_P	-33.0
		NAPĚTÍ OD OSTATNÍCH ZATÍŽENÍ						[MPa]			Φ_{Vy}	Φ_{Vz}	$\sigma_{x,rs}$	6.9								τ_{rs}	-2.3			τ_{rs}	-3.5
		NÁVRHOVÁ HODNOTA MEZE KLUZU S REDUKCÍ VLIVEM SMYKOVÉHO NAPĚTÍ						[MPa]			1.00	1.00	$f_{yv,d}$	209.1								$f_{yd}/3^{0,5}$	120.7			$f_{yd}/3^{0,5}$	120.7
		NAPĚTÍ OD POHYBLIVÉHO ZATÍŽENÍ V GLOBÁLNÍM SYSTÉMU				$\sigma_{GLOB,P}$	0.0	[MPa]					$\Sigma\sigma_{GLOB}$	0.0													
		NAPĚTÍ OD OSTATNÍCH ZATÍŽENÍ V GLOBÁLNÍM SYSTÉMU				$\sigma_{GLOB,rs}$	0.0	[MPa]					$\Sigma\sigma_x + \Sigma\sigma_{GLOB}$	67.0													
		VYUŽITÍ PRŮŘEZU DLE NAPĚTÍ						[%]					η_1	0.32								η_3	0.01			η_3	0.30
		NAPĚTÍ V PŘÍČNÉM SMĚRU OD POHYBLIVÉHO ZATÍŽENÍ				$\sigma_{z,P}$	0.0	[MPa]					$\Sigma\sigma_z$	0.0													
		NAPĚTÍ V PŘÍČNÉM SMĚRU OD OSTATNÍCH ZATÍŽENÍ				$\sigma_{z,rs}$	0.0	[MPa]					η_2	0.00													
		SROVNÁVACÍ NAPĚTÍ											$(\eta_2 + 0,8\ \eta_1)/1,4$ =	0.18													
		VYUŽITÍ PRŮŘEZU CELKEM						[%]					eff	0.32	VYHOVUJE												
		STANOVENÍ ZATÍŽITELNOSTI											Z_{LM71} =	3.36													

TR_P5.4 POPIS: **PŘÍČNÍK P5 - STŘED** POSUDEK: **P5.4**

SKUPINA ZAT. STAVŮ	EXTRÉM	VYHODNOCOVANÉ VELIČINY					
		N	Vy	Vz	Mx	My	Mz
		kN	kN	kN	kNm	kNm	kNm
G0	N.min	**-1.71**	1.47	2.74	0.65	107.08	-8.2
	N.max	**-1.71**	1.47	2.74	0.65	107.08	-8.2
	Vy.min	-1.71	**1.47**	2.74	0.65	107.08	-8.2
	Vy.max	-1.71	**1.47**	2.74	0.65	107.08	-8.2
	Vz.min	-1.71	1.47	**2.74**	0.65	107.08	-8.2
	Vz.max	-1.71	1.47	**2.74**	0.65	107.08	-8.2
	Mx.min	-1.71	1.47	2.74	**0.65**	107.08	-8.2
	Mx.max	-1.71	1.47	2.74	**0.65**	107.08	-8.2
	My.min	-1.71	1.47	2.74	0.65	**107.08**	-8.2
	My.max	-1.71	1.47	2.74	0.65	**107.08**	-8.2
	Mz.min	-1.71	1.47	2.74	0.65	107.08	**-8.2**
	Mz.max	-1.71	1.47	2.74	0.65	107.08	**-8.2**
G1	N.min	**-0.1**	0.11	0	0.05	17.43	-0.62
	N.max	**-0.1**	0.11	0	0.05	17.43	-0.62
	Vy.min	-0.1	**0.11**	0	0.05	17.43	-0.62
	Vy.max	-0.1	**0.11**	0	0.05	17.43	-0.62
	Vz.min	-0.1	0.11	**0**	0.05	17.43	-0.62
	Vz.max	-0.1	0.11	**0**	0.05	17.43	-0.62
	Mx.min	-0.1	0.11	0	**0.05**	17.43	-0.62
	Mx.max	-0.1	0.11	0	**0.05**	17.43	-0.62
	My.min	-0.1	0.11	0	0.05	**17.43**	-0.62
	My.max	-0.1	0.11	0	0.05	**17.43**	-0.62
	Mz.min	-0.1	0.11	0	0.05	17.43	**-0.62**
	Mz.max	-0.1	0.11	0	0.05	17.43	**-0.62**
G2	N.min	**0.12**	0.05	3.6	0.02	3.91	-0.01
	N.max	**0.12**	0.05	3.6	0.02	3.91	-0.01
	Vy.min	0.12	**0.05**	3.6	0.02	3.91	-0.01
	Vy.max	0.12	**0.05**	3.6	0.02	3.91	-0.01
	Vz.min	0.12	0.05	**3.6**	0.02	3.91	-0.01
	Vz.max	0.12	0.05	**3.6**	0.02	3.91	-0.01
	Mx.min	0.12	0.05	3.6	**0.02**	3.91	-0.01
	Mx.max	0.12	0.05	3.6	**0.02**	3.91	-0.01
	My.min	0.12	0.05	3.6	0.02	**3.91**	-0.01
	My.max	0.12	0.05	3.6	0.02	**3.91**	-0.01
	Mz.min	0.12	0.05	3.6	0.02	3.91	**-0.01**
	Mz.max	0.12	0.05	3.6	0.02	3.91	**-0.01**
P1_71	N.min	**-13.17**	4.28	-92.09	0.59	331.99	-1.37
	N.max	**2.07**	0.01	-127.98	-0.08	465.21	-0.11
	Vy.min	1.48	**-0.94**	-108.02	-0.29	401.23	-0.14
	Vy.max	-11.41	**5.01**	-130.66	0.72	473.87	-1.25
	Vz.min	-5.65	3.57	**-221.23**	0.34	785.74	-1.22
	Vz.max	-2.04	0.22	**0.24**	0.04	6.53	-0.1
	Mx.min	-0.15	-0.47	-95.95	**-0.4**	377.17	-0.11
	Mx.max	-10.61	4.6	-109.06	**0.8**	391.81	-1.27
	My.min	-4.57	2.56	-6.98	0.26	**-21.01**	-1.07
	My.max	-3.38	1.25	-214.92	0.12	**805.35**	-0.3
	Mz.min	-7.98	3.75	-83.48	0.34	274.5	**-1.67**
	Mz.max	-1.23	0.45	-29.38	-0.11	138.25	**0.15**
P2_71	N.min	**-1.79**	0.36	5.08	0.21	48.57	-0.19
	N.max	**25.12**	-2.6	206.07	0.28	731.76	1.28
	Vy.min	16.84	**-3.39**	116.56	0.17	429.06	1.57
	Vy.max	3.28	**0.82**	41.25	0.22	165.93	-0.4
	Vz.min	0.09	-0.02	**-0.25**	0.05	7.79	-0.04
	Vz.max	22.55	-2.05	**221.22**	0.37	802.97	1.1
	Mx.min	7.86	-1.02	60.71	**-0.22**	260.09	0.38
	Mx.max	10.63	-1.44	114.5	**0.65**	424.33	0.79
	My.min	3.69	-0.23	3.75	0.06	**-15.66**	-0.13
	My.max	20.09	-1.86	218.16	0.35	**819.47**	1.04
	Mz.min	1.54	0.2	8.95	0.15	33.11	**-0.68**
	Mz.max	14.8	-2.93	100.16	0.3	353.06	**1.89**
P1_C3	N.min	**-9.62**	3.74	-93.99	0.37	330.46	-1.15
	N.max	**1.49**	0.11	-89.2	-0.04	324.04	-0.08
	Vy.min	1.31	**-0.75**	-60.62	-0.18	222.88	-0.15
	Vy.max	-8.29	**4.06**	-78.25	0.46	274.64	-0.98
	Vz.min	-3.2	2.68	**-127.65**	0.28	438.71	-1.04
	Vz.max	-1.86	0.25	**0.22**	0.02	8.49	-0.07
	Mx.min	-0.05	-0.35	-60.97	**-0.25**	233.6	-0.17
	Mx.max	-6.34	3.75	-67.73	**0.56**	234.4	-0.97
	My.min	-3.33	2.29	-5.75	0.22	**-15.25**	-0.91
	My.max	-1.42	0.75	-121.67	0.07	**456.61**	-0.21
	Mz.min	-7.61	2.87	-96.95	0.29	331.93	**-1.38**
	Mz.max	-0.83	0.53	-32.93	-0.04	141.85	**0.14**
P2_C3	N.min	**-1.31**	0.26	2.71	0.14	30.87	-0.14
	N.max	**16.66**	-1.9	120.64	0.27	420.71	1.07
	Vy.min	13.24	**-2.72**	95.21	0.21	340.61	1.21
	Vy.max	4.1	**0.62**	49.9	0.13	187.14	-0.25
	Vz.min	0.23	-0.17	**-0.22**	0.02	9.83	0.03
	Vz.max	14.95	-1.45	**127.67**	0.3	450.07	0.94
	Mx.min	4.45	-0.47	32.1	**-0.14**	137.25	0.14
	Mx.max	8.68	-1.59	80.57	**0.46**	287.29	0.69
	My.min	2.26	-0.21	2.56	0.03	**-11.51**	-0.05
	My.max	12.48	-1.45	124.7	0.28	**465.29**	0.92
	Mz.min	-0.06	0.25	2.55	0.13	19.4	**-0.49**
	Mz.max	14.79	-2.16	114.59	0.2	406.69	**1.44**
BR	N.min	**-2**	-15.29	-0.07	-1.35	3.75	-1.21
	N.max	**2**	15.29	0.07	1.35	-3.75	1.21
	Vy.min	0.88	**-16.36**	-0.15	-1.26	1.5	-1.04
	Vy.max	-0.88	**16.36**	0.15	1.26	-1.5	1.04
	Vz.min	-0.23	-6.51	**-0.16**	-1.75	3.76	0.94
	Vz.max	0.23	6.51	**0.16**	1.75	-3.76	-0.94
	Mx.min	-0.23	-6.51	-0.16	**-1.75**	3.76	0.94
	Mx.max	0.23	6.51	0.16	**1.75**	-3.76	-0.94
	My.min	1.85	-9.13	-0.06	1.36	**-3.84**	-1.36
	My.max	-1.85	9.13	0.06	-1.36	**3.84**	1.36
	Mz.min	1.85	-9.13	-0.06	1.36	-3.84	**-1.36**
	Mz.max	-1.85	9.13	0.06	-1.36	3.84	**1.36**

TR_P5.4 POPIS: **PŘÍČNÍK P5 - STŘED** POSUDEK: **P5.4**

SKUPINA ZAT. STAVŮ	EXTRÉM	VYHODNOCOVANÉ VELIČINY					
		N	Vy	Vz	Mx	My	Mz
		kN	kN	kN	kNm	kNm	kNm
S	N.min	**-41.93**	1.88	-0.22	-0.04	-21.85	-0.97
	N.max	**41.93**	-1.88	0.22	0.04	21.85	0.97
	Vy.min	-0.8	**-20.5**	2.67	0.02	-0.08	-11.71
	Vy.max	0.8	**20.5**	-2.67	-0.02	0.08	11.71
	Vz.min	0.8	20.5	**-2.67**	-0.02	0.08	11.71
	Vz.max	-0.8	-20.5	**2.67**	0.02	-0.08	-11.71
	Mx.min	35.03	17.01	-0.11	**-0.05**	18.19	8.83
	Mx.max	-35.03	-17.01	0.11	**0.05**	-18.19	-8.83
	My.min	-41.93	1.88	-0.22	-0.04	**-21.85**	-0.97
	My.max	41.93	-1.88	0.22	0.04	**21.85**	0.97
	Mz.min	-0.8	-20.5	2.67	0.02	-0.08	**-11.71**
	Mz.max	0.8	20.5	-2.67	-0.02	0.08	**11.71**
CH	N.min	**-0.22**	0.44	2.44	0.04	-16.73	-0.05
	N.max	**0.41**	0.13	-0.01	0.05	-32.77	-0.03
	Vy.min	0.41	**0.13**	-0.01	0.05	-32.77	-0.03
	Vy.max	-0.22	**0.44**	2.44	0.04	-16.73	-0.05
	Vz.min	-0.13	0.3	**-0.73**	0.03	-33.16	-0.28
	Vz.max	-0.22	0.44	**2.44**	0.04	-16.73	-0.05
	Mx.min	-0.13	0.3	-0.73	**0.03**	-33.16	-0.28
	Mx.max	0.41	0.13	-0.01	**0.05**	-32.77	-0.03
	My.min	-0.13	0.3	-0.73	0.03	**-33.16**	-0.28
	My.max	-0.22	0.44	2.44	0.04	**-16.73**	-0.05
	Mz.min	-0.13	0.3	-0.73	0.03	-33.16	**-0.28**
	Mz.max	0.41	0.13	-0.01	0.05	-32.77	**-0.03**
W	N.min	**-13.57**	-20.56	-5.89	0.02	-6.35	-11.43
	N.max	**10.46**	20.58	5.88	-0.02	6.38	11.44
	Vy.min	-13.57	**-20.56**	-5.89	0.02	-6.35	-11.43
	Vy.max	10.46	**20.58**	5.88	-0.02	6.38	11.44
	Vz.min	-13.57	-20.56	**-5.89**	0.02	-6.35	-11.43
	Vz.max	10.46	20.58	**5.88**	-0.02	6.38	11.44
	Mx.min	10.46	20.58	5.88	**-0.02**	6.38	11.44
	Mx.max	-13.57	-20.56	-5.89	**0.02**	-6.35	-11.43
	My.min	-13.57	-20.56	-5.89	0.02	**-6.35**	-11.43
	My.max	10.46	20.58	5.88	-0.02	**6.38**	11.44
	Mz.min	-13.57	-20.56	-5.89	0.02	-6.35	**-11.43**
	Mz.max	10.46	20.58	5.88	-0.02	6.38	**11.44**
WP	N.min	**-21.74**	-34.41	-7.27	0.03	-10.41	-19.44
	N.max	**21.74**	34.42	7.27	-0.03	10.41	19.44
	Vy.min	-21.74	**-34.41**	-7.27	0.03	-10.41	-19.44
	Vy.max	21.74	**34.42**	7.27	-0.03	10.41	19.44
	Vz.min	-21.74	-34.41	**-7.27**	0.03	-10.41	-19.44
	Vz.max	21.74	34.42	**7.27**	-0.03	10.41	19.44
	Mx.min	21.74	34.42	7.27	**-0.03**	10.41	19.44
	Mx.max	-21.74	-34.41	-7.27	**0.03**	-10.41	-19.44
	My.min	-21.74	-34.41	-7.27	0.03	**-10.41**	-19.44
	My.max	21.74	34.42	7.27	-0.03	**10.41**	19.44
	Mz.min	-21.74	-34.41	-7.27	0.03	-10.41	**-19.44**
	Mz.max	21.74	34.42	7.27	-0.03	10.41	**19.44**
TR	N.min	**0**	0	0	0	0	0
	N.max	**0**	0	0	0	0	0
	Vy.min	0	**0**	0	0	0	0
	Vy.max	0	**0**	0	0	0	0
	Vz.min	0	0	**0**	0	0	0
	Vz.max	0	0	**0**	0	0	0
	Mx.min	0	0	0	**0**	0	0
	Mx.max	0	0	0	**0**	0	0
	My.min	0	0	0	0	**0**	0
	My.max	0	0	0	0	**0**	0
	Mz.min	0	0	0	0	0	**0**
	Mz.max	0	0	0	0	0	**0**
TN	N.min	**-3.19**	-2.35	-9.66	0	-7.68	-2.07
	N.max	**5.42**	2.31	9.7	0.01	-0.93	2
	Vy.min	-3.19	**-2.35**	-9.66	0	-7.68	-2.07
	Vy.max	5.42	**2.31**	9.7	0.01	-0.93	2
	Vz.min	-3.19	-2.35	**-9.66**	0	-7.68	-2.07
	Vz.max	5.42	2.31	**9.7**	0.01	-0.93	2
	Mx.min	-1.22	-0.01	-0.01	**-0.01**	2.19	0.05
	Mx.max	1.22	0.01	0.01	**0.01**	-2.19	-0.05
	My.min	-3.19	-2.35	-9.66	0	**-7.68**	-2.07
	My.max	-1.22	-0.01	-0.01	-0.01	**2.19**	0.05
	Mz.min	-3.19	-2.35	-9.66	0	-7.68	**-2.07**
	Mz.max	5.42	2.31	9.7	0.01	-0.93	**2**
FR	N.min	**-0.29**	-0.03	0	-0.01	0.56	0.05
	N.max	**0.29**	0.03	0	0.01	-0.56	-0.05
	Vy.min	-0.29	**-0.03**	0	-0.01	0.56	0.05
	Vy.max	0.29	**0.03**	0	0.01	-0.56	-0.05
	Vz.min	0.29	0.03	**0**	0.01	-0.56	-0.05
	Vz.max	-0.29	-0.03	**0**	-0.01	0.56	0.05
	Mx.min	-0.29	-0.03	0	**-0.01**	0.56	0.05
	Mx.max	0.29	0.03	0	**0.01**	-0.56	-0.05
	My.min	0.29	0.03	0	0.01	**-0.56**	-0.05
	My.max	-0.29	-0.03	0	-0.01	**0.56**	0.05
	Mz.min	0.29	0.03	0	0.01	-0.56	**-0.05**
	Mz.max	-0.29	-0.03	0	-0.01	0.56	**0.05**
I	N.min	**-0.6**	-0.85	-1.71	0	-0.5	**-0.39**
	N.max	**0.6**	0.85	1.71	0	0.5	**0.39**
	Vy.min	-0.6	**-0.85**	-1.71	0	-0.5	**-0.39**
	Vy.max	0.6	**0.85**	1.71	0	0.5	**0.39**
	Vz.min	-0.6	-0.85	**-1.71**	0	-0.5	**-0.39**
	Vz.max	0.6	0.85	**1.71**	0	0.5	**0.39**
	Mx.min	0.6	0.85	1.71	**0**	0.5	**0.39**
	Mx.max	-0.6	-0.85	-1.71	**0**	-0.5	**-0.39**
	My.min	-0.6	-0.85	-1.71	0	**-0.5**	**-0.39**
	My.max	0.6	0.85	1.71	0	**0.5**	**0.39**
	Mz.min	-0.6	-0.85	-1.71	0	-0.5	**-0.39**
	Mz.max	0.6	0.85	1.71	0	0.5	**0.39**

TAB. P5.4.3 POSOUZENÍ - MEZNÍ STAV ÚNOSNOSTI

POPIS	PŘÍČNÍK P5 - STŘED
PRUT / POLOHA BODU	659 / I[539]
NAMÁHÁNÍ	My.max
VLÁKNO	BOD K2 -HP
MEZNÍ STAV	ULS (MSÚ)
VYUŽITÍ VLÁKNA PRŮŘEZU	0.88

Charakteristiky materiálu				
pás. horní	$f_{yf,k}$	230	MPa	
pás. dolní	$f_{yf,k}$	230	MPa	
stojina	$f_{yw,k}$	230	MPa	
výztuž	$f_{ys,k}$	500	MPa	
γ_M =	1.10	γ_s =	1.15	

Excentricita normálové síly				
Exc./Fáze	0	1	2	3
e_y	0.000	0.000	0.000	0.000
e_z	0.000	0.000	0.000	0.000
Ekvivalentní vzdál. stěn - příčný roznos				
b_{Mx}	0.000	0.000	0.000	0.000

Vliv stěny na únosnost průřezu				
Char./Fáze	0	1	2	3
A	0.00	0.00	0.00	0.00
Wy	0.00	0.00	0.00	0.00
Wz	0.00	0.00	0.00	0.00

Charakter. v kroucení			
$t_{w,y}$	0.000	[mm]	
$t_{w,z}$	0.000	[mm]	
κ	1.00		
I_t=	0.00E+00	[mm^4]	
Ω=2*A_{pr}	0.00E+00	[mm^2]	

Součinitele vzpěru a vlivu II.řádu					
Char./Fáze	0	1	2	3	
k_y	1.000	1.000	1.000	1.000	
k_z	1.000	1.000	1.000	1.000	
χ_{LT}	1.000	1.000	1.000	1.000	
χ_{min}	1.000	1.000	1.000	1.000	

δ_{LOK} 1.00

Vnitřní síly od jednotlivých skupin zatěžovacích stavů

SKUPINA ZATĚŽOVACÍCH STAVŮ — CHARAKTERISTICKÉ HODNOTY — DÍLČÍ SOUČINITELÉ ZATÍŽENÍ, DYNAMICKÝ SOUČINITEL — NÁVRHOVÉ HODNOTY

Č.	SKUP ZS	POPIS ZS	KAT.	FÁZE PRŮŘ.	N.k (kN)	Vy.k (kN)	Vz.k (kN)	Mx.k (kNm)	My.k (kNm)	Mz.k (kNm)	γ_{sr} (-)	γ_{fs} (-)	volba γ_f hledat	γ_f (-)	L_d (m)	δ (-)	Ψ_s KZ03	N.d (kN)	Vy.d (kN)	Vz.d (kN)	ΔVz.d (kN)	ΣVz.d (kN)	Mx.d (kNm)	My.d (kNm)	ΔMy.d (kNm)	ΣMy.d (kNm)	Mz.d (kNm)	ΔMz.d (kNm)	ΣMz.d (kNm)
1	G0	Vlastní tíha OK	G	0	-2	1	3	1	107	-8	1.00	1.20		1.20	-	1.00	0.95	-2	2	3	0	3	1	122	0	122	-9	0	-9
2	G1	Ostatní stálé - mostní vybavení	G	0	0	0	0	0	17	-1	1.00	1.20		1.20	-	1.00	0.95	0	0	0	0	0	0	20	0	20	-1	0	-1
3	G2	Ostatní stálé - cizí zařízení	G	0	0	0	4	0	4	0	1.00	1.20		1.20	-	1.00	0.95	0	0	4	0	4	0	4	0	4	0	0	0
4	P1_71	a.LM71 - kolej 1 (bez dyn. souč.)	P	0	-3	1	-215	0	805	0	1.00	1.30		1.30	-	1.27	1.00	-6	2	-355	0	-355	0	1 331	0	1 331	0	0	0
5	P2_71	a.LM71 - kolej 2 (bez dyn. souč.)	P	0	20	-2	218	0	819	1	1.00	1.30		1.30	-	1.27	1.00	33	-3	360	0	360	1	1 354	0	1 354	2	0	1
6	P1_C3	TTZ C3 - kolej 1 (bez dyn. souč.)	P	0	-1	1	-122	0	457	0	1.00	vyp.		0.00	-	1.00	0.00	0	0	0	0	0	0	0	0	0	0	0	0
7	P2_C3	TTZ C3 - kolej 2 (bez dyn. souč.)	P	0	12	-1	125	0	465	1	1.00	vyp.		0.00	-	1.00	0.00	0	0	0	0	0	0	0	0	0	0	0	0
8	BR	Brzdné a rozjezdové síly	P	0	-2	9	0	-1	4	1	1.00	-1.30		-1.30	-	1.00	0.80	2	-9	0	0	0	1	-4	0	-4	-1	0	-1
9	S	Boční ráz	P	0	42	-2	0	0	22	1	1.00	-1.30		-1.30	-	1.00	0.40	-22	1	0	0	0	0	-11	0	-11	-1	0	-1
10	CH	Chodci na lávkách	Q	0	0	0	2	0	-17	0	1.00	0.00		0.00	-	1.00	1.00	0	0	0	0	0	0	0	0	0	0	0	0
11	W	Vítr na konstrukci	Q	0	10	21	6	0	6	11	1.00	-1.35		-1.35	-	1.00	0.75	-11	-21	-6	0	-6	0	-6	0	-6	-12	0	-12
12	WP	Vítr na vozidla	Q	0	22	34	7	0	10	19	1.00	-1.35		-1.35	-	1.00	0.75	-22	-35	-7	0	-7	0	-11	0	-11	-20	0	-20
13	TR	Teplota rovnoměrná	Q	0	0	0	0	0	0	0	1.00	1.35		1.35	-	1.00	0.45	0	0	0	0	0	0	0	0	0	0	0	0
14	TN	Teplota nerovnoměrná	Q	0	-1	0	0	0	2	0	1.00	1.35		1.35	-	1.00	0.60	-1	0	0	0	0	0	2	0	2	0	0	0
15	FR	Třecí síly v ložiskách	Q	0	0	0	0	0	1	0	1.00	1.20		1.20	-	1.00	1.00	0	0	0	0	0	0	1	0	1	0	0	0
16	I	Imperfekce soustavy	Q	0	1	1	2	0	1	0	1.00	-1.20		-1.20	-	1.00	1.00	-1	-1	-2	0	-2	0	-1	0	-1	0	0	0
27	ULS_LM	ULS - LM71 bez dynam	Q	0	110	61	30	0	2 288	35	1.00	vyp.	1	0.00	-	1.00	0.00	0	0	0	0	0	0	0	0	0	0	0	0
28	SLS_LM	SLS - LM71 bez dynam	Q	0	85	45	24	0	1 774	26	1.00	vyp.	1	0.00	-	1.00	0.00	0	0	0	0	0	0	0	0	0	0	0	0
29	ULS_C3	ULS - C3 bez dynam	Q	0	103	61	30	0	1 374	35	1.00	vyp.	1	0.00	-	1.00	0.00	0	0	0	0	0	0	0	0	0	0	0	0
30	SLS_C3	SLS - C3 bez dynam	Q	0	79	45	24	0	1 071	26	1.00	vyp.	1	0.00	-	1.00	0.00	0	0	0	0	0	0	0	0	0	0	0	0
		CELKEM - FÁZE PRŮŘEZU 0																-29	-64	-3	0	-3	3	2 801	0	2 801	-42	0	-43
		CELKEM - FÁZE PRŮŘEZU 1																0	0	0	0	0	0	0	0	0	0	0	0
		CELKEM - FÁZE PRŮŘEZU 2																0	0	0	0	0	0	0	0	0	0	0	0
		CELKEM - FÁZE PRŮŘEZU 3																0	0	0	0	0	0	0	0	0	0	0	0
		CELKEM - PRŮŘEZ																-29	-64	-3	0	-3	3			2 801			-43

Napětí od jednotlivých zatěžovacích stavů

SKUPINA ZATĚŽOVACÍCH STAVŮ — Posouzení normálového napětí — Účinek síly N — Účinek momentu My — Účinek momentu Mz — Posouzení smykového napětí — Účinek kroutícího momentu Mx — Účinek smykové síly Vy — Účinek smykové síly Vz

Č.	SKUP ZS	Popis ZS	Kat.	fáze průř.	δ^*N_d [kN]	χ^*A [mm^2]	σ_n [MPa]	$\delta^*M_{y,d}$ [kNm]	$\chi_{lt}{}^*W_{el,y}$ [mm^3]	σ_{my} [MPa]	$\delta^*M_{z,d}$ [kNm]	$W_{el,z}$ [mm^3]	σ_{mz} [MPa]	σ_x [MPa]	$\kappa^*\delta^*M_{x,d}$ [kNm]	$W_{v,y}$ [mm^3]	$\tau_{x,y}$ [MPa]	$W_{v,z}$ [mm^3]	$\tau_{x,z}$ [MPa]	$\delta^*V_{y,d}$ [kN]	$A_{v,y}$ [mm2]	$\tau_{v,y}$ [MPa]	$\tau_{v,y}$ [MPa]	$\delta^*V_{z,d}$ [kN]	$A_{v,z}$ [mm2]	$\tau_{v,z}$ [MPa]	$\tau_{v,z}$ [MPa]
1	G0	Vlastní tíha OK	G	0	-1.9	3.81E+04	-0.1	122.1	-1.79E+07	-6.8	-9.3	1.55E+06	-6.1	-12.9	7.4E-01	-	-	-	-	1.7	2.62E+04	0.1	0.1	3.1	7.39E+03	0.4	0.4
2	G1	Ostatní stálé - mostní vybavení	G	0	-0.1	3.81E+04	0.0	19.9	-1.79E+07	-1.1	-0.7	1.55E+06	-0.5	-1.6	5.7E-02	-	-	-	-	0.1	2.62E+04	0.0	0.0	0.0	7.39E+03	0.0	0.0
3	G2	Ostatní stálé - cizí zařízení	G	0	0.1	3.81E+04	0.0	4.5	-1.79E+07	-0.2	0.0	1.55E+06	0.0	-0.3	2.3E-02	-	-	-	-	0.1	2.62E+04	0.0	0.0	4.1	7.39E+03	0.6	0.6
4	P1_71	a.LM71 - kolej 1 (bez dyn. souč.)	P	0	-5.6	3.81E+04	-0.1	1 330.7	-1.79E+07	-74.3	-0.4	1.55E+06	-0.3	-74.7	2.0E-01	-	-	-	-	2.1	2.62E+04	0.1	0.1	-355.1	7.39E+03	-48.1	-48.1
5	P2_71	a.LM71 - kolej 2 (bez dyn. souč.)	P	0	33.2	3.81E+04	0.9	1 354.0	-1.79E+07	-75.6	1.4	1.55E+06	0.9	-73.9	5.8E-01	-	-	-	-	-3.1	2.62E+04	-0.1	-0.1	360.5	7.39E+03	48.8	48.8
6	P1_C3	TTZ C3 - kolej 1 (bez dyn. souč.)	P	0	0.0	3.81E+04	0.0	0.0	-1.79E+07	0.0	0.0	1.55E+06	0.0	0.0	0.0E+00	-	-	-	-	0.0	2.62E+04	0.0	0.0	0.0	7.39E+03	0.0	0.0
7	P2_C3	TTZ C3 - kolej 2 (bez dyn. souč.)	P	0	0.0	3.81E+04	0.0	0.0	-1.79E+07	0.0	0.0	1.55E+06	0.0	0.0	0.0E+00	-	-	-	-	0.0	2.62E+04	0.0	0.0	0.0	7.39E+03	0.0	0.0
8	BR	Brzdné a rozjezdové síly	P	0	1.9	3.81E+04	0.1	-4.0	-1.79E+07	0.2	-1.4	1.55E+06	-0.9	-0.6	1.4E+00	-	-	-	-	-9.5	2.62E+04	-0.4	-0.4	-0.1	7.39E+03	0.0	0.0
9	S	Boční ráz	P	0	-21.8	3.81E+04	-0.6	-11.4	-1.79E+07	0.6	-0.5	1.55E+06	-0.3	-0.3	-2.1E-02	-	-	-	-	1.0	2.62E+04	0.0	0.0	-0.1	7.39E+03	0.0	0.0
10	CH	Chodci na lávkách	Q	0	0.0	3.81E+04	0.0	0.0	-1.79E+07	0.0	0.0	1.55E+06	0.0	0.0	0.0E+00	-	-	-	-	0.0	2.62E+04	0.0	0.0	0.0	7.39E+03	0.0	0.0
11	W	Vítr na konstrukci	Q	0	-10.6	3.81E+04	-0.3	-6.5	-1.79E+07	0.4	-11.6	1.55E+06	-7.5	-7.4	2.0E-02	-	-	-	-	-20.8	2.62E+04	-0.8	-0.8	-6.0	7.39E+03	-0.8	-0.8
12	WP	Vítr na vozidla	Q	0	-22.0	3.81E+04	-0.6	-10.5	-1.79E+07	0.6	-19.7	1.55E+06	-12.7	-12.7	3.0E-02	-	-	-	-	-34.9	2.62E+04	-1.3	-1.3	-7.4	7.39E+03	-1.0	-1.0
13	TR	Teplota rovnoměrná	Q	0	0.0	3.81E+04	0.0	0.0	-1.79E+07	0.0	0.0	1.55E+06	0.0	0.0	0.0E+00	-	-	-	-	0.0	2.62E+04	0.0	0.0	0.0	7.39E+03	0.0	0.0
14	TN	Teplota nerovnoměrná	Q	0	-1.0	3.81E+04	0.0	1.8	-1.79E+07	-0.1	0.0	1.55E+06	0.0	-0.1	-8.1E-03	-	-	-	-	0.0	2.62E+04	0.0	0.0	0.0	7.39E+03	0.0	0.0
15	FR	Třecí síly v ložiskách	Q	0	-0.3	3.81E+04	0.0	0.7	-1.79E+07	0.0	0.1	1.55E+06	0.0	0.0	-1.2E-02	-	-	-	-	0.0	2.62E+04	0.0	0.0	0.0	7.39E+03	0.0	0.0
16	I	Imperfekce soustavy	Q	0	-0.7	3.81E+04	0.0	-0.6	-1.79E+07	0.0	-0.5	1.55E+06	-0.3	-0.3	0.0E+00	-	-	-	-	-1.0	2.62E+04	0.0	0.0	-2.1	7.39E+03	-0.3	-0.3
27	ULS_LM	ULS - LM71 bez dynam	Q	0	0.0	3.81E+04	0.0	0.0	-1.79E+07	0.0	0.0	1.55E+06	0.0	0.0	0.0E+00	-	-	-	-	0.0	2.62E+04	0.0	0.0	0.0	7.39E+03	0.0	0.0
28	SLS_LM	SLS - LM71 bez dynam	Q	0	0.0	3.81E+04	0.0	0.0	-1.79E+07	0.0	0.0	1.55E+06	0.0	0.0	0.0E+00	-	-	-	-	0.0	2.62E+04	0.0	0.0	0.0	7.39E+03	0.0	0.0
29	ULS_C3	ULS - C3 bez dynam	Q	0	0.0	3.81E+04	0.0	0.0	-1.79E+07	0.0	0.0	1.55E+06	0.0	0.0	0.0E+00	-	-	-	-	0.0	2.62E+04	0.0	0.0	0.0	7.39E+03	0.0	0.0
30	SLS_C3	SLS - C3 bez dynam	Q	0	0.0	3.81E+04	0.0	0.0	-1.79E+07	0.0	0.0	1.55E+06	0.0	0.0	0.0E+00	-	-	-	-	0.0	2.62E+04	0.0	0.0	0.0	7.39E+03	0.0	0.0
		NAVÝŠENÍ NAPĚTÍ DO AKTIVACE TLAKU V DESCE MOSTOVKY				$\sigma_{P,red}$	0.0							0.0			0.0		0.0				-2.5	-2.5			-0.4	-0.4
		NAPĚTÍ OD PRIMÁRNÍCH ÚČINKŮ NEROVNOMĚRNÉHO OTEPLENÍ				σ_T	0.0							0.0														
		NAPĚTÍ OD REOLOGICKÝCH ÚČINKŮ BETONU V ČASE		t=0		σ_R	0.0	γ_f=	1.20					0.0														
		NAPĚTÍ V KRITICKÝCH VLÁKNECH OD KOMBINACE ZATÍŽENÍ				KZ03		[MPa]					$\Sigma\sigma_x$	-184.8									$\Sigma\tau_y$	-2.5				$\Sigma\tau_z$	-0.4
		NAPĚTÍ OD POHYBLIVÉHO ZATÍŽENÍ						[MPa]					$\sigma_{x,P}$	-149.5										-0.4				τ_P	0.7
		NAPĚTÍ OD OSTATNÍCH ZATÍŽENÍ						[MPa]			Φ_{Vy}	Φ_{Vz}	$\sigma_{x,rs}$	-35.3									τ_{rs}	-2.1				τ_{rs}	-1.1
		NÁVRHOVÁ HODNOTA MEZE KLUZU S REDUKCÍ VLIVEM SMYKOVÉHO NAPĚTÍ						[MPa]			1.00	1.00	$f_{yv,d}$	209.1									$f_{yd}/3^{0,5}$	120.7				$f_{yd}/3^{0,5}$	120.7
		NAPĚTÍ OD POHYBLIVÉHO ZATÍŽENÍ V GLOBÁLNÍM SYSTÉMU				$\sigma_{GLOB,P}$	0.0	[MPa]					$\Sigma\sigma_{GLOB}$	0.0															
		NAPĚTÍ OD OSTATNÍCH ZATÍŽENÍ V GLOBÁLNÍM SYSTÉMU				$\sigma_{GLOB,rs}$	0.0	[MPa]					$\Sigma\sigma_x + \Sigma\sigma_{GLOB}$	-184.8															
		VYUŽITÍ PRŮŘEZU DLE NAPĚTÍ						[%]					η_1	0.88									η_3	0.02				η_3	0.00
		NAPĚTÍ V PŘÍČNÉM SMĚRU OD POHYBLIVÉHO ZATÍŽENÍ				$\sigma_{z,P}$	0.0	[MPa]					$\Sigma\sigma_z$	0.0															
		NAPĚTÍ V PŘÍČNÉM SMĚRU OD OSTATNÍCH ZATÍŽENÍ				$\sigma_{z,rs}$	0.0	[MPa]					η_2	0.00															
		SROVNÁVACÍ NAPĚTÍ											$(\eta_2 + 0,8\,\eta_1)/1,4$ =	0.50															
		VYUŽITÍ PRŮŘEZU CELKEM						[%]					eff	0.88	VYHOVUJE														
		STANOVENÍ ZATÍŽITELNOSTI											z_{LM71} =	1.16															

TAB. P5.4.3 POSOUZENÍ - MEZNÍ STAV ÚNOSNOSTI

POPIS	PŘÍČNÍK P5 - STŘED
PRUT / POLOHA BODU	659 / I[539]
NAMÁHÁNÍ	My.max
VLÁKNO	BOD K3 -SL
MEZNÍ STAV	ULS (MSÚ)
VYUŽITÍ VLÁKNA PRŮŘEZU	1.00

Charakteristiky materiálu				
pás. horní	$f_{yf,k}$	230	MPa	
pás. dolní	$f_{yf,k}$	230	MPa	
stojina	$f_{yw,k}$	230	MPa	
výztuž	$f_{ys,k}$	500	MPa	
γ_M =	1.10	γ_s =	1.15	

Excentricita normálové síly				
Exc./Fáze	0	1	2	3
e_y	0.000	0.000	0.000	0.000
e_z	0.000	0.000	0.000	0.000
Ekvivalentní vzdál. stěn - příčný roznos				
b_{Mx}	0.000	0.000	0.000	0.000

Vliv stěny na únosnost průřezu				
Char./Fáze	0	1	2	3
A	0.00	0.00	0.00	0.00
Wy	0.00	0.00	0.00	0.00
Wz	0.00	0.00	0.00	0.00

Charakter. v kroucení			
$t_{w,y}$	0.000	[mm]	
$t_{w,z}$	0.000	[mm]	
κ	1.00		
I_t=	0.00E+00	[mm^4]	
Ω=2*A_{pz}	0.00E+00	[mm^2]	

Součinitele vzpěru a vlivu II.řádu				
Char./Fáze	0	1	2	3
k_y	1.000	1.000	1.000	1.000
k_z	1.000	1.000	1.000	1.000
χ_{LT}	1.000	1.000	1.000	1.000
χ_{min}	1.000	1.000	1.000	1.000

δ_{LOK} 1.00

Vnitřní síly od jednotlivých skupin zatěžovacích stavů

SKUPINA ZATĚŽOVACÍCH STAVŮ — 4

Č.	SKUP ZS	POPIS ZS	KAT.	FÁZE PRŮŘ.	- CHARAKTERISTICKÉ HODNOTY N.k (kN)	Vy.k (kN)	Vz.k (kN)	Mx.k (kNm)	My.k (kNm)	Mz.k (kNm)	DÍLČÍ SOUČINITELÉ ZATÍŽENÍ, DYNAMICKÝ SOUČINITEL γ_{sr} (-)	γ_{fs} (-)	volba γ_f hledat	γ_f (-)	L_d (m)	δ (-)	Ψ_0 KZ04	- NÁVRHOVÉ HODNOTY N.d (kN)	Vy.d (kN)	Vz.d (kN)	ΔVz.d (kN)	ΣVz.d (kN)	Mx.d (kNm)	My.d (kNm)	ΔMy.d (kNm)	ΣMy.d (kNm)	Mz.d (kNm)	ΔMz.d (kNm)	ΣMz.d (kNm)
1	G0	Vlastní tíha OK	G	0	-2	1	3	1	107	-8	1.00	1.20		1.20	-	1.00	0.95	-2	2	3	0	3	1	122	0	122	-9	0	-9
2	G1	Ostatní stálé - mostní vybavení	G	0	0	0	0	0	17	-1	1.00	1.20		1.20	-	1.00	0.95	0	0	0	0	0	0	20	0	20	-1	0	-1
3	G2	Ostatní stálé - cizí zařízení	G	0	0	0	4	0	4	0	1.00	1.20		1.20	-	1.00	0.95	0	0	4	0	4	0	4	0	4	0	0	0
4	P1_71	a.LM71 - kolej 1 (bez dyn. souč.)	P	0	-3	1	-215	0	805	0	1.00	1.30		1.30	-	1.27	1.00	-6	2	-355	0	-355	0	1 331	0	1 331	0	0	0
5	P2_71	a.LM71 - kolej 2 (bez dyn. souč.)	P	0	20	-2	218	0	819	1	1.00	1.30		1.30	-	1.27	1.00	33	-3	360	0	360	1	1 354	0	1 354	2	0	1
6	P1_C3	TTZ C3 - kolej 1 (bez dyn. souč.)	P	0	-1	1	-122	0	457	0	1.00	vyp.		0.00	-	1.00	0.00	0	0	0	0	0	0	0	0	0	0	0	0
7	P2_C3	TTZ C3 - kolej 2 (bez dyn. souč.)	P	0	12	-1	125	0	465	1	1.00	vyp.		0.00	-	1.00	0.00	0	0	0	0	0	0	0	0	0	0	0	0
8	BR	Brzdné a rozjezdové síly	P	0	-2	9	0	-1	4	1	1.00	-1.30		-1.30	-	1.00	0.40	1	-5	0	0	0	1	-2	0	-2	-1	0	-1
9	S	Boční ráz	P	0	42	-2	0	0	22	1	1.00	1.30		1.30	-	1.00	0.80	44	-2	0	0	0	0	23	0	23	1	0	1
10	CH	Chodci na lávkách	Q	0	0	0	2	0	-17	0	1.00	0.00		0.00	-	1.00	1.00	0	0	0	0	0	0	0	0	0	0	0	0
11	W	Vítr na konstrukci	Q	0	10	21	6	0	6	11	1.00	-1.35		-1.35	-	1.00	0.75	-11	-21	-6	0	-6	0	-6	0	-6	-12	0	-12
12	WP	Vítr na vozidla	Q	0	22	34	7	0	10	19	1.00	-1.35		-1.35	-	1.00	0.75	-22	-35	-7	0	-7	0	-11	0	-11	-20	0	-20
13	TR	Teplota rovnoměrná	Q	0	0	0	0	0	0	0	1.00	1.35		1.35	-	1.00	0.45	0	0	0	0	0	0	0	0	0	0	0	0
14	TN	Teplota nerovnoměrná	Q	0	-1	0	0	0	2	0	1.00	1.35		1.35	-	1.00	0.60	-1	0	0	0	0	0	2	0	2	0	0	0
15	FR	Třecí síly v ložiskách	Q	0	0	0	0	0	1	0	1.00	-1.20		-1.20	-	1.00	1.00	0	0	0	0	0	0	-1	0	-1	0	0	0
16	I	Imperfekce soustavy	Q	0	1	1	2	0	1	0	1.00	-1.20		-1.20	-	1.00	1.00	-1	-1	-2	0	-2	0	-1	0	-1	0	0	0
27	ULS_LM	ULS - LM71 bez dynam	Q	0	110	61	30	0	2 288	35	1.00	vyp.	1	0.00	-	1.00	0.00	0	0	0	0	0	0	0	0	0	0	0	0
28	SLS_LM	SLS - LM71 bez dynam	Q	0	85	45	24	0	1 774	26	1.00	vyp.	1	0.00	-	1.00	0.00	0	0	0	0	0	0	0	0	0	0	0	0
29	ULS_C3	ULS - C3 bez dynam	Q	0	103	61	30	0	1 374	35	1.00	vyp.	1	0.00	-	1.00	0.00	0	0	0	0	0	0	0	0	0	0	0	0
30	SLS_C3	SLS - C3 bez dynam	Q	0	79	45	24	0	1 071	26	1.00	vyp.	1	0.00	-	1.00	0.00	0	0	0	0	0	0	0	0	0	0	0	0
		CELKEM - FÁZE PRŮŘEZU 0																36	-63	-3	0	-3	2	2 835	0	2 835	-40	0	-41
		CELKEM - FÁZE PRŮŘEZU 1																0	0	0	0	0	0	0	0	0	0	0	0
		CELKEM - FÁZE PRŮŘEZU 2																0	0	0	0	0	0	0	0	0	0	0	0
		CELKEM - FÁZE PRŮŘEZU 3																0	0	0	0	0	0	0	0	0	0	0	0
		CELKEM - PRŮŘEZ																36	-63	-3	0	-3	2			2 835			-41

Napětí od jednotlivých zatěžovacích stavů

SKUPINA ZATĚŽOVACÍCH STAVŮ

Č.	SKUP ZS	Popis ZS	Kat.	fáze prúř.	Posouzení normálového napětí — Účinek síly N δ^*N_d [kN]	χ^*A [mm^2]	σ_n [MPa]	Účinek momentu My $\delta^*M_{y,d}$ [kNm]	$\chi_{lt}{}^*W_{el,y}$ [mm^3]	σ_{my} [MPa]	Účinek momentu Mz $\delta^*M_{z,d}$ [kNm]	$W_{el,z}$ [mm^3]	σ_{mz} [MPa]	σ_x [MPa]	Posouzení smykového napětí — Účinek kroutícího momentu Mx $\kappa^*\delta^*M_{x,d}$ [kNm]	$W_{v,y}$ [mm^2]	$\tau_{x,y}$ [MPa]	$W_{v,z}$ [mm^2]	$\tau_{x,z}$ [MPa]	Účinek smykové síly Vy $\delta^*V_{y,d}$ [kN]	$A_{v,y}$ [mm2]	$\tau_{v,y}$ [MPa]	$\tau_{v,y}$ [MPa]	Účinek smykové síly Vz $\delta^*V_{z,d}$ [kN]	$A_{v,z}$ [mm2]	$\tau_{v,z}$ [MPa]	$\tau_{v,z}$ [MPa]
1	G0	Vlastní tíha OK	G	0	-1.9	3.81E+04	-0.1	122.1	1.56E+07	7.8	-9.3	-1.55E+06	6.1	13.8	7.4E-01	-	-	-	-	1.7	2.62E+04	0.1	0.1	3.1	7.39E+03	0.4	0.4
2	G1	Ostatní stálé - mostní vybavení	G	0	-0.1	3.81E+04	0.0	19.9	1.56E+07	1.3	-0.7	-1.55E+06	0.5	1.7	5.7E-02	-	-	-	-	0.1	2.62E+04	0.0	0.0	0.0	7.39E+03	0.0	0.0
3	G2	Ostatní stálé - cizí zařízení	G	0	0.1	3.81E+04	0.0	4.5	1.56E+07	0.3	0.0	-1.55E+06	0.0	0.3	2.3E-02	-	-	-	-	0.1	2.62E+04	0.0	0.0	4.1	7.39E+03	0.6	0.6
4	P1_71	a.LM71 - kolej 1 (bez dyn. souč.)	P	0	-5.6	3.81E+04	-0.1	1 330.7	1.56E+07	85.3	-0.4	-1.55E+06	0.3	85.4	2.0E-01	-	-	-	-	2.1	2.62E+04	0.1	0.1	-355.1	7.39E+03	-48.1	-48.1
5	P2_71	a.LM71 - kolej 2 (bez dyn. souč.)	P	0	33.2	3.81E+04	0.9	1 354.0	1.56E+07	86.8	1.4	-1.55E+06	-0.9	86.8	5.8E-01	-	-	-	-	-3.1	2.62E+04	-0.1	-0.1	360.5	7.39E+03	48.8	48.8
6	P1_C3	TTZ C3 - kolej 1 (bez dyn. souč.)	P	0	0.0	3.81E+04	0.0	0.0	1.56E+07	0.0	0.0	-1.55E+06	0.0	0.0	0.0E+00	-	-	-	-	0.0	2.62E+04	0.0	0.0	0.0	7.39E+03	0.0	0.0
7	P2_C3	TTZ C3 - kolej 2 (bez dyn. souč.)	P	0	0.0	3.81E+04	0.0	0.0	1.56E+07	0.0	0.0	-1.55E+06	0.0	0.0	0.0E+00	-	-	-	-	0.0	2.62E+04	0.0	0.0	0.0	7.39E+03	0.0	0.0
8	BR	Brzdné a rozjezdové síly	P	0	1.0	3.81E+04	0.0	-2.0	1.56E+07	-0.1	-0.7	-1.55E+06	0.5	0.4	7.1E-01	-	-	-	-	-4.7	2.62E+04	-0.2	-0.2	0.0	7.39E+03	0.0	0.0
9	S	Boční ráz	P	0	43.6	3.81E+04	1.1	22.7	1.56E+07	1.5	1.0	-1.55E+06	-0.7	1.9	4.2E-02	-	-	-	-	-2.0	2.62E+04	-0.1	-0.1	0.2	7.39E+03	0.0	0.0
10	CH	Chodci na lávkách	Q	0	0.0	3.81E+04	0.0	0.0	1.56E+07	0.0	0.0	-1.55E+06	0.0	0.0	0.0E+00	-	-	-	-	0.0	2.62E+04	0.0	0.0	0.0	7.39E+03	0.0	0.0
11	W	Vítr na konstrukci	Q	0	-10.6	3.81E+04	-0.3	-6.5	1.56E+07	-0.4	-11.6	-1.55E+06	7.5	6.8	2.0E-02	-	-	-	-	-20.8	2.62E+04	-0.8	-0.8	-6.0	7.39E+03	-0.8	-0.8
12	WP	Vítr na vozidla	Q	0	-22.0	3.81E+04	-0.6	-10.5	1.56E+07	-0.7	-19.7	-1.55E+06	12.7	11.5	3.0E-02	-	-	-	-	-34.9	2.62E+04	-1.3	-1.3	-7.4	7.39E+03	-1.0	-1.0
13	TR	Teplota rovnoměrná	Q	0	0.0	3.81E+04	0.0	0.0	1.56E+07	0.0	0.0	-1.55E+06	0.0	0.0	0.0E+00	-	-	-	-	0.0	2.62E+04	0.0	0.0	0.0	7.39E+03	0.0	0.0
14	TN	Teplota nerovnoměrná	Q	0	-1.0	3.81E+04	0.0	1.8	1.56E+07	0.1	0.0	-1.55E+06	0.0	0.1	-8.1E-03	-	-	-	-	0.0	2.62E+04	0.0	0.0	0.0	7.39E+03	0.0	0.0
15	FR	Třecí síly v ložiskách	Q	0	0.3	3.81E+04	0.0	-0.7	1.56E+07	0.0	-0.1	-1.55E+06	0.0	0.0	1.2E-02	-	-	-	-	0.0	2.62E+04	0.0	0.0	0.0	7.39E+03	0.0	0.0
16	I	Imperfekce soustavy	Q	0	-0.7	3.81E+04	0.0	-0.6	1.56E+07	0.0	-0.5	-1.55E+06	0.3	0.2	0.0E+00	-	-	-	-	-1.0	2.62E+04	0.0	0.0	-2.1	7.39E+03	-0.3	-0.3
27	ULS_LM	ULS - LM71 bez dynam	Q	0	0.0	3.81E+04	0.0	0.0	1.56E+07	0.0	0.0	-1.55E+06	0.0	0.0	0.0E+00	-	-	-	-	0.0	2.62E+04	0.0	0.0	0.0	7.39E+03	0.0	0.0
28	SLS_LM	SLS - LM71 bez dynam	Q	0	0.0	3.81E+04	0.0	0.0	1.56E+07	0.0	0.0	-1.55E+06	0.0	0.0	0.0E+00	-	-	-	-	0.0	2.62E+04	0.0	0.0	0.0	7.39E+03	0.0	0.0
29	ULS_C3	ULS - C3 bez dynam	Q	0	0.0	3.81E+04	0.0	0.0	1.56E+07	0.0	0.0	-1.55E+06	0.0	0.0	0.0E+00	-	-	-	-	0.0	2.62E+04	0.0	0.0	0.0	7.39E+03	0.0	0.0
30	SLS_C3	SLS - C3 bez dynam	Q	0	0.0	3.81E+04	0.0	0.0	1.56E+07	0.0	0.0	-1.55E+06	0.0	0.0	0.0E+00	-	-	-	-	0.0	2.62E+04	0.0	0.0	0.0	7.39E+03	0.0	0.0
		NAVÝŠENÍ NAPĚTÍ DO AKTIVACE TLAKU V DESCE MOSTOVKY				$\sigma_{P,red}$	0.0							0.0			0.0		0.0			-2.4	-2.4			-0.4	-0.4
		NAPĚTÍ OD PRIMÁRNÍCH ÚČINKŮ NEROVNOMĚRNÉHO OTEPLENÍ				σ_T	0.0							0.0													
		NAPĚTÍ OD REOLOGICKÝCH ÚČINKŮ BETONU V ČASE		t=0		σ_R	0.0	γ_f=	1.20					0.0													
		NAPĚTÍ V KRITICKÝCH VLÁKNECH OD KOMBINACE ZATÍŽENÍ				KZ04		[MPa]					$\Sigma\sigma_x$	209.0								$\Sigma\tau_y$	-2.4				$\Sigma\tau_z$	-0.4
		NAPĚTÍ OD POHYBLIVÉHO ZATÍŽENÍ						[MPa]					$\sigma_{x,P}$	174.6								τ_P	-0.3				τ_P	0.8
		NAPĚTÍ OD OSTATNÍCH ZATÍŽENÍ						[MPa]			Φ_{Vy}	Φ_{Vz}	$\sigma_{x,rs}$	34.5								τ_s	-2.1				τ_s	-1.1
		NÁVRHOVÁ HODNOTA MEZE KLUZU S REDUKCÍ VLIVEM SMYKOVÉHO NAPĚTÍ						[MPa]			1.00	1.00	$f_{yv,d}$	209.1								$f_{yd}/3^{0,5}$	120.7				$f_{yd}/3^{0,5}$	120.7
		NAPĚTÍ OD POHYBLIVÉHO ZATÍŽENÍ V GLOBÁLNÍM SYSTÉMU				$\sigma_{GLOB,P}$	0.0	[MPa]					$\Sigma\sigma_{GLOB}$	0.0													
		NAPĚTÍ OD OSTATNÍCH ZATÍŽENÍ V GLOBÁLNÍM SYSTÉMU				$\sigma_{GLOB,rs}$	0.0	[MPa]					$\Sigma\sigma_x + \Sigma\sigma_{GLOB}$	209.0													
		VYUŽITÍ PRŮŘEZU DLE NAPĚTÍ						[%]					η_1	1.00								η_3	0.02				η_3	0.00
		NAPĚTÍ V PŘÍČNÉM SMĚRU OD POHYBLIVÉHO ZATÍŽENÍ				$\sigma_{z,P}$	0.0	[MPa]					$\Sigma\sigma_z$	0.0													
		NAPĚTÍ V PŘÍČNÉM SMĚRU OD OSTATNÍCH ZATÍŽENÍ				$\sigma_{z,rs}$	0.0	[MPa]					η_2	0.00													
		SROVNÁVACÍ NAPĚTÍ											$(\eta_2 + 0,8\,\eta_1)/1,4$ =	0.57													
		VYUŽITÍ PRŮŘEZU CELKEM						[%]					eff	1.00	VYHOVUJE												
		STANOVENÍ ZATÍŽITELNOSTI											Z_{LM71} =	1.00													

TAB. P5.4.3 POSOUZENÍ - MEZNÍ STAV ÚNOSNOSTI

POPIS	PŘÍČNÍK P5 - STŘED
PRUT / POLOHA BODU	659 / I[539]
NAMÁHÁNÍ	Vz.max
VLÁKNO	BOD S6 -HP
MEZNÍ STAV	ULS (MSÚ)
VYUŽITÍ VLÁKNA PRŮŘEZU	0.45

Charakteristiky materiálu				
pás. horní	$f_{yf,k}$	230	MPa	
pás. dolní	$f_{yf,k}$	230	MPa	
stojina	$f_{yw,k}$	230	MPa	
výztuž	$f_{ys,k}$	500	MPa	
γ_M =	1.10	γ_s =	1.15	

Excentricita normálové síly				
Exc./Fáze	0	1	2	3
e_y	0.000	0.000	0.000	0.000
e_z	0.000	0.000	0.000	0.000
Ekvivalentní vzdál. stěn - příčný roznos				
b_{Mx}	0.000	0.000	0.000	0.000

Vliv stěny na únosnost průřezu				
Char./Fáze	0	1	2	3
A	0.00	0.00	0.00	0.00
Wy	0.00	0.00	0.00	0.00
Wz	0.00	0.00	0.00	0.00

Charakter. v kroucení			
$t_{w,y}$	0.000	[mm]	
$t_{w,z}$	0.000	[mm]	
κ	1.00		
I_t=	0.00E+00	[mm^4]	
$\Omega=2*A_{pr}$	0.00E+00	[mm^2]	

Součinitele vzpěru a vlivu II.řádu				
Char./Fáze	0	1	2	3
k_y	1.000	1.000	1.000	1.000
k_z	1.000	1.000	1.000	1.000
χ_{LT}	1.000	1.000	1.000	1.000
χ_{min}	1.000	1.000	1.000	1.000

δ_{LOK} 1.00

Vnitřní síly od jednotlivých skupin zatěžovacích stavů

SKUPINA ZATĚŽOVACÍCH STAVŮ — 4

Č.	SKUP ZS	POPIS ZS	KAT.	FÁZE PRŮŘ.	- CHARAKTERISTICKÉ HODNOTY N.k (kN)	Vy.k (kN)	Vz.k (kN)	Mx.k (kNm)	My.k (kNm)	Mz.k (kNm)	DÍLČÍ SOUČINITELÉ ZATÍŽENÍ, DYNAMICKÝ SOUČINITEL γ_{sr} (-)	γ_{fs} (-)	volba ψ_i hledat	ψ_i (-)	L_d (m)	δ (-)	∇_z KZ04	- NÁVRHOVÉ HODNOTY N.d (kN)	Vy.d (kN)	Vz.d (kN)	ΔVz.d (kN)	ΣVz.d (kN)	Mx.d (kNm)	My.d (kNm)	ΔMy.d (kNm)	ΣMy.d (kNm)	Mz.d (kNm)	ΔMz.d (kNm)	ΣMz.d (kNm)
1	G0	Vlastní tíha OK	G	0	-2	1	3	1	107	-8	1.00	1.20		1.20	-	1.00	0.95	-2	2	3	0	3	1	122	0	122	-9	0	-9
2	G1	Ostatní stálé - mostní vybavení	G	0	0	0	0	0	17	-1	1.00	1.20		1.20	-	1.00	0.95	0	0	0	0	0	0	20	0	20	-1	0	-1
3	G2	Ostatní stálé - cizí zařízení	G	0	0	0	4	0	4	0	1.00	1.20		1.20	-	1.00	0.95	0	0	4	0	4	0	4	0	4	0	0	0
4	P1_71	a.LM71 - kolej 1 (bez dyn. souč.)	P	0	-2	0	0	0	7	0	1.00	1.30		1.30	-	1.27	1.00	-3	0	0	0	0	0	11	0	11	0	0	0
5	P2_71	a.LM71 - kolej 2 (bez dyn. souč.)	P	0	23	-2	221	0	803	1	1.00	1.30		1.30	-	1.27	1.00	37	-3	366	0	366	1	1 327	0	1 327	2	0	1
6	P1_C3	TTZ C3 - kolej 1 (bez dyn. souč.)	P	0	-2	0	0	0	8	0	1.00	vyp.		0.00	-	1.00	0.00	0	0	0	0	0	0	0	0	0	0	0	0
7	P2_C3	TTZ C3 - kolej 2 (bez dyn. souč.)	P	0	15	-1	128	0	450	1	1.00	vyp.		0.00	-	1.00	0.00	0	0	0	0	0	0	0	0	0	0	0	0
8	BR	Brzdné a rozjezdové síly	P	0	0	7	0	2	-4	-1	1.00	1.30		1.30	-	1.00	0.40	0	3	0	0	0	1	-2	0	-2	0	0	0
9	S	Boční ráz	P	0	-1	-21	3	0	0	-12	1.00	1.30		1.30	-	1.00	0.80	-1	-21	3	0	3	0	0	0	0	-12	0	-12
10	CH	Chodci na lávkách	Q	0	0	0	2	0	-17	0	1.00	1.30		1.30	-	1.00	1.00	0	1	3	0	3	0	-22	0	-22	0	0	0
11	W	Vítr na konstrukci	Q	0	10	21	6	0	6	11	1.00	1.35		1.35	-	1.00	0.75	11	21	6	0	6	0	6	0	6	12	0	12
12	WP	Vítr na vozidla	Q	0	22	34	7	0	10	19	1.00	1.35		1.35	-	1.00	0.75	22	35	7	0	7	0	11	0	11	20	0	20
13	TR	Teplota rovnoměrná	Q	0	0	0	0	0	0	0	1.00	1.35		1.35	-	1.00	0.45	0	0	0	0	0	0	0	0	0	0	0	0
14	TN	Teplota nerovnoměrná	Q	0	5	2	10	0	-1	2	1.00	1.35		1.35	-	1.00	0.60	4	2	8	0	8	0	-1	0	-1	2	0	2
15	FR	Třecí síly v ložiskách	Q	0	0	0	0	0	1	0	1.00	-1.20		-1.20	-	1.00	1.00	0	0	0	0	0	0	-1	0	-1	0	0	0
16	I	Imperfekce soustavy	Q	0	1	1	2	0	1	0	1.00	1.20		1.20	-	1.00	1.00	1	1	2	0	2	0	1	0	1	0	0	0
27	ULS_LM	ULS - LM71 bez dynam	Q	0	66	35	325	2	1 192	19	1.00	vyp.		0.00	-	1.00	0.00	0	0	0	0	0	0	0	0	0	0	0	0
28	SLS_LM	SLS - LM71 bez dynam	Q	0	47	24	245	2	933	12	1.00	vyp.	1	0.00	-	1.00	0.00	0	0	0	0	0	0	0	0	0	0	0	0
29	ULS_C3	ULS - C3 bez dynam	Q	0	56	36	203	2	736	18	1.00	vyp.	1	0.00	-	1.00	0.00	0	0	0	0	0	0	0	0	0	0	0	0
30	SLS_C3	SLS - C3 bez dynam	Q	0	39	25	151	2	582	12	1.00	vyp.	1	0.00	-	1.00	0.00	0	0	0	0	0	0	0	0	0	0	0	0
		CELKEM - FÁZE PRŮŘEZU 0			69	40	402	0										69	40	402	0	402	2	1 476	0	1 476	12	0	12
		CELKEM - FÁZE PRŮŘEZU 1			0	0	0	0										0	0	0	0	0	0	0	0	0	0	0	0
		CELKEM - FÁZE PRŮŘEZU 2			0	0	0	0										0	0	0	0	0	0	0	0	0	0	0	0
		CELKEM - FÁZE PRŮŘEZU 3			0	0	0	0										0	0	0	0	0	0	0	0	0	0	0	0
		CELKEM - PRŮŘEZ			69	40	402	0										69	40	402	0	402	2			1 476			12

Napětí od jednotlivých zatěžovacích stavů

SKUPINA ZATĚŽOVACÍCH STAVŮ

Č.	SKUP ZS	Popis ZS	Kat.	fáze prúř.	Posouzení normálového napětí — Účinek síly N δ^*N_d [kN]	χ^*A [mm^2]	σ_n [MPa]	Účinek momentu My $\delta^*M_{y,d}$ [kNm]	$\chi_{lt}*W_{el,y}$ [mm^3]	σ_{my} [MPa]	Účinek momentu Mz $\delta^*M_{z,d}$ [kNm]	$W_{el,z}$ [mm^3]	σ_{mz} [MPa]	σ_x [MPa]	Posouzení smykového napětí — Účinek kroutícího momentu Mx $\kappa*\delta^*M_{x,d}$ [kNm]	$W_{v,y}$ [mm^2]	$\tau_{x,y}$ [MPa]	$W_{v,z}$ [mm^2]	$\tau_{x,z}$ [MPa]	Účinek smykové síly Vy $\delta^*V_{y,d}$ [kN]	$A_{v,y}$ [mm2]	$\tau_{v,y}$ [MPa]	$\tau_{v,y}$ [MPa]	Účinek smykové síly Vz $\delta^*V_{z,d}$ [kN]	$A_{v,z}$ [mm2]	$\tau_{v,z}$ [MPa]	$\tau_{v,z}$ [MPa]
1	G0	Vlastní tíha OK	G	0	-1.9	3.81E+04	-0.1	122.1	1.64E+07	7.4	-9.3	-4.75E+07	0.2	7.6	7.4E-01	-	-	-	-	1.7	2.62E+04	0.1	0.1	3.1	7.39E+03	0.4	0.4
2	G1	Ostatní stálé - mostní vybavení	G	0	-0.1	3.81E+04	0.0	19.9	1.64E+07	1.2	-0.7	-4.75E+07	0.0	1.2	5.7E-02	-	-	-	-	0.1	2.62E+04	0.0	0.0	0.0	7.39E+03	0.0	0.0
3	G2	Ostatní stálé - cizí zařízení	G	0	0.1	3.81E+04	0.0	4.5	1.64E+07	0.3	0.0	-4.75E+07	0.0	0.3	2.3E-02	-	-	-	-	0.1	2.62E+04	0.0	0.0	4.1	7.39E+03	0.6	0.6
4	P1_71	a.LM71 - kolej 1 (bez dyn. souč.)	P	0	-3.4	3.81E+04	-0.1	10.8	1.64E+07	0.7	-0.1	-4.75E+07	0.0	0.6	6.6E-02	-	-	-	-	0.4	2.62E+04	0.0	0.0	0.4	7.39E+03	0.1	0.1
5	P2_71	a.LM71 - kolej 2 (bez dyn. souč.)	P	0	37.3	3.81E+04	1.0	1 326.7	1.64E+07	80.7	1.4	-4.75E+07	0.0	81.6	6.1E-01	-	-	-	-	-3.4	2.62E+04	-0.1	-0.1	365.5	7.39E+03	49.5	49.5
6	P1_C3	TTZ C3 - kolej 1 (bez dyn. souč.)	P	0	0.0	3.81E+04	0.0	0.0	1.64E+07	0.0	0.0	-4.75E+07	0.0	0.0	0.0E+00	-	-	-	-	0.0	2.62E+04	0.0	0.0	0.0	7.39E+03	0.0	0.0
7	P2_C3	TTZ C3 - kolej 2 (bez dyn. souč.)	P	0	0.0	3.81E+04	0.0	0.0	1.64E+07	0.0	0.0	-4.75E+07	0.0	0.0	0.0E+00	-	-	-	-	0.0	2.62E+04	0.0	0.0	0.0	7.39E+03	0.0	0.0
8	BR	Brzdné a rozjezdové síly	P	0	0.1	3.81E+04	0.0	-2.0	1.64E+07	-0.1	-0.5	-4.75E+07	0.0	-0.1	9.1E-01	-	-	-	-	3.4	2.62E+04	0.1	0.1	0.1	7.39E+03	0.0	0.0
9	S	Boční ráz	P	0	-0.8	3.81E+04	0.0	-0.1	1.64E+07	0.0	-12.2	-4.75E+07	0.3	0.2	2.1E-02	-	-	-	-	-21.3	2.62E+04	-0.8	-0.8	2.8	7.39E+03	0.4	0.4
10	CH	Chodci na lávkách	Q	0	-0.3	3.81E+04	0.0	-21.7	1.64E+07	-1.3	-0.1	-4.75E+07	0.0	-1.3	5.2E-02	-	-	-	-	0.6	2.62E+04	0.0	0.0	3.2	7.39E+03	0.4	0.4
11	W	Vítr na konstrukci	Q	0	10.6	3.81E+04	0.3	6.5	1.64E+07	0.4	11.6	-4.75E+07	-0.2	0.4	-2.0E-02	-	-	-	-	20.8	2.62E+04	0.8	0.8	6.0	7.39E+03	0.8	0.8
12	WP	Vítr na vozidla	Q	0	22.0	3.81E+04	0.6	10.5	1.64E+07	0.6	19.7	-4.75E+07	-0.4	0.8	-3.0E-02	-	-	-	-	34.9	2.62E+04	1.3	1.3	7.4	7.39E+03	1.0	1.0
13	TR	Teplota rovnoměrná	Q	0	0.0	3.81E+04	0.0	0.0	1.64E+07	0.0	0.0	-4.75E+07	0.0	0.0	0.0E+00	-	-	-	-	0.0	2.62E+04	0.0	0.0	0.0	7.39E+03	0.0	0.0
14	TN	Teplota nerovnoměrná	Q	0	4.4	3.81E+04	0.1	-0.8	1.64E+07	0.0	1.6	-4.75E+07	0.0	0.0	8.1E-03	-	-	-	-	1.9	2.62E+04	0.1	0.1	7.9	7.39E+03	1.1	1.1
15	FR	Třecí síly v ložiskách	Q	0	0.3	3.81E+04	0.0	-0.7	1.64E+07	0.0	-0.1	-4.75E+07	0.0	0.0	1.2E-02	-	-	-	-	0.0	2.62E+04	0.0	0.0	0.0	7.39E+03	0.0	0.0
16	I	Imperfekce soustavy	Q	0	0.7	3.81E+04	0.0	0.6	1.64E+07	0.0	0.5	-4.75E+07	0.0	0.0	0.0E+00	-	-	-	-	1.0	2.62E+04	0.0	0.0	2.1	7.39E+03	0.3	0.3
27	ULS_LM	ULS - LM71 bez dynam	Q	0	0.0	3.81E+04	0.0	0.0	1.64E+07	0.0	0.0	-4.75E+07	0.0	0.0	0.0E+00	-	-	-	-	0.0	2.62E+04	0.0	0.0	0.0	7.39E+03	0.0	0.0
28	SLS_LM	SLS - LM71 bez dynam	Q	0	0.0	3.81E+04	0.0	0.0	1.64E+07	0.0	0.0	-4.75E+07	0.0	0.0	0.0E+00	-	-	-	-	0.0	2.62E+04	0.0	0.0	0.0	7.39E+03	0.0	0.0
29	ULS_C3	ULS - C3 bez dynam	Q	0	0.0	3.81E+04	0.0	0.0	1.64E+07	0.0	0.0	-4.75E+07	0.0	0.0	0.0E+00	-	-	-	-	0.0	2.62E+04	0.0	0.0	0.0	7.39E+03	0.0	0.0
30	SLS_C3	SLS - C3 bez dynam	Q	0	0.0	3.81E+04	0.0	0.0	1.64E+07	0.0	0.0	-4.75E+07	0.0	0.0	0.0E+00	-	-	-	-	0.0	2.62E+04	0.0	0.0	0.0	7.39E+03	0.0	0.0
NAVÝŠENÍ NAPĚTÍ DO AKTIVACE TLAKU V DESCE MOSTOVKY						$\sigma_{P,red}$	0.0							0.0			0.0		0.0			1.5	1.5			54.5	54.5
NAPĚTÍ OD PRIMÁRNÍCH ÚČINKŮ NEROVNOMĚRNÉHO OTEPLENÍ						σ_T	0.0							0.0													
NAPĚTÍ OD REOLOGICKÝCH ÚČINKŮ BETONU V ČASE			t=0			σ_R	0.0	γ_{lt}=	1.20					0.0													
NAPĚTÍ V KRITICKÝCH VLÁKNECH OD KOMBINACE ZATÍŽENÍ						KZ04		[MPa]					$\Sigma\sigma_x$	91.4							$\Sigma\tau_y$	1.5				$\Sigma\tau_z$	54.5
NAPĚTÍ OD POHYBLIVÉHO ZATÍŽENÍ								[MPa]					$\sigma_{x,P}$	82.3							τ_P	-0.8				τ_P	49.9
NAPĚTÍ OD OSTATNÍCH ZATÍŽENÍ								[MPa]			Φ_{Vy}	Φ_{Vz}	$\sigma_{x,rs}$	9.0							τ_{rs}	2.3				τ_{rs}	4.6
NÁVRHOVÁ HODNOTA MEZE KLUZU S REDUKCÍ VLIVEM SMYKOVÉHO NAPĚTÍ								[MPa]			1.00	1.00	$f_{yv,d}$	209.1							$f_{yd}/3^{0,5}$	120.7				$f_{yd}/3^{0,5}$	120.7
NAPĚTÍ OD POHYBLIVÉHO ZATÍŽENÍ V GLOBÁLNÍM SYSTÉMU						$\sigma_{GLOB,P}$	0.0	[MPa]					$\Sigma\sigma_{GLOB}$	0.0													
NAPĚTÍ OD OSTATNÍCH ZATÍŽENÍ V GLOBÁLNÍM SYSTÉMU						$\sigma_{GLOB,rs}$	0.0	[MPa]					$\Sigma\sigma_x + \Sigma\sigma_{GLOB}$	91.4													
VYUŽITÍ PRŮŘEZU DLE NAPĚTÍ								[%]					η_1	0.44							η_3	0.01				η_3	0.45
NAPĚTÍ V PŘÍČNÉM SMĚRU OD POHYBLIVÉHO ZATÍŽENÍ						$\sigma_{z,P}$	0.0	[MPa]					$\Sigma\sigma_z$	0.0													
NAPĚTÍ V PŘÍČNÉM SMĚRU OD OSTATNÍCH ZATÍŽENÍ						$\sigma_{z,rs}$	0.0	[MPa]					η_2	0.00													
SROVNÁVACÍ NAPĚTÍ													$(\eta2 + 0,8\ \eta1)/1,4$ =	0.25												
VYUŽITÍ PRŮŘEZU CELKEM								[%]					eff	0.45	VYHOVUJE												
STANOVENÍ ZATÍŽITELNOSTI													z_{LM71} =	2.33													

Příloha P4

Posouzení přechodnosti

NK1 - MEZNÍ STAV ÚNOSNOSTI — VČ. KOROZNÍHO OSLABENÍ — PŘECHODNOST C3/60 - 30 LET

Č. p.	PRŮŘEZ:	PRUT/dx:	POPIS:	VLÁKNO		POPIS VLÁKNA	ŘÍDÍCÍ VELIČINA	KOMB. ZATÍŽENÍ	NAPĚTÍ NORMÁL. [MPa]	MEZ KLUZU [MPa]	VYUŽITÍ η_1 [eff]	NAPĚTÍ SMYK. Vz [MPa]	MEZ KLUZU [MPa]	VYUŽITÍ η_3 [eff]	VYUŽITÍ $(\eta_2 + 0{,}8\ \eta_1)/1{,}4$ [eff]	CELKOVÉ VYUŽITÍ [eff]	ZATÍŽITEL. Z_{MEZ}
Rekapitulace posouzení NK - Horní pás - (Mezní stav únosnosti)											**0.00**			**0.00**		**0.00**	-----
U3	TR_U3	112 / J[115]	DOLNÍ PÁS U3	BOD K2	-HP	horní pásnice	N,max	KZ07	109.7	209.1	**0.52**	1.5	120.7	**0.01**	**0.30**	**0.52**	-----
				BOD K4	-SP	dolní pásnice	My,max	KZ07	207.7	209.1	**0.99**	2.7	120.7	**0.02**	**0.57**	**0.99**	-----
				BOD S6	-HP	stěna	Vz,max	KZ07	114.8	209.1	**0.55**	3.2	120.7	**0.03**	**0.31**	**0.55**	-----
											0.99			**0.03**		**0.99**	-----
Rekapitulace posouzení NK - Dolní pás - (Mezní stav únosnosti)											**0.99**			**0.03**		**0.99**	-----
Rekapitulace posouzení NK - Tlačené diagonály - (Mezní stav únosnosti)											**0.00**			**0.00**		**0.00**	-----
D2	TR_D2	259 / [2714]	DIAGONÁLA D2	BOD K2	-HP	horní pásnice	N,max	KZ07	155.9	209.1	**0.75**	0.9	120.7	**0.01**	**0.43**	**0.75**	-----
				BOD K4	-SP	dolní pásnice	N,max	KZ07	198.0	209.1	**0.95**	9.9	120.7	**0.08**	**0.54**	**0.95**	-----
				BOD S6	-HP	stěna	Vz,max	KZ07	135.6	209.1	**0.65**	12.7	120.7	**0.11**	**0.37**	**0.65**	-----
											0.95			**0.11**		**0.95**	-----
Rekapitulace posouzení NK - Tažené diagonály - (Mezní stav únosnosti)											**0.95**			**0.11**		**0.95**	-----
V7.2	TR_V7.2	406 / [346]	SVISLICE V7	BOD K2	-HP	horní pásnice	My,min	KZ08	182.8	209.1	**0.87**	-15.4	120.7	**0.13**	**0.50**	**0.87**	-----
				BOD K3	-SL	dolní pásnice	Mz,max	KZ07	-92.1	209.1	**0.44**	-11.8	120.7	**0.10**	**0.25**	**0.44**	-----
				BOD S6	-HP	stěna	Vz,min	KZ08	-84.5	209.1	**0.40**	-15.5	120.7	**0.13**	**0.23**	**0.40**	-----
											0.87			**0.13**		**0.87**	-----
V8.2	TR_V8.2	401 / [343]	SVISLICE V8	BOD K2	-HP	horní pásnice	My,min	KZ08	211.2	209.1	**1.01**	-16.8	120.7	**0.14**	**0.58**	**1.01**	-----
				BOD K4	-SP	dolní pásnice	My,max	KZ08	91.2	209.1	**0.44**	11.9	120.7	**0.10**	**0.25**	**0.44**	-----
				BOD S6	-HP	stěna	Vz,min	KZ08	-85.8	209.1	**0.41**	-16.8	120.7	**0.14**	**0.23**	**0.41**	-----
											1.01			**0.14**		**1.01**	-----
Rekapitulace posouzení NK - Svislice - (Mezní stav únosnosti)											**1.01**			**0.14**		**1.01**	-----
L2.1 b	TR_L2.1	866 / [568]	PODÉLNÍK L2.E - KRAJ	BOD K1	-HL	horní pásnice	N,max	KZ07	193.2	209.1	**0.92**	-32.8	120.7	**0.27**	**0.53**	**0.92**	-----
				BOD K3	-SL	dolní pásnice	Mz,min	KZ07	119.1	209.1	**0.57**	-34.9	120.7	**0.29**	**0.33**	**0.57**	-----
				BOD S5	-HL	stěna	Vz,min	KZ07	102.8	209.1	**0.49**	-67.0	120.7	**0.56**	**0.28**	**0.56**	-----
											0.92			**0.56**		**0.92**	-----
L2.2	TR_L2.2	871 / 2/4	PODÉLNÍK L2.E - STŘED	BOD K1	-HL	horní pásnice	Vy,min	KZ07	-145.6	209.1	**0.70**	-4.5	120.7	**0.04**	**0.40**	**0.70**	-----
				BOD K4	-SP	dolní pásnice	Vy,min	KZ07	225.9	209.1	**1.08**	-4.5	120.7	**0.04**	**0.62**	**1.08**	-----
				BOD S6	-HP	stěna	Vz,min	KZ07	128.3	209.1	**0.61**	-19.6	120.7	**0.16**	**0.35**	**0.61**	-----
											1.08			**0.16**		**1.08**	-----
L3.2	TR_L3.2	860 / [721]	PODÉLNÍK L3.E - STŘED	BOD K1	-HL	horní pásnice	My,max	KZ08	-169.4	209.1	**0.81**	2.0	120.7	**0.02**	**0.46**	**0.81**	-----
				BOD K4	-SP	dolní pásnice	N,max	KZ08	180.3	209.1	**0.86**	-1.0	120.7	**0.01**	**0.49**	**0.86**	-----
				BOD S6	-HP	stěna	Vz,min	KZ07	75.0	209.1	**0.36**	-14.1	120.7	**0.12**	**0.20**	**0.36**	-----
											0.86			**0.12**		**0.86**	-----
L4.2	TR_L4.2	850 / [712]	PODÉLNÍK L4.E - STŘED	BOD K1	-HL	horní pásnice	Vy,min	KZ08	-129.3	209.1	**0.62**	12.2	120.7	**0.10**	**0.35**	**0.62**	-----
				BOD K4	-SP	dolní pásnice	My,max	KZ08	163.6	209.1	**0.78**	7.0	120.7	**0.06**	**0.45**	**0.78**	-----
				BOD S6	-HP	stěna	Vz,max	KZ07	75.6	209.1	**0.36**	17.4	120.7	**0.14**	**0.21**	**0.36**	-----
											0.78			**0.14**		**0.78**	-----
L4.2 t	TR_L4.2	850 / [712]	PODÉLNÍK L4.E - STŘED	BOD K2	-HP	horní pásnice	Vy,min	KZ08	-185.1	209.1	**0.89**	11.1	110.7	**0.10**	**0.51**	**0.89**	-----
				BOD K4	-SP	dolní pásnice	My,max	KZ08	207.9	209.1	**0.99**	7.1	120.7	**0.06**	**0.57**	**0.99**	-----
				BOD S6	-HP	stěna	Vz,max	KZ07	84.3	209.1	**0.40**	17.8	120.7	**0.15**	**0.23**	**0.40**	-----
											0.99			**0.15**		**0.99**	-----
Rekapitulace posouzení NK - Podélníky - (Mezní stav únosnosti)											**1.08**			**0.56**		**1.08**	-----

NK1 - MEZNÍ STAV ÚNOSNOSTI — VČ. KOROZNÍHO OSLABENÍ — PŘECHODNOST C3/60 - 30 LET

Č. p.	PRŮŘEZ:	PRUT/dx:	POPIS:	VLÁKNO		POPIS VLÁKNA	ŘÍDÍCÍ VELIČINA	KOMB. ZATÍŽENÍ	NAPĚTÍ NORMÁL. [MPa]	MEZ KLUZU [MPa]	VYUŽITÍ η_1 [eff]	NAPĚTÍ SMYK. Vz [MPa]	MEZ KLUZU [MPa]	VYUŽITÍ η_3 [eff]	VYUŽITÍ $(\eta_2 + 0{,}8\ \eta_1)/1{,}4$ [eff]	CELKOVÉ VYUŽITÍ [eff]	ZATÍŽITEL. Z_{MEZ1}
P0.1	TR_P0.1	706 / 3/4	PŘÍČNÍK P0 - VNĚJŠÍ PODÉLNÍK	BOD K2	-HP	horní pásnice	Vy.max	KZ07	-203.7	209.1	0.97	-11.5	120.7	0.10	0.56	0.97	-----
				BOD K3	-SL	dolní pásnice	Vy.max	KZ07	211.4	209.1	1.01	-11.5	120.7	0.10	0.58	1.01	-----
				BOD S6	-HP	stěna	Vz.min	KZ08	-31.4	209.1	0.15	-81.7	120.7	0.68	0.09	0.68	-----
											1.01			0.68		1.01	-----
Rekapitulace posouzení NK - Podporové příčníky - (Mezní stav únosnosti)											1.01			0.68		1.01	-----
P1.1	TR_P1.1	699 / [575]	PŘÍČNÍK P1 - VNĚJŠÍ PODÉLNÍK	BOD K2	-HP	horní pásnice	Mz.min	KZ07	-187.0	209.1	0.89	-5.1	120.7	0.04	0.51	0.89	-----
				BOD K4	-SP	dolní pásnice	My.min	KZ07	-180.6	209.1	0.86	-1.5	120.7	0.01	0.49	0.86	-----
				BOD S5	-HL	stěna	Vz.min	KZ08	-47.6	209.1	0.23	-36.5	120.7	0.30	0.13	0.30	-----
											0.89			0.30		0.89	-----
P1.3	TR_P1.3	701 / [577]	PŘÍČNÍK P1 - STŘED	BOD K2	-HP	horní pásnice	Mz.min	KZ07	-155.5	209.1	0.74	-5.5	120.7	0.05	0.42	0.74	-----
				BOD K4	-SP	dolní pásnice	My.max	KZ07	156.6	209.1	0.75	9.4	120.7	0.08	0.43	0.75	-----
				BOD S5	-HL	stěna	Vz.max	KZ08	-46.9	209.1	0.22	34.8	120.7	0.29	0.13	0.29	-----
											0.75			0.29		0.75	-----
P2.1	TR_P2.1	691 / [568]	PŘÍČNÍK P2 - VNĚJŠÍ PODÉLNÍK	BOD K2	-HP	horní pásnice	Mz.min	KZ07	-229.6	209.1	1.10	-26.2	120.7	0.22	0.63	1.10	-----
				BOD K3	-SL	dolní pásnice	Mz.min	KZ07	224.9	209.1	1.08	-26.2	120.7	0.22	0.61	1.08	-----
				BOD S6	-HP	stěna	Vz.min	KZ08	55.7	209.1	0.27	-38.2	120.7	0.32	0.15	0.32	-----
											1.10			0.32		1.10	-----
P3.1	TR_P3.1	679 / [557]	PŘÍČNÍK P3 - ZÁKLADNÍ ČÁST	BOD K2	-HP	horní pásnice	Vy.max	KZ07	-232.3	209.1	1.11	-56.7	120.7	0.47	0.63	1.11	-----
				BOD K3	-SL	dolní pásnice	Vy.max	KZ07	242.1	209.1	1.16	-56.7	120.7	0.47	0.66	1.16	-----
				BOD S6	-HP	stěna	Vz.min	KZ08	74.2	209.1	0.35	-69.3	120.7	0.57	0.20	0.57	-----
											1.16			0.57		1.16	-----
P3.2	TR_P3.2	680 / [558]	PŘÍČNÍK P3 - VNĚJŠÍ PODÉLNÍK	BOD K2	-HP	horní pásnice	Mz.min	KZ07	-175.5	209.1	0.84	-30.4	120.7	0.25	0.48	0.84	-----
				BOD K3	-SL	dolní pásnice	Mz.min	KZ07	185.3	209.1	0.89	-30.4	120.7	0.25	0.51	0.89	-----
				BOD S6	-HP	stěna	Vz.min	KZ08	65.3	209.1	0.31	-40.6	120.7	0.34	0.18	0.34	-----
											0.89			0.34		0.89	-----
P3.3	TR_P3.3	682 / [560]	PŘÍČNÍK P3 - VNITŘNÍ PODÉLNÍK	BOD K2	-HP	horní pásnice	My.max	KZ07	-128.0	209.1	0.61	-2.8	120.7	0.02	0.35	0.61	-----
				BOD K3	-SL	dolní pásnice	My.max	KZ07	146.1	209.1	0.70	-2.8	120.7	0.02	0.40	0.70	-----
				BOD S6	-HP	stěna	Vz.min	KZ08	40.5	209.1	0.19	-22.7	120.7	0.19	0.11	0.19	-----
											0.70			0.19		0.70	-----
P3.4	TR_P3.4	683 / [561]	PŘÍČNÍK P3 - STŘED	BOD K2	-HP	horní pásnice	My.max	KZ08	-134.7	209.1	0.64	-1.3	120.7	0.01	0.37	0.64	-----
				BOD K3	-SL	dolní pásnice	My.max	KZ07	147.6	209.1	0.71	-1.1	120.7	0.01	0.40	0.71	-----
				BOD S6	-HP	stěna	Vz.max	KZ08	54.8	209.1	0.26	33.6	120.7	0.28	0.15	0.28	-----
											0.71			0.28		0.71	-----
P4.1	TR_P4.1	667 / [546]	PŘÍČNÍK P4 - ZÁKLADNÍ ČÁST	BOD K2	-HP	horní pásnice	Mz.min	KZ07	-223.9	209.1	1.07	-64.3	120.7	0.53	0.61	1.07	-----
				BOD K3	-SL	dolní pásnice	Mz.min	KZ07	211.7	209.1	1.01	-64.3	120.7	0.53	0.58	1.01	-----
				BOD S5	-HL	stěna	Vz.min	KZ08	-59.8	209.1	0.29	-71.9	120.7	0.60	0.16	0.60	-----
											1.07			0.60		1.07	-----
P4.2	TR_P4.2	668 / [547]	PŘÍČNÍK P4 - VNĚJŠÍ PODÉLNÍK	BOD K2	-HP	horní pásnice	Mz.min	KZ07	-172.4	209.1	0.82	-33.0	120.7	0.27	0.47	0.82	-----
				BOD K3	-SL	dolní pásnice	Mz.min	KZ07	163.3	209.1	0.78	-33.0	120.7	0.27	0.45	0.78	-----
				BOD S5	-HL	stěna	Vz.min	KZ08	-53.4	209.1	0.26	-42.3	120.7	0.35	0.15	0.35	-----
											0.82			0.35		0.82	0.00
P5.1	TR_P5.1	655 / [535]	PŘÍČNÍK P5 - ZÁKLADNÍ ČÁST	BOD K2	-HP	horní pásnice	My.max	KZ07	-190.9	209.1	0.91	-64.2	120.7	0.53	0.52	0.91	-----
				BOD K3	-SL	dolní pásnice	My.max	KZ07	202.5	209.1	0.97	-64.1	120.7	0.53	0.55	0.97	-----
				BOD S6	-HP	stěna	My.max	KZ08	90.0	209.1	0.43	-68.8	120.7	0.57	0.25	0.57	-----
											0.97			0.57		0.97	0.00
P5.2	TR_P5.2	656 / [536]	PŘÍČNÍK P5 - VNĚJŠÍ PODÉLNÍK	BOD K2	-HP	horní pásnice	My.max	KZ07	-149.0	209.1	0.71	-31.5	120.7	0.26	0.41	0.71	-----
				BOD K3	-SL	dolní pásnice	My.max	KZ07	160.2	209.1	0.77	-31.5	120.7	0.26	0.44	0.77	-----
				BOD S6	-HP	stěna	Vz.min	KZ08	68.2	209.1	0.33	-41.9	120.7	0.35	0.19	0.35	-----
											0.77			0.35		0.77	0.00
P5.3	TR_P5.3	658 / [538]	PŘÍČNÍK P5 - VNITŘNÍ PODÉLNÍK	BOD K2	-HP	horní pásnice	My.max	KZ07	-125.5	209.1	0.60	-1.5	120.7	0.01	0.34	0.60	-----
				BOD K3	-SL	dolní pásnice	My.max	KZ07	143.2	209.1	0.68	-1.6	120.7	0.01	0.39	0.68	-----
				BOD S6	-HP	stěna	Vz.min	KZ08	41.8	209.1	0.20	-23.3	120.7	0.19	0.11	0.20	-----
											0.68			0.19		0.68	0.00
Rekapitulace posouzení NK - Běžné příčníky - (Mezní stav únosnosti)											1.16			0.60		1.16	-----

TAB. U3.3 POSOUZENÍ - MEZNÍ STAV ÚNOSNOSTI

POPIS	DOLNÍ PÁS U3
PRUT / POLOHA BODU	112 / J[115]
NAMÁHÁNÍ	N.max
VLÁKNO	BOD K2 -HP
MEZNÍ STAV	ULS (MSÚ)
VYUŽITÍ VLÁKNA PRŮŘEZU	0.52

Charakteristiky materiálu				
pás. horní	$f_{yf,k}$	230	MPa	
pás. dolní	$f_{yf,k}$	230	MPa	
stojina	$f_{yw,k}$	230	MPa	
výztuž	$f_{ys,k}$	500	MPa	
γ_M =	1.10	γ_s =	1.15	

Excentricita normálové síly				
Exc./Fáze	0	1	2	3
e_y	0.000	0.000	0.000	0.000
e_z	0.000	0.000	0.000	0.000
Ekvivalentní vzdál. stěn - příčný roznos				
b_{Nx}	0.000	0.000	0.000	0.000

Vliv stěny na únosnost průřezu				
Char./Fáze	0	1	2	3
A	0.00	0.00	0.00	0.00
Wy	0.00	0.00	0.00	0.00
Wz	0.00	0.00	0.00	0.00

Charakter. v kroucení			
$t_{w,y}$	0.000	[mm]	
$t_{w,z}$	0.000	[mm]	
κ	1.00		
I_t=	0.00E+00	[mm^4]	
$\Omega=2*A_{py}$	0.00E+00	[mm^2]	

Součinitele vzpěru a vlivu II.řádu					
Char./Fáze	0	1	2	3
k_y	1.000	1.000	1.000	1.000
k_z	1.000	1.000	1.000	1.000
χ_{LT}	1.000	1.000	1.000	1.000
χ_{min}	1.000	1.000	1.000	1.000

Vnitřní síly od jednotlivých skupin zatěžovacích stavů

SKUPINA ZATĚŽOVACÍCH STAVŮ — volba ψ_i: 7

Č.	SKUP ZS	POPIS ZS	KAT.	FÁZE PRŮŘ.	- CHARAKTERISTICKÉ HODNOTY N.k (kN)	Vy.k (kN)	Vz.k (kN)	Mx.k (kNm)	My.k (kNm)	Mz.k (kNm)	DÍLČÍ SOUČINITELÉ ZATÍŽENÍ, DYNAMICKÝ SOUČINITEL γ_{sd} (-)	γ_{fs} (-)	volba ψ_i hledat	ψ_i (-)	L_d (m)	δ (-)	Ψ_s KZ07	- NÁVRHOVÉ HODNOTY N.d (kN)	Vy.d (kN)	Vz.d (kN)	ΔVz.d (kN)	ΣVz.d (kN)	Mx.d (kNm)	My.d (kNm)	ΔMy.d (kNm)	ΣMy.d (kNm)	Mz.d (kNm)	ΔMz.d (kNm)	ΣMz.d (kNm)
1	G0	Vlastní tíha OK	G	0	731	1	10	0	26	1	1.00	1.20		1.20	-	1.00	0.95	833	1	12	0	12	0	30	0	30	1	0	1
2	G1	Ostatní stálé - mostní vybavení	G	0	50	0	1	0	2	0	1.00	1.20		1.20	-	1.00	0.95	57	0	1	0	1	0	2	0	2	0	0	0
3	G2	Ostatní stálé - cizí zařízení	G	0	40	0	1	0	1	0	1.00	1.20		1.20	-	1.00	0.95	45	0	1	0	1	0	2	0	2	0	0	0
4	P1_71	a.LM71 - kolej 1 (bez dyn. souč.)	P	0	561	3	8	0	20	2	1.00	vyp.		0.00	-	1.00	0.00	0	0	0	0	0	0	0	0	0	0	0	0
5	P2_71	a.LM71 - kolej 2 (bez dyn. souč.)	P	0	900	1	14	0	30	1	1.00	vyp.		0.00	-	1.00	0.00	0	0	0	0	0	0	0	0	0	0	0	0
6	P1_C3	TTZ C3 - kolej 1 (bez dyn. souč.)	P	0	475	1	6	0	14	1	1.00	1.30		1.30	-	1.05	1.00	648	2	8	0	8	0	19	0	19	1	0	1
7	P2_C3	TTZ C3 - kolej 2 (bez dyn. souč.)	P	0	752	0	10	0	20	1	1.00	1.30		1.30	-	1.05	1.00	1 027	0	13	0	13	0	27	0	27	1	0	1
8	BR	Brzdné a rozjezdové síly	P	0	768	0	6	0	20	1	1.00	1.30		1.30	-	1.00	0.64	639	0	5	0	5	0	17	0	17	1	0	1
9	S	Boční ráz	P	0	125	1	-1	0	5	1	1.00	1.30		1.30	-	1.00	0.32	52	0	-1	0	-1	0	2	0	2	0	0	0
10	CH	Chodci na lávkách	Q	0	101	0	2	0	3	0	1.00	1.30		1.30	-	1.00	1.00	131	0	2	0	2	0	5	0	5	0	0	0
11	W	Vítr na konstrukci	Q	0	191	1	-1	0	8	1	1.00	1.35		1.35	-	1.00	0.75	194	1	-1	0	-1	0	8	0	8	1	0	1
12	WP	Vítr na vozidla	Q	0	290	1	-3	0	13	0	1.00	1.35		1.35	-	1.00	0.75	294	1	-3	0	-3	0	14	0	14	0	0	0
13	TR	Teplota rovnoměrná	Q	0	0	0	0	0	0	0	1.00	1.35		1.35	-	1.00	0.45	0	0	0	0	0	0	0	0	0	0	0	0
14	TN	Teplota nerovnoměrná	Q	0	44	1	-3	0	-4	1	1.00	1.35		1.35	-	1.00	0.60	36	1	-2	0	-2	0	-4	0	-4	1	0	1
15	FR	Třecí síly v ložiskách	Q	0	91	0	1	0	3	0	1.00	1.20		1.20	-	1.00	1.00	109	0	1	0	1	0	3	0	3	0	0	0
16	I	Imperfekce soustavy	Q	0	17	0	0	0	1	0	1.00	1.20		1.20	-	1.00	1.00	21	0	0	0	0	0	1	0	1	0	0	0
27	ULS_LM	ULS - LM71 bez dynam	Q	0	4 617	9	45	0	154	8	1.00	vyp.		0.00	-	1.00	0.00	0	0	0	0	0	0	0	0	0	0	0	0
28	SLS_LM	SLS - LM71 bez dynam	Q	0	3 611	6	38	0	124	6	1.00	vyp.	1	0.00	-	1.00	0.00	0	0	0	0	0	0	0	0	0	0	0	0
29	ULS_C3	ULS - C3 bez dynam	Q	0	4 313	6	36	0	132	7	1.00	vyp.	1	0.00	-	1.00	0.00	0	0	0	0	0	0	0	0	0	0	0	0
30	SLS_C3	SLS - C3 bez dynam	Q	0	3 377	4	31	0	108	5	1.00	vyp.	1	0.00	-	1.00	0.00	0	0	0	0	0	0	0	0	0	0	0	0
		CELKEM - FÁZE PRŮŘEZU 0																4 085	6	36	0	36	0	126	0	126	6	0	6
		CELKEM - FÁZE PRŮŘEZU 1																0	0	0	0	0	0	0	0	0	0	0	0
		CELKEM - FÁZE PRŮŘEZU 2																0	0	0	0	0	0	0	0	0	0	0	0
		CELKEM - FÁZE PRŮŘEZU 3																0	0	0	0	0	0	0	0	0	0	0	0
		CELKEM - PRŮŘEZ																4 085	6	36	0	36	0			126			6

Napětí od jednotlivých zatěžovacích stavů

SKUPINA ZATĚŽOVACÍCH STAVŮ

Č.	SKUP ZS	Popis ZS	Kat.	fáze průř.	Posouzení normálového napětí — Účinek síly N δ^*N_d [kN]	χ^*A [mm^2]	σ_n [MPa]	Účinek momentu My $\delta^*M_{y,d}$ [kNm]	$\chi_{lt}*W_{el,y}$ [mm^3]	σ_{my} [MPa]	Účinek momentu Mz $\delta^*M_{z,d}$ [kNm]	$W_{el,z}$ [mm^3]	σ_{mz} [MPa]	σ_x [MPa]	Posouzení smykového napětí — Účinek kroutícího momentu Mx $\kappa*\delta^*M_{x,d}$ [kNm]	$W_{v,y}$ [mm^2]	$\tau_{x,y}$ [MPa]	$W_{v,z}$ [mm^2]	$\tau_{x,z}$ [MPa]	Účinek smykové síly Vy $\delta^*V_{y,d}$ [kN]	$A_{v,y}$ [mm2]	$\tau_{v,y}$ [MPa]	$\tau_{v,y}$ [MPa]	Účinek smykové síly Vz $\delta^*V_{z,d}$ [kN]	$A_{v,z}$ [mm2]	$\tau_{v,z}$ [MPa]	$\tau_{v,z}$ [MPa]
1	G0	Vlastní tíha OK	G	0	833.4	2.67E+04	31.3	30.0	-2.48E+06	-12.1	1.3	8.48E+05	1.5	20.7	2.3E-02	-	-	-	-	0.8	3.39E+03	0.2	0.2	11.8	2.33E+04	0.5	0.5
2	G1	Ostatní stálé - mostní vybavení	G	0	56.6	2.67E+04	2.1	2.1	-2.48E+06	-0.9	0.1	8.48E+05	0.1	1.4	0.0E+00	-	-	-	-	0.1	3.39E+03	0.0	0.0	1.1	2.33E+04	0.0	0.0
3	G2	Ostatní stálé - cizí zařízení	G	0	45.3	2.67E+04	1.7	1.6	-2.48E+06	-0.6	0.0	8.48E+05	-0.1	1.0	0.0E+00	-	-	-	-	-0.1	3.39E+03	0.0	0.0	0.8	2.33E+04	0.0	0.0
4	P1_71	a.LM71 - kolej 1 (bez dyn. souč.)	P	0	0.0	2.67E+04	0.0	0.0	-2.48E+06	0.0	0.0	8.48E+05	0.0	0.0	0.0E+00	-	-	-	-	0.0	3.39E+03	0.0	0.0	0.0	2.33E+04	0.0	0.0
5	P2_71	a.LM71 - kolej 2 (bez dyn. souč.)	P	0	0.0	2.67E+04	0.0	0.0	-2.48E+06	0.0	0.0	8.48E+05	0.0	0.0	0.0E+00	-	-	-	-	0.0	3.39E+03	0.0	0.0	0.0	2.33E+04	0.0	0.0
6	P1_C3	TTZ C3 - kolej 1 (bez dyn. souč.)	P	0	647.9	2.67E+04	24.3	19.4	-2.48E+06	-7.8	1.5	8.48E+05	1.8	18.2	5.5E-02	-	-	-	-	1.8	3.39E+03	0.5	0.5	8.0	2.33E+04	0.3	0.3
7	P2_C3	TTZ C3 - kolej 2 (bez dyn. souč.)	P	0	1 026.9	2.67E+04	38.5	27.1	-2.48E+06	-10.9	0.9	8.48E+05	1.1	28.7	-2.7E-02	-	-	-	-	0.1	3.39E+03	0.0	0.0	13.0	2.33E+04	0.6	0.6
8	BR	Brzdné a rozjezdové síly	P	0	638.7	2.67E+04	23.9	17.0	-2.48E+06	-6.8	0.7	8.48E+05	0.8	17.9	1.7E-02	-	-	-	-	0.2	3.39E+03	0.1	0.1	4.8	2.33E+04	0.2	0.2
9	S	Boční ráz	P	0	52.0	2.67E+04	1.9	2.3	-2.48E+06	-0.9	0.3	8.48E+05	0.3	1.4	4.2E-03	-	-	-	-	0.5	3.39E+03	0.1	0.1	-0.6	2.33E+04	0.0	0.0
10	CH	Chodci na lávkách	Q	0	130.9	2.67E+04	4.9	4.5	-2.48E+06	-1.8	-0.3	8.48E+05	-0.4	2.7	-1.3E-02	-	-	-	-	-0.4	3.39E+03	-0.1	-0.1	2.1	2.33E+04	0.1	0.1
11	W	Vítr na konstrukci	Q	0	193.7	2.67E+04	7.3	8.4	-2.48E+06	-3.4	1.1	8.48E+05	1.3	5.2	0.0E+00	-	-	-	-	1.0	3.39E+03	0.3	0.3	-1.3	2.33E+04	-0.1	-0.1
12	WP	Vítr na vozidla	Q	0	293.9	2.67E+04	11.0	13.5	-2.48E+06	-5.5	-0.2	8.48E+05	-0.2	5.4	0.0E+00	-	-	-	-	1.1	3.39E+03	0.3	0.3	-2.9	2.33E+04	-0.1	-0.1
13	TR	Teplota rovnoměrná	Q	0	0.0	2.67E+04	0.0	0.0	-2.48E+06	0.0	0.0	8.48E+05	0.0	0.0	0.0E+00	-	-	-	-	0.0	3.39E+03	0.0	0.0	0.0	2.33E+04	0.0	0.0
14	TN	Teplota nerovnoměrná	Q	0	35.7	2.67E+04	1.3	-3.6	-2.48E+06	1.4	0.5	8.48E+05	0.6	3.4	1.6E-02	-	-	-	-	0.7	3.39E+03	0.2	0.2	-2.1	2.33E+04	-0.1	-0.1
15	FR	Třecí síly v ložiskách	Q	0	109.4	2.67E+04	4.1	3.1	-2.48E+06	-1.3	0.1	8.48E+05	0.1	3.0	0.0E+00	-	-	-	-	0.1	3.39E+03	0.0	0.0	1.2	2.33E+04	0.1	0.1
16	I	Imperfekce soustavy	Q	0	20.9	2.67E+04	0.8	0.7	-2.48E+06	-0.3	0.2	8.48E+05	0.2	0.7	0.0E+00	-	-	-	-	0.2	3.39E+03	0.0	0.0	0.1	2.33E+04	0.0	0.0
27	ULS_LM	ULS - LM71 bez dynam	Q	0	0.0	2.67E+04	0.0	0.0	-2.48E+06	0.0	0.0	8.48E+05	0.0	0.0	0.0E+00	-	-	-	-	0.0	3.39E+03	0.0	0.0	0.0	2.33E+04	0.0	0.0
28	SLS_LM	SLS - LM71 bez dynam	Q	0	0.0	2.67E+04	0.0	0.0	-2.48E+06	0.0	0.0	8.48E+05	0.0	0.0	0.0E+00	-	-	-	-	0.0	3.39E+03	0.0	0.0	0.0	2.33E+04	0.0	0.0
29	ULS_C3	ULS - C3 bez dynam	Q	0	0.0	2.67E+04	0.0	0.0	-2.48E+06	0.0	0.0	8.48E+05	0.0	0.0	0.0E+00	-	-	-	-	0.0	3.39E+03	0.0	0.0	0.0	2.33E+04	0.0	0.0
30	SLS_C3	SLS - C3 bez dynam	Q	0	0.0	2.67E+04	0.0	0.0	-2.48E+06	0.0	0.0	8.48E+05	0.0	0.0	0.0E+00	-	-	-	-	0.0	3.39E+03	0.0	0.0	0.0	2.33E+04	0.0	0.0
		NAVÝŠENÍ NAPĚTÍ DO AKTIVACE TLAKU V DESCE MOSTOVKY				$\sigma_{P,red}$	0.0							0.0			-	0.0		0.0				1.8	1.8			1.5	1.5
		NAPĚTÍ OD PRIMÁRNÍCH ÚČINKŮ NEROVNOMĚRNÉHO OTEPLENÍ				σ_T	0.0							0.0														
		NAPĚTÍ OD REOLOGICKÝCH ÚČINKŮ BETONU V ČASE		t=0		σ_R	0.0	γ_{G*}	1.20					0.0														
		NAPĚTÍ V KRITICKÝCH VLÁKNECH OD KOMBINACE ZATÍŽENÍ				KZ07		[MPa]					$\Sigma\sigma_x$	109.7									$\Sigma\tau_y$	1.8				$\Sigma\tau_z$	1.5
		NAPĚTÍ OD POHYBLIVÉHO ZATÍŽENÍ						[MPa]					$\sigma_{x,P}$	66.2									τ_P	0.8				τ_P	1.1
		NAPĚTÍ OD OSTATNÍCH ZATÍŽENÍ						[MPa]			Φ_{Vy}	Φ_{Vz}	$\sigma_{x,rs}$	43.5									τ_{rs}	1.0				τ_{rs}	0.5
		NÁVRHOVÁ HODNOTA MEZE KLUZU S REDUKCÍ VLIVEM SMYKOVÉHO NAPĚTÍ						[MPa]			1.00	1.00	$f_{yv,d}$	209.1									$f_{yd}/3^{0,5}$	120.7				$f_{yd}/3^{0,5}$	120.7
		NAPĚTÍ OD POHYBLIVÉHO ZATÍŽENÍ V GLOBÁLNÍM SYSTÉMU				$\sigma_{GLOB,P}$	0.0	[MPa]					$\Sigma\sigma_{GLOB}$	0.0														
		NAPĚTÍ OD OSTATNÍCH ZATÍŽENÍ V GLOBÁLNÍM SYSTÉMU				$\sigma_{GLOB,rs}$	0.0	[MPa]					$\Sigma\sigma_x + \Sigma\sigma_{GLOB}$	109.7														
		VYUŽITÍ PRŮŘEZU DLE NAPĚTÍ						[%]					η_1	0.52									η_3	0.01				η_3	0.01
		NAPĚTÍ V PŘÍČNÉM SMĚRU OD POHYBLIVÉHO ZATÍŽENÍ				$\sigma_{z,P}$	0.0	[MPa]					$\Sigma\sigma_z$	0.0														
		NAPĚTÍ V PŘÍČNÉM SMĚRU OD OSTATNÍCH ZATÍŽENÍ				$\sigma_{z,rs}$	0.0	[MPa]					η_2	0.00														
		SROVNÁVACÍ NAPĚTÍ											$(\eta_2 + 0,8\ \eta_1)/1,4 =$	0.30														
		VYUŽITÍ PRŮŘEZU CELKEM						[%]					eff	0.52	VYHOVUJE													
													z_{LM71} =	-----													

TAB. U3.3 POSOUZENÍ - MEZNÍ STAV ÚNOSNOSTI

POPIS	DOLNÍ PÁS U3
PRUT / POLOHA BODU	112 / J[115]
NAMÁHÁNÍ	My.max
VLÁKNO	BOD K4 -SP
MEZNÍ STAV	ULS (MSÚ)
VYUŽITÍ VLÁKNA PRŮŘEZU	0.99

Charakteristiky materiálu				
pás. horní	$f_{yf,k}$	230	MPa	
pás. dolní	$f_{yf,k}$	230	MPa	
stojina	$f_{yw,k}$	230	MPa	
výztuž	$f_{ys,k}$	500	MPa	
γ_M =	1.10	γ_s =	1.15	

Excentricita normálové síly				
Exc./Fáze	0	1	2	3
e_y	0.000	0.000	0.000	0.000
e_z	0.000	0.000	0.000	0.000
Ekvivalentní vzdál. stěn - příčný roznos				
b_{Mx}	0.000	0.000	0.000	0.000

Vliv stěny na únosnost průřezu				
Char./Fáze	0	1	2	3
A	0.00	0.00	0.00	0.00
Wy	0.00	0.00	0.00	0.00
Wz	0.00	0.00	0.00	0.00

Charakter. v kroucení			
$t_{w,y}$	0.000	[mm]	
$t_{w,z}$	0.000	[mm]	
κ	1.00		
I_t=	0.00E+00	[mm^4]	
$\Omega=2*A_{pr}$	0.00E+00	[mm^2]	

Součinitele vzpěru a vlivu II.řádu				
Char./Fáze	0	1	2	3
k_y	1.000	1.000	1.000	1.000
k_z	1.000	1.000	1.000	1.000
χ_{LT}	1.000	1.000	1.000	1.000
χ_{min}	1.000	1.000	1.000	1.000

Vnitřní síly od jednotlivých skupin zatěžovacích stavů

SKUPINA ZATĚŽOVACÍCH STAVŮ					- CHARAKTERISTICKÉ HODNOTY						DÍLČÍ SOUČINITELÉ ZATÍŽENÍ, DYNAMICKÝ SOUČINITEL						7	- NÁVRHOVÉ HODNOTY									
Č.	SKUP ZS	POPIS ZS	KAT.	FÁZE PRŮŘ.	N.k (kN)	Vy.k (kN)	Vz.k (kN)	Mx.k (kNm)	My.k (kNm)	Mz.k (kNm)	γ_{sup} (-)	γ_{inf} (-)	volba γ_i hledat	γ_i (-)	L_d (m)	δ (-)	Ψ_0 KZ07	N.d (kN)	Vy.d (kN)	Vz.d (kN)	ΔVz.d (kN)	ΣVz.d (kN)	Mx.d (kNm)	My.d (kNm)	ΔMy.d (kNm)	ΣMy.d (kNm)	Mz.d (kNm)	ΔMz.d (kNm)	ΣMz.d (kNm)
1	G0	Vlastní tíha OK	G	0	731	1	10	0	26	1	1.00	1.20		1.20	-	1.00	0.95	833	1	12	0	12	0	30	0	30	1	0	1
2	G1	Ostatní stálé - mostní vybavení	G	0	50	0	1	0	2	0	1.00	1.20		1.20	-	1.00	0.95	57	0	1	0	1	0	2	0	2	0	0	0
3	G2	Ostatní stálé - cizí zařízení	G	0	40	0	1	0	1	0	1.00	1.20		1.20	-	1.00	0.95	45	0	1	0	1	0	2	0	2	0	0	0
4	P1_71	a.LM71 - kolej 1 (bez dyn. souč.)	P	0	526	3	10	0	22	3	1.00	vyp.		0.00	-	1.00	0.00	0	0	0	0	0	0	0	0	0	0	0	0
5	P2_71	a.LM71 - kolej 2 (bez dyn. souč.)	P	0	810	2	23	0	41	3	1.00	vyp.		0.00	-	1.00	0.00	0	0	0	0	0	0	0	0	0	0	0	0
6	P1_C3	TTZ C3 - kolej 1 (bez dyn. souč.)	P	0	438	2	9	0	18	3	1.00	1.30		1.30	-	1.05	1.00	598	3	13	0	13	0	25	0	25	4	0	4
7	P2_C3	TTZ C3 - kolej 2 (bez dyn. souč.)	P	0	667	1	23	0	34	3	1.00	1.30		1.30	-	1.05	1.00	910	2	31	0	31	0	47	0	47	4	0	4
8	BR	Brzdné a rozjezdové síly	P	0	768	0	6	0	20	1	1.00	1.30		1.30	-	1.00	0.64	639	0	5	0	5	0	17	0	17	1	0	1
9	S	Boční ráz	P	0	125	1	-1	0	5	1	1.00	1.30		1.30	-	1.00	0.32	52	0	-1	0	-1	0	2	0	2	0	0	0
10	CH	Chodci na lávkách	Q	0	101	0	2	0	3	0	1.00	1.30		1.30	-	1.00	1.00	131	0	2	0	2	0	5	0	5	0	0	0
11	W	Vítr na konstrukci	Q	0	191	1	-1	0	8	1	1.00	1.35		1.35	-	1.00	0.75	194	1	-1	0	-1	0	8	0	8	1	0	1
12	WP	Vítr na vozidla	Q	0	290	1	-3	0	13	0	1.00	1.35		1.35	-	1.00	0.75	294	1	-3	0	-3	0	14	0	14	0	0	0
13	TR	Teplota rovnoměrná	Q	0	0	0	0	0	0	0	1.00	1.35		1.35	-	1.00	0.45	0	0	0	0	0	0	0	0	0	0	0	0
14	TN	Teplota nerovnoměrná	Q	0	20	0	2	0	7	0	1.00	1.35		1.35	-	1.00	0.60	16	0	2	0	2	0	6	0	6	0	0	0
15	FR	Třecí síly v ložiskách	Q	0	91	0	1	0	3	0	1.00	1.20		1.20	-	1.00	1.00	109	0	1	0	1	0	3	0	3	0	0	0
16	I	Imperfekce soustavy	Q	0	17	0	0	0	1	0	1.00	1.20		1.20	-	1.00	1.00	21	0	0	0	0	0	1	0	1	0	0	0
27	ULS_LM	ULS - LM71 bez dynam	Q	0	4 435	10	63	0	180	12	1.00	vyp.		0.00	-	1.00	0.00	0	0	0	0	0	0	0	0	0	0	0	0
28	SLS_LM	SLS - LM71 bez dynam	Q	0	3 486	8	49	0	137	9	1.00	vyp.	1	0.00	-	1.00	0.00	0	0	0	0	0	0	0	0	0	0	0	0
29	ULS_C3	ULS - C3 bez dynam	Q	0	4 135	8	62	0	166	11	1.00	vyp.	1	0.00	-	1.00	0.00	0	0	0	0	0	0	0	0	0	0	0	0
30	SLS_C3	SLS - C3 bez dynam	Q	0	3 255	6	48	0	126	9	1.00	vyp.	1	0.00	-	1.00	0.00	0	0	0	0	0	0	0	0	0	0	0	0
		CELKEM - FÁZE PRŮŘEZU 0																3 899	8	63	0	63	0	161	0	161	11	0	11
		CELKEM - FÁZE PRŮŘEZU 1																0	0	0	0	0	0	0	0	0	0	0	0
		CELKEM - FÁZE PRŮŘEZU 2																0	0	0	0	0	0	0	0	0	0	0	0
		CELKEM - FÁZE PRŮŘEZU 3																0	0	0	0	0	0	0	0	0	0	0	0
		CELKEM - PRŮŘEZ																3 899	8	63	0	63	0			161			11

Napětí od jednotlivých zatěžovacích stavů

SKUPINA ZATĚŽOVACÍCH STAVŮ					Posouzení normálového napětí										Posouzení smykového napětí													
					Účinek síly N			Účinek momentu My				Účinek momentu Mz				Účinek ktoutícího momentu Mx				Účinek smykové síly Vy				Účinek smykové síly Vz			
Č.	SKUP ZS	Popis ZS	Kat.	fáze prúř.	δ^*N_d [kN]	χ^*A [mm^2]	σ_n [MPa]	$\delta^*M_{y,d}$ [kNm]	$\chi_{lt}*W_{el,y}$ [mm^3]	σ_{my} [MPa]	$\delta^*M_{z,d}$ [kNm]	$W_{el,z}$ [mm^3]	σ_{mz} [MPa]	σ_x [MPa]	$\kappa*\delta^*M_{x,d}$ [kNm]	$W_{v,y}$ [mm^3]	$\tau_{x,y}$ [MPa]	$W_{v,z}$ [mm^3]	$\tau_{x,z}$ [MPa]	$\delta^*V_{y,d}$ [kN]	$A_{v,y}$ [mm2]	$\tau_{v,y}$ [MPa]	$\tau_{v,y}$ [MPa]	$\delta^*V_{z,d}$ [kN]	$A_{v,z}$ [mm2]	$\tau_{v,z}$ [MPa]	$\tau_{v,z}$ [MPa]
1	G0	Vlastní tíha OK	G	0	833.4	2.67E+04	31.3	30.0	3.82E+06	7.8	1.3	5.75E+05	2.2	41.3	2.3E-02	-	-	-	-	0.8	3.39E+03	0.2	0.2	11.8	2.33E+04	0.5	0.5
2	G1	Ostatní stálé - mostní vybavení	G	0	56.6	2.67E+04	2.1	2.1	3.82E+06	0.6	0.1	5.75E+05	0.2	2.8	0.0E+00	-	-	-	-	0.1	3.39E+03	0.0	0.0	1.1	2.33E+04	0.0	0.0
3	G2	Ostatní stálé - cizí zařízení	G	0	45.3	2.67E+04	1.7	1.6	3.82E+06	0.4	0.0	5.75E+05	-0.1	2.0	0.0E+00	-	-	-	-	-0.1	3.39E+03	0.0	0.0	0.8	2.33E+04	0.0	0.0
4	P1_71	a.LM71 - kolej 1 (bez dyn. souč.)	P	0	0.0	2.67E+04	0.0	0.0	3.82E+06	0.0	0.0	5.75E+05	0.0	0.0	0.0E+00	-	-	-	-	0.0	3.39E+03	0.0	0.0	0.0	2.33E+04	0.0	0.0
5	P2_71	a.LM71 - kolej 2 (bez dyn. souč.)	P	0	0.0	2.67E+04	0.0	0.0	3.82E+06	0.0	0.0	5.75E+05	0.0	0.0	0.0E+00	-	-	-	-	0.0	3.39E+03	0.0	0.0	0.0	2.33E+04	0.0	0.0
6	P1_C3	TTZ C3 - kolej 1 (bez dyn. souč.)	P	0	597.9	2.67E+04	22.4	25.1	3.82E+06	6.6	3.6	5.75E+05	6.3	35.3	9.6E-02	-	-	-	-	2.7	3.39E+03	0.8	0.8	12.9	2.33E+04	0.6	0.6
7	P2_C3	TTZ C3 - kolej 2 (bez dyn. souč.)	P	0	910.2	2.67E+04	34.1	46.5	3.82E+06	12.2	4.4	5.75E+05	7.6	53.9	2.7E-02	-	-	-	-	1.7	3.39E+03	0.5	0.5	30.9	2.33E+04	1.3	1.3
8	BR	Brzdné a rozjezdové síly	P	0	638.7	2.67E+04	23.9	17.0	3.82E+06	4.5	0.7	5.75E+05	1.2	29.6	1.7E-02	-	-	-	-	0.2	3.39E+03	0.1	0.1	4.8	2.33E+04	0.2	0.2
9	S	Boční ráz	P	0	52.0	2.67E+04	1.9	2.3	3.82E+06	0.6	0.3	5.75E+05	0.5	3.0	4.2E-03	-	-	-	-	0.5	3.39E+03	0.1	0.1	-0.6	2.33E+04	0.0	0.0
10	CH	Chodci na lávkách	Q	0	130.9	2.67E+04	4.9	4.5	3.82E+06	1.2	-0.3	5.75E+05	-0.5	5.6	-1.3E-02	-	-	-	-	-0.4	3.39E+03	-0.1	-0.1	2.1	2.33E+04	0.1	0.1
11	W	Vítr na konstrukci	Q	0	193.7	2.67E+04	7.3	8.4	3.82E+06	2.2	1.1	5.75E+05	1.9	11.3	0.0E+00	-	-	-	-	1.0	3.39E+03	0.3	0.3	-1.3	2.33E+04	-0.1	-0.1
12	WP	Vítr na vozidla	Q	0	293.9	2.67E+04	11.0	13.5	3.82E+06	3.5	-0.2	5.75E+05	-0.3	14.3	0.0E+00	-	-	-	-	1.1	3.39E+03	0.3	0.3	-2.9	2.33E+04	-0.1	-0.1
13	TR	Teplota rovnoměrná	Q	0	0.0	2.67E+04	0.0	0.0	3.82E+06	0.0	0.0	5.75E+05	0.0	0.0	0.0E+00	-	-	-	-	0.0	3.39E+03	0.0	0.0	0.0	2.33E+04	0.0	0.0
14	TN	Teplota nerovnoměrná	Q	0	16.2	2.67E+04	0.6	5.8	3.82E+06	1.5	0.0	5.75E+05	-0.1	2.1	0.0E+00	-	-	-	-	-0.1	3.39E+03	0.0	0.0	1.8	2.33E+04	0.1	0.1
15	FR	Třecí síly v ložiskách	Q	0	109.4	2.67E+04	4.1	3.1	3.82E+06	0.8	0.1	5.75E+05	0.2	5.1	0.0E+00	-	-	-	-	0.1	3.39E+03	0.0	0.0	1.2	2.33E+04	0.1	0.1
16	I	Imperfekce soustavy	Q	0	20.9	2.67E+04	0.8	0.7	3.82E+06	0.2	0.2	5.75E+05	0.4	1.3	0.0E+00	-	-	-	-	0.2	3.39E+03	0.0	0.0	0.1	2.33E+04	0.0	0.0
27	ULS_LM	ULS - LM71 bez dynam	Q	0	0.0	2.67E+04	0.0	0.0	3.82E+06	0.0	0.0	5.75E+05	0.0	0.0	0.0E+00	-	-	-	-	0.0	3.39E+03	0.0	0.0	0.0	2.33E+04	0.0	0.0
28	SLS_LM	SLS - LM71 bez dynam	Q	0	0.0	2.67E+04	0.0	0.0	3.82E+06	0.0	0.0	5.75E+05	0.0	0.0	0.0E+00	-	-	-	-	0.0	3.39E+03	0.0	0.0	0.0	2.33E+04	0.0	0.0
29	ULS_C3	ULS - C3 bez dynam	Q	0	0.0	2.67E+04	0.0	0.0	3.82E+06	0.0	0.0	5.75E+05	0.0	0.0	0.0E+00	-	-	-	-	0.0	3.39E+03	0.0	0.0	0.0	2.33E+04	0.0	0.0
30	SLS_C3	SLS - C3 bez dynam	Q	0	0.0	2.67E+04	0.0	0.0	3.82E+06	0.0	0.0	5.75E+05	0.0	0.0	0.0E+00	-	-	-	-	0.0	3.39E+03	0.0	0.0	0.0	2.33E+04	0.0	0.0
NAVÝŠENÍ NAPĚTÍ DO AKTIVACE TLAKU V DESCE MOSTOVKY						$\sigma_{P,red}$	0.0							0.0			0.0		0.0			2.3	2.3			2.7	2.7
NAPĚTÍ OD PRIMÁRNÍCH ÚČINKŮ NEROVNOMĚRNÉHO OTEPLENÍ						σ_T	0.0							0.0													
NAPĚTÍ OD REOLOGICKÝCH ÚČINKŮ BETONU V ČASE				t=0		σ_R	0.0	γ=	1.20					0.0													
NAPĚTÍ V KRITICKÝCH VLÁKNECH OD KOMBINACE ZATÍŽENÍ						KZ07		[MPa]					$\Sigma\sigma_x$	207.7								$\Sigma\tau_y$	2.3			$\Sigma\tau_z$	2.7
NAPĚTÍ OD POHYBLIVÉHO ZATÍŽENÍ								[MPa]					$\sigma_{x,P}$	121.8								τ_P	1.5			τ_P	2.1
NAPĚTÍ OD OSTATNÍCH ZATÍŽENÍ								[MPa]			Φ_{Vy}	Φ_{Vz}	$\sigma_{x,rs}$	85.9								τ_{rs}	0.8			τ_{rs}	0.6
NÁVRHOVÁ HODNOTA MEZE KLUZU S REDUKCÍ VLIVEM SMYKOVÉHO NAPĚTÍ								[MPa]			1.00	1.00	$f_{yw,d}$	209.1								$f_{yd}/3^{0,5}$	120.7			$f_{yd}/3^{0,5}$	120.7
NAPĚTÍ OD POHYBLIVÉHO ZATÍŽENÍ V GLOBÁLNÍM SYSTÉMU						$\sigma_{GLOB,P}$	0.0	[MPa]					$\Sigma\sigma_{GLOB}$	0.0													
NAPĚTÍ OD OSTATNÍCH ZATÍŽENÍ V GLOBÁLNÍM SYSTÉMU						$\sigma_{GLOB,rs}$	0.0	[MPa]					$\Sigma\sigma_x + \Sigma\sigma_{GLOB}$	207.7													
VYUŽITÍ PRŮŘEZU DLE NAPĚTÍ								[%]					η_1	0.99								η_3	0.02			η_3	0.02
NAPĚTÍ V PŘÍČNÉM SMĚRU OD POHYBLIVÉHO ZATÍŽENÍ						$\sigma_{z,P}$	0.0	[MPa]					$\Sigma\sigma_z$	0.0													
NAPĚTÍ V PŘÍČNÉM SMĚRU OD OSTATNÍCH ZATÍŽENÍ						$\sigma_{z,rs}$	0.0	[MPa]					η_2	0.00													
SROVNÁVACÍ NAPĚTÍ													$(\eta_2 + 0,8\,\eta_1)/1,4$ =	0.57													
VYUŽITÍ PRŮŘEZU CELKEM								[%]					eff	0.99	VYHOVUJE												
													z_{LM71} =	-----													

TAB. U3.3 POSOUZENÍ - MEZNÍ STAV ÚNOSNOSTI

POPIS	DOLNÍ PÁS U3
PRUT / POLOHA BODU	112 / J[115]
NAMÁHÁNÍ	Vz.max
VLÁKNO	BOD S6 -HP
MEZNÍ STAV	ULS (MSÚ)
VYUŽITÍ VLÁKNA PRŮŘEZU	0.55

Charakteristiky materiálu				
pás. horní	$f_{yf,k}$	230	MPa	
pás. dolní	$f_{yf,k}$	230	MPa	
stojina	$f_{yw,k}$	230	MPa	
výztuž	$f_{ys,k}$	500	MPa	
	γ_{M} =	1.10	γ_{s} =	1.15

Excentricita normálové síly				
Exc./Fáze	0	1	2	3
e_y	0.000	0.000	0.000	0.000
e_z	0.000	0.000	0.000	0.000
Ekvivalentní vzdál. stěn - příčný roznos				
b_{Mx}	0.000	0.000	0.000	0.000

Vliv stěny na únosnost průřezu				
Char./Fáze	0	1	2	3
A	0.00	0.00	0.00	0.00
Wy	0.00	0.00	0.00	0.00
Wz	0.00	0.00	0.00	0.00

Charakter. v kroucení		
$t_{w,y}$	0.000	[mm]
$t_{w,z}$	0.000	[mm]
κ	1.00	
I_t=	0.00E+00	[mm⁴]
Ω=2*A_{pr}	0.00E+00	[mm²]

Součinitele vzpěru a vlivu II.řádu					
Char./Fáze	0	1	2	3
k_y	1.000	1.000	1.000	1.000
k_z	1.000	1.000	1.000	1.000
χ_{LT}	1.000	1.000	1.000	1.000
χ_{min}	1.000	1.000	1.000	1.000

Vnitřní síly od jednotlivých skupin zatěžovacích stavů

SKUPINA ZATĚŽOVACÍCH STAVŮ					- CHARAKTERISTICKÉ HODNOTY						DÍLČÍ SOUČINITELÉ ZATÍŽENÍ, DYNAMICKÝ SOUČINITEL							- NÁVRHOVÉ HODNOTY									
Č.	SKUP ZS	POPIS ZS	KAT.	FÁZE PRŮŘ.	N.k (kN)	Vy.k (kN)	Vz.k (kN)	Mx.k (kNm)	My.k (kNm)	Mz.k (kNm)	γ_{sr} (-)	γ_{fs} (-)	volba ψ_i hledat	ψ_i (-)	L_d (m)	δ (-)	Ψ_s KZ07	N.d (kN)	Vy.d (kN)	Vz.d (kN)	ΔVz.d (kN)	ΣVz.d (kN)	Mx.d (kNm)	My.d (kNm)	ΔMy.d (kNm)	ΣMy.d (kNm)	Mz.d (kNm)	ΔMz.d (kNm)	ΣMz.d (kNm)
1	G0	Vlastní tíha OK	G	0	731	1	10	0	26	1	1.00	1.20		1.20	-	1.00	0.95	833	1	12	0	12	0	30	0	30	1	0	1
2	G1	Ostatní stálé - mostní vybavení	G	0	50	0	1	0	2	0	1.00	1.20		1.20	-	1.00	0.95	57	0	1	0	1	0	2	0	2	0	0	0
3	G2	Ostatní stálé - cizí zařízení	G	0	40	0	1	0	1	0	1.00	1.20		1.20	-	1.00	0.95	45	0	1	0	1	0	2	0	2	0	0	0
4	P1_71	a.LM71 - kolej 1 (bez dyn. souč.)	P	0	464	3	11	0	20	4	1.00	vyp.		0.00	-	1.00	0.00	0	0	0	0	0	0	0	0	0	0	0	0
5	P2_71	a.LM71 - kolej 2 (bez dyn. souč.)	P	0	676	2	28	0	38	5	1.00	vyp.		0.00	-	1.00	0.00	0	0	0	0	0	0	0	0	0	0	0	0
6	P1_C3	TTZ C3 - kolej 1 (bez dyn. souč.)	P	0	407	2	10	0	17	3	1.00	1.30		1.30	-	1.05	1.00	556	3	13	0	13	0	24	0	24	4	0	4
7	P2_C3	TTZ C3 - kolej 2 (bez dyn. souč.)	P	0	600	2	24	0	33	4	1.00	1.30		1.30	-	1.05	1.00	819	2	32	0	32	0	44	0	44	5	0	5
8	BR	Brzdné a rozjezdové síly	P	0	711	0	6	0	19	1	1.00	1.30		1.30	-	1.00	0.64	591	0	5	0	5	0	16	0	16	1	0	1
9	S	Boční ráz	P	0	-125	-1	1	0	-5	-1	1.00	1.30		1.30	-	1.00	0.32	-52	0	1	0	1	0	-2	0	-2	0	0	0
10	CH	Chodci na lávkách	Q	0	101	0	2	0	3	0	1.00	1.30		1.30	-	1.00	1.00	131	0	2	0	2	0	5	0	5	0	0	0
11	W	Vítr na konstrukci	Q	0	-191	-1	1	0	-8	-1	1.00	1.35		1.35	-	1.00	0.75	-193	-1	1	0	1	0	-8	0	-8	-1	0	-1
12	WP	Vítr na vozidla	Q	0	-290	-1	3	0	-13	0	1.00	1.35		1.35	-	1.00	0.75	-294	-1	3	0	3	0	-14	0	-14	0	0	0
13	TR	Teplota rovnoměrná	Q	0	0	0	0	0	0	0	1.00	1.35		1.35	-	1.00	0.45	0	0	0	0	0	0	0	0	0	0	0	0
14	TN	Teplota nerovnoměrná	Q	0	20	0	2	0	7	0	1.00	1.35		1.35	-	1.00	0.60	16	0	2	0	2	0	6	0	6	0	0	0
15	FR	Třecí síly v ložiskách	Q	0	91	0	1	0	3	0	1.00	1.20		1.20	-	1.00	1.00	109	0	1	0	1	0	3	0	3	0	0	0
16	I	Imperfekce soustavy	Q	0	17	0	0	0	1	0	1.00	1.20		1.20	-	1.00	1.00	21	0	0	0	0	0	1	0	1	0	0	0
27	ULS_LM	ULS - LM71 bez dynam	Q	0	2 968	5	82	0	121	13	1.00	vyp.		0.00	-	1.00	0.00	0	0	0	0	0	0	0	0	0	0	0	0
28	SLS_LM	SLS - LM71 bez dynam	Q	0	2 386	4	63	0	93	10	1.00	vyp.	1	0.00	-	1.00	0.00	0	0	0	0	0	0	0	0	0	0	0	0
29	ULS_C3	ULS - C3 bez dynam	Q	0	2 797	3	74	0	110	10	1.00	vyp.	1	0.00	-	1.00	0.00	0	0	0	0	0	0	0	0	0	0	0	0
30	SLS_C3	SLS - C3 bez dynam	Q	0	2 253	2	57	0	84	8	1.00	vyp.	1	0.00	-	1.00	0.00	0	0	0	0	0	0	0	0	0	0	0	0
		CELKEM - FÁZE PRŮŘEZU 0																2 640	4	74	0	74	0	108	0	108	11	0	11
		CELKEM - FÁZE PRŮŘEZU 1																0	0	0	0	0	0	0	0	0	0	0	0
		CELKEM - FÁZE PRŮŘEZU 2																0	0	0	0	0	0	0	0	0	0	0	0
		CELKEM - FÁZE PRŮŘEZU 3																0	0	0	0	0	0	0	0	0	0	0	0
		CELKEM - PRŮŘEZ																2 640	4	74	0	74	0			108			11

Napětí od jednotlivých zatěžovacích stavů

SKUPINA ZATĚŽOVACÍCH STAVŮ					Posouzení normálového napětí										Posouzení smykového napětí													
					Účinek síly N			Účinek momentu My				Účinek momentu Mz				Účinek ktoutícího momentu Mx				Účinek smykové síly Vy				Účinek smykové síly Vz			
Č.	SKUP ZS	Popis ZS	Kat.	fáze prúř.	δ^*N_d [kN]	χ^*A [mm²]	σ_n [MPa]	$\delta^*M_{y,d}$ [kNm]	$\chi_{lt}{}^*W_{el,y}$ [mm³]	σ_{my} [MPa]	$\delta^*M_{z,d}$ [kNm]	$W_{el,z}$ [mm³]	σ_{mz} [MPa]	σ_x [MPa]	$\kappa^*\delta^*M_{x,d}$ [kNm]	$W_{v,y}$ [mm²]	$\tau_{x,y}$ [MPa]	$W_{v,z}$ [mm²]	$\tau_{x,z}$ [MPa]	$\delta^*V_{y,d}$ [kN]	$A_{v,y}$ [mm2]	$\tau_{v,y}$ [MPa]	$\tau_{v,y}$ [MPa]	$\delta^*V_{z,d}$ [kN]	$A_{v,z}$ [mm2]	$\tau_{v,z}$ [MPa]	$\tau_{v,z}$ [MPa]
1	G0	Vlastní tíha OK	G	0	833.4	2.67E+04	31.3	30.0	3.82E+06	7.8	1.3	-8.48E+05	-1.5	37.6	2.3E-02	-	-	-	-	0.8	3.39E+03	0.2	0.2	11.8	2.33E+04	0.5	0.5
2	G1	Ostatní stálé - mostní vybavení	G	0	56.6	2.67E+04	2.1	2.1	3.82E+06	0.6	0.1	-8.48E+05	-0.1	2.6	0.0E+00	-	-	-	-	0.1	3.39E+03	0.0	0.0	1.1	2.33E+04	0.0	0.0
3	G2	Ostatní stálé - cizí zařízení	G	0	45.3	2.67E+04	1.7	1.6	3.82E+06	0.4	0.0	-8.48E+05	0.1	2.2	0.0E+00	-	-	-	-	-0.1	3.39E+03	0.0	0.0	0.8	2.33E+04	0.0	0.0
4	P1_71	a.LM71 - kolej 1 (bez dyn. souč.)	P	0	0.0	2.67E+04	0.0	0.0	3.82E+06	0.0	0.0	-8.48E+05	0.0	0.0	0.0E+00	-	-	-	-	0.0	3.39E+03	0.0	0.0	0.0	2.33E+04	0.0	0.0
5	P2_71	a.LM71 - kolej 2 (bez dyn. souč.)	P	0	0.0	2.67E+04	0.0	0.0	3.82E+06	0.0	0.0	-8.48E+05	0.0	0.0	0.0E+00	-	-	-	-	0.0	3.39E+03	0.0	0.0	0.0	2.33E+04	0.0	0.0
6	P1_C3	TTZ C3 - kolej 1 (bez dyn. souč.)	P	0	555.9	2.67E+04	20.8	23.9	3.82E+06	6.2	4.4	-8.48E+05	-5.2	21.9	1.2E-01	-	-	-	-	3.1	3.39E+03	0.9	0.9	13.1	2.33E+04	0.6	0.6
7	P2_C3	TTZ C3 - kolej 2 (bez dyn. souč.)	P	0	819.1	2.67E+04	30.7	44.4	3.82E+06	11.6	5.4	-8.48E+05	-6.4	35.9	6.8E-02	-	-	-	-	2.2	3.39E+03	0.6	0.6	32.2	2.33E+04	1.4	1.4
8	BR	Brzdné a rozjezdové síly	P	0	591.3	2.67E+04	22.2	15.8	3.82E+06	4.1	0.6	-8.48E+05	-0.8	25.5	8.3E-03	-	-	-	-	0.2	3.39E+03	0.1	0.1	5.3	2.33E+04	0.2	0.2
9	S	Boční ráz	P	0	-52.0	2.67E+04	-1.9	-2.3	3.82E+06	-0.6	-0.3	-8.48E+05	0.3	-2.2	-4.2E-03	-	-	-	-	-0.5	3.39E+03	-0.1	-0.1	0.6	2.33E+04	0.0	0.0
10	CH	Chodci na lávkách	Q	0	130.9	2.67E+04	4.9	4.5	3.82E+06	1.2	-0.3	-8.48E+05	0.4	6.4	-1.3E-02	-	-	-	-	-0.4	3.39E+03	-0.1	-0.1	2.1	2.33E+04	0.1	0.1
11	W	Vítr na konstrukci	Q	0	-193.4	2.67E+04	-7.3	-8.4	3.82E+06	-2.2	-1.1	-8.48E+05	1.3	-8.2	0.0E+00	-	-	-	-	-1.0	3.39E+03	-0.3	-0.3	1.3	2.33E+04	0.1	0.1
12	WP	Vítr na vozidla	Q	0	-293.8	2.67E+04	-11.0	-13.5	3.82E+06	-3.5	0.2	-8.48E+05	-0.2	-14.8	0.0E+00	-	-	-	-	-1.1	3.39E+03	-0.3	-0.3	3.0	2.33E+04	0.1	0.1
13	TR	Teplota rovnoměrná	Q	0	0.0	2.67E+04	0.0	0.0	3.82E+06	0.0	0.0	-8.48E+05	0.0	0.0	0.0E+00	-	-	-	-	0.0	3.39E+03	0.0	0.0	0.0	2.33E+04	0.0	0.0
14	TN	Teplota nerovnoměrná	Q	0	16.2	2.67E+04	0.6	5.8	3.82E+06	1.5	0.0	-8.48E+05	0.0	2.2	0.0E+00	-	-	-	-	-0.1	3.39E+03	0.0	0.0	1.8	2.33E+04	0.1	0.1
15	FR	Třecí síly v ložiskách	Q	0	109.4	2.67E+04	4.1	3.1	3.82E+06	0.8	0.1	-8.48E+05	-0.1	4.8	0.0E+00	-	-	-	-	0.1	3.39E+03	0.0	0.0	1.2	2.33E+04	0.1	0.1
16	I	Imperfekce soustavy	Q	0	20.9	2.67E+04	0.8	0.7	3.82E+06	0.2	0.2	-8.48E+05	-0.2	0.7	0.0E+00	-	-	-	-	0.2	3.39E+03	0.0	0.0	0.1	2.33E+04	0.0	0.0
27	ULS_LM	ULS - LM71 bez dynam	Q	0	0.0	2.67E+04	0.0	0.0	3.82E+06	0.0	0.0	-8.48E+05	0.0	0.0	0.0E+00	-	-	-	-	0.0	3.39E+03	0.0	0.0	0.0	2.33E+04	0.0	0.0
28	SLS_LM	SLS - LM71 bez dynam	Q	0	0.0	2.67E+04	0.0	0.0	3.82E+06	0.0	0.0	-8.48E+05	0.0	0.0	0.0E+00	-	-	-	-	0.0	3.39E+03	0.0	0.0	0.0	2.33E+04	0.0	0.0
29	ULS_C3	ULS - C3 bez dynam	Q	0	0.0	2.67E+04	0.0	0.0	3.82E+06	0.0	0.0	-8.48E+05	0.0	0.0	0.0E+00	-	-	-	-	0.0	3.39E+03	0.0	0.0	0.0	2.33E+04	0.0	0.0
30	SLS_C3	SLS - C3 bez dynam	Q	0	0.0	2.67E+04	0.0	0.0	3.82E+06	0.0	0.0	-8.48E+05	0.0	0.0	0.0E+00	-	-	-	-	0.0	3.39E+03	0.0	0.0	0.0	2.33E+04	0.0	0.0
NAVÝŠENÍ NAPĚTÍ DO AKTIVACE TLAKU V DESCE MOSTOVKY						$\sigma_{P,red}$	0.0							0.0			0.0		0.0				1.0	1.0			3.2	3.2
NAPĚTÍ OD PRIMÁRNÍCH ÚČINKŮ NEROVNOMĚRNÉHO OTEPLENÍ						σ_T	0.0							0.0														
NAPĚTÍ OD REOLOGICKÝCH ÚČINKŮ BETONU V ČASE				t=0		σ_R	0.0	γ_{i}=	1.20					0.0														
NAPĚTÍ V KRITICKÝCH VLÁKNECH OD KOMBINACE ZATÍŽENÍ						KZ07		[MPa]					$\Sigma\sigma_x$	114.8								$\Sigma\tau_y$	1.0				$\Sigma\tau_z$	3.2
NAPĚTÍ OD POHYBLIVÉHO ZATÍŽENÍ								[MPa]					$\sigma_{x,P}$	81.2								τ_P	1.5				τ_P	2.2
NAPĚTÍ OD OSTATNÍCH ZATÍŽENÍ								[MPa]			Φ_{Vy}	Φ_{Vz}	$\sigma_{x,rs}$	33.5								τ_{rs}	-0.4				τ_{rs}	1.0
NÁVRHOVÁ HODNOTA MEZE KLUZU S REDUKCÍ VLIVEM SMYKOVÉHO NAPĚTÍ								[MPa]			1.00	1.00	$f_{yw,d}$	209.1								$f_{yd}/3^{0,5}$	120.7				$f_{yd}/3^{0,5}$	120.7
NAPĚTÍ OD POHYBLIVÉHO ZATÍŽENÍ V GLOBÁLNÍM SYSTÉMU						$\sigma_{GLOB,P}$	0.0	[MPa]					$\Sigma\sigma_{GLOB}$	0.0														
NAPĚTÍ OD OSTATNÍCH ZATÍŽENÍ V GLOBÁLNÍM SYSTÉMU						$\sigma_{GLOB,rs}$	0.0	[MPa]					$\Sigma\sigma_x + \Sigma\sigma_{GLOB}$	114.8														
VYUŽITÍ PRŮŘEZU DLE NAPĚTÍ								[%]					η_1	0.55								η_3	0.01				η_3	0.03
NAPĚTÍ V PŘÍČNÉM SMĚRU OD POHYBLIVÉHO ZATÍŽENÍ						$\sigma_{z,P}$	0.0	[MPa]					$\Sigma\sigma_z$	0.0														
NAPĚTÍ V PŘÍČNÉM SMĚRU OD OSTATNÍCH ZATÍŽENÍ						$\sigma_{z,rs}$	0.0	[MPa]					η_2	0.00														
SROVNÁVACÍ NAPĚTÍ													$(\eta_2 + 0,8\,\eta_1)/1,4$ =	0.31														
VYUŽITÍ PRŮŘEZU CELKEM								[%]					eff	0.55	VYHOVUJE													
													z_{LM71} =	-----														

TAB. D2.3 POSOUZENÍ - MEZNÍ STAV ÚNOSNOSTI

POPIS	DIAGONÁLA D2
PRUT / POLOHA BODU	259 / I[2714]
NAMÁHÁNÍ	N.max
VLÁKNO	BOD K2 -HP
MEZNÍ STAV	ULS (MSÚ)
VYUŽITÍ VLÁKNA PRŮŘEZU	0.75

Charakteristiky materiálu				
pás. horní	$f_{yf,k}$	230	MPa	
pás. dolní	$f_{yf,k}$	230	MPa	
stojina	$f_{yw,k}$	230	MPa	
výztuž	$f_{ys,k}$	500	MPa	
γ_M =	1.10	γ_s =	1.15	

Excentricita normálové síly				
Exc./Fáze	0	1	2	3
e_y	0.000	0.000	0.000	0.000
e_z	0.000	0.000	0.000	0.000
Ekvivalentní vzdál. stěn - příčný roznos				
b_{Nx}	0.000	0.000	0.000	0.000

Vliv stěny na únosnost průřezu				
Char./Fáze	0	1	2	3
A	0.00	0.00	0.00	0.00
Wy	0.00	0.00	0.00	0.00
Wz	0.00	0.00	0.00	0.00

Charakter. v kroucení			
$t_{w,y}$	0.000	[mm]	
$t_{w,z}$	0.000	[mm]	
κ	1.00		
I_t=	0.00E+00	[mm^4]	
$\Omega=2*A_{pr}$	0.00E+00	[mm^2]	

Součinitele vzpěru a vlivu II.řádu				
Char./Fáze	0	1	2	3
k_y	1.000	1.000	1.000	1.000
k_z	1.000	1.000	1.000	1.000
χ_{LT}	1.000	1.000	1.000	1.000
χ_{min}	1.000	1.000	1.000	1.000

Vnitřní síly od jednotlivých skupin zatěžovacích stavů

SKUPINA ZATĚŽOVACÍCH STAVŮ					- CHARAKTERISTICKÉ HODNOTY						DÍLČÍ SOUČINITELÉ ZATÍŽENÍ, DYNAMICKÝ SOUČINITEL						7	- NÁVRHOVÉ HODNOTY									
Č.	SKUP ZS	POPIS ZS	KAT.	FÁZE PRŮŘ.	N.k (kN)	Vy.k (kN)	Vz.k (kN)	Mx.k (kNm)	My.k (kNm)	Mz.k (kNm)	γ_{sup} (-)	γ_{inf} (-)	volba ψ_i hledat	ψ_i (-)	L_d (m)	δ (-)	Ψ_E KZ07	N.d (kN)	Vy.d (kN)	Vz.d (kN)	ΔVz.d (kN)	ΣVz.d (kN)	Mx.d (kNm)	My.d (kNm)	ΔMy.d (kNm)	ΣMy.d (kNm)	Mz.d (kNm)	ΔMz.d (kNm)	ΣMz.d (kNm)
1	G0	Vlastní tíha OK	G	0	782	-3	1	0	0	5	1.00	1.20		1.20	-	1.00	0.95	892	-3	1	0	1	0	0	0	0	6	0	6
2	G1	Ostatní stálé - mostní vybavení	G	0	59	0	0	0	0	1	1.00	1.20		1.20	-	1.00	0.95	67	0	0	0	0	0	0	0	0	1	0	1
3	G2	Ostatní stálé - cizí zařízení	G	0	46	0	0	0	0	0	1.00	1.20		1.20	-	1.00	0.95	53	0	0	0	0	0	0	0	0	1	0	1
4	P1_71	a.LM71 - kolej 1 (bez dyn. souč.)	P	0	540	2	5	0	8	6	1.00	vyp.		0.00	-	1.00	0.00	0	0	0	0	0	0	0	0	0	0	0	0
5	P2_71	a.LM71 - kolej 2 (bez dyn. souč.)	P	0	1 258	4	7	0	19	11	1.00	vyp.		0.00	-	1.00	0.00	0	0	0	0	0	0	0	0	0	0	0	0
6	P1_C3	TTZ C3 - kolej 1 (bez dyn. souč.)	P	0	457	2	5	0	7	5	1.00	1.30		1.30	-	1.05	1.00	623	3	7	0	7	0	9	0	9	7	0	7
7	P2_C3	TTZ C3 - kolej 2 (bez dyn. souč.)	P	0	1 058	3	7	0	18	10	1.00	1.30		1.30	-	1.05	1.00	1 444	5	9	0	9	0	25	0	25	13	0	13
8	BR	Brzdné a rozjezdové síly	P	0	25	3	-1	0	-3	4	1.00	1.30		1.30	-	1.00	0.64	21	2	-1	0	-1	0	-2	0	-2	4	0	4
9	S	Boční ráz	P	0	4	0	0	0	-4	0	1.00	1.30		1.30	-	1.00	0.32	2	0	0	0	0	0	-2	0	-2	0	0	0
10	CH	Chodci na lávkách	Q	0	115	0	-1	0	-2	1	1.00	1.30		1.30	-	1.00	1.00	150	1	-1	0	-1	0	-3	0	-3	1	0	1
11	W	Vítr na konstrukci	Q	0	66	0	9	0	21	1	1.00	-1.35		-1.35	-	1.00	0.75	-67	0	-9	0	-9	0	-21	0	-21	-1	0	-1
12	WP	Vítr na vozidla	Q	0	53	0	1	0	15	1	1.00	-1.35		-1.35	-	1.00	0.75	-54	0	-1	0	-1	0	-15	0	-15	-1	0	-1
13	TR	Teplota rovnoměrná	Q	0	0	0	0	0	0	0	1.00	1.35		1.35	-	1.00	0.45	0	0	0	0	0	0	0	0	0	0	0	0
14	TN	Teplota nerovnoměrná	Q	0	31	0	-1	0	-2	1	1.00	1.35		1.35	-	1.00	0.60	25	0	-1	0	-1	0	-2	0	-2	1	0	1
15	FR	Třecí síly v ložiskách	Q	0	2	0	0	0	0	0	1.00	1.20		1.20	-	1.00	1.00	3	0	0	0	0	0	0	0	0	0	0	0
16	I	Imperfekce soustavy	Q	0	17	0	2	0	4	0	1.00	-1.20		-1.20	-	1.00	1.00	-20	0	-2	0	-2	0	-5	0	-5	0	0	0
27	ULS_LM	ULS - LM71 bez dynam	Q	0	3 704	10	26	0	64	39	1.00	vyp.	1	0.00	-	1.00	0.00	0	0	0	0	0	0	0	0	0	0	0	0
28	SLS_LM	SLS - LM71 bez dynam	Q	0	2 937	8	20	0	50	30	1.00	vyp.	1	0.00	-	1.00	0.00	0	0	0	0	0	0	0	0	0	0	0	0
29	ULS_C3	ULS - C3 bez dynam	Q	0	3 335	9	26	0	62	36	1.00	vyp.	1	0.00	-	1.00	0.00	0	0	0	0	0	0	0	0	0	0	0	0
30	SLS_C3	SLS - C3 bez dynam	Q	0	2 653	7	20	0	48	28	1.00	vyp.	1	0.00	-	1.00	0.00	0	0	0	0	0	0	0	0	0	0	0	0
		CELKEM - FÁZE PRŮŘEZU 0																3 139	7	2	0	2	0	-15	0	-15	30	0	30
		CELKEM - FÁZE PRŮŘEZU 1																0	0	0	0	0	0	0	0	0	0	0	0
		CELKEM - FÁZE PRŮŘEZU 2																0	0	0	0	0	0	0	0	0	0	0	0
		CELKEM - FÁZE PRŮŘEZU 3																0	0	0	0	0	0	0	0	0	0	0	0
		CELKEM - PRŮŘEZ																3 139	7	2	0	2	0			-15			30

Napětí od jednotlivých zatěžovacích stavů

SKUPINA ZATĚŽOVACÍCH STAVŮ					Posouzení normálového napětí										Posouzení smykového napětí													
					Účinek síly N			Účinek momentu My			Účinek momentu Mz				Účinek kroutícího momentu Mx				Účinek smykové síly Vy				Účinek smykové síly Vz			
Č.	SKUP ZS	Popis ZS	Kat.	fáze průř.	δ^*N_d [kN]	χ^*A [mm^2]	σ_n [MPa]	$\delta^*M_{y,d}$ [kNm]	$\chi_{lt}^*W_{el,y}$ [mm^3]	σ_{my} [MPa]	$\delta^*M_{z,d}$ [kNm]	$W_{el,z}$ [mm^3]	σ_{mz} [MPa]	σ_x [MPa]	$\kappa^*\delta^*M_{x,d}$ [kNm]	$W_{v,y}$ [mm^3]	$\tau_{x,y}$ [MPa]	$W_{v,z}$ [mm^3]	$\tau_{x,z}$ [MPa]	$\delta^*V_{y,d}$ [kN]	$A_{v,y}$ [mm2]	$\tau_{v,y}$ [MPa]	$\tau_{v,y}$ [MPa]	$\delta^*V_{z,d}$ [kN]	$A_{v,z}$ [mm2]	$\tau_{v,z}$ [MPa]	$\tau_{v,z}$ [MPa]
1	G0	Vlastní tíha OK	G	0	891.9	2.52E+04	35.4	0.1	-1.91E+06	0.0	5.5	1.30E+06	4.2	39.6	0.0E+00	-	-	-	-	-2.9	2.25E+04	-0.1	-0.1	1.0	2.75E+03	0.4	0.4
2	G1	Ostatní stálé - mostní vybavení	G	0	67.5	2.52E+04	2.7	0.3	-1.91E+06	-0.2	0.7	1.30E+06	0.6	3.1	0.0E+00	-	-	-	-	0.3	2.25E+04	0.0	0.0	0.2	2.75E+03	0.1	0.1
3	G2	Ostatní stálé - cizí zařízení	G	0	52.8	2.52E+04	2.1	-0.4	-1.91E+06	0.2	0.5	1.30E+06	0.4	2.7	0.0E+00	-	-	-	-	0.2	2.25E+04	0.0	0.0	-0.1	2.75E+03	0.0	0.0
4	P1_71	a.LM71 - kolej 1 (bez dyn. souč.)	P	0	0.0	2.52E+04	0.0	0.0	-1.91E+06	0.0	0.0	1.30E+06	0.0	0.0	0.0E+00	-	-	-	-	0.0	2.25E+04	0.0	0.0	0.0	2.75E+03	0.0	0.0
5	P2_71	a.LM71 - kolej 2 (bez dyn. souč.)	P	0	0.0	2.52E+04	0.0	0.0	-1.91E+06	0.0	0.0	1.30E+06	0.0	0.0	0.0E+00	-	-	-	-	0.0	2.25E+04	0.0	0.0	0.0	2.75E+03	0.0	0.0
6	P1_C3	TTZ C3 - kolej 1 (bez dyn. souč.)	P	0	623.1	2.52E+04	24.7	9.4	-1.91E+06	-4.9	6.7	1.30E+06	5.1	24.9	0.0E+00	-	-	-	-	2.6	2.25E+04	0.1	0.1	6.8	2.75E+03	2.5	2.5
7	P2_C3	TTZ C3 - kolej 2 (bez dyn. souč.)	P	0	1 444.4	2.52E+04	57.3	25.1	-1.91E+06	-13.1	13.0	1.30E+06	10.0	54.1	0.0E+00	-	-	-	-	4.7	2.25E+04	0.2	0.2	9.4	2.75E+03	3.4	3.4
8	BR	Brzdné a rozjezdové síly	P	0	20.6	2.52E+04	0.8	-2.4	-1.91E+06	1.3	3.5	1.30E+06	2.7	4.8	0.0E+00	-	-	-	-	2.3	2.25E+04	0.1	0.1	-1.0	2.75E+03	-0.4	-0.4
9	S	Boční ráz	P	0	1.9	2.52E+04	0.1	-1.8	-1.91E+06	0.9	-0.1	1.30E+06	-0.1	0.9	0.0E+00	-	-	-	-	0.0	2.25E+04	0.0	0.0	0.0	2.75E+03	0.0	0.0
10	CH	Chodci na lávkách	Q	0	149.9	2.52E+04	5.9	-2.7	-1.91E+06	1.4	1.5	1.30E+06	1.1	8.5	0.0E+00	-	-	-	-	0.6	2.25E+04	0.0	0.0	-0.9	2.75E+03	-0.3	-0.3
11	W	Vítr na konstrukci	Q	0	-66.8	2.52E+04	-2.7	-21.3	-1.91E+06	11.1	-1.0	1.30E+06	-0.8	7.7	0.0E+00	-	-	-	-	-0.2	2.25E+04	0.0	0.0	-9.0	2.75E+03	-3.3	-3.3
12	WP	Vítr na vozidla	Q	0	-53.9	2.52E+04	-2.1	-14.8	-1.91E+06	7.8	-1.1	1.30E+06	-0.8	4.8	0.0E+00	-	-	-	-	-0.2	2.25E+04	0.0	0.0	-1.0	2.75E+03	-0.4	-0.4
13	TR	Teplota rovnoměrná	Q	0	0.0	2.52E+04	0.0	0.0	-1.91E+06	0.0	0.0	1.30E+06	0.0	0.0	0.0E+00	-	-	-	-	0.0	2.25E+04	0.0	0.0	0.0	2.75E+03	0.0	0.0
14	TN	Teplota nerovnoměrná	Q	0	25.3	2.52E+04	1.0	-2.0	-1.91E+06	1.0	1.0	1.30E+06	0.8	2.8	0.0E+00	-	-	-	-	-0.1	2.25E+04	0.0	0.0	-0.6	2.75E+03	-0.2	-0.2
15	FR	Třecí síly v ložiskách	Q	0	2.6	2.52E+04	0.1	-0.2	-1.91E+06	0.1	0.5	1.30E+06	0.3	0.6	0.0E+00	-	-	-	-	0.3	2.25E+04	0.0	0.0	-0.1	2.75E+03	0.0	0.0
16	I	Imperfekce soustavy	Q	0	-20.0	2.52E+04	-0.8	-4.5	-1.91E+06	2.4	-0.2	1.30E+06	-0.2	1.4	0.0E+00	-	-	-	-	-0.1	2.25E+04	0.0	0.0	-2.4	2.75E+03	-0.9	-0.9
27	ULS_LM	ULS - LM71 bez dynam	Q	0	0.0	2.52E+04	0.0	0.0	-1.91E+06	0.0	0.0	1.30E+06	0.0	0.0	0.0E+00	-	-	-	-	0.0	2.25E+04	0.0	0.0	0.0	2.75E+03	0.0	0.0
28	SLS_LM	SLS - LM71 bez dynam	Q	0	0.0	2.52E+04	0.0	0.0	-1.91E+06	0.0	0.0	1.30E+06	0.0	0.0	0.0E+00	-	-	-	-	0.0	2.25E+04	0.0	0.0	0.0	2.75E+03	0.0	0.0
29	ULS_C3	ULS - C3 bez dynam	Q	0	0.0	2.52E+04	0.0	0.0	-1.91E+06	0.0	0.0	1.30E+06	0.0	0.0	0.0E+00	-	-	-	-	0.0	2.25E+04	0.0	0.0	0.0	2.75E+03	0.0	0.0
30	SLS_C3	SLS - C3 bez dynam	Q	0	0.0	2.52E+04	0.0	0.0	-1.91E+06	0.0	0.0	1.30E+06	0.0	0.0	0.0E+00	-	-	-	-	0.0	2.25E+04	0.0	0.0	0.0	2.75E+03	0.0	0.0
NAVÝŠENÍ NAPĚTÍ DO AKTIVACE TLAKU V DESCE MOSTOVKY						$\sigma_{P,red}$	0.0							0.0			0.0		0.0				0.3	0.3			0.9	0.9
NAPĚTÍ OD PRIMÁRNÍCH ÚČINKŮ NEROVNOMĚRNÉHO OTEPLENÍ						σ_T	0.0							0.0														
NAPĚTÍ OD REOLOGICKÝCH ÚČINKŮ BETONU V ČASE				t=0		σ_R	0.0	γ=	1.20					0.0														
NAPĚTÍ V KRITICKÝCH VLÁKNECH OD KOMBINACE ZATÍŽENÍ						KZ07		[MPa]					$\Sigma\sigma_x$	155.9								$\Sigma\tau_y$	0.3				$\Sigma\tau_z$	0.9
NAPĚTÍ OD POHYBLIVÉHO ZATÍŽENÍ								[MPa]					$\sigma_{x,P}$	84.8								τ_P	0.4				τ_P	5.5
NAPĚTÍ OD OSTATNÍCH ZATÍŽENÍ								[MPa]			Φ_{Vy}	Φ_{Vz}	$\sigma_{x,rs}$	71.1								τ_{rs}	-0.1				τ_{rs}	-4.7
NÁVRHOVÁ HODNOTA MEZE KLUZU S REDUKCÍ VLIVEM SMYKOVÉHO NAPĚTÍ								[MPa]			1.00	1.00	$f_{yw,d}$	209.1								$f_{yd}/3^{0,5}$	120.7				$f_{yd}/3^{0,5}$	120.7
NAPĚTÍ OD POHYBLIVÉHO ZATÍŽENÍ V GLOBÁLNÍM SYSTÉMU						$\sigma_{GLOB,P}$	0.0	[MPa]					$\Sigma\sigma_{GLOB}$	0.0														
NAPĚTÍ OD OSTATNÍCH ZATÍŽENÍ V GLOBÁLNÍM SYSTÉMU						$\sigma_{GLOB,rs}$	0.0	[MPa]					$\Sigma\sigma_x + \Sigma\sigma_{GLOB}$	155.9														
VYUŽITÍ PRŮŘEZU DLE NAPĚTÍ								[%]					η_1	0.75								η_3	0.00				η_3	0.01
NAPĚTÍ V PŘÍČNÉM SMĚRU OD POHYBLIVÉHO ZATÍŽENÍ						$\sigma_{z,P}$	0.0	[MPa]					$\Sigma\sigma_z$	0.0														
NAPĚTÍ V PŘÍČNÉM SMĚRU OD OSTATNÍCH ZATÍŽENÍ						$\sigma_{z,rs}$	0.0	[MPa]					η_2	0.00														
SROVNÁVACÍ NAPĚTÍ													$(\eta_2 + 0,8\,\eta_1)/1,4$ =	0.43														
VYUŽITÍ PRŮŘEZU CELKEM								[%]					eff	0.75	VYHOVUJE													
													z_{LM71} =	-----														

TAB. D2.3 POSOUZENÍ - MEZNÍ STAV ÚNOSNOSTI

POPIS	DIAGONÁLA D2
PRUT / POLOHA BODU	259 / I[2714]
NAMÁHÁNÍ	N.max
VLÁKNO	BOD K4 -SP
MEZNÍ STAV	ULS (MSÚ)
VYUŽITÍ VLÁKNA PRŮŘEZU	0.95

Charakteristiky materiálu				
pás. horní	$f_{yf,k}$	230	MPa	
pás. dolní	$f_{yf,k}$	230	MPa	
stojina	$f_{yw,k}$	230	MPa	
výztuž	$f_{ys,k}$	500	MPa	
γ_M =	1.10	γ_s =	1.15	

Excentricita normálové síly				
Exc./Fáze	0	1	2	3
e_y	0.000	0.000	0.000	0.000
e_z	0.000	0.000	0.000	0.000
Ekvivalentní vzdál. stěn - příčný roznos				
b_{ekv}	0.000	0.000	0.000	0.000

Vliv stěny na únosnost průřezu				
Char./Fáze	0	1	2	3
A	0.00	0.00	0.00	0.00
Wy	0.00	0.00	0.00	0.00
Wz	0.00	0.00	0.00	0.00

Charakter. v kroucení			
$t_{w,y}$	0.000	[mm]	
$t_{w,z}$	0.000	[mm]	
κ	1.00		
I_t=	0.00E+00	[mm^4]	
$\Omega=2*A_{pr}$	0.00E+00	[mm^2]	

Součinitele vzpěru a vlivu II.řádu				
Char./Fáze	0	1	2	3
k_y	1.000	1.000	1.000	1.000
k_z	1.000	1.000	1.000	1.000
χ_{LT}	1.000	1.000	1.000	1.000
χ_{min}	1.000	1.000	1.000	1.000

Vnitřní síly od jednotlivých skupin zatěžovacích stavů

SKUPINA ZATĚŽOVACÍCH STAVŮ					- CHARAKTERISTICKÉ HODNOTY						DÍLČÍ SOUČINITELÉ ZATÍŽENÍ, DYNAMICKÝ SOUČINITEL						7	- NÁVRHOVÉ HODNOTY									
Č.	SKUP ZS	POPIS ZS	KAT.	FÁZE PRŮŘ.	N.k (kN)	Vy.k (kN)	Vz.k (kN)	Mx.k (kNm)	My.k (kNm)	Mz.k (kNm)	γ_{sup} (-)	γ_{inf} (-)	volba ψ_i hledat	ψ_i (-)	L_d (m)	δ (-)	Ψ_E KZ07	N.d (kN)	Vy.d (kN)	Vz.d (kN)	ΔVz.d (kN)	ΣVz.d (kNm)	Mx.d (kNm)	My.d (kNm)	ΔMy.d (kNm)	ΣMy.d (kNm)	Mz.d (kNm)	ΔMz.d (kNm)	ΣMz.d (kNm)
1	G0	Vlastní tíha OK	G	0	782	-3	1	0	0	5	1.00	1.20		1.20	-	1.00	0.95	892	-3	1	0	1	0	0	0	0	6	0	6
2	G1	Ostatní stálé - mostní vybavení	G	0	59	0	0	0	0	1	1.00	1.20		1.20	-	1.00	0.95	67	0	0	0	0	0	0	0	0	1	0	1
3	G2	Ostatní stálé - cizí zařízení	G	0	46	0	0	0	0	0	1.00	1.20		1.20	-	1.00	0.95	53	0	0	0	0	0	0	0	0	1	0	1
4	P1_71	a.LM71 - kolej 1 (bez dyn. souč.)	P	0	540	2	5	0	8	6	1.00	vyp.		0.00	-	1.00	0.00	0	0	0	0	0	0	0	0	0	0	0	0
5	P2_71	a.LM71 - kolej 2 (bez dyn. souč.)	P	0	1 258	4	7	0	19	11	1.00	vyp.		0.00	-	1.00	0.00	0	0	0	0	0	0	0	0	0	0	0	0
6	P1_C3	TTZ C3 - kolej 1 (bez dyn. souč.)	P	0	457	2	5	0	7	5	1.00	1.30		1.30	-	1.05	1.00	623	3	7	0	7	0	9	0	9	7	0	7
7	P2_C3	TTZ C3 - kolej 2 (bez dyn. souč.)	P	0	1 058	3	7	0	18	10	1.00	1.30		1.30	-	1.05	1.00	1 444	5	9	0	9	0	25	0	25	13	0	13
8	BR	Brzdné a rozjezdové síly	P	0	25	3	-1	0	-3	4	1.00	1.30		1.30	-	1.00	0.64	21	2	-1	0	-1	0	-2	0	-2	4	0	4
9	S	Boční ráz	P	0	4	0	0	0	-4	0	1.00	0.00		0.00	-	1.00	0.32	0	0	0	0	0	0	0	0	0	0	0	0
10	CH	Chodci na lávkách	Q	0	115	0	-1	0	-2	1	1.00	1.30		1.30	-	1.00	1.00	150	1	-1	0	-1	0	-3	0	-3	1	0	1
11	W	Vítr na konstrukci	Q	0	66	0	9	0	21	1	1.00	1.35		1.35	-	1.00	0.75	67	0	9	0	9	0	21	0	21	1	0	1
12	WP	Vítr na vozidla	Q	0	53	0	1	0	15	1	1.00	1.35		1.35	-	1.00	0.75	54	0	1	0	1	0	15	0	15	1	0	1
13	TR	Teplota rovnoměrná	Q	0	0	0	0	0	0	0	1.00	1.35		1.35	-	1.00	0.45	0	0	0	0	0	0	0	0	0	0	0	0
14	TN	Teplota nerovnoměrná	Q	0	31	0	-1	0	-2	1	1.00	1.35		1.35	-	1.00	0.60	25	0	-1	0	-1	0	-2	0	-2	1	0	1
15	FR	Třecí síly v ložiskách	Q	0	2	0	0	0	0	0	1.00	1.20		1.20	-	1.00	1.00	3	0	0	0	0	0	0	0	0	0	0	0
16	I	Imperfekce soustavy	Q	0	17	0	2	0	4	0	1.00	1.20		1.20	-	1.00	1.00	20	0	2	0	2	0	5	0	5	0	0	0
27	ULS_LM	ULS - LM71 bez dynam	Q	0	3 704	10	26	0	64	39	1.00	vyp.		0.00	-	1.00	0.00	0	0	0	0	0	0	0	0	0	0	0	0
28	SLS_LM	SLS - LM71 bez dynam	Q	0	2 937	8	20	0	50	30	1.00	vyp.	1	0.00	-	1.00	0.00	0	0	0	0	0	0	0	0	0	0	0	0
29	ULS_C3	ULS - C3 bez dynam	Q	0	3 335	9	26	0	62	36	1.00	vyp.	1	0.00	-	1.00	0.00	0	0	0	0	0	0	0	0	0	0	0	0
30	SLS_C3	SLS - C3 bez dynam	Q	0	2 653	7	20	0	48	28	1.00	vyp.	1	0.00	-	1.00	0.00	0	0	0	0	0	0	0	0	0	0	0	0
		CELKEM - FÁZE PRŮŘEZU 0																3 419	8	27	0	27	0	68	0	68	35	0	35
		CELKEM - FÁZE PRŮŘEZU 1																0	0	0	0	0	0	0	0	0	0	0	0
		CELKEM - FÁZE PRŮŘEZU 2																0	0	0	0	0	0	0	0	0	0	0	0
		CELKEM - FÁZE PRŮŘEZU 3																0	0	0	0	0	0	0	0	0	0	0	0
		CELKEM - PRŮŘEZ																3 419	8	27	0	27	0			68			35

Napětí od jednotlivých zatěžovacích stavů

SKUPINA ZATĚŽOVACÍCH STAVŮ					Posouzení normálového napětí										Posouzení smykového napětí													
					Účinek síly N			Účinek momentu My			Účinek momentu Mz				Účinek kroutícího momentu Mx				Účinek smykové síly Vy				Účinek smykové síly Vz			
Č.	SKUP ZS	Popis ZS	Kat.	fáze průř.	δ^*N_d [kN]	χ^*A [mm^2]	σ_n [MPa]	$\delta^*M_{y,d}$ [kNm]	$\chi_{lt}{}^*W_{el,y}$ [mm^3]	σ_{my} [MPa]	$\delta^*M_{z,d}$ [kNm]	$W_{el,z}$ [mm^3]	σ_{mz} [MPa]	σ_x [MPa]	$\kappa^*\delta^*M_{x,d}$ [kNm]	$W_{v,y}$ [mm^2]	$\tau_{x,y}$ [MPa]	$W_{v,z}$ [mm^2]	$\tau_{x,z}$ [MPa]	$\delta^*V_{y,d}$ [kN]	$A_{v,y}$ [mm2]	$\tau_{v,y}$ [MPa]	$\tau_{v,y}$ [MPa]	$\delta^*V_{z,d}$ [kN]	$A_{v,z}$ [mm2]	$\tau_{v,z}$ [MPa]	$\tau_{v,z}$ [MPa]
1	G0	Vlastní tíha OK	G	0	891.9	2.52E+04	35.4	0.1	1.91E+06	0.0	5.5	1.30E+06	4.2	39.6	0.0E+00	-	-	-	-	-2.9	2.25E+04	-0.1	-0.1	1.0	2.75E+03	0.4	0.4
2	G1	Ostatní stálé - mostní vybavení	G	0	67.5	2.52E+04	2.7	0.3	1.91E+06	0.2	0.7	1.30E+06	0.6	3.4	0.0E+00	-	-	-	-	0.3	2.25E+04	0.0	0.0	0.2	2.75E+03	0.1	0.1
3	G2	Ostatní stálé - cizí zařízení	G	0	52.8	2.52E+04	2.1	-0.4	1.91E+06	-0.2	0.5	1.30E+06	0.4	2.3	0.0E+00	-	-	-	-	0.2	2.25E+04	0.0	0.0	-0.1	2.75E+03	0.0	0.0
4	P1_71	a.LM71 - kolej 1 (bez dyn. souč.)	P	0	0.0	2.52E+04	0.0	0.0	1.91E+06	0.0	0.0	1.30E+06	0.0	0.0	0.0E+00	-	-	-	-	0.0	2.25E+04	0.0	0.0	0.0	2.75E+03	0.0	0.0
5	P2_71	a.LM71 - kolej 2 (bez dyn. souč.)	P	0	0.0	2.52E+04	0.0	0.0	1.91E+06	0.0	0.0	1.30E+06	0.0	0.0	0.0E+00	-	-	-	-	0.0	2.25E+04	0.0	0.0	0.0	2.75E+03	0.0	0.0
6	P1_C3	TTZ C3 - kolej 1 (bez dyn. souč.)	P	0	623.1	2.52E+04	24.7	9.4	1.91E+06	4.9	6.7	1.30E+06	5.1	34.7	0.0E+00	-	-	-	-	2.6	2.25E+04	0.1	0.1	6.8	2.75E+03	2.5	2.5
7	P2_C3	TTZ C3 - kolej 2 (bez dyn. souč.)	P	0	1 444.4	2.52E+04	57.3	25.1	1.91E+06	13.1	13.0	1.30E+06	10.0	80.4	0.0E+00	-	-	-	-	4.7	2.25E+04	0.2	0.2	9.4	2.75E+03	3.4	3.4
8	BR	Brzdné a rozjezdové síly	P	0	20.6	2.52E+04	0.8	-2.4	1.91E+06	-1.3	3.5	1.30E+06	2.7	2.2	0.0E+00	-	-	-	-	2.3	2.25E+04	0.1	0.1	-1.0	2.75E+03	-0.4	-0.4
9	S	Boční ráz	P	0	0.0	2.52E+04	0.0	0.0	1.91E+06	0.0	0.0	1.30E+06	0.0	0.0	0.0E+00	-	-	-	-	0.0	2.25E+04	0.0	0.0	0.0	2.75E+03	0.0	0.0
10	CH	Chodci na lávkách	Q	0	149.9	2.52E+04	5.9	-2.7	1.91E+06	-1.4	1.5	1.30E+06	1.1	5.7	0.0E+00	-	-	-	-	0.6	2.25E+04	0.0	0.0	-0.9	2.75E+03	-0.3	-0.3
11	W	Vítr na konstrukci	Q	0	66.8	2.52E+04	2.7	21.3	1.91E+06	11.1	1.0	1.30E+06	0.8	14.6	0.0E+00	-	-	-	-	0.2	2.25E+04	0.0	0.0	9.0	2.75E+03	3.3	3.3
12	WP	Vítr na vozidla	Q	0	53.9	2.52E+04	2.1	14.8	1.91E+06	7.8	1.1	1.30E+06	0.8	10.7	0.0E+00	-	-	-	-	0.2	2.25E+04	0.0	0.0	1.0	2.75E+03	0.4	0.4
13	TR	Teplota rovnoměrná	Q	0	0.0	2.52E+04	0.0	0.0	1.91E+06	0.0	0.0	1.30E+06	0.0	0.0	0.0E+00	-	-	-	-	0.0	2.25E+04	0.0	0.0	0.0	2.75E+03	0.0	0.0
14	TN	Teplota nerovnoměrná	Q	0	25.3	2.52E+04	1.0	-2.0	1.91E+06	-1.0	1.0	1.30E+06	0.8	0.7	0.0E+00	-	-	-	-	-0.1	2.25E+04	0.0	0.0	-0.6	2.75E+03	-0.2	-0.2
15	FR	Třecí síly v ložiskách	Q	0	2.6	2.52E+04	0.1	-0.2	1.91E+06	-0.1	0.5	1.30E+06	0.3	0.3	0.0E+00	-	-	-	-	0.3	2.25E+04	0.0	0.0	-0.1	2.75E+03	0.0	0.0
16	I	Imperfekce soustavy	Q	0	20.0	2.52E+04	0.8	4.5	1.91E+06	2.4	0.2	1.30E+06	0.2	3.3	0.0E+00	-	-	-	-	0.1	2.25E+04	0.0	0.0	2.4	2.75E+03	0.9	0.9
27	ULS_LM	ULS - LM71 bez dynam	Q	0	0.0	2.52E+04	0.0	0.0	1.91E+06	0.0	0.0	1.30E+06	0.0	0.0	0.0E+00	-	-	-	-	0.0	2.25E+04	0.0	0.0	0.0	2.75E+03	0.0	0.0
28	SLS_LM	SLS - LM71 bez dynam	Q	0	0.0	2.52E+04	0.0	0.0	1.91E+06	0.0	0.0	1.30E+06	0.0	0.0	0.0E+00	-	-	-	-	0.0	2.25E+04	0.0	0.0	0.0	2.75E+03	0.0	0.0
29	ULS_C3	ULS - C3 bez dynam	Q	0	0.0	2.52E+04	0.0	0.0	1.91E+06	0.0	0.0	1.30E+06	0.0	0.0	0.0E+00	-	-	-	-	0.0	2.25E+04	0.0	0.0	0.0	2.75E+03	0.0	0.0
30	SLS_C3	SLS - C3 bez dynam	Q	0	0.0	2.52E+04	0.0	0.0	1.91E+06	0.0	0.0	1.30E+06	0.0	0.0	0.0E+00	-	-	-	-	0.0	2.25E+04	0.0	0.0	0.0	2.75E+03	0.0	0.0
		$\sigma_{P,red}$					0.0							0.0			0.0		0.0			0.4	0.4			9.9	9.9
NAVÝŠENÍ NAPĚTÍ DO AKTIVACE TLAKU V DESCE MOSTOVKY		σ_T					0.0							0.0													
NAPĚTÍ OD PRIMÁRNÍCH ÚČINKŮ NEROVNOMĚRNÉHO OTEPLENÍ		σ_R		t=0			0.0	γ_{inf}=	1.20					0.0													
NAPĚTÍ OD REOLOGICKÝCH ÚČINKŮ BETONU V ČASE													$\Sigma\sigma_x$	198.0								$\Sigma\tau_y$	0.4			$\Sigma\tau_z$	9.9
NAPĚTÍ V KRITICKÝCH VLÁKNECH OD KOMBINACE ZATÍŽENÍ						KZ07		[MPa]																			
NAPĚTÍ OD POHYBLIVÉHO ZATÍŽENÍ								[MPa]					$\sigma_{x,P}$	117.4								τ_P	0.4			τ_P	5.6
NAPĚTÍ OD OSTATNÍCH ZATÍŽENÍ								[MPa]			Φ_{Vy}	Φ_{Vz}	$\sigma_{x,rs}$	80.7								τ_{rs}	0.0			τ_{rs}	4.3
NÁVRHOVÁ HODNOTA MEZE KLUZU S REDUKCÍ VLIVEM SMYKOVÉHO NAPĚTÍ								[MPa]			1.00	1.00	$f_{yw,d}$	209.1								$f_{yd}/3^{0,5}$	120.7			$f_{yd}/3^{0,5}$	120.7
NAPĚTÍ OD POHYBLIVÉHO ZATÍŽENÍ V GLOBÁLNÍM SYSTÉMU		$\sigma_{GLOB,P}$		0.0				[MPa]					$\Sigma\sigma_{GLOB}$	0.0													
NAPĚTÍ OD OSTATNÍCH ZATÍŽENÍ V GLOBÁLNÍM SYSTÉMU		$\sigma_{GLOB,rs}$		0.0				[MPa]					$\Sigma\sigma_x + \Sigma\sigma_{GLOB}$	198.0													
VYUŽITÍ PRŮŘEZU DLE NAPĚTÍ								[%]					η_1	0.95								η_3	0.00			η_3	0.08
NAPĚTÍ V PŘÍČNÉM SMĚRU OD POHYBLIVÉHO ZATÍŽENÍ		$\sigma_{z,P}$		0.0				[MPa]					$\Sigma\sigma_z$	0.0													
NAPĚTÍ V PŘÍČNÉM SMĚRU OD OSTATNÍCH ZATÍŽENÍ		$\sigma_{z,rs}$		0.0				[MPa]					η_2	0.00													
SROVNÁVACÍ NAPĚTÍ													$(\eta_2 + 0,8\,\eta_1)/1,4$ =	0.54													
VYUŽITÍ PRŮŘEZU CELKEM								[%]					eff	0.95	VYHOVUJE												
													z_{LM71} =	-----													

TAB. D2.3 POSOUZENÍ - MEZNÍ STAV ÚNOSNOSTI

POPIS	DIAGONÁLA D2
PRUT / POLOHA BODU	259 / I[2714]
NAMÁHÁNÍ	Vz.max
VLÁKNO	BOD S6 -HP
MEZNÍ STAV	ULS (MSÚ)
VYUŽITÍ VLÁKNA PRŮŘEZU	0.65

Charakteristiky materiálu				
pás. horní	$f_{yf,k}$	230	MPa	
pás. dolní	$f_{yf,k}$	230	MPa	
stojina	$f_{yw,k}$	230	MPa	
výztuž	$f_{ys,k}$	500	MPa	
γ_M =	1.10	γ_s =	1.15	

Excentricita normálové síly				
Exc./Fáze	0	1	2	3
e_y	0.000	0.000	0.000	0.000
e_z	0.000	0.000	0.000	0.000
Ekvivalentní vzdál. stěn - příčný roznos				
b_{Mx}	0.000	0.000	0.000	0.000

Vliv stěny na únosnost průřezu				
Char./Fáze	0	1	2	3
A	0.00	0.00	0.00	0.00
Wy	0.00	0.00	0.00	0.00
Wz	0.00	0.00	0.00	0.00

Charakter. v kroucení			
$t_{w,y}$	0.000	[mm]	
$t_{w,z}$	0.000	[mm]	
κ	1.00		
I_t=	0.00E+00	[mm^4]	
Ω=2*A_{pr}	0.00E+00	[mm^2]	

Součinitele vzpěru a vlivu II.řádu					
Char./Fáze	0	1	2	3	
k_y	1.000	1.000	1.000	1.000	
k_z	1.000	1.000	1.000	1.000	
χ_{LT}	1.000	1.000	1.000	1.000	
χ_{min}	1.000	1.000	1.000	1.000	

Vnitřní síly od jednotlivých skupin zatěžovacích stavů

SKUPINA ZATĚŽOVACÍCH STAVŮ					- CHARAKTERISTICKÉ HODNOTY						DÍLČÍ SOUČINITELÉ ZATÍŽENÍ, DYNAMICKÝ SOUČINITEL						7	- NÁVRHOVÉ HODNOTY									
Č.	SKUP ZS	POPIS ZS	KAT.	FÁZE PRŮŘ.	N.k (kN)	Vy.k (kN)	Vz.k (kN)	Mx.k (kNm)	My.k (kNm)	Mz.k (kNm)	γ_{sr} (-)	γ_{sl} (-)	volba γ_{sl} hledat	γ_{sl} (-)	L_d (m)	δ (-)	Ψ_s KZ07	N.d (kN)	Vy.d (kN)	Vz.d (kN)	ΔVz.d (kN)	ΣVz.d (kN)	Mx.d (kNm)	My.d (kNm)	ΔMy.d (kNm)	ΣMy.d (kNm)	Mz.d (kNm)	ΔMz.d (kNm)	ΣMz.d (kNm)
1	G0	Vlastní tíha OK	G	0	782	-3	1	0	0	5	1.00	1.20		1.20	-	1.00	0.95	892	-3	1	0	1	0	0	0	0	6	0	6
2	G1	Ostatní stálé - mostní vybavení	G	0	59	0	0	0	0	1	1.00	1.20		1.20	-	1.00	0.95	67	0	0	0	0	0	0	0	0	1	0	1
3	G2	Ostatní stálé - cizí zařízení	G	0	46	0	0	0	0	0	1.00	1.00		1.00	-	1.00	0.95	44	0	0	0	0	0	0	0	0	0	0	0
4	P1_71	a.LM71 - kolej 1 (bez dyn. souč.)	P	0	199	1	8	0	19	3	1.00	vyp.		0.00	-	1.00	0.00	0	0	0	0	0	0	0	0	0	0	0	0
5	P2_71	a.LM71 - kolej 2 (bez dyn. souč.)	P	0	811	3	9	0	25	8	1.00	vyp.		0.00	-	1.00	0.00	0	0	0	0	0	0	0	0	0	0	0	0
6	P1_C3	TTZ C3 - kolej 1 (bez dyn. souč.)	P	0	154	1	6	0	14	2	1.00	1.30		1.30	-	1.05	1.00	211	1	9	0	9	0	19	0	19	3	0	3
7	P2_C3	TTZ C3 - kolej 2 (bez dyn. souč.)	P	0	707	2	7	0	19	7	1.00	1.30		1.30	-	1.05	1.00	965	3	10	0	10	0	27	0	27	9	0	9
8	BR	Brzdné a rozjezdové síly	P	0	-24	-3	1	0	4	-4	1.00	1.30		1.30	-	1.00	0.64	-20	-2	1	0	1	0	4	0	4	-4	0	-4
9	S	Boční ráz	P	0	1	0	1	0	0	0	1.00	1.30		1.30	-	1.00	0.32	0	0	1	0	1	0	0	0	0	0	0	0
10	CH	Chodci na lávkách	Q	0	23	0	0	0	-2	0	1.00	0.00		0.00	-	1.00	1.00	0	0	0	0	0	0	0	0	0	0	0	0
11	W	Vítr na konstrukci	Q	0	66	0	9	0	21	1	1.00	1.35		1.35	-	1.00	0.75	67	0	9	0	9	0	21	0	21	1	0	1
12	WP	Vítr na vozidla	Q	0	53	0	1	0	15	1	1.00	1.35		1.35	-	1.00	0.75	54	0	1	0	1	0	15	0	15	1	0	1
13	TR	Teplota rovnoměrná	Q	0	0	0	0	0	0	0	1.00	1.35		1.35	-	1.00	0.45	0	0	0	0	0	0	0	0	0	0	0	0
14	TN	Teplota nerovnoměrná	Q	0	-5	0	1	0	-4	-1	1.00	1.35		1.35	-	1.00	0.60	-4	0	1	0	1	0	-3	0	-3	-1	0	-1
15	FR	Třecí síly v ložiskách	Q	0	-2	0	0	0	0	0	1.00	1.20		1.20	-	1.00	1.00	-3	0	0	0	0	0	0	0	0	0	0	0
16	I	Imperfekce soustavy	Q	0	17	0	2	0	4	0	1.00	1.20		1.20	-	1.00	1.00	20	0	2	0	2	0	5	0	5	0	0	0
27	ULS_LM	ULS - LM71 bez dynam	Q	0	2 458	0	40	0	98	16	1.00	vyp.		0.00	-	1.00	0.00	0	0	0	0	0	0	0	0	0	0	0	0
28	SLS_LM	SLS - LM71 bez dynam	Q	0	2 001	-1	30	0	77	14	1.00	vyp.	1	0.00	-	1.00	0.00	0	0	0	0	0	0	0	0	0	0	0	0
29	ULS_C3	ULS - C3 bez dynam	Q	0	2 266	-1	35	0	84	14	1.00	vyp.	1	0.00	-	1.00	0.00	0	0	0	0	0	0	0	0	0	0	0	0
30	SLS_C3	SLS - C3 bez dynam	Q	0	1 853	-1	26	0	67	12	1.00	vyp.	1	0.00	-	1.00	0.00	0	0	0	0	0	0	0	0	0	0	0	0
		CELKEM - FÁZE PRŮŘEZU 0																2 294	0	35	0	35	0	86	0	86	16	0	16
		CELKEM - FÁZE PRŮŘEZU 1																0	0	0	0	0	0	0	0	0	0	0	0
		CELKEM - FÁZE PRŮŘEZU 2																0	0	0	0	0	0	0	0	0	0	0	0
		CELKEM - FÁZE PRŮŘEZU 3																0	0	0	0	0	0	0	0	0	0	0	0
		CELKEM - PRŮŘEZ																2 294	0	35	0	35	0			86			16

Napětí od jednotlivých zatěžovacích stavů

SKUPINA ZATĚŽOVACÍCH STAVŮ					Posouzení normálového napětí										Posouzení smykového napětí													
					Účinek síly N			Účinek momentu My				Účinek momentu Mz				Účinek kroutícího momentu Mx				Účinek smykové síly Vy				Účinek smykové síly Vz			
Č.	SKUP ZS	Popis ZS	Kat.	fáze průř.	δ^*N_d [kN]	χ^*A [mm^2]	σ_n [MPa]	$\delta^*M_{y,d}$ [kNm]	$\chi_{lt}{}^*W_{el,y}$ [mm^3]	σ_{my} [MPa]	$\delta^*M_{z,d}$ [kNm]	$W_{el,z}$ [mm^3]	σ_{mz} [MPa]	σ_x [MPa]	$\kappa^*\delta^*M_{x,d}$ [kNm]	$W_{v,y}$ [mm^2]	$\tau_{x,y}$ [MPa]	$W_{v,z}$ [mm^2]	$\tau_{x,z}$ [MPa]	$\delta^*V_{y,d}$ [kN]	$A_{v,y}$ [mm2]	$\tau_{v,y}$ [MPa]	$\tau_{v,y}$ [MPa]	$\delta^*V_{z,d}$ [kN]	$A_{v,z}$ [mm2]	$\tau_{v,z}$ [MPa]	$\tau_{v,z}$ [MPa]
1	G0	Vlastní tíha OK	G	0	891.9	2.52E+04	35.4	0.1	1.91E+06	0.0	5.5	-2.43E+07	-0.2	35.2	0.0E+00	-	-	-	-	-2.9	2.25E+04	-0.1	-0.1	1.0	2.75E+03	0.4	0.4
2	G1	Ostatní stálé - mostní vybavení	G	0	67.5	2.52E+04	2.7	0.3	1.91E+06	0.2	0.7	-2.43E+07	0.0	2.8	0.0E+00	-	-	-	-	0.3	2.25E+04	0.0	0.0	0.2	2.75E+03	0.1	0.1
3	G2	Ostatní stálé - cizí zařízení	G	0	44.0	2.52E+04	1.7	-0.4	1.91E+06	-0.2	0.4	-2.43E+07	0.0	1.5	0.0E+00	-	-	-	-	0.2	2.25E+04	0.0	0.0	-0.1	2.75E+03	0.0	0.0
4	P1_71	a.LM71 - kolej 1 (bez dyn. souč.)	P	0	0.0	2.52E+04	0.0	0.0	1.91E+06	0.0	0.0	-2.43E+07	0.0	0.0	0.0E+00	-	-	-	-	0.0	2.25E+04	0.0	0.0	0.0	2.75E+03	0.0	0.0
5	P2_71	a.LM71 - kolej 2 (bez dyn. souč.)	P	0	0.0	2.52E+04	0.0	0.0	1.91E+06	0.0	0.0	-2.43E+07	0.0	0.0	0.0E+00	-	-	-	-	0.0	2.25E+04	0.0	0.0	0.0	2.75E+03	0.0	0.0
6	P1_C3	TTZ C3 - kolej 1 (bez dyn. souč.)	P	0	210.8	2.52E+04	8.4	18.9	1.91E+06	9.9	2.7	-2.43E+07	-0.1	18.1	0.0E+00	-	-	-	-	1.1	2.25E+04	0.0	0.0	8.7	2.75E+03	3.2	3.2
7	P2_C3	TTZ C3 - kolej 2 (bez dyn. souč.)	P	0	965.1	2.52E+04	38.3	26.6	1.91E+06	13.9	9.0	-2.43E+07	-0.4	51.8	0.0E+00	-	-	-	-	3.3	2.25E+04	0.1	0.1	10.0	2.75E+03	3.6	3.6
8	BR	Brzdné a rozjezdové síly	P	0	-20.2	2.52E+04	-0.8	3.7	1.91E+06	1.9	-3.5	-2.43E+07	0.1	1.3	0.0E+00	-	-	-	-	-2.3	2.25E+04	-0.1	-0.1	1.2	2.75E+03	0.4	0.4
9	S	Boční ráz	P	0	0.5	2.52E+04	0.0	-0.1	1.91E+06	-0.1	0.0	-2.43E+07	0.0	0.0	0.0E+00	-	-	-	-	0.0	2.25E+04	0.0	0.0	0.6	2.75E+03	0.2	0.2
10	CH	Chodci na lávkách	Q	0	0.0	2.52E+04	0.0	0.0	1.91E+06	0.0	0.0	-2.43E+07	0.0	0.0	0.0E+00	-	-	-	-	0.0	2.25E+04	0.0	0.0	0.0	2.75E+03	0.0	0.0
11	W	Vítr na konstrukci	Q	0	66.8	2.52E+04	2.7	21.3	1.91E+06	11.1	1.0	-2.43E+07	0.0	13.7	0.0E+00	-	-	-	-	0.2	2.25E+04	0.0	0.0	9.0	2.75E+03	3.3	3.3
12	WP	Vítr na vozidla	Q	0	53.9	2.52E+04	2.1	14.8	1.91E+06	7.8	1.1	-2.43E+07	0.0	9.9	0.0E+00	-	-	-	-	0.2	2.25E+04	0.0	0.0	1.0	2.75E+03	0.4	0.4
13	TR	Teplota rovnoměrná	Q	0	0.0	2.52E+04	0.0	0.0	1.91E+06	0.0	0.0	-2.43E+07	0.0	0.0	0.0E+00	-	-	-	-	0.0	2.25E+04	0.0	0.0	0.0	2.75E+03	0.0	0.0
14	TN	Teplota nerovnoměrná	Q	0	-3.9	2.52E+04	-0.2	-3.5	1.91E+06	-1.8	-0.6	-2.43E+07	0.0	-2.0	0.0E+00	-	-	-	-	0.2	2.25E+04	0.0	0.0	0.9	2.75E+03	0.3	0.3
15	FR	Třecí síly v ložiskách	Q	0	-2.6	2.52E+04	-0.1	0.2	1.91E+06	0.1	-0.5	-2.43E+07	0.0	0.0	0.0E+00	-	-	-	-	-0.3	2.25E+04	0.0	0.0	0.1	2.75E+03	0.0	0.0
16	I	Imperfekce soustavy	Q	0	20.0	2.52E+04	0.8	4.5	1.91E+06	2.4	0.2	-2.43E+07	0.0	3.1	0.0E+00	-	-	-	-	0.1	2.25E+04	0.0	0.0	2.4	2.75E+03	0.9	0.9
27	ULS_LM	ULS - LM71 bez dynam	Q	0	0.0	2.52E+04	0.0	0.0	1.91E+06	0.0	0.0	-2.43E+07	0.0	0.0	0.0E+00	-	-	-	-	0.0	2.25E+04	0.0	0.0	0.0	2.75E+03	0.0	0.0
28	SLS_LM	SLS - LM71 bez dynam	Q	0	0.0	2.52E+04	0.0	0.0	1.91E+06	0.0	0.0	-2.43E+07	0.0	0.0	0.0E+00	-	-	-	-	0.0	2.25E+04	0.0	0.0	0.0	2.75E+03	0.0	0.0
29	ULS_C3	ULS - C3 bez dynam	Q	0	0.0	2.52E+04	0.0	0.0	1.91E+06	0.0	0.0	-2.43E+07	0.0	0.0	0.0E+00	-	-	-	-	0.0	2.25E+04	0.0	0.0	0.0	2.75E+03	0.0	0.0
30	SLS_C3	SLS - C3 bez dynam	Q	0	0.0	2.52E+04	0.0	0.0	1.91E+06	0.0	0.0	-2.43E+07	0.0	0.0	0.0E+00	-	-	-	-	0.0	2.25E+04	0.0	0.0	0.0	2.75E+03	0.0	0.0
NAVÝŠENÍ NAPĚTÍ DO AKTIVACE TLAKU V DESCE MOSTOVKY						$\sigma_{P,red}$	0.0							0.0			0.0		0.0				0.0				12.7	12.7
NAPĚTÍ OD PRIMÁRNÍCH ÚČINKŮ NEROVNOMĚRNÉHO OTEPLENÍ						σ_T	0.0							0.0														
NAPĚTÍ OD REOLOGICKÝCH ÚČINKŮ BETONU V ČASE				t=0		σ_R	0.0	γ=	1.20					0.0														
NAPĚTÍ V KRITICKÝCH VLÁKNECH OD KOMBINACE ZATÍŽENÍ						KZ07		[MPa]						$\Sigma\sigma_x$	135.6							$\Sigma\tau_y$	0.0			$\Sigma\tau_z$	12.7
NAPĚTÍ OD POHYBLIVÉHO ZATÍŽENÍ								[MPa]						$\sigma_{x,P}$	71.2							τ_P	0.1			τ_P	7.4
NAPĚTÍ OD OSTATNÍCH ZATÍŽENÍ								[MPa]			Φ_{vy}	Φ_{vz}		$\sigma_{x,rs}$	64.4							τ_{rs}	-0.1			τ_{rs}	5.2
NÁVRHOVÁ HODNOTA MEZE KLUZU S REDUKCÍ VLIVEM SMYKOVÉHO NAPĚTÍ								[MPa]			1.00	1.00		$f_{yw,d}$	209.1							$f_{yd}/3^{0,5}$	120.7			$f_{yd}/3^{0,5}$	120.7
NAPĚTÍ OD POHYBLIVÉHO ZATÍŽENÍ V GLOBÁLNÍM SYSTÉMU						$\sigma_{GLOB,P}$	0.0	[MPa]						$\Sigma\sigma_{GLOB}$	0.0												
NAPĚTÍ OD OSTATNÍCH ZATÍŽENÍ V GLOBÁLNÍM SYSTÉMU						$\sigma_{GLOB,rs}$	0.0	[MPa]						$\Sigma\sigma_x + \Sigma\sigma_{GLOB}$	135.6												
VYUŽITÍ PRŮŘEZU DLE NAPĚTÍ								[%]						η_1	0.65							η_3	0.00			η_3	0.11
NAPĚTÍ V PŘÍČNÉM SMĚRU OD POHYBLIVÉHO ZATÍŽENÍ						$\sigma_{z,P}$	0.0	[MPa]						$\Sigma\sigma_z$	0.0												
NAPĚTÍ V PŘÍČNÉM SMĚRU OD OSTATNÍCH ZATÍŽENÍ						$\sigma_{z,rs}$	0.0	[MPa]						η_2	0.00												
SROVNÁVACÍ NAPĚTÍ														$(\eta 2 + 0{,}8\,\eta 1)/1{,}4$ =	0.37												
VYUŽITÍ PRŮŘEZU CELKEM								[%]						eff	0.65	VYHOVUJE											
														Z_{LM71} =	-----												

TAB. V7.2.3 POSOUZENÍ - MEZNÍ STAV ÚNOSNOSTI

POPIS	SVISLICE V7
PRUT / POLOHA BODU	406 / I[346]
NAMÁHÁNÍ	My.min
VLÁKNO	BOD K2 -HP
MEZNÍ STAV	ULS (MSÚ)
VYUŽITÍ VLÁKNA PRŮŘEZU	0.87

Charakteristiky materiálu				
pás. horní	$f_{yf,k}$	230	MPa	
pás. dolní	$f_{yf,k}$	230	MPa	
stojina	$f_{yw,k}$	230	MPa	
výztuž	$f_{ys,k}$	500	MPa	
	γ_M =	1.10	γ_s =	1.15

Excentricita normálové síly				
Exc./Fáze	0	1	2	3
e_y	0.000	0.000	0.000	0.000
e_z	0.000	0.000	0.000	0.000
Ekvivalentní vzdál. stěn - příčný roznos				
b_{Mx}	0.000	0.000	0.000	0.000

Vliv stěny na únosnost průřezu				
Char./Fáze	0	1	2	3
A	0.00	0.00	0.00	0.00
Wy	0.00	0.00	0.00	0.00
Wz	0.00	0.00	0.00	0.00

Charakter. v kroucení			
$t_{w,y}$	0.000	[mm]	
$t_{w,z}$	0.000	[mm]	
κ	1.00		
I_t=	0.00E+00	[mm^4]	
$\Omega=2*A_{pr}$	0.00E+00	[mm^2]	

Součinitele vzpěru a vlivu II.řádu				
Char./Fáze	0	1	2	3
k_y	1.000	1.000	1.000	1.000
k_z	1.000	1.000	1.000	1.000
χ_{LT}	1.000	1.000	1.000	1.000
χ_{min}	1.000	1.000	1.000	1.000

Vnitřní síly od jednotlivých skupin zatěžovacích stavů

SKUPINA ZATĚŽOVACÍCH STAVŮ — CHARAKTERISTICKÉ HODNOTY — DÍLČÍ SOUČINITELÉ ZATÍŽENÍ, DYNAMICKÝ SOUČINITEL — NÁVRHOVÉ HODNOTY

Č.	SKUP ZS	POPIS ZS	KAT.	FÁZE PRŮŘ.	N.k (kN)	Vy.k (kN)	Vz.k (kN)	Mx.k (kNm)	My.k (kNm)	Mz.k (kNm)	γ_{sr} (-)	γ_{fs} (-)	volba γ_f hledat	γ_f (-)	L_d (m)	δ (-)	Ψ_s KZ08	N.d (kN)	Vy.d (kN)	Vz.d (kN)	ΔVz.d (kN)	ΣVz.d (kN)	Mx.d (kNm)	My.d (kNm)	ΔMy.d (kNm)	ΣMy.d (kNm)	Mz.d (kNm)	ΔMz.d (kNm)	ΣMz.d (kNm)
1	G0	Vlastní tíha OK	G	0	14	0	-1	0	-5	0	1.00	1.20		1.20	-	1.00	0.95	16	0	-1	0	-1	0	-6	0	-6	0	0	0
2	G1	Ostatní stálé - mostní vybavení	G	0	4	0	0	0	-1	0	1.00	1.20		1.20	-	1.00	0.95	5	0	0	0	0	0	-1	0	-1	0	0	0
3	G2	Ostatní stálé - cizí zařízení	G	0	3	0	0	0	1	0	1.00	1.20		1.20	-	1.00	0.95	3	0	0	0	0	0	1	0	1	0	0	0
4	P1_71	a.LM71 - kolej 1 (bez dyn. souč.)	P	0	64	0	-13	0	-64	0	1.00	vyp.		0.00	-	1.00	0.00	0	0	0	0	0	0	0	0	0	0	0	0
5	P2_71	a.LM71 - kolej 2 (bez dyn. souč.)	P	0	173	0	-7	0	-32	0	1.00	vyp.		0.00	-	1.00	0.00	0	0	0	0	0	0	0	0	0	0	0	0
6	P1_C3	TTZ C3 - kolej 1 (bez dyn. souč.)	P	0	46	0	-10	0	-50	0	1.00	1.30		1.30	-	1.05	1.00	63	0	-13	0	-13	0	-68	0	-68	0	0	0
7	P2_C3	TTZ C3 - kolej 2 (bez dyn. souč.)	P	0	120	0	-5	0	-23	0	1.00	1.30		1.30	-	1.05	1.00	164	0	-7	0	-7	0	-31	0	-31	0	0	0
8	BR	Brzdné a rozjezdové síly	P	0	13	-1	0	0	-2	-1	1.00	0.00		0.00	-	1.00	0.32	0	0	0	0	0	0	0	0	0	0	0	0
9	S	Boční ráz	P	0	4	0	-2	0	-11	0	1.00	1.30		1.30	-	1.00	0.64	3	0	-2	0	-2	0	-10	0	-10	0	0	0
10	CH	Chodci na lávkách	Q	0	-11	0	-1	0	-3	0	1.00	1.30		1.30	-	1.00	1.00	-14	0	-1	0	-1	0	-4	0	-4	0	0	0
11	W	Vítr na konstrukci	Q	0	-9	0	-6	0	-12	0	1.00	1.35		1.35	-	1.00	0.75	-10	0	-6	0	-6	0	-12	0	-12	0	0	0
12	WP	Vítr na vozidla	Q	0	12	0	-6	0	-31	0	1.00	1.35		1.35	-	1.00	0.75	12	0	-6	0	-6	0	-32	0	-32	0	0	0
13	TR	Teplota rovnoměrná	Q	0	0	0	0	0	0	0	1.00	1.35		1.35	-	1.00	0.45	0	0	0	0	0	0	0	0	0	0	0	0
14	TN	Teplota nerovnoměrná	Q	0	60	0	-6	0	-29	0	1.00	1.35		1.35	-	1.00	0.60	49	0	-5	0	-5	0	-24	0	-24	0	0	0
15	FR	Třecí síly v ložiskách	Q	0	1	0	0	0	0	0	1.00	1.20		1.20	-	1.00	1.00	2	0	0	0	0	0	0	0	0	0	0	0
16	I	Imperfekce soustavy	Q	0	-1	0	-1	0	-4	0	1.00	1.20		1.20	-	1.00	1.00	-1	0	-1	0	-1	0	-5	0	-5	0	0	0
27	ULS_LM	ULS - LM71 bez dynam	Q	0	384	0	-49	0	-224	0	1.00	vyp.		0.00	-	1.00	0.00	0	0	0	0	0	0	0	0	0	0	0	0
28	SLS_LM	SLS - LM71 bez dynam	Q	0	261	0	-34	0	-153	0	1.00	vyp.	1	0.00	-	1.00	0.00	0	0	0	0	0	0	0	0	0	0	0	0
29	ULS_C3	ULS - C3 bez dynam	Q	0	292	0	-43	0	-193	0	1.00	vyp.	1	0.00	-	1.00	0.00	0	0	0	0	0	0	0	0	0	0	0	0
30	SLS_C3	SLS - C3 bez dynam	Q	0	190	0	-29	0	-130	0	1.00	vyp.	1	0.00	-	1.00	0.00	0	0	0	0	0	0	0	0	0	0	0	0
		CELKEM - FÁZE PRŮŘEZU 0																293	1	-43	0	-192	0	-192	0	-192	1	0	1
		CELKEM - FÁZE PRŮŘEZU 1																0	0	0	0	0	0	0	0	0	0	0	0
		CELKEM - FÁZE PRŮŘEZU 2																0	0	0	0	0	0	0	0	0	0	0	0
		CELKEM - FÁZE PRŮŘEZU 3																0	0	0	0	0	0	0	0	0	0	0	0
		CELKEM - PRŮŘEZ																293	1	-43	0	-43	0			-192			1

Napětí od jednotlivých zatěžovacích stavů

SKUPINA ZATĚŽOVACÍCH STAVŮ — Posouzení normálového napětí — Účinek síly N — Účinek momentu My — Účinek momentu Mz — Posouzení smykového napětí — Účinek kroutícího momentu Mx — Účinek smykové síly Vy — Účinek smykové síly Vz

Č.	SKUP ZS	Popis ZS	Kat.	fáze průř.	δ^*N_d [kN]	χ^*A [mm^2]	σ_n [MPa]	$\delta^*M_{y,d}$ [kNm]	$\chi_{lt}*W_{el,y}$ [mm^3]	σ_{my} [MPa]	$\delta^*M_{z,d}$ [kNm]	$W_{el,z}$ [mm^3]	σ_{mz} [MPa]	σ_x [MPa]	$\kappa*\delta^*M_{x,d}$ [kNm]	$W_{v,y}$ [mm^3]	$\tau_{x,y}$ [MPa]	$W_{v,z}$ [mm^3]	$\tau_{x,z}$ [MPa]	$\delta^*V_{y,d}$ [kN]	$A_{v,y}$ [mm2]	$\tau_{v,y}$ [MPa]	$\tau_{v,y}$ [MPa]	$\delta^*V_{z,d}$ [kN]	$A_{v,z}$ [mm2]	$\tau_{v,z}$ [MPa]	$\tau_{v,z}$ [MPa]
1	G0	Vlastní tíha OK	G	0	16.0	7.17E+03	2.2	-5.8	-1.39E+06	4.2	0.1	1.85E+05	0.6	7.0	0.0E+00	-	-	-	-	-0.2	4.80E+03	0.0	0.0	-1.4	2.77E+03	-0.5	-0.5
2	G1	Ostatní stálé - mostní vybavení	G	0	4.7	7.17E+03	0.7	-0.9	-1.39E+06	0.6	0.0	1.85E+05	0.1	1.4	0.0E+00	-	-	-	-	0.0	4.80E+03	0.0	0.0	-0.2	2.77E+03	-0.1	-0.1
3	G2	Ostatní stálé - cizí zařízení	G	0	3.4	7.17E+03	0.5	0.7	-1.39E+06	-0.5	0.0	1.85E+05	0.1	0.0	0.0E+00	-	-	-	-	0.0	4.80E+03	0.0	0.0	0.1	2.77E+03	0.0	0.0
4	P1_71	a.LM71 - kolej 1 (bez dyn. souč.)	P	0	0.0	7.17E+03	0.0	0.0	-1.39E+06	0.0	0.0	1.85E+05	0.0	0.0	0.0E+00	-	-	-	-	0.0	4.80E+03	0.0	0.0	0.0	2.77E+03	0.0	0.0
5	P2_71	a.LM71 - kolej 2 (bez dyn. souč.)	P	0	0.0	7.17E+03	0.0	0.0	-1.39E+06	0.0	0.0	1.85E+05	0.0	0.0	0.0E+00	-	-	-	-	0.0	4.80E+03	0.0	0.0	0.0	2.77E+03	0.0	0.0
6	P1_C3	TTZ C3 - kolej 1 (bez dyn. souč.)	P	0	62.5	7.17E+03	8.7	-68.4	-1.39E+06	49.3	0.2	1.85E+05	0.8	58.9	0.0E+00	-	-	-	-	0.1	4.80E+03	0.0	0.0	-13.4	2.77E+03	-4.8	-4.8
7	P2_C3	TTZ C3 - kolej 2 (bez dyn. souč.)	P	0	164.4	7.17E+03	22.9	-31.1	-1.39E+06	22.4	0.2	1.85E+05	1.2	46.6	0.0E+00	-	-	-	-	0.5	4.80E+03	0.1	0.1	-7.2	2.77E+03	-2.6	-2.6
8	BR	Brzdné a rozjezdové síly	P	0	0.0	7.17E+03	0.0	0.0	-1.39E+06	0.0	0.0	1.85E+05	0.0	0.0	0.0E+00	-	-	-	-	0.0	4.80E+03	0.0	0.0	0.0	2.77E+03	0.0	0.0
9	S	Boční ráz	P	0	3.2	7.17E+03	0.4	-9.5	-1.39E+06	6.9	0.0	1.85E+05	-0.1	7.2	0.0E+00	-	-	-	-	0.0	4.80E+03	0.0	0.0	-2.0	2.77E+03	-0.7	-0.7
10	CH	Chodci na lávkách	Q	0	-13.7	7.17E+03	-1.9	-4.0	-1.39E+06	2.9	0.1	1.85E+05	0.4	1.4	0.0E+00	-	-	-	-	0.0	4.80E+03	0.0	0.0	-0.8	2.77E+03	-0.3	-0.3
11	W	Vítr na konstrukci	Q	0	-9.5	7.17E+03	-1.3	-12.3	-1.39E+06	8.9	0.0	1.85E+05	-0.1	7.4	0.0E+00	-	-	-	-	0.0	4.80E+03	0.0	0.0	-6.1	2.77E+03	-2.2	-2.2
12	WP	Vítr na vozidla	Q	0	12.4	7.17E+03	1.7	-31.6	-1.39E+06	22.8	0.1	1.85E+05	0.3	24.8	0.0E+00	-	-	-	-	0.1	4.80E+03	0.0	0.0	-6.2	2.77E+03	-2.2	-2.2
13	TR	Teplota rovnoměrná	Q	0	0.0	7.17E+03	0.0	0.0	-1.39E+06	0.0	0.0	1.85E+05	0.0	0.0	0.0E+00	-	-	-	-	0.0	4.80E+03	0.0	0.0	0.0	2.77E+03	0.0	0.0
14	TN	Teplota nerovnoměrná	Q	0	48.7	7.17E+03	6.8	-23.7	-1.39E+06	17.1	0.1	1.85E+05	0.6	24.5	0.0E+00	-	-	-	-	0.2	4.80E+03	0.0	0.0	-4.7	2.77E+03	-1.7	-1.7
15	FR	Třecí síly v ložiskách	Q	0	1.7	7.17E+03	0.2	0.0	-1.39E+06	0.0	0.0	1.85E+05	0.0	0.2	0.0E+00	-	-	-	-	0.0	4.80E+03	0.0	0.0	0.0	2.77E+03	0.0	0.0
16	I	Imperfekce soustavy	Q	0	-1.3	7.17E+03	-0.2	-4.9	-1.39E+06	3.5	0.0	1.85E+05	0.0	3.3	0.0E+00	-	-	-	-	0.0	4.80E+03	0.0	0.0	-0.9	2.77E+03	-0.3	-0.3
27	ULS_LM	ULS - LM71 bez dynam	Q	0	0.0	7.17E+03	0.0	0.0	-1.39E+06	0.0	0.0	1.85E+05	0.0	0.0	0.0E+00	-	-	-	-	0.0	4.80E+03	0.0	0.0	0.0	2.77E+03	0.0	0.0
28	SLS_LM	SLS - LM71 bez dynam	Q	0	0.0	7.17E+03	0.0	0.0	-1.39E+06	0.0	0.0	1.85E+05	0.0	0.0	0.0E+00	-	-	-	-	0.0	4.80E+03	0.0	0.0	0.0	2.77E+03	0.0	0.0
29	ULS_C3	ULS - C3 bez dynam	Q	0	0.0	7.17E+03	0.0	0.0	-1.39E+06	0.0	0.0	1.85E+05	0.0	0.0	0.0E+00	-	-	-	-	0.0	4.80E+03	0.0	0.0	0.0	2.77E+03	0.0	0.0
30	SLS_C3	SLS - C3 bez dynam	Q	0	0.0	7.17E+03	0.0	0.0	-1.39E+06	0.0	0.0	1.85E+05	0.0	0.0	0.0E+00	-	-	-	-	0.0	4.80E+03	0.0	0.0	0.0	2.77E+03	0.0	0.0
NAVÝŠENÍ NAPĚTÍ DO AKTIVACE TLAKU V DESCE MOSTOVKY						$\sigma_{P,red}$	0.0							0.0			-		-				0.1	0.1			-15.4	-15.4
NAPĚTÍ OD PRIMÁRNÍCH ÚČINKŮ NEROVNOMĚRNÉHO OTEPLENÍ						σ_T	0.0							0.0														
NAPĚTÍ OD REOLOGICKÝCH ÚČINKŮ BETONU V ČASE		t=0				σ_R	0.0	γ=	1.20					0.0														
NAPĚTÍ V KRITICKÝCH VLÁKNECH OD KOMBINACE ZATÍŽENÍ						KZ08		[MPa]					$\Sigma\sigma_x$	182.8								$\Sigma\tau_y$	0.1				$\Sigma\tau_z$	-15.4
NAPĚTÍ OD POHYBLIVÉHO ZATÍŽENÍ								[MPa]					$\sigma_{x,P}$	112.7								τ_P	0.1				τ_P	-8.2
NAPĚTÍ OD OSTATNÍCH ZATÍŽENÍ								[MPa]			Φ_{Vy}	Φ_{Vz}	$\sigma_{x,rs}$	70.1								τ_{rs}	0.0				τ_{rs}	-7.3
NÁVRHOVÁ HODNOTA MEZE KLUZU S REDUKCÍ VLIVEM SMYKOVÉHO NAPĚTÍ								[MPa]			1.00	1.00	$f_{yw,d}$	209.1								$f_{yd}/3^{0,5}$	120.7				$f_{yd}/3^{0,5}$	120.7
NAPĚTÍ OD POHYBLIVÉHO ZATÍŽENÍ V GLOBÁLNÍM SYSTÉMU						$\sigma_{GLOB,P}$	0.0	[MPa]					$\Sigma\sigma_{GLOB}$	0.0														
NAPĚTÍ OD OSTATNÍCH ZATÍŽENÍ V GLOBÁLNÍM SYSTÉMU						$\sigma_{GLOB,rs}$	0.0	[MPa]					$\Sigma\sigma_x + \Sigma\sigma_{GLOB}$	182.8														
VYUŽITÍ PRŮŘEZU DLE NAPĚTÍ								[%]					η_1	0.87								η_3	0.00				η_3	0.13
NAPĚTÍ V PŘÍČNÉM SMĚRU OD POHYBLIVÉHO ZATÍŽENÍ						$\sigma_{z,P}$	0.0	[MPa]					$\Sigma\sigma_z$	0.0														
NAPĚTÍ V PŘÍČNÉM SMĚRU OD OSTATNÍCH ZATÍŽENÍ						$\sigma_{z,rs}$	0.0	[MPa]					η_2	0.00														
SROVNÁVACÍ NAPĚTÍ													$(\eta_2 + 0,8\,\eta_1)/1,4$ =	0.50														
VYUŽITÍ PRŮŘEZU CELKEM								[%]					eff	0.87	VYHOVUJE													
													z_{LM71} =	-----														

TAB. V7.2.3 POSOUZENÍ - MEZNÍ STAV ÚNOSNOSTI

POPIS	SVISLICE V7
PRUT / POLOHA BODU	406 / I[346]
NAMÁHÁNÍ	Mz.max
VLÁKNO	BOD K3 -SL
MEZNÍ STAV	ULS (MSÚ)
VYUŽITÍ VLÁKNA PRŮŘEZU	0.44

Charakteristiky materiálu				
pás. horní	$f_{yf,k}$	230	MPa	
pás. dolní	$f_{yf,k}$	230	MPa	
stojina	$f_{yw,k}$	230	MPa	
výztuž	$f_{ys,k}$	500	MPa	
γ_M =	1.10	γ_s =	1.15	

Excentricita normálové síly				
Exc./Fáze	0	1	2	3
e_y	0.000	0.000	0.000	0.000
e_z	0.000	0.000	0.000	0.000
Ekvivalentní vzdál. stěn - příčný roznos				
b_{ekv}	0.000	0.000	0.000	0.000

Vliv stěny na únosnost průřezu				
Char./Fáze	0	1	2	3
A	0.00	0.00	0.00	0.00
Wy	0.00	0.00	0.00	0.00
Wz	0.00	0.00	0.00	0.00

Charakter. v kroucení			
$t_{w,y}$	0.000	[mm]	
$t_{w,z}$	0.000	[mm]	
κ	1.00		
I_t=	0.00E+00	[mm⁴]	
$\Omega=2*A_{pr}$	0.00E+00	[mm²]	

Součinitele vzpěru a vlivu II.řádu					
Char./Fáze	0	1	2	3	
k_y	1.000	1.000	1.000	1.000	
k_z	1.000	1.000	1.000	1.000	
χ_{LT}	1.000	1.000	1.000	1.000	
χ_{min}	1.000	1.000	1.000	1.000	

Vnitřní síly od jednotlivých skupin zatěžovacích stavů

SKUPINA ZATĚŽOVACÍCH STAVŮ					- CHARAKTERISTICKÉ HODNOTY						DÍLČÍ SOUČINITELÉ ZATÍŽENÍ, DYNAMICKÝ SOUČINITEL						7	- NÁVRHOVÉ HODNOTY									
Č.	SKUP ZS	POPIS ZS	KAT.	FÁZE PRŮŘ.	N.k (kN)	Vy.k (kN)	Vz.k (kN)	Mx.k (kNm)	My.k (kNm)	Mz.k (kNm)	γ_{sup} (-)	γ_{inf} (-)	volba γ_i hledat	γ_i (-)	L_d (m)	δ (-)	Ψ_0 KZ07	N.d (kN)	Vy.d (kN)	Vz.d (kN)	ΔVz.d (kN)	ΣVz.d (kN)	Mx.d (kNm)	My.d (kNm)	ΔMy.d (kNm)	ΣMy.d (kNm)	Mz.d (kNm)	ΔMz.d (kNm)	ΣMz.d (kNm)
1	G0	Vlastní tíha OK	G	0	14	0	-1	0	-5	0	1.00	1.20		1.20	-	1.00	0.95	16	0	-1	0	-1	0	-6	0	-6	0	0	0
2	G1	Ostatní stálé - mostní vybavení	G	0	4	0	0	0	-1	0	1.00	1.00		1.00	-	1.00	0.95	4	0	0	0	0	0	-1	0	-1	0	0	0
3	G2	Ostatní stálé - cizí zařízení	G	0	3	0	0	0	1	0	1.00	1.00		1.00	-	1.00	0.95	3	0	0	0	0	0	1	0	1	0	0	0
4	P1_71	a.LM71 - kolej 1 (bez dyn. souč.)	P	0	8	0	-8	0	-39	0	1.00	vyp.		0.00	-	1.00	0.00	0	0	0	0	0	0	0	0	0	0	0	0
5	P2_71	a.LM71 - kolej 2 (bez dyn. souč.)	P	0	74	1	-2	0	-10	1	1.00	vyp.		0.00	-	1.00	0.00	0	0	0	0	0	0	0	0	0	0	0	0
6	P1_C3	TTZ C3 - kolej 1 (bez dyn. souč.)	P	0	19	0	-8	0	-38	0	1.00	1.30		1.30	-	1.05	1.00	26	0	-11	0	-11	0	-52	0	-52	1	0	1
7	P2_C3	TTZ C3 - kolej 2 (bez dyn. souč.)	P	0	40	0	-1	0	-5	1	1.00	1.30		1.30	-	1.05	1.00	54	1	-2	0	-2	0	-7	0	-7	1	0	1
8	BR	Brzdné a rozjezdové síly	P	0	-13	1	0	0	2	1	1.00	1.30		1.30	-	1.00	0.64	-11	0	0	0	0	0	2	0	2	1	0	1
9	S	Boční ráz	P	0	6	0	-2	0	-9	0	1.00	1.30		1.30	-	1.00	0.32	2	0	-1	0	-1	0	-4	0	-4	0	0	0
10	CH	Chodci na lávkách	Q	0	-11	0	-1	0	-3	0	1.00	1.30		1.30	-	1.00	1.00	-14	0	-1	0	-1	0	-4	0	-4	0	0	0
11	W	Vítr na konstrukci	Q	0	9	0	6	0	12	0	1.00	-1.35		-1.35	-	1.00	0.75	-10	0	-6	0	-6	0	-12	0	-12	0	0	0
12	WP	Vítr na vozidla	Q	0	12	0	-6	0	-31	0	1.00	1.35		1.35	-	1.00	0.75	12	0	-6	0	-6	0	-32	0	-32	0	0	0
13	TR	Teplota rovnoměrná	Q	0	0	0	0	0	0	0	1.00	1.35		1.35	-	1.00	0.45	0	0	0	0	0	0	0	0	0	0	0	0
14	TN	Teplota nerovnoměrná	Q	0	60	0	-6	0	-29	0	1.00	1.35		1.35	-	1.00	0.60	49	0	-5	0	-5	0	-24	0	-24	0	0	0
15	FR	Třecí síly v ložiskách	Q	0	1	0	0	0	0	0	1.00	-1.20		-1.20	-	1.00	1.00	-2	0	0	0	0	0	0	0	0	0	0	0
16	I	Imperfekce soustavy	Q	0	-1	0	-1	0	-4	0	1.00	1.20		1.20	-	1.00	1.00	-1	0	-1	0	-1	0	-5	0	-5	0	0	0
27	ULS_LM	ULS - LM71 bez dynam	Q	0	174	2	-22	0	-125	4	1.00	vyp.	1	0.00	-	1.00	0.00	0	0	0	0	0	0	0	0	0	0	0	0
28	SLS_LM	SLS - LM71 bez dynam	Q	0	98	1	-13	0	-78	3	1.00	vyp.	1	0.00	-	1.00	0.00	0	0	0	0	0	0	0	0	0	0	0	0
29	ULS_C3	ULS - C3 bez dynam	Q	0	144	2	-20	0	-117	4	1.00	vyp.	1	0.00	-	1.00	0.00	0	0	0	0	0	0	0	0	0	0	0	0
30	SLS_C3	SLS - C3 bez dynam	Q	0	76	1	-12	0	-73	3	1.00	vyp.	1	0.00	-	1.00	0.00	0	0	0	0	0	0	0	0	0	0	0	0
		CELKEM - FÁZE PRŮŘEZU 0																129	1	-33	0	-33	0	-144	0	-144	3	0	3
		CELKEM - FÁZE PRŮŘEZU 1																0	0	0	0	0	0	0	0	0	0	0	0
		CELKEM - FÁZE PRŮŘEZU 2																0	0	0	0	0	0	0	0	0	0	0	0
		CELKEM - FÁZE PRŮŘEZU 3																0	0	0	0	0	0	0	0	0	0	0	0
		CELKEM - PRŮŘEZ																129	1	-33	0	-33	0			-144			3

Napětí od jednotlivých zatěžovacích stavů

SKUPINA ZATĚŽOVACÍCH STAVŮ					Posouzení normálového napětí										Posouzení smykového napětí													
					Účinek síly N			Účinek momentu My				Účinek momentu Mz				Účinek ktoutícího momentu Mx				Účinek smykové síly Vy				Účinek smykové síly Vz			
Č.	SKUP ZS	Popis ZS	Kat.	fáze prúř.	δ^*N_d [kN]	χ^*A [mm²]	σ_n [MPa]	$\delta^*M_{y,d}$ [kNm]	$\chi_{lt}*W_{el,y}$ [mm³]	σ_{my} [MPa]	$\delta^*M_{z,d}$ [kNm]	$W_{el,z}$ [mm³]	σ_{mz} [MPa]	σ_x [MPa]	$\kappa*\delta^*M_{x,d}$ [kNm]	$W_{v,y}$ [mm²]	$\tau_{x,y}$ [MPa]	$W_{v,z}$ [mm²]	$\tau_{x,z}$ [MPa]	$\delta^*V_{y,d}$ [kN]	$A_{v,y}$ [mm2]	$\tau_{v,y}$ [MPa]	$\tau_{v,y}$ [MPa]	$\delta^*V_{z,d}$ [kN]	$A_{v,z}$ [mm2]	$\tau_{v,z}$ [MPa]	$\tau_{v,z}$ [MPa]
1	G0	Vlastní tíha OK	G	0	16.0	7.17E+03	2.2	-5.8	1.53E+06	-3.8	0.1	-1.85E+05	-0.6	-2.2	0.0E+00	-	-	-	-	-0.2	4.80E+03	0.0	0.0	-1.4	2.77E+03	-0.5	-0.5
2	G1	Ostatní stálé - mostní vybavení	G	0	3.9	7.17E+03	0.5	-0.8	1.53E+06	-0.5	0.0	-1.85E+05	-0.1	0.0	0.0E+00	-	-	-	-	0.0	4.80E+03	0.0	0.0	-0.1	2.77E+03	0.0	0.0
3	G2	Ostatní stálé - cizí zařízení	G	0	2.8	7.17E+03	0.4	0.6	1.53E+06	0.4	0.0	-1.85E+05	-0.1	0.7	0.0E+00	-	-	-	-	0.0	4.80E+03	0.0	0.0	0.1	2.77E+03	0.0	0.0
4	P1_71	a.LM71 - kolej 1 (bez dyn. souč.)	P	0	0.0	7.17E+03	0.0	0.0	1.53E+06	0.0	0.0	-1.85E+05	0.0	0.0	0.0E+00	-	-	-	-	0.0	4.80E+03	0.0	0.0	0.0	2.77E+03	0.0	0.0
5	P2_71	a.LM71 - kolej 2 (bez dyn. souč.)	P	0	0.0	7.17E+03	0.0	0.0	1.53E+06	0.0	0.0	-1.85E+05	0.0	0.0	0.0E+00	-	-	-	-	0.0	4.80E+03	0.0	0.0	0.0	2.77E+03	0.0	0.0
6	P1_C3	TTZ C3 - kolej 1 (bez dyn. souč.)	P	0	26.0	7.17E+03	3.6	-52.3	1.53E+06	-34.1	0.5	-1.85E+05	-2.7	-33.2	0.0E+00	-	-	-	-	0.3	4.80E+03	0.1	0.1	-10.6	2.77E+03	-3.8	-3.8
7	P2_C3	TTZ C3 - kolej 2 (bez dyn. souč.)	P	0	54.2	7.17E+03	7.6	-6.7	1.53E+06	-4.4	1.0	-1.85E+05	-5.3	-2.1	0.0E+00	-	-	-	-	0.6	4.80E+03	0.1	0.1	-1.7	2.77E+03	-0.6	-0.6
8	BR	Brzdné a rozjezdové síly	P	0	-11.1	7.17E+03	-1.5	1.6	1.53E+06	1.1	1.2	-1.85E+05	-6.4	-6.9	-8.3E-03	-	-	-	-	0.4	4.80E+03	0.1	0.1	0.3	2.77E+03	0.1	0.1
9	S	Boční ráz	P	0	2.4	7.17E+03	0.3	-3.8	1.53E+06	-2.5	0.0	-1.85E+05	-0.2	-2.3	0.0E+00	-	-	-	-	0.0	4.80E+03	0.0	0.0	-0.7	2.77E+03	-0.2	-0.2
10	CH	Chodci na lávkách	Q	0	-13.7	7.17E+03	-1.9	-4.0	1.53E+06	-2.6	0.1	-1.85E+05	-0.4	-4.9	0.0E+00	-	-	-	-	0.0	4.80E+03	0.0	0.0	-0.8	2.77E+03	-0.3	-0.3
11	W	Vítr na konstrukci	Q	0	-9.5	7.17E+03	-1.3	-12.3	1.53E+06	-8.0	0.0	-1.85E+05	0.1	-9.2	0.0E+00	-	-	-	-	0.0	4.80E+03	0.0	0.0	-6.1	2.77E+03	-2.2	-2.2
12	WP	Vítr na vozidla	Q	0	12.4	7.17E+03	1.7	-31.6	1.53E+06	-20.6	0.1	-1.85E+05	-0.3	-19.2	0.0E+00	-	-	-	-	0.1	4.80E+03	0.0	0.0	-6.2	2.77E+03	-2.2	-2.2
13	TR	Teplota rovnoměrná	Q	0	0.0	7.17E+03	0.0	0.0	1.53E+06	0.0	0.0	-1.85E+05	0.0	0.0	0.0E+00	-	-	-	-	0.0	4.80E+03	0.0	0.0	0.0	2.77E+03	0.0	0.0
14	TN	Teplota nerovnoměrná	Q	0	48.7	7.17E+03	6.8	-23.7	1.53E+06	-15.4	0.1	-1.85E+05	-0.6	-9.2	0.0E+00	-	-	-	-	0.2	4.80E+03	0.0	0.0	-4.7	2.77E+03	-1.7	-1.7
15	FR	Třecí síly v ložiskách	Q	0	-1.7	7.17E+03	-0.2	0.0	1.53E+06	0.0	0.0	-1.85E+05	0.0	-0.2	0.0E+00	-	-	-	-	0.0	4.80E+03	0.0	0.0	0.0	2.77E+03	0.0	0.0
16	I	Imperfekce soustavy	Q	0	-1.3	7.17E+03	-0.2	-4.9	1.53E+06	-3.2	0.0	-1.85E+05	0.0	-3.4	0.0E+00	-	-	-	-	0.0	4.80E+03	0.0	0.0	-0.9	2.77E+03	-0.3	-0.3
27	ULS_LM	ULS - LM71 bez dynam	Q	0	0.0	7.17E+03	0.0	0.0	1.53E+06	0.0	0.0	-1.85E+05	0.0	0.0	0.0E+00	-	-	-	-	0.0	4.80E+03	0.0	0.0	0.0	2.77E+03	0.0	0.0
28	SLS_LM	SLS - LM71 bez dynam	Q	0	0.0	7.17E+03	0.0	0.0	1.53E+06	0.0	0.0	-1.85E+05	0.0	0.0	0.0E+00	-	-	-	-	0.0	4.80E+03	0.0	0.0	0.0	2.77E+03	0.0	0.0
29	ULS_C3	ULS - C3 bez dynam	Q	0	0.0	7.17E+03	0.0	0.0	1.53E+06	0.0	0.0	-1.85E+05	0.0	0.0	0.0E+00	-	-	-	-	0.0	4.80E+03	0.0	0.0	0.0	2.77E+03	0.0	0.0
30	SLS_C3	SLS - C3 bez dynam	Q	0	0.0	7.17E+03	0.0	0.0	1.53E+06	0.0	0.0	-1.85E+05	0.0	0.0	0.0E+00	-	-	-	-	0.0	4.80E+03	0.0	0.0	0.0	2.77E+03	0.0	0.0
NAVÝŠENÍ NAPĚTÍ DO AKTIVACE TLAKU V DESCE MOSTOVKY						$\sigma_{P,red}$	0.0							0.0			0.0		0.0				0.3	0.3			-11.8	-11.8
NAPĚTÍ OD PRIMÁRNÍCH ÚČINKŮ NEROVNOMĚRNÉHO OTEPLENÍ						σ_T	0.0							0.0														
NAPĚTÍ OD REOLOGICKÝCH ÚČINKŮ BETONU V ČASE				t=0		σ_R	0.0	γ_{inf}=	1.20					0.0														
NAPĚTÍ V KRITICKÝCH VLÁKNECH OD KOMBINACE ZATÍŽENÍ						KZ07		[MPa]					$\Sigma\sigma_x$	-92.1								$\Sigma\tau_y$	0.3				$\Sigma\tau_z$	-11.8
NAPĚTÍ OD POHYBLIVÉHO ZATÍŽENÍ								[MPa]					$\sigma_{x,P}$	-44.5								τ_P	0.3				τ_P	-4.6
NAPĚTÍ OD OSTATNÍCH ZATÍŽENÍ								[MPa]			Φ_{Vy}	Φ_{Vz}	$\sigma_{x,rs}$	-47.6								τ_{rs}	0.0				τ_{rs}	-7.3
NÁVRHOVÁ HODNOTA MEZE KLUZU S REDUKCÍ VLIVEM SMYKOVÉHO NAPĚTÍ								[MPa]			1.00	1.00	$f_{yw,d}$	209.1								$f_{yd}/3^{0,5}$	120.7				$f_{yd}/3^{0,5}$	120.7
NAPĚTÍ OD POHYBLIVÉHO ZATÍŽENÍ V GLOBÁLNÍM SYSTÉMU						$\sigma_{GLOB,P}$	0.0	[MPa]					$\Sigma\sigma_{GLOB}$	0.0														
NAPĚTÍ OD OSTATNÍCH ZATÍŽENÍ V GLOBÁLNÍM SYSTÉMU						$\sigma_{GLOB,rs}$	0.0	[MPa]					$\Sigma\sigma_x + \Sigma\sigma_{GLOB}$	-92.1														
VYUŽITÍ PRŮŘEZU DLE NAPĚTÍ								[%]					η_1	0.44								η_3	0.00				η_3	0.10
NAPĚTÍ V PŘÍČNÉM SMĚRU OD POHYBLIVÉHO ZATÍŽENÍ						$\sigma_{z,P}$	0.0	[MPa]					$\Sigma\sigma_z$	0.0														
NAPĚTÍ V PŘÍČNÉM SMĚRU OD OSTATNÍCH ZATÍŽENÍ						$\sigma_{z,rs}$	0.0	[MPa]					η_2	0.00														
SROVNÁVACÍ NAPĚTÍ													$(\eta_2 + 0,8\,\eta_1)/1,4$ =	0.25														
VYUŽITÍ PRŮŘEZU CELKEM								[%]					eff	0.44	VYHOVUJE													
													z_{LM71} =	-----														

TAB. V7.2.3 POSOUZENÍ - MEZNÍ STAV ÚNOSNOSTI

POPIS	SVISLICE V7
PRUT / POLOHA BODU	406 / I[346]
NAMÁHÁNÍ	Vz.min
VLÁKNO	BOD S6 -HP
MEZNÍ STAV	ULS (MSÚ)
VYUŽITÍ VLÁKNA PRŮŘEZU	0.40

Charakteristiky materiálu				
pás. horní	$f_{yf,k}$	230	MPa	
pás. dolní	$f_{yf,k}$	230	MPa	
stojina	$f_{yw,k}$	230	MPa	
výztuž	$f_{ys,k}$	500	MPa	
γ_M =	1.10	γ_s =	1.15	

Excentricita normálové síly				
Exc./Fáze	0	1	2	3
e_y	0.000	0.000	0.000	0.000
e_z	0.000	0.000	0.000	0.000
Ekvivalentní vzdál. stěn - příčný roznos				
b_{Mx}	0.000	0.000	0.000	0.000

Vliv stěny na únosnost průřezu				
Char./Fáze	0	1	2	3
A	0.00	0.00	0.00	0.00
Wy	0.00	0.00	0.00	0.00
Wz	0.00	0.00	0.00	0.00

Charakter. v kroucení			
$t_{w,y}$	0.000	[mm]	
$t_{w,z}$	0.000	[mm]	
κ	1.00		
I_t=	0.00E+00	[mm^4]	
$\Omega=2*A_{pr}$	0.00E+00	[mm^2]	

Součinitele vzpěru a vlivu II.řádu				
Char./Fáze	0	1	2	3
k_y	1.000	1.000	1.000	1.000
k_z	1.000	1.000	1.000	1.000
χ_{LT}	1.000	1.000	1.000	1.000
χ_{min}	1.000	1.000	1.000	1.000

Vnitřní síly od jednotlivých skupin zatěžovacích stavů

SKUPINA ZATĚŽOVACÍCH STAVŮ					- CHARAKTERISTICKÉ HODNOTY						DÍLČÍ SOUČINITELÉ ZATÍŽENÍ, DYNAMICKÝ SOUČINITEL						8	- NÁVRHOVÉ HODNOTY									
Č.	SKUP ZS	POPIS ZS	KAT.	FÁZE PRŮŘ.	N.k (kN)	Vy.k (kN)	Vz.k (kN)	Mx.k (kNm)	My.k (kNm)	Mz.k (kNm)	γ_{sup} (-)	γ_{inf} (-)	volba ψ_i hledat	ψ_i (-)	L_d (m)	δ (-)	ψ_0 KZ08	N.d (kN)	Vy.d (kN)	Vz.d (kN)	ΔVz.d (kN)	ΣVz.d (kN)	Mx.d (kNm)	My.d (kNm)	ΔMy.d (kNm)	ΣMy.d (kNm)	Mz.d (kNm)	ΔMz.d (kNm)	ΣMz.d (kNm)
1	G0	Vlastní tíha OK	G	0	14	0	-1	0	-5	0	1.00	1.20		1.20	-	1.00	0.95	16	0	-1	0	-1	0	-6	0	-6	0	0	0
2	G1	Ostatní stálé - mostní vybavení	G	0	4	0	0	0	-1	0	1.00	1.20		1.20	-	1.00	0.95	5	0	0	0	0	0	-1	0	-1	0	0	0
3	G2	Ostatní stálé - cizí zařízení	G	0	3	0	0	0	1	0	1.00	1.00		1.00	-	1.00	0.95	3	0	0	0	0	0	1	0	1	0	0	0
4	P1_71	a.LM71 - kolej 1 (bez dyn. souč.)	P	0	64	0	-13	0	-64	0	1.00	vyp.		0.00	-	1.00	0.00	0	0	0	0	0	0	0	0	0	0	0	0
5	P2_71	a.LM71 - kolej 2 (bez dyn. souč.)	P	0	173	0	-7	0	-32	0	1.00	vyp.		0.00	-	1.00	0.00	0	0	0	0	0	0	0	0	0	0	0	0
6	P1_C3	TTZ C3 - kolej 1 (bez dyn. souč.)	P	0	46	0	-10	0	-50	0	1.00	1.30		1.30	-	1.05	1.00	62	0	-13	0	-13	0	-68	0	-68	0	0	0
7	P2_C3	TTZ C3 - kolej 2 (bez dyn. souč.)	P	0	120	0	-5	0	-23	0	1.00	1.30		1.30	-	1.05	1.00	164	0	-7	0	-7	0	-31	0	-31	0	0	0
8	BR	Brzdné a rozjezdové síly	P	0	13	-1	0	0	-2	-1	1.00	1.30		1.30	-	1.00	0.32	6	0	0	0	0	0	-1	0	-1	-1	0	-1
9	S	Boční ráz	P	0	4	0	-2	0	-11	0	1.00	1.30		1.30	-	1.00	0.64	3	0	-2	0	-2	0	-10	0	-10	0	0	0
10	CH	Chodci na lávkách	Q	0	-11	0	-1	0	-3	0	1.00	1.30		1.30	-	1.00	1.00	-14	0	-1	0	-1	0	-4	0	-4	0	0	0
11	W	Vítr na konstrukci	Q	0	-9	0	-6	0	-12	0	1.00	1.35		1.35	-	1.00	0.75	-10	0	-6	0	-6	0	-12	0	-12	0	0	0
12	WP	Vítr na vozidla	Q	0	12	0	-6	0	-31	0	1.00	1.35		1.35	-	1.00	0.75	12	0	-6	0	-6	0	-32	0	-32	0	0	0
13	TR	Teplota rovnoměrná	Q	0	0	0	0	0	0	0	1.00	1.35		1.35	-	1.00	0.45	0	0	0	0	0	0	0	0	0	0	0	0
14	TN	Teplota nerovnoměrná	Q	0	60	0	-6	0	-29	0	1.00	1.35		1.35	-	1.00	0.60	49	0	-5	0	-5	0	-24	0	-24	0	0	0
15	FR	Třecí síly v ložiskách	Q	0	-1	0	0	0	0	0	1.00	1.20		1.20	-	1.00	1.00	-2	0	0	0	0	0	0	0	0	0	0	0
16	I	Imperfekce soustavy	Q	0	-1	0	-1	0	-4	0	1.00	1.20		1.20	-	1.00	1.00	-1	0	-1	0	-1	0	-5	0	-5	0	0	0
27	ULS_LM	ULS - LM71 bez dynam	Q	0	381	0	-49	0	-224	0	1.00	vyp.		0.00	-	1.00	0.00	0	0	0	0	0	0	0	0	0	0	0	0
28	SLS_LM	SLS - LM71 bez dynam	Q	0	258	0	-34	0	-153	0	1.00	vyp.	1	0.00	-	1.00	0.00	0	0	0	0	0	0	0	0	0	0	0	0
29	ULS_C3	ULS - C3 bez dynam	Q	0	289	0	-43	0	-193	0	1.00	vyp.	1	0.00	-	1.00	0.00	0	0	0	0	0	0	0	0	0	0	0	0
30	SLS_C3	SLS - C3 bez dynam	Q	0	187	0	-29	0	-130	0	1.00	vyp.	1	0.00	-	1.00	0.00	0	0	0	0	0	0	0	0	0	0	0	0
		CELKEM - FÁZE PRŮŘEZU 0																294	0	-43	0	-43	0	-192	0	-192	0	0	0
		CELKEM - FÁZE PRŮŘEZU 1																0	0	0	0	0	0	0	0	0	0	0	0
		CELKEM - FÁZE PRŮŘEZU 2																0	0	0	0	0	0	0	0	0	0	0	0
		CELKEM - FÁZE PRŮŘEZU 3																0	0	0	0	0	0	0	0	0	0	0	0
		CELKEM - PRŮŘEZ																294	0	-43	0	-43	0			-192			0

Napětí od jednotlivých zatěžovacích stavů

SKUPINA ZATĚŽOVACÍCH STAVŮ					Posouzení normálového napětí									Posouzení smykového napětí														
					Účinek síly N			Účinek momentu My				Účinek momentu Mz				Účinek kroutícího momentu Mx				Účinek smykové síly Vy				Účinek smykové síly Vz			
Č.	SKUP ZS	Popis ZS	Kat.	fáze prúř.	δ^*N_d [kN]	χ^*A [mm^2]	σ_n [MPa]	$\delta^*M_{y,d}$ [kNm]	$\chi_{lt}*W_{el,y}$ [mm^3]	σ_{my} [MPa]	$\delta^*M_{z,d}$ [kNm]	$W_{el,z}$ [mm^3]	σ_{mz} [MPa]	σ_x [MPa]	$\kappa*\delta^*M_{x,d}$ [kNm]	$W_{v,y}$ [mm^2]	$\tau_{x,y}$ [MPa]	$W_{v,z}$ [mm^2]	$\tau_{x,z}$ [MPa]	$\delta^*V_{y,d}$ [kN]	$A_{v,y}$ [mm2]	$\tau_{v,y}$ [MPa]	$\tau_{v,y}$ [MPa]	$\delta^*V_{z,d}$ [kN]	$A_{v,z}$ [mm2]	$\tau_{v,z}$ [MPa]	$\tau_{v,z}$ [MPa]
1	G0	Vlastní tíha OK	G	0	16.0	7.17E+03	2.2	-5.8	1.53E+06	-3.8	0.1	-1.18E+06	-0.1	-1.7	0.0E+00	-	-	-	-	-0.2	4.80E+03	0.0	0.0	-1.4	2.77E+03	-0.5	-0.5
2	G1	Ostatní stálé - mostní vybavení	G	0	4.7	7.17E+03	0.7	-0.9	1.53E+06	-0.6	0.0	-1.18E+06	0.0	0.1	0.0E+00	-	-	-	-	0.0	4.80E+03	0.0	0.0	-0.2	2.77E+03	-0.1	-0.1
3	G2	Ostatní stálé - cizí zařízení	G	0	2.8	7.17E+03	0.4	0.6	1.53E+06	0.4	0.0	-1.18E+06	0.0	0.8	0.0E+00	-	-	-	-	0.0	4.80E+03	0.0	0.0	0.1	2.77E+03	0.0	0.0
4	P1_71	a.LM71 - kolej 1 (bez dyn. souč.)	P	0	0.0	7.17E+03	0.0	0.0	1.53E+06	0.0	0.0	-1.18E+06	0.0	0.0	0.0E+00	-	-	-	-	0.0	4.80E+03	0.0	0.0	0.0	2.77E+03	0.0	0.0
5	P2_71	a.LM71 - kolej 2 (bez dyn. souč.)	P	0	0.0	7.17E+03	0.0	0.0	1.53E+06	0.0	0.0	-1.18E+06	0.0	0.0	0.0E+00	-	-	-	-	0.0	4.80E+03	0.0	0.0	0.0	2.77E+03	0.0	0.0
6	P1_C3	TTZ C3 - kolej 1 (bez dyn. souč.)	P	0	62.3	7.17E+03	8.7	-68.4	1.53E+06	-44.6	0.2	-1.18E+06	-0.1	-36.0	0.0E+00	-	-	-	-	0.1	4.80E+03	0.0	0.0	-13.4	2.77E+03	-4.8	-4.8
7	P2_C3	TTZ C3 - kolej 2 (bez dyn. souč.)	P	0	164.4	7.17E+03	22.9	-31.1	1.53E+06	-20.3	0.2	-1.18E+06	-0.2	2.5	0.0E+00	-	-	-	-	0.5	4.80E+03	0.1	0.1	-7.2	2.77E+03	-2.6	-2.6
8	BR	Brzdné a rozjezdové síly	P	0	5.5	7.17E+03	0.8	-0.8	1.53E+06	-0.5	-0.6	-1.18E+06	0.5	0.7	4.2E-03	-	-	-	-	-0.2	4.80E+03	0.0	0.0	-0.2	2.77E+03	-0.1	-0.1
9	S	Boční ráz	P	0	3.2	7.17E+03	0.4	-9.5	1.53E+06	-6.2	0.0	-1.18E+06	0.0	-5.7	0.0E+00	-	-	-	-	0.0	4.80E+03	0.0	0.0	-2.0	2.77E+03	-0.7	-0.7
10	CH	Chodci na lávkách	Q	0	-13.7	7.17E+03	-1.9	-4.0	1.53E+06	-2.6	0.1	-1.18E+06	-0.1	-4.6	0.0E+00	-	-	-	-	0.0	4.80E+03	0.0	0.0	-0.8	2.77E+03	-0.3	-0.3
11	W	Vítr na konstrukci	Q	0	-9.5	7.17E+03	-1.3	-12.3	1.53E+06	-8.0	0.0	-1.18E+06	0.0	-9.3	0.0E+00	-	-	-	-	0.0	4.80E+03	0.0	0.0	-6.1	2.77E+03	-2.2	-2.2
12	WP	Vítr na vozidla	Q	0	12.4	7.17E+03	1.7	-31.6	1.53E+06	-20.6	0.1	-1.18E+06	0.0	-18.9	0.0E+00	-	-	-	-	0.1	4.80E+03	0.0	0.0	-6.2	2.77E+03	-2.2	-2.2
13	TR	Teplota rovnoměrná	Q	0	0.0	7.17E+03	0.0	0.0	1.53E+06	0.0	0.0	-1.18E+06	0.0	0.0	0.0E+00	-	-	-	-	0.0	4.80E+03	0.0	0.0	0.0	2.77E+03	0.0	0.0
14	TN	Teplota nerovnoměrná	Q	0	48.7	7.17E+03	6.8	-23.7	1.53E+06	-15.4	0.1	-1.18E+06	-0.1	-8.7	0.0E+00	-	-	-	-	0.2	4.80E+03	0.0	0.0	-4.7	2.77E+03	-1.7	-1.7
15	FR	Třecí síly v ložiskách	Q	0	-1.7	7.17E+03	-0.2	0.0	1.53E+06	0.0	0.0	-1.18E+06	0.0	-0.2	0.0E+00	-	-	-	-	0.0	4.80E+03	0.0	0.0	0.0	2.77E+03	0.0	0.0
16	I	Imperfekce soustavy	Q	0	-1.3	7.17E+03	-0.2	-4.9	1.53E+06	-3.2	0.0	-1.18E+06	0.0	-3.4	0.0E+00	-	-	-	-	0.0	4.80E+03	0.0	0.0	-0.9	2.77E+03	-0.3	-0.3
27	ULS_LM	ULS - LM71 bez dynam	Q	0	0.0	7.17E+03	0.0	0.0	1.53E+06	0.0	0.0	-1.18E+06	0.0	0.0	0.0E+00	-	-	-	-	0.0	4.80E+03	0.0	0.0	0.0	2.77E+03	0.0	0.0
28	SLS_LM	SLS - LM71 bez dynam	Q	0	0.0	7.17E+03	0.0	0.0	1.53E+06	0.0	0.0	-1.18E+06	0.0	0.0	0.0E+00	-	-	-	-	0.0	4.80E+03	0.0	0.0	0.0	2.77E+03	0.0	0.0
29	ULS_C3	ULS - C3 bez dynam	Q	0	0.0	7.17E+03	0.0	0.0	1.53E+06	0.0	0.0	-1.18E+06	0.0	0.0	0.0E+00	-	-	-	-	0.0	4.80E+03	0.0	0.0	0.0	2.77E+03	0.0	0.0
30	SLS_C3	SLS - C3 bez dynam	Q	0	0.0	7.17E+03	0.0	0.0	1.53E+06	0.0	0.0	-1.18E+06	0.0	0.0	0.0E+00	-	-	-	-	0.0	4.80E+03	0.0	0.0	0.0	2.77E+03	0.0	0.0
NAVÝŠENÍ NAPĚTÍ DO AKTIVACE TLAKU V DESCE MOSTOVKY						$\sigma_{P,red}$	0.0							0.0			0.0		0.0			0.1	0.1			-15.5	-15.5
NAPĚTÍ OD PRIMÁRNÍCH ÚČINKŮ NEROVNOMĚRNÉHO OTEPLENÍ						σ_T	0.0							0.0													
NAPĚTÍ OD REOLOGICKÝCH ÚČINKŮ BETONU V ČASE		t=0				σ_R	0.0	γ_{inf}	1.20					0.0													
NAPĚTÍ V KRITICKÝCH VLÁKNECH OD KOMBINACE ZATÍŽENÍ						KZ08		[MPa]					$\Sigma\sigma_x$	-84.5								$\Sigma\tau_y$	0.1			$\Sigma\tau_z$	-15.5
NAPĚTÍ OD POHYBLIVÉHO ZATÍŽENÍ								[MPa]					$\sigma_{x,P}$	-38.5								τ_P	0.1			τ_P	-8.2
NAPĚTÍ OD OSTATNÍCH ZATÍŽENÍ								[MPa]			Φ_{Vy}	Φ_{Vz}	$\sigma_{x,rs}$	-46.0								τ_{rs}	0.0			τ_{rs}	-7.3
NÁVRHOVÁ HODNOTA MEZE KLUZU S REDUKCÍ VLIVEM SMYKOVÉHO NAPĚTÍ								[MPa]			1.00	1.00	$f_{yw,d}$	209.1								$f_{yd}/3^{0,5}$	120.7			$f_{yd}/3^{0,5}$	120.7
NAPĚTÍ OD POHYBLIVÉHO ZATÍŽENÍ V GLOBÁLNÍM SYSTÉMU						$\sigma_{GLOB,P}$	0.0	[MPa]					$\Sigma\sigma_{GLOB}$	0.0													
NAPĚTÍ OD OSTATNÍCH ZATÍŽENÍ V GLOBÁLNÍM SYSTÉMU						$\sigma_{GLOB,rs}$	0.0	[MPa]					$\Sigma\sigma_x + \Sigma\sigma_{GLOB}$	-84.5													
VYUŽITÍ PRŮŘEZU DLE NAPĚTÍ								[%]					η_1	0.40								η_3	0.00			η_3	0.13
NAPĚTÍ V PŘÍČNÉM SMĚRU OD POHYBLIVÉHO ZATÍŽENÍ						$\sigma_{z,P}$	0.0	[MPa]					$\Sigma\sigma_z$	0.0													
NAPĚTÍ V PŘÍČNÉM SMĚRU OD OSTATNÍCH ZATÍŽENÍ						$\sigma_{z,rs}$	0.0	[MPa]					η_2	0.00													
SROVNÁVACÍ NAPĚTÍ													$(\eta_2 + 0,8\,\eta_1)/1,4 =$	0.23													
VYUŽITÍ PRŮŘEZU CELKEM								[%]					eff	0.40	VYHOVUJE												
													z_{LM71} =	-----													

TAB. V8.2.3 POSOUZENÍ - MEZNÍ STAV ÚNOSNOSTI

POPIS	SVISLICE V8
PRUT / POLOHA BODU	401 / I[343]
NAMÁHÁNÍ	My.min
VLÁKNO	BOD K2 -HP
MEZNÍ STAV	ULS (MSÚ)
VYUŽITÍ VLÁKNA PRŮŘEZU	1.01

Charakteristiky materiálu				
pás. horní	$f_{yf,k}$	230	MPa	
pás. dolní	$f_{yf,k}$	230	MPa	
stojina	$f_{yw,k}$	230	MPa	
výztuž	$f_{ys,k}$	500	MPa	
γ_M =	1.10	γ_s =	1.15	

Excentricita normálové síly				
Exc./Fáze	0	1	2	3
e_y	0.000	0.000	0.000	0.000
e_z	0.000	0.000	0.000	0.000
Ekvivalentní vzdál. stěn - příčný roznos				
b_{Mx}	0.000	0.000	0.000	0.000

Vliv stěny na únosnost průřezu				
Char./Fáze	0	1	2	3
A	0.00	0.00	0.00	0.00
Wy	0.00	0.00	0.00	0.00
Wz	0.00	0.00	0.00	0.00

Charakter. v kroucení			
$t_{w,y}$	0.000	[mm]	
$t_{w,z}$	0.000	[mm]	
κ	1.00		
I_t=	0.00E+00	[mm^4]	
$\Omega=2*A_{py}$	0.00E+00	[mm^2]	

Součinitele vzpěru a vlivu II.řádu				
Char./Fáze	0	1	2	3
k_y	1.000	1.000	1.000	1.000
k_z	1.000	1.000	1.000	1.000
χ_{LT}	1.000	1.000	1.000	1.000
χ_{min}	1.000	1.000	1.000	1.000

Vnitřní síly od jednotlivých skupin zatěžovacích stavů

SKUPINA ZATĚŽOVACÍCH STAVŮ					- CHARAKTERISTICKÉ HODNOTY						DÍLČÍ SOUČINITELÉ ZATÍŽENÍ, DYNAMICKÝ SOUČINITEL						8	- NÁVRHOVÉ HODNOTY									
Č.	SKUP ZS	POPIS ZS	KAT.	FÁZE PRŮŘ.	N.k (kN)	Vy.k (kN)	Vz.k (kN)	Mx.k (kNm)	My.k (kNm)	Mz.k (kNm)	γ_{sup} (-)	γ_{inf} (-)	volba ψ_i hledat	ψ_i (-)	L_d (m)	δ (-)	Ψ_E KZ08	N.d (kN)	Vy.d (kN)	Vz.d (kN)	ΔVz.d (kN)	ΣVz.d (kN)	Mx.d (kNm)	My.d (kNm)	ΔMy.d (kNm)	ΣMy.d (kNm)	Mz.d (kNm)	ΔMz.d (kNm)	ΣMz.d (kNm)
1	G0	Vlastní tíha OK	G	0	19	0	-1	0	-3	0	1.00	1.20		1.20	-	1.00	0.95	22	0	-1	0	-1	0	-4	0	-4	0	0	0
2	G1	Ostatní stálé - mostní vybavení	G	0	4	0	0	0	-1	0	1.00	1.20		1.20	-	1.00	0.95	4	0	0	0	0	0	-1	0	-1	0	0	0
3	G2	Ostatní stálé - cizí zařízení	G	0	2	0	0	0	1	0	1.00	1.00		1.00	-	1.00	0.95	2	0	0	0	0	0	0	0	0	0	0	0
4	P1_71	a.LM71 - kolej 1 (bez dyn. souč.)	P	0	48	0	-11	0	-51	0	1.00	vyp.		0.00	-	1.00	0.00	0	0	0	0	0	0	0	0	0	0	0	0
5	P2_71	a.LM71 - kolej 2 (bez dyn. souč.)	P	0	129	0	-7	0	-26	0	1.00	vyp.		0.00	-	1.00	0.00	0	0	0	0	0	0	0	0	0	0	0	0
6	P1_C3	TTZ C3 - kolej 1 (bez dyn. souč.)	P	0	34	0	-8	0	-39	0	1.00	1.30		1.30	-	1.05	1.00	47	0	-12	0	-12	0	-54	0	-54	0	0	0
7	P2_C3	TTZ C3 - kolej 2 (bez dyn. souč.)	P	0	90	0	-5	0	-19	0	1.00	1.30		1.30	-	1.05	1.00	123	0	-7	0	-7	0	-26	0	-26	0	0	0
8	BR	Brzdné a rozjezdové síly	P	0	11	0	0	0	-1	0	1.00	1.30		1.30	-	1.00	0.32	4	0	0	0	0	0	-1	0	-1	0	0	0
9	S	Boční ráz	P	0	7	0	-3	0	-11	0	1.00	1.30		1.30	-	1.00	0.64	6	0	-2	0	-2	0	-9	0	-9	0	0	0
10	CH	Chodci na lávkách	Q	0	4	0	0	0	-2	0	1.00	1.30		1.30	-	1.00	1.00	5	0	0	0	0	0	-2	0	-2	0	0	0
11	W	Vítr na konstrukci	Q	0	-11	0	-6	0	-12	0	1.00	1.35		1.35	-	1.00	0.75	-11	0	-6	0	-6	0	-12	0	-12	0	0	0
12	WP	Vítr na vozidla	Q	0	17	0	-6	0	-28	0	1.00	1.35		1.35	-	1.00	0.75	17	0	-6	0	-6	0	-28	0	-28	0	0	0
13	TR	Teplota rovnoměrná	Q	0	0	0	0	0	0	0	1.00	1.35		1.35	-	1.00	0.45	0	0	0	0	0	0	0	0	0	0	0	0
14	TN	Teplota nerovnoměrná	Q	0	76	0	-5	0	-25	0	1.00	1.35		1.35	-	1.00	0.60	62	0	-4	0	-4	0	-20	0	-20	0	0	0
15	FR	Třecí síly v ložiskách	Q	0	2	0	0	0	0	0	1.00	1.20		1.20	-	1.00	1.00	2	0	0	0	0	0	0	0	0	0	0	0
16	I	Imperfekce soustavy	Q	0	-1	0	-1	0	-3	0	1.00	1.20		1.20	-	1.00	1.00	-1	0	-1	0	-1	0	-4	0	-4	0	0	0
27	ULS_LM	ULS - LM71 bez dynam	Q	0	349	0	-46	0	-185	0	1.00	vyp.		0.00	-	1.00	0.00	0	0	0	0	0	0	0	0	0	0	0	0
28	SLS_LM	SLS - LM71 bez dynam	Q	0	224	0	-32	0	-126	0	1.00	vyp.	1	0.00	-	1.00	0.00	0	0	0	0	0	0	0	0	0	0	0	0
29	ULS_C3	ULS - C3 bez dynam	Q	0	281	0	-40	0	-161	0	1.00	vyp.	1	0.00	-	1.00	0.00	0	0	0	0	0	0	0	0	0	0	0	0
30	SLS_C3	SLS - C3 bez dynam	Q	0	172	0	-27	0	-108	0	1.00	vyp.	1	0.00	-	1.00	0.00	0	0	0	0	0	0	0	0	0	0	0	0
		CELKEM - FÁZE PRŮŘEZU 0																282	0	-40	0	-40	0	-159	0	-159	0	0	0
		CELKEM - FÁZE PRŮŘEZU 1																0	0	0	0	0	0	0	0	0	0	0	0
		CELKEM - FÁZE PRŮŘEZU 2																0	0	0	0	0	0	0	0	0	0	0	0
		CELKEM - FÁZE PRŮŘEZU 3																0	0	0	0	0	0	0	0	0	0	0	0
		CELKEM - PRŮŘEZ																282	0	-40	0	-40	0			-159			0

Napětí od jednotlivých zatěžovacích stavů

SKUPINA ZATĚŽOVACÍCH STAVŮ					Posouzení normálového napětí										Posouzení smykového napětí													
					Účinek síly N			Účinek momentu My			Účinek momentu Mz				Účinek kroutícího momentu Mx				Účinek smykové síly Vy				Účinek smykové síly Vz			
Č.	SKUP ZS	Popis ZS	Kat.	fáze průř.	δ^*N_d [kN]	χ^*A [mm^2]	σ_n [MPa]	$\delta^*M_{y,d}$ [kNm]	$\chi_{lt}*W_{el,y}$ [mm^3]	σ_{my} [MPa]	$\delta^*M_{z,d}$ [kNm]	$W_{el,z}$ [mm^3]	σ_{mz} [MPa]	σ_x [MPa]	$\kappa*\delta^*M_{x,d}$ [kNm]	$W_{v,y}$ [mm^2]	$\tau_{x,y}$ [MPa]	$W_{v,z}$ [mm^2]	$\tau_{x,z}$ [MPa]	$\delta^*V_{y,d}$ [kN]	$A_{v,y}$ [mm2]	$\tau_{v,y}$ [MPa]	$\tau_{v,y}$ [MPa]	$\delta^*V_{z,d}$ [kN]	$A_{v,z}$ [mm2]	$\tau_{v,z}$ [MPa]	$\tau_{v,z}$ [MPa]
1	G0	Vlastní tíha OK	G	0	22.2	5.24E+03	4.2	-3.9	-1.02E+06	3.8	0.0	1.03E+05	0.0	8.1	0.0E+00	-	-	-	-	0.0	3.20E+03	0.0	0.0	-0.8	2.38E+03	-0.3	-0.3
2	G1	Ostatní stálé - mostní vybavení	G	0	4.0	5.24E+03	0.8	-0.6	-1.02E+06	0.6	0.0	1.03E+05	0.0	1.4	0.0E+00	-	-	-	-	0.0	3.20E+03	0.0	0.0	-0.1	2.38E+03	0.0	0.0
3	G2	Ostatní stálé - cizí zařízení	G	0	2.2	5.24E+03	0.4	0.5	-1.02E+06	-0.5	0.0	1.03E+05	0.0	0.0	0.0E+00	-	-	-	-	0.0	3.20E+03	0.0	0.0	0.1	2.38E+03	0.0	0.0
4	P1_71	a.LM71 - kolej 1 (bez dyn. souč.)	P	0	0.0	5.24E+03	0.0	0.0	-1.02E+06	0.0	0.0	1.03E+05	0.0	0.0	0.0E+00	-	-	-	-	0.0	3.20E+03	0.0	0.0	0.0	2.38E+03	0.0	0.0
5	P2_71	a.LM71 - kolej 2 (bez dyn. souč.)	P	0	0.0	5.24E+03	0.0	0.0	-1.02E+06	0.0	0.0	1.03E+05	0.0	0.0	0.0E+00	-	-	-	-	0.0	3.20E+03	0.0	0.0	0.0	2.38E+03	0.0	0.0
6	P1_C3	TTZ C3 - kolej 1 (bez dyn. souč.)	P	0	46.7	5.24E+03	8.9	-53.9	-1.02E+06	53.0	0.0	1.03E+05	-0.1	61.8	0.0E+00	-	-	-	-	0.0	3.20E+03	0.0	0.0	-11.5	2.38E+03	-4.8	-4.8
7	P2_C3	TTZ C3 - kolej 2 (bez dyn. souč.)	P	0	122.7	5.24E+03	23.4	-25.6	-1.02E+06	25.2	0.0	1.03E+05	0.0	48.6	0.0E+00	-	-	-	-	0.0	3.20E+03	0.0	0.0	-6.9	2.38E+03	-2.9	-2.9
8	BR	Brzdné a rozjezdové síly	P	0	4.4	5.24E+03	0.8	-0.5	-1.02E+06	0.5	0.1	1.03E+05	0.9	2.2	0.0E+00	-	-	-	-	0.0	3.20E+03	0.0	0.0	-0.1	2.38E+03	0.0	0.0
9	S	Boční ráz	P	0	6.1	5.24E+03	1.2	-9.4	-1.02E+06	9.2	0.0	1.03E+05	0.2	10.7	0.0E+00	-	-	-	-	0.0	3.20E+03	0.0	0.0	-2.3	2.38E+03	-1.0	-1.0
10	CH	Chodci na lávkách	Q	0	4.6	5.24E+03	0.9	-2.1	-1.02E+06	2.0	0.0	1.03E+05	-0.4	2.5	0.0E+00	-	-	-	-	0.0	3.20E+03	0.0	0.0	-0.5	2.38E+03	-0.2	-0.2
11	W	Vítr na konstrukci	Q	0	-11.0	5.24E+03	-2.1	-11.7	-1.02E+06	11.5	0.0	1.03E+05	0.1	9.6	0.0E+00	-	-	-	-	0.0	3.20E+03	0.0	0.0	-6.1	2.38E+03	-2.6	-2.6
12	WP	Vítr na vozidla	Q	0	17.5	5.24E+03	3.3	-28.0	-1.02E+06	27.5	0.0	1.03E+05	-0.1	30.7	0.0E+00	-	-	-	-	0.0	3.20E+03	0.0	0.0	-6.3	2.38E+03	-2.6	-2.6
13	TR	Teplota rovnoměrná	Q	0	0.0	5.24E+03	0.0	0.0	-1.02E+06	0.0	0.0	1.03E+05	0.0	0.0	0.0E+00	-	-	-	-	0.0	3.20E+03	0.0	0.0	0.0	2.38E+03	0.0	0.0
14	TN	Teplota nerovnoměrná	Q	0	61.7	5.24E+03	11.8	-20.0	-1.02E+06	19.7	0.0	1.03E+05	0.0	31.4	0.0E+00	-	-	-	-	0.0	3.20E+03	0.0	0.0	-4.4	2.38E+03	-1.9	-1.9
15	FR	Třecí síly v ložiskách	Q	0	2.4	5.24E+03	0.5	-0.1	-1.02E+06	0.1	0.0	1.03E+05	0.0	0.5	0.0E+00	-	-	-	-	0.0	3.20E+03	0.0	0.0	0.0	2.38E+03	0.0	0.0
16	I	Imperfekce soustavy	Q	0	-1.1	5.24E+03	-0.2	-4.0	-1.02E+06	4.0	0.0	1.03E+05	0.0	3.8	0.0E+00	-	-	-	-	0.0	3.20E+03	0.0	0.0	-0.9	2.38E+03	-0.4	-0.4
27	ULS_LM	ULS - LM71 bez dynam	Q	0	0.0	5.24E+03	0.0	0.0	-1.02E+06	0.0	0.0	1.03E+05	0.0	0.0	0.0E+00	-	-	-	-	0.0	3.20E+03	0.0	0.0	0.0	2.38E+03	0.0	0.0
28	SLS_LM	SLS - LM71 bez dynam	Q	0	0.0	5.24E+03	0.0	0.0	-1.02E+06	0.0	0.0	1.03E+05	0.0	0.0	0.0E+00	-	-	-	-	0.0	3.20E+03	0.0	0.0	0.0	2.38E+03	0.0	0.0
29	ULS_C3	ULS - C3 bez dynam	Q	0	0.0	5.24E+03	0.0	0.0	-1.02E+06	0.0	0.0	1.03E+05	0.0	0.0	0.0E+00	-	-	-	-	0.0	3.20E+03	0.0	0.0	0.0	2.38E+03	0.0	0.0
30	SLS_C3	SLS - C3 bez dynam	Q	0	0.0	5.24E+03	0.0	0.0	-1.02E+06	0.0	0.0	1.03E+05	0.0	0.0	0.0E+00	-	-	-	-	0.0	3.20E+03	0.0	0.0	0.0	2.38E+03	0.0	0.0
NAVÝŠENÍ NAPĚTÍ DO AKTIVACE TLAKU V DESCE MOSTOVKY						$\sigma_{P,red}$	0.0							0.0			0.0		0.0								-16.8	-16.8
NAPĚTÍ OD PRIMÁRNÍCH ÚČINKŮ NEROVNOMĚRNÉHO OTEPLENÍ						σ_T	0.0							0.0														
NAPĚTÍ OD REOLOGICKÝCH ÚČINKŮ BETONU V ČASE				t=0		σ_R	0.0	γ=	1.20					0.0														
NAPĚTÍ V KRITICKÝCH VLÁKNECH OD KOMBINACE ZATÍŽENÍ						KZ08		[MPa]					$\Sigma\sigma_x$	211.2								$\Sigma\tau_y$	0.0			$\Sigma\tau_z$	-16.8
NAPĚTÍ OD POHYBLIVÉHO ZATÍŽENÍ								[MPa]					$\sigma_{x,P}$	123.2								τ_P	0.0			τ_P	-8.8
NAPĚTÍ OD OSTATNÍCH ZATÍŽENÍ								[MPa]			Φ_{Vy}	Φ_{Vz}	$\sigma_{x,rs}$	87.9								τ_{rs}	0.0			τ_{rs}	-8.0
NÁVRHOVÁ HODNOTA MEZE KLUZU S REDUKCÍ VLIVEM SMYKOVÉHO NAPĚTÍ								[MPa]			1.00	1.00	$f_{yw,d}$	209.1								$f_{yd}/3^{0,5}$	120.7			$f_{yd}/3^{0,5}$	120.7
NAPĚTÍ OD POHYBLIVÉHO ZATÍŽENÍ V GLOBÁLNÍM SYSTÉMU						$\sigma_{GLOB,P}$	0.0	[MPa]					$\Sigma\sigma_{GLOB}$	0.0													
NAPĚTÍ OD OSTATNÍCH ZATÍŽENÍ V GLOBÁLNÍM SYSTÉMU						$\sigma_{GLOB,rs}$	0.0	[MPa]					$\Sigma\sigma_x + \Sigma\sigma_{GLOB}$	211.2													
VYUŽITÍ PRŮŘEZU DLE NAPĚTÍ								[%]					η_1	1.01								η_3	0.00			η_3	0.14
NAPĚTÍ V PŘÍČNÉM SMĚRU OD POHYBLIVÉHO ZATÍŽENÍ						$\sigma_{z,P}$	0.0	[MPa]					$\Sigma\sigma_z$	0.0													
NAPĚTÍ V PŘÍČNÉM SMĚRU OD OSTATNÍCH ZATÍŽENÍ						$\sigma_{z,rs}$	0.0	[MPa]					η_2	0.00													
SROVNÁVACÍ NAPĚTÍ													$(\eta_2 + 0,8\,\eta_1)/1,4 =$	0.58													
VYUŽITÍ PRŮŘEZU CELKEM								[%]					eff	1.01	NEVYHOUJE												
													z_{LM71} =	-----													

TAB. V8.2.3 POSOUZENÍ - MEZNÍ STAV ÚNOSNOSTI

POPIS	SVISLICE V8
PRUT / POLOHA BODU	401 / I[343]
NAMÁHÁNÍ	My.max
VLÁKNO	BOD K4 -SP
MEZNÍ STAV	ULS (MSÚ)
VYUŽITÍ VLÁKNA PRŮŘEZU	0.44

Charakteristiky materiálu				
pás. horní	$f_{yf,k}$	230	MPa	
pás. dolní	$f_{yf,k}$	230	MPa	
stojina	$f_{yw,k}$	230	MPa	
výztuž	$f_{ys,k}$	500	MPa	
	γ_M =	1.10	γ_s =	1.15

Excentricita normálové síly				
Exc./Fáze	0	1	2	3
e_y	0.000	0.000	0.000	0.000
e_z	0.000	0.000	0.000	0.000
Ekvivalentní vzdál. stěn - příčný roznos				
b_{Mx}	0.000	0.000	0.000	0.000

Vliv stěny na únosnost průřezu				
Char./Fáze	0	1	2	3
A	0.00	0.00	0.00	0.00
Wy	0.00	0.00	0.00	0.00
Wz	0.00	0.00	0.00	0.00

Charakter. v kroucení		
$t_{w,y}$	0.000	[mm]
$t_{w,z}$	0.000	[mm]
κ	1.00	
I_t=	0.00E+00	[mm⁴]
Ω=2*A_{pr}	0.00E+00	[mm²]

Součinitele vzpěru a vlivu II.řádu					
Char./Fáze	0	1	2	3
k_y	1.000	1.000	1.000	1.000
k_z	1.000	1.000	1.000	1.000
χ_{LT}	1.000	1.000	1.000	1.000
χ_{min}	1.000	1.000	1.000	1.000

Vnitřní síly od jednotlivých skupin zatěžovacích stavů — 8

SKUPINA ZATĚŽOVACÍCH STAVŮ					- CHARAKTERISTICKÉ HODNOTY						DÍLČÍ SOUČINITELÉ ZATÍŽENÍ, DYNAMICKÝ SOUČINITEL						- NÁVRHOVÉ HODNOTY								
Č.	SKUP ZS	POPIS ZS	KAT.	FÁZE PRŮŘ.	N.k (kN)	Vy.k (kN)	Vz.k (kN)	Mx.k (kNm)	My.k (kNm)	Mz.k (kNm)	γ_{sr} (-)	γ_{fs} (-)	volba γ_f hledat	γ_f (-)	L_d (m)	δ (-)	Ψ_0 KZ08	N.d (kN)	Vy.d (kN)	Vz.d (kN)	ΔVz.d (kN)	ΣVz.d (kN)	Mx.d (kNm)	My.d (kNm)	ΔMy.d (kNm)	ΣMy.d (kNm)	Mz.d (kNm)	ΔMz.d (kNm)	ΣMz.d (kNm)
1	G0	Vlastní tíha OK	G	0	19	0	-1	0	-3	0	1.00	1.20		1.20	-	1.00	0.95	22	0	-1	0	-1	0	-4	0	-4	0	0	0
2	G1	Ostatní stálé - mostní vybavení	G	0	4	0	0	0	-1	0	1.00	1.20		1.20	-	1.00	0.95	4	0	0	0	0	0	-1	0	-1	0	0	0
3	G2	Ostatní stálé - cizí zařízení	G	0	2	0	0	0	1	0	1.00	1.20		1.20	-	1.00	0.95	3	0	0	0	0	0	1	0	1	0	0	0
4	P1_71	a.LM71 - kolej 1 (bez dyn. souč.)	P	0	0	0	0	0	0	0	1.00	vyp.		0.00	-	1.00	0.00	0	0	0	0	0	0	0	0	0	0	0	0
5	P2_71	a.LM71 - kolej 2 (bez dyn. souč.)	P	0	-20	0	8	0	31	0	1.00	vyp.		0.00	-	1.00	0.00	0	0	0	0	0	0	0	0	0	0	0	0
6	P1_C3	TTZ C3 - kolej 1 (bez dyn. souč.)	P	0	0	0	0	0	0	0	1.00	1.30		1.30	-	1.05	1.00	0	0	0	0	0	0	0	0	0	0	0	0
7	P2_C3	TTZ C3 - kolej 2 (bez dyn. souč.)	P	0	-14	0	7	0	26	0	1.00	1.30		1.30	-	1.05	1.00	-20	0	10	0	10	0	36	0	36	0	0	0
8	BR	Brzdné a rozjezdové síly	P	0	-11	0	0	0	1	0	1.00	0.00		0.00	-	1.00	0.32	0	0	0	0	0	0	0	0	0	0	0	0
9	S	Boční ráz	P	0	-7	0	3	0	11	0	1.00	1.30		1.30	-	1.00	0.64	-6	0	2	0	2	0	9	0	9	0	0	0
10	CH	Chodci na lávkách	Q	0	7	0	0	0	2	0	1.00	1.30		1.30	-	1.00	1.00	10	0	1	0	1	0	2	0	2	0	0	0
11	W	Vítr na konstrukci	Q	0	11	0	6	0	12	0	1.00	1.35		1.35	-	1.00	0.75	11	0	6	0	6	0	12	0	12	0	0	0
12	WP	Vítr na vozidla	Q	0	-17	0	6	0	28	0	1.00	1.35		1.35	-	1.00	0.75	-17	0	6	0	6	0	28	0	28	0	0	0
13	TR	Teplota rovnoměrná	Q	0	0	0	0	0	0	0	1.00	1.35		1.35	-	1.00	0.45	0	0	0	0	0	0	0	0	0	0	0	0
14	TN	Teplota nerovnoměrná	Q	0	-3	0	4	0	19	0	1.00	1.35		1.35	-	1.00	0.60	-2	0	3	0	3	0	15	0	15	0	0	0
15	FR	Třecí síly v ložiskách	Q	0	-2	0	0	0	0	0	1.00	-1.20		-1.20	-	1.00	1.00	2	0	0	0	0	0	0	0	0	0	0	0
16	I	Imperfekce soustavy	Q	0	1	0	1	0	3	0	1.00	1.20		1.20	-	1.00	1.00	1	0	1	0	1	0	4	0	4	0	0	0
27	ULS_LM	ULS - LM71 bez dynam	Q	0	-14	0	31	0	113	0	1.00	vyp.		0.00	-	1.00	0.00	0	0	0	0	0	0	0	0	0	0	0	0
28	SLS_LM	SLS - LM71 bez dynam	Q	0	-6	0	21	0	74	0	1.00	vyp.	1	0.00	-	1.00	0.00	0	0	0	0	0	0	0	0	0	0	0	0
29	ULS_C3	ULS - C3 bez dynam	Q	0	-7	0	29	0	107	0	1.00	vyp.	1	0.00	-	1.00	0.00	0	0	0	0	0	0	0	0	0	0	0	0
30	SLS_C3	SLS - C3 bez dynam	Q	0	0	0	20	0	69	0	1.00	vyp.	1	0.00	-	1.00	0.00	0	0	0	0	0	0	0	0	0	0	0	0
		CELKEM - FÁZE PRŮŘEZU 0																7	0	28	0	28	0	102	0	102	0	0	0
		CELKEM - FÁZE PRŮŘEZU 1																0	0	0	0	0	0	0	0	0	0	0	0
		CELKEM - FÁZE PRŮŘEZU 2																0	0	0	0	0	0	0	0	0	0	0	0
		CELKEM - FÁZE PRŮŘEZU 3																0	0	0	0	0	0	0	0	0	0	0	0
		CELKEM - PRŮŘEZ																7	0	28	0	28	0			102			0

Napětí od jednotlivých zatěžovacích stavů

SKUPINA ZATĚŽOVACÍCH STAVŮ					Posouzení normálového napětí									Posouzení smykového napětí												
					Účinek síly N			Účinek momentu My			Účinek momentu Mz				Účinek ktoutícího momentu Mx				Účinek smykové síly Vy				Účinek smykové síly Vz			
č.	SKUP ZS	Popis ZS	Kat.	fáze průř.	δ^*N_d [kN]	χ^*A [mm²]	σ_n [MPa]	$\delta^*M_{y,d}$ [kNm]	$\chi_{lt}{}^*W_{el,y}$ [mm³]	σ_{my} [MPa]	$\delta^*M_{z,d}$ [kNm]	$W_{el,z}$ [mm³]	σ_{mz} [MPa]	σ_x [MPa]	$\kappa^*\delta^*M_{x,d}$ [kNm]	$W_{v,y}$ [mm³]	$\tau_{x,y}$ [MPa]	$W_{v,z}$ [mm³]	$\tau_{x,z}$ [MPa]	$\delta^*V_{y,d}$ [kN]	$A_{v,y}$ [mm2]	$\tau_{v,y}$ [MPa]	$\tau_{v,y}$ [MPa]	$\delta^*V_{z,d}$ [kN]	$A_{v,z}$ [mm2]	$\tau_{v,z}$ [MPa]	$\tau_{v,z}$ [MPa]
1	G0	Vlastní tíha OK	G	0	22.2	5.24E+03	4.2	-3.9	1.14E+06	-3.4	0.0	1.03E+05	0.0	0.8	0.0E+00	-	-	-	-	0.0	3.20E+03	0.0	0.0	-0.8	2.38E+03	-0.3	-0.3
2	G1	Ostatní stálé - mostní vybavení	G	0	4.0	5.24E+03	0.8	-0.6	1.14E+06	-0.5	0.0	1.03E+05	0.0	0.2	0.0E+00	-	-	-	-	0.0	3.20E+03	0.0	0.0	-0.1	2.38E+03	0.0	0.0
3	G2	Ostatní stálé - cizí zařízení	G	0	2.7	5.24E+03	0.5	0.6	1.14E+06	0.5	0.0	1.03E+05	0.0	1.0	0.0E+00	-	-	-	-	0.0	3.20E+03	0.0	0.0	0.1	2.38E+03	0.0	0.0
4	P1_71	a.LM71 - kolej 1 (bez dyn. souč.)	P	0	0.0	5.24E+03	0.0	0.0	1.14E+06	0.0	0.0	1.03E+05	0.0	0.0	0.0E+00	-	-	-	-	0.0	3.20E+03	0.0	0.0	0.0	2.38E+03	0.0	0.0
5	P2_71	a.LM71 - kolej 2 (bez dyn. souč.)	P	0	0.0	5.24E+03	0.0	0.0	1.14E+06	0.0	0.0	1.03E+05	0.0	0.0	0.0E+00	-	-	-	-	0.0	3.20E+03	0.0	0.0	0.0	2.38E+03	0.0	0.0
6	P1_C3	TTZ C3 - kolej 1 (bez dyn. souč.)	P	0	0.0	5.24E+03	0.0	0.0	1.14E+06	0.0	0.0	1.03E+05	0.0	0.0	0.0E+00	-	-	-	-	0.0	3.20E+03	0.0	0.0	0.0	2.38E+03	0.0	0.0
7	P2_C3	TTZ C3 - kolej 2 (bez dyn. souč.)	P	0	-19.7	5.24E+03	-3.8	35.8	1.14E+06	31.4	0.0	1.03E+05	0.3	27.9	0.0E+00	-	-	-	-	0.0	3.20E+03	0.0	0.0	9.8	2.38E+03	4.1	4.1
8	BR	Brzdné a rozjezdové síly	P	0	0.0	5.24E+03	0.0	0.0	1.14E+06	0.0	0.0	1.03E+05	0.0	0.0	0.0E+00	-	-	-	-	0.0	3.20E+03	0.0	0.0	0.0	2.38E+03	0.0	0.0
9	S	Boční ráz	P	0	-6.1	5.24E+03	-1.2	9.4	1.14E+06	8.2	0.0	1.03E+05	-0.2	6.8	0.0E+00	-	-	-	-	0.0	3.20E+03	0.0	0.0	2.3	2.38E+03	1.0	1.0
10	CH	Chodci na lávkách	Q	0	9.6	5.24E+03	1.8	2.4	1.14E+06	2.1	0.0	1.03E+05	0.0	4.0	0.0E+00	-	-	-	-	0.0	3.20E+03	0.0	0.0	0.5	2.38E+03	0.2	0.2
11	W	Vítr na konstrukci	Q	0	11.0	5.24E+03	2.1	11.7	1.14E+06	10.3	0.0	1.03E+05	-0.1	12.3	0.0E+00	-	-	-	-	0.0	3.20E+03	0.0	0.0	6.1	2.38E+03	2.6	2.6
12	WP	Vítr na vozidla	Q	0	-17.5	5.24E+03	-3.3	28.0	1.14E+06	24.5	0.0	1.03E+05	0.1	21.3	0.0E+00	-	-	-	-	0.0	3.20E+03	0.0	0.0	6.3	2.38E+03	2.6	2.6
13	TR	Teplota rovnoměrná	Q	0	0.0	5.24E+03	0.0	0.0	1.14E+06	0.0	0.0	1.03E+05	0.0	0.0	0.0E+00	-	-	-	-	0.0	3.20E+03	0.0	0.0	0.0	2.38E+03	0.0	0.0
14	TN	Teplota nerovnoměrná	Q	0	-2.3	5.24E+03	-0.4	15.2	1.14E+06	13.3	0.0	1.03E+05	0.0	12.9	0.0E+00	-	-	-	-	0.0	3.20E+03	0.0	0.0	3.3	2.38E+03	1.4	1.4
15	FR	Třecí síly v ložiskách	Q	0	2.4	5.24E+03	0.5	-0.1	1.14E+06	-0.1	0.0	1.03E+05	0.0	0.4	0.0E+00	-	-	-	-	0.0	3.20E+03	0.0	0.0	0.0	2.38E+03	0.0	0.0
16	I	Imperfekce soustavy	Q	0	1.1	5.24E+03	0.2	4.0	1.14E+06	3.5	0.0	1.03E+05	0.0	3.8	0.0E+00	-	-	-	-	0.0	3.20E+03	0.0	0.0	0.9	2.38E+03	0.4	0.4
27	ULS_LM	ULS - LM71 bez dynam	Q	0	0.0	5.24E+03	0.0	0.0	1.14E+06	0.0	0.0	1.03E+05	0.0	0.0	0.0E+00	-	-	-	-	0.0	3.20E+03	0.0	0.0	0.0	2.38E+03	0.0	0.0
28	SLS_LM	SLS - LM71 bez dynam	Q	0	0.0	5.24E+03	0.0	0.0	1.14E+06	0.0	0.0	1.03E+05	0.0	0.0	0.0E+00	-	-	-	-	0.0	3.20E+03	0.0	0.0	0.0	2.38E+03	0.0	0.0
29	ULS_C3	ULS - C3 bez dynam	Q	0	0.0	5.24E+03	0.0	0.0	1.14E+06	0.0	0.0	1.03E+05	0.0	0.0	0.0E+00	-	-	-	-	0.0	3.20E+03	0.0	0.0	0.0	2.38E+03	0.0	0.0
30	SLS_C3	SLS - C3 bez dynam	Q	0	0.0	5.24E+03	0.0	0.0	1.14E+06	0.0	0.0	1.03E+05	0.0	0.0	0.0E+00	-	-	-	-	0.0	3.20E+03	0.0	0.0	0.0	2.38E+03	0.0	0.0
NAVÝŠENÍ NAPĚTÍ DO AKTIVACE TLAKU V DESCE MOSTOVKY						$\sigma_{P,red}$	0.0							0.0			0.0		0.0				0.0			11.9	11.9
NAPĚTÍ OD PRIMÁRNÍCH ÚČINKŮ NEROVNOMĚRNÉHO OTEPLENÍ						σ_T	0.0							0.0													
NAPĚTÍ OD REOLOGICKÝCH ÚČINKŮ BETONU V ČASE				t=0		σ_R	0.0	γ_f=	1.20					0.0													
NAPĚTÍ V KRITICKÝCH VLÁKNECH OD KOMBINACE ZATÍŽENÍ						KZ08		[MPa]					$\Sigma\sigma_x$	91.2								$\Sigma\tau_y$	0.0			$\Sigma\tau_z$	11.9
NAPĚTÍ OD POHYBLIVÉHO ZATÍŽENÍ								[MPa]					$\sigma_{x,P}$	34.7								τ_P	0.0			τ_P	5.1
NAPĚTÍ OD OSTATNÍCH ZATÍŽENÍ								[MPa]			Φ_{Vy}	Φ_{Vz}	$\sigma_{x,rs}$	56.6								τ_{rs}	0.0			τ_{rs}	6.8
NÁVRHOVÁ HODNOTA MEZE KLUZU S REDUKCÍ VLIVEM SMYKOVÉHO NAPĚTÍ								[MPa]			1.00	1.00	$f_{yw,d}$	209.1								$f_{yd}/3^{0,5}$	120.7			$f_{yd}/3^{0,5}$	120.7
NAPĚTÍ OD POHYBLIVÉHO ZATÍŽENÍ V GLOBÁLNÍM SYSTÉMU						$\sigma_{GLOB,P}$	0.0	[MPa]					$\Sigma\sigma_{GLOB}$	0.0													
NAPĚTÍ OD OSTATNÍCH ZATÍŽENÍ V GLOBÁLNÍM SYSTÉMU						$\sigma_{GLOB,rs}$	0.0	[MPa]					$\Sigma\sigma_x + \Sigma\sigma_{GLOB}$	91.2													
VYUŽITÍ PRŮŘEZU DLE NAPĚTÍ								[%]					η_1	0.44								η_3	0.00			η_3	0.10
NAPĚTÍ V PŘÍČNÉM SMĚRU OD POHYBLIVÉHO ZATÍŽENÍ						$\sigma_{z,P}$	0.0	[MPa]					$\Sigma\sigma_z$	0.0													
NAPĚTÍ V PŘÍČNÉM SMĚRU OD OSTATNÍCH ZATÍŽENÍ						$\sigma_{z,rs}$	0.0	[MPa]					η_2	0.00													
SROVNÁVACÍ NAPĚTÍ													$(\eta_2 + 0{,}8\,\eta_1)/1{,}4$ =	0.25													
VYUŽITÍ PRŮŘEZU CELKEM								[%]					eff	0.44	VYHOVUJE												
													z_{LM71} =	-----													

TAB. V8.2.3 POSOUZENÍ - MEZNÍ STAV ÚNOSNOSTI

POPIS	SVISLICE V8
PRUT / POLOHA BODU	401 / I[343]
NAMÁHÁNÍ	Vz.min
VLÁKNO	BOD S6 -HP
MEZNÍ STAV	ULS (MSÚ)
VYUŽITÍ VLÁKNA PRŮŘEZU	0.41

Charakteristiky materiálu				
pás. horní	$f_{yf,k}$	230	MPa	
pás. dolní	$f_{yf,k}$	230	MPa	
stojina	$f_{yw,k}$	230	MPa	
výztuž	$f_{ys,k}$	500	MPa	
γ_M =	1.10	γ_s =	1.15	

Excentricita normálové síly				
Exc./Fáze	0	1	2	3
e_y	0.000	0.000	0.000	0.000
e_z	0.000	0.000	0.000	0.000
Ekvivalentní vzdál. stěn - příčný roznos				
b_{Mx}	0.000	0.000	0.000	0.000

Vliv stěny na únosnost průřezu				
Char./Fáze	0	1	2	3
A	0.00	0.00	0.00	0.00
Wy	0.00	0.00	0.00	0.00
Wz	0.00	0.00	0.00	0.00

Charakter. v kroucení			
$t_{w,y}$	0.000	[mm]	
$t_{w,z}$	0.000	[mm]	
κ	1.00		
I_t=	0.00E+00	[mm^4]	
Ω=2*A_{pz}	0.00E+00	[mm^2]	

Součinitele vzpěru a vlivu II.řádu					
Char./Fáze	0	1	2	3	
k_y	1.000	1.000	1.000	1.000	
k_z	1.000	1.000	1.000	1.000	
χ_{LT}	1.000	1.000	1.000	1.000	
χ_{min}	1.000	1.000	1.000	1.000	

8

Vnitřní síly od jednotlivých skupin zatěžovacích stavů

SKUPINA ZATĚŽOVACÍCH STAVŮ — CHARAKTERISTICKÉ HODNOTY — DÍLČÍ SOUČINITELÉ ZATÍŽENÍ, DYNAMICKÝ SOUČINITEL — NÁVRHOVÉ HODNOTY

Č.	SKUP ZS	POPIS ZS	KAT.	FÁZE PRŮŘ.	N.k (kN)	Vy.k (kN)	Vz.k (kN)	Mx.k (kNm)	My.k (kNm)	Mz.k (kNm)	γ_{sr} (-)	γ_{fs} (-)	volba γ_f hledat	γ_f (-)	L_d (m)	δ (-)	Ψ_z KZ08	N.d (kN)	Vy.d (kN)	Vz.d (kN)	ΔVz.d (kN)	ΣVz.d (kN)	Mx.d (kNm)	My.d (kNm)	ΔMy.d (kNm)	ΣMy.d (kNm)	Mz.d (kNm)	ΔMz.d (kNm)	ΣMz.d (kNm)
1	G0	Vlastní tíha OK	G	0	19	0	-1	0	-3	0	1.00	1.20		1.20	-	0.95	0.95	22	0	-1	0	-1	0	-4	0	-4	0	0	0
2	G1	Ostatní stálé - mostní vybavení	G	0	4	0	0	0	-1	0	1.00	1.20		1.20	-	1.00	0.95	4	0	0	0	0	0	-1	0	-1	0	0	0
3	G2	Ostatní stálé - cizí zařízení	G	0	2	0	0	0	1	0	1.00	1.00		1.00	-	1.00	0.95	2	0	0	0	0	0	0	0	0	0	0	0
4	P1_71	a.LM71 - kolej 1 (bez dyn. souč.)	P	0	48	0	-11	0	-51	0	1.00	vyp.		0.00	-	1.00	0.00	0	0	0	0	0	0	0	0	0	0	0	0
5	P2_71	a.LM71 - kolej 2 (bez dyn. souč.)	P	0	122	0	-7	0	-25	0	1.00	vyp.		0.00	-	1.00	0.00	0	0	0	0	0	0	0	0	0	0	0	0
6	P1_C3	TTZ C3 - kolej 1 (bez dyn. souč.)	P	0	34	0	-8	0	-39	0	1.00	1.30		1.30	-	1.05	1.00	47	0	-12	0	-12	0	-54	0	-54	0	0	0
7	P2_C3	TTZ C3 - kolej 2 (bez dyn. souč.)	P	0	90	0	-5	0	-19	0	1.00	1.30		1.30	-	1.05	1.00	123	0	-7	0	-7	0	-26	0	-26	0	0	0
8	BR	Brzdné a rozjezdové síly	P	0	11	0	0	0	-1	0	1.00	1.30		1.30	-	1.00	0.32	4	0	0	0	0	0	-1	0	-1	0	0	0
9	S	Boční ráz	P	0	7	0	-3	0	-11	0	1.00	1.30		1.30	-	1.00	0.64	6	0	-2	0	-2	0	-9	0	-9	0	0	0
10	CH	Chodci na lávkách	Q	0	4	0	0	0	-2	0	1.00	1.30		1.30	-	1.00	1.00	5	0	0	0	0	0	-2	0	-2	0	0	0
11	W	Vítr na konstrukci	Q	0	-11	0	-6	0	-12	0	1.00	1.35		1.35	-	1.00	0.75	-11	0	-6	0	-6	0	-12	0	-12	0	0	0
12	WP	Vítr na vozidla	Q	0	17	0	-6	0	-28	0	1.00	1.35		1.35	-	1.00	0.75	17	0	-6	0	-6	0	-28	0	-28	0	0	0
13	TR	Teplota rovnoměrná	Q	0	0	0	0	0	0	0	1.00	1.35		1.35	-	1.00	0.45	0	0	0	0	0	0	0	0	0	0	0	0
14	TN	Teplota nerovnoměrná	Q	0	76	0	-5	0	-25	0	1.00	1.35		1.35	-	1.00	0.60	62	0	-4	0	-4	0	-20	0	-20	0	0	0
15	FR	Třecí síly v ložiskách	Q	0	2	0	0	0	0	0	1.00	1.20		1.20	-	1.00	1.00	2	0	0	0	0	0	0	0	0	0	0	0
16	I	Imperfekce soustavy	Q	0	-1	0	-1	0	-3	0	1.00	1.20		1.20	-	1.00	1.00	-1	0	-1	0	-1	0	-4	0	-4	0	0	0
27	ULS_LM	ULS - LM71 bez dynam	Q	0	340	0	-46	0	-184	0	1.00	vyp.		0.00	-	1.00	0.00	0	0	0	0	0	0	0	0	0	0	0	0
28	SLS_LM	SLS - LM71 bez dynam	Q	0	217	0	-32	0	-126	0	1.00	vyp.	1	0.00	-	1.00	0.00	0	0	0	0	0	0	0	0	0	0	0	0
29	ULS_C3	ULS - C3 bez dynam	Q	0	281	0	-40	0	-161	0	1.00	vyp.	1	0.00	-	1.00	0.00	0	0	0	0	0	0	0	0	0	0	0	0
30	SLS_C3	SLS - C3 bez dynam	Q	0	172	0	-27	0	-108	0	1.00	vyp.	1	0.00	-	1.00	0.00	0	0	0	0	0	0	0	0	0	0	0	0
		CELKEM - FÁZE PRŮŘEZU 0																282	0	-40	0	-40	0	-159	0	-159	0	0	0
		CELKEM - FÁZE PRŮŘEZU 1																0	0	0	0	0	0	0	0	0	0	0	0
		CELKEM - FÁZE PRŮŘEZU 2																0	0	0	0	0	0	0	0	0	0	0	0
		CELKEM - FÁZE PRŮŘEZU 3																0	0	0	0	0	0	0	0	0	0	0	0
		CELKEM - PRŮŘEZ																282	0	-40	0	-40	0			-159			0

Napětí od jednotlivých zatěžovacích stavů

SKUPINA ZATĚŽOVACÍCH STAVŮ — Posouzení normálového napětí — Posouzení smykového napětí

Č.	SKUP ZS	Popis ZS	Kat.	fáze průř.	Účinek síly N: δ^*N_d [kN]	χ^*A [mm^2]	σ_n [MPa]	Účinek momentu My: $\delta^*M_{y,d}$ [kNm]	$\chi_t{}^*W_{el,y}$ [mm^3]	σ_{my} [MPa]	Účinek momentu Mz: $\delta^*M_{z,d}$ [kNm]	$W_{el,z}$ [mm^3]	σ_{mz} [MPa]	σ_x [MPa]	Účinek kroutícího momentu Mx: $\kappa^*\delta^*M_{x,d}$ [kNm]	$W_{v,y}$ [mm^2]	$\tau_{x,y}$ [MPa]	$W_{v,z}$ [mm^2]	$\tau_{x,z}$ [MPa]	Účinek smykové síly Vy: $\delta^*V_{y,d}$ [kN]	$A_{v,y}$ [mm2]	$\tau_{v,y}$ [MPa]	$\tau_{v,y}$ [MPa]	Účinek smykové síly Vz: $\delta^*V_{z,d}$ [kN]	$A_{v,z}$ [mm2]	$\tau_{v,z}$ [MPa]	$\tau_{v,z}$ [MPa]
1	G0	Vlastní tíha OK	G	0	22.2	5.24E+03	4.2	-3.9	1.14E+06	-3.4	0.0	-5.92E+05	0.0	0.8	0.0E+00	-	-	-	-	0.0	3.20E+03	0.0	0.0	-0.8	2.38E+03	-0.3	-0.3
2	G1	Ostatní stálé - mostní vybavení	G	0	4.0	5.24E+03	0.8	-0.6	1.14E+06	-0.5	0.0	-5.92E+05	0.0	0.2	0.0E+00	-	-	-	-	0.0	3.20E+03	0.0	0.0	-0.1	2.38E+03	0.0	0.0
3	G2	Ostatní stálé - cizí zařízení	G	0	2.2	5.24E+03	0.4	0.5	1.14E+06	0.4	0.0	-5.92E+05	0.0	0.8	0.0E+00	-	-	-	-	0.0	3.20E+03	0.0	0.0	0.1	2.38E+03	0.0	0.0
4	P1_71	a.LM71 - kolej 1 (bez dyn. souč.)	P	0	0.0	5.24E+03	0.0	0.0	1.14E+06	0.0	0.0	-5.92E+05	0.0	0.0	0.0E+00	-	-	-	-	0.0	3.20E+03	0.0	0.0	0.0	2.38E+03	0.0	0.0
5	P2_71	a.LM71 - kolej 2 (bez dyn. souč.)	P	0	0.0	5.24E+03	0.0	0.0	1.14E+06	0.0	0.0	-5.92E+05	0.0	0.0	0.0E+00	-	-	-	-	0.0	3.20E+03	0.0	0.0	0.0	2.38E+03	0.0	0.0
6	P1_C3	TTZ C3 - kolej 1 (bez dyn. souč.)	P	0	46.7	5.24E+03	8.9	-53.9	1.14E+06	-47.2	0.0	-5.92E+05	0.0	-38.3	0.0E+00	-	-	-	-	0.0	3.20E+03	0.0	0.0	-11.5	2.38E+03	-4.8	-4.8
7	P2_C3	TTZ C3 - kolej 2 (bez dyn. souč.)	P	0	122.7	5.24E+03	23.4	-25.6	1.14E+06	-22.4	0.0	-5.92E+05	0.0	1.0	0.0E+00	-	-	-	-	0.0	3.20E+03	0.0	0.0	-6.9	2.38E+03	-2.9	-2.9
8	BR	Brzdné a rozjezdové síly	P	0	4.4	5.24E+03	0.8	-0.5	1.14E+06	-0.4	0.1	-5.92E+05	-0.2	0.3	0.0E+00	-	-	-	-	0.0	3.20E+03	0.0	0.0	-0.1	2.38E+03	0.0	0.0
9	S	Boční ráz	P	0	6.1	5.24E+03	1.2	-9.4	1.14E+06	-8.2	0.0	-5.92E+05	0.0	-7.1	0.0E+00	-	-	-	-	0.0	3.20E+03	0.0	0.0	-2.3	2.38E+03	-1.0	-1.0
10	CH	Chodci na lávkách	Q	0	4.6	5.24E+03	0.9	-2.1	1.14E+06	-1.8	0.0	-5.92E+05	0.1	-0.9	0.0E+00	-	-	-	-	0.0	3.20E+03	0.0	0.0	-0.5	2.38E+03	-0.2	-0.2
11	W	Vítr na konstrukci	Q	0	-11.0	5.24E+03	-2.1	-11.7	1.14E+06	-10.3	0.0	-5.92E+05	0.0	-12.4	0.0E+00	-	-	-	-	0.0	3.20E+03	0.0	0.0	-6.1	2.38E+03	-2.6	-2.6
12	WP	Vítr na vozidla	Q	0	17.5	5.24E+03	3.3	-28.0	1.14E+06	-24.5	0.0	-5.92E+05	0.0	-21.1	0.0E+00	-	-	-	-	0.0	3.20E+03	0.0	0.0	-6.3	2.38E+03	-2.6	-2.6
13	TR	Teplota rovnoměrná	Q	0	0.0	5.24E+03	0.0	0.0	1.14E+06	0.0	0.0	-5.92E+05	0.0	0.0	0.0E+00	-	-	-	-	0.0	3.20E+03	0.0	0.0	0.0	2.38E+03	0.0	0.0
14	TN	Teplota nerovnoměrná	Q	0	61.7	5.24E+03	11.8	-20.0	1.14E+06	-17.5	0.0	-5.92E+05	0.0	-5.7	0.0E+00	-	-	-	-	0.0	3.20E+03	0.0	0.0	-4.4	2.38E+03	-1.9	-1.9
15	FR	Třecí síly v ložiskách	Q	0	2.4	5.24E+03	0.5	-0.1	1.14E+06	-0.1	0.0	-5.92E+05	0.0	0.4	0.0E+00	-	-	-	-	0.0	3.20E+03	0.0	0.0	0.0	2.38E+03	0.0	0.0
16	I	Imperfekce soustavy	Q	0	-1.1	5.24E+03	-0.2	-4.0	1.14E+06	-3.5	0.0	-5.92E+05	0.0	-3.8	0.0E+00	-	-	-	-	0.0	3.20E+03	0.0	0.0	-0.9	2.38E+03	-0.4	-0.4
27	ULS_LM	ULS - LM71 bez dynam	Q	0	0.0	5.24E+03	0.0	0.0	1.14E+06	0.0	0.0	-5.92E+05	0.0	0.0	0.0E+00	-	-	-	-	0.0	3.20E+03	0.0	0.0	0.0	2.38E+03	0.0	0.0
28	SLS_LM	SLS - LM71 bez dynam	Q	0	0.0	5.24E+03	0.0	0.0	1.14E+06	0.0	0.0	-5.92E+05	0.0	0.0	0.0E+00	-	-	-	-	0.0	3.20E+03	0.0	0.0	0.0	2.38E+03	0.0	0.0
29	ULS_C3	ULS - C3 bez dynam	Q	0	0.0	5.24E+03	0.0	0.0	1.14E+06	0.0	0.0	-5.92E+05	0.0	0.0	0.0E+00	-	-	-	-	0.0	3.20E+03	0.0	0.0	0.0	2.38E+03	0.0	0.0
30	SLS_C3	SLS - C3 bez dynam	Q	0	0.0	5.24E+03	0.0	0.0	1.14E+06	0.0	0.0	-5.92E+05	0.0	0.0	0.0E+00	-	-	-	-	0.0	3.20E+03	0.0	0.0	0.0	2.38E+03	0.0	0.0
NAVÝŠENÍ NAPĚTÍ DO AKTIVACE TLAKU V DESCE MOSTOVKY						$\sigma_{P,red}$	0.0							0.0			-	0.0		0.0			0.0	0.0			-16.8	-16.8
NAPĚTÍ OD PRIMÁRNÍCH ÚČINKŮ NEROVNOMĚRNÉHO OTEPLENÍ						σ_T	0.0							0.0														
NAPĚTÍ OD REOLOGICKÝCH ÚČINKŮ BETONU V ČASE				t=0		σ_R	0.0	γ_{G}=	1.20					0.0														
NAPĚTÍ V KRITICKÝCH VLÁKNECH OD KOMBINACE ZATÍŽENÍ						KZ08		[MPa]					$\Sigma\sigma_x$	-85.8									$\Sigma\tau_y$	0.0			$\Sigma\tau_z$	-16.8
NAPĚTÍ OD POHYBLIVÉHO ZATÍŽENÍ								[MPa]					$\sigma_{x,P}$	-44.1									τ_P	0.0			τ_P	-8.8
NAPĚTÍ OD OSTATNÍCH ZATÍŽENÍ								[MPa]			Φ_{Vy}	Φ_{Vz}	$\sigma_{x,rs}$	-41.6									τ_{rs}	0.0			τ_{rs}	-8.0
NÁVRHOVÁ HODNOTA MEZE KLUZU S REDUKCÍ VLIVEM SMYKOVÉHO NAPĚTÍ								[MPa]			1.00	1.00	$f_{yw,d}$	209.1									$f_{yd}/3^{0,5}$	120.7			$f_{yd}/3^{0,5}$	120.7
NAPĚTÍ OD POHYBLIVÉHO ZATÍŽENÍ V GLOBÁLNÍM SYSTÉMU						$\sigma_{GLOB,P}$	0.0	[MPa]					$\Sigma\sigma_{GLOB}$	0.0														
NAPĚTÍ OD OSTATNÍCH ZATÍŽENÍ V GLOBÁLNÍM SYSTÉMU						$\sigma_{GLOB,rs}$	0.0	[MPa]					$\Sigma\sigma_x + \Sigma\sigma_{GLOB}$	-85.8														
VYUŽITÍ PRŮŘEZU DLE NAPĚTÍ								[%]					η_1	0.41									η_3	0.00			η_3	0.14
NAPĚTÍ V PŘÍČNÉM SMĚRU OD POHYBLIVÉHO ZATÍŽENÍ						$\sigma_{z,P}$	0.0	[MPa]					$\Sigma\sigma_z$	0.0														
NAPĚTÍ V PŘÍČNÉM SMĚRU OD OSTATNÍCH ZATÍŽENÍ						$\sigma_{z,rs}$	0.0	[MPa]					η_2	0.00														
SROVNÁVACÍ NAPĚTÍ													$(\eta_2 + 0,8\,\eta_1)/1,4$ =	0.23														
VYUŽITÍ PRŮŘEZU CELKEM								[%]					eff	0.41	VYHOVUJE													
													z_{LM71} =	-----														

TAB. L2.1.3 POSOUZENÍ - MEZNÍ STAV ÚNOSNOSTI

POPIS	PODĚLNÍK L2.E - KRAJ
PRUT / POLOHA BODU	866 / I[568]
NAMÁHÁNÍ	N.max
VLÁKNO	BOD K1 -HL
MEZNÍ STAV	ULS (MSÚ)
VYUŽITÍ VLÁKNA PRŮŘEZU	0.92

Charakteristiky materiálu				
pás. horní	$f_{yf,k}$	230	MPa	
pás. dolní	$f_{yf,k}$	230	MPa	
stojina	$f_{yw,k}$	230	MPa	
výztuž	$f_{ys,k}$	500	MPa	
γ_M =	1.10	γ_s =	1.15	

Excentricita normálové síly				
Exc./Fáze	0	1	2	3
e_y	0.000	0.000	0.000	0.000
e_z	0.000	0.000	0.000	0.000
Ekvivalentní vzdál. stěn - příčný roznos				
b_{Mx}	0.000	0.000	0.000	0.000

Vliv stěny na únosnost průřezu				
Char./Fáze	0	1	2	3
A	0.55	0.00	0.00	0.00
Wy	0.32	0.00	0.00	0.00
Wz	0.18	0.00	0.00	0.00

Charakter. v kroucení			
$t_{w,y}$	0.000	[mm]	
$t_{w,z}$	0.000	[mm]	
κ	1.00		
I_t=	0.00E+00	[mm^4]	
$\Omega=2*A_{pr}$	0.00E+00	[mm^2]	

Součinitele vzpěru a vlivu II.řádu				
Char./Fáze	0	1	2	3
k_y	1.000	1.000	1.000	1.000
k_z	1.000	1.000	1.000	1.000
χ_{LT}	1.000	1.000	1.000	1.000
χ_{min}	1.000	1.000	1.000	1.000

Vnitřní síly od jednotlivých skupin zatěžovacích stavů

SKUPINA ZATĚŽOVACÍCH STAVŮ					- CHARAKTERISTICKÉ HODNOTY						DÍLČÍ SOUČINITELÉ ZATÍŽENÍ, DYNAMICKÝ SOUČINITEL						7	- NÁVRHOVÉ HODNOTY									
Č.	SKUP ZS	POPIS ZS	KAT.	FÁZE PRŮŘ.	N.k (kN)	Vy.k (kN)	Vz.k (kN)	Mx.k (kNm)	My.k (kNm)	Mz.k (kNm)	γ_{sup} (-)	γ_{inf} (-)	volba γ_i hledat	γ_i (-)	L_d (m)	δ (-)	Ψ_0 KZ07	N.d (kN)	Vy.d (kN)	Vz.d (kN)	ΔVz.d (kN)	ΣVz.d (kN)	Mx.d (kNm)	My.d (kNm)	ΔMy.d (kNm)	ΣMy.d (kNm)	Mz.d (kNm)	ΔMz.d (kNm)	ΣMz.d (kNm)
1	G0	Vlastní tíha OK	G	0	36	-1	-7	0	-1	-1	1.00	1.20		1.20	-	1.00	0.95	41	-1	-8	0	-8	0	-2	0	-2	-1	0	-1
2	G1	Ostatní stálé - mostní vybavení	G	0	7	0	-1	0	0	0	1.00	1.20		1.20	-	1.00	0.95	8	0	-1	0	-1	0	0	0	0	0	0	0
3	G2	Ostatní stálé - cizí zařízení	G	0	5	0	0	0	0	0	1.00	1.20		1.20	-	1.00	0.95	6	0	-1	0	-1	0	0	0	0	0	0	0
4	P1_71	a.LM71 - kolej 1 (bez dyn. souč.)	P	0	94	0	-10	0	-3	-1	1.00	vyp.		0.00	-	1.00	0.00	0	0	0	0	0	0	0	0	0	0	0	0
5	P2_71	a.LM71 - kolej 2 (bez dyn. souč.)	P	0	112	0	-98	0	-18	-1	1.00	vyp.		0.00	-	1.00	0.00	0	0	0	0	0	0	0	0	0	0	0	0
6	P1_C3	TTZ C3 - kolej 1 (bez dyn. souč.)	P	0	81	0	-10	0	-5	0	1.00	1.30		1.30	-	1.63	1.00	172	0	-20	0	-20	0	-11	0	-11	-1	0	-1
7	P2_C3	TTZ C3 - kolej 2 (bez dyn. souč.)	P	0	98	0	-60	0	-22	-1	1.00	1.30		1.30	-	1.63	1.00	209	0	-127	0	-127	0	-47	0	-47	-1	0	-1
8	BR	Brzdné a rozjezdové síly	P	0	215	0	-28	0	-9	-2	1.00	1.30		1.30	-	1.00	0.64	179	0	-23	0	-23	0	-7	0	-7	-2	0	-2
9	S	Boční ráz	P	0	27	-4	3	0	-2	-1	1.00	1.30		1.30	-	1.00	0.32	11	-2	1	0	1	0	-1	0	-1	-1	0	-1
10	CH	Chodci na lávkách	Q	0	13	0	-1	0	0	0	1.00	1.30		1.30	-	1.00	1.00	18	0	-1	0	-1	0	0	0	0	0	0	0
11	W	Vítr na konstrukci	Q	0	3	0	-3	0	-3	0	1.00	1.35		1.35	-	1.00	0.75	3	0	-3	0	-3	0	-4	0	-4	0	0	0
12	WP	Vítr na vozidla	Q	0	7	3	9	0	-4	0	1.00	1.35		1.35	-	1.00	0.75	7	3	9	0	9	0	-4	0	-4	0	0	0
13	TR	Teplota rovnoměrná	Q	0	0	0	0	0	0	0	1.00	1.35		1.35	-	1.00	0.45	0	0	0	0	0	0	0	0	0	0	0	0
14	TN	Teplota nerovnoměrná	Q	0	12	0	0	0	-1	0	1.00	1.35		1.35	-	1.00	0.60	10	0	0	0	0	0	-1	0	-1	0	0	0
15	FR	Třecí síly v ložiskách	Q	0	11	0	-1	0	0	0	1.00	1.20		1.20	-	1.00	1.00	13	0	-1	0	-1	0	0	0	0	0	0	0
16	I	Imperfekce soustavy	Q	0	0	0	0	0	0	0	1.00	-1.20		-1.20	-	1.00	1.00	-1	0	0	0	0	0	0	0	0	0	0	0
27	ULS_LM	ULS - LM71 bez dynam	Q	0	738	-1	-192	0	-54	-7	1.00	vyp.	1	0.00	-	1.00	0.00	0	0	0	0	0	0	0	0	0	0	0	0
28	SLS_LM	SLS - LM71 bez dynam	Q	0	574	-1	-150	0	-42	-5	1.00	vyp.	1	0.00	-	1.00	0.00	0	0	0	0	0	0	0	0	0	0	0	0
29	ULS_C3	ULS - C3 bez dynam	Q	0	704	-1	-141	0	-62	-7	1.00	vyp.	1	0.00	-	1.00	0.00	0	0	0	0	0	0	0	0	0	0	0	0
30	SLS_C3	SLS - C3 bez dynam	Q	0	548	-1	-111	0	-48	-5	1.00	vyp.	1	0.00	-	1.00	0.00	0	0	0	0	0	0	0	0	0	0	0	0
		CELKEM - FÁZE PRŮŘEZU 0																676	-1	-177	0	-177	0	-78	0	-78	-7	0	-7
		CELKEM - FÁZE PRŮŘEZU 1																0	0	0	0	0	0	0	0	0	0	0	0
		CELKEM - FÁZE PRŮŘEZU 2																0	0	0	0	0	0	0	0	0	0	0	0
		CELKEM - FÁZE PRŮŘEZU 3																0	0	0	0	0	0	0	0	0	0	0	0
		CELKEM - PRŮŘEZ																676	-1	-177	0	-177	0			-78			-7

Napětí od jednotlivých zatěžovacích stavů

SKUPINA ZATĚŽOVACÍCH STAVŮ					Posouzení normálového napětí										Posouzení smykového napětí													
					Účinek síly N			Účinek momentu My			Účinek momentu Mz				Účinek kroutícího momentu Mx				Účinek smykové síly Vy				Účinek smykové síly Vz			
Č.	SKUP ZS	Popis ZS	Kat.	fáze průř.	δ^*N_d [kN]	χ^*A [mm^2]	σ_n [MPa]	$\delta^*M_{y,d}$ [kNm]	$\chi_{lt}*W_{el,y}$ [mm^3]	σ_{my} [MPa]	$\delta^*M_{z,d}$ [kNm]	$W_{el,z}$ [mm^3]	σ_{mz} [MPa]	σ_x [MPa]	$\kappa*\delta^*M_{x,d}$ [kNm]	$W_{v,y}$ [mm^3]	$\tau_{x,y}$ [MPa]	$W_{v,z}$ [mm^3]	$\tau_{x,z}$ [MPa]	$\delta^*V_{y,d}$ [kN]	$A_{v,y}$ [mm2]	$\tau_{v,y}$ [MPa]	$\tau_{v,y}$ [MPa]	$\delta^*V_{z,d}$ [kN]	$A_{v,z}$ [mm2]	$\tau_{v,z}$ [MPa]	$\tau_{v,z}$ [MPa]
1	G0	Vlastní tíha OK	G	0	41.5	9.80E+03	4.2	-1.6	-1.95E+06	0.8	-1.2	-8.00E+04	14.4	19.5	-4.6E-02	-	-	-	-	-0.6	2.40E+03	-0.3	-0.3	-8.3	5.40E+03	-1.5	-1.5
2	G1	Ostatní stálé - mostní vybavení	G	0	8.2	9.80E+03	0.8	-0.2	-1.95E+06	0.1	0.0	-8.00E+04	0.6	1.5	0.0E+00	-	-	-	-	0.0	2.40E+03	0.0	0.0	-0.8	5.40E+03	-0.1	-0.1
3	G2	Ostatní stálé - cizí zařízení	G	0	6.2	9.80E+03	0.6	-0.2	-1.95E+06	0.1	0.0	-8.00E+04	0.6	1.3	0.0E+00	-	-	-	-	0.0	2.40E+03	0.0	0.0	-0.5	5.40E+03	-0.1	-0.1
4	P1_71	a.LM71 - kolej 1 (bez dyn. souč.)	P	0	0.0	9.80E+03	0.0	0.0	-1.95E+06	0.0	0.0	-8.00E+04	0.0	0.0	0.0E+00	-	-	-	-	0.0	2.40E+03	0.0	0.0	0.0	5.40E+03	0.0	0.0
5	P2_71	a.LM71 - kolej 2 (bez dyn. souč.)	P	0	0.0	9.80E+03	0.0	0.0	-1.95E+06	0.0	0.0	-8.00E+04	0.0	0.0	0.0E+00	-	-	-	-	0.0	2.40E+03	0.0	0.0	0.0	5.40E+03	0.0	0.0
6	P1_C3	TTZ C3 - kolej 1 (bez dyn. souč.)	P	0	171.7	9.80E+03	17.5	-11.5	-1.95E+06	5.9	-1.0	-8.00E+04	12.2	35.6	-2.1E-02	-	-	-	-	-0.2	2.40E+03	-0.1	-0.1	-20.3	5.40E+03	-3.8	-3.8
7	P2_C3	TTZ C3 - kolej 2 (bez dyn. souč.)	P	0	208.6	9.80E+03	21.3	-47.3	-1.95E+06	24.2	-1.3	-8.00E+04	16.7	62.2	2.1E-02	-	-	-	-	-0.4	2.40E+03	-0.2	-0.2	-127.3	5.40E+03	-23.6	-23.6
8	BR	Brzdné a rozjezdové síly	P	0	178.8	9.80E+03	18.2	-7.5	-1.95E+06	3.8	-1.5	-8.00E+04	19.2	41.3	-4.2E-02	-	-	-	-	0.0	2.40E+03	0.0	0.0	-23.5	5.40E+03	-4.3	-4.3
9	S	Boční ráz	P	0	11.2	9.80E+03	1.1	-0.8	-1.95E+06	0.4	-0.6	-8.00E+04	7.5	9.1	-3.3E-02	-	-	-	-	-1.8	2.40E+03	-0.7	-0.7	1.3	5.40E+03	0.2	0.2
10	CH	Chodci na lávkách	Q	0	17.5	9.80E+03	1.8	-0.5	-1.95E+06	0.2	-0.1	-8.00E+04	1.5	3.5	0.0E+00	-	-	-	-	0.0	2.40E+03	0.0	0.0	-1.4	5.40E+03	-0.3	-0.3
11	W	Vítr na konstrukci	Q	0	2.8	9.80E+03	0.3	-3.5	-1.95E+06	1.8	-0.5	-8.00E+04	5.8	7.9	-2.0E-02	-	-	-	-	-0.3	2.40E+03	-0.1	-0.1	-3.4	5.40E+03	-0.6	-0.6
12	WP	Vítr na vozidla	Q	0	7.1	9.80E+03	0.7	-3.7	-1.95E+06	1.9	-0.4	-8.00E+04	5.1	7.7	-4.1E-02	-	-	-	-	2.7	2.40E+03	1.1	1.1	8.7	5.40E+03	1.6	1.6
13	TR	Teplota rovnoměrná	Q	0	0.0	9.80E+03	0.0	0.0	-1.95E+06	0.0	0.0	-8.00E+04	0.0	0.0	0.0E+00	-	-	-	-	0.0	2.40E+03	0.0	0.0	0.0	5.40E+03	0.0	0.0
14	TN	Teplota nerovnoměrná	Q	0	9.6	9.80E+03	1.0	-0.8	-1.95E+06	0.4	0.0	-8.00E+04	-0.3	1.1	0.0E+00	-	-	-	-	0.0	2.40E+03	0.0	0.0	-0.1	5.40E+03	0.0	0.0
15	FR	Třecí síly v ložiskách	Q	0	13.3	9.80E+03	1.4	-0.3	-1.95E+06	0.2	-0.1	-8.00E+04	0.7	2.3	0.0E+00	-	-	-	-	0.0	2.40E+03	0.0	0.0	-1.1	5.40E+03	-0.2	-0.2
16	I	Imperfekce soustavy	Q	0	-0.6	9.80E+03	-0.1	-0.2	-1.95E+06	0.1	0.0	-8.00E+04	0.3	0.4	0.0E+00	-	-	-	-	0.0	2.40E+03	0.0	0.0	-0.2	5.40E+03	0.0	0.0
27	ULS_LM	ULS - LM71 bez dynam	Q	0	0.0	9.80E+03	0.0	0.0	-1.95E+06	0.0	0.0	-8.00E+04	0.0	0.0	0.0E+00	-	-	-	-	0.0	2.40E+03	0.0	0.0	0.0	5.40E+03	0.0	0.0
28	SLS_LM	SLS - LM71 bez dynam	Q	0	0.0	9.80E+03	0.0	0.0	-1.95E+06	0.0	0.0	-8.00E+04	0.0	0.0	0.0E+00	-	-	-	-	0.0	2.40E+03	0.0	0.0	0.0	5.40E+03	0.0	0.0
29	ULS_C3	ULS - C3 bez dynam	Q	0	0.0	9.80E+03	0.0	0.0	-1.95E+06	0.0	0.0	-8.00E+04	0.0	0.0	0.0E+00	-	-	-	-	0.0	2.40E+03	0.0	0.0	0.0	5.40E+03	0.0	0.0
30	SLS_C3	SLS - C3 bez dynam	Q	0	0.0	9.80E+03	0.0	0.0	-1.95E+06	0.0	0.0	-8.00E+04	0.0	0.0	0.0E+00	-	-	-	-	0.0	2.40E+03	0.0	0.0	0.0	5.40E+03	0.0	0.0
NAVÝŠENÍ NAPĚTÍ DO AKTIVACE TLAKU V DESCE MOSTOVKY						$\sigma_{P,red}$	0.0							0.0			0.0		0.0			-0.3	-0.3			-32.8	-32.8
NAPĚTÍ OD PRIMÁRNÍCH ÚČINKŮ NEROVNOMĚRNÉHO OTEPLENÍ						σ_T	0.0							0.0													
NAPĚTÍ OD REOLOGICKÝCH ÚČINKŮ BETONU V ČASE				t=0		σ_R	0.0	γ=	1.20					0.0													
NAPĚTÍ V KRITICKÝCH VLÁKNECH OD KOMBINACE ZATÍŽENÍ						KZ07		[MPa]					$\Sigma\sigma_x$	193.2								$\Sigma\tau_y$	-0.3			$\Sigma\tau_z$	-32.8
NAPĚTÍ OD POHYBLIVÉHO ZATÍŽENÍ								[MPa]					$\sigma_{x,P}$	148.1								τ_P	-1.0			τ_P	-31.4
NAPĚTÍ OD OSTATNÍCH ZATÍŽENÍ								[MPa]			Φ_{Vy}	Φ_{Vz}	$\sigma_{x,rs}$	45.1								τ_{rs}	0.7			τ_{rs}	-1.3
NÁVRHOVÁ HODNOTA MEZE KLUZU S REDUKCÍ VLIVEM SMYKOVÉHO NAPĚTÍ								[MPa]			1.00	1.00	$f_{yv,d}$	209.1								$f_{yd}/3^{0,5}$	120.7			$f_{yd}/3^{0,5}$	120.7
NAPĚTÍ OD POHYBLIVÉHO ZATÍŽENÍ V GLOBÁLNÍM SYSTÉMU						$\sigma_{GLOB,P}$	0.0	[MPa]					$\Sigma\sigma_{GLOB}$	0.0													
NAPĚTÍ OD OSTATNÍCH ZATÍŽENÍ V GLOBÁLNÍM SYSTÉMU						$\sigma_{GLOB,rs}$	0.0	[MPa]					$\Sigma\sigma_x + \Sigma\sigma_{GLOB}$	193.2													
VYUŽITÍ PRŮŘEZU DLE NAPĚTÍ								[%]					η_1	0.92								η_3	0.00			η_3	0.27
NAPĚTÍ V PŘÍČNÉM SMĚRU OD POHYBLIVÉHO ZATÍŽENÍ						$\sigma_{z,P}$	0.0	[MPa]					$\Sigma\sigma_z$	0.0													
NAPĚTÍ V PŘÍČNÉM SMĚRU OD OSTATNÍCH ZATÍŽENÍ						$\sigma_{z,rs}$	0.0	[MPa]					η_2	0.00													
SROVNÁVACÍ NAPĚTÍ													$(\eta_2 + 0,8\,\eta_1)/1,4 =$	0.53													
VYUŽITÍ PRŮŘEZU CELKEM								[%]					eff	0.92	VYHOVUJE												
													z_{LM71} =	-----													

TAB. L2.1.3 POSOUZENÍ - MEZNÍ STAV ÚNOSNOSTI

POPIS	PODĚLNÍK L2.E - KRAJ
PRUT / POLOHA BODU	866 / I[568]
NAMÁHÁNÍ	Mz.min
VLÁKNO	BOD K3 -SL
MEZNÍ STAV	ULS (MSÚ)
VYUŽITÍ VLÁKNA PRŮŘEZU	0.57

Charakteristiky materiálu				
pás. horní	$f_{yf,k}$	230	MPa	
pás. dolní	$f_{yf,k}$	230	MPa	
stojina	$f_{yw,k}$	230	MPa	
výztuž	$f_{ys,k}$	500	MPa	
γ_M =	1.10	γ_s =	1.15	

Excentricita normálové síly				
Exc./Fáze	0	1	2	3
e_y	0.000	0.000	0.000	0.000
e_z	0.000	0.000	0.000	0.000
Ekvivalentní vzdál. stěn - příčný roznos				
b_{Mx}	0.000	0.000	0.000	0.000

Vliv stěny na únosnost průřezu				
Char./Fáze	0	1	2	3
A	0.55	0.00	0.00	0.00
Wy	0.32	0.00	0.00	0.00
Wz	0.18	0.00	0.00	0.00

Charakter. v kroucení			
$t_{w,y}$	0.000	[mm]	
$t_{w,z}$	0.000	[mm]	
κ	1.00		
I_t=	0.00E+00	[mm⁴]	
$\Omega=2*A_{pr}$	0.00E+00	[mm²]	

Součinitele vzpěru a vlivu II.řádu					
Char./Fáze	0	1	2	3
k_y	1.000	1.000	1.000	1.000
k_z	1.000	1.000	1.000	1.000
χ_{LT}	1.000	1.000	1.000	1.000
χ_{min}	1.000	1.000	1.000	1.000

Vnitřní síly od jednotlivých skupin zatěžovacích stavů

SKUPINA ZATĚŽOVACÍCH STAVŮ — 7

Č.	SKUP ZS	POPIS ZS	KAT.	FÁZE PRŮŘ.	- CHARAKTERISTICKÉ HODNOTY N.k (kN)	Vy.k (kN)	Vz.k (kN)	Mx.k (kNm)	My.k (kNm)	Mz.k (kNm)	DÍLČÍ SOUČINITELÉ ZATÍŽENÍ, DYNAMICKÝ SOUČINITEL γ_{or} (-)	γ_o (-)	volba ψ_i hledat	ψ_i (-)	L_d (m)	δ (-)	Ψ_z KZ07	- NÁVRHOVÉ HODNOTY N.d (kN)	Vy.d (kN)	Vz.d (kN)	ΔVz.d (kN)	ΣVz.d (kN)	Mx.d (kNm)	My.d (kNm)	ΔMy.d (kNm)	ΣMy.d (kNm)	Mz.d (kNm)	ΔMz.d (kNm)	ΣMz.d (kNm)
1	G0	Vlastní tíha OK	G	0	95	0	-16	0	-4	-1	1.00	1.20		1.20	-	1.00	0.95	108	0	-18	0	-18	0	-5	0	-5	-1	0	-1
2	G1	Ostatní stálé - mostní vybavení	G	0	7	0	-1	0	0	0	1.00	1.20		1.20	-	1.00	0.95	8	0	-1	0	-1	0	0	0	0	0	0	0
3	G2	Ostatní stálé - cizí zařízení	G	0	5	0	0	0	0	0	1.00	1.20		1.20	-	1.00	0.95	6	0	-1	0	-1	0	0	0	0	0	0	0
4	P1_71	a.LM71 - kolej 1 (bez dyn. souč.)	P	0	90	0	-8	0	-3	-1	1.00	vyp.		0.00	-	1.00	0.00	0	0	0	0	0	0	0	0	0	0	0	0
5	P2_71	a.LM71 - kolej 2 (bez dyn. souč.)	P	0	111	0	-84	0	-15	-1	1.00	vyp.		0.00	-	1.00	0.00	0	0	0	0	0	0	0	0	0	0	0	0
6	P1_C3	TTZ C3 - kolej 1 (bez dyn. souč.)	P	0	77	0	-7	0	-2	0	1.00	1.30		1.30	-	1.63	1.00	162	0	-15	0	-15	0	-3	0	-3	-1	0	-1
7	P2_C3	TTZ C3 - kolej 2 (bez dyn. souč.)	P	0	98	0	-64	0	-20	-1	1.00	1.30		1.30	-	1.63	1.00	207	-1	-135	0	-135	0	-42	0	-42	-1	0	-1
8	BR	Brzdné a rozjezdové síly	P	0	215	0	-28	0	-9	-2	1.00	1.30		1.30	-	1.00	0.64	179	0	-23	0	-23	0	-7	0	-7	-2	0	-2
9	S	Boční ráz	P	0	27	-4	3	0	-2	-1	1.00	1.30		1.30	-	1.00	0.32	11	-2	1	0	1	0	-1	0	-1	-1	0	-1
10	CH	Chodci na lávkách	Q	0	13	0	-1	0	0	0	1.00	1.30		1.30	-	1.00	1.00	18	0	-1	0	-1	0	0	0	0	0	0	0
11	W	Vítr na konstrukci	Q	0	3	0	-3	0	-3	0	1.00	1.35		1.35	-	1.00	0.75	3	0	-3	0	-3	0	-4	0	-4	0	0	0
12	WP	Vítr na vozidla	Q	0	7	3	9	0	-4	0	1.00	1.35		1.35	-	1.00	0.75	7	3	9	0	9	0	-4	0	-4	0	0	0
13	TR	Teplota rovnoměrná	Q	0	0	0	0	0	0	0	1.00	1.35		1.35	-	1.00	0.45	0	0	0	0	0	0	0	0	0	0	0	0
14	TN	Teplota nerovnoměrná	Q	0	-3	0	0	0	0	0	1.00	1.35		1.35	-	1.00	0.60	-3	0	0	0	0	0	0	0	0	0	0	0
15	FR	Třecí síly v ložiskách	Q	0	11	0	-1	0	0	0	1.00	1.20		1.20	-	1.00	1.00	13	0	-1	0	-1	0	0	0	0	0	0	0
16	I	Imperfekce soustavy	Q	0	0	0	0	0	0	0	1.00	1.20		1.20	-	1.00	1.00	-1	0	0	0	0	0	0	0	0	0	0	0
27	ULS_LM	ULS - LM71 bez dynam	Q	0	718	-1	-171	0	-50	-7	1.00	vyp.		0.00	-	1.00	0.00	0	0	0	0	0	0	0	0	0	0	0	0
28	SLS_LM	SLS - LM71 bez dynam	Q	0	568	-1	-134	0	-39	-5	1.00	vyp.	1	0.00	-	1.00	0.00	0	0	0	0	0	0	0	0	0	0	0	0
29	ULS_C3	ULS - C3 bez dynam	Q	0	684	-1	-143	0	-54	-7	1.00	vyp.	1	0.00	-	1.00	0.00	0	0	0	0	0	0	0	0	0	0	0	0
30	SLS_C3	SLS - C3 bez dynam	Q	0	542	-1	-112	0	-42	-5	1.00	vyp.	1	0.00	-	1.00	0.00	0	0	0	0	0	0	0	0	0	0	0	0
		CELKEM - FÁZE PRŮŘEZU 0																720	0	-188	0	-188	0	-67	0	-67	-6	0	-6
		CELKEM - FÁZE PRŮŘEZU 1																0	0	0	0	0	0	0	0	0	0	0	0
		CELKEM - FÁZE PRŮŘEZU 2																0	0	0	0	0	0	0	0	0	0	0	0
		CELKEM - FÁZE PRŮŘEZU 3																0	0	0	0	0	0	0	0	0	0	0	0
		CELKEM - PRŮŘEZ																720	0	-188	0	-188	0			-67			-6

Napětí od jednotlivých zatěžovacích stavů

SKUPINA ZATĚŽOVACÍCH STAVŮ

Č.	SKUP ZS	Popis ZS	Kat.	fáze průř.	Posouzení normálového napětí — Účinek síly N: δ^*N_d [kN]	χ^*A [mm²]	σ_n [MPa]	Účinek momentu My: $\delta^*M_{y,d}$ [kNm]	$\chi_{lt}{}^*W_{el,y}$ [mm³]	σ_{my} [MPa]	Účinek momentu Mz: $\delta^*M_{z,d}$ [kNm]	$W_{el,z}$ [mm³]	σ_{mz} [MPa]	σ_x [MPa]	Posouzení smykového napětí — Účinek kroutícího momentu Mx: $\kappa^*\delta^*M_{x,d}$ [kNm]	$W_{v,y}$ [mm³]	$\tau_{x,y}$ [MPa]	$W_{v,z}$ [mm³]	$\tau_{x,z}$ [MPa]	Účinek smykové síly Vy: $\delta^*V_{y,d}$ [kN]	$A_{v,y}$ [mm2]	$\tau_{v,y}$ [MPa]	$\tau_{v,y}$ [MPa]	Účinek smykové síly Vz: $\delta^*V_{z,d}$ [kN]	$A_{v,z}$ [mm2]	$\tau_{v,z}$ [MPa]	$\tau_{v,z}$ [MPa]
1	G0	Vlastní tíha OK	G	0	108.2	9.80E+03	11.0	-4.5	1.95E+06	-2.3	-0.7	-8.00E+04	8.4	17.1	-1.1E-02	-	-	-	-	-0.1	2.40E+03	-0.1	-0.1	-17.7	5.40E+03	-3.3	-3.3
2	G1	Ostatní stálé - mostní vybavení	G	0	8.2	9.80E+03	0.8	-0.2	1.95E+06	-0.1	0.0	-8.00E+04	0.6	1.3	0.0E+00	-	-	-	-	0.0	2.40E+03	0.0	0.0	-0.8	5.40E+03	-0.1	-0.1
3	G2	Ostatní stálé - cizí zařízení	G	0	6.2	9.80E+03	0.6	-0.2	1.95E+06	-0.1	0.0	-8.00E+04	0.6	1.1	0.0E+00	-	-	-	-	0.0	2.40E+03	0.0	0.0	-0.5	5.40E+03	-0.1	-0.1
4	P1_71	a.LM71 - kolej 1 (bez dyn. souč.)	P	0	0.0	9.80E+03	0.0	0.0	1.95E+06	0.0	0.0	-8.00E+04	0.0	0.0	0.0E+00	-	-	-	-	0.0	2.40E+03	0.0	0.0	0.0	5.40E+03	0.0	0.0
5	P2_71	a.LM71 - kolej 2 (bez dyn. souč.)	P	0	0.0	9.80E+03	0.0	0.0	1.95E+06	0.0	0.0	-8.00E+04	0.0	0.0	0.0E+00	-	-	-	-	0.0	2.40E+03	0.0	0.0	0.0	5.40E+03	0.0	0.0
6	P1_C3	TTZ C3 - kolej 1 (bez dyn. souč.)	P	0	162.4	9.80E+03	16.6	-3.3	1.95E+06	-1.7	-1.0	-8.00E+04	12.4	27.3	-2.1E-02	-	-	-	-	-0.2	2.40E+03	-0.1	-0.1	-14.6	5.40E+03	-2.7	-2.7
7	P2_C3	TTZ C3 - kolej 2 (bez dyn. souč.)	P	0	207.4	9.80E+03	21.2	-41.7	1.95E+06	-21.4	-1.4	-8.00E+04	16.9	16.8	2.1E-02	-	-	-	-	-0.5	2.40E+03	-0.2	-0.2	-135.2	5.40E+03	-25.0	-25.0
8	BR	Brzdné a rozjezdové síly	P	0	178.8	9.80E+03	18.2	-7.5	1.95E+06	-3.8	-1.5	-8.00E+04	19.2	33.6	-4.2E-02	-	-	-	-	0.0	2.40E+03	0.0	0.0	-23.5	5.40E+03	-4.3	-4.3
9	S	Boční ráz	P	0	11.2	9.80E+03	1.1	-0.8	1.95E+06	-0.4	-0.6	-8.00E+04	7.5	8.3	-3.3E-02	-	-	-	-	-1.8	2.40E+03	-0.7	-0.7	1.3	5.40E+03	0.2	0.2
10	CH	Chodci na lávkách	Q	0	17.5	9.80E+03	1.8	-0.5	1.95E+06	-0.2	-0.1	-8.00E+04	1.5	3.0	0.0E+00	-	-	-	-	0.0	2.40E+03	0.0	0.0	-1.4	5.40E+03	-0.3	-0.3
11	W	Vítr na konstrukci	Q	0	2.8	9.80E+03	0.3	-3.5	1.95E+06	-1.8	-0.5	-8.00E+04	5.8	4.3	-2.0E-02	-	-	-	-	-0.3	2.40E+03	-0.1	-0.1	-3.4	5.40E+03	-0.6	-0.6
12	WP	Vítr na vozidla	Q	0	7.1	9.80E+03	0.7	-3.7	1.95E+06	-1.9	-0.4	-8.00E+04	5.1	3.9	-4.1E-02	-	-	-	-	2.7	2.40E+03	1.1	1.1	8.7	5.40E+03	1.6	1.6
13	TR	Teplota rovnoměrná	Q	0	0.0	9.80E+03	0.0	0.0	1.95E+06	0.0	0.0	-8.00E+04	0.0	0.0	0.0E+00	-	-	-	-	0.0	2.40E+03	0.0	0.0	0.0	5.40E+03	0.0	0.0
14	TN	Teplota nerovnoměrná	Q	0	-2.6	9.80E+03	-0.3	-0.3	1.95E+06	-0.1	-0.1	-8.00E+04	0.7	0.3	0.0E+00	-	-	-	-	0.0	2.40E+03	0.0	0.0	0.0	5.40E+03	0.0	0.0
15	FR	Třecí síly v ložiskách	Q	0	13.3	9.80E+03	1.4	-0.3	1.95E+06	-0.2	-0.1	-8.00E+04	0.7	1.9	0.0E+00	-	-	-	-	0.0	2.40E+03	0.0	0.0	-1.1	5.40E+03	-0.2	-0.2
16	I	Imperfekce soustavy	Q	0	-0.6	9.80E+03	-0.1	-0.2	1.95E+06	-0.1	0.0	-8.00E+04	0.3	0.1	0.0E+00	-	-	-	-	0.0	2.40E+03	0.0	0.0	-0.2	5.40E+03	0.0	0.0
27	ULS_LM	ULS - LM71 bez dynam	Q	0	0.0	9.80E+03	0.0	0.0	1.95E+06	0.0	0.0	-8.00E+04	0.0	0.0	0.0E+00	-	-	-	-	0.0	2.40E+03	0.0	0.0	0.0	5.40E+03	0.0	0.0
28	SLS_LM	SLS - LM71 bez dynam	Q	0	0.0	9.80E+03	0.0	0.0	1.95E+06	0.0	0.0	-8.00E+04	0.0	0.0	0.0E+00	-	-	-	-	0.0	2.40E+03	0.0	0.0	0.0	5.40E+03	0.0	0.0
29	ULS_C3	ULS - C3 bez dynam	Q	0	0.0	9.80E+03	0.0	0.0	1.95E+06	0.0	0.0	-8.00E+04	0.0	0.0	0.0E+00	-	-	-	-	0.0	2.40E+03	0.0	0.0	0.0	5.40E+03	0.0	0.0
30	SLS_C3	SLS - C3 bez dynam	Q	0	0.0	9.80E+03	0.0	0.0	1.95E+06	0.0	0.0	-8.00E+04	0.0	0.0	0.0E+00	-	-	-	-	0.0	2.40E+03	0.0	0.0	0.0	5.40E+03	0.0	0.0
NAVÝŠENÍ NAPĚTÍ DO AKTIVACE TLAKU V DESCE MOSTOVKY						$\sigma_{P,red}$	0.0							0.0				0.0		0.0			-0.1	-0.1			-34.9	-34.9
NAPĚTÍ OD PRIMÁRNÍCH ÚČINKŮ NEROVNOMĚRNÉHO OTEPLENÍ						σ_T	0.0							0.0														
NAPĚTÍ OD REOLOGICKÝCH ÚČINKŮ BETONU V ČASE				t=0		σ_R	0.0	γ=	1.20					0.0														
NAPĚTÍ V KRITICKÝCH VLÁKNECH OD KOMBINACE ZATÍŽENÍ						KZ07		[MPa]					$\Sigma\sigma_x$	119.1								$\Sigma\tau_y$	-0.1			$\Sigma\tau_z$	-34.9
NAPĚTÍ OD POHYBLIVÉHO ZATÍŽENÍ								[MPa]					$\sigma_{x,P}$	86.0								τ_P	-1.0			τ_P	-31.8
NAPĚTÍ OD OSTATNÍCH ZATÍŽENÍ								[MPa]			Φ_{Vy}	Φ_{Vz}	$\sigma_{x,rs}$	33.1								τ_{rs}	0.9			τ_{rs}	-3.0
NÁVRHOVÁ HODNOTA MEZE KLUZU S REDUKCÍ VLIVEM SMYKOVÉHO NAPĚTÍ								[MPa]			1.00	1.00	$f_{yw,d}$	209.1								$f_{yd}/3^{0,5}$	120.7			$f_{yd}/3^{0,5}$	120.7
NAPĚTÍ OD POHYBLIVÉHO ZATÍŽENÍ V GLOBÁLNÍM SYSTÉMU						$\sigma_{GLOB,P}$	0.0	[MPa]					$\Sigma\sigma_{GLOB}$	0.0													
NAPĚTÍ OD OSTATNÍCH ZATÍŽENÍ V GLOBÁLNÍM SYSTÉMU						$\sigma_{GLOB,rs}$	0.0	[MPa]					$\Sigma\sigma_x + \Sigma\sigma_{GLOB}$	119.1													
VYUŽITÍ PRŮŘEZU DLE NAPĚTÍ								[%]					η_1	0.57								η_3	0.00			η_3	0.29
NAPĚTÍ V PŘÍČNÉM SMĚRU OD POHYBLIVÉHO ZATÍŽENÍ						$\sigma_{z,P}$	0.0	[MPa]					$\Sigma\sigma_z$	0.0													
NAPĚTÍ V PŘÍČNÉM SMĚRU OD OSTATNÍCH ZATÍŽENÍ						$\sigma_{z,rs}$	0.0	[MPa]					η_2	0.00													
SROVNÁVACÍ NAPĚTÍ													$(\eta_2 + 0{,}8\,\eta_1)/1{,}4$ =	0.33													
VYUŽITÍ PRŮŘEZU CELKEM								[%]					eff	0.57	VYHOVUJE												
													z_{LM71} =	-----													

TAB. L2.1.3 POSOUZENÍ - MEZNÍ STAV ÚNOSNOSTI

POPIS	PODÉLNÍK L2.E - KRAJ
PRUT / POLOHA BODU	866 / I[568]
NAMÁHÁNÍ	Vz.min
VLÁKNO	BOD S5 -HL
MEZNÍ STAV	ULS (MSÚ)
VYUŽITÍ VLÁKNA PRŮŘEZU	0.56

Charakteristiky materiálu				
pás. horní	$f_{yf,k}$	230	MPa	
pás. dolní	$f_{yf,k}$	230	MPa	
stojina	$f_{yw,k}$	230	MPa	
výztuž	$f_{ys,k}$	500	MPa	
γ_M =	1.10	γ_s =	1.15	

Excentricita normálové síly				
Exc./Fáze	0	1	2	3
e_y	0.000	0.000	0.000	0.000
e_z	0.000	0.000	0.000	0.000
Ekvivalentní vzdál. stěn - příčný roznos				
b_{ekv}	0.000	0.000	0.000	0.000

Vliv stěny na únosnost průřezu				
Char./Fáze	0	1	2	3
A	0.55	0.00	0.00	0.00
Wy	0.32	0.00	0.00	0.00
Wz	0.00	0.00	0.00	0.00

Charakter. v kroucení			
$t_{w,y}$	0.000	[mm]	
$t_{w,z}$	0.000	[mm]	
κ	1.00		
I_t=	0.00E+00	[mm^4]	
Ω=2*A_{pr}	0.00E+00	[mm^2]	

Součinitele vzpěru a vlivu II.řádu				
Char./Fáze	0	1	2	3
k_y	1.000	1.000	1.000	1.000
k_z	1.000	1.000	1.000	1.000
χ_{LT}	1.000	1.000	1.000	1.000
χ_{min}	1.000	1.000	1.000	1.000

Vnitřní síly od jednotlivých skupin zatěžovacích stavů

SKUPINA ZATĚŽOVACÍCH STAVŮ					- CHARAKTERISTICKÉ HODNOTY						DÍLČÍ SOUČINITELÉ ZATÍŽENÍ, DYNAMICKÝ SOUČINITEL						7	- NÁVRHOVÉ HODNOTY								
Č.	SKUP ZS	POPIS ZS	KAT.	FÁZE PRŮŘ.	N.k (kN)	Vy.k (kN)	Vz.k (kN)	Mx.k (kNm)	My.k (kNm)	Mz.k (kNm)	γ_{sr} (-)	γ_{fs} (-)	volba γ_f hledat	γ_f (-)	L_d (m)	δ (-)	Ψ_s KZ07	N.d (kN)	Vy.d (kN)	Vz.d (kN)	ΔVz.d (kN)	ΣVz.d (kN)	Mx.d (kNm)	My.d (kNm)	ΔMy.d (kNm)	ΣMy.d (kNm)	Mz.d (kNm)	ΔMz.d (kNm)	ΣMz.d (kNm)
1	G0	Vlastní tíha OK	G	0	95	0	-16	0	-4	-1	1.00	1.20		1.20	-	1.00	0.95	108	0	-18	0	-18	0	-5	0	-5	-1	0	-1
2	G1	Ostatní stálé - mostní vybavení	G	0	7	0	-1	0	0	0	1.00	1.20		1.20	-	1.00	0.95	8	0	-1	0	-1	0	0	0	0	0	0	0
3	G2	Ostatní stálé - cizí zařízení	G	0	5	0	0	0	0	0	1.00	1.20		1.20	-	1.00	0.95	6	0	-1	0	-1	0	0	0	0	0	0	0
4	P1_71	a.LM71 - kolej 1 (bez dyn. souč.)	P	0	89	0	-11	0	-7	0	1.00	vyp.		0.00	-	1.00	0.00	0	0	0	0	0	0	0	0	0	0	0	0
5	P2_71	a.LM71 - kolej 2 (bez dyn. souč.)	P	0	110	0	-157	0	-19	-1	1.00	vyp.		0.00	-	1.00	0.00	0	0	0	0	0	0	0	0	0	0	0	0
6	P1_C3	TTZ C3 - kolej 1 (bez dyn. souč.)	P	0	79	0	-10	0	-7	0	1.00	1.30		1.30	-	1.63	1.00	167	0	-21	0	-21	0	-15	0	-15	-1	0	-1
7	P2_C3	TTZ C3 - kolej 2 (bez dyn. souč.)	P	0	95	0	-133	0	-13	-1	1.00	1.30		1.30	-	1.63	1.00	201	0	-282	0	-282	0	-27	0	-27	-1	0	-1
8	BR	Brzdné a rozjezdové síly	P	0	215	0	-28	0	-9	-2	1.00	1.30		1.30	-	1.00	0.64	179	0	-23	0	-23	0	-7	0	-7	-2	0	-2
9	S	Boční ráz	P	0	-27	4	-3	0	2	1	1.00	1.30		1.30	-	1.00	0.32	-11	2	-1	0	-1	0	1	0	1	1	0	1
10	CH	Chodci na lávkách	Q	0	13	0	-1	0	0	0	1.00	1.30		1.30	-	1.00	1.00	18	0	-1	0	-1	0	0	0	0	0	0	0
11	W	Vítr na konstrukci	Q	0	3	0	-3	0	-3	0	1.00	1.35		1.35	-	1.00	0.75	3	0	-3	0	-3	0	-4	0	-4	0	0	0
12	WP	Vítr na vozidla	Q	0	-7	-3	-9	0	4	0	1.00	1.35		1.35	-	1.00	0.75	-7	-3	-9	0	-9	0	4	0	4	0	0	0
13	TR	Teplota rovnoměrná	Q	0	0	0	0	0	0	0	1.00	1.35		1.35	-	1.00	0.45	0	0	0	0	0	0	0	0	0	0	0	0
14	TN	Teplota nerovnoměrná	Q	0	12	0	0	0	-1	0	1.00	1.35		1.35	-	1.00	0.60	10	0	0	0	0	0	-1	0	-1	0	0	0
15	FR	Třecí síly v ložiskách	Q	0	11	0	-1	0	0	0	1.00	1.20		1.20	-	1.00	1.00	13	0	-1	0	-1	0	0	0	0	0	0	0
16	I	Imperfekce soustavy	Q	0	0	0	0	0	0	0	1.00	1.20		1.20	-	1.00	1.00	-1	0	0	0	0	0	0	0	0	0	0	0
27	ULS_LM	ULS - LM71 bez dynam	Q	0	678	-1	-292	0	-51	-4	1.00	vyp.		0.00	-	1.00	0.00	0	0	0	0	0	0	0	0	0	0	0	0
28	SLS_LM	SLS - LM71 bez dynam	Q	0	528	0	-226	0	-39	-3	1.00	vyp.	1	0.00	-	1.00	0.00	0	0	0	0	0	0	0	0	0	0	0	0
29	ULS_C3	ULS - C3 bez dynam	Q	0	646	0	-259	0	-43	-4	1.00	vyp.	1	0.00	-	1.00	0.00	0	0	0	0	0	0	0	0	0	0	0	0
30	SLS_C3	SLS - C3 bez dynam	Q	0	503	0	-201	0	-33	-3	1.00	vyp.	1	0.00	-	1.00	0.00	0	0	0	0	0	0	0	0	0	0	0	0
		CELKEM - FÁZE PRŮŘEZU 0																694	-2	-362	0	-362	0	-55	0	-55	-4	0	-4
		CELKEM - FÁZE PRŮŘEZU 1																0	0	0	0	0	0	0	0	0	0	0	0
		CELKEM - FÁZE PRŮŘEZU 2																0	0	0	0	0	0	0	0	0	0	0	0
		CELKEM - FÁZE PRŮŘEZU 3																0	0	0	0	0	0	0	0	0	0	0	0
		CELKEM - PRŮŘEZ																694	-2	-362	0	-362	0			-55			-4

Napětí od jednotlivých zatěžovacích stavů

SKUPINA ZATĚŽOVACÍCH STAVŮ					Posouzení normálového napětí										Posouzení smykového napětí													
					Účinek síly N			Účinek momentu My			Účinek momentu Mz				Účinek kroutícího momentu Mx				Účinek smykové síly Vy				Účinek smykové síly Vz			
Č.	SKUP ZS	Popis ZS	Kat.	fáze průř.	δ*N_d [kN]	χ*A [mm^2]	σ_n [MPa]	δ*$M_{y,d}$ [kNm]	χ_{lt}*$W_{el,y}$ [mm^3]	σ_{my} [MPa]	δ*$M_{z,d}$ [kNm]	$W_{el,z}$ [mm^3]	σ_{mz} [MPa]	σ_x [MPa]	κ*δ*$M_{x,d}$ [kNm]	$W_{v,y}$ [mm^2]	$\tau_{x,y}$ [MPa]	$W_{v,z}$ [mm^2]	$\tau_{x,z}$ [MPa]	δ*$V_{y,d}$ [kN]	$A_{v,y}$ [mm2]	$\tau_{v,y}$ [MPa]	$\tau_{v,y}$ [MPa]	δ*$V_{z,d}$ [kN]	$A_{v,z}$ [mm2]	$\tau_{v,z}$ [MPa]	$\tau_{v,z}$ [MPa]
1	G0	Vlastní tíha OK	G	0	108.2	9.73E+03	11.1	-4.5	-1.95E+06	2.3	-0.7	-1.36E+06	0.5	13.9	-1.1E-02	-	-	-	-	-0.1	2.40E+03	-0.1	-0.1	-17.7	5.40E+03	-3.3	-3.3
2	G1	Ostatní stálé - mostní vybavení	G	0	8.2	9.73E+03	0.8	-0.2	-1.95E+06	0.1	0.0	-1.36E+06	0.0	1.0	0.0E+00	-	-	-	-	0.0	2.40E+03	0.0	0.0	-0.8	5.40E+03	-0.1	-0.1
3	G2	Ostatní stálé - cizí zařízení	G	0	6.2	9.73E+03	0.6	-0.2	-1.95E+06	0.1	0.0	-1.36E+06	0.0	0.8	0.0E+00	-	-	-	-	0.0	2.40E+03	0.0	0.0	-0.5	5.40E+03	-0.1	-0.1
4	P1_71	a.LM71 - kolej 1 (bez dyn. souč.)	P	0	0.0	9.73E+03	0.0	0.0	-1.95E+06	0.0	0.0	-1.36E+06	0.0	0.0	0.0E+00	-	-	-	-	0.0	2.40E+03	0.0	0.0	0.0	5.40E+03	0.0	0.0
5	P2_71	a.LM71 - kolej 2 (bez dyn. souč.)	P	0	0.0	9.73E+03	0.0	0.0	-1.95E+06	0.0	0.0	-1.36E+06	0.0	0.0	0.0E+00	-	-	-	-	0.0	2.40E+03	0.0	0.0	0.0	5.40E+03	0.0	0.0
6	P1_C3	TTZ C3 - kolej 1 (bez dyn. souč.)	P	0	167.1	9.73E+03	17.2	-14.6	-1.95E+06	7.5	-0.9	-1.36E+06	0.7	25.4	-2.1E-02	-	-	-	-	-0.2	2.40E+03	-0.1	-0.1	-21.3	5.40E+03	-3.9	-3.9
7	P2_C3	TTZ C3 - kolej 2 (bez dyn. souč.)	P	0	200.7	9.73E+03	20.6	-27.4	-1.95E+06	14.1	-1.3	-1.36E+06	0.9	35.6	4.2E-02	-	-	-	-	0.0	2.40E+03	0.0	0.0	-281.9	5.40E+03	-52.2	-52.2
8	BR	Brzdné a rozjezdové síly	P	0	178.8	9.73E+03	18.4	-7.5	-1.95E+06	3.9	-1.5	-1.36E+06	1.1	23.4	-4.2E-02	-	-	-	-	0.0	2.40E+03	0.0	0.0	-23.5	5.40E+03	-4.3	-4.3
9	S	Boční ráz	P	0	-11.2	9.73E+03	-1.1	0.8	-1.95E+06	-0.4	0.6	-1.36E+06	-0.4	-2.0	3.3E-02	-	-	-	-	1.8	2.40E+03	0.7	0.7	-1.3	5.40E+03	-0.2	-0.2
10	CH	Chodci na lávkách	Q	0	17.5	9.73E+03	1.8	-0.5	-1.95E+06	0.2	-0.1	-1.36E+06	0.1	2.1	0.0E+00	-	-	-	-	0.0	2.40E+03	0.0	0.0	-1.4	5.40E+03	-0.3	-0.3
11	W	Vítr na konstrukci	Q	0	2.8	9.73E+03	0.3	-3.5	-1.95E+06	1.8	-0.5	-1.36E+06	0.3	2.4	-2.0E-02	-	-	-	-	-0.3	2.40E+03	-0.1	-0.1	-3.4	5.40E+03	-0.6	-0.6
12	WP	Vítr na vozidla	Q	0	-7.1	9.73E+03	-0.7	3.6	-1.95E+06	-1.9	0.4	-1.36E+06	-0.3	-2.9	4.1E-02	-	-	-	-	-2.7	2.40E+03	-1.1	-1.1	-8.8	5.40E+03	-1.6	-1.6
13	TR	Teplota rovnoměrná	Q	0	0.0	9.73E+03	0.0	0.0	-1.95E+06	0.0	0.0	-1.36E+06	0.0	0.0	0.0E+00	-	-	-	-	0.0	2.40E+03	0.0	0.0	0.0	5.40E+03	0.0	0.0
14	TN	Teplota nerovnoměrná	Q	0	9.6	9.73E+03	1.0	-0.8	-1.95E+06	0.4	0.0	-1.36E+06	0.0	1.4	0.0E+00	-	-	-	-	0.0	2.40E+03	0.0	0.0	-0.1	5.40E+03	0.0	0.0
15	FR	Třecí síly v ložiskách	Q	0	13.3	9.73E+03	1.4	-0.3	-1.95E+06	0.2	-0.1	-1.36E+06	0.0	1.6	0.0E+00	-	-	-	-	0.0	2.40E+03	0.0	0.0	-1.1	5.40E+03	-0.2	-0.2
16	I	Imperfekce soustavy	Q	0	-0.6	9.73E+03	-0.1	-0.2	-1.95E+06	0.1	0.0	-1.36E+06	0.0	0.1	0.0E+00	-	-	-	-	0.0	2.40E+03	0.0	0.0	-0.2	5.40E+03	0.0	0.0
27	ULS_LM	ULS - LM71 bez dynam	Q	0	0.0	9.73E+03	0.0	0.0	-1.95E+06	0.0	0.0	-1.36E+06	0.0	0.0	0.0E+00	-	-	-	-	0.0	2.40E+03	0.0	0.0	0.0	5.40E+03	0.0	0.0
28	SLS_LM	SLS - LM71 bez dynam	Q	0	0.0	9.73E+03	0.0	0.0	-1.95E+06	0.0	0.0	-1.36E+06	0.0	0.0	0.0E+00	-	-	-	-	0.0	2.40E+03	0.0	0.0	0.0	5.40E+03	0.0	0.0
29	ULS_C3	ULS - C3 bez dynam	Q	0	0.0	9.73E+03	0.0	0.0	-1.95E+06	0.0	0.0	-1.36E+06	0.0	0.0	0.0E+00	-	-	-	-	0.0	2.40E+03	0.0	0.0	0.0	5.40E+03	0.0	0.0
30	SLS_C3	SLS - C3 bez dynam	Q	0	0.0	9.73E+03	0.0	0.0	-1.95E+06	0.0	0.0	-1.36E+06	0.0	0.0	0.0E+00	-	-	-	-	0.0	2.40E+03	0.0	0.0	0.0	5.40E+03	0.0	0.0
NAVÝŠENÍ NAPĚTÍ DO AKTIVACE TLAKU V DESCE MOSTOVKY						$\sigma_{P,red}$	0.0							0.0			0.0		0.0				-0.6	-0.6			-67.0	-67.0
NAPĚTÍ OD PRIMÁRNÍCH ÚČINKŮ NEROVNOMĚRNÉHO OTEPLENÍ						σ_T	0.0							0.0														
NAPĚTÍ OD REOLOGICKÝCH ÚČINKŮ BETONU V ČASE				t=0		σ_R	0.0	γ=	1.20					0.0														
NAPĚTÍ V KRITICKÝCH VLÁKNECH OD KOMBINACE ZATÍŽENÍ						KZ07		[MPa]					$\Sigma\sigma_x$	102.8								$\Sigma\tau_y$	-0.6			$\Sigma\tau_z$	-67.0
NAPĚTÍ OD POHYBLIVÉHO ZATÍŽENÍ								[MPa]					$\sigma_{x,P}$	82.4								τ_P	0.6			τ_P	-60.7
NAPĚTÍ OD OSTATNÍCH ZATÍŽENÍ								[MPa]			Φ_{Vy}	Φ_{Vz}	$\sigma_{x,rs}$	20.4								τ_{rs}	-1.3			τ_{rs}	-6.3
NÁVRHOVÁ HODNOTA MEZE KLUZU S REDUKCÍ VLIVEM SMYKOVÉHO NAPĚTÍ								[MPa]			1.00	0.99	$f_{yw,d}$	209.1								$f_{yd}/3^{0,5}$	120.7			$f_{yd}/3^{0,5}$	120.7
NAPĚTÍ OD POHYBLIVÉHO ZATÍŽENÍ V GLOBÁLNÍM SYSTÉMU						$\sigma_{GLOB,P}$	0.0	[MPa]					$\Sigma\sigma_{GLOB}$	0.0													
NAPĚTÍ OD OSTATNÍCH ZATÍŽENÍ V GLOBÁLNÍM SYSTÉMU						$\sigma_{GLOB,rs}$	0.0	[MPa]					$\Sigma\sigma_x + \Sigma\sigma_{GLOB}$	102.8													
VYUŽITÍ PRŮŘEZU DLE NAPĚTÍ								[%]					η_1	0.49								η_3	0.01			η_3	0.56
NAPĚTÍ V PŘÍČNÉM SMĚRU OD POHYBLIVÉHO ZATÍŽENÍ						$\sigma_{z,P}$	0.0	[MPa]					$\Sigma\sigma_z$	0.0													
NAPĚTÍ V PŘÍČNÉM SMĚRU OD OSTATNÍCH ZATÍŽENÍ						$\sigma_{z,rs}$	0.0	[MPa]					η_2	0.00													
SROVNÁVACÍ NAPĚTÍ													(η2 + 0,8 η1)/1,4 =	0.28													
VYUŽITÍ PRŮŘEZU CELKEM								[%]					eff	0.56	VYHOVUJE												
													z_{LM71} =	-----													

TAB. L2.2.3 POSOUZENÍ - MEZNÍ STAV ÚNOSNOSTI

POPIS	PODÉLNÍK L2.E - STŘED
PRUT / POLOHA BODU	871 / 2/4
NAMÁHÁNÍ	Vy.min
VLÁKNO	BOD K1 -HL
MEZNÍ STAV	ULS (MSÚ)
VYUŽITÍ VLÁKNA PRŮŘEZU	0.70

Charakteristiky materiálu				
pás. horní	$f_{yf,k}$	230	MPa	
pás. dolní	$f_{yf,k}$	230	MPa	
stojina	$f_{yw,k}$	230	MPa	
výztuž	$f_{ys,k}$	500	MPa	
γ_M =	1.10	γ_s =	1.15	

Excentricita normálové síly				
Exc./Fáze	0	1	2	3
e_y	0.000	0.000	0.000	0.000
e_z	0.000	0.000	0.000	0.000
Ekvivalentní vzdál. stěn - příčný roznos				
b_{Mx}	0.000	0.000	0.000	0.000

Vliv stěny na únosnost průřezu				
Char./Fáze	0	1	2	3
A	0.00	0.00	0.00	0.00
Wy	0.00	0.00	0.00	0.00
Wz	0.00	0.00	0.00	0.00

Charakter. v kroucení			
$t_{w,y}$	0.000	[mm]	
$t_{w,z}$	0.000	[mm]	
κ	1.00		
I_t=	0.00E+00	[mm⁴]	
Ω=2*A_{pr}	0.00E+00	[mm²]	

Součinitele vzpěru a vlivu II.řádu					
Char./Fáze	0	1	2	3	
k_y	1.000	1.000	1.000	1.000	
k_z	1.000	1.000	1.000	1.000	
χ_{LT}	1.000	1.000	1.000	1.000	
χ_{min}	1.000	1.000	1.000	1.000	

Vnitřní síly od jednotlivých skupin zatěžovacích stavů

SKUPINA ZATĚŽOVACÍCH STAVŮ					- CHARAKTERISTICKÉ HODNOTY						DÍLČÍ SOUČINITELÉ ZATÍŽENÍ, DYNAMICKÝ SOUČINITEL							- NÁVRHOVÉ HODNOTY									
Č.	SKUP ZS	POPIS ZS	KAT.	FÁZE PRŮŘ.	N.k (kN)	Vy.k (kN)	Vz.k (kN)	Mx.k (kNm)	My.k (kNm)	Mz.k (kNm)	γ_{sup} (-)	γ_{inf} (-)	volba γ_i hledat	γ_i (-)	L_d (m)	δ (-)	Ψ_0 KZ07	N.d (kN)	Vy.d (kN)	Vz.d (kN)	ΔVz.d (kN)	ΣVz.d (kN)	Mx.d (kNm)	My.d (kNm)	ΔMy.d (kNm)	ΣMy.d (kNm)	Mz.d (kNm)	ΔMz.d (kNm)	ΣMz.d (kNm)
1	G0	Vlastní tíha OK	G	0	95	-2	-9	0	23	1	1.00	1.20		1.20	-	1.00	0.95	109	-2	-10	0	-10	0	27	0	27	2	0	2
2	G1	Ostatní stálé - mostní vybavení	G	0	7	0	-1	0	1	0	1.00	1.20		1.20	-	1.00	0.95	8	0	-1	0	-1	0	2	0	2	0	0	0
3	G2	Ostatní stálé - cizí zařízení	G	0	5	0	0	0	1	0	1.00	1.20		1.20	-	1.00	0.95	6	0	-1	0	-1	0	1	0	1	0	0	0
4	P1_71	a.LM71 - kolej 1 (bez dyn. souč.)	P	0	93	-2	-11	0	17	1	1.00	vyp.		0.00	-	1.00	0.00	0	0	0	0	0	0	0	0	0	0	0	0
5	P2_71	a.LM71 - kolej 2 (bez dyn. souč.)	P	0	110	-2	-11	0	139	2	1.00	vyp.		0.00	-	1.00	0.00	0	0	0	0	0	0	0	0	0	0	0	0
6	P1_C3	TTZ C3 - kolej 1 (bez dyn. souč.)	P	0	81	-2	-9	0	16	1	1.00	1.30		1.30	-	1.63	1.00	173	-3	-20	0	-20	0	33	0	33	2	0	2
7	P2_C3	TTZ C3 - kolej 2 (bez dyn. souč.)	P	0	96	-2	16	0	112	2	1.00	1.30		1.30	-	1.63	1.00	204	-5	33	0	33	0	237	0	237	3	0	3
8	BR	Brzdné a rozjezdové síly	P	0	252	-7	-29	0	55	5	1.00	1.30		1.30	-	1.00	0.64	210	-6	-24	0	-24	0	46	0	46	4	0	4
9	S	Boční ráz	P	0	-27	-19	0	0	6	-4	1.00	-1.30		-1.30	-	1.00	0.32	11	8	0	0	0	0	-3	0	-3	2	0	2
10	CH	Chodci na lávkách	Q	0	14	0	-1	0	2	0	1.00	1.30		1.30	-	1.00	1.00	18	0	-1	0	-1	0	3	0	3	0	0	0
11	W	Vítr na konstrukci	Q	0	3	-1	-4	0	4	1	1.00	1.35		1.35	-	1.00	0.75	3	-1	-4	0	-4	0	4	0	4	1	0	1
12	WP	Vítr na vozidla	Q	0	7	-4	-9	0	-4	2	1.00	1.35		1.35	-	1.00	0.75	7	-4	-9	0	-9	0	-4	0	-4	2	0	2
13	TR	Teplota rovnoměrná	Q	0	0	0	0	0	0	0	1.00	1.35		1.35	-	1.00	0.45	0	0	0	0	0	0	0	0	0	0	0	0
14	TN	Teplota nerovnoměrná	Q	0	-3	0	0	0	0	0	1.00	1.35		1.35	-	1.00	0.60	-3	0	0	0	0	0	0	0	0	0	0	0
15	FR	Třecí síly v ložiskách	Q	0	11	0	-1	0	2	0	1.00	1.20		1.20	-	1.00	1.00	13	0	-1	0	-1	0	2	0	2	0	0	0
16	I	Imperfekce soustavy	Q	0	0	0	0	0	0	0	1.00	1.20		1.20	-	1.00	1.00	-1	0	0	0	0	0	0	0	0	0	0	0
27	ULS_LM	ULS - LM71 bez dynam	Q	0	554	-43	-73	-1	283	7	1.00	vyp.		0.00	-	1.00	0.00	0	0	0	0	0	0	0	0	0	0	0	0
28	SLS_LM	SLS - LM71 bez dynam	Q	0	442	-33	-57	-1	221	6	1.00	vyp.	1	0.00	-	1.00	0.00	0	0	0	0	0	0	0	0	0	0	0	0
29	ULS_C3	ULS - C3 bez dynam	Q	0	521	-42	-37	-1	245	7	1.00	vyp.	1	0.00	-	1.00	0.00	0	0	0	0	0	0	0	0	0	0	0	0
30	SLS_C3	SLS - C3 bez dynam	Q	0	416	-33	-29	-1	192	5	1.00	vyp.	1	0.00	-	1.00	0.00	0	0	0	0	0	0	0	0	0	0	0	0
		CELKEM - FÁZE PRŮŘEZU 0																759	-14	-37	0	-37	0	349	0	349	17	0	17
		CELKEM - FÁZE PRŮŘEZU 1																0	0	0	0	0	0	0	0	0	0	0	0
		CELKEM - FÁZE PRŮŘEZU 2																0	0	0	0	0	0	0	0	0	0	0	0
		CELKEM - FÁZE PRŮŘEZU 3																0	0	0	0	0	0	0	0	0	0	0	0
		CELKEM - PRŮŘEZ																759	-14	-37	0	-37	0			349			17

Napětí od jednotlivých zatěžovacích stavů

SKUPINA ZATĚŽOVACÍCH STAVŮ					Posouzení normálového napětí											Posouzení smykového napětí												
					Účinek síly N			Účinek momentu My				Účinek momentu Mz				Účinek kroutícího momentu Mx				Účinek smykové síly Vy				Účinek smykové síly Vz			
Č.	SKUP ZS	Popis ZS	Kat.	fáze prúř.	δ^*N_d [kN]	χ^*A [mm²]	σ_n [MPa]	$\delta^*M_{y,d}$ [kNm]	$\chi_{lt}{}^*W_{el,y}$ [mm³]	σ_{my} [MPa]	$\delta^*M_{z,d}$ [kNm]	$W_{el,z}$ [mm³]	σ_{mz} [MPa]	σ_x [MPa]	$\kappa^*\delta^*M_{x,d}$ [kNm]	$W_{v,y}$ [mm²]	$\tau_{x,y}$ [MPa]	$W_{v,z}$ [mm²]	$\tau_{x,z}$ [MPa]	$\delta^*V_{y,d}$ [kN]	$A_{v,y}$ [mm2]	$\tau_{v,y}$ [MPa]	$\tau_{v,y}$ [MPa]	$\delta^*V_{z,d}$ [kN]	$A_{v,z}$ [mm2]	$\tau_{v,z}$ [MPa]	$\tau_{v,z}$ [MPa]
1	G0	Vlastní tíha OK	G	0	108.8	1.49E+04	7.3	26.7	-3.81E+06	-7.0	1.6	-1.61E+05	-10.1	-9.8	-4.6E-02	-	-	-	-	-2.2	6.71E+03	-0.3	-0.3	-9.9	8.15E+03	-1.2	-1.2
2	G1	Ostatní stálé - mostní vybavení	G	0	8.2	1.49E+04	0.6	1.5	-3.81E+06	-0.4	0.1	-1.61E+05	-0.8	-0.6	0.0E+00	-	-	-	-	-0.2	6.71E+03	0.0	0.0	-0.8	8.15E+03	-0.1	-0.1
3	G2	Ostatní stálé - cizí zařízení	G	0	6.2	1.49E+04	0.4	1.1	-3.81E+06	-0.3	0.1	-1.61E+05	-0.6	-0.4	0.0E+00	-	-	-	-	-0.1	6.71E+03	0.0	0.0	-0.5	8.15E+03	-0.1	-0.1
4	P1_71	a.LM71 - kolej 1 (bez dyn. souč.)	P	0	0.0	1.49E+04	0.0	0.0	-3.81E+06	0.0	0.0	-1.61E+05	0.0	0.0	0.0E+00	-	-	-	-	0.0	6.71E+03	0.0	0.0	0.0	8.15E+03	0.0	0.0
5	P2_71	a.LM71 - kolej 2 (bez dyn. souč.)	P	0	0.0	1.49E+04	0.0	0.0	-3.81E+06	0.0	0.0	-1.61E+05	0.0	0.0	0.0E+00	-	-	-	-	0.0	6.71E+03	0.0	0.0	0.0	8.15E+03	0.0	0.0
6	P1_C3	TTZ C3 - kolej 1 (bez dyn. souč.)	P	0	172.6	1.49E+04	11.6	33.1	-3.81E+06	-8.7	2.4	-1.61E+05	-14.8	-11.8	2.1E-02	-	-	-	-	-3.3	6.71E+03	-0.5	-0.5	-19.9	8.15E+03	-2.4	-2.4
7	P2_C3	TTZ C3 - kolej 2 (bez dyn. souč.)	P	0	204.4	1.49E+04	13.8	237.0	-3.81E+06	-62.1	3.3	-1.61E+05	-20.4	-68.8	-1.9E-01	-	-	-	-	-4.6	6.71E+03	-0.7	-0.7	33.4	8.15E+03	4.1	4.1
8	BR	Brzdné a rozjezdové síly	P	0	209.7	1.49E+04	14.1	46.1	-3.81E+06	-12.1	4.2	-1.61E+05	-26.3	-24.3	-1.2E-01	-	-	-	-	-5.9	6.71E+03	-0.9	-0.9	-23.9	8.15E+03	-2.9	-2.9
9	S	Boční ráz	P	0	11.2	1.49E+04	0.8	-2.6	-3.81E+06	0.7	1.7	-1.61E+05	-10.9	-9.4	1.5E-01	-	-	-	-	7.8	6.71E+03	1.2	1.2	0.1	8.15E+03	0.0	0.0
10	CH	Chodci na lávkách	Q	0	17.6	1.49E+04	1.2	2.8	-3.81E+06	-0.7	0.3	-1.61E+05	-1.7	-1.2	-1.3E-02	-	-	-	-	-0.4	6.71E+03	-0.1	-0.1	-1.5	8.15E+03	-0.2	-0.2
11	W	Vítr na konstrukci	Q	0	2.8	1.49E+04	0.2	4.4	-3.81E+06	-1.2	1.2	-1.61E+05	-7.2	-8.2	-8.1E-02	-	-	-	-	-1.2	6.71E+03	-0.2	-0.2	-3.7	8.15E+03	-0.5	-0.5
12	WP	Vítr na vozidla	Q	0	7.0	1.49E+04	0.5	-3.6	-3.81E+06	0.9	1.5	-1.61E+05	-9.6	-8.2	-1.9E-01	-	-	-	-	-3.8	6.71E+03	-0.6	-0.6	-8.6	8.15E+03	-1.1	-1.1
13	TR	Teplota rovnoměrná	Q	0	0.0	1.49E+04	0.0	0.0	-3.81E+06	0.0	0.0	-1.61E+05	0.0	0.0	0.0E+00	-	-	-	-	0.0	6.71E+03	0.0	0.0	0.0	8.15E+03	0.0	0.0
14	TN	Teplota nerovnoměrná	Q	0	-2.6	1.49E+04	-0.2	0.0	-3.81E+06	0.0	0.2	-1.61E+05	-1.1	-1.2	-1.6E-02	-	-	-	-	-0.2	6.71E+03	0.0	0.0	0.0	8.15E+03	0.0	0.0
15	FR	Třecí síly v ložiskách	Q	0	13.3	1.49E+04	0.9	2.2	-3.81E+06	-0.6	0.2	-1.61E+05	-1.1	-0.8	0.0E+00	-	-	-	-	-0.3	6.71E+03	0.0	0.0	-1.1	8.15E+03	-0.1	-0.1
16	I	Imperfekce soustavy	Q	0	-0.6	1.49E+04	0.0	0.2	-3.81E+06	0.0	0.1	-1.61E+05	-0.5	-0.6	0.0E+00	-	-	-	-	-0.1	6.71E+03	0.0	0.0	-0.2	8.15E+03	0.0	0.0
27	ULS_LM	ULS - LM71 bez dynam	Q	0	0.0	1.49E+04	0.0	0.0	-3.81E+06	0.0	0.0	-1.61E+05	0.0	0.0	0.0E+00	-	-	-	-	0.0	6.71E+03	0.0	0.0	0.0	8.15E+03	0.0	0.0
28	SLS_LM	SLS - LM71 bez dynam	Q	0	0.0	1.49E+04	0.0	0.0	-3.81E+06	0.0	0.0	-1.61E+05	0.0	0.0	0.0E+00	-	-	-	-	0.0	6.71E+03	0.0	0.0	0.0	8.15E+03	0.0	0.0
29	ULS_C3	ULS - C3 bez dynam	Q	0	0.0	1.49E+04	0.0	0.0	-3.81E+06	0.0	0.0	-1.61E+05	0.0	0.0	0.0E+00	-	-	-	-	0.0	6.71E+03	0.0	0.0	0.0	8.15E+03	0.0	0.0
30	SLS_C3	SLS - C3 bez dynam	Q	0	0.0	1.49E+04	0.0	0.0	-3.81E+06	0.0	0.0	-1.61E+05	0.0	0.0	0.0E+00	-	-	-	-	0.0	6.71E+03	0.0	0.0	0.0	8.15E+03	0.0	0.0
NAVÝŠENÍ NAPĚTÍ DO AKTIVACE TLAKU V DESCE MOSTOVKY						$\sigma_{P,red}$	0.0							0.0			0.0		0.0				-2.1	-2.1			-4.5	-4.5
NAPĚTÍ OD PRIMÁRNÍCH ÚČINKŮ NEROVNOMĚRNÉHO OTEPLENÍ						σ_T	0.0							0.0														
NAPĚTÍ OD REOLOGICKÝCH ÚČINKŮ BETONU V ČASE				t=0		σ_R	0.0	γ=	1.20					0.0														
NAPĚTÍ V KRITICKÝCH VLÁKNECH OD KOMBINACE ZATÍŽENÍ						KZ07		[MPa]					$\Sigma\sigma_x$	-145.6								$\Sigma\tau_y$	-2.1				$\Sigma\tau_z$	-4.5
NAPĚTÍ OD POHYBLIVÉHO ZATÍŽENÍ								[MPa]					$\sigma_{x,P}$	-114.4								τ_P	-0.9				τ_P	-1.3
NAPĚTÍ OD OSTATNÍCH ZATÍŽENÍ								[MPa]			Φ_{Vy}	Φ_{Vz}	$\sigma_{x,rs}$	-31.2								τ_{rs}	-1.2				τ_{rs}	-3.2
NÁVRHOVÁ HODNOTA MEZE KLUZU S REDUKCÍ VLIVEM SMYKOVÉHO NAPĚTÍ								[MPa]			1.00	1.00	$f_{yw,d}$	209.1								$f_{yd}/3^{0,5}$	120.7				$f_{yd}/3^{0,5}$	120.7
NAPĚTÍ OD POHYBLIVÉHO ZATÍŽENÍ V GLOBÁLNÍM SYSTÉMU						$\sigma_{GLOB,P}$	0.0	[MPa]					$\Sigma\sigma_{GLOB}$	0.0														
NAPĚTÍ OD OSTATNÍCH ZATÍŽENÍ V GLOBÁLNÍM SYSTÉMU						$\sigma_{GLOB,rs}$	0.0	[MPa]					$\Sigma\sigma_x + \Sigma\sigma_{GLOB}$	-145.6														
VYUŽITÍ PRŮŘEZU DLE NAPĚTÍ								[%]					η_1	0.70								η_3	0.02				η_3	0.04
NAPĚTÍ V PŘÍČNÉM SMĚRU OD POHYBLIVÉHO ZATÍŽENÍ						$\sigma_{z,P}$	0.0	[MPa]					$\Sigma\sigma_z$	0.0														
NAPĚTÍ V PŘÍČNÉM SMĚRU OD OSTATNÍCH ZATÍŽENÍ						$\sigma_{z,rs}$	0.0	[MPa]					η_2	0.00														
SROVNÁVACÍ NAPĚTÍ													$(\eta_2 + 0,8\,\eta_1)/1,4$ =	0.40														
VYUŽITÍ PRŮŘEZU CELKEM								[%]					eff	0.70	VYHOVUJE													
													z_{LM71} =	-----														

TAB. L2.2.3 POSOUZENÍ - MEZNÍ STAV ÚNOSNOSTI

POPIS	PODĚLNÍK L2.E - STŘED
PRUT / POLOHA BODU	871 / 2/4
NAMÁHÁNÍ	Vy.min
VLÁKNO	BOD K4 -SP
MEZNÍ STAV	ULS (MSÚ)
VYUŽITÍ VLÁKNA PRŮŘEZU	1.08

Charakteristiky materiálu				
pás. horní	$f_{yf,k}$	230	MPa	
pás. dolní	$f_{yf,k}$	230	MPa	
stojina	$f_{yw,k}$	230	MPa	
výztuž	$f_{ys,k}$	500	MPa	
γ_M =	1.10	γ_s =	1.15	

Excentricita normálové síly				
Exc./Fáze	0	1	2	3
e_y	0.000	0.000	0.000	0.000
e_z	0.000	0.000	0.000	0.000
Ekvivalentní vzdál. stěn - příčný roznos				
b_{Mx}	0.000	0.000	0.000	0.000

Vliv stěny na únosnost průřezu				
Char./Fáze	0	1	2	3
A	0.00	0.00	0.00	0.00
Wy	0.00	0.00	0.00	0.00
Wz	0.00	0.00	0.00	0.00

Charakter. v kroucení			
$t_{w,y}$	0.000	[mm]	
$t_{w,z}$	0.000	[mm]	
κ	1.00		
I_t=	0.00E+00	[mm^4]	
$\Omega=2*A_{pr}$	0.00E+00	[mm^2]	

Součinitele vzpěru a vlivu II.řádu				
Char./Fáze	0	1	2	3
k_y	1.000	1.000	1.000	1.000
k_z	1.000	1.000	1.000	1.000
χ_{LT}	1.000	1.000	1.000	1.000
χ_{min}	1.000	1.000	1.000	1.000

Vnitřní síly od jednotlivých skupin zatěžovacích stavů

SKUPINA ZATĚŽOVACÍCH STAVŮ					- CHARAKTERISTICKÉ HODNOTY						DÍLČÍ SOUČINITELÉ ZATÍŽENÍ, DYNAMICKÝ SOUČINITEL						7	- NÁVRHOVÉ HODNOTY									
Č.	SKUP ZS	POPIS ZS	KAT.	FÁZE PRŮŘ.	N.k (kN)	Vy.k (kN)	Vz.k (kN)	Mx.k (kNm)	My.k (kNm)	Mz.k (kNm)	γ_{sup} (-)	γ_{inf} (-)	volba ψ_i hledat	ψ_i (-)	L_d (m)	δ (-)	Ψ_0 KZ07	N.d (kN)	Vy.d (kN)	Vz.d (kN)	ΔVz.d (kN)	ΣVz.d (kN)	Mx.d (kNm)	My.d (kNm)	ΔMy.d (kNm)	ΣMy.d (kNm)	Mz.d (kNm)	ΔMz.d (kNm)	ΣMz.d (kNm)
1	G0	Vlastní tíha OK	G	0	95	-2	-9	0	23	1	1.00	1.20		1.20	-	1.00	0.95	109	-2	-10	0	-10	0	27	0	27	2	0	2
2	G1	Ostatní stálé - mostní vybavení	G	0	7	0	-1	0	1	0	1.00	1.20		1.20	-	1.00	0.95	8	0	-1	0	-1	0	2	0	2	0	0	0
3	G2	Ostatní stálé - cizí zařízení	G	0	5	0	0	0	1	0	1.00	1.20		1.20	-	1.00	0.95	6	0	-1	0	-1	0	1	0	1	0	0	0
4	P1_71	a.LM71 - kolej 1 (bez dyn. souč.)	P	0	93	-2	-11	0	17	1	1.00	vyp.		0.00	-	1.00	0.00	0	0	0	0	0	0	0	0	0	0	0	0
5	P2_71	a.LM71 - kolej 2 (bez dyn. souč.)	P	0	110	-2	-11	0	139	2	1.00	vyp.		0.00	-	1.00	0.00	0	0	0	0	0	0	0	0	0	0	0	0
6	P1_C3	TTZ C3 - kolej 1 (bez dyn. souč.)	P	0	81	-2	-9	0	16	1	1.00	1.30		1.30	-	1.63	1.00	173	-3	-20	0	-20	0	33	0	33	2	0	2
7	P2_C3	TTZ C3 - kolej 2 (bez dyn. souč.)	P	0	96	-2	16	0	112	2	1.00	1.30		1.30	-	1.63	1.00	204	-5	33	0	33	0	237	0	237	3	0	3
8	BR	Brzdné a rozjezdové síly	P	0	252	-7	-29	0	55	5	1.00	1.30		1.30	-	1.00	0.64	210	-6	-24	0	-24	0	46	0	46	4	0	4
9	S	Boční ráz	P	0	-27	-19	0	0	6	-4	1.00	-1.30		-1.30	-	1.00	0.32	11	8	0	0	0	0	-3	0	-3	2	0	2
10	CH	Chodci na lávkách	Q	0	14	0	-1	0	2	0	1.00	1.30		1.30	-	1.00	1.00	18	0	-1	0	-1	0	3	0	3	0	0	0
11	W	Vítr na konstrukci	Q	0	3	-1	-4	0	4	1	1.00	1.35		1.35	-	1.00	0.75	3	-1	-4	0	-4	0	4	0	4	1	0	1
12	WP	Vítr na vozidla	Q	0	7	-4	-9	0	-4	2	1.00	1.35		1.35	-	1.00	0.75	7	-4	-9	0	-9	0	-4	0	-4	2	0	2
13	TR	Teplota rovnoměrná	Q	0	0	0	0	0	0	0	1.00	1.35		1.35	-	1.00	0.45	0	0	0	0	0	0	0	0	0	0	0	0
14	TN	Teplota nerovnoměrná	Q	0	-3	0	0	0	0	0	1.00	1.35		1.35	-	1.00	0.60	-3	0	0	0	0	0	0	0	0	0	0	0
15	FR	Třecí síly v ložiskách	Q	0	11	0	-1	0	2	0	1.00	1.20		1.20	-	1.00	1.00	13	0	-1	0	-1	0	2	0	2	0	0	0
16	I	Imperfekce soustavy	Q	0	0	0	0	0	0	0	1.00	1.20		1.20	-	1.00	1.00	-1	0	0	0	0	0	0	0	0	0	0	0
27	ULS_LM	ULS - LM71 bez dynam	Q	0	554	-43	-73	-1	283	7	1.00	vyp.		0.00	-	1.00	0.00	0	0	0	0	0	0	0	0	0	0	0	0
28	SLS_LM	SLS - LM71 bez dynam	Q	0	442	-33	-57	-1	221	6	1.00	vyp.	1	0.00	-	1.00	0.00	0	0	0	0	0	0	0	0	0	0	0	0
29	ULS_C3	ULS - C3 bez dynam	Q	0	521	-42	-37	-1	245	7	1.00	vyp.	1	0.00	-	1.00	0.00	0	0	0	0	0	0	0	0	0	0	0	0
30	SLS_C3	SLS - C3 bez dynam	Q	0	416	-33	-29	-1	192	5	1.00	vyp.	1	0.00	-	1.00	0.00	0	0	0	0	0	0	0	0	0	0	0	0
		CELKEM - FÁZE PRŮŘEZU 0																759	-14	-37	0	-37	0	349	0	349	17	0	17
		CELKEM - FÁZE PRŮŘEZU 1																0	0	0	0	0	0	0	0	0	0	0	0
		CELKEM - FÁZE PRŮŘEZU 2																0	0	0	0	0	0	0	0	0	0	0	0
		CELKEM - FÁZE PRŮŘEZU 3																0	0	0	0	0	0	0	0	0	0	0	0
		CELKEM - PRŮŘEZ																759	-14	-37	0	-37	0			349			17

Napětí od jednotlivých zatěžovacích stavů

SKUPINA ZATĚŽOVACÍCH STAVŮ					Posouzení normálového napětí										Posouzení smykového napětí													
					Účinek síly N			Účinek momentu My			Účinek momentu Mz				Účinek kroutícího momentu Mx				Účinek smykové síly Vy				Účinek smykové síly Vz			
Č.	SKUP ZS	Popis ZS	Kat.	fáze průř.	δ^*N_d [kN]	χ^*A [mm^2]	σ_n [MPa]	$\delta^*M_{y,d}$ [kNm]	$\chi_{lt}*W_{el,y}$ [mm^3]	σ_{my} [MPa]	$\delta^*M_{z,d}$ [kNm]	$W_{el,z}$ [mm^3]	σ_{mz} [MPa]	σ_x [MPa]	$\kappa*\delta^*M_{x,d}$ [kNm]	$W_{v,y}$ [mm^2]	$\tau_{x,y}$ [MPa]	$W_{v,z}$ [mm^2]	$\tau_{x,z}$ [MPa]	$\delta^*V_{y,d}$ [kN]	$A_{v,y}$ [mm2]	$\tau_{v,y}$ [MPa]	$\tau_{v,y}$ [MPa]	$\delta^*V_{z,d}$ [kN]	$A_{v,z}$ [mm2]	$\tau_{v,z}$ [MPa]	$\tau_{v,z}$ [MPa]
1	G0	Vlastní tíha OK	G	0	108.8	1.49E+04	7.3	26.7	3.26E+06	8.2	1.6	2.49E+05	6.6	22.0	-4.6E-02	-	-	-	-	-2.2	6.71E+03	-0.3	-0.3	-9.9	8.15E+03	-1.2	-1.2
2	G1	Ostatní stálé - mostní vybavení	G	0	8.2	1.49E+04	0.6	1.5	3.26E+06	0.5	0.1	2.49E+05	0.5	1.5	0.0E+00	-	-	-	-	-0.2	6.71E+03	0.0	0.0	-0.8	8.15E+03	-0.1	-0.1
3	G2	Ostatní stálé - cizí zařízení	G	0	6.2	1.49E+04	0.4	1.1	3.26E+06	0.3	0.1	2.49E+05	0.4	1.1	0.0E+00	-	-	-	-	-0.1	6.71E+03	0.0	0.0	-0.5	8.15E+03	-0.1	-0.1
4	P1_71	a.LM71 - kolej 1 (bez dyn. souč.)	P	0	0.0	1.49E+04	0.0	0.0	3.26E+06	0.0	0.0	2.49E+05	0.0	0.0	0.0E+00	-	-	-	-	0.0	6.71E+03	0.0	0.0	0.0	8.15E+03	0.0	0.0
5	P2_71	a.LM71 - kolej 2 (bez dyn. souč.)	P	0	0.0	1.49E+04	0.0	0.0	3.26E+06	0.0	0.0	2.49E+05	0.0	0.0	0.0E+00	-	-	-	-	0.0	6.71E+03	0.0	0.0	0.0	8.15E+03	0.0	0.0
6	P1_C3	TTZ C3 - kolej 1 (bez dyn. souč.)	P	0	172.6	1.49E+04	11.6	33.1	3.26E+06	10.1	2.4	2.49E+05	9.5	31.3	2.1E-02	-	-	-	-	-3.3	6.71E+03	-0.5	-0.5	-19.9	8.15E+03	-2.4	-2.4
7	P2_C3	TTZ C3 - kolej 2 (bez dyn. souč.)	P	0	204.4	1.49E+04	13.8	237.0	3.26E+06	72.7	3.3	2.49E+05	13.2	99.6	-1.9E-01	-	-	-	-	-4.6	6.71E+03	-0.7	-0.7	33.4	8.15E+03	4.1	4.1
8	BR	Brzdné a rozjezdové síly	P	0	209.7	1.49E+04	14.1	46.1	3.26E+06	14.1	4.2	2.49E+05	17.0	45.2	-1.2E-01	-	-	-	-	-5.9	6.71E+03	-0.9	-0.9	-23.9	8.15E+03	-2.9	-2.9
9	S	Boční ráz	P	0	11.2	1.49E+04	0.8	-2.6	3.26E+06	-0.8	1.7	2.49E+05	7.0	7.0	1.5E-01	-	-	-	-	7.8	6.71E+03	1.2	1.2	0.1	8.15E+03	0.0	0.0
10	CH	Chodci na lávkách	Q	0	17.6	1.49E+04	1.2	2.8	3.26E+06	0.9	0.3	2.49E+05	1.1	3.1	-1.3E-02	-	-	-	-	-0.4	6.71E+03	-0.1	-0.1	-1.5	8.15E+03	-0.2	-0.2
11	W	Vítr na konstrukci	Q	0	2.8	1.49E+04	0.2	4.4	3.26E+06	1.4	1.2	2.49E+05	4.7	6.2	-8.1E-02	-	-	-	-	-1.2	6.71E+03	-0.2	-0.2	-3.7	8.15E+03	-0.5	-0.5
12	WP	Vítr na vozidla	Q	0	7.0	1.49E+04	0.5	-3.6	3.26E+06	-1.1	1.5	2.49E+05	6.2	5.6	-1.9E-01	-	-	-	-	-3.8	6.71E+03	-0.6	-0.6	-8.6	8.15E+03	-1.1	-1.1
13	TR	Teplota rovnoměrná	Q	0	0.0	1.49E+04	0.0	0.0	3.26E+06	0.0	0.0	2.49E+05	0.0	0.0	0.0E+00	-	-	-	-	0.0	6.71E+03	0.0	0.0	0.0	8.15E+03	0.0	0.0
14	TN	Teplota nerovnoměrná	Q	0	-2.6	1.49E+04	-0.2	0.0	3.26E+06	0.0	0.2	2.49E+05	0.7	0.5	-1.6E-02	-	-	-	-	-0.2	6.71E+03	0.0	0.0	0.0	8.15E+03	0.0	0.0
15	FR	Třecí síly v ložiskách	Q	0	13.3	1.49E+04	0.9	2.2	3.26E+06	0.7	0.2	2.49E+05	0.7	2.3	0.0E+00	-	-	-	-	-0.3	6.71E+03	0.0	0.0	-1.1	8.15E+03	-0.1	-0.1
16	I	Imperfekce soustavy	Q	0	-0.6	1.49E+04	0.0	0.2	3.26E+06	0.1	0.1	2.49E+05	0.3	0.4	0.0E+00	-	-	-	-	-0.1	6.71E+03	0.0	0.0	-0.2	8.15E+03	0.0	0.0
27	ULS_LM	ULS - LM71 bez dynam	Q	0	0.0	1.49E+04	0.0	0.0	3.26E+06	0.0	0.0	2.49E+05	0.0	0.0	0.0E+00	-	-	-	-	0.0	6.71E+03	0.0	0.0	0.0	8.15E+03	0.0	0.0
28	SLS_LM	SLS - LM71 bez dynam	Q	0	0.0	1.49E+04	0.0	0.0	3.26E+06	0.0	0.0	2.49E+05	0.0	0.0	0.0E+00	-	-	-	-	0.0	6.71E+03	0.0	0.0	0.0	8.15E+03	0.0	0.0
29	ULS_C3	ULS - C3 bez dynam	Q	0	0.0	1.49E+04	0.0	0.0	3.26E+06	0.0	0.0	2.49E+05	0.0	0.0	0.0E+00	-	-	-	-	0.0	6.71E+03	0.0	0.0	0.0	8.15E+03	0.0	0.0
30	SLS_C3	SLS - C3 bez dynam	Q	0	0.0	1.49E+04	0.0	0.0	3.26E+06	0.0	0.0	2.49E+05	0.0	0.0	0.0E+00	-	-	-	-	0.0	6.71E+03	0.0	0.0	0.0	8.15E+03	0.0	0.0
NAVÝŠENÍ NAPĚTÍ DO AKTIVACE TLAKU V DESCE MOSTOVKY						$\sigma_{P,red}$	0.0							0.0			0.0		0.0			-2.1	-2.1			-4.5	-4.5
NAPĚTÍ OD PRIMÁRNÍCH ÚČINKŮ NEROVNOMĚRNÉHO OTEPLENÍ						σ_T	0.0							0.0													
NAPĚTÍ OD REOLOGICKÝCH ÚČINKŮ BETONU V ČASE				t=0		σ_R	0.0	γ=	1.20					0.0													
NAPĚTÍ V KRITICKÝCH VLÁKNECH OD KOMBINACE ZATÍŽENÍ						KZ07		[MPa]					$\Sigma\sigma_x$	225.9								$\Sigma\tau_y$	-2.1			$\Sigma\tau_z$	-4.5
NAPĚTÍ OD POHYBLIVÉHO ZATÍŽENÍ								[MPa]					$\sigma_{x,P}$	183.1								τ_P	-0.9			τ_P	-1.3
NAPĚTÍ OD OSTATNÍCH ZATÍŽENÍ								[MPa]			Φ_{Vy}	Φ_{Vz}	$\sigma_{x,rs}$	42.8								τ_{rs}	-1.2			τ_{rs}	-3.2
NÁVRHOVÁ HODNOTA MEZE KLUZU S REDUKCÍ VLIVEM SMYKOVÉHO NAPĚTÍ								[MPa]			1.00	1.00	$f_{yw,d}$	209.1								$f_{yd}/3^{0,5}$	120.7			$f_{yd}/3^{0,5}$	120.7
NAPĚTÍ OD POHYBLIVÉHO ZATÍŽENÍ V GLOBÁLNÍM SYSTÉMU						$\sigma_{GLOB,P}$	0.0	[MPa]					$\Sigma\sigma_{GLOB}$	0.0													
NAPĚTÍ OD OSTATNÍCH ZATÍŽENÍ V GLOBÁLNÍM SYSTÉMU						$\sigma_{GLOB,rs}$	0.0	[MPa]					$\Sigma\sigma_x + \Sigma\sigma_{GLOB}$	225.9													
VYUŽITÍ PRŮŘEZU DLE NAPĚTÍ								[%]					η_1	1.08								η_3	0.02			η_3	0.04
NAPĚTÍ V PŘÍČNÉM SMĚRU OD POHYBLIVÉHO ZATÍŽENÍ						$\sigma_{z,P}$	0.0	[MPa]					$\Sigma\sigma_z$	0.0													
NAPĚTÍ V PŘÍČNÉM SMĚRU OD OSTATNÍCH ZATÍŽENÍ						$\sigma_{z,rs}$	0.0	[MPa]					η_2	0.00													
SROVNÁVACÍ NAPĚTÍ													$(\eta2 + 0,8\ \eta1)/1,4 =$	0.62													
VYUŽITÍ PRŮŘEZU CELKEM								[%]					eff	1.08	NEVYHOVUJE												
													z_{LM71} =	-----													

TAB. L2.2.3 POSOUZENÍ - MEZNÍ STAV ÚNOSNOSTI

POPIS	PODÉLNÍK L2.E - STŘED
PRUT / POLOHA BODU	871 / 2/4
NAMÁHÁNÍ	Vz.min
VLÁKNO	BOD S6 -HP
MEZNÍ STAV	ULS (MSÚ)
VYUŽITÍ VLÁKNA PRŮŘEZU	0.61

Charakteristiky materiálu				
pás. horní	$f_{yf,k}$	230	MPa	
pás. dolní	$f_{yf,k}$	230	MPa	
stojina	$f_{yw,k}$	230	MPa	
výztuž	$f_{ys,k}$	500	MPa	
	γ_M =	1.10	γ_s =	1.15

Excentricita normálové síly				
Exc./Fáze	0	1	2	3
e_y	0.000	0.000	0.000	0.000
e_z	0.000	0.000	0.000	0.000
Ekvivalentní vzdál. stěn - příčný roznos				
b_{Mx}	0.000	0.000	0.000	0.000

Vliv stěny na únosnost průřezu				
Char./Fáze	0	1	2	3
A	0.00	0.00	0.00	0.00
Wy	0.00	0.00	0.00	0.00
Wz	0.00	0.00	0.00	0.00

Charakter. v kroucení			
$t_{w,y}$	0.000	[mm]	
$t_{w,z}$	0.000	[mm]	
κ	1.00		
I_t=	0.00E+00	[mm^4]	
Ω=2*A_{pr}	0.00E+00	[mm^2]	

Součinitele vzpěru a vlivu II.řádu					
Char./Fáze	0	1	2	3
k_y	1.000	1.000	1.000	1.000
k_z	1.000	1.000	1.000	1.000
χ_{LT}	1.000	1.000	1.000	1.000
χ_{min}	1.000	1.000	1.000	1.000

Vnitřní síly od jednotlivých skupin zatěžovacích stavů

SKUPINA ZATĚŽOVACÍCH STAVŮ — 7

Č.	SKUP ZS	POPIS ZS	KAT.	FÁZE PRŮŘ.	- CHARAKTERISTICKÉ HODNOTY N.k (kN)	Vy.k (kN)	Vz.k (kN)	Mx.k (kNm)	My.k (kNm)	Mz.k (kNm)	DÍLČÍ SOUČINITELÉ ZATÍŽENÍ, DYNAMICKÝ SOUČINITEL γ_{sr} (-)	γ_{sl} (-)	volba γ_{sl} hledat	γ_{sl} (-)	L_d (m)	δ (-)	γ_{sc} KZ07	- NÁVRHOVÉ HODNOTY N.d (kN)	Vy.d (kN)	Vz.d (kN)	ΔVz.d (kN)	ΣVz.d (kN)	Mx.d (kNm)	My.d (kNm)	ΔMy.d (kNm)	ΣMy.d (kNm)	Mz.d (kNm)	ΔMz.d (kNm)	ΣMz.d (kNm)
1	G0	Vlastní tíha OK	G	0	95	-2	-9	0	23	1	1.00	1.20		1.20	-	1.00	0.95	109	-2	-10	0	-10	0	27	0	27	2	0	2
2	G1	Ostatní stálé - mostní vybavení	G	0	7	0	-1	0	1	0	1.00	1.20		1.20	-	1.00	0.95	8	0	-1	0	-1	0	2	0	2	0	0	0
3	G2	Ostatní stálé - cizí zařízení	G	0	5	0	0	0	1	0	1.00	1.20		1.20	-	1.00	0.95	6	0	-1	0	-1	0	1	0	1	0	0	0
4	P1_71	a.LM71 - kolej 1 (bez dyn. souč.)	P	0	92	-2	-11	0	16	1	1.00	vyp.		0.00	-	1.00	0.00	0	0	0	0	0	0	0	0	0	0	0	0
5	P2_71	a.LM71 - kolej 2 (bez dyn. souč.)	P	0	109	-2	-47	0	84	2	1.00	vyp.		0.00	-	1.00	0.00	0	0	0	0	0	0	0	0	0	0	0	0
6	P1_C3	TTZ C3 - kolej 1 (bez dyn. souč.)	P	0	80	-2	-10	0	15	1	1.00	1.30		1.30	-	1.63	1.00	169	-3	-21	0	-21	0	32	0	32	2	0	2
7	P2_C3	TTZ C3 - kolej 2 (bez dyn. souč.)	P	0	98	-2	-41	0	71	2	1.00	1.30		1.30	-	1.63	1.00	209	-4	-87	0	-87	0	150	0	150	3	0	3
8	BR	Brzdné a rozjezdové síly	P	0	252	-7	-29	0	55	5	1.00	1.30		1.30	-	1.00	0.64	210	-6	-24	0	-24	0	46	0	46	4	0	4
9	S	Boční ráz	P	0	-4	-1	-3	0	1	1	1.00	1.30		1.30	-	1.00	0.32	-2	0	-1	0	-1	0	0	0	0	0	0	0
10	CH	Chodci na lávkách	Q	0	14	0	-1	0	2	0	1.00	1.30		1.30	-	1.00	1.00	18	0	-1	0	-1	0	3	0	3	0	0	0
11	W	Vítr na konstrukci	Q	0	3	-1	-4	0	4	1	1.00	1.35		1.35	-	1.00	0.75	3	-1	-4	0	-4	0	4	0	4	1	0	1
12	WP	Vítr na vozidla	Q	0	7	-4	-9	0	-4	2	1.00	1.35		1.35	-	1.00	0.75	7	-4	-9	0	-9	0	-4	0	-4	2	0	2
13	TR	Teplota rovnoměrná	Q	0	0	0	0	0	0	0	1.00	1.35		1.35	-	1.00	0.45	0	0	0	0	0	0	0	0	0	0	0	0
14	TN	Teplota nerovnoměrná	Q	0	12	0	0	0	-1	0	1.00	1.35		1.35	-	1.00	0.60	10	0	0	0	0	0	-1	0	-1	0	0	0
15	FR	Třecí síly v ložiskách	Q	0	11	0	-1	0	2	0	1.00	1.20		1.20	-	1.00	1.00	13	0	-1	0	-1	0	2	0	2	0	0	0
16	I	Imperfekce soustavy	Q	0	0	0	0	0	0	0	1.00	1.20		1.20	-	1.00	1.00	-1	0	0	0	0	0	0	0	0	0	0	0
27	ULS_LM	ULS - LM71 bez dynam	Q	0	760	-23	-141	-1	237	16	1.00	vyp.		0.00	-	1.00	0.00	0	0	0	0	0	0	0	0	0	0	0	0
28	SLS_LM	SLS - LM71 bez dynam	Q	0	591	-18	-110	-1	186	13	1.00	vyp.	1	0.00	-	1.00	0.00	0	0	0	0	0	0	0	0	0	0	0	0
29	ULS_C3	ULS - C3 bez dynam	Q	0	729	-22	-132	-1	219	16	1.00	vyp.	1	0.00	-	1.00	0.00	0	0	0	0	0	0	0	0	0	0	0	0
30	SLS_C3	SLS - C3 bez dynam	Q	0	568	-17	-103	-1	172	12	1.00	vyp.	1	0.00	-	1.00	0.00	0	0	0	0	0	0	0	0	0	0	0	0
		CELKEM - FÁZE PRŮŘEZU 0																758	-21	-160	0	-160	-1	263	0	263	15	0	15
		CELKEM - FÁZE PRŮŘEZU 1																0	0	0	0	0	0	0	0	0	0	0	0
		CELKEM - FÁZE PRŮŘEZU 2																0	0	0	0	0	0	0	0	0	0	0	0
		CELKEM - FÁZE PRŮŘEZU 3																0	0	0	0	0	0	0	0	0	0	0	0
		CELKEM - PRŮŘEZ																758	-21	-160	0	-160	-1			263			15

Napětí od jednotlivých zatěžovacích stavů

SKUPINA ZATĚŽOVACÍCH STAVŮ

Č.	SKUP ZS	Popis ZS	Kat.	fáze průř.	Posouzení normálového napětí — Účinek síly N δ^*N_d [kN]	χ^*A [mm^2]	σ_n [MPa]	Účinek momentu My $\delta^*M_{y,d}$ [kNm]	$\chi_t{}^*W_{el,y}$ [mm^3]	σ_{my} [MPa]	Účinek momentu Mz $\delta^*M_{z,d}$ [kNm]	$W_{el,z}$ [mm^3]	σ_{mz} [MPa]	σ_x [MPa]	Posouzení smykového napětí — Účinek kroutícího momentu Mx $\kappa^*\delta^*M_{x,d}$ [kNm]	$W_{v,y}$ [mm^2]	$\tau_{x,y}$ [MPa]	$W_{v,z}$ [mm^2]	$\tau_{x,z}$ [MPa]	Účinek smykové síly Vy $\delta^*V_{y,d}$ [kN]	$A_{v,y}$ [mm2]	$\tau_{v,y}$ [MPa]	$\tau_{v,y}$ [MPa]	Účinek smykové síly Vz $\delta^*V_{z,d}$ [kN]	$A_{v,z}$ [mm2]	$\tau_{v,z}$ [MPa]	$\tau_{v,z}$ [MPa]
1	G0	Vlastní tíha OK	G	0	108.8	1.49E+04	7.3	26.7	3.35E+06	8.0	1.6	-1.29E+07	-0.1	15.2	-4.6E-02	-	-	-	-	-2.2	6.71E+03	-0.3	-0.3	-9.9	8.15E+03	-1.2	-1.2
2	G1	Ostatní stálé - mostní vybavení	G	0	8.2	1.49E+04	0.6	1.5	3.35E+06	0.5	0.1	-1.29E+07	0.0	1.0	0.0E+00	-	-	-	-	-0.2	6.71E+03	0.0	0.0	-0.8	8.15E+03	-0.1	-0.1
3	G2	Ostatní stálé - cizí zařízení	G	0	6.2	1.49E+04	0.4	1.1	3.35E+06	0.3	0.1	-1.29E+07	0.0	0.7	0.0E+00	-	-	-	-	-0.1	6.71E+03	0.0	0.0	-0.5	8.15E+03	-0.1	-0.1
4	P1_71	a.LM71 - kolej 1 (bez dyn. souč.)	P	0	0.0	1.49E+04	0.0	0.0	3.35E+06	0.0	0.0	-1.29E+07	0.0	0.0	0.0E+00	-	-	-	-	0.0	6.71E+03	0.0	0.0	0.0	8.15E+03	0.0	0.0
5	P2_71	a.LM71 - kolej 2 (bez dyn. souč.)	P	0	0.0	1.49E+04	0.0	0.0	3.35E+06	0.0	0.0	-1.29E+07	0.0	0.0	0.0E+00	-	-	-	-	0.0	6.71E+03	0.0	0.0	0.0	8.15E+03	0.0	0.0
6	P1_C3	TTZ C3 - kolej 1 (bez dyn. souč.)	P	0	169.0	1.49E+04	11.4	32.3	3.35E+06	9.7	2.4	-1.29E+07	-0.2	20.8	-2.1E-02	-	-	-	-	-3.2	6.71E+03	-0.5	-0.5	-21.4	8.15E+03	-2.6	-2.6
7	P2_C3	TTZ C3 - kolej 2 (bez dyn. souč.)	P	0	208.5	1.49E+04	14.0	149.7	3.35E+06	44.7	3.2	-1.29E+07	-0.3	58.5	-1.5E-01	-	-	-	-	-3.9	6.71E+03	-0.6	-0.6	-86.5	8.15E+03	-10.6	-10.6
8	BR	Brzdné a rozjezdové síly	P	0	209.7	1.49E+04	14.1	46.1	3.35E+06	13.8	4.2	-1.29E+07	-0.3	27.5	-1.2E-01	-	-	-	-	-5.9	6.71E+03	-0.9	-0.9	-23.9	8.15E+03	-2.9	-2.9
9	S	Boční ráz	P	0	-1.8	1.49E+04	-0.1	0.3	3.35E+06	0.1	0.3	-1.29E+07	0.0	0.0	-2.1E-02	-	-	-	-	-0.3	6.71E+03	0.0	0.0	-1.4	8.15E+03	-0.2	-0.2
10	CH	Chodci na lávkách	Q	0	17.6	1.49E+04	1.2	2.8	3.35E+06	0.8	0.3	-1.29E+07	0.0	2.0	-1.3E-02	-	-	-	-	-0.4	6.71E+03	-0.1	-0.1	-1.5	8.15E+03	-0.2	-0.2
11	W	Vítr na konstrukci	Q	0	2.8	1.49E+04	0.2	4.4	3.35E+06	1.3	1.2	-1.29E+07	-0.1	1.4	-8.1E-02	-	-	-	-	-1.2	6.71E+03	-0.2	-0.2	-3.7	8.15E+03	-0.5	-0.5
12	WP	Vítr na vozidla	Q	0	7.0	1.49E+04	0.5	-3.6	3.35E+06	-1.1	1.5	-1.29E+07	-0.1	-0.7	-1.9E-01	-	-	-	-	-3.8	6.71E+03	-0.6	-0.6	-8.6	8.15E+03	-1.1	-1.1
13	TR	Teplota rovnoměrná	Q	0	0.0	1.49E+04	0.0	0.0	3.35E+06	0.0	0.0	-1.29E+07	0.0	0.0	0.0E+00	-	-	-	-	0.0	6.71E+03	0.0	0.0	0.0	8.15E+03	0.0	0.0
14	TN	Teplota nerovnoměrná	Q	0	9.6	1.49E+04	0.6	-0.9	3.35E+06	-0.3	-0.1	-1.29E+07	0.0	0.4	8.1E-03	-	-	-	-	0.1	6.71E+03	0.0	0.0	-0.1	8.15E+03	0.0	0.0
15	FR	Třecí síly v ložiskách	Q	0	13.3	1.49E+04	0.9	2.2	3.35E+06	0.6	0.2	-1.29E+07	0.0	1.5	0.0E+00	-	-	-	-	-0.3	6.71E+03	0.0	0.0	-1.1	8.15E+03	-0.1	-0.1
16	I	Imperfekce soustavy	Q	0	-0.6	1.49E+04	0.0	0.2	3.35E+06	0.1	0.1	-1.29E+07	0.0	0.0	0.0E+00	-	-	-	-	-0.1	6.71E+03	0.0	0.0	-0.2	8.15E+03	0.0	0.0
27	ULS_LM	ULS - LM71 bez dynam	Q	0	0.0	1.49E+04	0.0	0.0	3.35E+06	0.0	0.0	-1.29E+07	0.0	0.0	0.0E+00	-	-	-	-	0.0	6.71E+03	0.0	0.0	0.0	8.15E+03	0.0	0.0
28	SLS_LM	SLS - LM71 bez dynam	Q	0	0.0	1.49E+04	0.0	0.0	3.35E+06	0.0	0.0	-1.29E+07	0.0	0.0	0.0E+00	-	-	-	-	0.0	6.71E+03	0.0	0.0	0.0	8.15E+03	0.0	0.0
29	ULS_C3	ULS - C3 bez dynam	Q	0	0.0	1.49E+04	0.0	0.0	3.35E+06	0.0	0.0	-1.29E+07	0.0	0.0	0.0E+00	-	-	-	-	0.0	6.71E+03	0.0	0.0	0.0	8.15E+03	0.0	0.0
30	SLS_C3	SLS - C3 bez dynam	Q	0	0.0	1.49E+04	0.0	0.0	3.35E+06	0.0	0.0	-1.29E+07	0.0	0.0	0.0E+00	-	-	-	-	0.0	6.71E+03	0.0	0.0	0.0	8.15E+03	0.0	0.0
		NAVÝŠENÍ NAPĚTÍ DO AKTIVACE TLAKU V DESCE MOSTOVKY				$\sigma_{P,red}$	0.0							0.0			0.0		0.0			-3.2	-3.2			-19.6	-19.6
		NAPĚTÍ OD PRIMÁRNÍCH ÚČINKŮ NEROVNOMĚRNÉHO OTEPLENÍ				σ_T	0.0							0.0													
		NAPĚTÍ OD REOLOGICKÝCH ÚČINKŮ BETONU V ČASE		t=0		σ_R	0.0	γ=	1.20					0.0													
		NAPĚTÍ V KRITICKÝCH VLÁKNECH OD KOMBINACE ZATÍŽENÍ				KZ07		[MPa]					$\Sigma\sigma_x$	128.3								$\Sigma\tau_y$	-3.2			$\Sigma\tau_z$	-19.6
		NAPĚTÍ OD POHYBLIVÉHO ZATÍŽENÍ						[MPa]					$\sigma_{x,P}$	106.8								τ_P	-2.0			τ_P	-16.3
		NAPĚTÍ OD OSTATNÍCH ZATÍŽENÍ						[MPa]			Φ_{Vy}	Φ_{Vz}	$\sigma_{x,rs}$	21.5								τ_{rs}	-1.2			τ_{rs}	-3.2
		NÁVRHOVÁ HODNOTA MEZE KLUZU S REDUKCÍ VLIVEM SMYKOVÉHO NAPĚTÍ						[MPa]			1.00	1.00	$f_{yw,d}$	209.1								$f_{yd}/3^{0,5}$	120.7			$f_{yd}/3^{0,5}$	120.7
		NAPĚTÍ OD POHYBLIVÉHO ZATÍŽENÍ V GLOBÁLNÍM SYSTÉMU				$\sigma_{GLOB,P}$	0.0	[MPa]					$\Sigma\sigma_{GLOB}$	0.0													
		NAPĚTÍ OD OSTATNÍCH ZATÍŽENÍ V GLOBÁLNÍM SYSTÉMU				$\sigma_{GLOB,rs}$	0.0	[MPa]					$\Sigma\sigma_x + \Sigma\sigma_{GLOB}$	128.3													
		VYUŽITÍ PRŮŘEZU DLE NAPĚTÍ						[%]					η_1	0.61								η_3	0.03			η_3	0.16
		NAPĚTÍ V PŘÍČNÉM SMĚRU OD POHYBLIVÉHO ZATÍŽENÍ				$\sigma_{z,P}$	0.0	[MPa]					$\Sigma\sigma_z$	0.0													
		NAPĚTÍ V PŘÍČNÉM SMĚRU OD OSTATNÍCH ZATÍŽENÍ				$\sigma_{z,rs}$	0.0	[MPa]					η_2	0.00													
		SROVNÁVACÍ NAPĚTÍ											$(\eta 2 + 0{,}8\,\eta 1)/1{,}4$ =	0.35													
		VYUŽITÍ PRŮŘEZU CELKEM						[%]					eff	0.61	VYHOVUJE												
													Z_{LM71} =	-----												

TAB. L3.2.3 POSOUZENÍ - MEZNÍ STAV ÚNOSNOSTI

POPIS	PODĚLNÍK L3.E - STŘED
PRUT / POLOHA BODU	860 / I[721]
NAMÁHÁNÍ	My.max
VLÁKNO	BOD K1 -HL
MEZNÍ STAV	ULS (MSÚ)
VYUŽITÍ VLÁKNA PRŮŘEZU	0.81

Charakteristiky materiálu				
pás. horní	$f_{yf,k}$	230	MPa	
pás. dolní	$f_{yf,k}$	230	MPa	
stojina	$f_{yw,k}$	230	MPa	
výztuž	$f_{ys,k}$	500	MPa	
γ_M =	1.10	γ_s =	1.15	

Excentricita normálové síly				
Exc./Fáze	0	1	2	3
e_y	0.000	0.000	0.000	0.000
e_z	0.000	0.000	0.000	0.000
Ekvivalentní vzdál. stěn - příčný roznos				
b_{Mx}	0.000	0.000	0.000	0.000

Vliv stěny na únosnost průřezu				
Char./Fáze	0	1	2	3
A	0.00	0.00	0.00	0.00
Wy	0.00	0.00	0.00	0.00
Wz	0.00	0.00	0.00	0.00

Charakter. v kroucení			
$t_{w,y}$	0.000	[mm]	
$t_{w,z}$	0.000	[mm]	
κ	1.00		
I_t=	0.00E+00	[mm^4]	
$\Omega=2*A_{pr}$	0.00E+00	[mm^2]	

Součinitele vzpěru a vlivu II.řádu				
Char./Fáze	0	1	2	3
k_y	1.000	1.000	1.000	1.000
k_z	1.000	1.000	1.000	1.000
χ_{LT}	1.000	1.000	1.000	1.000
χ_{min}	1.000	1.000	1.000	1.000

Vnitřní síly od jednotlivých skupin zatěžovacích stavů — 8

SKUPINA ZATĚŽOVACÍCH STAVŮ					- CHARAKTERISTICKÉ HODNOTY						DÍLČÍ SOUČINITELÉ ZATÍŽENÍ, DYNAMICKÝ SOUČINITEL						- NÁVRHOVÉ HODNOTY									
Č.	SKUP ZS	POPIS ZS	KAT.	FÁZE PRŮŘ.	N.k (kN)	Vy.k (kN)	Vz.k (kN)	Mx.k (kNm)	My.k (kNm)	Mz.k (kNm)	γ_{sr} (-)	γ_{fs} (-)	volba γ_f hledat	γ_f (-)	L_d (m)	δ (-)	Ψ_s KZ08	N.d (kN)	Vy.d (kN)	Vz.d (kN)	ΔVz.d (kN)	ΣVz.d (kN)	Mx.d (kNm)	My.d (kNm)	ΔMy.d (kNm)	ΣMy.d (kNm)	Mz.d (kNm)	ΔMz.d (kNm)	ΣMz.d (kNm)
1	G0	Vlastní tíha OK	G	0	58	0	0	0	8	0	1.00	1.20		1.20	-	1.00	0.95	66	0	0	0	0	0	9	0	9	0	0	0
2	G1	Ostatní stálé - mostní vybavení	G	0	8	0	0	0	0	0	1.00	1.20		1.20	-	1.00	0.95	9	0	0	0	0	0	0	0	0	0	0	0
3	G2	Ostatní stálé - cizí zařízení	G	0	6	0	0	0	0	0	1.00	1.20		1.20	-	1.00	0.95	7	0	0	0	0	0	0	0	0	0	0	0
4	P1_71	a.LM71 - kolej 1 (bez dyn. souč.)	P	0	13	0	0	0	8	0	1.00	vyp.		0.00	-	1.00	0.00	0	0	0	0	0	0	0	0	0	0	0	0
5	P2_71	a.LM71 - kolej 2 (bez dyn. souč.)	P	0	30	1	12	0	202	0	1.00	vyp.		0.00	-	1.00	0.00	0	0	0	0	0	0	0	0	0	0	0	0
6	P1_C3	TTZ C3 - kolej 1 (bez dyn. souč.)	P	0	8	0	0	0	5	0	1.00	0.00		0.00	-	1.62	1.00	0	0	0	0	0	0	0	0	0	0	0	0
7	P2_C3	TTZ C3 - kolej 2 (bez dyn. souč.)	P	0	21	0	5	0	134	0	1.00	1.30		1.30	-	1.62	1.00	43	1	11	0	11	0	282	0	282	0	0	0
8	BR	Brzdné a rozjezdové síly	P	0	-175	0	6	0	4	0	1.00	1.30		1.30	-	1.00	0.32	-73	0	2	0	2	0	2	0	2	0	0	0
9	S	Boční ráz	P	0	-43	-11	0	0	13	-16	1.00	-1.30		-1.30	-	1.00	0.64	36	9	0	0	0	0	-10	0	-10	13	0	13
10	CH	Chodci na lávkách	Q	0	11	0	0	0	0	0	1.00	0.00		0.00	-	1.00	1.00	0	0	0	0	0	0	0	0	0	0	0	0
11	W	Vítr na konstrukci	Q	0	10	0	2	0	2	0	1.00	1.35		1.35	-	1.00	0.75	10	0	2	0	2	0	2	0	2	0	0	0
12	WP	Vítr na vozidla	Q	0	15	0	1	0	16	2	1.00	1.35		1.35	-	1.00	0.75	15	0	1	0	1	0	16	0	16	2	0	2
13	TR	Teplota rovnoměrná	Q	0	0	0	0	0	0	0	1.00	1.35		1.35	-	1.00	0.45	0	0	0	0	0	0	0	0	0	0	0	0
14	TN	Teplota nerovnoměrná	Q	0	-9	0	0	0	2	0	1.00	1.35		1.35	-	1.00	0.60	-7	0	0	0	0	0	2	0	2	0	0	0
15	FR	Třecí síly v ložiskách	Q	0	-11	0	0	0	0	0	1.00	1.20		1.20	-	1.00	1.00	-13	0	0	0	0	0	0	0	0	0	0	0
16	I	Imperfekce soustavy	Q	0	2	0	0	0	0	0	1.00	-1.20		-1.20	-	1.00	1.00	-2	0	0	0	0	0	0	0	0	0	0	0
27	ULS_LM	ULS - LM71 bez dynam	Q	0	38	-13	21	0	319	-19	1.00	vyp.		0.00	-	1.00	0.00	0	0	0	0	0	0	0	0	0	0	0	0
28	SLS_LM	SLS - LM71 bez dynam	Q	0	48	-10	16	0	244	-14	1.00	vyp.	1	0.00	-	1.00	0.00	0	0	0	0	0	0	0	0	0	0	0	0
29	ULS_C3	ULS - C3 bez dynam	Q	0	21	-14	12	0	226	-19	1.00	vyp.	1	0.00	-	1.00	0.00	0	0	0	0	0	0	0	0	0	0	0	0
30	SLS_C3	SLS - C3 bez dynam	Q	0	34	-10	9	0	173	-15	1.00	vyp.	1	0.00	-	1.00	0.00	0	0	0	0	0	0	0	0	0	0	0	0
		CELKEM - FÁZE PRŮŘEZU 0																91	9	16	0	16	0	301	0	301	15	0	15
		CELKEM - FÁZE PRŮŘEZU 1																0	0	0	0	0	0	0	0	0	0	0	0
		CELKEM - FÁZE PRŮŘEZU 2																0	0	0	0	0	0	0	0	0	0	0	0
		CELKEM - FÁZE PRŮŘEZU 3																0	0	0	0	0	0	0	0	0	0	0	0
		CELKEM - PRŮŘEZ																91	9	16	0	16	0			301			15

Napětí od jednotlivých zatěžovacích stavů

SKUPINA ZATĚŽOVACÍCH STAVŮ					Posouzení normálového napětí									Posouzení smykového napětí												
					Účinek síly N			Účinek momentu My			Účinek momentu Mz				Účinek ktoutícího momentu Mx				Účinek smykové síly Vy				Účinek smykové síly Vz			
Č.	SKUP ZS	Popis ZS	Kat.	fáze prúř.	δ^*N_d [kN]	χ^*A [mm^2]	σ_n [MPa]	$\delta^*M_{y,d}$ [kNm]	$\chi_{lt}*W_{el,y}$ [mm^3]	σ_{my} [MPa]	$\delta^*M_{z,d}$ [kNm]	$W_{el,z}$ [mm^3]	σ_{mz} [MPa]	σ_x [MPa]	$\kappa*\delta^*M_{x,d}$ [kNm]	$W_{v,y}$ [mm^2]	$\tau_{x,y}$ [MPa]	$W_{v,z}$ [mm^2]	$\tau_{x,z}$ [MPa]	$\delta^*V_{y,d}$ [kN]	$A_{v,y}$ [mm2]	$\tau_{v,y}$ [MPa]	$\tau_{v,y}$ [MPa]	$\delta^*V_{z,d}$ [kN]	$A_{v,z}$ [mm2]	$\tau_{v,z}$ [MPa]	$\tau_{v,z}$ [MPa]
1	G0	Vlastní tíha OK	G	0	65.7	1.47E+04	4.5	9.4	-3.54E+06	-2.6	0.0	-1.69E+05	0.3	2.1	0.0E+00	-	-	-	-	-0.3	6.50E+03	0.0	0.0	-0.1	8.22E+03	0.0	0.0
2	G1	Ostatní stálé - mostní vybavení	G	0	8.7	1.47E+04	0.6	0.1	-3.54E+06	0.0	0.0	-1.69E+05	0.0	0.6	0.0E+00	-	-	-	-	0.0	6.50E+03	0.0	0.0	-0.1	8.22E+03	0.0	0.0
3	G2	Ostatní stálé - cizí zařízení	G	0	6.7	1.47E+04	0.5	0.0	-3.54E+06	0.0	0.0	-1.69E+05	0.0	0.5	0.0E+00	-	-	-	-	0.0	6.50E+03	0.0	0.0	-0.1	8.22E+03	0.0	0.0
4	P1_71	a.LM71 - kolej 1 (bez dyn. souč.)	P	0	0.0	1.47E+04	0.0	0.0	-3.54E+06	0.0	0.0	-1.69E+05	0.0	0.0	0.0E+00	-	-	-	-	0.0	6.50E+03	0.0	0.0	0.0	8.22E+03	0.0	0.0
5	P2_71	a.LM71 - kolej 2 (bez dyn. souč.)	P	0	0.0	1.47E+04	0.0	0.0	-3.54E+06	0.0	0.0	-1.69E+05	0.0	0.0	0.0E+00	-	-	-	-	0.0	6.50E+03	0.0	0.0	0.0	8.22E+03	0.0	0.0
6	P1_C3	TTZ C3 - kolej 1 (bez dyn. souč.)	P	0	0.0	1.47E+04	0.0	0.0	-3.54E+06	0.0	0.0	-1.69E+05	0.0	0.0	0.0E+00	-	-	-	-	0.0	6.50E+03	0.0	0.0	0.0	8.22E+03	0.0	0.0
7	P2_C3	TTZ C3 - kolej 2 (bez dyn. souč.)	P	0	43.4	1.47E+04	3.0	281.6	-3.54E+06	-79.5	0.1	-1.69E+05	-0.4	-76.9	6.3E-02	-	-	-	-	0.6	6.50E+03	0.1	0.1	11.0	8.22E+03	1.3	1.3
8	BR	Brzdné a rozjezdové síly	P	0	-72.8	1.47E+04	-4.9	1.5	-3.54E+06	-0.4	0.0	-1.69E+05	0.2	-5.1	0.0E+00	-	-	-	-	0.1	6.50E+03	0.0	0.0	2.3	8.22E+03	0.3	0.3
9	S	Boční ráz	P	0	36.0	1.47E+04	2.4	-10.5	-3.54E+06	3.0	13.4	-1.69E+05	-79.6	-74.2	1.7E-01	-	-	-	-	8.9	6.50E+03	1.4	1.4	-0.1	8.22E+03	0.0	0.0
10	CH	Chodci na lávkách	Q	0	0.0	1.47E+04	0.0	0.0	-3.54E+06	0.0	0.0	-1.69E+05	0.0	0.0	0.0E+00	-	-	-	-	0.0	6.50E+03	0.0	0.0	0.0	8.22E+03	0.0	0.0
11	W	Vítr na konstrukci	Q	0	10.2	1.47E+04	0.7	1.8	-3.54E+06	-0.5	0.1	-1.69E+05	-0.3	-0.1	0.0E+00	-	-	-	-	0.0	6.50E+03	0.0	0.0	2.0	8.22E+03	0.2	0.2
12	WP	Vítr na vozidla	Q	0	15.4	1.47E+04	1.0	15.7	-3.54E+06	-4.4	1.8	-1.69E+05	-10.7	-14.1	3.0E-02	-	-	-	-	-0.2	6.50E+03	0.0	0.0	1.1	8.22E+03	0.1	0.1
13	TR	Teplota rovnoměrná	Q	0	0.0	1.47E+04	0.0	0.0	-3.54E+06	0.0	0.0	-1.69E+05	0.0	0.0	0.0E+00	-	-	-	-	0.0	6.50E+03	0.0	0.0	0.0	8.22E+03	0.0	0.0
14	TN	Teplota nerovnoměrná	Q	0	-7.1	1.47E+04	-0.5	1.6	-3.54E+06	-0.4	0.0	-1.69E+05	0.0	-1.0	0.0E+00	-	-	-	-	0.0	6.50E+03	0.0	0.0	0.3	8.22E+03	0.0	0.0
15	FR	Třecí síly v ložiskách	Q	0	-12.9	1.47E+04	-0.9	0.0	-3.54E+06	0.0	0.0	-1.69E+05	0.0	-0.9	0.0E+00	-	-	-	-	0.0	6.50E+03	0.0	0.0	0.2	8.22E+03	0.0	0.0
16	I	Imperfekce soustavy	Q	0	-1.9	1.47E+04	-0.1	-0.1	-3.54E+06	0.0	0.0	-1.69E+05	0.0	-0.1	0.0E+00	-	-	-	-	0.0	6.50E+03	0.0	0.0	-0.1	8.22E+03	0.0	0.0
27	ULS_LM	ULS - LM71 bez dynam	Q	0	0.0	1.47E+04	0.0	0.0	-3.54E+06	0.0	0.0	-1.69E+05	0.0	0.0	0.0E+00	-	-	-	-	0.0	6.50E+03	0.0	0.0	0.0	8.22E+03	0.0	0.0
28	SLS_LM	SLS - LM71 bez dynam	Q	0	0.0	1.47E+04	0.0	0.0	-3.54E+06	0.0	0.0	-1.69E+05	0.0	0.0	0.0E+00	-	-	-	-	0.0	6.50E+03	0.0	0.0	0.0	8.22E+03	0.0	0.0
29	ULS_C3	ULS - C3 bez dynam	Q	0	0.0	1.47E+04	0.0	0.0	-3.54E+06	0.0	0.0	-1.69E+05	0.0	0.0	0.0E+00	-	-	-	-	0.0	6.50E+03	0.0	0.0	0.0	8.22E+03	0.0	0.0
30	SLS_C3	SLS - C3 bez dynam	Q	0	0.0	1.47E+04	0.0	0.0	-3.54E+06	0.0	0.0	-1.69E+05	0.0	0.0	0.0E+00	-	-	-	-	0.0	6.50E+03	0.0	0.0	0.0	8.22E+03	0.0	0.0
NAVÝŠENÍ NAPĚTÍ DO AKTIVACE TLAKU V DESCE MOSTOVKY						$\sigma_{P,red}$	0.0							0.0			0.0		0.0				1.4	1.4			2.0	2.0
NAPĚTÍ OD PRIMÁRNÍCH ÚČINKŮ NEROVNOMĚRNÉHO OTEPLENÍ						σ_T	0.0							0.0														
NAPĚTÍ OD REOLOGICKÝCH ÚČINKŮ BETONU V ČASE				t=0		σ_R	0.0	$\gamma_{i=}$	1.20					0.0														
NAPĚTÍ V KRITICKÝCH VLÁKNECH OD KOMBINACE ZATÍŽENÍ						KZ08		[MPa]					$\Sigma\sigma_x$	-169.4								$\Sigma\tau_y$	1.4				$\Sigma\tau_z$	2.0
NAPĚTÍ OD POHYBLIVÉHO ZATÍŽENÍ								[MPa]					$\sigma_{x,P}$	-156.3								τ_P	1.5				τ_P	1.6
NAPĚTÍ OD OSTATNÍCH ZATÍŽENÍ								[MPa]			Φ_{Vy}	Φ_{Vz}	$\sigma_{x,rs}$	-13.1								τ_{rs}	-0.1				τ_{rs}	0.4
NÁVRHOVÁ HODNOTA MEZE KLUZU S REDUKCÍ VLIVEM SMYKOVÉHO NAPĚTÍ								[MPa]			1.00	1.00	$f_{yw,d}$	209.1								$f_{yd}/3^{0,5}$	120.7				$f_{yd}/3^{0,5}$	120.7
NAPĚTÍ OD POHYBLIVÉHO ZATÍŽENÍ V GLOBÁLNÍM SYSTÉMU						$\sigma_{GLOB,P}$	0.0	[MPa]					$\Sigma\sigma_{GLOB}$	0.0														
NAPĚTÍ OD OSTATNÍCH ZATÍŽENÍ V GLOBÁLNÍM SYSTÉMU						$\sigma_{GLOB,rs}$	0.0	[MPa]					$\Sigma\sigma_x + \Sigma\sigma_{GLOB}$	-169.4														
VYUŽITÍ PRŮŘEZU DLE NAPĚTÍ								[%]					η_1	0.81								η_3	0.01				η_3	0.02
NAPĚTÍ V PŘÍČNÉM SMĚRU OD POHYBLIVÉHO ZATÍŽENÍ						$\sigma_{z,P}$	0.0	[MPa]					$\Sigma\sigma_z$	0.0														
NAPĚTÍ V PŘÍČNÉM SMĚRU OD OSTATNÍCH ZATÍŽENÍ						$\sigma_{z,rs}$	0.0	[MPa]					η_2	0.00														
SROVNÁVACÍ NAPĚTÍ													$(\eta_2 + 0,8\,\eta_1)/1,4 =$	0.46														
VYUŽITÍ PRŮŘEZU CELKEM								[%]					eff	0.81	VYHOVUJE													
													z_{LM71} =	-----														

TAB. L3.2.3 POSOUZENÍ - MEZNÍ STAV ÚNOSNOSTI

POPIS	PODĚLNÍK L3.E - STŘED
PRUT / POLOHA BODU	860 / I[721]
NAMÁHÁNÍ	N.max
VLÁKNO	BOD K4 -SP
MEZNÍ STAV	ULS (MSÚ)
VYUŽITÍ VLÁKNA PRŮŘEZU	0.86

Charakteristiky materiálu				
pás. horní	$f_{yf,k}$	230	MPa	
pás. dolní	$f_{yf,k}$	230	MPa	
stojina	$f_{yw,k}$	230	MPa	
výztuž	$f_{ys,k}$	500	MPa	
	γ_M =	1.10	γ_s =	1.15

Excentricita normálové síly				
Exc./Fáze	0	1	2	3
e_y	0.000	0.000	0.000	0.000
e_z	0.000	0.000	0.000	0.000
Ekvivalentní vzdál. stěn - příčný roznos				
b_{Mx}	0.000	0.000	0.000	0.000

Vliv stěny na únosnost průřezu				
Char./Fáze	0	1	2	3
A	0.00	0.00	0.00	0.00
Wy	0.00	0.00	0.00	0.00
Wz	0.00	0.00	0.00	0.00

Charakter. v kroucení			
$t_{w,y}$	0.000	[mm]	
$t_{w,z}$	0.000	[mm]	
κ	1.00		
I_t=	0.00E+00	[mm^4]	
Ω=2*A_{pr}	0.00E+00	[mm^2]	

Součinitele vzpěru a vlivu II.řádu					
Char./Fáze	0	1	2	3
k_y	1.000	1.000	1.000	1.000
k_z	1.000	1.000	1.000	1.000
χ_{LT}	1.000	1.000	1.000	1.000
χ_{min}	1.000	1.000	1.000	1.000

Vnitřní síly od jednotlivých skupin zatěžovacích stavů — 8

SKUPINA ZATĚŽOVACÍCH STAVŮ					- CHARAKTERISTICKÉ HODNOTY						DÍLČÍ SOUČINITELÉ ZATÍŽENÍ, DYNAMICKÝ SOUČINITEL							- NÁVRHOVÉ HODNOTY									
Č.	SKUP ZS	POPIS ZS	KAT.	FÁZE PRŮŘ.	N.k (kN)	Vy.k (kN)	Vz.k (kN)	Mx.k (kNm)	My.k (kNm)	Mz.k (kNm)	γ_{sr} (-)	γ_{fs} (-)	volba ψ_i hledat	ψ_i (-)	L_d (m)	δ (-)	∇_z KZ08	N.d (kN)	Vy.d (kN)	Vz.d (kN)	ΔVz.d (kN)	ΣVz.d (kN)	Mx.d (kNm)	My.d (kNm)	ΔMy.d (kNm)	ΣMy.d (kNm)	Mz.d (kNm)	ΔMz.d (kNm)	ΣMz.d (kNm)
1	G0	Vlastní tíha OK	G	0	58	0	0	0	8	0	1.00	1.20		1.20	-	1.00	0.95	66	0	0	0	0	0	9	0	9	0	0	0
2	G1	Ostatní stálé - mostní vybavení	G	0	8	0	0	0	0	0	1.00	1.20		1.20	-	1.00	0.95	9	0	0	0	0	0	0	0	0	0	0	0
3	G2	Ostatní stálé - cizí zařízení	G	0	6	0	0	0	0	0	1.00	1.20		1.20	-	1.00	0.95	7	0	0	0	0	0	0	0	0	0	0	0
4	P1_71	a.LM71 - kolej 1 (bez dyn. souč.)	P	0	100	0	-3	0	-1	0	1.00	vyp.		0.00	-	1.00	0.00	0	0	0	0	0	0	0	0	0	0	0	0
5	P2_71	a.LM71 - kolej 2 (bez dyn. souč.)	P	0	134	0	-3	0	86	0	1.00	vyp.		0.00	-	1.00	0.00	0	0	0	0	0	0	0	0	0	0	0	0
6	P1_C3	TTZ C3 - kolej 1 (bez dyn. souč.)	P	0	82	0	-1	0	0	0	1.00	1.30		1.30	-	1.62	1.00	171	0	-2	0	-2	0	-1	0	-1	0	0	0
7	P2_C3	TTZ C3 - kolej 2 (bez dyn. souč.)	P	0	110	0	-3	0	115	0	1.00	1.30		1.30	-	1.62	1.00	231	0	-6	0	-6	0	242	0	242	0	0	0
8	BR	Brzdné a rozjezdové síly	P	0	175	0	-6	0	-4	0	1.00	1.30		1.30	-	1.00	0.32	73	0	-2	0	-2	0	-2	0	-2	0	0	0
9	S	Boční ráz	P	0	43	11	0	0	-13	16	1.00	1.30		1.30	-	1.00	0.64	36	9	0	0	0	0	-10	0	-10	13	0	13
10	CH	Chodci na lávkách	Q	0	15	0	0	0	0	0	1.00	1.30		1.30	-	1.00	1.00	19	0	0	0	0	0	0	0	0	0	0	0
11	W	Vítr na konstrukci	Q	0	10	0	2	0	2	0	1.00	1.35		1.35	-	1.00	0.75	10	0	2	0	2	0	2	0	2	0	0	0
12	WP	Vítr na vozidla	Q	0	15	0	1	0	16	2	1.00	1.35		1.35	-	1.00	0.75	15	0	1	0	1	0	16	0	16	2	0	2
13	TR	Teplota rovnoměrná	Q	0	0	0	0	0	0	0	1.00	1.35		1.35	-	1.00	0.45	0	0	0	0	0	0	0	0	0	0	0	0
14	TN	Teplota nerovnoměrná	Q	0	14	0	0	0	-2	0	1.00	1.35		1.35	-	1.00	0.60	12	0	0	0	0	0	-1	0	-1	0	0	0
15	FR	Třecí síly v ložiskách	Q	0	11	0	0	0	0	0	1.00	1.20		1.20	-	1.00	1.00	13	0	0	0	0	0	0	0	0	0	0	0
16	I	Imperfekce soustavy	Q	0	2	0	0	0	0	0	1.00	1.20		1.20	-	1.00	1.00	2	0	0	0	0	0	0	0	0	0	0	0
27	ULS_LM	ULS - LM71 bez dynam	Q	0	764	6	-15	0	122	13	1.00	vyp.	1	0.00	-	1.00	0.00	0	0	0	0	0	0	0	0	0	0	0	0
28	SLS_LM	SLS - LM71 bez dynam	Q	0	593	5	-11	0	95	10	1.00	vyp.	1	0.00	-	1.00	0.00	0	0	0	0	0	0	0	0	0	0	0	0
29	ULS_C3	ULS - C3 bez dynam	Q	0	707	6	-12	0	161	13	1.00	vyp.	1	0.00	-	1.00	0.00	0	0	0	0	0	0	0	0	0	0	0	0
30	SLS_C3	SLS - C3 bez dynam	Q	0	550	5	-10	0	125	10	1.00	vyp.	1	0.00	-	1.00	0.00	0	0	0	0	0	0	0	0	0	0	0	0
		CELKEM - FÁZE PRŮŘEZU 0																663	8	-9	0	-9	0	255	0	255	16	0	16
		CELKEM - FÁZE PRŮŘEZU 1																0	0	0	0	0	0	0	0	0	0	0	0
		CELKEM - FÁZE PRŮŘEZU 2																0	0	0	0	0	0	0	0	0	0	0	0
		CELKEM - FÁZE PRŮŘEZU 3																0	0	0	0	0	0	0	0	0	0	0	0
		CELKEM - PRŮŘEZ																663	8	-9	0	-9	0			255			16

Napětí od jednotlivých zatěžovacích stavů

SKUPINA ZATĚŽOVACÍCH STAVŮ					Posouzení normálového napětí										Posouzení smykového napětí													
					Účinek síly N			Účinek momentu My			Účinek momentu Mz				Účinek kroutícího momentu Mx				Účinek smykové síly Vy				Účinek smykové síly Vz			
Č.	SKUP ZS	Popis ZS	Kat.	fáze průř.	δ^*N_d [kN]	χ^*A [mm^2]	σ_n [MPa]	$\delta^*M_{y,d}$ [kNm]	$\chi_{lt}{}^*W_{el,y}$ [mm^3]	σ_{my} [MPa]	$\delta^*M_{z,d}$ [kNm]	$W_{el,z}$ [mm^3]	σ_{mz} [MPa]	σ_x [MPa]	$\kappa^*\delta^*M_{x,d}$ [kNm]	$W_{v,y}$ [mm^2]	$\tau_{x,y}$ [MPa]	$W_{v,z}$ [mm^2]	$\tau_{x,z}$ [MPa]	$\delta^*V_{y,d}$ [kN]	$A_{v,y}$ [mm2]	$\tau_{v,y}$ [MPa]	$\tau_{v,y}$ [MPa]	$\delta^*V_{z,d}$ [kN]	$A_{v,z}$ [mm2]	$\tau_{v,z}$ [MPa]	$\tau_{v,z}$ [MPa]
1	G0	Vlastní tíha OK	G	0	65.7	1.47E+04	4.5	9.4	3.41E+06	2.7	0.0	2.62E+05	-0.2	7.0	0.0E+00	-	-	-	-	-0.3	6.50E+03	0.0	0.0	-0.1	8.22E+03	0.0	0.0
2	G1	Ostatní stálé - mostní vybavení	G	0	8.7	1.47E+04	0.6	0.1	3.41E+06	0.0	0.0	2.62E+05	0.0	0.6	0.0E+00	-	-	-	-	0.0	6.50E+03	0.0	0.0	-0.1	8.22E+03	0.0	0.0
3	G2	Ostatní stálé - cizí zařízení	G	0	6.7	1.47E+04	0.5	0.0	3.41E+06	0.0	0.0	2.62E+05	0.0	0.5	0.0E+00	-	-	-	-	0.0	6.50E+03	0.0	0.0	-0.1	8.22E+03	0.0	0.0
4	P1_71	a.LM71 - kolej 1 (bez dyn. souč.)	P	0	0.0	1.47E+04	0.0	0.0	3.41E+06	0.0	0.0	2.62E+05	0.0	0.0	0.0E+00	-	-	-	-	0.0	6.50E+03	0.0	0.0	0.0	8.22E+03	0.0	0.0
5	P2_71	a.LM71 - kolej 2 (bez dyn. souč.)	P	0	0.0	1.47E+04	0.0	0.0	3.41E+06	0.0	0.0	2.62E+05	0.0	0.0	0.0E+00	-	-	-	-	0.0	6.50E+03	0.0	0.0	0.0	8.22E+03	0.0	0.0
6	P1_C3	TTZ C3 - kolej 1 (bez dyn. souč.)	P	0	171.3	1.47E+04	11.6	-0.6	3.41E+06	-0.2	0.2	2.62E+05	0.8	12.3	0.0E+00	-	-	-	-	-0.1	6.50E+03	0.0	0.0	-1.8	8.22E+03	-0.2	-0.2
7	P2_C3	TTZ C3 - kolej 2 (bez dyn. souč.)	P	0	230.7	1.47E+04	15.7	242.0	3.41E+06	71.0	0.3	2.62E+05	1.0	87.7	6.3E-02	-	-	-	-	0.1	6.50E+03	0.0	0.0	-6.5	8.22E+03	-0.8	-0.8
8	BR	Brzdné a rozjezdové síly	P	0	72.8	1.47E+04	4.9	-1.5	3.41E+06	-0.4	0.0	2.62E+05	0.2	4.7	0.0E+00	-	-	-	-	-0.1	6.50E+03	0.0	0.0	-2.3	8.22E+03	-0.3	-0.3
9	S	Boční ráz	P	0	36.0	1.47E+04	2.4	-10.5	3.41E+06	-3.1	13.4	2.62E+05	51.4	50.8	1.7E-01	-	-	-	-	8.9	6.50E+03	1.4	1.4	-0.1	8.22E+03	0.0	0.0
10	CH	Chodci na lávkách	Q	0	19.1	1.47E+04	1.3	0.0	3.41E+06	0.0	0.0	2.62E+05	0.0	1.3	0.0E+00	-	-	-	-	0.0	6.50E+03	0.0	0.0	-0.3	8.22E+03	0.0	0.0
11	W	Vítr na konstrukci	Q	0	10.2	1.47E+04	0.7	1.8	3.41E+06	0.5	0.1	2.62E+05	0.2	1.4	0.0E+00	-	-	-	-	0.0	6.50E+03	0.0	0.0	2.0	8.22E+03	0.2	0.2
12	WP	Vítr na vozidla	Q	0	15.4	1.47E+04	1.0	15.7	3.41E+06	4.6	1.8	2.62E+05	6.9	12.6	3.0E-02	-	-	-	-	-0.2	6.50E+03	0.0	0.0	1.1	8.22E+03	0.1	0.1
13	TR	Teplota rovnoměrná	Q	0	0.0	1.47E+04	0.0	0.0	3.41E+06	0.0	0.0	2.62E+05	0.0	0.0	0.0E+00	-	-	-	-	0.0	6.50E+03	0.0	0.0	0.0	8.22E+03	0.0	0.0
14	TN	Teplota nerovnoměrná	Q	0	11.6	1.47E+04	0.8	-1.2	3.41E+06	-0.4	0.0	2.62E+05	0.0	0.5	0.0E+00	-	-	-	-	0.0	6.50E+03	0.0	0.0	-0.3	8.22E+03	0.0	0.0
15	FR	Třecí síly v ložiskách	Q	0	12.9	1.47E+04	0.9	0.0	3.41E+06	0.0	0.0	2.62E+05	0.0	0.9	0.0E+00	-	-	-	-	0.0	6.50E+03	0.0	0.0	-0.2	8.22E+03	0.0	0.0
16	I	Imperfekce soustavy	Q	0	1.9	1.47E+04	0.1	0.1	3.41E+06	0.0	0.0	2.62E+05	0.0	0.2	0.0E+00	-	-	-	-	0.0	6.50E+03	0.0	0.0	0.1	8.22E+03	0.0	0.0
27	ULS_LM	ULS - LM71 bez dynam	Q	0	0.0	1.47E+04	0.0	0.0	3.41E+06	0.0	0.0	2.62E+05	0.0	0.0	0.0E+00	-	-	-	-	0.0	6.50E+03	0.0	0.0	0.0	8.22E+03	0.0	0.0
28	SLS_LM	SLS - LM71 bez dynam	Q	0	0.0	1.47E+04	0.0	0.0	3.41E+06	0.0	0.0	2.62E+05	0.0	0.0	0.0E+00	-	-	-	-	0.0	6.50E+03	0.0	0.0	0.0	8.22E+03	0.0	0.0
29	ULS_C3	ULS - C3 bez dynam	Q	0	0.0	1.47E+04	0.0	0.0	3.41E+06	0.0	0.0	2.62E+05	0.0	0.0	0.0E+00	-	-	-	-	0.0	6.50E+03	0.0	0.0	0.0	8.22E+03	0.0	0.0
30	SLS_C3	SLS - C3 bez dynam	Q	0	0.0	1.47E+04	0.0	0.0	3.41E+06	0.0	0.0	2.62E+05	0.0	0.0	0.0E+00	-	-	-	-	0.0	6.50E+03	0.0	0.0	0.0	8.22E+03	0.0	0.0
NAVÝŠENÍ NAPĚTÍ DO AKTIVACE TLAKU V DÉSCE MOSTOVKY						$\sigma_{P,red}$	0.0							0.0			0.0		0.0			1.3	1.3			-1.0	-1.0
NAPĚTÍ OD PRIMÁRNÍCH ÚČINKŮ NEROVNOMĚRNÉHO OTEPLENÍ						σ_T	0.0							0.0													
NAPĚTÍ OD REOLOGICKÝCH ÚČINKŮ BETONU V ČASE		t=0				σ_R	0.0	γ_F=	1.20					0.0													
NAPĚTÍ V KRITICKÝCH VLÁKNECH OD KOMBINACE ZATÍŽENÍ						KZ08		[MPa]					$\Sigma\sigma_x$	180.3								$\Sigma\tau_y$	1.3			$\Sigma\tau_z$	-1.0
NAPĚTÍ OD POHYBLIVÉHO ZATÍŽENÍ								[MPa]					$\sigma_{x,P}$	155.4								τ_P	1.4			τ_P	-1.3
NAPĚTÍ OD OSTATNÍCH ZATÍŽENÍ								[MPa]			Φ_{Vy}	Φ_{Vz}	$\sigma_{x,rs}$	24.9								τ_s	-0.1			τ_s	0.3
NÁVRHOVÁ HODNOTA MEZE KLUZU S REDUKCÍ VLIVEM SMYKOVÉHO NAPĚTÍ								[MPa]			1.00	1.00	$f_{yw,d}$	209.1								$f_{yd}/3^{0,5}$	120.7			$f_{yd}/3^{0,5}$	120.7
NAPĚTÍ OD POHYBLIVÉHO ZATÍŽENÍ V GLOBÁLNÍM SYSTÉMU						$\sigma_{GLOB,P}$	0.0	[MPa]					$\Sigma\sigma_{GLOB}$	0.0													
NAPĚTÍ OD OSTATNÍCH ZATÍŽENÍ V GLOBÁLNÍM SYSTÉMU						$\sigma_{GLOB,rs}$	0.0	[MPa]					$\Sigma\sigma_x + \Sigma\sigma_{GLOB}$	180.3													
VYUŽITÍ PRŮŘEZU DLE NAPĚTÍ								[%]					η_1	0.86								η_3	0.01			η_3	0.01
NAPĚTÍ V PŘÍČNÉM SMĚRU OD POHYBLIVÉHO ZATÍŽENÍ						$\sigma_{z,P}$	0.0	[MPa]					$\Sigma\sigma_z$	0.0													
NAPĚTÍ V PŘÍČNÉM SMĚRU OD OSTATNÍCH ZATÍŽENÍ						$\sigma_{z,rs}$	0.0	[MPa]					η_2	0.00													
SROVNÁVACÍ NAPĚTÍ													$(\eta_2 + 0,8\,\eta_1)/1,4$ =	0.49													
VYUŽITÍ PRŮŘEZU CELKEM								[%]					eff	0.86	VYHOVUJE												
													Z_{LM71} =	-----													

TAB. L3.2.3 POSOUZENÍ - MEZNÍ STAV ÚNOSNOSTI

POPIS	PODÉLNÍK L3.E - STŘED
PRUT / POLOHA BODU	860 / I[721]
NAMÁHÁNÍ	Vz.min
VLÁKNO	BOD S6 -HP
MEZNÍ STAV	ULS (MSÚ)
VYUŽITÍ VLÁKNA PRŮŘEZU	0.36

Charakteristiky materiálu				
pás. horní	$f_{yf,k}$	230	MPa	
pás. dolní	$f_{yf,k}$	230	MPa	
stojina	$f_{yw,k}$	230	MPa	
výztuž	$f_{ys,k}$	500	MPa	
	γ_M =	1.10	γ_s =	1.15

Excentricita normálové síly				
Exc./Fáze	0	1	2	3
e_y	0.000	0.000	0.000	0.000
e_z	0.000	0.000	0.000	0.000
Ekvivalentní vzdál. stěn - příčný roznos				
b_{Mx}	0.000	0.000	0.000	0.000

Vliv stěny na únosnost průřezu				
Char./Fáze	0	1	2	3
A	0.00	0.00	0.00	0.00
Wy	0.00	0.00	0.00	0.00
Wz	0.00	0.00	0.00	0.00

Charakter. v kroucení		
$t_{w,y}$	0.000	[mm]
$t_{w,z}$	0.000	[mm]
κ	1.00	
I_t=	0.00E+00	[mm⁴]
Ω=2*A_{pr}	0.00E+00	[mm²]

Součinitele vzpěru a vlivu II.řádu					
Char./Fáze	0	1	2	3
k_y	1.000	1.000	1.000	1.000
k_z	1.000	1.000	1.000	1.000
χ_{LT}	1.000	1.000	1.000	1.000
χ_{min}	1.000	1.000	1.000	1.000

Vnitřní síly od jednotlivých skupin zatěžovacích stavů

SKUPINA ZATĚŽOVACÍCH STAVŮ					- CHARAKTERISTICKÉ HODNOTY						DÍLČÍ SOUČINITELÉ ZATÍŽENÍ, DYNAMICKÝ SOUČINITEL						7	- NÁVRHOVÉ HODNOTY									
Č.	SKUP ZS	POPIS ZS	KAT.	FÁZE PRŮŘ.	N.k (kN)	Vy.k (kN)	Vz.k (kN)	Mx.k (kNm)	My.k (kNm)	Mz.k (kNm)	γ_{sr} (-)	γ_{fs} (-)	volba ψ_i hledat	ψ_i (-)	L_d (m)	δ (-)	$\gamma_{F,z}$ KZ07	N.d (kN)	Vy.d (kN)	Vz.d (kN)	ΔVz.d (kN)	ΣVz.d (kN)	Mx.d (kNm)	My.d (kNm)	ΔMy.d (kNm)	ΣMy.d (kNm)	Mz.d (kNm)	ΔMz.d (kNm)	ΣMz.d (kNm)
1	G0	Vlastní tíha OK	G	0	102	0	-2	0	7	0	1.00	1.20		1.20	-	1.00	0.95	116	0	-2	0	-2	0	8	0	8	0	0	0
2	G1	Ostatní stálé - mostní vybavení	G	0	8	0	0	0	0	0	1.00	1.20		1.20	-	1.00	0.95	9	0	0	0	0	0	0	0	0	0	0	0
3	G2	Ostatní stálé - cizí zařízení	G	0	6	0	0	0	0	0	1.00	1.20		1.20	-	1.00	0.95	7	0	0	0	0	0	0	0	0	0	0	0
4	P1_71	a.LM71 - kolej 1 (bez dyn. souč.)	P	0	81	0	-5	0	0	0	1.00	vyp.		0.00	-	1.00	0.00	0	0	0	0	0	0	0	0	0	0	0	0
5	P2_71	a.LM71 - kolej 2 (bez dyn. souč.)	P	0	98	0	-59	0	89	0	1.00	vyp.		0.00	-	1.00	0.00	0	0	0	0	0	0	0	0	0	0	0	0
6	P1_C3	TTZ C3 - kolej 1 (bez dyn. souč.)	P	0	71	0	-4	0	-1	0	1.00	1.30		1.30	-	1.62	1.00	149	0	-9	0	-9	0	-3	0	-3	0	0	0
7	P2_C3	TTZ C3 - kolej 2 (bez dyn. souč.)	P	0	96	0	-45	0	63	0	1.00	1.30		1.30	-	1.62	1.00	201	0	-95	0	-95	0	131	0	131	0	0	0
8	BR	Brzdné a rozjezdové síly	P	0	175	0	-6	0	-4	0	1.00	1.30		1.30	-	1.00	0.64	146	0	-5	0	-5	0	-3	0	-3	0	0	0
9	S	Boční ráz	P	0	-7	0	-2	0	-2	0	1.00	1.30		1.30	-	1.00	0.32	-3	0	-1	0	-1	0	-1	0	-1	0	0	0
10	CH	Chodci na lávkách	Q	0	8	0	0	0	0	0	1.00	1.30		1.30	-	1.00	1.00	11	0	0	0	0	0	0	0	0	0	0	0
11	W	Vítr na konstrukci	Q	0	-10	0	-2	0	-2	0	1.00	1.35		1.35	-	1.00	0.75	-10	0	-2	0	-2	0	-2	0	-2	0	0	0
12	WP	Vítr na vozidla	Q	0	-15	0	-1	0	-16	-2	1.00	1.35		1.35	-	1.00	0.75	-15	0	-1	0	-1	0	-16	0	-16	-2	0	-2
13	TR	Teplota rovnoměrná	Q	0	0	0	0	0	0	0	1.00	1.35		1.35	-	1.00	0.45	0	0	0	0	0	0	0	0	0	0	0	0
14	TN	Teplota nerovnoměrná	Q	0	9	0	0	0	-2	0	1.00	1.35		1.35	-	1.00	0.60	7	0	0	0	0	0	-2	0	-2	0	0	0
15	FR	Třecí síly v ložiskách	Q	0	11	0	0	0	0	0	1.00	1.20		1.20	-	1.00	1.00	13	0	0	0	0	0	0	0	0	0	0	0
16	I	Imperfekce soustavy	Q	0	-2	0	0	0	0	0	1.00	1.20		1.20	-	1.00	1.00	-2	0	0	0	0	0	0	0	0	0	0	0
27	ULS_LM	ULS - LM71 bez dynam	Q	0	590	0	-99	0	98	-2	1.00	vyp.		0.00	-	1.00	0.00	0	0	0	0	0	0	0	0	0	0	0	0
28	SLS_LM	SLS - LM71 bez dynam	Q	0	464	0	-76	0	78	-1	1.00	vyp.	1	0.00	-	1.00	0.00	0	0	0	0	0	0	0	0	0	0	0	0
29	ULS_C3	ULS - C3 bez dynam	Q	0	574	0	-79	0	62	-2	1.00	vyp.	1	0.00	-	1.00	0.00	0	0	0	0	0	0	0	0	0	0	0	0
30	SLS_C3	SLS - C3 bez dynam	Q	0	452	0	-61	0	50	-1	1.00	vyp.	1	0.00	-	1.00	0.00	0	0	0	0	0	0	0	0	0	0	0	0
		CELKEM - FÁZE PRŮŘEZU 0																627	0	-116	0	-116	0	113	0	113	-2	0	-2
		CELKEM - FÁZE PRŮŘEZU 1																0	0	0	0	0	0	0	0	0	0	0	0
		CELKEM - FÁZE PRŮŘEZU 2																0	0	0	0	0	0	0	0	0	0	0	0
		CELKEM - FÁZE PRŮŘEZU 3																0	0	0	0	0	0	0	0	0	0	0	0
		CELKEM - PRŮŘEZ																627	0	-116	0	-116	0			113			-2

Napětí od jednotlivých zatěžovacích stavů

SKUPINA ZATĚŽOVACÍCH STAVŮ					Posouzení normálového napětí										Posouzení smykového napětí													
					Účinek síly N			Účinek momentu My				Účinek momentu Mz				Účinek kroutícího momentu Mx				Účinek smykové síly Vy				Účinek smykové síly Vz			
Č.	SKUP ZS	Popis ZS	Kat.	fáze prúř.	δ^*N_d [kN]	χ^*A [mm²]	σ_n [MPa]	$\delta^*M_{y,d}$ [kNm]	$\chi_{lt}{}^*W_{el,y}$ [mm³]	σ_{my} [MPa]	$\delta^*M_{z,d}$ [kNm]	$W_{el,z}$ [mm³]	σ_{mz} [MPa]	σ_x [MPa]	$\kappa^*\delta^*M_{x,d}$ [kNm]	$W_{v,y}$ [mm³]	$\tau_{x,y}$ [MPa]	$W_{v,z}$ [mm³]	$\tau_{x,z}$ [MPa]	$\delta^*V_{y,d}$ [kN]	$A_{v,y}$ [mm2]	$\tau_{v,y}$ [MPa]	$\tau_{v,y}$ [MPa]	$\delta^*V_{z,d}$ [kN]	$A_{v,z}$ [mm2]	$\tau_{v,z}$ [MPa]	$\tau_{v,z}$ [MPa]
1	G0	Vlastní tíha OK	G	0	116.2	1.47E+04	7.9	7.9	3.50E+06	2.2	0.0	-1.33E+07	0.0	10.1	0.0E+00	-	-	-	-	-0.1	6.50E+03	0.0	0.0	-2.1	8.22E+03	-0.3	-0.3
2	G1	Ostatní stálé - mostní vybavení	G	0	8.7	1.47E+04	0.6	0.1	3.50E+06	0.0	0.0	-1.33E+07	0.0	0.6	0.0E+00	-	-	-	-	0.0	6.50E+03	0.0	0.0	-0.1	8.22E+03	0.0	0.0
3	G2	Ostatní stálé - cizí zařízení	G	0	6.7	1.47E+04	0.5	0.0	3.50E+06	0.0	0.0	-1.33E+07	0.0	0.5	0.0E+00	-	-	-	-	0.0	6.50E+03	0.0	0.0	-0.1	8.22E+03	0.0	0.0
4	P1_71	a.LM71 - kolej 1 (bez dyn. souč.)	P	0	0.0	1.47E+04	0.0	0.0	3.50E+06	0.0	0.0	-1.33E+07	0.0	0.0	0.0E+00	-	-	-	-	0.0	6.50E+03	0.0	0.0	0.0	8.22E+03	0.0	0.0
5	P2_71	a.LM71 - kolej 2 (bez dyn. souč.)	P	0	0.0	1.47E+04	0.0	0.0	3.50E+06	0.0	0.0	-1.33E+07	0.0	0.0	0.0E+00	-	-	-	-	0.0	6.50E+03	0.0	0.0	0.0	8.22E+03	0.0	0.0
6	P1_C3	TTZ C3 - kolej 1 (bez dyn. souč.)	P	0	148.6	1.47E+04	10.1	-2.9	3.50E+06	-0.8	-0.1	-1.33E+07	0.0	9.3	0.0E+00	-	-	-	-	-0.3	6.50E+03	0.0	0.0	-8.9	8.22E+03	-1.1	-1.1
7	P2_C3	TTZ C3 - kolej 2 (bez dyn. souč.)	P	0	201.4	1.47E+04	13.7	131.3	3.50E+06	37.5	-0.2	-1.33E+07	0.0	51.2	4.2E-02	-	-	-	-	0.1	6.50E+03	0.0	0.0	-95.0	8.22E+03	-11.6	-11.6
8	BR	Brzdné a rozjezdové síly	P	0	145.5	1.47E+04	9.9	-3.0	3.50E+06	-0.9	0.1	-1.33E+07	0.0	9.0	0.0E+00	-	-	-	-	-0.1	6.50E+03	0.0	0.0	-4.7	8.22E+03	-0.6	-0.6
9	S	Boční ráz	P	0	-2.9	1.47E+04	-0.2	-0.9	3.50E+06	-0.3	0.0	-1.33E+07	0.0	-0.5	0.0E+00	-	-	-	-	0.0	6.50E+03	0.0	0.0	-0.8	8.22E+03	-0.1	-0.1
10	CH	Chodci na lávkách	Q	0	10.6	1.47E+04	0.7	-0.2	3.50E+06	-0.1	0.0	-1.33E+07	0.0	0.7	0.0E+00	-	-	-	-	0.0	6.50E+03	0.0	0.0	-0.4	8.22E+03	0.0	0.0
11	W	Vítr na konstrukci	Q	0	-10.2	1.47E+04	-0.7	-1.8	3.50E+06	-0.5	0.0	-1.33E+07	0.0	-1.2	0.0E+00	-	-	-	-	0.0	6.50E+03	0.0	0.0	-2.0	8.22E+03	-0.2	-0.2
12	WP	Vítr na vozidla	Q	0	-15.4	1.47E+04	-1.0	-15.7	3.50E+06	-4.5	-1.8	-1.33E+07	0.1	-5.4	-3.0E-02	-	-	-	-	0.2	6.50E+03	0.0	0.0	-1.1	8.22E+03	-0.1	-0.1
13	TR	Teplota rovnoměrná	Q	0	0.0	1.47E+04	0.0	0.0	3.50E+06	0.0	0.0	-1.33E+07	0.0	0.0	0.0E+00	-	-	-	-	0.0	6.50E+03	0.0	0.0	0.0	8.22E+03	0.0	0.0
14	TN	Teplota nerovnoměrná	Q	0	7.1	1.47E+04	0.5	-1.6	3.50E+06	-0.5	0.0	-1.33E+07	0.0	0.0	0.0E+00	-	-	-	-	0.0	6.50E+03	0.0	0.0	-0.3	8.22E+03	0.0	0.0
15	FR	Třecí síly v ložiskách	Q	0	12.9	1.47E+04	0.9	0.0	3.50E+06	0.0	0.0	-1.33E+07	0.0	0.9	0.0E+00	-	-	-	-	0.0	6.50E+03	0.0	0.0	-0.2	8.22E+03	0.0	0.0
16	I	Imperfekce soustavy	Q	0	-1.9	1.47E+04	-0.1	-0.1	3.50E+06	0.0	0.0	-1.33E+07	0.0	-0.2	0.0E+00	-	-	-	-	0.0	6.50E+03	0.0	0.0	-0.1	8.22E+03	0.0	0.0
27	ULS_LM	ULS - LM71 bez dynam	Q	0	0.0	1.47E+04	0.0	0.0	3.50E+06	0.0	0.0	-1.33E+07	0.0	0.0	0.0E+00	-	-	-	-	0.0	6.50E+03	0.0	0.0	0.0	8.22E+03	0.0	0.0
28	SLS_LM	SLS - LM71 bez dynam	Q	0	0.0	1.47E+04	0.0	0.0	3.50E+06	0.0	0.0	-1.33E+07	0.0	0.0	0.0E+00	-	-	-	-	0.0	6.50E+03	0.0	0.0	0.0	8.22E+03	0.0	0.0
29	ULS_C3	ULS - C3 bez dynam	Q	0	0.0	1.47E+04	0.0	0.0	3.50E+06	0.0	0.0	-1.33E+07	0.0	0.0	0.0E+00	-	-	-	-	0.0	6.50E+03	0.0	0.0	0.0	8.22E+03	0.0	0.0
30	SLS_C3	SLS - C3 bez dynam	Q	0	0.0	1.47E+04	0.0	0.0	3.50E+06	0.0	0.0	-1.33E+07	0.0	0.0	0.0E+00	-	-	-	-	0.0	6.50E+03	0.0	0.0	0.0	8.22E+03	0.0	0.0
NAVÝŠENÍ NAPĚTÍ DO AKTIVACE TLAKU V DESCE MOSTOVKY						$\sigma_{P,red}$	0.0							0.0			0.0		0.0				-0.1	-0.1			-14.1	-14.1
NAPĚTÍ OD PRIMÁRNÍCH ÚČINKŮ NEROVNOMĚRNÉHO OTEPLENÍ						σ_T	0.0							0.0														
NAPĚTÍ OD REOLOGICKÝCH ÚČINKŮ BETONU V ČASE				t=0		σ_R	0.0	γ_{lt}=	1.20					0.0														
NAPĚTÍ V KRITICKÝCH VLÁKNECH OD KOMBINACE ZATÍŽENÍ						KZ07		[MPa]					$\Sigma\sigma_x$	75.0								$\Sigma\tau_y$	-0.1			$\Sigma\tau_z$	-14.1
NAPĚTÍ OD POHYBLIVÉHO ZATÍŽENÍ								[MPa]					$\sigma_{x,P}$	69.0								τ_P	-0.1			τ_P	-13.3
NAPĚTÍ OD OSTATNÍCH ZATÍŽENÍ								[MPa]			Φ_{Vy}	Φ_{Vz}	$\sigma_{x,rs}$	6.0								τ_s	0.0			τ_s	-0.8
NÁVRHOVÁ HODNOTA MEZE KLUZU S REDUKCÍ VLIVEM SMYKOVÉHO NAPĚTÍ								[MPa]			1.00	1.00	$f_{yw,d}$	209.1								$f_{yd}/3^{0,5}$	120.7			$f_{yd}/3^{0,5}$	120.7
NAPĚTÍ OD POHYBLIVÉHO ZATÍŽENÍ V GLOBÁLNÍM SYSTÉMU						$\sigma_{GLOB,P}$	0.0	[MPa]					$\Sigma\sigma_{GLOB}$	0.0													
NAPĚTÍ OD OSTATNÍCH ZATÍŽENÍ V GLOBÁLNÍM SYSTÉMU						$\sigma_{GLOB,rs}$	0.0	[MPa]					$\Sigma\sigma_x + \Sigma\sigma_{GLOB}$	75.0													
VYUŽITÍ PRŮŘEZU DLE NAPĚTÍ								[%]					η_1	0.36								η_3	0.00			η_3	0.12
NAPĚTÍ V PŘÍČNÉM SMĚRU OD POHYBLIVÉHO ZATÍŽENÍ						$\sigma_{z,P}$	0.0	[MPa]					$\Sigma\sigma_z$	0.0													
NAPĚTÍ V PŘÍČNÉM SMĚRU OD OSTATNÍCH ZATÍŽENÍ						$\sigma_{z,rs}$	0.0	[MPa]					η_2	0.00													
SROVNÁVACÍ NAPĚTÍ													$(\eta_2 + 0,8\,\eta_1)/1,4$ =	0.20													
VYUŽITÍ PRŮŘEZU CELKEM								[%]					eff	0.36	VYHOVUJE												
													z_{LM71} =	-----													

TAB. L4.2.3 POSOUZENÍ - MEZNÍ STAV ÚNOSNOSTI

POPIS	PODĚLNÍK L4.E - STŘED
PRUT / POLOHA BODU	850 / I[712]
NAMÁHÁNÍ	Vy.min
VLÁKNO	BOD K1 -HL
MEZNÍ STAV	ULS (MSÚ)
VYUŽITÍ VLÁKNA PRŮŘEZU	0.62

Charakteristiky materiálu				
pás. horní	$f_{yf,k}$	230	MPa	
pás. dolní	$f_{yf,k}$	230	MPa	
stojina	$f_{yw,k}$	230	MPa	
výztuž	$f_{ys,k}$	500	MPa	
γ_M =	1.10	γ_s =	1.15	

Excentricita normálové síly				
Exc./Fáze	0	1	2	3
e_y	0.000	0.000	0.000	0.000
e_z	0.000	0.000	0.000	0.000
Ekvivalentní vzdál. stěn - příčný roznos				
b_{Mx}	0.000	0.000	0.000	0.000

Vliv stěny na únosnost průřezu				
Char./Fáze	0	1	2	3
A	0.00	0.00	0.00	0.00
Wy	0.00	0.00	0.00	0.00
Wz	0.00	0.00	0.00	0.00

Charakter. v kroucení			
$t_{w,y}$	0.000	[mm]	
$t_{w,z}$	0.000	[mm]	
κ	1.00		
I_t=	0.00E+00	[mm^4]	
$\Omega=2*A_{pr}$	0.00E+00	[mm^2]	

Součinitele vzpěru a vlivu II.řádu				
Char./Fáze	0	1	2	3
k_y	1.000	1.000	1.000	1.000
k_z	1.000	1.000	1.000	1.000
χ_{LT}	1.000	1.000	1.000	1.000
χ_{min}	1.000	1.000	1.000	1.000

Vnitřní síly od jednotlivých skupin zatěžovacích stavů

SKUPINA ZATĚŽOVACÍCH STAVŮ					- CHARAKTERISTICKÉ HODNOTY						DÍLČÍ SOUČINITELÉ ZATÍŽENÍ, DYNAMICKÝ SOUČINITEL						8	- NÁVRHOVÉ HODNOTY									
Č.	SKUP ZS	POPIS ZS	KAT.	FÁZE PRŮŘ.	N.k (kN)	Vy.k (kN)	Vz.k (kN)	Mx.k (kNm)	My.k (kNm)	Mz.k (kNm)	γ_{sup} (-)	γ_{inf} (-)	volba γ_i hledat	γ_i (-)	L_d (m)	δ (-)	Ψ_0 KZ08	N.d (kN)	Vy.d (kN)	Vz.d (kN)	ΔVz.d (kN)	ΣVz.d (kN)	Mx.d (kNm)	My.d (kNm)	ΔMy.d (kNm)	ΣMy.d (kNm)	Mz.d (kNm)	ΔMz.d (kNm)	ΣMz.d (kNm)
1	G0	Vlastní tíha OK	G	0	95	0	0	0	11	0	1.00	1.20		1.20	-	1.00	0.95	109	0	0	0	0	0	13	0	13	0	0	0
2	G1	Ostatní stálé - mostní vybavení	G	0	7	0	0	0	0	0	1.00	1.20		1.20	-	1.00	0.95	8	0	0	0	0	0	0	0	0	0	0	0
3	G2	Ostatní stálé - cizí zařízení	G	0	6	0	0	0	0	0	1.00	1.20		1.20	-	1.00	0.95	6	0	0	0	0	0	0	0	0	0	0	0
4	P1_71	a.LM71 - kolej 1 (bez dyn. souč.)	P	0	7	0	0	0	7	0	1.00	vyp.		0.00	-	1.00	0.00	0	0	0	0	0	0	0	0	0	0	0	0
5	P2_71	a.LM71 - kolej 2 (bez dyn. souč.)	P	0	22	0	50	0	231	0	1.00	vyp.		0.00	-	1.00	0.00	0	0	0	0	0	0	0	0	0	0	0	0
6	P1_C3	TTZ C3 - kolej 1 (bez dyn. souč.)	P	0	3	0	0	0	3	0	1.00	0.00		0.00	-	1.60	1.00	0	0	0	0	0	0	0	0	0	0	0	0
7	P2_C3	TTZ C3 - kolej 2 (bez dyn. souč.)	P	0	11	0	49	0	149	0	1.00	1.30		1.30	-	1.60	1.00	23	-1	103	0	103	0	310	0	310	0	0	0
8	BR	Brzdné a rozjezdové síly	P	0	-109	0	3	0	-3	0	1.00	1.30		1.30	-	1.00	0.32	-46	0	1	0	1	0	-1	0	-1	0	0	0
9	S	Boční ráz	P	0	-60	-19	-1	1	15	-14	1.00	-1.30		-1.30	-	1.00	0.64	50	16	1	0	1	0	-13	0	-13	12	0	12
10	CH	Chodci na lávkách	Q	0	6	0	0	0	0	0	1.00	0.00		0.00	-	1.00	1.00	0	0	0	0	0	0	0	0	0	0	0	0
11	W	Vítr na konstrukci	Q	0	-33	0	-1	0	2	0	1.00	1.35		1.35	-	1.00	0.75	-34	0	-1	0	-1	0	2	0	2	0	0	0
12	WP	Vítr na vozidla	Q	0	-55	-1	-5	0	-13	-2	1.00	-1.35		-1.35	-	1.00	0.75	56	1	5	0	5	0	13	0	13	2	0	2
13	TR	Teplota rovnoměrná	Q	0	0	0	0	0	0	0	1.00	1.35		1.35	-	1.00	0.45	0	0	0	0	0	0	0	0	0	0	0	0
14	TN	Teplota nerovnoměrná	Q	0	-8	0	0	0	2	0	1.00	1.35		1.35	-	1.00	0.60	-7	0	0	0	0	0	2	0	2	0	0	0
15	FR	Třecí síly v ložiskách	Q	0	-10	0	0	0	0	0	1.00	1.20		1.20	-	1.00	1.00	-11	0	0	0	0	0	0	0	0	0	0	0
16	I	Imperfekce soustavy	Q	0	-3	0	0	0	0	0	1.00	1.20		1.20	-	1.00	1.00	-3	0	0	0	0	0	0	0	0	0	0	0
27	ULS_LM	ULS - LM71 bez dynam	Q	0	-91	-27	58	1	330	-20	1.00	vyp.		0.00	-	1.00	0.00	0	0	0	0	0	0	0	0	0	0	0	0
28	SLS_LM	SLS - LM71 bez dynam	Q	0	-50	-21	45	1	255	-16	1.00	vyp.	1	0.00	-	1.00	0.00	0	0	0	0	0	0	0	0	0	0	0	0
29	ULS_C3	ULS - C3 bez dynam	Q	0	-109	-27	58	1	220	-21	1.00	vyp.	1	0.00	-	1.00	0.00	0	0	0	0	0	0	0	0	0	0	0	0
30	SLS_C3	SLS - C3 bez dynam	Q	0	-64	-21	45	1	170	-16	1.00	vyp.	1	0.00	-	1.00	0.00	0	0	0	0	0	0	0	0	0	0	0	0
		CELKEM - FÁZE PRŮŘEZU 0																151	16	108	0	108	-1	325	0	325	14	0	14
		CELKEM - FÁZE PRŮŘEZU 1																0	0	0	0	0	0	0	0	0	0	0	0
		CELKEM - FÁZE PRŮŘEZU 2																0	0	0	0	0	0	0	0	0	0	0	0
		CELKEM - FÁZE PRŮŘEZU 3																0	0	0	0	0	0	0	0	0	0	0	0
		CELKEM - PRŮŘEZ																151	16	108	0	108	-1			325			14

Napětí od jednotlivých zatěžovacích stavů

SKUPINA ZATĚŽOVACÍCH STAVŮ					Posouzení normálového napětí										Posouzení smykového napětí													
					Účinek síly N			Účinek momentu My			Účinek momentu Mz				Účinek kroutícího momentu Mx				Účinek smykové síly Vy				Účinek smykové síly Vz			
Č.	SKUP ZS	Popis ZS	Kat.	fáze průř.	δ^*N_d [kN]	χ^*A [mm^2]	σ_n [MPa]	$\delta^*M_{y,d}$ [kNm]	$\chi_{lt}^*W_{el,y}$ [mm^3]	σ_{my} [MPa]	$\delta^*M_{z,d}$ [kNm]	$W_{el,z}$ [mm^3]	σ_{mz} [MPa]	σ_x [MPa]	$\kappa^*\delta^*M_{x,d}$ [kNm]	$W_{v,y}$ [mm^3]	$\tau_{x,y}$ [MPa]	$W_{v,z}$ [mm^3]	$\tau_{x,z}$ [MPa]	$\delta^*V_{y,d}$ [kN]	$A_{v,y}$ [mm2]	$\tau_{v,y}$ [MPa]	$\tau_{v,y}$ [MPa]	$\delta^*V_{z,d}$ [kN]	$A_{v,z}$ [mm2]	$\tau_{v,z}$ [MPa]	$\tau_{v,z}$ [MPa]
1	G0	Vlastní tíha OK	G	0	108.7	1.67E+04	6.5	12.8	-4.16E+06	-3.1	0.0	-2.36E+05	-0.2	3.2	-2.3E-02	-	-	-	-	0.2	7.90E+03	0.0	0.0	-0.1	8.84E+03	0.0	0.0
2	G1	Ostatní stálé - mostní vybavení	G	0	8.2	1.67E+04	0.5	0.3	-4.16E+06	-0.1	0.0	-2.36E+05	0.0	0.4	0.0E+00	-	-	-	-	0.0	7.90E+03	0.0	0.0	-0.1	8.84E+03	0.0	0.0
3	G2	Ostatní stálé - cizí zařízení	G	0	6.3	1.67E+04	0.4	0.2	-4.16E+06	-0.1	0.0	-2.36E+05	0.0	0.3	0.0E+00	-	-	-	-	0.0	7.90E+03	0.0	0.0	-0.1	8.84E+03	0.0	0.0
4	P1_71	a.LM71 - kolej 1 (bez dyn. souč.)	P	0	0.0	1.67E+04	0.0	0.0	-4.16E+06	0.0	0.0	-2.36E+05	0.0	0.0	0.0E+00	-	-	-	-	0.0	7.90E+03	0.0	0.0	0.0	8.84E+03	0.0	0.0
5	P2_71	a.LM71 - kolej 2 (bez dyn. souč.)	P	0	0.0	1.67E+04	0.0	0.0	-4.16E+06	0.0	0.0	-2.36E+05	0.0	0.0	0.0E+00	-	-	-	-	0.0	7.90E+03	0.0	0.0	0.0	8.84E+03	0.0	0.0
6	P1_C3	TTZ C3 - kolej 1 (bez dyn. souč.)	P	0	0.0	1.67E+04	0.0	0.0	-4.16E+06	0.0	0.0	-2.36E+05	0.0	0.0	0.0E+00	-	-	-	-	0.0	7.90E+03	0.0	0.0	0.0	8.84E+03	0.0	0.0
7	P2_C3	TTZ C3 - kolej 2 (bez dyn. souč.)	P	0	23.3	1.67E+04	1.4	310.0	-4.16E+06	-74.6	0.0	-2.36E+05	-0.1	-73.3	-1.2E-01	-	-	-	-	-0.6	7.90E+03	-0.1	-0.1	102.8	8.84E+03	11.6	11.6
8	BR	Brzdné a rozjezdové síly	P	0	-45.5	1.67E+04	-2.7	-1.2	-4.16E+06	0.3	0.0	-2.36E+05	-0.1	-2.5	8.3E-03	-	-	-	-	-0.1	7.90E+03	0.0	0.0	1.0	8.84E+03	0.1	0.1
9	S	Boční ráz	P	0	49.5	1.67E+04	3.0	-12.7	-4.16E+06	3.1	11.8	-2.36E+05	-50.1	-44.0	-4.6E-01	-	-	-	-	16.2	7.90E+03	2.0	2.0	0.8	8.84E+03	0.1	0.1
10	CH	Chodci na lávkách	Q	0	0.0	1.67E+04	0.0	0.0	-4.16E+06	0.0	0.0	-2.36E+05	0.0	0.0	0.0E+00	-	-	-	-	0.0	7.90E+03	0.0	0.0	0.0	8.84E+03	0.0	0.0
11	W	Vítr na konstrukci	Q	0	-33.7	1.67E+04	-2.0	1.5	-4.16E+06	-0.4	0.0	-2.36E+05	0.0	-2.4	0.0E+00	-	-	-	-	-0.1	7.90E+03	0.0	0.0	-1.5	8.84E+03	-0.2	-0.2
12	WP	Vítr na vozidla	Q	0	56.0	1.67E+04	3.3	12.7	-4.16E+06	-3.1	2.3	-2.36E+05	-9.6	-9.3	-1.0E-01	-	-	-	-	0.8	7.90E+03	0.1	0.1	5.0	8.84E+03	0.6	0.6
13	TR	Teplota rovnoměrná	Q	0	0.0	1.67E+04	0.0	0.0	-4.16E+06	0.0	0.0	-2.36E+05	0.0	0.0	0.0E+00	-	-	-	-	0.0	7.90E+03	0.0	0.0	0.0	8.84E+03	0.0	0.0
14	TN	Teplota nerovnoměrná	Q	0	-6.7	1.67E+04	-0.4	1.5	-4.16E+06	-0.4	0.0	-2.36E+05	0.0	-0.8	0.0E+00	-	-	-	-	0.0	7.90E+03	0.0	0.0	-0.1	8.84E+03	0.0	0.0
15	FR	Třecí síly v ložiskách	Q	0	-11.4	1.67E+04	-0.7	-0.1	-4.16E+06	0.0	0.0	-2.36E+05	0.0	-0.6	0.0E+00	-	-	-	-	0.0	7.90E+03	0.0	0.0	0.1	8.84E+03	0.0	0.0
16	I	Imperfekce soustavy	Q	0	-3.5	1.67E+04	-0.2	0.1	-4.16E+06	0.0	0.0	-2.36E+05	0.0	-0.2	0.0E+00	-	-	-	-	0.0	7.90E+03	0.0	0.0	-0.1	8.84E+03	0.0	0.0
27	ULS_LM	ULS - LM71 bez dynam	Q	0	0.0	1.67E+04	0.0	0.0	-4.16E+06	0.0	0.0	-2.36E+05	0.0	0.0	0.0E+00	-	-	-	-	0.0	7.90E+03	0.0	0.0	0.0	8.84E+03	0.0	0.0
28	SLS_LM	SLS - LM71 bez dynam	Q	0	0.0	1.67E+04	0.0	0.0	-4.16E+06	0.0	0.0	-2.36E+05	0.0	0.0	0.0E+00	-	-	-	-	0.0	7.90E+03	0.0	0.0	0.0	8.84E+03	0.0	0.0
29	ULS_C3	ULS - C3 bez dynam	Q	0	0.0	1.67E+04	0.0	0.0	-4.16E+06	0.0	0.0	-2.36E+05	0.0	0.0	0.0E+00	-	-	-	-	0.0	7.90E+03	0.0	0.0	0.0	8.84E+03	0.0	0.0
30	SLS_C3	SLS - C3 bez dynam	Q	0	0.0	1.67E+04	0.0	0.0	-4.16E+06	0.0	0.0	-2.36E+05	0.0	0.0	0.0E+00	-	-	-	-	0.0	7.90E+03	0.0	0.0	0.0	8.84E+03	0.0	0.0
NAVÝŠENÍ NAPĚTÍ DO AKTIVACE TLAKU V DÉSCE MOSTOVKY						$\sigma_{P,red}$	0.0							0.0			0.0		0.0			2.1	2.1			12.2	12.2
NAPĚTÍ OD PRIMÁRNÍCH ÚČINKŮ NEROVNOMĚRNÉHO OTEPLENÍ						σ_T	0.0							0.0													
NAPĚTÍ OD REOLOGICKÝCH ÚČINKŮ BETONU V ČASE				t=0		σ_R	0.0	γ=	1.20					0.0													
NAPĚTÍ V KRITICKÝCH VLÁKNECH OD KOMBINACE ZATÍŽENÍ						KZ08		[MPa]					$\Sigma\sigma_x$	-129.3								$\Sigma\tau_y$	2.1			$\Sigma\tau_z$	12.2
NAPĚTÍ OD POHYBLIVÉHO ZATÍŽENÍ								[MPa]					$\sigma_{x,P}$	-119.8								τ_P	2.0			τ_P	11.8
NAPĚTÍ OD OSTATNÍCH ZATÍŽENÍ								[MPa]			Φ_{Vy}	Φ_{Vz}	$\sigma_{x,rs}$	-9.5								τ_{rs}	0.1			τ_{rs}	0.4
NÁVRHOVÁ HODNOTA MEZE KLUZU S REDUKCÍ VLIVEM SMYKOVÉHO NAPĚTÍ								[MPa]			1.00	1.00	$f_{yw,d}$	209.1								$f_{yd}/3^{0,5}$	120.7			$f_{yd}/3^{0,5}$	120.7
NAPĚTÍ OD POHYBLIVÉHO ZATÍŽENÍ V GLOBÁLNÍM SYSTÉMU						$\sigma_{GLOB,P}$	0.0	[MPa]					$\Sigma\sigma_{GLOB}$	0.0													
NAPĚTÍ OD OSTATNÍCH ZATÍŽENÍ V GLOBÁLNÍM SYSTÉMU						$\sigma_{GLOB,rs}$	0.0	[MPa]					$\Sigma\sigma_x + \Sigma\sigma_{GLOB}$	-129.3													
VYUŽITÍ PRŮŘEZU DLE NAPĚTÍ								[%]					η_1	0.62								η_3	0.02			η_3	0.10
NAPĚTÍ V PŘÍČNÉM SMĚRU OD POHYBLIVÉHO ZATÍŽENÍ						$\sigma_{z,P}$	0.0	[MPa]					$\Sigma\sigma_z$	0.0													
NAPĚTÍ V PŘÍČNÉM SMĚRU OD OSTATNÍCH ZATÍŽENÍ						$\sigma_{z,rs}$	0.0	[MPa]					η_2	0.00													
SROVNÁVACÍ NAPĚTÍ													$(\eta_2 + 0,8\,\eta_1)/1,4$ =	0.35													
VYUŽITÍ PRŮŘEZU CELKEM								[%]					eff	0.62	VYHOVUJE												
													z_{LM71} =	-----													

TAB. L4.2.3 POSOUZENÍ - MEZNÍ STAV ÚNOSNOSTI

POPIS	PODĚLNÍK L4.E - STŘED
PRUT / POLOHA BODU	850 / I[712]
NAMÁHÁNÍ	My.max
VLÁKNO	BOD K4 -SP
MEZNÍ STAV	ULS (MSÚ)
VYUŽITÍ VLÁKNA PRŮŘEZU	0.78

Charakteristiky materiálu				
pás. horní	$f_{yf,k}$	230	MPa	
pás. dolní	$f_{yf,k}$	230	MPa	
stojina	$f_{yw,k}$	230	MPa	
výztuž	$f_{ys,k}$	500	MPa	
γ_M =	1.10	γ_s =	1.15	

Excentricita normálové síly				
Exc./Fáze	0	1	2	3
e_y	0.000	0.000	0.000	0.000
e_z	0.000	0.000	0.000	0.000
Ekvivalentní vzdál. stěn - příčný roznos				
b_{Mx}	0.000	0.000	0.000	0.000

Vliv stěny na únosnost průřezu				
Char./Fáze	0	1	2	3
A	0.00	0.00	0.00	0.00
Wy	0.00	0.00	0.00	0.00
Wz	0.00	0.00	0.00	0.00

Charakter. v kroucení			
$t_{w,y}$	0.000	[mm]	
$t_{w,z}$	0.000	[mm]	
κ	1.00		
I_t=	0.00E+00	[mm^4]	
Ω=2*A_{pr}	0.00E+00	[mm^2]	

Součinitele vzpěru a vlivu II.řádu					
Char./Fáze	0	1	2	3
k_y	1.000	1.000	1.000	1.000
k_z	1.000	1.000	1.000	1.000
χ_{LT}	1.000	1.000	1.000	1.000
χ_{min}	1.000	1.000	1.000	1.000

Vnitřní síly od jednotlivých skupin zatěžovacích stavů

SKUPINA ZATĚŽOVACÍCH STAVŮ — 8

Č.	SKUP ZS	POPIS ZS	KAT.	FÁZE PRŮŘ.	- CHARAKTERISTICKÉ HODNOTY N.k (kN)	Vy.k (kN)	Vz.k (kN)	Mx.k (kNm)	My.k (kNm)	Mz.k (kNm)	DÍLČÍ SOUČINITELÉ ZATÍŽENÍ, DYNAMICKÝ SOUČINITEL γ_{sr} (-)	γ_{fs} (-)	volba γ_f hledat	γ_f (-)	L_d (m)	δ (-)	Ψ_E KZ08	- NÁVRHOVÉ HODNOTY N.d (kN)	Vy.d (kN)	Vz.d (kN)	ΔVz.d (kN)	ΣVz.d (kN)	Mx.d (kNm)	My.d (kNm)	ΔMy.d (kNm)	ΣMy.d (kNm)	Mz.d (kNm)	ΔMz.d (kNm)	ΣMz.d (kNm)
1	G0	Vlastní tíha OK	G	0	68	0	1	0	10	0	1.00	1.20		1.20	-	1.00	0.95	77	0	1	0	1	0	12	0	12	0	0	0
2	G1	Ostatní stálé - mostní vybavení	G	0	7	0	0	0	0	0	1.00	1.20		1.20	-	1.00	0.95	8	0	0	0	0	0	0	0	0	0	0	0
3	G2	Ostatní stálé - cizí zařízení	G	0	6	0	0	0	0	0	1.00	1.20		1.20	-	1.00	0.95	6	0	0	0	0	0	0	0	0	0	0	0
4	P1_71	a.LM71 - kolej 1 (bez dyn. souč.)	P	0	60	0	-2	0	10	0	1.00	vyp.		0.00	-	1.00	0.00	0	0	0	0	0	0	0	0	0	0	0	0
5	P2_71	a.LM71 - kolej 2 (bez dyn. souč.)	P	0	96	0	61	0	241	0	1.00	vyp.		0.00	-	1.00	0.00	0	0	0	0	0	0	0	0	0	0	0	0
6	P1_C3	TTZ C3 - kolej 1 (bez dyn. souč.)	P	0	49	0	-1	0	6	0	1.00	1.30		1.30	-	1.60	1.00	103	0	-2	0	-2	0	13	0	13	0	0	0
7	P2_C3	TTZ C3 - kolej 2 (bez dyn. souč.)	P	0	75	0	28	0	155	0	1.00	1.30		1.30	-	1.60	1.00	155	0	58	0	58	0	322	0	322	0	0	0
8	BR	Brzdné a rozjezdové síly	P	0	97	0	-4	0	4	0	1.00	1.30		1.30	-	1.00	0.32	40	0	-2	0	-2	0	2	0	2	0	0	0
9	S	Boční ráz	P	0	-60	-19	-1	1	15	-14	1.00	-1.30		-1.30	-	1.00	0.64	50	16	1	0	1	0	-13	0	-13	12	0	12
10	CH	Chodci na lávkách	Q	0	14	0	0	0	0	0	1.00	1.30		1.30	-	1.00	1.00	18	0	0	0	0	0	1	0	1	0	0	0
11	W	Vítr na konstrukci	Q	0	-33	0	-1	0	2	0	1.00	-1.35		-1.35	-	1.00	0.75	34	0	1	0	1	0	-2	0	-2	0	0	0
12	WP	Vítr na vozidla	Q	0	55	1	5	0	13	2	1.00	1.35		1.35	-	1.00	0.75	56	1	5	0	5	0	13	0	13	2	0	2
13	TR	Teplota rovnoměrná	Q	0	0	0	0	0	0	0	1.00	1.35		1.35	-	1.00	0.45	0	0	0	0	0	0	0	0	0	0	0	0
14	TN	Teplota nerovnoměrná	Q	0	-8	0	0	0	2	0	1.00	1.35		1.35	-	1.00	0.60	-7	0	0	0	0	0	2	0	2	0	0	0
15	FR	Třecí síly v ložiskách	Q	0	10	0	0	0	0	0	1.00	1.20		1.20	-	1.00	1.00	11	0	0	0	0	0	0	0	0	0	0	0
16	I	Imperfekce soustavy	Q	0	-3	0	0	0	0	0	1.00	-1.20		-1.20	-	1.00	1.00	3	0	0	0	0	0	0	0	0	0	0	0
27	ULS_LM	ULS - LM71 bez dynam	Q	0	353	-24	77	0	379	-16	1.00	vyp.	1	0.00	-	1.00	0.00	0	0	0	0	0	0	0	0	0	0	0	0
28	SLS_LM	SLS - LM71 bez dynam	Q	0	290	-19	59	0	291	-12	1.00	vyp.	1	0.00	-	1.00	0.00	0	0	0	0	0	0	0	0	0	0	0	0
29	ULS_C3	ULS - C3 bez dynam	Q	0	311	-24	34	0	262	-16	1.00	vyp.	1	0.00	-	1.00	0.00	0	0	0	0	0	0	0	0	0	0	0	0
30	SLS_C3	SLS - C3 bez dynam	Q	0	258	-19	26	0	202	-12	1.00	vyp.	1	0.00	-	1.00	0.00	0	0	0	0	0	0	0	0	0	0	0	0
		CELKEM - FÁZE PRŮŘEZU 0			555	17	62	0	350	14								555	17	62	0	62	-1	350	0	350	14	0	14
		CELKEM - FÁZE PRŮŘEZU 1			0	0	0	0	0	0								0	0	0	0	0	0	0	0	0	0	0	0
		CELKEM - FÁZE PRŮŘEZU 2			0	0	0	0	0	0								0	0	0	0	0	0	0	0	0	0	0	0
		CELKEM - FÁZE PRŮŘEZU 3			0	0	0	0	0	0								0	0	0	0	0	0	0	0	0	0	0	0
		CELKEM - PRŮŘEZ			555	17	62	0	350	14								555	17	62	0	62	-1			350			14

Napětí od jednotlivých zatěžovacích stavů

SKUPINA ZATĚŽOVACÍCH STAVŮ

Č.	SKUP ZS	Popis ZS	Kat.	fáze průř.	Posouzení normálového napětí — Účinek síly N δ^*N_d [kN]	χ^*A [mm^2]	σ_n [MPa]	Účinek momentu My $\delta^*M_{y,d}$ [kNm]	$\chi_{lt}*W_{el,y}$ [mm^3]	σ_{my} [MPa]	Účinek momentu Mz $\delta^*M_{z,d}$ [kNm]	$W_{el,z}$ [mm^3]	σ_{mz} [MPa]	σ_x [MPa]	Posouzení smykového napětí — Účinek kroutícího momentu Mx $\kappa*\delta^*M_{x,d}$ [kNm]	$W_{v,y}$ [mm^2]	$\tau_{x,y}$ [MPa]	$W_{v,z}$ [mm^2]	$\tau_{x,z}$ [MPa]	Účinek smykové síly Vy $\delta^*V_{y,d}$ [kN]	$A_{v,y}$ [mm2]	$\tau_{v,y}$ [MPa]	$\tau_{v,y}$ [MPa]	Účinek smykové síly Vz $\delta^*V_{z,d}$ [kN]	$A_{v,z}$ [mm2]	$\tau_{v,z}$ [MPa]	$\tau_{v,z}$ [MPa]
1	G0	Vlastní tíha OK	G	0	77.3	1.67E+04	4.6	11.7	3.97E+06	2.9	0.1	3.41E+05	0.2	7.8	-1.1E-02	-	-	-	-	-0.2	7.90E+03	0.0	0.0	1.0	8.84E+03	0.1	0.1
2	G1	Ostatní stálé - mostní vybavení	G	0	8.2	1.67E+04	0.5	0.3	3.97E+06	0.1	0.0	3.41E+05	0.0	0.6	0.0E+00	-	-	-	-	0.0	7.90E+03	0.0	0.0	-0.1	8.84E+03	0.0	0.0
3	G2	Ostatní stálé - cizí zařízení	G	0	6.3	1.67E+04	0.4	0.2	3.97E+06	0.1	0.0	3.41E+05	0.0	0.4	0.0E+00	-	-	-	-	0.0	7.90E+03	0.0	0.0	-0.1	8.84E+03	0.0	0.0
4	P1_71	a.LM71 - kolej 1 (bez dyn. souč.)	P	0	0.0	1.67E+04	0.0	0.0	3.97E+06	0.0	0.0	3.41E+05	0.0	0.0	0.0E+00	-	-	-	-	0.0	7.90E+03	0.0	0.0	0.0	8.84E+03	0.0	0.0
5	P2_71	a.LM71 - kolej 2 (bez dyn. souč.)	P	0	0.0	1.67E+04	0.0	0.0	3.97E+06	0.0	0.0	3.41E+05	0.0	0.0	0.0E+00	-	-	-	-	0.0	7.90E+03	0.0	0.0	0.0	8.84E+03	0.0	0.0
6	P1_C3	TTZ C3 - kolej 1 (bez dyn. souč.)	P	0	102.9	1.67E+04	6.1	13.3	3.97E+06	3.3	0.2	3.41E+05	0.5	10.0	4.2E-02	-	-	-	-	0.1	7.90E+03	0.0	0.0	-2.3	8.84E+03	-0.3	-0.3
7	P2_C3	TTZ C3 - kolej 2 (bez dyn. souč.)	P	0	155.0	1.67E+04	9.3	322.2	3.97E+06	81.1	0.1	3.41E+05	0.4	90.7	-1.5E-01	-	-	-	-	-0.2	7.90E+03	0.0	0.0	57.8	8.84E+03	6.5	6.5
8	BR	Brzdné a rozjezdové síly	P	0	40.4	1.67E+04	2.4	1.8	3.97E+06	0.4	0.0	3.41E+05	0.0	2.9	-1.2E-02	-	-	-	-	0.1	7.90E+03	0.0	0.0	-1.6	8.84E+03	-0.2	-0.2
9	S	Boční ráz	P	0	49.5	1.67E+04	3.0	-12.7	3.97E+06	-3.2	11.8	3.41E+05	34.6	34.4	-4.6E-01	-	-	-	-	16.2	7.90E+03	2.0	2.0	0.8	8.84E+03	0.1	0.1
10	CH	Chodci na lávkách	Q	0	17.9	1.67E+04	1.1	0.5	3.97E+06	0.1	0.0	3.41E+05	0.0	1.2	0.0E+00	-	-	-	-	0.0	7.90E+03	0.0	0.0	-0.2	8.84E+03	0.0	0.0
11	W	Vítr na konstrukci	Q	0	33.7	1.67E+04	2.0	-1.5	3.97E+06	-0.4	0.0	3.41E+05	0.0	1.6	0.0E+00	-	-	-	-	0.1	7.90E+03	0.0	0.0	1.5	8.84E+03	0.2	0.2
12	WP	Vítr na vozidla	Q	0	56.0	1.67E+04	3.3	12.7	3.97E+06	3.2	2.3	3.41E+05	6.6	13.2	-1.0E-01	-	-	-	-	0.8	7.90E+03	0.1	0.1	5.0	8.84E+03	0.6	0.6
13	TR	Teplota rovnoměrná	Q	0	0.0	1.67E+04	0.0	0.0	3.97E+06	0.0	0.0	3.41E+05	0.0	0.0	0.0E+00	-	-	-	-	0.0	7.90E+03	0.0	0.0	0.0	8.84E+03	0.0	0.0
14	TN	Teplota nerovnoměrná	Q	0	-6.7	1.67E+04	-0.4	1.5	3.97E+06	0.4	0.0	3.41E+05	0.0	0.0	0.0E+00	-	-	-	-	0.0	7.90E+03	0.0	0.0	-0.1	8.84E+03	0.0	0.0
15	FR	Třecí síly v ložiskách	Q	0	11.4	1.67E+04	0.7	0.1	3.97E+06	0.0	0.0	3.41E+05	0.0	0.7	0.0E+00	-	-	-	-	0.0	7.90E+03	0.0	0.0	-0.1	8.84E+03	0.0	0.0
16	I	Imperfekce soustavy	Q	0	3.5	1.67E+04	0.2	-0.1	3.97E+06	0.0	0.0	3.41E+05	0.0	0.2	0.0E+00	-	-	-	-	0.0	7.90E+03	0.0	0.0	0.1	8.84E+03	0.0	0.0
27	ULS_LM	ULS - LM71 bez dynam	Q	0	0.0	1.67E+04	0.0	0.0	3.97E+06	0.0	0.0	3.41E+05	0.0	0.0	0.0E+00	-	-	-	-	0.0	7.90E+03	0.0	0.0	0.0	8.84E+03	0.0	0.0
28	SLS_LM	SLS - LM71 bez dynam	Q	0	0.0	1.67E+04	0.0	0.0	3.97E+06	0.0	0.0	3.41E+05	0.0	0.0	0.0E+00	-	-	-	-	0.0	7.90E+03	0.0	0.0	0.0	8.84E+03	0.0	0.0
29	ULS_C3	ULS - C3 bez dynam	Q	0	0.0	1.67E+04	0.0	0.0	3.97E+06	0.0	0.0	3.41E+05	0.0	0.0	0.0E+00	-	-	-	-	0.0	7.90E+03	0.0	0.0	0.0	8.84E+03	0.0	0.0
30	SLS_C3	SLS - C3 bez dynam	Q	0	0.0	1.67E+04	0.0	0.0	3.97E+06	0.0	0.0	3.41E+05	0.0	0.0	0.0E+00	-	-	-	-	0.0	7.90E+03	0.0	0.0	0.0	8.84E+03	0.0	0.0
NAVÝŠENÍ NAPĚTÍ DO AKTIVACE TLAKU V DESCE MOSTOVKY						$\sigma_{P,red}$	0.0							0.0				0.0				2.1	2.1			7.0	7.0
NAPĚTÍ OD PRIMÁRNÍCH ÚČINKŮ NEROVNOMĚRNÉHO OTEPLENÍ						σ_T	0.0							0.0													
NAPĚTÍ OD REOLOGICKÝCH ÚČINKŮ BETONU V ČASE		t=0				σ_R	0.0	γ_f=	1.20					0.0													
NAPĚTÍ V KRITICKÝCH VLÁKNECH OD KOMBINACE ZATÍŽENÍ					KZ08			[MPa]					$\Sigma\sigma_x$	163.6							$\Sigma\tau_y$	2.1			$\Sigma\tau_z$	7.0
NAPĚTÍ OD POHYBLIVÉHO ZATÍŽENÍ								[MPa]					$\sigma_{x,P}$	137.9							τ_P	2.0			τ_P	6.2
NAPĚTÍ OD OSTATNÍCH ZATÍŽENÍ								[MPa]			Φ_{Vy}	Φ_{Vz}	$\sigma_{x,rs}$	25.7							τ_{rs}	0.1			τ_{rs}	0.8
NÁVRHOVÁ HODNOTA MEZE KLUZU S REDUKCÍ VLIVEM SMYKOVÉHO NAPĚTÍ								[MPa]			1.00	1.00	$f_{yv,d}$	209.1							$f_{yd}/3^{0,5}$	120.7			$f_{yd}/3^{0,5}$	120.7
NAPĚTÍ OD POHYBLIVÉHO ZATÍŽENÍ V GLOBÁLNÍM SYSTÉMU				$\sigma_{GLOB,P}$	0.0			[MPa]					$\Sigma\sigma_{GLOB}$	0.0												
NAPĚTÍ OD OSTATNÍCH ZATÍŽENÍ V GLOBÁLNÍM SYSTÉMU				$\sigma_{GLOB,rs}$	0.0			[MPa]					$\Sigma\sigma_x + \Sigma\sigma_{GLOB}$	163.6												
VYUŽITÍ PRŮŘEZU DLE NAPĚTÍ								[%]					η_1	0.78							η_3	0.02			η_3	0.06
NAPĚTÍ V PŘÍČNÉM SMĚRU OD POHYBLIVÉHO ZATÍŽENÍ				$\sigma_{z,P}$	0.0			[MPa]					$\Sigma\sigma_z$	0.0												
NAPĚTÍ V PŘÍČNÉM SMĚRU OD OSTATNÍCH ZATÍŽENÍ				$\sigma_{z,rs}$	0.0			[MPa]					η_2	0.00												
SROVNÁVACÍ NAPĚTÍ													$(\eta_2 + 0,8\,\eta_1)/1,4$ =	0.45												
VYUŽITÍ PRŮŘEZU CELKEM								[%]					eff	0.78	VYHOVUJE											
													Z_{LM71} =	-----												

TAB. L4.2.3 POSOUZENÍ - MEZNÍ STAV ÚNOSNOSTI

POPIS	PODÉLNÍK L4.E - STŘED
PRUT / POLOHA BODU	850 / I[712]
NAMÁHÁNÍ	Vz.max
VLÁKNO	BOD S6 -HP
MEZNÍ STAV	ULS (MSÚ)
VYUŽITÍ VLÁKNA PRŮŘEZU	0.36

Charakteristiky materiálu				
pás. horní	$f_{yf,k}$	230	MPa	
pás. dolní	$f_{yf,k}$	230	MPa	
stojina	$f_{yw,k}$	230	MPa	
výztuž	$f_{ys,k}$	500	MPa	
γ_M =	1.10	γ_s =	1.15	

Excentricita normálové síly				
Exc./Fáze	0	1	2	3
e_y	0.000	0.000	0.000	0.000
e_z	0.000	0.000	0.000	0.000
Ekvivalentní vzdál. stěn - příčný roznos				
b_{ch}	0.000	0.000	0.000	0.000

Vliv stěny na únosnost průřezu				
Char./Fáze	0	1	2	3
A	0.00	0.00	0.00	0.00
Wy	0.00	0.00	0.00	0.00
Wz	0.00	0.00	0.00	0.00

Charakter. v kroucení			
$t_{w,y}$	0.000	[mm]	
$t_{w,z}$	0.000	[mm]	
κ	1.00		
I_t=	0.00E+00	[mm^4]	
$\Omega=2*A_{pr}$	0.00E+00	[mm^2]	

Součinitele vzpěru a vlivu II.řádu					
Char./Fáze	0	1	2	3
k_y	1.000	1.000	1.000	1.000
k_z	1.000	1.000	1.000	1.000
χ_{LT}	1.000	1.000	1.000	1.000
χ_{min}	1.000	1.000	1.000	1.000

Vnitřní síly od jednotlivých skupin zatěžovacích stavů

SKUPINA ZATĚŽOVACÍCH STAVŮ — 7

Č.	SKUP ZS	POPIS ZS	KAT.	FÁZE PRŮŘ.	- CHARAKTERISTICKÉ HODNOTY N,k (kN)	Vy,k (kN)	Vz,k (kN)	Mx,k (kNm)	My,k (kNm)	Mz,k (kNm)	DÍLČÍ SOUČINITELÉ ZATÍŽENÍ, DYNAMICKÝ SOUČINITEL γ_{sr} (-)	γ_{fs} (-)	volba γ_f hledat	γ_f (-)	L_d (m)	δ (-)	γ_z KZ07	- NÁVRHOVÉ HODNOTY N,d (kN)	Vy,d (kN)	Vz,d (kN)	ΔVz,d (kN)	ΣVz,d (kN)	Mx,d (kNm)	My,d (kNm)	ΔMy,d (kNm)	ΣMy,d (kNm)	Mz,d (kNm)	ΔMz,d (kNm)	ΣMz,d (kNm)
1	G0	Vlastní tíha OK	G	0	68	0	1	0	10	0	1.00	1.20		1.20	-	0.95	0.95	77	0	1	0	1	0	12	0	12	0	0	0
2	G1	Ostatní stálé - mostní vybavení	G	0	7	0	0	0	0	0	1.00	1.00		1.00	-	1.00	0.95	7	0	0	0	0	0	0	0	0	0	0	0
3	G2	Ostatní stálé - cizí zařízení	G	0	6	0	0	0	0	0	1.00	1.00		1.00	-	1.00	0.95	5	0	0	0	0	0	0	0	0	0	0	0
4	P1_71	a.LM71 - kolej 1 (bez dyn. souč.)	P	0	15	0	3	0	3	0	1.00	vyp.		0.00	-	1.00	0.00	0	0	0	0	0	0	0	0	0	0	0	0
5	P2_71	a.LM71 - kolej 2 (bez dyn. souč.)	P	0	31	0	90	0	164	0	1.00	vyp.		0.00	-	1.00	0.00	0	0	0	0	0	0	0	0	0	0	0	0
6	P1_C3	TTZ C3 - kolej 1 (bez dyn. souč.)	P	0	11	0	2	0	1	0	1.00	1.30		1.30	-	1.60	1.00	22	0	5	0	5	0	1	0	1	0	0	0
7	P2_C3	TTZ C3 - kolej 2 (bez dyn. souč.)	P	0	25	0	66	0	118	0	1.00	1.30		1.30	-	1.60	1.00	51	0	138	0	138	0	246	0	246	0	0	0
8	BR	Brzdné a rozjezdové síly	P	0	-97	0	4	0	-4	0	1.00	1.30		1.30	-	1.00	0.64	-81	0	3	0	3	0	-4	0	-4	0	0	0
9	S	Boční ráz	P	0	23	0	2	0	0	0	1.00	1.30		1.30	-	1.00	0.32	9	0	1	0	1	0	0	0	0	0	0	0
10	CH	Chodci na lávkách	Q	0	10	0	0	0	0	0	1.00	0.00		0.00	-	1.00	1.00	0	0	0	0	0	0	0	0	0	0	0	0
11	W	Vítr na konstrukci	Q	0	33	0	1	0	-2	0	1.00	1.35		1.35	-	1.00	0.75	34	0	1	0	1	0	-2	0	-2	0	0	0
12	WP	Vítr na vozidla	Q	0	55	1	5	0	13	2	1.00	1.35		1.35	-	1.00	0.75	56	1	5	0	5	0	13	0	13	2	0	2
13	TR	Teplota rovnoměrná	Q	0	0	0	0	0	0	0	1.00	1.35		1.35	-	1.00	0.45	0	0	0	0	0	0	0	0	0	0	0	0
14	TN	Teplota nerovnoměrná	Q	0	8	0	0	0	-2	0	1.00	1.35		1.35	-	1.00	0.60	7	0	0	0	0	0	-2	0	-2	0	0	0
15	FR	Třecí síly v ložiskách	Q	0	-10	0	0	0	0	0	1.00	1.20		1.20	-	1.00	1.00	-11	0	0	0	0	0	0	0	0	0	0	0
16	I	Imperfekce soustavy	Q	0	3	0	0	0	0	0	1.00	1.20		1.20	-	1.00	1.00	3	0	0	0	0	0	0	0	0	0	0	0
27	ULS_LM	ULS - LM71 bez dynam	Q	0	172	1	134	0	235	2	1.00	vyp.		0.00	-	1.00	0.00	0	0	0	0	0	0	0	0	0	0	0	0
28	SLS_LM	SLS - LM71 bez dynam	Q	0	137	0	103	0	183	1	1.00	vyp.	1	0.00	-	1.00	0.00	0	0	0	0	0	0	0	0	0	0	0	0
29	ULS_C3	ULS - C3 bez dynam	Q	0	159	1	102	0	173	2	1.00	vyp.	1	0.00	-	1.00	0.00	0	0	0	0	0	0	0	0	0	0	0	0
30	SLS_C3	SLS - C3 bez dynam	Q	0	127	1	78	0	135	2	1.00	vyp.	1	0.00	-	1.00	0.00	0	0	0	0	0	0	0	0	0	0	0	0
		CELKEM - FÁZE PRŮŘEZU 0																180	0	154	0	154	0	266	0	266	2	0	2
		CELKEM - FÁZE PRŮŘEZU 1																0	0	0	0	0	0	0	0	0	0	0	0
		CELKEM - FÁZE PRŮŘEZU 2																0	0	0	0	0	0	0	0	0	0	0	0
		CELKEM - FÁZE PRŮŘEZU 3																0	0	0	0	0	0	0	0	0	0	0	0
		CELKEM - PRŮŘEZ																180	0	154	0	154	0			266			2

Napětí od jednotlivých zatěžovacích stavů

SKUPINA ZATĚŽOVACÍCH STAVŮ

Č.	SKUP ZS	Popis ZS	Kat.	fáze průř.	Posouzení normálového napětí — Účinek síly N: δ^*N_d [kN]	χ^*A [mm^2]	σ_n [MPa]	Účinek momentu My: $\delta^*M_{y,d}$ [kNm]	$\chi_{lt}*W_{el,y}$ [mm^3]	σ_{my} [MPa]	Účinek momentu Mz: $\delta^*M_{z,d}$ [kNm]	$W_{el,z}$ [mm^3]	σ_{mz} [MPa]	σ_x [MPa]	Posouzení smykového napětí — Účinek kroutícího momentu Mx: $\kappa*\delta^*M_{x,d}$ [kNm]	$W_{v,y}$ [mm^2]	$\tau_{x,y}$ [MPa]	$W_{v,z}$ [mm^2]	$\tau_{x,z}$ [MPa]	Účinek smykové síly Vy: $\delta^*V_{y,d}$ [kN]	$A_{v,y}$ [mm2]	$\tau_{v,y}$ [MPa]	$\tau_{v,y}$ [MPa]	Účinek smykové síly Vz: $\delta^*V_{z,d}$ [kN]	$A_{v,z}$ [mm2]	$\tau_{v,z}$ [MPa]	$\tau_{v,z}$ [MPa]
1	G0	Vlastní tíha OK	G	0	77.3	1.67E+04	4.6	11.7	4.09E+06	2.9	0.1	-1.48E+07	0.0	7.5	-1.1E-02	-	-	-	-	-0.2	7.90E+03	0.0	0.0	1.0	8.84E+03	0.1	0.1
2	G1	Ostatní stálé - mostní vybavení	G	0	6.8	1.67E+04	0.4	0.3	4.09E+06	0.1	0.0	-1.48E+07	0.0	0.5	0.0E+00	-	-	-	-	0.0	7.90E+03	0.0	0.0	-0.1	8.84E+03	0.0	0.0
3	G2	Ostatní stálé - cizí zařízení	G	0	5.2	1.67E+04	0.3	0.2	4.09E+06	0.0	0.0	-1.48E+07	0.0	0.4	0.0E+00	-	-	-	-	0.0	7.90E+03	0.0	0.0	-0.1	8.84E+03	0.0	0.0
4	P1_71	a.LM71 - kolej 1 (bez dyn. souč.)	P	0	0.0	1.67E+04	0.0	0.0	4.09E+06	0.0	0.0	-1.48E+07	0.0	0.0	0.0E+00	-	-	-	-	0.0	7.90E+03	0.0	0.0	0.0	8.84E+03	0.0	0.0
5	P2_71	a.LM71 - kolej 2 (bez dyn. souč.)	P	0	0.0	1.67E+04	0.0	0.0	4.09E+06	0.0	0.0	-1.48E+07	0.0	0.0	0.0E+00	-	-	-	-	0.0	7.90E+03	0.0	0.0	0.0	8.84E+03	0.0	0.0
6	P1_C3	TTZ C3 - kolej 1 (bez dyn. souč.)	P	0	22.2	1.67E+04	1.3	1.4	4.09E+06	0.4	-0.1	-1.48E+07	0.0	1.7	0.0E+00	-	-	-	-	0.0	7.90E+03	0.0	0.0	4.8	8.84E+03	0.5	0.5
7	P2_C3	TTZ C3 - kolej 2 (bez dyn. souč.)	P	0	51.4	1.67E+04	3.1	246.1	4.09E+06	60.2	-0.1	-1.48E+07	0.0	63.3	-1.2E-01	-	-	-	-	-0.3	7.90E+03	0.0	0.0	137.8	8.84E+03	15.6	15.6
8	BR	Brzdné a rozjezdové síly	P	0	-80.7	1.67E+04	-4.8	-3.6	4.09E+06	-0.9	0.0	-1.48E+07	0.0	-5.7	2.5E-02	-	-	-	-	-0.2	7.90E+03	0.0	0.0	3.2	8.84E+03	0.4	0.4
9	S	Boční ráz	P	0	9.4	1.67E+04	0.6	0.2	4.09E+06	0.0	0.0	-1.48E+07	0.0	0.6	0.0E+00	-	-	-	-	0.0	7.90E+03	0.0	0.0	0.9	8.84E+03	0.1	0.1
10	CH	Chodci na lávkách	Q	0	0.0	1.67E+04	0.0	0.0	4.09E+06	0.0	0.0	-1.48E+07	0.0	0.0	0.0E+00	-	-	-	-	0.0	7.90E+03	0.0	0.0	0.0	8.84E+03	0.0	0.0
11	W	Vítr na konstrukci	Q	0	33.7	1.67E+04	2.0	-1.5	4.09E+06	-0.4	0.0	-1.48E+07	0.0	1.6	0.0E+00	-	-	-	-	0.1	7.90E+03	0.0	0.0	1.5	8.84E+03	0.2	0.2
12	WP	Vítr na vozidla	Q	0	56.0	1.67E+04	3.3	12.7	4.09E+06	3.1	2.3	-1.48E+07	-0.2	6.3	-1.0E-01	-	-	-	-	0.8	7.90E+03	0.1	0.1	5.0	8.84E+03	0.6	0.6
13	TR	Teplota rovnoměrná	Q	0	0.0	1.67E+04	0.0	0.0	4.09E+06	0.0	0.0	-1.48E+07	0.0	0.0	0.0E+00	-	-	-	-	0.0	7.90E+03	0.0	0.0	0.0	8.84E+03	0.0	0.0
14	TN	Teplota nerovnoměrná	Q	0	6.7	1.67E+04	0.4	-1.5	4.09E+06	-0.4	0.0	-1.48E+07	0.0	0.0	0.0E+00	-	-	-	-	0.0	7.90E+03	0.0	0.0	0.1	8.84E+03	0.0	0.0
15	FR	Třecí síly v ložiskách	Q	0	-11.4	1.67E+04	-0.7	-0.1	4.09E+06	0.0	0.0	-1.48E+07	0.0	-0.7	0.0E+00	-	-	-	-	0.0	7.90E+03	0.0	0.0	0.1	8.84E+03	0.0	0.0
16	I	Imperfekce soustavy	Q	0	3.5	1.67E+04	0.2	-0.1	4.09E+06	0.0	0.0	-1.48E+07	0.0	0.2	0.0E+00	-	-	-	-	0.0	7.90E+03	0.0	0.0	0.1	8.84E+03	0.0	0.0
27	ULS_LM	ULS - LM71 bez dynam	Q	0	0.0	1.67E+04	0.0	0.0	4.09E+06	0.0	0.0	-1.48E+07	0.0	0.0	0.0E+00	-	-	-	-	0.0	7.90E+03	0.0	0.0	0.0	8.84E+03	0.0	0.0
28	SLS_LM	SLS - LM71 bez dynam	Q	0	0.0	1.67E+04	0.0	0.0	4.09E+06	0.0	0.0	-1.48E+07	0.0	0.0	0.0E+00	-	-	-	-	0.0	7.90E+03	0.0	0.0	0.0	8.84E+03	0.0	0.0
29	ULS_C3	ULS - C3 bez dynam	Q	0	0.0	1.67E+04	0.0	0.0	4.09E+06	0.0	0.0	-1.48E+07	0.0	0.0	0.0E+00	-	-	-	-	0.0	7.90E+03	0.0	0.0	0.0	8.84E+03	0.0	0.0
30	SLS_C3	SLS - C3 bez dynam	Q	0	0.0	1.67E+04	0.0	0.0	4.09E+06	0.0	0.0	-1.48E+07	0.0	0.0	0.0E+00	-	-	-	-	0.0	7.90E+03	0.0	0.0	0.0	8.84E+03	0.0	0.0
NAVÝŠENÍ NAPĚTÍ DO AKTIVACE TLAKU V DESCE MOSTOVKY						$\sigma_{P,red}$	0.0							0.0				0.0		0.0			0.0	0.0			17.4	17.4
NAPĚTÍ OD PRIMÁRNÍCH ÚČINKŮ NEROVNOMĚRNÉHO OTEPLENÍ						σ_T	0.0							0.0														
NAPĚTÍ OD REOLOGICKÝCH ÚČINKŮ BETONU V ČASE				t=0		σ_R	0.0	γ_f=	1.20					0.0														
NAPĚTÍ V KRITICKÝCH VLÁKNECH OD KOMBINACE ZATÍŽENÍ						KZ07		[MPa]					$\Sigma\sigma_x$	75.6								$\Sigma\tau_y$	0.0			$\Sigma\tau_z$	17.4
NAPĚTÍ OD POHYBLIVÉHO ZATÍŽENÍ								[MPa]					$\sigma_{x,P}$	59.9								τ_P	-0.1			τ_P	16.6
NAPĚTÍ OD OSTATNÍCH ZATÍŽENÍ								[MPa]			Φ_{Vy}	Φ_{Vz}	$\sigma_{x,rs}$	15.7								τ_{rs}	0.1			τ_{rs}	0.9
NÁVRHOVÁ HODNOTA MEZE KLUZU S REDUKCÍ VLIVEM SMYKOVÉHO NAPĚTÍ								[MPa]			1.00	1.00	$f_{yv,d}$	209.1								$f_{yd}/3^{0,5}$	120.7			$f_{yd}/3^{0,5}$	120.7
NAPĚTÍ OD POHYBLIVÉHO ZATÍŽENÍ V GLOBÁLNÍM SYSTÉMU						$\sigma_{GLOB,P}$	0.0	[MPa]					$\Sigma\sigma_{GLOB}$	0.0													
NAPĚTÍ OD OSTATNÍCH ZATÍŽENÍ V GLOBÁLNÍM SYSTÉMU						$\sigma_{GLOB,rs}$	0.0	[MPa]					$\Sigma\sigma_x + \Sigma\sigma_{GLOB}$	75.6													
VYUŽITÍ PRŮŘEZU DLE NAPĚTÍ								[%]					η_1	0.36								η_3	0.00			η_3	0.14
NAPĚTÍ V PŘÍČNÉM SMĚRU OD POHYBLIVÉHO ZATÍŽENÍ						$\sigma_{z,P}$	0.0	[MPa]					$\Sigma\sigma_z$	0.0													
NAPĚTÍ V PŘÍČNÉM SMĚRU OD OSTATNÍCH ZATÍŽENÍ						$\sigma_{z,rs}$	0.0	[MPa]					η_2	0.00													
SROVNÁVACÍ NAPĚTÍ													$(\eta_2 + 0,8\,\eta_1)/1,4$ =	0.21													
VYUŽITÍ PRŮŘEZU CELKEM								[%]					eff	0.36	VYHOVUJE												
													z_{LM71} =	-----													

TAB. L4.2.3 POSOUZENÍ - MEZNÍ STAV ÚNOSNOSTI

POPIS	PODĚLNÍK L4.E - STŘED
PRUT / POLOHA BODU	850 / I[712]
NAMÁHÁNÍ	Vy.min
VLÁKNO	BOD K2 -HP
MEZNÍ STAV	ULS (MSÚ)
VYUŽITÍ VLÁKNA PRŮŘEZU	0.89

Charakteristiky materiálu				
pás. horní	$f_{yf,k}$	230	MPa	
pás. dolní	$f_{yf,k}$	230	MPa	
stojina	$f_{yw,k}$	230	MPa	
výztuž	$f_{ys,k}$	500	MPa	
	γ_M =	1.20	γ_s =	1.15

Excentricita normálové síly				
Exc./Fáze	0	1	2	3
e_y	0.000	0.000	0.000	0.000
e_z	0.000	0.000	0.000	0.000
Ekvivalentní vzdál. stěn - příčný roznos				
b_{Mx}	0.000	0.000	0.000	0.000

Vliv stěny na únosnost průřezu				
Char./Fáze	0	1	2	3
A	0.00	0.00	0.00	0.00
Wy	0.00	0.00	0.00	0.00
Wz	0.00	0.00	0.00	0.00

Charakter. v kroucení			
$t_{w,y}$	0.000	[mm]	
$t_{w,z}$	0.000	[mm]	
κ	1.00		
I_t=	0.00E+00	[mm^4]	
$\Omega=2*A_{pr}$	0.00E+00	[mm^2]	

Součinitele vzpěru a vlivu II.řádu					
Char./Fáze	0	1	2	3
k_y	1.000	1.000	1.000	1.000
k_z	1.000	1.000	1.000	1.000
χ_{LT}	1.000	1.000	1.000	1.000
χ_{min}	1.000	1.000	1.000	1.000

8

Vnitřní síly od jednotlivých skupin zatěžovacích stavů

SKUPINA ZATĚŽOVACÍCH STAVŮ					- CHARAKTERISTICKÉ HODNOTY						DÍLČÍ SOUČINITELÉ ZATÍŽENÍ, DYNAMICKÝ SOUČINITEL							- NÁVRHOVÉ HODNOTY									
Č.	SKUP ZS	POPIS ZS	KAT.	FÁZE PRŮŘ.	N.k (kN)	Vy.k (kN)	Vz.k (kN)	Mx.k (kNm)	My.k (kNm)	Mz.k (kNm)	γ_{sr} (-)	γ_{sl} (-)	volba γ_{sl} hledat	γ_{sl} (-)	L_d (m)	δ (-)	Ψ_0 KZ08	N.d (kN)	Vy.d (kN)	Vz.d (kN)	ΔVz.d (kN)	ΣVz.d (kN)	Mx.d (kNm)	My.d (kNm)	ΔMy.d (kNm)	ΣMy.d (kNm)	Mz.d (kNm)	ΔMz.d (kNm)	ΣMz.d (kNm)
1	G0	Vlastní tíha OK	G	0	95	0	0	0	11	0	1.00	1.20		1.20	-	1.00	0.95	109	0	0	0	0	0	13	0	13	0	0	0
2	G1	Ostatní stálé - mostní vybavení	G	0	7	0	0	0	0	0	1.00	1.20		1.20	-	1.00	0.95	8	0	0	0	0	0	0	0	0	0	0	0
3	G2	Ostatní stálé - cizí zařízení	G	0	6	0	0	0	0	0	1.00	1.20		1.20	-	1.00	0.95	6	0	0	0	0	0	0	0	0	0	0	0
4	P1_71	a.LM71 - kolej 1 (bez dyn. souč.)	P	0	5	0	0	0	5	0	1.00	vyp.		0.00	-	1.00	0.00	0	0	0	0	0	0	0	0	0	0	0	0
5	P2_71	a.LM71 - kolej 2 (bez dyn. souč.)	P	0	16	0	36	0	177	0	1.00	vyp.		0.00	-	1.00	0.00	0	0	0	0	0	0	0	0	0	0	0	0
6	P1_C3	TTZ C3 - kolej 1 (bez dyn. souč.)	P	0	3	0	0	0	3	0	1.00	0.00		0.00	-	1.60	1.00	0	0	0	0	0	0	0	0	0	0	0	0
7	P2_C3	TTZ C3 - kolej 2 (bez dyn. souč.)	P	0	11	0	49	0	149	0	1.00	1.30		1.30	-	1.60	1.00	23	-1	103	0	103	0	310	0	310	0	0	0
8	BR	Brzdné a rozjezdové síly	P	0	-109	0	3	0	-3	0	1.00	1.30		1.30	-	1.00	0.32	-46	0	1	0	1	0	-1	0	-1	0	0	0
9	S	Boční ráz	P	0	-60	-19	-1	1	15	-14	1.00	1.30		1.30	-	1.00	0.64	-50	-16	-1	0	-1	0	13	0	13	-12	0	-12
10	CH	Chodci na lávkách	Q	0	6	0	0	0	0	0	1.00	0.00		0.00	-	1.00	1.00	0	0	0	0	0	0	0	0	0	0	0	0
11	W	Vítr na konstrukci	Q	0	-33	0	-1	0	2	0	1.00	1.35		1.35	-	1.00	0.75	-34	0	-1	0	-1	0	2	0	2	0	0	0
12	WP	Vítr na vozidla	Q	0	-55	-1	-5	0	-13	-2	1.00	1.35		1.35	-	1.00	0.75	-56	-1	-5	0	-5	0	-13	0	-13	-2	0	-2
13	TR	Teplota rovnoměrná	Q	0	0	0	0	0	0	0	1.00	1.35		1.35	-	1.00	0.45	0	0	0	0	0	0	0	0	0	0	0	0
14	TN	Teplota nerovnoměrná	Q	0	-8	0	0	0	2	0	1.00	1.35		1.35	-	1.00	0.60	-7	0	0	0	0	0	2	0	2	0	0	0
15	FR	Třecí síly v ložiskách	Q	0	-10	0	0	0	0	0	1.00	1.20		1.20	-	1.00	1.00	-11	0	0	0	0	0	0	0	0	0	0	0
16	I	Imperfekce soustavy	Q	0	-3	0	0	0	0	0	1.00	1.20		1.20	-	1.00	1.00	-3	0	0	0	0	0	0	0	0	0	0	0
27	ULS_LM	ULS - LM71 bez dynam	Q	0	-101	-27	40	1	258	-20	1.00	vyp.		0.00	-	1.00	0.00	0	0	0	0	0	0	0	0	0	0	0	0
28	SLS_LM	SLS - LM71 bez dynam	Q	0	-58	-21	31	1	199	-16	1.00	vyp.	1	0.00	-	1.00	0.00	0	0	0	0	0	0	0	0	0	0	0	0
29	ULS_C3	ULS - C3 bez dynam	Q	0	-109	-27	58	1	220	-21	1.00	vyp.	1	0.00	-	1.00	0.00	0	0	0	0	0	0	0	0	0	0	0	0
30	SLS_C3	SLS - C3 bez dynam	Q	0	-64	-21	45	1	170	-16	1.00	vyp.	1	0.00	-	1.00	0.00	0	0	0	0	0	0	0	0	0	0	0	0
		CELKEM - FÁZE PRŮŘEZU 0																-60	-18	96	0	96	0	325	0	325	-14	0	-14
		CELKEM - FÁZE PRŮŘEZU 1																0	0	0	0	0	0	0	0	0	0	0	0
		CELKEM - FÁZE PRŮŘEZU 2																0	0	0	0	0	0	0	0	0	0	0	0
		CELKEM - FÁZE PRŮŘEZU 3																0	0	0	0	0	0	0	0	0	0	0	0
		CELKEM - PRŮŘEZ																-60	-18	96	0	96	0			325			-14

Napětí od jednotlivých zatěžovacích stavů

SKUPINA ZATĚŽOVACÍCH STAVŮ					Posouzení normálového napětí										Posouzení smykového napětí													
					Účinek síly N			Účinek momentu My				Účinek momentu Mz				Účinek ktoutícího momentu Mx				Účinek smykové síly Vy				Účinek smykové síly Vz			
Č.	SKUP ZS	Popis ZS	Kat.	fáze prúř.	δ^*N_d [kN]	χ^*A [mm^2]	σ_n [MPa]	$\delta^*M_{y,d}$ [kNm]	$\chi_{lt}^*W_{el,y}$ [mm^3]	σ_{my} [MPa]	$\delta^*M_{z,d}$ [kNm]	$W_{el,z}$ [mm^3]	σ_{mz} [MPa]	σ_x [MPa]	$\kappa^*\delta^*M_{x,d}$ [kNm]	$W_{v,y}$ [mm^3]	$\tau_{x,y}$ [MPa]	$W_{v,z}$ [mm^3]	$\tau_{x,z}$ [MPa]	$\delta^*V_{y,d}$ [kN]	$A_{v,y}$ [mm2]	$\tau_{v,y}$ [MPa]	$\tau_{v,y}$ [MPa]	$\delta^*V_{z,d}$ [kN]	$A_{v,z}$ [mm2]	$\tau_{v,z}$ [MPa]	$\tau_{v,z}$ [MPa]
1	G0	Vlastní tíha OK	G	0	108.7	1.41E+04	7.7	12.8	-2.81E+06	-4.6	0.0	2.15E+05	0.2	3.3	-2.3E-02	-	-	-	-	0.2	5.44E+03	0.0	0.0	-0.1	8.68E+03	0.0	0.0
2	G1	Ostatní stálé - mostní vybavení	G	0	8.2	1.41E+04	0.6	0.3	-2.81E+06	-0.1	0.0	2.15E+05	0.1	0.5	0.0E+00	-	-	-	-	0.0	5.44E+03	0.0	0.0	-0.1	8.68E+03	0.0	0.0
3	G2	Ostatní stálé - cizí zařízení	G	0	6.3	1.41E+04	0.4	0.2	-2.81E+06	-0.1	0.0	2.15E+05	0.0	0.4	0.0E+00	-	-	-	-	0.0	5.44E+03	0.0	0.0	-0.1	8.68E+03	0.0	0.0
4	P1_71	a.LM71 - kolej 1 (bez dyn. souč.)	P	0	0.0	1.41E+04	0.0	0.0	-2.81E+06	0.0	0.0	2.15E+05	0.0	0.0	0.0E+00	-	-	-	-	0.0	5.44E+03	0.0	0.0	0.0	8.68E+03	0.0	0.0
5	P2_71	a.LM71 - kolej 2 (bez dyn. souč.)	P	0	0.0	1.41E+04	0.0	0.0	-2.81E+06	0.0	0.0	2.15E+05	0.0	0.0	0.0E+00	-	-	-	-	0.0	5.44E+03	0.0	0.0	0.0	8.68E+03	0.0	0.0
6	P1_C3	TTZ C3 - kolej 1 (bez dyn. souč.)	P	0	0.0	1.41E+04	0.0	0.0	-2.81E+06	0.0	0.0	2.15E+05	0.0	0.0	0.0E+00	-	-	-	-	0.0	5.44E+03	0.0	0.0	0.0	8.68E+03	0.0	0.0
7	P2_C3	TTZ C3 - kolej 2 (bez dyn. souč.)	P	0	23.3	1.41E+04	1.6	310.0	-2.81E+06	-110.4	0.0	2.15E+05	0.1	-108.7	-1.2E-01	-	-	-	-	-0.6	5.44E+03	-0.1	-0.1	102.8	8.68E+03	11.8	11.8
8	BR	Brzdné a rozjezdové síly	P	0	-45.5	1.41E+04	-3.2	-1.2	-2.81E+06	0.4	0.0	2.15E+05	0.1	-2.8	8.3E-03	-	-	-	-	-0.1	5.44E+03	0.0	0.0	1.0	8.68E+03	0.1	0.1
9	S	Boční ráz	P	0	-49.5	1.41E+04	-3.5	12.7	-2.81E+06	-4.5	-11.8	2.15E+05	-55.0	-63.0	4.6E-01	-	-	-	-	-16.2	5.44E+03	-3.0	-3.0	-0.8	8.68E+03	-0.1	-0.1
10	CH	Chodci na lávkách	Q	0	0.0	1.41E+04	0.0	0.0	-2.81E+06	0.0	0.0	2.15E+05	0.0	0.0	0.0E+00	-	-	-	-	0.0	5.44E+03	0.0	0.0	0.0	8.68E+03	0.0	0.0
11	W	Vítr na konstrukci	Q	0	-33.7	1.41E+04	-2.4	1.5	-2.81E+06	-0.5	0.0	2.15E+05	0.0	-2.9	0.0E+00	-	-	-	-	-0.1	5.44E+03	0.0	0.0	-1.5	8.68E+03	-0.2	-0.2
12	WP	Vítr na vozidla	Q	0	-56.0	1.41E+04	-4.0	-12.7	-2.81E+06	4.5	-2.3	2.15E+05	-10.5	-10.0	1.0E-01	-	-	-	-	-0.8	5.44E+03	-0.2	-0.2	-5.0	8.68E+03	-0.6	-0.6
13	TR	Teplota rovnoměrná	Q	0	0.0	1.41E+04	0.0	0.0	-2.81E+06	0.0	0.0	2.15E+05	0.0	0.0	0.0E+00	-	-	-	-	0.0	5.44E+03	0.0	0.0	0.0	8.68E+03	0.0	0.0
14	TN	Teplota nerovnoměrná	Q	0	-6.7	1.41E+04	-0.5	1.5	-2.81E+06	-0.5	0.0	2.15E+05	0.0	-1.0	0.0E+00	-	-	-	-	0.0	5.44E+03	0.0	0.0	-0.1	8.68E+03	0.0	0.0
15	FR	Třecí síly v ložiskách	Q	0	-11.4	1.41E+04	-0.8	-0.1	-2.81E+06	0.1	0.0	2.15E+05	0.0	-0.8	0.0E+00	-	-	-	-	0.0	5.44E+03	0.0	0.0	0.1	8.68E+03	0.0	0.0
16	I	Imperfekce soustavy	Q	0	-3.5	1.41E+04	-0.2	0.1	-2.81E+06	0.0	0.0	2.15E+05	0.0	-0.3	0.0E+00	-	-	-	-	0.0	5.44E+03	0.0	0.0	-0.1	8.68E+03	0.0	0.0
27	ULS_LM	ULS - LM71 bez dynam	Q	0	0.0	1.41E+04	0.0	0.0	-2.81E+06	0.0	0.0	2.15E+05	0.0	0.0	0.0E+00	-	-	-	-	0.0	5.44E+03	0.0	0.0	0.0	8.68E+03	0.0	0.0
28	SLS_LM	SLS - LM71 bez dynam	Q	0	0.0	1.41E+04	0.0	0.0	-2.81E+06	0.0	0.0	2.15E+05	0.0	0.0	0.0E+00	-	-	-	-	0.0	5.44E+03	0.0	0.0	0.0	8.68E+03	0.0	0.0
29	ULS_C3	ULS - C3 bez dynam	Q	0	0.0	1.41E+04	0.0	0.0	-2.81E+06	0.0	0.0	2.15E+05	0.0	0.0	0.0E+00	-	-	-	-	0.0	5.44E+03	0.0	0.0	0.0	8.68E+03	0.0	0.0
30	SLS_C3	SLS - C3 bez dynam	Q	0	0.0	1.41E+04	0.0	0.0	-2.81E+06	0.0	0.0	2.15E+05	0.0	0.0	0.0E+00	-	-	-	-	0.0	5.44E+03	0.0	0.0	0.0	8.68E+03	0.0	0.0
NAVÝŠENÍ NAPĚTÍ DO AKTIVACE TLAKU V DESCE MOSTOVKY						$\sigma_{P,red}$	0.0							0.0			0.0		0.0				-3.2	-3.2			11.1	11.1
NAPĚTÍ OD PRIMÁRNÍCH ÚČINKŮ NEROVNOMĚRNÉHO OTEPLENÍ						σ_T	0.0							0.0														
NAPĚTÍ OD REOLOGICKÝCH ÚČINKŮ BETONU V ČASE				t=0		σ_R	0.0	γ=	1.20					0.0														
NAPĚTÍ V KRITICKÝCH VLÁKNECH OD KOMBINACE ZATÍŽENÍ						KZ08		[MPa]					$\Sigma\sigma_x$	-185.1								$\Sigma\tau_y$	-3.2			$\Sigma\tau_z$	11.1
NAPĚTÍ OD POHYBLIVÉHO ZATÍŽENÍ								[MPa]					$\sigma_{x,P}$	-174.4								τ_P	-3.1			τ_P	11.9
NAPĚTÍ OD OSTATNÍCH ZATÍŽENÍ								[MPa]			Φ_{Vy}	Φ_{Vz}	$\sigma_{x,rs}$	-10.7								τ_{rs}	-0.1			τ_{rs}	-0.8
NÁVRHOVÁ HODNOTA MEZE KLUZU S REDUKCÍ VLIVEM SMYKOVÉHO NAPĚTÍ								[MPa]			1.00	1.00	$f_{yw,d}$	209.1								$f_{yd}/3^{0,5}$	110.7			$f_{yd}/3^{0,5}$	110.7
NAPĚTÍ OD POHYBLIVÉHO ZATÍŽENÍ V GLOBÁLNÍM SYSTÉMU						$\sigma_{GLOB,P}$	0.0	[MPa]					$\Sigma\sigma_{GLOB}$	0.0													
NAPĚTÍ OD OSTATNÍCH ZATÍŽENÍ V GLOBÁLNÍM SYSTÉMU						$\sigma_{GLOB,rs}$	0.0	[MPa]					$\Sigma\sigma_x + \Sigma\sigma_{GLOB}$	-185.1													
VYUŽITÍ PRŮŘEZU DLE NAPĚTÍ								[%]					η_1	0.89								η_3	0.03			η_3	0.10
NAPĚTÍ V PŘÍČNÉM SMĚRU OD POHYBLIVÉHO ZATÍŽENÍ						$\sigma_{z,P}$	0.0	[MPa]					$\Sigma\sigma_z$	0.0													
NAPĚTÍ V PŘÍČNÉM SMĚRU OD OSTATNÍCH ZATÍŽENÍ						$\sigma_{z,rs}$	0.0	[MPa]					η_2	0.00													
SROVNÁVACÍ NAPĚTÍ													$(\eta2 + 0,8\ \eta1)/1,4 =$	0.51													
VYUŽITÍ PRŮŘEZU CELKEM								[%]					eff	0.89	VYHOVUJE												
													Z_{LM71} =	-----													

TAB. L4.2.3 POSOUZENÍ - MEZNÍ STAV ÚNOSNOSTI

POPIS	PODĚLNÍK L4.E - STŘED
PRUT / POLOHA BODU	850 / I[712]
NAMÁHÁNÍ	My.max
VLÁKNO	BOD K4 -SP
MEZNÍ STAV	ULS (MSÚ)
VYUŽITÍ VLÁKNA PRŮŘEZU	0.99

Charakteristiky materiálu				
pás. horní	$f_{yf,k}$	230	MPa	
pás. dolní	$f_{yf,k}$	230	MPa	
stojina	$f_{yw,k}$	230	MPa	
výztuž	$f_{ys,k}$	500	MPa	
γ_M =	1.10	γ_s =	1.15	

Excentricita normálové síly				
Exc./Fáze	0	1	2	3
e_y	0.000	0.000	0.000	0.000
e_z	0.000	0.000	0.000	0.000
Ekvivalentní vzdál. stěn - příčný roznos				
b_{Mx}	0.000	0.000	0.000	0.000

Vliv stěny na únosnost průřezu				
Char./Fáze	0	1	2	3
A	0.00	0.00	0.00	0.00
Wy	0.00	0.00	0.00	0.00
Wz	0.00	0.00	0.00	0.00

Charakter. v kroucení			
$t_{w,y}$	0.000	[mm]	
$t_{w,z}$	0.000	[mm]	
κ	1.00		
I_t=	0.00E+00	[mm^4]	
Ω=2*A_{pr}	0.00E+00	[mm^2]	

Součinitele vzpěru a vlivu II.řádu					
Char./Fáze	0	1	2	3
k_y	1.000	1.000	1.000	1.000
k_z	1.000	1.000	1.000	1.000
χ_{LT}	1.000	1.000	1.000	1.000
χ_{min}	1.000	1.000	1.000	1.000

Vnitřní síly od jednotlivých skupin zatěžovacích stavů

SKUPINA ZATĚŽOVACÍCH STAVŮ					- CHARAKTERISTICKÉ HODNOTY						DÍLČÍ SOUČINITELÉ ZATÍŽENÍ, DYNAMICKÝ SOUČINITEL						8	- NÁVRHOVÉ HODNOTY									
Č.	SKUP ZS	POPIS ZS	KAT.	FÁZE PRŮŘ.	N.k (kN)	Vy.k (kN)	Vz.k (kN)	Mx.k (kNm)	My.k (kNm)	Mz.k (kNm)	γ_{sup} (-)	γ_{inf} (-)	volba ψ_i hledat	ψ_i (-)	L_d (m)	δ (-)	Ψ_E KZ08	N.d (kN)	Vy.d (kN)	Vz.d (kN)	ΔVz.d (kN)	ΣVz.d (kN)	Mx.d (kNm)	My.d (kNm)	ΔMy.d (kNm)	ΣMy.d (kNm)	Mz.d (kNm)	ΔMz.d (kNm)	ΣMz.d (kNm)
1	G0	Vlastní tíha OK	G	0	68	0	1	0	10	0	1.00	1.20		1.20	-	1.00	0.95	77	0	1	0	1	0	12	0	12	0	0	0
2	G1	Ostatní stálé - mostní vybavení	G	0	7	0	0	0	0	0	1.00	1.20		1.20	-	1.00	0.95	8	0	0	0	0	0	0	0	0	0	0	0
3	G2	Ostatní stálé - cizí zařízení	G	0	6	0	0	0	0	0	1.00	1.20		1.20	-	1.00	0.95	6	0	0	0	0	0	0	0	0	0	0	0
4	P1_71	a.LM71 - kolej 1 (bez dyn. souč.)	P	0	57	0	-1	0	8	0	1.00	vyp.		0.00	-	1.00	0.00	0	0	0	0	0	0	0	0	0	0	0	0
5	P2_71	a.LM71 - kolej 2 (bez dyn. souč.)	P	0	91	0	55	0	187	0	1.00	vyp.		0.00	-	1.00	0.00	0	0	0	0	0	0	0	0	0	0	0	0
6	P1_C3	TTZ C3 - kolej 1 (bez dyn. souč.)	P	0	49	0	-1	0	6	0	1.00	1.30		1.30	-	1.60	1.00	103	0	-2	0	-2	0	13	0	13	0	0	0
7	P2_C3	TTZ C3 - kolej 2 (bez dyn. souč.)	P	0	75	0	28	0	155	0	1.00	1.30		1.30	-	1.60	1.00	155	0	58	0	58	0	322	0	322	0	0	0
8	BR	Brzdné a rozjezdové síly	P	0	97	0	-4	0	4	0	1.00	1.30		1.30	-	1.00	0.32	40	0	-2	0	-2	0	2	0	2	0	0	0
9	S	Boční ráz	P	0	-60	-19	-1	1	15	-14	1.00	-1.30		-1.30	-	1.00	0.64	50	16	1	0	1	0	-13	0	-13	12	0	12
10	CH	Chodci na lávkách	Q	0	14	0	0	0	0	0	1.00	1.30		1.30	-	1.00	1.00	18	0	0	0	0	0	1	0	1	0	0	0
11	W	Vítr na konstrukci	Q	0	-33	0	-1	0	2	0	1.00	-1.35		-1.35	-	1.00	0.75	34	0	1	0	1	0	-2	0	-2	0	0	0
12	WP	Vítr na vozidla	Q	0	55	1	5	0	13	2	1.00	1.35		1.35	-	1.00	0.75	56	1	5	0	5	0	13	0	13	2	0	2
13	TR	Teplota rovnoměrná	Q	0	0	0	0	0	0	0	1.00	1.35		1.35	-	1.00	0.45	0	0	0	0	0	0	0	0	0	0	0	0
14	TN	Teplota nerovnoměrná	Q	0	-8	0	0	0	2	0	1.00	-1.35		-1.35	-	1.00	0.60	7	0	0	0	0	0	-2	0	-2	0	0	0
15	FR	Třecí síly v ložiskách	Q	0	10	0	0	0	0	0	1.00	1.20		1.20	-	1.00	1.00	11	0	0	0	0	0	0	0	0	0	0	0
16	I	Imperfekce soustavy	Q	0	-3	0	0	0	0	0	1.00	-1.20		-1.20	-	1.00	1.00	3	0	0	0	0	0	0	0	0	0	0	0
27	ULS_LM	ULS - LM71 bez dynam	Q	0	343	-24	69	0	306	-16	1.00	vyp.		0.00	-	1.00	0.00	0	0	0	0	0	0	0	0	0	0	0	0
28	SLS_LM	SLS - LM71 bez dynam	Q	0	282	-19	53	0	235	-12	1.00	vyp.	1	0.00	-	1.00	0.00	0	0	0	0	0	0	0	0	0	0	0	0
29	ULS_C3	ULS - C3 bez dynam	Q	0	311	-24	34	0	262	-16	1.00	vyp.	1	0.00	-	1.00	0.00	0	0	0	0	0	0	0	0	0	0	0	0
30	SLS_C3	SLS - C3 bez dynam	Q	0	258	-19	26	0	202	-12	1.00	vyp.	1	0.00	-	1.00	0.00	0	0	0	0	0	0	0	0	0	0	0	0
		CELKEM - FÁZE PRŮŘEZU 0																569	17	62	0	62	-1	347	0	347	14	0	14
		CELKEM - FÁZE PRŮŘEZU 1																0	0	0	0	0	0	0	0	0	0	0	0
		CELKEM - FÁZE PRŮŘEZU 2																0	0	0	0	0	0	0	0	0	0	0	0
		CELKEM - FÁZE PRŮŘEZU 3																0	0	0	0	0	0	0	0	0	0	0	0
		CELKEM - PRŮŘEZ																569	17	62	0	62	-1			347			14

Napětí od jednotlivých zatěžovacích stavů

SKUPINA ZATĚŽOVACÍCH STAVŮ					Posouzení normálového napětí										Posouzení smykového napětí													
					Účinek síly N			Účinek momentu My			Účinek momentu Mz				Účinek kroutícího momentu Mx				Účinek smykové síly Vy				Účinek smykové síly Vz			
Č.	SKUP ZS	Popis ZS	Kat.	fáze průř.	δ^*N_d [kN]	χ^*A [mm^2]	σ_n [MPa]	$\delta^*M_{y,d}$ [kNm]	$\chi_{lt}{}^*W_{el,y}$ [mm^3]	σ_{my} [MPa]	$\delta^*M_{z,d}$ [kNm]	$W_{el,z}$ [mm^3]	σ_{mz} [MPa]	σ_x [MPa]	$\kappa^*\delta^*M_{x,d}$ [kNm]	$W_{v,y}$ [mm^2]	$\tau_{x,y}$ [MPa]	$W_{v,z}$ [mm^2]	$\tau_{x,z}$ [MPa]	$\delta^*V_{y,d}$ [kN]	$A_{v,y}$ [mm2]	$\tau_{v,y}$ [MPa]	$\tau_{v,y}$ [MPa]	$\delta^*V_{z,d}$ [kN]	$A_{v,z}$ [mm2]	$\tau_{v,z}$ [MPa]	$\tau_{v,z}$ [MPa]
1	G0	Vlastní tíha OK	G	0	77.3	1.41E+04	5.5	11.7	3.57E+06	3.3	0.1	2.05E+05	0.4	9.1	-1.1E-02	-	-	-	-	-0.2	5.44E+03	0.0	0.0	1.0	8.68E+03	0.1	0.1
2	G1	Ostatní stálé - mostní vybavení	G	0	8.2	1.41E+04	0.6	0.3	3.57E+06	0.1	0.0	2.05E+05	0.1	0.7	0.0E+00	-	-	-	-	0.0	5.44E+03	0.0	0.0	-0.1	8.68E+03	0.0	0.0
3	G2	Ostatní stálé - cizí zařízení	G	0	6.3	1.41E+04	0.4	0.2	3.57E+06	0.1	0.0	2.05E+05	0.0	0.5	0.0E+00	-	-	-	-	0.0	5.44E+03	0.0	0.0	-0.1	8.68E+03	0.0	0.0
4	P1_71	a.LM71 - kolej 1 (bez dyn. souč.)	P	0	0.0	1.41E+04	0.0	0.0	3.57E+06	0.0	0.0	2.05E+05	0.0	0.0	0.0E+00	-	-	-	-	0.0	5.44E+03	0.0	0.0	0.0	8.68E+03	0.0	0.0
5	P2_71	a.LM71 - kolej 2 (bez dyn. souč.)	P	0	0.0	1.41E+04	0.0	0.0	3.57E+06	0.0	0.0	2.05E+05	0.0	0.0	0.0E+00	-	-	-	-	0.0	5.44E+03	0.0	0.0	0.0	8.68E+03	0.0	0.0
6	P1_C3	TTZ C3 - kolej 1 (bez dyn. souč.)	P	0	102.9	1.41E+04	7.3	13.3	3.57E+06	3.7	0.2	2.05E+05	0.8	11.8	4.2E-02	-	-	-	-	0.1	5.44E+03	0.0	0.0	-2.3	8.68E+03	-0.3	-0.3
7	P2_C3	TTZ C3 - kolej 2 (bez dyn. souč.)	P	0	155.0	1.41E+04	11.0	322.2	3.57E+06	90.2	0.1	2.05E+05	0.6	101.8	-1.5E-01	-	-	-	-	-0.2	5.44E+03	0.0	0.0	57.8	8.68E+03	6.7	6.7
8	BR	Brzdné a rozjezdové síly	P	0	40.4	1.41E+04	2.9	1.8	3.57E+06	0.5	0.0	2.05E+05	0.1	3.4	-1.2E-02	-	-	-	-	0.1	5.44E+03	0.0	0.0	-1.6	8.68E+03	-0.2	-0.2
9	S	Boční ráz	P	0	49.5	1.41E+04	3.5	-12.7	3.57E+06	-3.6	11.8	2.05E+05	57.6	57.5	-4.6E-01	-	-	-	-	16.2	5.44E+03	3.0	3.0	0.8	8.68E+03	0.1	0.1
10	CH	Chodci na lávkách	Q	0	17.9	1.41E+04	1.3	0.5	3.57E+06	0.2	0.0	2.05E+05	-0.1	1.4	0.0E+00	-	-	-	-	0.0	5.44E+03	0.0	0.0	-0.2	8.68E+03	0.0	0.0
11	W	Vítr na konstrukci	Q	0	33.7	1.41E+04	2.4	-1.5	3.57E+06	-0.4	0.0	2.05E+05	0.0	2.0	0.0E+00	-	-	-	-	0.1	5.44E+03	0.0	0.0	1.5	8.68E+03	0.2	0.2
12	WP	Vítr na vozidla	Q	0	56.0	1.41E+04	4.0	12.7	3.57E+06	3.6	2.3	2.05E+05	11.0	18.6	-1.0E-01	-	-	-	-	0.8	5.44E+03	0.2	0.2	5.0	8.68E+03	0.6	0.6
13	TR	Teplota rovnoměrná	Q	0	0.0	1.41E+04	0.0	0.0	3.57E+06	0.0	0.0	2.05E+05	0.0	0.0	0.0E+00	-	-	-	-	0.0	5.44E+03	0.0	0.0	0.0	8.68E+03	0.0	0.0
14	TN	Teplota nerovnoměrná	Q	0	6.7	1.41E+04	0.5	-1.5	3.57E+06	-0.4	0.0	2.05E+05	0.0	0.0	0.0E+00	-	-	-	-	0.0	5.44E+03	0.0	0.0	0.1	8.68E+03	0.0	0.0
15	FR	Třecí síly v ložiskách	Q	0	11.4	1.41E+04	0.8	0.1	3.57E+06	0.0	0.0	2.05E+05	0.0	0.9	0.0E+00	-	-	-	-	0.0	5.44E+03	0.0	0.0	-0.1	8.68E+03	0.0	0.0
16	I	Imperfekce soustavy	Q	0	3.5	1.41E+04	0.2	-0.1	3.57E+06	0.0	0.0	2.05E+05	0.0	0.2	0.0E+00	-	-	-	-	0.0	5.44E+03	0.0	0.0	0.1	8.68E+03	0.0	0.0
27	ULS_LM	ULS - LM71 bez dynam	Q	0	0.0	1.41E+04	0.0	0.0	3.57E+06	0.0	0.0	2.05E+05	0.0	0.0	0.0E+00	-	-	-	-	0.0	5.44E+03	0.0	0.0	0.0	8.68E+03	0.0	0.0
28	SLS_LM	SLS - LM71 bez dynam	Q	0	0.0	1.41E+04	0.0	0.0	3.57E+06	0.0	0.0	2.05E+05	0.0	0.0	0.0E+00	-	-	-	-	0.0	5.44E+03	0.0	0.0	0.0	8.68E+03	0.0	0.0
29	ULS_C3	ULS - C3 bez dynam	Q	0	0.0	1.41E+04	0.0	0.0	3.57E+06	0.0	0.0	2.05E+05	0.0	0.0	0.0E+00	-	-	-	-	0.0	5.44E+03	0.0	0.0	0.0	8.68E+03	0.0	0.0
30	SLS_C3	SLS - C3 bez dynam	Q	0	0.0	1.41E+04	0.0	0.0	3.57E+06	0.0	0.0	2.05E+05	0.0	0.0	0.0E+00	-	-	-	-	0.0	5.44E+03	0.0	0.0	0.0	8.68E+03	0.0	0.0
NAVÝŠENÍ NAPĚTÍ DO AKTIVACE TLAKU V DESCE MOSTOVKY						$\sigma_{P,red}$	0.0							0.0			0.0		0.0			3.1	3.1			7.1	7.1
NAPĚTÍ OD PRIMÁRNÍCH ÚČINKŮ NEROVNOMĚRNÉHO OTEPLENÍ						σ_T	0.0							0.0													
NAPĚTÍ OD REOLOGICKÝCH ÚČINKŮ BETONU V ČASE				t=0		σ_R	0.0	γ_{inf}=	1.20					0.0													
NAPĚTÍ V KRITICKÝCH VLÁKNECH OD KOMBINACE ZATÍŽENÍ						KZ08		[MPa]					$\Sigma\sigma_x$	207.9								$\Sigma\tau_y$	3.1				$\Sigma\tau_z$	7.1
NAPĚTÍ OD POHYBLIVÉHO ZATÍŽENÍ								[MPa]					$\sigma_{x,P}$	174.6								τ_P	3.0				τ_P	6.3
NAPĚTÍ OD OSTATNÍCH ZATÍŽENÍ								[MPa]			Φ_{Vy}	Φ_{Vz}	$\sigma_{x,rs}$	33.3								τ_{rs}	0.2				τ_{rs}	0.8
NÁVRHOVÁ HODNOTA MEZE KLUZU S REDUKCÍ VLIVEM SMYKOVÉHO NAPĚTÍ								[MPa]			1.00	1.00	$f_{yw,d}$	209.1								$f_{yd}/3^{0,5}$	120.7				$f_{yd}/3^{0,5}$	120.7
NAPĚTÍ OD POHYBLIVÉHO ZATÍŽENÍ V GLOBÁLNÍM SYSTÉMU						$\sigma_{GLOB,P}$	0.0	[MPa]					$\Sigma\sigma_{GLOB}$	0.0														
NAPĚTÍ OD OSTATNÍCH ZATÍŽENÍ V GLOBÁLNÍM SYSTÉMU						$\sigma_{GLOB,rs}$	0.0	[MPa]					$\Sigma\sigma_x + \Sigma\sigma_{GLOB}$	207.9														
VYUŽITÍ PRŮŘEZU DLE NAPĚTÍ								[%]					η_1	0.99								η_3	0.03				η_3	0.06
NAPĚTÍ V PŘÍČNÉM SMĚRU OD POHYBLIVÉHO ZATÍŽENÍ						$\sigma_{z,P}$	0.0	[MPa]					$\Sigma\sigma_z$	0.0														
NAPĚTÍ V PŘÍČNÉM SMĚRU OD OSTATNÍCH ZATÍŽENÍ						$\sigma_{z,rs}$	0.0	[MPa]					η_2	0.00														
SROVNÁVACÍ NAPĚTÍ													$(\eta_2 + 0,8\,\eta_1)/1,4$ =	0.57														
VYUŽITÍ PRŮŘEZU CELKEM								[%]					eff	0.99	VYHOVUJE													
													z_{LM71} =	-----														

TAB. L4.2.3 POSOUZENÍ - MEZNÍ STAV ÚNOSNOSTI

POPIS	PODÉLNÍK L4.E - STŘED
PRUT / POLOHA BODU	850 / I[712]
NAMÁHÁNÍ	Vz.max
VLÁKNO	BOD S6 -HP
MEZNÍ STAV	ULS (MSÚ)
VYUŽITÍ VLÁKNA PRŮŘEZU	0.40

Charakteristiky materiálu				
pás. horní	$f_{yf,k}$	230	MPa	
pás. dolní	$f_{yf,k}$	230	MPa	
stojina	$f_{yw,k}$	230	MPa	
výztuž	$f_{ys,k}$	500	MPa	
	γ_M =	1.10	γ_s =	1.15

Excentricita normálové síly				
Exc./Fáze	0	1	2	3
e_y	0.000	0.000	0.000	0.000
e_z	0.000	0.000	0.000	0.000
Ekvivalentní vzdál. stěn - příčný rozmos				
b_{Mx}	0.000	0.000	0.000	0.000

Vliv stěny na únosnost průřezu				
Char./Fáze	0	1	2	3
A	0.00	0.00	0.00	0.00
Wy	0.00	0.00	0.00	0.00
Wz	0.00	0.00	0.00	0.00

Charakter. v kroucení			
$t_{w,y}$	0.000	[mm]	
$t_{w,z}$	0.000	[mm]	
κ	1.00		
I_t=	0.00E+00	[mm^4]	
Ω=2*A_{pr}	0.00E+00	[mm^2]	

Součinitele vzpěru a vlivu II.řádu				
Char./Fáze	0	1	2	3
k_y	1.000	1.000	1.000	1.000
k_z	1.000	1.000	1.000	1.000
χ_{LT}	1.000	1.000	1.000	1.000
χ_{min}	1.000	1.000	1.000	1.000

Vnitřní síly od jednotlivých skupin zatěžovacích stavů

SKUPINA ZATĚŽOVACÍCH STAVŮ — 7

Č.	SKUP ZS	POPIS ZS	KAT.	FÁZE PRŮŘ.	- CHARAKTERISTICKÉ HODNOTY N.k (kN)	Vy.k (kN)	Vz.k (kN)	Mx.k (kNm)	My.k (kNm)	Mz.k (kNm)	DÍLČÍ SOUČINITELÉ ZATÍŽENÍ, DYNAMICKÝ SOUČINITEL γ_{or} (-)	γ_{Q} (-)	volba γ_{Q} hledat	γ_{Q} (-)	L_d (m)	δ (-)	Ψ_0 KZ07	- NÁVRHOVÉ HODNOTY N.d (kN)	Vy.d (kN)	Vz.d (kN)	ΔVz.d (kN)	ΣVz.d (kN)	Mx.d (kNm)	My.d (kNm)	ΔMy.d (kNm)	ΣMy.d (kNm)	Mz.d (kNm)	ΔMz.d (kNm)	ΣMz.d (kNm)
1	G0	Vlastní tíha OK	G	0	68	0	1	0	10	0	1.00	1.20		1.20	-	0.95	0.95	77	0	1	0	1	0	12	0	12	0	0	0
2	G1	Ostatní stálé - mostní vybavení	G	0	7	0	0	0	0	0	1.00	1.00		1.00	-	1.00	0.95	7	0	0	0	0	0	0	0	0	0	0	0
3	G2	Ostatní stálé - cizí zařízení	G	0	6	0	0	0	0	0	1.00	1.00		1.00	-	1.00	0.95	5	0	0	0	0	0	0	0	0	0	0	0
4	P1_71	a.LM71 - kolej 1 (bez dyn. souč.)	P	0	14	0	3	0	3	0	1.00	vyp.		0.00	-	1.00	0.00	0	0	0	0	0	0	0	0	0	0	0	0
5	P2_71	a.LM71 - kolej 2 (bez dyn. souč.)	P	0	26	0	74	0	134	0	1.00	vyp.		0.00	-	1.00	0.00	0	0	0	0	0	0	0	0	0	0	0	0
6	P1_C3	TTZ C3 - kolej 1 (bez dyn. souč.)	P	0	11	0	2	0	1	0	1.00	1.30		1.30	-	1.60	1.00	22	0	5	0	5	0	1	0	1	0	0	0
7	P2_C3	TTZ C3 - kolej 2 (bez dyn. souč.)	P	0	25	0	66	0	118	0	1.00	1.30		1.30	-	1.60	1.00	51	0	138	0	138	0	246	0	246	0	0	0
8	BR	Brzdné a rozjezdové síly	P	0	-97	0	4	0	-4	0	1.00	1.30		1.30	-	1.00	0.64	-81	0	3	0	3	0	-4	0	-4	0	0	0
9	S	Boční ráz	P	0	23	0	2	0	0	0	1.00	1.30		1.30	-	1.00	0.32	9	0	1	0	1	0	0	0	0	0	0	0
10	CH	Chodci na lávkách	Q	0	10	0	0	0	0	0	1.00	0.00		0.00	-	1.00	1.00	0	0	0	0	0	0	0	0	0	0	0	0
11	W	Vítr na konstrukci	Q	0	33	0	1	0	-2	0	1.00	1.35		1.35	-	1.00	0.75	34	0	1	0	1	0	-2	0	-2	0	0	0
12	WP	Vítr na vozidla	Q	0	55	1	5	0	13	2	1.00	1.35		1.35	-	1.00	0.75	56	1	5	0	5	0	13	0	13	2	0	2
13	TR	Teplota rovnoměrná	Q	0	0	0	0	0	0	0	1.00	1.35		1.35	-	1.00	0.45	0	0	0	0	0	0	0	0	0	0	0	0
14	TN	Teplota nerovnoměrná	Q	0	8	0	0	0	-2	0	1.00	1.35		1.35	-	1.00	0.60	7	0	0	0	0	0	-2	0	-2	0	0	0
15	FR	Třecí síly v ložiskách	Q	0	-10	0	0	0	0	0	1.00	1.20		1.20	-	1.00	1.00	-11	0	0	0	0	0	0	0	0	0	0	0
16	I	Imperfekce soustavy	Q	0	3	0	0	0	0	0	1.00	1.20		1.20	-	1.00	1.00	3	0	0	0	0	0	0	0	0	0	0	0
27	ULS_LM	ULS - LM71 bez dynam	Q	0	165	1	113	0	196	2	1.00	vyp.		0.00	-	1.00	0.00	0	0	0	0	0	0	0	0	0	0	0	0
28	SLS_LM	SLS - LM71 bez dynam	Q	0	132	1	86	0	153	2	1.00	vyp.	1	0.00	-	1.00	0.00	0	0	0	0	0	0	0	0	0	0	0	0
29	ULS_C3	ULS - C3 bez dynam	Q	0	159	1	102	0	173	2	1.00	vyp.	1	0.00	-	1.00	0.00	0	0	0	0	0	0	0	0	0	0	0	0
30	SLS_C3	SLS - C3 bez dynam	Q	0	127	1	78	0	135	2	1.00	vyp.	1	0.00	-	1.00	0.00	0	0	0	0	0	0	0	0	0	0	0	0
		CELKEM - FÁZE PRŮŘEZU 0			180	0	154	0	266	2								180	0	154	0	154	0	266	0	266	2	0	2
		CELKEM - FÁZE PRŮŘEZU 1			0	0	0	0	0	0								0	0	0	0	0	0	0	0	0	0	0	0
		CELKEM - FÁZE PRŮŘEZU 2			0	0	0	0	0	0								0	0	0	0	0	0	0	0	0	0	0	0
		CELKEM - FÁZE PRŮŘEZU 3			0	0	0	0	0	0								0	0	0	0	0	0	0	0	0	0	0	0
		CELKEM - PRŮŘEZ			180	0	154	0	266	2								180	0	154	0	154	0			266			2

Napětí od jednotlivých zatěžovacích stavů

SKUPINA ZATĚŽOVACÍCH STAVŮ

Č.	SKUP ZS	Popis ZS	Kat.	fáze průř.	Posouzení normálového napětí — Účinek síly N δ^*N_d [kN]	χ^*A [mm^2]	σ_n [MPa]	Účinek momentu My $\delta^*M_{y,d}$ [kNm]	$\chi_{lt}{}^*W_{el,y}$ [mm^3]	σ_{my} [MPa]	Účinek momentu Mz $\delta^*M_{z,d}$ [kNm]	$W_{el,z}$ [mm^3]	σ_{mz} [MPa]	σ_x [MPa]	Posouzení smykového napětí — Účinek kroutícího momentu Mx $\kappa^*\delta^*M_{x,d}$ [kNm]	$W_{v,y}$ [mm^2]	$\tau_{x,y}$ [MPa]	$W_{v,z}$ [mm^2]	$\tau_{x,z}$ [MPa]	Účinek smykové síly Vy $\delta^*V_{y,d}$ [kN]	$A_{v,y}$ [mm2]	$\tau_{v,y}$ [MPa]	$\tau_{v,y}$ [MPa]	Účinek smykové síly Vz $\delta^*V_{z,d}$ [kN]	$A_{v,z}$ [mm2]	$\tau_{v,z}$ [MPa]	$\tau_{v,z}$ [MPa]
1	G0	Vlastní tíha OK	G	0	77.3	1.41E+04	5.5	11.7	3.69E+06	3.2	0.1	-4.51E+06	0.0	8.6	-1.1E-02	-	-	-	-	-0.2	5.44E+03	0.0	0.0	1.0	8.68E+03	0.1	0.1
2	G1	Ostatní stálé - mostní vybavení	G	0	6.8	1.41E+04	0.5	0.3	3.69E+06	0.1	0.0	-4.51E+06	0.0	0.5	0.0E+00	-	-	-	-	0.0	5.44E+03	0.0	0.0	-0.1	8.68E+03	0.0	0.0
3	G2	Ostatní stálé - cizí zařízení	G	0	5.2	1.41E+04	0.4	0.2	3.69E+06	0.0	0.0	-4.51E+06	0.0	0.4	0.0E+00	-	-	-	-	0.0	5.44E+03	0.0	0.0	-0.1	8.68E+03	0.0	0.0
4	P1_71	a.LM71 - kolej 1 (bez dyn. souč.)	P	0	0.0	1.41E+04	0.0	0.0	3.69E+06	0.0	0.0	-4.51E+06	0.0	0.0	0.0E+00	-	-	-	-	0.0	5.44E+03	0.0	0.0	0.0	8.68E+03	0.0	0.0
5	P2_71	a.LM71 - kolej 2 (bez dyn. souč.)	P	0	0.0	1.41E+04	0.0	0.0	3.69E+06	0.0	0.0	-4.51E+06	0.0	0.0	0.0E+00	-	-	-	-	0.0	5.44E+03	0.0	0.0	0.0	8.68E+03	0.0	0.0
6	P1_C3	TTZ C3 - kolej 1 (bez dyn. souč.)	P	0	22.2	1.41E+04	1.6	1.4	3.69E+06	0.4	-0.1	-4.51E+06	0.0	2.0	0.0E+00	-	-	-	-	0.0	5.44E+03	0.0	0.0	4.8	8.68E+03	0.6	0.6
7	P2_C3	TTZ C3 - kolej 2 (bez dyn. souč.)	P	0	51.4	1.41E+04	3.6	246.1	3.69E+06	66.6	-0.1	-4.51E+06	0.0	70.3	-1.2E-01	-	-	-	-	-0.3	5.44E+03	-0.1	-0.1	137.8	8.68E+03	15.9	15.9
8	BR	Brzdné a rozjezdové síly	P	0	-80.7	1.41E+04	-5.7	-3.6	3.69E+06	-1.0	0.0	-4.51E+06	0.0	-6.7	2.5E-02	-	-	-	-	-0.2	5.44E+03	0.0	0.0	3.2	8.68E+03	0.4	0.4
9	S	Boční ráz	P	0	9.4	1.41E+04	0.7	0.2	3.69E+06	0.0	0.0	-4.51E+06	0.0	0.7	0.0E+00	-	-	-	-	0.0	5.44E+03	0.0	0.0	0.9	8.68E+03	0.1	0.1
10	CH	Chodci na lávkách	Q	0	0.0	1.41E+04	0.0	0.0	3.69E+06	0.0	0.0	-4.51E+06	0.0	0.0	0.0E+00	-	-	-	-	0.0	5.44E+03	0.0	0.0	0.0	8.68E+03	0.0	0.0
11	W	Vítr na konstrukci	Q	0	33.7	1.41E+04	2.4	-1.5	3.69E+06	-0.4	0.0	-4.51E+06	0.0	2.0	0.0E+00	-	-	-	-	0.1	5.44E+03	0.0	0.0	1.5	8.68E+03	0.2	0.2
12	WP	Vítr na vozidla	Q	0	56.0	1.41E+04	4.0	12.7	3.69E+06	3.5	2.3	-4.51E+06	-0.5	6.9	-1.0E-01	-	-	-	-	0.8	5.44E+03	0.2	0.2	5.0	8.68E+03	0.6	0.6
13	TR	Teplota rovnoměrná	Q	0	0.0	1.41E+04	0.0	0.0	3.69E+06	0.0	0.0	-4.51E+06	0.0	0.0	0.0E+00	-	-	-	-	0.0	5.44E+03	0.0	0.0	0.0	8.68E+03	0.0	0.0
14	TN	Teplota nerovnoměrná	Q	0	6.7	1.41E+04	0.5	-1.5	3.69E+06	-0.4	0.0	-4.51E+06	0.0	0.1	0.0E+00	-	-	-	-	0.0	5.44E+03	0.0	0.0	0.1	8.68E+03	0.0	0.0
15	FR	Třecí síly v ložiskách	Q	0	-11.4	1.41E+04	-0.8	-0.1	3.69E+06	0.0	0.0	-4.51E+06	0.0	-0.8	0.0E+00	-	-	-	-	0.0	5.44E+03	0.0	0.0	0.1	8.68E+03	0.0	0.0
16	I	Imperfekce soustavy	Q	0	3.5	1.41E+04	0.2	-0.1	3.69E+06	0.0	0.0	-4.51E+06	0.0	0.2	0.0E+00	-	-	-	-	0.0	5.44E+03	0.0	0.0	0.1	8.68E+03	0.0	0.0
27	ULS_LM	ULS - LM71 bez dynam	Q	0	0.0	1.41E+04	0.0	0.0	3.69E+06	0.0	0.0	-4.51E+06	0.0	0.0	0.0E+00	-	-	-	-	0.0	5.44E+03	0.0	0.0	0.0	8.68E+03	0.0	0.0
28	SLS_LM	SLS - LM71 bez dynam	Q	0	0.0	1.41E+04	0.0	0.0	3.69E+06	0.0	0.0	-4.51E+06	0.0	0.0	0.0E+00	-	-	-	-	0.0	5.44E+03	0.0	0.0	0.0	8.68E+03	0.0	0.0
29	ULS_C3	ULS - C3 bez dynam	Q	0	0.0	1.41E+04	0.0	0.0	3.69E+06	0.0	0.0	-4.51E+06	0.0	0.0	0.0E+00	-	-	-	-	0.0	5.44E+03	0.0	0.0	0.0	8.68E+03	0.0	0.0
30	SLS_C3	SLS - C3 bez dynam	Q	0	0.0	1.41E+04	0.0	0.0	3.69E+06	0.0	0.0	-4.51E+06	0.0	0.0	0.0E+00	-	-	-	-	0.0	5.44E+03	0.0	0.0	0.0	8.68E+03	0.0	0.0
		NAVÝŠENÍ NAPĚTÍ DO AKTIVACE TLAKU V DESCE MOSTOVKY				$\sigma_{P,red}$	0.0							0.0			0.0		0.0			0.1	0.1			17.8	17.8
		NAPĚTÍ OD PRIMÁRNÍCH ÚČINKŮ NEROVNOMĚRNÉHO OTEPLENÍ				σ_T	0.0							0.0													
		NAPĚTÍ OD REOLOGICKÝCH ÚČINKŮ BETONU V ČASE		t=0		σ_R	0.0	γ=	1.20					0.0													
		NAPĚTÍ V KRITICKÝCH VLÁKNECH OD KOMBINACE ZATÍŽENÍ				KZ07		[MPa]					$\Sigma\sigma_x$	84.3								$\Sigma\tau_y$	0.1			$\Sigma\tau_z$	17.8
		NAPĚTÍ OD POHYBLIVÉHO ZATÍŽENÍ						[MPa]					$\sigma_{x,P}$	66.3								τ_P	-0.1			τ_P	16.9
		NAPĚTÍ OD OSTATNÍCH ZATÍŽENÍ						[MPa]			Φ_{Vy}	Φ_{Vz}	$\sigma_{x,rs}$	17.9								τ_{rs}	0.2			τ_{rs}	0.9
		NÁVRHOVÁ HODNOTA MEZE KLUZU S REDUKCÍ VLIVEM SMYKOVÉHO NAPĚTÍ						[MPa]			1.00	1.00	$f_{yv,d}$	209.1								$f_{yd}/3^{0,5}$	120.7			$f_{yd}/3^{0,5}$	120.7
		NAPĚTÍ OD POHYBLIVÉHO ZATÍŽENÍ V GLOBÁLNÍM SYSTÉMU				$\sigma_{GLOB,P}$	0.0	[MPa]					$\Sigma\sigma_{GLOB}$	0.0													
		NAPĚTÍ OD OSTATNÍCH ZATÍŽENÍ V GLOBÁLNÍM SYSTÉMU				$\sigma_{GLOB,rs}$	0.0	[MPa]					$\Sigma\sigma_x + \Sigma\sigma_{GLOB}$	84.3													
		VYUŽITÍ PRŮŘEZU DLE NAPĚTÍ						[%]					η_1	0.40								η_3	0.00			η_3	0.15
		NAPĚTÍ V PŘÍČNÉM SMĚRU OD POHYBLIVÉHO ZATÍŽENÍ				$\sigma_{z,P}$	0.0	[MPa]					$\Sigma\sigma_z$	0.0													
		NAPĚTÍ V PŘÍČNÉM SMĚRU OD OSTATNÍCH ZATÍŽENÍ				$\sigma_{z,rs}$	0.0	[MPa]					η_2	0.00													
		SROVNÁVACÍ NAPĚTÍ											$(\eta_2 + 0,8\,\eta_1)/1,4$ =	0.23													
		VYUŽITÍ PRŮŘEZU CELKEM						[%]					eff	0.40	VYHOVUJE												
													z_{LM71} =	-----												

TAB. P0.1.3 POSOUZENÍ - MEZNÍ STAV ÚNOSNOSTI

POPIS	PŘÍČNÍK P0 - VNĚJŠÍ PODÉLNÍK
PRUT / POLOHA BODU	706 / 3/4
NAMÁHÁNÍ	Vy.max
VLÁKNO	BOD K2 -HP
MEZNÍ STAV	ULS (MSÚ)
VYUŽITÍ VLÁKNA PRŮŘEZU	0.97

Charakteristiky materiálu				
pás. horní	$f_{yf,k}$	230	MPa	
pás. dolní	$f_{yf,k}$	230	MPa	
stojina	$f_{yw,k}$	230	MPa	
výztuž	$f_{ys,k}$	500	MPa	
γ_M =	1.10	γ_s =	1.15	

Excentricita normálové síly				
Exc./Fáze	0	1	2	3
e_y	0.000	0.000	0.000	0.000
e_z	0.000	0.000	0.000	0.000
Ekvivalentní vzdál. stěn - příčný roznos				
b_{Mx}	0.000	0.000	0.000	0.000

Vliv stěny na únosnost průřezu				
Char./Fáze	0	1	2	3
A	0.40	0.00	0.00	0.00
Wy	0.19	0.00	0.00	0.00
Wz	0.06	0.00	0.00	0.00

Charakter. v kroucení			
$t_{w,y}$	0.000	[mm]	
$t_{w,z}$	0.000	[mm]	
κ	1.00		
I_t=	0.00E+00	[mm^4]	
$\Omega=2*A_{pr}$	0.00E+00	[mm^2]	

Součinitele vzpěru a vlivu II.řádu				
Char./Fáze	0	1	2	3
k_y	1.000	1.000	1.000	1.000
k_z	1.000	1.000	1.000	1.000
χ_{LT}	1.000	1.000	1.000	1.000
χ_{min}	1.000	1.000	1.000	1.000

δ_{LOK} 1.05

Vnitřní síly od jednotlivých skupin zatěžovacích stavů

SKUPINA ZATĚŽOVACÍCH STAVŮ — CHARAKTERISTICKÉ HODNOTY — DÍLČÍ SOUČINITELÉ ZATÍŽENÍ, DYNAMICKÝ SOUČINITEL — NÁVRHOVÉ HODNOTY

Č.	SKUP ZS	POPIS ZS	KAT.	FÁZE PRŮŘ.	N.k (kN)	Vy.k (kN)	Vz.k (kN)	Mx.k (kNm)	My.k (kNm)	Mz.k (kNm)	γ_{sr} (-)	γ_{fs} (-)	volba γ_f hledat	γ_f (-)	L_d (m)	δ (-)	Ψ_s KZ07	N.d (kN)	Vy.d (kN)	Vz.d (kN)	ΔVz.d (kN)	ΣVz.d (kN)	Mx.d (kNm)	My.d (kNm)	ΔMy.d (kNm)	ΣMy.d (kNm)	Mz.d (kNm)	ΔMz.d (kNm)	ΣMz.d (kNm)
1	G0	Vlastní tíha OK	G	0	-2	17	-26	0	21	-10	1.00	1.20		1.20	-	1.00	0.95	-2	20	-30	0	-30	0	24	0	24	-11	0	-11
2	G1	Ostatní stálé - mostní vybavení	G	0	-1	1	-3	0	2	-1	1.00	1.20		1.20	-	1.00	0.95	-1	1	-3	0	-3	0	2	0	2	-1	0	-1
3	G2	Ostatní stálé - cizí zařízení	G	0	1	1	-1	0	-1	-1	1.00	1.20		1.20	-	1.00	0.95	1	1	-2	0	-2	0	-1	0	-1	-1	0	-1
4	P1_71	a.LM71 - kolej 1 (bez dyn. souč.)	P	0	-9	17	27	0	91	-11	1.00	vyp.		0.00	-	1.00	0.00	0	0	0	0	0	0	0	0	0	0	0	0
5	P2_71	a.LM71 - kolej 2 (bez dyn. souč.)	P	0	-9	23	-64	0	-49	-12	1.00	vyp.		0.00	-	1.00	0.00	0	0	0	0	0	0	0	0	0	0	0	0
6	P1_C3	TTZ C3 - kolej 1 (bez dyn. souč.)	P	0	-8	14	23	0	71	-9	1.00	1.30		1.30	-	1.68	1.00	-18	30	50	0	50	0	154	0	154	-20	7	-12
7	P2_C3	TTZ C3 - kolej 2 (bez dyn. souč.)	P	0	-15	20	-137	0	17	-10	1.00	1.30		1.30	-	1.68	1.00	-32	43	-299	0	-299	0	36	0	36	-23	8	-14
8	BR	Brzdné a rozjezdové síly	P	0	-37	41	4	0	-9	-37	1.00	1.30		1.30	-	1.00	0.64	-30	34	4	0	4	0	-7	0	-7	-31	0	-31
9	S	Boční ráz	P	0	11	2	10	0	27	-3	1.00	1.30		1.30	-	1.00	0.32	4	1	4	0	4	0	11	0	11	-1	0	-1
10	CH	Chodci na lávkách	Q	0	4	3	0	0	-3	-2	1.00	1.30		1.30	-	1.00	1.00	5	4	0	0	0	0	-4	0	-4	-2	0	-2
11	W	Vítr na konstrukci	Q	0	15	2	64	0	185	-5	1.00	1.35		1.35	-	1.00	0.75	15	2	64	0	64	0	188	0	188	-5	0	-5
12	WP	Vítr na vozidla	Q	0	40	4	52	0	109	-8	1.00	1.35		1.35	-	1.00	0.75	41	4	53	0	53	0	110	0	110	-9	0	-9
13	TR	Teplota rovnoměrná	Q	0	0	0	0	0	0	0	1.00	1.35		1.35	-	1.00	0.45	0	0	0	0	0	0	0	0	0	0	0	0
14	TN	Teplota nerovnoměrná	Q	0	2	3	25	0	59	-2	1.00	1.35		1.35	-	1.00	0.60	2	3	21	0	21	0	48	0	48	-1	0	-1
15	FR	Třecí síly v ložiskách	Q	0	-3	2	0	0	-1	-1	1.00	1.20		1.20	-	1.00	1.00	-4	2	0	0	0	0	-1	0	-1	-1	0	-1
16	I	Imperfekce soustavy	Q	0	-1	0	-11	0	-33	0	1.00	-1.20		-1.20	-	1.00	1.00	1	0	13	0	13	0	40	0	40	0	0	0
27	ULS_LM	ULS - LM71 bez dynam	Q	0	-8	143	54	0	385	-110	1.00	vyp.		0.00	-	1.00	0.00	0	0	0	0	0	0	0	0	0	0	0	0
28	SLS_LM	SLS - LM71 bez dynam	Q	0	-9	110	18	0	251	-85	1.00	vyp.	1	0.00	-	1.00	0.00	0	0	0	0	0	0	0	0	0	0	0	0
29	ULS_C3	ULS - C3 bez dynam	Q	0	-14	134	-46	0	444	-106	1.00	vyp.	1	0.00	-	1.00	0.00	0	0	0	0	0	0	0	0	0	0	0	0
30	SLS_C3	SLS - C3 bez dynam	Q	0	-14	104	-59	0	297	-81	1.00	vyp.	1	0.00	-	1.00	0.00	0	0	0	0	0	0	0	0	0	0	0	0
		CELKEM - FÁZE PRŮŘEZU 0			-18	144	-124	0	599	-105								-18	144	-124	0	-124	0	599	0	599	-105	16	-89
		CELKEM - FÁZE PRŮŘEZU 1			0	0	0	0	0	0								0	0	0	0	0	0	0	0	0	0	0	0
		CELKEM - FÁZE PRŮŘEZU 2			0	0	0	0	0	0								0	0	0	0	0	0	0	0	0	0	0	0
		CELKEM - FÁZE PRŮŘEZU 3			0	0	0	0	0	0								0	0	0	0	0	0	0	0	0	0	0	0
		CELKEM - PRŮŘEZ			-18	144	-124	0	599	-105								-18	144	-124	0	-124	0			599			-89

Napětí od jednotlivých zatěžovacích stavů

SKUPINA ZATĚŽOVACÍCH STAVŮ — Posouzení normálového napětí — Účinek síly N — Účinek momentu My — Účinek momentu Mz — Posouzení smykového napětí — Účinek kroutícího momentu Mx — Účinek smykové síly Vy — Účinek smykové síly Vz

Č.	SKUP ZS	Popis ZS	Kat.	fáze prúř.	δ^*N_d [kN]	χ^*A [mm^2]	σ_n [MPa]	$\delta^*M_{y,d}$ [kNm]	$\chi_{lt}{}^*W_{el,y}$ [mm^3]	σ_{my} [MPa]	$\delta^*M_{z,d}$ [kNm]	$W_{el,z}$ [mm^3]	σ_{mz} [MPa]	σ_x [MPa]	$\kappa^*\delta^*M_{x,d}$ [kNm]	$W_{v,y}$ [mm^3]	$\tau_{x,y}$ [MPa]	$W_{v,z}$ [mm^3]	$\tau_{x,z}$ [MPa]	$\delta^*V_{y,d}$ [kN]	$A_{v,y}$ [mm2]	$\tau_{v,y}$ [MPa]	$\tau_{v,y}$ [MPa]	$\delta^*V_{z,d}$ [kN]	$A_{v,z}$ [mm2]	$\tau_{v,z}$ [MPa]	$\tau_{v,z}$ [MPa]
1	G0	Vlastní tíha OK	G	0	-1.8	2.83E+04	-0.1	23.5	-1.07E+07	-2.2	-10.9	6.04E+05	-18.0	-20.2	-9.1E-02	-	-	-	-	19.7	1.24E+04	1.6	1.6	-29.6	1.08E+04	-2.7	-2.7
2	G1	Ostatní stálé - mostní vybavení	G	0	-0.6	2.83E+04	0.0	2.0	-1.07E+07	-0.2	-0.8	6.04E+05	-1.4	-1.6	-1.1E-02	-	-	-	-	1.5	1.24E+04	0.1	0.1	-3.1	1.08E+04	-0.3	-0.3
3	G2	Ostatní stálé - cizí zařízení	G	0	1.0	2.83E+04	0.0	-0.8	-1.07E+07	0.1	-0.7	6.04E+05	-1.1	-1.0	0.0E+00	-	-	-	-	1.2	1.24E+04	0.1	0.1	-1.5	1.08E+04	-0.1	-0.1
4	P1_71	a.LM71 - kolej 1 (bez dyn. souč.)	P	0	0.0	2.83E+04	0.0	0.0	-1.07E+07	0.0	0.0	6.04E+05	0.0	0.0	0.0E+00	-	-	-	-	0.0	1.24E+04	0.0	0.0	0.0	1.08E+04	0.0	0.0
5	P2_71	a.LM71 - kolej 2 (bez dyn. souč.)	P	0	0.0	2.83E+04	0.0	0.0	-1.07E+07	0.0	0.0	6.04E+05	0.0	0.0	0.0E+00	-	-	-	-	0.0	1.24E+04	0.0	0.0	0.0	1.08E+04	0.0	0.0
6	P1_C3	TTZ C3 - kolej 1 (bez dyn. souč.)	P	0	-18.4	2.83E+04	-0.7	154.3	-1.07E+07	-14.4	-12.4	6.04E+05	-20.5	-35.5	-1.3E-01	-	-	-	-	29.7	1.24E+04	2.4	2.4	50.4	1.08E+04	4.7	4.7
7	P2_C3	TTZ C3 - kolej 2 (bez dyn. souč.)	P	0	-32.2	2.83E+04	-1.1	36.3	-1.07E+07	-3.4	-14.2	6.04E+05	-23.4	-28.0	1.5E-01	-	-	-	-	42.7	1.24E+04	3.4	3.4	-299.4	1.08E+04	-27.7	-27.7
8	BR	Brzdné a rozjezdové síly	P	0	-30.4	2.83E+04	-1.1	-7.3	-1.07E+07	0.7	-31.0	6.04E+05	-51.3	-51.7	5.8E-02	-	-	-	-	34.3	1.24E+04	2.8	2.8	3.7	1.08E+04	0.3	0.3
9	S	Boční ráz	P	0	4.4	2.83E+04	0.2	11.1	-1.07E+07	-1.0	-1.2	6.04E+05	-1.9	-2.8	-4.2E-03	-	-	-	-	0.7	1.24E+04	0.1	0.1	4.4	1.08E+04	0.4	0.4
10	CH	Chodci na lávkách	Q	0	5.1	2.83E+04	0.2	-4.5	-1.07E+07	0.4	-2.0	6.04E+05	-3.3	-2.7	-1.3E-02	-	-	-	-	3.5	1.24E+04	0.3	0.3	0.1	1.08E+04	0.0	0.0
11	W	Vítr na konstrukci	Q	0	15.0	2.83E+04	0.5	187.6	-1.07E+07	-17.5	-4.6	6.04E+05	-7.6	-24.5	0.0E+00	-	-	-	-	1.6	1.24E+04	0.1	0.1	64.4	1.08E+04	5.9	5.9
12	WP	Vítr na vozidla	Q	0	40.9	2.83E+04	1.4	110.0	-1.07E+07	-10.2	-8.6	6.04E+05	-14.2	-23.0	-1.0E-02	-	-	-	-	3.7	1.24E+04	0.3	0.3	52.7	1.08E+04	4.9	4.9
13	TR	Teplota rovnoměrná	Q	0	0.0	2.83E+04	0.0	0.0	-1.07E+07	0.0	0.0	6.04E+05	0.0	0.0	0.0E+00	-	-	-	-	0.0	1.24E+04	0.0	0.0	0.0	1.08E+04	0.0	0.0
14	TN	Teplota nerovnoměrná	Q	0	1.5	2.83E+04	0.1	47.7	-1.07E+07	-4.4	-1.3	6.04E+05	-2.2	-6.5	-3.2E-02	-	-	-	-	2.7	1.24E+04	0.2	0.2	20.6	1.08E+04	1.9	1.9
15	FR	Třecí síly v ložiskách	Q	0	-4.0	2.83E+04	-0.1	-1.0	-1.07E+07	0.1	-1.3	6.04E+05	-2.2	-2.3	1.2E-02	-	-	-	-	2.3	1.24E+04	0.2	0.2	0.0	1.08E+04	0.0	0.0
16	I	Imperfekce soustavy	Q	0	0.9	2.83E+04	0.0	39.8	-1.07E+07	-3.7	-0.2	6.04E+05	-0.3	-4.0	0.0E+00	-	-	-	-	-0.1	1.24E+04	0.0	0.0	13.3	1.08E+04	1.2	1.2
27	ULS_LM	ULS - LM71 bez dynam	Q	0	0.0	2.83E+04	0.0	0.0	-1.07E+07	0.0	0.0	6.04E+05	0.0	0.0	0.0E+00	-	-	-	-	0.0	1.24E+04	0.0	0.0	0.0	1.08E+04	0.0	0.0
28	SLS_LM	SLS - LM71 bez dynam	Q	0	0.0	2.83E+04	0.0	0.0	-1.07E+07	0.0	0.0	6.04E+05	0.0	0.0	0.0E+00	-	-	-	-	0.0	1.24E+04	0.0	0.0	0.0	1.08E+04	0.0	0.0
29	ULS_C3	ULS - C3 bez dynam	Q	0	0.0	2.83E+04	0.0	0.0	-1.07E+07	0.0	0.0	6.04E+05	0.0	0.0	0.0E+00	-	-	-	-	0.0	1.24E+04	0.0	0.0	0.0	1.08E+04	0.0	0.0
30	SLS_C3	SLS - C3 bez dynam	Q	0	0.0	2.83E+04	0.0	0.0	-1.07E+07	0.0	0.0	6.04E+05	0.0	0.0	0.0E+00	-	-	-	-	0.0	1.24E+04	0.0	0.0	0.0	1.08E+04	0.0	0.0
NAVÝŠENÍ NAPĚTÍ DO AKTIVACE TLAKU V DESCE MOSTOVKY						$\sigma_{P,red}$	0.0							0.0			0.0		0.0				11.6	11.6			-11.5	-11.5
NAPĚTÍ OD PRIMÁRNÍCH ÚČINKŮ NEROVNOMĚRNÉHO OTEPLENÍ						σ_T	0.0							0.0														
NAPĚTÍ OD REOLOGICKÝCH ÚČINKŮ BETONU V ČASE			t=0			σ_R	0.0	γ_{lt}=	1.20					0.0														
NAPĚTÍ V KRITICKÝCH VLÁKNECH OD KOMBINACE ZATÍŽENÍ					KZ07			[MPa]					$\Sigma\sigma_x$	-203.7								$\Sigma\tau_y$	11.6			$\Sigma\tau_z$	-11.5
NAPĚTÍ OD POHYBLIVÉHO ZATÍŽENÍ								[MPa]					$\sigma_{x,P}$	-117.9									8.7			τ_P	-22.3
NAPĚTÍ OD OSTATNÍCH ZATÍŽENÍ								[MPa]		Φ_{Vy}		Φ_{Vz}	$\sigma_{x,rs}$	-85.8								τ_{rs}	2.9			τ_{rs}	10.8
NÁVRHOVÁ HODNOTA MEZE KLUZU S REDUKCÍ VLIVEM SMYKOVÉHO NAPĚTÍ								[MPa]		1.00		1.00	$f_{yw,d}$	209.1								$f_{yd}/3^{0,5}$	120.7			$f_{yd}/3^{0,5}$	120.7
NAPĚTÍ OD POHYBLIVÉHO ZATÍŽENÍ V GLOBÁLNÍM SYSTÉMU						$\sigma_{GLOB,P}$	0.0	[MPa]					$\Sigma\sigma_{GLOB}$	0.0													
NAPĚTÍ OD OSTATNÍCH ZATÍŽENÍ V GLOBÁLNÍM SYSTÉMU						$\sigma_{GLOB,rs}$	0.0	[MPa]					$\Sigma\sigma_x + \Sigma\sigma_{GLOB}$	-203.7													
VYUŽITÍ PRŮŘEZU DLE NAPĚTÍ								[%]					η_1	0.97								η_3	0.10			η_3	0.10
NAPĚTÍ V PŘÍČNÉM SMĚRU OD POHYBLIVÉHO ZATÍŽENÍ						$\sigma_{z,P}$	0.0	[MPa]					$\Sigma\sigma_z$	0.0													
NAPĚTÍ V PŘÍČNÉM SMĚRU OD OSTATNÍCH ZATÍŽENÍ						$\sigma_{z,rs}$	0.0	[MPa]					η_2	0.00													
SROVNÁVACÍ NAPĚTÍ													$(\eta_2 + 0,8\ \eta_1)/1,4$ =	0.56													
VYUŽITÍ PRŮŘEZU CELKEM								[%]					eff	0.97	VYHOVUJE												
STANOVENÍ ZATÍŽITELNOSTI													Z_{LM71} =	-----													

TAB. P0.1.3 POSOUZENÍ - MEZNÍ STAV ÚNOSNOSTI

POPIS	PŘÍČNÍK P0 - VNĚJŠÍ PODÉLNÍK
PRUT / POLOHA BODU	706 / 3/4
NAMÁHÁNÍ	Vy.max
VLÁKNO	BOD K3 -SL
MEZNÍ STAV	ULS (MSÚ)
VYUŽITÍ VLÁKNA PRŮŘEZU	1.01

Charakteristiky materiálu				
pás. horní	$f_{yf,k}$	230	MPa	
pás. dolní	$f_{yf,k}$	230	MPa	
stojina	$f_{yw,k}$	230	MPa	
výztuž	$f_{ys,k}$	500	MPa	
γ_M =	1.10	γ_s =	1.15	

Excentricita normálové síly				
Exc./Fáze	0	1	2	3
e_y	0.000	0.000	0.000	0.000
e_z	0.000	0.000	0.000	0.000
Ekvivalentní vzdál. stěn - příčný roznos				
b_{Mx}	0.000	0.000	0.000	0.000

Vliv stěny na únosnost průřezu				
Char./Fáze	0	1	2	3
A	0.40	0.00	0.00	0.00
Wy	0.21	0.00	0.00	0.00
Wz	0.05	0.00	0.00	0.00

Charakter. v kroucení			
$t_{w,y}$	0.000	[mm]	
$t_{w,z}$	0.000	[mm]	
κ	1.00		
I_t=	0.00E+00	[mm^4]	
$\Omega=2*A_{pr}$	0.00E+00	[mm^2]	

Součinitele vzpěru a vlivu II.řádu				
Char./Fáze	0	1	2	3
k_y	1.000	1.000	1.000	1.000
k_z	1.000	1.000	1.000	1.000
χ_{LT}	1.000	1.000	1.000	1.000
χ_{min}	1.000	1.000	1.000	1.000

δ_{LOK} 1.05

Vnitřní síly od jednotlivých skupin zatěžovacích stavů

SKUPINA ZATĚŽOVACÍCH STAVŮ — CHARAKTERISTICKÉ HODNOTY — DÍLČÍ SOUČINITELÉ ZATÍŽENÍ, DYNAMICKÝ SOUČINITEL — NÁVRHOVÉ HODNOTY

Č.	SKUP ZS	Popis ZS	KAT.	FÁZE PRŮŘ.	N.k (kN)	Vy.k (kN)	Vz.k (kN)	Mx.k (kNm)	My.k (kNm)	Mz.k (kNm)	γ_{sr} (-)	γ_{fs} (-)	volba γ_{fi} hledat	γ_{fi} (-)	L_d (m)	δ (-)	Ψ_0 KZ07	N.d (kN)	Vy.d (kN)	Vz.d (kN)	ΔVz.d (kN)	ΣVz.d (kN)	Mx.d (kNm)	My.d (kNm)	ΔMy.d (kNm)	ΣMy.d (kNm)	Mz.d (kNm)	ΔMz.d (kNm)	ΣMz.d (kNm)
1	G0	Vlastní tíha OK	G	0	-2	17	-26	0	21	-10	1.00	1.20		1.20	-	1.00	0.95	-2	20	-30	0	-30	0	24	0	24	-11	0	-11
2	G1	Ostatní stálé - mostní vybavení	G	0	-1	1	-3	0	2	-1	1.00	1.20		1.20	-	1.00	0.95	-1	1	-3	0	-3	0	2	0	2	-1	0	-1
3	G2	Ostatní stálé - cizí zařízení	G	0	1	1	-1	0	-1	-1	1.00	1.20		1.20	-	1.00	0.95	1	1	-2	0	-2	0	-1	0	-1	-1	0	-1
4	P1_71	a.LM71 - kolej 1 (bez dyn. souč.)	P	0	-9	17	27	0	91	-11	1.00	vyp.		0.00	-	1.00	0.00	0	0	0	0	0	0	0	0	0	0	0	0
5	P2_71	a.LM71 - kolej 2 (bez dyn. souč.)	P	0	-9	23	-64	0	-49	-12	1.00	vyp.		0.00	-	1.00	0.00	0	0	0	0	0	0	0	0	0	0	0	0
6	P1_C3	TTZ C3 - kolej 1 (bez dyn. souč.)	P	0	-8	14	23	0	71	-9	1.00	1.30		1.30	-	1.68	1.00	-18	30	50	0	50	0	154	0	154	-20	7	-12
7	P2_C3	TTZ C3 - kolej 2 (bez dyn. souč.)	P	0	-15	20	-137	0	17	-10	1.00	1.30		1.30	-	1.68	1.00	-32	43	-299	0	-299	0	36	0	36	-23	8	-14
8	BR	Brzdné a rozjezdové síly	P	0	-37	41	4	0	-9	-37	1.00	1.30		1.30	-	1.00	0.64	-30	34	4	0	4	0	-7	0	-7	-31	0	-31
9	S	Boční ráz	P	0	11	2	10	0	27	-3	1.00	1.30		1.30	-	1.00	0.32	4	1	4	0	4	0	11	0	11	-1	0	-1
10	CH	Chodci na lávkách	Q	0	4	3	0	0	-3	-2	1.00	1.30		1.30	-	1.00	1.00	5	4	0	0	0	0	-4	0	-4	-2	0	-2
11	W	Vítr na konstrukci	Q	0	15	2	64	0	185	-5	1.00	1.35		1.35	-	1.00	0.75	15	2	64	0	64	0	188	0	188	-5	0	-5
12	WP	Vítr na vozidla	Q	0	40	4	52	0	109	-8	1.00	1.35		1.35	-	1.00	0.75	41	4	53	0	53	0	110	0	110	-9	0	-9
13	TR	Teplota rovnoměrná	Q	0	0	0	0	0	0	0	1.00	1.35		1.35	-	1.00	0.45	0	0	0	0	0	0	0	0	0	0	0	0
14	TN	Teplota nerovnoměrná	Q	0	2	3	25	0	59	-2	1.00	1.35		1.35	-	1.00	0.60	2	3	21	0	21	0	48	0	48	-1	0	-1
15	FR	Třecí síly v ložiskách	Q	0	-3	2	0	0	-1	-1	1.00	1.20		1.20	-	1.00	1.00	-4	2	0	0	0	0	-1	0	-1	-1	0	-1
16	I	Imperfekce soustavy	Q	0	-1	0	-11	0	-33	0	1.00	-1.20		-1.20	-	1.00	1.00	1	0	13	0	13	0	40	0	40	0	0	0
27	ULS_LM	ULS - LM71 bez dynam	Q	0	-8	143	54	0	385	-110	1.00	vyp.		0.00	-	1.00	0.00	0	0	0	0	0	0	0	0	0	0	0	0
28	SLS_LM	SLS - LM71 bez dynam	Q	0	-9	110	18	0	251	-85	1.00	vyp.	1	0.00	-	1.00	0.00	0	0	0	0	0	0	0	0	0	0	0	0
29	ULS_C3	ULS - C3 bez dynam	Q	0	-14	134	-46	0	444	-106	1.00	vyp.	1	0.00	-	1.00	0.00	0	0	0	0	0	0	0	0	0	0	0	0
30	SLS_C3	SLS - C3 bez dynam	Q	0	-14	104	-59	0	297	-81	1.00	vyp.	1	0.00	-	1.00	0.00	0	0	0	0	0	0	0	0	0	0	0	0
		CELKEM - FÁZE PRŮŘEZU 0			-18	144	-124	0	599	-105								-18	144	-124	0	-124	0	599	0	599	-105	16	-89
		CELKEM - FÁZE PRŮŘEZU 1																0	0	0	0	0	0	0	0	0	0	0	0
		CELKEM - FÁZE PRŮŘEZU 2																0	0	0	0	0	0	0	0	0	0	0	0
		CELKEM - FÁZE PRŮŘEZU 3																0	0	0	0	0	0	0	0	0	0	0	0
		CELKEM - PRŮŘEZ																-18	144	-124	0	-124	0			599			-89

Napětí od jednotlivých zatěžovacích stavů

SKUPINA ZATĚŽOVACÍCH STAVŮ — Posouzení normálového napětí — Účinek síly N — Účinek momentu My — Účinek momentu Mz — Posouzení smykového napětí — Účinek kroutícího momentu Mx — Účinek smykové síly Vy — Účinek smykové síly Vz

Č.	SKUP ZS	Popis ZS	Kat.	fáze průř.	δ^*N_d [kN]	χ^*A [mm^2]	σ_n [MPa]	$\delta^*M_{y,d}$ [kNm]	$\chi_{lt}*W_{el,y}$ [mm^3]	σ_{my} [MPa]	$\delta^*M_{z,d}$ [kNm]	$W_{el,z}$ [mm^3]	σ_{mz} [MPa]	σ_x [MPa]	$\kappa*\delta^*M_{x,d}$ [kNm]	$W_{v,y}$ [mm^3]	$\tau_{x,y}$ [MPa]	$W_{v,z}$ [mm^3]	$\tau_{x,z}$ [MPa]	$\delta^*V_{y,d}$ [kN]	$A_{v,y}$ [mm2]	$\tau_{v,y}$ [MPa]	$\tau_{v,y}$ [MPa]	$\delta^*V_{z,d}$ [kN]	$A_{v,z}$ [mm2]	$\tau_{v,z}$ [MPa]	$\tau_{v,z}$ [MPa]
1	G0	Vlastní tíha OK	G	0	-1.8	2.83E+04	-0.1	23.5	9.25E+06	2.5	-10.9	-6.04E+05	18.0	20.4	-9.1E-02	-	-	-	-	19.7	1.24E+04	1.6	1.6	-29.6	1.08E+04	-2.7	-2.7
2	G1	Ostatní stálé - mostní vybavení	G	0	-0.6	2.83E+04	0.0	2.0	9.25E+06	0.2	-0.8	-6.04E+05	1.4	1.6	-1.1E-02	-	-	-	-	1.5	1.24E+04	0.1	0.1	-3.1	1.08E+04	-0.3	-0.3
3	G2	Ostatní stálé - cizí zařízení	G	0	1.0	2.83E+04	0.0	-0.8	9.25E+06	-0.1	-0.7	-6.04E+05	1.1	1.1	0.0E+00	-	-	-	-	1.2	1.24E+04	0.1	0.1	-1.5	1.08E+04	-0.1	-0.1
4	P1_71	a.LM71 - kolej 1 (bez dyn. souč.)	P	0	0.0	2.83E+04	0.0	0.0	9.25E+06	0.0	0.0	-6.04E+05	0.0	0.0	0.0E+00	-	-	-	-	0.0	1.24E+04	0.0	0.0	0.0	1.08E+04	0.0	0.0
5	P2_71	a.LM71 - kolej 2 (bez dyn. souč.)	P	0	0.0	2.83E+04	0.0	0.0	9.25E+06	0.0	0.0	-6.04E+05	0.0	0.0	0.0E+00	-	-	-	-	0.0	1.24E+04	0.0	0.0	0.0	1.08E+04	0.0	0.0
6	P1_C3	TTZ C3 - kolej 1 (bez dyn. souč.)	P	0	-18.4	2.83E+04	-0.7	154.3	9.25E+06	16.7	-12.4	-6.04E+05	20.5	36.5	-1.3E-01	-	-	-	-	29.7	1.24E+04	2.4	2.4	50.4	1.08E+04	4.7	4.7
7	P2_C3	TTZ C3 - kolej 2 (bez dyn. souč.)	P	0	-32.2	2.83E+04	-1.1	36.3	9.25E+06	3.9	-14.2	-6.04E+05	23.4	26.2	1.5E-01	-	-	-	-	42.7	1.24E+04	3.4	3.4	-299.4	1.08E+04	-27.7	-27.7
8	BR	Brzdné a rozjezdové síly	P	0	-30.4	2.83E+04	-1.1	-7.3	9.25E+06	-0.8	-31.0	-6.04E+05	51.3	49.4	5.8E-02	-	-	-	-	34.3	1.24E+04	2.8	2.8	3.7	1.08E+04	0.3	0.3
9	S	Boční ráz	P	0	4.4	2.83E+04	0.2	11.1	9.25E+06	1.2	-1.2	-6.04E+05	1.9	3.3	-4.2E-03	-	-	-	-	0.7	1.24E+04	0.1	0.1	4.4	1.08E+04	0.4	0.4
10	CH	Chodci na lávkách	Q	0	5.1	2.83E+04	0.2	-4.5	9.25E+06	-0.5	-2.0	-6.04E+05	3.3	3.0	-1.3E-02	-	-	-	-	3.5	1.24E+04	0.3	0.3	0.1	1.08E+04	0.0	0.0
11	W	Vítr na konstrukci	Q	0	15.0	2.83E+04	0.5	187.6	9.25E+06	20.3	-4.6	-6.04E+05	7.6	28.4	0.0E+00	-	-	-	-	1.6	1.24E+04	0.1	0.1	64.4	1.08E+04	5.9	5.9
12	WP	Vítr na vozidla	Q	0	40.9	2.83E+04	1.4	110.0	9.25E+06	11.9	-8.6	-6.04E+05	14.2	27.5	-1.0E-02	-	-	-	-	3.7	1.24E+04	0.3	0.3	52.7	1.08E+04	4.9	4.9
13	TR	Teplota rovnoměrná	Q	0	0.0	2.83E+04	0.0	0.0	9.25E+06	0.0	0.0	-6.04E+05	0.0	0.0	0.0E+00	-	-	-	-	0.0	1.24E+04	0.0	0.0	0.0	1.08E+04	0.0	0.0
14	TN	Teplota nerovnoměrná	Q	0	1.5	2.83E+04	0.1	47.7	9.25E+06	5.2	-1.3	-6.04E+05	2.2	7.4	-3.2E-02	-	-	-	-	2.7	1.24E+04	0.2	0.2	20.6	1.08E+04	1.9	1.9
15	FR	Třecí síly v ložiskách	Q	0	-4.0	2.83E+04	-0.1	-1.0	9.25E+06	-0.1	-1.3	-6.04E+05	2.2	2.0	1.2E-02	-	-	-	-	2.3	1.24E+04	0.2	0.2	0.0	1.08E+04	0.0	0.0
16	I	Imperfekce soustavy	Q	0	0.9	2.83E+04	0.0	39.8	9.25E+06	4.3	-0.2	-6.04E+05	0.3	4.6	0.0E+00	-	-	-	-	-0.1	1.24E+04	0.0	0.0	13.3	1.08E+04	1.2	1.2
27	ULS_LM	ULS - LM71 bez dynam	Q	0	0.0	2.83E+04	0.0	0.0	9.25E+06	0.0	0.0	-6.04E+05	0.0	0.0	0.0E+00	-	-	-	-	0.0	1.24E+04	0.0	0.0	0.0	1.08E+04	0.0	0.0
28	SLS_LM	SLS - LM71 bez dynam	Q	0	0.0	2.83E+04	0.0	0.0	9.25E+06	0.0	0.0	-6.04E+05	0.0	0.0	0.0E+00	-	-	-	-	0.0	1.24E+04	0.0	0.0	0.0	1.08E+04	0.0	0.0
29	ULS_C3	ULS - C3 bez dynam	Q	0	0.0	2.83E+04	0.0	0.0	9.25E+06	0.0	0.0	-6.04E+05	0.0	0.0	0.0E+00	-	-	-	-	0.0	1.24E+04	0.0	0.0	0.0	1.08E+04	0.0	0.0
30	SLS_C3	SLS - C3 bez dynam	Q	0	0.0	2.83E+04	0.0	0.0	9.25E+06	0.0	0.0	-6.04E+05	0.0	0.0	0.0E+00	-	-	-	-	0.0	1.24E+04	0.0	0.0	0.0	1.08E+04	0.0	0.0
NAVÝŠENÍ NAPĚTÍ DO AKTIVACE TLAKU V DESCE MOSTOVKY						$\sigma_{P,red}$	0.0							0.0			0.0		0.0			11.6	11.6			-11.5	-11.5
NAPĚTÍ OD PRIMÁRNÍCH ÚČINKŮ NEROVNOMĚRNÉHO OTEPLENÍ						σ_T	0.0							0.0													
NAPĚTÍ OD REOLOGICKÝCH ÚČINKŮ BETONU V ČASE			t=0			σ_R	0.0	γ_{fi}=	1.20					0.0													
NAPĚTÍ V KRITICKÝCH VLÁKNECH OD KOMBINACE ZATÍŽENÍ				KZ07				[MPa]					$\Sigma\sigma_x$	211.4								$\Sigma\tau_y$	11.6				$\Sigma\tau_z$	-11.5
NAPĚTÍ OD POHYBLIVÉHO ZATÍŽENÍ								[MPa]					$\sigma_{x,P}$	115.4								τ_P	8.7				τ_P	-22.3
NAPĚTÍ OD OSTATNÍCH ZATÍŽENÍ								[MPa]			Φ_{Vy}	Φ_{Vz}	$\sigma_{x,rs}$	96.0								τ_{rs}	2.9				τ_{rs}	10.8
NÁVRHOVÁ HODNOTA MEZE KLUZU S REDUKCÍ VLIVEM SMYKOVÉHO NAPĚTÍ								[MPa]			1.00	1.00	$f_{yw,d}$	209.1								$f_{yd}/3^{0,5}$	120.7				$f_{yd}/3^{0,5}$	120.7
NAPĚTÍ OD POHYBLIVÉHO ZATÍŽENÍ V GLOBÁLNÍM SYSTÉMU						$\sigma_{GLOB,P}$	0.0	[MPa]					$\Sigma\sigma_{GLOB}$	0.0														
NAPĚTÍ OD OSTATNÍCH ZATÍŽENÍ V GLOBÁLNÍM SYSTÉMU						$\sigma_{GLOB,rs}$	0.0	[MPa]					$\Sigma\sigma_x + \Sigma\sigma_{GLOB}$	211.4														
VYUŽITÍ PRŮŘEZU DLE NAPĚTÍ								[%]					η_1	1.01								η_3	0.10				η_3	0.10
NAPĚTÍ V PŘÍČNÉM SMĚRU OD POHYBLIVÉHO ZATÍŽENÍ						$\sigma_{z,P}$	0.0	[MPa]					$\Sigma\sigma_z$	0.0														
NAPĚTÍ V PŘÍČNÉM SMĚRU OD OSTATNÍCH ZATÍŽENÍ						$\sigma_{z,rs}$	0.0	[MPa]					η_2	0.00														
SROVNÁVACÍ NAPĚTÍ													$(\eta_2 + 0,8\ \eta_1)/1,4$ =	0.58														
VYUŽITÍ PRŮŘEZU CELKEM								[%]					eff	1.01	NEVYHOVUJE													
STANOVENÍ ZATÍŽITELNOSTI													Z_{LM71} =	-----														

TAB. P0.1.3 POSOUZENÍ - MEZNÍ STAV ÚNOSNOSTI

POPIS	PŘÍČNÍK P0 - VNĚJŠÍ PODÉLNÍK
PRUT / POLOHA BODU	706 / 3/4
NAMÁHÁNÍ	Vz.min
VLÁKNO	BOD S6 -HP
MEZNÍ STAV	ULS (MSÚ)
VYUŽITÍ VLÁKNA PRŮŘEZU	0.68

Charakteristiky materiálu				
pás. horní	$f_{yf,k}$	230	MPa	
pás. dolní	$f_{yf,k}$	230	MPa	
stojina	$f_{yw,k}$	230	MPa	
výztuž	$f_{ys,k}$	500	MPa	
γ_M =	1.10	γ_s =	1.15	

Excentricita normálové síly				
Exc./Fáze	0	1	2	3
e_y	0.000	0.000	0.000	0.000
e_z	0.000	0.000	0.000	0.000
Ekvivalentní vzdál. stěn - příčný roznos				
b_{Mx}	0.000	0.000	0.000	0.000

Vliv stěny na únosnost průřezu				
Char./Fáze	0	1	2	3
A	0.40	0.00	0.00	0.00
Wy	0.21	0.00	0.00	0.00
Wz	0.00	0.00	0.00	0.00

Charakter. v kroucení			
$t_{w,y}$	0.000	[mm]	
$t_{w,z}$	0.000	[mm]	
κ	1.00		
I_t=	0.00E+00	[mm^4]	
Ω=2*A_{pz}	0.00E+00	[mm^2]	

Součinitele vzpěru a vlivu II.řádu				
Char./Fáze	0	1	2	3
k_y	1.000	1.000	1.000	1.000
k_z	1.000	1.000	1.000	1.000
χ_{LT}	1.000	1.000	1.000	1.000
χ_{min}	1.000	1.000	1.000	1.000

8

δ_{LOK} 1.05

Vnitřní síly od jednotlivých skupin zatěžovacích stavů

SKUPINA ZATĚŽOVACÍCH STAVŮ						- CHARAKTERISTICKÉ HODNOTY						DÍLČÍ SOUČINITELÉ ZATÍŽENÍ, DYNAMICKÝ SOUČINITEL							- NÁVRHOVÉ HODNOTY									
Č.	SKUP ZS	POPIS ZS	KAT.	FÁZE PRŮŘ.		N.k (kN)	Vy.k (kN)	Vz.k (kN)	Mx.k (kNm)	My.k (kNm)	Mz.k (kNm)	γ_{sr} (-)	γ_{fs} (-)	volba γ_f hledat	γ_f (-)	L_d (m)	δ (-)	Ψ_0 KZ08	N.d (kN)	Vy.d (kN)	Vz.d (kN)	ΔVz.d (kN)	ΣVz.d (kN)	Mx.d (kNm)	My.d (kNm)	ΔMy.d (kNm)	ΣMy.d (kNm)	Mz.d (kNm)	ΔMz.d (kNm)	ΣMz.d (kNm)
1	G0	Vlastní tíha OK	G	0		-2	17	-26	0	21	-10	1.00	1.20		1.20	-	1.00	0.95	-2	20	-30	0	-30	0	24	0	24	-11	0	-11
2	G1	Ostatní stálé - mostní vybavení	G	0		-1	1	-3	0	2	-1	1.00	1.20		1.20	-	1.00	0.95	-1	1	-3	0	-3	0	2	0	2	-1	0	-1
3	G2	Ostatní stálé - cizí zařízení	G	0		1	1	-1	0	-1	-1	1.00	1.20		1.20	-	1.00	0.95	1	1	-2	0	-2	0	-1	0	-1	-1	0	-1
4	P1_71	a.LM71 - kolej 1 (bez dyn. souč.)	P	0		-31	0	-124	0	-8	1	1.00	vyp.		0.00	-	1.00	0.00	0	0	0	0	0	0	0	0	0	0	0	0
5	P2_71	a.LM71 - kolej 2 (bez dyn. souč.)	P	0		-31	18	-343	0	150	-8	1.00	vyp.		0.00	-	1.00	0.00	0	0	0	0	0	0	0	0	0	0	0	0
6	P1_C3	TTZ C3 - kolej 1 (bez dyn. souč.)	P	0		-20	0	-82	0	-7	0	1.00	1.30		1.30	-	1.68	1.00	-44	0	-179	0	-179	0	-15	0	-15	1	0	0
7	P2_C3	TTZ C3 - kolej 2 (bez dyn. souč.)	P	0		-19	17	-235	0	83	-8	1.00	1.30		1.30	-	1.68	1.00	-41	37	-512	0	-512	0	181	0	181	-18	7	-11
8	BR	Brzdné a rozjezdové síly	P	0		37	-41	-4	0	9	37	1.00	1.30		1.30	-	1.00	0.32	15	-17	-2	0	-2	0	4	0	4	16	0	16
9	S	Boční ráz	P	0		-10	-2	-11	0	-28	3	1.00	1.30		1.30	-	1.00	0.64	-8	-1	-9	0	-9	0	-23	0	-23	2	0	2
10	CH	Chodci na lávkách	Q	0		4	3	0	0	-3	-2	1.00	0.00		0.00	-	1.00	1.00	0	0	0	0	0	0	0	0	0	0	0	0
11	W	Vítr na konstrukci	Q	0		-16	-2	-64	0	-185	5	1.00	1.35		1.35	-	1.00	0.75	-16	-2	-64	0	-64	0	-187	0	-187	5	0	5
12	WP	Vítr na vozidla	Q	0		-43	-4	-51	0	-109	8	1.00	1.35		1.35	-	1.00	0.75	-44	-4	-52	0	-52	0	-111	0	-111	9	0	9
13	TR	Teplota rovnoměrná	Q	0		0	0	0	0	0	0	1.00	1.35		1.35	-	1.00	0.45	0	0	0	0	0	0	0	0	0	0	0	0
14	TN	Teplota nerovnoměrná	Q	0		3	-1	-23	0	-86	0	1.00	1.35		1.35	-	1.00	0.60	2	-1	-19	0	-19	0	-69	0	-69	0	0	0
15	FR	Třecí síly v ložiskách	Q	0		-3	2	0	0	-1	-1	1.00	1.20		1.20	-	1.00	1.00	-4	2	0	0	0	0	-1	0	-1	-1	0	-1
16	I	Imperfekce soustavy	Q	0		-1	0	-11	0	-33	0	1.00	1.20		1.20	-	1.00	1.00	-1	0	-13	0	-13	0	-40	0	-40	0	0	0
27	ULS_LM	ULS - LM71 bez dynam	Q	0		-128	16	-806	0	-235	15	1.00	vyp.		0.00	-	1.00	0.00	0	0	0	0	0	0	0	0	0	0	0	0
28	SLS_LM	SLS - LM71 bez dynam	Q	0		-99	16	-607	0	-119	10	1.00	vyp.	1	0.00	-	1.00	0.00	0	0	0	0	0	0	0	0	0	0	0	0
29	ULS_C3	ULS - C3 bez dynam	Q	0		-98	15	-612	0	-319	15	1.00	vyp.	1	0.00	-	1.00	0.00	0	0	0	0	0	0	0	0	0	0	0	0
30	SLS_C3	SLS - C3 bez dynam	Q	0		-76	15	-457	0	-184	10	1.00	vyp.	1	0.00	-	1.00	0.00	0	0	0	0	0	0	0	0	0	0	0	0
		CELKEM - FÁZE PRŮŘEZU 0				-141	37	-884	0	-235	6								-884	0	-237	0	-237	0	6	7				
		CELKEM - FÁZE PRŮŘEZU 1				0	0	0	0	0	0								0	0	0	0	0	0	0	0	0	0	0	0
		CELKEM - FÁZE PRŮŘEZU 2				0	0	0	0	0	0								0	0	0	0	0	0	0	0	0	0	0	0
		CELKEM - FÁZE PRŮŘEZU 3				0	0	0	0	0	0								0	0	0	0	0	0	0	0	0	0	0	0
		CELKEM - PRŮŘEZ				-141	37	-884	0	-235	6								-884	0	-237									

Napětí od jednotlivých zatěžovacích stavů

SKUPINA ZATĚŽOVACÍCH STAVŮ						Posouzení normálového napětí										Posouzení smykového napětí													
						Účinek síly N			Účinek momentu My				Účinek momentu Mz					Účinek ktoutícího momentu Mx				Účinek smykové síly Vy				Účinek smykové síly Vz			
Č.	SKUP ZS	Popis ZS	Kat.	fáze prúř.		δ^*N_d [kN]	χ^*A [mm^2]	σ_n [MPa]	$\delta^*M_{y,d}$ [kNm]	$\chi_{lt}{}^*W_{el,y}$ [mm^3]	σ_{my} [MPa]		$\delta^*M_{z,d}$ [kNm]	$W_{el,z}$ [mm^3]	σ_{mz} [MPa]	σ_x [MPa]		$\kappa^*\delta^*M_{x,d}$ [kNm]	$W_{v,y}$ [mm^3]	$\tau_{x,y}$ [MPa]	$W_{v,z}$ [mm^3]	$\tau_{x,z}$ [MPa]		$\delta^*V_{y,d}$ [kN]	$A_{v,y}$ [mm2]	$\tau_{v,y}$ [MPa]	$\tau_{v,y}$ [MPa]		$\delta^*V_{z,d}$ [kN]	$A_{v,z}$ [mm2]	$\tau_{v,z}$ [MPa]	$\tau_{v,z}$ [MPa]
1	G0	Vlastní tíha OK	G	0		-1.8	2.68E+04	-0.1	23.5	9.17E+06	2.6		-10.9	-1.86E+07	0.6	3.1		-9.1E-02	-	-	-	-		19.7	1.24E+04	1.6	1.6		-29.6	1.08E+04	-2.7	-2.7
2	G1	Ostatní stálé - mostní vybavení	G	0		-0.6	2.68E+04	0.0	2.0	9.17E+06	0.2		-0.8	-1.86E+07	0.0	0.2		-1.1E-02	-	-	-	-		1.5	1.24E+04	0.1	0.1		-3.1	1.08E+04	-0.3	-0.3
3	G2	Ostatní stálé - cizí zařízení	G	0		1.0	2.68E+04	0.0	-0.8	9.17E+06	-0.1		-0.7	-1.86E+07	0.0	0.0		0.0E+00	-	-	-	-		1.2	1.24E+04	0.1	0.1		-1.5	1.08E+04	-0.1	-0.1
4	P1_71	a.LM71 - kolej 1 (bez dyn. souč.)	P	0		0.0	2.68E+04	0.0	0.0	9.17E+06	0.0		0.0	-1.86E+07	0.0	0.0		0.0E+00	-	-	-	-		0.0	1.24E+04	0.0	0.0		0.0	1.08E+04	0.0	0.0
5	P2_71	a.LM71 - kolej 2 (bez dyn. souč.)	P	0		0.0	2.68E+04	0.0	0.0	9.17E+06	0.0		0.0	-1.86E+07	0.0	0.0		0.0E+00	-	-	-	-		0.0	1.24E+04	0.0	0.0		0.0	1.08E+04	0.0	0.0
6	P1_C3	TTZ C3 - kolej 1 (bez dyn. souč.)	P	0		-43.6	2.68E+04	-1.6	-15.4	9.17E+06	-1.7		0.4	-1.86E+07	0.0	-3.3		0.0E+00	-	-	-	-		-0.4	1.24E+04	0.0	0.0		-178.5	1.08E+04	-16.5	-16.5
7	P2_C3	TTZ C3 - kolej 2 (bez dyn. souč.)	P	0		-40.8	2.68E+04	-1.5	181.4	9.17E+06	19.8		-11.0	-1.86E+07	0.6	18.8		-4.4E-02	-	-	-	-		36.9	1.24E+04	3.0	3.0		-512.2	1.08E+04	-47.4	-47.4
8	BR	Brzdné a rozjezdové síly	P	0		15.2	2.68E+04	0.6	3.7	9.17E+06	0.4		15.5	-1.86E+07	-0.8	0.1		-2.9E-02	-	-	-	-		-17.1	1.24E+04	-1.4	-1.4		-1.8	1.08E+04	-0.2	-0.2
9	S	Boční ráz	P	0		-8.0	2.68E+04	-0.3	-23.1	9.17E+06	-2.5		2.3	-1.86E+07	-0.1	-2.9		8.3E-03	-	-	-	-		-1.4	1.24E+04	-0.1	-0.1		-8.9	1.08E+04	-0.8	-0.8
10	CH	Chodci na lávkách	Q	0		0.0	2.68E+04	0.0	0.0	9.17E+06	0.0		0.0	-1.86E+07	0.0	0.0		0.0E+00	-	-	-	-		0.0	1.24E+04	0.0	0.0		0.0	1.08E+04	0.0	0.0
11	W	Vítr na konstrukci	Q	0		-16.0	2.68E+04	-0.6	-187.5	9.17E+06	-20.4		4.6	-1.86E+07	-0.2	-21.3		0.0E+00	-	-	-	-		-1.6	1.24E+04	-0.1	-0.1		-64.3	1.08E+04	-5.9	-5.9
12	WP	Vítr na vozidla	Q	0		-43.9	2.68E+04	-1.6	-110.6	9.17E+06	-12.1		8.6	-1.86E+07	-0.5	-14.2		1.0E-02	-	-	-	-		-3.7	1.24E+04	-0.3	-0.3		-51.9	1.08E+04	-4.8	-4.8
13	TR	Teplota rovnoměrná	Q	0		0.0	2.68E+04	0.0	0.0	9.17E+06	0.0		0.0	-1.86E+07	0.0	0.0		0.0E+00	-	-	-	-		0.0	1.24E+04	0.0	0.0		0.0	1.08E+04	0.0	0.0
14	TN	Teplota nerovnoměrná	Q	0		2.2	2.68E+04	0.1	-69.3	9.17E+06	-7.6		-0.2	-1.86E+07	0.0	-7.5		8.1E-03	-	-	-	-		-0.5	1.24E+04	0.0	0.0		-18.9	1.08E+04	-1.7	-1.7
15	FR	Třecí síly v ložiskách	Q	0		-4.0	2.68E+04	-0.1	-1.0	9.17E+06	-0.1		-1.3	-1.86E+07	0.1	-0.2		1.2E-02	-	-	-	-		2.3	1.24E+04	0.2	0.2		0.0	1.08E+04	0.0	0.0
16	I	Imperfekce soustavy	Q	0		-0.9	2.68E+04	0.0	-39.8	9.17E+06	-4.3		0.2	-1.86E+07	0.0	-4.4		0.0E+00	-	-	-	-		0.1	1.24E+04	0.0	0.0		-13.3	1.08E+04	-1.2	-1.2
27	ULS_LM	ULS - LM71 bez dynam	Q	0		0.0	2.68E+04	0.0	0.0	9.17E+06	0.0		0.0	-1.86E+07	0.0	0.0		0.0E+00	-	-	-	-		0.0	1.24E+04	0.0	0.0		0.0	1.08E+04	0.0	0.0
28	SLS_LM	SLS - LM71 bez dynam	Q	0		0.0	2.68E+04	0.0	0.0	9.17E+06	0.0		0.0	-1.86E+07	0.0	0.0		0.0E+00	-	-	-	-		0.0	1.24E+04	0.0	0.0		0.0	1.08E+04	0.0	0.0
29	ULS_C3	ULS - C3 bez dynam	Q	0		0.0	2.68E+04	0.0	0.0	9.17E+06	0.0		0.0	-1.86E+07	0.0	0.0		0.0E+00	-	-	-	-		0.0	1.24E+04	0.0	0.0		0.0	1.08E+04	0.0	0.0
30	SLS_C3	SLS - C3 bez dynam	Q	0		0.0	2.68E+04	0.0	0.0	9.17E+06	0.0		0.0	-1.86E+07	0.0	0.0		0.0E+00	-	-	-	-		0.0	1.24E+04	0.0	0.0		0.0	1.08E+04	0.0	0.0
NAVÝŠENÍ NAPĚTÍ DO AKTIVACE TLAKU V DESCE MOSTOVKY					$\sigma_{P,red}$	0.0										0.0				0.0											-81.7	-81.7
NAPĚTÍ OD PRIMÁRNÍCH ÚČINKŮ NEROVNOMĚRNÉHO OTEPLENÍ					σ_T	0.0										0.0																
NAPĚTÍ OD REOLOGICKÝCH ÚČINKŮ BETONU V ČASE				t=0	σ_R	0.0			γ_f=	1.20						0.0																
NAPĚTÍ V KRITICKÝCH VLÁKNECH OD KOMBINACE ZATÍŽENÍ					KZ08				[MPa]						$\Sigma\sigma_x$	-31.4						$\Sigma\tau_y$	3.0						$\Sigma\tau_z$	-81.7
NAPĚTÍ OD POHYBLIVÉHO ZATÍŽENÍ									[MPa]						$\sigma_{x,P}$	12.7						τ_P	1.5						τ_P	-64.9
NAPĚTÍ OD OSTATNÍCH ZATÍŽENÍ									[MPa]			Φ_{Vy}	Φ_{Vz}		$\sigma_{x,rs}$	-44.1						τ_{rs}	1.5						τ_{rs}	-16.9
NÁVRHOVÁ HODNOTA MEZE KLUZU S REDUKCÍ VLIVEM SMYKOVÉHO NAPĚTÍ									[MPa]			1.00	0.87		$f_{yw,d}$	209.1						$f_{yd}/3^{0,5}$	120.7						$f_{yd}/3^{0,5}$	120.7
NAPĚTÍ OD POHYBLIVÉHO ZATÍŽENÍ V GLOBÁLNÍM SYSTÉMU					$\sigma_{GLOB,P}$	0.0			[MPa]						$\Sigma\sigma_{GLOB}$	0.0															
NAPĚTÍ OD OSTATNÍCH ZATÍŽENÍ V GLOBÁLNÍM SYSTÉMU					$\sigma_{GLOB,rs}$	0.0			[MPa]						$\Sigma\sigma_x + \Sigma\sigma_{GLOB}$	-31.4															
VYUŽITÍ PRŮŘEZU DLE NAPĚTÍ									[%]						η_1	0.15						η_3	0.02						η_3	0.68
NAPĚTÍ V PŘÍČNÉM SMĚRU OD POHYBLIVÉHO ZATÍŽENÍ					$\sigma_{z,P}$	0.0			[MPa]						$\Sigma\sigma_z$	0.0															
NAPĚTÍ V PŘÍČNÉM SMĚRU OD OSTATNÍCH ZATÍŽENÍ					$\sigma_{z,rs}$	0.0			[MPa]						η_2	0.00															
SROVNÁVACÍ NAPĚTÍ															$(\eta_2 + 0,8\ \eta_1)/1,4$ =	0.09															
VYUŽITÍ PRŮŘEZU CELKEM									[%]						eff	0.68	VYHOVUJE														
STANOVENÍ ZATÍŽITELNOSTI															Z_{LM71} =	-----															

TAB. P1.1.3 POSOUZENÍ - MEZNÍ STAV ÚNOSNOSTI

POPIS	PŘÍČNÍK P1 - VNĚJŠÍ PODÉLNÍK
PRUT / POLOHA BODU	699 / I[575]
NAMÁHÁNÍ	Mz.min
VLÁKNO	BOD K2 -HP
MEZNÍ STAV	ULS (MSÚ)
VYUŽITÍ VLÁKNA PRŮŘEZU	0.89

Charakteristiky materiálu				
pás. horní	$f_{yf,k}$	230	MPa	
pás. dolní	$f_{yf,k}$	230	MPa	
stojina	$f_{yw,k}$	230	MPa	
výztuž	$f_{ys,k}$	500	MPa	
γ_M =	1.10	γ_s =	1.15	

Excentricita normálové síly				
Exc./Fáze	0	1	2	3
e_y	0.000	0.000	0.000	0.000
e_z	0.000	0.000	0.000	0.000
Ekvivalentní vzdál. stěn - příčný roznos				
b_{ekv}	0.000	0.000	0.000	0.000

Vliv stěny na únosnost průřezu				
Char./Fáze	0	1	2	3
A	0.00	0.00	0.00	0.00
Wy	0.00	0.00	0.00	0.00
Wz	0.00	0.00	0.00	0.00

Charakter. v kroucení			
$t_{w,y}$	0.000	[mm]	
$t_{w,z}$	0.000	[mm]	
κ	1.00		
I_t=	0.00E+00	[mm^4]	
Ω=2*A_{pr}	0.00E+00	[mm^2]	

Součinitele vzpěru a vlivu II.řádu					
Char./Fáze	0	1	2	3	
k_y	1.000	1.000	1.000	1.000	
k_z	1.000	1.000	1.000	1.000	
χ_{LT}	1.000	1.000	1.000	1.000	
χ_{min}	1.000	1.000	1.000	1.000	

δ_{LOK} 1.05

Vnitřní síly od jednotlivých skupin zatěžovacích stavů

SKUPINA ZATĚŽOVACÍCH STAVŮ — CHARAKTERISTICKÉ HODNOTY — DÍLČÍ SOUČINITELÉ ZATÍŽENÍ, DYNAMICKÝ SOUČINITEL — NÁVRHOVÉ HODNOTY

Č.	SKUP ZS	POPIS ZS	KAT.	FÁZE PRŮŘ.	N.k (kN)	Vy.k (kN)	Vz.k (kN)	Mx.k (kNm)	My.k (kNm)	Mz.k (kNm)	γ_{sur} (-)	γ_{fs} (-)	volba γ_{fi} hledat	γ_{fi} (-)	L_d (m)	δ (-)	Ψ_0 KZ07	N.d (kN)	Vy.d (kN)	Vz.d (kN)	ΔVz.d (kN)	ΣVz.d (kN)	Mx.d (kNm)	My.d (kNm)	ΔMy.d (kNm)	ΣMy.d (kNm)	Mz.d (kNm)	ΔMz.d (kNm)	ΣMz.d (kNm)
1	G0	Vlastní tíha OK	G	0	-112	-4	-27	0	21	-13	1.00	1.20		1.20	-	1.00	0.95	-128	-5	-31	0	-31	0	24	0	24	-15	0	-15
2	G1	Ostatní stálé - mostní vybavení	G	0	-8	0	-5	0	4	-1	1.00	1.20		1.20	-	1.00	0.95	-9	0	-6	0	-6	0	4	0	4	-1	0	-1
3	G2	Ostatní stálé - cizí zařízení	G	0	-7	0	-3	0	-5	-1	1.00	1.20		1.20	-	1.00	0.95	-8	0	-3	0	-3	0	-5	0	-5	-1	0	-1
4	P1_71	a.LM71 - kolej 1 (bez dyn. souč.)	P	0	-117	-8	-20	0	27	-15	1.00	vyp.		0.00	-	1.00	0.00	0	0	0	0	0	0	0	0	0	0	0	0
5	P2_71	a.LM71 - kolej 2 (bez dyn. souč.)	P	0	-114	-5	-23	0	50	-16	1.00	vyp.		0.00	-	1.00	0.00	0	0	0	0	0	0	0	0	0	0	0	0
6	P1_C3	TTZ C3 - kolej 1 (bez dyn. souč.)	P	0	-99	-6	-8	0	14	-13	1.00	1.30		1.30	-	1.32	1.00	-168	-10	-13	0	-13	0	24	0	24	-21	4	-17
7	P2_C3	TTZ C3 - kolej 2 (bez dyn. souč.)	P	0	-97	-3	-18	0	49	-13	1.00	1.30		1.30	-	1.32	1.00	-165	-6	-31	0	-31	0	85	0	85	-23	5	-18
8	BR	Brzdné a rozjezdové síly	P	0	-406	-14	-2	0	-74	-47	1.00	1.30		1.30	-	1.00	0.64	-338	-11	-2	0	-2	0	-62	0	-62	-39	0	-39
9	S	Boční ráz	P	0	-12	-5	1	0	1	-4	1.00	1.30		1.30	-	1.00	0.32	-5	-2	1	0	1	0	0	0	0	-2	0	-2
10	CH	Chodci na lávkách	Q	0	-17	-1	0	0	-22	-2	1.00	1.30		1.30	-	1.00	1.00	-23	-1	0	0	0	0	-28	0	-28	-3	0	-3
11	W	Vítr na konstrukci	Q	0	-56	-8	27	0	54	-6	1.00	1.35		1.35	-	1.00	0.75	-57	-8	28	0	28	0	55	0	55	-6	0	-6
12	WP	Vítr na vozidla	Q	0	-52	-14	-4	0	-13	-11	1.00	1.35		1.35	-	1.00	0.75	-53	-14	-4	0	-4	0	-13	0	-13	-11	0	-11
13	TR	Teplota rovnoměrná	Q	0	0	0	0	0	0	0	1.00	1.35		1.35	-	1.00	0.45	0	0	0	0	0	0	0	0	0	0	0	0
14	TN	Teplota nerovnoměrná	Q	0	-6	-1	-1	0	-10	-2	1.00	1.35		1.35	-	1.00	0.60	-5	-1	-1	0	-1	0	-8	0	-8	-2	0	-2
15	FR	Třecí síly v ložiskách	Q	0	-12	0	0	0	-3	-1	1.00	1.20		1.20	-	1.00	1.00	-15	-1	0	0	0	0	-3	0	-3	-2	0	-2
16	I	Imperfekce soustavy	Q	0	-6	0	5	0	12	0	1.00	1.20		1.20	-	1.00	1.00	-7	0	7	0	7	0	15	0	15	0	0	0
27	ULS_LM	ULS - LM71 bez dynam	Q	0	-1 141	-68	-69	0	45	-146	1.00	vyp.		0.00	-	1.00	0.00	0	0	0	0	0	0	0	0	0	0	0	0
28	SLS_LM	SLS - LM71 bez dynam	Q	0	-888	-52	-57	0	43	-112	1.00	vyp.	1	0.00	-	1.00	0.00	0	0	0	0	0	0	0	0	0	0	0	0
29	ULS_C3	ULS - C3 bez dynam	Q	0	-1 094	-64	-46	0	27	-138	1.00	vyp.	1	0.00	-	1.00	0.00	0	0	0	0	0	0	0	0	0	0	0	0
30	SLS_C3	SLS - C3 bez dynam	Q	0	-852	-49	-39	0	29	-106	1.00	vyp.	1	0.00	-	1.00	0.00	0	0	0	0	0	0	0	0	0	0	0	0
		CELKEM - FÁZE PRŮŘEZU 0			-981	-60	-56	0	87	-126	9	-117																	
		CELKEM - FÁZE PRŮŘEZU 1			0	0	0	0	0	0	0	0																	
		CELKEM - FÁZE PRŮŘEZU 2			0	0	0	0	0	0	0	0																	
		CELKEM - FÁZE PRŮŘEZU 3			0	0	0	0	0	0	0	0																	
		CELKEM - PRŮŘEZ			-981	-60	-56	0	-56	0																			

Napětí od jednotlivých zatěžovacích stavů

SKUPINA ZATĚŽOVACÍCH STAVŮ — Posouzení normálového napětí — Posouzení smykového napětí

Č.	SKUP ZS	Popis ZS	Kat.	fáze prúř.	Účinek síly N: δ^*N_d [kN]	χ^*A [mm^2]	σ_n [MPa]	Účinek momentu My: $\delta^*M_{y,d}$ [kNm]	$\chi_{lt}{}^*W_{el,y}$ [mm^3]	σ_{my} [MPa]	Účinek momentu Mz: $\delta^*M_{z,d}$ [kNm]	$W_{el,z}$ [mm^3]	σ_{mz} [MPa]	σ_x [MPa]	Účinek kroutícího momentu Mx: $\kappa^*\delta^*M_{x,d}$ [kNm]	$W_{v,y}$ [mm^2]	$\tau_{x,y}$ [MPa]	$W_{v,z}$ [mm^2]	$\tau_{x,z}$ [MPa]	Účinek smykové síly Vy: $\delta^*V_{y,d}$ [kN]	$A_{v,y}$ [mm2]	$\tau_{v,y}$ [MPa]	$\tau_{v,y}$ [MPa]	Účinek smykové síly Vz: $\delta^*V_{z,d}$ [kN]	$A_{v,z}$ [mm2]	$\tau_{v,z}$ [MPa]	$\tau_{v,z}$ [MPa]
1	G0	Vlastní tíha OK	G	0	-127.8	3.05E+04	-4.2	24.4	-1.20E+07	-2.0	-15.1	7.92E+05	-19.0	-25.2	1.1E-02	-	-	-	-	-4.7	1.53E+04	-0.3	-0.3	-30.6	1.09E+04	-2.8	-2.8
2	G1	Ostatní stálé - mostní vybavení	G	0	-9.5	3.05E+04	-0.3	4.4	-1.20E+07	-0.4	-1.1	7.92E+05	-1.4	-2.1	0.0E+00	-	-	-	-	-0.4	1.53E+04	0.0	0.0	-5.7	1.09E+04	-0.5	-0.5
3	G2	Ostatní stálé - cizí zařízení	G	0	-7.7	3.05E+04	-0.3	-5.4	-1.20E+07	0.5	-1.0	7.92E+05	-1.2	-1.0	0.0E+00	-	-	-	-	-0.3	1.53E+04	0.0	0.0	-3.2	1.09E+04	-0.3	-0.3
4	P1_71	a.LM71 - kolej 1 (bez dyn. souč.)	P	0	0.0	3.05E+04	0.0	0.0	-1.20E+07	0.0	0.0	7.92E+05	0.0	0.0	0.0E+00	-	-	-	-	0.0	1.53E+04	0.0	0.0	0.0	1.09E+04	0.0	0.0
5	P2_71	a.LM71 - kolej 2 (bez dyn. souč.)	P	0	0.0	3.05E+04	0.0	0.0	-1.20E+07	0.0	0.0	7.92E+05	0.0	0.0	0.0E+00	-	-	-	-	0.0	1.53E+04	0.0	0.0	0.0	1.09E+04	0.0	0.0
6	P1_C3	TTZ C3 - kolej 1 (bez dyn. souč.)	P	0	-168.5	3.05E+04	-5.5	24.0	-1.20E+07	-2.0	-17.1	7.92E+05	-21.5	-29.1	-3.4E-02	-	-	-	-	-10.3	1.53E+04	-0.7	-0.7	-12.8	1.09E+04	-1.2	-1.2
7	P2_C3	TTZ C3 - kolej 2 (bez dyn. souč.)	P	0	-165.4	3.05E+04	-5.4	84.6	-1.20E+07	-7.1	-18.2	7.92E+05	-23.0	-35.5	3.4E-02	-	-	-	-	-5.9	1.53E+04	-0.4	-0.4	-30.9	1.09E+04	-2.8	-2.8
8	BR	Brzdné a rozjezdové síly	P	0	-338.1	3.05E+04	-11.1	-61.6	-1.20E+07	5.2	-39.1	7.92E+05	-49.4	-55.3	3.3E-02	-	-	-	-	-11.3	1.53E+04	-0.7	-0.7	-1.6	1.09E+04	-0.1	-0.1
9	S	Boční ráz	P	0	-5.2	3.05E+04	-0.2	0.2	-1.20E+07	0.0	-1.6	7.92E+05	-2.0	-2.2	4.2E-03	-	-	-	-	-2.2	1.53E+04	-0.1	-0.1	0.5	1.09E+04	0.0	0.0
10	CH	Chodci na lávkách	Q	0	-22.7	3.05E+04	-0.7	-28.4	-1.20E+07	2.4	-2.8	7.92E+05	-3.6	-1.9	0.0E+00	-	-	-	-	-1.0	1.53E+04	-0.1	-0.1	-0.2	1.09E+04	0.0	0.0
11	W	Vítr na konstrukci	Q	0	-56.6	3.05E+04	-1.9	55.0	-1.20E+07	-4.6	-6.0	7.92E+05	-7.6	-14.1	1.0E-02	-	-	-	-	-8.1	1.53E+04	-0.5	-0.5	27.8	1.09E+04	2.6	2.6
12	WP	Vítr na vozidla	Q	0	-52.9	3.05E+04	-1.7	-12.7	-1.20E+07	1.1	-11.3	7.92E+05	-14.3	-15.0	2.0E-02	-	-	-	-	-14.4	1.53E+04	-0.9	-0.9	-4.5	1.09E+04	-0.4	-0.4
13	TR	Teplota rovnoměrná	Q	0	0.0	3.05E+04	0.0	0.0	-1.20E+07	0.0	0.0	7.92E+05	0.0	0.0	0.0E+00	-	-	-	-	0.0	1.53E+04	0.0	0.0	0.0	1.09E+04	0.0	0.0
14	TN	Teplota nerovnoměrná	Q	0	-5.1	3.05E+04	-0.2	-8.3	-1.20E+07	0.7	-1.6	7.92E+05	-2.0	-1.5	0.0E+00	-	-	-	-	-0.8	1.53E+04	0.0	0.0	-1.0	1.09E+04	-0.1	-0.1
15	FR	Třecí síly v ložiskách	Q	0	-14.8	3.05E+04	-0.5	-3.1	-1.20E+07	0.3	-1.7	7.92E+05	-2.2	-2.4	0.0E+00	-	-	-	-	-0.6	1.53E+04	0.0	0.0	0.1	1.09E+04	0.0	0.0
16	I	Imperfekce soustavy	Q	0	-7.0	3.05E+04	-0.2	14.6	-1.20E+07	-1.2	-0.2	7.92E+05	-0.3	-1.7	0.0E+00	-	-	-	-	-0.5	1.53E+04	0.0	0.0	6.5	1.09E+04	0.6	0.6
27	ULS_LM	ULS - LM71 bez dynam	Q	0	0.0	3.05E+04	0.0	0.0	-1.20E+07	0.0	0.0	7.92E+05	0.0	0.0	0.0E+00	-	-	-	-	0.0	1.53E+04	0.0	0.0	0.0	1.09E+04	0.0	0.0
28	SLS_LM	SLS - LM71 bez dynam	Q	0	0.0	3.05E+04	0.0	0.0	-1.20E+07	0.0	0.0	7.92E+05	0.0	0.0	0.0E+00	-	-	-	-	0.0	1.53E+04	0.0	0.0	0.0	1.09E+04	0.0	0.0
29	ULS_C3	ULS - C3 bez dynam	Q	0	0.0	3.05E+04	0.0	0.0	-1.20E+07	0.0	0.0	7.92E+05	0.0	0.0	0.0E+00	-	-	-	-	0.0	1.53E+04	0.0	0.0	0.0	1.09E+04	0.0	0.0
30	SLS_C3	SLS - C3 bez dynam	Q	0	0.0	3.05E+04	0.0	0.0	-1.20E+07	0.0	0.0	7.92E+05	0.0	0.0	0.0E+00	-	-	-	-	0.0	1.53E+04	0.0	0.0	0.0	1.09E+04	0.0	0.0
		NAVÝŠENÍ NAPĚTÍ DO AKTIVACE TLAKU V DESCE MOSTOVKY				$\sigma_{P,red}$	0.0							0.0			0.0		0.0			-4.0	-4.0			-5.1	-5.1
		NAPĚTÍ OD PRIMÁRNÍCH ÚČINKŮ NEROVNOMĚRNÉHO OTEPLENÍ				σ_T	0.0							0.0													
		NAPĚTÍ OD REOLOGICKÝCH ÚČINKŮ BETONU V ČASE		t=0		σ_R	0.0	γ=	1.20					0.0													
		NAPĚTÍ V KRITICKÝCH VLÁKNECH OD KOMBINACE ZATÍŽENÍ				KZ07		[MPa]					$\Sigma\sigma_x$	-187.0								$\Sigma\tau_y$	-4.0			$\Sigma\tau_z$	-5.1
		NAPĚTÍ OD POHYBLIVÉHO ZATÍŽENÍ						[MPa]					$\sigma_{x,P}$	-122.1									-1.9			τ_P	-4.1
		NAPĚTÍ OD OSTATNÍCH ZATÍŽENÍ						[MPa]			Φ_{Vy}	Φ_{Vz}	$\sigma_{x,rs}$	-65.0								τ_{rs}	-2.0			τ_{rs}	-1.0
		NÁVRHOVÁ HODNOTA MEZE KLUZU S REDUKCÍ VLIVEM SMYKOVÉHO NAPĚTÍ						[MPa]			1.00	1.00	$f_{yv,d}$	209.1								$f_{yd}/3^{0,5}$	120.7			$f_{yd}/3^{0,5}$	120.7
		NAPĚTÍ OD POHYBLIVÉHO ZATÍŽENÍ V GLOBÁLNÍM SYSTÉMU				$\sigma_{GLOB,P}$	0.0	[MPa]					$\Sigma\sigma_{GLOB}$	0.0													
		NAPĚTÍ OD OSTATNÍCH ZATÍŽENÍ V GLOBÁLNÍM SYSTÉMU				$\sigma_{GLOB,rs}$	0.0	[MPa]					$\Sigma\sigma_x + \Sigma\sigma_{GLOB}$	-187.0													
		VYUŽITÍ PRŮŘEZU DLE NAPĚTÍ						[%]					η_1	0.89								η_3	0.03			η_3	0.04
		NAPĚTÍ V PŘÍČNÉM SMĚRU OD POHYBLIVÉHO ZATÍŽENÍ				$\sigma_{z,P}$	0.0	[MPa]					$\Sigma\sigma_z$	0.0													
		NAPĚTÍ V PŘÍČNÉM SMĚRU OD OSTATNÍCH ZATÍŽENÍ				$\sigma_{z,rs}$	0.0	[MPa]					η_2	0.00													
		SROVNÁVACÍ NAPĚTÍ											$(\eta_2 + 0,8\ \eta_1)/1,4$ =	0.51													
		VYUŽITÍ PRŮŘEZU CELKEM						[%]					eff	0.89	VYHOVUJE												
		STANOVENÍ ZATÍŽITELNOSTI											Z_{LM71} =	-----													

TAB. P1.1.3 POSOUZENÍ - MEZNÍ STAV ÚNOSNOSTI

POPIS	PŘÍČNÍK P1 - VNĚJŠÍ PODÉLNÍK
PRUT / POLOHA BODU	699 / I[575]
NAMÁHÁNÍ	My.min
VLÁKNO	BOD K4 -SP
MEZNÍ STAV	ULS (MSÚ)
VYUŽITÍ VLÁKNA PRŮŘEZU	0.86

Charakteristiky materiálu				
pás. horní	$f_{yf,k}$	230	MPa	
pás. dolní	$f_{yf,k}$	230	MPa	
stojina	$f_{yw,k}$	230	MPa	
výztuž	$f_{ys,k}$	500	MPa	
γ_M =	1.10	γ_s =	1.15	

Excentricita normálové síly				
Exc./Fáze	0	1	2	3
e_y	0.000	0.000	0.000	0.000
e_z	0.000	0.000	0.000	0.000
Ekvivalentní vzdál. stěn - příčný roznos				
b_{Mx}	0.000	0.000	0.000	0.000

Vliv stěny na únosnost průřezu				
Char./Fáze	0	1	2	3
A	0.00	0.00	0.00	0.00
Wy	0.00	0.00	0.00	0.00
Wz	0.00	0.00	0.00	0.00

Charakter. v kroucení			
$t_{w,y}$	0.000	[mm]	
$t_{w,z}$	0.000	[mm]	
κ	1.00		
I_t=	0.00E+00	[mm^4]	
Ω=2*A_{pr}	0.00E+00	[mm^2]	

Součinitele vzpěru a vlivu II.řádu					
Char./Fáze	0	1	2	3	
k_y	1.000	1.000	1.000	1.000	
k_z	1.000	1.000	1.000	1.000	
χ_{LT}	1.000	1.000	1.000	1.000	
χ_{min}	1.000	1.000	1.000	1.000	

δ_{LOK} = 1.05

Vnitřní síly od jednotlivých skupin zatěžovacích stavů

SKUPINA ZATĚŽOVACÍCH STAVŮ — 7

Č.	SKUP ZS	POPIS ZS	KAT.	FÁZE PRŮŘ.	- CHARAKTERISTICKÉ HODNOTY N.k (kN)	Vy.k (kN)	Vz.k (kN)	Mx.k (kNm)	My.k (kNm)	Mz.k (kNm)	DÍLČÍ SOUČINITELÉ ZATÍŽENÍ, DYNAMICKÝ SOUČINITEL γ_{sr} (-)	γ_{sl} (-)	volba γ_s hledat	γ_s (-)	L_d (m)	δ (-)	γ_F KZ07	- NÁVRHOVÉ HODNOTY N.d (kN)	Vy.d (kN)	Vz.d (kN)	ΔVz.d (kN)	ΣVz.d (kN)	Mx.d (kNm)	My.d (kNm)	ΔMy.d (kNm)	ΣMy.d (kNm)	Mz.d (kNm)	ΔMz.d (kNm)	ΣMz.d (kNm)
1	G0	Vlastní tíha OK	G	0	-112	-4	-27	0	21	-13	1.00	1.20		1.20	-	1.00	0.95	-128	-5	-31	0	-31	0	24	0	24	-15	0	-15
2	G1	Ostatní stálé - mostní vybavení	G	0	-8	0	-5	0	4	-1	1.00	1.20		1.20	-	1.00	0.95	-9	0	-6	0	-6	0	4	0	4	-1	0	-1
3	G2	Ostatní stálé - cizí zařízení	G	0	-7	0	-3	0	-5	-1	1.00	1.20		1.20	-	1.00	0.95	-8	0	-3	0	-3	0	-5	0	-5	-1	0	-1
4	P1_71	a.LM71 - kolej 1 (bez dyn. souč.)	P	0	-117	-6	7	0	-9	-14	1.00	vyp.		0.00	-	1.00	0.00	0	0	0	0	0	0	0	0	0	0	0	0
5	P2_71	a.LM71 - kolej 2 (bez dyn. souč.)	P	0	-104	-3	-2	0	-32	-13	1.00	vyp.		0.00	-	1.00	0.00	0	0	0	0	0	0	0	0	0	0	0	0
6	P1_C3	TTZ C3 - kolej 1 (bez dyn. souč.)	P	0	-96	-5	6	0	-6	-11	1.00	1.30		1.30	-	1.32	1.00	-164	-8	9	0	9	0	-11	0	-11	-19	4	-15
7	P2_C3	TTZ C3 - kolej 2 (bez dyn. souč.)	P	0	-94	-3	-2	0	-29	-12	1.00	1.30		1.30	-	1.32	1.00	-160	-5	-3	0	-3	0	-49	0	-49	-20	4	-16
8	BR	Brzdné a rozjezdové síly	P	0	-406	-14	-2	0	-74	-47	1.00	1.30		1.30	-	1.00	0.64	-338	-11	-2	0	-2	0	-62	0	-62	-39	0	-39
9	S	Boční ráz	P	0	-18	-3	7	0	-13	-1	1.00	1.30		1.30	-	1.00	0.32	-8	-1	3	0	3	0	-5	0	-5	0	0	0
10	CH	Chodci na lávkách	Q	0	-17	-1	0	0	-22	-2	1.00	1.30		1.30	-	1.00	1.00	-23	-1	0	0	0	0	-28	0	-28	-3	0	-3
11	W	Vítr na konstrukci	Q	0	54	8	-27	0	-54	6	1.00	-1.35		-1.35	-	1.00	0.75	-54	-8	28	0	28	0	55	0	55	-6	0	-6
12	WP	Vítr na vozidla	Q	0	-52	-14	-4	0	-13	-11	1.00	1.35		1.35	-	1.00	0.75	-53	-14	-4	0	-4	0	-13	0	-13	-11	0	-11
13	TR	Teplota rovnoměrná	Q	0	0	0	0	0	0	0	1.00	1.35		1.35	-	1.00	0.45	0	0	0	0	0	0	0	0	0	0	0	0
14	TN	Teplota nerovnoměrná	Q	0	0	0	-3	0	-12	0	1.00	1.35		1.35	-	1.00	0.60	0	0	-2	0	-2	0	-10	0	-10	0	0	0
15	FR	Třecí síly v ložiskách	Q	0	-12	0	0	0	-3	-1	1.00	1.20		1.20	-	1.00	1.00	-15	-1	0	0	0	0	-3	0	-3	-2	0	-2
16	I	Imperfekce soustavy	Q	0	6	0	-5	0	-12	0	1.00	1.20		1.20	-	1.00	1.00	7	0	-7	0	-7	0	-15	0	-15	0	0	0
27	ULS_LM	ULS - LM71 bez dynam	Q	0	-1 001	-44	-71	0	-259	-123	1.00	vyp.		0.00	-	1.00	0.00	0	0	0	0	0	0	0	0	0	0	0	0
28	SLS_LM	SLS - LM71 bez dynam	Q	0	-786	-34	-57	0	-188	-96	1.00	vyp.	1	0.00	-	1.00	0.00	0	0	0	0	0	0	0	0	0	0	0	0
29	ULS_C3	ULS - C3 bez dynam	Q	0	-961	-42	-73	0	-250	-118	1.00	vyp.	1	0.00	-	1.00	0.00	0	0	0	0	0	0	0	0	0	0	0	0
30	SLS_C3	SLS - C3 bez dynam	Q	0	-755	-33	-58	0	-182	-93	1.00	vyp.	1	0.00	-	1.00	0.00	0	0	0	0	0	0	0	0	0	0	0	0
		CELKEM - FÁZE PRŮŘEZU 0																-952	-55	-17	0	-17	0	-117	0	-117	-117	8	-109
		CELKEM - FÁZE PRŮŘEZU 1																0	0	0	0	0	0	0	0	0	0	0	0
		CELKEM - FÁZE PRŮŘEZU 2																0	0	0	0	0	0	0	0	0	0	0	0
		CELKEM - FÁZE PRŮŘEZU 3																0	0	0	0	0	0	0	0	0	0	0	0
		CELKEM - PRŮŘEZ																-952	-55	-17	0	-17	0			-117			-109

Napětí od jednotlivých zatěžovacích stavů

SKUPINA ZATĚŽOVACÍCH STAVŮ

Č.	SKUP ZS	Popis ZS	Kat.	fáze prúř.	Posouzení normálového napětí — Účinek síly N δ^*N_d [kN]	χ^*A [mm^2]	σ_n [MPa]	Účinek momentu My $\delta^*M_{y,d}$ [kNm]	$\chi_{lt}{}^*W_{el,y}$ [mm^3]	σ_{my} [MPa]	Účinek momentu Mz $\delta^*M_{z,d}$ [kNm]	$W_{el,z}$ [mm^3]	σ_{mz} [MPa]	σ_x [MPa]	Posouzení smykového napětí — Účinek kroutícího momentu Mx $\kappa^*\delta^*M_{x,d}$ [kNm]	$W_{v,y}$ [mm^2]	$\tau_{x,y}$ [MPa]	$W_{v,z}$ [mm^2]	$\tau_{x,z}$ [MPa]	Účinek smykové síly Vy $\delta^*V_{y,d}$ [kN]	$A_{v,y}$ [mm2]	$\tau_{v,y}$ [MPa]	$\tau_{v,y}$ [MPa]	Účinek smykové síly Vz $\delta^*V_{z,d}$ [kN]	$A_{v,z}$ [mm2]	$\tau_{v,z}$ [MPa]	$\tau_{v,z}$ [MPa]
1	G0	Vlastní tíha OK	G	0	-127.8	3.05E+04	-4.2	24.4	1.04E+07	2.4	-15.1	7.92E+05	-19.0	-20.9	1.1E-02	-	-	-	-	-4.7	1.53E+04	-0.3	-0.3	-30.6	1.09E+04	-2.8	-2.8
2	G1	Ostatní stálé - mostní vybavení	G	0	-9.5	3.05E+04	-0.3	4.4	1.04E+07	0.4	-1.1	7.92E+05	-1.4	-1.3	0.0E+00	-	-	-	-	-0.4	1.53E+04	0.0	0.0	-5.7	1.09E+04	-0.5	-0.5
3	G2	Ostatní stálé - cizí zařízení	G	0	-7.7	3.05E+04	-0.3	-5.4	1.04E+07	-0.5	-1.0	7.92E+05	-1.2	-2.0	0.0E+00	-	-	-	-	-0.3	1.53E+04	0.0	0.0	-3.2	1.09E+04	-0.3	-0.3
4	P1_71	a.LM71 - kolej 1 (bez dyn. souč.)	P	0	0.0	3.05E+04	0.0	0.0	1.04E+07	0.0	0.0	7.92E+05	0.0	0.0	0.0E+00	-	-	-	-	0.0	1.53E+04	0.0	0.0	0.0	1.09E+04	0.0	0.0
5	P2_71	a.LM71 - kolej 2 (bez dyn. souč.)	P	0	0.0	3.05E+04	0.0	0.0	1.04E+07	0.0	0.0	7.92E+05	0.0	0.0	0.0E+00	-	-	-	-	0.0	1.53E+04	0.0	0.0	0.0	1.09E+04	0.0	0.0
6	P1_C3	TTZ C3 - kolej 1 (bez dyn. souč.)	P	0	-164.2	3.05E+04	-5.4	-10.9	1.04E+07	-1.1	-15.2	7.92E+05	-19.1	-25.6	0.0E+00	-	-	-	-	-8.4	1.53E+04	-0.6	-0.6	9.4	1.09E+04	0.9	0.9
7	P2_C3	TTZ C3 - kolej 2 (bez dyn. souč.)	P	0	-160.0	3.05E+04	-5.3	-48.8	1.04E+07	-4.7	-15.7	7.92E+05	-19.8	-29.8	5.1E-02	-	-	-	-	-4.7	1.53E+04	-0.3	-0.3	-2.6	1.09E+04	-0.2	-0.2
8	BR	Brzdné a rozjezdové síly	P	0	-338.1	3.05E+04	-11.1	-61.6	1.04E+07	-6.0	-39.1	7.92E+05	-49.4	-66.4	3.3E-02	-	-	-	-	-11.3	1.53E+04	-0.7	-0.7	-1.6	1.09E+04	-0.1	-0.1
9	S	Boční ráz	P	0	-7.6	3.05E+04	-0.2	-5.2	1.04E+07	-0.5	-0.5	7.92E+05	-0.6	-1.4	8.3E-03	-	-	-	-	-1.1	1.53E+04	-0.1	-0.1	3.0	1.09E+04	0.3	0.3
10	CH	Chodci na lávkách	Q	0	-22.7	3.05E+04	-0.7	-28.4	1.04E+07	-2.7	-2.8	7.92E+05	-3.6	-7.0	0.0E+00	-	-	-	-	-1.0	1.53E+04	-0.1	-0.1	-0.2	1.09E+04	0.0	0.0
11	W	Vítr na konstrukci	Q	0	-54.3	3.05E+04	-1.8	55.0	1.04E+07	5.3	-6.0	7.92E+05	-7.6	-4.1	1.0E-02	-	-	-	-	-8.1	1.53E+04	-0.5	-0.5	27.8	1.09E+04	2.5	2.5
12	WP	Vítr na vozidla	Q	0	-52.9	3.05E+04	-1.7	-12.7	1.04E+07	-1.2	-11.3	7.92E+05	-14.3	-17.2	2.0E-02	-	-	-	-	-14.4	1.53E+04	-0.9	-0.9	-4.5	1.09E+04	-0.4	-0.4
13	TR	Teplota rovnoměrná	Q	0	0.0	3.05E+04	0.0	0.0	1.04E+07	0.0	0.0	7.92E+05	0.0	0.0	0.0E+00	-	-	-	-	0.0	1.53E+04	0.0	0.0	0.0	1.09E+04	0.0	0.0
14	TN	Teplota nerovnoměrná	Q	0	0.0	3.05E+04	0.0	-9.9	1.04E+07	-1.0	-0.1	7.92E+05	-0.1	-1.1	1.6E-02	-	-	-	-	-0.1	1.53E+04	0.0	0.0	-2.2	1.09E+04	-0.2	-0.2
15	FR	Třecí síly v ložiskách	Q	0	-14.8	3.05E+04	-0.5	-3.1	1.04E+07	-0.3	-1.7	7.92E+05	-2.2	-3.0	0.0E+00	-	-	-	-	-0.6	1.53E+04	0.0	0.0	0.1	1.09E+04	0.0	0.0
16	I	Imperfekce soustavy	Q	0	7.0	3.05E+04	0.2	-14.6	1.04E+07	-1.4	0.2	7.92E+05	0.3	-0.9	0.0E+00	-	-	-	-	0.5	1.53E+04	0.0	0.0	-6.5	1.09E+04	-0.6	-0.6
27	ULS_LM	ULS - LM71 bez dynam	Q	0	0.0	3.05E+04	0.0	0.0	1.04E+07	0.0	0.0	7.92E+05	0.0	0.0	0.0E+00	-	-	-	-	0.0	1.53E+04	0.0	0.0	0.0	1.09E+04	0.0	0.0
28	SLS_LM	SLS - LM71 bez dynam	Q	0	0.0	3.05E+04	0.0	0.0	1.04E+07	0.0	0.0	7.92E+05	0.0	0.0	0.0E+00	-	-	-	-	0.0	1.53E+04	0.0	0.0	0.0	1.09E+04	0.0	0.0
29	ULS_C3	ULS - C3 bez dynam	Q	0	0.0	3.05E+04	0.0	0.0	1.04E+07	0.0	0.0	7.92E+05	0.0	0.0	0.0E+00	-	-	-	-	0.0	1.53E+04	0.0	0.0	0.0	1.09E+04	0.0	0.0
30	SLS_C3	SLS - C3 bez dynam	Q	0	0.0	3.05E+04	0.0	0.0	1.04E+07	0.0	0.0	7.92E+05	0.0	0.0	0.0E+00	-	-	-	-	0.0	1.53E+04	0.0	0.0	0.0	1.09E+04	0.0	0.0
NAVÝŠENÍ NAPĚTÍ DO AKTIVACE TLAKU V DESCE MOSTOVKY						$\sigma_{P,red}$	0.0							0.0				0.0		0.0			-3.6	-3.6			-1.5	-1.5
NAPĚTÍ OD PRIMÁRNÍCH ÚČINKŮ NEROVNOMĚRNÉHO OTEPLENÍ						σ_T	0.0							0.0														
NAPĚTÍ OD REOLOGICKÝCH ÚČINKŮ BETONU V ČASE			t=0			σ_R	0.0	γ_F=	1.20					0.0														
NAPĚTÍ V KRITICKÝCH VLÁKNECH OD KOMBINACE ZATÍŽENÍ						KZ07		[MPa]					$\Sigma\sigma_x$	-180.6								$\Sigma\tau_y$	-3.6				$\Sigma\tau_z$	-1.5
NAPĚTÍ OD POHYBLIVÉHO ZATÍŽENÍ								[MPa]					$\sigma_{x,P}$	-123.2								τ_P	-1.7				τ_P	0.7
NAPĚTÍ OD OSTATNÍCH ZATÍŽENÍ								[MPa]			Φ_{vy}	Φ_{vz}	$\sigma_{x,rs}$	-57.5								τ_{rs}	-1.9				τ_{rs}	-2.3
NÁVRHOVÁ HODNOTA MEZE KLUZU S REDUKCÍ VLIVEM SMYKOVÉHO NAPĚTÍ								[MPa]			1.00	1.00	$f_{yv,d}$	209.1								$f_{yd}/3^{0,5}$	120.7				$f_{yd}/3^{0,5}$	120.7
NAPĚTÍ OD POHYBLIVÉHO ZATÍŽENÍ V GLOBÁLNÍM SYSTÉMU						$\sigma_{GLOB,P}$	0.0	[MPa]					$\Sigma\sigma_{GLOB}$	0.0														
NAPĚTÍ OD OSTATNÍCH ZATÍŽENÍ V GLOBÁLNÍM SYSTÉMU						$\sigma_{GLOB,rs}$	0.0	[MPa]					$\Sigma\sigma_x + \Sigma\sigma_{GLOB}$	-180.6														
VYUŽITÍ PRŮŘEZU DLE NAPĚTÍ								[%]					η_1	0.86								η_3	0.03				η_3	0.01
NAPĚTÍ V PŘÍČNÉM SMĚRU OD POHYBLIVÉHO ZATÍŽENÍ						$\sigma_{z,P}$	0.0	[MPa]					$\Sigma\sigma_z$	0.0														
NAPĚTÍ V PŘÍČNÉM SMĚRU OD OSTATNÍCH ZATÍŽENÍ						$\sigma_{z,rs}$	0.0	[MPa]					η_2	0.00														
SROVNÁVACÍ NAPĚTÍ													$(\eta 2 + 0{,}8\ \eta 1)/1{,}4$ =	0.49														
VYUŽITÍ PRŮŘEZU CELKEM								[%]					eff	0.86	VYHOVUJE													
STANOVENÍ ZATÍŽITELNOSTI													Z_{LM71} =	-----														

TAB. P1.1.3 POSOUZENÍ - MEZNÍ STAV ÚNOSNOSTI

POPIS	PŘÍČNÍK P1 - VNĚJŠÍ PODÉLNÍK
PRUT / POLOHA BODU	699 / I[575]
NAMÁHÁNÍ	Vz.min
VLÁKNO	BOD S5 -HL
MEZNÍ STAV	ULS (MSÚ)
VYUŽITÍ VLÁKNA PRŮŘEZU	0.30

Charakteristiky materiálu				
pás. horní	$f_{yf,k}$	230	MPa	
pás. dolní	$f_{yf,k}$	230	MPa	
stojina	$f_{yw,k}$	230	MPa	
výztuž	$f_{ys,k}$	500	MPa	
γ_M =	1.10	γ_s =	1.15	

Excentricita normálové síly				
Exc./Fáze	0	1	2	3
e_y	0.000	0.000	0.000	0.000
e_z	0.000	0.000	0.000	0.000
Ekvivalentní vzdál. stěn - příčný roznos				
b_{Mx}	0.000	0.000	0.000	0.000

Vliv stěny na únosnost průřezu				
Char./Fáze	0	1	2	3
A	0.00	0.00	0.00	0.00
Wy	0.00	0.00	0.00	0.00
Wz	0.00	0.00	0.00	0.00

Charakter. v kroucení			
$t_{w,y}$	0.000	[mm]	
$t_{w,z}$	0.000	[mm]	
κ	1.00		
I_t=	0.00E+00	[mm^4]	
$\Omega=2*A_{pr}$	0.00E+00	[mm^2]	

Součinitele vzpěru a vlivu II.řádu				
Char./Fáze	0	1	2	3
k_y	1.000	1.000	1.000	1.000
k_z	1.000	1.000	1.000	1.000
χ_{LT}	1.000	1.000	1.000	1.000
χ_{min}	1.000	1.000	1.000	1.000

8

δ_{LOK} 1.05

Vnitřní síly od jednotlivých skupin zatěžovacích stavů

SKUPINA ZATĚŽOVACÍCH STAVŮ					- CHARAKTERISTICKÉ HODNOTY						DÍLČÍ SOUČINITELÉ ZATÍŽENÍ, DYNAMICKÝ SOUČINITEL							- NÁVRHOVÉ HODNOTY									
Č.	SKUP ZS	POPIS ZS	KAT.	FÁZE PRŮŘ.	N.k (kN)	Vy.k (kN)	Vz.k (kN)	Mx.k (kNm)	My.k (kNm)	Mz.k (kNm)	γ_{sr} (-)	γ_{fs} (-)	volba γ_f hledat	γ_f (-)	L_d (m)	δ (-)	Ψ_s KZ08	N.d (kN)	Vy.d (kN)	Vz.d (kN)	ΔVz.d (kN)	ΣVz.d (kN)	Mx.d (kNm)	My.d (kNm)	ΔMy.d (kNm)	ΣMy.d (kNm)	Mz.d (kNm)	ΔMz.d (kNm)	ΣMz.d (kNm)
1	G0	Vlastní tíha OK	G	0	-112	-4	-27	0	21	-13	1.00	1.20		1.20	-	1.00	0.95	-128	-5	-31	0	-31	0	24	0	24	-15	0	-15
2	G1	Ostatní stálé - mostní vybavení	G	0	-8	0	-5	0	4	-1	1.00	1.20		1.20	-	1.00	0.95	-9	0	-6	0	-6	0	4	0	4	-1	0	-1
3	G2	Ostatní stálé - cizí zařízení	G	0	-7	0	-3	0	-5	-1	1.00	1.20		1.20	-	1.00	0.95	-8	0	-3	0	-3	0	-5	0	-5	-1	0	-1
4	P1_71	a.LM71 - kolej 1 (bez dyn. souč.)	P	0	0	0	-163	0	120	-1	1.00	vyp.		0.00	-	1.00	0.00	0	0	0	0	0	0	0	0	0	0	0	0
5	P2_71	a.LM71 - kolej 2 (bez dyn. souč.)	P	0	-93	-1	-149	0	462	-11	1.00	vyp.		0.00	-	1.00	0.00	0	0	0	0	0	0	0	0	0	0	0	0
6	P1_C3	TTZ C3 - kolej 1 (bez dyn. souč.)	P	0	0	0	-93	0	71	-1	1.00	1.30		1.30	-	1.32	1.00	-1	0	-158	0	-158	0	122	0	122	-1	0	-1
7	P2_C3	TTZ C3 - kolej 2 (bez dyn. souč.)	P	0	-83	-2	-87	0	256	-10	1.00	1.30		1.30	-	1.32	1.00	-142	-3	-148	0	-148	0	437	0	437	-17	4	-14
8	BR	Brzdné a rozjezdové síly	P	0	-313	-8	-3	0	-59	-37	1.00	1.30		1.30	-	1.00	0.32	-130	-3	-1	0	-1	0	-24	0	-24	-15	0	-15
9	S	Boční ráz	P	0	12	2	-12	0	8	2	1.00	1.30		1.30	-	1.00	0.64	10	2	-10	0	-10	0	7	0	7	2	0	2
10	CH	Chodci na lávkách	Q	0	-17	-1	0	0	-22	-2	1.00	1.30		1.30	-	1.00	1.00	-23	-1	0	0	0	0	-28	0	-28	-3	0	-3
11	W	Vítr na konstrukci	Q	0	54	8	-27	0	-54	6	1.00	1.35		1.35	-	1.00	0.75	54	8	-28	0	-28	0	-55	0	-55	6	0	6
12	WP	Vítr na vozidla	Q	0	-52	-14	-4	0	-13	-11	1.00	1.35		1.35	-	1.00	0.75	-53	-14	-4	0	-4	0	-13	0	-13	-11	0	-11
13	TR	Teplota rovnoměrná	Q	0	0	0	0	0	0	0	1.00	1.35		1.35	-	1.00	0.45	0	0	0	0	0	0	0	0	0	0	0	0
14	TN	Teplota nerovnoměrná	Q	0	0	0	-3	0	-12	0	1.00	1.35		1.35	-	1.00	0.60	0	0	-2	0	-2	0	-10	0	-10	0	0	0
15	FR	Třecí síly v ložiskách	Q	0	12	0	0	0	3	1	1.00	1.20		1.20	-	1.00	1.00	15	1	0	0	0	0	3	0	3	2	0	2
16	I	Imperfekce soustavy	Q	0	6	0	-5	0	-12	0	1.00	1.20		1.20	-	1.00	1.00	7	0	-7	0	-7	0	-15	0	-15	0	0	0
27	ULS_LM	ULS - LM71 bez dynam	Q	0	-453	-16	-503	0	635	-59	1.00	vyp.		0.00	-	1.00	0.00	0	0	0	0	0	0	0	0	0	0	0	0
28	SLS_LM	SLS - LM71 bez dynam	Q	0	-363	-12	-389	0	500	-47	1.00	vyp.	1	0.00	-	1.00	0.00	0	0	0	0	0	0	0	0	0	0	0	0
29	ULS_C3	ULS - C3 bez dynam	Q	0	-440	-17	-331	0	303	-58	1.00	vyp.	1	0.00	-	1.00	0.00	0	0	0	0	0	0	0	0	0	0	0	0
30	SLS_C3	SLS - C3 bez dynam	Q	0	-353	-13	-257	0	244	-46	1.00	vyp.	1	0.00	-	1.00	0.00	0	0	0	0	0	0	0	0	0	0	0	0
		CELKEM - FÁZE PRŮŘEZU 0																-407	-17	-398	0	-398	0	447	0	447	-55	4	-51
		CELKEM - FÁZE PRŮŘEZU 1																0	0	0	0	0	0	0	0	0	0	0	0
		CELKEM - FÁZE PRŮŘEZU 2																0	0	0	0	0	0	0	0	0	0	0	0
		CELKEM - FÁZE PRŮŘEZU 3																0	0	0	0	0	0	0	0	0	0	0	0
		CELKEM - PRŮŘEZ																-407	-17	-398	0	-398	0			447			-51

Napětí od jednotlivých zatěžovacích stavů

SKUPINA ZATĚŽOVACÍCH STAVŮ					Posouzení normálového napětí										Posouzení smykového napětí													
					Účinek síly N			Účinek momentu My			Účinek momentu Mz				Účinek kroutícího momentu Mx				Účinek smykové síly Vy				Účinek smykové síly Vz			
Č.	SKUP ZS	Popis ZS	Kat.	fáze prúř.	δ^*N_d [kN]	χ^*A [mm^2]	σ_n [MPa]	$\delta^*M_{y,d}$ [kNm]	$\chi_{lt}*W_{el,y}$ [mm^3]	σ_{my} [MPa]	$\delta^*M_{z,d}$ [kNm]	$W_{el,z}$ [mm^3]	σ_{mz} [MPa]	σ_x [MPa]	$\kappa*\delta^*M_{x,d}$ [kNm]	$W_{v,y}$ [mm^2]	$\tau_{x,y}$ [MPa]	$W_{v,z}$ [mm^2]	$\tau_{x,z}$ [MPa]	$\delta^*V_{y,d}$ [kN]	$A_{v,y}$ [mm2]	$\tau_{v,y}$ [MPa]	$\tau_{v,y}$ [MPa]	$\delta^*V_{z,d}$ [kN]	$A_{v,z}$ [mm2]	$\tau_{v,z}$ [MPa]	$\tau_{v,z}$ [MPa]
1	G0	Vlastní tíha OK	G	0	-127.8	3.05E+04	-4.2	24.4	-1.23E+07	-2.0	-15.1	-2.44E+07	0.6	-5.6	1.1E-02	-	-	-	-	-4.7	1.53E+04	-0.3	-0.3	-30.6	1.09E+04	-2.8	-2.8
2	G1	Ostatní stálé - mostní vybavení	G	0	-9.5	3.05E+04	-0.3	4.4	-1.23E+07	-0.4	-1.1	-2.44E+07	0.0	-0.6	0.0E+00	-	-	-	-	-0.4	1.53E+04	0.0	0.0	-5.7	1.09E+04	-0.5	-0.5
3	G2	Ostatní stálé - cizí zařízení	G	0	-7.7	3.05E+04	-0.3	-5.4	-1.23E+07	0.4	-1.0	-2.44E+07	0.0	0.2	0.0E+00	-	-	-	-	-0.3	1.53E+04	0.0	0.0	-3.2	1.09E+04	-0.3	-0.3
4	P1_71	a.LM71 - kolej 1 (bez dyn. souč.)	P	0	0.0	3.05E+04	0.0	0.0	-1.23E+07	0.0	0.0	-2.44E+07	0.0	0.0	0.0E+00	-	-	-	-	0.0	1.53E+04	0.0	0.0	0.0	1.09E+04	0.0	0.0
5	P2_71	a.LM71 - kolej 2 (bez dyn. souč.)	P	0	0.0	3.05E+04	0.0	0.0	-1.23E+07	0.0	0.0	-2.44E+07	0.0	0.0	0.0E+00	-	-	-	-	0.0	1.53E+04	0.0	0.0	0.0	1.09E+04	0.0	0.0
6	P1_C3	TTZ C3 - kolej 1 (bez dyn. souč.)	P	0	-0.5	3.05E+04	0.0	121.7	-1.23E+07	-9.9	-0.8	-2.44E+07	0.0	-9.9	-1.7E-02	-	-	-	-	-0.5	1.53E+04	0.0	0.0	-158.5	1.09E+04	-14.5	-14.5
7	P2_C3	TTZ C3 - kolej 2 (bez dyn. souč.)	P	0	-142.1	3.05E+04	-4.7	437.0	-1.23E+07	-35.5	-13.9	-2.44E+07	0.6	-39.6	3.4E-02	-	-	-	-	-3.2	1.53E+04	-0.2	-0.2	-147.9	1.09E+04	-13.6	-13.6
8	BR	Brzdné a rozjezdové síly	P	0	-130.1	3.05E+04	-4.3	-24.5	-1.23E+07	2.0	-15.3	-2.44E+07	0.6	-1.7	8.3E-03	-	-	-	-	-3.3	1.53E+04	-0.2	-0.2	-1.1	1.09E+04	-0.1	-0.1
9	S	Boční ráz	P	0	10.0	3.05E+04	0.3	6.5	-1.23E+07	-0.5	2.1	-2.44E+07	-0.1	-0.3	1.7E-02	-	-	-	-	2.0	1.53E+04	0.1	0.1	-9.8	1.09E+04	-0.9	-0.9
10	CH	Chodci na lávkách	Q	0	-22.7	3.05E+04	-0.7	-28.4	-1.23E+07	2.3	-2.8	-2.44E+07	0.1	1.7	0.0E+00	-	-	-	-	-1.0	1.53E+04	-0.1	-0.1	-0.2	1.09E+04	0.0	0.0
11	W	Vítr na konstrukci	Q	0	54.3	3.05E+04	1.8	-55.0	-1.23E+07	4.5	6.0	-2.44E+07	-0.2	6.0	-1.0E-02	-	-	-	-	8.1	1.53E+04	0.5	0.5	-27.8	1.09E+04	-2.5	-2.5
12	WP	Vítr na vozidla	Q	0	-52.9	3.05E+04	-1.7	-12.7	-1.23E+07	1.0	-11.3	-2.44E+07	0.5	-0.2	2.0E-02	-	-	-	-	-14.4	1.53E+04	-0.9	-0.9	-4.5	1.09E+04	-0.4	-0.4
13	TR	Teplota rovnoměrná	Q	0	0.0	3.05E+04	0.0	0.0	-1.23E+07	0.0	0.0	-2.44E+07	0.0	0.0	0.0E+00	-	-	-	-	0.0	1.53E+04	0.0	0.0	0.0	1.09E+04	0.0	0.0
14	TN	Teplota nerovnoměrná	Q	0	0.0	3.05E+04	0.0	-9.9	-1.23E+07	0.8	-0.1	-2.44E+07	0.0	0.8	1.6E-02	-	-	-	-	-0.1	1.53E+04	0.0	0.0	-2.2	1.09E+04	-0.2	-0.2
15	FR	Třecí síly v ložiskách	Q	0	14.8	3.05E+04	0.5	3.1	-1.23E+07	-0.3	1.7	-2.44E+07	-0.1	0.2	0.0E+00	-	-	-	-	0.6	1.53E+04	0.0	0.0	-0.1	1.09E+04	0.0	0.0
16	I	Imperfekce soustavy	Q	0	7.0	3.05E+04	0.2	-14.6	-1.23E+07	1.2	0.2	-2.44E+07	0.0	1.4	0.0E+00	-	-	-	-	0.5	1.53E+04	0.0	0.0	-6.5	1.09E+04	-0.6	-0.6
27	ULS_LM	ULS - LM71 bez dynam	Q	0	0.0	3.05E+04	0.0	0.0	-1.23E+07	0.0	0.0	-2.44E+07	0.0	0.0	0.0E+00	-	-	-	-	0.0	1.53E+04	0.0	0.0	0.0	1.09E+04	0.0	0.0
28	SLS_LM	SLS - LM71 bez dynam	Q	0	0.0	3.05E+04	0.0	0.0	-1.23E+07	0.0	0.0	-2.44E+07	0.0	0.0	0.0E+00	-	-	-	-	0.0	1.53E+04	0.0	0.0	0.0	1.09E+04	0.0	0.0
29	ULS_C3	ULS - C3 bez dynam	Q	0	0.0	3.05E+04	0.0	0.0	-1.23E+07	0.0	0.0	-2.44E+07	0.0	0.0	0.0E+00	-	-	-	-	0.0	1.53E+04	0.0	0.0	0.0	1.09E+04	0.0	0.0
30	SLS_C3	SLS - C3 bez dynam	Q	0	0.0	3.05E+04	0.0	0.0	-1.23E+07	0.0	0.0	-2.44E+07	0.0	0.0	0.0E+00	-	-	-	-	0.0	1.53E+04	0.0	0.0	0.0	1.09E+04	0.0	0.0
NAVÝŠENÍ NAPĚTÍ DO AKTIVACE TLAKU V DESCE MOSTOVKY						$\sigma_{P,red}$	0.0							0.0			0.0		0.0				-1.1	-1.1			-36.5	-36.5
NAPĚTÍ OD PRIMÁRNÍCH ÚČINKŮ NEROVNOMĚRNÉHO OTEPLENÍ						σ_T	0.0							0.0														
NAPĚTÍ OD REOLOGICKÝCH ÚČINKŮ BETONU V ČASE				t=0		σ_R	0.0	γ=	1.20					0.0														
NAPĚTÍ V KRITICKÝCH VLÁKNECH OD KOMBINACE ZATÍŽENÍ						KZ08		[MPa]					$\Sigma\sigma_x$	-47.6								$\Sigma\tau_y$	-1.1				$\Sigma\tau_z$	-36.5
NAPĚTÍ OD POHYBLIVÉHO ZATÍŽENÍ								[MPa]					$\sigma_{x,P}$	-51.4								τ_P	-0.3				τ_P	-29.1
NAPĚTÍ OD OSTATNÍCH ZATÍŽENÍ								[MPa]			Φ_{vy}	Φ_{vz}	$\sigma_{x,rs}$	3.9								τ_{rs}	-0.8				τ_{rs}	-7.4
NÁVRHOVÁ HODNOTA MEZE KLUZU S REDUKCÍ VLIVEM SMYKOVÉHO NAPĚTÍ								[MPa]			1.00	1.00	$f_{yv,d}$	209.1								$f_{yd}/3^{0,5}$	120.7				$f_{yd}/3^{0,5}$	120.7
NAPĚTÍ OD POHYBLIVÉHO ZATÍŽENÍ V GLOBÁLNÍM SYSTÉMU						$\sigma_{GLOB,P}$	0.0	[MPa]					$\Sigma\sigma_{GLOB}$	0.0														
NAPĚTÍ OD OSTATNÍCH ZATÍŽENÍ V GLOBÁLNÍM SYSTÉMU						$\sigma_{GLOB,rs}$	0.0	[MPa]					$\Sigma\sigma_x + \Sigma\sigma_{GLOB}$	-47.6														
VYUŽITÍ PRŮŘEZU DLE NAPĚTÍ								[%]					η_1	0.23								η_3	0.01				η_3	0.30
NAPĚTÍ V PŘÍČNÉM SMĚRU OD POHYBLIVÉHO ZATÍŽENÍ						$\sigma_{z,P}$	0.0	[MPa]					$\Sigma\sigma_z$	0.0														
NAPĚTÍ V PŘÍČNÉM SMĚRU OD OSTATNÍCH ZATÍŽENÍ						$\sigma_{z,rs}$	0.0	[MPa]					η_2	0.00														
SROVNÁVACÍ NAPĚTÍ													$(\eta_2 + 0,8\ \eta_1)/1,4 =$	0.13														
VYUŽITÍ PRŮŘEZU CELKEM								[%]					eff	0.30	VYHOVUJE													
STANOVENÍ ZATÍŽITELNOSTI													Z_{LM71} =	-----														

TAB. P1.3.3 POSOUZENÍ - MEZNÍ STAV ÚNOSNOSTI

POPIS	PŘÍČNÍK P1 - STŘED
PRUT / POLOHA BODU	701 / I[577]
NAMÁHÁNÍ	Mz.min
VLÁKNO	BOD K2 -HP
MEZNÍ STAV	ULS (MSÚ)
VYUŽITÍ VLÁKNA PRŮŘEZU	0.74

Charakteristiky materiálu				
pás. horní	$f_{yf,k}$	230	MPa	
pás. dolní	$f_{yf,k}$	230	MPa	
stojina	$f_{yw,k}$	230	MPa	
výztuž	$f_{ys,k}$	500	MPa	
γ_M =	1.10	γ_s =	1.15	

Excentricita normálové síly				
Exc./Fáze	0	1	2	3
e_y	0.000	0.000	0.000	0.000
e_z	0.000	0.000	0.000	0.000
Ekvivalentní vzdál. stěn - příčný roznos				
b_{Mx}	0.000	0.000	0.000	0.000

Vliv stěny na únosnost průřezu				
Char./Fáze	0	1	2	3
A	0.00	0.00	0.00	0.00
Wy	0.00	0.00	0.00	0.00
Wz	0.00	0.00	0.00	0.00

Charakter. v kroucení			
$t_{w,y}$	0.000	[mm]	
$t_{w,z}$	0.000	[mm]	
κ	1.00		
I_t=	0.00E+00	[mm^4]	
Ω=2*A_{pr}	0.00E+00	[mm^2]	

Součinitele vzpěru a vlivu II.řádu				
Char./Fáze	0	1	2	3
k_y	1.000	1.000	1.000	1.000
k_z	1.000	1.000	1.000	1.000
χ_{LT}	1.000	1.000	1.000	1.000
χ_{min}	1.000	1.000	1.000	1.000

δ_{LOK} 1.05

Vnitřní síly od jednotlivých skupin zatěžovacích stavů

SKUPINA ZATĚŽOVACÍCH STAVŮ — 7

Č.	SKUP ZS	POPIS ZS	KAT.	FÁZE PRŮŘ.	- CHARAKTERISTICKÉ HODNOTY N.k (kN)	Vy.k (kN)	Vz.k (kN)	Mx.k (kNm)	My.k (kNm)	Mz.k (kNm)	DÍLČÍ SOUČINITELÉ ZATÍŽENÍ, DYNAMICKÝ SOUČINITEL γ_{sr} (-)	γ_{fs} (-)	volba γ_f hledat	γ_f (-)	L_d (m)	δ (-)	Ψ_E KZ07	- NÁVRHOVÉ HODNOTY N.d (kN)	Vy.d (kN)	Vz.d (kN)	ΔVz.d (kN)	ΣVz.d (kN)	Mx.d (kNm)	My.d (kNm)	ΔMy.d (kNm)	ΣMy.d (kNm)	Mz.d (kNm)	ΔMz.d (kNm)	ΣMz.d (kNm)
1	G0	Vlastní tíha OK	G	0	-113	1	3	1	67	-4	1.00	1.20		1.20	-	1.00	0.95	-129	1	4	0	4	1	77	0	77	-5	0	-5
2	G1	Ostatní stálé - mostní vybavení	G	0	-8	0	0	0	11	0	1.00	1.20		1.20	-	1.00	0.95	-10	0	0	0	0	0	12	0	12	0	0	0
3	G2	Ostatní stálé - cizí zařízení	G	0	-7	0	3	0	3	0	1.00	1.20		1.20	-	1.00	0.95	-8	0	3	0	3	0	3	0	3	0	0	0
4	P1_71	a.LM71 - kolej 1 (bez dyn. souč.)	P	0	-118	0	-74	1	262	-9	1.00	vyp.		0.00	-	1.00	0.00	0	0	0	0	0	0	0	0	0	0	0	0
5	P2_71	a.LM71 - kolej 2 (bez dyn. souč.)	P	0	-42	1	150	0	491	-1	1.00	vyp.		0.00	-	1.00	0.00	0	0	0	0	0	0	0	0	0	0	0	0
6	P1_C3	TTZ C3 - kolej 1 (bez dyn. souč.)	P	0	-95	0	-80	1	271	-8	1.00	1.30		1.30	-	1.32	1.00	-163	1	-137	0	-137	1	464	0	464	-13	3	-11
7	P2_C3	TTZ C3 - kolej 2 (bez dyn. souč.)	P	0	-41	1	84	0	272	-1	1.00	1.30		1.30	-	1.32	1.00	-69	1	144	0	144	0	465	0	465	-1	0	-1
8	BR	Brzdné a rozjezdové síly	P	0	-386	10	0	3	-68	-12	1.00	1.30		1.30	-	1.00	0.64	-321	8	0	0	0	2	-57	0	-57	-10	0	-10
9	S	Boční ráz	P	0	-5	-23	-2	0	-3	-16	1.00	1.30		1.30	-	1.00	0.32	-2	-10	-1	0	-1	0	-1	0	-1	-7	0	-7
10	CH	Chodci na lávkách	Q	0	-11	0	4	0	-11	-1	1.00	1.30		1.30	-	1.00	1.00	-14	0	5	0	5	0	-14	0	-14	-1	0	-1
11	W	Vítr na konstrukci	Q	0	-40	-34	-29	0	-21	-25	1.00	1.35		1.35	-	1.00	0.75	-41	-34	-29	0	-29	0	-21	0	-21	-25	0	-25
12	WP	Vítr na vozidla	Q	0	-39	-55	-24	0	-21	-40	1.00	1.35		1.35	-	1.00	0.75	-40	-56	-24	0	-24	0	-21	0	-21	-41	0	-41
13	TR	Teplota rovnoměrná	Q	0	0	0	0	0	0	0	1.00	1.35		1.35	-	1.00	0.45	0	0	0	0	0	0	0	0	0	0	0	0
14	TN	Teplota nerovnoměrná	Q	0	-2	-6	2	0	-6	-6	1.00	1.35		1.35	-	1.00	0.60	-1	-5	2	0	2	0	-5	0	-5	-5	0	-5
15	FR	Třecí síly v ložiskách	Q	0	-12	0	0	0	-3	0	1.00	1.20		1.20	-	1.00	1.00	-14	0	0	0	0	0	-3	0	-3	0	0	0
16	I	Imperfekce soustavy	Q	0	-6	-2	-6	0	-3	-2	1.00	1.20		1.20	-	1.00	1.00	-7	-3	-7	0	-7	0	-4	0	-4	-2	0	-2
27	ULS_LM	ULS - LM71 bez dynam	Q	0	-728	-118	49	4	955	-123	1.00	vyp.		0.00	-	1.00	0.00	0	0	0	0	0	0	0	0	0	0	0	0
28	SLS_LM	SLS - LM71 bez dynam	Q	0	-574	-84	38	3	750	-90	1.00	vyp.	1	0.00	-	1.00	0.00	0	0	0	0	0	0	0	0	0	0	0	0
29	ULS_C3	ULS - C3 bez dynam	Q	0	-697	-118	-44	4	683	-120	1.00	vyp.	1	0.00	-	1.00	0.00	0	0	0	0	0	0	0	0	0	0	0	0
30	SLS_C3	SLS - C3 bez dynam	Q	0	-550	-84	-33	3	540	-88	1.00	vyp.	1	0.00	-	1.00	0.00	0	0	0	0	0	0	0	0	0	0	0	0
		CELKEM - FÁZE PRŮŘEZU 0			-818	-95	-40	0	896	-112								-818	-95	-40	0	-40	5	896	0	896	-112	3	-109
		CELKEM - FÁZE PRŮŘEZU 1			0	0	0	0	0	0								0	0	0	0	0	0	0	0	0	0	0	0
		CELKEM - FÁZE PRŮŘEZU 2			0	0	0	0	0	0								0	0	0	0	0	0	0	0	0	0	0	0
		CELKEM - FÁZE PRŮŘEZU 3			0	0	0	0	0	0								0	0	0	0	0	0	0	0	0	0	0	0
		CELKEM - PRŮŘEZ			-818	-95	-40	0	896	-112								-818	-95	-40	0	-40	5			896			-109

Napětí od jednotlivých zatěžovacích stavů

SKUPINA ZATĚŽOVACÍCH STAVŮ

Č.	SKUP ZS	Popis ZS	Kat.	fáze průř.	Posouzení normálového napětí — Účinek síly N δ^*N_d [kN]	χ^*A [mm^2]	σ_n [MPa]	Účinek momentu My $\delta^*M_{y,d}$ [kNm]	χ_{lt}*$W_{el,y}$ [mm^3]	σ_{my} [MPa]	Účinek momentu Mz $\delta^*M_{z,d}$ [kNm]	$W_{el,z}$ [mm^3]	σ_{mz} [MPa]	σ_x [MPa]	Posouzení smykového napětí — Účinek kroutícího momentu Mx κ*$\delta^*M_{x,d}$ [kNm]	$W_{v,y}$ [mm^2]	$\tau_{x,y}$ [MPa]	$W_{v,z}$ [mm^2]	$\tau_{x,z}$ [MPa]	Účinek smykové síly Vy $\delta^*V_{y,d}$ [kN]	$A_{v,y}$ [mm2]	$\tau_{v,y}$ [MPa]	$\tau_{v,y}$ [MPa]	Účinek smykové síly Vz $\delta^*V_{z,d}$ [kN]	$A_{v,z}$ [mm2]	$\tau_{v,z}$ [MPa]	$\tau_{v,z}$ [MPa]
1	G0	Vlastní tíha OK	G	0	-128.6	3.60E+04	-3.6	76.6	-1.67E+07	-4.6	-4.8	1.37E+06	-3.5	-11.6	7.9E-01	-	-	-	-	1.4	2.41E+04	0.1	0.1	3.7	7.39E+03	0.5	0.5
2	G1	Ostatní stálé - mostní vybavení	G	0	-9.7	3.60E+04	-0.3	12.4	-1.67E+07	-0.7	-0.3	1.37E+06	-0.2	-1.3	5.7E-02	-	-	-	-	0.1	2.41E+04	0.0	0.0	0.0	7.39E+03	0.0	0.0
3	G2	Ostatní stálé - cizí zařízení	G	0	-7.8	3.60E+04	-0.2	3.4	-1.67E+07	-0.2	-0.2	1.37E+06	-0.2	-0.6	5.7E-02	-	-	-	-	0.1	2.41E+04	0.0	0.0	3.2	7.39E+03	0.4	0.4
4	P1_71	a.LM71 - kolej 1 (bez dyn. souč.)	P	0	0.0	3.60E+04	0.0	0.0	-1.67E+07	0.0	0.0	1.37E+06	0.0	0.0	0.0E+00	-	-	-	-	0.0	2.41E+04	0.0	0.0	0.0	7.39E+03	0.0	0.0
5	P2_71	a.LM71 - kolej 2 (bez dyn. souč.)	P	0	0.0	3.60E+04	0.0	0.0	-1.67E+07	0.0	0.0	1.37E+06	0.0	0.0	0.0E+00	-	-	-	-	0.0	2.41E+04	0.0	0.0	0.0	7.39E+03	0.0	0.0
6	P1_C3	TTZ C3 - kolej 1 (bez dyn. souč.)	P	0	-162.5	3.60E+04	-4.5	464.1	-1.67E+07	-27.7	-10.6	1.37E+06	-7.7	-40.0	8.9E-01	-	-	-	-	0.7	2.41E+04	0.0	0.0	-136.7	7.39E+03	-18.5	-18.5
7	P2_C3	TTZ C3 - kolej 2 (bez dyn. souč.)	P	0	-69.4	3.60E+04	-1.9	465.0	-1.67E+07	-27.8	-1.2	1.37E+06	-0.9	-30.6	4.3E-01	-	-	-	-	1.2	2.41E+04	0.0	0.0	144.1	7.39E+03	19.5	19.5
8	BR	Brzdné a rozjezdové síly	P	0	-321.0	3.60E+04	-8.9	-56.7	-1.67E+07	3.4	-10.4	1.37E+06	-7.5	-13.1	2.2E+00	-	-	-	-	8.4	2.41E+04	0.3	0.3	-0.2	7.39E+03	0.0	0.0
9	S	Boční ráz	P	0	-2.0	3.60E+04	-0.1	-1.1	-1.67E+07	0.1	-6.8	1.37E+06	-5.0	-4.9	1.2E-02	-	-	-	-	-9.6	2.41E+04	-0.4	-0.4	-0.9	7.39E+03	-0.1	-0.1
10	CH	Chodci na lávkách	Q	0	-14.0	3.60E+04	-0.4	-13.9	-1.67E+07	0.8	-1.4	1.37E+06	-1.0	-0.6	1.0E-01	-	-	-	-	-0.1	2.41E+04	0.0	0.0	5.0	7.39E+03	0.7	0.7
11	W	Vítr na konstrukci	Q	0	-40.9	3.60E+04	-1.1	-21.2	-1.67E+07	1.3	-25.3	1.37E+06	-18.4	-18.3	4.1E-02	-	-	-	-	-34.4	2.41E+04	-1.4	-1.4	-29.2	7.39E+03	-4.0	-4.0
12	WP	Vítr na vozidla	Q	0	-39.9	3.60E+04	-1.1	-21.2	-1.67E+07	1.3	-40.8	1.37E+06	-29.7	-29.5	6.1E-02	-	-	-	-	-56.1	2.41E+04	-2.3	-2.3	-24.4	7.39E+03	-3.3	-3.3
13	TR	Teplota rovnoměrná	Q	0	0.0	3.60E+04	0.0	0.0	-1.67E+07	0.0	0.0	1.37E+06	0.0	0.0	0.0E+00	-	-	-	-	0.0	2.41E+04	0.0	0.0	0.0	7.39E+03	0.0	0.0
14	TN	Teplota nerovnoměrná	Q	0	-1.4	3.60E+04	0.0	-4.9	-1.67E+07	0.3	-4.7	1.37E+06	-3.5	-3.2	8.1E-03	-	-	-	-	-4.9	2.41E+04	-0.2	-0.2	1.9	7.39E+03	0.3	0.3
15	FR	Třecí síly v ložiskách	Q	0	-14.5	3.60E+04	-0.4	-3.3	-1.67E+07	0.2	-0.4	1.37E+06	-0.3	-0.5	1.1E-01	-	-	-	-	0.3	2.41E+04	0.0	0.0	0.0	7.39E+03	0.0	0.0
16	I	Imperfekce soustavy	Q	0	-6.7	3.60E+04	-0.2	-3.6	-1.67E+07	0.2	-1.8	1.37E+06	-1.3	-1.3	0.0E+00	-	-	-	-	-2.5	2.41E+04	-0.1	-0.1	-6.7	7.39E+03	-0.9	-0.9
27	ULS_LM	ULS - LM71 bez dynam	Q	0	0.0	3.60E+04	0.0	0.0	-1.67E+07	0.0	0.0	1.37E+06	0.0	0.0	0.0E+00	-	-	-	-	0.0	2.41E+04	0.0	0.0	0.0	7.39E+03	0.0	0.0
28	SLS_LM	SLS - LM71 bez dynam	Q	0	0.0	3.60E+04	0.0	0.0	-1.67E+07	0.0	0.0	1.37E+06	0.0	0.0	0.0E+00	-	-	-	-	0.0	2.41E+04	0.0	0.0	0.0	7.39E+03	0.0	0.0
29	ULS_C3	ULS - C3 bez dynam	Q	0	0.0	3.60E+04	0.0	0.0	-1.67E+07	0.0	0.0	1.37E+06	0.0	0.0	0.0E+00	-	-	-	-	0.0	2.41E+04	0.0	0.0	0.0	7.39E+03	0.0	0.0
30	SLS_C3	SLS - C3 bez dynam	Q	0	0.0	3.60E+04	0.0	0.0	-1.67E+07	0.0	0.0	1.37E+06	0.0	0.0	0.0E+00	-	-	-	-	0.0	2.41E+04	0.0	0.0	0.0	7.39E+03	0.0	0.0
NAVÝŠENÍ NAPĚTÍ DO AKTIVACE TLAKU V DESCE MOSTOVKY						$\sigma_{P,red}$	0.0							0.0			0.0		0.0			-4.0	-4.0			-5.5	-5.5
NAPĚTÍ OD PRIMÁRNÍCH ÚČINKŮ NEROVNOMĚRNÉHO OTEPLENÍ						σ_T	0.0							0.0													
NAPĚTÍ OD REOLOGICKÝCH ÚČINKŮ BETONU V ČASE			t=0			σ_R	0.0	$\gamma_{f=}$	1.20					0.0													
NAPĚTÍ V KRITICKÝCH VLÁKNECH OD KOMBINACE ZATÍŽENÍ						KZ07		[MPa]					$\Sigma\sigma_x$	-155.5								$\Sigma\tau_y$	-4.0			$\Sigma\tau_z$	-5.5
NAPĚTÍ OD POHYBLIVÉHO ZATÍŽENÍ								[MPa]					$\sigma_{x,P}$	-88.6									0.0			τ_P	0.9
NAPĚTÍ OD OSTATNÍCH ZATÍŽENÍ								[MPa]			Φ_{Vy}	Φ_{Vz}	$\sigma_{x,rs}$	-66.9								$\tau_{x,s}$	-4.0			$\tau_{z,s}$	-6.3
NÁVRHOVÁ HODNOTA MEZE KLUZU S REDUKCÍ VLIVEM SMYKOVÉHO NAPĚTÍ								[MPa]			1.00	1.00	$f_{yv,d}$	209.1								$f_{yd}/3^{0,5}$	120.7			$f_{yd}/3^{0,5}$	120.7
NAPĚTÍ OD POHYBLIVÉHO ZATÍŽENÍ V GLOBÁLNÍM SYSTÉMU						$\sigma_{GLOB,P}$	0.0	[MPa]					$\Sigma\sigma_{GLOB}$	0.0													
NAPĚTÍ OD OSTATNÍCH ZATÍŽENÍ V GLOBÁLNÍM SYSTÉMU						$\sigma_{GLOB,rs}$	0.0	[MPa]					$\Sigma\sigma_x + \Sigma\sigma_{GLOB}$	-155.5													
VYUŽITÍ PRŮŘEZU DLE NAPĚTÍ								[%]					η_1	0.74								η_3	0.03			η_3	0.05
NAPĚTÍ V PŘÍČNÉM SMĚRU OD POHYBLIVÉHO ZATÍŽENÍ						$\sigma_{z,P}$	0.0	[MPa]					$\Sigma\sigma_z$	0.0													
NAPĚTÍ V PŘÍČNÉM SMĚRU OD OSTATNÍCH ZATÍŽENÍ						$\sigma_{z,rs}$	0.0	[MPa]					η_2	0.00													
SROVNÁVACÍ NAPĚTÍ													$(\eta2 + 0,8\ \eta1)/1,4 =$	0.42													
VYUŽITÍ PRŮŘEZU CELKEM								[%]					eff	0.74	VYHOVUJE												
STANOVENÍ ZATÍŽITELNOSTI													Z_{LM71} =	-----													

TAB. P1.3.3 POSOUZENÍ - MEZNÍ STAV ÚNOSNOSTI

POPIS	PŘÍČNÍK P1 - STŘED
PRUT / POLOHA BODU	701 / I[577]
NAMÁHÁNÍ	My.max
VLÁKNO	BOD K4 -SP
MEZNÍ STAV	ULS (MSÚ)
VYUŽITÍ VLÁKNA PRŮŘEZU	0.75

Charakteristiky materiálu				
pás. horní	$f_{yf,k}$	230	MPa	
pás. dolní	$f_{yf,k}$	230	MPa	
stojina	$f_{yw,k}$	230	MPa	
výztuž	$f_{ys,k}$	500	MPa	
γ_M =	1.10	γ_s =	1.15	

Excentricita normálové síly				
Exc./Fáze	0	1	2	3
e_y	0.000	0.000	0.000	0.000
e_z	0.000	0.000	0.000	0.000
Ekvivalentní vzdál. stěn - příčný roznos				
b_{Mx}	0.000	0.000	0.000	0.000

Vliv stěny na únosnost průřezu				
Char./Fáze	0	1	2	3
A	0.00	0.00	0.00	0.00
Wy	0.00	0.00	0.00	0.00
Wz	0.00	0.00	0.00	0.00

Charakter. v kroucení			
$t_{w,y}$	0.000	[mm]	
$t_{w,z}$	0.000	[mm]	
κ	1.00		
I_t=	0.00E+00	[mm^4]	
$\Omega=2*A_{pr}$	0.00E+00	[mm^2]	

Součinitele vzpěru a vlivu II.řádu				
Char./Fáze	0	1	2	3
k_y	1.000	1.000	1.000	1.000
k_z	1.000	1.000	1.000	1.000
χ_{LT}	1.000	1.000	1.000	1.000
χ_{min}	1.000	1.000	1.000	1.000

δ_{LOK} 1.05

Vnitřní síly od jednotlivých skupin zatěžovacích stavů

SKUPINA ZATĚŽOVACÍCH STAVŮ — CHARAKTERISTICKÉ HODNOTY — DÍLČÍ SOUČINITELÉ ZATÍŽENÍ, DYNAMICKÝ SOUČINITEL — NÁVRHOVÉ HODNOTY

Č.	SKUP ZS	POPIS ZS	KAT.	FÁZE PRŮŘ.	N.k (kN)	Vy.k (kN)	Vz.k (kN)	Mx.k (kNm)	My.k (kNm)	Mz.k (kNm)	γ_{sr} (-)	γ_{fs} (-)	volba γ_f hledat	γ_f (-)	L_d (m)	δ (-)	Ψ_0 KZ07	N.d (kN)	Vy.d (kN)	Vz.d (kN)	ΔVz.d (kN)	ΣVz.d (kN)	Mx.d (kNm)	My.d (kNm)	ΔMy.d (kNm)	ΣMy.d (kNm)	Mz.d (kNm)	ΔMz.d (kNm)	ΣMz.d (kNm)
1	G0	Vlastní tíha OK	G	0	-113	1	3	1	67	-4	1.00	1.20		1.20	-	1.00	0.95	-129	1	4	0	4	1	77	0	77	-5	0	-5
2	G1	Ostatní stálé - mostní vybavení	G	0	-8	0	0	0	11	0	1.00	1.00		1.00	-	1.00	0.95	-8	0	0	0	0	0	10	0	10	0	0	0
3	G2	Ostatní stálé - cizí zařízení	G	0	-7	0	3	0	3	0	1.00	1.20		1.20	-	1.00	0.95	-8	0	3	0	3	0	3	0	3	0	0	0
4	P1_71	a.LM71 - kolej 1 (bez dyn. souč.)	P	0	-9	0	-170	0	577	-2	1.00	vyp.		0.00	-	1.00	0.00	0	0	0	0	0	0	0	0	0	0	0	0
5	P2_71	a.LM71 - kolej 2 (bez dyn. souč.)	P	0	0	-1	170	0	582	-1	1.00	vyp.		0.00	-	1.00	0.00	0	0	0	0	0	0	0	0	0	0	0	0
6	P1_C3	TTZ C3 - kolej 1 (bez dyn. souč.)	P	0	-5	0	-95	0	330	-1	1.00	1.30		1.30	-	1.32	1.00	-9	0	-163	0	-163	0	565	0	565	-2	0	-1
7	P2_C3	TTZ C3 - kolej 2 (bez dyn. souč.)	P	0	0	0	95	0	333	0	1.00	1.30		1.30	-	1.32	1.00	0	-1	163	0	163	0	570	0	570	-1	0	0
8	BR	Brzdné a rozjezdové síly	P	0	386	-10	0	-3	68	12	1.00	1.30		1.30	-	1.00	0.64	321	-8	0	0	0	-2	57	0	57	10	0	10
9	S	Boční ráz	P	0	53	16	5	0	28	11	1.00	1.30		1.30	-	1.00	0.32	22	7	2	0	2	0	12	0	12	5	0	5
10	CH	Chodci na lávkách	Q	0	-11	0	4	0	-11	-1	1.00	0.00		0.00	-	1.00	1.00	0	0	0	0	0	0	0	0	0	0	0	0
11	W	Vítr na konstrukci	Q	0	38	34	29	0	21	25	1.00	1.35		1.35	-	1.00	0.75	39	34	29	0	29	0	21	0	21	25	0	25
12	WP	Vítr na vozidla	Q	0	39	56	24	0	21	40	1.00	1.35		1.35	-	1.00	0.75	40	56	24	0	24	0	21	0	21	41	0	41
13	TR	Teplota rovnoměrná	Q	0	0	0	0	0	0	0	1.00	1.35		1.35	-	1.00	0.45	0	0	0	0	0	0	0	0	0	0	0	0
14	TN	Teplota nerovnoměrná	Q	0	6	0	0	0	9	0	1.00	1.35		1.35	-	1.00	0.60	5	0	0	0	0	0	7	0	7	0	0	0
15	FR	Třecí síly v ložiskách	Q	0	12	0	0	0	3	0	1.00	1.20		1.20	-	1.00	1.00	14	0	0	0	0	0	3	0	3	0	0	0
16	I	Imperfekce soustavy	Q	0	6	2	6	0	3	2	1.00	1.20		1.20	-	1.00	1.00	7	3	7	0	7	0	4	0	4	2	0	2
27	ULS_LM	ULS - LM71 bez dynam	Q	0	469	91	75	-3	1 748	82	1.00	vyp.		0.00	-	1.00	0.00	0	0	0	0	0	0	0	0	0	0	0	0
28	SLS_LM	SLS - LM71 bez dynam	Q	0	340	68	58	-2	1 349	61	1.00	vyp.	1	0.00	-	1.00	0.00	0	0	0	0	0	0	0	0	0	0	0	0
29	ULS_C3	ULS - C3 bez dynam	Q	0	474	91	75	-3	1 104	84	1.00	vyp.	1	0.00	-	1.00	0.00	0	0	0	0	0	0	0	0	0	0	0	0
30	SLS_C3	SLS - C3 bez dynam	Q	0	344	68	58	-2	853	62	1.00	vyp.	1	0.00	-	1.00	0.00	0	0	0	0	0	0	0	0	0	0	0	0
		CELKEM - FÁZE PRŮŘEZU 0			294	92	69	0	69	-2	1 349	76	0	77															
		CELKEM - FÁZE PRŮŘEZU 1			0	0	0	0	0	0	0	0	0	0															
		CELKEM - FÁZE PRŮŘEZU 2			0	0	0	0	0	0	0	0	0	0															
		CELKEM - FÁZE PRŮŘEZU 3			0	0	0	0	0	0	0	0	0	0															
		CELKEM - PRŮŘEZ			294	92	69	0	69	-2				1 349															

Napětí od jednotlivých zatěžovacích stavů

SKUPINA ZATĚŽOVACÍCH STAVŮ — Posouzení normálového napětí — Účinek síly N — Účinek momentu My — Účinek momentu Mz — Posouzení smykového napětí — Účinek kroutícího momentu Mx — Účinek smykové síly Vy — Účinek smykové síly Vz

Č.	SKUP ZS	Popis ZS	Kat.	fáze průř.	δ^*N_d [kN]	χ^*A [mm^2]	σ_n [MPa]	$\delta^*M_{y,d}$ [kNm]	$\chi_{lt}*W_{el,y}$ [mm^3]	σ_{my} [MPa]	$\delta^*M_{z,d}$ [kNm]	$W_{el,z}$ [mm^3]	σ_{mz} [MPa]	σ_x [MPa]	$\kappa*\delta^*M_{x,d}$ [kNm]	$W_{v,y}$ [mm^3]	$\tau_{x,y}$ [MPa]	$W_{v,z}$ [mm^3]	$\tau_{x,z}$ [MPa]	$\delta^*V_{y,d}$ [kN]	$A_{v,y}$ [mm2]	$\tau_{v,y}$ [MPa]	$\tau_{v,y}$ [MPa]	$\delta^*V_{z,d}$ [kN]	$A_{v,z}$ [mm2]	$\tau_{v,z}$ [MPa]	$\tau_{v,z}$ [MPa]
1	G0	Vlastní tíha OK	G	0	-128.6	3.60E+04	-3.6	76.6	1.46E+07	5.3	-4.8	1.37E+06	-3.5	-1.8	7.9E-01	-	-	-	-	1.4	2.41E+04	0.1	0.1	3.7	7.39E+03	0.5	0.5
2	G1	Ostatní stálé - mostní vybavení	G	0	-8.0	3.60E+04	-0.2	10.3	1.46E+07	0.7	-0.3	1.37E+06	-0.2	0.3	4.8E-02	-	-	-	-	0.1	2.41E+04	0.0	0.0	0.0	7.39E+03	0.0	0.0
3	G2	Ostatní stálé - cizí zařízení	G	0	-7.8	3.60E+04	-0.2	3.4	1.46E+07	0.2	-0.2	1.37E+06	-0.2	-0.2	5.7E-02	-	-	-	-	0.1	2.41E+04	0.0	0.0	3.2	7.39E+03	0.4	0.4
4	P1_71	a.LM71 - kolej 1 (bez dyn. souč.)	P	0	0.0	3.60E+04	0.0	0.0	1.46E+07	0.0	0.0	1.37E+06	0.0	0.0	0.0E+00	-	-	-	-	0.0	2.41E+04	0.0	0.0	0.0	7.39E+03	0.0	0.0
5	P2_71	a.LM71 - kolej 2 (bez dyn. souč.)	P	0	0.0	3.60E+04	0.0	0.0	1.46E+07	0.0	0.0	1.37E+06	0.0	0.0	0.0E+00	-	-	-	-	0.0	2.41E+04	0.0	0.0	0.0	7.39E+03	0.0	0.0
6	P1_C3	TTZ C3 - kolej 1 (bez dyn. souč.)	P	0	-9.0	3.60E+04	-0.2	564.8	1.46E+07	38.8	-1.2	1.37E+06	-0.9	37.6	-1.5E-01	-	-	-	-	-0.1	2.41E+04	0.0	0.0	-163.0	7.39E+03	-22.1	-22.1
7	P2_C3	TTZ C3 - kolej 2 (bez dyn. souč.)	P	0	-0.2	3.60E+04	0.0	569.5	1.46E+07	39.1	-0.5	1.37E+06	-0.3	38.8	-1.4E-01	-	-	-	-	-0.6	2.41E+04	0.0	0.0	163.0	7.39E+03	22.1	22.1
8	BR	Brzdné a rozjezdové síly	P	0	321.0	3.60E+04	8.9	56.7	1.46E+07	3.9	10.4	1.37E+06	7.5	20.4	-2.2E+00	-	-	-	-	-8.4	2.41E+04	-0.3	-0.3	0.2	7.39E+03	0.0	0.0
9	S	Boční ráz	P	0	22.2	3.60E+04	0.6	11.8	1.46E+07	0.8	4.8	1.37E+06	3.5	4.9	-1.7E-02	-	-	-	-	6.8	2.41E+04	0.3	0.3	2.0	7.39E+03	0.3	0.3
10	CH	Chodci na lávkách	Q	0	0.0	3.60E+04	0.0	0.0	1.46E+07	0.0	0.0	1.37E+06	0.0	0.0	0.0E+00	-	-	-	-	0.0	2.41E+04	0.0	0.0	0.0	7.39E+03	0.0	0.0
11	W	Vítr na konstrukci	Q	0	38.6	3.60E+04	1.1	21.2	1.46E+07	1.5	25.3	1.37E+06	18.5	21.0	-4.1E-02	-	-	-	-	34.4	2.41E+04	1.4	1.4	29.3	7.39E+03	4.0	4.0
12	WP	Vítr na vozidla	Q	0	39.5	3.60E+04	1.1	21.1	1.46E+07	1.5	40.7	1.37E+06	29.7	32.2	-6.1E-02	-	-	-	-	56.2	2.41E+04	2.3	2.3	24.3	7.39E+03	3.3	3.3
13	TR	Teplota rovnoměrná	Q	0	0.0	3.60E+04	0.0	0.0	1.46E+07	0.0	0.0	1.37E+06	0.0	0.0	0.0E+00	-	-	-	-	0.0	2.41E+04	0.0	0.0	0.0	7.39E+03	0.0	0.0
14	TN	Teplota nerovnoměrná	Q	0	5.2	3.60E+04	0.1	7.1	1.46E+07	0.5	0.2	1.37E+06	0.1	0.7	-4.9E-02	-	-	-	-	-0.1	2.41E+04	0.0	0.0	0.0	7.39E+03	0.0	0.0
15	FR	Třecí síly v ložiskách	Q	0	14.5	3.60E+04	0.4	3.3	1.46E+07	0.2	0.4	1.37E+06	0.3	0.9	-1.1E-01	-	-	-	-	-0.3	2.41E+04	0.0	0.0	0.0	7.39E+03	0.0	0.0
16	I	Imperfekce soustavy	Q	0	6.7	3.60E+04	0.2	3.6	1.46E+07	0.2	1.8	1.37E+06	1.3	1.8	0.0E+00	-	-	-	-	2.5	2.41E+04	0.1	0.1	6.7	7.39E+03	0.9	0.9
27	ULS_LM	ULS - LM71 bez dynam	Q	0	0.0	3.60E+04	0.0	0.0	1.46E+07	0.0	0.0	1.37E+06	0.0	0.0	0.0E+00	-	-	-	-	0.0	2.41E+04	0.0	0.0	0.0	7.39E+03	0.0	0.0
28	SLS_LM	SLS - LM71 bez dynam	Q	0	0.0	3.60E+04	0.0	0.0	1.46E+07	0.0	0.0	1.37E+06	0.0	0.0	0.0E+00	-	-	-	-	0.0	2.41E+04	0.0	0.0	0.0	7.39E+03	0.0	0.0
29	ULS_C3	ULS - C3 bez dynam	Q	0	0.0	3.60E+04	0.0	0.0	1.46E+07	0.0	0.0	1.37E+06	0.0	0.0	0.0E+00	-	-	-	-	0.0	2.41E+04	0.0	0.0	0.0	7.39E+03	0.0	0.0
30	SLS_C3	SLS - C3 bez dynam	Q	0	0.0	3.60E+04	0.0	0.0	1.46E+07	0.0	0.0	1.37E+06	0.0	0.0	0.0E+00	-	-	-	-	0.0	2.41E+04	0.0	0.0	0.0	7.39E+03	0.0	0.0
		NAVÝŠENÍ NAPĚTÍ DO AKTIVACE TLAKU V DESCE MOSTOVKY				$\sigma_{P,red}$	0.0							0.0			0.0		0.0				3.8	3.8			9.4	9.4
		NAPĚTÍ OD PRIMÁRNÍCH ÚČINKŮ NEROVNOMĚRNÉHO OTEPLENÍ				σ_T	0.0							0.0														
		NAPĚTÍ OD REOLOGICKÝCH ÚČINKŮ BETONU V ČASE		t=0		σ_R	0.0	γ_f=	1.20					0.0														
		NAPĚTÍ V KRITICKÝCH VLÁKNECH OD KOMBINACE ZATÍŽENÍ				KZ07		[MPa]					$\Sigma\sigma_x$	156.6				$\Sigma\tau_y$	3.8						$\Sigma\tau_z$	9.4	
		NAPĚTÍ OD POHYBLIVÉHO ZATÍŽENÍ						[MPa]					$\sigma_{x,P}$	101.6				τ_P	-0.1						τ_P	0.3	
		NAPĚTÍ OD OSTATNÍCH ZATÍŽENÍ						[MPa]			Φ_{Vy}	Φ_{Vz}	$\sigma_{x,rs}$	55.0				τ_s	3.9						τ_s	9.1	
		NÁVRHOVÁ HODNOTA MEZE KLUZU S REDUKCÍ VLIVEM SMYKOVÉHO NAPĚTÍ						[MPa]			1.00	1.00	$f_{yv,d}$	209.1				$f_{yd}/3^{0,5}$	120.7						$f_{yd}/3^{0,5}$	120.7	
		NAPĚTÍ OD POHYBLIVÉHO ZATÍŽENÍ V GLOBÁLNÍM SYSTÉMU				$\sigma_{GLOB,P}$	0.0	[MPa]					$\Sigma\sigma_{GLOB}$	0.0													
		NAPĚTÍ OD OSTATNÍCH ZATÍŽENÍ V GLOBÁLNÍM SYSTÉMU				$\sigma_{GLOB,rs}$	0.0	[MPa]					$\Sigma\sigma_x + \Sigma\sigma_{GLOB}$	156.6													
		VYUŽITÍ PRŮŘEZU DLE NAPĚTÍ						[%]					η_1	0.75				η_3	0.03						η_3	0.08	
		NAPĚTÍ V PŘÍČNÉM SMĚRU OD POHYBLIVÉHO ZATÍŽENÍ				$\sigma_{z,P}$	0.0	[MPa]					$\Sigma\sigma_z$	0.0													
		NAPĚTÍ V PŘÍČNÉM SMĚRU OD OSTATNÍCH ZATÍŽENÍ				$\sigma_{z,rs}$	0.0	[MPa]					η_2	0.00													
		SROVNÁVACÍ NAPĚTÍ											$(\eta2 + 0,8\ \eta1)/1,4$ =	0.43													
		VYUŽITÍ PRŮŘEZU CELKEM						[%]					eff	0.75	VYHOVUJE												
		STANOVENÍ ZATÍŽITELNOSTI											Z_{LM71} =	-----													

TAB. P1.3.3 POSOUZENÍ - MEZNÍ STAV ÚNOSNOSTI

POPIS	PŘÍČNÍK P1 - STŘED
PRUT / POLOHA BODU	701 / I[577]
NAMÁHÁNÍ	Vz.max
VLÁKNO	BOD S5 -HL
MEZNÍ STAV	ULS (MSÚ)
VYUŽITÍ VLÁKNA PRŮŘEZU	0.29

Charakteristiky materiálu				
pás. horní	$f_{yf,k}$	230	MPa	
pás. dolní	$f_{yf,k}$	230	MPa	
stojina	$f_{yw,k}$	230	MPa	
výztuž	$f_{ys,k}$	500	MPa	
γ_M =	1.10	γ_s =	1.15	

Excentricita normálové síly				
Exc./Fáze	0	1	2	3
e_y	0.000	0.000	0.000	0.000
e_z	0.000	0.000	0.000	0.000
Ekvivalentní vzdál. stěn - příčný roznos				
b_{Mx}	0.000	0.000	0.000	0.000

Vliv stěny na únosnost průřezu				
Char./Fáze	0	1	2	3
A	0.00	0.00	0.00	0.00
Wy	0.00	0.00	0.00	0.00
Wz	0.00	0.00	0.00	0.00

Charakter. v kroucení			
$t_{w,y}$	0.000	[mm]	
$t_{w,z}$	0.000	[mm]	
κ	1.00		
I_t=	0.00E+00	[mm^4]	
Ω=2*A_{pr}	0.00E+00	[mm^2]	

Součinitele vzpěru a vlivu II.řádu				
Char./Fáze	0	1	2	3
k_y	1.000	1.000	1.000	1.000
k_z	1.000	1.000	1.000	1.000
χ_{LT}	1.000	1.000	1.000	1.000
χ_{min}	1.000	1.000	1.000	1.000

8

δ_{LOK} 1.05

Vnitřní síly od jednotlivých skupin zatěžovacích stavů

SKUPINA ZATĚŽOVACÍCH STAVŮ					- CHARAKTERISTICKÉ HODNOTY						DÍLČÍ SOUČINITELÉ ZATÍŽENÍ, DYNAMICKÝ SOUČINITEL							- NÁVRHOVÉ HODNOTY									
Č.	SKUP ZS	POPIS ZS	KAT.	FÁZE PRŮŘ.	N.k (kN)	Vy.k (kN)	Vz.k (kN)	Mx.k (kNm)	My.k (kNm)	Mz.k (kNm)	γ_{sr} (-)	γ_{sl} (-)	volba γ_{sl} hledat	γ_{sl} (-)	L_d (m)	δ (-)	Ψ_0 KZ08	N.d (kN)	Vy.d (kN)	Vz.d (kN)	ΔVz.d (kN)	ΣVz.d (kN)	Mx.d (kNm)	My.d (kNm)	ΔMy.d (kNm)	ΣMy.d (kNm)	Mz.d (kNm)	ΔMz.d (kNm)	ΣMz.d (kNm)
1	G0	Vlastní tíha OK	G	0	-113	1	3	1	67	-4	1.00	1.20		1.20	-	1.00	0.95	-129	1	4	0	4	1	77	0	77	-5	0	-5
2	G1	Ostatní stálé - mostní vybavení	G	0	-8	0	0	0	11	0	1.00	1.00		1.00	-	1.00	0.95	-8	0	0	0	0	0	10	0	10	0	0	0
3	G2	Ostatní stálé - cizí zařízení	G	0	-7	0	3	0	3	0	1.00	1.20		1.20	-	1.00	0.95	-8	0	3	0	3	0	3	0	3	0	0	0
4	P1_71	a.LM71 - kolej 1 (bez dyn. souč.)	P	0	-102	0	10	1	-16	-7	1.00	vyp.		0.00	-	1.00	0.00	0	0	0	0	0	0	0	0	0	0	0	0
5	P2_71	a.LM71 - kolej 2 (bez dyn. souč.)	P	0	4	0	170	0	575	-1	1.00	vyp.		0.00	-	1.00	0.00	0	0	0	0	0	0	0	0	0	0	0	0
6	P1_C3	TTZ C3 - kolej 1 (bez dyn. souč.)	P	0	-91	0	9	1	-8	-7	1.00	1.30		1.30	-	1.32	1.00	-156	0	15	0	15	1	-13	0	-13	-11	2	-9
7	P2_C3	TTZ C3 - kolej 2 (bez dyn. souč.)	P	0	2	0	96	0	324	0	1.00	1.30		1.30	-	1.32	1.00	3	0	163	0	163	0	554	0	554	-1	0	-1
8	BR	Brzdné a rozjezdové síly	P	0	-297	14	1	2	-53	-7	1.00	1.30		1.30	-	1.00	0.32	-124	6	0	0	0	1	-22	0	-22	-3	0	-3
9	S	Boční ráz	P	0	48	5	5	0	26	5	1.00	1.30		1.30	-	1.00	0.64	40	4	5	0	5	0	21	0	21	5	0	5
10	CH	Chodci na lávkách	Q	0	-11	0	4	0	-11	-1	1.00	1.30		1.30	-	1.00	1.00	-14	0	5	0	5	0	-14	0	-14	-1	0	-1
11	W	Vítr na konstrukci	Q	0	38	34	29	0	21	25	1.00	1.35		1.35	-	1.00	0.75	39	34	29	0	29	0	21	0	21	25	0	25
12	WP	Vítr na vozidla	Q	0	39	56	24	0	21	40	1.00	1.35		1.35	-	1.00	0.75	40	56	24	0	24	0	21	0	21	41	0	41
13	TR	Teplota rovnoměrná	Q	0	0	0	0	0	0	0	1.00	1.35		1.35	-	1.00	0.45	0	0	0	0	0	0	0	0	0	0	0	0
14	TN	Teplota nerovnoměrná	Q	0	-2	-6	2	0	-6	-6	1.00	1.35		1.35	-	1.00	0.60	-1	-5	2	0	2	0	-5	0	-5	-5	0	-5
15	FR	Třecí síly v ložiskách	Q	0	-12	0	0	0	-3	0	1.00	-1.20		-1.20	-	1.00	1.00	14	0	0	0	0	0	3	0	3	0	0	0
16	I	Imperfekce soustavy	Q	0	6	2	6	0	3	2	1.00	1.20		1.20	-	1.00	1.00	7	3	7	0	7	0	4	0	4	2	0	2
27	ULS_LM	ULS - LM71 bez dynam	Q	0	-349	105	316	3	841	48	1.00	vyp.		0.00	-	1.00	0.00	0	0	0	0	0	0	0	0	0	0	0	0
28	SLS_LM	SLS - LM71 bez dynam	Q	0	-286	82	241	2	660	38	1.00	vyp.	1	0.00	-	1.00	0.00	0	0	0	0	0	0	0	0	0	0	0	0
29	ULS_C3	ULS - C3 bez dynam	Q	0	-337	105	217	3	526	49	1.00	vyp.	1	0.00	-	1.00	0.00	0	0	0	0	0	0	0	0	0	0	0	0
30	SLS_C3	SLS - C3 bez dynam	Q	0	-277	82	165	2	417	39	1.00	vyp.	1	0.00	-	1.00	0.00	0	0	0	0	0	0	0	0	0	0	0	0
		CELKEM - FÁZE PRŮŘEZU 0			-297	99	257	0	661	46	2	49						-297	99	257	0	257	2	661	0	661	46	2	49
		CELKEM - FÁZE PRŮŘEZU 1			0	0	0	0	0	0	0	0						0	0	0	0	0	0	0	0	0	0	0	0
		CELKEM - FÁZE PRŮŘEZU 2			0	0	0	0	0	0	0	0						0	0	0	0	0	0	0	0	0	0	0	0
		CELKEM - FÁZE PRŮŘEZU 3			0	0	0	0	0	0	0	0						0	0	0	0	0	0	0	0	0	0	0	0
		CELKEM - PRŮŘEZ			-297	99	257	0	661	46	2	49						-297	99	257	0	257	2			661			49

Napětí od jednotlivých zatěžovacích stavů

SKUPINA ZATĚŽOVACÍCH STAVŮ					Posouzení normálového napětí										Posouzení smykového napětí													
					Účinek síly N			Účinek momentu My				Účinek momentu Mz				Účinek kroutícího momentu Mx				Účinek smykové síly Vy				Účinek smykové síly Vz			
Č.	SKUP ZS	Popis ZS	Kat.	fáze prúř.	δ*N_d [kN]	χ*A [mm^2]	σ_n [MPa]	δ*$M_{y,d}$ [kNm]	χ_{lt}*$W_{el,y}$ [mm^3]	σ_{my} [MPa]	δ*$M_{z,d}$ [kNm]	$W_{el,z}$ [mm^3]	σ_{mz} [MPa]	σ_x [MPa]	κ*δ*$M_{x,d}$ [kNm]	$W_{v,y}$ [mm^3]	$\tau_{x,y}$ [MPa]	$W_{v,z}$ [mm^3]	$\tau_{x,z}$ [MPa]	δ*$V_{y,d}$ [kN]	$A_{v,y}$ [mm2]	$\tau_{v,y}$ [MPa]	$\tau_{v,y}$ [MPa]	δ*$V_{z,d}$ [kN]	$A_{v,z}$ [mm2]	$\tau_{v,z}$ [MPa]	$\tau_{v,z}$ [MPa]
1	G0	Vlastní tíha OK	G	0	-128.6	3.60E+04	-3.6	76.6	-1.76E+07	-4.3	-4.8	-4.22E+07	0.1	-7.8	7.9E-01	-	-	-	-	1.4	2.41E+04	0.1	0.1	3.7	7.39E+03	0.5	0.5
2	G1	Ostatní stálé - mostní vybavení	G	0	-8.0	3.60E+04	-0.2	10.3	-1.76E+07	-0.6	-0.3	-4.22E+07	0.0	-0.8	4.8E-02	-	-	-	-	0.1	2.41E+04	0.0	0.0	0.0	7.39E+03	0.0	0.0
3	G2	Ostatní stálé - cizí zařízení	G	0	-7.8	3.60E+04	-0.2	3.4	-1.76E+07	-0.2	-0.2	-4.22E+07	0.0	-0.4	5.7E-02	-	-	-	-	0.1	2.41E+04	0.0	0.0	3.2	7.39E+03	0.4	0.4
4	P1_71	a.LM71 - kolej 1 (bez dyn. souč.)	P	0	0.0	3.60E+04	0.0	0.0	-1.76E+07	0.0	0.0	-4.22E+07	0.0	0.0	0.0E+00	-	-	-	-	0.0	2.41E+04	0.0	0.0	0.0	7.39E+03	0.0	0.0
5	P2_71	a.LM71 - kolej 2 (bez dyn. souč.)	P	0	0.0	3.60E+04	0.0	0.0	-1.76E+07	0.0	0.0	-4.22E+07	0.0	0.0	0.0E+00	-	-	-	-	0.0	2.41E+04	0.0	0.0	0.0	7.39E+03	0.0	0.0
6	P1_C3	TTZ C3 - kolej 1 (bez dyn. souč.)	P	0	-155.6	3.60E+04	-4.3	-13.2	-1.76E+07	0.7	-9.0	-4.22E+07	0.2	-3.4	9.2E-01	-	-	-	-	0.2	2.41E+04	0.0	0.0	14.8	7.39E+03	2.0	2.0
7	P2_C3	TTZ C3 - kolej 2 (bez dyn. souč.)	P	0	3.0	3.60E+04	0.1	553.9	-1.76E+07	-31.4	-0.6	-4.22E+07	0.0	-31.3	-8.5E-02	-	-	-	-	-0.4	2.41E+04	0.0	0.0	163.3	7.39E+03	22.1	22.1
8	BR	Brzdné a rozjezdové síly	P	0	-123.6	3.60E+04	-3.4	-22.2	-1.76E+07	1.3	-3.1	-4.22E+07	0.1	-2.1	8.4E-01	-	-	-	-	5.7	2.41E+04	0.2	0.2	0.4	7.39E+03	0.1	0.1
9	S	Boční ráz	P	0	40.1	3.60E+04	1.1	21.3	-1.76E+07	-1.2	4.5	-4.22E+07	-0.1	-0.2	1.7E-02	-	-	-	-	4.0	2.41E+04	0.2	0.2	4.5	7.39E+03	0.6	0.6
10	CH	Chodci na lávkách	Q	0	-14.0	3.60E+04	-0.4	-13.9	-1.76E+07	0.8	-1.4	-4.22E+07	0.0	0.4	1.0E-01	-	-	-	-	-0.1	2.41E+04	0.0	0.0	5.0	7.39E+03	0.7	0.7
11	W	Vítr na konstrukci	Q	0	38.6	3.60E+04	1.1	21.2	-1.76E+07	-1.2	25.3	-4.22E+07	-0.6	-0.7	-4.1E-02	-	-	-	-	34.4	2.41E+04	1.4	1.4	29.3	7.39E+03	4.0	4.0
12	WP	Vítr na vozidla	Q	0	39.5	3.60E+04	1.1	21.1	-1.76E+07	-1.2	40.7	-4.22E+07	-1.0	-1.1	-6.1E-02	-	-	-	-	56.2	2.41E+04	2.3	2.3	24.3	7.39E+03	3.3	3.3
13	TR	Teplota rovnoměrná	Q	0	0.0	3.60E+04	0.0	0.0	-1.76E+07	0.0	0.0	-4.22E+07	0.0	0.0	0.0E+00	-	-	-	-	0.0	2.41E+04	0.0	0.0	0.0	7.39E+03	0.0	0.0
14	TN	Teplota nerovnoměrná	Q	0	-1.4	3.60E+04	0.0	-4.9	-1.76E+07	0.3	-4.7	-4.22E+07	0.1	0.4	8.1E-03	-	-	-	-	-4.9	2.41E+04	-0.2	-0.2	1.9	7.39E+03	0.3	0.3
15	FR	Třecí síly v ložiskách	Q	0	14.5	3.60E+04	0.4	3.3	-1.76E+07	-0.2	0.4	-4.22E+07	0.0	0.2	-1.1E-01	-	-	-	-	-0.3	2.41E+04	0.0	0.0	0.0	7.39E+03	0.0	0.0
16	I	Imperfekce soustavy	Q	0	6.7	3.60E+04	0.2	3.6	-1.76E+07	-0.2	1.8	-4.22E+07	0.0	-0.1	0.0E+00	-	-	-	-	2.5	2.41E+04	0.1	0.1	6.7	7.39E+03	0.9	0.9
27	ULS_LM	ULS - LM71 bez dynam	Q	0	0.0	3.60E+04	0.0	0.0	-1.76E+07	0.0	0.0	-4.22E+07	0.0	0.0	0.0E+00	-	-	-	-	0.0	2.41E+04	0.0	0.0	0.0	7.39E+03	0.0	0.0
28	SLS_LM	SLS - LM71 bez dynam	Q	0	0.0	3.60E+04	0.0	0.0	-1.76E+07	0.0	0.0	-4.22E+07	0.0	0.0	0.0E+00	-	-	-	-	0.0	2.41E+04	0.0	0.0	0.0	7.39E+03	0.0	0.0
29	ULS_C3	ULS - C3 bez dynam	Q	0	0.0	3.60E+04	0.0	0.0	-1.76E+07	0.0	0.0	-4.22E+07	0.0	0.0	0.0E+00	-	-	-	-	0.0	2.41E+04	0.0	0.0	0.0	7.39E+03	0.0	0.0
30	SLS_C3	SLS - C3 bez dynam	Q	0	0.0	3.60E+04	0.0	0.0	-1.76E+07	0.0	0.0	-4.22E+07	0.0	0.0	0.0E+00	-	-	-	-	0.0	2.41E+04	0.0	0.0	0.0	7.39E+03	0.0	0.0
NAVÝŠENÍ NAPĚTÍ DO AKTIVACE TLAKU V DESCE MOSTOVKY						$\sigma_{P,red}$	0.0							0.0			0.0		0.0			4.1	4.1			34.8	34.8
NAPĚTÍ OD PRIMÁRNÍCH ÚČINKŮ NEROVNOMĚRNÉHO OTEPLENÍ						σ_T	0.0							0.0													
NAPĚTÍ OD REOLOGICKÝCH ÚČINKŮ BETONU V ČASE		t=0				σ_R	0.0	γ=	1.20					0.0													
NAPĚTÍ V KRITICKÝCH VLÁKNECH OD KOMBINACE ZATÍŽENÍ						KZ08		[MPa]					$\Sigma\sigma_x$	-46.9								$\Sigma\tau_y$	4.1			$\Sigma\tau_z$	34.8
NAPĚTÍ OD POHYBLIVÉHO ZATÍŽENÍ								[MPa]					$\sigma_{x,P}$	-37.0								τ_P	0.4			τ_P	24.8
NAPĚTÍ OD OSTATNÍCH ZATÍŽENÍ								[MPa]			Φ_{Vy}	Φ_{Vz}	$\sigma_{x,rs}$	-9.9								τ_{rs}	3.7			τ_{rs}	10.0
NÁVRHOVÁ HODNOTA MEZE KLUZU S REDUKCÍ VLIVEM SMYKOVÉHO NAPĚTÍ								[MPa]			1.00	1.00	$f_{yw,d}$	209.1								$f_{yd}/3^{0,5}$	120.7			$f_{yd}/3^{0,5}$	120.7
NAPĚTÍ OD POHYBLIVÉHO ZATÍŽENÍ V GLOBÁLNÍM SYSTÉMU						$\sigma_{GLOB,P}$	0.0	[MPa]					$\Sigma\sigma_{GLOB}$	0.0													
NAPĚTÍ OD OSTATNÍCH ZATÍŽENÍ V GLOBÁLNÍM SYSTÉMU						$\sigma_{GLOB,rs}$	0.0	[MPa]					$\Sigma\sigma_x + \Sigma\sigma_{GLOB}$	-46.9													
VYUŽITÍ PRŮŘEZU DLE NAPĚTÍ								[%]					η_1	0.22								η_3	0.03			η_3	0.29
NAPĚTÍ V PŘÍČNÉM SMĚRU OD POHYBLIVÉHO ZATÍŽENÍ						$\sigma_{z,P}$	0.0	[MPa]					$\Sigma\sigma_z$	0.0													
NAPĚTÍ V PŘÍČNÉM SMĚRU OD OSTATNÍCH ZATÍŽENÍ						$\sigma_{z,rs}$	0.0	[MPa]					η_2	0.00													
SROVNÁVACÍ NAPĚTÍ													$(\eta_2 + 0,8\,\eta_1)/1,4$ =	0.13													
VYUŽITÍ PRŮŘEZU CELKEM								[%]					eff	0.29	VYHOVUJE												
STANOVENÍ ZATÍŽITELNOSTI													Z_{LM71} =	-----													

TAB. P2.1.3 POSOUZENÍ - MEZNÍ STAV ÚNOSNOSTI

POPIS	PŘÍČNÍK P2 - VNĚJŠÍ PODÉLNÍK
PRUT / POLOHA BODU	691 / I[568]
NAMÁHÁNÍ	Mz.min
VLÁKNO	BOD K2 -HP
MEZNÍ STAV	ULS (MSÚ)
VYUŽITÍ VLÁKNA PRŮŘEZU	1.10

Charakteristiky materiálu				
pás. horní	$f_{yf,k}$	230	MPa	
pás. dolní	$f_{yf,k}$	230	MPa	
stojina	$f_{yw,k}$	230	MPa	
výztuž	$f_{ys,k}$	500	MPa	
γ_M =	1.10	γ_s =	1.15	

Excentricita normálové síly				
Exc./Fáze	0	1	2	3
e_y	0.000	0.000	0.000	0.000
e_z	0.000	0.000	0.000	0.000
Ekvivalentní vzdál. stěn - příčný roznos				
b_{Mx}	0.000	0.000	0.000	0.000

Vliv stěny na únosnost průřezu				
Char./Fáze	0	1	2	3
A	0.00	0.00	0.00	0.00
Wy	0.00	0.00	0.00	0.00
Wz	0.00	0.00	0.00	0.00

Charakter. v kroucení			
$t_{w,y}$	0.000	[mm]	
$t_{w,z}$	0.000	[mm]	
κ	1.00		
I_t=	0.00E+00	[mm^4]	
$\Omega=2*A_{pr}$	0.00E+00	[mm^2]	

Součinitele vzpěru a vlivu II.řádu				
Char./Fáze	0	1	2	3
k_y	1.000	1.000	1.000	1.000
k_z	1.000	1.000	1.000	1.000
χ_{LT}	1.000	1.000	1.000	1.000
χ_{min}	1.000	1.000	1.000	1.000

δ_{LOK} 1.05

Vnitřní síly od jednotlivých skupin zatěžovacích stavů

SKUPINA ZATĚŽOVACÍCH STAVŮ					- CHARAKTERISTICKÉ HODNOTY						DÍLČÍ SOUČINITELÉ ZATÍŽENÍ, DYNAMICKÝ SOUČINITEL						7	- NÁVRHOVÉ HODNOTY									
Č.	SKUP ZS	POPIS ZS	KAT.	FÁZE PRŮŘ.	N.k (kN)	Vy.k (kN)	Vz.k (kN)	Mx.k (kNm)	My.k (kNm)	Mz.k (kNm)	γ_{sr} (-)	γ_{fs} (-)	volba γ_f hledat	γ_f (-)	L_d (m)	δ (-)	Ψ_s KZ07	N.d (kN)	Vy.d (kN)	Vz.d (kN)	ΔVz.d (kN)	ΣVz.d (kN)	Mx.d (kNm)	My.d (kNm)	ΔMy.d (kNm)	ΣMy.d (kNm)	Mz.d (kNm)	ΔMz.d (kNm)	ΣMz.d (kNm)
1	G0	Vlastní tíha OK	G	0	-29	-7	-27	0	41	-17	1.00	1.20		1.20	-	1.00	0.95	-33	-9	-31	0	-31	0	47	0	47	-19	0	-19
2	G1	Ostatní stálé - mostní vybavení	G	0	-2	-1	-6	0	6	-1	1.00	1.20		1.20	-	1.00	0.95	-3	-1	-7	0	-7	0	7	0	7	-1	0	-1
3	G2	Ostatní stálé - cizí zařízení	G	0	-1	0	-3	0	-5	-1	1.00	1.20		1.20	-	1.00	0.95	-1	-1	-4	0	-4	0	-5	0	-5	-1	0	-1
4	P1_71	a.LM71 - kolej 1 (bez dyn. souč.)	P	0	-50	-11	-89	0	61	-18	1.00	vyp.		0.00	-	1.00	0.00	0	0	0	0	0	0	0	0	0	0	0	0
5	P2_71	a.LM71 - kolej 2 (bez dyn. souč.)	P	0	-51	-7	-52	0	303	-22	1.00	vyp.		0.00	-	1.00	0.00	0	0	0	0	0	0	0	0	0	0	0	0
6	P1_C3	TTZ C3 - kolej 1 (bez dyn. souč.)	P	0	-32	-9	-91	0	69	-15	1.00	1.30		1.30	-	1.32	1.00	-55	-15	-155	0	-155	0	117	0	117	-26	5	-20
7	P2_C3	TTZ C3 - kolej 2 (bez dyn. souč.)	P	0	-35	-6	-50	0	284	-18	1.00	1.30		1.30	-	1.32	1.00	-61	-10	-86	0	-86	0	485	0	485	-30	6	-24
8	BR	Brzdné a rozjezdové síly	P	0	-53	-19	2	0	-8	-51	1.00	1.30		1.30	-	1.00	0.64	-44	-16	2	0	2	0	-7	0	-7	-43	0	-43
9	S	Boční ráz	P	0	0	-5	-2	0	-5	-5	1.00	1.30		1.30	-	1.00	0.32	0	-2	-1	0	-1	0	-2	0	-2	-2	0	-2
10	CH	Chodci na lávkách	Q	0	1	-1	0	0	-25	-3	1.00	1.30		1.30	-	1.00	1.00	1	-2	0	0	0	0	-32	0	-32	-3	0	-3
11	W	Vítr na konstrukci	Q	0	-2	-8	11	0	31	-6	1.00	1.35		1.35	-	1.00	0.75	-2	-8	11	0	11	0	32	0	32	-6	0	-6
12	WP	Vítr na vozidla	Q	0	7	-14	-19	0	-24	-12	1.00	1.35		1.35	-	1.00	0.75	7	-14	-20	0	-20	0	-24	0	-24	-12	0	-12
13	TR	Teplota rovnoměrná	Q	0	0	0	0	0	0	0	1.00	1.35		1.35	-	1.00	0.45	0	0	0	0	0	0	0	0	0	0	0	0
14	TN	Teplota nerovnoměrná	Q	0	5	-1	1	0	-5	-1	1.00	1.35		1.35	-	1.00	0.60	4	-1	0	0	0	0	-4	0	-4	-1	0	-1
15	FR	Třecí síly v ložiskách	Q	0	-7	0	0	0	-2	-1	1.00	1.20		1.20	-	1.00	1.00	-8	0	0	0	0	0	-2	0	-2	-1	0	-1
16	I	Imperfekce soustavy	Q	0	0	0	3	0	8	0	1.00	1.20		1.20	-	1.00	1.00	0	0	3	0	3	0	9	0	9	0	0	0
27	ULS_LM	ULS - LM71 bez dynam	Q	0	-235	-87	-227	0	486	-168	1.00	vyp.		0.00	-	1.00	0.00	0	0	0	0	0	0	0	0	0	0	0	0
28	SLS_LM	SLS - LM71 bez dynam	Q	0	-188	-67	-179	0	383	-130	1.00	vyp.	1	0.00	-	1.00	0.00	0	0	0	0	0	0	0	0	0	0	0	0
29	ULS_C3	ULS - C3 bez dynam	Q	0	-191	-82	-227	0	471	-159	1.00	vyp.	1	0.00	-	1.00	0.00	0	0	0	0	0	0	0	0	0	0	0	0
30	SLS_C3	SLS - C3 bez dynam	Q	0	-155	-63	-179	0	371	-123	1.00	vyp.	1	0.00	-	1.00	0.00	0	0	0	0	0	0	0	0	0	0	0	0
		CELKEM - FÁZE PRŮŘEZU 0																-194	-78	-285	0	-285	0	621	0	621	-147	11	-136
		CELKEM - FÁZE PRŮŘEZU 1																0	0	0	0	0	0	0	0	0	0	0	0
		CELKEM - FÁZE PRŮŘEZU 2																0	0	0	0	0	0	0	0	0	0	0	0
		CELKEM - FÁZE PRŮŘEZU 3																0	0	0	0	0	0	0	0	0	0	0	0
		CELKEM - PRŮŘEZ																-194	-78	-285	0	-285	0			621			-136

Napětí od jednotlivých zatěžovacích stavů

SKUPINA ZATĚŽOVACÍCH STAVŮ					Posouzení normálového napětí										Posouzení smykového napětí													
					Účinek síly N			Účinek momentu My			Účinek momentu Mz				Účinek kroutícího momentu Mx				Účinek smykové síly Vy				Účinek smykové síly Vz			
Č.	SKUP ZS	Popis ZS	Kat.	fáze průř.	δ^*N_d [kN]	χ^*A [mm^2]	σ_n [MPa]	$\delta^*M_{y,d}$ [kNm]	$\chi_{lt}{}^*W_{el,y}$ [mm^3]	σ_{my} [MPa]	$\delta^*M_{z,d}$ [kNm]	$W_{el,z}$ [mm^3]	σ_{mz} [MPa]	σ_x [MPa]	$\kappa^*\delta^*M_{x,d}$ [kNm]	$W_{v,y}$ [mm^2]	$\tau_{x,y}$ [MPa]	$W_{v,z}$ [mm^2]	$\tau_{x,z}$ [MPa]	$\delta^*V_{y,d}$ [kN]	$A_{v,y}$ [mm2]	$\tau_{v,y}$ [MPa]	$\tau_{v,y}$ [MPa]	$\delta^*V_{z,d}$ [kN]	$A_{v,z}$ [mm2]	$\tau_{v,z}$ [MPa]	$\tau_{v,z}$ [MPa]
1	G0	Vlastní tíha OK	G	0	-33.0	3.05E+04	-1.1	46.7	-1.20E+07	-3.9	-19.4	7.92E+05	-24.5	-29.4	1.1E-02	-	-	-	-	-8.5	1.53E+04	-0.6	-0.6	-30.9	1.09E+04	-2.8	-2.8
2	G1	Ostatní stálé - mostní vybavení	G	0	-2.8	3.05E+04	-0.1	7.1	-1.20E+07	-0.6	-1.4	7.92E+05	-1.8	-2.5	0.0E+00	-	-	-	-	-0.6	1.53E+04	0.0	0.0	-6.7	1.09E+04	-0.6	-0.6
3	G2	Ostatní stálé - cizí zařízení	G	0	-0.6	3.05E+04	0.0	-5.4	-1.20E+07	0.5	-1.2	7.92E+05	-1.5	-1.1	0.0E+00	-	-	-	-	-0.5	1.53E+04	0.0	0.0	-3.6	1.09E+04	-0.3	-0.3
4	P1_71	a.LM71 - kolej 1 (bez dyn. souč.)	P	0	0.0	3.05E+04	0.0	0.0	-1.20E+07	0.0	0.0	7.92E+05	0.0	0.0	0.0E+00	-	-	-	-	0.0	1.53E+04	0.0	0.0	0.0	1.09E+04	0.0	0.0
5	P2_71	a.LM71 - kolej 2 (bez dyn. souč.)	P	0	0.0	3.05E+04	0.0	0.0	-1.20E+07	0.0	0.0	7.92E+05	0.0	0.0	0.0E+00	-	-	-	-	0.0	1.53E+04	0.0	0.0	0.0	1.09E+04	0.0	0.0
6	P1_C3	TTZ C3 - kolej 1 (bez dyn. souč.)	P	0	-55.1	3.05E+04	-1.8	117.4	-1.20E+07	-9.8	-20.4	7.92E+05	-25.8	-37.4	-3.4E-02	-	-	-	-	-15.2	1.53E+04	-1.0	-1.0	-155.2	1.09E+04	-14.2	-14.2
7	P2_C3	TTZ C3 - kolej 2 (bez dyn. souč.)	P	0	-60.7	3.05E+04	-2.0	485.4	-1.20E+07	-40.6	-24.3	7.92E+05	-30.7	-73.2	1.7E-02	-	-	-	-	-10.5	1.53E+04	-0.7	-0.7	-85.9	1.09E+04	-7.9	-7.9
8	BR	Brzdné a rozjezdové síly	P	0	-44.0	3.05E+04	-1.4	-6.9	-1.20E+07	0.6	-42.8	7.92E+05	-54.1	-54.9	2.5E-02	-	-	-	-	-16.0	1.53E+04	-1.0	-1.0	1.8	1.09E+04	0.2	0.2
9	S	Boční ráz	P	0	0.0	3.05E+04	0.0	-2.0	-1.20E+07	0.2	-1.9	7.92E+05	-2.4	-2.2	4.2E-03	-	-	-	-	-2.2	1.53E+04	-0.1	-0.1	-0.7	1.09E+04	-0.1	-0.1
10	CH	Chodci na lávkách	Q	0	1.0	3.05E+04	0.0	-32.0	-1.20E+07	2.7	-3.5	7.92E+05	-4.4	-1.7	0.0E+00	-	-	-	-	-1.6	1.53E+04	-0.1	-0.1	0.0	1.09E+04	0.0	0.0
11	W	Vítr na konstrukci	Q	0	-1.9	3.05E+04	-0.1	31.7	-1.20E+07	-2.6	-6.4	7.92E+05	-8.0	-10.7	1.0E-02	-	-	-	-	-7.8	1.53E+04	-0.5	-0.5	11.4	1.09E+04	1.0	1.0
12	WP	Vítr na vozidla	Q	0	7.0	3.05E+04	0.2	-24.4	-1.20E+07	2.0	-11.9	7.92E+05	-15.0	-12.7	2.0E-02	-	-	-	-	-13.9	1.53E+04	-0.9	-0.9	-19.5	1.09E+04	-1.8	-1.8
13	TR	Teplota rovnoměrná	Q	0	0.0	3.05E+04	0.0	0.0	-1.20E+07	0.0	0.0	7.92E+05	0.0	0.0	0.0E+00	-	-	-	-	0.0	1.53E+04	0.0	0.0	0.0	1.09E+04	0.0	0.0
14	TN	Teplota nerovnoměrná	Q	0	4.4	3.05E+04	0.1	-3.8	-1.20E+07	0.3	-1.1	7.92E+05	-1.4	-1.0	0.0E+00	-	-	-	-	-0.5	1.53E+04	0.0	0.0	0.5	1.09E+04	0.0	0.0
15	FR	Třecí síly v ložiskách	Q	0	-8.0	3.05E+04	-0.3	-2.4	-1.20E+07	0.2	-1.2	7.92E+05	-1.5	-1.6	0.0E+00	-	-	-	-	-0.4	1.53E+04	0.0	0.0	0.0	1.09E+04	0.0	0.0
16	I	Imperfekce soustavy	Q	0	-0.1	3.05E+04	0.0	9.4	-1.20E+07	-0.8	-0.2	7.92E+05	-0.2	-1.0	0.0E+00	-	-	-	-	-0.4	1.53E+04	0.0	0.0	3.3	1.09E+04	0.3	0.3
27	ULS_LM	ULS - LM71 bez dynam	Q	0	0.0	3.05E+04	0.0	0.0	-1.20E+07	0.0	0.0	7.92E+05	0.0	0.0	0.0E+00	-	-	-	-	0.0	1.53E+04	0.0	0.0	0.0	1.09E+04	0.0	0.0
28	SLS_LM	SLS - LM71 bez dynam	Q	0	0.0	3.05E+04	0.0	0.0	-1.20E+07	0.0	0.0	7.92E+05	0.0	0.0	0.0E+00	-	-	-	-	0.0	1.53E+04	0.0	0.0	0.0	1.09E+04	0.0	0.0
29	ULS_C3	ULS - C3 bez dynam	Q	0	0.0	3.05E+04	0.0	0.0	-1.20E+07	0.0	0.0	7.92E+05	0.0	0.0	0.0E+00	-	-	-	-	0.0	1.53E+04	0.0	0.0	0.0	1.09E+04	0.0	0.0
30	SLS_C3	SLS - C3 bez dynam	Q	0	0.0	3.05E+04	0.0	0.0	-1.20E+07	0.0	0.0	7.92E+05	0.0	0.0	0.0E+00	-	-	-	-	0.0	1.53E+04	0.0	0.0	0.0	1.09E+04	0.0	0.0
NAVÝŠENÍ NAPĚTÍ DO AKTIVACE TLAKU V DESCE MOSTOVKY						$\sigma_{P,red}$	0.0							0.0			0.0		0.0				-5.1			-26.2	-26.2
NAPĚTÍ OD PRIMÁRNÍCH ÚČINKŮ NEROVNOMĚRNÉHO OTEPLENÍ						σ_T	0.0							0.0													
NAPĚTÍ OD REOLOGICKÝCH ÚČINKŮ BETONU V ČASE				t=0		σ_R	0.0	γ=	1.20					0.0													
NAPĚTÍ V KRITICKÝCH VLÁKNECH OD KOMBINACE ZATÍŽENÍ							KZ07	[MPa]					$\Sigma\sigma_x$	-229.6								$\Sigma\tau_y$	-5.1			$\Sigma\tau_z$	-26.2
NAPĚTÍ OD POHYBLIVÉHO ZATÍŽENÍ								[MPa]					$\sigma_{x,P}$	-167.8									-2.9			τ_P	-22.0
NAPĚTÍ OD OSTATNÍCH ZATÍŽENÍ								[MPa]			Φ_{Vy}	Φ_{Vz}	$\sigma_{x,rs}$	-61.7								τ_{rs}	-2.2			τ_{rs}	-4.2
NÁVRHOVÁ HODNOTA MEZE KLUZU S REDUKCÍ VLIVEM SMYKOVÉHO NAPĚTÍ								[MPa]			1.00	1.00	$f_{yw,d}$	209.1								$f_{yd}/3^{0,5}$	120.7			$f_{yd}/3^{0,5}$	120.7
NAPĚTÍ OD POHYBLIVÉHO ZATÍŽENÍ V GLOBÁLNÍM SYSTÉMU						$\sigma_{GLOB,P}$	0.0	[MPa]					$\Sigma\sigma_{GLOB}$	0.0													
NAPĚTÍ OD OSTATNÍCH ZATÍŽENÍ V GLOBÁLNÍM SYSTÉMU						$\sigma_{GLOB,rs}$	0.0	[MPa]					$\Sigma\sigma_x + \Sigma\sigma_{GLOB}$	-229.6													
VYUŽITÍ PRŮŘEZU DLE NAPĚTÍ								[%]					η_1	1.10								η_3	0.04			η_3	0.22
NAPĚTÍ V PŘÍČNÉM SMĚRU OD POHYBLIVÉHO ZATÍŽENÍ						$\sigma_{z,P}$	0.0	[MPa]					$\Sigma\sigma_z$	0.0													
NAPĚTÍ V PŘÍČNÉM SMĚRU OD OSTATNÍCH ZATÍŽENÍ						$\sigma_{z,rs}$	0.0	[MPa]					η_2	0.00													
SROVNÁVACÍ NAPĚTÍ													$(\eta_2 + 0,8\ \eta_1)/1,4 =$	0.63													
VYUŽITÍ PRŮŘEZU CELKEM								[%]					eff	1.10	NEVYHOVUJE												
STANOVENÍ ZATÍŽITELNOSTI													Z_{LM71} =	-----													

TAB. P2.1.3 POSOUZENÍ - MEZNÍ STAV ÚNOSNOSTI

POPIS	PŘÍČNÍK P2 - VNĚJŠÍ PODÉLNÍK
PRUT / POLOHA BODU	691 / I[568]
NAMÁHÁNÍ	Mz.min
VLÁKNO	BOD K3 -SL
MEZNÍ STAV	ULS (MSÚ)
VYUŽITÍ VLÁKNA PRŮŘEZU	1.08

Charakteristiky materiálu				
pás. horní	$f_{yf,k}$	230	MPa	
pás. dolní	$f_{yf,k}$	230	MPa	
stojina	$f_{yw,k}$	230	MPa	
výztuž	$f_{ys,k}$	500	MPa	
γ_M =	1.10	γ_s =	1.15	

Excentricita normálové síly				
Exc./Fáze	0	1	2	3
e_y	0.000	0.000	0.000	0.000
e_z	0.000	0.000	0.000	0.000
Ekvivalentní vzdál. stěn - příčný roznos				
b_{ekv}	0.000	0.000	0.000	0.000

Vliv stěny na únosnost průřezu				
Char./Fáze	0	1	2	3
A	0.00	0.00	0.00	0.00
Wy	0.00	0.00	0.00	0.00
Wz	0.00	0.00	0.00	0.00

Charakter. v kroucení			
$t_{w,y}$	0.000	[mm]	
$t_{w,z}$	0.000	[mm]	
κ	1.00		
I_t=	0.00E+00	[mm^4]	
$\Omega=2*A_{pz}$	0.00E+00	[mm^2]	

Součinitele vzpěru a vlivu II.řádu				
Char./Fáze	0	1	2	3
k_y	1.000	1.000	1.000	1.000
k_z	1.000	1.000	1.000	1.000
χ_{LT}	1.000	1.000	1.000	1.000
χ_{min}	1.000	1.000	1.000	1.000

δ_{LOK} 1.05

Vnitřní síly od jednotlivých skupin zatěžovacích stavů

SKUPINA ZATĚŽOVACÍCH STAVŮ					- CHARAKTERISTICKÉ HODNOTY						DÍLČÍ SOUČINITELÉ ZATÍŽENÍ, DYNAMICKÝ SOUČINITEL						7	- NÁVRHOVÉ HODNOTY									
Č.	SKUP ZS	POPIS ZS	KAT.	FÁZE PRŮŘ.	N.k (kN)	Vy.k (kN)	Vz.k (kN)	Mx.k (kNm)	My.k (kNm)	Mz.k (kNm)	γ_{sup} (-)	γ_{inf} (-)	volba γ_{fi} hledat	γ_{fi} (-)	L_d (m)	δ (-)	Ψ_0 KZ07	N.d (kN)	Vy.d (kN)	Vz.d (kN)	ΔVz.d (kN)	ΣVz.d (kN)	Mx.d (kNm)	My.d (kNm)	ΔMy.d (kNm)	ΣMy.d (kNm)	Mz.d (kNm)	ΔMz.d (kNm)	ΣMz.d (kNm)
1	G0	Vlastní tíha OK	G	0	-29	-7	-27	0	41	-17	1.00	1.20		1.20	-	1.00	0.95	-33	-9	-31	0	-31	0	47	0	47	-19	0	-19
2	G1	Ostatní stálé - mostní vybavení	G	0	-2	-1	-6	0	6	-1	1.00	1.20		1.20	-	1.00	0.95	-3	-1	-7	0	-7	0	7	0	7	-1	0	-1
3	G2	Ostatní stálé - cizí zařízení	G	0	-1	0	-3	0	-5	-1	1.00	1.20		1.20	-	1.00	0.95	-1	-1	-4	0	-4	0	-5	0	-5	-1	0	-1
4	P1_71	a.LM71 - kolej 1 (bez dyn. souč.)	P	0	-50	-11	-89	0	61	-18	1.00	vyp.		0.00	-	1.00	0.00	0	0	0	0	0	0	0	0	0	0	0	0
5	P2_71	a.LM71 - kolej 2 (bez dyn. souč.)	P	0	-51	-7	-52	0	303	-22	1.00	vyp.		0.00	-	1.00	0.00	0	0	0	0	0	0	0	0	0	0	0	0
6	P1_C3	TTZ C3 - kolej 1 (bez dyn. souč.)	P	0	-32	-9	-91	0	69	-15	1.00	1.30		1.30	-	1.32	1.00	-55	-15	-155	0	-155	0	117	0	117	-26	5	-20
7	P2_C3	TTZ C3 - kolej 2 (bez dyn. souč.)	P	0	-35	-6	-50	0	284	-18	1.00	1.30		1.30	-	1.32	1.00	-61	-10	-86	0	-86	0	485	0	485	-30	6	-24
8	BR	Brzdné a rozjezdové síly	P	0	-53	-19	2	0	-8	-51	1.00	1.30		1.30	-	1.00	0.64	-44	-16	2	0	2	0	-7	0	-7	-43	0	-43
9	S	Boční ráz	P	0	0	-5	-2	0	-5	-5	1.00	1.30		1.30	-	1.00	0.32	0	-2	-1	0	-1	0	-2	0	-2	-2	0	-2
10	CH	Chodci na lávkách	Q	0	1	-1	0	0	-25	-3	1.00	1.30		1.30	-	1.00	1.00	1	-2	0	0	0	0	-32	0	-32	-3	0	-3
11	W	Vítr na konstrukci	Q	0	-2	-8	11	0	31	-6	1.00	1.35		1.35	-	1.00	0.75	-2	-8	11	0	11	0	32	0	32	-6	0	-6
12	WP	Vítr na vozidla	Q	0	7	-14	-19	0	-24	-12	1.00	1.35		1.35	-	1.00	0.75	7	-14	-20	0	-20	0	-24	0	-24	-12	0	-12
13	TR	Teplota rovnoměrná	Q	0	0	0	0	0	0	0	1.00	1.35		1.35	-	1.00	0.45	0	0	0	0	0	0	0	0	0	0	0	0
14	TN	Teplota nerovnoměrná	Q	0	5	-1	1	0	-5	-1	1.00	1.35		1.35	-	1.00	0.60	4	-1	0	0	0	0	-4	0	-4	-1	0	-1
15	FR	Třecí síly v ložiskách	Q	0	-7	0	0	0	-2	-1	1.00	1.20		1.20	-	1.00	1.00	-8	0	0	0	0	0	-2	0	-2	-1	0	-1
16	I	Imperfekce soustavy	Q	0	0	0	3	0	8	0	1.00	1.20		1.20	-	1.00	1.00	0	0	3	0	3	0	9	0	9	0	0	0
27	ULS_LM	ULS - LM71 bez dynam	Q	0	-235	-87	-227	0	486	-168	1.00	vyp.		0.00	-	1.00	0.00	0	0	0	0	0	0	0	0	0	0	0	0
28	SLS_LM	SLS - LM71 bez dynam	Q	0	-188	-67	-179	0	383	-130	1.00	vyp.	1	0.00	-	1.00	0.00	0	0	0	0	0	0	0	0	0	0	0	0
29	ULS_C3	ULS - C3 bez dynam	Q	0	-191	-82	-227	0	471	-159	1.00	vyp.	1	0.00	-	1.00	0.00	0	0	0	0	0	0	0	0	0	0	0	0
30	SLS_C3	SLS - C3 bez dynam	Q	0	-155	-63	-179	0	371	-123	1.00	vyp.	1	0.00	-	1.00	0.00	0	0	0	0	0	0	0	0	0	0	0	0
		CELKEM - FÁZE PRŮŘEZU 0																-194	-78	-285	0	-285	0	621	0	621	-147	11	-136
		CELKEM - FÁZE PRŮŘEZU 1																0	0	0	0	0	0	0	0	0	0	0	0
		CELKEM - FÁZE PRŮŘEZU 2																0	0	0	0	0	0	0	0	0	0	0	0
		CELKEM - FÁZE PRŮŘEZU 3																0	0	0	0	0	0	0	0	0	0	0	0
		CELKEM - PRŮŘEZ																-194	-78	-285	0	-285	0			621			-136

Napětí od jednotlivých zatěžovacích stavů

SKUPINA ZATĚŽOVACÍCH STAVŮ					Posouzení normálového napětí										Posouzení smykového napětí													
					Účinek síly N			Účinek momentu My			Účinek momentu Mz				Účinek kroutícího momentu Mx				Účinek smykové síly Vy				Účinek smykové síly Vz			
Č.	SKUP ZS	Popis ZS	Kat.	fáze průř.	δ^*N_d [kN]	χ^*A [mm^2]	σ_n [MPa]	$\delta^*M_{y,d}$ [kNm]	$\chi_{lt}*W_{el,y}$ [mm^3]	σ_{my} [MPa]	$\delta^*M_{z,d}$ [kNm]	$W_{el,z}$ [mm^3]	σ_{mz} [MPa]	σ_x [MPa]	$\kappa*\delta^*M_{x,d}$ [kNm]	$W_{v,y}$ [mm^2]	$\tau_{x,y}$ [MPa]	$W_{v,z}$ [mm^2]	$\tau_{x,z}$ [MPa]	$\delta^*V_{y,d}$ [kN]	$A_{v,y}$ [mm2]	$\tau_{v,y}$ [MPa]	$\tau_{v,y}$ [MPa]	$\delta^*V_{z,d}$ [kN]	$A_{v,z}$ [mm2]	$\tau_{v,z}$ [MPa]	$\tau_{v,z}$ [MPa]
1	G0	Vlastní tíha OK	G	0	-33.0	3.05E+04	-1.1	46.7	1.04E+07	4.5	-19.4	-7.92E+05	24.5	27.9	1.1E-02	-	-	-	-	-8.5	1.53E+04	-0.6	-0.6	-30.9	1.09E+04	-2.8	-2.8
2	G1	Ostatní stálé - mostní vybavení	G	0	-2.8	3.05E+04	-0.1	7.1	1.04E+07	0.7	-1.4	-7.92E+05	1.8	2.4	0.0E+00	-	-	-	-	-0.6	1.53E+04	0.0	0.0	-6.7	1.09E+04	-0.6	-0.6
3	G2	Ostatní stálé - cizí zařízení	G	0	-0.6	3.05E+04	0.0	-5.4	1.04E+07	-0.5	-1.2	-7.92E+05	1.5	1.0	0.0E+00	-	-	-	-	-0.5	1.53E+04	0.0	0.0	-3.6	1.09E+04	-0.3	-0.3
4	P1_71	a.LM71 - kolej 1 (bez dyn. souč.)	P	0	0.0	3.05E+04	0.0	0.0	1.04E+07	0.0	0.0	-7.92E+05	0.0	0.0	0.0E+00	-	-	-	-	0.0	1.53E+04	0.0	0.0	0.0	1.09E+04	0.0	0.0
5	P2_71	a.LM71 - kolej 2 (bez dyn. souč.)	P	0	0.0	3.05E+04	0.0	0.0	1.04E+07	0.0	0.0	-7.92E+05	0.0	0.0	0.0E+00	-	-	-	-	0.0	1.53E+04	0.0	0.0	0.0	1.09E+04	0.0	0.0
6	P1_C3	TTZ C3 - kolej 1 (bez dyn. souč.)	P	0	-55.1	3.05E+04	-1.8	117.4	1.04E+07	11.3	-20.4	-7.92E+05	25.8	35.3	-3.4E-02	-	-	-	-	-15.2	1.53E+04	-1.0	-1.0	-155.2	1.09E+04	-14.2	-14.2
7	P2_C3	TTZ C3 - kolej 2 (bez dyn. souč.)	P	0	-60.7	3.05E+04	-2.0	485.4	1.04E+07	46.9	-24.3	-7.92E+05	30.7	75.6	1.7E-02	-	-	-	-	-10.5	1.53E+04	-0.7	-0.7	-85.9	1.09E+04	-7.9	-7.9
8	BR	Brzdné a rozjezdové síly	P	0	-44.0	3.05E+04	-1.4	-6.9	1.04E+07	-0.7	-42.8	-7.92E+05	54.1	51.9	2.5E-02	-	-	-	-	-16.0	1.53E+04	-1.0	-1.0	1.8	1.09E+04	0.2	0.2
9	S	Boční ráz	P	0	0.0	3.05E+04	0.0	-2.0	1.04E+07	-0.2	-1.9	-7.92E+05	2.4	2.2	4.2E-03	-	-	-	-	-2.2	1.53E+04	-0.1	-0.1	-0.7	1.09E+04	-0.1	-0.1
10	CH	Chodci na lávkách	Q	0	1.0	3.05E+04	0.0	-32.0	1.04E+07	-3.1	-3.5	-7.92E+05	4.4	1.3	0.0E+00	-	-	-	-	-1.6	1.53E+04	-0.1	-0.1	0.0	1.09E+04	0.0	0.0
11	W	Vítr na konstrukci	Q	0	-1.9	3.05E+04	-0.1	31.7	1.04E+07	3.1	-6.4	-7.92E+05	8.0	11.0	1.0E-02	-	-	-	-	-7.8	1.53E+04	-0.5	-0.5	11.4	1.09E+04	1.0	1.0
12	WP	Vítr na vozidla	Q	0	7.0	3.05E+04	0.2	-24.4	1.04E+07	-2.4	-11.9	-7.92E+05	15.0	12.9	2.0E-02	-	-	-	-	-13.9	1.53E+04	-0.9	-0.9	-19.5	1.09E+04	-1.8	-1.8
13	TR	Teplota rovnoměrná	Q	0	0.0	3.05E+04	0.0	0.0	1.04E+07	0.0	0.0	-7.92E+05	0.0	0.0	0.0E+00	-	-	-	-	0.0	1.53E+04	0.0	0.0	0.0	1.09E+04	0.0	0.0
14	TN	Teplota nerovnoměrná	Q	0	4.4	3.05E+04	0.1	-3.8	1.04E+07	-0.4	-1.1	-7.92E+05	1.4	1.2	0.0E+00	-	-	-	-	-0.5	1.53E+04	0.0	0.0	0.5	1.09E+04	0.0	0.0
15	FR	Třecí síly v ložiskách	Q	0	-8.0	3.05E+04	-0.3	-2.4	1.04E+07	-0.2	-1.2	-7.92E+05	1.5	1.0	0.0E+00	-	-	-	-	-0.4	1.53E+04	0.0	0.0	0.0	1.09E+04	0.0	0.0
16	I	Imperfekce soustavy	Q	0	-0.1	3.05E+04	0.0	9.4	1.04E+07	0.9	-0.2	-7.92E+05	0.2	1.1	0.0E+00	-	-	-	-	-0.4	1.53E+04	0.0	0.0	3.3	1.09E+04	0.3	0.3
27	ULS_LM	ULS - LM71 bez dynam	Q	0	0.0	3.05E+04	0.0	0.0	1.04E+07	0.0	0.0	-7.92E+05	0.0	0.0	0.0E+00	-	-	-	-	0.0	1.53E+04	0.0	0.0	0.0	1.09E+04	0.0	0.0
28	SLS_LM	SLS - LM71 bez dynam	Q	0	0.0	3.05E+04	0.0	0.0	1.04E+07	0.0	0.0	-7.92E+05	0.0	0.0	0.0E+00	-	-	-	-	0.0	1.53E+04	0.0	0.0	0.0	1.09E+04	0.0	0.0
29	ULS_C3	ULS - C3 bez dynam	Q	0	0.0	3.05E+04	0.0	0.0	1.04E+07	0.0	0.0	-7.92E+05	0.0	0.0	0.0E+00	-	-	-	-	0.0	1.53E+04	0.0	0.0	0.0	1.09E+04	0.0	0.0
30	SLS_C3	SLS - C3 bez dynam	Q	0	0.0	3.05E+04	0.0	0.0	1.04E+07	0.0	0.0	-7.92E+05	0.0	0.0	0.0E+00	-	-	-	-	0.0	1.53E+04	0.0	0.0	0.0	1.09E+04	0.0	0.0
NAVÝŠENÍ NAPĚTÍ DO AKTIVACE TLAKU V DESCE MOSTOVKY						$\sigma_{P,red}$	0.0							0.0			0.0		0.0			-5.1	-5.1			-26.2	-26.2
NAPĚTÍ OD PRIMÁRNÍCH ÚČINKŮ NEROVNOMĚRNÉHO OTEPLENÍ						σ_T	0.0							0.0													
NAPĚTÍ OD REOLOGICKÝCH ÚČINKŮ BETONU V ČASE				t=0		σ_R	0.0	γ_{inf}	1.20					0.0													
NAPĚTÍ V KRITICKÝCH VLÁKNECH OD KOMBINACE ZATÍŽENÍ						KZ07		[MPa]					$\Sigma\sigma_x$	224.9								$\Sigma\tau_y$	-5.1			$\Sigma\tau_z$	-26.2
NAPĚTÍ OD POHYBLIVÉHO ZATÍŽENÍ								[MPa]					$\sigma_{x,P}$	165.0								τ_P	-2.9			τ_P	-22.0
NAPĚTÍ OD OSTATNÍCH ZATÍŽENÍ								[MPa]			Φ_{Vy}	Φ_{Vz}	$\sigma_{x,rs}$	59.9								τ_{rs}	-2.2			τ_{rs}	-4.2
NÁVRHOVÁ HODNOTA MEZE KLUZU S REDUKCÍ VLIVEM SMYKOVÉHO NAPĚTÍ								[MPa]			1.00	1.00	$f_{yv,d}$	209.1								$f_{yd}/3^{0,5}$	120.7			$f_{yd}/3^{0,5}$	120.7
NAPĚTÍ OD POHYBLIVÉHO ZATÍŽENÍ V GLOBÁLNÍM SYSTÉMU						$\sigma_{GLOB,P}$	0.0	[MPa]					$\Sigma\sigma_{GLOB}$	0.0													
NAPĚTÍ OD OSTATNÍCH ZATÍŽENÍ V GLOBÁLNÍM SYSTÉMU						$\sigma_{GLOB,rs}$	0.0	[MPa]					$\Sigma\sigma_x + \Sigma\sigma_{GLOB}$	224.9													
VYUŽITÍ PRŮŘEZU DLE NAPĚTÍ								[%]					η_1	1.08								η_3	0.04			η_3	0.22
NAPĚTÍ V PŘÍČNÉM SMĚRU OD POHYBLIVÉHO ZATÍŽENÍ						$\sigma_{z,P}$	0.0	[MPa]					$\Sigma\sigma_z$	0.0													
NAPĚTÍ V PŘÍČNÉM SMĚRU OD OSTATNÍCH ZATÍŽENÍ						$\sigma_{z,rs}$	0.0	[MPa]					η_2	0.00													
SROVNÁVACÍ NAPĚTÍ													$(\eta_2 + 0,8\ \eta_1)/1,4 =$	0.61													
VYUŽITÍ PRŮŘEZU CELKEM								[%]					eff	1.08	NEVYHOVUJE												
STANOVENÍ ZATÍŽITELNOSTI													Z_{LM71} =	-----													

TAB. P2.1.3 POSOUZENÍ - MEZNÍ STAV ÚNOSNOSTI

POPIS	PŘÍČNÍK P2 - VNĚJŠÍ PODÉLNÍK
PRUT / POLOHA BODU	691 / I[568]
NAMÁHÁNÍ	Vz.min
VLÁKNO	BOD S6 -HP
MEZNÍ STAV	ULS (MSÚ)
VYUŽITÍ VLÁKNA PRŮŘEZU	0.32

Charakteristiky materiálu				
pás. horní	$f_{yf,k}$	230	MPa	
pás. dolní	$f_{yf,k}$	230	MPa	
stojina	$f_{yw,k}$	230	MPa	
výztuž	$f_{ys,k}$	500	MPa	
γ_M =	1.10	γ_s =	1.15	

Excentricita normálové síly				
Exc./Fáze	0	1	2	3
e_y	0.000	0.000	0.000	0.000
e_z	0.000	0.000	0.000	0.000
Ekvivalentní vzdál. stěn - příčný roznos				
b_{Mx}	0.000	0.000	0.000	0.000

Vliv stěny na únosnost průřezu				
Char./Fáze	0	1	2	3
A	0.00	0.00	0.00	0.00
Wy	0.00	0.00	0.00	0.00
Wz	0.00	0.00	0.00	0.00

Charakter. v kroucení			
$t_{w,y}$	0.000	[mm]	
$t_{w,z}$	0.000	[mm]	
κ	1.00		
I_t=	0.00E+00	[mm^4]	
Ω=2*A_{pz}	0.00E+00	[mm^2]	

Součinitele vzpěru a vlivu II.řádu				
Char./Fáze	0	1	2	3
k_y	1.000	1.000	1.000	1.000
k_z	1.000	1.000	1.000	1.000
χ_{LT}	1.000	1.000	1.000	1.000
χ_{min}	1.000	1.000	1.000	1.000

8

δ_{LOK} 1.05

Vnitřní síly od jednotlivých skupin zatěžovacích stavů

SKUPINA ZATĚŽOVACÍCH STAVŮ					- CHARAKTERISTICKÉ HODNOTY						DÍLČÍ SOUČINITELÉ ZATÍŽENÍ, DYNAMICKÝ SOUČINITEL							- NÁVRHOVÉ HODNOTY									
Č.	SKUP ZS	POPIS ZS	KAT.	FÁZE PRŮŘ.	N.k (kN)	Vy.k (kN)	Vz.k (kN)	Mx.k (kNm)	My.k (kNm)	Mz.k (kNm)	γ_{sr} (-)	γ_s (-)	volba γ_s hledat	γ_s (-)	L_d (m)	δ (-)	Ψ_s KZ08	N.d (kN)	Vy.d (kN)	Vz.d (kN)	ΔVz.d (kN)	ΣVz.d (kN)	Mx.d (kNm)	My.d (kNm)	ΔMy.d (kNm)	ΣMy.d (kNm)	Mz.d (kNm)	ΔMz.d (kNm)	ΣMz.d (kNm)
1	G0	Vlastní tíha OK	G	0	-29	-7	-27	0	41	-17	1.00	1.20		1.20	-	1.00	0.95	-33	-9	-31	0	-31	0	47	0	47	-19	0	-19
2	G1	Ostatní stálé - mostní vybavení	G	0	-2	-1	-6	0	6	-1	1.00	1.20		1.20	-	1.00	0.95	-3	-1	-7	0	-7	0	7	0	7	-1	0	-1
3	G2	Ostatní stálé - cizí zařízení	G	0	-1	0	-3	0	-5	-1	1.00	1.20		1.20	-	1.00	0.95	-1	-1	-4	0	-4	0	-5	0	-5	-1	0	-1
4	P1_71	a.LM71 - kolej 1 (bez dyn. souč.)	P	0	-49	-9	-183	0	153	-16	1.00	vyp.		0.00	-	1.00	0.00	0	0	0	0	0	0	0	0	0	0	0	0
5	P2_71	a.LM71 - kolej 2 (bez dyn. souč.)	P	0	-33	-1	-160	0	569	-4	1.00	vyp.		0.00	-	1.00	0.00	0	0	0	0	0	0	0	0	0	0	0	0
6	P1_C3	TTZ C3 - kolej 1 (bez dyn. souč.)	P	0	-32	-8	-103	0	84	-13	1.00	1.30		1.30	-	1.32	1.00	-55	-13	-177	0	-177	0	144	0	144	-22	4	-18
7	P2_C3	TTZ C3 - kolej 2 (bez dyn. souč.)	P	0	-16	-1	-90	0	319	-3	1.00	1.30		1.30	-	1.32	1.00	-27	-1	-154	0	-154	0	545	0	545	-5	1	-4
8	BR	Brzdné a rozjezdové síly	P	0	53	19	-2	0	8	51	1.00	1.30		1.30	-	1.00	0.32	22	8	-1	0	-1	0	3	0	3	21	0	21
9	S	Boční ráz	P	0	-4	3	-7	0	-13	2	1.00	1.30		1.30	-	1.00	0.64	-3	3	-5	0	-5	0	-11	0	-11	2	0	2
10	CH	Chodci na lávkách	Q	0	1	-1	0	0	-25	-2	1.00	1.30		1.30	-	1.00	1.00	1	-1	0	0	0	0	-32	0	-32	-3	0	-3
11	W	Vítr na konstrukci	Q	0	-1	8	-11	0	-31	6	1.00	1.35		1.35	-	1.00	0.75	-1	8	-11	0	-11	0	-32	0	-32	6	0	6
12	WP	Vítr na vozidla	Q	0	7	-14	-19	0	-24	-12	1.00	1.35		1.35	-	1.00	0.75	7	-14	-20	0	-20	0	-24	0	-24	-12	0	-12
13	TR	Teplota rovnoměrná	Q	0	0	0	0	0	0	0	1.00	1.35		1.35	-	1.00	0.45	0	0	0	0	0	0	0	0	0	0	0	0
14	TN	Teplota nerovnoměrná	Q	0	2	-1	-5	0	-21	-1	1.00	1.35		1.35	-	1.00	0.60	1	-1	-4	0	-4	0	-17	0	-17	-1	0	-1
15	FR	Třecí síly v ložiskách	Q	0	-7	0	0	0	-2	-1	1.00	1.20		1.20	-	1.00	1.00	-8	0	0	0	0	0	-2	0	-2	-1	0	-1
16	I	Imperfekce soustavy	Q	0	0	0	-3	0	-8	0	1.00	1.20		1.20	-	1.00	1.00	0	0	-3	0	-3	0	-9	0	-9	0	0	0
27	ULS_LM	ULS - LM71 bez dynam	Q	0	-113	-14	-535	0	858	-22	1.00	vyp.		0.00	-	1.00	0.00	0	0	0	0	0	0	0	0	0	0	0	0
28	SLS_LM	SLS - LM71 bez dynam	Q	0	-92	-11	-412	0	679	-18	1.00	vyp.	1	0.00	-	1.00	0.00	0	0	0	0	0	0	0	0	0	0	0	0
29	ULS_C3	ULS - C3 bez dynam	Q	0	-68	-12	-341	0	444	-16	1.00	vyp.	1	0.00	-	1.00	0.00	0	0	0	0	0	0	0	0	0	0	0	0
30	SLS_C3	SLS - C3 bez dynam	Q	0	-58	-9	-263	0	360	-14	1.00	vyp.	1	0.00	-	1.00	0.00	0	0	0	0	0	0	0	0	0	0	0	0
		CELKEM - FÁZE PRŮŘEZU 0																-99	-21	-417	0	-417	0	613	0	613	-36	5	-30
		CELKEM - FÁZE PRŮŘEZU 1																0	0	0	0	0	0	0	0	0	0	0	0
		CELKEM - FÁZE PRŮŘEZU 2																0	0	0	0	0	0	0	0	0	0	0	0
		CELKEM - FÁZE PRŮŘEZU 3																0	0	0	0	0	0	0	0	0	0	0	0
		CELKEM - PRŮŘEZ																-99	-21	-417	0	-417	0			613			-30

Napětí od jednotlivých zatěžovacích stavů

SKUPINA ZATĚŽOVACÍCH STAVŮ					Posouzení normálového napětí										Posouzení smykového napětí													
					Účinek síly N			Účinek momentu My			Účinek momentu Mz				Účinek kroutícího momentu Mx				Účinek smykové síly Vy				Účinek smykové síly Vz			
Č.	SKUP ZS	Popis ZS	Kat.	fáze průř.	δ^*N_d [kN]	χ^*A [mm^2]	σ_n [MPa]	$\delta^*M_{y,d}$ [kNm]	$\chi_{lt}{}^*W_{el,y}$ [mm^3]	σ_{my} [MPa]	$\delta^*M_{z,d}$ [kNm]	$W_{el,z}$ [mm^3]	σ_{mz} [MPa]	σ_x [MPa]	$\kappa^*\delta^*M_{x,d}$ [kNm]	$W_{v,y}$ [mm^2]	$\tau_{x,y}$ [MPa]	$W_{v,z}$ [mm^2]	$\tau_{x,z}$ [MPa]	$\delta^*V_{y,d}$ [kN]	$A_{v,y}$ [mm2]	$\tau_{v,y}$ [MPa]	$\tau_{v,y}$ [MPa]	$\delta^*V_{z,d}$ [kN]	$A_{v,z}$ [mm2]	$\tau_{v,z}$ [MPa]	$\tau_{v,z}$ [MPa]
1	G0	Vlastní tíha OK	G	0	-33.0	3.05E+04	-1.1	46.7	1.06E+07	4.4	-19.4	-2.44E+07	0.8	4.1	1.1E-02	-	-	-	-	-8.5	1.53E+04	-0.6	-0.6	-30.9	1.09E+04	-2.8	-2.8
2	G1	Ostatní stálé - mostní vybavení	G	0	-2.8	3.05E+04	-0.1	7.1	1.06E+07	0.7	-1.4	-2.44E+07	0.1	0.6	0.0E+00	-	-	-	-	-0.6	1.53E+04	0.0	0.0	-6.7	1.09E+04	-0.6	-0.6
3	G2	Ostatní stálé - cizí zařízení	G	0	-0.6	3.05E+04	0.0	-5.4	1.06E+07	-0.5	-1.2	-2.44E+07	0.0	-0.5	0.0E+00	-	-	-	-	-0.5	1.53E+04	0.0	0.0	-3.6	1.09E+04	-0.3	-0.3
4	P1_71	a.LM71 - kolej 1 (bez dyn. souč.)	P	0	0.0	3.05E+04	0.0	0.0	1.06E+07	0.0	0.0	-2.44E+07	0.0	0.0	0.0E+00	-	-	-	-	0.0	1.53E+04	0.0	0.0	0.0	1.09E+04	0.0	0.0
5	P2_71	a.LM71 - kolej 2 (bez dyn. souč.)	P	0	0.0	3.05E+04	0.0	0.0	1.06E+07	0.0	0.0	-2.44E+07	0.0	0.0	0.0E+00	-	-	-	-	0.0	1.53E+04	0.0	0.0	0.0	1.09E+04	0.0	0.0
6	P1_C3	TTZ C3 - kolej 1 (bez dyn. souč.)	P	0	-54.6	3.05E+04	-1.8	143.8	1.06E+07	13.5	-17.8	-2.44E+07	0.7	12.5	-1.7E-02	-	-	-	-	-13.0	1.53E+04	-0.8	-0.8	-176.8	1.09E+04	-16.2	-16.2
7	P2_C3	TTZ C3 - kolej 2 (bez dyn. souč.)	P	0	-27.5	3.05E+04	-0.9	545.0	1.06E+07	51.3	-3.7	-2.44E+07	0.2	50.6	0.0E+00	-	-	-	-	-1.2	1.53E+04	-0.1	-0.1	-153.9	1.09E+04	-14.1	-14.1
8	BR	Brzdné a rozjezdové síly	P	0	22.0	3.05E+04	0.7	3.5	1.06E+07	0.3	21.4	-2.44E+07	-0.9	0.2	-1.2E-02	-	-	-	-	8.0	1.53E+04	0.5	0.5	-0.9	1.09E+04	-0.1	-0.1
9	S	Boční ráz	P	0	-3.4	3.05E+04	-0.1	-11.0	1.06E+07	-1.0	1.8	-2.44E+07	-0.1	-1.2	-2.5E-02	-	-	-	-	2.8	1.53E+04	0.2	0.2	-5.5	1.09E+04	-0.5	-0.5
10	CH	Chodci na lávkách	Q	0	1.5	3.05E+04	0.0	-32.2	1.06E+07	-3.0	-2.6	-2.44E+07	0.1	-2.9	0.0E+00	-	-	-	-	-1.3	1.53E+04	-0.1	-0.1	0.0	1.09E+04	0.0	0.0
11	W	Vítr na konstrukci	Q	0	-0.7	3.05E+04	0.0	-31.7	1.06E+07	-3.0	6.3	-2.44E+07	-0.3	-3.3	-1.0E-02	-	-	-	-	7.8	1.53E+04	0.5	0.5	-11.4	1.09E+04	-1.0	-1.0
12	WP	Vítr na vozidla	Q	0	7.0	3.05E+04	0.2	-24.4	1.06E+07	-2.3	-11.9	-2.44E+07	0.5	-1.6	2.0E-02	-	-	-	-	-13.9	1.53E+04	-0.9	-0.9	-19.5	1.09E+04	-1.8	-1.8
13	TR	Teplota rovnoměrná	Q	0	0.0	3.05E+04	0.0	0.0	1.06E+07	0.0	0.0	-2.44E+07	0.0	0.0	0.0E+00	-	-	-	-	0.0	1.53E+04	0.0	0.0	0.0	1.09E+04	0.0	0.0
14	TN	Teplota nerovnoměrná	Q	0	1.3	3.05E+04	0.0	-16.7	1.06E+07	-1.6	-1.0	-2.44E+07	0.0	-1.5	-8.1E-03	-	-	-	-	-0.6	1.53E+04	0.0	0.0	-4.0	1.09E+04	-0.4	-0.4
15	FR	Třecí síly v ložiskách	Q	0	-8.0	3.05E+04	-0.3	-2.4	1.06E+07	-0.2	-1.2	-2.44E+07	0.0	-0.4	0.0E+00	-	-	-	-	-0.4	1.53E+04	0.0	0.0	0.0	1.09E+04	0.0	0.0
16	I	Imperfekce soustavy	Q	0	0.1	3.05E+04	0.0	-9.4	1.06E+07	-0.9	0.2	-2.44E+07	0.0	-0.9	0.0E+00	-	-	-	-	0.4	1.53E+04	0.0	0.0	-3.3	1.09E+04	-0.3	-0.3
27	ULS_LM	ULS - LM71 bez dynam	Q	0	0.0	3.05E+04	0.0	0.0	1.06E+07	0.0	0.0	-2.44E+07	0.0	0.0	0.0E+00	-	-	-	-	0.0	1.53E+04	0.0	0.0	0.0	1.09E+04	0.0	0.0
28	SLS_LM	SLS - LM71 bez dynam	Q	0	0.0	3.05E+04	0.0	0.0	1.06E+07	0.0	0.0	-2.44E+07	0.0	0.0	0.0E+00	-	-	-	-	0.0	1.53E+04	0.0	0.0	0.0	1.09E+04	0.0	0.0
29	ULS_C3	ULS - C3 bez dynam	Q	0	0.0	3.05E+04	0.0	0.0	1.06E+07	0.0	0.0	-2.44E+07	0.0	0.0	0.0E+00	-	-	-	-	0.0	1.53E+04	0.0	0.0	0.0	1.09E+04	0.0	0.0
30	SLS_C3	SLS - C3 bez dynam	Q	0	0.0	3.05E+04	0.0	0.0	1.06E+07	0.0	0.0	-2.44E+07	0.0	0.0	0.0E+00	-	-	-	-	0.0	1.53E+04	0.0	0.0	0.0	1.09E+04	0.0	0.0
NAVÝŠENÍ NAPĚTÍ DO AKTIVACE TLAKU V DESCE MOSTOVKY						$\sigma_{P,red}$	0.0							0.0			0.0		0.0				-1.4	-1.4			-38.2	-38.2
NAPĚTÍ OD PRIMÁRNÍCH ÚČINKŮ NEROVNOMĚRNÉHO OTEPLENÍ						σ_T	0.0							0.0														
NAPĚTÍ OD REOLOGICKÝCH ÚČINKŮ BETONU V ČASE				t=0		σ_R	0.0	γ=	1.20					0.0														
NAPĚTÍ V KRITICKÝCH VLÁKNECH OD KOMBINACE ZATÍŽENÍ						KZ08		[MPa]					$\Sigma\sigma_x$	55.7								$\Sigma\tau_y$	-1.4			$\Sigma\tau_z$	-38.2	
NAPĚTÍ OD POHYBLIVÉHO ZATÍŽENÍ								[MPa]					$\sigma_{x,P}$	62.0								τ_P	-0.2			τ_P	-30.9	
NAPĚTÍ OD OSTATNÍCH ZATÍŽENÍ								[MPa]			Φ_{Vy}	Φ_{Vz}	$\sigma_{x,rs}$	-6.3								τ_{rs}	-1.2			τ_{rs}	-7.3	
NÁVRHOVÁ HODNOTA MEZE KLUZU S REDUKCÍ VLIVEM SMYKOVÉHO NAPĚTÍ								[MPa]			1.00	1.00	$f_{yw,d}$	209.1								$f_{yd}/3^{0,5}$	120.7			$f_{yd}/3^{0,5}$	120.7	
NAPĚTÍ OD POHYBLIVÉHO ZATÍŽENÍ V GLOBÁLNÍM SYSTÉMU						$\sigma_{GLOB,P}$	0.0	[MPa]					$\Sigma\sigma_{GLOB}$	0.0													
NAPĚTÍ OD OSTATNÍCH ZATÍŽENÍ V GLOBÁLNÍM SYSTÉMU						$\sigma_{GLOB,rs}$	0.0	[MPa]					$\Sigma\sigma_x + \Sigma\sigma_{GLOB}$	55.7													
VYUŽITÍ PRŮŘEZU DLE NAPĚTÍ								[%]					η_1	0.27								η_3	0.01			η_3	0.32	
NAPĚTÍ V PŘÍČNÉM SMĚRU OD POHYBLIVÉHO ZATÍŽENÍ						$\sigma_{z,P}$	0.0	[MPa]					$\Sigma\sigma_z$	0.0													
NAPĚTÍ V PŘÍČNÉM SMĚRU OD OSTATNÍCH ZATÍŽENÍ						$\sigma_{z,rs}$	0.0	[MPa]					η_2	0.00													
SROVNÁVACÍ NAPĚTÍ													$(\eta_2 + 0,8\ \eta_1)/1,4 =$	0.15													
VYUŽITÍ PRŮŘEZU CELKEM								[%]					eff	0.32	VYHOVUJE												
STANOVENÍ ZATÍŽITELNOSTI													Z_{LM71} =	-----													

TAB. P3.1.3 POSOUZENÍ - MEZNÍ STAV ÚNOSNOSTI

POPIS	PŘÍČNÍK P3 - ZÁKLADNÍ ČÁST
PRUT / POLOHA BODU	679 / I[557]
NAMÁHÁNÍ	Vy.max
VLÁKNO	BOD K2 -HP
MEZNÍ STAV	ULS (MSÚ)
VYUŽITÍ VLÁKNA PRŮŘEZU	1.11

Charakteristiky materiálu				
pás. horní	$f_{yf,k}$	230	MPa	
pás. dolní	$f_{yf,k}$	230	MPa	
stojina	$f_{yw,k}$	230	MPa	
výztuž	$f_{ys,k}$	500	MPa	
γ_M =	1.10	γ_s =	1.15	

Excentricita normálové síly				
Exc./Fáze	0	1	2	3
e_y	0.000	0.000	0.000	0.000
e_z	0.000	0.000	0.000	0.000
Ekvivalentní vzdál. stěn - příčný roznos				
b_{Mx}	0.000	0.000	0.000	0.000

Vliv stěny na únosnost průřezu				
Char./Fáze	0	1	2	3
A	0.41	0.00	0.00	0.00
Wy	0.19	0.00	0.00	0.00
Wz	0.06	0.00	0.00	0.00

Charakter. v kroucení			
$t_{w,y}$	0.000	[mm]	
$t_{w,z}$	0.000	[mm]	
κ	1.00		
I_t=	0.00E+00	[mm^4]	
$\Omega=2*A_{pr}$	0.00E+00	[mm^2]	

Součinitele vzpěru a vlivu II.řádu					
Char./Fáze	0	1	2	3	
k_y	1.000	1.000	1.000	1.000	
k_z	1.000	1.000	1.000	1.000	
χ_{LT}	1.000	1.000	1.000	1.000	
χ_{min}	1.000	1.000	1.000	1.000	

δ_{LOK} 1.05

Vnitřní síly od jednotlivých skupin zatěžovacích stavů

SKUPINA ZATĚŽOVACÍCH STAVŮ					- CHARAKTERISTICKÉ HODNOTY						DÍLČÍ SOUČINITELÉ ZATÍŽENÍ, DYNAMICKÝ SOUČINITEL							- NÁVRHOVÉ HODNOTY									
Č.	SKUP ZS	POPIS ZS	KAT.	FÁZE PRŮŘ.	N.k (kN)	Vy.k (kN)	Vz.k (kN)	Mx.k (kNm)	My.k (kNm)	Mz.k (kNm)	γ_{sr} (-)	γ_s (-)	volba γ_s hledat	γ_s (-)	L_d (m)	δ (-)	Ψ_s KZ07	N.d (kN)	Vy.d (kN)	Vz.d (kN)	ΔVz.d (kN)	ΣVz.d (kN)	Mx.d (kNm)	My.d (kNm)	ΔMy.d (kNm)	ΣMy.d (kNm)	Mz.d (kNm)	ΔMz.d (kNm)	ΣMz.d (kNm)
1	G0	Vlastní tíha OK	G	0	0	13	-45	0	37	-9	1.00	1.20		1.20	-	1.00	0.95	0	15	-52	0	-52	0	43	0	43	-11	0	-11
2	G1	Ostatní stálé - mostní vybavení	G	0	0	1	-7	0	6	-1	1.00	1.20		1.20	-	1.00	0.95	0	1	-8	0	-8	0	7	0	7	-1	0	-1
3	G2	Ostatní stálé - cizí zařízení	G	0	0	1	-3	0	-6	-1	1.00	1.20		1.20	-	1.00	0.95	0	1	-4	0	-4	0	-7	0	-7	-1	0	-1
4	P1_71	a.LM71 - kolej 1 (bez dyn. souč.)	P	0	11	14	-115	0	70	-14	1.00	vyp.		0.00	-	1.00	0.00	0	0	0	0	0	0	0	0	0	0	0	0
5	P2_71	a.LM71 - kolej 2 (bez dyn. souč.)	P	0	-6	19	-259	0	322	-15	1.00	vyp.		0.00	-	1.00	0.00	0	0	0	0	0	0	0	0	0	0	0	0
6	P1_C3	TTZ C3 - kolej 1 (bez dyn. souč.)	P	0	10	12	-113	0	74	-11	1.00	1.30		1.30	-	1.32	1.00	17	20	-194	0	-194	0	126	0	126	-19	4	-15
7	P2_C3	TTZ C3 - kolej 2 (bez dyn. souč.)	P	0	-7	15	-234	0	291	-12	1.00	1.30		1.30	-	1.32	1.00	-12	26	-400	0	-400	0	497	0	497	-20	4	-16
8	BR	Brzdné a rozjezdové síly	P	0	0	40	-1	0	-1	-45	1.00	1.30		1.30	-	1.00	0.64	0	34	-1	0	-1	0	0	0	0	-37	0	-37
9	S	Boční ráz	P	0	5	3	2	0	-14	-5	1.00	1.30		1.30	-	1.00	0.32	2	1	1	0	1	0	-6	0	-6	-2	0	-2
10	CH	Chodci na lávkách	Q	0	-1	2	0	0	-29	-2	1.00	1.30		1.30	-	1.00	1.00	-1	3	0	0	0	0	-38	0	-38	-2	0	-2
11	W	Vítr na konstrukci	Q	0	-16	4	8	0	21	-6	1.00	1.35		1.35	-	1.00	0.75	-16	4	8	0	8	0	22	0	22	-6	0	-6
12	WP	Vítr na vozidla	Q	0	8	7	10	0	-42	-11	1.00	1.35		1.35	-	1.00	0.75	8	7	10	0	10	0	-43	0	-43	-11	0	-11
13	TR	Teplota rovnoměrná	Q	0	0	0	0	0	0	0	1.00	1.35		1.35	-	1.00	0.45	0	0	0	0	0	0	0	0	0	0	0	0
14	TN	Teplota nerovnoměrná	Q	0	6	1	-9	0	-28	-1	1.00	-1.35		-1.35	-	1.00	0.60	-5	-1	7	0	7	0	23	0	23	0	0	0
15	FR	Třecí síly v ložiskách	Q	0	0	1	0	0	0	-1	1.00	1.20		1.20	-	1.00	1.00	0	1	0	0	0	0	0	0	0	-1	0	-1
16	I	Imperfekce soustavy	Q	0	-1	0	2	0	6	0	1.00	1.20		1.20	-	1.00	1.00	-1	0	3	0	3	0	8	0	8	0	0	0
27	ULS_LM	ULS - LM71 bez dynam	Q	0	3	132	-537	0	469	-135	1.00	vyp.		0.00	-	1.00	0.00	0	0	0	0	0	0	0	0	0	0	0	0
28	SLS_LM	SLS - LM71 bez dynam	Q	0	-2	102	-415	0	384	-105	1.00	vyp.	1	0.00	-	1.00	0.00	0	0	0	0	0	0	0	0	0	0	0	0
29	ULS_C3	ULS - C3 bez dynam	Q	0	0	124	-503	0	434	-128	1.00	vyp.	1	0.00	-	1.00	0.00	0	0	0	0	0	0	0	0	0	0	0	0
30	SLS_C3	SLS - C3 bez dynam	Q	0	-3	96	-389	0	357	-99	1.00	vyp.	1	0.00	-	1.00	0.00	0	0	0	0	0	0	0	0	0	0	0	0
		CELKEM - FÁZE PRŮŘEZU 0																-9	112	-630	0	-630	0	629	0	629	-111	8	-103
		CELKEM - FÁZE PRŮŘEZU 1																0	0	0	0	0	0	0	0	0	0	0	0
		CELKEM - FÁZE PRŮŘEZU 2																0	0	0	0	0	0	0	0	0	0	0	0
		CELKEM - FÁZE PRŮŘEZU 3																0	0	0	0	0	0	0	0	0	0	0	0
		CELKEM - PRŮŘEZ																-9	112	-630	0	-630	0			629			-103

Napětí od jednotlivých zatěžovacích stavů

SKUPINA ZATĚŽOVACÍCH STAVŮ					Posouzení normálového napětí										Posouzení smykového napětí													
					Účinek síly N			Účinek momentu My			Účinek momentu Mz				Účinek kroutícího momentu Mx				Účinek smykové síly Vy				Účinek smykové síly Vz			
Č.	SKUP ZS	Popis ZS	Kat.	fáze průř.	δ^*N_d [kN]	χ^*A [mm^2]	σ_n [MPa]	$\delta^*M_{y,d}$ [kNm]	$\chi_{lt}*W_{el,y}$ [mm^3]	σ_{my} [MPa]	$\delta^*M_{z,d}$ [kNm]	$W_{el,z}$ [mm^3]	σ_{mz} [MPa]	σ_x [MPa]	$\kappa*\delta^*M_{x,d}$ [kNm]	$W_{v,y}$ [mm^2]	$\tau_{x,y}$ [MPa]	$W_{v,z}$ [mm^2]	$\tau_{x,z}$ [MPa]	$\delta^*V_{y,d}$ [kN]	$A_{v,y}$ [mm2]	$\tau_{v,y}$ [MPa]	$\tau_{v,y}$ [MPa]	$\delta^*V_{z,d}$ [kN]	$A_{v,z}$ [mm2]	$\tau_{v,z}$ [MPa]	$\tau_{v,z}$ [MPa]
1	G0	Vlastní tíha OK	G	0	-0.2	2.84E+04	0.0	42.6	-1.07E+07	-4.0	-10.8	5.97E+05	-18.0	-22.0	-3.4E-02	-	-	-	-	14.8	1.23E+04	1.2	1.2	-51.6	1.11E+04	-4.6	-4.6
2	G1	Ostatní stálé - mostní vybavení	G	0	0.0	2.84E+04	0.0	6.6	-1.07E+07	-0.6	-0.8	5.97E+05	-1.4	-2.0	0.0E+00	-	-	-	-	1.1	1.23E+04	0.1	0.1	-7.8	1.11E+04	-0.7	-0.7
3	G2	Ostatní stálé - cizí zařízení	G	0	-0.2	2.84E+04	0.0	-7.3	-1.07E+07	0.7	-0.8	5.97E+05	-1.4	-0.7	0.0E+00	-	-	-	-	1.0	1.23E+04	0.1	0.1	-3.9	1.11E+04	-0.4	-0.4
4	P1_71	a.LM71 - kolej 1 (bez dyn. souč.)	P	0	0.0	2.84E+04	0.0	0.0	-1.07E+07	0.0	0.0	5.97E+05	0.0	0.0	0.0E+00	-	-	-	-	0.0	1.23E+04	0.0	0.0	0.0	1.11E+04	0.0	0.0
5	P2_71	a.LM71 - kolej 2 (bez dyn. souč.)	P	0	0.0	2.84E+04	0.0	0.0	-1.07E+07	0.0	0.0	5.97E+05	0.0	0.0	0.0E+00	-	-	-	-	0.0	1.23E+04	0.0	0.0	0.0	1.11E+04	0.0	0.0
6	P1_C3	TTZ C3 - kolej 1 (bez dyn. souč.)	P	0	16.7	2.84E+04	0.6	125.7	-1.07E+07	-11.7	-15.2	5.97E+05	-25.4	-36.5	-5.1E-02	-	-	-	-	20.0	1.23E+04	1.6	1.6	-193.9	1.11E+04	-17.5	-17.5
7	P2_C3	TTZ C3 - kolej 2 (bez dyn. souč.)	P	0	-11.7	2.84E+04	-0.4	497.3	-1.07E+07	-46.4	-16.3	5.97E+05	-27.3	-74.1	0.0E+00	-	-	-	-	25.9	1.23E+04	2.1	2.1	-400.3	1.11E+04	-36.1	-36.1
8	BR	Brzdné a rozjezdové síly	P	0	-0.1	2.84E+04	0.0	-0.5	-1.07E+07	0.0	-37.5	5.97E+05	-62.8	-62.7	0.0E+00	-	-	-	-	33.5	1.23E+04	2.7	2.7	-0.8	1.11E+04	-0.1	-0.1
9	S	Boční ráz	P	0	1.9	2.84E+04	0.1	-5.9	-1.07E+07	0.5	-1.9	5.97E+05	-3.2	-2.5	-4.2E-03	-	-	-	-	1.4	1.23E+04	0.1	0.1	0.7	1.11E+04	0.1	0.1
10	CH	Chodci na lávkách	Q	0	-1.0	2.84E+04	0.0	-37.9	-1.07E+07	3.5	-2.4	5.97E+05	-4.0	-0.5	0.0E+00	-	-	-	-	2.8	1.23E+04	0.2	0.2	0.1	1.11E+04	0.0	0.0
11	W	Vítr na konstrukci	Q	0	-16.4	2.84E+04	-0.6	21.7	-1.07E+07	-2.0	-6.2	5.97E+05	-10.3	-12.9	-1.0E-02	-	-	-	-	3.8	1.23E+04	0.3	0.3	8.3	1.11E+04	0.7	0.7
12	WP	Vítr na vozidla	Q	0	8.0	2.84E+04	0.3	-42.8	-1.07E+07	4.0	-11.2	5.97E+05	-18.8	-14.5	-1.0E-02	-	-	-	-	7.5	1.23E+04	0.6	0.6	9.9	1.11E+04	0.9	0.9
13	TR	Teplota rovnoměrná	Q	0	0.0	2.84E+04	0.0	0.0	-1.07E+07	0.0	0.0	5.97E+05	0.0	0.0	0.0E+00	-	-	-	-	0.0	1.23E+04	0.0	0.0	0.0	1.11E+04	0.0	0.0
14	TN	Teplota nerovnoměrná	Q	0	-4.9	2.84E+04	-0.2	22.6	-1.07E+07	-2.1	0.4	5.97E+05	0.7	-1.5	2.4E-02	-	-	-	-	-0.9	1.23E+04	-0.1	-0.1	7.1	1.11E+04	0.6	0.6
15	FR	Třecí síly v ložiskách	Q	0	-0.1	2.84E+04	0.0	-0.3	-1.07E+07	0.0	-0.6	5.97E+05	-1.1	-1.0	0.0E+00	-	-	-	-	0.8	1.23E+04	0.1	0.1	0.1	1.11E+04	0.0	0.0
16	I	Imperfekce soustavy	Q	0	-1.3	2.84E+04	0.0	7.7	-1.07E+07	-0.7	-0.2	5.97E+05	-0.4	-1.2	0.0E+00	-	-	-	-	0.0	1.23E+04	0.0	0.0	2.6	1.11E+04	0.2	0.2
27	ULS_LM	ULS - LM71 bez dynam	Q	0	0.0	2.84E+04	0.0	0.0	-1.07E+07	0.0	0.0	5.97E+05	0.0	0.0	0.0E+00	-	-	-	-	0.0	1.23E+04	0.0	0.0	0.0	1.11E+04	0.0	0.0
28	SLS_LM	SLS - LM71 bez dynam	Q	0	0.0	2.84E+04	0.0	0.0	-1.07E+07	0.0	0.0	5.97E+05	0.0	0.0	0.0E+00	-	-	-	-	0.0	1.23E+04	0.0	0.0	0.0	1.11E+04	0.0	0.0
29	ULS_C3	ULS - C3 bez dynam	Q	0	0.0	2.84E+04	0.0	0.0	-1.07E+07	0.0	0.0	5.97E+05	0.0	0.0	0.0E+00	-	-	-	-	0.0	1.23E+04	0.0	0.0	0.0	1.11E+04	0.0	0.0
30	SLS_C3	SLS - C3 bez dynam	Q	0	0.0	2.84E+04	0.0	0.0	-1.07E+07	0.0	0.0	5.97E+05	0.0	0.0	0.0E+00	-	-	-	-	0.0	1.23E+04	0.0	0.0	0.0	1.11E+04	0.0	0.0
NAVÝŠENÍ NAPĚTÍ DO AKTIVACE TLAKU V DESCE MOSTOVKY						$\sigma_{P,red}$	0.0							0.0			0.0		0.0				9.1	9.1			-56.7	-56.7
NAPĚTÍ OD PRIMÁRNÍCH ÚČINKŮ NEROVNOMĚRNÉHO OTEPLENÍ						σ_T	0.0							0.0														
NAPĚTÍ OD REOLOGICKÝCH ÚČINKŮ BETONU V ČASE				t=0		σ_R	0.0	$\gamma_{r=}$	1.20					0.0														
NAPĚTÍ V KRITICKÝCH VLÁKNECH OD KOMBINACE ZATÍŽENÍ						KZ07		[MPa]					$\Sigma\sigma_x$	-232.3								$\Sigma\tau_y$	9.1				$\Sigma\tau_z$	-56.7
NAPĚTÍ OD POHYBLIVÉHO ZATÍŽENÍ								[MPa]					$\sigma_{x,P}$	-175.9									6.6				τ_P	-53.5
NAPĚTÍ OD OSTATNÍCH ZATÍŽENÍ								[MPa]			Φ_{Vy}	Φ_{Vz}	$\sigma_{x,rs}$	-56.4								τ_{rs}	2.5				τ_{rs}	-3.2
NÁVRHOVÁ HODNOTA MEZE KLUZU S REDUKCÍ VLIVEM SMYKOVÉHO NAPĚTÍ								[MPa]			1.00	1.00	$f_{yw,d}$	209.1								$f_{yd}/3^{0,5}$	120.7				$f_{yd}/3^{0,5}$	120.7
NAPĚTÍ OD POHYBLIVÉHO ZATÍŽENÍ V GLOBÁLNÍM SYSTÉMU						$\sigma_{GLOB,P}$	0.0	[MPa]					$\Sigma\sigma_{GLOB}$	0.0														
NAPĚTÍ OD OSTATNÍCH ZATÍŽENÍ V GLOBÁLNÍM SYSTÉMU						$\sigma_{GLOB,rs}$	0.0	[MPa]					$\Sigma\sigma_x + \Sigma\sigma_{GLOB}$	-232.3														
VYUŽITÍ PRŮŘEZU DLE NAPĚTÍ								[%]					η_1	1.11								η_3	0.08				η_3	0.47
NAPĚTÍ V PŘÍČNÉM SMĚRU OD POHYBLIVÉHO ZATÍŽENÍ						$\sigma_{z,P}$	0.0	[MPa]					$\Sigma\sigma_z$	0.0														
NAPĚTÍ V PŘÍČNÉM SMĚRU OD OSTATNÍCH ZATÍŽENÍ						$\sigma_{z,rs}$	0.0	[MPa]					η_2	0.00														
SROVNÁVACÍ NAPĚTÍ													$(\eta_2 + 0,8\ \eta_1)/1,4 =$	0.63														
VYUŽITÍ PRŮŘEZU CELKEM								[%]					eff	1.11	NEVYHOVUJE													
STANOVENÍ ZATÍŽITELNOSTI													Z_{LM71} =	-----														

TAB. P3.1.3 POSOUZENÍ - MEZNÍ STAV ÚNOSNOSTI

POPIS	PŘÍČNÍK P3 - ZÁKLADNÍ ČÁST
PRUT / POLOHA BODU	679 / I[557]
NAMÁHÁNÍ	Vy.max
VLÁKNO	BOD K3 -SL
MEZNÍ STAV	ULS (MSÚ)
VYUŽITÍ VLÁKNA PRŮŘEZU	1.16

Charakteristiky materiálu				
pás. horní	$f_{yf,k}$	230	MPa	
pás. dolní	$f_{yf,k}$	230	MPa	
stojina	$f_{yw,k}$	230	MPa	
výztuž	$f_{ys,k}$	500	MPa	
γ_M =	1.10	γ_s =	1.15	

Excentricita normálové síly				
Exc./Fáze	0	1	2	3
e_y	0.000	0.000	0.000	0.000
e_z	0.000	0.000	0.000	0.000
Ekvivalentní vzdál. stěn - příčný roznos				
b_{Mx}	0.000	0.000	0.000	0.000

Vliv stěny na únosnost průřezu				
Char./Fáze	0	1	2	3
A	0.41	0.00	0.00	0.00
Wy	0.21	0.00	0.00	0.00
Wz	0.05	0.00	0.00	0.00

Charakter. v kroucení			
$t_{w,y}$	0.000	[mm]	
$t_{w,z}$	0.000	[mm]	
κ	1.00		
I_t=	0.00E+00	[mm^4]	
$\Omega=2*A_{pr}$	0.00E+00	[mm^2]	

Součinitele vzpěru a vlivu II.řádu				
Char./Fáze	0	1	2	3
k_y	1.000	1.000	1.000	1.000
k_z	1.000	1.000	1.000	1.000
χ_{LT}	1.000	1.000	1.000	1.000
χ_{min}	1.000	1.000	1.000	1.000

δ_{LOK} 1.05

Vnitřní síly od jednotlivých skupin zatěžovacích stavů

SKUPINA ZATĚŽOVACÍCH STAVŮ — 7

Č.	SKUP ZS	POPIS ZS	KAT.	FÁZE PRŮŘ.	- CHARAKTERISTICKÉ HODNOTY N.k (kN)	Vy.k (kN)	Vz.k (kN)	Mx.k (kNm)	My.k (kNm)	Mz.k (kNm)	DÍLČÍ SOUČINITELÉ ZATÍŽENÍ, DYNAMICKÝ SOUČINITEL γ_{sr} (-)	γ_{fs} (-)	volba γ_f hledat	γ_f (-)	L_d (m)	δ (-)	Ψ_s KZ07	- NÁVRHOVÉ HODNOTY N.d (kN)	Vy.d (kN)	Vz.d (kN)	ΔVz.d (kN)	ΣVz.d (kN)	Mx.d (kNm)	My.d (kNm)	ΔMy.d (kNm)	ΣMy.d (kNm)	Mz.d (kNm)	ΔMz.d (kNm)	ΣMz.d (kNm)
1	G0	Vlastní tíha OK	G	0	0	13	-45	0	37	-9	1.00	1.20		1.20	-	1.00	0.95	0	15	-52	0	-52	0	43	0	43	-11	0	-11
2	G1	Ostatní stálé - mostní vybavení	G	0	0	1	-7	0	6	-1	1.00	1.20		1.20	-	1.00	0.95	0	1	-8	0	-8	0	7	0	7	-1	0	-1
3	G2	Ostatní stálé - cizí zařízení	G	0	0	1	-3	0	-6	-1	1.00	1.20		1.20	-	1.00	0.95	0	1	-4	0	-4	0	-7	0	-7	-1	0	-1
4	P1_71	a.LM71 - kolej 1 (bez dyn. souč.)	P	0	11	14	-115	0	70	-14	1.00	vyp.		0.00	-	1.00	0.00	0	0	0	0	0	0	0	0	0	0	0	0
5	P2_71	a.LM71 - kolej 2 (bez dyn. souč.)	P	0	-6	19	-259	0	322	-15	1.00	vyp.		0.00	-	1.00	0.00	0	0	0	0	0	0	0	0	0	0	0	0
6	P1_C3	TTZ C3 - kolej 1 (bez dyn. souč.)	P	0	10	12	-113	0	74	-11	1.00	1.30		1.30	-	1.32	1.00	17	20	-194	0	-194	0	126	0	126	-19	4	-15
7	P2_C3	TTZ C3 - kolej 2 (bez dyn. souč.)	P	0	-7	15	-234	0	291	-12	1.00	1.30		1.30	-	1.32	1.00	-12	26	-400	0	-400	0	497	0	497	-20	4	-16
8	BR	Brzdné a rozjezdové síly	P	0	0	40	-1	0	-1	-45	1.00	1.30		1.30	-	1.00	0.64	0	34	-1	0	-1	0	0	0	0	-37	0	-37
9	S	Boční ráz	P	0	5	3	2	0	-14	-5	1.00	1.30		1.30	-	1.00	0.32	2	1	1	0	1	0	-6	0	-6	-2	0	-2
10	CH	Chodci na lávkách	Q	0	-1	2	0	0	-29	-2	1.00	0.00		0.00	-	1.00	1.00	0	0	0	0	0	0	0	0	0	0	0	0
11	W	Vítr na konstrukci	Q	0	-16	4	8	0	21	-6	1.00	1.35		1.35	-	1.00	0.75	-16	4	8	0	8	0	22	0	22	-6	0	-6
12	WP	Vítr na vozidla	Q	0	8	7	10	0	-42	-11	1.00	1.35		1.35	-	1.00	0.75	8	7	10	0	10	0	-43	0	-43	-11	0	-11
13	TR	Teplota rovnoměrná	Q	0	0	0	0	0	0	0	1.00	1.35		1.35	-	1.00	0.45	0	0	0	0	0	0	0	0	0	0	0	0
14	TN	Teplota nerovnoměrná	Q	0	6	1	-9	0	-28	-1	1.00	-1.35		-1.35	-	1.00	0.60	-5	-1	7	0	7	0	23	0	23	0	0	0
15	FR	Třecí síly v ložiskách	Q	0	0	1	0	0	0	-1	1.00	1.20		1.20	-	1.00	1.00	0	1	0	0	0	0	0	0	0	-1	0	-1
16	I	Imperfekce soustavy	Q	0	-1	0	2	0	6	0	1.00	1.20		1.20	-	1.00	1.00	-1	0	3	0	3	0	8	0	8	0	0	0
27	ULS_LM	ULS - LM71 bez dynam	Q	0	3	132	-537	0	469	-135	1.00	vyp.		0.00	-	1.00	0.00	0	0	0	0	0	0	0	0	0	0	0	0
28	SLS_LM	SLS - LM71 bez dynam	Q	0	-2	102	-415	0	384	-105	1.00	vyp.	1	0.00	-	1.00	0.00	0	0	0	0	0	0	0	0	0	0	0	0
29	ULS_C3	ULS - C3 bez dynam	Q	0	0	124	-503	0	434	-128	1.00	vyp.	1	0.00	-	1.00	0.00	0	0	0	0	0	0	0	0	0	0	0	0
30	SLS_C3	SLS - C3 bez dynam	Q	0	-3	96	-389	0	357	-99	1.00	vyp.	1	0.00	-	1.00	0.00	0	0	0	0	0	0	0	0	0	0	0	0
		CELKEM - FÁZE PRŮŘEZU 0			-8	109	-630	0	667	-109								-8	109	-630	0	-630	0	667	0	667	-109	8	-101
		CELKEM - FÁZE PRŮŘEZU 1			0	0	0	0	0	0								0	0	0	0	0	0	0	0	0	0	0	0
		CELKEM - FÁZE PRŮŘEZU 2			0	0	0	0	0	0								0	0	0	0	0	0	0	0	0	0	0	0
		CELKEM - FÁZE PRŮŘEZU 3			0	0	0	0	0	0								0	0	0	0	0	0	0	0	0	0	0	0
		CELKEM - PRŮŘEZ			-8	109	-630	0	667	-109								-8	109	-630	0	-630	0			667			-101

Napětí od jednotlivých zatěžovacích stavů

SKUPINA ZATĚŽOVACÍCH STAVŮ

Č.	SKUP ZS	Popis ZS	Kat.	fáze průř.	Posouzení normálového napětí — Účinek síly N δ^*N_d [kN]	χ^*A [mm^2]	σ_n [MPa]	Účinek momentu My $\delta^*M_{y,d}$ [kNm]	$\chi_{lt}*W_{el,y}$ [mm^3]	σ_{my} [MPa]	Účinek momentu Mz $\delta^*M_{z,d}$ [kNm]	$W_{el,z}$ [mm^3]	σ_{mz} [MPa]	σ_x [MPa]	Posouzení smykového napětí — Účinek kroutícího momentu Mx $\kappa*\delta^*M_{x,d}$ [kNm]	$W_{v,y}$ [mm^2]	$\tau_{x,y}$ [MPa]	$W_{v,z}$ [mm^2]	$\tau_{x,z}$ [MPa]	Účinek smykové síly Vy $\delta^*V_{y,d}$ [kN]	$A_{v,y}$ [mm2]	$\tau_{v,y}$ [MPa]	$\tau_{v,y}$ [MPa]	Účinek smykové síly Vz $\delta^*V_{z,d}$ [kN]	$A_{v,z}$ [mm2]	$\tau_{v,z}$ [MPa]	$\tau_{v,z}$ [MPa]
1	G0	Vlastní tíha OK	G	0	-0.2	2.84E+04	0.0	42.6	9.13E+06	4.7	-10.8	-5.97E+05	18.0	22.7	-3.4E-02	-	-	-	-	14.8	1.23E+04	1.2	1.2	-51.6	1.11E+04	-4.6	-4.6
2	G1	Ostatní stálé - mostní vybavení	G	0	0.0	2.84E+04	0.0	6.6	9.13E+06	0.7	-0.8	-5.97E+05	1.4	2.1	0.0E+00	-	-	-	-	1.1	1.23E+04	0.1	0.1	-7.8	1.11E+04	-0.7	-0.7
3	G2	Ostatní stálé - cizí zařízení	G	0	-0.2	2.84E+04	0.0	-7.3	9.13E+06	-0.8	-0.8	-5.97E+05	1.4	0.6	0.0E+00	-	-	-	-	1.0	1.23E+04	0.1	0.1	-3.9	1.11E+04	-0.4	-0.4
4	P1_71	a.LM71 - kolej 1 (bez dyn. souč.)	P	0	0.0	2.84E+04	0.0	0.0	9.13E+06	0.0	0.0	-5.97E+05	0.0	0.0	0.0E+00	-	-	-	-	0.0	1.23E+04	0.0	0.0	0.0	1.11E+04	0.0	0.0
5	P2_71	a.LM71 - kolej 2 (bez dyn. souč.)	P	0	0.0	2.84E+04	0.0	0.0	9.13E+06	0.0	0.0	-5.97E+05	0.0	0.0	0.0E+00	-	-	-	-	0.0	1.23E+04	0.0	0.0	0.0	1.11E+04	0.0	0.0
6	P1_C3	TTZ C3 - kolej 1 (bez dyn. souč.)	P	0	16.7	2.84E+04	0.6	125.7	9.13E+06	13.8	-15.2	-5.97E+05	25.4	39.8	-5.1E-02	-	-	-	-	20.0	1.23E+04	1.6	1.6	-193.9	1.11E+04	-17.5	-17.5
7	P2_C3	TTZ C3 - kolej 2 (bez dyn. souč.)	P	0	-11.7	2.84E+04	-0.4	497.3	9.13E+06	54.5	-16.3	-5.97E+05	27.3	81.4	0.0E+00	-	-	-	-	25.9	1.23E+04	2.1	2.1	-400.3	1.11E+04	-36.1	-36.1
8	BR	Brzdné a rozjezdové síly	P	0	-0.1	2.84E+04	0.0	-0.5	9.13E+06	-0.1	-37.5	-5.97E+05	62.8	62.7	0.0E+00	-	-	-	-	33.5	1.23E+04	2.7	2.7	-0.8	1.11E+04	-0.1	-0.1
9	S	Boční ráz	P	0	1.9	2.84E+04	0.1	-5.9	9.13E+06	-0.6	-1.9	-5.97E+05	3.2	2.6	-4.2E-03	-	-	-	-	1.4	1.23E+04	0.1	0.1	0.7	1.11E+04	0.1	0.1
10	CH	Chodci na lávkách	Q	0	0.0	2.84E+04	0.0	0.0	9.13E+06	0.0	0.0	-5.97E+05	0.0	0.0	0.0E+00	-	-	-	-	0.0	1.23E+04	0.0	0.0	0.0	1.11E+04	0.0	0.0
11	W	Vítr na konstrukci	Q	0	-16.4	2.84E+04	-0.6	21.7	9.13E+06	2.4	-6.2	-5.97E+05	10.3	12.1	-1.0E-02	-	-	-	-	3.8	1.23E+04	0.3	0.3	8.3	1.11E+04	0.7	0.7
12	WP	Vítr na vozidla	Q	0	8.0	2.84E+04	0.3	-42.8	9.13E+06	-4.7	-11.2	-5.97E+05	18.8	14.4	-1.0E-02	-	-	-	-	7.5	1.23E+04	0.6	0.6	9.9	1.11E+04	0.9	0.9
13	TR	Teplota rovnoměrná	Q	0	0.0	2.84E+04	0.0	0.0	9.13E+06	0.0	0.0	-5.97E+05	0.0	0.0	0.0E+00	-	-	-	-	0.0	1.23E+04	0.0	0.0	0.0	1.11E+04	0.0	0.0
14	TN	Teplota nerovnoměrná	Q	0	-4.9	2.84E+04	-0.2	22.6	9.13E+06	2.5	0.4	-5.97E+05	-0.7	1.6	2.4E-02	-	-	-	-	-0.9	1.23E+04	-0.1	-0.1	7.1	1.11E+04	0.6	0.6
15	FR	Třecí síly v ložiskách	Q	0	-0.1	2.84E+04	0.0	-0.3	9.13E+06	0.0	-0.6	-5.97E+05	1.1	1.0	0.0E+00	-	-	-	-	0.8	1.23E+04	0.1	0.1	0.1	1.11E+04	0.0	0.0
16	I	Imperfekce soustavy	Q	0	-1.3	2.84E+04	0.0	7.7	9.13E+06	0.8	-0.2	-5.97E+05	0.4	1.2	0.0E+00	-	-	-	-	0.0	1.23E+04	0.0	0.0	2.6	1.11E+04	0.2	0.2
27	ULS_LM	ULS - LM71 bez dynam	Q	0	0.0	2.84E+04	0.0	0.0	9.13E+06	0.0	0.0	-5.97E+05	0.0	0.0	0.0E+00	-	-	-	-	0.0	1.23E+04	0.0	0.0	0.0	1.11E+04	0.0	0.0
28	SLS_LM	SLS - LM71 bez dynam	Q	0	0.0	2.84E+04	0.0	0.0	9.13E+06	0.0	0.0	-5.97E+05	0.0	0.0	0.0E+00	-	-	-	-	0.0	1.23E+04	0.0	0.0	0.0	1.11E+04	0.0	0.0
29	ULS_C3	ULS - C3 bez dynam	Q	0	0.0	2.84E+04	0.0	0.0	9.13E+06	0.0	0.0	-5.97E+05	0.0	0.0	0.0E+00	-	-	-	-	0.0	1.23E+04	0.0	0.0	0.0	1.11E+04	0.0	0.0
30	SLS_C3	SLS - C3 bez dynam	Q	0	0.0	2.84E+04	0.0	0.0	9.13E+06	0.0	0.0	-5.97E+05	0.0	0.0	0.0E+00	-	-	-	-	0.0	1.23E+04	0.0	0.0	0.0	1.11E+04	0.0	0.0
NAVÝŠENÍ NAPĚTÍ DO AKTIVACE TLAKU V DESCE MOSTOVKY						$\sigma_{P,red}$	0.0							0.0				0.0				8.9	8.9			-56.7	-56.7
NAPĚTÍ OD PRIMÁRNÍCH ÚČINKŮ NEROVNOMĚRNÉHO OTEPLENÍ						σ_T	0.0							0.0													
NAPĚTÍ OD REOLOGICKÝCH ÚČINKŮ BETONU V ČASE				t=0		σ_R	0.0	γ_f=	1.20					0.0													
NAPĚTÍ V KRITICKÝCH VLÁKNECH OD KOMBINACE ZATÍŽENÍ						KZ07		[MPa]					$\Sigma\sigma_x$	242.1								$\Sigma\tau_y$	8.9			$\Sigma\tau_z$	-56.7
NAPĚTÍ OD POHYBLIVÉHO ZATÍŽENÍ								[MPa]					$\sigma_{x,P}$	186.4								τ_P	6.6			τ_P	-53.5
NAPĚTÍ OD OSTATNÍCH ZATÍŽENÍ								[MPa]			Φ_{Vy}	Φ_{Vz}	$\sigma_{x,rs}$	55.7								τ_{rs}	2.3			τ_{rs}	-3.2
NÁVRHOVÁ HODNOTA MEZE KLUZU S REDUKCÍ VLIVEM SMYKOVÉHO NAPĚTÍ								[MPa]			1.00	1.00	$f_{yw,d}$	209.1								$f_{yd}/3^{0,5}$	120.7			$f_{yd}/3^{0,5}$	120.7
NAPĚTÍ OD POHYBLIVÉHO ZATÍŽENÍ V GLOBÁLNÍM SYSTÉMU						$\sigma_{GLOB,P}$	0.0	[MPa]					$\Sigma\sigma_{GLOB}$	0.0													
NAPĚTÍ OD OSTATNÍCH ZATÍŽENÍ V GLOBÁLNÍM SYSTÉMU						$\sigma_{GLOB,rs}$	0.0	[MPa]					$\Sigma\sigma_x + \Sigma\sigma_{GLOB}$	242.1													
VYUŽITÍ PRŮŘEZU DLE NAPĚTÍ								[%]					η_1	1.16								η_3	0.07			η_3	0.47
NAPĚTÍ V PŘÍČNÉM SMĚRU OD POHYBLIVÉHO ZATÍŽENÍ						$\sigma_{z,P}$	0.0	[MPa]					$\Sigma\sigma_z$	0.0													
NAPĚTÍ V PŘÍČNÉM SMĚRU OD OSTATNÍCH ZATÍŽENÍ						$\sigma_{z,rs}$	0.0	[MPa]					η_2	0.00													
SROVNÁVACÍ NAPĚTÍ													$(\eta_2 + 0,8\,\eta_1)/1,4$ =	0.66													
VYUŽITÍ PRŮŘEZU CELKEM								[%]					eff	1.16	NEVYHOVUJE												
STANOVENÍ ZATÍŽITELNOSTI													Z_{LM71} =	-----													

TAB. P3.1.3 POSOUZENÍ - MEZNÍ STAV ÚNOSNOSTI

POPIS	PŘÍČNÍK P3 - ZÁKLADNÍ ČÁST
PRUT / POLOHA BODU	679 / I[557]
NAMÁHÁNÍ	Vz.min
VLÁKNO	BOD S6 -HP
MEZNÍ STAV	ULS (MSÚ)
VYUŽITÍ VLÁKNA PRŮŘEZU	0.57

Charakteristiky materiálu				
pás. horní	$f_{yf,k}$	230	MPa	
pás. dolní	$f_{yf,k}$	230	MPa	
stojina	$f_{yw,k}$	230	MPa	
výztuž	$f_{ys,k}$	500	MPa	
γ_M =	1.10	γ_s =	1.15	

Excentricita normálové síly				
Exc./Fáze	0	1	2	3
e_y	0.000	0.000	0.000	0.000
e_z	0.000	0.000	0.000	0.000
Ekvivalentní vzdál. stěn - příčný roznos				
b_{Mx}	0.000	0.000	0.000	0.000

Vliv stěny na únosnost průřezu				
Char./Fáze	0	1	2	3
A	0.41	0.00	0.00	0.00
Wy	0.21	0.00	0.00	0.00
Wz	0.00	0.00	0.00	0.00

Charakter. v kroucení			
$t_{w,y}$	0.000	[mm]	
$t_{w,z}$	0.000	[mm]	
κ	1.00		
I_t=	0.00E+00	[mm^4]	
Ω=2*A_{pz}	0.00E+00	[mm^2]	

Součinitele vzpěru a vlivu II.řádu				
Char./Fáze	0	1	2	3
k_y	1.000	1.000	1.000	1.000
k_z	1.000	1.000	1.000	1.000
χ_{LT}	1.000	1.000	1.000	1.000
χ_{min}	1.000	1.000	1.000	1.000

δ_{LOK} 1.05

Vnitřní síly od jednotlivých skupin zatěžovacích stavů

SKUPINA ZATĚŽOVACÍCH STAVŮ						- CHARAKTERISTICKÉ HODNOTY						DÍLČÍ SOUČINITELÉ ZATÍŽENÍ, DYNAMICKÝ SOUČINITEL							- NÁVRHOVÉ HODNOTY									
Č.	SKUP ZS	POPIS ZS	KAT.	FÁZE PRŮŘ.		N.k	Vy.k	Vz.k	Mx.k	My.k	Mz.k	γ_{sr}	γ_{fs}	volba ψ_i	ψ_i	L_d	δ	Ψ_s	N.d	Vy.d	Vz.d	ΔVz.d	ΣVz.d	Mx.d	My.d	ΔMy.d	ΣMy.d	Mz.d	ΔMz.d	ΣMz.d
						(kN)	(kN)	(kN)	(kNm)	(kNm)	(kNm)	(-)	(-)	hledat	(-)	(m)	(-)	KZ08	(kN)	(kN)	(kN)	(kN)	(kN)	(kNm)	(kNm)	(kNm)	(kNm)	(kNm)	(kNm)	(kNm)
1	G0	Vlastní tíha OK	G	0		0	13	-45	0	37	-9	1.00	1.20		1.20	-	1.00	0.95	0	15	-52	0	-52	0	43	0	43	-11	0	-11
2	G1	Ostatní stálé - mostní vybavení	G	0		0	1	-7	0	6	-1	1.00	1.20		1.20	-	1.00	0.95	0	1	-8	0	-8	0	7	0	7	-1	0	-1
3	G2	Ostatní stálé - cizí zařízení	G	0		0	1	-3	0	-6	-1	1.00	1.20		1.20	-	1.00	0.95	0	1	-4	0	-4	0	-7	0	-7	-1	0	-1
4	P1_71	a.LM71 - kolej 1 (bez dyn. souč.)	P	0		18	13	-202	0	140	-12	1.00	vyp.		0.00	-	1.00	0.00	0	0	0	0	0	0	0	0	0	0	0	0
5	P2_71	a.LM71 - kolej 2 (bez dyn. souč.)	P	0		7	5	-492	0	543	-4	1.00	vyp.		0.00	-	1.00	0.00	0	0	0	0	0	0	0	0	0	0	0	0
6	P1_C3	TTZ C3 - kolej 1 (bez dyn. souč.)	P	0		12	10	-115	0	76	-10	1.00	1.30		1.30	-	1.32	1.00	20	17	-197	0	-197	0	130	0	130	-16	3	-13
7	P2_C3	TTZ C3 - kolej 2 (bez dyn. souč.)	P	0		5	3	-279	0	306	-2	1.00	1.30		1.30	-	1.32	1.00	9	4	-478	0	-478	0	523	0	523	-4	1	-3
8	BR	Brzdné a rozjezdové síly	P	0		0	33	-1	0	0	-37	1.00	1.30		1.30	-	1.00	0.32	0	14	0	0	0	0	0	0	0	-15	0	-15
9	S	Boční ráz	P	0		-5	1	-3	0	16	0	1.00	1.30		1.30	-	1.00	0.64	-4	0	-2	0	-2	0	13	0	13	0	0	0
10	CH	Chodci na lávkách	Q	0		0	1	0	0	-30	-1	1.00	1.30		1.30	-	1.00	1.00	-1	2	0	0	0	0	-39	0	-39	-2	0	-2
11	W	Vítr na konstrukci	Q	0		13	-4	-8	0	-21	6	1.00	1.35		1.35	-	1.00	0.75	13	-4	-8	0	-8	0	-22	0	-22	6	0	6
12	WP	Vítr na vozidla	Q	0		-8	-7	-10	0	42	11	1.00	1.35		1.35	-	1.00	0.75	-8	-7	-10	0	-10	0	43	0	43	11	0	11
13	TR	Teplota rovnoměrná	Q	0		0	0	0	0	0	0	1.00	1.35		1.35	-	1.00	0.45	0	0	0	0	0	0	0	0	0	0	0	0
14	TN	Teplota nerovnoměrná	Q	0		6	1	-9	0	-28	-1	1.00	1.35		1.35	-	1.00	0.60	5	1	-7	0	-7	0	-23	0	-23	0	0	0
15	FR	Třecí síly v ložiskách	Q	0		0	-1	0	0	0	1	1.00	1.20		1.20	-	1.00	1.00	0	-1	0	0	0	0	0	0	0	1	0	1
16	I	Imperfekce soustavy	Q	0		1	0	-2	0	-6	0	1.00	1.20		1.20	-	1.00	1.00	1	0	-3	0	-3	0	-8	0	-8	0	0	0
27	ULS_LM	ULS - LM71 bez dynam	Q	0		38	53	-1 000	0	905	-44	1.00	vyp.		0.00	-	1.00	0.00	0	0	0	0	0	0	0	0	0	0	0	0
28	SLS_LM	SLS - LM71 bez dynam	Q	0		25	43	-770	0	717	-36	1.00	vyp.	1	0.00	-	1.00	0.00	0	0	0	0	0	0	0	0	0	0	0	0
29	ULS_C3	ULS - C3 bez dynam	Q	0		26	47	-611	0	514	-39	1.00	vyp.	1	0.00	-	1.00	0.00	0	0	0	0	0	0	0	0	0	0	0	0
30	SLS_C3	SLS - C3 bez dynam	Q	0		16	38	-471	0	417	-32	1.00	vyp.	1	0.00	-	1.00	0.00	0	0	0	0	0	0	0	0	0	0	0	0
		CELKEM - FÁZE PRŮŘEZU 0																	35	43	-769	0	-769	0	660	0	660	-32	4	-28
		CELKEM - FÁZE PRŮŘEZU 1																	0	0	0	0	0	0	0	0	0	0	0	0
		CELKEM - FÁZE PRŮŘEZU 2																	0	0	0	0	0	0	0	0	0	0	0	0
		CELKEM - FÁZE PRŮŘEZU 3																	0	0	0	0	0	0	0	0	0	0	0	0
		CELKEM - PRŮŘEZ																	35	43	-769	0	-769	0			660			-28

Napětí od jednotlivých zatěžovacích stavů

SKUPINA ZATĚŽOVACÍCH STAVŮ					Posouzení normálového napětí											Posouzení smykového napětí													
					Účinek síly N			Účinek momentu My				Účinek momentu Mz				Účinek kroutícího momentu Mx				Účinek smykové síly Vy				Účinek smykové síly Vz			
Č.	SKUP ZS	Popis ZS	Kat.	fáze prúř.	δ^*N_d	χ^*A	σ_n	$\delta^*M_{y,d}$	$\chi_{lt}{}^*W_{el,y}$		σ_{my}	$\delta^*M_{z,d}$	$W_{el,z}$		σ_{mz}	σ_x	$\kappa^*\delta^*M_{x,d}$	$W_{v,y}$		$\tau_{x,y}$	$W_{v,z}$		$\tau_{x,z}$	$\delta^*V_{y,d}$	$A_{v,y}$		$\tau_{v,y}$	$\tau_{v,y}$	$\delta^*V_{z,d}$	$A_{v,z}$		$\tau_{v,z}$	$\tau_{v,z}$
					[kN]	[mm^2]	[MPa]	[kNm]	[mm^3]		[MPa]	[kNm]	[mm^3]		[MPa]	[MPa]	[kNm]	[mm^3]		[MPa]	[mm^3]		[MPa]	[kN]	[mm2]		[MPa]	[MPa]	[kN]	[mm2]		[MPa]	[MPa]
1	G0	Vlastní tíha OK	G	0	-0.2	2.82E+04	0.0	42.6	9.25E+06		4.6	-10.8	-1.84E+07		0.6	5.2	-3.4E-02	-		-	-		-	14.8	1.23E+04		1.2	1.2	-51.6	1.11E+04		-4.6	-4.6
2	G1	Ostatní stálé - mostní vybavení	G	0	0.0	2.82E+04	0.0	6.6	9.25E+06		0.7	-0.8	-1.84E+07		0.0	0.8	0.0E+00	-		-	-		-	1.1	1.23E+04		0.1	0.1	-7.8	1.11E+04		-0.7	-0.7
3	G2	Ostatní stálé - cizí zařízení	G	0	-0.2	2.82E+04	0.0	-7.3	9.25E+06		-0.8	-0.8	-1.84E+07		0.0	-0.7	0.0E+00	-		-	-		-	1.0	1.23E+04		0.1	0.1	-3.9	1.11E+04		-0.4	-0.4
4	P1_71	a.LM71 - kolej 1 (bez dyn. souč.)	P	0	0.0	2.82E+04	0.0	0.0	9.25E+06		0.0	0.0	-1.84E+07		0.0	0.0	0.0E+00	-		-	-		-	0.0	1.23E+04		0.0	0.0	0.0	1.11E+04		0.0	0.0
5	P2_71	a.LM71 - kolej 2 (bez dyn. souč.)	P	0	0.0	2.82E+04	0.0	0.0	9.25E+06		0.0	0.0	-1.84E+07		0.0	0.0	0.0E+00	-		-	-		-	0.0	1.23E+04		0.0	0.0	0.0	1.11E+04		0.0	0.0
6	P1_C3	TTZ C3 - kolej 1 (bez dyn. souč.)	P	0	19.9	2.82E+04	0.7	130.3	9.25E+06		14.1	-13.0	-1.84E+07		0.7	15.5	-5.1E-02	-		-	-		-	17.2	1.23E+04		1.4	1.4	-197.4	1.11E+04		-17.8	-17.8
7	P2_C3	TTZ C3 - kolej 2 (bez dyn. souč.)	P	0	9.2	2.82E+04	0.3	522.7	9.25E+06		56.5	-2.8	-1.84E+07		0.2	57.0	-3.4E-02	-		-	-		-	4.3	1.23E+04		0.4	0.4	-477.7	1.11E+04		-43.0	-43.0
8	BR	Brzdné a rozjezdové síly	P	0	0.0	2.82E+04	0.0	0.1	9.25E+06		0.0	-15.2	-1.84E+07		0.8	0.8	0.0E+00	-		-	-		-	13.6	1.23E+04		1.1	1.1	-0.5	1.11E+04		0.0	0.0
9	S	Boční ráz	P	0	-4.3	2.82E+04	-0.2	13.4	9.25E+06		1.5	-0.4	-1.84E+07		0.0	1.3	0.0E+00	-		-	-		-	0.5	1.23E+04		0.0	0.0	-2.1	1.11E+04		-0.2	-0.2
10	CH	Chodci na lávkách	Q	0	-0.6	2.82E+04	0.0	-39.3	9.25E+06		-4.2	-1.8	-1.84E+07		0.1	-4.2	0.0E+00	-		-	-		-	1.9	1.23E+04		0.2	0.2	-0.4	1.11E+04		0.0	0.0
11	W	Vítr na konstrukci	Q	0	13.3	2.82E+04	0.5	-21.7	9.25E+06		-2.3	6.2	-1.84E+07		-0.3	-2.2	1.0E-02	-		-	-		-	-3.8	1.23E+04		-0.3	-0.3	-8.3	1.11E+04		-0.7	-0.7
12	WP	Vítr na vozidla	Q	0	-8.0	2.82E+04	-0.3	42.8	9.25E+06		4.6	11.2	-1.84E+07		-0.6	3.7	1.0E-02	-		-	-		-	-7.4	1.23E+04		-0.6	-0.6	-9.9	1.11E+04		-0.9	-0.9
13	TR	Teplota rovnoměrná	Q	0	0.0	2.82E+04	0.0	0.0	9.25E+06		0.0	0.0	-1.84E+07		0.0	0.0	0.0E+00	-		-	-		-	0.0	1.23E+04		0.0	0.0	0.0	1.11E+04		0.0	0.0
14	TN	Teplota nerovnoměrná	Q	0	4.9	2.82E+04	0.2	-22.6	9.25E+06		-2.4	-0.4	-1.84E+07		0.0	-2.2	-2.4E-02	-		-	-		-	0.9	1.23E+04		0.1	0.1	-7.1	1.11E+04		-0.6	-0.6
15	FR	Třecí síly v ložiskách	Q	0	0.1	2.82E+04	0.0	0.3	9.25E+06		0.0	0.6	-1.84E+07		0.0	0.0	0.0E+00	-		-	-		-	-0.8	1.23E+04		-0.1	-0.1	-0.1	1.11E+04		0.0	0.0
16	I	Imperfekce soustavy	Q	0	1.3	2.82E+04	0.0	-7.7	9.25E+06		-0.8	0.2	-1.84E+07		0.0	-0.8	0.0E+00	-		-	-		-	0.0	1.23E+04		0.0	0.0	-2.6	1.11E+04		-0.2	-0.2
27	ULS_LM	ULS - LM71 bez dynam	Q	0	0.0	2.82E+04	0.0	0.0	9.25E+06		0.0	0.0	-1.84E+07		0.0	0.0	0.0E+00	-		-	-		-	0.0	1.23E+04		0.0	0.0	0.0	1.11E+04		0.0	0.0
28	SLS_LM	SLS - LM71 bez dynam	Q	0	0.0	2.82E+04	0.0	0.0	9.25E+06		0.0	0.0	-1.84E+07		0.0	0.0	0.0E+00	-		-	-		-	0.0	1.23E+04		0.0	0.0	0.0	1.11E+04		0.0	0.0
29	ULS_C3	ULS - C3 bez dynam	Q	0	0.0	2.82E+04	0.0	0.0	9.25E+06		0.0	0.0	-1.84E+07		0.0	0.0	0.0E+00	-		-	-		-	0.0	1.23E+04		0.0	0.0	0.0	1.11E+04		0.0	0.0
30	SLS_C3	SLS - C3 bez dynam	Q	0	0.0	2.82E+04	0.0	0.0	9.25E+06		0.0	0.0	-1.84E+07		0.0	0.0	0.0E+00	-		-	-		-	0.0	1.23E+04		0.0	0.0	0.0	1.11E+04		0.0	0.0
NAVÝŠENÍ NAPĚTÍ DO AKTIVACE TLAKU V DESCE MOSTOVKY						$\sigma_{P,red}$	0.0									0.0				0.0			0.0				3.5	3.5				-69.3	-69.3
NAPĚTÍ OD PRIMÁRNÍCH ÚČINKŮ NEROVNOMĚRNÉHO OTEPLENÍ						σ_T	0.0									0.0																
NAPĚTÍ OD REOLOGICKÝCH ÚČINKŮ BETONU V ČASE				t=0		σ_R	0.0	γ_{M}=	1.20							0.0																
NAPĚTÍ V KRITICKÝCH VLÁKNECH OD KOMBINACE ZATÍŽENÍ						KZ08		[MPa]							$\Sigma\sigma_x$	74.2										$\Sigma\tau_y$	3.5				$\Sigma\tau_z$	-69.3
NAPĚTÍ OD POHYBLIVÉHO ZATÍŽENÍ								[MPa]							$\sigma_{x,P}$	74.7										τ_P	2.9				τ_P	-61.0
NAPĚTÍ OD OSTATNÍCH ZATÍŽENÍ								[MPa]				Φ_{Vy}	Φ_{Vz}		$\sigma_{x,rs}$	-0.5										τ_{rs}	0.6				τ_{rs}	-8.3
NÁVRHOVÁ HODNOTA MEZE KLUZU S REDUKCÍ VLIVEM SMYKOVÉHO NAPĚTÍ								[MPa]				1.00	0.98		$f_{yw,d}$	209.1										$f_{yd}/3^{0,5}$	120.7				$f_{yd}/3^{0,5}$	120.7
NAPĚTÍ OD POHYBLIVÉHO ZATÍŽENÍ V GLOBÁLNÍM SYSTÉMU						$\sigma_{GLOB,P}$	0.0	[MPa]							$\Sigma\sigma_{GLOB}$	0.0																
NAPĚTÍ OD OSTATNÍCH ZATÍŽENÍ V GLOBÁLNÍM SYSTÉMU						$\sigma_{GLOB,rs}$	0.0	[MPa]							$\Sigma\sigma_x + \Sigma\sigma_{GLOB}$	74.2																
VYUŽITÍ PRŮŘEZU DLE NAPĚTÍ								[%]							η_1	0.35										η_3	0.03				η_3	0.57
NAPĚTÍ V PŘÍČNÉM SMĚRU OD POHYBLIVÉHO ZATÍŽENÍ						$\sigma_{z,P}$	0.0	[MPa]							$\Sigma\sigma_z$	0.0																
NAPĚTÍ V PŘÍČNÉM SMĚRU OD OSTATNÍCH ZATÍŽENÍ						$\sigma_{z,rs}$	0.0	[MPa]							η_2	0.00																
SROVNÁVACÍ NAPĚTÍ															$(\eta 2 + 0{,}8\ \eta 1)/1{,}4$ =	0.20																
VYUŽITÍ PRŮŘEZU CELKEM								[%]							eff	0.57	VYHOVUJE														
STANOVENÍ ZATÍŽITELNOSTI															Z_{LM71} =	-----															

TAB. P3.2.3 POSOUZENÍ - MEZNÍ STAV ÚNOSNOSTI

POPIS	PŘÍČNÍK P3 - VNĚJŠÍ PODÉLNÍK
PRUT / POLOHA BODU	680 / I[558]
NAMÁHÁNÍ	Mz.min
VLÁKNO	BOD K2 -HP
MEZNÍ STAV	ULS (MSÚ)
VYUŽITÍ VLÁKNA PRŮŘEZU	0.84

Charakteristiky materiálu				
pás. horní	$f_{yf,k}$	230	MPa	
pás. dolní	$f_{yf,k}$	230	MPa	
stojina	$f_{yw,k}$	230	MPa	
výztuž	$f_{ys,k}$	500	MPa	
γ_M =	1.10	γ_s =	1.15	

Excentricita normálové síly				
Exc./Fáze	0	1	2	3
e_y	0.000	0.000	0.000	0.000
e_z	0.000	0.000	0.000	0.000
Ekvivalentní vzdál. stěn - příčný roznos				
b_{Mx}	0.000	0.000	0.000	0.000

Vliv stěny na únosnost průřezu				
Char./Fáze	0	1	2	3
A	0.00	0.00	0.00	0.00
Wy	0.00	0.00	0.00	0.00
Wz	0.00	0.00	0.00	0.00

Charakter. v kroucení			
$t_{w,y}$	0.000	[mm]	
$t_{w,z}$	0.000	[mm]	
κ	1.00		
I_t=	0.00E+00	[mm^4]	
$\Omega=2*A_{pr}$	0.00E+00	[mm^2]	

Součinitele vzpěru a vlivu II.řádu				
Char./Fáze	0	1	2	3
k_y	1.000	1.000	1.000	1.000
k_z	1.000	1.000	1.000	1.000
χ_{LT}	1.000	1.000	1.000	1.000
χ_{min}	1.000	1.000	1.000	1.000

δ_{LOK} 1.05

Vnitřní síly od jednotlivých skupin zatěžovacích stavů

SKUPINA ZATĚŽOVACÍCH STAVŮ					- CHARAKTERISTICKÉ HODNOTY						DÍLČÍ SOUČINITELÉ ZATÍŽENÍ, DYNAMICKÝ SOUČINITEL						7	- NÁVRHOVÉ HODNOTY									
Č.	SKUP ZS	POPIS ZS	KAT.	FÁZE PRŮŘ.	N.k (kN)	Vy.k (kN)	Vz.k (kN)	Mx.k (kNm)	My.k (kNm)	Mz.k (kNm)	γ_{sup} (-)	γ_{inf} (-)	volba ψ_i hledat	ψ_i (-)	L_d (m)	δ (-)	Ψ_E KZ07	N.d (kN)	Vy.d (kN)	Vz.d (kN)	ΔVz.d (kN)	ΣVz.d (kN)	Mx.d (kNm)	My.d (kNm)	ΔMy.d (kNm)	ΣMy.d (kNm)	Mz.d (kNm)	ΔMz.d (kNm)	ΣMz.d (kNm)
1	G0	Vlastní tíha OK	G	0	0	3	-30	0	51	-11	1.00	1.20		1.20	-	1.00	0.95	0	3	-34	0	-34	0	58	0	58	-13	0	-13
2	G1	Ostatní stálé - mostní vybavení	G	0	0	0	-6	0	8	-1	1.00	1.20		1.20	-	1.00	0.95	0	0	-7	0	-7	0	9	0	9	-1	0	-1
3	G2	Ostatní stálé - cizí zařízení	G	0	0	0	-3	0	-5	-1	1.00	1.20		1.20	-	1.00	0.95	0	0	-4	0	-4	0	-6	0	-6	-1	0	-1
4	P1_71	a.LM71 - kolej 1 (bez dyn. souč.)	P	0	12	-11	-114	0	104	-17	1.00	vyp.		0.00	-	1.00	0.00	0	0	0	0	0	0	0	0	0	0	0	0
5	P2_71	a.LM71 - kolej 2 (bez dyn. souč.)	P	0	-6	-6	-56	0	399	-19	1.00	vyp.		0.00	-	1.00	0.00	0	0	0	0	0	0	0	0	0	0	0	0
6	P1_C3	TTZ C3 - kolej 1 (bez dyn. souč.)	P	0	10	-9	-114	0	107	-14	1.00	1.30		1.30	-	1.32	1.00	17	-15	-195	0	-195	0	183	0	183	-23	5	-19
7	P2_C3	TTZ C3 - kolej 2 (bez dyn. souč.)	P	0	-7	-5	-52	0	361	-15	1.00	1.30		1.30	-	1.32	1.00	-12	-8	-88	0	-88	0	617	0	617	-26	5	-21
8	BR	Brzdné a rozjezdové síly	P	0	0	-22	1	0	0	-53	1.00	1.30		1.30	-	1.00	0.64	0	-18	1	0	1	0	0	0	0	-44	0	-44
9	S	Boční ráz	P	0	2	-7	-2	0	-5	-5	1.00	1.30		1.30	-	1.00	0.32	1	-3	-1	0	-1	0	-2	0	-2	-2	0	-2
10	CH	Chodci na lávkách	Q	0	-1	-1	0	0	-29	-2	1.00	1.30		1.30	-	1.00	1.00	-1	-1	0	0	0	0	-38	0	-38	-3	0	-3
11	W	Vítr na konstrukci	Q	0	-16	-9	9	0	19	-7	1.00	1.35		1.35	-	1.00	0.75	-16	-10	9	0	9	0	19	0	19	-7	0	-7
12	WP	Vítr na vozidla	Q	0	0	-16	-23	0	-45	-12	1.00	1.35		1.35	-	1.00	0.75	0	-17	-23	0	-23	0	-45	0	-45	-12	0	-12
13	TR	Teplota rovnoměrná	Q	0	0	0	0	0	0	0	1.00	1.35		1.35	-	1.00	0.45	0	0	0	0	0	0	0	0	0	0	0	0
14	TN	Teplota nerovnoměrná	Q	0	1	-1	0	0	-4	-1	1.00	1.35		1.35	-	1.00	0.60	0	0	0	0	0	0	-3	0	-3	-1	0	-1
15	FR	Třecí síly v ložiskách	Q	0	0	0	0	0	0	-1	1.00	1.20		1.20	-	1.00	1.00	0	0	0	0	0	0	0	0	0	-1	0	-1
16	I	Imperfekce soustavy	Q	0	-1	0	2	0	6	0	1.00	1.20		1.20	-	1.00	1.00	-1	-1	3	0	3	0	7	0	7	0	0	0
27	ULS_LM	ULS - LM71 bez dynam	Q	0	-11	-93	-279	0	653	-162	1.00	vyp.	1	0.00	-	1.00	0.00	0	0	0	0	0	0	0	0	0	0	0	0
28	SLS_LM	SLS - LM71 bez dynam	Q	0	-9	-71	-219	0	513	-126	1.00	vyp.	1	0.00	-	1.00	0.00	0	0	0	0	0	0	0	0	0	0	0	0
29	ULS_C3	ULS - C3 bez dynam	Q	0	-14	-88	-272	0	608	-153	1.00	vyp.	1	0.00	-	1.00	0.00	0	0	0	0	0	0	0	0	0	0	0	0
30	SLS_C3	SLS - C3 bez dynam	Q	0	-10	-68	-214	0	478	-119	1.00	vyp.	1	0.00	-	1.00	0.00	0	0	0	0	0	0	0	0	0	0	0	0
		CELKEM - FÁZE PRŮŘEZU 0																-13	-70	-340	0	-340	0	798	0	798	-134	10	-124
		CELKEM - FÁZE PRŮŘEZU 1																0	0	0	0	0	0	0	0	0	0	0	0
		CELKEM - FÁZE PRŮŘEZU 2																0	0	0	0	0	0	0	0	0	0	0	0
		CELKEM - FÁZE PRŮŘEZU 3																0	0	0	0	0	0	0	0	0	0	0	0
		CELKEM - PRŮŘEZ																-13	-70	-340	0	-340	0			798			-124

Napětí od jednotlivých zatěžovacích stavů

SKUPINA ZATĚŽOVACÍCH STAVŮ					Posouzení normálového napětí										Posouzení smykového napětí													
					Účinek síly N			Účinek momentu My			Účinek momentu Mz				Účinek kroutícího momentu Mx				Účinek smykové síly Vy				Účinek smykové síly Vz			
Č.	SKUP ZS	Popis ZS	Kat.	fáze průř.	δ^*N_d [kN]	χ^*A [mm^2]	σ_n [MPa]	$\delta^*M_{y,d}$ [kNm]	$\chi_{lt}{}^*W_{el,y}$ [mm^3]	σ_{my} [MPa]	$\delta^*M_{z,d}$ [kNm]	$W_{el,z}$ [mm^3]	σ_{mz} [MPa]	σ_x [MPa]	$\kappa^*\delta^*M_{x,d}$ [kNm]	$W_{v,y}$ [mm^2]	$\tau_{x,y}$ [MPa]	$W_{v,z}$ [mm^2]	$\tau_{x,z}$ [MPa]	$\delta^*V_{y,d}$ [kN]	$A_{v,y}$ [mm2]	$\tau_{v,y}$ [MPa]	$\tau_{v,y}$ [MPa]	$\delta^*V_{z,d}$ [kN]	$A_{v,z}$ [mm2]	$\tau_{v,z}$ [MPa]	$\tau_{v,z}$ [MPa]
1	G0	Vlastní tíha OK	G	0	-0.3	3.42E+04	0.0	57.8	-1.40E+07	-4.1	-12.7	1.05E+06	-12.1	-16.2	0.0E+00	-	-	-	-	3.0	1.87E+04	0.2	0.2	-34.1	1.12E+04	-3.0	-3.0
2	G1	Ostatní stálé - mostní vybavení	G	0	0.0	3.42E+04	0.0	8.8	-1.40E+07	-0.6	-1.0	1.05E+06	-0.9	-1.5	0.0E+00	-	-	-	-	0.2	1.87E+04	0.0	0.0	-7.1	1.12E+04	-0.6	-0.6
3	G2	Ostatní stálé - cizí zařízení	G	0	-0.2	3.42E+04	0.0	-6.1	-1.40E+07	0.4	-1.0	1.05E+06	-1.0	-0.6	0.0E+00	-	-	-	-	-0.5	1.87E+04	0.0	0.0	-3.9	1.12E+04	-0.3	-0.3
4	P1_71	a.LM71 - kolej 1 (bez dyn. souč.)	P	0	0.0	3.42E+04	0.0	0.0	-1.40E+07	0.0	0.0	1.05E+06	0.0	0.0	0.0E+00	-	-	-	-	0.0	1.87E+04	0.0	0.0	0.0	1.12E+04	0.0	0.0
5	P2_71	a.LM71 - kolej 2 (bez dyn. souč.)	P	0	0.0	3.42E+04	0.0	0.0	-1.40E+07	0.0	0.0	1.05E+06	0.0	0.0	0.0E+00	-	-	-	-	0.0	1.87E+04	0.0	0.0	0.0	1.12E+04	0.0	0.0
6	P1_C3	TTZ C3 - kolej 1 (bez dyn. souč.)	P	0	17.4	3.42E+04	0.5	183.1	-1.40E+07	-13.1	-18.7	1.05E+06	-17.7	-30.4	0.0E+00	-	-	-	-	-15.0	1.87E+04	-0.8	-0.8	-194.9	1.12E+04	-17.4	-17.4
7	P2_C3	TTZ C3 - kolej 2 (bez dyn. souč.)	P	0	-11.7	3.42E+04	-0.3	617.2	-1.40E+07	-44.2	-20.9	1.05E+06	-19.9	-64.4	3.4E-02	-	-	-	-	-8.0	1.87E+04	-0.4	-0.4	-88.4	1.12E+04	-7.9	-7.9
8	BR	Brzdné a rozjezdové síly	P	0	-0.4	3.42E+04	0.0	-0.2	-1.40E+07	0.0	-44.3	1.05E+06	-42.0	-42.0	1.7E-02	-	-	-	-	-18.0	1.87E+04	-1.0	-1.0	0.7	1.12E+04	0.1	0.1
9	S	Boční ráz	P	0	0.9	3.42E+04	0.0	-2.1	-1.40E+07	0.2	-2.0	1.05E+06	-1.9	-1.7	4.2E-03	-	-	-	-	-2.8	1.87E+04	-0.2	-0.2	-1.0	1.12E+04	-0.1	-0.1
10	CH	Chodci na lávkách	Q	0	-1.1	3.42E+04	0.0	-37.9	-1.40E+07	2.7	-3.0	1.05E+06	-2.9	-0.2	0.0E+00	-	-	-	-	-1.4	1.87E+04	-0.1	-0.1	0.2	1.12E+04	0.0	0.0
11	W	Vítr na konstrukci	Q	0	-16.4	3.42E+04	-0.5	19.2	-1.40E+07	-1.4	-6.7	1.05E+06	-6.3	-8.2	1.0E-02	-	-	-	-	-9.6	1.87E+04	-0.5	-0.5	8.9	1.12E+04	0.8	0.8
12	WP	Vítr na vozidla	Q	0	-0.1	3.42E+04	0.0	-45.4	-1.40E+07	3.3	-12.1	1.05E+06	-11.5	-8.2	1.0E-02	-	-	-	-	-16.7	1.87E+04	-0.9	-0.9	-22.8	1.12E+04	-2.0	-2.0
13	TR	Teplota rovnoměrná	Q	0	0.0	3.42E+04	0.0	0.0	-1.40E+07	0.0	0.0	1.05E+06	0.0	0.0	0.0E+00	-	-	-	-	0.0	1.87E+04	0.0	0.0	0.0	1.12E+04	0.0	0.0
14	TN	Teplota nerovnoměrná	Q	0	0.4	3.42E+04	0.0	-3.3	-1.40E+07	0.2	-0.9	1.05E+06	-0.9	-0.6	0.0E+00	-	-	-	-	-0.4	1.87E+04	0.0	0.0	-0.2	1.12E+04	0.0	0.0
15	FR	Třecí síly v ložiskách	Q	0	-0.1	3.42E+04	0.0	-0.4	-1.40E+07	0.0	-0.8	1.05E+06	-0.8	-0.7	0.0E+00	-	-	-	-	-0.3	1.87E+04	0.0	0.0	0.1	1.12E+04	0.0	0.0
16	I	Imperfekce soustavy	Q	0	-1.3	3.42E+04	0.0	6.9	-1.40E+07	-0.5	-0.2	1.05E+06	-0.2	-0.7	0.0E+00	-	-	-	-	-0.5	1.87E+04	0.0	0.0	2.6	1.12E+04	0.2	0.2
27	ULS_LM	ULS - LM71 bez dynam	Q	0	0.0	3.42E+04	0.0	0.0	-1.40E+07	0.0	0.0	1.05E+06	0.0	0.0	0.0E+00	-	-	-	-	0.0	1.87E+04	0.0	0.0	0.0	1.12E+04	0.0	0.0
28	SLS_LM	SLS - LM71 bez dynam	Q	0	0.0	3.42E+04	0.0	0.0	-1.40E+07	0.0	0.0	1.05E+06	0.0	0.0	0.0E+00	-	-	-	-	0.0	1.87E+04	0.0	0.0	0.0	1.12E+04	0.0	0.0
29	ULS_C3	ULS - C3 bez dynam	Q	0	0.0	3.42E+04	0.0	0.0	-1.40E+07	0.0	0.0	1.05E+06	0.0	0.0	0.0E+00	-	-	-	-	0.0	1.87E+04	0.0	0.0	0.0	1.12E+04	0.0	0.0
30	SLS_C3	SLS - C3 bez dynam	Q	0	0.0	3.42E+04	0.0	0.0	-1.40E+07	0.0	0.0	1.05E+06	0.0	0.0	0.0E+00	-	-	-	-	0.0	1.87E+04	0.0	0.0	0.0	1.12E+04	0.0	0.0
NAVÝŠENÍ NAPĚTÍ DO AKTIVACE TLAKU V DESCE MOSTOVKY						$\sigma_{P,red}$	0.0							0.0			0.0		0.0			-3.7	-3.7			-30.4	-30.4
NAPĚTÍ OD PRIMÁRNÍCH ÚČINKŮ NEROVNOMĚRNÉHO OTEPLENÍ						σ_T	0.0							0.0													
NAPĚTÍ OD REOLOGICKÝCH ÚČINKŮ BETONU V ČASE		t=0				σ_R	0.0	γ=	1.20					0.0													
NAPĚTÍ V KRITICKÝCH VLÁKNECH OD KOMBINACE ZATÍŽENÍ				KZ07				[MPa]					$\Sigma\sigma_x$	-175.5								$\Sigma\tau_y$	-3.7				$\Sigma\tau_z$	-30.4
NAPĚTÍ OD POHYBLIVÉHO ZATÍŽENÍ								[MPa]					$\sigma_{x,P}$	-138.4									-2.3				τ_P	-25.4
NAPĚTÍ OD OSTATNÍCH ZATÍŽENÍ								[MPa]			Φ_{Vy}	Φ_{Vz}	$\sigma_{x,rs}$	-37.1								τ_{rs}	-1.4				τ_{rs}	-5.0
NÁVRHOVÁ HODNOTA MEZE KLUZU S REDUKCÍ VLIVEM SMYKOVÉHO NAPĚTÍ								[MPa]			1.00	1.00	$f_{yw,d}$	209.1								$f_{yd}/3^{0,5}$	120.7				$f_{yd}/3^{0,5}$	120.7
NAPĚTÍ OD POHYBLIVÉHO ZATÍŽENÍ V GLOBÁLNÍM SYSTÉMU						$\sigma_{GLOB,P}$	0.0	[MPa]					$\Sigma\sigma_{GLOB}$	0.0														
NAPĚTÍ OD OSTATNÍCH ZATÍŽENÍ V GLOBÁLNÍM SYSTÉMU						$\sigma_{GLOB,rs}$	0.0	[MPa]					$\Sigma\sigma_x + \Sigma\sigma_{GLOB}$	-175.5														
VYUŽITÍ PRŮŘEZU DLE NAPĚTÍ								[%]					η_1	0.84								η_3	0.03				η_3	0.25
NAPĚTÍ V PŘÍČNÉM SMĚRU OD POHYBLIVÉHO ZATÍŽENÍ						$\sigma_{z,P}$	0.0	[MPa]					$\Sigma\sigma_z$	0.0														
NAPĚTÍ V PŘÍČNÉM SMĚRU OD OSTATNÍCH ZATÍŽENÍ						$\sigma_{z,rs}$	0.0	[MPa]					η_2	0.00														
SROVNÁVACÍ NAPĚTÍ													$(\eta_2 + 0,8\ \eta_1)/1,4 =$	0.48														
VYUŽITÍ PRŮŘEZU CELKEM								[%]					eff	0.84	VYHOVUJE													
STANOVENÍ ZATÍŽITELNOSTI													Z_{LM71} =	-----														

TAB. P3.2.3 POSOUZENÍ - MEZNÍ STAV ÚNOSNOSTI

POPIS	PŘÍČNÍK P3 - VNĚJŠÍ PODÉLNÍK
PRUT / POLOHA BODU	680 / I[558]
NAMÁHÁNÍ	My.min
VLÁKNO	BOD K3 -SL
MEZNÍ STAV	ULS (MSÚ)
VYUŽITÍ VLÁKNA PRŮŘEZU	0.89

Charakteristiky materiálu				
pás. horní	$f_{yf,k}$	230	MPa	
pás. dolní	$f_{yf,k}$	230	MPa	
stojina	$f_{yw,k}$	230	MPa	
výztuž	$f_{ys,k}$	500	MPa	
γ_M =	1.10	γ_s =	1.15	

Excentricita normálové síly				
Exc./Fáze	0	1	2	3
e_y	0.000	0.000	0.000	0.000
e_z	0.000	0.000	0.000	0.000
Ekvivalentní vzdál. stěn - příčný roznos				
b_{Mx}	0.000	0.000	0.000	0.000

Vliv stěny na únosnost průřezu				
Char./Fáze	0	1	2	3
A	0.00	0.00	0.00	0.00
Wy	0.00	0.00	0.00	0.00
Wz	0.00	0.00	0.00	0.00

Charakter. v kroucení			
$t_{w,y}$	0.000	[mm]	
$t_{w,z}$	0.000	[mm]	
κ	1.00		
I_t=	0.00E+00	[mm^4]	
$\Omega=2*A_{pr}$	0.00E+00	[mm^2]	

Součinitele vzpěru a vlivu II.řádu				
Char./Fáze	0	1	2	3
k_y	1.000	1.000	1.000	1.000
k_z	1.000	1.000	1.000	1.000
χ_{LT}	1.000	1.000	1.000	1.000
χ_{min}	1.000	1.000	1.000	1.000

δ_{LOK} 1.05

Vnitřní síly od jednotlivých skupin zatěžovacích stavů

SKUPINA ZATĚŽOVACÍCH STAVŮ					- CHARAKTERISTICKÉ HODNOTY						DÍLČÍ SOUČINITELÉ ZATÍŽENÍ, DYNAMICKÝ SOUČINITEL						7	- NÁVRHOVÉ HODNOTY									
Č.	SKUP ZS	POPIS ZS	KAT.	FÁZE PRŮŘ.	N.k (kN)	Vy.k (kN)	Vz.k (kN)	Mx.k (kNm)	My.k (kNm)	Mz.k (kNm)	γ_{sup} (-)	γ_{inf} (-)	volba ψ_i hledat	ψ_i (-)	L_d (m)	δ (-)	Ψ_E KZ07	N.d (kN)	Vy.d (kN)	Vz.d (kN)	ΔVz.d (kN)	ΣVz.d (kN)	Mx.d (kNm)	My.d (kNm)	ΔMy.d (kNm)	ΣMy.d (kNm)	Mz.d (kNm)	ΔMz.d (kNm)	ΣMz.d (kNm)
1	G0	Vlastní tíha OK	G	0	0	3	-30	0	51	-11	1.00	1.20		1.20	-	1.00	0.95	0	3	-34	0	-34	0	58	0	58	-13	0	-13
2	G1	Ostatní stálé - mostní vybavení	G	0	0	0	-6	0	8	-1	1.00	1.20		1.20	-	1.00	0.95	0	0	-7	0	-7	0	9	0	9	-1	0	-1
3	G2	Ostatní stálé - cizí zařízení	G	0	0	0	-3	0	-5	-1	1.00	1.20		1.20	-	1.00	0.95	0	0	-4	0	-4	0	-6	0	-6	-1	0	-1
4	P1_71	a.LM71 - kolej 1 (bez dyn. souč.)	P	0	12	-11	-114	0	104	-17	1.00	vyp.		0.00	-	1.00	0.00	0	0	0	0	0	0	0	0	0	0	0	0
5	P2_71	a.LM71 - kolej 2 (bez dyn. souč.)	P	0	-6	-6	-56	0	399	-19	1.00	vyp.		0.00	-	1.00	0.00	0	0	0	0	0	0	0	0	0	0	0	0
6	P1_C3	TTZ C3 - kolej 1 (bez dyn. souč.)	P	0	10	-9	-114	0	107	-14	1.00	1.30		1.30	-	1.32	1.00	17	-15	-195	0	-195	0	183	0	183	-23	5	-19
7	P2_C3	TTZ C3 - kolej 2 (bez dyn. souč.)	P	0	-7	-5	-52	0	361	-15	1.00	1.30		1.30	-	1.32	1.00	-12	-8	-88	0	-88	0	617	0	617	-26	5	-21
8	BR	Brzdné a rozjezdové síly	P	0	0	-22	1	0	0	-53	1.00	1.30		1.30	-	1.00	0.64	0	-18	1	0	1	0	0	0	0	-44	0	-44
9	S	Boční ráz	P	0	2	-7	-2	0	-5	-5	1.00	1.30		1.30	-	1.00	0.32	1	-3	-1	0	-1	0	-2	0	-2	-2	0	-2
10	CH	Chodci na lávkách	Q	0	-1	-1	0	0	-29	-2	1.00	0.00		0.00	-	1.00	1.00	0	0	0	0	0	0	0	0	0	0	0	0
11	W	Vítr na konstrukci	Q	0	-16	-9	9	0	19	-7	1.00	1.35		1.35	-	1.00	0.75	-16	-10	9	0	9	0	19	0	19	-7	0	-7
12	WP	Vítr na vozidla	Q	0	0	-16	-23	0	-45	-12	1.00	1.35		1.35	-	1.00	0.75	0	-17	-23	0	-23	0	-45	0	-45	-12	0	-12
13	TR	Teplota rovnoměrná	Q	0	0	0	0	0	0	0	1.00	1.35		1.35	-	1.00	0.45	0	0	0	0	0	0	0	0	0	0	0	0
14	TN	Teplota nerovnoměrná	Q	0	1	-1	0	0	-4	-1	1.00	1.35		1.35	-	1.00	0.60	0	0	0	0	0	0	-3	0	-3	-1	0	-1
15	FR	Třecí síly v ložiskách	Q	0	0	0	0	0	0	-1	1.00	1.20		1.20	-	1.00	1.00	0	0	0	0	0	0	0	0	0	-1	0	-1
16	I	Imperfekce soustavy	Q	0	-1	0	2	0	6	0	1.00	1.20		1.20	-	1.00	1.00	-1	-1	3	0	3	0	7	0	7	0	0	0
27	ULS_LM	ULS - LM71 bez dynam	Q	0	-11	-93	-279	0	653	-162	1.00	vyp.	1	0.00	-	1.00	0.00	0	0	0	0	0	0	0	0	0	0	0	0
28	SLS_LM	SLS - LM71 bez dynam	Q	0	-9	-71	-219	0	513	-126	1.00	vyp.	1	0.00	-	1.00	0.00	0	0	0	0	0	0	0	0	0	0	0	0
29	ULS_C3	ULS - C3 bez dynam	Q	0	-14	-88	-272	0	608	-153	1.00	vyp.	1	0.00	-	1.00	0.00	0	0	0	0	0	0	0	0	0	0	0	0
30	SLS_C3	SLS - C3 bez dynam	Q	0	-10	-68	-214	0	478	-119	1.00	vyp.	1	0.00	-	1.00	0.00	0	0	0	0	0	0	0	0	0	0	0	0
		CELKEM - FÁZE PRŮŘEZU 0																-12	-69	-340	0	-340	0	836	0	836	-131	10	-121
		CELKEM - FÁZE PRŮŘEZU 1																0	0	0	0	0	0	0	0	0	0	0	0
		CELKEM - FÁZE PRŮŘEZU 2																0	0	0	0	0	0	0	0	0	0	0	0
		CELKEM - FÁZE PRŮŘEZU 3																0	0	0	0	0	0	0	0	0	0	0	0
		CELKEM - PRŮŘEZ																-12	-69	-340	0	-340	0			836			-121

Napětí od jednotlivých zatěžovacích stavů

SKUPINA ZATĚŽOVACÍCH STAVŮ					Posouzení normálového napětí										Posouzení smykového napětí													
					Účinek síly N			Účinek momentu My				Účinek momentu Mz				Účinek kroutícího momentu Mx				Účinek smykové síly Vy				Účinek smykové síly Vz			
Č.	SKUP ZS	Popis ZS	Kat.	fáze prúř.	δ^*N_d [kN]	χ^*A [mm^2]	σ_n [MPa]	$\delta^*M_{y,d}$ [kNm]	$\chi_{lt}*W_{el,y}$ [mm^3]	σ_{my} [MPa]	$\delta^*M_{z,d}$ [kNm]	$W_{el,z}$ [mm^3]	σ_{mz} [MPa]	σ_x [MPa]	$\kappa^*\delta^*M_{x,d}$ [kNm]	$W_{v,y}$ [mm^2]	$\tau_{x,y}$ [MPa]	$W_{v,z}$ [mm^2]	$\tau_{x,z}$ [MPa]	$\delta^*V_{y,d}$ [kN]	$A_{v,y}$ [mm2]	$\tau_{v,y}$ [MPa]	$\tau_{v,y}$ [MPa]	$\delta^*V_{z,d}$ [kN]	$A_{v,z}$ [mm2]	$\tau_{v,z}$ [MPa]	$\tau_{v,z}$ [MPa]
1	G0	Vlastní tíha OK	G	0	-0.3	3.42E+04	0.0	57.8	1.19E+07	4.9	-12.7	-1.05E+06	12.1	16.9	0.0E+00	-	-	-	-	3.0	1.87E+04	0.2	0.2	-34.1	1.12E+04	-3.0	-3.0
2	G1	Ostatní stálé - mostní vybavení	G	0	0.0	3.42E+04	0.0	8.8	1.19E+07	0.7	-1.0	-1.05E+06	0.9	1.7	0.0E+00	-	-	-	-	0.2	1.87E+04	0.0	0.0	-7.1	1.12E+04	-0.6	-0.6
3	G2	Ostatní stálé - cizí zařízení	G	0	-0.2	3.42E+04	0.0	-6.1	1.19E+07	-0.5	-1.0	-1.05E+06	1.0	0.5	0.0E+00	-	-	-	-	-0.5	1.87E+04	0.0	0.0	-3.9	1.12E+04	-0.3	-0.3
4	P1_71	a.LM71 - kolej 1 (bez dyn. souč.)	P	0	0.0	3.42E+04	0.0	0.0	1.19E+07	0.0	0.0	-1.05E+06	0.0	0.0	0.0E+00	-	-	-	-	0.0	1.87E+04	0.0	0.0	0.0	1.12E+04	0.0	0.0
5	P2_71	a.LM71 - kolej 2 (bez dyn. souč.)	P	0	0.0	3.42E+04	0.0	0.0	1.19E+07	0.0	0.0	-1.05E+06	0.0	0.0	0.0E+00	-	-	-	-	0.0	1.87E+04	0.0	0.0	0.0	1.12E+04	0.0	0.0
6	P1_C3	TTZ C3 - kolej 1 (bez dyn. souč.)	P	0	17.4	3.42E+04	0.5	183.1	1.19E+07	15.4	-18.7	-1.05E+06	17.7	33.7	0.0E+00	-	-	-	-	-15.0	1.87E+04	-0.8	-0.8	-194.9	1.12E+04	-17.4	-17.4
7	P2_C3	TTZ C3 - kolej 2 (bez dyn. souč.)	P	0	-11.7	3.42E+04	-0.3	617.2	1.19E+07	52.0	-20.9	-1.05E+06	19.9	71.6	3.4E-02	-	-	-	-	-8.0	1.87E+04	-0.4	-0.4	-88.4	1.12E+04	-7.9	-7.9
8	BR	Brzdné a rozjezdové síly	P	0	-0.4	3.42E+04	0.0	-0.2	1.19E+07	0.0	-44.3	-1.05E+06	42.0	42.0	1.7E-02	-	-	-	-	-18.0	1.87E+04	-1.0	-1.0	0.7	1.12E+04	0.1	0.1
9	S	Boční ráz	P	0	0.9	3.42E+04	0.0	-2.1	1.19E+07	-0.2	-2.0	-1.05E+06	1.9	1.8	4.2E-03	-	-	-	-	-2.8	1.87E+04	-0.2	-0.2	-1.0	1.12E+04	-0.1	-0.1
10	CH	Chodci na lávkách	Q	0	0.0	3.42E+04	0.0	0.0	1.19E+07	0.0	0.0	-1.05E+06	0.0	0.0	0.0E+00	-	-	-	-	0.0	1.87E+04	0.0	0.0	0.0	1.12E+04	0.0	0.0
11	W	Vítr na konstrukci	Q	0	-16.4	3.42E+04	-0.5	19.2	1.19E+07	1.6	-6.7	-1.05E+06	6.3	7.5	1.0E-02	-	-	-	-	-9.6	1.87E+04	-0.5	-0.5	8.9	1.12E+04	0.8	0.8
12	WP	Vítr na vozidla	Q	0	-0.1	3.42E+04	0.0	-45.4	1.19E+07	-3.8	-12.1	-1.05E+06	11.5	7.7	1.0E-02	-	-	-	-	-16.7	1.87E+04	-0.9	-0.9	-22.8	1.12E+04	-2.0	-2.0
13	TR	Teplota rovnoměrná	Q	0	0.0	3.42E+04	0.0	0.0	1.19E+07	0.0	0.0	-1.05E+06	0.0	0.0	0.0E+00	-	-	-	-	0.0	1.87E+04	0.0	0.0	0.0	1.12E+04	0.0	0.0
14	TN	Teplota nerovnoměrná	Q	0	0.4	3.42E+04	0.0	-3.3	1.19E+07	-0.3	-0.9	-1.05E+06	0.9	0.6	0.0E+00	-	-	-	-	-0.4	1.87E+04	0.0	0.0	-0.2	1.12E+04	0.0	0.0
15	FR	Třecí síly v ložiskách	Q	0	-0.1	3.42E+04	0.0	-0.4	1.19E+07	0.0	-0.8	-1.05E+06	0.8	0.7	0.0E+00	-	-	-	-	-0.3	1.87E+04	0.0	0.0	0.1	1.12E+04	0.0	0.0
16	I	Imperfekce soustavy	Q	0	-1.3	3.42E+04	0.0	6.9	1.19E+07	0.6	-0.2	-1.05E+06	0.2	0.8	0.0E+00	-	-	-	-	-0.5	1.87E+04	0.0	0.0	2.6	1.12E+04	0.2	0.2
27	ULS_LM	ULS - LM71 bez dynam	Q	0	0.0	3.42E+04	0.0	0.0	1.19E+07	0.0	0.0	-1.05E+06	0.0	0.0	0.0E+00	-	-	-	-	0.0	1.87E+04	0.0	0.0	0.0	1.12E+04	0.0	0.0
28	SLS_LM	SLS - LM71 bez dynam	Q	0	0.0	3.42E+04	0.0	0.0	1.19E+07	0.0	0.0	-1.05E+06	0.0	0.0	0.0E+00	-	-	-	-	0.0	1.87E+04	0.0	0.0	0.0	1.12E+04	0.0	0.0
29	ULS_C3	ULS - C3 bez dynam	Q	0	0.0	3.42E+04	0.0	0.0	1.19E+07	0.0	0.0	-1.05E+06	0.0	0.0	0.0E+00	-	-	-	-	0.0	1.87E+04	0.0	0.0	0.0	1.12E+04	0.0	0.0
30	SLS_C3	SLS - C3 bez dynam	Q	0	0.0	3.42E+04	0.0	0.0	1.19E+07	0.0	0.0	-1.05E+06	0.0	0.0	0.0E+00	-	-	-	-	0.0	1.87E+04	0.0	0.0	0.0	1.12E+04	0.0	0.0
NAVÝŠENÍ NAPĚTÍ DO AKTIVACE TLAKU V DESCE MOSTOVKY						$\sigma_{P,red}$	0.0							0.0			0.0		0.0			-3.7	-3.7			-30.4	-30.4
NAPĚTÍ OD PRIMÁRNÍCH ÚČINKŮ NEROVNOMĚRNÉHO OTEPLENÍ						σ_T	0.0							0.0													
NAPĚTÍ OD REOLOGICKÝCH ÚČINKŮ BETONU V ČASE				t=0		σ_R	0.0	γ=	1.20					0.0													
NAPĚTÍ V KRITICKÝCH VLÁKNECH OD KOMBINACE ZATÍŽENÍ						KZ07		[MPa]					$\Sigma\sigma_x$	185.3								$\Sigma\tau_y$	-3.7			$\Sigma\tau_z$	-30.4
NAPĚTÍ OD POHYBLIVÉHO ZATÍŽENÍ								[MPa]					$\sigma_{x,P}$	149.0								τ_P	-2.3			τ_P	-25.4
NAPĚTÍ OD OSTATNÍCH ZATÍŽENÍ								[MPa]			Φ_{Vy}	Φ_{Vz}	$\sigma_{x,rs}$	36.3								τ_{rs}	-1.3			τ_{rs}	-5.0
NÁVRHOVÁ HODNOTA MEZE KLUZU S REDUKCÍ VLIVEM SMYKOVÉHO NAPĚTÍ								[MPa]			1.00	1.00	$f_{yw,d}$	209.1								$f_{yd}/3^{0,5}$	120.7			$f_{yd}/3^{0,5}$	120.7
NAPĚTÍ OD POHYBLIVÉHO ZATÍŽENÍ V GLOBÁLNÍM SYSTÉMU						$\sigma_{GLOB,P}$	0.0	[MPa]					$\Sigma\sigma_{GLOB}$	0.0													
NAPĚTÍ OD OSTATNÍCH ZATÍŽENÍ V GLOBÁLNÍM SYSTÉMU						$\sigma_{GLOB,rs}$	0.0	[MPa]					$\Sigma\sigma_x + \Sigma\sigma_{GLOB}$	185.3													
VYUŽITÍ PRŮŘEZU DLE NAPĚTÍ								[%]					η_1	0.89								η_3	0.03			η_3	0.25
NAPĚTÍ V PŘÍČNÉM SMĚRU OD POHYBLIVÉHO ZATÍŽENÍ						$\sigma_{z,P}$	0.0	[MPa]					$\Sigma\sigma_z$	0.0													
NAPĚTÍ V PŘÍČNÉM SMĚRU OD OSTATNÍCH ZATÍŽENÍ						$\sigma_{z,rs}$	0.0	[MPa]					η_2	0.00													
SROVNÁVACÍ NAPĚTÍ													$(\eta_2 + 0,8\ \eta_1)/1,4$ =	0.51													
VYUŽITÍ PRŮŘEZU CELKEM								[%]					eff	0.89	VYHOVUJE												
STANOVENÍ ZATÍŽITELNOSTI													Z_{LM71} =	-----													

TAB. P3.2.3 POSOUZENÍ - MEZNÍ STAV ÚNOSNOSTI

POPIS	PŘÍČNÍK P3 - VNĚJŠÍ PODÉLNÍK
PRUT / POLOHA BODU	680 / I[558]
NAMÁHÁNÍ	Vz.min
VLÁKNO	BOD S6 -HP
MEZNÍ STAV	ULS (MSÚ)
VYUŽITÍ VLÁKNA PRŮŘEZU	0.34

Charakteristiky materiálu				
pás. horní	$f_{yf,k}$	230	MPa	
pás. dolní	$f_{yf,k}$	230	MPa	
stojina	$f_{yw,k}$	230	MPa	
výztuž	$f_{ys,k}$	500	MPa	
γ_M =	1.10	γ_s =	1.15	

Excentricita normálové síly				
Exc./Fáze	0	1	2	3
e_y	0.000	0.000	0.000	0.000
e_z	0.000	0.000	0.000	0.000
Ekvivalentní vzdál. stěn - příčný roznos				
b_{Mx}	0.000	0.000	0.000	0.000

Vliv stěny na únosnost průřezu				
Char./Fáze	0	1	2	3
A	0.00	0.00	0.00	0.00
Wy	0.00	0.00	0.00	0.00
Wz	0.00	0.00	0.00	0.00

Charakter. v kroucení			
$t_{w,y}$	0.000	[mm]	
$t_{w,z}$	0.000	[mm]	
κ	1.00		
I_t=	0.00E+00	[mm^4]	
$\Omega=2*A_{pr}$	0.00E+00	[mm^2]	

Součinitele vzpěru a vlivu II.řádu				
Char./Fáze	0	1	2	3
k_y	1.000	1.000	1.000	1.000
k_z	1.000	1.000	1.000	1.000
χ_{LT}	1.000	1.000	1.000	1.000
χ_{min}	1.000	1.000	1.000	1.000

δ_{LOK} 1.05

Vnitřní síly od jednotlivých skupin zatěžovacích stavů

SKUPINA ZATĚŽOVACÍCH STAVŮ — CHARAKTERISTICKÉ HODNOTY — DÍLČÍ SOUČINITELÉ ZATÍŽENÍ, DYNAMICKÝ SOUČINITEL — NÁVRHOVÉ HODNOTY

Č.	SKUP ZS	POPIS ZS	KAT.	FÁZE PRŮŘ.	N.k (kN)	Vy.k (kN)	Vz.k (kN)	Mx.k (kNm)	My.k (kNm)	Mz.k (kNm)	γ_{sup} (-)	γ_{inf} (-)	volba γ_i hledat	γ_i (-)	L_d (m)	δ (-)	Ψ_0 KZ08	N.d (kN)	Vy.d (kN)	Vz.d (kN)	ΔVz.d (kN)	ΣVz.d (kN)	Mx.d (kNm)	My.d (kNm)	ΔMy.d (kNm)	ΣMy.d (kNm)	Mz.d (kNm)	ΔMz.d (kNm)	ΣMz.d (kNm)
1	G0	Vlastní tíha OK	G	0	0	3	-30	0	51	-11	1.00	1.20		1.20	-	1.00	0.95	0	3	-34	0	-34	0	58	0	58	-13	0	-13
2	G1	Ostatní stálé - mostní vybavení	G	0	0	0	-6	0	8	-1	1.00	1.20		1.20	-	1.00	0.95	0	0	-7	0	-7	0	9	0	9	-1	0	-1
3	G2	Ostatní stálé - cizí zařízení	G	0	0	0	-3	0	-5	-1	1.00	1.20		1.20	-	1.00	0.95	0	0	-4	0	-4	0	-6	0	-6	-1	0	-1
4	P1_71	a.LM71 - kolej 1 (bez dyn. souč.)	P	0	19	-10	-203	0	199	-15	1.00	vyp.		0.00	-	1.00	0.00	0	0	0	0	0	0	0	0	0	0	0	0
5	P2_71	a.LM71 - kolej 2 (bez dyn. souč.)	P	0	9	-2	-167	0	666	-5	1.00	vyp.		0.00	-	1.00	0.00	0	0	0	0	0	0	0	0	0	0	0	0
6	P1_C3	TTZ C3 - kolej 1 (bez dyn. souč.)	P	0	12	-8	-116	0	109	-12	1.00	1.30		1.30	-	1.32	1.00	21	-13	-198	0	-198	0	186	0	186	-21	4	-17
7	P2_C3	TTZ C3 - kolej 2 (bez dyn. souč.)	P	0	6	-1	-95	0	378	-3	1.00	1.30		1.30	-	1.32	1.00	10	-1	-162	0	-162	0	645	0	645	-5	1	-4
8	BR	Brzdné a rozjezdové síly	P	0	1	24	-1	0	-1	46	1.00	1.30		1.30	-	1.00	0.32	0	10	-1	0	-1	0	0	0	0	19	0	19
9	S	Boční ráz	P	0	4	2	-9	0	17	3	1.00	1.30		1.30	-	1.00	0.64	4	2	-7	0	-7	0	14	0	14	2	0	2
10	CH	Chodci na lávkách	Q	0	0	-1	0	0	-30	-2	1.00	1.30		1.30	-	1.00	1.00	-1	-1	0	0	0	0	-39	0	-39	-2	0	-2
11	W	Vítr na konstrukci	Q	0	13	9	-9	0	-19	7	1.00	1.35		1.35	-	1.00	0.75	13	10	-9	0	-9	0	-19	0	-19	7	0	7
12	WP	Vítr na vozidla	Q	0	0	-16	-23	0	-45	-12	1.00	1.35		1.35	-	1.00	0.75	0	-17	-23	0	-23	0	-45	0	-45	-12	0	-12
13	TR	Teplota rovnoměrná	Q	0	0	0	0	0	0	0	1.00	1.35		1.35	-	1.00	0.45	0	0	0	0	0	0	0	0	0	0	0	0
14	TN	Teplota nerovnoměrná	Q	0	6	0	-8	0	-25	-1	1.00	1.35		1.35	-	1.00	0.60	5	0	-7	0	-7	0	-20	0	-20	-1	0	-1
15	FR	Třecí síly v ložiskách	Q	0	0	0	0	0	0	1	1.00	1.20		1.20	-	1.00	1.00	0	0	0	0	0	0	0	0	0	1	0	1
16	I	Imperfekce soustavy	Q	0	1	0	-2	0	-6	0	1.00	1.20		1.20	-	1.00	1.00	1	1	-3	0	-3	0	-7	0	-7	0	0	0
27	ULS_LM	ULS - LM71 bez dynam	Q	0	61	-13	-579	0	1 079	-19	1.00	vyp.		0.00	-	1.00	0.00	0	0	0	0	0	0	0	0	0	0	0	0
28	SLS_LM	SLS - LM71 bez dynam	Q	0	43	-10	-445	0	854	-16	1.00	vyp.	1	0.00	-	1.00	0.00	0	0	0	0	0	0	0	0	0	0	0	0
29	ULS_C3	ULS - C3 bez dynam	Q	0	48	-9	-373	0	587	-13	1.00	vyp.	1	0.00	-	1.00	0.00	0	0	0	0	0	0	0	0	0	0	0	0
30	SLS_C3	SLS - C3 bez dynam	Q	0	33	-8	-286	0	475	-11	1.00	vyp.	1	0.00	-	1.00	0.00	0	0	0	0	0	0	0	0	0	0	0	0
		CELKEM - FÁZE PRŮŘEZU 0																53	-8	-454	0	-454	0	775	0	775	-26	5	-21
		CELKEM - FÁZE PRŮŘEZU 1																0	0	0	0	0	0	0	0	0	0	0	0
		CELKEM - FÁZE PRŮŘEZU 2																0	0	0	0	0	0	0	0	0	0	0	0
		CELKEM - FÁZE PRŮŘEZU 3																0	0	0	0	0	0	0	0	0	0	0	0
		CELKEM - PRŮŘEZ																53	-8	-454	0	-454	0			775			-21

Napětí od jednotlivých zatěžovacích stavů

SKUPINA ZATĚŽOVACÍCH STAVŮ — Posouzení normálového napětí — Účinek síly N — Účinek momentu My — Účinek momentu Mz — Posouzení smykového napětí — Účinek kroutícího momentu Mx — Účinek smykové síly Vy — Účinek smykové síly Vz

Č.	SKUP ZS	Popis ZS	Kat.	fáze průř.	δ^*N_d [kN]	χ^*A [mm^2]	σ_n [MPa]	$\delta^*M_{y,d}$ [kNm]	$\chi_{lt}*W_{el,y}$ [mm^3]	σ_{my} [MPa]	$\delta^*M_{z,d}$ [kNm]	$W_{el,z}$ [mm^3]	σ_{mz} [MPa]	σ_x [MPa]	$\kappa*\delta^*M_{x,d}$ [kNm]	$W_{v,y}$ [mm^3]	$\tau_{x,y}$ [MPa]	$W_{v,z}$ [mm^3]	$\tau_{x,z}$ [MPa]	$\delta^*V_{y,d}$ [kN]	$A_{v,y}$ [mm2]	$\tau_{v,y}$ [MPa]	$\tau_{v,y}$ [MPa]	$\delta^*V_{z,d}$ [kN]	$A_{v,z}$ [mm2]	$\tau_{v,z}$ [MPa]	$\tau_{v,z}$ [MPa]
1	G0	Vlastní tíha OK	G	0	-0.3	3.42E+04	0.0	57.8	1.23E+07	4.7	-12.7	-3.24E+07	0.4	5.1	0.0E+00	-	-	-	-	3.0	1.87E+04	0.2	0.2	-34.1	1.12E+04	-3.0	-3.0
2	G1	Ostatní stálé - mostní vybavení	G	0	0.0	3.42E+04	0.0	8.8	1.23E+07	0.7	-1.0	-3.24E+07	0.0	0.7	0.0E+00	-	-	-	-	0.2	1.87E+04	0.0	0.0	-7.1	1.12E+04	-0.6	-0.6
3	G2	Ostatní stálé - cizí zařízení	G	0	-0.2	3.42E+04	0.0	-6.1	1.23E+07	-0.5	-1.0	-3.24E+07	0.0	-0.5	0.0E+00	-	-	-	-	-0.5	1.87E+04	0.0	0.0	-3.9	1.12E+04	-0.3	-0.3
4	P1_71	a.LM71 - kolej 1 (bez dyn. souč.)	P	0	0.0	3.42E+04	0.0	0.0	1.23E+07	0.0	0.0	-3.24E+07	0.0	0.0	0.0E+00	-	-	-	-	0.0	1.87E+04	0.0	0.0	0.0	1.12E+04	0.0	0.0
5	P2_71	a.LM71 - kolej 2 (bez dyn. souč.)	P	0	0.0	3.42E+04	0.0	0.0	1.23E+07	0.0	0.0	-3.24E+07	0.0	0.0	0.0E+00	-	-	-	-	0.0	1.87E+04	0.0	0.0	0.0	1.12E+04	0.0	0.0
6	P1_C3	TTZ C3 - kolej 1 (bez dyn. souč.)	P	0	20.6	3.42E+04	0.6	186.4	1.23E+07	15.2	-16.8	-3.24E+07	0.5	16.3	-1.7E-02	-	-	-	-	-13.5	1.87E+04	-0.7	-0.7	-198.3	1.12E+04	-17.7	-17.7
7	P2_C3	TTZ C3 - kolej 2 (bez dyn. souč.)	P	0	9.8	3.42E+04	0.3	645.4	1.23E+07	52.5	-3.6	-3.24E+07	0.1	52.9	0.0E+00	-	-	-	-	-1.3	1.87E+04	-0.1	-0.1	-161.6	1.12E+04	-14.4	-14.4
8	BR	Brzdné a rozjezdové síly	P	0	0.5	3.42E+04	0.0	-0.3	1.23E+07	0.0	19.2	-3.24E+07	-0.6	-0.6	-8.3E-03	-	-	-	-	10.1	1.87E+04	0.5	0.5	-0.6	1.12E+04	-0.1	-0.1
9	S	Boční ráz	P	0	3.6	3.42E+04	0.1	13.8	1.23E+07	1.1	2.2	-3.24E+07	-0.1	1.2	1.7E-02	-	-	-	-	1.9	1.87E+04	0.1	0.1	-7.5	1.12E+04	-0.7	-0.7
10	CH	Chodci na lávkách	Q	0	-0.6	3.42E+04	0.0	-39.1	1.23E+07	-3.2	-2.2	-3.24E+07	0.1	-3.1	0.0E+00	-	-	-	-	-1.2	1.87E+04	-0.1	-0.1	-0.3	1.12E+04	0.0	0.0
11	W	Vítr na konstrukci	Q	0	13.3	3.42E+04	0.4	-19.2	1.23E+07	-1.6	6.7	-3.24E+07	-0.2	-1.4	-1.0E-02	-	-	-	-	9.6	1.87E+04	0.5	0.5	-8.9	1.12E+04	-0.8	-0.8
12	WP	Vítr na vozidla	Q	0	-0.1	3.42E+04	0.0	-45.4	1.23E+07	-3.7	-12.1	-3.24E+07	0.4	-3.3	1.0E-02	-	-	-	-	-16.7	1.87E+04	-0.9	-0.9	-22.8	1.12E+04	-2.0	-2.0
13	TR	Teplota rovnoměrná	Q	0	0.0	3.42E+04	0.0	0.0	1.23E+07	0.0	0.0	-3.24E+07	0.0	0.0	0.0E+00	-	-	-	-	0.0	1.87E+04	0.0	0.0	0.0	1.12E+04	0.0	0.0
14	TN	Teplota nerovnoměrná	Q	0	4.9	3.42E+04	0.1	-20.4	1.23E+07	-1.7	-0.7	-3.24E+07	0.0	-1.5	-8.1E-03	-	-	-	-	-0.3	1.87E+04	0.0	0.0	-6.7	1.12E+04	-0.6	-0.6
15	FR	Třecí síly v ložiskách	Q	0	0.1	3.42E+04	0.0	0.4	1.23E+07	0.0	0.8	-3.24E+07	0.0	0.0	0.0E+00	-	-	-	-	0.3	1.87E+04	0.0	0.0	-0.1	1.12E+04	0.0	0.0
16	I	Imperfekce soustavy	Q	0	1.3	3.42E+04	0.0	-6.9	1.23E+07	-0.6	0.2	-3.24E+07	0.0	-0.5	0.0E+00	-	-	-	-	0.5	1.87E+04	0.0	0.0	-2.6	1.12E+04	-0.2	-0.2
27	ULS_LM	ULS - LM71 bez dynam	Q	0	0.0	3.42E+04	0.0	0.0	1.23E+07	0.0	0.0	-3.24E+07	0.0	0.0	0.0E+00	-	-	-	-	0.0	1.87E+04	0.0	0.0	0.0	1.12E+04	0.0	0.0
28	SLS_LM	SLS - LM71 bez dynam	Q	0	0.0	3.42E+04	0.0	0.0	1.23E+07	0.0	0.0	-3.24E+07	0.0	0.0	0.0E+00	-	-	-	-	0.0	1.87E+04	0.0	0.0	0.0	1.12E+04	0.0	0.0
29	ULS_C3	ULS - C3 bez dynam	Q	0	0.0	3.42E+04	0.0	0.0	1.23E+07	0.0	0.0	-3.24E+07	0.0	0.0	0.0E+00	-	-	-	-	0.0	1.87E+04	0.0	0.0	0.0	1.12E+04	0.0	0.0
30	SLS_C3	SLS - C3 bez dynam	Q	0	0.0	3.42E+04	0.0	0.0	1.23E+07	0.0	0.0	-3.24E+07	0.0	0.0	0.0E+00	-	-	-	-	0.0	1.87E+04	0.0	0.0	0.0	1.12E+04	0.0	0.0
NAVÝŠENÍ NAPĚTÍ DO AKTIVACE TLAKU V DESCE MOSTOVKY						$\sigma_{P,red}$	0.0							0.0			-		-			-0.4	-0.4			-40.6	-40.6
NAPĚTÍ OD PRIMÁRNÍCH ÚČINKŮ NEROVNOMĚRNÉHO OTEPLENÍ						σ_T	0.0							0.0													
NAPĚTÍ OD REOLOGICKÝCH ÚČINKŮ BETONU V ČASE		t=0				σ_R	0.0	γ=	1.20					0.0													
NAPĚTÍ V KRITICKÝCH VLÁKNECH OD KOMBINACE ZATÍŽENÍ					KZ08			[MPa]					$\Sigma\sigma_x$	65.3								$\Sigma\tau_y$	-0.4			$\Sigma\tau_z$	-40.6
NAPĚTÍ OD POHYBLIVÉHO ZATÍŽENÍ								[MPa]					$\sigma_{x,P}$	69.8								τ_P	-0.2			τ_P	-32.9
NAPĚTÍ OD OSTATNÍCH ZATÍŽENÍ								[MPa]			Φ_{Vy}	Φ_{Vz}	$\sigma_{x,rs}$	-4.5								τ_s	-0.3			τ_s	-7.7
NÁVRHOVÁ HODNOTA MEZE KLUZU S REDUKCÍ VLIVEM SMYKOVÉHO NAPĚTÍ								[MPa]			1.00	1.00	$f_{yw,d}$	209.1								$f_{yd}/3^{0,5}$	120.7			$f_{yd}/3^{0,5}$	120.7
NAPĚTÍ OD POHYBLIVÉHO ZATÍŽENÍ V GLOBÁLNÍM SYSTÉMU				$\sigma_{GLOB,P}$	0.0			[MPa]					$\Sigma\sigma_{GLOB}$	0.0													
NAPĚTÍ OD OSTATNÍCH ZATÍŽENÍ V GLOBÁLNÍM SYSTÉMU				$\sigma_{GLOB,rs}$	0.0			[MPa]					$\Sigma\sigma_x + \Sigma\sigma_{GLOB}$	65.3													
VYUŽITÍ PRŮŘEZU DLE NAPĚTÍ								[%]					η_1	0.31								η_3	0.00			η_3	0.34
NAPĚTÍ V PŘÍČNÉM SMĚRU OD POHYBLIVÉHO ZATÍŽENÍ				$\sigma_{z,P}$	0.0			[MPa]					$\Sigma\sigma_z$	0.0													
NAPĚTÍ V PŘÍČNÉM SMĚRU OD OSTATNÍCH ZATÍŽENÍ				$\sigma_{z,rs}$	0.0			[MPa]					η_2	0.00													
SROVNÁVACÍ NAPĚTÍ													$(\eta_2 + 0,8\ \eta_1)/1,4 =$	0.18													
VYUŽITÍ PRŮŘEZU CELKEM								[%]					eff	0.34	VYHOVUJE												
STANOVENÍ ZATÍŽITELNOSTI													Z_{LM71} =	-----													

TAB. P3.3.3 POSOUZENÍ - MEZNÍ STAV ÚNOSNOSTI

POPIS	PŘÍČNÍK P3 - VNITŘNÍ PODÉLNÍK
PRUT / POLOHA BODU	682 / I[560]
NAMÁHÁNÍ	My.max
VLÁKNO	BOD K2 -HP
MEZNÍ STAV	ULS (MSÚ)
VYUŽITÍ VLÁKNA PRŮŘEZU	0.61

Charakteristiky materiálu				
pás. horní	$f_{yf,k}$	230	MPa	
pás. dolní	$f_{yf,k}$	230	MPa	
stojina	$f_{yw,k}$	230	MPa	
výztuž	$f_{ys,k}$	500	MPa	
γ_M =	1.10	γ_s =	1.15	

Excentricita normálové síly				
Exc./Fáze	0	1	2	3
e_y	0.000	0.000	0.000	0.000
e_z	0.000	0.000	0.000	0.000
Ekvivalentní vzdál. stěn - příčný roznos				
b_{Mx}	0.000	0.000	0.000	0.000

Vliv stěny na únosnost průřezu				
Char./Fáze	0	1	2	3
A	0.00	0.00	0.00	0.00
Wy	0.00	0.00	0.00	0.00
Wz	0.00	0.00	0.00	0.00

Charakter. v kroucení			
$t_{w,y}$	0.000	[mm]	
$t_{w,z}$	0.000	[mm]	
κ	1.00		
I_t=	0.00E+00	[mm^4]	
Ω=2*A_{pr}	0.00E+00	[mm^2]	

Součinitele vzpěru a vlivu II.řádu					
Char./Fáze	0	1	2	3	
k_y	1.000	1.000	1.000	1.000	
k_z	1.000	1.000	1.000	1.000	
χ_{LT}	1.000	1.000	1.000	1.000	
χ_{min}	1.000	1.000	1.000	1.000	

δ_{LOK} 1.05

Vnitřní síly od jednotlivých skupin zatěžovacích stavů

SKUPINA ZATĚŽOVACÍCH STAVŮ					- CHARAKTERISTICKÉ HODNOTY						DÍLČÍ SOUČINITELÉ ZATÍŽENÍ, DYNAMICKÝ SOUČINITEL						7	- NÁVRHOVÉ HODNOTY									
Č.	SKUP ZS	POPIS ZS	KAT.	FÁZE PRŮŘ.	N.k (kN)	Vy.k (kN)	Vz.k (kN)	Mx.k (kNm)	My.k (kNm)	Mz.k (kNm)	γ_{sup} (-)	γ_{inf} (-)	volba γ_i hledat	γ_i (-)	L_d (m)	δ (-)	Ψ_0 KZ07	N.d (kN)	Vy.d (kN)	Vz.d (kN)	ΔVz.d (kN)	ΣVz.d (kN)	Mx.d (kNm)	My.d (kNm)	ΔMy.d (kNm)	ΣMy.d (kNm)	Mz.d (kNm)	ΔMz.d (kNm)	ΣMz.d (kNm)
1	G0	Vlastní tíha OK	G	0	0	-3	-8	-1	97	-15	1.00	1.20		1.20	-	1.00	0.95	0	-3	-9	0	-9	-1	111	0	111	-17	0	-17
2	G1	Ostatní stálé - mostní vybavení	G	0	0	0	-2	0	15	-1	1.00	1.20		1.20	-	1.00	0.95	0	0	-3	0	-3	0	17	0	17	-1	0	-1
3	G2	Ostatní stálé - cizí zařízení	G	0	0	0	-3	0	1	0	1.00	1.20		1.20	-	1.00	0.95	0	0	-4	0	-4	0	1	0	1	0	0	0
4	P1_71	a.LM71 - kolej 1 (bez dyn. souč.)	P	0	23	0	-206	0	566	1	1.00	vyp.		0.00	-	1.00	0.00	0	0	0	0	0	0	0	0	0	0	0	0
5	P2_71	a.LM71 - kolej 2 (bez dyn. souč.)	P	0	4	-3	209	0	970	-6	1.00	vyp.		0.00	-	1.00	0.00	0	0	0	0	0	0	0	0	0	0	0	0
6	P1_C3	TTZ C3 - kolej 1 (bez dyn. souč.)	P	0	14	0	-117	0	321	1	1.00	1.30		1.30	-	1.32	1.00	23	1	-199	0	-199	0	549	0	549	1	0	1
7	P2_C3	TTZ C3 - kolej 2 (bez dyn. souč.)	P	0	3	-2	119	0	550	-5	1.00	1.30		1.30	-	1.32	1.00	5	-4	204	0	204	-1	941	0	941	-8	2	-7
8	BR	Brzdné a rozjezdové síly	P	0	-8	-8	0	2	5	-4	1.00	1.30		1.30	-	1.00	0.64	-7	-7	0	0	0	1	4	0	4	-3	0	-3
9	S	Boční ráz	P	0	43	-1	-1	0	22	1	1.00	-1.30		-1.30	-	1.00	0.32	-18	0	0	0	0	0	-9	0	-9	-1	0	-1
10	CH	Chodci na lávkách	Q	0	1	0	3	0	-12	0	1.00	0.00		0.00	-	1.00	1.00	0	0	0	0	0	0	0	0	0	0	0	0
11	W	Vítr na konstrukci	Q	0	-14	29	9	0	2	11	1.00	-1.35		-1.35	-	1.00	0.75	14	-29	-9	0	-9	0	-2	0	-2	-11	0	-11
12	WP	Vítr na vozidla	Q	0	18	-50	-9	0	1	-19	1.00	1.35		1.35	-	1.00	0.75	18	-51	-9	0	-9	0	1	0	1	-19	0	-19
13	TR	Teplota rovnoměrná	Q	0	0	0	0	0	0	0	1.00	1.35		1.35	-	1.00	0.45	0	0	0	0	0	0	0	0	0	0	0	0
14	TN	Teplota nerovnoměrná	Q	0	-2	0	0	0	4	0	1.00	1.35		1.35	-	1.00	0.60	-1	0	0	0	0	0	3	0	3	0	0	0
15	FR	Třecí síly v ložiskách	Q	0	-1	0	0	0	1	0	1.00	-1.20		-1.20	-	1.00	1.00	1	0	0	0	0	0	-1	0	-1	0	0	0
16	I	Imperfekce soustavy	Q	0	-1	1	2	0	2	1	1.00	-1.20		-1.20	-	1.00	1.00	1	-2	-3	0	-3	0	-2	0	-2	-1	0	-1
27	ULS_LM	ULS - LM71 bez dynam	Q	0	94	-31	-7	-1	2 154	-17	1.00	vyp.		0.00	-	1.00	0.00	0	0	0	0	0	0	0	0	0	0	0	0
28	SLS_LM	SLS - LM71 bez dynam	Q	0	74	-23	-7	-1	1 669	-13	1.00	vyp.	1	0.00	-	1.00	0.00	0	0	0	0	0	0	0	0	0	0	0	0
29	ULS_C3	ULS - C3 bez dynam	Q	0	81	-30	-8	0	1 290	-15	1.00	vyp.	1	0.00	-	1.00	0.00	0	0	0	0	0	0	0	0	0	0	0	0
30	SLS_C3	SLS - C3 bez dynam	Q	0	64	-23	-8	0	1 004	-12	1.00	vyp.	1	0.00	-	1.00	0.00	0	0	0	0	0	0	0	0	0	0	0	0
		CELKEM - FÁZE PRŮŘEZU 0																36	-94	-31	0	-31	-1	1 612	0	1 612	-61	1	-60
		CELKEM - FÁZE PRŮŘEZU 1																0	0	0	0	0	0	0	0	0	0	0	0
		CELKEM - FÁZE PRŮŘEZU 2																0	0	0	0	0	0	0	0	0	0	0	0
		CELKEM - FÁZE PRŮŘEZU 3																0	0	0	0	0	0	0	0	0	0	0	0
		CELKEM - PRŮŘEZ																36	-94	-31	0	-31	-1			1 612			-60

Napětí od jednotlivých zatěžovacích stavů

SKUPINA ZATĚŽOVACÍCH STAVŮ					Posouzení normálového napětí										Posouzení smykového napětí													
					Účinek síly N			Účinek momentu My			Účinek momentu Mz				Účinek kroutícího momentu Mx				Účinek smykové síly Vy				Účinek smykové síly Vz			
Č.	SKUP ZS	Popis ZS	Kat.	fáze průř.	δ^*N_d [kN]	χ^*A [mm^2]	σ_n [MPa]	$\delta^*M_{y,d}$ [kNm]	$\chi_{lt}{}^*W_{el,y}$ [mm^3]	σ_{my} [MPa]	$\delta^*M_{z,d}$ [kNm]	$W_{el,z}$ [mm^3]	σ_{mz} [MPa]	σ_x [MPa]	$\kappa^*\delta^*M_{x,d}$ [kNm]	$W_{v,y}$ [mm^2]	$\tau_{x,y}$ [MPa]	$W_{v,z}$ [mm^2]	$\tau_{x,z}$ [MPa]	$\delta^*V_{y,d}$ [kN]	$A_{v,y}$ [mm2]	$\tau_{v,y}$ [MPa]	$\tau_{v,y}$ [MPa]	$\delta^*V_{z,d}$ [kN]	$A_{v,z}$ [mm2]	$\tau_{v,z}$ [MPa]	$\tau_{v,z}$ [MPa]
1	G0	Vlastní tíha OK	G	0	-0.4	4.17E+04	0.0	111.1	-1.80E+07	-6.2	-17.4	1.54E+06	-11.3	-17.5	-1.2E+00	-	-	-	-	-3.2	2.60E+04	-0.1	-0.1	-8.7	1.12E+04	-0.8	-0.8
2	G1	Ostatní stálé - mostní vybavení	G	0	0.0	4.17E+04	0.0	17.4	-1.80E+07	-1.0	-1.3	1.54E+06	-0.9	-1.8	-9.1E-02	-	-	-	-	-0.2	2.60E+04	0.0	0.0	-2.6	1.12E+04	-0.2	-0.2
3	G2	Ostatní stálé - cizí zařízení	G	0	0.2	4.17E+04	0.0	0.7	-1.80E+07	0.0	-0.2	1.54E+06	-0.1	-0.1	-3.4E-02	-	-	-	-	-0.1	2.60E+04	0.0	0.0	-3.9	1.12E+04	-0.4	-0.4
4	P1_71	a.LM71 - kolej 1 (bez dyn. souč.)	P	0	0.0	4.17E+04	0.0	0.0	-1.80E+07	0.0	0.0	1.54E+06	0.0	0.0	0.0E+00	-	-	-	-	0.0	2.60E+04	0.0	0.0	0.0	1.12E+04	0.0	0.0
5	P2_71	a.LM71 - kolej 2 (bez dyn. souč.)	P	0	0.0	4.17E+04	0.0	0.0	-1.80E+07	0.0	0.0	1.54E+06	0.0	0.0	0.0E+00	-	-	-	-	0.0	2.60E+04	0.0	0.0	0.0	1.12E+04	0.0	0.0
6	P1_C3	TTZ C3 - kolej 1 (bez dyn. souč.)	P	0	23.3	4.17E+04	0.6	548.9	-1.80E+07	-30.6	0.9	1.54E+06	0.6	-29.4	-1.2E-01	-	-	-	-	0.7	2.60E+04	0.0	0.0	-199.2	1.12E+04	-17.9	-17.9
7	P2_C3	TTZ C3 - kolej 2 (bez dyn. souč.)	P	0	5.3	4.17E+04	0.1	940.6	-1.80E+07	-52.4	-6.5	1.54E+06	-4.2	-56.5	-6.2E-01	-	-	-	-	-3.5	2.60E+04	-0.1	-0.1	203.7	1.12E+04	18.3	18.3
8	BR	Brzdné a rozjezdové síly	P	0	-6.8	4.17E+04	-0.2	4.5	-1.80E+07	-0.2	-3.2	1.54E+06	-2.1	-2.5	1.3E+00	-	-	-	-	-6.7	2.60E+04	-0.3	-0.3	-0.2	1.12E+04	0.0	0.0
9	S	Boční ráz	P	0	-18.0	4.17E+04	-0.4	-9.3	-1.80E+07	0.5	-0.6	1.54E+06	-0.4	-0.3	1.7E-02	-	-	-	-	0.4	2.60E+04	0.0	0.0	0.5	1.12E+04	0.0	0.0
10	CH	Chodci na lávkách	Q	0	0.0	4.17E+04	0.0	0.0	-1.80E+07	0.0	0.0	1.54E+06	0.0	0.0	0.0E+00	-	-	-	-	0.0	2.60E+04	0.0	0.0	0.0	1.12E+04	0.0	0.0
11	W	Vítr na konstrukci	Q	0	13.9	4.17E+04	0.3	-2.5	-1.80E+07	0.1	-11.4	1.54E+06	-7.4	-7.0	3.0E-02	-	-	-	-	-29.3	2.60E+04	-1.1	-1.1	-8.6	1.12E+04	-0.8	-0.8
12	WP	Vítr na vozidla	Q	0	17.7	4.17E+04	0.4	0.9	-1.80E+07	0.0	-19.4	1.54E+06	-12.6	-12.3	4.1E-02	-	-	-	-	-50.6	2.60E+04	-1.9	-1.9	-9.2	1.12E+04	-0.8	-0.8
13	TR	Teplota rovnoměrná	Q	0	0.0	4.17E+04	0.0	0.0	-1.80E+07	0.0	0.0	1.54E+06	0.0	0.0	0.0E+00	-	-	-	-	0.0	2.60E+04	0.0	0.0	0.0	1.12E+04	0.0	0.0
14	TN	Teplota nerovnoměrná	Q	0	-1.4	4.17E+04	0.0	3.2	-1.80E+07	-0.2	0.2	1.54E+06	0.1	-0.1	3.2E-02	-	-	-	-	0.1	2.60E+04	0.0	0.0	0.0	1.12E+04	0.0	0.0
15	FR	Třecí síly v ložiskách	Q	0	0.6	4.17E+04	0.0	-0.9	-1.80E+07	0.0	-0.3	1.54E+06	-0.2	-0.1	-3.6E-02	-	-	-	-	-0.1	2.60E+04	0.0	0.0	0.0	1.12E+04	0.0	0.0
16	I	Imperfekce soustavy	Q	0	1.3	4.17E+04	0.0	-2.2	-1.80E+07	0.1	-0.8	1.54E+06	-0.5	-0.4	0.0E+00	-	-	-	-	-1.6	2.60E+04	-0.1	-0.1	-2.6	1.12E+04	-0.2	-0.2
27	ULS_LM	ULS - LM71 bez dynam	Q	0	0.0	4.17E+04	0.0	0.0	-1.80E+07	0.0	0.0	1.54E+06	0.0	0.0	0.0E+00	-	-	-	-	0.0	2.60E+04	0.0	0.0	0.0	1.12E+04	0.0	0.0
28	SLS_LM	SLS - LM71 bez dynam	Q	0	0.0	4.17E+04	0.0	0.0	-1.80E+07	0.0	0.0	1.54E+06	0.0	0.0	0.0E+00	-	-	-	-	0.0	2.60E+04	0.0	0.0	0.0	1.12E+04	0.0	0.0
29	ULS_C3	ULS - C3 bez dynam	Q	0	0.0	4.17E+04	0.0	0.0	-1.80E+07	0.0	0.0	1.54E+06	0.0	0.0	0.0E+00	-	-	-	-	0.0	2.60E+04	0.0	0.0	0.0	1.12E+04	0.0	0.0
30	SLS_C3	SLS - C3 bez dynam	Q	0	0.0	4.17E+04	0.0	0.0	-1.80E+07	0.0	0.0	1.54E+06	0.0	0.0	0.0E+00	-	-	-	-	0.0	2.60E+04	0.0	0.0	0.0	1.12E+04	0.0	0.0
NAVÝŠENÍ NAPĚTÍ DO AKTIVACE TLAKU V DESCE MOSTOVKY						$\sigma_{P,red}$	0.0							0.0			0.0		0.0				-3.6	-3.6			-2.8	-2.8
NAPĚTÍ OD PRIMÁRNÍCH ÚČINKŮ NEROVNOMĚRNÉHO OTEPLENÍ						σ_T	0.0							0.0														
NAPĚTÍ OD REOLOGICKÝCH ÚČINKŮ BETONU V ČASE				t=0		σ_R	0.0	γ=	1.20					0.0														
NAPĚTÍ V KRITICKÝCH VLÁKNECH OD KOMBINACE ZATÍŽENÍ						KZ07		[MPa]					$\Sigma\sigma_x$	-128.0									$\Sigma\tau_y$	-3.6			$\Sigma\tau_z$	-2.8
NAPĚTÍ OD POHYBLIVÉHO ZATÍŽENÍ								[MPa]					$\sigma_{x,P}$	-88.7										-0.4			τ_P	0.4
NAPĚTÍ OD OSTATNÍCH ZATÍŽENÍ								[MPa]			Φ_{Vy}	Φ_{Vz}	$\sigma_{x,rs}$	-39.3									τ_{rs}	-3.3			τ_{rs}	-3.2
NÁVRHOVÁ HODNOTA MEZE KLUZU S REDUKCÍ VLIVEM SMYKOVÉHO NAPĚTÍ								[MPa]			1.00	1.00	$f_{yw,d}$	209.1									$f_{yd}/3^{0,5}$	120.7			$f_{yd}/3^{0,5}$	120.7
NAPĚTÍ OD POHYBLIVÉHO ZATÍŽENÍ V GLOBÁLNÍM SYSTÉMU						$\sigma_{GLOB,P}$	0.0	[MPa]					$\Sigma\sigma_{GLOB}$	0.0														
NAPĚTÍ OD OSTATNÍCH ZATÍŽENÍ V GLOBÁLNÍM SYSTÉMU						$\sigma_{GLOB,rs}$	0.0	[MPa]					$\Sigma\sigma_x + \Sigma\sigma_{GLOB}$	-128.0														
VYUŽITÍ PRŮŘEZU DLE NAPĚTÍ								[%]					η_1	0.61									η_3	0.03			η_3	0.02
NAPĚTÍ V PŘÍČNÉM SMĚRU OD POHYBLIVÉHO ZATÍŽENÍ						$\sigma_{z,P}$	0.0	[MPa]					$\Sigma\sigma_z$	0.0														
NAPĚTÍ V PŘÍČNÉM SMĚRU OD OSTATNÍCH ZATÍŽENÍ						$\sigma_{z,rs}$	0.0	[MPa]					η_2	0.00														
SROVNÁVACÍ NAPĚTÍ													$(\eta_2 + 0,8\,\eta_1)/1,4$ =	0.35														
VYUŽITÍ PRŮŘEZU CELKEM								[%]					eff	0.61	VYHOVUJE													
STANOVENÍ ZATÍŽITELNOSTI													Z_{LM71} =	-----														

TAB. P3.3.3 POSOUZENÍ - MEZNÍ STAV ÚNOSNOSTI

POPIS	PŘÍČNÍK P3 - VNITŘNÍ PODÉLNÍK
PRUT / POLOHA BODU	682 / I[560]
NAMÁHÁNÍ	My.max
VLÁKNO	BOD K3 -SL
MEZNÍ STAV	ULS (MSÚ)
VYUŽITÍ VLÁKNA PRŮŘEZU	0.70

Charakteristiky materiálu				
pás. horní	$f_{yf,k}$	230	MPa	
pás. dolní	$f_{yf,k}$	230	MPa	
stojina	$f_{yw,k}$	230	MPa	
výztuž	$f_{ys,k}$	500	MPa	
γ_M =	1.10	γ_s =	1.15	

Excentricita normálové síly				
Exc./Fáze	0	1	2	3
e_y	0.000	0.000	0.000	0.000
e_z	0.000	0.000	0.000	0.000
Ekvivalentní vzdál. stěn - příčný roznos				
b_{Mx}	0.000	0.000	0.000	0.000

Vliv stěny na únosnost průřezu				
Char./Fáze	0	1	2	3
A	0.00	0.00	0.00	0.00
Wy	0.00	0.00	0.00	0.00
Wz	0.00	0.00	0.00	0.00

Charakter. v kroucení			
$t_{w,y}$	0.000	[mm]	
$t_{w,z}$	0.000	[mm]	
κ	1.00		
I_t=	0.00E+00	[mm^4]	
$\Omega=2*A_{pr}$	0.00E+00	[mm^2]	

Součinitele vzpěru a vlivu II.řádu				
Char./Fáze	0	1	2	3
k_y	1.000	1.000	1.000	1.000
k_z	1.000	1.000	1.000	1.000
χ_{LT}	1.000	1.000	1.000	1.000
χ_{min}	1.000	1.000	1.000	1.000

δ_{LOK} 1.05

Vnitřní síly od jednotlivých skupin zatěžovacích stavů

SKUPINA ZATĚŽOVACÍCH STAVŮ — CHARAKTERISTICKÉ HODNOTY — DÍLČÍ SOUČINITELÉ ZATÍŽENÍ, DYNAMICKÝ SOUČINITEL — NÁVRHOVÉ HODNOTY

Č.	SKUP ZS	POPIS ZS	KAT.	FÁZE PRŮŘ.	N.k (kN)	Vy.k (kN)	Vz.k (kN)	Mx.k (kNm)	My.k (kNm)	Mz.k (kNm)	γ_{sr} (-)	γ_{fs} (-)	volba γ_φ hledat	γ_φ (-)	L_d (m)	δ (-)	Ψ_0 KZ07	N.d (kN)	Vy.d (kN)	Vz.d (kN)	ΔVz.d (kN)	ΣVz.d (kN)	Mx.d (kNm)	My.d (kNm)	ΔMy.d (kNm)	ΣMy.d (kNm)	Mz.d (kNm)	ΔMz.d (kNm)	ΣMz.d (kNm)
1	G0	Vlastní tíha OK	G	0	0	-3	-8	-1	97	-15	1.00	1.20		1.20	-	1.00	0.95	0	-3	-9	0	-9	-1	111	0	111	-17	0	-17
2	G1	Ostatní stálé - mostní vybavení	G	0	0	0	-2	0	15	-1	1.00	1.20		1.20	-	1.00	0.95	0	0	-3	0	-3	0	17	0	17	-1	0	-1
3	G2	Ostatní stálé - cizí zařízení	G	0	0	0	-3	0	1	0	1.00	1.20		1.20	-	1.00	0.95	0	0	-4	0	-4	0	1	0	1	0	0	0
4	P1_71	a.LM71 - kolej 1 (bez dyn. souč.)	P	0	23	0	-206	0	566	1	1.00	vyp.		0.00	-	1.00	0.00	0	0	0	0	0	0	0	0	0	0	0	0
5	P2_71	a.LM71 - kolej 2 (bez dyn. souč.)	P	0	4	-3	209	0	970	-6	1.00	vyp.		0.00	-	1.00	0.00	0	0	0	0	0	0	0	0	0	0	0	0
6	P1_C3	TTZ C3 - kolej 1 (bez dyn. souč.)	P	0	14	0	-117	0	321	1	1.00	1.30		1.30	-	1.32	1.00	23	1	-199	0	-199	0	549	0	549	1	0	1
7	P2_C3	TTZ C3 - kolej 2 (bez dyn. souč.)	P	0	3	-2	119	0	550	-5	1.00	1.30		1.30	-	1.32	1.00	5	-4	204	0	204	-1	941	0	941	-8	2	-7
8	BR	Brzdné a rozjezdové síly	P	0	-8	-8	0	2	5	-4	1.00	1.30		1.30	-	1.00	0.64	-7	-7	0	0	0	1	4	0	4	-3	0	-3
9	S	Boční ráz	P	0	43	-1	-1	0	22	1	1.00	1.30		1.30	-	1.00	0.32	18	0	0	0	0	0	9	0	9	1	0	1
10	CH	Chodci na lávkách	Q	0	1	0	3	0	-12	0	1.00	0.00		0.00	-	1.00	1.00	0	0	0	0	0	0	0	0	0	0	0	0
11	W	Vítr na konstrukci	Q	0	-14	29	9	0	2	11	1.00	-1.35		-1.35	-	1.00	0.75	14	-29	-9	0	-9	0	-2	0	-2	-11	0	-11
12	WP	Vítr na vozidla	Q	0	18	-50	-9	0	1	-19	1.00	1.35		1.35	-	1.00	0.75	18	-51	-9	0	-9	0	1	0	1	-19	0	-19
13	TR	Teplota rovnoměrná	Q	0	0	0	0	0	0	0	1.00	1.35		1.35	-	1.00	0.45	0	0	0	0	0	0	0	0	0	0	0	0
14	TN	Teplota nerovnoměrná	Q	0	-2	0	0	0	4	0	1.00	1.35		1.35	-	1.00	0.60	-1	0	0	0	0	0	3	0	3	0	0	0
15	FR	Třecí síly v ložiskách	Q	0	-1	0	0	0	1	0	1.00	-1.20		-1.20	-	1.00	1.00	1	0	0	0	0	0	-1	0	-1	0	0	0
16	I	Imperfekce soustavy	Q	0	-1	1	2	0	2	1	1.00	-1.20		-1.20	-	1.00	1.00	1	-2	-3	0	-3	0	-2	0	-2	-1	0	-1
27	ULS_LM	ULS - LM71 bez dynam	Q	0	94	-31	-7	-1	2 154	-17	1.00	vyp.	1	0.00	-	1.00	0.00	0	0	0	0	0	0	0	0	0	0	0	0
28	SLS_LM	SLS - LM71 bez dynam	Q	0	74	-23	-7	-1	1 669	-13	1.00	vyp.	1	0.00	-	1.00	0.00	0	0	0	0	0	0	0	0	0	0	0	0
29	ULS_C3	ULS - C3 bez dynam	Q	0	81	-30	-8	0	1 290	-15	1.00	vyp.	1	0.00	-	1.00	0.00	0	0	0	0	0	0	0	0	0	0	0	0
30	SLS_C3	SLS - C3 bez dynam	Q	0	64	-23	-8	0	1 004	-12	1.00	vyp.	1	0.00	-	1.00	0.00	0	0	0	0	0	0	0	0	0	0	0	0
		CELKEM - FÁZE PRŮŘEZU 0			72	-95	-32	0	1 631	-60	1	-59						72	-95	-32	0	-32	-1	1 631	0	1 631	-60	1	-59
		CELKEM - FÁZE PRŮŘEZU 1			0	0	0	0	0	0	0	0						0	0	0	0	0	0	0	0	0	0	0	0
		CELKEM - FÁZE PRŮŘEZU 2			0	0	0	0	0	0	0	0						0	0	0	0	0	0	0	0	0	0	0	0
		CELKEM - FÁZE PRŮŘEZU 3			0	0	0	0	0	0	0	0						0	0	0	0	0	0	0	0	0	0	0	0
		CELKEM - PRŮŘEZ			72	-95	-32	0	1 631	-59								72	-95	-32	0	-32	-1			1 631			-59

Napětí od jednotlivých zatěžovacích stavů

SKUPINA ZATĚŽOVACÍCH STAVŮ — Posouzení normálového napětí — Účinek síly N — Účinek momentu My — Účinek momentu Mz — Posouzení smykového napětí — Účinek kroutícího momentu Mx — Účinek smykové síly Vy — Účinek smykové síly Vz

Č.	SKUP ZS	Popis ZS	Kat.	fáze průř.	δ^*N_d [kN]	χ^*A [mm^2]	σ_n [MPa]	$\delta^*M_{y,d}$ [kNm]	$\chi_{lt}{}^*W_{el,y}$ [mm^3]	σ_{my} [MPa]	$\delta^*M_{z,d}$ [kNm]	$W_{el,z}$ [mm^3]	σ_{mz} [MPa]	σ_x [MPa]	$\kappa^*\delta^*M_{x,d}$ [kNm]	$W_{v,y}$ [mm^3]	$\tau_{x,y}$ [MPa]	$W_{v,z}$ [mm^3]	$\tau_{x,z}$ [MPa]	$\delta^*V_{y,d}$ [kN]	$A_{v,y}$ [mm2]	$\tau_{v,y}$ [MPa]	$\tau_{v,y}$ [MPa]	$\delta^*V_{z,d}$ [kN]	$A_{v,z}$ [mm2]	$\tau_{v,z}$ [MPa]	$\tau_{v,z}$ [MPa]
1	G0	Vlastní tíha OK	G	0	-0.4	4.17E+04	0.0	111.1	1.54E+07	7.2	-17.4	-1.54E+06	11.3	18.5	-1.2E+00	-	-	-	-	-3.2	2.60E+04	-0.1	-0.1	-8.7	1.12E+04	-0.8	-0.8
2	G1	Ostatní stálé - mostní vybavení	G	0	0.0	4.17E+04	0.0	17.4	1.54E+07	1.1	-1.3	-1.54E+06	0.9	2.0	-9.1E-02	-	-	-	-	-0.2	2.60E+04	0.0	0.0	-2.6	1.12E+04	-0.2	-0.2
3	G2	Ostatní stálé - cizí zařízení	G	0	0.2	4.17E+04	0.0	0.7	1.54E+07	0.0	-0.2	-1.54E+06	0.1	0.2	-3.4E-02	-	-	-	-	-0.1	2.60E+04	0.0	0.0	-3.9	1.12E+04	-0.4	-0.4
4	P1_71	a.LM71 - kolej 1 (bez dyn. souč.)	P	0	0.0	4.17E+04	0.0	0.0	1.54E+07	0.0	0.0	-1.54E+06	0.0	0.0	0.0E+00	-	-	-	-	0.0	2.60E+04	0.0	0.0	0.0	1.12E+04	0.0	0.0
5	P2_71	a.LM71 - kolej 2 (bez dyn. souč.)	P	0	0.0	4.17E+04	0.0	0.0	1.54E+07	0.0	0.0	-1.54E+06	0.0	0.0	0.0E+00	-	-	-	-	0.0	2.60E+04	0.0	0.0	0.0	1.12E+04	0.0	0.0
6	P1_C3	TTZ C3 - kolej 1 (bez dyn. souč.)	P	0	23.3	4.17E+04	0.6	548.9	1.54E+07	35.7	0.9	-1.54E+06	-0.6	35.7	-1.2E-01	-	-	-	-	0.7	2.60E+04	0.0	0.0	-199.2	1.12E+04	-17.9	-17.9
7	P2_C3	TTZ C3 - kolej 2 (bez dyn. souč.)	P	0	5.3	4.17E+04	0.1	940.6	1.54E+07	61.2	-6.5	-1.54E+06	4.2	65.6	-6.2E-01	-	-	-	-	-3.5	2.60E+04	-0.1	-0.1	203.7	1.12E+04	18.3	18.3
8	BR	Brzdné a rozjezdové síly	P	0	-6.8	4.17E+04	-0.2	4.5	1.54E+07	0.3	-3.2	-1.54E+06	2.1	2.2	1.3E+00	-	-	-	-	-6.7	2.60E+04	-0.3	-0.3	-0.2	1.12E+04	0.0	0.0
9	S	Boční ráz	P	0	18.0	4.17E+04	0.4	9.3	1.54E+07	0.6	0.6	-1.54E+06	-0.4	0.6	-1.7E-02	-	-	-	-	-0.4	2.60E+04	0.0	0.0	-0.5	1.12E+04	0.0	0.0
10	CH	Chodci na lávkách	Q	0	0.0	4.17E+04	0.0	0.0	1.54E+07	0.0	0.0	-1.54E+06	0.0	0.0	0.0E+00	-	-	-	-	0.0	2.60E+04	0.0	0.0	0.0	1.12E+04	0.0	0.0
11	W	Vítr na konstrukci	Q	0	13.9	4.17E+04	0.3	-2.5	1.54E+07	-0.2	-11.4	-1.54E+06	7.4	7.6	3.0E-02	-	-	-	-	-29.3	2.60E+04	-1.1	-1.1	-8.6	1.12E+04	-0.8	-0.8
12	WP	Vítr na vozidla	Q	0	17.7	4.17E+04	0.4	0.9	1.54E+07	0.1	-19.4	-1.54E+06	12.6	13.1	4.1E-02	-	-	-	-	-50.6	2.60E+04	-1.9	-1.9	-9.2	1.12E+04	-0.8	-0.8
13	TR	Teplota rovnoměrná	Q	0	0.0	4.17E+04	0.0	0.0	1.54E+07	0.0	0.0	-1.54E+06	0.0	0.0	0.0E+00	-	-	-	-	0.0	2.60E+04	0.0	0.0	0.0	1.12E+04	0.0	0.0
14	TN	Teplota nerovnoměrná	Q	0	-1.4	4.17E+04	0.0	3.2	1.54E+07	0.2	0.2	-1.54E+06	-0.1	0.1	3.2E-02	-	-	-	-	0.1	2.60E+04	0.0	0.0	0.0	1.12E+04	0.0	0.0
15	FR	Třecí síly v ložiskách	Q	0	0.6	4.17E+04	0.0	-0.9	1.54E+07	-0.1	-0.3	-1.54E+06	0.2	0.2	-3.6E-02	-	-	-	-	-0.1	2.60E+04	0.0	0.0	0.0	1.12E+04	0.0	0.0
16	I	Imperfekce soustavy	Q	0	1.3	4.17E+04	0.0	-2.2	1.54E+07	-0.1	-0.8	-1.54E+06	0.5	0.4	0.0E+00	-	-	-	-	-1.6	2.60E+04	-0.1	-0.1	-2.6	1.12E+04	-0.2	-0.2
27	ULS_LM	ULS - LM71 bez dynam	Q	0	0.0	4.17E+04	0.0	0.0	1.54E+07	0.0	0.0	-1.54E+06	0.0	0.0	0.0E+00	-	-	-	-	0.0	2.60E+04	0.0	0.0	0.0	1.12E+04	0.0	0.0
28	SLS_LM	SLS - LM71 bez dynam	Q	0	0.0	4.17E+04	0.0	0.0	1.54E+07	0.0	0.0	-1.54E+06	0.0	0.0	0.0E+00	-	-	-	-	0.0	2.60E+04	0.0	0.0	0.0	1.12E+04	0.0	0.0
29	ULS_C3	ULS - C3 bez dynam	Q	0	0.0	4.17E+04	0.0	0.0	1.54E+07	0.0	0.0	-1.54E+06	0.0	0.0	0.0E+00	-	-	-	-	0.0	2.60E+04	0.0	0.0	0.0	1.12E+04	0.0	0.0
30	SLS_C3	SLS - C3 bez dynam	Q	0	0.0	4.17E+04	0.0	0.0	1.54E+07	0.0	0.0	-1.54E+06	0.0	0.0	0.0E+00	-	-	-	-	0.0	2.60E+04	0.0	0.0	0.0	1.12E+04	0.0	0.0
		NAVÝŠENÍ NAPĚTÍ DO AKTIVACE TLAKU V DESCE MOSTOVKY				$\sigma_{P,red}$	0.0							0.0			-		-				-3.6	-3.6			-2.8	-2.8
		NAPĚTÍ OD PRIMÁRNÍCH ÚČINKŮ NEROVNOMĚRNÉHO OTEPLENÍ				σ_T	0.0							0.0														
		NAPĚTÍ OD REOLOGICKÝCH ÚČINKŮ BETONU V ČASE		t=0		σ_R	0.0	γ=	1.20					0.0														
		NAPĚTÍ V KRITICKÝCH VLÁKNECH OD KOMBINACE ZATÍŽENÍ				KZ07		[MPa]					$\Sigma\sigma_x$	146.1				$\Sigma\tau_y$	-3.6					$\Sigma\tau_z$	-2.8		
		NAPĚTÍ OD POHYBLIVÉHO ZATÍŽENÍ						[MPa]					$\sigma_{x,P}$	104.1				τ_P	-0.4					τ_P	0.3		
		NAPĚTÍ OD OSTATNÍCH ZATÍŽENÍ						[MPa]			Φ_{vy}	Φ_{vz}	$\sigma_{x,rs}$	42.1				τ_{rs}	-3.3					τ_{rs}	-3.2		
		NÁVRHOVÁ HODNOTA MEZE KLUZU S REDUKCÍ VLIVEM SMYKOVÉHO NAPĚTÍ						[MPa]			1.00	1.00	$f_{yv,d}$	209.1				$f_{yd}/3^{0,5}$	120.7					$f_{yd}/3^{0,5}$	120.7		
		NAPĚTÍ OD POHYBLIVÉHO ZATÍŽENÍ V GLOBÁLNÍM SYSTÉMU				$\sigma_{GLOB,P}$	0.0	[MPa]					$\Sigma\sigma_{GLOB}$	0.0													
		NAPĚTÍ OD OSTATNÍCH ZATÍŽENÍ V GLOBÁLNÍM SYSTÉMU				$\sigma_{GLOB,rs}$	0.0	[MPa]					$\Sigma\sigma_x + \Sigma\sigma_{GLOB}$	146.1													
		VYUŽITÍ PRŮŘEZU DLE NAPĚTÍ						[%]					η_1	0.70				η_3	0.03					η_3	0.02		
		NAPĚTÍ V PŘÍČNÉM SMĚRU OD POHYBLIVÉHO ZATÍŽENÍ				$\sigma_{z,P}$	0.0	[MPa]					$\Sigma\sigma_z$	0.0													
		NAPĚTÍ V PŘÍČNÉM SMĚRU OD OSTATNÍCH ZATÍŽENÍ				$\sigma_{z,rs}$	0.0	[MPa]					η_2	0.00													
		SROVNÁVACÍ NAPĚTÍ											$(\eta_2 + 0,8\ \eta_1)/1,4$ =	0.40													
		VYUŽITÍ PRŮŘEZU CELKEM						[%]					eff	0.70	VYHOVUJE												
		STANOVENÍ ZATÍŽITELNOSTI											Z_{LM71} =	-----													

TAB. P3.3.3 POSOUZENÍ - MEZNÍ STAV ÚNOSNOSTI

POPIS	PŘÍČNÍK P3 - VNITŘNÍ PODÉLNÍK
PRUT / POLOHA BODU	682 / I[560]
NAMÁHÁNÍ	Vz.min
VLÁKNO	BOD S6 -HP
MEZNÍ STAV	ULS (MSÚ)
VYUŽITÍ VLÁKNA PRŮŘEZU	0.19

Charakteristiky materiálu				
pás. horní	$f_{yf,k}$	230	MPa	
pás. dolní	$f_{yf,k}$	230	MPa	
stojina	$f_{yw,k}$	230	MPa	
výztuž	$f_{ys,k}$	500	MPa	
γ_M =	1.10	γ_s =	1.15	

Excentricita normálové síly				
Exc./Fáze	0	1	2	3
e_y	0.000	0.000	0.000	0.000
e_z	0.000	0.000	0.000	0.000
Ekvivalentní vzdál. stěn - příčný roznos				
b_{Mx}	0.000	0.000	0.000	0.000

Vliv stěny na únosnost průřezu				
Char./Fáze	0	1	2	3
A	0.00	0.00	0.00	0.00
Wy	0.00	0.00	0.00	0.00
Wz	0.00	0.00	0.00	0.00

Charakter. v kroucení			
$t_{w,y}$	0.000	[mm]	
$t_{w,z}$	0.000	[mm]	
κ	1.00		
I_t=	0.00E+00	[mm^4]	
$\Omega=2*A_{pr}$	0.00E+00	[mm^2]	

Součinitele vzpěru a vlivu II.řádu				
Char./Fáze	0	1	2	3
k_y	1.000	1.000	1.000	1.000
k_z	1.000	1.000	1.000	1.000
χ_{LT}	1.000	1.000	1.000	1.000
χ_{min}	1.000	1.000	1.000	1.000

8

δ_{LOK} 1.05

Vnitřní síly od jednotlivých skupin zatěžovacích stavů

SKUPINA ZATĚŽOVACÍCH STAVŮ					- CHARAKTERISTICKÉ HODNOTY						DÍLČÍ SOUČINITELÉ ZATÍŽENÍ, DYNAMICKÝ SOUČINITEL							- NÁVRHOVÉ HODNOTY									
Č.	SKUP ZS	POPIS ZS	KAT.	FÁZE PRŮŘ.	N.k (kN)	Vy.k (kN)	Vz.k (kN)	Mx.k (kNm)	My.k (kNm)	Mz.k (kNm)	γ_{sr} (-)	γ_{fs} (-)	volba γ_f hledat	γ_f (-)	L_d (m)	δ (-)	Ψ_s KZ08	N.d (kN)	Vy.d (kN)	Vz.d (kN)	ΔVz.d (kN)	ΣVz.d (kN)	Mx.d (kNm)	My.d (kNm)	ΔMy.d (kNm)	ΣMy.d (kNm)	Mz.d (kNm)	ΔMz.d (kNm)	ΣMz.d (kNm)
1	G0	Vlastní tíha OK	G	0	0	-3	-8	-1	97	-15	1.00	1.20		1.20	-	1.00	0.95	0	-3	-9	0	-9	-1	111	0	111	-17	0	-17
2	G1	Ostatní stálé - mostní vybavení	G	0	0	0	-2	0	15	-1	1.00	1.20		1.20	-	1.00	0.95	0	0	-3	0	-3	0	17	0	17	-1	0	-1
3	G2	Ostatní stálé - cizí zařízení	G	0	0	0	-3	0	1	0	1.00	1.20		1.20	-	1.00	0.95	0	0	-4	0	-4	0	1	0	1	0	0	0
4	P1_71	a.LM71 - kolej 1 (bez dyn. souč.)	P	0	31	0	-211	-1	548	2	1.00	vyp.		0.00	-	1.00	0.00	0	0	0	0	0	0	0	0	0	0	0	0
5	P2_71	a.LM71 - kolej 2 (bez dyn. souč.)	P	0	-3	0	0	0	7	-1	1.00	vyp.		0.00	-	1.00	0.00	0	0	0	0	0	0	0	0	0	0	0	0
6	P1_C3	TTZ C3 - kolej 1 (bez dyn. souč.)	P	0	21	0	-121	0	304	2	1.00	1.30		1.30	-	1.32	1.00	36	0	-207	0	-207	-1	520	0	520	3	-1	3
7	P2_C3	TTZ C3 - kolej 2 (bez dyn. souč.)	P	0	-3	0	0	0	8	-1	1.00	1.30		1.30	-	1.32	1.00	-4	-1	0	0	0	0	14	0	14	-1	0	-1
8	BR	Brzdné a rozjezdové síly	P	0	8	-18	0	-1	-2	-19	1.00	1.30		1.30	-	1.00	0.32	3	-7	0	0	0	-1	-1	0	-1	-8	0	-8
9	S	Boční ráz	P	0	3	21	-2	0	-1	8	1.00	1.30		1.30	-	1.00	0.64	2	18	-2	0	-2	0	-1	0	-1	7	0	7
10	CH	Chodci na lávkách	Q	0	0	0	0	0	-30	0	1.00	1.30		1.30	-	1.00	1.00	1	0	0	0	0	0	-39	0	-39	0	0	0
11	W	Vítr na konstrukci	Q	0	11	-29	-9	0	-2	-11	1.00	1.35		1.35	-	1.00	0.75	11	-29	-9	0	-9	0	-2	0	-2	-11	0	-11
12	WP	Vítr na vozidla	Q	0	18	-50	-9	0	1	-19	1.00	1.35		1.35	-	1.00	0.75	18	-51	-9	0	-9	0	1	0	1	-19	0	-19
13	TR	Teplota rovnoměrná	Q	0	0	0	0	0	0	0	1.00	1.35		1.35	-	1.00	0.45	0	0	0	0	0	0	0	0	0	0	0	0
14	TN	Teplota nerovnoměrná	Q	0	7	-4	-8	0	-11	0	1.00	1.35		1.35	-	1.00	0.60	6	-4	-7	0	-7	0	-9	0	-9	0	0	0
15	FR	Třecí síly v ložiskách	Q	0	-1	0	0	0	1	0	1.00	-1.20		-1.20	-	1.00	1.00	1	0	0	0	0	0	-1	0	-1	0	0	0
16	I	Imperfekce soustavy	Q	0	1	-1	-2	0	-2	-1	1.00	1.20		1.20	-	1.00	1.00	1	-2	-3	0	-3	0	-2	0	-2	-1	0	-1
27	ULS_LM	ULS - LM71 bez dynam	Q	0	87	-72	-321	-3	799	-35	1.00	vyp.		0.00	-	1.00	0.00	0	0	0	0	0	0	0	0	0	0	0	0
28	SLS_LM	SLS - LM71 bez dynam	Q	0	62	-51	-243	-2	636	-26	1.00	vyp.	1	0.00	-	1.00	0.00	0	0	0	0	0	0	0	0	0	0	0	0
29	ULS_C3	ULS - C3 bez dynam	Q	0	75	-72	-204	-2	484	-35	1.00	vyp.	1	0.00	-	1.00	0.00	0	0	0	0	0	0	0	0	0	0	0	0
30	SLS_C3	SLS - C3 bez dynam	Q	0	53	-51	-153	-2	393	-26	1.00	vyp.	1	0.00	-	1.00	0.00	0	0	0	0	0	0	0	0	0	0	0	0
		CELKEM - FÁZE PRŮŘEZU 0																74	-79	-253	0	-253	-3	610	0	610	-50	0	-50
		CELKEM - FÁZE PRŮŘEZU 1																0	0	0	0	0	0	0	0	0	0	0	0
		CELKEM - FÁZE PRŮŘEZU 2																0	0	0	0	0	0	0	0	0	0	0	0
		CELKEM - FÁZE PRŮŘEZU 3																0	0	0	0	0	0	0	0	0	0	0	0
		CELKEM - PRŮŘEZ																74	-79	-253	0	-253	-3			610			-50

Napětí od jednotlivých zatěžovacích stavů

SKUPINA ZATĚŽOVACÍCH STAVŮ					Posouzení normálového napětí											Posouzení smykového napětí												
					Účinek síly N			Účinek momentu My			Účinek momentu Mz					Účinek kroutícího momentu Mx				Účinek smykové síly Vy				Účinek smykové síly Vz			
Č.	SKUP ZS	Popis ZS	Kat.	fáze průř.	δ^*N_d [kN]	χ^*A [mm^2]	σ_n [MPa]	$\delta^*M_{y,d}$ [kNm]	$\chi_{lt}*W_{el,y}$ [mm^3]	σ_{my} [MPa]	$\delta^*M_{z,d}$ [kNm]	$W_{el,z}$ [mm^3]	σ_{mz} [MPa]	σ_x [MPa]	$\kappa*\delta^*M_{x,d}$ [kNm]	$W_{v,y}$ [mm^2]	$\tau_{x,y}$ [MPa]	$W_{v,z}$ [mm^2]	$\tau_{x,z}$ [MPa]	$\delta^*V_{y,d}$ [kN]	$A_{v,y}$ [mm2]	$\tau_{v,y}$ [MPa]	$\tau_{v,y}$ [MPa]	$\delta^*V_{z,d}$ [kN]	$A_{v,z}$ [mm2]	$\tau_{v,z}$ [MPa]	$\tau_{v,z}$ [MPa]
1	G0	Vlastní tíha OK	G	0	-0.4	4.17E+04	0.0	111.1	1.62E+07	6.9	-17.4	-4.73E+07	0.4	7.2	-1.2E+00	-	-	-	-	-3.2	2.60E+04	-0.1	-0.1	-8.7	1.12E+04	-0.8	-0.8
2	G1	Ostatní stálé - mostní vybavení	G	0	0.0	4.17E+04	0.0	17.4	1.62E+07	1.1	-1.3	-4.73E+07	0.0	1.1	-9.1E-02	-	-	-	-	-0.2	2.60E+04	0.0	0.0	-2.6	1.12E+04	-0.2	-0.2
3	G2	Ostatní stálé - cizí zařízení	G	0	0.2	4.17E+04	0.0	0.7	1.62E+07	0.0	-0.2	-4.73E+07	0.0	0.1	-3.4E-02	-	-	-	-	-0.1	2.60E+04	0.0	0.0	-3.9	1.12E+04	-0.4	-0.4
4	P1_71	a.LM71 - kolej 1 (bez dyn. souč.)	P	0	0.0	4.17E+04	0.0	0.0	1.62E+07	0.0	0.0	-4.73E+07	0.0	0.0	0.0E+00	-	-	-	-	0.0	2.60E+04	0.0	0.0	0.0	1.12E+04	0.0	0.0
5	P2_71	a.LM71 - kolej 2 (bez dyn. souč.)	P	0	0.0	4.17E+04	0.0	0.0	1.62E+07	0.0	0.0	-4.73E+07	0.0	0.0	0.0E+00	-	-	-	-	0.0	2.60E+04	0.0	0.0	0.0	1.12E+04	0.0	0.0
6	P1_C3	TTZ C3 - kolej 1 (bez dyn. souč.)	P	0	35.7	4.17E+04	0.9	520.5	1.62E+07	32.1	2.7	-4.73E+07	-0.1	32.9	-7.9E-01	-	-	-	-	-0.1	2.60E+04	0.0	0.0	-207.5	1.12E+04	-18.6	-18.6
7	P2_C3	TTZ C3 - kolej 2 (bez dyn. souč.)	P	0	-4.3	4.17E+04	-0.1	14.0	1.62E+07	0.9	-0.9	-4.73E+07	0.0	0.8	-3.4E-02	-	-	-	-	-0.6	2.60E+04	0.0	0.0	-0.3	1.12E+04	0.0	0.0
8	BR	Brzdné a rozjezdové síly	P	0	3.2	4.17E+04	0.1	-1.0	1.62E+07	-0.1	-7.9	-4.73E+07	0.2	0.2	-6.2E-01	-	-	-	-	-7.4	2.60E+04	-0.3	-0.3	-0.1	1.12E+04	0.0	0.0
9	S	Boční ráz	P	0	2.4	4.17E+04	0.1	-0.9	1.62E+07	-0.1	6.6	-4.73E+07	-0.1	-0.1	-1.7E-02	-	-	-	-	17.6	2.60E+04	0.7	0.7	-2.0	1.12E+04	-0.2	-0.2
10	CH	Chodci na lávkách	Q	0	0.6	4.17E+04	0.0	-38.9	1.62E+07	-2.4	0.1	-4.73E+07	0.0	-2.4	-9.1E-02	-	-	-	-	-0.2	2.60E+04	0.0	0.0	-0.5	1.12E+04	0.0	0.0
11	W	Vítr na konstrukci	Q	0	10.9	4.17E+04	0.3	-2.5	1.62E+07	-0.2	-11.4	-4.73E+07	0.2	0.3	3.0E-02	-	-	-	-	-29.3	2.60E+04	-1.1	-1.1	-8.6	1.12E+04	-0.8	-0.8
12	WP	Vítr na vozidla	Q	0	17.7	4.17E+04	0.4	0.9	1.62E+07	0.1	-19.4	-4.73E+07	0.4	0.9	4.1E-02	-	-	-	-	-50.6	2.60E+04	-1.9	-1.9	-9.2	1.12E+04	-0.8	-0.8
13	TR	Teplota rovnoměrná	Q	0	0.0	4.17E+04	0.0	0.0	1.62E+07	0.0	0.0	-4.73E+07	0.0	0.0	0.0E+00	-	-	-	-	0.0	2.60E+04	0.0	0.0	0.0	1.12E+04	0.0	0.0
14	TN	Teplota nerovnoměrná	Q	0	6.0	4.17E+04	0.1	-8.6	1.62E+07	-0.5	-0.2	-4.73E+07	0.0	-0.4	-1.6E-02	-	-	-	-	-3.5	2.60E+04	-0.1	-0.1	-6.7	1.12E+04	-0.6	-0.6
15	FR	Třecí síly v ložiskách	Q	0	0.6	4.17E+04	0.0	-0.9	1.62E+07	-0.1	-0.3	-4.73E+07	0.0	0.0	-3.6E-02	-	-	-	-	-0.1	2.60E+04	0.0	0.0	0.0	1.12E+04	0.0	0.0
16	I	Imperfekce soustavy	Q	0	1.3	4.17E+04	0.0	-2.2	1.62E+07	-0.1	-0.8	-4.73E+07	0.0	-0.1	0.0E+00	-	-	-	-	-1.6	2.60E+04	-0.1	-0.1	-2.6	1.12E+04	-0.2	-0.2
27	ULS_LM	ULS - LM71 bez dynam	Q	0	0.0	4.17E+04	0.0	0.0	1.62E+07	0.0	0.0	-4.73E+07	0.0	0.0	0.0E+00	-	-	-	-	0.0	2.60E+04	0.0	0.0	0.0	1.12E+04	0.0	0.0
28	SLS_LM	SLS - LM71 bez dynam	Q	0	0.0	4.17E+04	0.0	0.0	1.62E+07	0.0	0.0	-4.73E+07	0.0	0.0	0.0E+00	-	-	-	-	0.0	2.60E+04	0.0	0.0	0.0	1.12E+04	0.0	0.0
29	ULS_C3	ULS - C3 bez dynam	Q	0	0.0	4.17E+04	0.0	0.0	1.62E+07	0.0	0.0	-4.73E+07	0.0	0.0	0.0E+00	-	-	-	-	0.0	2.60E+04	0.0	0.0	0.0	1.12E+04	0.0	0.0
30	SLS_C3	SLS - C3 bez dynam	Q	0	0.0	4.17E+04	0.0	0.0	1.62E+07	0.0	0.0	-4.73E+07	0.0	0.0	0.0E+00	-	-	-	-	0.0	2.60E+04	0.0	0.0	0.0	1.12E+04	0.0	0.0
NAVÝŠENÍ NAPĚTÍ DO AKTIVACE TLAKU V DESCE MOSTOVKY						$\sigma_{P,red}$	0.0							0.0			0.0		0.0				-3.1	-3.1			-22.7	-22.7
NAPĚTÍ OD PRIMÁRNÍCH ÚČINKŮ NEROVNOMĚRNÉHO OTEPLENÍ						σ_T	0.0							0.0														
NAPĚTÍ OD REOLOGICKÝCH ÚČINKŮ BETONU V ČASE				t=0		σ_R	0.0	γ_f=	1.20					0.0														
NAPĚTÍ V KRITICKÝCH VLÁKNECH OD KOMBINACE ZATÍŽENÍ						KZ08		[MPa]					$\Sigma\sigma_x$	40.5								$\Sigma\tau_y$	-3.1				$\Sigma\tau_z$	-22.7
NAPĚTÍ OD POHYBLIVÉHO ZATÍŽENÍ								[MPa]					$\sigma_{x,P}$	33.7								τ_P	0.4				τ_P	-18.8
NAPĚTÍ OD OSTATNÍCH ZATÍŽENÍ								[MPa]			Φ_{Vy}	Φ_{Vz}	$\sigma_{x,rs}$	6.7								τ_{rs}	-3.4				τ_{rs}	-3.8
NÁVRHOVÁ HODNOTA MEZE KLUZU S REDUKCÍ VLIVEM SMYKOVÉHO NAPĚTÍ								[MPa]			1.00	1.00	$f_{yv,d}$	209.1								$f_{yd}/3^{0,5}$	120.7				$f_{yd}/3^{0,5}$	120.7
NAPĚTÍ OD POHYBLIVÉHO ZATÍŽENÍ V GLOBÁLNÍM SYSTÉMU						$\sigma_{GLOB,P}$	0.0	[MPa]					$\Sigma\sigma_{GLOB}$	0.0														
NAPĚTÍ OD OSTATNÍCH ZATÍŽENÍ V GLOBÁLNÍM SYSTÉMU						$\sigma_{GLOB,rs}$	0.0	[MPa]					$\Sigma\sigma_x + \Sigma\sigma_{GLOB}$	40.5														
VYUŽITÍ PRŮŘEZU DLE NAPĚTÍ								[%]					η_1	0.19								η_3	0.03				η_3	0.19
NAPĚTÍ V PŘÍČNÉM SMĚRU OD POHYBLIVÉHO ZATÍŽENÍ						$\sigma_{z,P}$	0.0	[MPa]					$\Sigma\sigma_z$	0.0														
NAPĚTÍ V PŘÍČNÉM SMĚRU OD OSTATNÍCH ZATÍŽENÍ						$\sigma_{z,rs}$	0.0	[MPa]					η_2	0.00														
SROVNÁVACÍ NAPĚTÍ													$(\eta2 + 0,8\ \eta1)/1,4$ =	0.11														
VYUŽITÍ PRŮŘEZU CELKEM								[%]					eff	0.19	VYHOVUJE													
STANOVENÍ ZATÍŽITELNOSTI													Z_{LM71} =	-----														

TAB. P3.4.3 POSOUZENÍ - MEZNÍ STAV ÚNOSNOSTI

POPIS	PŘÍČNÍK P3 - STŘED
PRUT / POLOHA BODU	683 / I[561]
NAMÁHÁNÍ	My.max
VLÁKNO	BOD K2 -HP
MEZNÍ STAV	ULS (MSÚ)
VYUŽITÍ VLÁKNA PRŮŘEZU	0.64

Charakteristiky materiálu				
pás. horní	$f_{yf,k}$	230	MPa	
pás. dolní	$f_{yf,k}$	230	MPa	
stojina	$f_{yw,k}$	230	MPa	
výztuž	$f_{ys,k}$	500	MPa	
γ_M =	1.10	γ_s =	1.15	

Excentricita normálové síly				
Exc./Fáze	0	1	2	3
e_y	0.000	0.000	0.000	0.000
e_z	0.000	0.000	0.000	0.000
Ekvivalentní vzdál. stěn - příčný roznos				
b_{Mx}	0.000	0.000	0.000	0.000

Vliv stěny na únosnost průřezu				
Char./Fáze	0	1	2	3
A	0.00	0.00	0.00	0.00
Wy	0.00	0.00	0.00	0.00
Wz	0.00	0.00	0.00	0.00

Charakter. v kroucení			
$t_{w,y}$	0.000	[mm]	
$t_{w,z}$	0.000	[mm]	
κ	1.00		
I_t=	0.00E+00	[mm^4]	
$\Omega=2*A_{pz}$	0.00E+00	[mm^2]	

Součinitele vzpěru a vlivu II.řádu					
Char./Fáze	0	1	2	3
k_y	1.000	1.000	1.000	1.000
k_z	1.000	1.000	1.000	1.000
χ_{LT}	1.000	1.000	1.000	1.000
χ_{min}	1.000	1.000	1.000	1.000

8

δ_{LOK} 1.05

Vnitřní síly od jednotlivých skupin zatěžovacích stavů

SKUPINA ZATĚŽOVACÍCH STAVŮ — **- CHARAKTERISTICKÉ HODNOTY** — **DÍLČÍ SOUČINITELÉ ZATÍŽENÍ, DYNAMICKÝ SOUČINITEL** — **- NÁVRHOVÉ HODNOTY**

Č.	SKUP ZS	POPIS ZS	KAT.	FÁZE PRŮŘ.	N.k (kN)	Vy.k (kN)	Vz.k (kN)	Mx.k (kNm)	My.k (kNm)	Mz.k (kNm)	γ_{sr} (-)	γ_{fs} (-)	volba γ_{fi} hledat	γ_{fi} (-)	L_d (m)	δ (-)	Ψ_{2i} KZ08	N.d (kN)	Vy.d (kN)	Vz.d (kN)	ΔVz.d (kN)	ΣVz.d (kN)	Mx.d (kNm)	My.d (kNm)	ΔMy.d (kNm)	ΣMy.d (kNm)	Mz.d (kNm)	ΔMz.d (kNm)	ΣMz.d (kNm)
1	G0	Vlastní tíha OK	G	0	-1	2	3	1	103	-13	1.00	1.20		1.20	-	1.00	0.95	-1	3	4	0	4	1	117	0	117	-15	0	-15
2	G1	Ostatní stálé - mostní vybavení	G	0	0	0	0	0	16	-1	1.00	1.20		1.20	-	1.00	0.95	0	0	0	0	0	0	19	0	19	-1	0	-1
3	G2	Ostatní stálé - cizí zařízení	G	0	0	0	3	0	4	0	1.00	1.20		1.20	-	1.00	0.95	0	0	4	0	4	0	5	0	5	0	0	0
4	P1_71	a.LM71 - kolej 1 (bez dyn. souč.)	P	0	4	1	-206	0	762	-1	1.00	vyp.		0.00	-	1.00	0.00	0	0	0	0	0	0	0	0	0	0	0	0
5	P2_71	a.LM71 - kolej 2 (bez dyn. souč.)	P	0	28	0	209	1	774	2	1.00	vyp.		0.00	-	1.00	0.00	0	0	0	0	0	0	0	0	0	0	0	0
6	P1_C3	TTZ C3 - kolej 1 (bez dyn. souč.)	P	0	3	1	-117	0	432	-1	1.00	1.30		1.30	-	1.32	1.00	6	1	-199	0	-199	0	739	0	739	-1	0	-1
7	P2_C3	TTZ C3 - kolej 2 (bez dyn. souč.)	P	0	18	0	119	0	439	1	1.00	1.30		1.30	-	1.32	1.00	30	-1	204	0	204	1	750	0	750	2	0	2
8	BR	Brzdné a rozjezdové síly	P	0	-8	8	0	-2	6	4	1.00	-1.30		-1.30	-	1.00	0.32	3	-3	0	0	0	1	-2	0	-2	-2	0	-2
9	S	Boční ráz	P	0	45	1	1	0	23	4	1.00	-1.30		-1.30	-	1.00	0.64	-37	-1	-1	0	-1	0	-19	0	-19	-3	0	-3
10	CH	Chodci na lávkách	Q	0	0	0	3	0	-15	-1	1.00	0.00		0.00	-	1.00	1.00	0	0	0	0	0	0	0	0	0	0	0	0
11	W	Vítr na konstrukci	Q	0	10	29	9	0	7	17	1.00	-1.35		-1.35	-	1.00	0.75	-10	-29	-9	0	-9	0	-7	0	-7	-18	0	-18
12	WP	Vítr na vozidla	Q	0	18	50	9	0	9	31	1.00	-1.35		-1.35	-	1.00	0.75	-18	-51	-9	0	-9	0	-9	0	-9	-31	0	-31
13	TR	Teplota rovnoměrná	Q	0	0	0	0	0	0	0	1.00	1.35		1.35	-	1.00	0.45	0	0	0	0	0	0	0	0	0	0	0	0
14	TN	Teplota nerovnoměrná	Q	0	-2	0	0	0	4	0	1.00	1.35		1.35	-	1.00	0.60	-1	0	0	0	0	0	3	0	3	0	0	0
15	FR	Třecí síly v ložiskách	Q	0	-1	0	0	0	1	0	1.00	-1.20		-1.20	-	1.00	1.00	1	0	0	0	0	0	-1	0	-1	0	0	0
16	I	Imperfekce soustavy	Q	0	1	1	2	0	1	1	1.00	-1.20		-1.20	-	1.00	1.00	-1	-2	-3	0	-3	0	-1	0	-1	-1	0	-1
27	ULS_LM	ULS - LM71 bez dynam	Q	0	127	91	37	1	2 173	56	1.00	vyp.	1	0.00	-	1.00	0.00	0	0	0	0	0	0	0	0	0	0	0	0
28	SLS_LM	SLS - LM71 bez dynam	Q	0	99	68	29	1	1 684	42	1.00	vyp.	1	0.00	-	1.00	0.00	0	0	0	0	0	0	0	0	0	0	0	0
29	ULS_C3	ULS - C3 bez dynam	Q	0	113	90	36	0	1 308	56	1.00	vyp.	1	0.00	-	1.00	0.00	0	0	0	0	0	0	0	0	0	0	0	0
30	SLS_C3	SLS - C3 bez dynam	Q	0	88	67	28	0	1 019	42	1.00	vyp.	1	0.00	-	1.00	0.00	0	0	0	0	0	0	0	0	0	0	0	0
		CELKEM - FÁZE PRŮŘEZU 0																-28	-82	-9	0	-9	3	1 594	0	1 594	-69	0	-70
		CELKEM - FÁZE PRŮŘEZU 1																0	0	0	0	0	0	0	0	0	0	0	0
		CELKEM - FÁZE PRŮŘEZU 2																0	0	0	0	0	0	0	0	0	0	0	0
		CELKEM - FÁZE PRŮŘEZU 3																0	0	0	0	0	0	0	0	0	0	0	0
		CELKEM - PRŮŘEZ																-28	-82	-9	0	-9	3			1 594			-70

Napětí od jednotlivých zatěžovacích stavů

SKUPINA ZATĚŽOVACÍCH STAVŮ — **Posouzení normálového napětí** — **Posouzení smykového napětí**

Č.	SKUP ZS	Popis ZS	Kat.	fáze průř.	Účinek síly N: δ^*N_d [kN]	χ^*A [mm^2]	σ_n [MPa]	Účinek momentu My: $\delta^*M_{y,d}$ [kNm]	$\chi_{lt}{}^*W_{el,y}$ [mm^3]	σ_{my} [MPa]	Účinek momentu Mz: $\delta^*M_{z,d}$ [kNm]	$W_{el,z}$ [mm^3]	σ_{mz} [MPa]	σ_x [MPa]	Účinek kroutícího momentu Mx: $\kappa^*\delta^*M_{x,d}$ [kNm]	$W_{v,y}$ [mm^3]	$\tau_{x,y}$ [MPa]	$W_{v,z}$ [mm^3]	$\tau_{x,z}$ [MPa]	Účinek smykové síly Vy: $\delta^*V_{y,d}$ [kN]	$A_{v,y}$ [mm2]	$\tau_{v,y}$ [MPa]	$\tau_{v,y}$ [MPa]	Účinek smykové síly Vz: $\delta^*V_{z,d}$ [kN]	$A_{v,z}$ [mm2]	$\tau_{v,z}$ [MPa]	$\tau_{v,z}$ [MPa]
1	G0	Vlastní tíha OK	G	0	-0.7	3.81E+04	0.0	117.0	-1.79E+07	-6.5	-14.7	1.55E+06	-9.5	-16.0	1.2E+00	-	-	-	-	2.6	2.62E+04	0.1	0.1	3.6	7.39E+03	0.5	0.5
2	G1	Ostatní stálé - mostní vybavení	G	0	0.0	3.81E+04	0.0	18.7	-1.79E+07	-1.0	-1.1	1.55E+06	-0.7	-1.8	9.1E-02	-	-	-	-	0.2	2.62E+04	0.0	0.0	0.0	7.39E+03	0.0	0.0
3	G2	Ostatní stálé - cizí zařízení	G	0	0.2	3.81E+04	0.0	4.7	-1.79E+07	-0.3	-0.1	1.55E+06	0.0	-0.3	3.4E-02	-	-	-	-	0.1	2.62E+04	0.0	0.0	3.9	7.39E+03	0.5	0.5
4	P1_71	a.LM71 - kolej 1 (bez dyn. souč.)	P	0	0.0	3.81E+04	0.0	0.0	-1.79E+07	0.0	0.0	1.55E+06	0.0	0.0	0.0E+00	-	-	-	-	0.0	2.62E+04	0.0	0.0	0.0	7.39E+03	0.0	0.0
5	P2_71	a.LM71 - kolej 2 (bez dyn. souč.)	P	0	0.0	3.81E+04	0.0	0.0	-1.79E+07	0.0	0.0	1.55E+06	0.0	0.0	0.0E+00	-	-	-	-	0.0	2.62E+04	0.0	0.0	0.0	7.39E+03	0.0	0.0
6	P1_C3	TTZ C3 - kolej 1 (bez dyn. souč.)	P	0	5.9	3.81E+04	0.2	738.8	-1.79E+07	-41.3	-0.9	1.55E+06	-0.6	-41.7	8.5E-02	-	-	-	-	1.1	2.62E+04	0.0	0.0	-199.2	7.39E+03	-27.0	-27.0
7	P2_C3	TTZ C3 - kolej 2 (bez dyn. souč.)	P	0	30.2	3.81E+04	0.8	750.2	-1.79E+07	-41.9	2.0	1.55E+06	1.3	-39.8	6.7E-01	-	-	-	-	-0.5	2.62E+04	0.0	0.0	203.7	7.39E+03	27.6	27.6
8	BR	Brzdné a rozjezdové síly	P	0	3.5	3.81E+04	0.1	-2.3	-1.79E+07	0.1	-1.7	1.55E+06	-1.1	-0.9	6.3E-01	-	-	-	-	-3.4	2.62E+04	-0.1	-0.1	-0.1	7.39E+03	0.0	0.0
9	S	Boční ráz	P	0	-37.2	3.81E+04	-1.0	-19.2	-1.79E+07	1.1	-3.3	1.55E+06	-2.1	-2.0	-2.5E-02	-	-	-	-	-0.7	2.62E+04	0.0	0.0	-0.9	7.39E+03	-0.1	-0.1
10	CH	Chodci na lávkách	Q	0	0.0	3.81E+04	0.0	0.0	-1.79E+07	0.0	0.0	1.55E+06	0.0	0.0	0.0E+00	-	-	-	-	0.0	2.62E+04	0.0	0.0	0.0	7.39E+03	0.0	0.0
11	W	Vítr na konstrukci	Q	0	-10.4	3.81E+04	-0.3	-6.7	-1.79E+07	0.4	-17.7	1.55E+06	-11.4	-11.3	3.0E-02	-	-	-	-	-29.3	2.62E+04	-1.1	-1.1	-8.6	7.39E+03	-1.2	-1.2
12	WP	Vítr na vozidla	Q	0	-18.1	3.81E+04	-0.5	-9.0	-1.79E+07	0.5	-31.1	1.55E+06	-20.1	-20.1	4.1E-02	-	-	-	-	-50.6	2.62E+04	-1.9	-1.9	-9.2	7.39E+03	-1.2	-1.2
13	TR	Teplota rovnoměrná	Q	0	0.0	3.81E+04	0.0	0.0	-1.79E+07	0.0	0.0	1.55E+06	0.0	0.0	0.0E+00	-	-	-	-	0.0	2.62E+04	0.0	0.0	0.0	7.39E+03	0.0	0.0
14	TN	Teplota nerovnoměrná	Q	0	-1.4	3.81E+04	0.0	3.2	-1.79E+07	-0.2	0.1	1.55E+06	0.1	-0.2	-3.2E-02	-	-	-	-	0.0	2.62E+04	0.0	0.0	0.0	7.39E+03	0.0	0.0
15	FR	Třecí síly v ložiskách	Q	0	0.6	3.81E+04	0.0	-0.9	-1.79E+07	0.0	-0.2	1.55E+06	-0.1	-0.1	3.6E-02	-	-	-	-	0.1	2.62E+04	0.0	0.0	0.0	7.39E+03	0.0	0.0
16	I	Imperfekce soustavy	Q	0	-1.1	3.81E+04	0.0	-0.8	-1.79E+07	0.0	-0.8	1.55E+06	-0.5	-0.5	0.0E+00	-	-	-	-	-1.6	2.62E+04	-0.1	-0.1	-2.6	7.39E+03	-0.4	-0.4
27	ULS_LM	ULS - LM71 bez dynam	Q	0	0.0	3.81E+04	0.0	0.0	-1.79E+07	0.0	0.0	1.55E+06	0.0	0.0	0.0E+00	-	-	-	-	0.0	2.62E+04	0.0	0.0	0.0	7.39E+03	0.0	0.0
28	SLS_LM	SLS - LM71 bez dynam	Q	0	0.0	3.81E+04	0.0	0.0	-1.79E+07	0.0	0.0	1.55E+06	0.0	0.0	0.0E+00	-	-	-	-	0.0	2.62E+04	0.0	0.0	0.0	7.39E+03	0.0	0.0
29	ULS_C3	ULS - C3 bez dynam	Q	0	0.0	3.81E+04	0.0	0.0	-1.79E+07	0.0	0.0	1.55E+06	0.0	0.0	0.0E+00	-	-	-	-	0.0	2.62E+04	0.0	0.0	0.0	7.39E+03	0.0	0.0
30	SLS_C3	SLS - C3 bez dynam	Q	0	0.0	3.81E+04	0.0	0.0	-1.79E+07	0.0	0.0	1.55E+06	0.0	0.0	0.0E+00	-	-	-	-	0.0	2.62E+04	0.0	0.0	0.0	7.39E+03	0.0	0.0
		NAVÝŠENÍ NAPĚTÍ DO AKTIVACE TLAKU V DESCE MOSTOVKY				$\sigma_{P,red}$	0.0							0.0			0.0		0.0				-3.1	-3.1			-1.3	-1.3
		NAPĚTÍ OD PRIMÁRNÍCH ÚČINKŮ NEROVNOMĚRNÉHO OTEPLENÍ				σ_T	0.0							0.0														
		NAPĚTÍ OD REOLOGICKÝCH ÚČINKŮ BETONU V ČASE		t=0		σ_R	0.0	$\gamma_{i=}$	1.20					0.0														
		NAPĚTÍ V KRITICKÝCH VLÁKNECH OD KOMBINACE ZATÍŽENÍ				KZ08		[MPa]					$\Sigma\sigma_x$	-134.7									$\Sigma\tau_y$	-3.1				$\Sigma\tau_z$	-1.3
		NAPĚTÍ OD POHYBLIVÉHO ZATÍŽENÍ						[MPa]					$\sigma_{x,P}$	-84.5										-0.1				τ_P	0.5
		NAPĚTÍ OD OSTATNÍCH ZATÍŽENÍ						[MPa]			Φ_{Vy}	Φ_{Vz}	$\sigma_{x,rs}$	-50.3									τ_{rs}	-3.0				τ_{rs}	-1.7
		NÁVRHOVÁ HODNOTA MEZE KLUZU S REDUKCÍ VLIVEM SMYKOVÉHO NAPĚTÍ						[MPa]			1.00	1.00	$f_{yw,d}$	209.1									$f_{yd}/3^{0,5}$	120.7				$f_{yd}/3^{0,5}$	120.7
		NAPĚTÍ OD POHYBLIVÉHO ZATÍŽENÍ V GLOBÁLNÍM SYSTÉMU				$\sigma_{GLOB,P}$	0.0	[MPa]					$\Sigma\sigma_{GLOB}$	0.0															
		NAPĚTÍ OD OSTATNÍCH ZATÍŽENÍ V GLOBÁLNÍM SYSTÉMU				$\sigma_{GLOB,rs}$	0.0	[MPa]					$\Sigma\sigma_x + \Sigma\sigma_{GLOB}$	-134.7															
		VYUŽITÍ PRŮŘEZU DLE NAPĚTÍ						[%]					η_1	0.64									η_3	0.03				η_3	0.01
		NAPĚTÍ V PŘÍČNÉM SMĚRU OD POHYBLIVÉHO ZATÍŽENÍ				$\sigma_{z,P}$	0.0	[MPa]					$\Sigma\sigma_z$	0.0															
		NAPĚTÍ V PŘÍČNÉM SMĚRU OD OSTATNÍCH ZATÍŽENÍ				$\sigma_{z,rs}$	0.0	[MPa]					η_2	0.00															
		SROVNÁVACÍ NAPĚTÍ											$(\eta_2 + 0,8\,\eta_1)/1,4 =$	0.37															
		VYUŽITÍ PRŮŘEZU CELKEM						[%]					eff	0.64	VYHOVUJE														
		STANOVENÍ ZATÍŽITELNOSTI											Z_{LM71} =	-----															

TAB. P3.4.3 POSOUZENÍ - MEZNÍ STAV ÚNOSNOSTI

POPIS	PŘÍČNÍK P3 - STŘED
PRUT / POLOHA BODU	683 / I[561]
NAMÁHÁNÍ	My.max
VLÁKNO	BOD K3 -SL
MEZNÍ STAV	ULS (MSÚ)
VYUŽITÍ VLÁKNA PRŮŘEZU	0.71

Charakteristiky materiálu				
pás. horní	$f_{yf,k}$	230	MPa	
pás. dolní	$f_{yf,k}$	230	MPa	
stojina	$f_{yw,k}$	230	MPa	
výztuž	$f_{ys,k}$	500	MPa	
γ_M =	1.10	γ_s =	1.15	

Excentricita normálové síly				
Exc./Fáze	0	1	2	3
e_y	0.000	0.000	0.000	0.000
e_z	0.000	0.000	0.000	0.000
Ekvivalentní vzdál. stěn - příčný roznos				
b_{Mx}	0.000	0.000	0.000	0.000

Vliv stěny na únosnost průřezu				
Char./Fáze	0	1	2	3
A	0.00	0.00	0.00	0.00
Wy	0.00	0.00	0.00	0.00
Wz	0.00	0.00	0.00	0.00

Charakter. v kroucení			
$t_{w,y}$	0.000	[mm]	
$t_{w,z}$	0.000	[mm]	
κ	1.00		
I_t=	0.00E+00	[mm^4]	
$\Omega=2*A_{pr}$	0.00E+00	[mm^2]	

Součinitele vzpěru a vlivu II.řádu				
Char./Fáze	0	1	2	3
k_y	1.000	1.000	1.000	1.000
k_z	1.000	1.000	1.000	1.000
χ_{LT}	1.000	1.000	1.000	1.000
χ_{min}	1.000	1.000	1.000	1.000

δ_{LOK} 1.05

Vnitřní síly od jednotlivých skupin zatěžovacích stavů

SKUPINA ZATĚŽOVACÍCH STAVŮ — CHARAKTERISTICKÉ HODNOTY — DÍLČÍ SOUČINITELÉ ZATÍŽENÍ, DYNAMICKÝ SOUČINITEL — NÁVRHOVÉ HODNOTY

Č.	SKUP ZS	POPIS ZS	KAT.	FÁZE PRŮŘ.	N.k (kN)	Vy.k (kN)	Vz.k (kN)	Mx.k (kNm)	My.k (kNm)	Mz.k (kNm)	γ_{sr} (-)	γ_{fs} (-)	volba γ_f hledat	γ_f (-)	L_d (m)	δ (-)	Ψ_s KZ07	N.d (kN)	Vy.d (kN)	Vz.d (kN)	ΔVz.d (kN)	ΣVz.d (kN)	Mx.d (kNm)	My.d (kNm)	ΔMy.d (kNm)	ΣMy.d (kNm)	Mz.d (kNm)	ΔMz.d (kNm)	ΣMz.d (kNm)
1	G0	Vlastní tíha OK	G	0	-1	2	3	1	103	-13	1.00	1.20		1.20	-	1.00	0.95	-1	3	4	0	4	1	117	0	117	-15	0	-15
2	G1	Ostatní stálé - mostní vybavení	G	0	0	0	0	0	16	-1	1.00	1.20		1.20	-	1.00	0.95	0	0	0	0	0	0	19	0	19	-1	0	-1
3	G2	Ostatní stálé - cizí zařízení	G	0	0	0	3	0	4	0	1.00	1.20		1.20	-	1.00	0.95	0	0	4	0	4	0	5	0	5	0	0	0
4	P1_71	a.LM71 - kolej 1 (bez dyn. souč.)	P	0	4	1	-206	0	762	-1	1.00	vyp.		0.00	-	1.00	0.00	0	0	0	0	0	0	0	0	0	0	0	0
5	P2_71	a.LM71 - kolej 2 (bez dyn. souč.)	P	0	28	0	209	1	774	2	1.00	vyp.		0.00	-	1.00	0.00	0	0	0	0	0	0	0	0	0	0	0	0
6	P1_C3	TTZ C3 - kolej 1 (bez dyn. souč.)	P	0	3	1	-117	0	432	-1	1.00	1.30		1.30	-	1.32	1.00	6	1	-199	0	-199	0	739	0	739	-1	0	-1
7	P2_C3	TTZ C3 - kolej 2 (bez dyn. souč.)	P	0	18	0	119	0	439	1	1.00	1.30		1.30	-	1.32	1.00	30	-1	204	0	204	1	750	0	750	2	0	2
8	BR	Brzdné a rozjezdové síly	P	0	-8	8	0	-2	6	4	1.00	-1.30		-1.30	-	1.00	0.64	7	-7	0	0	0	1	-5	0	-5	-3	0	-3
9	S	Boční ráz	P	0	45	1	1	0	23	4	1.00	1.30		1.30	-	1.00	0.32	19	0	0	0	0	0	10	0	10	2	0	2
10	CH	Chodci na lávkách	Q	0	0	0	3	0	-15	-1	1.00	0.00		0.00	-	1.00	1.00	0	0	0	0	0	0	0	0	0	0	0	0
11	W	Vítr na konstrukci	Q	0	10	29	9	0	7	17	1.00	-1.35		-1.35	-	1.00	0.75	-10	-29	-9	0	-9	0	-7	0	-7	-18	0	-18
12	WP	Vítr na vozidla	Q	0	18	50	9	0	9	31	1.00	-1.35		-1.35	-	1.00	0.75	-18	-51	-9	0	-9	0	-9	0	-9	-31	0	-31
13	TR	Teplota rovnoměrná	Q	0	0	0	0	0	0	0	1.00	1.35		1.35	-	1.00	0.45	0	0	0	0	0	0	0	0	0	0	0	0
14	TN	Teplota nerovnoměrná	Q	0	-2	0	0	0	4	0	1.00	1.35		1.35	-	1.00	0.60	-1	0	0	0	0	0	3	0	3	0	0	0
15	FR	Třecí síly v ložiskách	Q	0	-1	0	0	0	1	0	1.00	-1.20		-1.20	-	1.00	1.00	1	0	0	0	0	0	-1	0	-1	0	0	0
16	I	Imperfekce soustavy	Q	0	1	1	2	0	1	1	1.00	-1.20		-1.20	-	1.00	1.00	-1	-2	-3	0	-3	0	-1	0	-1	-1	0	-1
27	ULS_LM	ULS - LM71 bez dynam	Q	0	127	91	37	1	2 173	56	1.00	vyp.	1	0.00	-	1.00	0.00	0	0	0	0	0	0	0	0	0	0	0	0
28	SLS_LM	SLS - LM71 bez dynam	Q	0	99	68	29	1	1 684	42	1.00	vyp.	1	0.00	-	1.00	0.00	0	0	0	0	0	0	0	0	0	0	0	0
29	ULS_C3	ULS - C3 bez dynam	Q	0	113	90	36	0	1 308	56	1.00	vyp.	1	0.00	-	1.00	0.00	0	0	0	0	0	0	0	0	0	0	0	0
30	SLS_C3	SLS - C3 bez dynam	Q	0	88	67	28	0	1 019	42	1.00	vyp.	1	0.00	-	1.00	0.00	0	0	0	0	0	0	0	0	0	0	0	0
		CELKEM - FÁZE PRŮŘEZU 0																31	-84	-8	0	-8	3	1 620	0	1 620	-66	0	-66
		CELKEM - FÁZE PRŮŘEZU 1																0	0	0	0	0	0	0	0	0	0	0	0
		CELKEM - FÁZE PRŮŘEZU 2																0	0	0	0	0	0	0	0	0	0	0	0
		CELKEM - FÁZE PRŮŘEZU 3																0	0	0	0	0	0	0	0	0	0	0	0
		CELKEM - PRŮŘEZ																31	-84	-8	0	-8	3			1 620			-66

Napětí od jednotlivých zatěžovacích stavů

SKUPINA ZATĚŽOVACÍCH STAVŮ — Posouzení normálového napětí — Účinek síly N — Účinek momentu My — Účinek momentu Mz — Posouzení smykového napětí — Účinek kroutícího momentu Mx — Účinek smykové síly Vy — Účinek smykové síly Vz

Č.	SKUP ZS	Popis ZS	Kat.	fáze průř.	δ^*N_d [kN]	χ^*A [mm^2]	σ_n [MPa]	$\delta^*M_{y,d}$ [kNm]	$\chi_{lt}{}^*W_{el,y}$ [mm^3]	σ_{my} [MPa]	$\delta^*M_{z,d}$ [kNm]	$W_{el,z}$ [mm^3]	σ_{mz} [MPa]	σ_x [MPa]	$\kappa^*\delta^*M_{x,d}$ [kNm]	$W_{v,y}$ [mm^3]	$\tau_{x,y}$ [MPa]	$W_{v,z}$ [mm^3]	$\tau_{x,z}$ [MPa]	$\delta^*V_{y,d}$ [kN]	$A_{v,y}$ [mm2]	$\tau_{v,y}$ [MPa]	$\tau_{v,y}$ [MPa]	$\delta^*V_{z,d}$ [kN]	$A_{v,z}$ [mm2]	$\tau_{v,z}$ [MPa]	$\tau_{v,z}$ [MPa]
1	G0	Vlastní tíha OK	G	0	-0.7	3.81E+04	0.0	117.0	1.56E+07	7.5	-14.7	-1.55E+06	9.5	17.0	1.2E+00	-	-	-	-	2.6	2.62E+04	0.1	0.1	3.6	7.39E+03	0.5	0.5
2	G1	Ostatní stálé - mostní vybavení	G	0	0.0	3.81E+04	0.0	18.7	1.56E+07	1.2	-1.1	-1.55E+06	0.7	1.9	9.1E-02	-	-	-	-	0.2	2.62E+04	0.0	0.0	0.0	7.39E+03	0.0	0.0
3	G2	Ostatní stálé - cizí zařízení	G	0	0.2	3.81E+04	0.0	4.7	1.56E+07	0.3	-0.1	-1.55E+06	0.0	0.3	3.4E-02	-	-	-	-	0.1	2.62E+04	0.0	0.0	3.9	7.39E+03	0.5	0.5
4	P1_71	a.LM71 - kolej 1 (bez dyn. souč.)	P	0	0.0	3.81E+04	0.0	0.0	1.56E+07	0.0	0.0	-1.55E+06	0.0	0.0	0.0E+00	-	-	-	-	0.0	2.62E+04	0.0	0.0	0.0	7.39E+03	0.0	0.0
5	P2_71	a.LM71 - kolej 2 (bez dyn. souč.)	P	0	0.0	3.81E+04	0.0	0.0	1.56E+07	0.0	0.0	-1.55E+06	0.0	0.0	0.0E+00	-	-	-	-	0.0	2.62E+04	0.0	0.0	0.0	7.39E+03	0.0	0.0
6	P1_C3	TTZ C3 - kolej 1 (bez dyn. souč.)	P	0	5.9	3.81E+04	0.2	738.8	1.56E+07	47.4	-0.9	-1.55E+06	0.6	48.1	8.5E-02	-	-	-	-	1.1	2.62E+04	0.0	0.0	-199.2	7.39E+03	-27.0	-27.0
7	P2_C3	TTZ C3 - kolej 2 (bez dyn. souč.)	P	0	30.2	3.81E+04	0.8	750.2	1.56E+07	48.1	2.0	-1.55E+06	-1.3	47.6	6.7E-01	-	-	-	-	-0.5	2.62E+04	0.0	0.0	203.7	7.39E+03	27.6	27.6
8	BR	Brzdné a rozjezdové síly	P	0	7.0	3.81E+04	0.2	-4.7	1.56E+07	-0.3	-3.4	-1.55E+06	2.2	2.1	1.3E+00	-	-	-	-	-6.7	2.62E+04	-0.3	-0.3	-0.2	7.39E+03	0.0	0.0
9	S	Boční ráz	P	0	18.6	3.81E+04	0.5	9.6	1.56E+07	0.6	1.7	-1.55E+06	-1.1	0.0	1.2E-02	-	-	-	-	0.4	2.62E+04	0.0	0.0	0.5	7.39E+03	0.1	0.1
10	CH	Chodci na lávkách	Q	0	0.0	3.81E+04	0.0	0.0	1.56E+07	0.0	0.0	-1.55E+06	0.0	0.0	0.0E+00	-	-	-	-	0.0	2.62E+04	0.0	0.0	0.0	7.39E+03	0.0	0.0
11	W	Vítr na konstrukci	Q	0	-10.4	3.81E+04	-0.3	-6.7	1.56E+07	-0.4	-17.7	-1.55E+06	11.4	10.7	3.0E-02	-	-	-	-	-29.3	2.62E+04	-1.1	-1.1	-8.6	7.39E+03	-1.2	-1.2
12	WP	Vítr na vozidla	Q	0	-18.1	3.81E+04	-0.5	-9.0	1.56E+07	-0.6	-31.1	-1.55E+06	20.1	19.1	4.1E-02	-	-	-	-	-50.6	2.62E+04	-1.9	-1.9	-9.2	7.39E+03	-1.2	-1.2
13	TR	Teplota rovnoměrná	Q	0	0.0	3.81E+04	0.0	0.0	1.56E+07	0.0	0.0	-1.55E+06	0.0	0.0	0.0E+00	-	-	-	-	0.0	2.62E+04	0.0	0.0	0.0	7.39E+03	0.0	0.0
14	TN	Teplota nerovnoměrná	Q	0	-1.4	3.81E+04	0.0	3.2	1.56E+07	0.2	0.1	-1.55E+06	-0.1	0.1	-3.2E-02	-	-	-	-	0.0	2.62E+04	0.0	0.0	0.0	7.39E+03	0.0	0.0
15	FR	Třecí síly v ložiskách	Q	0	0.6	3.81E+04	0.0	-0.9	1.56E+07	-0.1	-0.2	-1.55E+06	0.1	0.1	3.6E-02	-	-	-	-	0.1	2.62E+04	0.0	0.0	0.0	7.39E+03	0.0	0.0
16	I	Imperfekce soustavy	Q	0	-1.1	3.81E+04	0.0	-0.8	1.56E+07	-0.1	-0.8	-1.55E+06	0.5	0.5	0.0E+00	-	-	-	-	-1.6	2.62E+04	-0.1	-0.1	-2.6	7.39E+03	-0.4	-0.4
27	ULS_LM	ULS - LM71 bez dynam	Q	0	0.0	3.81E+04	0.0	0.0	1.56E+07	0.0	0.0	-1.55E+06	0.0	0.0	0.0E+00	-	-	-	-	0.0	2.62E+04	0.0	0.0	0.0	7.39E+03	0.0	0.0
28	SLS_LM	SLS - LM71 bez dynam	Q	0	0.0	3.81E+04	0.0	0.0	1.56E+07	0.0	0.0	-1.55E+06	0.0	0.0	0.0E+00	-	-	-	-	0.0	2.62E+04	0.0	0.0	0.0	7.39E+03	0.0	0.0
29	ULS_C3	ULS - C3 bez dynam	Q	0	0.0	3.81E+04	0.0	0.0	1.56E+07	0.0	0.0	-1.55E+06	0.0	0.0	0.0E+00	-	-	-	-	0.0	2.62E+04	0.0	0.0	0.0	7.39E+03	0.0	0.0
30	SLS_C3	SLS - C3 bez dynam	Q	0	0.0	3.81E+04	0.0	0.0	1.56E+07	0.0	0.0	-1.55E+06	0.0	0.0	0.0E+00	-	-	-	-	0.0	2.62E+04	0.0	0.0	0.0	7.39E+03	0.0	0.0
NAVÝŠENÍ NAPĚTÍ DO AKTIVACE TLAKU V DESCE MOSTOVKY						$\sigma_{P,red}$	0.0							0.0													
NAPĚTÍ OD PRIMÁRNÍCH ÚČINKŮ NEROVNOMĚRNÉHO OTEPLENÍ						σ_T	0.0							0.0													
NAPĚTÍ OD REOLOGICKÝCH ÚČINKŮ BETONU V ČASE		t=0				σ_R	0.0	γ=	1.20					0.0													
NAPĚTÍ V KRITICKÝCH VLÁKNECH OD KOMBINACE ZATÍŽENÍ					KZ07			[MPa]					$\Sigma\sigma_x$	147.6								$\Sigma\tau_y$	-3.2				$\Sigma\tau_z$	-1.1
NAPĚTÍ OD POHYBLIVÉHO ZATÍŽENÍ								[MPa]					$\sigma_{x,P}$	97.9								τ_P	-0.2				τ_P	0.7
NAPĚTÍ OD OSTATNÍCH ZATÍŽENÍ								[MPa]			Φ_{Vy}	Φ_{Vz}	$\sigma_{x,rs}$	49.7								τ_{rs}	-3.0				τ_{rs}	-1.7
NÁVRHOVÁ HODNOTA MEZE KLUZU S REDUKCÍ VLIVEM SMYKOVÉHO NAPĚTÍ								[MPa]			1.00	1.00	$f_{yv,d}$	209.1								$f_{yd}/3^{0,5}$	120.7				$f_{yd}/3^{0,5}$	120.7
NAPĚTÍ OD POHYBLIVÉHO ZATÍŽENÍ V GLOBÁLNÍM SYSTÉMU				$\sigma_{GLOB,P}$	0.0			[MPa]					$\Sigma\sigma_{GLOB}$	0.0														
NAPĚTÍ OD OSTATNÍCH ZATÍŽENÍ V GLOBÁLNÍM SYSTÉMU				$\sigma_{GLOB,rs}$	0.0			[MPa]					$\Sigma\sigma_x + \Sigma\sigma_{GLOB}$	147.6														
VYUŽITÍ PRŮŘEZU DLE NAPĚTÍ								[%]					η_1	0.71								η_3	0.03				η_3	0.01
NAPĚTÍ V PŘÍČNÉM SMĚRU OD POHYBLIVÉHO ZATÍŽENÍ				$\sigma_{z,P}$	0.0			[MPa]					$\Sigma\sigma_z$	0.0														
NAPĚTÍ V PŘÍČNÉM SMĚRU OD OSTATNÍCH ZATÍŽENÍ				$\sigma_{z,rs}$	0.0			[MPa]					η_2	0.00														
SROVNÁVACÍ NAPĚTÍ													$(\eta_2 + 0,8\ \eta_1)/1,4$ =	0.40														
VYUŽITÍ PRŮŘEZU CELKEM								[%]					eff	0.71	VYHOVUJE													
STANOVENÍ ZATÍŽITELNOSTI													Z_{LM71} =	-----														

TAB. P3.4.3 POSOUZENÍ - MEZNÍ STAV ÚNOSNOSTI

POPIS	PŘÍČNÍK P3 - STŘED
PRUT / POLOHA BODU	683 / I[561]
NAMÁHÁNÍ	Vz.max
VLÁKNO	BOD S6 -HP
MEZNÍ STAV	ULS (MSÚ)
VYUŽITÍ VLÁKNA PRŮŘEZU	0.28

Charakteristiky materiálu				
pás. horní	$f_{yf,k}$	230	MPa	
pás. dolní	$f_{yf,k}$	230	MPa	
stojina	$f_{yw,k}$	230	MPa	
výztuž	$f_{ys,k}$	500	MPa	
γ_M =	1.10	γ_s =	1.15	

Excentricita normálové síly				
Exc./Fáze	0	1	2	3
e_y	0.000	0.000	0.000	0.000
e_z	0.000	0.000	0.000	0.000
Ekvivalentní vzdál. stěn - příčný roznos				
b_{Mx}	0.000	0.000	0.000	0.000

Vliv stěny na únosnost průřezu				
Char./Fáze	0	1	2	3
A	0.00	0.00	0.00	0.00
Wy	0.00	0.00	0.00	0.00
Wz	0.00	0.00	0.00	0.00

Charakter. v kroucení			
$t_{w,y}$	0.000	[mm]	
$t_{w,z}$	0.000	[mm]	
κ	1.00		
I_t=	0.00E+00	[mm^4]	
Ω=2*A_{pr}	0.00E+00	[mm^2]	

Součinitele vzpěru a vlivu II.řádu				
Char./Fáze	0	1	2	3
k_y	1.000	1.000	1.000	1.000
k_z	1.000	1.000	1.000	1.000
χ_{LT}	1.000	1.000	1.000	1.000
χ_{min}	1.000	1.000	1.000	1.000

δ_{LOK} 1.05

Vnitřní síly od jednotlivých skupin zatěžovacích stavů

SKUPINA ZATĚŽOVACÍCH STAVŮ — CHARAKTERISTICKÉ HODNOTY — DÍLČÍ SOUČINITELÉ ZATÍŽENÍ, DYNAMICKÝ SOUČINITEL — NÁVRHOVÉ HODNOTY

Č.	SKUP ZS	POPIS ZS	KAT.	FÁZE PRŮŘ.	N.k (kN)	Vy.k (kN)	Vz.k (kN)	Mx.k (kNm)	My.k (kNm)	Mz.k (kNm)	γ_{sr} (-)	γ_{fs} (-)	volba γ_f hledat	γ_f (-)	L_d (m)	δ (-)	Ψ_s KZ08	N.d (kN)	Vy.d (kN)	Vz.d (kN)	ΔVz.d (kN)	ΣVz.d (kN)	Mx.d (kNm)	My.d (kNm)	ΔMy.d (kNm)	ΣMy.d (kNm)	Mz.d (kNm)	ΔMz.d (kNm)	ΣMz.d (kNm)
1	G0	Vlastní tíha OK	G	0	-1	2	3	1	103	-13	1.00	1.20		1.20	-	1.00	0.95	-1	3	4	0	4	1	117	0	117	-15	0	-15
2	G1	Ostatní stálé - mostní vybavení	G	0	0	0	0	0	16	-1	1.00	1.20		1.20	-	1.00	0.95	0	0	0	0	0	0	19	0	19	-1	0	-1
3	G2	Ostatní stálé - cizí zařízení	G	0	0	0	3	0	4	0	1.00	1.20		1.20	-	1.00	0.95	0	0	4	0	4	0	5	0	5	0	0	0
4	P1_71	a.LM71 - kolej 1 (bez dyn. souč.)	P	0	-3	0	0	0	7	0	1.00	vyp.		0.00	-	1.00	0.00	0	0	0	0	0	0	0	0	0	0	0	0
5	P2_71	a.LM71 - kolej 2 (bez dyn. souč.)	P	0	30	0	211	1	760	2	1.00	vyp.		0.00	-	1.00	0.00	0	0	0	0	0	0	0	0	0	0	0	0
6	P1_C3	TTZ C3 - kolej 1 (bez dyn. souč.)	P	0	-2	0	0	0	8	0	1.00	1.30		1.30	-	1.32	1.00	-4	1	0	0	0	0	14	0	14	-1	0	0
7	P2_C3	TTZ C3 - kolej 2 (bez dyn. souč.)	P	0	21	0	121	0	427	2	1.00	1.30		1.30	-	1.32	1.00	35	0	208	0	208	1	729	0	729	3	-1	3
8	BR	Brzdné a rozjezdové síly	P	0	8	18	0	1	-2	-1	1.00	1.30		1.30	-	1.00	0.32	3	7	0	0	0	1	-1	0	-1	-1	0	-1
9	S	Boční ráz	P	0	3	-21	2	0	2	-13	1.00	1.30		1.30	-	1.00	0.64	2	-18	2	0	2	0	1	0	1	-11	0	-11
10	CH	Chodci na lávkách	Q	0	0	0	3	0	-15	-1	1.00	1.30		1.30	-	1.00	1.00	-1	0	3	0	3	0	-20	0	-20	-1	0	-1
11	W	Vítr na konstrukci	Q	0	10	29	9	0	7	17	1.00	1.35		1.35	-	1.00	0.75	10	29	9	0	9	0	7	0	7	18	0	18
12	WP	Vítr na vozidla	Q	0	18	50	9	0	9	31	1.00	1.35		1.35	-	1.00	0.75	18	51	9	0	9	0	9	0	9	31	0	31
13	TR	Teplota rovnoměrná	Q	0	0	0	0	0	0	0	1.00	1.35		1.35	-	1.00	0.45	0	0	0	0	0	0	0	0	0	0	0	0
14	TN	Teplota nerovnoměrná	Q	0	7	4	8	0	-1	4	1.00	1.35		1.35	-	1.00	0.60	6	3	7	0	7	0	-1	0	-1	3	0	3
15	FR	Třecí síly v ložiskách	Q	0	-1	0	0	0	1	0	1.00	-1.20		-1.20	-	1.00	1.00	1	0	0	0	0	0	-1	0	-1	0	0	0
16	I	Imperfekce soustavy	Q	0	1	1	2	0	1	1	1.00	1.20		1.20	-	1.00	1.00	1	2	3	0	3	0	1	0	1	1	0	1
27	ULS_LM	ULS - LM71 bez dynam	Q	0	84	71	316	3	1 137	36	1.00	vyp.		0.00	-	1.00	0.00	0	0	0	0	0	0	0	0	0	0	0	0
28	SLS_LM	SLS - LM71 bez dynam	Q	0	60	50	238	2	890	23	1.00	vyp.	1	0.00	-	1.00	0.00	0	0	0	0	0	0	0	0	0	0	0	0
29	ULS_C3	ULS - C3 bez dynam	Q	0	72	71	200	2	704	35	1.00	vyp.	1	0.00	-	1.00	0.00	0	0	0	0	0	0	0	0	0	0	0	0
30	SLS_C3	SLS - C3 bez dynam	Q	0	51	50	149	2	558	23	1.00	vyp.	1	0.00	-	1.00	0.00	0	0	0	0	0	0	0	0	0	0	0	0
		CELKEM - FÁZE PRŮŘEZU 0																71	79	248	0	248	3	879	0	879	28	-1	27
		CELKEM - FÁZE PRŮŘEZU 1																0	0	0	0	0	0	0	0	0	0	0	0
		CELKEM - FÁZE PRŮŘEZU 2																0	0	0	0	0	0	0	0	0	0	0	0
		CELKEM - FÁZE PRŮŘEZU 3																0	0	0	0	0	0	0	0	0	0	0	0
		CELKEM - PRŮŘEZ																71	79	248	0	248	3			879			27

Napětí od jednotlivých zatěžovacích stavů

SKUPINA ZATĚŽOVACÍCH STAVŮ — Posouzení normálového napětí — Účinek síly N — Účinek momentu My — Účinek momentu Mz — Posouzení smykového napětí — Účinek kroutícího momentu Mx — Účinek smykové síly Vy — Účinek smykové síly Vz

Č.	SKUP ZS	Popis ZS	Kat.	fáze průř.	δ^*N_d [kN]	χ^*A [mm^2]	σ_n [MPa]	$\delta^*M_{y,d}$ [kNm]	$\chi_{lt}{}^*W_{el,y}$ [mm^3]	σ_{my} [MPa]	$\delta^*M_{z,d}$ [kNm]	$W_{el,z}$ [mm^3]	σ_{mz} [MPa]	σ_x [MPa]	$\kappa^*\delta^*M_{x,d}$ [kNm]	$W_{v,y}$ [mm^3]	$\tau_{x,y}$ [MPa]	$W_{v,z}$ [mm^3]	$\tau_{x,z}$ [MPa]	$\delta^*V_{y,d}$ [kN]	$A_{v,y}$ [mm2]	$\tau_{v,y}$ [MPa]	$\tau_{v,y}$ [MPa]	$\delta^*V_{z,d}$ [kN]	$A_{v,z}$ [mm2]	$\tau_{v,z}$ [MPa]	$\tau_{v,z}$ [MPa]
1	G0	Vlastní tíha OK	G	0	-0.7	3.81E+04	0.0	117.0	1.64E+07	7.1	-14.7	-4.75E+07	0.3	7.4	1.2E+00	-	-	-	-	2.6	2.62E+04	0.1	0.1	3.6	7.39E+03	0.5	0.5
2	G1	Ostatní stálé - mostní vybavení	G	0	0.0	3.81E+04	0.0	18.7	1.64E+07	1.1	-1.1	-4.75E+07	0.0	1.2	9.1E-02	-	-	-	-	0.2	2.62E+04	0.0	0.0	0.0	7.39E+03	0.0	0.0
3	G2	Ostatní stálé - cizí zařízení	G	0	0.2	3.81E+04	0.0	4.7	1.64E+07	0.3	-0.1	-4.75E+07	0.0	0.3	3.4E-02	-	-	-	-	0.1	2.62E+04	0.0	0.0	3.9	7.39E+03	0.5	0.5
4	P1_71	a.LM71 - kolej 1 (bez dyn. souč.)	P	0	0.0	3.81E+04	0.0	0.0	1.64E+07	0.0	0.0	-4.75E+07	0.0	0.0	0.0E+00	-	-	-	-	0.0	2.62E+04	0.0	0.0	0.0	7.39E+03	0.0	0.0
5	P2_71	a.LM71 - kolej 2 (bez dyn. souč.)	P	0	0.0	3.81E+04	0.0	0.0	1.64E+07	0.0	0.0	-4.75E+07	0.0	0.0	0.0E+00	-	-	-	-	0.0	2.62E+04	0.0	0.0	0.0	7.39E+03	0.0	0.0
6	P1_C3	TTZ C3 - kolej 1 (bez dyn. souč.)	P	0	-4.3	3.81E+04	-0.1	14.2	1.64E+07	0.9	-0.4	-4.75E+07	0.0	0.8	3.4E-02	-	-	-	-	0.6	2.62E+04	0.0	0.0	0.3	7.39E+03	0.0	0.0
7	P2_C3	TTZ C3 - kolej 2 (bez dyn. souč.)	P	0	35.2	3.81E+04	0.9	729.3	1.64E+07	44.4	2.8	-4.75E+07	-0.1	45.2	7.9E-01	-	-	-	-	-0.2	2.62E+04	0.0	0.0	207.6	7.39E+03	28.1	28.1
8	BR	Brzdné a rozjezdové síly	P	0	3.1	3.81E+04	0.1	-0.8	1.64E+07	-0.1	-0.6	-4.75E+07	0.0	0.0	6.2E-01	-	-	-	-	7.4	2.62E+04	0.3	0.3	0.1	7.39E+03	0.0	0.0
9	S	Boční ráz	P	0	2.4	3.81E+04	0.1	1.4	1.64E+07	0.1	-10.8	-4.75E+07	0.2	0.4	1.7E-02	-	-	-	-	-17.6	2.62E+04	-0.7	-0.7	2.0	7.39E+03	0.3	0.3
10	CH	Chodci na lávkách	Q	0	-0.5	3.81E+04	0.0	-20.0	1.64E+07	-1.2	-0.7	-4.75E+07	0.0	-1.2	7.8E-02	-	-	-	-	0.5	2.62E+04	0.0	0.0	3.3	7.39E+03	0.4	0.4
11	W	Vítr na konstrukci	Q	0	10.4	3.81E+04	0.3	6.7	1.64E+07	0.4	17.7	-4.75E+07	-0.4	0.3	-3.0E-02	-	-	-	-	29.3	2.62E+04	1.1	1.1	8.6	7.39E+03	1.2	1.2
12	WP	Vítr na vozidla	Q	0	18.1	3.81E+04	0.5	9.0	1.64E+07	0.5	31.1	-4.75E+07	-0.7	0.4	-4.1E-02	-	-	-	-	50.6	2.62E+04	1.9	1.9	9.2	7.39E+03	1.2	1.2
13	TR	Teplota rovnoměrná	Q	0	0.0	3.81E+04	0.0	0.0	1.64E+07	0.0	0.0	-4.75E+07	0.0	0.0	0.0E+00	-	-	-	-	0.0	2.62E+04	0.0	0.0	0.0	7.39E+03	0.0	0.0
14	TN	Teplota nerovnoměrná	Q	0	5.5	3.81E+04	0.1	-0.9	1.64E+07	-0.1	3.3	-4.75E+07	-0.1	0.0	1.6E-02	-	-	-	-	3.5	2.62E+04	0.1	0.1	6.8	7.39E+03	0.9	0.9
15	FR	Třecí síly v ložiskách	Q	0	0.6	3.81E+04	0.0	-0.9	1.64E+07	-0.1	-0.2	-4.75E+07	0.0	0.0	3.6E-02	-	-	-	-	0.1	2.62E+04	0.0	0.0	0.0	7.39E+03	0.0	0.0
16	I	Imperfekce soustavy	Q	0	1.1	3.81E+04	0.0	0.8	1.64E+07	0.1	0.8	-4.75E+07	0.0	0.1	0.0E+00	-	-	-	-	1.6	2.62E+04	0.1	0.1	2.6	7.39E+03	0.4	0.4
27	ULS_LM	ULS - LM71 bez dynam	Q	0	0.0	3.81E+04	0.0	0.0	1.64E+07	0.0	0.0	-4.75E+07	0.0	0.0	0.0E+00	-	-	-	-	0.0	2.62E+04	0.0	0.0	0.0	7.39E+03	0.0	0.0
28	SLS_LM	SLS - LM71 bez dynam	Q	0	0.0	3.81E+04	0.0	0.0	1.64E+07	0.0	0.0	-4.75E+07	0.0	0.0	0.0E+00	-	-	-	-	0.0	2.62E+04	0.0	0.0	0.0	7.39E+03	0.0	0.0
29	ULS_C3	ULS - C3 bez dynam	Q	0	0.0	3.81E+04	0.0	0.0	1.64E+07	0.0	0.0	-4.75E+07	0.0	0.0	0.0E+00	-	-	-	-	0.0	2.62E+04	0.0	0.0	0.0	7.39E+03	0.0	0.0
30	SLS_C3	SLS - C3 bez dynam	Q	0	0.0	3.81E+04	0.0	0.0	1.64E+07	0.0	0.0	-4.75E+07	0.0	0.0	0.0E+00	-	-	-	-	0.0	2.62E+04	0.0	0.0	0.0	7.39E+03	0.0	0.0
NAVÝŠENÍ NAPĚTÍ DO AKTIVACE TLAKU V DESCE MOSTOVKY						$\sigma_{P,red}$	0.0							0.0			0.0		0.0				3.0	3.0			33.6	33.6
NAPĚTÍ OD PRIMÁRNÍCH ÚČINKŮ NEROVNOMĚRNÉHO OTEPLENÍ						σ_T	0.0							0.0														
NAPĚTÍ OD REOLOGICKÝCH ÚČINKŮ BETONU V ČASE		t=0				σ_R	0.0	γ=	1.20					0.0														
NAPĚTÍ V KRITICKÝCH VLÁKNECH OD KOMBINACE ZATÍŽENÍ						KZ08		[MPa]					$\Sigma\sigma_x$	54.8								$\Sigma\tau_y$	3.0				$\Sigma\tau_z$	33.6
NAPĚTÍ OD POHYBLIVÉHO ZATÍŽENÍ								[MPa]					$\sigma_{x,P}$	46.4								τ_P	-0.4				τ_P	28.4
NAPĚTÍ OD OSTATNÍCH ZATÍŽENÍ								[MPa]			Φ_{Vy}	Φ_{Vz}	$\sigma_{x,rs}$	8.4								τ_{rs}	3.4				τ_{rs}	5.1
NÁVRHOVÁ HODNOTA MEZE KLUZU S REDUKCÍ VLIVEM SMYKOVÉHO NAPĚTÍ								[MPa]			1.00	1.00	$f_{yv,d}$	209.1								$f_{yd}/3^{0,5}$	120.7				$f_{yd}/3^{0,5}$	120.7
NAPĚTÍ OD POHYBLIVÉHO ZATÍŽENÍ V GLOBÁLNÍM SYSTÉMU						$\sigma_{GLOB,P}$	0.0	[MPa]					$\Sigma\sigma_{GLOB}$	0.0														
NAPĚTÍ OD OSTATNÍCH ZATÍŽENÍ V GLOBÁLNÍM SYSTÉMU						$\sigma_{GLOB,rs}$	0.0	[MPa]					$\Sigma\sigma_x + \Sigma\sigma_{GLOB}$	54.8														
VYUŽITÍ PRŮŘEZU DLE NAPĚTÍ								[%]					η_1	0.26								η_3	0.02				η_3	0.28
NAPĚTÍ V PŘÍČNÉM SMĚRU OD POHYBLIVÉHO ZATÍŽENÍ						$\sigma_{z,P}$	0.0	[MPa]					$\Sigma\sigma_z$	0.0														
NAPĚTÍ V PŘÍČNÉM SMĚRU OD OSTATNÍCH ZATÍŽENÍ						$\sigma_{z,rs}$	0.0	[MPa]					η_2	0.00														
SROVNÁVACÍ NAPĚTÍ													$(\eta_2 + 0,8\,\eta_1)/1,4$ =	0.15														
VYUŽITÍ PRŮŘEZU CELKEM								[%]					eff	0.28	VYHOVUJE													
STANOVENÍ ZATÍŽITELNOSTI													Z_{LM71} =	-----														

TAB. P4.1.3 POSOUZENÍ - MEZNÍ STAV ÚNOSNOSTI

POPIS	PŘÍČNÍK P4 - ZÁKLADNÍ ČÁST
PRUT / POLOHA BODU	667 / I[546]
NAMÁHÁNÍ	Mz.min
VLÁKNO	BOD K2 -HP
MEZNÍ STAV	ULS (MSÚ)
VYUŽITÍ VLÁKNA PRŮŘEZU	1.07

Charakteristiky materiálu				
pás. horní	$f_{yf,k}$	230	MPa	
pás. dolní	$f_{yf,k}$	230	MPa	
stojina	$f_{yw,k}$	230	MPa	
výztuž	$f_{ys,k}$	500	MPa	
γ_M =	1.10	γ_s =	1.15	

Excentricita normálové síly				
Exc./Fáze	0	1	2	3
e_y	0.000	0.000	0.000	0.000
e_z	0.000	0.000	0.000	0.000
Ekvivalentní vzdál. stěn - příčný roznos				
b_{Mx}	0.000	0.000	0.000	0.000

Vliv stěny na únosnost průřezu				
Char./Fáze	0	1	2	3
A	0.41	0.00	0.00	0.00
Wy	0.19	0.00	0.00	0.00
Wz	0.06	0.00	0.00	0.00

Charakter. v kroucení			
$t_{w,y}$	0.000	[mm]	
$t_{w,z}$	0.000	[mm]	
κ	1.00		
I_t=	0.00E+00	[mm^4]	
Ω=2*A_{pr}	0.00E+00	[mm^2]	

Součinitele vzpěru a vlivu II.řádu				
Char./Fáze	0	1	2	3
k_y	1.000	1.000	1.000	1.000
k_z	1.000	1.000	1.000	1.000
χ_{LT}	1.000	1.000	1.000	1.000
χ_{min}	1.000	1.000	1.000	1.000

δ_{LOK} 1.05

Vnitřní síly od jednotlivých skupin zatěžovacích stavů

SKUPINA ZATĚŽOVACÍCH STAVŮ — CHARAKTERISTICKÉ HODNOTY — DÍLČÍ SOUČINITELÉ ZATÍŽENÍ, DYNAMICKÝ SOUČINITEL — NÁVRHOVÉ HODNOTY

Č.	SKUP ZS	POPIS ZS	KAT.	FÁZE PRŮŘ.	N.k (kN)	Vy.k (kN)	Vz.k (kN)	Mx.k (kNm)	My.k (kNm)	Mz.k (kNm)	γ_{sr} (-)	γ_{fs} (-)	volba ψ_1 hledat	ψ_1 (-)	L_d (m)	δ (-)	Ψ_z KZ07	N.d (kN)	Vy.d (kN)	Vz.d (kN)	ΔVz.d (kN)	ΣVz.d (kN)	Mx.d (kNm)	My.d (kNm)	ΔMy.d (kNm)	ΣMy.d (kNm)	Mz.d (kNm)	ΔMz.d (kNm)	ΣMz.d (kNm)
1	G0	Vlastní tíha OK	G	0	-57	12	-48	0	18	-7	1.00	1.20		1.20	-	0.95	0.95	-65	13	-54	0	-54	0	21	0	21	-8	0	-8
2	G1	Ostatní stálé - mostní vybavení	G	0	-5	1	-8	0	4	-1	1.00	1.20		1.20	-	0.95	0.95	-6	1	-9	0	-9	0	5	0	5	-1	0	-1
3	G2	Ostatní stálé - cizí zařízení	G	0	-2	1	-4	0	-7	-1	1.00	1.20		1.20	-	0.95	0.95	-2	1	-4	0	-4	0	-9	0	-9	-1	0	-1
4	P1_71	a.LM71 - kolej 1 (bez dyn. souč.)	P	0	-77	14	-124	0	41	-12	1.00	vyp.		0.00	-	1.00	0.00	0	0	0	0	0	0	0	0	0	0	0	0
5	P2_71	a.LM71 - kolej 2 (bez dyn. souč.)	P	0	-84	17	-265	0	305	-12	1.00	vyp.		0.00	-	1.00	0.00	0	0	0	0	0	0	0	0	0	0	0	0
6	P1_C3	TTZ C3 - kolej 1 (bez dyn. souč.)	P	0	-67	11	-120	0	45	-10	1.00	1.30		1.30	-	1.32	1.00	-115	18	-205	0	-205	0	77	0	77	-16	3	-13
7	P2_C3	TTZ C3 - kolej 2 (bez dyn. souč.)	P	0	-72	14	-267	0	306	-10	1.00	1.30		1.30	-	1.32	1.00	-124	24	-456	0	-456	0	524	0	524	-17	3	-14
8	BR	Brzdné a rozjezdové síly	P	0	-30	42	-1	0	-13	-46	1.00	1.30		1.30	-	1.00	0.64	-25	35	-1	0	-1	0	-11	0	-11	-38	0	-38
9	S	Boční ráz	P	0	2	4	-3	0	-10	-5	1.00	1.30		1.30	-	1.00	0.32	1	1	-1	0	-1	0	-4	0	-4	-2	0	-2
10	CH	Chodci na lávkách	Q	0	-1	2	0	0	-32	-2	1.00	0.00		0.00	-	1.00	1.00	0	0	0	0	0	0	0	0	0	0	0	0
11	W	Vítr na konstrukci	Q	0	-3	4	7	0	21	-6	1.00	1.35		1.35	-	1.00	0.75	-3	4	7	0	7	0	21	0	21	-6	0	-6
12	WP	Vítr na vozidla	Q	0	32	7	7	0	-43	-11	1.00	1.35		1.35	-	1.00	0.75	32	7	8	0	8	0	-43	0	-43	-11	0	-11
13	TR	Teplota rovnoměrná	Q	0	0	0	0	0	0	0	1.00	1.35		1.35	-	1.00	0.45	0	0	0	0	0	0	0	0	0	0	0	0
14	TN	Teplota nerovnoměrná	Q	0	3	1	1	0	-3	-1	1.00	1.35		1.35	-	1.00	0.60	3	1	0	0	0	0	-2	0	-2	-1	0	-1
15	FR	Třecí síly v ložiskách	Q	0	-4	1	0	0	-2	0	1.00	1.20		1.20	-	1.00	1.00	-5	1	0	0	0	0	-2	0	-2	0	0	0
16	I	Imperfekce soustavy	Q	0	0	0	2	0	6	0	1.00	1.20		1.20	-	1.00	1.00	0	0	2	0	2	0	8	0	8	0	0	0
27	ULS_LM	ULS - LM71 bez dynam	Q	0	-291	129	-559	0	386	-128	1.00	vyp.		0.00	-	1.00	0.00	0	0	0	0	0	0	0	0	0	0	0	0
28	SLS_LM	SLS - LM71 bez dynam	Q	0	-234	100	-438	0	302	-99	1.00	vyp.	1	0.00	-	1.00	0.00	0	0	0	0	0	0	0	0	0	0	0	0
29	ULS_C3	ULS - C3 bez dynam	Q	0	-264	121	-557	0	393	-121	1.00	vyp.	1	0.00	-	1.00	0.00	0	0	0	0	0	0	0	0	0	0	0	0
30	SLS_C3	SLS - C3 bez dynam	Q	0	-214	94	-436	0	307	-94	1.00	vyp.	1	0.00	-	1.00	0.00	0	0	0	0	0	0	0	0	0	0	0	0
		CELKEM - FÁZE PRŮŘEZU 0			-309	107	-713	0	585	-101								-309	107	-713	0	-713	0	585	0	585	-101	7	-95
		CELKEM - FÁZE PRŮŘEZU 1			0	0	0	0	0	0								0	0	0	0	0	0	0	0	0	0	0	0
		CELKEM - FÁZE PRŮŘEZU 2			0	0	0	0	0	0								0	0	0	0	0	0	0	0	0	0	0	0
		CELKEM - FÁZE PRŮŘEZU 3			0	0	0	0	0	0								0	0	0	0	0	0	0	0	0	0	0	0
		CELKEM - PRŮŘEZ			-309	107	-713	0	585	-101								-309	107	-713	0	-713	0			585			-95

Napětí od jednotlivých zatěžovacích stavů

SKUPINA ZATĚŽOVACÍCH STAVŮ — Posouzení normálového napětí — Účinek síly N — Účinek momentu My — Účinek momentu Mz — Posouzení smykového napětí — Účinek kroutícího momentu Mx — Účinek smykové síly Vy — Účinek smykové síly Vz

Č.	SKUP ZS	Popis ZS	Kat.	fáze průř.	δ^*N_d [kN]	χ^*A [mm^2]	σ_n [MPa]	$\delta^*M_{y,d}$ [kNm]	$\chi_{lt}{}^*W_{el,y}$ [mm^3]	σ_{my} [MPa]	$\delta^*M_{z,d}$ [kNm]	$W_{el,z}$ [mm^3]	σ_{mz} [MPa]	σ_x [MPa]	$\kappa^*\delta^*M_{x,d}$ [kNm]	$W_{v,y}$ [mm^3]	$\tau_{x,y}$ [MPa]	$W_{v,z}$ [mm^3]	$\tau_{x,z}$ [MPa]	$\delta^*V_{y,d}$ [kN]	$A_{v,y}$ [mm2]	$\tau_{v,y}$ [MPa]	$\tau_{v,y}$ [MPa]	$\delta^*V_{z,d}$ [kN]	$A_{v,z}$ [mm2]	$\tau_{v,z}$ [MPa]	$\tau_{v,z}$ [MPa]
1	G0	Vlastní tíha OK	G	0	-65.1	2.84E+04	-2.3	20.7	-1.07E+07	-1.9	-8.1	5.97E+05	-13.6	-17.8	-2.3E-02	-	-	-	-	13.2	1.23E+04	1.1	1.1	-54.5	1.11E+04	-4.9	-4.9
2	G1	Ostatní stálé - mostní vybavení	G	0	-5.5	2.84E+04	-0.2	5.0	-1.07E+07	-0.5	-0.6	5.97E+05	-1.0	-1.7	0.0E+00	-	-	-	-	1.0	1.23E+04	0.1	0.1	-8.6	1.11E+04	-0.8	-0.8
3	G2	Ostatní stálé - cizí zařízení	G	0	-1.9	2.84E+04	-0.1	-8.5	-1.07E+07	0.8	-0.7	5.97E+05	-1.1	-0.4	0.0E+00	-	-	-	-	0.9	1.23E+04	0.1	0.1	-4.1	1.11E+04	-0.4	-0.4
4	P1_71	a.LM71 - kolej 1 (bez dyn. souč.)	P	0	0.0	2.84E+04	0.0	0.0	-1.07E+07	0.0	0.0	5.97E+05	0.0	0.0	0.0E+00	-	-	-	-	0.0	1.23E+04	0.0	0.0	0.0	1.11E+04	0.0	0.0
5	P2_71	a.LM71 - kolej 2 (bez dyn. souč.)	P	0	0.0	2.84E+04	0.0	0.0	-1.07E+07	0.0	0.0	5.97E+05	0.0	0.0	0.0E+00	-	-	-	-	0.0	1.23E+04	0.0	0.0	0.0	1.11E+04	0.0	0.0
6	P1_C3	TTZ C3 - kolej 1 (bez dyn. souč.)	P	0	-115.0	2.84E+04	-4.1	77.4	-1.07E+07	-7.2	-13.2	5.97E+05	-22.1	-33.3	-5.1E-02	-	-	-	-	18.5	1.23E+04	1.5	1.5	-205.4	1.11E+04	-18.5	-18.5
7	P2_C3	TTZ C3 - kolej 2 (bez dyn. souč.)	P	0	-123.7	2.84E+04	-4.4	523.7	-1.07E+07	-48.9	-13.6	5.97E+05	-22.7	-76.0	-1.7E-02	-	-	-	-	24.2	1.23E+04	2.0	2.0	-455.9	1.11E+04	-41.1	-41.1
8	BR	Brzdné a rozjezdové síly	P	0	-25.1	2.84E+04	-0.9	-10.6	-1.07E+07	1.0	-38.0	5.97E+05	-63.6	-63.5	-1.7E-02	-	-	-	-	34.9	1.23E+04	2.8	2.8	-0.7	1.11E+04	-0.1	-0.1
9	S	Boční ráz	P	0	0.7	2.84E+04	0.0	-4.1	-1.07E+07	0.4	-2.0	5.97E+05	-3.3	-2.9	-4.2E-03	-	-	-	-	1.5	1.23E+04	0.1	0.1	-1.2	1.11E+04	-0.1	-0.1
10	CH	Chodci na lávkách	Q	0	0.0	2.84E+04	0.0	0.0	-1.07E+07	0.0	0.0	5.97E+05	0.0	0.0	0.0E+00	-	-	-	-	0.0	1.23E+04	0.0	0.0	0.0	1.11E+04	0.0	0.0
11	W	Vítr na konstrukci	Q	0	-3.2	2.84E+04	-0.1	21.0	-1.07E+07	-2.0	-6.2	5.97E+05	-10.4	-12.5	-2.0E-02	-	-	-	-	3.9	1.23E+04	0.3	0.3	6.6	1.11E+04	0.6	0.6
12	WP	Vítr na vozidla	Q	0	32.5	2.84E+04	1.1	-43.3	-1.07E+07	4.0	-11.0	5.97E+05	-18.4	-13.3	-3.0E-02	-	-	-	-	7.4	1.23E+04	0.6	0.6	7.5	1.11E+04	0.7	0.7
13	TR	Teplota rovnoměrná	Q	0	0.0	2.84E+04	0.0	0.0	-1.07E+07	0.0	0.0	5.97E+05	0.0	0.0	0.0E+00	-	-	-	-	0.0	1.23E+04	0.0	0.0	0.0	1.11E+04	0.0	0.0
14	TN	Teplota nerovnoměrná	Q	0	2.7	2.84E+04	0.1	-2.2	-1.07E+07	0.2	-0.6	5.97E+05	-0.9	-0.7	-1.6E-02	-	-	-	-	0.7	1.23E+04	0.1	0.1	0.4	1.11E+04	0.0	0.0
15	FR	Třecí síly v ložiskách	Q	0	-4.8	2.84E+04	-0.2	-1.9	-1.07E+07	0.2	-0.4	5.97E+05	-0.7	-0.7	0.0E+00	-	-	-	-	0.6	1.23E+04	0.1	0.1	-0.1	1.11E+04	0.0	0.0
16	I	Imperfekce soustavy	Q	0	-0.4	2.84E+04	0.0	7.8	-1.07E+07	-0.7	-0.3	5.97E+05	-0.4	-1.2	0.0E+00	-	-	-	-	0.0	1.23E+04	0.0	0.0	2.4	1.11E+04	0.2	0.2
27	ULS_LM	ULS - LM71 bez dynam	Q	0	0.0	2.84E+04	0.0	0.0	-1.07E+07	0.0	0.0	5.97E+05	0.0	0.0	0.0E+00	-	-	-	-	0.0	1.23E+04	0.0	0.0	0.0	1.11E+04	0.0	0.0
28	SLS_LM	SLS - LM71 bez dynam	Q	0	0.0	2.84E+04	0.0	0.0	-1.07E+07	0.0	0.0	5.97E+05	0.0	0.0	0.0E+00	-	-	-	-	0.0	1.23E+04	0.0	0.0	0.0	1.11E+04	0.0	0.0
29	ULS_C3	ULS - C3 bez dynam	Q	0	0.0	2.84E+04	0.0	0.0	-1.07E+07	0.0	0.0	5.97E+05	0.0	0.0	0.0E+00	-	-	-	-	0.0	1.23E+04	0.0	0.0	0.0	1.11E+04	0.0	0.0
30	SLS_C3	SLS - C3 bez dynam	Q	0	0.0	2.84E+04	0.0	0.0	-1.07E+07	0.0	0.0	5.97E+05	0.0	0.0	0.0E+00	-	-	-	-	0.0	1.23E+04	0.0	0.0	0.0	1.11E+04	0.0	0.0
NAVÝŠENÍ NAPĚTÍ DO AKTIVACE TLAKU V DESCE MOSTOVKY						$\sigma_{P,red}$	0.0							0.0			0.0		0.0				8.7	8.7			-64.3	-64.3
NAPĚTÍ OD PRIMÁRNÍCH ÚČINKŮ NEROVNOMĚRNÉHO OTEPLENÍ						σ_T	0.0							0.0														
NAPĚTÍ OD REOLOGICKÝCH ÚČINKŮ BETONU V ČASE			t=0			σ_R	0.0	γ=	1.20					0.0														
NAPĚTÍ V KRITICKÝCH VLÁKNECH OD KOMBINACE ZATÍŽENÍ						KZ07		[MPa]					$\Sigma\sigma_x$	-223.9								$\Sigma\tau_y$	8.7				$\Sigma\tau_z$	-64.3
NAPĚTÍ OD POHYBLIVÉHO ZATÍŽENÍ								[MPa]					$\sigma_{x,P}$	-175.7									6.4				τ_P	-59.7
NAPĚTÍ OD OSTATNÍCH ZATÍŽENÍ								[MPa]			Φ_{Vy}	Φ_{Vz}	$\sigma_{x,rs}$	-48.2								$\tau_{x,s}$	2.3				$\tau_{x,s}$	-4.5
NÁVRHOVÁ HODNOTA MEZE KLUZU S REDUKCÍ VLIVEM SMYKOVÉHO NAPĚTÍ								[MPa]			1.00	1.00	$f_{yw,d}$	209.1								$f_{yd}/3^{0,5}$	120.7				$f_{yd}/3^{0,5}$	120.7
NAPĚTÍ OD POHYBLIVÉHO ZATÍŽENÍ V GLOBÁLNÍM SYSTÉMU						$\sigma_{GLOB,P}$	0.0	[MPa]					$\Sigma\sigma_{GLOB}$	0.0														
NAPĚTÍ OD OSTATNÍCH ZATÍŽENÍ V GLOBÁLNÍM SYSTÉMU						$\sigma_{GLOB,rs}$	0.0	[MPa]					$\Sigma\sigma_x + \Sigma\sigma_{GLOB}$	-223.9														
VYUŽITÍ PRŮŘEZU DLE NAPĚTÍ								[%]					η_1	1.07								η_3	0.07				η_3	0.53
NAPĚTÍ V PŘÍČNÉM SMĚRU OD POHYBLIVÉHO ZATÍŽENÍ						$\sigma_{z,P}$	0.0	[MPa]					$\Sigma\sigma_z$	0.0														
NAPĚTÍ V PŘÍČNÉM SMĚRU OD OSTATNÍCH ZATÍŽENÍ						$\sigma_{z,rs}$	0.0	[MPa]					η_2	0.00														
SROVNÁVACÍ NAPĚTÍ													$(\eta_2 + 0{,}8\,\eta_1)/1{,}4$ =	0.61														
VYUŽITÍ PRŮŘEZU CELKEM								[%]					eff	1.07	NEVYHOVUJE													
STANOVENÍ ZATÍŽITELNOSTI													Z_{LM71} =	-----														

TAB. P4.1.3 POSOUZENÍ - MEZNÍ STAV ÚNOSNOSTI

POPIS	PŘÍČNÍK P4 - ZÁKLADNÍ ČÁST
PRUT / POLOHA BODU	667 / I[546]
NAMÁHÁNÍ	Mz.min
VLÁKNO	BOD K3 -SL
MEZNÍ STAV	ULS (MSÚ)
VYUŽITÍ VLÁKNA PRŮŘEZU	1.01

Charakteristiky materiálu				
pás. horní	$f_{yf,k}$	230	MPa	
pás. dolní	$f_{yf,k}$	230	MPa	
stojina	$f_{yw,k}$	230	MPa	
výztuž	$f_{ys,k}$	500	MPa	
γ_M =	1.10	γ_s =	1.15	

Excentricita normálové síly				
Exc./Fáze	0	1	2	3
e_y	0.000	0.000	0.000	0.000
e_z	0.000	0.000	0.000	0.000
Ekvivalentní vzdál. stěn - příčný roznos				
b_{Mx}	0.000	0.000	0.000	0.000

Vliv stěny na únosnost průřezu				
Char./Fáze	0	1	2	3
A	0.41	0.00	0.00	0.00
Wy	0.21	0.00	0.00	0.00
Wz	0.05	0.00	0.00	0.00

Charakter. v kroucení			
$t_{w,y}$	0.000	[mm]	
$t_{w,z}$	0.000	[mm]	
κ	1.00		
I_t=	0.00E+00	[mm⁴]	
$\Omega=2*A_{pr}$	0.00E+00	[mm²]	

Součinitele vzpěru a vlivu II.řádu					
Char./Fáze	0	1	2	3	
k_y	1.000	1.000	1.000	1.000	
k_z	1.000	1.000	1.000	1.000	
χ_{LT}	1.000	1.000	1.000	1.000	
χ_{min}	1.000	1.000	1.000	1.000	

δ_{LOK} 1.05

Vnitřní síly od jednotlivých skupin zatěžovacích stavů

SKUPINA ZATĚŽOVACÍCH STAVŮ — 7

Č.	SKUP ZS	POPIS ZS	KAT.	FÁZE PRŮŘ.	- CHARAKTERISTICKÉ HODNOTY N.k (kN)	Vy.k (kN)	Vz.k (kN)	Mx.k (kNm)	My.k (kNm)	Mz.k (kNm)	DÍLČÍ SOUČINITELÉ ZATÍŽENÍ, DYNAMICKÝ SOUČINITEL γ_{sr} (-)	γ_{sl} (-)	volba γ_{sl} hledat	γ_{sl} (-)	L_d (m)	δ (-)	Ψ_E KZ07	- NÁVRHOVÉ HODNOTY N.d (kN)	Vy.d (kN)	Vz.d (kN)	ΔVz.d (kN)	ΣVz.d (kN)	Mx.d (kNm)	My.d (kNm)	ΔMy.d (kNm)	ΣMy.d (kNm)	Mz.d (kNm)	ΔMz.d (kNm)	ΣMz.d (kNm)
1	G0	Vlastní tíha OK	G	0	-57	12	-48	0	18	-7	1.00	1.20		1.20	-	1.00	0.95	-65	13	-54	0	-54	0	21	0	21	-8	0	-8
2	G1	Ostatní stálé - mostní vybavení	G	0	-5	1	-8	0	4	-1	1.00	1.20		1.20	-	1.00	0.95	-6	1	-9	0	-9	0	5	0	5	-1	0	-1
3	G2	Ostatní stálé - cizí zařízení	G	0	-2	1	-4	0	-7	-1	1.00	1.20		1.20	-	1.00	0.95	-2	1	-4	0	-4	0	-9	0	-9	-1	0	-1
4	P1_71	a.LM71 - kolej 1 (bez dyn. souč.)	P	0	-77	14	-124	0	41	-12	1.00	vyp.		0.00	-	1.00	0.00	0	0	0	0	0	0	0	0	0	0	0	0
5	P2_71	a.LM71 - kolej 2 (bez dyn. souč.)	P	0	-84	17	-265	0	305	-12	1.00	vyp.		0.00	-	1.00	0.00	0	0	0	0	0	0	0	0	0	0	0	0
6	P1_C3	TTZ C3 - kolej 1 (bez dyn. souč.)	P	0	-67	11	-120	0	45	-10	1.00	1.30		1.30	-	1.32	1.00	-115	18	-205	0	-205	0	77	0	77	-16	3	-13
7	P2_C3	TTZ C3 - kolej 2 (bez dyn. souč.)	P	0	-72	14	-267	0	306	-10	1.00	1.30		1.30	-	1.32	1.00	-124	24	-456	0	-456	0	524	0	524	-17	3	-14
8	BR	Brzdné a rozjezdové síly	P	0	-30	42	-1	0	-13	-46	1.00	1.30		1.30	-	1.00	0.64	-25	35	-1	0	-1	0	-11	0	-11	-38	0	-38
9	S	Boční ráz	P	0	2	4	-3	0	-10	-5	1.00	1.30		1.30	-	1.00	0.32	1	1	-1	0	-1	0	-4	0	-4	-2	0	-2
10	CH	Chodci na lávkách	Q	0	-1	2	0	0	-32	-2	1.00	0.00		0.00	-	1.00	1.00	0	0	0	0	0	0	0	0	0	0	0	0
11	W	Vítr na konstrukci	Q	0	-3	4	7	0	21	-6	1.00	1.35		1.35	-	1.00	0.75	-3	4	7	0	7	0	21	0	21	-6	0	-6
12	WP	Vítr na vozidla	Q	0	32	7	7	0	-43	-11	1.00	1.35		1.35	-	1.00	0.75	32	7	8	0	8	0	-43	0	-43	-11	0	-11
13	TR	Teplota rovnoměrná	Q	0	0	0	0	0	0	0	1.00	1.35		1.35	-	1.00	0.45	0	0	0	0	0	0	0	0	0	0	0	0
14	TN	Teplota nerovnoměrná	Q	0	3	1	1	0	-3	-1	1.00	1.35		1.35	-	1.00	0.60	3	1	0	0	0	0	-2	0	-2	-1	0	-1
15	FR	Třecí síly v ložiskách	Q	0	-4	1	0	0	-2	0	1.00	1.20		1.20	-	1.00	1.00	-5	1	0	0	0	0	-2	0	-2	0	0	0
16	I	Imperfekce soustavy	Q	0	0	0	2	0	6	0	1.00	1.20		1.20	-	1.00	1.00	0	0	2	0	2	0	8	0	8	0	0	0
27	ULS_LM	ULS - LM71 bez dynam	Q	0	-291	129	-559	0	386	-128	1.00	vyp.		0.00	-	1.00	0.00	0	0	0	0	0	0	0	0	0	0	0	0
28	SLS_LM	SLS - LM71 bez dynam	Q	0	-234	100	-438	0	302	-99	1.00	vyp.	1	0.00	-	1.00	0.00	0	0	0	0	0	0	0	0	0	0	0	0
29	ULS_C3	ULS - C3 bez dynam	Q	0	-264	121	-557	0	393	-121	1.00	vyp.	1	0.00	-	1.00	0.00	0	0	0	0	0	0	0	0	0	0	0	0
30	SLS_C3	SLS - C3 bez dynam	Q	0	-214	94	-436	0	307	-94	1.00	vyp.	1	0.00	-	1.00	0.00	0	0	0	0	0	0	0	0	0	0	0	0
		CELKEM - FÁZE PRŮŘEZU 0																-309	107	-713	0	-713	0	585	0	585	-101	7	-95
		CELKEM - FÁZE PRŮŘEZU 1																0	0	0	0	0	0	0	0	0	0	0	0
		CELKEM - FÁZE PRŮŘEZU 2																0	0	0	0	0	0	0	0	0	0	0	0
		CELKEM - FÁZE PRŮŘEZU 3																0	0	0	0	0	0	0	0	0	0	0	0
		CELKEM - PRŮŘEZ																-309	107	-713	0	-713	0			585			-95

Napětí od jednotlivých zatěžovacích stavů

SKUPINA ZATĚŽOVACÍCH STAVŮ

Č.	SKUP ZS	Popis ZS	Kat.	fáze průř.	Posouzení normálového napětí — Účinek síly N δ^*N_d [kN]	χ^*A [mm²]	σ_n [MPa]	Účinek momentu My $\delta^*M_{y,d}$ [kNm]	$\chi_{lt}*W_{el,y}$ [mm³]	σ_{my} [MPa]	Účinek momentu Mz $\delta^*M_{z,d}$ [kNm]	$W_{el,z}$ [mm³]	σ_{mz} [MPa]	σ_x [MPa]	Posouzení smykového napětí — Účinek kroutícího momentu Mx $\kappa*\delta^*M_{x,d}$ [kNm]	$W_{v,y}$ [mm³]	$\tau_{x,y}$ [MPa]	$W_{v,z}$ [mm³]	$\tau_{x,z}$ [MPa]	Účinek smykové síly Vy $\delta^*V_{y,d}$ [kN]	$A_{v,y}$ [mm2]	$\tau_{v,y}$ [MPa]	$\tau_{v,y}$ [MPa]	Účinek smykové síly Vz $\delta^*V_{z,d}$ [kN]	$A_{v,z}$ [mm2]	$\tau_{v,z}$ [MPa]	$\tau_{v,z}$ [MPa]
1	G0	Vlastní tíha OK	G	0	-65.1	2.84E+04	-2.3	20.7	9.12E+06	2.3	-8.1	-5.97E+05	13.6	13.6	-2.3E-02	-	-	-	-	13.2	1.23E+04	1.1	1.1	-54.5	1.11E+04	-4.9	-4.9
2	G1	Ostatní stálé - mostní vybavení	G	0	-5.5	2.84E+04	-0.2	5.0	9.12E+06	0.5	-0.6	-5.97E+05	1.0	1.4	0.0E+00	-	-	-	-	1.0	1.23E+04	0.1	0.1	-8.6	1.11E+04	-0.8	-0.8
3	G2	Ostatní stálé - cizí zařízení	G	0	-1.9	2.84E+04	-0.1	-8.5	9.12E+06	-0.9	-0.7	-5.97E+05	1.1	0.1	0.0E+00	-	-	-	-	0.9	1.23E+04	0.1	0.1	-4.1	1.11E+04	-0.4	-0.4
4	P1_71	a.LM71 - kolej 1 (bez dyn. souč.)	P	0	0.0	2.84E+04	0.0	0.0	9.12E+06	0.0	0.0	-5.97E+05	0.0	0.0	0.0E+00	-	-	-	-	0.0	1.23E+04	0.0	0.0	0.0	1.11E+04	0.0	0.0
5	P2_71	a.LM71 - kolej 2 (bez dyn. souč.)	P	0	0.0	2.84E+04	0.0	0.0	9.12E+06	0.0	0.0	-5.97E+05	0.0	0.0	0.0E+00	-	-	-	-	0.0	1.23E+04	0.0	0.0	0.0	1.11E+04	0.0	0.0
6	P1_C3	TTZ C3 - kolej 1 (bez dyn. souč.)	P	0	-115.0	2.84E+04	-4.1	77.4	9.12E+06	8.5	-13.2	-5.97E+05	22.1	26.5	-5.1E-02	-	-	-	-	18.5	1.23E+04	1.5	1.5	-205.4	1.11E+04	-18.5	-18.5
7	P2_C3	TTZ C3 - kolej 2 (bez dyn. souč.)	P	0	-123.7	2.84E+04	-4.4	523.7	9.12E+06	57.4	-13.6	-5.97E+05	22.7	75.8	-1.7E-02	-	-	-	-	24.2	1.23E+04	2.0	2.0	-455.9	1.11E+04	-41.1	-41.1
8	BR	Brzdné a rozjezdové síly	P	0	-25.1	2.84E+04	-0.9	-10.6	9.12E+06	-1.2	-38.0	-5.97E+05	63.6	61.5	-1.7E-02	-	-	-	-	34.9	1.23E+04	2.8	2.8	-0.7	1.11E+04	-0.1	-0.1
9	S	Boční ráz	P	0	0.7	2.84E+04	0.0	-4.1	9.12E+06	-0.5	-2.0	-5.97E+05	3.3	2.9	-4.2E-03	-	-	-	-	1.5	1.23E+04	0.1	0.1	-1.2	1.11E+04	-0.1	-0.1
10	CH	Chodci na lávkách	Q	0	0.0	2.84E+04	0.0	0.0	9.12E+06	0.0	0.0	-5.97E+05	0.0	0.0	0.0E+00	-	-	-	-	0.0	1.23E+04	0.0	0.0	0.0	1.11E+04	0.0	0.0
11	W	Vítr na konstrukci	Q	0	-3.2	2.84E+04	-0.1	21.0	9.12E+06	2.3	-6.2	-5.97E+05	10.4	12.6	-2.0E-02	-	-	-	-	3.9	1.23E+04	0.3	0.3	6.6	1.11E+04	0.6	0.6
12	WP	Vítr na vozidla	Q	0	32.5	2.84E+04	1.1	-43.3	9.12E+06	-4.7	-11.0	-5.97E+05	18.4	14.8	-3.0E-02	-	-	-	-	7.4	1.23E+04	0.6	0.6	7.5	1.11E+04	0.7	0.7
13	TR	Teplota rovnoměrná	Q	0	0.0	2.84E+04	0.0	0.0	9.12E+06	0.0	0.0	-5.97E+05	0.0	0.0	0.0E+00	-	-	-	-	0.0	1.23E+04	0.0	0.0	0.0	1.11E+04	0.0	0.0
14	TN	Teplota nerovnoměrná	Q	0	2.7	2.84E+04	0.1	-2.2	9.12E+06	-0.2	-0.6	-5.97E+05	0.9	0.8	-1.6E-02	-	-	-	-	0.7	1.23E+04	0.1	0.1	0.4	1.11E+04	0.0	0.0
15	FR	Třecí síly v ložiskách	Q	0	-4.8	2.84E+04	-0.2	-1.9	9.12E+06	-0.2	-0.4	-5.97E+05	0.7	0.3	0.0E+00	-	-	-	-	0.6	1.23E+04	0.1	0.1	-0.1	1.11E+04	0.0	0.0
16	I	Imperfekce soustavy	Q	0	-0.4	2.84E+04	0.0	7.8	9.12E+06	0.9	-0.3	-5.97E+05	0.4	1.3	0.0E+00	-	-	-	-	0.0	1.23E+04	0.0	0.0	2.4	1.11E+04	0.2	0.2
27	ULS_LM	ULS - LM71 bez dynam	Q	0	0.0	2.84E+04	0.0	0.0	9.12E+06	0.0	0.0	-5.97E+05	0.0	0.0	0.0E+00	-	-	-	-	0.0	1.23E+04	0.0	0.0	0.0	1.11E+04	0.0	0.0
28	SLS_LM	SLS - LM71 bez dynam	Q	0	0.0	2.84E+04	0.0	0.0	9.12E+06	0.0	0.0	-5.97E+05	0.0	0.0	0.0E+00	-	-	-	-	0.0	1.23E+04	0.0	0.0	0.0	1.11E+04	0.0	0.0
29	ULS_C3	ULS - C3 bez dynam	Q	0	0.0	2.84E+04	0.0	0.0	9.12E+06	0.0	0.0	-5.97E+05	0.0	0.0	0.0E+00	-	-	-	-	0.0	1.23E+04	0.0	0.0	0.0	1.11E+04	0.0	0.0
30	SLS_C3	SLS - C3 bez dynam	Q	0	0.0	2.84E+04	0.0	0.0	9.12E+06	0.0	0.0	-5.97E+05	0.0	0.0	0.0E+00	-	-	-	-	0.0	1.23E+04	0.0	0.0	0.0	1.11E+04	0.0	0.0
NAVÝŠENÍ NAPĚTÍ DO AKTIVACE TLAKU V DESCE MOSTOVKY						$\sigma_{P,red}$	0.0							0.0			0.0		0.0			8.7	8.7			-64.3	-64.3
NAPĚTÍ OD PRIMÁRNÍCH ÚČINKŮ NEROVNOMĚRNÉHO OTEPLENÍ						σ_T	0.0							0.0													
NAPĚTÍ OD REOLOGICKÝCH ÚČINKŮ BETONU V ČASE				t=0		σ_R	0.0	γ_{sl}=	1.20					0.0													
NAPĚTÍ V KRITICKÝCH VLÁKNECH OD KOMBINACE ZATÍŽENÍ						KZ07		[MPa]					$\Sigma\sigma_x$	211.7							$\Sigma\tau_y$	8.7				$\Sigma\tau_z$	-64.3
NAPĚTÍ OD POHYBLIVÉHO ZATÍŽENÍ								[MPa]					$\sigma_{x,P}$	166.7							τ_P	6.4				τ_P	-59.7
NAPĚTÍ OD OSTATNÍCH ZATÍŽENÍ								[MPa]			Φ_{Vy}	Φ_{Vz}	$\sigma_{x,rs}$	45.0							τ_{rs}	2.3				τ_{rs}	-4.5
NÁVRHOVÁ HODNOTA MEZE KLUZU S REDUKCÍ VLIVEM SMYKOVÉHO NAPĚTÍ								[MPa]			1.00	1.00	$f_{yw,d}$	209.1							$f_{yd}/3^{0,5}$	120.7				$f_{yd}/3^{0,5}$	120.7
NAPĚTÍ OD POHYBLIVÉHO ZATÍŽENÍ V GLOBÁLNÍM SYSTÉMU						$\sigma_{GLOB,P}$	0.0	[MPa]					$\Sigma\sigma_{GLOB}$	0.0													
NAPĚTÍ OD OSTATNÍCH ZATÍŽENÍ V GLOBÁLNÍM SYSTÉMU						$\sigma_{GLOB,rs}$	0.0	[MPa]					$\Sigma\sigma_x + \Sigma\sigma_{GLOB}$	211.7													
VYUŽITÍ PRŮŘEZU DLE NAPĚTÍ								[%]					η_1	1.01							η_3	0.07				η_3	0.53
NAPĚTÍ V PŘÍČNÉM SMĚRU OD POHYBLIVÉHO ZATÍŽENÍ						$\sigma_{z,P}$	0.0	[MPa]					$\Sigma\sigma_z$	0.0													
NAPĚTÍ V PŘÍČNÉM SMĚRU OD OSTATNÍCH ZATÍŽENÍ						$\sigma_{z,rs}$	0.0	[MPa]					η_2	0.00													
SROVNÁVACÍ NAPĚTÍ													$(\eta2 + 0,8\ \eta1)/1,4$ =	0.58												
VYUŽITÍ PRŮŘEZU CELKEM								[%]					eff	1.01	NEVYHOVUJE												
STANOVENÍ ZATÍŽITELNOSTI													Z_{LM71} =	-----													

TAB. P4.1.3 POSOUZENÍ - MEZNÍ STAV ÚNOSNOSTI

POPIS	PŘÍČNÍK P4 - ZÁKLADNÍ ČÁST
PRUT / POLOHA BODU	667 / I[546]
NAMÁHÁNÍ	Vz.min
VLÁKNO	BOD S5 -HL
MEZNÍ STAV	ULS (MSÚ)
VYUŽITÍ VLÁKNA PRŮŘEZU	0.60

Charakteristiky materiálu				
pás. horní	$f_{yf,k}$	230	MPa	
pás. dolní	$f_{yf,k}$	230	MPa	
stojina	$f_{yw,k}$	230	MPa	
výztuž	$f_{ys,k}$	500	MPa	
γ_M =	1.10	γ_s =	1.15	

Excentricita normálové síly				
Exc./Fáze	0	1	2	3
e_y	0.000	0.000	0.000	0.000
e_z	0.000	0.000	0.000	0.000
Ekvivalentní vzdál. stěn - příčný roznos				
b_{Mx}	0.000	0.000	0.000	0.000

Vliv stěny na únosnost průřezu				
Char./Fáze	0	1	2	3
A	0.41	0.00	0.00	0.00
Wy	0.19	0.00	0.00	0.00
Wz	0.00	0.00	0.00	0.00

Charakter. v kroucení			
$t_{w,y}$	0.000	[mm]	
$t_{w,z}$	0.000	[mm]	
κ	1.00		
I_t=	0.00E+00	[mm^4]	
Ω=2*A_{pr}	0.00E+00	[mm^2]	

Součinitele vzpěru a vlivu II.řádu				
Char./Fáze	0	1	2	3
k_y	1.000	1.000	1.000	1.000
k_z	1.000	1.000	1.000	1.000
χ_{LT}	1.000	1.000	1.000	1.000
χ_{min}	1.000	1.000	1.000	1.000

8

δ_{LOK} 1.05

Vnitřní síly od jednotlivých skupin zatěžovacích stavů

SKUPINA ZATĚŽOVACÍCH STAVŮ					- CHARAKTERISTICKÉ HODNOTY						DÍLČÍ SOUČINITELÉ ZATÍŽENÍ, DYNAMICKÝ SOUČINITEL							- NÁVRHOVÉ HODNOTY									
Č.	SKUP ZS	POPIS ZS	KAT.	FÁZE PRŮŘ.	N.k (kN)	Vy.k (kN)	Vz.k (kN)	Mx.k (kNm)	My.k (kNm)	Mz.k (kNm)	γ_{sr} (-)	γ_{fs} (-)	volba γ_f hledat	γ_f (-)	L_d (m)	δ (-)	Ψ_s KZ08	N.d (kN)	Vy.d (kN)	Vz.d (kN)	ΔVz.d (kN)	ΣVz.d (kN)	Mx.d (kNm)	My.d (kNm)	ΔMy.d (kNm)	ΣMy.d (kNm)	Mz.d (kNm)	ΔMz.d (kNm)	ΣMz.d (kNm)
1	G0	Vlastní tíha OK	G	0	-57	12	-48	0	18	-7	1.00	1.20		1.20	-	1.00	0.95	-65	13	-54	0	-54	0	21	0	21	-8	0	-8
2	G1	Ostatní stálé - mostní vybavení	G	0	-5	1	-8	0	4	-1	1.00	1.20		1.20	-	1.00	0.95	-6	1	-9	0	-9	0	5	0	5	-1	0	-1
3	G2	Ostatní stálé - cizí zařízení	G	0	-2	1	-4	0	-7	-1	1.00	1.20		1.20	-	1.00	0.95	-2	1	-4	0	-4	0	-9	0	-9	-1	0	-1
4	P1_71	a.LM71 - kolej 1 (bez dyn. souč.)	P	0	-82	12	-211	0	108	-10	1.00	vyp.		0.00	-	1.00	0.00	0	0	0	0	0	0	0	0	0	0	0	0
5	P2_71	a.LM71 - kolej 2 (bez dyn. souč.)	P	0	-56	5	-512	0	551	-3	1.00	vyp.		0.00	-	1.00	0.00	0	0	0	0	0	0	0	0	0	0	0	0
6	P1_C3	TTZ C3 - kolej 1 (bez dyn. souč.)	P	0	-61	10	-121	0	50	-8	1.00	1.30		1.30	-	1.32	1.00	-104	16	-207	0	-207	0	85	0	85	-14	3	-12
7	P2_C3	TTZ C3 - kolej 2 (bez dyn. souč.)	P	0	-29	3	-290	0	312	-2	1.00	1.30		1.30	-	1.32	1.00	-49	4	-496	0	-496	0	533	0	533	-3	1	-2
8	BR	Brzdné a rozjezdové síly	P	0	-30	42	-1	0	-13	-46	1.00	1.30		1.30	-	1.00	0.32	-13	17	0	0	0	0	-5	0	-5	-19	0	-19
9	S	Boční ráz	P	0	2	4	-3	0	-10	-5	1.00	1.30		1.30	-	1.00	0.64	1	3	-2	0	-2	0	-8	0	-8	-4	0	-4
10	CH	Chodci na lávkách	Q	0	0	1	-1	0	-33	-1	1.00	1.30		1.30	-	1.00	1.00	0	2	-1	0	-1	0	-43	0	-43	-1	0	-1
11	W	Vítr na konstrukci	Q	0	0	-4	-7	0	-21	6	1.00	1.35		1.35	-	1.00	0.75	0	-4	-7	0	-7	0	-21	0	-21	6	0	6
12	WP	Vítr na vozidla	Q	0	-32	-7	-7	0	43	11	1.00	1.35		1.35	-	1.00	0.75	-32	-7	-8	0	-8	0	43	0	43	11	0	11
13	TR	Teplota rovnoměrná	Q	0	0	0	0	0	0	0	1.00	1.35		1.35	-	1.00	0.45	0	0	0	0	0	0	0	0	0	0	0	0
14	TN	Teplota nerovnoměrná	Q	0	2	1	-9	0	-36	0	1.00	1.35		1.35	-	1.00	0.60	2	1	-8	0	-8	0	-29	0	-29	0	0	0
15	FR	Třecí síly v ložiskách	Q	0	-4	1	0	0	-2	0	1.00	1.20		1.20	-	1.00	1.00	-5	1	0	0	0	0	-2	0	-2	0	0	0
16	I	Imperfekce soustavy	Q	0	0	0	-2	0	-6	0	1.00	1.20		1.20	-	1.00	1.00	0	0	-2	0	-2	0	-8	0	-8	0	0	0
27	ULS_LM	ULS - LM71 bez dynam	Q	0	-301	62	-1 036	0	795	-51	1.00	vyp.		0.00	-	1.00	0.00	0	0	0	0	0	0	0	0	0	0	0	0
28	SLS_LM	SLS - LM71 bez dynam	Q	0	-240	49	-798	0	635	-41	1.00	vyp.	1	0.00	-	1.00	0.00	0	0	0	0	0	0	0	0	0	0	0	0
29	ULS_C3	ULS - C3 bez dynam	Q	0	-239	56	-632	0	409	-47	1.00	vyp.	1	0.00	-	1.00	0.00	0	0	0	0	0	0	0	0	0	0	0	0
30	SLS_C3	SLS - C3 bez dynam	Q	0	-192	45	-487	0	337	-38	1.00	vyp.	1	0.00	-	1.00	0.00	0	0	0	0	0	0	0	0	0	0	0	0
		CELKEM - FÁZE PRŮŘEZU 0			-273	48	-799	0										-799	0	562	0	-34	4	-31				
		CELKEM - FÁZE PRŮŘEZU 1			0	0	0	0										0	0	0	0	0	0	0				
		CELKEM - FÁZE PRŮŘEZU 2			0	0	0	0										0	0	0	0	0	0	0				
		CELKEM - FÁZE PRŮŘEZU 3			0	0	0	0										0	0	0	0	0	0	0				
		CELKEM - PRŮŘEZ			-273	48	-799	0										-799	0	562		-31						

Napětí od jednotlivých zatěžovacích stavů

SKUPINA ZATĚŽOVACÍCH STAVŮ					Posouzení normálového napětí										Posouzení smykového napětí													
					Účinek síly N			Účinek momentu My				Účinek momentu Mz				Účinek kroutícího momentu Mx				Účinek smykové síly Vy				Účinek smykové síly Vz			
Č.	SKUP ZS	Popis ZS	Kat.	fáze prúř.	δ^*N_d [kN]	χ^*A [mm^2]	σ_n [MPa]	$\delta^*M_{y,d}$ [kNm]	$\chi_{lt}{}^*W_{el,y}$ [mm^3]	σ_{my} [MPa]	$\delta^*M_{z,d}$ [kNm]	$W_{el,z}$ [mm^3]	σ_{mz} [MPa]	σ_x [MPa]	$k^*\delta^*M_{x,d}$ [kNm]	$W_{v,y}$ [mm^3]	$\tau_{x,y}$ [MPa]	$W_{v,z}$ [mm^3]	$\tau_{x,z}$ [MPa]	$\delta^*V_{y,d}$ [kN]	$A_{v,y}$ [mm2]	$\tau_{v,y}$ [MPa]	$\tau_{v,y}$ [MPa]	$\delta^*V_{z,d}$ [kN]	$A_{v,z}$ [mm2]	$\tau_{v,z}$ [MPa]	$\tau_{v,z}$ [MPa]
1	G0	Vlastní tíha OK	G	0	-65.1	2.80E+04	-2.3	20.7	-1.09E+07	-1.9	-8.1	-1.84E+07	0.4	-3.8	-2.3E-02	-	-	-	-	13.2	1.23E+04	1.1	1.1	-54.5	1.11E+04	-4.9	-4.9
2	G1	Ostatní stálé - mostní vybavení	G	0	-5.5	2.80E+04	-0.2	5.0	-1.09E+07	-0.5	-0.6	-1.84E+07	0.0	-0.6	0.0E+00	-	-	-	-	1.0	1.23E+04	0.1	0.1	-8.6	1.11E+04	-0.8	-0.8
3	G2	Ostatní stálé - cizí zařízení	G	0	-1.9	2.80E+04	-0.1	-8.5	-1.09E+07	0.8	-0.7	-1.84E+07	0.0	0.8	0.0E+00	-	-	-	-	0.9	1.23E+04	0.1	0.1	-4.1	1.11E+04	-0.4	-0.4
4	P1_71	a.LM71 - kolej 1 (bez dyn. souč.)	P	0	0.0	2.80E+04	0.0	0.0	-1.09E+07	0.0	0.0	-1.84E+07	0.0	0.0	0.0E+00	-	-	-	-	0.0	1.23E+04	0.0	0.0	0.0	1.11E+04	0.0	0.0
5	P2_71	a.LM71 - kolej 2 (bez dyn. souč.)	P	0	0.0	2.80E+04	0.0	0.0	-1.09E+07	0.0	0.0	-1.84E+07	0.0	0.0	0.0E+00	-	-	-	-	0.0	1.23E+04	0.0	0.0	0.0	1.11E+04	0.0	0.0
6	P1_C3	TTZ C3 - kolej 1 (bez dyn. souč.)	P	0	-104.2	2.80E+04	-3.7	85.1	-1.09E+07	-7.8	-11.6	-1.84E+07	0.6	-10.9	-5.1E-02	-	-	-	-	16.4	1.23E+04	1.3	1.3	-207.3	1.11E+04	-18.7	-18.7
7	P2_C3	TTZ C3 - kolej 2 (bez dyn. souč.)	P	0	-49.1	2.80E+04	-1.8	533.1	-1.09E+07	-49.1	-2.4	-1.84E+07	0.1	-50.7	-1.7E-02	-	-	-	-	4.3	1.23E+04	0.3	0.3	-496.5	1.11E+04	-44.7	-44.7
8	BR	Brzdné a rozjezdové síly	P	0	-12.6	2.80E+04	-0.4	-5.3	-1.09E+07	0.5	-19.0	-1.84E+07	1.0	1.1	-8.3E-03	-	-	-	-	17.4	1.23E+04	1.4	1.4	-0.3	1.11E+04	0.0	0.0
9	S	Boční ráz	P	0	1.4	2.80E+04	0.1	-8.2	-1.09E+07	0.8	-4.0	-1.84E+07	0.2	1.0	-8.3E-03	-	-	-	-	3.0	1.23E+04	0.2	0.2	-2.3	1.11E+04	-0.2	-0.2
10	CH	Chodci na lávkách	Q	0	-0.4	2.80E+04	0.0	-43.3	-1.09E+07	4.0	-1.4	-1.84E+07	0.1	4.0	0.0E+00	-	-	-	-	1.5	1.23E+04	0.1	0.1	-0.8	1.11E+04	-0.1	-0.1
11	W	Vítr na konstrukci	Q	0	0.2	2.80E+04	0.0	-21.0	-1.09E+07	1.9	6.2	-1.84E+07	-0.3	1.6	2.0E-02	-	-	-	-	-3.9	1.23E+04	-0.3	-0.3	-6.6	1.11E+04	-0.6	-0.6
12	WP	Vítr na vozidla	Q	0	-32.5	2.80E+04	-1.2	43.3	-1.09E+07	-4.0	11.0	-1.84E+07	-0.6	-5.7	3.0E-02	-	-	-	-	-7.3	1.23E+04	-0.6	-0.6	-7.5	1.11E+04	-0.7	-0.7
13	TR	Teplota rovnoměrná	Q	0	0.0	2.80E+04	0.0	0.0	-1.09E+07	0.0	0.0	-1.84E+07	0.0	0.0	0.0E+00	-	-	-	-	0.0	1.23E+04	0.0	0.0	0.0	1.11E+04	0.0	0.0
14	TN	Teplota nerovnoměrná	Q	0	1.6	2.80E+04	0.1	-29.0	-1.09E+07	2.7	-0.2	-1.84E+07	0.0	2.7	-2.4E-02	-	-	-	-	0.7	1.23E+04	0.1	0.1	-7.6	1.11E+04	-0.7	-0.7
15	FR	Třecí síly v ložiskách	Q	0	-4.8	2.80E+04	-0.2	-1.9	-1.09E+07	0.2	-0.4	-1.84E+07	0.0	0.0	0.0E+00	-	-	-	-	0.6	1.23E+04	0.1	0.1	-0.1	1.11E+04	0.0	0.0
16	I	Imperfekce soustavy	Q	0	0.4	2.80E+04	0.0	-7.8	-1.09E+07	0.7	0.3	-1.84E+07	0.0	0.7	0.0E+00	-	-	-	-	0.0	1.23E+04	0.0	0.0	-2.4	1.11E+04	-0.2	-0.2
27	ULS_LM	ULS - LM71 bez dynam	Q	0	0.0	2.80E+04	0.0	0.0	-1.09E+07	0.0	0.0	-1.84E+07	0.0	0.0	0.0E+00	-	-	-	-	0.0	1.23E+04	0.0	0.0	0.0	1.11E+04	0.0	0.0
28	SLS_LM	SLS - LM71 bez dynam	Q	0	0.0	2.80E+04	0.0	0.0	-1.09E+07	0.0	0.0	-1.84E+07	0.0	0.0	0.0E+00	-	-	-	-	0.0	1.23E+04	0.0	0.0	0.0	1.11E+04	0.0	0.0
29	ULS_C3	ULS - C3 bez dynam	Q	0	0.0	2.80E+04	0.0	0.0	-1.09E+07	0.0	0.0	-1.84E+07	0.0	0.0	0.0E+00	-	-	-	-	0.0	1.23E+04	0.0	0.0	0.0	1.11E+04	0.0	0.0
30	SLS_C3	SLS - C3 bez dynam	Q	0	0.0	2.80E+04	0.0	0.0	-1.09E+07	0.0	0.0	-1.84E+07	0.0	0.0	0.0E+00	-	-	-	-	0.0	1.23E+04	0.0	0.0	0.0	1.11E+04	0.0	0.0
NAVÝŠENÍ NAPĚTÍ DO AKTIVACE TLAKU V DESCE MOSTOVKY						$\sigma_{P,red}$	0.0							0.0			0.0		0.0			3.9	3.9			-71.9	-71.9
NAPĚTÍ OD PRIMÁRNÍCH ÚČINKŮ NEROVNOMĚRNÉHO OTEPLENÍ						σ_T	0.0							0.0													
NAPĚTÍ OD REOLOGICKÝCH ÚČINKŮ BETONU V ČASE				t=0		σ_R	0.0	γ_f=	1.20					0.0													
NAPĚTÍ V KRITICKÝCH VLÁKNECH OD KOMBINACE ZATÍŽENÍ						KZ08		[MPa]					$\Sigma\sigma_x$	-59.8								$\Sigma\tau_y$	3.9			$\Sigma\tau_z$	-71.9
NAPĚTÍ OD POHYBLIVÉHO ZATÍŽENÍ								[MPa]					$\sigma_{x,P}$	-59.5								τ_P	3.4			τ_P	-63.6
NAPĚTÍ OD OSTATNÍCH ZATÍŽENÍ								[MPa]			Φ_{Vy}	Φ_{Vz}	$\sigma_{x,rs}$	-0.3								τ_{rs}	0.5			τ_{rs}	-8.3
NÁVRHOVÁ HODNOTA MEZE KLUZU S REDUKCÍ VLIVEM SMYKOVÉHO NAPĚTÍ								[MPa]			1.00	0.96	$f_{yw,d}$	209.1								$f_{yd}/3^{0,5}$	120.7			$f_{yd}/3^{0,5}$	120.7
NAPĚTÍ OD POHYBLIVÉHO ZATÍŽENÍ V GLOBÁLNÍM SYSTÉMU						$\sigma_{GLOB,P}$	0.0	[MPa]					$\Sigma\sigma_{GLOB}$	0.0													
NAPĚTÍ OD OSTATNÍCH ZATÍŽENÍ V GLOBÁLNÍM SYSTÉMU						$\sigma_{GLOB,rs}$	0.0	[MPa]					$\Sigma\sigma_x + \Sigma\sigma_{GLOB}$	-59.8													
VYUŽITÍ PRŮŘEZU DLE NAPĚTÍ								[%]					η_1	0.29								η_3	0.03			η_3	0.60
NAPĚTÍ V PŘÍČNÉM SMĚRU OD POHYBLIVÉHO ZATÍŽENÍ						$\sigma_{z,P}$	0.0	[MPa]					$\Sigma\sigma_z$	0.0													
NAPĚTÍ V PŘÍČNÉM SMĚRU OD OSTATNÍCH ZATÍŽENÍ						$\sigma_{z,rs}$	0.0	[MPa]					η_2	0.00													
SROVNÁVACÍ NAPĚTÍ													$(\eta 2 + 0{,}8\ \eta 1)/1{,}4 =$	0.16													
VYUŽITÍ PRŮŘEZU CELKEM								[%]					eff	0.60	VYHOVUJE												
STANOVENÍ ZATÍŽITELNOSTI													Z_{LM71} =	-----													

TAB. P4.2.3 POSOUZENÍ - MEZNÍ STAV ÚNOSNOSTI

POPIS	PŘÍČNÍK P4 - VNĚJŠÍ PODÉLNÍK
PRUT / POLOHA BODU	668 / I[547]
NAMÁHÁNÍ	Mz.min
VLÁKNO	BOD K2 -HP
MEZNÍ STAV	ULS (MSÚ)
VYUŽITÍ VLÁKNA PRŮŘEZU	0.82

Charakteristiky materiálu				
pás. horní	$f_{yf,k}$	230	MPa	
pás. dolní	$f_{yf,k}$	230	MPa	
stojina	$f_{yw,k}$	230	MPa	
výztuž	$f_{ys,k}$	500	MPa	
γ_M =	1.10	γ_s =	1.15	

Excentricita normálové síly				
Exc./Fáze	0	1	2	3
e_y	0.000	0.000	0.000	0.000
e_z	0.000	0.000	0.000	0.000
Ekvivalentní vzdál. stěn - příčný roznos				
b_{Mx}	0.000	0.000	0.000	0.000

Vliv stěny na únosnost průřezu				
Char./Fáze	0	1	2	3
A	0.00	0.00	0.00	0.00
Wy	0.00	0.00	0.00	0.00
Wz	0.00	0.00	0.00	0.00

Charakter. v kroucení			
$t_{w,y}$	0.000	[mm]	
$t_{w,z}$	0.000	[mm]	
κ	1.00		
I_t=	0.00E+00	[mm^4]	
$\Omega=2*A_{pr}$	0.00E+00	[mm^2]	

Součinitele vzpěru a vlivu II.řádu				
Char./Fáze	0	1	2	3
k_y	1.000	1.000	1.000	1.000
k_z	1.000	1.000	1.000	1.000
χ_{LT}	1.000	1.000	1.000	1.000
χ_{min}	1.000	1.000	1.000	1.000

δ_{LOK} 1.05

Vnitřní síly od jednotlivých skupin zatěžovacích stavů — SKUPINA ZATĚŽOVACÍCH STAVŮ — - CHARAKTERISTICKÉ HODNOTY — DÍLČÍ SOUČINITELÉ ZATÍŽENÍ, DYNAMICKÝ SOUČINITEL — - NÁVRHOVÉ HODNOTY

Č.	SKUP ZS	POPIS ZS	KAT.	FÁZE PRŮŘ.	N.k (kN)	Vy.k (kN)	Vz.k (kN)	Mx.k (kNm)	My.k (kNm)	Mz.k (kNm)	γ_{sup} (-)	γ_{inf} (-)	volba γ_i hledat	γ_i (-)	L_d (m)	δ (-)	Ψ_0 KZ07	N.d (kN)	Vy.d (kN)	Vz.d (kN)	ΔVz.d (kN)	ΣVz.d (kN)	Mx.d (kNm)	My.d (kNm)	ΔMy.d (kNm)	ΣMy.d (kNm)	Mz.d (kNm)	ΔMz.d (kNm)	ΣMz.d (kNm)
1	G0	Vlastní tíha OK	G	0	-57	2	-30	0	32	-9	1.00	1.20		1.20	-	1.00	0.95	-65	2	-34	0	-34	0	37	0	37	-10	0	-10
2	G1	Ostatní stálé - mostní vybavení	G	0	-5	0	-7	0	7	-1	1.00	1.20		1.20	-	1.00	0.95	-6	0	-8	0	-8	0	7	0	7	-1	0	-1
3	G2	Ostatní stálé - cizí zařízení	G	0	-2	0	-4	0	-6	-1	1.00	1.20		1.20	-	1.00	0.95	-2	0	-4	0	-4	0	-7	0	-7	-1	0	-1
4	P1_71	a.LM71 - kolej 1 (bez dyn. souč.)	P	0	-80	-11	-123	0	80	-15	1.00	vyp.		0.00	-	1.00	0.00	0	0	0	0	0	0	0	0	0	0	0	0
5	P2_71	a.LM71 - kolej 2 (bez dyn. souč.)	P	0	-81	-5	-60	0	399	-16	1.00	vyp.		0.00	-	1.00	0.00	0	0	0	0	0	0	0	0	0	0	0	0
6	P1_C3	TTZ C3 - kolej 1 (bez dyn. souč.)	P	0	-69	-8	-121	0	82	-12	1.00	1.30		1.30	-	1.32	1.00	-117	-14	-207	0	-207	0	140	0	140	-21	4	-16
7	P2_C3	TTZ C3 - kolej 2 (bez dyn. souč.)	P	0	-68	-4	-57	0	370	-13	1.00	1.30		1.30	-	1.32	1.00	-116	-8	-98	0	-98	0	632	0	632	-22	5	-18
8	BR	Brzdné a rozjezdové síly	P	0	-28	-25	0	0	-13	-54	1.00	1.30		1.30	-	1.00	0.64	-24	-21	0	0	0	0	-11	0	-11	-45	0	-45
9	S	Boční ráz	P	0	0	-7	-3	0	-8	-5	1.00	1.30		1.30	-	1.00	0.32	0	-3	-1	0	-1	0	-3	0	-3	-2	0	-2
10	CH	Chodci na lávkách	Q	0	-2	-1	0	0	-32	-2	1.00	0.00		0.00	-	1.00	1.00	0	0	0	0	0	0	0	0	0	0	0	0
11	W	Vítr na konstrukci	Q	0	-1	-9	7	0	18	-7	1.00	1.35		1.35	-	1.00	0.75	-1	-9	7	0	7	0	18	0	18	-7	0	-7
12	WP	Vítr na vozidla	Q	0	9	-15	-26	0	-40	-12	1.00	1.35		1.35	-	1.00	0.75	9	-15	-26	0	-26	0	-40	0	-40	-12	0	-12
13	TR	Teplota rovnoměrná	Q	0	0	0	0	0	0	0	1.00	1.35		1.35	-	1.00	0.45	0	0	0	0	0	0	0	0	0	0	0	0
14	TN	Teplota nerovnoměrná	Q	0	3	0	0	0	-3	-1	1.00	1.35		1.35	-	1.00	0.60	2	0	0	0	0	0	-2	0	-2	-1	0	-1
15	FR	Třecí síly v ložiskách	Q	0	-4	0	0	0	-1	0	1.00	1.20		1.20	-	1.00	1.00	-5	0	0	0	0	0	-2	0	-2	-1	0	-1
16	I	Imperfekce soustavy	Q	0	0	0	2	0	6	0	1.00	1.20		1.20	-	1.00	1.00	0	0	2	0	2	0	7	0	7	0	0	0
27	ULS_LM	ULS - LM71 bez dynam	Q	0	-314	-92	-303	0	580	-154	1.00	vyp.	1	0.00	-	1.00	0.00	0	0	0	0	0	0	0	0	0	0	0	0
28	SLS_LM	SLS - LM71 bez dynam	Q	0	-252	-71	-237	0	453	-119	1.00	vyp.	1	0.00	-	1.00	0.00	0	0	0	0	0	0	0	0	0	0	0	0
29	ULS_C3	ULS - C3 bez dynam	Q	0	-282	-88	-297	0	544	-146	1.00	vyp.	1	0.00	-	1.00	0.00	0	0	0	0	0	0	0	0	0	0	0	0
30	SLS_C3	SLS - C3 bez dynam	Q	0	-227	-68	-233	0	425	-113	1.00	vyp.	1	0.00	-	1.00	0.00	0	0	0	0	0	0	0	0	0	0	0	0
		CELKEM - FÁZE PRŮŘEZU 0			-325	-68	-369	0	-369	0								-369	0	776	0	776	-122	9	-113				
		CELKEM - FÁZE PRŮŘEZU 1			0	0	0	0	0	0								0	0	0	0	0	0	0	0				
		CELKEM - FÁZE PRŮŘEZU 2			0	0	0	0	0	0								0	0	0	0	0	0	0	0				
		CELKEM - FÁZE PRŮŘEZU 3			0	0	0	0	0	0								0	0	0	0	0	0	0	0				
		CELKEM - PRŮŘEZ			-325	-68	-369	0	-369	0															776			-113

Napětí od jednotlivých zatěžovacích stavů — SKUPINA ZATĚŽOVACÍCH STAVŮ — Posouzení normálového napětí — Posouzení smykového napětí

Č.	SKUP ZS	Popis ZS	Kat.	fáze prúř.	Účinek síly N: δ^*N_d [kN]	χ^*A [mm^2]	σ_n [MPa]	Účinek momentu My: $\delta^*M_{y,d}$ [kNm]	$\chi_{lt}{}^*W_{el,y}$ [mm^3]	σ_{my} [MPa]	Účinek momentu Mz: $\delta^*M_{z,d}$ [kNm]	$W_{el,z}$ [mm^3]	σ_{mz} [MPa]	σ_x [MPa]	Účinek kroutícího momentu Mx: $\kappa^*\delta^*M_{x,d}$ [kNm]	$W_{v,y}$ [mm^3]	$\tau_{x,y}$ [MPa]	$W_{v,z}$ [mm^3]	$\tau_{x,z}$ [MPa]	Účinek smykové síly Vy: $\delta^*V_{y,d}$ [kN]	$A_{v,y}$ [mm2]	$\tau_{v,y}$ [MPa]	$\tau_{v,y}$ [MPa]	Účinek smykové síly Vz: $\delta^*V_{z,d}$ [kN]	$A_{v,z}$ [mm2]	$\tau_{v,z}$ [MPa]	$\tau_{v,z}$ [MPa]
1	G0	Vlastní tíha OK	G	0	-65.1	3.42E+04	-1.9	36.8	-1.40E+07	-2.6	-9.8	1.05E+06	-9.3	-13.8	0.0E+00	-	-	-	-	2.5	1.87E+04	0.1	0.1	-34.2	1.12E+04	-3.1	-3.1
2	G1	Ostatní stálé - mostní vybavení	G	0	-5.5	3.42E+04	-0.2	7.4	-1.40E+07	-0.5	-0.7	1.05E+06	-0.7	-1.4	0.0E+00	-	-	-	-	0.2	1.87E+04	0.0	0.0	-7.7	1.12E+04	-0.7	-0.7
3	G2	Ostatní stálé - cizí zařízení	G	0	-2.0	3.42E+04	-0.1	-7.2	-1.40E+07	0.5	-0.9	1.05E+06	-0.8	-0.4	0.0E+00	-	-	-	-	-0.4	1.87E+04	0.0	0.0	-4.1	1.12E+04	-0.4	-0.4
4	P1_71	a.LM71 - kolej 1 (bez dyn. souč.)	P	0	0.0	3.42E+04	0.0	0.0	-1.40E+07	0.0	0.0	1.05E+06	0.0	0.0	0.0E+00	-	-	-	-	0.0	1.87E+04	0.0	0.0	0.0	1.12E+04	0.0	0.0
5	P2_71	a.LM71 - kolej 2 (bez dyn. souč.)	P	0	0.0	3.42E+04	0.0	0.0	-1.40E+07	0.0	0.0	1.05E+06	0.0	0.0	0.0E+00	-	-	-	-	0.0	1.87E+04	0.0	0.0	0.0	1.12E+04	0.0	0.0
6	P1_C3	TTZ C3 - kolej 1 (bez dyn. souč.)	P	0	-117.1	3.42E+04	-3.4	139.8	-1.40E+07	-10.0	-16.4	1.05E+06	-15.6	-29.0	0.0E+00	-	-	-	-	-14.5	1.87E+04	-0.8	-0.8	-207.0	1.12E+04	-18.5	-18.5
7	P2_C3	TTZ C3 - kolej 2 (bez dyn. souč.)	P	0	-116.3	3.42E+04	-3.4	631.7	-1.40E+07	-45.2	-17.9	1.05E+06	-17.0	-65.6	1.7E-02	-	-	-	-	-7.6	1.87E+04	-0.4	-0.4	-97.6	1.12E+04	-8.7	-8.7
8	BR	Brzdné a rozjezdové síly	P	0	-23.7	3.42E+04	-0.7	-10.8	-1.40E+07	0.8	-45.0	1.05E+06	-42.7	-42.6	1.7E-02	-	-	-	-	-20.9	1.87E+04	-1.1	-1.1	-0.1	1.12E+04	0.0	0.0
9	S	Boční ráz	P	0	0.1	3.42E+04	0.0	-3.3	-1.40E+07	0.2	-2.2	1.05E+06	-2.1	-1.8	4.2E-03	-	-	-	-	-2.8	1.87E+04	-0.1	-0.1	-1.2	1.12E+04	-0.1	-0.1
10	CH	Chodci na lávkách	Q	0	0.0	3.42E+04	0.0	0.0	-1.40E+07	0.0	0.0	1.05E+06	0.0	0.0	0.0E+00	-	-	-	-	0.0	1.87E+04	0.0	0.0	0.0	1.12E+04	0.0	0.0
11	W	Vítr na konstrukci	Q	0	-1.4	3.42E+04	0.0	18.4	-1.40E+07	-1.3	-6.7	1.05E+06	-6.4	-7.7	1.0E-02	-	-	-	-	-8.6	1.87E+04	-0.5	-0.5	6.7	1.12E+04	0.6	0.6
12	WP	Vítr na vozidla	Q	0	9.2	3.42E+04	0.3	-40.3	-1.40E+07	2.9	-12.0	1.05E+06	-11.4	-8.2	1.0E-02	-	-	-	-	-14.9	1.87E+04	-0.8	-0.8	-26.4	1.12E+04	-2.4	-2.4
13	TR	Teplota rovnoměrná	Q	0	0.0	3.42E+04	0.0	0.0	-1.40E+07	0.0	0.0	1.05E+06	0.0	0.0	0.0E+00	-	-	-	-	0.0	1.87E+04	0.0	0.0	0.0	1.12E+04	0.0	0.0
14	TN	Teplota nerovnoměrná	Q	0	2.1	3.42E+04	0.1	-2.1	-1.40E+07	0.2	-0.7	1.05E+06	-0.7	-0.5	0.0E+00	-	-	-	-	-0.4	1.87E+04	0.0	0.0	0.2	1.12E+04	0.0	0.0
15	FR	Třecí síly v ložiskách	Q	0	-5.0	3.42E+04	-0.1	-1.8	-1.40E+07	0.1	-0.5	1.05E+06	-0.5	-0.5	0.0E+00	-	-	-	-	-0.2	1.87E+04	0.0	0.0	0.0	1.12E+04	0.0	0.0
16	I	Imperfekce soustavy	Q	0	-0.1	3.42E+04	0.0	7.0	-1.40E+07	-0.5	-0.2	1.05E+06	-0.2	-0.7	0.0E+00	-	-	-	-	-0.5	1.87E+04	0.0	0.0	2.4	1.12E+04	0.2	0.2
27	ULS_LM	ULS - LM71 bez dynam	Q	0	0.0	3.42E+04	0.0	0.0	-1.40E+07	0.0	0.0	1.05E+06	0.0	0.0	0.0E+00	-	-	-	-	0.0	1.87E+04	0.0	0.0	0.0	1.12E+04	0.0	0.0
28	SLS_LM	SLS - LM71 bez dynam	Q	0	0.0	3.42E+04	0.0	0.0	-1.40E+07	0.0	0.0	1.05E+06	0.0	0.0	0.0E+00	-	-	-	-	0.0	1.87E+04	0.0	0.0	0.0	1.12E+04	0.0	0.0
29	ULS_C3	ULS - C3 bez dynam	Q	0	0.0	3.42E+04	0.0	0.0	-1.40E+07	0.0	0.0	1.05E+06	0.0	0.0	0.0E+00	-	-	-	-	0.0	1.87E+04	0.0	0.0	0.0	1.12E+04	0.0	0.0
30	SLS_C3	SLS - C3 bez dynam	Q	0	0.0	3.42E+04	0.0	0.0	-1.40E+07	0.0	0.0	1.05E+06	0.0	0.0	0.0E+00	-	-	-	-	0.0	1.87E+04	0.0	0.0	0.0	1.12E+04	0.0	0.0
NAVÝŠENÍ NAPĚTÍ DO AKTIVACE TLAKU V DESCE MOSTOVKY						$\sigma_{P,red}$	0.0							0.0				0.0		0.0			-3.6	-3.6			-33.0	-33.0
NAPĚTÍ OD PRIMÁRNÍCH ÚČINKŮ NEROVNOMĚRNÉHO OTEPLENÍ						σ_T	0.0							0.0														
NAPĚTÍ OD REOLOGICKÝCH ÚČINKŮ BETONU V ČASE				t=0		σ_R	0.0	γ_{inf}	1.20					0.0														
NAPĚTÍ V KRITICKÝCH VLÁKNECH OD KOMBINACE ZATÍŽENÍ						KZ07		[MPa]					$\Sigma\sigma_x$	-172.4								$\Sigma\tau_y$	-3.6				$\Sigma\tau_z$	-33.0
NAPĚTÍ OD POHYBLIVÉHO ZATÍŽENÍ								[MPa]					$\sigma_{x,P}$	-139.1									-2.4				τ_P	-27.3
NAPĚTÍ OD OSTATNÍCH ZATÍŽENÍ								[MPa]			Φ_{Vy}	Φ_{Vz}	$\sigma_{x,rs}$	-33.3								τ_{rs}	-1.2				τ_{rs}	-5.6
NÁVRHOVÁ HODNOTA MEZE KLUZU S REDUKCÍ VLIVEM SMYKOVÉHO NAPĚTÍ								[MPa]			1.00	1.00	$f_{yw,d}$	209.1								$f_{yd}/3^{0,5}$	120.7				$f_{yd}/3^{0,5}$	120.7
NAPĚTÍ OD POHYBLIVÉHO ZATÍŽENÍ V GLOBÁLNÍM SYSTÉMU						$\sigma_{GLOB,P}$	0.0	[MPa]					$\Sigma\sigma_{GLOB}$	0.0														
NAPĚTÍ OD OSTATNÍCH ZATÍŽENÍ V GLOBÁLNÍM SYSTÉMU						$\sigma_{GLOB,rs}$	0.0	[MPa]					$\Sigma\sigma_x + \Sigma\sigma_{GLOB}$	-172.4														
VYUŽITÍ PRŮŘEZU DLE NAPĚTÍ								[%]					η_1	0.82								η_3	0.03				η_3	0.27
NAPĚTÍ V PŘÍČNÉM SMĚRU OD POHYBLIVÉHO ZATÍŽENÍ						$\sigma_{z,P}$	0.0	[MPa]					$\Sigma\sigma_z$	0.0														
NAPĚTÍ V PŘÍČNÉM SMĚRU OD OSTATNÍCH ZATÍŽENÍ						$\sigma_{z,rs}$	0.0	[MPa]					η_2	0.00														
SROVNÁVACÍ NAPĚTÍ													$(\eta_2 + 0,8\,\eta_1)/1,4 =$	0.47														
VYUŽITÍ PRŮŘEZU CELKEM								[%]					eff	0.82	VYHOVUJE													
STANOVENÍ ZATÍŽITELNOSTI													Z_{LM71} =	-----														

TAB. P4.2.3 POSOUZENÍ - MEZNÍ STAV ÚNOSNOSTI

POPIS	PŘÍČNÍK P4 - VNĚJŠÍ PODÉLNÍK
PRUT / POLOHA BODU	668 / I[547]
NAMÁHÁNÍ	Mz.min
VLÁKNO	BOD K3 -SL
MEZNÍ STAV	ULS (MSÚ)
VYUŽITÍ VLÁKNA PRŮŘEZU	0.78

Charakteristiky materiálu			
pás. horní	$f_{yf,k}$	230	MPa
pás. dolní	$f_{yf,k}$	230	MPa
stojina	$f_{yw,k}$	230	MPa
výztuž	$f_{ys,k}$	500	MPa
γ_M =	1.10	γ_s =	1.15

Excentricita normálové síly				
Exc./Fáze	0	1	2	3
e_y	0.000	0.000	0.000	0.000
e_z	0.000	0.000	0.000	0.000
Ekvivalentní vzdál. stěn - příčný roznos				
b_{Mx}	0.000	0.000	0.000	0.000

Vliv stěny na únosnost průřezu				
Char./Fáze	0	1	2	3
A	0.00	0.00	0.00	0.00
Wy	0.00	0.00	0.00	0.00
Wz	0.00	0.00	0.00	0.00

Charakter. v kroucení		
$t_{w,y}$	0.000	[mm]
$t_{w,z}$	0.000	[mm]
κ	1.00	
I_t=	0.00E+00	[mm⁴]
Ω=2*A_{pr}	0.00E+00	[mm²]

Součinitele vzpěru a vlivu II.řádu					
Char./Fáze	0	1	2	3
k_y	1.000	1.000	1.000	1.000
k_z	1.000	1.000	1.000	1.000
χ_{LT}	1.000	1.000	1.000	1.000
χ_{min}	1.000	1.000	1.000	1.000

δ_{LOK} 1.05

Vnitřní síly od jednotlivých skupin zatěžovacích stavů

SKUPINA ZATĚŽOVACÍCH STAVŮ					- CHARAKTERISTICKÉ HODNOTY						DÍLČÍ SOUČINITELÉ ZATÍŽENÍ, DYNAMICKÝ SOUČINITEL						7	- NÁVRHOVÉ HODNOTY									
Č.	SKUP ZS	POPIS ZS	KAT.	FÁZE PRŮŘ.	N.k (kN)	Vy.k (kN)	Vz.k (kN)	Mx.k (kNm)	My.k (kNm)	Mz.k (kNm)	γ_{sup} (-)	γ_{inf} (-)	volba ψ_i hledat	ψ_i (-)	L_d (m)	δ (-)	Ψ_E KZ07	N.d (kN)	Vy.d (kN)	Vz.d (kN)	ΔVz.d (kN)	ΣVz.d (kN)	Mx.d (kNm)	My.d (kNm)	ΔMy.d (kNm)	ΣMy.d (kNm)	Mz.d (kNm)	ΔMz.d (kNm)	ΣMz.d (kNm)
1	G0	Vlastní tíha OK	G	0	-57	2	-30	0	32	-9	1.00	1.20		1.20	-	1.00	0.95	-65	2	-34	0	-34	0	37	0	37	-10	0	-10
2	G1	Ostatní stálé - mostní vybavení	G	0	-5	0	-7	0	7	-1	1.00	1.20		1.20	-	1.00	0.95	-6	0	-8	0	-8	0	7	0	7	-1	0	-1
3	G2	Ostatní stálé - cizí zařízení	G	0	-2	0	-4	0	-6	-1	1.00	1.20		1.20	-	1.00	0.95	-2	0	-4	0	-4	0	-7	0	-7	-1	0	-1
4	P1_71	a.LM71 - kolej 1 (bez dyn. souč.)	P	0	-80	-11	-123	0	80	-15	1.00	vyp.		0.00	-	1.00	0.00	0	0	0	0	0	0	0	0	0	0	0	0
5	P2_71	a.LM71 - kolej 2 (bez dyn. souč.)	P	0	-81	-5	-60	0	399	-16	1.00	vyp.		0.00	-	1.00	0.00	0	0	0	0	0	0	0	0	0	0	0	0
6	P1_C3	TTZ C3 - kolej 1 (bez dyn. souč.)	P	0	-69	-8	-121	0	82	-12	1.00	1.30		1.30	-	1.32	1.00	-117	-14	-207	0	-207	0	140	0	140	-21	4	-16
7	P2_C3	TTZ C3 - kolej 2 (bez dyn. souč.)	P	0	-68	-4	-57	0	370	-13	1.00	1.30		1.30	-	1.32	1.00	-116	-8	-98	0	-98	0	632	0	632	-22	5	-18
8	BR	Brzdné a rozjezdové síly	P	0	-28	-25	0	0	-13	-54	1.00	1.30		1.30	-	1.00	0.64	-24	-21	0	0	0	0	-11	0	-11	-45	0	-45
9	S	Boční ráz	P	0	0	-7	-3	0	-8	-5	1.00	1.30		1.30	-	1.00	0.32	0	-3	-1	0	-1	0	-3	0	-3	-2	0	-2
10	CH	Chodci na lávkách	Q	0	-2	-1	0	0	-32	-2	1.00	0.00		0.00	-	1.00	1.00	0	0	0	0	0	0	0	0	0	0	0	0
11	W	Vítr na konstrukci	Q	0	-1	-9	7	0	18	-7	1.00	1.35		1.35	-	1.00	0.75	-1	-9	7	0	7	0	18	0	18	-7	0	-7
12	WP	Vítr na vozidla	Q	0	9	-15	-26	0	-40	-12	1.00	1.35		1.35	-	1.00	0.75	9	-15	-26	0	-26	0	-40	0	-40	-12	0	-12
13	TR	Teplota rovnoměrná	Q	0	0	0	0	0	0	0	1.00	1.35		1.35	-	1.00	0.45	0	0	0	0	0	0	0	0	0	0	0	0
14	TN	Teplota nerovnoměrná	Q	0	3	0	0	0	-3	-1	1.00	1.35		1.35	-	1.00	0.60	2	0	0	0	0	0	-2	0	-2	-1	0	-1
15	FR	Třecí síly v ložiskách	Q	0	-4	0	0	0	-1	0	1.00	1.20		1.20	-	1.00	1.00	-5	0	0	0	0	0	-2	0	-2	-1	0	-1
16	I	Imperfekce soustavy	Q	0	0	0	2	0	6	0	1.00	1.20		1.20	-	1.00	1.00	0	0	2	0	2	0	7	0	7	0	0	0
27	ULS_LM	ULS - LM71 bez dynam	Q	0	-314	-92	-303	0	580	-154	1.00	vyp.	1	0.00	-	1.00	0.00	0	0	0	0	0	0	0	0	0	0	0	0
28	SLS_LM	SLS - LM71 bez dynam	Q	0	-252	-71	-237	0	453	-119	1.00	vyp.	1	0.00	-	1.00	0.00	0	0	0	0	0	0	0	0	0	0	0	0
29	ULS_C3	ULS - C3 bez dynam	Q	0	-282	-88	-297	0	544	-146	1.00	vyp.	1	0.00	-	1.00	0.00	0	0	0	0	0	0	0	0	0	0	0	0
30	SLS_C3	SLS - C3 bez dynam	Q	0	-227	-68	-233	0	425	-113	1.00	vyp.	1	0.00	-	1.00	0.00	0	0	0	0	0	0	0	0	0	0	0	0
		CELKEM - FÁZE PRŮŘEZU 0			-325	-68	-369	0	-369	9								-369	0	776	0	776	-122	9	-113			
		CELKEM - FÁZE PRŮŘEZU 1			0	0	0	0	0	0								0	0	0	0	0	0	0	0	0	0	0	0
		CELKEM - FÁZE PRŮŘEZU 2			0	0	0	0	0	0								0	0	0	0	0	0	0	0	0	0	0	0
		CELKEM - FÁZE PRŮŘEZU 3			0	0	0	0	0	0								0	0	0	0	0	0	0	0	0	0	0	0
		CELKEM - PRŮŘEZ			-325	-68	-369	0	-369	9								-369	0	776	0	776	-122	9	-113			

Napětí od jednotlivých zatěžovacích stavů

SKUPINA ZATĚŽOVACÍCH STAVŮ					Posouzení normálového napětí										Posouzení smykového napětí													
					Účinek síly N			Účinek momentu My			Účinek momentu Mz				Účinek kroutícího momentu Mx				Účinek smykové síly Vy				Účinek smykové síly Vz			
Č.	SKUP ZS	Popis ZS	Kat.	fáze průř.	δ^*N_d [kN]	χ^*A [mm²]	σ_n [MPa]	$\delta^*M_{y,d}$ [kNm]	$\chi_{lt}{}^*W_{el,y}$ [mm³]	σ_{my} [MPa]	$\delta^*M_{z,d}$ [kNm]	$W_{el,z}$ [mm³]	σ_{mz} [MPa]	σ_x [MPa]	$\kappa^*\delta^*M_{x,d}$ [kNm]	$W_{v,y}$ [mm³]	$\tau_{x,y}$ [MPa]	$W_{v,z}$ [mm³]	$\tau_{x,z}$ [MPa]	$\delta^*V_{y,d}$ [kN]	$A_{v,y}$ [mm2]	$\tau_{v,y}$ [MPa]	$\tau_{v,y}$ [MPa]	$\delta^*V_{z,d}$ [kN]	$A_{v,z}$ [mm2]	$\tau_{v,z}$ [MPa]	$\tau_{v,z}$ [MPa]
1	G0	Vlastní tíha OK	G	0	-65.1	3.42E+04	-1.9	36.8	1.19E+07	3.1	-9.8	-1.05E+06	9.3	10.5	0.0E+00	-	-	-	-	2.5	1.87E+04	0.1	0.1	-34.2	1.12E+04	-3.1	-3.1
2	G1	Ostatní stálé - mostní vybavení	G	0	-5.5	3.42E+04	-0.2	7.4	1.19E+07	0.6	-0.7	-1.05E+06	0.7	1.2	0.0E+00	-	-	-	-	0.2	1.87E+04	0.0	0.0	-7.7	1.12E+04	-0.7	-0.7
3	G2	Ostatní stálé - cizí zařízení	G	0	-2.0	3.42E+04	-0.1	-7.2	1.19E+07	-0.6	-0.9	-1.05E+06	0.8	0.2	0.0E+00	-	-	-	-	-0.4	1.87E+04	0.0	0.0	-4.1	1.12E+04	-0.4	-0.4
4	P1_71	a.LM71 - kolej 1 (bez dyn. souč.)	P	0	0.0	3.42E+04	0.0	0.0	1.19E+07	0.0	0.0	-1.05E+06	0.0	0.0	0.0E+00	-	-	-	-	0.0	1.87E+04	0.0	0.0	0.0	1.12E+04	0.0	0.0
5	P2_71	a.LM71 - kolej 2 (bez dyn. souč.)	P	0	0.0	3.42E+04	0.0	0.0	1.19E+07	0.0	0.0	-1.05E+06	0.0	0.0	0.0E+00	-	-	-	-	0.0	1.87E+04	0.0	0.0	0.0	1.12E+04	0.0	0.0
6	P1_C3	TTZ C3 - kolej 1 (bez dyn. souč.)	P	0	-117.1	3.42E+04	-3.4	139.8	1.19E+07	11.8	-16.4	-1.05E+06	15.6	23.9	0.0E+00	-	-	-	-	-14.5	1.87E+04	-0.8	-0.8	-207.0	1.12E+04	-18.5	-18.5
7	P2_C3	TTZ C3 - kolej 2 (bez dyn. souč.)	P	0	-116.3	3.42E+04	-3.4	631.7	1.19E+07	53.3	-17.9	-1.05E+06	17.0	66.9	1.7E-02	-	-	-	-	-7.6	1.87E+04	-0.4	-0.4	-97.6	1.12E+04	-8.7	-8.7
8	BR	Brzdné a rozjezdové síly	P	0	-23.7	3.42E+04	-0.7	-10.8	1.19E+07	-0.9	-45.0	-1.05E+06	42.7	41.1	1.7E-02	-	-	-	-	-20.9	1.87E+04	-1.1	-1.1	-0.1	1.12E+04	0.0	0.0
9	S	Boční ráz	P	0	0.1	3.42E+04	0.0	-3.3	1.19E+07	-0.3	-2.2	-1.05E+06	2.1	1.8	4.2E-03	-	-	-	-	-2.8	1.87E+04	-0.1	-0.1	-1.2	1.12E+04	-0.1	-0.1
10	CH	Chodci na lávkách	Q	0	0.0	3.42E+04	0.0	0.0	1.19E+07	0.0	0.0	-1.05E+06	0.0	0.0	0.0E+00	-	-	-	-	0.0	1.87E+04	0.0	0.0	0.0	1.12E+04	0.0	0.0
11	W	Vítr na konstrukci	Q	0	-1.4	3.42E+04	0.0	18.4	1.19E+07	1.6	-6.7	-1.05E+06	6.4	7.9	1.0E-02	-	-	-	-	-8.6	1.87E+04	-0.5	-0.5	6.7	1.12E+04	0.6	0.6
12	WP	Vítr na vozidla	Q	0	9.2	3.42E+04	0.3	-40.3	1.19E+07	-3.4	-12.0	-1.05E+06	11.4	8.3	1.0E-02	-	-	-	-	-14.9	1.87E+04	-0.8	-0.8	-26.4	1.12E+04	-2.4	-2.4
13	TR	Teplota rovnoměrná	Q	0	0.0	3.42E+04	0.0	0.0	1.19E+07	0.0	0.0	-1.05E+06	0.0	0.0	0.0E+00	-	-	-	-	0.0	1.87E+04	0.0	0.0	0.0	1.12E+04	0.0	0.0
14	TN	Teplota nerovnoměrná	Q	0	2.1	3.42E+04	0.1	-2.1	1.19E+07	-0.2	-0.7	-1.05E+06	0.7	0.6	0.0E+00	-	-	-	-	-0.4	1.87E+04	0.0	0.0	0.2	1.12E+04	0.0	0.0
15	FR	Třecí síly v ložiskách	Q	0	-5.0	3.42E+04	-0.1	-1.8	1.19E+07	-0.1	-0.5	-1.05E+06	0.5	0.2	0.0E+00	-	-	-	-	-0.2	1.87E+04	0.0	0.0	0.0	1.12E+04	0.0	0.0
16	I	Imperfekce soustavy	Q	0	-0.1	3.42E+04	0.0	7.0	1.19E+07	0.6	-0.2	-1.05E+06	0.2	0.8	0.0E+00	-	-	-	-	-0.5	1.87E+04	0.0	0.0	2.4	1.12E+04	0.2	0.2
27	ULS_LM	ULS - LM71 bez dynam	Q	0	0.0	3.42E+04	0.0	0.0	1.19E+07	0.0	0.0	-1.05E+06	0.0	0.0	0.0E+00	-	-	-	-	0.0	1.87E+04	0.0	0.0	0.0	1.12E+04	0.0	0.0
28	SLS_LM	SLS - LM71 bez dynam	Q	0	0.0	3.42E+04	0.0	0.0	1.19E+07	0.0	0.0	-1.05E+06	0.0	0.0	0.0E+00	-	-	-	-	0.0	1.87E+04	0.0	0.0	0.0	1.12E+04	0.0	0.0
29	ULS_C3	ULS - C3 bez dynam	Q	0	0.0	3.42E+04	0.0	0.0	1.19E+07	0.0	0.0	-1.05E+06	0.0	0.0	0.0E+00	-	-	-	-	0.0	1.87E+04	0.0	0.0	0.0	1.12E+04	0.0	0.0
30	SLS_C3	SLS - C3 bez dynam	Q	0	0.0	3.42E+04	0.0	0.0	1.19E+07	0.0	0.0	-1.05E+06	0.0	0.0	0.0E+00	-	-	-	-	0.0	1.87E+04	0.0	0.0	0.0	1.12E+04	0.0	0.0
NAVÝŠENÍ NAPĚTÍ DO AKTIVACE TLAKU V DESCE MOSTOVKY						$\sigma_{P,red}$	0.0							0.0			0.0		0.0				-3.6	-3.6			-33.0	-33.0
NAPĚTÍ OD PRIMÁRNÍCH ÚČINKŮ NEROVNOMĚRNÉHO OTEPLENÍ						σ_T	0.0							0.0														
NAPĚTÍ OD REOLOGICKÝCH ÚČINKŮ BETONU V ČASE				t=0		σ_R	0.0	γ_{inf}=	1.20					0.0														
NAPĚTÍ V KRITICKÝCH VLÁKNECH OD KOMBINACE ZATÍŽENÍ						KZ07		[MPa]					$\Sigma\sigma_x$	163.3								$\Sigma\tau_y$	-3.6				$\Sigma\tau_z$	-33.0
NAPĚTÍ OD POHYBLIVÉHO ZATÍŽENÍ								[MPa]					$\sigma_{x,P}$	133.7								τ_P	-2.4				τ_P	-27.3
NAPĚTÍ OD OSTATNÍCH ZATÍŽENÍ								[MPa]			Φ_{Vy}	Φ_{Vz}	$\sigma_{x,rs}$	29.6								τ_{rs}	-1.2				τ_{rs}	-5.6
NÁVRHOVÁ HODNOTA MEZE KLUZU S REDUKCÍ VLIVEM SMYKOVÉHO NAPĚTÍ								[MPa]			1.00	1.00	$f_{yw,d}$	209.1								$f_{yd}/3^{0,5}$	120.7				$f_{yd}/3^{0,5}$	120.7
NAPĚTÍ OD POHYBLIVÉHO ZATÍŽENÍ V GLOBÁLNÍM SYSTÉMU						$\sigma_{GLOB,P}$	0.0	[MPa]					$\Sigma\sigma_{GLOB}$	0.0														
NAPĚTÍ OD OSTATNÍCH ZATÍŽENÍ V GLOBÁLNÍM SYSTÉMU						$\sigma_{GLOB,rs}$	0.0	[MPa]					$\Sigma\sigma_x + \Sigma\sigma_{GLOB}$	163.3														
VYUŽITÍ PRŮŘEZU DLE NAPĚTÍ								[%]					η_1	0.78								η_3	0.03				η_3	0.27
NAPĚTÍ V PŘÍČNÉM SMĚRU OD POHYBLIVÉHO ZATÍŽENÍ						$\sigma_{z,P}$	0.0	[MPa]					$\Sigma\sigma_z$	0.0														
NAPĚTÍ V PŘÍČNÉM SMĚRU OD OSTATNÍCH ZATÍŽENÍ						$\sigma_{z,rs}$	0.0	[MPa]					η_2	0.00														
SROVNÁVACÍ NAPĚTÍ													$(\eta_2 + 0,8\ \eta_1)/1,4$ =	0.45														
VYUŽITÍ PRŮŘEZU CELKEM								[%]					eff	0.78	VYHOVUJE													
STANOVENÍ ZATÍŽITELNOSTI													Z_{LM71} =	-----														

TAB. P4.2.3 POSOUZENÍ - MEZNÍ STAV ÚNOSNOSTI

POPIS	PŘÍČNÍK P4 - VNĚJŠÍ PODÉLNÍK
PRUT / POLOHA BODU	668 / I[547]
NAMÁHÁNÍ	Vz.min
VLÁKNO	BOD S5 -HL
MEZNÍ STAV	ULS (MSÚ)
VYUŽITÍ VLÁKNA PRŮŘEZU	0.35

Charakteristiky materiálu				
pás. horní	$f_{yf,k}$	230	MPa	
pás. dolní	$f_{yf,k}$	230	MPa	
stojina	$f_{yw,k}$	230	MPa	
výztuž	$f_{ys,k}$	500	MPa	
γ_M =	1.10	γ_s =	1.15	

Excentricita normálové síly				
Exc./Fáze	0	1	2	3
e_y	0.000	0.000	0.000	0.000
e_z	0.000	0.000	0.000	0.000
Ekvivalentní vzdál. stěn - příčný roznos				
b_{Mx}	0.000	0.000	0.000	0.000

Vliv stěny na únosnost průřezu				
Char./Fáze	0	1	2	3
A	0.00	0.00	0.00	0.00
Wy	0.00	0.00	0.00	0.00
Wz	0.00	0.00	0.00	0.00

Charakter. v kroucení			
$t_{w,y}$	0.000	[mm]	
$t_{w,z}$	0.000	[mm]	
κ	1.00		
I_t=	0.00E+00	[mm^4]	
$\Omega=2*A_{pr}$	0.00E+00	[mm^2]	

Součinitele vzpěru a vlivu II.řádu				
Char./Fáze	0	1	2	3
k_y	1.000	1.000	1.000	1.000
k_z	1.000	1.000	1.000	1.000
χ_{LT}	1.000	1.000	1.000	1.000
χ_{min}	1.000	1.000	1.000	1.000

δ_{LOK} 1.05

Vnitřní síly od jednotlivých skupin zatěžovacích stavů

SKUPINA ZATĚŽOVACÍCH STAVŮ — 8

Č.	SKUP ZS	POPIS ZS	KAT.	FÁZE PRŮŘ.	- CHARAKTERISTICKÉ HODNOTY N.k (kN)	Vy.k (kN)	Vz.k (kN)	Mx.k (kNm)	My.k (kNm)	Mz.k (kNm)	DÍLČÍ SOUČINITELÉ ZATÍŽENÍ, DYNAMICKÝ SOUČINITEL γ_{sr} (-)	γ_{fs} (-)	volba γ_f hledat	γ_f (-)	L_d (m)	δ (-)	Ψ_0 KZ08	- NÁVRHOVÉ HODNOTY N.d (kN)	Vy.d (kN)	Vz.d (kN)	ΔVz.d (kN)	ΣVz.d (kN)	Mx.d (kNm)	My.d (kNm)	ΔMy.d (kNm)	ΣMy.d (kNm)	Mz.d (kNm)	ΔMz.d (kNm)	ΣMz.d (kNm)
1	G0	Vlastní tíha OK	G	0	-57	2	-30	0	32	-9	1.00	1.20		1.20	-	1.00	0.95	-65	2	-34	0	-34	0	37	0	37	-10	0	-10
2	G1	Ostatní stálé - mostní vybavení	G	0	-5	0	-7	0	7	-1	1.00	1.20		1.20	-	1.00	0.95	-6	0	-8	0	-8	0	7	0	7	-1	0	-1
3	G2	Ostatní stálé - cizí zařízení	G	0	-2	0	-4	0	-6	-1	1.00	1.20		1.20	-	1.00	0.95	-2	0	-4	0	-4	0	-7	0	-7	-1	0	-1
4	P1_71	a.LM71 - kolej 1 (bez dyn. souč.)	P	0	-89	-10	-212	0	164	-14	1.00	vyp.		0.00	-	1.00	0.00	0	0	0	0	0	0	0	0	0	0	0	0
5	P2_71	a.LM71 - kolej 2 (bez dyn. souč.)	P	0	-52	-1	-174	0	676	-4	1.00	vyp.		0.00	-	1.00	0.00	0	0	0	0	0	0	0	0	0	0	0	0
6	P1_C3	TTZ C3 - kolej 1 (bez dyn. souč.)	P	0	-68	-8	-122	0	81	-11	1.00	1.30		1.30	-	1.32	1.00	-117	-14	-209	0	-209	0	138	0	138	-20	4	-16
7	P2_C3	TTZ C3 - kolej 2 (bez dyn. souč.)	P	0	-29	-1	-99	0	383	-2	1.00	1.30		1.30	-	1.32	1.00	-50	-1	-169	0	-169	0	655	0	655	-4	1	-3
8	BR	Brzdné a rozjezdové síly	P	0	13	23	-1	0	6	32	1.00	1.30		1.30	-	1.00	0.32	5	10	0	0	0	0	3	0	3	13	0	13
9	S	Boční ráz	P	0	-10	2	-7	0	-14	3	1.00	1.30		1.30	-	1.00	0.64	-8	2	-6	0	-6	0	-11	0	-11	2	0	2
10	CH	Chodci na lávkách	Q	0	-1	-1	-1	0	-33	-1	1.00	1.30		1.30	-	1.00	1.00	-1	-1	-1	0	-1	0	-43	0	-43	-2	0	-2
11	W	Vítr na konstrukci	Q	0	-2	9	-7	0	-18	7	1.00	1.35		1.35	-	1.00	0.75	-2	9	-7	0	-7	0	-18	0	-18	7	0	7
12	WP	Vítr na vozidla	Q	0	9	-15	-26	0	-40	-12	1.00	1.35		1.35	-	1.00	0.75	9	-15	-26	0	-26	0	-40	0	-40	-12	0	-12
13	TR	Teplota rovnoměrná	Q	0	0	0	0	0	0	0	1.00	1.35		1.35	-	1.00	0.45	0	0	0	0	0	0	0	0	0	0	0	0
14	TN	Teplota nerovnoměrná	Q	0	1	0	-10	0	-33	-1	1.00	1.35		1.35	-	1.00	0.60	1	0	-8	0	-8	0	-26	0	-26	0	0	0
15	FR	Třecí síly v ložiskách	Q	0	-4	0	0	0	-1	0	1.00	1.20		1.20	-	1.00	1.00	-5	0	0	0	0	0	-2	0	-2	-1	0	-1
16	I	Imperfekce soustavy	Q	0	0	0	-2	0	-6	0	1.00	1.20		1.20	-	1.00	1.00	0	0	-2	0	-2	0	-7	0	-7	0	0	0
27	ULS_LM	ULS - LM71 bez dynam	Q	0	-255	-12	-601	0	981	-24	1.00	vyp.		0.00	-	1.00	0.00	0	0	0	0	0	0	0	0	0	0	0	0
28	SLS_LM	SLS - LM71 bez dynam	Q	0	-205	-10	-461	0	781	-20	1.00	vyp.	1	0.00	-	1.00	0.00	0	0	0	0	0	0	0	0	0	0	0	0
29	ULS_C3	ULS - C3 bez dynam	Q	0	-199	-9	-387	0	492	-18	1.00	vyp.	1	0.00	-	1.00	0.00	0	0	0	0	0	0	0	0	0	0	0	0
30	SLS_C3	SLS - C3 bez dynam	Q	0	-161	-7	-296	0	404	-15	1.00	vyp.	1	0.00	-	1.00	0.00	0	0	0	0	0	0	0	0	0	0	0	0
		CELKEM - FÁZE PRŮŘEZU 0																-240	-8	-473	0	-473	0	685	0	685	-27	5	-22
		CELKEM - FÁZE PRŮŘEZU 1																0	0	0	0	0	0	0	0	0	0	0	0
		CELKEM - FÁZE PRŮŘEZU 2																0	0	0	0	0	0	0	0	0	0	0	0
		CELKEM - FÁZE PRŮŘEZU 3																0	0	0	0	0	0	0	0	0	0	0	0
		CELKEM - PRŮŘEZ																-240	-8	-473	0	-473	0			685			-22

Napětí od jednotlivých zatěžovacích stavů

SKUPINA ZATĚŽOVACÍCH STAVŮ

Č.	SKUP ZS	Popis ZS	Kat.	fáze průř.	Posouzení normálového napětí — Účinek síly N δ^*N_d [kN]	χ^*A [mm^2]	σ_n [MPa]	Účinek momentu My $\delta^*M_{y,d}$ [kNm]	$\chi_{lt}*W_{el,y}$ [mm^3]	σ_{my} [MPa]	Účinek momentu Mz $\delta^*M_{z,d}$ [kNm]	$W_{el,z}$ [mm^3]	σ_{mz} [MPa]	σ_x [MPa]	Posouzení smykového napětí — Účinek kroutícího momentu Mx $\kappa*\delta^*M_{x,d}$ [kNm]	$W_{v,y}$ [mm^2]	$\tau_{x,y}$ [MPa]	$W_{v,z}$ [mm^2]	$\tau_{x,z}$ [MPa]	Účinek smykové síly Vy $\delta^*V_{y,d}$ [kN]	$A_{v,y}$ [mm2]	$\tau_{v,y}$ [MPa]	$\tau_{v,y}$ [MPa]	Účinek smykové síly Vz $\delta^*V_{z,d}$ [kN]	$A_{v,z}$ [mm2]	$\tau_{v,z}$ [MPa]	$\tau_{v,z}$ [MPa]
1	G0	Vlastní tíha OK	G	0	-65.1	3.42E+04	-1.9	36.8	-1.45E+07	-2.5	-9.8	-3.24E+07	0.3	-4.1	0.0E+00	-	-	-	-	2.5	1.87E+04	0.1	0.1	-34.2	1.12E+04	-3.1	-3.1
2	G1	Ostatní stálé - mostní vybavení	G	0	-5.5	3.42E+04	-0.2	7.4	-1.45E+07	-0.5	-0.7	-3.24E+07	0.0	-0.7	0.0E+00	-	-	-	-	0.2	1.87E+04	0.0	0.0	-7.7	1.12E+04	-0.7	-0.7
3	G2	Ostatní stálé - cizí zařízení	G	0	-2.0	3.42E+04	-0.1	-7.2	-1.45E+07	0.5	-0.9	-3.24E+07	0.0	0.5	0.0E+00	-	-	-	-	-0.4	1.87E+04	0.0	0.0	-4.1	1.12E+04	-0.4	-0.4
4	P1_71	a.LM71 - kolej 1 (bez dyn. souč.)	P	0	0.0	3.42E+04	0.0	0.0	-1.45E+07	0.0	0.0	-3.24E+07	0.0	0.0	0.0E+00	-	-	-	-	0.0	1.87E+04	0.0	0.0	0.0	1.12E+04	0.0	0.0
5	P2_71	a.LM71 - kolej 2 (bez dyn. souč.)	P	0	0.0	3.42E+04	0.0	0.0	-1.45E+07	0.0	0.0	-3.24E+07	0.0	0.0	0.0E+00	-	-	-	-	0.0	1.87E+04	0.0	0.0	0.0	1.12E+04	0.0	0.0
6	P1_C3	TTZ C3 - kolej 1 (bez dyn. souč.)	P	0	-116.7	3.42E+04	-3.4	138.3	-1.45E+07	-9.5	-15.6	-3.24E+07	0.5	-12.4	0.0E+00	-	-	-	-	-13.6	1.87E+04	-0.7	-0.7	-208.8	1.12E+04	-18.7	-18.7
7	P2_C3	TTZ C3 - kolej 2 (bez dyn. souč.)	P	0	-49.7	3.42E+04	-1.5	654.9	-1.45E+07	-45.0	-3.2	-3.24E+07	0.1	-46.4	0.0E+00	-	-	-	-	-1.2	1.87E+04	-0.1	-0.1	-168.5	1.12E+04	-15.1	-15.1
8	BR	Brzdné a rozjezdové síly	P	0	5.3	3.42E+04	0.2	2.5	-1.45E+07	-0.2	13.3	-3.24E+07	-0.4	-0.4	-8.3E-03	-	-	-	-	9.7	1.87E+04	0.5	0.5	-0.3	1.12E+04	0.0	0.0
9	S	Boční ráz	P	0	-8.1	3.42E+04	-0.2	-11.3	-1.45E+07	0.8	2.4	-3.24E+07	-0.1	0.5	1.7E-02	-	-	-	-	2.0	1.87E+04	0.1	0.1	-6.0	1.12E+04	-0.5	-0.5
10	CH	Chodci na lávkách	Q	0	-1.0	3.42E+04	0.0	-42.8	-1.45E+07	2.9	-1.7	-3.24E+07	0.1	3.0	0.0E+00	-	-	-	-	-1.2	1.87E+04	-0.1	-0.1	-0.8	1.12E+04	-0.1	-0.1
11	W	Vítr na konstrukci	Q	0	-1.6	3.42E+04	0.0	-18.4	-1.45E+07	1.3	6.7	-3.24E+07	-0.2	1.0	-1.0E-02	-	-	-	-	8.6	1.87E+04	0.5	0.5	-6.7	1.12E+04	-0.6	-0.6
12	WP	Vítr na vozidla	Q	0	9.2	3.42E+04	0.3	-40.3	-1.45E+07	2.8	-12.0	-3.24E+07	0.4	3.4	1.0E-02	-	-	-	-	-14.9	1.87E+04	-0.8	-0.8	-26.4	1.12E+04	-2.4	-2.4
13	TR	Teplota rovnoměrná	Q	0	0.0	3.42E+04	0.0	0.0	-1.45E+07	0.0	0.0	-3.24E+07	0.0	0.0	0.0E+00	-	-	-	-	0.0	1.87E+04	0.0	0.0	0.0	1.12E+04	0.0	0.0
14	TN	Teplota nerovnoměrná	Q	0	0.6	3.42E+04	0.0	-26.4	-1.45E+07	1.8	-0.4	-3.24E+07	0.0	1.8	-8.1E-03	-	-	-	-	-0.2	1.87E+04	0.0	0.0	-7.7	1.12E+04	-0.7	-0.7
15	FR	Třecí síly v ložiskách	Q	0	-5.0	3.42E+04	-0.1	-1.8	-1.45E+07	0.1	-0.5	-3.24E+07	0.0	0.0	0.0E+00	-	-	-	-	-0.2	1.87E+04	0.0	0.0	0.0	1.12E+04	0.0	0.0
16	I	Imperfekce soustavy	Q	0	0.1	3.42E+04	0.0	-7.0	-1.45E+07	0.5	0.2	-3.24E+07	0.0	0.5	0.0E+00	-	-	-	-	0.5	1.87E+04	0.0	0.0	-2.4	1.12E+04	-0.2	-0.2
27	ULS_LM	ULS - LM71 bez dynam	Q	0	0.0	3.42E+04	0.0	0.0	-1.45E+07	0.0	0.0	-3.24E+07	0.0	0.0	0.0E+00	-	-	-	-	0.0	1.87E+04	0.0	0.0	0.0	1.12E+04	0.0	0.0
28	SLS_LM	SLS - LM71 bez dynam	Q	0	0.0	3.42E+04	0.0	0.0	-1.45E+07	0.0	0.0	-3.24E+07	0.0	0.0	0.0E+00	-	-	-	-	0.0	1.87E+04	0.0	0.0	0.0	1.12E+04	0.0	0.0
29	ULS_C3	ULS - C3 bez dynam	Q	0	0.0	3.42E+04	0.0	0.0	-1.45E+07	0.0	0.0	-3.24E+07	0.0	0.0	0.0E+00	-	-	-	-	0.0	1.87E+04	0.0	0.0	0.0	1.12E+04	0.0	0.0
30	SLS_C3	SLS - C3 bez dynam	Q	0	0.0	3.42E+04	0.0	0.0	-1.45E+07	0.0	0.0	-3.24E+07	0.0	0.0	0.0E+00	-	-	-	-	0.0	1.87E+04	0.0	0.0	0.0	1.12E+04	0.0	0.0
NAVÝŠENÍ NAPĚTÍ DO AKTIVACE TLAKU V DESCE MOSTOVKY						$\sigma_{P,red}$	0.0							0.0				0.0		0.0			-0.4	-0.4			-42.3	-42.3
NAPĚTÍ OD PRIMÁRNÍCH ÚČINKŮ NEROVNOMĚRNÉHO OTEPLENÍ						σ_T	0.0							0.0														
NAPĚTÍ OD REOLOGICKÝCH ÚČINKŮ BETONU V ČASE			t=0			σ_R	0.0	$\gamma_{f=}$	1.20					0.0														
NAPĚTÍ V KRITICKÝCH VLÁKNECH OD KOMBINACE ZATÍŽENÍ						KZ08		[MPa]					$\Sigma\sigma_x$	-53.4								$\Sigma\tau_y$	-0.4			$\Sigma\tau_z$	-42.3
NAPĚTÍ OD POHYBLIVÉHO ZATÍŽENÍ								[MPa]					$\sigma_{x,P}$	-58.8								τ_P	-0.2			τ_P	-34.3
NAPĚTÍ OD OSTATNÍCH ZATÍŽENÍ								[MPa]			Φ_{Vy}	Φ_{Vz}	$\sigma_{x,rs}$	5.4								τ_{rs}	-0.3			τ_{rs}	-8.0
NÁVRHOVÁ HODNOTA MEZE KLUZU S REDUKCÍ VLIVEM SMYKOVÉHO NAPĚTÍ								[MPa]			1.00	1.00	$f_{yw,d}$	209.1								$f_{yd}/3^{0,5}$	120.7			$f_{yd}/3^{0,5}$	120.7
NAPĚTÍ OD POHYBLIVÉHO ZATÍŽENÍ V GLOBÁLNÍM SYSTÉMU						$\sigma_{GLOB,P}$	0.0	[MPa]					$\Sigma\sigma_{GLOB}$	0.0													
NAPĚTÍ OD OSTATNÍCH ZATÍŽENÍ V GLOBÁLNÍM SYSTÉMU						$\sigma_{GLOB,rs}$	0.0	[MPa]					$\Sigma\sigma_x + \Sigma\sigma_{GLOB}$	-53.4													
VYUŽITÍ PRŮŘEZU DLE NAPĚTÍ								[%]					η_1	0.26								η_3	0.00			η_3	0.35
NAPĚTÍ V PŘÍČNÉM SMĚRU OD POHYBLIVÉHO ZATÍŽENÍ						$\sigma_{z,P}$	0.0	[MPa]					$\Sigma\sigma_z$	0.0													
NAPĚTÍ V PŘÍČNÉM SMĚRU OD OSTATNÍCH ZATÍŽENÍ						$\sigma_{z,rs}$	0.0	[MPa]					η_2	0.00													
SROVNÁVACÍ NAPĚTÍ													$(\eta_2 + 0{,}8\,\eta_1)/1{,}4 =$	0.15													
VYUŽITÍ PRŮŘEZU CELKEM								[%]					eff	0.35	VYHOVUJE												
STANOVENÍ ZATÍŽITELNOSTI													Z_{LM71} =	-----													

TAB. P5.1.3 POSOUZENÍ - MEZNÍ STAV ÚNOSNOSTI

POPIS	PŘÍČNÍK P5 - ZÁKLADNÍ ČÁST
PRUT / POLOHA BODU	655 / I[535]
NAMÁHÁNÍ	My.max
VLÁKNO	BOD K2 -HP
MEZNÍ STAV	ULS (MSÚ)
VYUŽITÍ VLÁKNA PRŮŘEZU	0.91

Charakteristiky materiálu				
pás. horní	$f_{yf,k}$	230	MPa	
pás. dolní	$f_{yf,k}$	230	MPa	
stojina	$f_{yw,k}$	230	MPa	
výztuž	$f_{ys,k}$	500	MPa	
γ_M =	1.10	γ_s =	1.15	

Excentricita normálové síly				
Exc./Fáze	0	1	2	3
e_y	0.000	0.000	0.000	0.000
e_z	0.000	0.000	0.000	0.000
Ekvivalentní vzdál. stěn - příčný roznos				
b_{Mx}	0.000	0.000	0.000	0.000

Vliv stěny na únosnost průřezu				
Char./Fáze	0	1	2	3
A	0.41	0.00	0.00	0.00
Wy	0.19	0.00	0.00	0.00
Wz	0.06	0.00	0.00	0.00

Charakter. v kroucení			
$t_{w,y}$	0.000	[mm]	
$t_{w,z}$	0.000	[mm]	
κ	1.00		
I_t=	0.00E+00	[mm^4]	
$\Omega=2*A_{pr}$	0.00E+00	[mm^2]	

Součinitele vzpěru a vlivu II.řádu				
Char./Fáze	0	1	2	3
k_y	1.000	1.000	1.000	1.000
k_z	1.000	1.000	1.000	1.000
χ_{LT}	1.000	1.000	1.000	1.000
χ_{min}	1.000	1.000	1.000	1.000

δ_{LOK} 1.05

Vnitřní síly od jednotlivých skupin zatěžovacích stavů

SKUPINA ZATĚŽOVACÍCH STAVŮ — CHARAKTERISTICKÉ HODNOTY — DÍLČÍ SOUČINITELÉ ZATÍŽENÍ, DYNAMICKÝ SOUČINITEL — NÁVRHOVÉ HODNOTY

Č.	SKUP ZS	Popis ZS	KAT.	FÁZE PRŮŘ.	N.k (kN)	Vy.k (kN)	Vz.k (kN)	Mx.k (kNm)	My.k (kNm)	Mz.k (kNm)	γ_{sr} (-)	γ_{fs} (-)	volba γ_f hledat	γ_f (-)	L_d (m)	δ (-)	Ψ_s KZ07	N.d (kN)	Vy.d (kN)	Vz.d (kN)	ΔVz.d (kN)	ΣVz.d (kN)	Mx.d (kNm)	My.d (kNm)	ΔMy.d (kNm)	ΣMy.d (kNm)	Mz.d (kNm)	ΔMz.d (kNm)	ΣMz.d (kNm)
1	G0	Vlastní tíha OK	G	0	-1	7	-48	0	39	-5	1.00	1.20		1.20	-	1.00	0.95	-2	8	-55	0	-55	0	45	0	45	-5	0	-5
2	G1	Ostatní stálé - mostní vybavení	G	0	0	1	-7	0	6	0	1.00	1.20		1.20	-	1.00	0.95	0	1	-8	0	-8	0	7	0	7	0	0	0
3	G2	Ostatní stálé - cizí zařízení	G	0	0	1	-4	0	-7	0	1.00	1.20		1.20	-	1.00	0.95	0	1	-4	0	-4	0	-8	0	-8	-1	0	-1
4	P1_71	a.LM71 - kolej 1 (bez dyn. souč.)	P	0	11	3	-205	0	169	-3	1.00	vyp.		0.00	-	1.00	0.00	0	0	0	0	0	0	0	0	0	0	0	0
5	P2_71	a.LM71 - kolej 2 (bez dyn. souč.)	P	0	-9	10	-494	0	607	-8	1.00	vyp.		0.00	-	1.00	0.00	0	0	0	0	0	0	0	0	0	0	0	0
6	P1_C3	TTZ C3 - kolej 1 (bez dyn. souč.)	P	0	6	2	-116	0	96	-2	1.00	1.30		1.30	-	1.32	1.00	10	3	-199	0	-199	0	164	0	164	-3	1	-2
7	P2_C3	TTZ C3 - kolej 2 (bez dyn. souč.)	P	0	-8	8	-277	0	351	-6	1.00	1.30		1.30	-	1.32	1.00	-14	14	-473	0	-473	0	600	0	600	-11	2	-9
8	BR	Brzdné a rozjezdové síly	P	0	0	-37	0	0	3	43	1.00	-1.30		-1.30	-	1.00	0.64	0	31	0	0	0	0	-3	0	-3	-36	0	-36
9	S	Boční ráz	P	0	-6	1	-2	0	18	-1	1.00	1.30		1.30	-	1.00	0.32	-3	0	-1	0	-1	0	7	0	7	0	0	0
10	CH	Chodci na lávkách	Q	0	0	1	2	0	-8	-1	1.00	1.30		1.30	-	1.00	1.00	0	1	3	0	3	0	-11	0	-11	-1	0	-1
11	W	Vítr na konstrukci	Q	0	-14	4	6	0	12	-5	1.00	1.35		1.35	-	1.00	0.75	-14	4	6	0	6	0	12	0	12	-5	0	-5
12	WP	Vítr na vozidla	Q	0	-9	-6	-8	0	54	9	1.00	-1.35		-1.35	-	1.00	0.75	9	7	8	0	8	0	-55	0	-55	-9	0	-9
13	TR	Teplota rovnoměrná	Q	0	0	0	0	0	0	0	1.00	1.35		1.35	-	1.00	0.45	0	0	0	0	0	0	0	0	0	0	0	0
14	TN	Teplota nerovnoměrná	Q	0	-4	0	9	0	24	0	1.00	1.35		1.35	-	1.00	0.60	-3	0	8	0	8	0	19	0	19	0	0	0
15	FR	Třecí síly v ložiskách	Q	0	0	0	0	0	0	0	1.00	-1.20		-1.20	-	1.00	1.00	0	0	0	0	0	0	0	0	0	0	0	0
16	I	Imperfekce soustavy	Q	0	-1	0	2	0	5	0	1.00	1.20		1.20	-	1.00	1.00	-1	0	2	0	2	0	6	0	6	0	0	0
27	ULS_LM	ULS - LM71 bez dynam	Q	0	-33	3	-969	0	1 161	6	1.00	vyp.	1	0.00	-	1.00	0.00	0	0	0	0	0	0	0	0	0	0	0	0
28	SLS_LM	SLS - LM71 bez dynam	Q	0	-23	4	-759	0	881	4	1.00	vyp.	1	0.00	-	1.00	0.00	0	0	0	0	0	0	0	0	0	0	0	0
29	ULS_C3	ULS - C3 bez dynam	Q	0	-39	-1	-571	0	733	9	1.00	vyp.	1	0.00	-	1.00	0.00	0	0	0	0	0	0	0	0	0	0	0	0
30	SLS_C3	SLS - C3 bez dynam	Q	0	-27	1	-452	0	552	6	1.00	vyp.	1	0.00	-	1.00	0.00	0	0	0	0	0	0	0	0	0	0	0	0
		CELKEM - FÁZE PRŮŘEZU 0			-17	69	-712	0	783	-73								-712	0	783	0	783	-73	3	-70				
		CELKEM - FÁZE PRŮŘEZU 1			0	0	0	0	0	0								0	0	0	0	0	0	0	0				
		CELKEM - FÁZE PRŮŘEZU 2			0	0	0	0	0	0								0	0	0	0	0	0	0	0				
		CELKEM - FÁZE PRŮŘEZU 3			0	0	0	0	0	0								0	0	0	0	0	0	0	0				
		CELKEM - PRŮŘEZ			-17	69	-712	0	783	-73								-712	0	783									

Napětí od jednotlivých zatěžovacích stavů

SKUPINA ZATĚŽOVACÍCH STAVŮ — Posouzení normálového napětí — Účinek síly N — Účinek momentu My — Účinek momentu Mz — Posouzení smykového napětí — Účinek kroutícího momentu Mx — Účinek smykové síly Vy — Účinek smykové síly Vz

Č.	SKUP ZS	Popis ZS	Kat.	fáze průř.	δ^*N_d [kN]	χ^*A [mm^2]	σ_n [MPa]	$\delta^*M_{y,d}$ [kNm]	$\chi_{lt}{}^*W_{el,y}$ [mm^3]	σ_{my} [MPa]	$\delta^*M_{z,d}$ [kNm]	$W_{el,z}$ [mm^3]	σ_{mz} [MPa]	σ_x [MPa]	$\kappa^*\delta^*M_{x,d}$ [kNm]	$W_{v,y}$ [mm^3]	$\tau_{x,y}$ [MPa]	$W_{v,z}$ [mm^3]	$\tau_{x,z}$ [MPa]	$\delta^*V_{y,d}$ [kN]	$A_{v,y}$ [mm2]	$\tau_{v,y}$ [MPa]	$\tau_{v,y}$ [MPa]	$\delta^*V_{z,d}$ [kN]	$A_{v,z}$ [mm2]	$\tau_{v,z}$ [MPa]	$\tau_{v,z}$ [MPa]
1	G0	Vlastní tíha OK	G	0	-1.6	2.84E+04	-0.1	44.8	-1.07E+07	-4.2	-5.4	5.97E+05	-9.0	-13.3	-1.1E-02	-	-	-	-	7.8	1.23E+04	0.6	0.6	-54.8	1.11E+04	-4.9	-4.9
2	G1	Ostatní stálé - mostní vybavení	G	0	-0.1	2.84E+04	0.0	7.1	-1.07E+07	-0.7	-0.4	5.97E+05	-0.7	-1.4	0.0E+00	-	-	-	-	0.6	1.23E+04	0.0	0.0	-8.2	1.11E+04	-0.7	-0.7
3	G2	Ostatní stálé - cizí zařízení	G	0	-0.2	2.84E+04	0.0	-8.1	-1.07E+07	0.8	-0.5	5.97E+05	-0.8	-0.1	0.0E+00	-	-	-	-	0.6	1.23E+04	0.0	0.0	-4.1	1.11E+04	-0.4	-0.4
4	P1_71	a.LM71 - kolej 1 (bez dyn. souč.)	P	0	0.0	2.84E+04	0.0	0.0	-1.07E+07	0.0	0.0	5.97E+05	0.0	0.0	0.0E+00	-	-	-	-	0.0	1.23E+04	0.0	0.0	0.0	1.11E+04	0.0	0.0
5	P2_71	a.LM71 - kolej 2 (bez dyn. souč.)	P	0	0.0	2.84E+04	0.0	0.0	-1.07E+07	0.0	0.0	5.97E+05	0.0	0.0	0.0E+00	-	-	-	-	0.0	1.23E+04	0.0	0.0	0.0	1.11E+04	0.0	0.0
6	P1_C3	TTZ C3 - kolej 1 (bez dyn. souč.)	P	0	10.3	2.84E+04	0.4	163.6	-1.07E+07	-15.3	-2.3	5.97E+05	-3.8	-18.7	0.0E+00	-	-	-	-	2.9	1.23E+04	0.2	0.2	-198.7	1.11E+04	-17.9	-17.9
7	P2_C3	TTZ C3 - kolej 2 (bez dyn. souč.)	P	0	-13.8	2.84E+04	-0.5	599.7	-1.07E+07	-56.0	-8.6	5.97E+05	-14.5	-70.9	-1.7E-02	-	-	-	-	14.2	1.23E+04	1.2	1.2	-472.9	1.11E+04	-42.6	-42.6
8	BR	Brzdné a rozjezdové síly	P	0	-0.3	2.84E+04	0.0	-2.6	-1.07E+07	0.2	-35.6	5.97E+05	-59.6	-59.4	0.0E+00	-	-	-	-	30.8	1.23E+04	2.5	2.5	0.2	1.11E+04	0.0	0.0
9	S	Boční ráz	P	0	-2.6	2.84E+04	-0.1	7.3	-1.07E+07	-0.7	-0.4	5.97E+05	-0.6	-1.4	0.0E+00	-	-	-	-	0.4	1.23E+04	0.0	0.0	-0.7	1.11E+04	-0.1	-0.1
10	CH	Chodci na lávkách	Q	0	0.5	2.84E+04	0.0	-10.9	-1.07E+07	1.0	-1.2	5.97E+05	-2.1	-1.1	0.0E+00	-	-	-	-	1.3	1.23E+04	0.1	0.1	3.0	1.11E+04	0.3	0.3
11	W	Vítr na konstrukci	Q	0	-14.4	2.84E+04	-0.5	12.2	-1.07E+07	-1.1	-5.4	5.97E+05	-9.1	-10.7	0.0E+00	-	-	-	-	3.7	1.23E+04	0.3	0.3	5.7	1.11E+04	0.5	0.5
12	WP	Vítr na vozidla	Q	0	8.9	2.84E+04	0.3	-55.1	-1.07E+07	5.1	-9.3	5.97E+05	-15.6	-10.2	-1.0E-02	-	-	-	-	6.5	1.23E+04	0.5	0.5	8.2	1.11E+04	0.7	0.7
13	TR	Teplota rovnoměrná	Q	0	0.0	2.84E+04	0.0	0.0	-1.07E+07	0.0	0.0	5.97E+05	0.0	0.0	0.0E+00	-	-	-	-	0.0	1.23E+04	0.0	0.0	0.0	1.11E+04	0.0	0.0
14	TN	Teplota nerovnoměrná	Q	0	-2.8	2.84E+04	-0.1	19.1	-1.07E+07	-1.8	-0.3	5.97E+05	-0.6	-2.5	0.0E+00	-	-	-	-	0.1	1.23E+04	0.0	0.0	7.6	1.11E+04	0.7	0.7
15	FR	Třecí síly v ložiskách	Q	0	-0.2	2.84E+04	0.0	-0.3	-1.07E+07	0.0	-0.3	5.97E+05	-0.4	-0.4	0.0E+00	-	-	-	-	0.4	1.23E+04	0.0	0.0	0.1	1.11E+04	0.0	0.0
16	I	Imperfekce soustavy	Q	0	-0.8	2.84E+04	0.0	6.1	-1.07E+07	-0.6	-0.2	5.97E+05	-0.4	-1.0	0.0E+00	-	-	-	-	0.1	1.23E+04	0.0	0.0	2.0	1.11E+04	0.2	0.2
27	ULS_LM	ULS - LM71 bez dynam	Q	0	0.0	2.84E+04	0.0	0.0	-1.07E+07	0.0	0.0	5.97E+05	0.0	0.0	0.0E+00	-	-	-	-	0.0	1.23E+04	0.0	0.0	0.0	1.11E+04	0.0	0.0
28	SLS_LM	SLS - LM71 bez dynam	Q	0	0.0	2.84E+04	0.0	0.0	-1.07E+07	0.0	0.0	5.97E+05	0.0	0.0	0.0E+00	-	-	-	-	0.0	1.23E+04	0.0	0.0	0.0	1.11E+04	0.0	0.0
29	ULS_C3	ULS - C3 bez dynam	Q	0	0.0	2.84E+04	0.0	0.0	-1.07E+07	0.0	0.0	5.97E+05	0.0	0.0	0.0E+00	-	-	-	-	0.0	1.23E+04	0.0	0.0	0.0	1.11E+04	0.0	0.0
30	SLS_C3	SLS - C3 bez dynam	Q	0	0.0	2.84E+04	0.0	0.0	-1.07E+07	0.0	0.0	5.97E+05	0.0	0.0	0.0E+00	-	-	-	-	0.0	1.23E+04	0.0	0.0	0.0	1.11E+04	0.0	0.0
NAVÝŠENÍ NAPĚTÍ DO AKTIVACE TLAKU V DESCE MOSTOVKY						$\sigma_{P,red}$	0.0							0.0			0.0		0.0			5.7	5.7			-64.2	-64.2
NAPĚTÍ OD PRIMÁRNÍCH ÚČINKŮ NEROVNOMĚRNÉHO OTEPLENÍ						σ_T	0.0							0.0													
NAPĚTÍ OD REOLOGICKÝCH ÚČINKŮ BETONU V ČASE		t=0				σ_R	0.0	γ=	1.20					0.0													
NAPĚTÍ V KRITICKÝCH VLÁKNECH OD KOMBINACE ZATÍŽENÍ					KZ07			[MPa]					$\Sigma\sigma_x$	-190.9								$\Sigma\tau_y$	5.7			$\Sigma\tau_z$	-64.2
NAPĚTÍ OD POHYBLIVÉHO ZATÍŽENÍ								[MPa]					$\sigma_{x,P}$	-150.4									3.9			τ_P	-60.5
NAPĚTÍ OD OSTATNÍCH ZATÍŽENÍ								[MPa]			Φ_{Vy}	Φ_{Vz}	$\sigma_{x,rs}$	-40.5								τ_{rs}	1.7			τ_{rs}	-3.7
NÁVRHOVÁ HODNOTA MEZE KLUZU S REDUKCÍ VLIVEM SMYKOVÉHO NAPĚTÍ								[MPa]			1.00	1.00	$f_{yw,d}$	209.1								$f_{yd}/3^{0,5}$	120.7			$f_{yd}/3^{0,5}$	120.7
NAPĚTÍ OD POHYBLIVÉHO ZATÍŽENÍ V GLOBÁLNÍM SYSTÉMU						$\sigma_{GLOB,P}$	0.0	[MPa]					$\Sigma\sigma_{GLOB}$	0.0													
NAPĚTÍ OD OSTATNÍCH ZATÍŽENÍ V GLOBÁLNÍM SYSTÉMU						$\sigma_{GLOB,rs}$	0.0	[MPa]					$\Sigma\sigma_x + \Sigma\sigma_{GLOB}$	-190.9													
VYUŽITÍ PRŮŘEZU DLE NAPĚTÍ								[%]					η_1	0.91								η_3	0.05			η_3	0.53
NAPĚTÍ V PŘÍČNÉM SMĚRU OD POHYBLIVÉHO ZATÍŽENÍ						$\sigma_{z,P}$	0.0	[MPa]					$\Sigma\sigma_z$	0.0													
NAPĚTÍ V PŘÍČNÉM SMĚRU OD OSTATNÍCH ZATÍŽENÍ						$\sigma_{z,rs}$	0.0	[MPa]					η_2	0.00													
SROVNÁVACÍ NAPĚTÍ													$(\eta2 + 0,8\ \eta1)/1,4 =$	0.52													
VYUŽITÍ PRŮŘEZU CELKEM								[%]					eff	0.91	VYHOVUJE												
STANOVENÍ ZATÍŽITELNOSTI													Z_{LM71} =	-----													

TAB. P5.1.3 POSOUZENÍ - MEZNÍ STAV ÚNOSNOSTI

POPIS	PŘÍČNÍK P5 - ZÁKLADNÍ ČÁST
PRUT / POLOHA BODU	655 / I[535]
NAMÁHÁNÍ	My.max
VLÁKNO	BOD K3 -SL
MEZNÍ STAV	ULS (MSÚ)
VYUŽITÍ VLÁKNA PRŮŘEZU	0.97

Charakteristiky materiálu				
pás. horní	$f_{yf,k}$	230	MPa	
pás. dolní	$f_{yf,k}$	230	MPa	
stojina	$f_{yw,k}$	230	MPa	
výztuž	$f_{ys,k}$	500	MPa	
γ_M =	1.10	γ_s =	1.15	

Excentricita normálové síly				
Exc./Fáze	0	1	2	3
e_y	0.000	0.000	0.000	0.000
e_z	0.000	0.000	0.000	0.000
Ekvivalentní vzdál. stěn - příčný roznos				
b_{Mx}	0.000	0.000	0.000	0.000

Vliv stěny na únosnost průřezu				
Char./Fáze	0	1	2	3
A	0.41	0.00	0.00	0.00
Wy	0.21	0.00	0.00	0.00
Wz	0.05	0.00	0.00	0.00

Charakter. v kroucení			
$t_{w,y}$	0.000	[mm]	
$t_{w,z}$	0.000	[mm]	
κ	1.00		
I_t=	0.00E+00	[mm^4]	
$\Omega=2*A_{pr}$	0.00E+00	[mm^2]	

Součinitele vzpěru a vlivu II.řádu					
Char./Fáze	0	1	2	3	
k_y	1.000	1.000	1.000	1.000	
k_z	1.000	1.000	1.000	1.000	
χ_{LT}	1.000	1.000	1.000	1.000	
χ_{min}	1.000	1.000	1.000	1.000	

δ_{LOK} 1.05

Vnitřní síly od jednotlivých skupin zatěžovacích stavů

SKUPINA ZATĚŽOVACÍCH STAVŮ

- CHARAKTERISTICKÉ HODNOTY

DÍLČÍ SOUČINITELÉ ZATÍŽENÍ, DYNAMICKÝ SOUČINITEL

- NÁVRHOVÉ HODNOTY

Č.	SKUP ZS	Popis ZS	Kat.	Fáze PRŮŘ.	N.k (kN)	Vy.k (kN)	Vz.k (kN)	Mx.k (kNm)	My.k (kNm)	Mz.k (kNm)	γ_{sr} (-)	γ_{δ} (-)	volba ψ_1 hledat	ψ_1 (-)	L_d (m)	δ (-)	Ψ_E KZ07	N.d (kN)	Vy.d (kN)	Vz.d (kN)	ΔVz.d (kN)	ΣVz.d (kN)	Mx.d (kNm)	My.d (kNm)	ΔMy.d (kNm)	ΣMy.d (kNm)	Mz.d (kNm)	ΔMz.d (kNm)	ΣMz.d (kNm)
1	G0	Vlastní tíha OK	G	0	-1	7	-48	0	39	-5	1.00	1.20		1.20	-	1.00	0.95	-2	8	-55	0	-55	0	45	0	45	-5	0	-5
2	G1	Ostatní stálé - mostní vybavení	G	0	0	1	-7	0	6	0	1.00	1.20		1.20	-	1.00	0.95	0	1	-8	0	-8	0	7	0	7	0	0	0
3	G2	Ostatní stálé - cizí zařízení	G	0	0	1	-4	0	-7	0	1.00	1.00		1.00	-	1.00	0.95	0	0	-3	0	-3	0	-7	0	-7	0	0	0
4	P1_71	a.LM71 - kolej 1 (bez dyn. souč.)	P	0	11	3	-205	0	169	-3	1.00	vyp.		0.00	-	1.00	0.00	0	0	0	0	0	0	0	0	0	0	0	0
5	P2_71	a.LM71 - kolej 2 (bez dyn. souč.)	P	0	-9	10	-494	0	607	-8	1.00	vyp.		0.00	-	1.00	0.00	0	0	0	0	0	0	0	0	0	0	0	0
6	P1_C3	TTZ C3 - kolej 1 (bez dyn. souč.)	P	0	6	2	-116	0	96	-2	1.00	1.30		1.30	-	1.32	1.00	10	3	-199	0	-199	0	164	0	164	-3	1	-2
7	P2_C3	TTZ C3 - kolej 2 (bez dyn. souč.)	P	0	-8	8	-277	0	351	-6	1.00	1.30		1.30	-	1.32	1.00	-14	14	-473	0	-473	0	600	0	600	-11	2	-9
8	BR	Brzdné a rozjezdové síly	P	0	0	-37	0	0	3	43	1.00	-1.30		-1.30	-	1.00	0.64	0	31	0	0	0	0	-3	0	-3	-36	0	-36
9	S	Boční ráz	P	0	-6	1	-2	0	18	-1	1.00	1.30		1.30	-	1.00	0.32	-3	0	-1	0	-1	0	7	0	7	0	0	0
10	CH	Chodci na lávkách	Q	0	0	1	2	0	-8	-1	1.00	1.30		1.30	-	1.00	1.00	0	1	3	0	3	0	-11	0	-11	-1	0	-1
11	W	Vítr na konstrukci	Q	0	-14	4	6	0	12	-5	1.00	1.35		1.35	-	1.00	0.75	-14	4	6	0	6	0	12	0	12	-5	0	-5
12	WP	Vítr na vozidla	Q	0	-9	-6	-8	0	54	9	1.00	-1.35		-1.35	-	1.00	0.75	9	7	8	0	8	0	-55	0	-55	-9	0	-9
13	TR	Teplota rovnoměrná	Q	0	0	0	0	0	0	0	1.00	1.35		1.35	-	1.00	0.45	0	0	0	0	0	0	0	0	0	0	0	0
14	TN	Teplota nerovnoměrná	Q	0	-4	0	9	0	24	0	1.00	1.35		1.35	-	1.00	0.60	-3	0	8	0	8	0	19	0	19	0	0	0
15	FR	Třecí síly v ložiskách	Q	0	0	0	0	0	0	0	1.00	-1.20		-1.20	-	1.00	1.00	0	0	0	0	0	0	0	0	0	0	0	0
16	I	Imperfekce soustavy	Q	0	-1	0	2	0	5	0	1.00	1.20		1.20	-	1.00	1.00	-1	0	2	0	2	0	6	0	6	0	0	0
27	ULS_LM	ULS - LM71 bez dynam	Q	0	-33	3	-969	0	1 161	6	1.00	vyp.	1	0.00	-	1.00	0.00	0	0	0	0	0	0	0	0	0	0	0	0
28	SLS_LM	SLS - LM71 bez dynam	Q	0	-23	4	-759	0	881	4	1.00	vyp.	1	0.00	-	1.00	0.00	0	0	0	0	0	0	0	0	0	0	0	0
29	ULS_C3	ULS - C3 bez dynam	Q	0	-39	-1	-571	0	733	9	1.00	vyp.	1	0.00	-	1.00	0.00	0	0	0	0	0	0	0	0	0	0	0	0
30	SLS_C3	SLS - C3 bez dynam	Q	0	-27	1	-452	0	552	6	1.00	vyp.	1	0.00	-	1.00	0.00	0	0	0	0	0	0	0	0	0	0	0	0
		CELKEM - FÁZE PRŮŘEZU 0			-17	69	-712	0	784	-73	3	-70																	
		CELKEM - FÁZE PRŮŘEZU 1			0	0	0	0	0	0	0	0																	
		CELKEM - FÁZE PRŮŘEZU 2			0	0	0	0	0	0	0	0																	
		CELKEM - FÁZE PRŮŘEZU 3			0	0	0	0	0	0	0	0																	
		CELKEM - PRŮŘEZ			-17	69	-712	0	-712	0																			

Napětí od jednotlivých zatěžovacích stavů

SKUPINA ZATĚŽOVACÍCH STAVŮ

Posouzení normálového napětí

Účinek síly N

Účinek momentu My

Účinek momentu Mz

Posouzení smykového napětí

Účinek kroutícího momentu Mx

Účinek smykové síly Vy

Účinek smykové síly Vz

Č.	SKUP ZS	Popis ZS	Kat.	fáze průř.	δ^*N_d [kN]	χ^*A [mm^2]	σ_n [MPa]	$\delta^*M_{y,d}$ [kNm]	$\chi_{lt}*W_{el,y}$ [mm^3]	σ_{my} [MPa]	$\delta^*M_{z,d}$ [kNm]	$W_{el,z}$ [mm^3]	σ_{mz} [MPa]	σ_x [MPa]	$\kappa*\delta^*M_{x,d}$ [kNm]	$W_{v,y}$ [mm^2]	$\tau_{x,y}$ [MPa]	$W_{v,z}$ [mm^2]	$\tau_{x,z}$ [MPa]	$\delta^*V_{y,d}$ [kN]	$A_{v,y}$ [mm2]	$\tau_{v,y}$ [MPa]	$\tau_{v,y}$ [MPa]	$\delta^*V_{z,d}$ [kN]	$A_{v,z}$ [mm2]	$\tau_{v,z}$ [MPa]	$\tau_{v,z}$ [MPa]
1	G0	Vlastní tíha OK	G	0	-1.6	2.84E+04	-0.1	44.8	9.12E+06	4.9	-5.4	-5.97E+05	9.0	13.9	-1.1E-02	-	-	-	-	7.8	1.23E+04	0.6	0.6	-54.8	1.11E+04	-4.9	-4.9
2	G1	Ostatní stálé - mostní vybavení	G	0	-0.1	2.84E+04	0.0	7.1	9.12E+06	0.8	-0.4	-5.97E+05	0.7	1.5	0.0E+00	-	-	-	-	0.6	1.23E+04	0.0	0.0	-8.2	1.11E+04	-0.7	-0.7
3	G2	Ostatní stálé - cizí zařízení	G	0	-0.1	2.84E+04	0.0	-6.7	9.12E+06	-0.7	-0.4	-5.97E+05	0.7	0.0	0.0E+00	-	-	-	-	0.5	1.23E+04	0.0	0.0	-3.4	1.11E+04	-0.3	-0.3
4	P1_71	a.LM71 - kolej 1 (bez dyn. souč.)	P	0	0.0	2.84E+04	0.0	0.0	9.12E+06	0.0	0.0	-5.97E+05	0.0	0.0	0.0E+00	-	-	-	-	0.0	1.23E+04	0.0	0.0	0.0	1.11E+04	0.0	0.0
5	P2_71	a.LM71 - kolej 2 (bez dyn. souč.)	P	0	0.0	2.84E+04	0.0	0.0	9.12E+06	0.0	0.0	-5.97E+05	0.0	0.0	0.0E+00	-	-	-	-	0.0	1.23E+04	0.0	0.0	0.0	1.11E+04	0.0	0.0
6	P1_C3	TTZ C3 - kolej 1 (bez dyn. souč.)	P	0	10.3	2.84E+04	0.4	163.6	9.12E+06	17.9	-2.3	-5.97E+05	3.8	22.1	0.0E+00	-	-	-	-	2.9	1.23E+04	0.2	0.2	-198.7	1.11E+04	-17.9	-17.9
7	P2_C3	TTZ C3 - kolej 2 (bez dyn. souč.)	P	0	-13.8	2.84E+04	-0.5	599.7	9.12E+06	65.8	-8.6	-5.97E+05	14.5	79.8	-1.7E-02	-	-	-	-	14.2	1.23E+04	1.2	1.2	-472.9	1.11E+04	-42.6	-42.6
8	BR	Brzdné a rozjezdové síly	P	0	-0.3	2.84E+04	0.0	-2.6	9.12E+06	-0.3	-35.6	-5.97E+05	59.6	59.3	0.0E+00	-	-	-	-	30.8	1.23E+04	2.5	2.5	0.2	1.11E+04	0.0	0.0
9	S	Boční ráz	P	0	-2.6	2.84E+04	-0.1	7.3	9.12E+06	0.8	-0.4	-5.97E+05	0.6	1.3	0.0E+00	-	-	-	-	0.4	1.23E+04	0.0	0.0	-0.7	1.11E+04	-0.1	-0.1
10	CH	Chodci na lávkách	Q	0	0.5	2.84E+04	0.0	-10.9	9.12E+06	-1.2	-1.2	-5.97E+05	2.1	0.9	0.0E+00	-	-	-	-	1.3	1.23E+04	0.1	0.1	3.0	1.11E+04	0.3	0.3
11	W	Vítr na konstrukci	Q	0	-14.4	2.84E+04	-0.5	12.2	9.12E+06	1.3	-5.4	-5.97E+05	9.1	9.9	0.0E+00	-	-	-	-	3.7	1.23E+04	0.3	0.3	5.7	1.11E+04	0.5	0.5
12	WP	Vítr na vozidla	Q	0	8.9	2.84E+04	0.3	-55.1	9.12E+06	-6.0	-9.3	-5.97E+05	15.6	9.9	-1.0E-02	-	-	-	-	6.5	1.23E+04	0.5	0.5	8.2	1.11E+04	0.7	0.7
13	TR	Teplota rovnoměrná	Q	0	0.0	2.84E+04	0.0	0.0	9.12E+06	0.0	0.0	-5.97E+05	0.0	0.0	0.0E+00	-	-	-	-	0.0	1.23E+04	0.0	0.0	0.0	1.11E+04	0.0	0.0
14	TN	Teplota nerovnoměrná	Q	0	-2.8	2.84E+04	-0.1	19.1	9.12E+06	2.1	-0.3	-5.97E+05	0.6	2.6	0.0E+00	-	-	-	-	0.1	1.23E+04	0.0	0.0	7.6	1.11E+04	0.7	0.7
15	FR	Třecí síly v ložiskách	Q	0	-0.2	2.84E+04	0.0	-0.3	9.12E+06	0.0	-0.3	-5.97E+05	0.4	0.4	0.0E+00	-	-	-	-	0.4	1.23E+04	0.0	0.0	0.1	1.11E+04	0.0	0.0
16	I	Imperfekce soustavy	Q	0	-0.8	2.84E+04	0.0	6.1	9.12E+06	0.7	-0.2	-5.97E+05	0.4	1.0	0.0E+00	-	-	-	-	0.1	1.23E+04	0.0	0.0	2.0	1.11E+04	0.2	0.2
27	ULS_LM	ULS - LM71 bez dynam	Q	0	0.0	2.84E+04	0.0	0.0	9.12E+06	0.0	0.0	-5.97E+05	0.0	0.0	0.0E+00	-	-	-	-	0.0	1.23E+04	0.0	0.0	0.0	1.11E+04	0.0	0.0
28	SLS_LM	SLS - LM71 bez dynam	Q	0	0.0	2.84E+04	0.0	0.0	9.12E+06	0.0	0.0	-5.97E+05	0.0	0.0	0.0E+00	-	-	-	-	0.0	1.23E+04	0.0	0.0	0.0	1.11E+04	0.0	0.0
29	ULS_C3	ULS - C3 bez dynam	Q	0	0.0	2.84E+04	0.0	0.0	9.12E+06	0.0	0.0	-5.97E+05	0.0	0.0	0.0E+00	-	-	-	-	0.0	1.23E+04	0.0	0.0	0.0	1.11E+04	0.0	0.0
30	SLS_C3	SLS - C3 bez dynam	Q	0	0.0	2.84E+04	0.0	0.0	9.12E+06	0.0	0.0	-5.97E+05	0.0	0.0	0.0E+00	-	-	-	-	0.0	1.23E+04	0.0	0.0	0.0	1.11E+04	0.0	0.0
		NAVÝŠENÍ NAPĚTÍ DO AKTIVACE TLAKU V DESCE MOSTOVKY				$\sigma_{P,red}$	0.0							0.0			0.0		0.0				5.6	5.6			-64.1	-64.1
		NAPĚTÍ OD PRIMÁRNÍCH ÚČINKŮ NEROVNOMĚRNÉHO OTEPLENÍ				σ_T	0.0							0.0														
		NAPĚTÍ OD REOLOGICKÝCH ÚČINKŮ BETONU V ČASE		t=0		σ_R	0.0	γ=	1.20					0.0														
		NAPĚTÍ V KRITICKÝCH VLÁKNECH OD KOMBINACE ZATÍŽENÍ				KZ07		[MPa]					$\Sigma\sigma_x$	202.5									$\Sigma\tau_y$	5.6				$\Sigma\tau_z$	-64.1
		NAPĚTÍ OD POHYBLIVÉHO ZATÍŽENÍ						[MPa]					$\sigma_{x,P}$	162.5									τ_P	3.9				τ_P	-60.5
		NAPĚTÍ OD OSTATNÍCH ZATÍŽENÍ						[MPa]			Φ_{Vy}	Φ_{Vz}	$\sigma_{x,rs}$	40.0									τ_{rs}	1.7				τ_{rs}	-3.6
		NÁVRHOVÁ HODNOTA MEZE KLUZU S REDUKCÍ VLIVEM SMYKOVÉHO NAPĚTÍ						[MPa]			1.00	1.00	$f_{yv,d}$	209.1									$f_{yd}/3^{0,5}$	120.7				$f_{yd}/3^{0,5}$	120.7
		NAPĚTÍ OD POHYBLIVÉHO ZATÍŽENÍ V GLOBÁLNÍM SYSTÉMU				$\sigma_{GLOB,P}$	0.0	[MPa]					$\Sigma\sigma_{GLOB}$	0.0															
		NAPĚTÍ OD OSTATNÍCH ZATÍŽENÍ V GLOBÁLNÍM SYSTÉMU				$\sigma_{GLOB,rs}$	0.0	[MPa]					$\Sigma\sigma_x + \Sigma\sigma_{GLOB}$	202.5															
		VYUŽITÍ PRŮŘEZU DLE NAPĚTÍ						[%]					η_1	0.97									η_3	0.05				η_3	0.53
		NAPĚTÍ V PŘÍČNÉM SMĚRU OD POHYBLIVÉHO ZATÍŽENÍ				$\sigma_{z,P}$	0.0	[MPa]					$\Sigma\sigma_z$	0.0															
		NAPĚTÍ V PŘÍČNÉM SMĚRU OD OSTATNÍCH ZATÍŽENÍ				$\sigma_{z,rs}$	0.0	[MPa]					η_2	0.00															
		SROVNÁVACÍ NAPĚTÍ											$(\eta_2 + 0,8\ \eta_1)/1,4$ =	0.55															
		VYUŽITÍ PRŮŘEZU CELKEM						[%]					eff	0.97	VYHOVUJE														
		STANOVENÍ ZATÍŽITELNOSTI											Z_{LM71} =	-----															

TAB. P5.1.3 POSOUZENÍ - MEZNÍ STAV ÚNOSNOSTI

POPIS	PŘÍČNÍK P5 - ZÁKLADNÍ ČÁST
PRUT / POLOHA BODU	655 / I[535]
NAMÁHÁNÍ	My.max
VLÁKNO	BOD S6 -HP
MEZNÍ STAV	ULS (MSÚ)
VYUŽITÍ VLÁKNA PRŮŘEZU	0.57

Charakteristiky materiálu				
pás. horní	$f_{yf,k}$	230	MPa	
pás. dolní	$f_{yf,k}$	230	MPa	
stojina	$f_{yw,k}$	230	MPa	
výztuž	$f_{ys,k}$	500	MPa	
γ_M =	1.10	γ_s =	1.15	

Excentricita normálové síly				
Exc./Fáze	0	1	2	3
e_y	0.000	0.000	0.000	0.000
e_z	0.000	0.000	0.000	0.000
Ekvivalentní vzdál. stěn - příčný roznos				
b_{Mx}	0.000	0.000	0.000	0.000

Vliv stěny na únosnost průřezu				
Char./Fáze	0	1	2	3
A	0.41	0.00	0.00	0.00
Wy	0.21	0.00	0.00	0.00
Wz	0.00	0.00	0.00	0.00

Charakter. v kroucení			
$t_{w,y}$	0.000	[mm]	
$t_{w,z}$	0.000	[mm]	
κ	1.00		
I_t=	0.00E+00	[mm^4]	
Ω=2*A_{pr}	0.00E+00	[mm^2]	

Součinitele vzpěru a vlivu II.řádu				
Char./Fáze	0	1	2	3
k_y	1.000	1.000	1.000	1.000
k_z	1.000	1.000	1.000	1.000
χ_{LT}	1.000	1.000	1.000	1.000
χ_{min}	1.000	1.000	1.000	1.000

8

δ_{LOK} 1.05

Vnitřní síly od jednotlivých skupin zatěžovacích stavů

SKUPINA ZATĚŽOVACÍCH STAVŮ					- CHARAKTERISTICKÉ HODNOTY						DÍLČÍ SOUČINITELÉ ZATÍŽENÍ, DYNAMICKÝ SOUČINITEL							- NÁVRHOVÉ HODNOTY									
Č.	SKUP ZS	POPIS ZS	KAT.	FÁZE PRŮŘ.	N.k (kN)	Vy.k (kN)	Vz.k (kN)	Mx.k (kNm)	My.k (kNm)	Mz.k (kNm)	γ_{sr} (-)	γ_s (-)	volba γ_s hledat	γ_s (-)	L_d (m)	δ (-)	Ψ_s KZ08	N.d (kN)	Vy.d (kN)	Vz.d (kN)	ΔVz.d (kN)	ΣVz.d (kN)	Mx.d (kNm)	My.d (kNm)	ΔMy.d (kNm)	ΣMy.d (kNm)	Mz.d (kNm)	ΔMz.d (kNm)	ΣMz.d (kNm)
1	G0	Vlastní tíha OK	G	0	-1	7	-48	0	39	-5	1.00	1.20		1.20	-	1.00	0.95	-2	8	-55	0	-55	0	45	0	45	-5	0	-5
2	G1	Ostatní stálé - mostní vybavení	G	0	0	1	-7	0	6	0	1.00	1.20		1.20	-	1.00	0.95	0	1	-8	0	-8	0	7	0	7	0	0	0
3	G2	Ostatní stálé - cizí zařízení	G	0	0	1	-4	0	-7	0	1.00	1.20		1.20	-	1.00	0.95	0	1	-4	0	-4	0	-8	0	-8	-1	0	-1
4	P1_71	a.LM71 - kolej 1 (bez dyn. souč.)	P	0	11	3	-205	0	169	-3	1.00	vyp.		0.00	-	1.00	0.00	0	0	0	0	0	0	0	0	0	0	0	0
5	P2_71	a.LM71 - kolej 2 (bez dyn. souč.)	P	0	-9	10	-494	0	607	-8	1.00	vyp.		0.00	-	1.00	0.00	0	0	0	0	0	0	0	0	0	0	0	0
6	P1_C3	TTZ C3 - kolej 1 (bez dyn. souč.)	P	0	6	2	-116	0	96	-2	1.00	1.30		1.30	-	1.32	1.00	10	3	-199	0	-199	0	164	0	164	-3	1	-2
7	P2_C3	TTZ C3 - kolej 2 (bez dyn. souč.)	P	0	-8	8	-277	0	351	-6	1.00	1.30		1.30	-	1.32	1.00	-14	14	-473	0	-473	0	600	0	600	-11	2	-9
8	BR	Brzdné a rozjezdové síly	P	0	0	-37	0	0	3	43	1.00	1.30		1.30	-	1.00	0.32	0	-15	0	0	0	0	1	0	1	18	0	18
9	S	Boční ráz	P	0	-6	1	-2	0	18	-1	1.00	1.30		1.30	-	1.00	0.64	-5	1	-1	0	-1	0	15	0	15	-1	0	-1
10	CH	Chodci na lávkách	Q	0	0	1	2	0	-8	-1	1.00	0.00		0.00	-	1.00	1.00	0	0	0	0	0	0	0	0	0	0	0	0
11	W	Vítr na konstrukci	Q	0	-14	4	6	0	12	-5	1.00	-1.35		-1.35	-	1.00	0.75	14	-4	-6	0	-6	0	-12	0	-12	5	0	5
12	WP	Vítr na vozidla	Q	0	-9	-6	-8	0	54	9	1.00	1.35		1.35	-	1.00	0.75	-9	-7	-8	0	-8	0	55	0	55	9	0	9
13	TR	Teplota rovnoměrná	Q	0	0	0	0	0	0	0	1.00	1.35		1.35	-	1.00	0.45	0	0	0	0	0	0	0	0	0	0	0	0
14	TN	Teplota nerovnoměrná	Q	0	-4	0	9	0	24	0	1.00	-1.35		-1.35	-	1.00	0.60	3	0	-8	0	-8	0	-19	0	-19	0	0	0
15	FR	Třecí síly v ložiskách	Q	0	0	0	0	0	0	0	1.00	1.20		1.20	-	1.00	1.00	0	0	0	0	0	0	0	0	0	0	0	0
16	I	Imperfekce soustavy	Q	0	-1	0	2	0	5	0	1.00	-1.20		-1.20	-	1.00	1.00	1	0	-2	0	-2	0	-6	0	-6	0	0	0
27	ULS_LM	ULS - LM71 bez dynam	Q	0	-33	3	-969	0	1 161	6	1.00	vyp.	1	0.00	-	1.00	0.00	0	0	0	0	0	0	0	0	0	0	0	0
28	SLS_LM	SLS - LM71 bez dynam	Q	0	-23	4	-759	0	881	4	1.00	vyp.	1	0.00	-	1.00	0.00	0	0	0	0	0	0	0	0	0	0	0	0
29	ULS_C3	ULS - C3 bez dynam	Q	0	-39	-1	-571	0	733	9	1.00	vyp.	1	0.00	-	1.00	0.00	0	0	0	0	0	0	0	0	0	0	0	0
30	SLS_C3	SLS - C3 bez dynam	Q	0	-27	1	-452	0	552	6	1.00	vyp.	1	0.00	-	1.00	0.00	0	0	0	0	0	0	0	0	0	0	0	0
		CELKEM - FÁZE PRŮŘEZU 0																-1	1	-764	0	-764	0	841	0	841	13	3	15
		CELKEM - FÁZE PRŮŘEZU 1																0	0	0	0	0	0	0	0	0	0	0	0
		CELKEM - FÁZE PRŮŘEZU 2																0	0	0	0	0	0	0	0	0	0	0	0
		CELKEM - FÁZE PRŮŘEZU 3																0	0	0	0	0	0	0	0	0	0	0	0
		CELKEM - PRŮŘEZ																-1	1	-764	0	-764	0			841			15

Napětí od jednotlivých zatěžovacích stavů

SKUPINA ZATĚŽOVACÍCH STAVŮ					Posouzení normálového napětí										Posouzení smykového napětí													
					Účinek síly N			Účinek momentu My			Účinek momentu Mz				Účinek kroutícího momentu Mx				Účinek smykové síly Vy				Účinek smykové síly Vz			
č.	SKUP ZS	Popis ZS	Kat.	fáze průř.	δ^*N_d [kN]	χ^*A [mm^2]	σ_n [MPa]	$\delta^*M_{y,d}$ [kNm]	$\chi_{lt}{}^*W_{el,y}$ [mm^3]	σ_{my} [MPa]	$\delta^*M_{z,d}$ [kNm]	$W_{el,z}$ [mm^3]	σ_{mz} [MPa]	σ_x [MPa]	$\kappa^*\delta^*M_{x,d}$ [kNm]	$W_{v,y}$ [mm^2]	$\tau_{x,y}$ [MPa]	$W_{v,z}$ [mm^2]	$\tau_{x,z}$ [MPa]	$\delta^*V_{y,d}$ [kN]	$A_{v,y}$ [mm2]	$\tau_{v,y}$ [MPa]	$\tau_{v,y}$ [MPa]	$\delta^*V_{z,d}$ [kN]	$A_{v,z}$ [mm2]	$\tau_{v,z}$ [MPa]	$\tau_{v,z}$ [MPa]
1	G0	Vlastní tíha OK	G	0	-1.6	2.82E+04	-0.1	44.8	9.25E+06	4.8	-5.4	-1.84E+07	0.3	5.1	-1.1E-02	-	-	-	-	7.8	1.23E+04	0.6	0.6	-54.8	1.11E+04	-4.9	-4.9
2	G1	Ostatní stálé - mostní vybavení	G	0	-0.1	2.82E+04	0.0	7.1	9.25E+06	0.8	-0.4	-1.84E+07	0.0	0.8	0.0E+00	-	-	-	-	0.6	1.23E+04	0.0	0.0	-8.2	1.11E+04	-0.7	-0.7
3	G2	Ostatní stálé - cizí zařízení	G	0	-0.2	2.82E+04	0.0	-8.1	9.25E+06	-0.9	-0.5	-1.84E+07	0.0	-0.9	0.0E+00	-	-	-	-	0.6	1.23E+04	0.0	0.0	-4.1	1.11E+04	-0.4	-0.4
4	P1_71	a.LM71 - kolej 1 (bez dyn. souč.)	P	0	0.0	2.82E+04	0.0	0.0	9.25E+06	0.0	0.0	-1.84E+07	0.0	0.0	0.0E+00	-	-	-	-	0.0	1.23E+04	0.0	0.0	0.0	1.11E+04	0.0	0.0
5	P2_71	a.LM71 - kolej 2 (bez dyn. souč.)	P	0	0.0	2.82E+04	0.0	0.0	9.25E+06	0.0	0.0	-1.84E+07	0.0	0.0	0.0E+00	-	-	-	-	0.0	1.23E+04	0.0	0.0	0.0	1.11E+04	0.0	0.0
6	P1_C3	TTZ C3 - kolej 1 (bez dyn. souč.)	P	0	10.3	2.82E+04	0.4	163.6	9.25E+06	17.7	-2.3	-1.84E+07	0.1	18.2	0.0E+00	-	-	-	-	2.9	1.23E+04	0.2	0.2	-198.7	1.11E+04	-17.9	-17.9
7	P2_C3	TTZ C3 - kolej 2 (bez dyn. souč.)	P	0	-13.8	2.82E+04	-0.5	599.7	9.25E+06	64.8	-8.6	-1.84E+07	0.5	64.8	-1.7E-02	-	-	-	-	14.2	1.23E+04	1.2	1.2	-472.9	1.11E+04	-42.6	-42.6
8	BR	Brzdné a rozjezdové síly	P	0	0.1	2.82E+04	0.0	1.3	9.25E+06	0.1	17.8	-1.84E+07	-1.0	-0.8	0.0E+00	-	-	-	-	-15.4	1.23E+04	-1.3	-1.3	-0.1	1.11E+04	0.0	0.0
9	S	Boční ráz	P	0	-5.2	2.82E+04	-0.2	14.7	9.25E+06	1.6	-0.8	-1.84E+07	0.0	1.4	0.0E+00	-	-	-	-	0.7	1.23E+04	0.1	0.1	-1.3	1.11E+04	-0.1	-0.1
10	CH	Chodci na lávkách	Q	0	0.0	2.82E+04	0.0	0.0	9.25E+06	0.0	0.0	-1.84E+07	0.0	0.0	0.0E+00	-	-	-	-	0.0	1.23E+04	0.0	0.0	0.0	1.11E+04	0.0	0.0
11	W	Vítr na konstrukci	Q	0	14.4	2.82E+04	0.5	-12.2	9.25E+06	-1.3	5.4	-1.84E+07	-0.3	-1.1	0.0E+00	-	-	-	-	-3.7	1.23E+04	-0.3	-0.3	-5.7	1.11E+04	-0.5	-0.5
12	WP	Vítr na vozidla	Q	0	-8.9	2.82E+04	-0.3	55.1	9.25E+06	6.0	9.3	-1.84E+07	-0.5	5.1	1.0E-02	-	-	-	-	-6.5	1.23E+04	-0.5	-0.5	-8.2	1.11E+04	-0.7	-0.7
13	TR	Teplota rovnoměrná	Q	0	0.0	2.82E+04	0.0	0.0	9.25E+06	0.0	0.0	-1.84E+07	0.0	0.0	0.0E+00	-	-	-	-	0.0	1.23E+04	0.0	0.0	0.0	1.11E+04	0.0	0.0
14	TN	Teplota nerovnoměrná	Q	0	2.8	2.82E+04	0.1	-19.1	9.25E+06	-2.1	0.3	-1.84E+07	0.0	-2.0	0.0E+00	-	-	-	-	-0.1	1.23E+04	0.0	0.0	-7.6	1.11E+04	-0.7	-0.7
15	FR	Třecí síly v ložiskách	Q	0	0.2	2.82E+04	0.0	0.3	9.25E+06	0.0	0.3	-1.84E+07	0.0	0.0	0.0E+00	-	-	-	-	-0.4	1.23E+04	0.0	0.0	-0.1	1.11E+04	0.0	0.0
16	I	Imperfekce soustavy	Q	0	0.8	2.82E+04	0.0	-6.1	9.25E+06	-0.7	0.2	-1.84E+07	0.0	-0.6	0.0E+00	-	-	-	-	-0.1	1.23E+04	0.0	0.0	-2.0	1.11E+04	-0.2	-0.2
27	ULS_LM	ULS - LM71 bez dynam	Q	0	0.0	2.82E+04	0.0	0.0	9.25E+06	0.0	0.0	-1.84E+07	0.0	0.0	0.0E+00	-	-	-	-	0.0	1.23E+04	0.0	0.0	0.0	1.11E+04	0.0	0.0
28	SLS_LM	SLS - LM71 bez dynam	Q	0	0.0	2.82E+04	0.0	0.0	9.25E+06	0.0	0.0	-1.84E+07	0.0	0.0	0.0E+00	-	-	-	-	0.0	1.23E+04	0.0	0.0	0.0	1.11E+04	0.0	0.0
29	ULS_C3	ULS - C3 bez dynam	Q	0	0.0	2.82E+04	0.0	0.0	9.25E+06	0.0	0.0	-1.84E+07	0.0	0.0	0.0E+00	-	-	-	-	0.0	1.23E+04	0.0	0.0	0.0	1.11E+04	0.0	0.0
30	SLS_C3	SLS - C3 bez dynam	Q	0	0.0	2.82E+04	0.0	0.0	9.25E+06	0.0	0.0	-1.84E+07	0.0	0.0	0.0E+00	-	-	-	-	0.0	1.23E+04	0.0	0.0	0.0	1.11E+04	0.0	0.0
NAVÝŠENÍ NAPĚTÍ DO AKTIVACE TLAKU V DESCE MOSTOVKY						$\sigma_{P,red}$	0.0							0.0			0.0		0.0				0.1	0.1			-68.8	-68.8
NAPĚTÍ OD PRIMÁRNÍCH ÚČINKŮ NEROVNOMĚRNÉHO OTEPLENÍ						σ_T	0.0							0.0														
NAPĚTÍ OD REOLOGICKÝCH ÚČINKŮ BETONU V ČASE				t=0		σ_R	0.0	γ=	1.20					0.0														
NAPĚTÍ V KRITICKÝCH VLÁKNECH OD KOMBINACE ZATÍŽENÍ						KZ08		[MPa]					$\Sigma\sigma_x$	90.0								$\Sigma\tau_y$	0.1			$\Sigma\tau_z$	-68.8
NAPĚTÍ OD POHYBLIVÉHO ZATÍŽENÍ								[MPa]					$\sigma_{x,P}$	83.6								τ_P	0.2			τ_P	-60.6
NAPĚTÍ OD OSTATNÍCH ZATÍŽENÍ								[MPa]			Φ_{Vy}	Φ_{Vz}	$\sigma_{x,rs}$	6.4								τ_{rs}	-0.1			τ_{rs}	-8.2
NÁVRHOVÁ HODNOTA MEZE KLUZU S REDUKCÍ VLIVEM SMYKOVÉHO NAPĚTÍ								[MPa]			1.00	0.98	$f_{yw,d}$	209.1								$f_{yd}/3^{0,5}$	120.7			$f_{yd}/3^{0,5}$	120.7
NAPĚTÍ OD POHYBLIVÉHO ZATÍŽENÍ V GLOBÁLNÍM SYSTÉMU						$\sigma_{GLOB,P}$	0.0	[MPa]					$\Sigma\sigma_{GLOB}$	0.0													
NAPĚTÍ OD OSTATNÍCH ZATÍŽENÍ V GLOBÁLNÍM SYSTÉMU						$\sigma_{GLOB,rs}$	0.0	[MPa]					$\Sigma\sigma_x + \Sigma\sigma_{GLOB}$	90.0													
VYUŽITÍ PRŮŘEZU DLE NAPĚTÍ								[%]					η_1	0.43								η_3	0.00			η_3	0.57
NAPĚTÍ V PŘÍČNÉM SMĚRU OD POHYBLIVÉHO ZATÍŽENÍ						$\sigma_{z,P}$	0.0	[MPa]					$\Sigma\sigma_z$	0.0													
NAPĚTÍ V PŘÍČNÉM SMĚRU OD OSTATNÍCH ZATÍŽENÍ						$\sigma_{z,rs}$	0.0	[MPa]					η_2	0.00													
SROVNÁVACÍ NAPĚTÍ													$(\eta_2 + 0{,}8\,\eta_1)/1{,}4$ =	0.25													
VYUŽITÍ PRŮŘEZU CELKEM								[%]					eff	0.57	VYHOVUJE												
STANOVENÍ ZATÍŽITELNOSTI													Z_{LM71} =	-----													

TAB. P5.2.3 POSOUZENÍ - MEZNÍ STAV ÚNOSNOSTI

POPIS	PŘÍČNÍK P5 - VNĚJŠÍ PODÉLNÍK
PRUT / POLOHA BODU	656 / I[536]
NAMÁHÁNÍ	My.max
VLÁKNO	BOD K2 -HP
MEZNÍ STAV	ULS (MSÚ)
VYUŽITÍ VLÁKNA PRŮŘEZU	0.71

Charakteristiky materiálu				
pás. horní	$f_{yf,k}$	230	MPa	
pás. dolní	$f_{yf,k}$	230	MPa	
stojina	$f_{yw,k}$	230	MPa	
výztuž	$f_{ys,k}$	500	MPa	
γ_M =	1.10	γ_s =	1.15	

Excentricita normálové síly				
Exc./Fáze	0	1	2	3
e_y	0.000	0.000	0.000	0.000
e_z	0.000	0.000	0.000	0.000
Ekvivalentní vzdál. stěn - příčný roznos				
b_{Mx}	0.000	0.000	0.000	0.000

Vliv stěny na únosnost průřezu				
Char./Fáze	0	1	2	3
A	0.00	0.00	0.00	0.00
Wy	0.00	0.00	0.00	0.00
Wz	0.00	0.00	0.00	0.00

Charakter. v kroucení			
$t_{w,y}$	0.000	[mm]	
$t_{w,z}$	0.000	[mm]	
κ	1.00		
I_t=	0.00E+00	[mm^4]	
$\Omega=2*A_{pr}$	0.00E+00	[mm^2]	

Součinitele vzpěru a vlivu II.řádu				
Char./Fáze	0	1	2	3
k_y	1.000	1.000	1.000	1.000
k_z	1.000	1.000	1.000	1.000
χ_{LT}	1.000	1.000	1.000	1.000
χ_{min}	1.000	1.000	1.000	1.000

δ_{LOK} 1.05

Vnitřní síly od jednotlivých skupin zatěžovacích stavů

SKUPINA ZATĚŽOVACÍCH STAVŮ — CHARAKTERISTICKÉ HODNOTY — DÍLČÍ SOUČINITELÉ ZATÍŽENÍ, DYNAMICKÝ SOUČINITEL — NÁVRHOVÉ HODNOTY

Č.	SKUP ZS	POPIS ZS	KAT.	FÁZE PRŮŘ.	N.k (kN)	Vy.k (kN)	Vz.k (kN)	Mx.k (kNm)	My.k (kNm)	Mz.k (kNm)	γ_{sd} (-)	γ_{fs} (-)	volba γ_{fi} hledat	γ_{fi} (-)	L_d (m)	δ (-)	Ψ_0 KZ07	N.d (kN)	Vy.d (kN)	Vz.d (kN)	ΔVz.d (kN)	ΣVz.d (kN)	Mx.d (kNm)	My.d (kNm)	ΔMy.d (kNm)	ΣMy.d (kNm)	Mz.d (kNm)	ΔMz.d (kNm)	ΣMz.d (kNm)
1	G0	Vlastní tíha OK	G	0	-1	3	-31	0	54	-5	1.00	1.20		1.20	-	1.00	0.95	-2	3	-35	0	-35	0	61	0	61	-6	0	-6
2	G1	Ostatní stálé - mostní vybavení	G	0	0	0	-7	0	8	0	1.00	1.20		1.20	-	1.00	0.95	0	0	-7	0	-7	0	9	0	9	0	0	0
3	G2	Ostatní stálé - cizí zařízení	G	0	0	0	-4	0	-6	-1	1.00	1.20		1.20	-	1.00	0.95	0	0	-4	0	-4	0	-7	0	-7	-1	0	-1
4	P1_71	a.LM71 - kolej 1 (bez dyn. souč.)	P	0	12	-2	-207	0	230	-3	1.00	vyp.		0.00	-	1.00	0.00	0	0	0	0	0	0	0	0	0	0	0	0
5	P2_71	a.LM71 - kolej 2 (bez dyn. souč.)	P	0	-7	-3	-109	0	756	-10	1.00	vyp.		0.00	-	1.00	0.00	0	0	0	0	0	0	0	0	0	0	0	0
6	P1_C3	TTZ C3 - kolej 1 (bez dyn. souč.)	P	0	6	-1	-117	0	130	-2	1.00	1.30		1.30	-	1.32	1.00	11	-3	-200	0	-200	0	223	0	223	-3	1	-3
7	P2_C3	TTZ C3 - kolej 2 (bez dyn. souč.)	P	0	-7	-2	-60	0	434	-8	1.00	1.30		1.30	-	1.32	1.00	-11	-4	-102	0	-102	0	742	0	742	-14	3	-11
8	BR	Brzdné a rozjezdové síly	P	0	0	24	0	0	3	50	1.00	-1.30		-1.30	-	1.00	0.64	0	-20	0	0	0	0	-3	0	-3	-42	0	-42
9	S	Boční ráz	P	0	3	2	-8	0	18	3	1.00	-1.30		-1.30	-	1.00	0.32	-1	-1	3	0	3	0	-7	0	-7	-1	0	-1
10	CH	Chodci na lávkách	Q	0	0	-1	2	0	-9	-1	1.00	1.30		1.30	-	1.00	1.00	0	-1	3	0	3	0	-12	0	-12	-2	0	-2
11	W	Vítr na konstrukci	Q	0	-14	-8	6	0	10	-6	1.00	1.35		1.35	-	1.00	0.75	-14	-8	6	0	6	0	10	0	10	-6	0	-6
12	WP	Vítr na vozidla	Q	0	0	13	26	0	56	10	1.00	-1.35		-1.35	-	1.00	0.75	0	-13	-26	0	-26	0	-57	0	-57	-10	0	-10
13	TR	Teplota rovnoměrná	Q	0	0	0	0	0	0	0	1.00	1.35		1.35	-	1.00	0.45	0	0	0	0	0	0	0	0	0	0	0	0
14	TN	Teplota nerovnoměrná	Q	0	-4	0	9	0	21	0	1.00	1.35		1.35	-	1.00	0.60	-3	0	8	0	8	0	17	0	17	0	0	0
15	FR	Třecí síly v ložiskách	Q	0	0	0	0	0	0	0	1.00	-1.20		-1.20	-	1.00	1.00	0	0	0	0	0	0	0	0	0	0	0	0
16	I	Imperfekce soustavy	Q	0	-1	0	2	0	5	0	1.00	1.20		1.20	-	1.00	1.00	-1	0	2	0	2	0	5	0	5	0	0	0
27	ULS_LM	ULS - LM71 bez dynam	Q	0	-9	9	-424	0	1 450	10	1.00	vyp.		0.00	-	1.00	0.00	0	0	0	0	0	0	0	0	0	0	0	0
28	SLS_LM	SLS - LM71 bez dynam	Q	0	-5	7	-338	0	1 108	6	1.00	vyp.	1	0.00	-	1.00	0.00	0	0	0	0	0	0	0	0	0	0	0	0
29	ULS_C3	ULS - C3 bez dynam	Q	0	-16	11	-242	0	903	14	1.00	vyp.	1	0.00	-	1.00	0.00	0	0	0	0	0	0	0	0	0	0	0	0
30	SLS_C3	SLS - C3 bez dynam	Q	0	-10	8	-198	0	687	10	1.00	vyp.	1	0.00	-	1.00	0.00	0	0	0	0	0	0	0	0	0	0	0	0
		CELKEM - FÁZE PRŮŘEZU 0																-21	-47	-353	0	-353	0	982	0	982	-86	3	-82
		CELKEM - FÁZE PRŮŘEZU 1																0	0	0	0	0	0	0	0	0	0	0	0
		CELKEM - FÁZE PRŮŘEZU 2																0	0	0	0	0	0	0	0	0	0	0	0
		CELKEM - FÁZE PRŮŘEZU 3																0	0	0	0	0	0	0	0	0	0	0	0
		CELKEM - PRŮŘEZ																-21	-47	-353	0	-353	0			982			-82

Napětí od jednotlivých zatěžovacích stavů

SKUPINA ZATĚŽOVACÍCH STAVŮ — Posouzení normálového napětí — Účinek síly N — Účinek momentu My — Účinek momentu Mz — Posouzení smykového napětí — Účinek kroutícího momentu Mx — Účinek smykové síly Vy — Účinek smykové síly Vz

Č.	SKUP ZS	Popis ZS	Kat.	fáze průř.	δ^*N_d [kN]	χ^*A [mm^2]	σ_n [MPa]	$\delta^*M_{y,d}$ [kNm]	$\chi_{lt}{}^*W_{el,y}$ [mm^3]	σ_{my} [MPa]	$\delta^*M_{z,d}$ [kNm]	$W_{el,z}$ [mm^3]	σ_{mz} [MPa]	σ_x [MPa]	$\kappa^*\delta^*M_{x,d}$ [kNm]	$W_{v,y}$ [mm^3]	$\tau_{x,y}$ [MPa]	$W_{v,z}$ [mm^3]	$\tau_{x,z}$ [MPa]	$\delta^*V_{y,d}$ [kN]	$A_{v,y}$ [mm2]	$\tau_{v,y}$ [MPa]	$\tau_{v,y}$ [MPa]	$\delta^*V_{z,d}$ [kN]	$A_{v,z}$ [mm2]	$\tau_{v,z}$ [MPa]	$\tau_{v,z}$ [MPa]
1	G0	Vlastní tíha OK	G	0	-1.6	3.42E+04	0.0	61.1	-1.40E+07	-4.4	-6.1	1.05E+06	-5.8	-10.2	0.0E+00	-	-	-	-	3.0	1.87E+04	0.2	0.2	-35.4	1.12E+04	-3.2	-3.2
2	G1	Ostatní stálé - mostní vybavení	G	0	-0.1	3.42E+04	0.0	9.4	-1.40E+07	-0.7	-0.5	1.05E+06	-0.4	-1.1	0.0E+00	-	-	-	-	0.2	1.87E+04	0.0	0.0	-7.5	1.12E+04	-0.7	-0.7
3	G2	Ostatní stálé - cizí zařízení	G	0	-0.2	3.42E+04	0.0	-6.9	-1.40E+07	0.5	-0.6	1.05E+06	-0.6	-0.1	0.0E+00	-	-	-	-	-0.3	1.87E+04	0.0	0.0	-4.1	1.12E+04	-0.4	-0.4
4	P1_71	a.LM71 - kolej 1 (bez dyn. souč.)	P	0	0.0	3.42E+04	0.0	0.0	-1.40E+07	0.0	0.0	1.05E+06	0.0	0.0	0.0E+00	-	-	-	-	0.0	1.87E+04	0.0	0.0	0.0	1.12E+04	0.0	0.0
5	P2_71	a.LM71 - kolej 2 (bez dyn. souč.)	P	0	0.0	3.42E+04	0.0	0.0	-1.40E+07	0.0	0.0	1.05E+06	0.0	0.0	0.0E+00	-	-	-	-	0.0	1.87E+04	0.0	0.0	0.0	1.12E+04	0.0	0.0
6	P1_C3	TTZ C3 - kolej 1 (bez dyn. souč.)	P	0	11.0	3.42E+04	0.3	223.1	-1.40E+07	-16.0	-2.8	1.05E+06	-2.6	-18.3	0.0E+00	-	-	-	-	-2.5	1.87E+04	-0.1	-0.1	-200.1	1.12E+04	-17.9	-17.9
7	P2_C3	TTZ C3 - kolej 2 (bez dyn. souč.)	P	0	-11.4	3.42E+04	-0.3	741.8	-1.40E+07	-53.1	-10.9	1.05E+06	-10.3	-63.8	1.7E-02	-	-	-	-	-3.8	1.87E+04	-0.2	-0.2	-102.0	1.12E+04	-9.1	-9.1
8	BR	Brzdné a rozjezdové síly	P	0	-0.2	3.42E+04	0.0	-2.7	-1.40E+07	0.2	-41.7	1.05E+06	-39.5	-39.4	1.7E-02	-	-	-	-	-19.8	1.87E+04	-1.1	-1.1	0.3	1.12E+04	0.0	0.0
9	S	Boční ráz	P	0	-1.4	3.42E+04	0.0	-7.4	-1.40E+07	0.5	-1.2	1.05E+06	-1.1	-0.6	-8.3E-03	-	-	-	-	-0.8	1.87E+04	0.0	0.0	3.3	1.12E+04	0.3	0.3
10	CH	Chodci na lávkách	Q	0	0.4	3.42E+04	0.0	-11.8	-1.40E+07	0.8	-1.5	1.05E+06	-1.5	-0.6	0.0E+00	-	-	-	-	-1.0	1.87E+04	-0.1	-0.1	3.2	1.12E+04	0.3	0.3
11	W	Vítr na konstrukci	Q	0	-14.3	3.42E+04	-0.4	10.5	-1.40E+07	-0.7	-5.9	1.05E+06	-5.6	-6.8	1.0E-02	-	-	-	-	-8.0	1.87E+04	-0.4	-0.4	6.0	1.12E+04	0.5	0.5
12	WP	Vítr na vozidla	Q	0	0.4	3.42E+04	0.0	-57.2	-1.40E+07	4.1	-10.3	1.05E+06	-9.7	-5.6	1.0E-02	-	-	-	-	-13.5	1.87E+04	-0.7	-0.7	-26.3	1.12E+04	-2.4	-2.4
13	TR	Teplota rovnoměrná	Q	0	0.0	3.42E+04	0.0	0.0	-1.40E+07	0.0	0.0	1.05E+06	0.0	0.0	0.0E+00	-	-	-	-	0.0	1.87E+04	0.0	0.0	0.0	1.12E+04	0.0	0.0
14	TN	Teplota nerovnoměrná	Q	0	-2.8	3.42E+04	-0.1	16.8	-1.40E+07	-1.2	-0.3	1.05E+06	-0.3	-1.6	0.0E+00	-	-	-	-	-0.3	1.87E+04	0.0	0.0	7.7	1.12E+04	0.7	0.7
15	FR	Třecí síly v ložiskách	Q	0	-0.2	3.42E+04	0.0	-0.3	-1.40E+07	0.0	-0.3	1.05E+06	-0.3	-0.3	0.0E+00	-	-	-	-	-0.1	1.87E+04	0.0	0.0	0.1	1.12E+04	0.0	0.0
16	I	Imperfekce soustavy	Q	0	-0.8	3.42E+04	0.0	5.5	-1.40E+07	-0.4	-0.2	1.05E+06	-0.2	-0.6	0.0E+00	-	-	-	-	-0.4	1.87E+04	0.0	0.0	2.1	1.12E+04	0.2	0.2
27	ULS_LM	ULS - LM71 bez dynam	Q	0	0.0	3.42E+04	0.0	0.0	-1.40E+07	0.0	0.0	1.05E+06	0.0	0.0	0.0E+00	-	-	-	-	0.0	1.87E+04	0.0	0.0	0.0	1.12E+04	0.0	0.0
28	SLS_LM	SLS - LM71 bez dynam	Q	0	0.0	3.42E+04	0.0	0.0	-1.40E+07	0.0	0.0	1.05E+06	0.0	0.0	0.0E+00	-	-	-	-	0.0	1.87E+04	0.0	0.0	0.0	1.12E+04	0.0	0.0
29	ULS_C3	ULS - C3 bez dynam	Q	0	0.0	3.42E+04	0.0	0.0	-1.40E+07	0.0	0.0	1.05E+06	0.0	0.0	0.0E+00	-	-	-	-	0.0	1.87E+04	0.0	0.0	0.0	1.12E+04	0.0	0.0
30	SLS_C3	SLS - C3 bez dynam	Q	0	0.0	3.42E+04	0.0	0.0	-1.40E+07	0.0	0.0	1.05E+06	0.0	0.0	0.0E+00	-	-	-	-	0.0	1.87E+04	0.0	0.0	0.0	1.12E+04	0.0	0.0
		NAVÝŠENÍ NAPĚTÍ DO AKTIVACE TLAKU V DESCE MOSTOVKY				$\sigma_{P,red}$	0.0							0.0			0.0		0.0				-2.5	-2.5			-31.5	-31.5
		NAPĚTÍ OD PRIMÁRNÍCH ÚČINKŮ NEROVNOMĚRNÉHO OTEPLENÍ				σ_T	0.0							0.0														
		NAPĚTÍ OD REOLOGICKÝCH ÚČINKŮ BETONU V ČASE		t=0		σ_R	0.0	γ_{fi}=	1.20					0.0														
		NAPĚTÍ V KRITICKÝCH VLÁKNECH OD KOMBINACE ZATÍŽENÍ				KZ07		[MPa]					$\Sigma\sigma_x$	-149.0				$\Sigma\tau_y$		-2.5					$\Sigma\tau_z$	-31.5
		NAPĚTÍ OD POHYBLIVÉHO ZATÍŽENÍ						[MPa]					$\sigma_{x,P}$	-122.0						-1.4						τ_P	-26.7
		NAPĚTÍ OD OSTATNÍCH ZATÍŽENÍ						[MPa]			Φ_{Vy}	Φ_{Vz}	$\sigma_{x,rs}$	-27.0						-1.1						τ_{rs}	-4.9
		NÁVRHOVÁ HODNOTA MEZE KLUZU S REDUKCÍ VLIVEM SMYKOVÉHO NAPĚTÍ						[MPa]			1.00	1.00	$f_{yw,d}$	209.1						$f_{yd}/3^{0,5}$		120.7				$f_{yd}/3^{0,5}$	120.7
		NAPĚTÍ OD POHYBLIVÉHO ZATÍŽENÍ V GLOBÁLNÍM SYSTÉMU				$\sigma_{GLOB,P}$	0.0	[MPa]					$\Sigma\sigma_{GLOB}$	0.0													
		NAPĚTÍ OD OSTATNÍCH ZATÍŽENÍ V GLOBÁLNÍM SYSTÉMU				$\sigma_{GLOB,rs}$	0.0	[MPa]					$\Sigma\sigma_x + \Sigma\sigma_{GLOB}$	-149.0													
		VYUŽITÍ PRŮŘEZU DLE NAPĚTÍ						[%]					η_1	0.71						η_3		0.02				η_3	0.26
		NAPĚTÍ V PŘÍČNÉM SMĚRU OD POHYBLIVÉHO ZATÍŽENÍ				$\sigma_{z,P}$	0.0	[MPa]					$\Sigma\sigma_z$	0.0													
		NAPĚTÍ V PŘÍČNÉM SMĚRU OD OSTATNÍCH ZATÍŽENÍ				$\sigma_{z,rs}$	0.0	[MPa]					η_2	0.00													
		SROVNÁVACÍ NAPĚTÍ											$(\eta_2 + 0,8\,\eta_1)/1,4$ =	0.41													
		VYUŽITÍ PRŮŘEZU CELKEM						[%]					eff	0.71	VYHOVUJE												
		STANOVENÍ ZATÍŽITELNOSTI											Z_{LM71} =	-----													

TAB. P5.2.3 POSOUZENÍ - MEZNÍ STAV ÚNOSNOSTI

POPIS	PŘÍČNÍK P5 - VNĚJŠÍ PODÉLNÍK
PRUT / POLOHA BODU	656 / I[536]
NAMÁHÁNÍ	My.max
VLÁKNO	BOD K3 -SL
MEZNÍ STAV	ULS (MSÚ)
VYUŽITÍ VLÁKNA PRŮŘEZU	0.77

Charakteristiky materiálu				
pás. horní	$f_{yf,k}$	230	MPa	
pás. dolní	$f_{yf,k}$	230	MPa	
stojina	$f_{yw,k}$	230	MPa	
výztuž	$f_{ys,k}$	500	MPa	
γ_M =	1.10	γ_s =	1.15	

Excentricita normálové síly				
Exc./Fáze	0	1	2	3
e_y	0.000	0.000	0.000	0.000
e_z	0.000	0.000	0.000	0.000
Ekvivalentní vzdál. stěn - příčný roznos				
b_{Mx}	0.000	0.000	0.000	0.000

Vliv stěny na únosnost průřezu				
Char./Fáze	0	1	2	3
A	0.00	0.00	0.00	0.00
Wy	0.00	0.00	0.00	0.00
Wz	0.00	0.00	0.00	0.00

Charakter. v kroucení			
$t_{w,y}$	0.000	[mm]	
$t_{w,z}$	0.000	[mm]	
κ	1.00		
I_t=	0.00E+00	[mm^4]	
$\Omega=2*A_{pr}$	0.00E+00	[mm^2]	

Součinitele vzpěru a vlivu II.řádu				
Char./Fáze	0	1	2	3
k_y	1.000	1.000	1.000	1.000
k_z	1.000	1.000	1.000	1.000
χ_{LT}	1.000	1.000	1.000	1.000
χ_{min}	1.000	1.000	1.000	1.000

δ_{LOK} 1.05

Vnitřní síly od jednotlivých skupin zatěžovacích stavů

SKUPINA ZATĚŽOVACÍCH STAVŮ

- CHARAKTERISTICKÉ HODNOTY

DÍLČÍ SOUČINITELÉ ZATÍŽENÍ, DYNAMICKÝ SOUČINITEL

- NÁVRHOVÉ HODNOTY

Č.	SKUP ZS	POPIS ZS	KAT.	FÁZE PRŮŘ.	N.k (kN)	Vy.k (kN)	Vz.k (kN)	Mx.k (kNm)	My.k (kNm)	Mz.k (kNm)	γ_{sup} (-)	γ_{inf} (-)	volba γ_i hledat	γ_i (-)	L_d (m)	δ (-)	Ψ_E KZ07	N.d (kN)	Vy.d (kN)	Vz.d (kN)	ΔVz.d (kN)	ΣVz.d (kN)	Mx.d (kNm)	My.d (kNm)	ΔMy.d (kNm)	ΣMy.d (kNm)	Mz.d (kNm)	ΔMz.d (kNm)	ΣMz.d (kNm)
1	G0	Vlastní tíha OK	G	0	-1	3	-31	0	54	-5	1.00	1.20		1.20	-	1.00	0.95	-2	3	-35	0	-35	0	61	0	61	-6	0	-6
2	G1	Ostatní stálé - mostní vybavení	G	0	0	0	-7	0	8	0	1.00	1.20		1.20	-	1.00	0.95	0	0	-7	0	-7	0	9	0	9	0	0	0
3	G2	Ostatní stálé - cizí zařízení	G	0	0	0	-4	0	-6	-1	1.00	1.20		1.20	-	1.00	0.95	0	0	-4	0	-4	0	-7	0	-7	-1	0	-1
4	P1_71	a.LM71 - kolej 1 (bez dyn. souč.)	P	0	12	-2	-207	0	230	-3	1.00	vyp.		0.00	-	1.00	0.00	0	0	0	0	0	0	0	0	0	0	0	0
5	P2_71	a.LM71 - kolej 2 (bez dyn. souč.)	P	0	-7	-3	-109	0	756	-10	1.00	vyp.		0.00	-	1.00	0.00	0	0	0	0	0	0	0	0	0	0	0	0
6	P1_C3	TTZ C3 - kolej 1 (bez dyn. souč.)	P	0	6	-1	-117	0	130	-2	1.00	1.30		1.30	-	1.32	1.00	11	-3	-200	0	-200	0	223	0	223	-3	1	-3
7	P2_C3	TTZ C3 - kolej 2 (bez dyn. souč.)	P	0	-7	-2	-60	0	434	-8	1.00	1.30		1.30	-	1.32	1.00	-11	-4	-102	0	-102	0	742	0	742	-14	3	-11
8	BR	Brzdné a rozjezdové síly	P	0	0	24	0	0	3	50	1.00	-1.30		-1.30	-	1.00	0.64	0	-20	0	0	0	0	-3	0	-3	-42	0	-42
9	S	Boční ráz	P	0	3	2	-8	0	18	3	1.00	-1.30		-1.30	-	1.00	0.32	-1	-1	3	0	3	0	-7	0	-7	-1	0	-1
10	CH	Chodci na lávkách	Q	0	0	-1	2	0	-9	-1	1.00	1.30		1.30	-	1.00	1.00	0	-1	3	0	3	0	-12	0	-12	-2	0	-2
11	W	Vítr na konstrukci	Q	0	-14	-8	6	0	10	-6	1.00	1.35		1.35	-	1.00	0.75	-14	-8	6	0	6	0	10	0	10	-6	0	-6
12	WP	Vítr na vozidla	Q	0	0	13	26	0	56	10	1.00	-1.35		-1.35	-	1.00	0.75	0	-13	-26	0	-26	0	-57	0	-57	-10	0	-10
13	TR	Teplota rovnoměrná	Q	0	0	0	0	0	0	0	1.00	1.35		1.35	-	1.00	0.45	0	0	0	0	0	0	0	0	0	0	0	0
14	TN	Teplota nerovnoměrná	Q	0	-4	0	9	0	21	0	1.00	1.35		1.35	-	1.00	0.60	-3	0	8	0	8	0	17	0	17	0	0	0
15	FR	Třecí síly v ložiskách	Q	0	0	0	0	0	0	0	1.00	-1.20		-1.20	-	1.00	1.00	0	0	0	0	0	0	0	0	0	0	0	0
16	I	Imperfekce soustavy	Q	0	-1	0	2	0	5	0	1.00	1.20		1.20	-	1.00	1.00	-1	0	2	0	2	0	5	0	5	0	0	0
27	ULS_LM	ULS - LM71 bez dynam	Q	0	-9	9	-424	0	1 450	10	1.00	vyp.		0.00	-	1.00	0.00	0	0	0	0	0	0	0	0	0	0	0	0
28	SLS_LM	SLS - LM71 bez dynam	Q	0	-5	7	-338	0	1 108	6	1.00	vyp.	1	0.00	-	1.00	0.00	0	0	0	0	0	0	0	0	0	0	0	0
29	ULS_C3	ULS - C3 bez dynam	Q	0	-16	11	-242	0	903	14	1.00	vyp.	1	0.00	-	1.00	0.00	0	0	0	0	0	0	0	0	0	0	0	0
30	SLS_C3	SLS - C3 bez dynam	Q	0	-10	8	-198	0	687	10	1.00	vyp.	1	0.00	-	1.00	0.00	0	0	0	0	0	0	0	0	0	0	0	0
		CELKEM - FÁZE PRŮŘEZU 0			-21	-47	-353	0	982	-86								-21	-47	-353	0	-353	0	982	0	982	-86	3	-82
		CELKEM - FÁZE PRŮŘEZU 1			0	0	0	0	0	0								0	0	0	0	0	0	0	0	0	0	0	0
		CELKEM - FÁZE PRŮŘEZU 2			0	0	0	0	0	0								0	0	0	0	0	0	0	0	0	0	0	0
		CELKEM - FÁZE PRŮŘEZU 3			0	0	0	0	0	0								0	0	0	0	0	0	0	0	0	0	0	0
		CELKEM - PRŮŘEZ			-21	-47	-353	0	982	-82								-21	-47	-353	0	-353	0			982			-82

Napětí od jednotlivých zatěžovacích stavů

SKUPINA ZATĚŽOVACÍCH STAVŮ

Posouzení normálového napětí

Posouzení smykového napětí

Č.	SKUP ZS	Popis ZS	Kat.	fáze průř.	Účinek síly N: δ^*N_d [kN]	χ^*A [mm^2]	σ_n [MPa]	Účinek momentu My: $\delta^*M_{y,d}$ [kNm]	$\chi_{lt}{}^*W_{el,y}$ [mm^3]	σ_{my} [MPa]	Účinek momentu Mz: $\delta^*M_{z,d}$ [kNm]	$W_{el,z}$ [mm^3]	σ_{mz} [MPa]	σ_x [MPa]	Účinek kroutícího momentu Mx: $\kappa^*\delta^*M_{x,d}$ [kNm]	$W_{v,y}$ [mm^2]	$\tau_{x,y}$ [MPa]	$W_{v,z}$ [mm^2]	$\tau_{x,z}$ [MPa]	Účinek smykové síly Vy: $\delta^*V_{y,d}$ [kN]	$A_{v,y}$ [mm2]	$\tau_{v,y}$ [MPa]	$\tau_{v,y}$ [MPa]	Účinek smykové síly Vz: $\delta^*V_{z,d}$ [kN]	$A_{v,z}$ [mm2]	$\tau_{v,z}$ [MPa]	$\tau_{v,z}$ [MPa]
1	G0	Vlastní tíha OK	G	0	-1.6	3.42E+04	0.0	61.1	1.19E+07	5.1	-6.1	-1.05E+06	5.8	10.9	0.0E+00	-	-	-	-	3.0	1.87E+04	0.2	0.2	-35.4	1.12E+04	-3.2	-3.2
2	G1	Ostatní stálé - mostní vybavení	G	0	-0.1	3.42E+04	0.0	9.4	1.19E+07	0.8	-0.5	-1.05E+06	0.4	1.2	0.0E+00	-	-	-	-	0.2	1.87E+04	0.0	0.0	-7.5	1.12E+04	-0.7	-0.7
3	G2	Ostatní stálé - cizí zařízení	G	0	-0.2	3.42E+04	0.0	-6.9	1.19E+07	-0.6	-0.6	-1.05E+06	0.6	0.0	0.0E+00	-	-	-	-	-0.3	1.87E+04	0.0	0.0	-4.1	1.12E+04	-0.4	-0.4
4	P1_71	a.LM71 - kolej 1 (bez dyn. souč.)	P	0	0.0	3.42E+04	0.0	0.0	1.19E+07	0.0	0.0	-1.05E+06	0.0	0.0	0.0E+00	-	-	-	-	0.0	1.87E+04	0.0	0.0	0.0	1.12E+04	0.0	0.0
5	P2_71	a.LM71 - kolej 2 (bez dyn. souč.)	P	0	0.0	3.42E+04	0.0	0.0	1.19E+07	0.0	0.0	-1.05E+06	0.0	0.0	0.0E+00	-	-	-	-	0.0	1.87E+04	0.0	0.0	0.0	1.12E+04	0.0	0.0
6	P1_C3	TTZ C3 - kolej 1 (bez dyn. souč.)	P	0	11.0	3.42E+04	0.3	223.1	1.19E+07	18.8	-2.8	-1.05E+06	2.6	21.7	0.0E+00	-	-	-	-	-2.5	1.87E+04	-0.1	-0.1	-200.1	1.12E+04	-17.9	-17.9
7	P2_C3	TTZ C3 - kolej 2 (bez dyn. souč.)	P	0	-11.4	3.42E+04	-0.3	741.8	1.19E+07	62.5	-10.9	-1.05E+06	10.3	72.5	1.7E-02	-	-	-	-	-3.8	1.87E+04	-0.2	-0.2	-102.0	1.12E+04	-9.1	-9.1
8	BR	Brzdné a rozjezdové síly	P	0	-0.2	3.42E+04	0.0	-2.7	1.19E+07	-0.2	-41.7	-1.05E+06	39.5	39.3	1.7E-02	-	-	-	-	-19.8	1.87E+04	-1.1	-1.1	0.3	1.12E+04	0.0	0.0
9	S	Boční ráz	P	0	-1.4	3.42E+04	0.0	-7.4	1.19E+07	-0.6	-1.2	-1.05E+06	1.1	0.4	-8.3E-03	-	-	-	-	-0.8	1.87E+04	0.0	0.0	3.3	1.12E+04	0.3	0.3
10	CH	Chodci na lávkách	Q	0	0.4	3.42E+04	0.0	-11.8	1.19E+07	-1.0	-1.5	-1.05E+06	1.5	0.5	0.0E+00	-	-	-	-	-1.0	1.87E+04	-0.1	-0.1	3.2	1.12E+04	0.3	0.3
11	W	Vítr na konstrukci	Q	0	-14.3	3.42E+04	-0.4	10.5	1.19E+07	0.9	-5.9	-1.05E+06	5.6	6.1	1.0E-02	-	-	-	-	-8.0	1.87E+04	-0.4	-0.4	6.0	1.12E+04	0.5	0.5
12	WP	Vítr na vozidla	Q	0	0.4	3.42E+04	0.0	-57.2	1.19E+07	-4.8	-10.3	-1.05E+06	9.7	4.9	1.0E-02	-	-	-	-	-13.5	1.87E+04	-0.7	-0.7	-26.3	1.12E+04	-2.4	-2.4
13	TR	Teplota rovnoměrná	Q	0	0.0	3.42E+04	0.0	0.0	1.19E+07	0.0	0.0	-1.05E+06	0.0	0.0	0.0E+00	-	-	-	-	0.0	1.87E+04	0.0	0.0	0.0	1.12E+04	0.0	0.0
14	TN	Teplota nerovnoměrná	Q	0	-2.8	3.42E+04	-0.1	16.8	1.19E+07	1.4	-0.3	-1.05E+06	0.3	1.6	0.0E+00	-	-	-	-	-0.3	1.87E+04	0.0	0.0	7.7	1.12E+04	0.7	0.7
15	FR	Třecí síly v ložiskách	Q	0	-0.2	3.42E+04	0.0	-0.3	1.19E+07	0.0	-0.3	-1.05E+06	0.3	0.3	0.0E+00	-	-	-	-	-0.1	1.87E+04	0.0	0.0	0.1	1.12E+04	0.0	0.0
16	I	Imperfekce soustavy	Q	0	-0.8	3.42E+04	0.0	5.5	1.19E+07	0.5	-0.2	-1.05E+06	0.2	0.7	0.0E+00	-	-	-	-	-0.4	1.87E+04	0.0	0.0	2.1	1.12E+04	0.2	0.2
27	ULS_LM	ULS - LM71 bez dynam	Q	0	0.0	3.42E+04	0.0	0.0	1.19E+07	0.0	0.0	-1.05E+06	0.0	0.0	0.0E+00	-	-	-	-	0.0	1.87E+04	0.0	0.0	0.0	1.12E+04	0.0	0.0
28	SLS_LM	SLS - LM71 bez dynam	Q	0	0.0	3.42E+04	0.0	0.0	1.19E+07	0.0	0.0	-1.05E+06	0.0	0.0	0.0E+00	-	-	-	-	0.0	1.87E+04	0.0	0.0	0.0	1.12E+04	0.0	0.0
29	ULS_C3	ULS - C3 bez dynam	Q	0	0.0	3.42E+04	0.0	0.0	1.19E+07	0.0	0.0	-1.05E+06	0.0	0.0	0.0E+00	-	-	-	-	0.0	1.87E+04	0.0	0.0	0.0	1.12E+04	0.0	0.0
30	SLS_C3	SLS - C3 bez dynam	Q	0	0.0	3.42E+04	0.0	0.0	1.19E+07	0.0	0.0	-1.05E+06	0.0	0.0	0.0E+00	-	-	-	-	0.0	1.87E+04	0.0	0.0	0.0	1.12E+04	0.0	0.0
NAVÝŠENÍ NAPĚTÍ DO AKTIVACE TLAKU V DESCE MOSTOVKY						$\sigma_{P,red}$	0.0							0.0			0.0		0.0			-2.5	-2.5			-31.5	-31.5
NAPĚTÍ OD PRIMÁRNÍCH ÚČINKŮ NEROVNOMĚRNÉHO OTEPLENÍ						σ_T	0.0							0.0													
NAPĚTÍ OD REOLOGICKÝCH ÚČINKŮ BETONU V ČASE			t=0			σ_R	0.0	γ_{inf}=	1.20					0.0													
NAPĚTÍ V KRITICKÝCH VLÁKNECH OD KOMBINACE ZATÍŽENÍ						KZ07		[MPa]					$\Sigma\sigma_x$	160.2								$\Sigma\tau_y$	-2.5			$\Sigma\tau_z$	-31.5
NAPĚTÍ OD POHYBLIVÉHO ZATÍŽENÍ								[MPa]					$\sigma_{x,P}$	134.0								τ_P	-1.4			τ_P	-26.7
NAPĚTÍ OD OSTATNÍCH ZATÍŽENÍ								[MPa]			Φ_{Vy}	Φ_{Vz}	$\sigma_{x,rs}$	26.2								τ_{rs}	-1.1			τ_{rs}	-4.9
NÁVRHOVÁ HODNOTA MEZE KLUZU S REDUKCÍ VLIVEM SMYKOVÉHO NAPĚTÍ								[MPa]			1.00	1.00	$f_{yw,d}$	209.1								$f_{yd}/3^{0,5}$	120.7			$f_{yd}/3^{0,5}$	120.7
NAPĚTÍ OD POHYBLIVÉHO ZATÍŽENÍ V GLOBÁLNÍM SYSTÉMU						$\sigma_{GLOB,P}$	0.0	[MPa]					$\Sigma\sigma_{GLOB}$	0.0													
NAPĚTÍ OD OSTATNÍCH ZATÍŽENÍ V GLOBÁLNÍM SYSTÉMU						$\sigma_{GLOB,rs}$	0.0	[MPa]					$\Sigma\sigma_x + \Sigma\sigma_{GLOB}$	160.2													
VYUŽITÍ PRŮŘEZU DLE NAPĚTÍ								[%]					η_1	0.77								η_3	0.02			η_3	0.26
NAPĚTÍ V PŘÍČNÉM SMĚRU OD POHYBLIVÉHO ZATÍŽENÍ						$\sigma_{z,P}$	0.0	[MPa]					$\Sigma\sigma_z$	0.0													
NAPĚTÍ V PŘÍČNÉM SMĚRU OD OSTATNÍCH ZATÍŽENÍ						$\sigma_{z,rs}$	0.0	[MPa]					η_2	0.00													
SROVNÁVACÍ NAPĚTÍ													$(\eta_2 + 0,8\ \eta_1)/1,4$ =	0.44													
VYUŽITÍ PRŮŘEZU CELKEM								[%]					eff	0.77	VYHOVUJE												
STANOVENÍ ZATÍŽITELNOSTI													Z_{LM71} =	-----													

TAB. P5.2.3 POSOUZENÍ - MEZNÍ STAV ÚNOSNOSTI

POPIS	PŘÍČNÍK P5 - VNĚJŠÍ PODÉLNÍK
PRUT / POLOHA BODU	656 / I[536]
NAMÁHÁNÍ	Vz.min
VLÁKNO	BOD S6 -HP
MEZNÍ STAV	ULS (MSÚ)
VYUŽITÍ VLÁKNA PRŮŘEZU	0.35

Charakteristiky materiálu				
pás. horní	$f_{yf,k}$	230	MPa	
pás. dolní	$f_{yf,k}$	230	MPa	
stojina	$f_{yw,k}$	230	MPa	
výztuž	$f_{ys,k}$	500	MPa	
γ_M =	1.10	γ_s =	1.15	

Excentricita normálové síly				
Exc./Fáze	0	1	2	3
e_y	0.000	0.000	0.000	0.000
e_z	0.000	0.000	0.000	0.000
Ekvivalentní vzdál. stěn - příčný roznos				
b_{Mx}	0.000	0.000	0.000	0.000

Vliv stěny na únosnost průřezu				
Char./Fáze	0	1	2	3
A	0.00	0.00	0.00	0.00
Wy	0.00	0.00	0.00	0.00
Wz	0.00	0.00	0.00	0.00

Charakter. v kroucení			
$t_{w,y}$	0.000	[mm]	
$t_{w,z}$	0.000	[mm]	
κ	1.00		
I_t=	0.00E+00	[mm^4]	
Ω=2*A_{pr}	0.00E+00	[mm^2]	

Součinitele vzpěru a vlivu II.řádu				
Char./Fáze	0	1	2	3
k_y	1.000	1.000	1.000	1.000
k_z	1.000	1.000	1.000	1.000
χ_{LT}	1.000	1.000	1.000	1.000
χ_{min}	1.000	1.000	1.000	1.000

8

δ_{LOK} 1.05

Vnitřní síly od jednotlivých skupin zatěžovacích stavů

SKUPINA ZATĚŽOVACÍCH STAVŮ

Č.	SKUP ZS	POPIS ZS	KAT.	FÁZE PRŮŘ.	- CHARAKTERISTICKÉ HODNOTY N.k (kN)	Vy.k (kN)	Vz.k (kN)	Mx.k (kNm)	My.k (kNm)	Mz.k (kNm)	DÍLČÍ SOUČINITELÉ ZATÍŽENÍ, DYNAMICKÝ SOUČINITEL γ_{sr} (-)	γ_{sl} (-)	volba γ_s hledat	γ_s (-)	L_d (m)	δ (-)	Ψ_0 KZ08	- NÁVRHOVÉ HODNOTY N.d (kN)	Vy.d (kN)	Vz.d (kN)	ΔVz.d (kN)	ΣVz.d (kN)	Mx.d (kNm)	My.d (kNm)	ΔMy.d (kNm)	ΣMy.d (kNm)	Mz.d (kNm)	ΔMz.d (kNm)	ΣMz.d (kNm)
1	G0	Vlastní tíha OK	G	0	-1	3	-31	0	54	-5	1.00	1.20		1.20	-	1.00	0.95	-2	3	-35	0	-35	0	61	0	61	-6	0	-6
2	G1	Ostatní stálé - mostní vybavení	G	0	0	0	-7	0	8	0	1.00	1.20		1.20	-	1.00	0.95	0	0	-7	0	-7	0	9	0	9	0	0	0
3	G2	Ostatní stálé - cizí zařízení	G	0	0	0	-4	0	-6	-1	1.00	1.20		1.20	-	1.00	0.95	0	0	-4	0	-4	0	-7	0	-7	-1	0	-1
4	P1_71	a.LM71 - kolej 1 (bez dyn. souč.)	P	0	13	-7	-212	0	214	-10	1.00	vyp.		0.00	-	1.00	0.00	0	0	0	0	0	0	0	0	0	0	0	0
5	P2_71	a.LM71 - kolej 2 (bez dyn. souč.)	P	0	1	-1	-169	0	715	-3	1.00	vyp.		0.00	-	1.00	0.00	0	0	0	0	0	0	0	0	0	0	0	0
6	P1_C3	TTZ C3 - kolej 1 (bez dyn. souč.)	P	0	8	-6	-122	0	114	-9	1.00	1.30		1.30	-	1.32	1.00	14	-11	-209	0	-209	0	194	0	194	-15	3	-12
7	P2_C3	TTZ C3 - kolej 2 (bez dyn. souč.)	P	0	0	-1	-95	0	405	-2	1.00	1.30		1.30	-	1.32	1.00	0	-1	-163	0	-163	0	693	0	693	-3	1	-3
8	BR	Brzdné a rozjezdové síly	P	0	1	25	-1	0	1	45	1.00	1.30		1.30	-	1.00	0.32	1	10	0	0	0	0	0	0	0	19	0	19
9	S	Boční ráz	P	0	3	2	-8	0	18	3	1.00	1.30		1.30	-	1.00	0.64	3	2	-7	0	-7	0	15	0	15	2	0	2
10	CH	Chodci na lávkách	Q	0	0	-1	-1	0	-34	-1	1.00	1.30		1.30	-	1.00	1.00	0	-1	-1	0	-1	0	-45	0	-45	-1	0	-1
11	W	Vítr na konstrukci	Q	0	11	8	-6	0	-10	6	1.00	1.35		1.35	-	1.00	0.75	11	8	-6	0	-6	0	-10	0	-10	6	0	6
12	WP	Vítr na vozidla	Q	0	0	-13	-26	0	-56	-10	1.00	1.35		1.35	-	1.00	0.75	0	-14	-26	0	-26	0	-57	0	-57	-10	0	-10
13	TR	Teplota rovnoměrná	Q	0	0	0	0	0	0	0	1.00	1.35		1.35	-	1.00	0.45	0	0	0	0	0	0	0	0	0	0	0	0
14	TN	Teplota nerovnoměrná	Q	0	5	0	-10	0	-29	0	1.00	1.35		1.35	-	1.00	0.60	4	0	-8	0	-8	0	-24	0	-24	0	0	0
15	FR	Třecí síly v ložiskách	Q	0	0	0	0	0	0	0	1.00	1.20		1.20	-	1.00	1.00	0	0	0	0	0	0	0	0	0	0	0	0
16	I	Imperfekce soustavy	Q	0	1	0	-2	0	-5	0	1.00	1.20		1.20	-	1.00	1.00	1	0	-2	0	-2	0	-5	0	-5	0	0	0
27	ULS_LM	ULS - LM71 bez dynam	Q	0	38	-4	-596	0	1 155	-2	1.00	vyp.		0.00	-	1.00	0.00	0	0	0	0	0	0	0	0	0	0	0	0
28	SLS_LM	SLS - LM71 bez dynam	Q	0	26	-4	-457	0	915	-2	1.00	vyp.	1	0.00	-	1.00	0.00	0	0	0	0	0	0	0	0	0	0	0	0
29	ULS_C3	ULS - C3 bez dynam	Q	0	30	-2	-384	0	622	2	1.00	vyp.	1	0.00	-	1.00	0.00	0	0	0	0	0	0	0	0	0	0	0	0
30	SLS_C3	SLS - C3 bez dynam	Q	0	20	-2	-294	0	506	1	1.00	vyp.	1	0.00	-	1.00	0.00	0	0	0	0	0	0	0	0	0	0	0	0
		CELKEM - FÁZE PRŮŘEZU 0																32	-3	-469	0	-469	0	825	0	825	-9	4	-6
		CELKEM - FÁZE PRŮŘEZU 1																0	0	0	0	0	0	0	0	0	0	0	0
		CELKEM - FÁZE PRŮŘEZU 2																0	0	0	0	0	0	0	0	0	0	0	0
		CELKEM - FÁZE PRŮŘEZU 3																0	0	0	0	0	0	0	0	0	0	0	0
		CELKEM - PRŮŘEZ																32	-3	-469	0	-469	0			825			-6

Napětí od jednotlivých zatěžovacích stavů

SKUPINA ZATĚŽOVACÍCH STAVŮ

Č.	SKUP ZS	Popis ZS	Kat.	fáze prúř.	Posouzení normálového napětí: Účinek síly N δ^*N_d [kN]	χ^*A [mm^2]	σ_n [MPa]	Účinek momentu My $\delta^*M_{y,d}$ [kNm]	$\chi_t{}^*W_{el,y}$ [mm^3]	σ_{my} [MPa]	Účinek momentu Mz $\delta^*M_{z,d}$ [kNm]	$W_{el,z}$ [mm^3]	σ_{mz} [MPa]	σ_x [MPa]	Posouzení smykového napětí: Účinek kroutícího momentu Mx $\kappa^*\delta^*M_{x,d}$ [kNm]	$W_{v,y}$ [mm^2]	$\tau_{x,y}$ [MPa]	$W_{v,z}$ [mm^2]	$\tau_{x,z}$ [MPa]	Účinek smykové síly Vy $\delta^*V_{y,d}$ [kN]	$A_{v,y}$ [mm2]	$\tau_{v,y}$ [MPa]	$\tau_{v,y}$ [MPa]	Účinek smykové síly Vz $\delta^*V_{z,d}$ [kN]	$A_{v,z}$ [mm2]	$\tau_{v,z}$ [MPa]	$\tau_{v,z}$ [MPa]
1	G0	Vlastní tíha OK	G	0	-1.6	3.42E+04	0.0	61.1	1.23E+07	5.0	-6.1	-3.24E+07	0.2	5.1	0.0E+00	-	-	-	-	3.0	1.87E+04	0.2	0.2	-35.4	1.12E+04	-3.2	-3.2
2	G1	Ostatní stálé - mostní vybavení	G	0	-0.1	3.42E+04	0.0	9.4	1.23E+07	0.8	-0.5	-3.24E+07	0.0	0.8	0.0E+00	-	-	-	-	0.2	1.87E+04	0.0	0.0	-7.5	1.12E+04	-0.7	-0.7
3	G2	Ostatní stálé - cizí zařízení	G	0	-0.2	3.42E+04	0.0	-6.9	1.23E+07	-0.6	-0.6	-3.24E+07	0.0	-0.5	0.0E+00	-	-	-	-	-0.3	1.87E+04	0.0	0.0	-4.1	1.12E+04	-0.4	-0.4
4	P1_71	a.LM71 - kolej 1 (bez dyn. souč.)	P	0	0.0	3.42E+04	0.0	0.0	1.23E+07	0.0	0.0	-3.24E+07	0.0	0.0	0.0E+00	-	-	-	-	0.0	1.87E+04	0.0	0.0	0.0	1.12E+04	0.0	0.0
5	P2_71	a.LM71 - kolej 2 (bez dyn. souč.)	P	0	0.0	3.42E+04	0.0	0.0	1.23E+07	0.0	0.0	-3.24E+07	0.0	0.0	0.0E+00	-	-	-	-	0.0	1.87E+04	0.0	0.0	0.0	1.12E+04	0.0	0.0
6	P1_C3	TTZ C3 - kolej 1 (bez dyn. souč.)	P	0	13.6	3.42E+04	0.4	194.4	1.23E+07	15.8	-11.9	-3.24E+07	0.4	16.6	0.0E+00	-	-	-	-	-10.7	1.87E+04	-0.6	-0.6	-208.8	1.12E+04	-18.7	-18.7
7	P2_C3	TTZ C3 - kolej 2 (bez dyn. souč.)	P	0	0.1	3.42E+04	0.0	693.0	1.23E+07	56.4	-2.6	-3.24E+07	0.1	56.5	0.0E+00	-	-	-	-	-1.0	1.87E+04	-0.1	-0.1	-163.2	1.12E+04	-14.6	-14.6
8	BR	Brzdné a rozjezdové síly	P	0	0.6	3.42E+04	0.0	0.2	1.23E+07	0.0	18.7	-3.24E+07	-0.6	-0.5	-8.3E-03	-	-	-	-	10.3	1.87E+04	0.6	0.6	-0.4	1.12E+04	0.0	0.0
9	S	Boční ráz	P	0	2.7	3.42E+04	0.1	14.9	1.23E+07	1.2	2.3	-3.24E+07	-0.1	1.2	1.7E-02	-	-	-	-	1.6	1.87E+04	0.1	0.1	-6.7	1.12E+04	-0.6	-0.6
10	CH	Chodci na lávkách	Q	0	-0.1	3.42E+04	0.0	-44.5	1.23E+07	-3.6	-1.2	-3.24E+07	0.0	-3.6	0.0E+00	-	-	-	-	-0.9	1.87E+04	0.0	0.0	-0.8	1.12E+04	-0.1	-0.1
11	W	Vítr na konstrukci	Q	0	11.2	3.42E+04	0.3	-10.5	1.23E+07	-0.9	5.9	-3.24E+07	-0.2	-0.7	-1.0E-02	-	-	-	-	8.0	1.87E+04	0.4	0.4	-6.0	1.12E+04	-0.5	-0.5
12	WP	Vítr na vozidla	Q	0	0.4	3.42E+04	0.0	-57.2	1.23E+07	-4.7	-10.3	-3.24E+07	0.3	-4.3	1.0E-02	-	-	-	-	-13.5	1.87E+04	-0.7	-0.7	-26.3	1.12E+04	-2.4	-2.4
13	TR	Teplota rovnoměrná	Q	0	0.0	3.42E+04	0.0	0.0	1.23E+07	0.0	0.0	-3.24E+07	0.0	0.0	0.0E+00	-	-	-	-	0.0	1.87E+04	0.0	0.0	0.0	1.12E+04	0.0	0.0
14	TN	Teplota nerovnoměrná	Q	0	3.9	3.42E+04	0.1	-23.9	1.23E+07	-1.9	-0.1	-3.24E+07	0.0	-1.8	0.0E+00	-	-	-	-	0.1	1.87E+04	0.0	0.0	-7.9	1.12E+04	-0.7	-0.7
15	FR	Třecí síly v ložiskách	Q	0	0.2	3.42E+04	0.0	0.3	1.23E+07	0.0	0.3	-3.24E+07	0.0	0.0	0.0E+00	-	-	-	-	0.1	1.87E+04	0.0	0.0	-0.1	1.12E+04	0.0	0.0
16	I	Imperfekce soustavy	Q	0	0.8	3.42E+04	0.0	-5.5	1.23E+07	-0.4	0.2	-3.24E+07	0.0	-0.4	0.0E+00	-	-	-	-	0.4	1.87E+04	0.0	0.0	-2.1	1.12E+04	-0.2	-0.2
27	ULS_LM	ULS - LM71 bez dynam	Q	0	0.0	3.42E+04	0.0	0.0	1.23E+07	0.0	0.0	-3.24E+07	0.0	0.0	0.0E+00	-	-	-	-	0.0	1.87E+04	0.0	0.0	0.0	1.12E+04	0.0	0.0
28	SLS_LM	SLS - LM71 bez dynam	Q	0	0.0	3.42E+04	0.0	0.0	1.23E+07	0.0	0.0	-3.24E+07	0.0	0.0	0.0E+00	-	-	-	-	0.0	1.87E+04	0.0	0.0	0.0	1.12E+04	0.0	0.0
29	ULS_C3	ULS - C3 bez dynam	Q	0	0.0	3.42E+04	0.0	0.0	1.23E+07	0.0	0.0	-3.24E+07	0.0	0.0	0.0E+00	-	-	-	-	0.0	1.87E+04	0.0	0.0	0.0	1.12E+04	0.0	0.0
30	SLS_C3	SLS - C3 bez dynam	Q	0	0.0	3.42E+04	0.0	0.0	1.23E+07	0.0	0.0	-3.24E+07	0.0	0.0	0.0E+00	-	-	-	-	0.0	1.87E+04	0.0	0.0	0.0	1.12E+04	0.0	0.0
		NAVÝŠENÍ NAPĚTÍ DO AKTIVACE TLAKU V DESCE MOSTOVKY				$\sigma_{P,red}$	0.0							0.0				0.0		0.0		-0.1	-0.1			-41.9	-41.9
		NAPĚTÍ OD PRIMÁRNÍCH ÚČINKŮ NEROVNOMĚRNÉHO OTEPLENÍ				σ_T	0.0							0.0													
		NAPĚTÍ OD REOLOGICKÝCH ÚČINKŮ BETONU V ČASE		t=0		σ_R	0.0	γ=	1.20					0.0													
		NAPĚTÍ V KRITICKÝCH VLÁKNECH OD KOMBINACE ZATÍŽENÍ				KZ08		[MPa]					$\Sigma\sigma_x$	68.2								$\Sigma\tau_y$	-0.1			$\Sigma\tau_z$	-41.9
		NAPĚTÍ OD POHYBLIVÉHO ZATÍŽENÍ						[MPa]					$\sigma_{x,P}$	73.8								τ_P	0.0			τ_P	-33.9
		NAPĚTÍ OD OSTATNÍCH ZATÍŽENÍ						[MPa]			Φ_{Vy}	Φ_{Vz}	$\sigma_{x,rs}$	-5.5								τ_{rs}	-0.1			τ_{rs}	-8.1
		NÁVRHOVÁ HODNOTA MEZE KLUZU S REDUKCÍ VLIVEM SMYKOVÉHO NAPĚTÍ						[MPa]			1.00	1.00	$f_{yw,d}$	209.1								$f_{yd}/3^{0,5}$	120.7			$f_{yd}/3^{0,5}$	120.7
		NAPĚTÍ OD POHYBLIVÉHO ZATÍŽENÍ V GLOBÁLNÍM SYSTÉMU				$\sigma_{GLOB,P}$	0.0	[MPa]					$\Sigma\sigma_{GLOB}$	0.0													
		NAPĚTÍ OD OSTATNÍCH ZATÍŽENÍ V GLOBÁLNÍM SYSTÉMU				$\sigma_{GLOB,rs}$	0.0	[MPa]					$\Sigma\sigma_x + \Sigma\sigma_{GLOB}$	68.2													
		VYUŽITÍ PRŮŘEZU DLE NAPĚTÍ						[%]					η_1	0.33								η_3	0.00			η_3	0.35
		NAPĚTÍ V PŘÍČNÉM SMĚRU OD POHYBLIVÉHO ZATÍŽENÍ				$\sigma_{z,P}$	0.0	[MPa]					$\Sigma\sigma_z$	0.0													
		NAPĚTÍ V PŘÍČNÉM SMĚRU OD OSTATNÍCH ZATÍŽENÍ				$\sigma_{z,rs}$	0.0	[MPa]					η_2	0.00													
		SROVNÁVACÍ NAPĚTÍ											$(\eta_2 + 0,8\ \eta_1)/1,4$ =	0.19													
		VYUŽITÍ PRŮŘEZU CELKEM						[%]					eff	0.35	VYHOVUJE												
		STANOVENÍ ZATÍŽITELNOSTI											Z_{LM71} =	-----													

TAB. P5.3.3 POSOUZENÍ - MEZNÍ STAV ÚNOSNOSTI

POPIS	PŘÍČNÍK P5 - VNITŘNÍ PODÉLNÍK
PRUT / POLOHA BODU	658 / I[538]
NAMÁHÁNÍ	My.max
VLÁKNO	BOD K2 -HP
MEZNÍ STAV	ULS (MSÚ)
VYUŽITÍ VLÁKNA PRŮŘEZU	0.60

Charakteristiky materiálu				
pás. horní	$f_{yf,k}$	230	MPa	
pás. dolní	$f_{yf,k}$	230	MPa	
stojina	$f_{yw,k}$	230	MPa	
výztuž	$f_{ys,k}$	500	MPa	
γ_M =	1.10	γ_s =	1.15	

Excentricita normálové síly				
Exc./Fáze	0	1	2	3
e_y	0.000	0.000	0.000	0.000
e_z	0.000	0.000	0.000	0.000
Ekvivalentní vzdál. stěn - příčný roznos				
b_{Mx}	0.000	0.000	0.000	0.000

Vliv stěny na únosnost průřezu				
Char./Fáze	0	1	2	3
A	0.00	0.00	0.00	0.00
Wy	0.00	0.00	0.00	0.00
Wz	0.00	0.00	0.00	0.00

Charakter. v kroucení			
$t_{w,y}$	0.000	[mm]	
$t_{w,z}$	0.000	[mm]	
κ	1.00		
I_t=	0.00E+00	[mm^4]	
$\Omega=2*A_{pz}$	0.00E+00	[mm^2]	

Součinitele vzpěru a vlivu II.řádu					
Char./Fáze	0	1	2	3	
k_y	1.000	1.000	1.000	1.000	
k_z	1.000	1.000	1.000	1.000	
χ_{LT}	1.000	1.000	1.000	1.000	
χ_{min}	1.000	1.000	1.000	1.000	

δ_{LOK} 1.05

Vnitřní síly od jednotlivých skupin zatěžovacích stavů

SKUPINA ZATĚŽOVACÍCH STAVŮ — CHARAKTERISTICKÉ HODNOTY — DÍLČÍ SOUČINITELÉ ZATÍŽENÍ, DYNAMICKÝ SOUČINITEL — NÁVRHOVÉ HODNOTY

Č.	SKUP ZS	POPIS ZS	KAT.	FÁZE PRŮŘ.	N.k (kN)	Vy.k (kN)	Vz.k (kN)	Mx.k (kNm)	My.k (kNm)	Mz.k (kNm)	γ_{sr} (-)	γ_{fs} (-)	volba γ_{fi} hledat	γ_{fi} (-)	L_d (m)	δ (-)	Ψ_0 KZ07	N.d (kN)	Vy.d (kN)	Vz.d (kN)	ΔVz.d (kN)	ΣVz.d (kN)	Mx.d (kNm)	My.d (kNm)	ΔMy.d (kNm)	ΣMy.d (kNm)	Mz.d (kNm)	ΔMz.d (kNm)	ΣMz.d (kNm)
1	G0	Vlastní tíha OK	G	0	-1	-2	-7	-1	102	-10	1.00	1.20		1.20	-	1.00	0.95	-2	-2	-8	0	-8	-1	117	0	117	-11	0	-11
2	G1	Ostatní stálé - mostní vybavení	G	0	0	0	-2	0	16	-1	1.00	1.20		1.20	-	1.00	0.95	0	0	-3	0	-3	0	19	0	19	-1	0	-1
3	G2	Ostatní stálé - cizí zařízení	G	0	0	0	-4	0	0	0	1.00	1.20		1.20	-	1.00	0.95	0	0	-4	0	-4	0	0	0	0	0	0	0
4	P1_71	a.LM71 - kolej 1 (bez dyn. souč.)	P	0	18	1	-215	0	602	1	1.00	vyp.		0.00	-	1.00	0.00	0	0	0	0	0	0	0	0	0	0	0	0
5	P2_71	a.LM71 - kolej 2 (bez dyn. souč.)	P	0	-5	-3	218	0	1 025	-4	1.00	vyp.		0.00	-	1.00	0.00	0	0	0	0	0	0	0	0	0	0	0	0
6	P1_C3	TTZ C3 - kolej 1 (bez dyn. souč.)	P	0	10	1	-122	0	341	1	1.00	1.30		1.30	-	1.32	1.00	17	1	-208	0	-208	0	583	0	583	1	0	1
7	P2_C3	TTZ C3 - kolej 2 (bez dyn. souč.)	P	0	-2	-3	125	0	582	-3	1.00	1.30		1.30	-	1.32	1.00	-4	-4	213	0	213	0	995	0	995	-6	1	-5
8	BR	Brzdné a rozjezdové síly	P	0	0	7	0	2	4	7	1.00	-1.30		-1.30	-	1.00	0.64	0	-5	0	0	0	-1	-3	0	-3	-6	0	-6
9	S	Boční ráz	P	0	42	2	0	0	22	3	1.00	-1.30		-1.30	-	1.00	0.32	-17	-1	0	0	0	0	-9	0	-9	-1	0	-1
10	CH	Chodci na lávkách	Q	0	1	0	2	0	-14	0	1.00	0.00		0.00	-	1.00	1.00	0	0	0	0	0	0	0	0	0	0	0	0
11	W	Vítr na konstrukci	Q	0	10	-21	-6	0	1	-9	1.00	1.35		1.35	-	1.00	0.75	11	-21	-6	0	-6	0	1	0	1	-9	0	-9
12	WP	Vítr na vozidla	Q	0	21	-34	-7	0	5	-15	1.00	1.35		1.35	-	1.00	0.75	21	-35	-7	0	-7	0	5	0	5	-15	0	-15
13	TR	Teplota rovnoměrná	Q	0	0	0	0	0	0	0	1.00	1.35		1.35	-	1.00	0.45	0	0	0	0	0	0	0	0	0	0	0	0
14	TN	Teplota nerovnoměrná	Q	0	-4	2	10	0	4	0	1.00	1.35		1.35	-	1.00	0.60	-3	2	8	0	8	0	3	0	3	0	0	0
15	FR	Třecí síly v ložiskách	Q	0	0	0	0	0	1	0	1.00	-1.20		-1.20	-	1.00	1.00	0	0	0	0	0	0	-1	0	-1	0	0	0
16	I	Imperfekce soustavy	Q	0	-1	1	2	0	2	0	1.00	-1.20		-1.20	-	1.00	1.00	1	-1	-2	0	-2	0	-2	0	-2	-1	0	-1
27	ULS_LM	ULS - LM71 bez dynam	Q	0	103	-51	-11	0	2 275	-20	1.00	vyp.		0.00	-	1.00	0.00	0	0	0	0	0	0	0	0	0	0	0	0
28	SLS_LM	SLS - LM71 bez dynam	Q	0	81	-39	-15	0	1 762	-15	1.00	vyp.	1	0.00	-	1.00	0.00	0	0	0	0	0	0	0	0	0	0	0	0
29	ULS_C3	ULS - C3 bez dynam	Q	0	96	-50	-11	0	1 361	-19	1.00	vyp.	1	0.00	-	1.00	0.00	0	0	0	0	0	0	0	0	0	0	0	0
30	SLS_C3	SLS - C3 bez dynam	Q	0	76	-38	-16	0	1 059	-15	1.00	vyp.	1	0.00	-	1.00	0.00	0	0	0	0	0	0	0	0	0	0	0	0
		CELKEM - FÁZE PRŮŘEZU 0																24	-67	-17	0	-17	-3	1 707	0	1 707	-49	1	-48
		CELKEM - FÁZE PRŮŘEZU 1																0	0	0	0	0	0	0	0	0	0	0	0
		CELKEM - FÁZE PRŮŘEZU 2																0	0	0	0	0	0	0	0	0	0	0	0
		CELKEM - FÁZE PRŮŘEZU 3																0	0	0	0	0	0	0	0	0	0	0	0
		CELKEM - PRŮŘEZ																24	-67	-17	0	-17	-3			1 707			-48

Napětí od jednotlivých zatěžovacích stavů

SKUPINA ZATĚŽOVACÍCH STAVŮ — Posouzení normálového napětí — Účinek síly N — Účinek momentu My — Účinek momentu Mz — Posouzení smykového napětí — Účinek kroutícího momentu Mx — Účinek smykové síly Vy — Účinek smykové síly Vz

Č.	SKUP ZS	Popis ZS	Kat.	fáze průř.	δ^*N_d [kN]	χ^*A [mm^2]	σ_n [MPa]	$\delta^*M_{y,d}$ [kNm]	$\chi_{lt}{}^*W_{el,y}$ [mm^3]	σ_{my} [MPa]	$\delta^*M_{z,d}$ [kNm]	$W_{el,z}$ [mm^3]	σ_{mz} [MPa]	σ_x [MPa]	$\kappa^*\delta^*M_{x,d}$ [kNm]	$W_{v,y}$ [mm^3]	$\tau_{x,y}$ [MPa]	$W_{v,z}$ [mm^3]	$\tau_{x,z}$ [MPa]	$\delta^*V_{y,d}$ [kN]	$A_{v,y}$ [mm2]	$\tau_{v,y}$ [MPa]	$\tau_{v,y}$ [MPa]	$\delta^*V_{z,d}$ [kN]	$A_{v,z}$ [mm2]	$\tau_{v,z}$ [MPa]	$\tau_{v,z}$ [MPa]
1	G0	Vlastní tíha OK	G	0	-1.7	4.17E+04	0.0	116.7	-1.80E+07	-6.5	-11.0	1.54E+06	-7.1	-13.7	-7.4E-01	-	-	-	-	-1.9	2.60E+04	-0.1	-0.1	-8.2	1.12E+04	-0.7	-0.7
2	G1	Ostatní stálé - mostní vybavení	G	0	-0.1	4.17E+04	0.0	18.5	-1.80E+07	-1.0	-0.8	1.54E+06	-0.5	-1.6	-5.7E-02	-	-	-	-	-0.1	2.60E+04	0.0	0.0	-2.7	1.12E+04	-0.2	-0.2
3	G2	Ostatní stálé - cizí zařízení	G	0	0.1	4.17E+04	0.0	0.3	-1.80E+07	0.0	-0.1	1.54E+06	0.0	-0.1	-2.3E-02	-	-	-	-	0.0	2.60E+04	0.0	0.0	-4.1	1.12E+04	-0.4	-0.4
4	P1_71	a.LM71 - kolej 1 (bez dyn. souč.)	P	0	0.0	4.17E+04	0.0	0.0	-1.80E+07	0.0	0.0	1.54E+06	0.0	0.0	0.0E+00	-	-	-	-	0.0	2.60E+04	0.0	0.0	0.0	1.12E+04	0.0	0.0
5	P2_71	a.LM71 - kolej 2 (bez dyn. souč.)	P	0	0.0	4.17E+04	0.0	0.0	-1.80E+07	0.0	0.0	1.54E+06	0.0	0.0	0.0E+00	-	-	-	-	0.0	2.60E+04	0.0	0.0	0.0	1.12E+04	0.0	0.0
6	P1_C3	TTZ C3 - kolej 1 (bez dyn. souč.)	P	0	17.0	4.17E+04	0.4	583.0	-1.80E+07	-32.5	1.0	1.54E+06	0.6	-31.4	-1.4E-01	-	-	-	-	0.9	2.60E+04	0.0	0.0	-208.0	1.12E+04	-18.6	-18.6
7	P2_C3	TTZ C3 - kolej 2 (bez dyn. souč.)	P	0	-3.8	4.17E+04	-0.1	995.0	-1.80E+07	-55.4	-4.6	1.54E+06	-3.0	-58.5	-4.3E-01	-	-	-	-	-4.3	2.60E+04	-0.2	-0.2	213.4	1.12E+04	19.1	19.1
8	BR	Brzdné a rozjezdové síly	P	0	0.2	4.17E+04	0.0	-3.3	-1.80E+07	0.2	-6.2	1.54E+06	-4.0	-3.8	-1.5E+00	-	-	-	-	-5.4	2.60E+04	-0.2	-0.2	-0.1	1.12E+04	0.0	0.0
9	S	Boční ráz	P	0	-17.3	4.17E+04	-0.4	-9.2	-1.80E+07	0.5	-1.2	1.54E+06	-0.8	-0.7	1.7E-02	-	-	-	-	-0.8	2.60E+04	0.0	0.0	0.1	1.12E+04	0.0	0.0
10	CH	Chodci na lávkách	Q	0	0.0	4.17E+04	0.0	0.0	-1.80E+07	0.0	0.0	1.54E+06	0.0	0.0	0.0E+00	-	-	-	-	0.0	2.60E+04	0.0	0.0	0.0	1.12E+04	0.0	0.0
11	W	Vítr na konstrukci	Q	0	10.6	4.17E+04	0.3	0.5	-1.80E+07	0.0	-9.2	1.54E+06	-6.0	-5.8	2.0E-02	-	-	-	-	-20.8	2.60E+04	-0.8	-0.8	-6.0	1.12E+04	-0.5	-0.5
12	WP	Vítr na vozidla	Q	0	21.3	4.17E+04	0.5	5.0	-1.80E+07	-0.3	-15.2	1.54E+06	-9.9	-9.6	3.0E-02	-	-	-	-	-34.8	2.60E+04	-1.3	-1.3	-7.4	1.12E+04	-0.7	-0.7
13	TR	Teplota rovnoměrná	Q	0	0.0	4.17E+04	0.0	0.0	-1.80E+07	0.0	0.0	1.54E+06	0.0	0.0	0.0E+00	-	-	-	-	0.0	2.60E+04	0.0	0.0	0.0	1.12E+04	0.0	0.0
14	TN	Teplota nerovnoměrná	Q	0	-3.1	4.17E+04	-0.1	3.1	-1.80E+07	-0.2	0.2	1.54E+06	0.1	-0.1	0.0E+00	-	-	-	-	1.8	2.60E+04	0.1	0.1	7.9	1.12E+04	0.7	0.7
15	FR	Třecí síly v ložiskách	Q	0	0.3	4.17E+04	0.0	-0.7	-1.80E+07	0.0	-0.1	1.54E+06	-0.1	0.0	-1.2E-02	-	-	-	-	0.0	2.60E+04	0.0	0.0	0.0	1.12E+04	0.0	0.0
16	I	Imperfekce soustavy	Q	0	0.9	4.17E+04	0.0	-1.8	-1.80E+07	0.1	-0.6	1.54E+06	-0.4	-0.2	0.0E+00	-	-	-	-	-1.0	2.60E+04	0.0	0.0	-2.1	1.12E+04	-0.2	-0.2
27	ULS_LM	ULS - LM71 bez dynam	Q	0	0.0	4.17E+04	0.0	0.0	-1.80E+07	0.0	0.0	1.54E+06	0.0	0.0	0.0E+00	-	-	-	-	0.0	2.60E+04	0.0	0.0	0.0	1.12E+04	0.0	0.0
28	SLS_LM	SLS - LM71 bez dynam	Q	0	0.0	4.17E+04	0.0	0.0	-1.80E+07	0.0	0.0	1.54E+06	0.0	0.0	0.0E+00	-	-	-	-	0.0	2.60E+04	0.0	0.0	0.0	1.12E+04	0.0	0.0
29	ULS_C3	ULS - C3 bez dynam	Q	0	0.0	4.17E+04	0.0	0.0	-1.80E+07	0.0	0.0	1.54E+06	0.0	0.0	0.0E+00	-	-	-	-	0.0	2.60E+04	0.0	0.0	0.0	1.12E+04	0.0	0.0
30	SLS_C3	SLS - C3 bez dynam	Q	0	0.0	4.17E+04	0.0	0.0	-1.80E+07	0.0	0.0	1.54E+06	0.0	0.0	0.0E+00	-	-	-	-	0.0	2.60E+04	0.0	0.0	0.0	1.12E+04	0.0	0.0
NAVÝŠENÍ NAPĚTÍ DO AKTIVACE TLAKU V DESCE MOSTOVKY						$\sigma_{P,red}$	0.0							0.0			0.0		0.0				-2.6	-2.6			-1.5	-1.5
NAPĚTÍ OD PRIMÁRNÍCH ÚČINKŮ NEROVNOMĚRNÉHO OTEPLENÍ						σ_T	0.0							0.0														
NAPĚTÍ OD REOLOGICKÝCH ÚČINKŮ BETONU V ČASE		t=0				σ_R	0.0	γ=	1.20					0.0														
NAPĚTÍ V KRITICKÝCH VLÁKNECH OD KOMBINACE ZATÍŽENÍ						KZ07		[MPa]					$\Sigma\sigma_x$	-125.5								$\Sigma\tau_y$	-2.6				$\Sigma\tau_z$	-1.5
NAPĚTÍ OD POHYBLIVÉHO ZATÍŽENÍ								[MPa]					$\sigma_{x,P}$	-94.4									-0.4				τ_P	0.5
NAPĚTÍ OD OSTATNÍCH ZATÍŽENÍ								[MPa]			Φ_{Vy}	Φ_{Vz}	$\sigma_{x,rs}$	-31.1								τ_{rs}	-2.2				τ_{rs}	-2.0
NÁVRHOVÁ HODNOTA MEZE KLUZU S REDUKCÍ VLIVEM SMYKOVÉHO NAPĚTÍ								[MPa]			1.00	1.00	$f_{yv,d}$	209.1								$f_{yd}/3^{0,5}$	120.7				$f_{yd}/3^{0,5}$	120.7
NAPĚTÍ OD POHYBLIVÉHO ZATÍŽENÍ V GLOBÁLNÍM SYSTÉMU						$\sigma_{GLOB,P}$	0.0	[MPa]					$\Sigma\sigma_{GLOB}$	0.0														
NAPĚTÍ OD OSTATNÍCH ZATÍŽENÍ V GLOBÁLNÍM SYSTÉMU						$\sigma_{GLOB,rs}$	0.0	[MPa]					$\Sigma\sigma_x + \Sigma\sigma_{GLOB}$	-125.5														
VYUŽITÍ PRŮŘEZU DLE NAPĚTÍ								[%]					η_1	0.60								η_3	0.02				η_3	0.01
NAPĚTÍ V PŘÍČNÉM SMĚRU OD POHYBLIVÉHO ZATÍŽENÍ						$\sigma_{z,P}$	0.0	[MPa]					$\Sigma\sigma_z$	0.0														
NAPĚTÍ V PŘÍČNÉM SMĚRU OD OSTATNÍCH ZATÍŽENÍ						$\sigma_{z,rs}$	0.0	[MPa]					η_2	0.00														
SROVNÁVACÍ NAPĚTÍ													$(\eta_2 + 0,8\ \eta_1)/1,4 =$	0.34														
VYUŽITÍ PRŮŘEZU CELKEM								[%]					eff	0.60	VYHOVUJE													
STANOVENÍ ZATÍŽITELNOSTI													Z_{LM71} =	-----														

TAB. P5.3.3 POSOUZENÍ - MEZNÍ STAV ÚNOSNOSTI

POPIS	PŘÍČNÍK P5 - VNITŘNÍ PODÉLNÍK
PRUT / POLOHA BODU	658 / I[538]
NAMÁHÁNÍ	My.max
VLÁKNO	BOD K3 -SL
MEZNÍ STAV	ULS (MSÚ)
VYUŽITÍ VLÁKNA PRŮŘEZU	0.68

Charakteristiky materiálu				
pás. horní	$f_{yf,k}$	230	MPa	
pás. dolní	$f_{yf,k}$	230	MPa	
stojina	$f_{yw,k}$	230	MPa	
výztuž	$f_{ys,k}$	500	MPa	
γ_M =	1.10	γ_s =	1.15	

Excentricita normálové síly				
Exc./Fáze	0	1	2	3
e_y	0.000	0.000	0.000	0.000
e_z	0.000	0.000	0.000	0.000
Ekvivalentní vzdál. stěn - příčný roznos				
b_{Mx}	0.000	0.000	0.000	0.000

Vliv stěny na únosnost průřezu				
Char./Fáze	0	1	2	3
A	0.00	0.00	0.00	0.00
Wy	0.00	0.00	0.00	0.00
Wz	0.00	0.00	0.00	0.00

Charakter. v kroucení			
$t_{w,y}$	0.000	[mm]	
$t_{w,z}$	0.000	[mm]	
κ	1.00		
I_t=	0.00E+00	[mm^4]	
$\Omega=2*A_{pr}$	0.00E+00	[mm^2]	

Součinitele vzpěru a vlivu II.řádu				
Char./Fáze	0	1	2	3
k_y	1.000	1.000	1.000	1.000
k_z	1.000	1.000	1.000	1.000
χ_{LT}	1.000	1.000	1.000	1.000
χ_{min}	1.000	1.000	1.000	1.000

δ_{LOK} 1.05

Vnitřní síly od jednotlivých skupin zatěžovacích stavů

SKUPINA ZATĚŽOVACÍCH STAVŮ — CHARAKTERISTICKÉ HODNOTY — DÍLČÍ SOUČINITELÉ ZATÍŽENÍ, DYNAMICKÝ SOUČINITEL — NÁVRHOVÉ HODNOTY

Č.	SKUP ZS	POPIS ZS	KAT.	FÁZE PRŮŘ.	N.k (kN)	Vy.k (kN)	Vz.k (kN)	Mx.k (kNm)	My.k (kNm)	Mz.k (kNm)	γ_{sr} (-)	γ_{fs} (-)	volba γ_f hledat	γ_f (-)	L_d (m)	δ (-)	Ψ_s KZ07	N.d (kN)	Vy.d (kN)	Vz.d (kN)	ΔVz.d (kN)	ΣVz.d (kN)	Mx.d (kNm)	My.d (kNm)	ΔMy.d (kNm)	ΣMy.d (kNm)	Mz.d (kNm)	ΔMz.d (kNm)	ΣMz.d (kNm)
1	G0	Vlastní tíha OK	G	0	-1	-2	-7	-1	102	-10	1.00	1.20		1.20	-	1.00	0.95	-2	-2	-8	0	-8	-1	117	0	117	-11	0	-11
2	G1	Ostatní stálé - mostní vybavení	G	0	0	0	-2	0	16	-1	1.00	1.20		1.20	-	1.00	0.95	0	0	-3	0	-3	0	19	0	19	-1	0	-1
3	G2	Ostatní stálé - cizí zařízení	G	0	0	0	-4	0	0	0	1.00	1.20		1.20	-	1.00	0.95	0	0	-4	0	-4	0	0	0	0	0	0	0
4	P1_71	a.LM71 - kolej 1 (bez dyn. souč.)	P	0	18	1	-215	0	602	1	1.00	vyp.		0.00	-	1.00	0.00	0	0	0	0	0	0	0	0	0	0	0	0
5	P2_71	a.LM71 - kolej 2 (bez dyn. souč.)	P	0	-5	-3	218	0	1 025	-4	1.00	vyp.		0.00	-	1.00	0.00	0	0	0	0	0	0	0	0	0	0	0	0
6	P1_C3	TTZ C3 - kolej 1 (bez dyn. souč.)	P	0	10	1	-122	0	341	1	1.00	1.30		1.30	-	1.32	1.00	17	1	-208	0	-208	0	583	0	583	1	0	1
7	P2_C3	TTZ C3 - kolej 2 (bez dyn. souč.)	P	0	-2	-3	125	0	582	-3	1.00	1.30		1.30	-	1.32	1.00	-4	-4	213	0	213	0	995	0	995	-6	1	-5
8	BR	Brzdné a rozjezdové síly	P	0	0	7	0	2	4	7	1.00	-1.30		-1.30	-	1.00	0.64	0	-5	0	0	0	-1	-3	0	-3	-6	0	-6
9	S	Boční ráz	P	0	42	2	0	0	22	3	1.00	1.30		1.30	-	1.00	0.32	17	1	0	0	0	0	9	0	9	1	0	1
10	CH	Chodci na lávkách	Q	0	1	0	2	0	-14	0	1.00	0.00		0.00	-	1.00	1.00	0	0	0	0	0	0	0	0	0	0	0	0
11	W	Vítr na konstrukci	Q	0	10	-21	-6	0	1	-9	1.00	1.35		1.35	-	1.00	0.75	11	-21	-6	0	-6	0	1	0	1	-9	0	-9
12	WP	Vítr na vozidla	Q	0	21	-34	-7	0	5	-15	1.00	1.35		1.35	-	1.00	0.75	21	-35	-7	0	-7	0	5	0	5	-15	0	-15
13	TR	Teplota rovnoměrná	Q	0	0	0	0	0	0	0	1.00	1.35		1.35	-	1.00	0.45	0	0	0	0	0	0	0	0	0	0	0	0
14	TN	Teplota nerovnoměrná	Q	0	-4	2	10	0	4	0	1.00	1.35		1.35	-	1.00	0.60	-3	2	8	0	8	0	3	0	3	0	0	0
15	FR	Třecí síly v ložiskách	Q	0	0	0	0	0	1	0	1.00	-1.20		-1.20	-	1.00	1.00	0	0	0	0	0	0	-1	0	-1	0	0	0
16	I	Imperfekce soustavy	Q	0	-1	1	2	0	2	0	1.00	-1.20		-1.20	-	1.00	1.00	1	-1	-2	0	-2	0	-2	0	-2	-1	0	-1
27	ULS_LM	ULS - LM71 bez dynam	Q	0	103	-51	-11	0	2 275	-20	1.00	vyp.		0.00	-	1.00	0.00	0	0	0	0	0	0	0	0	0	0	0	0
28	SLS_LM	SLS - LM71 bez dynam	Q	0	81	-39	-15	0	1 762	-15	1.00	vyp.	1	0.00	-	1.00	0.00	0	0	0	0	0	0	0	0	0	0	0	0
29	ULS_C3	ULS - C3 bez dynam	Q	0	96	-50	-11	0	1 361	-19	1.00	vyp.	1	0.00	-	1.00	0.00	0	0	0	0	0	0	0	0	0	0	0	0
30	SLS_C3	SLS - C3 bez dynam	Q	0	76	-38	-16	0	1 059	-15	1.00	vyp.	1	0.00	-	1.00	0.00	0	0	0	0	0	0	0	0	0	0	0	0
		CELKEM - FÁZE PRŮŘEZU 0																59	-65	-17	0	-17	-3	1 726	0	1 726	-46	1	-45
		CELKEM - FÁZE PRŮŘEZU 1																0	0	0	0	0	0	0	0	0	0	0	0
		CELKEM - FÁZE PRŮŘEZU 2																0	0	0	0	0	0	0	0	0	0	0	0
		CELKEM - FÁZE PRŮŘEZU 3																0	0	0	0	0	0	0	0	0	0	0	0
		CELKEM - PRŮŘEZ																59	-65	-17	0	-17	-3			1 726			-45

Napětí od jednotlivých zatěžovacích stavů

SKUPINA ZATĚŽOVACÍCH STAVŮ — Posouzení normálového napětí — Účinek síly N — Účinek momentu My — Účinek momentu Mz — Posouzení smykového napětí — Účinek kroutícího momentu Mx — Účinek smykové síly Vy — Účinek smykové síly Vz

Č.	SKUP ZS	Popis ZS	Kat.	fáze průř.	δ^*N_d [kN]	χ^*A [mm^2]	σ_n [MPa]	$\delta^*M_{y,d}$ [kNm]	$\chi_{lt}*W_{el,y}$ [mm^3]	σ_{my} [MPa]	$\delta^*M_{z,d}$ [kNm]	$W_{el,z}$ [mm^3]	σ_{mz} [MPa]	σ_x [MPa]	$\kappa*\delta^*M_{x,d}$ [kNm]	$W_{v,y}$ [mm^3]	$\tau_{x,y}$ [MPa]	$W_{v,z}$ [mm^3]	$\tau_{x,z}$ [MPa]	$\delta^*V_{y,d}$ [kN]	$A_{v,y}$ [mm2]	$\tau_{v,y}$ [MPa]	$\tau_{v,y}$ [MPa]	$\delta^*V_{z,d}$ [kN]	$A_{v,z}$ [mm2]	$\tau_{v,z}$ [MPa]	$\tau_{v,z}$ [MPa]
1	G0	Vlastní tíha OK	G	0	-1.7	4.17E+04	0.0	116.7	1.54E+07	7.6	-11.0	-1.54E+06	7.1	14.7	-7.4E-01	-	-	-	-	-1.9	2.60E+04	-0.1	-0.1	-8.2	1.12E+04	-0.7	-0.7
2	G1	Ostatní stálé - mostní vybavení	G	0	-0.1	4.17E+04	0.0	18.5	1.54E+07	1.2	-0.8	-1.54E+06	0.5	1.7	-5.7E-02	-	-	-	-	-0.1	2.60E+04	0.0	0.0	-2.7	1.12E+04	-0.2	-0.2
3	G2	Ostatní stálé - cizí zařízení	G	0	0.1	4.17E+04	0.0	0.3	1.54E+07	0.0	-0.1	-1.54E+06	0.0	0.1	-2.3E-02	-	-	-	-	0.0	2.60E+04	0.0	0.0	-4.1	1.12E+04	-0.4	-0.4
4	P1_71	a.LM71 - kolej 1 (bez dyn. souč.)	P	0	0.0	4.17E+04	0.0	0.0	1.54E+07	0.0	0.0	-1.54E+06	0.0	0.0	0.0E+00	-	-	-	-	0.0	2.60E+04	0.0	0.0	0.0	1.12E+04	0.0	0.0
5	P2_71	a.LM71 - kolej 2 (bez dyn. souč.)	P	0	0.0	4.17E+04	0.0	0.0	1.54E+07	0.0	0.0	-1.54E+06	0.0	0.0	0.0E+00	-	-	-	-	0.0	2.60E+04	0.0	0.0	0.0	1.12E+04	0.0	0.0
6	P1_C3	TTZ C3 - kolej 1 (bez dyn. souč.)	P	0	17.0	4.17E+04	0.4	583.0	1.54E+07	37.9	1.0	-1.54E+06	-0.6	37.7	-1.4E-01	-	-	-	-	0.9	2.60E+04	0.0	0.0	-208.0	1.12E+04	-18.6	-18.6
7	P2_C3	TTZ C3 - kolej 2 (bez dyn. souč.)	P	0	-3.8	4.17E+04	-0.1	995.0	1.54E+07	64.7	-4.6	-1.54E+06	3.0	67.6	-4.3E-01	-	-	-	-	-4.3	2.60E+04	-0.2	-0.2	213.4	1.12E+04	19.1	19.1
8	BR	Brzdné a rozjezdové síly	P	0	0.2	4.17E+04	0.0	-3.3	1.54E+07	-0.2	-6.2	-1.54E+06	4.0	3.8	-1.5E+00	-	-	-	-	-5.4	2.60E+04	-0.2	-0.2	-0.1	1.12E+04	0.0	0.0
9	S	Boční ráz	P	0	17.3	4.17E+04	0.4	9.2	1.54E+07	0.6	1.2	-1.54E+06	-0.8	0.2	-1.7E-02	-	-	-	-	0.8	2.60E+04	0.0	0.0	-0.1	1.12E+04	0.0	0.0
10	CH	Chodci na lávkách	Q	0	0.0	4.17E+04	0.0	0.0	1.54E+07	0.0	0.0	-1.54E+06	0.0	0.0	0.0E+00	-	-	-	-	0.0	2.60E+04	0.0	0.0	0.0	1.12E+04	0.0	0.0
11	W	Vítr na konstrukci	Q	0	10.6	4.17E+04	0.3	0.5	1.54E+07	0.0	-9.2	-1.54E+06	6.0	6.3	2.0E-02	-	-	-	-	-20.8	2.60E+04	-0.8	-0.8	-6.0	1.12E+04	-0.5	-0.5
12	WP	Vítr na vozidla	Q	0	21.3	4.17E+04	0.5	5.0	1.54E+07	0.3	-15.2	-1.54E+06	9.9	10.7	3.0E-02	-	-	-	-	-34.8	2.60E+04	-1.3	-1.3	-7.4	1.12E+04	-0.7	-0.7
13	TR	Teplota rovnoměrná	Q	0	0.0	4.17E+04	0.0	0.0	1.54E+07	0.0	0.0	-1.54E+06	0.0	0.0	0.0E+00	-	-	-	-	0.0	2.60E+04	0.0	0.0	0.0	1.12E+04	0.0	0.0
14	TN	Teplota nerovnoměrná	Q	0	-3.1	4.17E+04	-0.1	3.1	1.54E+07	0.2	0.2	-1.54E+06	-0.1	0.0	0.0E+00	-	-	-	-	1.8	2.60E+04	0.1	0.1	7.9	1.12E+04	0.7	0.7
15	FR	Třecí síly v ložiskách	Q	0	0.3	4.17E+04	0.0	-0.7	1.54E+07	0.0	-0.1	-1.54E+06	0.1	0.0	-1.2E-02	-	-	-	-	0.0	2.60E+04	0.0	0.0	0.0	1.12E+04	0.0	0.0
16	I	Imperfekce soustavy	Q	0	0.9	4.17E+04	0.0	-1.8	1.54E+07	-0.1	-0.6	-1.54E+06	0.4	0.3	0.0E+00	-	-	-	-	-1.0	2.60E+04	0.0	0.0	-2.1	1.12E+04	-0.2	-0.2
27	ULS_LM	ULS - LM71 bez dynam	Q	0	0.0	4.17E+04	0.0	0.0	1.54E+07	0.0	0.0	-1.54E+06	0.0	0.0	0.0E+00	-	-	-	-	0.0	2.60E+04	0.0	0.0	0.0	1.12E+04	0.0	0.0
28	SLS_LM	SLS - LM71 bez dynam	Q	0	0.0	4.17E+04	0.0	0.0	1.54E+07	0.0	0.0	-1.54E+06	0.0	0.0	0.0E+00	-	-	-	-	0.0	2.60E+04	0.0	0.0	0.0	1.12E+04	0.0	0.0
29	ULS_C3	ULS - C3 bez dynam	Q	0	0.0	4.17E+04	0.0	0.0	1.54E+07	0.0	0.0	-1.54E+06	0.0	0.0	0.0E+00	-	-	-	-	0.0	2.60E+04	0.0	0.0	0.0	1.12E+04	0.0	0.0
30	SLS_C3	SLS - C3 bez dynam	Q	0	0.0	4.17E+04	0.0	0.0	1.54E+07	0.0	0.0	-1.54E+06	0.0	0.0	0.0E+00	-	-	-	-	0.0	2.60E+04	0.0	0.0	0.0	1.12E+04	0.0	0.0
NAVÝŠENÍ NAPĚTÍ DO AKTIVACE TLAKU V DESCE MOSTOVKY						$\sigma_{P,red}$	0.0							0.0			0.0		0.0			-2.5	-2.5			-1.6	-1.6
NAPĚTÍ OD PRIMÁRNÍCH ÚČINKŮ NEROVNOMĚRNÉHO OTEPLENÍ						σ_T	0.0							0.0													
NAPĚTÍ OD REOLOGICKÝCH ÚČINKŮ BETONU V ČASE				t=0		σ_R	0.0	γ=	1.20					0.0													
NAPĚTÍ V KRITICKÝCH VLÁKNECH OD KOMBINACE ZATÍŽENÍ						KZ07		[MPa]					$\Sigma\sigma_x$	143.2								$\Sigma\tau_y$	-2.5			$\Sigma\tau_z$	-1.6
NAPĚTÍ OD POHYBLIVÉHO ZATÍŽENÍ								[MPa]					$\sigma_{x,P}$	109.4								τ_P	-0.3			τ_P	0.5
NAPĚTÍ OD OSTATNÍCH ZATÍŽENÍ								[MPa]			Φ_{Vy}	Φ_{Vz}	$\sigma_{x,rs}$	33.8								τ_{rs}	-2.2			τ_{rs}	-2.0
NÁVRHOVÁ HODNOTA MEZE KLUZU S REDUKCÍ VLIVEM SMYKOVÉHO NAPĚTÍ								[MPa]			1.00	1.00	$f_{yv,d}$	209.1								$f_{yd}/3^{0,5}$	120.7			$f_{yd}/3^{0,5}$	120.7
NAPĚTÍ OD POHYBLIVÉHO ZATÍŽENÍ V GLOBÁLNÍM SYSTÉMU						$\sigma_{GLOB,P}$	0.0	[MPa]					$\Sigma\sigma_{GLOB}$	0.0													
NAPĚTÍ OD OSTATNÍCH ZATÍŽENÍ V GLOBÁLNÍM SYSTÉMU						$\sigma_{GLOB,rs}$	0.0	[MPa]					$\Sigma\sigma_x + \Sigma\sigma_{GLOB}$	143.2													
VYUŽITÍ PRŮŘEZU DLE NAPĚTÍ								[%]					η_1	0.68								η_3	0.02			η_3	0.01
NAPĚTÍ V PŘÍČNÉM SMĚRU OD POHYBLIVÉHO ZATÍŽENÍ						$\sigma_{z,P}$	0.0	[MPa]					$\Sigma\sigma_z$	0.0													
NAPĚTÍ V PŘÍČNÉM SMĚRU OD OSTATNÍCH ZATÍŽENÍ						$\sigma_{z,rs}$	0.0	[MPa]					η_2	0.00													
SROVNÁVACÍ NAPĚTÍ													$(\eta_2 + 0,8\,\eta_1)/1,4$ =	0.39													
VYUŽITÍ PRŮŘEZU CELKEM								[%]					eff	0.68	VYHOVUJE												
STANOVENÍ ZATÍŽITELNOSTI													z_{LM71} =	-----													

TAB. P5.3.3 POSOUZENÍ - MEZNÍ STAV ÚNOSNOSTI

POPIS	PŘÍČNÍK P5 - VNITŘNÍ PODÉLNÍK
PRUT / POLOHA BODU	658 / I[538]
NAMÁHÁNÍ	Vz.min
VLÁKNO	BOD S6 -HP
MEZNÍ STAV	ULS (MSÚ)
VYUŽITÍ VLÁKNA PRŮŘEZU	0.20

Charakteristiky materiálu				
pás. horní	$f_{yf,k}$	230	MPa	
pás. dolní	$f_{yf,k}$	230	MPa	
stojina	$f_{yw,k}$	230	MPa	
výztuž	$f_{ys,k}$	500	MPa	
γ_M =	1.10	γ_s =	1.15	

Excentricita normálové síly				
Exc./Fáze	0	1	2	3
e_y	0.000	0.000	0.000	0.000
e_z	0.000	0.000	0.000	0.000
Ekvivalentní vzdál. stěn - příčný roznos				
b_{Mx}	0.000	0.000	0.000	0.000

Vliv stěny na únosnost průřezu				
Char./Fáze	0	1	2	3
A	0.00	0.00	0.00	0.00
Wy	0.00	0.00	0.00	0.00
Wz	0.00	0.00	0.00	0.00

Charakter. v kroucení			
$t_{w,y}$	0.000	[mm]	
$t_{w,z}$	0.000	[mm]	
κ	1.00		
I_t=	0.00E+00	[mm^4]	
$\Omega=2*A_{pr}$	0.00E+00	[mm^2]	

Součinitele vzpěru a vlivu II.řádu				
Char./Fáze	0	1	2	3
k_y	1.000	1.000	1.000	1.000
k_z	1.000	1.000	1.000	1.000
χ_{LT}	1.000	1.000	1.000	1.000
χ_{min}	1.000	1.000	1.000	1.000

8

δ_{LOK} 1.05

Vnitřní síly od jednotlivých skupin zatěžovacích stavů

SKUPINA ZATĚŽOVACÍCH STAVŮ					- CHARAKTERISTICKÉ HODNOTY						DÍLČÍ SOUČINITELÉ ZATÍŽENÍ, DYNAMICKÝ SOUČINITEL							- NÁVRHOVÉ HODNOTY									
Č.	SKUP ZS	POPIS ZS	KAT.	FÁZE PRŮŘ.	N.k (kN)	Vy.k (kN)	Vz.k (kN)	Mx.k (kNm)	My.k (kNm)	Mz.k (kNm)	γ_{sr} (-)	γ_{fs} (-)	volba γ_f hledat	γ_f (-)	L_d (m)	δ (-)	Ψ_s KZ08	N.d (kN)	Vy.d (kN)	Vz.d (kN)	ΔVz.d (kN)	ΣVz.d (kN)	Mx.d (kNm)	My.d (kNm)	ΔMy.d (kNm)	ΣMy.d (kNm)	Mz.d (kNm)	ΔMz.d (kNm)	ΣMz.d (kNm)
1	G0	Vlastní tíha OK	G	0	-1	-2	-7	-1	102	-10	1.00	1.20		1.20	-	1.00	0.95	-2	-2	-8	0	-8	-1	117	0	117	-11	0	-11
2	G1	Ostatní stálé - mostní vybavení	G	0	0	0	-2	0	16	-1	1.00	1.20		1.20	-	1.00	0.95	0	0	-3	0	-3	0	19	0	19	-1	0	-1
3	G2	Ostatní stálé - cizí zařízení	G	0	0	0	-4	0	0	0	1.00	1.20		1.20	-	1.00	0.95	0	0	-4	0	-4	0	0	0	0	0	0	0
4	P1_71	a.LM71 - kolej 1 (bez dyn. souč.)	P	0	23	2	-221	0	580	3	1.00	vyp.		0.00	-	1.00	0.00	0	0	0	0	0	0	0	0	0	0	0	0
5	P2_71	a.LM71 - kolej 2 (bez dyn. souč.)	P	0	-2	0	0	0	6	0	1.00	vyp.		0.00	-	1.00	0.00	0	0	0	0	0	0	0	0	0	0	0	0
6	P1_C3	TTZ C3 - kolej 1 (bez dyn. souč.)	P	0	16	1	-128	0	321	2	1.00	1.30		1.30	-	1.32	1.00	27	2	-218	0	-218	-1	549	0	549	4	-1	3
7	P2_C3	TTZ C3 - kolej 2 (bez dyn. souč.)	P	0	-2	0	0	0	8	0	1.00	1.30		1.30	-	1.32	1.00	-3	0	0	0	0	0	14	0	14	-1	0	0
8	BR	Brzdné a rozjezdové síly	P	0	0	-7	0	-2	-4	-7	1.00	1.30		1.30	-	1.00	0.32	0	-3	0	0	0	-1	-2	0	-2	-3	0	-3
9	S	Boční ráz	P	0	-1	21	-3	0	-3	9	1.00	1.30		1.30	-	1.00	0.64	0	17	-2	0	-2	0	-3	0	-3	7	0	7
10	CH	Chodci na lávkách	Q	0	1	0	-1	0	-33	0	1.00	1.30		1.30	-	1.00	1.00	1	0	-1	0	-1	0	-43	0	-43	0	0	0
11	W	Vítr na konstrukci	Q	0	10	-21	-6	0	1	-9	1.00	1.35		1.35	-	1.00	0.75	11	-21	-6	0	-6	0	1	0	1	-9	0	-9
12	WP	Vítr na vozidla	Q	0	21	-34	-7	0	5	-15	1.00	1.35		1.35	-	1.00	0.75	21	-35	-7	0	-7	0	5	0	5	-15	0	-15
13	TR	Teplota rovnoměrná	Q	0	0	0	0	0	0	0	1.00	1.35		1.35	-	1.00	0.45	0	0	0	0	0	0	0	0	0	0	0	0
14	TN	Teplota nerovnoměrná	Q	0	6	-2	-10	0	-12	0	1.00	1.35		1.35	-	1.00	0.60	5	-2	-8	0	-8	0	-10	0	-10	0	0	0
15	FR	Třecí síly v ložiskách	Q	0	0	0	0	0	-1	0	1.00	1.20		1.20	-	1.00	1.00	0	0	0	0	0	0	-1	0	-1	0	0	0
16	I	Imperfekce soustavy	Q	0	1	-1	-2	0	-2	0	1.00	1.20		1.20	-	1.00	1.00	1	-1	-2	0	-2	0	-2	0	-2	-1	0	-1
27	ULS_LM	ULS - LM71 bez dynam	Q	0	70	-35	-331	-2	841	-16	1.00	vyp.		0.00	-	1.00	0.00	0	0	0	0	0	0	0	0	0	0	0	0
28	SLS_LM	SLS - LM71 bez dynam	Q	0	49	-24	-250	-2	669	-12	1.00	vyp.	1	0.00	-	1.00	0.00	0	0	0	0	0	0	0	0	0	0	0	0
29	ULS_C3	ULS - C3 bez dynam	Q	0	60	-36	-209	-2	507	-17	1.00	vyp.	1	0.00	-	1.00	0.00	0	0	0	0	0	0	0	0	0	0	0	0
30	SLS_C3	SLS - C3 bez dynam	Q	0	42	-25	-156	-2	412	-12	1.00	vyp.	1	0.00	-	1.00	0.00	0	0	0	0	0	0	0	0	0	0	0	0
		CELKEM - FÁZE PRŮŘEZU 0																60	-44	-260	0	-260	-2	644	0	644	-29	-1	-30
		CELKEM - FÁZE PRŮŘEZU 1																0	0	0	0	0	0	0	0	0	0	0	0
		CELKEM - FÁZE PRŮŘEZU 2																0	0	0	0	0	0	0	0	0	0	0	0
		CELKEM - FÁZE PRŮŘEZU 3																0	0	0	0	0	0	0	0	0	0	0	0
		CELKEM - PRŮŘEZ																60	-44	-260	0	-260	-2			644			-30

Napětí od jednotlivých zatěžovacích stavů

SKUPINA ZATĚŽOVACÍCH STAVŮ					Posouzení normálového napětí										Posouzení smykového napětí													
					Účinek síly N			Účinek momentu My			Účinek momentu Mz				Účinek kroutícího momentu Mx				Účinek smykové síly Vy				Účinek smykové síly Vz			
Č.	SKUP ZS	Popis ZS	Kat.	fáze průř.	δ^*N_d [kN]	χ^*A [mm^2]	σ_n [MPa]	$\delta^*M_{y,d}$ [kNm]	$\chi_{lt}*W_{el,y}$ [mm^3]	σ_{my} [MPa]	$\delta^*M_{z,d}$ [kNm]	$W_{el,z}$ [mm^3]	σ_{mz} [MPa]	σ_x [MPa]	$\kappa^*\delta^*M_{x,d}$ [kNm]	$W_{v,y}$ [mm^2]	$\tau_{x,y}$ [MPa]	$W_{v,z}$ [mm^2]	$\tau_{x,z}$ [MPa]	$\delta^*V_{y,d}$ [kN]	$A_{v,y}$ [mm2]	$\tau_{v,y}$ [MPa]	$\tau_{v,y}$ [MPa]	$\delta^*V_{z,d}$ [kN]	$A_{v,z}$ [mm2]	$\tau_{v,z}$ [MPa]	$\tau_{v,z}$ [MPa]
1	G0	Vlastní tíha OK	G	0	-1.7	4.17E+04	0.0	116.7	1.62E+07	7.2	-11.0	-4.73E+07	0.2	7.4	-7.4E-01	-	-	-	-	-1.9	2.60E+04	-0.1	-0.1	-8.2	1.12E+04	-0.7	-0.7
2	G1	Ostatní stálé - mostní vybavení	G	0	-0.1	4.17E+04	0.0	18.5	1.62E+07	1.1	-0.8	-4.73E+07	0.0	1.2	-5.7E-02	-	-	-	-	-0.1	2.60E+04	0.0	0.0	-2.7	1.12E+04	-0.2	-0.2
3	G2	Ostatní stálé - cizí zařízení	G	0	0.1	4.17E+04	0.0	0.3	1.62E+07	0.0	-0.1	-4.73E+07	0.0	0.0	-2.3E-02	-	-	-	-	0.0	2.60E+04	0.0	0.0	-4.1	1.12E+04	-0.4	-0.4
4	P1_71	a.LM71 - kolej 1 (bez dyn. souč.)	P	0	0.0	4.17E+04	0.0	0.0	1.62E+07	0.0	0.0	-4.73E+07	0.0	0.0	0.0E+00	-	-	-	-	0.0	2.60E+04	0.0	0.0	0.0	1.12E+04	0.0	0.0
5	P2_71	a.LM71 - kolej 2 (bez dyn. souč.)	P	0	0.0	4.17E+04	0.0	0.0	1.62E+07	0.0	0.0	-4.73E+07	0.0	0.0	0.0E+00	-	-	-	-	0.0	2.60E+04	0.0	0.0	0.0	1.12E+04	0.0	0.0
6	P1_C3	TTZ C3 - kolej 1 (bez dyn. souč.)	P	0	26.5	4.17E+04	0.6	548.8	1.62E+07	33.9	3.2	-4.73E+07	-0.1	34.4	-5.1E-01	-	-	-	-	2.4	2.60E+04	0.1	0.1	-218.2	1.12E+04	-19.6	-19.6
7	P2_C3	TTZ C3 - kolej 2 (bez dyn. souč.)	P	0	-3.3	4.17E+04	-0.1	14.5	1.62E+07	0.9	-0.5	-4.73E+07	0.0	0.8	-3.4E-02	-	-	-	-	-0.4	2.60E+04	0.0	0.0	-0.4	1.12E+04	0.0	0.0
8	BR	Brzdné a rozjezdové síly	P	0	0.1	4.17E+04	0.0	-1.7	1.62E+07	-0.1	-3.1	-4.73E+07	0.1	0.0	-7.3E-01	-	-	-	-	-2.7	2.60E+04	-0.1	-0.1	-0.1	1.12E+04	0.0	0.0
9	S	Boční ráz	P	0	-0.5	4.17E+04	0.0	-2.8	1.62E+07	-0.2	7.3	-4.73E+07	-0.2	-0.3	-1.7E-02	-	-	-	-	17.1	2.60E+04	0.7	0.7	-2.2	1.12E+04	-0.2	-0.2
10	CH	Chodci na lávkách	Q	0	1.0	4.17E+04	0.0	-43.4	1.62E+07	-2.7	0.5	-4.73E+07	0.0	-2.7	-5.2E-02	-	-	-	-	0.2	2.60E+04	0.0	0.0	-0.9	1.12E+04	-0.1	-0.1
11	W	Vítr na konstrukci	Q	0	10.6	4.17E+04	0.3	0.5	1.62E+07	0.0	-9.2	-4.73E+07	0.2	0.5	2.0E-02	-	-	-	-	-20.8	2.60E+04	-0.8	-0.8	-6.0	1.12E+04	-0.5	-0.5
12	WP	Vítr na vozidla	Q	0	21.3	4.17E+04	0.5	5.0	1.62E+07	0.3	-15.2	-4.73E+07	0.3	1.1	3.0E-02	-	-	-	-	-34.8	2.60E+04	-1.3	-1.3	-7.4	1.12E+04	-0.7	-0.7
13	TR	Teplota rovnoměrná	Q	0	0.0	4.17E+04	0.0	0.0	1.62E+07	0.0	0.0	-4.73E+07	0.0	0.0	0.0E+00	-	-	-	-	0.0	2.60E+04	0.0	0.0	0.0	1.12E+04	0.0	0.0
14	TN	Teplota nerovnoměrná	Q	0	5.0	4.17E+04	0.1	-10.0	1.62E+07	-0.6	-0.3	-4.73E+07	0.0	-0.5	-8.1E-03	-	-	-	-	-1.9	2.60E+04	-0.1	-0.1	-7.8	1.12E+04	-0.7	-0.7
15	FR	Třecí síly v ložiskách	Q	0	0.3	4.17E+04	0.0	-0.7	1.62E+07	0.0	-0.1	-4.73E+07	0.0	0.0	-1.2E-02	-	-	-	-	0.0	2.60E+04	0.0	0.0	0.0	1.12E+04	0.0	0.0
16	I	Imperfekce soustavy	Q	0	0.9	4.17E+04	0.0	-1.8	1.62E+07	-0.1	-0.6	-4.73E+07	0.0	-0.1	0.0E+00	-	-	-	-	-1.0	2.60E+04	0.0	0.0	-2.1	1.12E+04	-0.2	-0.2
27	ULS_LM	ULS - LM71 bez dynam	Q	0	0.0	4.17E+04	0.0	0.0	1.62E+07	0.0	0.0	-4.73E+07	0.0	0.0	0.0E+00	-	-	-	-	0.0	2.60E+04	0.0	0.0	0.0	1.12E+04	0.0	0.0
28	SLS_LM	SLS - LM71 bez dynam	Q	0	0.0	4.17E+04	0.0	0.0	1.62E+07	0.0	0.0	-4.73E+07	0.0	0.0	0.0E+00	-	-	-	-	0.0	2.60E+04	0.0	0.0	0.0	1.12E+04	0.0	0.0
29	ULS_C3	ULS - C3 bez dynam	Q	0	0.0	4.17E+04	0.0	0.0	1.62E+07	0.0	0.0	-4.73E+07	0.0	0.0	0.0E+00	-	-	-	-	0.0	2.60E+04	0.0	0.0	0.0	1.12E+04	0.0	0.0
30	SLS_C3	SLS - C3 bez dynam	Q	0	0.0	4.17E+04	0.0	0.0	1.62E+07	0.0	0.0	-4.73E+07	0.0	0.0	0.0E+00	-	-	-	-	0.0	2.60E+04	0.0	0.0	0.0	1.12E+04	0.0	0.0
NAVÝŠENÍ NAPĚTÍ DO AKTIVACE TLAKU V DESCE MOSTOVKY						$\sigma_{P,red}$	0.0							0.0			0.0		0.0			-1.7	-1.7			-23.3	-23.3
NAPĚTÍ OD PRIMÁRNÍCH ÚČINKŮ NEROVNOMĚRNÉHO OTEPLENÍ						σ_T	0.0							0.0													
NAPĚTÍ OD REOLOGICKÝCH ÚČINKŮ BETONU V ČASE				t=0		σ_R	0.0	γ=	1.20					0.0													
NAPĚTÍ V KRITICKÝCH VLÁKNECH OD KOMBINACE ZATÍŽENÍ						KZ08		[MPa]					$\Sigma\sigma_x$	41.8								$\Sigma\tau_y$	-1.7			$\Sigma\tau_z$	-23.3
NAPĚTÍ OD POHYBLIVÉHO ZATÍŽENÍ								[MPa]					$\sigma_{x,P}$	34.9								τ_P	0.6			τ_P	-19.8
NAPĚTÍ OD OSTATNÍCH ZATÍŽENÍ								[MPa]			Φ_{Vy}	Φ_{Vz}	$\sigma_{x,rs}$	6.9								τ_{rs}	-2.3			τ_{rs}	-3.5
NÁVRHOVÁ HODNOTA MEZE KLUZU S REDUKCÍ VLIVEM SMYKOVÉHO NAPĚTÍ								[MPa]			1.00	1.00	$f_{yw,d}$	209.1								$f_{yd}/3^{0,5}$	120.7			$f_{yd}/3^{0,5}$	120.7
NAPĚTÍ OD POHYBLIVÉHO ZATÍŽENÍ V GLOBÁLNÍM SYSTÉMU						$\sigma_{GLOB,P}$	0.0	[MPa]					$\Sigma\sigma_{GLOB}$	0.0													
NAPĚTÍ OD OSTATNÍCH ZATÍŽENÍ V GLOBÁLNÍM SYSTÉMU						$\sigma_{GLOB,rs}$	0.0	[MPa]					$\Sigma\sigma_x + \Sigma\sigma_{GLOB}$	41.8													
VYUŽITÍ PRŮŘEZU DLE NAPĚTÍ								[%]					η_1	0.20								η_3	0.01			η_3	0.19
NAPĚTÍ V PŘÍČNÉM SMĚRU OD POHYBLIVÉHO ZATÍŽENÍ						$\sigma_{z,P}$	0.0	[MPa]					$\Sigma\sigma_z$	0.0													
NAPĚTÍ V PŘÍČNÉM SMĚRU OD OSTATNÍCH ZATÍŽENÍ						$\sigma_{z,rs}$	0.0	[MPa]					η_2	0.00													
SROVNÁVACÍ NAPĚTÍ													$(\eta2 + 0,8\ \eta1)/1,4 =$	0.11													
VYUŽITÍ PRŮŘEZU CELKEM								[%]					eff	0.20	VYHOVUJE												
STANOVENÍ ZATÍŽITELNOSTI													Z_{LM71} =	-----													

NK1 - MEZNÍ STAV ÚNOSNOSTI **VČ. KOROZNÍHO OSLABENÍ** **PŘECHODNOST C3/60 - 5 LET**

Č. p.	PRŮŘEZ:	PRUT/dx:	POPIS:	VLÁKNO		POPIS VLÁKNA	ŘÍDÍCÍ VELIČINA	KOMB. ZATÍŽENÍ	NAPĚTÍ NORMÁL. [MPa]	MEZ KLUZU [MPa]	VYUŽITÍ η_1 [eff]	NAPĚTÍ SMYK. Vz [MPa]	MEZ KLUZU [MPa]	VYUŽITÍ η_3 [eff]	VYUŽITÍ $(\eta_2 + 0{,}8\ \eta_1)/1{,}4$ [eff]	CELKOVÉ VYUŽITÍ [eff]	ZATÍŽITEL. Z_{MEZ}
Rekapitulace posouzení NK - Horní pás - (Mezní stav únosnosti)											**0.00**			**0.00**		**0.00**	-----
Rekapitulace posouzení NK - Dolní pás - (Mezní stav únosnosti)											**0.00**			**0.00**		**0.00**	-----
Rekapitulace posouzení NK - Tlačené diagonály - (Mezní stav únosnosti)											**0.00**			**0.00**		**0.00**	-----
Rekapitulace posouzení NK - Tažené diagonály - (Mezní stav únosnosti)											**0.00**			**0.00**		**0.00**	-----
V8.2	TR_V8.2	401 / I[343]	SVISLICE V8	BOD K2	-HP	horní pásnice	My.min	KZ08	187.3	215.0	**0.87**	-14.8	124.1	**0.12**	**0.50**	**0.87**	-----
				BOD K4	-SP	dolní pásnice	My.max	KZ08	80.6	215.0	**0.38**	10.4	124.1	**0.08**	**0.21**	**0.38**	-----
				BOD S6	-HP	stěna	Vz.min	KZ08	-75.2	215.0	**0.35**	-14.8	124.1	**0.12**	**0.20**	**0.35**	-----
											0.87			**0.12**		**0.87**	-----
Rekapitulace posouzení NK - Svislice - (Mezní stav únosnosti)											**0.87**			**0.12**		**0.87**	-----
L2.2	TR_L2.2	871 / 2/4	PODÉLNÍK L2.E - STŘED	BOD K1	-HL	horní pásnice	Vy.min	KZ07	-130.6	215.0	**0.61**	-4.1	124.1	**0.03**	**0.35**	**0.61**	-----
				BOD K4	-SP	dolní pásnice	Vy.min	KZ07	204.4	215.0	**0.95**	-4.1	124.1	**0.03**	**0.54**	**0.95**	-----
				BOD S6	-HP	stěna	Vz.min	KZ07	116.6	215.0	**0.54**	-17.6	124.1	**0.14**	**0.31**	**0.54**	-----
											0.95			**0.14**		**0.95**	-----
Rekapitulace posouzení NK - Podélníky - (Mezní stav únosnosti)											**0.95**			**0.14**		**0.95**	-----
P0.1	TR_P0.1	706 / 3/4	PŘÍČNÍK P0 - VNĚJŠÍ PODÉLNÍK	BOD K2	-HP	horní pásnice	Vy.max	KZ07	-183.0	215.0	**0.85**	-11.0	124.1	**0.09**	**0.49**	**0.85**	-----
				BOD K3	-SL	dolní pásnice	My.max	KZ07	189.7	215.0	**0.88**	-25.4	124.1	**0.20**	**0.50**	**0.88**	-----
				BOD S6	-HP	stěna	Vz.min	KZ08	-25.8	215.0	**0.12**	-72.9	124.1	**0.59**	**0.07**	**0.59**	-----
											0.88			**0.59**		**0.88**	-----
Rekapitulace posouzení NK - Podporové příčníky - (Mezní stav únosnosti)											**0.88**			**0.59**		**0.88**	-----
P2.1	TR_P2.1	691 / I[568]	PŘÍČNÍK P2 - VNĚJŠÍ PODÉLNÍK	BOD K2	-HP	horní pásnice	Mz.min	KZ07	-207.9	215.0	**0.97**	-23.7	124.1	**0.19**	**0.55**	**0.97**	-----
				BOD K3	-SL	dolní pásnice	Mz.min	KZ07	203.4	215.0	**0.95**	-23.7	124.1	**0.19**	**0.54**	**0.95**	-----
				BOD S6	-HP	stěna	Vz.min	KZ08	50.0	215.0	**0.23**	-34.4	124.1	**0.28**	**0.13**	**0.28**	-----
											0.97			**0.28**		**0.97**	-----
P3.1	TR_P3.1	679 / I[557]	PŘÍČNÍK P3 - ZÁKLADNÍ ČÁST	BOD K2	-HP	horní pásnice	Vy.max	KZ07	-209.1	215.0	**0.97**	-51.3	124.1	**0.41**	**0.56**	**0.97**	-----
				BOD K3	-SL	dolní pásnice	Vy.max	KZ07	217.9	215.0	**1.01**	-51.3	124.1	**0.41**	**0.58**	**1.01**	-----
				BOD S6	-HP	stěna	Vz.min	KZ08	66.0	215.0	**0.31**	-62.4	124.1	**0.50**	**0.18**	**0.50**	-----
											1.01			**0.50**		**1.01**	-----
P4.1	TR_P4.1	667 / I[546]	PŘÍČNÍK P4 - ZÁKLADNÍ ČÁST	BOD K2	-HP	horní pásnice	Mz.min	KZ07	-201.0	215.0	**0.94**	-58.0	124.1	**0.47**	**0.53**	**0.94**	-----
				BOD K3	-SL	dolní pásnice	Mz.min	KZ07	189.5	215.0	**0.88**	-58.0	124.1	**0.47**	**0.50**	**0.88**	-----
				BOD S5	-HL	stěna	Vz.min	KZ08	-52.8	215.0	**0.25**	-64.8	124.1	**0.52**	**0.14**	**0.52**	-----
											0.94			**0.52**		**0.94**	-----
Rekapitulace posouzení NK - Běžné příčníky - (Mezní stav únosnosti)											**1.01**			**0.52**		**1.01**	-----

TAB. V8.2.3 POSOUZENÍ - MEZNÍ STAV ÚNOSNOSTI

POPIS	SVISLICE V8
PRUT / POLOHA BODU	401 / I[343]
NAMÁHÁNÍ	My.min
VLÁKNO	BOD K2 -HP
MEZNÍ STAV	ULS (MSÚ)
VYUŽITÍ VLÁKNA PRŮŘEZU	0.90

Charakteristiky materiálu				
pás. horní	$f_{yf,k}$	230	MPa	
pás. dolní	$f_{yf,k}$	230	MPa	
stojina	$f_{yw,k}$	230	MPa	
výztuž	$f_{ys,k}$	500	MPa	
γ_M =	1.10	γ_s =	1.15	

Excentricita normálové síly				
Exc./Fáze	0	1	2	3
e_y	0.000	0.000	0.000	0.000
e_z	0.000	0.000	0.000	0.000
Ekvivalentní vzdál. stěn - příčný roznos				
b_{ekv}	0.000	0.000	0.000	0.000

Vliv stěny na únosnost průřezu				
Char./Fáze	0	1	2	3
A	0.00	0.00	0.00	0.00
Wy	0.00	0.00	0.00	0.00
Wz	0.00	0.00	0.00	0.00

Charakter. v kroucení			
$t_{w,y}$	0.000	[mm]	
$t_{w,z}$	0.000	[mm]	
κ	1.00		
I_t=	0.00E+00	[mm^4]	
$\Omega=2*A_{pr}$	0.00E+00	[mm^2]	

Součinitele vzpěru a vlivu II.řádu				
Char./Fáze	0	1	2	3
k_y	1.000	1.000	1.000	1.000
k_z	1.000	1.000	1.000	1.000
χ_{LT}	1.000	1.000	1.000	1.000
χ_{min}	1.000	1.000	1.000	1.000

Vnitřní síly od jednotlivých skupin zatěžovacích stavů

SKUPINA ZATĚŽOVACÍCH STAVŮ — hledat: 8

Č.	SKUP ZS	POPIS ZS	KAT.	FÁZE PRŮŘ.	- CHARAKTERISTICKÉ HODNOTY N,k (kN)	Vy,k (kN)	Vz,k (kN)	Mx,k (kNm)	My,k (kNm)	Mz,k (kNm)	DÍLČÍ SOUČINITELÉ ZATÍŽENÍ, DYNAMICKÝ SOUČINITEL γ_{sr} (-)	γ_{fs} (-)	volba γ_f	γ_f (-)	L_d (m)	δ (-)	Ψ_s KZ08	- NÁVRHOVÉ HODNOTY N,d (kN)	Vy,d (kN)	Vz,d (kN)	ΔVz,d (kN)	ΣVz,d (kN)	Mx,d (kNm)	My,d (kNm)	ΔMy,d (kNm)	ΣMy,d (kNm)	Mz,d (kNm)	ΔMz,d (kNm)	ΣMz,d (kNm)
1	G0	Vlastní tíha OK	G	0	19	0	-1	0	-3	0	1.00	1.20		1.20	-	1.00	0.95	22	0	-1	0	-1	0	-4	0	-4	0	0	0
2	G1	Ostatní stálé - mostní vybavení	G	0	4	0	0	0	-1	0	1.00	1.20		1.20	-	1.00	0.95	4	0	0	0	0	0	-1	0	-1	0	0	0
3	G2	Ostatní stálé - cizí zařízení	G	0	2	0	0	0	1	0	1.00	1.00		1.00	-	1.00	0.95	2	0	0	0	0	0	0	0	0	0	0	0
4	P1_71	a.LM71 - kolej 1 (bez dyn. souč.)	P	0	48	0	-11	0	-51	0	1.00	vyp.		0.00	-	1.00	0.00	0	0	0	0	0	0	0	0	0	0	0	0
5	P2_71	a.LM71 - kolej 2 (bez dyn. souč.)	P	0	129	0	-7	0	-26	0	1.00	vyp.		0.00	-	1.00	0.00	0	0	0	0	0	0	0	0	0	0	0	0
6	P1_C3	TTZ C3 - kolej 1 (bez dyn. souč.)	P	0	34	0	-8	0	-39	0	1.00	1.16		1.16	-	1.05	1.00	42	0	-10	0	-10	0	-48	0	-48	0	0	0
7	P2_C3	TTZ C3 - kolej 2 (bez dyn. souč.)	P	0	90	0	-5	0	-19	0	1.00	1.16		1.16	-	1.05	1.00	109	0	-6	0	-6	0	-23	0	-23	0	0	0
8	BR	Brzdné a rozjezdové síly	P	0	11	0	0	0	-1	0	1.00	1.16		1.16	-	1.00	0.32	4	0	0	0	0	0	0	0	0	0	0	0
9	S	Boční ráz	P	0	7	0	-3	0	-11	0	1.00	1.16		1.16	-	1.00	0.64	5	0	-2	0	-2	0	-8	0	-8	0	0	0
10	CH	Chodci na lávkách	Q	0	4	0	0	0	-2	0	1.00	1.30		1.30	-	1.00	1.00	5	0	0	0	0	0	-2	0	-2	0	0	0
11	W	Vítr na konstrukci	Q	0	-11	0	-6	0	-12	0	1.00	1.15		1.15	-	1.00	0.75	-9	0	-5	0	-5	0	-10	0	-10	0	0	0
12	WP	Vítr na vozidla	Q	0	17	0	-6	0	-28	0	1.00	1.15		1.15	-	1.00	0.75	15	0	-5	0	-5	0	-24	0	-24	0	0	0
13	TR	Teplota rovnoměrná	Q	0	0	0	0	0	0	0	1.00	1.15		1.15	-	1.00	0.45	0	0	0	0	0	0	0	0	0	0	0	0
14	TN	Teplota nerovnoměrná	Q	0	76	0	-5	0	-25	0	1.00	1.15		1.15	-	1.00	0.60	53	0	-4	0	-4	0	-17	0	-17	0	0	0
15	FR	Třecí síly v ložiskách	Q	0	2	0	0	0	0	0	1.00	1.20		1.20	-	1.00	1.00	2	0	0	0	0	0	0	0	0	0	0	0
16	I	Imperfekce soustavy	Q	0	-1	0	-1	0	-3	0	1.00	1.20		1.20	-	1.00	1.00	-1	0	-1	0	-1	0	-4	0	-4	0	0	0
27	ULS_LM	ULS - LM71 bez dynam	Q	0	349	0	-46	0	-185	0	1.00	vyp.		0.00	-	1.00	0.00	0	0	0	0	0	0	0	0	0	0	0	0
28	SLS_LM	SLS - LM71 bez dynam	Q	0	224	0	-32	0	-126	0	1.00	vyp.	1	0.00	-	1.00	0.00	0	0	0	0	0	0	0	0	0	0	0	0
29	ULS_C3	ULS - C3 bez dynam	Q	0	281	0	-40	0	-161	0	1.00	vyp.	1	0.00	-	1.00	0.00	0	0	0	0	0	0	0	0	0	0	0	0
30	SLS_C3	SLS - C3 bez dynam	Q	0	172	0	-27	0	-108	0	1.00	vyp.	1	0.00	-	1.00	0.00	0	0	0	0	0	0	0	0	0	0	0	0
		CELKEM - FÁZE PRŮŘEZU 0																253	0	-35	0	-35	0	-141	0	-141	0	0	0
		CELKEM - FÁZE PRŮŘEZU 1																0	0	0	0	0	0	0	0	0	0	0	0
		CELKEM - FÁZE PRŮŘEZU 2																0	0	0	0	0	0	0	0	0	0	0	0
		CELKEM - FÁZE PRŮŘEZU 3																0	0	0	0	0	0	0	0	0	0	0	0
		CELKEM - PRŮŘEZ																253	0	-35	0	-35	0			-141			0

Napětí od jednotlivých zatěžovacích stavů

SKUPINA ZATĚŽOVACÍCH STAVŮ

Č.	SKUP ZS	Popis ZS	Kat.	fáze prúř.	Posouzení normálového napětí — Účinek síly N: δ^*N_d [kN]	χ^*A [mm^2]	σ_n [MPa]	Účinek momentu My: $\delta^*M_{y,d}$ [kNm]	$\chi_{lt}{}^*W_{el,y}$ [mm^3]	σ_{my} [MPa]	Účinek momentu Mz: $\delta^*M_{z,d}$ [kNm]	$W_{el,z}$ [mm^3]	σ_{mz} [MPa]	σ_x [MPa]	Posouzení smykového napětí — Účinek kroutícího momentu Mx: $\kappa^*\delta^*M_{x,d}$ [kNm]	$W_{v,y}$ [mm^2]	$\tau_{x,y}$ [MPa]	$W_{v,z}$ [mm^2]	$\tau_{x,z}$ [MPa]	Účinek smykové síly Vy: $\delta^*V_{y,d}$ [kN]	$A_{v,y}$ [mm2]	$\tau_{v,y}$ [MPa]	$\tau_{v,y}$ [MPa]	Účinek smykové síly Vz: $\delta^*V_{z,d}$ [kN]	$A_{v,z}$ [mm2]	$\tau_{v,z}$ [MPa]	$\tau_{v,z}$ [MPa]
1	G0	Vlastní tíha OK	G	0	22.2	5.24E+03	4.2	-3.9	-1.02E+06	3.8	0.0	1.03E+05	0.0	8.1	0.0E+00	-	-	-	-	0.0	3.20E+03	0.0	0.0	-0.8	2.38E+03	-0.3	-0.3
2	G1	Ostatní stálé - mostní vybavení	G	0	4.0	5.24E+03	0.8	-0.6	-1.02E+06	0.6	0.0	1.03E+05	0.0	1.4	0.0E+00	-	-	-	-	0.0	3.20E+03	0.0	0.0	-0.1	2.38E+03	0.0	0.0
3	G2	Ostatní stálé - cizí zařízení	G	0	2.2	5.24E+03	0.4	0.5	-1.02E+06	-0.5	0.0	1.03E+05	0.0	0.0	0.0E+00	-	-	-	-	0.0	3.20E+03	0.0	0.0	0.1	2.38E+03	0.0	0.0
4	P1_71	a.LM71 - kolej 1 (bez dyn. souč.)	P	0	0.0	5.24E+03	0.0	0.0	-1.02E+06	0.0	0.0	1.03E+05	0.0	0.0	0.0E+00	-	-	-	-	0.0	3.20E+03	0.0	0.0	0.0	2.38E+03	0.0	0.0
5	P2_71	a.LM71 - kolej 2 (bez dyn. souč.)	P	0	0.0	5.24E+03	0.0	0.0	-1.02E+06	0.0	0.0	1.03E+05	0.0	0.0	0.0E+00	-	-	-	-	0.0	3.20E+03	0.0	0.0	0.0	2.38E+03	0.0	0.0
6	P1_C3	TTZ C3 - kolej 1 (bez dyn. souč.)	P	0	41.6	5.24E+03	7.9	-48.1	-1.02E+06	47.3	0.0	1.03E+05	-0.1	55.1	0.0E+00	-	-	-	-	0.0	3.20E+03	0.0	0.0	-10.3	2.38E+03	-4.3	-4.3
7	P2_C3	TTZ C3 - kolej 2 (bez dyn. souč.)	P	0	109.5	5.24E+03	20.9	-22.8	-1.02E+06	22.4	0.0	1.03E+05	0.0	43.3	0.0E+00	-	-	-	-	0.0	3.20E+03	0.0	0.0	-6.2	2.38E+03	-2.6	-2.6
8	BR	Brzdné a rozjezdové síly	P	0	4.0	5.24E+03	0.8	-0.4	-1.02E+06	0.4	0.1	1.03E+05	0.8	2.0	0.0E+00	-	-	-	-	0.0	3.20E+03	0.0	0.0	-0.1	2.38E+03	0.0	0.0
9	S	Boční ráz	P	0	5.4	5.24E+03	1.0	-8.4	-1.02E+06	8.2	0.0	1.03E+05	0.2	9.5	0.0E+00	-	-	-	-	0.0	3.20E+03	0.0	0.0	-2.1	2.38E+03	-0.9	-0.9
10	CH	Chodci na lávkách	Q	0	4.6	5.24E+03	0.9	-2.1	-1.02E+06	2.0	0.0	1.03E+05	-0.4	2.5	0.0E+00	-	-	-	-	0.0	3.20E+03	0.0	0.0	-0.5	2.38E+03	-0.2	-0.2
11	W	Vítr na konstrukci	Q	0	-9.3	5.24E+03	-1.8	-10.0	-1.02E+06	9.8	0.0	1.03E+05	0.1	8.1	0.0E+00	-	-	-	-	0.0	3.20E+03	0.0	0.0	-5.2	2.38E+03	-2.2	-2.2
12	WP	Vítr na vozidla	Q	0	14.9	5.24E+03	2.8	-23.8	-1.02E+06	23.4	0.0	1.03E+05	-0.1	26.2	0.0E+00	-	-	-	-	0.0	3.20E+03	0.0	0.0	-5.3	2.38E+03	-2.2	-2.2
13	TR	Teplota rovnoměrná	Q	0	0.0	5.24E+03	0.0	0.0	-1.02E+06	0.0	0.0	1.03E+05	0.0	0.0	0.0E+00	-	-	-	-	0.0	3.20E+03	0.0	0.0	0.0	2.38E+03	0.0	0.0
14	TN	Teplota nerovnoměrná	Q	0	52.5	5.24E+03	10.0	-17.0	-1.02E+06	16.7	0.0	1.03E+05	0.0	26.8	0.0E+00	-	-	-	-	0.0	3.20E+03	0.0	0.0	-3.8	2.38E+03	-1.6	-1.6
15	FR	Třecí síly v ložiskách	Q	0	2.4	5.24E+03	0.5	-0.1	-1.02E+06	0.1	0.0	1.03E+05	0.0	0.5	0.0E+00	-	-	-	-	0.0	3.20E+03	0.0	0.0	0.0	2.38E+03	0.0	0.0
16	I	Imperfekce soustavy	Q	0	-1.1	5.24E+03	-0.2	-4.0	-1.02E+06	4.0	0.0	1.03E+05	0.0	3.8	0.0E+00	-	-	-	-	0.0	3.20E+03	0.0	0.0	-0.9	2.38E+03	-0.4	-0.4
27	ULS_LM	ULS - LM71 bez dynam	Q	0	0.0	5.24E+03	0.0	0.0	-1.02E+06	0.0	0.0	1.03E+05	0.0	0.0	0.0E+00	-	-	-	-	0.0	3.20E+03	0.0	0.0	0.0	2.38E+03	0.0	0.0
28	SLS_LM	SLS - LM71 bez dynam	Q	0	0.0	5.24E+03	0.0	0.0	-1.02E+06	0.0	0.0	1.03E+05	0.0	0.0	0.0E+00	-	-	-	-	0.0	3.20E+03	0.0	0.0	0.0	2.38E+03	0.0	0.0
29	ULS_C3	ULS - C3 bez dynam	Q	0	0.0	5.24E+03	0.0	0.0	-1.02E+06	0.0	0.0	1.03E+05	0.0	0.0	0.0E+00	-	-	-	-	0.0	3.20E+03	0.0	0.0	0.0	2.38E+03	0.0	0.0
30	SLS_C3	SLS - C3 bez dynam	Q	0	0.0	5.24E+03	0.0	0.0	-1.02E+06	0.0	0.0	1.03E+05	0.0	0.0	0.0E+00	-	-	-	-	0.0	3.20E+03	0.0	0.0	0.0	2.38E+03	0.0	0.0
NAVÝŠENÍ NAPĚTÍ DO AKTIVACE TLAKU V DESCE MOSTOVKY						$\sigma_{P,red}$	0.0							0.0			-		-								
NAPĚTÍ OD PRIMÁRNÍCH ÚČINKŮ NEROVNOMĚRNÉHO OTEPLENÍ						σ_T	0.0							0.0													
NAPĚTÍ OD REOLOGICKÝCH ÚČINKŮ BETONU V ČASE		t=0				σ_R	0.0	γ_f=	1.20					0.0													
NAPĚTÍ V KRITICKÝCH VLÁKNECH OD KOMBINACE ZATÍŽENÍ						KZ08		[MPa]					$\Sigma\sigma_x$	187.3								$\Sigma\tau_y$	0.0			$\Sigma\tau_z$	-14.8
NAPĚTÍ OD POHYBLIVÉHO ZATÍŽENÍ								[MPa]					$\sigma_{x,P}$	109.9								τ_P	0.0			τ_P	-7.8
NAPĚTÍ OD OSTATNÍCH ZATÍŽENÍ								[MPa]			Φ_{vy}	Φ_{vz}	$\sigma_{x,rs}$	77.3								τ_{rs}	0.0			τ_{rs}	-6.9
NÁVRHOVÁ HODNOTA MEZE KLUZU S REDUKCÍ VLIVEM SMYKOVÉHO NAPĚTÍ								[MPa]			1.00	1.00	$f_{yv,d}$	209.1								$f_{yd}/3^{0,5}$	120.7			$f_{yd}/3^{0,5}$	120.7
NAPĚTÍ OD POHYBLIVÉHO ZATÍŽENÍ V GLOBÁLNÍM SYSTÉMU				$\sigma_{GLOB,P}$	0.0			[MPa]					$\Sigma\sigma_{GLOB}$	0.0													
NAPĚTÍ OD OSTATNÍCH ZATÍŽENÍ V GLOBÁLNÍM SYSTÉMU				$\sigma_{GLOB,rs}$	0.0			[MPa]					$\Sigma\sigma_x + \Sigma\sigma_{GLOB}$	187.3													
VYUŽITÍ PRŮŘEZU DLE NAPĚTÍ								[%]					η_1	0.90								η_3	0.00			η_3	0.12
NAPĚTÍ V PŘÍČNÉM SMĚRU OD POHYBLIVÉHO ZATÍŽENÍ				$\sigma_{z,P}$	0.0			[MPa]					$\Sigma\sigma_z$	0.0													
NAPĚTÍ V PŘÍČNÉM SMĚRU OD OSTATNÍCH ZATÍŽENÍ				$\sigma_{z,rs}$	0.0			[MPa]					η_2	0.00													
SROVNÁVACÍ NAPĚTÍ													$(\eta_2 + 0,8\,\eta_1)/1,4$ =	0.51													
VYUŽITÍ PRŮŘEZU CELKEM								[%]					eff	0.90	VYHOVUJE												
													z_{LM71} =	-----													

TAB. V8.2.3 POSOUZENÍ - MEZNÍ STAV ÚNOSNOSTI

POPIS	SVISLICE V8
PRUT / POLOHA BODU	401 / I[343]
NAMÁHÁNÍ	My.max
VLÁKNO	BOD K4 -SP
MEZNÍ STAV	ULS (MSÚ)
VYUŽITÍ VLÁKNA PRŮŘEZU	0.39

Charakteristiky materiálu				
pás. horní	$f_{yf,k}$	230	MPa	
pás. dolní	$f_{yf,k}$	230	MPa	
stojina	$f_{yw,k}$	230	MPa	
výztuž	$f_{ys,k}$	500	MPa	
	γ_M =	1.10	γ_s =	1.15

Excentricita normálové síly				
Exc./Fáze	0	1	2	3
e_y	0.000	0.000	0.000	0.000
e_z	0.000	0.000	0.000	0.000
Ekvivalentní vzdál. stěn - příčný roznos				
b_{Mx}	0.000	0.000	0.000	0.000

Vliv stěny na únosnost průřezu				
Char./Fáze	0	1	2	3
A	0.00	0.00	0.00	0.00
Wy	0.00	0.00	0.00	0.00
Wz	0.00	0.00	0.00	0.00

Charakter. v kroucení			
$t_{w,y}$	0.000	[mm]	
$t_{w,z}$	0.000	[mm]	
κ	1.00		
I_t=	0.00E+00	[mm⁴]	
Ω=2*A_{pr}	0.00E+00	[mm²]	

Součinitele vzpěru a vlivu II.řádu				
Char./Fáze	0	1	2	3
k_y	1.000	1.000	1.000	1.000
k_z	1.000	1.000	1.000	1.000
χ_{LT}	1.000	1.000	1.000	1.000
χ_{min}	1.000	1.000	1.000	1.000

Vnitřní síly od jednotlivých skupin zatěžovacích stavů

SKUPINA ZATĚŽOVACÍCH STAVŮ					- CHARAKTERISTICKÉ HODNOTY						DÍLČÍ SOUČINITELÉ ZATÍŽENÍ, DYNAMICKÝ SOUČINITEL						8	- NÁVRHOVÉ HODNOTY									
Č.	SKUP ZS	POPIS ZS	KAT.	FÁZE PRŮŘ.	N.k (kN)	Vy.k (kN)	Vz.k (kN)	Mx.k (kNm)	My.k (kNm)	Mz.k (kNm)	γ_{sup} (-)	γ_{inf} (-)	volba ψ_i hledat	ψ_i (-)	L_d (m)	δ (-)	Ψ_0 KZ08	N.d (kN)	Vy.d (kN)	Vz.d (kN)	ΔVz.d (kN)	ΣVz.d (kN)	Mx.d (kNm)	My.d (kNm)	ΔMy.d (kNm)	ΣMy.d (kNm)	Mz.d (kNm)	ΔMz.d (kNm)	ΣMz.d (kNm)
1	G0	Vlastní tíha OK	G	0	19	0	-1	0	-3	0	1.00	1.20		1.20	-	1.00	0.95	22	0	-1	0	-1	0	-4	0	-4	0	0	0
2	G1	Ostatní stálé - mostní vybavení	G	0	4	0	0	0	-1	0	1.00	1.20		1.20	-	1.00	0.95	4	0	0	0	0	0	-1	0	-1	0	0	0
3	G2	Ostatní stálé - cizí zařízení	G	0	2	0	0	0	1	0	1.00	1.20		1.20	-	1.00	0.95	3	0	0	0	0	0	1	0	1	0	0	0
4	P1_71	a.LM71 - kolej 1 (bez dyn. souč.)	P	0	0	0	0	0	0	0	1.00	vyp.		0.00	-	1.00	0.00	0	0	0	0	0	0	0	0	0	0	0	0
5	P2_71	a.LM71 - kolej 2 (bez dyn. souč.)	P	0	-20	0	8	0	31	0	1.00	vyp.		0.00	-	1.00	0.00	0	0	0	0	0	0	0	0	0	0	0	0
6	P1_C3	TTZ C3 - kolej 1 (bez dyn. souč.)	P	0	0	0	0	0	0	0	1.00	1.16		1.16	-	1.05	1.00	0	0	0	0	0	0	0	0	0	0	0	0
7	P2_C3	TTZ C3 - kolej 2 (bez dyn. souč.)	P	0	-14	0	7	0	26	0	1.00	1.16		1.16	-	1.05	1.00	-18	0	9	0	9	0	32	0	32	0	0	0
8	BR	Brzdné a rozjezdové síly	P	0	-11	0	0	0	1	0	1.00	0.00		0.00	-	1.00	0.32	0	0	0	0	0	0	0	0	0	0	0	0
9	S	Boční ráz	P	0	-7	0	3	0	11	0	1.00	1.16		1.16	-	1.00	0.64	-5	0	2	0	2	0	8	0	8	0	0	0
10	CH	Chodci na lávkách	Q	0	7	0	0	0	2	0	1.00	1.30		1.30	-	1.00	1.00	10	0	1	0	1	0	2	0	2	0	0	0
11	W	Vítr na konstrukci	Q	0	11	0	6	0	12	0	1.00	1.15		1.15	-	1.00	0.75	9	0	5	0	5	0	10	0	10	0	0	0
12	WP	Vítr na vozidla	Q	0	-17	0	6	0	28	0	1.00	1.15		1.15	-	1.00	0.75	-15	0	5	0	5	0	24	0	24	0	0	0
13	TR	Teplota rovnoměrná	Q	0	0	0	0	0	0	0	1.00	1.15		1.15	-	1.00	0.45	0	0	0	0	0	0	0	0	0	0	0	0
14	TN	Teplota nerovnoměrná	Q	0	-3	0	4	0	19	0	1.00	1.15		1.15	-	1.00	0.60	-2	0	3	0	3	0	13	0	13	0	0	0
15	FR	Třecí síly v ložiskách	Q	0	-2	0	0	0	0	0	1.00	-1.20		-1.20	-	1.00	1.00	2	0	0	0	0	0	0	0	0	0	0	0
16	I	Imperfekce soustavy	Q	0	1	0	1	0	3	0	1.00	1.20		1.20	-	1.00	1.00	1	0	1	0	1	0	4	0	4	0	0	0
27	ULS_LM	ULS - LM71 bez dynam	Q	0	-14	0	31	0	113	0	1.00	vyp.		0.00	-	1.00	0.00	0	0	0	0	0	0	0	0	0	0	0	0
28	SLS_LM	SLS - LM71 bez dynam	Q	0	-6	0	21	0	74	0	1.00	vyp.	1	0.00	-	1.00	0.00	0	0	0	0	0	0	0	0	0	0	0	0
29	ULS_C3	ULS - C3 bez dynam	Q	0	-7	0	29	0	107	0	1.00	vyp.	1	0.00	-	1.00	0.00	0	0	0	0	0	0	0	0	0	0	0	0
30	SLS_C3	SLS - C3 bez dynam	Q	0	0	0	20	0	69	0	1.00	vyp.	1	0.00	-	1.00	0.00	0	0	0	0	0	0	0	0	0	0	0	0
		CELKEM - FÁZE PRŮŘEZU 0																11	0	25	0	25	0	90	0	90	0	0	0
		CELKEM - FÁZE PRŮŘEZU 1																0	0	0	0	0	0	0	0	0	0	0	0
		CELKEM - FÁZE PRŮŘEZU 2																0	0	0	0	0	0	0	0	0	0	0	0
		CELKEM - FÁZE PRŮŘEZU 3																0	0	0	0	0	0	0	0	0	0	0	0
		CELKEM - PRŮŘEZ																11	0	25	0	25	0			90			0

Napětí od jednotlivých zatěžovacích stavů

SKUPINA ZATĚŽOVACÍCH STAVŮ					Posouzení normálového napětí										Posouzení smykového napětí													
					Účinek síly N			Účinek momentu My			Účinek momentu Mz				Účinek kroutícího momentu Mx				Účinek smykové síly Vy				Účinek smykové síly Vz			
Č.	SKUP ZS	Popis ZS	Kat.	fáze průř.	δ^*N_d [kN]	χ^*A [mm²]	σ_n [MPa]	$\delta^*M_{y,d}$ [kNm]	$\chi_{lt}^*W_{el,y}$ [mm³]	σ_{my} [MPa]	$\delta^*M_{z,d}$ [kNm]	$W_{el,z}$ [mm³]	σ_{mz} [MPa]	σ_x [MPa]	$\kappa^*\delta^*M_{x,d}$ [kNm]	$W_{v,y}$ [mm³]	$\tau_{x,y}$ [MPa]	$W_{v,z}$ [mm³]	$\tau_{x,z}$ [MPa]	$\delta^*V_{y,d}$ [kN]	$A_{v,y}$ [mm2]	$\tau_{v,y}$ [MPa]	$\tau_{v,y}$ [MPa]	$\delta^*V_{z,d}$ [kN]	$A_{v,z}$ [mm2]	$\tau_{v,z}$ [MPa]	$\tau_{v,z}$ [MPa]
1	G0	Vlastní tíha OK	G	0	22.2	5.24E+03	4.2	-3.9	1.14E+06	-3.4	0.0	1.03E+05	0.0	0.8	0.0E+00	-	-	-	-	0.0	3.20E+03	0.0	0.0	-0.8	2.38E+03	-0.3	-0.3
2	G1	Ostatní stálé - mostní vybavení	G	0	4.0	5.24E+03	0.8	-0.6	1.14E+06	-0.5	0.0	1.03E+05	0.0	0.2	0.0E+00	-	-	-	-	0.0	3.20E+03	0.0	0.0	-0.1	2.38E+03	0.0	0.0
3	G2	Ostatní stálé - cizí zařízení	G	0	2.7	5.24E+03	0.5	0.6	1.14E+06	0.5	0.0	1.03E+05	0.0	1.0	0.0E+00	-	-	-	-	0.0	3.20E+03	0.0	0.0	0.1	2.38E+03	0.0	0.0
4	P1_71	a.LM71 - kolej 1 (bez dyn. souč.)	P	0	0.0	5.24E+03	0.0	0.0	1.14E+06	0.0	0.0	1.03E+05	0.0	0.0	0.0E+00	-	-	-	-	0.0	3.20E+03	0.0	0.0	0.0	2.38E+03	0.0	0.0
5	P2_71	a.LM71 - kolej 2 (bez dyn. souč.)	P	0	0.0	5.24E+03	0.0	0.0	1.14E+06	0.0	0.0	1.03E+05	0.0	0.0	0.0E+00	-	-	-	-	0.0	3.20E+03	0.0	0.0	0.0	2.38E+03	0.0	0.0
6	P1_C3	TTZ C3 - kolej 1 (bez dyn. souč.)	P	0	0.0	5.24E+03	0.0	0.0	1.14E+06	0.0	0.0	1.03E+05	0.0	0.0	0.0E+00	-	-	-	-	0.0	3.20E+03	0.0	0.0	0.0	2.38E+03	0.0	0.0
7	P2_C3	TTZ C3 - kolej 2 (bez dyn. souč.)	P	0	-17.6	5.24E+03	-3.4	31.9	1.14E+06	28.0	0.0	1.03E+05	0.2	24.9	0.0E+00	-	-	-	-	0.0	3.20E+03	0.0	0.0	8.8	2.38E+03	3.7	3.7
8	BR	Brzdné a rozjezdové síly	P	0	0.0	5.24E+03	0.0	0.0	1.14E+06	0.0	0.0	1.03E+05	0.0	0.0	0.0E+00	-	-	-	-	0.0	3.20E+03	0.0	0.0	0.0	2.38E+03	0.0	0.0
9	S	Boční ráz	P	0	-5.4	5.24E+03	-1.0	8.4	1.14E+06	7.4	0.0	1.03E+05	-0.2	6.1	0.0E+00	-	-	-	-	0.0	3.20E+03	0.0	0.0	2.1	2.38E+03	0.9	0.9
10	CH	Chodci na lávkách	Q	0	9.6	5.24E+03	1.8	2.4	1.14E+06	2.1	0.0	1.03E+05	0.0	4.0	0.0E+00	-	-	-	-	0.0	3.20E+03	0.0	0.0	0.5	2.38E+03	0.2	0.2
11	W	Vítr na konstrukci	Q	0	9.3	5.24E+03	1.8	10.0	1.14E+06	8.8	0.0	1.03E+05	-0.1	10.5	0.0E+00	-	-	-	-	0.0	3.20E+03	0.0	0.0	5.2	2.38E+03	2.2	2.2
12	WP	Vítr na vozidla	Q	0	-14.9	5.24E+03	-2.8	23.8	1.14E+06	20.9	0.0	1.03E+05	0.1	18.1	0.0E+00	-	-	-	-	0.0	3.20E+03	0.0	0.0	5.3	2.38E+03	2.2	2.2
13	TR	Teplota rovnoměrná	Q	0	0.0	5.24E+03	0.0	0.0	1.14E+06	0.0	0.0	1.03E+05	0.0	0.0	0.0E+00	-	-	-	-	0.0	3.20E+03	0.0	0.0	0.0	2.38E+03	0.0	0.0
14	TN	Teplota nerovnoměrná	Q	0	-1.9	5.24E+03	-0.4	12.9	1.14E+06	11.3	0.0	1.03E+05	0.0	11.0	0.0E+00	-	-	-	-	0.0	3.20E+03	0.0	0.0	2.8	2.38E+03	1.2	1.2
15	FR	Třecí síly v ložiskách	Q	0	2.4	5.24E+03	0.5	-0.1	1.14E+06	-0.1	0.0	1.03E+05	0.0	0.4	0.0E+00	-	-	-	-	0.0	3.20E+03	0.0	0.0	0.0	2.38E+03	0.0	0.0
16	I	Imperfekce soustavy	Q	0	1.1	5.24E+03	0.2	4.0	1.14E+06	3.5	0.0	1.03E+05	0.0	3.8	0.0E+00	-	-	-	-	0.0	3.20E+03	0.0	0.0	0.9	2.38E+03	0.4	0.4
27	ULS_LM	ULS - LM71 bez dynam	Q	0	0.0	5.24E+03	0.0	0.0	1.14E+06	0.0	0.0	1.03E+05	0.0	0.0	0.0E+00	-	-	-	-	0.0	3.20E+03	0.0	0.0	0.0	2.38E+03	0.0	0.0
28	SLS_LM	SLS - LM71 bez dynam	Q	0	0.0	5.24E+03	0.0	0.0	1.14E+06	0.0	0.0	1.03E+05	0.0	0.0	0.0E+00	-	-	-	-	0.0	3.20E+03	0.0	0.0	0.0	2.38E+03	0.0	0.0
29	ULS_C3	ULS - C3 bez dynam	Q	0	0.0	5.24E+03	0.0	0.0	1.14E+06	0.0	0.0	1.03E+05	0.0	0.0	0.0E+00	-	-	-	-	0.0	3.20E+03	0.0	0.0	0.0	2.38E+03	0.0	0.0
30	SLS_C3	SLS - C3 bez dynam	Q	0	0.0	5.24E+03	0.0	0.0	1.14E+06	0.0	0.0	1.03E+05	0.0	0.0	0.0E+00	-	-	-	-	0.0	3.20E+03	0.0	0.0	0.0	2.38E+03	0.0	0.0
NAVÝŠENÍ NAPĚTÍ DO AKTIVACE TLAKU V DESCE MOSTOVKY						$\sigma_{P,red}$	0.0							0.0			0.0		0.0			0.0	0.0			10.4	10.4
NAPĚTÍ OD PRIMÁRNÍCH ÚČINKŮ NEROVNOMĚRNÉHO OTEPLENÍ						σ_T	0.0							0.0													
NAPĚTÍ OD REOLOGICKÝCH ÚČINKŮ BETONU V ČASE				t=0		σ_R	0.0	γ_{inf}=	1.20					0.0													
NAPĚTÍ V KRITICKÝCH VLÁKNECH OD KOMBINACE ZATÍŽENÍ						KZ08		[MPa]					$\Sigma\sigma_x$	80.6								$\Sigma\tau_y$	0.0			$\Sigma\tau_z$	10.4
NAPĚTÍ OD POHYBLIVÉHO ZATÍŽENÍ								[MPa]					$\sigma_{x,P}$	31.0								τ_P	0.0			τ_P	4.5
NAPĚTÍ OD OSTATNÍCH ZATÍŽENÍ								[MPa]			Φ_{Vy}	Φ_{Vz}	$\sigma_{x,rs}$	49.7								τ_{rs}	0.0			τ_{rs}	5.8
NÁVRHOVÁ HODNOTA MEZE KLUZU S REDUKCÍ VLIVEM SMYKOVÉHO NAPĚTÍ								[MPa]			1.00	1.00	$f_{yw,d}$	209.1								$f_{yd}/3^{0,5}$	120.7			$f_{yd}/3^{0,5}$	120.7
NAPĚTÍ OD POHYBLIVÉHO ZATÍŽENÍ V GLOBÁLNÍM SYSTÉMU						$\sigma_{GLOB,P}$	0.0	[MPa]					$\Sigma\sigma_{GLOB}$	0.0													
NAPĚTÍ OD OSTATNÍCH ZATÍŽENÍ V GLOBÁLNÍM SYSTÉMU						$\sigma_{GLOB,rs}$	0.0	[MPa]					$\Sigma\sigma_x + \Sigma\sigma_{GLOB}$	80.6													
VYUŽITÍ PRŮŘEZU DLE NAPĚTÍ								[%]					η_1	0.39								η_3	0.00			η_3	0.09
NAPĚTÍ V PŘÍČNÉM SMĚRU OD POHYBLIVÉHO ZATÍŽENÍ						$\sigma_{z,P}$	0.0	[MPa]					$\Sigma\sigma_z$	0.0													
NAPĚTÍ V PŘÍČNÉM SMĚRU OD OSTATNÍCH ZATÍŽENÍ						$\sigma_{z,rs}$	0.0	[MPa]					η_2	0.00													
SROVNÁVACÍ NAPĚTÍ													$(\eta_2 + 0,8\,\eta_1)/1,4$ =	0.22													
VYUŽITÍ PRŮŘEZU CELKEM								[%]					eff	0.39	VYHOVUJE												
													z_{LM71} =	-----													

TAB. V8.2.3 POSOUZENÍ - MEZNÍ STAV ÚNOSNOSTI

POPIS	SVISLICE V8
PRUT / POLOHA BODU	401 / I[343]
NAMÁHÁNÍ	Vz.min
VLÁKNO	BOD S6 -HP
MEZNÍ STAV	ULS (MSÚ)
VYUŽITÍ VLÁKNA PRŮŘEZU	0.36

Charakteristiky materiálu				
pás. horní	$f_{yf,k}$	230	MPa	
pás. dolní	$f_{yf,k}$	230	MPa	
stojina	$f_{yw,k}$	230	MPa	
výztuž	$f_{ys,k}$	500	MPa	
γ_M =	1.10	γ_s =	1.15	

Excentricita normálové síly				
Exc./Fáze	0	1	2	3
e_y	0.000	0.000	0.000	0.000
e_z	0.000	0.000	0.000	0.000
Ekvivalentní vzdál. stěn - příčný roznos				
b_{ekv}	0.000	0.000	0.000	0.000

Vliv stěny na únosnost průřezu				
Char./Fáze	0	1	2	3
A	0.00	0.00	0.00	0.00
Wy	0.00	0.00	0.00	0.00
Wz	0.00	0.00	0.00	0.00

Charakter. v kroucení			
$t_{w,y}$	0.000	[mm]	
$t_{w,z}$	0.000	[mm]	
κ	1.00		
I_t=	0.00E+00	[mm^4]	
$\Omega=2*A_{pr}$	0.00E+00	[mm^2]	

Součinitele vzpěru a vlivu II.řádu				
Char./Fáze	0	1	2	3
k_y	1.000	1.000	1.000	1.000
k_z	1.000	1.000	1.000	1.000
χ_{LT}	1.000	1.000	1.000	1.000
χ_{min}	1.000	1.000	1.000	1.000

Vnitřní síly od jednotlivých skupin zatěžovacích stavů

SKUPINA ZATĚŽOVACÍCH STAVŮ					- CHARAKTERISTICKÉ HODNOTY						DÍLČÍ SOUČINITELÉ ZATÍŽENÍ, DYNAMICKÝ SOUČINITEL							- NÁVRHOVÉ HODNOTY									
Č.	SKUP ZS	POPIS ZS	KAT.	FÁZE PRŮŘ.	N.k (kN)	Vy.k (kN)	Vz.k (kN)	Mx.k (kNm)	My.k (kNm)	Mz.k (kNm)	γ_{sr} (-)	γ_{fs} (-)	volba γ_f hledat	γ_f (-)	L_d (m)	δ (-)	Ψ_s KZ08	N.d (kN)	Vy.d (kN)	Vz.d (kN)	ΔVz.d (kN)	ΣVz.d (kN)	Mx.d (kNm)	My.d (kNm)	ΔMy.d (kNm)	ΣMy.d (kNm)	Mz.d (kNm)	ΔMz.d (kNm)	ΣMz.d (kNm)
1	G0	Vlastní tíha OK	G	0	19	0	-1	0	-3	0	1.00	1.20		1.20	-	1.00	0.95	22	0	-1	0	-1	0	-4	0	-4	0	0	0
2	G1	Ostatní stálé - mostní vybavení	G	0	4	0	0	0	-1	0	1.00	1.20		1.20	-	1.00	0.95	4	0	0	0	0	0	-1	0	-1	0	0	0
3	G2	Ostatní stálé - cizí zařízení	G	0	2	0	0	0	1	0	1.00	1.00		1.00	-	1.00	0.95	2	0	0	0	0	0	0	0	0	0	0	0
4	P1_71	a.LM71 - kolej 1 (bez dyn. souč.)	P	0	48	0	-11	0	-51	0	1.00	vyp.		0.00	-	1.00	0.00	0	0	0	0	0	0	0	0	0	0	0	0
5	P2_71	a.LM71 - kolej 2 (bez dyn. souč.)	P	0	122	0	-7	0	-25	0	1.00	vyp.		0.00	-	1.00	0.00	0	0	0	0	0	0	0	0	0	0	0	0
6	P1_C3	TTZ C3 - kolej 1 (bez dyn. souč.)	P	0	34	0	-8	0	-39	0	1.00	1.16		1.16	-	1.05	1.00	42	0	-10	0	-10	0	-48	0	-48	0	0	0
7	P2_C3	TTZ C3 - kolej 2 (bez dyn. souč.)	P	0	90	0	-5	0	-19	0	1.00	1.16		1.16	-	1.05	1.00	109	0	-6	0	-6	0	-23	0	-23	0	0	0
8	BR	Brzdné a rozjezdové síly	P	0	11	0	0	0	-1	0	1.00	1.16		1.16	-	1.00	0.32	4	0	0	0	0	0	0	0	0	0	0	0
9	S	Boční ráz	P	0	7	0	-3	0	-11	0	1.00	1.16		1.16	-	1.00	0.64	5	0	-2	0	-2	0	-8	0	-8	0	0	0
10	CH	Chodci na lávkách	Q	0	4	0	0	0	-2	0	1.00	1.30		1.30	-	1.00	1.00	5	0	0	0	0	0	-2	0	-2	0	0	0
11	W	Vítr na konstrukci	Q	0	-11	0	-6	0	-12	0	1.00	1.15		1.15	-	1.00	0.75	-9	0	-5	0	-5	0	-10	0	-10	0	0	0
12	WP	Vítr na vozidla	Q	0	17	0	-6	0	-28	0	1.00	1.15		1.15	-	1.00	0.75	15	0	-5	0	-5	0	-24	0	-24	0	0	0
13	TR	Teplota rovnoměrná	Q	0	0	0	0	0	0	0	1.00	1.15		1.15	-	1.00	0.45	0	0	0	0	0	0	0	0	0	0	0	0
14	TN	Teplota nerovnoměrná	Q	0	76	0	-5	0	-25	0	1.00	1.15		1.15	-	1.00	0.60	53	0	-4	0	-4	0	-17	0	-17	0	0	0
15	FR	Třecí síly v ložiskách	Q	0	2	0	0	0	0	0	1.00	1.20		1.20	-	1.00	1.00	2	0	0	0	0	0	0	0	0	0	0	0
16	I	Imperfekce soustavy	Q	0	-1	0	-1	0	-3	0	1.00	1.20		1.20	-	1.00	1.00	-1	0	-1	0	-1	0	-4	0	-4	0	0	0
27	ULS_LM	ULS - LM71 bez dynam	Q	0	340	0	-46	0	-184	0	1.00	vyp.		0.00	-	1.00	0.00	0	0	0	0	0	0	0	0	0	0	0	0
28	SLS_LM	SLS - LM71 bez dynam	Q	0	217	0	-32	0	-126	0	1.00	vyp.	1	0.00	-	1.00	0.00	0	0	0	0	0	0	0	0	0	0	0	0
29	ULS_C3	ULS - C3 bez dynam	Q	0	281	0	-40	0	-161	0	1.00	vyp.	1	0.00	-	1.00	0.00	0	0	0	0	0	0	0	0	0	0	0	0
30	SLS_C3	SLS - C3 bez dynam	Q	0	172	0	-27	0	-108	0	1.00	vyp.	1	0.00	-	1.00	0.00	0	0	0	0	0	0	0	0	0	0	0	0
		CELKEM - FÁZE PRŮŘEZU 0																253	0	-35	0	-35	0	-141	0	-141	0	0	0
		CELKEM - FÁZE PRŮŘEZU 1																0	0	0	0	0	0	0	0	0	0	0	0
		CELKEM - FÁZE PRŮŘEZU 2																0	0	0	0	0	0	0	0	0	0	0	0
		CELKEM - FÁZE PRŮŘEZU 3																0	0	0	0	0	0	0	0	0	0	0	0
		CELKEM - PRŮŘEZ																253	0	-35	0	-35	0			-141			0

Napětí od jednotlivých zatěžovacích stavů

SKUPINA ZATĚŽOVACÍCH STAVŮ					Posouzení normálového napětí										Posouzení smykového napětí													
					Účinek síly N			Účinek momentu My			Účinek momentu Mz				Účinek kroutícího momentu Mx				Účinek smykové síly Vy				Účinek smykové síly Vz			
Č.	SKUP ZS	Popis ZS	Kat.	fáze prúř.	δ^*N_d [kN]	χ^*A [mm^2]	σ_n [MPa]	$\delta^*M_{y,d}$ [kNm]	$\chi_{lt}^*W_{el,y}$ [mm^3]	σ_{my} [MPa]	$\delta^*M_{z,d}$ [kNm]	$W_{el,z}$ [mm^3]	σ_{mz} [MPa]	σ_x [MPa]	$\kappa^*\delta^*M_{x,d}$ [kNm]	$W_{v,y}$ [mm^2]	$\tau_{x,y}$ [MPa]	$W_{v,z}$ [mm^2]	$\tau_{x,z}$ [MPa]	$\delta^*V_{y,d}$ [kN]	$A_{v,y}$ [mm2]	$\tau_{v,y}$ [MPa]	$\tau_{v,y}$ [MPa]	$\delta^*V_{z,d}$ [kN]	$A_{v,z}$ [mm2]	$\tau_{v,z}$ [MPa]	$\tau_{v,z}$ [MPa]
1	G0	Vlastní tíha OK	G	0	22.2	5.24E+03	4.2	-3.9	1.14E+06	-3.4	0.0	-5.92E+05	0.0	0.8	0.0E+00	-	-	-	-	0.0	3.20E+03	0.0	0.0	-0.8	2.38E+03	-0.3	-0.3
2	G1	Ostatní stálé - mostní vybavení	G	0	4.0	5.24E+03	0.8	-0.6	1.14E+06	-0.5	0.0	-5.92E+05	0.0	0.2	0.0E+00	-	-	-	-	0.0	3.20E+03	0.0	0.0	-0.1	2.38E+03	0.0	0.0
3	G2	Ostatní stálé - cizí zařízení	G	0	2.2	5.24E+03	0.4	0.5	1.14E+06	0.4	0.0	-5.92E+05	0.0	0.8	0.0E+00	-	-	-	-	0.0	3.20E+03	0.0	0.0	0.1	2.38E+03	0.0	0.0
4	P1_71	a.LM71 - kolej 1 (bez dyn. souč.)	P	0	0.0	5.24E+03	0.0	0.0	1.14E+06	0.0	0.0	-5.92E+05	0.0	0.0	0.0E+00	-	-	-	-	0.0	3.20E+03	0.0	0.0	0.0	2.38E+03	0.0	0.0
5	P2_71	a.LM71 - kolej 2 (bez dyn. souč.)	P	0	0.0	5.24E+03	0.0	0.0	1.14E+06	0.0	0.0	-5.92E+05	0.0	0.0	0.0E+00	-	-	-	-	0.0	3.20E+03	0.0	0.0	0.0	2.38E+03	0.0	0.0
6	P1_C3	TTZ C3 - kolej 1 (bez dyn. souč.)	P	0	41.7	5.24E+03	8.0	-48.1	1.14E+06	-42.1	0.0	-5.92E+05	0.0	-34.1	0.0E+00	-	-	-	-	0.0	3.20E+03	0.0	0.0	-10.3	2.38E+03	-4.3	-4.3
7	P2_C3	TTZ C3 - kolej 2 (bez dyn. souč.)	P	0	109.5	5.24E+03	20.9	-22.8	1.14E+06	-20.0	0.0	-5.92E+05	0.0	0.9	0.0E+00	-	-	-	-	0.0	3.20E+03	0.0	0.0	-6.2	2.38E+03	-2.6	-2.6
8	BR	Brzdné a rozjezdové síly	P	0	4.0	5.24E+03	0.8	-0.4	1.14E+06	-0.4	0.1	-5.92E+05	-0.1	0.2	0.0E+00	-	-	-	-	0.0	3.20E+03	0.0	0.0	-0.1	2.38E+03	0.0	0.0
9	S	Boční ráz	P	0	5.4	5.24E+03	1.0	-8.4	1.14E+06	-7.4	0.0	-5.92E+05	0.0	-6.4	0.0E+00	-	-	-	-	0.0	3.20E+03	0.0	0.0	-2.1	2.38E+03	-0.9	-0.9
10	CH	Chodci na lávkách	Q	0	4.6	5.24E+03	0.9	-2.1	1.14E+06	-1.8	0.0	-5.92E+05	0.1	-0.9	0.0E+00	-	-	-	-	0.0	3.20E+03	0.0	0.0	-0.5	2.38E+03	-0.2	-0.2
11	W	Vítr na konstrukci	Q	0	-9.3	5.24E+03	-1.8	-10.0	1.14E+06	-8.8	0.0	-5.92E+05	0.0	-10.6	0.0E+00	-	-	-	-	0.0	3.20E+03	0.0	0.0	-5.2	2.38E+03	-2.2	-2.2
12	WP	Vítr na vozidla	Q	0	14.9	5.24E+03	2.8	-23.8	1.14E+06	-20.9	0.0	-5.92E+05	0.0	-18.0	0.0E+00	-	-	-	-	0.0	3.20E+03	0.0	0.0	-5.3	2.38E+03	-2.2	-2.2
13	TR	Teplota rovnoměrná	Q	0	0.0	5.24E+03	0.0	0.0	1.14E+06	0.0	0.0	-5.92E+05	0.0	0.0	0.0E+00	-	-	-	-	0.0	3.20E+03	0.0	0.0	0.0	2.38E+03	0.0	0.0
14	TN	Teplota nerovnoměrná	Q	0	52.5	5.24E+03	10.0	-17.0	1.14E+06	-14.9	0.0	-5.92E+05	0.0	-4.9	0.0E+00	-	-	-	-	0.0	3.20E+03	0.0	0.0	-3.8	2.38E+03	-1.6	-1.6
15	FR	Třecí síly v ložiskách	Q	0	2.4	5.24E+03	0.5	-0.1	1.14E+06	-0.1	0.0	-5.92E+05	0.0	0.4	0.0E+00	-	-	-	-	0.0	3.20E+03	0.0	0.0	0.0	2.38E+03	0.0	0.0
16	I	Imperfekce soustavy	Q	0	-1.1	5.24E+03	-0.2	-4.0	1.14E+06	-3.5	0.0	-5.92E+05	0.0	-3.8	0.0E+00	-	-	-	-	0.0	3.20E+03	0.0	0.0	-0.9	2.38E+03	-0.4	-0.4
27	ULS_LM	ULS - LM71 bez dynam	Q	0	0.0	5.24E+03	0.0	0.0	1.14E+06	0.0	0.0	-5.92E+05	0.0	0.0	0.0E+00	-	-	-	-	0.0	3.20E+03	0.0	0.0	0.0	2.38E+03	0.0	0.0
28	SLS_LM	SLS - LM71 bez dynam	Q	0	0.0	5.24E+03	0.0	0.0	1.14E+06	0.0	0.0	-5.92E+05	0.0	0.0	0.0E+00	-	-	-	-	0.0	3.20E+03	0.0	0.0	0.0	2.38E+03	0.0	0.0
29	ULS_C3	ULS - C3 bez dynam	Q	0	0.0	5.24E+03	0.0	0.0	1.14E+06	0.0	0.0	-5.92E+05	0.0	0.0	0.0E+00	-	-	-	-	0.0	3.20E+03	0.0	0.0	0.0	2.38E+03	0.0	0.0
30	SLS_C3	SLS - C3 bez dynam	Q	0	0.0	5.24E+03	0.0	0.0	1.14E+06	0.0	0.0	-5.92E+05	0.0	0.0	0.0E+00	-	-	-	-	0.0	3.20E+03	0.0	0.0	0.0	2.38E+03	0.0	0.0
NAVÝŠENÍ NAPĚTÍ DO AKTIVACE TLAKU V DESCE MOSTOVKY						$\sigma_{P,red}$	0.0							0.0			0.0		0.0								-14.8	-14.8
NAPĚTÍ OD PRIMÁRNÍCH ÚČINKŮ NEROVNOMĚRNÉHO OTEPLENÍ						σ_T	0.0							0.0														
NAPĚTÍ OD REOLOGICKÝCH ÚČINKŮ BETONU V ČASE		t=0				σ_R	0.0	γ=	1.20					0.0														
NAPĚTÍ V KRITICKÝCH VLÁKNECH OD KOMBINACE ZATÍŽENÍ						KZ08		[MPa]					$\Sigma\sigma_x$	-75.2								$\Sigma\tau_y$	0.0			$\Sigma\tau_z$	-14.8
NAPĚTÍ OD POHYBLIVÉHO ZATÍŽENÍ								[MPa]					$\sigma_{x,P}$	-39.4								τ_P	0.0			τ_P	-7.8
NAPĚTÍ OD OSTATNÍCH ZATÍŽENÍ								[MPa]			Φ_{vy}	Φ_{vz}	$\sigma_{x,rs}$	-35.8								τ_{rs}	0.0			τ_{rs}	-6.9
NÁVRHOVÁ HODNOTA MEZE KLUZU S REDUKCÍ VLIVEM SMYKOVÉHO NAPĚTÍ								[MPa]			1.00	1.00	$f_{yw,d}$	209.1								$f_{yd}/3^{0,5}$	120.7			$f_{yd}/3^{0,5}$	120.7
NAPĚTÍ OD POHYBLIVÉHO ZATÍŽENÍ V GLOBÁLNÍM SYSTÉMU						$\sigma_{GLOB,P}$	0.0	[MPa]					$\Sigma\sigma_{GLOB}$	0.0													
NAPĚTÍ OD OSTATNÍCH ZATÍŽENÍ V GLOBÁLNÍM SYSTÉMU						$\sigma_{GLOB,rs}$	0.0	[MPa]					$\Sigma\sigma_x + \Sigma\sigma_{GLOB}$	-75.2													
VYUŽITÍ PRŮŘEZU DLE NAPĚTÍ								[%]					η_1	0.36								η_3	0.00			η_3	0.12
NAPĚTÍ V PŘÍČNÉM SMĚRU OD POHYBLIVÉHO ZATÍŽENÍ						$\sigma_{z,P}$	0.0	[MPa]					$\Sigma\sigma_z$	0.0													
NAPĚTÍ V PŘÍČNÉM SMĚRU OD OSTATNÍCH ZATÍŽENÍ						$\sigma_{z,rs}$	0.0	[MPa]					η_2	0.00													
SROVNÁVACÍ NAPĚTÍ													$(\eta_2 + 0,8\,\eta_1)/1,4$ =	0.21													
VYUŽITÍ PRŮŘEZU CELKEM								[%]					eff	0.36	VYHOVUJE												
													z_{LM71} =	-----													

TAB. L2.2.3 POSOUZENÍ - MEZNÍ STAV ÚNOSNOSTI

POPIS	PODÉLNÍK L2.E - STŘED
PRUT / POLOHA BODU	871 / 2/4
NAMÁHÁNÍ	Vy.min
VLÁKNO	BOD K1 -HL
MEZNÍ STAV	ULS (MSÚ)
VYUŽITÍ VLÁKNA PRŮŘEZU	0.61

Charakteristiky materiálu				
pás. horní	$f_{yf,k}$	230	MPa	
pás. dolní	$f_{yf,k}$	230	MPa	
stojina	$f_{yw,k}$	230	MPa	
výztuž	$f_{ys,k}$	500	MPa	
γ_M =	1.07	γ_s =	1.15	

Excentricita normálové síly				
Exc./Fáze	0	1	2	3
e_y	0.000	0.000	0.000	0.000
e_z	0.000	0.000	0.000	0.000
Ekvivalentní vzdál. stěn - příčný roznos				
b_{ekv}	0.000	0.000	0.000	0.000

Vliv stěny na únosnost průřezu				
Char./Fáze	0	1	2	3
A	0.00	0.00	0.00	0.00
Wy	0.00	0.00	0.00	0.00
Wz	0.00	0.00	0.00	0.00

Charakter. v kroucení			
$t_{w,y}$	0.000	[mm]	
$t_{w,z}$	0.000	[mm]	
κ	1.00		
I_t=	0.00E+00	[mm^4]	
$\Omega=2*A_{pz}$	0.00E+00	[mm^2]	

Součinitele vzpěru a vlivu II.řádu					
Char./Fáze	0	1	2	3
k_y	1.000	1.000	1.000	1.000
k_z	1.000	1.000	1.000	1.000
χ_{LT}	1.000	1.000	1.000	1.000
χ_{min}	1.000	1.000	1.000	1.000

Vnitřní síly od jednotlivých skupin zatěžovacích stavů

SKUPINA ZATĚŽOVACÍCH STAVŮ					- CHARAKTERISTICKÉ HODNOTY						DÍLČÍ SOUČINITELÉ ZATÍŽENÍ, DYNAMICKÝ SOUČINITEL						7	- NÁVRHOVÉ HODNOTY								
Č.	SKUP ZS	POPIS ZS	KAT.	FÁZE PRŮŘ.	N.k (kN)	Vy.k (kN)	Vz.k (kN)	Mx.k (kNm)	My.k (kNm)	Mz.k (kNm)	γ_{sr} (-)	γ_{fs} (-)	volba γ_f hledat	γ_f (-)	L_d (m)	δ (-)	Ψ_s KZ07	N.d (kN)	Vy.d (kN)	Vz.d (kN)	ΔVz.d (kN)	ΣVz.d (kN)	Mx.d (kNm)	My.d (kNm)	ΔMy.d (kNm)	ΣMy.d (kNm)	Mz.d (kNm)	ΔMz.d (kNm)	ΣMz.d (kNm)
1	G0	Vlastní tíha OK	G	0	95	-2	-9	0	23	1	1.00	1.20		1.20	-	1.00	0.95	109	-2	-10	0	-10	0	27	0	27	2	0	2
2	G1	Ostatní stálé - mostní vybavení	G	0	7	0	-1	0	1	0	1.00	1.20		1.20	-	1.00	0.95	8	0	-1	0	-1	0	2	0	2	0	0	0
3	G2	Ostatní stálé - cizí zařízení	G	0	5	0	0	0	1	0	1.00	1.20		1.20	-	1.00	0.95	6	0	-1	0	-1	0	1	0	1	0	0	0
4	P1_71	a.LM71 - kolej 1 (bez dyn. souč.)	P	0	93	-2	-11	0	17	1	1.00	vyp.		0.00	-	1.00	0.00	0	0	0	0	0	0	0	0	0	0	0	0
5	P2_71	a.LM71 - kolej 2 (bez dyn. souč.)	P	0	110	-2	-11	0	139	2	1.00	vyp.		0.00	-	1.00	0.00	0	0	0	0	0	0	0	0	0	0	0	0
6	P1_C3	TTZ C3 - kolej 1 (bez dyn. souč.)	P	0	81	-2	-9	0	16	1	1.00	1.16		1.16	-	1.63	1.00	154	-3	-18	0	-18	0	30	0	30	2	0	2
7	P2_C3	TTZ C3 - kolej 2 (bez dyn. souč.)	P	0	96	-2	16	0	112	2	1.00	1.16		1.16	-	1.63	1.00	182	-4	30	0	30	0	211	0	211	3	0	3
8	BR	Brzdné a rozjezdové síly	P	0	252	-7	-29	0	55	5	1.00	1.16		1.16	-	1.00	0.64	187	-5	-21	0	-21	0	41	0	41	4	0	4
9	S	Boční ráz	P	0	-27	-19	0	0	6	-4	1.00	-1.16		-1.16	-	1.00	0.32	10	7	0	0	0	0	-2	0	-2	2	0	2
10	CH	Chodci na lávkách	Q	0	14	0	-1	0	2	0	1.00	1.30		1.30	-	1.00	1.00	18	0	-1	0	-1	0	3	0	3	0	0	0
11	W	Vítr na konstrukci	Q	0	3	-1	-4	0	4	1	1.00	1.15		1.15	-	1.00	0.75	2	-1	-3	0	-3	0	4	0	4	1	0	1
12	WP	Vítr na vozidla	Q	0	7	-4	-9	0	-4	2	1.00	1.15		1.15	-	1.00	0.75	6	-3	-7	0	-7	0	-3	0	-3	1	0	1
13	TR	Teplota rovnoměrná	Q	0	0	0	0	0	0	0	1.00	1.15		1.15	-	1.00	0.45	0	0	0	0	0	0	0	0	0	0	0	0
14	TN	Teplota nerovnoměrná	Q	0	-3	0	0	0	0	0	1.00	1.15		1.15	-	1.00	0.60	-2	0	0	0	0	0	0	0	0	0	0	0
15	FR	Třecí síly v ložiskách	Q	0	11	0	-1	0	2	0	1.00	1.20		1.20	-	1.00	1.00	13	0	-1	0	-1	0	2	0	2	0	0	0
16	I	Imperfekce soustavy	Q	0	0	0	0	0	0	0	1.00	1.20		1.20	-	1.00	1.00	-1	0	0	0	0	0	0	0	0	0	0	0
27	ULS_LM	ULS - LM71 bez dynam	Q	0	554	-43	-73	-1	283	7	1.00	vyp.		0.00	-	1.00	0.00	0	0	0	0	0	0	0	0	0	0	0	0
28	SLS_LM	SLS - LM71 bez dynam	Q	0	442	-33	-57	-1	221	6	1.00	vyp.	1	0.00	-	1.00	0.00	0	0	0	0	0	0	0	0	0	0	0	0
29	ULS_C3	ULS - C3 bez dynam	Q	0	521	-42	-37	-1	245	7	1.00	vyp.	1	0.00	-	1.00	0.00	0	0	0	0	0	0	0	0	0	0	0	0
30	SLS_C3	SLS - C3 bez dynam	Q	0	416	-33	-29	-1	192	5	1.00	vyp.	1	0.00	-	1.00	0.00	0	0	0	0	0	0	0	0	0	0	0	0
		CELKEM - FÁZE PRŮŘEZU 0																693	-13	-34	0	-34	0	315	0	315	15	0	15
		CELKEM - FÁZE PRŮŘEZU 1																0	0	0	0	0	0	0	0	0	0	0	0
		CELKEM - FÁZE PRŮŘEZU 2																0	0	0	0	0	0	0	0	0	0	0	0
		CELKEM - FÁZE PRŮŘEZU 3																0	0	0	0	0	0	0	0	0	0	0	0
		CELKEM - PRŮŘEZ																693	-13	-34	0	-34	0			315			15

Napětí od jednotlivých zatěžovacích stavů

SKUPINA ZATĚŽOVACÍCH STAVŮ					Posouzení normálového napětí										Posouzení smykového napětí													
					Účinek síly N			Účinek momentu My				Účinek momentu Mz				Účinek ktoutícího momentu Mx				Účinek smykové síly Vy				Účinek smykové síly Vz			
Č.	SKUP ZS	Popis ZS	Kat.	fáze prúř.	δ^*N_d [kN]	χ^*A [mm^2]	σ_n [MPa]	$\delta^*M_{y,d}$ [kNm]	$\chi_{lt}*W_{el,y}$ [mm^3]	σ_{my} [MPa]	$\delta^*M_{z,d}$ [kNm]	$W_{el,z}$ [mm^3]	σ_{mz} [MPa]	σ_x [MPa]	$\kappa*\delta^*M_{x,d}$ [kNm]	$W_{v,y}$ [mm^2]	$\tau_{x,y}$ [MPa]	$W_{v,z}$ [mm^2]	$\tau_{x,z}$ [MPa]	$\delta^*V_{y,d}$ [kN]	$A_{v,y}$ [mm2]	$\tau_{v,y}$ [MPa]	$\tau_{v,y}$ [MPa]	$\delta^*V_{z,d}$ [kN]	$A_{v,z}$ [mm2]	$\tau_{v,z}$ [MPa]	$\tau_{v,z}$ [MPa]
1	G0	Vlastní tíha OK	G	0	108.8	1.49E+04	7.3	26.7	-3.81E+06	-7.0	1.6	-1.61E+05	-10.1	-9.8	-4.6E-02	-	-	-	-	-2.2	6.71E+03	-0.3	-0.3	-9.9	8.15E+03	-1.2	-1.2
2	G1	Ostatní stálé - mostní vybavení	G	0	8.2	1.49E+04	0.6	1.5	-3.81E+06	-0.4	0.1	-1.61E+05	-0.8	-0.6	0.0E+00	-	-	-	-	-0.2	6.71E+03	0.0	0.0	-0.8	8.15E+03	-0.1	-0.1
3	G2	Ostatní stálé - cizí zařízení	G	0	6.2	1.49E+04	0.4	1.1	-3.81E+06	-0.3	0.1	-1.61E+05	-0.6	-0.4	0.0E+00	-	-	-	-	-0.1	6.71E+03	0.0	0.0	-0.5	8.15E+03	-0.1	-0.1
4	P1_71	a.LM71 - kolej 1 (bez dyn. souč.)	P	0	0.0	1.49E+04	0.0	0.0	-3.81E+06	0.0	0.0	-1.61E+05	0.0	0.0	0.0E+00	-	-	-	-	0.0	6.71E+03	0.0	0.0	0.0	8.15E+03	0.0	0.0
5	P2_71	a.LM71 - kolej 2 (bez dyn. souč.)	P	0	0.0	1.49E+04	0.0	0.0	-3.81E+06	0.0	0.0	-1.61E+05	0.0	0.0	0.0E+00	-	-	-	-	0.0	6.71E+03	0.0	0.0	0.0	8.15E+03	0.0	0.0
6	P1_C3	TTZ C3 - kolej 1 (bez dyn. souč.)	P	0	154.0	1.49E+04	10.4	29.5	-3.81E+06	-7.7	2.1	-1.61E+05	-13.2	-10.6	1.9E-02	-	-	-	-	-2.9	6.71E+03	-0.4	-0.4	-17.7	8.15E+03	-2.2	-2.2
7	P2_C3	TTZ C3 - kolej 2 (bez dyn. souč.)	P	0	182.4	1.49E+04	12.3	211.5	-3.81E+06	-55.4	2.9	-1.61E+05	-18.2	-61.4	-1.7E-01	-	-	-	-	-4.1	6.71E+03	-0.6	-0.6	29.8	8.15E+03	3.7	3.7
8	BR	Brzdné a rozjezdové síly	P	0	187.1	1.49E+04	12.6	41.1	-3.81E+06	-10.8	3.8	-1.61E+05	-23.5	-21.7	-1.1E-01	-	-	-	-	-5.3	6.71E+03	-0.8	-0.8	-21.3	8.15E+03	-2.6	-2.6
9	S	Boční ráz	P	0	10.0	1.49E+04	0.7	-2.3	-3.81E+06	0.6	1.6	-1.61E+05	-9.7	-8.4	1.3E-01	-	-	-	-	7.0	6.71E+03	1.0	1.0	0.1	8.15E+03	0.0	0.0
10	CH	Chodci na lávkách	Q	0	17.6	1.49E+04	1.2	2.8	-3.81E+06	-0.7	0.3	-1.61E+05	-1.7	-1.2	-1.3E-02	-	-	-	-	-0.4	6.71E+03	-0.1	-0.1	-1.5	8.15E+03	-0.2	-0.2
11	W	Vítr na konstrukci	Q	0	2.4	1.49E+04	0.2	3.8	-3.81E+06	-1.0	1.0	-1.61E+05	-6.2	-7.0	-6.9E-02	-	-	-	-	-1.0	6.71E+03	-0.2	-0.2	-3.2	8.15E+03	-0.4	-0.4
12	WP	Vítr na vozidla	Q	0	6.0	1.49E+04	0.4	-3.0	-3.81E+06	0.8	1.3	-1.61E+05	-8.2	-7.0	-1.6E-01	-	-	-	-	-3.2	6.71E+03	-0.5	-0.5	-7.4	8.15E+03	-0.9	-0.9
13	TR	Teplota rovnoměrná	Q	0	0.0	1.49E+04	0.0	0.0	-3.81E+06	0.0	0.0	-1.61E+05	0.0	0.0	0.0E+00	-	-	-	-	0.0	6.71E+03	0.0	0.0	0.0	8.15E+03	0.0	0.0
14	TN	Teplota nerovnoměrná	Q	0	-2.2	1.49E+04	-0.2	0.0	-3.81E+06	0.0	0.1	-1.61E+05	-0.9	-1.1	-1.4E-02	-	-	-	-	-0.2	6.71E+03	0.0	0.0	0.0	8.15E+03	0.0	0.0
15	FR	Třecí síly v ložiskách	Q	0	13.3	1.49E+04	0.9	2.2	-3.81E+06	-0.6	0.2	-1.61E+05	-1.1	-0.8	0.0E+00	-	-	-	-	-0.3	6.71E+03	0.0	0.0	-1.1	8.15E+03	-0.1	-0.1
16	I	Imperfekce soustavy	Q	0	-0.6	1.49E+04	0.0	0.2	-3.81E+06	0.0	0.1	-1.61E+05	-0.5	-0.6	0.0E+00	-	-	-	-	-0.1	6.71E+03	0.0	0.0	-0.2	8.15E+03	0.0	0.0
27	ULS_LM	ULS - LM71 bez dynam	Q	0	0.0	1.49E+04	0.0	0.0	-3.81E+06	0.0	0.0	-1.61E+05	0.0	0.0	0.0E+00	-	-	-	-	0.0	6.71E+03	0.0	0.0	0.0	8.15E+03	0.0	0.0
28	SLS_LM	SLS - LM71 bez dynam	Q	0	0.0	1.49E+04	0.0	0.0	-3.81E+06	0.0	0.0	-1.61E+05	0.0	0.0	0.0E+00	-	-	-	-	0.0	6.71E+03	0.0	0.0	0.0	8.15E+03	0.0	0.0
29	ULS_C3	ULS - C3 bez dynam	Q	0	0.0	1.49E+04	0.0	0.0	-3.81E+06	0.0	0.0	-1.61E+05	0.0	0.0	0.0E+00	-	-	-	-	0.0	6.71E+03	0.0	0.0	0.0	8.15E+03	0.0	0.0
30	SLS_C3	SLS - C3 bez dynam	Q	0	0.0	1.49E+04	0.0	0.0	-3.81E+06	0.0	0.0	-1.61E+05	0.0	0.0	0.0E+00	-	-	-	-	0.0	6.71E+03	0.0	0.0	0.0	8.15E+03	0.0	0.0
NAVÝŠENÍ NAPĚTÍ DO AKTIVACE TLAKU V DESCE MOSTOVKY						$\sigma_{P,red}$	0.0							0.0			0.0		0.0			-1.9	-1.9			-4.1	-4.1
NAPĚTÍ OD PRIMÁRNÍCH ÚČINKŮ NEROVNOMĚRNÉHO OTEPLENÍ						σ_T	0.0							0.0													
NAPĚTÍ OD REOLOGICKÝCH ÚČINKŮ BETONU V ČASE				t=0		σ_R	0.0	γ=	1.20					0.0													
NAPĚTÍ V KRITICKÝCH VLÁKNECH OD KOMBINACE ZATÍŽENÍ						KZ07		[MPa]					$\Sigma\sigma_x$	-130.6								$\Sigma\tau_y$	-1.9			$\Sigma\tau_z$	-4.1
NAPĚTÍ OD POHYBLIVÉHO ZATÍŽENÍ								[MPa]					$\sigma_{x,P}$	-102.1								τ_P	-0.8			τ_P	-1.1
NAPĚTÍ OD OSTATNÍCH ZATÍŽENÍ								[MPa]			Φ_{vy}	Φ_{vz}	$\sigma_{x,rs}$	-28.6								τ_{rs}	-1.1			τ_{rs}	-3.0
NÁVRHOVÁ HODNOTA MEZE KLUZU S REDUKCÍ VLIVEM SMYKOVÉHO NAPĚTÍ								[MPa]			1.00	1.00	$f_{yw,d}$	215.0								$f_{yd}/3^{0,5}$	124.1			$f_{yd}/3^{0,5}$	124.1
NAPĚTÍ OD POHYBLIVÉHO ZATÍŽENÍ V GLOBÁLNÍM SYSTÉMU						$\sigma_{GLOB,P}$	0.0	[MPa]					$\Sigma\sigma_{GLOB}$	0.0													
NAPĚTÍ OD OSTATNÍCH ZATÍŽENÍ V GLOBÁLNÍM SYSTÉMU						$\sigma_{GLOB,rs}$	0.0	[MPa]					$\Sigma\sigma_x + \Sigma\sigma_{GLOB}$	-130.6													
VYUŽITÍ PRŮŘEZU DLE NAPĚTÍ								[%]					η_1	0.61								η_3	0.02			η_3	0.03
NAPĚTÍ V PŘÍČNÉM SMĚRU OD POHYBLIVÉHO ZATÍŽENÍ						$\sigma_{z,P}$	0.0	[MPa]					$\Sigma\sigma_z$	0.0													
NAPĚTÍ V PŘÍČNÉM SMĚRU OD OSTATNÍCH ZATÍŽENÍ						$\sigma_{z,rs}$	0.0	[MPa]					η_2	0.00													
SROVNÁVACÍ NAPĚTÍ													$(\eta_2 + 0,8\,\eta_1)/1,4 =$	0.35													
VYUŽITÍ PRŮŘEZU CELKEM								[%]					eff	0.61	VYHOVUJE												
													Z_{LM71} =	-----													

TAB. L2.2.3 POSOUZENÍ - MEZNÍ STAV ÚNOSNOSTI

POPIS	PODÉLNÍK L2.E - STŘED
PRUT / POLOHA BODU	871 / 2/4
NAMÁHÁNÍ	Vy.min
VLÁKNO	BOD K4 -SP
MEZNÍ STAV	ULS (MSÚ)
VYUŽITÍ VLÁKNA PRŮŘEZU	0.95

Charakteristiky materiálu				
pás. horní	$f_{yf,k}$	230	MPa	
pás. dolní	$f_{yf,k}$	230	MPa	
stojina	$f_{yw,k}$	230	MPa	
výztuž	$f_{ys,k}$	500	MPa	
γ_M =	1.07	γ_s =	1.15	

Excentricita normálové síly				
Exc./Fáze	0	1	2	3
e_y	0.000	0.000	0.000	0.000
e_z	0.000	0.000	0.000	0.000
Ekvivalentní vzdál. stěn - příčný roznos				
b_{Mx}	0.000	0.000	0.000	0.000

Vliv stěny na únosnost průřezu				
Char./Fáze	0	1	2	3
A	0.00	0.00	0.00	0.00
Wy	0.00	0.00	0.00	0.00
Wz	0.00	0.00	0.00	0.00

Charakter. v kroucení			
$t_{w,y}$	0.000	[mm]	
$t_{w,z}$	0.000	[mm]	
κ	1.00		
I_t=	0.00E+00	[mm^4]	
$\Omega=2*A_{pr}$	0.00E+00	[mm^2]	

Součinitele vzpěru a vlivu II.řádu				
Char./Fáze	0	1	2	3
k_y	1.000	1.000	1.000	1.000
k_z	1.000	1.000	1.000	1.000
χ_{LT}	1.000	1.000	1.000	1.000
χ_{min}	1.000	1.000	1.000	1.000

Vnitřní síly od jednotlivých skupin zatěžovacích stavů

SKUPINA ZATĚŽOVACÍCH STAVŮ — CHARAKTERISTICKÉ HODNOTY — DÍLČÍ SOUČINITELÉ ZATÍŽENÍ, DYNAMICKÝ SOUČINITEL — NÁVRHOVÉ HODNOTY

Č.	SKUP ZS	POPIS ZS	KAT.	FÁZE PRŮŘ.	N.k (kN)	Vy.k (kN)	Vz.k (kN)	Mx.k (kNm)	My.k (kNm)	Mz.k (kNm)	γ_{sr} (-)	γ_{fs} (-)	volba γ_f hledat	γ_f (-)	L_d (m)	δ (-)	Ψ_z KZ07	N.d (kN)	Vy.d (kN)	Vz.d (kN)	ΔVz.d (kN)	ΣVz.d (kN)	Mx.d (kNm)	My.d (kNm)	ΔMy.d (kNm)	ΣMy.d (kNm)	Mz.d (kNm)	ΔMz.d (kNm)	ΣMz.d (kNm)
1	G0	Vlastní tíha OK	G	0	95	-2	-9	0	23	1	1.00	1.20		1.20	-	1.00	0.95	109	-2	-10	0	-10	0	27	0	27	2	0	2
2	G1	Ostatní stálé - mostní vybavení	G	0	7	0	-1	0	1	0	1.00	1.20		1.20	-	1.00	0.95	8	0	-1	0	-1	0	2	0	2	0	0	0
3	G2	Ostatní stálé - cizí zařízení	G	0	5	0	0	0	1	0	1.00	1.20		1.20	-	1.00	0.95	6	0	-1	0	-1	0	1	0	1	0	0	0
4	P1_71	a.LM71 - kolej 1 (bez dyn. souč.)	P	0	93	-2	-11	0	17	1	1.00	vyp.		0.00	-	1.00	0.00	0	0	0	0	0	0	0	0	0	0	0	0
5	P2_71	a.LM71 - kolej 2 (bez dyn. souč.)	P	0	110	-2	-11	0	139	2	1.00	vyp.		0.00	-	1.00	0.00	0	0	0	0	0	0	0	0	0	0	0	0
6	P1_C3	TTZ C3 - kolej 1 (bez dyn. souč.)	P	0	81	-2	-9	0	16	1	1.00	1.16		1.16	-	1.63	1.00	154	-3	-18	0	-18	0	30	0	30	2	0	2
7	P2_C3	TTZ C3 - kolej 2 (bez dyn. souč.)	P	0	96	-2	16	0	112	2	1.00	1.16		1.16	-	1.63	1.00	182	-4	30	0	30	0	211	0	211	3	0	3
8	BR	Brzdné a rozjezdové síly	P	0	252	-7	-29	0	55	5	1.00	1.16		1.16	-	1.00	0.64	187	-5	-21	0	-21	0	41	0	41	4	0	4
9	S	Boční ráz	P	0	-27	-19	0	0	6	-4	1.00	-1.16		-1.16	-	1.00	0.32	10	7	0	0	0	0	-2	0	-2	2	0	2
10	CH	Chodci na lávkách	Q	0	14	0	-1	0	2	0	1.00	1.30		1.30	-	1.00	1.00	18	0	-1	0	-1	0	3	0	3	0	0	0
11	W	Vítr na konstrukci	Q	0	3	-1	-4	0	4	1	1.00	1.15		1.15	-	1.00	0.75	2	-1	-3	0	-3	0	4	0	4	1	0	1
12	WP	Vítr na vozidla	Q	0	7	-4	-9	0	-4	2	1.00	1.15		1.15	-	1.00	0.75	6	-3	-7	0	-7	0	-3	0	-3	1	0	1
13	TR	Teplota rovnoměrná	Q	0	0	0	0	0	0	0	1.00	1.15		1.15	-	1.00	0.45	0	0	0	0	0	0	0	0	0	0	0	0
14	TN	Teplota nerovnoměrná	Q	0	-3	0	0	0	0	0	1.00	1.15		1.15	-	1.00	0.60	-2	0	0	0	0	0	0	0	0	0	0	0
15	FR	Třecí síly v ložiskách	Q	0	11	0	-1	0	2	0	1.00	1.20		1.20	-	1.00	1.00	13	0	-1	0	-1	0	2	0	2	0	0	0
16	I	Imperfekce soustavy	Q	0	0	0	0	0	0	0	1.00	1.20		1.20	-	1.00	1.00	-1	0	0	0	0	0	0	0	0	0	0	0
27	ULS_LM	ULS - LM71 bez dynam	Q	0	554	-43	-73	-1	283	7	1.00	vyp.		0.00	-	1.00	0.00	0	0	0	0	0	0	0	0	0	0	0	0
28	SLS_LM	SLS - LM71 bez dynam	Q	0	442	-33	-57	-1	221	6	1.00	vyp.	1	0.00	-	1.00	0.00	0	0	0	0	0	0	0	0	0	0	0	0
29	ULS_C3	ULS - C3 bez dynam	Q	0	521	-42	-37	-1	245	7	1.00	vyp.	1	0.00	-	1.00	0.00	0	0	0	0	0	0	0	0	0	0	0	0
30	SLS_C3	SLS - C3 bez dynam	Q	0	416	-33	-29	-1	192	5	1.00	vyp.	1	0.00	-	1.00	0.00	0	0	0	0	0	0	0	0	0	0	0	0
		CELKEM - FÁZE PRŮŘEZU 0																693	-13	-34	0	-34	0	315	0	315	15	0	15
		CELKEM - FÁZE PRŮŘEZU 1																0	0	0	0	0	0	0	0	0	0	0	0
		CELKEM - FÁZE PRŮŘEZU 2																0	0	0	0	0	0	0	0	0	0	0	0
		CELKEM - FÁZE PRŮŘEZU 3																0	0	0	0	0	0	0	0	0	0	0	0
		CELKEM - PRŮŘEZ																693	-13	-34	0	-34	0			315			15

Napětí od jednotlivých zatěžovacích stavů

SKUPINA ZATĚŽOVACÍCH STAVŮ — Posouzení normálového napětí — Účinek síly N — Účinek momentu My — Účinek momentu Mz — Posouzení smykového napětí — Účinek kroutícího momentu Mx — Účinek smykové síly Vy — Účinek smykové síly Vz

Č.	SKUP ZS	Popis ZS	Kat.	fáze průř.	δ^*N_d [kN]	χ^*A [mm^2]	σ_n [MPa]	$\delta^*M_{y,d}$ [kNm]	$\chi_{lt}{}^*W_{el,y}$ [mm^3]	σ_{my} [MPa]	$\delta^*M_{z,d}$ [kNm]	$W_{el,z}$ [mm^3]	σ_{mz} [MPa]	σ_x [MPa]	$\kappa^*\delta^*M_{x,d}$ [kNm]	$W_{v,y}$ [mm^3]	$\tau_{x,y}$ [MPa]	$W_{v,z}$ [mm^3]	$\tau_{x,z}$ [MPa]	$\delta^*V_{y,d}$ [kN]	$A_{v,y}$ [mm2]	$\tau_{v,y}$ [MPa]	$\tau_{v,y}$ [MPa]	$\delta^*V_{z,d}$ [kN]	$A_{v,z}$ [mm2]	$\tau_{v,z}$ [MPa]	$\tau_{v,z}$ [MPa]
1	G0	Vlastní tíha OK	G	0	108.8	1.49E+04	7.3	26.7	3.26E+06	8.2	1.6	2.49E+05	6.6	22.0	-4.6E-02	-	-	-	-	-2.2	6.71E+03	-0.3	-0.3	-9.9	8.15E+03	-1.2	-1.2
2	G1	Ostatní stálé - mostní vybavení	G	0	8.2	1.49E+04	0.6	1.5	3.26E+06	0.5	0.1	2.49E+05	0.5	1.5	0.0E+00	-	-	-	-	-0.2	6.71E+03	0.0	0.0	-0.8	8.15E+03	-0.1	-0.1
3	G2	Ostatní stálé - cizí zařízení	G	0	6.2	1.49E+04	0.4	1.1	3.26E+06	0.3	0.1	2.49E+05	0.4	1.1	0.0E+00	-	-	-	-	-0.1	6.71E+03	0.0	0.0	-0.5	8.15E+03	-0.1	-0.1
4	P1_71	a.LM71 - kolej 1 (bez dyn. souč.)	P	0	0.0	1.49E+04	0.0	0.0	3.26E+06	0.0	0.0	2.49E+05	0.0	0.0	0.0E+00	-	-	-	-	0.0	6.71E+03	0.0	0.0	0.0	8.15E+03	0.0	0.0
5	P2_71	a.LM71 - kolej 2 (bez dyn. souč.)	P	0	0.0	1.49E+04	0.0	0.0	3.26E+06	0.0	0.0	2.49E+05	0.0	0.0	0.0E+00	-	-	-	-	0.0	6.71E+03	0.0	0.0	0.0	8.15E+03	0.0	0.0
6	P1_C3	TTZ C3 - kolej 1 (bez dyn. souč.)	P	0	154.0	1.49E+04	10.4	29.5	3.26E+06	9.0	2.1	2.49E+05	8.5	27.9	1.9E-02	-	-	-	-	-2.9	6.71E+03	-0.4	-0.4	-17.7	8.15E+03	-2.2	-2.2
7	P2_C3	TTZ C3 - kolej 2 (bez dyn. souč.)	P	0	182.4	1.49E+04	12.3	211.5	3.26E+06	64.8	2.9	2.49E+05	11.8	88.9	-1.7E-01	-	-	-	-	-4.1	6.71E+03	-0.6	-0.6	29.8	8.15E+03	3.7	3.7
8	BR	Brzdné a rozjezdové síly	P	0	187.1	1.49E+04	12.6	41.1	3.26E+06	12.6	3.8	2.49E+05	15.2	40.4	-1.1E-01	-	-	-	-	-5.3	6.71E+03	-0.8	-0.8	-21.3	8.15E+03	-2.6	-2.6
9	S	Boční ráz	P	0	10.0	1.49E+04	0.7	-2.3	3.26E+06	-0.7	1.6	2.49E+05	6.3	6.2	1.3E-01	-	-	-	-	7.0	6.71E+03	1.0	1.0	0.1	8.15E+03	0.0	0.0
10	CH	Chodci na lávkách	Q	0	17.6	1.49E+04	1.2	2.8	3.26E+06	0.9	0.3	2.49E+05	1.1	3.1	-1.3E-02	-	-	-	-	-0.4	6.71E+03	-0.1	-0.1	-1.5	8.15E+03	-0.2	-0.2
11	W	Vítr na konstrukci	Q	0	2.4	1.49E+04	0.2	3.8	3.26E+06	1.2	1.0	2.49E+05	4.0	5.3	-6.9E-02	-	-	-	-	-1.0	6.71E+03	-0.2	-0.2	-3.2	8.15E+03	-0.4	-0.4
12	WP	Vítr na vozidla	Q	0	6.0	1.49E+04	0.4	-3.0	3.26E+06	-0.9	1.3	2.49E+05	5.3	4.8	-1.6E-01	-	-	-	-	-3.2	6.71E+03	-0.5	-0.5	-7.4	8.15E+03	-0.9	-0.9
13	TR	Teplota rovnoměrná	Q	0	0.0	1.49E+04	0.0	0.0	3.26E+06	0.0	0.0	2.49E+05	0.0	0.0	0.0E+00	-	-	-	-	0.0	6.71E+03	0.0	0.0	0.0	8.15E+03	0.0	0.0
14	TN	Teplota nerovnoměrná	Q	0	-2.2	1.49E+04	-0.2	0.0	3.26E+06	0.0	0.1	2.49E+05	0.6	0.4	-1.4E-02	-	-	-	-	-0.2	6.71E+03	0.0	0.0	0.0	8.15E+03	0.0	0.0
15	FR	Třecí síly v ložiskách	Q	0	13.3	1.49E+04	0.9	2.2	3.26E+06	0.7	0.2	2.49E+05	0.7	2.3	0.0E+00	-	-	-	-	-0.3	6.71E+03	0.0	0.0	-1.1	8.15E+03	-0.1	-0.1
16	I	Imperfekce soustavy	Q	0	-0.6	1.49E+04	0.0	0.2	3.26E+06	0.1	0.1	2.49E+05	0.3	0.4	0.0E+00	-	-	-	-	-0.1	6.71E+03	0.0	0.0	-0.2	8.15E+03	0.0	0.0
27	ULS_LM	ULS - LM71 bez dynam	Q	0	0.0	1.49E+04	0.0	0.0	3.26E+06	0.0	0.0	2.49E+05	0.0	0.0	0.0E+00	-	-	-	-	0.0	6.71E+03	0.0	0.0	0.0	8.15E+03	0.0	0.0
28	SLS_LM	SLS - LM71 bez dynam	Q	0	0.0	1.49E+04	0.0	0.0	3.26E+06	0.0	0.0	2.49E+05	0.0	0.0	0.0E+00	-	-	-	-	0.0	6.71E+03	0.0	0.0	0.0	8.15E+03	0.0	0.0
29	ULS_C3	ULS - C3 bez dynam	Q	0	0.0	1.49E+04	0.0	0.0	3.26E+06	0.0	0.0	2.49E+05	0.0	0.0	0.0E+00	-	-	-	-	0.0	6.71E+03	0.0	0.0	0.0	8.15E+03	0.0	0.0
30	SLS_C3	SLS - C3 bez dynam	Q	0	0.0	1.49E+04	0.0	0.0	3.26E+06	0.0	0.0	2.49E+05	0.0	0.0	0.0E+00	-	-	-	-	0.0	6.71E+03	0.0	0.0	0.0	8.15E+03	0.0	0.0
		NAVÝŠENÍ NAPĚTÍ DO AKTIVACE TLAKU V DESCE MOSTOVKY				$\sigma_{P,red}$	0.0							0.0			0.0		0.0				-1.9	-1.9			-4.1	-4.1
		NAPĚTÍ OD PRIMÁRNÍCH ÚČINKŮ NEROVNOMĚRNÉHO OTEPLENÍ				σ_T	0.0							0.0														
		NAPĚTÍ OD REOLOGICKÝCH ÚČINKŮ BETONU V ČASE		t=0		σ_R	0.0	γ=	1.20					0.0														
		NAPĚTÍ V KRITICKÝCH VLÁKNECH OD KOMBINACE ZATÍŽENÍ				KZ07		[MPa]					$\Sigma\sigma_x$	204.4				$\Sigma\tau_y$	-1.9						$\Sigma\tau_z$	-4.1	
		NAPĚTÍ OD POHYBLIVÉHO ZATÍŽENÍ						[MPa]					$\sigma_{x,P}$	163.4				τ_P	-0.8						τ_P	-1.1	
		NAPĚTÍ OD OSTATNÍCH ZATÍŽENÍ						[MPa]			Φ_{Vy}	Φ_{Vz}	$\sigma_{x,rs}$	41.0				τ_{rs}	-1.1						τ_{rs}	-3.0	
		NÁVRHOVÁ HODNOTA MEZE KLUZU S REDUKCÍ VLIVEM SMYKOVÉHO NAPĚTÍ						[MPa]			1.00	1.00	$f_{yv,d}$	215.0				$f_{yd}/3^{0,5}$	124.1						$f_{yd}/3^{0,5}$	124.1	
		NAPĚTÍ OD POHYBLIVÉHO ZATÍŽENÍ V GLOBÁLNÍM SYSTÉMU				$\sigma_{GLOB,P}$	0.0	[MPa]					$\Sigma\sigma_{GLOB}$	0.0													
		NAPĚTÍ OD OSTATNÍCH ZATÍŽENÍ V GLOBÁLNÍM SYSTÉMU				$\sigma_{GLOB,rs}$	0.0	[MPa]					$\Sigma\sigma_x + \Sigma\sigma_{GLOB}$	204.4													
		VYUŽITÍ PRŮŘEZU DLE NAPĚTÍ						[%]					η_1	0.95				η_3	0.02						η_3	0.03	
		NAPĚTÍ V PŘÍČNÉM SMĚRU OD POHYBLIVÉHO ZATÍŽENÍ				$\sigma_{z,P}$	0.0	[MPa]					$\Sigma\sigma_z$	0.0													
		NAPĚTÍ V PŘÍČNÉM SMĚRU OD OSTATNÍCH ZATÍŽENÍ				$\sigma_{z,rs}$	0.0	[MPa]					η_2	0.00													
		SROVNÁVACÍ NAPĚTÍ											$(\eta_2 + 0,8\,\eta_1)/1,4$ =	0.54													
		VYUŽITÍ PRŮŘEZU CELKEM						[%]					eff	0.95	VYHOVUJE												
													Z_{LM71} =	-----												

TAB. L2.2.3 POSOUZENÍ - MEZNÍ STAV ÚNOSNOSTI

POPIS	PODÉLNÍK L2.E - STŘED
PRUT / POLOHA BODU	871 / 2/4
NAMÁHÁNÍ	Vz.min
VLÁKNO	BOD S6 -HP
MEZNÍ STAV	ULS (MSÚ)
VYUŽITÍ VLÁKNA PRŮŘEZU	0.54

Charakteristiky materiálu				
pás. horní	$f_{yf,k}$	230	MPa	
pás. dolní	$f_{yf,k}$	230	MPa	
stojina	$f_{yw,k}$	230	MPa	
výztuž	$f_{ys,k}$	500	MPa	
γ_M =	1.07	γ_s =	1.15	

Excentricita normálové síly				
Exc./Fáze	0	1	2	3
e_y	0.000	0.000	0.000	0.000
e_z	0.000	0.000	0.000	0.000
Ekvivalentní vzdál. stěn - příčný roznos				
b_{ekv}	0.000	0.000	0.000	0.000

Vliv stěny na únosnost průřezu				
Char./Fáze	0	1	2	3
A	0.00	0.00	0.00	0.00
Wy	0.00	0.00	0.00	0.00
Wz	0.00	0.00	0.00	0.00

Charakter. v kroucení			
$t_{w,y}$	0.000	[mm]	
$t_{w,z}$	0.000	[mm]	
κ	1.00		
I_t=	0.00E+00	[mm^4]	
$\Omega=2*A_{pr}$	0.00E+00	[mm^2]	

Součinitele vzpěru a vlivu II.řádu				
Char./Fáze	0	1	2	3
k_y	1.000	1.000	1.000	1.000
k_z	1.000	1.000	1.000	1.000
χ_{LT}	1.000	1.000	1.000	1.000
χ_{min}	1.000	1.000	1.000	1.000

Vnitřní síly od jednotlivých skupin zatěžovacích stavů

SKUPINA ZATĚŽOVACÍCH STAVŮ					- CHARAKTERISTICKÉ HODNOTY						DÍLČÍ SOUČINITELÉ ZATÍŽENÍ, DYNAMICKÝ SOUČINITEL						7	- NÁVRHOVÉ HODNOTY									
Č.	SKUP ZS	POPIS ZS	KAT.	FÁZE PRŮŘ.	N.k (kN)	Vy.k (kN)	Vz.k (kN)	Mx.k (kNm)	My.k (kNm)	Mz.k (kNm)	γ_{sup} (-)	γ_{inf} (-)	volba ψ_i hledat	ψ_i (-)	L_d (m)	δ (-)	Ψ_0 KZ07	N.d (kN)	Vy.d (kN)	Vz.d (kN)	ΔVz.d (kN)	ΣVz.d (kN)	Mx.d (kNm)	My.d (kNm)	ΔMy.d (kNm)	ΣMy.d (kNm)	Mz.d (kNm)	ΔMz.d (kNm)	ΣMz.d (kNm)
1	G0	Vlastní tíha OK	G	0	95	-2	-9	0	23	1	1.00	1.20		1.20	-	1.00	0.95	109	-2	-10	0	-10	0	27	0	27	2	0	2
2	G1	Ostatní stálé - mostní vybavení	G	0	7	0	-1	0	1	0	1.00	1.20		1.20	-	1.00	0.95	8	0	-1	0	-1	0	2	0	2	0	0	0
3	G2	Ostatní stálé - cizí zařízení	G	0	5	0	0	0	1	0	1.00	1.20		1.20	-	1.00	0.95	6	0	-1	0	-1	0	1	0	1	0	0	0
4	P1_71	a.LM71 - kolej 1 (bez dyn. souč.)	P	0	92	-2	-11	0	16	1	1.00	vyp.		0.00	-	1.00	0.00	0	0	0	0	0	0	0	0	0	0	0	0
5	P2_71	a.LM71 - kolej 2 (bez dyn. souč.)	P	0	109	-2	-47	0	84	2	1.00	vyp.		0.00	-	1.00	0.00	0	0	0	0	0	0	0	0	0	0	0	0
6	P1_C3	TTZ C3 - kolej 1 (bez dyn. souč.)	P	0	80	-2	-10	0	15	1	1.00	1.16		1.16	-	1.63	1.00	151	-3	-19	0	-19	0	29	0	29	2	0	2
7	P2_C3	TTZ C3 - kolej 2 (bez dyn. souč.)	P	0	98	-2	-41	0	71	2	1.00	1.16		1.16	-	1.63	1.00	186	-3	-77	0	-77	0	134	0	134	3	0	3
8	BR	Brzdné a rozjezdové síly	P	0	252	-7	-29	0	55	5	1.00	1.16		1.16	-	1.00	0.64	187	-5	-21	0	-21	0	41	0	41	4	0	4
9	S	Boční ráz	P	0	-4	-1	-3	0	1	1	1.00	1.16		1.16	-	1.00	0.32	-2	0	-1	0	-1	0	0	0	0	0	0	0
10	CH	Chodci na lávkách	Q	0	14	0	-1	0	2	0	1.00	1.30		1.30	-	1.00	1.00	18	0	-1	0	-1	0	3	0	3	0	0	0
11	W	Vítr na konstrukci	Q	0	3	-1	-4	0	4	1	1.00	1.15		1.15	-	1.00	0.75	2	-1	-3	0	-3	0	4	0	4	1	0	1
12	WP	Vítr na vozidla	Q	0	7	-4	-9	0	-4	2	1.00	1.15		1.15	-	1.00	0.75	6	-3	-7	0	-7	0	-3	0	-3	1	0	1
13	TR	Teplota rovnoměrná	Q	0	0	0	0	0	0	0	1.00	1.15		1.15	-	1.00	0.45	0	0	0	0	0	0	0	0	0	0	0	0
14	TN	Teplota nerovnoměrná	Q	0	12	0	0	0	-1	0	1.00	1.15		1.15	-	1.00	0.60	8	0	0	0	0	0	-1	0	-1	0	0	0
15	FR	Třecí síly v ložiskách	Q	0	11	0	-1	0	2	0	1.00	1.20		1.20	-	1.00	1.00	13	0	-1	0	-1	0	2	0	2	0	0	0
16	I	Imperfekce soustavy	Q	0	0	0	0	0	0	0	1.00	1.20		1.20	-	1.00	1.00	-1	0	0	0	0	0	0	0	0	0	0	0
27	ULS_LM	ULS - LM71 bez dynam	Q	0	760	-23	-141	-1	237	16	1.00	vyp.		0.00	-	1.00	0.00	0	0	0	0	0	0	0	0	0	0	0	0
28	SLS_LM	SLS - LM71 bez dynam	Q	0	591	-18	-110	-1	186	13	1.00	vyp.	1	0.00	-	1.00	0.00	0	0	0	0	0	0	0	0	0	0	0	0
29	ULS_C3	ULS - C3 bez dynam	Q	0	729	-22	-132	-1	219	16	1.00	vyp.	1	0.00	-	1.00	0.00	0	0	0	0	0	0	0	0	0	0	0	0
30	SLS_C3	SLS - C3 bez dynam	Q	0	568	-17	-103	-1	172	12	1.00	vyp.	1	0.00	-	1.00	0.00	0	0	0	0	0	0	0	0	0	0	0	0
		CELKEM - FÁZE PRŮŘEZU 0																692	-19	-143	0	-143	-1	238	0	238	14	0	14
		CELKEM - FÁZE PRŮŘEZU 1																0	0	0	0	0	0	0	0	0	0	0	0
		CELKEM - FÁZE PRŮŘEZU 2																0	0	0	0	0	0	0	0	0	0	0	0
		CELKEM - FÁZE PRŮŘEZU 3																0	0	0	0	0	0	0	0	0	0	0	0
		CELKEM - PRŮŘEZ																692	-19	-143	0	-143	-1			238			14

Napětí od jednotlivých zatěžovacích stavů

SKUPINA ZATĚŽOVACÍCH STAVŮ					Posouzení normálového napětí										Posouzení smykového napětí													
					Účinek síly N			Účinek momentu My			Účinek momentu Mz				Účinek kroutícího momentu Mx				Účinek smykové síly Vy				Účinek smykové síly Vz			
Č.	SKUP ZS	Popis ZS	Kat.	fáze prúř.	δ^*N_d [kN]	χ^*A [mm^2]	σ_n [MPa]	$\delta^*M_{y,d}$ [kNm]	$\chi_{lt}*W_{el,y}$ [mm^3]	σ_{my} [MPa]	$\delta^*M_{z,d}$ [kNm]	$W_{el,z}$ [mm^3]	σ_{mz} [MPa]	σ_x [MPa]	$\kappa^*\delta^*M_{x,d}$ [kNm]	$W_{v,y}$ [mm^2]	$\tau_{x,y}$ [MPa]	$W_{v,z}$ [mm^2]	$\tau_{x,z}$ [MPa]	$\delta^*V_{y,d}$ [kN]	$A_{v,y}$ [mm2]	$\tau_{v,y}$ [MPa]	$\tau_{v,y}$ [MPa]	$\delta^*V_{z,d}$ [kN]	$A_{v,z}$ [mm2]	$\tau_{v,z}$ [MPa]	$\tau_{v,z}$ [MPa]
1	G0	Vlastní tíha OK	G	0	108.8	1.49E+04	7.3	26.7	3.35E+06	8.0	1.6	-1.29E+07	-0.1	15.2	-4.6E-02	-	-	-	-	-2.2	6.71E+03	-0.3	-0.3	-9.9	8.15E+03	-1.2	-1.2
2	G1	Ostatní stálé - mostní vybavení	G	0	8.2	1.49E+04	0.6	1.5	3.35E+06	0.5	0.1	-1.29E+07	0.0	1.0	0.0E+00	-	-	-	-	-0.2	6.71E+03	0.0	0.0	-0.8	8.15E+03	-0.1	-0.1
3	G2	Ostatní stálé - cizí zařízení	G	0	6.2	1.49E+04	0.4	1.1	3.35E+06	0.3	0.1	-1.29E+07	0.0	0.7	0.0E+00	-	-	-	-	-0.1	6.71E+03	0.0	0.0	-0.5	8.15E+03	-0.1	-0.1
4	P1_71	a.LM71 - kolej 1 (bez dyn. souč.)	P	0	0.0	1.49E+04	0.0	0.0	3.35E+06	0.0	0.0	-1.29E+07	0.0	0.0	0.0E+00	-	-	-	-	0.0	6.71E+03	0.0	0.0	0.0	8.15E+03	0.0	0.0
5	P2_71	a.LM71 - kolej 2 (bez dyn. souč.)	P	0	0.0	1.49E+04	0.0	0.0	3.35E+06	0.0	0.0	-1.29E+07	0.0	0.0	0.0E+00	-	-	-	-	0.0	6.71E+03	0.0	0.0	0.0	8.15E+03	0.0	0.0
6	P1_C3	TTZ C3 - kolej 1 (bez dyn. souč.)	P	0	150.8	1.49E+04	10.1	28.9	3.35E+06	8.6	2.2	-1.29E+07	-0.2	18.6	-1.9E-02	-	-	-	-	-2.9	6.71E+03	-0.4	-0.4	-19.1	8.15E+03	-2.3	-2.3
7	P2_C3	TTZ C3 - kolej 2 (bez dyn. souč.)	P	0	186.1	1.49E+04	12.5	133.6	3.35E+06	39.9	2.9	-1.29E+07	-0.2	52.2	-1.3E-01	-	-	-	-	-3.5	6.71E+03	-0.5	-0.5	-77.2	8.15E+03	-9.5	-9.5
8	BR	Brzdné a rozjezdové síly	P	0	187.1	1.49E+04	12.6	41.1	3.35E+06	12.3	3.8	-1.29E+07	-0.3	24.6	-1.1E-01	-	-	-	-	-5.3	6.71E+03	-0.8	-0.8	-21.3	8.15E+03	-2.6	-2.6
9	S	Boční ráz	P	0	-1.6	1.49E+04	-0.1	0.3	3.35E+06	0.1	0.3	-1.29E+07	0.0	0.0	-1.9E-02	-	-	-	-	-0.3	6.71E+03	0.0	0.0	-1.2	8.15E+03	-0.2	-0.2
10	CH	Chodci na lávkách	Q	0	17.6	1.49E+04	1.2	2.8	3.35E+06	0.8	0.3	-1.29E+07	0.0	2.0	-1.3E-02	-	-	-	-	-0.4	6.71E+03	-0.1	-0.1	-1.5	8.15E+03	-0.2	-0.2
11	W	Vítr na konstrukci	Q	0	2.4	1.49E+04	0.2	3.8	3.35E+06	1.1	1.0	-1.29E+07	-0.1	1.2	-6.9E-02	-	-	-	-	-1.0	6.71E+03	-0.2	-0.2	-3.2	8.15E+03	-0.4	-0.4
12	WP	Vítr na vozidla	Q	0	6.0	1.49E+04	0.4	-3.0	3.35E+06	-0.9	1.3	-1.29E+07	-0.1	-0.6	-1.6E-01	-	-	-	-	-3.2	6.71E+03	-0.5	-0.5	-7.4	8.15E+03	-0.9	-0.9
13	TR	Teplota rovnoměrná	Q	0	0.0	1.49E+04	0.0	0.0	3.35E+06	0.0	0.0	-1.29E+07	0.0	0.0	0.0E+00	-	-	-	-	0.0	6.71E+03	0.0	0.0	0.0	8.15E+03	0.0	0.0
14	TN	Teplota nerovnoměrná	Q	0	8.2	1.49E+04	0.6	-0.8	3.35E+06	-0.2	-0.1	-1.29E+07	0.0	0.3	6.9E-03	-	-	-	-	0.1	6.71E+03	0.0	0.0	-0.1	8.15E+03	0.0	0.0
15	FR	Třecí síly v ložiskách	Q	0	13.3	1.49E+04	0.9	2.2	3.35E+06	0.6	0.2	-1.29E+07	0.0	1.5	0.0E+00	-	-	-	-	-0.3	6.71E+03	0.0	0.0	-1.1	8.15E+03	-0.1	-0.1
16	I	Imperfekce soustavy	Q	0	-0.6	1.49E+04	0.0	0.2	3.35E+06	0.1	0.1	-1.29E+07	0.0	0.0	0.0E+00	-	-	-	-	-0.1	6.71E+03	0.0	0.0	-0.2	8.15E+03	0.0	0.0
27	ULS_LM	ULS - LM71 bez dynam	Q	0	0.0	1.49E+04	0.0	0.0	3.35E+06	0.0	0.0	-1.29E+07	0.0	0.0	0.0E+00	-	-	-	-	0.0	6.71E+03	0.0	0.0	0.0	8.15E+03	0.0	0.0
28	SLS_LM	SLS - LM71 bez dynam	Q	0	0.0	1.49E+04	0.0	0.0	3.35E+06	0.0	0.0	-1.29E+07	0.0	0.0	0.0E+00	-	-	-	-	0.0	6.71E+03	0.0	0.0	0.0	8.15E+03	0.0	0.0
29	ULS_C3	ULS - C3 bez dynam	Q	0	0.0	1.49E+04	0.0	0.0	3.35E+06	0.0	0.0	-1.29E+07	0.0	0.0	0.0E+00	-	-	-	-	0.0	6.71E+03	0.0	0.0	0.0	8.15E+03	0.0	0.0
30	SLS_C3	SLS - C3 bez dynam	Q	0	0.0	1.49E+04	0.0	0.0	3.35E+06	0.0	0.0	-1.29E+07	0.0	0.0	0.0E+00	-	-	-	-	0.0	6.71E+03	0.0	0.0	0.0	8.15E+03	0.0	0.0
NAVÝŠENÍ NAPĚTÍ DO AKTIVACE TLAKU V DESCE MOSTOVKY						$\sigma_{P,red}$	0.0							0.0			0.0		0.0			-2.9	-2.9			-17.6	-17.6
NAPĚTÍ OD PRIMÁRNÍCH ÚČINKŮ NEROVNOMĚRNÉHO OTEPLENÍ						σ_T	0.0							0.0													
NAPĚTÍ OD REOLOGICKÝCH ÚČINKŮ BETONU V ČASE				t=0		σ_R	0.0	γ=	1.20					0.0													
NAPĚTÍ V KRITICKÝCH VLÁKNECH OD KOMBINACE ZATÍŽENÍ						KZ07		[MPa]					$\Sigma\sigma_x$	116.6								$\Sigma\tau_y$	-2.9			$\Sigma\tau_z$	-17.6
NAPĚTÍ OD POHYBLIVÉHO ZATÍŽENÍ								[MPa]					$\sigma_{x,P}$	95.3								τ_P	-1.8			τ_P	-14.6
NAPĚTÍ OD OSTATNÍCH ZATÍŽENÍ								[MPa]			Φ_{Vy}	Φ_{Vz}	$\sigma_{x,rs}$	21.3								τ_{rs}	-1.1			τ_{rs}	-3.0
NÁVRHOVÁ HODNOTA MEZE KLUZU S REDUKCÍ VLIVEM SMYKOVÉHO NAPĚTÍ								[MPa]			1.00	1.00	$f_{yw,d}$	215.0								$f_{yd}/3^{0,5}$	124.1			$f_{yd}/3^{0,5}$	124.1
NAPĚTÍ OD POHYBLIVÉHO ZATÍŽENÍ V GLOBÁLNÍM SYSTÉMU						$\sigma_{GLOB,P}$	0.0	[MPa]					$\Sigma\sigma_{GLOB}$	0.0													
NAPĚTÍ OD OSTATNÍCH ZATÍŽENÍ V GLOBÁLNÍM SYSTÉMU						$\sigma_{GLOB,rs}$	0.0	[MPa]					$\Sigma\sigma_x + \Sigma\sigma_{GLOB}$	116.6													
VYUŽITÍ PRŮŘEZU DLE NAPĚTÍ								[%]					η_1	0.54								η_3	0.02			η_3	0.14
NAPĚTÍ V PŘÍČNÉM SMĚRU OD POHYBLIVÉHO ZATÍŽENÍ						$\sigma_{z,P}$	0.0	[MPa]					$\Sigma\sigma_z$	0.0													
NAPĚTÍ V PŘÍČNÉM SMĚRU OD OSTATNÍCH ZATÍŽENÍ						$\sigma_{z,rs}$	0.0	[MPa]					η_2	0.00													
SROVNÁVACÍ NAPĚTÍ													$(\eta_2 + 0,8\,\eta_1)/1,4 =$	0.31													
VYUŽITÍ PRŮŘEZU CELKEM								[%]					eff	0.54	VYHOVUJE												
													Z_{LM71} =	-----													

TAB. P0.1.3 POSOUZENÍ - MEZNÍ STAV ÚNOSNOSTI

POPIS	PŘÍČNÍK P0 - VNĚJŠÍ PODÉLNÍK
PRUT / POLOHA BODU	706 / 3/4
NAMÁHÁNÍ	Vy.max
VLÁKNO	BOD K2 -HP
MEZNÍ STAV	ULS (MSÚ)
VYUŽITÍ VLÁKNA PRŮŘEZU	0.85

Charakteristiky materiálu				
pás. horní	$f_{yf,k}$	230	MPa	
pás. dolní	$f_{yf,k}$	230	MPa	
stojina	$f_{yw,k}$	230	MPa	
výztuž	$f_{ys,k}$	500	MPa	
γ_M =	1.07	γ_s =	1.15	

Excentricita normálové síly				
Exc./Fáze	0	1	2	3
e_y	0.000	0.000	0.000	0.000
e_z	0.000	0.000	0.000	0.000
Ekvivalentní vzdál. stěn - příčný roznos				
b_{ekv}	0.000	0.000	0.000	0.000

Vliv stěny na únosnost průřezu				
Char./Fáze	0	1	2	3
A	0.40	0.00	0.00	0.00
Wy	0.19	0.00	0.00	0.00
Wz	0.06	0.00	0.00	0.00

Charakter. v kroucení			
$t_{w,y}$	0.000	[mm]	
$t_{w,z}$	0.000	[mm]	
κ	1.00		
I_t=	0.00E+00	[mm^4]	
Ω=2*A_{pr}	0.00E+00	[mm^2]	

Součinitele vzpěru a vlivu II.řádu					
Char./Fáze	0	1	2	3	
k_y	1.000	1.000	1.000	1.000	
k_z	1.000	1.000	1.000	1.000	
χ_{LT}	1.000	1.000	1.000	1.000	
χ_{min}	1.000	1.000	1.000	1.000	

δ_{LOK} = 1.05

Vnitřní síly od jednotlivých skupin zatěžovacích stavů

SKUPINA ZATĚŽOVACÍCH STAVŮ — CHARAKTERISTICKÉ HODNOTY — DÍLČÍ SOUČINITELÉ ZATÍŽENÍ, DYNAMICKÝ SOUČINITEL — NÁVRHOVÉ HODNOTY

Č.	SKUP ZS	POPIS ZS	KAT.	FÁZE PRŮŘ.	N.k (kN)	Vy.k (kN)	Vz.k (kN)	Mx.k (kNm)	My.k (kNm)	Mz.k (kNm)	γ_{sr} (-)	γ_{fr} (-)	volba γ_f hledat	γ_f (-)	L_d (m)	δ (-)	Ψ_0 KZ07	N.d (kN)	Vy.d (kN)	Vz.d (kN)	ΔVz.d (kN)	ΣVz.d (kN)	Mx.d (kNm)	My.d (kNm)	ΔMy.d (kNm)	ΣMy.d (kNm)	Mz.d (kNm)	ΔMz.d (kNm)	ΣMz.d (kNm)
1	G0	Vlastní tíha OK	G	0	-2	17	-26	0	21	-10	1.00	1.20		1.20	-	1.00	0.95	-2	20	-30	0	-30	0	24	0	24	-11	0	-11
2	G1	Ostatní stálé - mostní vybavení	G	0	-1	1	-3	0	2	-1	1.00	1.20		1.20	-	1.00	0.95	-1	1	-3	0	-3	0	2	0	2	-1	0	-1
3	G2	Ostatní stálé - cizí zařízení	G	0	1	1	-1	0	-1	-1	1.00	1.20		1.20	-	1.00	0.95	1	1	-2	0	-2	0	-1	0	-1	-1	0	-1
4	P1_71	a.LM71 - kolej 1 (bez dyn. souč.)	P	0	-9	17	27	0	91	-11	1.00	vyp.		0.00	-	1.00	0.00	0	0	0	0	0	0	0	0	0	0	0	0
5	P2_71	a.LM71 - kolej 2 (bez dyn. souč.)	P	0	-9	23	-64	0	-49	-12	1.00	vyp.		0.00	-	1.00	0.00	0	0	0	0	0	0	0	0	0	0	0	0
6	P1_C3	TTZ C3 - kolej 1 (bez dyn. souč.)	P	0	-8	14	23	0	71	-9	1.00	1.16		1.16	-	1.68	1.00	-16	27	45	0	45	0	138	0	138	-18	7	-11
7	P2_C3	TTZ C3 - kolej 2 (bez dyn. souč.)	P	0	-15	20	-137	0	17	-10	1.00	1.16		1.16	-	1.68	1.00	-29	38	-267	0	-267	0	32	0	32	-20	8	-13
8	BR	Brzdné a rozjezdové síly	P	0	-37	41	4	0	-9	-37	1.00	1.16		1.16	-	1.00	0.64	-27	31	3	0	3	0	-7	0	-7	-28	0	-28
9	S	Boční ráz	P	0	11	2	10	0	27	-3	1.00	1.16		1.16	-	1.00	0.32	4	1	4	0	4	0	10	0	10	-1	0	-1
10	CH	Chodci na lávkách	Q	0	4	3	0	0	-3	-2	1.00	1.30		1.30	-	1.00	1.00	5	4	0	0	0	0	-4	0	-4	-2	0	-2
11	W	Vítr na konstrukci	Q	0	15	2	64	0	185	-5	1.00	1.15		1.15	-	1.00	0.75	13	1	55	0	55	0	160	0	160	-4	0	-4
12	WP	Vítr na vozidla	Q	0	40	4	52	0	109	-8	1.00	1.15		1.15	-	1.00	0.75	35	3	45	0	45	0	94	0	94	-7	0	-7
13	TR	Teplota rovnoměrná	Q	0	0	0	0	0	0	0	1.00	1.15		1.15	-	1.00	0.45	0	0	0	0	0	0	0	0	0	0	0	0
14	TN	Teplota nerovnoměrná	Q	0	2	3	25	0	59	-2	1.00	1.15		1.15	-	1.00	0.60	1	2	18	0	18	0	41	0	41	-1	0	-1
15	FR	Třecí síly v ložiskách	Q	0	-3	2	0	0	-1	-1	1.00	1.20		1.20	-	1.00	1.00	-4	2	0	0	0	0	-1	0	-1	-1	0	-1
16	I	Imperfekce soustavy	Q	0	-1	0	-11	0	-33	0	1.00	-1.20		-1.20	-	1.00	1.00	1	0	13	0	13	0	40	0	40	0	0	0
27	ULS_LM	ULS - LM71 bez dynam	Q	0	-8	143	54	0	385	-110	1.00	vyp.		0.00	-	1.00	0.00	0	0	0	0	0	0	0	0	0	0	0	0
28	SLS_LM	SLS - LM71 bez dynam	Q	0	-9	110	18	0	251	-85	1.00	vyp.	1	0.00	-	1.00	0.00	0	0	0	0	0	0	0	0	0	0	0	0
29	ULS_C3	ULS - C3 bez dynam	Q	0	-14	134	-46	0	444	-106	1.00	vyp.	1	0.00	-	1.00	0.00	0	0	0	0	0	0	0	0	0	0	0	0
30	SLS_C3	SLS - C3 bez dynam	Q	0	-14	104	-59	0	297	-81	1.00	vyp.	1	0.00	-	1.00	0.00	0	0	0	0	0	0	0	0	0	0	0	0
		CELKEM - FÁZE PRŮŘEZU 0			-19	131	-119	0	527	-95								-19	131	-119	0	-119	0	527	0	527	-95	14	-81
		CELKEM - FÁZE PRŮŘEZU 1			0	0	0	0	0	0								0	0	0	0	0	0	0	0	0	0	0	0
		CELKEM - FÁZE PRŮŘEZU 2			0	0	0	0	0	0								0	0	0	0	0	0	0	0	0	0	0	0
		CELKEM - FÁZE PRŮŘEZU 3			0	0	0	0	0	0								0	0	0	0	0	0	0	0	0	0	0	0
		CELKEM - PRŮŘEZ			-19	131	-119	0	527	-95								-19	131	-119	0	-119	0			527			-81

Napětí od jednotlivých zatěžovacích stavů

SKUPINA ZATĚŽOVACÍCH STAVŮ — Posouzení normálového napětí — Účinek síly N — Účinek momentu My — Účinek momentu Mz — Posouzení smykového napětí — Účinek kroutícího momentu Mx — Účinek smykové síly Vy — Účinek smykové síly Vz

Č.	SKUP ZS	Popis ZS	Kat.	fáze průř.	δ^*N_d [kN]	χ^*A [mm^2]	σ_n [MPa]	$\delta^*M_{y,d}$ [kNm]	$\chi_{lt}{}^*W_{el,y}$ [mm^3]	σ_{my} [MPa]	$\delta^*M_{z,d}$ [kNm]	$W_{el,z}$ [mm^3]	σ_{mz} [MPa]	σ_x [MPa]	$\kappa^*\delta^*M_{x,d}$ [kNm]	$W_{v,y}$ [mm^3]	$\tau_{x,y}$ [MPa]	$W_{v,z}$ [mm^3]	$\tau_{x,z}$ [MPa]	$\delta^*V_{y,d}$ [kN]	$A_{v,y}$ [mm2]	$\tau_{v,y}$ [MPa]	$\tau_{v,y}$ [MPa]	$\delta^*V_{z,d}$ [kN]	$A_{v,z}$ [mm2]	$\tau_{v,z}$ [MPa]	$\tau_{v,z}$ [MPa]
1	G0	Vlastní tíha OK	G	0	-1.8	2.83E+04	-0.1	23.5	-1.07E+07	-2.2	-10.9	6.04E+05	-18.0	-20.2	-9.1E-02	-	-	-	-	19.7	1.24E+04	1.6	1.6	-29.6	1.08E+04	-2.7	-2.7
2	G1	Ostatní stálé - mostní vybavení	G	0	-0.6	2.83E+04	0.0	2.0	-1.07E+07	-0.2	-0.8	6.04E+05	-1.4	-1.6	-1.1E-02	-	-	-	-	1.5	1.24E+04	0.1	0.1	-3.1	1.08E+04	-0.3	-0.3
3	G2	Ostatní stálé - cizí zařízení	G	0	1.0	2.83E+04	0.0	-0.8	-1.07E+07	0.1	-0.7	6.04E+05	-1.1	-1.0	0.0E+00	-	-	-	-	1.2	1.24E+04	0.1	0.1	-1.5	1.08E+04	-0.1	-0.1
4	P1_71	a.LM71 - kolej 1 (bez dyn. souč.)	P	0	0.0	2.83E+04	0.0	0.0	-1.07E+07	0.0	0.0	6.04E+05	0.0	0.0	0.0E+00	-	-	-	-	0.0	1.24E+04	0.0	0.0	0.0	1.08E+04	0.0	0.0
5	P2_71	a.LM71 - kolej 2 (bez dyn. souč.)	P	0	0.0	2.83E+04	0.0	0.0	-1.07E+07	0.0	0.0	6.04E+05	0.0	0.0	0.0E+00	-	-	-	-	0.0	1.24E+04	0.0	0.0	0.0	1.08E+04	0.0	0.0
6	P1_C3	TTZ C3 - kolej 1 (bez dyn. souč.)	P	0	-16.4	2.83E+04	-0.6	137.7	-1.07E+07	-12.8	-11.0	6.04E+05	-18.3	-31.7	-1.2E-01	-	-	-	-	26.5	1.24E+04	2.1	2.1	45.0	1.08E+04	4.2	4.2
7	P2_C3	TTZ C3 - kolej 2 (bez dyn. souč.)	P	0	-28.7	2.83E+04	-1.0	32.4	-1.07E+07	-3.0	-12.6	6.04E+05	-20.9	-24.9	1.4E-01	-	-	-	-	38.1	1.24E+04	3.1	3.1	-267.1	1.08E+04	-24.7	-24.7
8	BR	Brzdné a rozjezdové síly	P	0	-27.1	2.83E+04	-1.0	-6.6	-1.07E+07	0.6	-27.7	6.04E+05	-45.8	-46.1	5.2E-02	-	-	-	-	30.6	1.24E+04	2.5	2.5	3.3	1.08E+04	0.3	0.3
9	S	Boční ráz	P	0	4.0	2.83E+04	0.1	9.9	-1.07E+07	-0.9	-1.0	6.04E+05	-1.7	-2.5	-3.7E-03	-	-	-	-	0.7	1.24E+04	0.1	0.1	3.9	1.08E+04	0.4	0.4
10	CH	Chodci na lávkách	Q	0	5.1	2.83E+04	0.2	-4.5	-1.07E+07	0.4	-2.0	6.04E+05	-3.3	-2.7	-1.3E-02	-	-	-	-	3.5	1.24E+04	0.3	0.3	0.1	1.08E+04	0.0	0.0
11	W	Vítr na konstrukci	Q	0	12.8	2.83E+04	0.5	159.8	-1.07E+07	-14.9	-3.9	6.04E+05	-6.5	-20.9	0.0E+00	-	-	-	-	1.4	1.24E+04	0.1	0.1	54.8	1.08E+04	5.1	5.1
12	WP	Vítr na vozidla	Q	0	34.9	2.83E+04	1.2	93.7	-1.07E+07	-8.7	-7.3	6.04E+05	-12.1	-19.6	-8.6E-03	-	-	-	-	3.2	1.24E+04	0.3	0.3	44.9	1.08E+04	4.2	4.2
13	TR	Teplota rovnoměrná	Q	0	0.0	2.83E+04	0.0	0.0	-1.07E+07	0.0	0.0	6.04E+05	0.0	0.0	0.0E+00	-	-	-	-	0.0	1.24E+04	0.0	0.0	0.0	1.08E+04	0.0	0.0
14	TN	Teplota nerovnoměrná	Q	0	1.3	2.83E+04	0.0	40.6	-1.07E+07	-3.8	-1.1	6.04E+05	-1.8	-5.6	-2.8E-02	-	-	-	-	2.3	1.24E+04	0.2	0.2	17.6	1.08E+04	1.6	1.6
15	FR	Třecí síly v ložiskách	Q	0	-4.0	2.83E+04	-0.1	-1.0	-1.07E+07	0.1	-1.3	6.04E+05	-2.2	-2.3	1.2E-02	-	-	-	-	2.3	1.24E+04	0.2	0.2	0.0	1.08E+04	0.0	0.0
16	I	Imperfekce soustavy	Q	0	0.9	2.83E+04	0.0	39.8	-1.07E+07	-3.7	-0.2	6.04E+05	-0.3	-4.0	0.0E+00	-	-	-	-	-0.1	1.24E+04	0.0	0.0	13.3	1.08E+04	1.2	1.2
27	ULS_LM	ULS - LM71 bez dynam	Q	0	0.0	2.83E+04	0.0	0.0	-1.07E+07	0.0	0.0	6.04E+05	0.0	0.0	0.0E+00	-	-	-	-	0.0	1.24E+04	0.0	0.0	0.0	1.08E+04	0.0	0.0
28	SLS_LM	SLS - LM71 bez dynam	Q	0	0.0	2.83E+04	0.0	0.0	-1.07E+07	0.0	0.0	6.04E+05	0.0	0.0	0.0E+00	-	-	-	-	0.0	1.24E+04	0.0	0.0	0.0	1.08E+04	0.0	0.0
29	ULS_C3	ULS - C3 bez dynam	Q	0	0.0	2.83E+04	0.0	0.0	-1.07E+07	0.0	0.0	6.04E+05	0.0	0.0	0.0E+00	-	-	-	-	0.0	1.24E+04	0.0	0.0	0.0	1.08E+04	0.0	0.0
30	SLS_C3	SLS - C3 bez dynam	Q	0	0.0	2.83E+04	0.0	0.0	-1.07E+07	0.0	0.0	6.04E+05	0.0	0.0	0.0E+00	-	-	-	-	0.0	1.24E+04	0.0	0.0	0.0	1.08E+04	0.0	0.0
NAVÝŠENÍ NAPĚTÍ DO AKTIVACE TLAKU V DESCE MOSTOVKY						$\sigma_{P,red}$	0.0							0.0			0.0		0.0			10.5	10.5			-11.0	-11.0
NAPĚTÍ OD PRIMÁRNÍCH ÚČINKŮ NEROVNOMĚRNÉHO OTEPLENÍ						σ_T	0.0							0.0													
NAPĚTÍ OD REOLOGICKÝCH ÚČINKŮ BETONU V ČASE		t=0				σ_R	0.0	$\gamma_{r=}$	1.20					0.0													
NAPĚTÍ V KRITICKÝCH VLÁKNECH OD KOMBINACE ZATÍŽENÍ						KZ07		[MPa]					$\Sigma\sigma_x$	-183.0								$\Sigma\tau_y$	10.5			$\Sigma\tau_z$	-11.0
NAPĚTÍ OD POHYBLIVÉHO ZATÍŽENÍ								[MPa]					$\sigma_{x,P}$	-105.2									7.7			τ_P	-19.9
NAPĚTÍ OD OSTATNÍCH ZATÍŽENÍ								[MPa]			Φ_{Vy}	Φ_{Vz}	$\sigma_{x,rs}$	-77.8								τ_{rs}	2.8			τ_{rs}	8.9
NÁVRHOVÁ HODNOTA MEZE KLUZU S REDUKCÍ VLIVEM SMYKOVÉHO NAPĚTÍ								[MPa]			1.00	1.00	$f_{yv,d}$	215.0								$f_{yd}/3^{0,5}$	124.1			$f_{yd}/3^{0,5}$	124.1
NAPĚTÍ OD POHYBLIVÉHO ZATÍŽENÍ V GLOBÁLNÍM SYSTÉMU						$\sigma_{GLOB,P}$	0.0	[MPa]					$\Sigma\sigma_{GLOB}$	0.0													
NAPĚTÍ OD OSTATNÍCH ZATÍŽENÍ V GLOBÁLNÍM SYSTÉMU						$\sigma_{GLOB,rs}$	0.0	[MPa]					$\Sigma\sigma_x + \Sigma\sigma_{GLOB}$	-183.0													
VYUŽITÍ PRŮŘEZU DLE NAPĚTÍ								[%]					η_1	0.85								η_3	0.08			η_3	0.09
NAPĚTÍ V PŘÍČNÉM SMĚRU OD POHYBLIVÉHO ZATÍŽENÍ						$\sigma_{z,P}$	0.0	[MPa]					$\Sigma\sigma_z$	0.0													
NAPĚTÍ V PŘÍČNÉM SMĚRU OD OSTATNÍCH ZATÍŽENÍ						$\sigma_{z,rs}$	0.0	[MPa]					η_2	0.00													
SROVNÁVACÍ NAPĚTÍ													$(\eta_2 + 0{,}8\,\eta_1)/1{,}4 =$	0.49													
VYUŽITÍ PRŮŘEZU CELKEM								[%]					eff	0.85	VYHOVUJE												
STANOVENÍ ZATÍŽITELNOSTI													Z_{LM71} =	-----													

TAB. P0.1.3 POSOUZENÍ - MEZNÍ STAV ÚNOSNOSTI

POPIS	PŘÍČNÍK P0 - VNĚJŠÍ PODÉLNÍK
PRUT / POLOHA BODU	706 / 3/4
NAMÁHÁNÍ	My.max
VLÁKNO	BOD K3 -SL
MEZNÍ STAV	ULS (MSÚ)
VYUŽITÍ VLÁKNA PRŮŘEZU	0.88

Charakteristiky materiálu				
pás. horní	$f_{yf,k}$	230	MPa	
pás. dolní	$f_{yf,k}$	230	MPa	
stojina	$f_{yw,k}$	230	MPa	
výztuž	$f_{ys,k}$	500	MPa	
γ_M =	1.07	γ_s =	1.15	

Excentricita normálové síly				
Exc./Fáze	0	1	2	3
e_y	0.000	0.000	0.000	0.000
e_z	0.000	0.000	0.000	0.000
Ekvivalentní vzdál. stěn - příčný roznos				
b_{Mx}	0.000	0.000	0.000	0.000

Vliv stěny na únosnost průřezu				
Char./Fáze	0	1	2	3
A	0.40	0.00	0.00	0.00
Wy	0.21	0.00	0.00	0.00
Wz	0.05	0.00	0.00	0.00

Charakter. v kroucení			
$t_{w,y}$	0.000	[mm]	
$t_{w,z}$	0.000	[mm]	
κ	1.00		
I_t=	0.00E+00	[mm^4]	
$\Omega=2*A_{pr}$	0.00E+00	[mm^2]	

Součinitele vzpěru a vlivu II.řádu					
Char./Fáze	0	1	2	3
k_y	1.000	1.000	1.000	1.000
k_z	1.000	1.000	1.000	1.000
χ_{LT}	1.000	1.000	1.000	1.000
χ_{min}	1.000	1.000	1.000	1.000

δ_{LOK} 1.05

Vnitřní síly od jednotlivých skupin zatěžovacích stavů

SKUPINA ZATĚŽOVACÍCH STAVŮ — CHARAKTERISTICKÉ HODNOTY — DÍLČÍ SOUČINITELÉ ZATÍŽENÍ, DYNAMICKÝ SOUČINITEL — NÁVRHOVÉ HODNOTY

Č.	SKUP ZS	POPIS ZS	KAT.	FÁZE PRŮŘ.	N.k (kN)	Vy.k (kN)	Vz.k (kN)	Mx.k (kNm)	My.k (kNm)	Mz.k (kNm)	γ_{sr} (-)	γ_{fs} (-)	volba γ_{fi} hledat	γ_{fi} (-)	L_d (m)	δ (-)	Ψ_z KZ07	N.d (kN)	Vy.d (kN)	Vz.d (kN)	ΔVz.d (kN)	ΣVz.d (kN)	Mx.d (kNm)	My.d (kNm)	ΔMy.d (kNm)	ΣMy.d (kNm)	Mz.d (kNm)	ΔMz.d (kNm)	ΣMz.d (kNm)
1	G0	Vlastní tíha OK	G	0	-2	17	-26	0	21	-10	1.00	1.20		1.20	-	1.00	0.95	-2	20	-30	0	-30	0	24	0	24	-11	0	-11
2	G1	Ostatní stálé - mostní vybavení	G	0	-1	1	-3	0	2	-1	1.00	1.20		1.20	-	1.00	0.95	-1	1	-3	0	-3	0	2	0	2	-1	0	-1
3	G2	Ostatní stálé - cizí zařízení	G	0	1	1	-1	0	-1	-1	1.00	1.20		1.20	-	1.00	0.95	1	1	-2	0	-2	0	-1	0	-1	-1	0	-1
4	P1_71	a.LM71 - kolej 1 (bez dyn. souč.)	P	0	-10	16	24	0	99	-11	1.00	vyp.		0.00	-	1.00	0.00	0	0	0	0	0	0	0	0	0	0	0	0
5	P2_71	a.LM71 - kolej 2 (bez dyn. souč.)	P	0	-33	-1	-320	0	212	1	1.00	vyp.		0.00	-	1.00	0.00	0	0	0	0	0	0	0	0	0	0	0	0
6	P1_C3	TTZ C3 - kolej 1 (bez dyn. souč.)	P	0	-9	13	18	0	80	-9	1.00	1.16		1.16	-	1.68	1.00	-17	25	35	0	35	0	155	0	155	-17	6	-10
7	P2_C3	TTZ C3 - kolej 2 (bez dyn. souč.)	P	0	-21	0	-214	0	141	0	1.00	1.16		1.16	-	1.68	1.00	-40	0	-417	0	-417	0	274	0	274	1	0	0
8	BR	Brzdné a rozjezdové síly	P	0	37	-37	0	0	20	33	1.00	-1.16		-1.16	-	1.00	0.64	-27	27	0	0	0	0	-15	0	-15	-24	0	-24
9	S	Boční ráz	P	0	9	2	11	0	28	-3	1.00	1.16		1.16	-	1.00	0.32	3	1	4	0	4	0	10	0	10	-1	0	-1
10	CH	Chodci na lávkách	Q	0	2	1	5	0	15	-1	1.00	1.30		1.30	-	1.00	1.00	2	2	7	0	7	0	19	0	19	-1	0	-1
11	W	Vítr na konstrukci	Q	0	15	2	64	0	185	-5	1.00	1.15		1.15	-	1.00	0.75	13	1	55	0	55	0	160	0	160	-4	0	-4
12	WP	Vítr na vozidla	Q	0	40	4	52	0	109	-8	1.00	1.15		1.15	-	1.00	0.75	35	3	45	0	45	0	94	0	94	-7	0	-7
13	TR	Teplota rovnoměrná	Q	0	0	0	0	0	0	0	1.00	1.15		1.15	-	1.00	0.45	0	0	0	0	0	0	0	0	0	0	0	0
14	TN	Teplota nerovnoměrná	Q	0	2	3	25	0	59	-2	1.00	1.15		1.15	-	1.00	0.60	1	2	18	0	18	0	41	0	41	-1	0	-1
15	FR	Třecí síly v ložiskách	Q	0	3	-2	0	0	1	1	1.00	-1.20		-1.20	-	1.00	1.00	-4	2	0	0	0	0	-1	0	-1	-1	0	-1
16	I	Imperfekce soustavy	Q	0	1	0	11	0	33	0	1.00	1.20		1.20	-	1.00	1.00	1	0	13	0	13	0	40	0	40	0	0	0
27	ULS_LM	ULS - LM71 bez dynam	Q	0	42	29	-247	0	884	-22	1.00	vyp.		0.00	-	1.00	0.00	0	0	0	0	0	0	0	0	0	0	0	0
28	SLS_LM	SLS - LM71 bez dynam	Q	0	30	22	-212	0	640	-17	1.00	vyp.	1	0.00	-	1.00	0.00	0	0	0	0	0	0	0	0	0	0	0	0
29	ULS_C3	ULS - C3 bez dynam	Q	0	60	25	-118	0	767	-20	1.00	vyp.	1	0.00	-	1.00	0.00	0	0	0	0	0	0	0	0	0	0	0	0
30	SLS_C3	SLS - C3 bez dynam	Q	0	44	19	-113	0	550	-15	1.00	vyp.	1	0.00	-	1.00	0.00	0	0	0	0	0	0	0	0	0	0	0	0
		CELKEM - FÁZE PRŮŘEZU 0																-34	86	-274	0	-274	0	801	0	801	-69	6	-63
		CELKEM - FÁZE PRŮŘEZU 1																0	0	0	0	0	0	0	0	0	0	0	0
		CELKEM - FÁZE PRŮŘEZU 2																0	0	0	0	0	0	0	0	0	0	0	0
		CELKEM - FÁZE PRŮŘEZU 3																0	0	0	0	0	0	0	0	0	0	0	0
		CELKEM - PRŮŘEZ																-34	86	-274	0	-274	0			801			-63

Napětí od jednotlivých zatěžovacích stavů

SKUPINA ZATĚŽOVACÍCH STAVŮ — Posouzení normálového napětí — Účinek síly N — Účinek momentu My — Účinek momentu Mz — Posouzení smykového napětí — Účinek kroutícího momentu Mx — Účinek smykové síly Vy — Účinek smykové síly Vz

Č.	SKUP ZS	Popis ZS	Kat.	fáze průř.	δ^*N_d [kN]	χ^*A [mm^2]	σ_n [MPa]	$\delta^*M_{y,d}$ [kNm]	$\chi_{lt}*W_{el,y}$ [mm^3]	σ_{my} [MPa]	$\delta^*M_{z,d}$ [kNm]	$W_{el,z}$ [mm^3]	σ_{mz} [MPa]	σ_x [MPa]	$\kappa*\delta^*M_{x,d}$ [kNm]	$W_{v,y}$ [mm^3]	$\tau_{x,y}$ [MPa]	$W_{v,z}$ [mm^3]	$\tau_{x,z}$ [MPa]	$\delta^*V_{y,d}$ [kN]	$A_{v,y}$ [mm2]	$\tau_{v,y}$ [MPa]	$\tau_{v,y}$ [MPa]	$\delta^*V_{z,d}$ [kN]	$A_{v,z}$ [mm2]	$\tau_{v,z}$ [MPa]	$\tau_{v,z}$ [MPa]
1	G0	Vlastní tíha OK	G	0	-1.8	2.83E+04	-0.1	23.5	9.25E+06	2.5	-10.9	-6.04E+05	18.0	20.4	-9.1E-02	-	-	-	-	19.7	1.24E+04	1.6	1.6	-29.6	1.08E+04	-2.7	-2.7
2	G1	Ostatní stálé - mostní vybavení	G	0	-0.6	2.83E+04	0.0	2.0	9.25E+06	0.2	-0.8	-6.04E+05	1.4	1.6	-1.1E-02	-	-	-	-	1.5	1.24E+04	0.1	0.1	-3.1	1.08E+04	-0.3	-0.3
3	G2	Ostatní stálé - cizí zařízení	G	0	1.0	2.83E+04	0.0	-0.8	9.25E+06	-0.1	-0.7	-6.04E+05	1.1	1.1	0.0E+00	-	-	-	-	1.2	1.24E+04	0.1	0.1	-1.5	1.08E+04	-0.1	-0.1
4	P1_71	a.LM71 - kolej 1 (bez dyn. souč.)	P	0	0.0	2.83E+04	0.0	0.0	9.25E+06	0.0	0.0	-6.04E+05	0.0	0.0	0.0E+00	-	-	-	-	0.0	1.24E+04	0.0	0.0	0.0	1.08E+04	0.0	0.0
5	P2_71	a.LM71 - kolej 2 (bez dyn. souč.)	P	0	0.0	2.83E+04	0.0	0.0	9.25E+06	0.0	0.0	-6.04E+05	0.0	0.0	0.0E+00	-	-	-	-	0.0	1.24E+04	0.0	0.0	0.0	1.08E+04	0.0	0.0
6	P1_C3	TTZ C3 - kolej 1 (bez dyn. souč.)	P	0	-16.9	2.83E+04	-0.6	154.8	9.25E+06	16.7	-10.5	-6.04E+05	17.4	33.5	-1.6E-01	-	-	-	-	25.3	1.24E+04	2.0	2.0	34.9	1.08E+04	3.2	3.2
7	P2_C3	TTZ C3 - kolej 2 (bez dyn. souč.)	P	0	-39.9	2.83E+04	-1.4	274.0	9.25E+06	29.6	0.4	-6.04E+05	-0.6	27.6	1.2E-01	-	-	-	-	-0.2	1.24E+04	0.0	0.0	-416.7	1.08E+04	-38.5	-38.5
8	BR	Brzdné a rozjezdové síly	P	0	-27.4	2.83E+04	-1.0	-15.0	9.25E+06	-1.6	-24.4	-6.04E+05	40.4	37.8	5.2E-02	-	-	-	-	27.4	1.24E+04	2.2	2.2	0.1	1.08E+04	0.0	0.0
9	S	Boční ráz	P	0	3.2	2.83E+04	0.1	10.4	9.25E+06	1.1	-1.0	-6.04E+05	1.7	2.9	0.0E+00	-	-	-	-	0.6	1.24E+04	0.0	0.0	3.9	1.08E+04	0.4	0.4
10	CH	Chodci na lávkách	Q	0	2.4	2.83E+04	0.1	19.1	9.25E+06	2.1	-1.2	-6.04E+05	2.1	4.2	0.0E+00	-	-	-	-	1.9	1.24E+04	0.2	0.2	7.0	1.08E+04	0.7	0.7
11	W	Vítr na konstrukci	Q	0	12.8	2.83E+04	0.5	159.8	9.25E+06	17.3	-3.9	-6.04E+05	6.5	24.2	0.0E+00	-	-	-	-	1.4	1.24E+04	0.1	0.1	54.8	1.08E+04	5.1	5.1
12	WP	Vítr na vozidla	Q	0	34.9	2.83E+04	1.2	93.7	9.25E+06	10.1	-7.3	-6.04E+05	12.1	23.5	-8.6E-03	-	-	-	-	3.2	1.24E+04	0.3	0.3	44.9	1.08E+04	4.2	4.2
13	TR	Teplota rovnoměrná	Q	0	0.0	2.83E+04	0.0	0.0	9.25E+06	0.0	0.0	-6.04E+05	0.0	0.0	0.0E+00	-	-	-	-	0.0	1.24E+04	0.0	0.0	0.0	1.08E+04	0.0	0.0
14	TN	Teplota nerovnoměrná	Q	0	1.3	2.83E+04	0.0	40.6	9.25E+06	4.4	-1.1	-6.04E+05	1.8	6.3	-2.8E-02	-	-	-	-	2.3	1.24E+04	0.2	0.2	17.6	1.08E+04	1.6	1.6
15	FR	Třecí síly v ložiskách	Q	0	-4.0	2.83E+04	-0.1	-1.0	9.25E+06	-0.1	-1.3	-6.04E+05	2.2	2.0	1.2E-02	-	-	-	-	2.3	1.24E+04	0.2	0.2	0.0	1.08E+04	0.0	0.0
16	I	Imperfekce soustavy	Q	0	0.9	2.83E+04	0.0	39.8	9.25E+06	4.3	-0.2	-6.04E+05	0.3	4.6	0.0E+00	-	-	-	-	-0.1	1.24E+04	0.0	0.0	13.3	1.08E+04	1.2	1.2
27	ULS_LM	ULS - LM71 bez dynam	Q	0	0.0	2.83E+04	0.0	0.0	9.25E+06	0.0	0.0	-6.04E+05	0.0	0.0	0.0E+00	-	-	-	-	0.0	1.24E+04	0.0	0.0	0.0	1.08E+04	0.0	0.0
28	SLS_LM	SLS - LM71 bez dynam	Q	0	0.0	2.83E+04	0.0	0.0	9.25E+06	0.0	0.0	-6.04E+05	0.0	0.0	0.0E+00	-	-	-	-	0.0	1.24E+04	0.0	0.0	0.0	1.08E+04	0.0	0.0
29	ULS_C3	ULS - C3 bez dynam	Q	0	0.0	2.83E+04	0.0	0.0	9.25E+06	0.0	0.0	-6.04E+05	0.0	0.0	0.0E+00	-	-	-	-	0.0	1.24E+04	0.0	0.0	0.0	1.08E+04	0.0	0.0
30	SLS_C3	SLS - C3 bez dynam	Q	0	0.0	2.83E+04	0.0	0.0	9.25E+06	0.0	0.0	-6.04E+05	0.0	0.0	0.0E+00	-	-	-	-	0.0	1.24E+04	0.0	0.0	0.0	1.08E+04	0.0	0.0
NAVÝŠENÍ NAPĚTÍ DO AKTIVACE TLAKU V DESCE MOSTOVKY						$\sigma_{P,red}$	0.0							0.0			0.0		0.0				7.0	7.0			-25.4	-25.4
NAPĚTÍ OD PRIMÁRNÍCH ÚČINKŮ NEROVNOMĚRNÉHO OTEPLENÍ						σ_T	0.0							0.0														
NAPĚTÍ OD REOLOGICKÝCH ÚČINKŮ BETONU V ČASE		t=0				σ_R	0.0	γ=	1.20					0.0														
NAPĚTÍ V KRITICKÝCH VLÁKNECH OD KOMBINACE ZATÍŽENÍ						KZ07		[MPa]					$\Sigma\sigma_x$	189.7								$\Sigma\tau_y$	7.0				$\Sigma\tau_z$	-25.4
NAPĚTÍ OD POHYBLIVÉHO ZATÍŽENÍ								[MPa]					$\sigma_{x,P}$	101.9								τ_P	4.3				τ_P	-34.9
NAPĚTÍ OD OSTATNÍCH ZATÍŽENÍ								[MPa]			Φ_{Vy}	Φ_{Vz}	$\sigma_{x,rs}$	87.8								τ_{rs}	2.7				τ_{rs}	9.6
NÁVRHOVÁ HODNOTA MEZE KLUZU S REDUKCÍ VLIVEM SMYKOVÉHO NAPĚTÍ								[MPa]			1.00	1.00	$f_{yv,d}$	215.0								$f_{yd}/3^{0,5}$	124.1				$f_{yd}/3^{0,5}$	124.1
NAPĚTÍ OD POHYBLIVÉHO ZATÍŽENÍ V GLOBÁLNÍM SYSTÉMU						$\sigma_{GLOB,P}$	0.0	[MPa]					$\Sigma\sigma_{GLOB}$	0.0														
NAPĚTÍ OD OSTATNÍCH ZATÍŽENÍ V GLOBÁLNÍM SYSTÉMU						$\sigma_{GLOB,rs}$	0.0	[MPa]					$\Sigma\sigma_x + \Sigma\sigma_{GLOB}$	189.7														
VYUŽITÍ PRŮŘEZU DLE NAPĚTÍ								[%]					η_1	0.88								η_3	0.06				η_3	0.20
NAPĚTÍ V PŘÍČNÉM SMĚRU OD POHYBLIVÉHO ZATÍŽENÍ						$\sigma_{z,P}$	0.0	[MPa]					$\Sigma\sigma_z$	0.0														
NAPĚTÍ V PŘÍČNÉM SMĚRU OD OSTATNÍCH ZATÍŽENÍ						$\sigma_{z,rs}$	0.0	[MPa]					η_2	0.00														
SROVNÁVACÍ NAPĚTÍ													$(\eta_2 + 0,8\ \eta_1)/1,4 =$	0.50														
VYUŽITÍ PRŮŘEZU CELKEM								[%]					eff	0.88	VYHOVUJE													
STANOVENÍ ZATÍŽITELNOSTI													Z_{LM71} =	-----														

TAB. P0.1.3 POSOUZENÍ - MEZNÍ STAV ÚNOSNOSTI

POPIS	PŘÍČNÍK P0 - VNĚJŠÍ PODÉLNÍK
PRUT / POLOHA BODU	706 / 3/4
NAMÁHÁNÍ	Vz.min
VLÁKNO	BOD S6 -HP
MEZNÍ STAV	ULS (MSÚ)
VYUŽITÍ VLÁKNA PRŮŘEZU	0.59

Charakteristiky materiálu				
pás. horní	$f_{yf,k}$	230	MPa	
pás. dolní	$f_{yf,k}$	230	MPa	
stojina	$f_{yw,k}$	230	MPa	
výztuž	$f_{ys,k}$	500	MPa	
γ_M =	1.07	γ_s =	1.15	

Excentricita normálové síly				
Exc./Fáze	0	1	2	3
e_y	0.000	0.000	0.000	0.000
e_z	0.000	0.000	0.000	0.000
Ekvivalentní vzdál. stěn - příčný roznos				
b_{Mx}	0.000	0.000	0.000	0.000

Vliv stěny na únosnost průřezu				
Char./Fáze	0	1	2	3
A	0.40	0.00	0.00	0.00
Wy	0.21	0.00	0.00	0.00
Wz	0.00	0.00	0.00	0.00

Charakter. v kroucení			
$t_{w,y}$	0.000	[mm]	
$t_{w,z}$	0.000	[mm]	
κ	1.00		
I_t=	0.00E+00	[mm⁴]	
$\Omega=2*A_{pz}$	0.00E+00	[mm²]	

Součinitele vzpěru a vlivu II.řádu					
Char./Fáze	0	1	2	3	
k_y	1.000	1.000	1.000	1.000	
k_z	1.000	1.000	1.000	1.000	
χ_{LT}	1.000	1.000	1.000	1.000	
χ_{min}	1.000	1.000	1.000	1.000	

8

δ_{LOK} 1.05

Vnitřní síly od jednotlivých skupin zatěžovacích stavů

SKUPINA ZATĚŽOVACÍCH STAVŮ					- CHARAKTERISTICKÉ HODNOTY						DÍLČÍ SOUČINITELÉ ZATÍŽENÍ, DYNAMICKÝ SOUČINITEL							- NÁVRHOVÉ HODNOTY									
Č.	SKUP ZS	POPIS ZS	KAT.	FÁZE PRŮŘ.	N.k (kN)	Vy.k (kN)	Vz.k (kN)	Mx.k (kNm)	My.k (kNm)	Mz.k (kNm)	γ_{sr} (-)	γ_s (-)	volba ψ_1 hledat	ψ_1 (-)	L_d (m)	δ (-)	Ψ_E KZ08	N.d (kN)	Vy.d (kN)	Vz.d (kN)	ΔVz.d (kN)	ΣVz.d (kN)	Mx.d (kNm)	My.d (kNm)	ΔMy.d (kNm)	ΣMy.d (kNm)	Mz.d (kNm)	ΔMz.d (kNm)	ΣMz.d (kNm)
1	G0	Vlastní tíha OK	G	0	-2	17	-26	0	21	-10	1.00	1.20		1.20	-	1.00	0.95	-2	20	-30	0	-30	0	24	0	24	-11	0	-11
2	G1	Ostatní stálé - mostní vybavení	G	0	-1	1	-3	0	2	-1	1.00	1.20		1.20	-	1.00	0.95	-1	1	-3	0	-3	0	2	0	2	-1	0	-1
3	G2	Ostatní stálé - cizí zařízení	G	0	1	1	-1	0	-1	-1	1.00	1.20		1.20	-	1.00	0.95	1	1	-2	0	-2	0	-1	0	-1	-1	0	-1
4	P1_71	a.LM71 - kolej 1 (bez dyn. souč.)	P	0	-31	0	-124	0	-8	1	1.00	vyp.		0.00	-	1.00	0.00	0	0	0	0	0	0	0	0	0	0	0	0
5	P2_71	a.LM71 - kolej 2 (bez dyn. souč.)	P	0	-31	18	-343	0	150	-8	1.00	vyp.		0.00	-	1.00	0.00	0	0	0	0	0	0	0	0	0	0	0	0
6	P1_C3	TTZ C3 - kolej 1 (bez dyn. souč.)	P	0	-20	0	-82	0	-7	0	1.00	1.16		1.16	-	1.68	1.00	-39	0	-159	0	-159	0	-14	0	-14	1	0	0
7	P2_C3	TTZ C3 - kolej 2 (bez dyn. souč.)	P	0	-19	17	-235	0	83	-8	1.00	1.16		1.16	-	1.68	1.00	-36	33	-457	0	-457	0	162	0	162	-16	6	-10
8	BR	Brzdné a rozjezdové síly	P	0	37	-41	-4	0	9	37	1.00	1.16		1.16	-	1.00	0.32	14	-15	-2	0	-2	0	3	0	3	14	0	14
9	S	Boční ráz	P	0	-10	-2	-11	0	-28	3	1.00	1.16		1.16	-	1.00	0.64	-7	-1	-8	0	-8	0	-21	0	-21	2	0	2
10	CH	Chodci na lávkách	Q	0	4	3	0	0	-3	-2	1.00	0.00		0.00	-	1.00	1.00	0	0	0	0	0	0	0	0	0	0	0	0
11	W	Vítr na konstrukci	Q	0	-16	-2	-64	0	-185	5	1.00	1.15		1.15	-	1.00	0.75	-14	-1	-55	0	-55	0	-160	0	-160	4	0	4
12	WP	Vítr na vozidla	Q	0	-43	-4	-51	0	-109	8	1.00	1.15		1.15	-	1.00	0.75	-37	-3	-44	0	-44	0	-94	0	-94	7	0	7
13	TR	Teplota rovnoměrná	Q	0	0	0	0	0	0	0	1.00	1.15		1.15	-	1.00	0.45	0	0	0	0	0	0	0	0	0	0	0	0
14	TN	Teplota nerovnoměrná	Q	0	3	-1	-23	0	-86	0	1.00	1.15		1.15	-	1.00	0.60	2	0	-16	0	-16	0	-59	0	-59	0	0	0
15	FR	Třecí síly v ložiskách	Q	0	-3	2	0	0	-1	-1	1.00	1.20		1.20	-	1.00	1.00	-4	2	0	0	0	0	-1	0	-1	-1	0	-1
16	I	Imperfekce soustavy	Q	0	-1	0	-11	0	-33	0	1.00	1.20		1.20	-	1.00	1.00	-1	0	-13	0	-13	0	-40	0	-40	0	0	0
27	ULS_LM	ULS - LM71 bez dynam	Q	0	-128	16	-806	0	-235	15	1.00	vyp.		0.00	-	1.00	0.00	0	0	0	0	0	0	0	0	0	0	0	0
28	SLS_LM	SLS - LM71 bez dynam	Q	0	-99	16	-607	0	-119	10	1.00	vyp.	1	0.00	-	1.00	0.00	0	0	0	0	0	0	0	0	0	0	0	0
29	ULS_C3	ULS - C3 bez dynam	Q	0	-98	15	-612	0	-319	15	1.00	vyp.	1	0.00	-	1.00	0.00	0	0	0	0	0	0	0	0	0	0	0	0
30	SLS_C3	SLS - C3 bez dynam	Q	0	-76	15	-457	0	-184	10	1.00	vyp.	1	0.00	-	1.00	0.00	0	0	0	0	0	0	0	0	0	0	0	0
		CELKEM - FÁZE PRŮŘEZU 0			-124	36	-789	0	-198	-2	6	4						-124	36	-789	0	-789	0	-198	0	-198	-2	6	4
		CELKEM - FÁZE PRŮŘEZU 1			0	0	0	0	0	0	0	0						0	0	0	0	0	0	0	0	0	0	0	0
		CELKEM - FÁZE PRŮŘEZU 2			0	0	0	0	0	0	0	0						0	0	0	0	0	0	0	0	0	0	0	0
		CELKEM - FÁZE PRŮŘEZU 3			0	0	0	0	0	0	0	0						0	0	0	0	0	0	0	0	0	0	0	0
		CELKEM - PRŮŘEZ			-124	36	-789	0	-198	-2	6	4						-124	36	-789	0	-789	0			-198			4

Napětí od jednotlivých zatěžovacích stavů

SKUPINA ZATĚŽOVACÍCH STAVŮ					Posouzení normálového napětí										Posouzení smykového napětí													
					Účinek síly N			Účinek momentu My			Účinek momentu Mz				Účinek kroutícího momentu Mx				Účinek smykové síly Vy				Účinek smykové síly Vz			
Č.	SKUP ZS	Popis ZS	Kat.	fáze průř.	δ^*N_d [kN]	χ^*A [mm²]	σ_n [MPa]	$\delta^*M_{y,d}$ [kNm]	$\chi_{lt}*W_{el,y}$ [mm³]	σ_{my} [MPa]	$\delta^*M_{z,d}$ [kNm]	$W_{el,z}$ [mm³]	σ_{mz} [MPa]	σ_x [MPa]	$\kappa*\delta^*M_{x,d}$ [kNm]	$W_{v,y}$ [mm³]	$\tau_{x,y}$ [MPa]	$W_{v,z}$ [mm³]	$\tau_{x,z}$ [MPa]	$\delta^*V_{y,d}$ [kN]	$A_{v,y}$ [mm2]	$\tau_{v,y}$ [MPa]	$\tau_{v,y}$ [MPa]	$\delta^*V_{z,d}$ [kN]	$A_{v,z}$ [mm2]	$\tau_{v,z}$ [MPa]	$\tau_{v,z}$ [MPa]
1	G0	Vlastní tíha OK	G	0	-1.8	2.79E+04	-0.1	23.5	9.36E+06	2.5	-10.9	-1.86E+07	0.6	3.0	-9.1E-02	-	-	-	-	19.7	1.24E+04	1.6	1.6	-29.6	1.08E+04	-2.7	-2.7
2	G1	Ostatní stálé - mostní vybavení	G	0	-0.6	2.79E+04	0.0	2.0	9.36E+06	0.2	-0.8	-1.86E+07	0.0	0.2	-1.1E-02	-	-	-	-	1.5	1.24E+04	0.1	0.1	-3.1	1.08E+04	-0.3	-0.3
3	G2	Ostatní stálé - cizí zařízení	G	0	1.0	2.79E+04	0.0	-0.8	9.36E+06	-0.1	-0.7	-1.86E+07	0.0	0.0	0.0E+00	-	-	-	-	1.2	1.24E+04	0.1	0.1	-1.5	1.08E+04	-0.1	-0.1
4	P1_71	a.LM71 - kolej 1 (bez dyn. souč.)	P	0	0.0	2.79E+04	0.0	0.0	9.36E+06	0.0	0.0	-1.86E+07	0.0	0.0	0.0E+00	-	-	-	-	0.0	1.24E+04	0.0	0.0	0.0	1.08E+04	0.0	0.0
5	P2_71	a.LM71 - kolej 2 (bez dyn. souč.)	P	0	0.0	2.79E+04	0.0	0.0	9.36E+06	0.0	0.0	-1.86E+07	0.0	0.0	0.0E+00	-	-	-	-	0.0	1.24E+04	0.0	0.0	0.0	1.08E+04	0.0	0.0
6	P1_C3	TTZ C3 - kolej 1 (bez dyn. souč.)	P	0	-38.9	2.79E+04	-1.4	-13.7	9.36E+06	-1.5	0.3	-1.86E+07	0.0	-2.9	0.0E+00	-	-	-	-	-0.3	1.24E+04	0.0	0.0	-159.3	1.08E+04	-14.7	-14.7
7	P2_C3	TTZ C3 - kolej 2 (bez dyn. souč.)	P	0	-36.4	2.79E+04	-1.3	161.9	9.36E+06	17.3	-9.8	-1.86E+07	0.5	16.5	-3.9E-02	-	-	-	-	33.0	1.24E+04	2.7	2.7	-457.1	1.08E+04	-42.3	-42.3
8	BR	Brzdné a rozjezdové síly	P	0	13.6	2.79E+04	0.5	3.3	9.36E+06	0.4	13.8	-1.86E+07	-0.7	0.1	-2.6E-02	-	-	-	-	-15.3	1.24E+04	-1.2	-1.2	-1.6	1.08E+04	-0.2	-0.2
9	S	Boční ráz	P	0	-7.1	2.79E+04	-0.3	-20.6	9.36E+06	-2.2	2.1	-1.86E+07	-0.1	-2.6	7.4E-03	-	-	-	-	-1.2	1.24E+04	-0.1	-0.1	-7.9	1.08E+04	-0.7	-0.7
10	CH	Chodci na lávkách	Q	0	0.0	2.79E+04	0.0	0.0	9.36E+06	0.0	0.0	-1.86E+07	0.0	0.0	0.0E+00	-	-	-	-	0.0	1.24E+04	0.0	0.0	0.0	1.08E+04	0.0	0.0
11	W	Vítr na konstrukci	Q	0	-13.6	2.79E+04	-0.5	-159.7	9.36E+06	-17.1	3.9	-1.86E+07	-0.2	-17.8	0.0E+00	-	-	-	-	-1.3	1.24E+04	-0.1	-0.1	-54.8	1.08E+04	-5.1	-5.1
12	WP	Vítr na vozidla	Q	0	-37.4	2.79E+04	-1.3	-94.2	9.36E+06	-10.1	7.3	-1.86E+07	-0.4	-11.8	8.6E-03	-	-	-	-	-3.2	1.24E+04	-0.3	-0.3	-44.2	1.08E+04	-4.1	-4.1
13	TR	Teplota rovnoměrná	Q	0	0.0	2.79E+04	0.0	0.0	9.36E+06	0.0	0.0	-1.86E+07	0.0	0.0	0.0E+00	-	-	-	-	0.0	1.24E+04	0.0	0.0	0.0	1.08E+04	0.0	0.0
14	TN	Teplota nerovnoměrná	Q	0	1.9	2.79E+04	0.1	-59.0	9.36E+06	-6.3	-0.2	-1.86E+07	0.0	-6.2	6.9E-03	-	-	-	-	-0.5	1.24E+04	0.0	0.0	-16.1	1.08E+04	-1.5	-1.5
15	FR	Třecí síly v ložiskách	Q	0	-4.0	2.79E+04	-0.1	-1.0	9.36E+06	-0.1	-1.3	-1.86E+07	0.1	-0.2	1.2E-02	-	-	-	-	2.3	1.24E+04	0.2	0.2	0.0	1.08E+04	0.0	0.0
16	I	Imperfekce soustavy	Q	0	-0.9	2.79E+04	0.0	-39.8	9.36E+06	-4.3	0.2	-1.86E+07	0.0	-4.3	0.0E+00	-	-	-	-	0.1	1.24E+04	0.0	0.0	-13.3	1.08E+04	-1.2	-1.2
27	ULS_LM	ULS - LM71 bez dynam	Q	0	0.0	2.79E+04	0.0	0.0	9.36E+06	0.0	0.0	-1.86E+07	0.0	0.0	0.0E+00	-	-	-	-	0.0	1.24E+04	0.0	0.0	0.0	1.08E+04	0.0	0.0
28	SLS_LM	SLS - LM71 bez dynam	Q	0	0.0	2.79E+04	0.0	0.0	9.36E+06	0.0	0.0	-1.86E+07	0.0	0.0	0.0E+00	-	-	-	-	0.0	1.24E+04	0.0	0.0	0.0	1.08E+04	0.0	0.0
29	ULS_C3	ULS - C3 bez dynam	Q	0	0.0	2.79E+04	0.0	0.0	9.36E+06	0.0	0.0	-1.86E+07	0.0	0.0	0.0E+00	-	-	-	-	0.0	1.24E+04	0.0	0.0	0.0	1.08E+04	0.0	0.0
30	SLS_C3	SLS - C3 bez dynam	Q	0	0.0	2.79E+04	0.0	0.0	9.36E+06	0.0	0.0	-1.86E+07	0.0	0.0	0.0E+00	-	-	-	-	0.0	1.24E+04	0.0	0.0	0.0	1.08E+04	0.0	0.0
NAVÝŠENÍ NAPĚTÍ DO AKTIVACE TLAKU V DESCE MOSTOVKY						$\sigma_{P,red}$	0.0							0.0			0.0		0.0			2.9	2.9			-72.9	-72.9
NAPĚTÍ OD PRIMÁRNÍCH ÚČINKŮ NEROVNOMĚRNÉHO OTEPLENÍ						σ_T	0.0							0.0													
NAPĚTÍ OD REOLOGICKÝCH ÚČINKŮ BETONU V ČASE				t=0		σ_R	0.0	γ=	1.20					0.0													
NAPĚTÍ V KRITICKÝCH VLÁKNECH OD KOMBINACE ZATÍŽENÍ						KZ08		[MPa]					$\Sigma\sigma_x$	-25.8								$\Sigma\tau_y$	2.9			$\Sigma\tau_z$	-72.9
NAPĚTÍ OD POHYBLIVÉHO ZATÍŽENÍ								[MPa]					$\sigma_{x,P}$	11.2								τ_P	1.3			τ_P	-57.9
NAPĚTÍ OD OSTATNÍCH ZATÍŽENÍ								[MPa]			Φ_{vy}	Φ_{vz}	$\sigma_{x,rs}$	-37.0								τ_{rs}	1.6			τ_{rs}	-15.0
NÁVRHOVÁ HODNOTA MEZE KLUZU S REDUKCÍ VLIVEM SMYKOVÉHO NAPĚTÍ								[MPa]			1.00	0.97	$f_{yv,d}$	215.0								$f_{yd}/3^{0,5}$	124.1			$f_{yd}/3^{0,5}$	124.1
NAPĚTÍ OD POHYBLIVÉHO ZATÍŽENÍ V GLOBÁLNÍM SYSTÉMU						$\sigma_{GLOB,P}$	0.0	[MPa]					$\Sigma\sigma_{GLOB}$	0.0													
NAPĚTÍ OD OSTATNÍCH ZATÍŽENÍ V GLOBÁLNÍM SYSTÉMU						$\sigma_{GLOB,rs}$	0.0	[MPa]					$\Sigma\sigma_x + \Sigma\sigma_{GLOB}$	-25.8													
VYUŽITÍ PRŮŘEZU DLE NAPĚTÍ								[%]					η_1	0.12								η_3	0.02			η_3	0.59
NAPĚTÍ V PŘÍČNÉM SMĚRU OD POHYBLIVÉHO ZATÍŽENÍ						$\sigma_{z,P}$	0.0	[MPa]					$\Sigma\sigma_z$	0.0													
NAPĚTÍ V PŘÍČNÉM SMĚRU OD OSTATNÍCH ZATÍŽENÍ						$\sigma_{z,rs}$	0.0	[MPa]					η_2	0.00													
SROVNÁVACÍ NAPĚTÍ													$(\eta_2 + 0,8\ \eta_1)/1,4 =$	0.07													
VYUŽITÍ PRŮŘEZU CELKEM								[%]					eff	0.59	VYHOVUJE												
STANOVENÍ ZATÍŽITELNOSTI													Z_{LM71} =	-----													

TAB. P2.1.3 POSOUZENÍ - MEZNÍ STAV ÚNOSNOSTI

POPIS	PŘÍČNÍK P2 - VNĚJŠÍ PODÉLNÍK
PRUT / POLOHA BODU	691 / I[568]
NAMÁHÁNÍ	Mz.min
VLÁKNO	BOD K2 -HP
MEZNÍ STAV	ULS (MSÚ)
VYUŽITÍ VLÁKNA PRŮŘEZU	0.97

Charakteristiky materiálu				
pás. horní	$f_{yf,k}$	230	MPa	
pás. dolní	$f_{yf,k}$	230	MPa	
stojina	$f_{yw,k}$	230	MPa	
výztuž	$f_{ys,k}$	500	MPa	
γ_M =	1.07	γ_s =	1.15	

Excentricita normálové síly				
Exc./Fáze	0	1	2	3
e_y	0.000	0.000	0.000	0.000
e_z	0.000	0.000	0.000	0.000
Ekvivalentní vzdál. stěn - příčný roznos				
b_{ekv}	0.000	0.000	0.000	0.000

Vliv stěny na únosnost průřezu				
Char./Fáze	0	1	2	3
A	0.00	0.00	0.00	0.00
Wy	0.00	0.00	0.00	0.00
Wz	0.00	0.00	0.00	0.00

Charakter. v kroucení			
$t_{w,y}$	0.000	[mm]	
$t_{w,z}$	0.000	[mm]	
κ	1.00		
I_t=	0.00E+00	[mm^4]	
$\Omega=2*A_{pr}$	0.00E+00	[mm^2]	

Součinitele vzpěru a vlivu II.řádu				
Char./Fáze	0	1	2	3
k_y	1.000	1.000	1.000	1.000
k_z	1.000	1.000	1.000	1.000
χ_{LT}	1.000	1.000	1.000	1.000
χ_{min}	1.000	1.000	1.000	1.000

δ_{LOK} 1.05

Vnitřní síly od jednotlivých skupin zatěžovacích stavů

SKUPINA ZATĚŽOVACÍCH STAVŮ					- CHARAKTERISTICKÉ HODNOTY						DÍLČÍ SOUČINITELÉ ZATÍŽENÍ, DYNAMICKÝ SOUČINITEL						7	- NÁVRHOVÉ HODNOTY									
Č.	SKUP ZS	POPIS ZS	KAT.	FÁZE PRŮŘ.	N.k (kN)	Vy.k (kN)	Vz.k (kN)	Mx.k (kNm)	My.k (kNm)	Mz.k (kNm)	γ_{sup} (-)	γ_{inf} (-)	volba γ_i hledat	γ_i (-)	L_d (m)	δ (-)	Ψ_0 KZ07	N.d (kN)	Vy.d (kN)	Vz.d (kN)	ΔVz.d (kN)	ΣVz.d (kN)	Mx.d (kNm)	My.d (kNm)	ΔMy.d (kNm)	ΣMy.d (kNm)	Mz.d (kNm)	ΔMz.d (kNm)	ΣMz.d (kNm)
1	G0	Vlastní tíha OK	G	0	-29	-7	-27	0	41	-17	1.00	1.20		1.20	-	1.00	0.95	-33	-9	-31	0	-31	0	47	0	47	-19	0	-19
2	G1	Ostatní stálé - mostní vybavení	G	0	-2	-1	-6	0	6	-1	1.00	1.20		1.20	-	1.00	0.95	-3	-1	-7	0	-7	0	7	0	7	-1	0	-1
3	G2	Ostatní stálé - cizí zařízení	G	0	-1	0	-3	0	-5	-1	1.00	1.20		1.20	-	1.00	0.95	-1	-1	-4	0	-4	0	-5	0	-5	-1	0	-1
4	P1_71	a.LM71 - kolej 1 (bez dyn. souč.)	P	0	-50	-11	-89	0	61	-18	1.00	vyp.		0.00	-	1.00	0.00	0	0	0	0	0	0	0	0	0	0	0	0
5	P2_71	a.LM71 - kolej 2 (bez dyn. souč.)	P	0	-51	-7	-52	0	303	-22	1.00	vyp.		0.00	-	1.00	0.00	0	0	0	0	0	0	0	0	0	0	0	0
6	P1_C3	TTZ C3 - kolej 1 (bez dyn. souč.)	P	0	-32	-9	-91	0	69	-15	1.00	1.16		1.16	-	1.32	1.00	-49	-14	-139	0	-139	0	105	0	105	-23	5	-18
7	P2_C3	TTZ C3 - kolej 2 (bez dyn. souč.)	P	0	-35	-6	-50	0	284	-18	1.00	1.16		1.16	-	1.32	1.00	-54	-9	-77	0	-77	0	433	0	433	-27	5	-22
8	BR	Brzdné a rozjezdové síly	P	0	-53	-19	2	0	-8	-51	1.00	1.16		1.16	-	1.00	0.64	-39	-14	2	0	2	0	-6	0	-6	-38	0	-38
9	S	Boční ráz	P	0	0	-5	-2	0	-5	-5	1.00	1.16		1.16	-	1.00	0.32	0	-2	-1	0	-1	0	-2	0	-2	-2	0	-2
10	CH	Chodci na lávkách	Q	0	1	-1	0	0	-25	-3	1.00	1.30		1.30	-	1.00	1.00	1	-2	0	0	0	0	-32	0	-32	-3	0	-3
11	W	Vítr na konstrukci	Q	0	-2	-8	11	0	31	-6	1.00	1.15		1.15	-	1.00	0.75	-2	-7	10	0	10	0	27	0	27	-5	0	-5
12	WP	Vítr na vozidla	Q	0	7	-14	-19	0	-24	-12	1.00	1.15		1.15	-	1.00	0.75	6	-12	-17	0	-17	0	-21	0	-21	-10	0	-10
13	TR	Teplota rovnoměrná	Q	0	0	0	0	0	0	0	1.00	1.15		1.15	-	1.00	0.45	0	0	0	0	0	0	0	0	0	0	0	0
14	TN	Teplota nerovnoměrná	Q	0	5	-1	1	0	-5	-1	1.00	1.15		1.15	-	1.00	0.60	4	0	0	0	0	0	-3	0	-3	-1	0	-1
15	FR	Třecí síly v ložiskách	Q	0	-7	0	0	0	-2	-1	1.00	1.20		1.20	-	1.00	1.00	-8	0	0	0	0	0	-2	0	-2	-1	0	-1
16	I	Imperfekce soustavy	Q	0	0	0	3	0	8	0	1.00	1.20		1.20	-	1.00	1.00	0	0	3	0	3	0	9	0	9	0	0	0
27	ULS_LM	ULS - LM71 bez dynam	Q	0	-235	-87	-227	0	486	-168	1.00	vyp.		0.00	-	1.00	0.00	0	0	0	0	0	0	0	0	0	0	0	0
28	SLS_LM	SLS - LM71 bez dynam	Q	0	-188	-67	-179	0	383	-130	1.00	vyp.	1	0.00	-	1.00	0.00	0	0	0	0	0	0	0	0	0	0	0	0
29	ULS_C3	ULS - C3 bez dynam	Q	0	-191	-82	-227	0	471	-159	1.00	vyp.	1	0.00	-	1.00	0.00	0	0	0	0	0	0	0	0	0	0	0	0
30	SLS_C3	SLS - C3 bez dynam	Q	0	-155	-63	-179	0	371	-123	1.00	vyp.	1	0.00	-	1.00	0.00	0	0	0	0	0	0	0	0	0	0	0	0
		CELKEM - FÁZE PRŮŘEZU 0																-178	-70	-259	0	-259	0	556	0	556	-133	10	-123
		CELKEM - FÁZE PRŮŘEZU 1																0	0	0	0	0	0	0	0	0	0	0	0
		CELKEM - FÁZE PRŮŘEZU 2																0	0	0	0	0	0	0	0	0	0	0	0
		CELKEM - FÁZE PRŮŘEZU 3																0	0	0	0	0	0	0	0	0	0	0	0
		CELKEM - PRŮŘEZ																-178	-70	-259	0	-259	0			556			-123

Napětí od jednotlivých zatěžovacích stavů

SKUPINA ZATĚŽOVACÍCH STAVŮ					Posouzení normálového napětí										Posouzení smykového napětí													
					Účinek síly N			Účinek momentu My			Účinek momentu Mz				Účinek kroutícího momentu Mx				Účinek smykové síly Vy				Účinek smykové síly Vz			
Č.	SKUP ZS	Popis ZS	Kat.	fáze průř.	δ^*N_d [kN]	χ^*A [mm^2]	σ_n [MPa]	$\delta^*M_{y,d}$ [kNm]	$\chi_{lt}*W_{el,y}$ [mm^3]	σ_{my} [MPa]	$\delta^*M_{z,d}$ [kNm]	$W_{el,z}$ [mm^3]	σ_{mz} [MPa]	σ_x [MPa]	$\kappa*\delta^*M_{x,d}$ [kNm]	$W_{v,y}$ [mm^2]	$\tau_{x,y}$ [MPa]	$W_{v,z}$ [mm^2]	$\tau_{x,z}$ [MPa]	$\delta^*V_{y,d}$ [kN]	$A_{v,y}$ [mm2]	$\tau_{v,y}$ [MPa]	$\tau_{v,y}$ [MPa]	$\delta^*V_{z,d}$ [kN]	$A_{v,z}$ [mm2]	$\tau_{v,z}$ [MPa]	$\tau_{v,z}$ [MPa]
1	G0	Vlastní tíha OK	G	0	-33.0	3.05E+04	-1.1	46.7	-1.20E+07	-3.9	-19.4	7.92E+05	-24.5	-29.4	1.1E-02	-	-	-	-	-8.5	1.53E+04	-0.6	-0.6	-30.9	1.09E+04	-2.8	-2.8
2	G1	Ostatní stálé - mostní vybavení	G	0	-2.8	3.05E+04	-0.1	7.1	-1.20E+07	-0.6	-1.4	7.92E+05	-1.8	-2.5	0.0E+00	-	-	-	-	-0.6	1.53E+04	0.0	0.0	-6.7	1.09E+04	-0.6	-0.6
3	G2	Ostatní stálé - cizí zařízení	G	0	-0.6	3.05E+04	0.0	-5.4	-1.20E+07	0.5	-1.2	7.92E+05	-1.5	-1.1	0.0E+00	-	-	-	-	-0.5	1.53E+04	0.0	0.0	-3.6	1.09E+04	-0.3	-0.3
4	P1_71	a.LM71 - kolej 1 (bez dyn. souč.)	P	0	0.0	3.05E+04	0.0	0.0	-1.20E+07	0.0	0.0	7.92E+05	0.0	0.0	0.0E+00	-	-	-	-	0.0	1.53E+04	0.0	0.0	0.0	1.09E+04	0.0	0.0
5	P2_71	a.LM71 - kolej 2 (bez dyn. souč.)	P	0	0.0	3.05E+04	0.0	0.0	-1.20E+07	0.0	0.0	7.92E+05	0.0	0.0	0.0E+00	-	-	-	-	0.0	1.53E+04	0.0	0.0	0.0	1.09E+04	0.0	0.0
6	P1_C3	TTZ C3 - kolej 1 (bez dyn. souč.)	P	0	-49.2	3.05E+04	-1.6	104.8	-1.20E+07	-8.8	-18.2	7.92E+05	-23.0	-33.4	-3.1E-02	-	-	-	-	-13.5	1.53E+04	-0.9	-0.9	-138.5	1.09E+04	-12.7	-12.7
7	P2_C3	TTZ C3 - kolej 2 (bez dyn. souč.)	P	0	-54.1	3.05E+04	-1.8	433.2	-1.20E+07	-36.2	-21.7	7.92E+05	-27.4	-65.4	1.5E-02	-	-	-	-	-9.4	1.53E+04	-0.6	-0.6	-76.6	1.09E+04	-7.0	-7.0
8	BR	Brzdné a rozjezdové síly	P	0	-39.3	3.05E+04	-1.3	-6.2	-1.20E+07	0.5	-38.2	7.92E+05	-48.2	-49.0	2.2E-02	-	-	-	-	-14.3	1.53E+04	-0.9	-0.9	1.6	1.09E+04	0.1	0.1
9	S	Boční ráz	P	0	0.0	3.05E+04	0.0	-1.8	-1.20E+07	0.2	-1.7	7.92E+05	-2.1	-2.0	3.7E-03	-	-	-	-	-2.0	1.53E+04	-0.1	-0.1	-0.6	1.09E+04	-0.1	-0.1
10	CH	Chodci na lávkách	Q	0	1.0	3.05E+04	0.0	-32.0	-1.20E+07	2.7	-3.5	7.92E+05	-4.4	-1.7	0.0E+00	-	-	-	-	-1.6	1.53E+04	-0.1	-0.1	0.0	1.09E+04	0.0	0.0
11	W	Vítr na konstrukci	Q	0	-1.6	3.05E+04	-0.1	27.0	-1.20E+07	-2.3	-5.4	7.92E+05	-6.8	-9.2	8.6E-03	-	-	-	-	-6.7	1.53E+04	-0.4	-0.4	9.7	1.09E+04	0.9	0.9
12	WP	Vítr na vozidla	Q	0	6.0	3.05E+04	0.2	-20.8	-1.20E+07	1.7	-10.1	7.92E+05	-12.8	-10.9	1.7E-02	-	-	-	-	-11.9	1.53E+04	-0.8	-0.8	-16.6	1.09E+04	-1.5	-1.5
13	TR	Teplota rovnoměrná	Q	0	0.0	3.05E+04	0.0	0.0	-1.20E+07	0.0	0.0	7.92E+05	0.0	0.0	0.0E+00	-	-	-	-	0.0	1.53E+04	0.0	0.0	0.0	1.09E+04	0.0	0.0
14	TN	Teplota nerovnoměrná	Q	0	3.8	3.05E+04	0.1	-3.2	-1.20E+07	0.3	-1.0	7.92E+05	-1.2	-0.8	0.0E+00	-	-	-	-	-0.4	1.53E+04	0.0	0.0	0.4	1.09E+04	0.0	0.0
15	FR	Třecí síly v ložiskách	Q	0	-8.0	3.05E+04	-0.3	-2.4	-1.20E+07	0.2	-1.2	7.92E+05	-1.5	-1.6	0.0E+00	-	-	-	-	-0.4	1.53E+04	0.0	0.0	0.0	1.09E+04	0.0	0.0
16	I	Imperfekce soustavy	Q	0	-0.1	3.05E+04	0.0	9.4	-1.20E+07	-0.8	-0.2	7.92E+05	-0.2	-1.0	0.0E+00	-	-	-	-	-0.4	1.53E+04	0.0	0.0	3.3	1.09E+04	0.3	0.3
27	ULS_LM	ULS - LM71 bez dynam	Q	0	0.0	3.05E+04	0.0	0.0	-1.20E+07	0.0	0.0	7.92E+05	0.0	0.0	0.0E+00	-	-	-	-	0.0	1.53E+04	0.0	0.0	0.0	1.09E+04	0.0	0.0
28	SLS_LM	SLS - LM71 bez dynam	Q	0	0.0	3.05E+04	0.0	0.0	-1.20E+07	0.0	0.0	7.92E+05	0.0	0.0	0.0E+00	-	-	-	-	0.0	1.53E+04	0.0	0.0	0.0	1.09E+04	0.0	0.0
29	ULS_C3	ULS - C3 bez dynam	Q	0	0.0	3.05E+04	0.0	0.0	-1.20E+07	0.0	0.0	7.92E+05	0.0	0.0	0.0E+00	-	-	-	-	0.0	1.53E+04	0.0	0.0	0.0	1.09E+04	0.0	0.0
30	SLS_C3	SLS - C3 bez dynam	Q	0	0.0	3.05E+04	0.0	0.0	-1.20E+07	0.0	0.0	7.92E+05	0.0	0.0	0.0E+00	-	-	-	-	0.0	1.53E+04	0.0	0.0	0.0	1.09E+04	0.0	0.0
NAVÝŠENÍ NAPĚTÍ DO AKTIVACE TLAKU V DESCE MOSTOVKY						$\sigma_{P,red}$	0.0							0.0			0.0		0.0				-4.6	-4.6			-23.7	-23.7
NAPĚTÍ OD PRIMÁRNÍCH ÚČINKŮ NEROVNOMĚRNÉHO OTEPLENÍ						σ_T	0.0							0.0														
NAPĚTÍ OD REOLOGICKÝCH ÚČINKŮ BETONU V ČASE				t=0		σ_R	0.0	γ=	1.20					0.0														
NAPĚTÍ V KRITICKÝCH VLÁKNECH OD KOMBINACE ZATÍŽENÍ						KZ07		[MPa]					$\Sigma\sigma_x$	-207.9								$\Sigma\tau_y$	-4.6				$\Sigma\tau_z$	-23.7
NAPĚTÍ OD POHYBLIVÉHO ZATÍŽENÍ								[MPa]					$\sigma_{x,P}$	-149.7									-2.6				τ_P	-19.6
NAPĚTÍ OD OSTATNÍCH ZATÍŽENÍ								[MPa]			Φ_{Vy}	Φ_{Vz}	$\sigma_{x,rs}$	-58.1								τ_{rs}	-2.0				τ_{rs}	-4.1
NÁVRHOVÁ HODNOTA MEZE KLUZU S REDUKCÍ VLIVEM SMYKOVÉHO NAPĚTÍ								[MPa]			1.00	1.00	$f_{yv,d}$	215.0								$f_{yd}/3^{0,5}$	124.1				$f_{yd}/3^{0,5}$	124.1
NAPĚTÍ OD POHYBLIVÉHO ZATÍŽENÍ V GLOBÁLNÍM SYSTÉMU						$\sigma_{GLOB,P}$	0.0	[MPa]					$\Sigma\sigma_{GLOB}$	0.0														
NAPĚTÍ OD OSTATNÍCH ZATÍŽENÍ V GLOBÁLNÍM SYSTÉMU						$\sigma_{GLOB,rs}$	0.0	[MPa]					$\Sigma\sigma_x + \Sigma\sigma_{GLOB}$	-207.9														
VYUŽITÍ PRŮŘEZU DLE NAPĚTÍ								[%]					η_1	0.97								η_3	0.04				η_3	0.19
NAPĚTÍ V PŘÍČNÉM SMĚRU OD POHYBLIVÉHO ZATÍŽENÍ						$\sigma_{z,P}$	0.0	[MPa]					$\Sigma\sigma_z$	0.0														
NAPĚTÍ V PŘÍČNÉM SMĚRU OD OSTATNÍCH ZATÍŽENÍ						$\sigma_{z,rs}$	0.0	[MPa]					η_2	0.00														
SROVNÁVACÍ NAPĚTÍ													$(\eta_2 + 0,8\ \eta_1)/1,4$ =	0.55														
VYUŽITÍ PRŮŘEZU CELKEM								[%]					eff	0.97	VYHOVUJE													
STANOVENÍ ZATÍŽITELNOSTI													Z_{LM71} =	-----														

TAB. P2.1.3 POSOUZENÍ - MEZNÍ STAV ÚNOSNOSTI

POPIS	PŘÍČNÍK P2 - VNĚJŠÍ PODÉLNÍK
PRUT / POLOHA BODU	691 / I[568]
NAMÁHÁNÍ	Mz.min
VLÁKNO	BOD K3 -SL
MEZNÍ STAV	ULS (MSÚ)
VYUŽITÍ VLÁKNA PRŮŘEZU	0.95

Charakteristiky materiálu				
pás. horní	$f_{yf,k}$	230	MPa	
pás. dolní	$f_{yf,k}$	230	MPa	
stojina	$f_{yw,k}$	230	MPa	
výztuž	$f_{ys,k}$	500	MPa	
γ_M =	1.07	γ_s =	1.15	

Excentricita normálové síly				
Exc./Fáze	0	1	2	3
e_y	0.000	0.000	0.000	0.000
e_z	0.000	0.000	0.000	0.000
Ekvivalentní vzdál. stěn - příčný roznos				
b_{ekv}	0.000	0.000	0.000	0.000

Vliv stěny na únosnost průřezu				
Char./Fáze	0	1	2	3
A	0.00	0.00	0.00	0.00
Wy	0.00	0.00	0.00	0.00
Wz	0.00	0.00	0.00	0.00

Charakter. v kroucení			
$t_{w,y}$	0.000	[mm]	
$t_{w,z}$	0.000	[mm]	
κ	1.00		
I_t=	0.00E+00	[mm^4]	
Ω=2*A_{pr}	0.00E+00	[mm^2]	

Součinitele vzpěru a vlivu II.řádu				
Char./Fáze	0	1	2	3
k_y	1.000	1.000	1.000	1.000
k_z	1.000	1.000	1.000	1.000
χ_{LT}	1.000	1.000	1.000	1.000
χ_{min}	1.000	1.000	1.000	1.000

δ_{LOK} 1.05

Vnitřní síly od jednotlivých skupin zatěžovacích stavů

SKUPINA ZATĚŽOVACÍCH STAVŮ

- CHARAKTERISTICKÉ HODNOTY

DÍLČÍ SOUČINITELÉ ZATÍŽENÍ, DYNAMICKÝ SOUČINITEL

- NÁVRHOVÉ HODNOTY

Č.	SKUP ZS	POPIS ZS	KAT.	FÁZE PRŮŘ.	N.k (kN)	Vy.k (kN)	Vz.k (kN)	Mx.k (kNm)	My.k (kNm)	Mz.k (kNm)	γ_{sup} (-)	γ_{inf} (-)	volba γ_f hledat	γ_f (-)	L_d (m)	δ (-)	Ψ_0 KZ07	N.d (kN)	Vy.d (kN)	Vz.d (kN)	ΔVz.d (kN)	ΣVz.d (kN)	Mx.d (kNm)	My.d (kNm)	ΔMy.d (kNm)	ΣMy.d (kNm)	Mz.d (kNm)	ΔMz.d (kNm)	ΣMz.d (kNm)
1	G0	Vlastní tíha OK	G	0	-29	-7	-27	0	41	-17	1.00	1.20		1.20	-	1.00	0.95	-33	-9	-31	0	-31	0	47	0	47	-19	0	-19
2	G1	Ostatní stálé - mostní vybavení	G	0	-2	-1	-6	0	6	-1	1.00	1.20		1.20	-	1.00	0.95	-3	-1	-7	0	-7	0	7	0	7	-1	0	-1
3	G2	Ostatní stálé - cizí zařízení	G	0	-1	0	-3	0	-5	-1	1.00	1.20		1.20	-	1.00	0.95	-1	-1	-4	0	-4	0	-5	0	-5	-1	0	-1
4	P1_71	a.LM71 - kolej 1 (bez dyn. souč.)	P	0	-50	-11	-89	0	61	-18	1.00	vyp.		0.00	-	1.00	0.00	0	0	0	0	0	0	0	0	0	0	0	0
5	P2_71	a.LM71 - kolej 2 (bez dyn. souč.)	P	0	-51	-7	-52	0	303	-22	1.00	vyp.		0.00	-	1.00	0.00	0	0	0	0	0	0	0	0	0	0	0	0
6	P1_C3	TTZ C3 - kolej 1 (bez dyn. souč.)	P	0	-32	-9	-91	0	69	-15	1.00	1.16		1.16	-	1.32	1.00	-49	-14	-139	0	-139	0	105	0	105	-23	5	-18
7	P2_C3	TTZ C3 - kolej 2 (bez dyn. souč.)	P	0	-35	-6	-50	0	284	-18	1.00	1.16		1.16	-	1.32	1.00	-54	-9	-77	0	-77	0	433	0	433	-27	5	-22
8	BR	Brzdné a rozjezdové síly	P	0	-53	-19	2	0	-8	-51	1.00	1.16		1.16	-	1.00	0.64	-39	-14	2	0	2	0	-6	0	-6	-38	0	-38
9	S	Boční ráz	P	0	0	-5	-2	0	-5	-5	1.00	1.16		1.16	-	1.00	0.32	0	-2	-1	0	-1	0	-2	0	-2	-2	0	-2
10	CH	Chodci na lávkách	Q	0	1	-1	0	0	-25	-3	1.00	1.30		1.30	-	1.00	1.00	1	-2	0	0	0	0	-32	0	-32	-3	0	-3
11	W	Vítr na konstrukci	Q	0	-2	-8	11	0	31	-6	1.00	1.15		1.15	-	1.00	0.75	-2	-7	10	0	10	0	27	0	27	-5	0	-5
12	WP	Vítr na vozidla	Q	0	7	-14	-19	0	-24	-12	1.00	1.15		1.15	-	1.00	0.75	6	-12	-17	0	-17	0	-21	0	-21	-10	0	-10
13	TR	Teplota rovnoměrná	Q	0	0	0	0	0	0	0	1.00	1.15		1.15	-	1.00	0.45	0	0	0	0	0	0	0	0	0	0	0	0
14	TN	Teplota nerovnoměrná	Q	0	5	-1	1	0	-5	-1	1.00	1.15		1.15	-	1.00	0.60	4	0	0	0	0	0	-3	0	-3	-1	0	-1
15	FR	Třecí síly v ložiskách	Q	0	-7	0	0	0	-2	-1	1.00	1.20		1.20	-	1.00	1.00	-8	0	0	0	0	0	-2	0	-2	-1	0	-1
16	I	Imperfekce soustavy	Q	0	0	0	3	0	8	0	1.00	1.20		1.20	-	1.00	1.00	0	0	3	0	3	0	9	0	9	0	0	0
27	ULS_LM	ULS - LM71 bez dynam	Q	0	-235	-87	-227	0	486	-168	1.00	vyp.		0.00	-	1.00	0.00	0	0	0	0	0	0	0	0	0	0	0	0
28	SLS_LM	SLS - LM71 bez dynam	Q	0	-188	-67	-179	0	383	-130	1.00	vyp.	1	0.00	-	1.00	0.00	0	0	0	0	0	0	0	0	0	0	0	0
29	ULS_C3	ULS - C3 bez dynam	Q	0	-191	-82	-227	0	471	-159	1.00	vyp.	1	0.00	-	1.00	0.00	0	0	0	0	0	0	0	0	0	0	0	0
30	SLS_C3	SLS - C3 bez dynam	Q	0	-155	-63	-179	0	371	-123	1.00	vyp.	1	0.00	-	1.00	0.00	0	0	0	0	0	0	0	0	0	0	0	0
		CELKEM - FÁZE PRŮŘEZU 0																-178	-70	-259	0	-259	0	556	0	556	-133	10	-123
		CELKEM - FÁZE PRŮŘEZU 1																0	0	0	0	0	0	0	0	0	0	0	0
		CELKEM - FÁZE PRŮŘEZU 2																0	0	0	0	0	0	0	0	0	0	0	0
		CELKEM - FÁZE PRŮŘEZU 3																0	0	0	0	0	0	0	0	0	0	0	0
		CELKEM - PRŮŘEZ																-178	-70	-259	0	-259	0			556			-123

Napětí od jednotlivých zatěžovacích stavů

SKUPINA ZATĚŽOVACÍCH STAVŮ

Posouzení normálového napětí — Účinek síly N — Účinek momentu My — Účinek momentu Mz

Posouzení smykového napětí — Účinek kroutícího momentu Mx — Účinek smykové síly Vy — Účinek smykové síly Vz

Č.	SKUP ZS	Popis ZS	Kat.	fáze průř.	δ^*N_d [kN]	χ^*A [mm^2]	σ_n [MPa]	$\delta^*M_{y,d}$ [kNm]	$\chi_{lt}{}^*W_{el,y}$ [mm^3]	σ_{my} [MPa]	$\delta^*M_{z,d}$ [kNm]	$W_{el,z}$ [mm^3]	σ_{mz} [MPa]	σ_x [MPa]	$\kappa^*\delta^*M_{x,d}$ [kNm]	$W_{v,y}$ [mm^3]	$\tau_{x,y}$ [MPa]	$W_{v,z}$ [mm^3]	$\tau_{x,z}$ [MPa]	$\delta^*V_{y,d}$ [kN]	$A_{v,y}$ [mm2]	$\tau_{v,y}$ [MPa]	$\tau_{v,y}$ [MPa]	$\delta^*V_{z,d}$ [kN]	$A_{v,z}$ [mm2]	$\tau_{v,z}$ [MPa]	$\tau_{v,z}$ [MPa]
1	G0	Vlastní tíha OK	G	0	-33.0	3.05E+04	-1.1	46.7	1.04E+07	4.5	-19.4	-7.92E+05	24.5	27.9	1.1E-02	-	-	-	-	-8.5	1.53E+04	-0.6	-0.6	-30.9	1.09E+04	-2.8	-2.8
2	G1	Ostatní stálé - mostní vybavení	G	0	-2.8	3.05E+04	-0.1	7.1	1.04E+07	0.7	-1.4	-7.92E+05	1.8	2.4	0.0E+00	-	-	-	-	-0.6	1.53E+04	0.0	0.0	-6.7	1.09E+04	-0.6	-0.6
3	G2	Ostatní stálé - cizí zařízení	G	0	-0.6	3.05E+04	0.0	-5.4	1.04E+07	-0.5	-1.2	-7.92E+05	1.5	1.0	0.0E+00	-	-	-	-	-0.5	1.53E+04	0.0	0.0	-3.6	1.09E+04	-0.3	-0.3
4	P1_71	a.LM71 - kolej 1 (bez dyn. souč.)	P	0	0.0	3.05E+04	0.0	0.0	1.04E+07	0.0	0.0	-7.92E+05	0.0	0.0	0.0E+00	-	-	-	-	0.0	1.53E+04	0.0	0.0	0.0	1.09E+04	0.0	0.0
5	P2_71	a.LM71 - kolej 2 (bez dyn. souč.)	P	0	0.0	3.05E+04	0.0	0.0	1.04E+07	0.0	0.0	-7.92E+05	0.0	0.0	0.0E+00	-	-	-	-	0.0	1.53E+04	0.0	0.0	0.0	1.09E+04	0.0	0.0
6	P1_C3	TTZ C3 - kolej 1 (bez dyn. souč.)	P	0	-49.2	3.05E+04	-1.6	104.8	1.04E+07	10.1	-18.2	-7.92E+05	23.0	31.5	-3.1E-02	-	-	-	-	-13.5	1.53E+04	-0.9	-0.9	-138.5	1.09E+04	-12.7	-12.7
7	P2_C3	TTZ C3 - kolej 2 (bez dyn. souč.)	P	0	-54.1	3.05E+04	-1.8	433.2	1.04E+07	41.8	-21.7	-7.92E+05	27.4	67.4	1.5E-02	-	-	-	-	-9.4	1.53E+04	-0.6	-0.6	-76.6	1.09E+04	-7.0	-7.0
8	BR	Brzdné a rozjezdové síly	P	0	-39.3	3.05E+04	-1.3	-6.2	1.04E+07	-0.6	-38.2	-7.92E+05	48.2	46.4	2.2E-02	-	-	-	-	-14.3	1.53E+04	-0.9	-0.9	1.6	1.09E+04	0.1	0.1
9	S	Boční ráz	P	0	0.0	3.05E+04	0.0	-1.8	1.04E+07	-0.2	-1.7	-7.92E+05	2.1	1.9	3.7E-03	-	-	-	-	-2.0	1.53E+04	-0.1	-0.1	-0.6	1.09E+04	-0.1	-0.1
10	CH	Chodci na lávkách	Q	0	1.0	3.05E+04	0.0	-32.0	1.04E+07	-3.1	-3.5	-7.92E+05	4.4	1.3	0.0E+00	-	-	-	-	-1.6	1.53E+04	-0.1	-0.1	0.0	1.09E+04	0.0	0.0
11	W	Vítr na konstrukci	Q	0	-1.6	3.05E+04	-0.1	27.0	1.04E+07	2.6	-5.4	-7.92E+05	6.8	9.4	8.6E-03	-	-	-	-	-6.7	1.53E+04	-0.4	-0.4	9.7	1.09E+04	0.9	0.9
12	WP	Vítr na vozidla	Q	0	6.0	3.05E+04	0.2	-20.8	1.04E+07	-2.0	-10.1	-7.92E+05	12.8	11.0	1.7E-02	-	-	-	-	-11.9	1.53E+04	-0.8	-0.8	-16.6	1.09E+04	-1.5	-1.5
13	TR	Teplota rovnoměrná	Q	0	0.0	3.05E+04	0.0	0.0	1.04E+07	0.0	0.0	-7.92E+05	0.0	0.0	0.0E+00	-	-	-	-	0.0	1.53E+04	0.0	0.0	0.0	1.09E+04	0.0	0.0
14	TN	Teplota nerovnoměrná	Q	0	3.8	3.05E+04	0.1	-3.2	1.04E+07	-0.3	-1.0	-7.92E+05	1.2	1.0	0.0E+00	-	-	-	-	-0.4	1.53E+04	0.0	0.0	0.4	1.09E+04	0.0	0.0
15	FR	Třecí síly v ložiskách	Q	0	-8.0	3.05E+04	-0.3	-2.4	1.04E+07	-0.2	-1.2	-7.92E+05	1.5	1.0	0.0E+00	-	-	-	-	-0.4	1.53E+04	0.0	0.0	0.0	1.09E+04	0.0	0.0
16	I	Imperfekce soustavy	Q	0	-0.1	3.05E+04	0.0	9.4	1.04E+07	0.9	-0.2	-7.92E+05	0.2	1.1	0.0E+00	-	-	-	-	-0.4	1.53E+04	0.0	0.0	3.3	1.09E+04	0.3	0.3
27	ULS_LM	ULS - LM71 bez dynam	Q	0	0.0	3.05E+04	0.0	0.0	1.04E+07	0.0	0.0	-7.92E+05	0.0	0.0	0.0E+00	-	-	-	-	0.0	1.53E+04	0.0	0.0	0.0	1.09E+04	0.0	0.0
28	SLS_LM	SLS - LM71 bez dynam	Q	0	0.0	3.05E+04	0.0	0.0	1.04E+07	0.0	0.0	-7.92E+05	0.0	0.0	0.0E+00	-	-	-	-	0.0	1.53E+04	0.0	0.0	0.0	1.09E+04	0.0	0.0
29	ULS_C3	ULS - C3 bez dynam	Q	0	0.0	3.05E+04	0.0	0.0	1.04E+07	0.0	0.0	-7.92E+05	0.0	0.0	0.0E+00	-	-	-	-	0.0	1.53E+04	0.0	0.0	0.0	1.09E+04	0.0	0.0
30	SLS_C3	SLS - C3 bez dynam	Q	0	0.0	3.05E+04	0.0	0.0	1.04E+07	0.0	0.0	-7.92E+05	0.0	0.0	0.0E+00	-	-	-	-	0.0	1.53E+04	0.0	0.0	0.0	1.09E+04	0.0	0.0
		NAVÝŠENÍ NAPĚTÍ DO AKTIVACE TLAKU V DESCE MOSTOVKY				$\sigma_{P,red}$	0.0							0.0			0.0		0.0				-4.6	-4.6			-23.7	-23.7
		NAPĚTÍ OD PRIMÁRNÍCH ÚČINKŮ NEROVNOMĚRNÉHO OTEPLENÍ				σ_T	0.0							0.0														
		NAPĚTÍ OD REOLOGICKÝCH ÚČINKŮ BETONU V ČASE		t=0		σ_R	0.0	γ_f=	1.20					0.0														
		NAPĚTÍ V KRITICKÝCH VLÁKNECH OD KOMBINACE ZATÍŽENÍ				KZ07		[MPa]					$\Sigma\sigma_x$	203.4				$\Sigma\tau_y$	-4.6						$\Sigma\tau_z$	-23.7	
		NAPĚTÍ OD POHYBLIVÉHO ZATÍŽENÍ						[MPa]					$\sigma_{x,P}$	147.3				τ_P	-2.6						τ_P	-19.6	
		NAPĚTÍ OD OSTATNÍCH ZATÍŽENÍ						[MPa]			Φ_{Vy}	Φ_{Vz}	$\sigma_{x,rs}$	56.1				τ_{rs}	-2.0						τ_{rs}	-4.1	
		NÁVRHOVÁ HODNOTA MEZE KLUZU S REDUKCÍ VLIVEM SMYKOVÉHO NAPĚTÍ						[MPa]			1.00	1.00	$f_{yv,d}$	215.0				$f_{yd}/3^{0,5}$	124.1						$f_{yd}/3^{0,5}$	124.1	
		NAPĚTÍ OD POHYBLIVÉHO ZATÍŽENÍ V GLOBÁLNÍM SYSTÉMU				$\sigma_{GLOB,P}$	0.0	[MPa]					$\Sigma\sigma_{GLOB}$	0.0													
		NAPĚTÍ OD OSTATNÍCH ZATÍŽENÍ V GLOBÁLNÍM SYSTÉMU				$\sigma_{GLOB,rs}$	0.0	[MPa]					$\Sigma\sigma_x + \Sigma\sigma_{GLOB}$	203.4													
		VYUŽITÍ PRŮŘEZU DLE NAPĚTÍ						[%]					η_1	0.95				η_3	0.04						η_3	0.19	
		NAPĚTÍ V PŘÍČNÉM SMĚRU OD POHYBLIVÉHO ZATÍŽENÍ				$\sigma_{z,P}$	0.0	[MPa]					$\Sigma\sigma_z$	0.0													
		NAPĚTÍ V PŘÍČNÉM SMĚRU OD OSTATNÍCH ZATÍŽENÍ				$\sigma_{z,rs}$	0.0	[MPa]					η_2	0.00													
		SROVNÁVACÍ NAPĚTÍ											$(\eta_2 + 0{,}8\,\eta_1)/1{,}4$ =	0.54													
		VYUŽITÍ PRŮŘEZU CELKEM						[%]					eff	0.95	VYHOVUJE												
		STANOVENÍ ZATÍŽITELNOSTI											Z_{LM71} =	-----													

TAB. P2.1.3 POSOUZENÍ - MEZNÍ STAV ÚNOSNOSTI

POPIS	PŘÍČNÍK P2 - VNĚJŠÍ PODÉLNÍK
PRUT / POLOHA BODU	691 / I[568]
NAMÁHÁNÍ	Vz.min
VLÁKNO	BOD S6 -HP
MEZNÍ STAV	ULS (MSÚ)
VYUŽITÍ VLÁKNA PRŮŘEZU	0.28

Charakteristiky materiálu				
pás. horní	$f_{yf,k}$	230	MPa	
pás. dolní	$f_{yf,k}$	230	MPa	
stojina	$f_{yw,k}$	230	MPa	
výztuž	$f_{ys,k}$	500	MPa	
γ_M =	1.07	γ_s =	1.15	

Excentricita normálové síly				
Exc./Fáze	0	1	2	3
e_y	0.000	0.000	0.000	0.000
e_z	0.000	0.000	0.000	0.000
Ekvivalentní vzdál. stěn - příčný roznos				
b_{Mx}	0.000	0.000	0.000	0.000

Vliv stěny na únosnost průřezu				
Char./Fáze	0	1	2	3
A	0.00	0.00	0.00	0.00
Wy	0.00	0.00	0.00	0.00
Wz	0.00	0.00	0.00	0.00

Charakter. v kroucení			
$t_{w,y}$	0.000	[mm]	
$t_{w,z}$	0.000	[mm]	
κ	1.00		
I_t=	0.00E+00	[mm^4]	
Ω=2*A_{pr}	0.00E+00	[mm^2]	

Součinitele vzpěru a vlivu II.řádu				
Char./Fáze	0	1	2	3
k_y	1.000	1.000	1.000	1.000
k_z	1.000	1.000	1.000	1.000
χ_{LT}	1.000	1.000	1.000	1.000
χ_{min}	1.000	1.000	1.000	1.000

8

δ_{LOK} 1.05

Vnitřní síly od jednotlivých skupin zatěžovacích stavů

SKUPINA ZATĚŽOVACÍCH STAVŮ					- CHARAKTERISTICKÉ HODNOTY						DÍLČÍ SOUČINITELÉ ZATÍŽENÍ, DYNAMICKÝ SOUČINITEL							- NÁVRHOVÉ HODNOTY									
Č.	SKUP ZS	POPIS ZS	KAT.	FÁZE PRŮŘ.	N.k (kN)	Vy.k (kN)	Vz.k (kN)	Mx.k (kNm)	My.k (kNm)	Mz.k (kNm)	γ_{sr} (-)	γ_s (-)	volba γ_s hledat	γ_s (-)	L_d (m)	δ (-)	Ψ_s KZ08	N.d (kN)	Vy.d (kN)	Vz.d (kN)	ΔVz.d (kN)	ΣVz.d (kN)	Mx.d (kNm)	My.d (kNm)	ΔMy.d (kNm)	ΣMy.d (kNm)	Mz.d (kNm)	ΔMz.d (kNm)	ΣMz.d (kNm)
1	G0	Vlastní tíha OK	G	0	-29	-7	-27	0	41	-17	1.00	1.20		1.20	-	1.00	0.95	-33	-9	-31	0	-31	0	47	0	47	-19	0	-19
2	G1	Ostatní stálé - mostní vybavení	G	0	-2	-1	-6	0	6	-1	1.00	1.20		1.20	-	1.00	0.95	-3	-1	-7	0	-7	0	7	0	7	-1	0	-1
3	G2	Ostatní stálé - cizí zařízení	G	0	-1	0	-3	0	-5	-1	1.00	1.20		1.20	-	1.00	0.95	-1	-1	-4	0	-4	0	-5	0	-5	-1	0	-1
4	P1_71	a.LM71 - kolej 1 (bez dyn. souč.)	P	0	-49	-9	-183	0	153	-16	1.00	vyp.		0.00	-	1.00	0.00	0	0	0	0	0	0	0	0	0	0	0	0
5	P2_71	a.LM71 - kolej 2 (bez dyn. souč.)	P	0	-33	-1	-160	0	569	-4	1.00	vyp.		0.00	-	1.00	0.00	0	0	0	0	0	0	0	0	0	0	0	0
6	P1_C3	TTZ C3 - kolej 1 (bez dyn. souč.)	P	0	-32	-8	-103	0	84	-13	1.00	1.16		1.16	-	1.32	1.00	-49	-12	-158	0	-158	0	128	0	128	-20	4	-16
7	P2_C3	TTZ C3 - kolej 2 (bez dyn. souč.)	P	0	-16	-1	-90	0	319	-3	1.00	1.16		1.16	-	1.32	1.00	-24	-1	-137	0	-137	0	486	0	486	-4	1	-3
8	BR	Brzdné a rozjezdové síly	P	0	53	19	-2	0	8	51	1.00	1.16		1.16	-	1.00	0.32	20	7	-1	0	-1	0	3	0	3	19	0	19
9	S	Boční ráz	P	0	-4	3	-7	0	-13	2	1.00	1.16		1.16	-	1.00	0.64	-3	2	-5	0	-5	0	-10	0	-10	2	0	2
10	CH	Chodci na lávkách	Q	0	1	-1	0	0	-25	-2	1.00	1.30		1.30	-	1.00	1.00	1	-1	0	0	0	0	-32	0	-32	-3	0	-3
11	W	Vítr na konstrukci	Q	0	-1	8	-11	0	-31	6	1.00	1.15		1.15	-	1.00	0.75	-1	7	-10	0	-10	0	-27	0	-27	5	0	5
12	WP	Vítr na vozidla	Q	0	7	-14	-19	0	-24	-12	1.00	1.15		1.15	-	1.00	0.75	6	-12	-17	0	-17	0	-21	0	-21	-10	0	-10
13	TR	Teplota rovnoměrná	Q	0	0	0	0	0	0	0	1.00	1.15		1.15	-	1.00	0.45	0	0	0	0	0	0	0	0	0	0	0	0
14	TN	Teplota nerovnoměrná	Q	0	2	-1	-5	0	-21	-1	1.00	1.15		1.15	-	1.00	0.60	1	0	-3	0	-3	0	-14	0	-14	-1	0	-1
15	FR	Třecí síly v ložiskách	Q	0	-7	0	0	0	-2	-1	1.00	1.20		1.20	-	1.00	1.00	-8	0	0	0	0	0	-2	0	-2	-1	0	-1
16	I	Imperfekce soustavy	Q	0	0	0	-3	0	-8	0	1.00	1.20		1.20	-	1.00	1.00	0	0	-3	0	-3	0	-9	0	-9	0	0	0
27	ULS_LM	ULS - LM71 bez dynam	Q	0	-113	-14	-535	0	858	-22	1.00	vyp.		0.00	-	1.00	0.00	0	0	0	0	0	0	0	0	0	0	0	0
28	SLS_LM	SLS - LM71 bez dynam	Q	0	-92	-11	-412	0	679	-18	1.00	vyp.	1	0.00	-	1.00	0.00	0	0	0	0	0	0	0	0	0	0	0	0
29	ULS_C3	ULS - C3 bez dynam	Q	0	-68	-12	-341	0	444	-16	1.00	vyp.	1	0.00	-	1.00	0.00	0	0	0	0	0	0	0	0	0	0	0	0
30	SLS_C3	SLS - C3 bez dynam	Q	0	-58	-9	-263	0	360	-14	1.00	vyp.	1	0.00	-	1.00	0.00	0	0	0	0	0	0	0	0	0	0	0	0
		CELKEM - FÁZE PRŮŘEZU 0																-93	-20	-375	0	-375	0	550	0	550	-34	5	-30
		CELKEM - FÁZE PRŮŘEZU 1																0	0	0	0	0	0	0	0	0	0	0	0
		CELKEM - FÁZE PRŮŘEZU 2																0	0	0	0	0	0	0	0	0	0	0	0
		CELKEM - FÁZE PRŮŘEZU 3																0	0	0	0	0	0	0	0	0	0	0	0
		CELKEM - PRŮŘEZ																-93	-20	-375	0	-375	0			550			-30

Napětí od jednotlivých zatěžovacích stavů

SKUPINA ZATĚŽOVACÍCH STAVŮ					Posouzení normálového napětí										Posouzení smykového napětí													
					Účinek síly N			Účinek momentu My				Účinek momentu Mz				Účinek kroutícího momentu Mx				Účinek smykové síly Vy				Účinek smykové síly Vz			
Č.	SKUP ZS	Popis ZS	Kat.	fáze prúř.	δ^*N_d [kN]	χ^*A [mm^2]	σ_n [MPa]	$\delta^*M_{y,d}$ [kNm]	$\chi_{lt}{}^*W_{el,y}$ [mm^3]	σ_{my} [MPa]	$\delta^*M_{z,d}$ [kNm]	$W_{el,z}$ [mm^3]	σ_{mz} [MPa]	σ_x [MPa]	$\kappa^*\delta^*M_{x,d}$ [kNm]	$W_{v,y}$ [mm^2]	$\tau_{x,y}$ [MPa]	$W_{v,z}$ [mm^2]	$\tau_{x,z}$ [MPa]	$\delta^*V_{y,d}$ [kN]	$A_{v,y}$ [mm2]	$\tau_{v,y}$ [MPa]	$\tau_{v,y}$ [MPa]	$\delta^*V_{z,d}$ [kN]	$A_{v,z}$ [mm2]	$\tau_{v,z}$ [MPa]	$\tau_{v,z}$ [MPa]
1	G0	Vlastní tíha OK	G	0	-33.0	3.05E+04	-1.1	46.7	1.06E+07	4.4	-19.4	-2.44E+07	0.8	4.1	1.1E-02	-	-	-	-	-8.5	1.53E+04	-0.6	-0.6	-30.9	1.09E+04	-2.8	-2.8
2	G1	Ostatní stálé - mostní vybavení	G	0	-2.8	3.05E+04	-0.1	7.1	1.06E+07	0.7	-1.4	-2.44E+07	0.1	0.6	0.0E+00	-	-	-	-	-0.6	1.53E+04	0.0	0.0	-6.7	1.09E+04	-0.6	-0.6
3	G2	Ostatní stálé - cizí zařízení	G	0	-0.6	3.05E+04	0.0	-5.4	1.06E+07	-0.5	-1.2	-2.44E+07	0.0	-0.5	0.0E+00	-	-	-	-	-0.5	1.53E+04	0.0	0.0	-3.6	1.09E+04	-0.3	-0.3
4	P1_71	a.LM71 - kolej 1 (bez dyn. souč.)	P	0	0.0	3.05E+04	0.0	0.0	1.06E+07	0.0	0.0	-2.44E+07	0.0	0.0	0.0E+00	-	-	-	-	0.0	1.53E+04	0.0	0.0	0.0	1.09E+04	0.0	0.0
5	P2_71	a.LM71 - kolej 2 (bez dyn. souč.)	P	0	0.0	3.05E+04	0.0	0.0	1.06E+07	0.0	0.0	-2.44E+07	0.0	0.0	0.0E+00	-	-	-	-	0.0	1.53E+04	0.0	0.0	0.0	1.09E+04	0.0	0.0
6	P1_C3	TTZ C3 - kolej 1 (bez dyn. souč.)	P	0	-48.8	3.05E+04	-1.6	128.3	1.06E+07	12.1	-15.9	-2.44E+07	0.7	11.1	-1.5E-02	-	-	-	-	-11.6	1.53E+04	-0.8	-0.8	-157.7	1.09E+04	-14.5	-14.5
7	P2_C3	TTZ C3 - kolej 2 (bez dyn. souč.)	P	0	-24.5	3.05E+04	-0.8	486.3	1.06E+07	45.8	-3.3	-2.44E+07	0.1	45.1	0.0E+00	-	-	-	-	-1.1	1.53E+04	-0.1	-0.1	-137.3	1.09E+04	-12.6	-12.6
8	BR	Brzdné a rozjezdové síly	P	0	19.6	3.05E+04	0.6	3.1	1.06E+07	0.3	19.1	-2.44E+07	-0.8	0.2	-1.1E-02	-	-	-	-	7.1	1.53E+04	0.5	0.5	-0.8	1.09E+04	-0.1	-0.1
9	S	Boční ráz	P	0	-3.0	3.05E+04	-0.1	-9.8	1.06E+07	-0.9	1.6	-2.44E+07	-0.1	-1.1	-2.2E-02	-	-	-	-	2.5	1.53E+04	0.2	0.2	-4.9	1.09E+04	-0.4	-0.4
10	CH	Chodci na lávkách	Q	0	1.5	3.05E+04	0.0	-32.2	1.06E+07	-3.0	-2.6	-2.44E+07	0.1	-2.9	0.0E+00	-	-	-	-	-1.3	1.53E+04	-0.1	-0.1	0.0	1.09E+04	0.0	0.0
11	W	Vítr na konstrukci	Q	0	-0.6	3.05E+04	0.0	-27.0	1.06E+07	-2.5	5.4	-2.44E+07	-0.2	-2.8	-8.6E-03	-	-	-	-	6.6	1.53E+04	0.4	0.4	-9.7	1.09E+04	-0.9	-0.9
12	WP	Vítr na vozidla	Q	0	6.0	3.05E+04	0.2	-20.8	1.06E+07	-2.0	-10.1	-2.44E+07	0.4	-1.3	1.7E-02	-	-	-	-	-11.9	1.53E+04	-0.8	-0.8	-16.6	1.09E+04	-1.5	-1.5
13	TR	Teplota rovnoměrná	Q	0	0.0	3.05E+04	0.0	0.0	1.06E+07	0.0	0.0	-2.44E+07	0.0	0.0	0.0E+00	-	-	-	-	0.0	1.53E+04	0.0	0.0	0.0	1.09E+04	0.0	0.0
14	TN	Teplota nerovnoměrná	Q	0	1.1	3.05E+04	0.0	-14.2	1.06E+07	-1.3	-0.8	-2.44E+07	0.0	-1.3	-6.9E-03	-	-	-	-	-0.5	1.53E+04	0.0	0.0	-3.4	1.09E+04	-0.3	-0.3
15	FR	Třecí síly v ložiskách	Q	0	-8.0	3.05E+04	-0.3	-2.4	1.06E+07	-0.2	-1.2	-2.44E+07	0.0	-0.4	0.0E+00	-	-	-	-	-0.4	1.53E+04	0.0	0.0	0.0	1.09E+04	0.0	0.0
16	I	Imperfekce soustavy	Q	0	0.1	3.05E+04	0.0	-9.4	1.06E+07	-0.9	0.2	-2.44E+07	0.0	-0.9	0.0E+00	-	-	-	-	0.4	1.53E+04	0.0	0.0	-3.3	1.09E+04	-0.3	-0.3
27	ULS_LM	ULS - LM71 bez dynam	Q	0	0.0	3.05E+04	0.0	0.0	1.06E+07	0.0	0.0	-2.44E+07	0.0	0.0	0.0E+00	-	-	-	-	0.0	1.53E+04	0.0	0.0	0.0	1.09E+04	0.0	0.0
28	SLS_LM	SLS - LM71 bez dynam	Q	0	0.0	3.05E+04	0.0	0.0	1.06E+07	0.0	0.0	-2.44E+07	0.0	0.0	0.0E+00	-	-	-	-	0.0	1.53E+04	0.0	0.0	0.0	1.09E+04	0.0	0.0
29	ULS_C3	ULS - C3 bez dynam	Q	0	0.0	3.05E+04	0.0	0.0	1.06E+07	0.0	0.0	-2.44E+07	0.0	0.0	0.0E+00	-	-	-	-	0.0	1.53E+04	0.0	0.0	0.0	1.09E+04	0.0	0.0
30	SLS_C3	SLS - C3 bez dynam	Q	0	0.0	3.05E+04	0.0	0.0	1.06E+07	0.0	0.0	-2.44E+07	0.0	0.0	0.0E+00	-	-	-	-	0.0	1.53E+04	0.0	0.0	0.0	1.09E+04	0.0	0.0
NAVÝŠENÍ NAPĚTÍ DO AKTIVACE TLAKU V DESCE MOSTOVKY						$\sigma_{P,red}$	0.0							0.0			0.0		0.0				-1.3	-1.3			-34.4	-34.4
NAPĚTÍ OD PRIMÁRNÍCH ÚČINKŮ NEROVNOMĚRNÉHO OTEPLENÍ						σ_T	0.0							0.0														
NAPĚTÍ OD REOLOGICKÝCH ÚČINKŮ BETONU V ČASE				t=0		σ_R	0.0	γ=	1.20					0.0														
NAPĚTÍ V KRITICKÝCH VLÁKNECH OD KOMBINACE ZATÍŽENÍ						KZ08		[MPa]					$\Sigma\sigma_x$	50.0								$\Sigma\tau_y$	-1.3				$\Sigma\tau_z$	-34.4
NAPĚTÍ OD POHYBLIVÉHO ZATÍŽENÍ								[MPa]					$\sigma_{x,P}$	55.3								τ_P	-0.2				τ_P	-27.6
NAPĚTÍ OD OSTATNÍCH ZATÍŽENÍ								[MPa]			Φ_{Vy}	Φ_{Vz}	$\sigma_{x,rs}$	-5.3								τ_{rs}	-1.1				τ_{rs}	-6.8
NÁVRHOVÁ HODNOTA MEZE KLUZU S REDUKCÍ VLIVEM SMYKOVÉHO NAPĚTÍ								[MPa]			1.00	1.00	$f_{yv,d}$	215.0								$f_{yd}/3^{0,5}$	124.1				$f_{yd}/3^{0,5}$	124.1
NAPĚTÍ OD POHYBLIVÉHO ZATÍŽENÍ V GLOBÁLNÍM SYSTÉMU						$\sigma_{GLOB,P}$	0.0	[MPa]					$\Sigma\sigma_{GLOB}$	0.0														
NAPĚTÍ OD OSTATNÍCH ZATÍŽENÍ V GLOBÁLNÍM SYSTÉMU						$\sigma_{GLOB,rs}$	0.0	[MPa]					$\Sigma\sigma_x + \Sigma\sigma_{GLOB}$	50.0														
VYUŽITÍ PRŮŘEZU DLE NAPĚTÍ								[%]					η_1	0.23								η_3	0.01				η_3	0.28
NAPĚTÍ V PŘÍČNÉM SMĚRU OD POHYBLIVÉHO ZATÍŽENÍ						$\sigma_{z,P}$	0.0	[MPa]					$\Sigma\sigma_z$	0.0														
NAPĚTÍ V PŘÍČNÉM SMĚRU OD OSTATNÍCH ZATÍŽENÍ						$\sigma_{z,rs}$	0.0	[MPa]					η_2	0.00														
SROVNÁVACÍ NAPĚTÍ													$(\eta_2 + 0,8\ \eta_1)/1,4$ =	0.13														
VYUŽITÍ PRŮŘEZU CELKEM								[%]					eff	0.28	VYHOVUJE													
STANOVENÍ ZATÍŽITELNOSTI													Z_{LM71} =	-----														

TAB. P3.1.3 POSOUZENÍ - MEZNÍ STAV ÚNOSNOSTI

POPIS	PŘÍČNÍK P3 - ZÁKLADNÍ ČÁST
PRUT / POLOHA BODU	679 / I[557]
NAMÁHÁNÍ	Vy.max
VLÁKNO	BOD K2 -HP
MEZNÍ STAV	ULS (MSÚ)
VYUŽITÍ VLÁKNA PRŮŘEZU	0.97

Charakteristiky materiálu				
pás. horní	$f_{yf,k}$	230	MPa	
pás. dolní	$f_{yf,k}$	230	MPa	
stojina	$f_{yw,k}$	230	MPa	
výztuž	$f_{ys,k}$	500	MPa	
γ_M =	1.07	γ_s =	1.15	

Excentricita normálové síly				
Exc./Fáze	0	1	2	3
e_y	0.000	0.000	0.000	0.000
e_z	0.000	0.000	0.000	0.000
Ekvivalentní vzdál. stěn - příčný roznos				
b_{Nx}	0.000	0.000	0.000	0.000

Vliv stěny na únosnost průřezu				
Char./Fáze	0	1	2	3
A	0.41	0.00	0.00	0.00
Wy	0.19	0.00	0.00	0.00
Wz	0.06	0.00	0.00	0.00

Charakter. v kroucení			
$t_{w,y}$	0.000	[mm]	
$t_{w,z}$	0.000	[mm]	
κ	1.00		
I_t=	0.00E+00	[mm^4]	
$\Omega=2*A_{pr}$	0.00E+00	[mm^2]	

Součinitele vzpěru a vlivu II.řádu				
Char./Fáze	0	1	2	3
k_y	1.000	1.000	1.000	1.000
k_z	1.000	1.000	1.000	1.000
χ_{LT}	1.000	1.000	1.000	1.000
χ_{min}	1.000	1.000	1.000	1.000

δ_{LOK} 1.05

Vnitřní síly od jednotlivých skupin zatěžovacích stavů

SKUPINA ZATĚŽOVACÍCH STAVŮ — CHARAKTERISTICKÉ HODNOTY — DÍLČÍ SOUČINITELÉ ZATÍŽENÍ, DYNAMICKÝ SOUČINITEL — NÁVRHOVÉ HODNOTY

Č.	SKUP ZS	Popis ZS	KAT.	FÁZE PRŮŘ.	N.k (kN)	Vy.k (kN)	Vz.k (kN)	Mx.k (kNm)	My.k (kNm)	Mz.k (kNm)	γ_{sr} (-)	γ_{fs} (-)	volba ψ_i hledat	ψ_i (-)	L_d (m)	δ (-)	Ψ_E KZ07	N.d (kN)	Vy.d (kN)	Vz.d (kN)	ΔVz.d (kN)	ΣVz.d (kN)	Mx.d (kNm)	My.d (kNm)	ΔMy.d (kNm)	ΣMy.d (kNm)	Mz.d (kNm)	ΔMz.d (kNm)	ΣMz.d (kNm)
1	G0	Vlastní tíha OK	G	0	0	13	-45	0	37	-9	1.00	1.20		1.20	-	1.00	0.95	0	15	-52	0	-52	0	43	0	43	-11	0	-11
2	G1	Ostatní stálé - mostní vybavení	G	0	0	1	-7	0	6	-1	1.00	1.20		1.20	-	1.00	0.95	0	1	-8	0	-8	0	7	0	7	-1	0	-1
3	G2	Ostatní stálé - cizí zařízení	G	0	0	1	-3	0	-6	-1	1.00	1.20		1.20	-	1.00	0.95	0	1	-4	0	-4	0	-7	0	-7	-1	0	-1
4	P1_71	a.LM71 - kolej 1 (bez dyn. souč.)	P	0	11	14	-115	0	70	-14	1.00	vyp.		0.00	-	1.00	0.00	0	0	0	0	0	0	0	0	0	0	0	0
5	P2_71	a.LM71 - kolej 2 (bez dyn. souč.)	P	0	-6	19	-259	0	322	-15	1.00	vyp.		0.00	-	1.00	0.00	0	0	0	0	0	0	0	0	0	0	0	0
6	P1_C3	TTZ C3 - kolej 1 (bez dyn. souč.)	P	0	10	12	-113	0	74	-11	1.00	1.16		1.16	-	1.32	1.00	15	18	-173	0	-173	0	112	0	112	-17	3	-14
7	P2_C3	TTZ C3 - kolej 2 (bez dyn. souč.)	P	0	-7	15	-234	0	291	-12	1.00	1.16		1.16	-	1.32	1.00	-10	23	-357	0	-357	0	444	0	444	-18	4	-15
8	BR	Brzdné a rozjezdové síly	P	0	0	40	-1	0	-1	-45	1.00	1.16		1.16	-	1.00	0.64	0	30	-1	0	-1	0	0	0	0	-33	0	-33
9	S	Boční ráz	P	0	5	3	2	0	-14	-5	1.00	1.16		1.16	-	1.00	0.32	2	1	1	0	1	0	-5	0	-5	-2	0	-2
10	CH	Chodci na lávkách	Q	0	-1	2	0	0	-29	-2	1.00	1.30		1.30	-	1.00	1.00	-1	3	0	0	0	0	-38	0	-38	-2	0	-2
11	W	Vítr na konstrukci	Q	0	-16	4	8	0	21	-6	1.00	1.15		1.15	-	1.00	0.75	-14	3	7	0	7	0	18	0	18	-5	0	-5
12	WP	Vítr na vozidla	Q	0	8	7	10	0	-42	-11	1.00	1.15		1.15	-	1.00	0.75	7	6	8	0	8	0	-36	0	-36	-10	0	-10
13	TR	Teplota rovnoměrná	Q	0	0	0	0	0	0	0	1.00	1.15		1.15	-	1.00	0.45	0	0	0	0	0	0	0	0	0	0	0	0
14	TN	Teplota nerovnoměrná	Q	0	6	1	-9	0	-28	-1	1.00	-1.15		-1.15	-	1.00	0.60	-4	-1	6	0	6	0	19	0	19	0	0	0
15	FR	Třecí síly v ložiskách	Q	0	0	1	0	0	0	-1	1.00	1.20		1.20	-	1.00	1.00	0	1	0	0	0	0	0	0	0	-1	0	-1
16	I	Imperfekce soustavy	Q	0	-1	0	2	0	6	0	1.00	1.20		1.20	-	1.00	1.00	-1	0	3	0	3	0	8	0	8	0	0	0
27	ULS_LM	ULS - LM71 bez dynam	Q	0	3	132	-537	0	469	-135	1.00	vyp.		0.00	-	1.00	0.00	0	0	0	0	0	0	0	0	0	0	0	0
28	SLS_LM	SLS - LM71 bez dynam	Q	0	-2	102	-415	0	384	-105	1.00	vyp.	1	0.00	-	1.00	0.00	0	0	0	0	0	0	0	0	0	0	0	0
29	ULS_C3	ULS - C3 bez dynam	Q	0	0	124	-503	0	434	-128	1.00	vyp.	1	0.00	-	1.00	0.00	0	0	0	0	0	0	0	0	0	0	0	0
30	SLS_C3	SLS - C3 bez dynam	Q	0	-3	96	-389	0	357	-99	1.00	vyp.	1	0.00	-	1.00	0.00	0	0	0	0	0	0	0	0	0	0	0	0
		CELKEM - FÁZE PRŮŘEZU 0			-8	102	-569	0	563	-100								-8	102	-569	0	-569	0	563	0	563	-100	7	-93
		CELKEM - FÁZE PRŮŘEZU 1			0	0	0	0	0	0								0	0	0	0	0	0	0	0	0	0	0	0
		CELKEM - FÁZE PRŮŘEZU 2			0	0	0	0	0	0								0	0	0	0	0	0	0	0	0	0	0	0
		CELKEM - FÁZE PRŮŘEZU 3			0	0	0	0	0	0								0	0	0	0	0	0	0	0	0	0	0	0
		CELKEM - PRŮŘEZ			-8	102	-569	0	563	-100								-8	102	-569	0	-569	0			563			-93

Napětí od jednotlivých zatěžovacích stavů

SKUPINA ZATĚŽOVACÍCH STAVŮ — Posouzení normálového napětí — Posouzení smykového napětí

Č.	SKUP ZS	Popis ZS	Kat.	fáze průř.	Účinek síly N: δ^*N_d [kN]	χ^*A [mm^2]	σ_n [MPa]	Účinek momentu My: $\delta^*M_{y,d}$ [kNm]	$\chi_{lt}{}^*W_{el,y}$ [mm^3]	σ_{my} [MPa]	Účinek momentu Mz: $\delta^*M_{z,d}$ [kNm]	$W_{el,z}$ [mm^3]	σ_{mz} [MPa]	σ_x [MPa]	Účinek kroutícího momentu Mx: $\kappa^*\delta^*M_{x,d}$ [kNm]	$W_{v,y}$ [mm^3]	$\tau_{x,y}$ [MPa]	$W_{v,z}$ [mm^3]	$\tau_{x,z}$ [MPa]	Účinek smykové síly Vy: $\delta^*V_{y,d}$ [kN]	$A_{v,y}$ [mm2]	$\tau_{v,y}$ [MPa]	$\tau_{v,y}$ [MPa]	Účinek smykové síly Vz: $\delta^*V_{z,d}$ [kN]	$A_{v,z}$ [mm2]	$\tau_{v,z}$ [MPa]	$\tau_{v,z}$ [MPa]
1	G0	Vlastní tíha OK	G	0	-0.2	2.84E+04	0.0	42.6	-1.07E+07	-4.0	-10.8	5.97E+05	-18.0	-22.0	-3.4E-02	-	-	-	-	14.8	1.23E+04	1.2	1.2	-51.6	1.11E+04	-4.6	-4.6
2	G1	Ostatní stálé - mostní vybavení	G	0	0.0	2.84E+04	0.0	6.6	-1.07E+07	-0.6	-0.8	5.97E+05	-1.4	-2.0	0.0E+00	-	-	-	-	1.1	1.23E+04	0.1	0.1	-7.8	1.11E+04	-0.7	-0.7
3	G2	Ostatní stálé - cizí zařízení	G	0	-0.2	2.84E+04	0.0	-7.3	-1.07E+07	0.7	-0.8	5.97E+05	-1.4	-0.7	0.0E+00	-	-	-	-	1.0	1.23E+04	0.1	0.1	-3.9	1.11E+04	-0.4	-0.4
4	P1_71	a.LM71 - kolej 1 (bez dyn. souč.)	P	0	0.0	2.84E+04	0.0	0.0	-1.07E+07	0.0	0.0	5.97E+05	0.0	0.0	0.0E+00	-	-	-	-	0.0	1.23E+04	0.0	0.0	0.0	1.11E+04	0.0	0.0
5	P2_71	a.LM71 - kolej 2 (bez dyn. souč.)	P	0	0.0	2.84E+04	0.0	0.0	-1.07E+07	0.0	0.0	5.97E+05	0.0	0.0	0.0E+00	-	-	-	-	0.0	1.23E+04	0.0	0.0	0.0	1.11E+04	0.0	0.0
6	P1_C3	TTZ C3 - kolej 1 (bez dyn. souč.)	P	0	14.9	2.84E+04	0.5	112.1	-1.07E+07	-10.5	-13.5	5.97E+05	-22.7	-32.6	-4.6E-02	-	-	-	-	17.8	1.23E+04	1.5	1.5	-173.1	1.11E+04	-15.6	-15.6
7	P2_C3	TTZ C3 - kolej 2 (bez dyn. souč.)	P	0	-10.5	2.84E+04	-0.4	443.8	-1.07E+07	-41.4	-14.6	5.97E+05	-24.4	-66.1	0.0E+00	-	-	-	-	23.1	1.23E+04	1.9	1.9	-357.2	1.11E+04	-32.2	-32.2
8	BR	Brzdné a rozjezdové síly	P	0	-0.1	2.84E+04	0.0	-0.4	-1.07E+07	0.0	-33.5	5.97E+05	-56.0	-56.0	0.0E+00	-	-	-	-	29.9	1.23E+04	2.4	2.4	-0.8	1.11E+04	-0.1	-0.1
9	S	Boční ráz	P	0	1.7	2.84E+04	0.1	-5.2	-1.07E+07	0.5	-1.7	5.97E+05	-2.8	-2.3	-3.7E-03	-	-	-	-	1.3	1.23E+04	0.1	0.1	0.7	1.11E+04	0.1	0.1
10	CH	Chodci na lávkách	Q	0	-1.0	2.84E+04	0.0	-37.9	-1.07E+07	3.5	-2.4	5.97E+05	-4.0	-0.5	0.0E+00	-	-	-	-	2.8	1.23E+04	0.2	0.2	0.1	1.11E+04	0.0	0.0
11	W	Vítr na konstrukci	Q	0	-13.9	2.84E+04	-0.5	18.5	-1.07E+07	-1.7	-5.3	5.97E+05	-8.8	-11.0	-8.6E-03	-	-	-	-	3.3	1.23E+04	0.3	0.3	7.0	1.11E+04	0.6	0.6
12	WP	Vítr na vozidla	Q	0	6.9	2.84E+04	0.2	-36.5	-1.07E+07	3.4	-9.5	5.97E+05	-16.0	-12.3	-8.6E-03	-	-	-	-	6.3	1.23E+04	0.5	0.5	8.5	1.11E+04	0.8	0.8
13	TR	Teplota rovnoměrná	Q	0	0.0	2.84E+04	0.0	0.0	-1.07E+07	0.0	0.0	5.97E+05	0.0	0.0	0.0E+00	-	-	-	-	0.0	1.23E+04	0.0	0.0	0.0	1.11E+04	0.0	0.0
14	TN	Teplota nerovnoměrná	Q	0	-4.2	2.84E+04	-0.1	19.2	-1.07E+07	-1.8	0.4	5.97E+05	0.6	-1.3	2.1E-02	-	-	-	-	-0.8	1.23E+04	-0.1	-0.1	6.0	1.11E+04	0.5	0.5
15	FR	Třecí síly v ložiskách	Q	0	-0.1	2.84E+04	0.0	-0.3	-1.07E+07	0.0	-0.6	5.97E+05	-1.1	-1.0	0.0E+00	-	-	-	-	0.8	1.23E+04	0.1	0.1	0.1	1.11E+04	0.0	0.0
16	I	Imperfekce soustavy	Q	0	-1.3	2.84E+04	0.0	7.7	-1.07E+07	-0.7	-0.2	5.97E+05	-0.4	-1.2	0.0E+00	-	-	-	-	0.0	1.23E+04	0.0	0.0	2.6	1.11E+04	0.2	0.2
27	ULS_LM	ULS - LM71 bez dynam	Q	0	0.0	2.84E+04	0.0	0.0	-1.07E+07	0.0	0.0	5.97E+05	0.0	0.0	0.0E+00	-	-	-	-	0.0	1.23E+04	0.0	0.0	0.0	1.11E+04	0.0	0.0
28	SLS_LM	SLS - LM71 bez dynam	Q	0	0.0	2.84E+04	0.0	0.0	-1.07E+07	0.0	0.0	5.97E+05	0.0	0.0	0.0E+00	-	-	-	-	0.0	1.23E+04	0.0	0.0	0.0	1.11E+04	0.0	0.0
29	ULS_C3	ULS - C3 bez dynam	Q	0	0.0	2.84E+04	0.0	0.0	-1.07E+07	0.0	0.0	5.97E+05	0.0	0.0	0.0E+00	-	-	-	-	0.0	1.23E+04	0.0	0.0	0.0	1.11E+04	0.0	0.0
30	SLS_C3	SLS - C3 bez dynam	Q	0	0.0	2.84E+04	0.0	0.0	-1.07E+07	0.0	0.0	5.97E+05	0.0	0.0	0.0E+00	-	-	-	-	0.0	1.23E+04	0.0	0.0	0.0	1.11E+04	0.0	0.0
NAVÝŠENÍ NAPĚTÍ DO AKTIVACE TLAKU V DESCE MOSTOVKY						$\sigma_{P,red}$	0.0							0.0				0.0		0.0			8.3	8.3			-51.3	-51.3
NAPĚTÍ OD PRIMÁRNÍCH ÚČINKŮ NEROVNOMĚRNÉHO OTEPLENÍ						σ_T	0.0							0.0														
NAPĚTÍ OD REOLOGICKÝCH ÚČINKŮ BETONU V ČASE				t=0		σ_R	0.0	γ_{lt}=	1.20					0.0														
NAPĚTÍ V KRITICKÝCH VLÁKNECH OD KOMBINACE ZATÍŽENÍ						KZ07		[MPa]					$\Sigma\sigma_x$	-209.1								$\Sigma\tau_y$	8.3			$\Sigma\tau_z$	-51.3
NAPĚTÍ OD POHYBLIVÉHO ZATÍŽENÍ								[MPa]					$\sigma_{x,P}$	-157.0									5.9			τ_P	-47.8
NAPĚTÍ OD OSTATNÍCH ZATÍŽENÍ								[MPa]			Φ_{Vy}	Φ_{Vz}	$\sigma_{x,rs}$	-52.1								τ_{Ed}	2.4			τ_{rs}	-3.5
NÁVRHOVÁ HODNOTA MEZE KLUZU S REDUKCÍ VLIVEM SMYKOVÉHO NAPĚTÍ								[MPa]			1.00	1.00	$f_{yw,d}$	215.0								$f_{yd}/3^{0,5}$	124.1			$f_{yd}/3^{0,5}$	124.1
NAPĚTÍ OD POHYBLIVÉHO ZATÍŽENÍ V GLOBÁLNÍM SYSTÉMU						$\sigma_{GLOB,P}$	0.0	[MPa]					$\Sigma\sigma_{GLOB}$	0.0													
NAPĚTÍ OD OSTATNÍCH ZATÍŽENÍ V GLOBÁLNÍM SYSTÉMU						$\sigma_{GLOB,rs}$	0.0	[MPa]					$\Sigma\sigma_x + \Sigma\sigma_{GLOB}$	-209.1													
VYUŽITÍ PRŮŘEZU DLE NAPĚTÍ								[%]					η_1	0.97								η_3	0.07			η_3	0.41
NAPĚTÍ V PŘÍČNÉM SMĚRU OD POHYBLIVÉHO ZATÍŽENÍ						$\sigma_{z,P}$	0.0	[MPa]					$\Sigma\sigma_z$	0.0													
NAPĚTÍ V PŘÍČNÉM SMĚRU OD OSTATNÍCH ZATÍŽENÍ						$\sigma_{z,rs}$	0.0	[MPa]					η_2	0.00													
SROVNÁVACÍ NAPĚTÍ													$(\eta_2 + 0{,}8\,\eta_1)/1{,}4$ =	0.56													
VYUŽITÍ PRŮŘEZU CELKEM								[%]					eff	0.97	VYHOVUJE												
STANOVENÍ ZATÍŽITELNOSTI													Z_{LM71} =	-----													

TAB. P3.1.3 POSOUZENÍ - MEZNÍ STAV ÚNOSNOSTI

POPIS	PŘÍČNÍK P3 - ZÁKLADNÍ ČÁST
PRUT / POLOHA BODU	679 / I[557]
NAMÁHÁNÍ	Vy.max
VLÁKNO	BOD K3 -SL
MEZNÍ STAV	ULS (MSÚ)
VYUŽITÍ VLÁKNA PRŮŘEZU	1.01

Charakteristiky materiálu				
pás. horní	$f_{yf,k}$	230	MPa	
pás. dolní	$f_{yf,k}$	230	MPa	
stojina	$f_{yw,k}$	230	MPa	
výztuž	$f_{ys,k}$	500	MPa	
γ_M =	1.07	γ_s =	1.15	

Excentricita normálové síly				
Exc./Fáze	0	1	2	3
e_y	0.000	0.000	0.000	0.000
e_z	0.000	0.000	0.000	0.000
Ekvivalentní vzdál. stěn - příčný roznos				
b_{Mx}	0.000	0.000	0.000	0.000

Vliv stěny na únosnost průřezu				
Char./Fáze	0	1	2	3
A	0.41	0.00	0.00	0.00
Wy	0.21	0.00	0.00	0.00
Wz	0.05	0.00	0.00	0.00

Charakter. v kroucení			
$t_{w,y}$	0.000	[mm]	
$t_{w,z}$	0.000	[mm]	
κ	1.00		
I_t=	0.00E+00	[mm⁴]	
$\Omega=2*A_{pr}$	0.00E+00	[mm²]	

Součinitele vzpěru a vlivu II.řádu					
Char./Fáze	0	1	2	3	
k_y	1.000	1.000	1.000	1.000	
k_z	1.000	1.000	1.000	1.000	
χ_{LT}	1.000	1.000	1.000	1.000	
χ_{min}	1.000	1.000	1.000	1.000	

δ_{LOK} 1.05

Vnitřní síly od jednotlivých skupin zatěžovacích stavů

SKUPINA ZATĚŽOVACÍCH STAVŮ — CHARAKTERISTICKÉ HODNOTY — DÍLČÍ SOUČINITELÉ ZATÍŽENÍ, DYNAMICKÝ SOUČINITEL — NÁVRHOVÉ HODNOTY

Č.	SKUP ZS	POPIS ZS	KAT.	FÁZE PRŮŘ.	N.k (kN)	Vy.k (kN)	Vz.k (kN)	Mx.k (kNm)	My.k (kNm)	Mz.k (kNm)	γ_{sd} (-)	γ_{fs} (-)	volba ψ_1 hledat	ψ_1 (-)	L_d (m)	δ (-)	Ψ_z KZ07	N.d (kN)	Vy.d (kN)	Vz.d (kN)	ΔVz.d (kN)	ΣVz.d (kN)	Mx.d (kNm)	My.d (kNm)	ΔMy.d (kNm)	ΣMy.d (kNm)	Mz.d (kNm)	ΔMz.d (kNm)	ΣMz.d (kNm)
1	G0	Vlastní tíha OK	G	0	0	13	-45	0	37	-9	1.00	1.20		1.20	-	1.00	0.95	0	15	-52	0	-52	0	43	0	43	-11	0	-11
2	G1	Ostatní stálé - mostní vybavení	G	0	0	1	-7	0	6	-1	1.00	1.20		1.20	-	1.00	0.95	0	1	-8	0	-8	0	7	0	7	-1	0	-1
3	G2	Ostatní stálé - cizí zařízení	G	0	0	1	-3	0	-6	-1	1.00	1.20		1.20	-	1.00	0.95	0	1	-4	0	-4	0	-7	0	-7	-1	0	-1
4	P1_71	a.LM71 - kolej 1 (bez dyn. souč.)	P	0	11	14	-115	0	70	-14	1.00	vyp.		0.00	-	1.00	0.00	0	0	0	0	0	0	0	0	0	0	0	0
5	P2_71	a.LM71 - kolej 2 (bez dyn. souč.)	P	0	-6	19	-259	0	322	-15	1.00	vyp.		0.00	-	1.00	0.00	0	0	0	0	0	0	0	0	0	0	0	0
6	P1_C3	TTZ C3 - kolej 1 (bez dyn. souč.)	P	0	10	12	-113	0	74	-11	1.00	1.16		1.16	-	1.32	1.00	15	18	-173	0	-173	0	112	0	112	-17	3	-14
7	P2_C3	TTZ C3 - kolej 2 (bez dyn. souč.)	P	0	-7	15	-234	0	291	-12	1.00	1.16		1.16	-	1.32	1.00	-10	23	-357	0	-357	0	444	0	444	-18	4	-15
8	BR	Brzdné a rozjezdové síly	P	0	0	40	-1	0	-1	-45	1.00	1.16		1.16	-	1.00	0.64	0	30	-1	0	-1	0	0	0	0	-33	0	-33
9	S	Boční ráz	P	0	5	3	2	0	-14	-5	1.00	1.16		1.16	-	1.00	0.32	2	1	1	0	1	0	-5	0	-5	-2	0	-2
10	CH	Chodci na lávkách	Q	0	-1	2	0	0	-29	-2	1.00	0.00		0.00	-	1.00	1.00	0	0	0	0	0	0	0	0	0	0	0	0
11	W	Vítr na konstrukci	Q	0	-16	4	8	0	21	-6	1.00	1.15		1.15	-	1.00	0.75	-14	3	7	0	7	0	18	0	18	-5	0	-5
12	WP	Vítr na vozidla	Q	0	8	7	10	0	-42	-11	1.00	1.15		1.15	-	1.00	0.75	7	6	8	0	8	0	-36	0	-36	-10	0	-10
13	TR	Teplota rovnoměrná	Q	0	0	0	0	0	0	0	1.00	1.15		1.15	-	1.00	0.45	0	0	0	0	0	0	0	0	0	0	0	0
14	TN	Teplota nerovnoměrná	Q	0	6	1	-9	0	-28	-1	1.00	-1.15		-1.15	-	1.00	0.60	-4	-1	6	0	6	0	19	0	19	0	0	0
15	FR	Třecí síly v ložiskách	Q	0	0	1	0	0	0	-1	1.00	1.20		1.20	-	1.00	1.00	0	1	0	0	0	0	0	0	0	-1	0	-1
16	I	Imperfekce soustavy	Q	0	-1	0	2	0	6	0	1.00	1.20		1.20	-	1.00	1.00	-1	0	3	0	3	0	8	0	8	0	0	0
27	ULS_LM	ULS - LM71 bez dynam	Q	0	3	132	-537	0	469	-135	1.00	vyp.		0.00	-	1.00	0.00	0	0	0	0	0	0	0	0	0	0	0	0
28	SLS_LM	SLS - LM71 bez dynam	Q	0	-2	102	-415	0	384	-105	1.00	vyp.	1	0.00	-	1.00	0.00	0	0	0	0	0	0	0	0	0	0	0	0
29	ULS_C3	ULS - C3 bez dynam	Q	0	0	124	-503	0	434	-128	1.00	vyp.	1	0.00	-	1.00	0.00	0	0	0	0	0	0	0	0	0	0	0	0
30	SLS_C3	SLS - C3 bez dynam	Q	0	-3	96	-389	0	357	-99	1.00	vyp.	1	0.00	-	1.00	0.00	0	0	0	0	0	0	0	0	0	0	0	0
		CELKEM - FÁZE PRŮŘEZU 0																-7	99	-569	0	-569	0	601	0	601	-98	7	-91
		CELKEM - FÁZE PRŮŘEZU 1																0	0	0	0	0	0	0	0	0	0	0	0
		CELKEM - FÁZE PRŮŘEZU 2																0	0	0	0	0	0	0	0	0	0	0	0
		CELKEM - FÁZE PRŮŘEZU 3																0	0	0	0	0	0	0	0	0	0	0	0
		CELKEM - PRŮŘEZ																-7	99	-569	0	-569	0			601			-91

Napětí od jednotlivých zatěžovacích stavů

SKUPINA ZATĚŽOVACÍCH STAVŮ — Posouzení normálového napětí — Účinek síly N — Účinek momentu My — Účinek momentu Mz — Posouzení smykového napětí — Účinek kroutícího momentu Mx — Účinek smykové síly Vy — Účinek smykové síly Vz

Č.	SKUP ZS	Popis ZS	Kat.	fáze průř.	δ^*N_d [kN]	χ^*A [mm²]	σ_n [MPa]	$\delta^*M_{y,d}$ [kNm]	$\chi_{lt}*W_{el,y}$ [mm³]	σ_{my} [MPa]	$\delta^*M_{z,d}$ [kNm]	$W_{el,z}$ [mm³]	σ_{mz} [MPa]	σ_x [MPa]	$\kappa*\delta^*M_{x,d}$ [kNm]	$W_{v,y}$ [mm²]	$\tau_{x,y}$ [MPa]	$W_{v,z}$ [mm²]	$\tau_{x,z}$ [MPa]	$\delta^*V_{y,d}$ [kN]	$A_{v,y}$ [mm2]	$\tau_{v,y}$ [MPa]	$\tau_{v,y}$ [MPa]	$\delta^*V_{z,d}$ [kN]	$A_{v,z}$ [mm2]	$\tau_{v,z}$ [MPa]	$\tau_{v,z}$ [MPa]
1	G0	Vlastní tíha OK	G	0	-0.2	2.84E+04	0.0	42.6	9.13E+06	4.7	-10.8	-5.97E+05	18.0	22.7	-3.4E-02	-	-	-	-	14.8	1.23E+04	1.2	1.2	-51.6	1.11E+04	-4.6	-4.6
2	G1	Ostatní stálé - mostní vybavení	G	0	0.0	2.84E+04	0.0	6.6	9.13E+06	0.7	-0.8	-5.97E+05	1.4	2.1	0.0E+00	-	-	-	-	1.1	1.23E+04	0.1	0.1	-7.8	1.11E+04	-0.7	-0.7
3	G2	Ostatní stálé - cizí zařízení	G	0	-0.2	2.84E+04	0.0	-7.3	9.13E+06	-0.8	-0.8	-5.97E+05	1.4	0.6	0.0E+00	-	-	-	-	1.0	1.23E+04	0.1	0.1	-3.9	1.11E+04	-0.4	-0.4
4	P1_71	a.LM71 - kolej 1 (bez dyn. souč.)	P	0	0.0	2.84E+04	0.0	0.0	9.13E+06	0.0	0.0	-5.97E+05	0.0	0.0	0.0E+00	-	-	-	-	0.0	1.23E+04	0.0	0.0	0.0	1.11E+04	0.0	0.0
5	P2_71	a.LM71 - kolej 2 (bez dyn. souč.)	P	0	0.0	2.84E+04	0.0	0.0	9.13E+06	0.0	0.0	-5.97E+05	0.0	0.0	0.0E+00	-	-	-	-	0.0	1.23E+04	0.0	0.0	0.0	1.11E+04	0.0	0.0
6	P1_C3	TTZ C3 - kolej 1 (bez dyn. souč.)	P	0	14.9	2.84E+04	0.5	112.1	9.13E+06	12.3	-13.5	-5.97E+05	22.7	35.5	-4.6E-02	-	-	-	-	17.8	1.23E+04	1.5	1.5	-173.1	1.11E+04	-15.6	-15.6
7	P2_C3	TTZ C3 - kolej 2 (bez dyn. souč.)	P	0	-10.5	2.84E+04	-0.4	443.8	9.13E+06	48.6	-14.6	-5.97E+05	24.4	72.6	0.0E+00	-	-	-	-	23.1	1.23E+04	1.9	1.9	-357.2	1.11E+04	-32.2	-32.2
8	BR	Brzdné a rozjezdové síly	P	0	-0.1	2.84E+04	0.0	-0.4	9.13E+06	0.0	-33.5	-5.97E+05	56.0	56.0	0.0E+00	-	-	-	-	29.9	1.23E+04	2.4	2.4	-0.8	1.11E+04	-0.1	-0.1
9	S	Boční ráz	P	0	1.7	2.84E+04	0.1	-5.2	9.13E+06	-0.6	-1.7	-5.97E+05	2.8	2.3	-3.7E-03	-	-	-	-	1.3	1.23E+04	0.1	0.1	0.7	1.11E+04	0.1	0.1
10	CH	Chodci na lávkách	Q	0	0.0	2.84E+04	0.0	0.0	9.13E+06	0.0	0.0	-5.97E+05	0.0	0.0	0.0E+00	-	-	-	-	0.0	1.23E+04	0.0	0.0	0.0	1.11E+04	0.0	0.0
11	W	Vítr na konstrukci	Q	0	-13.9	2.84E+04	-0.5	18.5	9.13E+06	2.0	-5.3	-5.97E+05	8.8	10.3	-8.6E-03	-	-	-	-	3.3	1.23E+04	0.3	0.3	7.0	1.11E+04	0.6	0.6
12	WP	Vítr na vozidla	Q	0	6.9	2.84E+04	0.2	-36.5	9.13E+06	-4.0	-9.5	-5.97E+05	16.0	12.2	-8.6E-03	-	-	-	-	6.3	1.23E+04	0.5	0.5	8.5	1.11E+04	0.8	0.8
13	TR	Teplota rovnoměrná	Q	0	0.0	2.84E+04	0.0	0.0	9.13E+06	0.0	0.0	-5.97E+05	0.0	0.0	0.0E+00	-	-	-	-	0.0	1.23E+04	0.0	0.0	0.0	1.11E+04	0.0	0.0
14	TN	Teplota nerovnoměrná	Q	0	-4.2	2.84E+04	-0.1	19.2	9.13E+06	2.1	0.4	-5.97E+05	-0.6	1.3	2.1E-02	-	-	-	-	-0.8	1.23E+04	-0.1	-0.1	6.0	1.11E+04	0.5	0.5
15	FR	Třecí síly v ložiskách	Q	0	-0.1	2.84E+04	0.0	-0.3	9.13E+06	0.0	-0.6	-5.97E+05	1.1	1.0	0.0E+00	-	-	-	-	0.8	1.23E+04	0.1	0.1	0.1	1.11E+04	0.0	0.0
16	I	Imperfekce soustavy	Q	0	-1.3	2.84E+04	0.0	7.7	9.13E+06	0.8	-0.2	-5.97E+05	0.4	1.2	0.0E+00	-	-	-	-	0.0	1.23E+04	0.0	0.0	2.6	1.11E+04	0.2	0.2
27	ULS_LM	ULS - LM71 bez dynam	Q	0	0.0	2.84E+04	0.0	0.0	9.13E+06	0.0	0.0	-5.97E+05	0.0	0.0	0.0E+00	-	-	-	-	0.0	1.23E+04	0.0	0.0	0.0	1.11E+04	0.0	0.0
28	SLS_LM	SLS - LM71 bez dynam	Q	0	0.0	2.84E+04	0.0	0.0	9.13E+06	0.0	0.0	-5.97E+05	0.0	0.0	0.0E+00	-	-	-	-	0.0	1.23E+04	0.0	0.0	0.0	1.11E+04	0.0	0.0
29	ULS_C3	ULS - C3 bez dynam	Q	0	0.0	2.84E+04	0.0	0.0	9.13E+06	0.0	0.0	-5.97E+05	0.0	0.0	0.0E+00	-	-	-	-	0.0	1.23E+04	0.0	0.0	0.0	1.11E+04	0.0	0.0
30	SLS_C3	SLS - C3 bez dynam	Q	0	0.0	2.84E+04	0.0	0.0	9.13E+06	0.0	0.0	-5.97E+05	0.0	0.0	0.0E+00	-	-	-	-	0.0	1.23E+04	0.0	0.0	0.0	1.11E+04	0.0	0.0
NAVÝŠENÍ NAPĚTÍ DO AKTIVACE TLAKU V DESCE MOSTOVKY						$\sigma_{P,red}$	0.0							0.0			0.0		0.0				8.0	8.0			-51.3	-51.3
NAPĚTÍ OD PRIMÁRNÍCH ÚČINKŮ NEROVNOMĚRNÉHO OTEPLENÍ						σ_T	0.0							0.0														
NAPĚTÍ OD REOLOGICKÝCH ÚČINKŮ BETONU V ČASE				t=0		σ_R	0.0	γ=	1.20					0.0														
NAPĚTÍ V KRITICKÝCH VLÁKNECH OD KOMBINACE ZATÍŽENÍ						KZ07		[MPa]					$\Sigma\sigma_x$	217.9								$\Sigma\tau_y$	8.0			$\Sigma\tau_z$	-51.3
NAPĚTÍ OD POHYBLIVÉHO ZATÍŽENÍ								[MPa]					$\sigma_{x,P}$	166.4								τ_P	5.9			τ_P	-47.8
NAPĚTÍ OD OSTATNÍCH ZATÍŽENÍ								[MPa]			Φ_{Vy}	Φ_{Vz}	$\sigma_{x,rs}$	51.5								τ_{rs}	2.2			τ_{rs}	-3.5
NÁVRHOVÁ HODNOTA MEZE KLUZU S REDUKCÍ VLIVEM SMYKOVÉHO NAPĚTÍ								[MPa]			1.00	1.00	$f_{yv,d}$	215.0								$f_{yd}/3^{0,5}$	124.1			$f_{yd}/3^{0,5}$	124.1
NAPĚTÍ OD POHYBLIVÉHO ZATÍŽENÍ V GLOBÁLNÍM SYSTÉMU						$\sigma_{GLOB,P}$	0.0	[MPa]					$\Sigma\sigma_{GLOB}$	0.0													
NAPĚTÍ OD OSTATNÍCH ZATÍŽENÍ V GLOBÁLNÍM SYSTÉMU						$\sigma_{GLOB,rs}$	0.0	[MPa]					$\Sigma\sigma_x + \Sigma\sigma_{GLOB}$	217.9													
VYUŽITÍ PRŮŘEZU DLE NAPĚTÍ								[%]					η_1	1.01								η_3	0.06			η_3	0.41
NAPĚTÍ V PŘÍČNÉM SMĚRU OD POHYBLIVÉHO ZATÍŽENÍ						$\sigma_{z,P}$	0.0	[MPa]					$\Sigma\sigma_z$	0.0													
NAPĚTÍ V PŘÍČNÉM SMĚRU OD OSTATNÍCH ZATÍŽENÍ						$\sigma_{z,rs}$	0.0	[MPa]					η_2	0.00													
SROVNÁVACÍ NAPĚTÍ													$(\eta2 + 0,8\ \eta1)/1,4$ =	0.58													
VYUŽITÍ PRŮŘEZU CELKEM								[%]					eff	1.01	NEVYHOVUJE												
STANOVENÍ ZATÍŽITELNOSTI													Z_{LM71} =	-----													

TAB. P3.1.3 POSOUZENÍ - MEZNÍ STAV ÚNOSNOSTI

POPIS	PŘÍČNÍK P3 - ZÁKLADNÍ ČÁST
PRUT / POLOHA BODU	679 / I[557]
NAMÁHÁNÍ	Vz.min
VLÁKNO	BOD S6 -HP
MEZNÍ STAV	ULS (MSÚ)
VYUŽITÍ VLÁKNA PRŮŘEZU	0.50

Charakteristiky materiálu				
pás. horní	$f_{yf,k}$	230	MPa	
pás. dolní	$f_{yf,k}$	230	MPa	
stojina	$f_{yw,k}$	230	MPa	
výztuž	$f_{ys,k}$	500	MPa	
γ_M =	1.07	γ_s =	1.15	

Excentricita normálové síly				
Exc./Fáze	0	1	2	3
e_y	0.000	0.000	0.000	0.000
e_z	0.000	0.000	0.000	0.000
Ekvivalentní vzdál. stěn - příčný roznos				
b_{Mx}	0.000	0.000	0.000	0.000

Vliv stěny na únosnost průřezu				
Char./Fáze	0	1	2	3
A	0.41	0.00	0.00	0.00
Wy	0.21	0.00	0.00	0.00
Wz	0.00	0.00	0.00	0.00

Charakter. v kroucení			
$t_{w,y}$	0.000	[mm]	
$t_{w,z}$	0.000	[mm]	
κ	1.00		
I_t=	0.00E+00	[mm^4]	
$\Omega=2*A_{pr}$	0.00E+00	[mm^2]	

Součinitele vzpěru a vlivu II.řádu				
Char./Fáze	0	1	2	3
k_y	1.000	1.000	1.000	1.000
k_z	1.000	1.000	1.000	1.000
χ_{LT}	1.000	1.000	1.000	1.000
χ_{min}	1.000	1.000	1.000	1.000

δ_{LOK} 1.05

Vnitřní síly od jednotlivých skupin zatěžovacích stavů

SKUPINA ZATĚŽOVACÍCH STAVŮ — 8

Č.	SKUP ZS	POPIS ZS	KAT.	FÁZE PRŮŘ.	- CHARAKTERISTICKÉ HODNOTY N.k (kN)	Vy.k (kN)	Vz.k (kN)	Mx.k (kNm)	My.k (kNm)	Mz.k (kNm)	DÍLČÍ SOUČINITELÉ ZATÍŽENÍ, DYNAMICKÝ SOUČINITEL γ_{sr} (-)	γ_{fs} (-)	volba ψ_i hledat	ψ_i (-)	L_d (m)	δ (-)	$\gamma_{F,c}$ KZ08	- NÁVRHOVÉ HODNOTY N.d (kN)	Vy.d (kN)	Vz.d (kN)	ΔVz.d (kN)	ΣVz.d (kN)	Mx.d (kNm)	My.d (kNm)	ΔMy.d (kNm)	ΣMy.d (kNm)	Mz.d (kNm)	ΔMz.d (kNm)	ΣMz.d (kNm)
1	G0	Vlastní tíha OK	G	0	0	13	-45	0	37	-9	1.00	1.20		1.20	-	1.00	0.95	0	15	-52	0	-52	0	43	0	43	-11	0	-11
2	G1	Ostatní stálé - mostní vybavení	G	0	0	1	-7	0	6	-1	1.00	1.20		1.20	-	1.00	0.95	0	1	-8	0	-8	0	7	0	7	-1	0	-1
3	G2	Ostatní stálé - cizí zařízení	G	0	0	1	-3	0	-6	-1	1.00	1.20		1.20	-	1.00	0.95	0	1	-4	0	-4	0	-7	0	-7	-1	0	-1
4	P1_71	a.LM71 - kolej 1 (bez dyn. souč.)	P	0	18	13	-202	0	140	-12	1.00	vyp.		0.00	-	1.00	0.00	0	0	0	0	0	0	0	0	0	0	0	0
5	P2_71	a.LM71 - kolej 2 (bez dyn. souč.)	P	0	7	5	-492	0	543	-4	1.00	vyp.		0.00	-	1.00	0.00	0	0	0	0	0	0	0	0	0	0	0	0
6	P1_C3	TTZ C3 - kolej 1 (bez dyn. souč.)	P	0	12	10	-115	0	76	-10	1.00	1.16		1.16	-	1.32	1.00	18	15	-176	0	-176	0	116	0	116	-15	3	-12
7	P2_C3	TTZ C3 - kolej 2 (bez dyn. souč.)	P	0	5	3	-279	0	306	-2	1.00	1.16		1.16	-	1.32	1.00	8	4	-426	0	-426	0	466	0	466	-3	1	-3
8	BR	Brzdné a rozjezdové síly	P	0	0	33	-1	0	0	-37	1.00	1.16		1.16	-	1.00	0.32	0	12	0	0	0	0	0	0	0	-14	0	-14
9	S	Boční ráz	P	0	-5	1	-3	0	16	0	1.00	1.16		1.16	-	1.00	0.64	-4	0	-2	0	-2	0	12	0	12	0	0	0
10	CH	Chodci na lávkách	Q	0	0	1	0	0	-30	-1	1.00	1.30		1.30	-	1.00	1.00	-1	2	0	0	0	0	-39	0	-39	-2	0	-2
11	W	Vítr na konstrukci	Q	0	13	-4	-8	0	-21	6	1.00	1.15		1.15	-	1.00	0.75	11	-3	-7	0	-7	0	-18	0	-18	5	0	5
12	WP	Vítr na vozidla	Q	0	-8	-7	-10	0	42	11	1.00	1.15		1.15	-	1.00	0.75	-7	-6	-8	0	-8	0	36	0	36	10	0	10
13	TR	Teplota rovnoměrná	Q	0	0	0	0	0	0	0	1.00	1.15		1.15	-	1.00	0.45	0	0	0	0	0	0	0	0	0	0	0	0
14	TN	Teplota nerovnoměrná	Q	0	6	1	-9	0	-28	-1	1.00	1.15		1.15	-	1.00	0.60	4	1	-6	0	-6	0	-19	0	-19	0	0	0
15	FR	Třecí síly v ložiskách	Q	0	0	-1	0	0	0	1	1.00	1.20		1.20	-	1.00	1.00	0	-1	0	0	0	0	0	0	0	1	0	1
16	I	Imperfekce soustavy	Q	0	1	0	-2	0	-6	0	1.00	1.20		1.20	-	1.00	1.00	1	0	-3	0	-3	0	-8	0	-8	0	0	0
27	ULS_LM	ULS - LM71 bez dynam	Q	0	38	53	-1 000	0	905	-44	1.00	vyp.		0.00	-	1.00	0.00	0	0	0	0	0	0	0	0	0	0	0	0
28	SLS_LM	SLS - LM71 bez dynam	Q	0	25	43	-770	0	717	-36	1.00	vyp.	1	0.00	-	1.00	0.00	0	0	0	0	0	0	0	0	0	0	0	0
29	ULS_C3	ULS - C3 bez dynam	Q	0	26	47	-611	0	514	-39	1.00	vyp.	1	0.00	-	1.00	0.00	0	0	0	0	0	0	0	0	0	0	0	0
30	SLS_C3	SLS - C3 bez dynam	Q	0	16	38	-471	0	417	-32	1.00	vyp.	1	0.00	-	1.00	0.00	0	0	0	0	0	0	0	0	0	0	0	0
		CELKEM - FÁZE PRŮŘEZU 0																31	41	-693	0	-693	0	589	0	589	-30	4	-27
		CELKEM - FÁZE PRŮŘEZU 1																0	0	0	0	0	0	0	0	0	0	0	0
		CELKEM - FÁZE PRŮŘEZU 2																0	0	0	0	0	0	0	0	0	0	0	0
		CELKEM - FÁZE PRŮŘEZU 3																0	0	0	0	0	0	0	0	0	0	0	0
		CELKEM - PRŮŘEZ																31	41	-693	0	-693	0			589			-27

Napětí od jednotlivých zatěžovacích stavů

SKUPINA ZATĚŽOVACÍCH STAVŮ

Č.	SKUP ZS	Popis ZS	Kat.	fáze průř.	Posouzení normálového napětí — Účinek síly N δ^*N_d [kN]	χ^*A [mm^2]	σ_n [MPa]	Účinek momentu My $\delta^*M_{y,d}$ [kNm]	$\chi_{lt}*W_{el,y}$ [mm^3]	σ_{my} [MPa]	Účinek momentu Mz $\delta^*M_{z,d}$ [kNm]	$W_{el,z}$ [mm^3]	σ_{mz} [MPa]	σ_x [MPa]	Posouzení smykového napětí — Účinek kroutícího momentu Mx $\kappa*\delta^*M_{x,d}$ [kNm]	$W_{v,y}$ [mm^2]	$\tau_{x,y}$ [MPa]	$W_{v,z}$ [mm^2]	$\tau_{x,z}$ [MPa]	Účinek smykové síly Vy $\delta^*V_{y,d}$ [kN]	$A_{v,y}$ [mm2]	$\tau_{v,y}$ [MPa]	$\tau_{v,y}$ [MPa]	Účinek smykové síly Vz $\delta^*V_{z,d}$ [kN]	$A_{v,z}$ [mm2]	$\tau_{v,z}$ [MPa]	$\tau_{v,z}$ [MPa]
1	G0	Vlastní tíha OK	G	0	-0.2	2.84E+04	0.0	42.6	9.29E+06	4.6	-10.8	-1.84E+07	0.6	5.2	-3.4E-02	-	-	-	-	14.8	1.23E+04	1.2	1.2	-51.6	1.11E+04	-4.6	-4.6
2	G1	Ostatní stálé - mostní vybavení	G	0	0.0	2.84E+04	0.0	6.6	9.29E+06	0.7	-0.8	-1.84E+07	0.0	0.8	0.0E+00	-	-	-	-	1.1	1.23E+04	0.1	0.1	-7.8	1.11E+04	-0.7	-0.7
3	G2	Ostatní stálé - cizí zařízení	G	0	-0.2	2.84E+04	0.0	-7.3	9.29E+06	-0.8	-0.8	-1.84E+07	0.0	-0.7	0.0E+00	-	-	-	-	1.0	1.23E+04	0.1	0.1	-3.9	1.11E+04	-0.4	-0.4
4	P1_71	a.LM71 - kolej 1 (bez dyn. souč.)	P	0	0.0	2.84E+04	0.0	0.0	9.29E+06	0.0	0.0	-1.84E+07	0.0	0.0	0.0E+00	-	-	-	-	0.0	1.23E+04	0.0	0.0	0.0	1.11E+04	0.0	0.0
5	P2_71	a.LM71 - kolej 2 (bez dyn. souč.)	P	0	0.0	2.84E+04	0.0	0.0	9.29E+06	0.0	0.0	-1.84E+07	0.0	0.0	0.0E+00	-	-	-	-	0.0	1.23E+04	0.0	0.0	0.0	1.11E+04	0.0	0.0
6	P1_C3	TTZ C3 - kolej 1 (bez dyn. souč.)	P	0	17.7	2.84E+04	0.6	116.3	9.29E+06	12.5	-11.6	-1.84E+07	0.6	13.8	-4.6E-02	-	-	-	-	15.4	1.23E+04	1.3	1.3	-176.2	1.11E+04	-15.9	-15.9
7	P2_C3	TTZ C3 - kolej 2 (bez dyn. souč.)	P	0	8.2	2.84E+04	0.3	466.5	9.29E+06	50.2	-2.5	-1.84E+07	0.1	50.6	-3.1E-02	-	-	-	-	3.9	1.23E+04	0.3	0.3	-426.2	1.11E+04	-38.4	-38.4
8	BR	Brzdné a rozjezdové síly	P	0	0.0	2.84E+04	0.0	0.1	9.29E+06	0.0	-13.6	-1.84E+07	0.7	0.7	0.0E+00	-	-	-	-	12.1	1.23E+04	1.0	1.0	-0.4	1.11E+04	0.0	0.0
9	S	Boční ráz	P	0	-3.9	2.84E+04	-0.1	12.0	9.29E+06	1.3	-0.4	-1.84E+07	0.0	1.2	0.0E+00	-	-	-	-	0.4	1.23E+04	0.0	0.0	-1.9	1.11E+04	-0.2	-0.2
10	CH	Chodci na lávkách	Q	0	-0.6	2.84E+04	0.0	-39.3	9.29E+06	-4.2	-1.8	-1.84E+07	0.1	-4.2	0.0E+00	-	-	-	-	1.9	1.23E+04	0.2	0.2	-0.4	1.11E+04	0.0	0.0
11	W	Vítr na konstrukci	Q	0	11.4	2.84E+04	0.4	-18.5	9.29E+06	-2.0	5.2	-1.84E+07	-0.3	-1.9	8.6E-03	-	-	-	-	-3.3	1.23E+04	-0.3	-0.3	-7.1	1.11E+04	-0.6	-0.6
12	WP	Vítr na vozidla	Q	0	-6.9	2.84E+04	-0.2	36.4	9.29E+06	3.9	9.5	-1.84E+07	-0.5	3.2	8.6E-03	-	-	-	-	-6.3	1.23E+04	-0.5	-0.5	-8.5	1.11E+04	-0.8	-0.8
13	TR	Teplota rovnoměrná	Q	0	0.0	2.84E+04	0.0	0.0	9.29E+06	0.0	0.0	-1.84E+07	0.0	0.0	0.0E+00	-	-	-	-	0.0	1.23E+04	0.0	0.0	0.0	1.11E+04	0.0	0.0
14	TN	Teplota nerovnoměrná	Q	0	4.2	2.84E+04	0.1	-19.2	9.29E+06	-2.1	-0.4	-1.84E+07	0.0	-1.9	-2.1E-02	-	-	-	-	0.8	1.23E+04	0.1	0.1	-6.0	1.11E+04	-0.5	-0.5
15	FR	Třecí síly v ložiskách	Q	0	0.1	2.84E+04	0.0	0.3	9.29E+06	0.0	0.6	-1.84E+07	0.0	0.0	0.0E+00	-	-	-	-	-0.8	1.23E+04	-0.1	-0.1	-0.1	1.11E+04	0.0	0.0
16	I	Imperfekce soustavy	Q	0	1.3	2.84E+04	0.0	-7.7	9.29E+06	-0.8	0.2	-1.84E+07	0.0	-0.8	0.0E+00	-	-	-	-	0.0	1.23E+04	0.0	0.0	-2.6	1.11E+04	-0.2	-0.2
27	ULS_LM	ULS - LM71 bez dynam	Q	0	0.0	2.84E+04	0.0	0.0	9.29E+06	0.0	0.0	-1.84E+07	0.0	0.0	0.0E+00	-	-	-	-	0.0	1.23E+04	0.0	0.0	0.0	1.11E+04	0.0	0.0
28	SLS_LM	SLS - LM71 bez dynam	Q	0	0.0	2.84E+04	0.0	0.0	9.29E+06	0.0	0.0	-1.84E+07	0.0	0.0	0.0E+00	-	-	-	-	0.0	1.23E+04	0.0	0.0	0.0	1.11E+04	0.0	0.0
29	ULS_C3	ULS - C3 bez dynam	Q	0	0.0	2.84E+04	0.0	0.0	9.29E+06	0.0	0.0	-1.84E+07	0.0	0.0	0.0E+00	-	-	-	-	0.0	1.23E+04	0.0	0.0	0.0	1.11E+04	0.0	0.0
30	SLS_C3	SLS - C3 bez dynam	Q	0	0.0	2.84E+04	0.0	0.0	9.29E+06	0.0	0.0	-1.84E+07	0.0	0.0	0.0E+00	-	-	-	-	0.0	1.23E+04	0.0	0.0	0.0	1.11E+04	0.0	0.0
NAVÝŠENÍ NAPĚTÍ DO AKTIVACE TLAKU V DESCE MOSTOVKY						$\sigma_{P,red}$	0.0							0.0				0.0					3.3	3.3			-62.4	-62.4
NAPĚTÍ OD PRIMÁRNÍCH ÚČINKŮ NEROVNOMĚRNÉHO OTEPLENÍ						σ_T	0.0							0.0														
NAPĚTÍ OD REOLOGICKÝCH ÚČINKŮ BETONU V ČASE				t=0		σ_R	0.0	γ_F=	1.20					0.0														
NAPĚTÍ V KRITICKÝCH VLÁKNECH OD KOMBINACE ZATÍŽENÍ						KZ08		[MPa]					$\Sigma\sigma_x$	66.0								$\Sigma\tau_y$	3.3				$\Sigma\tau_z$	-62.4
NAPĚTÍ OD POHYBLIVÉHO ZATÍŽENÍ								[MPa]					$\sigma_{x,P}$	66.3								τ_P	2.6				τ_P	-54.5
NAPĚTÍ OD OSTATNÍCH ZATÍŽENÍ								[MPa]			Φ_{vy}	Φ_{vz}	$\sigma_{x,rs}$	-0.4								τ_{rs}	0.7				τ_{rs}	-7.9
NÁVRHOVÁ HODNOTA MEZE KLUZU S REDUKCÍ VLIVEM SMYKOVÉHO NAPĚTÍ								[MPa]			1.00	1.00	$f_{yv,d}$	215.0								$f_{yd}/3^{0,5}$	124.1				$f_{yd}/3^{0,5}$	124.1
NAPĚTÍ OD POHYBLIVÉHO ZATÍŽENÍ V GLOBÁLNÍM SYSTÉMU						$\sigma_{GLOB,P}$	0.0	[MPa]					$\Sigma\sigma_{GLOB}$	0.0														
NAPĚTÍ OD OSTATNÍCH ZATÍŽENÍ V GLOBÁLNÍM SYSTÉMU						$\sigma_{GLOB,rs}$	0.0	[MPa]					$\Sigma\sigma_x + \Sigma\sigma_{GLOB}$	66.0														
VYUŽITÍ PRŮŘEZU DLE NAPĚTÍ								[%]					η_1	0.31								η_3	0.03				η_3	0.50
NAPĚTÍ V PŘÍČNÉM SMĚRU OD POHYBLIVÉHO ZATÍŽENÍ						$\sigma_{z,P}$	0.0	[MPa]					$\Sigma\sigma_z$	0.0														
NAPĚTÍ V PŘÍČNÉM SMĚRU OD OSTATNÍCH ZATÍŽENÍ						$\sigma_{z,rs}$	0.0	[MPa]					η_2	0.00														
SROVNÁVACÍ NAPĚTÍ													$(\eta_2 + 0,8\ \eta_1)/1,4$ =	0.18														
VYUŽITÍ PRŮŘEZU CELKEM								[%]					eff	0.50	VYHOVUJE													
STANOVENÍ ZATÍŽITELNOSTI													z_{LM71} =	-----														

TAB. P4.1.3 POSOUZENÍ - MEZNÍ STAV ÚNOSNOSTI

POPIS	PŘÍČNÍK P4 - ZÁKLADNÍ ČÁST
PRUT / POLOHA BODU	667 / I[546]
NAMÁHÁNÍ	Mz.min
VLÁKNO	BOD K2 -HP
MEZNÍ STAV	ULS (MSÚ)
VYUŽITÍ VLÁKNA PRŮŘEZU	0.94

Charakteristiky materiálu				
pás. horní	$f_{yf,k}$	230	MPa	
pás. dolní	$f_{yf,k}$	230	MPa	
stojina	$f_{yw,k}$	230	MPa	
výztuž	$f_{ys,k}$	500	MPa	
γ_M =	1.07	γ_s =	1.15	

Excentricita normálové síly				
Exc./Fáze	0	1	2	3
e_y	0.000	0.000	0.000	0.000
e_z	0.000	0.000	0.000	0.000
Ekvivalentní vzdál. stěn - příčný roznos				
b_{Mx}	0.000	0.000	0.000	0.000

Vliv stěny na únosnost průřezu				
Char./Fáze	0	1	2	3
A	0.41	0.00	0.00	0.00
Wy	0.19	0.00	0.00	0.00
Wz	0.06	0.00	0.00	0.00

Charakter. v kroucení			
$t_{w,y}$	0.000	[mm]	
$t_{w,z}$	0.000	[mm]	
κ	1.00		
I_t=	0.00E+00	[mm⁴]	
$\Omega=2*A_{pr}$	0.00E+00	[mm²]	

Součinitele vzpěru a vlivu II.řádu				
Char./Fáze	0	1	2	3
k_y	1.000	1.000	1.000	1.000
k_z	1.000	1.000	1.000	1.000
χ_{LT}	1.000	1.000	1.000	1.000
χ_{min}	1.000	1.000	1.000	1.000

δ_{LOK} 1.05

Vnitřní síly od jednotlivých skupin zatěžovacích stavů

SKUPINA ZATĚŽOVACÍCH STAVŮ					- CHARAKTERISTICKÉ HODNOTY						DÍLČÍ SOUČINITELÉ ZATÍŽENÍ, DYNAMICKÝ SOUČINITEL						7	- NÁVRHOVÉ HODNOTY									
Č.	SKUP ZS	POPIS ZS	KAT.	FÁZE PRŮŘ.	N.k (kN)	Vy.k (kN)	Vz.k (kN)	Mx.k (kNm)	My.k (kNm)	Mz.k (kNm)	γ_{sr} (-)	γ_{Si} (-)	volba γ_i hledat	γ_i (-)	L_d (m)	δ (-)	Ψ_E KZ07	N.d (kN)	Vy.d (kN)	Vz.d (kN)	ΔVz.d (kN)	ΣVz.d (kN)	Mx.d (kNm)	My.d (kNm)	ΔMy.d (kNm)	ΣMy.d (kNm)	Mz.d (kNm)	ΔMz.d (kNm)	ΣMz.d (kNm)
1	G0	Vlastní tíha OK	G	0	-57	12	-48	0	18	-7	1.00	1.20		1.20	-	1.00	0.95	-65	13	-54	0	-54	0	21	0	21	-8	0	-8
2	G1	Ostatní stálé - mostní vybavení	G	0	-5	1	-8	0	4	-1	1.00	1.20		1.20	-	1.00	0.95	-6	1	-9	0	-9	0	5	0	5	-1	0	-1
3	G2	Ostatní stálé - cizí zařízení	G	0	-2	1	-4	0	-7	-1	1.00	1.20		1.20	-	1.00	0.95	-2	1	-4	0	-4	0	-9	0	-9	-1	0	-1
4	P1_71	a.LM71 - kolej 1 (bez dyn. souč.)	P	0	-77	14	-124	0	41	-12	1.00	vyp.		0.00	-	1.00	0.00	0	0	0	0	0	0	0	0	0	0	0	0
5	P2_71	a.LM71 - kolej 2 (bez dyn. souč.)	P	0	-84	17	-265	0	305	-12	1.00	vyp.		0.00	-	1.00	0.00	0	0	0	0	0	0	0	0	0	0	0	0
6	P1_C3	TTZ C3 - kolej 1 (bez dyn. souč.)	P	0	-67	11	-120	0	45	-10	1.00	1.16		1.16	-	1.32	1.00	-103	17	-183	0	-183	0	69	0	69	-15	3	-12
7	P2_C3	TTZ C3 - kolej 2 (bez dyn. souč.)	P	0	-72	14	-267	0	306	-10	1.00	1.16		1.16	-	1.32	1.00	-110	22	-407	0	-407	0	467	0	467	-15	3	-12
8	BR	Brzdné a rozjezdové síly	P	0	-30	42	-1	0	-13	-46	1.00	1.16		1.16	-	1.00	0.64	-22	31	-1	0	-1	0	-9	0	-9	-34	0	-34
9	S	Boční ráz	P	0	2	4	-3	0	-10	-5	1.00	1.16		1.16	-	1.00	0.32	1	1	-1	0	-1	0	-4	0	-4	-2	0	-2
10	CH	Chodci na lávkách	Q	0	-1	2	0	0	-32	-2	1.00	0.00		0.00	-	1.00	1.00	0	0	0	0	0	0	0	0	0	0	0	0
11	W	Vítr na konstrukci	Q	0	-3	4	7	0	21	-6	1.00	1.15		1.15	-	1.00	0.75	-3	3	6	0	6	0	18	0	18	-5	0	-5
12	WP	Vítr na vozidla	Q	0	32	7	7	0	-43	-11	1.00	1.15		1.15	-	1.00	0.75	28	6	6	0	6	0	-37	0	-37	-9	0	-9
13	TR	Teplota rovnoměrná	Q	0	0	0	0	0	0	0	1.00	1.15		1.15	-	1.00	0.45	0	0	0	0	0	0	0	0	0	0	0	0
14	TN	Teplota nerovnoměrná	Q	0	3	1	1	0	-3	-1	1.00	1.15		1.15	-	1.00	0.60	2	1	0	0	0	0	-2	0	-2	0	0	0
15	FR	Třecí síly v ložiskách	Q	0	-4	1	0	0	-2	0	1.00	1.20		1.20	-	1.00	1.00	-5	1	0	0	0	0	-2	0	-2	0	0	0
16	I	Imperfekce soustavy	Q	0	0	0	2	0	6	0	1.00	1.20		1.20	-	1.00	1.00	0	0	2	0	2	0	8	0	8	0	0	0
27	ULS_LM	ULS - LM71 bez dynam	Q	0	-291	129	-559	0	386	-128	1.00	vyp.		0.00	-	1.00	0.00	0	0	0	0	0	0	0	0	0	0	0	0
28	SLS_LM	SLS - LM71 bez dynam	Q	0	-234	100	-438	0	302	-99	1.00	vyp.	1	0.00	-	1.00	0.00	0	0	0	0	0	0	0	0	0	0	0	0
29	ULS_C3	ULS - C3 bez dynam	Q	0	-264	121	-557	0	393	-121	1.00	vyp.	1	0.00	-	1.00	0.00	0	0	0	0	0	0	0	0	0	0	0	0
30	SLS_C3	SLS - C3 bez dynam	Q	0	-214	94	-436	0	307	-94	1.00	vyp.	1	0.00	-	1.00	0.00	0	0	0	0	0	0	0	0	0	0	0	0
		CELKEM - FÁZE PRŮŘEZU 0			-285	97	-644	0	525	-91	6	-85																
		CELKEM - FÁZE PRŮŘEZU 1			0	0	0	0	0	0	0	0																
		CELKEM - FÁZE PRŮŘEZU 2			0	0	0	0	0	0	0	0																
		CELKEM - FÁZE PRŮŘEZU 3			0	0	0	0	0	0	0	0																
		CELKEM - PRŮŘEZ			-285	97	-644	0	525	-85																		

Napětí od jednotlivých zatěžovacích stavů

SKUPINA ZATĚŽOVACÍCH STAVŮ					Posouzení normálového napětí									Posouzení smykového napětí													
					Účinek síly N			Účinek momentu My			Účinek momentu Mz						Účinek kroutícího momentu Mx				Účinek smykové síly Vy				Účinek smykové síly Vz			
Č.	SKUP ZS	Popis ZS	Kat.	fáze prúř.	δ^*N_d [kN]	χ^*A [mm²]	σ_n [MPa]	$\delta^*M_{y,d}$ [kNm]	$\chi_{lt}{}^*W_{el,y}$ [mm³]	σ_{my} [MPa]	$\delta^*M_{z,d}$ [kNm]	$W_{el,z}$ [mm³]	σ_{mz} [MPa]	σ_x [MPa]	$\kappa^*\delta^*M_{x,d}$ [kNm]	$W_{v,y}$ [mm³]	$\tau_{x,y}$ [MPa]	$W_{v,z}$ [mm³]	$\tau_{x,z}$ [MPa]	$\delta^*V_{y,d}$ [kN]	$A_{v,y}$ [mm2]	$\tau_{v,y}$ [MPa]	$\tau_{v,y}$ [MPa]	$\delta^*V_{z,d}$ [kN]	$A_{v,z}$ [mm2]	$\tau_{v,z}$ [MPa]	$\tau_{v,z}$ [MPa]
1	G0	Vlastní tíha OK	G	0	-65.1	2.84E+04	-2.3	20.7	-1.07E+07	-1.9	-8.1	5.97E+05	-13.6	-17.8	-2.3E-02	-	-	-	-	13.2	1.23E+04	1.1	1.1	-54.5	1.11E+04	-4.9	-4.9
2	G1	Ostatní stálé - mostní vybavení	G	0	-5.5	2.84E+04	-0.2	5.0	-1.07E+07	-0.5	-0.6	5.97E+05	-1.0	-1.7	0.0E+00	-	-	-	-	1.0	1.23E+04	0.1	0.1	-8.6	1.11E+04	-0.8	-0.8
3	G2	Ostatní stálé - cizí zařízení	G	0	-1.9	2.84E+04	-0.1	-8.5	-1.07E+07	0.8	-0.7	5.97E+05	-1.1	-0.4	0.0E+00	-	-	-	-	0.9	1.23E+04	0.1	0.1	-4.1	1.11E+04	-0.4	-0.4
4	P1_71	a.LM71 - kolej 1 (bez dyn. souč.)	P	0	0.0	2.84E+04	0.0	0.0	-1.07E+07	0.0	0.0	5.97E+05	0.0	0.0	0.0E+00	-	-	-	-	0.0	1.23E+04	0.0	0.0	0.0	1.11E+04	0.0	0.0
5	P2_71	a.LM71 - kolej 2 (bez dyn. souč.)	P	0	0.0	2.84E+04	0.0	0.0	-1.07E+07	0.0	0.0	5.97E+05	0.0	0.0	0.0E+00	-	-	-	-	0.0	1.23E+04	0.0	0.0	0.0	1.11E+04	0.0	0.0
6	P1_C3	TTZ C3 - kolej 1 (bez dyn. souč.)	P	0	-102.7	2.84E+04	-3.6	69.0	-1.07E+07	-6.4	-11.8	5.97E+05	-19.7	-29.7	-4.6E-02	-	-	-	-	16.5	1.23E+04	1.3	1.3	-183.3	1.11E+04	-16.5	-16.5
7	P2_C3	TTZ C3 - kolej 2 (bez dyn. souč.)	P	0	-110.4	2.84E+04	-3.9	467.3	-1.07E+07	-43.6	-12.1	5.97E+05	-20.3	-67.8	-1.5E-02	-	-	-	-	21.6	1.23E+04	1.8	1.8	-406.8	1.11E+04	-36.6	-36.6
8	BR	Brzdné a rozjezdové síly	P	0	-22.4	2.84E+04	-0.8	-9.5	-1.07E+07	0.9	-33.9	5.97E+05	-56.7	-56.6	-1.5E-02	-	-	-	-	31.1	1.23E+04	2.5	2.5	-0.6	1.11E+04	-0.1	-0.1
9	S	Boční ráz	P	0	0.6	2.84E+04	0.0	-3.7	-1.07E+07	0.3	-1.8	5.97E+05	-3.0	-2.6	-3.7E-03	-	-	-	-	1.3	1.23E+04	0.1	0.1	-1.0	1.11E+04	-0.1	-0.1
10	CH	Chodci na lávkách	Q	0	0.0	2.84E+04	0.0	0.0	-1.07E+07	0.0	0.0	5.97E+05	0.0	0.0	0.0E+00	-	-	-	-	0.0	1.23E+04	0.0	0.0	0.0	1.11E+04	0.0	0.0
11	W	Vítr na konstrukci	Q	0	-2.7	2.84E+04	-0.1	17.9	-1.07E+07	-1.7	-5.3	5.97E+05	-8.9	-10.6	-1.7E-02	-	-	-	-	3.3	1.23E+04	0.3	0.3	5.7	1.11E+04	0.5	0.5
12	WP	Vítr na vozidla	Q	0	27.6	2.84E+04	1.0	-36.9	-1.07E+07	3.4	-9.4	5.97E+05	-15.7	-11.3	-2.6E-02	-	-	-	-	6.3	1.23E+04	0.5	0.5	6.4	1.11E+04	0.6	0.6
13	TR	Teplota rovnoměrná	Q	0	0.0	2.84E+04	0.0	0.0	-1.07E+07	0.0	0.0	5.97E+05	0.0	0.0	0.0E+00	-	-	-	-	0.0	1.23E+04	0.0	0.0	0.0	1.11E+04	0.0	0.0
14	TN	Teplota nerovnoměrná	Q	0	2.3	2.84E+04	0.1	-1.9	-1.07E+07	0.2	-0.5	5.97E+05	-0.8	-0.6	-1.4E-02	-	-	-	-	0.6	1.23E+04	0.0	0.0	0.4	1.11E+04	0.0	0.0
15	FR	Třecí síly v ložiskách	Q	0	-4.8	2.84E+04	-0.2	-1.9	-1.07E+07	0.2	-0.4	5.97E+05	-0.7	-0.7	0.0E+00	-	-	-	-	0.6	1.23E+04	0.1	0.1	-0.1	1.11E+04	0.0	0.0
16	I	Imperfekce soustavy	Q	0	-0.4	2.84E+04	0.0	7.8	-1.07E+07	-0.7	-0.3	5.97E+05	-0.4	-1.2	0.0E+00	-	-	-	-	0.0	1.23E+04	0.0	0.0	2.4	1.11E+04	0.2	0.2
27	ULS_LM	ULS - LM71 bez dynam	Q	0	0.0	2.84E+04	0.0	0.0	-1.07E+07	0.0	0.0	5.97E+05	0.0	0.0	0.0E+00	-	-	-	-	0.0	1.23E+04	0.0	0.0	0.0	1.11E+04	0.0	0.0
28	SLS_LM	SLS - LM71 bez dynam	Q	0	0.0	2.84E+04	0.0	0.0	-1.07E+07	0.0	0.0	5.97E+05	0.0	0.0	0.0E+00	-	-	-	-	0.0	1.23E+04	0.0	0.0	0.0	1.11E+04	0.0	0.0
29	ULS_C3	ULS - C3 bez dynam	Q	0	0.0	2.84E+04	0.0	0.0	-1.07E+07	0.0	0.0	5.97E+05	0.0	0.0	0.0E+00	-	-	-	-	0.0	1.23E+04	0.0	0.0	0.0	1.11E+04	0.0	0.0
30	SLS_C3	SLS - C3 bez dynam	Q	0	0.0	2.84E+04	0.0	0.0	-1.07E+07	0.0	0.0	5.97E+05	0.0	0.0	0.0E+00	-	-	-	-	0.0	1.23E+04	0.0	0.0	0.0	1.11E+04	0.0	0.0
NAVÝŠENÍ NAPĚTÍ DO AKTIVACE TLAKU V DESCE MOSTOVKY						$\sigma_{P,red}$	0.0							0.0			0.0		0.0			7.9	7.9			-58.0	-58.0
NAPĚTÍ OD PRIMÁRNÍCH ÚČINKŮ NEROVNOMĚRNÉHO OTEPLENÍ						σ_T	0.0							0.0													
NAPĚTÍ OD REOLOGICKÝCH ÚČINKŮ BETONU V ČASE				t=0		σ_R	0.0	γ_{lt}=	1.20					0.0													
NAPĚTÍ V KRITICKÝCH VLÁKNECH OD KOMBINACE ZATÍŽENÍ						KZ07		[MPa]					$\Sigma\sigma_x$	-201.0								$\Sigma\tau_y$	7.9				$\Sigma\tau_z$	-58.0
NAPĚTÍ OD POHYBLIVÉHO ZATÍŽENÍ								[MPa]					$\sigma_{x,P}$	-156.7									5.7				τ_P	-53.3
NAPĚTÍ OD OSTATNÍCH ZATÍŽENÍ								[MPa]			Φ_{Vy}	Φ_{Vz}	$\sigma_{x,rs}$	-44.3								τ_{rs}	2.1				τ_{rs}	-4.7
NÁVRHOVÁ HODNOTA MEZE KLUZU S REDUKCÍ VLIVEM SMYKOVÉHO NAPĚTÍ								[MPa]			1.00	1.00	$f_{yw,d}$	215.0								$f_{yd}/3^{0,5}$	124.1				$f_{yd}/3^{0,5}$	124.1
NAPĚTÍ OD POHYBLIVÉHO ZATÍŽENÍ V GLOBÁLNÍM SYSTÉMU						$\sigma_{GLOB,P}$	0.0	[MPa]					$\Sigma\sigma_{GLOB}$	0.0														
NAPĚTÍ OD OSTATNÍCH ZATÍŽENÍ V GLOBÁLNÍM SYSTÉMU						$\sigma_{GLOB,rs}$	0.0	[MPa]					$\Sigma\sigma_x + \Sigma\sigma_{GLOB}$	-201.0														
VYUŽITÍ PRŮŘEZU DLE NAPĚTÍ								[%]					η_1	0.94								η_3	0.06				η_3	0.47
NAPĚTÍ V PŘÍČNÉM SMĚRU OD POHYBLIVÉHO ZATÍŽENÍ						$\sigma_{z,P}$	0.0	[MPa]					$\Sigma\sigma_z$	0.0														
NAPĚTÍ V PŘÍČNÉM SMĚRU OD OSTATNÍCH ZATÍŽENÍ						$\sigma_{z,rs}$	0.0	[MPa]					η_2	0.00														
SROVNÁVACÍ NAPĚTÍ													$(\eta_2 + 0,8\ \eta_1)/1,4$ =	0.53														
VYUŽITÍ PRŮŘEZU CELKEM								[%]					eff	0.94	VYHOVUJE													
STANOVENÍ ZATÍŽITELNOSTI													Z_{LM71} =	-----														

TAB. P4.1.3 POSOUZENÍ - MEZNÍ STAV ÚNOSNOSTI

POPIS	PŘÍČNÍK P4 - ZÁKLADNÍ ČÁST
PRUT / POLOHA BODU	667 / I[546]
NAMÁHÁNÍ	My.min
VLÁKNO	BOD K3 -SL
MEZNÍ STAV	ULS (MSÚ)
VYUŽITÍ VLÁKNA PRŮŘEZU	0.88

Charakteristiky materiálu				
pás. horní	$f_{yf,k}$	230	MPa	
pás. dolní	$f_{yf,k}$	230	MPa	
stojina	$f_{yw,k}$	230	MPa	
výztuž	$f_{ys,k}$	500	MPa	
γ_M =	1.07	γ_s =	1.15	

Excentricita normálové síly				
Exc./Fáze	0	1	2	3
e_y	0.000	0.000	0.000	0.000
e_z	0.000	0.000	0.000	0.000
Ekvivalentní vzdál. stěn - příčný roznos				
b_{Mx}	0.000	0.000	0.000	0.000

Vliv stěny na únosnost průřezu				
Char./Fáze	0	1	2	3
A	0.41	0.00	0.00	0.00
Wy	0.21	0.00	0.00	0.00
Wz	0.05	0.00	0.00	0.00

Charakter. v kroucení			
$t_{w,y}$	0.000	[mm]	
$t_{w,z}$	0.000	[mm]	
κ	1.00		
I_t=	0.00E+00	[mm^4]	
$\Omega=2*A_{pr}$	0.00E+00	[mm^2]	

Součinitele vzpěru a vlivu II.řádu				
Char./Fáze	0	1	2	3
k_y	1.000	1.000	1.000	1.000
k_z	1.000	1.000	1.000	1.000
χ_{LT}	1.000	1.000	1.000	1.000
χ_{min}	1.000	1.000	1.000	1.000

δ_{LOK} 1.05

Vnitřní síly od jednotlivých skupin zatěžovacích stavů

SKUPINA ZATĚŽOVACÍCH STAVŮ — CHARAKTERISTICKÉ HODNOTY — DÍLČÍ SOUČINITELÉ ZATÍŽENÍ, DYNAMICKÝ SOUČINITEL — NÁVRHOVÉ HODNOTY

Č.	SKUP ZS	Popis ZS	KAT.	FÁZE PRŮŘ.	N.k (kN)	Vy.k (kN)	Vz.k (kN)	Mx.k (kNm)	My.k (kNm)	Mz.k (kNm)	γ_{sr} (-)	γ_{fs} (-)	volba ψ_i hledat	ψ_i (-)	L_d (m)	δ (-)	Ψ_z KZ07	N.d (kN)	Vy.d (kN)	Vz.d (kN)	ΔVz.d (kN)	ΣVz.d (kN)	Mx.d (kNm)	My.d (kNm)	ΔMy.d (kNm)	ΣMy.d (kNm)	Mz.d (kNm)	ΔMz.d (kNm)	ΣMz.d (kNm)
1	G0	Vlastní tíha OK	G	0	-57	12	-48	0	18	-7	1.00	1.20		1.20	-	1.00	0.95	-65	13	-54	0	-54	0	21	0	21	-8	0	-8
2	G1	Ostatní stálé - mostní vybavení	G	0	-5	1	-8	0	4	-1	1.00	1.20		1.20	-	1.00	0.95	-6	1	-9	0	-9	0	5	0	5	-1	0	-1
3	G2	Ostatní stálé - cizí zařízení	G	0	-2	1	-4	0	-7	-1	1.00	1.20		1.20	-	1.00	0.95	-2	1	-4	0	-4	0	-9	0	-9	-1	0	-1
4	P1_71	a.LM71 - kolej 1 (bez dyn. souč.)	P	0	-77	14	-124	0	41	-12	1.00	vyp.		0.00	-	1.00	0.00	0	0	0	0	0	0	0	0	0	0	0	0
5	P2_71	a.LM71 - kolej 2 (bez dyn. souč.)	P	0	-84	17	-265	0	305	-12	1.00	vyp.		0.00	-	1.00	0.00	0	0	0	0	0	0	0	0	0	0	0	0
6	P1_C3	TTZ C3 - kolej 1 (bez dyn. souč.)	P	0	-67	11	-120	0	45	-10	1.00	1.16		1.16	-	1.32	1.00	-103	17	-183	0	-183	0	69	0	69	-15	3	-12
7	P2_C3	TTZ C3 - kolej 2 (bez dyn. souč.)	P	0	-72	14	-267	0	306	-10	1.00	1.16		1.16	-	1.32	1.00	-110	22	-407	0	-407	0	467	0	467	-15	3	-12
8	BR	Brzdné a rozjezdové síly	P	0	-30	42	-1	0	-13	-46	1.00	1.16		1.16	-	1.00	0.64	-22	31	-1	0	-1	0	-9	0	-9	-34	0	-34
9	S	Boční ráz	P	0	2	4	-3	0	-10	-5	1.00	1.16		1.16	-	1.00	0.32	1	1	-1	0	-1	0	-4	0	-4	-2	0	-2
10	CH	Chodci na lávkách	Q	0	-1	2	0	0	-32	-2	1.00	0.00		0.00	-	1.00	1.00	0	0	0	0	0	0	0	0	0	0	0	0
11	W	Vítr na konstrukci	Q	0	-3	4	7	0	21	-6	1.00	1.15		1.15	-	1.00	0.75	-3	3	6	0	6	0	18	0	18	-5	0	-5
12	WP	Vítr na vozidla	Q	0	32	7	7	0	-43	-11	1.00	1.15		1.15	-	1.00	0.75	28	6	6	0	6	0	-37	0	-37	-9	0	-9
13	TR	Teplota rovnoměrná	Q	0	0	0	0	0	0	0	1.00	1.15		1.15	-	1.00	0.45	0	0	0	0	0	0	0	0	0	0	0	0
14	TN	Teplota nerovnoměrná	Q	0	3	1	1	0	-3	-1	1.00	1.15		1.15	-	1.00	0.60	2	1	0	0	0	0	-2	0	-2	0	0	0
15	FR	Třecí síly v ložiskách	Q	0	-4	1	0	0	-2	0	1.00	1.20		1.20	-	1.00	1.00	-5	1	0	0	0	0	-2	0	-2	0	0	0
16	I	Imperfekce soustavy	Q	0	0	0	2	0	6	0	1.00	1.20		1.20	-	1.00	1.00	0	0	2	0	2	0	8	0	8	0	0	0
27	ULS_LM	ULS - LM71 bez dynam	Q	0	-291	129	-559	0	386	-128	1.00	vyp.		0.00	-	1.00	0.00	0	0	0	0	0	0	0	0	0	0	0	0
28	SLS_LM	SLS - LM71 bez dynam	Q	0	-234	100	-438	0	302	-99	1.00	vyp.	1	0.00	-	1.00	0.00	0	0	0	0	0	0	0	0	0	0	0	0
29	ULS_C3	ULS - C3 bez dynam	Q	0	-264	121	-557	0	393	-121	1.00	vyp.	1	0.00	-	1.00	0.00	0	0	0	0	0	0	0	0	0	0	0	0
30	SLS_C3	SLS - C3 bez dynam	Q	0	-214	94	-436	0	307	-94	1.00	vyp.	1	0.00	-	1.00	0.00	0	0	0	0	0	0	0	0	0	0	0	0
		CELKEM - FÁZE PRŮŘEZU 0			-285	97	-644	0	525	-91	6	-85						-644	0	525	0	525	-91	6	-85				
		CELKEM - FÁZE PRŮŘEZU 1			0	0	0	0	0	0	0	0						0	0	0	0	0	0	0	0	0	0	0	0
		CELKEM - FÁZE PRŮŘEZU 2			0	0	0	0	0	0	0	0						0	0	0	0	0	0	0	0	0	0	0	0
		CELKEM - FÁZE PRŮŘEZU 3			0	0	0	0	0	0	0	0						0	0	0	0	0	0	0	0	0	0	0	0
		CELKEM - PRŮŘEZ			-285	97	-644	0	525	-91	6	-85						-644	0	525	0	525	-91	6	-85				

Napětí od jednotlivých zatěžovacích stavů

SKUPINA ZATĚŽOVACÍCH STAVŮ — Posouzení normálového napětí — Účinek síly N — Účinek momentu My — Účinek momentu Mz — Posouzení smykového napětí — Účinek kroutícího momentu Mx — Účinek smykové síly Vy — Účinek smykové síly Vz

Č.	SKUP ZS	Popis ZS	Kat.	fáze průř.	δ^*N_d [kN]	χ^*A [mm^2]	σ_n [MPa]	$\delta^*M_{y,d}$ [kNm]	$\chi_{lt}*W_{el,y}$ [mm^3]	σ_{my} [MPa]	$\delta^*M_{z,d}$ [kNm]	$W_{el,z}$ [mm^3]	σ_{mz} [MPa]	σ_x [MPa]	$\kappa*\delta^*M_{x,d}$ [kNm]	$W_{v,y}$ [mm^3]	$\tau_{x,y}$ [MPa]	$W_{v,z}$ [mm^3]	$\tau_{x,z}$ [MPa]	$\delta^*V_{y,d}$ [kN]	$A_{v,y}$ [mm2]	$\tau_{v,y}$ [MPa]	$\tau_{v,y}$ [MPa]	$\delta^*V_{z,d}$ [kN]	$A_{v,z}$ [mm2]	$\tau_{v,z}$ [MPa]	$\tau_{v,z}$ [MPa]
1	G0	Vlastní tíha OK	G	0	-65.1	2.84E+04	-2.3	20.7	9.13E+06	2.3	-8.1	-5.97E+05	13.6	13.6	-2.3E-02	-	-	-	-	13.2	1.23E+04	1.1	1.1	-54.5	1.11E+04	-4.9	-4.9
2	G1	Ostatní stálé - mostní vybavení	G	0	-5.5	2.84E+04	-0.2	5.0	9.13E+06	0.5	-0.6	-5.97E+05	1.0	1.4	0.0E+00	-	-	-	-	1.0	1.23E+04	0.1	0.1	-8.6	1.11E+04	-0.8	-0.8
3	G2	Ostatní stálé - cizí zařízení	G	0	-1.9	2.84E+04	-0.1	-8.5	9.13E+06	-0.9	-0.7	-5.97E+05	1.1	0.1	0.0E+00	-	-	-	-	0.9	1.23E+04	0.1	0.1	-4.1	1.11E+04	-0.4	-0.4
4	P1_71	a.LM71 - kolej 1 (bez dyn. souč.)	P	0	0.0	2.84E+04	0.0	0.0	9.13E+06	0.0	0.0	-5.97E+05	0.0	0.0	0.0E+00	-	-	-	-	0.0	1.23E+04	0.0	0.0	0.0	1.11E+04	0.0	0.0
5	P2_71	a.LM71 - kolej 2 (bez dyn. souč.)	P	0	0.0	2.84E+04	0.0	0.0	9.13E+06	0.0	0.0	-5.97E+05	0.0	0.0	0.0E+00	-	-	-	-	0.0	1.23E+04	0.0	0.0	0.0	1.11E+04	0.0	0.0
6	P1_C3	TTZ C3 - kolej 1 (bez dyn. souč.)	P	0	-102.7	2.84E+04	-3.6	69.0	9.13E+06	7.6	-11.8	-5.97E+05	19.7	23.6	-4.6E-02	-	-	-	-	16.5	1.23E+04	1.3	1.3	-183.3	1.11E+04	-16.5	-16.5
7	P2_C3	TTZ C3 - kolej 2 (bez dyn. souč.)	P	0	-110.4	2.84E+04	-3.9	467.3	9.13E+06	51.2	-12.1	-5.97E+05	20.3	67.6	-1.5E-02	-	-	-	-	21.6	1.23E+04	1.8	1.8	-406.8	1.11E+04	-36.6	-36.6
8	BR	Brzdné a rozjezdové síly	P	0	-22.4	2.84E+04	-0.8	-9.5	9.13E+06	-1.0	-33.9	-5.97E+05	56.7	54.9	-1.5E-02	-	-	-	-	31.1	1.23E+04	2.5	2.5	-0.6	1.11E+04	-0.1	-0.1
9	S	Boční ráz	P	0	0.6	2.84E+04	0.0	-3.7	9.13E+06	-0.4	-1.8	-5.97E+05	3.0	2.6	-3.7E-03	-	-	-	-	1.3	1.23E+04	0.1	0.1	-1.0	1.11E+04	-0.1	-0.1
10	CH	Chodci na lávkách	Q	0	0.0	2.84E+04	0.0	0.0	9.13E+06	0.0	0.0	-5.97E+05	0.0	0.0	0.0E+00	-	-	-	-	0.0	1.23E+04	0.0	0.0	0.0	1.11E+04	0.0	0.0
11	W	Vítr na konstrukci	Q	0	-2.7	2.84E+04	-0.1	17.9	9.13E+06	2.0	-5.3	-5.97E+05	8.9	10.7	-1.7E-02	-	-	-	-	3.3	1.23E+04	0.3	0.3	5.7	1.11E+04	0.5	0.5
12	WP	Vítr na vozidla	Q	0	27.6	2.84E+04	1.0	-36.9	9.13E+06	-4.0	-9.4	-5.97E+05	15.7	12.6	-2.6E-02	-	-	-	-	6.3	1.23E+04	0.5	0.5	6.4	1.11E+04	0.6	0.6
13	TR	Teplota rovnoměrná	Q	0	0.0	2.84E+04	0.0	0.0	9.13E+06	0.0	0.0	-5.97E+05	0.0	0.0	0.0E+00	-	-	-	-	0.0	1.23E+04	0.0	0.0	0.0	1.11E+04	0.0	0.0
14	TN	Teplota nerovnoměrná	Q	0	2.3	2.84E+04	0.1	-1.9	9.13E+06	-0.2	-0.5	-5.97E+05	0.8	0.7	-1.4E-02	-	-	-	-	0.6	1.23E+04	0.0	0.0	0.4	1.11E+04	0.0	0.0
15	FR	Třecí síly v ložiskách	Q	0	-4.8	2.84E+04	-0.2	-1.9	9.13E+06	-0.2	-0.4	-5.97E+05	0.7	0.3	0.0E+00	-	-	-	-	0.6	1.23E+04	0.1	0.1	-0.1	1.11E+04	0.0	0.0
16	I	Imperfekce soustavy	Q	0	-0.4	2.84E+04	0.0	7.8	9.13E+06	0.9	-0.3	-5.97E+05	0.4	1.3	0.0E+00	-	-	-	-	0.0	1.23E+04	0.0	0.0	2.4	1.11E+04	0.2	0.2
27	ULS_LM	ULS - LM71 bez dynam	Q	0	0.0	2.84E+04	0.0	0.0	9.13E+06	0.0	0.0	-5.97E+05	0.0	0.0	0.0E+00	-	-	-	-	0.0	1.23E+04	0.0	0.0	0.0	1.11E+04	0.0	0.0
28	SLS_LM	SLS - LM71 bez dynam	Q	0	0.0	2.84E+04	0.0	0.0	9.13E+06	0.0	0.0	-5.97E+05	0.0	0.0	0.0E+00	-	-	-	-	0.0	1.23E+04	0.0	0.0	0.0	1.11E+04	0.0	0.0
29	ULS_C3	ULS - C3 bez dynam	Q	0	0.0	2.84E+04	0.0	0.0	9.13E+06	0.0	0.0	-5.97E+05	0.0	0.0	0.0E+00	-	-	-	-	0.0	1.23E+04	0.0	0.0	0.0	1.11E+04	0.0	0.0
30	SLS_C3	SLS - C3 bez dynam	Q	0	0.0	2.84E+04	0.0	0.0	9.13E+06	0.0	0.0	-5.97E+05	0.0	0.0	0.0E+00	-	-	-	-	0.0	1.23E+04	0.0	0.0	0.0	1.11E+04	0.0	0.0
NAVÝŠENÍ NAPĚTÍ DO AKTIVACE TLAKU V DESCE MOSTOVKY						$\sigma_{P,red}$	0.0							0.0			-		-			7.9	7.9			-58.0	-58.0
NAPĚTÍ OD PRIMÁRNÍCH ÚČINKŮ NEROVNOMĚRNÉHO OTEPLENÍ						σ_T	0.0							0.0													
NAPĚTÍ OD REOLOGICKÝCH ÚČINKŮ BETONU V ČASE		t=0				σ_R	0.0	γ=	1.20					0.0													
NAPĚTÍ V KRITICKÝCH VLÁKNECH OD KOMBINACE ZATÍŽENÍ					KZ07			[MPa]					$\Sigma\sigma_x$	189.5								$\Sigma\tau_y$	7.9				$\Sigma\tau_z$	-58.0
NAPĚTÍ OD POHYBLIVÉHO ZATÍŽENÍ								[MPa]					$\sigma_{x,P}$	148.7								τ_P	5.7				τ_P	-53.3
NAPĚTÍ OD OSTATNÍCH ZATÍŽENÍ								[MPa]			Φ_{Vy}	Φ_{Vz}	$\sigma_{x,rs}$	40.8								τ_{rs}	2.1				τ_{rs}	-4.7
NÁVRHOVÁ HODNOTA MEZE KLUZU S REDUKCÍ VLIVEM SMYKOVÉHO NAPĚTÍ								[MPa]			1.00	1.00	$f_{yw,d}$	215.0								$f_{yd}/3^{0,5}$	124.1				$f_{yd}/3^{0,5}$	124.1
NAPĚTÍ OD POHYBLIVÉHO ZATÍŽENÍ V GLOBÁLNÍM SYSTÉMU						$\sigma_{GLOB,P}$	0.0	[MPa]					$\Sigma\sigma_{GLOB}$	0.0														
NAPĚTÍ OD OSTATNÍCH ZATÍŽENÍ V GLOBÁLNÍM SYSTÉMU						$\sigma_{GLOB,rs}$	0.0	[MPa]					$\Sigma\sigma_x + \Sigma\sigma_{GLOB}$	189.5														
VYUŽITÍ PRŮŘEZU DLE NAPĚTÍ								[%]					η_1	0.88								η_3	0.06				η_3	0.47
NAPĚTÍ V PŘÍČNÉM SMĚRU OD POHYBLIVÉHO ZATÍŽENÍ						$\sigma_{z,P}$	0.0	[MPa]					$\Sigma\sigma_z$	0.0														
NAPĚTÍ V PŘÍČNÉM SMĚRU OD OSTATNÍCH ZATÍŽENÍ						$\sigma_{z,rs}$	0.0	[MPa]					η_2	0.00														
SROVNÁVACÍ NAPĚTÍ													$(\eta_2 + 0,8\ \eta_1)/1,4$ =	0.50														
VYUŽITÍ PRŮŘEZU CELKEM								[%]					eff	0.88	VYHOVUJE													
STANOVENÍ ZATÍŽITELNOSTI													Z_{LM71} =	-----														

TAB. P4.1.3 POSOUZENÍ - MEZNÍ STAV ÚNOSNOSTI

POPIS	PŘÍČNÍK P4 - ZÁKLADNÍ ČÁST
PRUT / POLOHA BODU	667 / I[546]
NAMÁHÁNÍ	Vz.min
VLÁKNO	BOD S5 -HL
MEZNÍ STAV	ULS (MSÚ)
VYUŽITÍ VLÁKNA PRŮŘEZU	0.52

Charakteristiky materiálu				
pás. horní	$f_{yf,k}$	230	MPa	
pás. dolní	$f_{yf,k}$	230	MPa	
stojina	$f_{yw,k}$	230	MPa	
výztuž	$f_{ys,k}$	500	MPa	
γ_M =	1.07	γ_s =	1.15	

Excentricita normálové síly				
Exc./Fáze	0	1	2	3
e_y	0.000	0.000	0.000	0.000
e_z	0.000	0.000	0.000	0.000
Ekvivalentní vzdál. stěn - příčný roznos				
b_{Mx}	0.000	0.000	0.000	0.000

Vliv stěny na únosnost průřezu				
Char./Fáze	0	1	2	3
A	0.41	0.00	0.00	0.00
Wy	0.19	0.00	0.00	0.00
Wz	0.00	0.00	0.00	0.00

Charakter. v kroucení			
$t_{w,y}$	0.000	[mm]	
$t_{w,z}$	0.000	[mm]	
κ	1.00		
I_t=	0.00E+00	[mm^4]	
$\Omega=2*A_{pr}$	0.00E+00	[mm^2]	

Součinitele vzpěru a vlivu II.řádu				
Char./Fáze	0	1	2	3
k_y	1.000	1.000	1.000	1.000
k_z	1.000	1.000	1.000	1.000
χ_{LT}	1.000	1.000	1.000	1.000
χ_{min}	1.000	1.000	1.000	1.000

8

δ_{LOK} 1.05

Vnitřní síly od jednotlivých skupin zatěžovacích stavů

SKUPINA ZATĚŽOVACÍCH STAVŮ					- CHARAKTERISTICKÉ HODNOTY						DÍLČÍ SOUČINITELÉ ZATÍŽENÍ, DYNAMICKÝ SOUČINITEL							- NÁVRHOVÉ HODNOTY									
Č.	SKUP ZS	POPIS ZS	KAT.	FÁZE PRŮŘ.	N.k	Vy.k	Vz.k	Mx.k	My.k	Mz.k	γ_{sr}	γ_{fi}	volba γ_{fi}	γ_{fi}	L_d	δ	Ψ_0	N.d	Vy.d	Vz.d	ΔVz.d	ΣVz.d	Mx.d	My.d	ΔMy.d	ΣMy.d	Mz.d	ΔMz.d	ΣMz.d
					(kN)	(kN)	(kN)	(kNm)	(kNm)	(kNm)	(-)	(-)	hledat	(-)	(m)	(-)	KZ08	(kN)	(kN)	(kN)	(kN)	(kN)	(kNm)	(kNm)	(kNm)	(kNm)	(kNm)	(kNm)	(kNm)
1	G0	Vlastní tíha OK	G	0	-57	12	-48	0	18	-7	1.00	1.20		1.20	-	1.00	0.95	-65	13	-54	0	-54	0	21	0	21	-8	0	-8
2	G1	Ostatní stálé - mostní vybavení	G	0	-5	1	-8	0	4	-1	1.00	1.20		1.20	-	1.00	0.95	-6	1	-9	0	-9	0	5	0	5	-1	0	-1
3	G2	Ostatní stálé - cizí zařízení	G	0	-2	1	-4	0	-7	-1	1.00	1.20		1.20	-	1.00	0.95	-2	1	-4	0	-4	0	-9	0	-9	-1	0	-1
4	P1_71	a.LM71 - kolej 1 (bez dyn. souč.)	P	0	-82	12	-211	0	108	-10	1.00	vyp.		0.00	-	1.00	0.00	0	0	0	0	0	0	0	0	0	0	0	0
5	P2_71	a.LM71 - kolej 2 (bez dyn. souč.)	P	0	-56	5	-512	0	551	-3	1.00	vyp.		0.00	-	1.00	0.00	0	0	0	0	0	0	0	0	0	0	0	0
6	P1_C3	TTZ C3 - kolej 1 (bez dyn. souč.)	P	0	-61	10	-121	0	50	-8	1.00	1.16		1.16	-	1.32	1.00	-93	15	-185	0	-185	0	76	0	76	-13	3	-10
7	P2_C3	TTZ C3 - kolej 2 (bez dyn. souč.)	P	0	-29	3	-290	0	312	-2	1.00	1.16		1.16	-	1.32	1.00	-44	4	-443	0	-443	0	476	0	476	-3	1	-2
8	BR	Brzdné a rozjezdové síly	P	0	-30	42	-1	0	-13	-46	1.00	1.16		1.16	-	1.00	0.32	-11	16	0	0	0	0	-5	0	-5	-17	0	-17
9	S	Boční ráz	P	0	2	4	-3	0	-10	-5	1.00	1.16		1.16	-	1.00	0.64	1	3	-2	0	-2	0	-7	0	-7	-4	0	-4
10	CH	Chodci na lávkách	Q	0	0	1	-1	0	-33	-1	1.00	1.30		1.30	-	1.00	1.00	0	2	-1	0	-1	0	-43	0	-43	-1	0	-1
11	W	Vítr na konstrukci	Q	0	0	-4	-7	0	-21	6	1.00	1.15		1.15	-	1.00	0.75	0	-3	-6	0	-6	0	-18	0	-18	5	0	5
12	WP	Vítr na vozidla	Q	0	-32	-7	-7	0	43	11	1.00	1.15		1.15	-	1.00	0.75	-28	-6	-6	0	-6	0	37	0	37	9	0	9
13	TR	Teplota rovnoměrná	Q	0	0	0	0	0	0	0	1.00	1.15		1.15	-	1.00	0.45	0	0	0	0	0	0	0	0	0	0	0	0
14	TN	Teplota nerovnoměrná	Q	0	2	1	-9	0	-36	0	1.00	1.15		1.15	-	1.00	0.60	1	1	-6	0	-6	0	-25	0	-25	0	0	0
15	FR	Třecí síly v ložiskách	Q	0	-4	1	0	0	-2	0	1.00	1.20		1.20	-	1.00	1.00	-5	1	0	0	0	0	-2	0	-2	0	0	0
16	I	Imperfekce soustavy	Q	0	0	0	-2	0	-6	0	1.00	1.20		1.20	-	1.00	1.00	0	0	-2	0	-2	0	-8	0	-8	0	0	0
27	ULS_LM	ULS - LM71 bez dynam	Q	0	-301	62	-1 036	0	795	-51	1.00	vyp.		0.00	-	1.00	0.00	0	0	0	0	0	0	0	0	0	0	0	0
28	SLS_LM	SLS - LM71 bez dynam	Q	0	-240	49	-798	0	635	-41	1.00	vyp.	1	0.00	-	1.00	0.00	0	0	0	0	0	0	0	0	0	0	0	0
29	ULS_C3	ULS - C3 bez dynam	Q	0	-239	56	-632	0	409	-47	1.00	vyp.	1	0.00	-	1.00	0.00	0	0	0	0	0	0	0	0	0	0	0	0
30	SLS_C3	SLS - C3 bez dynam	Q	0	-192	45	-487	0	337	-38	1.00	vyp.	1	0.00	-	1.00	0.00	0	0	0	0	0	0	0	0	0	0	0	0
		CELKEM - FÁZE PRŮŘEZU 0																-250	45	-719	0	-719	0	498	0	498	-32	3	-29
		CELKEM - FÁZE PRŮŘEZU 1																0	0	0	0	0	0	0	0	0	0	0	0
		CELKEM - FÁZE PRŮŘEZU 2																0	0	0	0	0	0	0	0	0	0	0	0
		CELKEM - FÁZE PRŮŘEZU 3																0	0	0	0	0	0	0	0	0	0	0	0
		CELKEM - PRŮŘEZ																-250	45	-719	0	-719	0			498			-29

Napětí od jednotlivých zatěžovacích stavů

SKUPINA ZATĚŽOVACÍCH STAVŮ					Posouzení normálového napětí										Posouzení smykového napětí													
					Účinek síly N			Účinek momentu My			Účinek momentu Mz				Účinek kroutícího momentu Mx				Účinek smykové síly Vy				Účinek smykové síly Vz			
Č.	SKUP ZS	Popis ZS	Kat.	fáze průř.	δ^*N_d	χ^*A	σ_n	$\delta^*M_{y,d}$	$\chi_{lt}*W_{el,y}$	σ_{my}	$\delta^*M_{z,d}$	$W_{el,z}$	σ_{mz}	σ_x	$\kappa*\delta^*M_{x,d}$	$W_{v,y}$	$\tau_{x,y}$	$W_{v,z}$	$\tau_{x,z}$	$\delta^*V_{y,d}$	$A_{v,y}$	$\tau_{v,y}$	$\tau_{v,y}$	$\delta^*V_{z,d}$	$A_{v,z}$	$\tau_{v,z}$	$\tau_{v,z}$
					[kN]	[mm^2]	[MPa]	[kNm]	[mm^3]	[MPa]	[kNm]	[mm^3]	[MPa]	[MPa]	[kNm]	[mm^3]	[MPa]	[mm^2]	[MPa]	[kN]	[mm2]	[MPa]	[MPa]	[kN]	[mm2]	[MPa]	[MPa]
1	G0	Vlastní tíha OK	G	0	-65.1	2.84E+04	-2.3	20.7	-1.09E+07	-1.9	-8.1	-1.84E+07	0.4	-3.7	-2.3E-02	-	-	-	-	13.2	1.23E+04	1.1	1.1	-54.5	1.11E+04	-4.9	-4.9
2	G1	Ostatní stálé - mostní vybavení	G	0	-5.5	2.84E+04	-0.2	5.0	-1.09E+07	-0.5	-0.6	-1.84E+07	0.0	-0.6	0.0E+00	-	-	-	-	1.0	1.23E+04	0.1	0.1	-8.6	1.11E+04	-0.8	-0.8
3	G2	Ostatní stálé - cizí zařízení	G	0	-1.9	2.84E+04	-0.1	-8.5	-1.09E+07	0.8	-0.7	-1.84E+07	0.0	0.7	0.0E+00	-	-	-	-	0.9	1.23E+04	0.1	0.1	-4.1	1.11E+04	-0.4	-0.4
4	P1_71	a.LM71 - kolej 1 (bez dyn. souč.)	P	0	0.0	2.84E+04	0.0	0.0	-1.09E+07	0.0	0.0	-1.84E+07	0.0	0.0	0.0E+00	-	-	-	-	0.0	1.23E+04	0.0	0.0	0.0	1.11E+04	0.0	0.0
5	P2_71	a.LM71 - kolej 2 (bez dyn. souč.)	P	0	0.0	2.84E+04	0.0	0.0	-1.09E+07	0.0	0.0	-1.84E+07	0.0	0.0	0.0E+00	-	-	-	-	0.0	1.23E+04	0.0	0.0	0.0	1.11E+04	0.0	0.0
6	P1_C3	TTZ C3 - kolej 1 (bez dyn. souč.)	P	0	-93.0	2.84E+04	-3.3	76.0	-1.09E+07	-6.9	-10.3	-1.84E+07	0.6	-9.7	-4.6E-02	-	-	-	-	14.7	1.23E+04	1.2	1.2	-185.0	1.11E+04	-16.7	-16.7
7	P2_C3	TTZ C3 - kolej 2 (bez dyn. souč.)	P	0	-43.8	2.84E+04	-1.5	475.7	-1.09E+07	-43.5	-2.1	-1.84E+07	0.1	-44.9	-1.5E-02	-	-	-	-	3.8	1.23E+04	0.3	0.3	-443.0	1.11E+04	-39.9	-39.9
8	BR	Brzdné a rozjezdové síly	P	0	-11.2	2.84E+04	-0.4	-4.7	-1.09E+07	0.4	-16.9	-1.84E+07	0.9	1.0	-7.4E-03	-	-	-	-	15.6	1.23E+04	1.3	1.3	-0.3	1.11E+04	0.0	0.0
9	S	Boční ráz	P	0	1.3	2.84E+04	0.0	-7.3	-1.09E+07	0.7	-3.5	-1.84E+07	0.2	0.9	-7.4E-03	-	-	-	-	2.7	1.23E+04	0.2	0.2	-2.1	1.11E+04	-0.2	-0.2
10	CH	Chodci na lávkách	Q	0	-0.4	2.84E+04	0.0	-43.3	-1.09E+07	4.0	-1.4	-1.84E+07	0.1	4.0	0.0E+00	-	-	-	-	1.5	1.23E+04	0.1	0.1	-0.8	1.11E+04	-0.1	-0.1
11	W	Vítr na konstrukci	Q	0	0.2	2.84E+04	0.0	-17.9	-1.09E+07	1.6	5.3	-1.84E+07	-0.3	1.4	1.7E-02	-	-	-	-	-3.3	1.23E+04	-0.3	-0.3	-5.7	1.11E+04	-0.5	-0.5
12	WP	Vítr na vozidla	Q	0	-27.7	2.84E+04	-1.0	36.9	-1.09E+07	-3.4	9.4	-1.84E+07	-0.5	-4.9	2.6E-02	-	-	-	-	-6.3	1.23E+04	-0.5	-0.5	-6.4	1.11E+04	-0.6	-0.6
13	TR	Teplota rovnoměrná	Q	0	0.0	2.84E+04	0.0	0.0	-1.09E+07	0.0	0.0	-1.84E+07	0.0	0.0	0.0E+00	-	-	-	-	0.0	1.23E+04	0.0	0.0	0.0	1.11E+04	0.0	0.0
14	TN	Teplota nerovnoměrná	Q	0	1.4	2.84E+04	0.0	-24.7	-1.09E+07	2.3	-0.2	-1.84E+07	0.0	2.3	-2.1E-02	-	-	-	-	0.6	1.23E+04	0.0	0.0	-6.4	1.11E+04	-0.6	-0.6
15	FR	Třecí síly v ložiskách	Q	0	-4.8	2.84E+04	-0.2	-1.9	-1.09E+07	0.2	-0.4	-1.84E+07	0.0	0.0	0.0E+00	-	-	-	-	0.6	1.23E+04	0.1	0.1	-0.1	1.11E+04	0.0	0.0
16	I	Imperfekce soustavy	Q	0	0.4	2.84E+04	0.0	-7.8	-1.09E+07	0.7	0.3	-1.84E+07	0.0	0.7	0.0E+00	-	-	-	-	0.0	1.23E+04	0.0	0.0	-2.4	1.11E+04	-0.2	-0.2
27	ULS_LM	ULS - LM71 bez dynam	Q	0	0.0	2.84E+04	0.0	0.0	-1.09E+07	0.0	0.0	-1.84E+07	0.0	0.0	0.0E+00	-	-	-	-	0.0	1.23E+04	0.0	0.0	0.0	1.11E+04	0.0	0.0
28	SLS_LM	SLS - LM71 bez dynam	Q	0	0.0	2.84E+04	0.0	0.0	-1.09E+07	0.0	0.0	-1.84E+07	0.0	0.0	0.0E+00	-	-	-	-	0.0	1.23E+04	0.0	0.0	0.0	1.11E+04	0.0	0.0
29	ULS_C3	ULS - C3 bez dynam	Q	0	0.0	2.84E+04	0.0	0.0	-1.09E+07	0.0	0.0	-1.84E+07	0.0	0.0	0.0E+00	-	-	-	-	0.0	1.23E+04	0.0	0.0	0.0	1.11E+04	0.0	0.0
30	SLS_C3	SLS - C3 bez dynam	Q	0	0.0	2.84E+04	0.0	0.0	-1.09E+07	0.0	0.0	-1.84E+07	0.0	0.0	0.0E+00	-	-	-	-	0.0	1.23E+04	0.0	0.0	0.0	1.11E+04	0.0	0.0
NAVÝŠENÍ NAPĚTÍ DO AKTIVACE TLAKU V DESCE MOSTOVKY						$\sigma_{P,red}$	0.0							0.0			0.0		0.0			3.7	3.7			-64.8	-64.8
NAPĚTÍ OD PRIMÁRNÍCH ÚČINKŮ NEROVNOMĚRNÉHO OTEPLENÍ						σ_T	0.0							0.0													
NAPĚTÍ OD REOLOGICKÝCH ÚČINKŮ BETONU V ČASE				t=0		σ_R	0.0	γ_{lt}=	1.20					0.0													
NAPĚTÍ V KRITICKÝCH VLÁKNECH OD KOMBINACE ZATÍŽENÍ						KZ08		[MPa]					$\Sigma\sigma_x$	-52.8								$\Sigma\tau_y$	3.7			$\Sigma\tau_z$	-64.8
NAPĚTÍ OD POHYBLIVÉHO ZATÍŽENÍ								[MPa]					$\sigma_{x,P}$	-52.7								τ_P	3.0			τ_P	-56.8
NAPĚTÍ OD OSTATNÍCH ZATÍŽENÍ								[MPa]			Φ_{Vy}	Φ_{Vz}	$\sigma_{x,rs}$	-0.1								τ_{rs}	0.7			τ_{rs}	-8.0
NÁVRHOVÁ HODNOTA MEZE KLUZU S REDUKCÍ VLIVEM SMYKOVÉHO NAPĚTÍ								[MPa]			1.00	1.00	$f_{yw,d}$	215.0								$f_{yd}/3^{0,5}$	124.1			$f_{yd}/3^{0,5}$	124.1
NAPĚTÍ OD POHYBLIVÉHO ZATÍŽENÍ V GLOBÁLNÍM SYSTÉMU						$\sigma_{GLOB,P}$	0.0	[MPa]					$\Sigma\sigma_{GLOB}$	0.0													
NAPĚTÍ OD OSTATNÍCH ZATÍŽENÍ V GLOBÁLNÍM SYSTÉMU						$\sigma_{GLOB,rs}$	0.0	[MPa]					$\Sigma\sigma_x + \Sigma\sigma_{GLOB}$	-52.8													
VYUŽITÍ PRŮŘEZU DLE NAPĚTÍ								[%]					η_1	0.25								η_3	0.03			η_3	0.52
NAPĚTÍ V PŘÍČNÉM SMĚRU OD POHYBLIVÉHO ZATÍŽENÍ						$\sigma_{z,P}$	0.0	[MPa]					$\Sigma\sigma_z$	0.0													
NAPĚTÍ V PŘÍČNÉM SMĚRU OD OSTATNÍCH ZATÍŽENÍ						$\sigma_{z,rs}$	0.0	[MPa]					η_2	0.00													
SROVNÁVACÍ NAPĚTÍ													$(\eta_2 + 0,8\ \eta_1)/1,4$ =	0.14													
VYUŽITÍ PRŮŘEZU CELKEM								[%]					eff	0.52	VYHOVUJE												
STANOVENÍ ZATÍŽITELNOSTI													Z_{LM71} =	-----													

TAB. P3.1.3 POSOUZENÍ - MEZNÍ STAV ÚNOSNOSTI

POPIS	PŘÍČNÍK P3 - ZÁKLADNÍ ČÁST
PRUT / POLOHA BODU	679 / I[557]
NAMÁHÁNÍ	Vy.max
VLÁKNO	BOD K2 -HP
MEZNÍ STAV	ULS (MSÚ)
VYUŽITÍ VLÁKNA PRŮŘEZU	0.95

Charakteristiky materiálu				
pás. horní	$f_{yf,k}$	230	MPa	
pás. dolní	$f_{yf,k}$	230	MPa	
stojina	$f_{yw,k}$	230	MPa	
výztuž	$f_{ys,k}$	500	MPa	
γ_M =	1.07	γ_s =	1.15	

Excentricita normálové síly				
Exc./Fáze	0	1	2	3
e_y	0.000	0.000	0.000	0.000
e_z	0.000	0.000	0.000	0.000
Ekvivalentní vzdál. stěn - příčný roznos				
b_{Mx}	0.000	0.000	0.000	0.000

Vliv stěny na únosnost průřezu				
Char./Fáze	0	1	2	3
A	0.00	0.00	0.00	0.00
Wy	0.00	0.00	0.00	0.00
Wz	0.00	0.00	0.00	0.00

Charakter. v kroucení			
$t_{w,y}$	0.000	[mm]	
$t_{w,z}$	0.000	[mm]	
κ	1.00		
I_t=	0.00E+00	[mm^4]	
Ω=2*A_{pr}	0.00E+00	[mm^2]	

Součinitele vzpěru a vlivu II.řádu				
Char./Fáze	0	1	2	3
k_y	1.000	1.000	1.000	1.000
k_z	1.000	1.000	1.000	1.000
χ_{LT}	1.000	1.000	1.000	1.000
χ_{min}	1.000	1.000	1.000	1.000

δ_{LOK} 1.05

Vnitřní síly od jednotlivých skupin zatěžovacích stavů

SKUPINA ZATĚŽOVACÍCH STAVŮ					- CHARAKTERISTICKÉ HODNOTY						DÍLČÍ SOUČINITELÉ ZATÍŽENÍ, DYNAMICKÝ SOUČINITEL						7	- NÁVRHOVÉ HODNOTY									
Č.	SKUP ZS	POPIS ZS	KAT.	FÁZE PRŮŘ.	N.k (kN)	Vy.k (kN)	Vz.k (kN)	Mx.k (kNm)	My.k (kNm)	Mz.k (kNm)	γ_{sup} (-)	γ_{inf} (-)	volba ψ_i hledat	ψ_i (-)	L_d (m)	δ (-)	Ψ_E KZ07	N.d (kN)	Vy.d (kN)	Vz.d (kN)	ΔVz.d (kN)	ΣVz.d (kN)	Mx.d (kNm)	My.d (kNm)	ΔMy.d (kNm)	ΣMy.d (kNm)	Mz.d (kNm)	ΔMz.d (kNm)	ΣMz.d (kNm)
1	G0	Vlastní tíha OK	G	0	0	13	-45	0	37	-9	1.00	1.20		1.20	-	1.00	0.95	0	15	-52	0	-52	0	43	0	43	-11	0	-11
2	G1	Ostatní stálé - mostní vybavení	G	0	0	1	-7	0	6	-1	1.00	1.20		1.20	-	1.00	0.95	0	1	-8	0	-8	0	7	0	7	-1	0	-1
3	G2	Ostatní stálé - cizí zařízení	G	0	0	1	-3	0	-6	-1	1.00	1.20		1.20	-	1.00	0.95	0	1	-4	0	-4	0	-7	0	-7	-1	0	-1
4	P1_71	a.LM71 - kolej 1 (bez dyn. souč.)	P	0	11	14	-115	0	70	-14	1.00	vyp.		0.00	-	1.00	0.00	0	0	0	0	0	0	0	0	0	0	0	0
5	P2_71	a.LM71 - kolej 2 (bez dyn. souč.)	P	0	-6	19	-259	0	322	-15	1.00	vyp.		0.00	-	1.00	0.00	0	0	0	0	0	0	0	0	0	0	0	0
6	P1_C3	TTZ C3 - kolej 1 (bez dyn. souč.)	P	0	10	12	-113	0	74	-11	1.00	1.16		1.16	-	1.21	1.00	14	16	-159	0	-159	0	103	0	103	-16	2	-14
7	P2_C3	TTZ C3 - kolej 2 (bez dyn. souč.)	P	0	-7	15	-234	0	291	-12	1.00	1.16		1.16	-	1.21	1.00	-10	21	-328	0	-328	0	408	0	408	-17	2	-15
8	BR	Brzdné a rozjezdové síly	P	0	0	40	-1	0	-1	-45	1.00	1.16		1.16	-	1.00	0.64	0	30	-1	0	-1	0	0	0	0	-33	0	-33
9	S	Boční ráz	P	0	5	3	2	0	-14	-5	1.00	1.16		1.16	-	1.00	0.32	2	1	1	0	1	0	-5	0	-5	-2	0	-2
10	CH	Chodci na lávkách	Q	0	-1	2	0	0	-29	-2	1.00	1.30		1.30	-	1.00	1.00	-1	3	0	0	0	0	-38	0	-38	-2	0	-2
11	W	Vítr na konstrukci	Q	0	-16	4	8	0	21	-6	1.00	1.15		1.15	-	1.00	0.75	-14	3	7	0	7	0	18	0	18	-5	0	-5
12	WP	Vítr na vozidla	Q	0	8	7	10	0	-42	-11	1.00	1.15		1.15	-	1.00	0.75	7	6	8	0	8	0	-36	0	-36	-10	0	-10
13	TR	Teplota rovnoměrná	Q	0	0	0	0	0	0	0	1.00	1.15		1.15	-	1.00	0.45	0	0	0	0	0	0	0	0	0	0	0	0
14	TN	Teplota nerovnoměrná	Q	0	6	1	-9	0	-28	-1	1.00	-1.15		-1.15	-	1.00	0.60	-4	-1	6	0	6	0	19	0	19	0	0	0
15	FR	Třecí síly v ložiskách	Q	0	0	1	0	0	0	-1	1.00	1.20		1.20	-	1.00	1.00	0	1	0	0	0	0	0	0	0	-1	0	-1
16	I	Imperfekce soustavy	Q	0	-1	0	2	0	6	0	1.00	1.20		1.20	-	1.00	1.00	-1	0	3	0	3	0	8	0	8	0	0	0
27	ULS_LM	ULS - LM71 bez dynam	Q	0	3	132	-537	0	469	-135	1.00	vyp.		0.00	-	1.00	0.00	0	0	0	0	0	0	0	0	0	0	0	0
28	SLS_LM	SLS - LM71 bez dynam	Q	0	-2	102	-415	0	384	-105	1.00	vyp.	1	0.00	-	1.00	0.00	0	0	0	0	0	0	0	0	0	0	0	0
29	ULS_C3	ULS - C3 bez dynam	Q	0	0	124	-503	0	434	-128	1.00	vyp.	1	0.00	-	1.00	0.00	0	0	0	0	0	0	0	0	0	0	0	0
30	SLS_C3	SLS - C3 bez dynam	Q	0	-3	96	-389	0	357	-99	1.00	vyp.	1	0.00	-	1.00	0.00	0	0	0	0	0	0	0	0	0	0	0	0
		CELKEM - FÁZE PRŮŘEZU 0																-8	98	-526	0	-526	0	518	0	518	-98	4	-93
		CELKEM - FÁZE PRŮŘEZU 1																0	0	0	0	0	0	0	0	0	0	0	0
		CELKEM - FÁZE PRŮŘEZU 2																0	0	0	0	0	0	0	0	0	0	0	0
		CELKEM - FÁZE PRŮŘEZU 3																0	0	0	0	0	0	0	0	0	0	0	0
		CELKEM - PRŮŘEZ																-8	98	-526	0	-526	0			518			-93

Napětí od jednotlivých zatěžovacích stavů

SKUPINA ZATĚŽOVACÍCH STAVŮ					Posouzení normálového napětí										Posouzení smykového napětí													
					Účinek síly N			Účinek momentu My			Účinek momentu Mz				Účinek kroutícího momentu Mx				Účinek smykové síly Vy				Účinek smykové síly Vz			
Č.	SKUP ZS	Popis ZS	Kat.	fáze průř.	δ^*N_d [kN]	χ^*A [mm^2]	σ_n [MPa]	$\delta^*M_{y,d}$ [kNm]	$\chi_{lt}{}^*W_{el,y}$ [mm^3]	σ_{my} [MPa]	$\delta^*M_{z,d}$ [kNm]	$W_{el,z}$ [mm^3]	σ_{mz} [MPa]	σ_x [MPa]	$\kappa^*\delta^*M_{x,d}$ [kNm]	$W_{v,y}$ [mm^2]	$\tau_{x,y}$ [MPa]	$W_{v,z}$ [mm^2]	$\tau_{x,z}$ [MPa]	$\delta^*V_{y,d}$ [kN]	$A_{v,y}$ [mm2]	$\tau_{v,y}$ [MPa]	$\tau_{v,y}$ [MPa]	$\delta^*V_{z,d}$ [kN]	$A_{v,z}$ [mm2]	$\tau_{v,z}$ [MPa]	$\tau_{v,z}$ [MPa]
1	G0	Vlastní tíha OK	G	0	-0.2	2.84E+04	0.0	42.6	-1.07E+07	-4.0	-10.8	5.97E+05	-18.0	-22.0	-3.4E-02	-	-	-	-	14.8	1.23E+04	1.2	1.2	-51.6	1.11E+04	-4.6	-4.6
2	G1	Ostatní stálé - mostní vybavení	G	0	0.0	2.84E+04	0.0	6.6	-1.07E+07	-0.6	-0.8	5.97E+05	-1.4	-2.0	0.0E+00	-	-	-	-	1.1	1.23E+04	0.1	0.1	-7.8	1.11E+04	-0.7	-0.7
3	G2	Ostatní stálé - cizí zařízení	G	0	-0.2	2.84E+04	0.0	-7.3	-1.07E+07	0.7	-0.8	5.97E+05	-1.4	-0.7	0.0E+00	-	-	-	-	1.0	1.23E+04	0.1	0.1	-3.9	1.11E+04	-0.4	-0.4
4	P1_71	a.LM71 - kolej 1 (bez dyn. souč.)	P	0	0.0	2.84E+04	0.0	0.0	-1.07E+07	0.0	0.0	5.97E+05	0.0	0.0	0.0E+00	-	-	-	-	0.0	1.23E+04	0.0	0.0	0.0	1.11E+04	0.0	0.0
5	P2_71	a.LM71 - kolej 2 (bez dyn. souč.)	P	0	0.0	2.84E+04	0.0	0.0	-1.07E+07	0.0	0.0	5.97E+05	0.0	0.0	0.0E+00	-	-	-	-	0.0	1.23E+04	0.0	0.0	0.0	1.11E+04	0.0	0.0
6	P1_C3	TTZ C3 - kolej 1 (bez dyn. souč.)	P	0	13.7	2.84E+04	0.5	103.0	-1.07E+07	-9.6	-13.5	5.97E+05	-22.7	-31.8	-4.2E-02	-	-	-	-	16.4	1.23E+04	1.3	1.3	-159.0	1.11E+04	-14.3	-14.3
7	P2_C3	TTZ C3 - kolej 2 (bez dyn. souč.)	P	0	-9.6	2.84E+04	-0.3	407.7	-1.07E+07	-38.0	-14.6	5.97E+05	-24.4	-62.7	0.0E+00	-	-	-	-	21.2	1.23E+04	1.7	1.7	-328.2	1.11E+04	-29.6	-29.6
8	BR	Brzdné a rozjezdové síly	P	0	-0.1	2.84E+04	0.0	-0.4	-1.07E+07	0.0	-33.5	5.97E+05	-56.0	-56.0	0.0E+00	-	-	-	-	29.9	1.23E+04	2.4	2.4	-0.8	1.11E+04	-0.1	-0.1
9	S	Boční ráz	P	0	1.7	2.84E+04	0.1	-5.2	-1.07E+07	0.5	-1.7	5.97E+05	-2.8	-2.3	-3.7E-03	-	-	-	-	1.3	1.23E+04	0.1	0.1	0.7	1.11E+04	0.1	0.1
10	CH	Chodci na lávkách	Q	0	-1.0	2.84E+04	0.0	-37.9	-1.07E+07	3.5	-2.4	5.97E+05	-4.0	-0.5	0.0E+00	-	-	-	-	2.8	1.23E+04	0.2	0.2	0.1	1.11E+04	0.0	0.0
11	W	Vítr na konstrukci	Q	0	-13.9	2.84E+04	-0.5	18.5	-1.07E+07	-1.7	-5.3	5.97E+05	-8.8	-11.0	-8.6E-03	-	-	-	-	3.3	1.23E+04	0.3	0.3	7.0	1.11E+04	0.6	0.6
12	WP	Vítr na vozidla	Q	0	6.9	2.84E+04	0.2	-36.5	-1.07E+07	3.4	-9.5	5.97E+05	-16.0	-12.3	-8.6E-03	-	-	-	-	6.3	1.23E+04	0.5	0.5	8.5	1.11E+04	0.8	0.8
13	TR	Teplota rovnoměrná	Q	0	0.0	2.84E+04	0.0	0.0	-1.07E+07	0.0	0.0	5.97E+05	0.0	0.0	0.0E+00	-	-	-	-	0.0	1.23E+04	0.0	0.0	0.0	1.11E+04	0.0	0.0
14	TN	Teplota nerovnoměrná	Q	0	-4.2	2.84E+04	-0.1	19.2	-1.07E+07	-1.8	0.4	5.97E+05	0.6	-1.3	2.1E-02	-	-	-	-	-0.8	1.23E+04	-0.1	-0.1	6.0	1.11E+04	0.5	0.5
15	FR	Třecí síly v ložiskách	Q	0	-0.1	2.84E+04	0.0	-0.3	-1.07E+07	0.0	-0.6	5.97E+05	-1.1	-1.0	0.0E+00	-	-	-	-	0.8	1.23E+04	0.1	0.1	0.1	1.11E+04	0.0	0.0
16	I	Imperfekce soustavy	Q	0	-1.3	2.84E+04	0.0	7.7	-1.07E+07	-0.7	-0.2	5.97E+05	-0.4	-1.2	0.0E+00	-	-	-	-	0.0	1.23E+04	0.0	0.0	2.6	1.11E+04	0.2	0.2
27	ULS_LM	ULS - LM71 bez dynam	Q	0	0.0	2.84E+04	0.0	0.0	-1.07E+07	0.0	0.0	5.97E+05	0.0	0.0	0.0E+00	-	-	-	-	0.0	1.23E+04	0.0	0.0	0.0	1.11E+04	0.0	0.0
28	SLS_LM	SLS - LM71 bez dynam	Q	0	0.0	2.84E+04	0.0	0.0	-1.07E+07	0.0	0.0	5.97E+05	0.0	0.0	0.0E+00	-	-	-	-	0.0	1.23E+04	0.0	0.0	0.0	1.11E+04	0.0	0.0
29	ULS_C3	ULS - C3 bez dynam	Q	0	0.0	2.84E+04	0.0	0.0	-1.07E+07	0.0	0.0	5.97E+05	0.0	0.0	0.0E+00	-	-	-	-	0.0	1.23E+04	0.0	0.0	0.0	1.11E+04	0.0	0.0
30	SLS_C3	SLS - C3 bez dynam	Q	0	0.0	2.84E+04	0.0	0.0	-1.07E+07	0.0	0.0	5.97E+05	0.0	0.0	0.0E+00	-	-	-	-	0.0	1.23E+04	0.0	0.0	0.0	1.11E+04	0.0	0.0
NAVÝŠENÍ NAPĚTÍ DO AKTIVACE TLAKU V DESCE MOSTOVKY						$\sigma_{P,red}$	0.0							0.0			0.0		0.0				8.0	8.0			-47.4	-47.4
NAPĚTÍ OD PRIMÁRNÍCH ÚČINKŮ NEROVNOMĚRNÉHO OTEPLENÍ						σ_T	0.0							0.0														
NAPĚTÍ OD REOLOGICKÝCH ÚČINKŮ BETONU V ČASE				t=0		σ_R	0.0	γ=	1.20					0.0														
NAPĚTÍ V KRITICKÝCH VLÁKNECH OD KOMBINACE ZATÍŽENÍ						KZ07		[MPa]					$\Sigma\sigma_x$	-204.9								$\Sigma\tau_y$	8.0				$\Sigma\tau_z$	-47.4
NAPĚTÍ OD POHYBLIVÉHO ZATÍŽENÍ								[MPa]					$\sigma_{x,P}$	-152.8									5.6				τ_P	-43.9
NAPĚTÍ OD OSTATNÍCH ZATÍŽENÍ								[MPa]			Φ_{Vy}	Φ_{Vz}	$\sigma_{x,rs}$	-52.1								τ_{rs}	2.4				τ_{rs}	-3.5
NÁVRHOVÁ HODNOTA MEZE KLUZU S REDUKCÍ VLIVEM SMYKOVÉHO NAPĚTÍ								[MPa]			1.00	1.00	$f_{yw,d}$	215.0								$f_{yd}/3^{0,5}$	124.1				$f_{yd}/3^{0,5}$	124.1
NAPĚTÍ OD POHYBLIVÉHO ZATÍŽENÍ V GLOBÁLNÍM SYSTÉMU						$\sigma_{GLOB,P}$	0.0	[MPa]					$\Sigma\sigma_{GLOB}$	0.0														
NAPĚTÍ OD OSTATNÍCH ZATÍŽENÍ V GLOBÁLNÍM SYSTÉMU						$\sigma_{GLOB,rs}$	0.0	[MPa]					$\Sigma\sigma_x + \Sigma\sigma_{GLOB}$	-204.9														
VYUŽITÍ PRŮŘEZU DLE NAPĚTÍ								[%]					η_1	0.95								η_3	0.06				η_3	0.38
NAPĚTÍ V PŘÍČNÉM SMĚRU OD POHYBLIVÉHO ZATÍŽENÍ						$\sigma_{z,P}$	0.0	[MPa]					$\Sigma\sigma_z$	0.0														
NAPĚTÍ V PŘÍČNÉM SMĚRU OD OSTATNÍCH ZATÍŽENÍ						$\sigma_{z,rs}$	0.0	[MPa]					η_2	0.00														
SROVNÁVACÍ NAPĚTÍ													$(\eta_2 + 0{,}8\,\eta_1)/1{,}4$ =	0.54														
VYUŽITÍ PRŮŘEZU CELKEM								[%]					eff	0.95	VYHOVUJE													
STANOVENÍ ZATÍŽITELNOSTI													Z_{LM71} =	-----														

TAB. P3.1.3 POSOUZENÍ - MEZNÍ STAV ÚNOSNOSTI

POPIS	PŘÍČNÍK P3 - ZÁKLADNÍ ČÁST
PRUT / POLOHA BODU	679 / I[557]
NAMÁHÁNÍ	Vy.max
VLÁKNO	BOD K3 -SL
MEZNÍ STAV	ULS (MSÚ)
VYUŽITÍ VLÁKNA PRŮŘEZU	0.99

Charakteristiky materiálu				
pás. horní	$f_{yf,k}$	230	MPa	
pás. dolní	$f_{yf,k}$	230	MPa	
stojina	$f_{yw,k}$	230	MPa	
výztuž	$f_{ys,k}$	500	MPa	
γ_M =	1.07	γ_s =	1.15	

Excentricita normálové síly				
Exc./Fáze	0	1	2	3
e_y	0.000	0.000	0.000	0.000
e_z	0.000	0.000	0.000	0.000
Ekvivalentní vzdál. stěn - příčný roznos				
b_{Mx}	0.000	0.000	0.000	0.000

Vliv stěny na únosnost průřezu				
Char./Fáze	0	1	2	3
A	0.00	0.00	0.00	0.00
Wy	0.00	0.00	0.00	0.00
Wz	0.00	0.00	0.00	0.00

Charakter. v kroucení			
$t_{w,y}$	0.000	[mm]	
$t_{w,z}$	0.000	[mm]	
κ	1.00		
I_t=	0.00E+00	[mm^4]	
$\Omega=2*A_{pr}$	0.00E+00	[mm^2]	

Součinitele vzpěru a vlivu II.řádu				
Char./Fáze	0	1	2	3
k_y	1.000	1.000	1.000	1.000
k_z	1.000	1.000	1.000	1.000
χ_{LT}	1.000	1.000	1.000	1.000
χ_{min}	1.000	1.000	1.000	1.000

δ_{LOK} 1.05

Vnitřní síly od jednotlivých skupin zatěžovacích stavů

SKUPINA ZATĚŽOVACÍCH STAVŮ — CHARAKTERISTICKÉ HODNOTY — DÍLČÍ SOUČINITELÉ ZATÍŽENÍ, DYNAMICKÝ SOUČINITEL — NÁVRHOVÉ HODNOTY

Č.	SKUP ZS	POPIS ZS	KAT.	FÁZE PRŮŘ.	N.k (kN)	Vy.k (kN)	Vz.k (kN)	Mx.k (kNm)	My.k (kNm)	Mz.k (kNm)	γ_{sr} (-)	γ_{fs} (-)	volba γ_f hledat	γ_f (-)	L_d (m)	δ (-)	Ψ_s KZ07	N.d (kN)	Vy.d (kN)	Vz.d (kN)	ΔVz.d (kN)	ΣVz.d (kN)	Mx.d (kNm)	My.d (kNm)	ΔMy.d (kNm)	ΣMy.d (kNm)	Mz.d (kNm)	ΔMz.d (kNm)	ΣMz.d (kNm)
1	G0	Vlastní tíha OK	G	0	0	13	-45	0	37	-9	1.00	1.20		1.20	-	1.00	0.95	0	15	-52	0	-52	0	43	0	43	-11	0	-11
2	G1	Ostatní stálé - mostní vybavení	G	0	0	1	-7	0	6	-1	1.00	1.20		1.20	-	1.00	0.95	0	1	-8	0	-8	0	7	0	7	-1	0	-1
3	G2	Ostatní stálé - cizí zařízení	G	0	0	1	-3	0	-6	-1	1.00	1.20		1.20	-	1.00	0.95	0	1	-4	0	-4	0	-7	0	-7	-1	0	-1
4	P1_71	a.LM71 - kolej 1 (bez dyn. souč.)	P	0	11	14	-115	0	70	-14	1.00	vyp.		0.00	-	1.00	0.00	0	0	0	0	0	0	0	0	0	0	0	0
5	P2_71	a.LM71 - kolej 2 (bez dyn. souč.)	P	0	-6	19	-259	0	322	-15	1.00	vyp.		0.00	-	1.00	0.00	0	0	0	0	0	0	0	0	0	0	0	0
6	P1_C3	TTZ C3 - kolej 1 (bez dyn. souč.)	P	0	10	12	-113	0	74	-11	1.00	1.16		1.16	-	1.21	1.00	14	16	-159	0	-159	0	103	0	103	-16	2	-14
7	P2_C3	TTZ C3 - kolej 2 (bez dyn. souč.)	P	0	-7	15	-234	0	291	-12	1.00	1.16		1.16	-	1.21	1.00	-10	21	-328	0	-328	0	408	0	408	-17	2	-15
8	BR	Brzdné a rozjezdové síly	P	0	0	40	-1	0	-1	-45	1.00	1.16		1.16	-	1.00	0.64	0	30	-1	0	-1	0	0	0	0	-33	0	-33
9	S	Boční ráz	P	0	5	3	2	0	-14	-5	1.00	1.16		1.16	-	1.00	0.32	2	1	1	0	1	0	-5	0	-5	-2	0	-2
10	CH	Chodci na lávkách	Q	0	-1	2	0	0	-29	-2	1.00	0.00		0.00	-	1.00	1.00	0	0	0	0	0	0	0	0	0	0	0	0
11	W	Vítr na konstrukci	Q	0	-16	4	8	0	21	-6	1.00	1.15		1.15	-	1.00	0.75	-14	3	7	0	7	0	18	0	18	-5	0	-5
12	WP	Vítr na vozidla	Q	0	8	7	10	0	-42	-11	1.00	1.15		1.15	-	1.00	0.75	7	6	8	0	8	0	-36	0	-36	-10	0	-10
13	TR	Teplota rovnoměrná	Q	0	0	0	0	0	0	0	1.00	1.15		1.15	-	1.00	0.45	0	0	0	0	0	0	0	0	0	0	0	0
14	TN	Teplota nerovnoměrná	Q	0	6	1	-9	0	-28	-1	1.00	-1.15		-1.15	-	1.00	0.60	-4	-1	6	0	6	0	19	0	19	0	0	0
15	FR	Třecí síly v ložiskách	Q	0	0	1	0	0	0	-1	1.00	1.20		1.20	-	1.00	1.00	0	1	0	0	0	0	0	0	0	-1	0	-1
16	I	Imperfekce soustavy	Q	0	-1	0	2	0	6	0	1.00	1.20		1.20	-	1.00	1.00	-1	0	3	0	3	0	8	0	8	0	0	0
27	ULS_LM	ULS - LM71 bez dynam	Q	0	3	132	-537	0	469	-135	1.00	vyp.		0.00	-	1.00	0.00	0	0	0	0	0	0	0	0	0	0	0	0
28	SLS_LM	SLS - LM71 bez dynam	Q	0	-2	102	-415	0	384	-105	1.00	vyp.	1	0.00	-	1.00	0.00	0	0	0	0	0	0	0	0	0	0	0	0
29	ULS_C3	ULS - C3 bez dynam	Q	0	0	124	-503	0	434	-128	1.00	vyp.	1	0.00	-	1.00	0.00	0	0	0	0	0	0	0	0	0	0	0	0
30	SLS_C3	SLS - C3 bez dynam	Q	0	-3	96	-389	0	357	-99	1.00	vyp.	1	0.00	-	1.00	0.00	0	0	0	0	0	0	0	0	0	0	0	0
		CELKEM - FÁZE PRŮŘEZU 0																-7	95	-526	0	-526	0	555	0	555	-95	4	-91
		CELKEM - FÁZE PRŮŘEZU 1																0	0	0	0	0	0	0	0	0	0	0	0
		CELKEM - FÁZE PRŮŘEZU 2																0	0	0	0	0	0	0	0	0	0	0	0
		CELKEM - FÁZE PRŮŘEZU 3																0	0	0	0	0	0	0	0	0	0	0	0
		CELKEM - PRŮŘEZ																-7	95	-526	0	-526	0			555			-91

Napětí od jednotlivých zatěžovacích stavů

SKUPINA ZATĚŽOVACÍCH STAVŮ — Posouzení normálového napětí — Účinek síly N — Účinek momentu My — Účinek momentu Mz — Posouzení smykového napětí — Účinek kroutícího momentu Mx — Účinek smykové síly Vy — Účinek smykové síly Vz

Č.	SKUP ZS	Popis ZS	Kat.	fáze průř.	δ^*N_d [kN]	χ^*A [mm^2]	σ_n [MPa]	$\delta^*M_{y,d}$ [kNm]	$\chi_{lt}*W_{el,y}$ [mm^3]	σ_{my} [MPa]	$\delta^*M_{z,d}$ [kNm]	$W_{el,z}$ [mm^3]	σ_{mz} [MPa]	σ_x [MPa]	$\kappa*\delta^*M_{x,d}$ [kNm]	$W_{v,y}$ [mm^3]	$\tau_{x,y}$ [MPa]	$W_{v,z}$ [mm^3]	$\tau_{x,z}$ [MPa]	$\delta^*V_{y,d}$ [kN]	$A_{v,y}$ [mm2]	$\tau_{v,y}$ [MPa]	$\tau_{v,y}$ [MPa]	$\delta^*V_{z,d}$ [kN]	$A_{v,z}$ [mm2]	$\tau_{v,z}$ [MPa]	$\tau_{v,z}$ [MPa]
1	G0	Vlastní tíha OK	G	0	-0.2	2.84E+04	0.0	42.6	9.13E+06	4.7	-10.8	-5.97E+05	18.0	22.7	-3.4E-02	-	-	-	-	14.8	1.23E+04	1.2	1.2	-51.6	1.11E+04	-4.6	-4.6
2	G1	Ostatní stálé - mostní vybavení	G	0	0.0	2.84E+04	0.0	6.6	9.13E+06	0.7	-0.8	-5.97E+05	1.4	2.1	0.0E+00	-	-	-	-	1.1	1.23E+04	0.1	0.1	-7.8	1.11E+04	-0.7	-0.7
3	G2	Ostatní stálé - cizí zařízení	G	0	-0.2	2.84E+04	0.0	-7.3	9.13E+06	-0.8	-0.8	-5.97E+05	1.4	0.6	0.0E+00	-	-	-	-	1.0	1.23E+04	0.1	0.1	-3.9	1.11E+04	-0.4	-0.4
4	P1_71	a.LM71 - kolej 1 (bez dyn. souč.)	P	0	0.0	2.84E+04	0.0	0.0	9.13E+06	0.0	0.0	-5.97E+05	0.0	0.0	0.0E+00	-	-	-	-	0.0	1.23E+04	0.0	0.0	0.0	1.11E+04	0.0	0.0
5	P2_71	a.LM71 - kolej 2 (bez dyn. souč.)	P	0	0.0	2.84E+04	0.0	0.0	9.13E+06	0.0	0.0	-5.97E+05	0.0	0.0	0.0E+00	-	-	-	-	0.0	1.23E+04	0.0	0.0	0.0	1.11E+04	0.0	0.0
6	P1_C3	TTZ C3 - kolej 1 (bez dyn. souč.)	P	0	13.7	2.84E+04	0.5	103.0	9.13E+06	11.3	-13.5	-5.97E+05	22.7	34.4	-4.2E-02	-	-	-	-	16.4	1.23E+04	1.3	1.3	-159.0	1.11E+04	-14.3	-14.3
7	P2_C3	TTZ C3 - kolej 2 (bez dyn. souč.)	P	0	-9.6	2.84E+04	-0.3	407.7	9.13E+06	44.7	-14.6	-5.97E+05	24.4	68.7	0.0E+00	-	-	-	-	21.2	1.23E+04	1.7	1.7	-328.2	1.11E+04	-29.6	-29.6
8	BR	Brzdné a rozjezdové síly	P	0	-0.1	2.84E+04	0.0	-0.4	9.13E+06	0.0	-33.5	-5.97E+05	56.0	56.0	0.0E+00	-	-	-	-	29.9	1.23E+04	2.4	2.4	-0.8	1.11E+04	-0.1	-0.1
9	S	Boční ráz	P	0	1.7	2.84E+04	0.1	-5.2	9.13E+06	-0.6	-1.7	-5.97E+05	2.8	2.3	-3.7E-03	-	-	-	-	1.3	1.23E+04	0.1	0.1	0.7	1.11E+04	0.1	0.1
10	CH	Chodci na lávkách	Q	0	0.0	2.84E+04	0.0	0.0	9.13E+06	0.0	0.0	-5.97E+05	0.0	0.0	0.0E+00	-	-	-	-	0.0	1.23E+04	0.0	0.0	0.0	1.11E+04	0.0	0.0
11	W	Vítr na konstrukci	Q	0	-13.9	2.84E+04	-0.5	18.5	9.13E+06	2.0	-5.3	-5.97E+05	8.8	10.3	-8.6E-03	-	-	-	-	3.3	1.23E+04	0.3	0.3	7.0	1.11E+04	0.6	0.6
12	WP	Vítr na vozidla	Q	0	6.9	2.84E+04	0.2	-36.5	9.13E+06	-4.0	-9.5	-5.97E+05	16.0	12.2	-8.6E-03	-	-	-	-	6.3	1.23E+04	0.5	0.5	8.5	1.11E+04	0.8	0.8
13	TR	Teplota rovnoměrná	Q	0	0.0	2.84E+04	0.0	0.0	9.13E+06	0.0	0.0	-5.97E+05	0.0	0.0	0.0E+00	-	-	-	-	0.0	1.23E+04	0.0	0.0	0.0	1.11E+04	0.0	0.0
14	TN	Teplota nerovnoměrná	Q	0	-4.2	2.84E+04	-0.1	19.2	9.13E+06	2.1	0.4	-5.97E+05	-0.6	1.3	2.1E-02	-	-	-	-	-0.8	1.23E+04	-0.1	-0.1	6.0	1.11E+04	0.5	0.5
15	FR	Třecí síly v ložiskách	Q	0	-0.1	2.84E+04	0.0	-0.3	9.13E+06	0.0	-0.6	-5.97E+05	1.1	1.0	0.0E+00	-	-	-	-	0.8	1.23E+04	0.1	0.1	0.1	1.11E+04	0.0	0.0
16	I	Imperfekce soustavy	Q	0	-1.3	2.84E+04	0.0	7.7	9.13E+06	0.8	-0.2	-5.97E+05	0.4	1.2	0.0E+00	-	-	-	-	0.0	1.23E+04	0.0	0.0	2.6	1.11E+04	0.2	0.2
27	ULS_LM	ULS - LM71 bez dynam	Q	0	0.0	2.84E+04	0.0	0.0	9.13E+06	0.0	0.0	-5.97E+05	0.0	0.0	0.0E+00	-	-	-	-	0.0	1.23E+04	0.0	0.0	0.0	1.11E+04	0.0	0.0
28	SLS_LM	SLS - LM71 bez dynam	Q	0	0.0	2.84E+04	0.0	0.0	9.13E+06	0.0	0.0	-5.97E+05	0.0	0.0	0.0E+00	-	-	-	-	0.0	1.23E+04	0.0	0.0	0.0	1.11E+04	0.0	0.0
29	ULS_C3	ULS - C3 bez dynam	Q	0	0.0	2.84E+04	0.0	0.0	9.13E+06	0.0	0.0	-5.97E+05	0.0	0.0	0.0E+00	-	-	-	-	0.0	1.23E+04	0.0	0.0	0.0	1.11E+04	0.0	0.0
30	SLS_C3	SLS - C3 bez dynam	Q	0	0.0	2.84E+04	0.0	0.0	9.13E+06	0.0	0.0	-5.97E+05	0.0	0.0	0.0E+00	-	-	-	-	0.0	1.23E+04	0.0	0.0	0.0	1.11E+04	0.0	0.0
NAVÝŠENÍ NAPĚTÍ DO AKTIVACE TLAKU V DESCE MOSTOVKY						$\sigma_{P,red}$	0.0							0.0									7.8	7.8			-47.4	-47.4
NAPĚTÍ OD PRIMÁRNÍCH ÚČINKŮ NEROVNOMĚRNÉHO OTEPLENÍ						σ_T	0.0							0.0														
NAPĚTÍ OD REOLOGICKÝCH ÚČINKŮ BETONU V ČASE		t=0				σ_R	0.0	γ=	1.20					0.0														
NAPĚTÍ V KRITICKÝCH VLÁKNECH OD KOMBINACE ZATÍŽENÍ					KZ07			[MPa]					$\Sigma\sigma_x$	212.9								$\Sigma\tau_y$	7.8				$\Sigma\tau_z$	-47.4
NAPĚTÍ OD POHYBLIVÉHO ZATÍŽENÍ								[MPa]					$\sigma_{x,P}$	161.4								τ_P	5.6				τ_P	-43.9
NAPĚTÍ OD OSTATNÍCH ZATÍŽENÍ								[MPa]			Φ_{Vy}	Φ_{Vz}	$\sigma_{x,rs}$	51.5								τ_{rs}	2.2				τ_{rs}	-3.5
NÁVRHOVÁ HODNOTA MEZE KLUZU S REDUKCÍ VLIVEM SMYKOVÉHO NAPĚTÍ								[MPa]			1.00	1.00	$f_{yw,d}$	215.0								$f_{yd}/3^{0,5}$	124.1				$f_{yd}/3^{0,5}$	124.1
NAPĚTÍ OD POHYBLIVÉHO ZATÍŽENÍ V GLOBÁLNÍM SYSTÉMU				$\sigma_{GLOB,P}$	0.0			[MPa]					$\Sigma\sigma_{GLOB}$	0.0														
NAPĚTÍ OD OSTATNÍCH ZATÍŽENÍ V GLOBÁLNÍM SYSTÉMU				$\sigma_{GLOB,rs}$	0.0			[MPa]					$\Sigma\sigma_x + \Sigma\sigma_{GLOB}$	212.9														
VYUŽITÍ PRŮŘEZU DLE NAPĚTÍ								[%]					η_1	0.99								η_3	0.06				η_3	0.38
NAPĚTÍ V PŘÍČNÉM SMĚRU OD POHYBLIVÉHO ZATÍŽENÍ				$\sigma_{z,P}$	0.0			[MPa]					$\Sigma\sigma_z$	0.0														
NAPĚTÍ V PŘÍČNÉM SMĚRU OD OSTATNÍCH ZATÍŽENÍ				$\sigma_{z,rs}$	0.0			[MPa]					η_2	0.00														
SROVNÁVACÍ NAPĚTÍ													$(\eta_2 + 0,8\ \eta_1)/1,4 =$	0.57														
VYUŽITÍ PRŮŘEZU CELKEM								[%]					eff	0.99	VYHOVUJE													
STANOVENÍ ZATÍŽITELNOSTI													Z_{LM71} =	-----														

TAB. P3.1.3 POSOUZENÍ - MEZNÍ STAV ÚNOSNOSTI

POPIS	PŘÍČNÍK P3 - ZÁKLADNÍ ČÁST
PRUT / POLOHA BODU	679 / I[557]
NAMÁHÁNÍ	Vz.min
VLÁKNO	BOD S6 -HP
MEZNÍ STAV	ULS (MSÚ)
VYUŽITÍ VLÁKNA PRŮŘEZU	0.47

Charakteristiky materiálu				
pás. horní	$f_{yf,k}$	230	MPa	
pás. dolní	$f_{yf,k}$	230	MPa	
stojina	$f_{yw,k}$	230	MPa	
výztuž	$f_{ys,k}$	500	MPa	
γ_M =	1.07	γ_s =	1.15	

Excentricita normálové síly				
Exc./Fáze	0	1	2	3
e_y	0.000	0.000	0.000	0.000
e_z	0.000	0.000	0.000	0.000
Ekvivalentní vzdál. stěn - příčný roznos				
b_{Mx}	0.000	0.000	0.000	0.000

Vliv stěny na únosnost průřezu				
Char./Fáze	0	1	2	3
A	0.00	0.00	0.00	0.00
Wy	0.00	0.00	0.00	0.00
Wz	0.00	0.00	0.00	0.00

Charakter. v kroucení			
$t_{w,y}$	0.000	[mm]	
$t_{w,z}$	0.000	[mm]	
κ	1.00		
I_t=	0.00E+00	[mm⁴]	
$\Omega=2*A_{pr}$	0.00E+00	[mm²]	

Součinitele vzpěru a vlivu II.řádu				
Char./Fáze	0	1	2	3
k_y	1.000	1.000	1.000	1.000
k_z	1.000	1.000	1.000	1.000
χ_{LT}	1.000	1.000	1.000	1.000
χ_{min}	1.000	1.000	1.000	1.000

8

δ_{LOK} 1.05

Vnitřní síly od jednotlivých skupin zatěžovacích stavů

SKUPINA ZATĚŽOVACÍCH STAVŮ					- CHARAKTERISTICKÉ HODNOTY						DÍLČÍ SOUČINITELÉ ZATÍŽENÍ, DYNAMICKÝ SOUČINITEL							- NÁVRHOVÉ HODNOTY									
Č.	SKUP ZS	POPIS ZS	KAT.	FÁZE PRŮŘ.	N.k (kN)	Vy.k (kN)	Vz.k (kN)	Mx.k (kNm)	My.k (kNm)	Mz.k (kNm)	γ_{sr} (-)	γ_s (-)	volba γ_s hledat	γ_s (-)	L_d (m)	δ (-)	Ψ_s KZ08	N.d (kN)	Vy.d (kN)	Vz.d (kN)	ΔVz.d (kN)	ΣVz.d (kN)	Mx.d (kNm)	My.d (kNm)	ΔMy.d (kNm)	ΣMy.d (kNm)	Mz.d (kNm)	ΔMz.d (kNm)	ΣMz.d (kNm)
1	G0	Vlastní tíha OK	G	0	0	13	-45	0	37	-9	1.00	1.20		1.20	-	1.00	0.95	0	15	-52	0	-52	0	43	0	43	-11	0	-11
2	G1	Ostatní stálé - mostní vybavení	G	0	0	1	-7	0	6	-1	1.00	1.20		1.20	-	1.00	0.95	0	1	-8	0	-8	0	7	0	7	-1	0	-1
3	G2	Ostatní stálé - cizí zařízení	G	0	0	1	-3	0	-6	-1	1.00	1.20		1.20	-	1.00	0.95	0	1	-4	0	-4	0	-7	0	-7	-1	0	-1
4	P1_71	a.LM71 - kolej 1 (bez dyn. souč.)	P	0	18	13	-202	0	140	-12	1.00	vyp.		0.00	-	1.00	0.00	0	0	0	0	0	0	0	0	0	0	0	0
5	P2_71	a.LM71 - kolej 2 (bez dyn. souč.)	P	0	7	5	-492	0	543	-4	1.00	vyp.		0.00	-	1.00	0.00	0	0	0	0	0	0	0	0	0	0	0	0
6	P1_C3	TTZ C3 - kolej 1 (bez dyn. souč.)	P	0	12	10	-115	0	76	-10	1.00	1.16		1.16	-	1.21	1.00	16	14	-162	0	-162	0	107	0	107	-13	2	-12
7	P2_C3	TTZ C3 - kolej 2 (bez dyn. souč.)	P	0	5	3	-279	0	306	-2	1.00	1.16		1.16	-	1.21	1.00	8	4	-392	0	-392	0	428	0	428	-3	0	-3
8	BR	Brzdné a rozjezdové síly	P	0	0	33	-1	0	0	-37	1.00	1.16		1.16	-	1.00	0.32	0	12	0	0	0	0	0	0	0	-14	0	-14
9	S	Boční ráz	P	0	-5	1	-3	0	16	0	1.00	1.16		1.16	-	1.00	0.64	-4	0	-2	0	-2	0	12	0	12	0	0	0
10	CH	Chodci na lávkách	Q	0	0	1	0	0	-30	-1	1.00	1.30		1.30	-	1.00	1.00	-1	2	0	0	0	0	-39	0	-39	-2	0	-2
11	W	Vítr na konstrukci	Q	0	13	-4	-8	0	-21	6	1.00	1.15		1.15	-	1.00	0.75	11	-3	-7	0	-7	0	-18	0	-18	5	0	5
12	WP	Vítr na vozidla	Q	0	-8	-7	-10	0	42	11	1.00	1.15		1.15	-	1.00	0.75	-7	-6	-8	0	-8	0	36	0	36	10	0	10
13	TR	Teplota rovnoměrná	Q	0	0	0	0	0	0	0	1.00	1.15		1.15	-	1.00	0.45	0	0	0	0	0	0	0	0	0	0	0	0
14	TN	Teplota nerovnoměrná	Q	0	6	1	-9	0	-28	-1	1.00	1.15		1.15	-	1.00	0.60	4	1	-6	0	-6	0	-19	0	-19	0	0	0
15	FR	Třecí síly v ložiskách	Q	0	0	-1	0	0	0	1	1.00	1.20		1.20	-	1.00	1.00	0	-1	0	0	0	0	0	0	0	1	0	1
16	I	Imperfekce soustavy	Q	0	1	0	-2	0	-6	0	1.00	1.20		1.20	-	1.00	1.00	1	0	-3	0	-3	0	-8	0	-8	0	0	0
27	ULS_LM	ULS - LM71 bez dynam	Q	0	38	53	-1 000	0	905	-44	1.00	vyp.		0.00	-	1.00	0.00	0	0	0	0	0	0	0	0	0	0	0	0
28	SLS_LM	SLS - LM71 bez dynam	Q	0	25	43	-770	0	717	-36	1.00	vyp.	1	0.00	-	1.00	0.00	0	0	0	0	0	0	0	0	0	0	0	0
29	ULS_C3	ULS - C3 bez dynam	Q	0	26	47	-611	0	514	-39	1.00	vyp.	1	0.00	-	1.00	0.00	0	0	0	0	0	0	0	0	0	0	0	0
30	SLS_C3	SLS - C3 bez dynam	Q	0	16	38	-471	0	417	-32	1.00	vyp.	1	0.00	-	1.00	0.00	0	0	0	0	0	0	0	0	0	0	0	0
		CELKEM - FÁZE PRŮŘEZU 0																29	39	-644	0	-644	0	541	0	541	-29	2	-27
		CELKEM - FÁZE PRŮŘEZU 1																0	0	0	0	0	0	0	0	0	0	0	0
		CELKEM - FÁZE PRŮŘEZU 2																0	0	0	0	0	0	0	0	0	0	0	0
		CELKEM - FÁZE PRŮŘEZU 3																0	0	0	0	0	0	0	0	0	0	0	0
		CELKEM - PRŮŘEZ																29	39	-644	0	-644	0			541			-27

Napětí od jednotlivých zatěžovacích stavů

SKUPINA ZATĚŽOVACÍCH STAVŮ					Posouzení normálového napětí										Posouzení smykového napětí													
					Účinek síly N			Účinek momentu My				Účinek momentu Mz				Účinek kroutícího momentu Mx				Účinek smykové síly Vy				Účinek smykové síly Vz			
Č.	SKUP ZS	Popis ZS	Kat.	fáze prúř.	δ^*N_d [kN]	χ^*A [mm²]	σ_n [MPa]	$\delta^*M_{y,d}$ [kNm]	$\chi_{lt}{}^*W_{el,y}$ [mm³]	σ_{my} [MPa]	$\delta^*M_{z,d}$ [kNm]	$W_{el,z}$ [mm³]	σ_{mz} [MPa]	σ_x [MPa]	$\kappa^*\delta^*M_{x,d}$ [kNm]	$W_{v,y}$ [mm²]	$\tau_{x,y}$ [MPa]	$W_{v,z}$ [mm²]	$\tau_{x,z}$ [MPa]	$\delta^*V_{y,d}$ [kN]	$A_{v,y}$ [mm2]	$\tau_{v,y}$ [MPa]	$\tau_{v,y}$ [MPa]	$\delta^*V_{z,d}$ [kN]	$A_{v,z}$ [mm2]	$\tau_{v,z}$ [MPa]	$\tau_{v,z}$ [MPa]
1	G0	Vlastní tíha OK	G	0	-0.2	2.84E+04	0.0	42.6	9.29E+06	4.6	-10.8	-1.84E+07	0.6	5.2	-3.4E-02	-	-	-	-	14.8	1.23E+04	1.2	1.2	-51.6	1.11E+04	-4.6	-4.6
2	G1	Ostatní stálé - mostní vybavení	G	0	0.0	2.84E+04	0.0	6.6	9.29E+06	0.7	-0.8	-1.84E+07	0.0	0.8	0.0E+00	-	-	-	-	1.1	1.23E+04	0.1	0.1	-7.8	1.11E+04	-0.7	-0.7
3	G2	Ostatní stálé - cizí zařízení	G	0	-0.2	2.84E+04	0.0	-7.3	9.29E+06	-0.8	-0.8	-1.84E+07	0.0	-0.7	0.0E+00	-	-	-	-	1.0	1.23E+04	0.1	0.1	-3.9	1.11E+04	-0.4	-0.4
4	P1_71	a.LM71 - kolej 1 (bez dyn. souč.)	P	0	0.0	2.84E+04	0.0	0.0	9.29E+06	0.0	0.0	-1.84E+07	0.0	0.0	0.0E+00	-	-	-	-	0.0	1.23E+04	0.0	0.0	0.0	1.11E+04	0.0	0.0
5	P2_71	a.LM71 - kolej 2 (bez dyn. souč.)	P	0	0.0	2.84E+04	0.0	0.0	9.29E+06	0.0	0.0	-1.84E+07	0.0	0.0	0.0E+00	-	-	-	-	0.0	1.23E+04	0.0	0.0	0.0	1.11E+04	0.0	0.0
6	P1_C3	TTZ C3 - kolej 1 (bez dyn. souč.)	P	0	16.3	2.84E+04	0.6	106.8	9.29E+06	11.5	-11.6	-1.84E+07	0.6	12.7	-4.2E-02	-	-	-	-	14.1	1.23E+04	1.2	1.2	-161.8	1.11E+04	-14.6	-14.6
7	P2_C3	TTZ C3 - kolej 2 (bez dyn. souč.)	P	0	7.5	2.84E+04	0.3	428.5	9.29E+06	46.1	-2.5	-1.84E+07	0.1	46.5	-2.8E-02	-	-	-	-	3.6	1.23E+04	0.3	0.3	-391.6	1.11E+04	-35.3	-35.3
8	BR	Brzdné a rozjezdové síly	P	0	0.0	2.84E+04	0.0	0.1	9.29E+06	0.0	-13.6	-1.84E+07	0.7	0.7	0.0E+00	-	-	-	-	12.1	1.23E+04	1.0	1.0	-0.4	1.11E+04	0.0	0.0
9	S	Boční ráz	P	0	-3.9	2.84E+04	-0.1	12.0	9.29E+06	1.3	-0.4	-1.84E+07	0.0	1.2	0.0E+00	-	-	-	-	0.4	1.23E+04	0.0	0.0	-1.9	1.11E+04	-0.2	-0.2
10	CH	Chodci na lávkách	Q	0	-0.6	2.84E+04	0.0	-39.3	9.29E+06	-4.2	-1.8	-1.84E+07	0.1	-4.2	0.0E+00	-	-	-	-	1.9	1.23E+04	0.2	0.2	-0.4	1.11E+04	0.0	0.0
11	W	Vítr na konstrukci	Q	0	11.4	2.84E+04	0.4	-18.5	9.29E+06	-2.0	5.2	-1.84E+07	-0.3	-1.9	8.6E-03	-	-	-	-	-3.3	1.23E+04	-0.3	-0.3	-7.1	1.11E+04	-0.6	-0.6
12	WP	Vítr na vozidla	Q	0	-6.9	2.84E+04	-0.2	36.4	9.29E+06	3.9	9.5	-1.84E+07	-0.5	3.2	8.6E-03	-	-	-	-	-6.3	1.23E+04	-0.5	-0.5	-8.5	1.11E+04	-0.8	-0.8
13	TR	Teplota rovnoměrná	Q	0	0.0	2.84E+04	0.0	0.0	9.29E+06	0.0	0.0	-1.84E+07	0.0	0.0	0.0E+00	-	-	-	-	0.0	1.23E+04	0.0	0.0	0.0	1.11E+04	0.0	0.0
14	TN	Teplota nerovnoměrná	Q	0	4.2	2.84E+04	0.1	-19.2	9.29E+06	-2.1	-0.4	-1.84E+07	0.0	-1.9	-2.1E-02	-	-	-	-	0.8	1.23E+04	0.1	0.1	-6.0	1.11E+04	-0.5	-0.5
15	FR	Třecí síly v ložiskách	Q	0	0.1	2.84E+04	0.0	0.3	9.29E+06	0.0	0.6	-1.84E+07	0.0	0.0	0.0E+00	-	-	-	-	-0.8	1.23E+04	-0.1	-0.1	-0.1	1.11E+04	0.0	0.0
16	I	Imperfekce soustavy	Q	0	1.3	2.84E+04	0.0	-7.7	9.29E+06	-0.8	0.2	-1.84E+07	0.0	-0.8	0.0E+00	-	-	-	-	0.0	1.23E+04	0.0	0.0	-2.6	1.11E+04	-0.2	-0.2
27	ULS_LM	ULS - LM71 bez dynam	Q	0	0.0	2.84E+04	0.0	0.0	9.29E+06	0.0	0.0	-1.84E+07	0.0	0.0	0.0E+00	-	-	-	-	0.0	1.23E+04	0.0	0.0	0.0	1.11E+04	0.0	0.0
28	SLS_LM	SLS - LM71 bez dynam	Q	0	0.0	2.84E+04	0.0	0.0	9.29E+06	0.0	0.0	-1.84E+07	0.0	0.0	0.0E+00	-	-	-	-	0.0	1.23E+04	0.0	0.0	0.0	1.11E+04	0.0	0.0
29	ULS_C3	ULS - C3 bez dynam	Q	0	0.0	2.84E+04	0.0	0.0	9.29E+06	0.0	0.0	-1.84E+07	0.0	0.0	0.0E+00	-	-	-	-	0.0	1.23E+04	0.0	0.0	0.0	1.11E+04	0.0	0.0
30	SLS_C3	SLS - C3 bez dynam	Q	0	0.0	2.84E+04	0.0	0.0	9.29E+06	0.0	0.0	-1.84E+07	0.0	0.0	0.0E+00	-	-	-	-	0.0	1.23E+04	0.0	0.0	0.0	1.11E+04	0.0	0.0
NAVÝŠENÍ NAPĚTÍ DO AKTIVACE TLAKU V DESCE MOSTOVKY						$\sigma_{P,red}$	0.0							0.0			0.0		0.0			3.2	3.2			-58.0	-58.0
NAPĚTÍ OD PRIMÁRNÍCH ÚČINKŮ NEROVNOMĚRNÉHO OTEPLENÍ						σ_T	0.0							0.0													
NAPĚTÍ OD REOLOGICKÝCH ÚČINKŮ BETONU V ČASE				t=0		σ_R	0.0	γ=	1.20					0.0													
NAPĚTÍ V KRITICKÝCH VLÁKNECH OD KOMBINACE ZATÍŽENÍ						KZ08		[MPa]					$\Sigma\sigma_x$	60.8								$\Sigma\tau_y$	3.2			$\Sigma\tau_z$	-58.0
NAPĚTÍ OD POHYBLIVÉHO ZATÍŽENÍ								[MPa]					$\sigma_{x,P}$	61.2								τ_P	2.5			τ_P	-50.1
NAPĚTÍ OD OSTATNÍCH ZATÍŽENÍ								[MPa]			Φ_{vy}	Φ_{vz}	$\sigma_{x,rs}$	-0.4								τ_{rs}	0.7			τ_{rs}	-7.9
NÁVRHOVÁ HODNOTA MEZE KLUZU S REDUKCÍ VLIVEM SMYKOVÉHO NAPĚTÍ								[MPa]			1.00	1.00	$f_{yw,d}$	215.0								$f_{yd}/3^{0,5}$	124.1			$f_{yd}/3^{0,5}$	124.1
NAPĚTÍ OD POHYBLIVÉHO ZATÍŽENÍ V GLOBÁLNÍM SYSTÉMU						$\sigma_{GLOB,P}$	0.0	[MPa]					$\Sigma\sigma_{GLOB}$	0.0													
NAPĚTÍ OD OSTATNÍCH ZATÍŽENÍ V GLOBÁLNÍM SYSTÉMU						$\sigma_{GLOB,rs}$	0.0	[MPa]					$\Sigma\sigma_x + \Sigma\sigma_{GLOB}$	60.8													
VYUŽITÍ PRŮŘEZU DLE NAPĚTÍ								[%]					η_1	0.28								η_3	0.03			η_3	0.47
NAPĚTÍ V PŘÍČNÉM SMĚRU OD POHYBLIVÉHO ZATÍŽENÍ						$\sigma_{z,P}$	0.0	[MPa]					$\Sigma\sigma_z$	0.0													
NAPĚTÍ V PŘÍČNÉM SMĚRU OD OSTATNÍCH ZATÍŽENÍ						$\sigma_{z,rs}$	0.0	[MPa]					η_2	0.00													
SROVNÁVACÍ NAPĚTÍ													$(\eta_2 + 0,8\ \eta_1)/1,4 =$	0.16													
VYUŽITÍ PRŮŘEZU CELKEM								[%]					eff	0.47	VYHOVUJE												
STANOVENÍ ZATÍŽITELNOSTI													Z_{LM71} =	-----													

NK1 - MEZNÍ STAV ÚNOSNOSTI — VČ. KOROZNÍHO OSLABENÍ — PŘECHODNOST C2D2/40 - 5 LET

Č. p.	PRŮŘEZ:	PRUT/dx:	POPIS:	VLÁKNO		POPIS VLÁKNA	ŘÍDÍCÍ VELIČINA	KOMB. ZATÍŽENÍ	NAPĚTÍ NORMÁL. [MPa]	MEZ KLUZU [MPa]	VYUŽITÍ η_1 [eff]	NAPĚTÍ SMYK. Vz [MPa]	MEZ KLUZU [MPa]	VYUŽITÍ η_3 [eff]	VYUŽITÍ $(\eta_2 + 0{,}8\ \eta_1)/1.4$ [eff]	CELKOVÉ VYUŽITÍ [eff]	ZATÍŽITEL. Z_{MEZ1}
L2.2	TR_L2.2	871 / 2/4	PODÉLNÍK L2.E - STŘED	BOD K1	-HL	horní pásnice	Vy.min	KZ19	-129.4	215.0	0.60	-7.3	124.1	0.06	0.34	0.60	-----
				BOD K4	-SP	dolní pásnice	Vy.min	KZ19	199.6	215.0	0.93	-7.3	124.1	0.06	0.53	0.93	-----
				BOD S6	-HP	stěna	Vz.min	KZ19	113.8	215.0	0.53	-16.8	124.1	0.14	0.30	0.53	-----
											0.93			0.14		0.93	-----
Rekapitulace posouzení NK - Podélníky - (Mezní stav únosnosti)											0.93			0.14		0.93	-----
P0.1	TR_P0.1	706 / 3/4	PŘÍČNÍK P0 - VNĚJŠÍ PODÉLNÍK	BOD K2	-HP	horní pásnice	Vy.max	KZ19	-178.1	215.0	0.83	-10.5	124.1	0.08	0.47	0.83	-----
				BOD K3	-SL	dolní pásnice	Vy.max	KZ19	184.9	215.0	0.86	-10.5	124.1	0.08	0.49	0.86	-----
				BOD S6	-HP	stěna	Vz.min	KZ20	-24.9	215.0	0.12	-71.0	124.1	0.57	0.07	0.57	-----
											0.86			0.57		0.86	-----
Rekapitulace posouzení NK - Podporové příčníky - (Mezní stav únosnosti)											0.86			0.57		0.86	-----
P2.1	TR_P2.1	691 / [568]	PŘÍČNÍK P2 - VNĚJŠÍ PODÉLNÍK	BOD K2	-HP	horní pásnice	Mz.min	KZ19	-209.0	215.0	0.97	-25.4	124.1	0.20	0.56	0.97	-----
				BOD K3	-SL	dolní pásnice	Mz.min	KZ19	206.0	215.0	0.96	-25.4	124.1	0.20	0.55	0.96	-----
				BOD S6	-HP	stěna	Vz.min	KZ20	50.1	215.0	0.23	-34.3	124.1	0.28	0.13	0.28	-----
											0.97			0.28		0.97	-----
P3.1	TR_P3.1	679 / [557]	PŘÍČNÍK P3 - ZÁKLADNÍ ČÁST	BOD K2	-HP	horní pásnice	Vy.max	KZ19	-202.8	215.0	0.94	-50.3	124.1	0.41	0.54	0.94	-----
				BOD K3	-SL	dolní pásnice	Vy.max	KZ19	211.3	215.0	0.98	-50.3	124.1	0.41	0.56	0.98	-----
				BOD S6	-HP	stěna	Vz.min	KZ20	65.3	215.0	0.30	-62.0	124.1	0.50	0.17	0.50	-----
											0.98			0.50		0.98	-----
P4.1	TR_P4.1	667 / [546]	PŘÍČNÍK P4 - ZÁKLADNÍ ČÁST	BOD K2	-HP	horní pásnice	Mz.min	KZ19	-189.8	215.0	0.88	-50.8	124.1	0.41	0.50	0.88	-----
				BOD K3	-SL	dolní pásnice	My.max	KZ19	180.5	215.0	0.84	-58.2	124.1	0.47	0.48	0.84	-----
				BOD S5	-HL	stěna	Vz.min	KZ20	-51.8	215.0	0.24	-63.8	124.1	0.51	0.14	0.51	-----
											0.88			0.51		0.88	-----
Rekapitulace posouzení NK - Běžné příčníky - (Mezní stav únosnosti)											0.98			0.51		0.98	-----

NK1 - MEZNÍ STAV ÚNOSNOSTI — VČ. KOROZNÍHO OSLABENÍ — PŘECHODNOST C2/40 - 5 LET

Č. p.	PRŮŘEZ:	PRUT/dx:	POPIS:	VLÁKNO		POPIS VLÁKNA	ŘÍDÍCÍ VELIČINA	KOMB. ZATÍŽENÍ	NAPĚTÍ NORMÁL. [MPa]	MEZ KLUZU [MPa]	VYUŽITÍ η_1 [eff]	NAPĚTÍ SMYK. Vz [MPa]	MEZ KLUZU [MPa]	VYUŽITÍ η_3 [eff]	VYUŽITÍ $(\eta_2 + 0{,}8\ \eta_1)/1.4$ [eff]	CELKOVÉ VYUŽITÍ [eff]	ZATÍŽITEL. Z_{MEZ1}
L2.2	TR_L2.2	871 / 2/4	PODÉLNÍK L2.E - STŘED	BOD K1	-HL	horní pásnice	Vy.min	KZ11	-124.1	215.0	0.58	-7.3	124.1	0.06	0.33	0.58	-----
				BOD K4	-SP	dolní pásnice	Vy.min	KZ11	189.8	215.0	0.88	-7.3	124.1	0.06	0.50	0.88	-----
				BOD S6	-HP	stěna	Vz.min	KZ11	105.8	215.0	0.49	-15.7	124.1	0.13	0.28	0.49	-----
											0.88			0.13		0.88	-----
Rekapitulace posouzení NK - Podélníky - (Mezní stav únosnosti)											0.88			0.13		0.88	-----
P0.1	TR_P0.1	706 / 3/4	PŘÍČNÍK P0 - VNĚJŠÍ PODÉLNÍK	BOD K2	-HP	horní pásnice	Vy.max	KZ11	-176.7	215.0	0.82	-8.2	124.1	0.07	0.47	0.82	-----
				BOD K3	-SL	dolní pásnice	Vy.max	KZ11	183.2	215.0	0.85	-8.2	124.1	0.07	0.49	0.85	-----
				BOD S6	-HP	stěna	Vz.min	KZ12	-26.2	215.0	0.12	-64.9	124.1	0.52	0.07	0.52	-----
											0.85			0.52		0.85	-----
Rekapitulace posouzení NK - Podporové příčníky - (Mezní stav únosnosti)											0.85			0.52		0.85	-----
P2.1	TR_P2.1	691 / [568]	PŘÍČNÍK P2 - VNĚJŠÍ PODÉLNÍK	BOD K2	-HP	horní pásnice	Mz.min	KZ11	-196.9	215.0	0.92	-21.7	124.1	0.17	0.52	0.92	-----
				BOD K3	-SL	dolní pásnice	Mz.min	KZ11	192.8	215.0	0.90	-21.7	124.1	0.17	0.51	0.90	-----
				BOD S6	-HP	stěna	Vz.min	KZ12	45.8	215.0	0.21	-32.1	124.1	0.26	0.12	0.26	-----
											0.92			0.26		0.92	-----
P3.1	TR_P3.1	679 / [557]	PŘÍČNÍK P3 - ZÁKLADNÍ ČÁST	BOD K2	-HP	horní pásnice	Vy.max	KZ11	-198.5	215.0	0.92	-46.7	124.1	0.38	0.53	0.92	-----
				BOD K3	-SL	dolní pásnice	Vy.max	KZ11	206.2	215.0	0.96	-46.7	124.1	0.38	0.55	0.96	-----
				BOD S6	-HP	stěna	Vz.min	KZ12	60.7	215.0	0.28	-57.8	124.1	0.47	0.16	0.47	-----
											0.96			0.47		0.96	-----
P4.1	TR_P4.1	667 / [546]	PŘÍČNÍK P4 - ZÁKLADNÍ ČÁST	BOD K2	-HP	horní pásnice	Vy.max	KZ11	-189.3	215.0	0.88	-50.3	124.1	0.40	0.50	0.88	-----
				BOD K3	-SL	dolní pásnice	Vy.max	KZ11	179.5	215.0	0.83	-50.3	124.1	0.40	0.48	0.83	-----
				BOD S5	-HL	stěna	Vz.min	KZ12	-48.1	215.0	0.22	-59.9	124.1	0.48	0.13	0.48	-----
											0.88			0.48		0.88	-----
Rekapitulace posouzení NK - Běžné příčníky - (Mezní stav únosnosti)											0.96			0.48		0.96	-----

Příloha P5

Posouzení – mezní stav únavy

REKAPITULACE NK1 až NK3 - MEZNÍ STAV ÚNAVY

Č. p.	PRŮŘEZ:	PRUT/dx:	POPIS:	KUMULACE ÚNAVOVÉHO POŠKOZENÍ OD PROVOZNÍHO ZATÍŽENÍ							Posouzení	Životnost prvku do porušení	POZNÁMKA:
				1901		2001	2018	2025		1901			
				2000		2017	2022	2055		2055			
HLAVNÍ NOSNÍK - NK1 AŽ NK3													
U3	TR_U3	112 / J[115]	DOLNÍ PÁS U3	0.032	-	0.000	0.000	0.005		**0.038**	**<1,0 vyhovuje**	**2055**	
U8	TR_U8	96 / 3/4	DOLNÍ PÁS U8	0.028	-	0.000	0.000	0.003		**0.031**	**<1,0 vyhovuje**	**2055**	
D7.2	TR_D7.2	235 / J[2703]	DIAGONÁLA D7	0.526	-	0.096	0.036	0.293		**0.951**	**<1,0 vyhovuje**	**2055**	výměna diagonály
V8.2	TR_V8.2	401 / I[343]	SVISLICE V8	0.268	-	0.017	0.008	0.060		**0.353**	**<1,0 vyhovuje**	**2055**	
PŘÍČNÍKY - NK1 AŽ NK3													
P0.3	TR_P0.3	709 / I[584]	PŘÍČNÍK P0 - STŘED	0.045	-	0.004	0.004	0.057		**0.110**	**<1,0 vyhovuje**	**2055**	
P1.3	TR_P1.3	701 / I[577]	PŘÍČNÍK P1 - STŘED	0.035	-	0.005	0.005	0.065		**0.110**	**<1,0 vyhovuje**	**2055**	
P2.2	TR_P2.2	692 / I[569]	PŘÍČNÍK P2 - VNITŘNÍ PODÉLNÍK	0.168	-	0.200	0.082	0.709		**1.159**	**>1,0 nevyhovuje**	**2048**	výměna dolní pásnice
P3.1	TR_P3.1	679 / I[557]	PŘÍČNÍK P3 - ZÁKLADNÍ ČÁST	0.151	-	0.362	0.144	1.227		**1.884**	**>1,0 nevyhovuje**	**2033**	výměna dolní pásnice
P5.3	TR_P5.3	658 / I[538]	PŘÍČNÍK P5 - VNITŘNÍ PODÉLNÍK	0.127	-	0.102	0.044	0.430		**0.703**	**<1,0 vyhovuje**	**2055**	výměna dolní pásnice

Č. p.	PRŮŘEZ:	PRUT/dx:	POPIS:	KUMULACE ÚNAVOVÉHO POŠKOZENÍ OD PROVOZNÍHO ZATÍŽENÍ							Posouzení	Životnost prvku do porušení	POZNÁMKA:
				1901	1988	2001		2018	2025	1901			
				1987	2000	2017		2022	2055	2055			
PODÉLNÍK - NK1 AŽ NK3													
L1.2	TR_L1.2	880 / I[739]	PODÉLNÍK L1.E - STŘED	0.106	0.005	0.018		0.007	0.052	**0.188**	**<1,0 vyhovuje**	**0**	
L2.2	TR_L2.2	871 / 2/4	PODÉLNÍK L2.E - STŘED	0.284	0.055	0.327		0.124	1.987	**2.777**	**>1,0 nevyhovuje**	**2024**	celková výměna
L4.2	TR_L4.2	850 / I[712]	PODÉLNÍK L4.E - STŘED	0.355	0.029	0.201		0.073	1.158	**1.817**	**>1,0 nevyhovuje**	**2029**	celková výměna
L4.2t	TR_L4.2	850 / I[712]	PODÉLNÍK L4.E - STŘED	0.358	0.029	0.157	0.071	0.362	-	**0.977**	**<1,0 vyhovuje**	**do 2023**	s trhlinou v horní pásnici

POZNÁMKA:

1) ŽIVOTNOST PRVKU DO PORUŠENÍ JE ROK, KDY KUMULACE ÚNAVOVÉHO POŠKOZENÍ DOSÁHNE 100% (STANOVENO BEZ PROVEDENÍ REKONSTRUKCE)

NK - MEZNÍ STAV ÚNAVY

2	3	4	5	6	7	8	9	10
Č. p.	PRŮŘEZ:	PRUT/dx:	POPIS:	ROZKMINTY NAPĚTÍ OD ZATÍŽENÍ TTZ C3/60				
				EXTRÉM NAPĚTÍ σ_P		ROZKMIT DLE EC3-1-9		$\Delta\sigma_P$
				KOLEJ Č. 1	KOLEJ Č. 2	KOLEJ Č. 1	KOLEJ Č. 2	CELKEM
HLAVNÍ NOSNÍK - HORNÍ PÁS								
O1	TR_O1	34 / 3/4	HORNÍ PÁS O1	-20.0	-41.8	-12.0	-25.1	**-37.1**
				0.9	1.6	0.9	1.6	**2.5**
					Σ	12.8	26.7	**39.6**
O2	TR_O2	32 / 3/4	HORNÍ PÁS O2	-15.7	-36.1	-9.4	-21.7	**-31.1**
				0.0	0.0	0.0	0.0	**0.0**
					Σ	9.4	21.7	**31.1**
O3	TR_O3	30 / 3/4	HORNÍ PÁS O3	-18.2	-40.0	-10.9	-24.0	**-34.9**
				0.0	0.1	0.0	0.1	**0.1**
					Σ	10.9	24.1	**35.0**
O4	TR_O4	26 / 1/4	HORNÍ PÁS O4	-18.6	-39.5	-11.2	-23.7	**-34.9**
				0.0	0.1	0.0	0.1	**0.1**
					Σ	11.2	23.8	**35.0**
O5	TR_O5	24 / 1/4	HORNÍ PÁS O5	-18.3	-42.4	-11.0	-25.5	**-36.5**
				0.0	0.1	0.0	0.1	**0.1**
					Σ	11.0	25.5	**36.6**
O8	TR_O8	18 / 1/4	HORNÍ PÁS O8	-19.0	-38.8	-11.4	-23.3	**-34.7**
				0.0	0.1	0.0	0.1	**0.1**
					Σ	11.4	23.4	**34.8**
EXTRÉMNÍ ROZKMIT - HLAVNÍ NOSNÍK - HORNÍ PÁS								**39.6**
HLAVNÍ NOSNÍK - DOLNÍ PÁS								
U1	TR_U1	118 / 3/4	DOLNÍ PÁS U1	-0.1	-18.1	-0.1	-10.9	**-11.0**
				6.2	0.1	6.2	0.1	**6.3**
					Σ	6.3	11.0	**17.2**
U3	TR_U3	112 / J[115]	DOLNÍ PÁS U3	0.0	-0.4	0.0	-0.3	**-0.3**
				27.2	41.5	27.2	41.5	**68.6**
					Σ	27.2	41.7	**68.9**
U4	TR_U4	109 / 1/4	DOLNÍ PÁS U4	0.0	-0.2	0.0	-0.1	**-0.1**
				17.2	42.6	17.2	42.6	**59.8**
					Σ	17.2	42.7	**59.9**
U5	TR_U5	107 / 3/4	DOLNÍ PÁS U5	0.0	-0.2	0.0	-0.1	**-0.1**
				18.8	37.7	18.8	37.7	**56.5**
					Σ	18.9	37.8	**56.6**
U6	TR_U6	104 / 3/4	DOLNÍ PÁS U6	0.0	-0.1	0.0	-0.1	**-0.1**
				16.0	41.7	16.0	41.7	**57.7**
					Σ	16.0	41.7	**57.8**
U8	TR_U8	96 / 3/4	DOLNÍ PÁS U8	0.0	-0.1	0.0	0.0	**0.0**
				18.6	42.8	18.6	42.8	**61.4**
					Σ	18.6	42.8	**61.4**
EXTRÉMNÍ ROZKMIT - HLAVNÍ NOSNÍK - DOLNÍ PÁS								**68.9**

NK - MEZNÍ STAV ÚNAVY

Č. p.	PRŮŘEZ:	PRUT/dx:	POPIS:	ROZKMINTY NAPĚTÍ OD ZATÍŽENÍ TTZ C3/60				
				EXTRÉM NAPĚTÍ σ_P		ROZKMIT DLE EC3-1-9		$\Delta\sigma_P$
				KOLEJ Č. 1	KOLEJ Č. 2	KOLEJ Č. 1	KOLEJ Č. 2	CELKEM
HLAVNÍ NOSNÍK - SVISLICE								
V0	TR_V0	442 / J[368]	SVISLICE V0	-20.0	-41.4	-12.0	-24.9	**-36.9**
				0.0	0.0	0.0	0.0	**0.0**
					Σ	12.0	24.9	**36.9**
V1.1	TR_V1.1	439 / 2/4	SVISLICE V1	-17.7	-29.0	-10.6	-17.4	**-28.0**
				-12.5	-7.1	-7.5	-4.3	**-11.8**
					Σ	18.1	21.6	**39.8**
V1.2	TR_V1.2	438 / I[365]	SVISLICE V1	-19.5	-41.1	-11.7	-24.7	**-36.4**
				0.0	1.4	0.0	1.4	**1.4**
					Σ	11.7	26.1	**37.8**
V2.1	TR_V2.1	433 / 2/4	SVISLICE V2	-16.2	-27.6	-9.7	-16.6	**-26.3**
				0.0	0.0	0.0	0.0	**0.0**
					Σ	9.7	16.6	**26.3**
V2.2	TR_V2.2	432 / I[361]	SVISLICE V2	-24.9	-37.1	-15.0	-22.2	**-37.2**
				0.0	0.0	0.0	0.0	**0.0**
					Σ	15.0	22.2	**37.2**
V3.1	TR_V3.1	428 / 2/4	SVISLICE V3	-15.7	-26.8	-9.4	-16.1	**-25.5**
				0.0	4.5	0.0	4.5	**4.5**
					Σ	9.4	20.6	**30.0**
V3.2	TR_V3.2	427 / I[358]	SVISLICE V3	-27.4	-30.0	-16.5	-18.0	**-34.5**
				0.0	3.8	0.0	3.8	**3.8**
					Σ	16.5	21.8	**38.3**
V4.1	TR_V4.1	423 / 2/4	SVISLICE V4	-9.2	-33.3	-5.5	-20.0	**-25.5**
				12.2	19.5	12.2	19.5	**31.8**
					Σ	17.7	39.5	**57.3**
V4.2	TR_V4.2	422 / I[355]	SVISLICE V4	0.0	-36.4	0.0	-21.8	**-21.8**
				25.2	29.5	25.2	29.5	**54.7**
					Σ	25.2	51.3	**76.5**
V5.1	TR_V5.1	418 / 2/4	SVISLICE V5	-16.2	-28.8	-9.7	-17.3	**-27.0**
				3.1	18.4	3.1	18.4	**21.5**
					Σ	12.8	35.7	**48.5**
V5.2	TR_V5.2	417 / I[352]	SVISLICE V5	0.0	-37.6	0.0	-22.5	**-22.5**
				32.0	29.2	32.0	29.2	**61.2**
					Σ	32.0	51.8	**83.7**
V6.1	TR_V6.1	413 / 2/4	SVISLICE V6	-8.5	-29.1	-5.1	-17.4	**-22.5**
				15.0	27.6	15.0	27.6	**42.6**
					Σ	20.0	45.1	**65.1**
V6.2	TR_V6.2	412 / I[349]	SVISLICE V6	0.0	-37.2	0.0	-22.3	**-22.3**
				36.1	30.2	36.1	30.2	**66.2**
					Σ	36.1	52.5	**88.5**
V7.1	TR_V7.1	408 / 2/4	SVISLICE V7	-1.6	-13.6	-1.0	-8.2	**-9.1**
				17.3	28.4	17.3	28.4	**45.7**
					Σ	18.3	36.6	**54.9**
V7.2	TR_V7.2	406 / I[346]	SVISLICE V7	0.0	-28.2	0.0	-16.9	**-16.9**
				45.3	35.8	45.3	35.8	**81.1**
					Σ	45.3	52.7	**98.0**
V8.1	TR_V8.1	402 / 2/4	SVISLICE V8	0.0	0.0	0.0	0.0	**0.0**
				18.3	27.5	18.3	27.5	**45.8**
					Σ	18.3	27.5	**45.8**
V8.2	TR_V8.2	401 / I[343]	SVISLICE V8	0.0	-31.8	0.0	-19.1	**-19.1**
				47.5	37.4	47.5	37.4	**84.9**
					Σ	47.5	56.4	**103.9**
EXTRÉMNÍ ROZKMIT - HLAVNÍ NOSNÍK - SVISLICE								**103.9**

NK - MEZNÍ STAV ÚNAVY

Č. p.	PRŮŘEZ:	PRUT/dx:	POPIS:	ROZKMINTY NAPĚTÍ OD ZATÍŽENÍ TTZ C3/60				
				EXTRÉM NAPĚTÍ σ_P		ROZKMIT DLE EC3-1-9		$\Delta\sigma_P$
				KOLEJ Č. 1	KOLEJ Č. 2	KOLEJ Č. 1	KOLEJ Č. 2	CELKEM
HLAVNÍ NOSNÍK - DIAGONÁLY								
D1	TR_D1	260 / I[105]	DIAGONÁLA D1	-0.7	-3.4	-0.4	-2.0	**-2.4**
				23.8	53.7	23.8	53.7	**77.6**
					Σ	24.2	55.8	**80.0**
D2	TR_D2	259 / I[2714]	DIAGONÁLA D2	0.0	-1.9	0.0	-1.1	**-1.1**
				26.7	61.8	26.7	61.8	**88.6**
					Σ	26.7	63.0	**89.7**
D3	TR_D3	252 / J[2711]	DIAGONÁLA D3	0.0	0.0	0.0	0.0	**0.0**
				26.1	49.2	26.1	49.2	**75.2**
					Σ	26.1	49.2	**75.3**
D4	TR_D4	248 / J[2709]	DIAGONÁLA D4	0.0	-4.8	0.0	-2.9	**-2.9**
				29.1	44.4	29.1	44.4	**73.5**
					Σ	29.1	47.2	**76.4**
D5	TR_D5	244 / J[2707]	DIAGONÁLA D5	0.0	-13.6	0.0	-8.2	**-8.2**
				26.3	38.5	26.3	38.5	**64.8**
					Σ	26.3	46.6	**72.9**
D6	TR_D6	240 / J[2705]	DIAGONÁLA D6	0.0	-29.6	0.0	-17.7	**-17.7**
				27.6	36.7	27.6	36.7	**64.3**
					Σ	27.6	54.4	**82.0**
D7.1	TR_D7.1	239 / 2/4	DIAGONÁLA D7	-16.1	-30.4	-9.6	-18.2	**-27.9**
				8.4	28.2	8.4	28.2	**36.6**
					Σ	18.0	46.5	**64.5**
D7.2	TR_D7.2	235 / J[2703]	DIAGONÁLA D7	-12.5	-49.9	-7.5	-30.0	**-37.5**
				35.1	44.8	35.1	44.8	**79.9**
					Σ	42.6	74.8	**117.4**
D.8.1	TR_D8.1	233 / 2/4	DIAGONÁLA D8	-12.5	-24.6	-7.5	-14.8	**-22.3**
				6.2	20.3	6.2	20.3	**26.5**
					Σ	13.7	35.1	**48.8**
D.8.2	TR_D8.2	224 / J[2701]	DIAGONÁLA D8	-6.5	-29.2	-3.9	-17.5	**-21.4**
				20.4	26.3	20.4	26.3	**46.7**
					Σ	24.3	43.8	**68.1**
D.9.1	TR_D9.1	219 / 2/4	DIAGONÁLA D9	-16.3	-31.0	-9.8	-18.6	**-28.4**
				7.3	22.6	7.3	22.6	**29.9**
					Σ	17.1	41.2	**58.3**
D.9.2	TR_D9.2	212 / J[2696]	DIAGONÁLA D9	-5.2	-35.1	-3.1	-21.1	**-24.2**
				27.0	32.2	27.0	32.2	**59.2**
					Σ	30.1	53.3	**83.4**
D10.1	TR_D10.1	207 / 2/4	DIAGONÁLA D10	-20.2	-38.4	-12.1	-23.0	**-35.1**
				7.3	24.8	7.3	24.8	**32.1**
					Σ	19.5	47.8	**67.3**
D.10.2	TR_D10.2	200 / J[200]	DIAGONÁLA D10	-36.3	-55.3	-21.8	-33.2	**-55.0**
				12.6	43.3	12.6	43.3	**55.9**
					Σ	34.4	76.5	**110.9**
EXTRÉMNÍ ROZKMIT - HLAVNÍ NOSNÍK - DIAGONÁLY								**117.4**

NK - MEZNÍ STAV ÚNAVY

2	3	4	5	6	7	8	9	10
Č. p.	PRŮŘEZ:	PRUT/dx:	POPIS:	ROZKMINTY NAPĚTÍ OD ZATÍŽENÍ TTZ C3/60				
				EXTRÉM NAPĚTÍ σ_P		ROZKMIT DLE EC3-1-9		$\Delta\sigma_P$
				KOLEJ Č. 1	KOLEJ Č. 2	KOLEJ Č. 1	KOLEJ Č. 2	CELKEM
MOSTOVKA - PŘÍČNÍKY - KRAJNÍ								
P0.1	TR_P0.1	706 / 3/4	PŘÍČNÍK P0 - VNĚJŠÍ PODÉLNÍK	-3.1	0.0	-1.9	0.0	**-1.9**
				25.1	18.9	25.1	18.9	**44.0**
					Σ	27.0	18.9	**45.9**
P0.2	TR_P0.2	708 / I[583]	PŘÍČNÍK P0 - VNITŘNÍ PODÉLNÍK	-0.8	0.0	-0.5	0.0	**-0.5**
				20.6	38.2	20.6	38.2	**58.8**
					Σ	21.1	38.2	**59.3**
P0.3	TR_P0.3	709 / I[584]	PŘÍČNÍK P0 - STŘED	0.0	0.0	0.0	0.0	**0.0**
				29.4	29.4	29.4	29.4	**58.7**
					Σ	29.4	29.4	**58.7**
P1.1	TR_P1.1	699 / I[575]	PŘÍČNÍK P1 - VNĚJŠÍ PODÉLNÍK	-7.8	-41.3	-4.7	-24.8	**-29.4**
				0.0	0.0	0.0	0.0	**0.0**
					Σ	4.7	24.8	**29.4**
P1.2	TR_P1.2	700 / I[576]	PŘÍČNÍK P1 - VNITŘNÍ PODÉLNÍK	-6.3	-9.7	-3.8	-5.8	**-9.6**
				19.4	33.9	19.4	33.9	**53.3**
					Σ	23.2	39.7	**62.9**
P1.3	TR_P1.3	701 / I[577]	PŘÍČNÍK P1 - STŘED	-9.2	-5.3	-5.5	-3.2	**-8.7**
				25.9	26.7	25.9	26.7	**52.7**
					Σ	31.4	29.9	**61.3**
P2.1	TR_P2.1	691 / I[568]	PŘÍČNÍK P2 - VNĚJŠÍ PODÉLNÍK	-26.9	-51.9	-16.2	-31.1	**-47.3**
				0.0	0.0	0.0	0.0	**0.0**
					Σ	16.2	31.1	**47.3**
P2.2	TR_P2.2	692 / I[569]	PŘÍČNÍK P2 - VNITŘNÍ PODÉLNÍK	-2.0	-0.6	-1.2	-0.4	**-1.5**
				21.2	42.6	21.2	42.6	**63.8**
					Σ	22.4	43.0	**65.4**
P2.3	TR_P2.3	693 / I[570]	PŘÍČNÍK P2 - STŘED	-1.1	-1.1	-0.7	-0.7	**-1.3**
				31.4	31.4	31.4	31.4	**62.8**
					Σ	32.1	32.1	**64.1**
EXTRÉMNÍ ROZKMIT - MOSTOVKA - PŘÍČNÍKY - KRAJNÍ								**65.4**

NK - MEZNÍ STAV ÚNAVY

2	3	4	5	6	7	8	9	10
Č. p.	PRŮŘEZ:	PRUT/dx:	POPIS:	ROZKMINTY NAPĚTÍ OD ZATÍŽENÍ TTZ C3/60				
				EXTRÉM NAPĚTÍ σ_P		ROZKMIT DLE EC3-1-9		$\Delta\sigma_P$
				KOLEJ Č. 1	KOLEJ Č. 2	KOLEJ Č. 1	KOLEJ Č. 2	CELKEM
MOSTOVKA - PŘÍČNÍKY - VNITŘNÍ								
P3.1	TR_P3.1	679 / I[557]	PŘÍČNÍK P3 - ZÁKLADNÍ ČÁST	-1.2	-1.4	-0.7	-0.8	**-1.5**
				28.5	57.3	28.5	57.3	**85.9**
					Σ	29.2	58.2	**87.4**
P3.2	TR_P3.2	680 / I[558]	PŘÍČNÍK P3 - VNĚJŠÍ PODÉLNÍK	-0.8	-1.1	-0.5	-0.6	**-1.1**
				24.0	50.2	24.0	50.2	**74.2**
					Σ	24.5	50.9	**75.4**
P3.3	TR_P3.3	682 / I[560]	PŘÍČNÍK P3 - VNITŘNÍ PODÉLNÍK	-1.6	-0.1	-1.0	-0.1	**-1.0**
				24.6	45.4	24.6	45.4	**70.0**
					Σ	25.6	45.5	**71.1**
P3.4	TR_P3.4	683 / I[561]	PŘÍČNÍK P3 - STŘED	0.0	-0.7	0.0	-0.4	**-0.4**
				33.3	32.8	33.3	32.8	**66.1**
					Σ	33.3	33.2	**66.5**
P4.1	TR_P4.1	667 / I[546]	PŘÍČNÍK P4 - ZÁKLADNÍ ČÁST	-23.9	-53.4	-14.4	-32.0	**-46.4**
				1.2	1.2	1.2	1.2	**2.4**
					Σ	15.6	33.2	**48.8**
P4.2	TR_P4.2	668 / I[547]	PŘÍČNÍK P4 - VNĚJŠÍ PODÉLNÍK	-20.7	-46.0	-12.4	-27.6	**-40.0**
				0.8	0.8	0.8	0.8	**1.7**
					Σ	13.2	28.5	**41.7**
P4.3	TR_P4.3	670 / I[549]	PŘÍČNÍK P4 - VNITŘNÍ PODÉLNÍK	-4.9	-0.2	-2.9	-0.1	**-3.1**
				23.3	43.3	23.3	43.3	**66.5**
					Σ	26.2	43.4	**69.6**
P4.4	TR_P4.4	671 / I[550]	PŘÍČNÍK P4 - STŘED	-2.4	-2.3	-1.5	-1.4	**-2.9**
				32.5	32.5	32.5	32.5	**65.0**
					Σ	34.0	33.9	**67.9**
P5.1	TR_P5.1	655 / I[535]	PŘÍČNÍK P5 - ZÁKLADNÍ ČÁST	-1.1	-1.0	-0.6	-0.6	**-1.3**
				15.4	55.6	15.4	55.6	**71.0**
					Σ	16.1	56.2	**72.3**
P5.2	TR_P5.2	656 / I[536]	PŘÍČNÍK P5 - VNĚJŠÍ PODÉLNÍK	-0.7	-0.7	-0.4	-0.4	**-0.9**
				15.1	50.5	15.1	50.5	**65.6**
					Σ	15.6	50.9	**66.5**
P5.3	TR_P5.3	658 / I[538]	PŘÍČNÍK P5 - VNITŘNÍ PODÉLNÍK	-2.4	-0.7	-1.4	-0.4	**-1.8**
				26.0	46.8	26.0	46.8	**72.8**
					Σ	27.4	47.2	**74.6**
P5.4	TR_P5.4	659 / I[539]	PŘÍČNÍK P5 - STŘED	-0.7	-0.8	-0.4	-0.5	**-0.9**
				34.6	35.0	34.6	35.0	**69.6**
					Σ	35.0	35.5	**70.5**
EXTRÉMNÍ ROZKMIT - MOSTOVKA - PŘÍČNÍKY - KRAJNÍ								**87.4**

NK - MEZNÍ STAV ÚNAVY

2	3	4	5	6	7	8	9	10
Č. p.	PRŮŘEZ:	PRUT/dx:	POPIS:	ROZKMINTY NAPĚTÍ OD ZATÍŽENÍ TTZ C3/60				
				EXTRÉM NAPĚTÍ σ_P		ROZKMIT DLE EC3-1-9		$\Delta\sigma_P$
				KOLEJ Č. 1	KOLEJ Č. 2	KOLEJ Č. 1	KOLEJ Č. 2	CELKEM
MOSTOVKA - PODÉLNÍKY								
L1.2	TR_L1.2	880 / I[739]	PODÉLNÍK L1.E - STŘED	-0.6	-5.9	-0.4	-3.5	**-3.9**
				0.6	40.2	0.6	40.2	**40.8**
					Σ	1.0	43.7	**44.7**
L2.2	TR_L2.2	871 / 2/4	PODÉLNÍK L2.E - STŘED	-0.4	-0.8	-0.2	-0.5	**-0.7**
			(*VLIV BRZDNÉHO ZTUŽIDLA*)	18.5	64.4	18.5	64.4	**82.9**
					Σ	18.7	64.9	**83.6**
L3.2	TR_L3.2	860 / I[721]	PODÉLNÍK L3.E - STŘED	0.0	0.0	0.0	0.0	**0.0**
				7.8	55.8	7.8	55.8	**63.6**
					Σ	7.8	55.8	**63.6**
L4.2	TR_L4.2	850 / I[712]	PODÉLNÍK L4.E - STŘED	0.0	-2.6	0.0	-1.6	**-1.6**
				4.8	57.4	4.8	57.4	**62.2**
					Σ	4.8	59.0	**63.8**
L4.2t	TR_L4.2	850 / I[712]	PODÉLNÍK L4.E - STŘED	0.0	-2.0	0.0	-1.2	**-1.2**
			S TRHLINOU V HORNÍ PÁSNICI	6.5	64.3	6.5	64.3	**70.8**
					Σ	6.5	65.5	**72.0**
EXTRÉMNÍ ROZKMIT - MOSTOVKA - PODÉLNÍKY								**83.6**
MOSTOVKA - PODÉLNÍKY NEZESÍLENÉ DO ROKU 1987								
L01.2	TR_L1.2	880 / I[739]	PODÉLNÍK L1.E - STŘED	0.0	0.0	0.0	0.0	**0.0**
				3.9	57.6	3.9	57.6	**61.4**
					Σ	3.9	57.6	**61.4**
L02.2	TR_L2.2	871 / 2/4	PODÉLNÍK L2.E - STŘED	0.0	0.0	0.0	0.0	**0.0**
				5.5	67.9	5.5	67.9	**73.4**
					Σ	5.5	67.9	**73.4**
L04.2	TR_L4.2	850 / I[712]	PODÉLNÍK L4.E - STŘED	0.0	0.0	0.0	0.0	**0.0**
				4.9	72.2	4.9	72.2	**77.1**
					Σ	4.9	72.2	**77.1**
EXTRÉMNÍ ROZKMIT - MOSTOVKA - PODÉLNÍKY NEZESÍLENÉ DO ROKU 1987								**77.1**

TAB. U3.4 POSOUZENÍ - MEZNÍ STAV ÚNAVY

POSUDEK	U3
PRŮŘEZ	TR_U3
POPIS	DOLNÍ PÁS U3
PRUT / POLOHA BODU	112 / J[115]

Vstupní hodnoty

Základní hodnota únavové pevnosti:	$\Delta\sigma_c$ =	71	MPa	viz tab A.6, MP 2015,
Popis únavového detailu:		okraj pásnice připojené ke krčním úhelníkům (malý smyk)		
Redukce vlivem koroze detailu:	c_R =	0.95		viz COST CZ, projekt LD 15127
Oslabení průřezu vlivem koroze:	d_A =	0.10		viz COST CZ, projekt LD 15127
Hodnota únavové pevnosti detailu:	$\Delta\sigma_c$ =	67.5	MPa	
Tloušťka materiálu	t =	1	mm	
redukce únavové pevnosti	ϕ_t=	1.00		
Detail bez vlastního pnutí (šroubovný, nýtovaný)		☑ ano		je-li "ano" σ < 0 MPa pak se násobí 0.6

Schéma detailu

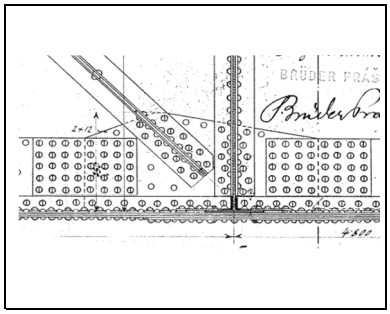

Rozkmit od pohyblivého zatíž. vč. dynam. účinků		kolej 1	kolej 2		
traťová třída zatížení C3/60	$\sigma_{e,mez1}$=	0.0	-0.3	MPa	ČSN EN 1993-1-9 čl. 7.2.1(2)
traťová třída zatížení C3/60	$\sigma_{e,mez2}$=	27.2	41.5	MPa	ČSN EN 1993-1-9 čl. 7.2.1(2)
	$\Sigma\sigma_e$ =	27.2	41.7		

Poměr k zatížení φ2.1,1.LM71 k C3:	p_{C3} =	1.342	převod mezi ČSN 73 6203 a traťovou třídou zatížení C3
Korekce skutečného zatížení k C3:	k_{C3} =	0.8	odvozeno z analýzy spekter napětí na dané trati (viz diagnostika mostní konstrukce)
Dynamický součinitel:	Φ_2=	1.00	MP 2015 pro pečlivě udržovanou kolej
Náhradní délka prutu:	$L_{d,fat}$ =	72 m	
Spolehlivosti materiálu:	γ_{Mf}=	1.15	MP 2015 pro vážný důsledek porušení
	rozkmit $\Delta\sigma_D 5.10^6$ =	49.6 MPa	rozkmit napětí na mezi únavy
	rozkmit $\Delta\sigma_L 1.10^8$ =	27.2 MPa	prahový rozkmit - mez únavy
	N_D =	5000000 cyklů	

Dopravní zatížení do roku 2000

Relativní poměr rozkmitu	období	do 1921	1927	1937	1941	1953	1969	2000	Celkem do 2000	Přepočet rozkmitů k realnému zatížení	Poznámka
		Počet cyklů zatížení v tis. v jedné koleji dle odbobí [prof. Frýba]									
	zatížení	1.533	1.781	1.633	3.188	4.754	9.757	9.637			
	počet roků	20	6	10	4	12	16	31	99		
0.10	0.13	27193	9061	14212	9080	36031	79468	152639	327683	327683	
0.20	0.27	1232	411	644	411	1633	3601	6916	14848	14848	
0.30	0.40	202	67	105	67	267	589	1132	2430	2430	
0.40	0.54	1.533	1.781	1.633	3.188	4.754	9.757	0	23	23	0
0.50	0.67	21	7	11	7	27	60	116	248	328	poměrově zvětšení počet
0.60	**0.81**	9	3	5	3	12	27	51	110	145	poměrově zvětšení počet
0.70	0.94	5	2	2	2	6	13	26	55		
0.80	1.07	3	1	1	1	3	7	14	30		
0.90	1.21	1	0	1	0	2	4	8	18		
1.00	1.34	1	0	0	0	1	3	5	11		
								Σ	345457	345457	kontrola součtu cyklů

Únavové poškození za období 1901 - 2000 99 let

kolej č.1 kolej č.2 kolej č.1 + č.2 Setkání: 10%

poměr napětí	rozkmit napětí	sklon křivky	počet cyklů od zatížení	počet cyklů do porušení	Únavové poškození	rozkmit napětí	sklon křivky	počet cyklů od zatížení	počet cyklů do porušení	Únavové poškození	rozkmit napětí	sklon křivky	počet cyklů od zatížení	počet cyklů do porušení	Únavové poškození
A	$\Delta\sigma_{real}$	m	ni	Ni	ni/Ni	$\Delta\sigma_{real}$	m	ni	Ni	ni/Ni	$\Delta\sigma_{real}$	m	ni	Ni	ni/Ni
[-]	[MPa]	[-]	[v tisících]	[v tisících]		[MPa]	[-]	[v tisících]	[v tisících]		[MPa]	[-]	[v tisících]	[v tisících]	
0.13	3.6	nekon	294915	>10e+8	0.000	5.6	nekon	294915	>10e+8	0.000	9.2	nekon	29491	>10e+8	0.000
0.27	7.3	nekon	13363	>10e+8	0.000	11.2	nekon	13363	>10e+8	0.000	18.5	nekon	1336	>10e+8	0.000
0.40	10.9	nekon	2187	>10e+8	0.000	16.8	nekon	2187	>10e+8	0.000	27.7	5.0	219	45602	0.005
0.54	14.6	nekon	20	>10e+8	0.000	22.4	nekon	20	>10e+8	0.000	37.0	5.0	2	10822	0.000
0.67	18.2	nekon	295	>10e+8	0.000	28.0	5.0	295	43597	0.007	46.2	3.0	30	4068	0.007
0.81	21.9	nekon	131	>10e+8	0.000	33.6	5.0	131	17521	0.007	55.5	3.0	13	2354	0.006
0.94	25.5	5.0	0	68935	0.000	39.2	5.0	0	8106	0.000	64.7	3.0	0	1483	0.000
1.07	29.2	5.0	0	35357	0.000	44.8	3.0	0	4476	0.000	74.0	3.0	0	993	0.000
1.21	32.8	5.0	0	19621	0.000	50.4	3.0	0	3144	0.000	83.2	3.0	0	698	0.000
1.34	36.5	5.0	0	11586	0.000	56.0	3.0	0	2292	0.000	92.5	3.0	0	509	0.000
				$D_d = \Sigma n_i/N_i$	0.000				$D_d = \Sigma n_i/N_i$	0.014				$D_d = \Sigma n_i/N_i$	0.018
														Celkem do roku 2000 ΣD_d	0.032

Únavové poškození za období 2000 - 2017 17 let

kolej č.1 kolej č.2 kolej č.1 + č.2 Setkání: 1%

poměr napětí	rozkmit napětí	sklon křivky	počet cyklů od zatížení	počet cyklů do porušení	Únavové poškození	rozkmit napětí	sklon křivky	počet cyklů od zatížení	počet cyklů do porušení	Únavové poškození	rozkmit napětí	sklon křivky	počet cyklů od zatížení	počet cyklů do porušení	Únavové poškození
A	$\Delta\sigma_{real}$	m	ni	Ni	ni/Ni	$\Delta\sigma_{real}$	m	ni	Ni	ni/Ni	$\Delta\sigma_{real}$	m	ni	Ni	ni/Ni
[-]	[MPa]	[-]	[v tisících]	[v tisících]		[MPa]	[-]	[v tisících]	[v tisících]		[MPa]	[-]	[v tisících]	[v tisících]	
0.10	2.7	nekon	236922	>10e+8	0.000	4.2	nekon	265101	>10e+8	0.000	6.9	nekon	2522	>10e+8	0.000
0.20	5.4	nekon	4608	>10e+8	0.000	8.3	nekon	2451	>10e+8	0.000	13.8	nekon	51	>10e+8	0.000
0.30	8.2	nekon	2204	>10e+8	0.000	12.5	nekon	71	>10e+8	0.000	20.7	nekon	1	>10e+8	0.000
0.40	10.9	nekon	58	>10e+8	0.000	16.7	nekon	455	>10e+8	0.000	27.6	5.0	0	47104	0.000
0.50	13.6	nekon	587	>10e+8	0.000	20.9	nekon	249	>10e+8	0.000	34.5	5.0	6	15435	0.000
0.60	16.3	nekon	2	>10e+8	0.000	25.0	5.0	0	76262	0.000	41.3	5.0	0	6203	0.000
0.70	19.0	nekon	0	>10e+8	0.000	29.2	5.0	0	35284	0.000	48.2	3.0	0	3584	0.000
0.80	21.8	nekon	0	>10e+8	0.000	33.4	5.0	0	18097	0.000	55.1	3.0	0	2401	0.000
0.90	24.5	5.0	0	85404	0.000	37.5	5.0	0	10043	0.000	62.0	3.0	0	1686	0.000
1.00	27.2	5.0	0	50430	0.000	41.7	5.0	0	5930	0.000	68.9	3.0	0	1229	0.000
				$D_d = \Sigma n_i/N_i$	0.000				$D_d = \Sigma n_i/N_i$	0.000				$D_d = \Sigma n_i/N_i$	0.000
														Celkem za období 2000 - 2016 ΣD_d	0.000

TAB. U3.4 POSOUZENÍ - MEZNÍ STAV ÚNAVY

POSUDEK	U3
PRŮŘEZ	TR_U3
POPIS	DOLNÍ PÁS U3
PRUT / POLOHA BODU	112 / J[115]

Únavové poškození za období 2018 - 2022 5 let

kolej č.1 kolej č.2 kolej č.1 + č.2 Setkání: 3%

poměr napětí	rozkmit napětí	sklon křivky	počet cyklů od zatížení	počet cyklů do porušení	Únavové poškození	rozkmit napětí	sklon křivky	počet cyklů od zatížení	počet cyklů do porušení	Únavové poškození	rozkmit napětí	sklon křivky	počet cyklů od zatížení	počet cyklů do porušení	Únavové poškození
A	$\Delta\sigma_{real}$	m	ni	Ni	ni/Ni	$\Delta\sigma_{real}$	m	ni	Ni	ni/Ni	$\Delta\sigma_{real}$	m	ni	Ni	ni/Ni
[-]	[MPa]	[-]	[v tisících]	[v tisících]		[MPa]	[-]	[v tisících]	[v tisících]		[MPa]	[-]	[v tisících]	[v tisících]	
0.10	2.7	nekon	86431	>10e+8	0.000	4.2	nekon	96574	>10e+8	0.000	6.9	nekon	2819	>10e+8	0.000
0.20	5.4	nekon	1686	>10e+8	0.000	8.3	nekon	883	>10e+8	0.000	13.8	nekon	53	>10e+8	0.000
0.30	8.2	nekon	715	>10e+8	0.000	12.5	nekon	20	>10e+8	0.000	20.7	nekon	1	>10e+8	0.000
0.40	10.9	nekon	43	>10e+8	0.000	16.7	nekon	158	>10e+8	0.000	27.6	5.0	0	47104	0.000
0.50	13.6	nekon	200	>10e+8	0.000	20.9	nekon	103	>10e+8	0.000	34.5	5.0	7	15435	0.000
0.60	16.3	nekon	1	>10e+8	0.000	25.0	5.0	0	76262	0.000	41.3	5.0	0	6203	0.000
0.70	19.0	nekon	0	>10e+8	0.000	29.2	5.0	0	35284	0.000	48.2	3.0	0	3584	0.000
0.80	21.8	nekon	0	>10e+8	0.000	33.4	5.0	0	18097	0.000	55.1	3.0	0	2401	0.000
0.90	24.5	5.0	0	85404	0.000	37.5	5.0	0	10043	0.000	62.0	3.0	0	1686	0.000
1.00	27.2	5.0	0	50430	0.000	41.7	5.0	0	5930	0.000	68.9	3.0	0	1229	0.000
				$D_d = \Sigma n_i/N_i$	0.000				$D_d = \Sigma n_i/N_i$	0.000				$D_d = \Sigma n_i/N_i$	0.000
														Celkem za období 2017 - 2022 ΣD_d	0.000

Únavové poškození za období 2025 - 2055 30 let

kolej č.1 kolej č.2 kolej č.1 + č.2 Setkání: 5%

poměr napětí	rozkmit napětí	sklon křivky	počet cyklů od zatížení	počet cyklů do porušení	Únavové poškození	rozkmit napětí	sklon křivky	počet cyklů od zatížení	počet cyklů do porušení	Únavové poškození	rozkmit napětí	sklon křivky	počet cyklů od zatížení	počet cyklů do porušení	Únavové poškození
A	$\Delta\sigma_{real}$	m	ni	Ni	ni/Ni	$\Delta\sigma_{real}$	m	ni	Ni	ni/Ni	$\Delta\sigma_{real}$	m	ni	Ni	ni/Ni
[-]	[MPa]	[-]	[v tisících]	[v tisících]		[MPa]	[-]	[v tisících]	[v tisících]		[MPa]	[-]	[v tisících]	[v tisících]	
0.10	2.7	nekon	646601	>10e+8	0.000	4.2	nekon	716390	>10e+8	0.000	6.9	nekon	35710	>10e+8	0.000
0.20	5.4	nekon	10630	>10e+8	0.000	8.3	nekon	5874	>10e+8	0.000	13.8	nekon	674	>10e+8	0.000
0.30	8.2	nekon	6842	>10e+8	0.000	12.5	nekon	219	>10e+8	0.000	20.7	nekon	24	>10e+8	0.000
0.40	10.9	nekon	178	>10e+8	0.000	16.7	nekon	1427	>10e+8	0.000	27.6	5.0	7	47104	0.000
0.50	13.6	nekon	1516	>10e+8	0.000	20.9	nekon	492	>10e+8	0.000	34.5	5.0	80	15435	0.005
0.60	16.3	nekon	4	>10e+8	0.000	25.0	5.0	0	76262	0.000	41.3	5.0	0	6203	0.000
0.70	19.0	nekon	0	>10e+8	0.000	29.2	5.0	0	35284	0.000	48.2	3.0	0	3584	0.000
0.80	21.8	nekon	0	>10e+8	0.000	33.4	5.0	0	18097	0.000	55.1	3.0	0	2401	0.000
0.90	24.5	5.0	0	85404	0.000	37.5	5.0	0	10043	0.000	62.0	3.0	0	1686	0.000
1.00	27.2	5.0	0	50430	0.000	41.7	5.0	0	5930	0.000	68.9	3.0	0	1229	0.000
				$D_d = \Sigma n_i/N_i$	0.000				$D_d = \Sigma n_i/N_i$	0.000				$D_d = \Sigma n_i/N_i$	0.005
														Celkem za období 2025 - 2055 ΣD_d	0.005

REKAPITULACE UNAVOVÉHO POŠKOZENÍ

POPIS	DOLNÍ PÁS U3
PRUT / POLOHA BODU	112 / J[115]

Období	Unavové poškození ΣD_d					
1901 - 2000	0.032					
2000 - 2016	0.000					
2017 - 2022	0.000					
2025 - 2055	0.005					
1901 - 2055	0.038	<	1,0	vyhovuje eff =	3.8%	Životnost do: 2055

Poznámka:
1. Posouzení mezního stavu únavy je provedeno pomocí metody kumulace únavového poškození,
2. Srovnávací únavové zatížení je odvozeno s traťové třídy zatížení, které na mostě byla v historii zavedena

TAB. U8.4 POSOUZENÍ - MEZNÍ STAV ÚNAVY

POSUDEK	U8
PRŮŘEZ	TR_U8
POPIS	DOLNÍ PÁS U8
PRUT / POLOHA BODU	96 / 3/4

Vstupní hodnoty

Základní hodnota únavové pevnosti:	$\Delta\sigma_c$ =	71	MPa	viz tab A.6, MP 2015,
Popis únavového detailu:		okraj pásnice připojené ke krčním úhelníkům (malý smyk)		
Redukce vlivem koroze detailu:	c_R =	0.95		viz COST CZ, projekt LD 15127
Oslabení průřezu vlivem koroze:	d_A =	0.10		viz COST CZ, projekt LD 15127
Hodnota únavové pevnosti detailu:	$\Delta\sigma_c$ =	67.5	MPa	
Tloušťka materiálu	t =	1	mm	
redukce únavové pevnosti	ϕ_t=	1.00		
Detail bez vlastního pnutí (šroubovný, nýtovaný)		☑ ano		je-li "ano" σ < 0 MPa pak se násobí 0.6

Schéma detailu

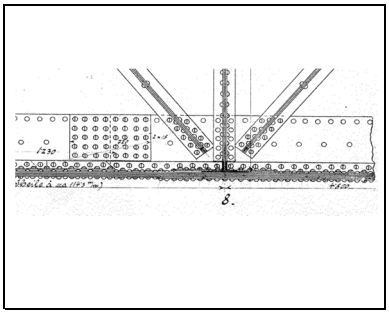

		kolej 1	kolej 2		
Rozkmit od pohyblivého zatíž. vč. dynam. účinků					
traťová třída zatížení C3/60	$\sigma_{e,mez1}$=	0.0	0.0	MPa	ČSN EN 1993-1-9 čl. 7.2.1(2)
traťová třída zatížení C3/60	$\sigma_{e,mez2}$=	18.6	42.8	MPa	ČSN EN 1993-1-9 čl. 7.2.1(2)
	$\Sigma\sigma_e$ =	18.6	42.8		

Poměr k zatížení ϕ2.1,1.LM71 k C3:	p_{C3} =	1.342		převod mezi ČSN 73 6203 a traťovou třídou zatížení C3
Korekce skutečného zatížení k C3:	k_{C3} =	0.8		odovzeno z analýzy spekter napětí na dané trati (viz diagnostika mostní konstrukce)
Dynamický součinitel:	Φ_2=	1.00		MP 2015 pro pečlivě udržovanou kolej
Náhradní délka prutu:	$L_{d,fat}$ =	72	m	
Spolehlivosti materiálu:	γ_{Mf}=	1.15		MP 2015 pro vážný důsledek porušení
	rozkmit $\Delta\sigma_D 5.10^6$ =	49.6	MPa	rozkmit napětí na mezi únavy
	rozkmit $\Delta\sigma_L 1.10^8$ =	27.2	MPa	prahový rozkmit - mez únavy
	N_D =	5000000	cyklů	

Dopravní zatížení do roku 2000

Relativní poměr rozkmitu	období	do 1921	1927	1937	1941	1953	1969	2000	Celkem do 2000	Přepočet rozkmitů k realnému zatížení	Poznámka
		Počet cyklů zatížení v tis. v jedné koleji dle odbobí [prof. Frýba]									
	zatížení	1.533	1.781	1.633	3.188	4.754	9.757	9.637			
	počet roků	20	6	10	4	12	16	31	99		
0.10	0.13	27193	9061	14212	9080	36031	79468	152639	327683	327683	
0.20	0.27	1232	411	644	411	1633	3601	6916	14848	14848	
0.30	0.40	202	67	105	67	267	589	1132	2430	2430	
0.40	0.54	1.533	1.781	1.633	3.188	4.754	9.757	0	23	23	0
0.50	0.67	21	7	11	7	27	60	116	248	328	poměrově zvětšení počet
0.60	**0.81**	9	3	5	3	12	27	51	110	145	poměrově zvětšení počet
0.70	0.94	5	2	2	2	6	13	26	55		
0.80	1.07	3	1	1	1	3	7	14	30		
0.90	1.21	1	0	1	0	2	4	8	18		
1.00	1.34	1	0	0	0	1	3	5	11		
								Σ	345457	345457	kontrola součtu cyklů

Únavové poškození za období 1901 - 2000 99 let

kolej č.1 kolej č.2 kolej č.1 + č.2 Setkání: 10%

poměr napětí	rozkmit napětí	sklon křivky	počet cyklů od zatížení	počet cyklů do porušení	Únavové poškození	rozkmit napětí	sklon křivky	počet cyklů od zatížení	počet cyklů do porušení	Únavové poškození	rozkmit napětí	sklon křivky	počet cyklů od zatížení	počet cyklů do porušení	Únavové poškození
A	$\Delta\sigma_{real}$	m	ni	Ni	ni/Ni	$\Delta\sigma_{real}$	m	ni	Ni	ni/Ni	$\Delta\sigma_{real}$	m	ni	Ni	ni/Ni
[-]	[MPa]	[-]	[v tisících]	[v tisících]		[MPa]	[-]	[v tisících]	[v tisících]		[MPa]	[-]	[v tisících]	[v tisících]	
0.13	2.5	nekon	294915	>10e+8	0.000	5.7	nekon	294915	>10e+8	0.000	8.2	nekon	29491	>10e+8	0.000
0.27	5.0	nekon	13363	>10e+8	0.000	11.5	nekon	13363	>10e+8	0.000	16.5	nekon	1336	>10e+8	0.000
0.40	7.5	nekon	2187	>10e+8	0.000	17.2	nekon	2187	>10e+8	0.000	24.7	5.0	219	80975	0.003
0.54	10.0	nekon	20	>10e+8	0.000	23.0	nekon	20	>10e+8	0.000	33.0	5.0	2	19216	0.000
0.67	12.5	nekon	295	>10e+8	0.000	28.7	5.0	295	38233	0.008	41.2	5.0	30	6297	0.005
0.81	15.0	nekon	131	>10e+8	0.000	34.5	5.0	131	15365	0.009	49.5	3.0	13	3323	0.004
0.94	17.5	nekon	0	>10e+8	0.000	40.2	5.0	0	7109	0.000	57.7	3.0	0	2093	0.000
1.07	20.0	nekon	0	>10e+8	0.000	46.0	3.0	0	4137	0.000	66.0	3.0	0	1402	0.000
1.21	22.5	nekon	0	>10e+8	0.000	51.7	3.0	0	2906	0.000	74.2	3.0	0	985	0.000
1.34	25.0	5.0	0	77250	0.000	57.5	3.0	0	2118	0.000	82.4	3.0	0	718	0.000
				$D_d = \Sigma n_i/N_i$	0.000				$D_d = \Sigma n_i/N_i$	0.016				$D_d = \Sigma n_i/N_i$	0.011
														Celkem do roku 2000 ΣD_d	0.028

Únavové poškození za období 2000 - 2017 17 let

kolej č.1 kolej č.2 kolej č.1 + č.2 Setkání: 1%

poměr napětí	rozkmit napětí	sklon křivky	počet cyklů od zatížení	počet cyklů do porušení	Únavové poškození	rozkmit napětí	sklon křivky	počet cyklů od zatížení	počet cyklů do porušení	Únavové poškození	rozkmit napětí	sklon křivky	počet cyklů od zatížení	počet cyklů do porušení	Únavové poškození
A	$\Delta\sigma_{real}$	m	ni	Ni	ni/Ni	$\Delta\sigma_{real}$	m	ni	Ni	ni/Ni	$\Delta\sigma_{real}$	m	ni	Ni	ni/Ni
[-]	[MPa]	[-]	[v tisících]	[v tisících]		[MPa]	[-]	[v tisících]	[v tisících]		[MPa]	[-]	[v tisících]	[v tisících]	
0.10	1.9	nekon	236922	>10e+8	0.000	4.3	nekon	265101	>10e+8	0.000	6.1	nekon	2522	>10e+8	0.000
0.20	3.7	nekon	4608	>10e+8	0.000	8.6	nekon	2451	>10e+8	0.000	12.3	nekon	51	>10e+8	0.000
0.30	5.6	nekon	2204	>10e+8	0.000	12.8	nekon	71	>10e+8	0.000	18.4	nekon	1	>10e+8	0.000
0.40	7.4	nekon	58	>10e+8	0.000	17.1	nekon	455	>10e+8	0.000	24.6	5.0	0	83641	0.000
0.50	9.3	nekon	587	>10e+8	0.000	21.4	nekon	249	>10e+8	0.000	30.7	5.0	6	27407	0.000
0.60	11.2	nekon	2	>10e+8	0.000	25.7	5.0	0	66880	0.000	36.9	5.0	0	11014	0.000
0.70	13.0	nekon	0	>10e+8	0.000	30.0	5.0	0	30943	0.000	43.0	5.0	0	5096	0.000
0.80	14.9	nekon	0	>10e+8	0.000	34.3	5.0	0	15871	0.000	49.1	3.0	0	3388	0.000
0.90	16.7	nekon	0	>10e+8	0.000	38.5	5.0	0	8807	0.000	55.3	3.0	0	2380	0.000
1.00	18.6	nekon	0	>10e+8	0.000	42.8	5.0	0	5201	0.000	61.4	3.0	0	1735	0.000
				$D_d = \Sigma n_i/N_i$	0.000				$D_d = \Sigma n_i/N_i$	0.000				$D_d = \Sigma n_i/N_i$	0.000
														Celkem za období 2000 - 2016 ΣD_d	0.000

TAB. U8.4 POSOUZENÍ - MEZNÍ STAV ÚNAVY

POSUDEK	U8
PRŮŘEZ	TR_U8
POPIS	DOLNÍ PÁS U8
PRUT / POLOHA BODU	96 / 3/4

Únavové poškození za období 2018 - 2022 5 let

kolej č.1 kolej č.2 kolej č.1 + č.2 Setkání: 3%

poměr napětí	rozkmit napětí	sklon křivky	počet cyklů od zatížení	počet cyklů do porušení	Únavové poškození	rozkmit napětí	sklon křivky	počet cyklů od zatížení	počet cyklů do porušení	Únavové poškození	rozkmit napětí	sklon křivky	počet cyklů od zatížení	počet cyklů do porušení	Únavové poškození
A	$\Delta\sigma_{real}$	m	ni	Ni	ni/Ni	$\Delta\sigma_{real}$	m	ni	Ni	ni/Ni	$\Delta\sigma_{real}$	m	ni	Ni	ni/Ni
[-]	[MPa]	[-]	[v tisících]	[v tisících]		[MPa]	[-]	[v tisících]	[v tisících]		[MPa]	[-]	[v tisících]	[v tisících]	
0.10	1.9	nekon	86431	>10e+8	0.000	4.3	nekon	96574	>10e+8	0.000	6.1	nekon	2819	>10e+8	0.000
0.20	3.7	nekon	1686	>10e+8	0.000	8.6	nekon	883	>10e+8	0.000	12.3	nekon	53	>10e+8	0.000
0.30	5.6	nekon	715	>10e+8	0.000	12.8	nekon	20	>10e+8	0.000	18.4	nekon	1	>10e+8	0.000
0.40	7.4	nekon	43	>10e+8	0.000	17.1	nekon	158	>10e+8	0.000	24.6	5.0	0	83641	0.000
0.50	9.3	nekon	200	>10e+8	0.000	21.4	nekon	103	>10e+8	0.000	30.7	5.0	7	27407	0.000
0.60	11.2	nekon	1	>10e+8	0.000	25.7	5.0	0	66880	0.000	36.9	5.0	0	11014	0.000
0.70	13.0	nekon	0	>10e+8	0.000	30.0	5.0	0	30943	0.000	43.0	5.0	0	5096	0.000
0.80	14.9	nekon	0	>10e+8	0.000	34.3	5.0	0	15871	0.000	49.1	3.0	0	3388	0.000
0.90	16.7	nekon	0	>10e+8	0.000	38.5	5.0	0	8807	0.000	55.3	3.0	0	2380	0.000
1.00	18.6	nekon	0	>10e+8	0.000	42.8	5.0	0	5201	0.000	61.4	3.0	0	1735	0.000
				$D_d = \Sigma n_i/N_i$	0.000				$D_d = \Sigma n_i/N_i$	0.000				$D_d = \Sigma n_i/N_i$	0.000
														Celkem za období 2017 - 2022 ΣD_d	0.000

Únavové poškození za období 2025 - 2055 30 let

kolej č.1 kolej č.2 kolej č.1 + č.2 Setkání: 5%

poměr napětí	rozkmit napětí	sklon křivky	počet cyklů od zatížení	počet cyklů do porušení	Únavové poškození	rozkmit napětí	sklon křivky	počet cyklů od zatížení	počet cyklů do porušení	Únavové poškození	rozkmit napětí	sklon křivky	počet cyklů od zatížení	počet cyklů do porušení	Únavové poškození
A	$\Delta\sigma_{real}$	m	ni	Ni	ni/Ni	$\Delta\sigma_{real}$	m	ni	Ni	ni/Ni	$\Delta\sigma_{real}$	m	ni	Ni	ni/Ni
[-]	[MPa]	[-]	[v tisících]	[v tisících]		[MPa]	[-]	[v tisících]	[v tisících]		[MPa]	[-]	[v tisících]	[v tisících]	
0.10	1.9	nekon	646601	>10e+8	0.000	4.3	nekon	716390	>10e+8	0.000	6.1	nekon	35710	>10e+8	0.000
0.20	3.7	nekon	10630	>10e+8	0.000	8.6	nekon	5874	>10e+8	0.000	12.3	nekon	674	>10e+8	0.000
0.30	5.6	nekon	6842	>10e+8	0.000	12.8	nekon	219	>10e+8	0.000	18.4	nekon	24	>10e+8	0.000
0.40	7.4	nekon	178	>10e+8	0.000	17.1	nekon	1427	>10e+8	0.000	24.6	5.0	7	83641	0.000
0.50	9.3	nekon	1516	>10e+8	0.000	21.4	nekon	492	>10e+8	0.000	30.7	5.0	80	27407	0.003
0.60	11.2	nekon	4	>10e+8	0.000	25.7	5.0	0	66880	0.000	36.9	5.0	0	11014	0.000
0.70	13.0	nekon	0	>10e+8	0.000	30.0	5.0	0	30943	0.000	43.0	5.0	0	5096	0.000
0.80	14.9	nekon	0	>10e+8	0.000	34.3	5.0	0	15871	0.000	49.1	3.0	0	3388	0.000
0.90	16.7	nekon	0	>10e+8	0.000	38.5	5.0	0	8807	0.000	55.3	3.0	0	2380	0.000
1.00	18.6	nekon	0	>10e+8	0.000	42.8	5.0	0	5201	0.000	61.4	3.0	0	1735	0.000
				$D_d = \Sigma n_i/N_i$	0.000				$D_d = \Sigma n_i/N_i$	0.000				$D_d = \Sigma n_i/N_i$	0.003
														Celkem za období 2025 - 2055 ΣD_d	0.003

REKAPITULACE UNAVOVÉHO POŠKOZENÍ

POPIS	DOLNÍ PÁS U8
PRUT / POLOHA BODU	96 / 3/4

Období	Unavové poškození ΣD_d
1901 - 2000	0.028
2000 - 2016	0.000
2017 - 2022	0.000
2025 - 2055	0.003
1901 - 2055	0.031

< 1,0 vyhovuje eff = 3.1% Životnost do: 2055

Poznámka:
1. Posouzení mezního stavu únavy je provedeno pomocí metody kumulace únavového poškození,
2. Srovnávací únavové zatížení je odvozeno s traťové třídy zatížení, které na mostě byla v historii zavedena

TAB. V8.2.4 POSOUZENÍ - MEZNÍ STAV ÚNAVY

POSUDEK	V8.2
PRŮŘEZ	TR_V8.2
POPIS	SVISLICE V8
PRUT / POLOHA BODU	401 / I[343]

Vstupní hodnoty

Základní hodnota únavové pevnosti:	$\Delta\sigma_c$ =	71	MPa	viz tab A.6, MP 2015,
Popis únavového detailu:		oblast připojení prutu do styčníku		
Redukce vlivem koroze detailu:	c_R =	0.95		viz COST CZ, projekt LD 15127
Oslabení průřezu vlivem koroze:	d_A =	0.10		viz COST CZ, projekt LD 15127
Hodnota únavové pevnosti detailu:	$\Delta\sigma_c$ =	67.5	MPa	
Tloušťka materiálu	t =	1	mm	
redukce únavové pevnosti	ϕ_t =	1.00		
Detail bez vlastního pnutí (šroubovný, nýtovaný)		☑ ano		je-li "ano" σ < 0 MPa pak se násobí 0.6

Schéma detailu

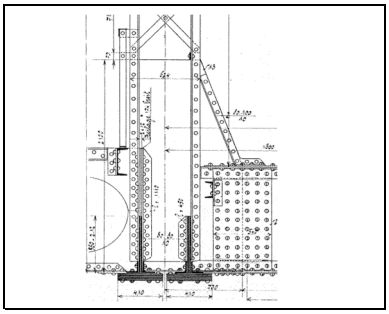

Rozkmit od pohyblivého zatíž. vč. dynam. účinků

		kolej 1	kolej 2		
traťová třída zatížení C3/60	$\sigma_{e,mez1}$ =	0.0	-19.1	MPa	ČSN EN 1993-1-9 čl. 7.2.1(2)
traťová třída zatížení C3/60	$\sigma_{e,mez2}$ =	47.5	37.4	MPa	ČSN EN 1993-1-9 čl. 7.2.1(2)
	$\Sigma\sigma_e$ =	47.5	56.4		

Poměr k zatížení ϕ2.1,1.LM71 k C3:	p_{C3} =	1.41	převod mezi ČSN 73 6203 a traťovou třídou zatížení C3
Korekce skutečného zatížení k C3:	k_{C3} =	0.8	odovzeno z analýzy spekter napětí na dané trati (viz diagnostika mostní konstrukce)
Dynamický součinitel:	Φ_2 =	1.00	MP 2015 pro pečlivě udržovanou kolej
Náhradní délka prutu:	$L_{d,fat}$ =	72 m	
Spolehlivosti materiálu:	γ_{Mf} =	1.15	MP 2015 pro vážný důsledek porušení
	rozkmit $\Delta\sigma_D 5.10^6$ =	49.6 MPa	rozkmit napětí na mezi únavy
	rozkmit $\Delta\sigma_L 1.10^8$ =	27.2 MPa	prahový rozkmit - mez únavy
	N_D =	5000000 cyklů	

Dopravní zatížení do roku 2000

Relativní poměr rozkmitu	období	do 1921	1927	1937	1941	1953	1969	2000	Celkem do 2000	Přepočet rozkmitů k realnému zatížení	Poznámka
		Počet cyklů zatížení v tis. v jedné koleji dle odbobí [prof. Frýba]									
	zatížení	1.533	1.781	1.633	3.188	4.754	9.757	9.637			
	počet roků	20	6	10	4	12	16	31	99		
0.10	0.14	27193	9061	14212	9080	36031	79468	152639	327683	327683	
0.20	0.28	1232	411	644	411	1633	3601	6916	14848	14848	
0.30	0.42	202	67	105	67	267	589	1132	2430	2430	
0.40	0.56	1.533	1.781	1.633	3.188	4.754	9.757	0	23	23	0
0.50	0.70	21	7	11	7	27	60	116	248	328	poměrově zvětšení počet
0.60	**0.84**	9	3	5	3	12	27	51	110	145	poměrově zvětšení počet
0.70	0.98	5	2	2	2	6	13	26	55		
0.80	1.13	3	1	1	1	3	7	14	30		
0.90	1.27	1	0	1	0	2	4	8	18		
1.00	1.41	1	0	0	0	1	3	5	11		
								Σ	345457	345457	kontrola součtu cyklů

Únavové poškození za období 1901 - 2000 99 let

kolej č.1 kolej č.2 kolej č.1 + č.2 Setkání: 10%

poměr napětí	rozkmit napětí	sklon křivky	počet cyklů od zatížení	počet cyklů do porušení	Únavové poškození	rozkmit napětí	sklon křivky	počet cyklů od zatížení	počet cyklů do porušení	Únavové poškození	rozkmit napětí	sklon křivky	počet cyklů od zatížení	počet cyklů do porušení	Únavové poškození
A	$\Delta\sigma_{real}$	m	ni	Ni	ni/Ni	$\Delta\sigma_{real}$	m	ni	Ni	ni/Ni	$\Delta\sigma_{real}$	m	ni	Ni	ni/Ni
[-]	[MPa]	[-]	[v tisících]	[v tisících]		[MPa]	[-]	[v tisících]	[v tisících]		[MPa]	[-]	[v tisících]	[v tisících]	
0.14	6.7	nekon	294915	>10e+8	0.000	7.9	nekon	294915	>10e+8	0.000	14.6	nekon	29491	>10e+8	0.000
0.28	13.4	nekon	13363	>10e+8	0.000	15.9	nekon	13363	>10e+8	0.000	29.2	5.0	1336	35031	0.038
0.42	20.1	nekon	2187	>10e+8	0.000	23.8	5.0	2187	97751	0.022	43.9	3.0	219	4764	0.046
0.56	26.7	5.0	20	54900	0.000	31.8	5.0	20	23197	0.001	58.5	3.0	2	2010	0.001
0.70	33.4	5.0	295	17990	0.016	39.7	5.0	295	7601	0.039	73.1	3.0	30	1029	0.029
0.84	40.1	5.0	131	7230	0.018	47.6	3.0	131	3720	0.035	87.7	3.0	13	596	0.022
0.98	46.8	3.0	0	3928	0.000	55.6	3.0	0	2343	0.000	102.4	3.0	0	375	0.000
1.13	53.5	3.0	0	2632	0.000	63.5	3.0	0	1569	0.000	117.0	3.0	0	251	0.000
1.27	60.2	3.0	0	1848	0.000	71.5	3.0	0	1102	0.000	131.6	3.0	0	176	0.000
1.41	66.8	3.0	0	1347	0.000	79.4	3.0	0	804	0.000	146.2	3.0	0	129	0.000
				$D_d = \Sigma n_i/N_i$	0.035				$D_d = \Sigma n_i/N_i$	0.097				$D_d = \Sigma n_i/N_i$	0.136
														Celkem do roku 2000 ΣD_d	0.268

Únavové poškození za období 2000 - 2017 17 let

kolej č.1 kolej č.2 kolej č.1 + č.2 Setkání: 1%

poměr napětí	rozkmit napětí	sklon křivky	počet cyklů od zatížení	počet cyklů do porušení	Únavové poškození	rozkmit napětí	sklon křivky	počet cyklů od zatížení	počet cyklů do porušení	Únavové poškození	rozkmit napětí	sklon křivky	počet cyklů od zatížení	počet cyklů do porušení	Únavové poškození
A	$\Delta\sigma_{real}$	m	ni	Ni	ni/Ni	$\Delta\sigma_{real}$	m	ni	Ni	ni/Ni	$\Delta\sigma_{real}$	m	ni	Ni	ni/Ni
[-]	[MPa]	[-]	[v tisících]	[v tisících]		[MPa]	[-]	[v tisících]	[v tisících]		[MPa]	[-]	[v tisících]	[v tisících]	
0.10	4.8	nekon	209434	>10e+8	0.000	5.6	nekon	229599	>10e+8	0.000	10.4	nekon	2210	>10e+8	0.000
0.20	9.5	nekon	3461	>10e+8	0.000	11.3	nekon	1007	>10e+8	0.000	20.8	nekon	38	>10e+8	0.000
0.30	14.3	nekon	1234	>10e+8	0.000	16.9	nekon	3316	>10e+8	0.000	31.2	5.0	10	25435	0.000
0.40	19.0	nekon	292	>10e+8	0.000	22.6	nekon	766	>10e+8	0.000	41.6	5.0	0	6036	0.000
0.50	23.8	5.0	9	99187	0.000	28.2	5.0	212	41910	0.005	52.0	3.0	2	2866	0.001
0.60	28.5	5.0	119	39861	0.003	33.9	5.0	118	16843	0.007	62.4	3.0	1	1659	0.001
0.70	33.3	5.0	0	18442	0.000	39.5	5.0	0	7792	0.000	72.8	3.0	0	1045	0.000
0.80	38.0	5.0	0	9459	0.000	45.1	3.0	0	4371	0.000	83.1	3.0	0	700	0.000
0.90	42.8	5.0	0	5249	0.000	50.8	3.0	0	3070	0.000	93.5	3.0	0	491	0.000
1.00	47.5	3.0	0	3753	0.000	56.4	3.0	0	2238	0.000	103.9	3.0	0	358	0.000
				$D_d = \Sigma n_i/N_i$	0.003				$D_d = \Sigma n_i/N_i$	0.012				$D_d = \Sigma n_i/N_i$	0.002
														Celkem za období 2000 - 2016 ΣD_d	0.017

TAB. V8.2.4 POSOUZENÍ - MEZNÍ STAV ÚNAVY

POSUDEK	V8.2
PRŮŘEZ	TR_V8.2
POPIS	SVISLICE V8
PRUT / POLOHA BODU	401 / I[343]

Únavové poškození za období 2018 - 2022 5 let

kolej č.1 kolej č.2 kolej č.1 + č.2 Setkání: 3%

poměr napětí A [-]	rozkmit napětí $\Delta\sigma_{real}$ [MPa]	sklon křivky m [-]	počet cyklů od zatížení ni [v tisících]	počet cyklů do porušení Ni [v tisících]	Únavové poškození ni/Ni	rozkmit napětí $\Delta\sigma_{real}$ [MPa]	sklon křivky m [-]	počet cyklů od zatížení ni [v tisících]	počet cyklů do porušení Ni [v tisících]	Únavové poškození ni/Ni	rozkmit napětí $\Delta\sigma_{real}$ [MPa]	sklon křivky m [-]	počet cyklů od zatížení ni [v tisících]	počet cyklů do porušení Ni [v tisících]	Únavové poškození ni/Ni
0.10	4.8	nekon	75454	>10e+8	0.000	5.6	nekon	82973	>10e+8	0.000	10.4	nekon	2446	>10e+8	0.000
0.20	9.5	nekon	1272	>10e+8	0.000	11.3	nekon	476	>10e+8	0.000	20.8	nekon	42	>10e+8	0.000
0.30	14.3	nekon	453	>10e+8	0.000	16.9	nekon	1188	>10e+8	0.000	31.2	5.0	10	25435	0.000
0.40	19.0	nekon	97	>10e+8	0.000	22.6	nekon	250	>10e+8	0.000	41.6	5.0	1	6036	0.000
0.50	23.8	5.0	3	99187	0.000	28.2	5.0	61	41910	0.001	52.0	3.0	2	2866	0.001
0.60	28.5	5.0	50	39861	0.001	33.9	5.0	50	16843	0.003	62.4	3.0	2	1659	0.001
0.70	33.3	5.0	0	18442	0.000	39.5	5.0	0	7792	0.000	72.8	3.0	0	1045	0.000
0.80	38.0	5.0	0	9459	0.000	45.1	3.0	0	4371	0.000	83.1	3.0	0	700	0.000
0.90	42.8	5.0	0	5249	0.000	50.8	3.0	0	3070	0.000	93.5	3.0	0	491	0.000
1.00	47.5	3.0	0	3753	0.000	56.4	3.0	0	2238	0.000	103.9	3.0	0	358	0.000
				$D_d = \Sigma n_i/N_i$	0.001				$D_d = \Sigma n_i/N_i$	0.004				$D_d = \Sigma n_i/N_i$	0.002
														Celkem za období 2017 - 2022 ΣD_d	0.008

Únavové poškození za období 2025 - 2055 30 let

kolej č.1 kolej č.2 kolej č.1 + č.2 Setkání: 5%

poměr napětí A [-]	rozkmit napětí $\Delta\sigma_{real}$ [MPa]	sklon křivky m [-]	počet cyklů od zatížení ni [v tisících]	počet cyklů do porušení Ni [v tisících]	Únavové poškození ni/Ni	rozkmit napětí $\Delta\sigma_{real}$ [MPa]	sklon křivky m [-]	počet cyklů od zatížení ni [v tisících]	počet cyklů do porušení Ni [v tisících]	Únavové poškození ni/Ni	rozkmit napětí $\Delta\sigma_{real}$ [MPa]	sklon křivky m [-]	počet cyklů od zatížení ni [v tisících]	počet cyklů do porušení Ni [v tisících]	Únavové poškození ni/Ni
0.10	4.8	nekon	570568	>10e+8	0.000	5.6	nekon	622603	>10e+8	0.000	10.4	nekon	31329	>10e+8	0.000
0.20	9.5	nekon	8783	>10e+8	0.000	11.3	nekon	2374	>10e+8	0.000	20.8	nekon	510	>10e+8	0.000
0.30	14.3	nekon	3618	>10e+8	0.000	16.9	nekon	8512	>10e+8	0.000	31.2	5.0	133	25435	0.005
0.40	19.0	nekon	841	>10e+8	0.000	22.6	nekon	2231	>10e+8	0.000	41.6	5.0	4	6036	0.001
0.50	23.8	5.0	16	99187	0.000	28.2	5.0	645	41910	0.015	52.0	3.0	33	2866	0.012
0.60	28.5	5.0	237	39861	0.006	33.9	5.0	235	16843	0.014	62.4	3.0	12	1659	0.007
0.70	33.3	5.0	0	18442	0.000	39.5	5.0	0	7792	0.000	72.8	3.0	0	1045	0.000
0.80	38.0	5.0	0	9459	0.000	45.1	3.0	0	4371	0.000	83.1	3.0	0	700	0.000
0.90	42.8	5.0	0	5249	0.000	50.8	3.0	0	3070	0.000	93.5	3.0	0	491	0.000
1.00	47.5	3.0	0	3753	0.000	56.4	3.0	0	2238	0.000	103.9	3.0	0	358	0.000
				$D_d = \Sigma n_i/N_i$	0.006				$D_d = \Sigma n_i/N_i$	0.029				$D_d = \Sigma n_i/N_i$	0.025
														Celkem za období 2025 - 2055 ΣD_d	0.060

REKAPITULACE UNAVOVÉHO POŠKOZENÍ

POPIS	SVISLICE V8
PRUT / POLOHA BODU	401 / I[343]

Období	Unavové poškození ΣD_d				
1901 - 2000	0.268				
2000 - 2016	0.017				
2017 - 2022	0.008				
2025 - 2055	0.060				
1901 - 2055	0.353	<	1,0	vyhovuje eff = 35.3%	Životnost do: 2055

Poznámka:
1. Posouzení mezního stavu únavy je provedeno pomocí metody kumulace únavového poškození,
2. Srovnávací únavové zatížení je odvozeno s traťové třídy zatížení, které na mostě byla v historii zavedena

TAB. D7.2.4 POSOUZENÍ - MEZNÍ STAV ÚNAVY

POSUDEK	D7.2
PRŮŘEZ	TR_D7.2
POPIS	DIAGONÁLA D7
PRUT / POLOHA BODU	235 / J[2703]

Vstupní hodnoty

Základní hodnota únavové pevnosti:	$\Delta\sigma_c$ =	71	MPa	viz tab A.6, MP 2015,
Popis únavového detailu:		jednostřižný nýtový přípoj s průběžnou částí/napojení ve styčníku		
Redukce vlivem koroze detailu:	c_R =	0.90		viz COST CZ, projekt LD 15127
Oslabení průřezu vlivem koroze:	d_A =	0.20		viz COST CZ, projekt LD 15127
Hodnota únavové pevnosti detailu:	$\Delta\sigma_c$ =	**64.1**	MPa	
Tloušťka materiálu	t =	1	mm	
redukce únavové pevnosti	ϕ_t=	1.00		
Detail bez vlastního pnutí (šroubovný, nýtovaný)		☑ ano		je-li "ano" σ < 0 MPa pak se násobí 0.6

Schéma detailu

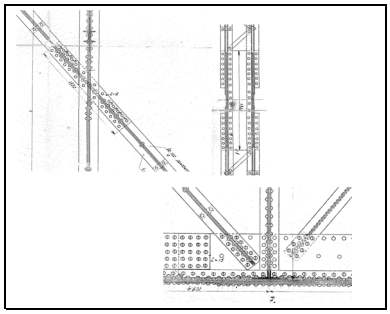

Rozkmit od pohyblivého zatíž. vč. dynam. účinků		kolej 1	kolej 2		
traťová třída zatížení C3/60	$\sigma_{e,mez1}$=	-7.5	-30.0	MPa	ČSN EN 1993-1-9 čl. 7.2.1(2)
traťová třída zatížení C3/60	$\sigma_{e,mez2}$=	35.1	44.8	MPa	ČSN EN 1993-1-9 čl. 7.2.1(2)
	$\Sigma\sigma_e$ =	42.6	74.8		

Poměr k zatížení ϕ2.1,1.LM71 k C3:	p_{C3} =	1.342		převod mezi ČSN 73 6203 a traťovou třídou zatížení C3
Korekce skutečného zatížení k C3:	k_{C3} =	0.8		odvozeno z analýzy spekter napětí na dané trati (viz diagnostika mostní konstrukce)
Dynamický součinitel:	Φ_2=	1.00		MP 2015 pro pečlivě udržovanou kolej
Náhradní délka prutu:	$L_{d,fat}$ =	72	m	odvozeno z příčinkové čáry
Spolehlivosti materiálu:	γ_{Mf}=	1.15		MP 2015 pro vážný důsledek porušení
	rozkmit $\Delta\sigma_D 5.10^6$ =	47.1	MPa	rozkmit napětí na mezi únavy
	rozkmit $\Delta\sigma_L 1.10^8$ =	25.8	MPa	prahový rozkmit - mez únavy
	N_D =	5000000	cyklů	

Dopravní zatížení do roku 2000

Relativní poměr rozkmitu	Počet cyklů zatížení v tis. v jedné koleji dle odbobí [prof. Frýba]								Celkem	Přepočet rozkmitů k realnému zatížení	Poznámka
	období	do 1921	1927	1937	1941	1953	1969	2000	do 2000		
	zatížení	1.533	1.781	1.633	3.188	4.754	9.757	9.637			
	počet roků	20	6	10	4	12	16	31	99		
0.10	0.13	27193	9061	14212	9080	36031	79468	152639	327683	327683	
0.20	0.27	1232	411	644	411	1633	3601	6916	14848	14848	
0.30	0.40	202	67	105	67	267	589	1132	2430	2430	
0.40	0.54	1.533	1.781	1.633	3.188	4.754	9.757	0	23	23	0
0.50	0.67	21	7	11	7	27	60	116	248	328	poměrově zvětšení počet
0.60	**0.81**	9	3	5	3	12	27	51	110	145	poměrově zvětšení počet
0.70	0.94	5	2	2	2	6	13	26	55		
0.80	1.07	3	1	1	1	3	7	14	30		
0.90	1.21	1	0	1	0	2	4	8	18		
1.00	1.34	1	0	0	0	1	3	5	11		
								Σ	345457	345457	kontrola součtu cyklů

Únavové poškození za období 1901 - 2000 99 let

kolej č.1 kolej č.2 kolej č.1 + č.2 Setkání: 10%

poměr napětí	rozkmit napětí	sklon křivky	počet cyklů od zatížení	počet cyklů do porušení	Únavové poškození	rozkmit napětí	sklon křivky	počet cyklů od zatížení	počet cyklů do porušení	Únavové poškození	rozkmit napětí	sklon křivky	počet cyklů od zatížení	počet cyklů do porušení	Únavové poškození
A	$\Delta\sigma_{real}$	m	ni	Ni	ni/Ni	$\Delta\sigma_{real}$	m	ni	Ni	ni/Ni	$\Delta\sigma_{real}$	m	ni	Ni	ni/Ni
[-]	[MPa]	[-]	[v tisících]	[v tisících]		[MPa]	[-]	[v tisících]	[v tisících]		[MPa]	[-]	[v tisících]	[v tisících]	
0.13	5.7	nekon	294915	>10e+8	0.000	10.0	nekon	294915	>10e+8	0.000	15.8	nekon	29491	>10e+8	0.000
0.27	11.4	nekon	13363	>10e+8	0.000	20.1	nekon	13363	>10e+8	0.000	31.5	5.0	1336	18516	0.072
0.40	17.2	nekon	2187	>10e+8	0.000	30.1	5.0	2187	23287	0.094	47.3	3.0	219	3250	0.067
0.54	22.9	5.0	20	91533	0.000	40.1	5.0	20	5526	0.004	63.0	3.0	2	1371	0.001
0.67	28.6	5.0	295	29994	0.010	50.2	3.0	295	2718	0.109	78.8	3.0	30	702	0.042
0.81	34.3	5.0	131	12054	0.011	60.2	3.0	131	1573	0.083	94.5	3.0	13	406	0.032
0.94	40.1	5.0	0	5577	0.000	70.2	3.0	0	991	0.000	110.3	3.0	0	256	0.000
1.07	45.8	3.0	0	3576	0.000	80.3	3.0	0	664	0.000	126.0	3.0	0	171	0.000
				$D_d = \Sigma n_i/N_i$	0.021				$D_d = \Sigma n_i/N_i$	0.289				$D_d = \Sigma n_i/N_i$	0.215
														Celkem do roku 2000 ΣD_d	0.526

Únavové poškození za období 2000 - 2017 17 let

kolej č.1 kolej č.2 kolej č.1 + č.2 Setkání: 1%

poměr napětí	rozkmit napětí	sklon křivky	počet cyklů od zatížení	počet cyklů do porušení	Únavové poškození	rozkmit napětí	sklon křivky	počet cyklů od zatížení	počet cyklů do porušení	Únavové poškození	rozkmit napětí	sklon křivky	počet cyklů od zatížení	počet cyklů do porušení	Únavové poškození
A	$\Delta\sigma_{real}$	m	ni	Ni	ni/Ni	$\Delta\sigma_{real}$	m	ni	Ni	ni/Ni	$\Delta\sigma_{real}$	m	ni	Ni	ni/Ni
[-]	[MPa]	[-]	[v tisících]	[v tisících]		[MPa]	[-]	[v tisících]	[v tisících]		[MPa]	[-]	[v tisících]	[v tisících]	
0.10	4.3	nekon	209434	>10e+8	0.000	7.5	nekon	229599	>10e+8	0.000	11.7	nekon	2210	>10e+8	0.000
0.20	8.5	nekon	3461	>10e+8	0.000	15.0	nekon	1007	>10e+8	0.000	23.5	5.0	38	80594	0.000
0.30	12.8	nekon	1234	>10e+8	0.000	22.4	nekon	3316	>10e+8	0.000	35.2	5.0	10	10613	0.001
0.40	17.1	nekon	292	>10e+8	0.000	29.9	5.0	766	24054	0.032	47.0	3.0	0	3313	0.000
0.50	21.3	nekon	9	>10e+8	0.000	37.4	5.0	212	7882	0.027	58.7	3.0	2	1696	0.001
0.60	25.6	5.0	119	52467	0.002	44.9	3.0	118	3802	0.031	70.4	3.0	1	982	0.001
0.70	29.8	5.0	0	24275	0.000	52.3	3.0	0	2394	0.000	82.2	3.0	0	618	0.000
0.80	34.1	5.0	0	12451	0.000	59.8	3.0	0	1604	0.000	93.9	3.0	0	414	0.000
0.90	38.4	5.0	0	6909	0.000	67.3	3.0	0	1127	0.000	105.6	3.0	0	291	0.000
1.00	42.6	3.0	0	4426	0.000	74.8	3.0	0	821	0.000	117.4	3.0	0	212	0.000
				$D_d = \Sigma n_i/N_i$	0.002				$D_d = \Sigma n_i/N_i$	0.090				$D_d = \Sigma n_i/N_i$	0.004
														Celkem za období 2000 - 2016 ΣD_d	0.096

TAB. D7.2.4 POSOUZENÍ - MEZNÍ STAV ÚNAVY

POSUDEK	D7.2
PRŮŘEZ	TR_D7.2
POPIS	DIAGONÁLA D7
PRUT / POLOHA BODU	235 / J[2703]

Únavové poškození za období 2018 - 2022 5 let

kolej č.1 kolej č.2 kolej č.1 + č.2 Setkání: 3%

poměr napětí	rozkmit napětí	sklon křivky	počet cyklů od zatížení	počet cyklů do porušení	Únavové poškození	rozkmit napětí	sklon křivky	počet cyklů od zatížení	počet cyklů do porušení	Únavové poškození	rozkmit napětí	sklon křivky	počet cyklů od zatížení	počet cyklů do porušení	Únavové poškození
A	$\Delta\sigma_{real}$	m	ni	Ni	ni/Ni	$\Delta\sigma_{real}$	m	ni	Ni	ni/Ni	$\Delta\sigma_{real}$	m	ni	Ni	ni/Ni
[-]	[MPa]	[-]	[v tisících]	[v tisících]		[MPa]	[-]	[v tisících]	[v tisících]		[MPa]	[-]	[v tisících]	[v tisících]	
0.10	4.3	nekon	75454	>10e+8	0.000	7.5	nekon	82973	>10e+8	0.000	11.7	nekon	2446	>10e+8	0.000
0.20	8.5	nekon	1272	>10e+8	0.000	15.0	nekon	476	>10e+8	0.000	23.5	5.0	42	80594	0.001
0.30	12.8	nekon	453	>10e+8	0.000	22.4	nekon	1188	>10e+8	0.000	35.2	5.0	10	10613	0.001
0.40	17.1	nekon	97	>10e+8	0.000	29.9	5.0	250	24054	0.010	47.0	3.0	1	3313	0.000
0.50	21.3	nekon	3	>10e+8	0.000	37.4	5.0	61	7882	0.008	58.7	3.0	2	1696	0.001
0.60	25.6	5.0	50	52467	0.001	44.9	3.0	50	3802	0.013	70.4	3.0	2	982	0.002
0.70	29.8	5.0	0	24275	0.000	52.3	3.0	0	2394	0.000	82.2	3.0	0	618	0.000
0.80	34.1	5.0	0	12451	0.000	59.8	3.0	0	1604	0.000	93.9	3.0	0	414	0.000
0.90	38.4	5.0	0	6909	0.000	67.3	3.0	0	1127	0.000	105.6	3.0	0	291	0.000
1.00	42.6	3.0	0	4426	0.000	74.8	3.0	0	821	0.000	117.4	3.0	0	212	0.000
				$D_d = \Sigma n_i/N_i$	0.001				$D_d = \Sigma n_i/N_i$	0.031				$D_d = \Sigma n_i/N_i$	0.004
														Celkem za období 2017 - 2022 ΣD_d	0.036

Únavové poškození za období 2025 - 2055 30 let

kolej č.1 kolej č.2 kolej č.1 + č.2 Setkání: 5%

poměr napětí	rozkmit napětí	sklon křivky	počet cyklů od zatížení	počet cyklů do porušení	Únavové poškození	rozkmit napětí	sklon křivky	počet cyklů od zatížení	počet cyklů do porušení	Únavové poškození	rozkmit napětí	sklon křivky	počet cyklů od zatížení	počet cyklů do porušení	Únavové poškození
A	$\Delta\sigma_{real}$	m	ni	Ni	ni/Ni	$\Delta\sigma_{real}$	m	ni	Ni	ni/Ni	$\Delta\sigma_{real}$	m	ni	Ni	ni/Ni
[-]	[MPa]	[-]	[v tisících]	[v tisících]		[MPa]	[-]	[v tisících]	[v tisících]		[MPa]	[-]	[v tisících]	[v tisících]	
0.10	4.3	nekon	570568	>10e+8	0.000	7.5	nekon	622603	>10e+8	0.000	11.7	nekon	31329	>10e+8	0.000
0.20	8.5	nekon	8783	>10e+8	0.000	15.0	nekon	2374	>10e+8	0.000	23.5	5.0	510	80594	0.006
0.30	12.8	nekon	3618	>10e+8	0.000	22.4	nekon	8512	>10e+8	0.000	35.2	5.0	133	10613	0.013
0.40	17.1	nekon	841	>10e+8	0.000	29.9	5.0	2231	24054	0.093	47.0	3.0	4	3313	0.001
0.50	21.3	nekon	16	>10e+8	0.000	37.4	5.0	645	7882	0.082	58.7	3.0	33	1696	0.020
0.60	25.6	5.0	237	52467	0.005	44.9	3.0	235	3802	0.062	70.4	3.0	12	982	0.013
0.70	29.8	5.0	0	24275	0.000	52.3	3.0	0	2394	0.000	82.2	3.0	0	618	0.000
0.80	34.1	5.0	0	12451	0.000	59.8	3.0	0	1604	0.000	93.9	3.0	0	414	0.000
0.90	38.4	5.0	0	6909	0.000	67.3	3.0	0	1127	0.000	105.6	3.0	0	291	0.000
1.00	42.6	3.0	0	4426	0.000	74.8	3.0	0	821	0.000	117.4	3.0	0	212	0.000
				$D_d = \Sigma n_i/N_i$	0.005				$D_d = \Sigma n_i/N_i$	0.236				$D_d = \Sigma n_i/N_i$	0.052
														Celkem za období 2025 - 2055 ΣD_d	0.293

REKAPITULACE UNAVOVÉHO POŠKOZENÍ

POPIS	DIAGONÁLA D7
PRUT / POLOHA BODU	235 / J[2703]

Období	Unavové poškození ΣD_d				
1901 - 2000	0.526				
2000 - 2016	0.096				
2017 - 2022	0.036				
2025 - 2055	0.293				
1901 - 2055	0.951	<	1,0	vyhovuje eff =	95.1%

Životnost do: 2055

Poznámka:
1. Posouzení mezního stavu únavy je provedeno pomocí metody kumulace únavového poškození,
2. Srovnávací únavové zatížení je odvozeno s traťové třídy zatížení, které na mostě byla v historii zavedena

TAB. P0.3.4 POSOUZENÍ - MEZNÍ STAV ÚNAVY

POSUDEK	P0.3
PRŮŘEZ	TR_P0.3
POPIS	PŘÍČNÍK P0 - STŘED
PRUT / POLOHA BODU	709 / I[584]

Vstupní hodnoty

Základní hodnota únavové pevnosti:	$\Delta\sigma_c$ =	85	MPa	viz tab A.6, MP 2015,
Popis únavového detailu:		souvislé připojení pásnic ke krčním úhelníkům		
Redukce vlivem koroze detailu:	c_R =	0.98		viz COST CZ, projekt LD 15127
Oslabení průřezu vlivem koroze:	d_A =	0.05		viz COST CZ, projekt LD 15127
Hodnota únavové pevnosti detailu:	$\Delta\sigma_c$ =	82.9	MPa	
Tloušťka materiálu	t =	1	mm	
redukce únavové pevnosti	ϕ_t =	1.00		
Detail bez vlastního pnutí (šroubovný, nýtovaný)		☑ ano		je-li "ano" σ < 0 MPa pak se násobí 0.6

Schéma detailu

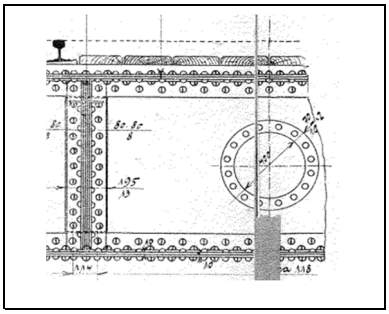

Rozkmit od pohyblivého zatíž. vč. dynam. účinků		kolej 1	kolej 2		
traťová třída zatížení C3/60	$\sigma_{e,mez1}$ =	0.0	0.0	MPa	ČSN EN 1993-1-9 čl. 7.2.1(2)
traťová třída zatížení C3/60	$\sigma_{e,mez2}$ =	29.4	29.4	MPa	ČSN EN 1993-1-9 čl. 7.2.1(2)
	$\Sigma\sigma_e$ =	29.4	29.4		

Poměr k zatížení ϕ2.1,1.LM71 k C3:	p_{C3} =	1.75		převod mezi ČSN 73 6203 a traťovou třídou zatížení C3
Korekce skutečného zatížení k C3:	k_{C3} =	1.00		odovzeno z analýzy spekter napětí na dané trati (viz diagnostika mostní konstrukce)
Dynamický součinitel:	Φ_2 =	1.37		MP 2015 pro pečlivě udržovanou kolej
Náhradní délka prutu:	$L_{d.fat}$ =	3.6	m	
Spolehlivosti materiálu:	γ_{Mf} =	1.15		MP 2015 pro vážný důsledek porušení
	rozkmit $\Delta\sigma_D 5.10^6$ =	61.1	MPa	rozkmit napětí na mezi únavy
	rozkmit $\Delta\sigma_L 1.10^8$ =	33.4	MPa	prahový rozkmit - mez únavy
	N_D =	5000000	cyklů	

Dopravní zatížení do roku 2000

Relativní poměr rozkmitu	období	do 1921	1927	1937	1941	1953	1969	2000	Celkem do 2000	Přepočet rozkmitů k realnému zatížení	Poznámka
		Počet cyklů zatížení v tis. v jedné koleji dle odbobí [prof. Frýba]									
	zatížení	1.533	1.781	1.633	3.188	4.754	9.757	9.637			
	počet roků	20	6	10	4	12	16	31	99		
0.10	0.17	78528	26166	41040	26220	104049	229486	440794	946282	946282	
0.20	0.35	3558	1186	1860	1188	4715	10398	19973	42877	42877	
0.30	0.52	582	194	304	194	772	1702	3269	7017	7017	
0.40	0.70	1.533	1.781	1.633	3.188	4.754	9.757	0	23	23	0
0.50	0.87	60	20	31	20	79	174	334	717	948	poměrově zvětšení počet
0.60	**1.05**	26	9	14	9	35	77	148	318	420	poměrově zvětšení počet
0.70	1.22	13	4	7	4	18	39	74	160		
0.80	1.40	7	2	4	2	10	21	41	88		
0.90	1.57	4	1	2	1	6	13	24	52		
1.00	1.75	3	1	1	1	4	8	15	33		
								Σ	997567	997567	kontrola součtu cyklů

Únavové poškození za období 1901 - 2000 99 let

kolej č.1 kolej č.2 kolej č.1 + č.2 Setkání: 10%

poměr napětí	rozkmit napětí	sklon křivky	počet cyklů od zatížení	počet cyklů do porušení	Únavové poškození	rozkmit napětí	sklon křivky	počet cyklů od zatížení	počet cyklů do porušení	Únavové poškození	rozkmit napětí	sklon křivky	počet cyklů od zatížení	počet cyklů do porušení	Únavové poškození
A	$\Delta\sigma_{real}$	m	ni	Ni	ni/Ni	$\Delta\sigma_{real}$	m	ni	Ni	ni/Ni	$\Delta\sigma_{real}$	m	ni	Ni	ni/Ni
[-]	[MPa]	[-]	[v tisících]	[v tisících]		[MPa]	[-]	[v tisících]	[v tisících]		[MPa]	[-]	[v tisících]	[v tisících]	
0.17	5.1	nekon	851654	>10e+8	0.000	5.1	nekon	851654	>10e+8	0.000	10.3	nekon	85165	>10e+8	0.000
0.35	10.3	nekon	38589	>10e+8	0.000	10.3	nekon	38589	>10e+8	0.000	20.5	nekon	3859	>10e+8	0.000
0.52	15.4	nekon	6315	>10e+8	0.000	15.4	nekon	6315	>10e+8	0.000	30.8	5.0	632	76017	0.008
0.70	20.5	nekon	20	>10e+8	0.000	20.5	nekon	20	>10e+8	0.000	41.1	5.0	2	18039	0.000
0.87	25.7	nekon	853	>10e+8	0.000	25.7	nekon	853	>10e+8	0.000	51.3	5.0	85	5911	0.014
1.05	30.8	5.0	378	75912	0.005	30.8	5.0	378	76123	0.005	61.6	3.0	38	3199	0.012
1.22	36.0	5.0	0	35122	0.000	35.9	5.0	0	35219	0.000	71.9	3.0	0	2015	0.000
1.40	41.1	5.0	0	18014	0.000	41.1	5.0	0	18064	0.000	82.2	3.0	0	1350	0.000
1.57	46.2	5.0	0	9997	0.000	46.2	5.0	0	10024	0.000	92.4	3.0	0	948	0.000
1.75	51.4	5.0	0	5903	0.000	51.3	5.0	0	5919	0.000	102.7	3.0	0	691	0.000
				$D_d = \Sigma n_i/N_i$	0.005				$D_d = \Sigma n_i/N_i$	0.005				$D_d = \Sigma n_i/N_i$	0.035
														Celkem do roku 2000 ΣD_d	0.045

Únavové poškození za období 2000 - 2017 17 let

kolej č.1 kolej č.2 kolej č.1 + č.2 Setkání: 1%

poměr napětí	rozkmit napětí	sklon křivky	počet cyklů od zatížení	počet cyklů do porušení	Únavové poškození	rozkmit napětí	sklon křivky	počet cyklů od zatížení	počet cyklů do porušení	Únavové poškození	rozkmit napětí	sklon křivky	počet cyklů od zatížení	počet cyklů do porušení	Únavové poškození
A	$\Delta\sigma_{real}$	m	ni	Ni	ni/Ni	$\Delta\sigma_{real}$	m	ni	Ni	ni/Ni	$\Delta\sigma_{real}$	m	ni	Ni	ni/Ni
[-]	[MPa]	[-]	[v tisících]	[v tisících]		[MPa]	[-]	[v tisících]	[v tisících]		[MPa]	[-]	[v tisících]	[v tisících]	
0.10	2.9	nekon	235605	>10e+8	0.000	2.9	nekon	234291	>10e+8	0.000	5.9	nekon	2367	>10e+8	0.000
0.20	5.9	nekon	9377	>10e+8	0.000	5.9	nekon	9136	>10e+8	0.000	11.7	nekon	92	>10e+8	0.000
0.30	8.8	nekon	2735	>10e+8	0.000	8.8	nekon	2608	>10e+8	0.000	17.6	nekon	26	>10e+8	0.000
0.40	11.8	nekon	5275	>10e+8	0.000	11.7	nekon	5200	>10e+8	0.000	23.5	nekon	53	>10e+8	0.000
0.50	14.7	nekon	1322	>10e+8	0.000	14.7	nekon	1318	>10e+8	0.000	29.4	5.0	13	96549	0.000
0.60	17.6	nekon	3676	>10e+8	0.000	17.6	nekon	3663	>10e+8	0.000	35.2	5.0	37	38801	0.001
0.70	20.6	nekon	2315	>10e+8	0.000	20.6	nekon	2293	>10e+8	0.000	41.1	5.0	23	17952	0.001
0.80	23.5	nekon	1521	>10e+8	0.000	23.5	nekon	1468	>10e+8	0.000	47.0	5.0	15	9208	0.002
0.90	26.4	nekon	54	>10e+8	0.000	26.4	nekon	12	>10e+8	0.000	52.9	5.0	0	5110	0.000
1.00	29.4	5.0	4	96415	0.000	29.4	5.0	0	96683	0.000	58.7	3.0	0	3693	0.000
				$D_d = \Sigma n_i/N_i$	0.000				$D_d = \Sigma n_i/N_i$	0.000				$D_d = \Sigma n_i/N_i$	0.004
														Celkem za období 2000 - 2016 ΣD_d	0.004

TAB. P0.3.4 POSOUZENÍ - MEZNÍ STAV ÚNAVY

POSUDEK	P0.3
PRŮŘEZ	TR_P0.3
POPIS	PŘÍČNÍK P0 - STŘED
PRUT / POLOHA BODU	709 / I[584]

Únavové poškození za období 2018 - 2022 5 let

kolej č.1 kolej č.2 kolej č.1 + č.2 Setkání: 3%

poměr napětí	rozkmit napětí	sklon křivky	počet cyklů od zatížení	počet cyklů do porušení	Únavové poškození	rozkmit napětí	sklon křivky	počet cyklů od zatížení	počet cyklů do porušení	Únavové poškození	rozkmit napětí	sklon křivky	počet cyklů od zatížení	počet cyklů do porušení	Únavové poškození
A	$\Delta\sigma_{real}$	m	ni	Ni	ni/Ni	$\Delta\sigma_{real}$	m	ni	Ni	ni/Ni	$\Delta\sigma_{real}$	m	ni	Ni	ni/Ni
[-]	[MPa]	[-]	[v tisících]	[v tisících]		[MPa]	[-]	[v tisících]	[v tisících]		[MPa]	[-]	[v tisících]	[v tisících]	
0.10	2.9	nekon	85096	>10e+8	0.000	2.9	nekon	84717	>10e+8	0.000	5.9	nekon	2621	>10e+8	0.000
0.20	5.9	nekon	3472	>10e+8	0.000	5.9	nekon	3403	>10e+8	0.000	11.7	nekon	105	>10e+8	0.000
0.30	8.8	nekon	1191	>10e+8	0.000	8.8	nekon	1154	>10e+8	0.000	17.6	nekon	36	>10e+8	0.000
0.40	11.8	nekon	1604	>10e+8	0.000	11.7	nekon	1583	>10e+8	0.000	23.5	nekon	48	>10e+8	0.000
0.50	14.7	nekon	717	>10e+8	0.000	14.7	nekon	716	>10e+8	0.000	29.4	5.0	22	96549	0.000
0.60	17.6	nekon	1387	>10e+8	0.000	17.6	nekon	1383	>10e+8	0.000	35.2	5.0	43	38801	0.001
0.70	20.6	nekon	694	>10e+8	0.000	20.6	nekon	687	>10e+8	0.000	41.1	5.0	21	17952	0.001
0.80	23.5	nekon	580	>10e+8	0.000	23.5	nekon	565	>10e+8	0.000	47.0	5.0	17	9208	0.002
0.90	26.4	nekon	16	>10e+8	0.000	26.4	nekon	4	>10e+8	0.000	52.9	5.0	0	5110	0.000
1.00	29.4	5.0	1	96415	0.000	29.4	5.0	0	96683	0.000	58.7	3.0	0	3693	0.000
				$D_d = \Sigma n_i/N_i$	0.000				$D_d = \Sigma n_i/N_i$	0.000				$D_d = \Sigma n_i/N_i$	0.004
														Celkem za období 2017 - 2022 ΣD_d	0.004

Únavové poškození za období 2025 - 2055 30 let

kolej č.1 kolej č.2 kolej č.1 + č.2 Setkání: 5%

poměr napětí	rozkmit napětí	sklon křivky	počet cyklů od zatížení	počet cyklů do porušení	Únavové poškození	rozkmit napětí	sklon křivky	počet cyklů od zatížení	počet cyklů do porušení	Únavové poškození	rozkmit napětí	sklon křivky	počet cyklů od zatížení	počet cyklů do porušení	Únavové poškození
A	$\Delta\sigma_{real}$	m	ni	Ni	ni/Ni	$\Delta\sigma_{real}$	m	ni	Ni	ni/Ni	$\Delta\sigma_{real}$	m	ni	Ni	ni/Ni
[-]	[MPa]	[-]	[v tisících]	[v tisících]		[MPa]	[-]	[v tisících]	[v tisících]		[MPa]	[-]	[v tisících]	[v tisících]	
0.10	2.9	nekon	647420	>10e+8	0.000	2.9	nekon	644824	>10e+8	0.000	5.9	nekon	33959	>10e+8	0.000
0.20	5.9	nekon	24763	>10e+8	0.000	5.9	nekon	24286	>10e+8	0.000	11.7	nekon	1278	>10e+8	0.000
0.30	8.8	nekon	5631	>10e+8	0.000	8.8	nekon	5380	>10e+8	0.000	17.6	nekon	283	>10e+8	0.000
0.40	11.8	nekon	16218	>10e+8	0.000	11.7	nekon	16070	>10e+8	0.000	23.5	nekon	825	>10e+8	0.000
0.50	14.7	nekon	3175	>10e+8	0.000	14.7	nekon	3167	>10e+8	0.000	29.4	5.0	167	96549	0.002
0.60	17.6	nekon	7832	>10e+8	0.000	17.6	nekon	7806	>10e+8	0.000	35.2	5.0	411	38801	0.011
0.70	20.6	nekon	7117	>10e+8	0.000	20.6	nekon	7073	>10e+8	0.000	41.1	5.0	372	17952	0.021
0.80	23.5	nekon	4143	>10e+8	0.000	23.5	nekon	4039	>10e+8	0.000	47.0	5.0	213	9208	0.023
0.90	26.4	nekon	121	>10e+8	0.000	26.4	nekon	39	>10e+8	0.000	52.9	5.0	2	5110	0.000
1.00	29.4	5.0	9	96415	0.000	29.4	5.0	0	96683	0.000	58.7	3.0	0	3693	0.000
				$D_d = \Sigma n_i/N_i$	0.000				$D_d = \Sigma n_i/N_i$	0.000				$D_d = \Sigma n_i/N_i$	0.057
														Celkem za období 2025 - 2055 ΣD_d	0.057

REKAPITULACE UNAVOVÉHO POŠKOZENÍ

POPIS	PŘÍČNÍK P0 - STŘED
PRUT / POLOHA BODU	709 / I[584]

Období	Unavové poškození ΣD_d					
1901 - 2000	0.045					
2000 - 2016	0.004					
2017 - 2022	0.004					
2025 - 2055	0.057					
1901 - 2055	0.110	<	1,0	vyhovuje eff =	11.0%	Životnost do: 2055

Poznámka:
1. Posouzení mezního stavu únavy je provedeno pomocí metody kumulace únavového poškození,
2. Srovnávací únavové zatížení je odvozeno s traťové třídy zatížení, které na mostě byla v historii zavedena

TAB. P1.3.4 POSOUZENÍ - MEZNÍ STAV ÚNAVY

POSUDEK	P1.3
PRŮŘEZ	TR_P1.3
POPIS	PŘÍČNÍK P1 - STŘED
PRUT / POLOHA BODU	701 / I[577]

Vstupní hodnoty

Základní hodnota únavové pevnosti:	$\Delta\sigma_c$ =	85	MPa	viz tab A.6, MP 2015,
Popis únavového detailu:		oblast připojení vodorovného ztužidla (vliv zahrnut)		
Redukce vlivem koroze detailu:	c_R =	0.99		viz COST CZ, projekt LD 15127
Oslabení průřezu vlivem koroze:	d_A =	0.02		viz COST CZ, projekt LD 15127
Hodnota únavové pevnosti detailu:	$\Delta\sigma_c$ =	84.2	MPa	
Tloušťka materiálu	t =	1	mm	
redukce únavové pevnosti	ϕ_t =	1.00		
Detail bez vlastního pnutí (šroubovný, nýtovaný)		☑ ano		je-li "ano" σ < 0 MPa pak se násobí 0.6

Schéma detailu

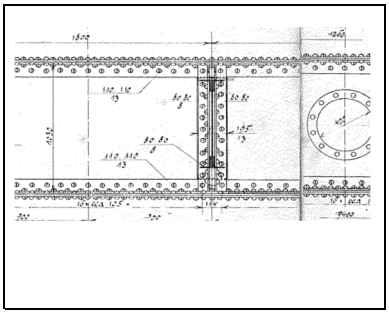

Rozkmit od pohyblivého zatíž. vč. dynam. účinků		kolej 1	kolej 2		
traťová třída zatížení C3/60	$\sigma_{e,mez1}$=	-5.5	-3.2	MPa	ČSN EN 1993-1-9 čl. 7.2.1(2)
traťová třída zatížení C3/60	$\sigma_{e,mez2}$=	25.9	26.7	MPa	ČSN EN 1993-1-9 čl. 7.2.1(2)
	$\Sigma\sigma_e$ =	31.4	29.9		

Poměr k zatížení φ2.1,1.LM71 k C3:	p_{C3} =	1.73	převod mezi ČSN 73 6203 a traťovou třídou zatížení C3
Korekce skutečného zatížení k C3:	k_{C3} =	1.00	odovzeno z analýzy spekter napětí na dané trati (viz diagnostika mostní konstrukce)
Dynamický součinitel:	Φ_2=	1.18	MP 2015 pro pečlivě udržovanou kolej
Náhradní délka prutu:	$L_{d,fat}$ =	8.8 m	
Spolehlivosti materiálu:	γ_{Mf}=	1.15	MP 2015 pro vážný důsledek porušení
	rozkmit $\Delta\sigma_D 5.10^6$ =	62.0 MPa	rozkmit napětí na mezi únavy
	rozkmit $\Delta\sigma_L 1.10^8$ =	33.9 MPa	prahový rozkmit - mez únavy
	N_D =	5000000 cyklů	

Dopravní zatížení do roku 2000

Relativní poměr rozkmitu	Počet cyklů zatížení v tis. v jedné koleji dle odbobí [prof. Frýba]								Celkem	Přepočet rozkmitů k realnému zatížení	Poznámka
	období	do 1921	1927	1937	1941	1953	1969	2000	do 2000		
	zatížení	1.533	1.781	1.633	3.188	4.754	9.757	9.637			
	počet roků	20	6	10	4	12	16	31	99		
0.10	0.17	57228	19068	29908	19108	75827	167240	321233	689612	689612	
0.20	0.35	2593	864	1355	866	3436	7578	14555	31247	31247	
0.30	0.52	424	141	222	142	562	1240	2382	5114	5114	
0.40	0.69	1.533	1.781	1.633	3.188	4.754	9.757	0	23	23	0
0.50	0.86	43	14	23	14	57	127	244	523	691	poměrově zvětšení počet
0.60	**1.04**	19	6	10	6	25	56	108	232	306	poměrově zvětšení počet
0.70	1.21	10	3	5	3	13	28	54	116		
0.80	1.38	5	2	3	2	7	16	30	64		
0.90	1.56	3	1	2	1	4	9	18	38		
1.00	1.73	2	1	1	1	3	6	11	24		
								Σ	726992	726992	kontrola součtu cyklů

Únavové poškození za období 1901 - 2000 99 let

kolej č.1 kolej č.2 kolej č.1 + č.2 Setkání: 10%

poměr napětí	rozkmit napětí	sklon křivky	počet cyklů od zatížení	počet cyklů do porušení	Únavové poškození	rozkmit napětí	sklon křivky	počet cyklů od zatížení	počet cyklů do porušení	Únavové poškození	rozkmit napětí	sklon křivky	počet cyklů od zatížení	počet cyklů do porušení	Únavové poškození
A	$\Delta\sigma_{real}$	m	ni	Ni	ni/Ni	$\Delta\sigma_{real}$	m	ni	Ni	ni/Ni	$\Delta\sigma_{real}$	m	ni	Ni	ni/Ni
[-]	[MPa]	[-]	[v tisících]	[v tisících]		[MPa]	[-]	[v tisících]	[v tisících]		[MPa]	[-]	[v tisících]	[v tisících]	
0.17	5.4	nekon	620651	>10e+8	0.000	5.2	nekon	620651	>10e+8	0.000	10.6	nekon	62065	>10e+8	0.000
0.35	10.9	nekon	28122	>10e+8	0.000	10.3	nekon	28122	>10e+8	0.000	21.2	nekon	2812	>10e+8	0.000
0.52	16.3	nekon	4602	>10e+8	0.000	15.5	nekon	4602	>10e+8	0.000	31.8	5.0	460	69744	0.007
0.69	21.7	nekon	20	>10e+8	0.000	20.7	nekon	20	>10e+8	0.000	42.4	5.0	2	16551	0.000
0.86	27.2	nekon	622	>10e+8	0.000	25.9	nekon	622	>10e+8	0.000	53.0	5.0	62	5423	0.011
1.04	32.6	5.0	275	61705	0.004	31.0	5.0	275	79072	0.003	63.6	3.0	28	3038	0.009
				$D_d = \Sigma n_i/N_i$	0.004				$D_d = \Sigma n_i/N_i$	0.003				$D_d = \Sigma n_i/N_i$	0.027
														Celkem do roku 2000 ΣD_d	0.035

Únavové poškození za období 2000 - 2017 17 let

kolej č.1 kolej č.2 kolej č.1 + č.2 Setkání: 1%

poměr napětí	rozkmit napětí	sklon křivky	počet cyklů od zatížení	počet cyklů do porušení	Únavové poškození	rozkmit napětí	sklon křivky	počet cyklů od zatížení	počet cyklů do porušení	Únavové poškození	rozkmit napětí	sklon křivky	počet cyklů od zatížení	počet cyklů do porušení	Únavové poškození
A	$\Delta\sigma_{real}$	m	ni	Ni	ni/Ni	$\Delta\sigma_{real}$	m	ni	Ni	ni/Ni	$\Delta\sigma_{real}$	m	ni	Ni	ni/Ni
[-]	[MPa]	[-]	[v tisících]	[v tisících]		[MPa]	[-]	[v tisících]	[v tisících]		[MPa]	[-]	[v tisících]	[v tisících]	
0.10	3.1	nekon	235605	>10e+8	0.000	3.0	nekon	234291	>10e+8	0.000	6.1	nekon	2367	>10e+8	0.000
0.20	6.3	nekon	9377	>10e+8	0.000	6.0	nekon	9136	>10e+8	0.000	12.3	nekon	92	>10e+8	0.000
0.30	9.4	nekon	2735	>10e+8	0.000	9.0	nekon	2608	>10e+8	0.000	18.4	nekon	26	>10e+8	0.000
0.40	12.6	nekon	5275	>10e+8	0.000	12.0	nekon	5200	>10e+8	0.000	24.5	nekon	53	>10e+8	0.000
0.50	15.7	nekon	1322	>10e+8	0.000	15.0	nekon	1318	>10e+8	0.000	30.7	5.0	13	83914	0.000
0.60	18.9	nekon	3676	>10e+8	0.000	17.9	nekon	3663	>10e+8	0.000	36.8	5.0	37	33723	0.001
0.70	22.0	nekon	2315	>10e+8	0.000	20.9	nekon	2293	>10e+8	0.000	42.9	5.0	23	15603	0.001
0.80	25.1	nekon	1521	>10e+8	0.000	23.9	nekon	1468	>10e+8	0.000	49.1	5.0	15	8003	0.002
0.90	28.3	nekon	54	>10e+8	0.000	26.9	nekon	12	>10e+8	0.000	55.2	3.0	0	4657	0.000
1.00	31.4	5.0	4	74243	0.000	29.9	5.0	0	95138	0.000	61.3	3.0	0	3395	0.000
				$D_d = \Sigma n_i/N_i$	0.000				$D_d = \Sigma n_i/N_i$	0.000				$D_d = \Sigma n_i/N_i$	0.005
														Celkem za období 2000 - 2016 ΣD_d	0.005

TAB. P1.3.4 POSOUZENÍ - MEZNÍ STAV ÚNAVY

POSUDEK	P1.3
PRŮŘEZ	TR_P1.3
POPIS	PŘÍČNÍK P1 - STŘED
PRUT / POLOHA BODU	701 / I[577]

Únavové poškození za období 2018 - 2022 5 let

kolej č.1 kolej č.2 kolej č.1 + č.2 Setkání: 3%

poměr napětí	rozkmit napětí	sklon křivky	počet cyklů od zatížení	počet cyklů do porušení	Únavové poškození	rozkmit napětí	sklon křivky	počet cyklů od zatížení	počet cyklů do porušení	Únavové poškození	rozkmit napětí	sklon křivky	počet cyklů od zatížení	počet cyklů do porušení	Únavové poškození
A	$\Delta\sigma_{real}$	m	ni	Ni	ni/Ni	$\Delta\sigma_{real}$	m	ni	Ni	ni/Ni	$\Delta\sigma_{real}$	m	ni	Ni	ni/Ni
[-]	[MPa]	[-]	[v tisících]	[v tisících]		[MPa]	[-]	[v tisících]	[v tisících]		[MPa]	[-]	[v tisících]	[v tisících]	
0.10	3.1	nekon	85096	>10e+8	0.000	3.0	nekon	84717	>10e+8	0.000	6.1	nekon	2621	>10e+8	0.000
0.20	6.3	nekon	3472	>10e+8	0.000	6.0	nekon	3403	>10e+8	0.000	12.3	nekon	105	>10e+8	0.000
0.30	9.4	nekon	1191	>10e+8	0.000	9.0	nekon	1154	>10e+8	0.000	18.4	nekon	36	>10e+8	0.000
0.40	12.6	nekon	1604	>10e+8	0.000	12.0	nekon	1583	>10e+8	0.000	24.5	nekon	48	>10e+8	0.000
0.50	15.7	nekon	717	>10e+8	0.000	15.0	nekon	716	>10e+8	0.000	30.7	5.0	22	83914	0.000
0.60	18.9	nekon	1387	>10e+8	0.000	17.9	nekon	1383	>10e+8	0.000	36.8	5.0	43	33723	0.001
0.70	22.0	nekon	694	>10e+8	0.000	20.9	nekon	687	>10e+8	0.000	42.9	5.0	21	15603	0.001
0.80	25.1	nekon	580	>10e+8	0.000	23.9	nekon	565	>10e+8	0.000	49.1	5.0	17	8003	0.002
0.90	28.3	nekon	16	>10e+8	0.000	26.9	nekon	4	>10e+8	0.000	55.2	3.0	0	4657	0.000
1.00	31.4	5.0	1	74243	0.000	29.9	5.0	0	95138	0.000	61.3	3.0	0	3395	0.000
				$D_d = \Sigma n_i/N_i$	0.000				$D_d = \Sigma n_i/N_i$	0.000				$D_d = \Sigma n_i/N_i$	0.005
														Celkem za období 2017 - 2022 ΣD_d	0.005

Únavové poškození za období 2025 - 2055 30 let

kolej č.1 kolej č.2 kolej č.1 + č.2 Setkání: 5%

poměr napětí	rozkmit napětí	sklon křivky	počet cyklů od zatížení	počet cyklů do porušení	Únavové poškození	rozkmit napětí	sklon křivky	počet cyklů od zatížení	počet cyklů do porušení	Únavové poškození	rozkmit napětí	sklon křivky	počet cyklů od zatížení	počet cyklů do porušení	Únavové poškození
A	$\Delta\sigma_{real}$	m	ni	Ni	ni/Ni	$\Delta\sigma_{real}$	m	ni	Ni	ni/Ni	$\Delta\sigma_{real}$	m	ni	Ni	ni/Ni
[-]	[MPa]	[-]	[v tisících]	[v tisících]		[MPa]	[-]	[v tisících]	[v tisících]		[MPa]	[-]	[v tisících]	[v tisících]	
0.10	3.1	nekon	647420	>10e+8	0.000	3.0	nekon	644824	>10e+8	0.000	6.1	nekon	33959	>10e+8	0.000
0.20	6.3	nekon	24763	>10e+8	0.000	6.0	nekon	24286	>10e+8	0.000	12.3	nekon	1278	>10e+8	0.000
0.30	9.4	nekon	5631	>10e+8	0.000	9.0	nekon	5380	>10e+8	0.000	18.4	nekon	283	>10e+8	0.000
0.40	12.6	nekon	16218	>10e+8	0.000	12.0	nekon	16070	>10e+8	0.000	24.5	nekon	825	>10e+8	0.000
0.50	15.7	nekon	3175	>10e+8	0.000	15.0	nekon	3167	>10e+8	0.000	30.7	5.0	167	83914	0.002
0.60	18.9	nekon	7832	>10e+8	0.000	17.9	nekon	7806	>10e+8	0.000	36.8	5.0	411	33723	0.012
0.70	22.0	nekon	7117	>10e+8	0.000	20.9	nekon	7073	>10e+8	0.000	42.9	5.0	372	15603	0.024
0.80	25.1	nekon	4143	>10e+8	0.000	23.9	nekon	4039	>10e+8	0.000	49.1	5.0	213	8003	0.027
0.90	28.3	nekon	121	>10e+8	0.000	26.9	nekon	39	>10e+8	0.000	55.2	3.0	2	4657	0.000
1.00	31.4	5.0	9	74243	0.000	29.9	5.0	0	95138	0.000	61.3	3.0	0	3395	0.000
				$D_d = \Sigma n_i/N_i$	0.000				$D_d = \Sigma n_i/N_i$	0.000				$D_d = \Sigma n_i/N_i$	0.065
														Celkem za období 2025 - 2055 ΣD_d	0.065

REKAPITULACE UNAVOVÉHO POŠKOZENÍ

POPIS	PŘÍČNÍK P1 - STŘED
PRUT / POLOHA BODU	701 / I[577]

Období	Unavové poškození ΣD_d				
1901 - 2000	0.035				
2000 - 2016	0.005				
2017 - 2022	0.005				
2025 - 2055	0.065				
1901 - 2055	0.110	<	1,0	vyhovuje eff =	11.0%

Životnost do: 2055

Poznámka:
1. Posouzení mezního stavu únavy je provedeno pomocí metody kumulace únavového poškození,
2. Srovnávací únavové zatížení je odvozeno s traťové třídy zatížení, které na mostě byla v historii zavedena

TAB. P2.2.4 POSOUZENÍ - MEZNÍ STAV ÚNAVY

POSUDEK	P2.2
PRŮŘEZ	TR_P2.2
POPIS	PŘÍČNÍK P2 - VNITŘNÍ PODÉLNÍK
PRUT / POLOHA BODU	692 / I[569]

Vstupní hodnoty

Základní hodnota únavové pevnosti:	$\Delta\sigma_c$ =	71	MPa	viz tab A.6, MP 2015,
Popis únavového detailu:		ukončení lamely pásnice		
Redukce vlivem koroze detailu:	c_R =	0.99		viz COST CZ, projekt LD 15127
Oslabení průřezu vlivem koroze:	d_A =	0.02		viz COST CZ, projekt LD 15127
Hodnota únavové pevnosti detailu:	$\Delta\sigma_c$ =	70.3	MPa	
Tloušťka materiálu	t =	1	mm	
redukce únavové pevnosti	ϕ_t=	1.00		
Detail bez vlastního pnutí (šroubovný, nýtovaný)		☑ ano		je-li "ano" σ < 0 MPa pak se násobí 0.6

Schéma detailu

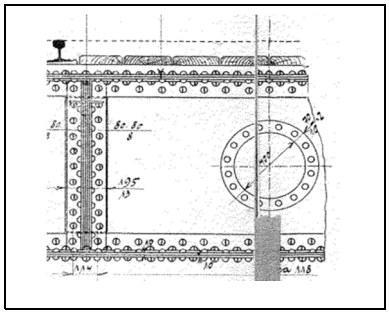

Rozkmit od pohyblivého zatíž. vč. dynam. účinků		kolej 1	kolej 2		
traťová třída zatížení C3/60	$\sigma_{e,mez1}$=	-1.2	-0.4	MPa	ČSN EN 1993-1-9 čl. 7.2.1(2)
traťová třída zatížení C3/60	$\sigma_{e,mez2}$=	21.2	42.6	MPa	ČSN EN 1993-1-9 čl. 7.2.1(2)
	$\Sigma\sigma_e$ =	22.4	43.0		

Poměr k zatížení ϕ2.1,1.LM71 k C3:	p_{C3} =	1.73		převod mezi ČSN 73 6203 a traťovou třídou zatížení C3
Korekce skutečného zatížení k C3:	k_{C3} =	1.00		odovzeno z analýzy spekter napětí na dané trati (viz diagnostika mostní konstrukce)
Dynamický součinitel:	Φ_2=	1.18		MP 2015 pro pečlivě udržovanou kolej
Náhradní délka prutu:	$L_{d.fat}$ =	8.8	m	
Spolehlivosti materiálu:	γ_{Mf}=	1.15		MP 2015 pro vážný důsledek porušení
	rozkmit $\Delta\sigma_D 5.10^6$ =	51.7	MPa	rozkmit napětí na mezi únavy
	rozkmit $\Delta\sigma_L 1.10^8$ =	28.3	MPa	prahový rozkmit - mez únavy
	N_D =	5000000	cyklů	

Dopravní zatížení do roku 2000

Relativní poměr rozkmitu	období	do 1921	1927	1937	1941	1953	1969	2000	Celkem do 2000	Přepočet rozkmitů k realnému zatížení	Poznámka
	zatížení	1.533	1.781	1.633	3.188	4.754	9.757	9.637			
	počet roků	20	6	10	4	12	16	31	99		
0.10	0.17	57228	19068	29908	19108	75827	167240	321233	689612	689612	
0.20	0.35	2593	864	1355	866	3436	7578	14555	31247	31247	
0.30	0.52	424	141	222	142	562	1240	2382	5114	5114	
0.40	0.69	1.533	1.781	1.633	3.188	4.754	9.757	0	23	23	0
0.50	0.86	43	14	23	14	57	127	244	523	691	poměrově zvětšení počet
0.60	**1.04**	19	6	10	6	25	56	108	232	306	poměrově zvětšení počet
0.70	1.21	10	3	5	3	13	28	54	116		
0.80	1.38	5	2	3	2	7	16	30	64		
0.90	1.56	3	1	2	1	4	9	18	38		
1.00	1.73	2	1	1	1	3	6	11	24		
								Σ	726992	726992	kontrola součtu cyklů

Únavové poškození za období 1901 - 2000 99 let

kolej č.1 kolej č.2 kolej č.1 + č.2 Setkání: 10%

poměr napětí	rozkmit napětí	sklon křivky	počet cyklů od zatížení	počet cyklů do porušení	Únavové poškození	rozkmit napětí	sklon křivky	počet cyklů od zatížení	počet cyklů do porušení	Únavové poškození	rozkmit napětí	sklon křivky	počet cyklů od zatížení	počet cyklů do porušení	Únavové poškození
A	$\Delta\sigma_{real}$	m	ni	Ni	ni/Ni	$\Delta\sigma_{real}$	m	ni	Ni	ni/Ni	$\Delta\sigma_{real}$	m	ni	Ni	ni/Ni
[-]	[MPa]	[-]	[v tisících]	[v tisících]		[MPa]	[-]	[v tisících]	[v tisících]		[MPa]	[-]	[v tisících]	[v tisících]	
0.17	3.9	nekon	620651	>10e+8	0.000	7.4	nekon	620651	>10e+8	0.000	11.3	nekon	62065	>10e+8	0.000
0.35	7.7	nekon	28122	>10e+8	0.000	14.9	nekon	28122	>10e+8	0.000	22.6	nekon	2812	>10e+8	0.000
0.52	11.6	nekon	4602	>10e+8	0.000	22.3	nekon	4602	>10e+8	0.000	33.9	5.0	460	20436	0.023
0.69	15.5	nekon	20	>10e+8	0.000	29.7	5.0	20	39414	0.001	45.2	3.0	2	4909	0.000
0.86	19.4	nekon	622	>10e+8	0.000	37.2	5.0	622	12915	0.048	56.5	3.0	62	2514	0.025
1.04	23.2	nekon	275	>10e+8	0.000	44.6	5.0	275	5190	0.053	67.8	3.0	28	1455	0.019
				$D_d = \Sigma n_i/N_i$	0.000				$D_d = \Sigma n_i/N_i$	0.102				$D_d = \Sigma n_i/N_i$	0.067
														Celkem do roku 2000 ΣD_d	0.168

Únavové poškození za období 2000 - 2017 17 let

kolej č.1 kolej č.2 kolej č.1 + č.2 Setkání: 1%

poměr napětí	rozkmit napětí	sklon křivky	počet cyklů od zatížení	počet cyklů do porušení	Únavové poškození	rozkmit napětí	sklon křivky	počet cyklů od zatížení	počet cyklů do porušení	Únavové poškození	rozkmit napětí	sklon křivky	počet cyklů od zatížení	počet cyklů do porušení	Únavové poškození
A	$\Delta\sigma_{real}$	m	ni	Ni	ni/Ni	$\Delta\sigma_{real}$	m	ni	Ni	ni/Ni	$\Delta\sigma_{real}$	m	ni	Ni	ni/Ni
[-]	[MPa]	[-]	[v tisících]	[v tisících]		[MPa]	[-]	[v tisících]	[v tisících]		[MPa]	[-]	[v tisících]	[v tisících]	
0.10	2.2	nekon	235605	>10e+8	0.000	4.3	nekon	234291	>10e+8	0.000	6.5	nekon	2367	>10e+8	0.000
0.20	4.5	nekon	9377	>10e+8	0.000	8.6	nekon	9136	>10e+8	0.000	13.1	nekon	92	>10e+8	0.000
0.30	6.7	nekon	2735	>10e+8	0.000	12.9	nekon	2608	>10e+8	0.000	19.6	nekon	26	>10e+8	0.000
0.40	9.0	nekon	5275	>10e+8	0.000	17.2	nekon	5200	>10e+8	0.000	26.2	5.0	53	75038	0.001
0.50	11.2	nekon	1322	>10e+8	0.000	21.5	nekon	1318	>10e+8	0.000	32.7	5.0	13	24589	0.001
0.60	13.4	nekon	3676	>10e+8	0.000	25.8	5.0	3663	80310	0.046	39.2	5.0	37	9882	0.004
0.70	15.7	nekon	2315	>10e+8	0.000	30.1	5.0	2293	37156	0.062	45.8	3.0	23	4739	0.005
0.80	17.9	nekon	1521	>10e+8	0.000	34.4	5.0	1468	19058	0.077	52.3	3.0	15	3174	0.005
0.90	20.1	nekon	54	>10e+8	0.000	38.7	5.0	12	10576	0.001	58.8	3.0	0	2230	0.000
1.00	22.4	nekon	4	>10e+8	0.000	43.0	5.0	0	6245	0.000	65.4	3.0	0	1625	0.000
				$D_d = \Sigma n_i/N_i$	0.000				$D_d = \Sigma n_i/N_i$	0.186				$D_d = \Sigma n_i/N_i$	0.015
														Celkem za období 2000 - 2016 ΣD_d	0.200

TAB. P2.2.4 POSOUZENÍ - MEZNÍ STAV ÚNAVY

POSUDEK	P2.2
PRŮŘEZ	TR_P2.2
POPIS	PŘÍČNÍK P2 - VNITŘNÍ PODÉLNÍK
PRUT / POLOHA BODU	692 / I[569]

Únavové poškození za období 2018 - 2022 5 let

kolej č.1 kolej č.2 kolej č.1 + č.2 Setkání: 3%

poměr napětí	rozkmit napětí	sklon křivky	počet cyklů od zatížení	počet cyklů do porušení	Únavové poškození	rozkmit napětí	sklon křivky	počet cyklů od zatížení	počet cyklů do porušení	Únavové poškození	rozkmit napětí	sklon křivky	počet cyklů od zatížení	počet cyklů do porušení	Únavové poškození
A	$\Delta\sigma_{real}$	m	ni	Ni	ni/Ni	$\Delta\sigma_{real}$	m	ni	Ni	ni/Ni	$\Delta\sigma_{real}$	m	ni	Ni	ni/Ni
[-]	[MPa]	[-]	[v tisících]	[v tisících]		[MPa]	[-]	[v tisících]	[v tisících]		[MPa]	[-]	[v tisících]	[v tisících]	
0.10	2.2	nekon	85096	>10e+8	0.000	4.3	nekon	84717	>10e+8	0.000	6.5	nekon	2621	>10e+8	0.000
0.20	4.5	nekon	3472	>10e+8	0.000	8.6	nekon	3403	>10e+8	0.000	13.1	nekon	105	>10e+8	0.000
0.30	6.7	nekon	1191	>10e+8	0.000	12.9	nekon	1154	>10e+8	0.000	19.6	nekon	36	>10e+8	0.000
0.40	9.0	nekon	1604	>10e+8	0.000	17.2	nekon	1583	>10e+8	0.000	26.2	5.0	48	75038	0.001
0.50	11.2	nekon	717	>10e+8	0.000	21.5	nekon	716	>10e+8	0.000	32.7	5.0	22	24589	0.001
0.60	13.4	nekon	1387	>10e+8	0.000	25.8	5.0	1383	80310	0.017	39.2	5.0	43	9882	0.004
0.70	15.7	nekon	694	>10e+8	0.000	30.1	5.0	687	37156	0.018	45.8	3.0	21	4739	0.004
0.80	17.9	nekon	580	>10e+8	0.000	34.4	5.0	565	19058	0.030	52.3	3.0	17	3174	0.006
0.90	20.1	nekon	16	>10e+8	0.000	38.7	5.0	4	10576	0.000	58.8	3.0	0	2230	0.000
1.00	22.4	nekon	1	>10e+8	0.000	43.0	5.0	0	6245	0.000	65.4	3.0	0	1625	0.000
				$D_d = \Sigma n_i/N_i$	0.000				$D_d = \Sigma n_i/N_i$	0.066				$D_d = \Sigma n_i/N_i$	0.016
														Celkem za období 2017 - 2022 ΣD_d	0.082

Únavové poškození za období 2025 - 2055 30 let

kolej č.1 kolej č.2 kolej č.1 + č.2 Setkání: 5%

poměr napětí	rozkmit napětí	sklon křivky	počet cyklů od zatížení	počet cyklů do porušení	Únavové poškození	rozkmit napětí	sklon křivky	počet cyklů od zatížení	počet cyklů do porušení	Únavové poškození	rozkmit napětí	sklon křivky	počet cyklů od zatížení	počet cyklů do porušení	Únavové poškození
A	$\Delta\sigma_{real}$	m	ni	Ni	ni/Ni	$\Delta\sigma_{real}$	m	ni	Ni	ni/Ni	$\Delta\sigma_{real}$	m	ni	Ni	ni/Ni
[-]	[MPa]	[-]	[v tisících]	[v tisících]		[MPa]	[-]	[v tisících]	[v tisících]		[MPa]	[-]	[v tisících]	[v tisících]	
0.10	2.2	nekon	647420	>10e+8	0.000	4.3	nekon	644824	>10e+8	0.000	6.5	nekon	33959	>10e+8	0.000
0.20	4.5	nekon	24763	>10e+8	0.000	8.6	nekon	24286	>10e+8	0.000	13.1	nekon	1278	>10e+8	0.000
0.30	6.7	nekon	5631	>10e+8	0.000	12.9	nekon	5380	>10e+8	0.000	19.6	nekon	283	>10e+8	0.000
0.40	9.0	nekon	16218	>10e+8	0.000	17.2	nekon	16070	>10e+8	0.000	26.2	5.0	825	75038	0.011
0.50	11.2	nekon	3175	>10e+8	0.000	21.5	nekon	3167	>10e+8	0.000	32.7	5.0	167	24589	0.007
0.60	13.4	nekon	7832	>10e+8	0.000	25.8	5.0	7806	80310	0.097	39.2	5.0	411	9882	0.042
0.70	15.7	nekon	7117	>10e+8	0.000	30.1	5.0	7073	37156	0.190	45.8	3.0	372	4739	0.079
0.80	17.9	nekon	4143	>10e+8	0.000	34.4	5.0	4039	19058	0.212	52.3	3.0	213	3174	0.067
0.90	20.1	nekon	121	>10e+8	0.000	38.7	5.0	39	10576	0.004	58.8	3.0	2	2230	0.001
1.00	22.4	nekon	9	>10e+8	0.000	43.0	5.0	0	6245	0.000	65.4	3.0	0	1625	0.000
				$D_d = \Sigma n_i/N_i$	0.000				$D_d = \Sigma n_i/N_i$	0.503				$D_d = \Sigma n_i/N_i$	0.206
														Celkem za období 2025 - 2055 ΣD_d	0.709

REKAPITULACE UNAVOVÉHO POŠKOZENÍ

POPIS	PŘÍČNÍK P2 - VNITŘNÍ PODÉLNÍK
PRUT / POLOHA BODU	692 / I[569]

Období	Unavové poškození ΣD_d
1901 - 2000	0.168
2000 - 2016	0.200
2017 - 2022	0.082
2025 - 2055	0.709
1901 - 2055	1.159

< 1,0 vyhovuje eff = 116% Životnost do: 2048

Poznámka:
1. Posouzení mezního stavu únavy je provedeno pomocí metody kumulace únavového poškození,
2. Srovnávací únavové zatížení je odvozeno s traťové třídy zatížení, které na mostě byla v historii zavedena

TAB. P3.1.4 POSOUZENÍ - MEZNÍ STAV ÚNAVY

POSUDEK	P3.1
PRŮŘEZ	TR_P3.1
POPIS	PŘÍČNÍK P3 - ZÁKLADNÍ ČÁST
PRUT / POLOHA BODU	679 / I[557]

Vstupní hodnoty

Základní hodnota únavové pevnosti:	$\Delta\sigma_c$ =	85	MPa	viz tab A.6, MP 2015,
Popis únavového detailu:		souvislé připojení pásnic ke krčním úhelníkům		
Redukce vlivem koroze detailu:	c_R =	0.99		viz COST CZ, projekt LD 15127
Oslabení průřezu vlivem koroze:	d_A =	0.02		viz COST CZ, projekt LD 15127
Hodnota únavové pevnosti detailu:	$\Delta\sigma_c$ =	84.2	MPa	
Tloušťka materiálu	t =	1	mm	
redukce únavové pevnosti	ϕ_t =	1.00		
Detail bez vlastního pnutí (šroubovný, nýtovaný)		☑ ano		je-li "ano" σ < 0 MPa pak se násobí 0.6

Schéma detailu

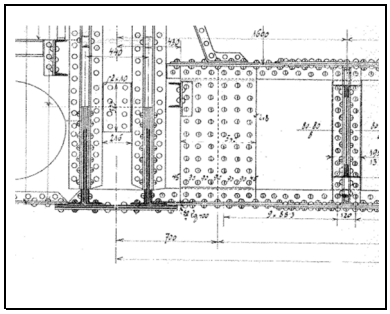

		kolej 1	kolej 2		
Rozkmit od pohyblivého zatíž. vč. dynam. účinků					
traťová třída zatížení C3/60	$\sigma_{e,mez1}$ =	-0.7	-0.8	MPa	ČSN EN 1993-1-9 čl. 7.2.1(2)
traťová třída zatížení C3/60	$\sigma_{e,mez2}$ =	28.5	57.3	MPa	ČSN EN 1993-1-9 čl. 7.2.1(2)
	$\Sigma\sigma_e$ =	29.2	58.2		

Poměr k zatížení ϕ2.1,1.LM71 k C3:	p_{C3} =	1.41		převod mezi ČSN 73 6203 a traťovou třídou zatížení C3
Korekce skutečného zatížení k C3:	k_{C3} =	1.00		odovzeno z analýzy spekter napětí na dané trati (viz diagnostika mostní konstrukce)
Dynamický součinitel:	Φ_2 =	1.18		MP 2015 pro pečlivě udržovanou kolej
Náhradní délka prutu:	$L_{d,fat}$ =	8.8	m	
Spolehlivosti materiálu:	γ_{Mf} =	1.15		MP 2015 pro vážný důsledek porušení
	rozkmit $\Delta\sigma_D 5.10^6$ =	62.0	MPa	rozkmit napětí na mezi únavy
	rozkmit $\Delta\sigma_L 1.10^8$ =	33.9	MPa	prahový rozkmit - mez únavy
	N_D =	5000000	cyklů	

Dopravní zatížení do roku 2000

Relativní poměr rozkmitu	období	do 1921	1927	1937	1941	1953	1969	2000	Celkem do 2000	Přepočet rozkmitů k realnému zatížení	Poznámka
	zatížení	1.533	1.781	1.633	3.188	4.754	9.757	9.637			
	počet roků	20	6	10	4	12	16	31	99		
0.10	0.14	57228	19068	29908	19108	75827	167240	321233	689612	689612	
0.20	0.28	2593	864	1355	866	3436	7578	14555	31247	31247	
0.30	0.42	424	141	222	142	562	1240	2382	5114	5114	
0.40	0.57	1.533	1.781	1.633	3.188	4.754	9.757	0	23	23	0
0.50	0.71	43	14	23	14	57	127	244	523	523	poměrově zvětšení počet
0.60	**0.85**	19	6	10	6	25	56	108	232	315	poměrově zvětšení počet
0.70	0.99	10	3	5	3	13	28	54	116	158	poměrově zvětšení počet
0.80	1.13	5	2	3	2	7	16	30	64		
0.90	1.27	3	1	2	1	4	9	18	38		
1.00	1.41	2	1	1	1	3	6	11	24		
								Σ	726992	726992	kontrola součtu cyklů

Únavové poškození za období 1901 - 2000 99 let

kolej č.1 kolej č.2 kolej č.1 + č.2 Setkání: 10%

poměr napětí	rozkmit napětí	sklon křivky	počet cyklů od zatížení	počet cyklů do porušení	Únavové poškození	rozkmit napětí	sklon křivky	počet cyklů od zatížení	počet cyklů do porušení	Únavové poškození	rozkmit napětí	sklon křivky	počet cyklů od zatížení	počet cyklů do porušení	Únavové poškození
A	$\Delta\sigma_{real}$	m	ni	Ni	ni/Ni	$\Delta\sigma_{real}$	m	ni	Ni	ni/Ni	$\Delta\sigma_{real}$	m	ni	Ni	ni/Ni
[-]	[MPa]	[-]	[v tisících]	[v tisících]		[MPa]	[-]	[v tisících]	[v tisících]		[MPa]	[-]	[v tisících]	[v tisících]	
0.14	4.1	nekon	620651	>10e+8	0.000	8.2	nekon	620651	>10e+8	0.000	12.3	nekon	62065	>10e+8	0.000
0.28	8.3	nekon	28122	>10e+8	0.000	16.4	nekon	28122	>10e+8	0.000	24.7	nekon	2812	>10e+8	0.000
0.42	12.4	nekon	4602	>10e+8	0.000	24.7	nekon	4602	>10e+8	0.000	37.0	5.0	460	32608	0.014
0.57	16.5	nekon	20	>10e+8	0.000	32.9	5.0	20	59159	0.000	49.4	5.0	2	7738	0.000
0.71	20.6	nekon	471	>10e+8	0.000	41.1	5.0	471	19385	0.024	61.7	3.0	47	3327	0.014
0.85	24.8	nekon	284	>10e+8	0.000	49.3	5.0	284	7791	0.036	74.1	3.0	28	1925	0.015
0.99	28.9	nekon	143	>10e+8	0.000	57.5	3.0	143	4109	0.035	86.4	3.0	14	1212	0.012
				$D_d = \Sigma n_i/N_i$	0.000				$D_d = \Sigma n_i/N_i$	0.096				$D_d = \Sigma n_i/N_i$	0.055
														Celkem do roku 2000 ΣD_d	0.151

Únavové poškození za období 2000 - 2017 17 let

kolej č.1 kolej č.2 kolej č.1 + č.2 Setkání: 1%

poměr napětí	rozkmit napětí	sklon křivky	počet cyklů od zatížení	počet cyklů do porušení	Únavové poškození	rozkmit napětí	sklon křivky	počet cyklů od zatížení	počet cyklů do porušení	Únavové poškození	rozkmit napětí	sklon křivky	počet cyklů od zatížení	počet cyklů do porušení	Únavové poškození
A	$\Delta\sigma_{real}$	m	ni	Ni	ni/Ni	$\Delta\sigma_{real}$	m	ni	Ni	ni/Ni	$\Delta\sigma_{real}$	m	ni	Ni	ni/Ni
[-]	[MPa]	[-]	[v tisících]	[v tisících]		[MPa]	[-]	[v tisících]	[v tisících]		[MPa]	[-]	[v tisících]	[v tisících]	
0.10	2.9	nekon	235605	>10e+8	0.000	5.8	nekon	234291	>10e+8	0.000	8.7	nekon	2367	>10e+8	0.000
0.20	5.8	nekon	9377	>10e+8	0.000	11.6	nekon	9136	>10e+8	0.000	17.5	nekon	92	>10e+8	0.000
0.30	8.8	nekon	2735	>10e+8	0.000	17.5	nekon	2608	>10e+8	0.000	26.2	nekon	26	>10e+8	0.000
0.40	11.7	nekon	5275	>10e+8	0.000	23.3	nekon	5200	>10e+8	0.000	35.0	5.0	53	43542	0.001
0.50	14.6	nekon	1322	>10e+8	0.000	29.1	nekon	1318	>10e+8	0.000	43.7	5.0	13	14268	0.001
0.60	17.5	nekon	3676	>10e+8	0.000	34.9	5.0	3663	43837	0.084	52.4	5.0	37	5734	0.006
0.70	20.4	nekon	2315	>10e+8	0.000	40.7	5.0	2293	20282	0.113	61.2	3.0	23	3418	0.007
0.80	23.4	nekon	1521	>10e+8	0.000	46.6	5.0	1468	10403	0.141	69.9	3.0	15	2290	0.006
0.90	26.3	nekon	54	>10e+8	0.000	52.4	5.0	12	5773	0.002	78.7	3.0	0	1608	0.000
1.00	29.2	nekon	4	>10e+8	0.000	58.2	3.0	0	3973	0.000	87.4	3.0	0	1173	0.000
				$D_d = \Sigma n_i/N_i$	0.000				$D_d = \Sigma n_i/N_i$	0.340				$D_d = \Sigma n_i/N_i$	0.022
														Celkem za období 2000 - 2016 ΣD_d	0.362

TAB. P3.1.4 POSOUZENÍ - MEZNÍ STAV ÚNAVY

POSUDEK	P3.1
PRŮŘEZ	TR_P3.1
POPIS	PŘÍČNÍK P3 - ZÁKLADNÍ ČÁST
PRUT / POLOHA BODU	679 / I[557]

Únavové poškození za období 2018 - 2022 5 let

kolej č.1 kolej č.2 kolej č.1 + č.2 Setkání: 3%

poměr napětí	rozkmit napětí	sklon křivky	počet cyklů od zatížení	počet cyklů do porušení	Únavové poškození	rozkmit napětí	sklon křivky	počet cyklů od zatížení	počet cyklů do porušení	Únavové poškození	rozkmit napětí	sklon křivky	počet cyklů od zatížení	počet cyklů do porušení	Únavové poškození
A	$\Delta\sigma_{real}$	m	ni	Ni	ni/Ni	$\Delta\sigma_{real}$	m	ni	Ni	ni/Ni	$\Delta\sigma_{real}$	m	ni	Ni	ni/Ni
[-]	[MPa]	[-]	[v tisících]	[v tisících]		[MPa]	[-]	[v tisících]	[v tisících]		[MPa]	[-]	[v tisících]	[v tisících]	
0.10	2.9	nekon	85096	>10e+8	0.000	5.8	nekon	84717	>10e+8	0.000	8.7	nekon	2621	>10e+8	0.000
0.20	5.8	nekon	3472	>10e+8	0.000	11.6	nekon	3403	>10e+8	0.000	17.5	nekon	105	>10e+8	0.000
0.30	8.8	nekon	1191	>10e+8	0.000	17.5	nekon	1154	>10e+8	0.000	26.2	nekon	36	>10e+8	0.000
0.40	11.7	nekon	1604	>10e+8	0.000	23.3	nekon	1583	>10e+8	0.000	35.0	5.0	48	43542	0.001
0.50	14.6	nekon	717	>10e+8	0.000	29.1	nekon	716	>10e+8	0.000	43.7	5.0	22	14268	0.002
0.60	17.5	nekon	1387	>10e+8	0.000	34.9	5.0	1383	43837	0.032	52.4	5.0	43	5734	0.007
0.70	20.4	nekon	694	>10e+8	0.000	40.7	5.0	687	20282	0.034	61.2	3.0	21	3418	0.006
0.80	23.4	nekon	580	>10e+8	0.000	46.6	5.0	565	10403	0.054	69.9	3.0	17	2290	0.008
0.90	26.3	nekon	16	>10e+8	0.000	52.4	5.0	4	5773	0.001	78.7	3.0	0	1608	0.000
1.00	29.2	nekon	1	>10e+8	0.000	58.2	3.0	0	3973	0.000	87.4	3.0	0	1173	0.000
				$D_d = \Sigma n_i/N_i$	0.000				$D_d = \Sigma n_i/N_i$	0.120				$D_d = \Sigma n_i/N_i$	0.024
														Celkem za období 2017 - 2022 ΣD_d	0.144

Únavové poškození za období 2025 - 2055 30 let

kolej č.1 kolej č.2 kolej č.1 + č.2 Setkání: 5%

poměr napětí	rozkmit napětí	sklon křivky	počet cyklů od zatížení	počet cyklů do porušení	Únavové poškození	rozkmit napětí	sklon křivky	počet cyklů od zatížení	počet cyklů do porušení	Únavové poškození	rozkmit napětí	sklon křivky	počet cyklů od zatížení	počet cyklů do porušení	Únavové poškození
A	$\Delta\sigma_{real}$	m	ni	Ni	ni/Ni	$\Delta\sigma_{real}$	m	ni	Ni	ni/Ni	$\Delta\sigma_{real}$	m	ni	Ni	ni/Ni
[-]	[MPa]	[-]	[v tisících]	[v tisících]		[MPa]	[-]	[v tisících]	[v tisících]		[MPa]	[-]	[v tisících]	[v tisících]	
0.10	2.9	nekon	647420	>10e+8	0.000	5.8	nekon	644824	>10e+8	0.000	8.7	nekon	33959	>10e+8	0.000
0.20	5.8	nekon	24763	>10e+8	0.000	11.6	nekon	24286	>10e+8	0.000	17.5	nekon	1278	>10e+8	0.000
0.30	8.8	nekon	5631	>10e+8	0.000	17.5	nekon	5380	>10e+8	0.000	26.2	nekon	283	>10e+8	0.000
0.40	11.7	nekon	16218	>10e+8	0.000	23.3	nekon	16070	>10e+8	0.000	35.0	5.0	825	43542	0.019
0.50	14.6	nekon	3175	>10e+8	0.000	29.1	nekon	3167	>10e+8	0.000	43.7	5.0	167	14268	0.012
0.60	17.5	nekon	7832	>10e+8	0.000	34.9	5.0	7806	43837	0.178	52.4	5.0	411	5734	0.072
0.70	20.4	nekon	7117	>10e+8	0.000	40.7	5.0	7073	20282	0.349	61.2	3.0	372	3418	0.109
0.80	23.4	nekon	4143	>10e+8	0.000	46.6	5.0	4039	10403	0.388	69.9	3.0	213	2290	0.093
0.90	26.3	nekon	121	>10e+8	0.000	52.4	5.0	39	5773	0.007	78.7	3.0	2	1608	0.001
1.00	29.2	nekon	9	>10e+8	0.000	58.2	3.0	0	3973	0.000	87.4	3.0	0	1173	0.000
				$D_d = \Sigma n_i/N_i$	0.000				$D_d = \Sigma n_i/N_i$	0.922				$D_d = \Sigma n_i/N_i$	0.305
														Celkem za období 2025 - 2055 ΣD_d	1.227

REKAPITULACE UNAVOVÉHO POŠKOZENÍ

POPIS	PŘÍČNÍK P3 - ZÁKLADNÍ ČÁST
PRUT / POLOHA BODU	679 / I[557]

Období	Unavové poškození ΣD_d
1901 - 2000	0.151
2000 - 2016	0.362
2017 - 2022	0.144
2025 - 2055	1.227
1901 - 2055	1.884

< 1,0 vyhovuje eff = 188.4% Životnost do: 2033

Poznámka:
1. Posouzení mezního stavu únavy je provedeno pomocí metody kumulace únavového poškození,
2. Srovnávací únavové zatížení je odvozeno s traťové třídy zatížení, které na mostě byla v historii zavedena

TAB. P5.3.4 POSOUZENÍ - MEZNÍ STAV ÚNAVY

POSUDEK	P5.3
PRŮŘEZ	TR_P5.3
POPIS	PŘÍČNÍK P5 - VNITŘNÍ PODÉLNÍK
PRUT / POLOHA BODU	658 / I[538]

Vstupní hodnoty

Základní hodnota únavové pevnosti:	$\Delta\sigma_c$ =	85	MPa	viz tab A.6, MP 2015,
Popis únavového detailu:		souvislé připojení pásnic ke krčním úhelníkům		
Redukce vlivem koroze detailu:	c_R =	0.99		viz COST CZ, projekt LD 15127
Oslabení průřezu vlivem koroze:	d_A =	0.02		viz COST CZ, projekt LD 15127
Hodnota únavové pevnosti detailu:	$\Delta\sigma_c$ =	**84.2**	MPa	
Tloušťka materiálu	t =	1	mm	
redukce únavové pevnosti	ϕ_t =	1.00		
Detail bez vlastního pnutí (šroubovný, nýtovaný)		☑ ano		je-li "ano" σ < 0 MPa pak se násobí 0.6

Schéma detailu

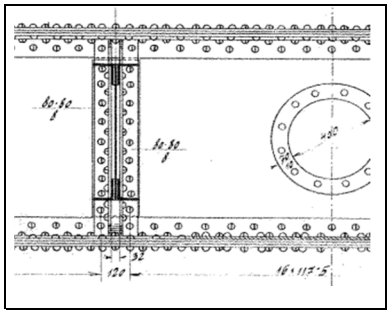

Rozkmit od pohyblivého zatíž. vč. dynam. účinků		kolej 1	kolej 2		
traťová třída zatížení C3/60	$\sigma_{e,mez1}$ =	-1.4	-0.4	MPa	ČSN EN 1993-1-9 čl. 7.2.1(2)
traťová třída zatížení C3/60	$\sigma_{e,mez2}$ =	26.0	46.8	MPa	ČSN EN 1993-1-9 čl. 7.2.1(2)
	$\Sigma\sigma_e$ =	27.4	47.2		

Poměr k zatížení ϕ2.1,1.LM71 k C3:	p_{C3} =	1.75	převod mezi ČSN 73 6203 a traťovou třídou zatížení C3
Korekce skutečného zatížení k C3:	k_{C3} =	1.00	odovzeno z analýzy spekter napětí na dané trati (viz diagnostika mostní konstrukce)
Dynamický součinitel:	Φ_2 =	1.18	MP 2015 pro pečlivě udržovanou kolej
Náhradní délka prutu:	$L_{d,fat}$ =	8.8 m	
Spolehlivosti materiálu:	γ_{Mf} =	1.15	MP 2015 pro vážný důsledek porušení
	rozkmit $\Delta\sigma_D 5.10^6$ =	62.0 MPa	rozkmit napětí na mezi únavy
	rozkmit $\Delta\sigma_L 1.10^8$ =	33.9 MPa	prahový rozkmit - mez únavy
	N_D =	5000000 cyklů	

Dopravní zatížení do roku 2000

Relativní poměr rozkmitu	Počet cyklů zatížení v tis. v jedné koleji dle odbobí [prof. Frýba]								Celkem	Přepočet rozkmitů k realnému zatížení	Poznámka
	období	do 1921	1927	1937	1941	1953	1969	2000	do 2000		
	zatížení	1.533	1.781	1.633	3.188	4.754	9.757	9.637			
	počet roků	20	6	10	4	12	16	31	99		
0.10	0.17	57228	19068	29908	19108	75827	167240	321233	689612	689612	
0.20	0.35	2593	864	1355	866	3436	7578	14555	31247	31247	
0.30	0.52	424	141	222	142	562	1240	2382	5114	5114	
0.40	0.70	1.533	1.781	1.633	3.188	4.754	9.757	0	23	23	0
0.50	0.87	43	14	23	14	57	127	244	523	691	poměrově zvětšení počet
0.60	**1.05**	19	6	10	6	25	56	108	232	306	poměrově zvětšení počet
0.70	1.22	10	3	5	3	13	28	54	116		
0.80	1.40	5	2	3	2	7	16	30	64		
0.90	1.57	3	1	2	1	4	9	18	38		
1.00	1.75	2	1	1	1	3	6	11	24		
								Σ	726992	726992	kontrola součtu cyklů

Únavové poškození za období 1901 - 2000 99 let

kolej č.1 kolej č.2 kolej č.1 + č.2 Setkání: 10%

poměr napětí	rozkmit napětí	sklon křivky	počet cyklů od zatížení	počet cyklů do porušení	Únavové poškození	rozkmit napětí	sklon křivky	počet cyklů od zatížení	počet cyklů do porušení	Únavové poškození	rozkmit napětí	sklon křivky	počet cyklů od zatížení	počet cyklů do porušení	Únavové poškození
A	$\Delta\sigma_{real}$	m	ni	Ni	ni/Ni	$\Delta\sigma_{real}$	m	ni	Ni	ni/Ni	$\Delta\sigma_{real}$	m	ni	Ni	ni/Ni
[-]	[MPa]	[-]	[v tisících]	[v tisících]		[MPa]	[-]	[v tisících]	[v tisících]		[MPa]	[-]	[v tisících]	[v tisících]	
0.17	4.8	nekon	620651	>10e+8	0.000	8.3	nekon	620651	>10e+8	0.000	13.0	nekon	62065	>10e+8	0.000
0.35	9.6	nekon	28122	>10e+8	0.000	16.5	nekon	28122	>10e+8	0.000	26.1	nekon	2812	>10e+8	0.000
0.52	14.4	nekon	4602	>10e+8	0.000	24.8	nekon	4602	>10e+8	0.000	39.1	5.0	460	24733	0.019
0.70	19.2	nekon	20	>10e+8	0.000	33.0	5.0	20	57873	0.000	52.2	5.0	2	5869	0.000
0.87	24.0	nekon	622	>10e+8	0.000	41.3	5.0	622	18964	0.033	65.2	3.0	62	2818	0.022
1.05	28.8	nekon	275	>10e+8	0.000	49.5	5.0	275	7621	0.036	78.3	3.0	28	1631	0.017
				$D_d = \Sigma n_i/N_i$	0.000				$D_d = \Sigma n_i/N_i$	0.069				$D_d = \Sigma n_i/N_i$	0.058
														Celkem do roku 2000 ΣD_d	0.127

Únavové poškození za období 2000 - 2017 17 let

kolej č.1 kolej č.2 kolej č.1 + č.2 Setkání: 1%

poměr napětí	rozkmit napětí	sklon křivky	počet cyklů od zatížení	počet cyklů do porušení	Únavové poškození	rozkmit napětí	sklon křivky	počet cyklů od zatížení	počet cyklů do porušení	Únavové poškození	rozkmit napětí	sklon křivky	počet cyklů od zatížení	počet cyklů do porušení	Únavové poškození
A	$\Delta\sigma_{real}$	m	ni	Ni	ni/Ni	$\Delta\sigma_{real}$	m	ni	Ni	ni/Ni	$\Delta\sigma_{real}$	m	ni	Ni	ni/Ni
[-]	[MPa]	[-]	[v tisících]	[v tisících]		[MPa]	[-]	[v tisících]	[v tisících]		[MPa]	[-]	[v tisících]	[v tisících]	
0.10	2.7	nekon	235605	>10e+8	0.000	4.7	nekon	234291	>10e+8	0.000	7.5	nekon	2367	>10e+8	0.000
0.20	5.5	nekon	9377	>10e+8	0.000	9.4	nekon	9136	>10e+8	0.000	14.9	nekon	92	>10e+8	0.000
0.30	8.2	nekon	2735	>10e+8	0.000	14.2	nekon	2608	>10e+8	0.000	22.4	nekon	26	>10e+8	0.000
0.40	11.0	nekon	5275	>10e+8	0.000	18.9	nekon	5200	>10e+8	0.000	29.8	5.0	53	96051	0.001
0.50	13.7	nekon	1322	>10e+8	0.000	23.6	nekon	1318	>10e+8	0.000	37.3	5.0	13	31474	0.000
0.60	16.4	nekon	3676	>10e+8	0.000	28.3	nekon	3663	>10e+8	0.000	44.8	5.0	37	12649	0.003
0.70	19.2	nekon	2315	>10e+8	0.000	33.0	5.0	2293	57703	0.040	52.2	5.0	23	5852	0.004
0.80	21.9	nekon	1521	>10e+8	0.000	37.8	5.0	1468	29596	0.050	59.7	3.0	15	3681	0.004
0.90	24.7	nekon	54	>10e+8	0.000	42.5	5.0	12	16424	0.001	67.2	3.0	0	2585	0.000
1.00	27.4	nekon	4	>10e+8	0.000	47.2	5.0	0	9698	0.000	74.6	3.0	0	1885	0.000
				$D_d = \Sigma n_i/N_i$	0.000				$D_d = \Sigma n_i/N_i$	0.090				$D_d = \Sigma n_i/N_i$	0.012
														Celkem za období 2000 - 2016 ΣD_d	0.102

TAB. P5.3.4 POSOUZENÍ - MEZNÍ STAV ÚNAVY

POSUDEK	P5.3
PRŮŘEZ	TR_P5.3
POPIS	PŘÍČNÍK P5 - VNITŘNÍ PODÉLNÍK
PRUT / POLOHA BODU	658 / I[538]

Únavové poškození za období 2018 - 2022 5 let

kolej č.1 kolej č.2 kolej č.1 + č.2 Setkání: 3%

poměr napětí	rozkmit napětí	sklon křivky	počet cyklů od zatížení	počet cyklů do porušení	Únavové poškození	rozkmit napětí	sklon křivky	počet cyklů od zatížení	počet cyklů do porušení	Únavové poškození	rozkmit napětí	sklon křivky	počet cyklů od zatížení	počet cyklů do porušení	Únavové poškození
A	$\Delta\sigma_{real}$	m	ni	Ni	ni/Ni	$\Delta\sigma_{real}$	m	ni	Ni	ni/Ni	$\Delta\sigma_{real}$	m	ni	Ni	ni/Ni
[-]	[MPa]	[-]	[v tisících]	[v tisících]		[MPa]	[-]	[v tisících]	[v tisících]		[MPa]	[-]	[v tisících]	[v tisících]	
0.10	2.7	nekon	85096	>10e+8	0.000	4.7	nekon	84717	>10e+8	0.000	7.5	nekon	2621	>10e+8	0.000
0.20	5.5	nekon	3472	>10e+8	0.000	9.4	nekon	3403	>10e+8	0.000	14.9	nekon	105	>10e+8	0.000
0.30	8.2	nekon	1191	>10e+8	0.000	14.2	nekon	1154	>10e+8	0.000	22.4	nekon	36	>10e+8	0.000
0.40	11.0	nekon	1604	>10e+8	0.000	18.9	nekon	1583	>10e+8	0.000	29.8	5.0	48	96051	0.001
0.50	13.7	nekon	717	>10e+8	0.000	23.6	nekon	716	>10e+8	0.000	37.3	5.0	22	31474	0.001
0.60	16.4	nekon	1387	>10e+8	0.000	28.3	nekon	1383	>10e+8	0.000	44.8	5.0	43	12649	0.003
0.70	19.2	nekon	694	>10e+8	0.000	33.0	5.0	687	57703	0.012	52.2	5.0	21	5852	0.004
0.80	21.9	nekon	580	>10e+8	0.000	37.8	5.0	565	29596	0.019	59.7	3.0	17	3681	0.005
0.90	24.7	nekon	16	>10e+8	0.000	42.5	5.0	4	16424	0.000	67.2	3.0	0	2585	0.000
1.00	27.4	nekon	1	>10e+8	0.000	47.2	5.0	0	9698	0.000	74.6	3.0	0	1885	0.000
				$D_d = \Sigma n_i/N_i$	0.000				$D_d = \Sigma n_i/N_i$	0.031				$D_d = \Sigma n_i/N_i$	0.013
														Celkem za období 2017 - 2022 ΣD_d	0.044

Únavové poškození za období 2025 - 2055 30 let

kolej č.1 kolej č.2 kolej č.1 + č.2 Setkání: 5%

poměr napětí	rozkmit napětí	sklon křivky	počet cyklů od zatížení	počet cyklů do porušení	Únavové poškození	rozkmit napětí	sklon křivky	počet cyklů od zatížení	počet cyklů do porušení	Únavové poškození	rozkmit napětí	sklon křivky	počet cyklů od zatížení	počet cyklů do porušení	Únavové poškození
A	$\Delta\sigma_{real}$	m	ni	Ni	ni/Ni	$\Delta\sigma_{real}$	m	ni	Ni	ni/Ni	$\Delta\sigma_{real}$	m	ni	Ni	ni/Ni
[-]	[MPa]	[-]	[v tisících]	[v tisících]		[MPa]	[-]	[v tisících]	[v tisících]		[MPa]	[-]	[v tisících]	[v tisících]	
0.10	2.7	nekon	647420	>10e+8	0.000	4.7	nekon	644824	>10e+8	0.000	7.5	nekon	33959	>10e+8	0.000
0.20	5.5	nekon	24763	>10e+8	0.000	9.4	nekon	24286	>10e+8	0.000	14.9	nekon	1278	>10e+8	0.000
0.30	8.2	nekon	5631	>10e+8	0.000	14.2	nekon	5380	>10e+8	0.000	22.4	nekon	283	>10e+8	0.000
0.40	11.0	nekon	16218	>10e+8	0.000	18.9	nekon	16070	>10e+8	0.000	29.8	5.0	825	96051	0.009
0.50	13.7	nekon	3175	>10e+8	0.000	23.6	nekon	3167	>10e+8	0.000	37.3	5.0	167	31474	0.005
0.60	16.4	nekon	7832	>10e+8	0.000	28.3	nekon	7806	>10e+8	0.000	44.8	5.0	411	12649	0.032
0.70	19.2	nekon	7117	>10e+8	0.000	33.0	5.0	7073	57703	0.123	52.2	5.0	372	5852	0.064
0.80	21.9	nekon	4143	>10e+8	0.000	37.8	5.0	4039	29596	0.136	59.7	3.0	213	3681	0.058
0.90	24.7	nekon	121	>10e+8	0.000	42.5	5.0	39	16424	0.002	67.2	3.0	2	2585	0.001
1.00	27.4	nekon	9	>10e+8	0.000	47.2	5.0	0	9698	0.000	74.6	3.0	0	1885	0.000
				$D_d = \Sigma n_i/N_i$	0.000				$D_d = \Sigma n_i/N_i$	0.261				$D_d = \Sigma n_i/N_i$	0.169
														Celkem za období 2025 - 2055 ΣD_d	0.430

REKAPITULACE UNAVOVÉHO POŠKOZENÍ

POPIS	PŘÍČNÍK P5 - VNITŘNÍ PODÉLNÍK
PRUT / POLOHA BODU	658 / I[538]

Období	Unavové poškození ΣD_d				
1901 - 2000	0.127				
2000 - 2016	0.102				
2017 - 2022	0.044				
2025 - 2055	0.430				
1901 - 2055	0.703	<	1,0	vyhovuje eff = 70.3%	Životnost do: 2055

Poznámka:
1. Posouzení mezního stavu únavy je provedeno pomocí metody kumulace únavového poškození,
2. Srovnávací únavové zatížení je odvozeno s traťové třídy zatížení, které na mostě byla v historii zavedena

TAB. L1.2.4 POSOUZENÍ - MEZNÍ STAV ÚNAVY

POSUDEK	L1.2
PRŮŘEZ	TR_L1.2
POPIS	PODÉLNÍK L1.E - STŘED
PRUT / POLOHA BODU	880 / I[739]

Vstupní hodnoty

Základní hodnota únavové pevnosti:	$\Delta\sigma_c$ =	85	MPa	viz tab A.6, MP 2015,
Popis únavového detailu:		souvislé připojení pásnic ke krčním úhelníkům		
Redukce vlivem koroze detailu:	c_R =	1.00		viz COST CZ, projekt LD 15127
Oslabení průřezu vlivem koroze:	d_A =	0.00		viz COST CZ, projekt LD 15127
Hodnota únavové pevnosti detailu:	$\Delta\sigma_c$ =	85.0	MPa	
Tloušťka materiálu	t =	1	mm	
redukce únavové pevnosti	ϕ_t =	1.00		
Detail bez vlastního pnutí (šroubovný, nýtovaný)		☑ ano		je-li "ano" σ < 0 MPa pak se násobí 0.6

Schéma detailu

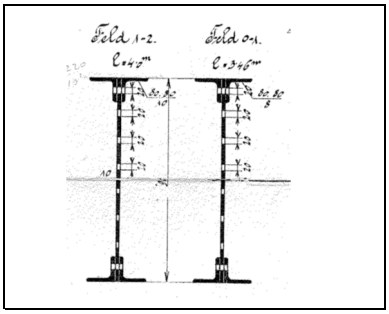

Rozkmit od pohyblivého zatíž. vč. dynam. účinků		kolej 1	kolej 2		- zesílený průřez podélníku
traťová třída zatížení C3/60	$\sigma_{e,mez1}$ =	-0.4	-3.5	MPa	ČSN EN 1993-1-9 čl. 7.2.1(2)
traťová třída zatížení C3/60	$\sigma_{e,mez2}$ =	0.6	40.2	MPa	ČSN EN 1993-1-9 čl. 7.2.1(2)
	$\Sigma\sigma_e$ =	1.0	43.7		

Rozkmit od pohyblivého zatíž. vč. dynam. účinků		kolej 1	kolej 2		- původní průřez podelníku
traťová třída zatížení C3/60	$\sigma_{e,mez1}$ =	0.0	0.0	MPa	ČSN EN 1993-1-9 čl. 7.2.1(2)
traťová třída zatížení C3/60	$\sigma_{e,mez2}$ =	3.9	57.6	MPa	ČSN EN 1993-1-9 čl. 7.2.1(2)
	$\Sigma\sigma_e$ =	3.9	57.6		

Poměr k zatížení ϕ2.1,1.LM71 k C3:	p_{C3} =	1.72		převod mezi ČSN 73 6203 a traťovou třídou zatížení C3
Korekce skutečného zatížení k C3:	k_{C3} =	1.00		odvozeno z analýzy spekter napětí na dané trati (viz diagnostika mostní konstrukce)
Dynamický součinitel:	Φ_2 =	1.35		MP 2015 pro pečlivě udržovanou kolej
Náhradní délka prutu:	$L_{d.fat}$ =	6.64	m	
Spolehlivosti materiálu:	γ_{Mf} =	1.00		MP 2015 pro mírný důsledek porušení
	rozkmit $\Delta\sigma_D 5.10^6$ =	62.6	MPa	rozkmit napětí na mezi únavy
	rozkmit $\Delta\sigma_L 1.10^8$ =	34.3	MPa	prahový rozkmit - mez únavy
	N_D =	5000000	cyklů	1.781

Dopravní zatížení do roku 2000

Relativní poměr rozkmitu	období	do 1921	1927	1937	1941	1953	1969	1987	Celkem do 1987	Přepočet rozkmitů k realnému zatížení	Celkem do 2000	Přepočet rozkmitů k realnému zatížení	Poznámka
	zatížení	1.533	1.781	1.633	3.188	4.754	9.757	9.333			9.637		
	počet roků	20	6	10	4	12	16	18	86		13		
0.10	0.17	63240	21071	33046	21109	83778	184777	201505	608526	608526	148834	148834	
0.20	0.34	2865	955	1497	956	3796	8372	9130	27573	27573	6744	6744	
0.30	0.52	469	156	245	157	621	1370	1494	4512	4512	1104	1104	
0.40	0.69	130	43	68	43	172	379	414	1249	1249	306	306	
0.50	0.86	48	16	25	16	64	140	153	461	602	113	147	poměrově zvětšení počet
0.58	**1.00**	25	8	13	8	33	72	79	238	311	58	76	poměrově zvětšení počet
0.70	1.20	11	4	6	4	14	31	34	103		25		
0.80	1.38	6	2	3	2	8	17	19	57		14		
0.90	1.55	3	1	2	1	5	10	11	33		8		
1.00	1.72	2	1	1	1	3	6	7	21		5		
								Σ	642 774	642 774	157 210	157 210	kontrola součtu cyklů

Únavové poškození za období 1901 - 1987 86 let

kolej č.1 kolej č.2 kolej č.1 + č.2 Setkání: 10%

poměr napětí	rozkmit napětí	sklon křivky	počet cyklů od zatížení	počet cyklů do porušení	Únavové poškození	rozkmit napětí	sklon křivky	počet cyklů od zatížení	počet cyklů do porušení	Únavové poškození	rozkmit napětí	sklon křivky	počet cyklů od zatížení	počet cyklů do porušení	Únavové poškození
A	$\Delta\sigma_{real}$	m	ni	Ni	ni/Ni	$\Delta\sigma_{real}$	m	ni	Ni	ni/Ni	$\Delta\sigma_{real}$	m	ni	Ni	ni/Ni
[-]	[MPa]	[-]	[v tisících]	[v tisících]		[MPa]	[-]	[v tisících]	[v tisících]		[MPa]	[-]	[v tisících]	[v tisících]	
0.17	0.7	nekon	547673	>10e+8	0.000	9.9	nekon	547673	>10e+8	0.000	10.6	nekon	54767	>10e+8	0.000
0.34	1.3	nekon	24816	>10e+8	0.000	19.8	nekon	24816	>10e+8	0.000	21.1	nekon	2482	>10e+8	0.000
0.52	2.0	nekon	4061	>10e+8	0.000	29.7	nekon	4061	>10e+8	0.000	31.7	nekon	406	>10e+8	0.000
0.69	2.7	nekon	1124	>10e+8	0.000	39.6	5.0	1124	49274	0.023	42.3	5.0	112	35529	0.003
0.86	3.3	nekon	542	>10e+8	0.000	49.5	5.0	542	16146	0.034	52.9	5.0	54	11642	0.005
1.00	3.9	nekon	280	>10e+8	0.000	57.4	5.0	280	7687	0.036	61.3	5.0	28	5543	0.005
				$D_d = \Sigma n_i/N_i$	0.000				$D_d = \Sigma n_i/N_i$	0.093				$D_d = \Sigma n_i/N_i$	0.013
														Celkem do roku 2000 ΣD_d	0.106

Únavové poškození za období 1987 - 2000 13 let

kolej č.1 kolej č.2 kolej č.1 + č.2 Setkání: 10%

poměr napětí	rozkmit napětí	sklon křivky	počet cyklů od zatížení	počet cyklů do porušení	Únavové poškození	rozkmit napětí	sklon křivky	počet cyklů od zatížení	počet cyklů do porušení	Únavové poškození	rozkmit napětí	sklon křivky	počet cyklů od zatížení	počet cyklů do porušení	Únavové poškození
A	$\Delta\sigma_{real}$	m	ni	Ni	ni/Ni	$\Delta\sigma_{real}$	m	ni	Ni	ni/Ni	$\Delta\sigma_{real}$	m	ni	Ni	ni/Ni
[-]	[MPa]	[-]	[v tisících]	[v tisících]		[MPa]	[-]	[v tisících]	[v tisících]		[MPa]	[-]	[v tisících]	[v tisících]	
0.17	0.2	nekon	133950	>10e+8	0.000	7.5	nekon	133950	>10e+8	0.000	7.7	nekon	13395	>10e+8	0.000
0.34	0.3	nekon	6069	>10e+8	0.000	15.0	nekon	6069	>10e+8	0.000	15.4	nekon	607	>10e+8	0.000
0.52	0.5	nekon	993	>10e+8	0.000	22.6	nekon	993	>10e+8	0.000	23.1	nekon	99	>10e+8	0.000
0.69	0.7	nekon	275	>10e+8	0.000	30.1	nekon	275	>10e+8	0.000	30.8	nekon	28	>10e+8	0.000
0.86	0.9	nekon	133	>10e+8	0.000	37.6	5.0	133	63925	0.002	38.5	5.0	13	57135	0.000
1.00	1.0	nekon	68	>10e+8	0.000	43.6	5.0	68	30435	0.002	44.6	5.0	7	27203	0.000
				$D_d = \Sigma n_i/N_i$	0.000				$D_d = \Sigma n_i/N_i$	0.004				$D_d = \Sigma n_i/N_i$	0.000
														Celkem do roku 2000 ΣD_d	0.005

TAB. L1.2.4 POSOUZENÍ - MEZNÍ STAV ÚNAVY

POSUDEK	L1.2
PRŮŘEZ	TR_L1.2
POPIS	PODÉLNÍK L1.E - STŘED
PRUT / POLOHA BODU	880 / I[739]

Únavové poškození za období 2000 - 2017 17 let

kolej č.1 kolej č.2 kolej č.1 + č.2 Setkání: 1%

poměr napětí	rozkmit napětí	sklon křivky	počet cyklů od zatížení	počet cyklů do porušení	Únavové poškození	rozkmit napětí	sklon křivky	počet cyklů od zatížení	počet cyklů do porušení	Únavové poškození	rozkmit napětí	sklon křivky	počet cyklů od zatížení	počet cyklů do porušení	Únavové poškození
A	$\Delta\sigma_{real}$	m	ni	Ni	ni/Ni	$\Delta\sigma_{real}$	m	ni	Ni	ni/Ni	$\Delta\sigma_{real}$	m	ni	Ni	ni/Ni
[-]	[MPa]	[-]	[v tisících]	[v tisících]		[MPa]	[-]	[v tisících]	[v tisících]		[MPa]	[-]	[v tisících]	[v tisících]	
0.10	0.1	nekon	260306	>10e+8	0.000	4.4	nekon	258854	>10e+8	0.000	4.5	nekon	2615	>10e+8	0.000
0.20	0.2	nekon	10361	>10e+8	0.000	8.7	nekon	10094	>10e+8	0.000	8.9	nekon	102	>10e+8	0.000
0.30	0.3	nekon	3022	>10e+8	0.000	13.1	nekon	2881	>10e+8	0.000	13.4	nekon	29	>10e+8	0.000
0.40	0.4	nekon	5828	>10e+8	0.000	17.5	nekon	5745	>10e+8	0.000	17.9	nekon	58	>10e+8	0.000
0.50	0.5	nekon	1461	>10e+8	0.000	21.9	nekon	1456	>10e+8	0.000	22.4	nekon	15	>10e+8	0.000
0.60	0.6	nekon	4061	>10e+8	0.000	26.2	nekon	4047	>10e+8	0.000	26.8	nekon	41	>10e+8	0.000
0.70	0.7	nekon	2557	>10e+8	0.000	30.6	nekon	2533	>10e+8	0.000	31.3	nekon	26	>10e+8	0.000
0.80	0.8	nekon	1680	>10e+8	0.000	35.0	5.0	1622	91930	0.018	35.8	5.0	16	82165	0.000
0.90	0.9	nekon	60	>10e+8	0.000	39.3	5.0	14	51014	0.000	40.2	5.0	0	45596	0.000
1.00	1.0	nekon	5	>10e+8	0.000	43.7	5.0	0	30123	0.000	44.7	5.0	0	26924	0.000
				$D_d = \Sigma n_i/N_i$	0.000				$D_d = \Sigma n_i/N_i$	0.018				$D_d = \Sigma n_i/N_i$	0.000
														Celkem za období 2000 - 2016 ΣD_d	0.018

Únavové poškození za období 2018 - 2022 5 let

kolej č.1 kolej č.2 kolej č.1 + č.2 Setkání: 3%

poměr napětí	rozkmit napětí	sklon křivky	počet cyklů od zatížení	počet cyklů do porušení	Únavové poškození	rozkmit napětí	sklon křivky	počet cyklů od zatížení	počet cyklů do porušení	Únavové poškození	rozkmit napětí	sklon křivky	počet cyklů od zatížení	počet cyklů do porušení	Únavové poškození
A	$\Delta\sigma_{real}$	m	ni	Ni	ni/Ni	$\Delta\sigma_{real}$	m	ni	Ni	ni/Ni	$\Delta\sigma_{real}$	m	ni	Ni	ni/Ni
[-]	[MPa]	[-]	[v tisících]	[v tisících]		[MPa]	[-]	[v tisících]	[v tisících]		[MPa]	[-]	[v tisících]	[v tisících]	
0.10	0.1	nekon	94017	>10e+8	0.000	4.4	nekon	93599	>10e+8	0.000	4.5	nekon	2896	>10e+8	0.000
0.20	0.2	nekon	3836	>10e+8	0.000	8.7	nekon	3760	>10e+8	0.000	8.9	nekon	116	>10e+8	0.000
0.30	0.3	nekon	1316	>10e+8	0.000	13.1	nekon	1275	>10e+8	0.000	13.4	nekon	39	>10e+8	0.000
0.40	0.4	nekon	1772	>10e+8	0.000	17.5	nekon	1749	>10e+8	0.000	17.9	nekon	53	>10e+8	0.000
0.50	0.5	nekon	793	>10e+8	0.000	21.9	nekon	791	>10e+8	0.000	22.4	nekon	24	>10e+8	0.000
0.60	0.6	nekon	1532	>10e+8	0.000	26.2	nekon	1528	>10e+8	0.000	26.8	nekon	47	>10e+8	0.000
0.70	0.7	nekon	766	>10e+8	0.000	30.6	nekon	759	>10e+8	0.000	31.3	nekon	23	>10e+8	0.000
0.80	0.8	nekon	641	>10e+8	0.000	35.0	5.0	624	91930	0.007	35.8	5.0	19	82165	0.000
0.90	0.9	nekon	17	>10e+8	0.000	39.3	5.0	4	51014	0.000	40.2	5.0	0	45596	0.000
1.00	1.0	nekon	1	>10e+8	0.000	43.7	5.0	0	30123	0.000	44.7	5.0	0	26924	0.000
				$D_d = \Sigma n_i/N_i$	0.000				$D_d = \Sigma n_i/N_i$	0.007				$D_d = \Sigma n_i/N_i$	0.000
														Celkem za období 2017 - 2022 ΣD_d	0.007

Únavové poškození za období 2025 - 2055 30 let

kolej č.1 kolej č.2 kolej č.1 + č.2 Setkání: 5%

poměr napětí	rozkmit napětí	sklon křivky	počet cyklů od zatížení	počet cyklů do porušení	Únavové poškození	rozkmit napětí	sklon křivky	počet cyklů od zatížení	počet cyklů do porušení	Únavové poškození	rozkmit napětí	sklon křivky	počet cyklů od zatížení	počet cyklů do porušení	Únavové poškození
A	$\Delta\sigma_{real}$	m	ni	Ni	ni/Ni	$\Delta\sigma_{real}$	m	ni	Ni	ni/Ni	$\Delta\sigma_{real}$	m	ni	Ni	ni/Ni
[-]	[MPa]	[-]	[v tisících]	[v tisících]		[MPa]	[-]	[v tisících]	[v tisících]		[MPa]	[-]	[v tisících]	[v tisících]	
0.10	0.1	nekon	715296	>10e+8	0.000	4.4	nekon	712427	>10e+8	0.000	4.5	nekon	37519	>10e+8	0.000
0.20	0.2	nekon	27359	>10e+8	0.000	8.7	nekon	26832	>10e+8	0.000	8.9	nekon	1412	>10e+8	0.000
0.30	0.3	nekon	6221	>10e+8	0.000	13.1	nekon	5943	>10e+8	0.000	13.4	nekon	313	>10e+8	0.000
0.40	0.4	nekon	17918	>10e+8	0.000	17.5	nekon	17755	>10e+8	0.000	17.9	nekon	912	>10e+8	0.000
0.50	0.5	nekon	3508	>10e+8	0.000	21.9	nekon	3498	>10e+8	0.000	22.4	nekon	184	>10e+8	0.000
0.60	0.6	nekon	8653	>10e+8	0.000	26.2	nekon	8625	>10e+8	0.000	26.8	nekon	454	>10e+8	0.000
0.70	0.7	nekon	7863	>10e+8	0.000	30.6	nekon	7815	>10e+8	0.000	31.3	nekon	411	>10e+8	0.000
0.80	0.8	nekon	4577	>10e+8	0.000	35.0	5.0	4462	91930	0.049	35.8	5.0	235	82165	0.003
0.90	0.9	nekon	134	>10e+8	0.000	39.3	5.0	43	51014	0.001	40.2	5.0	2	45596	0.000
1.00	1.0	nekon	10	>10e+8	0.000	43.7	5.0	0	30123	0.000	44.7	5.0	0	26924	0.000
				$D_d = \Sigma n_i/N_i$	0.000				$D_d = \Sigma n_i/N_i$	0.049				$D_d = \Sigma n_i/N_i$	0.003
														Celkem za období 2025 - 2055 ΣD_d	0.052

REKAPITULACE UNAVOVÉHO POŠKOZENÍ

POPIS	PODÉLNÍK L1.E - STŘED
PRUT / POLOHA BODU	880 / I[739]

Období	Unavové poškození ΣD_d					
1901 - 1987.	0.106					
1987 - 2000	0.005					
2000 - 2017	0.018					
2018 - 2022	0.007					
2025 - 2055	0.052					
1901 - 2055	0.188	<	1,0	vyhovuje eff =	18.8%	Životnost do: 2055

Poznámka:
1. Posouzení mezního stavu únavy je provedeno pomocí metody kumulace únavového poškození,
2. Srovnávací únavové zatížení je odvozeno s traťové třídy zatížení, které na mostě byla v historii zavedena

TAB. L2.2.4 POSOUZENÍ - MEZNÍ STAV ÚNAVY

POSUDEK	L2.2
PRŮŘEZ	TR_L2.2
POPIS	PODÉLNÍK L2.E - STŘED
PRUT / POLOHA BODU	871 / 2/4

Vstupní hodnoty

Základní hodnota únavové pevnosti:	$\Delta\sigma_c$ =	85	MPa	viz tab A.6, MP 2015,
Popis únavového detailu:		souvislé připojení pásnic ke krčním úhelníkům		
Redukce vlivem koroze detailu:	c_R =	0.99		viz COST CZ, projekt LD 15127
Oslabení průřezu vlivem koroze:	d_A =	0.02		viz COST CZ, projekt LD 15127
Hodnota únavové pevnosti detailu:	$\Delta\sigma_c$ =	84.2	MPa	
Tloušťka materiálu	t =	1	mm	
redukce únavové pevnosti	ϕ_t =	1.00		
Detail bez vlastního pnutí (šroubovný, nýtovaný)		☑ ano		je-li "ano" σ < 0 MPa pak se násobí 0.6

Schéma detailu

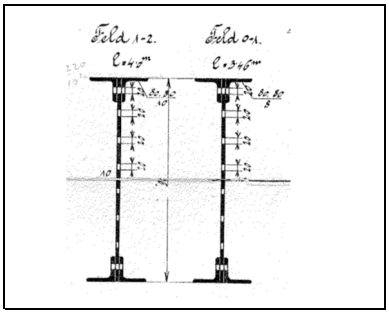

Rozkmit od pohyblivého zatíž. vč. dynam. účinků	kolej 1	kolej 2		- zesílený průřez podélníku
traťová třída zatížení C3/60 $\sigma_{e,mez1}$=	-0.2	-0.5	MPa	ČSN EN 1993-1-9 čl. 7.2.1(2)
traťová třída zatížení C3/60 $\sigma_{e,mez2}$=	18.5	64.4	MPa	ČSN EN 1993-1-9 čl. 7.2.1(2)
$\Sigma\sigma_e$ =	18.7	64.9		

Rozkmit od pohyblivého zatíž. vč. dynam. účinků	kolej 1	kolej 2		- původní průřez podelníku
traťová třída zatížení C3/60 $\sigma_{e,mez1}$=	0.0	0.0	MPa	ČSN EN 1993-1-9 čl. 7.2.1(2)
traťová třída zatížení C3/60 $\sigma_{e,mez2}$=	5.5	67.9	MPa	ČSN EN 1993-1-9 čl. 7.2.1(2)
$\Sigma\sigma_e$ =	5.5	67.9		

Poměr k zatížení ϕ2.1,1.LM71 k C3:	p_{C3} =	1.72		převod mezi ČSN 73 6203 a traťovou třídou zatížení C3
Korekce skutečného zatížení k C3:	k_{C3} =	1.00		odvozeno z analýzy spekter napětí na dané trati (viz diagnostika mostní konstrukce)
Dynamický součinitel:	Φ_2=	1.34		MP 2015 pro pečlivě udržovanou kolej
Náhradní délka prutu:	$L_{d,fat}$ =	7	m	
Spolehlivosti materiálu:	γ_{Mf}=	1.00		MP 2015 pro mírný důsledek porušení
rozkmit	$\Delta\sigma_D 5.10^6$ =	62.0	MPa	rozkmit napětí na mezi únavy
rozkmit	$\Delta\sigma_L 1.10^8$ =	33.9	MPa	prahový rozkmit - mez únavy
	N_D =	5000000	cyklů	1.781

Dopravní zatížení do roku 2000

Relativní poměr rozkmitu	období	do 1921	1927	1937	1941	1953	1969	1987	Celkem do 1987	Přepočet rozkmitů k realnému zatížení	Celkem do 2000	Přepočet rozkmitů k realnému zatížení	Poznámka
		Počet cyklů zatížení v tis. v jedné koleji dle období [prof. Frýba]											
	zatížení	1.533	1.781	1.633	3.188	4.754	9.757	9.333			9.637		
	počet roků	20	6	10	4	12	16	18	86		13		
0.10	0.17	62069	20681	32434	20718	82227	181355	197774	597258	597258	146078	146078	
0.20	0.34	2812	937	1470	939	3726	8217	8961	27062	27062	6619	6619	
0.30	0.52	460	153	241	154	610	1345	1467	4429	4429	1083	1083	
0.40	0.69	127	42	67	43	169	372	406	1226	1226	300	300	
0.50	0.86	47	16	25	16	62	138	150	453	598	111	146	poměrově zvětšení počet
0.60	**1.03**	21	7	11	7	28	61	66	201	265	49	65	poměrově zvětšení počet
0.70	1.20	10	3	5	3	14	31	33	101		25		
0.80	1.38	6	2	3	2	8	17	18	56		14		
0.90	1.55	3	1	2	1	5	10	11	33		8		
1.00	1.72	2	1	1	1	3	6	7	21		5		
								Σ	630 839	630 839	154 291	154 291	kontrola součtu cyklů

Únavové poškození za období 1901 - 1987 86 let

kolej č.1 kolej č.2 kolej č.1 + č.2 Setkání: 10%

poměr napětí	rozkmit napětí	sklon křivky	počet cyklů od zatížení	počet cyklů do porušení	Únavové poškození	rozkmit napětí	sklon křivky	počet cyklů od zatížení	počet cyklů do porušení	Únavové poškození	rozkmit napětí	sklon křivky	počet cyklů od zatížení	počet cyklů do porušení	Únavové poškození
A	$\Delta\sigma_{real}$	m	ni	Ni	ni/Ni	$\Delta\sigma_{real}$	m	ni	Ni	ni/Ni	$\Delta\sigma_{real}$	m	ni	Ni	ni/Ni
[-]	[MPa]	[-]	[v tisících]	[v tisících]		[MPa]	[-]	[v tisících]	[v tisících]		[MPa]	[-]	[v tisících]	[v tisících]	
0.17	0.9	nekon	537532	>10e+8	0.000	11.7	nekon	537532	>10e+8	0.000	12.6	nekon	53753	>10e+8	0.000
0.34	1.9	nekon	24356	>10e+8	0.000	23.4	nekon	24356	>10e+8	0.000	25.3	nekon	2436	>10e+8	0.000
0.52	2.8	nekon	3986	>10e+8	0.000	35.1	5.0	3986	86356	0.046	37.9	5.0	399	58444	0.007
0.69	3.8	nekon	1104	>10e+8	0.000	46.7	5.0	1104	20493	0.054	50.5	5.0	110	13869	0.008
0.86	4.7	nekon	538	>10e+8	0.000	58.4	5.0	538	6715	0.080	63.2	3.0	54	4722	0.011
1.03	5.7	nekon	239	>10e+8	0.000	70.1	3.0	239	3454	0.069	75.8	3.0	24	2732	0.009
				$D_d = \Sigma n_i/N_i$	0.000				$D_d = \Sigma n_i/N_i$	0.249				$D_d = \Sigma n_i/N_i$	0.035
														Celkem do roku 2000 ΣD_d	0.284

Únavové poškození za období 1987 - 2000 13 let

kolej č.1 kolej č.2 kolej č.1 + č.2 Setkání: 10%

poměr napětí	rozkmit napětí	sklon křivky	počet cyklů od zatížení	počet cyklů do porušení	Únavové poškození	rozkmit napětí	sklon křivky	počet cyklů od zatížení	počet cyklů do porušení	Únavové poškození	rozkmit napětí	sklon křivky	počet cyklů od zatížení	počet cyklů do porušení	Únavové poškození
A	$\Delta\sigma_{real}$	m	ni	Ni	ni/Ni	$\Delta\sigma_{real}$	m	ni	Ni	ni/Ni	$\Delta\sigma_{real}$	m	ni	Ni	ni/Ni
[-]	[MPa]	[-]	[v tisících]	[v tisících]		[MPa]	[-]	[v tisících]	[v tisících]		[MPa]	[-]	[v tisících]	[v tisících]	
0.17	3.2	nekon	131470	>10e+8	0.000	11.2	nekon	131470	>10e+8	0.000	14.4	nekon	13147	>10e+8	0.000
0.34	6.4	nekon	5957	>10e+8	0.000	22.3	nekon	5957	>10e+8	0.000	28.8	nekon	596	>10e+8	0.000
0.52	9.6	nekon	975	>10e+8	0.000	33.5	nekon	975	>10e+8	0.000	43.1	5.0	97	30604	0.003
0.69	12.9	nekon	270	>10e+8	0.000	44.7	5.0	270	25747	0.010	57.5	5.0	27	7263	0.004
0.86	16.1	nekon	132	>10e+8	0.000	55.8	5.0	132	8437	0.016	71.9	3.0	13	3203	0.004
1.03	19.3	nekon	58	>10e+8	0.000	67.0	3.0	58	3960	0.015	86.3	3.0	6	1853	0.003
				$D_d = \Sigma n_i/N_i$	0.000				$D_d = \Sigma n_i/N_i$	0.041				$D_d = \Sigma n_i/N_i$	0.014
														Celkem do roku 2000 ΣD_d	0.055

TAB. L2.2.4 POSOUZENÍ - MEZNÍ STAV ÚNAVY

POSUDEK	L2.2
PRŮŘEZ	TR_L2.2
POPIS	PODÉLNÍK L2.E - STŘED
PRUT / POLOHA BODU	871 / 2/4

Únavové poškození za období 2000 - 2017 17 let

kolej č.1 kolej č.2 kolej č.1 + č.2 Setkání: 1%

poměr napětí	rozkmit napětí	sklon křivky	počet cyklů od zatížení	počet cyklů do porušení	Únavové poškození	rozkmit napětí	sklon křivky	počet cyklů od zatížení	počet cyklů do porušení	Únavové poškození	rozkmit napětí	sklon křivky	počet cyklů od zatížení	počet cyklů do porušení	Únavové poškození
A	$\Delta\sigma_{real}$	m	ni	Ni	ni/Ni	$\Delta\sigma_{real}$	m	ni	Ni	ni/Ni	$\Delta\sigma_{real}$	m	ni	Ni	ni/Ni
[-]	[MPa]	[-]	[v tisících]	[v tisících]		[MPa]	[-]	[v tisících]	[v tisících]		[MPa]	[-]	[v tisících]	[v tisících]	
0.10	1.9	nekon	255485	>10e+8	0.000	6.5	nekon	254060	>10e+8	0.000	8.4	nekon	2566	>10e+8	0.000
0.20	3.7	nekon	10169	>10e+8	0.000	13.0	nekon	9907	>10e+8	0.000	16.7	nekon	100	>10e+8	0.000
0.30	5.6	nekon	2966	>10e+8	0.000	19.5	nekon	2828	>10e+8	0.000	25.1	nekon	29	>10e+8	0.000
0.40	7.5	nekon	5720	>10e+8	0.000	26.0	nekon	5639	>10e+8	0.000	33.4	nekon	57	>10e+8	0.000
0.50	9.3	nekon	1434	>10e+8	0.000	32.4	nekon	1429	>10e+8	0.000	41.8	5.0	14	35886	0.000
0.60	11.2	nekon	3986	>10e+8	0.000	38.9	5.0	3972	51127	0.078	50.1	5.0	40	14422	0.003
0.70	13.1	nekon	2510	>10e+8	0.000	45.4	5.0	2486	23655	0.105	58.5	5.0	25	6672	0.004
0.80	15.0	nekon	1649	>10e+8	0.000	51.9	5.0	1592	12133	0.131	66.9	3.0	16	3983	0.004
0.90	16.8	nekon	59	>10e+8	0.000	58.4	5.0	13	6733	0.002	75.2	3.0	0	2797	0.000
1.00	18.7	nekon	5	>10e+8	0.000	64.9	3.0	0	4357	0.000	83.6	3.0	0	2039	0.000
				$D_d = \Sigma n_i/N_i$	0.000				$D_d = \Sigma n_i/N_i$	0.316				$D_d = \Sigma n_i/N_i$	0.011
														Celkem za období 2000 - 2016 ΣD_d	0.327

Únavové poškození za období 2018 - 2022 5 let

kolej č.1 kolej č.2 kolej č.1 + č.2 Setkání: 3%

poměr napětí	rozkmit napětí	sklon křivky	počet cyklů od zatížení	počet cyklů do porušení	Únavové poškození	rozkmit napětí	sklon křivky	počet cyklů od zatížení	počet cyklů do porušení	Únavové poškození	rozkmit napětí	sklon křivky	počet cyklů od zatížení	počet cyklů do porušení	Únavové poškození
A	$\Delta\sigma_{real}$	m	ni	Ni	ni/Ni	$\Delta\sigma_{real}$	m	ni	Ni	ni/Ni	$\Delta\sigma_{real}$	m	ni	Ni	ni/Ni
[-]	[MPa]	[-]	[v tisících]	[v tisících]		[MPa]	[-]	[v tisících]	[v tisících]		[MPa]	[-]	[v tisících]	[v tisících]	
0.10	1.9	nekon	92276	>10e+8	0.000	6.5	nekon	91866	>10e+8	0.000	8.4	nekon	2842	>10e+8	0.000
0.20	3.7	nekon	3765	>10e+8	0.000	13.0	nekon	3690	>10e+8	0.000	16.7	nekon	114	>10e+8	0.000
0.30	5.6	nekon	1291	>10e+8	0.000	19.5	nekon	1252	>10e+8	0.000	25.1	nekon	39	>10e+8	0.000
0.40	7.5	nekon	1739	>10e+8	0.000	26.0	nekon	1716	>10e+8	0.000	33.4	nekon	52	>10e+8	0.000
0.50	9.3	nekon	778	>10e+8	0.000	32.4	nekon	776	>10e+8	0.000	41.8	5.0	24	35886	0.001
0.60	11.2	nekon	1504	>10e+8	0.000	38.9	5.0	1500	51127	0.029	50.1	5.0	46	14422	0.003
0.70	13.1	nekon	752	>10e+8	0.000	45.4	5.0	745	23655	0.032	58.5	5.0	23	6672	0.003
0.80	15.0	nekon	629	>10e+8	0.000	51.9	5.0	612	12133	0.050	66.9	3.0	19	3983	0.005
0.90	16.8	nekon	17	>10e+8	0.000	58.4	5.0	4	6733	0.001	75.2	3.0	0	2797	0.000
1.00	18.7	nekon	1	>10e+8	0.000	64.9	3.0	0	4357	0.000	83.6	3.0	0	2039	0.000
				$D_d = \Sigma n_i/N_i$	0.000				$D_d = \Sigma n_i/N_i$	0.112				$D_d = \Sigma n_i/N_i$	0.012
														Celkem za období 2017 - 2022 ΣD_d	0.124

Únavové poškození za období 2025 - 2055 30 let

kolej č.1 kolej č.2 kolej č.1 + č.2 Setkání: 5%

poměr napětí	rozkmit napětí	sklon křivky	počet cyklů od zatížení	počet cyklů do porušení	Únavové poškození	rozkmit napětí	sklon křivky	počet cyklů od zatížení	počet cyklů do porušení	Únavové poškození	rozkmit napětí	sklon křivky	počet cyklů od zatížení	počet cyklů do porušení	Únavové poškození
A	$\Delta\sigma_{real}$	m	ni	Ni	ni/Ni	$\Delta\sigma_{real}$	m	ni	Ni	ni/Ni	$\Delta\sigma_{real}$	m	ni	Ni	ni/Ni
[-]	[MPa]	[-]	[v tisících]	[v tisících]		[MPa]	[-]	[v tisících]	[v tisících]		[MPa]	[-]	[v tisících]	[v tisících]	
0.10	1.9	nekon	702051	>10e+8	0.000	6.5	nekon	699235	>10e+8	0.000	8.4	nekon	36824	>10e+8	0.000
0.20	3.7	nekon	26853	>10e+8	0.000	13.0	nekon	26336	>10e+8	0.000	16.7	nekon	1386	>10e+8	0.000
0.30	5.6	nekon	6106	>10e+8	0.000	19.5	nekon	5833	>10e+8	0.000	25.1	nekon	307	>10e+8	0.000
0.40	7.5	nekon	17586	>10e+8	0.000	26.0	nekon	17426	>10e+8	0.000	33.4	nekon	895	>10e+8	0.000
0.50	9.3	nekon	3443	>10e+8	0.000	32.4	nekon	3434	>10e+8	0.000	41.8	5.0	181	35886	0.005
0.60	11.2	nekon	3443	>10e+8	0.000	38.9	5.0	3434	51127	0.067	50.1	5.0	181	14422	0.013
0.70	13.1	nekon	8493	>10e+8	0.000	45.4	5.0	8465	23655	0.358	58.5	5.0	446	6672	0.067
0.80	15.0	nekon	7717	>10e+8	0.000	51.9	5.0	7670	12133	0.632	66.9	3.0	404	3983	0.101
0.90	16.8	nekon	4492	>10e+8	0.000	58.4	5.0	4380	6733	0.650	75.2	3.0	231	2797	0.082
1.00	18.7	nekon	131	>10e+8	0.000	64.9	3.0	42	4357	0.010	83.6	3.0	2	2039	0.001
				$D_d = \Sigma n_i/N_i$	0.000				$D_d = \Sigma n_i/N_i$	1.717				$D_d = \Sigma n_i/N_i$	0.269
														Celkem za období 2025 - 2055 ΣD_d	1.987

REKAPITULACE UNAVOVÉHO POŠKOZENÍ

POPIS	PODÉLNÍK L2.E - STŘED
PRUT / POLOHA BODU	871 / 2/4

Období	Unavové poškození ΣD_d				
1901 - 1987.	0.284				
1987 - 2000	0.055				
2000 - 2017	0.327				
2018 - 2022	0.124				
2025 - 2055	1.987				
1901 - 2055	2.777	<	1,0	vyhovuje eff =	277.7%

Životnost do: 2024

Poznámka:
1. Posouzení mezního stavu únavy je provedeno pomocí metody kumulace únavového poškození,
2. Srovnávací únavové zatížení je odvozeno s traťové třídy zatížení, které na mostě byla v historii zavedena

TAB. L4.2.4 POSOUZENÍ - MEZNÍ STAV ÚNAVY

POSUDEK	L4.2
PRŮŘEZ	TR_L4.2
POPIS	PODÉLNÍK L4.E - STŘED
PRUT / POLOHA BODU	850 / I[712]

Vstupní hodnoty

Základní hodnota únavové pevnosti:	$\Delta\sigma_c$ =	85	MPa	viz tab A.6, MP 2015,
Popis únavového detailu:		souvislé připojení pásnic ke krčním úhelníkům		
Redukce vlivem koroze detailu:	c_R =	0.99		viz COST CZ, projekt LD 15127
Oslabení průřezu vlivem koroze:	d_A =	0.02		viz COST CZ, projekt LD 15127
Hodnota únavové pevnosti detailu:	$\Delta\sigma_c$ =	84.2	MPa	
Tloušťka materiálu	t =	1	mm	
redukce únavové pevnosti	ϕ_t =	1.00		
Detail bez vlastního pnutí (šroubovný, nýtovaný)		☑ ano		je-li "ano" σ < 0 MPa pak se násobí 0.6

Schéma detailu

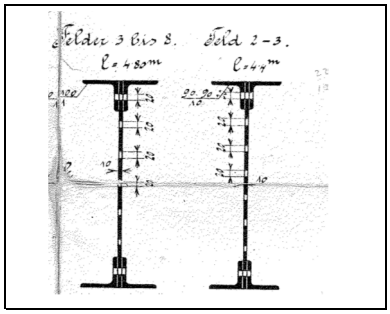

Rozkmit od pohyblivého zatíž. vč. dynam. účinků		kolej 1	kolej 2		- zesílený průřez podélníku
traťová třída zatížení C3/60	$\sigma_{e,mez1}$ =	0.0	-1.6	MPa	ČSN EN 1993-1-9 čl. 7.2.1(2)
traťová třída zatížení C3/60	$\sigma_{e,mez2}$ =	4.8	57.4	MPa	ČSN EN 1993-1-9 čl. 7.2.1(2)
	$\Sigma\sigma_e$ =	4.8	59.0		

Rozkmit od pohyblivého zatíž. vč. dynam. účinků		kolej 1	kolej 2		- původní průřez podelníku
traťová třída zatížení C3/60	$\sigma_{e,mez1}$ =	0.0	0.0	MPa	ČSN EN 1993-1-9 čl. 7.2.1(2)
traťová třída zatížení C3/60	$\sigma_{e,mez2}$ =	4.9	72.2	MPa	ČSN EN 1993-1-9 čl. 7.2.1(2)
	$\Sigma\sigma_e$ =	4.9	72.2		

Poměr k zatížení ϕ2.1,1.LM71 k C3:	p_{C3} =	1.72		převod mezi ČSN 73 6203 a traťovou třídou zatížení C3
Korekce skutečného zatížení k C3:	k_{C3} =	1.00		odvozeno z analýzy spekter napětí na dané trati (viz diagnostika mostní konstrukce)
Dynamický součinitel:	Φ_2 =	1.34		MP 2015 pro pečlivě udržovanou kolej
Náhradní délka prutu:	$L_{d,fat}$ =	7.8	m	
Spolehlivosti materiálu:	γ_{Mf} =	1.00		MP 2015 pro mírný důsledek porušení
rozkmit	$\Delta\sigma_D 5.10^6$ =	62.0	MPa	rozkmit napětí na mezi únavy
rozkmit	$\Delta\sigma_L 1.10^8$ =	33.9	MPa	prahový rozkmit - mez únavy
	N_D =	5000000	cyklů	1.781

Dopravní zatížení do roku 2000

Relativní poměr rozkmitu	období	do 1921	1927	1937	1941	1953	1969	1987	Celkem do 1987	Přepočet rozkmitů k realnému zatížení	Celkem do 2000	Přepočet rozkmitů k realnému zatížení	Poznámka
	zatížení	1.533	1.781	1.633	3.188	4.754	9.757	9.333			9.637		
	počet roků	20	6	10	4	12	16	18	86		13		
0.10	0.17	59736	19903	31215	19940	79136	174539	190341	574811	574811	140588	140588	
0.20	0.34	2707	902	1414	903	3586	7909	8624	26045	26045	6370	6370	
0.30	0.52	443	148	231	148	587	1294	1411	4262	4262	1043	1043	
0.40	0.69	123	41	64	41	162	358	391	1180	1180	289	289	
0.50	0.86	45	15	24	15	60	132	144	436	576	107	141	poměrově zvětšení počet
0.60	**1.03**	20	7	10	7	27	59	64	193	255	47	62	poměrově zvětšení počet
0.70	1.20	10	3	5	3	13	29	32	97		24		
0.80	1.38	6	2	3	2	7	16	18	53		13		
0.90	1.55	3	1	2	1	4	10	10	32		8		
1.00	1.72	2	1	1	1	3	6	7	20		5		
								Σ	607 130	607 130	148 492	148 492	kontrola součtu cyklů

Únavové poškození za období 1901 - 1987 86 let

kolej č.1 kolej č.2 kolej č.1 + č.2 Setkání: 10%

poměr napětí	rozkmit napětí	sklon křivky	počet cyklů od zatížení	počet cyklů do porušení	Únavové poškození	rozkmit napětí	sklon křivky	počet cyklů od zatížení	počet cyklů do porušení	Únavové poškození	rozkmit napětí	sklon křivky	počet cyklů od zatížení	počet cyklů do porušení	Únavové poškození
A	$\Delta\sigma_{real}$	m	ni	Ni	ni/Ni	$\Delta\sigma_{real}$	m	ni	Ni	ni/Ni	$\Delta\sigma_{real}$	m	ni	Ni	ni/Ni
[-]	[MPa]	[-]	[v tisících]	[v tisících]		[MPa]	[-]	[v tisících]	[v tisících]		[MPa]	[-]	[v tisících]	[v tisících]	
0.17	0.9	nekon	517330	>10e+8	0.000	12.4	nekon	517330	>10e+8	0.000	13.3	nekon	51733	>10e+8	0.000
0.34	1.7	nekon	23441	>10e+8	0.000	24.8	nekon	23441	>10e+8	0.000	26.5	nekon	2344	>10e+8	0.000
0.52	2.6	nekon	3836	>10e+8	0.000	37.3	5.0	3836	63626	0.060	39.8	5.0	384	45676	0.008
0.69	3.4	nekon	1062	>10e+8	0.000	49.7	5.0	1062	15099	0.070	53.1	5.0	106	10839	0.010
0.86	4.3	nekon	518	>10e+8	0.000	62.1	3.0	518	4968	0.104	66.4	3.0	52	4072	0.013
1.03	5.1	nekon	230	>10e+8	0.000	74.5	3.0	230	2875	0.080	79.6	3.0	23	2357	0.010
				$D_d = \Sigma n_i/N_i$	0.000				$D_d = \Sigma n_i/N_i$	0.315				$D_d = \Sigma n_i/N_i$	0.041
														Celkem do roku 2000 ΣD_d	0.355

Únavové poškození za období 1987 - 2000 13 let

kolej č.1 kolej č.2 kolej č.1 + č.2 Setkání: 10%

poměr napětí	rozkmit napětí	sklon křivky	počet cyklů od zatížení	počet cyklů do porušení	Únavové poškození	rozkmit napětí	sklon křivky	počet cyklů od zatížení	počet cyklů do porušení	Únavové poškození	rozkmit napětí	sklon křivky	počet cyklů od zatížení	počet cyklů do porušení	Únavové poškození
A	$\Delta\sigma_{real}$	m	ni	Ni	ni/Ni	$\Delta\sigma_{real}$	m	ni	Ni	ni/Ni	$\Delta\sigma_{real}$	m	ni	Ni	ni/Ni
[-]	[MPa]	[-]	[v tisících]	[v tisících]		[MPa]	[-]	[v tisících]	[v tisících]		[MPa]	[-]	[v tisících]	[v tisících]	
0.17	0.8	nekon	126529	>10e+8	0.000	10.1	nekon	126529	>10e+8	0.000	11.0	nekon	12653	>10e+8	0.000
0.34	1.7	nekon	5733	>10e+8	0.000	20.3	nekon	5733	>10e+8	0.000	21.9	nekon	573	>10e+8	0.000
0.52	2.5	nekon	938	>10e+8	0.000	30.4	nekon	938	>10e+8	0.000	32.9	nekon	94	>10e+8	0.000
0.69	3.3	nekon	260	>10e+8	0.000	40.6	5.0	260	41594	0.006	43.9	5.0	26	28132	0.001
0.86	4.1	nekon	127	>10e+8	0.000	50.7	5.0	127	13630	0.009	54.8	5.0	13	9218	0.001
1.03	5.0	nekon	56	>10e+8	0.000	60.9	5.0	56	5477	0.010	65.8	3.0	6	4177	0.001
				$D_d = \Sigma n_i/N_i$	0.000				$D_d = \Sigma n_i/N_i$	0.026				$D_d = \Sigma n_i/N_i$	0.004
														Celkem do roku 2000 ΣD_d	0.029

TAB. L4.2.4 POSOUZENÍ - MEZNÍ STAV ÚNAVY

POSUDEK	L4.2
PRŮŘEZ	TR_L4.2
POPIS	PODÉLNÍK L4.E - STŘED
PRUT / POLOHA BODU	850 / I[712]

Únavové poškození za období 2000 - 2017 17 let

kolej č.1 kolej č.2 kolej č.1 + č.2 Setkání: 1%

poměr napětí	rozkmit napětí	sklon křivky	počet cyklů od zatížení	počet cyklů do porušení	Únavové poškození	rozkmit napětí	sklon křivky	počet cyklů od zatížení	počet cyklů do porušení	Únavové poškození	rozkmit napětí	sklon křivky	počet cyklů od zatížení	počet cyklů do porušení	Únavové poškození
A	$\Delta\sigma_{real}$	m	ni	Ni	ni/Ni	$\Delta\sigma_{real}$	m	ni	Ni	ni/Ni	$\Delta\sigma_{real}$	m	ni	Ni	ni/Ni
[-]	[MPa]	[-]	[v tisících]	[v tisících]		[MPa]	[-]	[v tisících]	[v tisících]		[MPa]	[-]	[v tisících]	[v tisících]	
0.10	0.5	nekon	258178	>10e+8	0.000	5.9	nekon	256738	>10e+8	0.000	6.4	nekon	2593	>10e+8	0.000
0.20	1.0	nekon	10276	>10e+8	0.000	11.8	nekon	10011	>10e+8	0.000	12.8	nekon	101	>10e+8	0.000
0.30	1.4	nekon	2997	>10e+8	0.000	17.7	nekon	2858	>10e+8	0.000	19.1	nekon	29	>10e+8	0.000
0.40	1.9	nekon	5780	>10e+8	0.000	23.6	nekon	5698	>10e+8	0.000	25.5	nekon	58	>10e+8	0.000
0.50	2.4	nekon	1449	>10e+8	0.000	29.5	nekon	1444	>10e+8	0.000	31.9	nekon	15	>10e+8	0.000
0.60	2.9	nekon	4028	>10e+8	0.000	35.4	5.0	4014	82597	0.049	38.3	5.0	41	55864	0.001
0.70	3.4	nekon	2537	>10e+8	0.000	41.3	5.0	2513	38215	0.066	44.6	5.0	25	25846	0.001
0.80	3.8	nekon	1667	>10e+8	0.000	47.2	5.0	1609	19601	0.082	51.0	5.0	16	13257	0.001
0.90	4.3	nekon	59	>10e+8	0.000	53.1	5.0	13	10877	0.001	57.4	5.0	0	7357	0.000
1.00	4.8	nekon	5	>10e+8	0.000	59.0	5.0	0	6423	0.000	63.8	3.0	0	4595	0.000
				$D_d = \Sigma n_i/N_i$	0.000				$D_d = \Sigma n_i/N_i$	0.198				$D_d = \Sigma n_i/N_i$	0.003
														Celkem za období 2000 - 2016 ΣD_d	0.201

Únavové poškození za období 2018 - 2022 5 let

kolej č.1 kolej č.2 kolej č.1 + č.2 Setkání: 3%

poměr napětí	rozkmit napětí	sklon křivky	počet cyklů od zatížení	počet cyklů do porušení	Únavové poškození	rozkmit napětí	sklon křivky	počet cyklů od zatížení	počet cyklů do porušení	Únavové poškození	rozkmit napětí	sklon křivky	počet cyklů od zatížení	počet cyklů do porušení	Únavové poškození
A	$\Delta\sigma_{real}$	m	ni	Ni	ni/Ni	$\Delta\sigma_{real}$	m	ni	Ni	ni/Ni	$\Delta\sigma_{real}$	m	ni	Ni	ni/Ni
[-]	[MPa]	[-]	[v tisících]	[v tisících]		[MPa]	[-]	[v tisících]	[v tisících]		[MPa]	[-]	[v tisících]	[v tisících]	
0.10	0.5	nekon	93249	>10e+8	0.000	5.9	nekon	92834	>10e+8	0.000	6.4	nekon	2872	>10e+8	0.000
0.20	1.0	nekon	3805	>10e+8	0.000	11.8	nekon	3729	>10e+8	0.000	12.8	nekon	115	>10e+8	0.000
0.30	1.4	nekon	1305	>10e+8	0.000	17.7	nekon	1265	>10e+8	0.000	19.1	nekon	39	>10e+8	0.000
0.40	1.9	nekon	1758	>10e+8	0.000	23.6	nekon	1734	>10e+8	0.000	25.5	nekon	53	>10e+8	0.000
0.50	2.4	nekon	786	>10e+8	0.000	29.5	nekon	785	>10e+8	0.000	31.9	nekon	24	>10e+8	0.000
0.60	2.9	nekon	1520	>10e+8	0.000	35.4	5.0	1516	82597	0.018	38.3	5.0	47	55864	0.001
0.70	3.4	nekon	760	>10e+8	0.000	41.3	5.0	753	38215	0.020	44.6	5.0	23	25846	0.001
0.80	3.8	nekon	635	>10e+8	0.000	47.2	5.0	619	19601	0.032	51.0	5.0	19	13257	0.001
0.90	4.3	nekon	17	>10e+8	0.000	53.1	5.0	4	10877	0.000	57.4	5.0	0	7357	0.000
1.00	4.8	nekon	1	>10e+8	0.000	59.0	5.0	0	6423	0.000	63.8	3.0	0	4595	0.000
				$D_d = \Sigma n_i/N_i$	0.000				$D_d = \Sigma n_i/N_i$	0.070				$D_d = \Sigma n_i/N_i$	0.003
														Celkem za období 2017 - 2022 ΣD_d	0.073

Únavové poškození za období 2025 - 2055 30 let

kolej č.1 kolej č.2 kolej č.1 + č.2 Setkání: 5%

poměr napětí	rozkmit napětí	sklon křivky	počet cyklů od zatížení	počet cyklů do porušení	Únavové poškození	rozkmit napětí	sklon křivky	počet cyklů od zatížení	počet cyklů do porušení	Únavové poškození	rozkmit napětí	sklon křivky	počet cyklů od zatížení	počet cyklů do porušení	Únavové poškození
A	$\Delta\sigma_{real}$	m	ni	Ni	ni/Ni	$\Delta\sigma_{real}$	m	ni	Ni	ni/Ni	$\Delta\sigma_{real}$	m	ni	Ni	ni/Ni
[-]	[MPa]	[-]	[v tisících]	[v tisících]		[MPa]	[-]	[v tisících]	[v tisících]		[MPa]	[-]	[v tisících]	[v tisících]	
0.10	0.5	nekon	709449	>10e+8	0.000	5.9	nekon	706604	>10e+8	0.000	6.4	nekon	37212	>10e+8	0.000
0.20	1.0	nekon	27136	>10e+8	0.000	11.8	nekon	26613	>10e+8	0.000	12.8	nekon	1401	>10e+8	0.000
0.30	1.4	nekon	6170	>10e+8	0.000	17.7	nekon	5895	>10e+8	0.000	19.1	nekon	310	>10e+8	0.000
0.40	1.9	nekon	17771	>10e+8	0.000	23.6	nekon	17610	>10e+8	0.000	25.5	nekon	904	>10e+8	0.000
0.50	2.4	nekon	3479	>10e+8	0.000	29.5	nekon	3470	>10e+8	0.000	31.9	nekon	183	>10e+8	0.000
0.60	2.9	nekon	3479	>10e+8	0.000	35.4	5.0	3470	82597	0.042	38.3	5.0	183	55864	0.003
0.70	3.4	nekon	8583	>10e+8	0.000	41.3	5.0	8554	38215	0.224	44.6	5.0	450	25846	0.017
0.80	3.8	nekon	7799	>10e+8	0.000	47.2	5.0	7751	19601	0.395	51.0	5.0	408	13257	0.031
0.90	4.3	nekon	4540	>10e+8	0.000	53.1	5.0	4426	10877	0.407	57.4	5.0	233	7357	0.032
1.00	4.8	nekon	133	>10e+8	0.000	59.0	5.0	42	6423	0.007	63.8	3.0	2	4595	0.000
				$D_d = \Sigma n_i/N_i$	0.000				$D_d = \Sigma n_i/N_i$	1.075				$D_d = \Sigma n_i/N_i$	0.084
														Celkem za období 2025 - 2055 ΣD_d	1.158

REKAPITULACE UNAVOVÉHO POŠKOZENÍ

POPIS	PODÉLNÍK L4.E - STŘED
PRUT / POLOHA BODU	850 / I[712]

Období	Unavové poškození ΣD_d				
1901 - 1987.	0.355				
1987 - 2000	0.029				
2000 - 2017	0.201				
2017 - 2022	0.073				
2025 - 2055	1.158				
1901 - 2055	1.817	<	1,0	vyhovuje eff =	181.7%

Životnost do: 2029

Poznámka:
1. Posouzení mezního stavu únavy je provedeno pomocí metody kumulace únavového poškození,
2. Srovnávací únavové zatížení je odvozeno s traťové třídy zatížení, které na mostě byla v historii zavedena

TAB. L4.2t.4 POSOUZENÍ - MEZNÍ STAV ÚNAVY

POSUDEK	L4.2t
PRŮŘEZ	TR_L4.2
POPIS	PODÉLNÍK L4.E - STŘED
PRUT / POLOHA BODU	850 / I[712]

Vstupní hodnoty

Základní hodnota únavové pevnosti:	$\Delta\sigma_c$ =	85	MPa	viz tab A.6, MP 2015,
Popis únavového detailu:		souvislé připojení pásnic ke krčním úhelníkům		
Redukce vlivem koroze detailu:	c_R =	0.99		viz COST CZ, projekt LD 15127
Oslabení průřezu vlivem koroze:	d_A =	0.02		viz COST CZ, projekt LD 15127
Hodnota únavové pevnosti detailu:	$\Delta\sigma_c$ =	84.2	MPa	
Tloušťka materiálu	t =	1	mm	
redukce únavové pevnosti	ϕ_t =	1.00		
Detail bez vlastního pnutí (šroubovný, nýtovaný)		☑ ano		je-li "ano" σ < 0 MPa pak se násobí 0.6

Schéma detailu

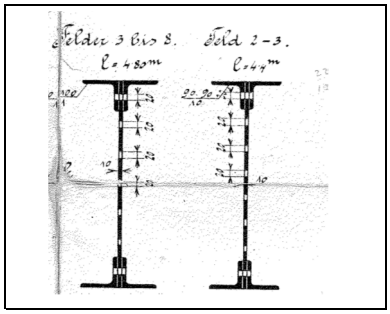

Rozkmit od pohyblivého zatíž. vč. dynam. účinků		kolej 1	kolej 2		- zesílený průřez podélníku
traťová třída zatížení C3/60	$\sigma_{e,mez1}$ =	0.0	-1.2	MPa	ČSN EN 1993-1-9 čl. 7.2.1(2)
traťová třída zatížení C3/60	$\sigma_{e,mez2}$ =	6.5	64.3	MPa	ČSN EN 1993-1-9 čl. 7.2.1(2)
	$\Sigma\sigma_e$ =	6.5	65.5		

Rozkmit od pohyblivého zatíž. vč. dynam. účinků		kolej 1	kolej 2		- původní průřez podelníku
traťová třída zatížení C3/60	$\sigma_{e,mez1}$ =	0.0	0.0	MPa	ČSN EN 1993-1-9 čl. 7.2.1(2)
traťová třída zatížení C3/60	$\sigma_{e,mez2}$ =	4.9	72.2	MPa	ČSN EN 1993-1-9 čl. 7.2.1(2)
	$\Sigma\sigma_e$ =	4.9	72.2		

Poměr k zatížení ϕ2.1,1.LM71 k C3:	p_{C3} =	1.72		převod mezi ČSN 73 6203 a traťovou třídou zatížení C3
Korekce skutečného zatížení k C3:	k_{C3} =	1.00		odvozeno z analýzy spekter napětí na dané trati (viz diagnostika mostní konstrukce)
Dynamický součinitel:	Φ_2 =	1.34		MP 2015 pro pečlivě udržovanou kolej
Náhradní délka prutu:	$L_{d,fat}$ =	7.8	m	
Spolehlivosti materiálu:	γ_{Mf} =	1.00		MP 2015 pro mírný důsledek porušení
	rozkmit $\Delta\sigma_D 5.10^6$ =	62.0	MPa	rozkmit napětí na mezi únavy
	rozkmit $\Delta\sigma_L 1.10^8$ =	33.9	MPa	prahový rozkmit - mez únavy
	N_D =	5000000	cyklů	1.781

Dopravní zatížení do roku 2000

Relativní poměr rozkmitu	období	do 1921	1927	1937	1941	1953	1969	1987	Celkem do 1987	Přepočet rozkmitů k realnému zatížení	Celkem do 2000	Přepočet rozkmitů k realnému zatížení	Poznámka
	zatížení	1.533	1.781	1.633	3.188	4.754	9.757	9.637			9.333		
	počet roků	20	6	10	4	12	16	18	86		13		
0.10	0.17	59736	19903	31215	19940	79136	174539	194660	579130	579130	137468	137468	
0.20	0.34	2707	902	1414	903	3586	7909	8820	26241	26241	6229	6229	
0.30	0.52	443	148	231	148	587	1294	1443	4294	4294	1019	1019	
0.40	0.69	123	41	64	41	162	358	400	1189	1189	282	282	
0.50	0.86	45	15	24	15	60	132	148	439	580	104	138	poměrově zvětšení počet
0.60	**1.03**	20	7	10	7	27	59	65	195	257	46	61	poměrově zvětšení počet
0.70	1.20	10	3	5	3	13	29	33	98		23		
0.80	1.38	6	2	3	2	7	16	18	54		13		
0.90	1.55	3	1	2	1	4	10	11	32		8		
1.00	1.72	2	1	1	1	3	6	7	20		5		
								Σ	611 691	611 691	145 197	145 197	kontrola součtu cyklů

Únavové poškození za období 1901 - 1987 86 let

kolej č.1 kolej č.2 kolej č.1 + č.2 Setkání: 10%

poměr napětí	rozkmit napětí	sklon křivky	počet cyklů od zatížení	počet cyklů do porušení	Únavové poškození	rozkmit napětí	sklon křivky	počet cyklů od zatížení	počet cyklů do porušení	Únavové poškození	rozkmit napětí	sklon křivky	počet cyklů od zatížení	počet cyklů do porušení	Únavové poškození
A	$\Delta\sigma_{real}$	m	ni	Ni	ni/Ni	$\Delta\sigma_{real}$	m	ni	Ni	ni/Ni	$\Delta\sigma_{real}$	m	ni	Ni	ni/Ni
[-]	[MPa]	[-]	[v tisících]	[v tisících]		[MPa]	[-]	[v tisících]	[v tisících]		[MPa]	[-]	[v tisících]	[v tisících]	
0.17	0.9	nekon	521217	>10e+8	0.000	12.4	nekon	521217	>10e+8	0.000	13.3	nekon	52122	>10e+8	0.000
0.34	1.7	nekon	23617	>10e+8	0.000	24.8	nekon	23617	>10e+8	0.000	26.5	nekon	2362	>10e+8	0.000
0.52	2.6	nekon	3865	>10e+8	0.000	37.3	5.0	3865	63626	0.061	39.8	5.0	386	45676	0.008
0.69	3.4	nekon	1070	>10e+8	0.000	49.7	5.0	1070	15099	0.071	53.1	5.0	107	10839	0.010
0.86	4.3	nekon	522	>10e+8	0.000	62.1	3.0	522	4968	0.105	66.4	3.0	52	4072	0.013
1.03	5.1	nekon	231	>10e+8	0.000	74.5	3.0	231	2875	0.080	79.6	3.0	23	2357	0.010
				$D_d = \Sigma n_i/N_i$	0.000				$D_d = \Sigma n_i/N_i$	0.317				$D_d = \Sigma n_i/N_i$	0.041
														Celkem do roku 2000 ΣD_d	0.358

Únavové poškození za období 1987 - 2000 13 let

kolej č.1 kolej č.2 kolej č.1 + č.2 Setkání: 10%

poměr napětí	rozkmit napětí	sklon křivky	počet cyklů od zatížení	počet cyklů do porušení	Únavové poškození	rozkmit napětí	sklon křivky	počet cyklů od zatížení	počet cyklů do porušení	Únavové poškození	rozkmit napětí	sklon křivky	počet cyklů od zatížení	počet cyklů do porušení	Únavové poškození
A	$\Delta\sigma_{real}$	m	ni	Ni	ni/Ni	$\Delta\sigma_{real}$	m	ni	Ni	ni/Ni	$\Delta\sigma_{real}$	m	ni	Ni	ni/Ni
[-]	[MPa]	[-]	[v tisících]	[v tisících]		[MPa]	[-]	[v tisících]	[v tisících]		[MPa]	[-]	[v tisících]	[v tisících]	
0.17	0.8	nekon	123721	>10e+8	0.000	10.1	nekon	123721	>10e+8	0.000	11.0	nekon	12372	>10e+8	0.000
0.34	1.7	nekon	5606	>10e+8	0.000	20.3	nekon	5606	>10e+8	0.000	21.9	nekon	561	>10e+8	0.000
0.52	2.5	nekon	917	>10e+8	0.000	30.4	nekon	917	>10e+8	0.000	32.9	nekon	92	>10e+8	0.000
0.69	3.3	nekon	254	>10e+8	0.000	40.6	5.0	254	41594	0.006	43.9	5.0	25	28132	0.001
0.86	4.1	nekon	124	>10e+8	0.000	50.7	5.0	124	13630	0.009	54.8	5.0	12	9218	0.001
1.03	5.0	nekon	55	>10e+8	0.000	60.9	5.0	55	5477	0.010	65.8	3.0	5	4177	0.001
				$D_d = \Sigma n_i/N_i$	0.000				$D_d = \Sigma n_i/N_i$	0.025				$D_d = \Sigma n_i/N_i$	0.004
														Celkem do roku 2000 ΣD_d	0.029

TAB. L4.2t.4 POSOUZENÍ - MEZNÍ STAV ÚNAVY

POSUDEK	L4.2t
PRŮŘEZ	TR_L4.2
POPIS	PODÉLNÍK L4.E - STŘED
PRUT / POLOHA BODU	850 / I[712]

Únavové poškození za období 2000 - 2014 14 let

kolej č.1 kolej č.2 kolej č.1 + č.2 Setkání: 1%

poměr napětí	rozkmit napětí	sklon křivky	počet cyklů od zatížení	počet cyklů do porušení	Únavové poškození	rozkmit napětí	sklon křivky	počet cyklů od zatížení	počet cyklů do porušení	Únavové poškození	rozkmit napětí	sklon křivky	počet cyklů od zatížení	počet cyklů do porušení	Únavové poškození
A	$\Delta\sigma_{real}$	m	ni	Ni	ni/Ni	$\Delta\sigma_{real}$	m	ni	Ni	ni/Ni	$\Delta\sigma_{real}$	m	ni	Ni	ni/Ni
[-]	[MPa]	[-]	[v tisících]	[v tisících]		[MPa]	[-]	[v tisících]	[v tisících]		[MPa]	[-]	[v tisících]	[v tisících]	
0.10	0.5	nekon	202492	>10e+8	0.000	5.9	nekon	201363	>10e+8	0.000	6.4	nekon	2034	>10e+8	0.000
0.20	1.0	nekon	8060	>10e+8	0.000	11.8	nekon	7852	>10e+8	0.000	12.8	nekon	79	>10e+8	0.000
0.30	1.4	nekon	2351	>10e+8	0.000	17.7	nekon	2241	>10e+8	0.000	19.1	nekon	23	>10e+8	0.000
0.40	1.9	nekon	4533	>10e+8	0.000	23.6	nekon	4469	>10e+8	0.000	25.5	nekon	45	>10e+8	0.000
0.50	2.4	nekon	1136	>10e+8	0.000	29.5	nekon	1132	>10e+8	0.000	31.9	nekon	11	>10e+8	0.000
0.60	2.9	nekon	3159	>10e+8	0.000	35.4	5.0	3148	82597	0.038	38.3	5.0	32	55864	0.001
0.70	3.4	nekon	1989	>10e+8	0.000	41.3	5.0	1971	38215	0.052	44.6	5.0	20	25846	0.001
0.80	3.8	nekon	1307	>10e+8	0.000	47.2	5.0	1262	19601	0.064	51.0	5.0	13	13257	0.001
0.90	4.3	nekon	46	>10e+8	0.000	53.1	5.0	11	10877	0.001	57.4	5.0	0	7357	0.000
1.00	4.8	nekon	4	>10e+8	0.000	59.0	5.0	0	6423	0.000	63.8	3.0	0	4595	0.000
				$D_d = \Sigma n_i/N_i$	0.000				$D_d = \Sigma n_i/N_i$	0.155				$D_d = \Sigma n_i/N_i$	0.002
														Celkem za období 2000 - 2016 ΣD_d	0.157

Únavové poškození za období 2014 - 2017 3 let

kolej č.1 kolej č.2 kolej č.1 + č.2 Setkání: 3%

poměr napětí	rozkmit napětí	sklon křivky	počet cyklů od zatížení	počet cyklů do porušení	Únavové poškození	rozkmit napětí	sklon křivky	počet cyklů od zatížení	počet cyklů do porušení	Únavové poškození	rozkmit napětí	sklon křivky	počet cyklů od zatížení	počet cyklů do porušení	Únavové poškození
A	$\Delta\sigma_{real}$	m	ni	Ni	ni/Ni	$\Delta\sigma_{real}$	m	ni	Ni	ni/Ni	$\Delta\sigma_{real}$	m	ni	Ni	ni/Ni
[-]	[MPa]	[-]	[v tisících]	[v tisících]		[MPa]	[-]	[v tisících]	[v tisících]		[MPa]	[-]	[v tisících]	[v tisících]	
0.10	0.7	nekon	53285	>10e+8	0.000	6.6	nekon	53048	>10e+8	0.000	7.2	nekon	1641	>10e+8	0.000
0.20	1.3	nekon	2174	>10e+8	0.000	13.1	nekon	2131	>10e+8	0.000	14.4	nekon	66	>10e+8	0.000
0.30	2.0	nekon	746	>10e+8	0.000	19.7	nekon	723	>10e+8	0.000	21.6	nekon	22	>10e+8	0.000
0.40	2.6	nekon	1004	>10e+8	0.000	26.2	nekon	991	>10e+8	0.000	28.8	nekon	30	>10e+8	0.000
0.50	3.3	nekon	449	>10e+8	0.000	32.8	nekon	448	>10e+8	0.000	36.0	5.0	14	75488	0.000
0.60	3.9	nekon	868	>10e+8	0.000	39.3	5.0	866	48757	0.018	43.2	5.0	27	30337	0.001
0.70	4.6	nekon	434	>10e+8	0.000	45.9	5.0	430	22558	0.019	50.4	5.0	13	14036	0.001
0.80	5.2	nekon	363	>10e+8	0.000	52.4	5.0	354	11570	0.031	57.6	5.0	11	7199	0.002
0.90	5.9	nekon	10	>10e+8	0.000	59.0	5.0	2	6421	0.000	64.8	3.0	0	4370	0.000
1.00	6.5	nekon	1	>10e+8	0.000	65.5	3.0	0	4235	0.000	72.0	3.0	0	3186	0.000
				$D_d = \Sigma n_i/N_i$	0.000				$D_d = \Sigma n_i/N_i$	0.068				$D_d = \Sigma n_i/N_i$	0.004
														Celkem za období 2000 - 2016 ΣD_d	0.071

Únavové poškození za období 2018 - 2023 6 let

kolej č.1 kolej č.2 kolej č.1 + č.2 Setkání: 5%

poměr napětí	rozkmit napětí	sklon křivky	počet cyklů od zatížení	počet cyklů do porušení	Únavové poškození	rozkmit napětí	sklon křivky	počet cyklů od zatížení	počet cyklů do porušení	Únavové poškození	rozkmit napětí	sklon křivky	počet cyklů od zatížení	počet cyklů do porušení	Únavové poškození
A	$\Delta\sigma_{real}$	m	ni	Ni	ni/Ni	$\Delta\sigma_{real}$	m	ni	Ni	ni/Ni	$\Delta\sigma_{real}$	m	ni	Ni	ni/Ni
[-]	[MPa]	[-]	[v tisících]	[v tisících]		[MPa]	[-]	[v tisících]	[v tisících]		[MPa]	[-]	[v tisících]	[v tisících]	
0.10	0.7	nekon	135133	>10e+8	0.000	6.6	nekon	134591	>10e+8	0.000	7.2	nekon	7088	>10e+8	0.000
0.20	1.3	nekon	5169	>10e+8	0.000	13.1	nekon	5069	>10e+8	0.000	14.4	nekon	267	>10e+8	0.000
0.30	2.0	nekon	1175	>10e+8	0.000	19.7	nekon	1123	>10e+8	0.000	21.6	nekon	59	>10e+8	0.000
0.40	2.6	nekon	3385	>10e+8	0.000	26.2	nekon	3354	>10e+8	0.000	28.8	nekon	172	>10e+8	0.000
0.50	3.3	nekon	663	>10e+8	0.000	32.8	nekon	661	>10e+8	0.000	36.0	5.0	35	75488	0.000
0.50	3.3	nekon	1635	>10e+8	0.000	32.8	nekon	1629	>10e+8	0.000	36.0	5.0	86	75488	0.001
0.70	4.6	nekon	1635	>10e+8	0.000	45.9	5.0	1629	22558	0.072	50.4	5.0	86	14036	0.006
0.80	5.2	nekon	1485	>10e+8	0.000	52.4	5.0	1476	11570	0.128	57.6	5.0	78	7199	0.011
0.90	5.9	nekon	865	>10e+8	0.000	59.0	5.0	843	6421	0.131	64.8	3.0	44	4370	0.010
1.00	6.5	nekon	25	>10e+8	0.000	65.5	3.0	8	4235	0.002	72.0	3.0	0	3186	0.000
				$D_d = \Sigma n_i/N_i$	0.000				$D_d = \Sigma n_i/N_i$	0.333				$D_d = \Sigma n_i/N_i$	0.029
														Celkem za období 2017 - 2022 ΣD_d	0.362

REKAPITULACE UNAVOVÉHO POŠKOZENÍ

POPIS	PODÉLNÍK L4.E - STŘED
PRUT / POLOHA BODU	850 / I[712]

Období	Unavové poškození ΣD_d				
1901 - 1987.	0.358				
1987 - 2000	0.029				
2000 - 2014	0.157				
2014 - 2017	0.071				
2017 - 2022	0.362				
1901 - 2055	0.977	<	1,0	vyhovuje eff =	97.7%

Životnost do: 2023

limit pro provedení opravy

Poznámka:
1. Posouzení mezního stavu únavy je provedeno pomocí metody kumulace únavového poškození,
2. Srovnávací únavové zatížení je odvozeno s traťové třídy zatížení, které na mostě byla v historii zavedena

Příloha P6

Výpočetní model – vstupní data

PROJECT TITLE :

MIDAS	Company		Client	
	Author		File Name	H2D_3Dg_v14_180227_StatLM.mct

```
;------------------------------------------------------------------------------
;  MIDAS/Civil Text(MCT) File.
;  Date : 2018/5/24
;------------------------------------------------------------------------------

*VERSION
  8.4.5

*UNIT    ; Unit System
; FORCE, LENGTH, HEAT, TEMPER
  N    , MM, J, C

*STRUCTYPE    ; Structure Type
; iSTYP, iMASS, iSMAS, bMASSOFFSET, bSELFWEIGHT, GRAV, TEMPER, bALIGNBEAM, bALIGNSLAB, bROTRIGID
    0, 1, 1, NO, YES, 9806, 0, NO, NO, NO

*REBAR-MATL-CODE    ; Rebar Material Code
; CONC_CODE, CONC_MDB, SRC_CODE, SRC_MDB
 EN04(RC), Class A, EN04(RC), Class A

*NODE    ; Nodes
; iNO, X, Y, Z
    1, 0, -4400, 6399.967
    2, 1730, -4400, 6948.53
    3, 3460, -4400, 7497.093
    4, 5460, -4400, 8065.073
    6, 9660, -4400, 9171.055
    7, 10410, -4400, 9354.466
    8, 11860.0000369405, -4400, 9709.05847705294
    9, 14260.0002797866, -4400, 10193.5225785292
   11, 19060.0002594581, -4400, 11054.8823053818
   12, 21460.0000938053, -4400, 11431.7770866917
   13, 23860.0002516685, -4400, 11700.5766817301
   15, 28660.0003037665, -4400, 12131.0751187891
   16, 31060.0002801337, -4400, 12292.7739682544
   17, 33460, -4400, 12346.375
   18, 0, -4400, 530
   19, 38260, -4400, 12346.375
   20, 40660, -4400, 12292.774
   21, 43060, -4400, 12131.075
   23, 47860, -4400, 11700.577
   24, 50260, -4400, 11431.777
   25, 52660, -4400, 11054.882
   27, 57460, -4400, 10193.523
   28, 59860, -4400, 9709.059
   29, 61310, -4400, 9354.466
   30, 62060, -4400, 9171.055
   32, 66260, -4400, 8065.073
   33, 68260, -4400, 7497.093
   34, 69990, -4400, 6948.53
   35, 71720, -4400, 6399.967
   36, 0, 4400, 6399.967
   37, 1730, 4400, 6948.53
   38, 3460, 4400, 7497.093
   39, 5460, 4400, 8065.073
   41, 9660, 4400, 9171.055
   42, 10410, 4400, 9354.466
   43, 11860.0000369405, 4400, 9709.05847705294
   44, 14260.0002797866, 4400, 10193.5225785292
   45, 0, -4400, 1150
   46, 19060.0002594581, 4400, 11054.8823053818
   47, 21460.0000938053, 4400, 11431.7770866917
   48, 23860.0002516685, 4400, 11700.5766817301
   50, 28660.0003037665, 4400, 12131.0751187891
   51, 31060.0002801337, 4400, 12292.7739682544
   52, 33460, 4400, 12346.375
   54, 38260, 4400, 12346.375
   55, 40660, 4400, 12292.774
   56, 43060, 4400, 12131.075
   58, 47860, 4400, 11700.577
   59, 50260, 4400, 11431.777
   60, 52660, 4400, 11054.882
```

62, 57460, 4400, 10193.523
63, 59860, 4400, 9709.059
64, 61310, 4400, 9354.466
65, 62060, 4400, 9171.055
67, 66260, 4400, 8065.073
68, 68260, 4400, 7497.093
69, 69990, 4400, 6948.53
70, 71720, 4400, 6399.967
71, 0, -4400, 150
72, 1730, -4400, 150
73, 3460, -4400, 150
74, 5460, -4400, 150
75, 7460, -4400, 150
76, 9660, -4400, 150
77, 10365, -4400, 150
78, 11290, -4400, 150
79, 11860, -4400, 150
80, 14260, -4400, 150
81, 16615.749, -4400, 150
82, 16660, -4400, 150
83, 19060, -4400, 150
84, 21400.1188510638, -4400, 150
85, 21460, -4400, 150
86, 23860, -4400, 150
87, 26097.574, -4400, 150
88, 26260, -4400, 150
89, 26399.927, -4400, 150
90, 28660, -4400, 150
91, 30914.187, -4400, 150
92, 31060, -4400, 150
93, 31195.62, -4400, 150
94, 33460, -4400, 150
95, 35720.723, -4400, 150
96, 35860, -4400, 150
97, 35999.277, -4400, 150
98, 38260, -4400, 150
99, 40524.38, -4400, 150
100, 40660, -4400, 150
101, 40805.813, -4400, 150
102, 43060, -4400, 150
103, 45320.073, -4400, 150
104, 45460, -4400, 150
105, 45622.426, -4400, 150
106, 47860, -4400, 150
107, 50260, -4400, 150
108, 50319.881, -4400, 150
109, 52660, -4400, 150
110, 55060, -4400, 150
111, 55104.251, -4400, 150
112, 57460, -4400, 150
113, 59860, -4400, 150
114, 60430, -4400, 150
115, 61355, -4400, 150
116, 62060, -4400, 150
117, 64260, -4400, 150
118, 66260, -4400, 150
119, 68260, -4400, 150
120, 69990, -4400, 150
121, 71720, -4400, 150
122, 0, 4400, 150
123, 1730, 4400, 150
124, 3460, 4400, 150
125, 5460, 4400, 150
126, 7460, 4400, 150
127, 9660, 4400, 150
128, 10365, 4400, 150
129, 11290, 4400, 150
130, 11860, 4400, 150
131, 14260, 4400, 150
132, 16615.749, 4400, 150
133, 16660, 4400, 150
134, 19060, 4400, 150

PROJECT TITLE :

MIDAS	Company		Client	
	Author		File Name	H2D_3Dg_v14_180227_StatLM.mct

135, 21400.119, 4400, 150
136, 21460, 4400, 150
137, 23860, 4400, 150
138, 26097.574, 4400, 150
139, 26260, 4400, 150
140, 26399.927, 4400, 150
141, 28660, 4400, 150
142, 30914.187, 4400, 150
143, 31060, 4400, 150
144, 31195.62, 4400, 150
145, 33460, 4400, 150
146, 35720.723, 4400, 150
147, 35860, 4400, 150
148, 35999.277, 4400, 150
149, 38260, 4400, 150
150, 40524.38, 4400, 150
151, 40660, 4400, 150
152, 40805.813, 4400, 150
153, 43060, 4400, 150
154, 45320.073, 4400, 150
155, 45460, 4400, 150
156, 45622.426, 4400, 150
157, 47860, 4400, 150
158, 50260, 4400, 150
159, 50319.881, 4400, 150
160, 52660, 4400, 150
161, 55060, 4400, 150
162, 55104.251, 4400, 150
163, 57460, 4400, 150
164, 59860, 4400, 150
165, 60430, 4400, 150
166, 61355, 4400, 150
167, 62060, 4400, 150
168, 64260, 4400, 150
169, 66260, 4400, 150
170, 68260, 4400, 150
171, 69990, 4400, 150
172, 71720, 4400, 150
173, 0, -4400, 6317.09
174, 151.572, -4400, 6049.382
175, 277.9, -4400, 6089.439
176, 3259.571, -4400, 560
177, 3460, -4400, 206
178, 3460, -4400, 3482.724
179, 3460, -4400, 7463.749
180, 3772.446, -4400, 7191.707
181, 7027.861, -4400, 560
182, 7460, -4400, 206
183, 7460, -4400, 3981.012
184, 7793.238, -4400, 8324.298
185, 11389.106, -4400, 560
186, 11860, -4400, 4556.332
187, 12181.262, -4400, 9387.159
188, 16173.236, -4400, 560
189, 16660, -4400, 4899.529
190, 16961.676, -4400, 10341.455
191, 20990.931, -4400, 560
192, 21460, -4400, 5323.397
193, 21752.432, -4400, 11082.815
194, 25730.039, -4400, 560
195, 26260, -4400, 5703.888
196, 26548.9, -4400, 11608.45
197, 26716.55, -4400, 560
198, 28564.89, -4400, 2953.44
199, 30570.605, -4400, 560
200, 30976.791, -4400, 6076.642
201, 31060, -4400, 5972.688
202, 31060, -4400, 6184.391
203, 31351.041, -4400, 11919.369
204, 31515.184, -4400, 560
205, 33428.073, -4400, 3014.231
206, 33429.509, -4400, 9252.7

PROJECT TITLE :

MIDAS	Company		Client	
	Author		File Name	H2D_3Dg_v14_180227_StatLM.mct

207, 35392.542, -4400, 560
208, 35561.33, -4400, 12013.223
209, 35860, -4400, 6134.387
210, 36158.67, -4400, 12013.223
211, 36327.458, -4400, 560
212, 38290.491, -4400, 9252.7
213, 38291.927, -4400, 3014.231
214, 40204.816, -4400, 560
215, 40368.959, -4400, 11919.369
216, 40660, -4400, 5972.688
217, 40660, -4400, 6184.391
218, 40743.209, -4400, 6076.642
219, 41149.395, -4400, 560
220, 43155.11, -4400, 2953.44
221, 45003.45, -4400, 560
222, 45171.1, -4400, 11608.45
223, 45460, -4400, 5703.888
224, 45989.961, -4400, 560
225, 49967.568, -4400, 11082.815
226, 50260, -4400, 5323.397
227, 50729.069, -4400, 560
228, 54758.324, -4400, 10341.455
229, 55060, -4400, 4899.529
230, 55546.764, -4400, 560
231, 59538.738, -4400, 9387.159
232, 59860, -4400, 4556.332
233, 60330.894, -4400, 560
234, 63926.762, -4400, 8324.298
235, 64260, -4400, 206
236, 64260, -4400, 3981.012
237, 64692.139, -4400, 560
238, 67947.554, -4400, 7191.707
239, 68260, -4400, 206
240, 68260, -4400, 3482.724
241, 68260, -4400, 7463.749
242, 68460.429, -4400, 560
243, 71442.1, -4400, 6089.439
244, 71568.428, -4400, 6049.382
245, 71720, -4400, 6317.09
246, 0, 4400, 6317.09
247, 151.572, 4400, 6049.382
248, 277.9, 4400, 6089.439
249, 3259.571, 4400, 560
250, 3460, 4400, 206
251, 3460, 4400, 3482.724
252, 3460, 4400, 7463.749
253, 3772.446, 4400, 7191.707
254, 7027.861, 4400, 560
255, 7460, 4400, 206
256, 0, -4400, 1850
257, 7793.238, 4400, 8324.298
258, 11389.106, 4400, 560
259, 11860, 4400, 4556.332
260, 12181.262, 4400, 9387.159
261, 16173.236, 4400, 560
262, 16660, 4400, 4899.529
263, 16961.676, 4400, 10341.455
264, 20990.931, 4400, 560
265, 21460, 4400, 5323.397
266, 21752.432, 4400, 11082.815
267, 25730.039, 4400, 560
268, 26260, 4400, 5703.888
269, 26548.9, 4400, 11608.45
270, 26716.55, 4400, 560
271, 28564.89, 4400, 2953.44
272, 30570.605, 4400, 560
273, 30976.791, 4400, 6076.642
274, 31060, 4400, 5972.688
275, 31060, 4400, 6184.391
276, 31351.041, 4400, 11919.369
277, 31515.184, 4400, 560
278, 33428.073, 4400, 3014.231

PROJECT TITLE :

MIDAS	Company		Client	
	Author		File Name	H2D_3Dg_v14_180227_StatLM.mct

279, 33429.509, 4400, 9252.7
280, 35392.542, 4400, 560
281, 35561.33, 4400, 12013.223
282, 35860, 4400, 6134.387
283, 36158.67, 4400, 12013.223
284, 36327.458, 4400, 560
285, 38290.491, 4400, 9252.7
286, 38291.927, 4400, 3014.231
287, 40204.816, 4400, 560
288, 40368.959, 4400, 11919.369
289, 40660, 4400, 5972.688
290, 40660, 4400, 6184.391
291, 40743.209, 4400, 6076.642
292, 41149.395, 4400, 560
293, 43155.11, 4400, 2953.44
294, 45003.45, 4400, 560
295, 45171.1, 4400, 11608.45
296, 45460, 4400, 5703.888
297, 45989.961, 4400, 560
298, 49967.568, 4400, 11082.815
299, 50260, 4400, 5323.397
300, 50729.069, 4400, 560
301, 54758.324, 4400, 10341.455
302, 55060, 4400, 4899.529
303, 55546.764, 4400, 560
304, 59538.738, 4400, 9387.159
305, 59860, 4400, 4556.332
306, 60330.894, 4400, 560
307, 63926.762, 4400, 8324.298
308, 64260, 4400, 206
309, 64260, 4400, 3981.012
310, 64692.139, 4400, 560
311, 67947.554, 4400, 7191.707
312, 68260, 4400, 206
313, 68260, 4400, 3482.724
314, 68260, 4400, 7463.749
315, 68460.429, 4400, 560
316, 71442.1, 4400, 6089.439
317, 71568.428, 4400, 6049.382
318, 71720, 4400, 6317.09
319, 3460, -4400, 370
320, 3460, -4400, 530
321, 3459.99999999889, -4400, 1850.00000000208
322, 3460, -4400, 6497.093
323, 7459.9999999997, -4400, 530.000000004226
324, 7459.99999999889, -4400, 1850.00000000448
325, 7460, -4400, 7666.396
326, 11859.9999999997, -4400, 530.000000006497
327, 11859.9999999989, -4400, 1850.00000000681
328, 11860, -4400, 8742.402
329, 16659.9999999997, -4400, 530.000000009126
330, 16659.9999999989, -4400, 1850.00000000987
331, 16660, -4400, 9711.33
332, 21459.9999999997, -4400, 530.000000011756
333, 21459.9999999989, -4400, 1850.00000001276
334, 21460, -4400, 10465.121
335, 26259.9999999997, -4400, 530.000000014385
336, 26259.9999999989, -4400, 1850.00000001603
337, 26260, -4400, 11002.72
338, 31059.9999999998, -4400, 530.000000012763
339, 31059.9999999991, -4400, 1850.00000001526
340, 31060, -4400, 11326.118
341, 35860, -4400, 370
342, 35860, -4400, 530
343, 35860, -4400, 1850
344, 35860, -4400, 11433.319
345, 40660.0003477227, -4400.0003580427, 530
346, 40660.0000000009, -4400, 1849.99999998002
347, 40660, -4400, 11326.118
348, 45459.9996023569, -4399.99997513137, 530.000000000001
349, 45460.0000000011, -4400, 1849.99999997225
350, 45460, -4400, 11002.72

PROJECT TITLE :

MIDAS	Company		Client	
	Author		File Name	H2D_3Dg_v14_180227_StatLM.mct

351, 50259.9998522945, -4399.99980895062, 530.000000000001
352, 50260.0000000011, -4400, 1849.99999997012
353, 50260, -4400, 10465.121
354, 55060.0001022321, -4399.99964276988, 530.000000000001
355, 55060.0000000011, -4400, 1849.99999996739
356, 55060, -4400, 9711.33
357, 59860.0003518471, -4400.00047658909, 530.000000000001
358, 59860.0000000011, -4400, 1849.99999996562
359, 59860, -4400, 8742.402
360, 64259.9998236722, -4399.99959795444, 530.000000000001
361, 64260.0000000011, -4400, 1849.99999996141
362, 64260, -4400, 7666.396
363, 68260, -4400, 370
364, 68260, -4400, 530
365, 68260.0000000011, -4400, 1849.99999995896
366, 68260, -4400, 6497.093
367, 71720.0001941079, -4400.00019754764, 530.000000000001
368, 71720.0001941079, -4400.00019754764, 1150
369, 71720.0000000011, -4400, 1849.99999995799
370, 0, 4400, 530
371, 0, 4400, 1150
372, 0, 4400, 1850
373, 3460, 4400, 370
374, 3460, 4400, 530
375, 3459.99999999889, 4400, 1850.00000000208
376, 3460, 4400, 6497.093
377, 7459.9999999997, 4400, 530.000000004226
378, 7459.99999999889, 4400, 1850.00000000448
379, 7460, 4400, 3981.012
380, 7460, 4400, 7666.396
381, 11859.9999999997, 4400, 530.000000006497
382, 11859.9999999989, 4400, 1850.00000000681
383, 11860, 4400, 8742.402
384, 16659.9999999997, 4400, 530.000000009126
385, 16659.9999999989, 4400, 1850.00000000987
386, 16660, 4400, 9711.33
387, 21459.9999999997, 4400, 530.000000011756
388, 21459.9999999989, 4400, 1850.00000001276
389, 21460, 4400, 10465.121
390, 26259.9999999997, 4400, 530.000000014385
391, 26259.9999999989, 4400, 1850.00000001603
392, 26260, 4400, 11002.72
393, 31059.9999999998, 4400, 530.000000012763
394, 31059.9999999991, 4400, 1850.00000001526
395, 31060, 4400, 11326.118
396, 35860, 4400, 370
397, 35860, 4400, 530
398, 35860, 4400, 1850
399, 35860, 4400, 11433.319
400, 40660.0003477227, 4400.0003580427, 530
401, 40660.0000000009, 4400, 1849.99999998002
402, 40660, 4400, 11326.118
403, 45459.9996023569, 4399.99997513137, 530.000000000001
404, 45460.0000000011, 4400, 1849.99999997225
405, 45460, 4400, 11002.72
406, 50259.9998522945, 4399.99980895062, 530.000000000001
407, 50260.0000000011, 4400, 1849.99999997012
408, 50260, 4400, 10465.121
409, 55060.0001022321, 4399.99964276988, 530.000000000001
410, 55060.0000000011, 4400, 1849.99999996739
411, 55060, 4400, 9711.33
412, 59860.0003518471, 4400.00047658909, 530.000000000001
413, 59860.0000000011, 4400, 1849.99999996562
414, 59860, 4400, 8742.402
415, 64259.9998236722, 4399.99959795444, 530.000000000001
416, 64260.0000000011, 4400, 1849.99999996141
417, 64260, 4400, 7666.396
418, 68260, 4400, 370
419, 68260, 4400, 530
420, 68260.0000000011, 4400, 1849.99999995896
421, 68260, 4400, 6497.093
422, 71720.0001941079, 4400.00019754764, 530.000000000001

PROJECT TITLE :

MIDAS	Company		Client	
	Author		File Name	H2D_3Dg_v14_180227_StatLM.mct

423, 71720.0001941079, 4400.00019754764, 1150
424, 71720.0000000011, 4400, 1849.99999995799
425, 0, -3750, 530
426, 0, -2800, 530
427, 0, -1000, 530
428, 0, 0, 530
429, 0, 1000, 530
430, 0, 2800, 530
431, 0, 3750, 530
432, 3460, -3750, 530
433, 3460, -2800, 530
434, 3460, -1000, 530
435, 3460, 0, 530
436, 3460, 1000, 530
437, 3460, 2800, 530
438, 3460, 3750, 530
439, 7460, -3750, 530
440, 7460, -2800, 530
441, 7460, -1000, 530
442, 7460, 0, 530
443, 7460, 1000, 530
444, 7460, 2800, 530
445, 7460, 3750, 530
446, 11860, -3750, 530
447, 11860, -3100, 530
448, 11860, -2800, 530
449, 11860, -2350, 530
450, 11860, -1000, 530
451, 11860, 0, 530
452, 11860, 1000, 530
453, 11860, 2350, 530
454, 11860, 2800, 530
455, 11860, 3100, 530
456, 11860, 3750, 530
457, 16660, -3750, 530
458, 16660, -3100, 530
459, 16660, -2800, 530
460, 16660, -2350, 530
461, 16660, -1000, 530
462, 16660, 0, 530
463, 16660, 1000, 530
464, 16660, 2350, 530
465, 16660, 2800, 530
466, 16660, 3100, 530
467, 16660, 3750, 530
468, 21460, -3750, 530
469, 21460, -3100, 530
470, 21460, -2800, 530
471, 21460, -2350, 530
472, 21460, -1000, 530
473, 21460, 0, 530
474, 21460, 1000, 530
475, 21460, 2350, 530
476, 21460, 2800, 530
477, 21460, 3100, 530
478, 21460, 3750, 530
479, 26260, -3750, 530
480, 26260, -3100, 530
481, 26260, -2800, 530
482, 26260, -2350, 530
483, 26260, -1000, 530
484, 26260, 0, 530
485, 26260, 1000, 530
486, 26260, 2350, 530
487, 26260, 2800, 530
488, 26260, 3100, 530
489, 26260, 3750, 530
490, 31060, -3750, 530
491, 31060, -3100, 530
492, 31060, -2800, 530
493, 31060, -2350, 530
494, 31060, -1000, 530

PROJECT TITLE :

MIDAS	Company		Client	
	Author		File Name	H2D_3Dg_v14_180227_StatLM.mct

495, 31060, 0, 530
496, 31060, 1000, 530
497, 31060, 2350, 530
498, 31060, 2800, 530
499, 31060, 3100, 530
500, 31060, 3750, 530
501, 35860, -3750, 530
502, 35860, -3100, 530
503, 35860, -2800, 530
504, 35860, -2350, 530
505, 35860, -1000, 530
506, 35860, 0, 530
507, 35860, 1000, 530
508, 35860, 2350, 530
509, 35860, 2800, 530
510, 35860, 3100, 530
511, 35860, 3750, 530
512, 40660, -3750, 530
513, 40660, -3100, 530
514, 40660, -2800, 530
515, 40660, -2350, 530
516, 40660, -1000, 530
517, 40660, 0, 530
518, 40660, 1000, 530
519, 40660, 2350, 530
520, 40660, 2800, 530
521, 40660, 3100, 530
522, 40660, 3750, 530
523, 45460, -3750, 530
524, 45460, -3100, 530
525, 45460, -2800, 530
526, 45460, -2350, 530
527, 45460, -1000, 530
528, 45460, 0, 530
529, 45460, 1000, 530
530, 45460, 2350, 530
531, 45460, 2800, 530
532, 45460, 3100, 530
533, 45460, 3750, 530
534, 50260, -3750, 530
535, 50260, -3100, 530
536, 50260, -2800, 530
537, 50260, -2350, 530
538, 50260, -1000, 530
539, 50260, 0, 530
540, 50260, 1000, 530
541, 50260, 2350, 530
542, 50260, 2800, 530
543, 50260, 3100, 530
544, 50260, 3750, 530
545, 55060, -3750, 530
546, 55060, -3100, 530
547, 55060, -2800, 530
548, 55060, -2350, 530
549, 55060, -1000, 530
550, 55060, 0, 530
551, 55060, 1000, 530
552, 55060, 2350, 530
553, 55060, 2800, 530
554, 55060, 3100, 530
555, 55060, 3750, 530
556, 59860, -3750, 530
557, 59860, -3100, 530
558, 59860, -2800, 530
559, 59860, -2350, 530
560, 59860, -1000, 530
561, 59860, 0, 530
562, 59860, 1000, 530
563, 59860, 2350, 530
564, 59860, 2800, 530
565, 59860, 3100, 530
566, 59860, 3750, 530

PROJECT TITLE :

MIDAS	Company		Client	
	Author		File Name	H2D_3Dg_v14_180227_StatLM.mct

567, 64260, -3750, 530
568, 64260, -2800, 530
569, 64260, -1000, 530
570, 64260, 0, 530
571, 64260, 1000, 530
572, 64260, 2800, 530
573, 64260, 3750, 530
574, 68260, -3750, 530
575, 68260, -2800, 530
576, 68260, -1000, 530
577, 68260, 0, 530
578, 68260, 1000, 530
579, 68260, 2800, 530
580, 68260, 3750, 530
581, 71720, -3750, 530
582, 71720, -2800, 530
583, 71720, -1000, 530
584, 71720, 0, 530
585, 71720, 1000, 530
586, 71720, 2800, 530
587, 71720, 3750, 530
588, -650, -2800, 530
589, -500, -2800, 530
590, 355, -2800, 530
591, 905, -2800, 530
592, 1200, -2800, 530
593, 1455, -2800, 530
594, 2005, -2800, 530
595, 2260, -2800, 530
596, 2555, -2800, 530
597, 3105, -2800, 530
598, 3810, -2800, 530
599, 4360, -2800, 530
600, 4810, -2800, 530
601, 4910, -2800, 530
602, 5460, -2800, 530
603, 6010, -2800, 530
604, 6110, -2800, 530
605, 6560, -2800, 530
606, 7110, -2800, 530
607, 7805, -2800, 530
608, 8335, -2800, 530
609, 8865, -2800, 530
610, 8960, -2800, 530
611, 9395, -2800, 530
612, 9925, -2800, 530
613, 10360, -2800, 530
614, 10455, -2800, 530
615, 10985, -2800, 530
616, 11515, -2800, 530
617, 12230, -2800, 530
618, 12810, -2800, 530
619, 13390, -2800, 530
620, 13460, -2800, 530
621, 13970, -2800, 530
622, 14550, -2800, 530
623, 15060, -2800, 530
624, 15130, -2800, 530
625, 15710, -2800, 530
626, 16290, -2800, 530
627, 17030, -2800, 530
628, 17610, -2800, 530
629, 18190, -2800, 530
630, 18260, -2800, 530
631, 18770, -2800, 530
632, 19350, -2800, 530
633, 19860, -2800, 530
634, 19930, -2800, 530
635, 20510, -2800, 530
636, 21090, -2800, 530
637, 21830, -2800, 530
638, 22410, -2800, 530

PROJECT TITLE :

MIDAS	Company		Client	
	Author		File Name	H2D_3Dg_v14_180227_StatLM.mct

639, 22990, -2800, 530
640, 23060, -2800, 530
641, 23570, -2800, 530
642, 24150, -2800, 530
643, 24660, -2800, 530
644, 24730, -2800, 530
645, 25310, -2800, 530
646, 25890, -2800, 530
647, 26630, -2800, 530
648, 27210, -2800, 530
649, 27790, -2800, 530
650, 27860, -2800, 530
651, 28370, -2800, 530
652, 28950, -2800, 530
653, 29460, -2800, 530
654, 29530, -2800, 530
655, 30110, -2800, 530
656, 30690, -2800, 530
657, 31430, -2800, 530
658, 32010, -2800, 530
659, 32590, -2800, 530
660, 32660, -2800, 530
661, 33170, -2800, 530
662, 33750, -2800, 530
663, 34260, -2800, 530
664, 34330, -2800, 530
665, 34910, -2800, 530
666, 35490, -2800, 530
667, 36230, -2800, 530
668, 36810, -2800, 530
669, 37390, -2800, 530
670, 37460, -2800, 530
671, 37970, -2800, 530
672, 38550, -2800, 530
673, 39060, -2800, 530
674, 39130, -2800, 530
675, 39710, -2800, 530
676, 40290, -2800, 530
677, 41030, -2800, 530
678, 41610, -2800, 530
679, 42190, -2800, 530
680, 42260, -2800, 530
681, 42770, -2800, 530
682, 43350, -2800, 530
683, 43860, -2800, 530
684, 43930, -2800, 530
685, 44510, -2800, 530
686, 45090, -2800, 530
687, 45830, -2800, 530
688, 46410, -2800, 530
689, 46990, -2800, 530
690, 47060, -2800, 530
691, 47570, -2800, 530
692, 48150, -2800, 530
693, 48660, -2800, 530
694, 48730, -2800, 530
695, 49310, -2800, 530
696, 49890, -2800, 530
697, 50630, -2800, 530
698, 51210, -2800, 530
699, 51790, -2800, 530
700, 51860, -2800, 530
701, 52370, -2800, 530
702, 52950, -2800, 530
703, 53460, -2800, 530
704, 53530, -2800, 530
705, 54110, -2800, 530
706, 54690, -2800, 530
707, 55430, -2800, 530
708, 56010, -2800, 530
709, 56590, -2800, 530
710, 56660, -2800, 530

PROJECT TITLE :

MIDAS	Company		Client	
	Author		File Name	H2D_3Dg_v14_180227_StatLM.mct

711, 57170, -2800, 530
712, 57750, -2800, 530
713, 58260, -2800, 530
714, 58330, -2800, 530
715, 58910, -2800, 530
716, 59490, -2800, 530
717, 60205, -2800, 530
718, 60735, -2800, 530
719, 61265, -2800, 530
720, 61360, -2800, 530
721, 61795, -2800, 530
722, 62325, -2800, 530
723, 62760, -2800, 530
724, 62855, -2800, 530
725, 63385, -2800, 530
726, 63915, -2800, 530
727, 64610, -2800, 530
728, 65160, -2800, 530
729, 65610, -2800, 530
730, 65710, -2800, 530
731, 66260, -2800, 530
732, 66810, -2800, 530
733, 66910, -2800, 530
734, 67360, -2800, 530
735, 67910, -2800, 530
736, 68615, -2800, 530
737, 69165, -2800, 530
738, 69460, -2800, 530
739, 69715, -2800, 530
740, 70265, -2800, 530
741, 70520, -2800, 530
742, 70815, -2800, 530
743, 71365, -2800, 530
744, 72220, -2800, 530
745, 72370, -2800, 530
746, -650, -1000, 530
747, -500, -1000, 530
748, 355, -1000, 530
749, 905, -1000, 530
750, 1200, -1000, 530
751, 1455, -1000, 530
752, 2005, -1000, 530
753, 2260, -1000, 530
754, 2555, -1000, 530
755, 3105, -1000, 530
756, 3810, -1000, 530
757, 4360, -1000, 530
758, 4810, -1000, 530
759, 4910, -1000, 530
760, 5460, -1000, 530
761, 6010, -1000, 530
762, 6110, -1000, 530
763, 6560, -1000, 530
764, 7110, -1000, 530
765, 7805, -1000, 530
766, 8335, -1000, 530
767, 8865, -1000, 530
768, 8960, -1000, 530
769, 9395, -1000, 530
770, 9925, -1000, 530
771, 10360, -1000, 530
772, 10455, -1000, 530
773, 10985, -1000, 530
774, 11515, -1000, 530
775, 12230, -1000, 530
776, 12810, -1000, 530
777, 13390, -1000, 530
778, 13460, -1000, 530
779, 13970, -1000, 530
780, 14550, -1000, 530
781, 15060, -1000, 530
782, 15130, -1000, 530

PROJECT TITLE :

MIDAS	Company		Client	
	Author		File Name	H2D_3Dg_v14_180227_StatLM.mct

783, 15710, -1000, 530
784, 16290, -1000, 530
785, 17030, -1000, 530
786, 17610, -1000, 530
787, 18190, -1000, 530
788, 18260, -1000, 530
789, 18770, -1000, 530
790, 19350, -1000, 530
791, 19860, -1000, 530
792, 19930, -1000, 530
793, 20510, -1000, 530
794, 21090, -1000, 530
795, 21830, -1000, 530
796, 22410, -1000, 530
797, 22990, -1000, 530
798, 23060, -1000, 530
799, 23570, -1000, 530
800, 24150, -1000, 530
801, 24660, -1000, 530
802, 24730, -1000, 530
803, 25310, -1000, 530
804, 25890, -1000, 530
805, 26630, -1000, 530
806, 27210, -1000, 530
807, 27790, -1000, 530
808, 27860, -1000, 530
809, 28370, -1000, 530
810, 28950, -1000, 530
811, 29460, -1000, 530
812, 29530, -1000, 530
813, 30110, -1000, 530
814, 30690, -1000, 530
815, 31430, -1000, 530
816, 32010, -1000, 530
817, 32590, -1000, 530
818, 32660, -1000, 530
819, 33170, -1000, 530
820, 33750, -1000, 530
821, 34260, -1000, 530
822, 34330, -1000, 530
823, 34910, -1000, 530
824, 35490, -1000, 530
825, 36230, -1000, 530
826, 36810, -1000, 530
827, 37390, -1000, 530
828, 37460, -1000, 530
829, 37970, -1000, 530
830, 38550, -1000, 530
831, 39060, -1000, 530
832, 39130, -1000, 530
833, 39710, -1000, 530
834, 40290, -1000, 530
835, 41030, -1000, 530
836, 41610, -1000, 530
837, 42190, -1000, 530
838, 42260, -1000, 530
839, 42770, -1000, 530
840, 43350, -1000, 530
841, 43860, -1000, 530
842, 43930, -1000, 530
843, 44510, -1000, 530
844, 45090, -1000, 530
845, 45830, -1000, 530
846, 46410, -1000, 530
847, 46990, -1000, 530
848, 47060, -1000, 530
849, 47570, -1000, 530
850, 48150, -1000, 530
851, 48660, -1000, 530
852, 48730, -1000, 530
853, 49310, -1000, 530
854, 49890, -1000, 530

PROJECT TITLE :

MIDAS	Company		Client	
	Author		File Name	H2D_3Dg_v14_180227_StatLM.mct

855, 50630, -1000, 530
856, 51210, -1000, 530
857, 51790, -1000, 530
858, 51860, -1000, 530
859, 52370, -1000, 530
860, 52950, -1000, 530
861, 53460, -1000, 530
862, 53530, -1000, 530
863, 54110, -1000, 530
864, 54690, -1000, 530
865, 55430, -1000, 530
866, 56010, -1000, 530
867, 56590, -1000, 530
868, 56660, -1000, 530
869, 57170, -1000, 530
870, 57750, -1000, 530
871, 58260, -1000, 530
872, 58330, -1000, 530
873, 58910, -1000, 530
874, 59490, -1000, 530
875, 60205, -1000, 530
876, 60735, -1000, 530
877, 61265, -1000, 530
878, 61360, -1000, 530
879, 61795, -1000, 530
880, 62325, -1000, 530
881, 62760, -1000, 530
882, 62855, -1000, 530
883, 63385, -1000, 530
884, 63915, -1000, 530
885, 64610, -1000, 530
886, 65160, -1000, 530
887, 65610, -1000, 530
888, 65710, -1000, 530
889, 66260, -1000, 530
890, 66810, -1000, 530
891, 66910, -1000, 530
892, 67360, -1000, 530
893, 67910, -1000, 530
894, 68615, -1000, 530
895, 69165, -1000, 530
896, 69460, -1000, 530
897, 69715, -1000, 530
898, 70265, -1000, 530
899, 70520, -1000, 530
900, 70815, -1000, 530
901, 71365, -1000, 530
902, 72220, -1000, 530
903, 72370, -1000, 530
904, -650, 1000, 530
905, -500, 1000, 530
906, 355, 1000, 530
907, 905, 1000, 530
908, 1200, 1000, 530
909, 1455, 1000, 530
910, 2005, 1000, 530
911, 2260, 1000, 530
912, 2555, 1000, 530
913, 3105, 1000, 530
914, 3810, 1000, 530
915, 4360, 1000, 530
916, 4810, 1000, 530
917, 4910, 1000, 530
918, 5460, 1000, 530
919, 6010, 1000, 530
920, 6110, 1000, 530
921, 6560, 1000, 530
922, 7110, 1000, 530
923, 7805, 1000, 530
924, 8335, 1000, 530
925, 8865, 1000, 530
926, 8960, 1000, 530

PROJECT TITLE :

MIDAS	Company		Client	
	Author		File Name	H2D_3Dg_v14_180227_StatLM.mct

927, 9395, 1000, 530
928, 9925, 1000, 530
929, 10360, 1000, 530
930, 10455, 1000, 530
931, 10985, 1000, 530
932, 11515, 1000, 530
933, 12230, 1000, 530
934, 12810, 1000, 530
935, 13390, 1000, 530
936, 13460, 1000, 530
937, 13970, 1000, 530
938, 14550, 1000, 530
939, 15060, 1000, 530
940, 15130, 1000, 530
941, 15710, 1000, 530
942, 16290, 1000, 530
943, 17030, 1000, 530
944, 17610, 1000, 530
945, 18190, 1000, 530
946, 18260, 1000, 530
947, 18770, 1000, 530
948, 19350, 1000, 530
949, 19860, 1000, 530
950, 19930, 1000, 530
951, 20510, 1000, 530
952, 21090, 1000, 530
953, 21830, 1000, 530
954, 22410, 1000, 530
955, 22990, 1000, 530
956, 23060, 1000, 530
957, 23570, 1000, 530
958, 24150, 1000, 530
959, 24660, 1000, 530
960, 24730, 1000, 530
961, 25310, 1000, 530
962, 25890, 1000, 530
963, 26630, 1000, 530
964, 27210, 1000, 530
965, 27790, 1000, 530
966, 27860, 1000, 530
967, 28370, 1000, 530
968, 28950, 1000, 530
969, 29460, 1000, 530
970, 29530, 1000, 530
971, 30110, 1000, 530
972, 30690, 1000, 530
973, 31430, 1000, 530
974, 32010, 1000, 530
975, 32590, 1000, 530
976, 32660, 1000, 530
977, 33170, 1000, 530
978, 33750, 1000, 530
979, 34260, 1000, 530
980, 34330, 1000, 530
981, 34910, 1000, 530
982, 35490, 1000, 530
983, 36230, 1000, 530
984, 36810, 1000, 530
985, 37390, 1000, 530
986, 37460, 1000, 530
987, 37970, 1000, 530
988, 38550, 1000, 530
989, 39060, 1000, 530
990, 39130, 1000, 530
991, 39710, 1000, 530
992, 40290, 1000, 530
993, 41030, 1000, 530
994, 41610, 1000, 530
995, 42190, 1000, 530
996, 42260, 1000, 530
997, 42770, 1000, 530
998, 43350, 1000, 530

PROJECT TITLE :

MIDAS	Company		Client	
	Author		File Name	H2D_3Dg_v14_180227_StatLM.mct

999, 43860, 1000, 530
1000, 43930, 1000, 530
1001, 44510, 1000, 530
1002, 45090, 1000, 530
1003, 45830, 1000, 530
1004, 46410, 1000, 530
1005, 46990, 1000, 530
1006, 47060, 1000, 530
1007, 47570, 1000, 530
1008, 48150, 1000, 530
1009, 48660, 1000, 530
1010, 48730, 1000, 530
1011, 49310, 1000, 530
1012, 49890, 1000, 530
1013, 50630, 1000, 530
1014, 51210, 1000, 530
1015, 51790, 1000, 530
1016, 51860, 1000, 530
1017, 52370, 1000, 530
1018, 52950, 1000, 530
1019, 53460, 1000, 530
1020, 53530, 1000, 530
1021, 54110, 1000, 530
1022, 54690, 1000, 530
1023, 55430, 1000, 530
1024, 56010, 1000, 530
1025, 56590, 1000, 530
1026, 56660, 1000, 530
1027, 57170, 1000, 530
1028, 57750, 1000, 530
1029, 58260, 1000, 530
1030, 58330, 1000, 530
1031, 58910, 1000, 530
1032, 59490, 1000, 530
1033, 60205, 1000, 530
1034, 60735, 1000, 530
1035, 61265, 1000, 530
1036, 61360, 1000, 530
1037, 61795, 1000, 530
1038, 62325, 1000, 530
1039, 62760, 1000, 530
1040, 62855, 1000, 530
1041, 63385, 1000, 530
1042, 63915, 1000, 530
1043, 64610, 1000, 530
1044, 65160, 1000, 530
1045, 65610, 1000, 530
1046, 65710, 1000, 530
1047, 66260, 1000, 530
1048, 66810, 1000, 530
1049, 66910, 1000, 530
1050, 67360, 1000, 530
1051, 67910, 1000, 530
1052, 68615, 1000, 530
1053, 69165, 1000, 530
1054, 69460, 1000, 530
1055, 69715, 1000, 530
1056, 70265, 1000, 530
1057, 70520, 1000, 530
1058, 70815, 1000, 530
1059, 71365, 1000, 530
1060, 72220, 1000, 530
1061, 72370, 1000, 530
1062, -650, 2800, 530
1063, -500, 2800, 530
1064, 355, 2800, 530
1065, 905, 2800, 530
1066, 1200, 2800, 530
1067, 1455, 2800, 530
1068, 2005, 2800, 530
1069, 2260, 2800, 530
1070, 2555, 2800, 530

PROJECT TITLE :

MIDAS	Company		Client	
	Author		File Name	H2D_3Dg_v14_180227_StatLM.mct

1071, 3105, 2800, 530
1072, 3810, 2800, 530
1073, 4360, 2800, 530
1074, 4810, 2800, 530
1075, 4910, 2800, 530
1076, 5460, 2800, 530
1077, 6010, 2800, 530
1078, 6110, 2800, 530
1079, 6560, 2800, 530
1080, 7110, 2800, 530
1081, 7805, 2800, 530
1082, 8335, 2800, 530
1083, 8865, 2800, 530
1084, 8960, 2800, 530
1085, 9395, 2800, 530
1086, 9925, 2800, 530
1087, 10360, 2800, 530
1088, 10455, 2800, 530
1089, 10985, 2800, 530
1090, 11515, 2800, 530
1091, 12230, 2800, 530
1092, 12810, 2800, 530
1093, 13390, 2800, 530
1094, 13460, 2800, 530
1095, 13970, 2800, 530
1096, 14550, 2800, 530
1097, 15060, 2800, 530
1098, 15130, 2800, 530
1099, 15710, 2800, 530
1100, 16290, 2800, 530
1101, 17030, 2800, 530
1102, 17610, 2800, 530
1103, 18190, 2800, 530
1104, 18260, 2800, 530
1105, 18770, 2800, 530
1106, 19350, 2800, 530
1107, 19860, 2800, 530
1108, 19930, 2800, 530
1109, 20510, 2800, 530
1110, 21090, 2800, 530
1111, 21830, 2800, 530
1112, 22410, 2800, 530
1113, 22990, 2800, 530
1114, 23060, 2800, 530
1115, 23570, 2800, 530
1116, 24150, 2800, 530
1117, 24660, 2800, 530
1118, 24730, 2800, 530
1119, 25310, 2800, 530
1120, 25890, 2800, 530
1121, 26630, 2800, 530
1122, 27210, 2800, 530
1123, 27790, 2800, 530
1124, 27860, 2800, 530
1125, 28370, 2800, 530
1126, 28950, 2800, 530
1127, 29460, 2800, 530
1128, 29530, 2800, 530
1129, 30110, 2800, 530
1130, 30690, 2800, 530
1131, 31430, 2800, 530
1132, 32010, 2800, 530
1133, 32590, 2800, 530
1134, 32660, 2800, 530
1135, 33170, 2800, 530
1136, 33750, 2800, 530
1137, 34260, 2800, 530
1138, 34330, 2800, 530
1139, 34910, 2800, 530
1140, 35490, 2800, 530
1141, 36230, 2800, 530
1142, 36810, 2800, 530

PROJECT TITLE :

MIDAS	Company		Client	
	Author		File Name	H2D_3Dg_v14_180227_StatLM.mct

1143, 37390, 2800, 530
1144, 37460, 2800, 530
1145, 37970, 2800, 530
1146, 38550, 2800, 530
1147, 39060, 2800, 530
1148, 39130, 2800, 530
1149, 39710, 2800, 530
1150, 40290, 2800, 530
1151, 41030, 2800, 530
1152, 41610, 2800, 530
1153, 42190, 2800, 530
1154, 42260, 2800, 530
1155, 42770, 2800, 530
1156, 43350, 2800, 530
1157, 43860, 2800, 530
1158, 43930, 2800, 530
1159, 44510, 2800, 530
1160, 45090, 2800, 530
1161, 45830, 2800, 530
1162, 46410, 2800, 530
1163, 46990, 2800, 530
1164, 47060, 2800, 530
1165, 47570, 2800, 530
1166, 48150, 2800, 530
1167, 48660, 2800, 530
1168, 48730, 2800, 530
1169, 49310, 2800, 530
1170, 49890, 2800, 530
1171, 50630, 2800, 530
1172, 51210, 2800, 530
1173, 51790, 2800, 530
1174, 51860, 2800, 530
1175, 52370, 2800, 530
1176, 52950, 2800, 530
1177, 53460, 2800, 530
1178, 53530, 2800, 530
1179, 54110, 2800, 530
1180, 54690, 2800, 530
1181, 55430, 2800, 530
1182, 56010, 2800, 530
1183, 56590, 2800, 530
1184, 56660, 2800, 530
1185, 57170, 2800, 530
1186, 57750, 2800, 530
1187, 58260, 2800, 530
1188, 58330, 2800, 530
1189, 58910, 2800, 530
1190, 59490, 2800, 530
1191, 60205, 2800, 530
1192, 60735, 2800, 530
1193, 61265, 2800, 530
1194, 61360, 2800, 530
1195, 61795, 2800, 530
1196, 62325, 2800, 530
1197, 62760, 2800, 530
1198, 62855, 2800, 530
1199, 63385, 2800, 530
1200, 63915, 2800, 530
1201, 64610, 2800, 530
1202, 65160, 2800, 530
1203, 65610, 2800, 530
1204, 65710, 2800, 530
1205, 66260, 2800, 530
1206, 66810, 2800, 530
1207, 66910, 2800, 530
1208, 67360, 2800, 530
1209, 67910, 2800, 530
1210, 68615, 2800, 530
1211, 69165, 2800, 530
1212, 69460, 2800, 530
1213, 69715, 2800, 530
1214, 70265, 2800, 530

1215, 70520, 2800, 530
1216, 70815, 2800, 530
1217, 71365, 2800, 530
1218, 72220, 2800, 530
1219, 72370, 2800, 530
1220, 0, -4400, 7355
1221, 0, -3.739, 7355
1222, 0, -3.739, 7685
1224, 3460, -4400, 7627.093
1225, 3460, 4400, 7627.093
1226, 7460, -4400, 8633.052
1227, 7460, 0, 8633.052
1228, 7460, 0, 8783.052
1229, 7460, 4400, 8633.052
1230, 11860, -4400, 9859.059
1231, 11860, 4400, 9859.059
1232, 16659.9997576942, -4400, 10677.9871277407
1233, 16660, 0, 10677.987
1234, 16660, 0, 10827.987
1235, 16659.9997576942, 4400, 10677.9871277407
1236, 21460, -4400, 11581.777
1237, 21460, 4400, 11581.777
1238, 26260.0003273993, -4400, 11969.3762693238
1239, 26260, 0, 11969.376
1240, 26260, 0, 12119.376
1241, 26260.0003273993, 4400, 11969.3762693238
1242, 31060, -4400, 12442.774
1243, 31060, 4400, 12442.774
1244, 35860, -4400, 12399.975
1245, 35860, 0, 12399.975
1246, 35860, 0, 12549.975
1247, 35860, 4400, 12399.975
1248, 40660, -4400, 12442.774
1249, 40660, 4400, 12442.774
1250, 45460, -4400, 11969.376
1251, 45460, 0, 11969.376
1252, 45460, 0, 12119.376
1253, 45460, 4400, 11969.376
1254, 50260, -4400, 11581.777
1255, 50260, 4400, 11581.777
1256, 55060, -4400, 10677.987
1257, 55060, 0, 10677.987
1258, 55060, 0, 10827.987
1259, 55060, 4400, 10677.987
1260, 59860, -4400, 9859.059
1261, 59860, 4400, 9859.059
1262, 64260, -4400, 8633.052
1263, 64260, 0, 8633.052
1264, 64260, 0, 8783.052
1265, 64260, 4400, 8633.052
1266, 68260, -4400, 7627.093
1267, 68260, 4400, 7627.093
1268, 71720, -4400, 7355
1269, 71720, 0, 7355
1270, 71720, 0, 7685
1272, 0, -4350, 0
1273, 0, 4350, 0
1274, 3343.774, 0, 0
1275, 3576.5, 0, 0
1276, 7460, -4350, 0
1277, 7460, 4350, 0
1278, 11743.5, 0, 0
1279, 11976.5, 0, 0
1280, 16660, -4350, 0
1281, 16660, 4350, 0
1282, 21343.5, 0, 0
1283, 21576.5, 0, 0
1284, 26260, -4350, 0
1285, 26260, 4350, 0
1286, 30943.5, 0, 0
1287, 31176.5, 0, 0
1288, 35860, -4350, 0

PROJECT TITLE :

MIDAS	Company		Client	
	Author		File Name	H2D_3Dg_v14_180227_StatLM.mct

1289, 35860, 4350, 0
1290, 40543.5, 0, 0
1291, 40776.5, 0, 0
1292, 45460, -4350, 0
1293, 45460, 4350, 0
1294, 50143.5, 0, 0
1295, 50376.5, 0, 0
1296, 55060, -4350, 0
1297, 55060, 4350, 0
1298, 59743.5, 0, 0
1299, 59976.5, 0, 0
1300, 64260, -4350, 0
1301, 64260, 4350, 0
1302, 68143.5, 0, 0
1303, 68376.226, 0, 0
1304, 71720, -4350, 0
1305, 71720, 4350, 0
1306, 3460, -4350, 370
1307, 3460, -1000, 370
1309, 3460, 1000, 370
1311, 3460, 4350, 370
1312, 4909.972, 0, 370
1313, 4909.972, -2800, 370
1314, 4909.972, 2800, 370
1316, 4909.972, -1000, 370
1318, 4909.972, 1000, 370
1320, 34260, -2800, 370
1321, 34260, -1000, 370
1322, 34260, 0, 370
1323, 34260, 1000, 370
1324, 34260, 2800, 370
1328, 35860, -4350, 370
1329, 35860, -1000, 370
1331, 35860, 1000, 370
1333, 35860, 4350, 370
1334, 37449.972, 0, 370
1335, 37459.972, -2800, 370
1336, 37459.972, 2800, 370
1338, 37459.972, -1000, 370
1340, 37459.972, 1000, 370
1342, 66810.028, -2800, 370
1343, 66810.019, -1000, 370.009
1344, 66810.028, 0, 370
1345, 66810.028, 1000, 370
1346, 66810.028, 2800, 370
1350, 68260, -4350, 370
1351, 68260, -1000, 370
1353, 68260, 1000, 370
1355, 68260, 4150, 370
1356, 0, -2800, 840
1357, 2260, -2800, 840
1358, 4810, -2800, 840
1359, 7460, -2800, 840
1360, 10360, -2800, 840
1361, 13460, -2800, 840
1362, 16660, -2800, 840
1363, 19860, -2800, 840
1364, 23060, -2800, 840
1365, 26260, -2800, 840
1366, 29460, -2800, 840
1367, 32660, -2800, 840
1368, 35860, -2800, 840
1369, 39060, -2800, 840
1370, 42260, -2800, 840
1371, 45460, -2800, 840
1372, 48660, -2800, 840
1373, 51860, -2800, 840
1374, 55060, -2800, 840
1375, 58260, -2800, 840
1376, 61360, -2800, 840
1377, 64260, -2800, 840
1378, 66910, -2800, 840

PROJECT TITLE :

MIDAS	Company		Client	
	Author		File Name	H2D_3Dg_v14_180227_StatLM.mct

1379, 69460, -2800, 840
1380, 71720, -2800, 840
1381, 1200, -1000, 840
1382, 3460, -1000, 840
1383, 6110, -1000, 840
1384, 8960, -1000, 840
1385, 11860, -1000, 840
1386, 15060, -1000, 840
1387, 18260, -1000, 840
1388, 21460, -1000, 840
1389, 24660, -1000, 840
1390, 27860, -1000, 840
1391, 31060, -1000, 840
1392, 34260, -1000, 840
1393, 37460, -1000, 840
1394, 40660, -1000, 840
1395, 43860, -1000, 840
1396, 47060, -1000, 840
1397, 50260, -1000, 840
1398, 53460, -1000, 840
1399, 56660, -1000, 840
1400, 59860, -1000, 840
1401, 62760, -1000, 840
1402, 65610, -1000, 840
1403, 68260, -1000, 840
1404, 70520, -1000, 840
1405, 1200, 1000, 840
1406, 3460, 1000, 840
1407, 6110, 1000, 840
1408, 8960, 1000, 840
1409, 11860, 1000, 840
1410, 15060, 1000, 840
1411, 18260, 1000, 840
1412, 21460, 1000, 840
1413, 24660, 1000, 840
1414, 27860, 1000, 840
1415, 31060, 1000, 840
1416, 34260, 1000, 840
1417, 37460, 1000.001, 840
1418, 40660, 1000.001, 840
1419, 43860, 1000.001, 840
1420, 47060, 1000.001, 840
1421, 50260, 1000.001, 840
1422, 53460, 1000.001, 840
1423, 56660, 1000.001, 840
1424, 59860, 1000.001, 840
1425, 62760, 1000.001, 840
1426, 65610, 1000.001, 840
1427, 68260, 1000.001, 840
1428, 70520, 1000.001, 840
1429, 0, 2800, 840
1430, 2260, 2800, 840
1431, 4810, 2800, 840
1432, 7460, 2800, 840
1433, 10360, 2800, 840
1434, 13460, 2800, 840
1435, 16660, 2800, 840
1436, 19860, 2800, 840
1437, 23060, 2800, 840
1438, 26260, 2800, 840
1439, 29460, 2800, 840
1440, 32660, 2800, 840
1441, 35860, 2800, 840
1442, 39060, 2800.001, 840
1443, 42260, 2800.001, 840
1444, 45460, 2800.001, 840
1445, 48660, 2800.001, 840
1446, 51860, 2800.001, 840
1447, 55060, 2800.001, 840
1448, 58260, 2800.001, 840
1449, 61360, 2800.001, 840
1450, 64260, 2800.001, 840

PROJECT TITLE :

MIDAS	Company		Client	
	Author		File Name	H2D_3Dg_v14_180227_StatLM.mct

1451, 66910, 2800.001, 840
1452, 69460, 2800.001, 840
1453, 71720, 2800.001, 840
1454, 1200, -2800, 640
1455, 2260, -2800, 640
1456, 4810, -2800, 640
1457, 6110, -2800, 640
1458, 8960, -2800, 640
1459, 10360, -2800, 640
1460, 13460, -2800, 640
1461, 15060, -2800, 640
1462, 18260, -2800, 640
1463, 19860, -2800, 640
1464, 23060, -2800, 640
1465, 24660, -2800, 640
1466, 27860, -2800, 640
1467, 29460, -2800, 640
1468, 32660, -2800, 640
1469, 34260, -2800, 640
1470, 37460, -2800, 640
1471, 39060, -2800, 640
1472, 42260, -2800, 640
1473, 43860, -2800, 640
1474, 47060, -2800, 640
1475, 48660, -2800, 640
1476, 51860, -2800, 640
1477, 53460, -2800, 640
1478, 56660, -2800, 640
1479, 58260, -2800, 640
1480, 61360, -2800, 640
1481, 62760, -2800, 640
1482, 65610, -2800, 640
1483, 66910, -2800, 640
1484, 69460, -2800, 640
1485, 70520, -2800, 640
1486, 1200, -1000, 640
1487, 2260, -1000, 640
1488, 4810, -1000, 640
1489, 6110, -1000, 640
1490, 8960, -1000, 640
1491, 10360, -1000, 640
1492, 13460, -1000, 640
1493, 15060, -1000, 640
1494, 18260, -1000, 640
1495, 19860, -1000, 640
1496, 23060, -1000, 640
1497, 24660, -1000, 640
1498, 27860, -1000, 640
1499, 29460, -1000, 640
1500, 32660, -1000, 640
1501, 34260, -1000, 640
1502, 37460, -1000, 640
1503, 39060, -1000, 640
1504, 42260, -1000, 640
1505, 43860, -1000, 640
1506, 47060, -1000, 640
1507, 48660, -1000, 640
1508, 51860, -1000, 640
1509, 53460, -1000, 640
1510, 56660, -1000, 640
1511, 58260, -1000, 640
1512, 61360, -1000, 640
1513, 62760, -1000, 640
1514, 65610, -1000, 640
1515, 66910, -1000, 640
1516, 69460, -1000, 640
1517, 70520, -1000, 640
1518, 1200, 1000, 640
1519, 2260, 1000, 640
1520, 4810, 1000, 640
1521, 6110, 1000, 640
1522, 8960, 1000, 640

PROJECT TITLE :

MIDAS	Company		Client	
	Author		File Name	H2D_3Dg_v14_180227_StatLM.mct

1523, 10360, 1000, 640
1524, 13460, 1000, 640
1525, 15060, 1000, 640
1526, 18260, 1000, 640
1527, 19860, 1000, 640
1528, 23060, 1000, 640
1529, 24660, 1000, 640
1530, 27860, 1000, 640
1531, 29460, 1000, 640
1532, 32660, 1000, 640
1533, 34260, 1000, 640
1534, 37460, 1000, 640
1535, 39060, 1000, 640
1536, 42260, 1000, 640
1537, 43860, 1000, 640
1538, 47060, 1000, 640
1539, 48660, 1000, 640
1540, 51860, 1000, 640
1541, 53460, 1000, 640
1542, 56660, 1000, 640
1543, 58260, 1000, 640
1544, 61360, 1000, 640
1545, 62760, 1000, 640
1546, 65610, 1000, 640
1547, 66910, 1000, 640
1548, 69460, 1000, 640
1549, 70520, 1000, 640
1550, 1200, 2800, 640
1551, 2260, 2800, 640
1552, 4810, 2800, 640
1553, 6110, 2800, 640
1554, 8960, 2800, 640
1555, 10360, 2800, 640
1556, 13460, 2800, 640
1557, 15060, 2800, 640
1558, 18260, 2800, 640
1559, 19860, 2800, 640
1560, 23060, 2800, 640
1561, 24660, 2800, 640
1562, 27860, 2800, 640
1563, 29460, 2800, 640
1564, 32660, 2800, 640
1565, 34260, 2800, 640
1566, 37460, 2800, 640
1567, 39060, 2800, 640
1568, 42260, 2800, 640
1569, 43860, 2800, 640
1570, 47060, 2800, 640
1571, 48660, 2800, 640
1572, 51860, 2800, 640
1573, 53460, 2800, 640
1574, 56660, 2800, 640
1575, 58260, 2800, 640
1576, 61360, 2800, 640
1577, 62760, 2800, 640
1578, 65610, 2800, 640
1579, 66910, 2800, 640
1580, 69460, 2800, 640
1581, 70520, 2800, 640
1582, 1455, -1000, 320
1583, 5460, -1000, 320
1584, 9395, -1000, 320
1585, 13970, -1000, 320
1586, 18770, -1000, 320
1587, 23570, -1000, 320
1588, 28370, -1000, 320
1589, 33170, -1000, 320
1590, 38550, -1000, 320
1591, 43350, -1000, 320
1592, 48150, -1000, 320
1593, 52950, -1000, 320
1594, 57750, -1000, 320

PROJECT TITLE :

MIDAS	Company		Client	
	Author		File Name	H2D_3Dg_v14_180227_StatLM.mct

1595, 62325, -1000, 320
1596, 66260, -1000, 320
1597, 70265, -1000, 320
1598, 1455, 1000, 320
1599, 5460, 1000, 320
1600, 9395, 1000, 320
1601, 13970, 1000, 320
1602, 18770, 1000, 320
1603, 23570, 1000, 320
1604, 28370, 1000, 320
1605, 33170, 1000, 320
1606, 38550, 1000, 320
1607, 43350, 1000, 320
1608, 48150, 1000, 320
1609, 52950, 1000, 320
1610, 57750, 1000, 320
1611, 62325, 1000, 320
1612, 66260, 1000, 320
1613, 70265, 1000, 320
1614, 0, -4400, -700
1615, 0, -4400, -200
1616, 0, -4400, 0
1617, 71720, -4400, -700
1618, 71720, -4400, -200
1619, 71720, -4400, 0
1620, 0, 4400, -700
1621, 0, 4400, -200
1622, 0, 4400, 0
1623, 71720, 4400, -700
1624, 71720, 4400, -200
1625, 71720, 4400, 0
1626, 0, -4100, 1850
1627, 3460, -4100, 1850
1628, 7460, -4100, 1850
1629, 11860, -4100, 1850
1630, 16660, -4100, 1850
1631, 21460, -4100, 1850
1632, 26260, -4100, 1850
1633, 31060, -4100, 1850
1634, 35860, -4100, 1850
1635, 40660, -4100, 1850
1636, 45460, -4100, 1850
1637, 50260, -4100, 1850
1638, 55060, -4100, 1850
1639, 59860, -4100, 1850
1640, 64260, -4100, 1850
1641, 68260, -4100, 1850
1642, 71720, -4100, 1850
1643, 0, -3750, 1030
1644, 3460, -3750, 1030
1645, 7460, -3750, 1030
1646, 11860, -3750, 1030
1647, 16660, -3750, 1030
1648, 21460, -3750, 1030
1649, 26260, -3750, 1030
1650, 31060, -3750, 1030
1651, 35860, -3750, 1030
1652, 40660, -3750, 1030
1653, 45460, -3750, 1030
1654, 50260, -3750, 1030
1655, 55060, -3750, 1030
1656, 59860, -3750, 1030
1657, 64260, -3750, 1030
1658, 68260, -3750, 1030
1659, 71720, -3750, 1030
1660, 0, 3750, 1030
1661, 3460, 3750, 1030
1662, 7460, 3750, 1030
1663, 11860, 3750, 1030
1664, 16660, 3750, 1030
1665, 21460, 3750, 1030
1666, 26260, 3750, 1030

1667, 31060, 3750, 1030
1668, 35860, 3750, 1030
1669, 40660, 3750, 1030
1670, 45460, 3750, 1030
1671, 50260, 3750, 1030
1672, 55060, 3750, 1030
1673, 59860, 3750, 1030
1674, 64260, 3750, 1030
1675, 68260, 3750, 1030
1676, 71720, 3750, 1030
1677, 0, 4100, 1850
1678, 3460, 4100, 1850
1679, 7460, 4100, 1850
1680, 11860, 4100, 1850
1681, 16660, 4100, 1850
1682, 21460, 4100, 1850
1683, 26260, 4100, 1850
1684, 31060, 4100, 1850
1685, 35860, 4100, 1850
1686, 40660, 4100, 1850
1687, 45460, 4100, 1850
1688, 50260, 4100, 1850
1689, 55060, 4100, 1850
1690, 59860, 4100, 1850
1691, 64260, 4100, 1850
1692, 68260, 4100, 1850
1693, 71720, 4100, 1850
1694, -500, -2800, 1020
1695, 355, -2800, 1020
1696, 905, -2800, 1020
1697, 1455, -2800, 1020
1698, 2005, -2800, 1020
1699, 2555, -2800, 1020
1700, 3105, -2800, 1020
1701, 3810, -2800, 1020
1702, 4360, -2800, 1020
1703, 4910, -2800, 1020
1704, 5460, -2800, 1020
1705, 6010, -2800, 1020
1706, 6560, -2800, 1020
1707, 7110, -2800, 1020
1708, 7805, -2800, 1020
1709, 8335, -2800, 1020
1710, 8865, -2800, 1020
1711, 9395, -2800, 1020
1712, 9925, -2800, 1020
1713, 10455, -2800, 1020
1714, 10985, -2800, 1020
1715, 11515, -2800, 1020
1716, 12230, -2800, 1020
1717, 12810, -2800, 1020
1718, 13390, -2800, 1020
1719, 13970, -2800, 1020
1720, 14550, -2800, 1020
1721, 15130, -2800, 1020
1722, 15710, -2800, 1020
1723, 16290, -2800, 1020
1724, 17030, -2800, 1020
1725, 17610, -2800, 1020
1726, 18190, -2800, 1020
1727, 18770, -2800, 1020
1728, 19350, -2800, 1020
1729, 19930, -2800, 1020
1730, 20510, -2800, 1020
1731, 21090, -2800, 1020
1732, 21830, -2800, 1020
1733, 22410, -2800, 1020
1734, 22990, -2800, 1020
1735, 23570, -2800, 1020
1736, 24150, -2800, 1020
1737, 24730, -2800, 1020
1738, 25310, -2800, 1020

PROJECT TITLE :

MIDAS	Company		Client	
	Author		File Name	H2D_3Dg_v14_180227_StatLM.mct

1739, 25890, -2800, 1020
1740, 26630, -2800, 1020
1741, 27210, -2800, 1020
1742, 27790, -2800, 1020
1743, 28370, -2800, 1020
1744, 28950, -2800, 1020
1745, 29530, -2800, 1020
1746, 30110, -2800, 1020
1747, 30690, -2800, 1020
1748, 31430, -2800, 1020
1749, 32010, -2800, 1020
1750, 32590, -2800, 1020
1751, 33170, -2800, 1020
1752, 33750, -2800, 1020
1753, 34330, -2800, 1020
1754, 34910, -2800, 1020
1755, 35490, -2800, 1020
1756, 36230, -2800, 1020
1757, 36810, -2800, 1020
1758, 37390, -2800, 1020
1759, 37970, -2800, 1020
1760, 38550, -2800, 1020
1761, 39130, -2800, 1020
1762, 39710, -2800, 1020
1763, 40290, -2800, 1020
1764, 41030, -2800, 1020
1765, 41610, -2800, 1020
1766, 42190, -2800, 1020
1767, 42770, -2800, 1020
1768, 43350, -2800, 1020
1769, 43930, -2800, 1020
1770, 44510, -2800, 1020
1771, 45090, -2800, 1020
1772, 45830, -2800, 1020
1773, 46410, -2800, 1020
1774, 46990, -2800, 1020
1775, 47570, -2800, 1020
1776, 48150, -2800, 1020
1777, 48730, -2800, 1020
1778, 49310, -2800, 1020
1779, 49890, -2800, 1020
1780, 50630, -2800, 1020
1781, 51210, -2800, 1020
1782, 51790, -2800, 1020
1783, 52370, -2800, 1020
1784, 52950, -2800, 1020
1785, 53530, -2800, 1020
1786, 54110, -2800, 1020
1787, 54690, -2800, 1020
1788, 55430, -2800, 1020
1789, 56010, -2800, 1020
1790, 56590, -2800, 1020
1791, 57170, -2800, 1020
1792, 57750, -2800, 1020
1793, 58330, -2800, 1020
1794, 58910, -2800, 1020
1795, 59490, -2800, 1020
1796, 60205, -2800, 1020
1797, 60735, -2800, 1020
1798, 61265, -2800, 1020
1799, 61795, -2800, 1020
1800, 62325, -2800, 1020
1801, 62855, -2800, 1020
1802, 63385, -2800, 1020
1803, 63915, -2800, 1020
1804, 64610, -2800, 1020
1805, 65160, -2800, 1020
1806, 65710, -2800, 1020
1807, 66260, -2800, 1020
1808, 66810, -2800, 1020
1809, 67360, -2800, 1020
1810, 67910, -2800, 1020

PROJECT TITLE :

MIDAS	Company		Client	
	Author		File Name	H2D_3Dg_v14_180227_StatLM.mct

1811, 68615, -2800, 1020
1812, 69165, -2800, 1020
1813, 69715, -2800, 1020
1814, 70265, -2800, 1020
1815, 70815, -2800, 1020
1816, 71365, -2800, 1020
1817, 72220, -2800, 1020
1818, -500, -1900, 1020
1819, 355, -1900, 1020
1820, 905, -1900, 1020
1821, 1455, -1900, 1020
1822, 2005, -1900, 1020
1823, 2555, -1900, 1020
1824, 3105, -1900, 1020
1825, 3810, -1900, 1020
1826, 4360, -1900, 1020
1827, 4910, -1900, 1020
1828, 5460, -1900, 1020
1829, 6010, -1900, 1020
1830, 6560, -1900, 1020
1831, 7110, -1900, 1020
1832, 7805, -1900, 1020
1833, 8335, -1900, 1020
1834, 8865, -1900, 1020
1835, 9395, -1900, 1020
1836, 9925, -1900, 1020
1837, 10455, -1900, 1020
1838, 10985, -1900, 1020
1839, 11515, -1900, 1020
1840, 12230, -1900, 1020
1841, 12810, -1900, 1020
1842, 13390, -1900, 1020
1843, 13970, -1900, 1020
1844, 14550, -1900, 1020
1845, 15130, -1900, 1020
1846, 15710, -1900, 1020
1847, 16290, -1900, 1020
1848, 17030, -1900, 1020
1849, 17610, -1900, 1020
1850, 18190, -1900, 1020
1851, 18770, -1900, 1020
1852, 19350, -1900, 1020
1853, 19930, -1900, 1020
1854, 20510, -1900, 1020
1855, 21090, -1900, 1020
1856, 21830, -1900, 1020
1857, 22410, -1900, 1020
1858, 22990, -1900, 1020
1859, 23570, -1900, 1020
1860, 24150, -1900, 1020
1861, 24730, -1900, 1020
1862, 25310, -1900, 1020
1863, 25890, -1900, 1020
1864, 26630, -1900, 1020
1865, 27210, -1900, 1020
1866, 27790, -1900, 1020
1867, 28370, -1900, 1020
1868, 28950, -1900, 1020
1869, 29530, -1900, 1020
1870, 30110, -1900, 1020
1871, 30690, -1900, 1020
1872, 31430, -1900, 1020
1873, 32010, -1900, 1020
1874, 32590, -1900, 1020
1875, 33170, -1900, 1020
1876, 33750, -1900, 1020
1877, 34330, -1900, 1020
1878, 34910, -1900, 1020
1879, 35490, -1900, 1020
1880, 36230, -1900, 1020
1881, 36810, -1900, 1020
1882, 37390, -1900, 1020

PROJECT TITLE :

MIDAS	Company		Client	
	Author		File Name	H2D_3Dg_v14_180227_StatLM.mct

1883, 37970, -1900, 1020
1884, 38550, -1900, 1020
1885, 39130, -1900, 1020
1886, 39710, -1900, 1020
1887, 40290, -1900, 1020
1888, 41030, -1900, 1020
1889, 41610, -1900, 1020
1890, 42190, -1900, 1020
1891, 42770, -1900, 1020
1892, 43350, -1900, 1020
1893, 43930, -1900, 1020
1894, 44510, -1900, 1020
1895, 45090, -1900, 1020
1896, 45830, -1900, 1020
1897, 46410, -1900, 1020
1898, 46990, -1900, 1020
1899, 47570, -1900, 1020
1900, 48150, -1900, 1020
1901, 48730, -1900, 1020
1902, 49310, -1900, 1020
1903, 49890, -1900, 1020
1904, 50630, -1900, 1020
1905, 51210, -1900, 1020
1906, 51790, -1900, 1020
1907, 52370, -1900, 1020
1908, 52950, -1900, 1020
1909, 53530, -1900, 1020
1910, 54110, -1900, 1020
1911, 54690, -1900, 1020
1912, 55430, -1900, 1020
1913, 56010, -1900, 1020
1914, 56590, -1900, 1020
1915, 57170, -1900, 1020
1916, 57750, -1900, 1020
1917, 58330, -1900, 1020
1918, 58910, -1900, 1020
1919, 59490, -1900, 1020
1920, 60205, -1900, 1020
1921, 60735, -1900, 1020
1922, 61265, -1900, 1020
1923, 61795, -1900, 1020
1924, 62325, -1900, 1020
1925, 62855, -1900, 1020
1926, 63385, -1900, 1020
1927, 63915, -1900, 1020
1928, 64610, -1900, 1020
1929, 65160, -1900, 1020
1930, 65710, -1900, 1020
1931, 66260, -1900, 1020
1932, 66810, -1900, 1020
1933, 67360, -1900, 1020
1934, 67910, -1900, 1020
1935, 68615, -1900, 1020
1936, 69165, -1900, 1020
1937, 69715, -1900, 1020
1938, 70265, -1900, 1020
1939, 70815, -1900, 1020
1940, 71365, -1900, 1020
1941, 72220, -1900, 1020
1942, -500, -1000, 1020
1943, 355, -1000, 1020
1944, 905, -1000, 1020
1945, 1455, -1000, 1020
1946, 2005, -1000, 1020
1947, 2555, -1000, 1020
1948, 3105, -1000, 1020
1949, 3810, -1000, 1020
1950, 4360, -1000, 1020
1951, 4910, -1000, 1020
1952, 5460, -1000, 1020
1953, 6010, -1000, 1020
1954, 6560, -1000, 1020

PROJECT TITLE :

MIDAS	Company		Client	
	Author		File Name	H2D_3Dg_v14_180227_StatLM.mct

1955, 7110, -1000, 1020
1956, 7805, -1000, 1020
1957, 8335, -1000, 1020
1958, 8865, -1000, 1020
1959, 9395, -1000, 1020
1960, 9925, -1000, 1020
1961, 10455, -1000, 1020
1962, 10985, -1000, 1020
1963, 11515, -1000, 1020
1964, 12230, -1000, 1020
1965, 12810, -1000, 1020
1966, 13390, -1000, 1020
1967, 13970, -1000, 1020
1968, 14550, -1000, 1020
1969, 15130, -1000, 1020
1970, 15710, -1000, 1020
1971, 16290, -1000, 1020
1972, 17030, -1000, 1020
1973, 17610, -1000, 1020
1974, 18190, -1000, 1020
1975, 18770, -1000, 1020
1976, 19350, -1000, 1020
1977, 19930, -1000, 1020
1978, 20510, -1000, 1020
1979, 21090, -1000, 1020
1980, 21830, -1000, 1020
1981, 22410, -1000, 1020
1982, 22990, -1000, 1020
1983, 23570, -1000, 1020
1984, 24150, -1000, 1020
1985, 24730, -1000, 1020
1986, 25310, -1000, 1020
1987, 25890, -1000, 1020
1988, 26630, -1000, 1020
1989, 27210, -1000, 1020
1990, 27790, -1000, 1020
1991, 28370, -1000, 1020
1992, 28950, -1000, 1020
1993, 29530, -1000, 1020
1994, 30110, -1000, 1020
1995, 30690, -1000, 1020
1996, 31430, -1000, 1020
1997, 32010, -1000, 1020
1998, 32590, -1000, 1020
1999, 33170, -1000, 1020
2000, 33750, -1000, 1020
2001, 34330, -1000, 1020
2002, 34910, -1000, 1020
2003, 35490, -1000, 1020
2004, 36230, -1000, 1020
2005, 36810, -1000, 1020
2006, 37390, -1000, 1020
2007, 37970, -1000, 1020
2008, 38550, -1000, 1020
2009, 39130, -1000, 1020
2010, 39710, -1000, 1020
2011, 40290, -1000, 1020
2012, 41030, -1000, 1020
2013, 41610, -1000, 1020
2014, 42190, -1000, 1020
2015, 42770, -1000, 1020
2016, 43350, -1000, 1020
2017, 43930, -1000, 1020
2018, 44510, -1000, 1020
2019, 45090, -1000, 1020
2020, 45830, -1000, 1020
2021, 46410, -1000, 1020
2022, 46990, -1000, 1020
2023, 47570, -1000, 1020
2024, 48150, -1000, 1020
2025, 48730, -1000, 1020
2026, 49310, -1000, 1020

2027, 49890, -1000, 1020
2028, 50630, -1000, 1020
2029, 51210, -1000, 1020
2030, 51790, -1000, 1020
2031, 52370, -1000, 1020
2032, 52950, -1000, 1020
2033, 53530, -1000, 1020
2034, 54110, -1000, 1020
2035, 54690, -1000, 1020
2036, 55430, -1000, 1020
2037, 56010, -1000, 1020
2038, 56590, -1000, 1020
2039, 57170, -1000, 1020
2040, 57750, -1000, 1020
2041, 58330, -1000, 1020
2042, 58910, -1000, 1020
2043, 59490, -1000, 1020
2044, 60205, -1000, 1020
2045, 60735, -1000, 1020
2046, 61265, -1000, 1020
2047, 61795, -1000, 1020
2048, 62325, -1000, 1020
2049, 62855, -1000, 1020
2050, 63385, -1000, 1020
2051, 63915, -1000, 1020
2052, 64610, -1000, 1020
2053, 65160, -1000, 1020
2054, 65710, -1000, 1020
2055, 66260, -1000, 1020
2056, 66810, -1000, 1020
2057, 67360, -1000, 1020
2058, 67910, -1000, 1020
2059, 68615, -1000, 1020
2060, 69165, -1000, 1020
2061, 69715, -1000, 1020
2062, 70265, -1000, 1020
2063, 70815, -1000, 1020
2064, 71365, -1000, 1020
2065, 72220, -1000, 1020
2066, -500, 1000, 1020
2067, 355, 1000, 1020
2068, 905, 1000, 1020
2069, 1455, 1000, 1020
2070, 2005, 1000, 1020
2071, 2555, 1000, 1020
2072, 3105, 1000, 1020
2073, 3810, 1000, 1020
2074, 4360, 1000, 1020
2075, 4910, 1000, 1020
2076, 5460, 1000, 1020
2077, 6010, 1000, 1020
2078, 6560, 1000, 1020
2079, 7110, 1000, 1020
2080, 7805, 1000, 1020
2081, 8335, 1000, 1020
2082, 8865, 1000, 1020
2083, 9395, 1000, 1020
2084, 9925, 1000, 1020
2085, 10455, 1000, 1020
2086, 10985, 1000, 1020
2087, 11515, 1000, 1020
2088, 12230, 1000, 1020
2089, 12810, 1000, 1020
2090, 13390, 1000, 1020
2091, 13970, 1000, 1020
2092, 14550, 1000, 1020
2093, 15130, 1000, 1020
2094, 15710, 1000, 1020
2095, 16290, 1000, 1020
2096, 17030, 1000, 1020
2097, 17610, 1000, 1020
2098, 18190, 1000, 1020

PROJECT TITLE :

MIDAS	Company		Client	
	Author		File Name	H2D_3Dg_v14_180227_StatLM.mct

2099, 18770, 1000, 1020
2100, 19350, 1000, 1020
2101, 19930, 1000, 1020
2102, 20510, 1000, 1020
2103, 21090, 1000, 1020
2104, 21830, 1000, 1020
2105, 22410, 1000, 1020
2106, 22990, 1000, 1020
2107, 23570, 1000, 1020
2108, 24150, 1000, 1020
2109, 24730, 1000, 1020
2110, 25310, 1000, 1020
2111, 25890, 1000, 1020
2112, 26630, 1000, 1020
2113, 27210, 1000, 1020
2114, 27790, 1000, 1020
2115, 28370, 1000, 1020
2116, 28950, 1000, 1020
2117, 29530, 1000, 1020
2118, 30110, 1000, 1020
2119, 30690, 1000, 1020
2120, 31430, 1000, 1020
2121, 32010, 1000, 1020
2122, 32590, 1000, 1020
2123, 33170, 1000, 1020
2124, 33750, 1000, 1020
2125, 34330, 1000, 1020
2126, 34910, 1000, 1020
2127, 35490, 1000, 1020
2128, 36230, 1000, 1020
2129, 36810, 1000, 1020
2130, 37390, 1000, 1020
2131, 37970, 1000, 1020
2132, 38550, 1000, 1020
2133, 39130, 1000, 1020
2134, 39710, 1000, 1020
2135, 40290, 1000, 1020
2136, 41030, 1000, 1020
2137, 41610, 1000, 1020
2138, 42190, 1000, 1020
2139, 42770, 1000, 1020
2140, 43350, 1000, 1020
2141, 43930, 1000, 1020
2142, 44510, 1000, 1020
2143, 45090, 1000, 1020
2144, 45830, 1000, 1020
2145, 46410, 1000, 1020
2146, 46990, 1000, 1020
2147, 47570, 1000, 1020
2148, 48150, 1000, 1020
2149, 48730, 1000, 1020
2150, 49310, 1000, 1020
2151, 49890, 1000, 1020
2152, 50630, 1000, 1020
2153, 51210, 1000, 1020
2154, 51790, 1000, 1020
2155, 52370, 1000, 1020
2156, 52950, 1000, 1020
2157, 53530, 1000, 1020
2158, 54110, 1000, 1020
2159, 54690, 1000, 1020
2160, 55430, 1000, 1020
2161, 56010, 1000, 1020
2162, 56590, 1000, 1020
2163, 57170, 1000, 1020
2164, 57750, 1000, 1020
2165, 58330, 1000, 1020
2166, 58910, 1000, 1020
2167, 59490, 1000, 1020
2168, 60205, 1000, 1020
2169, 60735, 1000, 1020
2170, 61265, 1000, 1020

2171, 61795, 1000, 1020
2172, 62325, 1000, 1020
2173, 62855, 1000, 1020
2174, 63385, 1000, 1020
2175, 63915, 1000, 1020
2176, 64610, 1000, 1020
2177, 65160, 1000, 1020
2178, 65710, 1000, 1020
2179, 66260, 1000, 1020
2180, 66810, 1000, 1020
2181, 67360, 1000, 1020
2182, 67910, 1000, 1020
2183, 68615, 1000, 1020
2184, 69165, 1000, 1020
2185, 69715, 1000, 1020
2186, 70265, 1000, 1020
2187, 70815, 1000, 1020
2188, 71365, 1000, 1020
2189, 72220, 1000, 1020
2190, -500, 1900, 1020
2191, 355, 1900, 1020
2192, 905, 1900, 1020
2193, 1455, 1900, 1020
2194, 2005, 1900, 1020
2195, 2555, 1900, 1020
2196, 3105, 1900, 1020
2197, 3810, 1900, 1020
2198, 4360, 1900, 1020
2199, 4910, 1900, 1020
2200, 5460, 1900, 1020
2201, 6010, 1900, 1020
2202, 6560, 1900, 1020
2203, 7110, 1900, 1020
2204, 7805, 1900, 1020
2205, 8335, 1900, 1020
2206, 8865, 1900, 1020
2207, 9395, 1900, 1020
2208, 9925, 1900, 1020
2209, 10455, 1900, 1020
2210, 10985, 1900, 1020
2211, 11515, 1900, 1020
2212, 12230, 1900, 1020
2213, 12810, 1900, 1020
2214, 13390, 1900, 1020
2215, 13970, 1900, 1020
2216, 14550, 1900, 1020
2217, 15130, 1900, 1020
2218, 15710, 1900, 1020
2219, 16290, 1900, 1020
2220, 17030, 1900, 1020
2221, 17610, 1900, 1020
2222, 18190, 1900, 1020
2223, 18770, 1900, 1020
2224, 19350, 1900, 1020
2225, 19930, 1900, 1020
2226, 20510, 1900, 1020
2227, 21090, 1900, 1020
2228, 21830, 1900, 1020
2229, 22410, 1900, 1020
2230, 22990, 1900, 1020
2231, 23570, 1900, 1020
2232, 24150, 1900, 1020
2233, 24730, 1900, 1020
2234, 25310, 1900, 1020
2235, 25890, 1900, 1020
2236, 26630, 1900, 1020
2237, 27210, 1900, 1020
2238, 27790, 1900, 1020
2239, 28370, 1900, 1020
2240, 28950, 1900, 1020
2241, 29530, 1900, 1020
2242, 30110, 1900, 1020

2243, 30690, 1900, 1020
2244, 31430, 1900, 1020
2245, 32010, 1900, 1020
2246, 32590, 1900, 1020
2247, 33170, 1900, 1020
2248, 33750, 1900, 1020
2249, 34330, 1900, 1020
2250, 34910, 1900, 1020
2251, 35490, 1900, 1020
2252, 36230, 1900, 1020
2253, 36810, 1900, 1020
2254, 37390, 1900, 1020
2255, 37970, 1900, 1020
2256, 38550, 1900, 1020
2257, 39130, 1900, 1020
2258, 39710, 1900, 1020
2259, 40290, 1900, 1020
2260, 41030, 1900, 1020
2261, 41610, 1900, 1020
2262, 42190, 1900, 1020
2263, 42770, 1900, 1020
2264, 43350, 1900, 1020
2265, 43930, 1900, 1020
2266, 44510, 1900, 1020
2267, 45090, 1900, 1020
2268, 45830, 1900, 1020
2269, 46410, 1900, 1020
2270, 46990, 1900, 1020
2271, 47570, 1900, 1020
2272, 48150, 1900, 1020
2273, 48730, 1900, 1020
2274, 49310, 1900, 1020
2275, 49890, 1900, 1020
2276, 50630, 1900, 1020
2277, 51210, 1900, 1020
2278, 51790, 1900, 1020
2279, 52370, 1900, 1020
2280, 52950, 1900, 1020
2281, 53530, 1900, 1020
2282, 54110, 1900, 1020
2283, 54690, 1900, 1020
2284, 55430, 1900, 1020
2285, 56010, 1900, 1020
2286, 56590, 1900, 1020
2287, 57170, 1900, 1020
2288, 57750, 1900, 1020
2289, 58330, 1900, 1020
2290, 58910, 1900, 1020
2291, 59490, 1900, 1020
2292, 60205, 1900, 1020
2293, 60735, 1900, 1020
2294, 61265, 1900, 1020
2295, 61795, 1900, 1020
2296, 62325, 1900, 1020
2297, 62855, 1900, 1020
2298, 63385, 1900, 1020
2299, 63915, 1900, 1020
2300, 64610, 1900, 1020
2301, 65160, 1900, 1020
2302, 65710, 1900, 1020
2303, 66260, 1900, 1020
2304, 66810, 1900, 1020
2305, 67360, 1900, 1020
2306, 67910, 1900, 1020
2307, 68615, 1900, 1020
2308, 69165, 1900, 1020
2309, 69715, 1900, 1020
2310, 70265, 1900, 1020
2311, 70815, 1900, 1020
2312, 71365, 1900, 1020
2313, 72220, 1900, 1020
2314, -500, 2800, 1020

2315, 355, 2800, 1020
2316, 905, 2800, 1020
2317, 1455, 2800, 1020
2318, 2005, 2800, 1020
2319, 2555, 2800, 1020
2320, 3105, 2800, 1020
2321, 3810, 2800, 1020
2322, 4360, 2800, 1020
2323, 4910, 2800, 1020
2324, 5460, 2800, 1020
2325, 6010, 2800, 1020
2326, 6560, 2800, 1020
2327, 7110, 2800, 1020
2328, 7805, 2800, 1020
2329, 8335, 2800, 1020
2330, 8865, 2800, 1020
2331, 9395, 2800, 1020
2332, 9925, 2800, 1020
2333, 10455, 2800, 1020
2334, 10985, 2800, 1020
2335, 11515, 2800, 1020
2336, 12230, 2800, 1020
2337, 12810, 2800, 1020
2338, 13390, 2800, 1020
2339, 13970, 2800, 1020
2340, 14550, 2800, 1020
2341, 15130, 2800, 1020
2342, 15710, 2800, 1020
2343, 16290, 2800, 1020
2344, 17030, 2800, 1020
2345, 17610, 2800, 1020
2346, 18190, 2800, 1020
2347, 18770, 2800, 1020
2348, 19350, 2800, 1020
2349, 19930, 2800, 1020
2350, 20510, 2800, 1020
2351, 21090, 2800, 1020
2352, 21830, 2800, 1020
2353, 22410, 2800, 1020
2354, 22990, 2800, 1020
2355, 23570, 2800, 1020
2356, 24150, 2800, 1020
2357, 24730, 2800, 1020
2358, 25310, 2800, 1020
2359, 25890, 2800, 1020
2360, 26630, 2800, 1020
2361, 27210, 2800, 1020
2362, 27790, 2800, 1020
2363, 28370, 2800, 1020
2364, 28950, 2800, 1020
2365, 29530, 2800, 1020
2366, 30110, 2800, 1020
2367, 30690, 2800, 1020
2368, 31430, 2800, 1020
2369, 32010, 2800, 1020
2370, 32590, 2800, 1020
2371, 33170, 2800, 1020
2372, 33750, 2800, 1020
2373, 34330, 2800, 1020
2374, 34910, 2800, 1020
2375, 35490, 2800, 1020
2376, 36230, 2800, 1020
2377, 36810, 2800, 1020
2378, 37390, 2800, 1020
2379, 37970, 2800, 1020
2380, 38550, 2800, 1020
2381, 39130, 2800, 1020
2382, 39710, 2800, 1020
2383, 40290, 2800, 1020
2384, 41030, 2800, 1020
2385, 41610, 2800, 1020
2386, 42190, 2800, 1020

PROJECT TITLE :

MIDAS	Company		Client	
	Author		File Name	H2D_3Dg_v14_180227_StatLM.mct

2387, 42770, 2800, 1020
2388, 43350, 2800, 1020
2389, 43930, 2800, 1020
2390, 44510, 2800, 1020
2391, 45090, 2800, 1020
2392, 45830, 2800, 1020
2393, 46410, 2800, 1020
2394, 46990, 2800, 1020
2395, 47570, 2800, 1020
2396, 48150, 2800, 1020
2397, 48730, 2800, 1020
2398, 49310, 2800, 1020
2399, 49890, 2800, 1020
2400, 50630, 2800, 1020
2401, 51210, 2800, 1020
2402, 51790, 2800, 1020
2403, 52370, 2800, 1020
2404, 52950, 2800, 1020
2405, 53530, 2800, 1020
2406, 54110, 2800, 1020
2407, 54690, 2800, 1020
2408, 55430, 2800, 1020
2409, 56010, 2800, 1020
2410, 56590, 2800, 1020
2411, 57170, 2800, 1020
2412, 57750, 2800, 1020
2413, 58330, 2800, 1020
2414, 58910, 2800, 1020
2415, 59490, 2800, 1020
2416, 60205, 2800, 1020
2417, 60735, 2800, 1020
2418, 61265, 2800, 1020
2419, 61795, 2800, 1020
2420, 62325, 2800, 1020
2421, 62855, 2800, 1020
2422, 63385, 2800, 1020
2423, 63915, 2800, 1020
2424, 64610, 2800, 1020
2425, 65160, 2800, 1020
2426, 65710, 2800, 1020
2427, 66260, 2800, 1020
2428, 66810, 2800, 1020
2429, 67360, 2800, 1020
2430, 67910, 2800, 1020
2431, 68615, 2800, 1020
2432, 69165, 2800, 1020
2433, 69715, 2800, 1020
2434, 70265, 2800, 1020
2435, 70815, 2800, 1020
2436, 71365, 2800, 1020
2437, 72220, 2800, 1020
2438, 0, -1900, 1020
2439, 3460, -1900, 1020
2440, 7460, -1900, 1020
2441, 11860, -1900, 1020
2442, 16660, -1900, 1020
2443, 21460, -1900, 1020
2444, 26260, -1900, 1020
2445, 31060, -1900, 1020
2446, 35860, -1900, 1020
2447, 40660, -1900, 1020
2448, 45460, -1900, 1020
2449, 50260, -1900, 1020
2450, 55060, -1900, 1020
2451, 59860, -1900, 1020
2452, 64260, -1900, 1020
2453, 68260, -1900, 1020
2454, 71720, -1900, 1020
2455, 0, 1900, 1020
2456, 3460, 1900, 1020
2457, 7460, 1900, 1020
2458, 11860, 1900, 1020

PROJECT TITLE :

MIDAS	Company		Client	
	Author		File Name	H2D_3Dg_v14_180227_StatLM.mct

2459, 16660, 1900, 1020
2460, 21460, 1900, 1020
2461, 26260, 1900, 1020
2462, 31060, 1900, 1020
2463, 35860, 1900, 1020
2464, 40660, 1900, 1020
2465, 45460, 1900, 1020
2466, 50260, 1900, 1020
2467, 55060, 1900, 1020
2468, 59860, 1900, 1020
2469, 64260, 1900, 1020
2470, 68260, 1900, 1020
2471, 71720, 1900, 1020
2472, 16660, 4400, 0
2473, 26260, 4400, 0
2474, 35860, 4400, 0
2475, 0, 4400, 7355
2476, 55060, 4400, 0
2477, 45460, 4400, 0
2478, 71720, 4400, 7355
2479, 16660, -4400, 0
2480, 21460, -4400, 90
2481, 26260, -4400, 0
2482, 35860, -4400, 0
2483, 55060, -4400, 0
2484, 45460, -4400, 0
2485, 64260, -4400, 0
2486, 64260, 4400, 0
2487, 3460, 0, 0
2488, 7460, 4400, 0
2489, 7460, -4400, 0
2490, 11860, 0, 0
2491, 21460, 0, 0
2492, 31060, 0, 0
2493, 68260, 0, 0
2494, 59860, 0, 0
2495, 50260, 0, 0
2496, 40660, 0, 0
2505, 0, 0, 0
2506, 37060, 4400, 12373.175
2507, 0, 4800, 530
2508, 0, 5700, 530
2509, 0, 6250, 530
2510, 0, 6710, 530
2511, 3460, 4800, 530
2512, 3460, 5700, 530
2513, 3460, 6250, 530
2514, 3460, 6710, 530
2515, 7460, 4800, 530
2516, 7460, 5700, 530
2517, 7460, 6250, 530
2518, 7460, 6710, 530
2519, 11860, 4800, 530
2520, 11860, 5700, 530
2521, 11860, 6250, 530
2522, 11860, 6710, 530
2523, 16660, 4800, 530
2524, 16660, 5700, 530
2525, 16660, 6250, 530
2526, 16660, 6710, 530
2527, 21460, 4800, 530
2528, 21460, 5700, 530
2529, 21460, 6250, 530
2530, 21460, 6710, 530
2531, 26260, 4800, 530
2532, 26260, 5700, 530
2533, 26260, 6250, 530
2534, 26260, 6710, 530
2535, 31060, 4800, 530
2536, 31060, 5700, 530
2537, 31060, 6250, 530
2538, 31060, 6710, 530

PROJECT TITLE :

MIDAS	Company		Client	
	Author		File Name	H2D_3Dg_v14_180227_StatLM.mct

2539, 35860, 4800, 530
2540, 35860, 5700, 530
2541, 35860, 6250, 530
2542, 35860, 6710, 530
2543, 40660, 4800, 530
2544, 40660, 5700, 530
2545, 40660, 6250, 530
2546, 40660, 6710, 530
2547, 45460, 4800, 530
2548, 45460, 5700, 530
2549, 45460, 6250, 530
2550, 45460, 6710, 530
2551, 50260, 4800, 530
2552, 50260, 5700, 530
2553, 50260, 6250, 530
2554, 50260, 6710, 530
2555, 55060, 4800, 530
2556, 55060, 5700, 530
2557, 55060, 6250, 530
2558, 55060, 6710, 530
2559, 59860, 4800, 530
2560, 59860, 5700, 530
2561, 59860, 6250, 530
2562, 59860, 6710, 530
2563, 64260, 4800, 530
2564, 64260, 5700, 530
2565, 64260, 6250, 530
2566, 64260, 6710, 530
2567, 68260, 4800, 530
2568, 68260, 5700, 530
2569, 68260, 6250, 530
2570, 68260, 6710, 530
2571, 71720, 4800, 530
2572, 71720, 5700, 530
2573, 71720, 6250, 530
2574, 71720, 6710, 530
2575, 0, -4800, 530
2576, 0, -5700, 530
2577, 0, -6250, 530
2578, 0, -6710, 530
2579, 3460, -4800, 530
2580, 3460, -5700, 530
2581, 3460, -6250, 530
2582, 3460, -6710, 530
2583, 7460, -4800, 530
2584, 7460, -5700, 530
2585, 7460, -6250, 530
2586, 7460, -6710, 530
2587, 11860, -4800, 530
2588, 11860, -5700, 530
2589, 11860, -6250, 530
2590, 11860, -6710, 530
2591, 16660, -4800, 530
2592, 16660, -5700, 530
2593, 16660, -6250, 530
2594, 16660, -6710, 530
2595, 21460, -4800, 530
2596, 21460, -5700, 530
2597, 21460, -6250, 530
2598, 21460, -6710, 530
2599, 26260, -4800, 530
2600, 26260, -5700, 530
2601, 26260, -6250, 530
2602, 26260, -6710, 530
2603, 31060, -4800, 530
2604, 31060, -5700, 530
2605, 31060, -6250, 530
2606, 31060, -6710, 530
2607, 35860, -4800, 530
2608, 35860, -5700, 530
2609, 35860, -6250, 530
2610, 35860, -6710, 530

PROJECT TITLE :

MIDAS	Company		Client	
	Author		File Name	H2D_3Dg_v14_180227_StatLM.mct

2611, 40660, -4800, 530
2612, 40660, -5700, 530
2613, 40660, -6250, 530
2614, 40660, -6710, 530
2615, 45460, -4800, 530
2616, 45460, -5700, 530
2617, 45460, -6250, 530
2618, 45460, -6710, 530
2619, 50260, -4800, 530
2620, 50260, -5700, 530
2621, 50260, -6250, 530
2622, 50260, -6710, 530
2623, 55060, -4800, 530
2624, 55060, -5700, 530
2625, 55060, -6250, 530
2626, 55060, -6710, 530
2627, 59860, -4800, 530
2628, 59860, -5700, 530
2629, 59860, -6250, 530
2630, 59860, -6710, 530
2631, 64260, -4800, 530
2632, 64260, -5700, 530
2633, 64260, -6250, 530
2634, 64260, -6710, 530
2635, 68260, -4800, 530
2636, 68260, -5700, 530
2637, 68260, -6250, 530
2638, 68260, -6710, 530
2639, 71720, -4800, 530
2640, 71720, -5700, 530
2641, 71720, -6250, 530
2642, 71720, -6710, 530
2643, 3189.248, 4400, 3704.519
2644, 3730.752, 4400, 3260.929
2645, 7196.034, 4400, 4210.842
2646, 7723.966, 4400, 3751.181
2647, 11603.261, 4400, 4794.208
2648, 12116.739, 4400, 4318.456
2649, 16412.758, 4400, 5147.262
2650, 16907.242, 4400, 4651.797
2651, 21226.377, 4400, 5584.012
2652, 21693.623, 4400, 5062.782
2653, 26035.197, 4400, 5972.149
2654, 26484.803, 4400, 5435.628
2655, 30758.074, 4400, 6349.887
2656, 31278.717, 4400, 5699.443
2657, 31273.924, 4400, 6461.405
2660, 35644.838, 4400, 5858.334
2661, 36075.162, 4400, 6410.44
2664, 40961.926, 4400, 6349.887
2665, 40441.283, 4400, 5699.443
2667, 45235.197, 4400, 5435.628
2668, 45684.803, 4400, 5972.149
2669, 50026.377, 4400, 5062.782
2670, 50493.623, 4400, 5584.012
2671, 54812.758, 4400, 4651.797
2672, 55307.242, 4400, 5147.262
2673, 59603.261, 4400, 4318.456
2674, 60116.739, 4400, 4794.208
2675, 63996.034, 4400, 3751.181
2676, 64523.966, 4400, 4210.842
2677, 67989.248, 4400, 3260.929
2678, 68530.752, 4400, 3704.519
2679, 3189.248, -4400, 3704.519
2680, 3730.752, -4400, 3260.929
2681, 7196.034, -4400, 4210.842
2682, 7723.966, -4400, 3751.181
2683, 11603.261, -4400, 4794.208
2684, 12116.739, -4400, 4318.456
2685, 16412.758, -4400, 5147.262
2686, 16907.242, -4400, 4651.797
2687, 21226.377, -4400, 5584.012

2688, 21693.623, -4400, 5062.782
2689, 26035.197, -4400, 5972.149
2690, 26484.803, -4400, 5435.628
2691, 30758.074, -4400, 6349.887
2692, 31278.717, -4400, 5699.443
2693, 31273.924, -4400, 6461.405
2696, 35644.838, -4400, 5858.334
2697, 36075.162, -4400, 6410.44
2700, 40961.926, -4400, 6349.887
2701, 40441.283, -4400, 5699.443
2702, 30762.866, -4400, 5799.629
2703, 45235.197, -4400, 5435.628
2704, 45684.803, -4400, 5972.149
2705, 50026.377, -4400, 5062.782
2706, 50493.623, -4400, 5584.012
2707, 54812.758, -4400, 4651.797
2708, 55307.242, -4400, 5147.262
2709, 59603.261, -4400, 4318.456
2710, 60116.739, -4400, 4794.208
2711, 63996.034, -4400, 3751.181
2712, 64523.966, -4400, 4210.842
2713, 67989.248, -4400, 3260.929
2714, 68530.752, -4400, 3704.519
2715, 33209.356, -4400, 3287.476
2716, 33646.79, -4400, 2740.986
2717, 38073.21, -4400, 2740.986
2718, 38510.644, -4400, 3287.476
2719, 33209.356, 4400, 3287.476
2720, 33646.79, 4400, 2740.986
2721, 38073.21, 4400, 2740.986
2722, 38510.644, 4400, 3287.476

*ELEMENT ; Elements
; iEL, TYPE, iMAT, iPRO, iN1, iN2, ANGLE, iSUB, EXVAL, iOPT(EXVAL2) ; Frame Element
; iEL, TYPE, iMAT, iPRO, iN1, iN2, ANGLE, iSUB, EXVAL, EXVAL2, bLMT ; Comp/Tens Truss
; iEL, TYPE, iMAT, iPRO, iN1, iN2, iN3, iN4, iSUB, iWID , LCAXIS ; Planar Element
; iEL, TYPE, iMAT, iPRO, iN1, iN2, iN3, iN4, iN5, iN6, iN7, iN8 ; Solid Element
; iEL, TYPE, iMAT, iPRO, iN1, iN2, REF, RPX, RPY, RPZ, iSUB, EXVAL ; Frame(Ref. Point)
1, BEAM , 4, 7, 1, 2, 0, 0
2, BEAM , 4, 7, 2, 3, 0, 0
3, BEAM , 4, 8, 3, 4, 0, 0
4, BEAM , 4, 8, 4, 1226, 0, 0
5, BEAM , 4, 9, 1226, 6, 0, 0
6, BEAM , 4, 9, 6, 7, 0, 0
7, BEAM , 4, 10, 7, 8, 0, 0
8, BEAM , 4, 11, 8, 9, 0, 0
9, BEAM , 4, 11, 9, 1232, 0, 0
10, BEAM , 4, 11, 1232, 11, 0, 0
11, BEAM , 4, 11, 11, 12, 0, 0
12, BEAM , 4, 12, 12, 13, 0, 0
13, BEAM , 4, 12, 13, 1238, 0, 0
14, BEAM , 4, 12, 1238, 15, 0, 0
15, BEAM , 4, 12, 15, 16, 0, 0
16, BEAM , 4, 12, 16, 17, 0, 0
17, BEAM , 4, 12, 17, 1244, 0, 0
18, BEAM , 4, 12, 1244, 19, 0, 0
19, BEAM , 4, 12, 19, 20, 0, 0
20, BEAM , 4, 12, 20, 21, 0, 0
21, BEAM , 4, 12, 21, 1250, 0, 0
22, BEAM , 4, 12, 1250, 23, 0, 0
23, BEAM , 4, 12, 23, 24, 0, 0
24, BEAM , 4, 11, 24, 25, 0, 0
25, BEAM , 4, 11, 25, 1256, 0, 0
26, BEAM , 4, 11, 1256, 27, 0, 0
27, BEAM , 4, 11, 27, 28, 0, 0
28, BEAM , 4, 10, 28, 29, 0, 0
29, BEAM , 4, 9, 29, 30, 0, 0
30, BEAM , 4, 9, 30, 1262, 0, 0
31, BEAM , 4, 8, 1262, 32, 0, 0
32, BEAM , 4, 8, 32, 33, 0, 0
33, BEAM , 4, 7, 33, 34, 0, 0
34, BEAM , 4, 7, 34, 35, 0, 0

35, BEAM , 4, 7, 36, 37, 0, 0
36, BEAM , 4, 7, 37, 38, 0, 0
37, BEAM , 4, 8, 38, 39, 0, 0
38, BEAM , 4, 8, 39, 1229, 0, 0
39, BEAM , 4, 9, 1229, 41, 0, 0
40, BEAM , 4, 9, 41, 42, 0, 0
41, BEAM , 4, 10, 42, 43, 0, 0
42, BEAM , 4, 11, 43, 44, 0, 0
43, BEAM , 4, 11, 44, 1235, 0, 0
44, BEAM , 4, 11, 1235, 46, 0, 0
45, BEAM , 4, 11, 46, 47, 0, 0
46, BEAM , 4, 12, 47, 48, 0, 0
47, BEAM , 4, 12, 48, 1241, 0, 0
48, BEAM , 4, 12, 1241, 50, 0, 0
49, BEAM , 4, 12, 50, 51, 0, 0
50, BEAM , 4, 12, 51, 52, 0, 0
51, BEAM , 4, 12, 52, 1247, 0, 0
52, BEAM , 4, 12, 54, 1247, 0, 0
53, BEAM , 4, 12, 54, 55, 0, 0
54, BEAM , 4, 12, 55, 56, 0, 0
55, BEAM , 4, 12, 56, 1253, 0, 0
56, BEAM , 4, 12, 1253, 58, 0, 0
57, BEAM , 4, 12, 58, 59, 0, 0
58, BEAM , 4, 11, 59, 60, 0, 0
59, BEAM , 4, 11, 60, 1259, 0, 0
60, BEAM , 4, 11, 1259, 62, 0, 0
61, BEAM , 4, 11, 62, 63, 0, 0
62, BEAM , 4, 10, 63, 64, 0, 0
63, BEAM , 4, 9, 64, 65, 0, 0
64, BEAM , 4, 9, 65, 1265, 0, 0
65, BEAM , 4, 8, 1265, 67, 0, 0
66, BEAM , 4, 8, 67, 68, 0, 0
67, BEAM , 4, 7, 68, 69, 0, 0
68, BEAM , 4, 7, 69, 70, 0, 0
69, BEAM , 4, 2, 71, 72, 0, 0
70, BEAM , 4, 2, 72, 73, 0, 0
71, BEAM , 4, 2, 73, 74, 0, 0
72, BEAM , 4, 2, 74, 75, 0, 0
73, BEAM , 4, 2, 75, 76, 0, 0
74, BEAM , 4, 2, 76, 77, 0, 0
75, BEAM , 4, 2, 77, 78, 0, 0
76, BEAM , 4, 3, 78, 79, 0, 0
77, BEAM , 4, 3, 79, 80, 0, 0
78, BEAM , 4, 3, 80, 81, 0, 0
79, BEAM , 4, 3, 81, 82, 0, 0
80, BEAM , 4, 4, 82, 83, 0, 0
81, BEAM , 4, 4, 83, 84, 0, 0
82, BEAM , 4, 4, 84, 85, 0, 0
83, BEAM , 4, 5, 85, 86, 0, 0
84, BEAM , 4, 5, 86, 87, 0, 0
85, BEAM , 4, 5, 87, 88, 0, 0
86, BEAM , 4, 6, 88, 89, 0, 0
87, BEAM , 4, 6, 89, 90, 0, 0
88, BEAM , 4, 6, 90, 91, 0, 0
89, BEAM , 4, 6, 91, 92, 0, 0
90, BEAM , 4, 6, 92, 93, 0, 0
91, BEAM , 4, 6, 93, 94, 0, 0
92, BEAM , 4, 6, 94, 95, 0, 0
93, BEAM , 4, 6, 95, 96, 0, 0
94, BEAM , 4, 6, 96, 97, 0, 0
95, BEAM , 4, 6, 97, 98, 0, 0
96, BEAM , 4, 6, 98, 99, 0, 0
97, BEAM , 4, 6, 99, 100, 0, 0
98, BEAM , 4, 6, 100, 101, 0, 0
99, BEAM , 4, 6, 101, 102, 0, 0
100, BEAM , 4, 6, 102, 103, 0, 0
101, BEAM , 4, 6, 103, 104, 0, 0
102, BEAM , 4, 5, 104, 105, 0, 0
103, BEAM , 4, 5, 105, 106, 0, 0
104, BEAM , 4, 5, 106, 107, 0, 0
105, BEAM , 4, 4, 107, 108, 0, 0
106, BEAM , 4, 4, 108, 109, 0, 0

PROJECT TITLE :

MIDAS	Company		Client	
	Author		File Name	H2D_3Dg_v14_180227_StatLM.mct

107, BEAM , 4, 4, 109, 110, 0, 0
108, BEAM , 4, 3, 110, 111, 0, 0
109, BEAM , 4, 3, 111, 112, 0, 0
110, BEAM , 4, 3, 112, 113, 0, 0
111, BEAM , 4, 3, 113, 114, 0, 0
112, BEAM , 4, 2, 114, 115, 0, 0
113, BEAM , 4, 2, 115, 116, 0, 0
114, BEAM , 4, 2, 116, 117, 0, 0
115, BEAM , 4, 2, 117, 118, 0, 0
116, BEAM , 4, 2, 118, 119, 0, 0
117, BEAM , 4, 2, 119, 120, 0, 0
118, BEAM , 4, 2, 120, 121, 0, 0
119, BEAM , 4, 2, 122, 123, 0, 0
120, BEAM , 4, 2, 123, 124, 0, 0
121, BEAM , 4, 2, 124, 125, 0, 0
122, BEAM , 4, 2, 125, 126, 0, 0
123, BEAM , 4, 2, 126, 127, 0, 0
124, BEAM , 4, 2, 127, 128, 0, 0
125, BEAM , 4, 2, 128, 129, 0, 0
126, BEAM , 4, 3, 129, 130, 0, 0
127, BEAM , 4, 3, 130, 131, 0, 0
128, BEAM , 4, 3, 131, 132, 0, 0
129, BEAM , 4, 3, 132, 133, 0, 0
130, BEAM , 4, 4, 133, 134, 0, 0
131, BEAM , 4, 4, 134, 135, 0, 0
132, BEAM , 4, 4, 135, 136, 0, 0
133, BEAM , 4, 5, 136, 137, 0, 0
134, BEAM , 4, 5, 137, 138, 0, 0
135, BEAM , 4, 5, 138, 139, 0, 0
136, BEAM , 4, 6, 139, 140, 0, 0
137, BEAM , 4, 6, 140, 141, 0, 0
138, BEAM , 4, 6, 141, 142, 0, 0
139, BEAM , 4, 6, 142, 143, 0, 0
140, BEAM , 4, 6, 143, 144, 0, 0
141, BEAM , 4, 6, 144, 145, 0, 0
142, BEAM , 4, 6, 145, 146, 0, 0
143, BEAM , 4, 6, 146, 147, 0, 0
144, BEAM , 4, 6, 147, 148, 0, 0
145, BEAM , 4, 6, 148, 149, 0, 0
146, BEAM , 4, 6, 149, 150, 0, 0
147, BEAM , 4, 6, 150, 151, 0, 0
148, BEAM , 4, 6, 151, 152, 0, 0
149, BEAM , 4, 6, 152, 153, 0, 0
150, BEAM , 4, 6, 153, 154, 0, 0
151, BEAM , 4, 6, 154, 155, 0, 0
152, BEAM , 4, 5, 155, 156, 0, 0
153, BEAM , 4, 5, 156, 157, 0, 0
154, BEAM , 4, 5, 157, 158, 0, 0
155, BEAM , 4, 4, 158, 159, 0, 0
156, BEAM , 4, 4, 159, 160, 0, 0
157, BEAM , 4, 4, 160, 161, 0, 0
158, BEAM , 4, 3, 161, 162, 0, 0
159, BEAM , 4, 3, 162, 163, 0, 0
160, BEAM , 4, 3, 163, 164, 0, 0
161, BEAM , 4, 3, 164, 165, 0, 0
162, BEAM , 4, 2, 165, 166, 0, 0
163, BEAM , 4, 2, 166, 167, 0, 0
164, BEAM , 4, 2, 167, 168, 0, 0
165, BEAM , 4, 2, 168, 169, 0, 0
166, BEAM , 4, 2, 169, 170, 0, 0
167, BEAM , 4, 2, 170, 171, 0, 0
168, BEAM , 4, 2, 171, 172, 0, 0
169, BEAM , 4, 13, 174, 173, 90, 0
170, BEAM , 4, 13, 175, 173, 90, 0
171, BEAM , 4, 13, 176, 174, 90, 0
172, BEAM , 4, 14, 2679, 175, 90, 0
173, BEAM , 4, 13, 177, 176, 90, 0
174, BEAM , 4, 15, 180, 179, 90, 0
175, BEAM , 4, 14, 181, 2680, 90, 0
176, BEAM , 4, 15, 2681, 180, 90, 0
177, BEAM , 4, 14, 182, 181, 90, 0
178, BEAM , 4, 16, 184, 1226, 90, 0

PROJECT TITLE :

MIDAS	Company		Client	
	Author		File Name	H2D_3Dg_v14_180227_StatLM.mct

179, BEAM , 4, 15, 185, 2682, 90, 0
180, BEAM , 4, 16, 2683, 184, 90, 0
181, BEAM , 4, 15, 79, 185, 90, 0
182, BEAM , 4, 17, 187, 8, 90, 0
183, BEAM , 4, 16, 188, 2684, 90, 0
184, BEAM , 4, 17, 2685, 187, 90, 0
185, BEAM , 4, 16, 81, 188, 90, 0
186, BEAM , 4, 18, 190, 1232, 90, 0
187, BEAM , 4, 17, 191, 2686, 90, 0
188, BEAM , 4, 18, 2687, 190, 90, 0
189, BEAM , 4, 17, 84, 191, 90, 0
190, BEAM , 4, 19, 193, 12, 90, 0
191, BEAM , 4, 18, 194, 2688, 90, 0
192, BEAM , 4, 19, 2689, 193, 90, 0
193, BEAM , 4, 18, 87, 194, 90, 0
194, BEAM , 4, 20, 196, 1238, 90, 0
195, BEAM , 4, 22, 89, 197, 90, 0
196, BEAM , 4, 19, 198, 2690, 90, 0
197, BEAM , 4, 22, 197, 198, 90, 0
198, BEAM , 4, 20, 2691, 196, 90, 0
199, BEAM , 4, 19, 199, 198, 90, 0
200, BEAM , 4, 22, 198, 200, 90, 0
201, BEAM , 4, 19, 91, 199, 90, 0
202, BEAM , 4, 20, 200, 201, 90, 0
203, BEAM , 4, 22, 200, 202, 90, 0
204, BEAM , 4, 21, 203, 16, 90, 0
205, BEAM , 4, 21, 93, 204, 90, 0
206, BEAM , 4, 20, 2715, 2692, 90, 0
207, BEAM , 4, 22, 202, 206, 90, 0
208, BEAM , 4, 21, 206, 203, 90, 0
209, BEAM , 4, 21, 204, 205, 90, 0
210, BEAM , 4, 20, 207, 2716, 90, 0
211, BEAM , 4, 22, 206, 208, 90, 0
212, BEAM , 4, 21, 205, 2696, 90, 0
213, BEAM , 4, 21, 209, 206, 90, 0
214, BEAM , 4, 20, 95, 207, 90, 0
215, BEAM , 4, 22, 208, 1244, 90, 0
216, BEAM , 4, 22, 210, 1244, 90, 0
217, BEAM , 4, 20, 97, 211, 90, 0
218, BEAM , 4, 21, 213, 209, 90, 0
219, BEAM , 4, 21, 2697, 212, 90, 0
220, BEAM , 4, 22, 212, 210, 90, 0
221, BEAM , 4, 20, 211, 2717, 90, 0
222, BEAM , 4, 21, 214, 213, 90, 0
223, BEAM , 4, 21, 212, 215, 90, 0
224, BEAM , 4, 20, 2701, 2718, 90, 0
225, BEAM , 4, 22, 217, 212, 90, 0
226, BEAM , 4, 21, 214, 99, 90, 0
227, BEAM , 4, 21, 215, 20, 90, 0
228, BEAM , 4, 20, 218, 216, 90, 0
229, BEAM , 4, 22, 218, 217, 90, 0
230, BEAM , 4, 19, 101, 219, 90, 0
231, BEAM , 4, 22, 220, 218, 90, 0
232, BEAM , 4, 19, 219, 220, 90, 0
233, BEAM , 4, 20, 2700, 222, 90, 0
234, BEAM , 4, 22, 221, 220, 90, 0
235, BEAM , 4, 19, 220, 2703, 90, 0
236, BEAM , 4, 22, 103, 221, 90, 0
237, BEAM , 4, 20, 222, 1250, 90, 0
238, BEAM , 4, 18, 105, 224, 90, 0
239, BEAM , 4, 19, 2704, 225, 90, 0
240, BEAM , 4, 18, 224, 2705, 90, 0
241, BEAM , 4, 19, 225, 24, 90, 0
242, BEAM , 4, 17, 108, 227, 90, 0
243, BEAM , 4, 18, 2706, 228, 90, 0
244, BEAM , 4, 17, 227, 2707, 90, 0
245, BEAM , 4, 18, 228, 1256, 90, 0
246, BEAM , 4, 16, 111, 230, 90, 0
247, BEAM , 4, 17, 2708, 231, 90, 0
248, BEAM , 4, 16, 230, 2709, 90, 0
249, BEAM , 4, 17, 231, 28, 90, 0
250, BEAM , 4, 15, 113, 233, 90, 0

PROJECT TITLE :

MIDAS	Company		Client	
	Author		File Name	H2D_3Dg_v14_180227_StatLM.mct

251, BEAM , 4, 16, 2710, 234, 90, 0
252, BEAM , 4, 15, 233, 2711, 90, 0
253, BEAM , 4, 16, 234, 1262, 90, 0
254, BEAM , 4, 14, 235, 237, 90, 0
255, BEAM , 4, 15, 2712, 238, 90, 0
256, BEAM , 4, 14, 237, 2713, 90, 0
257, BEAM , 4, 15, 238, 241, 90, 0
258, BEAM , 4, 13, 239, 242, 90, 0
259, BEAM , 4, 14, 2714, 243, 90, 0
260, BEAM , 4, 13, 242, 244, 90, 0
261, BEAM , 4, 13, 243, 245, 90, 0
262, BEAM , 4, 13, 244, 245, 90, 0
263, BEAM , 4, 13, 247, 246, 90, 0
264, BEAM , 4, 13, 248, 246, 90, 0
265, BEAM , 4, 13, 249, 247, 90, 0
266, BEAM , 4, 14, 2643, 248, 90, 0
267, BEAM , 4, 13, 250, 249, 90, 0
268, BEAM , 4, 15, 253, 252, 90, 0
269, BEAM , 4, 14, 254, 2644, 90, 0
270, BEAM , 4, 15, 2645, 253, 90, 0
271, BEAM , 4, 14, 255, 254, 90, 0
272, BEAM , 4, 16, 257, 1229, 90, 0
273, BEAM , 4, 15, 258, 2646, 90, 0
274, BEAM , 4, 16, 2647, 257, 90, 0
275, BEAM , 4, 15, 130, 258, 90, 0
276, BEAM , 4, 17, 260, 43, 90, 0
277, BEAM , 4, 16, 261, 2648, 90, 0
278, BEAM , 4, 17, 2649, 260, 90, 0
279, BEAM , 4, 16, 132, 261, 90, 0
280, BEAM , 4, 18, 263, 1235, 90, 0
281, BEAM , 4, 17, 264, 2650, 90, 0
282, BEAM , 4, 18, 2651, 263, 90, 0
283, BEAM , 4, 17, 135, 264, 90, 0
284, BEAM , 4, 19, 266, 47, 90, 0
285, BEAM , 4, 18, 267, 2652, 90, 0
286, BEAM , 4, 19, 2653, 266, 90, 0
287, BEAM , 4, 18, 138, 267, 90, 0
288, BEAM , 4, 20, 269, 1241, 90, 0
289, BEAM , 4, 22, 140, 270, 90, 0
290, BEAM , 4, 19, 271, 2654, 90, 0
291, BEAM , 4, 22, 270, 271, 90, 0
292, BEAM , 4, 20, 2655, 269, 90, 0
293, BEAM , 4, 19, 272, 271, 90, 0
294, BEAM , 4, 22, 271, 273, 90, 0
295, BEAM , 4, 19, 142, 272, 90, 0
296, BEAM , 4, 20, 273, 274, 90, 0
297, BEAM , 4, 22, 273, 275, 90, 0
298, BEAM , 4, 21, 276, 51, 90, 0
299, BEAM , 4, 21, 144, 277, 90, 0
300, BEAM , 4, 20, 2719, 2656, 90, 0
301, BEAM , 4, 22, 275, 279, 90, 0
302, BEAM , 4, 21, 279, 276, 90, 0
303, BEAM , 4, 21, 277, 278, 90, 0
304, BEAM , 4, 20, 280, 2720, 90, 0
305, BEAM , 4, 22, 279, 281, 90, 0
306, BEAM , 4, 21, 278, 2660, 90, 0
307, BEAM , 4, 21, 282, 279, 90, 0
308, BEAM , 4, 20, 146, 280, 90, 0
309, BEAM , 4, 22, 281, 1247, 90, 0
310, BEAM , 4, 22, 283, 1247, 90, 0
311, BEAM , 4, 20, 148, 284, 90, 0
312, BEAM , 4, 21, 286, 282, 90, 0
313, BEAM , 4, 21, 2661, 285, 90, 0
314, BEAM , 4, 22, 285, 283, 90, 0
315, BEAM , 4, 20, 284, 2721, 90, 0
316, BEAM , 4, 21, 287, 286, 90, 0
317, BEAM , 4, 21, 285, 288, 90, 0
318, BEAM , 4, 20, 2665, 2722, 90, 0
319, BEAM , 4, 22, 290, 285, 90, 0
320, BEAM , 4, 21, 287, 150, 90, 0
321, BEAM , 4, 21, 288, 55, 90, 0
322, BEAM , 4, 20, 291, 289, 90, 0

PROJECT TITLE :

MIDAS	Company		Client	
	Author		File Name	H2D_3Dg_v14_180227_StatLM.mct

323, BEAM , 4, 22, 291, 290, 90, 0
324, BEAM , 4, 19, 152, 292, 90, 0
325, BEAM , 4, 22, 293, 291, 90, 0
326, BEAM , 4, 19, 292, 293, 90, 0
327, BEAM , 4, 20, 2664, 295, 90, 0
328, BEAM , 4, 22, 294, 293, 90, 0
329, BEAM , 4, 19, 293, 2667, 90, 0
330, BEAM , 4, 22, 154, 294, 90, 0
331, BEAM , 4, 20, 295, 1253, 90, 0
332, BEAM , 4, 18, 156, 297, 90, 0
333, BEAM , 4, 19, 2668, 298, 90, 0
334, BEAM , 4, 18, 297, 2669, 90, 0
335, BEAM , 4, 19, 298, 59, 90, 0
336, BEAM , 4, 17, 159, 300, 90, 0
337, BEAM , 4, 18, 2670, 301, 90, 0
338, BEAM , 4, 17, 300, 2671, 90, 0
339, BEAM , 4, 18, 301, 1259, 90, 0
340, BEAM , 4, 16, 162, 303, 90, 0
341, BEAM , 4, 17, 2672, 304, 90, 0
342, BEAM , 4, 16, 303, 2673, 90, 0
343, BEAM , 4, 17, 304, 63, 90, 0
344, BEAM , 4, 15, 164, 306, 90, 0
345, BEAM , 4, 16, 2674, 307, 90, 0
346, BEAM , 4, 15, 306, 2675, 90, 0
347, BEAM , 4, 16, 307, 1265, 90, 0
348, BEAM , 4, 14, 308, 310, 90, 0
349, BEAM , 4, 15, 2676, 311, 90, 0
350, BEAM , 4, 14, 310, 2677, 90, 0
351, BEAM , 4, 15, 311, 314, 90, 0
352, BEAM , 4, 13, 312, 315, 90, 0
353, BEAM , 4, 14, 2678, 316, 90, 0
354, BEAM , 4, 13, 315, 317, 90, 0
355, BEAM , 4, 13, 316, 318, 90, 0
356, BEAM , 4, 13, 317, 318, 90, 0
357, BEAM , 4, 23, 71, 18, 90, 0
358, BEAM , 4, 23, 18, 45, 90, 0
359, BEAM , 4, 24, 45, 256, 90, 0
360, BEAM , 4, 24, 256, 173, 90, 0
361, BEAM , 4, 26, 177, 319, 90, 0
362, BEAM , 4, 26, 319, 320, 90, 0
363, BEAM , 4, 26, 320, 321, 90, 0
364, BEAM , 4, 25, 321, 178, 90, 0
365, BEAM , 4, 25, 178, 322, 90, 0
366, BEAM , 4, 26, 322, 179, 90, 0
367, BEAM , 4, 28, 182, 323, 90, 0
368, BEAM , 4, 28, 323, 324, 90, 0
369, BEAM , 4, 27, 324, 183, 90, 0
370, BEAM , 4, 27, 183, 325, 90, 0
371, BEAM , 4, 28, 325, 1226, 90, 0
372, BEAM , 4, 30, 79, 326, 90, 0
373, BEAM , 4, 30, 326, 327, 90, 0
374, BEAM , 4, 29, 327, 186, 90, 0
375, BEAM , 4, 29, 186, 328, 90, 0
376, BEAM , 4, 30, 328, 8, 90, 0
377, BEAM , 4, 32, 82, 329, 90, 0
378, BEAM , 4, 32, 329, 330, 90, 0
379, BEAM , 4, 31, 330, 189, 90, 0
380, BEAM , 4, 31, 189, 331, 90, 0
381, BEAM , 4, 32, 331, 1232, 90, 0
382, BEAM , 4, 34, 85, 332, 90, 0
383, BEAM , 4, 34, 332, 333, 90, 0
384, BEAM , 4, 33, 333, 192, 90, 0
385, BEAM , 4, 33, 192, 334, 90, 0
386, BEAM , 4, 34, 334, 12, 90, 0
387, BEAM , 4, 55, 88, 335, 90, 0
388, BEAM , 4, 55, 335, 336, 90, 0
389, BEAM , 4, 35, 336, 195, 90, 0
390, BEAM , 4, 35, 195, 337, 90, 0
391, BEAM , 4, 55, 337, 1238, 90, 0
392, BEAM , 4, 52, 92, 338, 90, 0
393, BEAM , 4, 52, 338, 339, 90, 0
394, BEAM , 4, 51, 339, 201, 90, 0

PROJECT TITLE :

MIDAS	Company		Client	
	Author		File Name	H2D_3Dg_v14_180227_StatLM.mct

395, BEAM , 4, 51, 201, 202, 90, 0
396, BEAM , 4, 51, 202, 340, 90, 0
397, BEAM , 4, 52, 340, 16, 90, 0
398, BEAM , 4, 54, 96, 341, 90, 0
399, BEAM , 4, 54, 341, 342, 90, 0
400, BEAM , 4, 54, 342, 343, 90, 0
401, BEAM , 4, 53, 343, 209, 90, 0
402, BEAM , 4, 53, 209, 344, 90, 0
403, BEAM , 4, 54, 344, 1244, 90, 0
404, BEAM , 4, 52, 100, 345, 90, 0
405, BEAM , 4, 52, 345, 346, 90, 0
406, BEAM , 4, 51, 346, 216, 90, 0
407, BEAM , 4, 51, 216, 217, 90, 0
408, BEAM , 4, 51, 217, 347, 90, 0
409, BEAM , 4, 52, 347, 20, 90, 0
410, BEAM , 4, 55, 104, 348, 90, 0
411, BEAM , 4, 55, 348, 349, 90, 0
412, BEAM , 4, 35, 349, 223, 90, 0
413, BEAM , 4, 35, 223, 350, 90, 0
414, BEAM , 4, 55, 350, 1250, 90, 0
415, BEAM , 4, 34, 107, 351, 90, 0
416, BEAM , 4, 34, 351, 352, 90, 0
417, BEAM , 4, 33, 352, 226, 90, 0
418, BEAM , 4, 33, 226, 353, 90, 0
419, BEAM , 4, 34, 353, 24, 90, 0
420, BEAM , 4, 32, 110, 354, 90, 0
421, BEAM , 4, 32, 354, 355, 90, 0
422, BEAM , 4, 31, 355, 229, 90, 0
423, BEAM , 4, 31, 229, 356, 90, 0
424, BEAM , 4, 32, 356, 1256, 90, 0
425, BEAM , 4, 30, 113, 357, 90, 0
426, BEAM , 4, 30, 357, 358, 90, 0
427, BEAM , 4, 29, 358, 232, 90, 0
428, BEAM , 4, 29, 232, 359, 90, 0
429, BEAM , 4, 30, 359, 28, 90, 0
430, BEAM , 4, 28, 235, 360, 90, 0
431, BEAM , 4, 28, 360, 361, 90, 0
432, BEAM , 4, 27, 361, 236, 90, 0
433, BEAM , 4, 27, 236, 362, 90, 0
434, BEAM , 4, 28, 362, 1262, 90, 0
435, BEAM , 4, 26, 239, 363, 90, 0
436, BEAM , 4, 26, 363, 364, 90, 0
437, BEAM , 4, 26, 364, 365, 90, 0
438, BEAM , 4, 25, 365, 240, 90, 0
439, BEAM , 4, 25, 240, 366, 90, 0
440, BEAM , 4, 26, 366, 241, 90, 0
441, BEAM , 4, 23, 121, 367, 90, 0
442, BEAM , 4, 23, 367, 368, 90, 0
443, BEAM , 4, 24, 368, 369, 90, 0
444, BEAM , 4, 24, 369, 245, 90, 0
445, BEAM , 4, 23, 122, 370, 90, 0
446, BEAM , 4, 23, 370, 371, 90, 0
447, BEAM , 4, 24, 371, 372, 90, 0
448, BEAM , 4, 24, 372, 246, 90, 0
449, BEAM , 4, 26, 250, 373, 90, 0
450, BEAM , 4, 26, 373, 374, 90, 0
451, BEAM , 4, 26, 374, 375, 90, 0
452, BEAM , 4, 25, 375, 251, 90, 0
453, BEAM , 4, 25, 251, 376, 90, 0
454, BEAM , 4, 26, 376, 252, 90, 0
455, BEAM , 4, 28, 255, 377, 90, 0
456, BEAM , 4, 28, 377, 378, 90, 0
457, BEAM , 4, 27, 378, 379, 90, 0
458, BEAM , 4, 27, 379, 380, 90, 0
459, BEAM , 4, 28, 380, 1229, 90, 0
460, BEAM , 4, 30, 130, 381, 90, 0
461, BEAM , 4, 30, 381, 382, 90, 0
462, BEAM , 4, 29, 382, 259, 90, 0
463, BEAM , 4, 29, 259, 383, 90, 0
464, BEAM , 4, 30, 383, 43, 90, 0
465, BEAM , 4, 32, 133, 384, 90, 0
466, BEAM , 4, 32, 384, 385, 90, 0

PROJECT TITLE :

MIDAS	Company		Client	
	Author		File Name	H2D_3Dg_v14_180227_StatLM.mct

467, BEAM , 4, 31, 385, 262, 90, 0
468, BEAM , 4, 31, 262, 386, 90, 0
469, BEAM , 4, 32, 386, 1235, 90, 0
470, BEAM , 4, 34, 136, 387, 90, 0
471, BEAM , 4, 34, 387, 388, 90, 0
472, BEAM , 4, 33, 388, 265, 90, 0
473, BEAM , 4, 33, 265, 389, 90, 0
474, BEAM , 4, 34, 389, 47, 90, 0
475, BEAM , 4, 55, 139, 390, 90, 0
476, BEAM , 4, 55, 390, 391, 90, 0
477, BEAM , 4, 35, 391, 268, 90, 0
478, BEAM , 4, 35, 268, 392, 90, 0
479, BEAM , 4, 55, 392, 1241, 90, 0
480, BEAM , 4, 52, 143, 393, 90, 0
481, BEAM , 4, 52, 393, 394, 90, 0
482, BEAM , 4, 51, 394, 274, 90, 0
483, BEAM , 4, 51, 274, 275, 90, 0
484, BEAM , 4, 51, 275, 395, 90, 0
485, BEAM , 4, 52, 395, 51, 90, 0
486, BEAM , 4, 54, 147, 396, 90, 0
487, BEAM , 4, 54, 396, 397, 90, 0
488, BEAM , 4, 54, 397, 398, 90, 0
489, BEAM , 4, 53, 398, 282, 90, 0
490, BEAM , 4, 53, 282, 399, 90, 0
491, BEAM , 4, 54, 399, 1247, 90, 0
492, BEAM , 4, 52, 151, 400, 90, 0
493, BEAM , 4, 52, 400, 401, 90, 0
494, BEAM , 4, 51, 401, 289, 90, 0
495, BEAM , 4, 51, 289, 290, 90, 0
496, BEAM , 4, 51, 290, 402, 90, 0
497, BEAM , 4, 52, 402, 55, 90, 0
498, BEAM , 4, 55, 155, 403, 90, 0
499, BEAM , 4, 55, 403, 404, 90, 0
500, BEAM , 4, 35, 404, 296, 90, 0
501, BEAM , 4, 35, 296, 405, 90, 0
502, BEAM , 4, 55, 405, 1253, 90, 0
503, BEAM , 4, 34, 158, 406, 90, 0
504, BEAM , 4, 34, 406, 407, 90, 0
505, BEAM , 4, 33, 407, 299, 90, 0
506, BEAM , 4, 33, 299, 408, 90, 0
507, BEAM , 4, 34, 408, 59, 90, 0
508, BEAM , 4, 32, 161, 409, 90, 0
509, BEAM , 4, 32, 409, 410, 90, 0
510, BEAM , 4, 31, 410, 302, 90, 0
511, BEAM , 4, 31, 302, 411, 90, 0
512, BEAM , 4, 32, 411, 1259, 90, 0
513, BEAM , 4, 30, 164, 412, 90, 0
514, BEAM , 4, 30, 412, 413, 90, 0
515, BEAM , 4, 29, 413, 305, 90, 0
516, BEAM , 4, 29, 305, 414, 90, 0
517, BEAM , 4, 30, 414, 63, 90, 0
518, BEAM , 4, 28, 308, 415, 90, 0
519, BEAM , 4, 28, 415, 416, 90, 0
520, BEAM , 4, 27, 416, 309, 90, 0
521, BEAM , 4, 27, 309, 417, 90, 0
522, BEAM , 4, 28, 417, 1265, 90, 0
523, BEAM , 4, 26, 312, 418, 90, 0
524, BEAM , 4, 26, 418, 419, 90, 0
525, BEAM , 4, 26, 419, 420, 90, 0
526, BEAM , 4, 25, 420, 313, 90, 0
527, BEAM , 4, 25, 313, 421, 90, 0
528, BEAM , 4, 26, 421, 314, 90, 0
529, BEAM , 4, 23, 172, 422, 90, 0
530, BEAM , 4, 23, 422, 423, 90, 0
531, BEAM , 4, 24, 423, 424, 90, 0
532, BEAM , 4, 24, 424, 318, 90, 0
533, BEAM , 4, 36, 18, 425, 0, 0
534, BEAM , 4, 36, 425, 426, 0, 0
535, BEAM , 4, 37, 426, 427, 0, 0
536, BEAM , 4, 37, 427, 428, 0, 0
537, BEAM , 4, 37, 428, 429, 0, 0
538, BEAM , 4, 37, 429, 430, 0, 0

PROJECT TITLE :

MIDAS	Company		Client	
	Author		File Name	H2D_3Dg_v14_180227_StatLM.mct

539, BEAM , 4, 36, 430, 431, 0, 0
540, BEAM , 4, 36, 431, 370, 0, 0
541, BEAM , 4, 38, 320, 432, 0, 0
542, BEAM , 4, 38, 432, 433, 0, 0
543, BEAM , 4, 39, 433, 434, 0, 0
544, BEAM , 4, 39, 434, 435, 0, 0
545, BEAM , 4, 39, 435, 436, 0, 0
546, BEAM , 4, 39, 436, 437, 0, 0
547, BEAM , 4, 38, 437, 438, 0, 0
548, BEAM , 4, 38, 438, 374, 0, 0
549, BEAM , 4, 38, 323, 439, 0, 0
550, BEAM , 4, 38, 439, 440, 0, 0
551, BEAM , 4, 39, 440, 441, 0, 0
552, BEAM , 4, 39, 441, 442, 0, 0
553, BEAM , 4, 39, 442, 443, 0, 0
554, BEAM , 4, 39, 443, 444, 0, 0
555, BEAM , 4, 38, 444, 445, 0, 0
556, BEAM , 4, 38, 445, 377, 0, 0
557, BEAM , 4, 40, 326, 446, 0, 0
558, BEAM , 4, 40, 446, 447, 0, 0
559, BEAM , 4, 41, 447, 448, 0, 0
560, BEAM , 4, 41, 448, 449, 0, 0
561, BEAM , 4, 42, 449, 450, 0, 0
562, BEAM , 4, 42, 450, 451, 0, 0
563, BEAM , 4, 42, 451, 452, 0, 0
564, BEAM , 4, 42, 452, 453, 0, 0
565, BEAM , 4, 41, 453, 454, 0, 0
566, BEAM , 4, 41, 454, 455, 0, 0
567, BEAM , 4, 40, 455, 456, 0, 0
568, BEAM , 4, 40, 456, 381, 0, 0
569, BEAM , 4, 40, 329, 457, 0, 0
570, BEAM , 4, 40, 457, 458, 0, 0
571, BEAM , 4, 41, 458, 459, 0, 0
572, BEAM , 4, 41, 459, 460, 0, 0
573, BEAM , 4, 42, 460, 461, 0, 0
574, BEAM , 4, 42, 461, 462, 0, 0
575, BEAM , 4, 42, 462, 463, 0, 0
576, BEAM , 4, 42, 463, 464, 0, 0
577, BEAM , 4, 41, 464, 465, 0, 0
578, BEAM , 4, 41, 465, 466, 0, 0
579, BEAM , 4, 40, 466, 467, 0, 0
580, BEAM , 4, 40, 467, 384, 0, 0
581, BEAM , 4, 40, 332, 468, 0, 0
582, BEAM , 4, 40, 468, 469, 0, 0
583, BEAM , 4, 41, 469, 470, 0, 0
584, BEAM , 4, 41, 470, 471, 0, 0
585, BEAM , 4, 42, 471, 472, 0, 0
586, BEAM , 4, 42, 472, 473, 0, 0
587, BEAM , 4, 42, 473, 474, 0, 0
588, BEAM , 4, 42, 474, 475, 0, 0
589, BEAM , 4, 41, 475, 476, 0, 0
590, BEAM , 4, 41, 476, 477, 0, 0
591, BEAM , 4, 40, 477, 478, 0, 0
592, BEAM , 4, 40, 478, 387, 0, 0
593, BEAM , 4, 40, 335, 479, 0, 0
594, BEAM , 4, 40, 479, 480, 0, 0
595, BEAM , 4, 41, 480, 481, 0, 0
596, BEAM , 4, 41, 481, 482, 0, 0
597, BEAM , 4, 42, 482, 483, 0, 0
598, BEAM , 4, 42, 483, 484, 0, 0
599, BEAM , 4, 42, 484, 485, 0, 0
600, BEAM , 4, 42, 485, 486, 0, 0
601, BEAM , 4, 41, 486, 487, 0, 0
602, BEAM , 4, 41, 487, 488, 0, 0
603, BEAM , 4, 40, 488, 489, 0, 0
604, BEAM , 4, 40, 489, 390, 0, 0
605, BEAM , 4, 40, 338, 490, 0, 0
606, BEAM , 4, 40, 490, 491, 0, 0
607, BEAM , 4, 41, 491, 492, 0, 0
608, BEAM , 4, 41, 492, 493, 0, 0
609, BEAM , 4, 42, 493, 494, 0, 0
610, BEAM , 4, 42, 494, 495, 0, 0

PROJECT TITLE :

MIDAS	Company		Client	
	Author		File Name	H2D_3Dg_v14_180227_StatLM.mct

611, BEAM , 4, 42, 495, 496, 0, 0
612, BEAM , 4, 42, 496, 497, 0, 0
613, BEAM , 4, 41, 497, 498, 0, 0
614, BEAM , 4, 41, 498, 499, 0, 0
615, BEAM , 4, 40, 499, 500, 0, 0
616, BEAM , 4, 40, 500, 393, 0, 0
617, BEAM , 4, 40, 342, 501, 0, 0
618, BEAM , 4, 40, 501, 502, 0, 0
619, BEAM , 4, 41, 502, 503, 0, 0
620, BEAM , 4, 41, 503, 504, 0, 0
621, BEAM , 4, 42, 504, 505, 0, 0
622, BEAM , 4, 42, 505, 506, 0, 0
623, BEAM , 4, 42, 506, 507, 0, 0
624, BEAM , 4, 42, 507, 508, 0, 0
625, BEAM , 4, 41, 508, 509, 0, 0
626, BEAM , 4, 41, 509, 510, 0, 0
627, BEAM , 4, 40, 510, 511, 0, 0
628, BEAM , 4, 40, 511, 397, 0, 0
629, BEAM , 4, 40, 345, 512, 0, 0
630, BEAM , 4, 40, 512, 513, 0, 0
631, BEAM , 4, 41, 513, 514, 0, 0
632, BEAM , 4, 41, 514, 515, 0, 0
633, BEAM , 4, 42, 515, 516, 0, 0
634, BEAM , 4, 42, 516, 517, 0, 0
635, BEAM , 4, 42, 517, 518, 0, 0
636, BEAM , 4, 42, 518, 519, 0, 0
637, BEAM , 4, 41, 519, 520, 0, 0
638, BEAM , 4, 41, 520, 521, 0, 0
639, BEAM , 4, 40, 521, 522, 0, 0
640, BEAM , 4, 40, 522, 400, 0, 0
641, BEAM , 4, 40, 348, 523, 0, 0
642, BEAM , 4, 40, 523, 524, 0, 0
643, BEAM , 4, 41, 524, 525, 0, 0
644, BEAM , 4, 41, 525, 526, 0, 0
645, BEAM , 4, 42, 526, 527, 0, 0
646, BEAM , 4, 42, 527, 528, 0, 0
647, BEAM , 4, 42, 528, 529, 0, 0
648, BEAM , 4, 42, 529, 530, 0, 0
649, BEAM , 4, 41, 530, 531, 0, 0
650, BEAM , 4, 41, 531, 532, 0, 0
651, BEAM , 4, 40, 532, 533, 0, 0
652, BEAM , 4, 40, 533, 403, 0, 0
653, BEAM , 4, 40, 351, 534, 0, 0
654, BEAM , 4, 40, 534, 535, 0, 0
655, BEAM , 4, 41, 535, 536, 0, 0
656, BEAM , 4, 41, 536, 537, 0, 0
657, BEAM , 4, 42, 537, 538, 0, 0
658, BEAM , 4, 42, 538, 539, 0, 0
659, BEAM , 4, 42, 539, 540, 0, 0
660, BEAM , 4, 42, 540, 541, 0, 0
661, BEAM , 4, 41, 541, 542, 0, 0
662, BEAM , 4, 41, 542, 543, 0, 0
663, BEAM , 4, 40, 543, 544, 0, 0
664, BEAM , 4, 40, 544, 406, 0, 0
665, BEAM , 4, 40, 354, 545, 0, 0
666, BEAM , 4, 40, 545, 546, 0, 0
667, BEAM , 4, 41, 546, 547, 0, 0
668, BEAM , 4, 41, 547, 548, 0, 0
669, BEAM , 4, 42, 548, 549, 0, 0
670, BEAM , 4, 42, 549, 550, 0, 0
671, BEAM , 4, 42, 550, 551, 0, 0
672, BEAM , 4, 42, 551, 552, 0, 0
673, BEAM , 4, 41, 552, 553, 0, 0
674, BEAM , 4, 41, 553, 554, 0, 0
675, BEAM , 4, 40, 554, 555, 0, 0
676, BEAM , 4, 40, 555, 409, 0, 0
677, BEAM , 4, 40, 357, 556, 0, 0
678, BEAM , 4, 40, 556, 557, 0, 0
679, BEAM , 4, 41, 557, 558, 0, 0
680, BEAM , 4, 41, 558, 559, 0, 0
681, BEAM , 4, 42, 559, 560, 0, 0
682, BEAM , 4, 42, 560, 561, 0, 0

PROJECT TITLE :

MIDAS	Company		Client	
	Author		File Name	H2D_3Dg_v14_180227_StatLM.mct

683, BEAM , 4, 42, 561, 562, 0, 0
684, BEAM , 4, 42, 562, 563, 0, 0
685, BEAM , 4, 41, 563, 564, 0, 0
686, BEAM , 4, 41, 564, 565, 0, 0
687, BEAM , 4, 40, 565, 566, 0, 0
688, BEAM , 4, 40, 566, 412, 0, 0
689, BEAM , 4, 38, 360, 567, 0, 0
690, BEAM , 4, 38, 567, 568, 0, 0
691, BEAM , 4, 39, 568, 569, 0, 0
692, BEAM , 4, 39, 569, 570, 0, 0
693, BEAM , 4, 39, 570, 571, 0, 0
694, BEAM , 4, 39, 571, 572, 0, 0
695, BEAM , 4, 38, 572, 573, 0, 0
696, BEAM , 4, 38, 573, 415, 0, 0
697, BEAM , 4, 38, 364, 574, 0, 0
698, BEAM , 4, 38, 574, 575, 0, 0
699, BEAM , 4, 39, 575, 576, 0, 0
700, BEAM , 4, 39, 576, 577, 0, 0
701, BEAM , 4, 39, 577, 578, 0, 0
702, BEAM , 4, 39, 578, 579, 0, 0
703, BEAM , 4, 38, 579, 580, 0, 0
704, BEAM , 4, 38, 580, 419, 0, 0
705, BEAM , 4, 36, 367, 581, 0, 0
706, BEAM , 4, 36, 581, 582, 0, 0
707, BEAM , 4, 37, 582, 583, 0, 0
708, BEAM , 4, 37, 583, 584, 0, 0
709, BEAM , 4, 37, 584, 585, 0, 0
710, BEAM , 4, 37, 585, 586, 0, 0
711, BEAM , 4, 36, 586, 587, 0, 0
712, BEAM , 4, 36, 587, 422, 0, 0
713, BEAM , 4, 44, 588, 589, 0, 0
714, BEAM , 4, 44, 589, 426, 0, 0
715, BEAM , 4, 44, 426, 590, 0, 0
716, BEAM , 4, 44, 590, 591, 0, 0
717, BEAM , 4, 44, 591, 592, 0, 0
718, BEAM , 4, 44, 592, 593, 0, 0
719, BEAM , 4, 44, 593, 594, 0, 0
720, BEAM , 4, 44, 594, 595, 0, 0
721, BEAM , 4, 44, 595, 596, 0, 0
722, BEAM , 4, 44, 596, 597, 0, 0
723, BEAM , 4, 44, 597, 433, 0, 0
724, BEAM , 4, 46, 433, 598, 0, 0
725, BEAM , 4, 46, 598, 599, 0, 0
726, BEAM , 4, 46, 599, 600, 0, 0
727, BEAM , 4, 46, 600, 601, 0, 0
728, BEAM , 4, 46, 601, 602, 0, 0
729, BEAM , 4, 46, 602, 603, 0, 0
730, BEAM , 4, 46, 603, 604, 0, 0
731, BEAM , 4, 46, 604, 605, 0, 0
732, BEAM , 4, 46, 605, 606, 0, 0
733, BEAM , 4, 46, 606, 440, 0, 0
734, BEAM , 4, 48, 440, 607, 0, 0
735, BEAM , 4, 48, 607, 608, 0, 0
736, BEAM , 4, 48, 608, 609, 0, 0
737, BEAM , 4, 48, 609, 610, 0, 0
738, BEAM , 4, 48, 610, 611, 0, 0
739, BEAM , 4, 48, 611, 612, 0, 0
740, BEAM , 4, 48, 612, 613, 0, 0
741, BEAM , 4, 48, 613, 614, 0, 0
742, BEAM , 4, 48, 614, 615, 0, 0
743, BEAM , 4, 48, 615, 616, 0, 0
744, BEAM , 4, 48, 616, 448, 0, 0
745, BEAM , 4, 50, 448, 617, 0, 0
746, BEAM , 4, 50, 617, 618, 0, 0
747, BEAM , 4, 50, 618, 619, 0, 0
748, BEAM , 4, 50, 619, 620, 0, 0
749, BEAM , 4, 50, 620, 621, 0, 0
750, BEAM , 4, 50, 621, 622, 0, 0
751, BEAM , 4, 50, 622, 623, 0, 0
752, BEAM , 4, 50, 623, 624, 0, 0
753, BEAM , 4, 50, 624, 625, 0, 0
754, BEAM , 4, 50, 625, 626, 0, 0

PROJECT TITLE :

MIDAS	Company		Client	
	Author		File Name	H2D_3Dg_v14_180227_StatLM.mct

755, BEAM , 4, 50, 626, 459, 0, 0
756, BEAM , 4, 50, 459, 627, 0, 0
757, BEAM , 4, 50, 627, 628, 0, 0
758, BEAM , 4, 50, 628, 629, 0, 0
759, BEAM , 4, 50, 629, 630, 0, 0
760, BEAM , 4, 50, 630, 631, 0, 0
761, BEAM , 4, 50, 631, 632, 0, 0
762, BEAM , 4, 50, 632, 633, 0, 0
763, BEAM , 4, 50, 633, 634, 0, 0
764, BEAM , 4, 50, 634, 635, 0, 0
765, BEAM , 4, 50, 635, 636, 0, 0
766, BEAM , 4, 50, 636, 470, 0, 0
767, BEAM , 4, 50, 470, 637, 0, 0
768, BEAM , 4, 50, 637, 638, 0, 0
769, BEAM , 4, 50, 638, 639, 0, 0
770, BEAM , 4, 50, 639, 640, 0, 0
771, BEAM , 4, 50, 640, 641, 0, 0
772, BEAM , 4, 50, 641, 642, 0, 0
773, BEAM , 4, 50, 642, 643, 0, 0
774, BEAM , 4, 50, 643, 644, 0, 0
775, BEAM , 4, 50, 644, 645, 0, 0
776, BEAM , 4, 50, 645, 646, 0, 0
777, BEAM , 4, 50, 646, 481, 0, 0
778, BEAM , 4, 50, 481, 647, 0, 0
779, BEAM , 4, 50, 647, 648, 0, 0
780, BEAM , 4, 50, 648, 649, 0, 0
781, BEAM , 4, 50, 649, 650, 0, 0
782, BEAM , 4, 50, 650, 651, 0, 0
783, BEAM , 4, 50, 651, 652, 0, 0
784, BEAM , 4, 50, 652, 653, 0, 0
785, BEAM , 4, 50, 653, 654, 0, 0
786, BEAM , 4, 50, 654, 655, 0, 0
787, BEAM , 4, 50, 655, 656, 0, 0
788, BEAM , 4, 50, 656, 492, 0, 0
789, BEAM , 4, 50, 492, 657, 0, 0
790, BEAM , 4, 50, 657, 658, 0, 0
791, BEAM , 4, 50, 658, 659, 0, 0
792, BEAM , 4, 50, 659, 660, 0, 0
793, BEAM , 4, 50, 660, 661, 0, 0
794, BEAM , 4, 50, 661, 662, 0, 0
795, BEAM , 4, 50, 662, 663, 0, 0
796, BEAM , 4, 50, 663, 664, 0, 0
797, BEAM , 4, 50, 664, 665, 0, 0
798, BEAM , 4, 50, 665, 666, 0, 0
799, BEAM , 4, 50, 666, 503, 0, 0
800, BEAM , 4, 50, 503, 667, 0, 0
801, BEAM , 4, 50, 667, 668, 0, 0
802, BEAM , 4, 50, 668, 669, 0, 0
803, BEAM , 4, 50, 669, 670, 0, 0
804, BEAM , 4, 50, 670, 671, 0, 0
805, BEAM , 4, 50, 671, 672, 0, 0
806, BEAM , 4, 50, 672, 673, 0, 0
807, BEAM , 4, 50, 673, 674, 0, 0
808, BEAM , 4, 50, 674, 675, 0, 0
809, BEAM , 4, 50, 675, 676, 0, 0
810, BEAM , 4, 50, 676, 514, 0, 0
811, BEAM , 4, 50, 514, 677, 0, 0
812, BEAM , 4, 50, 677, 678, 0, 0
813, BEAM , 4, 50, 678, 679, 0, 0
814, BEAM , 4, 50, 679, 680, 0, 0
815, BEAM , 4, 50, 680, 681, 0, 0
816, BEAM , 4, 50, 681, 682, 0, 0
817, BEAM , 4, 50, 682, 683, 0, 0
818, BEAM , 4, 50, 683, 684, 0, 0
819, BEAM , 4, 50, 684, 685, 0, 0
820, BEAM , 4, 50, 685, 686, 0, 0
821, BEAM , 4, 50, 686, 525, 0, 0
822, BEAM , 4, 50, 525, 687, 0, 0
823, BEAM , 4, 50, 687, 688, 0, 0
824, BEAM , 4, 50, 688, 689, 0, 0
825, BEAM , 4, 50, 689, 690, 0, 0
826, BEAM , 4, 50, 690, 691, 0, 0

PROJECT TITLE :

MIDAS	Company		Client	
	Author		File Name	H2D_3Dg_v14_180227_StatLM.mct

827, BEAM , 4, 50, 691, 692, 0, 0
828, BEAM , 4, 50, 692, 693, 0, 0
829, BEAM , 4, 50, 693, 694, 0, 0
830, BEAM , 4, 50, 694, 695, 0, 0
831, BEAM , 4, 50, 695, 696, 0, 0
832, BEAM , 4, 50, 696, 536, 0, 0
833, BEAM , 4, 50, 536, 697, 0, 0
834, BEAM , 4, 50, 697, 698, 0, 0
835, BEAM , 4, 50, 698, 699, 0, 0
836, BEAM , 4, 50, 699, 700, 0, 0
837, BEAM , 4, 50, 700, 701, 0, 0
838, BEAM , 4, 50, 701, 702, 0, 0
839, BEAM , 4, 50, 702, 703, 0, 0
840, BEAM , 4, 50, 703, 704, 0, 0
841, BEAM , 4, 50, 704, 705, 0, 0
842, BEAM , 4, 50, 705, 706, 0, 0
843, BEAM , 4, 50, 706, 547, 0, 0
844, BEAM , 4, 50, 547, 707, 0, 0
845, BEAM , 4, 50, 707, 708, 0, 0
846, BEAM , 4, 50, 708, 709, 0, 0
847, BEAM , 4, 50, 709, 710, 0, 0
848, BEAM , 4, 50, 710, 711, 0, 0
849, BEAM , 4, 50, 711, 712, 0, 0
850, BEAM , 4, 50, 712, 713, 0, 0
851, BEAM , 4, 50, 713, 714, 0, 0
852, BEAM , 4, 50, 714, 715, 0, 0
853, BEAM , 4, 50, 715, 716, 0, 0
854, BEAM , 4, 50, 716, 558, 0, 0
855, BEAM , 4, 48, 558, 717, 0, 0
856, BEAM , 4, 48, 717, 718, 0, 0
857, BEAM , 4, 48, 718, 719, 0, 0
858, BEAM , 4, 48, 719, 720, 0, 0
859, BEAM , 4, 48, 720, 721, 0, 0
860, BEAM , 4, 48, 721, 722, 0, 0
861, BEAM , 4, 48, 722, 723, 0, 0
862, BEAM , 4, 48, 723, 724, 0, 0
863, BEAM , 4, 48, 724, 725, 0, 0
864, BEAM , 4, 48, 725, 726, 0, 0
865, BEAM , 4, 48, 726, 568, 0, 0
866, BEAM , 4, 46, 568, 727, 0, 0
867, BEAM , 4, 46, 727, 728, 0, 0
868, BEAM , 4, 46, 728, 729, 0, 0
869, BEAM , 4, 46, 729, 730, 0, 0
870, BEAM , 4, 46, 730, 731, 0, 0
871, BEAM , 4, 46, 731, 732, 0, 0
872, BEAM , 4, 46, 732, 733, 0, 0
873, BEAM , 4, 46, 733, 734, 0, 0
874, BEAM , 4, 46, 734, 735, 0, 0
875, BEAM , 4, 46, 735, 575, 0, 0
876, BEAM , 4, 44, 575, 736, 0, 0
877, BEAM , 4, 44, 736, 737, 0, 0
878, BEAM , 4, 44, 737, 738, 0, 0
879, BEAM , 4, 44, 738, 739, 0, 0
880, BEAM , 4, 44, 739, 740, 0, 0
881, BEAM , 4, 44, 740, 741, 0, 0
882, BEAM , 4, 44, 741, 742, 0, 0
883, BEAM , 4, 44, 742, 743, 0, 0
884, BEAM , 4, 44, 743, 582, 0, 0
885, BEAM , 4, 44, 582, 744, 0, 0
886, BEAM , 4, 44, 744, 745, 0, 0
887, BEAM , 4, 43, 746, 747, 0, 0
888, BEAM , 4, 43, 747, 427, 0, 0
889, BEAM , 4, 43, 427, 748, 0, 0
890, BEAM , 4, 43, 748, 749, 0, 0
891, BEAM , 4, 43, 749, 750, 0, 0
892, BEAM , 4, 43, 750, 751, 0, 0
893, BEAM , 4, 43, 751, 752, 0, 0
894, BEAM , 4, 43, 752, 753, 0, 0
895, BEAM , 4, 43, 753, 754, 0, 0
896, BEAM , 4, 43, 754, 755, 0, 0
897, BEAM , 4, 43, 755, 434, 0, 0
898, BEAM , 4, 45, 434, 756, 0, 0

PROJECT TITLE :

	Company		Client	
MIDAS	Author		File Name	H2D_3Dg_v14_180227_StatLM.mct

899, BEAM , 4, 45, 756, 757, 0, 0
900, BEAM , 4, 45, 757, 758, 0, 0
901, BEAM , 4, 45, 758, 759, 0, 0
902, BEAM , 4, 45, 759, 760, 0, 0
903, BEAM , 4, 45, 760, 761, 0, 0
904, BEAM , 4, 45, 761, 762, 0, 0
905, BEAM , 4, 45, 762, 763, 0, 0
906, BEAM , 4, 45, 763, 764, 0, 0
907, BEAM , 4, 45, 764, 441, 0, 0
908, BEAM , 4, 47, 441, 765, 0, 0
909, BEAM , 4, 47, 765, 766, 0, 0
910, BEAM , 4, 47, 766, 767, 0, 0
911, BEAM , 4, 47, 767, 768, 0, 0
912, BEAM , 4, 47, 768, 769, 0, 0
913, BEAM , 4, 47, 769, 770, 0, 0
914, BEAM , 4, 47, 770, 771, 0, 0
915, BEAM , 4, 47, 771, 772, 0, 0
916, BEAM , 4, 47, 772, 773, 0, 0
917, BEAM , 4, 47, 773, 774, 0, 0
918, BEAM , 4, 47, 774, 450, 0, 0
919, BEAM , 4, 49, 450, 775, 0, 0
920, BEAM , 4, 49, 775, 776, 0, 0
921, BEAM , 4, 49, 776, 777, 0, 0
922, BEAM , 4, 49, 777, 778, 0, 0
923, BEAM , 4, 49, 778, 779, 0, 0
924, BEAM , 4, 49, 779, 780, 0, 0
925, BEAM , 4, 49, 780, 781, 0, 0
926, BEAM , 4, 49, 781, 782, 0, 0
927, BEAM , 4, 49, 782, 783, 0, 0
928, BEAM , 4, 49, 783, 784, 0, 0
929, BEAM , 4, 49, 784, 461, 0, 0
930, BEAM , 4, 49, 461, 785, 0, 0
931, BEAM , 4, 49, 785, 786, 0, 0
932, BEAM , 4, 49, 786, 787, 0, 0
933, BEAM , 4, 49, 787, 788, 0, 0
934, BEAM , 4, 49, 788, 789, 0, 0
935, BEAM , 4, 49, 789, 790, 0, 0
936, BEAM , 4, 49, 790, 791, 0, 0
937, BEAM , 4, 49, 791, 792, 0, 0
938, BEAM , 4, 49, 792, 793, 0, 0
939, BEAM , 4, 49, 793, 794, 0, 0
940, BEAM , 4, 49, 794, 472, 0, 0
941, BEAM , 4, 49, 472, 795, 0, 0
942, BEAM , 4, 49, 795, 796, 0, 0
943, BEAM , 4, 49, 796, 797, 0, 0
944, BEAM , 4, 49, 797, 798, 0, 0
945, BEAM , 4, 49, 798, 799, 0, 0
946, BEAM , 4, 49, 799, 800, 0, 0
947, BEAM , 4, 49, 800, 801, 0, 0
948, BEAM , 4, 49, 801, 802, 0, 0
949, BEAM , 4, 49, 802, 803, 0, 0
950, BEAM , 4, 49, 803, 804, 0, 0
951, BEAM , 4, 49, 804, 483, 0, 0
952, BEAM , 4, 49, 483, 805, 0, 0
953, BEAM , 4, 49, 805, 806, 0, 0
954, BEAM , 4, 49, 806, 807, 0, 0
955, BEAM , 4, 49, 807, 808, 0, 0
956, BEAM , 4, 49, 808, 809, 0, 0
957, BEAM , 4, 49, 809, 810, 0, 0
958, BEAM , 4, 49, 810, 811, 0, 0
959, BEAM , 4, 49, 811, 812, 0, 0
960, BEAM , 4, 49, 812, 813, 0, 0
961, BEAM , 4, 49, 813, 814, 0, 0
962, BEAM , 4, 49, 814, 494, 0, 0
963, BEAM , 4, 49, 494, 815, 0, 0
964, BEAM , 4, 49, 815, 816, 0, 0
965, BEAM , 4, 49, 816, 817, 0, 0
966, BEAM , 4, 49, 817, 818, 0, 0
967, BEAM , 4, 49, 818, 819, 0, 0
968, BEAM , 4, 49, 819, 820, 0, 0
969, BEAM , 4, 49, 820, 821, 0, 0
970, BEAM , 4, 49, 821, 822, 0, 0

PROJECT TITLE :

	Company		Client	
MIDAS	Author		File Name	H2D_3Dg_v14_180227_StatLM.mct

971, BEAM , 4, 49, 822, 823, 0, 0
972, BEAM , 4, 49, 823, 824, 0, 0
973, BEAM , 4, 49, 824, 505, 0, 0
974, BEAM , 4, 49, 505, 825, 0, 0
975, BEAM , 4, 49, 825, 826, 0, 0
976, BEAM , 4, 49, 826, 827, 0, 0
977, BEAM , 4, 49, 827, 828, 0, 0
978, BEAM , 4, 49, 828, 829, 0, 0
979, BEAM , 4, 49, 829, 830, 0, 0
980, BEAM , 4, 49, 830, 831, 0, 0
981, BEAM , 4, 49, 831, 832, 0, 0
982, BEAM , 4, 49, 832, 833, 0, 0
983, BEAM , 4, 49, 833, 834, 0, 0
984, BEAM , 4, 49, 834, 516, 0, 0
985, BEAM , 4, 49, 516, 835, 0, 0
986, BEAM , 4, 49, 835, 836, 0, 0
987, BEAM , 4, 49, 836, 837, 0, 0
988, BEAM , 4, 49, 837, 838, 0, 0
989, BEAM , 4, 49, 838, 839, 0, 0
990, BEAM , 4, 49, 839, 840, 0, 0
991, BEAM , 4, 49, 840, 841, 0, 0
992, BEAM , 4, 49, 841, 842, 0, 0
993, BEAM , 4, 49, 842, 843, 0, 0
994, BEAM , 4, 49, 843, 844, 0, 0
995, BEAM , 4, 49, 844, 527, 0, 0
996, BEAM , 4, 49, 527, 845, 0, 0
997, BEAM , 4, 49, 845, 846, 0, 0
998, BEAM , 4, 49, 846, 847, 0, 0
999, BEAM , 4, 49, 847, 848, 0, 0
1000, BEAM , 4, 49, 848, 849, 0, 0
1001, BEAM , 4, 49, 849, 850, 0, 0
1002, BEAM , 4, 49, 850, 851, 0, 0
1003, BEAM , 4, 49, 851, 852, 0, 0
1004, BEAM , 4, 49, 852, 853, 0, 0
1005, BEAM , 4, 49, 853, 854, 0, 0
1006, BEAM , 4, 49, 854, 538, 0, 0
1007, BEAM , 4, 49, 538, 855, 0, 0
1008, BEAM , 4, 49, 855, 856, 0, 0
1009, BEAM , 4, 49, 856, 857, 0, 0
1010, BEAM , 4, 49, 857, 858, 0, 0
1011, BEAM , 4, 49, 858, 859, 0, 0
1012, BEAM , 4, 49, 859, 860, 0, 0
1013, BEAM , 4, 49, 860, 861, 0, 0
1014, BEAM , 4, 49, 861, 862, 0, 0
1015, BEAM , 4, 49, 862, 863, 0, 0
1016, BEAM , 4, 49, 863, 864, 0, 0
1017, BEAM , 4, 49, 864, 549, 0, 0
1018, BEAM , 4, 49, 549, 865, 0, 0
1019, BEAM , 4, 49, 865, 866, 0, 0
1020, BEAM , 4, 49, 866, 867, 0, 0
1021, BEAM , 4, 49, 867, 868, 0, 0
1022, BEAM , 4, 49, 868, 869, 0, 0
1023, BEAM , 4, 49, 869, 870, 0, 0
1024, BEAM , 4, 49, 870, 871, 0, 0
1025, BEAM , 4, 49, 871, 872, 0, 0
1026, BEAM , 4, 49, 872, 873, 0, 0
1027, BEAM , 4, 49, 873, 874, 0, 0
1028, BEAM , 4, 49, 874, 560, 0, 0
1029, BEAM , 4, 47, 560, 875, 0, 0
1030, BEAM , 4, 47, 875, 876, 0, 0
1031, BEAM , 4, 47, 876, 877, 0, 0
1032, BEAM , 4, 47, 877, 878, 0, 0
1033, BEAM , 4, 47, 878, 879, 0, 0
1034, BEAM , 4, 47, 879, 880, 0, 0
1035, BEAM , 4, 47, 880, 881, 0, 0
1036, BEAM , 4, 47, 881, 882, 0, 0
1037, BEAM , 4, 47, 882, 883, 0, 0
1038, BEAM , 4, 47, 883, 884, 0, 0
1039, BEAM , 4, 47, 884, 569, 0, 0
1040, BEAM , 4, 45, 569, 885, 0, 0
1041, BEAM , 4, 45, 885, 886, 0, 0
1042, BEAM , 4, 45, 886, 887, 0, 0

PROJECT TITLE :

MIDAS	Company		Client	
	Author		File Name	H2D_3Dg_v14_180227_StatLM.mct

1043, BEAM , 4, 45, 887, 888, 0, 0
1044, BEAM , 4, 45, 888, 889, 0, 0
1045, BEAM , 4, 45, 889, 890, 0, 0
1046, BEAM , 4, 45, 890, 891, 0, 0
1047, BEAM , 4, 45, 891, 892, 0, 0
1048, BEAM , 4, 45, 892, 893, 0, 0
1049, BEAM , 4, 45, 893, 576, 0, 0
1050, BEAM , 4, 43, 576, 894, 0, 0
1051, BEAM , 4, 43, 894, 895, 0, 0
1052, BEAM , 4, 43, 895, 896, 0, 0
1053, BEAM , 4, 43, 896, 897, 0, 0
1054, BEAM , 4, 43, 897, 898, 0, 0
1055, BEAM , 4, 43, 898, 899, 0, 0
1056, BEAM , 4, 43, 899, 900, 0, 0
1057, BEAM , 4, 43, 900, 901, 0, 0
1058, BEAM , 4, 43, 901, 583, 0, 0
1059, BEAM , 4, 43, 583, 902, 0, 0
1060, BEAM , 4, 43, 902, 903, 0, 0
1061, BEAM , 4, 44, 904, 905, 0, 0
1062, BEAM , 4, 44, 905, 429, 0, 0
1063, BEAM , 4, 44, 429, 906, 0, 0
1064, BEAM , 4, 44, 906, 907, 0, 0
1065, BEAM , 4, 44, 907, 908, 0, 0
1066, BEAM , 4, 44, 908, 909, 0, 0
1067, BEAM , 4, 44, 909, 910, 0, 0
1068, BEAM , 4, 44, 910, 911, 0, 0
1069, BEAM , 4, 44, 911, 912, 0, 0
1070, BEAM , 4, 44, 912, 913, 0, 0
1071, BEAM , 4, 44, 913, 436, 0, 0
1072, BEAM , 4, 46, 436, 914, 0, 0
1073, BEAM , 4, 46, 914, 915, 0, 0
1074, BEAM , 4, 46, 915, 916, 0, 0
1075, BEAM , 4, 46, 916, 917, 0, 0
1076, BEAM , 4, 46, 917, 918, 0, 0
1077, BEAM , 4, 46, 918, 919, 0, 0
1078, BEAM , 4, 46, 919, 920, 0, 0
1079, BEAM , 4, 46, 920, 921, 0, 0
1080, BEAM , 4, 46, 921, 922, 0, 0
1081, BEAM , 4, 46, 922, 443, 0, 0
1082, BEAM , 4, 48, 443, 923, 0, 0
1083, BEAM , 4, 48, 923, 924, 0, 0
1084, BEAM , 4, 48, 924, 925, 0, 0
1085, BEAM , 4, 48, 925, 926, 0, 0
1086, BEAM , 4, 48, 926, 927, 0, 0
1087, BEAM , 4, 48, 927, 928, 0, 0
1088, BEAM , 4, 48, 928, 929, 0, 0
1089, BEAM , 4, 48, 929, 930, 0, 0
1090, BEAM , 4, 48, 930, 931, 0, 0
1091, BEAM , 4, 48, 931, 932, 0, 0
1092, BEAM , 4, 48, 932, 452, 0, 0
1093, BEAM , 4, 50, 452, 933, 0, 0
1094, BEAM , 4, 50, 933, 934, 0, 0
1095, BEAM , 4, 50, 934, 935, 0, 0
1096, BEAM , 4, 50, 935, 936, 0, 0
1097, BEAM , 4, 50, 936, 937, 0, 0
1098, BEAM , 4, 50, 937, 938, 0, 0
1099, BEAM , 4, 50, 938, 939, 0, 0
1100, BEAM , 4, 50, 939, 940, 0, 0
1101, BEAM , 4, 50, 940, 941, 0, 0
1102, BEAM , 4, 50, 941, 942, 0, 0
1103, BEAM , 4, 50, 942, 463, 0, 0
1104, BEAM , 4, 50, 463, 943, 0, 0
1105, BEAM , 4, 50, 943, 944, 0, 0
1106, BEAM , 4, 50, 944, 945, 0, 0
1107, BEAM , 4, 50, 945, 946, 0, 0
1108, BEAM , 4, 50, 946, 947, 0, 0
1109, BEAM , 4, 50, 947, 948, 0, 0
1110, BEAM , 4, 50, 948, 949, 0, 0
1111, BEAM , 4, 50, 949, 950, 0, 0
1112, BEAM , 4, 50, 950, 951, 0, 0
1113, BEAM , 4, 50, 951, 952, 0, 0
1114, BEAM , 4, 50, 952, 474, 0, 0

PROJECT TITLE :

MIDAS	Company		Client	
	Author		File Name	H2D_3Dg_v14_180227_StatLM.mct

1115, BEAM , 4, 50, 474, 953, 0, 0
1116, BEAM , 4, 50, 953, 954, 0, 0
1117, BEAM , 4, 50, 954, 955, 0, 0
1118, BEAM , 4, 50, 955, 956, 0, 0
1119, BEAM , 4, 50, 956, 957, 0, 0
1120, BEAM , 4, 50, 957, 958, 0, 0
1121, BEAM , 4, 50, 958, 959, 0, 0
1122, BEAM , 4, 50, 959, 960, 0, 0
1123, BEAM , 4, 50, 960, 961, 0, 0
1124, BEAM , 4, 50, 961, 962, 0, 0
1125, BEAM , 4, 50, 962, 485, 0, 0
1126, BEAM , 4, 50, 485, 963, 0, 0
1127, BEAM , 4, 50, 963, 964, 0, 0
1128, BEAM , 4, 50, 964, 965, 0, 0
1129, BEAM , 4, 50, 965, 966, 0, 0
1130, BEAM , 4, 50, 966, 967, 0, 0
1131, BEAM , 4, 50, 967, 968, 0, 0
1132, BEAM , 4, 50, 968, 969, 0, 0
1133, BEAM , 4, 50, 969, 970, 0, 0
1134, BEAM , 4, 50, 970, 971, 0, 0
1135, BEAM , 4, 50, 971, 972, 0, 0
1136, BEAM , 4, 50, 972, 496, 0, 0
1137, BEAM , 4, 50, 496, 973, 0, 0
1138, BEAM , 4, 50, 973, 974, 0, 0
1139, BEAM , 4, 50, 974, 975, 0, 0
1140, BEAM , 4, 50, 975, 976, 0, 0
1141, BEAM , 4, 50, 976, 977, 0, 0
1142, BEAM , 4, 50, 977, 978, 0, 0
1143, BEAM , 4, 50, 978, 979, 0, 0
1144, BEAM , 4, 50, 979, 980, 0, 0
1145, BEAM , 4, 50, 980, 981, 0, 0
1146, BEAM , 4, 50, 981, 982, 0, 0
1147, BEAM , 4, 50, 982, 507, 0, 0
1148, BEAM , 4, 50, 507, 983, 0, 0
1149, BEAM , 4, 50, 983, 984, 0, 0
1150, BEAM , 4, 50, 984, 985, 0, 0
1151, BEAM , 4, 50, 985, 986, 0, 0
1152, BEAM , 4, 50, 986, 987, 0, 0
1153, BEAM , 4, 50, 987, 988, 0, 0
1154, BEAM , 4, 50, 988, 989, 0, 0
1155, BEAM , 4, 50, 989, 990, 0, 0
1156, BEAM , 4, 50, 990, 991, 0, 0
1157, BEAM , 4, 50, 991, 992, 0, 0
1158, BEAM , 4, 50, 992, 518, 0, 0
1159, BEAM , 4, 50, 518, 993, 0, 0
1160, BEAM , 4, 50, 993, 994, 0, 0
1161, BEAM , 4, 50, 994, 995, 0, 0
1162, BEAM , 4, 50, 995, 996, 0, 0
1163, BEAM , 4, 50, 996, 997, 0, 0
1164, BEAM , 4, 50, 997, 998, 0, 0
1165, BEAM , 4, 50, 998, 999, 0, 0
1166, BEAM , 4, 50, 999, 1000, 0, 0
1167, BEAM , 4, 50, 1000, 1001, 0, 0
1168, BEAM , 4, 50, 1001, 1002, 0, 0
1169, BEAM , 4, 50, 1002, 529, 0, 0
1170, BEAM , 4, 50, 529, 1003, 0, 0
1171, BEAM , 4, 50, 1003, 1004, 0, 0
1172, BEAM , 4, 50, 1004, 1005, 0, 0
1173, BEAM , 4, 50, 1005, 1006, 0, 0
1174, BEAM , 4, 50, 1006, 1007, 0, 0
1175, BEAM , 4, 50, 1007, 1008, 0, 0
1176, BEAM , 4, 50, 1008, 1009, 0, 0
1177, BEAM , 4, 50, 1009, 1010, 0, 0
1178, BEAM , 4, 50, 1010, 1011, 0, 0
1179, BEAM , 4, 50, 1011, 1012, 0, 0
1180, BEAM , 4, 50, 1012, 540, 0, 0
1181, BEAM , 4, 50, 540, 1013, 0, 0
1182, BEAM , 4, 50, 1013, 1014, 0, 0
1183, BEAM , 4, 50, 1014, 1015, 0, 0
1184, BEAM , 4, 50, 1015, 1016, 0, 0
1185, BEAM , 4, 50, 1016, 1017, 0, 0
1186, BEAM , 4, 50, 1017, 1018, 0, 0

PROJECT TITLE :

	Company		Client	
MIDAS	Author		File Name	H2D_3Dg_v14_180227_StatLM.mct

1187, BEAM , 4, 50, 1018, 1019, 0, 0
1188, BEAM , 4, 50, 1019, 1020, 0, 0
1189, BEAM , 4, 50, 1020, 1021, 0, 0
1190, BEAM , 4, 50, 1021, 1022, 0, 0
1191, BEAM , 4, 50, 1022, 551, 0, 0
1192, BEAM , 4, 50, 551, 1023, 0, 0
1193, BEAM , 4, 50, 1023, 1024, 0, 0
1194, BEAM , 4, 50, 1024, 1025, 0, 0
1195, BEAM , 4, 50, 1025, 1026, 0, 0
1196, BEAM , 4, 50, 1026, 1027, 0, 0
1197, BEAM , 4, 50, 1027, 1028, 0, 0
1198, BEAM , 4, 50, 1028, 1029, 0, 0
1199, BEAM , 4, 50, 1029, 1030, 0, 0
1200, BEAM , 4, 50, 1030, 1031, 0, 0
1201, BEAM , 4, 50, 1031, 1032, 0, 0
1202, BEAM , 4, 50, 1032, 562, 0, 0
1203, BEAM , 4, 48, 562, 1033, 0, 0
1204, BEAM , 4, 48, 1033, 1034, 0, 0
1205, BEAM , 4, 48, 1034, 1035, 0, 0
1206, BEAM , 4, 48, 1035, 1036, 0, 0
1207, BEAM , 4, 48, 1036, 1037, 0, 0
1208, BEAM , 4, 48, 1037, 1038, 0, 0
1209, BEAM , 4, 48, 1038, 1039, 0, 0
1210, BEAM , 4, 48, 1039, 1040, 0, 0
1211, BEAM , 4, 48, 1040, 1041, 0, 0
1212, BEAM , 4, 48, 1041, 1042, 0, 0
1213, BEAM , 4, 48, 1042, 571, 0, 0
1214, BEAM , 4, 46, 571, 1043, 0, 0
1215, BEAM , 4, 46, 1043, 1044, 0, 0
1216, BEAM , 4, 46, 1044, 1045, 0, 0
1217, BEAM , 4, 46, 1045, 1046, 0, 0
1218, BEAM , 4, 46, 1046, 1047, 0, 0
1219, BEAM , 4, 46, 1047, 1048, 0, 0
1220, BEAM , 4, 46, 1048, 1049, 0, 0
1221, BEAM , 4, 46, 1049, 1050, 0, 0
1222, BEAM , 4, 46, 1050, 1051, 0, 0
1223, BEAM , 4, 46, 1051, 578, 0, 0
1224, BEAM , 4, 44, 578, 1052, 0, 0
1225, BEAM , 4, 44, 1052, 1053, 0, 0
1226, BEAM , 4, 44, 1053, 1054, 0, 0
1227, BEAM , 4, 44, 1054, 1055, 0, 0
1228, BEAM , 4, 44, 1055, 1056, 0, 0
1229, BEAM , 4, 44, 1056, 1057, 0, 0
1230, BEAM , 4, 44, 1057, 1058, 0, 0
1231, BEAM , 4, 44, 1058, 1059, 0, 0
1232, BEAM , 4, 44, 1059, 585, 0, 0
1233, BEAM , 4, 44, 585, 1060, 0, 0
1234, BEAM , 4, 44, 1060, 1061, 0, 0
1235, BEAM , 4, 43, 1062, 1063, 0, 0
1236, BEAM , 4, 43, 1063, 430, 0, 0
1237, BEAM , 4, 43, 430, 1064, 0, 0
1238, BEAM , 4, 43, 1064, 1065, 0, 0
1239, BEAM , 4, 43, 1065, 1066, 0, 0
1240, BEAM , 4, 43, 1066, 1067, 0, 0
1241, BEAM , 4, 43, 1067, 1068, 0, 0
1242, BEAM , 4, 43, 1068, 1069, 0, 0
1243, BEAM , 4, 43, 1069, 1070, 0, 0
1244, BEAM , 4, 43, 1070, 1071, 0, 0
1245, BEAM , 4, 43, 1071, 437, 0, 0
1246, BEAM , 4, 45, 437, 1072, 0, 0
1247, BEAM , 4, 45, 1072, 1073, 0, 0
1248, BEAM , 4, 45, 1073, 1074, 0, 0
1249, BEAM , 4, 45, 1074, 1075, 0, 0
1250, BEAM , 4, 45, 1075, 1076, 0, 0
1251, BEAM , 4, 45, 1076, 1077, 0, 0
1252, BEAM , 4, 45, 1077, 1078, 0, 0
1253, BEAM , 4, 45, 1078, 1079, 0, 0
1254, BEAM , 4, 45, 1079, 1080, 0, 0
1255, BEAM , 4, 45, 1080, 444, 0, 0
1256, BEAM , 4, 47, 444, 1081, 0, 0
1257, BEAM , 4, 47, 1081, 1082, 0, 0
1258, BEAM , 4, 47, 1082, 1083, 0, 0

PROJECT TITLE :

MIDAS	Company		Client	
	Author		File Name	H2D_3Dg_v14_180227_StatLM.mct

1259, BEAM , 4, 47, 1083, 1084, 0, 0
1260, BEAM , 4, 47, 1084, 1085, 0, 0
1261, BEAM , 4, 47, 1085, 1086, 0, 0
1262, BEAM , 4, 47, 1086, 1087, 0, 0
1263, BEAM , 4, 47, 1087, 1088, 0, 0
1264, BEAM , 4, 47, 1088, 1089, 0, 0
1265, BEAM , 4, 47, 1089, 1090, 0, 0
1266, BEAM , 4, 47, 1090, 454, 0, 0
1267, BEAM , 4, 49, 454, 1091, 0, 0
1268, BEAM , 4, 49, 1091, 1092, 0, 0
1269, BEAM , 4, 49, 1092, 1093, 0, 0
1270, BEAM , 4, 49, 1093, 1094, 0, 0
1271, BEAM , 4, 49, 1094, 1095, 0, 0
1272, BEAM , 4, 49, 1095, 1096, 0, 0
1273, BEAM , 4, 49, 1096, 1097, 0, 0
1274, BEAM , 4, 49, 1097, 1098, 0, 0
1275, BEAM , 4, 49, 1098, 1099, 0, 0
1276, BEAM , 4, 49, 1099, 1100, 0, 0
1277, BEAM , 4, 49, 1100, 465, 0, 0
1278, BEAM , 4, 49, 465, 1101, 0, 0
1279, BEAM , 4, 49, 1101, 1102, 0, 0
1280, BEAM , 4, 49, 1102, 1103, 0, 0
1281, BEAM , 4, 49, 1103, 1104, 0, 0
1282, BEAM , 4, 49, 1104, 1105, 0, 0
1283, BEAM , 4, 49, 1105, 1106, 0, 0
1284, BEAM , 4, 49, 1106, 1107, 0, 0
1285, BEAM , 4, 49, 1107, 1108, 0, 0
1286, BEAM , 4, 49, 1108, 1109, 0, 0
1287, BEAM , 4, 49, 1109, 1110, 0, 0
1288, BEAM , 4, 49, 1110, 476, 0, 0
1289, BEAM , 4, 49, 476, 1111, 0, 0
1290, BEAM , 4, 49, 1111, 1112, 0, 0
1291, BEAM , 4, 49, 1112, 1113, 0, 0
1292, BEAM , 4, 49, 1113, 1114, 0, 0
1293, BEAM , 4, 49, 1114, 1115, 0, 0
1294, BEAM , 4, 49, 1115, 1116, 0, 0
1295, BEAM , 4, 49, 1116, 1117, 0, 0
1296, BEAM , 4, 49, 1117, 1118, 0, 0
1297, BEAM , 4, 49, 1118, 1119, 0, 0
1298, BEAM , 4, 49, 1119, 1120, 0, 0
1299, BEAM , 4, 49, 1120, 487, 0, 0
1300, BEAM , 4, 49, 487, 1121, 0, 0
1301, BEAM , 4, 49, 1121, 1122, 0, 0
1302, BEAM , 4, 49, 1122, 1123, 0, 0
1303, BEAM , 4, 49, 1123, 1124, 0, 0
1304, BEAM , 4, 49, 1124, 1125, 0, 0
1305, BEAM , 4, 49, 1125, 1126, 0, 0
1306, BEAM , 4, 49, 1126, 1127, 0, 0
1307, BEAM , 4, 49, 1127, 1128, 0, 0
1308, BEAM , 4, 49, 1128, 1129, 0, 0
1309, BEAM , 4, 49, 1129, 1130, 0, 0
1310, BEAM , 4, 49, 1130, 498, 0, 0
1311, BEAM , 4, 49, 498, 1131, 0, 0
1312, BEAM , 4, 49, 1131, 1132, 0, 0
1313, BEAM , 4, 49, 1132, 1133, 0, 0
1314, BEAM , 4, 49, 1133, 1134, 0, 0
1315, BEAM , 4, 49, 1134, 1135, 0, 0
1316, BEAM , 4, 49, 1135, 1136, 0, 0
1317, BEAM , 4, 49, 1136, 1137, 0, 0
1318, BEAM , 4, 49, 1137, 1138, 0, 0
1319, BEAM , 4, 49, 1138, 1139, 0, 0
1320, BEAM , 4, 49, 1139, 1140, 0, 0
1321, BEAM , 4, 49, 1140, 509, 0, 0
1322, BEAM , 4, 49, 509, 1141, 0, 0
1323, BEAM , 4, 49, 1141, 1142, 0, 0
1324, BEAM , 4, 49, 1142, 1143, 0, 0
1325, BEAM , 4, 49, 1143, 1144, 0, 0
1326, BEAM , 4, 49, 1144, 1145, 0, 0
1327, BEAM , 4, 49, 1145, 1146, 0, 0
1328, BEAM , 4, 49, 1146, 1147, 0, 0
1329, BEAM , 4, 49, 1147, 1148, 0, 0
1330, BEAM , 4, 49, 1148, 1149, 0, 0

PROJECT TITLE :

	Company		Client	
MIDAS	Author		File Name	H2D_3Dg_v14_180227_StatLM.mct

1331, BEAM , 4, 49, 1149, 1150, 0, 0
1332, BEAM , 4, 49, 1150, 520, 0, 0
1333, BEAM , 4, 49, 520, 1151, 0, 0
1334, BEAM , 4, 49, 1151, 1152, 0, 0
1335, BEAM , 4, 49, 1152, 1153, 0, 0
1336, BEAM , 4, 49, 1153, 1154, 0, 0
1337, BEAM , 4, 49, 1154, 1155, 0, 0
1338, BEAM , 4, 49, 1155, 1156, 0, 0
1339, BEAM , 4, 49, 1156, 1157, 0, 0
1340, BEAM , 4, 49, 1157, 1158, 0, 0
1341, BEAM , 4, 49, 1158, 1159, 0, 0
1342, BEAM , 4, 49, 1159, 1160, 0, 0
1343, BEAM , 4, 49, 1160, 531, 0, 0
1344, BEAM , 4, 49, 531, 1161, 0, 0
1345, BEAM , 4, 49, 1161, 1162, 0, 0
1346, BEAM , 4, 49, 1162, 1163, 0, 0
1347, BEAM , 4, 49, 1163, 1164, 0, 0
1348, BEAM , 4, 49, 1164, 1165, 0, 0
1349, BEAM , 4, 49, 1165, 1166, 0, 0
1350, BEAM , 4, 49, 1166, 1167, 0, 0
1351, BEAM , 4, 49, 1167, 1168, 0, 0
1352, BEAM , 4, 49, 1168, 1169, 0, 0
1353, BEAM , 4, 49, 1169, 1170, 0, 0
1354, BEAM , 4, 49, 1170, 542, 0, 0
1355, BEAM , 4, 49, 542, 1171, 0, 0
1356, BEAM , 4, 49, 1171, 1172, 0, 0
1357, BEAM , 4, 49, 1172, 1173, 0, 0
1358, BEAM , 4, 49, 1173, 1174, 0, 0
1359, BEAM , 4, 49, 1174, 1175, 0, 0
1360, BEAM , 4, 49, 1175, 1176, 0, 0
1361, BEAM , 4, 49, 1176, 1177, 0, 0
1362, BEAM , 4, 49, 1177, 1178, 0, 0
1363, BEAM , 4, 49, 1178, 1179, 0, 0
1364, BEAM , 4, 49, 1179, 1180, 0, 0
1365, BEAM , 4, 49, 1180, 553, 0, 0
1366, BEAM , 4, 49, 553, 1181, 0, 0
1367, BEAM , 4, 49, 1181, 1182, 0, 0
1368, BEAM , 4, 49, 1182, 1183, 0, 0
1369, BEAM , 4, 49, 1183, 1184, 0, 0
1370, BEAM , 4, 49, 1184, 1185, 0, 0
1371, BEAM , 4, 49, 1185, 1186, 0, 0
1372, BEAM , 4, 49, 1186, 1187, 0, 0
1373, BEAM , 4, 49, 1187, 1188, 0, 0
1374, BEAM , 4, 49, 1188, 1189, 0, 0
1375, BEAM , 4, 49, 1189, 1190, 0, 0
1376, BEAM , 4, 49, 1190, 564, 0, 0
1377, BEAM , 4, 47, 564, 1191, 0, 0
1378, BEAM , 4, 47, 1191, 1192, 0, 0
1379, BEAM , 4, 47, 1192, 1193, 0, 0
1380, BEAM , 4, 47, 1193, 1194, 0, 0
1381, BEAM , 4, 47, 1194, 1195, 0, 0
1382, BEAM , 4, 47, 1195, 1196, 0, 0
1383, BEAM , 4, 47, 1196, 1197, 0, 0
1384, BEAM , 4, 47, 1197, 1198, 0, 0
1385, BEAM , 4, 47, 1198, 1199, 0, 0
1386, BEAM , 4, 47, 1199, 1200, 0, 0
1387, BEAM , 4, 47, 1200, 572, 0, 0
1388, BEAM , 4, 45, 572, 1201, 0, 0
1389, BEAM , 4, 45, 1201, 1202, 0, 0
1390, BEAM , 4, 45, 1202, 1203, 0, 0
1391, BEAM , 4, 45, 1203, 1204, 0, 0
1392, BEAM , 4, 45, 1204, 1205, 0, 0
1393, BEAM , 4, 45, 1205, 1206, 0, 0
1394, BEAM , 4, 45, 1206, 1207, 0, 0
1395, BEAM , 4, 45, 1207, 1208, 0, 0
1396, BEAM , 4, 45, 1208, 1209, 0, 0
1397, BEAM , 4, 45, 1209, 579, 0, 0
1398, BEAM , 4, 43, 579, 1210, 0, 0
1399, BEAM , 4, 43, 1210, 1211, 0, 0
1400, BEAM , 4, 43, 1211, 1212, 0, 0
1401, BEAM , 4, 43, 1212, 1213, 0, 0
1402, BEAM , 4, 43, 1213, 1214, 0, 0

PROJECT TITLE :

MIDAS	Company		Client	
	Author		File Name	H2D_3Dg_v14_180227_StatLM.mct

1403, BEAM , 4, 43, 1214, 1215, 0, 0
1404, BEAM , 4, 43, 1215, 1216, 0, 0
1405, BEAM , 4, 43, 1216, 1217, 0, 0
1406, BEAM , 4, 43, 1217, 586, 0, 0
1407, BEAM , 4, 43, 586, 1218, 0, 0
1408, BEAM , 4, 43, 1218, 1219, 0, 0
1409, BEAM , 4, 56, 1220, 1221, 0, 0
1410, BEAM , 4, 56, 1221, 2475, 0, 0
1411, BEAM , 4, 58, 1224, 1222, 0, 0
1412, BEAM , 4, 58, 1222, 1225, 0, 0
1413, BEAM , 4, 58, 1224, 1228, 0, 0
1414, BEAM , 4, 58, 1228, 1225, 0, 0
1415, BEAM , 4, 57, 1226, 1227, 0, 0
1416, BEAM , 4, 57, 1227, 1229, 0, 0
1417, BEAM , 4, 58, 1230, 1228, 0, 0
1418, BEAM , 4, 58, 1228, 1231, 0, 0
1419, BEAM , 4, 58, 1230, 1234, 0, 0
1420, BEAM , 4, 58, 1234, 1231, 0, 0
1421, BEAM , 4, 57, 1232, 1233, 0, 0
1422, BEAM , 4, 57, 1233, 1235, 0, 0
1423, BEAM , 4, 58, 1236, 1234, 0, 0
1424, BEAM , 4, 58, 1234, 1237, 0, 0
1425, BEAM , 4, 58, 1236, 1240, 0, 0
1426, BEAM , 4, 58, 1240, 1237, 0, 0
1427, BEAM , 4, 57, 1238, 1239, 0, 0
1428, BEAM , 4, 57, 1239, 1241, 0, 0
1429, BEAM , 4, 58, 1242, 1240, 0, 0
1430, BEAM , 4, 58, 1240, 1243, 0, 0
1431, BEAM , 4, 58, 1242, 1246, 0, 0
1432, BEAM , 4, 58, 1246, 1243, 0, 0
1433, BEAM , 4, 57, 1244, 1245, 0, 0
1434, BEAM , 4, 57, 1245, 1247, 0, 0
1435, BEAM , 4, 58, 1248, 1246, 0, 0
1436, BEAM , 4, 58, 1246, 1249, 0, 0
1437, BEAM , 4, 58, 1248, 1252, 0, 0
1438, BEAM , 4, 58, 1252, 1249, 0, 0
1439, BEAM , 4, 57, 1250, 1251, 0, 0
1440, BEAM , 4, 57, 1251, 1253, 0, 0
1441, BEAM , 4, 58, 1254, 1252, 0, 0
1442, BEAM , 4, 58, 1252, 1255, 0, 0
1443, BEAM , 4, 58, 1254, 1258, 0, 0
1444, BEAM , 4, 58, 1258, 1255, 0, 0
1445, BEAM , 4, 57, 1256, 1257, 0, 0
1446, BEAM , 4, 57, 1257, 1259, 0, 0
1447, BEAM , 4, 58, 1260, 1258, 0, 0
1448, BEAM , 4, 58, 1258, 1261, 0, 0
1449, BEAM , 4, 58, 1260, 1264, 0, 0
1450, BEAM , 4, 58, 1264, 1261, 0, 0
1451, BEAM , 4, 57, 1262, 1263, 0, 0
1452, BEAM , 4, 57, 1263, 1265, 0, 0
1453, BEAM , 4, 58, 1266, 1264, 0, 0
1454, BEAM , 4, 58, 1264, 1267, 0, 0
1455, BEAM , 4, 58, 1266, 1270, 0, 0
1456, BEAM , 4, 58, 1270, 1267, 0, 0
1457, BEAM , 4, 56, 1268, 1269, 0, 0
1458, BEAM , 4, 56, 1269, 2478, 0, 0
1459, BEAM , 4, 59, 1274, 1272, 0, 0
1460, BEAM , 4, 59, 1274, 1273, 0, 0
1461, BEAM , 4, 59, 1275, 1276, 0, 0
1462, BEAM , 4, 59, 1275, 1277, 0, 0
1463, BEAM , 4, 59, 1278, 1276, 0, 0
1464, BEAM , 4, 59, 1278, 1277, 0, 0
1465, BEAM , 4, 59, 1279, 1280, 0, 0
1466, BEAM , 4, 59, 1279, 1281, 0, 0
1467, BEAM , 4, 60, 1280, 1282, 0, 0
1468, BEAM , 4, 60, 1281, 1282, 0, 0
1469, BEAM , 4, 61, 1283, 1284, 0, 0
1470, BEAM , 4, 61, 1283, 1285, 0, 0
1471, BEAM , 4, 62, 1284, 1286, 0, 0
1472, BEAM , 4, 62, 1285, 1286, 0, 0
1473, BEAM , 4, 63, 1287, 1288, 0, 0
1474, BEAM , 4, 63, 1287, 1289, 0, 0

PROJECT TITLE :

	Company		Client	
MIDAS	Author		File Name	H2D_3Dg_v14_180227_StatLM.mct

1475, BEAM , 4, 63, 1290, 1288, 0, 0
1476, BEAM , 4, 63, 1290, 1289, 0, 0
1477, BEAM , 4, 62, 1292, 1291, 0, 0
1478, BEAM , 4, 62, 1293, 1291, 0, 0
1479, BEAM , 4, 61, 1294, 1292, 0, 0
1480, BEAM , 4, 61, 1294, 1293, 0, 0
1481, BEAM , 4, 60, 1296, 1295, 0, 0
1482, BEAM , 4, 60, 1297, 1295, 0, 0
1483, BEAM , 4, 59, 1298, 1296, 0, 0
1484, BEAM , 4, 59, 1298, 1297, 0, 0
1485, BEAM , 4, 59, 1299, 1300, 0, 0
1486, BEAM , 4, 59, 1299, 1301, 0, 0
1487, BEAM , 4, 59, 1302, 1300, 0, 0
1488, BEAM , 4, 59, 1302, 1301, 0, 0
1489, BEAM , 4, 59, 1303, 1304, 0, 0
1490, BEAM , 4, 59, 1303, 1305, 0, 0
1491, BEAM , 4, 66, 1307, 1312, 0, 0
1492, BEAM , 4, 66, 1309, 1312, 0, 0
1493, BEAM , 4, 65, 1313, 1307, 0, 0
1494, BEAM , 4, 65, 1314, 1309, 0, 0
1495, BEAM , 4, 64, 1313, 319, 0, 0
1496, BEAM , 4, 64, 1314, 373, 0, 0
1497, BEAM , 4, 64, 1313, 1316, 0, 0
1498, BEAM , 4, 64, 1316, 1312, 0, 0
1499, BEAM , 4, 64, 1312, 1318, 0, 0
1500, BEAM , 4, 64, 1318, 1314, 0, 0
1501, BEAM , 4, 64, 1320, 1321, 0, 0
1502, BEAM , 4, 64, 1321, 1322, 0, 0
1503, BEAM , 4, 64, 1322, 1323, 0, 0
1504, BEAM , 4, 64, 1323, 1324, 0, 0
1505, BEAM , 4, 64, 1320, 341, 0, 0
1506, BEAM , 4, 64, 1324, 396, 0, 0
1507, BEAM , 4, 65, 1320, 1329, 0, 0
1508, BEAM , 4, 65, 1324, 1331, 0, 0
1509, BEAM , 4, 66, 1329, 1322, 0, 0
1510, BEAM , 4, 66, 1331, 1322, 0, 0
1511, BEAM , 4, 66, 1329, 1334, 0, 0
1512, BEAM , 4, 66, 1331, 1334, 0, 0
1513, BEAM , 4, 65, 1335, 1329, 0, 0
1514, BEAM , 4, 65, 1336, 1331, 0, 0
1515, BEAM , 4, 64, 1335, 341, 0, 0
1516, BEAM , 4, 64, 1336, 396, 0, 0
1517, BEAM , 4, 64, 1335, 1338, 0, 0
1518, BEAM , 4, 64, 1338, 1334, 0, 0
1519, BEAM , 4, 64, 1334, 1340, 0, 0
1520, BEAM , 4, 64, 1340, 1336, 0, 0
1521, BEAM , 4, 64, 1342, 1343, 0, 0
1522, BEAM , 4, 64, 1343, 1344, 0, 0
1523, BEAM , 4, 64, 1344, 1345, 0, 0
1524, BEAM , 4, 64, 1345, 1346, 0, 0
1525, BEAM , 4, 64, 1342, 363, 0, 0
1526, BEAM , 4, 64, 1346, 418, 0, 0
1527, BEAM , 4, 65, 1342, 1351, 0, 0
1528, BEAM , 4, 65, 1346, 1353, 0, 0
1529, BEAM , 4, 66, 1351, 1344, 0, 0
1530, BEAM , 4, 66, 1353, 1344, 0, 0
1531, BEAM , 4, 67, 1356, 1381, 0, 0
1532, BEAM , 4, 67, 1381, 1357, 0, 0
1533, BEAM , 4, 67, 1357, 1382, 0, 0
1534, BEAM , 4, 67, 1382, 1358, 0, 0
1535, BEAM , 4, 67, 1358, 1383, 0, 0
1536, BEAM , 4, 67, 1383, 1359, 0, 0
1537, BEAM , 4, 67, 1359, 1384, 0, 0
1538, BEAM , 4, 67, 1384, 1360, 0, 0
1539, BEAM , 4, 67, 1360, 1385, 0, 0
1540, BEAM , 4, 67, 1385, 1361, 0, 0
1541, BEAM , 4, 67, 1361, 1386, 0, 0
1542, BEAM , 4, 67, 1386, 1362, 0, 0
1543, BEAM , 4, 67, 1362, 1387, 0, 0
1544, BEAM , 4, 67, 1387, 1363, 0, 0
1545, BEAM , 4, 67, 1363, 1388, 0, 0
1546, BEAM , 4, 67, 1388, 1364, 0, 0

PROJECT TITLE :

MIDAS	Company		Client	
	Author		File Name	H2D_3Dg_v14_180227_StatLM.mct

1547, BEAM , 4, 67, 1364, 1389, 0, 0
1548, BEAM , 4, 67, 1389, 1365, 0, 0
1549, BEAM , 4, 67, 1365, 1390, 0, 0
1550, BEAM , 4, 67, 1390, 1366, 0, 0
1551, BEAM , 4, 67, 1366, 1391, 0, 0
1552, BEAM , 4, 67, 1391, 1367, 0, 0
1553, BEAM , 4, 67, 1367, 1392, 0, 0
1554, BEAM , 4, 67, 1392, 1368, 0, 0
1555, BEAM , 4, 67, 1393, 1368, 0, 0
1556, BEAM , 4, 67, 1369, 1393, 0, 0
1557, BEAM , 4, 67, 1394, 1369, 0, 0
1558, BEAM , 4, 67, 1370, 1394, 0, 0
1559, BEAM , 4, 67, 1395, 1370, 0, 0
1560, BEAM , 4, 67, 1371, 1395, 0, 0
1561, BEAM , 4, 67, 1396, 1371, 0, 0
1562, BEAM , 4, 67, 1372, 1396, 0, 0
1563, BEAM , 4, 67, 1397, 1372, 0, 0
1564, BEAM , 4, 67, 1373, 1397, 0, 0
1565, BEAM , 4, 67, 1398, 1373, 0, 0
1566, BEAM , 4, 67, 1374, 1398, 0, 0
1567, BEAM , 4, 67, 1399, 1374, 0, 0
1568, BEAM , 4, 67, 1375, 1399, 0, 0
1569, BEAM , 4, 67, 1400, 1375, 0, 0
1570, BEAM , 4, 67, 1376, 1400, 0, 0
1571, BEAM , 4, 67, 1401, 1376, 0, 0
1572, BEAM , 4, 67, 1377, 1401, 0, 0
1573, BEAM , 4, 67, 1402, 1377, 0, 0
1574, BEAM , 4, 67, 1378, 1402, 0, 0
1575, BEAM , 4, 67, 1403, 1378, 0, 0
1576, BEAM , 4, 67, 1379, 1403, 0, 0
1577, BEAM , 4, 67, 1404, 1379, 0, 0
1578, BEAM , 4, 67, 1380, 1404, 0, 0
1579, BEAM , 4, 67, 1429, 1405, 0, 0
1580, BEAM , 4, 67, 1405, 1430, 0, 0
1581, BEAM , 4, 67, 1430, 1406, 0, 0
1582, BEAM , 4, 67, 1406, 1431, 0, 0
1583, BEAM , 4, 67, 1431, 1407, 0, 0
1584, BEAM , 4, 67, 1407, 1432, 0, 0
1585, BEAM , 4, 67, 1432, 1408, 0, 0
1586, BEAM , 4, 67, 1408, 1433, 0, 0
1587, BEAM , 4, 67, 1433, 1409, 0, 0
1588, BEAM , 4, 67, 1409, 1434, 0, 0
1589, BEAM , 4, 67, 1434, 1410, 0, 0
1590, BEAM , 4, 67, 1410, 1435, 0, 0
1591, BEAM , 4, 67, 1435, 1411, 0, 0
1592, BEAM , 4, 67, 1411, 1436, 0, 0
1593, BEAM , 4, 67, 1436, 1412, 0, 0
1594, BEAM , 4, 67, 1412, 1437, 0, 0
1595, BEAM , 4, 67, 1437, 1413, 0, 0
1596, BEAM , 4, 67, 1413, 1438, 0, 0
1597, BEAM , 4, 67, 1438, 1414, 0, 0
1598, BEAM , 4, 67, 1414, 1439, 0, 0
1599, BEAM , 4, 67, 1439, 1415, 0, 0
1600, BEAM , 4, 67, 1415, 1440, 0, 0
1601, BEAM , 4, 67, 1440, 1416, 0, 0
1602, BEAM , 4, 67, 1416, 1441, 0, 0
1603, BEAM , 4, 67, 1417, 1441, 0, 0
1604, BEAM , 4, 67, 1442, 1417, 0, 0
1605, BEAM , 4, 67, 1418, 1442, 0, 0
1606, BEAM , 4, 67, 1443, 1418, 0, 0
1607, BEAM , 4, 67, 1419, 1443, 0, 0
1608, BEAM , 4, 67, 1444, 1419, 0, 0
1609, BEAM , 4, 67, 1420, 1444, 0, 0
1610, BEAM , 4, 67, 1445, 1420, 0, 0
1611, BEAM , 4, 67, 1421, 1445, 0, 0
1612, BEAM , 4, 67, 1446, 1421, 0, 0
1613, BEAM , 4, 67, 1422, 1446, 0, 0
1614, BEAM , 4, 67, 1447, 1422, 0, 0
1615, BEAM , 4, 67, 1423, 1447, 0, 0
1616, BEAM , 4, 67, 1448, 1423, 0, 0
1617, BEAM , 4, 67, 1424, 1448, 0, 0
1618, BEAM , 4, 67, 1449, 1424, 0, 0

PROJECT TITLE :

MIDAS	Company		Client	
	Author		File Name	H2D_3Dg_v14_180227_StatLM.mct

1619, BEAM , 4, 67, 1425, 1449, 0, 0
1620, BEAM , 4, 67, 1450, 1425, 0, 0
1621, BEAM , 4, 67, 1426, 1450, 0, 0
1622, BEAM , 4, 67, 1451, 1426, 0, 0
1623, BEAM , 4, 67, 1427, 1451, 0, 0
1624, BEAM , 4, 67, 1452, 1427, 0, 0
1625, BEAM , 4, 67, 1428, 1452, 0, 0
1626, BEAM , 4, 67, 1453, 1428, 0, 0
1627, BEAM , 4, 68, 1454, 1486, 0, 0
1628, BEAM , 4, 68, 1455, 1487, 0, 0
1629, BEAM , 4, 68, 1456, 1488, 0, 0
1630, BEAM , 4, 68, 1457, 1489, 0, 0
1631, BEAM , 4, 68, 1458, 1490, 0, 0
1632, BEAM , 4, 68, 1459, 1491, 0, 0
1633, BEAM , 4, 68, 1460, 1492, 0, 0
1634, BEAM , 4, 68, 1461, 1493, 0, 0
1635, BEAM , 4, 68, 1462, 1494, 0, 0
1636, BEAM , 4, 68, 1463, 1495, 0, 0
1637, BEAM , 4, 68, 1464, 1496, 0, 0
1638, BEAM , 4, 68, 1465, 1497, 0, 0
1639, BEAM , 4, 68, 1466, 1498, 0, 0
1640, BEAM , 4, 68, 1467, 1499, 0, 0
1641, BEAM , 4, 68, 1468, 1500, 0, 0
1642, BEAM , 4, 68, 1469, 1501, 0, 0
1643, BEAM , 4, 68, 1470, 1502, 0, 0
1644, BEAM , 4, 68, 1471, 1503, 0, 0
1645, BEAM , 4, 68, 1472, 1504, 0, 0
1646, BEAM , 4, 68, 1473, 1505, 0, 0
1647, BEAM , 4, 68, 1474, 1506, 0, 0
1648, BEAM , 4, 68, 1475, 1507, 0, 0
1649, BEAM , 4, 68, 1476, 1508, 0, 0
1650, BEAM , 4, 68, 1477, 1509, 0, 0
1651, BEAM , 4, 68, 1478, 1510, 0, 0
1652, BEAM , 4, 68, 1479, 1511, 0, 0
1653, BEAM , 4, 68, 1480, 1512, 0, 0
1654, BEAM , 4, 68, 1481, 1513, 0, 0
1655, BEAM , 4, 68, 1482, 1514, 0, 0
1656, BEAM , 4, 68, 1483, 1515, 0, 0
1657, BEAM , 4, 68, 1484, 1516, 0, 0
1658, BEAM , 4, 68, 1485, 1517, 0, 0
1659, BEAM , 4, 68, 1518, 1550, 0, 0
1660, BEAM , 4, 68, 1519, 1551, 0, 0
1661, BEAM , 4, 68, 1520, 1552, 0, 0
1662, BEAM , 4, 68, 1521, 1553, 0, 0
1663, BEAM , 4, 68, 1522, 1554, 0, 0
1664, BEAM , 4, 68, 1523, 1555, 0, 0
1665, BEAM , 4, 68, 1524, 1556, 0, 0
1666, BEAM , 4, 68, 1525, 1557, 0, 0
1667, BEAM , 4, 68, 1526, 1558, 0, 0
1668, BEAM , 4, 68, 1527, 1559, 0, 0
1669, BEAM , 4, 68, 1528, 1560, 0, 0
1670, BEAM , 4, 68, 1529, 1561, 0, 0
1671, BEAM , 4, 68, 1530, 1562, 0, 0
1672, BEAM , 4, 68, 1531, 1563, 0, 0
1673, BEAM , 4, 68, 1532, 1564, 0, 0
1674, BEAM , 4, 68, 1533, 1565, 0, 0
1675, BEAM , 4, 68, 1534, 1566, 0, 0
1676, BEAM , 4, 68, 1535, 1567, 0, 0
1677, BEAM , 4, 68, 1536, 1568, 0, 0
1678, BEAM , 4, 68, 1537, 1569, 0, 0
1679, BEAM , 4, 68, 1538, 1570, 0, 0
1680, BEAM , 4, 68, 1539, 1571, 0, 0
1681, BEAM , 4, 68, 1540, 1572, 0, 0
1682, BEAM , 4, 68, 1541, 1573, 0, 0
1683, BEAM , 4, 68, 1542, 1574, 0, 0
1684, BEAM , 4, 68, 1543, 1575, 0, 0
1685, BEAM , 4, 68, 1544, 1576, 0, 0
1686, BEAM , 4, 68, 1545, 1577, 0, 0
1687, BEAM , 4, 68, 1546, 1578, 0, 0
1688, BEAM , 4, 68, 1547, 1579, 0, 0
1689, BEAM , 4, 68, 1548, 1580, 0, 0
1690, BEAM , 4, 68, 1549, 1581, 0, 0

PROJECT TITLE :

MIDAS	Company		Client	
	Author		File Name	H2D_3Dg_v14_180227_StatLM.mct

1691, BEAM , 4, 69, 1598, 1582, 0, 0
1692, BEAM , 4, 69, 1599, 1583, 0, 0
1693, BEAM , 4, 69, 1600, 1584, 0, 0
1694, BEAM , 4, 69, 1601, 1585, 0, 0
1695, BEAM , 4, 69, 1602, 1586, 0, 0
1696, BEAM , 4, 69, 1603, 1587, 0, 0
1697, BEAM , 4, 69, 1604, 1588, 0, 0
1698, BEAM , 4, 69, 1605, 1589, 0, 0
1699, BEAM , 4, 69, 1606, 1590, 0, 0
1700, BEAM , 4, 69, 1607, 1591, 0, 0
1701, BEAM , 4, 69, 1608, 1592, 0, 0
1702, BEAM , 4, 69, 1609, 1593, 0, 0
1703, BEAM , 4, 69, 1610, 1594, 0, 0
1704, BEAM , 4, 69, 1611, 1595, 0, 0
1705, BEAM , 4, 69, 1612, 1596, 0, 0
1706, BEAM , 4, 69, 1613, 1597, 0, 0
1707, BEAM , 1, 72, 1614, 1615, 0, 0
1708, BEAM , 1, 72, 1615, 1616, 0, 0
1709, BEAM , 1, 72, 1617, 1618, 0, 0
1710, BEAM , 1, 72, 1618, 1619, 0, 0
1711, BEAM , 1, 72, 1620, 1621, 0, 0
1712, BEAM , 1, 72, 1621, 1622, 0, 0
1713, BEAM , 1, 72, 1623, 1624, 0, 0
1714, BEAM , 1, 72, 1624, 1625, 0, 0
1715, BEAM , 4, 73, 1643, 1626, 0, 0
1716, BEAM , 4, 73, 1644, 1627, 0, 0
1717, BEAM , 4, 73, 1645, 1628, 0, 0
1718, BEAM , 4, 73, 1646, 1629, 0, 0
1719, BEAM , 4, 73, 1647, 1630, 0, 0
1720, BEAM , 4, 73, 1648, 1631, 0, 0
1721, BEAM , 4, 73, 1649, 1632, 0, 0
1722, BEAM , 4, 73, 1650, 1633, 0, 0
1723, BEAM , 4, 73, 1651, 1634, 0, 0
1724, BEAM , 4, 73, 1652, 1635, 0, 0
1725, BEAM , 4, 73, 1653, 1636, 0, 0
1726, BEAM , 4, 73, 1654, 1637, 0, 0
1727, BEAM , 4, 73, 1655, 1638, 0, 0
1728, BEAM , 4, 73, 1656, 1639, 0, 0
1729, BEAM , 4, 73, 1657, 1640, 0, 0
1730, BEAM , 4, 73, 1658, 1641, 0, 0
1731, BEAM , 4, 73, 1659, 1642, 0, 0
1732, BEAM , 4, 73, 1660, 1677, 0, 0
1733, BEAM , 4, 73, 1661, 1678, 0, 0
1734, BEAM , 4, 73, 1662, 1679, 0, 0
1735, BEAM , 4, 73, 1663, 1680, 0, 0
1736, BEAM , 4, 73, 1664, 1681, 0, 0
1737, BEAM , 4, 73, 1665, 1682, 0, 0
1738, BEAM , 4, 73, 1666, 1683, 0, 0
1739, BEAM , 4, 73, 1667, 1684, 0, 0
1740, BEAM , 4, 73, 1668, 1685, 0, 0
1741, BEAM , 4, 73, 1669, 1686, 0, 0
1742, BEAM , 4, 73, 1670, 1687, 0, 0
1743, BEAM , 4, 73, 1671, 1688, 0, 0
1744, BEAM , 4, 73, 1672, 1689, 0, 0
1745, BEAM , 4, 73, 1673, 1690, 0, 0
1746, BEAM , 4, 73, 1674, 1691, 0, 0
1747, BEAM , 4, 73, 1675, 1692, 0, 0
1748, BEAM , 4, 73, 1676, 1693, 0, 0
1749, BEAM , 2, 70, 1694, 1818, 0, 0
1750, BEAM , 2, 70, 1695, 1819, 0, 0
1751, BEAM , 2, 70, 1696, 1820, 0, 0
1752, BEAM , 2, 70, 1697, 1821, 0, 0
1753, BEAM , 2, 70, 1698, 1822, 0, 0
1754, BEAM , 2, 70, 1699, 1823, 0, 0
1755, BEAM , 2, 70, 1700, 1824, 0, 0
1756, BEAM , 2, 70, 1701, 1825, 0, 0
1757, BEAM , 2, 70, 1702, 1826, 0, 0
1758, BEAM , 2, 70, 1703, 1827, 0, 0
1759, BEAM , 2, 70, 1704, 1828, 0, 0
1760, BEAM , 2, 70, 1705, 1829, 0, 0
1761, BEAM , 2, 70, 1706, 1830, 0, 0
1762, BEAM , 2, 70, 1707, 1831, 0, 0

PROJECT TITLE :

MIDAS	Company		Client	
	Author		File Name	H2D_3Dg_v14_180227_StatLM.mct

1763, BEAM , 2, 70, 1708, 1832, 0, 0
1764, BEAM , 2, 70, 1709, 1833, 0, 0
1765, BEAM , 2, 70, 1710, 1834, 0, 0
1766, BEAM , 2, 70, 1711, 1835, 0, 0
1767, BEAM , 2, 70, 1712, 1836, 0, 0
1768, BEAM , 2, 70, 1713, 1837, 0, 0
1769, BEAM , 2, 70, 1714, 1838, 0, 0
1770, BEAM , 2, 70, 1715, 1839, 0, 0
1771, BEAM , 2, 70, 1716, 1840, 0, 0
1772, BEAM , 2, 70, 1717, 1841, 0, 0
1773, BEAM , 2, 70, 1718, 1842, 0, 0
1774, BEAM , 2, 70, 1719, 1843, 0, 0
1775, BEAM , 2, 70, 1720, 1844, 0, 0
1776, BEAM , 2, 70, 1721, 1845, 0, 0
1777, BEAM , 2, 70, 1722, 1846, 0, 0
1778, BEAM , 2, 70, 1723, 1847, 0, 0
1779, BEAM , 2, 70, 1724, 1848, 0, 0
1780, BEAM , 2, 70, 1725, 1849, 0, 0
1781, BEAM , 2, 70, 1726, 1850, 0, 0
1782, BEAM , 2, 70, 1727, 1851, 0, 0
1783, BEAM , 2, 70, 1728, 1852, 0, 0
1784, BEAM , 2, 70, 1729, 1853, 0, 0
1785, BEAM , 2, 70, 1730, 1854, 0, 0
1786, BEAM , 2, 70, 1731, 1855, 0, 0
1787, BEAM , 2, 70, 1732, 1856, 0, 0
1788, BEAM , 2, 70, 1733, 1857, 0, 0
1789, BEAM , 2, 70, 1734, 1858, 0, 0
1790, BEAM , 2, 70, 1735, 1859, 0, 0
1791, BEAM , 2, 70, 1736, 1860, 0, 0
1792, BEAM , 2, 70, 1737, 1861, 0, 0
1793, BEAM , 2, 70, 1738, 1862, 0, 0
1794, BEAM , 2, 70, 1739, 1863, 0, 0
1795, BEAM , 2, 70, 1740, 1864, 0, 0
1796, BEAM , 2, 70, 1741, 1865, 0, 0
1797, BEAM , 2, 70, 1742, 1866, 0, 0
1798, BEAM , 2, 70, 1743, 1867, 0, 0
1799, BEAM , 2, 70, 1744, 1868, 0, 0
1800, BEAM , 2, 70, 1745, 1869, 0, 0
1801, BEAM , 2, 70, 1746, 1870, 0, 0
1802, BEAM , 2, 70, 1747, 1871, 0, 0
1803, BEAM , 2, 70, 1748, 1872, 0, 0
1804, BEAM , 2, 70, 1749, 1873, 0, 0
1805, BEAM , 2, 70, 1750, 1874, 0, 0
1806, BEAM , 2, 70, 1751, 1875, 0, 0
1807, BEAM , 2, 70, 1752, 1876, 0, 0
1808, BEAM , 2, 70, 1753, 1877, 0, 0
1809, BEAM , 2, 70, 1754, 1878, 0, 0
1810, BEAM , 2, 70, 1755, 1879, 0, 0
1811, BEAM , 2, 70, 1756, 1880, 0, 0
1812, BEAM , 2, 70, 1757, 1881, 0, 0
1813, BEAM , 2, 70, 1758, 1882, 0, 0
1814, BEAM , 2, 70, 1759, 1883, 0, 0
1815, BEAM , 2, 70, 1760, 1884, 0, 0
1816, BEAM , 2, 70, 1761, 1885, 0, 0
1817, BEAM , 2, 70, 1762, 1886, 0, 0
1818, BEAM , 2, 70, 1763, 1887, 0, 0
1819, BEAM , 2, 70, 1764, 1888, 0, 0
1820, BEAM , 2, 70, 1765, 1889, 0, 0
1821, BEAM , 2, 70, 1766, 1890, 0, 0
1822, BEAM , 2, 70, 1767, 1891, 0, 0
1823, BEAM , 2, 70, 1768, 1892, 0, 0
1824, BEAM , 2, 70, 1769, 1893, 0, 0
1825, BEAM , 2, 70, 1770, 1894, 0, 0
1826, BEAM , 2, 70, 1771, 1895, 0, 0
1827, BEAM , 2, 70, 1772, 1896, 0, 0
1828, BEAM , 2, 70, 1773, 1897, 0, 0
1829, BEAM , 2, 70, 1774, 1898, 0, 0
1830, BEAM , 2, 70, 1775, 1899, 0, 0
1831, BEAM , 2, 70, 1776, 1900, 0, 0
1832, BEAM , 2, 70, 1777, 1901, 0, 0
1833, BEAM , 2, 70, 1778, 1902, 0, 0
1834, BEAM , 2, 70, 1779, 1903, 0, 0

PROJECT TITLE :

MIDAS	Company		Client	
	Author		File Name	H2D_3Dg_v14_180227_StatLM.mct

1835, BEAM , 2, 70, 1780, 1904, 0, 0
1836, BEAM , 2, 70, 1781, 1905, 0, 0
1837, BEAM , 2, 70, 1782, 1906, 0, 0
1838, BEAM , 2, 70, 1783, 1907, 0, 0
1839, BEAM , 2, 70, 1784, 1908, 0, 0
1840, BEAM , 2, 70, 1785, 1909, 0, 0
1841, BEAM , 2, 70, 1786, 1910, 0, 0
1842, BEAM , 2, 70, 1787, 1911, 0, 0
1843, BEAM , 2, 70, 1788, 1912, 0, 0
1844, BEAM , 2, 70, 1789, 1913, 0, 0
1845, BEAM , 2, 70, 1790, 1914, 0, 0
1846, BEAM , 2, 70, 1791, 1915, 0, 0
1847, BEAM , 2, 70, 1792, 1916, 0, 0
1848, BEAM , 2, 70, 1793, 1917, 0, 0
1849, BEAM , 2, 70, 1794, 1918, 0, 0
1850, BEAM , 2, 70, 1795, 1919, 0, 0
1851, BEAM , 2, 70, 1796, 1920, 0, 0
1852, BEAM , 2, 70, 1797, 1921, 0, 0
1853, BEAM , 2, 70, 1798, 1922, 0, 0
1854, BEAM , 2, 70, 1799, 1923, 0, 0
1855, BEAM , 2, 70, 1800, 1924, 0, 0
1856, BEAM , 2, 70, 1801, 1925, 0, 0
1857, BEAM , 2, 70, 1802, 1926, 0, 0
1858, BEAM , 2, 70, 1803, 1927, 0, 0
1859, BEAM , 2, 70, 1804, 1928, 0, 0
1860, BEAM , 2, 70, 1805, 1929, 0, 0
1861, BEAM , 2, 70, 1806, 1930, 0, 0
1862, BEAM , 2, 70, 1807, 1931, 0, 0
1863, BEAM , 2, 70, 1808, 1932, 0, 0
1864, BEAM , 2, 70, 1809, 1933, 0, 0
1865, BEAM , 2, 70, 1810, 1934, 0, 0
1866, BEAM , 2, 70, 1811, 1935, 0, 0
1867, BEAM , 2, 70, 1812, 1936, 0, 0
1868, BEAM , 2, 70, 1813, 1937, 0, 0
1869, BEAM , 2, 70, 1814, 1938, 0, 0
1870, BEAM , 2, 70, 1815, 1939, 0, 0
1871, BEAM , 2, 70, 1816, 1940, 0, 0
1872, BEAM , 2, 70, 1817, 1941, 0, 0
1873, BEAM , 2, 70, 1818, 1942, 0, 0
1874, BEAM , 2, 70, 1819, 1943, 0, 0
1875, BEAM , 2, 70, 1820, 1944, 0, 0
1876, BEAM , 2, 70, 1821, 1945, 0, 0
1877, BEAM , 2, 70, 1822, 1946, 0, 0
1878, BEAM , 2, 70, 1823, 1947, 0, 0
1879, BEAM , 2, 70, 1824, 1948, 0, 0
1880, BEAM , 2, 70, 1825, 1949, 0, 0
1881, BEAM , 2, 70, 1826, 1950, 0, 0
1882, BEAM , 2, 70, 1827, 1951, 0, 0
1883, BEAM , 2, 70, 1828, 1952, 0, 0
1884, BEAM , 2, 70, 1829, 1953, 0, 0
1885, BEAM , 2, 70, 1830, 1954, 0, 0
1886, BEAM , 2, 70, 1831, 1955, 0, 0
1887, BEAM , 2, 70, 1832, 1956, 0, 0
1888, BEAM , 2, 70, 1833, 1957, 0, 0
1889, BEAM , 2, 70, 1834, 1958, 0, 0
1890, BEAM , 2, 70, 1835, 1959, 0, 0
1891, BEAM , 2, 70, 1836, 1960, 0, 0
1892, BEAM , 2, 70, 1837, 1961, 0, 0
1893, BEAM , 2, 70, 1838, 1962, 0, 0
1894, BEAM , 2, 70, 1839, 1963, 0, 0
1895, BEAM , 2, 70, 1840, 1964, 0, 0
1896, BEAM , 2, 70, 1841, 1965, 0, 0
1897, BEAM , 2, 70, 1842, 1966, 0, 0
1898, BEAM , 2, 70, 1843, 1967, 0, 0
1899, BEAM , 2, 70, 1844, 1968, 0, 0
1900, BEAM , 2, 70, 1845, 1969, 0, 0
1901, BEAM , 2, 70, 1846, 1970, 0, 0
1902, BEAM , 2, 70, 1847, 1971, 0, 0
1903, BEAM , 2, 70, 1848, 1972, 0, 0
1904, BEAM , 2, 70, 1849, 1973, 0, 0
1905, BEAM , 2, 70, 1850, 1974, 0, 0
1906, BEAM , 2, 70, 1851, 1975, 0, 0

PROJECT TITLE :

MIDAS	Company		Client	
	Author		File Name	H2D_3Dg_v14_180227_StatLM.mct

1907, BEAM , 2, 70, 1852, 1976, 0, 0
1908, BEAM , 2, 70, 1853, 1977, 0, 0
1909, BEAM , 2, 70, 1854, 1978, 0, 0
1910, BEAM , 2, 70, 1855, 1979, 0, 0
1911, BEAM , 2, 70, 1856, 1980, 0, 0
1912, BEAM , 2, 70, 1857, 1981, 0, 0
1913, BEAM , 2, 70, 1858, 1982, 0, 0
1914, BEAM , 2, 70, 1859, 1983, 0, 0
1915, BEAM , 2, 70, 1860, 1984, 0, 0
1916, BEAM , 2, 70, 1861, 1985, 0, 0
1917, BEAM , 2, 70, 1862, 1986, 0, 0
1918, BEAM , 2, 70, 1863, 1987, 0, 0
1919, BEAM , 2, 70, 1864, 1988, 0, 0
1920, BEAM , 2, 70, 1865, 1989, 0, 0
1921, BEAM , 2, 70, 1866, 1990, 0, 0
1922, BEAM , 2, 70, 1867, 1991, 0, 0
1923, BEAM , 2, 70, 1868, 1992, 0, 0
1924, BEAM , 2, 70, 1869, 1993, 0, 0
1925, BEAM , 2, 70, 1870, 1994, 0, 0
1926, BEAM , 2, 70, 1871, 1995, 0, 0
1927, BEAM , 2, 70, 1872, 1996, 0, 0
1928, BEAM , 2, 70, 1873, 1997, 0, 0
1929, BEAM , 2, 70, 1874, 1998, 0, 0
1930, BEAM , 2, 70, 1875, 1999, 0, 0
1931, BEAM , 2, 70, 1876, 2000, 0, 0
1932, BEAM , 2, 70, 1877, 2001, 0, 0
1933, BEAM , 2, 70, 1878, 2002, 0, 0
1934, BEAM , 2, 70, 1879, 2003, 0, 0
1935, BEAM , 2, 70, 1880, 2004, 0, 0
1936, BEAM , 2, 70, 1881, 2005, 0, 0
1937, BEAM , 2, 70, 1882, 2006, 0, 0
1938, BEAM , 2, 70, 1883, 2007, 0, 0
1939, BEAM , 2, 70, 1884, 2008, 0, 0
1940, BEAM , 2, 70, 1885, 2009, 0, 0
1941, BEAM , 2, 70, 1886, 2010, 0, 0
1942, BEAM , 2, 70, 1887, 2011, 0, 0
1943, BEAM , 2, 70, 1888, 2012, 0, 0
1944, BEAM , 2, 70, 1889, 2013, 0, 0
1945, BEAM , 2, 70, 1890, 2014, 0, 0
1946, BEAM , 2, 70, 1891, 2015, 0, 0
1947, BEAM , 2, 70, 1892, 2016, 0, 0
1948, BEAM , 2, 70, 1893, 2017, 0, 0
1949, BEAM , 2, 70, 1894, 2018, 0, 0
1950, BEAM , 2, 70, 1895, 2019, 0, 0
1951, BEAM , 2, 70, 1896, 2020, 0, 0
1952, BEAM , 2, 70, 1897, 2021, 0, 0
1953, BEAM , 2, 70, 1898, 2022, 0, 0
1954, BEAM , 2, 70, 1899, 2023, 0, 0
1955, BEAM , 2, 70, 1900, 2024, 0, 0
1956, BEAM , 2, 70, 1901, 2025, 0, 0
1957, BEAM , 2, 70, 1902, 2026, 0, 0
1958, BEAM , 2, 70, 1903, 2027, 0, 0
1959, BEAM , 2, 70, 1904, 2028, 0, 0
1960, BEAM , 2, 70, 1905, 2029, 0, 0
1961, BEAM , 2, 70, 1906, 2030, 0, 0
1962, BEAM , 2, 70, 1907, 2031, 0, 0
1963, BEAM , 2, 70, 1908, 2032, 0, 0
1964, BEAM , 2, 70, 1909, 2033, 0, 0
1965, BEAM , 2, 70, 1910, 2034, 0, 0
1966, BEAM , 2, 70, 1911, 2035, 0, 0
1967, BEAM , 2, 70, 1912, 2036, 0, 0
1968, BEAM , 2, 70, 1913, 2037, 0, 0
1969, BEAM , 2, 70, 1914, 2038, 0, 0
1970, BEAM , 2, 70, 1915, 2039, 0, 0
1971, BEAM , 2, 70, 1916, 2040, 0, 0
1972, BEAM , 2, 70, 1917, 2041, 0, 0
1973, BEAM , 2, 70, 1918, 2042, 0, 0
1974, BEAM , 2, 70, 1919, 2043, 0, 0
1975, BEAM , 2, 70, 1920, 2044, 0, 0
1976, BEAM , 2, 70, 1921, 2045, 0, 0
1977, BEAM , 2, 70, 1922, 2046, 0, 0
1978, BEAM , 2, 70, 1923, 2047, 0, 0

PROJECT TITLE :

MIDAS	Company		Client	
	Author		File Name	H2D_3Dg_v14_180227_StatLM.mct

1979, BEAM , 2, 70, 1924, 2048, 0, 0
1980, BEAM , 2, 70, 1925, 2049, 0, 0
1981, BEAM , 2, 70, 1926, 2050, 0, 0
1982, BEAM , 2, 70, 1927, 2051, 0, 0
1983, BEAM , 2, 70, 1928, 2052, 0, 0
1984, BEAM , 2, 70, 1929, 2053, 0, 0
1985, BEAM , 2, 70, 1930, 2054, 0, 0
1986, BEAM , 2, 70, 1931, 2055, 0, 0
1987, BEAM , 2, 70, 1932, 2056, 0, 0
1988, BEAM , 2, 70, 1933, 2057, 0, 0
1989, BEAM , 2, 70, 1934, 2058, 0, 0
1990, BEAM , 2, 70, 1935, 2059, 0, 0
1991, BEAM , 2, 70, 1936, 2060, 0, 0
1992, BEAM , 2, 70, 1937, 2061, 0, 0
1993, BEAM , 2, 70, 1938, 2062, 0, 0
1994, BEAM , 2, 70, 1939, 2063, 0, 0
1995, BEAM , 2, 70, 1940, 2064, 0, 0
1996, BEAM , 2, 70, 1941, 2065, 0, 0
1997, BEAM , 2, 70, 2190, 2066, 0, 0
1998, BEAM , 2, 70, 2191, 2067, 0, 0
1999, BEAM , 2, 70, 2192, 2068, 0, 0
2000, BEAM , 2, 70, 2193, 2069, 0, 0
2001, BEAM , 2, 70, 2194, 2070, 0, 0
2002, BEAM , 2, 70, 2195, 2071, 0, 0
2003, BEAM , 2, 70, 2196, 2072, 0, 0
2004, BEAM , 2, 70, 2197, 2073, 0, 0
2005, BEAM , 2, 70, 2198, 2074, 0, 0
2006, BEAM , 2, 70, 2199, 2075, 0, 0
2007, BEAM , 2, 70, 2200, 2076, 0, 0
2008, BEAM , 2, 70, 2201, 2077, 0, 0
2009, BEAM , 2, 70, 2202, 2078, 0, 0
2010, BEAM , 2, 70, 2203, 2079, 0, 0
2011, BEAM , 2, 70, 2204, 2080, 0, 0
2012, BEAM , 2, 70, 2205, 2081, 0, 0
2013, BEAM , 2, 70, 2206, 2082, 0, 0
2014, BEAM , 2, 70, 2207, 2083, 0, 0
2015, BEAM , 2, 70, 2208, 2084, 0, 0
2016, BEAM , 2, 70, 2209, 2085, 0, 0
2017, BEAM , 2, 70, 2210, 2086, 0, 0
2018, BEAM , 2, 70, 2211, 2087, 0, 0
2019, BEAM , 2, 70, 2212, 2088, 0, 0
2020, BEAM , 2, 70, 2213, 2089, 0, 0
2021, BEAM , 2, 70, 2214, 2090, 0, 0
2022, BEAM , 2, 70, 2215, 2091, 0, 0
2023, BEAM , 2, 70, 2216, 2092, 0, 0
2024, BEAM , 2, 70, 2217, 2093, 0, 0
2025, BEAM , 2, 70, 2218, 2094, 0, 0
2026, BEAM , 2, 70, 2219, 2095, 0, 0
2027, BEAM , 2, 70, 2220, 2096, 0, 0
2028, BEAM , 2, 70, 2221, 2097, 0, 0
2029, BEAM , 2, 70, 2222, 2098, 0, 0
2030, BEAM , 2, 70, 2223, 2099, 0, 0
2031, BEAM , 2, 70, 2224, 2100, 0, 0
2032, BEAM , 2, 70, 2225, 2101, 0, 0
2033, BEAM , 2, 70, 2226, 2102, 0, 0
2034, BEAM , 2, 70, 2227, 2103, 0, 0
2035, BEAM , 2, 70, 2228, 2104, 0, 0
2036, BEAM , 2, 70, 2229, 2105, 0, 0
2037, BEAM , 2, 70, 2230, 2106, 0, 0
2038, BEAM , 2, 70, 2231, 2107, 0, 0
2039, BEAM , 2, 70, 2232, 2108, 0, 0
2040, BEAM , 2, 70, 2233, 2109, 0, 0
2041, BEAM , 2, 70, 2234, 2110, 0, 0
2042, BEAM , 2, 70, 2235, 2111, 0, 0
2043, BEAM , 2, 70, 2236, 2112, 0, 0
2044, BEAM , 2, 70, 2237, 2113, 0, 0
2045, BEAM , 2, 70, 2238, 2114, 0, 0
2046, BEAM , 2, 70, 2239, 2115, 0, 0
2047, BEAM , 2, 70, 2240, 2116, 0, 0
2048, BEAM , 2, 70, 2241, 2117, 0, 0
2049, BEAM , 2, 70, 2242, 2118, 0, 0
2050, BEAM , 2, 70, 2243, 2119, 0, 0

PROJECT TITLE :

MIDAS	Company		Client	
	Author		File Name	H2D_3Dg_v14_180227_StatLM.mct

2051, BEAM , 2, 70, 2244, 2120, 0, 0
2052, BEAM , 2, 70, 2245, 2121, 0, 0
2053, BEAM , 2, 70, 2246, 2122, 0, 0
2054, BEAM , 2, 70, 2247, 2123, 0, 0
2055, BEAM , 2, 70, 2248, 2124, 0, 0
2056, BEAM , 2, 70, 2249, 2125, 0, 0
2057, BEAM , 2, 70, 2250, 2126, 0, 0
2058, BEAM , 2, 70, 2251, 2127, 0, 0
2059, BEAM , 2, 70, 2252, 2128, 0, 0
2060, BEAM , 2, 70, 2253, 2129, 0, 0
2061, BEAM , 2, 70, 2254, 2130, 0, 0
2062, BEAM , 2, 70, 2255, 2131, 0, 0
2063, BEAM , 2, 70, 2256, 2132, 0, 0
2064, BEAM , 2, 70, 2257, 2133, 0, 0
2065, BEAM , 2, 70, 2258, 2134, 0, 0
2066, BEAM , 2, 70, 2259, 2135, 0, 0
2067, BEAM , 2, 70, 2260, 2136, 0, 0
2068, BEAM , 2, 70, 2261, 2137, 0, 0
2069, BEAM , 2, 70, 2262, 2138, 0, 0
2070, BEAM , 2, 70, 2263, 2139, 0, 0
2071, BEAM , 2, 70, 2264, 2140, 0, 0
2072, BEAM , 2, 70, 2265, 2141, 0, 0
2073, BEAM , 2, 70, 2266, 2142, 0, 0
2074, BEAM , 2, 70, 2267, 2143, 0, 0
2075, BEAM , 2, 70, 2268, 2144, 0, 0
2076, BEAM , 2, 70, 2269, 2145, 0, 0
2077, BEAM , 2, 70, 2270, 2146, 0, 0
2078, BEAM , 2, 70, 2271, 2147, 0, 0
2079, BEAM , 2, 70, 2272, 2148, 0, 0
2080, BEAM , 2, 70, 2273, 2149, 0, 0
2081, BEAM , 2, 70, 2274, 2150, 0, 0
2082, BEAM , 2, 70, 2275, 2151, 0, 0
2083, BEAM , 2, 70, 2276, 2152, 0, 0
2084, BEAM , 2, 70, 2277, 2153, 0, 0
2085, BEAM , 2, 70, 2278, 2154, 0, 0
2086, BEAM , 2, 70, 2279, 2155, 0, 0
2087, BEAM , 2, 70, 2280, 2156, 0, 0
2088, BEAM , 2, 70, 2281, 2157, 0, 0
2089, BEAM , 2, 70, 2282, 2158, 0, 0
2090, BEAM , 2, 70, 2283, 2159, 0, 0
2091, BEAM , 2, 70, 2284, 2160, 0, 0
2092, BEAM , 2, 70, 2285, 2161, 0, 0
2093, BEAM , 2, 70, 2286, 2162, 0, 0
2094, BEAM , 2, 70, 2287, 2163, 0, 0
2095, BEAM , 2, 70, 2288, 2164, 0, 0
2096, BEAM , 2, 70, 2289, 2165, 0, 0
2097, BEAM , 2, 70, 2290, 2166, 0, 0
2098, BEAM , 2, 70, 2291, 2167, 0, 0
2099, BEAM , 2, 70, 2292, 2168, 0, 0
2100, BEAM , 2, 70, 2293, 2169, 0, 0
2101, BEAM , 2, 70, 2294, 2170, 0, 0
2102, BEAM , 2, 70, 2295, 2171, 0, 0
2103, BEAM , 2, 70, 2296, 2172, 0, 0
2104, BEAM , 2, 70, 2297, 2173, 0, 0
2105, BEAM , 2, 70, 2298, 2174, 0, 0
2106, BEAM , 2, 70, 2299, 2175, 0, 0
2107, BEAM , 2, 70, 2300, 2176, 0, 0
2108, BEAM , 2, 70, 2301, 2177, 0, 0
2109, BEAM , 2, 70, 2302, 2178, 0, 0
2110, BEAM , 2, 70, 2303, 2179, 0, 0
2111, BEAM , 2, 70, 2304, 2180, 0, 0
2112, BEAM , 2, 70, 2305, 2181, 0, 0
2113, BEAM , 2, 70, 2306, 2182, 0, 0
2114, BEAM , 2, 70, 2307, 2183, 0, 0
2115, BEAM , 2, 70, 2308, 2184, 0, 0
2116, BEAM , 2, 70, 2309, 2185, 0, 0
2117, BEAM , 2, 70, 2310, 2186, 0, 0
2118, BEAM , 2, 70, 2311, 2187, 0, 0
2119, BEAM , 2, 70, 2312, 2188, 0, 0
2120, BEAM , 2, 70, 2313, 2189, 0, 0
2121, BEAM , 2, 70, 2314, 2190, 0, 0
2122, BEAM , 2, 70, 2315, 2191, 0, 0

PROJECT TITLE :

MIDAS	Company		Client	
	Author		File Name	H2D_3Dg_v14_180227_StatLM.mct

2123, BEAM , 2, 70, 2316, 2192, 0, 0
2124, BEAM , 2, 70, 2317, 2193, 0, 0
2125, BEAM , 2, 70, 2318, 2194, 0, 0
2126, BEAM , 2, 70, 2319, 2195, 0, 0
2127, BEAM , 2, 70, 2320, 2196, 0, 0
2128, BEAM , 2, 70, 2321, 2197, 0, 0
2129, BEAM , 2, 70, 2322, 2198, 0, 0
2130, BEAM , 2, 70, 2323, 2199, 0, 0
2131, BEAM , 2, 70, 2324, 2200, 0, 0
2132, BEAM , 2, 70, 2325, 2201, 0, 0
2133, BEAM , 2, 70, 2326, 2202, 0, 0
2134, BEAM , 2, 70, 2327, 2203, 0, 0
2135, BEAM , 2, 70, 2328, 2204, 0, 0
2136, BEAM , 2, 70, 2329, 2205, 0, 0
2137, BEAM , 2, 70, 2330, 2206, 0, 0
2138, BEAM , 2, 70, 2331, 2207, 0, 0
2139, BEAM , 2, 70, 2332, 2208, 0, 0
2140, BEAM , 2, 70, 2333, 2209, 0, 0
2141, BEAM , 2, 70, 2334, 2210, 0, 0
2142, BEAM , 2, 70, 2335, 2211, 0, 0
2143, BEAM , 2, 70, 2336, 2212, 0, 0
2144, BEAM , 2, 70, 2337, 2213, 0, 0
2145, BEAM , 2, 70, 2338, 2214, 0, 0
2146, BEAM , 2, 70, 2339, 2215, 0, 0
2147, BEAM , 2, 70, 2340, 2216, 0, 0
2148, BEAM , 2, 70, 2341, 2217, 0, 0
2149, BEAM , 2, 70, 2342, 2218, 0, 0
2150, BEAM , 2, 70, 2343, 2219, 0, 0
2151, BEAM , 2, 70, 2344, 2220, 0, 0
2152, BEAM , 2, 70, 2345, 2221, 0, 0
2153, BEAM , 2, 70, 2346, 2222, 0, 0
2154, BEAM , 2, 70, 2347, 2223, 0, 0
2155, BEAM , 2, 70, 2348, 2224, 0, 0
2156, BEAM , 2, 70, 2349, 2225, 0, 0
2157, BEAM , 2, 70, 2350, 2226, 0, 0
2158, BEAM , 2, 70, 2351, 2227, 0, 0
2159, BEAM , 2, 70, 2352, 2228, 0, 0
2160, BEAM , 2, 70, 2353, 2229, 0, 0
2161, BEAM , 2, 70, 2354, 2230, 0, 0
2162, BEAM , 2, 70, 2355, 2231, 0, 0
2163, BEAM , 2, 70, 2356, 2232, 0, 0
2164, BEAM , 2, 70, 2357, 2233, 0, 0
2165, BEAM , 2, 70, 2358, 2234, 0, 0
2166, BEAM , 2, 70, 2359, 2235, 0, 0
2167, BEAM , 2, 70, 2360, 2236, 0, 0
2168, BEAM , 2, 70, 2361, 2237, 0, 0
2169, BEAM , 2, 70, 2362, 2238, 0, 0
2170, BEAM , 2, 70, 2363, 2239, 0, 0
2171, BEAM , 2, 70, 2364, 2240, 0, 0
2172, BEAM , 2, 70, 2365, 2241, 0, 0
2173, BEAM , 2, 70, 2366, 2242, 0, 0
2174, BEAM , 2, 70, 2367, 2243, 0, 0
2175, BEAM , 2, 70, 2368, 2244, 0, 0
2176, BEAM , 2, 70, 2369, 2245, 0, 0
2177, BEAM , 2, 70, 2370, 2246, 0, 0
2178, BEAM , 2, 70, 2371, 2247, 0, 0
2179, BEAM , 2, 70, 2372, 2248, 0, 0
2180, BEAM , 2, 70, 2373, 2249, 0, 0
2181, BEAM , 2, 70, 2374, 2250, 0, 0
2182, BEAM , 2, 70, 2375, 2251, 0, 0
2183, BEAM , 2, 70, 2376, 2252, 0, 0
2184, BEAM , 2, 70, 2377, 2253, 0, 0
2185, BEAM , 2, 70, 2378, 2254, 0, 0
2186, BEAM , 2, 70, 2379, 2255, 0, 0
2187, BEAM , 2, 70, 2380, 2256, 0, 0
2188, BEAM , 2, 70, 2381, 2257, 0, 0
2189, BEAM , 2, 70, 2382, 2258, 0, 0
2190, BEAM , 2, 70, 2383, 2259, 0, 0
2191, BEAM , 2, 70, 2384, 2260, 0, 0
2192, BEAM , 2, 70, 2385, 2261, 0, 0
2193, BEAM , 2, 70, 2386, 2262, 0, 0
2194, BEAM , 2, 70, 2387, 2263, 0, 0

PROJECT TITLE :

MIDAS	Company		Client	
	Author		File Name	H2D_3Dg_v14_180227_StatLM.mct

2195, BEAM , 2, 70, 2388, 2264, 0, 0
2196, BEAM , 2, 70, 2389, 2265, 0, 0
2197, BEAM , 2, 70, 2390, 2266, 0, 0
2198, BEAM , 2, 70, 2391, 2267, 0, 0
2199, BEAM , 2, 70, 2392, 2268, 0, 0
2200, BEAM , 2, 70, 2393, 2269, 0, 0
2201, BEAM , 2, 70, 2394, 2270, 0, 0
2202, BEAM , 2, 70, 2395, 2271, 0, 0
2203, BEAM , 2, 70, 2396, 2272, 0, 0
2204, BEAM , 2, 70, 2397, 2273, 0, 0
2205, BEAM , 2, 70, 2398, 2274, 0, 0
2206, BEAM , 2, 70, 2399, 2275, 0, 0
2207, BEAM , 2, 70, 2400, 2276, 0, 0
2208, BEAM , 2, 70, 2401, 2277, 0, 0
2209, BEAM , 2, 70, 2402, 2278, 0, 0
2210, BEAM , 2, 70, 2403, 2279, 0, 0
2211, BEAM , 2, 70, 2404, 2280, 0, 0
2212, BEAM , 2, 70, 2405, 2281, 0, 0
2213, BEAM , 2, 70, 2406, 2282, 0, 0
2214, BEAM , 2, 70, 2407, 2283, 0, 0
2215, BEAM , 2, 70, 2408, 2284, 0, 0
2216, BEAM , 2, 70, 2409, 2285, 0, 0
2217, BEAM , 2, 70, 2410, 2286, 0, 0
2218, BEAM , 2, 70, 2411, 2287, 0, 0
2219, BEAM , 2, 70, 2412, 2288, 0, 0
2220, BEAM , 2, 70, 2413, 2289, 0, 0
2221, BEAM , 2, 70, 2414, 2290, 0, 0
2222, BEAM , 2, 70, 2415, 2291, 0, 0
2223, BEAM , 2, 70, 2416, 2292, 0, 0
2224, BEAM , 2, 70, 2417, 2293, 0, 0
2225, BEAM , 2, 70, 2418, 2294, 0, 0
2226, BEAM , 2, 70, 2419, 2295, 0, 0
2227, BEAM , 2, 70, 2420, 2296, 0, 0
2228, BEAM , 2, 70, 2421, 2297, 0, 0
2229, BEAM , 2, 70, 2422, 2298, 0, 0
2230, BEAM , 2, 70, 2423, 2299, 0, 0
2231, BEAM , 2, 70, 2424, 2300, 0, 0
2232, BEAM , 2, 70, 2425, 2301, 0, 0
2233, BEAM , 2, 70, 2426, 2302, 0, 0
2234, BEAM , 2, 70, 2427, 2303, 0, 0
2235, BEAM , 2, 70, 2428, 2304, 0, 0
2236, BEAM , 2, 70, 2429, 2305, 0, 0
2237, BEAM , 2, 70, 2430, 2306, 0, 0
2238, BEAM , 2, 70, 2431, 2307, 0, 0
2239, BEAM , 2, 70, 2432, 2308, 0, 0
2240, BEAM , 2, 70, 2433, 2309, 0, 0
2241, BEAM , 2, 70, 2434, 2310, 0, 0
2242, BEAM , 2, 70, 2435, 2311, 0, 0
2243, BEAM , 2, 70, 2436, 2312, 0, 0
2244, BEAM , 2, 70, 2437, 2313, 0, 0
2245, BEAM , 1, 71, 1818, 2438, 0, 0
2246, BEAM , 1, 71, 2438, 1819, 0, 0
2247, BEAM , 1, 71, 1819, 1820, 0, 0
2248, BEAM , 1, 71, 1820, 1821, 0, 0
2249, BEAM , 1, 71, 1821, 1822, 0, 0
2250, BEAM , 1, 71, 1822, 1823, 0, 0
2251, BEAM , 1, 71, 1823, 1824, 0, 0
2252, BEAM , 1, 71, 1824, 2439, 0, 0
2253, BEAM , 1, 71, 2439, 1825, 0, 0
2254, BEAM , 1, 71, 1825, 1826, 0, 0
2255, BEAM , 1, 71, 1826, 1827, 0, 0
2256, BEAM , 1, 71, 1827, 1828, 0, 0
2257, BEAM , 1, 71, 1828, 1829, 0, 0
2258, BEAM , 1, 71, 1829, 1830, 0, 0
2259, BEAM , 1, 71, 1830, 1831, 0, 0
2260, BEAM , 1, 71, 1831, 2440, 0, 0
2261, BEAM , 1, 71, 2440, 1832, 0, 0
2262, BEAM , 1, 71, 1832, 1833, 0, 0
2263, BEAM , 1, 71, 1833, 1834, 0, 0
2264, BEAM , 1, 71, 1834, 1835, 0, 0
2265, BEAM , 1, 71, 1835, 1836, 0, 0
2266, BEAM , 1, 71, 1836, 1837, 0, 0

PROJECT TITLE :

MIDAS	Company		Client	
	Author		File Name	H2D_3Dg_v14_180227_StatLM.mct

2267, BEAM , 1, 71, 1837, 1838, 0, 0
2268, BEAM , 1, 71, 1838, 1839, 0, 0
2269, BEAM , 1, 71, 1839, 2441, 0, 0
2270, BEAM , 1, 71, 2441, 1840, 0, 0
2271, BEAM , 1, 71, 1840, 1841, 0, 0
2272, BEAM , 1, 71, 1841, 1842, 0, 0
2273, BEAM , 1, 71, 1842, 1843, 0, 0
2274, BEAM , 1, 71, 1843, 1844, 0, 0
2275, BEAM , 1, 71, 1844, 1845, 0, 0
2276, BEAM , 1, 71, 1845, 1846, 0, 0
2277, BEAM , 1, 71, 1846, 1847, 0, 0
2278, BEAM , 1, 71, 1847, 2442, 0, 0
2279, BEAM , 1, 71, 2442, 1848, 0, 0
2280, BEAM , 1, 71, 1848, 1849, 0, 0
2281, BEAM , 1, 71, 1849, 1850, 0, 0
2282, BEAM , 1, 71, 1850, 1851, 0, 0
2283, BEAM , 1, 71, 1851, 1852, 0, 0
2284, BEAM , 1, 71, 1852, 1853, 0, 0
2285, BEAM , 1, 71, 1853, 1854, 0, 0
2286, BEAM , 1, 71, 1854, 1855, 0, 0
2287, BEAM , 1, 71, 1855, 2443, 0, 0
2288, BEAM , 1, 71, 2443, 1856, 0, 0
2289, BEAM , 1, 71, 1856, 1857, 0, 0
2290, BEAM , 1, 71, 1857, 1858, 0, 0
2291, BEAM , 1, 71, 1858, 1859, 0, 0
2292, BEAM , 1, 71, 1859, 1860, 0, 0
2293, BEAM , 1, 71, 1860, 1861, 0, 0
2294, BEAM , 1, 71, 1861, 1862, 0, 0
2295, BEAM , 1, 71, 1862, 1863, 0, 0
2296, BEAM , 1, 71, 1863, 2444, 0, 0
2297, BEAM , 1, 71, 2444, 1864, 0, 0
2298, BEAM , 1, 71, 1864, 1865, 0, 0
2299, BEAM , 1, 71, 1865, 1866, 0, 0
2300, BEAM , 1, 71, 1866, 1867, 0, 0
2301, BEAM , 1, 71, 1867, 1868, 0, 0
2302, BEAM , 1, 71, 1868, 1869, 0, 0
2303, BEAM , 1, 71, 1869, 1870, 0, 0
2304, BEAM , 1, 71, 1870, 1871, 0, 0
2305, BEAM , 1, 71, 1871, 2445, 0, 0
2306, BEAM , 1, 71, 2445, 1872, 0, 0
2307, BEAM , 1, 71, 1872, 1873, 0, 0
2308, BEAM , 1, 71, 1873, 1874, 0, 0
2309, BEAM , 1, 71, 1874, 1875, 0, 0
2310, BEAM , 1, 71, 1875, 1876, 0, 0
2311, BEAM , 1, 71, 1876, 1877, 0, 0
2312, BEAM , 1, 71, 1877, 1878, 0, 0
2313, BEAM , 1, 71, 1878, 1879, 0, 0
2314, BEAM , 1, 71, 1879, 2446, 0, 0
2315, BEAM , 1, 71, 1880, 2446, 0, 0
2316, BEAM , 1, 71, 1881, 1880, 0, 0
2317, BEAM , 1, 71, 1882, 1881, 0, 0
2318, BEAM , 1, 71, 1883, 1882, 0, 0
2319, BEAM , 1, 71, 1884, 1883, 0, 0
2320, BEAM , 1, 71, 1885, 1884, 0, 0
2321, BEAM , 1, 71, 1886, 1885, 0, 0
2322, BEAM , 1, 71, 1887, 1886, 0, 0
2323, BEAM , 1, 71, 2447, 1887, 0, 0
2324, BEAM , 1, 71, 1888, 2447, 0, 0
2325, BEAM , 1, 71, 1889, 1888, 0, 0
2326, BEAM , 1, 71, 1890, 1889, 0, 0
2327, BEAM , 1, 71, 1891, 1890, 0, 0
2328, BEAM , 1, 71, 1892, 1891, 0, 0
2329, BEAM , 1, 71, 1893, 1892, 0, 0
2330, BEAM , 1, 71, 1894, 1893, 0, 0
2331, BEAM , 1, 71, 1895, 1894, 0, 0
2332, BEAM , 1, 71, 2448, 1895, 0, 0
2333, BEAM , 1, 71, 1896, 2448, 0, 0
2334, BEAM , 1, 71, 1897, 1896, 0, 0
2335, BEAM , 1, 71, 1898, 1897, 0, 0
2336, BEAM , 1, 71, 1899, 1898, 0, 0
2337, BEAM , 1, 71, 1900, 1899, 0, 0
2338, BEAM , 1, 71, 1901, 1900, 0, 0

PROJECT TITLE :

	Company		Client	
MIDAS	Author		File Name	H2D_3Dg_v14_180227_StatLM.mct

2339, BEAM , 1, 71, 1902, 1901, 0, 0
2340, BEAM , 1, 71, 1903, 1902, 0, 0
2341, BEAM , 1, 71, 2449, 1903, 0, 0
2342, BEAM , 1, 71, 1904, 2449, 0, 0
2343, BEAM , 1, 71, 1905, 1904, 0, 0
2344, BEAM , 1, 71, 1906, 1905, 0, 0
2345, BEAM , 1, 71, 1907, 1906, 0, 0
2346, BEAM , 1, 71, 1908, 1907, 0, 0
2347, BEAM , 1, 71, 1909, 1908, 0, 0
2348, BEAM , 1, 71, 1910, 1909, 0, 0
2349, BEAM , 1, 71, 1911, 1910, 0, 0
2350, BEAM , 1, 71, 2450, 1911, 0, 0
2351, BEAM , 1, 71, 1912, 2450, 0, 0
2352, BEAM , 1, 71, 1913, 1912, 0, 0
2353, BEAM , 1, 71, 1914, 1913, 0, 0
2354, BEAM , 1, 71, 1915, 1914, 0, 0
2355, BEAM , 1, 71, 1916, 1915, 0, 0
2356, BEAM , 1, 71, 1917, 1916, 0, 0
2357, BEAM , 1, 71, 1918, 1917, 0, 0
2358, BEAM , 1, 71, 1919, 1918, 0, 0
2359, BEAM , 1, 71, 2451, 1919, 0, 0
2360, BEAM , 1, 71, 1920, 2451, 0, 0
2361, BEAM , 1, 71, 1921, 1920, 0, 0
2362, BEAM , 1, 71, 1922, 1921, 0, 0
2363, BEAM , 1, 71, 1923, 1922, 0, 0
2364, BEAM , 1, 71, 1924, 1923, 0, 0
2365, BEAM , 1, 71, 1925, 1924, 0, 0
2366, BEAM , 1, 71, 1926, 1925, 0, 0
2367, BEAM , 1, 71, 1927, 1926, 0, 0
2368, BEAM , 1, 71, 2452, 1927, 0, 0
2369, BEAM , 1, 71, 1928, 2452, 0, 0
2370, BEAM , 1, 71, 1929, 1928, 0, 0
2371, BEAM , 1, 71, 1930, 1929, 0, 0
2372, BEAM , 1, 71, 1931, 1930, 0, 0
2373, BEAM , 1, 71, 1932, 1931, 0, 0
2374, BEAM , 1, 71, 1933, 1932, 0, 0
2375, BEAM , 1, 71, 1934, 1933, 0, 0
2376, BEAM , 1, 71, 2453, 1934, 0, 0
2377, BEAM , 1, 71, 1935, 2453, 0, 0
2378, BEAM , 1, 71, 1936, 1935, 0, 0
2379, BEAM , 1, 71, 1937, 1936, 0, 0
2380, BEAM , 1, 71, 1938, 1937, 0, 0
2381, BEAM , 1, 71, 1939, 1938, 0, 0
2382, BEAM , 1, 71, 1940, 1939, 0, 0
2383, BEAM , 1, 71, 2454, 1940, 0, 0
2384, BEAM , 1, 71, 1941, 2454, 0, 0
2385, BEAM , 1, 71, 2190, 2455, 0, 0
2386, BEAM , 1, 71, 2455, 2191, 0, 0
2387, BEAM , 1, 71, 2191, 2192, 0, 0
2388, BEAM , 1, 71, 2192, 2193, 0, 0
2389, BEAM , 1, 71, 2193, 2194, 0, 0
2390, BEAM , 1, 71, 2194, 2195, 0, 0
2391, BEAM , 1, 71, 2195, 2196, 0, 0
2392, BEAM , 1, 71, 2196, 2456, 0, 0
2393, BEAM , 1, 71, 2456, 2197, 0, 0
2394, BEAM , 1, 71, 2197, 2198, 0, 0
2395, BEAM , 1, 71, 2198, 2199, 0, 0
2396, BEAM , 1, 71, 2199, 2200, 0, 0
2397, BEAM , 1, 71, 2200, 2201, 0, 0
2398, BEAM , 1, 71, 2201, 2202, 0, 0
2399, BEAM , 1, 71, 2202, 2203, 0, 0
2400, BEAM , 1, 71, 2203, 2457, 0, 0
2401, BEAM , 1, 71, 2457, 2204, 0, 0
2402, BEAM , 1, 71, 2204, 2205, 0, 0
2403, BEAM , 1, 71, 2205, 2206, 0, 0
2404, BEAM , 1, 71, 2206, 2207, 0, 0
2405, BEAM , 1, 71, 2207, 2208, 0, 0
2406, BEAM , 1, 71, 2208, 2209, 0, 0
2407, BEAM , 1, 71, 2209, 2210, 0, 0
2408, BEAM , 1, 71, 2210, 2211, 0, 0
2409, BEAM , 1, 71, 2211, 2458, 0, 0
2410, BEAM , 1, 71, 2458, 2212, 0, 0

PROJECT TITLE :

MIDAS	Company		Client	
	Author		File Name	H2D_3Dg_v14_180227_StatLM.mct

2411, BEAM , 1, 71, 2212, 2213, 0, 0
2412, BEAM , 1, 71, 2213, 2214, 0, 0
2413, BEAM , 1, 71, 2214, 2215, 0, 0
2414, BEAM , 1, 71, 2215, 2216, 0, 0
2415, BEAM , 1, 71, 2216, 2217, 0, 0
2416, BEAM , 1, 71, 2217, 2218, 0, 0
2417, BEAM , 1, 71, 2218, 2219, 0, 0
2418, BEAM , 1, 71, 2219, 2459, 0, 0
2419, BEAM , 1, 71, 2459, 2220, 0, 0
2420, BEAM , 1, 71, 2220, 2221, 0, 0
2421, BEAM , 1, 71, 2221, 2222, 0, 0
2422, BEAM , 1, 71, 2222, 2223, 0, 0
2423, BEAM , 1, 71, 2223, 2224, 0, 0
2424, BEAM , 1, 71, 2224, 2225, 0, 0
2425, BEAM , 1, 71, 2225, 2226, 0, 0
2426, BEAM , 1, 71, 2226, 2227, 0, 0
2427, BEAM , 1, 71, 2227, 2460, 0, 0
2428, BEAM , 1, 71, 2460, 2228, 0, 0
2429, BEAM , 1, 71, 2228, 2229, 0, 0
2430, BEAM , 1, 71, 2229, 2230, 0, 0
2431, BEAM , 1, 71, 2230, 2231, 0, 0
2432, BEAM , 1, 71, 2231, 2232, 0, 0
2433, BEAM , 1, 71, 2232, 2233, 0, 0
2434, BEAM , 1, 71, 2233, 2234, 0, 0
2435, BEAM , 1, 71, 2234, 2235, 0, 0
2436, BEAM , 1, 71, 2235, 2461, 0, 0
2437, BEAM , 1, 71, 2461, 2236, 0, 0
2438, BEAM , 1, 71, 2236, 2237, 0, 0
2439, BEAM , 1, 71, 2237, 2238, 0, 0
2440, BEAM , 1, 71, 2238, 2239, 0, 0
2441, BEAM , 1, 71, 2239, 2240, 0, 0
2442, BEAM , 1, 71, 2240, 2241, 0, 0
2443, BEAM , 1, 71, 2241, 2242, 0, 0
2444, BEAM , 1, 71, 2242, 2243, 0, 0
2445, BEAM , 1, 71, 2243, 2462, 0, 0
2446, BEAM , 1, 71, 2462, 2244, 0, 0
2447, BEAM , 1, 71, 2244, 2245, 0, 0
2448, BEAM , 1, 71, 2245, 2246, 0, 0
2449, BEAM , 1, 71, 2246, 2247, 0, 0
2450, BEAM , 1, 71, 2247, 2248, 0, 0
2451, BEAM , 1, 71, 2248, 2249, 0, 0
2452, BEAM , 1, 71, 2249, 2250, 0, 0
2453, BEAM , 1, 71, 2250, 2251, 0, 0
2454, BEAM , 1, 71, 2251, 2463, 0, 0
2455, BEAM , 1, 71, 2252, 2463, 0, 0
2456, BEAM , 1, 71, 2253, 2252, 0, 0
2457, BEAM , 1, 71, 2254, 2253, 0, 0
2458, BEAM , 1, 71, 2255, 2254, 0, 0
2459, BEAM , 1, 71, 2256, 2255, 0, 0
2460, BEAM , 1, 71, 2257, 2256, 0, 0
2461, BEAM , 1, 71, 2258, 2257, 0, 0
2462, BEAM , 1, 71, 2259, 2258, 0, 0
2463, BEAM , 1, 71, 2464, 2259, 0, 0
2464, BEAM , 1, 71, 2260, 2464, 0, 0
2465, BEAM , 1, 71, 2261, 2260, 0, 0
2466, BEAM , 1, 71, 2262, 2261, 0, 0
2467, BEAM , 1, 71, 2263, 2262, 0, 0
2468, BEAM , 1, 71, 2264, 2263, 0, 0
2469, BEAM , 1, 71, 2265, 2264, 0, 0
2470, BEAM , 1, 71, 2266, 2265, 0, 0
2471, BEAM , 1, 71, 2267, 2266, 0, 0
2472, BEAM , 1, 71, 2465, 2267, 0, 0
2473, BEAM , 1, 71, 2268, 2465, 0, 0
2474, BEAM , 1, 71, 2269, 2268, 0, 0
2475, BEAM , 1, 71, 2270, 2269, 0, 0
2476, BEAM , 1, 71, 2271, 2270, 0, 0
2477, BEAM , 1, 71, 2272, 2271, 0, 0
2478, BEAM , 1, 71, 2273, 2272, 0, 0
2479, BEAM , 1, 71, 2274, 2273, 0, 0
2480, BEAM , 1, 71, 2275, 2274, 0, 0
2481, BEAM , 1, 71, 2466, 2275, 0, 0
2482, BEAM , 1, 71, 2276, 2466, 0, 0

PROJECT TITLE :

	Company		Client	
MIDAS	Author		File Name	H2D_3Dg_v14_180227_StatLM.mct

2483, BEAM , 1, 71, 2277, 2276, 0, 0
2484, BEAM , 1, 71, 2278, 2277, 0, 0
2485, BEAM , 1, 71, 2279, 2278, 0, 0
2486, BEAM , 1, 71, 2280, 2279, 0, 0
2487, BEAM , 1, 71, 2281, 2280, 0, 0
2488, BEAM , 1, 71, 2282, 2281, 0, 0
2489, BEAM , 1, 71, 2283, 2282, 0, 0
2490, BEAM , 1, 71, 2467, 2283, 0, 0
2491, BEAM , 1, 71, 2284, 2467, 0, 0
2492, BEAM , 1, 71, 2285, 2284, 0, 0
2493, BEAM , 1, 71, 2286, 2285, 0, 0
2494, BEAM , 1, 71, 2287, 2286, 0, 0
2495, BEAM , 1, 71, 2288, 2287, 0, 0
2496, BEAM , 1, 71, 2289, 2288, 0, 0
2497, BEAM , 1, 71, 2290, 2289, 0, 0
2498, BEAM , 1, 71, 2291, 2290, 0, 0
2499, BEAM , 1, 71, 2468, 2291, 0, 0
2500, BEAM , 1, 71, 2292, 2468, 0, 0
2501, BEAM , 1, 71, 2293, 2292, 0, 0
2502, BEAM , 1, 71, 2294, 2293, 0, 0
2503, BEAM , 1, 71, 2295, 2294, 0, 0
2504, BEAM , 1, 71, 2296, 2295, 0, 0
2505, BEAM , 1, 71, 2297, 2296, 0, 0
2506, BEAM , 1, 71, 2298, 2297, 0, 0
2507, BEAM , 1, 71, 2299, 2298, 0, 0
2508, BEAM , 1, 71, 2469, 2299, 0, 0
2509, BEAM , 1, 71, 2300, 2469, 0, 0
2510, BEAM , 1, 71, 2301, 2300, 0, 0
2511, BEAM , 1, 71, 2302, 2301, 0, 0
2512, BEAM , 1, 71, 2303, 2302, 0, 0
2513, BEAM , 1, 71, 2304, 2303, 0, 0
2514, BEAM , 1, 71, 2305, 2304, 0, 0
2515, BEAM , 1, 71, 2306, 2305, 0, 0
2516, BEAM , 1, 71, 2470, 2306, 0, 0
2517, BEAM , 1, 71, 2307, 2470, 0, 0
2518, BEAM , 1, 71, 2308, 2307, 0, 0
2519, BEAM , 1, 71, 2309, 2308, 0, 0
2520, BEAM , 1, 71, 2310, 2309, 0, 0
2521, BEAM , 1, 71, 2311, 2310, 0, 0
2522, BEAM , 1, 71, 2312, 2311, 0, 0
2523, BEAM , 1, 71, 2471, 2312, 0, 0
2524, BEAM , 1, 71, 2313, 2471, 0, 0
2525, BEAM , 3, 77, 2314, 1063, 0, 0
2526, BEAM , 3, 77, 2066, 905, 0, 0
2527, BEAM , 3, 77, 1942, 747, 0, 0
2528, BEAM , 3, 77, 1694, 589, 0, 0
2529, BEAM , 3, 77, 2315, 1064, 0, 0
2530, BEAM , 3, 77, 2067, 906, 0, 0
2531, BEAM , 3, 77, 1943, 748, 0, 0
2532, BEAM , 3, 77, 1695, 590, 0, 0
2533, BEAM , 3, 77, 2316, 1065, 0, 0
2534, BEAM , 3, 77, 2068, 907, 0, 0
2535, BEAM , 3, 77, 1944, 749, 0, 0
2536, BEAM , 3, 77, 1696, 591, 0, 0
2537, BEAM , 3, 77, 2317, 1067, 0, 0
2538, BEAM , 3, 77, 2069, 909, 0, 0
2539, BEAM , 3, 77, 1945, 751, 0, 0
2540, BEAM , 3, 77, 1697, 593, 0, 0
2541, BEAM , 3, 77, 2318, 1068, 0, 0
2542, BEAM , 3, 77, 2070, 910, 0, 0
2543, BEAM , 3, 77, 1946, 752, 0, 0
2544, BEAM , 3, 77, 1698, 594, 0, 0
2545, BEAM , 3, 77, 2319, 1070, 0, 0
2546, BEAM , 3, 77, 2071, 912, 0, 0
2547, BEAM , 3, 77, 1947, 754, 0, 0
2548, BEAM , 3, 77, 1699, 596, 0, 0
2549, BEAM , 3, 77, 2320, 1071, 0, 0
2550, BEAM , 3, 77, 2072, 913, 0, 0
2551, BEAM , 3, 77, 1948, 755, 0, 0
2552, BEAM , 3, 77, 1700, 597, 0, 0
2553, BEAM , 3, 77, 2321, 1072, 0, 0
2554, BEAM , 3, 77, 2073, 914, 0, 0

PROJECT TITLE :

	Company		Client	
MIDAS	Author		File Name	H2D_3Dg_v14_180227_StatLM.mct

2555, BEAM , 3, 77, 1949, 756, 0, 0
2556, BEAM , 3, 77, 1701, 598, 0, 0
2557, BEAM , 3, 77, 2322, 1073, 0, 0
2558, BEAM , 3, 77, 2074, 915, 0, 0
2559, BEAM , 3, 77, 1950, 757, 0, 0
2560, BEAM , 3, 77, 1702, 599, 0, 0
2561, BEAM , 3, 77, 2323, 1075, 0, 0
2562, BEAM , 3, 77, 2075, 917, 0, 0
2563, BEAM , 3, 77, 1951, 759, 0, 0
2564, BEAM , 3, 77, 1703, 601, 0, 0
2565, BEAM , 3, 77, 2324, 1076, 0, 0
2566, BEAM , 3, 77, 2076, 918, 0, 0
2567, BEAM , 3, 77, 1952, 760, 0, 0
2568, BEAM , 3, 77, 1704, 602, 0, 0
2569, BEAM , 3, 77, 2325, 1077, 0, 0
2570, BEAM , 3, 77, 2077, 919, 0, 0
2571, BEAM , 3, 77, 1953, 761, 0, 0
2572, BEAM , 3, 77, 1705, 603, 0, 0
2573, BEAM , 3, 77, 2326, 1079, 0, 0
2574, BEAM , 3, 77, 2078, 921, 0, 0
2575, BEAM , 3, 77, 1954, 763, 0, 0
2576, BEAM , 3, 77, 1706, 605, 0, 0
2577, BEAM , 3, 77, 2327, 1080, 0, 0
2578, BEAM , 3, 77, 2079, 922, 0, 0
2579, BEAM , 3, 77, 1955, 764, 0, 0
2580, BEAM , 3, 77, 1707, 606, 0, 0
2581, BEAM , 3, 77, 2328, 1081, 0, 0
2582, BEAM , 3, 77, 2080, 923, 0, 0
2583, BEAM , 3, 77, 1956, 765, 0, 0
2584, BEAM , 3, 77, 1708, 607, 0, 0
2585, BEAM , 3, 77, 2329, 1082, 0, 0
2586, BEAM , 3, 77, 2081, 924, 0, 0
2587, BEAM , 3, 77, 1957, 766, 0, 0
2588, BEAM , 3, 77, 1709, 608, 0, 0
2589, BEAM , 3, 77, 2330, 1083, 0, 0
2590, BEAM , 3, 77, 2082, 925, 0, 0
2591, BEAM , 3, 77, 1958, 767, 0, 0
2592, BEAM , 3, 77, 1710, 609, 0, 0
2593, BEAM , 3, 77, 2331, 1085, 0, 0
2594, BEAM , 3, 77, 2083, 927, 0, 0
2595, BEAM , 3, 77, 1959, 769, 0, 0
2596, BEAM , 3, 77, 1711, 611, 0, 0
2597, BEAM , 3, 77, 2332, 1086, 0, 0
2598, BEAM , 3, 77, 2084, 928, 0, 0
2599, BEAM , 3, 77, 1960, 770, 0, 0
2600, BEAM , 3, 77, 1712, 612, 0, 0
2601, BEAM , 3, 77, 2333, 1088, 0, 0
2602, BEAM , 3, 77, 2085, 930, 0, 0
2603, BEAM , 3, 77, 1961, 772, 0, 0
2604, BEAM , 3, 77, 1713, 614, 0, 0
2605, BEAM , 3, 77, 2334, 1089, 0, 0
2606, BEAM , 3, 77, 2086, 931, 0, 0
2607, BEAM , 3, 77, 1962, 773, 0, 0
2608, BEAM , 3, 77, 1714, 615, 0, 0
2609, BEAM , 3, 77, 2335, 1090, 0, 0
2610, BEAM , 3, 77, 2087, 932, 0, 0
2611, BEAM , 3, 77, 1963, 774, 0, 0
2612, BEAM , 3, 77, 1715, 616, 0, 0
2613, BEAM , 3, 77, 2336, 1091, 0, 0
2614, BEAM , 3, 77, 2088, 933, 0, 0
2615, BEAM , 3, 77, 1964, 775, 0, 0
2616, BEAM , 3, 77, 1716, 617, 0, 0
2617, BEAM , 3, 77, 2337, 1092, 0, 0
2618, BEAM , 3, 77, 2089, 934, 0, 0
2619, BEAM , 3, 77, 1965, 776, 0, 0
2620, BEAM , 3, 77, 1717, 618, 0, 0
2621, BEAM , 3, 77, 2338, 1093, 0, 0
2622, BEAM , 3, 77, 2090, 935, 0, 0
2623, BEAM , 3, 77, 1966, 777, 0, 0
2624, BEAM , 3, 77, 1718, 619, 0, 0
2625, BEAM , 3, 77, 2339, 1095, 0, 0
2626, BEAM , 3, 77, 2091, 937, 0, 0

PROJECT TITLE :

	Company		Client	
MIDAS	Author		File Name	H2D_3Dg_v14_180227_StatLM.mct

2627, BEAM , 3, 77, 1967, 779, 0, 0
2628, BEAM , 3, 77, 1719, 621, 0, 0
2629, BEAM , 3, 77, 2340, 1096, 0, 0
2630, BEAM , 3, 77, 2092, 938, 0, 0
2631, BEAM , 3, 77, 1968, 780, 0, 0
2632, BEAM , 3, 77, 1720, 622, 0, 0
2633, BEAM , 3, 77, 2341, 1098, 0, 0
2634, BEAM , 3, 77, 2093, 940, 0, 0
2635, BEAM , 3, 77, 1969, 782, 0, 0
2636, BEAM , 3, 77, 1721, 624, 0, 0
2637, BEAM , 3, 77, 2342, 1099, 0, 0
2638, BEAM , 3, 77, 2094, 941, 0, 0
2639, BEAM , 3, 77, 1970, 783, 0, 0
2640, BEAM , 3, 77, 1722, 625, 0, 0
2641, BEAM , 3, 77, 2343, 1100, 0, 0
2642, BEAM , 3, 77, 2095, 942, 0, 0
2643, BEAM , 3, 77, 1971, 784, 0, 0
2644, BEAM , 3, 77, 1723, 626, 0, 0
2645, BEAM , 3, 77, 2344, 1101, 0, 0
2646, BEAM , 3, 77, 2096, 943, 0, 0
2647, BEAM , 3, 77, 1972, 785, 0, 0
2648, BEAM , 3, 77, 1724, 627, 0, 0
2649, BEAM , 3, 77, 2345, 1102, 0, 0
2650, BEAM , 3, 77, 2097, 944, 0, 0
2651, BEAM , 3, 77, 1973, 786, 0, 0
2652, BEAM , 3, 77, 1725, 628, 0, 0
2653, BEAM , 3, 77, 2346, 1103, 0, 0
2654, BEAM , 3, 77, 2098, 945, 0, 0
2655, BEAM , 3, 77, 1974, 787, 0, 0
2656, BEAM , 3, 77, 1726, 629, 0, 0
2657, BEAM , 3, 77, 2347, 1105, 0, 0
2658, BEAM , 3, 77, 2099, 947, 0, 0
2659, BEAM , 3, 77, 1975, 789, 0, 0
2660, BEAM , 3, 77, 1727, 631, 0, 0
2661, BEAM , 3, 77, 2348, 1106, 0, 0
2662, BEAM , 3, 77, 2100, 948, 0, 0
2663, BEAM , 3, 77, 1976, 790, 0, 0
2664, BEAM , 3, 77, 1728, 632, 0, 0
2665, BEAM , 3, 77, 2349, 1108, 0, 0
2666, BEAM , 3, 77, 2101, 950, 0, 0
2667, BEAM , 3, 77, 1977, 792, 0, 0
2668, BEAM , 3, 77, 1729, 634, 0, 0
2669, BEAM , 3, 77, 2350, 1109, 0, 0
2670, BEAM , 3, 77, 2102, 951, 0, 0
2671, BEAM , 3, 77, 1978, 793, 0, 0
2672, BEAM , 3, 77, 1730, 635, 0, 0
2673, BEAM , 3, 77, 2351, 1110, 0, 0
2674, BEAM , 3, 77, 2103, 952, 0, 0
2675, BEAM , 3, 77, 1979, 794, 0, 0
2676, BEAM , 3, 77, 1731, 636, 0, 0
2677, BEAM , 3, 77, 2352, 1111, 0, 0
2678, BEAM , 3, 77, 2104, 953, 0, 0
2679, BEAM , 3, 77, 1980, 795, 0, 0
2680, BEAM , 3, 77, 1732, 637, 0, 0
2681, BEAM , 3, 77, 2353, 1112, 0, 0
2682, BEAM , 3, 77, 2105, 954, 0, 0
2683, BEAM , 3, 77, 1981, 796, 0, 0
2684, BEAM , 3, 77, 1733, 638, 0, 0
2685, BEAM , 3, 77, 2354, 1113, 0, 0
2686, BEAM , 3, 77, 2106, 955, 0, 0
2687, BEAM , 3, 77, 1982, 797, 0, 0
2688, BEAM , 3, 77, 1734, 639, 0, 0
2689, BEAM , 3, 77, 2355, 1115, 0, 0
2690, BEAM , 3, 77, 2107, 957, 0, 0
2691, BEAM , 3, 77, 1983, 799, 0, 0
2692, BEAM , 3, 77, 1735, 641, 0, 0
2693, BEAM , 3, 77, 2356, 1116, 0, 0
2694, BEAM , 3, 77, 2108, 958, 0, 0
2695, BEAM , 3, 77, 1984, 800, 0, 0
2696, BEAM , 3, 77, 1736, 642, 0, 0
2697, BEAM , 3, 77, 2357, 1118, 0, 0
2698, BEAM , 3, 77, 2109, 960, 0, 0

PROJECT TITLE :

	Company		Client	
MIDAS	Author		File Name	H2D_3Dg_v14_180227_StatLM.mct

2699, BEAM , 3, 77, 1985, 802, 0, 0
2700, BEAM , 3, 77, 1737, 644, 0, 0
2701, BEAM , 3, 77, 2358, 1119, 0, 0
2702, BEAM , 3, 77, 2110, 961, 0, 0
2703, BEAM , 3, 77, 1986, 803, 0, 0
2704, BEAM , 3, 77, 1738, 645, 0, 0
2705, BEAM , 3, 77, 2359, 1120, 0, 0
2706, BEAM , 3, 77, 2111, 962, 0, 0
2707, BEAM , 3, 77, 1987, 804, 0, 0
2708, BEAM , 3, 77, 1739, 646, 0, 0
2709, BEAM , 3, 77, 2360, 1121, 0, 0
2710, BEAM , 3, 77, 2112, 963, 0, 0
2711, BEAM , 3, 77, 1988, 805, 0, 0
2712, BEAM , 3, 77, 1740, 647, 0, 0
2713, BEAM , 3, 77, 2361, 1122, 0, 0
2714, BEAM , 3, 77, 2113, 964, 0, 0
2715, BEAM , 3, 77, 1989, 806, 0, 0
2716, BEAM , 3, 77, 1741, 648, 0, 0
2717, BEAM , 3, 77, 2362, 1123, 0, 0
2718, BEAM , 3, 77, 2114, 965, 0, 0
2719, BEAM , 3, 77, 1990, 807, 0, 0
2720, BEAM , 3, 77, 1742, 649, 0, 0
2721, BEAM , 3, 77, 2363, 1125, 0, 0
2722, BEAM , 3, 77, 2115, 967, 0, 0
2723, BEAM , 3, 77, 1991, 809, 0, 0
2724, BEAM , 3, 77, 1743, 651, 0, 0
2725, BEAM , 3, 77, 2364, 1126, 0, 0
2726, BEAM , 3, 77, 2116, 968, 0, 0
2727, BEAM , 3, 77, 1992, 810, 0, 0
2728, BEAM , 3, 77, 1744, 652, 0, 0
2729, BEAM , 3, 77, 2365, 1128, 0, 0
2730, BEAM , 3, 77, 2117, 970, 0, 0
2731, BEAM , 3, 77, 1993, 812, 0, 0
2732, BEAM , 3, 77, 1745, 654, 0, 0
2733, BEAM , 3, 77, 2366, 1129, 0, 0
2734, BEAM , 3, 77, 2118, 971, 0, 0
2735, BEAM , 3, 77, 1994, 813, 0, 0
2736, BEAM , 3, 77, 1746, 655, 0, 0
2737, BEAM , 3, 77, 2367, 1130, 0, 0
2738, BEAM , 3, 77, 2119, 972, 0, 0
2739, BEAM , 3, 77, 1995, 814, 0, 0
2740, BEAM , 3, 77, 1747, 656, 0, 0
2741, BEAM , 3, 77, 2368, 1131, 0, 0
2742, BEAM , 3, 77, 2120, 973, 0, 0
2743, BEAM , 3, 77, 1996, 815, 0, 0
2744, BEAM , 3, 77, 1748, 657, 0, 0
2745, BEAM , 3, 77, 2369, 1132, 0, 0
2746, BEAM , 3, 77, 2121, 974, 0, 0
2747, BEAM , 3, 77, 1997, 816, 0, 0
2748, BEAM , 3, 77, 1749, 658, 0, 0
2749, BEAM , 3, 77, 2370, 1133, 0, 0
2750, BEAM , 3, 77, 2122, 975, 0, 0
2751, BEAM , 3, 77, 1998, 817, 0, 0
2752, BEAM , 3, 77, 1750, 659, 0, 0
2753, BEAM , 3, 77, 2371, 1135, 0, 0
2754, BEAM , 3, 77, 2123, 977, 0, 0
2755, BEAM , 3, 77, 1999, 819, 0, 0
2756, BEAM , 3, 77, 1751, 661, 0, 0
2757, BEAM , 3, 77, 2372, 1136, 0, 0
2758, BEAM , 3, 77, 2124, 978, 0, 0
2759, BEAM , 3, 77, 2000, 820, 0, 0
2760, BEAM , 3, 77, 1752, 662, 0, 0
2761, BEAM , 3, 77, 2373, 1138, 0, 0
2762, BEAM , 3, 77, 2125, 980, 0, 0
2763, BEAM , 3, 77, 2001, 822, 0, 0
2764, BEAM , 3, 77, 1753, 664, 0, 0
2765, BEAM , 3, 77, 2374, 1139, 0, 0
2766, BEAM , 3, 77, 2126, 981, 0, 0
2767, BEAM , 3, 77, 2002, 823, 0, 0
2768, BEAM , 3, 77, 1754, 665, 0, 0
2769, BEAM , 3, 77, 2375, 1140, 0, 0
2770, BEAM , 3, 77, 2127, 982, 0, 0

PROJECT TITLE :

	Company		Client	
MIDAS	Author		File Name	H2D_3Dg_v14_180227_StatLM.mct

2771, BEAM , 3, 77, 2003, 824, 0, 0
2772, BEAM , 3, 77, 1755, 666, 0, 0
2773, BEAM , 3, 77, 2376, 1141, 0, 0
2774, BEAM , 3, 77, 2128, 983, 0, 0
2775, BEAM , 3, 77, 2004, 825, 0, 0
2776, BEAM , 3, 77, 1756, 667, 0, 0
2777, BEAM , 3, 77, 2377, 1142, 0, 0
2778, BEAM , 3, 77, 2129, 984, 0, 0
2779, BEAM , 3, 77, 2005, 826, 0, 0
2780, BEAM , 3, 77, 1757, 668, 0, 0
2781, BEAM , 3, 77, 2378, 1143, 0, 0
2782, BEAM , 3, 77, 2130, 985, 0, 0
2783, BEAM , 3, 77, 2006, 827, 0, 0
2784, BEAM , 3, 77, 1758, 669, 0, 0
2785, BEAM , 3, 77, 2379, 1145, 0, 0
2786, BEAM , 3, 77, 2131, 987, 0, 0
2787, BEAM , 3, 77, 2007, 829, 0, 0
2788, BEAM , 3, 77, 1759, 671, 0, 0
2789, BEAM , 3, 77, 2380, 1146, 0, 0
2790, BEAM , 3, 77, 2132, 988, 0, 0
2791, BEAM , 3, 77, 2008, 830, 0, 0
2792, BEAM , 3, 77, 1760, 672, 0, 0
2793, BEAM , 3, 77, 2381, 1148, 0, 0
2794, BEAM , 3, 77, 2133, 990, 0, 0
2795, BEAM , 3, 77, 2009, 832, 0, 0
2796, BEAM , 3, 77, 1761, 674, 0, 0
2797, BEAM , 3, 77, 2382, 1149, 0, 0
2798, BEAM , 3, 77, 2134, 991, 0, 0
2799, BEAM , 3, 77, 2010, 833, 0, 0
2800, BEAM , 3, 77, 1762, 675, 0, 0
2801, BEAM , 3, 77, 2383, 1150, 0, 0
2802, BEAM , 3, 77, 2135, 992, 0, 0
2803, BEAM , 3, 77, 2011, 834, 0, 0
2804, BEAM , 3, 77, 1763, 676, 0, 0
2805, BEAM , 3, 77, 2384, 1151, 0, 0
2806, BEAM , 3, 77, 2136, 993, 0, 0
2807, BEAM , 3, 77, 2012, 835, 0, 0
2808, BEAM , 3, 77, 1764, 677, 0, 0
2809, BEAM , 3, 77, 2385, 1152, 0, 0
2810, BEAM , 3, 77, 2137, 994, 0, 0
2811, BEAM , 3, 77, 2013, 836, 0, 0
2812, BEAM , 3, 77, 1765, 678, 0, 0
2813, BEAM , 3, 77, 2386, 1153, 0, 0
2814, BEAM , 3, 77, 2138, 995, 0, 0
2815, BEAM , 3, 77, 2014, 837, 0, 0
2816, BEAM , 3, 77, 1766, 679, 0, 0
2817, BEAM , 3, 77, 2387, 1155, 0, 0
2818, BEAM , 3, 77, 2139, 997, 0, 0
2819, BEAM , 3, 77, 2015, 839, 0, 0
2820, BEAM , 3, 77, 1767, 681, 0, 0
2821, BEAM , 3, 77, 2388, 1156, 0, 0
2822, BEAM , 3, 77, 2140, 998, 0, 0
2823, BEAM , 3, 77, 2016, 840, 0, 0
2824, BEAM , 3, 77, 1768, 682, 0, 0
2825, BEAM , 3, 77, 2389, 1158, 0, 0
2826, BEAM , 3, 77, 2141, 1000, 0, 0
2827, BEAM , 3, 77, 2017, 842, 0, 0
2828, BEAM , 3, 77, 1769, 684, 0, 0
2829, BEAM , 3, 77, 2390, 1159, 0, 0
2830, BEAM , 3, 77, 2142, 1001, 0, 0
2831, BEAM , 3, 77, 2018, 843, 0, 0
2832, BEAM , 3, 77, 1770, 685, 0, 0
2833, BEAM , 3, 77, 2391, 1160, 0, 0
2834, BEAM , 3, 77, 2143, 1002, 0, 0
2835, BEAM , 3, 77, 2019, 844, 0, 0
2836, BEAM , 3, 77, 1771, 686, 0, 0
2837, BEAM , 3, 77, 2392, 1161, 0, 0
2838, BEAM , 3, 77, 2144, 1003, 0, 0
2839, BEAM , 3, 77, 2020, 845, 0, 0
2840, BEAM , 3, 77, 1772, 687, 0, 0
2841, BEAM , 3, 77, 2393, 1162, 0, 0
2842, BEAM , 3, 77, 2145, 1004, 0, 0

PROJECT TITLE :

MIDAS	Company		Client	
	Author		File Name	H2D_3Dg_v14_180227_StatLM.mct

2843, BEAM , 3, 77, 2021, 846, 0, 0
2844, BEAM , 3, 77, 1773, 688, 0, 0
2845, BEAM , 3, 77, 2394, 1163, 0, 0
2846, BEAM , 3, 77, 2146, 1005, 0, 0
2847, BEAM , 3, 77, 2022, 847, 0, 0
2848, BEAM , 3, 77, 1774, 689, 0, 0
2849, BEAM , 3, 77, 2395, 1165, 0, 0
2850, BEAM , 3, 77, 2147, 1007, 0, 0
2851, BEAM , 3, 77, 2023, 849, 0, 0
2852, BEAM , 3, 77, 1775, 691, 0, 0
2853, BEAM , 3, 77, 2396, 1166, 0, 0
2854, BEAM , 3, 77, 2148, 1008, 0, 0
2855, BEAM , 3, 77, 2024, 850, 0, 0
2856, BEAM , 3, 77, 1776, 692, 0, 0
2857, BEAM , 3, 77, 2397, 1168, 0, 0
2858, BEAM , 3, 77, 2149, 1010, 0, 0
2859, BEAM , 3, 77, 2025, 852, 0, 0
2860, BEAM , 3, 77, 1777, 694, 0, 0
2861, BEAM , 3, 77, 2398, 1169, 0, 0
2862, BEAM , 3, 77, 2150, 1011, 0, 0
2863, BEAM , 3, 77, 2026, 853, 0, 0
2864, BEAM , 3, 77, 1778, 695, 0, 0
2865, BEAM , 3, 77, 2399, 1170, 0, 0
2866, BEAM , 3, 77, 2151, 1012, 0, 0
2867, BEAM , 3, 77, 2027, 854, 0, 0
2868, BEAM , 3, 77, 1779, 696, 0, 0
2869, BEAM , 3, 77, 2400, 1171, 0, 0
2870, BEAM , 3, 77, 2152, 1013, 0, 0
2871, BEAM , 3, 77, 2028, 855, 0, 0
2872, BEAM , 3, 77, 1780, 697, 0, 0
2873, BEAM , 3, 77, 2401, 1172, 0, 0
2874, BEAM , 3, 77, 2153, 1014, 0, 0
2875, BEAM , 3, 77, 2029, 856, 0, 0
2876, BEAM , 3, 77, 1781, 698, 0, 0
2877, BEAM , 3, 77, 2402, 1173, 0, 0
2878, BEAM , 3, 77, 2154, 1015, 0, 0
2879, BEAM , 3, 77, 2030, 857, 0, 0
2880, BEAM , 3, 77, 1782, 699, 0, 0
2881, BEAM , 3, 77, 2403, 1175, 0, 0
2882, BEAM , 3, 77, 2155, 1017, 0, 0
2883, BEAM , 3, 77, 2031, 859, 0, 0
2884, BEAM , 3, 77, 1783, 701, 0, 0
2885, BEAM , 3, 77, 2404, 1176, 0, 0
2886, BEAM , 3, 77, 2156, 1018, 0, 0
2887, BEAM , 3, 77, 2032, 860, 0, 0
2888, BEAM , 3, 77, 1784, 702, 0, 0
2889, BEAM , 3, 77, 2405, 1178, 0, 0
2890, BEAM , 3, 77, 2157, 1020, 0, 0
2891, BEAM , 3, 77, 2033, 862, 0, 0
2892, BEAM , 3, 77, 1785, 704, 0, 0
2893, BEAM , 3, 77, 2406, 1179, 0, 0
2894, BEAM , 3, 77, 2158, 1021, 0, 0
2895, BEAM , 3, 77, 2034, 863, 0, 0
2896, BEAM , 3, 77, 1786, 705, 0, 0
2897, BEAM , 3, 77, 2407, 1180, 0, 0
2898, BEAM , 3, 77, 2159, 1022, 0, 0
2899, BEAM , 3, 77, 2035, 864, 0, 0
2900, BEAM , 3, 77, 1787, 706, 0, 0
2901, BEAM , 3, 77, 2408, 1181, 0, 0
2902, BEAM , 3, 77, 2160, 1023, 0, 0
2903, BEAM , 3, 77, 2036, 865, 0, 0
2904, BEAM , 3, 77, 1788, 707, 0, 0
2905, BEAM , 3, 77, 2409, 1182, 0, 0
2906, BEAM , 3, 77, 2161, 1024, 0, 0
2907, BEAM , 3, 77, 2037, 866, 0, 0
2908, BEAM , 3, 77, 1789, 708, 0, 0
2909, BEAM , 3, 77, 2410, 1183, 0, 0
2910, BEAM , 3, 77, 2162, 1025, 0, 0
2911, BEAM , 3, 77, 2038, 867, 0, 0
2912, BEAM , 3, 77, 1790, 709, 0, 0
2913, BEAM , 3, 77, 2411, 1185, 0, 0
2914, BEAM , 3, 77, 2163, 1027, 0, 0

PROJECT TITLE :

	Company		Client	
MIDAS	Author		File Name	H2D_3Dg_v14_180227_StatLM.mct

2915, BEAM , 3, 77, 2039, 869, 0, 0
2916, BEAM , 3, 77, 1791, 711, 0, 0
2917, BEAM , 3, 77, 2412, 1186, 0, 0
2918, BEAM , 3, 77, 2164, 1028, 0, 0
2919, BEAM , 3, 77, 2040, 870, 0, 0
2920, BEAM , 3, 77, 1792, 712, 0, 0
2921, BEAM , 3, 77, 2413, 1188, 0, 0
2922, BEAM , 3, 77, 2165, 1030, 0, 0
2923, BEAM , 3, 77, 2041, 872, 0, 0
2924, BEAM , 3, 77, 1793, 714, 0, 0
2925, BEAM , 3, 77, 2414, 1189, 0, 0
2926, BEAM , 3, 77, 2166, 1031, 0, 0
2927, BEAM , 3, 77, 2042, 873, 0, 0
2928, BEAM , 3, 77, 1794, 715, 0, 0
2929, BEAM , 3, 77, 2415, 1190, 0, 0
2930, BEAM , 3, 77, 2167, 1032, 0, 0
2931, BEAM , 3, 77, 2043, 874, 0, 0
2932, BEAM , 3, 77, 1795, 716, 0, 0
2933, BEAM , 3, 77, 2416, 1191, 0, 0
2934, BEAM , 3, 77, 2168, 1033, 0, 0
2935, BEAM , 3, 77, 2044, 875, 0, 0
2936, BEAM , 3, 77, 1796, 717, 0, 0
2937, BEAM , 3, 77, 2417, 1192, 0, 0
2938, BEAM , 3, 77, 2169, 1034, 0, 0
2939, BEAM , 3, 77, 2045, 876, 0, 0
2940, BEAM , 3, 77, 1797, 718, 0, 0
2941, BEAM , 3, 77, 2418, 1193, 0, 0
2942, BEAM , 3, 77, 2170, 1035, 0, 0
2943, BEAM , 3, 77, 2046, 877, 0, 0
2944, BEAM , 3, 77, 1798, 719, 0, 0
2945, BEAM , 3, 77, 2419, 1195, 0, 0
2946, BEAM , 3, 77, 2171, 1037, 0, 0
2947, BEAM , 3, 77, 2047, 879, 0, 0
2948, BEAM , 3, 77, 1799, 721, 0, 0
2949, BEAM , 3, 77, 2420, 1196, 0, 0
2950, BEAM , 3, 77, 2172, 1038, 0, 0
2951, BEAM , 3, 77, 2048, 880, 0, 0
2952, BEAM , 3, 77, 1800, 722, 0, 0
2953, BEAM , 3, 77, 2421, 1198, 0, 0
2954, BEAM , 3, 77, 2173, 1040, 0, 0
2955, BEAM , 3, 77, 2049, 882, 0, 0
2956, BEAM , 3, 77, 1801, 724, 0, 0
2957, BEAM , 3, 77, 2422, 1199, 0, 0
2958, BEAM , 3, 77, 2174, 1041, 0, 0
2959, BEAM , 3, 77, 2050, 883, 0, 0
2960, BEAM , 3, 77, 1802, 725, 0, 0
2961, BEAM , 3, 77, 2423, 1200, 0, 0
2962, BEAM , 3, 77, 2175, 1042, 0, 0
2963, BEAM , 3, 77, 2051, 884, 0, 0
2964, BEAM , 3, 77, 1803, 726, 0, 0
2965, BEAM , 3, 77, 2424, 1201, 0, 0
2966, BEAM , 3, 77, 2176, 1043, 0, 0
2967, BEAM , 3, 77, 2052, 885, 0, 0
2968, BEAM , 3, 77, 1804, 727, 0, 0
2969, BEAM , 3, 77, 2425, 1202, 0, 0
2970, BEAM , 3, 77, 2177, 1044, 0, 0
2971, BEAM , 3, 77, 2053, 886, 0, 0
2972, BEAM , 3, 77, 1805, 728, 0, 0
2973, BEAM , 3, 77, 2426, 1204, 0, 0
2974, BEAM , 3, 77, 2178, 1046, 0, 0
2975, BEAM , 3, 77, 2054, 888, 0, 0
2976, BEAM , 3, 77, 1806, 730, 0, 0
2977, BEAM , 3, 77, 2427, 1205, 0, 0
2978, BEAM , 3, 77, 2179, 1047, 0, 0
2979, BEAM , 3, 77, 2055, 889, 0, 0
2980, BEAM , 3, 77, 1807, 731, 0, 0
2981, BEAM , 3, 77, 2428, 1206, 0, 0
2982, BEAM , 3, 77, 2180, 1048, 0, 0
2983, BEAM , 3, 77, 2056, 890, 0, 0
2984, BEAM , 3, 77, 1808, 732, 0, 0
2985, BEAM , 3, 77, 2429, 1208, 0, 0
2986, BEAM , 3, 77, 2181, 1050, 0, 0

PROJECT TITLE :

	Company		Client	
MIDAS	Author		File Name	H2D_3Dg_v14_180227_StatLM.mct

2987, BEAM , 3, 77, 2057, 892, 0, 0
2988, BEAM , 3, 77, 1809, 734, 0, 0
2989, BEAM , 3, 77, 2430, 1209, 0, 0
2990, BEAM , 3, 77, 2182, 1051, 0, 0
2991, BEAM , 3, 77, 2058, 893, 0, 0
2992, BEAM , 3, 77, 1810, 735, 0, 0
2993, BEAM , 3, 77, 2431, 1210, 0, 0
2994, BEAM , 3, 77, 2183, 1052, 0, 0
2995, BEAM , 3, 77, 2059, 894, 0, 0
2996, BEAM , 3, 77, 1811, 736, 0, 0
2997, BEAM , 3, 77, 2432, 1211, 0, 0
2998, BEAM , 3, 77, 2184, 1053, 0, 0
2999, BEAM , 3, 77, 2060, 895, 0, 0
3000, BEAM , 3, 77, 1812, 737, 0, 0
3001, BEAM , 3, 77, 2433, 1213, 0, 0
3002, BEAM , 3, 77, 2185, 1055, 0, 0
3003, BEAM , 3, 77, 2061, 897, 0, 0
3004, BEAM , 3, 77, 1813, 739, 0, 0
3005, BEAM , 3, 77, 2434, 1214, 0, 0
3006, BEAM , 3, 77, 2186, 1056, 0, 0
3007, BEAM , 3, 77, 2062, 898, 0, 0
3008, BEAM , 3, 77, 1814, 740, 0, 0
3009, BEAM , 3, 77, 2435, 1216, 0, 0
3010, BEAM , 3, 77, 2187, 1058, 0, 0
3011, BEAM , 3, 77, 2063, 900, 0, 0
3012, BEAM , 3, 77, 1815, 742, 0, 0
3013, BEAM , 3, 77, 2436, 1217, 0, 0
3014, BEAM , 3, 77, 2188, 1059, 0, 0
3015, BEAM , 3, 77, 2064, 901, 0, 0
3016, BEAM , 3, 77, 1816, 743, 0, 0
3017, BEAM , 3, 77, 2437, 1218, 0, 0
3018, BEAM , 3, 77, 2189, 1060, 0, 0
3019, BEAM , 3, 77, 2065, 902, 0, 0
3020, BEAM , 3, 77, 1817, 744, 0, 0
3023, BEAM , 3, 74, 36, 246, 0, 0
3024, BEAM , 3, 74, 252, 38, 0, 0
3025, BEAM , 3, 74, 255, 126, 0, 0
3026, BEAM , 3, 74, 2472, 133, 0, 0
3027, BEAM , 3, 74, 2473, 139, 0, 0
3028, BEAM , 3, 74, 2474, 147, 0, 0
3029, BEAM , 3, 74, 36, 2475, 0, 0
3030, BEAM , 3, 74, 70, 318, 0, 0
3031, BEAM , 3, 74, 314, 68, 0, 0
3032, BEAM , 3, 74, 308, 168, 0, 0
3033, BEAM , 3, 74, 2476, 161, 0, 0
3034, BEAM , 3, 74, 2477, 155, 0, 0
3035, BEAM , 3, 74, 70, 2478, 0, 0
3036, BEAM , 3, 74, 122, 1622, 0, 0
3037, BEAM , 3, 74, 172, 1625, 0, 0
3038, BEAM , 3, 74, 1, 173, 0, 0
3039, BEAM , 3, 74, 179, 3, 0, 0
3040, BEAM , 3, 74, 182, 75, 0, 0
3041, BEAM , 3, 74, 2479, 82, 0, 0
3042, BEAM , 3, 74, 2480, 85, 0, 0
3043, BEAM , 3, 74, 2481, 88, 0, 0
3044, BEAM , 3, 74, 2482, 96, 0, 0
3045, BEAM , 3, 74, 1, 1220, 0, 0
3046, BEAM , 3, 74, 35, 245, 0, 0
3047, BEAM , 3, 74, 241, 33, 0, 0
3048, BEAM , 3, 74, 235, 117, 0, 0
3049, BEAM , 3, 74, 2483, 110, 0, 0
3050, BEAM , 3, 74, 2484, 104, 0, 0
3051, BEAM , 3, 74, 35, 1268, 0, 0
3052, BEAM , 3, 74, 71, 1616, 0, 0
3053, BEAM , 3, 74, 121, 1619, 0, 0
3054, BEAM , 3, 74, 1221, 1222, 0, 0
3055, BEAM , 3, 74, 1269, 1270, 0, 0
3056, BEAM , 3, 74, 38, 1225, 0, 0
3057, BEAM , 3, 74, 3, 1224, 0, 0
3058, BEAM , 3, 74, 68, 1267, 0, 0
3059, BEAM , 3, 74, 33, 1266, 0, 0
3060, BEAM , 3, 74, 43, 1231, 0, 0

PROJECT TITLE :

MIDAS	Company		Client	
	Author		File Name	H2D_3Dg_v14_180227_StatLM.mct

3061, BEAM , 3, 74, 8, 1230, 0, 0
3062, BEAM , 3, 74, 1227, 1228, 0, 0
3063, BEAM , 3, 74, 1233, 1234, 0, 0
3064, BEAM , 3, 74, 1239, 1240, 0, 0
3065, BEAM , 3, 74, 1245, 1246, 0, 0
3066, BEAM , 3, 74, 1251, 1252, 0, 0
3067, BEAM , 3, 74, 1257, 1258, 0, 0
3068, BEAM , 3, 74, 1263, 1264, 0, 0
3069, BEAM , 3, 74, 47, 1237, 0, 0
3070, BEAM , 3, 74, 12, 1236, 0, 0
3071, BEAM , 3, 74, 51, 1243, 0, 0
3072, BEAM , 3, 74, 16, 1242, 0, 0
3073, BEAM , 3, 74, 55, 1249, 0, 0
3074, BEAM , 3, 74, 20, 1248, 0, 0
3075, BEAM , 3, 74, 59, 1255, 0, 0
3076, BEAM , 3, 74, 24, 1254, 0, 0
3077, BEAM , 3, 74, 63, 1261, 0, 0
3078, BEAM , 3, 74, 28, 1260, 0, 0
3079, BEAM , 3, 74, 117, 2485, 0, 0
3080, BEAM , 3, 74, 168, 2486, 0, 0
3081, BEAM , 3, 75, 1273, 1622, 0, 0
3082, BEAM , 3, 75, 1616, 1272, 0, 0
3083, BEAM , 3, 75, 1274, 2487, 0, 0
3084, BEAM , 3, 75, 2487, 1275, 0, 0
3085, BEAM , 3, 75, 1277, 2488, 0, 0
3086, BEAM , 3, 75, 2489, 1276, 0, 0
3087, BEAM , 3, 75, 1278, 2490, 0, 0
3088, BEAM , 3, 75, 2490, 1279, 0, 0
3089, BEAM , 3, 75, 1281, 2472, 0, 0
3090, BEAM , 3, 75, 1280, 2479, 0, 0
3091, BEAM , 3, 75, 1282, 2491, 0, 0
3092, BEAM , 3, 75, 2491, 1283, 0, 0
3093, BEAM , 3, 75, 1284, 2481, 0, 0
3094, BEAM , 3, 75, 1285, 2473, 0, 0
3095, BEAM , 3, 75, 1286, 2492, 0, 0
3096, BEAM , 3, 75, 2492, 1287, 0, 0
3097, BEAM , 3, 75, 2482, 1288, 0, 0
3098, BEAM , 3, 75, 1289, 2474, 0, 0
3099, BEAM , 3, 75, 1305, 1625, 0, 0
3100, BEAM , 3, 75, 1619, 1304, 0, 0
3101, BEAM , 3, 75, 1303, 2493, 0, 0
3102, BEAM , 3, 75, 2493, 1302, 0, 0
3103, BEAM , 3, 75, 1301, 2486, 0, 0
3104, BEAM , 3, 75, 2485, 1300, 0, 0
3105, BEAM , 3, 75, 1299, 2494, 0, 0
3106, BEAM , 3, 75, 2494, 1298, 0, 0
3107, BEAM , 3, 75, 1297, 2476, 0, 0
3108, BEAM , 3, 75, 1296, 2483, 0, 0
3109, BEAM , 3, 75, 1295, 2495, 0, 0
3110, BEAM , 3, 75, 2495, 1294, 0, 0
3111, BEAM , 3, 75, 1292, 2484, 0, 0
3112, BEAM , 3, 75, 1293, 2477, 0, 0
3113, BEAM , 3, 75, 1291, 2496, 0, 0
3114, BEAM , 3, 75, 2496, 1290, 0, 0
3115, BEAM , 3, 75, 341, 1328, 0, 0
3116, BEAM , 3, 75, 1333, 396, 0, 0
3122, BEAM , 3, 75, 319, 1306, 0, 0
3123, BEAM , 3, 75, 1311, 373, 0, 0
3129, BEAM , 3, 75, 1355, 418, 0, 0
3144, BEAM , 3, 75, 126, 2488, 0, 0
3145, BEAM , 3, 75, 75, 2489, 0, 0
3146, BEAM , 3, 75, 432, 1644, 0, 0
3147, BEAM , 3, 75, 321, 1627, 0, 0
3148, BEAM , 3, 75, 425, 1643, 0, 0
3149, BEAM , 3, 75, 256, 1626, 0, 0
3150, BEAM , 3, 75, 439, 1645, 0, 0
3151, BEAM , 3, 75, 324, 1628, 0, 0
3152, BEAM , 3, 75, 446, 1646, 0, 0
3153, BEAM , 3, 75, 327, 1629, 0, 0
3154, BEAM , 3, 75, 457, 1647, 0, 0
3155, BEAM , 3, 75, 330, 1630, 0, 0
3156, BEAM , 3, 75, 468, 1648, 0, 0

PROJECT TITLE :

	Company		Client	
MIDAS	Author		File Name	H2D_3Dg_v14_180227_StatLM.mct

3157, BEAM , 3, 75, 333, 1631, 0, 0
3158, BEAM , 3, 75, 479, 1649, 0, 0
3159, BEAM , 3, 75, 336, 1632, 0, 0
3160, BEAM , 3, 75, 490, 1650, 0, 0
3161, BEAM , 3, 75, 339, 1633, 0, 0
3162, BEAM , 3, 75, 501, 1651, 0, 0
3163, BEAM , 3, 75, 343, 1634, 0, 0
3164, BEAM , 3, 75, 512, 1652, 0, 0
3165, BEAM , 3, 75, 346, 1635, 0, 0
3166, BEAM , 3, 75, 523, 1653, 0, 0
3167, BEAM , 3, 75, 349, 1636, 0, 0
3168, BEAM , 3, 75, 534, 1654, 0, 0
3169, BEAM , 3, 75, 352, 1637, 0, 0
3170, BEAM , 3, 75, 545, 1655, 0, 0
3171, BEAM , 3, 75, 355, 1638, 0, 0
3172, BEAM , 3, 75, 556, 1656, 0, 0
3173, BEAM , 3, 75, 358, 1639, 0, 0
3174, BEAM , 3, 75, 567, 1657, 0, 0
3175, BEAM , 3, 75, 361, 1640, 0, 0
3176, BEAM , 3, 75, 574, 1658, 0, 0
3177, BEAM , 3, 75, 365, 1641, 0, 0
3178, BEAM , 3, 75, 581, 1659, 0, 0
3179, BEAM , 3, 75, 369, 1642, 0, 0
3180, BEAM , 3, 75, 438, 1661, 0, 0
3181, BEAM , 3, 75, 375, 1678, 0, 0
3182, BEAM , 3, 75, 431, 1660, 0, 0
3183, BEAM , 3, 75, 372, 1677, 0, 0
3184, BEAM , 3, 75, 445, 1662, 0, 0
3185, BEAM , 3, 75, 378, 1679, 0, 0
3186, BEAM , 3, 75, 456, 1663, 0, 0
3187, BEAM , 3, 75, 382, 1680, 0, 0
3188, BEAM , 3, 75, 467, 1664, 0, 0
3189, BEAM , 3, 75, 385, 1681, 0, 0
3190, BEAM , 3, 75, 478, 1665, 0, 0
3191, BEAM , 3, 75, 388, 1682, 0, 0
3192, BEAM , 3, 75, 489, 1666, 0, 0
3193, BEAM , 3, 75, 391, 1683, 0, 0
3194, BEAM , 3, 75, 500, 1667, 0, 0
3195, BEAM , 3, 75, 394, 1684, 0, 0
3196, BEAM , 3, 75, 511, 1668, 0, 0
3197, BEAM , 3, 75, 398, 1685, 0, 0
3198, BEAM , 3, 75, 522, 1669, 0, 0
3199, BEAM , 3, 75, 401, 1686, 0, 0
3200, BEAM , 3, 75, 533, 1670, 0, 0
3201, BEAM , 3, 75, 404, 1687, 0, 0
3202, BEAM , 3, 75, 544, 1671, 0, 0
3203, BEAM , 3, 75, 407, 1688, 0, 0
3204, BEAM , 3, 75, 555, 1672, 0, 0
3205, BEAM , 3, 75, 410, 1689, 0, 0
3206, BEAM , 3, 75, 566, 1673, 0, 0
3207, BEAM , 3, 75, 413, 1690, 0, 0
3208, BEAM , 3, 75, 573, 1674, 0, 0
3209, BEAM , 3, 75, 416, 1691, 0, 0
3210, BEAM , 3, 75, 580, 1675, 0, 0
3211, BEAM , 3, 75, 420, 1692, 0, 0
3212, BEAM , 3, 75, 587, 1676, 0, 0
3213, BEAM , 3, 75, 424, 1693, 0, 0
3216, BEAM , 3, 75, 435, 2487, 0, 0
3217, BEAM , 3, 75, 451, 2490, 0, 0
3218, BEAM , 3, 75, 473, 2491, 0, 0
3219, BEAM , 3, 75, 495, 2492, 0, 0
3220, BEAM , 3, 75, 517, 2496, 0, 0
3221, BEAM , 3, 75, 539, 2495, 0, 0
3222, BEAM , 3, 75, 561, 2494, 0, 0
3223, BEAM , 3, 75, 577, 2493, 0, 0
3224, BEAM , 3, 75, 507, 1331, 0, 0
3225, BEAM , 3, 75, 505, 1329, 0, 0
3226, BEAM , 3, 75, 1144, 1336, 0, 0
3227, BEAM , 3, 75, 1137, 1324, 0, 0
3228, BEAM , 3, 75, 979, 1323, 0, 0
3229, BEAM , 3, 75, 821, 1321, 0, 0
3230, BEAM , 3, 75, 663, 1320, 0, 0

PROJECT TITLE :

	Company		Client	
MIDAS	Author		File Name	H2D_3Dg_v14_180227_StatLM.mct

3231, BEAM , 3, 75, 986, 1340, 0, 0
3232, BEAM , 3, 75, 828, 1338, 0, 0
3233, BEAM , 3, 75, 670, 1335, 0, 0
3234, BEAM , 3, 75, 1075, 1314, 0, 0
3235, BEAM , 3, 75, 917, 1318, 0, 0
3236, BEAM , 3, 75, 759, 1316, 0, 0
3237, BEAM , 3, 75, 601, 1313, 0, 0
3238, BEAM , 3, 75, 436, 1309, 0, 0
3239, BEAM , 3, 75, 434, 1307, 0, 0
3240, BEAM , 3, 75, 1206, 1346, 0, 0
3241, BEAM , 3, 75, 1048, 1345, 0, 0
3243, BEAM , 3, 75, 890, 1343, 0, 0
3244, BEAM , 3, 75, 732, 1342, 0, 0
3245, BEAM , 3, 75, 578, 1353, 0, 0
3246, BEAM , 3, 75, 576, 1351, 0, 0
3247, BEAM , 3, 75, 363, 1350, 0, 0
3248, BEAM , 3, 75, 909, 1598, 0, 0
3249, BEAM , 3, 75, 751, 1582, 0, 0
3250, BEAM , 3, 75, 918, 1599, 0, 0
3251, BEAM , 3, 75, 760, 1583, 0, 0
3252, BEAM , 3, 75, 927, 1600, 0, 0
3253, BEAM , 3, 75, 769, 1584, 0, 0
3254, BEAM , 3, 75, 937, 1601, 0, 0
3255, BEAM , 3, 75, 779, 1585, 0, 0
3256, BEAM , 3, 75, 947, 1602, 0, 0
3257, BEAM , 3, 75, 789, 1586, 0, 0
3258, BEAM , 3, 75, 957, 1603, 0, 0
3259, BEAM , 3, 75, 799, 1587, 0, 0
3260, BEAM , 3, 75, 967, 1604, 0, 0
3261, BEAM , 3, 75, 809, 1588, 0, 0
3262, BEAM , 3, 75, 977, 1605, 0, 0
3263, BEAM , 3, 75, 819, 1589, 0, 0
3264, BEAM , 3, 75, 988, 1606, 0, 0
3265, BEAM , 3, 75, 830, 1590, 0, 0
3266, BEAM , 3, 75, 998, 1607, 0, 0
3267, BEAM , 3, 75, 840, 1591, 0, 0
3268, BEAM , 3, 75, 1008, 1608, 0, 0
3269, BEAM , 3, 75, 850, 1592, 0, 0
3270, BEAM , 3, 75, 1018, 1609, 0, 0
3271, BEAM , 3, 75, 860, 1593, 0, 0
3272, BEAM , 3, 75, 1028, 1610, 0, 0
3273, BEAM , 3, 75, 870, 1594, 0, 0
3274, BEAM , 3, 75, 1038, 1611, 0, 0
3275, BEAM , 3, 75, 880, 1595, 0, 0
3276, BEAM , 3, 75, 1047, 1612, 0, 0
3277, BEAM , 3, 75, 889, 1596, 0, 0
3278, BEAM , 3, 75, 1056, 1613, 0, 0
3279, BEAM , 3, 75, 898, 1597, 0, 0
3280, BEAM , 3, 75, 428, 2505, 0, 0
3281, BEAM , 3, 76, 1550, 1066, 0, 0
3282, BEAM , 3, 76, 1518, 908, 0, 0
3283, BEAM , 3, 76, 1486, 750, 0, 0
3284, BEAM , 3, 76, 1454, 592, 0, 0
3285, BEAM , 3, 76, 1455, 595, 0, 0
3286, BEAM , 3, 76, 1487, 753, 0, 0
3287, BEAM , 3, 76, 1519, 911, 0, 0
3288, BEAM , 3, 76, 1551, 1069, 0, 0
3289, BEAM , 3, 76, 1456, 600, 0, 0
3290, BEAM , 3, 76, 1488, 758, 0, 0
3291, BEAM , 3, 76, 1520, 916, 0, 0
3292, BEAM , 3, 76, 1552, 1074, 0, 0
3293, BEAM , 3, 76, 1457, 604, 0, 0
3294, BEAM , 3, 76, 1489, 762, 0, 0
3295, BEAM , 3, 76, 1521, 920, 0, 0
3296, BEAM , 3, 76, 1553, 1078, 0, 0
3297, BEAM , 3, 76, 1458, 610, 0, 0
3298, BEAM , 3, 76, 1490, 768, 0, 0
3299, BEAM , 3, 76, 1522, 926, 0, 0
3300, BEAM , 3, 76, 1554, 1084, 0, 0
3301, BEAM , 3, 76, 1459, 613, 0, 0
3302, BEAM , 3, 76, 1491, 771, 0, 0
3303, BEAM , 3, 76, 1523, 929, 0, 0

PROJECT TITLE :

MIDAS	Company		Client	
	Author		File Name	H2D_3Dg_v14_180227_StatLM.mct

3304, BEAM , 3, 76, 1555, 1087, 0, 0
3305, BEAM , 3, 76, 1460, 620, 0, 0
3306, BEAM , 3, 76, 1492, 778, 0, 0
3307, BEAM , 3, 76, 1524, 936, 0, 0
3308, BEAM , 3, 76, 1556, 1094, 0, 0
3309, BEAM , 3, 76, 1461, 623, 0, 0
3310, BEAM , 3, 76, 1493, 781, 0, 0
3311, BEAM , 3, 76, 1525, 939, 0, 0
3312, BEAM , 3, 76, 1557, 1097, 0, 0
3313, BEAM , 3, 76, 1462, 630, 0, 0
3314, BEAM , 3, 76, 1494, 788, 0, 0
3315, BEAM , 3, 76, 1526, 946, 0, 0
3316, BEAM , 3, 76, 1558, 1104, 0, 0
3317, BEAM , 3, 76, 1463, 633, 0, 0
3318, BEAM , 3, 76, 1495, 791, 0, 0
3319, BEAM , 3, 76, 1527, 949, 0, 0
3320, BEAM , 3, 76, 1559, 1107, 0, 0
3321, BEAM , 3, 76, 1464, 640, 0, 0
3322, BEAM , 3, 76, 1496, 798, 0, 0
3323, BEAM , 3, 76, 1528, 956, 0, 0
3324, BEAM , 3, 76, 1560, 1114, 0, 0
3325, BEAM , 3, 76, 1465, 643, 0, 0
3326, BEAM , 3, 76, 1497, 801, 0, 0
3327, BEAM , 3, 76, 1529, 959, 0, 0
3328, BEAM , 3, 76, 1561, 1117, 0, 0
3329, BEAM , 3, 76, 1466, 650, 0, 0
3330, BEAM , 3, 76, 1498, 808, 0, 0
3331, BEAM , 3, 76, 1530, 966, 0, 0
3332, BEAM , 3, 76, 1562, 1124, 0, 0
3333, BEAM , 3, 76, 1467, 653, 0, 0
3334, BEAM , 3, 76, 1499, 811, 0, 0
3335, BEAM , 3, 76, 1531, 969, 0, 0
3336, BEAM , 3, 76, 1563, 1127, 0, 0
3337, BEAM , 3, 76, 1468, 660, 0, 0
3338, BEAM , 3, 76, 1500, 818, 0, 0
3339, BEAM , 3, 76, 1532, 976, 0, 0
3340, BEAM , 3, 76, 1564, 1134, 0, 0
3341, BEAM , 3, 76, 1469, 663, 0, 0
3342, BEAM , 3, 76, 1501, 821, 0, 0
3343, BEAM , 3, 76, 1533, 979, 0, 0
3344, BEAM , 3, 76, 1565, 1137, 0, 0
3345, BEAM , 3, 76, 1470, 670, 0, 0
3346, BEAM , 3, 76, 1502, 828, 0, 0
3347, BEAM , 3, 76, 1534, 986, 0, 0
3348, BEAM , 3, 76, 1566, 1144, 0, 0
3349, BEAM , 3, 76, 1471, 673, 0, 0
3350, BEAM , 3, 76, 1503, 831, 0, 0
3351, BEAM , 3, 76, 1535, 989, 0, 0
3352, BEAM , 3, 76, 1567, 1147, 0, 0
3353, BEAM , 3, 76, 1472, 680, 0, 0
3354, BEAM , 3, 76, 1504, 838, 0, 0
3355, BEAM , 3, 76, 1536, 996, 0, 0
3356, BEAM , 3, 76, 1568, 1154, 0, 0
3357, BEAM , 3, 76, 1473, 683, 0, 0
3358, BEAM , 3, 76, 1505, 841, 0, 0
3359, BEAM , 3, 76, 1537, 999, 0, 0
3360, BEAM , 3, 76, 1569, 1157, 0, 0
3361, BEAM , 3, 76, 1474, 690, 0, 0
3362, BEAM , 3, 76, 1506, 848, 0, 0
3363, BEAM , 3, 76, 1538, 1006, 0, 0
3364, BEAM , 3, 76, 1570, 1164, 0, 0
3365, BEAM , 3, 76, 1475, 693, 0, 0
3366, BEAM , 3, 76, 1507, 851, 0, 0
3367, BEAM , 3, 76, 1539, 1009, 0, 0
3368, BEAM , 3, 76, 1571, 1167, 0, 0
3369, BEAM , 3, 76, 1476, 700, 0, 0
3370, BEAM , 3, 76, 1508, 858, 0, 0
3371, BEAM , 3, 76, 1540, 1016, 0, 0
3372, BEAM , 3, 76, 1572, 1174, 0, 0
3373, BEAM , 3, 76, 1477, 703, 0, 0
3374, BEAM , 3, 76, 1509, 861, 0, 0
3375, BEAM , 3, 76, 1541, 1019, 0, 0

PROJECT TITLE :

	Company		Client	
MIDAS	Author		File Name	H2D_3Dg_v14_180227_StatLM.mct

3376, BEAM , 3, 76, 1573, 1177, 0, 0
3377, BEAM , 3, 76, 1478, 710, 0, 0
3378, BEAM , 3, 76, 1510, 868, 0, 0
3379, BEAM , 3, 76, 1542, 1026, 0, 0
3380, BEAM , 3, 76, 1574, 1184, 0, 0
3381, BEAM , 3, 76, 1479, 713, 0, 0
3382, BEAM , 3, 76, 1511, 871, 0, 0
3383, BEAM , 3, 76, 1543, 1029, 0, 0
3384, BEAM , 3, 76, 1575, 1187, 0, 0
3385, BEAM , 3, 76, 1480, 720, 0, 0
3386, BEAM , 3, 76, 1512, 878, 0, 0
3387, BEAM , 3, 76, 1544, 1036, 0, 0
3388, BEAM , 3, 76, 1576, 1194, 0, 0
3389, BEAM , 3, 76, 1481, 723, 0, 0
3390, BEAM , 3, 76, 1513, 881, 0, 0
3391, BEAM , 3, 76, 1545, 1039, 0, 0
3392, BEAM , 3, 76, 1577, 1197, 0, 0
3393, BEAM , 3, 76, 1482, 729, 0, 0
3394, BEAM , 3, 76, 1514, 887, 0, 0
3395, BEAM , 3, 76, 1546, 1045, 0, 0
3396, BEAM , 3, 76, 1578, 1203, 0, 0
3397, BEAM , 3, 76, 1483, 733, 0, 0
3398, BEAM , 3, 76, 1515, 891, 0, 0
3399, BEAM , 3, 76, 1547, 1049, 0, 0
3400, BEAM , 3, 76, 1579, 1207, 0, 0
3401, BEAM , 3, 76, 1484, 738, 0, 0
3402, BEAM , 3, 76, 1516, 896, 0, 0
3403, BEAM , 3, 76, 1548, 1054, 0, 0
3404, BEAM , 3, 76, 1580, 1212, 0, 0
3405, BEAM , 3, 76, 1485, 741, 0, 0
3406, BEAM , 3, 76, 1517, 899, 0, 0
3407, BEAM , 3, 76, 1549, 1057, 0, 0
3408, BEAM , 3, 76, 1581, 1215, 0, 0
3409, BEAM , 3, 76, 430, 1429, 0, 0
3410, BEAM , 3, 76, 1518, 1405, 0, 0
3411, BEAM , 3, 76, 1551, 1430, 0, 0
3412, BEAM , 3, 76, 436, 1406, 0, 0
3413, BEAM , 3, 76, 1552, 1431, 0, 0
3414, BEAM , 3, 76, 1521, 1407, 0, 0
3415, BEAM , 3, 76, 444, 1432, 0, 0
3416, BEAM , 3, 76, 1522, 1408, 0, 0
3417, BEAM , 3, 76, 1555, 1433, 0, 0
3418, BEAM , 3, 76, 452, 1409, 0, 0
3419, BEAM , 3, 76, 1556, 1434, 0, 0
3420, BEAM , 3, 76, 1525, 1410, 0, 0
3421, BEAM , 3, 76, 465, 1435, 0, 0
3422, BEAM , 3, 76, 1526, 1411, 0, 0
3423, BEAM , 3, 76, 1559, 1436, 0, 0
3424, BEAM , 3, 76, 474, 1412, 0, 0
3425, BEAM , 3, 76, 1560, 1437, 0, 0
3426, BEAM , 3, 76, 1529, 1413, 0, 0
3427, BEAM , 3, 76, 487, 1438, 0, 0
3428, BEAM , 3, 76, 1530, 1414, 0, 0
3429, BEAM , 3, 76, 1563, 1439, 0, 0
3430, BEAM , 3, 76, 496, 1415, 0, 0
3431, BEAM , 3, 76, 1564, 1440, 0, 0
3432, BEAM , 3, 76, 1533, 1416, 0, 0
3433, BEAM , 3, 76, 509, 1441, 0, 0
3434, BEAM , 3, 76, 1534, 1417, 0, 0
3435, BEAM , 3, 76, 1567, 1442, 0, 0
3436, BEAM , 3, 76, 518, 1418, 0, 0
3437, BEAM , 3, 76, 1568, 1443, 0, 0
3438, BEAM , 3, 76, 1537, 1419, 0, 0
3439, BEAM , 3, 76, 531, 1444, 0, 0
3440, BEAM , 3, 76, 1538, 1420, 0, 0
3441, BEAM , 3, 76, 1571, 1445, 0, 0
3442, BEAM , 3, 76, 540, 1421, 0, 0
3443, BEAM , 3, 76, 1572, 1446, 0, 0
3444, BEAM , 3, 76, 1541, 1422, 0, 0
3445, BEAM , 3, 76, 553, 1447, 0, 0
3446, BEAM , 3, 76, 1542, 1423, 0, 0
3447, BEAM , 3, 76, 1575, 1448, 0, 0

PROJECT TITLE :

	Company		Client	
MIDAS	Author		File Name	H2D_3Dg_v14_180227_StatLM.mct

3448, BEAM , 3, 76, 562, 1424, 0, 0
3449, BEAM , 3, 76, 1576, 1449, 0, 0
3450, BEAM , 3, 76, 1545, 1425, 0, 0
3451, BEAM , 3, 76, 572, 1450, 0, 0
3452, BEAM , 3, 76, 1546, 1426, 0, 0
3453, BEAM , 3, 76, 1579, 1451, 0, 0
3454, BEAM , 3, 76, 578, 1427, 0, 0
3455, BEAM , 3, 76, 1580, 1452, 0, 0
3456, BEAM , 3, 76, 1549, 1428, 0, 0
3457, BEAM , 3, 76, 586, 1453, 0, 0
3458, BEAM , 3, 76, 426, 1356, 0, 0
3459, BEAM , 3, 76, 1486, 1381, 0, 0
3460, BEAM , 3, 76, 1455, 1357, 0, 0
3461, BEAM , 3, 76, 434, 1382, 0, 0
3462, BEAM , 3, 76, 1456, 1358, 0, 0
3463, BEAM , 3, 76, 1489, 1383, 0, 0
3464, BEAM , 3, 76, 440, 1359, 0, 0
3465, BEAM , 3, 76, 1490, 1384, 0, 0
3466, BEAM , 3, 76, 1459, 1360, 0, 0
3467, BEAM , 3, 76, 450, 1385, 0, 0
3468, BEAM , 3, 76, 1460, 1361, 0, 0
3469, BEAM , 3, 76, 1493, 1386, 0, 0
3470, BEAM , 3, 76, 459, 1362, 0, 0
3471, BEAM , 3, 76, 1494, 1387, 0, 0
3472, BEAM , 3, 76, 1463, 1363, 0, 0
3473, BEAM , 3, 76, 472, 1388, 0, 0
3474, BEAM , 3, 76, 1464, 1364, 0, 0
3475, BEAM , 3, 76, 1497, 1389, 0, 0
3476, BEAM , 3, 76, 481, 1365, 0, 0
3477, BEAM , 3, 76, 1498, 1390, 0, 0
3478, BEAM , 3, 76, 1467, 1366, 0, 0
3479, BEAM , 3, 76, 494, 1391, 0, 0
3480, BEAM , 3, 76, 1468, 1367, 0, 0
3481, BEAM , 3, 76, 1501, 1392, 0, 0
3482, BEAM , 3, 76, 503, 1368, 0, 0
3483, BEAM , 3, 76, 1502, 1393, 0, 0
3484, BEAM , 3, 76, 1471, 1369, 0, 0
3485, BEAM , 3, 76, 516, 1394, 0, 0
3486, BEAM , 3, 76, 1472, 1370, 0, 0
3487, BEAM , 3, 76, 1505, 1395, 0, 0
3488, BEAM , 3, 76, 525, 1371, 0, 0
3489, BEAM , 3, 76, 1506, 1396, 0, 0
3490, BEAM , 3, 76, 1475, 1372, 0, 0
3491, BEAM , 3, 76, 538, 1397, 0, 0
3492, BEAM , 3, 76, 1476, 1373, 0, 0
3493, BEAM , 3, 76, 1509, 1398, 0, 0
3494, BEAM , 3, 76, 547, 1374, 0, 0
3495, BEAM , 3, 76, 1510, 1399, 0, 0
3496, BEAM , 3, 76, 1479, 1375, 0, 0
3497, BEAM , 3, 76, 560, 1400, 0, 0
3498, BEAM , 3, 76, 1480, 1376, 0, 0
3499, BEAM , 3, 76, 1513, 1401, 0, 0
3500, BEAM , 3, 76, 568, 1377, 0, 0
3501, BEAM , 3, 76, 1514, 1402, 0, 0
3502, BEAM , 3, 76, 1483, 1378, 0, 0
3503, BEAM , 3, 76, 576, 1403, 0, 0
3504, BEAM , 3, 76, 1484, 1379, 0, 0
3505, BEAM , 3, 76, 1517, 1404, 0, 0
3506, BEAM , 3, 76, 582, 1380, 0, 0
3507, BEAM , 3, 74, 177, 73, 0, 0
3508, BEAM , 3, 1, 239, 119, 0, 0
3509, BEAM , 3, 74, 250, 124, 0, 0
3510, BEAM , 3, 74, 312, 170, 0, 0
3511, BEAM , 4, 78, 370, 2507, 0, 0
3512, BEAM , 4, 78, 2507, 2508, 0, 0
3513, BEAM , 4, 78, 2508, 2509, 0, 0
3514, BEAM , 4, 78, 2509, 2510, 0, 0
3515, BEAM , 4, 78, 374, 2511, 0, 0
3516, BEAM , 4, 78, 2511, 2512, 0, 0
3517, BEAM , 4, 78, 2512, 2513, 0, 0
3518, BEAM , 4, 78, 2513, 2514, 0, 0
3519, BEAM , 4, 78, 377, 2515, 0, 0

PROJECT TITLE :

	Company		Client	
MIDAS	Author		File Name	H2D_3Dg_v14_180227_StatLM.mct

3520, BEAM , 4, 78, 2515, 2516, 0, 0
3521, BEAM , 4, 78, 2516, 2517, 0, 0
3522, BEAM , 4, 78, 2517, 2518, 0, 0
3523, BEAM , 4, 78, 381, 2519, 0, 0
3524, BEAM , 4, 78, 2519, 2520, 0, 0
3525, BEAM , 4, 78, 2520, 2521, 0, 0
3526, BEAM , 4, 78, 2521, 2522, 0, 0
3527, BEAM , 4, 78, 384, 2523, 0, 0
3528, BEAM , 4, 78, 2523, 2524, 0, 0
3529, BEAM , 4, 78, 2524, 2525, 0, 0
3530, BEAM , 4, 78, 2525, 2526, 0, 0
3531, BEAM , 4, 78, 387, 2527, 0, 0
3532, BEAM , 4, 78, 2527, 2528, 0, 0
3533, BEAM , 4, 78, 2528, 2529, 0, 0
3534, BEAM , 4, 78, 2529, 2530, 0, 0
3535, BEAM , 4, 78, 390, 2531, 0, 0
3536, BEAM , 4, 78, 2531, 2532, 0, 0
3537, BEAM , 4, 78, 2532, 2533, 0, 0
3538, BEAM , 4, 78, 2533, 2534, 0, 0
3539, BEAM , 4, 78, 393, 2535, 0, 0
3540, BEAM , 4, 78, 2535, 2536, 0, 0
3541, BEAM , 4, 78, 2536, 2537, 0, 0
3542, BEAM , 4, 78, 2537, 2538, 0, 0
3543, BEAM , 4, 78, 397, 2539, 0, 0
3544, BEAM , 4, 78, 2539, 2540, 0, 0
3545, BEAM , 4, 78, 2540, 2541, 0, 0
3546, BEAM , 4, 78, 2541, 2542, 0, 0
3547, BEAM , 4, 78, 400, 2543, 0, 0
3548, BEAM , 4, 78, 2543, 2544, 0, 0
3549, BEAM , 4, 78, 2544, 2545, 0, 0
3550, BEAM , 4, 78, 2545, 2546, 0, 0
3551, BEAM , 4, 78, 403, 2547, 0, 0
3552, BEAM , 4, 78, 2547, 2548, 0, 0
3553, BEAM , 4, 78, 2548, 2549, 0, 0
3554, BEAM , 4, 78, 2549, 2550, 0, 0
3555, BEAM , 4, 78, 406, 2551, 0, 0
3556, BEAM , 4, 78, 2551, 2552, 0, 0
3557, BEAM , 4, 78, 2552, 2553, 0, 0
3558, BEAM , 4, 78, 2553, 2554, 0, 0
3559, BEAM , 4, 78, 409, 2555, 0, 0
3560, BEAM , 4, 78, 2555, 2556, 0, 0
3561, BEAM , 4, 78, 2556, 2557, 0, 0
3562, BEAM , 4, 78, 2557, 2558, 0, 0
3563, BEAM , 4, 78, 412, 2559, 0, 0
3564, BEAM , 4, 78, 2559, 2560, 0, 0
3565, BEAM , 4, 78, 2560, 2561, 0, 0
3566, BEAM , 4, 78, 2561, 2562, 0, 0
3567, BEAM , 4, 78, 415, 2563, 0, 0
3568, BEAM , 4, 78, 2563, 2564, 0, 0
3569, BEAM , 4, 78, 2564, 2565, 0, 0
3570, BEAM , 4, 78, 2565, 2566, 0, 0
3571, BEAM , 4, 78, 419, 2567, 0, 0
3572, BEAM , 4, 78, 2567, 2568, 0, 0
3573, BEAM , 4, 78, 2568, 2569, 0, 0
3574, BEAM , 4, 78, 2569, 2570, 0, 0
3575, BEAM , 4, 78, 422, 2571, 0, 0
3576, BEAM , 4, 78, 2571, 2572, 0, 0
3577, BEAM , 4, 78, 2572, 2573, 0, 0
3578, BEAM , 4, 78, 2573, 2574, 0, 0
3579, BEAM , 4, 78, 18, 2575, 0, 0
3580, BEAM , 4, 78, 2575, 2576, 0, 0
3581, BEAM , 4, 78, 2576, 2577, 0, 0
3582, BEAM , 4, 78, 2577, 2578, 0, 0
3583, BEAM , 4, 78, 320, 2579, 0, 0
3584, BEAM , 4, 78, 2579, 2580, 0, 0
3585, BEAM , 4, 78, 2580, 2581, 0, 0
3586, BEAM , 4, 78, 2581, 2582, 0, 0
3587, BEAM , 4, 78, 323, 2583, 0, 0
3588, BEAM , 4, 78, 2583, 2584, 0, 0
3589, BEAM , 4, 78, 2584, 2585, 0, 0
3590, BEAM , 4, 78, 2585, 2586, 0, 0
3591, BEAM , 4, 78, 326, 2587, 0, 0

PROJECT TITLE :

	Company		Client	
MIDAS	Author		File Name	H2D_3Dg_v14_180227_StatLM.mct

3592, BEAM , 4, 78, 2587, 2588, 0, 0
3593, BEAM , 4, 78, 2588, 2589, 0, 0
3594, BEAM , 4, 78, 2589, 2590, 0, 0
3595, BEAM , 4, 78, 329, 2591, 0, 0
3596, BEAM , 4, 78, 2591, 2592, 0, 0
3597, BEAM , 4, 78, 2592, 2593, 0, 0
3598, BEAM , 4, 78, 2593, 2594, 0, 0
3599, BEAM , 4, 78, 332, 2595, 0, 0
3600, BEAM , 4, 78, 2595, 2596, 0, 0
3601, BEAM , 4, 78, 2596, 2597, 0, 0
3602, BEAM , 4, 78, 2597, 2598, 0, 0
3603, BEAM , 4, 78, 335, 2599, 0, 0
3604, BEAM , 4, 78, 2599, 2600, 0, 0
3605, BEAM , 4, 78, 2600, 2601, 0, 0
3606, BEAM , 4, 78, 2601, 2602, 0, 0
3607, BEAM , 4, 78, 338, 2603, 0, 0
3608, BEAM , 4, 78, 2603, 2604, 0, 0
3609, BEAM , 4, 78, 2604, 2605, 0, 0
3610, BEAM , 4, 78, 2605, 2606, 0, 0
3611, BEAM , 4, 78, 342, 2607, 0, 0
3612, BEAM , 4, 78, 2607, 2608, 0, 0
3613, BEAM , 4, 78, 2608, 2609, 0, 0
3614, BEAM , 4, 78, 2609, 2610, 0, 0
3615, BEAM , 4, 78, 345, 2611, 0, 0
3616, BEAM , 4, 78, 2611, 2612, 0, 0
3617, BEAM , 4, 78, 2612, 2613, 0, 0
3618, BEAM , 4, 78, 2613, 2614, 0, 0
3619, BEAM , 4, 78, 348, 2615, 0, 0
3620, BEAM , 4, 78, 2615, 2616, 0, 0
3621, BEAM , 4, 78, 2616, 2617, 0, 0
3622, BEAM , 4, 78, 2617, 2618, 0, 0
3623, BEAM , 4, 78, 351, 2619, 0, 0
3624, BEAM , 4, 78, 2619, 2620, 0, 0
3625, BEAM , 4, 78, 2620, 2621, 0, 0
3626, BEAM , 4, 78, 2621, 2622, 0, 0
3627, BEAM , 4, 78, 354, 2623, 0, 0
3628, BEAM , 4, 78, 2623, 2624, 0, 0
3629, BEAM , 4, 78, 2624, 2625, 0, 0
3630, BEAM , 4, 78, 2625, 2626, 0, 0
3631, BEAM , 4, 78, 357, 2627, 0, 0
3632, BEAM , 4, 78, 2627, 2628, 0, 0
3633, BEAM , 4, 78, 2628, 2629, 0, 0
3634, BEAM , 4, 78, 2629, 2630, 0, 0
3635, BEAM , 4, 78, 360, 2631, 0, 0
3636, BEAM , 4, 78, 2631, 2632, 0, 0
3637, BEAM , 4, 78, 2632, 2633, 0, 0
3638, BEAM , 4, 78, 2633, 2634, 0, 0
3639, BEAM , 4, 78, 364, 2635, 0, 0
3640, BEAM , 4, 78, 2635, 2636, 0, 0
3641, BEAM , 4, 78, 2636, 2637, 0, 0
3642, BEAM , 4, 78, 2637, 2638, 0, 0
3643, BEAM , 4, 78, 367, 2639, 0, 0
3644, BEAM , 4, 78, 2639, 2640, 0, 0
3645, BEAM , 4, 78, 2640, 2641, 0, 0
3646, BEAM , 4, 78, 2641, 2642, 0, 0
3647, BEAM , 4, 14, 2643, 251, 90, 0
3648, BEAM , 4, 14, 251, 2644, 90, 0
3649, BEAM , 4, 15, 2645, 379, 90, 0
3650, BEAM , 4, 15, 379, 2646, 90, 0
3651, BEAM , 4, 16, 2647, 259, 90, 0
3652, BEAM , 4, 16, 259, 2648, 90, 0
3653, BEAM , 4, 17, 2649, 262, 90, 0
3654, BEAM , 4, 17, 262, 2650, 90, 0
3655, BEAM , 4, 18, 2651, 265, 90, 0
3656, BEAM , 4, 18, 265, 2652, 90, 0
3657, BEAM , 4, 19, 2653, 268, 90, 0
3658, BEAM , 4, 19, 268, 2654, 90, 0
3659, BEAM , 4, 20, 2655, 273, 90, 0
3660, BEAM , 4, 20, 274, 2656, 90, 0
3664, BEAM , 4, 21, 2660, 282, 90, 0
3665, BEAM , 4, 21, 282, 2661, 90, 0
3668, BEAM , 4, 20, 291, 2664, 90, 0

PROJECT TITLE :

MIDAS	Company		Client	
	Author		File Name	H2D_3Dg_v14_180227_StatLM.mct

3669, BEAM , 4, 20, 2665, 289, 90, 0
3671, BEAM , 4, 19, 2667, 296, 90, 0
3672, BEAM , 4, 19, 296, 2668, 90, 0
3673, BEAM , 4, 18, 2669, 299, 90, 0
3674, BEAM , 4, 18, 299, 2670, 90, 0
3675, BEAM , 4, 17, 2671, 302, 90, 0
3676, BEAM , 4, 17, 302, 2672, 90, 0
3677, BEAM , 4, 16, 2673, 305, 90, 0
3678, BEAM , 4, 16, 305, 2674, 90, 0
3679, BEAM , 4, 15, 2675, 309, 90, 0
3680, BEAM , 4, 15, 309, 2676, 90, 0
3681, BEAM , 4, 14, 2677, 313, 90, 0
3682, BEAM , 4, 14, 313, 2678, 90, 0
3683, BEAM , 4, 14, 2679, 178, 90, 0
3684, BEAM , 4, 14, 178, 2680, 90, 0
3685, BEAM , 4, 15, 2681, 183, 90, 0
3686, BEAM , 4, 15, 183, 2682, 90, 0
3687, BEAM , 4, 16, 2683, 186, 90, 0
3688, BEAM , 4, 16, 186, 2684, 90, 0
3689, BEAM , 4, 17, 2685, 189, 90, 0
3690, BEAM , 4, 17, 189, 2686, 90, 0
3691, BEAM , 4, 18, 2687, 192, 90, 0
3692, BEAM , 4, 18, 192, 2688, 90, 0
3693, BEAM , 4, 19, 2689, 195, 90, 0
3694, BEAM , 4, 19, 195, 2690, 90, 0
3695, BEAM , 4, 20, 2691, 200, 90, 0
3696, BEAM , 4, 20, 201, 2692, 90, 0
3700, BEAM , 4, 21, 2696, 209, 90, 0
3701, BEAM , 4, 21, 209, 2697, 90, 0
3704, BEAM , 4, 20, 218, 2700, 90, 0
3705, BEAM , 4, 20, 2701, 216, 90, 0
3707, BEAM , 4, 19, 2703, 223, 90, 0
3708, BEAM , 4, 19, 223, 2704, 90, 0
3709, BEAM , 4, 18, 2705, 226, 90, 0
3710, BEAM , 4, 18, 226, 2706, 90, 0
3711, BEAM , 4, 17, 2707, 229, 90, 0
3712, BEAM , 4, 17, 229, 2708, 90, 0
3713, BEAM , 4, 16, 2709, 232, 90, 0
3714, BEAM , 4, 16, 232, 2710, 90, 0
3715, BEAM , 4, 15, 2711, 236, 90, 0
3716, BEAM , 4, 15, 236, 2712, 90, 0
3717, BEAM , 4, 14, 2713, 240, 90, 0
3718, BEAM , 4, 14, 240, 2714, 90, 0
3719, BEAM , 4, 14, 2643, 2644, 90, 0
3720, BEAM , 4, 15, 2645, 2646, 90, 0
3721, BEAM , 4, 16, 2647, 2648, 90, 0
3722, BEAM , 4, 17, 2649, 2650, 90, 0
3723, BEAM , 4, 18, 2651, 2652, 90, 0
3724, BEAM , 4, 19, 2653, 2654, 90, 0
3725, BEAM , 4, 20, 2655, 2656, 90, 0
3728, BEAM , 4, 21, 2660, 2661, 90, 0
3729, BEAM , 4, 20, 2665, 2664, 90, 0
3731, BEAM , 4, 19, 2667, 2668, 90, 0
3732, BEAM , 4, 18, 2669, 2670, 90, 0
3733, BEAM , 4, 17, 2671, 2672, 90, 0
3734, BEAM , 4, 16, 2673, 2674, 90, 0
3735, BEAM , 4, 15, 2675, 2676, 90, 0
3736, BEAM , 4, 14, 2677, 2678, 90, 0
3737, BEAM , 4, 14, 2679, 2680, 90, 0
3738, BEAM , 4, 15, 2681, 2682, 90, 0
3739, BEAM , 4, 16, 2683, 2684, 90, 0
3740, BEAM , 4, 17, 2685, 2686, 90, 0
3741, BEAM , 4, 18, 2687, 2688, 90, 0
3742, BEAM , 4, 19, 2689, 2690, 90, 0
3743, BEAM , 4, 20, 2691, 2692, 90, 0
3746, BEAM , 4, 21, 2696, 2697, 90, 0
3747, BEAM , 4, 20, 2701, 2700, 90, 0
3749, BEAM , 4, 19, 2703, 2704, 90, 0
3750, BEAM , 4, 18, 2705, 2706, 90, 0
3751, BEAM , 4, 17, 2707, 2708, 90, 0
3752, BEAM , 4, 16, 2709, 2710, 90, 0
3753, BEAM , 4, 15, 2711, 2712, 90, 0

PROJECT TITLE :

	Company		Client	
MIDAS	Author		File Name	H2D_3Dg_v14_180227_StatLM.mct

3754, BEAM , 4, 14, 2713, 2714, 90, 0
3755, BEAM , 4, 20, 2715, 205, 90, 0
3756, BEAM , 4, 20, 205, 2716, 90, 0
3757, BEAM , 4, 20, 2717, 213, 90, 0
3758, BEAM , 4, 20, 213, 2718, 90, 0
3759, BEAM , 4, 20, 2715, 2716, 90, 0
3760, BEAM , 4, 20, 2717, 2718, 90, 0
3761, BEAM , 4, 20, 2719, 278, 90, 0
3762, BEAM , 4, 20, 278, 2720, 90, 0
3763, BEAM , 4, 20, 2721, 286, 90, 0
3764, BEAM , 4, 20, 286, 2722, 90, 0
3765, BEAM , 4, 20, 2719, 2720, 90, 0
3766, BEAM , 4, 20, 2721, 2722, 90, 0
3767, BEAM , 4, 79, 2642, 2638, 0, 0
3768, BEAM , 4, 79, 2638, 2634, 0, 0
3769, BEAM , 4, 79, 2634, 2630, 0, 0
3770, BEAM , 4, 79, 2630, 2626, 0, 0
3771, BEAM , 4, 79, 2626, 2622, 0, 0
3772, BEAM , 4, 79, 2622, 2618, 0, 0
3773, BEAM , 4, 79, 2618, 2614, 0, 0
3774, BEAM , 4, 79, 2614, 2610, 0, 0
3775, BEAM , 4, 79, 2610, 2606, 0, 0
3776, BEAM , 4, 79, 2606, 2602, 0, 0
3777, BEAM , 4, 79, 2602, 2598, 0, 0
3778, BEAM , 4, 79, 2598, 2594, 0, 0
3779, BEAM , 4, 79, 2594, 2590, 0, 0
3780, BEAM , 4, 79, 2590, 2586, 0, 0
3781, BEAM , 4, 79, 2586, 2582, 0, 0
3782, BEAM , 4, 79, 2582, 2578, 0, 0
3783, BEAM , 4, 80, 2635, 2639, 0, 0
3784, BEAM , 4, 80, 2631, 2635, 0, 0
3785, BEAM , 4, 80, 2627, 2631, 0, 0
3786, BEAM , 4, 80, 2623, 2627, 0, 0
3787, BEAM , 4, 80, 2619, 2623, 0, 0
3788, BEAM , 4, 80, 2615, 2619, 0, 0
3789, BEAM , 4, 80, 2611, 2615, 0, 0
3790, BEAM , 4, 80, 2607, 2611, 0, 0
3791, BEAM , 4, 80, 2603, 2607, 0, 0
3792, BEAM , 4, 80, 2599, 2603, 0, 0
3793, BEAM , 4, 80, 2595, 2599, 0, 0
3794, BEAM , 4, 80, 2591, 2595, 0, 0
3795, BEAM , 4, 80, 2587, 2591, 0, 0
3796, BEAM , 4, 80, 2583, 2587, 0, 0
3797, BEAM , 4, 80, 2579, 2583, 0, 0
3798, BEAM , 4, 80, 2575, 2579, 0, 0
3799, BEAM , 4, 80, 2571, 2567, 0, 0
3800, BEAM , 4, 80, 2567, 2563, 0, 0
3801, BEAM , 4, 80, 2563, 2559, 0, 0
3802, BEAM , 4, 80, 2559, 2555, 0, 0
3803, BEAM , 4, 80, 2555, 2551, 0, 0
3804, BEAM , 4, 80, 2551, 2547, 0, 0
3805, BEAM , 4, 80, 2547, 2543, 0, 0
3806, BEAM , 4, 80, 2543, 2539, 0, 0
3807, BEAM , 4, 80, 2539, 2535, 0, 0
3808, BEAM , 4, 80, 2535, 2531, 0, 0
3809, BEAM , 4, 80, 2531, 2527, 0, 0
3810, BEAM , 4, 80, 2527, 2523, 0, 0
3811, BEAM , 4, 80, 2523, 2519, 0, 0
3812, BEAM , 4, 80, 2519, 2515, 0, 0
3813, BEAM , 4, 80, 2515, 2511, 0, 0
3814, BEAM , 4, 80, 2511, 2507, 0, 0
3815, BEAM , 4, 79, 2570, 2574, 0, 0
3816, BEAM , 4, 79, 2566, 2570, 0, 0
3817, BEAM , 4, 79, 2562, 2566, 0, 0
3818, BEAM , 4, 79, 2558, 2562, 0, 0
3819, BEAM , 4, 79, 2554, 2558, 0, 0
3820, BEAM , 4, 79, 2550, 2554, 0, 0
3821, BEAM , 4, 79, 2546, 2550, 0, 0
3822, BEAM , 4, 79, 2542, 2546, 0, 0
3823, BEAM , 4, 79, 2538, 2542, 0, 0
3824, BEAM , 4, 79, 2534, 2538, 0, 0
3825, BEAM , 4, 79, 2530, 2534, 0, 0

```
 3826, BEAM ,   4,   79,  2526,  2530,    0,    0
 3827, BEAM ,   4,   79,  2522,  2526,    0,    0
 3828, BEAM ,   4,   79,  2518,  2522,    0,    0
 3829, BEAM ,   4,   79,  2514,  2518,    0,    0
 3830, BEAM ,   4,   79,  2510,  2514,    0,    0
 3831, BEAM ,   1,   77,  1614,  1620,    0,    0
 3832, BEAM ,   1,   77,  1617,  1623,    0,    0

*GROUP    ; Group
; NAME, NODE_LIST, ELEM_LIST, PLANE_TYPE
  MI_O      , 1to4 6to9 11to13 15to17 19to21 23to25 27to30 32to39 41to44 \
     46to48 50to52 54to56 58to60 62to65 67to70 1226to1265by3, 1to68, 0
  MI_U      , 71to172, 69to168, 0
  MI_D      , 173to255 257to318 379, 169to356, 0
  MI_V      , 319to424, 357to532, 0
  MI_P      , 425to587, 533to712, 0
  MI_L      , 588to1219, 713to1408, 0
  MI_WO     , 1220to1222 1224to1270, 1409to1458, 0
  MI_WU     , 1272to1305, 1459to1490, 0
  MI_B      , 1306 1307to1351by11 1309 1311to1314 1316 1320to1324 1328 1331 \
     1333to1336 1338 1342to1346 1350 1353 1355, 1491to1530, 0
  MI_WL     , 1356to1453, 1531to1626, 0
  MI_WP     , 1454to1581, 1627to1690, 0
  MI_WP2    , 1582to1613, 1691to1706, 0
  MI_Bearings, 1614to1625, 1707to1714, 0
  MI_S_stiffenner, 1626to1693, 1715to1748, 0
  MI_Crossbeams_Sleeper, 1694to2437, 1749to2244, 0
  MI_Rail_track, 2438to2471, 2245to2524, 0
  MI_ELink_4_sleeper, , 2525to3020, 0
  MI_ELink_1_girder, , 3023to3080, 0
  MI_ELink_2_deck, , 3081to3116 3122 3123 3129 3144to3213 3216to3241 \
     3243to3280, 0
  MI_ELink_3_deck, , 3281to3506, 0
  MI_PA_Pavement, , 3511to3646, 0
  MI_D_Bypas_1, , 3647to3660 3664 3665 3668 3669 3671to3696 3700 3701 3704 \
     3705 3707to3718, 0
  MI_D_Bypas_2, , 3719to3725 3728 3729 3731to3743 3746 3747 3749to3754, 0
  MI_D_Bypas_3, , 3759 3760 3765 3766, 0
  MI_D_Bypass_4, , 3755to3758 3761to3764, 0
  MI_PA_L   , , 3767to3830, 0

*BNDR-GROUP    ; Boundary Group
; NAME, AUTOTYPE
 D - 0.5, 267
 D - 0.3, 0
 D - 0.2, 0
 D - 0.1, 0
 WO, 2000547790
 WU, 2000547790
 WL, 2000547790
 WP1, 2000547790
 WP2, 2000547790
 B, 267
 D - Stiffness, 2000547790
 V - Stiffness, 434
 B - Bearings, 2000547790
 R - Rail, 83
 M - Sleeper, 384
 R - Rail sliding, 550138224
 D - Bypass, 0
 L - Stringer, 0
 P1 - Crossbeam, 0
 P2 - Crossbeam, 0
 R - Rail longitudinal, 2047
 B - Elinks, 0
 V - Joint, 0
 W - Elinks, 0
 U1 - Stiffness, 0
 U4 - Stiffness, 2047
 U5 - Stiffness, 2047
 U6 - Stiffness, 2047
 U7 - Stiffness, 2047
```

V0 - Ends, 0
V - Ends, 0
L - axial stiffness, 0

*LOAD-GROUP ; Load Group
; NAME
G0 - Selfweight
B - Braking forces
G1 - Selfweight
G2 - Selfweight
W
WP
T
TG
PA
V
I
R - Traction force
S - Nosing force
FR - Friction

*MATERIAL ; Material
; iMAT, TYPE, MNAME, SPHEAT, HEATCO, PLAST, TUNIT, bMASS, DAMPRATIO, [DATA1] ; STEEL, CONC, USER
; iMAT, TYPE, MNAME, SPHEAT, HEATCO, PLAST, TUNIT, bMASS, DAMPRATIO, [DATA2], [DATA2] ; SRC
; [DATA1] : 1, DB, NAME, CODE
; [DATA1] : 2, ELAST, POISN, THERMAL, DEN, MASS
; [DATA1] : 3, Ex, Ey, Ez, Tx, Ty, Tz, Sxy, Sxz, Syz, Pxy, Pxz, Pyz, DEN, MASS ; Orthotropic
; [DATA2] : 1, DB, NAME, CODE or 2, ELAST, POISN, THERMAL, DEN, MASS
1, STEEL, S235 , 0, 0, , C, YES, 0.02, 1, EN05(S) , , S235
2, USER , WOOD , 0, 0, , C, NO, 0, 2, 1.0000e+004, 0.3, 1.2000e-005, 7e-006, 0
3, USER , X - FIK , 0, 0, , C, NO, 0, 2, 2.1000e+007, 0.2, 1.2000e-005, 1e-007, 0
4, STEEL, S235JR , 0, 0, , C, YES, 0.02, 2, 2.1000e+005, 0.3, 1.2000e-005, 9.8e-005, 9.8e-009

*MATL-COLOR
; iMAT, W_R, W_G, W_B, HF_R, HF_G, HF_B, HE_R, HE_G, HE_B, bBLEND, FACT
1, 255, 0, 0, 0, 255, 0, 0, 0, 255, NO, 0.5
2, 255, 0, 0, 0, 255, 0, 0, 0, 255, NO, 0.5
3, 255, 0, 0, 0, 255, 0, 0, 0, 255, NO, 0.5
4, 255, 0, 0, 0, 255, 0, 0, 0, 255, NO, 0.5

*SECT-PSCVALUE ; PSC Value, General Section, Composite PC, Composite General
; SECT=iSEC, TYPE, SNAME, [OFFSET], bSD, SHAPE, bBU, bEQ ; 1st line
; [STIFF1] ; 2nd line
; [STIFF2] ; 3rd line
; [STIFF3] ; 4th line
; T1, T2, BT, HT ; 5th line(PSC)
; bSHEARCHK, [SCHK], [WT] ; 6th line(PSC)
; SW, GN, CTC, Bc, Tc, Hh, EsEc, DsDc, Ps, Pc ; 7th line(COMPOSITE-PC)
; OPOLY=X1, Y1, X2, Y2, ..., Xn, Yn ; Outer Polygon(PLANE)
; IPOLY=X1, Y1, X2, Y2, ..., Xn, Yn ; Inner Polygon(PLANE)
; ...
; IPOLY=X1, Y1, X2, Y2, ..., Xn, Yn ; Inner Polygon(PLANE)
; VERTEX=X1, Y1, X2, Y2, ..., Xn, Yn ; Vertex(General-LINE)
; LINE=VI1, VJ1, dTHIK1, iALIGN1 ; Line(General-LINE)
; ...
; LINE=VIn, VJn, dTHIKn, iALIGNn ; Line(General-LINE)
; LOOP=COUNT1, LIX11, LIX12, ..., LIXn ; Line(General-LINE)
; ...
; LOOP=COUNTn, LIXn1, LIXn2, ..., LIXnn ; Line(General-LINE)
; SECT=iSEC, TYPE, SNAME, [OFFSET2], bSD, SHAPE, iyVAR, izVAR, bEQ ; 1st line - TAPERED
; [STIFF1-I] ; 2nd line
; [STIFF2-I] ; 3rd line
; [STIFF3-I] ; 4th line
; [STIFF1-J] ; 5th line
; [STIFF2-J] ; 6th line
; [STIFF3-J] ; 7th line
; T1-I, T2-I, BT-I, HT-I, T1-J, T2-J, BT-J, HT-J ; 8th line(PSC)
; bSHEARCHK, [SCHK-I], [WT-I], [SCHK-J], [WT-J] ; 9rd line(PSC)
; OPOLY=bI, X1, Y1, X2, Y2, ..., Xn, Yn ; Outer Polygon(PLANE)
; IPOLY=bI, X1, Y1, X2, Y2, ..., Xn, Yn ; Inner Polygon(PLANE)
; ...
; IPOLY=bI, X1, Y1, X2, Y2, ..., Xn, Yn ; Inner Polygon(PLANE)

PROJECT TITLE :

MIDAS	Company		Client	
	Author		File Name	H2D_3Dg_v14_180227_StatLM.mct

```
;     VERTEX=bI, X1, Y1, X2, Y2, ..., Xn, Yn              ; Vertex(General-LINE)
;     LINE=bI, VI1, VJ1, dTHIK1, iALIGN1                  ; Line(General-LINE)
;     ...
;     LINE=bI, VIn, VJn, dTHIKn, iALIGNn                  ; Line(General-LINE)
;     LOOP=bI, COUNT1, LIX11, LIX12, ..., LIXn             ; Line(General-LINE)
;     ...
;     LOOP=bI, COUNTn, LIXn1, LIXn2, ..., LIXnn            ; Line(General-LINE)
; SECT=iSEC, TYPE, SNAME, [OFFSET], bSD, SHAPE, bBU, bEQ, BPRT ; 1st line - COMPOSITE-GEN
;     [PART1]                                 ; 2nd line
;     [PART2]                                 ; 3rd line
;     ...
; SECT=iSEC, TYPE, SNAME, [OFFSET2], bSD, SHAPE, iyVAR, izVAR, bEQ, PARTNUM ; 1st line - COMPOSITE-GEN(TAPERED)
;     [PART1]-I                                 ; 2nd line
;     [PART2]-I                                 ; next lines
;     ...
;     [PART1]-J                                 ; next lines
;     [PART2]-J                                 ; next lines
;     ...
; [OFFSET] : OFFSET, iCENT, iREF, iHORZ, HUSER, iVERT, VUSER
; [OFFSET2]: OFFSET, iCENT, iREF, iHORZ, HUSERI, HUSERJ, iVERT, VUSERI, VUSERJ
; [STIFF1] : AREA, ASy, ASz, Ixx, Iyy, Izz
; [STIFF2] ; Cyp, Cym, Czp, Czm, Qyb, Qzb, PERI_OUT, PERI_IN, Cy, Cz
; [STIFF3] ; Y1, Y2, Y3, Y4, Z1, Z2, Z3, Z4
; [SCHK]   : Z1, Z3, bAUTO_QY1, QY1, bAUTO_QY2, QY2, bAUTO_QY3, QY3
; [WT]     : TOR, bAUTO_SHR1, SHR1, bAUTO_SHR2, SHR2, bAUTO_SHR3, SHR3
; [PART] : PART=part_num
;      : [STIFF1]
;      : [STIFF2]
;      : [STIFF3]
;      : [STIFF1]                          ; [STIFF1] of Part Sum.
;      : [STIFF2]                          ; [STIFF2] of Part Sum.
;      : [STIFF3]                          ; [STIFF3] of Part Sum.
;      : OPOLY=(bI-Tapered), X1, Y1, X2, Y2, ..., Xn, Yn          ; Outer Polygon(PLANE)
;      : IPOLY=(bI-Tapered), X1, Y1, X2, Y2, ..., Xn, Yn          ; Inner Polygon(PLANE)
;      : ...
;      : IPOLY=(bI-Tapered), X1, Y1, X2, Y2, ..., Xn, Yn          ; Inner Polygon(PLANE)
;      : VERTEX=(bI-Tapered), X1, Y1, X2, Y2, ..., Xn, Yn          ; Vertex(General-LINE)
;      : LINE=(bI-Tapered), VI1, VJ1, dTHIK1, iALIGN1              ; Line(General-LINE)
;      : ...
;      : LINE=(bI-Tapered), VIn, VJn, dTHIKn, iALIGNn              ; Line(General-LINE)
;      : LOOP=(bI-Tapered), COUNT1, LIX11, LIX12, ..., LIXn         ; Line(General-LINE)
;      : ...
;      : LOOP=(bI-Tapered), COUNTn, LIXn1, LIXn2, ..., LIXnn        ; Line(General-LINE)
 SECT=   2, VALUE     , U1              , CT, 0, 1, 0, 0, 1, 410, YES, GEN, YES, NO
      38416, 2044.8, 23741.3, 7.4e+006, 1.209e+009, 1.897e+009
      342, 342, 354.247, 205.753, 62745.5, 0, 0, 0, 342, 205.753
      -220, 220, 342, -342, 354.247, 354.247, -198.753, -198.753
      VERTEX=-220, -205.753, -220, 354.247, 220, -205.753, 220, 354.247, -342, -198.753
           -239, -198.753, -239, -95.7529, -201, -95.7529, -201, -198.753
           -98, -198.753, 98, -198.753, 201, -198.753, 201, -95.7529
           239, -95.7529, 239, -198.753, 342, -198.753
      LINE= 0, 1, 24, 1, 220, 4.05772e-006
      LINE= 2, 3, 24, 1, 220, 4.05772e-006
      LINE= 4, 5, 14, 1, 198.753, 2.36701e-006
      LINE= 5, 6, 14, 1, 239, 2.36701e-006
      LINE= 7, 8, 14, 1, 201, 2.36701e-006
      LINE= 8, 9, 14, 1, 198.753, 2.36701e-006
      LINE= 10, 11, 14, 1, 198.753, 2.36701e-006
      LINE= 11, 12, 14, 1, 201, 2.36701e-006
      LINE= 13, 14, 14, 1, 239, 2.36701e-006
      LINE= 14, 15, 14, 1, 198.753, 2.36701e-006
 SECT=   3, VALUE     , U4              , CT, 0, 1, 0, 0, 1, 410, YES, GEN, YES, NO
      58096, 18110.7, 23485.6, 7.82322e+006, 1.82675e+009, 3.12476e+009
      425, 425, 428.011, 155.989, 91596.7, 0, 0, 0, 425, 149.989
      -220, 220, 425, -425, 428.011, 428.011, -149.989, -149.989
      VERTEX=-220, -131.989, -220, 428.011, 220, -131.989, 220, 428.011, -425, -137.989
           -15, -137.989, -425, -149.989, -15, -149.989, -342, -124.989
           -239, -124.989, -239, -21.9892, -201, -21.9892, -201, -124.989
           -98, -124.989, 15, -137.989, 425, -137.989, 15, -149.989
           425, -149.989, 98, -124.989, 201, -124.989, 201, -21.9892
           239, -21.9892, 239, -124.989, 342, -124.989
      LINE= 0, 1, 24, 1, 220, 3.49891e-006
```

LINE= 2, 3, 24, 1, 220, 3.49891e-006
LINE= 4, 5, 12, 1, 137.989, 1.74945e-006
LINE= 6, 7, 12, 1, 149.989, 1.74945e-006
LINE= 8, 9, 14, 1, 124.989, 2.04103e-006
LINE= 9, 10, 14, 1, 239, 2.04103e-006
LINE= 11, 12, 14, 1, 201, 2.04103e-006
LINE= 12, 13, 14, 1, 124.989, 2.04103e-006
LINE= 14, 15, 12, 1, 137.989, 1.74945e-006
LINE= 16, 17, 12, 1, 149.989, 1.74945e-006
LINE= 18, 19, 14, 1, 124.989, 2.04103e-006
LINE= 19, 20, 14, 1, 201, 2.04103e-006
LINE= 21, 22, 14, 1, 239, 2.04103e-006
LINE= 22, 23, 14, 1, 124.989, 2.04103e-006
SECT= 4, VALUE , U5 , CT, 0, 1, 0, 0, 1, 410, YES, GEN, YES, NO
67936, 26515, 23491, 8.29686e+006, 2.04768e+009, 3.73886e+009
425, 425, 451.474, 144.526, 47038, 0, 0, 0, 425, 138.526
-220, 220, 425, -425, 451.474, 451.474, -138.526, -138.526
VERTEX=-220, -108.526, -220, 451.474, 220, -108.526, 220, 451.474, -425, -114.526
-15, -114.526, -425, -126.526, -15, -126.526, -425, -138.526
-15, -138.526, -342, -101.526, -239, -101.526, -239, 1.47368
-201, 1.47368, -201, -101.526, -98, -101.526, 15, -114.526
425, -114.526, 15, -126.526, 425, -126.526, 15, -138.526
425, -138.526, 98, -101.526, 201, -101.526, 201, 1.47368
239, 1.47368, 239, -101.526, 342, -101.526
LINE= 0, 1, 24, 1, 220, 3.2735e-006
LINE= 2, 3, 24, 1, 220, 3.2735e-006
LINE= 4, 5, 12, 1, 114.526, 1.63675e-006
LINE= 6, 7, 12, 1, 126.526, 1.63675e-006
LINE= 8, 9, 12, 1, 138.526, 1.63675e-006
LINE= 10, 11, 14, 1, 101.526, 1.90954e-006
LINE= 11, 12, 14, 1, 239, 1.90954e-006
LINE= 13, 14, 14, 1, 201, 1.90954e-006
LINE= 14, 15, 14, 1, 101.526, 1.90954e-006
LINE= 16, 17, 12, 1, 114.526, 1.63675e-006
LINE= 18, 19, 12, 1, 126.526, 1.63675e-006
LINE= 20, 21, 12, 1, 138.526, 1.63675e-006
LINE= 22, 23, 14, 1, 101.526, 1.90954e-006
LINE= 23, 24, 14, 1, 201, 1.90954e-006
LINE= 25, 26, 14, 1, 239, 1.90954e-006
LINE= 26, 27, 14, 1, 101.526, 1.90954e-006
SECT= 5, VALUE , U6 , CT, 0, 1, 0, 0, 1, 410, YES, GEN, YES, NO
76956, 34252.4, 23496.6, 8.66258e+006, 2.227e+009, 4.302e+009
425, 425, 469.058, 137.942, 50870.6, 0, 0, 0, 425, 132.442
-220, 220, 425, -425, 469.058, 469.058, -132.442, -132.442
VERTEX=-220, -90.9418, -220, 469.058, 220, -90.9418, 220, 469.058, -425, -96.9418
-15, -96.9418, -425, -108.942, -15, -108.942, -425, -120.942
-15, -120.942, -425, -132.442, -15, -132.442, -342, -83.9418
-239, -83.9418, -239, 19.0582, -201, 19.0582, -201, -83.9418
-98, -83.9418, 15, -96.9418, 425, -96.9418, 15, -108.942
425, -108.942, 15, -120.942, 425, -120.942, 15, -132.442
425, -132.442, 98, -83.9418, 201, -83.9418, 201, 19.0582
239, 19.0582, 239, -83.9418, 342, -83.9418
LINE= 0, 1, 24, 1, 220, 3.11874e-006
LINE= 2, 3, 24, 1, 220, 3.11874e-006
LINE= 4, 5, 12, 1, 96.9418, 1.55937e-006
LINE= 6, 7, 12, 1, 108.942, 1.55937e-006
LINE= 8, 9, 12, 1, 120.942, 1.55937e-006
LINE= 10, 11, 11, 1, 132.442, 1.42942e-006
LINE= 12, 13, 14, 1, 83.9418, 1.81927e-006
LINE= 13, 14, 14, 1, 239, 1.81927e-006
LINE= 15, 16, 14, 1, 201, 1.81927e-006
LINE= 16, 17, 14, 1, 83.9418, 1.81927e-006
LINE= 18, 19, 12, 1, 96.9418, 1.55937e-006
LINE= 20, 21, 12, 1, 108.942, 1.55937e-006
LINE= 22, 23, 12, 1, 120.942, 1.55937e-006
LINE= 24, 25, 11, 1, 132.442, 1.42942e-006
LINE= 26, 27, 14, 1, 83.9418, 1.81927e-006
LINE= 27, 28, 14, 1, 201, 1.81927e-006
LINE= 29, 30, 14, 1, 239, 1.81927e-006
LINE= 30, 31, 14, 1, 83.9418, 1.81927e-006
SECT= 6, VALUE , U7 , CT, 0, 1, 0, 0, 1, 410, YES, GEN, YES, NO
85156, 41312.1, 23499.4, 8.93844e+006, 2.37847e+009, 4.81353e+009

425, 425, 482.823, 134.177, 54086.5, 0, 0, 0, 425, 129.177
-220, 220, 425, -425, 482.823, 482.823, -129.177, -129.177
VERTEX=-220, -77.1773, -220, 482.823, 220, -77.1773, 220, 482.823, -425, -83.1773
-15, -83.1773, -425, -95.1773, -15, -95.1773, -425, -107.177
-15, -107.177, -425, -118.677, -15, -118.677, -425, -129.177
-15, -129.177, -342, -70.1773, -239, -70.1773, -239, 32.8227
-201, 32.8227, -201, -70.1773, -98, -70.1773, 15, -83.1773
425, -83.1773, 15, -95.1773, 425, -95.1773, 15, -107.177
425, -107.177, 15, -118.677, 425, -118.677, 15, -129.177
425, -129.177, 98, -70.1773, 201, -70.1773, 201, 32.8227
239, 32.8227, 239, -70.1773, 342, -70.1773
LINE= 0, 1, 24, 1, 220, 3.01177e-006
LINE= 2, 3, 24, 1, 220, 3.01177e-006
LINE= 4, 5, 12, 1, 83.1773, 1.50588e-006
LINE= 6, 7, 12, 1, 95.1773, 1.50588e-006
LINE= 8, 9, 12, 1, 107.177, 1.50588e-006
LINE= 10, 11, 11, 1, 118.677, 1.38039e-006
LINE= 12, 13, 10, 1, 129.177, 1.2549e-006
LINE= 14, 15, 14, 1, 70.1773, 1.75686e-006
LINE= 15, 16, 14, 1, 239, 1.75686e-006
LINE= 17, 18, 14, 1, 201, 1.75686e-006
LINE= 18, 19, 14, 1, 70.1773, 1.75686e-006
LINE= 20, 21, 12, 1, 83.1773, 1.50588e-006
LINE= 22, 23, 12, 1, 95.1773, 1.50588e-006
LINE= 24, 25, 12, 1, 107.177, 1.50588e-006
LINE= 26, 27, 11, 1, 118.677, 1.38039e-006
LINE= 28, 29, 10, 1, 129.177, 1.2549e-006
LINE= 30, 31, 14, 1, 70.1773, 1.75686e-006
LINE= 31, 32, 14, 1, 201, 1.75686e-006
LINE= 33, 34, 14, 1, 239, 1.75686e-006
LINE= 34, 35, 14, 1, 70.1773, 1.75686e-006
SECT= 7, VALUE , O1 , CB, 0, 1, 0, 0, 1, 380, YES, GEN, YES, NO
47344, 6887.72, 20909.4, 6.72981e+006, 1.4462e+009, 2.40708e+009
350, 350, 188.526, 301.474, 77734.8, 517940, 0, 0, 350, 301.474
-350, 350, 342, -342, 183.526, 183.526, -294.474, -294.474
VERTEX=220, -301.474, 220, 178.526, -220, -301.474, -220, 178.526, -342, -294.474
-239, -294.474, -239, -191.474, 342, -294.474, 239, -294.474
239, -191.474, -350, 183.526, 350, 183.526, -342, 171.526
-239, 171.526, -239, 68.5261, -201, 68.5261, -201, 171.526
-98, 171.526, 98, 171.526, 201, 171.526, 201, 68.5261
239, 68.5261, 239, 171.526, 342, 171.526
LINE= 0, 1, 24, 1, 220, 4.14684e-006
LINE= 2, 3, 24, 1, 220, 4.14684e-006
LINE= 4, 5, 14, 1, 294.474, 2.41899e-006
LINE= 5, 6, 14, 1, 239, 2.41899e-006
LINE= 7, 8, 14, 1, 294.474, 2.41899e-006
LINE= 8, 9, 14, 1, 239, 2.41899e-006
LINE= 10, 11, 10, 1, 183.526, 1.72785e-006
LINE= 12, 13, 14, 1, 171.526, 2.41899e-006
LINE= 13, 14, 14, 1, 239, 2.41899e-006
LINE= 15, 16, 14, 1, 201, 2.41899e-006
LINE= 16, 17, 14, 1, 171.526, 2.41899e-006
LINE= 18, 19, 14, 1, 171.526, 2.41899e-006
LINE= 19, 20, 14, 1, 201, 2.41899e-006
LINE= 21, 22, 14, 1, 239, 2.41899e-006
LINE= 22, 23, 14, 1, 171.526, 2.41899e-006
SECT= 8, VALUE , O2 , CB, 0, 1, 0, 0, 1, 380, YES, GEN, YES, NO
61344, 18930.6, 20917.3, 7.2022e+006, 1.87252e+009, 2.97874e+009
350, 350, 163.218, 346.782, 97864.7, 213480, 0, 0, 350, 346.782
-350, 350, 342, -342, 158.218, 158.218, -339.782, -339.782
VERTEX=220, -346.782, 220, 133.218, -220, -346.782, -220, 133.218, -342, -339.782
-239, -339.782, -239, -236.782, 342, -339.782, 239, -339.782
239, -236.782, -350, 158.218, 350, 158.218, -350, 148.218
350, 148.218, -350, 138.218, 350, 138.218, -342, 126.218
-239, 126.218, -239, 23.2183, -201, 23.2183, -201, 126.218
-98, 126.218, 98, 126.218, 201, 126.218, 201, 23.2183
239, 23.2183, 239, 126.218, 342, 126.218
LINE= 0, 1, 24, 1, 220, 3.83742e-006
LINE= 2, 3, 24, 1, 220, 3.83742e-006
LINE= 4, 5, 14, 1, 339.782, 2.23849e-006
LINE= 5, 6, 14, 1, 239, 2.23849e-006
LINE= 7, 8, 14, 1, 339.782, 2.23849e-006

LINE= 8, 9, 14, 1, 239, 2.23849e-006
LINE= 10, 11, 10, 1, 158.218, 1.59892e-006
LINE= 12, 13, 10, 1, 148.218, 1.59892e-006
LINE= 14, 15, 10, 1, 138.218, 1.59892e-006
LINE= 16, 17, 14, 1, 126.218, 2.23849e-006
LINE= 17, 18, 14, 1, 239, 2.23849e-006
LINE= 19, 20, 14, 1, 201, 2.23849e-006
LINE= 20, 21, 14, 1, 126.218, 2.23849e-006
LINE= 22, 23, 14, 1, 126.218, 2.23849e-006
LINE= 23, 24, 14, 1, 201, 2.23849e-006
LINE= 25, 26, 14, 1, 239, 2.23849e-006
LINE= 26, 27, 14, 1, 126.218, 2.23849e-006
SECT= 9, VALUE , O3 , CB, 0, 1, 0, 0, 1, 380, YES, GEN, YES, NO
68344, 24937.4, 20921.4, 7.44057e+006, 2.05037e+009, 3.26458e+009
350, 350, 155.989, 364.011, 106059, 175422, 0, 0, 350, 364.011
-350, 350, 342, -342, 150.989, 150.989, -357.011, -357.011
VERTEX=220, -364.011, 220, 115.989, -220, -364.011, -220, 115.989, -342, -357.011
-239, -357.011, -239, -254.011, 342, -357.011, 239, -357.011
239, -254.011, -350, 150.989, 350, 150.989, -350, 140.989
350, 140.989, -350, 130.989, 350, 130.989, -350, 120.989
350, 120.989, -342, 108.989, -239, 108.989, -239, 5.98885
-201, 5.98885, -201, 108.989, -98, 108.989, 98, 108.989
201, 108.989, 201, 5.98885, 239, 5.98885, 239, 108.989
342, 108.989
LINE= 0, 1, 24, 1, 220, 3.6994e-006
LINE= 2, 3, 24, 1, 220, 3.6994e-006
LINE= 4, 5, 14, 1, 357.011, 2.15798e-006
LINE= 5, 6, 14, 1, 239, 2.15798e-006
LINE= 7, 8, 14, 1, 357.011, 2.15798e-006
LINE= 8, 9, 14, 1, 239, 2.15798e-006
LINE= 10, 11, 10, 1, 150.989, 1.54142e-006
LINE= 12, 13, 10, 1, 140.989, 1.54142e-006
LINE= 14, 15, 10, 1, 130.989, 1.54142e-006
LINE= 16, 17, 10, 1, 120.989, 1.54142e-006
LINE= 18, 19, 14, 1, 108.989, 2.15798e-006
LINE= 19, 20, 14, 1, 239, 2.15798e-006
LINE= 21, 22, 14, 1, 201, 2.15798e-006
LINE= 22, 23, 14, 1, 108.989, 2.15798e-006
LINE= 24, 25, 14, 1, 108.989, 2.15798e-006
LINE= 25, 26, 14, 1, 201, 2.15798e-006
LINE= 27, 28, 14, 1, 239, 2.15798e-006
LINE= 28, 29, 14, 1, 108.989, 2.15798e-006
SECT= 10, VALUE , O3Z , CB, 0, 1, 0, 0, 1, 380, YES, GEN, YES, NO
75344, 30934.9, 20925.5, 7.68128e+006, 2.21499e+009, 3.55041e+009
350, 350, 151.032, 378.968, 52365.9, 152588, 0, 0, 350, 378.968
-350, 350, 342, -342, 146.032, 146.032, -371.968, -371.968
VERTEX=220, -378.968, 220, 101.032, -220, -378.968, -220, 101.032, -342, -371.968
-239, -371.968, -239, -268.968, 342, -371.968, 239, -371.968
239, -268.968, -350, 146.032, 350, 146.032, -350, 136.032
350, 136.032, -350, 126.032, 350, 126.032, -350, 116.032
350, 116.032, -350, 106.032, 350, 106.032, -342, 94.0318
-239, 94.0318, -239, -8.96817, -201, -8.96817, -201, 94.0318
-98, 94.0318, 98, 94.0318, 201, 94.0318, 201, -8.96817
239, -8.96817, 239, 94.0318, 342, 94.0318
LINE= 0, 1, 24, 1, 220, 3.57096e-006
LINE= 2, 3, 24, 1, 220, 3.57096e-006
LINE= 4, 5, 14, 1, 371.968, 2.08306e-006
LINE= 5, 6, 14, 1, 239, 2.08306e-006
LINE= 7, 8, 14, 1, 371.968, 2.08306e-006
LINE= 8, 9, 14, 1, 239, 2.08306e-006
LINE= 10, 11, 10, 1, 146.032, 1.4879e-006
LINE= 12, 13, 10, 1, 136.032, 1.4879e-006
LINE= 14, 15, 10, 1, 126.032, 1.4879e-006
LINE= 16, 17, 10, 1, 116.032, 1.4879e-006
LINE= 18, 19, 10, 1, 106.032, 1.4879e-006
LINE= 20, 21, 14, 1, 94.0318, 2.08306e-006
LINE= 21, 22, 14, 1, 239, 2.08306e-006
LINE= 23, 24, 14, 1, 201, 2.08306e-006
LINE= 24, 25, 14, 1, 94.0318, 2.08306e-006
LINE= 26, 27, 14, 1, 94.0318, 2.08306e-006
LINE= 27, 28, 14, 1, 201, 2.08306e-006
LINE= 29, 30, 14, 1, 239, 2.08306e-006

PROJECT TITLE :

MIDAS	Company		Client	
	Author		File Name	H2D_3Dg_v14_180227_StatLM.mct

```
    LINE= 30, 31, 14, 1, 94.0318, 2.08306e-006
SECT=  11, VALUE    , O4              , CB, 0, 1, 0, 0, 1, 380, YES, GEN, YES, NO
    82344, 36924.8, 20929.1, 7.92493e+006, 2.37099e+009, 3.83624e+009
    350, 350, 147.768, 392.232, 55573.6, 137365, 0, 0, 350, 392.232
    -350, 350, 342, -342, 142.768, 142.768, -385.232, -385.232
    VERTEX=220, -392.232, 220, 87.7677, -220, -392.232, -220, 87.7677, -342, -385.232
        -239, -385.232, -239, -282.232, 342, -385.232, 239, -385.232
        239, -282.232, -350, 142.768, 350, 142.768, -350, 132.768
        350, 132.768, -350, 122.768, 350, 122.768, -350, 112.768
        350, 112.768, -350, 102.768, 350, 102.768, -350, 92.7677
        350, 92.7677, -342, 80.7677, -239, 80.7677, -239, -22.2323
        -201, -22.2323, -201, 80.7677, -98, 80.7677, 98, 80.7677
        201, 80.7677, 201, -22.2323, 239, -22.2323, 239, 80.7677
        342, 80.7677
    LINE= 0, 1, 24, 1, 220, 3.45115e-006
    LINE= 2, 3, 24, 1, 220, 3.45115e-006
    LINE= 4, 5, 14, 1, 385.232, 2.01317e-006
    LINE= 5, 6, 14, 1, 239, 2.01317e-006
    LINE= 7, 8, 14, 1, 385.232, 2.01317e-006
    LINE= 8, 9, 14, 1, 239, 2.01317e-006
    LINE= 10, 11, 10, 1, 142.768, 1.43798e-006
    LINE= 12, 13, 10, 1, 132.768, 1.43798e-006
    LINE= 14, 15, 10, 1, 122.768, 1.43798e-006
    LINE= 16, 17, 10, 1, 112.768, 1.43798e-006
    LINE= 18, 19, 10, 1, 102.768, 1.43798e-006
    LINE= 20, 21, 10, 1, 92.7677, 1.43798e-006
    LINE= 22, 23, 14, 1, 80.7677, 2.01317e-006
    LINE= 23, 24, 14, 1, 239, 2.01317e-006
    LINE= 25, 26, 14, 1, 201, 2.01317e-006
    LINE= 26, 27, 14, 1, 80.7677, 2.01317e-006
    LINE= 28, 29, 14, 1, 80.7677, 2.01317e-006
    LINE= 29, 30, 14, 1, 201, 2.01317e-006
    LINE= 31, 32, 14, 1, 239, 2.01317e-006
    LINE= 32, 33, 14, 1, 80.7677, 2.01317e-006
SECT=  12, VALUE    , O6              , CB, 0, 1, 0, 0, 1, 380, YES, GEN, YES, NO
    89344, 42908.4, 20933.4, 8.17211e+006, 2.52161e+009, 4.12208e+009
    350, 350, 145.799, 404.201, 58619.2, 126491, 0, 0, 350, 404.201
    -350, 350, 342, -342, 140.799, 140.799, -397.201, -397.201
    VERTEX=220, -404.201, 220, 75.7985, -220, -404.201, -220, 75.7985, -342, -397.201
        -239, -397.201, -239, -294.201, 342, -397.201, 239, -397.201
        239, -294.201, -350, 140.799, 350, 140.799, -350, 130.799
        350, 130.799, -350, 120.799, 350, 120.799, -350, 110.799
        350, 110.799, -350, 100.799, 350, 100.799, -350, 90.7985
        350, 90.7985, -350, 80.7985, 350, 80.7985, -342, 68.7985
        -239, 68.7985, -239, -34.2015, -201, -34.2015, -201, 68.7985
        -98, 68.7985, 98, 68.7985, 201, 68.7985, 201, -34.2015
        239, -34.2015, 239, 68.7985, 342, 68.7985
    LINE= 0, 1, 24, 1, 220, 3.33911e-006
    LINE= 2, 3, 24, 1, 220, 3.33911e-006
    LINE= 4, 5, 14, 1, 397.201, 1.94781e-006
    LINE= 5, 6, 14, 1, 239, 1.94781e-006
    LINE= 7, 8, 14, 1, 397.201, 1.94781e-006
    LINE= 8, 9, 14, 1, 239, 1.94781e-006
    LINE= 10, 11, 10, 1, 140.799, 1.3913e-006
    LINE= 12, 13, 10, 1, 130.799, 1.3913e-006
    LINE= 14, 15, 10, 1, 120.799, 1.3913e-006
    LINE= 16, 17, 10, 1, 110.799, 1.3913e-006
    LINE= 18, 19, 10, 1, 100.799, 1.3913e-006
    LINE= 20, 21, 10, 1, 90.7985, 1.3913e-006
    LINE= 22, 23, 10, 1, 80.7985, 1.3913e-006
    LINE= 24, 25, 14, 1, 68.7985, 1.94781e-006
    LINE= 25, 26, 14, 1, 239, 1.94781e-006
    LINE= 27, 28, 14, 1, 201, 1.94781e-006
    LINE= 28, 29, 14, 1, 68.7985, 1.94781e-006
    LINE= 30, 31, 14, 1, 68.7985, 1.94781e-006
    LINE= 31, 32, 14, 1, 201, 1.94781e-006
    LINE= 33, 34, 14, 1, 239, 1.94781e-006
    LINE= 34, 35, 14, 1, 68.7985, 1.94781e-006
SECT=  13, VALUE    , D1              , CC, 0, 0, 0, 0, 0, 0, YES, GEN, YES, NO
    31032, 17815.4, 1602.82, 2.12561e+006, 1.54255e+009, 2.32368e+008
    180, 180, 326, 326, 0, 18857.3, 0, 0, 180, 326
    -180, 180, 180, -180, 239, 239, -239, -239
```

```
    VERTEX=-180, 239, 180, 239, -180, 201, 180, 201, -84, 250.5, -8.5, 250.5, -8.5, 326
        8.5, 326, 8.5, 250.5, 84, 250.5, -84, 189.5, -8.5, 189.5
        -8.5, 114, 8.5, 114, 8.5, 189.5, 84, 189.5, -180, -239, 180, -239
        -180, -201, 180, -201, -84, -250.5, -8.5, -250.5, -8.5, -326
        8.5, -326, 8.5, -250.5, 84, -250.5, -84, -189.5, -8.5, -189.5
        -8.5, -114, 8.5, -114, 8.5, -189.5, 84, -189.5
    LINE= 0, 1, 14, 1, 239, 8.69207e-006
    LINE= 2, 3, 14, 1, 201, 8.69207e-006
    LINE= 4, 5, 9, 1, 250.5, 5.58776e-006
    LINE= 5, 6, 9, 1, 8.5, 5.58776e-006
    LINE= 7, 8, 9, 1, 8.5, 5.58776e-006
    LINE= 8, 9, 9, 1, 250.5, 5.58776e-006
    LINE= 10, 11, 9, 1, 189.5, 5.58776e-006
    LINE= 11, 12, 9, 1, 8.5, 5.58776e-006
    LINE= 13, 14, 9, 1, 8.5, 5.58776e-006
    LINE= 14, 15, 9, 1, 189.5, 5.58776e-006
    LINE= 16, 17, 14, 1, 239, 8.69207e-006
    LINE= 18, 19, 14, 1, 201, 8.69207e-006
    LINE= 20, 21, 9, 1, 250.5, 5.58776e-006
    LINE= 21, 22, 9, 1, 8.5, 5.58776e-006
    LINE= 23, 24, 9, 1, 8.5, 5.58776e-006
    LINE= 24, 25, 9, 1, 250.5, 5.58776e-006
    LINE= 26, 27, 9, 1, 189.5, 5.58776e-006
    LINE= 27, 28, 9, 1, 8.5, 5.58776e-006
    LINE= 29, 30, 9, 1, 8.5, 5.58776e-006
    LINE= 30, 31, 9, 1, 189.5, 5.58776e-006
SECT=  14, VALUE    , D2              , CC, 0, 0, 0, 0, 0, 0, YES, GEN, YES, NO
    33272, 19825.5, 1616.32, 2.45762e+006, 1.65181e+009, 3.13306e+008
    200, 200, 326, 326, 0, 22657.3, 0, 0, 200, 326
    -200, 200, 200, -200, 239, 239, -239, -239
    VERTEX=-200, 239, 200, 239, -200, 201, 200, 201, -84, 250.5, -8.5, 250.5, -8.5, 326
        8.5, 326, 8.5, 250.5, 84, 250.5, -84, 189.5, -8.5, 189.5
        -8.5, 114, 8.5, 114, 8.5, 189.5, 84, 189.5, -200, -239, 200, -239
        -200, -201, 200, -201, -84, -250.5, -8.5, -250.5, -8.5, -326
        8.5, -326, 8.5, -250.5, 84, -250.5, -84, -189.5, -8.5, -189.5
        -8.5, -114, 8.5, -114, 8.5, -189.5, 84, -189.5
    LINE= 0, 1, 14, 1, 239, 7.96808e-006
    LINE= 2, 3, 14, 1, 201, 7.96808e-006
    LINE= 4, 5, 9, 1, 250.5, 5.12234e-006
    LINE= 5, 6, 9, 1, 8.5, 5.12234e-006
    LINE= 7, 8, 9, 1, 8.5, 5.12234e-006
    LINE= 8, 9, 9, 1, 250.5, 5.12234e-006
    LINE= 10, 11, 9, 1, 189.5, 5.12234e-006
    LINE= 11, 12, 9, 1, 8.5, 5.12234e-006
    LINE= 13, 14, 9, 1, 8.5, 5.12234e-006
    LINE= 14, 15, 9, 1, 189.5, 5.12234e-006
    LINE= 16, 17, 14, 1, 239, 7.96808e-006
    LINE= 18, 19, 14, 1, 201, 7.96808e-006
    LINE= 20, 21, 9, 1, 250.5, 5.12234e-006
    LINE= 21, 22, 9, 1, 8.5, 5.12234e-006
    LINE= 23, 24, 9, 1, 8.5, 5.12234e-006
    LINE= 24, 25, 9, 1, 250.5, 5.12234e-006
    LINE= 26, 27, 9, 1, 189.5, 5.12234e-006
    LINE= 27, 28, 9, 1, 8.5, 5.12234e-006
    LINE= 29, 30, 9, 1, 8.5, 5.12234e-006
    LINE= 30, 31, 9, 1, 189.5, 5.12234e-006
SECT=  15, VALUE    , D3              , CC, 0, 0, 0, 0, 0, 0, YES, GEN, YES, NO
    27192, 14743.4, 1557.25, 1.45937e+006, 1.37651e+009, 1.71856e+008
    170, 170, 326, 326, 0, 17550.2, 0, 0, 170, 326
    -170, 170, 170, -170, 240, 240, -240, -240
    VERTEX=-170, 240, 170, 240, -170, 204, 170, 204, -84, 193.5, -8.5, 193.5, -8.5, 118
        8.5, 118, 8.5, 193.5, 84, 193.5, -84, 250.5, -8.5, 250.5
        -8.5, 326, 8.5, 326, 8.5, 250.5, 84, 250.5, -170, -240, 170, -240
        -170, -204, 170, -204, -84, -193.5, -8.5, -193.5, -8.5, -118
        8.5, -118, 8.5, -193.5, 84, -193.5, -84, -250.5, -8.5, -250.5
        -8.5, -326, 8.5, -326, 8.5, -250.5, 84, -250.5
    LINE= 0, 1, 12, 1, 240, 1.11431e-005
    LINE= 2, 3, 12, 1, 204, 1.11431e-005
    LINE= 4, 5, 9, 1, 193.5, 8.35729e-006
    LINE= 5, 6, 9, 1, 8.5, 8.35729e-006
    LINE= 7, 8, 9, 1, 8.5, 8.35729e-006
    LINE= 8, 9, 9, 1, 193.5, 8.35729e-006
```

LINE= 10, 11, 9, 1, 250.5, 8.35729e-006
LINE= 11, 12, 9, 1, 8.5, 8.35729e-006
LINE= 13, 14, 9, 1, 8.5, 8.35729e-006
LINE= 14, 15, 9, 1, 250.5, 8.35729e-006
LINE= 16, 17, 12, 1, 240, 1.11431e-005
LINE= 18, 19, 12, 1, 204, 1.11431e-005
LINE= 20, 21, 9, 1, 193.5, 8.35729e-006
LINE= 21, 22, 9, 1, 8.5, 8.35729e-006
LINE= 23, 24, 9, 1, 8.5, 8.35729e-006
LINE= 24, 25, 9, 1, 193.5, 8.35729e-006
LINE= 26, 27, 9, 1, 250.5, 8.35729e-006
LINE= 27, 28, 9, 1, 8.5, 8.35729e-006
LINE= 29, 30, 9, 1, 8.5, 8.35729e-006
LINE= 30, 31, 9, 1, 250.5, 8.35729e-006
SECT= 16, VALUE , D4 , CC, 0, 0, 0, 0, 0, 0, YES, GEN, YES, NO
22528, 11881.5, 1601.51, 906216, 1.13965e+009, 1.22197e+008
160, 160, 324, 324, 0, 16083.2, 0, 0, 160, 324
-160, 160, 160, -160, 239, 239, -239, -239
VERTEX=-160, 239, 160, 239, -160, 205, 160, 205, -84, 248, -8, 248, -8, 324, 8, 324
8, 248, 84, 248, -84, 196, -8, 196, -8, 120, 8, 120, 8, 196
84, 196, -160, -239, 160, -239, -160, -205, 160, -205, -84, -248
-8, -248, -8, -324, 8, -324, 8, -248, 84, -248, -84, -196
-8, -196, -8, -120, 8, -120, 8, -196, 84, -196
LINE= 0, 1, 10, 1, 239, 1.5768e-005
LINE= 2, 3, 10, 1, 205, 1.5768e-005
LINE= 4, 5, 8, 1, 248, 1.26144e-005
LINE= 5, 6, 8, 1, 8, 1.26144e-005
LINE= 7, 8, 8, 1, 8, 1.26144e-005
LINE= 8, 9, 8, 1, 248, 1.26144e-005
LINE= 10, 11, 8, 1, 196, 1.26144e-005
LINE= 11, 12, 8, 1, 8, 1.26144e-005
LINE= 13, 14, 8, 1, 8, 1.26144e-005
LINE= 14, 15, 8, 1, 196, 1.26144e-005
LINE= 16, 17, 10, 1, 239, 1.5768e-005
LINE= 18, 19, 10, 1, 205, 1.5768e-005
LINE= 20, 21, 8, 1, 248, 1.26144e-005
LINE= 21, 22, 8, 1, 8, 1.26144e-005
LINE= 23, 24, 8, 1, 8, 1.26144e-005
LINE= 24, 25, 8, 1, 248, 1.26144e-005
LINE= 26, 27, 8, 1, 196, 1.26144e-005
LINE= 27, 28, 8, 1, 8, 1.26144e-005
LINE= 29, 30, 8, 1, 8, 1.26144e-005
LINE= 30, 31, 8, 1, 196, 1.26144e-005
SECT= 17, VALUE , D5 , CC, 0, 0, 0, 0, 0, 0, YES, GEN, YES, NO
19968, 6724.81, 2329.79, 1.03881e+006, 1.02187e+009, 7.78665e+007
134, 134, 324, 324, 0, 0, 0, 0, 134, 324
-134, 134, 134, -134, 240, 240, -240, -240
VERTEX=-134, 240, -10, 240, 10, 324, 10, 240, -10, 324, 134, 240, -134, 204, -10, 204
-10, 120, 10, 120, 10, 204, 134, 204, -134, -240, -10, -240
10, -324, 10, -240, -10, -324, 134, -240, -134, -204, -10, -204
-10, -120, 10, -120, 10, -204, 134, -204
LINE= 0, 1, 12, 1, 240, 1.252e-005
LINE= 2, 3, 12, 1, 10, 1.252e-005
LINE= 1, 4, 12, 1, 10, 1.252e-005
LINE= 3, 5, 12, 1, 240, 1.252e-005
LINE= 6, 7, 12, 1, 204, 1.252e-005
LINE= 7, 8, 12, 1, 10, 1.252e-005
LINE= 9, 10, 12, 1, 10, 1.252e-005
LINE= 10, 11, 12, 1, 204, 1.252e-005
LINE= 12, 13, 12, 1, 240, 1.252e-005
LINE= 14, 15, 12, 1, 10, 1.252e-005
LINE= 13, 16, 12, 1, 10, 1.252e-005
LINE= 15, 17, 12, 1, 240, 1.252e-005
LINE= 18, 19, 12, 1, 204, 1.252e-005
LINE= 19, 20, 12, 1, 10, 1.252e-005
LINE= 21, 22, 12, 1, 10, 1.252e-005
LINE= 22, 23, 12, 1, 204, 1.252e-005
SECT= 18, VALUE , D6 , CC, 0, 0, 0, 0, 0, 0, YES, GEN, YES, NO
16632, 5445.54, 1537.76, 731684, 8.45563e+008, 5.65603e+007
124, 124, 314, 314, 0, 0, 0, 0, 124, 314
-124, 124, 124, -124, 239.5, 239.5, -239.5, -239.5
VERTEX=-124, 239.5, -9.5, 239.5, -9.5, 314, 9.5, 314, 9.5, 239.5, 124, 239.5

-124, 204.5, -9.5, 204.5, -9.5, 130, 9.5, 130, 9.5, 204.5
124, 204.5, -124, -239.5, -9.5, -239.5, -9.5, -314, 9.5, -314
9.5, -239.5, 124, -239.5, -124, -204.5, -9.5, -204.5, -9.5, -130
9.5, -130, 9.5, -204.5, 124, -204.5
LINE= 0, 1, 11, 1, 239.5, 1.63977e-005
LINE= 1, 2, 11, 1, 9.5, 1.63977e-005
LINE= 3, 4, 11, 1, 9.5, 1.63977e-005
LINE= 4, 5, 11, 1, 239.5, 1.63977e-005
LINE= 6, 7, 11, 1, 204.5, 1.63977e-005
LINE= 7, 8, 11, 1, 9.5, 1.63977e-005
LINE= 9, 10, 11, 1, 9.5, 1.63977e-005
LINE= 10, 11, 11, 1, 204.5, 1.63977e-005
LINE= 12, 13, 11, 1, 239.5, 1.63977e-005
LINE= 13, 14, 11, 1, 9.5, 1.63977e-005
LINE= 15, 16, 11, 1, 9.5, 1.63977e-005
LINE= 16, 17, 11, 1, 239.5, 1.63977e-005
LINE= 18, 19, 11, 1, 204.5, 1.63977e-005
LINE= 19, 20, 11, 1, 9.5, 1.63977e-005
LINE= 21, 22, 11, 1, 9.5, 1.63977e-005
LINE= 22, 23, 11, 1, 204.5, 1.63977e-005
SECT= 19, VALUE , D7 , CC, 0, 0, 0, 0, 0, 0, YES, GEN, YES, NO
13600, 2943.22, 1588.97, 487023, 6.93156e+008, 3.05129e+007
104, 104, 314, 314, 0, 0, 0, 0, 104, 314
-104, 104, 104, -104, 239, 239, -239, -239
VERTEX=-104, 239, -9, 239, -9, 314, 9, 314, 9, 239, 104, 239, -104, 205, -9, 205
-9, 130, 9, 130, 9, 205, 104, 205, -104, -239, -9, -239, -9, -314
9, -314, 9, -239, 104, -239, -104, -205, -9, -205, -9, -130
9, -130, 9, -205, 104, -205
LINE= 0, 1, 10, 1, 239, 2.20588e-005
LINE= 1, 2, 10, 1, 9, 2.20588e-005
LINE= 3, 4, 10, 1, 9, 2.20588e-005
LINE= 4, 5, 10, 1, 239, 2.20588e-005
LINE= 6, 7, 10, 1, 205, 2.20588e-005
LINE= 7, 8, 10, 1, 9, 2.20588e-005
LINE= 9, 10, 10, 1, 9, 2.20588e-005
LINE= 10, 11, 10, 1, 205, 2.20588e-005
LINE= 12, 13, 10, 1, 239, 2.20588e-005
LINE= 13, 14, 10, 1, 9, 2.20588e-005
LINE= 15, 16, 10, 1, 9, 2.20588e-005
LINE= 16, 17, 10, 1, 239, 2.20588e-005
LINE= 18, 19, 10, 1, 205, 2.20588e-005
LINE= 19, 20, 10, 1, 9, 2.20588e-005
LINE= 21, 22, 10, 1, 9, 2.20588e-005
LINE= 22, 23, 10, 1, 205, 2.20588e-005
SECT= 20, VALUE , D8 , CC, 0, 0, 0, 0, 0, 0, YES, GEN, YES, NO
17368, 3703.48, 1369.61, 1.02033e+006, 8.86205e+008, 3.99056e+007
104, 104, 314, 314, 0, 0, 0, 0, 104, 314
-104, 104, 104, -104, 240.5, 240.5, -240.5, -240.5
VERTEX=-104, 240.5, -10.5, 240.5, -10.5, 314, 10.5, 314, 10.5, 240.5, 104, 240.5
104, 203.5, 10.5, 203.5, -104, 203.5, -10.5, 203.5, -10.5, 130
10.5, 130, -104, -240.5, -10.5, -240.5, -10.5, -314, 10.5, -314
10.5, -240.5, 104, -240.5, 104, -203.5, 10.5, -203.5
-104, -203.5, -10.5, -203.5, -10.5, -130, 10.5, -130
LINE= 0, 1, 13, 1, 240.5, 1.3287e-005
LINE= 1, 2, 13, 1, 10.5, 1.3287e-005
LINE= 3, 4, 13, 1, 10.5, 1.3287e-005
LINE= 4, 5, 13, 1, 240.5, 1.3287e-005
LINE= 6, 7, 13, 1, 203.5, 1.3287e-005
LINE= 8, 9, 13, 1, 203.5, 1.3287e-005
LINE= 9, 10, 13, 1, 10.5, 1.3287e-005
LINE= 7, 11, 13, 1, 10.5, 1.3287e-005
LINE= 12, 13, 13, 1, 240.5, 1.3287e-005
LINE= 13, 14, 13, 1, 10.5, 1.3287e-005
LINE= 15, 16, 13, 1, 10.5, 1.3287e-005
LINE= 16, 17, 13, 1, 240.5, 1.3287e-005
LINE= 18, 19, 13, 1, 203.5, 1.3287e-005
LINE= 20, 21, 13, 1, 203.5, 1.3287e-005
LINE= 21, 22, 13, 1, 10.5, 1.3287e-005
LINE= 19, 23, 13, 1, 10.5, 1.3287e-005
SECT= 21, VALUE , D9 , CC, 0, 0, 0, 0, 0, 0, YES, GEN, YES, NO
6800, 1568.86, 1568.72, 250231, 2.98634e+008, 1.13685e+007
94, 94, 234, 234, 0, 0, 0, 0, 94, 229

PROJECT TITLE :

MIDAS	Company		Client	
	Author		File Name	H2D_3Dg_v14_180227_StatLM.mct

-94, 94, 94, -94, 229, 229, -229, -229
VERTEX=-94, 229, -9, 229, -9, 144, 9, 144, 9, 229, 94, 229, -94, -229, -9, -229
-9, -144, 9, -144, 9, -229, 94, -229
LINE= 0, 1, 10, 1, 229, 4.41176e-005
LINE= 1, 2, 10, 1, 9, 4.41176e-005
LINE= 3, 4, 10, 1, 9, 4.41176e-005
LINE= 4, 5, 10, 1, 229, 4.41176e-005
LINE= 6, 7, 10, 1, 229, 4.41176e-005
LINE= 7, 8, 10, 1, 9, 4.41176e-005
LINE= 9, 10, 10, 1, 9, 4.41176e-005
LINE= 10, 11, 10, 1, 229, 4.41176e-005
SECT= 22, VALUE , D10 , CC, 0, 0, 0, 0, 0, 0, YES, GEN, YES, NO
4864, 1049.32, 1049.22, 117408, 2.1949e+008, 6.48533e+006
84, 84, 234, 234, 0, 0, 0, 0, 84, 230
-84, 84, 84, -84, 230, 230, -230, -230
VERTEX=-84, 230, -8, 230, -8, 154, 8, 154, 8, 230, 84, 230, -84, -230, -8, -230
-8, -154, 8, -154, 8, -230, 84, -230
LINE= 0, 1, 8, 1, 230, 7.7097e-005
LINE= 1, 2, 8, 1, 8, 7.7097e-005
LINE= 3, 4, 8, 1, 8, 7.7097e-005
LINE= 4, 5, 8, 1, 230, 7.7097e-005
LINE= 6, 7, 8, 1, 230, 7.7097e-005
LINE= 7, 8, 8, 1, 8, 7.7097e-005
LINE= 9, 10, 8, 1, 8, 7.7097e-005
LINE= 10, 11, 8, 1, 230, 7.7097e-005
SECT= 23, VALUE , V0 , CC, 0, 0, 0, 0, 0, 0, YES, GEN, YES, NO
64896, 26539.1, 6781.73, 9.11625e+006, 3.28697e+009, 1.87142e+009
300, 300, 346, 346, 0, 94914, 0, 0, 300, 346
-206, 206, 206, -206, 346, 346, -346, -346
VERTEX=-300, 220, 300, 220, -300, 252, -206, 252, -206, 346, -106.5, 252, -12.5, 252
-12.5, 346, 106.5, 252, 12.5, 252, 12.5, 346, 300, 252, 206, 252
206, 346, 300, 188, 206, 188, 206, 94, 106.5, 188, 12.5, 188
12.5, 94, -12.5, 188, -12.5, 94, -106.5, 188, -300, 188
-206, 188, -206, 94, -300, -220, 300, -220, -300, -252
-206, -252, -206, -346, -106.5, -252, -12.5, -252, -12.5, -346
106.5, -252, 12.5, -252, 12.5, -346, 300, -252, 206, -252
206, -346, 300, -188, 206, -188, 206, -94, 106.5, -188
12.5, -188, 12.5, -94, -12.5, -188, -12.5, -94, -106.5, -188
-300, -188, -206, -188, -206, -94
LINE= 0, 1, 24, 1, 220, 3.30478e-006
LINE= 2, 3, 12, 1, 252, 1.65239e-006
LINE= 3, 4, 12, 1, 206, 1.65239e-006
LINE= 5, 6, 12, 1, 252, 1.65239e-006
LINE= 6, 7, 12, 1, 12.5, 1.65239e-006
LINE= 8, 9, 12, 1, 252, 1.65239e-006
LINE= 9, 10, 12, 1, 12.5, 1.65239e-006
LINE= 11, 12, 12, 1, 252, 1.65239e-006
LINE= 12, 13, 12, 1, 206, 1.65239e-006
LINE= 14, 15, 12, 1, 188, 1.65239e-006
LINE= 15, 16, 12, 1, 206, 1.65239e-006
LINE= 17, 18, 12, 1, 188, 1.65239e-006
LINE= 18, 19, 12, 1, 12.5, 1.65239e-006
LINE= 20, 21, 12, 1, 12.5, 1.65239e-006
LINE= 20, 22, 12, 1, 188, 1.65239e-006
LINE= 23, 24, 12, 1, 188, 1.65239e-006
LINE= 24, 25, 12, 1, 206, 1.65239e-006
LINE= 26, 27, 24, 1, 220, 3.30478e-006
LINE= 28, 29, 12, 1, 252, 1.65239e-006
LINE= 29, 30, 12, 1, 206, 1.65239e-006
LINE= 31, 32, 12, 1, 252, 1.65239e-006
LINE= 32, 33, 12, 1, 12.5, 1.65239e-006
LINE= 34, 35, 12, 1, 252, 1.65239e-006
LINE= 35, 36, 12, 1, 12.5, 1.65239e-006
LINE= 37, 38, 12, 1, 252, 1.65239e-006
LINE= 38, 39, 12, 1, 206, 1.65239e-006
LINE= 40, 41, 12, 1, 188, 1.65239e-006
LINE= 41, 42, 12, 1, 206, 1.65239e-006
LINE= 43, 44, 12, 1, 188, 1.65239e-006
LINE= 44, 45, 12, 1, 12.5, 1.65239e-006
LINE= 46, 47, 12, 1, 12.5, 1.65239e-006
LINE= 46, 48, 12, 1, 188, 1.65239e-006
LINE= 49, 50, 12, 1, 188, 1.65239e-006

```
    LINE= 50, 51, 12, 1, 206, 1.65239e-006
SECT=  24, VALUE    , V0Z             , LC, 0, 1, 1, 300, 0, 0, YES, GEN, YES, NO
    72792, 26542.8, 11238.7, 9.49694e+006, 3.38e+009, 1.98229e+009
    308.099, 291.901, 346, 346, 357603, 101247, 0, 0, 291.901, 346
    -197.901, 214.099, 214.099, -197.901, 346, 346, -346, -346
    VERTEX=-291.901, 220, 308.099, 220, -291.901, 252, -197.901, 252, -197.901, 346
        -98.4006, 252, -4.40065, 252, -4.40065, 346, 114.599, 252
        20.5994, 252, 20.5994, 346, 308.099, 252, 214.099, 252
        214.099, 346, 308.099, 188, 214.099, 188, 214.099, 94
        114.599, 188, 20.5994, 188, 20.5994, 94, -4.40065, 188
        -4.40065, 94, -98.4006, 188, -291.901, 188, -197.901, 188
        -197.901, 94, -291.901, -220, 308.099, -220, -291.901, -252
        -197.901, -252, -197.901, -346, -98.4006, -252, -4.40065, -252
        -4.40065, -346, 114.599, -252, 20.5994, -252, 20.5994, -346
        308.099, -252, 214.099, -252, 214.099, -346, 308.099, -188
        214.099, -188, 214.099, -94, 114.599, -188, 20.5994, -188
        20.5994, -94, -4.40065, -188, -4.40065, -94, -98.4006, -188
        -291.901, -188, -197.901, -188, -197.901, -94, 8.09935, -188
        8.09935, 188, -187.901, -188, -187.901, 188
    LINE= 0, 1, 24, 1, 220, 3.15717e-006
    LINE= 2, 3, 12, 1, 252, 1.57859e-006
    LINE= 3, 4, 12, 1, 197.901, 1.57859e-006
    LINE= 5, 6, 12, 1, 252, 1.57859e-006
    LINE= 6, 7, 12, 1, 4.40065, 1.57859e-006
    LINE= 8, 9, 12, 1, 252, 1.57859e-006
    LINE= 9, 10, 12, 1, 20.5994, 1.57859e-006
    LINE= 11, 12, 12, 1, 252, 1.57859e-006
    LINE= 12, 13, 12, 1, 214.099, 1.57859e-006
    LINE= 14, 15, 12, 1, 188, 1.57859e-006
    LINE= 15, 16, 12, 1, 214.099, 1.57859e-006
    LINE= 17, 18, 12, 1, 188, 1.57859e-006
    LINE= 18, 19, 12, 1, 20.5994, 1.57859e-006
    LINE= 20, 21, 12, 1, 4.40065, 1.57859e-006
    LINE= 20, 22, 12, 1, 188, 1.57859e-006
    LINE= 23, 24, 12, 1, 188, 1.57859e-006
    LINE= 24, 25, 12, 1, 197.901, 1.57859e-006
    LINE= 26, 27, 24, 1, 220, 3.15717e-006
    LINE= 28, 29, 12, 1, 252, 1.57859e-006
    LINE= 29, 30, 12, 1, 197.901, 1.57859e-006
    LINE= 31, 32, 12, 1, 252, 1.57859e-006
    LINE= 32, 33, 12, 1, 4.40065, 1.57859e-006
    LINE= 34, 35, 12, 1, 252, 1.57859e-006
    LINE= 35, 36, 12, 1, 20.5994, 1.57859e-006
    LINE= 37, 38, 12, 1, 252, 1.57859e-006
    LINE= 38, 39, 12, 1, 214.099, 1.57859e-006
    LINE= 40, 41, 12, 1, 188, 1.57859e-006
    LINE= 41, 42, 12, 1, 214.099, 1.57859e-006
    LINE= 43, 44, 12, 1, 188, 1.57859e-006
    LINE= 44, 45, 12, 1, 20.5994, 1.57859e-006
    LINE= 46, 47, 12, 1, 4.40065, 1.57859e-006
    LINE= 46, 48, 12, 1, 188, 1.57859e-006
    LINE= 49, 50, 12, 1, 188, 1.57859e-006
    LINE= 50, 51, 12, 1, 197.901, 1.57859e-006
    LINE= 52, 53, 13, 1, 8.09935, 1.71014e-006
    LINE= 54, 55, 8, 1, 187.901, 1.05239e-006
SECT=  25, VALUE    , V1              , CC, 0, 0, 0, 0, 0, 0, YES, GEN, YES, NO
    26432, 8668.79, 3038.11, 1.85158e+006, 1.37035e+009, 1.45077e+008
    156.5, 156.5, 346, 346, 0, 0, 0, 0, 156.5, 346
    -156.5, 156.5, 156.5, -156.5, 253, 253, -253, -253
    VERTEX=-156.5, 253, -13.5, 253, -13.5, 346, 13.5, 253, 13.5, 346, 156.5, 253
        -156.5, 187, -13.5, 187, -13.5, 94, 13.5, 187, 13.5, 94
        156.5, 187, -156.5, -253, -13.5, -253, -13.5, -346, 13.5, -253
        13.5, -346, 156.5, -253, -156.5, -187, -13.5, -187, -13.5, -94
        13.5, -187, 13.5, -94, 156.5, -187
    LINE= 0, 1, 14, 1, 253, 8.10706e-006
    LINE= 1, 2, 14, 1, 13.5, 8.10706e-006
    LINE= 3, 4, 14, 1, 13.5, 8.10706e-006
    LINE= 3, 5, 14, 1, 253, 8.10706e-006
    LINE= 6, 7, 14, 1, 187, 8.10706e-006
    LINE= 7, 8, 14, 1, 13.5, 8.10706e-006
    LINE= 9, 10, 14, 1, 13.5, 8.10706e-006
    LINE= 9, 11, 14, 1, 187, 8.10706e-006
```

LINE= 12, 13, 14, 1, 253, 8.10706e-006
LINE= 13, 14, 14, 1, 13.5, 8.10706e-006
LINE= 15, 16, 14, 1, 13.5, 8.10706e-006
LINE= 15, 17, 14, 1, 253, 8.10706e-006
LINE= 18, 19, 14, 1, 187, 8.10706e-006
LINE= 19, 20, 14, 1, 13.5, 8.10706e-006
LINE= 21, 22, 14, 1, 13.5, 8.10706e-006
LINE= 21, 23, 14, 1, 187, 8.10706e-006
SECT= 26, VALUE , V1Z , CC, 0, 0, 0, 0, 0, 0, YES, GEN, YES, NO
31294, 8683.74, 6577.03, 2.12557e+006, 1.42702e+009, 1.45145e+008
156.5, 156.5, 346, 346, 241140, 0, 0, 0, 156.5, 346
-156.5, 156.5, 156.5, -156.5, 253, 253, -253, -253
VERTEX=-156.5, 253, -13.5, 253, -13.5, 346, 13.5, 253, 13.5, 346, 156.5, 253
-156.5, 187, -13.5, 187, -13.5, 94, 13.5, 187, 13.5, 94
156.5, 187, -156.5, -253, -13.5, -253, -13.5, -346, 13.5, -253
13.5, -346, 156.5, -253, -156.5, -187, -13.5, -187, -13.5, -94
13.5, -187, 13.5, -94, 156.5, -187, -1.77636e-012, -187
-1.77636e-012, 187
LINE= 0, 1, 14, 1, 253, 6.99726e-006
LINE= 1, 2, 14, 1, 13.5, 6.99726e-006
LINE= 3, 4, 14, 1, 13.5, 6.99726e-006
LINE= 3, 5, 14, 1, 253, 6.99726e-006
LINE= 6, 7, 14, 1, 187, 6.99726e-006
LINE= 7, 8, 14, 1, 13.5, 6.99726e-006
LINE= 9, 10, 14, 1, 13.5, 6.99726e-006
LINE= 9, 11, 14, 1, 187, 6.99726e-006
LINE= 12, 13, 14, 1, 253, 6.99726e-006
LINE= 13, 14, 14, 1, 13.5, 6.99726e-006
LINE= 15, 16, 14, 1, 13.5, 6.99726e-006
LINE= 15, 17, 14, 1, 253, 6.99726e-006
LINE= 18, 19, 14, 1, 187, 6.99726e-006
LINE= 19, 20, 14, 1, 13.5, 6.99726e-006
LINE= 21, 22, 14, 1, 13.5, 6.99726e-006
LINE= 21, 23, 14, 1, 187, 6.99726e-006
LINE= 24, 25, 13, 1, 1.77636e-012, 6.49746e-006
SECT= 27, VALUE , V2 , CC, 0, 0, 0, 0, 0, 0, YES, GEN, YES, NO
23072, 6727.02, 2051.49, 1.59393e+006, 1.20474e+009, 9.67041e+007
136.5, 136.5, 336, 336, 0, 0, 0, 0, 136.5, 336
-136.5, 136.5, 136.5, -136.5, 253, 253, -253, -253
VERTEX=-13.5, 253, -136.5, 253, -13.5, 336, 13.5, 336, 13.5, 253, 136.5, 253
13.5, 191, 136.5, 191, 13.5, 108, -13.5, 108, -13.5, 191
-136.5, 191, -13.5, -253, -136.5, -253, -13.5, -336, 13.5, -336
13.5, -253, 136.5, -253, 13.5, -191, 136.5, -191, 13.5, -108
-13.5, -108, -13.5, -191, -136.5, -191
LINE= 0, 1, 14, 1, 253, 9.2877e-006
LINE= 0, 2, 14, 1, 13.5, 9.2877e-006
LINE= 3, 4, 14, 1, 13.5, 9.2877e-006
LINE= 4, 5, 14, 1, 253, 9.2877e-006
LINE= 6, 7, 14, 1, 191, 9.2877e-006
LINE= 6, 8, 14, 1, 13.5, 9.2877e-006
LINE= 9, 10, 14, 1, 13.5, 9.2877e-006
LINE= 10, 11, 14, 1, 191, 9.2877e-006
LINE= 12, 13, 14, 1, 253, 9.2877e-006
LINE= 12, 14, 14, 1, 13.5, 9.2877e-006
LINE= 15, 16, 14, 1, 13.5, 9.2877e-006
LINE= 16, 17, 14, 1, 253, 9.2877e-006
LINE= 18, 19, 14, 1, 191, 9.2877e-006
LINE= 18, 20, 14, 1, 13.5, 9.2877e-006
LINE= 21, 22, 14, 1, 13.5, 9.2877e-006
LINE= 22, 23, 14, 1, 191, 9.2877e-006
SECT= 28, VALUE , V2Z , CC, 0, 0, 0, 0, 0, 0, YES, GEN, YES, NO
28038, 6745.38, 5857.03, 1.87379e+006, 1.26513e+009, 9.67741e+007
136.5, 136.5, 336, 336, 215240, 0, 0, 0, 136.5, 336
-136.5, 136.5, 136.5, -136.5, 253, 253, -253, -253
VERTEX=-13.5, 253, -136.5, 253, -13.5, 336, 13.5, 336, 13.5, 253, 136.5, 253
13.5, 191, 136.5, 191, 13.5, 108, -13.5, 108, -13.5, 191
-136.5, 191, -13.5, -253, -136.5, -253, -13.5, -336, 13.5, -336
13.5, -253, 136.5, -253, 13.5, -191, 136.5, -191, 13.5, -108
-13.5, -108, -13.5, -191, -136.5, -191, 0, -191, 0, 191
LINE= 0, 1, 14, 1, 253, 7.83382e-006
LINE= 0, 2, 14, 1, 13.5, 7.83382e-006
LINE= 3, 4, 14, 1, 13.5, 7.83382e-006

LINE= 4, 5, 14, 1, 253, 7.83382e-006
LINE= 6, 7, 14, 1, 191, 7.83382e-006
LINE= 6, 8, 14, 1, 13.5, 7.83382e-006
LINE= 9, 10, 14, 1, 13.5, 7.83382e-006
LINE= 10, 11, 14, 1, 191, 7.83382e-006
LINE= 12, 13, 14, 1, 253, 7.83382e-006
LINE= 12, 14, 14, 1, 13.5, 7.83382e-006
LINE= 15, 16, 14, 1, 13.5, 7.83382e-006
LINE= 16, 17, 14, 1, 253, 7.83382e-006
LINE= 18, 19, 14, 1, 191, 7.83382e-006
LINE= 18, 20, 14, 1, 13.5, 7.83382e-006
LINE= 21, 22, 14, 1, 13.5, 7.83382e-006
LINE= 22, 23, 14, 1, 191, 7.83382e-006
LINE= 24, 25, 13, 1, 0, 7.27427e-006
SECT= 29, VALUE , V3 , CC, 0, 0, 0, 0, 0, 0, YES, GEN, YES, NO
18392, 6263.2, 2215.84, 813142, 9.71834e+008, 7.56986e+007
136.5, 136.5, 336, 336, 0, 0, 0, 0, 136.5, 336
-136.5, 136.5, 136.5, -136.5, 251.5, 251.5, -251.5, -251.5
VERTEX=12, 251.5, 136.5, 251.5, 12, 336, -12, 336, -12, 251.5, -136.5, 251.5
-12, 196.5, -136.5, 196.5, -12, 112, 12, 112, 12, 196.5
136.5, 196.5, 12, -251.5, 136.5, -251.5, 12, -336, -12, -336
-12, -251.5, -136.5, -251.5, -12, -196.5, -136.5, -196.5
-12, -112, 12, -112, 12, -196.5, 136.5, -196.5
LINE= 0, 1, 11, 1, 251.5, 1.48286e-005
LINE= 0, 2, 11, 1, 12, 1.48286e-005
LINE= 3, 4, 11, 1, 12, 1.48286e-005
LINE= 4, 5, 11, 1, 251.5, 1.48286e-005
LINE= 6, 7, 11, 1, 196.5, 1.48286e-005
LINE= 6, 8, 11, 1, 12, 1.48286e-005
LINE= 9, 10, 11, 1, 12, 1.48286e-005
LINE= 10, 11, 11, 1, 196.5, 1.48286e-005
LINE= 12, 13, 11, 1, 251.5, 1.48286e-005
LINE= 12, 14, 11, 1, 12, 1.48286e-005
LINE= 15, 16, 11, 1, 12, 1.48286e-005
LINE= 16, 17, 11, 1, 251.5, 1.48286e-005
LINE= 18, 19, 11, 1, 196.5, 1.48286e-005
LINE= 18, 20, 11, 1, 12, 1.48286e-005
LINE= 21, 22, 11, 1, 12, 1.48286e-005
LINE= 22, 23, 11, 1, 196.5, 1.48286e-005
SECT= 30, VALUE , V3Z , CC, 0, 0, 0, 0, 0, 0, YES, GEN, YES, NO
23501, 6284.66, 5772.25, 1.10107e+006, 1.03759e+009, 7.57706e+007
136.5, 136.5, 336, 336, 177760, 0, 0, 0, 136.5, 336
-136.5, 136.5, 136.5, -136.5, 251.5, 251.5, -251.5, -251.5
VERTEX=12, 251.5, 136.5, 251.5, 12, 336, -12, 336, -12, 251.5, -136.5, 251.5
-12, 196.5, -136.5, 196.5, -12, 112, 12, 112, 12, 196.5
136.5, 196.5, 12, -251.5, 136.5, -251.5, 12, -336, -12, -336
-12, -251.5, -136.5, -251.5, -12, -196.5, -136.5, -196.5
-12, -112, 12, -112, 12, -196.5, 136.5, -196.5
-1.77636e-012, -196.5, -1.77636e-012, 196.5
LINE= 0, 1, 11, 1, 251.5, 1.06836e-005
LINE= 0, 2, 11, 1, 12, 1.06836e-005
LINE= 3, 4, 11, 1, 12, 1.06836e-005
LINE= 4, 5, 11, 1, 251.5, 1.06836e-005
LINE= 6, 7, 11, 1, 196.5, 1.06836e-005
LINE= 6, 8, 11, 1, 12, 1.06836e-005
LINE= 9, 10, 11, 1, 12, 1.06836e-005
LINE= 10, 11, 11, 1, 196.5, 1.06836e-005
LINE= 12, 13, 11, 1, 251.5, 1.06836e-005
LINE= 12, 14, 11, 1, 12, 1.06836e-005
LINE= 15, 16, 11, 1, 12, 1.06836e-005
LINE= 16, 17, 11, 1, 251.5, 1.06836e-005
LINE= 18, 19, 11, 1, 196.5, 1.06836e-005
LINE= 18, 20, 11, 1, 12, 1.06836e-005
LINE= 21, 22, 11, 1, 12, 1.06836e-005
LINE= 22, 23, 11, 1, 196.5, 1.06836e-005
LINE= 24, 25, 13, 1, 1.77636e-012, 1.2626e-005
SECT= 31, VALUE , V4 , CC, 0, 0, 0, 0, 0, 0, YES, GEN, YES, NO
13216, 4334.42, 1519.14, 946506, 9.83627e+008, 7.25383e+007
156.5, 156.5, 346, 346, 0, 0, 0, 0, 156.5, 346
-156.5, 156.5, 156.5, -156.5, 253, 253, -253, -253
VERTEX=156.5, 253, 13.5, 253, -156.5, 253, -13.5, 253, -13.5, 346, 13.5, 346
156.5, -253, 13.5, -253, -156.5, -253, -13.5, -253, -13.5, -346

13.5, -346
LINE= 0, 1, 14, 1, 253, 1.62141e-005
LINE= 2, 3, 14, 1, 253, 1.62141e-005
LINE= 3, 4, 14, 1, 13.5, 1.62141e-005
LINE= 1, 5, 14, 1, 13.5, 1.62141e-005
LINE= 6, 7, 14, 1, 253, 1.62141e-005
LINE= 8, 9, 14, 1, 253, 1.62141e-005
LINE= 9, 10, 14, 1, 13.5, 1.62141e-005
LINE= 7, 11, 14, 1, 13.5, 1.62141e-005
SECT= 32, VALUE , V4Z , CC, 0, 0, 0, 0, 0, 0, YES, GEN, YES, NO
22212, 4362.14, 8255.53, 1.4539e+006, 1.34262e+009, 7.2665e+007
156.5, 156.5, 346, 346, 197774, 0, 0, 0, 156.5, 346
-156.5, 156.5, 156.5, -156.5, 253, 253, -253, -253
VERTEX=156.5, 253, 13.5, 253, -156.5, 253, -13.5, 253, -13.5, 346, 13.5, 346
156.5, -253, 13.5, -253, -156.5, -253, -13.5, -253, -13.5, -346
13.5, -346, -1.77636e-012, -346, -1.77636e-012, 346
LINE= 0, 1, 14, 1, 253, 1.02173e-005
LINE= 2, 3, 14, 1, 253, 1.02173e-005
LINE= 3, 4, 14, 1, 13.5, 1.02173e-005
LINE= 1, 5, 14, 1, 13.5, 1.02173e-005
LINE= 6, 7, 14, 1, 253, 1.02173e-005
LINE= 8, 9, 14, 1, 253, 1.02173e-005
LINE= 9, 10, 14, 1, 13.5, 1.02173e-005
LINE= 7, 11, 14, 1, 13.5, 1.02173e-005
LINE= 12, 13, 13, 1, 1.77636e-012, 9.48753e-006
SECT= 33, VALUE , V5 , CC, 0, 0, 0, 0, 0, 0, YES, GEN, YES, NO
11536, 3363.43, 1025.59, 810585, 8.46797e+008, 4.83521e+007
136.5, 136.5, 336, 336, 0, 0, 0, 0, 136.5, 336
-136.5, 136.5, 136.5, -136.5, 253, 253, -253, -253
VERTEX=13.5, 253, 136.5, 253, -13.5, 253, -136.5, 253, -13.5, 336, 13.5, 336
13.5, -253, 136.5, -253, -13.5, -253, -136.5, -253, -13.5, -336
13.5, -336
LINE= 0, 1, 14, 1, 253, 1.85754e-005
LINE= 2, 3, 14, 1, 253, 1.85754e-005
LINE= 2, 4, 14, 1, 13.5, 1.85754e-005
LINE= 0, 5, 14, 1, 13.5, 1.85754e-005
LINE= 6, 7, 14, 1, 253, 1.85754e-005
LINE= 8, 9, 14, 1, 253, 1.85754e-005
LINE= 8, 10, 14, 1, 13.5, 1.85754e-005
LINE= 6, 11, 14, 1, 13.5, 1.85754e-005
SECT= 34, VALUE , V5Z , CC, 0, 0, 0, 0, 0, 0, YES, GEN, YES, NO
20272, 3395.78, 7914.61, 1.30332e+006, 1.17555e+009, 4.84751e+007
136.5, 136.5, 336, 336, 176121, 0, 0, 0, 136.5, 336
-136.5, 136.5, 136.5, -136.5, 253, 253, -253, -253
VERTEX=13.5, 253, 136.5, 253, -13.5, 253, -136.5, 253, -13.5, 336, 13.5, 336
13.5, -253, 136.5, -253, -13.5, -253, -136.5, -253, -13.5, -336
13.5, -336, -1.77636e-012, -336, -1.77636e-012, 336
LINE= 0, 1, 14, 1, 253, 1.12376e-005
LINE= 2, 3, 14, 1, 253, 1.12376e-005
LINE= 2, 4, 14, 1, 13.5, 1.12376e-005
LINE= 0, 5, 14, 1, 13.5, 1.12376e-005
LINE= 6, 7, 14, 1, 253, 1.12376e-005
LINE= 8, 9, 14, 1, 253, 1.12376e-005
LINE= 8, 10, 14, 1, 13.5, 1.12376e-005
LINE= 6, 11, 14, 1, 13.5, 1.12376e-005
LINE= 12, 13, 13, 1, 1.77636e-012, 1.0435e-005
SECT= 35, VALUE , V6 , CC, 0, 0, 0, 0, 0, 0, YES, GEN, YES, NO
9024, 2643.34, 674.637, 473330, 6.45847e+008, 3.29549e+007
126.5, 126.5, 326, 326, 0, 0, 0, 0, 126.5, 326
-126.5, 126.5, 126.5, -126.5, 252, 252, -252, -252
VERTEX=126.5, 252, 12.5, 252, -126.5, 252, -12.5, 252, -12.5, 326, 12.5, 326
126.5, -252, 12.5, -252, -126.5, -252, -12.5, -252, -12.5, -326
12.5, -326
LINE= 0, 1, 12, 1, 252, 2.77039e-005
LINE= 2, 3, 12, 1, 252, 2.77039e-005
LINE= 3, 4, 12, 1, 12.5, 2.77039e-005
LINE= 1, 5, 12, 1, 12.5, 2.77039e-005
LINE= 6, 7, 12, 1, 252, 2.77039e-005
LINE= 8, 9, 12, 1, 252, 2.77039e-005
LINE= 9, 10, 12, 1, 12.5, 2.77039e-005
LINE= 7, 11, 12, 1, 12.5, 2.77039e-005
SECT= 36, VALUE , P0 , CC, 0, 0, 0, 0, 0, 0, YES, GEN, YES, NO

32154, 8012.05, 11886.9, 2.20643e+006, 5.86637e+009, 1.35209e+008
200, 200, 525, 525, 492419, 30461.3, 0, 0, 200, 520
-200, 200, 200, -200, 520, 520, -520, -520
VERTEX=-13, 508.5, -13, 405, 13, 508.5, 13, 405, -116.5, 508.5, 116.5, 508.5
-200, 520, 200, 520, -4.16334e-014, -515, -4.16334e-014, 515
-200, -520, 200, -520, -116.5, -508.5, -13, -508.5, -13, -405
13, -508.5, 13, -405, 116.5, -508.5
LINE= 0, 1, 13, 1, 13, 7.98849e-006
LINE= 2, 3, 13, 1, 13, 7.98849e-006
LINE= 0, 4, 13, 1, 508.5, 7.98849e-006
LINE= 2, 5, 13, 1, 508.5, 7.98849e-006
LINE= 6, 7, 10, 1, 520, 6.14499e-006
LINE= 8, 9, 13, 1, 4.16334e-014, 7.98849e-006
LINE= 10, 11, 10, 1, 520, 6.14499e-006
LINE= 12, 13, 13, 1, 508.5, 7.98849e-006
LINE= 13, 14, 13, 1, 13, 7.98849e-006
LINE= 15, 16, 13, 1, 13, 7.98849e-006
LINE= 15, 17, 13, 1, 508.5, 7.98849e-006
SECT= 37, VALUE , P0Z , CC, 0, 0, 0, 0, 0, 0, YES, GEN, YES, NO
40154, 14772.8, 11886.5, 2.97499e+006, 8.11363e+009, 2.41876e+008
200, 200, 535, 535, 655496, 25230.6, 0, 0, 200, 530
-200, 200, 200, -200, 530, 530, -530, -530
VERTEX=-13, 508.5, -13, 405, 13, 508.5, 13, 405, -116.5, 508.5, 116.5, 508.5
-200, 520, 200, 520, 200, 530, -200, 530, -1.38778e-014, -515
-1.38778e-014, 515, -200, -520, 200, -520, 200, -530, -200, -530
-116.5, -508.5, -13, -508.5, -13, -405, 13, -508.5, 13, -405
116.5, -508.5
LINE= 0, 1, 13, 1, 13, 6.86375e-006
LINE= 2, 3, 13, 1, 13, 6.86375e-006
LINE= 0, 4, 13, 1, 508.5, 6.86375e-006
LINE= 2, 5, 13, 1, 508.5, 6.86375e-006
LINE= 6, 7, 10, 1, 520, 5.27981e-006
LINE= 8, 9, 10, 1, 530, 5.27981e-006
LINE= 10, 11, 13, 1, 1.38778e-014, 6.86375e-006
LINE= 12, 13, 10, 1, 520, 5.27981e-006
LINE= 14, 15, 10, 1, 530, 5.27981e-006
LINE= 16, 17, 13, 1, 508.5, 6.86375e-006
LINE= 17, 18, 13, 1, 13, 6.86375e-006
LINE= 19, 20, 13, 1, 13, 6.86375e-006
LINE= 19, 21, 13, 1, 508.5, 6.86375e-006
SECT= 38, VALUE , P1 , CC, 0, 0, 0, 0, 0, 0, YES, GEN, YES, NO
35354, 10418, 11888.1, 2.87452e+006, 6.7551e+009, 1.77876e+008
200, 200, 529, 529, 557281, 27472.3, 0, 0, 200, 522
-200, 200, 200, -200, 522, 522, -522, -522
VERTEX=-116.5, 508.5, -13, 508.5, -13, 405, 13, 508.5, 13, 405, 116.5, 508.5
-1.11022e-013, -515, -1.11022e-013, 515, -13, -508.5, -13, -405
13, -508.5, 13, -405, 116.5, -508.5, -116.5, -508.5, -200, 522
200, 522, 200, -522, -200, -522
LINE= 0, 1, 13, 1, 508.5, 6.21294e-006
LINE= 1, 2, 13, 1, 13, 6.21294e-006
LINE= 3, 4, 13, 1, 13, 6.21294e-006
LINE= 3, 5, 13, 1, 508.5, 6.21294e-006
LINE= 6, 7, 13, 1, 1.11022e-013, 6.21294e-006
LINE= 8, 9, 13, 1, 13, 6.21294e-006
LINE= 10, 11, 13, 1, 13, 6.21294e-006
LINE= 10, 12, 13, 1, 508.5, 6.21294e-006
LINE= 8, 13, 13, 1, 508.5, 6.21294e-006
LINE= 14, 15, 14, 1, 522, 6.69085e-006
LINE= 16, 17, 14, 1, 522, 6.69085e-006
SECT= 39, VALUE , P1Z , CC, 0, 0, 0, 0, 0, 0, YES, GEN, YES, NO
44954, 18369.8, 11887.9, 3.92686e+006, 9.50298e+009, 3.05876e+008
200, 200, 541, 541, 754819, 24023.6, 0, 0, 200, 535
-200, 200, 200, -200, 535, 535, -535, -535
VERTEX=-116.5, 508.5, -13, 508.5, -13, 405, 13, 508.5, 13, 405, 116.5, 508.5
-1.11022e-013, -515, -1.11022e-013, 515, -13, -508.5, -13, -405
13, -508.5, 13, -405, 116.5, -508.5, -116.5, -508.5, -200, 522
200, 522, 200, 535, -200, 535, -200, -535, 200, -535, 200, -522
-200, -522
LINE= 0, 1, 13, 1, 508.5, 5.09163e-006
LINE= 1, 2, 13, 1, 13, 5.09163e-006
LINE= 3, 4, 13, 1, 13, 5.09163e-006
LINE= 3, 5, 13, 1, 508.5, 5.09163e-006

LINE= 6, 7, 13, 1, 1.11022e-013, 5.09163e-006
LINE= 8, 9, 13, 1, 13, 5.09163e-006
LINE= 10, 11, 13, 1, 13, 5.09163e-006
LINE= 10, 12, 13, 1, 508.5, 5.09163e-006
LINE= 8, 13, 13, 1, 508.5, 5.09163e-006
LINE= 14, 15, 14, 1, 522, 5.4833e-006
LINE= 16, 17, 12, 1, 535, 4.69997e-006
LINE= 18, 19, 12, 1, 535, 4.69997e-006
LINE= 20, 21, 14, 1, 522, 5.4833e-006
SECT= 40, VALUE , P2 , CC, 0, 0, 0, 0, 0, 0, YES, GEN, YES, NO
32154, 8012.15, 11886.9, 2.20643e+006, 5.86637e+009, 1.35209e+008
200, 200, 525, 525, 492419, 30461.3, 0, 0, 200, 520
-200, 200, 200, -200, 520, 520, -520, -520
VERTEX=-116.5, 508.5, -13, 508.5, -13, 405, 13, 508.5, 13, 405, 116.5, 508.5
2.22045e-013, -515, 2.22045e-013, 515, -13, -508.5, -13, -405
13, -508.5, 13, -405, 116.5, -508.5, -116.5, -508.5, -200, -520
200, -520, -200, 520, 200, 520
LINE= 0, 1, 13, 1, 508.5, 7.98849e-006
LINE= 1, 2, 13, 1, 13, 7.98849e-006
LINE= 3, 4, 13, 1, 13, 7.98849e-006
LINE= 3, 5, 13, 1, 508.5, 7.98849e-006
LINE= 6, 7, 13, 1, 2.22045e-013, 7.98849e-006
LINE= 8, 9, 13, 1, 13, 7.98849e-006
LINE= 10, 11, 13, 1, 13, 7.98849e-006
LINE= 10, 12, 13, 1, 508.5, 7.98849e-006
LINE= 8, 13, 13, 1, 508.5, 7.98849e-006
LINE= 14, 15, 10, 1, 520, 6.14499e-006
LINE= 16, 17, 10, 1, 520, 6.14499e-006
SECT= 41, VALUE , P2Z , CC, 0, 0, 0, 0, 0, 0, YES, GEN, YES, NO
40154, 14772.9, 11886.5, 2.97499e+006, 8.11363e+009, 2.41876e+008
200, 200, 535, 535, 655496, 25230.6, 0, 0, 200, 530
-200, 200, 200, -200, 530, 530, -530, -530
VERTEX=-116.5, 508.5, -13, 508.5, -13, 405, 13, 508.5, 13, 405, 116.5, 508.5, 0, -515
0, 515, -13, -508.5, -13, -405, 13, -508.5, 13, -405
116.5, -508.5, -116.5, -508.5, -200, -520, 200, -520, 200, -530
-200, -530, -200, 520, 200, 520, 200, 530, -200, 530
LINE= 0, 1, 13, 1, 508.5, 6.86375e-006
LINE= 1, 2, 13, 1, 13, 6.86375e-006
LINE= 3, 4, 13, 1, 13, 6.86375e-006
LINE= 3, 5, 13, 1, 508.5, 6.86375e-006
LINE= 6, 7, 13, 1, 0, 6.86375e-006
LINE= 8, 9, 13, 1, 13, 6.86375e-006
LINE= 10, 11, 13, 1, 13, 6.86375e-006
LINE= 10, 12, 13, 1, 508.5, 6.86375e-006
LINE= 8, 13, 13, 1, 508.5, 6.86375e-006
LINE= 14, 15, 10, 1, 520, 5.27981e-006
LINE= 16, 17, 10, 1, 530, 5.27981e-006
LINE= 18, 19, 10, 1, 520, 5.27981e-006
LINE= 20, 21, 10, 1, 530, 5.27981e-006
SECT= 42, VALUE , P2ZZ , CC, 0, 0, 0, 0, 0, 0, YES, GEN, YES, NO
48154, 21501.8, 11885.9, 3.72589e+006, 1.04465e+010, 3.48543e+008
200, 200, 545, 545, 821650, 23487.1, 0, 0, 200, 540
-200, 200, 200, -200, 540, 540, -540, -540
VERTEX=-116.5, 508.5, -13, 508.5, -13, 405, 13, 508.5, 13, 405, 116.5, 508.5
-4.44089e-013, -515, -4.44089e-013, 515, -13, -508.5, -13, -405
13, -508.5, 13, -405, 116.5, -508.5, -116.5, -508.5, -200, -520
200, -520, 200, -530, -200, -530, -200, -540, 200, -540
-200, 520, 200, 520, 200, 530, -200, 530, -200, 540, 200, 540
LINE= 0, 1, 13, 1, 508.5, 6.01664e-006
LINE= 1, 2, 13, 1, 13, 6.01664e-006
LINE= 3, 4, 13, 1, 13, 6.01664e-006
LINE= 3, 5, 13, 1, 508.5, 6.01664e-006
LINE= 6, 7, 13, 1, 4.44089e-013, 6.01664e-006
LINE= 8, 9, 13, 1, 13, 6.01664e-006
LINE= 10, 11, 13, 1, 13, 6.01664e-006
LINE= 10, 12, 13, 1, 508.5, 6.01664e-006
LINE= 8, 13, 13, 1, 508.5, 6.01664e-006
LINE= 14, 15, 10, 1, 520, 4.62818e-006
LINE= 16, 17, 10, 1, 530, 4.62818e-006
LINE= 18, 19, 10, 1, 540, 4.62818e-006
LINE= 20, 21, 10, 1, 520, 4.62818e-006
LINE= 22, 23, 10, 1, 530, 4.62818e-006

LINE= 24, 25, 10, 1, 540, 4.62818e-006
SECT= 43, VALUE , L1 , CT, 0, 1, 0, 0, 1, 385, YES, GEN, YES, NO
16164, 3588.08, 6128.16, 572992, 1.31732e+009, 2.7449e+007
99.6399, 150.36, 342.008, 367.992, 214517, 10533.8, 0, 0, 150.36, 362.992
-150.36, 99.6399, 99.6399, -90.3601, 337.008, 337.008, -362.992, -362.992
VERTEX=-80.3601, 328.008, -4.36006, 328.008, -4.36006, 252.008, 13.6399, 328.008
13.6399, 252.008, 89.6399, 328.008, -150.36, 337.008
99.6399, 337.008, -90.3601, -362.992, 99.6399, -362.992
-80.3601, -353.992, -4.36006, -353.992, -4.36006, -277.992
13.6399, -353.992, 13.6399, -277.992, 89.6399, -353.992
4.63994, -357.992, 4.63994, 332.008
LINE= 0, 1, 8, 1, 328.008, 1.66517e-005
LINE= 1, 2, 8, 1, 4.36006, 1.66517e-005
LINE= 3, 4, 8, 1, 13.6399, 1.66517e-005
LINE= 3, 5, 8, 1, 328.008, 1.66517e-005
LINE= 6, 7, 10, 1, 337.008, 2.08146e-005
LINE= 8, 9, 10, 1, 362.992, 2.08146e-005
LINE= 10, 11, 8, 1, 353.992, 1.66517e-005
LINE= 11, 12, 8, 1, 4.36006, 1.66517e-005
LINE= 13, 14, 8, 1, 13.6399, 1.66517e-005
LINE= 13, 15, 8, 1, 353.992, 1.66517e-005
LINE= 16, 17, 10, 1, 4.63994, 2.08146e-005
SECT= 44, VALUE , L1_p , CT, 0, 1, 0, 0, 1, 385, YES, GEN, YES, NO
16164, 3588.07, 6128.3, 572992, 1.31732e+009, 2.7449e+007
150.36, 99.6399, 342.008, 367.992, 214517, 10533.9, 0, 0, 99.6399, 362.992
-99.6399, 150.36, 90.3601, -99.6399, 337.008, 337.008, -362.992, -362.992
VERTEX=-89.6399, 328.008, -13.6399, 328.008, -13.6399, 252.008, 4.36006, 328.008
4.36006, 252.008, 80.3601, 328.008, -99.6399, -362.992
90.3601, -362.992, -89.6399, -353.992, -13.6399, -353.992
-13.6399, -277.992, 4.36006, -353.992, 4.36006, -277.992
80.3601, -353.992, -4.63994, -357.992, -4.63994, 332.008
-99.6399, 337.008, 150.36, 337.008
LINE= 0, 1, 8, 1, 328.008, 1.66517e-005
LINE= 1, 2, 8, 1, 13.6399, 1.66517e-005
LINE= 3, 4, 8, 1, 4.36006, 1.66517e-005
LINE= 3, 5, 8, 1, 328.008, 1.66517e-005
LINE= 6, 7, 10, 1, 362.992, 2.08146e-005
LINE= 8, 9, 8, 1, 353.992, 1.66517e-005
LINE= 9, 10, 8, 1, 13.6399, 1.66517e-005
LINE= 11, 12, 8, 1, 4.36006, 1.66517e-005
LINE= 11, 13, 8, 1, 353.992, 1.66517e-005
LINE= 14, 15, 10, 1, 4.63994, 2.08146e-005
LINE= 16, 17, 10, 1, 337.008, 2.08146e-005
SECT= 45, VALUE , L2 , CT, 0, 1, 0, 0, 1, 385, YES, GEN, YES, NO
17300, 3582.91, 6150.57, 672100, 1.433e+009, 2.9219e+007
99.3353, 150.665, 342.861, 367.139, 232597, 11392.2, 0, 0, 150.665, 362.139
-150.665, 99.3353, 99.3353, -90.6647, 337.861, 337.861, -362.139, -362.139
VERTEX=4.33526, -357.139, 4.33526, 332.861, -150.665, 337.861, 99.3353, 337.861
-90.6647, -362.139, 99.3353, -362.139, -5.66474, -352.139
-5.66474, -277.139, -80.6647, -352.139, 89.3353, -352.139
14.3353, -352.139, 14.3353, -277.139, -80.6647, 327.861
-5.66474, 327.861, -5.66474, 252.861, 14.3353, 327.861
14.3353, 252.861, 89.3353, 327.861
LINE= 0, 1, 10, 1, 4.33526, 1.7341e-005
LINE= 2, 3, 10, 1, 337.861, 1.7341e-005
LINE= 4, 5, 10, 1, 362.139, 1.7341e-005
LINE= 6, 7, 10, 1, 5.66474, 1.7341e-005
LINE= 6, 8, 10, 1, 352.139, 1.7341e-005
LINE= 9, 10, 10, 1, 352.139, 1.7341e-005
LINE= 10, 11, 10, 1, 14.3353, 1.7341e-005
LINE= 12, 13, 10, 1, 327.861, 1.7341e-005
LINE= 13, 14, 10, 1, 5.66474, 1.7341e-005
LINE= 15, 16, 10, 1, 14.3353, 1.7341e-005
LINE= 15, 17, 10, 1, 327.861, 1.7341e-005
SECT= 46, VALUE , L2_p , CT, 0, 1, 0, 0, 1, 385, YES, GEN, YES, NO
17300, 3582.74, 6150.7, 672100, 1.433e+009, 2.9219e+007
150.665, 99.3353, 342.861, 367.139, 232597, 11392.2, 0, 0, 99.3353, 362.139
-99.3353, 150.665, 90.6647, -99.3353, 337.861, 337.861, -362.139, -362.139
VERTEX=-4.33526, -357.139, -4.33526, 332.861, -99.3353, -362.139, 90.6647, -362.139
-14.3353, -352.139, -14.3353, -277.139, -89.3353, -352.139
80.6647, -352.139, 5.66474, -352.139, 5.66474, -277.139
-89.3353, 327.861, -14.3353, 327.861, -14.3353, 252.861

```
        5.66474, 327.861, 5.66474, 252.861, 80.6647, 327.861
        -99.3353, 337.861, 150.665, 337.861
    LINE= 0, 1, 10, 1, 4.33526, 1.7341e-005
    LINE= 2, 3, 10, 1, 362.139, 1.7341e-005
    LINE= 4, 5, 10, 1, 14.3353, 1.7341e-005
    LINE= 4, 6, 10, 1, 352.139, 1.7341e-005
    LINE= 7, 8, 10, 1, 352.139, 1.7341e-005
    LINE= 8, 9, 10, 1, 5.66474, 1.7341e-005
    LINE= 10, 11, 10, 1, 327.861, 1.7341e-005
    LINE= 11, 12, 10, 1, 14.3353, 1.7341e-005
    LINE= 13, 14, 10, 1, 5.66474, 1.7341e-005
    LINE= 13, 15, 10, 1, 327.861, 1.7341e-005
    LINE= 16, 17, 10, 1, 337.861, 1.7341e-005
SECT=  47, VALUE     , L3              , CT, 0, 1, 0, 0, 1, 385, YES, GEN, YES, NO
    18100, 3984.72, 6220.39, 706658, 1.50639e+009, 3.25201e+007
    99.1436, 150.856, 343.398, 366.602, 244607, 12361.2, 0, 0, 150.856, 361.602
    -150.856, 99.1436, 99.1436, -90.8564, 338.398, 338.398, -361.602, -361.602
    VERTEX=-150.856, 338.398, 99.1436, 338.398, -90.8564, 328.398, -5.85635, 328.398
        99.1436, 328.398, 14.1436, 328.398, 14.1436, 243.398
        -5.85635, 243.398, 4.14365, -356.602, 4.14365, 333.398
        -90.8564, -361.602, 99.1436, -361.602, 99.1436, -351.602
        14.1436, -351.602, -90.8564, -351.602, -5.85635, -351.602
        -5.85635, -266.602, 14.1436, -266.602
    LINE= 0, 1, 10, 1, 338.398, 1.65746e-005
    LINE= 2, 3, 10, 1, 328.398, 1.65746e-005
    LINE= 4, 5, 10, 1, 328.398, 1.65746e-005
    LINE= 5, 6, 10, 1, 14.1436, 1.65746e-005
    LINE= 3, 7, 10, 1, 5.85635, 1.65746e-005
    LINE= 8, 9, 10, 1, 4.14365, 1.65746e-005
    LINE= 10, 11, 10, 1, 361.602, 1.65746e-005
    LINE= 12, 13, 10, 1, 351.602, 1.65746e-005
    LINE= 14, 15, 10, 1, 351.602, 1.65746e-005
    LINE= 15, 16, 10, 1, 5.85635, 1.65746e-005
    LINE= 13, 17, 10, 1, 14.1436, 1.65746e-005
SECT=  48, VALUE     , L3_p            , CT, 0, 1, 0, 0, 1, 385, YES, GEN, YES, NO
    18100, 3984.65, 6220.49, 706658, 1.50639e+009, 3.25201e+007
    150.856, 99.1436, 343.398, 366.602, 244607, 12361.2, 0, 0, 99.1436, 361.602
    -99.1436, 150.856, 90.8564, -99.1436, 338.398, 338.398, -361.602, -361.602
    VERTEX=-99.1436, 328.398, -14.1436, 328.398, 90.8564, 328.398, 5.85635, 328.398
        5.85635, 243.398, -14.1436, 243.398, -4.14365, -356.602
        -4.14365, 333.398, -99.1436, -361.602, 90.8564, -361.602
        90.8564, -351.602, 5.85635, -351.602, -99.1436, -351.602
        -14.1436, -351.602, -14.1436, -266.602, 5.85635, -266.602
        -99.1436, 338.398, 150.856, 338.398
    LINE= 0, 1, 10, 1, 328.398, 1.65746e-005
    LINE= 2, 3, 10, 1, 328.398, 1.65746e-005
    LINE= 3, 4, 10, 1, 5.85635, 1.65746e-005
    LINE= 1, 5, 10, 1, 14.1436, 1.65746e-005
    LINE= 6, 7, 10, 1, 4.14365, 1.65746e-005
    LINE= 8, 9, 10, 1, 361.602, 1.65746e-005
    LINE= 10, 11, 10, 1, 351.602, 1.65746e-005
    LINE= 12, 13, 10, 1, 351.602, 1.65746e-005
    LINE= 13, 14, 10, 1, 14.1436, 1.65746e-005
    LINE= 11, 15, 10, 1, 5.85635, 1.65746e-005
    LINE= 16, 17, 10, 1, 338.398, 1.65746e-005
SECT=  49, VALUE     , L4              , CT, 0, 1, 0, 0, 1, 385, YES, GEN, YES, NO
    20216, 4953.22, 6332.24, 886393, 1.72164e+009, 4.61937e+007
    118.463, 161.537, 344.612, 365.388, 278095, 15735.9, 0, 0, 161.537, 360.388
    -161.537, 118.463, 113.463, -106.537, 339.612, 339.612, -360.388, -360.388
    VERTEX=-161.537, 339.612, 118.463, 339.612, 3.4626, -355.388, 3.4626, 334.612
        -106.537, -360.388, 113.463, -360.388, -7.0374, -349.888
        -7.0374, -255.388, -101.537, -349.888, 108.463, -349.888
        13.9626, -349.888, 13.9626, -255.388, -101.537, 329.112
        -7.0374, 329.112, -7.0374, 234.612, 13.9626, 329.112
        13.9626, 234.612, 108.463, 329.112
    LINE= 0, 1, 10, 1, 339.612, 1.36597e-005
    LINE= 2, 3, 10, 1, 3.4626, 1.36597e-005
    LINE= 4, 5, 10, 1, 360.388, 1.36597e-005
    LINE= 6, 7, 11, 1, 7.0374, 1.50257e-005
    LINE= 6, 8, 11, 1, 349.888, 1.50257e-005
    LINE= 9, 10, 11, 1, 349.888, 1.50257e-005
    LINE= 10, 11, 11, 1, 13.9626, 1.50257e-005
```

PROJECT TITLE :

MIDAS	Company		Client	
	Author		File Name	H2D_3Dg_v14_180227_StatLM.mct

```
    LINE= 12, 13, 11, 1, 329.112, 1.50257e-005
    LINE= 13, 14, 11, 1, 7.0374, 1.50257e-005
    LINE= 15, 16, 11, 1, 13.9626, 1.50257e-005
    LINE= 15, 17, 11, 1, 329.112, 1.50257e-005
SECT=  50, VALUE    , L4_p            , CT, 0, 1, 0, 0, 1, 385, YES, GEN, YES, NO
    20216, 4953.06, 6332.34, 886393, 1.72164e+009, 4.61937e+007
    161.537, 118.463, 344.612, 365.388, 278095, 15735.8, 0, 0, 118.463, 360.388
    -118.463, 161.537, 106.537, -113.463, 339.612, 339.612, -360.388, -360.388
    VERTEX=-3.4626, -355.388, -3.4626, 334.612, -113.463, -360.388, 106.537, -360.388
        -13.9626, -349.888, -13.9626, -255.388, -108.463, -349.888
        101.537, -349.888, 7.0374, -349.888, 7.0374, -255.388
        -108.463, 329.112, -13.9626, 329.112, -13.9626, 234.612
        7.0374, 329.112, 7.0374, 234.612, 101.537, 329.112
        -118.463, 339.612, 161.537, 339.612
    LINE= 0, 1, 10, 1, 3.4626, 1.36597e-005
    LINE= 2, 3, 10, 1, 360.388, 1.36597e-005
    LINE= 4, 5, 11, 1, 13.9626, 1.50257e-005
    LINE= 4, 6, 11, 1, 349.888, 1.50257e-005
    LINE= 7, 8, 11, 1, 349.888, 1.50257e-005
    LINE= 8, 9, 11, 1, 7.0374, 1.50257e-005
    LINE= 10, 11, 11, 1, 329.112, 1.50257e-005
    LINE= 11, 12, 11, 1, 13.9626, 1.50257e-005
    LINE= 13, 14, 11, 1, 7.0374, 1.50257e-005
    LINE= 13, 15, 11, 1, 329.112, 1.50257e-005
    LINE= 16, 17, 10, 1, 339.612, 1.36597e-005
SECT=  51, VALUE    , V7              , CC, 0, 0, 0, 0, 0, 0, YES, GEN, YES, NO
    8064, 1750.61, 657.879, 411338, 5.84872e+008, 1.98936e+007
    106.5, 106.5, 326, 326, 0, 0, 0, 0, 106.5, 326
    -106.5, 106.5, 106.5, -106.5, 252, 252, -252, -252
    VERTEX=-12.5, 252, -12.5, 326, 12.5, 252, 12.5, 326, 106.5, 252, -106.5, 252
        -12.5, -252, -12.5, -326, 12.5, -252, 12.5, -326, 106.5, -252
        -106.5, -252
    LINE= 0, 1, 12, 1, 12.5, 3.1002e-005
    LINE= 2, 3, 12, 1, 12.5, 3.1002e-005
    LINE= 2, 4, 12, 1, 252, 3.1002e-005
    LINE= 0, 5, 12, 1, 252, 3.1002e-005
    LINE= 6, 7, 12, 1, 12.5, 3.1002e-005
    LINE= 8, 9, 12, 1, 12.5, 3.1002e-005
    LINE= 8, 10, 12, 1, 252, 3.1002e-005
    LINE= 6, 11, 12, 1, 252, 3.1002e-005
SECT=  52, VALUE    , V7Z             , CC, 0, 0, 0, 0, 0, 0, YES, GEN, YES, NO
    16540, 1791.57, 7563.8, 889404, 8.85137e+008, 2.00129e+007
    106.5, 106.5, 326, 326, 136352, 0, 0, 0, 106.5, 326
    -106.5, 106.5, 106.5, -106.5, 252, 252, -252, -252
    VERTEX=-12.5, 252, -12.5, 326, 12.5, 252, 12.5, 326, 106.5, 252, -106.5, 252
        -12.5, -252, -12.5, -326, 12.5, -252, 12.5, -326, 106.5, -252
        -106.5, -252, 1.77636e-012, -326, 1.77636e-012, 326
    LINE= 0, 1, 12, 1, 12.5, 1.388e-005
    LINE= 2, 3, 12, 1, 12.5, 1.388e-005
    LINE= 2, 4, 12, 1, 252, 1.388e-005
    LINE= 0, 5, 12, 1, 252, 1.388e-005
    LINE= 6, 7, 12, 1, 12.5, 1.388e-005
    LINE= 8, 9, 12, 1, 12.5, 1.388e-005
    LINE= 8, 10, 12, 1, 252, 1.388e-005
    LINE= 6, 11, 12, 1, 252, 1.388e-005
    LINE= 12, 13, 13, 1, 1.77636e-012, 1.50367e-005
SECT=  53, VALUE    , V8              , CC, 0, 0, 0, 0, 0, 0, YES, GEN, YES, NO
    6000, 706.806, 705.961, 211108, 4.40131e+008, 9.031e+006
    86.5, 86.5, 326, 326, 0, 0, 0, 0, 86.5, 326
    -11.5, 11.5, 11.5, -11.5, 326, 326, -326, -326
    VERTEX=-86.5, 251, -11.5, 251, -11.5, 326, 11.5, 251, 11.5, 326, 86.5, 251
        -86.5, -251, -11.5, -251, -11.5, -326, 11.5, -251, 11.5, -326
        86.5, -251
    LINE= 0, 1, 10, 1, 251, 5e-005
    LINE= 1, 2, 10, 1, 11.5, 5e-005
    LINE= 3, 4, 10, 1, 11.5, 5e-005
    LINE= 3, 5, 10, 1, 251, 5e-005
    LINE= 6, 7, 10, 1, 251, 5e-005
    LINE= 7, 8, 10, 1, 11.5, 5e-005
    LINE= 9, 10, 10, 1, 11.5, 5e-005
    LINE= 9, 11, 10, 1, 251, 5e-005
SECT=  54, VALUE    , V8Z             , CC, 0, 0, 0, 0, 0, 0, YES, GEN, YES, NO
```

```
     14476, 743.241, 7528.36, 689174, 7.40396e+008, 9.15037e+006
     86.5, 86.5, 326, 326, 115388, 0, 0, 0, 86.5, 326
     -11.5, 11.5, 11.5, -11.5, 326, 326, -326, -326
     VERTEX=-86.5, 251, -11.5, 251, -11.5, 326, 11.5, 251, 11.5, 326, 86.5, 251
          -86.5, -251, -11.5, -251, -11.5, -326, 11.5, -251, 11.5, -326
          86.5, -251, 0, -326, 0, 326
     LINE= 0, 1, 10, 1, 251, 1.47606e-005
     LINE= 1, 2, 10, 1, 11.5, 1.47606e-005
     LINE= 3, 4, 10, 1, 11.5, 1.47606e-005
     LINE= 3, 5, 10, 1, 251, 1.47606e-005
     LINE= 6, 7, 10, 1, 251, 1.47606e-005
     LINE= 7, 8, 10, 1, 11.5, 1.47606e-005
     LINE= 9, 10, 10, 1, 11.5, 1.47606e-005
     LINE= 9, 11, 10, 1, 251, 1.47606e-005
     LINE= 12, 13, 13, 1, 0, 1.91887e-005
SECT=  55, VALUE     , V6Z              , CC, 0, 0, 0, 0, 0, 0, YES, GEN, YES, NO
     17500, 2680.3, 7574.19, 951397, 9.46112e+008, 3.30743e+007
     126.5, 126.5, 326, 326, 145656, 0, 0, 0, 126.5, 326
     -126.5, 126.5, 126.5, -126.5, 252, 252, -252, -252
     VERTEX=126.5, 252, 12.5, 252, -126.5, 252, -12.5, 252, -12.5, 326, 12.5, 326
          126.5, -252, 12.5, -252, -126.5, -252, -12.5, -252, -12.5, -326
          12.5, -326, 0, 326, 0, -326
     LINE= 0, 1, 12, 1, 252, 1.31776e-005
     LINE= 2, 3, 12, 1, 252, 1.31776e-005
     LINE= 3, 4, 12, 1, 12.5, 1.31776e-005
     LINE= 1, 5, 12, 1, 12.5, 1.31776e-005
     LINE= 6, 7, 12, 1, 252, 1.31776e-005
     LINE= 8, 9, 12, 1, 252, 1.31776e-005
     LINE= 9, 10, 12, 1, 12.5, 1.31776e-005
     LINE= 7, 11, 12, 1, 12.5, 1.31776e-005
     LINE= 12, 13, 13, 1, 0, 1.42758e-005

*SECTION    ; Section
; iSEC, TYPE, SNAME, [OFFSET], bSD, SHAPE, [DATA1], [DATA2]                  ; 1st line - DB/USER
; iSEC, TYPE, SNAME, [OFFSET], bSD, SHAPE, BLT, D1, ..., D8, iCEL            ; 1st line - VALUE
;      AREA, ASy, ASz, Ixx, Iyy, Izz                                        ; 2nd line
;      CyP, CyM, CzP, CzM, QyB, QzB, PERI_OUT, PERI_IN, Cy, Cz              ; 3rd line
;      Y1, Y2, Y3, Y4, Z1, Z2, Z3, Z4, Zyy, Zzz                             ; 4th line
; iSEC, TYPE, SNAME, [OFFSET], bSD, SHAPE, ELAST, DEN, POIS, POIC, SF, THERMAL ; 1st line - SRC
;      D1, D2, [SRC]                                                        ; 2nd line
; iSEC, TYPE, SNAME, [OFFSET], bSD, SHAPE, 1, DB, NAME1, NAME2, D1, D2        ; 1st line - COMBINED
; iSEC, TYPE, SNAME, [OFFSET], bSD, SHAPE, 2, D11, D12, D13, D14, D15, D21, D22, D23, D24
; iSEC, TYPE, SNAME, [OFFSET2], bSD, SHAPE, iyVAR, izVAR, STYPE               ; 1st line - TAPERED
;      DB, NAME1, NAME2                                                     ; 2nd line(STYPE=DB)
;      [DIM1], [DIM2]                                                       ; 2nd line(STYPE=USER)
;      D11, D12, D13, D14, D15, D16, D17, D18                               ; 2nd line(STYPE=VALUE)
;      AREA1, ASy1, ASz1, Ixx1, Iyy1, Izz1                                  ; 3rd line(STYPE=VALUE)
;      CyP1, CyM1, CzP1, CzM1, QyB1, QzB1, PERI_OUT1, PERI_IN1, Cy1, Cz1    ; 4th line(STYPE=VALUE)
;      Y11, Y12, Y13, Y14, Z11, Z12, Z13, Z14, Zyy1, Zyy2                   ; 5th line(STYPE=VALUE)
;      D21, D22, D23, D24, D25, D26, D27, D28                               ; 6th line(STYPE=VALUE)
;      AREA2, ASy2, ASz2, Ixx2, Iyy2, Izz2                                  ; 7th line(STYPE=VALUE)
;      CyP2, CyM2, CzP2, CzM2, QyB2, QzB2, PERI_OUT2, PERI_IN2, Cy2, Cz2    ; 8th line(STYPE=VALUE)
;      Y21, Y22, Y23, Y24, Z21, Z22, Z23, Z24, Zyy2, Zzz2                   ; 9th line(STYPE=VALUE)
;      OPT1, OPT2, [JOINT]                                                  ; 2nd line(STYPE=PSC)
;      ELAST, DEN, POIS, POIC, THERMAL                                      ; 2nd line(STYPE=PSC-CMPW)
;      bSHEARCHK, [SCHK-I], [SCHK-J], [WT-I], [WT-J], WI, WJ, bSYM, bSIDEHOLE ; 3rd line(STYPE=PSC)
;      bSHEARCHK, bSYM, bHUNCH, [CMPWEB-I], [CMPWEB-J]                      ; 3rd line(STYPE=PSC-CMPW)
;      bUSERDEFMESHSIZE, MESHSIZE, bUSERINPSTIFF, [STIFF-I], [STIFF-J]      ; 4th line(STYPE=PSC)
;      [SIZE-A]-i                                                           ; 5th line(STYPE=PSC)
;      [SIZE-B]-i                                                           ; 6th line(STYPE=PSC)
;      [SIZE-C]-i                                                           ; 7th line(STYPE=PSC)
;      [SIZE-D]-i                                                           ; 8th line(STYPE=PSC)
;      [SIZE-A]-j                                                           ; 9th line(STYPE=PSC)
;      [SIZE-B]-j                                                           ; 10th line(STYPE=PSC)
;      [SIZE-C]-j                                                           ; 11th line(STYPE=PSC)
;      [SIZE-D]-j                                                           ; 12th line(STYPE=PSC)
;      GN, CTC, Bc, Tc, Hh, EsEc, DsDc, Ps, Pc, bMULTI, EsEc-L, EsEc-S      ; 2nd line(STYPE=CMP-B/I)
;      SW_i, Hw_i, tw_i, B_i, Bf1_i, tf1_i, B2_i, Bf2_i, tf2_i              ; 3rd line(STYPE=CMP-B/I)
;      SW_j, Hw_j, tw_j, B_j, Bf1_j, tf1_j, B2_j, Bf2_j, tf2_j              ; 4th line(STYPE=CMP-B/I)
;      N1, N2, Hr, Hr2, tr1, tr2                                            ; 5th line(STYPE=CMP-B)
;      GN, CTC, Bc, Tc, Hh, EgdEsb, DgdDsb, Pgd, Psb, bSYM, SW_i, SW_j      ; 2nd line(STYPE=CMP-CI/CT)
;      OPT1, OPT2, [JOINT]                                                  ; 3rd line(STYPE=CMP-CI/CT)
```

PROJECT TITLE :

MIDAS	Company		Client	
	Author		File Name	H2D_3Dg_v14_180227_StatLM.mct

```
;       [SIZE-A]-i                                      ; 4th line(STYPE=CMP-CI/CT)
;       [SIZE-B]-i                                      ; 5th line(STYPE=CMP-CI/CT)
;       [SIZE-C]-i                                      ; 6th line(STYPE=CMP-CI/CT)
;       [SIZE-D]-i                                      ; 7th line(STYPE=CMP-CI/CT)
;       [SIZE-A]-j                                      ; 8th line(STYPE=CMP-CI/CT)
;       [SIZE-B]-j                                      ; 9th line(STYPE=CMP-CI/CT)
;       [SIZE-C]-j                                      ; 10th line(STYPE=CMP-CI/CT)
;       [SIZE-D]-j                                      ; 11th line(STYPE=CMP-CI/CT)
; iSEC, TYPE, SNAME, [OFFSET], bSD, STYPE1, STYPE2                      ; 1st line - CONSTRUCT
;       SHAPE, ...(same with other type data from shape)                ; Before (STYPE1)
;       SHAPE, ...(same with other type data from shape)                ; After  (STYPE2)
; iSEC, TYPE, SNAME, [OFFSET], bSD, SHAPE                               ; 1st line - COMPOSITE-SB
;       Hw, tw, B, Bf1, tf1, B2, Bf2, tf2                       ; 2nd line
;       N1, N2, Hr, Hr2, tr1, tr2                               ; 3rd line
;       SW, GN, CTC, Bc, Tc, Hh, EsEc, DsDc, Ps, Pc, bMulti, Elong, Esh       ; 4th line
; iSEC, TYPE, SNAME, [OFFSET], bSD, SHAPE                               ; 1st line - COMPOSITE-SI
;       Hw, tw, B, tf1, B2, tf2                                 ; 2nd line
;       SW, GN, CTC, Bc, Tc, Hh, EsEc, DsDc, Ps, Pc, bMulti, Elong, Esh       ; 3rd line
; iSEC, TYPE, SNAME, [OFFSET], bSD, SHAPE                               ; 1st line - COMPOSITE-CI/CT
;       OPT1, OPT2, [JOINT]                                     ; 2nd line
;       [SIZE-A]                                        ; 3rd line
;       [SIZE-B]                                        ; 4th line
;       [SIZE-C]                                        ; 5th line
;       [SIZE-D]                                        ; 6th line
;       SW, GN, CTC, Bc, Tc, Hh, EgdEsb, DgdDsb, Pgd, Psb               ; 7th line
; iSEC, TYPE, SNAME, [OFFSET], bSD, SHAPE                               ; 1st line - PSC
;       OPT1, OPT2, [JOINT]                                     ; 2nd line
;       bSHEARCHK, [SCHK], [WT], WIDTH, bSYM, bSIDEHOLE                 ; 3rd line
;       bUSERDEFMESHSIZE, MESHSIZE, bUSERINPSTIFF, [STIFF]              ; 4th line
;       [SIZE-A]                                        ; 5th line
;       [SIZE-B]                                        ; 6th line
;       [SIZE-C]                                        ; 7th line
;       [SIZE-D]                                        ; 8th line
; [DATA1] : 1, DB, NAME or 2, D1, D2, D3, D4, D5, D6, D7, D8, D9, D10
; [DATA2] : CCSHAPE or iCEL or iN1, iN2
; [SRC]  : 1, DB, NAME1, NAME2 or 2, D1, D2, D3, D4, D5, D6, D7, D8, D9, D10, iN1, iN2
; [DIM1], [DIM2] : D1, D2, D3, D4, D5, D6, D7, D8
; [OFFSET] : OFFSET, iCENT, iREF, iHORZ, HUSER, iVERT, VUSER
; [OFFSET2]: OFFSET, iCENT, iREF, iHORZ, HUSERI, HUSERJ, iVERT, VUSERI, VUSERJ
; [JOINT]  :  8(1CELL, 2CELL), 13(3CELL),  9(PSCM),  8(PSCH), 9(PSCT),  2(PSCB), 0(nCELL),  2(nCEL2)
; [SIZE-A] :  6(1CELL, 2CELL), 10(3CELL), 10(PSCM),  6(PSCH), 8(PSCT), 10(PSCB), 5(nCELL), 11(nCEL2)
; [SIZE-B] :  6(1CELL, 2CELL), 12(3CELL),  6(PSCM),  6(PSCH), 8(PSCT),  6(PSCB), 8(nCELL), 18(nCEL2)
; [SIZE-C] : 10(1CELL, 2CELL), 13(3CELL),  9(PSCM), 10(PSCH), 7(PSCT),  8(PSCB), 0(nCELL), 11(nCEL2)
; [SIZE-D] :  8(1CELL, 2CELL), 13(3CELL),  6(PSCM),  7(PSCH), 8(PSCT),  5(PSCB), 0(nCELL), 18(nCEL2)
; [STIFF]  : AREA, ASy, ASz, Ixx, Iyy, Izz
; [SCHK]   : bAUTO_Z1, Z1, bAUTO_Z3, Z3
; [WT]     : bAUTO_TOR, TOR, bAUTO_SHR1, SHR1, bAUTO_SHR2, SHR2, bAUTO_SHR3, SHR3
; [CMPWEB] : EFD, LRF, A, B, H, T
   1, DBUSER    , X Link          , CC, 0, 0, 0, 0, 0, 0, YES, SB , 2, 500, 500, 0, 0, 0, 0, 0, 0, 0, 0
  56, DBUSER    , WO.P1           , CC, 0, 0, 0, 0, 0, 0, YES, H  , 2, 640, 300, 14, 20, 0, 0, 0, 0, 0, 0
  57, DBUSER    , WO.P2           , CC, 0, 0, 0, 0, 0, 0, YES, H  , 2, 328, 200, 12, 14, 180, 14, 0, 0, 0, 0
  58, COMBINED  , WO              , CC, 0, 0, 0, 0, 0, 0, YES, 2T2, 2, 90, 90, 8, 8, 10, 90, 90, 8, 8
  59, VALUE     , WU1             , CC, 0, 0, 0, 0, 0, 0, YES, 2L , BUILT, 110, 110, 12, 12, 0, 0, 0, 0, 0
     4992, 2200, 2200, 605952, 5.6767e+006, 1.07609e+007
     110, 110, 31.9135, 78.0865, 3048.75, 6050, 660, 0, 110, 78.0865
     -110, 110, 12, -12, 31.9135, 31.9135, -78.0865, -78.0865, 130994, 159312
  60, VALUE     , WU2             , CC, 0, 0, 0, 0, 0, 0, YES, 2L , BUILT, 100, 100, 12, 12, 0, 0, 0, 0, 0
     4512, 2000, 2000, 548352, 4.20025e+006, 8.10138e+006
     100, 100, 29.4043, 70.5957, 2491.88, 5000, 600, 0, 100, 70.5957
     -100, 100, 12, -12, 29.4043, 29.4043, -70.5957, -70.5957, 107224, 132672
  61, VALUE     , WU3             , CC, 0, 0, 0, 0, 0, 0, YES, 2L , BUILT, 100, 100, 10, 10, 0, 0, 0, 0, 0
     3800, 1666.67, 1666.67, 320000, 3.60009e+006, 6.72667e+006
     100, 100, 28.6842, 71.3158, 2542.97, 5000, 600, 0, 100, 71.3158
     -100, 100, 10, -10, 28.6842, 28.6842, -71.3158, -71.3158, 90950, 109000
  62, VALUE     , WU4             , CC, 0, 0, 0, 0, 0, 0, YES, 2L , BUILT, 90, 90, 10, 10, 0, 0, 0, 0, 0
     3400, 1500, 1500, 286667, 2.58363e+006, 4.91333e+006
     90, 90, 26.1765, 63.8235, 2036.72, 4050, 540, 0, 90, 63.8235
     -90, 90, 10, -10, 26.1765, 26.1765, -63.8235, -63.8235, 72944.4, 89000
  63, VALUE     , WU5             , CC, 0, 0, 0, 0, 0, 0, YES, 2L , BUILT, 80, 80, 10, 10, 0, 0, 0, 0, 0
     3000, 1333.33, 1333.33, 253333, 1.77967e+006, 3.46e+006
     80, 80, 23.6667, 56.3333, 1586.72, 3200, 480, 0, 80, 56.3333
     -80, 80, 10, -10, 23.6667, 23.6667, -56.3333, -56.3333, 56937.5, 71000
```

64, VALUE , B1 , CT, 0, 0, 0, 0, 0, 0, YES, 2L , BUILT, 125, 125, 12, 12, 0, 0, 0, 0, 0
5712, 2500, 2500, 692352, 8.48574e+006, 1.57552e+007
125, 125, 35.6744, 89.3256, 3989.53, 7812.5, 750, 0, 125, 89.3256
-125, 125, 12, -12, 35.6744, 35.6744, -89.3256, -89.3256, 171145, 203772
65, VALUE , B2 , CT, 0, 0, 0, 0, 0, 0, YES, L , BUILT, 125, 125, 12, 12, 0, 0, 0, 0, 0
2856, 1250, 1250, 137088, 4.24287e+006, 4.24287e+006
89.3256, 35.6744, 35.6744, 89.3256, 3989.53, 3989.53, 500, 0, 35.6744, 89.3256
-35.6744, 89.3256, -23.6744, -35.6744, 35.6744, 35.6744, -89.3256, -89.3256, 85572.5, 85572.5
66, VALUE , B3 , CT, 0, 0, 0, 0, 0, 0, YES, L , BUILT, 90, 90, 12, 12, 0, 0, 0, 0, 0
2016, 900, 900, 96768, 1.5029e+006, 1.5029e+006
63.1071, 26.8929, 26.8929, 63.1071, 1991.26, 1991.26, 360, 0, 26.8929, 63.1071
-26.8929, 63.1071, -14.8929, -26.8929, 26.8929, 26.8929, -63.1071, -63.1071, 42926.4, 42926.4
67, VALUE , WL , CC, 0, 0, 0, 0, 0, 0, YES, L , BUILT, 70, 70, 8, 8, 0, 0, 0, 0, 0
1056, 466.667, 466.667, 22528, 484084, 484084
49.5606, 20.4394, 20.4394, 49.5606, 1228.13, 1228.13, 280, 0, 20.4394, 49.5606
-20.4394, 49.5606, -12.4394, -20.4394, 20.4394, 20.4394, -49.5606, -49.5606, 17601.4, 17601.4
68, DBUSER , WP1 , CC, 0, 0, 0, 0, 0, 0, YES, C , 1, DIN, U140
69, DBUSER , WP2 , CC, 0, 0, 0, 0, 0, 0, YES, C , 1, DIN, U160
70, VALUE , S Sleeper , CC, 0, 0, 0, 0, 0, 0, YES, SB , BUILT, 240, 240, 0, 0, 0, 0, 0, 0, 0
57600, 48000, 48000, 4.6656e+008, 2.7648e+008, 2.7648e+008
120, 120, 120, 120, 7200, 7200, 960, 0, 120, 120
-120, 120, 120, -120, 120, 120, -120, -120, 3.456e+006, 3.456e+006
71, DBUSER , R Rail , CB, 0, 1, 0, 0, 1, -120, YES, 2C , 2, 180, 80, 20, 40, 1500, 0, 0, 0, 0, 0
72, DBUSER , BR - Bearing , CC, 0, 0, 0, 0, 0, 0, YES, SB , 2, 1200, 1200, 0, 0, 0, 0, 0, 0, 0, 0
73, COMBINED , VV , CC, 0, 0, 0, 0, 0, 0, YES, 1CW2, 2, 210, 100, 10, 10, 0, 200, 10, 0, 0
74, DBUSER , ELink1 , CC, 0, 0, 0, 0, 0, 0, YES, SB , 2, 500, 500, 0, 0, 0, 0, 0, 0, 0, 0
75, DBUSER , ELink2 , CC, 0, 0, 0, 0, 0, 0, YES, SB , 2, 400, 400, 0, 0, 0, 0, 0, 0, 0, 0
76, DBUSER , ELink3 , CC, 0, 0, 0, 0, 0, 0, YES, SB , 2, 800, 800, 0, 0, 0, 0, 0, 0, 0, 0
77, DBUSER , ELink4 , CC, 0, 0, 0, 0, 0, 0, YES, SB , 2, 500, 500, 0, 0, 0, 0, 0, 0, 0, 0
78, DBUSER , PA , CC, 0, 0, 0, 0, 0, 0, YES, H , 2, 1100, 1200, 10, 10, 500, 10, 0, 0, 0, 0
79, DBUSER , PA.E , CC, 0, 0, 0, 0, 0, 0, YES, C , 2, 450, 80, 10, 15, 0, 0, 0, 0, 0, 0
80, DBUSER , PA.I , CC, 0, 0, 0, 0, 0, 0, YES, C , 2, 260, 80, 10, 15, 0, 0, 0, 0, 0, 0

*SECT-COLOR
; iSEC, W_R, W_G, W_B, HF_R, HF_G, HF_B, HE_R, HE_G, HE_B, bBLEND, FACT
1, 0, 45, 66, 0, 128, 192, 0, 45, 66, NO, 0.5
2, 3, 0, 108, 163, 160, 255, 3, 0, 108, NO, 0.5
3, 123, 40, 0, 255, 192, 160, 123, 40, 0, NO, 0.5
4, 19, 0, 64, 78, 0, 255, 19, 0, 64, NO, 0.5
5, 70, 70, 70, 210, 210, 210, 70, 70, 70, NO, 0.5
6, 0, 45, 66, 0, 128, 192, 0, 45, 66, NO, 0.5
7, 85, 0, 57, 192, 0, 128, 85, 0, 57, NO, 0.5
8, 85, 32, 0, 192, 72, 0, 85, 32, 0, NO, 0.5
9, 19, 0, 64, 78, 0, 255, 19, 0, 64, NO, 0.5
10, 85, 32, 0, 192, 72, 0, 85, 32, 0, NO, 0.5
11, 106, 67, 0, 255, 192, 87, 106, 67, 0, NO, 0.5
12, 125, 125, 0, 255, 255, 87, 125, 125, 0, NO, 0.5
13, 3, 111, 0, 93, 255, 87, 3, 111, 0, NO, 0.5
14, 70, 70, 0, 192, 255, 0, 70, 70, 0, NO, 0.5
15, 38, 57, 0, 128, 192, 0, 38, 57, 0, NO, 0.5
16, 102, 69, 0, 192, 128, 0, 102, 69, 0, NO, 0.5
17, 0, 13, 13, 0, 128, 128, 0, 13, 13, NO, 0.5
18, 70, 70, 0, 192, 255, 0, 70, 70, 0, NO, 0.5
19, 38, 57, 0, 128, 192, 0, 38, 57, 0, NO, 0.5
20, 159, 0, 40, 255, 87, 128, 159, 0, 40, NO, 0.5
21, 100, 0, 100, 192, 0, 192, 100, 0, 100, NO, 0.5
22, 123, 40, 0, 255, 192, 160, 123, 40, 0, NO, 0.5
23, 0, 40, 125, 160, 192, 255, 0, 40, 125, NO, 0.5
24, 38, 57, 0, 128, 192, 0, 38, 57, 0, NO, 0.5
25, 0, 66, 45, 0, 192, 128, 0, 66, 45, NO, 0.5
26, 70, 70, 0, 192, 255, 0, 70, 70, 0, NO, 0.5
27, 0, 33, 66, 0, 128, 255, 0, 33, 66, NO, 0.5
28, 19, 0, 64, 78, 0, 255, 19, 0, 64, NO, 0.5
29, 0, 45, 66, 0, 128, 192, 0, 45, 66, NO, 0.5
30, 0, 40, 125, 160, 192, 255, 0, 40, 125, NO, 0.5
31, 85, 32, 0, 192, 72, 0, 85, 32, 0, NO, 0.5
32, 0, 100, 100, 160, 255, 255, 0, 100, 100, NO, 0.5
33, 0, 72, 72, 0, 192, 192, 0, 72, 72, NO, 0.5
34, 106, 67, 0, 255, 192, 87, 106, 67, 0, NO, 0.5
35, 89, 0, 162, 212, 160, 255, 89, 0, 162, NO, 0.5
36, 108, 54, 0, 255, 128, 0, 108, 54, 0, NO, 0.5
37, 85, 32, 0, 192, 72, 0, 85, 32, 0, NO, 0.5

38, 123, 40, 0, 255, 192, 160, 123, 40, 0, NO, 0.5
39, 3, 0, 108, 163, 160, 255, 3, 0, 108, NO, 0.5
40, 159, 0, 40, 255, 87, 128, 159, 0, 40, NO, 0.5
41, 3, 111, 0, 93, 255, 87, 3, 111, 0, NO, 0.5
42, 89, 0, 162, 212, 160, 255, 89, 0, 162, NO, 0.5
43, 0, 45, 66, 0, 128, 192, 0, 45, 66, NO, 0.5
44, 100, 0, 100, 192, 0, 192, 100, 0, 100, NO, 0.5
45, 65, 165, 65, 192, 192, 192, 65, 165, 65, NO, 0.5
46, 106, 67, 0, 255, 192, 87, 106, 67, 0, NO, 0.5
47, 65, 165, 65, 192, 192, 192, 65, 165, 65, NO, 0.5
48, 0, 13, 13, 0, 128, 128, 0, 13, 13, NO, 0.5
49, 96, 0, 96, 255, 160, 255, 96, 0, 96, NO, 0.5
50, 38, 57, 0, 128, 192, 0, 38, 57, 0, NO, 0.5
51, 108, 54, 0, 255, 128, 0, 108, 54, 0, NO, 0.5
52, 115, 0, 0, 255, 87, 87, 115, 0, 0, NO, 0.5
53, 89, 0, 162, 212, 160, 255, 89, 0, 162, NO, 0.5
54, 3, 111, 0, 93, 255, 87, 3, 111, 0, NO, 0.5
55, 125, 125, 0, 255, 255, 87, 125, 125, 0, NO, 0.5
56, 70, 70, 70, 210, 210, 210, 70, 70, 70, NO, 0.5
57, 0, 66, 45, 0, 192, 128, 0, 66, 45, NO, 0.5
58, 3, 111, 0, 93, 255, 87, 3, 111, 0, NO, 0.5
59, 0, 43, 19, 0, 128, 57, 0, 43, 19, NO, 0.5
60, 70, 70, 70, 210, 210, 210, 70, 70, 70, NO, 0.5
61, 106, 67, 0, 255, 192, 87, 106, 67, 0, NO, 0.5
62, 38, 57, 0, 128, 192, 0, 38, 57, 0, NO, 0.5
63, 55, 0, 96, 146, 0, 255, 55, 0, 96, NO, 0.5
64, 125, 125, 0, 255, 255, 87, 125, 125, 0, NO, 0.5
65, 70, 70, 0, 192, 255, 0, 70, 70, 0, NO, 0.5
66, 108, 54, 0, 255, 128, 0, 108, 54, 0, NO, 0.5
67, 3, 0, 108, 163, 160, 255, 3, 0, 108, NO, 0.5
68, 96, 0, 96, 255, 160, 255, 96, 0, 96, NO, 0.5
69, 106, 67, 0, 255, 192, 87, 106, 67, 0, NO, 0.5
70, 0, 84, 102, 0, 157, 192, 0, 84, 102, NO, 0.5
71, 0, 66, 45, 0, 192, 128, 0, 66, 45, NO, 0.5
72, 70, 70, 0, 192, 255, 0, 70, 70, 0, NO, 0.5
73, 87, 87, 0, 192, 192, 0, 87, 87, 0, NO, 0.5
74, 65, 65, 65, 255, 255, 255, 65, 65, 65, NO, 0.5
75, 0, 33, 66, 0, 128, 255, 0, 33, 66, NO, 0.5
76, 3, 111, 0, 93, 255, 87, 3, 111, 0, NO, 0.5
77, 55, 0, 96, 146, 0, 255, 55, 0, 96, NO, 0.5
78, 255, 0, 0, 0, 255, 0, 0, 0, 255, NO, 0.5
79, 255, 0, 0, 0, 255, 0, 0, 0, 255, NO, 0.5
80, 255, 0, 0, 0, 255, 0, 0, 0, 255, NO, 0.5

*SECT-SCALE ; Section Stiffness Scale Factor
; iSEC, AREA_SF, ASY_SF, ASZ_SF, IXX_SF, IYY_SF, IZZ_SF, WGT_SF, GROUP, iPart, bDiffIJ ; line 1
; J1, J2, J3, J4, J5, J6, J7 ; line 2 (bDiffIJ=YES)
2, 1, 1, 1, 1, 1, 0.15, 1, U1 - Stiffness, 1, NO
3, 1, 1, 1, 1, 1, 0.15, 1, U4 - Stiffness, 1, NO
4, 1, 1, 1, 1, 1, 0.15, 1, U5 - Stiffness, 1, NO
5, 1, 1, 1, 1, 1, 0.15, 1, U6 - Stiffness, 1, NO
6, 1, 1, 1, 1, 1, 0.15, 1, U7 - Stiffness, 1, NO
13, 1, 1, 1, 1, 0.5, 1, 1, D - Stiffness, 1, NO
14, 1, 1, 1, 1, 0.5, 1, 1, D - Stiffness, 1, NO
15, 1, 1, 1, 1, 0.55, 1, 1, D - Stiffness, 1, NO
16, 1, 1, 1, 1, 0.55, 1, 1, D - Stiffness, 1, NO
17, 1, 1, 1, 1, 0.6, 1, 1, D - Stiffness, 1, NO
18, 1, 1, 1, 1, 0.6, 1, 1, D - Stiffness, 1, NO
19, 1, 1, 1, 1, 0.6, 1, 1, D - Stiffness, 1, NO
20, 1, 1, 1, 1, 0.6, 1, 1, D - Stiffness, 1, NO
21, 1, 1, 1, 1, 0.65, 1, 1, D - Stiffness, 1, NO
22, 1, 1, 1, 1, 0.65, 1, 1, D - Stiffness, 1, NO
25, 1, 1, 1, 1, 0.5, 1, 1, V - Stiffness, 1, NO
27, 1, 1, 1, 1, 0.5, 1, 1, V - Stiffness, 1, NO
29, 1, 1, 1, 1, 0.5, 1, 1, V - Stiffness, 1, NO
31, 1, 1, 1, 1, 0.6, 1, 1, V - Stiffness, 1, NO
33, 1, 1, 1, 1, 0.6, 1, 1, V - Stiffness, 1, NO
35, 1, 1, 1, 1, 0.6, 1, 1, V - Stiffness, 1, NO
51, 1, 1, 1, 1, 0.6, 1, 1, V - Stiffness, 1, NO
53, 1, 1, 1, 1, 0.6, 1, 1, V - Stiffness, 1, NO
71, 0.02, 0.2, 0.2, 1, 1, 0.1, 1, R - Rail, 1, NO

PROJECT TITLE :

MIDAS	Company		Client	
	Author		File Name	H2D_3Dg_v14_180227_StatLM.mct

```
*DGN-SECT
; iSEC, TYPE, SNAME, [OFFSET], bSD, SHAPE, [DATA1], [DATA2]                ; 1st line - DB/USER
; iSEC, TYPE, SNAME, [OFFSET], bSD, SHAPE, BLT, D1, ..., D8, iCEL          ; 1st line - VALUE
;       AREA, ASy, ASz, Ixx, Iyy, Izz                                     ; 2nd line
;       CyP, CyM, CzP, CzM, QyB, QzB, PERI_OUT, PERI_IN, Cy, Cz           ; 3rd line
;       Y1, Y2, Y3, Y4, Z1, Z2, Z3, Z4, Zyy, Zzz                          ; 4th line
; iSEC, TYPE, SNAME, [OFFSET], bSD, SHAPE, ELAST, DEN, POIS, POIC, SF, THERMAL ; 1st line - SRC
;       D1, D2, [SRC]                                                     ; 2nd line
; iSEC, TYPE, SNAME, [OFFSET], bSD, SHAPE, 1, DB, NAME1, NAME2, D1, D2     ; 1st line - COMBINED
; iSEC, TYPE, SNAME, [OFFSET], bSD, SHAPE, 2, D11, D12, D13, D14, D15, D21, D22, D23, D24
; iSEC, TYPE, SNAME, [OFFSET2], bSD, SHAPE, iyVAR, izVAR, STYPE            ; 1st line - TAPERED
;       DB, NAME1, NAME2                                                  ; 2nd line(STYPE=DB)
;       [DIM1], [DIM2]                                                    ; 2nd line(STYPE=USER)
;       D11, D12, D13, D14, D15, D16, D17, D18                            ; 2nd line(STYPE=VALUE)
;       AREA1, ASy1, ASz1, Ixx1, Iyy1, Izz1                               ; 3rd line(STYPE=VALUE)
;       CyP1, CyM1, CzP1, CzM1, QyB1, QzB1, PERI_OUT1, PERI_IN1, Cy1, Cz1 ; 4th line(STYPE=VALUE)
;       Y11, Y12, Y13, Y14, Z11, Z12, Z13, Z14, Zyy1, Zyy2                ; 5th line(STYPE=VALUE)
;       D21, D22, D23, D24, D25, D26, D27, D28                            ; 6th line(STYPE=VALUE)
;       AREA2, ASy2, ASz2, Ixx2, Iyy2, Izz2                               ; 7th line(STYPE=VALUE)
;       CyP2, CyM2, CzP2, CzM2, QyB2, QzB2, PERI_OUT2, PERI_IN2, Cy2, Cz2 ; 8th line(STYPE=VALUE)
;       Y21, Y22, Y23, Y24, Z21, Z22, Z23, Z24, Zyy2, Zzz2                ; 9th line(STYPE=VALUE)
;       OPT1, OPT2, [JOINT]                                               ; 2nd line(STYPE=PSC)
;       ELAST, DEN, POIS, POIC, THERMAL                                   ; 2nd line(STYPE=PSC-CMPW)
;       bSHEARCHK, [SCHK-I], [SCHK-J], [WT-I], [WT-J], WI, WJ, bSYM, bSIDEHOLE ; 3rd line(STYPE=PSC)
;       bSHEARCHK, bSYM, bHUNCH, [CMPWEB-I], [CMPWEB-J]                   ; 3rd line(STYPE=PSC-CMPW)
;       bUSERDEFMESHSIZE, MESHSIZE, bUSERINPSTIFF, [STIFF-I], [STIFF-J]   ; 4th line(STYPE=PSC)
;       [SIZE-A]-i                                                        ; 5th line(STYPE=PSC)
;       [SIZE-B]-i                                                        ; 6th line(STYPE=PSC)
;       [SIZE-C]-i                                                        ; 7th line(STYPE=PSC)
;       [SIZE-D]-i                                                        ; 8th line(STYPE=PSC)
;       [SIZE-A]-j                                                        ; 9th line(STYPE=PSC)
;       [SIZE-B]-j                                                        ; 10th line(STYPE=PSC)
;       [SIZE-C]-j                                                        ; 11th line(STYPE=PSC)
;       [SIZE-D]-j                                                        ; 12th line(STYPE=PSC)
;       GN, CTC, Bc, Tc, Hh, EsEc, DsDc, Ps, Pc, bMULTI, EsEc-L, EsEc-S   ; 2nd line(STYPE=CMP-B/I)
;       SW_i, Hw_i, tw_i, B_i, Bf1_i, tf1_i, B2_i, Bf2_i, tf2_i           ; 3rd line(STYPE=CMP-B/I)
;       SW_j, Hw_j, tw_j, B_j, Bf1_j, tf1_j, B2_j, Bf2_j, tf2_j           ; 4th line(STYPE=CMP-B/I)
;       N1, N2, Hr, Hr2, tr1, tr2                                         ; 5th line(STYPE=CMP-B)
;       GN, CTC, Bc, Tc, Hh, EgdEsb, DgdDsb, Pgd, Psb, bSYM, SW_i, SW_j   ; 2nd line(STYPE=CMP-CI/CT)
;       OPT1, OPT2, [JOINT]                                               ; 3rd line(STYPE=CMP-CI/CT)
;       [SIZE-A]-i                                                        ; 4th line(STYPE=CMP-CI/CT)
;       [SIZE-B]-i                                                        ; 5th line(STYPE=CMP-CI/CT)
;       [SIZE-C]-i                                                        ; 6th line(STYPE=CMP-CI/CT)
;       [SIZE-D]-i                                                        ; 7th line(STYPE=CMP-CI/CT)
;       [SIZE-A]-j                                                        ; 8th line(STYPE=CMP-CI/CT)
;       [SIZE-B]-j                                                        ; 9th line(STYPE=CMP-CI/CT)
;       [SIZE-C]-j                                                        ; 10th line(STYPE=CMP-CI/CT)
;       [SIZE-D]-j                                                        ; 11th line(STYPE=CMP-CI/CT)
; iSEC, TYPE, SNAME, [OFFSET], bSD, STYPE1, STYPE2                        ; 1st line - CONSTRUCT
;       SHAPE, ...(same with other type data from shape)                  ; Before (STYPE1)
;       SHAPE, ...(same with other type data from shape)                  ; After  (STYPE2)
; iSEC, TYPE, SNAME, [OFFSET], bSD, SHAPE                                 ; 1st line - COMPOSITE-SB
;       Hw, tw, B, Bf1, tf1, B2, Bf2, tf2                                 ; 2nd line
;       N1, N2, Hr, Hr2, tr1, tr2                                         ; 3rd line
;       SW, GN, CTC, Bc, Tc, Hh, EsEc, DsDc, Ps, Pc, bMulti, Elong, Esh   ; 4th line
; iSEC, TYPE, SNAME, [OFFSET], bSD, SHAPE                                 ; 1st line - COMPOSITE-SI
;       Hw, tw, B, tf1, B2, tf2                                           ; 2nd line
;       SW, GN, CTC, Bc, Tc, Hh, EsEc, DsDc, Ps, Pc, bMulti, Elong, Esh   ; 3rd line
; iSEC, TYPE, SNAME, [OFFSET], bSD, SHAPE                                 ; 1st line - COMPOSITE-CI/CT
;       OPT1, OPT2, [JOINT]                                               ; 2nd line
;       [SIZE-A]                                                          ; 3rd line
;       [SIZE-B]                                                          ; 4th line
;       [SIZE-C]                                                          ; 5th line
;       [SIZE-D]                                                          ; 6th line
;       SW, GN, CTC, Bc, Tc, Hh, EgdEsb, DgdDsb, Pgd, Psb                 ; 7th line
; iSEC, TYPE, SNAME, [OFFSET], bSD, SHAPE                                 ; 1st line - PSC
;       OPT1, OPT2, [JOINT]                                               ; 2nd line
;       bSHEARCHK, [SCHK], [WT], WIDTH, bSYM, bSIDEHOLE                   ; 3rd line
;       bUSERDEFMESHSIZE, MESHSIZE, bUSERINPSTIFF, [STIFF]                ; 4th line
;       [SIZE-A]                                                          ; 5th line
;       [SIZE-B]                                                          ; 6th line
;       [SIZE-C]                                                          ; 7th line
```

PROJECT TITLE :

MIDAS	Company		Client	
	Author		File Name	H2D_3Dg_v14_180227_StatLM.mct

```
;      [SIZE-D]                                                ; 8th line
; [DATA1] : 1, DB, NAME or 2, D1, D2, D3, D4, D5, D6, D7, D8, D9, D10
; [DATA2] : CCSHAPE or iCEL or iN1, iN2
; [SRC]  : 1, DB, NAME1, NAME2 or 2, D1, D2, D3, D4, D5, D6, D7, D8, D9, D10, iN1, iN2
; [DIM1], [DIM2] : D1, D2, D3, D4, D5, D6, D7, D8
; [OFFSET] : OFFSET, iCENT, iREF, iHORZ, HUSER, iVERT, VUSER
; [OFFSET2]: OFFSET, iCENT, iREF, iHORZ, HUSERI, HUSERJ, iVERT, VUSERI, VUSERJ
; [JOINT]  :  8(1CELL, 2CELL), 13(3CELL),  9(PSCM),  8(PSCH), 9(PSCT),  2(PSCB), 0(nCELL),  2(nCEL2)
; [SIZE-A] :  6(1CELL, 2CELL), 10(3CELL), 10(PSCM),  6(PSCH), 8(PSCT), 10(PSCB), 5(nCELL), 11(nCEL2)
; [SIZE-B] :  6(1CELL, 2CELL), 12(3CELL),  6(PSCM),  6(PSCH), 8(PSCT),  6(PSCB), 8(nCELL), 18(nCEL2)
; [SIZE-C] : 10(1CELL, 2CELL), 13(3CELL),  9(PSCM), 10(PSCH), 7(PSCT),  8(PSCB), 0(nCELL), 11(nCEL2)
; [SIZE-D] :  8(1CELL, 2CELL), 13(3CELL),  6(PSCM),  7(PSCH), 8(PSCT),  5(PSCB), 0(nCELL), 18(nCEL2)
; [STIFF]  : AREA, ASy, ASz, Ixx, Iyy, Izz
; [SCHK]   : bAUTO_Z1, Z1, bAUTO_Z3, Z3
; [WT]     : bAUTO_TOR, TOR, bAUTO_SHR1, SHR1, bAUTO_SHR2, SHR2, bAUTO_SHR3, SHR3
; [CMPWEB] : EFD, LRF, A, B, H, T
   1, DBUSER    , X Link          , CC, 0, 0, 0, 0, 0, 0, YES, SB , 2, 500, 500, 0, 0, 0, 0, 0, 0, 0, 0
  56, DBUSER    , WO.P1           , CC, 0, 0, 0, 0, 0, 0, YES, H  , 2, 640, 300, 14, 20, 0, 0, 0, 0, 0, 0
  57, DBUSER    , WO.P2           , CC, 0, 0, 0, 0, 0, 0, YES, H  , 2, 328, 200, 12, 14, 180, 14, 0, 0, 0, 0
  58, COMBINED  , WO              , CC, 0, 0, 0, 0, 0, 0, YES, 2T2, 2, 90, 90, 8, 8, 10, 90, 90, 8, 8
  59, VALUE     , WU1             , CC, 0, 0, 0, 0, 0, 0, YES, 2L , BUILT, 110, 110, 12, 12, 0, 0, 0, 0, 0
     4992, 2200, 2200, 605952, 5.6767e+006, 1.07609e+007
     110, 110, 31.9135, 78.0865, 3048.75, 6050, 660, 0, 110, 78.0865
     -110, 110, 12, -12, 31.9135, 31.9135, -78.0865, -78.0865, 130994, 159312
  60, VALUE     , WU2             , CC, 0, 0, 0, 0, 0, 0, YES, 2L , BUILT, 100, 100, 12, 12, 0, 0, 0, 0, 0
     4512, 2000, 2000, 548352, 4.20025e+006, 8.10138e+006
     100, 100, 29.4043, 70.5957, 2491.88, 5000, 600, 0, 100, 70.5957
     -100, 100, 12, -12, 29.4043, 29.4043, -70.5957, -70.5957, 107224, 132672
  61, VALUE     , WU3             , CC, 0, 0, 0, 0, 0, 0, YES, 2L , BUILT, 100, 100, 10, 10, 0, 0, 0, 0, 0
     3800, 1666.67, 1666.67, 320000, 3.60009e+006, 6.72667e+006
     100, 100, 28.6842, 71.3158, 2542.97, 5000, 600, 0, 100, 71.3158
     -100, 100, 10, -10, 28.6842, 28.6842, -71.3158, -71.3158, 90950, 109000
  62, VALUE     , WU4             , CC, 0, 0, 0, 0, 0, 0, YES, 2L , BUILT, 90, 90, 10, 10, 0, 0, 0, 0, 0
     3400, 1500, 1500, 286667, 2.58363e+006, 4.91333e+006
     90, 90, 26.1765, 63.8235, 2036.72, 4050, 540, 0, 90, 63.8235
     -90, 90, 10, -10, 26.1765, 26.1765, -63.8235, -63.8235, 72944.4, 89000
  63, VALUE     , WU5             , CC, 0, 0, 0, 0, 0, 0, YES, 2L , BUILT, 80, 80, 10, 10, 0, 0, 0, 0, 0
     3000, 1333.33, 1333.33, 253333, 1.77967e+006, 3.46e+006
     80, 80, 23.6667, 56.3333, 1586.72, 3200, 480, 0, 80, 56.3333
     -80, 80, 10, -10, 23.6667, 23.6667, -56.3333, -56.3333, 56937.5, 71000
  64, VALUE     , B1              , CT, 0, 0, 0, 0, 0, 0, YES, 2L , BUILT, 125, 125, 12, 12, 0, 0, 0, 0, 0
     5712, 2500, 2500, 692352, 8.48574e+006, 1.57552e+007
     125, 125, 35.6744, 89.3256, 3989.53, 7812.5, 750, 0, 125, 89.3256
     -125, 125, 12, -12, 35.6744, 35.6744, -89.3256, -89.3256, 171145, 203772
  65, VALUE     , B2              , CT, 0, 0, 0, 0, 0, 0, YES, L  , BUILT, 125, 125, 12, 12, 0, 0, 0, 0, 0
     2856, 1250, 1250, 137088, 4.24287e+006, 4.24287e+006
     89.3256, 35.6744, 35.6744, 89.3256, 3989.53, 3989.53, 500, 0, 35.6744, 89.3256
     -35.6744, 89.3256, -23.6744, -35.6744, 35.6744, 35.6744, -89.3256, -89.3256, 85572.5, 85572.5
  66, VALUE     , B3              , CT, 0, 0, 0, 0, 0, 0, YES, L  , BUILT, 90, 90, 12, 12, 0, 0, 0, 0, 0
     2016, 900, 900, 96768, 1.5029e+006, 1.5029e+006
     63.1071, 26.8929, 26.8929, 63.1071, 1991.26, 1991.26, 360, 0, 26.8929, 63.1071
     -26.8929, 63.1071, -14.8929, -26.8929, 26.8929, 26.8929, -63.1071, -63.1071, 42926.4, 42926.4
  67, VALUE     , WL              , CC, 0, 0, 0, 0, 0, 0, YES, L  , BUILT, 70, 70, 8, 8, 0, 0, 0, 0, 0
     1056, 466.667, 466.667, 22528, 484084, 484084
     49.5606, 20.4394, 20.4394, 49.5606, 1228.13, 1228.13, 280, 0, 20.4394, 49.5606
     -20.4394, 49.5606, -12.4394, -20.4394, 20.4394, 20.4394, -49.5606, -49.5606, 17601.4, 17601.4
  68, DBUSER    , WP1             , CC, 0, 0, 0, 0, 0, 0, YES, C  , 1, DIN, U140
  69, DBUSER    , WP2             , CC, 0, 0, 0, 0, 0, 0, YES, C  , 1, DIN, U160
  70, VALUE     , S Sleeper       , CC, 0, 0, 0, 0, 0, 0, YES, SB , BUILT, 240, 240, 0, 0, 0, 0, 0, 0, 0
     57600, 48000, 48000, 4.6656e+008, 2.7648e+008, 2.7648e+008
     120, 120, 120, 120, 7200, 7200, 960, 0, 120, 120
     -120, 120, 120, -120, 120, 120, -120, -120, 3.456e+006, 3.456e+006
  71, DBUSER    , R Rail          , CB, 0, 1, 0, 0, 1, -120, YES, 2C , 2, 180, 80, 20, 40, 1500, 0, 0, 0, 0, 0
  72, DBUSER    , BR - Bearing    , CC, 0, 0, 0, 0, 0, 0, YES, SB , 2, 1200, 1200, 0, 0, 0, 0, 0, 0, 0, 0
  73, COMBINED  , VV              , CC, 0, 0, 0, 0, 0, 0, YES, 1CW2, 2, 210, 100, 10, 10, 0, 200, 10, 0, 0
  74, DBUSER    , ELink1          , CC, 0, 0, 0, 0, 0, 0, YES, SB , 2, 500, 500, 0, 0, 0, 0, 0, 0, 0, 0
  75, DBUSER    , ELink2          , CC, 0, 0, 0, 0, 0, 0, YES, SB , 2, 400, 400, 0, 0, 0, 0, 0, 0, 0, 0
  76, DBUSER    , ELink3          , CC, 0, 0, 0, 0, 0, 0, YES, SB , 2, 800, 800, 0, 0, 0, 0, 0, 0, 0, 0
  77, DBUSER    , ELink4          , CC, 0, 0, 0, 0, 0, 0, YES, SB , 2, 500, 500, 0, 0, 0, 0, 0, 0, 0, 0
  78, DBUSER    , PA              , CC, 0, 0, 0, 0, 0, 0, YES, H  , 2, 1100, 1200, 10, 10, 500, 10, 0, 0, 0, 0
  79, DBUSER    , PA.E            , CC, 0, 0, 0, 0, 0, 0, YES, C  , 2, 450, 80, 10, 15, 0, 0, 0, 0, 0, 0
  80, DBUSER    , PA.I            , CC, 0, 0, 0, 0, 0, 0, YES, C  , 2, 260, 80, 10, 15, 0, 0, 0, 0, 0, 0
```

PROJECT TITLE :

MIDAS	Company		Client	
	Author		File Name	H2D_3Dg_v14_180227_StatLM.mct

```
*DGN-SECT-PSCVALUE    ; Design Section of PSC Value
; SECT=iSEC, TYPE, SNAME, [OFFSET], bSD, SHAPE, bBU, bEQ      ; 1st line
;     [STIFF1]                                  ; 2nd line
;     [STIFF2]                                  ; 3rd line
;     [STIFF3]                                  ; 4th line
;     T1, T2, BT, HT                              ; 5th line(PSC)
;     bSHEARCHK, [SCHK], [WT]                          ; 6th line(PSC)
;     SW, GN, CTC, Bc, Tc, Hh, EsEc, DsDc, Ps, Pc           ; 7th line(COMPOSITE-PC)
;     OPOLY=X1, Y1, X2, Y2, ..., Xn, Yn                ; Outer Polygon(PLANE)
;     IPOLY=X1, Y1, X2, Y2, ..., Xn, Yn                ; Inner Polygon(PLANE)
;     ...
;     IPOLY=X1, Y1, X2, Y2, ..., Xn, Yn                ; Inner Polygon(PLANE)
;     VERTEX=X1, Y1, X2, Y2, ..., Xn, Yn                 ; Vertex(General-LINE)
;     LINE=VI1, VJ1, dTHIK1, iALIGN1                     ; Line(General-LINE)
;     ...
;     LINE=VIn, VJn, dTHIKn, iALIGNn                     ; Line(General-LINE)
;     LOOP=COUNT1, LIX11, LIX12, ..., LIXn                ; Line(General-LINE)
;     ...
;     LOOP=COUNTn, LIXn1, LIXn2, ..., LIXnn               ; Line(General-LINE)
; SECT=iSEC, TYPE, SNAME, [OFFSET2], bSD, SHAPE, iyVAR, izVAR, bEQ ; 1st line - TAPERED
;     [STIFF1-I]                                ; 2nd line
;     [STIFF2-I]                                ; 3rd line
;     [STIFF3-I]                                ; 4th line
;     [STIFF1-J]                                 ; 5th line
;     [STIFF2-J]                                 ; 6th line
;     [STIFF3-J]                                 ; 7th line
;     T1-I, T2-I, BT-I, HT-I, T1-J, T2-J, BT-J, HT-J        ; 8th line(PSC)
;     bSHEARCHK, [SCHK-I], [WT-I], [SCHK-J], [WT-J]         ; 9rd line(PSC)
;     OPOLY=bI, X1, Y1, X2, Y2, ..., Xn, Yn               ; Outer Polygon(PLANE)
;     IPOLY=bI, X1, Y1, X2, Y2, ..., Xn, Yn               ; Inner Polygon(PLANE)
;     ...
;     IPOLY=bI, X1, Y1, X2, Y2, ..., Xn, Yn               ; Inner Polygon(PLANE)
;     VERTEX=bI, X1, Y1, X2, Y2, ..., Xn, Yn                ; Vertex(General-LINE)
;     LINE=bI, VI1, VJ1, dTHIK1, iALIGN1                  ; Line(General-LINE)
;     ...
;     LINE=bI, VIn, VJn, dTHIKn, iALIGNn                  ; Line(General-LINE)
;     LOOP=bI, COUNT1, LIX11, LIX12, ..., LIXn              ; Line(General-LINE)
;     ...
;     LOOP=bI, COUNTn, LIXn1, LIXn2, ..., LIXnn             ; Line(General-LINE)
; SECT=iSEC, TYPE, SNAME, [OFFSET], bSD, SHAPE, bBU, bEQ, BPRT ; 1st line - COMPOSITE-GEN
;     [PART1]                                   ; 2nd line
;     [PART2]                                   ; 3rd line
;     ...
; SECT=iSEC, TYPE, SNAME, [OFFSET2], bSD, SHAPE, iyVAR, izVAR, bEQ, PARTNUM ; 1st line - COMPOSITE-GEN(TAPERED)
;     [PART1]-I                                    ; 2nd line
;     [PART2]-I                                    ; next lines
;     ...
;     [PART1]-J                                    ; next lines
;     [PART2]-J                                    ; next lines
;     ...
; [OFFSET] : OFFSET, iCENT, iREF, iHORZ, HUSER, iVERT, VUSER
; [OFFSET2]: OFFSET, iCENT, iREF, iHORZ, HUSERI, HUSERJ, iVERT, VUSERI, VUSERJ
; [STIFF1] : AREA, ASy, ASz, Ixx, Iyy, Izz
; [STIFF2] ; Cyp, Cym, Czp, Czm, Qyb, Qzb, PERI_OUT, PERI_IN, Cy, Cz
; [STIFF3] ; Y1, Y2, Y3, Y4, Z1, Z2, Z3, Z4
; [SCHK]   : Z1, Z3, bAUTO_QY1, QY1, bAUTO_QY2, QY2, bAUTO_QY3, QY3
; [WT]     : TOR, bAUTO_SHR1, SHR1, bAUTO_SHR2, SHR2, bAUTO_SHR3, SHR3
; [PART] : PART=part_num
;       : [STIFF1]
;       : [STIFF2]
;       : [STIFF3]
;       : [STIFF1]                              ; [STIFF1] of Part Sum.
;       : [STIFF2]                              ; [STIFF2] of Part Sum.
;       : [STIFF3]                              ; [STIFF3] of Part Sum.
;       : OPOLY=(bI-Tapered), X1, Y1, X2, Y2, ..., Xn, Yn          ; Outer Polygon(PLANE)
;       : IPOLY=(bI-Tapered), X1, Y1, X2, Y2, ..., Xn, Yn          ; Inner Polygon(PLANE)
;       : ...
;       : IPOLY=(bI-Tapered), X1, Y1, X2, Y2, ..., Xn, Yn          ; Inner Polygon(PLANE)
;       : VERTEX=(bI-Tapered), X1, Y1, X2, Y2, ..., Xn, Yn           ; Vertex(General-LINE)
;       : LINE=(bI-Tapered), VI1, VJ1, dTHIK1, iALIGN1               ; Line(General-LINE)
;       : ...
```

PROJECT TITLE :

MIDAS	Company		Client	
	Author		File Name	H2D_3Dg_v14_180227_StatLM.mct

```
;       : LINE=(bI-Tapered), VIn, VJn, dTHIKn, iALIGNn                    ; Line(General-LINE)
;       : LOOP=(bI-Tapered), COUNT1, LIX11, LIX12, ..., LIXn              ; Line(General-LINE)
;       : ...
;       : LOOP=(bI-Tapered), COUNTn, LIXn1, LIXn2, ..., LIXnn             ; Line(General-LINE)
 SECT=   2, VALUE     , U1              , CT, 0, 1, 0, 0, 1, 410, YES, GEN, YES, NO
     38416, 2044.8, 23741.3, 7.4e+006, 1.209e+009, 1.897e+009
     342, 342, 354.247, 205.753, 62745.5, 0, 0, 0, 342, 205.753
     -220, 220, 342, -342, 354.247, 354.247, -198.753, -198.753
     VERTEX=-220, -205.753, -220, 354.247, 220, -205.753, 220, 354.247, -342, -198.753
          -239, -198.753, -239, -95.7529, -201, -95.7529, -201, -198.753
          -98, -198.753, 98, -198.753, 201, -198.753, 201, -95.7529
          239, -95.7529, 239, -198.753, 342, -198.753
     LINE= 0, 1, 24, 1, 220, 4.05772e-006
     LINE= 2, 3, 24, 1, 220, 4.05772e-006
     LINE= 4, 5, 14, 1, 198.753, 2.36701e-006
     LINE= 5, 6, 14, 1, 239, 2.36701e-006
     LINE= 7, 8, 14, 1, 201, 2.36701e-006
     LINE= 8, 9, 14, 1, 198.753, 2.36701e-006
     LINE= 10, 11, 14, 1, 198.753, 2.36701e-006
     LINE= 11, 12, 14, 1, 201, 2.36701e-006
     LINE= 13, 14, 14, 1, 239, 2.36701e-006
     LINE= 14, 15, 14, 1, 198.753, 2.36701e-006
 SECT=   3, VALUE     , U4              , CT, 0, 1, 0, 0, 1, 410, YES, GEN, YES, NO
     58096, 18110.7, 23485.6, 7.82322e+006, 1.82675e+009, 3.12476e+009
     425, 425, 428.011, 155.989, 91596.7, 0, 0, 0, 425, 149.989
     -220, 220, 425, -425, 428.011, 428.011, -149.989, -149.989
     VERTEX=-220, -131.989, -220, 428.011, 220, -131.989, 220, 428.011, -425, -137.989
          -15, -137.989, -425, -149.989, -15, -149.989, -342, -124.989
          -239, -124.989, -239, -21.9892, -201, -21.9892, -201, -124.989
          -98, -124.989, 15, -137.989, 425, -137.989, 15, -149.989
          425, -149.989, 98, -124.989, 201, -124.989, 201, -21.9892
          239, -21.9892, 239, -124.989, 342, -124.989
     LINE= 0, 1, 24, 1, 220, 3.49891e-006
     LINE= 2, 3, 24, 1, 220, 3.49891e-006
     LINE= 4, 5, 12, 1, 137.989, 1.74945e-006
     LINE= 6, 7, 12, 1, 149.989, 1.74945e-006
     LINE= 8, 9, 14, 1, 124.989, 2.04103e-006
     LINE= 9, 10, 14, 1, 239, 2.04103e-006
     LINE= 11, 12, 14, 1, 201, 2.04103e-006
     LINE= 12, 13, 14, 1, 124.989, 2.04103e-006
     LINE= 14, 15, 12, 1, 137.989, 1.74945e-006
     LINE= 16, 17, 12, 1, 149.989, 1.74945e-006
     LINE= 18, 19, 14, 1, 124.989, 2.04103e-006
     LINE= 19, 20, 14, 1, 201, 2.04103e-006
     LINE= 21, 22, 14, 1, 239, 2.04103e-006
     LINE= 22, 23, 14, 1, 124.989, 2.04103e-006
 SECT=   4, VALUE     , U5              , CT, 0, 1, 0, 0, 1, 410, YES, GEN, YES, NO
     67936, 26515, 23491, 8.29686e+006, 2.04768e+009, 3.73886e+009
     425, 425, 451.474, 144.526, 47038, 0, 0, 0, 425, 138.526
     -220, 220, 425, -425, 451.474, 451.474, -138.526, -138.526
     VERTEX=-220, -108.526, -220, 451.474, 220, -108.526, 220, 451.474, -425, -114.526
          -15, -114.526, -425, -126.526, -15, -126.526, -425, -138.526
          -15, -138.526, -342, -101.526, -239, -101.526, -239, 1.47368
          -201, 1.47368, -201, -101.526, -98, -101.526, 15, -114.526
          425, -114.526, 15, -126.526, 425, -126.526, 15, -138.526
          425, -138.526, 98, -101.526, 201, -101.526, 201, 1.47368
          239, 1.47368, 239, -101.526, 342, -101.526
     LINE= 0, 1, 24, 1, 220, 3.2735e-006
     LINE= 2, 3, 24, 1, 220, 3.2735e-006
     LINE= 4, 5, 12, 1, 114.526, 1.63675e-006
     LINE= 6, 7, 12, 1, 126.526, 1.63675e-006
     LINE= 8, 9, 12, 1, 138.526, 1.63675e-006
     LINE= 10, 11, 14, 1, 101.526, 1.90954e-006
     LINE= 11, 12, 14, 1, 239, 1.90954e-006
     LINE= 13, 14, 14, 1, 201, 1.90954e-006
     LINE= 14, 15, 14, 1, 101.526, 1.90954e-006
     LINE= 16, 17, 12, 1, 114.526, 1.63675e-006
     LINE= 18, 19, 12, 1, 126.526, 1.63675e-006
     LINE= 20, 21, 12, 1, 138.526, 1.63675e-006
     LINE= 22, 23, 14, 1, 101.526, 1.90954e-006
     LINE= 23, 24, 14, 1, 201, 1.90954e-006
     LINE= 25, 26, 14, 1, 239, 1.90954e-006
```

```
    LINE= 26, 27, 14, 1, 101.526, 1.90954e-006
SECT=  5, VALUE    , U6             , CT, 0, 1, 0, 0, 1, 410, YES, GEN, YES, NO
    76956, 34252.4, 23496.6, 8.66258e+006, 2.227e+009, 4.302e+009
    425, 425, 469.058, 137.942, 50870.6, 0, 0, 0, 425, 132.442
    -220, 220, 425, -425, 469.058, 469.058, -132.442, -132.442
    VERTEX=-220, -90.9418, -220, 469.058, 220, -90.9418, 220, 469.058, -425, -96.9418
        -15, -96.9418, -425, -108.942, -15, -108.942, -425, -120.942
        -15, -120.942, -425, -132.442, -15, -132.442, -342, -83.9418
        -239, -83.9418, -239, 19.0582, -201, 19.0582, -201, -83.9418
        -98, -83.9418, 15, -96.9418, 425, -96.9418, 15, -108.942
        425, -108.942, 15, -120.942, 425, -120.942, 15, -132.442
        425, -132.442, 98, -83.9418, 201, -83.9418, 201, 19.0582
        239, 19.0582, 239, -83.9418, 342, -83.9418
    LINE= 0, 1, 24, 1, 220, 3.11874e-006
    LINE= 2, 3, 24, 1, 220, 3.11874e-006
    LINE= 4, 5, 12, 1, 96.9418, 1.55937e-006
    LINE= 6, 7, 12, 1, 108.942, 1.55937e-006
    LINE= 8, 9, 12, 1, 120.942, 1.55937e-006
    LINE= 10, 11, 11, 1, 132.442, 1.42942e-006
    LINE= 12, 13, 14, 1, 83.9418, 1.81927e-006
    LINE= 13, 14, 14, 1, 239, 1.81927e-006
    LINE= 15, 16, 14, 1, 201, 1.81927e-006
    LINE= 16, 17, 14, 1, 83.9418, 1.81927e-006
    LINE= 18, 19, 12, 1, 96.9418, 1.55937e-006
    LINE= 20, 21, 12, 1, 108.942, 1.55937e-006
    LINE= 22, 23, 12, 1, 120.942, 1.55937e-006
    LINE= 24, 25, 11, 1, 132.442, 1.42942e-006
    LINE= 26, 27, 14, 1, 83.9418, 1.81927e-006
    LINE= 27, 28, 14, 1, 201, 1.81927e-006
    LINE= 29, 30, 14, 1, 239, 1.81927e-006
    LINE= 30, 31, 14, 1, 83.9418, 1.81927e-006
SECT=  6, VALUE    , U7             , CT, 0, 1, 0, 0, 1, 410, YES, GEN, YES, NO
    85156, 41312.1, 23499.4, 8.93844e+006, 2.37847e+009, 4.81353e+009
    425, 425, 482.823, 134.177, 54086.5, 0, 0, 0, 425, 129.177
    -220, 220, 425, -425, 482.823, 482.823, -129.177, -129.177
    VERTEX=-220, -77.1773, -220, 482.823, 220, -77.1773, 220, 482.823, -425, -83.1773
        -15, -83.1773, -425, -95.1773, -15, -95.1773, -425, -107.177
        -15, -107.177, -425, -118.677, -15, -118.677, -425, -129.177
        -15, -129.177, -342, -70.1773, -239, -70.1773, -239, 32.8227
        -201, 32.8227, -201, -70.1773, -98, -70.1773, 15, -83.1773
        425, -83.1773, 15, -95.1773, 425, -95.1773, 15, -107.177
        425, -107.177, 15, -118.677, 425, -118.677, 15, -129.177
        425, -129.177, 98, -70.1773, 201, -70.1773, 201, 32.8227
        239, 32.8227, 239, -70.1773, 342, -70.1773
    LINE= 0, 1, 24, 1, 220, 3.01177e-006
    LINE= 2, 3, 24, 1, 220, 3.01177e-006
    LINE= 4, 5, 12, 1, 83.1773, 1.50588e-006
    LINE= 6, 7, 12, 1, 95.1773, 1.50588e-006
    LINE= 8, 9, 12, 1, 107.177, 1.50588e-006
    LINE= 10, 11, 11, 1, 118.677, 1.38039e-006
    LINE= 12, 13, 10, 1, 129.177, 1.2549e-006
    LINE= 14, 15, 14, 1, 70.1773, 1.75686e-006
    LINE= 15, 16, 14, 1, 239, 1.75686e-006
    LINE= 17, 18, 14, 1, 201, 1.75686e-006
    LINE= 18, 19, 14, 1, 70.1773, 1.75686e-006
    LINE= 20, 21, 12, 1, 83.1773, 1.50588e-006
    LINE= 22, 23, 12, 1, 95.1773, 1.50588e-006
    LINE= 24, 25, 12, 1, 107.177, 1.50588e-006
    LINE= 26, 27, 11, 1, 118.677, 1.38039e-006
    LINE= 28, 29, 10, 1, 129.177, 1.2549e-006
    LINE= 30, 31, 14, 1, 70.1773, 1.75686e-006
    LINE= 31, 32, 14, 1, 201, 1.75686e-006
    LINE= 33, 34, 14, 1, 239, 1.75686e-006
    LINE= 34, 35, 14, 1, 70.1773, 1.75686e-006
SECT=  7, VALUE    , O1             , CB, 0, 1, 0, 0, 1, 380, YES, GEN, YES, NO
    47344, 6887.72, 20909.4, 6.72981e+006, 1.4462e+009, 2.40708e+009
    350, 350, 188.526, 301.474, 77734.8, 517940, 0, 0, 350, 301.474
    -350, 350, 342, -342, 183.526, 183.526, -294.474, -294.474
    VERTEX=220, -301.474, 220, 178.526, -220, -301.474, -220, 178.526, -342, -294.474
        -239, -294.474, -239, -191.474, 342, -294.474, 239, -294.474
        239, -191.474, -350, 183.526, 350, 183.526, -342, 171.526
        -239, 171.526, -239, 68.5261, -201, 68.5261, -201, 171.526
```

-98, 171.526, 98, 171.526, 201, 171.526, 201, 68.5261
239, 68.5261, 239, 171.526, 342, 171.526
LINE= 0, 1, 24, 1, 220, 4.14684e-006
LINE= 2, 3, 24, 1, 220, 4.14684e-006
LINE= 4, 5, 14, 1, 294.474, 2.41899e-006
LINE= 5, 6, 14, 1, 239, 2.41899e-006
LINE= 7, 8, 14, 1, 294.474, 2.41899e-006
LINE= 8, 9, 14, 1, 239, 2.41899e-006
LINE= 10, 11, 10, 1, 183.526, 1.72785e-006
LINE= 12, 13, 14, 1, 171.526, 2.41899e-006
LINE= 13, 14, 14, 1, 239, 2.41899e-006
LINE= 15, 16, 14, 1, 201, 2.41899e-006
LINE= 16, 17, 14, 1, 171.526, 2.41899e-006
LINE= 18, 19, 14, 1, 171.526, 2.41899e-006
LINE= 19, 20, 14, 1, 201, 2.41899e-006
LINE= 21, 22, 14, 1, 239, 2.41899e-006
LINE= 22, 23, 14, 1, 171.526, 2.41899e-006
SECT= 8, VALUE , O2 , CB, 0, 1, 0, 0, 1, 380, YES, GEN, YES, NO
61344, 18930.6, 20917.3, 7.2022e+006, 1.87252e+009, 2.97874e+009
350, 350, 163.218, 346.782, 97864.7, 213480, 0, 0, 350, 346.782
-350, 350, 342, -342, 158.218, 158.218, -339.782, -339.782
VERTEX=220, -346.782, 220, 133.218, -220, -346.782, -220, 133.218, -342, -339.782
-239, -339.782, -239, -236.782, 342, -339.782, 239, -339.782
239, -236.782, -350, 158.218, 350, 158.218, -350, 148.218
350, 148.218, -350, 138.218, 350, 138.218, -342, 126.218
-239, 126.218, -239, 23.2183, -201, 23.2183, -201, 126.218
-98, 126.218, 98, 126.218, 201, 126.218, 201, 23.2183
239, 23.2183, 239, 126.218, 342, 126.218
LINE= 0, 1, 24, 1, 220, 3.83742e-006
LINE= 2, 3, 24, 1, 220, 3.83742e-006
LINE= 4, 5, 14, 1, 339.782, 2.23849e-006
LINE= 5, 6, 14, 1, 239, 2.23849e-006
LINE= 7, 8, 14, 1, 339.782, 2.23849e-006
LINE= 8, 9, 14, 1, 239, 2.23849e-006
LINE= 10, 11, 10, 1, 158.218, 1.59892e-006
LINE= 12, 13, 10, 1, 148.218, 1.59892e-006
LINE= 14, 15, 10, 1, 138.218, 1.59892e-006
LINE= 16, 17, 14, 1, 126.218, 2.23849e-006
LINE= 17, 18, 14, 1, 239, 2.23849e-006
LINE= 19, 20, 14, 1, 201, 2.23849e-006
LINE= 20, 21, 14, 1, 126.218, 2.23849e-006
LINE= 22, 23, 14, 1, 126.218, 2.23849e-006
LINE= 23, 24, 14, 1, 201, 2.23849e-006
LINE= 25, 26, 14, 1, 239, 2.23849e-006
LINE= 26, 27, 14, 1, 126.218, 2.23849e-006
SECT= 9, VALUE , O3 , CB, 0, 1, 0, 0, 1, 380, YES, GEN, YES, NO
68344, 24937.4, 20921.4, 7.44057e+006, 2.05037e+009, 3.26458e+009
350, 350, 155.989, 364.011, 106059, 175422, 0, 0, 350, 364.011
-350, 350, 342, -342, 150.989, 150.989, -357.011, -357.011
VERTEX=220, -364.011, 220, 115.989, -220, -364.011, -220, 115.989, -342, -357.011
-239, -357.011, -239, -254.011, 342, -357.011, 239, -357.011
239, -254.011, -350, 150.989, 350, 150.989, -350, 140.989
350, 140.989, -350, 130.989, 350, 130.989, -350, 120.989
350, 120.989, -342, 108.989, -239, 108.989, -239, 5.98885
-201, 5.98885, -201, 108.989, -98, 108.989, 98, 108.989
201, 108.989, 201, 5.98885, 239, 5.98885, 239, 108.989
342, 108.989
LINE= 0, 1, 24, 1, 220, 3.6994e-006
LINE= 2, 3, 24, 1, 220, 3.6994e-006
LINE= 4, 5, 14, 1, 357.011, 2.15798e-006
LINE= 5, 6, 14, 1, 239, 2.15798e-006
LINE= 7, 8, 14, 1, 357.011, 2.15798e-006
LINE= 8, 9, 14, 1, 239, 2.15798e-006
LINE= 10, 11, 10, 1, 150.989, 1.54142e-006
LINE= 12, 13, 10, 1, 140.989, 1.54142e-006
LINE= 14, 15, 10, 1, 130.989, 1.54142e-006
LINE= 16, 17, 10, 1, 120.989, 1.54142e-006
LINE= 18, 19, 14, 1, 108.989, 2.15798e-006
LINE= 19, 20, 14, 1, 239, 2.15798e-006
LINE= 21, 22, 14, 1, 201, 2.15798e-006
LINE= 22, 23, 14, 1, 108.989, 2.15798e-006
LINE= 24, 25, 14, 1, 108.989, 2.15798e-006

LINE= 25, 26, 14, 1, 201, 2.15798e-006
LINE= 27, 28, 14, 1, 239, 2.15798e-006
LINE= 28, 29, 14, 1, 108.989, 2.15798e-006
SECT= 10, VALUE , O3Z , CB, 0, 1, 0, 0, 1, 380, YES, GEN, YES, NO
75344, 30934.9, 20925.5, 7.68128e+006, 2.21499e+009, 3.55041e+009
350, 350, 151.032, 378.968, 52365.9, 152588, 0, 0, 350, 378.968
-350, 350, 342, -342, 146.032, 146.032, -371.968, -371.968
VERTEX=220, -378.968, 220, 101.032, -220, -378.968, -220, 101.032, -342, -371.968
-239, -371.968, -239, -268.968, 342, -371.968, 239, -371.968
239, -268.968, -350, 146.032, 350, 146.032, -350, 136.032
350, 136.032, -350, 126.032, 350, 126.032, -350, 116.032
350, 116.032, -350, 106.032, 350, 106.032, -342, 94.0318
-239, 94.0318, -239, -8.96817, -201, -8.96817, -201, 94.0318
-98, 94.0318, 98, 94.0318, 201, 94.0318, 201, -8.96817
239, -8.96817, 239, 94.0318, 342, 94.0318
LINE= 0, 1, 24, 1, 220, 3.57096e-006
LINE= 2, 3, 24, 1, 220, 3.57096e-006
LINE= 4, 5, 14, 1, 371.968, 2.08306e-006
LINE= 5, 6, 14, 1, 239, 2.08306e-006
LINE= 7, 8, 14, 1, 371.968, 2.08306e-006
LINE= 8, 9, 14, 1, 239, 2.08306e-006
LINE= 10, 11, 10, 1, 146.032, 1.4879e-006
LINE= 12, 13, 10, 1, 136.032, 1.4879e-006
LINE= 14, 15, 10, 1, 126.032, 1.4879e-006
LINE= 16, 17, 10, 1, 116.032, 1.4879e-006
LINE= 18, 19, 10, 1, 106.032, 1.4879e-006
LINE= 20, 21, 14, 1, 94.0318, 2.08306e-006
LINE= 21, 22, 14, 1, 239, 2.08306e-006
LINE= 23, 24, 14, 1, 201, 2.08306e-006
LINE= 24, 25, 14, 1, 94.0318, 2.08306e-006
LINE= 26, 27, 14, 1, 94.0318, 2.08306e-006
LINE= 27, 28, 14, 1, 201, 2.08306e-006
LINE= 29, 30, 14, 1, 239, 2.08306e-006
LINE= 30, 31, 14, 1, 94.0318, 2.08306e-006
SECT= 11, VALUE , O4 , CB, 0, 1, 0, 0, 1, 380, YES, GEN, YES, NO
82344, 36924.8, 20929.1, 7.92493e+006, 2.37099e+009, 3.83624e+009
350, 350, 147.768, 392.232, 55573.6, 137365, 0, 0, 350, 392.232
-350, 350, 342, -342, 142.768, 142.768, -385.232, -385.232
VERTEX=220, -392.232, 220, 87.7677, -220, -392.232, -220, 87.7677, -342, -385.232
-239, -385.232, -239, -282.232, 342, -385.232, 239, -385.232
239, -282.232, -350, 142.768, 350, 142.768, -350, 132.768
350, 132.768, -350, 122.768, 350, 122.768, -350, 112.768
350, 112.768, -350, 102.768, 350, 102.768, -350, 92.7677
350, 92.7677, -342, 80.7677, -239, 80.7677, -239, -22.2323
-201, -22.2323, -201, 80.7677, -98, 80.7677, 98, 80.7677
201, 80.7677, 201, -22.2323, 239, -22.2323, 239, 80.7677
342, 80.7677
LINE= 0, 1, 24, 1, 220, 3.45115e-006
LINE= 2, 3, 24, 1, 220, 3.45115e-006
LINE= 4, 5, 14, 1, 385.232, 2.01317e-006
LINE= 5, 6, 14, 1, 239, 2.01317e-006
LINE= 7, 8, 14, 1, 385.232, 2.01317e-006
LINE= 8, 9, 14, 1, 239, 2.01317e-006
LINE= 10, 11, 10, 1, 142.768, 1.43798e-006
LINE= 12, 13, 10, 1, 132.768, 1.43798e-006
LINE= 14, 15, 10, 1, 122.768, 1.43798e-006
LINE= 16, 17, 10, 1, 112.768, 1.43798e-006
LINE= 18, 19, 10, 1, 102.768, 1.43798e-006
LINE= 20, 21, 10, 1, 92.7677, 1.43798e-006
LINE= 22, 23, 14, 1, 80.7677, 2.01317e-006
LINE= 23, 24, 14, 1, 239, 2.01317e-006
LINE= 25, 26, 14, 1, 201, 2.01317e-006
LINE= 26, 27, 14, 1, 80.7677, 2.01317e-006
LINE= 28, 29, 14, 1, 80.7677, 2.01317e-006
LINE= 29, 30, 14, 1, 201, 2.01317e-006
LINE= 31, 32, 14, 1, 239, 2.01317e-006
LINE= 32, 33, 14, 1, 80.7677, 2.01317e-006
SECT= 12, VALUE , O6 , CB, 0, 1, 0, 0, 1, 380, YES, GEN, YES, NO
89344, 42908.4, 20933.4, 8.17211e+006, 2.52161e+009, 4.12208e+009
350, 350, 145.799, 404.201, 58619.2, 126491, 0, 0, 350, 404.201
-350, 350, 342, -342, 140.799, 140.799, -397.201, -397.201
VERTEX=220, -404.201, 220, 75.7985, -220, -404.201, -220, 75.7985, -342, -397.201

-239, -397.201, -239, -294.201, 342, -397.201, 239, -397.201
239, -294.201, -350, 140.799, 350, 140.799, -350, 130.799
350, 130.799, -350, 120.799, 350, 120.799, -350, 110.799
350, 110.799, -350, 100.799, 350, 100.799, -350, 90.7985
350, 90.7985, -350, 80.7985, 350, 80.7985, -342, 68.7985
-239, 68.7985, -239, -34.2015, -201, -34.2015, -201, 68.7985
-98, 68.7985, 98, 68.7985, 201, 68.7985, 201, -34.2015
239, -34.2015, 239, 68.7985, 342, 68.7985
LINE= 0, 1, 24, 1, 220, 3.33911e-006
LINE= 2, 3, 24, 1, 220, 3.33911e-006
LINE= 4, 5, 14, 1, 397.201, 1.94781e-006
LINE= 5, 6, 14, 1, 239, 1.94781e-006
LINE= 7, 8, 14, 1, 397.201, 1.94781e-006
LINE= 8, 9, 14, 1, 239, 1.94781e-006
LINE= 10, 11, 10, 1, 140.799, 1.3913e-006
LINE= 12, 13, 10, 1, 130.799, 1.3913e-006
LINE= 14, 15, 10, 1, 120.799, 1.3913e-006
LINE= 16, 17, 10, 1, 110.799, 1.3913e-006
LINE= 18, 19, 10, 1, 100.799, 1.3913e-006
LINE= 20, 21, 10, 1, 90.7985, 1.3913e-006
LINE= 22, 23, 10, 1, 80.7985, 1.3913e-006
LINE= 24, 25, 14, 1, 68.7985, 1.94781e-006
LINE= 25, 26, 14, 1, 239, 1.94781e-006
LINE= 27, 28, 14, 1, 201, 1.94781e-006
LINE= 28, 29, 14, 1, 68.7985, 1.94781e-006
LINE= 30, 31, 14, 1, 68.7985, 1.94781e-006
LINE= 31, 32, 14, 1, 201, 1.94781e-006
LINE= 33, 34, 14, 1, 239, 1.94781e-006
LINE= 34, 35, 14, 1, 68.7985, 1.94781e-006
SECT= 13, VALUE , D1 , CC, 0, 0, 0, 0, 0, 0, YES, GEN, YES, NO
31032, 17815.4, 1602.82, 2.12561e+006, 1.54255e+009, 2.32368e+008
180, 180, 326, 326, 0, 18857.3, 0, 0, 180, 326
-180, 180, 180, -180, 239, 239, -239, -239
VERTEX=-180, 239, 180, 239, -180, 201, 180, 201, -84, 250.5, -8.5, 250.5, -8.5, 326
8.5, 326, 8.5, 250.5, 84, 250.5, -84, 189.5, -8.5, 189.5
-8.5, 114, 8.5, 114, 8.5, 189.5, 84, 189.5, -180, -239, 180, -239
-180, -201, 180, -201, -84, -250.5, -8.5, -250.5, -8.5, -326
8.5, -326, 8.5, -250.5, 84, -250.5, -84, -189.5, -8.5, -189.5
-8.5, -114, 8.5, -114, 8.5, -189.5, 84, -189.5
LINE= 0, 1, 14, 1, 239, 8.69207e-006
LINE= 2, 3, 14, 1, 201, 8.69207e-006
LINE= 4, 5, 9, 1, 250.5, 5.58776e-006
LINE= 5, 6, 9, 1, 8.5, 5.58776e-006
LINE= 7, 8, 9, 1, 8.5, 5.58776e-006
LINE= 8, 9, 9, 1, 250.5, 5.58776e-006
LINE= 10, 11, 9, 1, 189.5, 5.58776e-006
LINE= 11, 12, 9, 1, 8.5, 5.58776e-006
LINE= 13, 14, 9, 1, 8.5, 5.58776e-006
LINE= 14, 15, 9, 1, 189.5, 5.58776e-006
LINE= 16, 17, 14, 1, 239, 8.69207e-006
LINE= 18, 19, 14, 1, 201, 8.69207e-006
LINE= 20, 21, 9, 1, 250.5, 5.58776e-006
LINE= 21, 22, 9, 1, 8.5, 5.58776e-006
LINE= 23, 24, 9, 1, 8.5, 5.58776e-006
LINE= 24, 25, 9, 1, 250.5, 5.58776e-006
LINE= 26, 27, 9, 1, 189.5, 5.58776e-006
LINE= 27, 28, 9, 1, 8.5, 5.58776e-006
LINE= 29, 30, 9, 1, 8.5, 5.58776e-006
LINE= 30, 31, 9, 1, 189.5, 5.58776e-006
SECT= 14, VALUE , D2 , CC, 0, 0, 0, 0, 0, 0, YES, GEN, YES, NO
33272, 19825.5, 1616.32, 2.45762e+006, 1.65181e+009, 3.13306e+008
200, 200, 326, 326, 0, 22657.3, 0, 0, 200, 326
-200, 200, 200, -200, 239, 239, -239, -239
VERTEX=-200, 239, 200, 239, -200, 201, 200, 201, -84, 250.5, -8.5, 250.5, -8.5, 326
8.5, 326, 8.5, 250.5, 84, 250.5, -84, 189.5, -8.5, 189.5
-8.5, 114, 8.5, 114, 8.5, 189.5, 84, 189.5, -200, -239, 200, -239
-200, -201, 200, -201, -84, -250.5, -8.5, -250.5, -8.5, -326
8.5, -326, 8.5, -250.5, 84, -250.5, -84, -189.5, -8.5, -189.5
-8.5, -114, 8.5, -114, 8.5, -189.5, 84, -189.5
LINE= 0, 1, 14, 1, 239, 7.96808e-006
LINE= 2, 3, 14, 1, 201, 7.96808e-006
LINE= 4, 5, 9, 1, 250.5, 5.12234e-006

LINE= 5, 6, 9, 1, 8.5, 5.12234e-006
LINE= 7, 8, 9, 1, 8.5, 5.12234e-006
LINE= 8, 9, 9, 1, 250.5, 5.12234e-006
LINE= 10, 11, 9, 1, 189.5, 5.12234e-006
LINE= 11, 12, 9, 1, 8.5, 5.12234e-006
LINE= 13, 14, 9, 1, 8.5, 5.12234e-006
LINE= 14, 15, 9, 1, 189.5, 5.12234e-006
LINE= 16, 17, 14, 1, 239, 7.96808e-006
LINE= 18, 19, 14, 1, 201, 7.96808e-006
LINE= 20, 21, 9, 1, 250.5, 5.12234e-006
LINE= 21, 22, 9, 1, 8.5, 5.12234e-006
LINE= 23, 24, 9, 1, 8.5, 5.12234e-006
LINE= 24, 25, 9, 1, 250.5, 5.12234e-006
LINE= 26, 27, 9, 1, 189.5, 5.12234e-006
LINE= 27, 28, 9, 1, 8.5, 5.12234e-006
LINE= 29, 30, 9, 1, 8.5, 5.12234e-006
LINE= 30, 31, 9, 1, 189.5, 5.12234e-006
SECT= 15, VALUE , D3 , CC, 0, 0, 0, 0, 0, 0, YES, GEN, YES, NO
27192, 14743.4, 1557.25, 1.45937e+006, 1.37651e+009, 1.71856e+008
170, 170, 326, 326, 0, 17550.2, 0, 0, 170, 326
-170, 170, 170, -170, 240, 240, -240, -240
VERTEX=-170, 240, 170, 240, -170, 204, 170, 204, -84, 193.5, -8.5, 193.5, -8.5, 118
8.5, 118, 8.5, 193.5, 84, 193.5, -84, 250.5, -8.5, 250.5
-8.5, 326, 8.5, 326, 8.5, 250.5, 84, 250.5, -170, -240, 170, -240
-170, -204, 170, -204, -84, -193.5, -8.5, -193.5, -8.5, -118
8.5, -118, 8.5, -193.5, 84, -193.5, -84, -250.5, -8.5, -250.5
-8.5, -326, 8.5, -326, 8.5, -250.5, 84, -250.5
LINE= 0, 1, 12, 1, 240, 1.11431e-005
LINE= 2, 3, 12, 1, 204, 1.11431e-005
LINE= 4, 5, 9, 1, 193.5, 8.35729e-006
LINE= 5, 6, 9, 1, 8.5, 8.35729e-006
LINE= 7, 8, 9, 1, 8.5, 8.35729e-006
LINE= 8, 9, 9, 1, 193.5, 8.35729e-006
LINE= 10, 11, 9, 1, 250.5, 8.35729e-006
LINE= 11, 12, 9, 1, 8.5, 8.35729e-006
LINE= 13, 14, 9, 1, 8.5, 8.35729e-006
LINE= 14, 15, 9, 1, 250.5, 8.35729e-006
LINE= 16, 17, 12, 1, 240, 1.11431e-005
LINE= 18, 19, 12, 1, 204, 1.11431e-005
LINE= 20, 21, 9, 1, 193.5, 8.35729e-006
LINE= 21, 22, 9, 1, 8.5, 8.35729e-006
LINE= 23, 24, 9, 1, 8.5, 8.35729e-006
LINE= 24, 25, 9, 1, 193.5, 8.35729e-006
LINE= 26, 27, 9, 1, 250.5, 8.35729e-006
LINE= 27, 28, 9, 1, 8.5, 8.35729e-006
LINE= 29, 30, 9, 1, 8.5, 8.35729e-006
LINE= 30, 31, 9, 1, 250.5, 8.35729e-006
SECT= 16, VALUE , D4 , CC, 0, 0, 0, 0, 0, 0, YES, GEN, YES, NO
22528, 11881.5, 1601.51, 906216, 1.13965e+009, 1.22197e+008
160, 160, 324, 324, 0, 16083.2, 0, 0, 160, 324
-160, 160, 160, -160, 239, 239, -239, -239
VERTEX=-160, 239, 160, 239, -160, 205, 160, 205, -84, 248, -8, 248, -8, 324, 8, 324
8, 248, 84, 248, -84, 196, -8, 196, -8, 120, 8, 120, 8, 196
84, 196, -160, -239, 160, -239, -160, -205, 160, -205, -84, -248
-8, -248, -8, -324, 8, -324, 8, -248, 84, -248, -84, -196
-8, -196, -8, -120, 8, -120, 8, -196, 84, -196
LINE= 0, 1, 10, 1, 239, 1.5768e-005
LINE= 2, 3, 10, 1, 205, 1.5768e-005
LINE= 4, 5, 8, 1, 248, 1.26144e-005
LINE= 5, 6, 8, 1, 8, 1.26144e-005
LINE= 7, 8, 8, 1, 8, 1.26144e-005
LINE= 8, 9, 8, 1, 248, 1.26144e-005
LINE= 10, 11, 8, 1, 196, 1.26144e-005
LINE= 11, 12, 8, 1, 8, 1.26144e-005
LINE= 13, 14, 8, 1, 8, 1.26144e-005
LINE= 14, 15, 8, 1, 196, 1.26144e-005
LINE= 16, 17, 10, 1, 239, 1.5768e-005
LINE= 18, 19, 10, 1, 205, 1.5768e-005
LINE= 20, 21, 8, 1, 248, 1.26144e-005
LINE= 21, 22, 8, 1, 8, 1.26144e-005
LINE= 23, 24, 8, 1, 8, 1.26144e-005
LINE= 24, 25, 8, 1, 248, 1.26144e-005

```
    LINE= 26, 27, 8, 1, 196, 1.26144e-005
    LINE= 27, 28, 8, 1, 8, 1.26144e-005
    LINE= 29, 30, 8, 1, 8, 1.26144e-005
    LINE= 30, 31, 8, 1, 196, 1.26144e-005
SECT=  17, VALUE     , D5              , CC, 0, 0, 0, 0, 0, 0, YES, GEN, YES, NO
    19968, 6724.81, 2329.79, 1.03881e+006, 1.02187e+009, 7.78665e+007
    134, 134, 324, 324, 0, 0, 0, 0, 134, 324
    -134, 134, 134, -134, 240, 240, -240, -240
    VERTEX=-134, 240, -10, 240, 10, 324, 10, 240, -10, 324, 134, 240, -134, 204, -10, 204
        -10, 120, 10, 120, 10, 204, 134, 204, -134, -240, -10, -240
        10, -324, 10, -240, -10, -324, 134, -240, -134, -204, -10, -204
        -10, -120, 10, -120, 10, -204, 134, -204
    LINE= 0, 1, 12, 1, 240, 1.252e-005
    LINE= 2, 3, 12, 1, 10, 1.252e-005
    LINE= 1, 4, 12, 1, 10, 1.252e-005
    LINE= 3, 5, 12, 1, 240, 1.252e-005
    LINE= 6, 7, 12, 1, 204, 1.252e-005
    LINE= 7, 8, 12, 1, 10, 1.252e-005
    LINE= 9, 10, 12, 1, 10, 1.252e-005
    LINE= 10, 11, 12, 1, 204, 1.252e-005
    LINE= 12, 13, 12, 1, 240, 1.252e-005
    LINE= 14, 15, 12, 1, 10, 1.252e-005
    LINE= 13, 16, 12, 1, 10, 1.252e-005
    LINE= 15, 17, 12, 1, 240, 1.252e-005
    LINE= 18, 19, 12, 1, 204, 1.252e-005
    LINE= 19, 20, 12, 1, 10, 1.252e-005
    LINE= 21, 22, 12, 1, 10, 1.252e-005
    LINE= 22, 23, 12, 1, 204, 1.252e-005
SECT=  18, VALUE     , D6              , CC, 0, 0, 0, 0, 0, 0, YES, GEN, YES, NO
    16632, 5445.54, 1537.76, 731684, 8.45563e+008, 5.65603e+007
    124, 124, 314, 314, 0, 0, 0, 0, 124, 314
    -124, 124, 124, -124, 239.5, 239.5, -239.5, -239.5
    VERTEX=-124, 239.5, -9.5, 239.5, -9.5, 314, 9.5, 314, 9.5, 239.5, 124, 239.5
        -124, 204.5, -9.5, 204.5, -9.5, 130, 9.5, 130, 9.5, 204.5
        124, 204.5, -124, -239.5, -9.5, -239.5, -9.5, -314, 9.5, -314
        9.5, -239.5, 124, -239.5, -124, -204.5, -9.5, -204.5, -9.5, -130
        9.5, -130, 9.5, -204.5, 124, -204.5
    LINE= 0, 1, 11, 1, 239.5, 1.63977e-005
    LINE= 1, 2, 11, 1, 9.5, 1.63977e-005
    LINE= 3, 4, 11, 1, 9.5, 1.63977e-005
    LINE= 4, 5, 11, 1, 239.5, 1.63977e-005
    LINE= 6, 7, 11, 1, 204.5, 1.63977e-005
    LINE= 7, 8, 11, 1, 9.5, 1.63977e-005
    LINE= 9, 10, 11, 1, 9.5, 1.63977e-005
    LINE= 10, 11, 11, 1, 204.5, 1.63977e-005
    LINE= 12, 13, 11, 1, 239.5, 1.63977e-005
    LINE= 13, 14, 11, 1, 9.5, 1.63977e-005
    LINE= 15, 16, 11, 1, 9.5, 1.63977e-005
    LINE= 16, 17, 11, 1, 239.5, 1.63977e-005
    LINE= 18, 19, 11, 1, 204.5, 1.63977e-005
    LINE= 19, 20, 11, 1, 9.5, 1.63977e-005
    LINE= 21, 22, 11, 1, 9.5, 1.63977e-005
    LINE= 22, 23, 11, 1, 204.5, 1.63977e-005
SECT=  19, VALUE     , D7              , CC, 0, 0, 0, 0, 0, 0, YES, GEN, YES, NO
    13600, 2943.22, 1588.97, 487023, 6.93156e+008, 3.05129e+007
    104, 104, 314, 314, 0, 0, 0, 0, 104, 314
    -104, 104, 104, -104, 239, 239, -239, -239
    VERTEX=-104, 239, -9, 239, -9, 314, 9, 314, 9, 239, 104, 239, -104, 205, -9, 205
        -9, 130, 9, 130, 9, 205, 104, 205, -104, -239, -9, -239, -9, -314
        9, -314, 9, -239, 104, -239, -104, -205, -9, -205, -9, -130
        9, -130, 9, -205, 104, -205
    LINE= 0, 1, 10, 1, 239, 2.20588e-005
    LINE= 1, 2, 10, 1, 9, 2.20588e-005
    LINE= 3, 4, 10, 1, 9, 2.20588e-005
    LINE= 4, 5, 10, 1, 239, 2.20588e-005
    LINE= 6, 7, 10, 1, 205, 2.20588e-005
    LINE= 7, 8, 10, 1, 9, 2.20588e-005
    LINE= 9, 10, 10, 1, 9, 2.20588e-005
    LINE= 10, 11, 10, 1, 205, 2.20588e-005
    LINE= 12, 13, 10, 1, 239, 2.20588e-005
    LINE= 13, 14, 10, 1, 9, 2.20588e-005
    LINE= 15, 16, 10, 1, 9, 2.20588e-005
```

```
    LINE= 16, 17, 10, 1, 239, 2.20588e-005
    LINE= 18, 19, 10, 1, 205, 2.20588e-005
    LINE= 19, 20, 10, 1, 9, 2.20588e-005
    LINE= 21, 22, 10, 1, 9, 2.20588e-005
    LINE= 22, 23, 10, 1, 205, 2.20588e-005
SECT=  20, VALUE     , D8              , CC, 0, 0, 0, 0, 0, 0, YES, GEN, YES, NO
    17368, 3703.48, 1369.61, 1.02033e+006, 8.86205e+008, 3.99056e+007
    104, 104, 314, 314, 0, 0, 0, 0, 104, 314
    -104, 104, 104, -104, 240.5, 240.5, -240.5, -240.5
    VERTEX=-104, 240.5, -10.5, 240.5, -10.5, 314, 10.5, 314, 10.5, 240.5, 104, 240.5
        104, 203.5, 10.5, 203.5, -104, 203.5, -10.5, 203.5, -10.5, 130
        10.5, 130, -104, -240.5, -10.5, -240.5, -10.5, -314, 10.5, -314
        10.5, -240.5, 104, -240.5, 104, -203.5, 10.5, -203.5
        -104, -203.5, -10.5, -203.5, -10.5, -130, 10.5, -130
    LINE= 0, 1, 13, 1, 240.5, 1.3287e-005
    LINE= 1, 2, 13, 1, 10.5, 1.3287e-005
    LINE= 3, 4, 13, 1, 10.5, 1.3287e-005
    LINE= 4, 5, 13, 1, 240.5, 1.3287e-005
    LINE= 6, 7, 13, 1, 203.5, 1.3287e-005
    LINE= 8, 9, 13, 1, 203.5, 1.3287e-005
    LINE= 9, 10, 13, 1, 10.5, 1.3287e-005
    LINE= 7, 11, 13, 1, 10.5, 1.3287e-005
    LINE= 12, 13, 13, 1, 240.5, 1.3287e-005
    LINE= 13, 14, 13, 1, 10.5, 1.3287e-005
    LINE= 15, 16, 13, 1, 10.5, 1.3287e-005
    LINE= 16, 17, 13, 1, 240.5, 1.3287e-005
    LINE= 18, 19, 13, 1, 203.5, 1.3287e-005
    LINE= 20, 21, 13, 1, 203.5, 1.3287e-005
    LINE= 21, 22, 13, 1, 10.5, 1.3287e-005
    LINE= 19, 23, 13, 1, 10.5, 1.3287e-005
SECT=  21, VALUE     , D9              , CC, 0, 0, 0, 0, 0, 0, YES, GEN, YES, NO
    6800, 1568.86, 1568.72, 250231, 2.98634e+008, 1.13685e+007
    94, 94, 234, 234, 0, 0, 0, 0, 94, 229
    -94, 94, 94, -94, 229, 229, -229, -229
    VERTEX=-94, 229, -9, 229, -9, 144, 9, 144, 9, 229, 94, 229, -94, -229, -9, -229
        -9, -144, 9, -144, 9, -229, 94, -229
    LINE= 0, 1, 10, 1, 229, 4.41176e-005
    LINE= 1, 2, 10, 1, 9, 4.41176e-005
    LINE= 3, 4, 10, 1, 9, 4.41176e-005
    LINE= 4, 5, 10, 1, 229, 4.41176e-005
    LINE= 6, 7, 10, 1, 229, 4.41176e-005
    LINE= 7, 8, 10, 1, 9, 4.41176e-005
    LINE= 9, 10, 10, 1, 9, 4.41176e-005
    LINE= 10, 11, 10, 1, 229, 4.41176e-005
SECT=  22, VALUE     , D10             , CC, 0, 0, 0, 0, 0, 0, YES, GEN, YES, NO
    4864, 1049.32, 1049.22, 117408, 2.1949e+008, 6.48533e+006
    84, 84, 234, 234, 0, 0, 0, 0, 84, 230
    -84, 84, 84, -84, 230, 230, -230, -230
    VERTEX=-84, 230, -8, 230, -8, 154, 8, 154, 8, 230, 84, 230, -84, -230, -8, -230
        -8, -154, 8, -154, 8, -230, 84, -230
    LINE= 0, 1, 8, 1, 230, 7.7097e-005
    LINE= 1, 2, 8, 1, 8, 7.7097e-005
    LINE= 3, 4, 8, 1, 8, 7.7097e-005
    LINE= 4, 5, 8, 1, 230, 7.7097e-005
    LINE= 6, 7, 8, 1, 230, 7.7097e-005
    LINE= 7, 8, 8, 1, 8, 7.7097e-005
    LINE= 9, 10, 8, 1, 8, 7.7097e-005
    LINE= 10, 11, 8, 1, 230, 7.7097e-005
SECT=  23, VALUE     , V0              , CC, 0, 0, 0, 0, 0, 0, YES, GEN, YES, NO
    64896, 26539.1, 6781.73, 9.11625e+006, 3.28697e+009, 1.87142e+009
    300, 300, 346, 346, 0, 94914, 0, 0, 300, 346
    -206, 206, 206, -206, 346, 346, -346, -346
    VERTEX=-300, 220, 300, 220, -300, 252, -206, 252, -206, 346, -106.5, 252, -12.5, 252
        -12.5, 346, 106.5, 252, 12.5, 252, 12.5, 346, 300, 252, 206, 252
        206, 346, 300, 188, 206, 188, 206, 94, 106.5, 188, 12.5, 188
        12.5, 94, -12.5, 188, -12.5, 94, -106.5, 188, -300, 188
        -206, 188, -206, 94, -300, -220, 300, -220, -300, -252
        -206, -252, -206, -346, -106.5, -252, -12.5, -252, -12.5, -346
        106.5, -252, 12.5, -252, 12.5, -346, 300, -252, 206, -252
        206, -346, 300, -188, 206, -188, 206, -94, 106.5, -188
        12.5, -188, 12.5, -94, -12.5, -188, -12.5, -94, -106.5, -188
        -300, -188, -206, -188, -206, -94
```

LINE= 0, 1, 24, 1, 220, 3.30478e-006
LINE= 2, 3, 12, 1, 252, 1.65239e-006
LINE= 3, 4, 12, 1, 206, 1.65239e-006
LINE= 5, 6, 12, 1, 252, 1.65239e-006
LINE= 6, 7, 12, 1, 12.5, 1.65239e-006
LINE= 8, 9, 12, 1, 252, 1.65239e-006
LINE= 9, 10, 12, 1, 12.5, 1.65239e-006
LINE= 11, 12, 12, 1, 252, 1.65239e-006
LINE= 12, 13, 12, 1, 206, 1.65239e-006
LINE= 14, 15, 12, 1, 188, 1.65239e-006
LINE= 15, 16, 12, 1, 206, 1.65239e-006
LINE= 17, 18, 12, 1, 188, 1.65239e-006
LINE= 18, 19, 12, 1, 12.5, 1.65239e-006
LINE= 20, 21, 12, 1, 12.5, 1.65239e-006
LINE= 20, 22, 12, 1, 188, 1.65239e-006
LINE= 23, 24, 12, 1, 188, 1.65239e-006
LINE= 24, 25, 12, 1, 206, 1.65239e-006
LINE= 26, 27, 24, 1, 220, 3.30478e-006
LINE= 28, 29, 12, 1, 252, 1.65239e-006
LINE= 29, 30, 12, 1, 206, 1.65239e-006
LINE= 31, 32, 12, 1, 252, 1.65239e-006
LINE= 32, 33, 12, 1, 12.5, 1.65239e-006
LINE= 34, 35, 12, 1, 252, 1.65239e-006
LINE= 35, 36, 12, 1, 12.5, 1.65239e-006
LINE= 37, 38, 12, 1, 252, 1.65239e-006
LINE= 38, 39, 12, 1, 206, 1.65239e-006
LINE= 40, 41, 12, 1, 188, 1.65239e-006
LINE= 41, 42, 12, 1, 206, 1.65239e-006
LINE= 43, 44, 12, 1, 188, 1.65239e-006
LINE= 44, 45, 12, 1, 12.5, 1.65239e-006
LINE= 46, 47, 12, 1, 12.5, 1.65239e-006
LINE= 46, 48, 12, 1, 188, 1.65239e-006
LINE= 49, 50, 12, 1, 188, 1.65239e-006
LINE= 50, 51, 12, 1, 206, 1.65239e-006
SECT= 24, VALUE , V0Z , LC, 0, 1, 1, 300, 0, 0, YES, GEN, YES, NO
72792, 26542.8, 11238.7, 9.49694e+006, 3.38e+009, 1.98229e+009
308.099, 291.901, 346, 346, 357603, 101247, 0, 0, 291.901, 346
-197.901, 214.099, 214.099, -197.901, 346, 346, -346, -346
VERTEX=-291.901, 220, 308.099, 220, -291.901, 252, -197.901, 252, -197.901, 346
-98.4006, 252, -4.40065, 252, -4.40065, 346, 114.599, 252
20.5994, 252, 20.5994, 346, 308.099, 252, 214.099, 252
214.099, 346, 308.099, 188, 214.099, 188, 214.099, 94
114.599, 188, 20.5994, 188, 20.5994, 94, -4.40065, 188
-4.40065, 94, -98.4006, 188, -291.901, 188, -197.901, 188
-197.901, 94, -291.901, -220, 308.099, -220, -291.901, -252
-197.901, -252, -197.901, -346, -98.4006, -252, -4.40065, -252
-4.40065, -346, 114.599, -252, 20.5994, -252, 20.5994, -346
308.099, -252, 214.099, -252, 214.099, -346, 308.099, -188
214.099, -188, 214.099, -94, 114.599, -188, 20.5994, -188
20.5994, -94, -4.40065, -188, -4.40065, -94, -98.4006, -188
-291.901, -188, -197.901, -188, -197.901, -94, 8.09935, -188
8.09935, 188, -187.901, -188, -187.901, 188
LINE= 0, 1, 24, 1, 220, 3.15717e-006
LINE= 2, 3, 12, 1, 252, 1.57859e-006
LINE= 3, 4, 12, 1, 197.901, 1.57859e-006
LINE= 5, 6, 12, 1, 252, 1.57859e-006
LINE= 6, 7, 12, 1, 4.40065, 1.57859e-006
LINE= 8, 9, 12, 1, 252, 1.57859e-006
LINE= 9, 10, 12, 1, 20.5994, 1.57859e-006
LINE= 11, 12, 12, 1, 252, 1.57859e-006
LINE= 12, 13, 12, 1, 214.099, 1.57859e-006
LINE= 14, 15, 12, 1, 188, 1.57859e-006
LINE= 15, 16, 12, 1, 214.099, 1.57859e-006
LINE= 17, 18, 12, 1, 188, 1.57859e-006
LINE= 18, 19, 12, 1, 20.5994, 1.57859e-006
LINE= 20, 21, 12, 1, 4.40065, 1.57859e-006
LINE= 20, 22, 12, 1, 188, 1.57859e-006
LINE= 23, 24, 12, 1, 188, 1.57859e-006
LINE= 24, 25, 12, 1, 197.901, 1.57859e-006
LINE= 26, 27, 24, 1, 220, 3.15717e-006
LINE= 28, 29, 12, 1, 252, 1.57859e-006
LINE= 29, 30, 12, 1, 197.901, 1.57859e-006

LINE= 31, 32, 12, 1, 252, 1.57859e-006
LINE= 32, 33, 12, 1, 4.40065, 1.57859e-006
LINE= 34, 35, 12, 1, 252, 1.57859e-006
LINE= 35, 36, 12, 1, 20.5994, 1.57859e-006
LINE= 37, 38, 12, 1, 252, 1.57859e-006
LINE= 38, 39, 12, 1, 214.099, 1.57859e-006
LINE= 40, 41, 12, 1, 188, 1.57859e-006
LINE= 41, 42, 12, 1, 214.099, 1.57859e-006
LINE= 43, 44, 12, 1, 188, 1.57859e-006
LINE= 44, 45, 12, 1, 20.5994, 1.57859e-006
LINE= 46, 47, 12, 1, 4.40065, 1.57859e-006
LINE= 46, 48, 12, 1, 188, 1.57859e-006
LINE= 49, 50, 12, 1, 188, 1.57859e-006
LINE= 50, 51, 12, 1, 197.901, 1.57859e-006
LINE= 52, 53, 13, 1, 8.09935, 1.71014e-006
LINE= 54, 55, 8, 1, 187.901, 1.05239e-006
SECT= 25, VALUE , V1 , CC, 0, 0, 0, 0, 0, 0, YES, GEN, YES, NO
26432, 8668.79, 3038.11, 1.85158e+006, 1.37035e+009, 1.45077e+008
156.5, 156.5, 346, 346, 0, 0, 0, 0, 156.5, 346
-156.5, 156.5, 156.5, -156.5, 253, 253, -253, -253
VERTEX=-156.5, 253, -13.5, 253, -13.5, 346, 13.5, 253, 13.5, 346, 156.5, 253
-156.5, 187, -13.5, 187, -13.5, 94, 13.5, 187, 13.5, 94
156.5, 187, -156.5, -253, -13.5, -253, -13.5, -346, 13.5, -253
13.5, -346, 156.5, -253, -156.5, -187, -13.5, -187, -13.5, -94
13.5, -187, 13.5, -94, 156.5, -187
LINE= 0, 1, 14, 1, 253, 8.10706e-006
LINE= 1, 2, 14, 1, 13.5, 8.10706e-006
LINE= 3, 4, 14, 1, 13.5, 8.10706e-006
LINE= 3, 5, 14, 1, 253, 8.10706e-006
LINE= 6, 7, 14, 1, 187, 8.10706e-006
LINE= 7, 8, 14, 1, 13.5, 8.10706e-006
LINE= 9, 10, 14, 1, 13.5, 8.10706e-006
LINE= 9, 11, 14, 1, 187, 8.10706e-006
LINE= 12, 13, 14, 1, 253, 8.10706e-006
LINE= 13, 14, 14, 1, 13.5, 8.10706e-006
LINE= 15, 16, 14, 1, 13.5, 8.10706e-006
LINE= 15, 17, 14, 1, 253, 8.10706e-006
LINE= 18, 19, 14, 1, 187, 8.10706e-006
LINE= 19, 20, 14, 1, 13.5, 8.10706e-006
LINE= 21, 22, 14, 1, 13.5, 8.10706e-006
LINE= 21, 23, 14, 1, 187, 8.10706e-006
SECT= 26, VALUE , V1Z , CC, 0, 0, 0, 0, 0, 0, YES, GEN, YES, NO
31294, 8683.74, 6577.03, 2.12557e+006, 1.42702e+009, 1.45145e+008
156.5, 156.5, 346, 346, 241140, 0, 0, 0, 156.5, 346
-156.5, 156.5, 156.5, -156.5, 253, 253, -253, -253
VERTEX=-156.5, 253, -13.5, 253, -13.5, 346, 13.5, 253, 13.5, 346, 156.5, 253
-156.5, 187, -13.5, 187, -13.5, 94, 13.5, 187, 13.5, 94
156.5, 187, -156.5, -253, -13.5, -253, -13.5, -346, 13.5, -253
13.5, -346, 156.5, -253, -156.5, -187, -13.5, -187, -13.5, -94
13.5, -187, 13.5, -94, 156.5, -187, -1.77636e-012, -187
-1.77636e-012, 187
LINE= 0, 1, 14, 1, 253, 6.99726e-006
LINE= 1, 2, 14, 1, 13.5, 6.99726e-006
LINE= 3, 4, 14, 1, 13.5, 6.99726e-006
LINE= 3, 5, 14, 1, 253, 6.99726e-006
LINE= 6, 7, 14, 1, 187, 6.99726e-006
LINE= 7, 8, 14, 1, 13.5, 6.99726e-006
LINE= 9, 10, 14, 1, 13.5, 6.99726e-006
LINE= 9, 11, 14, 1, 187, 6.99726e-006
LINE= 12, 13, 14, 1, 253, 6.99726e-006
LINE= 13, 14, 14, 1, 13.5, 6.99726e-006
LINE= 15, 16, 14, 1, 13.5, 6.99726e-006
LINE= 15, 17, 14, 1, 253, 6.99726e-006
LINE= 18, 19, 14, 1, 187, 6.99726e-006
LINE= 19, 20, 14, 1, 13.5, 6.99726e-006
LINE= 21, 22, 14, 1, 13.5, 6.99726e-006
LINE= 21, 23, 14, 1, 187, 6.99726e-006
LINE= 24, 25, 13, 1, 1.77636e-012, 6.49746e-006
SECT= 27, VALUE , V2 , CC, 0, 0, 0, 0, 0, 0, YES, GEN, YES, NO
23072, 6727.02, 2051.49, 1.59393e+006, 1.20474e+009, 9.67041e+007
136.5, 136.5, 336, 336, 0, 0, 0, 0, 136.5, 336
-136.5, 136.5, 136.5, -136.5, 253, 253, -253, -253

PROJECT TITLE :

MIDAS	Company		Client	
	Author		File Name	H2D_3Dg_v14_180227_StatLM.mct

```
    VERTEX=-13.5, 253, -136.5, 253, -13.5, 336, 13.5, 336, 13.5, 253, 136.5, 253
        13.5, 191, 136.5, 191, 13.5, 108, -13.5, 108, -13.5, 191
        -136.5, 191, -13.5, -253, -136.5, -253, -13.5, -336, 13.5, -336
        13.5, -253, 136.5, -253, 13.5, -191, 136.5, -191, 13.5, -108
        -13.5, -108, -13.5, -191, -136.5, -191
    LINE= 0, 1, 14, 1, 253, 9.2877e-006
    LINE= 0, 2, 14, 1, 13.5, 9.2877e-006
    LINE= 3, 4, 14, 1, 13.5, 9.2877e-006
    LINE= 4, 5, 14, 1, 253, 9.2877e-006
    LINE= 6, 7, 14, 1, 191, 9.2877e-006
    LINE= 6, 8, 14, 1, 13.5, 9.2877e-006
    LINE= 9, 10, 14, 1, 13.5, 9.2877e-006
    LINE= 10, 11, 14, 1, 191, 9.2877e-006
    LINE= 12, 13, 14, 1, 253, 9.2877e-006
    LINE= 12, 14, 14, 1, 13.5, 9.2877e-006
    LINE= 15, 16, 14, 1, 13.5, 9.2877e-006
    LINE= 16, 17, 14, 1, 253, 9.2877e-006
    LINE= 18, 19, 14, 1, 191, 9.2877e-006
    LINE= 18, 20, 14, 1, 13.5, 9.2877e-006
    LINE= 21, 22, 14, 1, 13.5, 9.2877e-006
    LINE= 22, 23, 14, 1, 191, 9.2877e-006
SECT=  28, VALUE    , V2Z             , CC, 0, 0, 0, 0, 0, 0, YES, GEN, YES, NO
    28038, 6745.38, 5857.03, 1.87379e+006, 1.26513e+009, 9.67741e+007
    136.5, 136.5, 336, 336, 215240, 0, 0, 0, 136.5, 336
    -136.5, 136.5, 136.5, -136.5, 253, 253, -253, -253
    VERTEX=-13.5, 253, -136.5, 253, -13.5, 336, 13.5, 336, 13.5, 253, 136.5, 253
        13.5, 191, 136.5, 191, 13.5, 108, -13.5, 108, -13.5, 191
        -136.5, 191, -13.5, -253, -136.5, -253, -13.5, -336, 13.5, -336
        13.5, -253, 136.5, -253, 13.5, -191, 136.5, -191, 13.5, -108
        -13.5, -108, -13.5, -191, -136.5, -191, 0, -191, 0, 191
    LINE= 0, 1, 14, 1, 253, 7.83382e-006
    LINE= 0, 2, 14, 1, 13.5, 7.83382e-006
    LINE= 3, 4, 14, 1, 13.5, 7.83382e-006
    LINE= 4, 5, 14, 1, 253, 7.83382e-006
    LINE= 6, 7, 14, 1, 191, 7.83382e-006
    LINE= 6, 8, 14, 1, 13.5, 7.83382e-006
    LINE= 9, 10, 14, 1, 13.5, 7.83382e-006
    LINE= 10, 11, 14, 1, 191, 7.83382e-006
    LINE= 12, 13, 14, 1, 253, 7.83382e-006
    LINE= 12, 14, 14, 1, 13.5, 7.83382e-006
    LINE= 15, 16, 14, 1, 13.5, 7.83382e-006
    LINE= 16, 17, 14, 1, 253, 7.83382e-006
    LINE= 18, 19, 14, 1, 191, 7.83382e-006
    LINE= 18, 20, 14, 1, 13.5, 7.83382e-006
    LINE= 21, 22, 14, 1, 13.5, 7.83382e-006
    LINE= 22, 23, 14, 1, 191, 7.83382e-006
    LINE= 24, 25, 13, 1, 0, 7.27427e-006
SECT=  29, VALUE    , V3              , CC, 0, 0, 0, 0, 0, 0, YES, GEN, YES, NO
    18392, 6263.2, 2215.84, 813142, 9.71834e+008, 7.56986e+007
    136.5, 136.5, 336, 336, 0, 0, 0, 0, 136.5, 336
    -136.5, 136.5, 136.5, -136.5, 251.5, 251.5, -251.5, -251.5
    VERTEX=12, 251.5, 136.5, 251.5, 12, 336, -12, 336, -12, 251.5, -136.5, 251.5
        -12, 196.5, -136.5, 196.5, -12, 112, 12, 112, 12, 196.5
        136.5, 196.5, 12, -251.5, 136.5, -251.5, 12, -336, -12, -336
        -12, -251.5, -136.5, -251.5, -12, -196.5, -136.5, -196.5
        -12, -112, 12, -112, 12, -196.5, 136.5, -196.5
    LINE= 0, 1, 11, 1, 251.5, 1.48286e-005
    LINE= 0, 2, 11, 1, 12, 1.48286e-005
    LINE= 3, 4, 11, 1, 12, 1.48286e-005
    LINE= 4, 5, 11, 1, 251.5, 1.48286e-005
    LINE= 6, 7, 11, 1, 196.5, 1.48286e-005
    LINE= 6, 8, 11, 1, 12, 1.48286e-005
    LINE= 9, 10, 11, 1, 12, 1.48286e-005
    LINE= 10, 11, 11, 1, 196.5, 1.48286e-005
    LINE= 12, 13, 11, 1, 251.5, 1.48286e-005
    LINE= 12, 14, 11, 1, 12, 1.48286e-005
    LINE= 15, 16, 11, 1, 12, 1.48286e-005
    LINE= 16, 17, 11, 1, 251.5, 1.48286e-005
    LINE= 18, 19, 11, 1, 196.5, 1.48286e-005
    LINE= 18, 20, 11, 1, 12, 1.48286e-005
    LINE= 21, 22, 11, 1, 12, 1.48286e-005
    LINE= 22, 23, 11, 1, 196.5, 1.48286e-005
```

PROJECT TITLE :

MIDAS	Company		Client	
	Author		File Name	H2D_3Dg_v14_180227_StatLM.mct

```
SECT=  30, VALUE    , V3Z             , CC, 0, 0, 0, 0, 0, 0, YES, GEN, YES, NO
    23501, 6284.66, 5772.25, 1.10107e+006, 1.03759e+009, 7.57706e+007
    136.5, 136.5, 336, 336, 177760, 0, 0, 0, 136.5, 336
    -136.5, 136.5, 136.5, -136.5, 251.5, 251.5, -251.5, -251.5
    VERTEX=12, 251.5, 136.5, 251.5, 12, 336, -12, 336, -12, 251.5, -136.5, 251.5
        -12, 196.5, -136.5, 196.5, -12, 112, 12, 112, 12, 196.5
        136.5, 196.5, 12, -251.5, 136.5, -251.5, 12, -336, -12, -336
        -12, -251.5, -136.5, -251.5, -12, -196.5, -136.5, -196.5
        -12, -112, 12, -112, 12, -196.5, 136.5, -196.5
        -1.77636e-012, -196.5, -1.77636e-012, 196.5
    LINE= 0, 1, 11, 1, 251.5, 1.06836e-005
    LINE= 0, 2, 11, 1, 12, 1.06836e-005
    LINE= 3, 4, 11, 1, 12, 1.06836e-005
    LINE= 4, 5, 11, 1, 251.5, 1.06836e-005
    LINE= 6, 7, 11, 1, 196.5, 1.06836e-005
    LINE= 6, 8, 11, 1, 12, 1.06836e-005
    LINE= 9, 10, 11, 1, 12, 1.06836e-005
    LINE= 10, 11, 11, 1, 196.5, 1.06836e-005
    LINE= 12, 13, 11, 1, 251.5, 1.06836e-005
    LINE= 12, 14, 11, 1, 12, 1.06836e-005
    LINE= 15, 16, 11, 1, 12, 1.06836e-005
    LINE= 16, 17, 11, 1, 251.5, 1.06836e-005
    LINE= 18, 19, 11, 1, 196.5, 1.06836e-005
    LINE= 18, 20, 11, 1, 12, 1.06836e-005
    LINE= 21, 22, 11, 1, 12, 1.06836e-005
    LINE= 22, 23, 11, 1, 196.5, 1.06836e-005
    LINE= 24, 25, 13, 1, 1.77636e-012, 1.2626e-005
SECT=  31, VALUE    , V4              , CC, 0, 0, 0, 0, 0, 0, YES, GEN, YES, NO
    13216, 4334.42, 1519.14, 946506, 9.83627e+008, 7.25383e+007
    156.5, 156.5, 346, 346, 0, 0, 0, 0, 156.5, 346
    -156.5, 156.5, 156.5, -156.5, 253, 253, -253, -253
    VERTEX=156.5, 253, 13.5, 253, -156.5, 253, -13.5, 253, -13.5, 346, 13.5, 346
        156.5, -253, 13.5, -253, -156.5, -253, -13.5, -253, -13.5, -346
        13.5, -346
    LINE= 0, 1, 14, 1, 253, 1.62141e-005
    LINE= 2, 3, 14, 1, 253, 1.62141e-005
    LINE= 3, 4, 14, 1, 13.5, 1.62141e-005
    LINE= 1, 5, 14, 1, 13.5, 1.62141e-005
    LINE= 6, 7, 14, 1, 253, 1.62141e-005
    LINE= 8, 9, 14, 1, 253, 1.62141e-005
    LINE= 9, 10, 14, 1, 13.5, 1.62141e-005
    LINE= 7, 11, 14, 1, 13.5, 1.62141e-005
SECT=  32, VALUE    , V4Z             , CC, 0, 0, 0, 0, 0, 0, YES, GEN, YES, NO
    22212, 4362.14, 8255.53, 1.4539e+006, 1.34262e+009, 7.2665e+007
    156.5, 156.5, 346, 346, 197774, 0, 0, 0, 156.5, 346
    -156.5, 156.5, 156.5, -156.5, 253, 253, -253, -253
    VERTEX=156.5, 253, 13.5, 253, -156.5, 253, -13.5, 253, -13.5, 346, 13.5, 346
        156.5, -253, 13.5, -253, -156.5, -253, -13.5, -253, -13.5, -346
        13.5, -346, -1.77636e-012, -346, -1.77636e-012, 346
    LINE= 0, 1, 14, 1, 253, 1.02173e-005
    LINE= 2, 3, 14, 1, 253, 1.02173e-005
    LINE= 3, 4, 14, 1, 13.5, 1.02173e-005
    LINE= 1, 5, 14, 1, 13.5, 1.02173e-005
    LINE= 6, 7, 14, 1, 253, 1.02173e-005
    LINE= 8, 9, 14, 1, 253, 1.02173e-005
    LINE= 9, 10, 14, 1, 13.5, 1.02173e-005
    LINE= 7, 11, 14, 1, 13.5, 1.02173e-005
    LINE= 12, 13, 13, 1, 1.77636e-012, 9.48753e-006
SECT=  33, VALUE    , V5              , CC, 0, 0, 0, 0, 0, 0, YES, GEN, YES, NO
    11536, 3363.43, 1025.59, 810585, 8.46797e+008, 4.83521e+007
    136.5, 136.5, 336, 336, 0, 0, 0, 0, 136.5, 336
    -136.5, 136.5, 136.5, -136.5, 253, 253, -253, -253
    VERTEX=13.5, 253, 136.5, 253, -13.5, 253, -136.5, 253, -13.5, 336, 13.5, 336
        13.5, -253, 136.5, -253, -13.5, -253, -136.5, -253, -13.5, -336
        13.5, -336
    LINE= 0, 1, 14, 1, 253, 1.85754e-005
    LINE= 2, 3, 14, 1, 253, 1.85754e-005
    LINE= 2, 4, 14, 1, 13.5, 1.85754e-005
    LINE= 0, 5, 14, 1, 13.5, 1.85754e-005
    LINE= 6, 7, 14, 1, 253, 1.85754e-005
    LINE= 8, 9, 14, 1, 253, 1.85754e-005
    LINE= 8, 10, 14, 1, 13.5, 1.85754e-005
```

```
    LINE= 6, 11, 14, 1, 13.5, 1.85754e-005
SECT=  34, VALUE    , V5Z             , CC, 0, 0, 0, 0, 0, 0, YES, GEN, YES, NO
    20272, 3395.78, 7914.61, 1.30332e+006, 1.17555e+009, 4.84751e+007
    136.5, 136.5, 336, 336, 176121, 0, 0, 0, 136.5, 336
    -136.5, 136.5, 136.5, -136.5, 253, 253, -253, -253
    VERTEX=13.5, 253, 136.5, 253, -13.5, 253, -136.5, 253, -13.5, 336, 13.5, 336
        13.5, -253, 136.5, -253, -13.5, -253, -136.5, -253, -13.5, -336
        13.5, -336, -1.77636e-012, -336, -1.77636e-012, 336
    LINE= 0, 1, 14, 1, 253, 1.12376e-005
    LINE= 2, 3, 14, 1, 253, 1.12376e-005
    LINE= 2, 4, 14, 1, 13.5, 1.12376e-005
    LINE= 0, 5, 14, 1, 13.5, 1.12376e-005
    LINE= 6, 7, 14, 1, 253, 1.12376e-005
    LINE= 8, 9, 14, 1, 253, 1.12376e-005
    LINE= 8, 10, 14, 1, 13.5, 1.12376e-005
    LINE= 6, 11, 14, 1, 13.5, 1.12376e-005
    LINE= 12, 13, 13, 1, 1.77636e-012, 1.0435e-005
SECT=  35, VALUE    , V6              , CC, 0, 0, 0, 0, 0, 0, YES, GEN, YES, NO
    9024, 2643.34, 674.637, 473330, 6.45847e+008, 3.29549e+007
    126.5, 126.5, 326, 326, 0, 0, 0, 0, 126.5, 326
    -126.5, 126.5, 126.5, -126.5, 252, 252, -252, -252
    VERTEX=126.5, 252, 12.5, 252, -126.5, 252, -12.5, 252, -12.5, 326, 12.5, 326
        126.5, -252, 12.5, -252, -126.5, -252, -12.5, -252, -12.5, -326
        12.5, -326
    LINE= 0, 1, 12, 1, 252, 2.77039e-005
    LINE= 2, 3, 12, 1, 252, 2.77039e-005
    LINE= 3, 4, 12, 1, 12.5, 2.77039e-005
    LINE= 1, 5, 12, 1, 12.5, 2.77039e-005
    LINE= 6, 7, 12, 1, 252, 2.77039e-005
    LINE= 8, 9, 12, 1, 252, 2.77039e-005
    LINE= 9, 10, 12, 1, 12.5, 2.77039e-005
    LINE= 7, 11, 12, 1, 12.5, 2.77039e-005
SECT=  36, VALUE    , P0              , CC, 0, 0, 0, 0, 0, 0, YES, GEN, YES, NO
    32154, 8012.05, 11886.9, 2.20643e+006, 5.86637e+009, 1.35209e+008
    200, 200, 525, 525, 492419, 30461.3, 0, 0, 200, 520
    -200, 200, 200, -200, 520, 520, -520, -520
    VERTEX=-13, 508.5, -13, 405, 13, 508.5, 13, 405, -116.5, 508.5, 116.5, 508.5
        -200, 520, 200, 520, -4.16334e-014, -515, -4.16334e-014, 515
        -200, -520, 200, -520, -116.5, -508.5, -13, -508.5, -13, -405
        13, -508.5, 13, -405, 116.5, -508.5
    LINE= 0, 1, 13, 1, 13, 7.98849e-006
    LINE= 2, 3, 13, 1, 13, 7.98849e-006
    LINE= 0, 4, 13, 1, 508.5, 7.98849e-006
    LINE= 2, 5, 13, 1, 508.5, 7.98849e-006
    LINE= 6, 7, 10, 1, 520, 6.14499e-006
    LINE= 8, 9, 13, 1, 4.16334e-014, 7.98849e-006
    LINE= 10, 11, 10, 1, 520, 6.14499e-006
    LINE= 12, 13, 13, 1, 508.5, 7.98849e-006
    LINE= 13, 14, 13, 1, 13, 7.98849e-006
    LINE= 15, 16, 13, 1, 13, 7.98849e-006
    LINE= 15, 17, 13, 1, 508.5, 7.98849e-006
SECT=  37, VALUE    , P0Z             , CC, 0, 0, 0, 0, 0, 0, YES, GEN, YES, NO
    40154, 14772.8, 11886.5, 2.97499e+006, 8.11363e+009, 2.41876e+008
    200, 200, 535, 535, 655496, 25230.6, 0, 0, 200, 530
    -200, 200, 200, -200, 530, 530, -530, -530
    VERTEX=-13, 508.5, -13, 405, 13, 508.5, 13, 405, -116.5, 508.5, 116.5, 508.5
        -200, 520, 200, 520, 200, 530, -200, 530, -1.38778e-014, -515
        -1.38778e-014, 515, -200, -520, 200, -520, 200, -530, -200, -530
        -116.5, -508.5, -13, -508.5, -13, -405, 13, -508.5, 13, -405
        116.5, -508.5
    LINE= 0, 1, 13, 1, 13, 6.86375e-006
    LINE= 2, 3, 13, 1, 13, 6.86375e-006
    LINE= 0, 4, 13, 1, 508.5, 6.86375e-006
    LINE= 2, 5, 13, 1, 508.5, 6.86375e-006
    LINE= 6, 7, 10, 1, 520, 5.27981e-006
    LINE= 8, 9, 10, 1, 530, 5.27981e-006
    LINE= 10, 11, 13, 1, 1.38778e-014, 6.86375e-006
    LINE= 12, 13, 10, 1, 520, 5.27981e-006
    LINE= 14, 15, 10, 1, 530, 5.27981e-006
    LINE= 16, 17, 13, 1, 508.5, 6.86375e-006
    LINE= 17, 18, 13, 1, 13, 6.86375e-006
    LINE= 19, 20, 13, 1, 13, 6.86375e-006
```

```
    LINE= 19, 21, 13, 1, 508.5, 6.86375e-006
SECT=  38, VALUE     , P1              , CC, 0, 0, 0, 0, 0, 0, YES, GEN, YES, NO
    35354, 10418, 11888.1, 2.87452e+006, 6.7551e+009, 1.77876e+008
    200, 200, 529, 529, 557281, 27472.3, 0, 0, 200, 522
    -200, 200, 200, -200, 522, 522, -522, -522
    VERTEX=-116.5, 508.5, -13, 508.5, -13, 405, 13, 508.5, 13, 405, 116.5, 508.5
        -1.11022e-013, -515, -1.11022e-013, 515, -13, -508.5, -13, -405
        13, -508.5, 13, -405, 116.5, -508.5, -116.5, -508.5, -200, 522
        200, 522, 200, -522, -200, -522
    LINE= 0, 1, 13, 1, 508.5, 6.21294e-006
    LINE= 1, 2, 13, 1, 13, 6.21294e-006
    LINE= 3, 4, 13, 1, 13, 6.21294e-006
    LINE= 3, 5, 13, 1, 508.5, 6.21294e-006
    LINE= 6, 7, 13, 1, 1.11022e-013, 6.21294e-006
    LINE= 8, 9, 13, 1, 13, 6.21294e-006
    LINE= 10, 11, 13, 1, 13, 6.21294e-006
    LINE= 10, 12, 13, 1, 508.5, 6.21294e-006
    LINE= 8, 13, 13, 1, 508.5, 6.21294e-006
    LINE= 14, 15, 14, 1, 522, 6.69085e-006
    LINE= 16, 17, 14, 1, 522, 6.69085e-006
SECT=  39, VALUE     , P1Z             , CC, 0, 0, 0, 0, 0, 0, YES, GEN, YES, NO
    44954, 18369.8, 11887.9, 3.92686e+006, 9.50298e+009, 3.05876e+008
    200, 200, 541, 541, 754819, 24023.6, 0, 0, 200, 535
    -200, 200, 200, -200, 535, 535, -535, -535
    VERTEX=-116.5, 508.5, -13, 508.5, -13, 405, 13, 508.5, 13, 405, 116.5, 508.5
        -1.11022e-013, -515, -1.11022e-013, 515, -13, -508.5, -13, -405
        13, -508.5, 13, -405, 116.5, -508.5, -116.5, -508.5, -200, 522
        200, 522, 200, 535, -200, 535, -200, -535, 200, -535, 200, -522
        -200, -522
    LINE= 0, 1, 13, 1, 508.5, 5.09163e-006
    LINE= 1, 2, 13, 1, 13, 5.09163e-006
    LINE= 3, 4, 13, 1, 13, 5.09163e-006
    LINE= 3, 5, 13, 1, 508.5, 5.09163e-006
    LINE= 6, 7, 13, 1, 1.11022e-013, 5.09163e-006
    LINE= 8, 9, 13, 1, 13, 5.09163e-006
    LINE= 10, 11, 13, 1, 13, 5.09163e-006
    LINE= 10, 12, 13, 1, 508.5, 5.09163e-006
    LINE= 8, 13, 13, 1, 508.5, 5.09163e-006
    LINE= 14, 15, 14, 1, 522, 5.4833e-006
    LINE= 16, 17, 12, 1, 535, 4.69997e-006
    LINE= 18, 19, 12, 1, 535, 4.69997e-006
    LINE= 20, 21, 14, 1, 522, 5.4833e-006
SECT=  40, VALUE     , P2              , CC, 0, 0, 0, 0, 0, 0, YES, GEN, YES, NO
    32154, 8012.15, 11886.9, 2.20643e+006, 5.86637e+009, 1.35209e+008
    200, 200, 525, 525, 492419, 30461.3, 0, 0, 200, 520
    -200, 200, 200, -200, 520, 520, -520, -520
    VERTEX=-116.5, 508.5, -13, 508.5, -13, 405, 13, 508.5, 13, 405, 116.5, 508.5
        2.22045e-013, -515, 2.22045e-013, 515, -13, -508.5, -13, -405
        13, -508.5, 13, -405, 116.5, -508.5, -116.5, -508.5, -200, -520
        200, -520, -200, 520, 200, 520
    LINE= 0, 1, 13, 1, 508.5, 7.98849e-006
    LINE= 1, 2, 13, 1, 13, 7.98849e-006
    LINE= 3, 4, 13, 1, 13, 7.98849e-006
    LINE= 3, 5, 13, 1, 508.5, 7.98849e-006
    LINE= 6, 7, 13, 1, 2.22045e-013, 7.98849e-006
    LINE= 8, 9, 13, 1, 13, 7.98849e-006
    LINE= 10, 11, 13, 1, 13, 7.98849e-006
    LINE= 10, 12, 13, 1, 508.5, 7.98849e-006
    LINE= 8, 13, 13, 1, 508.5, 7.98849e-006
    LINE= 14, 15, 10, 1, 520, 6.14499e-006
    LINE= 16, 17, 10, 1, 520, 6.14499e-006
SECT=  41, VALUE     , P2Z             , CC, 0, 0, 0, 0, 0, 0, YES, GEN, YES, NO
    40154, 14772.9, 11886.5, 2.97499e+006, 8.11363e+009, 2.41876e+008
    200, 200, 535, 535, 655496, 25230.6, 0, 0, 200, 530
    -200, 200, 200, -200, 530, 530, -530, -530
    VERTEX=-116.5, 508.5, -13, 508.5, -13, 405, 13, 508.5, 13, 405, 116.5, 508.5, 0, -515
        0, 515, -13, -508.5, -13, -405, 13, -508.5, 13, -405
        116.5, -508.5, -116.5, -508.5, -200, -520, 200, -520, 200, -530
        -200, -530, -200, 520, 200, 520, 200, 530, -200, 530
    LINE= 0, 1, 13, 1, 508.5, 6.86375e-006
    LINE= 1, 2, 13, 1, 13, 6.86375e-006
    LINE= 3, 4, 13, 1, 13, 6.86375e-006
```

LINE= 3, 5, 13, 1, 508.5, 6.86375e-006
LINE= 6, 7, 13, 1, 0, 6.86375e-006
LINE= 8, 9, 13, 1, 13, 6.86375e-006
LINE= 10, 11, 13, 1, 13, 6.86375e-006
LINE= 10, 12, 13, 1, 508.5, 6.86375e-006
LINE= 8, 13, 13, 1, 508.5, 6.86375e-006
LINE= 14, 15, 10, 1, 520, 5.27981e-006
LINE= 16, 17, 10, 1, 530, 5.27981e-006
LINE= 18, 19, 10, 1, 520, 5.27981e-006
LINE= 20, 21, 10, 1, 530, 5.27981e-006
SECT= 42, VALUE , P2ZZ , CC, 0, 0, 0, 0, 0, 0, YES, GEN, YES, NO
48154, 21501.8, 11885.9, 3.72589e+006, 1.04465e+010, 3.48543e+008
200, 200, 545, 545, 821650, 23487.1, 0, 0, 200, 540
-200, 200, 200, -200, 540, 540, -540, -540
VERTEX=-116.5, 508.5, -13, 508.5, -13, 405, 13, 508.5, 13, 405, 116.5, 508.5
-4.44089e-013, -515, -4.44089e-013, 515, -13, -508.5, -13, -405
13, -508.5, 13, -405, 116.5, -508.5, -116.5, -508.5, -200, -520
200, -520, 200, -530, -200, -530, -200, -540, 200, -540
-200, 520, 200, 520, 200, 530, -200, 530, -200, 540, 200, 540
LINE= 0, 1, 13, 1, 508.5, 6.01664e-006
LINE= 1, 2, 13, 1, 13, 6.01664e-006
LINE= 3, 4, 13, 1, 13, 6.01664e-006
LINE= 3, 5, 13, 1, 508.5, 6.01664e-006
LINE= 6, 7, 13, 1, 4.44089e-013, 6.01664e-006
LINE= 8, 9, 13, 1, 13, 6.01664e-006
LINE= 10, 11, 13, 1, 13, 6.01664e-006
LINE= 10, 12, 13, 1, 508.5, 6.01664e-006
LINE= 8, 13, 13, 1, 508.5, 6.01664e-006
LINE= 14, 15, 10, 1, 520, 4.62818e-006
LINE= 16, 17, 10, 1, 530, 4.62818e-006
LINE= 18, 19, 10, 1, 540, 4.62818e-006
LINE= 20, 21, 10, 1, 520, 4.62818e-006
LINE= 22, 23, 10, 1, 530, 4.62818e-006
LINE= 24, 25, 10, 1, 540, 4.62818e-006
SECT= 43, VALUE , L1 , CT, 0, 1, 0, 0, 1, 385, YES, GEN, YES, NO
16164, 3588.08, 6128.16, 572992, 1.31732e+009, 2.7449e+007
99.6399, 150.36, 342.008, 367.992, 214517, 10533.8, 0, 0, 150.36, 362.992
-150.36, 99.6399, 99.6399, -90.3601, 337.008, 337.008, -362.992, -362.992
VERTEX=-80.3601, 328.008, -4.36006, 328.008, -4.36006, 252.008, 13.6399, 328.008
13.6399, 252.008, 89.6399, 328.008, -150.36, 337.008
99.6399, 337.008, -90.3601, -362.992, 99.6399, -362.992
-80.3601, -353.992, -4.36006, -353.992, -4.36006, -277.992
13.6399, -353.992, 13.6399, -277.992, 89.6399, -353.992
4.63994, -357.992, 4.63994, 332.008
LINE= 0, 1, 8, 1, 328.008, 1.66517e-005
LINE= 1, 2, 8, 1, 4.36006, 1.66517e-005
LINE= 3, 4, 8, 1, 13.6399, 1.66517e-005
LINE= 3, 5, 8, 1, 328.008, 1.66517e-005
LINE= 6, 7, 10, 1, 337.008, 2.08146e-005
LINE= 8, 9, 10, 1, 362.992, 2.08146e-005
LINE= 10, 11, 8, 1, 353.992, 1.66517e-005
LINE= 11, 12, 8, 1, 4.36006, 1.66517e-005
LINE= 13, 14, 8, 1, 13.6399, 1.66517e-005
LINE= 13, 15, 8, 1, 353.992, 1.66517e-005
LINE= 16, 17, 10, 1, 4.63994, 2.08146e-005
SECT= 44, VALUE , L1_p , CT, 0, 1, 0, 0, 1, 385, YES, GEN, YES, NO
16164, 3588.07, 6128.3, 572992, 1.31732e+009, 2.7449e+007
150.36, 99.6399, 342.008, 367.992, 214517, 10533.9, 0, 0, 99.6399, 362.992
-99.6399, 150.36, 90.3601, -99.6399, 337.008, 337.008, -362.992, -362.992
VERTEX=-89.6399, 328.008, -13.6399, 328.008, -13.6399, 252.008, 4.36006, 328.008
4.36006, 252.008, 80.3601, 328.008, -99.6399, -362.992
90.3601, -362.992, -89.6399, -353.992, -13.6399, -353.992
-13.6399, -277.992, 4.36006, -353.992, 4.36006, -277.992
80.3601, -353.992, -4.63994, -357.992, -4.63994, 332.008
-99.6399, 337.008, 150.36, 337.008
LINE= 0, 1, 8, 1, 328.008, 1.66517e-005
LINE= 1, 2, 8, 1, 13.6399, 1.66517e-005
LINE= 3, 4, 8, 1, 4.36006, 1.66517e-005
LINE= 3, 5, 8, 1, 328.008, 1.66517e-005
LINE= 6, 7, 10, 1, 362.992, 2.08146e-005
LINE= 8, 9, 8, 1, 353.992, 1.66517e-005
LINE= 9, 10, 8, 1, 13.6399, 1.66517e-005

PROJECT TITLE :

MIDAS	Company		Client	
	Author		File Name	H2D_3Dg_v14_180227_StatLM.mct

```
    LINE= 11, 12, 8, 1, 4.36006, 1.66517e-005
    LINE= 11, 13, 8, 1, 353.992, 1.66517e-005
    LINE= 14, 15, 10, 1, 4.63994, 2.08146e-005
    LINE= 16, 17, 10, 1, 337.008, 2.08146e-005
SECT=  45, VALUE    , L2              , CT, 0, 1, 0, 0, 1, 385, YES, GEN, YES, NO
    17300, 3582.91, 6150.57, 672100, 1.433e+009, 2.9219e+007
    99.3353, 150.665, 342.861, 367.139, 232597, 11392.2, 0, 0, 150.665, 362.139
    -150.665, 99.3353, 99.3353, -90.6647, 337.861, 337.861, -362.139, -362.139
    VERTEX=4.33526, -357.139, 4.33526, 332.861, -150.665, 337.861, 99.3353, 337.861
        -90.6647, -362.139, 99.3353, -362.139, -5.66474, -352.139
        -5.66474, -277.139, -80.6647, -352.139, 89.3353, -352.139
        14.3353, -352.139, 14.3353, -277.139, -80.6647, 327.861
        -5.66474, 327.861, -5.66474, 252.861, 14.3353, 327.861
        14.3353, 252.861, 89.3353, 327.861
    LINE= 0, 1, 10, 1, 4.33526, 1.7341e-005
    LINE= 2, 3, 10, 1, 337.861, 1.7341e-005
    LINE= 4, 5, 10, 1, 362.139, 1.7341e-005
    LINE= 6, 7, 10, 1, 5.66474, 1.7341e-005
    LINE= 6, 8, 10, 1, 352.139, 1.7341e-005
    LINE= 9, 10, 10, 1, 352.139, 1.7341e-005
    LINE= 10, 11, 10, 1, 14.3353, 1.7341e-005
    LINE= 12, 13, 10, 1, 327.861, 1.7341e-005
    LINE= 13, 14, 10, 1, 5.66474, 1.7341e-005
    LINE= 15, 16, 10, 1, 14.3353, 1.7341e-005
    LINE= 15, 17, 10, 1, 327.861, 1.7341e-005
SECT=  46, VALUE    , L2_p            , CT, 0, 1, 0, 0, 1, 385, YES, GEN, YES, NO
    17300, 3582.74, 6150.7, 672100, 1.433e+009, 2.9219e+007
    150.665, 99.3353, 342.861, 367.139, 232597, 11392.2, 0, 0, 99.3353, 362.139
    -99.3353, 150.665, 90.6647, -99.3353, 337.861, 337.861, -362.139, -362.139
    VERTEX=-4.33526, -357.139, -4.33526, 332.861, -99.3353, -362.139, 90.6647, -362.139
        -14.3353, -352.139, -14.3353, -277.139, -89.3353, -352.139
        80.6647, -352.139, 5.66474, -352.139, 5.66474, -277.139
        -89.3353, 327.861, -14.3353, 327.861, -14.3353, 252.861
        5.66474, 327.861, 5.66474, 252.861, 80.6647, 327.861
        -99.3353, 337.861, 150.665, 337.861
    LINE= 0, 1, 10, 1, 4.33526, 1.7341e-005
    LINE= 2, 3, 10, 1, 362.139, 1.7341e-005
    LINE= 4, 5, 10, 1, 14.3353, 1.7341e-005
    LINE= 4, 6, 10, 1, 352.139, 1.7341e-005
    LINE= 7, 8, 10, 1, 352.139, 1.7341e-005
    LINE= 8, 9, 10, 1, 5.66474, 1.7341e-005
    LINE= 10, 11, 10, 1, 327.861, 1.7341e-005
    LINE= 11, 12, 10, 1, 14.3353, 1.7341e-005
    LINE= 13, 14, 10, 1, 5.66474, 1.7341e-005
    LINE= 13, 15, 10, 1, 327.861, 1.7341e-005
    LINE= 16, 17, 10, 1, 337.861, 1.7341e-005
SECT=  47, VALUE    , L3              , CT, 0, 1, 0, 0, 1, 385, YES, GEN, YES, NO
    18100, 3984.72, 6220.39, 706658, 1.50639e+009, 3.25201e+007
    99.1436, 150.856, 343.398, 366.602, 244607, 12361.2, 0, 0, 150.856, 361.602
    -150.856, 99.1436, 99.1436, -90.8564, 338.398, 338.398, -361.602, -361.602
    VERTEX=-150.856, 338.398, 99.1436, 338.398, -90.8564, 328.398, -5.85635, 328.398
        99.1436, 328.398, 14.1436, 328.398, 14.1436, 243.398
        -5.85635, 243.398, 4.14365, -356.602, 4.14365, 333.398
        -90.8564, -361.602, 99.1436, -361.602, 99.1436, -351.602
        14.1436, -351.602, -90.8564, -351.602, -5.85635, -351.602
        -5.85635, -266.602, 14.1436, -266.602
    LINE= 0, 1, 10, 1, 338.398, 1.65746e-005
    LINE= 2, 3, 10, 1, 328.398, 1.65746e-005
    LINE= 4, 5, 10, 1, 328.398, 1.65746e-005
    LINE= 5, 6, 10, 1, 14.1436, 1.65746e-005
    LINE= 3, 7, 10, 1, 5.85635, 1.65746e-005
    LINE= 8, 9, 10, 1, 4.14365, 1.65746e-005
    LINE= 10, 11, 10, 1, 361.602, 1.65746e-005
    LINE= 12, 13, 10, 1, 351.602, 1.65746e-005
    LINE= 14, 15, 10, 1, 351.602, 1.65746e-005
    LINE= 15, 16, 10, 1, 5.85635, 1.65746e-005
    LINE= 13, 17, 10, 1, 14.1436, 1.65746e-005
SECT=  48, VALUE    , L3_p            , CT, 0, 1, 0, 0, 1, 385, YES, GEN, YES, NO
    18100, 3984.65, 6220.49, 706658, 1.50639e+009, 3.25201e+007
    150.856, 99.1436, 343.398, 366.602, 244607, 12361.2, 0, 0, 99.1436, 361.602
    -99.1436, 150.856, 90.8564, -99.1436, 338.398, 338.398, -361.602, -361.602
    VERTEX=-99.1436, 328.398, -14.1436, 328.398, 90.8564, 328.398, 5.85635, 328.398
```

```
        5.85635, 243.398, -14.1436, 243.398, -4.14365, -356.602
        -4.14365, 333.398, -99.1436, -361.602, 90.8564, -361.602
        90.8564, -351.602, 5.85635, -351.602, -99.1436, -351.602
        -14.1436, -351.602, -14.1436, -266.602, 5.85635, -266.602
        -99.1436, 338.398, 150.856, 338.398
    LINE= 0, 1, 10, 1, 328.398, 1.65746e-005
    LINE= 2, 3, 10, 1, 328.398, 1.65746e-005
    LINE= 3, 4, 10, 1, 5.85635, 1.65746e-005
    LINE= 1, 5, 10, 1, 14.1436, 1.65746e-005
    LINE= 6, 7, 10, 1, 4.14365, 1.65746e-005
    LINE= 8, 9, 10, 1, 361.602, 1.65746e-005
    LINE= 10, 11, 10, 1, 351.602, 1.65746e-005
    LINE= 12, 13, 10, 1, 351.602, 1.65746e-005
    LINE= 13, 14, 10, 1, 14.1436, 1.65746e-005
    LINE= 11, 15, 10, 1, 5.85635, 1.65746e-005
    LINE= 16, 17, 10, 1, 338.398, 1.65746e-005
SECT=  49, VALUE     , L4              , CT, 0, 1, 0, 0, 1, 385, YES, GEN, YES, NO
    20216, 4953.22, 6332.24, 886393, 1.72164e+009, 4.61937e+007
    118.463, 161.537, 344.612, 365.388, 278095, 15735.9, 0, 0, 161.537, 360.388
    -161.537, 118.463, 113.463, -106.537, 339.612, 339.612, -360.388, -360.388
    VERTEX=-161.537, 339.612, 118.463, 339.612, 3.4626, -355.388, 3.4626, 334.612
        -106.537, -360.388, 113.463, -360.388, -7.0374, -349.888
        -7.0374, -255.388, -101.537, -349.888, 108.463, -349.888
        13.9626, -349.888, 13.9626, -255.388, -101.537, 329.112
        -7.0374, 329.112, -7.0374, 234.612, 13.9626, 329.112
        13.9626, 234.612, 108.463, 329.112
    LINE= 0, 1, 10, 1, 339.612, 1.36597e-005
    LINE= 2, 3, 10, 1, 3.4626, 1.36597e-005
    LINE= 4, 5, 10, 1, 360.388, 1.36597e-005
    LINE= 6, 7, 11, 1, 7.0374, 1.50257e-005
    LINE= 6, 8, 11, 1, 349.888, 1.50257e-005
    LINE= 9, 10, 11, 1, 349.888, 1.50257e-005
    LINE= 10, 11, 11, 1, 13.9626, 1.50257e-005
    LINE= 12, 13, 11, 1, 329.112, 1.50257e-005
    LINE= 13, 14, 11, 1, 7.0374, 1.50257e-005
    LINE= 15, 16, 11, 1, 13.9626, 1.50257e-005
    LINE= 15, 17, 11, 1, 329.112, 1.50257e-005
SECT=  50, VALUE     , L4_p            , CT, 0, 1, 0, 0, 1, 385, YES, GEN, YES, NO
    20216, 4953.06, 6332.34, 886393, 1.72164e+009, 4.61937e+007
    161.537, 118.463, 344.612, 365.388, 278095, 15735.8, 0, 0, 118.463, 360.388
    -118.463, 161.537, 106.537, -113.463, 339.612, 339.612, -360.388, -360.388
    VERTEX=-3.4626, -355.388, -3.4626, 334.612, -113.463, -360.388, 106.537, -360.388
        -13.9626, -349.888, -13.9626, -255.388, -108.463, -349.888
        101.537, -349.888, 7.0374, -349.888, 7.0374, -255.388
        -108.463, 329.112, -13.9626, 329.112, -13.9626, 234.612
        7.0374, 329.112, 7.0374, 234.612, 101.537, 329.112
        -118.463, 339.612, 161.537, 339.612
    LINE= 0, 1, 10, 1, 3.4626, 1.36597e-005
    LINE= 2, 3, 10, 1, 360.388, 1.36597e-005
    LINE= 4, 5, 11, 1, 13.9626, 1.50257e-005
    LINE= 4, 6, 11, 1, 349.888, 1.50257e-005
    LINE= 7, 8, 11, 1, 349.888, 1.50257e-005
    LINE= 8, 9, 11, 1, 7.0374, 1.50257e-005
    LINE= 10, 11, 11, 1, 329.112, 1.50257e-005
    LINE= 11, 12, 11, 1, 13.9626, 1.50257e-005
    LINE= 13, 14, 11, 1, 7.0374, 1.50257e-005
    LINE= 13, 15, 11, 1, 329.112, 1.50257e-005
    LINE= 16, 17, 10, 1, 339.612, 1.36597e-005
SECT=  51, VALUE     , V7              , CC, 0, 0, 0, 0, 0, 0, YES, GEN, YES, NO
    8064, 1750.61, 657.879, 411338, 5.84872e+008, 1.98936e+007
    106.5, 106.5, 326, 326, 0, 0, 0, 0, 106.5, 326
    -106.5, 106.5, 106.5, -106.5, 252, 252, -252, -252
    VERTEX=-12.5, 252, -12.5, 326, 12.5, 252, 12.5, 326, 106.5, 252, -106.5, 252
        -12.5, -252, -12.5, -326, 12.5, -252, 12.5, -326, 106.5, -252
        -106.5, -252
    LINE= 0, 1, 12, 1, 12.5, 3.1002e-005
    LINE= 2, 3, 12, 1, 12.5, 3.1002e-005
    LINE= 2, 4, 12, 1, 252, 3.1002e-005
    LINE= 0, 5, 12, 1, 252, 3.1002e-005
    LINE= 6, 7, 12, 1, 12.5, 3.1002e-005
    LINE= 8, 9, 12, 1, 12.5, 3.1002e-005
    LINE= 8, 10, 12, 1, 252, 3.1002e-005
```

```
     LINE= 6, 11, 12, 1, 252, 3.1002e-005
 SECT=  52, VALUE     , V7Z              , CC, 0, 0, 0, 0, 0, 0, YES, GEN, YES, NO
     16540, 1791.57, 7563.8, 889404, 8.85137e+008, 2.00129e+007
     106.5, 106.5, 326, 326, 136352, 0, 0, 0, 106.5, 326
     -106.5, 106.5, 106.5, -106.5, 252, 252, -252, -252
     VERTEX=-12.5, 252, -12.5, 326, 12.5, 252, 12.5, 326, 106.5, 252, -106.5, 252
          -12.5, -252, -12.5, -326, 12.5, -252, 12.5, -326, 106.5, -252
          -106.5, -252, 1.77636e-012, -326, 1.77636e-012, 326
     LINE= 0, 1, 12, 1, 12.5, 1.388e-005
     LINE= 2, 3, 12, 1, 12.5, 1.388e-005
     LINE= 2, 4, 12, 1, 252, 1.388e-005
     LINE= 0, 5, 12, 1, 252, 1.388e-005
     LINE= 6, 7, 12, 1, 12.5, 1.388e-005
     LINE= 8, 9, 12, 1, 12.5, 1.388e-005
     LINE= 8, 10, 12, 1, 252, 1.388e-005
     LINE= 6, 11, 12, 1, 252, 1.388e-005
     LINE= 12, 13, 13, 1, 1.77636e-012, 1.50367e-005
 SECT=  53, VALUE     , V8               , CC, 0, 0, 0, 0, 0, 0, YES, GEN, YES, NO
     6000, 706.806, 705.961, 211108, 4.40131e+008, 9.031e+006
     86.5, 86.5, 326, 326, 0, 0, 0, 0, 86.5, 326
     -11.5, 11.5, 11.5, -11.5, 326, 326, -326, -326
     VERTEX=-86.5, 251, -11.5, 251, -11.5, 326, 11.5, 251, 11.5, 326, 86.5, 251
          -86.5, -251, -11.5, -251, -11.5, -326, 11.5, -251, 11.5, -326
          86.5, -251
     LINE= 0, 1, 10, 1, 251, 5e-005
     LINE= 1, 2, 10, 1, 11.5, 5e-005
     LINE= 3, 4, 10, 1, 11.5, 5e-005
     LINE= 3, 5, 10, 1, 251, 5e-005
     LINE= 6, 7, 10, 1, 251, 5e-005
     LINE= 7, 8, 10, 1, 11.5, 5e-005
     LINE= 9, 10, 10, 1, 11.5, 5e-005
     LINE= 9, 11, 10, 1, 251, 5e-005
 SECT=  54, VALUE     , V8Z              , CC, 0, 0, 0, 0, 0, 0, YES, GEN, YES, NO
     14476, 743.241, 7528.36, 689174, 7.40396e+008, 9.15037e+006
     86.5, 86.5, 326, 326, 115388, 0, 0, 0, 86.5, 326
     -11.5, 11.5, 11.5, -11.5, 326, 326, -326, -326
     VERTEX=-86.5, 251, -11.5, 251, -11.5, 326, 11.5, 251, 11.5, 326, 86.5, 251
          -86.5, -251, -11.5, -251, -11.5, -326, 11.5, -251, 11.5, -326
          86.5, -251, 0, -326, 0, 326
     LINE= 0, 1, 10, 1, 251, 1.47606e-005
     LINE= 1, 2, 10, 1, 11.5, 1.47606e-005
     LINE= 3, 4, 10, 1, 11.5, 1.47606e-005
     LINE= 3, 5, 10, 1, 251, 1.47606e-005
     LINE= 6, 7, 10, 1, 251, 1.47606e-005
     LINE= 7, 8, 10, 1, 11.5, 1.47606e-005
     LINE= 9, 10, 10, 1, 11.5, 1.47606e-005
     LINE= 9, 11, 10, 1, 251, 1.47606e-005
     LINE= 12, 13, 13, 1, 0, 1.91887e-005
 SECT=  55, VALUE     , V6Z              , CC, 0, 0, 0, 0, 0, 0, YES, GEN, YES, NO
     17500, 2680.3, 7574.19, 951397, 9.46112e+008, 3.30743e+007
     126.5, 126.5, 326, 326, 145656, 0, 0, 0, 126.5, 326
     -126.5, 126.5, 126.5, -126.5, 252, 252, -252, -252
     VERTEX=126.5, 252, 12.5, 252, -126.5, 252, -12.5, 252, -12.5, 326, 12.5, 326
          126.5, -252, 12.5, -252, -126.5, -252, -12.5, -252, -12.5, -326
          12.5, -326, 0, 326, 0, -326
     LINE= 0, 1, 12, 1, 252, 1.31776e-005
     LINE= 2, 3, 12, 1, 252, 1.31776e-005
     LINE= 3, 4, 12, 1, 12.5, 1.31776e-005
     LINE= 1, 5, 12, 1, 12.5, 1.31776e-005
     LINE= 6, 7, 12, 1, 252, 1.31776e-005
     LINE= 8, 9, 12, 1, 252, 1.31776e-005
     LINE= 9, 10, 12, 1, 12.5, 1.31776e-005
     LINE= 7, 11, 12, 1, 12.5, 1.31776e-005
     LINE= 12, 13, 13, 1, 0, 1.42758e-005

*STLDCASE    ; Static Load Cases
; LCNAME, LCTYPE, DESC
   G0.1 - Selfweight, D , Selfweight of Superstructure
   B1 - Braking force L, BRK, Braking force of 749
   B2 - Braking force L, BRK, Braking force of 771
   B1 - Braking force L, BRK, Braking force of 749
   B2 - Braking force L, BRK, Braking force of 771
```

G0.2 - Selfweight- p, D , cantiliever of pavement outside the main construction
G1.1 - Deck pavement, D , selfweight -deck of pavement
G1.2 - Deck of servi, D , selfweight - deck of service pavement
G1.3 - Traction, D , selfweight - hanger of traction
G2.1 - Gas pipeline, D , selfweight - tube of gas pipeline
G2.2 - Cableline, D , selfweight - cable line outside
G2.3 - Cableline, D , selfweight - cable line inside
B+X 1. track, BRK, direction +X
B-X 1. track, BRK, direction -X
B+X 2. track, BRK, direction +X
B-X 2. track, BRK, direction -X
W+Y , W , direction +Y
W-Y , W , direction -Y
WP+Y 1. Track, WL, direction +Y
WP+Y 2. Track, WL, direction +Y
TR+45, T , Tempereture uniform
TR-44, T , Tempereture uniform
TG +15, TPG, Tempereture irregular heating
TG -15, TPG, Tempereture irregular cooling
PA_L , LS, Live load of pavement left
PA_R , LS, Live load of pavement right
WP-Y 1. Track, WL, direction -Y
WP-Y 2. Track, WL, direction -Y
TG.L +15, TPG, temperature gradient left side +15
TG.R +15, TPG, temperature gradient right side +15
V1 , USER, Verify load track 1
V2 , USER, Verify load track 2
MVminKolej2-771+749, USER,
MVminKolej1-771+749, USER,
MVminKolej1771+Kole, USER,
MVminKolej1771Dz147, USER,
MVminKolej2749Dz96, USER,
I +Y , D ,
I -Y , D ,
PA_L1, LS, Live load of pavement left front
PA_L2, LS, Live load of pavement left
PA_R1, LS, Live load of pavement right
PA_R2, LS, Live load of pavement right
MVminP71_1PFx17, USER,
MVminP71_2PFx17, USER,
MVminP71_1PFx9, USER,
MVminP71_2PFx9, USER,
R+X 1. track, BRK, direction +X
R-X 1. track, BRK, direction -X
R+X 2. track, BRK, direction +X
R-X 2. track, BRK, direction -X
S.1 +Y, BRK, direction +Y
S.2 +Y, BRK, direction +Y
S.3 +Y, BRK, direction +Y
S.4 +Y, BRK, direction +Y
S.5 +Y, BRK, direction +Y
S.6 +Y, BRK, direction +Y
S.7 +Y, BRK, direction +Y
S.8 +Y, BRK, direction +Y
S.1 -Y, BRK, direction -Y
S.2 -Y, BRK, direction -Y
S.3 -Y, BRK, direction -Y
S.4 -Y, BRK, direction -Y
S.5 -Y, BRK, direction -Y
S.6 -Y, BRK, direction -Y
S.7 -Y, BRK, direction -Y
S.8 -Y, BRK, direction -Y
FR +X, FR,
FR -X, FR,
S.9 +Y, BRK, direction +Y
S.10 +Y, BRK, direction +Y
S.11 +Y, BRK, direction +Y
S.12 +Y, BRK, direction +Y
S.13 +Y, BRK, direction +Y
S.14 +Y, BRK, direction +Y
S.15 +Y, BRK, direction +Y
S.16 +Y, BRK, direction +Y

S.9 -Y, BRK, direction +Y
S.10 -Y, BRK, direction +Y
S.11 -Y, BRK, direction +Y
S.12 -Y, BRK, direction +Y
S.13 -Y, BRK, direction +Y
S.14 -Y, BRK, direction +Y
S.15 -Y, BRK, direction +Y
S.16 -Y, BRK, direction +Y
R2 +X 1. track, BRK, direction +X
R2 -X 1. track, BRK, direction +X
R2 +X 2. track, BRK, direction +X
R2 -X 2. track, BRK, direction +X
G0.1_CS - Selfweight, CS, Selfweight of Superstructure
G0.2_CS - Selfweight, CS, cantiliever of pavement outside the main construction
G1.1_CS - Deck pavem, CS, selfweight -deck of pavement
G1.2_CS - Deck of se, CS, selfweight - deck of service pavement
G1.3_CS - Traction, CS, selfweight - hanger of traction
G2.1_CS - Gas pipeli, CS, selfweight - tube of gas pipeline
G2.2_CS - Cableline, CS, selfweight - cable line outside
MVmaxP71_1PFx96, USER,
MVmaxP71_1PFx112, USER,
MVmaxP71_1PFx244, USER,
MVmaxP71_2PFx96, USER,
MVmaxP71_2PFx112, USER,
MVmaxP71_2PFx244, USER,

*CONSTRAINT ; Supports
; NODE_LIST, CONST(Dx,Dy,Dz,Rx,Ry,Rz), GROUP
1620 1623, 101111, B - Bearings
1614 1617, 111111, B - Bearings

*FRAME-RLS ; Beam End Release
; ELEM_LIST, bVALUE, FLAG-i, Fxi, Fyi, Fzi, Mxi, Myi, Mzi ; 1st line
; FLAG-j, Fxj, Fyj, Fzj, Mxj, Myj, Mzj, GROUP ; 2nd line
1, NO, 000010, 0, 0, 0, 0, 0.4, 0
000000, 0, 0, 0, 0, 0, 0, V0 - Ends
34, NO, 000000, 0, 0, 0, 0, 0, 0
000010, 0, 0, 0, 0, 0.4, 0, V0 - Ends
35, NO, 000010, 0, 0, 0, 0, 0.4, 0
000000, 0, 0, 0, 0, 0, 0, V0 - Ends
68, NO, 000000, 0, 0, 0, 0, 0, 0
000010, 0, 0, 0, 0, 0.4, 0, V0 - Ends
69, NO, 000010, 0, 0, 0, 0, 0.4, 0
000000, 0, 0, 0, 0, 0, 0, V0 - Ends
118, NO, 000000, 0, 0, 0, 0, 0, 0
000010, 0, 0, 0, 0, 0.4, 0, V0 - Ends
119, NO, 000010, 0, 0, 0, 0, 0.4, 0
000000, 0, 0, 0, 0, 0, 0, V0 - Ends
168, NO, 000000, 0, 0, 0, 0, 0, 0
000010, 0, 0, 0, 0, 0.4, 0, V0 - Ends
171, NO, 000001, 0, 0, 0, 0, 0, 0.5
000001, 0, 0, 0, 0, 0, 0.5, D - 0.5
172, NO, 000000, 0, 0, 0, 0, 0, 0
000001, 0, 0, 0, 0, 0, 0.5, D - 0.5
175, NO, 000001, 0, 0, 0, 0, 0, 0.5
000000, 0, 0, 0, 0, 0, 0, D - 0.5
176, NO, 000000, 0, 0, 0, 0, 0, 0
000001, 0, 0, 0, 0, 0, 0.5, D - 0.5
179, NO, 000001, 0, 0, 0, 0, 0, 0.5
000000, 0, 0, 0, 0, 0, 0, D - 0.5
180, NO, 000000, 0, 0, 0, 0, 0, 0
000001, 0, 0, 0, 0, 0, 0.5, D - 0.5
183, NO, 000001, 0, 0, 0, 0, 0, 0.5
000000, 0, 0, 0, 0, 0, 0, D - 0.5
184, NO, 000000, 0, 0, 0, 0, 0, 0
000001, 0, 0, 0, 0, 0, 0.3, D - 0.3
187, NO, 000001, 0, 0, 0, 0, 0, 0.3
000000, 0, 0, 0, 0, 0, 0, D - 0.3
188, NO, 000000, 0, 0, 0, 0, 0, 0
000001, 0, 0, 0, 0, 0, 0.3, D - 0.3
191, NO, 000001, 0, 0, 0, 0, 0, 0.3

000000, 0, 0, 0, 0, 0, 0, D - 0.3
192, NO, 000000, 0, 0, 0, 0, 0, 0
000001, 0, 0, 0, 0, 0, 0.2, D - 0.2
197, NO, 000001, 0, 0, 0, 0, 0, 0.1
000001, 0, 0, 0, 0, 0, 0.1, D - 0.1
198, NO, 000000, 0, 0, 0, 0, 0, 0
000001, 0, 0, 0, 0, 0, 0.2, D - 0.2
199, NO, 000001, 0, 0, 0, 0, 0, 0.2
000000, 0, 0, 0, 0, 0, 0, D - 0.2
200, NO, 000001, 0, 0, 0, 0, 0, 0.1
000001, 0, 0, 0, 0, 0, 0.1, D - 0.1
202, NO, 000001, 0, 0, 0, 0, 0, 0.16
000001, 0, 0, 0, 0, 0, 0.16, D - Bypass
203, NO, 000001, 0, 0, 0, 0, 0, 0.1
000001, 0, 0, 0, 0, 0, 0.1, D - 0.1
207, NO, 000001, 0, 0, 0, 0, 0, 0.1
000001, 0, 0, 0, 0, 0, 0.1, D - 0.1
208, NO, 000000, 0, 0, 0, 0, 0, 0
000001, 0, 0, 0, 0, 0, 0.1, D - 0.5
209, NO, 000001, 0, 0, 0, 0, 0, 0.1
000000, 0, 0, 0, 0, 0, 0, D - 0.1
210, NO, 000001, 0, 0, 0, 0, 0, 0.2
000000, 0, 0, 0, 0, 0, 0, D - 0.2
211, NO, 000001, 0, 0, 0, 0, 0, 0.1
000001, 0, 0, 0, 0, 0, 0.1, D - 0.1
220, NO, 000001, 0, 0, 0, 0, 0, 0.1
000001, 0, 0, 0, 0, 0, 0.1, D - 0.1
221, NO, 000001, 0, 0, 0, 0, 0, 0.2
000000, 0, 0, 0, 0, 0, 0, D - 0.2
222, NO, 000001, 0, 0, 0, 0, 0, 0.1
000000, 0, 0, 0, 0, 0, 0, D - 0.1
223, NO, 000000, 0, 0, 0, 0, 0, 0
000001, 0, 0, 0, 0, 0, 0.1, D - 0.5
225, NO, 000001, 0, 0, 0, 0, 0, 0.1
000001, 0, 0, 0, 0, 0, 0.1, D - 0.1
228, NO, 000001, 0, 0, 0, 0, 0, 0.16
000001, 0, 0, 0, 0, 0, 0.16, D - Bypass
229, NO, 000001, 0, 0, 0, 0, 0, 0.1
000001, 0, 0, 0, 0, 0, 0.1, D - 0.1
231, NO, 000001, 0, 0, 0, 0, 0, 0.1
000001, 0, 0, 0, 0, 0, 0.1, D - 0.1
232, NO, 000001, 0, 0, 0, 0, 0, 0.2
000000, 0, 0, 0, 0, 0, 0, D - 0.2
233, NO, 000000, 0, 0, 0, 0, 0, 0
000001, 0, 0, 0, 0, 0, 0.2, D - 0.2
234, NO, 000001, 0, 0, 0, 0, 0, 0.1
000001, 0, 0, 0, 0, 0, 0.1, D - 0.1
239, NO, 000000, 0, 0, 0, 0, 0, 0
000001, 0, 0, 0, 0, 0, 0.2, D - 0.2
240, NO, 000001, 0, 0, 0, 0, 0, 0.3
000000, 0, 0, 0, 0, 0, 0, D - 0.3
243, NO, 000000, 0, 0, 0, 0, 0, 0
000001, 0, 0, 0, 0, 0, 0.3, D - 0.3
244, NO, 000001, 0, 0, 0, 0, 0, 0.3
000000, 0, 0, 0, 0, 0, 0, D - 0.3
247, NO, 000000, 0, 0, 0, 0, 0, 0
000001, 0, 0, 0, 0, 0, 0.3, D - 0.3
248, NO, 000001, 0, 0, 0, 0, 0, 0.5
000000, 0, 0, 0, 0, 0, 0, D - 0.5
251, NO, 000000, 0, 0, 0, 0, 0, 0
000001, 0, 0, 0, 0, 0, 0.5, D - 0.5
252, NO, 000001, 0, 0, 0, 0, 0, 0.5
000000, 0, 0, 0, 0, 0, 0, D - 0.5
255, NO, 000000, 0, 0, 0, 0, 0, 0
000001, 0, 0, 0, 0, 0, 0.5, D - 0.5
256, NO, 000001, 0, 0, 0, 0, 0, 0.5
000000, 0, 0, 0, 0, 0, 0, D - 0.5
259, NO, 000000, 0, 0, 0, 0, 0, 0
000001, 0, 0, 0, 0, 0, 0.5, D - 0.5
260, NO, 000001, 0, 0, 0, 0, 0, 0.5
000001, 0, 0, 0, 0, 0, 0.5, D - 0.5
265, NO, 000001, 0, 0, 0, 0, 0, 0.5

PROJECT TITLE :

MIDAS	Company		Client	
	Author		File Name	H2D_3Dg_v14_180227_StatLM.mct

000001, 0, 0, 0, 0, 0, 0.5, D - 0.5
266, NO, 000000, 0, 0, 0, 0, 0, 0
000001, 0, 0, 0, 0, 0, 0.5, D - 0.5
269, NO, 000001, 0, 0, 0, 0, 0, 0.5
000000, 0, 0, 0, 0, 0, 0, D - 0.5
270, NO, 000000, 0, 0, 0, 0, 0, 0
000001, 0, 0, 0, 0, 0, 0.5, D - 0.5
273, NO, 000001, 0, 0, 0, 0, 0, 0.5
000000, 0, 0, 0, 0, 0, 0, D - 0.5
274, NO, 000000, 0, 0, 0, 0, 0, 0
000001, 0, 0, 0, 0, 0, 0.5, D - 0.5
277, NO, 000001, 0, 0, 0, 0, 0, 0.5
000000, 0, 0, 0, 0, 0, 0, D - 0.5
278, NO, 000000, 0, 0, 0, 0, 0, 0
000001, 0, 0, 0, 0, 0, 0.3, D - 0.3
281, NO, 000001, 0, 0, 0, 0, 0, 0.3
000000, 0, 0, 0, 0, 0, 0, D - 0.3
282, NO, 000000, 0, 0, 0, 0, 0, 0
000001, 0, 0, 0, 0, 0, 0.3, D - 0.3
285, NO, 000001, 0, 0, 0, 0, 0, 0.3
000000, 0, 0, 0, 0, 0, 0, D - 0.3
286, NO, 000000, 0, 0, 0, 0, 0, 0
000001, 0, 0, 0, 0, 0, 0.2, D - 0.2
291, NO, 000001, 0, 0, 0, 0, 0, 0.1
000001, 0, 0, 0, 0, 0, 0.1, D - 0.1
292, NO, 000000, 0, 0, 0, 0, 0, 0
000001, 0, 0, 0, 0, 0, 0.2, D - 0.2
293, NO, 000001, 0, 0, 0, 0, 0, 0.2
000000, 0, 0, 0, 0, 0, 0, D - 0.2
294, NO, 000001, 0, 0, 0, 0, 0, 0.1
000001, 0, 0, 0, 0, 0, 0.1, D - 0.1
296, NO, 000001, 0, 0, 0, 0, 0, 0.16
000001, 0, 0, 0, 0, 0, 0.16, D - Bypass
297, NO, 000001, 0, 0, 0, 0, 0, 0.1
000001, 0, 0, 0, 0, 0, 0.1, D - 0.1
301, NO, 000001, 0, 0, 0, 0, 0, 0.1
000001, 0, 0, 0, 0, 0, 0.1, D - 0.1
302, NO, 000000, 0, 0, 0, 0, 0, 0
000001, 0, 0, 0, 0, 0, 0.1, D - 0.1
303, NO, 000001, 0, 0, 0, 0, 0, 0.1
000000, 0, 0, 0, 0, 0, 0, D - 0.1
304, NO, 000001, 0, 0, 0, 0, 0, 0.2
000000, 0, 0, 0, 0, 0, 0, D - 0.2
305, NO, 000001, 0, 0, 0, 0, 0, 0.1
000001, 0, 0, 0, 0, 0, 0.1, D - 0.1
314, NO, 000001, 0, 0, 0, 0, 0, 0.1
000001, 0, 0, 0, 0, 0, 0.1, D - 0.1
315, NO, 000001, 0, 0, 0, 0, 0, 0.2
000000, 0, 0, 0, 0, 0, 0, D - 0.2
316, NO, 000001, 0, 0, 0, 0, 0, 0.1
000000, 0, 0, 0, 0, 0, 0, D - 0.1
317, NO, 000000, 0, 0, 0, 0, 0, 0
000001, 0, 0, 0, 0, 0, 0.1, D - 0.1
319, NO, 000001, 0, 0, 0, 0, 0, 0.1
000001, 0, 0, 0, 0, 0, 0.1, D - 0.1
322, NO, 000001, 0, 0, 0, 0, 0, 0.16
000001, 0, 0, 0, 0, 0, 0.16, D - Bypass
323, NO, 000001, 0, 0, 0, 0, 0, 0.1
000001, 0, 0, 0, 0, 0, 0.1, D - 0.1
325, NO, 000001, 0, 0, 0, 0, 0, 0.1
000001, 0, 0, 0, 0, 0, 0.1, D - 0.1
326, NO, 000001, 0, 0, 0, 0, 0, 0.2
000000, 0, 0, 0, 0, 0, 0, D - 0.2
327, NO, 000000, 0, 0, 0, 0, 0, 0
000001, 0, 0, 0, 0, 0, 0.2, D - 0.2
328, NO, 000001, 0, 0, 0, 0, 0, 0.1
000001, 0, 0, 0, 0, 0, 0.1, D - 0.1
333, NO, 000000, 0, 0, 0, 0, 0, 0
000001, 0, 0, 0, 0, 0, 0.2, D - 0.2
334, NO, 000001, 0, 0, 0, 0, 0, 0.3
000000, 0, 0, 0, 0, 0, 0, D - 0.3
337, NO, 000000, 0, 0, 0, 0, 0, 0

PROJECT TITLE :

MIDAS	Company		Client	
	Author		File Name	H2D_3Dg_v14_180227_StatLM.mct

000001, 0, 0, 0, 0, 0, 0.3, D - 0.3
338, NO, 000001, 0, 0, 0, 0, 0, 0.3
000000, 0, 0, 0, 0, 0, 0, D - 0.3
341, NO, 000000, 0, 0, 0, 0, 0, 0
000001, 0, 0, 0, 0, 0, 0.3, D - 0.3
342, NO, 000001, 0, 0, 0, 0, 0, 0.5
000000, 0, 0, 0, 0, 0, 0, D - 0.5
345, NO, 000000, 0, 0, 0, 0, 0, 0
000001, 0, 0, 0, 0, 0, 0.5, D - 0.5
346, NO, 000001, 0, 0, 0, 0, 0, 0.5
000000, 0, 0, 0, 0, 0, 0, D - 0.5
349, NO, 000000, 0, 0, 0, 0, 0, 0
000001, 0, 0, 0, 0, 0, 0.5, D - 0.5
350, NO, 000001, 0, 0, 0, 0, 0, 0.5
000000, 0, 0, 0, 0, 0, 0, D - 0.5
353, NO, 000000, 0, 0, 0, 0, 0, 0
000001, 0, 0, 0, 0, 0, 0.5, D - 0.5
354, NO, 000001, 0, 0, 0, 0, 0, 0.5
000001, 0, 0, 0, 0, 0, 0.5, D - 0.5
357, NO, 000001, 0, 0, 0, 0, 0, 0.4
000000, 0, 0, 0, 0, 0, 0, V0 - Ends
360, NO, 000000, 0, 0, 0, 0, 0, 0
000001, 0, 0, 0, 0, 0, 0.4, V0 - Ends
361, NO, 000001, 0, 0, 0, 0, 0, 0.75
000000, 0, 0, 0, 0, 0, 0, V - Ends
362, NO, 000001, 0, 0, 0, 0, 0, 0.75
000000, 0, 0, 0, 0, 0, 0, V - Ends
366, NO, 000000, 0, 0, 0, 0, 0, 0
000001, 0, 0, 0, 0, 0, 0.75, V - Ends
367, NO, 000001, 0, 0, 0, 0, 0, 0.75
000000, 0, 0, 0, 0, 0, 0, V - Ends
371, NO, 000000, 0, 0, 0, 0, 0, 0
000001, 0, 0, 0, 0, 0, 0.75, V - Ends
372, NO, 000001, 0, 0, 0, 0, 0, 0.75
000000, 0, 0, 0, 0, 0, 0, V - Ends
376, NO, 000000, 0, 0, 0, 0, 0, 0
000001, 0, 0, 0, 0, 0, 0.75, V - Ends
377, NO, 000001, 0, 0, 0, 0, 0, 0.75
000000, 0, 0, 0, 0, 0, 0, V - Ends
381, NO, 000000, 0, 0, 0, 0, 0, 0
000001, 0, 0, 0, 0, 0, 0.75, V - Ends
382, NO, 000001, 0, 0, 0, 0, 0, 0.75
000000, 0, 0, 0, 0, 0, 0, V - Ends
386, NO, 000000, 0, 0, 0, 0, 0, 0
000001, 0, 0, 0, 0, 0, 0.75, V - Ends
387, NO, 000001, 0, 0, 0, 0, 0, 0.75
000000, 0, 0, 0, 0, 0, 0, V - Ends
391, NO, 000000, 0, 0, 0, 0, 0, 0
000001, 0, 0, 0, 0, 0, 0.75, V - Ends
392, NO, 000001, 0, 0, 0, 0, 0, 0.75
000000, 0, 0, 0, 0, 0, 0, V - Ends
397, NO, 000000, 0, 0, 0, 0, 0, 0
000001, 0, 0, 0, 0, 0, 0.75, V - Ends
398, NO, 000001, 0, 0, 0, 0, 0, 0.75
000000, 0, 0, 0, 0, 0, 0, V - Ends
399, NO, 000001, 0, 0, 0, 0, 0, 0.75
000000, 0, 0, 0, 0, 0, 0, V - Ends
403, NO, 000000, 0, 0, 0, 0, 0, 0
000001, 0, 0, 0, 0, 0, 0.75, V - Ends
404, NO, 000001, 0, 0, 0, 0, 0, 0.75
000000, 0, 0, 0, 0, 0, 0, V - Ends
409, NO, 000000, 0, 0, 0, 0, 0, 0
000001, 0, 0, 0, 0, 0, 0.75, V - Ends
410, NO, 000001, 0, 0, 0, 0, 0, 0.75
000000, 0, 0, 0, 0, 0, 0, V - Ends
414, NO, 000000, 0, 0, 0, 0, 0, 0
000001, 0, 0, 0, 0, 0, 0.75, V - Ends
415, NO, 000001, 0, 0, 0, 0, 0, 0.75
000000, 0, 0, 0, 0, 0, 0, V - Ends
419, NO, 000000, 0, 0, 0, 0, 0, 0
000001, 0, 0, 0, 0, 0, 0.75, V - Ends
420, NO, 000001, 0, 0, 0, 0, 0, 0.75

000000, 0, 0, 0, 0, 0, 0, V - Ends
424, NO, 000000, 0, 0, 0, 0, 0, 0
000001, 0, 0, 0, 0, 0, 0.75, V - Ends
425, NO, 000001, 0, 0, 0, 0, 0, 0.75
000000, 0, 0, 0, 0, 0, 0, V - Ends
429, NO, 000000, 0, 0, 0, 0, 0, 0
000001, 0, 0, 0, 0, 0, 0.75, V - Ends
430, NO, 000001, 0, 0, 0, 0, 0, 0.75
000000, 0, 0, 0, 0, 0, 0, V - Ends
434, NO, 000000, 0, 0, 0, 0, 0, 0
000001, 0, 0, 0, 0, 0, 0.75, V - Ends
435, NO, 000001, 0, 0, 0, 0, 0, 0.75
000000, 0, 0, 0, 0, 0, 0, V - Ends
436, NO, 000001, 0, 0, 0, 0, 0, 0.75
000000, 0, 0, 0, 0, 0, 0, V - Ends
440, NO, 000000, 0, 0, 0, 0, 0, 0
000001, 0, 0, 0, 0, 0, 0.75, V - Ends
441, NO, 000001, 0, 0, 0, 0, 0, 0.4
000000, 0, 0, 0, 0, 0, 0, V0 - Ends
444, NO, 000000, 0, 0, 0, 0, 0, 0
000001, 0, 0, 0, 0, 0, 0.4, V0 - Ends
445, NO, 000001, 0, 0, 0, 0, 0, 0.4
000000, 0, 0, 0, 0, 0, 0, V0 - Ends
448, NO, 000000, 0, 0, 0, 0, 0, 0
000001, 0, 0, 0, 0, 0, 0.4, V0 - Ends
449, NO, 000001, 0, 0, 0, 0, 0, 0.75
000000, 0, 0, 0, 0, 0, 0, V - Ends
450, NO, 000001, 0, 0, 0, 0, 0, 0.75
000000, 0, 0, 0, 0, 0, 0, V - Ends
454, NO, 000000, 0, 0, 0, 0, 0, 0
000001, 0, 0, 0, 0, 0, 0.75, V - Ends
455, NO, 000001, 0, 0, 0, 0, 0, 0.75
000000, 0, 0, 0, 0, 0, 0, V - Ends
459, NO, 000000, 0, 0, 0, 0, 0, 0
000001, 0, 0, 0, 0, 0, 0.75, V - Ends
460, NO, 000001, 0, 0, 0, 0, 0, 0.75
000000, 0, 0, 0, 0, 0, 0, V - Ends
464, NO, 000000, 0, 0, 0, 0, 0, 0
000001, 0, 0, 0, 0, 0, 0.75, V - Ends
465, NO, 000001, 0, 0, 0, 0, 0, 0.75
000000, 0, 0, 0, 0, 0, 0, V - Ends
469, NO, 000000, 0, 0, 0, 0, 0, 0
000001, 0, 0, 0, 0, 0, 0.75, V - Ends
470, NO, 000001, 0, 0, 0, 0, 0, 0.75
000000, 0, 0, 0, 0, 0, 0, V - Ends
474, NO, 000000, 0, 0, 0, 0, 0, 0
000001, 0, 0, 0, 0, 0, 0.75, V - Ends
475, NO, 000001, 0, 0, 0, 0, 0, 0.75
000000, 0, 0, 0, 0, 0, 0, V - Ends
479, NO, 000000, 0, 0, 0, 0, 0, 0
000001, 0, 0, 0, 0, 0, 0.75, V - Ends
480, NO, 000001, 0, 0, 0, 0, 0, 0.75
000000, 0, 0, 0, 0, 0, 0, V - Ends
485, NO, 000000, 0, 0, 0, 0, 0, 0
000001, 0, 0, 0, 0, 0, 0.75, V - Ends
486, NO, 000001, 0, 0, 0, 0, 0, 0.75
000000, 0, 0, 0, 0, 0, 0, V - Ends
487, NO, 000001, 0, 0, 0, 0, 0, 0.75
000000, 0, 0, 0, 0, 0, 0, V - Ends
491, NO, 000000, 0, 0, 0, 0, 0, 0
000001, 0, 0, 0, 0, 0, 0.75, V - Ends
492, NO, 000001, 0, 0, 0, 0, 0, 0.75
000000, 0, 0, 0, 0, 0, 0, V - Ends
497, NO, 000000, 0, 0, 0, 0, 0, 0
000001, 0, 0, 0, 0, 0, 0.75, V - Ends
498, NO, 000001, 0, 0, 0, 0, 0, 0.75
000000, 0, 0, 0, 0, 0, 0, V - Ends
502, NO, 000000, 0, 0, 0, 0, 0, 0
000001, 0, 0, 0, 0, 0, 0.75, V - Ends
503, NO, 000001, 0, 0, 0, 0, 0, 0.75
000000, 0, 0, 0, 0, 0, 0, V - Ends
507, NO, 000000, 0, 0, 0, 0, 0, 0

000001, 0, 0, 0, 0, 0, 0.75, V - Ends
508, NO, 000001, 0, 0, 0, 0, 0, 0.75
000000, 0, 0, 0, 0, 0, 0, V - Ends
512, NO, 000000, 0, 0, 0, 0, 0, 0
000001, 0, 0, 0, 0, 0, 0.75, V - Ends
513, NO, 000001, 0, 0, 0, 0, 0, 0.75
000000, 0, 0, 0, 0, 0, 0, V - Ends
517, NO, 000000, 0, 0, 0, 0, 0, 0
000001, 0, 0, 0, 0, 0, 0.75, V - Ends
518, NO, 000001, 0, 0, 0, 0, 0, 0.75
000000, 0, 0, 0, 0, 0, 0, V - Ends
522, NO, 000000, 0, 0, 0, 0, 0, 0
000001, 0, 0, 0, 0, 0, 0.75, V - Ends
523, NO, 000001, 0, 0, 0, 0, 0, 0.75
000000, 0, 0, 0, 0, 0, 0, V - Ends
524, NO, 000001, 0, 0, 0, 0, 0, 0.75
000000, 0, 0, 0, 0, 0, 0, V - Ends
528, NO, 000000, 0, 0, 0, 0, 0, 0
000001, 0, 0, 0, 0, 0, 0.75, V - Ends
529, NO, 000001, 0, 0, 0, 0, 0, 0.4
000000, 0, 0, 0, 0, 0, 0, V0 - Ends
532, NO, 000000, 0, 0, 0, 0, 0, 0
000001, 0, 0, 0, 0, 0, 0.4, V0 - Ends
533, NO, 000011, 0, 0, 0, 0, 0.2, 0.1
000000, 0, 0, 0, 0, 0, 0, P1 - Crossbeam
540, NO, 000000, 0, 0, 0, 0, 0, 0
000011, 0, 0, 0, 0, 0.2, 0.1, P1 - Crossbeam
541, NO, 000011, 0, 0, 0, 0, 0.25, 0.05
000000, 0, 0, 0, 0, 0, 0, P2 - Crossbeam
548, NO, 000000, 0, 0, 0, 0, 0, 0
000011, 0, 0, 0, 0, 0.25, 0.05, P2 - Crossbeam
549, NO, 000011, 0, 0, 0, 0, 0.25, 0.07
000000, 0, 0, 0, 0, 0, 0, P1 - Crossbeam
556, NO, 000000, 0, 0, 0, 0, 0, 0
000011, 0, 0, 0, 0, 0.25, 0.07, P1 - Crossbeam
557, NO, 000011, 0, 0, 0, 0, 0.25, 0.05
000000, 0, 0, 0, 0, 0, 0, P2 - Crossbeam
568, NO, 000000, 0, 0, 0, 0, 0, 0
000011, 0, 0, 0, 0, 0.25, 0.05, P2 - Crossbeam
569, NO, 000011, 0, 0, 0, 0, 0.25, 0.07
000000, 0, 0, 0, 0, 0, 0, P1 - Crossbeam
580, NO, 000000, 0, 0, 0, 0, 0, 0
000011, 0, 0, 0, 0, 0.25, 0.07, P1 - Crossbeam
581, NO, 000011, 0, 0, 0, 0, 0.25, 0.05
000000, 0, 0, 0, 0, 0, 0, P2 - Crossbeam
592, NO, 000000, 0, 0, 0, 0, 0, 0
000011, 0, 0, 0, 0, 0.25, 0.05, P2 - Crossbeam
593, NO, 000011, 0, 0, 0, 0, 0.25, 0.07
000000, 0, 0, 0, 0, 0, 0, P1 - Crossbeam
604, NO, 000000, 0, 0, 0, 0, 0, 0
000011, 0, 0, 0, 0, 0.25, 0.07, P1 - Crossbeam
605, NO, 000011, 0, 0, 0, 0, 0.25, 0.05
000000, 0, 0, 0, 0, 0, 0, P2 - Crossbeam
616, NO, 000000, 0, 0, 0, 0, 0, 0
000011, 0, 0, 0, 0, 0.25, 0.05, P2 - Crossbeam
617, NO, 000011, 0, 0, 0, 0, 0.25, 0.07
000000, 0, 0, 0, 0, 0, 0, P1 - Crossbeam
628, NO, 000000, 0, 0, 0, 0, 0, 0
000011, 0, 0, 0, 0, 0.25, 0.07, P1 - Crossbeam
629, NO, 000011, 0, 0, 0, 0, 0.25, 0.05
000000, 0, 0, 0, 0, 0, 0, P2 - Crossbeam
640, NO, 000000, 0, 0, 0, 0, 0, 0
000011, 0, 0, 0, 0, 0.25, 0.05, P2 - Crossbeam
641, NO, 000011, 0, 0, 0, 0, 0.25, 0.07
000000, 0, 0, 0, 0, 0, 0, P1 - Crossbeam
652, NO, 000000, 0, 0, 0, 0, 0, 0
000011, 0, 0, 0, 0, 0.25, 0.07, P1 - Crossbeam
653, NO, 000011, 0, 0, 0, 0, 0.25, 0.05
000000, 0, 0, 0, 0, 0, 0, P2 - Crossbeam
664, NO, 000000, 0, 0, 0, 0, 0, 0
000011, 0, 0, 0, 0, 0.25, 0.05, P2 - Crossbeam
665, NO, 000011, 0, 0, 0, 0, 0.25, 0.07

000000, 0, 0, 0, 0, 0, 0, P1 - Crossbeam
676, NO, 000000, 0, 0, 0, 0, 0, 0
000011, 0, 0, 0, 0, 0.25, 0.07, P1 - Crossbeam
677, NO, 000011, 0, 0, 0, 0, 0.25, 0.05
000000, 0, 0, 0, 0, 0, 0, P2 - Crossbeam
688, NO, 000000, 0, 0, 0, 0, 0, 0
000011, 0, 0, 0, 0, 0.25, 0.05, P2 - Crossbeam
689, NO, 000011, 0, 0, 0, 0, 0.25, 0.07
000000, 0, 0, 0, 0, 0, 0, P1 - Crossbeam
696, NO, 000000, 0, 0, 0, 0, 0, 0
000011, 0, 0, 0, 0, 0.25, 0.07, P1 - Crossbeam
697, NO, 000011, 0, 0, 0, 0, 0.25, 0.05
000000, 0, 0, 0, 0, 0, 0, P2 - Crossbeam
704, NO, 000000, 0, 0, 0, 0, 0, 0
000011, 0, 0, 0, 0, 0.25, 0.05, P2 - Crossbeam
705, NO, 000011, 0, 0, 0, 0, 0.2, 0.1
000000, 0, 0, 0, 0, 0, 0, P1 - Crossbeam
712, NO, 000000, 0, 0, 0, 0, 0, 0
000011, 0, 0, 0, 0, 0.2, 0.1, P1 - Crossbeam
715, NO, 100000, 0.15, 0, 0, 0, 0, 0
000000, 0, 0, 0, 0, 0, 0, L - axial stiffness
715, NO, 000011, 0, 0, 0, 0, 0.05, 0.05
000000, 0, 0, 0, 0, 0, 0, L - Stringer
723, NO, 000000, 0, 0, 0, 0, 0, 0
000011, 0, 0, 0, 0, 0.05, 0.05, L - Stringer
723, NO, 000000, 0, 0, 0, 0, 0, 0
100000, 0.15, 0, 0, 0, 0, 0, L - axial stiffness
724, NO, 100000, 0.15, 0, 0, 0, 0, 0
000000, 0, 0, 0, 0, 0, 0, L - axial stiffness
724, NO, 000011, 0, 0, 0, 0, 0.05, 0.05
000000, 0, 0, 0, 0, 0, 0, L - Stringer
733, NO, 000000, 0, 0, 0, 0, 0, 0
000011, 0, 0, 0, 0, 0.05, 0.05, L - Stringer
733, NO, 000000, 0, 0, 0, 0, 0, 0
100000, 0.15, 0, 0, 0, 0, 0, L - axial stiffness
734, NO, 000011, 0, 0, 0, 0, 0.05, 0.05
000000, 0, 0, 0, 0, 0, 0, L - Stringer
734, NO, 100000, 0.15, 0, 0, 0, 0, 0
000000, 0, 0, 0, 0, 0, 0, L - axial stiffness
744, NO, 000000, 0, 0, 0, 0, 0, 0
000011, 0, 0, 0, 0, 0.05, 0.05, L - Stringer
744, NO, 000000, 0, 0, 0, 0, 0, 0
100000, 0.15, 0, 0, 0, 0, 0, L - axial stiffness
745, NO, 000011, 0, 0, 0, 0, 0.05, 0.05
000000, 0, 0, 0, 0, 0, 0, L - Stringer
745, NO, 100000, 0.15, 0, 0, 0, 0, 0
000000, 0, 0, 0, 0, 0, 0, L - axial stiffness
755, NO, 000000, 0, 0, 0, 0, 0, 0
000011, 0, 0, 0, 0, 0.05, 0.05, L - Stringer
755, NO, 000000, 0, 0, 0, 0, 0, 0
100000, 0.15, 0, 0, 0, 0, 0, L - axial stiffness
756, NO, 000011, 0, 0, 0, 0, 0.05, 0.05
000000, 0, 0, 0, 0, 0, 0, L - Stringer
756, NO, 100000, 0.15, 0, 0, 0, 0, 0
000000, 0, 0, 0, 0, 0, 0, L - axial stiffness
766, NO, 000000, 0, 0, 0, 0, 0, 0
000011, 0, 0, 0, 0, 0.05, 0.05, L - Stringer
766, NO, 000000, 0, 0, 0, 0, 0, 0
100000, 0.15, 0, 0, 0, 0, 0, L - axial stiffness
767, NO, 000011, 0, 0, 0, 0, 0.05, 0.05
000000, 0, 0, 0, 0, 0, 0, L - Stringer
767, NO, 100000, 0.15, 0, 0, 0, 0, 0
000000, 0, 0, 0, 0, 0, 0, L - axial stiffness
777, NO, 000000, 0, 0, 0, 0, 0, 0
000011, 0, 0, 0, 0, 0.05, 0.05, L - Stringer
777, NO, 000000, 0, 0, 0, 0, 0, 0
100000, 0.15, 0, 0, 0, 0, 0, L - axial stiffness
778, NO, 000011, 0, 0, 0, 0, 0.05, 0.05
000000, 0, 0, 0, 0, 0, 0, L - Stringer
778, NO, 100000, 0.15, 0, 0, 0, 0, 0
000000, 0, 0, 0, 0, 0, 0, L - axial stiffness
788, NO, 000000, 0, 0, 0, 0, 0, 0

000011, 0, 0, 0, 0, 0.05, 0.05, L - Stringer
788, NO, 000000, 0, 0, 0, 0, 0, 0
100000, 0.15, 0, 0, 0, 0, 0, L - axial stiffness
789, NO, 000011, 0, 0, 0, 0, 0.05, 0.05
000000, 0, 0, 0, 0, 0, 0, L - Stringer
789, NO, 100000, 0.15, 0, 0, 0, 0, 0
000000, 0, 0, 0, 0, 0, 0, L - axial stiffness
799, NO, 000000, 0, 0, 0, 0, 0, 0
000011, 0, 0, 0, 0, 0.05, 0.05, L - Stringer
799, NO, 000000, 0, 0, 0, 0, 0, 0
100000, 0.15, 0, 0, 0, 0, 0, L - axial stiffness
800, NO, 000011, 0, 0, 0, 0, 0.05, 0.05
000000, 0, 0, 0, 0, 0, 0, L - Stringer
800, NO, 100000, 0.15, 0, 0, 0, 0, 0
000000, 0, 0, 0, 0, 0, 0, L - axial stiffness
810, NO, 000000, 0, 0, 0, 0, 0, 0
000011, 0, 0, 0, 0, 0.05, 0.05, L - Stringer
810, NO, 000000, 0, 0, 0, 0, 0, 0
100000, 0.15, 0, 0, 0, 0, 0, L - axial stiffness
811, NO, 000011, 0, 0, 0, 0, 0.05, 0.05
000000, 0, 0, 0, 0, 0, 0, L - Stringer
811, NO, 100000, 0.15, 0, 0, 0, 0, 0
000000, 0, 0, 0, 0, 0, 0, L - axial stiffness
821, NO, 000000, 0, 0, 0, 0, 0, 0
000011, 0, 0, 0, 0, 0.05, 0.05, L - Stringer
821, NO, 000000, 0, 0, 0, 0, 0, 0
100000, 0.15, 0, 0, 0, 0, 0, L - axial stiffness
822, NO, 000011, 0, 0, 0, 0, 0.05, 0.05
000000, 0, 0, 0, 0, 0, 0, L - Stringer
822, NO, 100000, 0.15, 0, 0, 0, 0, 0
000000, 0, 0, 0, 0, 0, 0, L - axial stiffness
832, NO, 000000, 0, 0, 0, 0, 0, 0
000011, 0, 0, 0, 0, 0.05, 0.05, L - Stringer
832, NO, 000000, 0, 0, 0, 0, 0, 0
100000, 0.15, 0, 0, 0, 0, 0, L - axial stiffness
833, NO, 000011, 0, 0, 0, 0, 0.05, 0.05
000000, 0, 0, 0, 0, 0, 0, L - Stringer
833, NO, 100000, 0.15, 0, 0, 0, 0, 0
000000, 0, 0, 0, 0, 0, 0, L - axial stiffness
843, NO, 000000, 0, 0, 0, 0, 0, 0
000011, 0, 0, 0, 0, 0.05, 0.05, L - Stringer
843, NO, 000000, 0, 0, 0, 0, 0, 0
100000, 0.15, 0, 0, 0, 0, 0, L - axial stiffness
844, NO, 000011, 0, 0, 0, 0, 0.05, 0.05
000000, 0, 0, 0, 0, 0, 0, L - Stringer
844, NO, 100000, 0.15, 0, 0, 0, 0, 0
000000, 0, 0, 0, 0, 0, 0, L - axial stiffness
854, NO, 000000, 0, 0, 0, 0, 0, 0
000011, 0, 0, 0, 0, 0.05, 0.05, L - Stringer
854, NO, 000000, 0, 0, 0, 0, 0, 0
100000, 0.15, 0, 0, 0, 0, 0, L - axial stiffness
855, NO, 000011, 0, 0, 0, 0, 0.05, 0.05
000000, 0, 0, 0, 0, 0, 0, L - Stringer
855, NO, 100000, 0.15, 0, 0, 0, 0, 0
000000, 0, 0, 0, 0, 0, 0, L - axial stiffness
865, NO, 000000, 0, 0, 0, 0, 0, 0
000011, 0, 0, 0, 0, 0.05, 0.05, L - Stringer
865, NO, 000000, 0, 0, 0, 0, 0, 0
100000, 0.15, 0, 0, 0, 0, 0, L - axial stiffness
866, NO, 000011, 0, 0, 0, 0, 0.05, 0.05
000000, 0, 0, 0, 0, 0, 0, L - Stringer
866, NO, 100000, 0.15, 0, 0, 0, 0, 0
000000, 0, 0, 0, 0, 0, 0, L - axial stiffness
875, NO, 000000, 0, 0, 0, 0, 0, 0
000011, 0, 0, 0, 0, 0.05, 0.05, L - Stringer
876, NO, 000011, 0, 0, 0, 0, 0.05, 0.05
000000, 0, 0, 0, 0, 0, 0, L - Stringer
876, NO, 100000, 0.15, 0, 0, 0, 0, 0
000000, 0, 0, 0, 0, 0, 0, L - axial stiffness
884, NO, 000000, 0, 0, 0, 0, 0, 0
000011, 0, 0, 0, 0, 0.05, 0.05, L - Stringer
884, NO, 000000, 0, 0, 0, 0, 0, 0

100000, 0.15, 0, 0, 0, 0, 0, L - axial stiffness
889, NO, 000011, 0, 0, 0, 0, 0.05, 0.05
000000, 0, 0, 0, 0, 0, 0, L - Stringer
889, NO, 100000, 0.15, 0, 0, 0, 0, 0
000000, 0, 0, 0, 0, 0, 0, L - axial stiffness
897, NO, 000000, 0, 0, 0, 0, 0, 0
000011, 0, 0, 0, 0, 0.05, 0.05, L - Stringer
897, NO, 000000, 0, 0, 0, 0, 0, 0
100000, 0.15, 0, 0, 0, 0, 0, L - axial stiffness
898, NO, 000011, 0, 0, 0, 0, 0.05, 0.05
000000, 0, 0, 0, 0, 0, 0, L - Stringer
898, NO, 100000, 0.15, 0, 0, 0, 0, 0
000000, 0, 0, 0, 0, 0, 0, L - axial stiffness
907, NO, 000000, 0, 0, 0, 0, 0, 0
000011, 0, 0, 0, 0, 0.05, 0.05, L - Stringer
907, NO, 000000, 0, 0, 0, 0, 0, 0
100000, 0.15, 0, 0, 0, 0, 0, L - axial stiffness
908, NO, 000011, 0, 0, 0, 0, 0.05, 0.05
000000, 0, 0, 0, 0, 0, 0, L - Stringer
908, NO, 100000, 0.15, 0, 0, 0, 0, 0
000000, 0, 0, 0, 0, 0, 0, L - axial stiffness
918, NO, 000000, 0, 0, 0, 0, 0, 0
000011, 0, 0, 0, 0, 0.05, 0.05, L - Stringer
918, NO, 000000, 0, 0, 0, 0, 0, 0
100000, 0.15, 0, 0, 0, 0, 0, L - axial stiffness
919, NO, 000011, 0, 0, 0, 0, 0.05, 0.05
000000, 0, 0, 0, 0, 0, 0, L - Stringer
919, NO, 100000, 0.15, 0, 0, 0, 0, 0
000000, 0, 0, 0, 0, 0, 0, L - axial stiffness
929, NO, 000000, 0, 0, 0, 0, 0, 0
000011, 0, 0, 0, 0, 0.05, 0.05, L - Stringer
929, NO, 000000, 0, 0, 0, 0, 0, 0
100000, 0.15, 0, 0, 0, 0, 0, L - axial stiffness
930, NO, 000011, 0, 0, 0, 0, 0.05, 0.05
000000, 0, 0, 0, 0, 0, 0, L - Stringer
930, NO, 100000, 0.15, 0, 0, 0, 0, 0
000000, 0, 0, 0, 0, 0, 0, L - axial stiffness
940, NO, 000000, 0, 0, 0, 0, 0, 0
000011, 0, 0, 0, 0, 0.05, 0.05, L - Stringer
940, NO, 000000, 0, 0, 0, 0, 0, 0
100000, 0.15, 0, 0, 0, 0, 0, L - axial stiffness
941, NO, 000011, 0, 0, 0, 0, 0.05, 0.05
000000, 0, 0, 0, 0, 0, 0, L - Stringer
941, NO, 100000, 0.15, 0, 0, 0, 0, 0
000000, 0, 0, 0, 0, 0, 0, L - axial stiffness
951, NO, 000000, 0, 0, 0, 0, 0, 0
000011, 0, 0, 0, 0, 0.05, 0.05, L - Stringer
951, NO, 000000, 0, 0, 0, 0, 0, 0
100000, 0.15, 0, 0, 0, 0, 0, L - axial stiffness
952, NO, 000011, 0, 0, 0, 0, 0.05, 0.05
000000, 0, 0, 0, 0, 0, 0, L - Stringer
952, NO, 100000, 0.15, 0, 0, 0, 0, 0
000000, 0, 0, 0, 0, 0, 0, L - axial stiffness
962, NO, 000000, 0, 0, 0, 0, 0, 0
000011, 0, 0, 0, 0, 0.05, 0.05, L - Stringer
962, NO, 000000, 0, 0, 0, 0, 0, 0
100000, 0.15, 0, 0, 0, 0, 0, L - axial stiffness
963, NO, 000011, 0, 0, 0, 0, 0.05, 0.05
000000, 0, 0, 0, 0, 0, 0, L - Stringer
963, NO, 100000, 0.15, 0, 0, 0, 0, 0
000000, 0, 0, 0, 0, 0, 0, L - axial stiffness
973, NO, 000000, 0, 0, 0, 0, 0, 0
000011, 0, 0, 0, 0, 0.05, 0.05, L - Stringer
973, NO, 000000, 0, 0, 0, 0, 0, 0
100000, 0.15, 0, 0, 0, 0, 0, L - axial stiffness
974, NO, 000011, 0, 0, 0, 0, 0.05, 0.05
000000, 0, 0, 0, 0, 0, 0, L - Stringer
974, NO, 100000, 0.15, 0, 0, 0, 0, 0
000000, 0, 0, 0, 0, 0, 0, L - axial stiffness
984, NO, 000000, 0, 0, 0, 0, 0, 0
000011, 0, 0, 0, 0, 0.05, 0.05, L - Stringer
984, NO, 000000, 0, 0, 0, 0, 0, 0

100000, 0.15, 0, 0, 0, 0, 0, L - axial stiffness
985, NO, 000011, 0, 0, 0, 0, 0.05, 0.05
000000, 0, 0, 0, 0, 0, 0, L - Stringer
985, NO, 100000, 0.15, 0, 0, 0, 0, 0
000000, 0, 0, 0, 0, 0, 0, L - axial stiffness
995, NO, 000000, 0, 0, 0, 0, 0, 0
000011, 0, 0, 0, 0, 0.05, 0.05, L - Stringer
995, NO, 000000, 0, 0, 0, 0, 0, 0
100000, 0.15, 0, 0, 0, 0, 0, L - axial stiffness
996, NO, 000011, 0, 0, 0, 0, 0.05, 0.05
000000, 0, 0, 0, 0, 0, 0, L - Stringer
996, NO, 100000, 0.15, 0, 0, 0, 0, 0
000000, 0, 0, 0, 0, 0, 0, L - axial stiffness
1006, NO, 000000, 0, 0, 0, 0, 0, 0
000011, 0, 0, 0, 0, 0.05, 0.05, L - Stringer
1006, NO, 000000, 0, 0, 0, 0, 0, 0
100000, 0.15, 0, 0, 0, 0, 0, L - axial stiffness
1007, NO, 000011, 0, 0, 0, 0, 0.05, 0.05
000000, 0, 0, 0, 0, 0, 0, L - Stringer
1007, NO, 100000, 0.15, 0, 0, 0, 0, 0
000000, 0, 0, 0, 0, 0, 0, L - axial stiffness
1017, NO, 000000, 0, 0, 0, 0, 0, 0
000011, 0, 0, 0, 0, 0.05, 0.05, L - Stringer
1017, NO, 000000, 0, 0, 0, 0, 0, 0
100000, 0.15, 0, 0, 0, 0, 0, L - axial stiffness
1018, NO, 000011, 0, 0, 0, 0, 0.05, 0.05
000000, 0, 0, 0, 0, 0, 0, L - Stringer
1018, NO, 100000, 0.15, 0, 0, 0, 0, 0
000000, 0, 0, 0, 0, 0, 0, L - axial stiffness
1028, NO, 000000, 0, 0, 0, 0, 0, 0
000011, 0, 0, 0, 0, 0.05, 0.05, L - Stringer
1028, NO, 000000, 0, 0, 0, 0, 0, 0
100000, 0.15, 0, 0, 0, 0, 0, L - axial stiffness
1029, NO, 000011, 0, 0, 0, 0, 0.05, 0.05
000000, 0, 0, 0, 0, 0, 0, L - Stringer
1029, NO, 100000, 0.15, 0, 0, 0, 0, 0
000000, 0, 0, 0, 0, 0, 0, L - axial stiffness
1039, NO, 000000, 0, 0, 0, 0, 0, 0
000011, 0, 0, 0, 0, 0.05, 0.05, L - Stringer
1039, NO, 000000, 0, 0, 0, 0, 0, 0
100000, 0.15, 0, 0, 0, 0, 0, L - axial stiffness
1040, NO, 000011, 0, 0, 0, 0, 0.05, 0.05
000000, 0, 0, 0, 0, 0, 0, L - Stringer
1040, NO, 100000, 0.15, 0, 0, 0, 0, 0
000000, 0, 0, 0, 0, 0, 0, L - axial stiffness
1049, NO, 000000, 0, 0, 0, 0, 0, 0
000011, 0, 0, 0, 0, 0.05, 0.05, L - Stringer
1050, NO, 000011, 0, 0, 0, 0, 0.05, 0.05
000000, 0, 0, 0, 0, 0, 0, L - Stringer
1050, NO, 100000, 0.15, 0, 0, 0, 0, 0
000000, 0, 0, 0, 0, 0, 0, L - axial stiffness
1058, NO, 000000, 0, 0, 0, 0, 0, 0
000011, 0, 0, 0, 0, 0.05, 0.05, L - Stringer
1058, NO, 000000, 0, 0, 0, 0, 0, 0
100000, 0.15, 0, 0, 0, 0, 0, L - axial stiffness
1063, NO, 000011, 0, 0, 0, 0, 0.05, 0.05
000000, 0, 0, 0, 0, 0, 0, L - Stringer
1063, NO, 100000, 0.15, 0, 0, 0, 0, 0
000000, 0, 0, 0, 0, 0, 0, L - axial stiffness
1071, NO, 000000, 0, 0, 0, 0, 0, 0
000011, 0, 0, 0, 0, 0.05, 0.05, L - Stringer
1071, NO, 000000, 0, 0, 0, 0, 0, 0
100000, 0.15, 0, 0, 0, 0, 0, L - axial stiffness
1072, NO, 000011, 0, 0, 0, 0, 0.05, 0.05
000000, 0, 0, 0, 0, 0, 0, L - Stringer
1072, NO, 100000, 0.15, 0, 0, 0, 0, 0
000000, 0, 0, 0, 0, 0, 0, L - axial stiffness
1081, NO, 000000, 0, 0, 0, 0, 0, 0
000011, 0, 0, 0, 0, 0.05, 0.05, L - Stringer
1081, NO, 000000, 0, 0, 0, 0, 0, 0
100000, 0.15, 0, 0, 0, 0, 0, L - axial stiffness
1082, NO, 000011, 0, 0, 0, 0, 0.05, 0.05

000000, 0, 0, 0, 0, 0, 0, L - Stringer
1082, NO, 100000, 0.15, 0, 0, 0, 0, 0
000000, 0, 0, 0, 0, 0, 0, L - axial stiffness
1092, NO, 000000, 0, 0, 0, 0, 0, 0
000011, 0, 0, 0, 0, 0.05, 0.05, L - Stringer
1092, NO, 000000, 0, 0, 0, 0, 0, 0
100000, 0.15, 0, 0, 0, 0, 0, L - axial stiffness
1093, NO, 000011, 0, 0, 0, 0, 0.05, 0.05
000000, 0, 0, 0, 0, 0, 0, L - Stringer
1093, NO, 100000, 0.15, 0, 0, 0, 0, 0
000000, 0, 0, 0, 0, 0, 0, L - axial stiffness
1103, NO, 000000, 0, 0, 0, 0, 0, 0
000011, 0, 0, 0, 0, 0.05, 0.05, L - Stringer
1103, NO, 000000, 0, 0, 0, 0, 0, 0
100000, 0.15, 0, 0, 0, 0, 0, L - axial stiffness
1104, NO, 000011, 0, 0, 0, 0, 0.05, 0.05
000000, 0, 0, 0, 0, 0, 0, L - Stringer
1104, NO, 100000, 0.15, 0, 0, 0, 0, 0
000000, 0, 0, 0, 0, 0, 0, L - axial stiffness
1114, NO, 000000, 0, 0, 0, 0, 0, 0
000011, 0, 0, 0, 0, 0.05, 0.05, L - Stringer
1114, NO, 000000, 0, 0, 0, 0, 0, 0
100000, 0.15, 0, 0, 0, 0, 0, L - axial stiffness
1115, NO, 000011, 0, 0, 0, 0, 0.05, 0.05
000000, 0, 0, 0, 0, 0, 0, L - Stringer
1115, NO, 100000, 0.15, 0, 0, 0, 0, 0
000000, 0, 0, 0, 0, 0, 0, L - axial stiffness
1125, NO, 000000, 0, 0, 0, 0, 0, 0
000011, 0, 0, 0, 0, 0.05, 0.05, L - Stringer
1125, NO, 000000, 0, 0, 0, 0, 0, 0
100000, 0.15, 0, 0, 0, 0, 0, L - axial stiffness
1126, NO, 000011, 0, 0, 0, 0, 0.05, 0.05
000000, 0, 0, 0, 0, 0, 0, L - Stringer
1126, NO, 100000, 0.15, 0, 0, 0, 0, 0
000000, 0, 0, 0, 0, 0, 0, L - axial stiffness
1136, NO, 000000, 0, 0, 0, 0, 0, 0
000011, 0, 0, 0, 0, 0.05, 0.05, L - Stringer
1136, NO, 000000, 0, 0, 0, 0, 0, 0
100000, 0.15, 0, 0, 0, 0, 0, L - axial stiffness
1137, NO, 000011, 0, 0, 0, 0, 0.05, 0.05
000000, 0, 0, 0, 0, 0, 0, L - Stringer
1137, NO, 100000, 0.15, 0, 0, 0, 0, 0
000000, 0, 0, 0, 0, 0, 0, L - axial stiffness
1147, NO, 000000, 0, 0, 0, 0, 0, 0
000011, 0, 0, 0, 0, 0.05, 0.05, L - Stringer
1147, NO, 000000, 0, 0, 0, 0, 0, 0
100000, 0.15, 0, 0, 0, 0, 0, L - axial stiffness
1148, NO, 000011, 0, 0, 0, 0, 0.05, 0.05
000000, 0, 0, 0, 0, 0, 0, L - Stringer
1148, NO, 100000, 0.15, 0, 0, 0, 0, 0
000000, 0, 0, 0, 0, 0, 0, L - axial stiffness
1158, NO, 000000, 0, 0, 0, 0, 0, 0
000011, 0, 0, 0, 0, 0.05, 0.05, L - Stringer
1158, NO, 000000, 0, 0, 0, 0, 0, 0
100000, 0.15, 0, 0, 0, 0, 0, L - axial stiffness
1159, NO, 000011, 0, 0, 0, 0, 0.05, 0.05
000000, 0, 0, 0, 0, 0, 0, L - Stringer
1159, NO, 100000, 0.15, 0, 0, 0, 0, 0
000000, 0, 0, 0, 0, 0, 0, L - axial stiffness
1169, NO, 000000, 0, 0, 0, 0, 0, 0
000011, 0, 0, 0, 0, 0.05, 0.05, L - Stringer
1169, NO, 000000, 0, 0, 0, 0, 0, 0
100000, 0.15, 0, 0, 0, 0, 0, L - axial stiffness
1170, NO, 000011, 0, 0, 0, 0, 0.05, 0.05
000000, 0, 0, 0, 0, 0, 0, L - Stringer
1170, NO, 100000, 0.15, 0, 0, 0, 0, 0
000000, 0, 0, 0, 0, 0, 0, L - axial stiffness
1180, NO, 000000, 0, 0, 0, 0, 0, 0
000011, 0, 0, 0, 0, 0.05, 0.05, L - Stringer
1180, NO, 000000, 0, 0, 0, 0, 0, 0
100000, 0.15, 0, 0, 0, 0, 0, L - axial stiffness
1181, NO, 000011, 0, 0, 0, 0, 0.05, 0.05

000000, 0, 0, 0, 0, 0, 0, L - Stringer
1181, NO, 100000, 0.15, 0, 0, 0, 0, 0
000000, 0, 0, 0, 0, 0, 0, L - axial stiffness
1191, NO, 000000, 0, 0, 0, 0, 0, 0
000011, 0, 0, 0, 0, 0.05, 0.05, L - Stringer
1191, NO, 000000, 0, 0, 0, 0, 0, 0
100000, 0.15, 0, 0, 0, 0, 0, L - axial stiffness
1192, NO, 000011, 0, 0, 0, 0, 0.05, 0.05
000000, 0, 0, 0, 0, 0, 0, L - Stringer
1192, NO, 100000, 0.15, 0, 0, 0, 0, 0
000000, 0, 0, 0, 0, 0, 0, L - axial stiffness
1202, NO, 000000, 0, 0, 0, 0, 0, 0
000011, 0, 0, 0, 0, 0.05, 0.05, L - Stringer
1202, NO, 000000, 0, 0, 0, 0, 0, 0
100000, 0.15, 0, 0, 0, 0, 0, L - axial stiffness
1203, NO, 000011, 0, 0, 0, 0, 0.05, 0.15
000000, 0, 0, 0, 0, 0, 0, L - Stringer
1203, NO, 100000, 0.15, 0, 0, 0, 0, 0
000000, 0, 0, 0, 0, 0, 0, L - axial stiffness
1213, NO, 000000, 0, 0, 0, 0, 0, 0
000011, 0, 0, 0, 0, 0.05, 0.05, L - Stringer
1213, NO, 000000, 0, 0, 0, 0, 0, 0
100000, 0.15, 0, 0, 0, 0, 0, L - axial stiffness
1214, NO, 000011, 0, 0, 0, 0, 0.05, 0.05
000000, 0, 0, 0, 0, 0, 0, L - Stringer
1214, NO, 100000, 0.15, 0, 0, 0, 0, 0
000000, 0, 0, 0, 0, 0, 0, L - axial stiffness
1223, NO, 000000, 0, 0, 0, 0, 0, 0
000011, 0, 0, 0, 0, 0.05, 0.05, L - Stringer
1224, NO, 000011, 0, 0, 0, 0, 0.05, 0.05
000000, 0, 0, 0, 0, 0, 0, L - Stringer
1224, NO, 100000, 0.15, 0, 0, 0, 0, 0
000000, 0, 0, 0, 0, 0, 0, L - axial stiffness
1232, NO, 000000, 0, 0, 0, 0, 0, 0
000011, 0, 0, 0, 0, 0.05, 0.05, L - Stringer
1232, NO, 000000, 0, 0, 0, 0, 0, 0
100000, 0.15, 0, 0, 0, 0, 0, L - axial stiffness
1237, NO, 000011, 0, 0, 0, 0, 0.05, 0.05
000000, 0, 0, 0, 0, 0, 0, L - Stringer
1237, NO, 100000, 0.15, 0, 0, 0, 0, 0
000000, 0, 0, 0, 0, 0, 0, L - axial stiffness
1245, NO, 000000, 0, 0, 0, 0, 0, 0
000011, 0, 0, 0, 0, 0.05, 0.05, L - Stringer
1245, NO, 000000, 0, 0, 0, 0, 0, 0
100000, 0.15, 0, 0, 0, 0, 0, L - axial stiffness
1246, NO, 000011, 0, 0, 0, 0, 0.05, 0.05
000000, 0, 0, 0, 0, 0, 0, L - Stringer
1246, NO, 100000, 0.15, 0, 0, 0, 0, 0
000000, 0, 0, 0, 0, 0, 0, L - axial stiffness
1255, NO, 000000, 0, 0, 0, 0, 0, 0
000011, 0, 0, 0, 0, 0.05, 0.05, L - Stringer
1255, NO, 000000, 0, 0, 0, 0, 0, 0
100000, 0.15, 0, 0, 0, 0, 0, L - axial stiffness
1256, NO, 000011, 0, 0, 0, 0, 0.05, 0.05
000000, 0, 0, 0, 0, 0, 0, L - Stringer
1256, NO, 100000, 0.15, 0, 0, 0, 0, 0
000000, 0, 0, 0, 0, 0, 0, L - axial stiffness
1266, NO, 000000, 0, 0, 0, 0, 0, 0
000011, 0, 0, 0, 0, 0.05, 0.05, L - Stringer
1266, NO, 000000, 0, 0, 0, 0, 0, 0
100000, 0.15, 0, 0, 0, 0, 0, L - axial stiffness
1267, NO, 000011, 0, 0, 0, 0, 0.05, 0.05
000000, 0, 0, 0, 0, 0, 0, L - Stringer
1267, NO, 100000, 0.15, 0, 0, 0, 0, 0
000000, 0, 0, 0, 0, 0, 0, L - axial stiffness
1277, NO, 000000, 0, 0, 0, 0, 0, 0
000011, 0, 0, 0, 0, 0.05, 0.05, L - Stringer
1277, NO, 000000, 0, 0, 0, 0, 0, 0
100000, 0.15, 0, 0, 0, 0, 0, L - axial stiffness
1278, NO, 000011, 0, 0, 0, 0, 0.05, 0.05
000000, 0, 0, 0, 0, 0, 0, L - Stringer
1278, NO, 100000, 0.15, 0, 0, 0, 0, 0

000000, 0, 0, 0, 0, 0, 0, L - axial stiffness
1288, NO, 000000, 0, 0, 0, 0, 0, 0
000011, 0, 0, 0, 0, 0.05, 0.05, L - Stringer
1288, NO, 000000, 0, 0, 0, 0, 0, 0
100000, 0.15, 0, 0, 0, 0, 0, L - axial stiffness
1289, NO, 000011, 0, 0, 0, 0, 0.05, 0.05
000000, 0, 0, 0, 0, 0, 0, L - Stringer
1289, NO, 100000, 0.15, 0, 0, 0, 0, 0
000000, 0, 0, 0, 0, 0, 0, L - axial stiffness
1299, NO, 000000, 0, 0, 0, 0, 0, 0
000011, 0, 0, 0, 0, 0.05, 0.05, L - Stringer
1299, NO, 000000, 0, 0, 0, 0, 0, 0
100000, 0.15, 0, 0, 0, 0, 0, L - axial stiffness
1300, NO, 000011, 0, 0, 0, 0, 0.05, 0.05
000000, 0, 0, 0, 0, 0, 0, L - Stringer
1300, NO, 100000, 0.15, 0, 0, 0, 0, 0
000000, 0, 0, 0, 0, 0, 0, L - axial stiffness
1310, NO, 000000, 0, 0, 0, 0, 0, 0
000011, 0, 0, 0, 0, 0.05, 0.05, L - Stringer
1310, NO, 000000, 0, 0, 0, 0, 0, 0
100000, 0.15, 0, 0, 0, 0, 0, L - axial stiffness
1311, NO, 000011, 0, 0, 0, 0, 0.05, 0.05
000000, 0, 0, 0, 0, 0, 0, L - Stringer
1311, NO, 100000, 0.15, 0, 0, 0, 0, 0
000000, 0, 0, 0, 0, 0, 0, L - axial stiffness
1321, NO, 000000, 0, 0, 0, 0, 0, 0
000011, 0, 0, 0, 0, 0.05, 0.05, L - Stringer
1321, NO, 000000, 0, 0, 0, 0, 0, 0
100000, 0.15, 0, 0, 0, 0, 0, L - axial stiffness
1322, NO, 000011, 0, 0, 0, 0, 0.05, 0.05
000000, 0, 0, 0, 0, 0, 0, L - Stringer
1322, NO, 100000, 0.15, 0, 0, 0, 0, 0
000000, 0, 0, 0, 0, 0, 0, L - axial stiffness
1332, NO, 000000, 0, 0, 0, 0, 0, 0
000011, 0, 0, 0, 0, 0.05, 0.05, L - Stringer
1332, NO, 000000, 0, 0, 0, 0, 0, 0
100000, 0.15, 0, 0, 0, 0, 0, L - axial stiffness
1333, NO, 000011, 0, 0, 0, 0, 0.05, 0.05
000000, 0, 0, 0, 0, 0, 0, L - Stringer
1333, NO, 100000, 0.15, 0, 0, 0, 0, 0
000000, 0, 0, 0, 0, 0, 0, L - axial stiffness
1343, NO, 000000, 0, 0, 0, 0, 0, 0
000011, 0, 0, 0, 0, 0.05, 0.05, L - Stringer
1343, NO, 000000, 0, 0, 0, 0, 0, 0
100000, 0.15, 0, 0, 0, 0, 0, L - axial stiffness
1344, NO, 000011, 0, 0, 0, 0, 0.05, 0.05
000000, 0, 0, 0, 0, 0, 0, L - Stringer
1344, NO, 100000, 0.15, 0, 0, 0, 0, 0
000000, 0, 0, 0, 0, 0, 0, L - axial stiffness
1354, NO, 000000, 0, 0, 0, 0, 0, 0
000011, 0, 0, 0, 0, 0.05, 0.05, L - Stringer
1354, NO, 000000, 0, 0, 0, 0, 0, 0
100000, 0.15, 0, 0, 0, 0, 0, L - axial stiffness
1355, NO, 000011, 0, 0, 0, 0, 0.05, 0.05
000000, 0, 0, 0, 0, 0, 0, L - Stringer
1355, NO, 100000, 0.15, 0, 0, 0, 0, 0
000000, 0, 0, 0, 0, 0, 0, L - axial stiffness
1365, NO, 000000, 0, 0, 0, 0, 0, 0
000011, 0, 0, 0, 0, 0.05, 0.05, L - Stringer
1365, NO, 000000, 0, 0, 0, 0, 0, 0
100000, 0.15, 0, 0, 0, 0, 0, L - axial stiffness
1366, NO, 000011, 0, 0, 0, 0, 0.05, 0.05
000000, 0, 0, 0, 0, 0, 0, L - Stringer
1366, NO, 100000, 0.15, 0, 0, 0, 0, 0
000000, 0, 0, 0, 0, 0, 0, L - axial stiffness
1376, NO, 000000, 0, 0, 0, 0, 0, 0
000011, 0, 0, 0, 0, 0.05, 0.05, L - Stringer
1376, NO, 000000, 0, 0, 0, 0, 0, 0
100000, 0.15, 0, 0, 0, 0, 0, L - axial stiffness
1377, NO, 000011, 0, 0, 0, 0, 0.05, 0.05
000000, 0, 0, 0, 0, 0, 0, L - Stringer
1377, NO, 100000, 0.15, 0, 0, 0, 0, 0

000000, 0, 0, 0, 0, 0, 0, L - axial stiffness
1387, NO, 000000, 0, 0, 0, 0, 0, 0
000011, 0, 0, 0, 0, 0.05, 0.05, L - Stringer
1387, NO, 000000, 0, 0, 0, 0, 0, 0
100000, 0.15, 0, 0, 0, 0, 0, L - axial stiffness
1388, NO, 000011, 0, 0, 0, 0, 0.05, 0.05
000000, 0, 0, 0, 0, 0, 0, L - Stringer
1388, NO, 100000, 0.15, 0, 0, 0, 0, 0
000000, 0, 0, 0, 0, 0, 0, L - axial stiffness
1397, NO, 000000, 0, 0, 0, 0, 0, 0
000011, 0, 0, 0, 0, 0.05, 0.05, L - Stringer
1398, NO, 000011, 0, 0, 0, 0, 0.05, 0.05
000000, 0, 0, 0, 0, 0, 0, L - Stringer
1398, NO, 100000, 0.15, 0, 0, 0, 0, 0
000000, 0, 0, 0, 0, 0, 0, L - axial stiffness
1406, NO, 000000, 0, 0, 0, 0, 0, 0
100000, 0.15, 0, 0, 0, 0, 0, L - axial stiffness
1406, NO, 000000, 0, 0, 0, 0, 0, 0
000011, 0, 0, 0, 0, 0.05, 0.05, L - Stringer
1411, NO, 000011, 0, 0, 0, 0, 0.1, 0.15
000011, 0, 0, 0, 0, 0.1, 0.15, WO
1412, NO, 000011, 0, 0, 0, 0, 0.1, 0.15
000011, 0, 0, 0, 0, 0.1, 0.15, WO
1413, NO, 000011, 0, 0, 0, 0, 0.1, 0.15
000011, 0, 0, 0, 0, 0.1, 0.15, WO
1414, NO, 000011, 0, 0, 0, 0, 0.1, 0.15
000011, 0, 0, 0, 0, 0.1, 0.15, WO
1415, NO, 000011, 0, 0, 0, 0, 0.5, 0.5
000000, 0, 0, 0, 0, 0, 0, WO
1416, NO, 000000, 0, 0, 0, 0, 0, 0
000011, 0, 0, 0, 0, 0, 0, WO
1417, NO, 000011, 0, 0, 0, 0, 0.1, 0.15
000011, 0, 0, 0, 0, 0.1, 0.15, WO
1418, NO, 000011, 0, 0, 0, 0, 0.1, 0.15
000011, 0, 0, 0, 0, 0.1, 0.15, WO
1419, NO, 000011, 0, 0, 0, 0, 0.1, 0.15
000011, 0, 0, 0, 0, 0.1, 0.15, WO
1420, NO, 000011, 0, 0, 0, 0, 0.1, 0.15
000011, 0, 0, 0, 0, 0.1, 0.15, WO
1421, NO, 000011, 0, 0, 0, 0, 0.5, 0.5
000000, 0, 0, 0, 0, 0, 0, WO
1422, NO, 000000, 0, 0, 0, 0, 0, 0
000011, 0, 0, 0, 0, 0, 0, WO
1423, NO, 000011, 0, 0, 0, 0, 0.1, 0.15
000011, 0, 0, 0, 0, 0.1, 0.15, WO
1424, NO, 000011, 0, 0, 0, 0, 0.1, 0.15
000011, 0, 0, 0, 0, 0.1, 0.15, WO
1425, NO, 000011, 0, 0, 0, 0, 0.1, 0.15
000011, 0, 0, 0, 0, 0.1, 0.15, WO
1426, NO, 000011, 0, 0, 0, 0, 0.1, 0.15
000011, 0, 0, 0, 0, 0.1, 0.15, WO
1427, NO, 000011, 0, 0, 0, 0, 0.5, 0.5
000000, 0, 0, 0, 0, 0, 0, WO
1428, NO, 000000, 0, 0, 0, 0, 0, 0
000011, 0, 0, 0, 0, 0, 0, WO
1429, NO, 000011, 0, 0, 0, 0, 0.1, 0.15
000011, 0, 0, 0, 0, 0.1, 0.15, WO
1430, NO, 000011, 0, 0, 0, 0, 0.1, 0.15
000011, 0, 0, 0, 0, 0.1, 0.15, WO
1431, NO, 000011, 0, 0, 0, 0, 0.1, 0.15
000011, 0, 0, 0, 0, 0.1, 0.15, WO
1432, NO, 000011, 0, 0, 0, 0, 0.1, 0.15
000011, 0, 0, 0, 0, 0.1, 0.15, WO
1433, NO, 000011, 0, 0, 0, 0, 0.5, 0.5
000000, 0, 0, 0, 0, 0, 0, WO
1434, NO, 000000, 0, 0, 0, 0, 0, 0
000011, 0, 0, 0, 0, 0, 0, WO
1435, NO, 000011, 0, 0, 0, 0, 0.1, 0.15
000011, 0, 0, 0, 0, 0.1, 0.15, WO
1436, NO, 000011, 0, 0, 0, 0, 0.1, 0.15
000011, 0, 0, 0, 0, 0.1, 0.15, WO
1437, NO, 000011, 0, 0, 0, 0, 0.1, 0.15

000011, 0, 0, 0, 0, 0.1, 0.15, WO
1438, NO, 000011, 0, 0, 0, 0, 0.1, 0.15
000011, 0, 0, 0, 0, 0.1, 0.15, WO
1439, NO, 000011, 0, 0, 0, 0, 0.5, 0.5
000000, 0, 0, 0, 0, 0, 0, WO
1440, NO, 000000, 0, 0, 0, 0, 0, 0
000011, 0, 0, 0, 0, 0, 0, WO
1441, NO, 000011, 0, 0, 0, 0, 0.1, 0.15
000011, 0, 0, 0, 0, 0.1, 0.15, WO
1442, NO, 000011, 0, 0, 0, 0, 0.1, 0.15
000011, 0, 0, 0, 0, 0.1, 0.15, WO
1443, NO, 000011, 0, 0, 0, 0, 0.1, 0.15
000011, 0, 0, 0, 0, 0.1, 0.15, WO
1444, NO, 000011, 0, 0, 0, 0, 0.1, 0.15
000011, 0, 0, 0, 0, 0.1, 0.15, WO
1445, NO, 000011, 0, 0, 0, 0, 0.5, 0.5
000000, 0, 0, 0, 0, 0, 0, WO
1446, NO, 000000, 0, 0, 0, 0, 0, 0
000011, 0, 0, 0, 0, 0, 0, WO
1447, NO, 000011, 0, 0, 0, 0, 0.1, 0.15
000011, 0, 0, 0, 0, 0.1, 0.15, WO
1448, NO, 000011, 0, 0, 0, 0, 0.1, 0.15
000011, 0, 0, 0, 0, 0.1, 0.15, WO
1449, NO, 000011, 0, 0, 0, 0, 0.1, 0.15
000011, 0, 0, 0, 0, 0.1, 0.15, WO
1450, NO, 000011, 0, 0, 0, 0, 0.1, 0.15
000011, 0, 0, 0, 0, 0.1, 0.15, WO
1451, NO, 000011, 0, 0, 0, 0, 0.5, 0.5
000000, 0, 0, 0, 0, 0, 0, WO
1452, NO, 000000, 0, 0, 0, 0, 0, 0
000011, 0, 0, 0, 0, 0, 0, WO
1453, NO, 000011, 0, 0, 0, 0, 0.1, 0.15
000011, 0, 0, 0, 0, 0.1, 0.15, WO
1454, NO, 000011, 0, 0, 0, 0, 0.1, 0.15
000011, 0, 0, 0, 0, 0.1, 0.15, WO
1455, NO, 000011, 0, 0, 0, 0, 0.1, 0.15
000011, 0, 0, 0, 0, 0.1, 0.15, WO
1456, NO, 000011, 0, 0, 0, 0, 0.1, 0.15
000011, 0, 0, 0, 0, 0.1, 0.15, WO
1459, NO, 000011, 0, 0, 0, 0, 0.1, 0.3
000011, 0, 0, 0, 0, 0.1, 0.3, WU
1460, NO, 000011, 0, 0, 0, 0, 0.1, 0.3
000011, 0, 0, 0, 0, 0.1, 0.3, WU
1461, NO, 000011, 0, 0, 0, 0, 0.1, 0.3
000011, 0, 0, 0, 0, 0.1, 0.3, WU
1462, NO, 000011, 0, 0, 0, 0, 0.1, 0.3
000011, 0, 0, 0, 0, 0.1, 0.3, WU
1463, NO, 000011, 0, 0, 0, 0, 0.1, 0.3
000011, 0, 0, 0, 0, 0.1, 0.3, WU
1464, NO, 000011, 0, 0, 0, 0, 0.1, 0.3
000011, 0, 0, 0, 0, 0.1, 0.3, WU
1465, NO, 000011, 0, 0, 0, 0, 0.1, 0.3
000011, 0, 0, 0, 0, 0.1, 0.3, WU
1466, NO, 000011, 0, 0, 0, 0, 0.1, 0.3
000011, 0, 0, 0, 0, 0.1, 0.3, WU
1467, NO, 000011, 0, 0, 0, 0, 0.1, 0.3
000011, 0, 0, 0, 0, 0.1, 0.3, WU
1468, NO, 000011, 0, 0, 0, 0, 0.1, 0.3
000011, 0, 0, 0, 0, 0.1, 0.3, WU
1469, NO, 000011, 0, 0, 0, 0, 0.1, 0.3
000011, 0, 0, 0, 0, 0.1, 0.3, WU
1470, NO, 000011, 0, 0, 0, 0, 0.1, 0.3
000011, 0, 0, 0, 0, 0.1, 0.3, WU
1471, NO, 000011, 0, 0, 0, 0, 0.1, 0.3
000011, 0, 0, 0, 0, 0.1, 0.3, WU
1472, NO, 000011, 0, 0, 0, 0, 0.1, 0.3
000011, 0, 0, 0, 0, 0.1, 0.3, WU
1473, NO, 000011, 0, 0, 0, 0, 0.1, 0.3
000011, 0, 0, 0, 0, 0.1, 0.3, WU
1474, NO, 000011, 0, 0, 0, 0, 0.1, 0.3
000011, 0, 0, 0, 0, 0.1, 0.3, WU
1475, NO, 000011, 0, 0, 0, 0, 0.1, 0.3

000011, 0, 0, 0, 0, 0.1, 0.3, WU
1476, NO, 000011, 0, 0, 0, 0, 0.1, 0.3
000011, 0, 0, 0, 0, 0.1, 0.3, WU
1477, NO, 000011, 0, 0, 0, 0, 0.1, 0.3
000011, 0, 0, 0, 0, 0.1, 0.3, WU
1478, NO, 000011, 0, 0, 0, 0, 0.1, 0.3
000011, 0, 0, 0, 0, 0.1, 0.3, WU
1479, NO, 000011, 0, 0, 0, 0, 0.1, 0.3
000011, 0, 0, 0, 0, 0.1, 0.3, WU
1480, NO, 000011, 0, 0, 0, 0, 0.1, 0.3
000011, 0, 0, 0, 0, 0.1, 0.3, WU
1481, NO, 000011, 0, 0, 0, 0, 0.1, 0.3
000011, 0, 0, 0, 0, 0.1, 0.3, WU
1482, NO, 000011, 0, 0, 0, 0, 0.1, 0.3
000011, 0, 0, 0, 0, 0.1, 0.3, WU
1483, NO, 000011, 0, 0, 0, 0, 0.1, 0.3
000011, 0, 0, 0, 0, 0.1, 0.3, WU
1484, NO, 000011, 0, 0, 0, 0, 0.1, 0.3
000011, 0, 0, 0, 0, 0.1, 0.3, WU
1485, NO, 000011, 0, 0, 0, 0, 0.1, 0.3
000011, 0, 0, 0, 0, 0.1, 0.3, WU
1486, NO, 000011, 0, 0, 0, 0, 0.1, 0.3
000011, 0, 0, 0, 0, 0.1, 0.3, WU
1487, NO, 000011, 0, 0, 0, 0, 0.1, 0.3
000011, 0, 0, 0, 0, 0.1, 0.3, WU
1488, NO, 000011, 0, 0, 0, 0, 0.1, 0.3
000011, 0, 0, 0, 0, 0.1, 0.3, WU
1489, NO, 000011, 0, 0, 0, 0, 0.1, 0.3
000011, 0, 0, 0, 0, 0.1, 0.3, WU
1490, NO, 000011, 0, 0, 0, 0, 0.1, 0.3
000011, 0, 0, 0, 0, 0.1, 0.3, WU
1491, NO, 000011, 0, 0, 0, 0, 0, 0.15
000011, 0, 0, 0, 0, 0, 0.15, B
1492, NO, 000011, 0, 0, 0, 0, 0, 0.15
000011, 0, 0, 0, 0, 0, 0.15, B
1493, NO, 000011, 0, 0, 0, 0, 0, 0.15
000011, 0, 0, 0, 0, 0, 0.15, B
1494, NO, 000011, 0, 0, 0, 0, 0, 0.15
000011, 0, 0, 0, 0, 0, 0.15, B
1495, NO, 000011, 0, 0, 0, 0, 0.1, 0.15
000011, 0, 0, 0, 0, 0.1, 0.15, B
1496, NO, 000011, 0, 0, 0, 0, 0.1, 0.15
000011, 0, 0, 0, 0, 0.1, 0.15, B
1497, NO, 000011, 0, 0, 0, 0, 0.1, 0.15
000011, 0, 0, 0, 0, 0.1, 0.15, B
1498, NO, 000010, 0, 0, 0, 0, 0, 0
000000, 0, 0, 0, 0, 0, 0, B
1499, NO, 000000, 0, 0, 0, 0, 0, 0
000010, 0, 0, 0, 0, 0, 0, B
1500, NO, 000011, 0, 0, 0, 0, 0.1, 0.15
000011, 0, 0, 0, 0, 0.1, 0.15, B
1501, NO, 000011, 0, 0, 0, 0, 0.1, 0.15
000011, 0, 0, 0, 0, 0.1, 0.15, B
1502, NO, 000010, 0, 0, 0, 0, 0, 0
000000, 0, 0, 0, 0, 0, 0, B
1503, NO, 000000, 0, 0, 0, 0, 0, 0
000010, 0, 0, 0, 0, 0, 0, B
1504, NO, 000011, 0, 0, 0, 0, 0.1, 0.15
000011, 0, 0, 0, 0, 0.1, 0.15, B
1505, NO, 000011, 0, 0, 0, 0, 0.1, 0.15
000011, 0, 0, 0, 0, 0.1, 0.15, B
1506, NO, 000011, 0, 0, 0, 0, 0.1, 0.15
000011, 0, 0, 0, 0, 0.1, 0.15, B
1507, NO, 000011, 0, 0, 0, 0, 0, 0.15
000011, 0, 0, 0, 0, 0, 0.15, B
1508, NO, 000011, 0, 0, 0, 0, 0, 0.15
000011, 0, 0, 0, 0, 0, 0.15, B
1509, NO, 000011, 0, 0, 0, 0, 0, 0.15
000011, 0, 0, 0, 0, 0, 0.15, B
1510, NO, 000011, 0, 0, 0, 0, 0, 0.15
000011, 0, 0, 0, 0, 0, 0.15, B
1511, NO, 000011, 0, 0, 0, 0, 0, 0.15

000011, 0, 0, 0, 0, 0, 0.15, B
1512, NO, 000011, 0, 0, 0, 0, 0, 0.15
000011, 0, 0, 0, 0, 0, 0.15, B
1513, NO, 000011, 0, 0, 0, 0, 0, 0.15
000011, 0, 0, 0, 0, 0, 0.15, B
1514, NO, 000011, 0, 0, 0, 0, 0, 0.15
000011, 0, 0, 0, 0, 0, 0.15, B
1515, NO, 000011, 0, 0, 0, 0, 0.1, 0.15
000011, 0, 0, 0, 0, 0.1, 0.15, B
1516, NO, 000011, 0, 0, 0, 0, 0.1, 0.15
000011, 0, 0, 0, 0, 0.1, 0.15, B
1517, NO, 000011, 0, 0, 0, 0, 0.1, 0.15
000011, 0, 0, 0, 0, 0.1, 0.15, B
1518, NO, 000010, 0, 0, 0, 0, 0, 0
000000, 0, 0, 0, 0, 0, 0, B
1519, NO, 000000, 0, 0, 0, 0, 0, 0
000010, 0, 0, 0, 0, 0, 0, B
1520, NO, 000011, 0, 0, 0, 0, 0.1, 0.15
000011, 0, 0, 0, 0, 0.1, 0.15, B
1521, NO, 000011, 0, 0, 0, 0, 0.1, 0.15
000011, 0, 0, 0, 0, 0.1, 0.15, B
1522, NO, 000010, 0, 0, 0, 0, 0, 0
000000, 0, 0, 0, 0, 0, 0, B
1523, NO, 000000, 0, 0, 0, 0, 0, 0
000010, 0, 0, 0, 0, 0, 0, B
1524, NO, 000011, 0, 0, 0, 0, 0.1, 0.15
000011, 0, 0, 0, 0, 0.1, 0.15, B
1525, NO, 000011, 0, 0, 0, 0, 0.1, 0.15
000011, 0, 0, 0, 0, 0.1, 0.15, B
1526, NO, 000011, 0, 0, 0, 0, 0.1, 0.15
000011, 0, 0, 0, 0, 0.1, 0.15, B
1527, NO, 000011, 0, 0, 0, 0, 0, 0.15
000011, 0, 0, 0, 0, 0, 0.15, B
1528, NO, 000011, 0, 0, 0, 0, 0, 0.15
000011, 0, 0, 0, 0, 0, 0.15, B
1529, NO, 000011, 0, 0, 0, 0, 0, 0.15
000011, 0, 0, 0, 0, 0, 0.15, B
1530, NO, 000011, 0, 0, 0, 0, 0, 0.15
000011, 0, 0, 0, 0, 0, 0.15, B
1531, NO, 000011, 0, 0, 0, 0, 0, 0
000011, 0, 0, 0, 0, 0, 0, WL
1532, NO, 000011, 0, 0, 0, 0, 0, 0
000011, 0, 0, 0, 0, 0, 0, WL
1533, NO, 000011, 0, 0, 0, 0, 0, 0
000011, 0, 0, 0, 0, 0, 0, WL
1534, NO, 000011, 0, 0, 0, 0, 0, 0
000011, 0, 0, 0, 0, 0, 0, WL
1535, NO, 000011, 0, 0, 0, 0, 0, 0
000011, 0, 0, 0, 0, 0, 0, WL
1536, NO, 000011, 0, 0, 0, 0, 0, 0
000011, 0, 0, 0, 0, 0, 0, WL
1537, NO, 000011, 0, 0, 0, 0, 0, 0
000011, 0, 0, 0, 0, 0, 0, WL
1538, NO, 000011, 0, 0, 0, 0, 0, 0
000011, 0, 0, 0, 0, 0, 0, WL
1539, NO, 000011, 0, 0, 0, 0, 0, 0
000011, 0, 0, 0, 0, 0, 0, WL
1540, NO, 000011, 0, 0, 0, 0, 0, 0
000011, 0, 0, 0, 0, 0, 0, WL
1541, NO, 000011, 0, 0, 0, 0, 0, 0
000011, 0, 0, 0, 0, 0, 0, WL
1542, NO, 000011, 0, 0, 0, 0, 0, 0
000011, 0, 0, 0, 0, 0, 0, WL
1543, NO, 000011, 0, 0, 0, 0, 0, 0
000011, 0, 0, 0, 0, 0, 0, WL
1544, NO, 000011, 0, 0, 0, 0, 0, 0
000011, 0, 0, 0, 0, 0, 0, WL
1545, NO, 000011, 0, 0, 0, 0, 0, 0
000011, 0, 0, 0, 0, 0, 0, WL
1546, NO, 000011, 0, 0, 0, 0, 0, 0
000011, 0, 0, 0, 0, 0, 0, WL
1547, NO, 000011, 0, 0, 0, 0, 0, 0

000011, 0, 0, 0, 0, 0, 0, WL
1548, NO, 000011, 0, 0, 0, 0, 0, 0
000011, 0, 0, 0, 0, 0, 0, WL
1549, NO, 000011, 0, 0, 0, 0, 0, 0
000011, 0, 0, 0, 0, 0, 0, WL
1550, NO, 000011, 0, 0, 0, 0, 0, 0
000011, 0, 0, 0, 0, 0, 0, WL
1551, NO, 000011, 0, 0, 0, 0, 0, 0
000011, 0, 0, 0, 0, 0, 0, WL
1552, NO, 000011, 0, 0, 0, 0, 0, 0
000011, 0, 0, 0, 0, 0, 0, WL
1553, NO, 000011, 0, 0, 0, 0, 0, 0
000011, 0, 0, 0, 0, 0, 0, WL
1554, NO, 000011, 0, 0, 0, 0, 0, 0
000011, 0, 0, 0, 0, 0, 0, WL
1555, NO, 000011, 0, 0, 0, 0, 0, 0
000011, 0, 0, 0, 0, 0, 0, WL
1556, NO, 000011, 0, 0, 0, 0, 0, 0
000011, 0, 0, 0, 0, 0, 0, WL
1557, NO, 000011, 0, 0, 0, 0, 0, 0
000011, 0, 0, 0, 0, 0, 0, WL
1558, NO, 000011, 0, 0, 0, 0, 0, 0
000011, 0, 0, 0, 0, 0, 0, WL
1559, NO, 000011, 0, 0, 0, 0, 0, 0
000011, 0, 0, 0, 0, 0, 0, WL
1560, NO, 000011, 0, 0, 0, 0, 0, 0
000011, 0, 0, 0, 0, 0, 0, WL
1561, NO, 000011, 0, 0, 0, 0, 0, 0
000011, 0, 0, 0, 0, 0, 0, WL
1562, NO, 000011, 0, 0, 0, 0, 0, 0
000011, 0, 0, 0, 0, 0, 0, WL
1563, NO, 000011, 0, 0, 0, 0, 0, 0
000011, 0, 0, 0, 0, 0, 0, WL
1564, NO, 000011, 0, 0, 0, 0, 0, 0
000011, 0, 0, 0, 0, 0, 0, WL
1565, NO, 000011, 0, 0, 0, 0, 0, 0
000011, 0, 0, 0, 0, 0, 0, WL
1566, NO, 000011, 0, 0, 0, 0, 0, 0
000011, 0, 0, 0, 0, 0, 0, WL
1567, NO, 000011, 0, 0, 0, 0, 0, 0
000011, 0, 0, 0, 0, 0, 0, WL
1568, NO, 000011, 0, 0, 0, 0, 0, 0
000011, 0, 0, 0, 0, 0, 0, WL
1569, NO, 000011, 0, 0, 0, 0, 0, 0
000011, 0, 0, 0, 0, 0, 0, WL
1570, NO, 000011, 0, 0, 0, 0, 0, 0
000011, 0, 0, 0, 0, 0, 0, WL
1571, NO, 000011, 0, 0, 0, 0, 0, 0
000011, 0, 0, 0, 0, 0, 0, WL
1572, NO, 000011, 0, 0, 0, 0, 0, 0
000011, 0, 0, 0, 0, 0, 0, WL
1573, NO, 000011, 0, 0, 0, 0, 0, 0
000011, 0, 0, 0, 0, 0, 0, WL
1574, NO, 000011, 0, 0, 0, 0, 0, 0
000011, 0, 0, 0, 0, 0, 0, WL
1575, NO, 000011, 0, 0, 0, 0, 0, 0
000011, 0, 0, 0, 0, 0, 0, WL
1576, NO, 000011, 0, 0, 0, 0, 0, 0
000011, 0, 0, 0, 0, 0, 0, WL
1577, NO, 000011, 0, 0, 0, 0, 0, 0
000011, 0, 0, 0, 0, 0, 0, WL
1578, NO, 000011, 0, 0, 0, 0, 0, 0
000011, 0, 0, 0, 0, 0, 0, WL
1579, NO, 000011, 0, 0, 0, 0, 0, 0
000011, 0, 0, 0, 0, 0, 0, WL
1580, NO, 000011, 0, 0, 0, 0, 0, 0
000011, 0, 0, 0, 0, 0, 0, WL
1581, NO, 000011, 0, 0, 0, 0, 0, 0
000011, 0, 0, 0, 0, 0, 0, WL
1582, NO, 000011, 0, 0, 0, 0, 0, 0
000011, 0, 0, 0, 0, 0, 0, WL
1583, NO, 000011, 0, 0, 0, 0, 0, 0

000011, 0, 0, 0, 0, 0, 0, WL
1584, NO, 000011, 0, 0, 0, 0, 0, 0
000011, 0, 0, 0, 0, 0, 0, WL
1585, NO, 000011, 0, 0, 0, 0, 0, 0
000011, 0, 0, 0, 0, 0, 0, WL
1586, NO, 000011, 0, 0, 0, 0, 0, 0
000011, 0, 0, 0, 0, 0, 0, WL
1587, NO, 000011, 0, 0, 0, 0, 0, 0
000011, 0, 0, 0, 0, 0, 0, WL
1588, NO, 000011, 0, 0, 0, 0, 0, 0
000011, 0, 0, 0, 0, 0, 0, WL
1589, NO, 000011, 0, 0, 0, 0, 0, 0
000011, 0, 0, 0, 0, 0, 0, WL
1590, NO, 000011, 0, 0, 0, 0, 0, 0
000011, 0, 0, 0, 0, 0, 0, WL
1591, NO, 000011, 0, 0, 0, 0, 0, 0
000011, 0, 0, 0, 0, 0, 0, WL
1592, NO, 000011, 0, 0, 0, 0, 0, 0
000011, 0, 0, 0, 0, 0, 0, WL
1593, NO, 000011, 0, 0, 0, 0, 0, 0
000011, 0, 0, 0, 0, 0, 0, WL
1594, NO, 000011, 0, 0, 0, 0, 0, 0
000011, 0, 0, 0, 0, 0, 0, WL
1595, NO, 000011, 0, 0, 0, 0, 0, 0
000011, 0, 0, 0, 0, 0, 0, WL
1596, NO, 000011, 0, 0, 0, 0, 0, 0
000011, 0, 0, 0, 0, 0, 0, WL
1597, NO, 000011, 0, 0, 0, 0, 0, 0
000011, 0, 0, 0, 0, 0, 0, WL
1598, NO, 000011, 0, 0, 0, 0, 0, 0
000011, 0, 0, 0, 0, 0, 0, WL
1599, NO, 000011, 0, 0, 0, 0, 0, 0
000011, 0, 0, 0, 0, 0, 0, WL
1600, NO, 000011, 0, 0, 0, 0, 0, 0
000011, 0, 0, 0, 0, 0, 0, WL
1601, NO, 000011, 0, 0, 0, 0, 0, 0
000011, 0, 0, 0, 0, 0, 0, WL
1602, NO, 000011, 0, 0, 0, 0, 0, 0
000011, 0, 0, 0, 0, 0, 0, WL
1603, NO, 000011, 0, 0, 0, 0, 0, 0
000011, 0, 0, 0, 0, 0, 0, WL
1604, NO, 000011, 0, 0, 0, 0, 0, 0
000011, 0, 0, 0, 0, 0, 0, WL
1605, NO, 000011, 0, 0, 0, 0, 0, 0
000011, 0, 0, 0, 0, 0, 0, WL
1606, NO, 000011, 0, 0, 0, 0, 0, 0
000011, 0, 0, 0, 0, 0, 0, WL
1607, NO, 000011, 0, 0, 0, 0, 0, 0
000011, 0, 0, 0, 0, 0, 0, WL
1608, NO, 000011, 0, 0, 0, 0, 0, 0
000011, 0, 0, 0, 0, 0, 0, WL
1609, NO, 000011, 0, 0, 0, 0, 0, 0
000011, 0, 0, 0, 0, 0, 0, WL
1610, NO, 000011, 0, 0, 0, 0, 0, 0
000011, 0, 0, 0, 0, 0, 0, WL
1611, NO, 000011, 0, 0, 0, 0, 0, 0
000011, 0, 0, 0, 0, 0, 0, WL
1612, NO, 000011, 0, 0, 0, 0, 0, 0
000011, 0, 0, 0, 0, 0, 0, WL
1613, NO, 000011, 0, 0, 0, 0, 0, 0
000011, 0, 0, 0, 0, 0, 0, WL
1614, NO, 000011, 0, 0, 0, 0, 0, 0
000011, 0, 0, 0, 0, 0, 0, WL
1615, NO, 000011, 0, 0, 0, 0, 0, 0
000011, 0, 0, 0, 0, 0, 0, WL
1616, NO, 000011, 0, 0, 0, 0, 0, 0
000011, 0, 0, 0, 0, 0, 0, WL
1617, NO, 000011, 0, 0, 0, 0, 0, 0
000011, 0, 0, 0, 0, 0, 0, WL
1618, NO, 000011, 0, 0, 0, 0, 0, 0
000011, 0, 0, 0, 0, 0, 0, WL
1619, NO, 000011, 0, 0, 0, 0, 0, 0

000011, 0, 0, 0, 0, 0, 0, WL
1620, NO, 000011, 0, 0, 0, 0, 0, 0
000011, 0, 0, 0, 0, 0, 0, WL
1621, NO, 000011, 0, 0, 0, 0, 0, 0
000011, 0, 0, 0, 0, 0, 0, WL
1622, NO, 000011, 0, 0, 0, 0, 0, 0
000011, 0, 0, 0, 0, 0, 0, WL
1623, NO, 000011, 0, 0, 0, 0, 0, 0
000011, 0, 0, 0, 0, 0, 0, WL
1624, NO, 000011, 0, 0, 0, 0, 0, 0
000011, 0, 0, 0, 0, 0, 0, WL
1625, NO, 000011, 0, 0, 0, 0, 0, 0
000011, 0, 0, 0, 0, 0, 0, WL
1626, NO, 000011, 0, 0, 0, 0, 0, 0
000011, 0, 0, 0, 0, 0, 0, WL
1627, NO, 000111, 0, 0, 0, 0, 0.5, 0
000011, 0, 0, 0, 0, 0.5, 0, WP1
1628, NO, 000111, 0, 0, 0, 0, 0.5, 0
000011, 0, 0, 0, 0, 0.5, 0, WP1
1629, NO, 000111, 0, 0, 0, 0, 0.5, 0
000011, 0, 0, 0, 0, 0.5, 0, WP1
1630, NO, 000111, 0, 0, 0, 0, 0.5, 0
000011, 0, 0, 0, 0, 0.5, 0, WP1
1631, NO, 000111, 0, 0, 0, 0, 0.5, 0
000011, 0, 0, 0, 0, 0.5, 0, WP1
1632, NO, 000111, 0, 0, 0, 0, 0.5, 0
000011, 0, 0, 0, 0, 0.5, 0, WP1
1633, NO, 000111, 0, 0, 0, 0, 0.5, 0
000011, 0, 0, 0, 0, 0.5, 0, WP1
1634, NO, 000111, 0, 0, 0, 0, 0.5, 0
000011, 0, 0, 0, 0, 0.5, 0, WP1
1635, NO, 000111, 0, 0, 0, 0, 0.5, 0
000011, 0, 0, 0, 0, 0.5, 0, WP1
1636, NO, 000111, 0, 0, 0, 0, 0.5, 0
000011, 0, 0, 0, 0, 0.5, 0, WP1
1637, NO, 000111, 0, 0, 0, 0, 0.5, 0
000011, 0, 0, 0, 0, 0.5, 0, WP1
1638, NO, 000111, 0, 0, 0, 0, 0.5, 0
000011, 0, 0, 0, 0, 0.5, 0, WP1
1639, NO, 000111, 0, 0, 0, 0, 0.5, 0
000011, 0, 0, 0, 0, 0.5, 0, WP1
1640, NO, 000111, 0, 0, 0, 0, 0.5, 0
000011, 0, 0, 0, 0, 0.5, 0, WP1
1641, NO, 000111, 0, 0, 0, 0, 0.5, 0
000011, 0, 0, 0, 0, 0.5, 0, WP1
1642, NO, 000111, 0, 0, 0, 0, 0.5, 0
000011, 0, 0, 0, 0, 0.5, 0, WP1
1643, NO, 000111, 0, 0, 0, 0, 0.5, 0
000011, 0, 0, 0, 0, 0.5, 0, WP1
1644, NO, 000111, 0, 0, 0, 0, 0.5, 0
000011, 0, 0, 0, 0, 0.5, 0, WP1
1645, NO, 000111, 0, 0, 0, 0, 0.5, 0
000011, 0, 0, 0, 0, 0.5, 0, WP1
1646, NO, 000111, 0, 0, 0, 0, 0.5, 0
000011, 0, 0, 0, 0, 0.5, 0, WP1
1647, NO, 000111, 0, 0, 0, 0, 0.5, 0
000011, 0, 0, 0, 0, 0.5, 0, WP1
1648, NO, 000111, 0, 0, 0, 0, 0.5, 0
000011, 0, 0, 0, 0, 0.5, 0, WP1
1649, NO, 000111, 0, 0, 0, 0, 0.5, 0
000011, 0, 0, 0, 0, 0.5, 0, WP1
1650, NO, 000111, 0, 0, 0, 0, 0.5, 0
000011, 0, 0, 0, 0, 0.5, 0, WP1
1651, NO, 000111, 0, 0, 0, 0, 0.5, 0
000011, 0, 0, 0, 0, 0.5, 0, WP1
1652, NO, 000111, 0, 0, 0, 0, 0.5, 0
000011, 0, 0, 0, 0, 0.5, 0, WP1
1653, NO, 000111, 0, 0, 0, 0, 0.5, 0
000011, 0, 0, 0, 0, 0.5, 0, WP1
1654, NO, 000111, 0, 0, 0, 0, 0.5, 0
000011, 0, 0, 0, 0, 0.5, 0, WP1
1655, NO, 000111, 0, 0, 0, 0, 0.5, 0

000011, 0, 0, 0, 0, 0.5, 0, WP1
1656, NO, 000111, 0, 0, 0, 0, 0.5, 0
000011, 0, 0, 0, 0, 0.5, 0, WP1
1657, NO, 000111, 0, 0, 0, 0, 0.5, 0
000011, 0, 0, 0, 0, 0.5, 0, WP1
1658, NO, 000111, 0, 0, 0, 0, 0.5, 0
000011, 0, 0, 0, 0, 0.5, 0, WP1
1659, NO, 000111, 0, 0, 0, 0, 0.5, 0
000011, 0, 0, 0, 0, 0.5, 0, WP1
1660, NO, 000111, 0, 0, 0, 0, 0.5, 0
000011, 0, 0, 0, 0, 0.5, 0, WP1
1661, NO, 000111, 0, 0, 0, 0, 0.5, 0
000011, 0, 0, 0, 0, 0.5, 0, WP1
1662, NO, 000111, 0, 0, 0, 0, 0.5, 0
000011, 0, 0, 0, 0, 0.5, 0, WP1
1663, NO, 000111, 0, 0, 0, 0, 0.5, 0
000011, 0, 0, 0, 0, 0.5, 0, WP1
1664, NO, 000111, 0, 0, 0, 0, 0.5, 0
000011, 0, 0, 0, 0, 0.5, 0, WP1
1665, NO, 000111, 0, 0, 0, 0, 0.5, 0
000011, 0, 0, 0, 0, 0.5, 0, WP1
1666, NO, 000111, 0, 0, 0, 0, 0.5, 0
000011, 0, 0, 0, 0, 0.5, 0, WP1
1667, NO, 000111, 0, 0, 0, 0, 0.5, 0
000011, 0, 0, 0, 0, 0.5, 0, WP1
1668, NO, 000111, 0, 0, 0, 0, 0.5, 0
000011, 0, 0, 0, 0, 0.5, 0, WP1
1669, NO, 000111, 0, 0, 0, 0, 0.5, 0
000011, 0, 0, 0, 0, 0.5, 0, WP1
1670, NO, 000111, 0, 0, 0, 0, 0.5, 0
000011, 0, 0, 0, 0, 0.5, 0, WP1
1671, NO, 000111, 0, 0, 0, 0, 0.5, 0
000011, 0, 0, 0, 0, 0.5, 0, WP1
1672, NO, 000111, 0, 0, 0, 0, 0.5, 0
000011, 0, 0, 0, 0, 0.5, 0, WP1
1673, NO, 000111, 0, 0, 0, 0, 0.5, 0
000011, 0, 0, 0, 0, 0.5, 0, WP1
1674, NO, 000111, 0, 0, 0, 0, 0.5, 0
000011, 0, 0, 0, 0, 0.5, 0, WP1
1675, NO, 000111, 0, 0, 0, 0, 0.5, 0
000011, 0, 0, 0, 0, 0.5, 0, WP1
1676, NO, 000111, 0, 0, 0, 0, 0.5, 0
000011, 0, 0, 0, 0, 0.5, 0, WP1
1677, NO, 000111, 0, 0, 0, 0, 0.5, 0
000011, 0, 0, 0, 0, 0.5, 0, WP1
1678, NO, 000111, 0, 0, 0, 0, 0.5, 0
000011, 0, 0, 0, 0, 0.5, 0, WP1
1679, NO, 000111, 0, 0, 0, 0, 0.5, 0
000011, 0, 0, 0, 0, 0.5, 0, WP1
1680, NO, 000111, 0, 0, 0, 0, 0.5, 0
000011, 0, 0, 0, 0, 0.5, 0, WP1
1681, NO, 000111, 0, 0, 0, 0, 0.5, 0
000011, 0, 0, 0, 0, 0.5, 0, WP1
1682, NO, 000111, 0, 0, 0, 0, 0.5, 0
000011, 0, 0, 0, 0, 0.5, 0, WP1
1683, NO, 000111, 0, 0, 0, 0, 0.5, 0
000011, 0, 0, 0, 0, 0.5, 0, WP1
1684, NO, 000111, 0, 0, 0, 0, 0.5, 0
000011, 0, 0, 0, 0, 0.5, 0, WP1
1685, NO, 000111, 0, 0, 0, 0, 0.5, 0
000011, 0, 0, 0, 0, 0.5, 0, WP1
1686, NO, 000111, 0, 0, 0, 0, 0.5, 0
000011, 0, 0, 0, 0, 0.5, 0, WP1
1687, NO, 000111, 0, 0, 0, 0, 0.5, 0
000011, 0, 0, 0, 0, 0.5, 0, WP1
1688, NO, 000111, 0, 0, 0, 0, 0.5, 0
000011, 0, 0, 0, 0, 0.5, 0, WP1
1689, NO, 000111, 0, 0, 0, 0, 0.5, 0
000011, 0, 0, 0, 0, 0.5, 0, WP1
1690, NO, 000111, 0, 0, 0, 0, 0.5, 0
000011, 0, 0, 0, 0, 0.5, 0, WP1
1691, NO, 000111, 0, 0, 0, 0, 0.5, 0

```
      000011, 0, 0, 0, 0, 0.5, 0, WP2
1692, NO, 000111, 0, 0, 0, 0, 0.5, 0
      000011, 0, 0, 0, 0, 0.5, 0, WP2
1693, NO, 000111, 0, 0, 0, 0, 0.5, 0
      000011, 0, 0, 0, 0, 0.5, 0, WP2
1694, NO, 000111, 0, 0, 0, 0, 0.5, 0
      000011, 0, 0, 0, 0, 0.5, 0, WP2
1695, NO, 000111, 0, 0, 0, 0, 0.5, 0
      000011, 0, 0, 0, 0, 0.5, 0, WP2
1696, NO, 000111, 0, 0, 0, 0, 0.5, 0
      000011, 0, 0, 0, 0, 0.5, 0, WP2
1697, NO, 000111, 0, 0, 0, 0, 0.5, 0
      000011, 0, 0, 0, 0, 0.5, 0, WP2
1698, NO, 000111, 0, 0, 0, 0, 0.5, 0
      000011, 0, 0, 0, 0, 0.5, 0, WP2
1699, NO, 000111, 0, 0, 0, 0, 0.5, 0
      000011, 0, 0, 0, 0, 0.5, 0, WP2
1700, NO, 000111, 0, 0, 0, 0, 0.5, 0
      000011, 0, 0, 0, 0, 0.5, 0, WP2
1701, NO, 000111, 0, 0, 0, 0, 0.5, 0
      000011, 0, 0, 0, 0, 0.5, 0, WP2
1702, NO, 000111, 0, 0, 0, 0, 0.5, 0
      000011, 0, 0, 0, 0, 0.5, 0, WP2
1703, NO, 000111, 0, 0, 0, 0, 0.5, 0
      000011, 0, 0, 0, 0, 0.5, 0, WP2
1704, NO, 000111, 0, 0, 0, 0, 0.5, 0
      000011, 0, 0, 0, 0, 0.5, 0, WP2
1705, NO, 000111, 0, 0, 0, 0, 0.5, 0
      000011, 0, 0, 0, 0, 0.5, 0, WP2
1706, NO, 000111, 0, 0, 0, 0, 0.5, 0
      000011, 0, 0, 0, 0, 0.5, 0, WP2
1708, YES, 011111, 0, 250000, 0, 0, 0, 0
      000000, 0, 0, 0, 0, 0, 0, B - Bearings
1710, YES, 011111, 0, 250000, 250000, 0, 0, 0
      000000, 0, 0, 0, 0, 0, 0, B - Bearings
1712, YES, 011111, 0, 250000, 0, 0, 0, 0
      000000, 0, 0, 0, 0, 0, 0, B - Bearings
1714, YES, 011111, 0, 250000, 250000, 0, 0, 0
      000000, 0, 0, 0, 0, 0, 0, B - Bearings
1715, NO, 000010, 0, 0, 0, 0, 0.9, 0
      000010, 0, 0, 0, 0, 0.7, 0, V - Joint
1716, NO, 000010, 0, 0, 0, 0, 0.9, 0
      000010, 0, 0, 0, 0, 0.7, 0, V - Joint
1717, NO, 000010, 0, 0, 0, 0, 0.9, 0
      000010, 0, 0, 0, 0, 0.7, 0, V - Joint
1718, NO, 000010, 0, 0, 0, 0, 0.9, 0
      000010, 0, 0, 0, 0, 0.7, 0, V - Joint
1719, NO, 000010, 0, 0, 0, 0, 0.9, 0
      000010, 0, 0, 0, 0, 0.7, 0, V - Joint
1720, NO, 000010, 0, 0, 0, 0, 0.9, 0
      000010, 0, 0, 0, 0, 0.7, 0, V - Joint
1721, NO, 000010, 0, 0, 0, 0, 0.9, 0
      000010, 0, 0, 0, 0, 0.7, 0, V - Joint
1722, NO, 000010, 0, 0, 0, 0, 0.9, 0
      000010, 0, 0, 0, 0, 0.7, 0, V - Joint
1723, NO, 000010, 0, 0, 0, 0, 0.9, 0
      000010, 0, 0, 0, 0, 0.7, 0, V - Joint
1724, NO, 000010, 0, 0, 0, 0, 0.9, 0
      000010, 0, 0, 0, 0, 0.7, 0, V - Joint
1725, NO, 000010, 0, 0, 0, 0, 0.9, 0
      000010, 0, 0, 0, 0, 0.7, 0, V - Joint
1726, NO, 000010, 0, 0, 0, 0, 0.9, 0
      000010, 0, 0, 0, 0, 0.7, 0, V - Joint
1727, NO, 000010, 0, 0, 0, 0, 0.9, 0
      000010, 0, 0, 0, 0, 0.7, 0, V - Joint
1728, NO, 000010, 0, 0, 0, 0, 0.9, 0
      000010, 0, 0, 0, 0, 0.7, 0, V - Joint
1729, NO, 000010, 0, 0, 0, 0, 0.9, 0
      000010, 0, 0, 0, 0, 0.7, 0, V - Joint
1730, NO, 000010, 0, 0, 0, 0, 0.9, 0
      000010, 0, 0, 0, 0, 0.7, 0, V - Joint
1731, NO, 000010, 0, 0, 0, 0, 0.9, 0
```

000010, 0, 0, 0, 0, 0.7, 0, V - Joint
1732, NO, 000010, 0, 0, 0, 0, 0.9, 0
000010, 0, 0, 0, 0, 0.7, 0, V - Joint
1733, NO, 000010, 0, 0, 0, 0, 0.9, 0
000010, 0, 0, 0, 0, 0.7, 0, V - Joint
1734, NO, 000010, 0, 0, 0, 0, 0.9, 0
000010, 0, 0, 0, 0, 0.7, 0, V - Joint
1735, NO, 000010, 0, 0, 0, 0, 0.9, 0
000010, 0, 0, 0, 0, 0.7, 0, V - Joint
1736, NO, 000010, 0, 0, 0, 0, 0.9, 0
000010, 0, 0, 0, 0, 0.7, 0, V - Joint
1737, NO, 000010, 0, 0, 0, 0, 0.9, 0
000010, 0, 0, 0, 0, 0.7, 0, V - Joint
1738, NO, 000010, 0, 0, 0, 0, 0.9, 0
000010, 0, 0, 0, 0, 0.7, 0, V - Joint
1739, NO, 000010, 0, 0, 0, 0, 0.9, 0
000010, 0, 0, 0, 0, 0.7, 0, V - Joint
1740, NO, 000010, 0, 0, 0, 0, 0.9, 0
000010, 0, 0, 0, 0, 0.7, 0, V - Joint
1741, NO, 000010, 0, 0, 0, 0, 0.9, 0
000010, 0, 0, 0, 0, 0.7, 0, V - Joint
1742, NO, 000010, 0, 0, 0, 0, 0.9, 0
000010, 0, 0, 0, 0, 0.7, 0, V - Joint
1743, NO, 000010, 0, 0, 0, 0, 0.9, 0
000010, 0, 0, 0, 0, 0.7, 0, V - Joint
1744, NO, 000010, 0, 0, 0, 0, 0.9, 0
000010, 0, 0, 0, 0, 0.7, 0, V - Joint
1745, NO, 000010, 0, 0, 0, 0, 0.9, 0
000010, 0, 0, 0, 0, 0.7, 0, V - Joint
1746, NO, 000010, 0, 0, 0, 0, 0.9, 0
000010, 0, 0, 0, 0, 0.7, 0, V - Joint
1747, NO, 000010, 0, 0, 0, 0, 0.9, 0
000010, 0, 0, 0, 0, 0.7, 0, V - Joint
1748, NO, 000010, 0, 0, 0, 0, 0.9, 0
000010, 0, 0, 0, 0, 0.7, 0, V - Joint
1749, NO, 000011, 0, 0, 0, 0, 0, 0
000000, 0, 0, 0, 0, 0, 0, M - Sleeper
1749, NO, 010000, 0, 0.05, 0, 0, 0, 0
000000, 0, 0, 0, 0, 0, 0, R - Rail sliding
1750, NO, 000011, 0, 0, 0, 0, 0, 0
000000, 0, 0, 0, 0, 0, 0, M - Sleeper
1750, NO, 010000, 0, 0.05, 0, 0, 0, 0
000000, 0, 0, 0, 0, 0, 0, R - Rail sliding
1751, NO, 000011, 0, 0, 0, 0, 0, 0
000000, 0, 0, 0, 0, 0, 0, M - Sleeper
1751, NO, 010000, 0, 0.05, 0, 0, 0, 0
000000, 0, 0, 0, 0, 0, 0, R - Rail sliding
1752, NO, 000011, 0, 0, 0, 0, 0, 0
000000, 0, 0, 0, 0, 0, 0, M - Sleeper
1752, NO, 010000, 0, 0.05, 0, 0, 0, 0
000000, 0, 0, 0, 0, 0, 0, R - Rail sliding
1753, NO, 000011, 0, 0, 0, 0, 0, 0
000000, 0, 0, 0, 0, 0, 0, M - Sleeper
1753, NO, 010000, 0, 0.05, 0, 0, 0, 0
000000, 0, 0, 0, 0, 0, 0, R - Rail sliding
1754, NO, 000011, 0, 0, 0, 0, 0, 0
000000, 0, 0, 0, 0, 0, 0, M - Sleeper
1754, NO, 010000, 0, 0.05, 0, 0, 0, 0
000000, 0, 0, 0, 0, 0, 0, R - Rail sliding
1755, NO, 000011, 0, 0, 0, 0, 0, 0
000000, 0, 0, 0, 0, 0, 0, M - Sleeper
1755, NO, 010000, 0, 0.05, 0, 0, 0, 0
000000, 0, 0, 0, 0, 0, 0, R - Rail sliding
1756, NO, 000011, 0, 0, 0, 0, 0, 0
000000, 0, 0, 0, 0, 0, 0, M - Sleeper
1756, NO, 010000, 0, 0.05, 0, 0, 0, 0
000000, 0, 0, 0, 0, 0, 0, R - Rail sliding
1757, NO, 000011, 0, 0, 0, 0, 0, 0
000000, 0, 0, 0, 0, 0, 0, M - Sleeper
1757, NO, 010000, 0, 0.05, 0, 0, 0, 0
000000, 0, 0, 0, 0, 0, 0, R - Rail sliding
1758, NO, 000011, 0, 0, 0, 0, 0, 0

000000, 0, 0, 0, 0, 0, 0, M - Sleeper
1758, NO, 010000, 0, 0.05, 0, 0, 0, 0
000000, 0, 0, 0, 0, 0, 0, R - Rail sliding
1759, NO, 000011, 0, 0, 0, 0, 0, 0
000000, 0, 0, 0, 0, 0, 0, M - Sleeper
1759, NO, 010000, 0, 0.05, 0, 0, 0, 0
000000, 0, 0, 0, 0, 0, 0, R - Rail sliding
1760, NO, 000011, 0, 0, 0, 0, 0, 0
000000, 0, 0, 0, 0, 0, 0, M - Sleeper
1760, NO, 010000, 0, 0.05, 0, 0, 0, 0
000000, 0, 0, 0, 0, 0, 0, R - Rail sliding
1761, NO, 000011, 0, 0, 0, 0, 0, 0
000000, 0, 0, 0, 0, 0, 0, M - Sleeper
1761, NO, 010000, 0, 0.05, 0, 0, 0, 0
000000, 0, 0, 0, 0, 0, 0, R - Rail sliding
1762, NO, 000011, 0, 0, 0, 0, 0, 0
000000, 0, 0, 0, 0, 0, 0, M - Sleeper
1762, NO, 010000, 0, 0.05, 0, 0, 0, 0
000000, 0, 0, 0, 0, 0, 0, R - Rail sliding
1763, NO, 000011, 0, 0, 0, 0, 0, 0
000000, 0, 0, 0, 0, 0, 0, M - Sleeper
1763, NO, 010000, 0, 0.05, 0, 0, 0, 0
000000, 0, 0, 0, 0, 0, 0, R - Rail sliding
1764, NO, 000011, 0, 0, 0, 0, 0, 0
000000, 0, 0, 0, 0, 0, 0, M - Sleeper
1764, NO, 010000, 0, 0.05, 0, 0, 0, 0
000000, 0, 0, 0, 0, 0, 0, R - Rail sliding
1765, NO, 000011, 0, 0, 0, 0, 0, 0
000000, 0, 0, 0, 0, 0, 0, M - Sleeper
1765, NO, 010000, 0, 0.05, 0, 0, 0, 0
000000, 0, 0, 0, 0, 0, 0, R - Rail sliding
1766, NO, 000011, 0, 0, 0, 0, 0, 0
000000, 0, 0, 0, 0, 0, 0, M - Sleeper
1766, NO, 010000, 0, 0.05, 0, 0, 0, 0
000000, 0, 0, 0, 0, 0, 0, R - Rail sliding
1767, NO, 000011, 0, 0, 0, 0, 0, 0
000000, 0, 0, 0, 0, 0, 0, M - Sleeper
1767, NO, 010000, 0, 0.05, 0, 0, 0, 0
000000, 0, 0, 0, 0, 0, 0, R - Rail sliding
1768, NO, 000011, 0, 0, 0, 0, 0, 0
000000, 0, 0, 0, 0, 0, 0, M - Sleeper
1768, NO, 010000, 0, 0.05, 0, 0, 0, 0
000000, 0, 0, 0, 0, 0, 0, R - Rail sliding
1769, NO, 000011, 0, 0, 0, 0, 0, 0
000000, 0, 0, 0, 0, 0, 0, M - Sleeper
1769, NO, 010000, 0, 0.05, 0, 0, 0, 0
000000, 0, 0, 0, 0, 0, 0, R - Rail sliding
1770, NO, 000011, 0, 0, 0, 0, 0, 0
000000, 0, 0, 0, 0, 0, 0, M - Sleeper
1770, NO, 010000, 0, 0.05, 0, 0, 0, 0
000000, 0, 0, 0, 0, 0, 0, R - Rail sliding
1771, NO, 000011, 0, 0, 0, 0, 0, 0
000000, 0, 0, 0, 0, 0, 0, M - Sleeper
1771, NO, 010000, 0, 0.05, 0, 0, 0, 0
000000, 0, 0, 0, 0, 0, 0, R - Rail sliding
1772, NO, 000011, 0, 0, 0, 0, 0, 0
000000, 0, 0, 0, 0, 0, 0, M - Sleeper
1772, NO, 010000, 0, 0.05, 0, 0, 0, 0
000000, 0, 0, 0, 0, 0, 0, R - Rail sliding
1773, NO, 000011, 0, 0, 0, 0, 0, 0
000000, 0, 0, 0, 0, 0, 0, M - Sleeper
1773, NO, 010000, 0, 0.05, 0, 0, 0, 0
000000, 0, 0, 0, 0, 0, 0, R - Rail sliding
1774, NO, 000011, 0, 0, 0, 0, 0, 0
000000, 0, 0, 0, 0, 0, 0, M - Sleeper
1774, NO, 010000, 0, 0.05, 0, 0, 0, 0
000000, 0, 0, 0, 0, 0, 0, R - Rail sliding
1775, NO, 000011, 0, 0, 0, 0, 0, 0
000000, 0, 0, 0, 0, 0, 0, M - Sleeper
1775, NO, 010000, 0, 0.05, 0, 0, 0, 0
000000, 0, 0, 0, 0, 0, 0, R - Rail sliding
1776, NO, 000011, 0, 0, 0, 0, 0, 0

000000, 0, 0, 0, 0, 0, 0, M - Sleeper
1776, NO, 010000, 0, 0.05, 0, 0, 0, 0
000000, 0, 0, 0, 0, 0, 0, R - Rail sliding
1777, NO, 000011, 0, 0, 0, 0, 0, 0
000000, 0, 0, 0, 0, 0, 0, M - Sleeper
1777, NO, 010000, 0, 0.05, 0, 0, 0, 0
000000, 0, 0, 0, 0, 0, 0, R - Rail sliding
1778, NO, 000011, 0, 0, 0, 0, 0, 0
000000, 0, 0, 0, 0, 0, 0, M - Sleeper
1778, NO, 010000, 0, 0.05, 0, 0, 0, 0
000000, 0, 0, 0, 0, 0, 0, R - Rail sliding
1779, NO, 000011, 0, 0, 0, 0, 0, 0
000000, 0, 0, 0, 0, 0, 0, M - Sleeper
1779, NO, 010000, 0, 0.05, 0, 0, 0, 0
000000, 0, 0, 0, 0, 0, 0, R - Rail sliding
1780, NO, 000011, 0, 0, 0, 0, 0, 0
000000, 0, 0, 0, 0, 0, 0, M - Sleeper
1780, NO, 010000, 0, 0.05, 0, 0, 0, 0
000000, 0, 0, 0, 0, 0, 0, R - Rail sliding
1781, NO, 000011, 0, 0, 0, 0, 0, 0
000000, 0, 0, 0, 0, 0, 0, M - Sleeper
1781, NO, 010000, 0, 0.05, 0, 0, 0, 0
000000, 0, 0, 0, 0, 0, 0, R - Rail sliding
1782, NO, 000011, 0, 0, 0, 0, 0, 0
000000, 0, 0, 0, 0, 0, 0, M - Sleeper
1782, NO, 010000, 0, 0.05, 0, 0, 0, 0
000000, 0, 0, 0, 0, 0, 0, R - Rail sliding
1783, NO, 000011, 0, 0, 0, 0, 0, 0
000000, 0, 0, 0, 0, 0, 0, M - Sleeper
1783, NO, 010000, 0, 0.05, 0, 0, 0, 0
000000, 0, 0, 0, 0, 0, 0, R - Rail sliding
1784, NO, 000011, 0, 0, 0, 0, 0, 0
000000, 0, 0, 0, 0, 0, 0, M - Sleeper
1784, NO, 010000, 0, 0.05, 0, 0, 0, 0
000000, 0, 0, 0, 0, 0, 0, R - Rail sliding
1785, NO, 000011, 0, 0, 0, 0, 0, 0
000000, 0, 0, 0, 0, 0, 0, M - Sleeper
1785, NO, 010000, 0, 0.05, 0, 0, 0, 0
000000, 0, 0, 0, 0, 0, 0, R - Rail sliding
1786, NO, 000011, 0, 0, 0, 0, 0, 0
000000, 0, 0, 0, 0, 0, 0, M - Sleeper
1786, NO, 010000, 0, 0.05, 0, 0, 0, 0
000000, 0, 0, 0, 0, 0, 0, R - Rail sliding
1787, NO, 000011, 0, 0, 0, 0, 0, 0
000000, 0, 0, 0, 0, 0, 0, M - Sleeper
1787, NO, 010000, 0, 0.05, 0, 0, 0, 0
000000, 0, 0, 0, 0, 0, 0, R - Rail sliding
1788, NO, 000011, 0, 0, 0, 0, 0, 0
000000, 0, 0, 0, 0, 0, 0, M - Sleeper
1788, NO, 010000, 0, 0.05, 0, 0, 0, 0
000000, 0, 0, 0, 0, 0, 0, R - Rail sliding
1789, NO, 000011, 0, 0, 0, 0, 0, 0
000000, 0, 0, 0, 0, 0, 0, M - Sleeper
1789, NO, 010000, 0, 0.05, 0, 0, 0, 0
000000, 0, 0, 0, 0, 0, 0, R - Rail sliding
1790, NO, 000011, 0, 0, 0, 0, 0, 0
000000, 0, 0, 0, 0, 0, 0, M - Sleeper
1790, NO, 010000, 0, 0.05, 0, 0, 0, 0
000000, 0, 0, 0, 0, 0, 0, R - Rail sliding
1791, NO, 000011, 0, 0, 0, 0, 0, 0
000000, 0, 0, 0, 0, 0, 0, M - Sleeper
1791, NO, 010000, 0, 0.05, 0, 0, 0, 0
000000, 0, 0, 0, 0, 0, 0, R - Rail sliding
1792, NO, 000011, 0, 0, 0, 0, 0, 0
000000, 0, 0, 0, 0, 0, 0, M - Sleeper
1792, NO, 010000, 0, 0.05, 0, 0, 0, 0
000000, 0, 0, 0, 0, 0, 0, R - Rail sliding
1793, NO, 000011, 0, 0, 0, 0, 0, 0
000000, 0, 0, 0, 0, 0, 0, M - Sleeper
1793, NO, 010000, 0, 0.05, 0, 0, 0, 0
000000, 0, 0, 0, 0, 0, 0, R - Rail sliding
1794, NO, 000011, 0, 0, 0, 0, 0, 0

000000, 0, 0, 0, 0, 0, 0, M - Sleeper
1794, NO, 010000, 0, 0.05, 0, 0, 0, 0
000000, 0, 0, 0, 0, 0, 0, R - Rail sliding
1795, NO, 000011, 0, 0, 0, 0, 0, 0
000000, 0, 0, 0, 0, 0, 0, M - Sleeper
1795, NO, 010000, 0, 0.05, 0, 0, 0, 0
000000, 0, 0, 0, 0, 0, 0, R - Rail sliding
1796, NO, 000011, 0, 0, 0, 0, 0, 0
000000, 0, 0, 0, 0, 0, 0, M - Sleeper
1796, NO, 010000, 0, 0.05, 0, 0, 0, 0
000000, 0, 0, 0, 0, 0, 0, R - Rail sliding
1797, NO, 000011, 0, 0, 0, 0, 0, 0
000000, 0, 0, 0, 0, 0, 0, M - Sleeper
1797, NO, 010000, 0, 0.05, 0, 0, 0, 0
000000, 0, 0, 0, 0, 0, 0, R - Rail sliding
1798, NO, 000011, 0, 0, 0, 0, 0, 0
000000, 0, 0, 0, 0, 0, 0, M - Sleeper
1798, NO, 010000, 0, 0.05, 0, 0, 0, 0
000000, 0, 0, 0, 0, 0, 0, R - Rail sliding
1799, NO, 000011, 0, 0, 0, 0, 0, 0
000000, 0, 0, 0, 0, 0, 0, M - Sleeper
1799, NO, 010000, 0, 0.05, 0, 0, 0, 0
000000, 0, 0, 0, 0, 0, 0, R - Rail sliding
1800, NO, 000011, 0, 0, 0, 0, 0, 0
000000, 0, 0, 0, 0, 0, 0, M - Sleeper
1800, NO, 010000, 0, 0.05, 0, 0, 0, 0
000000, 0, 0, 0, 0, 0, 0, R - Rail sliding
1801, NO, 000011, 0, 0, 0, 0, 0, 0
000000, 0, 0, 0, 0, 0, 0, M - Sleeper
1801, NO, 010000, 0, 0.05, 0, 0, 0, 0
000000, 0, 0, 0, 0, 0, 0, R - Rail sliding
1802, NO, 000011, 0, 0, 0, 0, 0, 0
000000, 0, 0, 0, 0, 0, 0, M - Sleeper
1802, NO, 010000, 0, 0.05, 0, 0, 0, 0
000000, 0, 0, 0, 0, 0, 0, R - Rail sliding
1803, NO, 000011, 0, 0, 0, 0, 0, 0
000000, 0, 0, 0, 0, 0, 0, M - Sleeper
1803, NO, 010000, 0, 0.05, 0, 0, 0, 0
000000, 0, 0, 0, 0, 0, 0, R - Rail sliding
1804, NO, 000011, 0, 0, 0, 0, 0, 0
000000, 0, 0, 0, 0, 0, 0, M - Sleeper
1804, NO, 010000, 0, 0.05, 0, 0, 0, 0
000000, 0, 0, 0, 0, 0, 0, R - Rail sliding
1805, NO, 000011, 0, 0, 0, 0, 0, 0
000000, 0, 0, 0, 0, 0, 0, M - Sleeper
1805, NO, 010000, 0, 0.05, 0, 0, 0, 0
000000, 0, 0, 0, 0, 0, 0, R - Rail sliding
1806, NO, 000011, 0, 0, 0, 0, 0, 0
000000, 0, 0, 0, 0, 0, 0, M - Sleeper
1806, NO, 010000, 0, 0.05, 0, 0, 0, 0
000000, 0, 0, 0, 0, 0, 0, R - Rail sliding
1807, NO, 000011, 0, 0, 0, 0, 0, 0
000000, 0, 0, 0, 0, 0, 0, M - Sleeper
1807, NO, 010000, 0, 0.05, 0, 0, 0, 0
000000, 0, 0, 0, 0, 0, 0, R - Rail sliding
1808, NO, 000011, 0, 0, 0, 0, 0, 0
000000, 0, 0, 0, 0, 0, 0, M - Sleeper
1808, NO, 010000, 0, 0.05, 0, 0, 0, 0
000000, 0, 0, 0, 0, 0, 0, R - Rail sliding
1809, NO, 000011, 0, 0, 0, 0, 0, 0
000000, 0, 0, 0, 0, 0, 0, M - Sleeper
1809, NO, 010000, 0, 0.05, 0, 0, 0, 0
000000, 0, 0, 0, 0, 0, 0, R - Rail sliding
1810, NO, 000011, 0, 0, 0, 0, 0, 0
000000, 0, 0, 0, 0, 0, 0, M - Sleeper
1810, NO, 010000, 0, 0.05, 0, 0, 0, 0
000000, 0, 0, 0, 0, 0, 0, R - Rail sliding
1811, NO, 000011, 0, 0, 0, 0, 0, 0
000000, 0, 0, 0, 0, 0, 0, M - Sleeper
1811, NO, 010000, 0, 0.05, 0, 0, 0, 0
000000, 0, 0, 0, 0, 0, 0, R - Rail sliding
1812, NO, 000011, 0, 0, 0, 0, 0, 0

000000, 0, 0, 0, 0, 0, 0, M - Sleeper
1812, NO, 010000, 0, 0.05, 0, 0, 0, 0
000000, 0, 0, 0, 0, 0, 0, R - Rail sliding
1813, NO, 000011, 0, 0, 0, 0, 0, 0
000000, 0, 0, 0, 0, 0, 0, M - Sleeper
1813, NO, 010000, 0, 0.05, 0, 0, 0, 0
000000, 0, 0, 0, 0, 0, 0, R - Rail sliding
1814, NO, 000011, 0, 0, 0, 0, 0, 0
000000, 0, 0, 0, 0, 0, 0, M - Sleeper
1814, NO, 010000, 0, 0.05, 0, 0, 0, 0
000000, 0, 0, 0, 0, 0, 0, R - Rail sliding
1815, NO, 000011, 0, 0, 0, 0, 0, 0
000000, 0, 0, 0, 0, 0, 0, M - Sleeper
1815, NO, 010000, 0, 0.05, 0, 0, 0, 0
000000, 0, 0, 0, 0, 0, 0, R - Rail sliding
1816, NO, 000011, 0, 0, 0, 0, 0, 0
000000, 0, 0, 0, 0, 0, 0, M - Sleeper
1816, NO, 010000, 0, 0.05, 0, 0, 0, 0
000000, 0, 0, 0, 0, 0, 0, R - Rail sliding
1817, NO, 000011, 0, 0, 0, 0, 0, 0
000000, 0, 0, 0, 0, 0, 0, M - Sleeper
1817, NO, 010000, 0, 0.05, 0, 0, 0, 0
000000, 0, 0, 0, 0, 0, 0, R - Rail sliding
1818, NO, 000011, 0, 0, 0, 0, 0, 0
000000, 0, 0, 0, 0, 0, 0, M - Sleeper
1818, NO, 010000, 0, 0.05, 0, 0, 0, 0
000000, 0, 0, 0, 0, 0, 0, R - Rail sliding
1819, NO, 000011, 0, 0, 0, 0, 0, 0
000000, 0, 0, 0, 0, 0, 0, M - Sleeper
1819, NO, 010000, 0, 0.05, 0, 0, 0, 0
000000, 0, 0, 0, 0, 0, 0, R - Rail sliding
1820, NO, 000011, 0, 0, 0, 0, 0, 0
000000, 0, 0, 0, 0, 0, 0, M - Sleeper
1820, NO, 010000, 0, 0.05, 0, 0, 0, 0
000000, 0, 0, 0, 0, 0, 0, R - Rail sliding
1821, NO, 000011, 0, 0, 0, 0, 0, 0
000000, 0, 0, 0, 0, 0, 0, M - Sleeper
1821, NO, 010000, 0, 0.05, 0, 0, 0, 0
000000, 0, 0, 0, 0, 0, 0, R - Rail sliding
1822, NO, 000011, 0, 0, 0, 0, 0, 0
000000, 0, 0, 0, 0, 0, 0, M - Sleeper
1822, NO, 010000, 0, 0.05, 0, 0, 0, 0
000000, 0, 0, 0, 0, 0, 0, R - Rail sliding
1823, NO, 000011, 0, 0, 0, 0, 0, 0
000000, 0, 0, 0, 0, 0, 0, M - Sleeper
1823, NO, 010000, 0, 0.05, 0, 0, 0, 0
000000, 0, 0, 0, 0, 0, 0, R - Rail sliding
1824, NO, 000011, 0, 0, 0, 0, 0, 0
000000, 0, 0, 0, 0, 0, 0, M - Sleeper
1824, NO, 010000, 0, 0.05, 0, 0, 0, 0
000000, 0, 0, 0, 0, 0, 0, R - Rail sliding
1825, NO, 000011, 0, 0, 0, 0, 0, 0
000000, 0, 0, 0, 0, 0, 0, M - Sleeper
1825, NO, 010000, 0, 0.05, 0, 0, 0, 0
000000, 0, 0, 0, 0, 0, 0, R - Rail sliding
1826, NO, 000011, 0, 0, 0, 0, 0, 0
000000, 0, 0, 0, 0, 0, 0, M - Sleeper
1826, NO, 010000, 0, 0.05, 0, 0, 0, 0
000000, 0, 0, 0, 0, 0, 0, R - Rail sliding
1827, NO, 000011, 0, 0, 0, 0, 0, 0
000000, 0, 0, 0, 0, 0, 0, M - Sleeper
1827, NO, 010000, 0, 0.05, 0, 0, 0, 0
000000, 0, 0, 0, 0, 0, 0, R - Rail sliding
1828, NO, 000011, 0, 0, 0, 0, 0, 0
000000, 0, 0, 0, 0, 0, 0, M - Sleeper
1828, NO, 010000, 0, 0.05, 0, 0, 0, 0
000000, 0, 0, 0, 0, 0, 0, R - Rail sliding
1829, NO, 000011, 0, 0, 0, 0, 0, 0
000000, 0, 0, 0, 0, 0, 0, M - Sleeper
1829, NO, 010000, 0, 0.05, 0, 0, 0, 0
000000, 0, 0, 0, 0, 0, 0, R - Rail sliding
1830, NO, 000011, 0, 0, 0, 0, 0, 0

000000, 0, 0, 0, 0, 0, 0, M - Sleeper
1830, NO, 010000, 0, 0.05, 0, 0, 0, 0
000000, 0, 0, 0, 0, 0, 0, R - Rail sliding
1831, NO, 000011, 0, 0, 0, 0, 0, 0
000000, 0, 0, 0, 0, 0, 0, M - Sleeper
1831, NO, 010000, 0, 0.05, 0, 0, 0, 0
000000, 0, 0, 0, 0, 0, 0, R - Rail sliding
1832, NO, 000011, 0, 0, 0, 0, 0, 0
000000, 0, 0, 0, 0, 0, 0, M - Sleeper
1832, NO, 010000, 0, 0.05, 0, 0, 0, 0
000000, 0, 0, 0, 0, 0, 0, R - Rail sliding
1833, NO, 000011, 0, 0, 0, 0, 0, 0
000000, 0, 0, 0, 0, 0, 0, M - Sleeper
1833, NO, 010000, 0, 0.05, 0, 0, 0, 0
000000, 0, 0, 0, 0, 0, 0, R - Rail sliding
1834, NO, 000011, 0, 0, 0, 0, 0, 0
000000, 0, 0, 0, 0, 0, 0, M - Sleeper
1834, NO, 010000, 0, 0.05, 0, 0, 0, 0
000000, 0, 0, 0, 0, 0, 0, R - Rail sliding
1835, NO, 000011, 0, 0, 0, 0, 0, 0
000000, 0, 0, 0, 0, 0, 0, M - Sleeper
1835, NO, 010000, 0, 0.05, 0, 0, 0, 0
000000, 0, 0, 0, 0, 0, 0, R - Rail sliding
1836, NO, 000011, 0, 0, 0, 0, 0, 0
000000, 0, 0, 0, 0, 0, 0, M - Sleeper
1836, NO, 010000, 0, 0.05, 0, 0, 0, 0
000000, 0, 0, 0, 0, 0, 0, R - Rail sliding
1837, NO, 000011, 0, 0, 0, 0, 0, 0
000000, 0, 0, 0, 0, 0, 0, M - Sleeper
1837, NO, 010000, 0, 0.05, 0, 0, 0, 0
000000, 0, 0, 0, 0, 0, 0, R - Rail sliding
1838, NO, 000011, 0, 0, 0, 0, 0, 0
000000, 0, 0, 0, 0, 0, 0, M - Sleeper
1838, NO, 010000, 0, 0.05, 0, 0, 0, 0
000000, 0, 0, 0, 0, 0, 0, R - Rail sliding
1839, NO, 000011, 0, 0, 0, 0, 0, 0
000000, 0, 0, 0, 0, 0, 0, M - Sleeper
1839, NO, 010000, 0, 0.05, 0, 0, 0, 0
000000, 0, 0, 0, 0, 0, 0, R - Rail sliding
1840, NO, 000011, 0, 0, 0, 0, 0, 0
000000, 0, 0, 0, 0, 0, 0, M - Sleeper
1840, NO, 010000, 0, 0.05, 0, 0, 0, 0
000000, 0, 0, 0, 0, 0, 0, R - Rail sliding
1841, NO, 000011, 0, 0, 0, 0, 0, 0
000000, 0, 0, 0, 0, 0, 0, M - Sleeper
1841, NO, 010000, 0, 0.05, 0, 0, 0, 0
000000, 0, 0, 0, 0, 0, 0, R - Rail sliding
1842, NO, 000011, 0, 0, 0, 0, 0, 0
000000, 0, 0, 0, 0, 0, 0, M - Sleeper
1842, NO, 010000, 0, 0.05, 0, 0, 0, 0
000000, 0, 0, 0, 0, 0, 0, R - Rail sliding
1843, NO, 000011, 0, 0, 0, 0, 0, 0
000000, 0, 0, 0, 0, 0, 0, M - Sleeper
1843, NO, 010000, 0, 0.05, 0, 0, 0, 0
000000, 0, 0, 0, 0, 0, 0, R - Rail sliding
1844, NO, 000011, 0, 0, 0, 0, 0, 0
000000, 0, 0, 0, 0, 0, 0, M - Sleeper
1844, NO, 010000, 0, 0.05, 0, 0, 0, 0
000000, 0, 0, 0, 0, 0, 0, R - Rail sliding
1845, NO, 000011, 0, 0, 0, 0, 0, 0
000000, 0, 0, 0, 0, 0, 0, M - Sleeper
1845, NO, 010000, 0, 0.05, 0, 0, 0, 0
000000, 0, 0, 0, 0, 0, 0, R - Rail sliding
1846, NO, 000011, 0, 0, 0, 0, 0, 0
000000, 0, 0, 0, 0, 0, 0, M - Sleeper
1846, NO, 010000, 0, 0.05, 0, 0, 0, 0
000000, 0, 0, 0, 0, 0, 0, R - Rail sliding
1847, NO, 000011, 0, 0, 0, 0, 0, 0
000000, 0, 0, 0, 0, 0, 0, M - Sleeper
1847, NO, 010000, 0, 0.05, 0, 0, 0, 0
000000, 0, 0, 0, 0, 0, 0, R - Rail sliding
1848, NO, 000011, 0, 0, 0, 0, 0, 0

000000, 0, 0, 0, 0, 0, 0, M - Sleeper
1848, NO, 010000, 0, 0.05, 0, 0, 0, 0
000000, 0, 0, 0, 0, 0, 0, R - Rail sliding
1849, NO, 000011, 0, 0, 0, 0, 0, 0
000000, 0, 0, 0, 0, 0, 0, M - Sleeper
1849, NO, 010000, 0, 0.05, 0, 0, 0, 0
000000, 0, 0, 0, 0, 0, 0, R - Rail sliding
1850, NO, 000011, 0, 0, 0, 0, 0, 0
000000, 0, 0, 0, 0, 0, 0, M - Sleeper
1850, NO, 010000, 0, 0.05, 0, 0, 0, 0
000000, 0, 0, 0, 0, 0, 0, R - Rail sliding
1851, NO, 000011, 0, 0, 0, 0, 0, 0
000000, 0, 0, 0, 0, 0, 0, M - Sleeper
1851, NO, 010000, 0, 0.05, 0, 0, 0, 0
000000, 0, 0, 0, 0, 0, 0, R - Rail sliding
1852, NO, 000011, 0, 0, 0, 0, 0, 0
000000, 0, 0, 0, 0, 0, 0, M - Sleeper
1852, NO, 010000, 0, 0.05, 0, 0, 0, 0
000000, 0, 0, 0, 0, 0, 0, R - Rail sliding
1853, NO, 000011, 0, 0, 0, 0, 0, 0
000000, 0, 0, 0, 0, 0, 0, M - Sleeper
1853, NO, 010000, 0, 0.05, 0, 0, 0, 0
000000, 0, 0, 0, 0, 0, 0, R - Rail sliding
1854, NO, 000011, 0, 0, 0, 0, 0, 0
000000, 0, 0, 0, 0, 0, 0, M - Sleeper
1854, NO, 010000, 0, 0.05, 0, 0, 0, 0
000000, 0, 0, 0, 0, 0, 0, R - Rail sliding
1855, NO, 000011, 0, 0, 0, 0, 0, 0
000000, 0, 0, 0, 0, 0, 0, M - Sleeper
1855, NO, 010000, 0, 0.05, 0, 0, 0, 0
000000, 0, 0, 0, 0, 0, 0, R - Rail sliding
1856, NO, 000011, 0, 0, 0, 0, 0, 0
000000, 0, 0, 0, 0, 0, 0, M - Sleeper
1856, NO, 010000, 0, 0.05, 0, 0, 0, 0
000000, 0, 0, 0, 0, 0, 0, R - Rail sliding
1857, NO, 000011, 0, 0, 0, 0, 0, 0
000000, 0, 0, 0, 0, 0, 0, M - Sleeper
1857, NO, 010000, 0, 0.05, 0, 0, 0, 0
000000, 0, 0, 0, 0, 0, 0, R - Rail sliding
1858, NO, 000011, 0, 0, 0, 0, 0, 0
000000, 0, 0, 0, 0, 0, 0, M - Sleeper
1858, NO, 010000, 0, 0.05, 0, 0, 0, 0
000000, 0, 0, 0, 0, 0, 0, R - Rail sliding
1859, NO, 000011, 0, 0, 0, 0, 0, 0
000000, 0, 0, 0, 0, 0, 0, M - Sleeper
1859, NO, 010000, 0, 0.05, 0, 0, 0, 0
000000, 0, 0, 0, 0, 0, 0, R - Rail sliding
1860, NO, 000011, 0, 0, 0, 0, 0, 0
000000, 0, 0, 0, 0, 0, 0, M - Sleeper
1860, NO, 010000, 0, 0.05, 0, 0, 0, 0
000000, 0, 0, 0, 0, 0, 0, R - Rail sliding
1861, NO, 000011, 0, 0, 0, 0, 0, 0
000000, 0, 0, 0, 0, 0, 0, M - Sleeper
1861, NO, 010000, 0, 0.05, 0, 0, 0, 0
000000, 0, 0, 0, 0, 0, 0, R - Rail sliding
1862, NO, 000011, 0, 0, 0, 0, 0, 0
000000, 0, 0, 0, 0, 0, 0, M - Sleeper
1862, NO, 010000, 0, 0.05, 0, 0, 0, 0
000000, 0, 0, 0, 0, 0, 0, R - Rail sliding
1863, NO, 000011, 0, 0, 0, 0, 0, 0
000000, 0, 0, 0, 0, 0, 0, M - Sleeper
1863, NO, 010000, 0, 0.05, 0, 0, 0, 0
000000, 0, 0, 0, 0, 0, 0, R - Rail sliding
1864, NO, 000011, 0, 0, 0, 0, 0, 0
000000, 0, 0, 0, 0, 0, 0, M - Sleeper
1864, NO, 010000, 0, 0.05, 0, 0, 0, 0
000000, 0, 0, 0, 0, 0, 0, R - Rail sliding
1865, NO, 000011, 0, 0, 0, 0, 0, 0
000000, 0, 0, 0, 0, 0, 0, M - Sleeper
1865, NO, 010000, 0, 0.05, 0, 0, 0, 0
000000, 0, 0, 0, 0, 0, 0, R - Rail sliding
1866, NO, 000011, 0, 0, 0, 0, 0, 0

000000, 0, 0, 0, 0, 0, 0, M - Sleeper
1866, NO, 010000, 0, 0.05, 0, 0, 0, 0
000000, 0, 0, 0, 0, 0, 0, R - Rail sliding
1867, NO, 000011, 0, 0, 0, 0, 0, 0
000000, 0, 0, 0, 0, 0, 0, M - Sleeper
1867, NO, 010000, 0, 0.05, 0, 0, 0, 0
000000, 0, 0, 0, 0, 0, 0, R - Rail sliding
1868, NO, 000011, 0, 0, 0, 0, 0, 0
000000, 0, 0, 0, 0, 0, 0, M - Sleeper
1868, NO, 010000, 0, 0.05, 0, 0, 0, 0
000000, 0, 0, 0, 0, 0, 0, R - Rail sliding
1869, NO, 000011, 0, 0, 0, 0, 0, 0
000000, 0, 0, 0, 0, 0, 0, M - Sleeper
1869, NO, 010000, 0, 0.05, 0, 0, 0, 0
000000, 0, 0, 0, 0, 0, 0, R - Rail sliding
1870, NO, 000011, 0, 0, 0, 0, 0, 0
000000, 0, 0, 0, 0, 0, 0, M - Sleeper
1870, NO, 010000, 0, 0.05, 0, 0, 0, 0
000000, 0, 0, 0, 0, 0, 0, R - Rail sliding
1871, NO, 000011, 0, 0, 0, 0, 0, 0
000000, 0, 0, 0, 0, 0, 0, M - Sleeper
1871, NO, 010000, 0, 0.05, 0, 0, 0, 0
000000, 0, 0, 0, 0, 0, 0, R - Rail sliding
1872, NO, 000011, 0, 0, 0, 0, 0, 0
000000, 0, 0, 0, 0, 0, 0, M - Sleeper
1872, NO, 010000, 0, 0.05, 0, 0, 0, 0
000000, 0, 0, 0, 0, 0, 0, R - Rail sliding
1873, NO, 000000, 0, 0, 0, 0, 0, 0
000011, 0, 0, 0, 0, 0, 0, M - Sleeper
1873, NO, 000000, 0, 0, 0, 0, 0, 0
010000, 0, 0.05, 0, 0, 0, 0, R - Rail sliding
1874, NO, 000000, 0, 0, 0, 0, 0, 0
000011, 0, 0, 0, 0, 0, 0, M - Sleeper
1874, NO, 000000, 0, 0, 0, 0, 0, 0
010000, 0, 0.05, 0, 0, 0, 0, R - Rail sliding
1875, NO, 000000, 0, 0, 0, 0, 0, 0
000011, 0, 0, 0, 0, 0, 0, M - Sleeper
1875, NO, 000000, 0, 0, 0, 0, 0, 0
010000, 0, 0.05, 0, 0, 0, 0, R - Rail sliding
1876, NO, 000000, 0, 0, 0, 0, 0, 0
000011, 0, 0, 0, 0, 0, 0, M - Sleeper
1876, NO, 000000, 0, 0, 0, 0, 0, 0
010000, 0, 0.05, 0, 0, 0, 0, R - Rail sliding
1877, NO, 000000, 0, 0, 0, 0, 0, 0
000011, 0, 0, 0, 0, 0, 0, M - Sleeper
1877, NO, 000000, 0, 0, 0, 0, 0, 0
010000, 0, 0.05, 0, 0, 0, 0, R - Rail sliding
1878, NO, 000000, 0, 0, 0, 0, 0, 0
000011, 0, 0, 0, 0, 0, 0, M - Sleeper
1878, NO, 000000, 0, 0, 0, 0, 0, 0
010000, 0, 0.05, 0, 0, 0, 0, R - Rail sliding
1879, NO, 000000, 0, 0, 0, 0, 0, 0
000011, 0, 0, 0, 0, 0, 0, M - Sleeper
1879, NO, 000000, 0, 0, 0, 0, 0, 0
010000, 0, 0.05, 0, 0, 0, 0, R - Rail sliding
1880, NO, 000000, 0, 0, 0, 0, 0, 0
000011, 0, 0, 0, 0, 0, 0, M - Sleeper
1880, NO, 000000, 0, 0, 0, 0, 0, 0
010000, 0, 0.05, 0, 0, 0, 0, R - Rail sliding
1881, NO, 000000, 0, 0, 0, 0, 0, 0
000011, 0, 0, 0, 0, 0, 0, M - Sleeper
1881, NO, 000000, 0, 0, 0, 0, 0, 0
010000, 0, 0.05, 0, 0, 0, 0, R - Rail sliding
1882, NO, 000000, 0, 0, 0, 0, 0, 0
000011, 0, 0, 0, 0, 0, 0, M - Sleeper
1882, NO, 000000, 0, 0, 0, 0, 0, 0
010000, 0, 0.05, 0, 0, 0, 0, R - Rail sliding
1883, NO, 000000, 0, 0, 0, 0, 0, 0
000011, 0, 0, 0, 0, 0, 0, M - Sleeper
1883, NO, 000000, 0, 0, 0, 0, 0, 0
010000, 0, 0.05, 0, 0, 0, 0, R - Rail sliding
1884, NO, 000000, 0, 0, 0, 0, 0, 0

000011, 0, 0, 0, 0, 0, 0, M - Sleeper
1884, NO, 000000, 0, 0, 0, 0, 0, 0
010000, 0, 0.05, 0, 0, 0, 0, R - Rail sliding
1885, NO, 000000, 0, 0, 0, 0, 0, 0
000011, 0, 0, 0, 0, 0, 0, M - Sleeper
1885, NO, 000000, 0, 0, 0, 0, 0, 0
010000, 0, 0.05, 0, 0, 0, 0, R - Rail sliding
1886, NO, 000000, 0, 0, 0, 0, 0, 0
000011, 0, 0, 0, 0, 0, 0, M - Sleeper
1886, NO, 000000, 0, 0, 0, 0, 0, 0
010000, 0, 0.05, 0, 0, 0, 0, R - Rail sliding
1887, NO, 000000, 0, 0, 0, 0, 0, 0
000011, 0, 0, 0, 0, 0, 0, M - Sleeper
1887, NO, 000000, 0, 0, 0, 0, 0, 0
010000, 0, 0.05, 0, 0, 0, 0, R - Rail sliding
1888, NO, 000000, 0, 0, 0, 0, 0, 0
000011, 0, 0, 0, 0, 0, 0, M - Sleeper
1888, NO, 000000, 0, 0, 0, 0, 0, 0
010000, 0, 0.05, 0, 0, 0, 0, R - Rail sliding
1889, NO, 000000, 0, 0, 0, 0, 0, 0
000011, 0, 0, 0, 0, 0, 0, M - Sleeper
1889, NO, 000000, 0, 0, 0, 0, 0, 0
010000, 0, 0.05, 0, 0, 0, 0, R - Rail sliding
1890, NO, 000000, 0, 0, 0, 0, 0, 0
000011, 0, 0, 0, 0, 0, 0, M - Sleeper
1890, NO, 000000, 0, 0, 0, 0, 0, 0
010000, 0, 0.05, 0, 0, 0, 0, R - Rail sliding
1891, NO, 000000, 0, 0, 0, 0, 0, 0
000011, 0, 0, 0, 0, 0, 0, M - Sleeper
1891, NO, 000000, 0, 0, 0, 0, 0, 0
010000, 0, 0.05, 0, 0, 0, 0, R - Rail sliding
1892, NO, 000000, 0, 0, 0, 0, 0, 0
000011, 0, 0, 0, 0, 0, 0, M - Sleeper
1892, NO, 000000, 0, 0, 0, 0, 0, 0
010000, 0, 0.05, 0, 0, 0, 0, R - Rail sliding
1893, NO, 000000, 0, 0, 0, 0, 0, 0
000011, 0, 0, 0, 0, 0, 0, M - Sleeper
1893, NO, 000000, 0, 0, 0, 0, 0, 0
010000, 0, 0.05, 0, 0, 0, 0, R - Rail sliding
1894, NO, 000000, 0, 0, 0, 0, 0, 0
000011, 0, 0, 0, 0, 0, 0, M - Sleeper
1894, NO, 000000, 0, 0, 0, 0, 0, 0
010000, 0, 0.05, 0, 0, 0, 0, R - Rail sliding
1895, NO, 000000, 0, 0, 0, 0, 0, 0
000011, 0, 0, 0, 0, 0, 0, M - Sleeper
1895, NO, 000000, 0, 0, 0, 0, 0, 0
010000, 0, 0.05, 0, 0, 0, 0, R - Rail sliding
1896, NO, 000000, 0, 0, 0, 0, 0, 0
000011, 0, 0, 0, 0, 0, 0, M - Sleeper
1896, NO, 000000, 0, 0, 0, 0, 0, 0
010000, 0, 0.05, 0, 0, 0, 0, R - Rail sliding
1897, NO, 000000, 0, 0, 0, 0, 0, 0
000011, 0, 0, 0, 0, 0, 0, M - Sleeper
1897, NO, 000000, 0, 0, 0, 0, 0, 0
010000, 0, 0.05, 0, 0, 0, 0, R - Rail sliding
1898, NO, 000000, 0, 0, 0, 0, 0, 0
000011, 0, 0, 0, 0, 0, 0, M - Sleeper
1898, NO, 000000, 0, 0, 0, 0, 0, 0
010000, 0, 0.05, 0, 0, 0, 0, R - Rail sliding
1899, NO, 000000, 0, 0, 0, 0, 0, 0
000011, 0, 0, 0, 0, 0, 0, M - Sleeper
1899, NO, 000000, 0, 0, 0, 0, 0, 0
010000, 0, 0.05, 0, 0, 0, 0, R - Rail sliding
1900, NO, 000000, 0, 0, 0, 0, 0, 0
000011, 0, 0, 0, 0, 0, 0, M - Sleeper
1900, NO, 000000, 0, 0, 0, 0, 0, 0
010000, 0, 0.05, 0, 0, 0, 0, R - Rail sliding
1901, NO, 000000, 0, 0, 0, 0, 0, 0
000011, 0, 0, 0, 0, 0, 0, M - Sleeper
1901, NO, 000000, 0, 0, 0, 0, 0, 0
010000, 0, 0.05, 0, 0, 0, 0, R - Rail sliding
1902, NO, 000000, 0, 0, 0, 0, 0, 0

000011, 0, 0, 0, 0, 0, 0, M - Sleeper
1902, NO, 000000, 0, 0, 0, 0, 0, 0
010000, 0, 0.05, 0, 0, 0, 0, R - Rail sliding
1903, NO, 000000, 0, 0, 0, 0, 0, 0
000011, 0, 0, 0, 0, 0, 0, M - Sleeper
1903, NO, 000000, 0, 0, 0, 0, 0, 0
010000, 0, 0.05, 0, 0, 0, 0, R - Rail sliding
1904, NO, 000000, 0, 0, 0, 0, 0, 0
000011, 0, 0, 0, 0, 0, 0, M - Sleeper
1904, NO, 000000, 0, 0, 0, 0, 0, 0
010000, 0, 0.05, 0, 0, 0, 0, R - Rail sliding
1905, NO, 000000, 0, 0, 0, 0, 0, 0
000011, 0, 0, 0, 0, 0, 0, M - Sleeper
1905, NO, 000000, 0, 0, 0, 0, 0, 0
010000, 0, 0.05, 0, 0, 0, 0, R - Rail sliding
1906, NO, 000000, 0, 0, 0, 0, 0, 0
000011, 0, 0, 0, 0, 0, 0, M - Sleeper
1906, NO, 000000, 0, 0, 0, 0, 0, 0
010000, 0, 0.05, 0, 0, 0, 0, R - Rail sliding
1907, NO, 000000, 0, 0, 0, 0, 0, 0
000011, 0, 0, 0, 0, 0, 0, M - Sleeper
1907, NO, 000000, 0, 0, 0, 0, 0, 0
010000, 0, 0.05, 0, 0, 0, 0, R - Rail sliding
1908, NO, 000000, 0, 0, 0, 0, 0, 0
000011, 0, 0, 0, 0, 0, 0, M - Sleeper
1908, NO, 000000, 0, 0, 0, 0, 0, 0
010000, 0, 0.05, 0, 0, 0, 0, R - Rail sliding
1909, NO, 000000, 0, 0, 0, 0, 0, 0
000011, 0, 0, 0, 0, 0, 0, M - Sleeper
1909, NO, 000000, 0, 0, 0, 0, 0, 0
010000, 0, 0.05, 0, 0, 0, 0, R - Rail sliding
1910, NO, 000000, 0, 0, 0, 0, 0, 0
000011, 0, 0, 0, 0, 0, 0, M - Sleeper
1910, NO, 000000, 0, 0, 0, 0, 0, 0
010000, 0, 0.05, 0, 0, 0, 0, R - Rail sliding
1911, NO, 000000, 0, 0, 0, 0, 0, 0
000011, 0, 0, 0, 0, 0, 0, M - Sleeper
1911, NO, 000000, 0, 0, 0, 0, 0, 0
010000, 0, 0.05, 0, 0, 0, 0, R - Rail sliding
1912, NO, 000000, 0, 0, 0, 0, 0, 0
000011, 0, 0, 0, 0, 0, 0, M - Sleeper
1912, NO, 000000, 0, 0, 0, 0, 0, 0
010000, 0, 0.05, 0, 0, 0, 0, R - Rail sliding
1913, NO, 000000, 0, 0, 0, 0, 0, 0
000011, 0, 0, 0, 0, 0, 0, M - Sleeper
1913, NO, 000000, 0, 0, 0, 0, 0, 0
010000, 0, 0.05, 0, 0, 0, 0, R - Rail sliding
1914, NO, 000000, 0, 0, 0, 0, 0, 0
000011, 0, 0, 0, 0, 0, 0, M - Sleeper
1914, NO, 000000, 0, 0, 0, 0, 0, 0
010000, 0, 0.05, 0, 0, 0, 0, R - Rail sliding
1915, NO, 000000, 0, 0, 0, 0, 0, 0
000011, 0, 0, 0, 0, 0, 0, M - Sleeper
1915, NO, 000000, 0, 0, 0, 0, 0, 0
010000, 0, 0.05, 0, 0, 0, 0, R - Rail sliding
1916, NO, 000000, 0, 0, 0, 0, 0, 0
000011, 0, 0, 0, 0, 0, 0, M - Sleeper
1916, NO, 000000, 0, 0, 0, 0, 0, 0
010000, 0, 0.05, 0, 0, 0, 0, R - Rail sliding
1917, NO, 000000, 0, 0, 0, 0, 0, 0
000011, 0, 0, 0, 0, 0, 0, M - Sleeper
1917, NO, 000000, 0, 0, 0, 0, 0, 0
010000, 0, 0.05, 0, 0, 0, 0, R - Rail sliding
1918, NO, 000000, 0, 0, 0, 0, 0, 0
000011, 0, 0, 0, 0, 0, 0, M - Sleeper
1918, NO, 000000, 0, 0, 0, 0, 0, 0
010000, 0, 0.05, 0, 0, 0, 0, R - Rail sliding
1919, NO, 000000, 0, 0, 0, 0, 0, 0
000011, 0, 0, 0, 0, 0, 0, M - Sleeper
1919, NO, 000000, 0, 0, 0, 0, 0, 0
010000, 0, 0.05, 0, 0, 0, 0, R - Rail sliding
1920, NO, 000000, 0, 0, 0, 0, 0, 0

000011, 0, 0, 0, 0, 0, 0, M - Sleeper
1920, NO, 000000, 0, 0, 0, 0, 0, 0
010000, 0, 0.05, 0, 0, 0, 0, R - Rail sliding
1921, NO, 000000, 0, 0, 0, 0, 0, 0
000011, 0, 0, 0, 0, 0, 0, M - Sleeper
1921, NO, 000000, 0, 0, 0, 0, 0, 0
010000, 0, 0.05, 0, 0, 0, 0, R - Rail sliding
1922, NO, 000000, 0, 0, 0, 0, 0, 0
000011, 0, 0, 0, 0, 0, 0, M - Sleeper
1922, NO, 000000, 0, 0, 0, 0, 0, 0
010000, 0, 0.05, 0, 0, 0, 0, R - Rail sliding
1923, NO, 000000, 0, 0, 0, 0, 0, 0
000011, 0, 0, 0, 0, 0, 0, M - Sleeper
1923, NO, 000000, 0, 0, 0, 0, 0, 0
010000, 0, 0.05, 0, 0, 0, 0, R - Rail sliding
1924, NO, 000000, 0, 0, 0, 0, 0, 0
000011, 0, 0, 0, 0, 0, 0, M - Sleeper
1924, NO, 000000, 0, 0, 0, 0, 0, 0
010000, 0, 0.05, 0, 0, 0, 0, R - Rail sliding
1925, NO, 000000, 0, 0, 0, 0, 0, 0
000011, 0, 0, 0, 0, 0, 0, M - Sleeper
1925, NO, 000000, 0, 0, 0, 0, 0, 0
010000, 0, 0.05, 0, 0, 0, 0, R - Rail sliding
1926, NO, 000000, 0, 0, 0, 0, 0, 0
000011, 0, 0, 0, 0, 0, 0, M - Sleeper
1926, NO, 000000, 0, 0, 0, 0, 0, 0
010000, 0, 0.05, 0, 0, 0, 0, R - Rail sliding
1927, NO, 000000, 0, 0, 0, 0, 0, 0
000011, 0, 0, 0, 0, 0, 0, M - Sleeper
1927, NO, 000000, 0, 0, 0, 0, 0, 0
010000, 0, 0.05, 0, 0, 0, 0, R - Rail sliding
1928, NO, 000000, 0, 0, 0, 0, 0, 0
000011, 0, 0, 0, 0, 0, 0, M - Sleeper
1928, NO, 000000, 0, 0, 0, 0, 0, 0
010000, 0, 0.05, 0, 0, 0, 0, R - Rail sliding
1929, NO, 000000, 0, 0, 0, 0, 0, 0
000011, 0, 0, 0, 0, 0, 0, M - Sleeper
1929, NO, 000000, 0, 0, 0, 0, 0, 0
010000, 0, 0.05, 0, 0, 0, 0, R - Rail sliding
1930, NO, 000000, 0, 0, 0, 0, 0, 0
000011, 0, 0, 0, 0, 0, 0, M - Sleeper
1930, NO, 000000, 0, 0, 0, 0, 0, 0
010000, 0, 0.05, 0, 0, 0, 0, R - Rail sliding
1931, NO, 000000, 0, 0, 0, 0, 0, 0
000011, 0, 0, 0, 0, 0, 0, M - Sleeper
1931, NO, 000000, 0, 0, 0, 0, 0, 0
010000, 0, 0.05, 0, 0, 0, 0, R - Rail sliding
1932, NO, 000000, 0, 0, 0, 0, 0, 0
000011, 0, 0, 0, 0, 0, 0, M - Sleeper
1932, NO, 000000, 0, 0, 0, 0, 0, 0
010000, 0, 0.05, 0, 0, 0, 0, R - Rail sliding
1933, NO, 000000, 0, 0, 0, 0, 0, 0
000011, 0, 0, 0, 0, 0, 0, M - Sleeper
1933, NO, 000000, 0, 0, 0, 0, 0, 0
010000, 0, 0.05, 0, 0, 0, 0, R - Rail sliding
1934, NO, 000000, 0, 0, 0, 0, 0, 0
000011, 0, 0, 0, 0, 0, 0, M - Sleeper
1934, NO, 000000, 0, 0, 0, 0, 0, 0
010000, 0, 0.05, 0, 0, 0, 0, R - Rail sliding
1935, NO, 000000, 0, 0, 0, 0, 0, 0
000011, 0, 0, 0, 0, 0, 0, M - Sleeper
1935, NO, 000000, 0, 0, 0, 0, 0, 0
010000, 0, 0.05, 0, 0, 0, 0, R - Rail sliding
1936, NO, 000000, 0, 0, 0, 0, 0, 0
000011, 0, 0, 0, 0, 0, 0, M - Sleeper
1936, NO, 000000, 0, 0, 0, 0, 0, 0
010000, 0, 0.05, 0, 0, 0, 0, R - Rail sliding
1937, NO, 000000, 0, 0, 0, 0, 0, 0
000011, 0, 0, 0, 0, 0, 0, M - Sleeper
1937, NO, 000000, 0, 0, 0, 0, 0, 0
010000, 0, 0.05, 0, 0, 0, 0, R - Rail sliding
1938, NO, 000000, 0, 0, 0, 0, 0, 0

000011, 0, 0, 0, 0, 0, 0, M - Sleeper
1938, NO, 000000, 0, 0, 0, 0, 0, 0
010000, 0, 0.05, 0, 0, 0, 0, 0, R - Rail sliding
1939, NO, 000000, 0, 0, 0, 0, 0, 0
000011, 0, 0, 0, 0, 0, 0, M - Sleeper
1939, NO, 000000, 0, 0, 0, 0, 0, 0
010000, 0, 0.05, 0, 0, 0, 0, 0, R - Rail sliding
1940, NO, 000000, 0, 0, 0, 0, 0, 0
000011, 0, 0, 0, 0, 0, 0, M - Sleeper
1940, NO, 000000, 0, 0, 0, 0, 0, 0
010000, 0, 0.05, 0, 0, 0, 0, 0, R - Rail sliding
1941, NO, 000000, 0, 0, 0, 0, 0, 0
000011, 0, 0, 0, 0, 0, 0, M - Sleeper
1941, NO, 000000, 0, 0, 0, 0, 0, 0
010000, 0, 0.05, 0, 0, 0, 0, 0, R - Rail sliding
1942, NO, 000000, 0, 0, 0, 0, 0, 0
000011, 0, 0, 0, 0, 0, 0, M - Sleeper
1942, NO, 000000, 0, 0, 0, 0, 0, 0
010000, 0, 0.05, 0, 0, 0, 0, 0, R - Rail sliding
1943, NO, 000000, 0, 0, 0, 0, 0, 0
000011, 0, 0, 0, 0, 0, 0, M - Sleeper
1943, NO, 000000, 0, 0, 0, 0, 0, 0
010000, 0, 0.05, 0, 0, 0, 0, 0, R - Rail sliding
1944, NO, 000000, 0, 0, 0, 0, 0, 0
000011, 0, 0, 0, 0, 0, 0, M - Sleeper
1944, NO, 000000, 0, 0, 0, 0, 0, 0
010000, 0, 0.05, 0, 0, 0, 0, 0, R - Rail sliding
1945, NO, 000000, 0, 0, 0, 0, 0, 0
000011, 0, 0, 0, 0, 0, 0, M - Sleeper
1945, NO, 000000, 0, 0, 0, 0, 0, 0
010000, 0, 0.05, 0, 0, 0, 0, 0, R - Rail sliding
1946, NO, 000000, 0, 0, 0, 0, 0, 0
000011, 0, 0, 0, 0, 0, 0, M - Sleeper
1946, NO, 000000, 0, 0, 0, 0, 0, 0
010000, 0, 0.05, 0, 0, 0, 0, 0, R - Rail sliding
1947, NO, 000000, 0, 0, 0, 0, 0, 0
000011, 0, 0, 0, 0, 0, 0, M - Sleeper
1947, NO, 000000, 0, 0, 0, 0, 0, 0
010000, 0, 0.05, 0, 0, 0, 0, 0, R - Rail sliding
1948, NO, 000000, 0, 0, 0, 0, 0, 0
000011, 0, 0, 0, 0, 0, 0, M - Sleeper
1948, NO, 000000, 0, 0, 0, 0, 0, 0
010000, 0, 0.05, 0, 0, 0, 0, 0, R - Rail sliding
1949, NO, 000000, 0, 0, 0, 0, 0, 0
000011, 0, 0, 0, 0, 0, 0, M - Sleeper
1949, NO, 000000, 0, 0, 0, 0, 0, 0
010000, 0, 0.05, 0, 0, 0, 0, 0, R - Rail sliding
1950, NO, 000000, 0, 0, 0, 0, 0, 0
000011, 0, 0, 0, 0, 0, 0, M - Sleeper
1950, NO, 000000, 0, 0, 0, 0, 0, 0
010000, 0, 0.05, 0, 0, 0, 0, 0, R - Rail sliding
1951, NO, 000000, 0, 0, 0, 0, 0, 0
000011, 0, 0, 0, 0, 0, 0, M - Sleeper
1951, NO, 000000, 0, 0, 0, 0, 0, 0
010000, 0, 0.05, 0, 0, 0, 0, 0, R - Rail sliding
1952, NO, 000000, 0, 0, 0, 0, 0, 0
000011, 0, 0, 0, 0, 0, 0, M - Sleeper
1952, NO, 000000, 0, 0, 0, 0, 0, 0
010000, 0, 0.05, 0, 0, 0, 0, 0, R - Rail sliding
1953, NO, 000000, 0, 0, 0, 0, 0, 0
000011, 0, 0, 0, 0, 0, 0, M - Sleeper
1953, NO, 000000, 0, 0, 0, 0, 0, 0
010000, 0, 0.05, 0, 0, 0, 0, 0, R - Rail sliding
1954, NO, 000000, 0, 0, 0, 0, 0, 0
000011, 0, 0, 0, 0, 0, 0, M - Sleeper
1954, NO, 000000, 0, 0, 0, 0, 0, 0
010000, 0, 0.05, 0, 0, 0, 0, 0, R - Rail sliding
1955, NO, 000000, 0, 0, 0, 0, 0, 0
000011, 0, 0, 0, 0, 0, 0, M - Sleeper
1955, NO, 000000, 0, 0, 0, 0, 0, 0
010000, 0, 0.05, 0, 0, 0, 0, 0, R - Rail sliding
1956, NO, 000000, 0, 0, 0, 0, 0, 0

PROJECT TITLE :

MIDAS	Company		Client	
	Author		File Name	H2D_3Dg_v14_180227_StatLM.mct

000011, 0, 0, 0, 0, 0, 0, M - Sleeper
1956, NO, 000000, 0, 0, 0, 0, 0, 0
010000, 0, 0.05, 0, 0, 0, 0, R - Rail sliding
1957, NO, 000000, 0, 0, 0, 0, 0, 0
000011, 0, 0, 0, 0, 0, 0, M - Sleeper
1957, NO, 000000, 0, 0, 0, 0, 0, 0
010000, 0, 0.05, 0, 0, 0, 0, R - Rail sliding
1958, NO, 000000, 0, 0, 0, 0, 0, 0
000011, 0, 0, 0, 0, 0, 0, M - Sleeper
1958, NO, 000000, 0, 0, 0, 0, 0, 0
010000, 0, 0.05, 0, 0, 0, 0, R - Rail sliding
1959, NO, 000000, 0, 0, 0, 0, 0, 0
000011, 0, 0, 0, 0, 0, 0, M - Sleeper
1959, NO, 000000, 0, 0, 0, 0, 0, 0
010000, 0, 0.05, 0, 0, 0, 0, R - Rail sliding
1960, NO, 000000, 0, 0, 0, 0, 0, 0
000011, 0, 0, 0, 0, 0, 0, M - Sleeper
1960, NO, 000000, 0, 0, 0, 0, 0, 0
010000, 0, 0.05, 0, 0, 0, 0, R - Rail sliding
1961, NO, 000000, 0, 0, 0, 0, 0, 0
000011, 0, 0, 0, 0, 0, 0, M - Sleeper
1961, NO, 000000, 0, 0, 0, 0, 0, 0
010000, 0, 0.05, 0, 0, 0, 0, R - Rail sliding
1962, NO, 000000, 0, 0, 0, 0, 0, 0
000011, 0, 0, 0, 0, 0, 0, M - Sleeper
1962, NO, 000000, 0, 0, 0, 0, 0, 0
010000, 0, 0.05, 0, 0, 0, 0, R - Rail sliding
1963, NO, 000000, 0, 0, 0, 0, 0, 0
000011, 0, 0, 0, 0, 0, 0, M - Sleeper
1963, NO, 000000, 0, 0, 0, 0, 0, 0
010000, 0, 0.05, 0, 0, 0, 0, R - Rail sliding
1964, NO, 000000, 0, 0, 0, 0, 0, 0
000011, 0, 0, 0, 0, 0, 0, M - Sleeper
1964, NO, 000000, 0, 0, 0, 0, 0, 0
010000, 0, 0.05, 0, 0, 0, 0, R - Rail sliding
1965, NO, 000000, 0, 0, 0, 0, 0, 0
000011, 0, 0, 0, 0, 0, 0, M - Sleeper
1965, NO, 000000, 0, 0, 0, 0, 0, 0
010000, 0, 0.05, 0, 0, 0, 0, R - Rail sliding
1966, NO, 000000, 0, 0, 0, 0, 0, 0
000011, 0, 0, 0, 0, 0, 0, M - Sleeper
1966, NO, 000000, 0, 0, 0, 0, 0, 0
010000, 0, 0.05, 0, 0, 0, 0, R - Rail sliding
1967, NO, 000000, 0, 0, 0, 0, 0, 0
000011, 0, 0, 0, 0, 0, 0, M - Sleeper
1967, NO, 000000, 0, 0, 0, 0, 0, 0
010000, 0, 0.05, 0, 0, 0, 0, R - Rail sliding
1968, NO, 000000, 0, 0, 0, 0, 0, 0
000011, 0, 0, 0, 0, 0, 0, M - Sleeper
1968, NO, 000000, 0, 0, 0, 0, 0, 0
010000, 0, 0.05, 0, 0, 0, 0, R - Rail sliding
1969, NO, 000000, 0, 0, 0, 0, 0, 0
000011, 0, 0, 0, 0, 0, 0, M - Sleeper
1969, NO, 000000, 0, 0, 0, 0, 0, 0
010000, 0, 0.05, 0, 0, 0, 0, R - Rail sliding
1970, NO, 000000, 0, 0, 0, 0, 0, 0
000011, 0, 0, 0, 0, 0, 0, M - Sleeper
1970, NO, 000000, 0, 0, 0, 0, 0, 0
010000, 0, 0.05, 0, 0, 0, 0, R - Rail sliding
1971, NO, 000000, 0, 0, 0, 0, 0, 0
000011, 0, 0, 0, 0, 0, 0, M - Sleeper
1971, NO, 000000, 0, 0, 0, 0, 0, 0
010000, 0, 0.05, 0, 0, 0, 0, R - Rail sliding
1972, NO, 000000, 0, 0, 0, 0, 0, 0
000011, 0, 0, 0, 0, 0, 0, M - Sleeper
1972, NO, 000000, 0, 0, 0, 0, 0, 0
010000, 0, 0.05, 0, 0, 0, 0, R - Rail sliding
1973, NO, 000000, 0, 0, 0, 0, 0, 0
000011, 0, 0, 0, 0, 0, 0, M - Sleeper
1973, NO, 000000, 0, 0, 0, 0, 0, 0
010000, 0, 0.05, 0, 0, 0, 0, R - Rail sliding
1974, NO, 000000, 0, 0, 0, 0, 0, 0

000011, 0, 0, 0, 0, 0, 0, M - Sleeper
1974, NO, 000000, 0, 0, 0, 0, 0, 0
010000, 0, 0.05, 0, 0, 0, 0, R - Rail sliding
1975, NO, 000000, 0, 0, 0, 0, 0, 0
000011, 0, 0, 0, 0, 0, 0, M - Sleeper
1975, NO, 000000, 0, 0, 0, 0, 0, 0
010000, 0, 0.05, 0, 0, 0, 0, R - Rail sliding
1976, NO, 000000, 0, 0, 0, 0, 0, 0
000011, 0, 0, 0, 0, 0, 0, M - Sleeper
1976, NO, 000000, 0, 0, 0, 0, 0, 0
010000, 0, 0.05, 0, 0, 0, 0, R - Rail sliding
1977, NO, 000000, 0, 0, 0, 0, 0, 0
000011, 0, 0, 0, 0, 0, 0, M - Sleeper
1977, NO, 000000, 0, 0, 0, 0, 0, 0
010000, 0, 0.05, 0, 0, 0, 0, R - Rail sliding
1978, NO, 000000, 0, 0, 0, 0, 0, 0
000011, 0, 0, 0, 0, 0, 0, M - Sleeper
1978, NO, 000000, 0, 0, 0, 0, 0, 0
010000, 0, 0.05, 0, 0, 0, 0, R - Rail sliding
1979, NO, 000000, 0, 0, 0, 0, 0, 0
000011, 0, 0, 0, 0, 0, 0, M - Sleeper
1979, NO, 000000, 0, 0, 0, 0, 0, 0
010000, 0, 0.05, 0, 0, 0, 0, R - Rail sliding
1980, NO, 000000, 0, 0, 0, 0, 0, 0
000011, 0, 0, 0, 0, 0, 0, M - Sleeper
1980, NO, 000000, 0, 0, 0, 0, 0, 0
010000, 0, 0.05, 0, 0, 0, 0, R - Rail sliding
1981, NO, 000000, 0, 0, 0, 0, 0, 0
000011, 0, 0, 0, 0, 0, 0, M - Sleeper
1981, NO, 000000, 0, 0, 0, 0, 0, 0
010000, 0, 0.05, 0, 0, 0, 0, R - Rail sliding
1982, NO, 000000, 0, 0, 0, 0, 0, 0
000011, 0, 0, 0, 0, 0, 0, M - Sleeper
1982, NO, 000000, 0, 0, 0, 0, 0, 0
010000, 0, 0.05, 0, 0, 0, 0, R - Rail sliding
1983, NO, 000000, 0, 0, 0, 0, 0, 0
000011, 0, 0, 0, 0, 0, 0, M - Sleeper
1983, NO, 000000, 0, 0, 0, 0, 0, 0
010000, 0, 0.05, 0, 0, 0, 0, R - Rail sliding
1984, NO, 000000, 0, 0, 0, 0, 0, 0
000011, 0, 0, 0, 0, 0, 0, M - Sleeper
1984, NO, 000000, 0, 0, 0, 0, 0, 0
010000, 0, 0.05, 0, 0, 0, 0, R - Rail sliding
1985, NO, 000000, 0, 0, 0, 0, 0, 0
000011, 0, 0, 0, 0, 0, 0, M - Sleeper
1985, NO, 000000, 0, 0, 0, 0, 0, 0
010000, 0, 0.05, 0, 0, 0, 0, R - Rail sliding
1986, NO, 000000, 0, 0, 0, 0, 0, 0
000011, 0, 0, 0, 0, 0, 0, M - Sleeper
1986, NO, 000000, 0, 0, 0, 0, 0, 0
010000, 0, 0.05, 0, 0, 0, 0, R - Rail sliding
1987, NO, 000000, 0, 0, 0, 0, 0, 0
000011, 0, 0, 0, 0, 0, 0, M - Sleeper
1987, NO, 000000, 0, 0, 0, 0, 0, 0
010000, 0, 0.05, 0, 0, 0, 0, R - Rail sliding
1988, NO, 000000, 0, 0, 0, 0, 0, 0
000011, 0, 0, 0, 0, 0, 0, M - Sleeper
1988, NO, 000000, 0, 0, 0, 0, 0, 0
010000, 0, 0.05, 0, 0, 0, 0, R - Rail sliding
1989, NO, 000000, 0, 0, 0, 0, 0, 0
000011, 0, 0, 0, 0, 0, 0, M - Sleeper
1989, NO, 000000, 0, 0, 0, 0, 0, 0
010000, 0, 0.05, 0, 0, 0, 0, R - Rail sliding
1990, NO, 000000, 0, 0, 0, 0, 0, 0
000011, 0, 0, 0, 0, 0, 0, M - Sleeper
1990, NO, 000000, 0, 0, 0, 0, 0, 0
010000, 0, 0.05, 0, 0, 0, 0, R - Rail sliding
1991, NO, 000000, 0, 0, 0, 0, 0, 0
000011, 0, 0, 0, 0, 0, 0, M - Sleeper
1991, NO, 000000, 0, 0, 0, 0, 0, 0
010000, 0, 0.05, 0, 0, 0, 0, R - Rail sliding
1992, NO, 000000, 0, 0, 0, 0, 0, 0

000011, 0, 0, 0, 0, 0, 0, M - Sleeper
1992, NO, 000000, 0, 0, 0, 0, 0, 0
010000, 0, 0.05, 0, 0, 0, 0, R - Rail sliding
1993, NO, 000000, 0, 0, 0, 0, 0, 0
000011, 0, 0, 0, 0, 0, 0, M - Sleeper
1993, NO, 000000, 0, 0, 0, 0, 0, 0
010000, 0, 0.05, 0, 0, 0, 0, R - Rail sliding
1994, NO, 000000, 0, 0, 0, 0, 0, 0
000011, 0, 0, 0, 0, 0, 0, M - Sleeper
1994, NO, 000000, 0, 0, 0, 0, 0, 0
010000, 0, 0.05, 0, 0, 0, 0, R - Rail sliding
1995, NO, 000000, 0, 0, 0, 0, 0, 0
000011, 0, 0, 0, 0, 0, 0, M - Sleeper
1995, NO, 000000, 0, 0, 0, 0, 0, 0
010000, 0, 0.05, 0, 0, 0, 0, R - Rail sliding
1996, NO, 000000, 0, 0, 0, 0, 0, 0
000011, 0, 0, 0, 0, 0, 0, M - Sleeper
1996, NO, 000000, 0, 0, 0, 0, 0, 0
010000, 0, 0.05, 0, 0, 0, 0, R - Rail sliding
1997, NO, 000000, 0, 0, 0, 0, 0, 0
000011, 0, 0, 0, 0, 0, 0, M - Sleeper
1997, NO, 000000, 0, 0, 0, 0, 0, 0
010000, 0, 0.05, 0, 0, 0, 0, R - Rail sliding
1998, NO, 000000, 0, 0, 0, 0, 0, 0
000011, 0, 0, 0, 0, 0, 0, M - Sleeper
1998, NO, 000000, 0, 0, 0, 0, 0, 0
010000, 0, 0.05, 0, 0, 0, 0, R - Rail sliding
1999, NO, 000000, 0, 0, 0, 0, 0, 0
000011, 0, 0, 0, 0, 0, 0, M - Sleeper
1999, NO, 000000, 0, 0, 0, 0, 0, 0
010000, 0, 0.05, 0, 0, 0, 0, R - Rail sliding
2000, NO, 000000, 0, 0, 0, 0, 0, 0
000011, 0, 0, 0, 0, 0, 0, M - Sleeper
2000, NO, 000000, 0, 0, 0, 0, 0, 0
010000, 0, 0.05, 0, 0, 0, 0, R - Rail sliding
2001, NO, 000000, 0, 0, 0, 0, 0, 0
000011, 0, 0, 0, 0, 0, 0, M - Sleeper
2001, NO, 000000, 0, 0, 0, 0, 0, 0
010000, 0, 0.05, 0, 0, 0, 0, R - Rail sliding
2002, NO, 000000, 0, 0, 0, 0, 0, 0
000011, 0, 0, 0, 0, 0, 0, M - Sleeper
2002, NO, 000000, 0, 0, 0, 0, 0, 0
010000, 0, 0.05, 0, 0, 0, 0, R - Rail sliding
2003, NO, 000000, 0, 0, 0, 0, 0, 0
000011, 0, 0, 0, 0, 0, 0, M - Sleeper
2003, NO, 000000, 0, 0, 0, 0, 0, 0
010000, 0, 0.05, 0, 0, 0, 0, R - Rail sliding
2004, NO, 000000, 0, 0, 0, 0, 0, 0
000011, 0, 0, 0, 0, 0, 0, M - Sleeper
2004, NO, 000000, 0, 0, 0, 0, 0, 0
010000, 0, 0.05, 0, 0, 0, 0, R - Rail sliding
2005, NO, 000000, 0, 0, 0, 0, 0, 0
000011, 0, 0, 0, 0, 0, 0, M - Sleeper
2005, NO, 000000, 0, 0, 0, 0, 0, 0
010000, 0, 0.05, 0, 0, 0, 0, R - Rail sliding
2006, NO, 000000, 0, 0, 0, 0, 0, 0
000011, 0, 0, 0, 0, 0, 0, M - Sleeper
2006, NO, 000000, 0, 0, 0, 0, 0, 0
010000, 0, 0.05, 0, 0, 0, 0, R - Rail sliding
2007, NO, 000000, 0, 0, 0, 0, 0, 0
000011, 0, 0, 0, 0, 0, 0, M - Sleeper
2007, NO, 000000, 0, 0, 0, 0, 0, 0
010000, 0, 0.05, 0, 0, 0, 0, R - Rail sliding
2008, NO, 000000, 0, 0, 0, 0, 0, 0
000011, 0, 0, 0, 0, 0, 0, M - Sleeper
2008, NO, 000000, 0, 0, 0, 0, 0, 0
010000, 0, 0.05, 0, 0, 0, 0, R - Rail sliding
2009, NO, 000000, 0, 0, 0, 0, 0, 0
000011, 0, 0, 0, 0, 0, 0, M - Sleeper
2009, NO, 000000, 0, 0, 0, 0, 0, 0
010000, 0, 0.05, 0, 0, 0, 0, R - Rail sliding
2010, NO, 000000, 0, 0, 0, 0, 0, 0

000011, 0, 0, 0, 0, 0, 0, M - Sleeper
2010, NO, 000000, 0, 0, 0, 0, 0, 0
010000, 0, 0.05, 0, 0, 0, 0, 0, R - Rail sliding
2011, NO, 000000, 0, 0, 0, 0, 0, 0
000011, 0, 0, 0, 0, 0, 0, M - Sleeper
2011, NO, 000000, 0, 0, 0, 0, 0, 0
010000, 0, 0.05, 0, 0, 0, 0, 0, R - Rail sliding
2012, NO, 000000, 0, 0, 0, 0, 0, 0
000011, 0, 0, 0, 0, 0, 0, M - Sleeper
2012, NO, 000000, 0, 0, 0, 0, 0, 0
010000, 0, 0.05, 0, 0, 0, 0, 0, R - Rail sliding
2013, NO, 000000, 0, 0, 0, 0, 0, 0
000011, 0, 0, 0, 0, 0, 0, M - Sleeper
2013, NO, 000000, 0, 0, 0, 0, 0, 0
010000, 0, 0.05, 0, 0, 0, 0, 0, R - Rail sliding
2014, NO, 000000, 0, 0, 0, 0, 0, 0
000011, 0, 0, 0, 0, 0, 0, M - Sleeper
2014, NO, 000000, 0, 0, 0, 0, 0, 0
010000, 0, 0.05, 0, 0, 0, 0, 0, R - Rail sliding
2015, NO, 000000, 0, 0, 0, 0, 0, 0
000011, 0, 0, 0, 0, 0, 0, M - Sleeper
2015, NO, 000000, 0, 0, 0, 0, 0, 0
010000, 0, 0.05, 0, 0, 0, 0, 0, R - Rail sliding
2016, NO, 000000, 0, 0, 0, 0, 0, 0
000011, 0, 0, 0, 0, 0, 0, M - Sleeper
2016, NO, 000000, 0, 0, 0, 0, 0, 0
010000, 0, 0.05, 0, 0, 0, 0, 0, R - Rail sliding
2017, NO, 000000, 0, 0, 0, 0, 0, 0
000011, 0, 0, 0, 0, 0, 0, M - Sleeper
2017, NO, 000000, 0, 0, 0, 0, 0, 0
010000, 0, 0.05, 0, 0, 0, 0, 0, R - Rail sliding
2018, NO, 000000, 0, 0, 0, 0, 0, 0
000011, 0, 0, 0, 0, 0, 0, M - Sleeper
2018, NO, 000000, 0, 0, 0, 0, 0, 0
010000, 0, 0.05, 0, 0, 0, 0, 0, R - Rail sliding
2019, NO, 000000, 0, 0, 0, 0, 0, 0
000011, 0, 0, 0, 0, 0, 0, M - Sleeper
2019, NO, 000000, 0, 0, 0, 0, 0, 0
010000, 0, 0.05, 0, 0, 0, 0, 0, R - Rail sliding
2020, NO, 000000, 0, 0, 0, 0, 0, 0
000011, 0, 0, 0, 0, 0, 0, M - Sleeper
2020, NO, 000000, 0, 0, 0, 0, 0, 0
010000, 0, 0.05, 0, 0, 0, 0, 0, R - Rail sliding
2021, NO, 000000, 0, 0, 0, 0, 0, 0
000011, 0, 0, 0, 0, 0, 0, M - Sleeper
2021, NO, 000000, 0, 0, 0, 0, 0, 0
010000, 0, 0.05, 0, 0, 0, 0, 0, R - Rail sliding
2022, NO, 000000, 0, 0, 0, 0, 0, 0
000011, 0, 0, 0, 0, 0, 0, M - Sleeper
2022, NO, 000000, 0, 0, 0, 0, 0, 0
010000, 0, 0.05, 0, 0, 0, 0, 0, R - Rail sliding
2023, NO, 000000, 0, 0, 0, 0, 0, 0
000011, 0, 0, 0, 0, 0, 0, M - Sleeper
2023, NO, 000000, 0, 0, 0, 0, 0, 0
010000, 0, 0.05, 0, 0, 0, 0, 0, R - Rail sliding
2024, NO, 000000, 0, 0, 0, 0, 0, 0
000011, 0, 0, 0, 0, 0, 0, M - Sleeper
2024, NO, 000000, 0, 0, 0, 0, 0, 0
010000, 0, 0.05, 0, 0, 0, 0, 0, R - Rail sliding
2025, NO, 000000, 0, 0, 0, 0, 0, 0
000011, 0, 0, 0, 0, 0, 0, M - Sleeper
2025, NO, 000000, 0, 0, 0, 0, 0, 0
010000, 0, 0.05, 0, 0, 0, 0, 0, R - Rail sliding
2026, NO, 000000, 0, 0, 0, 0, 0, 0
000011, 0, 0, 0, 0, 0, 0, M - Sleeper
2026, NO, 000000, 0, 0, 0, 0, 0, 0
010000, 0, 0.05, 0, 0, 0, 0, 0, R - Rail sliding
2027, NO, 000000, 0, 0, 0, 0, 0, 0
000011, 0, 0, 0, 0, 0, 0, M - Sleeper
2027, NO, 000000, 0, 0, 0, 0, 0, 0
010000, 0, 0.05, 0, 0, 0, 0, 0, R - Rail sliding
2028, NO, 000000, 0, 0, 0, 0, 0, 0

000011, 0, 0, 0, 0, 0, 0, M - Sleeper
2028, NO, 000000, 0, 0, 0, 0, 0, 0
010000, 0, 0.05, 0, 0, 0, 0, R - Rail sliding
2029, NO, 000000, 0, 0, 0, 0, 0, 0
000011, 0, 0, 0, 0, 0, 0, M - Sleeper
2029, NO, 000000, 0, 0, 0, 0, 0, 0
010000, 0, 0.05, 0, 0, 0, 0, R - Rail sliding
2030, NO, 000000, 0, 0, 0, 0, 0, 0
000011, 0, 0, 0, 0, 0, 0, M - Sleeper
2030, NO, 000000, 0, 0, 0, 0, 0, 0
010000, 0, 0.05, 0, 0, 0, 0, R - Rail sliding
2031, NO, 000000, 0, 0, 0, 0, 0, 0
000011, 0, 0, 0, 0, 0, 0, M - Sleeper
2031, NO, 000000, 0, 0, 0, 0, 0, 0
010000, 0, 0.05, 0, 0, 0, 0, R - Rail sliding
2032, NO, 000000, 0, 0, 0, 0, 0, 0
000011, 0, 0, 0, 0, 0, 0, M - Sleeper
2032, NO, 000000, 0, 0, 0, 0, 0, 0
010000, 0, 0.05, 0, 0, 0, 0, R - Rail sliding
2033, NO, 000000, 0, 0, 0, 0, 0, 0
000011, 0, 0, 0, 0, 0, 0, M - Sleeper
2033, NO, 000000, 0, 0, 0, 0, 0, 0
010000, 0, 0.05, 0, 0, 0, 0, R - Rail sliding
2034, NO, 000000, 0, 0, 0, 0, 0, 0
000011, 0, 0, 0, 0, 0, 0, M - Sleeper
2034, NO, 000000, 0, 0, 0, 0, 0, 0
010000, 0, 0.05, 0, 0, 0, 0, R - Rail sliding
2035, NO, 000000, 0, 0, 0, 0, 0, 0
000011, 0, 0, 0, 0, 0, 0, M - Sleeper
2035, NO, 000000, 0, 0, 0, 0, 0, 0
010000, 0, 0.05, 0, 0, 0, 0, R - Rail sliding
2036, NO, 000000, 0, 0, 0, 0, 0, 0
000011, 0, 0, 0, 0, 0, 0, M - Sleeper
2036, NO, 000000, 0, 0, 0, 0, 0, 0
010000, 0, 0.05, 0, 0, 0, 0, R - Rail sliding
2037, NO, 000000, 0, 0, 0, 0, 0, 0
000011, 0, 0, 0, 0, 0, 0, M - Sleeper
2037, NO, 000000, 0, 0, 0, 0, 0, 0
010000, 0, 0.05, 0, 0, 0, 0, R - Rail sliding
2038, NO, 000000, 0, 0, 0, 0, 0, 0
000011, 0, 0, 0, 0, 0, 0, M - Sleeper
2038, NO, 000000, 0, 0, 0, 0, 0, 0
010000, 0, 0.05, 0, 0, 0, 0, R - Rail sliding
2039, NO, 000000, 0, 0, 0, 0, 0, 0
000011, 0, 0, 0, 0, 0, 0, M - Sleeper
2039, NO, 000000, 0, 0, 0, 0, 0, 0
010000, 0, 0.05, 0, 0, 0, 0, R - Rail sliding
2040, NO, 000000, 0, 0, 0, 0, 0, 0
000011, 0, 0, 0, 0, 0, 0, M - Sleeper
2040, NO, 000000, 0, 0, 0, 0, 0, 0
010000, 0, 0.05, 0, 0, 0, 0, R - Rail sliding
2041, NO, 000000, 0, 0, 0, 0, 0, 0
000011, 0, 0, 0, 0, 0, 0, M - Sleeper
2041, NO, 000000, 0, 0, 0, 0, 0, 0
010000, 0, 0.05, 0, 0, 0, 0, R - Rail sliding
2042, NO, 000000, 0, 0, 0, 0, 0, 0
000011, 0, 0, 0, 0, 0, 0, M - Sleeper
2042, NO, 000000, 0, 0, 0, 0, 0, 0
010000, 0, 0.05, 0, 0, 0, 0, R - Rail sliding
2043, NO, 000000, 0, 0, 0, 0, 0, 0
000011, 0, 0, 0, 0, 0, 0, M - Sleeper
2043, NO, 000000, 0, 0, 0, 0, 0, 0
010000, 0, 0.05, 0, 0, 0, 0, R - Rail sliding
2044, NO, 000000, 0, 0, 0, 0, 0, 0
000011, 0, 0, 0, 0, 0, 0, M - Sleeper
2044, NO, 000000, 0, 0, 0, 0, 0, 0
010000, 0, 0.05, 0, 0, 0, 0, R - Rail sliding
2045, NO, 000000, 0, 0, 0, 0, 0, 0
000011, 0, 0, 0, 0, 0, 0, M - Sleeper
2045, NO, 000000, 0, 0, 0, 0, 0, 0
010000, 0, 0.05, 0, 0, 0, 0, R - Rail sliding
2046, NO, 000000, 0, 0, 0, 0, 0, 0

000011, 0, 0, 0, 0, 0, 0, M - Sleeper
2046, NO, 000000, 0, 0, 0, 0, 0, 0
010000, 0, 0.05, 0, 0, 0, 0, 0, R - Rail sliding
2047, NO, 000000, 0, 0, 0, 0, 0, 0
000011, 0, 0, 0, 0, 0, 0, 0, M - Sleeper
2047, NO, 000000, 0, 0, 0, 0, 0, 0
010000, 0, 0.05, 0, 0, 0, 0, 0, R - Rail sliding
2048, NO, 000000, 0, 0, 0, 0, 0, 0
000011, 0, 0, 0, 0, 0, 0, 0, M - Sleeper
2048, NO, 000000, 0, 0, 0, 0, 0, 0
010000, 0, 0.05, 0, 0, 0, 0, 0, R - Rail sliding
2049, NO, 000000, 0, 0, 0, 0, 0, 0
000011, 0, 0, 0, 0, 0, 0, 0, M - Sleeper
2049, NO, 000000, 0, 0, 0, 0, 0, 0
010000, 0, 0.05, 0, 0, 0, 0, 0, R - Rail sliding
2050, NO, 000000, 0, 0, 0, 0, 0, 0
000011, 0, 0, 0, 0, 0, 0, 0, M - Sleeper
2050, NO, 000000, 0, 0, 0, 0, 0, 0
010000, 0, 0.05, 0, 0, 0, 0, 0, R - Rail sliding
2051, NO, 000000, 0, 0, 0, 0, 0, 0
000011, 0, 0, 0, 0, 0, 0, 0, M - Sleeper
2051, NO, 000000, 0, 0, 0, 0, 0, 0
010000, 0, 0.05, 0, 0, 0, 0, 0, R - Rail sliding
2052, NO, 000000, 0, 0, 0, 0, 0, 0
000011, 0, 0, 0, 0, 0, 0, 0, M - Sleeper
2052, NO, 000000, 0, 0, 0, 0, 0, 0
010000, 0, 0.05, 0, 0, 0, 0, 0, R - Rail sliding
2053, NO, 000000, 0, 0, 0, 0, 0, 0
000011, 0, 0, 0, 0, 0, 0, 0, M - Sleeper
2053, NO, 000000, 0, 0, 0, 0, 0, 0
010000, 0, 0.05, 0, 0, 0, 0, 0, R - Rail sliding
2054, NO, 000000, 0, 0, 0, 0, 0, 0
000011, 0, 0, 0, 0, 0, 0, 0, M - Sleeper
2054, NO, 000000, 0, 0, 0, 0, 0, 0
010000, 0, 0.05, 0, 0, 0, 0, 0, R - Rail sliding
2055, NO, 000000, 0, 0, 0, 0, 0, 0
000011, 0, 0, 0, 0, 0, 0, 0, M - Sleeper
2055, NO, 000000, 0, 0, 0, 0, 0, 0
010000, 0, 0.05, 0, 0, 0, 0, 0, R - Rail sliding
2056, NO, 000000, 0, 0, 0, 0, 0, 0
000011, 0, 0, 0, 0, 0, 0, 0, M - Sleeper
2056, NO, 000000, 0, 0, 0, 0, 0, 0
010000, 0, 0.05, 0, 0, 0, 0, 0, R - Rail sliding
2057, NO, 000000, 0, 0, 0, 0, 0, 0
000011, 0, 0, 0, 0, 0, 0, 0, M - Sleeper
2057, NO, 000000, 0, 0, 0, 0, 0, 0
010000, 0, 0.05, 0, 0, 0, 0, 0, R - Rail sliding
2058, NO, 000000, 0, 0, 0, 0, 0, 0
000011, 0, 0, 0, 0, 0, 0, 0, M - Sleeper
2058, NO, 000000, 0, 0, 0, 0, 0, 0
010000, 0, 0.05, 0, 0, 0, 0, 0, R - Rail sliding
2059, NO, 000000, 0, 0, 0, 0, 0, 0
000011, 0, 0, 0, 0, 0, 0, 0, M - Sleeper
2059, NO, 000000, 0, 0, 0, 0, 0, 0
010000, 0, 0.05, 0, 0, 0, 0, 0, R - Rail sliding
2060, NO, 000000, 0, 0, 0, 0, 0, 0
000011, 0, 0, 0, 0, 0, 0, 0, M - Sleeper
2060, NO, 000000, 0, 0, 0, 0, 0, 0
010000, 0, 0.05, 0, 0, 0, 0, 0, R - Rail sliding
2061, NO, 000000, 0, 0, 0, 0, 0, 0
000011, 0, 0, 0, 0, 0, 0, 0, M - Sleeper
2061, NO, 000000, 0, 0, 0, 0, 0, 0
010000, 0, 0.05, 0, 0, 0, 0, 0, R - Rail sliding
2062, NO, 000000, 0, 0, 0, 0, 0, 0
000011, 0, 0, 0, 0, 0, 0, 0, M - Sleeper
2062, NO, 000000, 0, 0, 0, 0, 0, 0
010000, 0, 0.05, 0, 0, 0, 0, 0, R - Rail sliding
2063, NO, 000000, 0, 0, 0, 0, 0, 0
000011, 0, 0, 0, 0, 0, 0, 0, M - Sleeper
2063, NO, 000000, 0, 0, 0, 0, 0, 0
010000, 0, 0.05, 0, 0, 0, 0, 0, R - Rail sliding
2064, NO, 000000, 0, 0, 0, 0, 0, 0

000011, 0, 0, 0, 0, 0, 0, M - Sleeper
2064, NO, 000000, 0, 0, 0, 0, 0, 0
010000, 0, 0.05, 0, 0, 0, 0, R - Rail sliding
2065, NO, 000000, 0, 0, 0, 0, 0, 0
000011, 0, 0, 0, 0, 0, 0, M - Sleeper
2065, NO, 000000, 0, 0, 0, 0, 0, 0
010000, 0, 0.05, 0, 0, 0, 0, R - Rail sliding
2066, NO, 000000, 0, 0, 0, 0, 0, 0
000011, 0, 0, 0, 0, 0, 0, M - Sleeper
2066, NO, 000000, 0, 0, 0, 0, 0, 0
010000, 0, 0.05, 0, 0, 0, 0, R - Rail sliding
2067, NO, 000000, 0, 0, 0, 0, 0, 0
000011, 0, 0, 0, 0, 0, 0, M - Sleeper
2067, NO, 000000, 0, 0, 0, 0, 0, 0
010000, 0, 0.05, 0, 0, 0, 0, R - Rail sliding
2068, NO, 000000, 0, 0, 0, 0, 0, 0
000011, 0, 0, 0, 0, 0, 0, M - Sleeper
2068, NO, 000000, 0, 0, 0, 0, 0, 0
010000, 0, 0.05, 0, 0, 0, 0, R - Rail sliding
2069, NO, 000000, 0, 0, 0, 0, 0, 0
000011, 0, 0, 0, 0, 0, 0, M - Sleeper
2069, NO, 000000, 0, 0, 0, 0, 0, 0
010000, 0, 0.05, 0, 0, 0, 0, R - Rail sliding
2070, NO, 000000, 0, 0, 0, 0, 0, 0
000011, 0, 0, 0, 0, 0, 0, M - Sleeper
2070, NO, 000000, 0, 0, 0, 0, 0, 0
010000, 0, 0.05, 0, 0, 0, 0, R - Rail sliding
2071, NO, 000000, 0, 0, 0, 0, 0, 0
000011, 0, 0, 0, 0, 0, 0, M - Sleeper
2071, NO, 000000, 0, 0, 0, 0, 0, 0
010000, 0, 0.05, 0, 0, 0, 0, R - Rail sliding
2072, NO, 000000, 0, 0, 0, 0, 0, 0
000011, 0, 0, 0, 0, 0, 0, M - Sleeper
2072, NO, 000000, 0, 0, 0, 0, 0, 0
010000, 0, 0.05, 0, 0, 0, 0, R - Rail sliding
2073, NO, 000000, 0, 0, 0, 0, 0, 0
000011, 0, 0, 0, 0, 0, 0, M - Sleeper
2073, NO, 000000, 0, 0, 0, 0, 0, 0
010000, 0, 0.05, 0, 0, 0, 0, R - Rail sliding
2074, NO, 000000, 0, 0, 0, 0, 0, 0
000011, 0, 0, 0, 0, 0, 0, M - Sleeper
2074, NO, 000000, 0, 0, 0, 0, 0, 0
010000, 0, 0.05, 0, 0, 0, 0, R - Rail sliding
2075, NO, 000000, 0, 0, 0, 0, 0, 0
000011, 0, 0, 0, 0, 0, 0, M - Sleeper
2075, NO, 000000, 0, 0, 0, 0, 0, 0
010000, 0, 0.05, 0, 0, 0, 0, R - Rail sliding
2076, NO, 000000, 0, 0, 0, 0, 0, 0
000011, 0, 0, 0, 0, 0, 0, M - Sleeper
2076, NO, 000000, 0, 0, 0, 0, 0, 0
010000, 0, 0.05, 0, 0, 0, 0, R - Rail sliding
2077, NO, 000000, 0, 0, 0, 0, 0, 0
000011, 0, 0, 0, 0, 0, 0, M - Sleeper
2077, NO, 000000, 0, 0, 0, 0, 0, 0
010000, 0, 0.05, 0, 0, 0, 0, R - Rail sliding
2078, NO, 000000, 0, 0, 0, 0, 0, 0
000011, 0, 0, 0, 0, 0, 0, M - Sleeper
2078, NO, 000000, 0, 0, 0, 0, 0, 0
010000, 0, 0.05, 0, 0, 0, 0, R - Rail sliding
2079, NO, 000000, 0, 0, 0, 0, 0, 0
000011, 0, 0, 0, 0, 0, 0, M - Sleeper
2079, NO, 000000, 0, 0, 0, 0, 0, 0
010000, 0, 0.05, 0, 0, 0, 0, R - Rail sliding
2080, NO, 000000, 0, 0, 0, 0, 0, 0
000011, 0, 0, 0, 0, 0, 0, M - Sleeper
2080, NO, 000000, 0, 0, 0, 0, 0, 0
010000, 0, 0.05, 0, 0, 0, 0, R - Rail sliding
2081, NO, 000000, 0, 0, 0, 0, 0, 0
000011, 0, 0, 0, 0, 0, 0, M - Sleeper
2081, NO, 000000, 0, 0, 0, 0, 0, 0
010000, 0, 0.05, 0, 0, 0, 0, R - Rail sliding
2082, NO, 000000, 0, 0, 0, 0, 0, 0

000011, 0, 0, 0, 0, 0, 0, M - Sleeper
2082, NO, 000000, 0, 0, 0, 0, 0, 0
010000, 0, 0.05, 0, 0, 0, 0, R - Rail sliding
2083, NO, 000000, 0, 0, 0, 0, 0, 0
000011, 0, 0, 0, 0, 0, 0, M - Sleeper
2083, NO, 000000, 0, 0, 0, 0, 0, 0
010000, 0, 0.05, 0, 0, 0, 0, R - Rail sliding
2084, NO, 000000, 0, 0, 0, 0, 0, 0
000011, 0, 0, 0, 0, 0, 0, M - Sleeper
2084, NO, 000000, 0, 0, 0, 0, 0, 0
010000, 0, 0.05, 0, 0, 0, 0, R - Rail sliding
2085, NO, 000000, 0, 0, 0, 0, 0, 0
000011, 0, 0, 0, 0, 0, 0, M - Sleeper
2085, NO, 000000, 0, 0, 0, 0, 0, 0
010000, 0, 0.05, 0, 0, 0, 0, R - Rail sliding
2086, NO, 000000, 0, 0, 0, 0, 0, 0
000011, 0, 0, 0, 0, 0, 0, M - Sleeper
2086, NO, 000000, 0, 0, 0, 0, 0, 0
010000, 0, 0.05, 0, 0, 0, 0, R - Rail sliding
2087, NO, 000000, 0, 0, 0, 0, 0, 0
000011, 0, 0, 0, 0, 0, 0, M - Sleeper
2087, NO, 000000, 0, 0, 0, 0, 0, 0
010000, 0, 0.05, 0, 0, 0, 0, R - Rail sliding
2088, NO, 000000, 0, 0, 0, 0, 0, 0
000011, 0, 0, 0, 0, 0, 0, M - Sleeper
2088, NO, 000000, 0, 0, 0, 0, 0, 0
010000, 0, 0.05, 0, 0, 0, 0, R - Rail sliding
2089, NO, 000000, 0, 0, 0, 0, 0, 0
000011, 0, 0, 0, 0, 0, 0, M - Sleeper
2089, NO, 000000, 0, 0, 0, 0, 0, 0
010000, 0, 0.05, 0, 0, 0, 0, R - Rail sliding
2090, NO, 000000, 0, 0, 0, 0, 0, 0
000011, 0, 0, 0, 0, 0, 0, M - Sleeper
2090, NO, 000000, 0, 0, 0, 0, 0, 0
010000, 0, 0.05, 0, 0, 0, 0, R - Rail sliding
2091, NO, 000000, 0, 0, 0, 0, 0, 0
000011, 0, 0, 0, 0, 0, 0, M - Sleeper
2091, NO, 000000, 0, 0, 0, 0, 0, 0
010000, 0, 0.05, 0, 0, 0, 0, R - Rail sliding
2092, NO, 000000, 0, 0, 0, 0, 0, 0
000011, 0, 0, 0, 0, 0, 0, M - Sleeper
2092, NO, 000000, 0, 0, 0, 0, 0, 0
010000, 0, 0.05, 0, 0, 0, 0, R - Rail sliding
2093, NO, 000000, 0, 0, 0, 0, 0, 0
000011, 0, 0, 0, 0, 0, 0, M - Sleeper
2093, NO, 000000, 0, 0, 0, 0, 0, 0
010000, 0, 0.05, 0, 0, 0, 0, R - Rail sliding
2094, NO, 000000, 0, 0, 0, 0, 0, 0
000011, 0, 0, 0, 0, 0, 0, M - Sleeper
2094, NO, 000000, 0, 0, 0, 0, 0, 0
010000, 0, 0.05, 0, 0, 0, 0, R - Rail sliding
2095, NO, 000000, 0, 0, 0, 0, 0, 0
000011, 0, 0, 0, 0, 0, 0, M - Sleeper
2095, NO, 000000, 0, 0, 0, 0, 0, 0
010000, 0, 0.05, 0, 0, 0, 0, R - Rail sliding
2096, NO, 000000, 0, 0, 0, 0, 0, 0
000011, 0, 0, 0, 0, 0, 0, M - Sleeper
2096, NO, 000000, 0, 0, 0, 0, 0, 0
010000, 0, 0.05, 0, 0, 0, 0, R - Rail sliding
2097, NO, 000000, 0, 0, 0, 0, 0, 0
000011, 0, 0, 0, 0, 0, 0, M - Sleeper
2097, NO, 000000, 0, 0, 0, 0, 0, 0
010000, 0, 0.05, 0, 0, 0, 0, R - Rail sliding
2098, NO, 000000, 0, 0, 0, 0, 0, 0
000011, 0, 0, 0, 0, 0, 0, M - Sleeper
2098, NO, 000000, 0, 0, 0, 0, 0, 0
010000, 0, 0.05, 0, 0, 0, 0, R - Rail sliding
2099, NO, 000000, 0, 0, 0, 0, 0, 0
000011, 0, 0, 0, 0, 0, 0, M - Sleeper
2099, NO, 000000, 0, 0, 0, 0, 0, 0
010000, 0, 0.05, 0, 0, 0, 0, R - Rail sliding
2100, NO, 000000, 0, 0, 0, 0, 0, 0

000011, 0, 0, 0, 0, 0, 0, M - Sleeper
2100, NO, 000000, 0, 0, 0, 0, 0, 0
010000, 0, 0.05, 0, 0, 0, 0, R - Rail sliding
2101, NO, 000000, 0, 0, 0, 0, 0, 0
000011, 0, 0, 0, 0, 0, 0, M - Sleeper
2101, NO, 000000, 0, 0, 0, 0, 0, 0
010000, 0, 0.05, 0, 0, 0, 0, R - Rail sliding
2102, NO, 000000, 0, 0, 0, 0, 0, 0
000011, 0, 0, 0, 0, 0, 0, M - Sleeper
2102, NO, 000000, 0, 0, 0, 0, 0, 0
010000, 0, 0.05, 0, 0, 0, 0, R - Rail sliding
2103, NO, 000000, 0, 0, 0, 0, 0, 0
000011, 0, 0, 0, 0, 0, 0, M - Sleeper
2103, NO, 000000, 0, 0, 0, 0, 0, 0
010000, 0, 0.05, 0, 0, 0, 0, R - Rail sliding
2104, NO, 000000, 0, 0, 0, 0, 0, 0
000011, 0, 0, 0, 0, 0, 0, M - Sleeper
2104, NO, 000000, 0, 0, 0, 0, 0, 0
010000, 0, 0.05, 0, 0, 0, 0, R - Rail sliding
2105, NO, 000000, 0, 0, 0, 0, 0, 0
000011, 0, 0, 0, 0, 0, 0, M - Sleeper
2105, NO, 000000, 0, 0, 0, 0, 0, 0
010000, 0, 0.05, 0, 0, 0, 0, R - Rail sliding
2106, NO, 000000, 0, 0, 0, 0, 0, 0
000011, 0, 0, 0, 0, 0, 0, M - Sleeper
2106, NO, 000000, 0, 0, 0, 0, 0, 0
010000, 0, 0.05, 0, 0, 0, 0, R - Rail sliding
2107, NO, 000000, 0, 0, 0, 0, 0, 0
000011, 0, 0, 0, 0, 0, 0, M - Sleeper
2107, NO, 000000, 0, 0, 0, 0, 0, 0
010000, 0, 0.05, 0, 0, 0, 0, R - Rail sliding
2108, NO, 000000, 0, 0, 0, 0, 0, 0
000011, 0, 0, 0, 0, 0, 0, M - Sleeper
2108, NO, 000000, 0, 0, 0, 0, 0, 0
010000, 0, 0.05, 0, 0, 0, 0, R - Rail sliding
2109, NO, 000000, 0, 0, 0, 0, 0, 0
000011, 0, 0, 0, 0, 0, 0, M - Sleeper
2109, NO, 000000, 0, 0, 0, 0, 0, 0
010000, 0, 0.05, 0, 0, 0, 0, R - Rail sliding
2110, NO, 000000, 0, 0, 0, 0, 0, 0
000011, 0, 0, 0, 0, 0, 0, M - Sleeper
2110, NO, 000000, 0, 0, 0, 0, 0, 0
010000, 0, 0.05, 0, 0, 0, 0, R - Rail sliding
2111, NO, 000000, 0, 0, 0, 0, 0, 0
000011, 0, 0, 0, 0, 0, 0, M - Sleeper
2111, NO, 000000, 0, 0, 0, 0, 0, 0
010000, 0, 0.05, 0, 0, 0, 0, R - Rail sliding
2112, NO, 000000, 0, 0, 0, 0, 0, 0
000011, 0, 0, 0, 0, 0, 0, M - Sleeper
2112, NO, 000000, 0, 0, 0, 0, 0, 0
010000, 0, 0.05, 0, 0, 0, 0, R - Rail sliding
2113, NO, 000000, 0, 0, 0, 0, 0, 0
000011, 0, 0, 0, 0, 0, 0, M - Sleeper
2113, NO, 000000, 0, 0, 0, 0, 0, 0
010000, 0, 0.05, 0, 0, 0, 0, R - Rail sliding
2114, NO, 000000, 0, 0, 0, 0, 0, 0
000011, 0, 0, 0, 0, 0, 0, M - Sleeper
2114, NO, 000000, 0, 0, 0, 0, 0, 0
010000, 0, 0.05, 0, 0, 0, 0, R - Rail sliding
2115, NO, 000000, 0, 0, 0, 0, 0, 0
000011, 0, 0, 0, 0, 0, 0, M - Sleeper
2115, NO, 000000, 0, 0, 0, 0, 0, 0
010000, 0, 0.05, 0, 0, 0, 0, R - Rail sliding
2116, NO, 000000, 0, 0, 0, 0, 0, 0
000011, 0, 0, 0, 0, 0, 0, M - Sleeper
2116, NO, 000000, 0, 0, 0, 0, 0, 0
010000, 0, 0.05, 0, 0, 0, 0, R - Rail sliding
2117, NO, 000000, 0, 0, 0, 0, 0, 0
000011, 0, 0, 0, 0, 0, 0, M - Sleeper
2117, NO, 000000, 0, 0, 0, 0, 0, 0
010000, 0, 0.05, 0, 0, 0, 0, R - Rail sliding
2118, NO, 000000, 0, 0, 0, 0, 0, 0

000011, 0, 0, 0, 0, 0, 0, M - Sleeper
2118, NO, 000000, 0, 0, 0, 0, 0, 0
010000, 0, 0.05, 0, 0, 0, 0, R - Rail sliding
2119, NO, 000000, 0, 0, 0, 0, 0, 0
000011, 0, 0, 0, 0, 0, 0, M - Sleeper
2119, NO, 000000, 0, 0, 0, 0, 0, 0
010000, 0, 0.05, 0, 0, 0, 0, R - Rail sliding
2120, NO, 000000, 0, 0, 0, 0, 0, 0
000011, 0, 0, 0, 0, 0, 0, M - Sleeper
2120, NO, 000000, 0, 0, 0, 0, 0, 0
010000, 0, 0.05, 0, 0, 0, 0, R - Rail sliding
2121, NO, 000011, 0, 0, 0, 0, 0, 0
000000, 0, 0, 0, 0, 0, 0, M - Sleeper
2121, NO, 010000, 0, 0.05, 0, 0, 0, 0
000000, 0, 0, 0, 0, 0, 0, R - Rail sliding
2122, NO, 000011, 0, 0, 0, 0, 0, 0
000000, 0, 0, 0, 0, 0, 0, M - Sleeper
2122, NO, 010000, 0, 0.05, 0, 0, 0, 0
000000, 0, 0, 0, 0, 0, 0, R - Rail sliding
2123, NO, 000011, 0, 0, 0, 0, 0, 0
000000, 0, 0, 0, 0, 0, 0, M - Sleeper
2123, NO, 010000, 0, 0.05, 0, 0, 0, 0
000000, 0, 0, 0, 0, 0, 0, R - Rail sliding
2124, NO, 000011, 0, 0, 0, 0, 0, 0
000000, 0, 0, 0, 0, 0, 0, M - Sleeper
2124, NO, 010000, 0, 0.05, 0, 0, 0, 0
000000, 0, 0, 0, 0, 0, 0, R - Rail sliding
2125, NO, 000011, 0, 0, 0, 0, 0, 0
000000, 0, 0, 0, 0, 0, 0, M - Sleeper
2125, NO, 010000, 0, 0.05, 0, 0, 0, 0
000000, 0, 0, 0, 0, 0, 0, R - Rail sliding
2126, NO, 000011, 0, 0, 0, 0, 0, 0
000000, 0, 0, 0, 0, 0, 0, M - Sleeper
2126, NO, 010000, 0, 0.05, 0, 0, 0, 0
000000, 0, 0, 0, 0, 0, 0, R - Rail sliding
2127, NO, 000011, 0, 0, 0, 0, 0, 0
000000, 0, 0, 0, 0, 0, 0, M - Sleeper
2127, NO, 010000, 0, 0.05, 0, 0, 0, 0
000000, 0, 0, 0, 0, 0, 0, R - Rail sliding
2128, NO, 000011, 0, 0, 0, 0, 0, 0
000000, 0, 0, 0, 0, 0, 0, M - Sleeper
2128, NO, 010000, 0, 0.05, 0, 0, 0, 0
000000, 0, 0, 0, 0, 0, 0, R - Rail sliding
2129, NO, 000011, 0, 0, 0, 0, 0, 0
000000, 0, 0, 0, 0, 0, 0, M - Sleeper
2129, NO, 010000, 0, 0.05, 0, 0, 0, 0
000000, 0, 0, 0, 0, 0, 0, R - Rail sliding
2130, NO, 000011, 0, 0, 0, 0, 0, 0
000000, 0, 0, 0, 0, 0, 0, M - Sleeper
2130, NO, 010000, 0, 0.05, 0, 0, 0, 0
000000, 0, 0, 0, 0, 0, 0, R - Rail sliding
2131, NO, 000011, 0, 0, 0, 0, 0, 0
000000, 0, 0, 0, 0, 0, 0, M - Sleeper
2131, NO, 010000, 0, 0.05, 0, 0, 0, 0
000000, 0, 0, 0, 0, 0, 0, R - Rail sliding
2132, NO, 000011, 0, 0, 0, 0, 0, 0
000000, 0, 0, 0, 0, 0, 0, M - Sleeper
2132, NO, 010000, 0, 0.05, 0, 0, 0, 0
000000, 0, 0, 0, 0, 0, 0, R - Rail sliding
2133, NO, 000011, 0, 0, 0, 0, 0, 0
000000, 0, 0, 0, 0, 0, 0, M - Sleeper
2133, NO, 010000, 0, 0.05, 0, 0, 0, 0
000000, 0, 0, 0, 0, 0, 0, R - Rail sliding
2134, NO, 000011, 0, 0, 0, 0, 0, 0
000000, 0, 0, 0, 0, 0, 0, M - Sleeper
2134, NO, 010000, 0, 0.05, 0, 0, 0, 0
000000, 0, 0, 0, 0, 0, 0, R - Rail sliding
2135, NO, 000011, 0, 0, 0, 0, 0, 0
000000, 0, 0, 0, 0, 0, 0, M - Sleeper
2135, NO, 010000, 0, 0.05, 0, 0, 0, 0
000000, 0, 0, 0, 0, 0, 0, R - Rail sliding
2136, NO, 000011, 0, 0, 0, 0, 0, 0

000000, 0, 0, 0, 0, 0, 0, M - Sleeper
2136, NO, 010000, 0, 0.05, 0, 0, 0, 0
000000, 0, 0, 0, 0, 0, 0, R - Rail sliding
2137, NO, 000011, 0, 0, 0, 0, 0, 0
000000, 0, 0, 0, 0, 0, 0, M - Sleeper
2137, NO, 010000, 0, 0.05, 0, 0, 0, 0
000000, 0, 0, 0, 0, 0, 0, R - Rail sliding
2138, NO, 000011, 0, 0, 0, 0, 0, 0
000000, 0, 0, 0, 0, 0, 0, M - Sleeper
2138, NO, 010000, 0, 0.05, 0, 0, 0, 0
000000, 0, 0, 0, 0, 0, 0, R - Rail sliding
2139, NO, 000011, 0, 0, 0, 0, 0, 0
000000, 0, 0, 0, 0, 0, 0, M - Sleeper
2139, NO, 010000, 0, 0.05, 0, 0, 0, 0
000000, 0, 0, 0, 0, 0, 0, R - Rail sliding
2140, NO, 000011, 0, 0, 0, 0, 0, 0
000000, 0, 0, 0, 0, 0, 0, M - Sleeper
2140, NO, 010000, 0, 0.05, 0, 0, 0, 0
000000, 0, 0, 0, 0, 0, 0, R - Rail sliding
2141, NO, 000011, 0, 0, 0, 0, 0, 0
000000, 0, 0, 0, 0, 0, 0, M - Sleeper
2141, NO, 010000, 0, 0.05, 0, 0, 0, 0
000000, 0, 0, 0, 0, 0, 0, R - Rail sliding
2142, NO, 000011, 0, 0, 0, 0, 0, 0
000000, 0, 0, 0, 0, 0, 0, M - Sleeper
2142, NO, 010000, 0, 0.05, 0, 0, 0, 0
000000, 0, 0, 0, 0, 0, 0, R - Rail sliding
2143, NO, 000011, 0, 0, 0, 0, 0, 0
000000, 0, 0, 0, 0, 0, 0, M - Sleeper
2143, NO, 010000, 0, 0.05, 0, 0, 0, 0
000000, 0, 0, 0, 0, 0, 0, R - Rail sliding
2144, NO, 000011, 0, 0, 0, 0, 0, 0
000000, 0, 0, 0, 0, 0, 0, M - Sleeper
2144, NO, 010000, 0, 0.05, 0, 0, 0, 0
000000, 0, 0, 0, 0, 0, 0, R - Rail sliding
2145, NO, 000011, 0, 0, 0, 0, 0, 0
000000, 0, 0, 0, 0, 0, 0, M - Sleeper
2145, NO, 010000, 0, 0.05, 0, 0, 0, 0
000000, 0, 0, 0, 0, 0, 0, R - Rail sliding
2146, NO, 000011, 0, 0, 0, 0, 0, 0
000000, 0, 0, 0, 0, 0, 0, M - Sleeper
2146, NO, 010000, 0, 0.05, 0, 0, 0, 0
000000, 0, 0, 0, 0, 0, 0, R - Rail sliding
2147, NO, 000011, 0, 0, 0, 0, 0, 0
000000, 0, 0, 0, 0, 0, 0, M - Sleeper
2147, NO, 010000, 0, 0.05, 0, 0, 0, 0
000000, 0, 0, 0, 0, 0, 0, R - Rail sliding
2148, NO, 000011, 0, 0, 0, 0, 0, 0
000000, 0, 0, 0, 0, 0, 0, M - Sleeper
2148, NO, 010000, 0, 0.05, 0, 0, 0, 0
000000, 0, 0, 0, 0, 0, 0, R - Rail sliding
2149, NO, 000011, 0, 0, 0, 0, 0, 0
000000, 0, 0, 0, 0, 0, 0, M - Sleeper
2149, NO, 010000, 0, 0.05, 0, 0, 0, 0
000000, 0, 0, 0, 0, 0, 0, R - Rail sliding
2150, NO, 000011, 0, 0, 0, 0, 0, 0
000000, 0, 0, 0, 0, 0, 0, M - Sleeper
2150, NO, 010000, 0, 0.05, 0, 0, 0, 0
000000, 0, 0, 0, 0, 0, 0, R - Rail sliding
2151, NO, 000011, 0, 0, 0, 0, 0, 0
000000, 0, 0, 0, 0, 0, 0, M - Sleeper
2151, NO, 010000, 0, 0.05, 0, 0, 0, 0
000000, 0, 0, 0, 0, 0, 0, R - Rail sliding
2152, NO, 000011, 0, 0, 0, 0, 0, 0
000000, 0, 0, 0, 0, 0, 0, M - Sleeper
2152, NO, 010000, 0, 0.05, 0, 0, 0, 0
000000, 0, 0, 0, 0, 0, 0, R - Rail sliding
2153, NO, 000011, 0, 0, 0, 0, 0, 0
000000, 0, 0, 0, 0, 0, 0, M - Sleeper
2153, NO, 010000, 0, 0.05, 0, 0, 0, 0
000000, 0, 0, 0, 0, 0, 0, R - Rail sliding
2154, NO, 000011, 0, 0, 0, 0, 0, 0

000000, 0, 0, 0, 0, 0, 0, M - Sleeper
2154, NO, 010000, 0, 0.05, 0, 0, 0, 0
000000, 0, 0, 0, 0, 0, 0, R - Rail sliding
2155, NO, 000011, 0, 0, 0, 0, 0, 0
000000, 0, 0, 0, 0, 0, 0, M - Sleeper
2155, NO, 010000, 0, 0.05, 0, 0, 0, 0
000000, 0, 0, 0, 0, 0, 0, R - Rail sliding
2156, NO, 000011, 0, 0, 0, 0, 0, 0
000000, 0, 0, 0, 0, 0, 0, M - Sleeper
2156, NO, 010000, 0, 0.05, 0, 0, 0, 0
000000, 0, 0, 0, 0, 0, 0, R - Rail sliding
2157, NO, 000011, 0, 0, 0, 0, 0, 0
000000, 0, 0, 0, 0, 0, 0, M - Sleeper
2157, NO, 010000, 0, 0.05, 0, 0, 0, 0
000000, 0, 0, 0, 0, 0, 0, R - Rail sliding
2158, NO, 000011, 0, 0, 0, 0, 0, 0
000000, 0, 0, 0, 0, 0, 0, M - Sleeper
2158, NO, 010000, 0, 0.05, 0, 0, 0, 0
000000, 0, 0, 0, 0, 0, 0, R - Rail sliding
2159, NO, 000011, 0, 0, 0, 0, 0, 0
000000, 0, 0, 0, 0, 0, 0, M - Sleeper
2159, NO, 010000, 0, 0.05, 0, 0, 0, 0
000000, 0, 0, 0, 0, 0, 0, R - Rail sliding
2160, NO, 000011, 0, 0, 0, 0, 0, 0
000000, 0, 0, 0, 0, 0, 0, M - Sleeper
2160, NO, 010000, 0, 0.05, 0, 0, 0, 0
000000, 0, 0, 0, 0, 0, 0, R - Rail sliding
2161, NO, 000011, 0, 0, 0, 0, 0, 0
000000, 0, 0, 0, 0, 0, 0, M - Sleeper
2161, NO, 010000, 0, 0.05, 0, 0, 0, 0
000000, 0, 0, 0, 0, 0, 0, R - Rail sliding
2162, NO, 000011, 0, 0, 0, 0, 0, 0
000000, 0, 0, 0, 0, 0, 0, M - Sleeper
2162, NO, 010000, 0, 0.05, 0, 0, 0, 0
000000, 0, 0, 0, 0, 0, 0, R - Rail sliding
2163, NO, 000011, 0, 0, 0, 0, 0, 0
000000, 0, 0, 0, 0, 0, 0, M - Sleeper
2163, NO, 010000, 0, 0.05, 0, 0, 0, 0
000000, 0, 0, 0, 0, 0, 0, R - Rail sliding
2164, NO, 000011, 0, 0, 0, 0, 0, 0
000000, 0, 0, 0, 0, 0, 0, M - Sleeper
2164, NO, 010000, 0, 0.05, 0, 0, 0, 0
000000, 0, 0, 0, 0, 0, 0, R - Rail sliding
2165, NO, 000011, 0, 0, 0, 0, 0, 0
000000, 0, 0, 0, 0, 0, 0, M - Sleeper
2165, NO, 010000, 0, 0.05, 0, 0, 0, 0
000000, 0, 0, 0, 0, 0, 0, R - Rail sliding
2166, NO, 000011, 0, 0, 0, 0, 0, 0
000000, 0, 0, 0, 0, 0, 0, M - Sleeper
2166, NO, 010000, 0, 0.05, 0, 0, 0, 0
000000, 0, 0, 0, 0, 0, 0, R - Rail sliding
2167, NO, 000011, 0, 0, 0, 0, 0, 0
000000, 0, 0, 0, 0, 0, 0, M - Sleeper
2167, NO, 010000, 0, 0.05, 0, 0, 0, 0
000000, 0, 0, 0, 0, 0, 0, R - Rail sliding
2168, NO, 000011, 0, 0, 0, 0, 0, 0
000000, 0, 0, 0, 0, 0, 0, M - Sleeper
2168, NO, 010000, 0, 0.05, 0, 0, 0, 0
000000, 0, 0, 0, 0, 0, 0, R - Rail sliding
2169, NO, 000011, 0, 0, 0, 0, 0, 0
000000, 0, 0, 0, 0, 0, 0, M - Sleeper
2169, NO, 010000, 0, 0.05, 0, 0, 0, 0
000000, 0, 0, 0, 0, 0, 0, R - Rail sliding
2170, NO, 000011, 0, 0, 0, 0, 0, 0
000000, 0, 0, 0, 0, 0, 0, M - Sleeper
2170, NO, 010000, 0, 0.05, 0, 0, 0, 0
000000, 0, 0, 0, 0, 0, 0, R - Rail sliding
2171, NO, 000011, 0, 0, 0, 0, 0, 0
000000, 0, 0, 0, 0, 0, 0, M - Sleeper
2171, NO, 010000, 0, 0.05, 0, 0, 0, 0
000000, 0, 0, 0, 0, 0, 0, R - Rail sliding
2172, NO, 000011, 0, 0, 0, 0, 0, 0

000000, 0, 0, 0, 0, 0, 0, M - Sleeper
2172, NO, 010000, 0, 0.05, 0, 0, 0, 0
000000, 0, 0, 0, 0, 0, 0, R - Rail sliding
2173, NO, 000011, 0, 0, 0, 0, 0, 0
000000, 0, 0, 0, 0, 0, 0, M - Sleeper
2173, NO, 010000, 0, 0.05, 0, 0, 0, 0
000000, 0, 0, 0, 0, 0, 0, R - Rail sliding
2174, NO, 000011, 0, 0, 0, 0, 0, 0
000000, 0, 0, 0, 0, 0, 0, M - Sleeper
2174, NO, 010000, 0, 0.05, 0, 0, 0, 0
000000, 0, 0, 0, 0, 0, 0, R - Rail sliding
2175, NO, 000011, 0, 0, 0, 0, 0, 0
000000, 0, 0, 0, 0, 0, 0, M - Sleeper
2175, NO, 010000, 0, 0.05, 0, 0, 0, 0
000000, 0, 0, 0, 0, 0, 0, R - Rail sliding
2176, NO, 000011, 0, 0, 0, 0, 0, 0
000000, 0, 0, 0, 0, 0, 0, M - Sleeper
2176, NO, 010000, 0, 0.05, 0, 0, 0, 0
000000, 0, 0, 0, 0, 0, 0, R - Rail sliding
2177, NO, 000011, 0, 0, 0, 0, 0, 0
000000, 0, 0, 0, 0, 0, 0, M - Sleeper
2177, NO, 010000, 0, 0.05, 0, 0, 0, 0
000000, 0, 0, 0, 0, 0, 0, R - Rail sliding
2178, NO, 000011, 0, 0, 0, 0, 0, 0
000000, 0, 0, 0, 0, 0, 0, M - Sleeper
2178, NO, 010000, 0, 0.05, 0, 0, 0, 0
000000, 0, 0, 0, 0, 0, 0, R - Rail sliding
2179, NO, 000011, 0, 0, 0, 0, 0, 0
000000, 0, 0, 0, 0, 0, 0, M - Sleeper
2179, NO, 010000, 0, 0.05, 0, 0, 0, 0
000000, 0, 0, 0, 0, 0, 0, R - Rail sliding
2180, NO, 000011, 0, 0, 0, 0, 0, 0
000000, 0, 0, 0, 0, 0, 0, M - Sleeper
2180, NO, 010000, 0, 0.05, 0, 0, 0, 0
000000, 0, 0, 0, 0, 0, 0, R - Rail sliding
2181, NO, 000011, 0, 0, 0, 0, 0, 0
000000, 0, 0, 0, 0, 0, 0, M - Sleeper
2181, NO, 010000, 0, 0.05, 0, 0, 0, 0
000000, 0, 0, 0, 0, 0, 0, R - Rail sliding
2182, NO, 000011, 0, 0, 0, 0, 0, 0
000000, 0, 0, 0, 0, 0, 0, M - Sleeper
2182, NO, 010000, 0, 0.05, 0, 0, 0, 0
000000, 0, 0, 0, 0, 0, 0, R - Rail sliding
2183, NO, 000011, 0, 0, 0, 0, 0, 0
000000, 0, 0, 0, 0, 0, 0, M - Sleeper
2183, NO, 010000, 0, 0.05, 0, 0, 0, 0
000000, 0, 0, 0, 0, 0, 0, R - Rail sliding
2184, NO, 000011, 0, 0, 0, 0, 0, 0
000000, 0, 0, 0, 0, 0, 0, M - Sleeper
2184, NO, 010000, 0, 0.05, 0, 0, 0, 0
000000, 0, 0, 0, 0, 0, 0, R - Rail sliding
2185, NO, 000011, 0, 0, 0, 0, 0, 0
000000, 0, 0, 0, 0, 0, 0, M - Sleeper
2185, NO, 010000, 0, 0.05, 0, 0, 0, 0
000000, 0, 0, 0, 0, 0, 0, R - Rail sliding
2186, NO, 000011, 0, 0, 0, 0, 0, 0
000000, 0, 0, 0, 0, 0, 0, M - Sleeper
2186, NO, 010000, 0, 0.05, 0, 0, 0, 0
000000, 0, 0, 0, 0, 0, 0, R - Rail sliding
2187, NO, 000011, 0, 0, 0, 0, 0, 0
000000, 0, 0, 0, 0, 0, 0, M - Sleeper
2187, NO, 010000, 0, 0.05, 0, 0, 0, 0
000000, 0, 0, 0, 0, 0, 0, R - Rail sliding
2188, NO, 000011, 0, 0, 0, 0, 0, 0
000000, 0, 0, 0, 0, 0, 0, M - Sleeper
2188, NO, 010000, 0, 0.05, 0, 0, 0, 0
000000, 0, 0, 0, 0, 0, 0, R - Rail sliding
2189, NO, 000011, 0, 0, 0, 0, 0, 0
000000, 0, 0, 0, 0, 0, 0, M - Sleeper
2189, NO, 010000, 0, 0.05, 0, 0, 0, 0
000000, 0, 0, 0, 0, 0, 0, R - Rail sliding
2190, NO, 000011, 0, 0, 0, 0, 0, 0

000000, 0, 0, 0, 0, 0, 0, M - Sleeper
2190, NO, 010000, 0, 0.05, 0, 0, 0, 0
000000, 0, 0, 0, 0, 0, 0, R - Rail sliding
2191, NO, 000011, 0, 0, 0, 0, 0, 0
000000, 0, 0, 0, 0, 0, 0, M - Sleeper
2191, NO, 010000, 0, 0.05, 0, 0, 0, 0
000000, 0, 0, 0, 0, 0, 0, R - Rail sliding
2192, NO, 000011, 0, 0, 0, 0, 0, 0
000000, 0, 0, 0, 0, 0, 0, M - Sleeper
2192, NO, 010000, 0, 0.05, 0, 0, 0, 0
000000, 0, 0, 0, 0, 0, 0, R - Rail sliding
2193, NO, 000011, 0, 0, 0, 0, 0, 0
000000, 0, 0, 0, 0, 0, 0, M - Sleeper
2193, NO, 010000, 0, 0.05, 0, 0, 0, 0
000000, 0, 0, 0, 0, 0, 0, R - Rail sliding
2194, NO, 000011, 0, 0, 0, 0, 0, 0
000000, 0, 0, 0, 0, 0, 0, M - Sleeper
2194, NO, 010000, 0, 0.05, 0, 0, 0, 0
000000, 0, 0, 0, 0, 0, 0, R - Rail sliding
2195, NO, 000011, 0, 0, 0, 0, 0, 0
000000, 0, 0, 0, 0, 0, 0, M - Sleeper
2195, NO, 010000, 0, 0.05, 0, 0, 0, 0
000000, 0, 0, 0, 0, 0, 0, R - Rail sliding
2196, NO, 000011, 0, 0, 0, 0, 0, 0
000000, 0, 0, 0, 0, 0, 0, M - Sleeper
2196, NO, 010000, 0, 0.05, 0, 0, 0, 0
000000, 0, 0, 0, 0, 0, 0, R - Rail sliding
2197, NO, 000011, 0, 0, 0, 0, 0, 0
000000, 0, 0, 0, 0, 0, 0, M - Sleeper
2197, NO, 010000, 0, 0.05, 0, 0, 0, 0
000000, 0, 0, 0, 0, 0, 0, R - Rail sliding
2198, NO, 000011, 0, 0, 0, 0, 0, 0
000000, 0, 0, 0, 0, 0, 0, M - Sleeper
2198, NO, 010000, 0, 0.05, 0, 0, 0, 0
000000, 0, 0, 0, 0, 0, 0, R - Rail sliding
2199, NO, 000011, 0, 0, 0, 0, 0, 0
000000, 0, 0, 0, 0, 0, 0, M - Sleeper
2199, NO, 010000, 0, 0.05, 0, 0, 0, 0
000000, 0, 0, 0, 0, 0, 0, R - Rail sliding
2200, NO, 000011, 0, 0, 0, 0, 0, 0
000000, 0, 0, 0, 0, 0, 0, M - Sleeper
2200, NO, 010000, 0, 0.05, 0, 0, 0, 0
000000, 0, 0, 0, 0, 0, 0, R - Rail sliding
2201, NO, 000011, 0, 0, 0, 0, 0, 0
000000, 0, 0, 0, 0, 0, 0, M - Sleeper
2201, NO, 010000, 0, 0.05, 0, 0, 0, 0
000000, 0, 0, 0, 0, 0, 0, R - Rail sliding
2202, NO, 000011, 0, 0, 0, 0, 0, 0
000000, 0, 0, 0, 0, 0, 0, M - Sleeper
2202, NO, 010000, 0, 0.05, 0, 0, 0, 0
000000, 0, 0, 0, 0, 0, 0, R - Rail sliding
2203, NO, 000011, 0, 0, 0, 0, 0, 0
000000, 0, 0, 0, 0, 0, 0, M - Sleeper
2203, NO, 010000, 0, 0.05, 0, 0, 0, 0
000000, 0, 0, 0, 0, 0, 0, R - Rail sliding
2204, NO, 000011, 0, 0, 0, 0, 0, 0
000000, 0, 0, 0, 0, 0, 0, M - Sleeper
2204, NO, 010000, 0, 0.05, 0, 0, 0, 0
000000, 0, 0, 0, 0, 0, 0, R - Rail sliding
2205, NO, 000011, 0, 0, 0, 0, 0, 0
000000, 0, 0, 0, 0, 0, 0, M - Sleeper
2205, NO, 010000, 0, 0.05, 0, 0, 0, 0
000000, 0, 0, 0, 0, 0, 0, R - Rail sliding
2206, NO, 000011, 0, 0, 0, 0, 0, 0
000000, 0, 0, 0, 0, 0, 0, M - Sleeper
2206, NO, 010000, 0, 0.05, 0, 0, 0, 0
000000, 0, 0, 0, 0, 0, 0, R - Rail sliding
2207, NO, 000011, 0, 0, 0, 0, 0, 0
000000, 0, 0, 0, 0, 0, 0, M - Sleeper
2207, NO, 010000, 0, 0.05, 0, 0, 0, 0
000000, 0, 0, 0, 0, 0, 0, R - Rail sliding
2208, NO, 000011, 0, 0, 0, 0, 0, 0

000000, 0, 0, 0, 0, 0, 0, M - Sleeper
2208, NO, 010000, 0, 0.05, 0, 0, 0, 0
000000, 0, 0, 0, 0, 0, 0, R - Rail sliding
2209, NO, 000011, 0, 0, 0, 0, 0, 0
000000, 0, 0, 0, 0, 0, 0, M - Sleeper
2209, NO, 010000, 0, 0.05, 0, 0, 0, 0
000000, 0, 0, 0, 0, 0, 0, R - Rail sliding
2210, NO, 000011, 0, 0, 0, 0, 0, 0
000000, 0, 0, 0, 0, 0, 0, M - Sleeper
2210, NO, 010000, 0, 0.05, 0, 0, 0, 0
000000, 0, 0, 0, 0, 0, 0, R - Rail sliding
2211, NO, 000011, 0, 0, 0, 0, 0, 0
000000, 0, 0, 0, 0, 0, 0, M - Sleeper
2211, NO, 010000, 0, 0.05, 0, 0, 0, 0
000000, 0, 0, 0, 0, 0, 0, R - Rail sliding
2212, NO, 000011, 0, 0, 0, 0, 0, 0
000000, 0, 0, 0, 0, 0, 0, M - Sleeper
2212, NO, 010000, 0, 0.05, 0, 0, 0, 0
000000, 0, 0, 0, 0, 0, 0, R - Rail sliding
2213, NO, 000011, 0, 0, 0, 0, 0, 0
000000, 0, 0, 0, 0, 0, 0, M - Sleeper
2213, NO, 010000, 0, 0.05, 0, 0, 0, 0
000000, 0, 0, 0, 0, 0, 0, R - Rail sliding
2214, NO, 000011, 0, 0, 0, 0, 0, 0
000000, 0, 0, 0, 0, 0, 0, M - Sleeper
2214, NO, 010000, 0, 0.05, 0, 0, 0, 0
000000, 0, 0, 0, 0, 0, 0, R - Rail sliding
2215, NO, 000011, 0, 0, 0, 0, 0, 0
000000, 0, 0, 0, 0, 0, 0, M - Sleeper
2215, NO, 010000, 0, 0.05, 0, 0, 0, 0
000000, 0, 0, 0, 0, 0, 0, R - Rail sliding
2216, NO, 000011, 0, 0, 0, 0, 0, 0
000000, 0, 0, 0, 0, 0, 0, M - Sleeper
2216, NO, 010000, 0, 0.05, 0, 0, 0, 0
000000, 0, 0, 0, 0, 0, 0, R - Rail sliding
2217, NO, 000011, 0, 0, 0, 0, 0, 0
000000, 0, 0, 0, 0, 0, 0, M - Sleeper
2217, NO, 010000, 0, 0.05, 0, 0, 0, 0
000000, 0, 0, 0, 0, 0, 0, R - Rail sliding
2218, NO, 000011, 0, 0, 0, 0, 0, 0
000000, 0, 0, 0, 0, 0, 0, M - Sleeper
2218, NO, 010000, 0, 0.05, 0, 0, 0, 0
000000, 0, 0, 0, 0, 0, 0, R - Rail sliding
2219, NO, 000011, 0, 0, 0, 0, 0, 0
000000, 0, 0, 0, 0, 0, 0, M - Sleeper
2219, NO, 010000, 0, 0.05, 0, 0, 0, 0
000000, 0, 0, 0, 0, 0, 0, R - Rail sliding
2220, NO, 000011, 0, 0, 0, 0, 0, 0
000000, 0, 0, 0, 0, 0, 0, M - Sleeper
2220, NO, 010000, 0, 0.05, 0, 0, 0, 0
000000, 0, 0, 0, 0, 0, 0, R - Rail sliding
2221, NO, 000011, 0, 0, 0, 0, 0, 0
000000, 0, 0, 0, 0, 0, 0, M - Sleeper
2221, NO, 010000, 0, 0.05, 0, 0, 0, 0
000000, 0, 0, 0, 0, 0, 0, R - Rail sliding
2222, NO, 000011, 0, 0, 0, 0, 0, 0
000000, 0, 0, 0, 0, 0, 0, M - Sleeper
2222, NO, 010000, 0, 0.05, 0, 0, 0, 0
000000, 0, 0, 0, 0, 0, 0, R - Rail sliding
2223, NO, 000011, 0, 0, 0, 0, 0, 0
000000, 0, 0, 0, 0, 0, 0, M - Sleeper
2223, NO, 010000, 0, 0.05, 0, 0, 0, 0
000000, 0, 0, 0, 0, 0, 0, R - Rail sliding
2224, NO, 000011, 0, 0, 0, 0, 0, 0
000000, 0, 0, 0, 0, 0, 0, M - Sleeper
2224, NO, 010000, 0, 0.05, 0, 0, 0, 0
000000, 0, 0, 0, 0, 0, 0, R - Rail sliding
2225, NO, 000011, 0, 0, 0, 0, 0, 0
000000, 0, 0, 0, 0, 0, 0, M - Sleeper
2225, NO, 010000, 0, 0.05, 0, 0, 0, 0
000000, 0, 0, 0, 0, 0, 0, R - Rail sliding
2226, NO, 000011, 0, 0, 0, 0, 0, 0

000000, 0, 0, 0, 0, 0, 0, M - Sleeper
2226, NO, 010000, 0, 0.05, 0, 0, 0, 0
000000, 0, 0, 0, 0, 0, 0, R - Rail sliding
2227, NO, 000011, 0, 0, 0, 0, 0, 0
000000, 0, 0, 0, 0, 0, 0, M - Sleeper
2227, NO, 010000, 0, 0.05, 0, 0, 0, 0
000000, 0, 0, 0, 0, 0, 0, R - Rail sliding
2228, NO, 000011, 0, 0, 0, 0, 0, 0
000000, 0, 0, 0, 0, 0, 0, M - Sleeper
2228, NO, 010000, 0, 0.05, 0, 0, 0, 0
000000, 0, 0, 0, 0, 0, 0, R - Rail sliding
2229, NO, 000011, 0, 0, 0, 0, 0, 0
000000, 0, 0, 0, 0, 0, 0, M - Sleeper
2229, NO, 010000, 0, 0.05, 0, 0, 0, 0
000000, 0, 0, 0, 0, 0, 0, R - Rail sliding
2230, NO, 000011, 0, 0, 0, 0, 0, 0
000000, 0, 0, 0, 0, 0, 0, M - Sleeper
2230, NO, 010000, 0, 0.05, 0, 0, 0, 0
000000, 0, 0, 0, 0, 0, 0, R - Rail sliding
2231, NO, 000011, 0, 0, 0, 0, 0, 0
000000, 0, 0, 0, 0, 0, 0, M - Sleeper
2231, NO, 010000, 0, 0.05, 0, 0, 0, 0
000000, 0, 0, 0, 0, 0, 0, R - Rail sliding
2232, NO, 000011, 0, 0, 0, 0, 0, 0
000000, 0, 0, 0, 0, 0, 0, M - Sleeper
2232, NO, 010000, 0, 0.05, 0, 0, 0, 0
000000, 0, 0, 0, 0, 0, 0, R - Rail sliding
2233, NO, 000011, 0, 0, 0, 0, 0, 0
000000, 0, 0, 0, 0, 0, 0, M - Sleeper
2233, NO, 010000, 0, 0.05, 0, 0, 0, 0
000000, 0, 0, 0, 0, 0, 0, R - Rail sliding
2234, NO, 000011, 0, 0, 0, 0, 0, 0
000000, 0, 0, 0, 0, 0, 0, M - Sleeper
2234, NO, 010000, 0, 0.05, 0, 0, 0, 0
000000, 0, 0, 0, 0, 0, 0, R - Rail sliding
2235, NO, 000011, 0, 0, 0, 0, 0, 0
000000, 0, 0, 0, 0, 0, 0, M - Sleeper
2235, NO, 010000, 0, 0.05, 0, 0, 0, 0
000000, 0, 0, 0, 0, 0, 0, R - Rail sliding
2236, NO, 000011, 0, 0, 0, 0, 0, 0
000000, 0, 0, 0, 0, 0, 0, M - Sleeper
2236, NO, 010000, 0, 0.05, 0, 0, 0, 0
000000, 0, 0, 0, 0, 0, 0, R - Rail sliding
2237, NO, 000011, 0, 0, 0, 0, 0, 0
000000, 0, 0, 0, 0, 0, 0, M - Sleeper
2237, NO, 010000, 0, 0.05, 0, 0, 0, 0
000000, 0, 0, 0, 0, 0, 0, R - Rail sliding
2238, NO, 000011, 0, 0, 0, 0, 0, 0
000000, 0, 0, 0, 0, 0, 0, M - Sleeper
2238, NO, 010000, 0, 0.05, 0, 0, 0, 0
000000, 0, 0, 0, 0, 0, 0, R - Rail sliding
2239, NO, 000011, 0, 0, 0, 0, 0, 0
000000, 0, 0, 0, 0, 0, 0, M - Sleeper
2239, NO, 010000, 0, 0.05, 0, 0, 0, 0
000000, 0, 0, 0, 0, 0, 0, R - Rail sliding
2240, NO, 000011, 0, 0, 0, 0, 0, 0
000000, 0, 0, 0, 0, 0, 0, M - Sleeper
2240, NO, 010000, 0, 0.05, 0, 0, 0, 0
000000, 0, 0, 0, 0, 0, 0, R - Rail sliding
2241, NO, 000011, 0, 0, 0, 0, 0, 0
000000, 0, 0, 0, 0, 0, 0, M - Sleeper
2241, NO, 010000, 0, 0.05, 0, 0, 0, 0
000000, 0, 0, 0, 0, 0, 0, R - Rail sliding
2242, NO, 000011, 0, 0, 0, 0, 0, 0
000000, 0, 0, 0, 0, 0, 0, M - Sleeper
2242, NO, 010000, 0, 0.05, 0, 0, 0, 0
000000, 0, 0, 0, 0, 0, 0, R - Rail sliding
2243, NO, 000011, 0, 0, 0, 0, 0, 0
000000, 0, 0, 0, 0, 0, 0, M - Sleeper
2243, NO, 010000, 0, 0.05, 0, 0, 0, 0
000000, 0, 0, 0, 0, 0, 0, R - Rail sliding
2244, NO, 000011, 0, 0, 0, 0, 0, 0

000000, 0, 0, 0, 0, 0, 0, M - Sleeper
2244, NO, 010000, 0, 0.05, 0, 0, 0, 0
000000, 0, 0, 0, 0, 0, 0, R - Rail sliding
2245, NO, 000011, 0, 0, 0, 0, 0, 0
000000, 0, 0, 0, 0, 0, 0, R - Rail
2247, NO, 000011, 0, 0, 0, 0, 0, 0
000011, 0, 0, 0, 0, 0, 0, R - Rail
2248, NO, 000011, 0, 0, 0, 0, 0, 0
000011, 0, 0, 0, 0, 0, 0, R - Rail
2249, NO, 000011, 0, 0, 0, 0, 0, 0
000011, 0, 0, 0, 0, 0, 0, R - Rail
2250, NO, 000011, 0, 0, 0, 0, 0, 0
000011, 0, 0, 0, 0, 0, 0, R - Rail
2251, NO, 000011, 0, 0, 0, 0, 0, 0
000011, 0, 0, 0, 0, 0, 0, R - Rail
2254, NO, 000011, 0, 0, 0, 0, 0, 0
000011, 0, 0, 0, 0, 0, 0, R - Rail
2255, NO, 000011, 0, 0, 0, 0, 0, 0
000011, 0, 0, 0, 0, 0, 0, R - Rail
2256, NO, 000011, 0, 0, 0, 0, 0, 0
000011, 0, 0, 0, 0, 0, 0, R - Rail
2257, NO, 000011, 0, 0, 0, 0, 0, 0
000011, 0, 0, 0, 0, 0, 0, R - Rail
2258, NO, 000011, 0, 0, 0, 0, 0, 0
000011, 0, 0, 0, 0, 0, 0, R - Rail
2259, NO, 000011, 0, 0, 0, 0, 0, 0
000011, 0, 0, 0, 0, 0, 0, R - Rail
2262, NO, 000011, 0, 0, 0, 0, 0, 0
000011, 0, 0, 0, 0, 0, 0, R - Rail
2263, NO, 000011, 0, 0, 0, 0, 0, 0
000011, 0, 0, 0, 0, 0, 0, R - Rail
2264, NO, 000011, 0, 0, 0, 0, 0, 0
000011, 0, 0, 0, 0, 0, 0, R - Rail
2265, NO, 000011, 0, 0, 0, 0, 0, 0
000011, 0, 0, 0, 0, 0, 0, R - Rail
2266, NO, 000011, 0, 0, 0, 0, 0, 0
000011, 0, 0, 0, 0, 0, 0, R - Rail
2267, NO, 000011, 0, 0, 0, 0, 0, 0
000011, 0, 0, 0, 0, 0, 0, R - Rail
2268, NO, 000011, 0, 0, 0, 0, 0, 0
000011, 0, 0, 0, 0, 0, 0, R - Rail
2271, NO, 000011, 0, 0, 0, 0, 0, 0
000011, 0, 0, 0, 0, 0, 0, R - Rail
2272, NO, 000011, 0, 0, 0, 0, 0, 0
000011, 0, 0, 0, 0, 0, 0, R - Rail
2273, NO, 000011, 0, 0, 0, 0, 0, 0
000011, 0, 0, 0, 0, 0, 0, R - Rail
2274, NO, 000011, 0, 0, 0, 0, 0, 0
000011, 0, 0, 0, 0, 0, 0, R - Rail
2275, NO, 000011, 0, 0, 0, 0, 0, 0
000011, 0, 0, 0, 0, 0, 0, R - Rail
2276, NO, 000011, 0, 0, 0, 0, 0, 0
000011, 0, 0, 0, 0, 0, 0, R - Rail
2277, NO, 000011, 0, 0, 0, 0, 0, 0
000011, 0, 0, 0, 0, 0, 0, R - Rail
2280, NO, 000011, 0, 0, 0, 0, 0, 0
000011, 0, 0, 0, 0, 0, 0, R - Rail
2281, NO, 000011, 0, 0, 0, 0, 0, 0
000011, 0, 0, 0, 0, 0, 0, R - Rail
2282, NO, 000011, 0, 0, 0, 0, 0, 0
000011, 0, 0, 0, 0, 0, 0, R - Rail
2283, NO, 000011, 0, 0, 0, 0, 0, 0
000011, 0, 0, 0, 0, 0, 0, R - Rail
2284, NO, 000011, 0, 0, 0, 0, 0, 0
000011, 0, 0, 0, 0, 0, 0, R - Rail
2285, NO, 000011, 0, 0, 0, 0, 0, 0
000011, 0, 0, 0, 0, 0, 0, R - Rail
2286, NO, 000011, 0, 0, 0, 0, 0, 0
000011, 0, 0, 0, 0, 0, 0, R - Rail
2289, NO, 000011, 0, 0, 0, 0, 0, 0
000011, 0, 0, 0, 0, 0, 0, R - Rail
2290, NO, 000011, 0, 0, 0, 0, 0, 0

000011, 0, 0, 0, 0, 0, 0, R - Rail
2291, NO, 000011, 0, 0, 0, 0, 0, 0
000011, 0, 0, 0, 0, 0, 0, R - Rail
2292, NO, 000011, 0, 0, 0, 0, 0, 0
000011, 0, 0, 0, 0, 0, 0, R - Rail
2293, NO, 000011, 0, 0, 0, 0, 0, 0
000011, 0, 0, 0, 0, 0, 0, R - Rail
2294, NO, 000011, 0, 0, 0, 0, 0, 0
000011, 0, 0, 0, 0, 0, 0, R - Rail
2295, NO, 000011, 0, 0, 0, 0, 0, 0
000011, 0, 0, 0, 0, 0, 0, R - Rail
2298, NO, 000011, 0, 0, 0, 0, 0, 0
000011, 0, 0, 0, 0, 0, 0, R - Rail
2299, NO, 000011, 0, 0, 0, 0, 0, 0
000011, 0, 0, 0, 0, 0, 0, R - Rail
2300, NO, 000011, 0, 0, 0, 0, 0, 0
000011, 0, 0, 0, 0, 0, 0, R - Rail
2301, NO, 000011, 0, 0, 0, 0, 0, 0
000011, 0, 0, 0, 0, 0, 0, R - Rail
2302, NO, 000011, 0, 0, 0, 0, 0, 0
000011, 0, 0, 0, 0, 0, 0, R - Rail
2303, NO, 000011, 0, 0, 0, 0, 0, 0
000011, 0, 0, 0, 0, 0, 0, R - Rail
2304, NO, 000011, 0, 0, 0, 0, 0, 0
000011, 0, 0, 0, 0, 0, 0, R - Rail
2307, NO, 000011, 0, 0, 0, 0, 0, 0
000011, 0, 0, 0, 0, 0, 0, R - Rail
2308, NO, 000011, 0, 0, 0, 0, 0, 0
000011, 0, 0, 0, 0, 0, 0, R - Rail
2309, NO, 000011, 0, 0, 0, 0, 0, 0
000011, 0, 0, 0, 0, 0, 0, R - Rail
2310, NO, 000011, 0, 0, 0, 0, 0, 0
000011, 0, 0, 0, 0, 0, 0, R - Rail
2311, NO, 000011, 0, 0, 0, 0, 0, 0
000011, 0, 0, 0, 0, 0, 0, R - Rail
2312, NO, 000011, 0, 0, 0, 0, 0, 0
000011, 0, 0, 0, 0, 0, 0, R - Rail
2313, NO, 000011, 0, 0, 0, 0, 0, 0
000011, 0, 0, 0, 0, 0, 0, R - Rail
2316, NO, 000011, 0, 0, 0, 0, 0, 0
000011, 0, 0, 0, 0, 0, 0, R - Rail
2317, NO, 000011, 0, 0, 0, 0, 0, 0
000011, 0, 0, 0, 0, 0, 0, R - Rail
2318, NO, 000011, 0, 0, 0, 0, 0, 0
000011, 0, 0, 0, 0, 0, 0, R - Rail
2319, NO, 000011, 0, 0, 0, 0, 0, 0
000011, 0, 0, 0, 0, 0, 0, R - Rail
2320, NO, 000011, 0, 0, 0, 0, 0, 0
000011, 0, 0, 0, 0, 0, 0, R - Rail
2321, NO, 000011, 0, 0, 0, 0, 0, 0
000011, 0, 0, 0, 0, 0, 0, R - Rail
2322, NO, 000011, 0, 0, 0, 0, 0, 0
000011, 0, 0, 0, 0, 0, 0, R - Rail
2325, NO, 000011, 0, 0, 0, 0, 0, 0
000011, 0, 0, 0, 0, 0, 0, R - Rail
2326, NO, 000011, 0, 0, 0, 0, 0, 0
000011, 0, 0, 0, 0, 0, 0, R - Rail
2327, NO, 000011, 0, 0, 0, 0, 0, 0
000011, 0, 0, 0, 0, 0, 0, R - Rail
2328, NO, 000011, 0, 0, 0, 0, 0, 0
000011, 0, 0, 0, 0, 0, 0, R - Rail
2329, NO, 000011, 0, 0, 0, 0, 0, 0
000011, 0, 0, 0, 0, 0, 0, R - Rail
2330, NO, 000011, 0, 0, 0, 0, 0, 0
000011, 0, 0, 0, 0, 0, 0, R - Rail
2331, NO, 000011, 0, 0, 0, 0, 0, 0
000011, 0, 0, 0, 0, 0, 0, R - Rail
2334, NO, 000011, 0, 0, 0, 0, 0, 0
000011, 0, 0, 0, 0, 0, 0, R - Rail
2335, NO, 000011, 0, 0, 0, 0, 0, 0
000011, 0, 0, 0, 0, 0, 0, R - Rail
2336, NO, 000011, 0, 0, 0, 0, 0, 0

000011, 0, 0, 0, 0, 0, 0, R - Rail
2337, NO, 000011, 0, 0, 0, 0, 0, 0
000011, 0, 0, 0, 0, 0, 0, R - Rail
2338, NO, 000011, 0, 0, 0, 0, 0, 0
000011, 0, 0, 0, 0, 0, 0, R - Rail
2339, NO, 000011, 0, 0, 0, 0, 0, 0
000011, 0, 0, 0, 0, 0, 0, R - Rail
2340, NO, 000011, 0, 0, 0, 0, 0, 0
000011, 0, 0, 0, 0, 0, 0, R - Rail
2343, NO, 000011, 0, 0, 0, 0, 0, 0
000011, 0, 0, 0, 0, 0, 0, R - Rail
2344, NO, 000011, 0, 0, 0, 0, 0, 0
000011, 0, 0, 0, 0, 0, 0, R - Rail
2345, NO, 000011, 0, 0, 0, 0, 0, 0
000011, 0, 0, 0, 0, 0, 0, R - Rail
2346, NO, 000011, 0, 0, 0, 0, 0, 0
000011, 0, 0, 0, 0, 0, 0, R - Rail
2347, NO, 000011, 0, 0, 0, 0, 0, 0
000011, 0, 0, 0, 0, 0, 0, R - Rail
2348, NO, 000011, 0, 0, 0, 0, 0, 0
000011, 0, 0, 0, 0, 0, 0, R - Rail
2349, NO, 000011, 0, 0, 0, 0, 0, 0
000011, 0, 0, 0, 0, 0, 0, R - Rail
2352, NO, 000011, 0, 0, 0, 0, 0, 0
000011, 0, 0, 0, 0, 0, 0, R - Rail
2353, NO, 000011, 0, 0, 0, 0, 0, 0
000011, 0, 0, 0, 0, 0, 0, R - Rail
2354, NO, 000011, 0, 0, 0, 0, 0, 0
000011, 0, 0, 0, 0, 0, 0, R - Rail
2355, NO, 000011, 0, 0, 0, 0, 0, 0
000011, 0, 0, 0, 0, 0, 0, R - Rail
2356, NO, 000011, 0, 0, 0, 0, 0, 0
000011, 0, 0, 0, 0, 0, 0, R - Rail
2357, NO, 000011, 0, 0, 0, 0, 0, 0
000011, 0, 0, 0, 0, 0, 0, R - Rail
2358, NO, 000011, 0, 0, 0, 0, 0, 0
000011, 0, 0, 0, 0, 0, 0, R - Rail
2361, NO, 000011, 0, 0, 0, 0, 0, 0
000011, 0, 0, 0, 0, 0, 0, R - Rail
2362, NO, 000011, 0, 0, 0, 0, 0, 0
000011, 0, 0, 0, 0, 0, 0, R - Rail
2363, NO, 000011, 0, 0, 0, 0, 0, 0
000011, 0, 0, 0, 0, 0, 0, R - Rail
2364, NO, 000011, 0, 0, 0, 0, 0, 0
000011, 0, 0, 0, 0, 0, 0, R - Rail
2365, NO, 000011, 0, 0, 0, 0, 0, 0
000011, 0, 0, 0, 0, 0, 0, R - Rail
2366, NO, 000011, 0, 0, 0, 0, 0, 0
000011, 0, 0, 0, 0, 0, 0, R - Rail
2367, NO, 000011, 0, 0, 0, 0, 0, 0
000011, 0, 0, 0, 0, 0, 0, R - Rail
2370, NO, 000011, 0, 0, 0, 0, 0, 0
000011, 0, 0, 0, 0, 0, 0, R - Rail
2371, NO, 000011, 0, 0, 0, 0, 0, 0
000011, 0, 0, 0, 0, 0, 0, R - Rail
2372, NO, 000011, 0, 0, 0, 0, 0, 0
000011, 0, 0, 0, 0, 0, 0, R - Rail
2373, NO, 000011, 0, 0, 0, 0, 0, 0
000011, 0, 0, 0, 0, 0, 0, R - Rail
2374, NO, 000011, 0, 0, 0, 0, 0, 0
000011, 0, 0, 0, 0, 0, 0, R - Rail
2375, NO, 000011, 0, 0, 0, 0, 0, 0
000011, 0, 0, 0, 0, 0, 0, R - Rail
2378, NO, 000011, 0, 0, 0, 0, 0, 0
000011, 0, 0, 0, 0, 0, 0, R - Rail
2379, NO, 000011, 0, 0, 0, 0, 0, 0
000011, 0, 0, 0, 0, 0, 0, R - Rail
2380, NO, 000011, 0, 0, 0, 0, 0, 0
000011, 0, 0, 0, 0, 0, 0, R - Rail
2381, NO, 000011, 0, 0, 0, 0, 0, 0
000011, 0, 0, 0, 0, 0, 0, R - Rail
2382, NO, 000011, 0, 0, 0, 0, 0, 0

000011, 0, 0, 0, 0, 0, 0, R - Rail
2384, NO, 000011, 0, 0, 0, 0, 0, 0
000000, 0, 0, 0, 0, 0, 0, R - Rail
2385, NO, 000011, 0, 0, 0, 0, 0, 0
000000, 0, 0, 0, 0, 0, 0, R - Rail
2387, NO, 000011, 0, 0, 0, 0, 0, 0
000011, 0, 0, 0, 0, 0, 0, R - Rail
2388, NO, 000011, 0, 0, 0, 0, 0, 0
000011, 0, 0, 0, 0, 0, 0, R - Rail
2389, NO, 000011, 0, 0, 0, 0, 0, 0
000011, 0, 0, 0, 0, 0, 0, R - Rail
2390, NO, 000011, 0, 0, 0, 0, 0, 0
000011, 0, 0, 0, 0, 0, 0, R - Rail
2391, NO, 000011, 0, 0, 0, 0, 0, 0
000011, 0, 0, 0, 0, 0, 0, R - Rail
2394, NO, 000011, 0, 0, 0, 0, 0, 0
000011, 0, 0, 0, 0, 0, 0, R - Rail
2395, NO, 000011, 0, 0, 0, 0, 0, 0
000011, 0, 0, 0, 0, 0, 0, R - Rail
2396, NO, 000011, 0, 0, 0, 0, 0, 0
000011, 0, 0, 0, 0, 0, 0, R - Rail
2397, NO, 000011, 0, 0, 0, 0, 0, 0
000011, 0, 0, 0, 0, 0, 0, R - Rail
2398, NO, 000011, 0, 0, 0, 0, 0, 0
000011, 0, 0, 0, 0, 0, 0, R - Rail
2399, NO, 000011, 0, 0, 0, 0, 0, 0
000011, 0, 0, 0, 0, 0, 0, R - Rail
2402, NO, 000011, 0, 0, 0, 0, 0, 0
000011, 0, 0, 0, 0, 0, 0, R - Rail
2403, NO, 000011, 0, 0, 0, 0, 0, 0
000011, 0, 0, 0, 0, 0, 0, R - Rail
2404, NO, 000011, 0, 0, 0, 0, 0, 0
000011, 0, 0, 0, 0, 0, 0, R - Rail
2405, NO, 000011, 0, 0, 0, 0, 0, 0
000011, 0, 0, 0, 0, 0, 0, R - Rail
2406, NO, 000011, 0, 0, 0, 0, 0, 0
000011, 0, 0, 0, 0, 0, 0, R - Rail
2407, NO, 000011, 0, 0, 0, 0, 0, 0
000011, 0, 0, 0, 0, 0, 0, R - Rail
2408, NO, 000011, 0, 0, 0, 0, 0, 0
000011, 0, 0, 0, 0, 0, 0, R - Rail
2411, NO, 000011, 0, 0, 0, 0, 0, 0
000011, 0, 0, 0, 0, 0, 0, R - Rail
2412, NO, 000011, 0, 0, 0, 0, 0, 0
000011, 0, 0, 0, 0, 0, 0, R - Rail
2413, NO, 000011, 0, 0, 0, 0, 0, 0
000011, 0, 0, 0, 0, 0, 0, R - Rail
2414, NO, 000011, 0, 0, 0, 0, 0, 0
000011, 0, 0, 0, 0, 0, 0, R - Rail
2415, NO, 000011, 0, 0, 0, 0, 0, 0
000011, 0, 0, 0, 0, 0, 0, R - Rail
2416, NO, 000011, 0, 0, 0, 0, 0, 0
000011, 0, 0, 0, 0, 0, 0, R - Rail
2417, NO, 000011, 0, 0, 0, 0, 0, 0
000011, 0, 0, 0, 0, 0, 0, R - Rail
2420, NO, 000011, 0, 0, 0, 0, 0, 0
000011, 0, 0, 0, 0, 0, 0, R - Rail
2421, NO, 000011, 0, 0, 0, 0, 0, 0
000011, 0, 0, 0, 0, 0, 0, R - Rail
2422, NO, 000011, 0, 0, 0, 0, 0, 0
000011, 0, 0, 0, 0, 0, 0, R - Rail
2423, NO, 000011, 0, 0, 0, 0, 0, 0
000011, 0, 0, 0, 0, 0, 0, R - Rail
2424, NO, 000011, 0, 0, 0, 0, 0, 0
000011, 0, 0, 0, 0, 0, 0, R - Rail
2425, NO, 000011, 0, 0, 0, 0, 0, 0
000011, 0, 0, 0, 0, 0, 0, R - Rail
2426, NO, 000011, 0, 0, 0, 0, 0, 0
000011, 0, 0, 0, 0, 0, 0, R - Rail
2429, NO, 000011, 0, 0, 0, 0, 0, 0
000011, 0, 0, 0, 0, 0, 0, R - Rail
2430, NO, 000011, 0, 0, 0, 0, 0, 0

000011, 0, 0, 0, 0, 0, 0, R - Rail
2431, NO, 000011, 0, 0, 0, 0, 0, 0
000011, 0, 0, 0, 0, 0, 0, R - Rail
2432, NO, 000011, 0, 0, 0, 0, 0, 0
000011, 0, 0, 0, 0, 0, 0, R - Rail
2433, NO, 000011, 0, 0, 0, 0, 0, 0
000011, 0, 0, 0, 0, 0, 0, R - Rail
2434, NO, 000011, 0, 0, 0, 0, 0, 0
000011, 0, 0, 0, 0, 0, 0, R - Rail
2435, NO, 000011, 0, 0, 0, 0, 0, 0
000011, 0, 0, 0, 0, 0, 0, R - Rail
2438, NO, 000011, 0, 0, 0, 0, 0, 0
000011, 0, 0, 0, 0, 0, 0, R - Rail
2439, NO, 000011, 0, 0, 0, 0, 0, 0
000011, 0, 0, 0, 0, 0, 0, R - Rail
2440, NO, 000011, 0, 0, 0, 0, 0, 0
000011, 0, 0, 0, 0, 0, 0, R - Rail
2441, NO, 000011, 0, 0, 0, 0, 0, 0
000011, 0, 0, 0, 0, 0, 0, R - Rail
2442, NO, 000011, 0, 0, 0, 0, 0, 0
000011, 0, 0, 0, 0, 0, 0, R - Rail
2443, NO, 000011, 0, 0, 0, 0, 0, 0
000011, 0, 0, 0, 0, 0, 0, R - Rail
2444, NO, 000011, 0, 0, 0, 0, 0, 0
000011, 0, 0, 0, 0, 0, 0, R - Rail
2447, NO, 000011, 0, 0, 0, 0, 0, 0
000011, 0, 0, 0, 0, 0, 0, R - Rail
2448, NO, 000011, 0, 0, 0, 0, 0, 0
000011, 0, 0, 0, 0, 0, 0, R - Rail
2449, NO, 000011, 0, 0, 0, 0, 0, 0
000011, 0, 0, 0, 0, 0, 0, R - Rail
2450, NO, 000011, 0, 0, 0, 0, 0, 0
000011, 0, 0, 0, 0, 0, 0, R - Rail
2451, NO, 000011, 0, 0, 0, 0, 0, 0
000011, 0, 0, 0, 0, 0, 0, R - Rail
2452, NO, 000011, 0, 0, 0, 0, 0, 0
000011, 0, 0, 0, 0, 0, 0, R - Rail
2453, NO, 000011, 0, 0, 0, 0, 0, 0
000011, 0, 0, 0, 0, 0, 0, R - Rail
2456, NO, 000011, 0, 0, 0, 0, 0, 0
000011, 0, 0, 0, 0, 0, 0, R - Rail
2457, NO, 000011, 0, 0, 0, 0, 0, 0
000011, 0, 0, 0, 0, 0, 0, R - Rail
2458, NO, 000011, 0, 0, 0, 0, 0, 0
000011, 0, 0, 0, 0, 0, 0, R - Rail
2459, NO, 000011, 0, 0, 0, 0, 0, 0
000011, 0, 0, 0, 0, 0, 0, R - Rail
2460, NO, 000011, 0, 0, 0, 0, 0, 0
000011, 0, 0, 0, 0, 0, 0, R - Rail
2461, NO, 000011, 0, 0, 0, 0, 0, 0
000011, 0, 0, 0, 0, 0, 0, R - Rail
2462, NO, 000011, 0, 0, 0, 0, 0, 0
000011, 0, 0, 0, 0, 0, 0, R - Rail
2465, NO, 000011, 0, 0, 0, 0, 0, 0
000011, 0, 0, 0, 0, 0, 0, R - Rail
2466, NO, 000011, 0, 0, 0, 0, 0, 0
000011, 0, 0, 0, 0, 0, 0, R - Rail
2467, NO, 000011, 0, 0, 0, 0, 0, 0
000011, 0, 0, 0, 0, 0, 0, R - Rail
2468, NO, 000011, 0, 0, 0, 0, 0, 0
000011, 0, 0, 0, 0, 0, 0, R - Rail
2469, NO, 000011, 0, 0, 0, 0, 0, 0
000011, 0, 0, 0, 0, 0, 0, R - Rail
2470, NO, 000011, 0, 0, 0, 0, 0, 0
000011, 0, 0, 0, 0, 0, 0, R - Rail
2471, NO, 000011, 0, 0, 0, 0, 0, 0
000011, 0, 0, 0, 0, 0, 0, R - Rail
2474, NO, 000011, 0, 0, 0, 0, 0, 0
000011, 0, 0, 0, 0, 0, 0, R - Rail
2475, NO, 000011, 0, 0, 0, 0, 0, 0
000011, 0, 0, 0, 0, 0, 0, R - Rail
2476, NO, 000011, 0, 0, 0, 0, 0, 0

000011, 0, 0, 0, 0, 0, 0, R - Rail
2477, NO, 000011, 0, 0, 0, 0, 0, 0
000011, 0, 0, 0, 0, 0, 0, R - Rail
2478, NO, 000011, 0, 0, 0, 0, 0, 0
000011, 0, 0, 0, 0, 0, 0, R - Rail
2479, NO, 000011, 0, 0, 0, 0, 0, 0
000011, 0, 0, 0, 0, 0, 0, R - Rail
2480, NO, 000011, 0, 0, 0, 0, 0, 0
000011, 0, 0, 0, 0, 0, 0, R - Rail
2483, NO, 000011, 0, 0, 0, 0, 0, 0
000011, 0, 0, 0, 0, 0, 0, R - Rail
2484, NO, 000011, 0, 0, 0, 0, 0, 0
000011, 0, 0, 0, 0, 0, 0, R - Rail
2485, NO, 000011, 0, 0, 0, 0, 0, 0
000011, 0, 0, 0, 0, 0, 0, R - Rail
2486, NO, 000011, 0, 0, 0, 0, 0, 0
000011, 0, 0, 0, 0, 0, 0, R - Rail
2487, NO, 000011, 0, 0, 0, 0, 0, 0
000011, 0, 0, 0, 0, 0, 0, R - Rail
2488, NO, 000011, 0, 0, 0, 0, 0, 0
000011, 0, 0, 0, 0, 0, 0, R - Rail
2489, NO, 000011, 0, 0, 0, 0, 0, 0
000011, 0, 0, 0, 0, 0, 0, R - Rail
2492, NO, 000011, 0, 0, 0, 0, 0, 0
000011, 0, 0, 0, 0, 0, 0, R - Rail
2493, NO, 000011, 0, 0, 0, 0, 0, 0
000011, 0, 0, 0, 0, 0, 0, R - Rail
2494, NO, 000011, 0, 0, 0, 0, 0, 0
000011, 0, 0, 0, 0, 0, 0, R - Rail
2495, NO, 000011, 0, 0, 0, 0, 0, 0
000011, 0, 0, 0, 0, 0, 0, R - Rail
2496, NO, 000011, 0, 0, 0, 0, 0, 0
000011, 0, 0, 0, 0, 0, 0, R - Rail
2497, NO, 000011, 0, 0, 0, 0, 0, 0
000011, 0, 0, 0, 0, 0, 0, R - Rail
2498, NO, 000011, 0, 0, 0, 0, 0, 0
000011, 0, 0, 0, 0, 0, 0, R - Rail
2501, NO, 000011, 0, 0, 0, 0, 0, 0
000011, 0, 0, 0, 0, 0, 0, R - Rail
2502, NO, 000011, 0, 0, 0, 0, 0, 0
000011, 0, 0, 0, 0, 0, 0, R - Rail
2503, NO, 000011, 0, 0, 0, 0, 0, 0
000011, 0, 0, 0, 0, 0, 0, R - Rail
2504, NO, 000011, 0, 0, 0, 0, 0, 0
000011, 0, 0, 0, 0, 0, 0, R - Rail
2505, NO, 000011, 0, 0, 0, 0, 0, 0
000011, 0, 0, 0, 0, 0, 0, R - Rail
2506, NO, 000011, 0, 0, 0, 0, 0, 0
000011, 0, 0, 0, 0, 0, 0, R - Rail
2507, NO, 000011, 0, 0, 0, 0, 0, 0
000011, 0, 0, 0, 0, 0, 0, R - Rail
2510, NO, 000011, 0, 0, 0, 0, 0, 0
000011, 0, 0, 0, 0, 0, 0, R - Rail
2511, NO, 000011, 0, 0, 0, 0, 0, 0
000011, 0, 0, 0, 0, 0, 0, R - Rail
2512, NO, 000011, 0, 0, 0, 0, 0, 0
000011, 0, 0, 0, 0, 0, 0, R - Rail
2513, NO, 000011, 0, 0, 0, 0, 0, 0
000011, 0, 0, 0, 0, 0, 0, R - Rail
2514, NO, 000011, 0, 0, 0, 0, 0, 0
000011, 0, 0, 0, 0, 0, 0, R - Rail
2515, NO, 000011, 0, 0, 0, 0, 0, 0
000011, 0, 0, 0, 0, 0, 0, R - Rail
2518, NO, 000011, 0, 0, 0, 0, 0, 0
000011, 0, 0, 0, 0, 0, 0, R - Rail
2519, NO, 000011, 0, 0, 0, 0, 0, 0
000011, 0, 0, 0, 0, 0, 0, R - Rail
2520, NO, 000011, 0, 0, 0, 0, 0, 0
000011, 0, 0, 0, 0, 0, 0, R - Rail
2521, NO, 000011, 0, 0, 0, 0, 0, 0
000011, 0, 0, 0, 0, 0, 0, R - Rail
2522, NO, 000011, 0, 0, 0, 0, 0, 0

000011, 0, 0, 0, 0, 0, 0, R - Rail
2524, NO, 000011, 0, 0, 0, 0, 0, 0
000000, 0, 0, 0, 0, 0, 0, R - Rail
3647, NO, 000000, 0, 0, 0, 0, 0, 0
000001, 0, 0, 0, 0, 0, 0.16, D - Bypass
3648, NO, 000001, 0, 0, 0, 0, 0, 0.16
000000, 0, 0, 0, 0, 0, 0, D - Bypass
3649, NO, 000000, 0, 0, 0, 0, 0, 0
000001, 0, 0, 0, 0, 0, 0.16, D - Bypass
3650, NO, 000001, 0, 0, 0, 0, 0, 0.16
000000, 0, 0, 0, 0, 0, 0, D - Bypass
3651, NO, 000000, 0, 0, 0, 0, 0, 0
000001, 0, 0, 0, 0, 0, 0.16, D - Bypass
3652, NO, 000001, 0, 0, 0, 0, 0, 0.16
000000, 0, 0, 0, 0, 0, 0, D - Bypass
3653, NO, 000000, 0, 0, 0, 0, 0, 0
000001, 0, 0, 0, 0, 0, 0.16, D - Bypass
3654, NO, 000001, 0, 0, 0, 0, 0, 0.16
000000, 0, 0, 0, 0, 0, 0, D - Bypass
3655, NO, 000000, 0, 0, 0, 0, 0, 0
000001, 0, 0, 0, 0, 0, 0.16, D - Bypass
3656, NO, 000001, 0, 0, 0, 0, 0, 0.16
000000, 0, 0, 0, 0, 0, 0, D - Bypass
3657, NO, 000000, 0, 0, 0, 0, 0, 0
000001, 0, 0, 0, 0, 0, 0.16, D - Bypass
3658, NO, 000001, 0, 0, 0, 0, 0, 0.16
000000, 0, 0, 0, 0, 0, 0, D - Bypass
3659, NO, 000000, 0, 0, 0, 0, 0, 0
000001, 0, 0, 0, 0, 0, 0.16, D - Bypass
3660, NO, 000001, 0, 0, 0, 0, 0, 0.16
000000, 0, 0, 0, 0, 0, 0, D - Bypass
3664, NO, 000000, 0, 0, 0, 0, 0, 0
000001, 0, 0, 0, 0, 0, 0.16, D - Bypass
3665, NO, 000001, 0, 0, 0, 0, 0, 0.16
000000, 0, 0, 0, 0, 0, 0, D - Bypass
3668, NO, 000001, 0, 0, 0, 0, 0, 0.16
000000, 0, 0, 0, 0, 0, 0, D - Bypass
3669, NO, 000000, 0, 0, 0, 0, 0, 0
000001, 0, 0, 0, 0, 0, 0.16, D - Bypass
3671, NO, 000000, 0, 0, 0, 0, 0, 0
000001, 0, 0, 0, 0, 0, 0.16, D - Bypass
3672, NO, 000001, 0, 0, 0, 0, 0, 0.16
000000, 0, 0, 0, 0, 0, 0, D - Bypass
3673, NO, 000000, 0, 0, 0, 0, 0, 0
000001, 0, 0, 0, 0, 0, 0.16, D - Bypass
3674, NO, 000001, 0, 0, 0, 0, 0, 0.16
000000, 0, 0, 0, 0, 0, 0, D - Bypass
3675, NO, 000000, 0, 0, 0, 0, 0, 0
000001, 0, 0, 0, 0, 0, 0.16, D - Bypass
3676, NO, 000001, 0, 0, 0, 0, 0, 0.16
000000, 0, 0, 0, 0, 0, 0, D - Bypass
3677, NO, 000000, 0, 0, 0, 0, 0, 0
000001, 0, 0, 0, 0, 0, 0.16, D - Bypass
3678, NO, 000001, 0, 0, 0, 0, 0, 0.16
000000, 0, 0, 0, 0, 0, 0, D - Bypass
3679, NO, 000000, 0, 0, 0, 0, 0, 0
000001, 0, 0, 0, 0, 0, 0.16, D - Bypass
3680, NO, 000001, 0, 0, 0, 0, 0, 0.16
000000, 0, 0, 0, 0, 0, 0, D - Bypass
3681, NO, 000000, 0, 0, 0, 0, 0, 0
000001, 0, 0, 0, 0, 0, 0.16, D - Bypass
3682, NO, 000001, 0, 0, 0, 0, 0, 0.16
000000, 0, 0, 0, 0, 0, 0, D - Bypass
3683, NO, 000000, 0, 0, 0, 0, 0, 0
000001, 0, 0, 0, 0, 0, 0.16, D - Bypass
3684, NO, 000001, 0, 0, 0, 0, 0, 0.16
000000, 0, 0, 0, 0, 0, 0, D - Bypass
3685, NO, 000000, 0, 0, 0, 0, 0, 0
000001, 0, 0, 0, 0, 0, 0.16, D - Bypass
3686, NO, 000001, 0, 0, 0, 0, 0, 0.16
000000, 0, 0, 0, 0, 0, 0, D - Bypass
3687, NO, 000000, 0, 0, 0, 0, 0, 0

000001, 0, 0, 0, 0, 0, 0.16, D - Bypass
3688, NO, 000001, 0, 0, 0, 0, 0, 0.16
000000, 0, 0, 0, 0, 0, 0, D - Bypass
3689, NO, 000000, 0, 0, 0, 0, 0, 0
000001, 0, 0, 0, 0, 0, 0.16, D - Bypass
3690, NO, 000001, 0, 0, 0, 0, 0, 0.16
000000, 0, 0, 0, 0, 0, 0, D - Bypass
3691, NO, 000000, 0, 0, 0, 0, 0, 0
000001, 0, 0, 0, 0, 0, 0.16, D - Bypass
3692, NO, 000001, 0, 0, 0, 0, 0, 0.16
000000, 0, 0, 0, 0, 0, 0, D - Bypass
3693, NO, 000000, 0, 0, 0, 0, 0, 0
000001, 0, 0, 0, 0, 0, 0.16, D - Bypass
3694, NO, 000001, 0, 0, 0, 0, 0, 0.16
000000, 0, 0, 0, 0, 0, 0, D - Bypass
3695, NO, 000000, 0, 0, 0, 0, 0, 0
000001, 0, 0, 0, 0, 0, 0.16, D - Bypass
3696, NO, 000001, 0, 0, 0, 0, 0, 0.16
000000, 0, 0, 0, 0, 0, 0, D - Bypass
3700, NO, 000000, 0, 0, 0, 0, 0, 0
000001, 0, 0, 0, 0, 0, 0.16, D - Bypass
3701, NO, 000001, 0, 0, 0, 0, 0, 0.16
000000, 0, 0, 0, 0, 0, 0, D - Bypass
3704, NO, 000001, 0, 0, 0, 0, 0, 0.16
000000, 0, 0, 0, 0, 0, 0, D - Bypass
3705, NO, 000000, 0, 0, 0, 0, 0, 0
000001, 0, 0, 0, 0, 0, 0.16, D - Bypass
3707, NO, 000000, 0, 0, 0, 0, 0, 0
000001, 0, 0, 0, 0, 0, 0.16, D - Bypass
3708, NO, 000001, 0, 0, 0, 0, 0, 0.16
000000, 0, 0, 0, 0, 0, 0, D - Bypass
3709, NO, 000000, 0, 0, 0, 0, 0, 0
000001, 0, 0, 0, 0, 0, 0.16, D - Bypass
3710, NO, 000001, 0, 0, 0, 0, 0, 0.16
000000, 0, 0, 0, 0, 0, 0, D - Bypass
3711, NO, 000000, 0, 0, 0, 0, 0, 0
000001, 0, 0, 0, 0, 0, 0.16, D - Bypass
3712, NO, 000001, 0, 0, 0, 0, 0, 0.16
000000, 0, 0, 0, 0, 0, 0, D - Bypass
3713, NO, 000000, 0, 0, 0, 0, 0, 0
000001, 0, 0, 0, 0, 0, 0.16, D - Bypass
3714, NO, 000001, 0, 0, 0, 0, 0, 0.16
000000, 0, 0, 0, 0, 0, 0, D - Bypass
3715, NO, 000000, 0, 0, 0, 0, 0, 0
000001, 0, 0, 0, 0, 0, 0.16, D - Bypass
3716, NO, 000001, 0, 0, 0, 0, 0, 0.16
000000, 0, 0, 0, 0, 0, 0, D - Bypass
3717, NO, 000000, 0, 0, 0, 0, 0, 0
000001, 0, 0, 0, 0, 0, 0.16, D - Bypass
3718, NO, 000001, 0, 0, 0, 0, 0, 0.16
000000, 0, 0, 0, 0, 0, 0, D - Bypass
3755, NO, 000000, 0, 0, 0, 0, 0, 0
000001, 0, 0, 0, 0, 0, 0.16, D - Bypass
3756, NO, 000001, 0, 0, 0, 0, 0, 0.16
000000, 0, 0, 0, 0, 0, 0, D - Bypass
3757, NO, 000000, 0, 0, 0, 0, 0, 0
000001, 0, 0, 0, 0, 0, 0.16, D - Bypass
3758, NO, 000001, 0, 0, 0, 0, 0, 0.16
000000, 0, 0, 0, 0, 0, 0, D - Bypass
3761, NO, 000000, 0, 0, 0, 0, 0, 0
000001, 0, 0, 0, 0, 0, 0.16, D - Bypass
3762, NO, 000001, 0, 0, 0, 0, 0, 0.16
000000, 0, 0, 0, 0, 0, 0, D - Bypass
3763, NO, 000000, 0, 0, 0, 0, 0, 0
000001, 0, 0, 0, 0, 0, 0.16, D - Bypass
3764, NO, 000001, 0, 0, 0, 0, 0, 0.16
000000, 0, 0, 0, 0, 0, 0, D - Bypass

; *LOADTOMASS, DIR, bNODAL, bBEAM, bFLOOR, bPRES, GRAV
; LCNAME1, FACTOR1, LCNAME2, FACTOR2, ... ; from line 1
*LOADTOMASS, XYZ, YES, YES, YES, YES, 9806
G0.2 - Selfweight- p, 1, G1.1 - Deck pavement, 1, G1.2 - Deck of servi, 1

PROJECT TITLE :

MIDAS	Company		Client	
	Author		File Name	H2D_3Dg_v14_180227_StatLM.mct

G1.3 - Traction, 1, G2.1 - Gas pipeline, 1, G2.2 - Cableline, 1
G2.3 - Cableline, 1

*USE-STLD, G0.1 - Selfweight

; *SELFWEIGHT, X, Y, Z, GROUP
*SELFWEIGHT, 0, 0, -1, G0 - Selfweight

; End of data for load case [G0.1 - Selfweight] ----------

*USE-STLD, B1 - Braking force L

*BEAMLOAD ; Element Beam Loads
; ELEM_LIST, CMD, TYPE, DIR, bPROJ, [ECCEN], [VALUE], GROUP
; ELEM_LIST, CMD, TYPE, TYPE, DIR, VX, VY, VZ, bPROJ, [ECCEN], [VALUE], GROUP
; [VALUE] : D1, P1, D2, P2, D3, P3, D4, P4
; [ECCEN] : bECCEN, ECCDIR, I-END, J-END, bJ-END
; [ADDITIONAL] : bADDITIONAL, ADDITIONAL_I-END, ADDITIONAL_J-END, bADDITIONAL_J-END
1061, BEAM , UNILOAD, LX, NO , NO, aDir[1], , , , 0, -5, 1, -5, 0, 0, 0, 0, B - Braking forces, NO, 0, 0, NO,
1062, BEAM , UNILOAD, LX, NO , NO, aDir[1], , , , 0, -5, 1, -5, 0, 0, 0, 0, B - Braking forces, NO, 0, 0, NO,
1063, BEAM , UNILOAD, LX, NO , NO, aDir[1], , , , 0, -5, 1, -5, 0, 0, 0, 0, B - Braking forces, NO, 0, 0, NO,
1064, BEAM , UNILOAD, LX, NO , NO, aDir[1], , , , 0, -5, 1, -5, 0, 0, 0, 0, B - Braking forces, NO, 0, 0, NO,
1065, BEAM , UNILOAD, LX, NO , NO, aDir[1], , , , 0, -5, 1, -5, 0, 0, 0, 0, B - Braking forces, NO, 0, 0, NO,
1066, BEAM , UNILOAD, LX, NO , NO, aDir[1], , , , 0, -5, 1, -5, 0, 0, 0, 0, B - Braking forces, NO, 0, 0, NO,
1067, BEAM , UNILOAD, LX, NO , NO, aDir[1], , , , 0, -5, 1, -5, 0, 0, 0, 0, B - Braking forces, NO, 0, 0, NO,
1068, BEAM , UNILOAD, LX, NO , NO, aDir[1], , , , 0, -5, 1, -5, 0, 0, 0, 0, B - Braking forces, NO, 0, 0, NO,
1069, BEAM , UNILOAD, LX, NO , NO, aDir[1], , , , 0, -5, 1, -5, 0, 0, 0, 0, B - Braking forces, NO, 0, 0, NO,
1070, BEAM , UNILOAD, LX, NO , NO, aDir[1], , , , 0, -5, 1, -5, 0, 0, 0, 0, B - Braking forces, NO, 0, 0, NO,
1071, BEAM , UNILOAD, LX, NO , NO, aDir[1], , , , 0, -5, 1, -5, 0, 0, 0, 0, B - Braking forces, NO, 0, 0, NO,
1072, BEAM , UNILOAD, LX, NO , NO, aDir[1], , , , 0, -5, 1, -5, 0, 0, 0, 0, B - Braking forces, NO, 0, 0, NO,
1073, BEAM , UNILOAD, LX, NO , NO, aDir[1], , , , 0, -5, 1, -5, 0, 0, 0, 0, B - Braking forces, NO, 0, 0, NO,
1074, BEAM , UNILOAD, LX, NO , NO, aDir[1], , , , 0, -5, 1, -5, 0, 0, 0, 0, B - Braking forces, NO, 0, 0, NO,
1075, BEAM , UNILOAD, LX, NO , NO, aDir[1], , , , 0, -5, 1, -5, 0, 0, 0, 0, B - Braking forces, NO, 0, 0, NO,
1076, BEAM , UNILOAD, LX, NO , NO, aDir[1], , , , 0, -5, 1, -5, 0, 0, 0, 0, B - Braking forces, NO, 0, 0, NO,
1077, BEAM , UNILOAD, LX, NO , NO, aDir[1], , , , 0, -5, 1, -5, 0, 0, 0, 0, B - Braking forces, NO, 0, 0, NO,
1078, BEAM , UNILOAD, LX, NO , NO, aDir[1], , , , 0, -5, 1, -5, 0, 0, 0, 0, B - Braking forces, NO, 0, 0, NO,
1079, BEAM , UNILOAD, LX, NO , NO, aDir[1], , , , 0, -5, 1, -5, 0, 0, 0, 0, B - Braking forces, NO, 0, 0, NO,
1080, BEAM , UNILOAD, LX, NO , NO, aDir[1], , , , 0, -5, 1, -5, 0, 0, 0, 0, B - Braking forces, NO, 0, 0, NO,
1081, BEAM , UNILOAD, LX, NO , NO, aDir[1], , , , 0, -5, 1, -5, 0, 0, 0, 0, B - Braking forces, NO, 0, 0, NO,
1082, BEAM , UNILOAD, LX, NO , NO, aDir[1], , , , 0, -5, 1, -5, 0, 0, 0, 0, B - Braking forces, NO, 0, 0, NO,
1083, BEAM , UNILOAD, LX, NO , NO, aDir[1], , , , 0, -5, 1, -5, 0, 0, 0, 0, B - Braking forces, NO, 0, 0, NO,
1084, BEAM , UNILOAD, LX, NO , NO, aDir[1], , , , 0, -5, 1, -5, 0, 0, 0, 0, B - Braking forces, NO, 0, 0, NO,
1085, BEAM , UNILOAD, LX, NO , NO, aDir[1], , , , 0, -5, 1, -5, 0, 0, 0, 0, B - Braking forces, NO, 0, 0, NO,
1086, BEAM , UNILOAD, LX, NO , NO, aDir[1], , , , 0, -5, 1, -5, 0, 0, 0, 0, B - Braking forces, NO, 0, 0, NO,
1087, BEAM , UNILOAD, LX, NO , NO, aDir[1], , , , 0, -5, 1, -5, 0, 0, 0, 0, B - Braking forces, NO, 0, 0, NO,
1088, BEAM , UNILOAD, LX, NO , NO, aDir[1], , , , 0, -5, 1, -5, 0, 0, 0, 0, B - Braking forces, NO, 0, 0, NO,
1089, BEAM , UNILOAD, LX, NO , NO, aDir[1], , , , 0, -5, 1, -5, 0, 0, 0, 0, B - Braking forces, NO, 0, 0, NO,
1090, BEAM , UNILOAD, LX, NO , NO, aDir[1], , , , 0, -5, 1, -5, 0, 0, 0, 0, B - Braking forces, NO, 0, 0, NO,
1091, BEAM , UNILOAD, LX, NO , NO, aDir[1], , , , 0, -5, 1, -5, 0, 0, 0, 0, B - Braking forces, NO, 0, 0, NO,
1092, BEAM , UNILOAD, LX, NO , NO, aDir[1], , , , 0, -5, 1, -5, 0, 0, 0, 0, B - Braking forces, NO, 0, 0, NO,
1093, BEAM , UNILOAD, LX, NO , NO, aDir[1], , , , 0, -5, 1, -5, 0, 0, 0, 0, B - Braking forces, NO, 0, 0, NO,
1094, BEAM , UNILOAD, LX, NO , NO, aDir[1], , , , 0, -5, 1, -5, 0, 0, 0, 0, B - Braking forces, NO, 0, 0, NO,
1235, BEAM , UNILOAD, LX, NO , NO, aDir[1], , , , 0, -5, 1, -5, 0, 0, 0, 0, B - Braking forces, NO, 0, 0, NO,
1236, BEAM , UNILOAD, LX, NO , NO, aDir[1], , , , 0, -5, 1, -5, 0, 0, 0, 0, B - Braking forces, NO, 0, 0, NO,
1237, BEAM , UNILOAD, LX, NO , NO, aDir[1], , , , 0, -5, 1, -5, 0, 0, 0, 0, B - Braking forces, NO, 0, 0, NO,
1238, BEAM , UNILOAD, LX, NO , NO, aDir[1], , , , 0, -5, 1, -5, 0, 0, 0, 0, B - Braking forces, NO, 0, 0, NO,
1239, BEAM , UNILOAD, LX, NO , NO, aDir[1], , , , 0, -5, 1, -5, 0, 0, 0, 0, B - Braking forces, NO, 0, 0, NO,
1240, BEAM , UNILOAD, LX, NO , NO, aDir[1], , , , 0, -5, 1, -5, 0, 0, 0, 0, B - Braking forces, NO, 0, 0, NO,
1241, BEAM , UNILOAD, LX, NO , NO, aDir[1], , , , 0, -5, 1, -5, 0, 0, 0, 0, B - Braking forces, NO, 0, 0, NO,
1242, BEAM , UNILOAD, LX, NO , NO, aDir[1], , , , 0, -5, 1, -5, 0, 0, 0, 0, B - Braking forces, NO, 0, 0, NO,
1243, BEAM , UNILOAD, LX, NO , NO, aDir[1], , , , 0, -5, 1, -5, 0, 0, 0, 0, B - Braking forces, NO, 0, 0, NO,
1244, BEAM , UNILOAD, LX, NO , NO, aDir[1], , , , 0, -5, 1, -5, 0, 0, 0, 0, B - Braking forces, NO, 0, 0, NO,
1245, BEAM , UNILOAD, LX, NO , NO, aDir[1], , , , 0, -5, 1, -5, 0, 0, 0, 0, B - Braking forces, NO, 0, 0, NO,
1246, BEAM , UNILOAD, LX, NO , NO, aDir[1], , , , 0, -5, 1, -5, 0, 0, 0, 0, B - Braking forces, NO, 0, 0, NO,
1247, BEAM , UNILOAD, LX, NO , NO, aDir[1], , , , 0, -5, 1, -5, 0, 0, 0, 0, B - Braking forces, NO, 0, 0, NO,
1248, BEAM , UNILOAD, LX, NO , NO, aDir[1], , , , 0, -5, 1, -5, 0, 0, 0, 0, B - Braking forces, NO, 0, 0, NO,
1249, BEAM , UNILOAD, LX, NO , NO, aDir[1], , , , 0, -5, 1, -5, 0, 0, 0, 0, B - Braking forces, NO, 0, 0, NO,
1250, BEAM , UNILOAD, LX, NO , NO, aDir[1], , , , 0, -5, 1, -5, 0, 0, 0, 0, B - Braking forces, NO, 0, 0, NO,
1251, BEAM , UNILOAD, LX, NO , NO, aDir[1], , , , 0, -5, 1, -5, 0, 0, 0, 0, B - Braking forces, NO, 0, 0, NO,
1252, BEAM , UNILOAD, LX, NO , NO, aDir[1], , , , 0, -5, 1, -5, 0, 0, 0, 0, B - Braking forces, NO, 0, 0, NO,
1253, BEAM , UNILOAD, LX, NO , NO, aDir[1], , , , 0, -5, 1, -5, 0, 0, 0, 0, B - Braking forces, NO, 0, 0, NO,
1254, BEAM , UNILOAD, LX, NO , NO, aDir[1], , , , 0, -5, 1, -5, 0, 0, 0, 0, B - Braking forces, NO, 0, 0, NO,

1255, BEAM , UNILOAD, LX, NO , NO, aDir[1], , , , 0, -5, 1, -5, 0, 0, 0, 0, B - Braking forces, NO, 0, 0, NO,
1256, BEAM , UNILOAD, LX, NO , NO, aDir[1], , , , 0, -5, 1, -5, 0, 0, 0, 0, B - Braking forces, NO, 0, 0, NO,
1257, BEAM , UNILOAD, LX, NO , NO, aDir[1], , , , 0, -5, 1, -5, 0, 0, 0, 0, B - Braking forces, NO, 0, 0, NO,
1258, BEAM , UNILOAD, LX, NO , NO, aDir[1], , , , 0, -5, 1, -5, 0, 0, 0, 0, B - Braking forces, NO, 0, 0, NO,
1259, BEAM , UNILOAD, LX, NO , NO, aDir[1], , , , 0, -5, 1, -5, 0, 0, 0, 0, B - Braking forces, NO, 0, 0, NO,
1260, BEAM , UNILOAD, LX, NO , NO, aDir[1], , , , 0, -5, 1, -5, 0, 0, 0, 0, B - Braking forces, NO, 0, 0, NO,
1261, BEAM , UNILOAD, LX, NO , NO, aDir[1], , , , 0, -5, 1, -5, 0, 0, 0, 0, B - Braking forces, NO, 0, 0, NO,
1262, BEAM , UNILOAD, LX, NO , NO, aDir[1], , , , 0, -5, 1, -5, 0, 0, 0, 0, B - Braking forces, NO, 0, 0, NO,
1263, BEAM , UNILOAD, LX, NO , NO, aDir[1], , , , 0, -5, 1, -5, 0, 0, 0, 0, B - Braking forces, NO, 0, 0, NO,
1264, BEAM , UNILOAD, LX, NO , NO, aDir[1], , , , 0, -5, 1, -5, 0, 0, 0, 0, B - Braking forces, NO, 0, 0, NO,
1265, BEAM , UNILOAD, LX, NO , NO, aDir[1], , , , 0, -5, 1, -5, 0, 0, 0, 0, B - Braking forces, NO, 0, 0, NO,
1266, BEAM , UNILOAD, LX, NO , NO, aDir[1], , , , 0, -5, 1, -5, 0, 0, 0, 0, B - Braking forces, NO, 0, 0, NO,
1267, BEAM , UNILOAD, LX, NO , NO, aDir[1], , , , 0, -5, 1, -5, 0, 0, 0, 0, B - Braking forces, NO, 0, 0, NO,
1268, BEAM , UNILOAD, LX, NO , NO, aDir[1], , , , 0, -5, 1, -5, 0, 0, 0, 0, B - Braking forces, NO, 0, 0, NO,

; End of data for load case [B1 - Braking force L] ----------

*USE-STLD, B2 - Braking force L

*BEAMLOAD ; Element Beam Loads
; ELEM_LIST, CMD, TYPE, DIR, bPROJ, [ECCEN], [VALUE], GROUP
; ELEM_LIST, CMD, TYPE, TYPE, DIR, VX, VY, VZ, bPROJ, [ECCEN], [VALUE], GROUP
; [VALUE] : D1, P1, D2, P2, D3, P3, D4, P4
; [ECCEN] : bECCEN, ECCDIR, I-END, J-END, bJ-END
; [ADDITIONAL] : bADDITIONAL, ADDITIONAL_I-END, ADDITIONAL_J-END, bADDITIONAL_J-END
713, BEAM , UNILOAD, LX, NO , NO, aDir[1], , , , 0, -5, 1, -5, 0, 0, 0, 0, B - Braking forces, NO, 0, 0, NO,
714, BEAM , UNILOAD, LX, NO , NO, aDir[1], , , , 0, -5, 1, -5, 0, 0, 0, 0, B - Braking forces, NO, 0, 0, NO,
715, BEAM , UNILOAD, LX, NO , NO, aDir[1], , , , 0, -5, 1, -5, 0, 0, 0, 0, B - Braking forces, NO, 0, 0, NO,
716, BEAM , UNILOAD, LX, NO , NO, aDir[1], , , , 0, -5, 1, -5, 0, 0, 0, 0, B - Braking forces, NO, 0, 0, NO,
717, BEAM , UNILOAD, LX, NO , NO, aDir[1], , , , 0, -5, 1, -5, 0, 0, 0, 0, B - Braking forces, NO, 0, 0, NO,
718, BEAM , UNILOAD, LX, NO , NO, aDir[1], , , , 0, -5, 1, -5, 0, 0, 0, 0, B - Braking forces, NO, 0, 0, NO,
719, BEAM , UNILOAD, LX, NO , NO, aDir[1], , , , 0, -5, 1, -5, 0, 0, 0, 0, B - Braking forces, NO, 0, 0, NO,
720, BEAM , UNILOAD, LX, NO , NO, aDir[1], , , , 0, -5, 1, -5, 0, 0, 0, 0, B - Braking forces, NO, 0, 0, NO,
721, BEAM , UNILOAD, LX, NO , NO, aDir[1], , , , 0, -5, 1, -5, 0, 0, 0, 0, B - Braking forces, NO, 0, 0, NO,
722, BEAM , UNILOAD, LX, NO , NO, aDir[1], , , , 0, -5, 1, -5, 0, 0, 0, 0, B - Braking forces, NO, 0, 0, NO,
723, BEAM , UNILOAD, LX, NO , NO, aDir[1], , , , 0, -5, 1, -5, 0, 0, 0, 0, B - Braking forces, NO, 0, 0, NO,
724, BEAM , UNILOAD, LX, NO , NO, aDir[1], , , , 0, -5, 1, -5, 0, 0, 0, 0, B - Braking forces, NO, 0, 0, NO,
725, BEAM , UNILOAD, LX, NO , NO, aDir[1], , , , 0, -5, 1, -5, 0, 0, 0, 0, B - Braking forces, NO, 0, 0, NO,
726, BEAM , UNILOAD, LX, NO , NO, aDir[1], , , , 0, -5, 1, -5, 0, 0, 0, 0, B - Braking forces, NO, 0, 0, NO,
727, BEAM , UNILOAD, LX, NO , NO, aDir[1], , , , 0, -5, 1, -5, 0, 0, 0, 0, B - Braking forces, NO, 0, 0, NO,
728, BEAM , UNILOAD, LX, NO , NO, aDir[1], , , , 0, -5, 1, -5, 0, 0, 0, 0, B - Braking forces, NO, 0, 0, NO,
729, BEAM , UNILOAD, LX, NO , NO, aDir[1], , , , 0, -5, 1, -5, 0, 0, 0, 0, B - Braking forces, NO, 0, 0, NO,
730, BEAM , UNILOAD, LX, NO , NO, aDir[1], , , , 0, -5, 1, -5, 0, 0, 0, 0, B - Braking forces, NO, 0, 0, NO,
731, BEAM , UNILOAD, LX, NO , NO, aDir[1], , , , 0, -5, 1, -5, 0, 0, 0, 0, B - Braking forces, NO, 0, 0, NO,
732, BEAM , UNILOAD, LX, NO , NO, aDir[1], , , , 0, -5, 1, -5, 0, 0, 0, 0, B - Braking forces, NO, 0, 0, NO,
733, BEAM , UNILOAD, LX, NO , NO, aDir[1], , , , 0, -5, 1, -5, 0, 0, 0, 0, B - Braking forces, NO, 0, 0, NO,
734, BEAM , UNILOAD, LX, NO , NO, aDir[1], , , , 0, -5, 1, -5, 0, 0, 0, 0, B - Braking forces, NO, 0, 0, NO,
735, BEAM , UNILOAD, LX, NO , NO, aDir[1], , , , 0, -5, 1, -5, 0, 0, 0, 0, B - Braking forces, NO, 0, 0, NO,
736, BEAM , UNILOAD, LX, NO , NO, aDir[1], , , , 0, -5, 1, -5, 0, 0, 0, 0, B - Braking forces, NO, 0, 0, NO,
737, BEAM , UNILOAD, LX, NO , NO, aDir[1], , , , 0, -5, 1, -5, 0, 0, 0, 0, B - Braking forces, NO, 0, 0, NO,
738, BEAM , UNILOAD, LX, NO , NO, aDir[1], , , , 0, -5, 1, -5, 0, 0, 0, 0, B - Braking forces, NO, 0, 0, NO,
739, BEAM , UNILOAD, LX, NO , NO, aDir[1], , , , 0, -5, 1, -5, 0, 0, 0, 0, B - Braking forces, NO, 0, 0, NO,
740, BEAM , UNILOAD, LX, NO , NO, aDir[1], , , , 0, -5, 1, -5, 0, 0, 0, 0, B - Braking forces, NO, 0, 0, NO,
741, BEAM , UNILOAD, LX, NO , NO, aDir[1], , , , 0, -5, 1, -5, 0, 0, 0, 0, B - Braking forces, NO, 0, 0, NO,
742, BEAM , UNILOAD, LX, NO , NO, aDir[1], , , , 0, -5, 1, -5, 0, 0, 0, 0, B - Braking forces, NO, 0, 0, NO,
743, BEAM , UNILOAD, LX, NO , NO, aDir[1], , , , 0, -5, 1, -5, 0, 0, 0, 0, B - Braking forces, NO, 0, 0, NO,
744, BEAM , UNILOAD, LX, NO , NO, aDir[1], , , , 0, -5, 1, -5, 0, 0, 0, 0, B - Braking forces, NO, 0, 0, NO,
745, BEAM , UNILOAD, LX, NO , NO, aDir[1], , , , 0, -5, 1, -5, 0, 0, 0, 0, B - Braking forces, NO, 0, 0, NO,
746, BEAM , UNILOAD, LX, NO , NO, aDir[1], , , , 0, -5, 1, -5, 0, 0, 0, 0, B - Braking forces, NO, 0, 0, NO,
747, BEAM , UNILOAD, LX, NO , NO, aDir[1], , , , 0, -5, 1, -5, 0, 0, 0, 0, B - Braking forces, NO, 0, 0, NO,
748, BEAM , UNILOAD, LX, NO , NO, aDir[1], , , , 0, -5, 1, -5, 0, 0, 0, 0, B - Braking forces, NO, 0, 0, NO,
749, BEAM , UNILOAD, LX, NO , NO, aDir[1], , , , 0, -5, 1, -5, 0, 0, 0, 0, B - Braking forces, NO, 0, 0, NO,
750, BEAM , UNILOAD, LX, NO , NO, aDir[1], , , , 0, -5, 1, -5, 0, 0, 0, 0, B - Braking forces, NO, 0, 0, NO,
751, BEAM , UNILOAD, LX, NO , NO, aDir[1], , , , 0, -5, 1, -5, 0, 0, 0, 0, B - Braking forces, NO, 0, 0, NO,
752, BEAM , UNILOAD, LX, NO , NO, aDir[1], , , , 0, -5, 1, -5, 0, 0, 0, 0, B - Braking forces, NO, 0, 0, NO,
753, BEAM , UNILOAD, LX, NO , NO, aDir[1], , , , 0, -5, 1, -5, 0, 0, 0, 0, B - Braking forces, NO, 0, 0, NO,
887, BEAM , UNILOAD, LX, NO , NO, aDir[1], , , , 0, -5, 1, -5, 0, 0, 0, 0, B - Braking forces, NO, 0, 0, NO,
888, BEAM , UNILOAD, LX, NO , NO, aDir[1], , , , 0, -5, 1, -5, 0, 0, 0, 0, B - Braking forces, NO, 0, 0, NO,
889, BEAM , UNILOAD, LX, NO , NO, aDir[1], , , , 0, -5, 1, -5, 0, 0, 0, 0, B - Braking forces, NO, 0, 0, NO,
890, BEAM , UNILOAD, LX, NO , NO, aDir[1], , , , 0, -5, 1, -5, 0, 0, 0, 0, B - Braking forces, NO, 0, 0, NO,
891, BEAM , UNILOAD, LX, NO , NO, aDir[1], , , , 0, -5, 1, -5, 0, 0, 0, 0, B - Braking forces, NO, 0, 0, NO,
892, BEAM , UNILOAD, LX, NO , NO, aDir[1], , , , 0, -5, 1, -5, 0, 0, 0, 0, B - Braking forces, NO, 0, 0, NO,

893, BEAM , UNILOAD, LX, NO , NO, aDir[1], , , , 0, -5, 1, -5, 0, 0, 0, 0, B - Braking forces, NO, 0, 0, NO,
894, BEAM , UNILOAD, LX, NO , NO, aDir[1], , , , 0, -5, 1, -5, 0, 0, 0, 0, B - Braking forces, NO, 0, 0, NO,
895, BEAM , UNILOAD, LX, NO , NO, aDir[1], , , , 0, -5, 1, -5, 0, 0, 0, 0, B - Braking forces, NO, 0, 0, NO,
896, BEAM , UNILOAD, LX, NO , NO, aDir[1], , , , 0, -5, 1, -5, 0, 0, 0, 0, B - Braking forces, NO, 0, 0, NO,
897, BEAM , UNILOAD, LX, NO , NO, aDir[1], , , , 0, -5, 1, -5, 0, 0, 0, 0, B - Braking forces, NO, 0, 0, NO,
898, BEAM , UNILOAD, LX, NO , NO, aDir[1], , , , 0, -5, 1, -5, 0, 0, 0, 0, B - Braking forces, NO, 0, 0, NO,
899, BEAM , UNILOAD, LX, NO , NO, aDir[1], , , , 0, -5, 1, -5, 0, 0, 0, 0, B - Braking forces, NO, 0, 0, NO,
900, BEAM , UNILOAD, LX, NO , NO, aDir[1], , , , 0, -5, 1, -5, 0, 0, 0, 0, B - Braking forces, NO, 0, 0, NO,
901, BEAM , UNILOAD, LX, NO , NO, aDir[1], , , , 0, -5, 1, -5, 0, 0, 0, 0, B - Braking forces, NO, 0, 0, NO,
902, BEAM , UNILOAD, LX, NO , NO, aDir[1], , , , 0, -5, 1, -5, 0, 0, 0, 0, B - Braking forces, NO, 0, 0, NO,
903, BEAM , UNILOAD, LX, NO , NO, aDir[1], , , , 0, -5, 1, -5, 0, 0, 0, 0, B - Braking forces, NO, 0, 0, NO,
904, BEAM , UNILOAD, LX, NO , NO, aDir[1], , , , 0, -5, 1, -5, 0, 0, 0, 0, B - Braking forces, NO, 0, 0, NO,
905, BEAM , UNILOAD, LX, NO , NO, aDir[1], , , , 0, -5, 1, -5, 0, 0, 0, 0, B - Braking forces, NO, 0, 0, NO,
906, BEAM , UNILOAD, LX, NO , NO, aDir[1], , , , 0, -5, 1, -5, 0, 0, 0, 0, B - Braking forces, NO, 0, 0, NO,
907, BEAM , UNILOAD, LX, NO , NO, aDir[1], , , , 0, -5, 1, -5, 0, 0, 0, 0, B - Braking forces, NO, 0, 0, NO,
908, BEAM , UNILOAD, LX, NO , NO, aDir[1], , , , 0, -5, 1, -5, 0, 0, 0, 0, B - Braking forces, NO, 0, 0, NO,
909, BEAM , UNILOAD, LX, NO , NO, aDir[1], , , , 0, -5, 1, -5, 0, 0, 0, 0, B - Braking forces, NO, 0, 0, NO,
910, BEAM , UNILOAD, LX, NO , NO, aDir[1], , , , 0, -5, 1, -5, 0, 0, 0, 0, B - Braking forces, NO, 0, 0, NO,
911, BEAM , UNILOAD, LX, NO , NO, aDir[1], , , , 0, -5, 1, -5, 0, 0, 0, 0, B - Braking forces, NO, 0, 0, NO,
912, BEAM , UNILOAD, LX, NO , NO, aDir[1], , , , 0, -5, 1, -5, 0, 0, 0, 0, B - Braking forces, NO, 0, 0, NO,
913, BEAM , UNILOAD, LX, NO , NO, aDir[1], , , , 0, -5, 1, -5, 0, 0, 0, 0, B - Braking forces, NO, 0, 0, NO,
914, BEAM , UNILOAD, LX, NO , NO, aDir[1], , , , 0, -5, 1, -5, 0, 0, 0, 0, B - Braking forces, NO, 0, 0, NO,
915, BEAM , UNILOAD, LX, NO , NO, aDir[1], , , , 0, -5, 1, -5, 0, 0, 0, 0, B - Braking forces, NO, 0, 0, NO,
916, BEAM , UNILOAD, LX, NO , NO, aDir[1], , , , 0, -5, 1, -5, 0, 0, 0, 0, B - Braking forces, NO, 0, 0, NO,
917, BEAM , UNILOAD, LX, NO , NO, aDir[1], , , , 0, -5, 1, -5, 0, 0, 0, 0, B - Braking forces, NO, 0, 0, NO,
918, BEAM , UNILOAD, LX, NO , NO, aDir[1], , , , 0, -5, 1, -5, 0, 0, 0, 0, B - Braking forces, NO, 0, 0, NO,
919, BEAM , UNILOAD, LX, NO , NO, aDir[1], , , , 0, -5, 1, -5, 0, 0, 0, 0, B - Braking forces, NO, 0, 0, NO,
920, BEAM , UNILOAD, LX, NO , NO, aDir[1], , , , 0, -5, 1, -5, 0, 0, 0, 0, B - Braking forces, NO, 0, 0, NO,
921, BEAM , UNILOAD, LX, NO , NO, aDir[1], , , , 0, -5, 1, -5, 0, 0, 0, 0, B - Braking forces, NO, 0, 0, NO,
922, BEAM , UNILOAD, LX, NO , NO, aDir[1], , , , 0, -5, 1, -5, 0, 0, 0, 0, B - Braking forces, NO, 0, 0, NO,
923, BEAM , UNILOAD, LX, NO , NO, aDir[1], , , , 0, -5, 1, -5, 0, 0, 0, 0, B - Braking forces, NO, 0, 0, NO,
924, BEAM , UNILOAD, LX, NO , NO, aDir[1], , , , 0, -5, 1, -5, 0, 0, 0, 0, B - Braking forces, NO, 0, 0, NO,
925, BEAM , UNILOAD, LX, NO , NO, aDir[1], , , , 0, -5, 1, -5, 0, 0, 0, 0, B - Braking forces, NO, 0, 0, NO,
926, BEAM , UNILOAD, LX, NO , NO, aDir[1], , , , 0, -5, 1, -5, 0, 0, 0, 0, B - Braking forces, NO, 0, 0, NO,
927, BEAM , UNILOAD, LX, NO , NO, aDir[1], , , , 0, -5, 1, -5, 0, 0, 0, 0, B - Braking forces, NO, 0, 0, NO,

; End of data for load case [B2 - Braking force L] ----------

*USE-STLD, B1 - Braking force L

*BEAMLOAD ; Element Beam Loads
; ELEM_LIST, CMD, TYPE, DIR, bPROJ, [ECCEN], [VALUE], GROUP
; ELEM_LIST, CMD, TYPE, TYPE, DIR, VX, VY, VZ, bPROJ, [ECCEN], [VALUE], GROUP
; [VALUE] : D1, P1, D2, P2, D3, P3, D4, P4
; [ECCEN] : bECCEN, ECCDIR, I-END, J-END, bJ-END
; [ADDITIONAL] : bADDITIONAL, ADDITIONAL_I-END, ADDITIONAL_J-END, bADDITIONAL_J-END
1126, BEAM , UNILOAD, LX, NO , NO, aDir[1], , , , 0, 5, 1, 5, 0, 0, 0, 0, B - Braking forces, NO, 0, 0, NO,
1127, BEAM , UNILOAD, LX, NO , NO, aDir[1], , , , 0, 5, 1, 5, 0, 0, 0, 0, B - Braking forces, NO, 0, 0, NO,
1128, BEAM , UNILOAD, LX, NO , NO, aDir[1], , , , 0, 5, 1, 5, 0, 0, 0, 0, B - Braking forces, NO, 0, 0, NO,
1129, BEAM , UNILOAD, LX, NO , NO, aDir[1], , , , 0, 5, 1, 5, 0, 0, 0, 0, B - Braking forces, NO, 0, 0, NO,
1130, BEAM , UNILOAD, LX, NO , NO, aDir[1], , , , 0, 5, 1, 5, 0, 0, 0, 0, B - Braking forces, NO, 0, 0, NO,
1131, BEAM , UNILOAD, LX, NO , NO, aDir[1], , , , 0, 5, 1, 5, 0, 0, 0, 0, B - Braking forces, NO, 0, 0, NO,
1132, BEAM , UNILOAD, LX, NO , NO, aDir[1], , , , 0, 5, 1, 5, 0, 0, 0, 0, B - Braking forces, NO, 0, 0, NO,
1133, BEAM , UNILOAD, LX, NO , NO, aDir[1], , , , 0, 5, 1, 5, 0, 0, 0, 0, B - Braking forces, NO, 0, 0, NO,
1134, BEAM , UNILOAD, LX, NO , NO, aDir[1], , , , 0, 5, 1, 5, 0, 0, 0, 0, B - Braking forces, NO, 0, 0, NO,
1135, BEAM , UNILOAD, LX, NO , NO, aDir[1], , , , 0, 5, 1, 5, 0, 0, 0, 0, B - Braking forces, NO, 0, 0, NO,
1136, BEAM , UNILOAD, LX, NO , NO, aDir[1], , , , 0, 5, 1, 5, 0, 0, 0, 0, B - Braking forces, NO, 0, 0, NO,
1137, BEAM , UNILOAD, LX, NO , NO, aDir[1], , , , 0, 5, 1, 5, 0, 0, 0, 0, B - Braking forces, NO, 0, 0, NO,
1138, BEAM , UNILOAD, LX, NO , NO, aDir[1], , , , 0, 5, 1, 5, 0, 0, 0, 0, B - Braking forces, NO, 0, 0, NO,
1139, BEAM , UNILOAD, LX, NO , NO, aDir[1], , , , 0, 5, 1, 5, 0, 0, 0, 0, B - Braking forces, NO, 0, 0, NO,
1140, BEAM , UNILOAD, LX, NO , NO, aDir[1], , , , 0, 5, 1, 5, 0, 0, 0, 0, B - Braking forces, NO, 0, 0, NO,
1141, BEAM , UNILOAD, LX, NO , NO, aDir[1], , , , 0, 5, 1, 5, 0, 0, 0, 0, B - Braking forces, NO, 0, 0, NO,
1142, BEAM , UNILOAD, LX, NO , NO, aDir[1], , , , 0, 5, 1, 5, 0, 0, 0, 0, B - Braking forces, NO, 0, 0, NO,
1143, BEAM , UNILOAD, LX, NO , NO, aDir[1], , , , 0, 5, 1, 5, 0, 0, 0, 0, B - Braking forces, NO, 0, 0, NO,
1144, BEAM , UNILOAD, LX, NO , NO, aDir[1], , , , 0, 5, 1, 5, 0, 0, 0, 0, B - Braking forces, NO, 0, 0, NO,
1145, BEAM , UNILOAD, LX, NO , NO, aDir[1], , , , 0, 5, 1, 5, 0, 0, 0, 0, B - Braking forces, NO, 0, 0, NO,
1146, BEAM , UNILOAD, LX, NO , NO, aDir[1], , , , 0, 5, 1, 5, 0, 0, 0, 0, B - Braking forces, NO, 0, 0, NO,
1147, BEAM , UNILOAD, LX, NO , NO, aDir[1], , , , 0, 5, 1, 5, 0, 0, 0, 0, B - Braking forces, NO, 0, 0, NO,
1148, BEAM , UNILOAD, LX, NO , NO, aDir[1], , , , 0, 5, 1, 5, 0, 0, 0, 0, B - Braking forces, NO, 0, 0, NO,
1149, BEAM , UNILOAD, LX, NO , NO, aDir[1], , , , 0, 5, 1, 5, 0, 0, 0, 0, B - Braking forces, NO, 0, 0, NO,
1150, BEAM , UNILOAD, LX, NO , NO, aDir[1], , , , 0, 5, 1, 5, 0, 0, 0, 0, B - Braking forces, NO, 0, 0, NO,
1151, BEAM , UNILOAD, LX, NO , NO, aDir[1], , , , 0, 5, 1, 5, 0, 0, 0, 0, B - Braking forces, NO, 0, 0, NO,

1152, BEAM , UNILOAD, LX, NO , NO, aDir[1], , , , 0, 5, 1, 5, 0, 0, 0, 0, B - Braking forces, NO, 0, 0, NO,
1153, BEAM , UNILOAD, LX, NO , NO, aDir[1], , , , 0, 5, 1, 5, 0, 0, 0, 0, B - Braking forces, NO, 0, 0, NO,
1154, BEAM , UNILOAD, LX, NO , NO, aDir[1], , , , 0, 5, 1, 5, 0, 0, 0, 0, B - Braking forces, NO, 0, 0, NO,
1155, BEAM , UNILOAD, LX, NO , NO, aDir[1], , , , 0, 5, 1, 5, 0, 0, 0, 0, B - Braking forces, NO, 0, 0, NO,
1156, BEAM , UNILOAD, LX, NO , NO, aDir[1], , , , 0, 5, 1, 5, 0, 0, 0, 0, B - Braking forces, NO, 0, 0, NO,
1300, BEAM , UNILOAD, LX, NO , NO, aDir[1], , , , 0, 5, 1, 5, 0, 0, 0, 0, B - Braking forces, NO, 0, 0, NO,
1301, BEAM , UNILOAD, LX, NO , NO, aDir[1], , , , 0, 5, 1, 5, 0, 0, 0, 0, B - Braking forces, NO, 0, 0, NO,
1302, BEAM , UNILOAD, LX, NO , NO, aDir[1], , , , 0, 5, 1, 5, 0, 0, 0, 0, B - Braking forces, NO, 0, 0, NO,
1303, BEAM , UNILOAD, LX, NO , NO, aDir[1], , , , 0, 5, 1, 5, 0, 0, 0, 0, B - Braking forces, NO, 0, 0, NO,
1304, BEAM , UNILOAD, LX, NO , NO, aDir[1], , , , 0, 5, 1, 5, 0, 0, 0, 0, B - Braking forces, NO, 0, 0, NO,
1305, BEAM , UNILOAD, LX, NO , NO, aDir[1], , , , 0, 5, 1, 5, 0, 0, 0, 0, B - Braking forces, NO, 0, 0, NO,
1306, BEAM , UNILOAD, LX, NO , NO, aDir[1], , , , 0, 5, 1, 5, 0, 0, 0, 0, B - Braking forces, NO, 0, 0, NO,
1307, BEAM , UNILOAD, LX, NO , NO, aDir[1], , , , 0, 5, 1, 5, 0, 0, 0, 0, B - Braking forces, NO, 0, 0, NO,
1308, BEAM , UNILOAD, LX, NO , NO, aDir[1], , , , 0, 5, 1, 5, 0, 0, 0, 0, B - Braking forces, NO, 0, 0, NO,
1309, BEAM , UNILOAD, LX, NO , NO, aDir[1], , , , 0, 5, 1, 5, 0, 0, 0, 0, B - Braking forces, NO, 0, 0, NO,
1310, BEAM , UNILOAD, LX, NO , NO, aDir[1], , , , 0, 5, 1, 5, 0, 0, 0, 0, B - Braking forces, NO, 0, 0, NO,
1311, BEAM , UNILOAD, LX, NO , NO, aDir[1], , , , 0, 5, 1, 5, 0, 0, 0, 0, B - Braking forces, NO, 0, 0, NO,
1312, BEAM , UNILOAD, LX, NO , NO, aDir[1], , , , 0, 5, 1, 5, 0, 0, 0, 0, B - Braking forces, NO, 0, 0, NO,
1313, BEAM , UNILOAD, LX, NO , NO, aDir[1], , , , 0, 5, 1, 5, 0, 0, 0, 0, B - Braking forces, NO, 0, 0, NO,
1314, BEAM , UNILOAD, LX, NO , NO, aDir[1], , , , 0, 5, 1, 5, 0, 0, 0, 0, B - Braking forces, NO, 0, 0, NO,
1315, BEAM , UNILOAD, LX, NO , NO, aDir[1], , , , 0, 5, 1, 5, 0, 0, 0, 0, B - Braking forces, NO, 0, 0, NO,
1316, BEAM , UNILOAD, LX, NO , NO, aDir[1], , , , 0, 5, 1, 5, 0, 0, 0, 0, B - Braking forces, NO, 0, 0, NO,
1317, BEAM , UNILOAD, LX, NO , NO, aDir[1], , , , 0, 5, 1, 5, 0, 0, 0, 0, B - Braking forces, NO, 0, 0, NO,
1318, BEAM , UNILOAD, LX, NO , NO, aDir[1], , , , 0, 5, 1, 5, 0, 0, 0, 0, B - Braking forces, NO, 0, 0, NO,
1319, BEAM , UNILOAD, LX, NO , NO, aDir[1], , , , 0, 5, 1, 5, 0, 0, 0, 0, B - Braking forces, NO, 0, 0, NO,
1320, BEAM , UNILOAD, LX, NO , NO, aDir[1], , , , 0, 5, 1, 5, 0, 0, 0, 0, B - Braking forces, NO, 0, 0, NO,
1321, BEAM , UNILOAD, LX, NO , NO, aDir[1], , , , 0, 5, 1, 5, 0, 0, 0, 0, B - Braking forces, NO, 0, 0, NO,
1322, BEAM , UNILOAD, LX, NO , NO, aDir[1], , , , 0, 5, 1, 5, 0, 0, 0, 0, B - Braking forces, NO, 0, 0, NO,
1323, BEAM , UNILOAD, LX, NO , NO, aDir[1], , , , 0, 5, 1, 5, 0, 0, 0, 0, B - Braking forces, NO, 0, 0, NO,
1324, BEAM , UNILOAD, LX, NO , NO, aDir[1], , , , 0, 5, 1, 5, 0, 0, 0, 0, B - Braking forces, NO, 0, 0, NO,
1325, BEAM , UNILOAD, LX, NO , NO, aDir[1], , , , 0, 5, 1, 5, 0, 0, 0, 0, B - Braking forces, NO, 0, 0, NO,
1326, BEAM , UNILOAD, LX, NO , NO, aDir[1], , , , 0, 5, 1, 5, 0, 0, 0, 0, B - Braking forces, NO, 0, 0, NO,
1327, BEAM , UNILOAD, LX, NO , NO, aDir[1], , , , 0, 5, 1, 5, 0, 0, 0, 0, B - Braking forces, NO, 0, 0, NO,
1328, BEAM , UNILOAD, LX, NO , NO, aDir[1], , , , 0, 5, 1, 5, 0, 0, 0, 0, B - Braking forces, NO, 0, 0, NO,
1329, BEAM , UNILOAD, LX, NO , NO, aDir[1], , , , 0, 5, 1, 5, 0, 0, 0, 0, B - Braking forces, NO, 0, 0, NO,
1330, BEAM , UNILOAD, LX, NO , NO, aDir[1], , , , 0, 5, 1, 5, 0, 0, 0, 0, B - Braking forces, NO, 0, 0, NO,

; End of data for load case [B1 - Braking force L] ----------

*USE-STLD, B2 - Braking force L

*BEAMLOAD ; Element Beam Loads
; ELEM_LIST, CMD, TYPE, DIR, bPROJ, [ECCEN], [VALUE], GROUP
; ELEM_LIST, CMD, TYPE, TYPE, DIR, VX, VY, VZ, bPROJ, [ECCEN], [VALUE], GROUP
; [VALUE] : D1, P1, D2, P2, D3, P3, D4, P4
; [ECCEN] : bECCEN, ECCDIR, I-END, J-END, bJ-END
; [ADDITIONAL] : bADDITIONAL, ADDITIONAL_I-END, ADDITIONAL_J-END, bADDITIONAL_J-END
779, BEAM , UNILOAD, LX, NO , NO, aDir[1], , , , 0, 5, 1, 5, 0, 0, 0, 0, B - Braking forces, NO, 0, 0, NO,
780, BEAM , UNILOAD, LX, NO , NO, aDir[1], , , , 0, 5, 1, 5, 0, 0, 0, 0, B - Braking forces, NO, 0, 0, NO,
781, BEAM , UNILOAD, LX, NO , NO, aDir[1], , , , 0, 5, 1, 5, 0, 0, 0, 0, B - Braking forces, NO, 0, 0, NO,
782, BEAM , UNILOAD, LX, NO , NO, aDir[1], , , , 0, 5, 1, 5, 0, 0, 0, 0, B - Braking forces, NO, 0, 0, NO,
783, BEAM , UNILOAD, LX, NO , NO, aDir[1], , , , 0, 5, 1, 5, 0, 0, 0, 0, B - Braking forces, NO, 0, 0, NO,
784, BEAM , UNILOAD, LX, NO , NO, aDir[1], , , , 0, 5, 1, 5, 0, 0, 0, 0, B - Braking forces, NO, 0, 0, NO,
785, BEAM , UNILOAD, LX, NO , NO, aDir[1], , , , 0, 5, 1, 5, 0, 0, 0, 0, B - Braking forces, NO, 0, 0, NO,
786, BEAM , UNILOAD, LX, NO , NO, aDir[1], , , , 0, 5, 1, 5, 0, 0, 0, 0, B - Braking forces, NO, 0, 0, NO,
787, BEAM , UNILOAD, LX, NO , NO, aDir[1], , , , 0, 5, 1, 5, 0, 0, 0, 0, B - Braking forces, NO, 0, 0, NO,
788, BEAM , UNILOAD, LX, NO , NO, aDir[1], , , , 0, 5, 1, 5, 0, 0, 0, 0, B - Braking forces, NO, 0, 0, NO,
789, BEAM , UNILOAD, LX, NO , NO, aDir[1], , , , 0, 5, 1, 5, 0, 0, 0, 0, B - Braking forces, NO, 0, 0, NO,
790, BEAM , UNILOAD, LX, NO , NO, aDir[1], , , , 0, 5, 1, 5, 0, 0, 0, 0, B - Braking forces, NO, 0, 0, NO,
791, BEAM , UNILOAD, LX, NO , NO, aDir[1], , , , 0, 5, 1, 5, 0, 0, 0, 0, B - Braking forces, NO, 0, 0, NO,
792, BEAM , UNILOAD, LX, NO , NO, aDir[1], , , , 0, 5, 1, 5, 0, 0, 0, 0, B - Braking forces, NO, 0, 0, NO,
793, BEAM , UNILOAD, LX, NO , NO, aDir[1], , , , 0, 5, 1, 5, 0, 0, 0, 0, B - Braking forces, NO, 0, 0, NO,
794, BEAM , UNILOAD, LX, NO , NO, aDir[1], , , , 0, 5, 1, 5, 0, 0, 0, 0, B - Braking forces, NO, 0, 0, NO,
795, BEAM , UNILOAD, LX, NO , NO, aDir[1], , , , 0, 5, 1, 5, 0, 0, 0, 0, B - Braking forces, NO, 0, 0, NO,
796, BEAM , UNILOAD, LX, NO , NO, aDir[1], , , , 0, 5, 1, 5, 0, 0, 0, 0, B - Braking forces, NO, 0, 0, NO,
797, BEAM , UNILOAD, LX, NO , NO, aDir[1], , , , 0, 5, 1, 5, 0, 0, 0, 0, B - Braking forces, NO, 0, 0, NO,
798, BEAM , UNILOAD, LX, NO , NO, aDir[1], , , , 0, 5, 1, 5, 0, 0, 0, 0, B - Braking forces, NO, 0, 0, NO,
799, BEAM , UNILOAD, LX, NO , NO, aDir[1], , , , 0, 5, 1, 5, 0, 0, 0, 0, B - Braking forces, NO, 0, 0, NO,
800, BEAM , UNILOAD, LX, NO , NO, aDir[1], , , , 0, 5, 1, 5, 0, 0, 0, 0, B - Braking forces, NO, 0, 0, NO,
801, BEAM , UNILOAD, LX, NO , NO, aDir[1], , , , 0, 5, 1, 5, 0, 0, 0, 0, B - Braking forces, NO, 0, 0, NO,
802, BEAM , UNILOAD, LX, NO , NO, aDir[1], , , , 0, 5, 1, 5, 0, 0, 0, 0, B - Braking forces, NO, 0, 0, NO,
803, BEAM , UNILOAD, LX, NO , NO, aDir[1], , , , 0, 5, 1, 5, 0, 0, 0, 0, B - Braking forces, NO, 0, 0, NO,

804, BEAM , UNILOAD, LX, NO , NO, aDir[1], , , , 0, 5, 1, 5, 0, 0, 0, 0, B - Braking forces, NO, 0, 0, NO,
805, BEAM , UNILOAD, LX, NO , NO, aDir[1], , , , 0, 5, 1, 5, 0, 0, 0, 0, B - Braking forces, NO, 0, 0, NO,
806, BEAM , UNILOAD, LX, NO , NO, aDir[1], , , , 0, 5, 1, 5, 0, 0, 0, 0, B - Braking forces, NO, 0, 0, NO,
807, BEAM , UNILOAD, LX, NO , NO, aDir[1], , , , 0, 5, 1, 5, 0, 0, 0, 0, B - Braking forces, NO, 0, 0, NO,
808, BEAM , UNILOAD, LX, NO , NO, aDir[1], , , , 0, 5, 1, 5, 0, 0, 0, 0, B - Braking forces, NO, 0, 0, NO,
809, BEAM , UNILOAD, LX, NO , NO, aDir[1], , , , 0, 5, 1, 5, 0, 0, 0, 0, B - Braking forces, NO, 0, 0, NO,
810, BEAM , UNILOAD, LX, NO , NO, aDir[1], , , , 0, 5, 1, 5, 0, 0, 0, 0, B - Braking forces, NO, 0, 0, NO,
811, BEAM , UNILOAD, LX, NO , NO, aDir[1], , , , 0, 5, 1, 5, 0, 0, 0, 0, B - Braking forces, NO, 0, 0, NO,
812, BEAM , UNILOAD, LX, NO , NO, aDir[1], , , , 0, 5, 1, 5, 0, 0, 0, 0, B - Braking forces, NO, 0, 0, NO,
813, BEAM , UNILOAD, LX, NO , NO, aDir[1], , , , 0, 5, 1, 5, 0, 0, 0, 0, B - Braking forces, NO, 0, 0, NO,
814, BEAM , UNILOAD, LX, NO , NO, aDir[1], , , , 0, 5, 1, 5, 0, 0, 0, 0, B - Braking forces, NO, 0, 0, NO,
815, BEAM , UNILOAD, LX, NO , NO, aDir[1], , , , 0, 5, 1, 5, 0, 0, 0, 0, B - Braking forces, NO, 0, 0, NO,
953, BEAM , UNILOAD, LX, NO , NO, aDir[1], , , , 0, 5, 1, 5, 0, 0, 0, 0, B - Braking forces, NO, 0, 0, NO,
954, BEAM , UNILOAD, LX, NO , NO, aDir[1], , , , 0, 5, 1, 5, 0, 0, 0, 0, B - Braking forces, NO, 0, 0, NO,
955, BEAM , UNILOAD, LX, NO , NO, aDir[1], , , , 0, 5, 1, 5, 0, 0, 0, 0, B - Braking forces, NO, 0, 0, NO,
956, BEAM , UNILOAD, LX, NO , NO, aDir[1], , , , 0, 5, 1, 5, 0, 0, 0, 0, B - Braking forces, NO, 0, 0, NO,
957, BEAM , UNILOAD, LX, NO , NO, aDir[1], , , , 0, 5, 1, 5, 0, 0, 0, 0, B - Braking forces, NO, 0, 0, NO,
958, BEAM , UNILOAD, LX, NO , NO, aDir[1], , , , 0, 5, 1, 5, 0, 0, 0, 0, B - Braking forces, NO, 0, 0, NO,
959, BEAM , UNILOAD, LX, NO , NO, aDir[1], , , , 0, 5, 1, 5, 0, 0, 0, 0, B - Braking forces, NO, 0, 0, NO,
960, BEAM , UNILOAD, LX, NO , NO, aDir[1], , , , 0, 5, 1, 5, 0, 0, 0, 0, B - Braking forces, NO, 0, 0, NO,
961, BEAM , UNILOAD, LX, NO , NO, aDir[1], , , , 0, 5, 1, 5, 0, 0, 0, 0, B - Braking forces, NO, 0, 0, NO,
962, BEAM , UNILOAD, LX, NO , NO, aDir[1], , , , 0, 5, 1, 5, 0, 0, 0, 0, B - Braking forces, NO, 0, 0, NO,
963, BEAM , UNILOAD, LX, NO , NO, aDir[1], , , , 0, 5, 1, 5, 0, 0, 0, 0, B - Braking forces, NO, 0, 0, NO,
964, BEAM , UNILOAD, LX, NO , NO, aDir[1], , , , 0, 5, 1, 5, 0, 0, 0, 0, B - Braking forces, NO, 0, 0, NO,
965, BEAM , UNILOAD, LX, NO , NO, aDir[1], , , , 0, 5, 1, 5, 0, 0, 0, 0, B - Braking forces, NO, 0, 0, NO,
966, BEAM , UNILOAD, LX, NO , NO, aDir[1], , , , 0, 5, 1, 5, 0, 0, 0, 0, B - Braking forces, NO, 0, 0, NO,
967, BEAM , UNILOAD, LX, NO , NO, aDir[1], , , , 0, 5, 1, 5, 0, 0, 0, 0, B - Braking forces, NO, 0, 0, NO,
968, BEAM , UNILOAD, LX, NO , NO, aDir[1], , , , 0, 5, 1, 5, 0, 0, 0, 0, B - Braking forces, NO, 0, 0, NO,
969, BEAM , UNILOAD, LX, NO , NO, aDir[1], , , , 0, 5, 1, 5, 0, 0, 0, 0, B - Braking forces, NO, 0, 0, NO,
970, BEAM , UNILOAD, LX, NO , NO, aDir[1], , , , 0, 5, 1, 5, 0, 0, 0, 0, B - Braking forces, NO, 0, 0, NO,
971, BEAM , UNILOAD, LX, NO , NO, aDir[1], , , , 0, 5, 1, 5, 0, 0, 0, 0, B - Braking forces, NO, 0, 0, NO,
972, BEAM , UNILOAD, LX, NO , NO, aDir[1], , , , 0, 5, 1, 5, 0, 0, 0, 0, B - Braking forces, NO, 0, 0, NO,
973, BEAM , UNILOAD, LX, NO , NO, aDir[1], , , , 0, 5, 1, 5, 0, 0, 0, 0, B - Braking forces, NO, 0, 0, NO,
974, BEAM , UNILOAD, LX, NO , NO, aDir[1], , , , 0, 5, 1, 5, 0, 0, 0, 0, B - Braking forces, NO, 0, 0, NO,
975, BEAM , UNILOAD, LX, NO , NO, aDir[1], , , , 0, 5, 1, 5, 0, 0, 0, 0, B - Braking forces, NO, 0, 0, NO,
976, BEAM , UNILOAD, LX, NO , NO, aDir[1], , , , 0, 5, 1, 5, 0, 0, 0, 0, B - Braking forces, NO, 0, 0, NO,
977, BEAM , UNILOAD, LX, NO , NO, aDir[1], , , , 0, 5, 1, 5, 0, 0, 0, 0, B - Braking forces, NO, 0, 0, NO,
978, BEAM , UNILOAD, LX, NO , NO, aDir[1], , , , 0, 5, 1, 5, 0, 0, 0, 0, B - Braking forces, NO, 0, 0, NO,
979, BEAM , UNILOAD, LX, NO , NO, aDir[1], , , , 0, 5, 1, 5, 0, 0, 0, 0, B - Braking forces, NO, 0, 0, NO,
980, BEAM , UNILOAD, LX, NO , NO, aDir[1], , , , 0, 5, 1, 5, 0, 0, 0, 0, B - Braking forces, NO, 0, 0, NO,
981, BEAM , UNILOAD, LX, NO , NO, aDir[1], , , , 0, 5, 1, 5, 0, 0, 0, 0, B - Braking forces, NO, 0, 0, NO,
982, BEAM , UNILOAD, LX, NO , NO, aDir[1], , , , 0, 5, 1, 5, 0, 0, 0, 0, B - Braking forces, NO, 0, 0, NO,
983, BEAM , UNILOAD, LX, NO , NO, aDir[1], , , , 0, 5, 1, 5, 0, 0, 0, 0, B - Braking forces, NO, 0, 0, NO,
984, BEAM , UNILOAD, LX, NO , NO, aDir[1], , , , 0, 5, 1, 5, 0, 0, 0, 0, B - Braking forces, NO, 0, 0, NO,
985, BEAM , UNILOAD, LX, NO , NO, aDir[1], , , , 0, 5, 1, 5, 0, 0, 0, 0, B - Braking forces, NO, 0, 0, NO,
986, BEAM , UNILOAD, LX, NO , NO, aDir[1], , , , 0, 5, 1, 5, 0, 0, 0, 0, B - Braking forces, NO, 0, 0, NO,
987, BEAM , UNILOAD, LX, NO , NO, aDir[1], , , , 0, 5, 1, 5, 0, 0, 0, 0, B - Braking forces, NO, 0, 0, NO,
988, BEAM , UNILOAD, LX, NO , NO, aDir[1], , , , 0, 5, 1, 5, 0, 0, 0, 0, B - Braking forces, NO, 0, 0, NO,
989, BEAM , UNILOAD, LX, NO , NO, aDir[1], , , , 0, 5, 1, 5, 0, 0, 0, 0, B - Braking forces, NO, 0, 0, NO,

; End of data for load case [B2 - Braking force L] ----------

*USE-STLD, G0.2 - Selfweight- p

*BEAMLOAD ; Element Beam Loads
; ELEM_LIST, CMD, TYPE, DIR, bPROJ, [ECCEN], [VALUE], GROUP
; ELEM_LIST, CMD, TYPE, TYPE, DIR, VX, VY, VZ, bPROJ, [ECCEN], [VALUE], GROUP
; [VALUE] : D1, P1, D2, P2, D3, P3, D4, P4
; [ECCEN] : bECCEN, ECCDIR, I-END, J-END, bJ-END
; [ADDITIONAL] : bADDITIONAL, ADDITIONAL_I-END, ADDITIONAL_J-END, bADDITIONAL_J-END
3767, BEAM , UNILOAD, GZ, NO , NO, aDir[1], , , , 0, -0.5, 1, -0.5, 0, 0, 0, 0, G0 - Selfweight, NO, 0, 0, NO,
3768, BEAM , UNILOAD, GZ, NO , NO, aDir[1], , , , 0, -0.5, 1, -0.5, 0, 0, 0, 0, G0 - Selfweight, NO, 0, 0, NO,
3769, BEAM , UNILOAD, GZ, NO , NO, aDir[1], , , , 0, -0.5, 1, -0.5, 0, 0, 0, 0, G0 - Selfweight, NO, 0, 0, NO,
3770, BEAM , UNILOAD, GZ, NO , NO, aDir[1], , , , 0, -0.5, 1, -0.5, 0, 0, 0, 0, G0 - Selfweight, NO, 0, 0, NO,
3771, BEAM , UNILOAD, GZ, NO , NO, aDir[1], , , , 0, -0.5, 1, -0.5, 0, 0, 0, 0, G0 - Selfweight, NO, 0, 0, NO,
3772, BEAM , UNILOAD, GZ, NO , NO, aDir[1], , , , 0, -0.5, 1, -0.5, 0, 0, 0, 0, G0 - Selfweight, NO, 0, 0, NO,
3773, BEAM , UNILOAD, GZ, NO , NO, aDir[1], , , , 0, -0.5, 1, -0.5, 0, 0, 0, 0, G0 - Selfweight, NO, 0, 0, NO,
3774, BEAM , UNILOAD, GZ, NO , NO, aDir[1], , , , 0, -0.5, 1, -0.5, 0, 0, 0, 0, G0 - Selfweight, NO, 0, 0, NO,
3775, BEAM , UNILOAD, GZ, NO , NO, aDir[1], , , , 0, -0.5, 1, -0.5, 0, 0, 0, 0, G0 - Selfweight, NO, 0, 0, NO,
3776, BEAM , UNILOAD, GZ, NO , NO, aDir[1], , , , 0, -0.5, 1, -0.5, 0, 0, 0, 0, G0 - Selfweight, NO, 0, 0, NO,
3777, BEAM , UNILOAD, GZ, NO , NO, aDir[1], , , , 0, -0.5, 1, -0.5, 0, 0, 0, 0, G0 - Selfweight, NO, 0, 0, NO,
3778, BEAM , UNILOAD, GZ, NO , NO, aDir[1], , , , 0, -0.5, 1, -0.5, 0, 0, 0, 0, G0 - Selfweight, NO, 0, 0, NO,

3779, BEAM , UNILOAD, GZ, NO , NO, aDir[1], , , , 0, -0.5, 1, -0.5, 0, 0, 0, 0, G0 - Selfweight, NO, 0, 0, NO,
3780, BEAM , UNILOAD, GZ, NO , NO, aDir[1], , , , 0, -0.5, 1, -0.5, 0, 0, 0, 0, G0 - Selfweight, NO, 0, 0, NO,
3781, BEAM , UNILOAD, GZ, NO , NO, aDir[1], , , , 0, -0.5, 1, -0.5, 0, 0, 0, 0, G0 - Selfweight, NO, 0, 0, NO,
3782, BEAM , UNILOAD, GZ, NO , NO, aDir[1], , , , 0, -0.5, 1, -0.5, 0, 0, 0, 0, G0 - Selfweight, NO, 0, 0, NO,
3783, BEAM , UNILOAD, GZ, NO , NO, aDir[1], , , , 0, -0.5, 1, -0.5, 0, 0, 0, 0, G0 - Selfweight, NO, 0, 0, NO,
3784, BEAM , UNILOAD, GZ, NO , NO, aDir[1], , , , 0, -0.5, 1, -0.5, 0, 0, 0, 0, G0 - Selfweight, NO, 0, 0, NO,
3785, BEAM , UNILOAD, GZ, NO , NO, aDir[1], , , , 0, -0.5, 1, -0.5, 0, 0, 0, 0, G0 - Selfweight, NO, 0, 0, NO,
3786, BEAM , UNILOAD, GZ, NO , NO, aDir[1], , , , 0, -0.5, 1, -0.5, 0, 0, 0, 0, G0 - Selfweight, NO, 0, 0, NO,
3787, BEAM , UNILOAD, GZ, NO , NO, aDir[1], , , , 0, -0.5, 1, -0.5, 0, 0, 0, 0, G0 - Selfweight, NO, 0, 0, NO,
3788, BEAM , UNILOAD, GZ, NO , NO, aDir[1], , , , 0, -0.5, 1, -0.5, 0, 0, 0, 0, G0 - Selfweight, NO, 0, 0, NO,
3789, BEAM , UNILOAD, GZ, NO , NO, aDir[1], , , , 0, -0.5, 1, -0.5, 0, 0, 0, 0, G0 - Selfweight, NO, 0, 0, NO,
3790, BEAM , UNILOAD, GZ, NO , NO, aDir[1], , , , 0, -0.5, 1, -0.5, 0, 0, 0, 0, G0 - Selfweight, NO, 0, 0, NO,
3791, BEAM , UNILOAD, GZ, NO , NO, aDir[1], , , , 0, -0.5, 1, -0.5, 0, 0, 0, 0, G0 - Selfweight, NO, 0, 0, NO,
3792, BEAM , UNILOAD, GZ, NO , NO, aDir[1], , , , 0, -0.5, 1, -0.5, 0, 0, 0, 0, G0 - Selfweight, NO, 0, 0, NO,
3793, BEAM , UNILOAD, GZ, NO , NO, aDir[1], , , , 0, -0.5, 1, -0.5, 0, 0, 0, 0, G0 - Selfweight, NO, 0, 0, NO,
3794, BEAM , UNILOAD, GZ, NO , NO, aDir[1], , , , 0, -0.5, 1, -0.5, 0, 0, 0, 0, G0 - Selfweight, NO, 0, 0, NO,
3795, BEAM , UNILOAD, GZ, NO , NO, aDir[1], , , , 0, -0.5, 1, -0.5, 0, 0, 0, 0, G0 - Selfweight, NO, 0, 0, NO,
3796, BEAM , UNILOAD, GZ, NO , NO, aDir[1], , , , 0, -0.5, 1, -0.5, 0, 0, 0, 0, G0 - Selfweight, NO, 0, 0, NO,
3797, BEAM , UNILOAD, GZ, NO , NO, aDir[1], , , , 0, -0.5, 1, -0.5, 0, 0, 0, 0, G0 - Selfweight, NO, 0, 0, NO,
3798, BEAM , UNILOAD, GZ, NO , NO, aDir[1], , , , 0, -0.5, 1, -0.5, 0, 0, 0, 0, G0 - Selfweight, NO, 0, 0, NO,
3799, BEAM , UNILOAD, GZ, NO , NO, aDir[1], , , , 0, -0.5, 1, -0.5, 0, 0, 0, 0, G0 - Selfweight, NO, 0, 0, NO,
3800, BEAM , UNILOAD, GZ, NO , NO, aDir[1], , , , 0, -0.5, 1, -0.5, 0, 0, 0, 0, G0 - Selfweight, NO, 0, 0, NO,
3801, BEAM , UNILOAD, GZ, NO , NO, aDir[1], , , , 0, -0.5, 1, -0.5, 0, 0, 0, 0, G0 - Selfweight, NO, 0, 0, NO,
3802, BEAM , UNILOAD, GZ, NO , NO, aDir[1], , , , 0, -0.5, 1, -0.5, 0, 0, 0, 0, G0 - Selfweight, NO, 0, 0, NO,
3803, BEAM , UNILOAD, GZ, NO , NO, aDir[1], , , , 0, -0.5, 1, -0.5, 0, 0, 0, 0, G0 - Selfweight, NO, 0, 0, NO,
3804, BEAM , UNILOAD, GZ, NO , NO, aDir[1], , , , 0, -0.5, 1, -0.5, 0, 0, 0, 0, G0 - Selfweight, NO, 0, 0, NO,
3805, BEAM , UNILOAD, GZ, NO , NO, aDir[1], , , , 0, -0.5, 1, -0.5, 0, 0, 0, 0, G0 - Selfweight, NO, 0, 0, NO,
3806, BEAM , UNILOAD, GZ, NO , NO, aDir[1], , , , 0, -0.5, 1, -0.5, 0, 0, 0, 0, G0 - Selfweight, NO, 0, 0, NO,
3807, BEAM , UNILOAD, GZ, NO , NO, aDir[1], , , , 0, -0.5, 1, -0.5, 0, 0, 0, 0, G0 - Selfweight, NO, 0, 0, NO,
3808, BEAM , UNILOAD, GZ, NO , NO, aDir[1], , , , 0, -0.5, 1, -0.5, 0, 0, 0, 0, G0 - Selfweight, NO, 0, 0, NO,
3809, BEAM , UNILOAD, GZ, NO , NO, aDir[1], , , , 0, -0.5, 1, -0.5, 0, 0, 0, 0, G0 - Selfweight, NO, 0, 0, NO,
3810, BEAM , UNILOAD, GZ, NO , NO, aDir[1], , , , 0, -0.5, 1, -0.5, 0, 0, 0, 0, G0 - Selfweight, NO, 0, 0, NO,
3811, BEAM , UNILOAD, GZ, NO , NO, aDir[1], , , , 0, -0.5, 1, -0.5, 0, 0, 0, 0, G0 - Selfweight, NO, 0, 0, NO,
3812, BEAM , UNILOAD, GZ, NO , NO, aDir[1], , , , 0, -0.5, 1, -0.5, 0, 0, 0, 0, G0 - Selfweight, NO, 0, 0, NO,
3813, BEAM , UNILOAD, GZ, NO , NO, aDir[1], , , , 0, -0.5, 1, -0.5, 0, 0, 0, 0, G0 - Selfweight, NO, 0, 0, NO,
3814, BEAM , UNILOAD, GZ, NO , NO, aDir[1], , , , 0, -0.5, 1, -0.5, 0, 0, 0, 0, G0 - Selfweight, NO, 0, 0, NO,
3815, BEAM , UNILOAD, GZ, NO , NO, aDir[1], , , , 0, -0.5, 1, -0.5, 0, 0, 0, 0, G0 - Selfweight, NO, 0, 0, NO,
3816, BEAM , UNILOAD, GZ, NO , NO, aDir[1], , , , 0, -0.5, 1, -0.5, 0, 0, 0, 0, G0 - Selfweight, NO, 0, 0, NO,
3817, BEAM , UNILOAD, GZ, NO , NO, aDir[1], , , , 0, -0.5, 1, -0.5, 0, 0, 0, 0, G0 - Selfweight, NO, 0, 0, NO,
3818, BEAM , UNILOAD, GZ, NO , NO, aDir[1], , , , 0, -0.5, 1, -0.5, 0, 0, 0, 0, G0 - Selfweight, NO, 0, 0, NO,
3819, BEAM , UNILOAD, GZ, NO , NO, aDir[1], , , , 0, -0.5, 1, -0.5, 0, 0, 0, 0, G0 - Selfweight, NO, 0, 0, NO,
3820, BEAM , UNILOAD, GZ, NO , NO, aDir[1], , , , 0, -0.5, 1, -0.5, 0, 0, 0, 0, G0 - Selfweight, NO, 0, 0, NO,
3821, BEAM , UNILOAD, GZ, NO , NO, aDir[1], , , , 0, -0.5, 1, -0.5, 0, 0, 0, 0, G0 - Selfweight, NO, 0, 0, NO,
3822, BEAM , UNILOAD, GZ, NO , NO, aDir[1], , , , 0, -0.5, 1, -0.5, 0, 0, 0, 0, G0 - Selfweight, NO, 0, 0, NO,
3823, BEAM , UNILOAD, GZ, NO , NO, aDir[1], , , , 0, -0.5, 1, -0.5, 0, 0, 0, 0, G0 - Selfweight, NO, 0, 0, NO,
3824, BEAM , UNILOAD, GZ, NO , NO, aDir[1], , , , 0, -0.5, 1, -0.5, 0, 0, 0, 0, G0 - Selfweight, NO, 0, 0, NO,
3825, BEAM , UNILOAD, GZ, NO , NO, aDir[1], , , , 0, -0.5, 1, -0.5, 0, 0, 0, 0, G0 - Selfweight, NO, 0, 0, NO,
3826, BEAM , UNILOAD, GZ, NO , NO, aDir[1], , , , 0, -0.5, 1, -0.5, 0, 0, 0, 0, G0 - Selfweight, NO, 0, 0, NO,
3827, BEAM , UNILOAD, GZ, NO , NO, aDir[1], , , , 0, -0.5, 1, -0.5, 0, 0, 0, 0, G0 - Selfweight, NO, 0, 0, NO,
3828, BEAM , UNILOAD, GZ, NO , NO, aDir[1], , , , 0, -0.5, 1, -0.5, 0, 0, 0, 0, G0 - Selfweight, NO, 0, 0, NO,
3829, BEAM , UNILOAD, GZ, NO , NO, aDir[1], , , , 0, -0.5, 1, -0.5, 0, 0, 0, 0, G0 - Selfweight, NO, 0, 0, NO,
3830, BEAM , UNILOAD, GZ, NO , NO, aDir[1], , , , 0, -0.5, 1, -0.5, 0, 0, 0, 0, G0 - Selfweight, NO, 0, 0, NO,

; End of data for load case [G0.2 - Selfweight- p] ----------

*USE-STLD, G1.1 - Deck pavement

*BEAMLOAD ; Element Beam Loads
; ELEM_LIST, CMD, TYPE, DIR, bPROJ, [ECCEN], [VALUE], GROUP
; ELEM_LIST, CMD, TYPE, TYPE, DIR, VX, VY, VZ, bPROJ, [ECCEN], [VALUE], GROUP
; [VALUE] : D1, P1, D2, P2, D3, P3, D4, P4
; [ECCEN] : bECCEN, ECCDIR, I-END, J-END, bJ-END
; [ADDITIONAL] : bADDITIONAL, ADDITIONAL_I-END, ADDITIONAL_J-END, bADDITIONAL_J-END
3512, BEAM , UNILOAD, GZ, NO , NO, aDir[1], , , , 0, -0.52, 1, -0.52, 0, 0, 0, 0, G1 - Selfweight, NO, 0, 0, NO,
3513, BEAM , UNILOAD, GZ, NO , NO, aDir[1], , , , 0, -0.52, 1, -0.52, 0, 0, 0, 0, G1 - Selfweight, NO, 0, 0, NO,
3514, BEAM , UNILOAD, GZ, NO , NO, aDir[1], , , , 0, -0.52, 1, -0.52, 0, 0, 0, 0, G1 - Selfweight, NO, 0, 0, NO,
3516, BEAM , UNILOAD, GZ, NO , NO, aDir[1], , , , 0, -1.12, 1, -1.12, 0, 0, 0, 0, G1 - Selfweight, NO, 0, 0, NO,
3517, BEAM , UNILOAD, GZ, NO , NO, aDir[1], , , , 0, -1.12, 1, -1.12, 0, 0, 0, 0, G1 - Selfweight, NO, 0, 0, NO,
3518, BEAM , UNILOAD, GZ, NO , NO, aDir[1], , , , 0, -1.12, 1, -1.12, 0, 0, 0, 0, G1 - Selfweight, NO, 0, 0, NO,
3520, BEAM , UNILOAD, GZ, NO , NO, aDir[1], , , , 0, -1.26, 1, -1.26, 0, 0, 0, 0, G1 - Selfweight, NO, 0, 0, NO,
3521, BEAM , UNILOAD, GZ, NO , NO, aDir[1], , , , 0, -1.26, 1, -1.26, 0, 0, 0, 0, G1 - Selfweight, NO, 0, 0, NO,
3522, BEAM , UNILOAD, GZ, NO , NO, aDir[1], , , , 0, -1.26, 1, -1.26, 0, 0, 0, 0, G1 - Selfweight, NO, 0, 0, NO,

PROJECT TITLE :

MIDAS	Company		Client	
	Author		File Name	H2D_3Dg_v14_180227_StatLM.mct

3524, BEAM , UNILOAD, GZ, NO , NO, aDir[1], , , , 0, -1.38, 1, -1.38, 0, 0, 0, 0, G1 - Selfweight, NO, 0, 0, NO,
3525, BEAM , UNILOAD, GZ, NO , NO, aDir[1], , , , 0, -1.38, 1, -1.38, 0, 0, 0, 0, G1 - Selfweight, NO, 0, 0, NO,
3526, BEAM , UNILOAD, GZ, NO , NO, aDir[1], , , , 0, -1.38, 1, -1.38, 0, 0, 0, 0, G1 - Selfweight, NO, 0, 0, NO,
3528, BEAM , UNILOAD, GZ, NO , NO, aDir[1], , , , 0, -1.44, 1, -1.44, 0, 0, 0, 0, G1 - Selfweight, NO, 0, 0, NO,
3529, BEAM , UNILOAD, GZ, NO , NO, aDir[1], , , , 0, -1.44, 1, -1.44, 0, 0, 0, 0, G1 - Selfweight, NO, 0, 0, NO,
3530, BEAM , UNILOAD, GZ, NO , NO, aDir[1], , , , 0, -1.44, 1, -1.44, 0, 0, 0, 0, G1 - Selfweight, NO, 0, 0, NO,
3532, BEAM , UNILOAD, GZ, NO , NO, aDir[1], , , , 0, -1.44, 1, -1.44, 0, 0, 0, 0, G1 - Selfweight, NO, 0, 0, NO,
3533, BEAM , UNILOAD, GZ, NO , NO, aDir[1], , , , 0, -1.44, 1, -1.44, 0, 0, 0, 0, G1 - Selfweight, NO, 0, 0, NO,
3534, BEAM , UNILOAD, GZ, NO , NO, aDir[1], , , , 0, -1.44, 1, -1.44, 0, 0, 0, 0, G1 - Selfweight, NO, 0, 0, NO,
3536, BEAM , UNILOAD, GZ, NO , NO, aDir[1], , , , 0, -1.44, 1, -1.44, 0, 0, 0, 0, G1 - Selfweight, NO, 0, 0, NO,
3537, BEAM , UNILOAD, GZ, NO , NO, aDir[1], , , , 0, -1.44, 1, -1.44, 0, 0, 0, 0, G1 - Selfweight, NO, 0, 0, NO,
3538, BEAM , UNILOAD, GZ, NO , NO, aDir[1], , , , 0, -1.44, 1, -1.44, 0, 0, 0, 0, G1 - Selfweight, NO, 0, 0, NO,
3540, BEAM , UNILOAD, GZ, NO , NO, aDir[1], , , , 0, -1.44, 1, -1.44, 0, 0, 0, 0, G1 - Selfweight, NO, 0, 0, NO,
3541, BEAM , UNILOAD, GZ, NO , NO, aDir[1], , , , 0, -1.44, 1, -1.44, 0, 0, 0, 0, G1 - Selfweight, NO, 0, 0, NO,
3542, BEAM , UNILOAD, GZ, NO , NO, aDir[1], , , , 0, -1.44, 1, -1.44, 0, 0, 0, 0, G1 - Selfweight, NO, 0, 0, NO,
3544, BEAM , UNILOAD, GZ, NO , NO, aDir[1], , , , 0, -1.44, 1, -1.44, 0, 0, 0, 0, G1 - Selfweight, NO, 0, 0, NO,
3545, BEAM , UNILOAD, GZ, NO , NO, aDir[1], , , , 0, -1.44, 1, -1.44, 0, 0, 0, 0, G1 - Selfweight, NO, 0, 0, NO,
3546, BEAM , UNILOAD, GZ, NO , NO, aDir[1], , , , 0, -1.44, 1, -1.44, 0, 0, 0, 0, G1 - Selfweight, NO, 0, 0, NO,
3548, BEAM , UNILOAD, GZ, NO , NO, aDir[1], , , , 0, -1.44, 1, -1.44, 0, 0, 0, 0, G1 - Selfweight, NO, 0, 0, NO,
3549, BEAM , UNILOAD, GZ, NO , NO, aDir[1], , , , 0, -1.44, 1, -1.44, 0, 0, 0, 0, G1 - Selfweight, NO, 0, 0, NO,
3550, BEAM , UNILOAD, GZ, NO , NO, aDir[1], , , , 0, -1.44, 1, -1.44, 0, 0, 0, 0, G1 - Selfweight, NO, 0, 0, NO,
3552, BEAM , UNILOAD, GZ, NO , NO, aDir[1], , , , 0, -1.44, 1, -1.44, 0, 0, 0, 0, G1 - Selfweight, NO, 0, 0, NO,
3553, BEAM , UNILOAD, GZ, NO , NO, aDir[1], , , , 0, -1.44, 1, -1.44, 0, 0, 0, 0, G1 - Selfweight, NO, 0, 0, NO,
3554, BEAM , UNILOAD, GZ, NO , NO, aDir[1], , , , 0, -1.44, 1, -1.44, 0, 0, 0, 0, G1 - Selfweight, NO, 0, 0, NO,
3556, BEAM , UNILOAD, GZ, NO , NO, aDir[1], , , , 0, -1.44, 1, -1.44, 0, 0, 0, 0, G1 - Selfweight, NO, 0, 0, NO,
3557, BEAM , UNILOAD, GZ, NO , NO, aDir[1], , , , 0, -1.44, 1, -1.44, 0, 0, 0, 0, G1 - Selfweight, NO, 0, 0, NO,
3558, BEAM , UNILOAD, GZ, NO , NO, aDir[1], , , , 0, -1.44, 1, -1.44, 0, 0, 0, 0, G1 - Selfweight, NO, 0, 0, NO,
3560, BEAM , UNILOAD, GZ, NO , NO, aDir[1], , , , 0, -1.44, 1, -1.44, 0, 0, 0, 0, G1 - Selfweight, NO, 0, 0, NO,
3561, BEAM , UNILOAD, GZ, NO , NO, aDir[1], , , , 0, -1.44, 1, -1.44, 0, 0, 0, 0, G1 - Selfweight, NO, 0, 0, NO,
3562, BEAM , UNILOAD, GZ, NO , NO, aDir[1], , , , 0, -1.44, 1, -1.44, 0, 0, 0, 0, G1 - Selfweight, NO, 0, 0, NO,
3564, BEAM , UNILOAD, GZ, NO , NO, aDir[1], , , , 0, -1.38, 1, -1.38, 0, 0, 0, 0, G1 - Selfweight, NO, 0, 0, NO,
3565, BEAM , UNILOAD, GZ, NO , NO, aDir[1], , , , 0, -1.38, 1, -1.38, 0, 0, 0, 0, G1 - Selfweight, NO, 0, 0, NO,
3566, BEAM , UNILOAD, GZ, NO , NO, aDir[1], , , , 0, -1.38, 1, -1.38, 0, 0, 0, 0, G1 - Selfweight, NO, 0, 0, NO,
3568, BEAM , UNILOAD, GZ, NO , NO, aDir[1], , , , 0, -1.26, 1, -1.26, 0, 0, 0, 0, G1 - Selfweight, NO, 0, 0, NO,
3569, BEAM , UNILOAD, GZ, NO , NO, aDir[1], , , , 0, -1.26, 1, -1.26, 0, 0, 0, 0, G1 - Selfweight, NO, 0, 0, NO,
3570, BEAM , UNILOAD, GZ, NO , NO, aDir[1], , , , 0, -1.26, 1, -1.26, 0, 0, 0, 0, G1 - Selfweight, NO, 0, 0, NO,
3572, BEAM , UNILOAD, GZ, NO , NO, aDir[1], , , , 0, -1.12, 1, -1.12, 0, 0, 0, 0, G1 - Selfweight, NO, 0, 0, NO,
3573, BEAM , UNILOAD, GZ, NO , NO, aDir[1], , , , 0, -1.12, 1, -1.12, 0, 0, 0, 0, G1 - Selfweight, NO, 0, 0, NO,
3574, BEAM , UNILOAD, GZ, NO , NO, aDir[1], , , , 0, -1.12, 1, -1.12, 0, 0, 0, 0, G1 - Selfweight, NO, 0, 0, NO,
3576, BEAM , UNILOAD, GZ, NO , NO, aDir[1], , , , 0, -0.52, 1, -0.52, 0, 0, 0, 0, G1 - Selfweight, NO, 0, 0, NO,
3577, BEAM , UNILOAD, GZ, NO , NO, aDir[1], , , , 0, -0.52, 1, -0.52, 0, 0, 0, 0, G1 - Selfweight, NO, 0, 0, NO,
3578, BEAM , UNILOAD, GZ, NO , NO, aDir[1], , , , 0, -0.52, 1, -0.52, 0, 0, 0, 0, G1 - Selfweight, NO, 0, 0, NO,
3580, BEAM , UNILOAD, GZ, NO , NO, aDir[1], , , , 0, -0.52, 1, -0.52, 0, 0, 0, 0, G1 - Selfweight, NO, 0, 0, NO,
3581, BEAM , UNILOAD, GZ, NO , NO, aDir[1], , , , 0, -0.52, 1, -0.52, 0, 0, 0, 0, G1 - Selfweight, NO, 0, 0, NO,
3582, BEAM , UNILOAD, GZ, NO , NO, aDir[1], , , , 0, -0.52, 1, -0.52, 0, 0, 0, 0, G1 - Selfweight, NO, 0, 0, NO,
3584, BEAM , UNILOAD, GZ, NO , NO, aDir[1], , , , 0, -1.12, 1, -1.12, 0, 0, 0, 0, G1 - Selfweight, NO, 0, 0, NO,
3585, BEAM , UNILOAD, GZ, NO , NO, aDir[1], , , , 0, -1.12, 1, -1.12, 0, 0, 0, 0, G1 - Selfweight, NO, 0, 0, NO,
3586, BEAM , UNILOAD, GZ, NO , NO, aDir[1], , , , 0, -1.12, 1, -1.12, 0, 0, 0, 0, G1 - Selfweight, NO, 0, 0, NO,
3588, BEAM , UNILOAD, GZ, NO , NO, aDir[1], , , , 0, -1.26, 1, -1.26, 0, 0, 0, 0, G1 - Selfweight, NO, 0, 0, NO,
3589, BEAM , UNILOAD, GZ, NO , NO, aDir[1], , , , 0, -1.26, 1, -1.26, 0, 0, 0, 0, G1 - Selfweight, NO, 0, 0, NO,
3590, BEAM , UNILOAD, GZ, NO , NO, aDir[1], , , , 0, -1.26, 1, -1.26, 0, 0, 0, 0, G1 - Selfweight, NO, 0, 0, NO,
3592, BEAM , UNILOAD, GZ, NO , NO, aDir[1], , , , 0, -1.38, 1, -1.38, 0, 0, 0, 0, G1 - Selfweight, NO, 0, 0, NO,
3593, BEAM , UNILOAD, GZ, NO , NO, aDir[1], , , , 0, -1.38, 1, -1.38, 0, 0, 0, 0, G1 - Selfweight, NO, 0, 0, NO,
3594, BEAM , UNILOAD, GZ, NO , NO, aDir[1], , , , 0, -1.38, 1, -1.38, 0, 0, 0, 0, G1 - Selfweight, NO, 0, 0, NO,
3596, BEAM , UNILOAD, GZ, NO , NO, aDir[1], , , , 0, -1.44, 1, -1.44, 0, 0, 0, 0, G1 - Selfweight, NO, 0, 0, NO,
3597, BEAM , UNILOAD, GZ, NO , NO, aDir[1], , , , 0, -1.44, 1, -1.44, 0, 0, 0, 0, G1 - Selfweight, NO, 0, 0, NO,
3598, BEAM , UNILOAD, GZ, NO , NO, aDir[1], , , , 0, -1.44, 1, -1.44, 0, 0, 0, 0, G1 - Selfweight, NO, 0, 0, NO,
3600, BEAM , UNILOAD, GZ, NO , NO, aDir[1], , , , 0, -1.44, 1, -1.44, 0, 0, 0, 0, G1 - Selfweight, NO, 0, 0, NO,
3601, BEAM , UNILOAD, GZ, NO , NO, aDir[1], , , , 0, -1.44, 1, -1.44, 0, 0, 0, 0, G1 - Selfweight, NO, 0, 0, NO,
3602, BEAM , UNILOAD, GZ, NO , NO, aDir[1], , , , 0, -1.44, 1, -1.44, 0, 0, 0, 0, G1 - Selfweight, NO, 0, 0, NO,
3604, BEAM , UNILOAD, GZ, NO , NO, aDir[1], , , , 0, -1.44, 1, -1.44, 0, 0, 0, 0, G1 - Selfweight, NO, 0, 0, NO,
3605, BEAM , UNILOAD, GZ, NO , NO, aDir[1], , , , 0, -1.44, 1, -1.44, 0, 0, 0, 0, G1 - Selfweight, NO, 0, 0, NO,
3606, BEAM , UNILOAD, GZ, NO , NO, aDir[1], , , , 0, -1.44, 1, -1.44, 0, 0, 0, 0, G1 - Selfweight, NO, 0, 0, NO,
3608, BEAM , UNILOAD, GZ, NO , NO, aDir[1], , , , 0, -1.44, 1, -1.44, 0, 0, 0, 0, G1 - Selfweight, NO, 0, 0, NO,
3609, BEAM , UNILOAD, GZ, NO , NO, aDir[1], , , , 0, -1.44, 1, -1.44, 0, 0, 0, 0, G1 - Selfweight, NO, 0, 0, NO,
3610, BEAM , UNILOAD, GZ, NO , NO, aDir[1], , , , 0, -1.44, 1, -1.44, 0, 0, 0, 0, G1 - Selfweight, NO, 0, 0, NO,
3612, BEAM , UNILOAD, GZ, NO , NO, aDir[1], , , , 0, -1.44, 1, -1.44, 0, 0, 0, 0, G1 - Selfweight, NO, 0, 0, NO,
3613, BEAM , UNILOAD, GZ, NO , NO, aDir[1], , , , 0, -1.44, 1, -1.44, 0, 0, 0, 0, G1 - Selfweight, NO, 0, 0, NO,
3614, BEAM , UNILOAD, GZ, NO , NO, aDir[1], , , , 0, -1.44, 1, -1.44, 0, 0, 0, 0, G1 - Selfweight, NO, 0, 0, NO,
3616, BEAM , UNILOAD, GZ, NO , NO, aDir[1], , , , 0, -1.44, 1, -1.44, 0, 0, 0, 0, G1 - Selfweight, NO, 0, 0, NO,
3617, BEAM , UNILOAD, GZ, NO , NO, aDir[1], , , , 0, -1.44, 1, -1.44, 0, 0, 0, 0, G1 - Selfweight, NO, 0, 0, NO,
3618, BEAM , UNILOAD, GZ, NO , NO, aDir[1], , , , 0, -1.44, 1, -1.44, 0, 0, 0, 0, G1 - Selfweight, NO, 0, 0, NO,

3620, BEAM , UNILOAD, GZ, NO , NO, aDir[1], , , , 0, -1.44, 1, -1.44, 0, 0, 0, 0, G1 - Selfweight, NO, 0, 0, NO,
3621, BEAM , UNILOAD, GZ, NO , NO, aDir[1], , , , 0, -1.44, 1, -1.44, 0, 0, 0, 0, G1 - Selfweight, NO, 0, 0, NO,
3622, BEAM , UNILOAD, GZ, NO , NO, aDir[1], , , , 0, -1.44, 1, -1.44, 0, 0, 0, 0, G1 - Selfweight, NO, 0, 0, NO,
3624, BEAM , UNILOAD, GZ, NO , NO, aDir[1], , , , 0, -1.44, 1, -1.44, 0, 0, 0, 0, G1 - Selfweight, NO, 0, 0, NO,
3625, BEAM , UNILOAD, GZ, NO , NO, aDir[1], , , , 0, -1.44, 1, -1.44, 0, 0, 0, 0, G1 - Selfweight, NO, 0, 0, NO,
3626, BEAM , UNILOAD, GZ, NO , NO, aDir[1], , , , 0, -1.44, 1, -1.44, 0, 0, 0, 0, G1 - Selfweight, NO, 0, 0, NO,
3628, BEAM , UNILOAD, GZ, NO , NO, aDir[1], , , , 0, -1.44, 1, -1.44, 0, 0, 0, 0, G1 - Selfweight, NO, 0, 0, NO,
3629, BEAM , UNILOAD, GZ, NO , NO, aDir[1], , , , 0, -1.44, 1, -1.44, 0, 0, 0, 0, G1 - Selfweight, NO, 0, 0, NO,
3630, BEAM , UNILOAD, GZ, NO , NO, aDir[1], , , , 0, -1.44, 1, -1.44, 0, 0, 0, 0, G1 - Selfweight, NO, 0, 0, NO,
3632, BEAM , UNILOAD, GZ, NO , NO, aDir[1], , , , 0, -1.38, 1, -1.38, 0, 0, 0, 0, G1 - Selfweight, NO, 0, 0, NO,
3633, BEAM , UNILOAD, GZ, NO , NO, aDir[1], , , , 0, -1.38, 1, -1.38, 0, 0, 0, 0, G1 - Selfweight, NO, 0, 0, NO,
3634, BEAM , UNILOAD, GZ, NO , NO, aDir[1], , , , 0, -1.38, 1, -1.38, 0, 0, 0, 0, G1 - Selfweight, NO, 0, 0, NO,
3636, BEAM , UNILOAD, GZ, NO , NO, aDir[1], , , , 0, -1.26, 1, -1.26, 0, 0, 0, 0, G1 - Selfweight, NO, 0, 0, NO,
3637, BEAM , UNILOAD, GZ, NO , NO, aDir[1], , , , 0, -1.26, 1, -1.26, 0, 0, 0, 0, G1 - Selfweight, NO, 0, 0, NO,
3638, BEAM , UNILOAD, GZ, NO , NO, aDir[1], , , , 0, -1.26, 1, -1.26, 0, 0, 0, 0, G1 - Selfweight, NO, 0, 0, NO,
3640, BEAM , UNILOAD, GZ, NO , NO, aDir[1], , , , 0, -1.12, 1, -1.12, 0, 0, 0, 0, G1 - Selfweight, NO, 0, 0, NO,
3641, BEAM , UNILOAD, GZ, NO , NO, aDir[1], , , , 0, -1.12, 1, -1.12, 0, 0, 0, 0, G1 - Selfweight, NO, 0, 0, NO,
3642, BEAM , UNILOAD, GZ, NO , NO, aDir[1], , , , 0, -1.12, 1, -1.12, 0, 0, 0, 0, G1 - Selfweight, NO, 0, 0, NO,
3644, BEAM , UNILOAD, GZ, NO , NO, aDir[1], , , , 0, -0.52, 1, -0.52, 0, 0, 0, 0, G1 - Selfweight, NO, 0, 0, NO,
3645, BEAM , UNILOAD, GZ, NO , NO, aDir[1], , , , 0, -0.52, 1, -0.52, 0, 0, 0, 0, G1 - Selfweight, NO, 0, 0, NO,
3646, BEAM , UNILOAD, GZ, NO , NO, aDir[1], , , , 0, -0.52, 1, -0.52, 0, 0, 0, 0, G1 - Selfweight, NO, 0, 0, NO,

; End of data for load case [G1.1 - Deck pavement] ----------

*USE-STLD, G1.2 - Deck of servi

*BEAMLOAD ; Element Beam Loads
; ELEM_LIST, CMD, TYPE, DIR, bPROJ, [ECCEN], [VALUE], GROUP
; ELEM_LIST, CMD, TYPE, TYPE, DIR, VX, VY, VZ, bPROJ, [ECCEN], [VALUE], GROUP
; [VALUE] : D1, P1, D2, P2, D3, P3, D4, P4
; [ECCEN] : bECCEN, ECCDIR, I-END, J-END, bJ-END
; [ADDITIONAL] : bADDITIONAL, ADDITIONAL_I-END, ADDITIONAL_J-END, bADDITIONAL_J-END
533, BEAM , UNILOAD, GZ, NO , NO, aDir[1], , , , 0, -0.86, 1, -0.86, 0, 0, 0, 0, G1 - Selfweight, NO, 0, 0, NO,
534, BEAM , UNILOAD, GZ, NO , NO, aDir[1], , , , 0, -0.86, 1, -0.86, 0, 0, 0, 0, G1 - Selfweight, NO, 0, 0, NO,
535, BEAM , UNILOAD, GZ, NO , NO, aDir[1], , , , 0, -0.86, 1, -0.86, 0, 0, 0, 0, G1 - Selfweight, NO, 0, 0, NO,
536, BEAM , UNILOAD, GZ, NO , NO, aDir[1], , , , 0, -0.86, 1, -0.86, 0, 0, 0, 0, G1 - Selfweight, NO, 0, 0, NO,
537, BEAM , UNILOAD, GZ, NO , NO, aDir[1], , , , 0, -0.86, 1, -0.86, 0, 0, 0, 0, G1 - Selfweight, NO, 0, 0, NO,
538, BEAM , UNILOAD, GZ, NO , NO, aDir[1], , , , 0, -0.86, 1, -0.86, 0, 0, 0, 0, G1 - Selfweight, NO, 0, 0, NO,
539, BEAM , UNILOAD, GZ, NO , NO, aDir[1], , , , 0, -0.86, 1, -0.86, 0, 0, 0, 0, G1 - Selfweight, NO, 0, 0, NO,
540, BEAM , UNILOAD, GZ, NO , NO, aDir[1], , , , 0, -0.86, 1, -0.86, 0, 0, 0, 0, G1 - Selfweight, NO, 0, 0, NO,
541, BEAM , UNILOAD, GZ, NO , NO, aDir[1], , , , 0, -1.84, 1, -1.84, 0, 0, 0, 0, G1 - Selfweight, NO, 0, 0, NO,
542, BEAM , UNILOAD, GZ, NO , NO, aDir[1], , , , 0, -1.84, 1, -1.84, 0, 0, 0, 0, G1 - Selfweight, NO, 0, 0, NO,
543, BEAM , UNILOAD, GZ, NO , NO, aDir[1], , , , 0, -1.84, 1, -1.84, 0, 0, 0, 0, G1 - Selfweight, NO, 0, 0, NO,
544, BEAM , UNILOAD, GZ, NO , NO, aDir[1], , , , 0, -1.84, 1, -1.84, 0, 0, 0, 0, G1 - Selfweight, NO, 0, 0, NO,
545, BEAM , UNILOAD, GZ, NO , NO, aDir[1], , , , 0, -1.84, 1, -1.84, 0, 0, 0, 0, G1 - Selfweight, NO, 0, 0, NO,
546, BEAM , UNILOAD, GZ, NO , NO, aDir[1], , , , 0, -1.84, 1, -1.84, 0, 0, 0, 0, G1 - Selfweight, NO, 0, 0, NO,
547, BEAM , UNILOAD, GZ, NO , NO, aDir[1], , , , 0, -1.84, 1, -1.84, 0, 0, 0, 0, G1 - Selfweight, NO, 0, 0, NO,
548, BEAM , UNILOAD, GZ, NO , NO, aDir[1], , , , 0, -1.84, 1, -1.84, 0, 0, 0, 0, G1 - Selfweight, NO, 0, 0, NO,
549, BEAM , UNILOAD, GZ, NO , NO, aDir[1], , , , 0, -2.08, 1, -2.08, 0, 0, 0, 0, G1 - Selfweight, NO, 0, 0, NO,
550, BEAM , UNILOAD, GZ, NO , NO, aDir[1], , , , 0, -2.08, 1, -2.08, 0, 0, 0, 0, G1 - Selfweight, NO, 0, 0, NO,
551, BEAM , UNILOAD, GZ, NO , NO, aDir[1], , , , 0, -2.08, 1, -2.08, 0, 0, 0, 0, G1 - Selfweight, NO, 0, 0, NO,
552, BEAM , UNILOAD, GZ, NO , NO, aDir[1], , , , 0, -2.08, 1, -2.08, 0, 0, 0, 0, G1 - Selfweight, NO, 0, 0, NO,
553, BEAM , UNILOAD, GZ, NO , NO, aDir[1], , , , 0, -2.08, 1, -2.08, 0, 0, 0, 0, G1 - Selfweight, NO, 0, 0, NO,
554, BEAM , UNILOAD, GZ, NO , NO, aDir[1], , , , 0, -2.08, 1, -2.08, 0, 0, 0, 0, G1 - Selfweight, NO, 0, 0, NO,
555, BEAM , UNILOAD, GZ, NO , NO, aDir[1], , , , 0, -2.08, 1, -2.08, 0, 0, 0, 0, G1 - Selfweight, NO, 0, 0, NO,
556, BEAM , UNILOAD, GZ, NO , NO, aDir[1], , , , 0, -2.08, 1, -2.08, 0, 0, 0, 0, G1 - Selfweight, NO, 0, 0, NO,
557, BEAM , UNILOAD, GZ, NO , NO, aDir[1], , , , 0, -2.27, 1, -2.27, 0, 0, 0, 0, G1 - Selfweight, NO, 0, 0, NO,
558, BEAM , UNILOAD, GZ, NO , NO, aDir[1], , , , 0, -2.27, 1, -2.27, 0, 0, 0, 0, G1 - Selfweight, NO, 0, 0, NO,
559, BEAM , UNILOAD, GZ, NO , NO, aDir[1], , , , 0, -2.27, 1, -2.27, 0, 0, 0, 0, G1 - Selfweight, NO, 0, 0, NO,
560, BEAM , UNILOAD, GZ, NO , NO, aDir[1], , , , 0, -2.27, 1, -2.27, 0, 0, 0, 0, G1 - Selfweight, NO, 0, 0, NO,
561, BEAM , UNILOAD, GZ, NO , NO, aDir[1], , , , 0, -2.27, 1, -2.27, 0, 0, 0, 0, G1 - Selfweight, NO, 0, 0, NO,
562, BEAM , UNILOAD, GZ, NO , NO, aDir[1], , , , 0, -2.27, 1, -2.27, 0, 0, 0, 0, G1 - Selfweight, NO, 0, 0, NO,
563, BEAM , UNILOAD, GZ, NO , NO, aDir[1], , , , 0, -2.27, 1, -2.27, 0, 0, 0, 0, G1 - Selfweight, NO, 0, 0, NO,
564, BEAM , UNILOAD, GZ, NO , NO, aDir[1], , , , 0, -2.27, 1, -2.27, 0, 0, 0, 0, G1 - Selfweight, NO, 0, 0, NO,
565, BEAM , UNILOAD, GZ, NO , NO, aDir[1], , , , 0, -2.27, 1, -2.27, 0, 0, 0, 0, G1 - Selfweight, NO, 0, 0, NO,
566, BEAM , UNILOAD, GZ, NO , NO, aDir[1], , , , 0, -2.27, 1, -2.27, 0, 0, 0, 0, G1 - Selfweight, NO, 0, 0, NO,
567, BEAM , UNILOAD, GZ, NO , NO, aDir[1], , , , 0, -2.27, 1, -2.27, 0, 0, 0, 0, G1 - Selfweight, NO, 0, 0, NO,
568, BEAM , UNILOAD, GZ, NO , NO, aDir[1], , , , 0, -2.27, 1, -2.27, 0, 0, 0, 0, G1 - Selfweight, NO, 0, 0, NO,
569, BEAM , UNILOAD, GZ, NO , NO, aDir[1], , , , 0, -2.37, 1, -2.37, 0, 0, 0, 0, G1 - Selfweight, NO, 0, 0, NO,
570, BEAM , UNILOAD, GZ, NO , NO, aDir[1], , , , 0, -2.37, 1, -2.37, 0, 0, 0, 0, G1 - Selfweight, NO, 0, 0, NO,
571, BEAM , UNILOAD, GZ, NO , NO, aDir[1], , , , 0, -2.37, 1, -2.37, 0, 0, 0, 0, G1 - Selfweight, NO, 0, 0, NO,
572, BEAM , UNILOAD, GZ, NO , NO, aDir[1], , , , 0, -2.37, 1, -2.37, 0, 0, 0, 0, G1 - Selfweight, NO, 0, 0, NO,

PROJECT TITLE :

MIDAS	Company		Client	
	Author		File Name	H2D_3Dg_v14_180227_StatLM.mct

573, BEAM , UNILOAD, GZ, NO , NO, aDir[1], , , , 0, -2.37, 1, -2.37, 0, 0, 0, 0, G1 - Selfweight, NO, 0, 0, NO,
574, BEAM , UNILOAD, GZ, NO , NO, aDir[1], , , , 0, -2.37, 1, -2.37, 0, 0, 0, 0, G1 - Selfweight, NO, 0, 0, NO,
575, BEAM , UNILOAD, GZ, NO , NO, aDir[1], , , , 0, -2.37, 1, -2.37, 0, 0, 0, 0, G1 - Selfweight, NO, 0, 0, NO,
576, BEAM , UNILOAD, GZ, NO , NO, aDir[1], , , , 0, -2.37, 1, -2.37, 0, 0, 0, 0, G1 - Selfweight, NO, 0, 0, NO,
577, BEAM , UNILOAD, GZ, NO , NO, aDir[1], , , , 0, -2.37, 1, -2.37, 0, 0, 0, 0, G1 - Selfweight, NO, 0, 0, NO,
578, BEAM , UNILOAD, GZ, NO , NO, aDir[1], , , , 0, -2.37, 1, -2.37, 0, 0, 0, 0, G1 - Selfweight, NO, 0, 0, NO,
579, BEAM , UNILOAD, GZ, NO , NO, aDir[1], , , , 0, -2.37, 1, -2.37, 0, 0, 0, 0, G1 - Selfweight, NO, 0, 0, NO,
580, BEAM , UNILOAD, GZ, NO , NO, aDir[1], , , , 0, -2.37, 1, -2.37, 0, 0, 0, 0, G1 - Selfweight, NO, 0, 0, NO,
581, BEAM , UNILOAD, GZ, NO , NO, aDir[1], , , , 0, -2.37, 1, -2.37, 0, 0, 0, 0, G1 - Selfweight, NO, 0, 0, NO,
582, BEAM , UNILOAD, GZ, NO , NO, aDir[1], , , , 0, -2.37, 1, -2.37, 0, 0, 0, 0, G1 - Selfweight, NO, 0, 0, NO,
583, BEAM , UNILOAD, GZ, NO , NO, aDir[1], , , , 0, -2.37, 1, -2.37, 0, 0, 0, 0, G1 - Selfweight, NO, 0, 0, NO,
584, BEAM , UNILOAD, GZ, NO , NO, aDir[1], , , , 0, -2.37, 1, -2.37, 0, 0, 0, 0, G1 - Selfweight, NO, 0, 0, NO,
585, BEAM , UNILOAD, GZ, NO , NO, aDir[1], , , , 0, -2.37, 1, -2.37, 0, 0, 0, 0, G1 - Selfweight, NO, 0, 0, NO,
586, BEAM , UNILOAD, GZ, NO , NO, aDir[1], , , , 0, -2.37, 1, -2.37, 0, 0, 0, 0, G1 - Selfweight, NO, 0, 0, NO,
587, BEAM , UNILOAD, GZ, NO , NO, aDir[1], , , , 0, -2.37, 1, -2.37, 0, 0, 0, 0, G1 - Selfweight, NO, 0, 0, NO,
588, BEAM , UNILOAD, GZ, NO , NO, aDir[1], , , , 0, -2.37, 1, -2.37, 0, 0, 0, 0, G1 - Selfweight, NO, 0, 0, NO,
589, BEAM , UNILOAD, GZ, NO , NO, aDir[1], , , , 0, -2.37, 1, -2.37, 0, 0, 0, 0, G1 - Selfweight, NO, 0, 0, NO,
590, BEAM , UNILOAD, GZ, NO , NO, aDir[1], , , , 0, -2.37, 1, -2.37, 0, 0, 0, 0, G1 - Selfweight, NO, 0, 0, NO,
591, BEAM , UNILOAD, GZ, NO , NO, aDir[1], , , , 0, -2.37, 1, -2.37, 0, 0, 0, 0, G1 - Selfweight, NO, 0, 0, NO,
592, BEAM , UNILOAD, GZ, NO , NO, aDir[1], , , , 0, -2.37, 1, -2.37, 0, 0, 0, 0, G1 - Selfweight, NO, 0, 0, NO,
593, BEAM , UNILOAD, GZ, NO , NO, aDir[1], , , , 0, -2.37, 1, -2.37, 0, 0, 0, 0, G1 - Selfweight, NO, 0, 0, NO,
594, BEAM , UNILOAD, GZ, NO , NO, aDir[1], , , , 0, -2.37, 1, -2.37, 0, 0, 0, 0, G1 - Selfweight, NO, 0, 0, NO,
595, BEAM , UNILOAD, GZ, NO , NO, aDir[1], , , , 0, -2.37, 1, -2.37, 0, 0, 0, 0, G1 - Selfweight, NO, 0, 0, NO,
596, BEAM , UNILOAD, GZ, NO , NO, aDir[1], , , , 0, -2.37, 1, -2.37, 0, 0, 0, 0, G1 - Selfweight, NO, 0, 0, NO,
597, BEAM , UNILOAD, GZ, NO , NO, aDir[1], , , , 0, -2.37, 1, -2.37, 0, 0, 0, 0, G1 - Selfweight, NO, 0, 0, NO,
598, BEAM , UNILOAD, GZ, NO , NO, aDir[1], , , , 0, -2.37, 1, -2.37, 0, 0, 0, 0, G1 - Selfweight, NO, 0, 0, NO,
599, BEAM , UNILOAD, GZ, NO , NO, aDir[1], , , , 0, -2.37, 1, -2.37, 0, 0, 0, 0, G1 - Selfweight, NO, 0, 0, NO,
600, BEAM , UNILOAD, GZ, NO , NO, aDir[1], , , , 0, -2.37, 1, -2.37, 0, 0, 0, 0, G1 - Selfweight, NO, 0, 0, NO,
601, BEAM , UNILOAD, GZ, NO , NO, aDir[1], , , , 0, -2.37, 1, -2.37, 0, 0, 0, 0, G1 - Selfweight, NO, 0, 0, NO,
602, BEAM , UNILOAD, GZ, NO , NO, aDir[1], , , , 0, -2.37, 1, -2.37, 0, 0, 0, 0, G1 - Selfweight, NO, 0, 0, NO,
603, BEAM , UNILOAD, GZ, NO , NO, aDir[1], , , , 0, -2.37, 1, -2.37, 0, 0, 0, 0, G1 - Selfweight, NO, 0, 0, NO,
604, BEAM , UNILOAD, GZ, NO , NO, aDir[1], , , , 0, -2.37, 1, -2.37, 0, 0, 0, 0, G1 - Selfweight, NO, 0, 0, NO,
605, BEAM , UNILOAD, GZ, NO , NO, aDir[1], , , , 0, -2.37, 1, -2.37, 0, 0, 0, 0, G1 - Selfweight, NO, 0, 0, NO,
606, BEAM , UNILOAD, GZ, NO , NO, aDir[1], , , , 0, -2.37, 1, -2.37, 0, 0, 0, 0, G1 - Selfweight, NO, 0, 0, NO,
607, BEAM , UNILOAD, GZ, NO , NO, aDir[1], , , , 0, -2.37, 1, -2.37, 0, 0, 0, 0, G1 - Selfweight, NO, 0, 0, NO,
608, BEAM , UNILOAD, GZ, NO , NO, aDir[1], , , , 0, -2.37, 1, -2.37, 0, 0, 0, 0, G1 - Selfweight, NO, 0, 0, NO,
609, BEAM , UNILOAD, GZ, NO , NO, aDir[1], , , , 0, -2.37, 1, -2.37, 0, 0, 0, 0, G1 - Selfweight, NO, 0, 0, NO,
610, BEAM , UNILOAD, GZ, NO , NO, aDir[1], , , , 0, -2.37, 1, -2.37, 0, 0, 0, 0, G1 - Selfweight, NO, 0, 0, NO,
611, BEAM , UNILOAD, GZ, NO , NO, aDir[1], , , , 0, -2.37, 1, -2.37, 0, 0, 0, 0, G1 - Selfweight, NO, 0, 0, NO,
612, BEAM , UNILOAD, GZ, NO , NO, aDir[1], , , , 0, -2.37, 1, -2.37, 0, 0, 0, 0, G1 - Selfweight, NO, 0, 0, NO,
613, BEAM , UNILOAD, GZ, NO , NO, aDir[1], , , , 0, -2.37, 1, -2.37, 0, 0, 0, 0, G1 - Selfweight, NO, 0, 0, NO,
614, BEAM , UNILOAD, GZ, NO , NO, aDir[1], , , , 0, -2.37, 1, -2.37, 0, 0, 0, 0, G1 - Selfweight, NO, 0, 0, NO,
615, BEAM , UNILOAD, GZ, NO , NO, aDir[1], , , , 0, -2.37, 1, -2.37, 0, 0, 0, 0, G1 - Selfweight, NO, 0, 0, NO,
616, BEAM , UNILOAD, GZ, NO , NO, aDir[1], , , , 0, -2.37, 1, -2.37, 0, 0, 0, 0, G1 - Selfweight, NO, 0, 0, NO,
617, BEAM , UNILOAD, GZ, NO , NO, aDir[1], , , , 0, -2.37, 1, -2.37, 0, 0, 0, 0, G1 - Selfweight, NO, 0, 0, NO,
618, BEAM , UNILOAD, GZ, NO , NO, aDir[1], , , , 0, -2.37, 1, -2.37, 0, 0, 0, 0, G1 - Selfweight, NO, 0, 0, NO,
619, BEAM , UNILOAD, GZ, NO , NO, aDir[1], , , , 0, -2.37, 1, -2.37, 0, 0, 0, 0, G1 - Selfweight, NO, 0, 0, NO,
620, BEAM , UNILOAD, GZ, NO , NO, aDir[1], , , , 0, -2.37, 1, -2.37, 0, 0, 0, 0, G1 - Selfweight, NO, 0, 0, NO,
621, BEAM , UNILOAD, GZ, NO , NO, aDir[1], , , , 0, -2.37, 1, -2.37, 0, 0, 0, 0, G1 - Selfweight, NO, 0, 0, NO,
622, BEAM , UNILOAD, GZ, NO , NO, aDir[1], , , , 0, -2.37, 1, -2.37, 0, 0, 0, 0, G1 - Selfweight, NO, 0, 0, NO,
623, BEAM , UNILOAD, GZ, NO , NO, aDir[1], , , , 0, -2.37, 1, -2.37, 0, 0, 0, 0, G1 - Selfweight, NO, 0, 0, NO,
624, BEAM , UNILOAD, GZ, NO , NO, aDir[1], , , , 0, -2.37, 1, -2.37, 0, 0, 0, 0, G1 - Selfweight, NO, 0, 0, NO,
625, BEAM , UNILOAD, GZ, NO , NO, aDir[1], , , , 0, -2.37, 1, -2.37, 0, 0, 0, 0, G1 - Selfweight, NO, 0, 0, NO,
626, BEAM , UNILOAD, GZ, NO , NO, aDir[1], , , , 0, -2.37, 1, -2.37, 0, 0, 0, 0, G1 - Selfweight, NO, 0, 0, NO,
627, BEAM , UNILOAD, GZ, NO , NO, aDir[1], , , , 0, -2.37, 1, -2.37, 0, 0, 0, 0, G1 - Selfweight, NO, 0, 0, NO,
628, BEAM , UNILOAD, GZ, NO , NO, aDir[1], , , , 0, -2.37, 1, -2.37, 0, 0, 0, 0, G1 - Selfweight, NO, 0, 0, NO,
629, BEAM , UNILOAD, GZ, NO , NO, aDir[1], , , , 0, -2.37, 1, -2.37, 0, 0, 0, 0, G1 - Selfweight, NO, 0, 0, NO,
630, BEAM , UNILOAD, GZ, NO , NO, aDir[1], , , , 0, -2.37, 1, -2.37, 0, 0, 0, 0, G1 - Selfweight, NO, 0, 0, NO,
631, BEAM , UNILOAD, GZ, NO , NO, aDir[1], , , , 0, -2.37, 1, -2.37, 0, 0, 0, 0, G1 - Selfweight, NO, 0, 0, NO,
632, BEAM , UNILOAD, GZ, NO , NO, aDir[1], , , , 0, -2.37, 1, -2.37, 0, 0, 0, 0, G1 - Selfweight, NO, 0, 0, NO,
633, BEAM , UNILOAD, GZ, NO , NO, aDir[1], , , , 0, -2.37, 1, -2.37, 0, 0, 0, 0, G1 - Selfweight, NO, 0, 0, NO,
634, BEAM , UNILOAD, GZ, NO , NO, aDir[1], , , , 0, -2.37, 1, -2.37, 0, 0, 0, 0, G1 - Selfweight, NO, 0, 0, NO,
635, BEAM , UNILOAD, GZ, NO , NO, aDir[1], , , , 0, -2.37, 1, -2.37, 0, 0, 0, 0, G1 - Selfweight, NO, 0, 0, NO,
636, BEAM , UNILOAD, GZ, NO , NO, aDir[1], , , , 0, -2.37, 1, -2.37, 0, 0, 0, 0, G1 - Selfweight, NO, 0, 0, NO,
637, BEAM , UNILOAD, GZ, NO , NO, aDir[1], , , , 0, -2.37, 1, -2.37, 0, 0, 0, 0, G1 - Selfweight, NO, 0, 0, NO,
638, BEAM , UNILOAD, GZ, NO , NO, aDir[1], , , , 0, -2.37, 1, -2.37, 0, 0, 0, 0, G1 - Selfweight, NO, 0, 0, NO,
639, BEAM , UNILOAD, GZ, NO , NO, aDir[1], , , , 0, -2.37, 1, -2.37, 0, 0, 0, 0, G1 - Selfweight, NO, 0, 0, NO,
640, BEAM , UNILOAD, GZ, NO , NO, aDir[1], , , , 0, -2.37, 1, -2.37, 0, 0, 0, 0, G1 - Selfweight, NO, 0, 0, NO,
641, BEAM , UNILOAD, GZ, NO , NO, aDir[1], , , , 0, -2.37, 1, -2.37, 0, 0, 0, 0, G1 - Selfweight, NO, 0, 0, NO,
642, BEAM , UNILOAD, GZ, NO , NO, aDir[1], , , , 0, -2.37, 1, -2.37, 0, 0, 0, 0, G1 - Selfweight, NO, 0, 0, NO,
643, BEAM , UNILOAD, GZ, NO , NO, aDir[1], , , , 0, -2.37, 1, -2.37, 0, 0, 0, 0, G1 - Selfweight, NO, 0, 0, NO,
644, BEAM , UNILOAD, GZ, NO , NO, aDir[1], , , , 0, -2.37, 1, -2.37, 0, 0, 0, 0, G1 - Selfweight, NO, 0, 0, NO,

PROJECT TITLE :

MIDAS	Company		Client	
	Author		File Name	H2D_3Dg_v14_180227_StatLM.mct

645, BEAM , UNILOAD, GZ, NO , NO, aDir[1], , , , 0, -2.37, 1, -2.37, 0, 0, 0, 0, G1 - Selfweight, NO, 0, 0, NO,
646, BEAM , UNILOAD, GZ, NO , NO, aDir[1], , , , 0, -2.37, 1, -2.37, 0, 0, 0, 0, G1 - Selfweight, NO, 0, 0, NO,
647, BEAM , UNILOAD, GZ, NO , NO, aDir[1], , , , 0, -2.37, 1, -2.37, 0, 0, 0, 0, G1 - Selfweight, NO, 0, 0, NO,
648, BEAM , UNILOAD, GZ, NO , NO, aDir[1], , , , 0, -2.37, 1, -2.37, 0, 0, 0, 0, G1 - Selfweight, NO, 0, 0, NO,
649, BEAM , UNILOAD, GZ, NO , NO, aDir[1], , , , 0, -2.37, 1, -2.37, 0, 0, 0, 0, G1 - Selfweight, NO, 0, 0, NO,
650, BEAM , UNILOAD, GZ, NO , NO, aDir[1], , , , 0, -2.37, 1, -2.37, 0, 0, 0, 0, G1 - Selfweight, NO, 0, 0, NO,
651, BEAM , UNILOAD, GZ, NO , NO, aDir[1], , , , 0, -2.37, 1, -2.37, 0, 0, 0, 0, G1 - Selfweight, NO, 0, 0, NO,
652, BEAM , UNILOAD, GZ, NO , NO, aDir[1], , , , 0, -2.37, 1, -2.37, 0, 0, 0, 0, G1 - Selfweight, NO, 0, 0, NO,
653, BEAM , UNILOAD, GZ, NO , NO, aDir[1], , , , 0, -2.37, 1, -2.37, 0, 0, 0, 0, G1 - Selfweight, NO, 0, 0, NO,
654, BEAM , UNILOAD, GZ, NO , NO, aDir[1], , , , 0, -2.37, 1, -2.37, 0, 0, 0, 0, G1 - Selfweight, NO, 0, 0, NO,
655, BEAM , UNILOAD, GZ, NO , NO, aDir[1], , , , 0, -2.37, 1, -2.37, 0, 0, 0, 0, G1 - Selfweight, NO, 0, 0, NO,
656, BEAM , UNILOAD, GZ, NO , NO, aDir[1], , , , 0, -2.37, 1, -2.37, 0, 0, 0, 0, G1 - Selfweight, NO, 0, 0, NO,
657, BEAM , UNILOAD, GZ, NO , NO, aDir[1], , , , 0, -2.37, 1, -2.37, 0, 0, 0, 0, G1 - Selfweight, NO, 0, 0, NO,
658, BEAM , UNILOAD, GZ, NO , NO, aDir[1], , , , 0, -2.37, 1, -2.37, 0, 0, 0, 0, G1 - Selfweight, NO, 0, 0, NO,
659, BEAM , UNILOAD, GZ, NO , NO, aDir[1], , , , 0, -2.37, 1, -2.37, 0, 0, 0, 0, G1 - Selfweight, NO, 0, 0, NO,
660, BEAM , UNILOAD, GZ, NO , NO, aDir[1], , , , 0, -2.37, 1, -2.37, 0, 0, 0, 0, G1 - Selfweight, NO, 0, 0, NO,
661, BEAM , UNILOAD, GZ, NO , NO, aDir[1], , , , 0, -2.37, 1, -2.37, 0, 0, 0, 0, G1 - Selfweight, NO, 0, 0, NO,
662, BEAM , UNILOAD, GZ, NO , NO, aDir[1], , , , 0, -2.37, 1, -2.37, 0, 0, 0, 0, G1 - Selfweight, NO, 0, 0, NO,
663, BEAM , UNILOAD, GZ, NO , NO, aDir[1], , , , 0, -2.37, 1, -2.37, 0, 0, 0, 0, G1 - Selfweight, NO, 0, 0, NO,
664, BEAM , UNILOAD, GZ, NO , NO, aDir[1], , , , 0, -2.37, 1, -2.37, 0, 0, 0, 0, G1 - Selfweight, NO, 0, 0, NO,
665, BEAM , UNILOAD, GZ, NO , NO, aDir[1], , , , 0, -2.37, 1, -2.37, 0, 0, 0, 0, G1 - Selfweight, NO, 0, 0, NO,
666, BEAM , UNILOAD, GZ, NO , NO, aDir[1], , , , 0, -2.37, 1, -2.37, 0, 0, 0, 0, G1 - Selfweight, NO, 0, 0, NO,
667, BEAM , UNILOAD, GZ, NO , NO, aDir[1], , , , 0, -2.37, 1, -2.37, 0, 0, 0, 0, G1 - Selfweight, NO, 0, 0, NO,
668, BEAM , UNILOAD, GZ, NO , NO, aDir[1], , , , 0, -2.37, 1, -2.37, 0, 0, 0, 0, G1 - Selfweight, NO, 0, 0, NO,
669, BEAM , UNILOAD, GZ, NO , NO, aDir[1], , , , 0, -2.37, 1, -2.37, 0, 0, 0, 0, G1 - Selfweight, NO, 0, 0, NO,
670, BEAM , UNILOAD, GZ, NO , NO, aDir[1], , , , 0, -2.37, 1, -2.37, 0, 0, 0, 0, G1 - Selfweight, NO, 0, 0, NO,
671, BEAM , UNILOAD, GZ, NO , NO, aDir[1], , , , 0, -2.37, 1, -2.37, 0, 0, 0, 0, G1 - Selfweight, NO, 0, 0, NO,
672, BEAM , UNILOAD, GZ, NO , NO, aDir[1], , , , 0, -2.37, 1, -2.37, 0, 0, 0, 0, G1 - Selfweight, NO, 0, 0, NO,
673, BEAM , UNILOAD, GZ, NO , NO, aDir[1], , , , 0, -2.37, 1, -2.37, 0, 0, 0, 0, G1 - Selfweight, NO, 0, 0, NO,
674, BEAM , UNILOAD, GZ, NO , NO, aDir[1], , , , 0, -2.37, 1, -2.37, 0, 0, 0, 0, G1 - Selfweight, NO, 0, 0, NO,
675, BEAM , UNILOAD, GZ, NO , NO, aDir[1], , , , 0, -2.37, 1, -2.37, 0, 0, 0, 0, G1 - Selfweight, NO, 0, 0, NO,
676, BEAM , UNILOAD, GZ, NO , NO, aDir[1], , , , 0, -2.37, 1, -2.37, 0, 0, 0, 0, G1 - Selfweight, NO, 0, 0, NO,
677, BEAM , UNILOAD, GZ, NO , NO, aDir[1], , , , 0, -2.27, 1, -2.27, 0, 0, 0, 0, G1 - Selfweight, NO, 0, 0, NO,
678, BEAM , UNILOAD, GZ, NO , NO, aDir[1], , , , 0, -2.27, 1, -2.27, 0, 0, 0, 0, G1 - Selfweight, NO, 0, 0, NO,
679, BEAM , UNILOAD, GZ, NO , NO, aDir[1], , , , 0, -2.27, 1, -2.27, 0, 0, 0, 0, G1 - Selfweight, NO, 0, 0, NO,
680, BEAM , UNILOAD, GZ, NO , NO, aDir[1], , , , 0, -2.27, 1, -2.27, 0, 0, 0, 0, G1 - Selfweight, NO, 0, 0, NO,
681, BEAM , UNILOAD, GZ, NO , NO, aDir[1], , , , 0, -2.27, 1, -2.27, 0, 0, 0, 0, G1 - Selfweight, NO, 0, 0, NO,
682, BEAM , UNILOAD, GZ, NO , NO, aDir[1], , , , 0, -2.27, 1, -2.27, 0, 0, 0, 0, G1 - Selfweight, NO, 0, 0, NO,
683, BEAM , UNILOAD, GZ, NO , NO, aDir[1], , , , 0, -2.27, 1, -2.27, 0, 0, 0, 0, G1 - Selfweight, NO, 0, 0, NO,
684, BEAM , UNILOAD, GZ, NO , NO, aDir[1], , , , 0, -2.27, 1, -2.27, 0, 0, 0, 0, G1 - Selfweight, NO, 0, 0, NO,
685, BEAM , UNILOAD, GZ, NO , NO, aDir[1], , , , 0, -2.27, 1, -2.27, 0, 0, 0, 0, G1 - Selfweight, NO, 0, 0, NO,
686, BEAM , UNILOAD, GZ, NO , NO, aDir[1], , , , 0, -2.27, 1, -2.27, 0, 0, 0, 0, G1 - Selfweight, NO, 0, 0, NO,
687, BEAM , UNILOAD, GZ, NO , NO, aDir[1], , , , 0, -2.27, 1, -2.27, 0, 0, 0, 0, G1 - Selfweight, NO, 0, 0, NO,
688, BEAM , UNILOAD, GZ, NO , NO, aDir[1], , , , 0, -2.27, 1, -2.27, 0, 0, 0, 0, G1 - Selfweight, NO, 0, 0, NO,
689, BEAM , UNILOAD, GZ, NO , NO, aDir[1], , , , 0, -2.08, 1, -2.08, 0, 0, 0, 0, G1 - Selfweight, NO, 0, 0, NO,
690, BEAM , UNILOAD, GZ, NO , NO, aDir[1], , , , 0, -2.08, 1, -2.08, 0, 0, 0, 0, G1 - Selfweight, NO, 0, 0, NO,
691, BEAM , UNILOAD, GZ, NO , NO, aDir[1], , , , 0, -2.08, 1, -2.08, 0, 0, 0, 0, G1 - Selfweight, NO, 0, 0, NO,
692, BEAM , UNILOAD, GZ, NO , NO, aDir[1], , , , 0, -2.08, 1, -2.08, 0, 0, 0, 0, G1 - Selfweight, NO, 0, 0, NO,
693, BEAM , UNILOAD, GZ, NO , NO, aDir[1], , , , 0, -2.08, 1, -2.08, 0, 0, 0, 0, G1 - Selfweight, NO, 0, 0, NO,
694, BEAM , UNILOAD, GZ, NO , NO, aDir[1], , , , 0, -2.08, 1, -2.08, 0, 0, 0, 0, G1 - Selfweight, NO, 0, 0, NO,
695, BEAM , UNILOAD, GZ, NO , NO, aDir[1], , , , 0, -2.08, 1, -2.08, 0, 0, 0, 0, G1 - Selfweight, NO, 0, 0, NO,
696, BEAM , UNILOAD, GZ, NO , NO, aDir[1], , , , 0, -2.08, 1, -2.08, 0, 0, 0, 0, G1 - Selfweight, NO, 0, 0, NO,
697, BEAM , UNILOAD, GZ, NO , NO, aDir[1], , , , 0, -1.84, 1, -1.84, 0, 0, 0, 0, G1 - Selfweight, NO, 0, 0, NO,
698, BEAM , UNILOAD, GZ, NO , NO, aDir[1], , , , 0, -1.84, 1, -1.84, 0, 0, 0, 0, G1 - Selfweight, NO, 0, 0, NO,
699, BEAM , UNILOAD, GZ, NO , NO, aDir[1], , , , 0, -1.84, 1, -1.84, 0, 0, 0, 0, G1 - Selfweight, NO, 0, 0, NO,
700, BEAM , UNILOAD, GZ, NO , NO, aDir[1], , , , 0, -1.84, 1, -1.84, 0, 0, 0, 0, G1 - Selfweight, NO, 0, 0, NO,
701, BEAM , UNILOAD, GZ, NO , NO, aDir[1], , , , 0, -1.84, 1, -1.84, 0, 0, 0, 0, G1 - Selfweight, NO, 0, 0, NO,
702, BEAM , UNILOAD, GZ, NO , NO, aDir[1], , , , 0, -1.84, 1, -1.84, 0, 0, 0, 0, G1 - Selfweight, NO, 0, 0, NO,
703, BEAM , UNILOAD, GZ, NO , NO, aDir[1], , , , 0, -1.84, 1, -1.84, 0, 0, 0, 0, G1 - Selfweight, NO, 0, 0, NO,
704, BEAM , UNILOAD, GZ, NO , NO, aDir[1], , , , 0, -1.84, 1, -1.84, 0, 0, 0, 0, G1 - Selfweight, NO, 0, 0, NO,
705, BEAM , UNILOAD, GZ, NO , NO, aDir[1], , , , 0, -0.86, 1, -0.86, 0, 0, 0, 0, G1 - Selfweight, NO, 0, 0, NO,
706, BEAM , UNILOAD, GZ, NO , NO, aDir[1], , , , 0, -0.86, 1, -0.86, 0, 0, 0, 0, G1 - Selfweight, NO, 0, 0, NO,
707, BEAM , UNILOAD, GZ, NO , NO, aDir[1], , , , 0, -0.86, 1, -0.86, 0, 0, 0, 0, G1 - Selfweight, NO, 0, 0, NO,
708, BEAM , UNILOAD, GZ, NO , NO, aDir[1], , , , 0, -0.86, 1, -0.86, 0, 0, 0, 0, G1 - Selfweight, NO, 0, 0, NO,
709, BEAM , UNILOAD, GZ, NO , NO, aDir[1], , , , 0, -0.86, 1, -0.86, 0, 0, 0, 0, G1 - Selfweight, NO, 0, 0, NO,
710, BEAM , UNILOAD, GZ, NO , NO, aDir[1], , , , 0, -0.86, 1, -0.86, 0, 0, 0, 0, G1 - Selfweight, NO, 0, 0, NO,
711, BEAM , UNILOAD, GZ, NO , NO, aDir[1], , , , 0, -0.86, 1, -0.86, 0, 0, 0, 0, G1 - Selfweight, NO, 0, 0, NO,
712, BEAM , UNILOAD, GZ, NO , NO, aDir[1], , , , 0, -0.86, 1, -0.86, 0, 0, 0, 0, G1 - Selfweight, NO, 0, 0, NO,

; End of data for load case [G1.2 - Deck of servi] ----------

*USE-STLD, G1.3 - Traction

PROJECT TITLE :

MIDAS	Company		Client	
	Author		File Name	H2D_3Dg_v14_180227_StatLM.mct

*CONLOAD ; Nodal Loads
; NODE_LIST, FX, FY, FZ, MX, MY, MZ, GROUP
178, 0, 0, -2000, 0, 0, 0, G1 - Selfweight
186, 0, 0, -2000, 0, 0, 0, G1 - Selfweight
192, 0, 0, -2000, 0, 0, 0, G1 - Selfweight
202, 0, 0, -2000, 0, 0, 0, G1 - Selfweight
217, 0, 0, -2000, 0, 0, 0, G1 - Selfweight
226, 0, 0, -2000, 0, 0, 0, G1 - Selfweight
232, 0, 0, -2000, 0, 0, 0, G1 - Selfweight
240, 0, 0, -2000, 0, 0, 0, G1 - Selfweight
251, 0, 0, -2000, 0, 0, 0, G1 - Selfweight
259, 0, 0, -2000, 0, 0, 0, G1 - Selfweight
265, 0, 0, -2000, 0, 0, 0, G1 - Selfweight
275, 0, 0, -2000, 0, 0, 0, G1 - Selfweight
290, 0, 0, -2000, 0, 0, 0, G1 - Selfweight
299, 0, 0, -2000, 0, 0, 0, G1 - Selfweight
305, 0, 0, -2000, 0, 0, 0, G1 - Selfweight
313, 0, 0, -2000, 0, 0, 0, G1 - Selfweight

; End of data for load case [G1.3 - Traction] ----------

*USE-STLD, G2.1 - Gas pipeline

*CONLOAD ; Nodal Loads
; NODE_LIST, FX, FY, FZ, MX, MY, MZ, GROUP
2509, 0, 0, -1820, 0, 0, 0, G2 - Selfweight
2513, 0, 0, -3920, 0, 0, 0, G2 - Selfweight
2517, 0, 0, -4410, 0, 0, 0, G2 - Selfweight
2521, 0, 0, -4830, 0, 0, 0, G2 - Selfweight
2525, 0, 0, -5040, 0, 0, 0, G2 - Selfweight
2529, 0, 0, -5040, 0, 0, 0, G2 - Selfweight
2533, 0, 0, -5040, 0, 0, 0, G2 - Selfweight
2537, 0, 0, -5040, 0, 0, 0, G2 - Selfweight
2541, 0, 0, -5040, 0, 0, 0, G2 - Selfweight
2545, 0, 0, -5040, 0, 0, 0, G2 - Selfweight
2549, 0, 0, -5040, 0, 0, 0, G2 - Selfweight
2553, 0, 0, -5040, 0, 0, 0, G2 - Selfweight
2557, 0, 0, -5040, 0, 0, 0, G2 - Selfweight
2561, 0, 0, -4830, 0, 0, 0, G2 - Selfweight
2565, 0, 0, -4410, 0, 0, 0, G2 - Selfweight
2569, 0, 0, -3920, 0, 0, 0, G2 - Selfweight
2573, 0, 0, -1820, 0, 0, 0, G2 - Selfweight
2577, 0, 0, -1820, 0, 0, 0, G2 - Selfweight
2581, 0, 0, -3920, 0, 0, 0, G2 - Selfweight
2585, 0, 0, -4410, 0, 0, 0, G2 - Selfweight
2589, 0, 0, -4830, 0, 0, 0, G2 - Selfweight
2593, 0, 0, -5040, 0, 0, 0, G2 - Selfweight
2597, 0, 0, -5040, 0, 0, 0, G2 - Selfweight
2601, 0, 0, -5040, 0, 0, 0, G2 - Selfweight
2605, 0, 0, -5040, 0, 0, 0, G2 - Selfweight
2609, 0, 0, -5040, 0, 0, 0, G2 - Selfweight
2613, 0, 0, -5040, 0, 0, 0, G2 - Selfweight
2617, 0, 0, -5040, 0, 0, 0, G2 - Selfweight
2621, 0, 0, -5040, 0, 0, 0, G2 - Selfweight
2625, 0, 0, -5040, 0, 0, 0, G2 - Selfweight
2629, 0, 0, -4830, 0, 0, 0, G2 - Selfweight
2633, 0, 0, -4410, 0, 0, 0, G2 - Selfweight
2637, 0, 0, -3920, 0, 0, 0, G2 - Selfweight
2641, 0, 0, -1820, 0, 0, 0, G2 - Selfweight

; End of data for load case [G2.1 - Gas pipeline] ----------

*USE-STLD, G2.2 - Cableline

*CONLOAD ; Nodal Loads
; NODE_LIST, FX, FY, FZ, MX, MY, MZ, GROUP
2508, 0, 0, -870, 0, 0, 0, G2 - Selfweight
2512, 0, 0, -1870, 0, 0, 0, G2 - Selfweight
2516, 0, 0, -2100, 0, 0, 0, G2 - Selfweight
2520, 0, 0, -2300, 0, 0, 0, G2 - Selfweight
2524, 0, 0, -2400, 0, 0, 0, G2 - Selfweight

2528, 0, 0, -2400, 0, 0, 0, G2 - Selfweight
2532, 0, 0, -2400, 0, 0, 0, G2 - Selfweight
2536, 0, 0, -2400, 0, 0, 0, G2 - Selfweight
2540, 0, 0, -2400, 0, 0, 0, G2 - Selfweight
2544, 0, 0, -2400, 0, 0, 0, G2 - Selfweight
2548, 0, 0, -2400, 0, 0, 0, G2 - Selfweight
2552, 0, 0, -2400, 0, 0, 0, G2 - Selfweight
2556, 0, 0, -2400, 0, 0, 0, G2 - Selfweight
2560, 0, 0, -2300, 0, 0, 0, G2 - Selfweight
2564, 0, 0, -2100, 0, 0, 0, G2 - Selfweight
2568, 0, 0, -1870, 0, 0, 0, G2 - Selfweight
2572, 0, 0, -870, 0, 0, 0, G2 - Selfweight
2576, 0, 0, -870, 0, 0, 0, G2 - Selfweight
2580, 0, 0, -1870, 0, 0, 0, G2 - Selfweight
2584, 0, 0, -2100, 0, 0, 0, G2 - Selfweight
2588, 0, 0, -2300, 0, 0, 0, G2 - Selfweight
2592, 0, 0, -2400, 0, 0, 0, G2 - Selfweight
2596, 0, 0, -2400, 0, 0, 0, G2 - Selfweight
2600, 0, 0, -2400, 0, 0, 0, G2 - Selfweight
2604, 0, 0, -2400, 0, 0, 0, G2 - Selfweight
2608, 0, 0, -2400, 0, 0, 0, G2 - Selfweight
2612, 0, 0, -2400, 0, 0, 0, G2 - Selfweight
2616, 0, 0, -2400, 0, 0, 0, G2 - Selfweight
2620, 0, 0, -2400, 0, 0, 0, G2 - Selfweight
2624, 0, 0, -2400, 0, 0, 0, G2 - Selfweight
2628, 0, 0, -2300, 0, 0, 0, G2 - Selfweight
2632, 0, 0, -2100, 0, 0, 0, G2 - Selfweight
2636, 0, 0, -1870, 0, 0, 0, G2 - Selfweight
2640, 0, 0, -870, 0, 0, 0, G2 - Selfweight

; End of data for load case [G2.2 - Cableline] ------------------------

*USE-STLD, G2.3 - Cableline

*CONLOAD ; Nodal Loads
; NODE_LIST, FX, FY, FZ, MX, MY, MZ, GROUP
428, 0, 0, -870, 0, 0, 0, G2 - Selfweight
435, 0, 0, -1870, 0, 0, 0, G2 - Selfweight
442, 0, 0, -2100, 0, 0, 0, G2 - Selfweight
451, 0, 0, -2300, 0, 0, 0, G2 - Selfweight
462, 0, 0, -2400, 0, 0, 0, G2 - Selfweight
473, 0, 0, -2400, 0, 0, 0, G2 - Selfweight
484, 0, 0, -2400, 0, 0, 0, G2 - Selfweight
495, 0, 0, -2400, 0, 0, 0, G2 - Selfweight
506, 0, 0, -2400, 0, 0, 0, G2 - Selfweight
517, 0, 0, -2400, 0, 0, 0, G2 - Selfweight
528, 0, 0, -2400, 0, 0, 0, G2 - Selfweight
539, 0, 0, -2400, 0, 0, 0, G2 - Selfweight
550, 0, 0, -2400, 0, 0, 0, G2 - Selfweight
561, 0, 0, -2300, 0, 0, 0, G2 - Selfweight
570, 0, 0, -2100, 0, 0, 0, G2 - Selfweight
577, 0, 0, -1870, 0, 0, 0, G2 - Selfweight
584, 0, 0, -870, 0, 0, 0, G2 - Selfweight

; End of data for load case [G2.3 - Cableline] ------------------------

*USE-STLD, B+X 1. track

*BEAMLOAD ; Element Beam Loads
; ELEM_LIST, CMD, TYPE, DIR, bPROJ, [ECCEN], [VALUE], GROUP
; ELEM_LIST, CMD, TYPE, TYPE, DIR, VX, VY, VZ, bPROJ, [ECCEN], [VALUE], GROUP
; [VALUE] : D1, P1, D2, P2, D3, P3, D4, P4
; [ECCEN] : bECCEN, ECCDIR, I-END, J-END, bJ-END
; [ADDITIONAL] : bADDITIONAL, ADDITIONAL_I-END, ADDITIONAL_J-END, bADDITIONAL_J-END
1061, BEAM , UNILOAD, GX, NO , NO, aDir[1], , , , 0, 10, 1, 10, 0, 0, 0, 0, B - Braking forces, NO, 0, 0, NO,
1062, BEAM , UNILOAD, GX, NO , NO, aDir[1], , , , 0, 10, 1, 10, 0, 0, 0, 0, B - Braking forces, NO, 0, 0, NO,
1063, BEAM , UNILOAD, GX, NO , NO, aDir[1], , , , 0, 10, 1, 10, 0, 0, 0, 0, B - Braking forces, NO, 0, 0, NO,
1064, BEAM , UNILOAD, GX, NO , NO, aDir[1], , , , 0, 10, 1, 10, 0, 0, 0, 0, B - Braking forces, NO, 0, 0, NO,
1065, BEAM , UNILOAD, GX, NO , NO, aDir[1], , , , 0, 10, 1, 10, 0, 0, 0, 0, B - Braking forces, NO, 0, 0, NO,
1066, BEAM , UNILOAD, GX, NO , NO, aDir[1], , , , 0, 10, 1, 10, 0, 0, 0, 0, B - Braking forces, NO, 0, 0, NO,
1067, BEAM , UNILOAD, GX, NO , NO, aDir[1], , , , 0, 10, 1, 10, 0, 0, 0, 0, B - Braking forces, NO, 0, 0, NO,
1068, BEAM , UNILOAD, GX, NO , NO, aDir[1], , , , 0, 10, 1, 10, 0, 0, 0, 0, B - Braking forces, NO, 0, 0, NO,

PROJECT TITLE :

MIDAS	Company		Client	
	Author		File Name	H2D_3Dg_v14_180227_StatLM.mct

1069, BEAM , UNILOAD, GX, NO , NO, aDir[1], , , , 0, 10, 1, 10, 0, 0, 0, 0, B - Braking forces, NO, 0, 0, NO,
1070, BEAM , UNILOAD, GX, NO , NO, aDir[1], , , , 0, 10, 1, 10, 0, 0, 0, 0, B - Braking forces, NO, 0, 0, NO,
1071, BEAM , UNILOAD, GX, NO , NO, aDir[1], , , , 0, 10, 1, 10, 0, 0, 0, 0, B - Braking forces, NO, 0, 0, NO,
1072, BEAM , UNILOAD, GX, NO , NO, aDir[1], , , , 0, 10, 1, 10, 0, 0, 0, 0, B - Braking forces, NO, 0, 0, NO,
1073, BEAM , UNILOAD, GX, NO , NO, aDir[1], , , , 0, 10, 1, 10, 0, 0, 0, 0, B - Braking forces, NO, 0, 0, NO,
1074, BEAM , UNILOAD, GX, NO , NO, aDir[1], , , , 0, 10, 1, 10, 0, 0, 0, 0, B - Braking forces, NO, 0, 0, NO,
1075, BEAM , UNILOAD, GX, NO , NO, aDir[1], , , , 0, 10, 1, 10, 0, 0, 0, 0, B - Braking forces, NO, 0, 0, NO,
1076, BEAM , UNILOAD, GX, NO , NO, aDir[1], , , , 0, 10, 1, 10, 0, 0, 0, 0, B - Braking forces, NO, 0, 0, NO,
1077, BEAM , UNILOAD, GX, NO , NO, aDir[1], , , , 0, 10, 1, 10, 0, 0, 0, 0, B - Braking forces, NO, 0, 0, NO,
1078, BEAM , UNILOAD, GX, NO , NO, aDir[1], , , , 0, 10, 1, 10, 0, 0, 0, 0, B - Braking forces, NO, 0, 0, NO,
1079, BEAM , UNILOAD, GX, NO , NO, aDir[1], , , , 0, 10, 1, 10, 0, 0, 0, 0, B - Braking forces, NO, 0, 0, NO,
1080, BEAM , UNILOAD, GX, NO , NO, aDir[1], , , , 0, 10, 1, 10, 0, 0, 0, 0, B - Braking forces, NO, 0, 0, NO,
1081, BEAM , UNILOAD, GX, NO , NO, aDir[1], , , , 0, 10, 1, 10, 0, 0, 0, 0, B - Braking forces, NO, 0, 0, NO,
1082, BEAM , UNILOAD, GX, NO , NO, aDir[1], , , , 0, 10, 1, 10, 0, 0, 0, 0, B - Braking forces, NO, 0, 0, NO,
1083, BEAM , UNILOAD, GX, NO , NO, aDir[1], , , , 0, 10, 1, 10, 0, 0, 0, 0, B - Braking forces, NO, 0, 0, NO,
1084, BEAM , UNILOAD, GX, NO , NO, aDir[1], , , , 0, 10, 1, 10, 0, 0, 0, 0, B - Braking forces, NO, 0, 0, NO,
1085, BEAM , UNILOAD, GX, NO , NO, aDir[1], , , , 0, 10, 1, 10, 0, 0, 0, 0, B - Braking forces, NO, 0, 0, NO,
1086, BEAM , UNILOAD, GX, NO , NO, aDir[1], , , , 0, 10, 1, 10, 0, 0, 0, 0, B - Braking forces, NO, 0, 0, NO,
1087, BEAM , UNILOAD, GX, NO , NO, aDir[1], , , , 0, 10, 1, 10, 0, 0, 0, 0, B - Braking forces, NO, 0, 0, NO,
1088, BEAM , UNILOAD, GX, NO , NO, aDir[1], , , , 0, 10, 1, 10, 0, 0, 0, 0, B - Braking forces, NO, 0, 0, NO,
1089, BEAM , UNILOAD, GX, NO , NO, aDir[1], , , , 0, 10, 1, 10, 0, 0, 0, 0, B - Braking forces, NO, 0, 0, NO,
1090, BEAM , UNILOAD, GX, NO , NO, aDir[1], , , , 0, 10, 1, 10, 0, 0, 0, 0, B - Braking forces, NO, 0, 0, NO,
1091, BEAM , UNILOAD, GX, NO , NO, aDir[1], , , , 0, 10, 1, 10, 0, 0, 0, 0, B - Braking forces, NO, 0, 0, NO,
1092, BEAM , UNILOAD, GX, NO , NO, aDir[1], , , , 0, 10, 1, 10, 0, 0, 0, 0, B - Braking forces, NO, 0, 0, NO,
1093, BEAM , UNILOAD, GX, NO , NO, aDir[1], , , , 0, 10, 1, 10, 0, 0, 0, 0, B - Braking forces, NO, 0, 0, NO,
1094, BEAM , UNILOAD, GX, NO , NO, aDir[1], , , , 0, 10, 1, 10, 0, 0, 0, 0, B - Braking forces, NO, 0, 0, NO,
1095, BEAM , UNILOAD, GX, NO , NO, aDir[1], , , , 0, 10, 1, 10, 0, 0, 0, 0, B - Braking forces, NO, 0, 0, NO,
1096, BEAM , UNILOAD, GX, NO , NO, aDir[1], , , , 0, 10, 1, 10, 0, 0, 0, 0, B - Braking forces, NO, 0, 0, NO,
1097, BEAM , UNILOAD, GX, NO , NO, aDir[1], , , , 0, 10, 1, 10, 0, 0, 0, 0, B - Braking forces, NO, 0, 0, NO,
1098, BEAM , UNILOAD, GX, NO , NO, aDir[1], , , , 0, 10, 1, 10, 0, 0, 0, 0, B - Braking forces, NO, 0, 0, NO,
1099, BEAM , UNILOAD, GX, NO , NO, aDir[1], , , , 0, 10, 1, 10, 0, 0, 0, 0, B - Braking forces, NO, 0, 0, NO,
1100, BEAM , UNILOAD, GX, NO , NO, aDir[1], , , , 0, 10, 1, 10, 0, 0, 0, 0, B - Braking forces, NO, 0, 0, NO,
1101, BEAM , UNILOAD, GX, NO , NO, aDir[1], , , , 0, 10, 1, 10, 0, 0, 0, 0, B - Braking forces, NO, 0, 0, NO,
1102, BEAM , UNILOAD, GX, NO , NO, aDir[1], , , , 0, 10, 1, 10, 0, 0, 0, 0, B - Braking forces, NO, 0, 0, NO,
1103, BEAM , UNILOAD, GX, NO , NO, aDir[1], , , , 0, 10, 1, 10, 0, 0, 0, 0, B - Braking forces, NO, 0, 0, NO,
1104, BEAM , UNILOAD, GX, NO , NO, aDir[1], , , , 0, 10, 1, 10, 0, 0, 0, 0, B - Braking forces, NO, 0, 0, NO,
1105, BEAM , UNILOAD, GX, NO , NO, aDir[1], , , , 0, 10, 1, 10, 0, 0, 0, 0, B - Braking forces, NO, 0, 0, NO,
1106, BEAM , UNILOAD, GX, NO , NO, aDir[1], , , , 0, 10, 1, 10, 0, 0, 0, 0, B - Braking forces, NO, 0, 0, NO,
1107, BEAM , UNILOAD, GX, NO , NO, aDir[1], , , , 0, 10, 1, 10, 0, 0, 0, 0, B - Braking forces, NO, 0, 0, NO,
1108, BEAM , UNILOAD, GX, NO , NO, aDir[1], , , , 0, 10, 1, 10, 0, 0, 0, 0, B - Braking forces, NO, 0, 0, NO,
1109, BEAM , UNILOAD, GX, NO , NO, aDir[1], , , , 0, 10, 1, 10, 0, 0, 0, 0, B - Braking forces, NO, 0, 0, NO,
1110, BEAM , UNILOAD, GX, NO , NO, aDir[1], , , , 0, 10, 1, 10, 0, 0, 0, 0, B - Braking forces, NO, 0, 0, NO,
1111, BEAM , UNILOAD, GX, NO , NO, aDir[1], , , , 0, 10, 1, 10, 0, 0, 0, 0, B - Braking forces, NO, 0, 0, NO,
1112, BEAM , UNILOAD, GX, NO , NO, aDir[1], , , , 0, 10, 1, 10, 0, 0, 0, 0, B - Braking forces, NO, 0, 0, NO,
1113, BEAM , UNILOAD, GX, NO , NO, aDir[1], , , , 0, 10, 1, 10, 0, 0, 0, 0, B - Braking forces, NO, 0, 0, NO,
1114, BEAM , UNILOAD, GX, NO , NO, aDir[1], , , , 0, 10, 1, 10, 0, 0, 0, 0, B - Braking forces, NO, 0, 0, NO,
1115, BEAM , UNILOAD, GX, NO , NO, aDir[1], , , , 0, 10, 1, 10, 0, 0, 0, 0, B - Braking forces, NO, 0, 0, NO,
1116, BEAM , UNILOAD, GX, NO , NO, aDir[1], , , , 0, 10, 1, 10, 0, 0, 0, 0, B - Braking forces, NO, 0, 0, NO,
1117, BEAM , UNILOAD, GX, NO , NO, aDir[1], , , , 0, 10, 1, 10, 0, 0, 0, 0, B - Braking forces, NO, 0, 0, NO,
1118, BEAM , UNILOAD, GX, NO , NO, aDir[1], , , , 0, 10, 1, 10, 0, 0, 0, 0, B - Braking forces, NO, 0, 0, NO,
1119, BEAM , UNILOAD, GX, NO , NO, aDir[1], , , , 0, 10, 1, 10, 0, 0, 0, 0, B - Braking forces, NO, 0, 0, NO,
1120, BEAM , UNILOAD, GX, NO , NO, aDir[1], , , , 0, 10, 1, 10, 0, 0, 0, 0, B - Braking forces, NO, 0, 0, NO,
1121, BEAM , UNILOAD, GX, NO , NO, aDir[1], , , , 0, 10, 1, 10, 0, 0, 0, 0, B - Braking forces, NO, 0, 0, NO,
1122, BEAM , UNILOAD, GX, NO , NO, aDir[1], , , , 0, 10, 1, 10, 0, 0, 0, 0, B - Braking forces, NO, 0, 0, NO,
1123, BEAM , UNILOAD, GX, NO , NO, aDir[1], , , , 0, 10, 1, 10, 0, 0, 0, 0, B - Braking forces, NO, 0, 0, NO,
1124, BEAM , UNILOAD, GX, NO , NO, aDir[1], , , , 0, 10, 1, 10, 0, 0, 0, 0, B - Braking forces, NO, 0, 0, NO,
1125, BEAM , UNILOAD, GX, NO , NO, aDir[1], , , , 0, 10, 1, 10, 0, 0, 0, 0, B - Braking forces, NO, 0, 0, NO,
1126, BEAM , UNILOAD, GX, NO , NO, aDir[1], , , , 0, 10, 1, 10, 0, 0, 0, 0, B - Braking forces, NO, 0, 0, NO,
1127, BEAM , UNILOAD, GX, NO , NO, aDir[1], , , , 0, 10, 1, 10, 0, 0, 0, 0, B - Braking forces, NO, 0, 0, NO,
1128, BEAM , UNILOAD, GX, NO , NO, aDir[1], , , , 0, 10, 1, 10, 0, 0, 0, 0, B - Braking forces, NO, 0, 0, NO,
1129, BEAM , UNILOAD, GX, NO , NO, aDir[1], , , , 0, 10, 1, 10, 0, 0, 0, 0, B - Braking forces, NO, 0, 0, NO,
1130, BEAM , UNILOAD, GX, NO , NO, aDir[1], , , , 0, 10, 1, 10, 0, 0, 0, 0, B - Braking forces, NO, 0, 0, NO,
1131, BEAM , UNILOAD, GX, NO , NO, aDir[1], , , , 0, 10, 1, 10, 0, 0, 0, 0, B - Braking forces, NO, 0, 0, NO,
1132, BEAM , UNILOAD, GX, NO , NO, aDir[1], , , , 0, 10, 1, 10, 0, 0, 0, 0, B - Braking forces, NO, 0, 0, NO,
1133, BEAM , UNILOAD, GX, NO , NO, aDir[1], , , , 0, 10, 1, 10, 0, 0, 0, 0, B - Braking forces, NO, 0, 0, NO,
1134, BEAM , UNILOAD, GX, NO , NO, aDir[1], , , , 0, 10, 1, 10, 0, 0, 0, 0, B - Braking forces, NO, 0, 0, NO,
1135, BEAM , UNILOAD, GX, NO , NO, aDir[1], , , , 0, 10, 1, 10, 0, 0, 0, 0, B - Braking forces, NO, 0, 0, NO,
1136, BEAM , UNILOAD, GX, NO , NO, aDir[1], , , , 0, 10, 1, 10, 0, 0, 0, 0, B - Braking forces, NO, 0, 0, NO,
1137, BEAM , UNILOAD, GX, NO , NO, aDir[1], , , , 0, 10, 1, 10, 0, 0, 0, 0, B - Braking forces, NO, 0, 0, NO,
1138, BEAM , UNILOAD, GX, NO , NO, aDir[1], , , , 0, 10, 1, 10, 0, 0, 0, 0, B - Braking forces, NO, 0, 0, NO,
1139, BEAM , UNILOAD, GX, NO , NO, aDir[1], , , , 0, 10, 1, 10, 0, 0, 0, 0, B - Braking forces, NO, 0, 0, NO,
1140, BEAM , UNILOAD, GX, NO , NO, aDir[1], , , , 0, 10, 1, 10, 0, 0, 0, 0, B - Braking forces, NO, 0, 0, NO,

PROJECT TITLE :

MIDAS	Company		Client	
	Author		File Name	H2D_3Dg_v14_180227_StatLM.mct

1141, BEAM , UNILOAD, GX, NO , NO, aDir[1], , , , 0, 10, 1, 10, 0, 0, 0, 0, B - Braking forces, NO, 0, 0, NO,
1142, BEAM , UNILOAD, GX, NO , NO, aDir[1], , , , 0, 10, 1, 10, 0, 0, 0, 0, B - Braking forces, NO, 0, 0, NO,
1143, BEAM , UNILOAD, GX, NO , NO, aDir[1], , , , 0, 10, 1, 10, 0, 0, 0, 0, B - Braking forces, NO, 0, 0, NO,
1144, BEAM , UNILOAD, GX, NO , NO, aDir[1], , , , 0, 10, 1, 10, 0, 0, 0, 0, B - Braking forces, NO, 0, 0, NO,
1145, BEAM , UNILOAD, GX, NO , NO, aDir[1], , , , 0, 10, 1, 10, 0, 0, 0, 0, B - Braking forces, NO, 0, 0, NO,
1146, BEAM , UNILOAD, GX, NO , NO, aDir[1], , , , 0, 10, 1, 10, 0, 0, 0, 0, B - Braking forces, NO, 0, 0, NO,
1147, BEAM , UNILOAD, GX, NO , NO, aDir[1], , , , 0, 10, 1, 10, 0, 0, 0, 0, B - Braking forces, NO, 0, 0, NO,
1148, BEAM , UNILOAD, GX, NO , NO, aDir[1], , , , 0, 10, 1, 10, 0, 0, 0, 0, B - Braking forces, NO, 0, 0, NO,
1149, BEAM , UNILOAD, GX, NO , NO, aDir[1], , , , 0, 10, 1, 10, 0, 0, 0, 0, B - Braking forces, NO, 0, 0, NO,
1150, BEAM , UNILOAD, GX, NO , NO, aDir[1], , , , 0, 10, 1, 10, 0, 0, 0, 0, B - Braking forces, NO, 0, 0, NO,
1151, BEAM , UNILOAD, GX, NO , NO, aDir[1], , , , 0, 10, 1, 10, 0, 0, 0, 0, B - Braking forces, NO, 0, 0, NO,
1152, BEAM , UNILOAD, GX, NO , NO, aDir[1], , , , 0, 10, 1, 10, 0, 0, 0, 0, B - Braking forces, NO, 0, 0, NO,
1153, BEAM , UNILOAD, GX, NO , NO, aDir[1], , , , 0, 10, 1, 10, 0, 0, 0, 0, B - Braking forces, NO, 0, 0, NO,
1154, BEAM , UNILOAD, GX, NO , NO, aDir[1], , , , 0, 10, 1, 10, 0, 0, 0, 0, B - Braking forces, NO, 0, 0, NO,
1155, BEAM , UNILOAD, GX, NO , NO, aDir[1], , , , 0, 10, 1, 10, 0, 0, 0, 0, B - Braking forces, NO, 0, 0, NO,
1156, BEAM , UNILOAD, GX, NO , NO, aDir[1], , , , 0, 10, 1, 10, 0, 0, 0, 0, B - Braking forces, NO, 0, 0, NO,
1157, BEAM , UNILOAD, GX, NO , NO, aDir[1], , , , 0, 10, 1, 10, 0, 0, 0, 0, B - Braking forces, NO, 0, 0, NO,
1158, BEAM , UNILOAD, GX, NO , NO, aDir[1], , , , 0, 10, 1, 10, 0, 0, 0, 0, B - Braking forces, NO, 0, 0, NO,
1159, BEAM , UNILOAD, GX, NO , NO, aDir[1], , , , 0, 10, 1, 10, 0, 0, 0, 0, B - Braking forces, NO, 0, 0, NO,
1160, BEAM , UNILOAD, GX, NO , NO, aDir[1], , , , 0, 10, 1, 10, 0, 0, 0, 0, B - Braking forces, NO, 0, 0, NO,
1161, BEAM , UNILOAD, GX, NO , NO, aDir[1], , , , 0, 10, 1, 10, 0, 0, 0, 0, B - Braking forces, NO, 0, 0, NO,
1162, BEAM , UNILOAD, GX, NO , NO, aDir[1], , , , 0, 10, 1, 10, 0, 0, 0, 0, B - Braking forces, NO, 0, 0, NO,
1163, BEAM , UNILOAD, GX, NO , NO, aDir[1], , , , 0, 10, 1, 10, 0, 0, 0, 0, B - Braking forces, NO, 0, 0, NO,
1164, BEAM , UNILOAD, GX, NO , NO, aDir[1], , , , 0, 10, 1, 10, 0, 0, 0, 0, B - Braking forces, NO, 0, 0, NO,
1165, BEAM , UNILOAD, GX, NO , NO, aDir[1], , , , 0, 10, 1, 10, 0, 0, 0, 0, B - Braking forces, NO, 0, 0, NO,
1166, BEAM , UNILOAD, GX, NO , NO, aDir[1], , , , 0, 10, 1, 10, 0, 0, 0, 0, B - Braking forces, NO, 0, 0, NO,
1167, BEAM , UNILOAD, GX, NO , NO, aDir[1], , , , 0, 10, 1, 10, 0, 0, 0, 0, B - Braking forces, NO, 0, 0, NO,
1168, BEAM , UNILOAD, GX, NO , NO, aDir[1], , , , 0, 10, 1, 10, 0, 0, 0, 0, B - Braking forces, NO, 0, 0, NO,
1169, BEAM , UNILOAD, GX, NO , NO, aDir[1], , , , 0, 10, 1, 10, 0, 0, 0, 0, B - Braking forces, NO, 0, 0, NO,
1170, BEAM , UNILOAD, GX, NO , NO, aDir[1], , , , 0, 10, 1, 10, 0, 0, 0, 0, B - Braking forces, NO, 0, 0, NO,
1171, BEAM , UNILOAD, GX, NO , NO, aDir[1], , , , 0, 10, 1, 10, 0, 0, 0, 0, B - Braking forces, NO, 0, 0, NO,
1172, BEAM , UNILOAD, GX, NO , NO, aDir[1], , , , 0, 10, 1, 10, 0, 0, 0, 0, B - Braking forces, NO, 0, 0, NO,
1173, BEAM , UNILOAD, GX, NO , NO, aDir[1], , , , 0, 10, 1, 10, 0, 0, 0, 0, B - Braking forces, NO, 0, 0, NO,
1174, BEAM , UNILOAD, GX, NO , NO, aDir[1], , , , 0, 10, 1, 10, 0, 0, 0, 0, B - Braking forces, NO, 0, 0, NO,
1175, BEAM , UNILOAD, GX, NO , NO, aDir[1], , , , 0, 10, 1, 10, 0, 0, 0, 0, B - Braking forces, NO, 0, 0, NO,
1176, BEAM , UNILOAD, GX, NO , NO, aDir[1], , , , 0, 10, 1, 10, 0, 0, 0, 0, B - Braking forces, NO, 0, 0, NO,
1177, BEAM , UNILOAD, GX, NO , NO, aDir[1], , , , 0, 10, 1, 10, 0, 0, 0, 0, B - Braking forces, NO, 0, 0, NO,
1178, BEAM , UNILOAD, GX, NO , NO, aDir[1], , , , 0, 10, 1, 10, 0, 0, 0, 0, B - Braking forces, NO, 0, 0, NO,
1179, BEAM , UNILOAD, GX, NO , NO, aDir[1], , , , 0, 10, 1, 10, 0, 0, 0, 0, B - Braking forces, NO, 0, 0, NO,
1180, BEAM , UNILOAD, GX, NO , NO, aDir[1], , , , 0, 10, 1, 10, 0, 0, 0, 0, B - Braking forces, NO, 0, 0, NO,
1181, BEAM , UNILOAD, GX, NO , NO, aDir[1], , , , 0, 10, 1, 10, 0, 0, 0, 0, B - Braking forces, NO, 0, 0, NO,
1182, BEAM , UNILOAD, GX, NO , NO, aDir[1], , , , 0, 10, 1, 10, 0, 0, 0, 0, B - Braking forces, NO, 0, 0, NO,
1183, BEAM , UNILOAD, GX, NO , NO, aDir[1], , , , 0, 10, 1, 10, 0, 0, 0, 0, B - Braking forces, NO, 0, 0, NO,
1184, BEAM , UNILOAD, GX, NO , NO, aDir[1], , , , 0, 10, 1, 10, 0, 0, 0, 0, B - Braking forces, NO, 0, 0, NO,
1185, BEAM , UNILOAD, GX, NO , NO, aDir[1], , , , 0, 10, 1, 10, 0, 0, 0, 0, B - Braking forces, NO, 0, 0, NO,
1186, BEAM , UNILOAD, GX, NO , NO, aDir[1], , , , 0, 10, 1, 10, 0, 0, 0, 0, B - Braking forces, NO, 0, 0, NO,
1187, BEAM , UNILOAD, GX, NO , NO, aDir[1], , , , 0, 10, 1, 10, 0, 0, 0, 0, B - Braking forces, NO, 0, 0, NO,
1188, BEAM , UNILOAD, GX, NO , NO, aDir[1], , , , 0, 10, 1, 10, 0, 0, 0, 0, B - Braking forces, NO, 0, 0, NO,
1189, BEAM , UNILOAD, GX, NO , NO, aDir[1], , , , 0, 10, 1, 10, 0, 0, 0, 0, B - Braking forces, NO, 0, 0, NO,
1190, BEAM , UNILOAD, GX, NO , NO, aDir[1], , , , 0, 10, 1, 10, 0, 0, 0, 0, B - Braking forces, NO, 0, 0, NO,
1191, BEAM , UNILOAD, GX, NO , NO, aDir[1], , , , 0, 10, 1, 10, 0, 0, 0, 0, B - Braking forces, NO, 0, 0, NO,
1192, BEAM , UNILOAD, GX, NO , NO, aDir[1], , , , 0, 10, 1, 10, 0, 0, 0, 0, B - Braking forces, NO, 0, 0, NO,
1193, BEAM , UNILOAD, GX, NO , NO, aDir[1], , , , 0, 10, 1, 10, 0, 0, 0, 0, B - Braking forces, NO, 0, 0, NO,
1194, BEAM , UNILOAD, GX, NO , NO, aDir[1], , , , 0, 10, 1, 10, 0, 0, 0, 0, B - Braking forces, NO, 0, 0, NO,
1195, BEAM , UNILOAD, GX, NO , NO, aDir[1], , , , 0, 10, 1, 10, 0, 0, 0, 0, B - Braking forces, NO, 0, 0, NO,
1196, BEAM , UNILOAD, GX, NO , NO, aDir[1], , , , 0, 10, 1, 10, 0, 0, 0, 0, B - Braking forces, NO, 0, 0, NO,
1197, BEAM , UNILOAD, GX, NO , NO, aDir[1], , , , 0, 10, 1, 10, 0, 0, 0, 0, B - Braking forces, NO, 0, 0, NO,
1198, BEAM , UNILOAD, GX, NO , NO, aDir[1], , , , 0, 10, 1, 10, 0, 0, 0, 0, B - Braking forces, NO, 0, 0, NO,
1199, BEAM , UNILOAD, GX, NO , NO, aDir[1], , , , 0, 10, 1, 10, 0, 0, 0, 0, B - Braking forces, NO, 0, 0, NO,
1200, BEAM , UNILOAD, GX, NO , NO, aDir[1], , , , 0, 10, 1, 10, 0, 0, 0, 0, B - Braking forces, NO, 0, 0, NO,
1201, BEAM , UNILOAD, GX, NO , NO, aDir[1], , , , 0, 10, 1, 10, 0, 0, 0, 0, B - Braking forces, NO, 0, 0, NO,
1202, BEAM , UNILOAD, GX, NO , NO, aDir[1], , , , 0, 10, 1, 10, 0, 0, 0, 0, B - Braking forces, NO, 0, 0, NO,
1203, BEAM , UNILOAD, GX, NO , NO, aDir[1], , , , 0, 10, 1, 10, 0, 0, 0, 0, B - Braking forces, NO, 0, 0, NO,
1204, BEAM , UNILOAD, GX, NO , NO, aDir[1], , , , 0, 10, 1, 10, 0, 0, 0, 0, B - Braking forces, NO, 0, 0, NO,
1205, BEAM , UNILOAD, GX, NO , NO, aDir[1], , , , 0, 10, 1, 10, 0, 0, 0, 0, B - Braking forces, NO, 0, 0, NO,
1206, BEAM , UNILOAD, GX, NO , NO, aDir[1], , , , 0, 10, 1, 10, 0, 0, 0, 0, B - Braking forces, NO, 0, 0, NO,
1207, BEAM , UNILOAD, GX, NO , NO, aDir[1], , , , 0, 10, 1, 10, 0, 0, 0, 0, B - Braking forces, NO, 0, 0, NO,
1208, BEAM , UNILOAD, GX, NO , NO, aDir[1], , , , 0, 10, 1, 10, 0, 0, 0, 0, B - Braking forces, NO, 0, 0, NO,
1209, BEAM , UNILOAD, GX, NO , NO, aDir[1], , , , 0, 10, 1, 10, 0, 0, 0, 0, B - Braking forces, NO, 0, 0, NO,
1210, BEAM , UNILOAD, GX, NO , NO, aDir[1], , , , 0, 10, 1, 10, 0, 0, 0, 0, B - Braking forces, NO, 0, 0, NO,
1211, BEAM , UNILOAD, GX, NO , NO, aDir[1], , , , 0, 10, 1, 10, 0, 0, 0, 0, B - Braking forces, NO, 0, 0, NO,
1212, BEAM , UNILOAD, GX, NO , NO, aDir[1], , , , 0, 10, 1, 10, 0, 0, 0, 0, B - Braking forces, NO, 0, 0, NO,

PROJECT TITLE :

MIDAS	Company		Client	
	Author		File Name	H2D_3Dg_v14_180227_StatLM.mct

1213, BEAM , UNILOAD, GX, NO , NO, aDir[1], , , , 0, 10, 1, 10, 0, 0, 0, 0, B - Braking forces, NO, 0, 0, NO,
1214, BEAM , UNILOAD, GX, NO , NO, aDir[1], , , , 0, 10, 1, 10, 0, 0, 0, 0, B - Braking forces, NO, 0, 0, NO,
1215, BEAM , UNILOAD, GX, NO , NO, aDir[1], , , , 0, 10, 1, 10, 0, 0, 0, 0, B - Braking forces, NO, 0, 0, NO,
1216, BEAM , UNILOAD, GX, NO , NO, aDir[1], , , , 0, 10, 1, 10, 0, 0, 0, 0, B - Braking forces, NO, 0, 0, NO,
1217, BEAM , UNILOAD, GX, NO , NO, aDir[1], , , , 0, 10, 1, 10, 0, 0, 0, 0, B - Braking forces, NO, 0, 0, NO,
1218, BEAM , UNILOAD, GX, NO , NO, aDir[1], , , , 0, 10, 1, 10, 0, 0, 0, 0, B - Braking forces, NO, 0, 0, NO,
1219, BEAM , UNILOAD, GX, NO , NO, aDir[1], , , , 0, 10, 1, 10, 0, 0, 0, 0, B - Braking forces, NO, 0, 0, NO,
1220, BEAM , UNILOAD, GX, NO , NO, aDir[1], , , , 0, 10, 1, 10, 0, 0, 0, 0, B - Braking forces, NO, 0, 0, NO,
1221, BEAM , UNILOAD, GX, NO , NO, aDir[1], , , , 0, 10, 1, 10, 0, 0, 0, 0, B - Braking forces, NO, 0, 0, NO,
1222, BEAM , UNILOAD, GX, NO , NO, aDir[1], , , , 0, 10, 1, 10, 0, 0, 0, 0, B - Braking forces, NO, 0, 0, NO,
1223, BEAM , UNILOAD, GX, NO , NO, aDir[1], , , , 0, 10, 1, 10, 0, 0, 0, 0, B - Braking forces, NO, 0, 0, NO,
1224, BEAM , UNILOAD, GX, NO , NO, aDir[1], , , , 0, 10, 1, 10, 0, 0, 0, 0, B - Braking forces, NO, 0, 0, NO,
1225, BEAM , UNILOAD, GX, NO , NO, aDir[1], , , , 0, 10, 1, 10, 0, 0, 0, 0, B - Braking forces, NO, 0, 0, NO,
1226, BEAM , UNILOAD, GX, NO , NO, aDir[1], , , , 0, 10, 1, 10, 0, 0, 0, 0, B - Braking forces, NO, 0, 0, NO,
1227, BEAM , UNILOAD, GX, NO , NO, aDir[1], , , , 0, 10, 1, 10, 0, 0, 0, 0, B - Braking forces, NO, 0, 0, NO,
1228, BEAM , UNILOAD, GX, NO , NO, aDir[1], , , , 0, 10, 1, 10, 0, 0, 0, 0, B - Braking forces, NO, 0, 0, NO,
1229, BEAM , UNILOAD, GX, NO , NO, aDir[1], , , , 0, 10, 1, 10, 0, 0, 0, 0, B - Braking forces, NO, 0, 0, NO,
1230, BEAM , UNILOAD, GX, NO , NO, aDir[1], , , , 0, 10, 1, 10, 0, 0, 0, 0, B - Braking forces, NO, 0, 0, NO,
1231, BEAM , UNILOAD, GX, NO , NO, aDir[1], , , , 0, 10, 1, 10, 0, 0, 0, 0, B - Braking forces, NO, 0, 0, NO,
1232, BEAM , UNILOAD, GX, NO , NO, aDir[1], , , , 0, 10, 1, 10, 0, 0, 0, 0, B - Braking forces, NO, 0, 0, NO,
1233, BEAM , UNILOAD, GX, NO , NO, aDir[1], , , , 0, 10, 1, 10, 0, 0, 0, 0, B - Braking forces, NO, 0, 0, NO,
1234, BEAM , UNILOAD, GX, NO , NO, aDir[1], , , , 0, 10, 1, 10, 0, 0, 0, 0, B - Braking forces, NO, 0, 0, NO,
1235, BEAM , UNILOAD, GX, NO , NO, aDir[1], , , , 0, 10, 1, 10, 0, 0, 0, 0, B - Braking forces, NO, 0, 0, NO,
1236, BEAM , UNILOAD, GX, NO , NO, aDir[1], , , , 0, 10, 1, 10, 0, 0, 0, 0, B - Braking forces, NO, 0, 0, NO,
1237, BEAM , UNILOAD, GX, NO , NO, aDir[1], , , , 0, 10, 1, 10, 0, 0, 0, 0, B - Braking forces, NO, 0, 0, NO,
1238, BEAM , UNILOAD, GX, NO , NO, aDir[1], , , , 0, 10, 1, 10, 0, 0, 0, 0, B - Braking forces, NO, 0, 0, NO,
1239, BEAM , UNILOAD, GX, NO , NO, aDir[1], , , , 0, 10, 1, 10, 0, 0, 0, 0, B - Braking forces, NO, 0, 0, NO,
1240, BEAM , UNILOAD, GX, NO , NO, aDir[1], , , , 0, 10, 1, 10, 0, 0, 0, 0, B - Braking forces, NO, 0, 0, NO,
1241, BEAM , UNILOAD, GX, NO , NO, aDir[1], , , , 0, 10, 1, 10, 0, 0, 0, 0, B - Braking forces, NO, 0, 0, NO,
1242, BEAM , UNILOAD, GX, NO , NO, aDir[1], , , , 0, 10, 1, 10, 0, 0, 0, 0, B - Braking forces, NO, 0, 0, NO,
1243, BEAM , UNILOAD, GX, NO , NO, aDir[1], , , , 0, 10, 1, 10, 0, 0, 0, 0, B - Braking forces, NO, 0, 0, NO,
1244, BEAM , UNILOAD, GX, NO , NO, aDir[1], , , , 0, 10, 1, 10, 0, 0, 0, 0, B - Braking forces, NO, 0, 0, NO,
1245, BEAM , UNILOAD, GX, NO , NO, aDir[1], , , , 0, 10, 1, 10, 0, 0, 0, 0, B - Braking forces, NO, 0, 0, NO,
1246, BEAM , UNILOAD, GX, NO , NO, aDir[1], , , , 0, 10, 1, 10, 0, 0, 0, 0, B - Braking forces, NO, 0, 0, NO,
1247, BEAM , UNILOAD, GX, NO , NO, aDir[1], , , , 0, 10, 1, 10, 0, 0, 0, 0, B - Braking forces, NO, 0, 0, NO,
1248, BEAM , UNILOAD, GX, NO , NO, aDir[1], , , , 0, 10, 1, 10, 0, 0, 0, 0, B - Braking forces, NO, 0, 0, NO,
1249, BEAM , UNILOAD, GX, NO , NO, aDir[1], , , , 0, 10, 1, 10, 0, 0, 0, 0, B - Braking forces, NO, 0, 0, NO,
1250, BEAM , UNILOAD, GX, NO , NO, aDir[1], , , , 0, 10, 1, 10, 0, 0, 0, 0, B - Braking forces, NO, 0, 0, NO,
1251, BEAM , UNILOAD, GX, NO , NO, aDir[1], , , , 0, 10, 1, 10, 0, 0, 0, 0, B - Braking forces, NO, 0, 0, NO,
1252, BEAM , UNILOAD, GX, NO , NO, aDir[1], , , , 0, 10, 1, 10, 0, 0, 0, 0, B - Braking forces, NO, 0, 0, NO,
1253, BEAM , UNILOAD, GX, NO , NO, aDir[1], , , , 0, 10, 1, 10, 0, 0, 0, 0, B - Braking forces, NO, 0, 0, NO,
1254, BEAM , UNILOAD, GX, NO , NO, aDir[1], , , , 0, 10, 1, 10, 0, 0, 0, 0, B - Braking forces, NO, 0, 0, NO,
1255, BEAM , UNILOAD, GX, NO , NO, aDir[1], , , , 0, 10, 1, 10, 0, 0, 0, 0, B - Braking forces, NO, 0, 0, NO,
1256, BEAM , UNILOAD, GX, NO , NO, aDir[1], , , , 0, 10, 1, 10, 0, 0, 0, 0, B - Braking forces, NO, 0, 0, NO,
1257, BEAM , UNILOAD, GX, NO , NO, aDir[1], , , , 0, 10, 1, 10, 0, 0, 0, 0, B - Braking forces, NO, 0, 0, NO,
1258, BEAM , UNILOAD, GX, NO , NO, aDir[1], , , , 0, 10, 1, 10, 0, 0, 0, 0, B - Braking forces, NO, 0, 0, NO,
1259, BEAM , UNILOAD, GX, NO , NO, aDir[1], , , , 0, 10, 1, 10, 0, 0, 0, 0, B - Braking forces, NO, 0, 0, NO,
1260, BEAM , UNILOAD, GX, NO , NO, aDir[1], , , , 0, 10, 1, 10, 0, 0, 0, 0, B - Braking forces, NO, 0, 0, NO,
1261, BEAM , UNILOAD, GX, NO , NO, aDir[1], , , , 0, 10, 1, 10, 0, 0, 0, 0, B - Braking forces, NO, 0, 0, NO,
1262, BEAM , UNILOAD, GX, NO , NO, aDir[1], , , , 0, 10, 1, 10, 0, 0, 0, 0, B - Braking forces, NO, 0, 0, NO,
1263, BEAM , UNILOAD, GX, NO , NO, aDir[1], , , , 0, 10, 1, 10, 0, 0, 0, 0, B - Braking forces, NO, 0, 0, NO,
1264, BEAM , UNILOAD, GX, NO , NO, aDir[1], , , , 0, 10, 1, 10, 0, 0, 0, 0, B - Braking forces, NO, 0, 0, NO,
1265, BEAM , UNILOAD, GX, NO , NO, aDir[1], , , , 0, 10, 1, 10, 0, 0, 0, 0, B - Braking forces, NO, 0, 0, NO,
1266, BEAM , UNILOAD, GX, NO , NO, aDir[1], , , , 0, 10, 1, 10, 0, 0, 0, 0, B - Braking forces, NO, 0, 0, NO,
1267, BEAM , UNILOAD, GX, NO , NO, aDir[1], , , , 0, 10, 1, 10, 0, 0, 0, 0, B - Braking forces, NO, 0, 0, NO,
1268, BEAM , UNILOAD, GX, NO , NO, aDir[1], , , , 0, 10, 1, 10, 0, 0, 0, 0, B - Braking forces, NO, 0, 0, NO,
1269, BEAM , UNILOAD, GX, NO , NO, aDir[1], , , , 0, 10, 1, 10, 0, 0, 0, 0, B - Braking forces, NO, 0, 0, NO,
1270, BEAM , UNILOAD, GX, NO , NO, aDir[1], , , , 0, 10, 1, 10, 0, 0, 0, 0, B - Braking forces, NO, 0, 0, NO,
1271, BEAM , UNILOAD, GX, NO , NO, aDir[1], , , , 0, 10, 1, 10, 0, 0, 0, 0, B - Braking forces, NO, 0, 0, NO,
1272, BEAM , UNILOAD, GX, NO , NO, aDir[1], , , , 0, 10, 1, 10, 0, 0, 0, 0, B - Braking forces, NO, 0, 0, NO,
1273, BEAM , UNILOAD, GX, NO , NO, aDir[1], , , , 0, 10, 1, 10, 0, 0, 0, 0, B - Braking forces, NO, 0, 0, NO,
1274, BEAM , UNILOAD, GX, NO , NO, aDir[1], , , , 0, 10, 1, 10, 0, 0, 0, 0, B - Braking forces, NO, 0, 0, NO,
1275, BEAM , UNILOAD, GX, NO , NO, aDir[1], , , , 0, 10, 1, 10, 0, 0, 0, 0, B - Braking forces, NO, 0, 0, NO,
1276, BEAM , UNILOAD, GX, NO , NO, aDir[1], , , , 0, 10, 1, 10, 0, 0, 0, 0, B - Braking forces, NO, 0, 0, NO,
1277, BEAM , UNILOAD, GX, NO , NO, aDir[1], , , , 0, 10, 1, 10, 0, 0, 0, 0, B - Braking forces, NO, 0, 0, NO,
1278, BEAM , UNILOAD, GX, NO , NO, aDir[1], , , , 0, 10, 1, 10, 0, 0, 0, 0, B - Braking forces, NO, 0, 0, NO,
1279, BEAM , UNILOAD, GX, NO , NO, aDir[1], , , , 0, 10, 1, 10, 0, 0, 0, 0, B - Braking forces, NO, 0, 0, NO,
1280, BEAM , UNILOAD, GX, NO , NO, aDir[1], , , , 0, 10, 1, 10, 0, 0, 0, 0, B - Braking forces, NO, 0, 0, NO,
1281, BEAM , UNILOAD, GX, NO , NO, aDir[1], , , , 0, 10, 1, 10, 0, 0, 0, 0, B - Braking forces, NO, 0, 0, NO,
1282, BEAM , UNILOAD, GX, NO , NO, aDir[1], , , , 0, 10, 1, 10, 0, 0, 0, 0, B - Braking forces, NO, 0, 0, NO,
1283, BEAM , UNILOAD, GX, NO , NO, aDir[1], , , , 0, 10, 1, 10, 0, 0, 0, 0, B - Braking forces, NO, 0, 0, NO,
1284, BEAM , UNILOAD, GX, NO , NO, aDir[1], , , , 0, 10, 1, 10, 0, 0, 0, 0, B - Braking forces, NO, 0, 0, NO,

PROJECT TITLE :

MIDAS	Company		Client	
	Author		File Name	H2D_3Dg_v14_180227_StatLM.mct

1285, BEAM , UNILOAD, GX, NO , NO, aDir[1], , , , 0, 10, 1, 10, 0, 0, 0, 0, B - Braking forces, NO, 0, 0, NO,
1286, BEAM , UNILOAD, GX, NO , NO, aDir[1], , , , 0, 10, 1, 10, 0, 0, 0, 0, B - Braking forces, NO, 0, 0, NO,
1287, BEAM , UNILOAD, GX, NO , NO, aDir[1], , , , 0, 10, 1, 10, 0, 0, 0, 0, B - Braking forces, NO, 0, 0, NO,
1288, BEAM , UNILOAD, GX, NO , NO, aDir[1], , , , 0, 10, 1, 10, 0, 0, 0, 0, B - Braking forces, NO, 0, 0, NO,
1289, BEAM , UNILOAD, GX, NO , NO, aDir[1], , , , 0, 10, 1, 10, 0, 0, 0, 0, B - Braking forces, NO, 0, 0, NO,
1290, BEAM , UNILOAD, GX, NO , NO, aDir[1], , , , 0, 10, 1, 10, 0, 0, 0, 0, B - Braking forces, NO, 0, 0, NO,
1291, BEAM , UNILOAD, GX, NO , NO, aDir[1], , , , 0, 10, 1, 10, 0, 0, 0, 0, B - Braking forces, NO, 0, 0, NO,
1292, BEAM , UNILOAD, GX, NO , NO, aDir[1], , , , 0, 10, 1, 10, 0, 0, 0, 0, B - Braking forces, NO, 0, 0, NO,
1293, BEAM , UNILOAD, GX, NO , NO, aDir[1], , , , 0, 10, 1, 10, 0, 0, 0, 0, B - Braking forces, NO, 0, 0, NO,
1294, BEAM , UNILOAD, GX, NO , NO, aDir[1], , , , 0, 10, 1, 10, 0, 0, 0, 0, B - Braking forces, NO, 0, 0, NO,
1295, BEAM , UNILOAD, GX, NO , NO, aDir[1], , , , 0, 10, 1, 10, 0, 0, 0, 0, B - Braking forces, NO, 0, 0, NO,
1296, BEAM , UNILOAD, GX, NO , NO, aDir[1], , , , 0, 10, 1, 10, 0, 0, 0, 0, B - Braking forces, NO, 0, 0, NO,
1297, BEAM , UNILOAD, GX, NO , NO, aDir[1], , , , 0, 10, 1, 10, 0, 0, 0, 0, B - Braking forces, NO, 0, 0, NO,
1298, BEAM , UNILOAD, GX, NO , NO, aDir[1], , , , 0, 10, 1, 10, 0, 0, 0, 0, B - Braking forces, NO, 0, 0, NO,
1299, BEAM , UNILOAD, GX, NO , NO, aDir[1], , , , 0, 10, 1, 10, 0, 0, 0, 0, B - Braking forces, NO, 0, 0, NO,
1300, BEAM , UNILOAD, GX, NO , NO, aDir[1], , , , 0, 10, 1, 10, 0, 0, 0, 0, B - Braking forces, NO, 0, 0, NO,
1301, BEAM , UNILOAD, GX, NO , NO, aDir[1], , , , 0, 10, 1, 10, 0, 0, 0, 0, B - Braking forces, NO, 0, 0, NO,
1302, BEAM , UNILOAD, GX, NO , NO, aDir[1], , , , 0, 10, 1, 10, 0, 0, 0, 0, B - Braking forces, NO, 0, 0, NO,
1303, BEAM , UNILOAD, GX, NO , NO, aDir[1], , , , 0, 10, 1, 10, 0, 0, 0, 0, B - Braking forces, NO, 0, 0, NO,
1304, BEAM , UNILOAD, GX, NO , NO, aDir[1], , , , 0, 10, 1, 10, 0, 0, 0, 0, B - Braking forces, NO, 0, 0, NO,
1305, BEAM , UNILOAD, GX, NO , NO, aDir[1], , , , 0, 10, 1, 10, 0, 0, 0, 0, B - Braking forces, NO, 0, 0, NO,
1306, BEAM , UNILOAD, GX, NO , NO, aDir[1], , , , 0, 10, 1, 10, 0, 0, 0, 0, B - Braking forces, NO, 0, 0, NO,
1307, BEAM , UNILOAD, GX, NO , NO, aDir[1], , , , 0, 10, 1, 10, 0, 0, 0, 0, B - Braking forces, NO, 0, 0, NO,
1308, BEAM , UNILOAD, GX, NO , NO, aDir[1], , , , 0, 10, 1, 10, 0, 0, 0, 0, B - Braking forces, NO, 0, 0, NO,
1309, BEAM , UNILOAD, GX, NO , NO, aDir[1], , , , 0, 10, 1, 10, 0, 0, 0, 0, B - Braking forces, NO, 0, 0, NO,
1310, BEAM , UNILOAD, GX, NO , NO, aDir[1], , , , 0, 10, 1, 10, 0, 0, 0, 0, B - Braking forces, NO, 0, 0, NO,
1311, BEAM , UNILOAD, GX, NO , NO, aDir[1], , , , 0, 10, 1, 10, 0, 0, 0, 0, B - Braking forces, NO, 0, 0, NO,
1312, BEAM , UNILOAD, GX, NO , NO, aDir[1], , , , 0, 10, 1, 10, 0, 0, 0, 0, B - Braking forces, NO, 0, 0, NO,
1313, BEAM , UNILOAD, GX, NO , NO, aDir[1], , , , 0, 10, 1, 10, 0, 0, 0, 0, B - Braking forces, NO, 0, 0, NO,
1314, BEAM , UNILOAD, GX, NO , NO, aDir[1], , , , 0, 10, 1, 10, 0, 0, 0, 0, B - Braking forces, NO, 0, 0, NO,
1315, BEAM , UNILOAD, GX, NO , NO, aDir[1], , , , 0, 10, 1, 10, 0, 0, 0, 0, B - Braking forces, NO, 0, 0, NO,
1316, BEAM , UNILOAD, GX, NO , NO, aDir[1], , , , 0, 10, 1, 10, 0, 0, 0, 0, B - Braking forces, NO, 0, 0, NO,
1317, BEAM , UNILOAD, GX, NO , NO, aDir[1], , , , 0, 10, 1, 10, 0, 0, 0, 0, B - Braking forces, NO, 0, 0, NO,
1318, BEAM , UNILOAD, GX, NO , NO, aDir[1], , , , 0, 10, 1, 10, 0, 0, 0, 0, B - Braking forces, NO, 0, 0, NO,
1319, BEAM , UNILOAD, GX, NO , NO, aDir[1], , , , 0, 10, 1, 10, 0, 0, 0, 0, B - Braking forces, NO, 0, 0, NO,
1320, BEAM , UNILOAD, GX, NO , NO, aDir[1], , , , 0, 10, 1, 10, 0, 0, 0, 0, B - Braking forces, NO, 0, 0, NO,
1321, BEAM , UNILOAD, GX, NO , NO, aDir[1], , , , 0, 10, 1, 10, 0, 0, 0, 0, B - Braking forces, NO, 0, 0, NO,
1322, BEAM , UNILOAD, GX, NO , NO, aDir[1], , , , 0, 10, 1, 10, 0, 0, 0, 0, B - Braking forces, NO, 0, 0, NO,
1323, BEAM , UNILOAD, GX, NO , NO, aDir[1], , , , 0, 10, 1, 10, 0, 0, 0, 0, B - Braking forces, NO, 0, 0, NO,
1324, BEAM , UNILOAD, GX, NO , NO, aDir[1], , , , 0, 10, 1, 10, 0, 0, 0, 0, B - Braking forces, NO, 0, 0, NO,
1325, BEAM , UNILOAD, GX, NO , NO, aDir[1], , , , 0, 10, 1, 10, 0, 0, 0, 0, B - Braking forces, NO, 0, 0, NO,
1326, BEAM , UNILOAD, GX, NO , NO, aDir[1], , , , 0, 10, 1, 10, 0, 0, 0, 0, B - Braking forces, NO, 0, 0, NO,
1327, BEAM , UNILOAD, GX, NO , NO, aDir[1], , , , 0, 10, 1, 10, 0, 0, 0, 0, B - Braking forces, NO, 0, 0, NO,
1328, BEAM , UNILOAD, GX, NO , NO, aDir[1], , , , 0, 10, 1, 10, 0, 0, 0, 0, B - Braking forces, NO, 0, 0, NO,
1329, BEAM , UNILOAD, GX, NO , NO, aDir[1], , , , 0, 10, 1, 10, 0, 0, 0, 0, B - Braking forces, NO, 0, 0, NO,
1330, BEAM , UNILOAD, GX, NO , NO, aDir[1], , , , 0, 10, 1, 10, 0, 0, 0, 0, B - Braking forces, NO, 0, 0, NO,
1331, BEAM , UNILOAD, GX, NO , NO, aDir[1], , , , 0, 10, 1, 10, 0, 0, 0, 0, B - Braking forces, NO, 0, 0, NO,
1332, BEAM , UNILOAD, GX, NO , NO, aDir[1], , , , 0, 10, 1, 10, 0, 0, 0, 0, B - Braking forces, NO, 0, 0, NO,
1333, BEAM , UNILOAD, GX, NO , NO, aDir[1], , , , 0, 10, 1, 10, 0, 0, 0, 0, B - Braking forces, NO, 0, 0, NO,
1334, BEAM , UNILOAD, GX, NO , NO, aDir[1], , , , 0, 10, 1, 10, 0, 0, 0, 0, B - Braking forces, NO, 0, 0, NO,
1335, BEAM , UNILOAD, GX, NO , NO, aDir[1], , , , 0, 10, 1, 10, 0, 0, 0, 0, B - Braking forces, NO, 0, 0, NO,
1336, BEAM , UNILOAD, GX, NO , NO, aDir[1], , , , 0, 10, 1, 10, 0, 0, 0, 0, B - Braking forces, NO, 0, 0, NO,
1337, BEAM , UNILOAD, GX, NO , NO, aDir[1], , , , 0, 10, 1, 10, 0, 0, 0, 0, B - Braking forces, NO, 0, 0, NO,
1338, BEAM , UNILOAD, GX, NO , NO, aDir[1], , , , 0, 10, 1, 10, 0, 0, 0, 0, B - Braking forces, NO, 0, 0, NO,
1339, BEAM , UNILOAD, GX, NO , NO, aDir[1], , , , 0, 10, 1, 10, 0, 0, 0, 0, B - Braking forces, NO, 0, 0, NO,
1340, BEAM , UNILOAD, GX, NO , NO, aDir[1], , , , 0, 10, 1, 10, 0, 0, 0, 0, B - Braking forces, NO, 0, 0, NO,
1341, BEAM , UNILOAD, GX, NO , NO, aDir[1], , , , 0, 10, 1, 10, 0, 0, 0, 0, B - Braking forces, NO, 0, 0, NO,
1342, BEAM , UNILOAD, GX, NO , NO, aDir[1], , , , 0, 10, 1, 10, 0, 0, 0, 0, B - Braking forces, NO, 0, 0, NO,
1343, BEAM , UNILOAD, GX, NO , NO, aDir[1], , , , 0, 10, 1, 10, 0, 0, 0, 0, B - Braking forces, NO, 0, 0, NO,
1344, BEAM , UNILOAD, GX, NO , NO, aDir[1], , , , 0, 10, 1, 10, 0, 0, 0, 0, B - Braking forces, NO, 0, 0, NO,
1345, BEAM , UNILOAD, GX, NO , NO, aDir[1], , , , 0, 10, 1, 10, 0, 0, 0, 0, B - Braking forces, NO, 0, 0, NO,
1346, BEAM , UNILOAD, GX, NO , NO, aDir[1], , , , 0, 10, 1, 10, 0, 0, 0, 0, B - Braking forces, NO, 0, 0, NO,
1347, BEAM , UNILOAD, GX, NO , NO, aDir[1], , , , 0, 10, 1, 10, 0, 0, 0, 0, B - Braking forces, NO, 0, 0, NO,
1348, BEAM , UNILOAD, GX, NO , NO, aDir[1], , , , 0, 10, 1, 10, 0, 0, 0, 0, B - Braking forces, NO, 0, 0, NO,
1349, BEAM , UNILOAD, GX, NO , NO, aDir[1], , , , 0, 10, 1, 10, 0, 0, 0, 0, B - Braking forces, NO, 0, 0, NO,
1350, BEAM , UNILOAD, GX, NO , NO, aDir[1], , , , 0, 10, 1, 10, 0, 0, 0, 0, B - Braking forces, NO, 0, 0, NO,
1351, BEAM , UNILOAD, GX, NO , NO, aDir[1], , , , 0, 10, 1, 10, 0, 0, 0, 0, B - Braking forces, NO, 0, 0, NO,
1352, BEAM , UNILOAD, GX, NO , NO, aDir[1], , , , 0, 10, 1, 10, 0, 0, 0, 0, B - Braking forces, NO, 0, 0, NO,
1353, BEAM , UNILOAD, GX, NO , NO, aDir[1], , , , 0, 10, 1, 10, 0, 0, 0, 0, B - Braking forces, NO, 0, 0, NO,
1354, BEAM , UNILOAD, GX, NO , NO, aDir[1], , , , 0, 10, 1, 10, 0, 0, 0, 0, B - Braking forces, NO, 0, 0, NO,
1355, BEAM , UNILOAD, GX, NO , NO, aDir[1], , , , 0, 10, 1, 10, 0, 0, 0, 0, B - Braking forces, NO, 0, 0, NO,
1356, BEAM , UNILOAD, GX, NO , NO, aDir[1], , , , 0, 10, 1, 10, 0, 0, 0, 0, B - Braking forces, NO, 0, 0, NO,

1357, BEAM , UNILOAD, GX, NO , NO, aDir[1], , , , 0, 10, 1, 10, 0, 0, 0, 0, B - Braking forces, NO, 0, 0, NO,
1358, BEAM , UNILOAD, GX, NO , NO, aDir[1], , , , 0, 10, 1, 10, 0, 0, 0, 0, B - Braking forces, NO, 0, 0, NO,
1359, BEAM , UNILOAD, GX, NO , NO, aDir[1], , , , 0, 10, 1, 10, 0, 0, 0, 0, B - Braking forces, NO, 0, 0, NO,
1360, BEAM , UNILOAD, GX, NO , NO, aDir[1], , , , 0, 10, 1, 10, 0, 0, 0, 0, B - Braking forces, NO, 0, 0, NO,
1361, BEAM , UNILOAD, GX, NO , NO, aDir[1], , , , 0, 10, 1, 10, 0, 0, 0, 0, B - Braking forces, NO, 0, 0, NO,
1362, BEAM , UNILOAD, GX, NO , NO, aDir[1], , , , 0, 10, 1, 10, 0, 0, 0, 0, B - Braking forces, NO, 0, 0, NO,
1363, BEAM , UNILOAD, GX, NO , NO, aDir[1], , , , 0, 10, 1, 10, 0, 0, 0, 0, B - Braking forces, NO, 0, 0, NO,
1364, BEAM , UNILOAD, GX, NO , NO, aDir[1], , , , 0, 10, 1, 10, 0, 0, 0, 0, B - Braking forces, NO, 0, 0, NO,
1365, BEAM , UNILOAD, GX, NO , NO, aDir[1], , , , 0, 10, 1, 10, 0, 0, 0, 0, B - Braking forces, NO, 0, 0, NO,
1366, BEAM , UNILOAD, GX, NO , NO, aDir[1], , , , 0, 10, 1, 10, 0, 0, 0, 0, B - Braking forces, NO, 0, 0, NO,
1367, BEAM , UNILOAD, GX, NO , NO, aDir[1], , , , 0, 10, 1, 10, 0, 0, 0, 0, B - Braking forces, NO, 0, 0, NO,
1368, BEAM , UNILOAD, GX, NO , NO, aDir[1], , , , 0, 10, 1, 10, 0, 0, 0, 0, B - Braking forces, NO, 0, 0, NO,
1369, BEAM , UNILOAD, GX, NO , NO, aDir[1], , , , 0, 10, 1, 10, 0, 0, 0, 0, B - Braking forces, NO, 0, 0, NO,
1370, BEAM , UNILOAD, GX, NO , NO, aDir[1], , , , 0, 10, 1, 10, 0, 0, 0, 0, B - Braking forces, NO, 0, 0, NO,
1371, BEAM , UNILOAD, GX, NO , NO, aDir[1], , , , 0, 10, 1, 10, 0, 0, 0, 0, B - Braking forces, NO, 0, 0, NO,
1372, BEAM , UNILOAD, GX, NO , NO, aDir[1], , , , 0, 10, 1, 10, 0, 0, 0, 0, B - Braking forces, NO, 0, 0, NO,
1373, BEAM , UNILOAD, GX, NO , NO, aDir[1], , , , 0, 10, 1, 10, 0, 0, 0, 0, B - Braking forces, NO, 0, 0, NO,
1374, BEAM , UNILOAD, GX, NO , NO, aDir[1], , , , 0, 10, 1, 10, 0, 0, 0, 0, B - Braking forces, NO, 0, 0, NO,
1375, BEAM , UNILOAD, GX, NO , NO, aDir[1], , , , 0, 10, 1, 10, 0, 0, 0, 0, B - Braking forces, NO, 0, 0, NO,
1376, BEAM , UNILOAD, GX, NO , NO, aDir[1], , , , 0, 10, 1, 10, 0, 0, 0, 0, B - Braking forces, NO, 0, 0, NO,
1377, BEAM , UNILOAD, GX, NO , NO, aDir[1], , , , 0, 10, 1, 10, 0, 0, 0, 0, B - Braking forces, NO, 0, 0, NO,
1378, BEAM , UNILOAD, GX, NO , NO, aDir[1], , , , 0, 10, 1, 10, 0, 0, 0, 0, B - Braking forces, NO, 0, 0, NO,
1379, BEAM , UNILOAD, GX, NO , NO, aDir[1], , , , 0, 10, 1, 10, 0, 0, 0, 0, B - Braking forces, NO, 0, 0, NO,
1380, BEAM , UNILOAD, GX, NO , NO, aDir[1], , , , 0, 10, 1, 10, 0, 0, 0, 0, B - Braking forces, NO, 0, 0, NO,
1381, BEAM , UNILOAD, GX, NO , NO, aDir[1], , , , 0, 10, 1, 10, 0, 0, 0, 0, B - Braking forces, NO, 0, 0, NO,
1382, BEAM , UNILOAD, GX, NO , NO, aDir[1], , , , 0, 10, 1, 10, 0, 0, 0, 0, B - Braking forces, NO, 0, 0, NO,
1383, BEAM , UNILOAD, GX, NO , NO, aDir[1], , , , 0, 10, 1, 10, 0, 0, 0, 0, B - Braking forces, NO, 0, 0, NO,
1384, BEAM , UNILOAD, GX, NO , NO, aDir[1], , , , 0, 10, 1, 10, 0, 0, 0, 0, B - Braking forces, NO, 0, 0, NO,
1385, BEAM , UNILOAD, GX, NO , NO, aDir[1], , , , 0, 10, 1, 10, 0, 0, 0, 0, B - Braking forces, NO, 0, 0, NO,
1386, BEAM , UNILOAD, GX, NO , NO, aDir[1], , , , 0, 10, 1, 10, 0, 0, 0, 0, B - Braking forces, NO, 0, 0, NO,
1387, BEAM , UNILOAD, GX, NO , NO, aDir[1], , , , 0, 10, 1, 10, 0, 0, 0, 0, B - Braking forces, NO, 0, 0, NO,
1388, BEAM , UNILOAD, GX, NO , NO, aDir[1], , , , 0, 10, 1, 10, 0, 0, 0, 0, B - Braking forces, NO, 0, 0, NO,
1389, BEAM , UNILOAD, GX, NO , NO, aDir[1], , , , 0, 10, 1, 10, 0, 0, 0, 0, B - Braking forces, NO, 0, 0, NO,
1390, BEAM , UNILOAD, GX, NO , NO, aDir[1], , , , 0, 10, 1, 10, 0, 0, 0, 0, B - Braking forces, NO, 0, 0, NO,
1391, BEAM , UNILOAD, GX, NO , NO, aDir[1], , , , 0, 10, 1, 10, 0, 0, 0, 0, B - Braking forces, NO, 0, 0, NO,
1392, BEAM , UNILOAD, GX, NO , NO, aDir[1], , , , 0, 10, 1, 10, 0, 0, 0, 0, B - Braking forces, NO, 0, 0, NO,
1393, BEAM , UNILOAD, GX, NO , NO, aDir[1], , , , 0, 10, 1, 10, 0, 0, 0, 0, B - Braking forces, NO, 0, 0, NO,
1394, BEAM , UNILOAD, GX, NO , NO, aDir[1], , , , 0, 10, 1, 10, 0, 0, 0, 0, B - Braking forces, NO, 0, 0, NO,
1395, BEAM , UNILOAD, GX, NO , NO, aDir[1], , , , 0, 10, 1, 10, 0, 0, 0, 0, B - Braking forces, NO, 0, 0, NO,
1396, BEAM , UNILOAD, GX, NO , NO, aDir[1], , , , 0, 10, 1, 10, 0, 0, 0, 0, B - Braking forces, NO, 0, 0, NO,
1397, BEAM , UNILOAD, GX, NO , NO, aDir[1], , , , 0, 10, 1, 10, 0, 0, 0, 0, B - Braking forces, NO, 0, 0, NO,
1398, BEAM , UNILOAD, GX, NO , NO, aDir[1], , , , 0, 10, 1, 10, 0, 0, 0, 0, B - Braking forces, NO, 0, 0, NO,
1399, BEAM , UNILOAD, GX, NO , NO, aDir[1], , , , 0, 10, 1, 10, 0, 0, 0, 0, B - Braking forces, NO, 0, 0, NO,
1400, BEAM , UNILOAD, GX, NO , NO, aDir[1], , , , 0, 10, 1, 10, 0, 0, 0, 0, B - Braking forces, NO, 0, 0, NO,
1401, BEAM , UNILOAD, GX, NO , NO, aDir[1], , , , 0, 10, 1, 10, 0, 0, 0, 0, B - Braking forces, NO, 0, 0, NO,
1402, BEAM , UNILOAD, GX, NO , NO, aDir[1], , , , 0, 10, 1, 10, 0, 0, 0, 0, B - Braking forces, NO, 0, 0, NO,
1403, BEAM , UNILOAD, GX, NO , NO, aDir[1], , , , 0, 10, 1, 10, 0, 0, 0, 0, B - Braking forces, NO, 0, 0, NO,
1404, BEAM , UNILOAD, GX, NO , NO, aDir[1], , , , 0, 10, 1, 10, 0, 0, 0, 0, B - Braking forces, NO, 0, 0, NO,
1405, BEAM , UNILOAD, GX, NO , NO, aDir[1], , , , 0, 10, 1, 10, 0, 0, 0, 0, B - Braking forces, NO, 0, 0, NO,
1406, BEAM , UNILOAD, GX, NO , NO, aDir[1], , , , 0, 10, 1, 10, 0, 0, 0, 0, B - Braking forces, NO, 0, 0, NO,
1407, BEAM , UNILOAD, GX, NO , NO, aDir[1], , , , 0, 10, 1, 10, 0, 0, 0, 0, B - Braking forces, NO, 0, 0, NO,
1408, BEAM , UNILOAD, GX, NO , NO, aDir[1], , , , 0, 10, 1, 10, 0, 0, 0, 0, B - Braking forces, NO, 0, 0, NO,

; End of data for load case [B+X 1. track] ----------

*USE-STLD, B-X 1. track

*BEAMLOAD ; Element Beam Loads
; ELEM_LIST, CMD, TYPE, DIR, bPROJ, [ECCEN], [VALUE], GROUP
; ELEM_LIST, CMD, TYPE, TYPE, DIR, VX, VY, VZ, bPROJ, [ECCEN], [VALUE], GROUP
; [VALUE] : D1, P1, D2, P2, D3, P3, D4, P4
; [ECCEN] : bECCEN, ECCDIR, I-END, J-END, bJ-END
; [ADDITIONAL] : bADDITIONAL, ADDITIONAL_I-END, ADDITIONAL_J-END, bADDITIONAL_J-END
1061, BEAM , UNILOAD, GX, NO , NO, aDir[1], , , , 0, -10, 1, -10, 0, 0, 0, 0, B - Braking forces, NO, 0, 0, NO,
1062, BEAM , UNILOAD, GX, NO , NO, aDir[1], , , , 0, -10, 1, -10, 0, 0, 0, 0, B - Braking forces, NO, 0, 0, NO,
1063, BEAM , UNILOAD, GX, NO , NO, aDir[1], , , , 0, -10, 1, -10, 0, 0, 0, 0, B - Braking forces, NO, 0, 0, NO,
1064, BEAM , UNILOAD, GX, NO , NO, aDir[1], , , , 0, -10, 1, -10, 0, 0, 0, 0, B - Braking forces, NO, 0, 0, NO,
1065, BEAM , UNILOAD, GX, NO , NO, aDir[1], , , , 0, -10, 1, -10, 0, 0, 0, 0, B - Braking forces, NO, 0, 0, NO,
1066, BEAM , UNILOAD, GX, NO , NO, aDir[1], , , , 0, -10, 1, -10, 0, 0, 0, 0, B - Braking forces, NO, 0, 0, NO,
1067, BEAM , UNILOAD, GX, NO , NO, aDir[1], , , , 0, -10, 1, -10, 0, 0, 0, 0, B - Braking forces, NO, 0, 0, NO,
1068, BEAM , UNILOAD, GX, NO , NO, aDir[1], , , , 0, -10, 1, -10, 0, 0, 0, 0, B - Braking forces, NO, 0, 0, NO,
1069, BEAM , UNILOAD, GX, NO , NO, aDir[1], , , , 0, -10, 1, -10, 0, 0, 0, 0, B - Braking forces, NO, 0, 0, NO,

PROJECT TITLE :

MIDAS	Company		Client	
	Author		File Name	H2D_3Dg_v14_180227_StatLM.mct

1070, BEAM , UNILOAD, GX, NO , NO, aDir[1], , , , 0, -10, 1, -10, 0, 0, 0, 0, B - Braking forces, NO, 0, 0, NO,
1071, BEAM , UNILOAD, GX, NO , NO, aDir[1], , , , 0, -10, 1, -10, 0, 0, 0, 0, B - Braking forces, NO, 0, 0, NO,
1072, BEAM , UNILOAD, GX, NO , NO, aDir[1], , , , 0, -10, 1, -10, 0, 0, 0, 0, B - Braking forces, NO, 0, 0, NO,
1073, BEAM , UNILOAD, GX, NO , NO, aDir[1], , , , 0, -10, 1, -10, 0, 0, 0, 0, B - Braking forces, NO, 0, 0, NO,
1074, BEAM , UNILOAD, GX, NO , NO, aDir[1], , , , 0, -10, 1, -10, 0, 0, 0, 0, B - Braking forces, NO, 0, 0, NO,
1075, BEAM , UNILOAD, GX, NO , NO, aDir[1], , , , 0, -10, 1, -10, 0, 0, 0, 0, B - Braking forces, NO, 0, 0, NO,
1076, BEAM , UNILOAD, GX, NO , NO, aDir[1], , , , 0, -10, 1, -10, 0, 0, 0, 0, B - Braking forces, NO, 0, 0, NO,
1077, BEAM , UNILOAD, GX, NO , NO, aDir[1], , , , 0, -10, 1, -10, 0, 0, 0, 0, B - Braking forces, NO, 0, 0, NO,
1078, BEAM , UNILOAD, GX, NO , NO, aDir[1], , , , 0, -10, 1, -10, 0, 0, 0, 0, B - Braking forces, NO, 0, 0, NO,
1079, BEAM , UNILOAD, GX, NO , NO, aDir[1], , , , 0, -10, 1, -10, 0, 0, 0, 0, B - Braking forces, NO, 0, 0, NO,
1080, BEAM , UNILOAD, GX, NO , NO, aDir[1], , , , 0, -10, 1, -10, 0, 0, 0, 0, B - Braking forces, NO, 0, 0, NO,
1081, BEAM , UNILOAD, GX, NO , NO, aDir[1], , , , 0, -10, 1, -10, 0, 0, 0, 0, B - Braking forces, NO, 0, 0, NO,
1082, BEAM , UNILOAD, GX, NO , NO, aDir[1], , , , 0, -10, 1, -10, 0, 0, 0, 0, B - Braking forces, NO, 0, 0, NO,
1083, BEAM , UNILOAD, GX, NO , NO, aDir[1], , , , 0, -10, 1, -10, 0, 0, 0, 0, B - Braking forces, NO, 0, 0, NO,
1084, BEAM , UNILOAD, GX, NO , NO, aDir[1], , , , 0, -10, 1, -10, 0, 0, 0, 0, B - Braking forces, NO, 0, 0, NO,
1085, BEAM , UNILOAD, GX, NO , NO, aDir[1], , , , 0, -10, 1, -10, 0, 0, 0, 0, B - Braking forces, NO, 0, 0, NO,
1086, BEAM , UNILOAD, GX, NO , NO, aDir[1], , , , 0, -10, 1, -10, 0, 0, 0, 0, B - Braking forces, NO, 0, 0, NO,
1087, BEAM , UNILOAD, GX, NO , NO, aDir[1], , , , 0, -10, 1, -10, 0, 0, 0, 0, B - Braking forces, NO, 0, 0, NO,
1088, BEAM , UNILOAD, GX, NO , NO, aDir[1], , , , 0, -10, 1, -10, 0, 0, 0, 0, B - Braking forces, NO, 0, 0, NO,
1089, BEAM , UNILOAD, GX, NO , NO, aDir[1], , , , 0, -10, 1, -10, 0, 0, 0, 0, B - Braking forces, NO, 0, 0, NO,
1090, BEAM , UNILOAD, GX, NO , NO, aDir[1], , , , 0, -10, 1, -10, 0, 0, 0, 0, B - Braking forces, NO, 0, 0, NO,
1091, BEAM , UNILOAD, GX, NO , NO, aDir[1], , , , 0, -10, 1, -10, 0, 0, 0, 0, B - Braking forces, NO, 0, 0, NO,
1092, BEAM , UNILOAD, GX, NO , NO, aDir[1], , , , 0, -10, 1, -10, 0, 0, 0, 0, B - Braking forces, NO, 0, 0, NO,
1093, BEAM , UNILOAD, GX, NO , NO, aDir[1], , , , 0, -10, 1, -10, 0, 0, 0, 0, B - Braking forces, NO, 0, 0, NO,
1094, BEAM , UNILOAD, GX, NO , NO, aDir[1], , , , 0, -10, 1, -10, 0, 0, 0, 0, B - Braking forces, NO, 0, 0, NO,
1095, BEAM , UNILOAD, GX, NO , NO, aDir[1], , , , 0, -10, 1, -10, 0, 0, 0, 0, B - Braking forces, NO, 0, 0, NO,
1096, BEAM , UNILOAD, GX, NO , NO, aDir[1], , , , 0, -10, 1, -10, 0, 0, 0, 0, B - Braking forces, NO, 0, 0, NO,
1097, BEAM , UNILOAD, GX, NO , NO, aDir[1], , , , 0, -10, 1, -10, 0, 0, 0, 0, B - Braking forces, NO, 0, 0, NO,
1098, BEAM , UNILOAD, GX, NO , NO, aDir[1], , , , 0, -10, 1, -10, 0, 0, 0, 0, B - Braking forces, NO, 0, 0, NO,
1099, BEAM , UNILOAD, GX, NO , NO, aDir[1], , , , 0, -10, 1, -10, 0, 0, 0, 0, B - Braking forces, NO, 0, 0, NO,
1100, BEAM , UNILOAD, GX, NO , NO, aDir[1], , , , 0, -10, 1, -10, 0, 0, 0, 0, B - Braking forces, NO, 0, 0, NO,
1101, BEAM , UNILOAD, GX, NO , NO, aDir[1], , , , 0, -10, 1, -10, 0, 0, 0, 0, B - Braking forces, NO, 0, 0, NO,
1102, BEAM , UNILOAD, GX, NO , NO, aDir[1], , , , 0, -10, 1, -10, 0, 0, 0, 0, B - Braking forces, NO, 0, 0, NO,
1103, BEAM , UNILOAD, GX, NO , NO, aDir[1], , , , 0, -10, 1, -10, 0, 0, 0, 0, B - Braking forces, NO, 0, 0, NO,
1104, BEAM , UNILOAD, GX, NO , NO, aDir[1], , , , 0, -10, 1, -10, 0, 0, 0, 0, B - Braking forces, NO, 0, 0, NO,
1105, BEAM , UNILOAD, GX, NO , NO, aDir[1], , , , 0, -10, 1, -10, 0, 0, 0, 0, B - Braking forces, NO, 0, 0, NO,
1106, BEAM , UNILOAD, GX, NO , NO, aDir[1], , , , 0, -10, 1, -10, 0, 0, 0, 0, B - Braking forces, NO, 0, 0, NO,
1107, BEAM , UNILOAD, GX, NO , NO, aDir[1], , , , 0, -10, 1, -10, 0, 0, 0, 0, B - Braking forces, NO, 0, 0, NO,
1108, BEAM , UNILOAD, GX, NO , NO, aDir[1], , , , 0, -10, 1, -10, 0, 0, 0, 0, B - Braking forces, NO, 0, 0, NO,
1109, BEAM , UNILOAD, GX, NO , NO, aDir[1], , , , 0, -10, 1, -10, 0, 0, 0, 0, B - Braking forces, NO, 0, 0, NO,
1110, BEAM , UNILOAD, GX, NO , NO, aDir[1], , , , 0, -10, 1, -10, 0, 0, 0, 0, B - Braking forces, NO, 0, 0, NO,
1111, BEAM , UNILOAD, GX, NO , NO, aDir[1], , , , 0, -10, 1, -10, 0, 0, 0, 0, B - Braking forces, NO, 0, 0, NO,
1112, BEAM , UNILOAD, GX, NO , NO, aDir[1], , , , 0, -10, 1, -10, 0, 0, 0, 0, B - Braking forces, NO, 0, 0, NO,
1113, BEAM , UNILOAD, GX, NO , NO, aDir[1], , , , 0, -10, 1, -10, 0, 0, 0, 0, B - Braking forces, NO, 0, 0, NO,
1114, BEAM , UNILOAD, GX, NO , NO, aDir[1], , , , 0, -10, 1, -10, 0, 0, 0, 0, B - Braking forces, NO, 0, 0, NO,
1115, BEAM , UNILOAD, GX, NO , NO, aDir[1], , , , 0, -10, 1, -10, 0, 0, 0, 0, B - Braking forces, NO, 0, 0, NO,
1116, BEAM , UNILOAD, GX, NO , NO, aDir[1], , , , 0, -10, 1, -10, 0, 0, 0, 0, B - Braking forces, NO, 0, 0, NO,
1117, BEAM , UNILOAD, GX, NO , NO, aDir[1], , , , 0, -10, 1, -10, 0, 0, 0, 0, B - Braking forces, NO, 0, 0, NO,
1118, BEAM , UNILOAD, GX, NO , NO, aDir[1], , , , 0, -10, 1, -10, 0, 0, 0, 0, B - Braking forces, NO, 0, 0, NO,
1119, BEAM , UNILOAD, GX, NO , NO, aDir[1], , , , 0, -10, 1, -10, 0, 0, 0, 0, B - Braking forces, NO, 0, 0, NO,
1120, BEAM , UNILOAD, GX, NO , NO, aDir[1], , , , 0, -10, 1, -10, 0, 0, 0, 0, B - Braking forces, NO, 0, 0, NO,
1121, BEAM , UNILOAD, GX, NO , NO, aDir[1], , , , 0, -10, 1, -10, 0, 0, 0, 0, B - Braking forces, NO, 0, 0, NO,
1122, BEAM , UNILOAD, GX, NO , NO, aDir[1], , , , 0, -10, 1, -10, 0, 0, 0, 0, B - Braking forces, NO, 0, 0, NO,
1123, BEAM , UNILOAD, GX, NO , NO, aDir[1], , , , 0, -10, 1, -10, 0, 0, 0, 0, B - Braking forces, NO, 0, 0, NO,
1124, BEAM , UNILOAD, GX, NO , NO, aDir[1], , , , 0, -10, 1, -10, 0, 0, 0, 0, B - Braking forces, NO, 0, 0, NO,
1125, BEAM , UNILOAD, GX, NO , NO, aDir[1], , , , 0, -10, 1, -10, 0, 0, 0, 0, B - Braking forces, NO, 0, 0, NO,
1126, BEAM , UNILOAD, GX, NO , NO, aDir[1], , , , 0, -10, 1, -10, 0, 0, 0, 0, B - Braking forces, NO, 0, 0, NO,
1127, BEAM , UNILOAD, GX, NO , NO, aDir[1], , , , 0, -10, 1, -10, 0, 0, 0, 0, B - Braking forces, NO, 0, 0, NO,
1128, BEAM , UNILOAD, GX, NO , NO, aDir[1], , , , 0, -10, 1, -10, 0, 0, 0, 0, B - Braking forces, NO, 0, 0, NO,
1129, BEAM , UNILOAD, GX, NO , NO, aDir[1], , , , 0, -10, 1, -10, 0, 0, 0, 0, B - Braking forces, NO, 0, 0, NO,
1130, BEAM , UNILOAD, GX, NO , NO, aDir[1], , , , 0, -10, 1, -10, 0, 0, 0, 0, B - Braking forces, NO, 0, 0, NO,
1131, BEAM , UNILOAD, GX, NO , NO, aDir[1], , , , 0, -10, 1, -10, 0, 0, 0, 0, B - Braking forces, NO, 0, 0, NO,
1132, BEAM , UNILOAD, GX, NO , NO, aDir[1], , , , 0, -10, 1, -10, 0, 0, 0, 0, B - Braking forces, NO, 0, 0, NO,
1133, BEAM , UNILOAD, GX, NO , NO, aDir[1], , , , 0, -10, 1, -10, 0, 0, 0, 0, B - Braking forces, NO, 0, 0, NO,
1134, BEAM , UNILOAD, GX, NO , NO, aDir[1], , , , 0, -10, 1, -10, 0, 0, 0, 0, B - Braking forces, NO, 0, 0, NO,
1135, BEAM , UNILOAD, GX, NO , NO, aDir[1], , , , 0, -10, 1, -10, 0, 0, 0, 0, B - Braking forces, NO, 0, 0, NO,
1136, BEAM , UNILOAD, GX, NO , NO, aDir[1], , , , 0, -10, 1, -10, 0, 0, 0, 0, B - Braking forces, NO, 0, 0, NO,
1137, BEAM , UNILOAD, GX, NO , NO, aDir[1], , , , 0, -10, 1, -10, 0, 0, 0, 0, B - Braking forces, NO, 0, 0, NO,
1138, BEAM , UNILOAD, GX, NO , NO, aDir[1], , , , 0, -10, 1, -10, 0, 0, 0, 0, B - Braking forces, NO, 0, 0, NO,
1139, BEAM , UNILOAD, GX, NO , NO, aDir[1], , , , 0, -10, 1, -10, 0, 0, 0, 0, B - Braking forces, NO, 0, 0, NO,
1140, BEAM , UNILOAD, GX, NO , NO, aDir[1], , , , 0, -10, 1, -10, 0, 0, 0, 0, B - Braking forces, NO, 0, 0, NO,
1141, BEAM , UNILOAD, GX, NO , NO, aDir[1], , , , 0, -10, 1, -10, 0, 0, 0, 0, B - Braking forces, NO, 0, 0, NO,

PROJECT TITLE :

MIDAS	Company		Client	
	Author		File Name	H2D_3Dg_v14_180227_StatLM.mct

1142, BEAM , UNILOAD, GX, NO , NO, aDir[1], , , , 0, -10, 1, -10, 0, 0, 0, 0, B - Braking forces, NO, 0, 0, NO,
1143, BEAM , UNILOAD, GX, NO , NO, aDir[1], , , , 0, -10, 1, -10, 0, 0, 0, 0, B - Braking forces, NO, 0, 0, NO,
1144, BEAM , UNILOAD, GX, NO , NO, aDir[1], , , , 0, -10, 1, -10, 0, 0, 0, 0, B - Braking forces, NO, 0, 0, NO,
1145, BEAM , UNILOAD, GX, NO , NO, aDir[1], , , , 0, -10, 1, -10, 0, 0, 0, 0, B - Braking forces, NO, 0, 0, NO,
1146, BEAM , UNILOAD, GX, NO , NO, aDir[1], , , , 0, -10, 1, -10, 0, 0, 0, 0, B - Braking forces, NO, 0, 0, NO,
1147, BEAM , UNILOAD, GX, NO , NO, aDir[1], , , , 0, -10, 1, -10, 0, 0, 0, 0, B - Braking forces, NO, 0, 0, NO,
1148, BEAM , UNILOAD, GX, NO , NO, aDir[1], , , , 0, -10, 1, -10, 0, 0, 0, 0, B - Braking forces, NO, 0, 0, NO,
1149, BEAM , UNILOAD, GX, NO , NO, aDir[1], , , , 0, -10, 1, -10, 0, 0, 0, 0, B - Braking forces, NO, 0, 0, NO,
1150, BEAM , UNILOAD, GX, NO , NO, aDir[1], , , , 0, -10, 1, -10, 0, 0, 0, 0, B - Braking forces, NO, 0, 0, NO,
1151, BEAM , UNILOAD, GX, NO , NO, aDir[1], , , , 0, -10, 1, -10, 0, 0, 0, 0, B - Braking forces, NO, 0, 0, NO,
1152, BEAM , UNILOAD, GX, NO , NO, aDir[1], , , , 0, -10, 1, -10, 0, 0, 0, 0, B - Braking forces, NO, 0, 0, NO,
1153, BEAM , UNILOAD, GX, NO , NO, aDir[1], , , , 0, -10, 1, -10, 0, 0, 0, 0, B - Braking forces, NO, 0, 0, NO,
1154, BEAM , UNILOAD, GX, NO , NO, aDir[1], , , , 0, -10, 1, -10, 0, 0, 0, 0, B - Braking forces, NO, 0, 0, NO,
1155, BEAM , UNILOAD, GX, NO , NO, aDir[1], , , , 0, -10, 1, -10, 0, 0, 0, 0, B - Braking forces, NO, 0, 0, NO,
1156, BEAM , UNILOAD, GX, NO , NO, aDir[1], , , , 0, -10, 1, -10, 0, 0, 0, 0, B - Braking forces, NO, 0, 0, NO,
1157, BEAM , UNILOAD, GX, NO , NO, aDir[1], , , , 0, -10, 1, -10, 0, 0, 0, 0, B - Braking forces, NO, 0, 0, NO,
1158, BEAM , UNILOAD, GX, NO , NO, aDir[1], , , , 0, -10, 1, -10, 0, 0, 0, 0, B - Braking forces, NO, 0, 0, NO,
1159, BEAM , UNILOAD, GX, NO , NO, aDir[1], , , , 0, -10, 1, -10, 0, 0, 0, 0, B - Braking forces, NO, 0, 0, NO,
1160, BEAM , UNILOAD, GX, NO , NO, aDir[1], , , , 0, -10, 1, -10, 0, 0, 0, 0, B - Braking forces, NO, 0, 0, NO,
1161, BEAM , UNILOAD, GX, NO , NO, aDir[1], , , , 0, -10, 1, -10, 0, 0, 0, 0, B - Braking forces, NO, 0, 0, NO,
1162, BEAM , UNILOAD, GX, NO , NO, aDir[1], , , , 0, -10, 1, -10, 0, 0, 0, 0, B - Braking forces, NO, 0, 0, NO,
1163, BEAM , UNILOAD, GX, NO , NO, aDir[1], , , , 0, -10, 1, -10, 0, 0, 0, 0, B - Braking forces, NO, 0, 0, NO,
1164, BEAM , UNILOAD, GX, NO , NO, aDir[1], , , , 0, -10, 1, -10, 0, 0, 0, 0, B - Braking forces, NO, 0, 0, NO,
1165, BEAM , UNILOAD, GX, NO , NO, aDir[1], , , , 0, -10, 1, -10, 0, 0, 0, 0, B - Braking forces, NO, 0, 0, NO,
1166, BEAM , UNILOAD, GX, NO , NO, aDir[1], , , , 0, -10, 1, -10, 0, 0, 0, 0, B - Braking forces, NO, 0, 0, NO,
1167, BEAM , UNILOAD, GX, NO , NO, aDir[1], , , , 0, -10, 1, -10, 0, 0, 0, 0, B - Braking forces, NO, 0, 0, NO,
1168, BEAM , UNILOAD, GX, NO , NO, aDir[1], , , , 0, -10, 1, -10, 0, 0, 0, 0, B - Braking forces, NO, 0, 0, NO,
1169, BEAM , UNILOAD, GX, NO , NO, aDir[1], , , , 0, -10, 1, -10, 0, 0, 0, 0, B - Braking forces, NO, 0, 0, NO,
1170, BEAM , UNILOAD, GX, NO , NO, aDir[1], , , , 0, -10, 1, -10, 0, 0, 0, 0, B - Braking forces, NO, 0, 0, NO,
1171, BEAM , UNILOAD, GX, NO , NO, aDir[1], , , , 0, -10, 1, -10, 0, 0, 0, 0, B - Braking forces, NO, 0, 0, NO,
1172, BEAM , UNILOAD, GX, NO , NO, aDir[1], , , , 0, -10, 1, -10, 0, 0, 0, 0, B - Braking forces, NO, 0, 0, NO,
1173, BEAM , UNILOAD, GX, NO , NO, aDir[1], , , , 0, -10, 1, -10, 0, 0, 0, 0, B - Braking forces, NO, 0, 0, NO,
1174, BEAM , UNILOAD, GX, NO , NO, aDir[1], , , , 0, -10, 1, -10, 0, 0, 0, 0, B - Braking forces, NO, 0, 0, NO,
1175, BEAM , UNILOAD, GX, NO , NO, aDir[1], , , , 0, -10, 1, -10, 0, 0, 0, 0, B - Braking forces, NO, 0, 0, NO,
1176, BEAM , UNILOAD, GX, NO , NO, aDir[1], , , , 0, -10, 1, -10, 0, 0, 0, 0, B - Braking forces, NO, 0, 0, NO,
1177, BEAM , UNILOAD, GX, NO , NO, aDir[1], , , , 0, -10, 1, -10, 0, 0, 0, 0, B - Braking forces, NO, 0, 0, NO,
1178, BEAM , UNILOAD, GX, NO , NO, aDir[1], , , , 0, -10, 1, -10, 0, 0, 0, 0, B - Braking forces, NO, 0, 0, NO,
1179, BEAM , UNILOAD, GX, NO , NO, aDir[1], , , , 0, -10, 1, -10, 0, 0, 0, 0, B - Braking forces, NO, 0, 0, NO,
1180, BEAM , UNILOAD, GX, NO , NO, aDir[1], , , , 0, -10, 1, -10, 0, 0, 0, 0, B - Braking forces, NO, 0, 0, NO,
1181, BEAM , UNILOAD, GX, NO , NO, aDir[1], , , , 0, -10, 1, -10, 0, 0, 0, 0, B - Braking forces, NO, 0, 0, NO,
1182, BEAM , UNILOAD, GX, NO , NO, aDir[1], , , , 0, -10, 1, -10, 0, 0, 0, 0, B - Braking forces, NO, 0, 0, NO,
1183, BEAM , UNILOAD, GX, NO , NO, aDir[1], , , , 0, -10, 1, -10, 0, 0, 0, 0, B - Braking forces, NO, 0, 0, NO,
1184, BEAM , UNILOAD, GX, NO , NO, aDir[1], , , , 0, -10, 1, -10, 0, 0, 0, 0, B - Braking forces, NO, 0, 0, NO,
1185, BEAM , UNILOAD, GX, NO , NO, aDir[1], , , , 0, -10, 1, -10, 0, 0, 0, 0, B - Braking forces, NO, 0, 0, NO,
1186, BEAM , UNILOAD, GX, NO , NO, aDir[1], , , , 0, -10, 1, -10, 0, 0, 0, 0, B - Braking forces, NO, 0, 0, NO,
1187, BEAM , UNILOAD, GX, NO , NO, aDir[1], , , , 0, -10, 1, -10, 0, 0, 0, 0, B - Braking forces, NO, 0, 0, NO,
1188, BEAM , UNILOAD, GX, NO , NO, aDir[1], , , , 0, -10, 1, -10, 0, 0, 0, 0, B - Braking forces, NO, 0, 0, NO,
1189, BEAM , UNILOAD, GX, NO , NO, aDir[1], , , , 0, -10, 1, -10, 0, 0, 0, 0, B - Braking forces, NO, 0, 0, NO,
1190, BEAM , UNILOAD, GX, NO , NO, aDir[1], , , , 0, -10, 1, -10, 0, 0, 0, 0, B - Braking forces, NO, 0, 0, NO,
1191, BEAM , UNILOAD, GX, NO , NO, aDir[1], , , , 0, -10, 1, -10, 0, 0, 0, 0, B - Braking forces, NO, 0, 0, NO,
1192, BEAM , UNILOAD, GX, NO , NO, aDir[1], , , , 0, -10, 1, -10, 0, 0, 0, 0, B - Braking forces, NO, 0, 0, NO,
1193, BEAM , UNILOAD, GX, NO , NO, aDir[1], , , , 0, -10, 1, -10, 0, 0, 0, 0, B - Braking forces, NO, 0, 0, NO,
1194, BEAM , UNILOAD, GX, NO , NO, aDir[1], , , , 0, -10, 1, -10, 0, 0, 0, 0, B - Braking forces, NO, 0, 0, NO,
1195, BEAM , UNILOAD, GX, NO , NO, aDir[1], , , , 0, -10, 1, -10, 0, 0, 0, 0, B - Braking forces, NO, 0, 0, NO,
1196, BEAM , UNILOAD, GX, NO , NO, aDir[1], , , , 0, -10, 1, -10, 0, 0, 0, 0, B - Braking forces, NO, 0, 0, NO,
1197, BEAM , UNILOAD, GX, NO , NO, aDir[1], , , , 0, -10, 1, -10, 0, 0, 0, 0, B - Braking forces, NO, 0, 0, NO,
1198, BEAM , UNILOAD, GX, NO , NO, aDir[1], , , , 0, -10, 1, -10, 0, 0, 0, 0, B - Braking forces, NO, 0, 0, NO,
1199, BEAM , UNILOAD, GX, NO , NO, aDir[1], , , , 0, -10, 1, -10, 0, 0, 0, 0, B - Braking forces, NO, 0, 0, NO,
1200, BEAM , UNILOAD, GX, NO , NO, aDir[1], , , , 0, -10, 1, -10, 0, 0, 0, 0, B - Braking forces, NO, 0, 0, NO,
1201, BEAM , UNILOAD, GX, NO , NO, aDir[1], , , , 0, -10, 1, -10, 0, 0, 0, 0, B - Braking forces, NO, 0, 0, NO,
1202, BEAM , UNILOAD, GX, NO , NO, aDir[1], , , , 0, -10, 1, -10, 0, 0, 0, 0, B - Braking forces, NO, 0, 0, NO,
1203, BEAM , UNILOAD, GX, NO , NO, aDir[1], , , , 0, -10, 1, -10, 0, 0, 0, 0, B - Braking forces, NO, 0, 0, NO,
1204, BEAM , UNILOAD, GX, NO , NO, aDir[1], , , , 0, -10, 1, -10, 0, 0, 0, 0, B - Braking forces, NO, 0, 0, NO,
1205, BEAM , UNILOAD, GX, NO , NO, aDir[1], , , , 0, -10, 1, -10, 0, 0, 0, 0, B - Braking forces, NO, 0, 0, NO,
1206, BEAM , UNILOAD, GX, NO , NO, aDir[1], , , , 0, -10, 1, -10, 0, 0, 0, 0, B - Braking forces, NO, 0, 0, NO,
1207, BEAM , UNILOAD, GX, NO , NO, aDir[1], , , , 0, -10, 1, -10, 0, 0, 0, 0, B - Braking forces, NO, 0, 0, NO,
1208, BEAM , UNILOAD, GX, NO , NO, aDir[1], , , , 0, -10, 1, -10, 0, 0, 0, 0, B - Braking forces, NO, 0, 0, NO,
1209, BEAM , UNILOAD, GX, NO , NO, aDir[1], , , , 0, -10, 1, -10, 0, 0, 0, 0, B - Braking forces, NO, 0, 0, NO,
1210, BEAM , UNILOAD, GX, NO , NO, aDir[1], , , , 0, -10, 1, -10, 0, 0, 0, 0, B - Braking forces, NO, 0, 0, NO,
1211, BEAM , UNILOAD, GX, NO , NO, aDir[1], , , , 0, -10, 1, -10, 0, 0, 0, 0, B - Braking forces, NO, 0, 0, NO,
1212, BEAM , UNILOAD, GX, NO , NO, aDir[1], , , , 0, -10, 1, -10, 0, 0, 0, 0, B - Braking forces, NO, 0, 0, NO,
1213, BEAM , UNILOAD, GX, NO , NO, aDir[1], , , , 0, -10, 1, -10, 0, 0, 0, 0, B - Braking forces, NO, 0, 0, NO,

PROJECT TITLE :

MIDAS	Company		Client	
	Author		File Name	H2D_3Dg_v14_180227_StatLM.mct

1214, BEAM , UNILOAD, GX, NO , NO, aDir[1], , , , 0, -10, 1, -10, 0, 0, 0, 0, B - Braking forces, NO, 0, 0, NO,
1215, BEAM , UNILOAD, GX, NO , NO, aDir[1], , , , 0, -10, 1, -10, 0, 0, 0, 0, B - Braking forces, NO, 0, 0, NO,
1216, BEAM , UNILOAD, GX, NO , NO, aDir[1], , , , 0, -10, 1, -10, 0, 0, 0, 0, B - Braking forces, NO, 0, 0, NO,
1217, BEAM , UNILOAD, GX, NO , NO, aDir[1], , , , 0, -10, 1, -10, 0, 0, 0, 0, B - Braking forces, NO, 0, 0, NO,
1218, BEAM , UNILOAD, GX, NO , NO, aDir[1], , , , 0, -10, 1, -10, 0, 0, 0, 0, B - Braking forces, NO, 0, 0, NO,
1219, BEAM , UNILOAD, GX, NO , NO, aDir[1], , , , 0, -10, 1, -10, 0, 0, 0, 0, B - Braking forces, NO, 0, 0, NO,
1220, BEAM , UNILOAD, GX, NO , NO, aDir[1], , , , 0, -10, 1, -10, 0, 0, 0, 0, B - Braking forces, NO, 0, 0, NO,
1221, BEAM , UNILOAD, GX, NO , NO, aDir[1], , , , 0, -10, 1, -10, 0, 0, 0, 0, B - Braking forces, NO, 0, 0, NO,
1222, BEAM , UNILOAD, GX, NO , NO, aDir[1], , , , 0, -10, 1, -10, 0, 0, 0, 0, B - Braking forces, NO, 0, 0, NO,
1223, BEAM , UNILOAD, GX, NO , NO, aDir[1], , , , 0, -10, 1, -10, 0, 0, 0, 0, B - Braking forces, NO, 0, 0, NO,
1224, BEAM , UNILOAD, GX, NO , NO, aDir[1], , , , 0, -10, 1, -10, 0, 0, 0, 0, B - Braking forces, NO, 0, 0, NO,
1225, BEAM , UNILOAD, GX, NO , NO, aDir[1], , , , 0, -10, 1, -10, 0, 0, 0, 0, B - Braking forces, NO, 0, 0, NO,
1226, BEAM , UNILOAD, GX, NO , NO, aDir[1], , , , 0, -10, 1, -10, 0, 0, 0, 0, B - Braking forces, NO, 0, 0, NO,
1227, BEAM , UNILOAD, GX, NO , NO, aDir[1], , , , 0, -10, 1, -10, 0, 0, 0, 0, B - Braking forces, NO, 0, 0, NO,
1228, BEAM , UNILOAD, GX, NO , NO, aDir[1], , , , 0, -10, 1, -10, 0, 0, 0, 0, B - Braking forces, NO, 0, 0, NO,
1229, BEAM , UNILOAD, GX, NO , NO, aDir[1], , , , 0, -10, 1, -10, 0, 0, 0, 0, B - Braking forces, NO, 0, 0, NO,
1230, BEAM , UNILOAD, GX, NO , NO, aDir[1], , , , 0, -10, 1, -10, 0, 0, 0, 0, B - Braking forces, NO, 0, 0, NO,
1231, BEAM , UNILOAD, GX, NO , NO, aDir[1], , , , 0, -10, 1, -10, 0, 0, 0, 0, B - Braking forces, NO, 0, 0, NO,
1232, BEAM , UNILOAD, GX, NO , NO, aDir[1], , , , 0, -10, 1, -10, 0, 0, 0, 0, B - Braking forces, NO, 0, 0, NO,
1233, BEAM , UNILOAD, GX, NO , NO, aDir[1], , , , 0, -10, 1, -10, 0, 0, 0, 0, B - Braking forces, NO, 0, 0, NO,
1234, BEAM , UNILOAD, GX, NO , NO, aDir[1], , , , 0, -10, 1, -10, 0, 0, 0, 0, B - Braking forces, NO, 0, 0, NO,
1235, BEAM , UNILOAD, GX, NO , NO, aDir[1], , , , 0, -10, 1, -10, 0, 0, 0, 0, B - Braking forces, NO, 0, 0, NO,
1236, BEAM , UNILOAD, GX, NO , NO, aDir[1], , , , 0, -10, 1, -10, 0, 0, 0, 0, B - Braking forces, NO, 0, 0, NO,
1237, BEAM , UNILOAD, GX, NO , NO, aDir[1], , , , 0, -10, 1, -10, 0, 0, 0, 0, B - Braking forces, NO, 0, 0, NO,
1238, BEAM , UNILOAD, GX, NO , NO, aDir[1], , , , 0, -10, 1, -10, 0, 0, 0, 0, B - Braking forces, NO, 0, 0, NO,
1239, BEAM , UNILOAD, GX, NO , NO, aDir[1], , , , 0, -10, 1, -10, 0, 0, 0, 0, B - Braking forces, NO, 0, 0, NO,
1240, BEAM , UNILOAD, GX, NO , NO, aDir[1], , , , 0, -10, 1, -10, 0, 0, 0, 0, B - Braking forces, NO, 0, 0, NO,
1241, BEAM , UNILOAD, GX, NO , NO, aDir[1], , , , 0, -10, 1, -10, 0, 0, 0, 0, B - Braking forces, NO, 0, 0, NO,
1242, BEAM , UNILOAD, GX, NO , NO, aDir[1], , , , 0, -10, 1, -10, 0, 0, 0, 0, B - Braking forces, NO, 0, 0, NO,
1243, BEAM , UNILOAD, GX, NO , NO, aDir[1], , , , 0, -10, 1, -10, 0, 0, 0, 0, B - Braking forces, NO, 0, 0, NO,
1244, BEAM , UNILOAD, GX, NO , NO, aDir[1], , , , 0, -10, 1, -10, 0, 0, 0, 0, B - Braking forces, NO, 0, 0, NO,
1245, BEAM , UNILOAD, GX, NO , NO, aDir[1], , , , 0, -10, 1, -10, 0, 0, 0, 0, B - Braking forces, NO, 0, 0, NO,
1246, BEAM , UNILOAD, GX, NO , NO, aDir[1], , , , 0, -10, 1, -10, 0, 0, 0, 0, B - Braking forces, NO, 0, 0, NO,
1247, BEAM , UNILOAD, GX, NO , NO, aDir[1], , , , 0, -10, 1, -10, 0, 0, 0, 0, B - Braking forces, NO, 0, 0, NO,
1248, BEAM , UNILOAD, GX, NO , NO, aDir[1], , , , 0, -10, 1, -10, 0, 0, 0, 0, B - Braking forces, NO, 0, 0, NO,
1249, BEAM , UNILOAD, GX, NO , NO, aDir[1], , , , 0, -10, 1, -10, 0, 0, 0, 0, B - Braking forces, NO, 0, 0, NO,
1250, BEAM , UNILOAD, GX, NO , NO, aDir[1], , , , 0, -10, 1, -10, 0, 0, 0, 0, B - Braking forces, NO, 0, 0, NO,
1251, BEAM , UNILOAD, GX, NO , NO, aDir[1], , , , 0, -10, 1, -10, 0, 0, 0, 0, B - Braking forces, NO, 0, 0, NO,
1252, BEAM , UNILOAD, GX, NO , NO, aDir[1], , , , 0, -10, 1, -10, 0, 0, 0, 0, B - Braking forces, NO, 0, 0, NO,
1253, BEAM , UNILOAD, GX, NO , NO, aDir[1], , , , 0, -10, 1, -10, 0, 0, 0, 0, B - Braking forces, NO, 0, 0, NO,
1254, BEAM , UNILOAD, GX, NO , NO, aDir[1], , , , 0, -10, 1, -10, 0, 0, 0, 0, B - Braking forces, NO, 0, 0, NO,
1255, BEAM , UNILOAD, GX, NO , NO, aDir[1], , , , 0, -10, 1, -10, 0, 0, 0, 0, B - Braking forces, NO, 0, 0, NO,
1256, BEAM , UNILOAD, GX, NO , NO, aDir[1], , , , 0, -10, 1, -10, 0, 0, 0, 0, B - Braking forces, NO, 0, 0, NO,
1257, BEAM , UNILOAD, GX, NO , NO, aDir[1], , , , 0, -10, 1, -10, 0, 0, 0, 0, B - Braking forces, NO, 0, 0, NO,
1258, BEAM , UNILOAD, GX, NO , NO, aDir[1], , , , 0, -10, 1, -10, 0, 0, 0, 0, B - Braking forces, NO, 0, 0, NO,
1259, BEAM , UNILOAD, GX, NO , NO, aDir[1], , , , 0, -10, 1, -10, 0, 0, 0, 0, B - Braking forces, NO, 0, 0, NO,
1260, BEAM , UNILOAD, GX, NO , NO, aDir[1], , , , 0, -10, 1, -10, 0, 0, 0, 0, B - Braking forces, NO, 0, 0, NO,
1261, BEAM , UNILOAD, GX, NO , NO, aDir[1], , , , 0, -10, 1, -10, 0, 0, 0, 0, B - Braking forces, NO, 0, 0, NO,
1262, BEAM , UNILOAD, GX, NO , NO, aDir[1], , , , 0, -10, 1, -10, 0, 0, 0, 0, B - Braking forces, NO, 0, 0, NO,
1263, BEAM , UNILOAD, GX, NO , NO, aDir[1], , , , 0, -10, 1, -10, 0, 0, 0, 0, B - Braking forces, NO, 0, 0, NO,
1264, BEAM , UNILOAD, GX, NO , NO, aDir[1], , , , 0, -10, 1, -10, 0, 0, 0, 0, B - Braking forces, NO, 0, 0, NO,
1265, BEAM , UNILOAD, GX, NO , NO, aDir[1], , , , 0, -10, 1, -10, 0, 0, 0, 0, B - Braking forces, NO, 0, 0, NO,
1266, BEAM , UNILOAD, GX, NO , NO, aDir[1], , , , 0, -10, 1, -10, 0, 0, 0, 0, B - Braking forces, NO, 0, 0, NO,
1267, BEAM , UNILOAD, GX, NO , NO, aDir[1], , , , 0, -10, 1, -10, 0, 0, 0, 0, B - Braking forces, NO, 0, 0, NO,
1268, BEAM , UNILOAD, GX, NO , NO, aDir[1], , , , 0, -10, 1, -10, 0, 0, 0, 0, B - Braking forces, NO, 0, 0, NO,
1269, BEAM , UNILOAD, GX, NO , NO, aDir[1], , , , 0, -10, 1, -10, 0, 0, 0, 0, B - Braking forces, NO, 0, 0, NO,
1270, BEAM , UNILOAD, GX, NO , NO, aDir[1], , , , 0, -10, 1, -10, 0, 0, 0, 0, B - Braking forces, NO, 0, 0, NO,
1271, BEAM , UNILOAD, GX, NO , NO, aDir[1], , , , 0, -10, 1, -10, 0, 0, 0, 0, B - Braking forces, NO, 0, 0, NO,
1272, BEAM , UNILOAD, GX, NO , NO, aDir[1], , , , 0, -10, 1, -10, 0, 0, 0, 0, B - Braking forces, NO, 0, 0, NO,
1273, BEAM , UNILOAD, GX, NO , NO, aDir[1], , , , 0, -10, 1, -10, 0, 0, 0, 0, B - Braking forces, NO, 0, 0, NO,
1274, BEAM , UNILOAD, GX, NO , NO, aDir[1], , , , 0, -10, 1, -10, 0, 0, 0, 0, B - Braking forces, NO, 0, 0, NO,
1275, BEAM , UNILOAD, GX, NO , NO, aDir[1], , , , 0, -10, 1, -10, 0, 0, 0, 0, B - Braking forces, NO, 0, 0, NO,
1276, BEAM , UNILOAD, GX, NO , NO, aDir[1], , , , 0, -10, 1, -10, 0, 0, 0, 0, B - Braking forces, NO, 0, 0, NO,
1277, BEAM , UNILOAD, GX, NO , NO, aDir[1], , , , 0, -10, 1, -10, 0, 0, 0, 0, B - Braking forces, NO, 0, 0, NO,
1278, BEAM , UNILOAD, GX, NO , NO, aDir[1], , , , 0, -10, 1, -10, 0, 0, 0, 0, B - Braking forces, NO, 0, 0, NO,
1279, BEAM , UNILOAD, GX, NO , NO, aDir[1], , , , 0, -10, 1, -10, 0, 0, 0, 0, B - Braking forces, NO, 0, 0, NO,
1280, BEAM , UNILOAD, GX, NO , NO, aDir[1], , , , 0, -10, 1, -10, 0, 0, 0, 0, B - Braking forces, NO, 0, 0, NO,
1281, BEAM , UNILOAD, GX, NO , NO, aDir[1], , , , 0, -10, 1, -10, 0, 0, 0, 0, B - Braking forces, NO, 0, 0, NO,
1282, BEAM , UNILOAD, GX, NO , NO, aDir[1], , , , 0, -10, 1, -10, 0, 0, 0, 0, B - Braking forces, NO, 0, 0, NO,
1283, BEAM , UNILOAD, GX, NO , NO, aDir[1], , , , 0, -10, 1, -10, 0, 0, 0, 0, B - Braking forces, NO, 0, 0, NO,
1284, BEAM , UNILOAD, GX, NO , NO, aDir[1], , , , 0, -10, 1, -10, 0, 0, 0, 0, B - Braking forces, NO, 0, 0, NO,
1285, BEAM , UNILOAD, GX, NO , NO, aDir[1], , , , 0, -10, 1, -10, 0, 0, 0, 0, B - Braking forces, NO, 0, 0, NO,

PROJECT TITLE :

MIDAS	Company		Client	
	Author		File Name	H2D_3Dg_v14_180227_StatLM.mct

1286, BEAM , UNILOAD, GX, NO , NO, aDir[1], , , , 0, -10, 1, -10, 0, 0, 0, 0, B - Braking forces, NO, 0, 0, NO,
1287, BEAM , UNILOAD, GX, NO , NO, aDir[1], , , , 0, -10, 1, -10, 0, 0, 0, 0, B - Braking forces, NO, 0, 0, NO,
1288, BEAM , UNILOAD, GX, NO , NO, aDir[1], , , , 0, -10, 1, -10, 0, 0, 0, 0, B - Braking forces, NO, 0, 0, NO,
1289, BEAM , UNILOAD, GX, NO , NO, aDir[1], , , , 0, -10, 1, -10, 0, 0, 0, 0, B - Braking forces, NO, 0, 0, NO,
1290, BEAM , UNILOAD, GX, NO , NO, aDir[1], , , , 0, -10, 1, -10, 0, 0, 0, 0, B - Braking forces, NO, 0, 0, NO,
1291, BEAM , UNILOAD, GX, NO , NO, aDir[1], , , , 0, -10, 1, -10, 0, 0, 0, 0, B - Braking forces, NO, 0, 0, NO,
1292, BEAM , UNILOAD, GX, NO , NO, aDir[1], , , , 0, -10, 1, -10, 0, 0, 0, 0, B - Braking forces, NO, 0, 0, NO,
1293, BEAM , UNILOAD, GX, NO , NO, aDir[1], , , , 0, -10, 1, -10, 0, 0, 0, 0, B - Braking forces, NO, 0, 0, NO,
1294, BEAM , UNILOAD, GX, NO , NO, aDir[1], , , , 0, -10, 1, -10, 0, 0, 0, 0, B - Braking forces, NO, 0, 0, NO,
1295, BEAM , UNILOAD, GX, NO , NO, aDir[1], , , , 0, -10, 1, -10, 0, 0, 0, 0, B - Braking forces, NO, 0, 0, NO,
1296, BEAM , UNILOAD, GX, NO , NO, aDir[1], , , , 0, -10, 1, -10, 0, 0, 0, 0, B - Braking forces, NO, 0, 0, NO,
1297, BEAM , UNILOAD, GX, NO , NO, aDir[1], , , , 0, -10, 1, -10, 0, 0, 0, 0, B - Braking forces, NO, 0, 0, NO,
1298, BEAM , UNILOAD, GX, NO , NO, aDir[1], , , , 0, -10, 1, -10, 0, 0, 0, 0, B - Braking forces, NO, 0, 0, NO,
1299, BEAM , UNILOAD, GX, NO , NO, aDir[1], , , , 0, -10, 1, -10, 0, 0, 0, 0, B - Braking forces, NO, 0, 0, NO,
1300, BEAM , UNILOAD, GX, NO , NO, aDir[1], , , , 0, -10, 1, -10, 0, 0, 0, 0, B - Braking forces, NO, 0, 0, NO,
1301, BEAM , UNILOAD, GX, NO , NO, aDir[1], , , , 0, -10, 1, -10, 0, 0, 0, 0, B - Braking forces, NO, 0, 0, NO,
1302, BEAM , UNILOAD, GX, NO , NO, aDir[1], , , , 0, -10, 1, -10, 0, 0, 0, 0, B - Braking forces, NO, 0, 0, NO,
1303, BEAM , UNILOAD, GX, NO , NO, aDir[1], , , , 0, -10, 1, -10, 0, 0, 0, 0, B - Braking forces, NO, 0, 0, NO,
1304, BEAM , UNILOAD, GX, NO , NO, aDir[1], , , , 0, -10, 1, -10, 0, 0, 0, 0, B - Braking forces, NO, 0, 0, NO,
1305, BEAM , UNILOAD, GX, NO , NO, aDir[1], , , , 0, -10, 1, -10, 0, 0, 0, 0, B - Braking forces, NO, 0, 0, NO,
1306, BEAM , UNILOAD, GX, NO , NO, aDir[1], , , , 0, -10, 1, -10, 0, 0, 0, 0, B - Braking forces, NO, 0, 0, NO,
1307, BEAM , UNILOAD, GX, NO , NO, aDir[1], , , , 0, -10, 1, -10, 0, 0, 0, 0, B - Braking forces, NO, 0, 0, NO,
1308, BEAM , UNILOAD, GX, NO , NO, aDir[1], , , , 0, -10, 1, -10, 0, 0, 0, 0, B - Braking forces, NO, 0, 0, NO,
1309, BEAM , UNILOAD, GX, NO , NO, aDir[1], , , , 0, -10, 1, -10, 0, 0, 0, 0, B - Braking forces, NO, 0, 0, NO,
1310, BEAM , UNILOAD, GX, NO , NO, aDir[1], , , , 0, -10, 1, -10, 0, 0, 0, 0, B - Braking forces, NO, 0, 0, NO,
1311, BEAM , UNILOAD, GX, NO , NO, aDir[1], , , , 0, -10, 1, -10, 0, 0, 0, 0, B - Braking forces, NO, 0, 0, NO,
1312, BEAM , UNILOAD, GX, NO , NO, aDir[1], , , , 0, -10, 1, -10, 0, 0, 0, 0, B - Braking forces, NO, 0, 0, NO,
1313, BEAM , UNILOAD, GX, NO , NO, aDir[1], , , , 0, -10, 1, -10, 0, 0, 0, 0, B - Braking forces, NO, 0, 0, NO,
1314, BEAM , UNILOAD, GX, NO , NO, aDir[1], , , , 0, -10, 1, -10, 0, 0, 0, 0, B - Braking forces, NO, 0, 0, NO,
1315, BEAM , UNILOAD, GX, NO , NO, aDir[1], , , , 0, -10, 1, -10, 0, 0, 0, 0, B - Braking forces, NO, 0, 0, NO,
1316, BEAM , UNILOAD, GX, NO , NO, aDir[1], , , , 0, -10, 1, -10, 0, 0, 0, 0, B - Braking forces, NO, 0, 0, NO,
1317, BEAM , UNILOAD, GX, NO , NO, aDir[1], , , , 0, -10, 1, -10, 0, 0, 0, 0, B - Braking forces, NO, 0, 0, NO,
1318, BEAM , UNILOAD, GX, NO , NO, aDir[1], , , , 0, -10, 1, -10, 0, 0, 0, 0, B - Braking forces, NO, 0, 0, NO,
1319, BEAM , UNILOAD, GX, NO , NO, aDir[1], , , , 0, -10, 1, -10, 0, 0, 0, 0, B - Braking forces, NO, 0, 0, NO,
1320, BEAM , UNILOAD, GX, NO , NO, aDir[1], , , , 0, -10, 1, -10, 0, 0, 0, 0, B - Braking forces, NO, 0, 0, NO,
1321, BEAM , UNILOAD, GX, NO , NO, aDir[1], , , , 0, -10, 1, -10, 0, 0, 0, 0, B - Braking forces, NO, 0, 0, NO,
1322, BEAM , UNILOAD, GX, NO , NO, aDir[1], , , , 0, -10, 1, -10, 0, 0, 0, 0, B - Braking forces, NO, 0, 0, NO,
1323, BEAM , UNILOAD, GX, NO , NO, aDir[1], , , , 0, -10, 1, -10, 0, 0, 0, 0, B - Braking forces, NO, 0, 0, NO,
1324, BEAM , UNILOAD, GX, NO , NO, aDir[1], , , , 0, -10, 1, -10, 0, 0, 0, 0, B - Braking forces, NO, 0, 0, NO,
1325, BEAM , UNILOAD, GX, NO , NO, aDir[1], , , , 0, -10, 1, -10, 0, 0, 0, 0, B - Braking forces, NO, 0, 0, NO,
1326, BEAM , UNILOAD, GX, NO , NO, aDir[1], , , , 0, -10, 1, -10, 0, 0, 0, 0, B - Braking forces, NO, 0, 0, NO,
1327, BEAM , UNILOAD, GX, NO , NO, aDir[1], , , , 0, -10, 1, -10, 0, 0, 0, 0, B - Braking forces, NO, 0, 0, NO,
1328, BEAM , UNILOAD, GX, NO , NO, aDir[1], , , , 0, -10, 1, -10, 0, 0, 0, 0, B - Braking forces, NO, 0, 0, NO,
1329, BEAM , UNILOAD, GX, NO , NO, aDir[1], , , , 0, -10, 1, -10, 0, 0, 0, 0, B - Braking forces, NO, 0, 0, NO,
1330, BEAM , UNILOAD, GX, NO , NO, aDir[1], , , , 0, -10, 1, -10, 0, 0, 0, 0, B - Braking forces, NO, 0, 0, NO,
1331, BEAM , UNILOAD, GX, NO , NO, aDir[1], , , , 0, -10, 1, -10, 0, 0, 0, 0, B - Braking forces, NO, 0, 0, NO,
1332, BEAM , UNILOAD, GX, NO , NO, aDir[1], , , , 0, -10, 1, -10, 0, 0, 0, 0, B - Braking forces, NO, 0, 0, NO,
1333, BEAM , UNILOAD, GX, NO , NO, aDir[1], , , , 0, -10, 1, -10, 0, 0, 0, 0, B - Braking forces, NO, 0, 0, NO,
1334, BEAM , UNILOAD, GX, NO , NO, aDir[1], , , , 0, -10, 1, -10, 0, 0, 0, 0, B - Braking forces, NO, 0, 0, NO,
1335, BEAM , UNILOAD, GX, NO , NO, aDir[1], , , , 0, -10, 1, -10, 0, 0, 0, 0, B - Braking forces, NO, 0, 0, NO,
1336, BEAM , UNILOAD, GX, NO , NO, aDir[1], , , , 0, -10, 1, -10, 0, 0, 0, 0, B - Braking forces, NO, 0, 0, NO,
1337, BEAM , UNILOAD, GX, NO , NO, aDir[1], , , , 0, -10, 1, -10, 0, 0, 0, 0, B - Braking forces, NO, 0, 0, NO,
1338, BEAM , UNILOAD, GX, NO , NO, aDir[1], , , , 0, -10, 1, -10, 0, 0, 0, 0, B - Braking forces, NO, 0, 0, NO,
1339, BEAM , UNILOAD, GX, NO , NO, aDir[1], , , , 0, -10, 1, -10, 0, 0, 0, 0, B - Braking forces, NO, 0, 0, NO,
1340, BEAM , UNILOAD, GX, NO , NO, aDir[1], , , , 0, -10, 1, -10, 0, 0, 0, 0, B - Braking forces, NO, 0, 0, NO,
1341, BEAM , UNILOAD, GX, NO , NO, aDir[1], , , , 0, -10, 1, -10, 0, 0, 0, 0, B - Braking forces, NO, 0, 0, NO,
1342, BEAM , UNILOAD, GX, NO , NO, aDir[1], , , , 0, -10, 1, -10, 0, 0, 0, 0, B - Braking forces, NO, 0, 0, NO,
1343, BEAM , UNILOAD, GX, NO , NO, aDir[1], , , , 0, -10, 1, -10, 0, 0, 0, 0, B - Braking forces, NO, 0, 0, NO,
1344, BEAM , UNILOAD, GX, NO , NO, aDir[1], , , , 0, -10, 1, -10, 0, 0, 0, 0, B - Braking forces, NO, 0, 0, NO,
1345, BEAM , UNILOAD, GX, NO , NO, aDir[1], , , , 0, -10, 1, -10, 0, 0, 0, 0, B - Braking forces, NO, 0, 0, NO,
1346, BEAM , UNILOAD, GX, NO , NO, aDir[1], , , , 0, -10, 1, -10, 0, 0, 0, 0, B - Braking forces, NO, 0, 0, NO,
1347, BEAM , UNILOAD, GX, NO , NO, aDir[1], , , , 0, -10, 1, -10, 0, 0, 0, 0, B - Braking forces, NO, 0, 0, NO,
1348, BEAM , UNILOAD, GX, NO , NO, aDir[1], , , , 0, -10, 1, -10, 0, 0, 0, 0, B - Braking forces, NO, 0, 0, NO,
1349, BEAM , UNILOAD, GX, NO , NO, aDir[1], , , , 0, -10, 1, -10, 0, 0, 0, 0, B - Braking forces, NO, 0, 0, NO,
1350, BEAM , UNILOAD, GX, NO , NO, aDir[1], , , , 0, -10, 1, -10, 0, 0, 0, 0, B - Braking forces, NO, 0, 0, NO,
1351, BEAM , UNILOAD, GX, NO , NO, aDir[1], , , , 0, -10, 1, -10, 0, 0, 0, 0, B - Braking forces, NO, 0, 0, NO,
1352, BEAM , UNILOAD, GX, NO , NO, aDir[1], , , , 0, -10, 1, -10, 0, 0, 0, 0, B - Braking forces, NO, 0, 0, NO,
1353, BEAM , UNILOAD, GX, NO , NO, aDir[1], , , , 0, -10, 1, -10, 0, 0, 0, 0, B - Braking forces, NO, 0, 0, NO,
1354, BEAM , UNILOAD, GX, NO , NO, aDir[1], , , , 0, -10, 1, -10, 0, 0, 0, 0, B - Braking forces, NO, 0, 0, NO,
1355, BEAM , UNILOAD, GX, NO , NO, aDir[1], , , , 0, -10, 1, -10, 0, 0, 0, 0, B - Braking forces, NO, 0, 0, NO,
1356, BEAM , UNILOAD, GX, NO , NO, aDir[1], , , , 0, -10, 1, -10, 0, 0, 0, 0, B - Braking forces, NO, 0, 0, NO,
1357, BEAM , UNILOAD, GX, NO , NO, aDir[1], , , , 0, -10, 1, -10, 0, 0, 0, 0, B - Braking forces, NO, 0, 0, NO,

1358, BEAM , UNILOAD, GX, NO , NO, aDir[1], , , , 0, -10, 1, -10, 0, 0, 0, 0, B - Braking forces, NO, 0, 0, NO,
1359, BEAM , UNILOAD, GX, NO , NO, aDir[1], , , , 0, -10, 1, -10, 0, 0, 0, 0, B - Braking forces, NO, 0, 0, NO,
1360, BEAM , UNILOAD, GX, NO , NO, aDir[1], , , , 0, -10, 1, -10, 0, 0, 0, 0, B - Braking forces, NO, 0, 0, NO,
1361, BEAM , UNILOAD, GX, NO , NO, aDir[1], , , , 0, -10, 1, -10, 0, 0, 0, 0, B - Braking forces, NO, 0, 0, NO,
1362, BEAM , UNILOAD, GX, NO , NO, aDir[1], , , , 0, -10, 1, -10, 0, 0, 0, 0, B - Braking forces, NO, 0, 0, NO,
1363, BEAM , UNILOAD, GX, NO , NO, aDir[1], , , , 0, -10, 1, -10, 0, 0, 0, 0, B - Braking forces, NO, 0, 0, NO,
1364, BEAM , UNILOAD, GX, NO , NO, aDir[1], , , , 0, -10, 1, -10, 0, 0, 0, 0, B - Braking forces, NO, 0, 0, NO,
1365, BEAM , UNILOAD, GX, NO , NO, aDir[1], , , , 0, -10, 1, -10, 0, 0, 0, 0, B - Braking forces, NO, 0, 0, NO,
1366, BEAM , UNILOAD, GX, NO , NO, aDir[1], , , , 0, -10, 1, -10, 0, 0, 0, 0, B - Braking forces, NO, 0, 0, NO,
1367, BEAM , UNILOAD, GX, NO , NO, aDir[1], , , , 0, -10, 1, -10, 0, 0, 0, 0, B - Braking forces, NO, 0, 0, NO,
1368, BEAM , UNILOAD, GX, NO , NO, aDir[1], , , , 0, -10, 1, -10, 0, 0, 0, 0, B - Braking forces, NO, 0, 0, NO,
1369, BEAM , UNILOAD, GX, NO , NO, aDir[1], , , , 0, -10, 1, -10, 0, 0, 0, 0, B - Braking forces, NO, 0, 0, NO,
1370, BEAM , UNILOAD, GX, NO , NO, aDir[1], , , , 0, -10, 1, -10, 0, 0, 0, 0, B - Braking forces, NO, 0, 0, NO,
1371, BEAM , UNILOAD, GX, NO , NO, aDir[1], , , , 0, -10, 1, -10, 0, 0, 0, 0, B - Braking forces, NO, 0, 0, NO,
1372, BEAM , UNILOAD, GX, NO , NO, aDir[1], , , , 0, -10, 1, -10, 0, 0, 0, 0, B - Braking forces, NO, 0, 0, NO,
1373, BEAM , UNILOAD, GX, NO , NO, aDir[1], , , , 0, -10, 1, -10, 0, 0, 0, 0, B - Braking forces, NO, 0, 0, NO,
1374, BEAM , UNILOAD, GX, NO , NO, aDir[1], , , , 0, -10, 1, -10, 0, 0, 0, 0, B - Braking forces, NO, 0, 0, NO,
1375, BEAM , UNILOAD, GX, NO , NO, aDir[1], , , , 0, -10, 1, -10, 0, 0, 0, 0, B - Braking forces, NO, 0, 0, NO,
1376, BEAM , UNILOAD, GX, NO , NO, aDir[1], , , , 0, -10, 1, -10, 0, 0, 0, 0, B - Braking forces, NO, 0, 0, NO,
1377, BEAM , UNILOAD, GX, NO , NO, aDir[1], , , , 0, -10, 1, -10, 0, 0, 0, 0, B - Braking forces, NO, 0, 0, NO,
1378, BEAM , UNILOAD, GX, NO , NO, aDir[1], , , , 0, -10, 1, -10, 0, 0, 0, 0, B - Braking forces, NO, 0, 0, NO,
1379, BEAM , UNILOAD, GX, NO , NO, aDir[1], , , , 0, -10, 1, -10, 0, 0, 0, 0, B - Braking forces, NO, 0, 0, NO,
1380, BEAM , UNILOAD, GX, NO , NO, aDir[1], , , , 0, -10, 1, -10, 0, 0, 0, 0, B - Braking forces, NO, 0, 0, NO,
1381, BEAM , UNILOAD, GX, NO , NO, aDir[1], , , , 0, -10, 1, -10, 0, 0, 0, 0, B - Braking forces, NO, 0, 0, NO,
1382, BEAM , UNILOAD, GX, NO , NO, aDir[1], , , , 0, -10, 1, -10, 0, 0, 0, 0, B - Braking forces, NO, 0, 0, NO,
1383, BEAM , UNILOAD, GX, NO , NO, aDir[1], , , , 0, -10, 1, -10, 0, 0, 0, 0, B - Braking forces, NO, 0, 0, NO,
1384, BEAM , UNILOAD, GX, NO , NO, aDir[1], , , , 0, -10, 1, -10, 0, 0, 0, 0, B - Braking forces, NO, 0, 0, NO,
1385, BEAM , UNILOAD, GX, NO , NO, aDir[1], , , , 0, -10, 1, -10, 0, 0, 0, 0, B - Braking forces, NO, 0, 0, NO,
1386, BEAM , UNILOAD, GX, NO , NO, aDir[1], , , , 0, -10, 1, -10, 0, 0, 0, 0, B - Braking forces, NO, 0, 0, NO,
1387, BEAM , UNILOAD, GX, NO , NO, aDir[1], , , , 0, -10, 1, -10, 0, 0, 0, 0, B - Braking forces, NO, 0, 0, NO,
1388, BEAM , UNILOAD, GX, NO , NO, aDir[1], , , , 0, -10, 1, -10, 0, 0, 0, 0, B - Braking forces, NO, 0, 0, NO,
1389, BEAM , UNILOAD, GX, NO , NO, aDir[1], , , , 0, -10, 1, -10, 0, 0, 0, 0, B - Braking forces, NO, 0, 0, NO,
1390, BEAM , UNILOAD, GX, NO , NO, aDir[1], , , , 0, -10, 1, -10, 0, 0, 0, 0, B - Braking forces, NO, 0, 0, NO,
1391, BEAM , UNILOAD, GX, NO , NO, aDir[1], , , , 0, -10, 1, -10, 0, 0, 0, 0, B - Braking forces, NO, 0, 0, NO,
1392, BEAM , UNILOAD, GX, NO , NO, aDir[1], , , , 0, -10, 1, -10, 0, 0, 0, 0, B - Braking forces, NO, 0, 0, NO,
1393, BEAM , UNILOAD, GX, NO , NO, aDir[1], , , , 0, -10, 1, -10, 0, 0, 0, 0, B - Braking forces, NO, 0, 0, NO,
1394, BEAM , UNILOAD, GX, NO , NO, aDir[1], , , , 0, -10, 1, -10, 0, 0, 0, 0, B - Braking forces, NO, 0, 0, NO,
1395, BEAM , UNILOAD, GX, NO , NO, aDir[1], , , , 0, -10, 1, -10, 0, 0, 0, 0, B - Braking forces, NO, 0, 0, NO,
1396, BEAM , UNILOAD, GX, NO , NO, aDir[1], , , , 0, -10, 1, -10, 0, 0, 0, 0, B - Braking forces, NO, 0, 0, NO,
1397, BEAM , UNILOAD, GX, NO , NO, aDir[1], , , , 0, -10, 1, -10, 0, 0, 0, 0, B - Braking forces, NO, 0, 0, NO,
1398, BEAM , UNILOAD, GX, NO , NO, aDir[1], , , , 0, -10, 1, -10, 0, 0, 0, 0, B - Braking forces, NO, 0, 0, NO,
1399, BEAM , UNILOAD, GX, NO , NO, aDir[1], , , , 0, -10, 1, -10, 0, 0, 0, 0, B - Braking forces, NO, 0, 0, NO,
1400, BEAM , UNILOAD, GX, NO , NO, aDir[1], , , , 0, -10, 1, -10, 0, 0, 0, 0, B - Braking forces, NO, 0, 0, NO,
1401, BEAM , UNILOAD, GX, NO , NO, aDir[1], , , , 0, -10, 1, -10, 0, 0, 0, 0, B - Braking forces, NO, 0, 0, NO,
1402, BEAM , UNILOAD, GX, NO , NO, aDir[1], , , , 0, -10, 1, -10, 0, 0, 0, 0, B - Braking forces, NO, 0, 0, NO,
1403, BEAM , UNILOAD, GX, NO , NO, aDir[1], , , , 0, -10, 1, -10, 0, 0, 0, 0, B - Braking forces, NO, 0, 0, NO,
1404, BEAM , UNILOAD, GX, NO , NO, aDir[1], , , , 0, -10, 1, -10, 0, 0, 0, 0, B - Braking forces, NO, 0, 0, NO,
1405, BEAM , UNILOAD, GX, NO , NO, aDir[1], , , , 0, -10, 1, -10, 0, 0, 0, 0, B - Braking forces, NO, 0, 0, NO,
1406, BEAM , UNILOAD, GX, NO , NO, aDir[1], , , , 0, -10, 1, -10, 0, 0, 0, 0, B - Braking forces, NO, 0, 0, NO,
1407, BEAM , UNILOAD, GX, NO , NO, aDir[1], , , , 0, -10, 1, -10, 0, 0, 0, 0, B - Braking forces, NO, 0, 0, NO,
1408, BEAM , UNILOAD, GX, NO , NO, aDir[1], , , , 0, -10, 1, -10, 0, 0, 0, 0, B - Braking forces, NO, 0, 0, NO,

; End of data for load case [B-X 1. track] ----------

*USE-STLD, B+X 2. track

*BEAMLOAD ; Element Beam Loads
; ELEM_LIST, CMD, TYPE, DIR, bPROJ, [ECCEN], [VALUE], GROUP
; ELEM_LIST, CMD, TYPE, TYPE, DIR, VX, VY, VZ, bPROJ, [ECCEN], [VALUE], GROUP
; [VALUE] : D1, P1, D2, P2, D3, P3, D4, P4
; [ECCEN] : bECCEN, ECCDIR, I-END, J-END, bJ-END
; [ADDITIONAL] : bADDITIONAL, ADDITIONAL_I-END, ADDITIONAL_J-END, bADDITIONAL_J-END
713, BEAM , UNILOAD, GX, NO , NO, aDir[1], , , , 0, 10, 1, 10, 0, 0, 0, 0, B - Braking forces, NO, 0, 0, NO,
714, BEAM , UNILOAD, GX, NO , NO, aDir[1], , , , 0, 10, 1, 10, 0, 0, 0, 0, B - Braking forces, NO, 0, 0, NO,
715, BEAM , UNILOAD, GX, NO , NO, aDir[1], , , , 0, 10, 1, 10, 0, 0, 0, 0, B - Braking forces, NO, 0, 0, NO,
716, BEAM , UNILOAD, GX, NO , NO, aDir[1], , , , 0, 10, 1, 10, 0, 0, 0, 0, B - Braking forces, NO, 0, 0, NO,
717, BEAM , UNILOAD, GX, NO , NO, aDir[1], , , , 0, 10, 1, 10, 0, 0, 0, 0, B - Braking forces, NO, 0, 0, NO,
718, BEAM , UNILOAD, GX, NO , NO, aDir[1], , , , 0, 10, 1, 10, 0, 0, 0, 0, B - Braking forces, NO, 0, 0, NO,
719, BEAM , UNILOAD, GX, NO , NO, aDir[1], , , , 0, 10, 1, 10, 0, 0, 0, 0, B - Braking forces, NO, 0, 0, NO,
720, BEAM , UNILOAD, GX, NO , NO, aDir[1], , , , 0, 10, 1, 10, 0, 0, 0, 0, B - Braking forces, NO, 0, 0, NO,
721, BEAM , UNILOAD, GX, NO , NO, aDir[1], , , , 0, 10, 1, 10, 0, 0, 0, 0, B - Braking forces, NO, 0, 0, NO,
722, BEAM , UNILOAD, GX, NO , NO, aDir[1], , , , 0, 10, 1, 10, 0, 0, 0, 0, B - Braking forces, NO, 0, 0, NO,

PROJECT TITLE :

MIDAS	Company		Client	
	Author		File Name	H2D_3Dg_v14_180227_StatLM.mct

723, BEAM , UNILOAD, GX, NO , NO, aDir[1], , , , 0, 10, 1, 10, 0, 0, 0, 0, B - Braking forces, NO, 0, 0, NO,
724, BEAM , UNILOAD, GX, NO , NO, aDir[1], , , , 0, 10, 1, 10, 0, 0, 0, 0, B - Braking forces, NO, 0, 0, NO,
725, BEAM , UNILOAD, GX, NO , NO, aDir[1], , , , 0, 10, 1, 10, 0, 0, 0, 0, B - Braking forces, NO, 0, 0, NO,
726, BEAM , UNILOAD, GX, NO , NO, aDir[1], , , , 0, 10, 1, 10, 0, 0, 0, 0, B - Braking forces, NO, 0, 0, NO,
727, BEAM , UNILOAD, GX, NO , NO, aDir[1], , , , 0, 10, 1, 10, 0, 0, 0, 0, B - Braking forces, NO, 0, 0, NO,
728, BEAM , UNILOAD, GX, NO , NO, aDir[1], , , , 0, 10, 1, 10, 0, 0, 0, 0, B - Braking forces, NO, 0, 0, NO,
729, BEAM , UNILOAD, GX, NO , NO, aDir[1], , , , 0, 10, 1, 10, 0, 0, 0, 0, B - Braking forces, NO, 0, 0, NO,
730, BEAM , UNILOAD, GX, NO , NO, aDir[1], , , , 0, 10, 1, 10, 0, 0, 0, 0, B - Braking forces, NO, 0, 0, NO,
731, BEAM , UNILOAD, GX, NO , NO, aDir[1], , , , 0, 10, 1, 10, 0, 0, 0, 0, B - Braking forces, NO, 0, 0, NO,
732, BEAM , UNILOAD, GX, NO , NO, aDir[1], , , , 0, 10, 1, 10, 0, 0, 0, 0, B - Braking forces, NO, 0, 0, NO,
733, BEAM , UNILOAD, GX, NO , NO, aDir[1], , , , 0, 10, 1, 10, 0, 0, 0, 0, B - Braking forces, NO, 0, 0, NO,
734, BEAM , UNILOAD, GX, NO , NO, aDir[1], , , , 0, 10, 1, 10, 0, 0, 0, 0, B - Braking forces, NO, 0, 0, NO,
735, BEAM , UNILOAD, GX, NO , NO, aDir[1], , , , 0, 10, 1, 10, 0, 0, 0, 0, B - Braking forces, NO, 0, 0, NO,
736, BEAM , UNILOAD, GX, NO , NO, aDir[1], , , , 0, 10, 1, 10, 0, 0, 0, 0, B - Braking forces, NO, 0, 0, NO,
737, BEAM , UNILOAD, GX, NO , NO, aDir[1], , , , 0, 10, 1, 10, 0, 0, 0, 0, B - Braking forces, NO, 0, 0, NO,
738, BEAM , UNILOAD, GX, NO , NO, aDir[1], , , , 0, 10, 1, 10, 0, 0, 0, 0, B - Braking forces, NO, 0, 0, NO,
739, BEAM , UNILOAD, GX, NO , NO, aDir[1], , , , 0, 10, 1, 10, 0, 0, 0, 0, B - Braking forces, NO, 0, 0, NO,
740, BEAM , UNILOAD, GX, NO , NO, aDir[1], , , , 0, 10, 1, 10, 0, 0, 0, 0, B - Braking forces, NO, 0, 0, NO,
741, BEAM , UNILOAD, GX, NO , NO, aDir[1], , , , 0, 10, 1, 10, 0, 0, 0, 0, B - Braking forces, NO, 0, 0, NO,
742, BEAM , UNILOAD, GX, NO , NO, aDir[1], , , , 0, 10, 1, 10, 0, 0, 0, 0, B - Braking forces, NO, 0, 0, NO,
743, BEAM , UNILOAD, GX, NO , NO, aDir[1], , , , 0, 10, 1, 10, 0, 0, 0, 0, B - Braking forces, NO, 0, 0, NO,
744, BEAM , UNILOAD, GX, NO , NO, aDir[1], , , , 0, 10, 1, 10, 0, 0, 0, 0, B - Braking forces, NO, 0, 0, NO,
745, BEAM , UNILOAD, GX, NO , NO, aDir[1], , , , 0, 10, 1, 10, 0, 0, 0, 0, B - Braking forces, NO, 0, 0, NO,
746, BEAM , UNILOAD, GX, NO , NO, aDir[1], , , , 0, 10, 1, 10, 0, 0, 0, 0, B - Braking forces, NO, 0, 0, NO,
747, BEAM , UNILOAD, GX, NO , NO, aDir[1], , , , 0, 10, 1, 10, 0, 0, 0, 0, B - Braking forces, NO, 0, 0, NO,
748, BEAM , UNILOAD, GX, NO , NO, aDir[1], , , , 0, 10, 1, 10, 0, 0, 0, 0, B - Braking forces, NO, 0, 0, NO,
749, BEAM , UNILOAD, GX, NO , NO, aDir[1], , , , 0, 10, 1, 10, 0, 0, 0, 0, B - Braking forces, NO, 0, 0, NO,
750, BEAM , UNILOAD, GX, NO , NO, aDir[1], , , , 0, 10, 1, 10, 0, 0, 0, 0, B - Braking forces, NO, 0, 0, NO,
751, BEAM , UNILOAD, GX, NO , NO, aDir[1], , , , 0, 10, 1, 10, 0, 0, 0, 0, B - Braking forces, NO, 0, 0, NO,
752, BEAM , UNILOAD, GX, NO , NO, aDir[1], , , , 0, 10, 1, 10, 0, 0, 0, 0, B - Braking forces, NO, 0, 0, NO,
753, BEAM , UNILOAD, GX, NO , NO, aDir[1], , , , 0, 10, 1, 10, 0, 0, 0, 0, B - Braking forces, NO, 0, 0, NO,
754, BEAM , UNILOAD, GX, NO , NO, aDir[1], , , , 0, 10, 1, 10, 0, 0, 0, 0, B - Braking forces, NO, 0, 0, NO,
755, BEAM , UNILOAD, GX, NO , NO, aDir[1], , , , 0, 10, 1, 10, 0, 0, 0, 0, B - Braking forces, NO, 0, 0, NO,
756, BEAM , UNILOAD, GX, NO , NO, aDir[1], , , , 0, 10, 1, 10, 0, 0, 0, 0, B - Braking forces, NO, 0, 0, NO,
757, BEAM , UNILOAD, GX, NO , NO, aDir[1], , , , 0, 10, 1, 10, 0, 0, 0, 0, B - Braking forces, NO, 0, 0, NO,
758, BEAM , UNILOAD, GX, NO , NO, aDir[1], , , , 0, 10, 1, 10, 0, 0, 0, 0, B - Braking forces, NO, 0, 0, NO,
759, BEAM , UNILOAD, GX, NO , NO, aDir[1], , , , 0, 10, 1, 10, 0, 0, 0, 0, B - Braking forces, NO, 0, 0, NO,
760, BEAM , UNILOAD, GX, NO , NO, aDir[1], , , , 0, 10, 1, 10, 0, 0, 0, 0, B - Braking forces, NO, 0, 0, NO,
761, BEAM , UNILOAD, GX, NO , NO, aDir[1], , , , 0, 10, 1, 10, 0, 0, 0, 0, B - Braking forces, NO, 0, 0, NO,
762, BEAM , UNILOAD, GX, NO , NO, aDir[1], , , , 0, 10, 1, 10, 0, 0, 0, 0, B - Braking forces, NO, 0, 0, NO,
763, BEAM , UNILOAD, GX, NO , NO, aDir[1], , , , 0, 10, 1, 10, 0, 0, 0, 0, B - Braking forces, NO, 0, 0, NO,
764, BEAM , UNILOAD, GX, NO , NO, aDir[1], , , , 0, 10, 1, 10, 0, 0, 0, 0, B - Braking forces, NO, 0, 0, NO,
765, BEAM , UNILOAD, GX, NO , NO, aDir[1], , , , 0, 10, 1, 10, 0, 0, 0, 0, B - Braking forces, NO, 0, 0, NO,
766, BEAM , UNILOAD, GX, NO , NO, aDir[1], , , , 0, 10, 1, 10, 0, 0, 0, 0, B - Braking forces, NO, 0, 0, NO,
767, BEAM , UNILOAD, GX, NO , NO, aDir[1], , , , 0, 10, 1, 10, 0, 0, 0, 0, B - Braking forces, NO, 0, 0, NO,
768, BEAM , UNILOAD, GX, NO , NO, aDir[1], , , , 0, 10, 1, 10, 0, 0, 0, 0, B - Braking forces, NO, 0, 0, NO,
769, BEAM , UNILOAD, GX, NO , NO, aDir[1], , , , 0, 10, 1, 10, 0, 0, 0, 0, B - Braking forces, NO, 0, 0, NO,
770, BEAM , UNILOAD, GX, NO , NO, aDir[1], , , , 0, 10, 1, 10, 0, 0, 0, 0, B - Braking forces, NO, 0, 0, NO,
771, BEAM , UNILOAD, GX, NO , NO, aDir[1], , , , 0, 10, 1, 10, 0, 0, 0, 0, B - Braking forces, NO, 0, 0, NO,
772, BEAM , UNILOAD, GX, NO , NO, aDir[1], , , , 0, 10, 1, 10, 0, 0, 0, 0, B - Braking forces, NO, 0, 0, NO,
773, BEAM , UNILOAD, GX, NO , NO, aDir[1], , , , 0, 10, 1, 10, 0, 0, 0, 0, B - Braking forces, NO, 0, 0, NO,
774, BEAM , UNILOAD, GX, NO , NO, aDir[1], , , , 0, 10, 1, 10, 0, 0, 0, 0, B - Braking forces, NO, 0, 0, NO,
775, BEAM , UNILOAD, GX, NO , NO, aDir[1], , , , 0, 10, 1, 10, 0, 0, 0, 0, B - Braking forces, NO, 0, 0, NO,
776, BEAM , UNILOAD, GX, NO , NO, aDir[1], , , , 0, 10, 1, 10, 0, 0, 0, 0, B - Braking forces, NO, 0, 0, NO,
777, BEAM , UNILOAD, GX, NO , NO, aDir[1], , , , 0, 10, 1, 10, 0, 0, 0, 0, B - Braking forces, NO, 0, 0, NO,
778, BEAM , UNILOAD, GX, NO , NO, aDir[1], , , , 0, 10, 1, 10, 0, 0, 0, 0, B - Braking forces, NO, 0, 0, NO,
779, BEAM , UNILOAD, GX, NO , NO, aDir[1], , , , 0, 10, 1, 10, 0, 0, 0, 0, B - Braking forces, NO, 0, 0, NO,
780, BEAM , UNILOAD, GX, NO , NO, aDir[1], , , , 0, 10, 1, 10, 0, 0, 0, 0, B - Braking forces, NO, 0, 0, NO,
781, BEAM , UNILOAD, GX, NO , NO, aDir[1], , , , 0, 10, 1, 10, 0, 0, 0, 0, B - Braking forces, NO, 0, 0, NO,
782, BEAM , UNILOAD, GX, NO , NO, aDir[1], , , , 0, 10, 1, 10, 0, 0, 0, 0, B - Braking forces, NO, 0, 0, NO,
783, BEAM , UNILOAD, GX, NO , NO, aDir[1], , , , 0, 10, 1, 10, 0, 0, 0, 0, B - Braking forces, NO, 0, 0, NO,
784, BEAM , UNILOAD, GX, NO , NO, aDir[1], , , , 0, 10, 1, 10, 0, 0, 0, 0, B - Braking forces, NO, 0, 0, NO,
785, BEAM , UNILOAD, GX, NO , NO, aDir[1], , , , 0, 10, 1, 10, 0, 0, 0, 0, B - Braking forces, NO, 0, 0, NO,
786, BEAM , UNILOAD, GX, NO , NO, aDir[1], , , , 0, 10, 1, 10, 0, 0, 0, 0, B - Braking forces, NO, 0, 0, NO,
787, BEAM , UNILOAD, GX, NO , NO, aDir[1], , , , 0, 10, 1, 10, 0, 0, 0, 0, B - Braking forces, NO, 0, 0, NO,
788, BEAM , UNILOAD, GX, NO , NO, aDir[1], , , , 0, 10, 1, 10, 0, 0, 0, 0, B - Braking forces, NO, 0, 0, NO,
789, BEAM , UNILOAD, GX, NO , NO, aDir[1], , , , 0, 10, 1, 10, 0, 0, 0, 0, B - Braking forces, NO, 0, 0, NO,
790, BEAM , UNILOAD, GX, NO , NO, aDir[1], , , , 0, 10, 1, 10, 0, 0, 0, 0, B - Braking forces, NO, 0, 0, NO,
791, BEAM , UNILOAD, GX, NO , NO, aDir[1], , , , 0, 10, 1, 10, 0, 0, 0, 0, B - Braking forces, NO, 0, 0, NO,
792, BEAM , UNILOAD, GX, NO , NO, aDir[1], , , , 0, 10, 1, 10, 0, 0, 0, 0, B - Braking forces, NO, 0, 0, NO,
793, BEAM , UNILOAD, GX, NO , NO, aDir[1], , , , 0, 10, 1, 10, 0, 0, 0, 0, B - Braking forces, NO, 0, 0, NO,
794, BEAM , UNILOAD, GX, NO , NO, aDir[1], , , , 0, 10, 1, 10, 0, 0, 0, 0, B - Braking forces, NO, 0, 0, NO,

PROJECT TITLE :

MIDAS	Company		Client	
	Author		File Name	H2D_3Dg_v14_180227_StatLM.mct

795, BEAM , UNILOAD, GX, NO , NO, aDir[1], , , , 0, 10, 1, 10, 0, 0, 0, 0, B - Braking forces, NO, 0, 0, NO,
796, BEAM , UNILOAD, GX, NO , NO, aDir[1], , , , 0, 10, 1, 10, 0, 0, 0, 0, B - Braking forces, NO, 0, 0, NO,
797, BEAM , UNILOAD, GX, NO , NO, aDir[1], , , , 0, 10, 1, 10, 0, 0, 0, 0, B - Braking forces, NO, 0, 0, NO,
798, BEAM , UNILOAD, GX, NO , NO, aDir[1], , , , 0, 10, 1, 10, 0, 0, 0, 0, B - Braking forces, NO, 0, 0, NO,
799, BEAM , UNILOAD, GX, NO , NO, aDir[1], , , , 0, 10, 1, 10, 0, 0, 0, 0, B - Braking forces, NO, 0, 0, NO,
800, BEAM , UNILOAD, GX, NO , NO, aDir[1], , , , 0, 10, 1, 10, 0, 0, 0, 0, B - Braking forces, NO, 0, 0, NO,
801, BEAM , UNILOAD, GX, NO , NO, aDir[1], , , , 0, 10, 1, 10, 0, 0, 0, 0, B - Braking forces, NO, 0, 0, NO,
802, BEAM , UNILOAD, GX, NO , NO, aDir[1], , , , 0, 10, 1, 10, 0, 0, 0, 0, B - Braking forces, NO, 0, 0, NO,
803, BEAM , UNILOAD, GX, NO , NO, aDir[1], , , , 0, 10, 1, 10, 0, 0, 0, 0, B - Braking forces, NO, 0, 0, NO,
804, BEAM , UNILOAD, GX, NO , NO, aDir[1], , , , 0, 10, 1, 10, 0, 0, 0, 0, B - Braking forces, NO, 0, 0, NO,
805, BEAM , UNILOAD, GX, NO , NO, aDir[1], , , , 0, 10, 1, 10, 0, 0, 0, 0, B - Braking forces, NO, 0, 0, NO,
806, BEAM , UNILOAD, GX, NO , NO, aDir[1], , , , 0, 10, 1, 10, 0, 0, 0, 0, B - Braking forces, NO, 0, 0, NO,
807, BEAM , UNILOAD, GX, NO , NO, aDir[1], , , , 0, 10, 1, 10, 0, 0, 0, 0, B - Braking forces, NO, 0, 0, NO,
808, BEAM , UNILOAD, GX, NO , NO, aDir[1], , , , 0, 10, 1, 10, 0, 0, 0, 0, B - Braking forces, NO, 0, 0, NO,
809, BEAM , UNILOAD, GX, NO , NO, aDir[1], , , , 0, 10, 1, 10, 0, 0, 0, 0, B - Braking forces, NO, 0, 0, NO,
810, BEAM , UNILOAD, GX, NO , NO, aDir[1], , , , 0, 10, 1, 10, 0, 0, 0, 0, B - Braking forces, NO, 0, 0, NO,
811, BEAM , UNILOAD, GX, NO , NO, aDir[1], , , , 0, 10, 1, 10, 0, 0, 0, 0, B - Braking forces, NO, 0, 0, NO,
812, BEAM , UNILOAD, GX, NO , NO, aDir[1], , , , 0, 10, 1, 10, 0, 0, 0, 0, B - Braking forces, NO, 0, 0, NO,
813, BEAM , UNILOAD, GX, NO , NO, aDir[1], , , , 0, 10, 1, 10, 0, 0, 0, 0, B - Braking forces, NO, 0, 0, NO,
814, BEAM , UNILOAD, GX, NO , NO, aDir[1], , , , 0, 10, 1, 10, 0, 0, 0, 0, B - Braking forces, NO, 0, 0, NO,
815, BEAM , UNILOAD, GX, NO , NO, aDir[1], , , , 0, 10, 1, 10, 0, 0, 0, 0, B - Braking forces, NO, 0, 0, NO,
816, BEAM , UNILOAD, GX, NO , NO, aDir[1], , , , 0, 10, 1, 10, 0, 0, 0, 0, B - Braking forces, NO, 0, 0, NO,
817, BEAM , UNILOAD, GX, NO , NO, aDir[1], , , , 0, 10, 1, 10, 0, 0, 0, 0, B - Braking forces, NO, 0, 0, NO,
818, BEAM , UNILOAD, GX, NO , NO, aDir[1], , , , 0, 10, 1, 10, 0, 0, 0, 0, B - Braking forces, NO, 0, 0, NO,
819, BEAM , UNILOAD, GX, NO , NO, aDir[1], , , , 0, 10, 1, 10, 0, 0, 0, 0, B - Braking forces, NO, 0, 0, NO,
820, BEAM , UNILOAD, GX, NO , NO, aDir[1], , , , 0, 10, 1, 10, 0, 0, 0, 0, B - Braking forces, NO, 0, 0, NO,
821, BEAM , UNILOAD, GX, NO , NO, aDir[1], , , , 0, 10, 1, 10, 0, 0, 0, 0, B - Braking forces, NO, 0, 0, NO,
822, BEAM , UNILOAD, GX, NO , NO, aDir[1], , , , 0, 10, 1, 10, 0, 0, 0, 0, B - Braking forces, NO, 0, 0, NO,
823, BEAM , UNILOAD, GX, NO , NO, aDir[1], , , , 0, 10, 1, 10, 0, 0, 0, 0, B - Braking forces, NO, 0, 0, NO,
824, BEAM , UNILOAD, GX, NO , NO, aDir[1], , , , 0, 10, 1, 10, 0, 0, 0, 0, B - Braking forces, NO, 0, 0, NO,
825, BEAM , UNILOAD, GX, NO , NO, aDir[1], , , , 0, 10, 1, 10, 0, 0, 0, 0, B - Braking forces, NO, 0, 0, NO,
826, BEAM , UNILOAD, GX, NO , NO, aDir[1], , , , 0, 10, 1, 10, 0, 0, 0, 0, B - Braking forces, NO, 0, 0, NO,
827, BEAM , UNILOAD, GX, NO , NO, aDir[1], , , , 0, 10, 1, 10, 0, 0, 0, 0, B - Braking forces, NO, 0, 0, NO,
828, BEAM , UNILOAD, GX, NO , NO, aDir[1], , , , 0, 10, 1, 10, 0, 0, 0, 0, B - Braking forces, NO, 0, 0, NO,
829, BEAM , UNILOAD, GX, NO , NO, aDir[1], , , , 0, 10, 1, 10, 0, 0, 0, 0, B - Braking forces, NO, 0, 0, NO,
830, BEAM , UNILOAD, GX, NO , NO, aDir[1], , , , 0, 10, 1, 10, 0, 0, 0, 0, B - Braking forces, NO, 0, 0, NO,
831, BEAM , UNILOAD, GX, NO , NO, aDir[1], , , , 0, 10, 1, 10, 0, 0, 0, 0, B - Braking forces, NO, 0, 0, NO,
832, BEAM , UNILOAD, GX, NO , NO, aDir[1], , , , 0, 10, 1, 10, 0, 0, 0, 0, B - Braking forces, NO, 0, 0, NO,
833, BEAM , UNILOAD, GX, NO , NO, aDir[1], , , , 0, 10, 1, 10, 0, 0, 0, 0, B - Braking forces, NO, 0, 0, NO,
834, BEAM , UNILOAD, GX, NO , NO, aDir[1], , , , 0, 10, 1, 10, 0, 0, 0, 0, B - Braking forces, NO, 0, 0, NO,
835, BEAM , UNILOAD, GX, NO , NO, aDir[1], , , , 0, 10, 1, 10, 0, 0, 0, 0, B - Braking forces, NO, 0, 0, NO,
836, BEAM , UNILOAD, GX, NO , NO, aDir[1], , , , 0, 10, 1, 10, 0, 0, 0, 0, B - Braking forces, NO, 0, 0, NO,
837, BEAM , UNILOAD, GX, NO , NO, aDir[1], , , , 0, 10, 1, 10, 0, 0, 0, 0, B - Braking forces, NO, 0, 0, NO,
838, BEAM , UNILOAD, GX, NO , NO, aDir[1], , , , 0, 10, 1, 10, 0, 0, 0, 0, B - Braking forces, NO, 0, 0, NO,
839, BEAM , UNILOAD, GX, NO , NO, aDir[1], , , , 0, 10, 1, 10, 0, 0, 0, 0, B - Braking forces, NO, 0, 0, NO,
840, BEAM , UNILOAD, GX, NO , NO, aDir[1], , , , 0, 10, 1, 10, 0, 0, 0, 0, B - Braking forces, NO, 0, 0, NO,
841, BEAM , UNILOAD, GX, NO , NO, aDir[1], , , , 0, 10, 1, 10, 0, 0, 0, 0, B - Braking forces, NO, 0, 0, NO,
842, BEAM , UNILOAD, GX, NO , NO, aDir[1], , , , 0, 10, 1, 10, 0, 0, 0, 0, B - Braking forces, NO, 0, 0, NO,
843, BEAM , UNILOAD, GX, NO , NO, aDir[1], , , , 0, 10, 1, 10, 0, 0, 0, 0, B - Braking forces, NO, 0, 0, NO,
844, BEAM , UNILOAD, GX, NO , NO, aDir[1], , , , 0, 10, 1, 10, 0, 0, 0, 0, B - Braking forces, NO, 0, 0, NO,
845, BEAM , UNILOAD, GX, NO , NO, aDir[1], , , , 0, 10, 1, 10, 0, 0, 0, 0, B - Braking forces, NO, 0, 0, NO,
846, BEAM , UNILOAD, GX, NO , NO, aDir[1], , , , 0, 10, 1, 10, 0, 0, 0, 0, B - Braking forces, NO, 0, 0, NO,
847, BEAM , UNILOAD, GX, NO , NO, aDir[1], , , , 0, 10, 1, 10, 0, 0, 0, 0, B - Braking forces, NO, 0, 0, NO,
848, BEAM , UNILOAD, GX, NO , NO, aDir[1], , , , 0, 10, 1, 10, 0, 0, 0, 0, B - Braking forces, NO, 0, 0, NO,
849, BEAM , UNILOAD, GX, NO , NO, aDir[1], , , , 0, 10, 1, 10, 0, 0, 0, 0, B - Braking forces, NO, 0, 0, NO,
850, BEAM , UNILOAD, GX, NO , NO, aDir[1], , , , 0, 10, 1, 10, 0, 0, 0, 0, B - Braking forces, NO, 0, 0, NO,
851, BEAM , UNILOAD, GX, NO , NO, aDir[1], , , , 0, 10, 1, 10, 0, 0, 0, 0, B - Braking forces, NO, 0, 0, NO,
852, BEAM , UNILOAD, GX, NO , NO, aDir[1], , , , 0, 10, 1, 10, 0, 0, 0, 0, B - Braking forces, NO, 0, 0, NO,
853, BEAM , UNILOAD, GX, NO , NO, aDir[1], , , , 0, 10, 1, 10, 0, 0, 0, 0, B - Braking forces, NO, 0, 0, NO,
854, BEAM , UNILOAD, GX, NO , NO, aDir[1], , , , 0, 10, 1, 10, 0, 0, 0, 0, B - Braking forces, NO, 0, 0, NO,
855, BEAM , UNILOAD, GX, NO , NO, aDir[1], , , , 0, 10, 1, 10, 0, 0, 0, 0, B - Braking forces, NO, 0, 0, NO,
856, BEAM , UNILOAD, GX, NO , NO, aDir[1], , , , 0, 10, 1, 10, 0, 0, 0, 0, B - Braking forces, NO, 0, 0, NO,
857, BEAM , UNILOAD, GX, NO , NO, aDir[1], , , , 0, 10, 1, 10, 0, 0, 0, 0, B - Braking forces, NO, 0, 0, NO,
858, BEAM , UNILOAD, GX, NO , NO, aDir[1], , , , 0, 10, 1, 10, 0, 0, 0, 0, B - Braking forces, NO, 0, 0, NO,
859, BEAM , UNILOAD, GX, NO , NO, aDir[1], , , , 0, 10, 1, 10, 0, 0, 0, 0, B - Braking forces, NO, 0, 0, NO,
860, BEAM , UNILOAD, GX, NO , NO, aDir[1], , , , 0, 10, 1, 10, 0, 0, 0, 0, B - Braking forces, NO, 0, 0, NO,
861, BEAM , UNILOAD, GX, NO , NO, aDir[1], , , , 0, 10, 1, 10, 0, 0, 0, 0, B - Braking forces, NO, 0, 0, NO,
862, BEAM , UNILOAD, GX, NO , NO, aDir[1], , , , 0, 10, 1, 10, 0, 0, 0, 0, B - Braking forces, NO, 0, 0, NO,
863, BEAM , UNILOAD, GX, NO , NO, aDir[1], , , , 0, 10, 1, 10, 0, 0, 0, 0, B - Braking forces, NO, 0, 0, NO,
864, BEAM , UNILOAD, GX, NO , NO, aDir[1], , , , 0, 10, 1, 10, 0, 0, 0, 0, B - Braking forces, NO, 0, 0, NO,
865, BEAM , UNILOAD, GX, NO , NO, aDir[1], , , , 0, 10, 1, 10, 0, 0, 0, 0, B - Braking forces, NO, 0, 0, NO,
866, BEAM , UNILOAD, GX, NO , NO, aDir[1], , , , 0, 10, 1, 10, 0, 0, 0, 0, B - Braking forces, NO, 0, 0, NO,

PROJECT TITLE :

MIDAS	Company		Client	
	Author		File Name	H2D_3Dg_v14_180227_StatLM.mct

867, BEAM , UNILOAD, GX, NO , NO, aDir[1], , , , 0, 10, 1, 10, 0, 0, 0, 0, B - Braking forces, NO, 0, 0, NO,
868, BEAM , UNILOAD, GX, NO , NO, aDir[1], , , , 0, 10, 1, 10, 0, 0, 0, 0, B - Braking forces, NO, 0, 0, NO,
869, BEAM , UNILOAD, GX, NO , NO, aDir[1], , , , 0, 10, 1, 10, 0, 0, 0, 0, B - Braking forces, NO, 0, 0, NO,
870, BEAM , UNILOAD, GX, NO , NO, aDir[1], , , , 0, 10, 1, 10, 0, 0, 0, 0, B - Braking forces, NO, 0, 0, NO,
871, BEAM , UNILOAD, GX, NO , NO, aDir[1], , , , 0, 10, 1, 10, 0, 0, 0, 0, B - Braking forces, NO, 0, 0, NO,
872, BEAM , UNILOAD, GX, NO , NO, aDir[1], , , , 0, 10, 1, 10, 0, 0, 0, 0, B - Braking forces, NO, 0, 0, NO,
873, BEAM , UNILOAD, GX, NO , NO, aDir[1], , , , 0, 10, 1, 10, 0, 0, 0, 0, B - Braking forces, NO, 0, 0, NO,
874, BEAM , UNILOAD, GX, NO , NO, aDir[1], , , , 0, 10, 1, 10, 0, 0, 0, 0, B - Braking forces, NO, 0, 0, NO,
875, BEAM , UNILOAD, GX, NO , NO, aDir[1], , , , 0, 10, 1, 10, 0, 0, 0, 0, B - Braking forces, NO, 0, 0, NO,
876, BEAM , UNILOAD, GX, NO , NO, aDir[1], , , , 0, 10, 1, 10, 0, 0, 0, 0, B - Braking forces, NO, 0, 0, NO,
877, BEAM , UNILOAD, GX, NO , NO, aDir[1], , , , 0, 10, 1, 10, 0, 0, 0, 0, B - Braking forces, NO, 0, 0, NO,
878, BEAM , UNILOAD, GX, NO , NO, aDir[1], , , , 0, 10, 1, 10, 0, 0, 0, 0, B - Braking forces, NO, 0, 0, NO,
879, BEAM , UNILOAD, GX, NO , NO, aDir[1], , , , 0, 10, 1, 10, 0, 0, 0, 0, B - Braking forces, NO, 0, 0, NO,
880, BEAM , UNILOAD, GX, NO , NO, aDir[1], , , , 0, 10, 1, 10, 0, 0, 0, 0, B - Braking forces, NO, 0, 0, NO,
881, BEAM , UNILOAD, GX, NO , NO, aDir[1], , , , 0, 10, 1, 10, 0, 0, 0, 0, B - Braking forces, NO, 0, 0, NO,
882, BEAM , UNILOAD, GX, NO , NO, aDir[1], , , , 0, 10, 1, 10, 0, 0, 0, 0, B - Braking forces, NO, 0, 0, NO,
883, BEAM , UNILOAD, GX, NO , NO, aDir[1], , , , 0, 10, 1, 10, 0, 0, 0, 0, B - Braking forces, NO, 0, 0, NO,
884, BEAM , UNILOAD, GX, NO , NO, aDir[1], , , , 0, 10, 1, 10, 0, 0, 0, 0, B - Braking forces, NO, 0, 0, NO,
885, BEAM , UNILOAD, GX, NO , NO, aDir[1], , , , 0, 10, 1, 10, 0, 0, 0, 0, B - Braking forces, NO, 0, 0, NO,
886, BEAM , UNILOAD, GX, NO , NO, aDir[1], , , , 0, 10, 1, 10, 0, 0, 0, 0, B - Braking forces, NO, 0, 0, NO,
887, BEAM , UNILOAD, GX, NO , NO, aDir[1], , , , 0, 10, 1, 10, 0, 0, 0, 0, B - Braking forces, NO, 0, 0, NO,
888, BEAM , UNILOAD, GX, NO , NO, aDir[1], , , , 0, 10, 1, 10, 0, 0, 0, 0, B - Braking forces, NO, 0, 0, NO,
889, BEAM , UNILOAD, GX, NO , NO, aDir[1], , , , 0, 10, 1, 10, 0, 0, 0, 0, B - Braking forces, NO, 0, 0, NO,
890, BEAM , UNILOAD, GX, NO , NO, aDir[1], , , , 0, 10, 1, 10, 0, 0, 0, 0, B - Braking forces, NO, 0, 0, NO,
891, BEAM , UNILOAD, GX, NO , NO, aDir[1], , , , 0, 10, 1, 10, 0, 0, 0, 0, B - Braking forces, NO, 0, 0, NO,
892, BEAM , UNILOAD, GX, NO , NO, aDir[1], , , , 0, 10, 1, 10, 0, 0, 0, 0, B - Braking forces, NO, 0, 0, NO,
893, BEAM , UNILOAD, GX, NO , NO, aDir[1], , , , 0, 10, 1, 10, 0, 0, 0, 0, B - Braking forces, NO, 0, 0, NO,
894, BEAM , UNILOAD, GX, NO , NO, aDir[1], , , , 0, 10, 1, 10, 0, 0, 0, 0, B - Braking forces, NO, 0, 0, NO,
895, BEAM , UNILOAD, GX, NO , NO, aDir[1], , , , 0, 10, 1, 10, 0, 0, 0, 0, B - Braking forces, NO, 0, 0, NO,
896, BEAM , UNILOAD, GX, NO , NO, aDir[1], , , , 0, 10, 1, 10, 0, 0, 0, 0, B - Braking forces, NO, 0, 0, NO,
897, BEAM , UNILOAD, GX, NO , NO, aDir[1], , , , 0, 10, 1, 10, 0, 0, 0, 0, B - Braking forces, NO, 0, 0, NO,
898, BEAM , UNILOAD, GX, NO , NO, aDir[1], , , , 0, 10, 1, 10, 0, 0, 0, 0, B - Braking forces, NO, 0, 0, NO,
899, BEAM , UNILOAD, GX, NO , NO, aDir[1], , , , 0, 10, 1, 10, 0, 0, 0, 0, B - Braking forces, NO, 0, 0, NO,
900, BEAM , UNILOAD, GX, NO , NO, aDir[1], , , , 0, 10, 1, 10, 0, 0, 0, 0, B - Braking forces, NO, 0, 0, NO,
901, BEAM , UNILOAD, GX, NO , NO, aDir[1], , , , 0, 10, 1, 10, 0, 0, 0, 0, B - Braking forces, NO, 0, 0, NO,
902, BEAM , UNILOAD, GX, NO , NO, aDir[1], , , , 0, 10, 1, 10, 0, 0, 0, 0, B - Braking forces, NO, 0, 0, NO,
903, BEAM , UNILOAD, GX, NO , NO, aDir[1], , , , 0, 10, 1, 10, 0, 0, 0, 0, B - Braking forces, NO, 0, 0, NO,
904, BEAM , UNILOAD, GX, NO , NO, aDir[1], , , , 0, 10, 1, 10, 0, 0, 0, 0, B - Braking forces, NO, 0, 0, NO,
905, BEAM , UNILOAD, GX, NO , NO, aDir[1], , , , 0, 10, 1, 10, 0, 0, 0, 0, B - Braking forces, NO, 0, 0, NO,
906, BEAM , UNILOAD, GX, NO , NO, aDir[1], , , , 0, 10, 1, 10, 0, 0, 0, 0, B - Braking forces, NO, 0, 0, NO,
907, BEAM , UNILOAD, GX, NO , NO, aDir[1], , , , 0, 10, 1, 10, 0, 0, 0, 0, B - Braking forces, NO, 0, 0, NO,
908, BEAM , UNILOAD, GX, NO , NO, aDir[1], , , , 0, 10, 1, 10, 0, 0, 0, 0, B - Braking forces, NO, 0, 0, NO,
909, BEAM , UNILOAD, GX, NO , NO, aDir[1], , , , 0, 10, 1, 10, 0, 0, 0, 0, B - Braking forces, NO, 0, 0, NO,
910, BEAM , UNILOAD, GX, NO , NO, aDir[1], , , , 0, 10, 1, 10, 0, 0, 0, 0, B - Braking forces, NO, 0, 0, NO,
911, BEAM , UNILOAD, GX, NO , NO, aDir[1], , , , 0, 10, 1, 10, 0, 0, 0, 0, B - Braking forces, NO, 0, 0, NO,
912, BEAM , UNILOAD, GX, NO , NO, aDir[1], , , , 0, 10, 1, 10, 0, 0, 0, 0, B - Braking forces, NO, 0, 0, NO,
913, BEAM , UNILOAD, GX, NO , NO, aDir[1], , , , 0, 10, 1, 10, 0, 0, 0, 0, B - Braking forces, NO, 0, 0, NO,
914, BEAM , UNILOAD, GX, NO , NO, aDir[1], , , , 0, 10, 1, 10, 0, 0, 0, 0, B - Braking forces, NO, 0, 0, NO,
915, BEAM , UNILOAD, GX, NO , NO, aDir[1], , , , 0, 10, 1, 10, 0, 0, 0, 0, B - Braking forces, NO, 0, 0, NO,
916, BEAM , UNILOAD, GX, NO , NO, aDir[1], , , , 0, 10, 1, 10, 0, 0, 0, 0, B - Braking forces, NO, 0, 0, NO,
917, BEAM , UNILOAD, GX, NO , NO, aDir[1], , , , 0, 10, 1, 10, 0, 0, 0, 0, B - Braking forces, NO, 0, 0, NO,
918, BEAM , UNILOAD, GX, NO , NO, aDir[1], , , , 0, 10, 1, 10, 0, 0, 0, 0, B - Braking forces, NO, 0, 0, NO,
919, BEAM , UNILOAD, GX, NO , NO, aDir[1], , , , 0, 10, 1, 10, 0, 0, 0, 0, B - Braking forces, NO, 0, 0, NO,
920, BEAM , UNILOAD, GX, NO , NO, aDir[1], , , , 0, 10, 1, 10, 0, 0, 0, 0, B - Braking forces, NO, 0, 0, NO,
921, BEAM , UNILOAD, GX, NO , NO, aDir[1], , , , 0, 10, 1, 10, 0, 0, 0, 0, B - Braking forces, NO, 0, 0, NO,
922, BEAM , UNILOAD, GX, NO , NO, aDir[1], , , , 0, 10, 1, 10, 0, 0, 0, 0, B - Braking forces, NO, 0, 0, NO,
923, BEAM , UNILOAD, GX, NO , NO, aDir[1], , , , 0, 10, 1, 10, 0, 0, 0, 0, B - Braking forces, NO, 0, 0, NO,
924, BEAM , UNILOAD, GX, NO , NO, aDir[1], , , , 0, 10, 1, 10, 0, 0, 0, 0, B - Braking forces, NO, 0, 0, NO,
925, BEAM , UNILOAD, GX, NO , NO, aDir[1], , , , 0, 10, 1, 10, 0, 0, 0, 0, B - Braking forces, NO, 0, 0, NO,
926, BEAM , UNILOAD, GX, NO , NO, aDir[1], , , , 0, 10, 1, 10, 0, 0, 0, 0, B - Braking forces, NO, 0, 0, NO,
927, BEAM , UNILOAD, GX, NO , NO, aDir[1], , , , 0, 10, 1, 10, 0, 0, 0, 0, B - Braking forces, NO, 0, 0, NO,
928, BEAM , UNILOAD, GX, NO , NO, aDir[1], , , , 0, 10, 1, 10, 0, 0, 0, 0, B - Braking forces, NO, 0, 0, NO,
929, BEAM , UNILOAD, GX, NO , NO, aDir[1], , , , 0, 10, 1, 10, 0, 0, 0, 0, B - Braking forces, NO, 0, 0, NO,
930, BEAM , UNILOAD, GX, NO , NO, aDir[1], , , , 0, 10, 1, 10, 0, 0, 0, 0, B - Braking forces, NO, 0, 0, NO,
931, BEAM , UNILOAD, GX, NO , NO, aDir[1], , , , 0, 10, 1, 10, 0, 0, 0, 0, B - Braking forces, NO, 0, 0, NO,
932, BEAM , UNILOAD, GX, NO , NO, aDir[1], , , , 0, 10, 1, 10, 0, 0, 0, 0, B - Braking forces, NO, 0, 0, NO,
933, BEAM , UNILOAD, GX, NO , NO, aDir[1], , , , 0, 10, 1, 10, 0, 0, 0, 0, B - Braking forces, NO, 0, 0, NO,
934, BEAM , UNILOAD, GX, NO , NO, aDir[1], , , , 0, 10, 1, 10, 0, 0, 0, 0, B - Braking forces, NO, 0, 0, NO,
935, BEAM , UNILOAD, GX, NO , NO, aDir[1], , , , 0, 10, 1, 10, 0, 0, 0, 0, B - Braking forces, NO, 0, 0, NO,
936, BEAM , UNILOAD, GX, NO , NO, aDir[1], , , , 0, 10, 1, 10, 0, 0, 0, 0, B - Braking forces, NO, 0, 0, NO,
937, BEAM , UNILOAD, GX, NO , NO, aDir[1], , , , 0, 10, 1, 10, 0, 0, 0, 0, B - Braking forces, NO, 0, 0, NO,
938, BEAM , UNILOAD, GX, NO , NO, aDir[1], , , , 0, 10, 1, 10, 0, 0, 0, 0, B - Braking forces, NO, 0, 0, NO,

939, BEAM , UNILOAD, GX, NO , NO, aDir[1], , , , 0, 10, 1, 10, 0, 0, 0, 0, B - Braking forces, NO, 0, 0, NO,
940, BEAM , UNILOAD, GX, NO , NO, aDir[1], , , , 0, 10, 1, 10, 0, 0, 0, 0, B - Braking forces, NO, 0, 0, NO,
941, BEAM , UNILOAD, GX, NO , NO, aDir[1], , , , 0, 10, 1, 10, 0, 0, 0, 0, B - Braking forces, NO, 0, 0, NO,
942, BEAM , UNILOAD, GX, NO , NO, aDir[1], , , , 0, 10, 1, 10, 0, 0, 0, 0, B - Braking forces, NO, 0, 0, NO,
943, BEAM , UNILOAD, GX, NO , NO, aDir[1], , , , 0, 10, 1, 10, 0, 0, 0, 0, B - Braking forces, NO, 0, 0, NO,
944, BEAM , UNILOAD, GX, NO , NO, aDir[1], , , , 0, 10, 1, 10, 0, 0, 0, 0, B - Braking forces, NO, 0, 0, NO,
945, BEAM , UNILOAD, GX, NO , NO, aDir[1], , , , 0, 10, 1, 10, 0, 0, 0, 0, B - Braking forces, NO, 0, 0, NO,
946, BEAM , UNILOAD, GX, NO , NO, aDir[1], , , , 0, 10, 1, 10, 0, 0, 0, 0, B - Braking forces, NO, 0, 0, NO,
947, BEAM , UNILOAD, GX, NO , NO, aDir[1], , , , 0, 10, 1, 10, 0, 0, 0, 0, B - Braking forces, NO, 0, 0, NO,
948, BEAM , UNILOAD, GX, NO , NO, aDir[1], , , , 0, 10, 1, 10, 0, 0, 0, 0, B - Braking forces, NO, 0, 0, NO,
949, BEAM , UNILOAD, GX, NO , NO, aDir[1], , , , 0, 10, 1, 10, 0, 0, 0, 0, B - Braking forces, NO, 0, 0, NO,
950, BEAM , UNILOAD, GX, NO , NO, aDir[1], , , , 0, 10, 1, 10, 0, 0, 0, 0, B - Braking forces, NO, 0, 0, NO,
951, BEAM , UNILOAD, GX, NO , NO, aDir[1], , , , 0, 10, 1, 10, 0, 0, 0, 0, B - Braking forces, NO, 0, 0, NO,
952, BEAM , UNILOAD, GX, NO , NO, aDir[1], , , , 0, 10, 1, 10, 0, 0, 0, 0, B - Braking forces, NO, 0, 0, NO,
953, BEAM , UNILOAD, GX, NO , NO, aDir[1], , , , 0, 10, 1, 10, 0, 0, 0, 0, B - Braking forces, NO, 0, 0, NO,
954, BEAM , UNILOAD, GX, NO , NO, aDir[1], , , , 0, 10, 1, 10, 0, 0, 0, 0, B - Braking forces, NO, 0, 0, NO,
955, BEAM , UNILOAD, GX, NO , NO, aDir[1], , , , 0, 10, 1, 10, 0, 0, 0, 0, B - Braking forces, NO, 0, 0, NO,
956, BEAM , UNILOAD, GX, NO , NO, aDir[1], , , , 0, 10, 1, 10, 0, 0, 0, 0, B - Braking forces, NO, 0, 0, NO,
957, BEAM , UNILOAD, GX, NO , NO, aDir[1], , , , 0, 10, 1, 10, 0, 0, 0, 0, B - Braking forces, NO, 0, 0, NO,
958, BEAM , UNILOAD, GX, NO , NO, aDir[1], , , , 0, 10, 1, 10, 0, 0, 0, 0, B - Braking forces, NO, 0, 0, NO,
959, BEAM , UNILOAD, GX, NO , NO, aDir[1], , , , 0, 10, 1, 10, 0, 0, 0, 0, B - Braking forces, NO, 0, 0, NO,
960, BEAM , UNILOAD, GX, NO , NO, aDir[1], , , , 0, 10, 1, 10, 0, 0, 0, 0, B - Braking forces, NO, 0, 0, NO,
961, BEAM , UNILOAD, GX, NO , NO, aDir[1], , , , 0, 10, 1, 10, 0, 0, 0, 0, B - Braking forces, NO, 0, 0, NO,
962, BEAM , UNILOAD, GX, NO , NO, aDir[1], , , , 0, 10, 1, 10, 0, 0, 0, 0, B - Braking forces, NO, 0, 0, NO,
963, BEAM , UNILOAD, GX, NO , NO, aDir[1], , , , 0, 10, 1, 10, 0, 0, 0, 0, B - Braking forces, NO, 0, 0, NO,
964, BEAM , UNILOAD, GX, NO , NO, aDir[1], , , , 0, 10, 1, 10, 0, 0, 0, 0, B - Braking forces, NO, 0, 0, NO,
965, BEAM , UNILOAD, GX, NO , NO, aDir[1], , , , 0, 10, 1, 10, 0, 0, 0, 0, B - Braking forces, NO, 0, 0, NO,
966, BEAM , UNILOAD, GX, NO , NO, aDir[1], , , , 0, 10, 1, 10, 0, 0, 0, 0, B - Braking forces, NO, 0, 0, NO,
967, BEAM , UNILOAD, GX, NO , NO, aDir[1], , , , 0, 10, 1, 10, 0, 0, 0, 0, B - Braking forces, NO, 0, 0, NO,
968, BEAM , UNILOAD, GX, NO , NO, aDir[1], , , , 0, 10, 1, 10, 0, 0, 0, 0, B - Braking forces, NO, 0, 0, NO,
969, BEAM , UNILOAD, GX, NO , NO, aDir[1], , , , 0, 10, 1, 10, 0, 0, 0, 0, B - Braking forces, NO, 0, 0, NO,
970, BEAM , UNILOAD, GX, NO , NO, aDir[1], , , , 0, 10, 1, 10, 0, 0, 0, 0, B - Braking forces, NO, 0, 0, NO,
971, BEAM , UNILOAD, GX, NO , NO, aDir[1], , , , 0, 10, 1, 10, 0, 0, 0, 0, B - Braking forces, NO, 0, 0, NO,
972, BEAM , UNILOAD, GX, NO , NO, aDir[1], , , , 0, 10, 1, 10, 0, 0, 0, 0, B - Braking forces, NO, 0, 0, NO,
973, BEAM , UNILOAD, GX, NO , NO, aDir[1], , , , 0, 10, 1, 10, 0, 0, 0, 0, B - Braking forces, NO, 0, 0, NO,
974, BEAM , UNILOAD, GX, NO , NO, aDir[1], , , , 0, 10, 1, 10, 0, 0, 0, 0, B - Braking forces, NO, 0, 0, NO,
975, BEAM , UNILOAD, GX, NO , NO, aDir[1], , , , 0, 10, 1, 10, 0, 0, 0, 0, B - Braking forces, NO, 0, 0, NO,
976, BEAM , UNILOAD, GX, NO , NO, aDir[1], , , , 0, 10, 1, 10, 0, 0, 0, 0, B - Braking forces, NO, 0, 0, NO,
977, BEAM , UNILOAD, GX, NO , NO, aDir[1], , , , 0, 10, 1, 10, 0, 0, 0, 0, B - Braking forces, NO, 0, 0, NO,
978, BEAM , UNILOAD, GX, NO , NO, aDir[1], , , , 0, 10, 1, 10, 0, 0, 0, 0, B - Braking forces, NO, 0, 0, NO,
979, BEAM , UNILOAD, GX, NO , NO, aDir[1], , , , 0, 10, 1, 10, 0, 0, 0, 0, B - Braking forces, NO, 0, 0, NO,
980, BEAM , UNILOAD, GX, NO , NO, aDir[1], , , , 0, 10, 1, 10, 0, 0, 0, 0, B - Braking forces, NO, 0, 0, NO,
981, BEAM , UNILOAD, GX, NO , NO, aDir[1], , , , 0, 10, 1, 10, 0, 0, 0, 0, B - Braking forces, NO, 0, 0, NO,
982, BEAM , UNILOAD, GX, NO , NO, aDir[1], , , , 0, 10, 1, 10, 0, 0, 0, 0, B - Braking forces, NO, 0, 0, NO,
983, BEAM , UNILOAD, GX, NO , NO, aDir[1], , , , 0, 10, 1, 10, 0, 0, 0, 0, B - Braking forces, NO, 0, 0, NO,
984, BEAM , UNILOAD, GX, NO , NO, aDir[1], , , , 0, 10, 1, 10, 0, 0, 0, 0, B - Braking forces, NO, 0, 0, NO,
985, BEAM , UNILOAD, GX, NO , NO, aDir[1], , , , 0, 10, 1, 10, 0, 0, 0, 0, B - Braking forces, NO, 0, 0, NO,
986, BEAM , UNILOAD, GX, NO , NO, aDir[1], , , , 0, 10, 1, 10, 0, 0, 0, 0, B - Braking forces, NO, 0, 0, NO,
987, BEAM , UNILOAD, GX, NO , NO, aDir[1], , , , 0, 10, 1, 10, 0, 0, 0, 0, B - Braking forces, NO, 0, 0, NO,
988, BEAM , UNILOAD, GX, NO , NO, aDir[1], , , , 0, 10, 1, 10, 0, 0, 0, 0, B - Braking forces, NO, 0, 0, NO,
989, BEAM , UNILOAD, GX, NO , NO, aDir[1], , , , 0, 10, 1, 10, 0, 0, 0, 0, B - Braking forces, NO, 0, 0, NO,
990, BEAM , UNILOAD, GX, NO , NO, aDir[1], , , , 0, 10, 1, 10, 0, 0, 0, 0, B - Braking forces, NO, 0, 0, NO,
991, BEAM , UNILOAD, GX, NO , NO, aDir[1], , , , 0, 10, 1, 10, 0, 0, 0, 0, B - Braking forces, NO, 0, 0, NO,
992, BEAM , UNILOAD, GX, NO , NO, aDir[1], , , , 0, 10, 1, 10, 0, 0, 0, 0, B - Braking forces, NO, 0, 0, NO,
993, BEAM , UNILOAD, GX, NO , NO, aDir[1], , , , 0, 10, 1, 10, 0, 0, 0, 0, B - Braking forces, NO, 0, 0, NO,
994, BEAM , UNILOAD, GX, NO , NO, aDir[1], , , , 0, 10, 1, 10, 0, 0, 0, 0, B - Braking forces, NO, 0, 0, NO,
995, BEAM , UNILOAD, GX, NO , NO, aDir[1], , , , 0, 10, 1, 10, 0, 0, 0, 0, B - Braking forces, NO, 0, 0, NO,
996, BEAM , UNILOAD, GX, NO , NO, aDir[1], , , , 0, 10, 1, 10, 0, 0, 0, 0, B - Braking forces, NO, 0, 0, NO,
997, BEAM , UNILOAD, GX, NO , NO, aDir[1], , , , 0, 10, 1, 10, 0, 0, 0, 0, B - Braking forces, NO, 0, 0, NO,
998, BEAM , UNILOAD, GX, NO , NO, aDir[1], , , , 0, 10, 1, 10, 0, 0, 0, 0, B - Braking forces, NO, 0, 0, NO,
999, BEAM , UNILOAD, GX, NO , NO, aDir[1], , , , 0, 10, 1, 10, 0, 0, 0, 0, B - Braking forces, NO, 0, 0, NO,
1000, BEAM , UNILOAD, GX, NO , NO, aDir[1], , , , 0, 10, 1, 10, 0, 0, 0, 0, B - Braking forces, NO, 0, 0, NO,
1001, BEAM , UNILOAD, GX, NO , NO, aDir[1], , , , 0, 10, 1, 10, 0, 0, 0, 0, B - Braking forces, NO, 0, 0, NO,
1002, BEAM , UNILOAD, GX, NO , NO, aDir[1], , , , 0, 10, 1, 10, 0, 0, 0, 0, B - Braking forces, NO, 0, 0, NO,
1003, BEAM , UNILOAD, GX, NO , NO, aDir[1], , , , 0, 10, 1, 10, 0, 0, 0, 0, B - Braking forces, NO, 0, 0, NO,
1004, BEAM , UNILOAD, GX, NO , NO, aDir[1], , , , 0, 10, 1, 10, 0, 0, 0, 0, B - Braking forces, NO, 0, 0, NO,
1005, BEAM , UNILOAD, GX, NO , NO, aDir[1], , , , 0, 10, 1, 10, 0, 0, 0, 0, B - Braking forces, NO, 0, 0, NO,
1006, BEAM , UNILOAD, GX, NO , NO, aDir[1], , , , 0, 10, 1, 10, 0, 0, 0, 0, B - Braking forces, NO, 0, 0, NO,
1007, BEAM , UNILOAD, GX, NO , NO, aDir[1], , , , 0, 10, 1, 10, 0, 0, 0, 0, B - Braking forces, NO, 0, 0, NO,
1008, BEAM , UNILOAD, GX, NO , NO, aDir[1], , , , 0, 10, 1, 10, 0, 0, 0, 0, B - Braking forces, NO, 0, 0, NO,
1009, BEAM , UNILOAD, GX, NO , NO, aDir[1], , , , 0, 10, 1, 10, 0, 0, 0, 0, B - Braking forces, NO, 0, 0, NO,
1010, BEAM , UNILOAD, GX, NO , NO, aDir[1], , , , 0, 10, 1, 10, 0, 0, 0, 0, B - Braking forces, NO, 0, 0, NO,

PROJECT TITLE :

MIDAS	Company		Client	
	Author		File Name	H2D_3Dg_v14_180227_StatLM.mct

1011, BEAM , UNILOAD, GX, NO , NO, aDir[1], , , , 0, 10, 1, 10, 0, 0, 0, 0, B - Braking forces, NO, 0, 0, NO,
1012, BEAM , UNILOAD, GX, NO , NO, aDir[1], , , , 0, 10, 1, 10, 0, 0, 0, 0, B - Braking forces, NO, 0, 0, NO,
1013, BEAM , UNILOAD, GX, NO , NO, aDir[1], , , , 0, 10, 1, 10, 0, 0, 0, 0, B - Braking forces, NO, 0, 0, NO,
1014, BEAM , UNILOAD, GX, NO , NO, aDir[1], , , , 0, 10, 1, 10, 0, 0, 0, 0, B - Braking forces, NO, 0, 0, NO,
1015, BEAM , UNILOAD, GX, NO , NO, aDir[1], , , , 0, 10, 1, 10, 0, 0, 0, 0, B - Braking forces, NO, 0, 0, NO,
1016, BEAM , UNILOAD, GX, NO , NO, aDir[1], , , , 0, 10, 1, 10, 0, 0, 0, 0, B - Braking forces, NO, 0, 0, NO,
1017, BEAM , UNILOAD, GX, NO , NO, aDir[1], , , , 0, 10, 1, 10, 0, 0, 0, 0, B - Braking forces, NO, 0, 0, NO,
1018, BEAM , UNILOAD, GX, NO , NO, aDir[1], , , , 0, 10, 1, 10, 0, 0, 0, 0, B - Braking forces, NO, 0, 0, NO,
1019, BEAM , UNILOAD, GX, NO , NO, aDir[1], , , , 0, 10, 1, 10, 0, 0, 0, 0, B - Braking forces, NO, 0, 0, NO,
1020, BEAM , UNILOAD, GX, NO , NO, aDir[1], , , , 0, 10, 1, 10, 0, 0, 0, 0, B - Braking forces, NO, 0, 0, NO,
1021, BEAM , UNILOAD, GX, NO , NO, aDir[1], , , , 0, 10, 1, 10, 0, 0, 0, 0, B - Braking forces, NO, 0, 0, NO,
1022, BEAM , UNILOAD, GX, NO , NO, aDir[1], , , , 0, 10, 1, 10, 0, 0, 0, 0, B - Braking forces, NO, 0, 0, NO,
1023, BEAM , UNILOAD, GX, NO , NO, aDir[1], , , , 0, 10, 1, 10, 0, 0, 0, 0, B - Braking forces, NO, 0, 0, NO,
1024, BEAM , UNILOAD, GX, NO , NO, aDir[1], , , , 0, 10, 1, 10, 0, 0, 0, 0, B - Braking forces, NO, 0, 0, NO,
1025, BEAM , UNILOAD, GX, NO , NO, aDir[1], , , , 0, 10, 1, 10, 0, 0, 0, 0, B - Braking forces, NO, 0, 0, NO,
1026, BEAM , UNILOAD, GX, NO , NO, aDir[1], , , , 0, 10, 1, 10, 0, 0, 0, 0, B - Braking forces, NO, 0, 0, NO,
1027, BEAM , UNILOAD, GX, NO , NO, aDir[1], , , , 0, 10, 1, 10, 0, 0, 0, 0, B - Braking forces, NO, 0, 0, NO,
1028, BEAM , UNILOAD, GX, NO , NO, aDir[1], , , , 0, 10, 1, 10, 0, 0, 0, 0, B - Braking forces, NO, 0, 0, NO,
1029, BEAM , UNILOAD, GX, NO , NO, aDir[1], , , , 0, 10, 1, 10, 0, 0, 0, 0, B - Braking forces, NO, 0, 0, NO,
1030, BEAM , UNILOAD, GX, NO , NO, aDir[1], , , , 0, 10, 1, 10, 0, 0, 0, 0, B - Braking forces, NO, 0, 0, NO,
1031, BEAM , UNILOAD, GX, NO , NO, aDir[1], , , , 0, 10, 1, 10, 0, 0, 0, 0, B - Braking forces, NO, 0, 0, NO,
1032, BEAM , UNILOAD, GX, NO , NO, aDir[1], , , , 0, 10, 1, 10, 0, 0, 0, 0, B - Braking forces, NO, 0, 0, NO,
1033, BEAM , UNILOAD, GX, NO , NO, aDir[1], , , , 0, 10, 1, 10, 0, 0, 0, 0, B - Braking forces, NO, 0, 0, NO,
1034, BEAM , UNILOAD, GX, NO , NO, aDir[1], , , , 0, 10, 1, 10, 0, 0, 0, 0, B - Braking forces, NO, 0, 0, NO,
1035, BEAM , UNILOAD, GX, NO , NO, aDir[1], , , , 0, 10, 1, 10, 0, 0, 0, 0, B - Braking forces, NO, 0, 0, NO,
1036, BEAM , UNILOAD, GX, NO , NO, aDir[1], , , , 0, 10, 1, 10, 0, 0, 0, 0, B - Braking forces, NO, 0, 0, NO,
1037, BEAM , UNILOAD, GX, NO , NO, aDir[1], , , , 0, 10, 1, 10, 0, 0, 0, 0, B - Braking forces, NO, 0, 0, NO,
1038, BEAM , UNILOAD, GX, NO , NO, aDir[1], , , , 0, 10, 1, 10, 0, 0, 0, 0, B - Braking forces, NO, 0, 0, NO,
1039, BEAM , UNILOAD, GX, NO , NO, aDir[1], , , , 0, 10, 1, 10, 0, 0, 0, 0, B - Braking forces, NO, 0, 0, NO,
1040, BEAM , UNILOAD, GX, NO , NO, aDir[1], , , , 0, 10, 1, 10, 0, 0, 0, 0, B - Braking forces, NO, 0, 0, NO,
1041, BEAM , UNILOAD, GX, NO , NO, aDir[1], , , , 0, 10, 1, 10, 0, 0, 0, 0, B - Braking forces, NO, 0, 0, NO,
1042, BEAM , UNILOAD, GX, NO , NO, aDir[1], , , , 0, 10, 1, 10, 0, 0, 0, 0, B - Braking forces, NO, 0, 0, NO,
1043, BEAM , UNILOAD, GX, NO , NO, aDir[1], , , , 0, 10, 1, 10, 0, 0, 0, 0, B - Braking forces, NO, 0, 0, NO,
1044, BEAM , UNILOAD, GX, NO , NO, aDir[1], , , , 0, 10, 1, 10, 0, 0, 0, 0, B - Braking forces, NO, 0, 0, NO,
1045, BEAM , UNILOAD, GX, NO , NO, aDir[1], , , , 0, 10, 1, 10, 0, 0, 0, 0, B - Braking forces, NO, 0, 0, NO,
1046, BEAM , UNILOAD, GX, NO , NO, aDir[1], , , , 0, 10, 1, 10, 0, 0, 0, 0, B - Braking forces, NO, 0, 0, NO,
1047, BEAM , UNILOAD, GX, NO , NO, aDir[1], , , , 0, 10, 1, 10, 0, 0, 0, 0, B - Braking forces, NO, 0, 0, NO,
1048, BEAM , UNILOAD, GX, NO , NO, aDir[1], , , , 0, 10, 1, 10, 0, 0, 0, 0, B - Braking forces, NO, 0, 0, NO,
1049, BEAM , UNILOAD, GX, NO , NO, aDir[1], , , , 0, 10, 1, 10, 0, 0, 0, 0, B - Braking forces, NO, 0, 0, NO,
1050, BEAM , UNILOAD, GX, NO , NO, aDir[1], , , , 0, 10, 1, 10, 0, 0, 0, 0, B - Braking forces, NO, 0, 0, NO,
1051, BEAM , UNILOAD, GX, NO , NO, aDir[1], , , , 0, 10, 1, 10, 0, 0, 0, 0, B - Braking forces, NO, 0, 0, NO,
1052, BEAM , UNILOAD, GX, NO , NO, aDir[1], , , , 0, 10, 1, 10, 0, 0, 0, 0, B - Braking forces, NO, 0, 0, NO,
1053, BEAM , UNILOAD, GX, NO , NO, aDir[1], , , , 0, 10, 1, 10, 0, 0, 0, 0, B - Braking forces, NO, 0, 0, NO,
1054, BEAM , UNILOAD, GX, NO , NO, aDir[1], , , , 0, 10, 1, 10, 0, 0, 0, 0, B - Braking forces, NO, 0, 0, NO,
1055, BEAM , UNILOAD, GX, NO , NO, aDir[1], , , , 0, 10, 1, 10, 0, 0, 0, 0, B - Braking forces, NO, 0, 0, NO,
1056, BEAM , UNILOAD, GX, NO , NO, aDir[1], , , , 0, 10, 1, 10, 0, 0, 0, 0, B - Braking forces, NO, 0, 0, NO,
1057, BEAM , UNILOAD, GX, NO , NO, aDir[1], , , , 0, 10, 1, 10, 0, 0, 0, 0, B - Braking forces, NO, 0, 0, NO,
1058, BEAM , UNILOAD, GX, NO , NO, aDir[1], , , , 0, 10, 1, 10, 0, 0, 0, 0, B - Braking forces, NO, 0, 0, NO,
1059, BEAM , UNILOAD, GX, NO , NO, aDir[1], , , , 0, 10, 1, 10, 0, 0, 0, 0, B - Braking forces, NO, 0, 0, NO,
1060, BEAM , UNILOAD, GX, NO , NO, aDir[1], , , , 0, 10, 1, 10, 0, 0, 0, 0, B - Braking forces, NO, 0, 0, NO,

; End of data for load case [B+X 2. track] ----------

*USE-STLD, B-X 2. track

*BEAMLOAD ; Element Beam Loads
; ELEM_LIST, CMD, TYPE, DIR, bPROJ, [ECCEN], [VALUE], GROUP
; ELEM_LIST, CMD, TYPE, TYPE, DIR, VX, VY, VZ, bPROJ, [ECCEN], [VALUE], GROUP
; [VALUE] : D1, P1, D2, P2, D3, P3, D4, P4
; [ECCEN] : bECCEN, ECCDIR, I-END, J-END, bJ-END
; [ADDITIONAL] : bADDITIONAL, ADDITIONAL_I-END, ADDITIONAL_J-END, bADDITIONAL_J-END
713, BEAM , UNILOAD, GX, NO , NO, aDir[1], , , , 0, -10, 1, -10, 0, 0, 0, 0, B - Braking forces, NO, 0, 0, NO,
714, BEAM , UNILOAD, GX, NO , NO, aDir[1], , , , 0, -10, 1, -10, 0, 0, 0, 0, B - Braking forces, NO, 0, 0, NO,
715, BEAM , UNILOAD, GX, NO , NO, aDir[1], , , , 0, -10, 1, -10, 0, 0, 0, 0, B - Braking forces, NO, 0, 0, NO,
716, BEAM , UNILOAD, GX, NO , NO, aDir[1], , , , 0, -10, 1, -10, 0, 0, 0, 0, B - Braking forces, NO, 0, 0, NO,
717, BEAM , UNILOAD, GX, NO , NO, aDir[1], , , , 0, -10, 1, -10, 0, 0, 0, 0, B - Braking forces, NO, 0, 0, NO,
718, BEAM , UNILOAD, GX, NO , NO, aDir[1], , , , 0, -10, 1, -10, 0, 0, 0, 0, B - Braking forces, NO, 0, 0, NO,
719, BEAM , UNILOAD, GX, NO , NO, aDir[1], , , , 0, -10, 1, -10, 0, 0, 0, 0, B - Braking forces, NO, 0, 0, NO,
720, BEAM , UNILOAD, GX, NO , NO, aDir[1], , , , 0, -10, 1, -10, 0, 0, 0, 0, B - Braking forces, NO, 0, 0, NO,
721, BEAM , UNILOAD, GX, NO , NO, aDir[1], , , , 0, -10, 1, -10, 0, 0, 0, 0, B - Braking forces, NO, 0, 0, NO,
722, BEAM , UNILOAD, GX, NO , NO, aDir[1], , , , 0, -10, 1, -10, 0, 0, 0, 0, B - Braking forces, NO, 0, 0, NO,
723, BEAM , UNILOAD, GX, NO , NO, aDir[1], , , , 0, -10, 1, -10, 0, 0, 0, 0, B - Braking forces, NO, 0, 0, NO,

PROJECT TITLE :

MIDAS	Company		Client	
	Author		File Name	H2D_3Dg_v14_180227_StatLM.mct

724, BEAM , UNILOAD, GX, NO , NO, aDir[1], , , , 0, -10, 1, -10, 0, 0, 0, 0, B - Braking forces, NO, 0, 0, NO,
725, BEAM , UNILOAD, GX, NO , NO, aDir[1], , , , 0, -10, 1, -10, 0, 0, 0, 0, B - Braking forces, NO, 0, 0, NO,
726, BEAM , UNILOAD, GX, NO , NO, aDir[1], , , , 0, -10, 1, -10, 0, 0, 0, 0, B - Braking forces, NO, 0, 0, NO,
727, BEAM , UNILOAD, GX, NO , NO, aDir[1], , , , 0, -10, 1, -10, 0, 0, 0, 0, B - Braking forces, NO, 0, 0, NO,
728, BEAM , UNILOAD, GX, NO , NO, aDir[1], , , , 0, -10, 1, -10, 0, 0, 0, 0, B - Braking forces, NO, 0, 0, NO,
729, BEAM , UNILOAD, GX, NO , NO, aDir[1], , , , 0, -10, 1, -10, 0, 0, 0, 0, B - Braking forces, NO, 0, 0, NO,
730, BEAM , UNILOAD, GX, NO , NO, aDir[1], , , , 0, -10, 1, -10, 0, 0, 0, 0, B - Braking forces, NO, 0, 0, NO,
731, BEAM , UNILOAD, GX, NO , NO, aDir[1], , , , 0, -10, 1, -10, 0, 0, 0, 0, B - Braking forces, NO, 0, 0, NO,
732, BEAM , UNILOAD, GX, NO , NO, aDir[1], , , , 0, -10, 1, -10, 0, 0, 0, 0, B - Braking forces, NO, 0, 0, NO,
733, BEAM , UNILOAD, GX, NO , NO, aDir[1], , , , 0, -10, 1, -10, 0, 0, 0, 0, B - Braking forces, NO, 0, 0, NO,
734, BEAM , UNILOAD, GX, NO , NO, aDir[1], , , , 0, -10, 1, -10, 0, 0, 0, 0, B - Braking forces, NO, 0, 0, NO,
735, BEAM , UNILOAD, GX, NO , NO, aDir[1], , , , 0, -10, 1, -10, 0, 0, 0, 0, B - Braking forces, NO, 0, 0, NO,
736, BEAM , UNILOAD, GX, NO , NO, aDir[1], , , , 0, -10, 1, -10, 0, 0, 0, 0, B - Braking forces, NO, 0, 0, NO,
737, BEAM , UNILOAD, GX, NO , NO, aDir[1], , , , 0, -10, 1, -10, 0, 0, 0, 0, B - Braking forces, NO, 0, 0, NO,
738, BEAM , UNILOAD, GX, NO , NO, aDir[1], , , , 0, -10, 1, -10, 0, 0, 0, 0, B - Braking forces, NO, 0, 0, NO,
739, BEAM , UNILOAD, GX, NO , NO, aDir[1], , , , 0, -10, 1, -10, 0, 0, 0, 0, B - Braking forces, NO, 0, 0, NO,
740, BEAM , UNILOAD, GX, NO , NO, aDir[1], , , , 0, -10, 1, -10, 0, 0, 0, 0, B - Braking forces, NO, 0, 0, NO,
741, BEAM , UNILOAD, GX, NO , NO, aDir[1], , , , 0, -10, 1, -10, 0, 0, 0, 0, B - Braking forces, NO, 0, 0, NO,
742, BEAM , UNILOAD, GX, NO , NO, aDir[1], , , , 0, -10, 1, -10, 0, 0, 0, 0, B - Braking forces, NO, 0, 0, NO,
743, BEAM , UNILOAD, GX, NO , NO, aDir[1], , , , 0, -10, 1, -10, 0, 0, 0, 0, B - Braking forces, NO, 0, 0, NO,
744, BEAM , UNILOAD, GX, NO , NO, aDir[1], , , , 0, -10, 1, -10, 0, 0, 0, 0, B - Braking forces, NO, 0, 0, NO,
745, BEAM , UNILOAD, GX, NO , NO, aDir[1], , , , 0, -10, 1, -10, 0, 0, 0, 0, B - Braking forces, NO, 0, 0, NO,
746, BEAM , UNILOAD, GX, NO , NO, aDir[1], , , , 0, -10, 1, -10, 0, 0, 0, 0, B - Braking forces, NO, 0, 0, NO,
747, BEAM , UNILOAD, GX, NO , NO, aDir[1], , , , 0, -10, 1, -10, 0, 0, 0, 0, B - Braking forces, NO, 0, 0, NO,
748, BEAM , UNILOAD, GX, NO , NO, aDir[1], , , , 0, -10, 1, -10, 0, 0, 0, 0, B - Braking forces, NO, 0, 0, NO,
749, BEAM , UNILOAD, GX, NO , NO, aDir[1], , , , 0, -10, 1, -10, 0, 0, 0, 0, B - Braking forces, NO, 0, 0, NO,
750, BEAM , UNILOAD, GX, NO , NO, aDir[1], , , , 0, -10, 1, -10, 0, 0, 0, 0, B - Braking forces, NO, 0, 0, NO,
751, BEAM , UNILOAD, GX, NO , NO, aDir[1], , , , 0, -10, 1, -10, 0, 0, 0, 0, B - Braking forces, NO, 0, 0, NO,
752, BEAM , UNILOAD, GX, NO , NO, aDir[1], , , , 0, -10, 1, -10, 0, 0, 0, 0, B - Braking forces, NO, 0, 0, NO,
753, BEAM , UNILOAD, GX, NO , NO, aDir[1], , , , 0, -10, 1, -10, 0, 0, 0, 0, B - Braking forces, NO, 0, 0, NO,
754, BEAM , UNILOAD, GX, NO , NO, aDir[1], , , , 0, -10, 1, -10, 0, 0, 0, 0, B - Braking forces, NO, 0, 0, NO,
755, BEAM , UNILOAD, GX, NO , NO, aDir[1], , , , 0, -10, 1, -10, 0, 0, 0, 0, B - Braking forces, NO, 0, 0, NO,
756, BEAM , UNILOAD, GX, NO , NO, aDir[1], , , , 0, -10, 1, -10, 0, 0, 0, 0, B - Braking forces, NO, 0, 0, NO,
757, BEAM , UNILOAD, GX, NO , NO, aDir[1], , , , 0, -10, 1, -10, 0, 0, 0, 0, B - Braking forces, NO, 0, 0, NO,
758, BEAM , UNILOAD, GX, NO , NO, aDir[1], , , , 0, -10, 1, -10, 0, 0, 0, 0, B - Braking forces, NO, 0, 0, NO,
759, BEAM , UNILOAD, GX, NO , NO, aDir[1], , , , 0, -10, 1, -10, 0, 0, 0, 0, B - Braking forces, NO, 0, 0, NO,
760, BEAM , UNILOAD, GX, NO , NO, aDir[1], , , , 0, -10, 1, -10, 0, 0, 0, 0, B - Braking forces, NO, 0, 0, NO,
761, BEAM , UNILOAD, GX, NO , NO, aDir[1], , , , 0, -10, 1, -10, 0, 0, 0, 0, B - Braking forces, NO, 0, 0, NO,
762, BEAM , UNILOAD, GX, NO , NO, aDir[1], , , , 0, -10, 1, -10, 0, 0, 0, 0, B - Braking forces, NO, 0, 0, NO,
763, BEAM , UNILOAD, GX, NO , NO, aDir[1], , , , 0, -10, 1, -10, 0, 0, 0, 0, B - Braking forces, NO, 0, 0, NO,
764, BEAM , UNILOAD, GX, NO , NO, aDir[1], , , , 0, -10, 1, -10, 0, 0, 0, 0, B - Braking forces, NO, 0, 0, NO,
765, BEAM , UNILOAD, GX, NO , NO, aDir[1], , , , 0, -10, 1, -10, 0, 0, 0, 0, B - Braking forces, NO, 0, 0, NO,
766, BEAM , UNILOAD, GX, NO , NO, aDir[1], , , , 0, -10, 1, -10, 0, 0, 0, 0, B - Braking forces, NO, 0, 0, NO,
767, BEAM , UNILOAD, GX, NO , NO, aDir[1], , , , 0, -10, 1, -10, 0, 0, 0, 0, B - Braking forces, NO, 0, 0, NO,
768, BEAM , UNILOAD, GX, NO , NO, aDir[1], , , , 0, -10, 1, -10, 0, 0, 0, 0, B - Braking forces, NO, 0, 0, NO,
769, BEAM , UNILOAD, GX, NO , NO, aDir[1], , , , 0, -10, 1, -10, 0, 0, 0, 0, B - Braking forces, NO, 0, 0, NO,
770, BEAM , UNILOAD, GX, NO , NO, aDir[1], , , , 0, -10, 1, -10, 0, 0, 0, 0, B - Braking forces, NO, 0, 0, NO,
771, BEAM , UNILOAD, GX, NO , NO, aDir[1], , , , 0, -10, 1, -10, 0, 0, 0, 0, B - Braking forces, NO, 0, 0, NO,
772, BEAM , UNILOAD, GX, NO , NO, aDir[1], , , , 0, -10, 1, -10, 0, 0, 0, 0, B - Braking forces, NO, 0, 0, NO,
773, BEAM , UNILOAD, GX, NO , NO, aDir[1], , , , 0, -10, 1, -10, 0, 0, 0, 0, B - Braking forces, NO, 0, 0, NO,
774, BEAM , UNILOAD, GX, NO , NO, aDir[1], , , , 0, -10, 1, -10, 0, 0, 0, 0, B - Braking forces, NO, 0, 0, NO,
775, BEAM , UNILOAD, GX, NO , NO, aDir[1], , , , 0, -10, 1, -10, 0, 0, 0, 0, B - Braking forces, NO, 0, 0, NO,
776, BEAM , UNILOAD, GX, NO , NO, aDir[1], , , , 0, -10, 1, -10, 0, 0, 0, 0, B - Braking forces, NO, 0, 0, NO,
777, BEAM , UNILOAD, GX, NO , NO, aDir[1], , , , 0, -10, 1, -10, 0, 0, 0, 0, B - Braking forces, NO, 0, 0, NO,
778, BEAM , UNILOAD, GX, NO , NO, aDir[1], , , , 0, -10, 1, -10, 0, 0, 0, 0, B - Braking forces, NO, 0, 0, NO,
779, BEAM , UNILOAD, GX, NO , NO, aDir[1], , , , 0, -10, 1, -10, 0, 0, 0, 0, B - Braking forces, NO, 0, 0, NO,
780, BEAM , UNILOAD, GX, NO , NO, aDir[1], , , , 0, -10, 1, -10, 0, 0, 0, 0, B - Braking forces, NO, 0, 0, NO,
781, BEAM , UNILOAD, GX, NO , NO, aDir[1], , , , 0, -10, 1, -10, 0, 0, 0, 0, B - Braking forces, NO, 0, 0, NO,
782, BEAM , UNILOAD, GX, NO , NO, aDir[1], , , , 0, -10, 1, -10, 0, 0, 0, 0, B - Braking forces, NO, 0, 0, NO,
783, BEAM , UNILOAD, GX, NO , NO, aDir[1], , , , 0, -10, 1, -10, 0, 0, 0, 0, B - Braking forces, NO, 0, 0, NO,
784, BEAM , UNILOAD, GX, NO , NO, aDir[1], , , , 0, -10, 1, -10, 0, 0, 0, 0, B - Braking forces, NO, 0, 0, NO,
785, BEAM , UNILOAD, GX, NO , NO, aDir[1], , , , 0, -10, 1, -10, 0, 0, 0, 0, B - Braking forces, NO, 0, 0, NO,
786, BEAM , UNILOAD, GX, NO , NO, aDir[1], , , , 0, -10, 1, -10, 0, 0, 0, 0, B - Braking forces, NO, 0, 0, NO,
787, BEAM , UNILOAD, GX, NO , NO, aDir[1], , , , 0, -10, 1, -10, 0, 0, 0, 0, B - Braking forces, NO, 0, 0, NO,
788, BEAM , UNILOAD, GX, NO , NO, aDir[1], , , , 0, -10, 1, -10, 0, 0, 0, 0, B - Braking forces, NO, 0, 0, NO,
789, BEAM , UNILOAD, GX, NO , NO, aDir[1], , , , 0, -10, 1, -10, 0, 0, 0, 0, B - Braking forces, NO, 0, 0, NO,
790, BEAM , UNILOAD, GX, NO , NO, aDir[1], , , , 0, -10, 1, -10, 0, 0, 0, 0, B - Braking forces, NO, 0, 0, NO,
791, BEAM , UNILOAD, GX, NO , NO, aDir[1], , , , 0, -10, 1, -10, 0, 0, 0, 0, B - Braking forces, NO, 0, 0, NO,
792, BEAM , UNILOAD, GX, NO , NO, aDir[1], , , , 0, -10, 1, -10, 0, 0, 0, 0, B - Braking forces, NO, 0, 0, NO,
793, BEAM , UNILOAD, GX, NO , NO, aDir[1], , , , 0, -10, 1, -10, 0, 0, 0, 0, B - Braking forces, NO, 0, 0, NO,
794, BEAM , UNILOAD, GX, NO , NO, aDir[1], , , , 0, -10, 1, -10, 0, 0, 0, 0, B - Braking forces, NO, 0, 0, NO,
795, BEAM , UNILOAD, GX, NO , NO, aDir[1], , , , 0, -10, 1, -10, 0, 0, 0, 0, B - Braking forces, NO, 0, 0, NO,

PROJECT TITLE :

MIDAS	Company		Client	
	Author		File Name	H2D_3Dg_v14_180227_StatLM.mct

796, BEAM , UNILOAD, GX, NO , NO, aDir[1], , , , 0, -10, 1, -10, 0, 0, 0, 0, B - Braking forces, NO, 0, 0, NO,
797, BEAM , UNILOAD, GX, NO , NO, aDir[1], , , , 0, -10, 1, -10, 0, 0, 0, 0, B - Braking forces, NO, 0, 0, NO,
798, BEAM , UNILOAD, GX, NO , NO, aDir[1], , , , 0, -10, 1, -10, 0, 0, 0, 0, B - Braking forces, NO, 0, 0, NO,
799, BEAM , UNILOAD, GX, NO , NO, aDir[1], , , , 0, -10, 1, -10, 0, 0, 0, 0, B - Braking forces, NO, 0, 0, NO,
800, BEAM , UNILOAD, GX, NO , NO, aDir[1], , , , 0, -10, 1, -10, 0, 0, 0, 0, B - Braking forces, NO, 0, 0, NO,
801, BEAM , UNILOAD, GX, NO , NO, aDir[1], , , , 0, -10, 1, -10, 0, 0, 0, 0, B - Braking forces, NO, 0, 0, NO,
802, BEAM , UNILOAD, GX, NO , NO, aDir[1], , , , 0, -10, 1, -10, 0, 0, 0, 0, B - Braking forces, NO, 0, 0, NO,
803, BEAM , UNILOAD, GX, NO , NO, aDir[1], , , , 0, -10, 1, -10, 0, 0, 0, 0, B - Braking forces, NO, 0, 0, NO,
804, BEAM , UNILOAD, GX, NO , NO, aDir[1], , , , 0, -10, 1, -10, 0, 0, 0, 0, B - Braking forces, NO, 0, 0, NO,
805, BEAM , UNILOAD, GX, NO , NO, aDir[1], , , , 0, -10, 1, -10, 0, 0, 0, 0, B - Braking forces, NO, 0, 0, NO,
806, BEAM , UNILOAD, GX, NO , NO, aDir[1], , , , 0, -10, 1, -10, 0, 0, 0, 0, B - Braking forces, NO, 0, 0, NO,
807, BEAM , UNILOAD, GX, NO , NO, aDir[1], , , , 0, -10, 1, -10, 0, 0, 0, 0, B - Braking forces, NO, 0, 0, NO,
808, BEAM , UNILOAD, GX, NO , NO, aDir[1], , , , 0, -10, 1, -10, 0, 0, 0, 0, B - Braking forces, NO, 0, 0, NO,
809, BEAM , UNILOAD, GX, NO , NO, aDir[1], , , , 0, -10, 1, -10, 0, 0, 0, 0, B - Braking forces, NO, 0, 0, NO,
810, BEAM , UNILOAD, GX, NO , NO, aDir[1], , , , 0, -10, 1, -10, 0, 0, 0, 0, B - Braking forces, NO, 0, 0, NO,
811, BEAM , UNILOAD, GX, NO , NO, aDir[1], , , , 0, -10, 1, -10, 0, 0, 0, 0, B - Braking forces, NO, 0, 0, NO,
812, BEAM , UNILOAD, GX, NO , NO, aDir[1], , , , 0, -10, 1, -10, 0, 0, 0, 0, B - Braking forces, NO, 0, 0, NO,
813, BEAM , UNILOAD, GX, NO , NO, aDir[1], , , , 0, -10, 1, -10, 0, 0, 0, 0, B - Braking forces, NO, 0, 0, NO,
814, BEAM , UNILOAD, GX, NO , NO, aDir[1], , , , 0, -10, 1, -10, 0, 0, 0, 0, B - Braking forces, NO, 0, 0, NO,
815, BEAM , UNILOAD, GX, NO , NO, aDir[1], , , , 0, -10, 1, -10, 0, 0, 0, 0, B - Braking forces, NO, 0, 0, NO,
816, BEAM , UNILOAD, GX, NO , NO, aDir[1], , , , 0, -10, 1, -10, 0, 0, 0, 0, B - Braking forces, NO, 0, 0, NO,
817, BEAM , UNILOAD, GX, NO , NO, aDir[1], , , , 0, -10, 1, -10, 0, 0, 0, 0, B - Braking forces, NO, 0, 0, NO,
818, BEAM , UNILOAD, GX, NO , NO, aDir[1], , , , 0, -10, 1, -10, 0, 0, 0, 0, B - Braking forces, NO, 0, 0, NO,
819, BEAM , UNILOAD, GX, NO , NO, aDir[1], , , , 0, -10, 1, -10, 0, 0, 0, 0, B - Braking forces, NO, 0, 0, NO,
820, BEAM , UNILOAD, GX, NO , NO, aDir[1], , , , 0, -10, 1, -10, 0, 0, 0, 0, B - Braking forces, NO, 0, 0, NO,
821, BEAM , UNILOAD, GX, NO , NO, aDir[1], , , , 0, -10, 1, -10, 0, 0, 0, 0, B - Braking forces, NO, 0, 0, NO,
822, BEAM , UNILOAD, GX, NO , NO, aDir[1], , , , 0, -10, 1, -10, 0, 0, 0, 0, B - Braking forces, NO, 0, 0, NO,
823, BEAM , UNILOAD, GX, NO , NO, aDir[1], , , , 0, -10, 1, -10, 0, 0, 0, 0, B - Braking forces, NO, 0, 0, NO,
824, BEAM , UNILOAD, GX, NO , NO, aDir[1], , , , 0, -10, 1, -10, 0, 0, 0, 0, B - Braking forces, NO, 0, 0, NO,
825, BEAM , UNILOAD, GX, NO , NO, aDir[1], , , , 0, -10, 1, -10, 0, 0, 0, 0, B - Braking forces, NO, 0, 0, NO,
826, BEAM , UNILOAD, GX, NO , NO, aDir[1], , , , 0, -10, 1, -10, 0, 0, 0, 0, B - Braking forces, NO, 0, 0, NO,
827, BEAM , UNILOAD, GX, NO , NO, aDir[1], , , , 0, -10, 1, -10, 0, 0, 0, 0, B - Braking forces, NO, 0, 0, NO,
828, BEAM , UNILOAD, GX, NO , NO, aDir[1], , , , 0, -10, 1, -10, 0, 0, 0, 0, B - Braking forces, NO, 0, 0, NO,
829, BEAM , UNILOAD, GX, NO , NO, aDir[1], , , , 0, -10, 1, -10, 0, 0, 0, 0, B - Braking forces, NO, 0, 0, NO,
830, BEAM , UNILOAD, GX, NO , NO, aDir[1], , , , 0, -10, 1, -10, 0, 0, 0, 0, B - Braking forces, NO, 0, 0, NO,
831, BEAM , UNILOAD, GX, NO , NO, aDir[1], , , , 0, -10, 1, -10, 0, 0, 0, 0, B - Braking forces, NO, 0, 0, NO,
832, BEAM , UNILOAD, GX, NO , NO, aDir[1], , , , 0, -10, 1, -10, 0, 0, 0, 0, B - Braking forces, NO, 0, 0, NO,
833, BEAM , UNILOAD, GX, NO , NO, aDir[1], , , , 0, -10, 1, -10, 0, 0, 0, 0, B - Braking forces, NO, 0, 0, NO,
834, BEAM , UNILOAD, GX, NO , NO, aDir[1], , , , 0, -10, 1, -10, 0, 0, 0, 0, B - Braking forces, NO, 0, 0, NO,
835, BEAM , UNILOAD, GX, NO , NO, aDir[1], , , , 0, -10, 1, -10, 0, 0, 0, 0, B - Braking forces, NO, 0, 0, NO,
836, BEAM , UNILOAD, GX, NO , NO, aDir[1], , , , 0, -10, 1, -10, 0, 0, 0, 0, B - Braking forces, NO, 0, 0, NO,
837, BEAM , UNILOAD, GX, NO , NO, aDir[1], , , , 0, -10, 1, -10, 0, 0, 0, 0, B - Braking forces, NO, 0, 0, NO,
838, BEAM , UNILOAD, GX, NO , NO, aDir[1], , , , 0, -10, 1, -10, 0, 0, 0, 0, B - Braking forces, NO, 0, 0, NO,
839, BEAM , UNILOAD, GX, NO , NO, aDir[1], , , , 0, -10, 1, -10, 0, 0, 0, 0, B - Braking forces, NO, 0, 0, NO,
840, BEAM , UNILOAD, GX, NO , NO, aDir[1], , , , 0, -10, 1, -10, 0, 0, 0, 0, B - Braking forces, NO, 0, 0, NO,
841, BEAM , UNILOAD, GX, NO , NO, aDir[1], , , , 0, -10, 1, -10, 0, 0, 0, 0, B - Braking forces, NO, 0, 0, NO,
842, BEAM , UNILOAD, GX, NO , NO, aDir[1], , , , 0, -10, 1, -10, 0, 0, 0, 0, B - Braking forces, NO, 0, 0, NO,
843, BEAM , UNILOAD, GX, NO , NO, aDir[1], , , , 0, -10, 1, -10, 0, 0, 0, 0, B - Braking forces, NO, 0, 0, NO,
844, BEAM , UNILOAD, GX, NO , NO, aDir[1], , , , 0, -10, 1, -10, 0, 0, 0, 0, B - Braking forces, NO, 0, 0, NO,
845, BEAM , UNILOAD, GX, NO , NO, aDir[1], , , , 0, -10, 1, -10, 0, 0, 0, 0, B - Braking forces, NO, 0, 0, NO,
846, BEAM , UNILOAD, GX, NO , NO, aDir[1], , , , 0, -10, 1, -10, 0, 0, 0, 0, B - Braking forces, NO, 0, 0, NO,
847, BEAM , UNILOAD, GX, NO , NO, aDir[1], , , , 0, -10, 1, -10, 0, 0, 0, 0, B - Braking forces, NO, 0, 0, NO,
848, BEAM , UNILOAD, GX, NO , NO, aDir[1], , , , 0, -10, 1, -10, 0, 0, 0, 0, B - Braking forces, NO, 0, 0, NO,
849, BEAM , UNILOAD, GX, NO , NO, aDir[1], , , , 0, -10, 1, -10, 0, 0, 0, 0, B - Braking forces, NO, 0, 0, NO,
850, BEAM , UNILOAD, GX, NO , NO, aDir[1], , , , 0, -10, 1, -10, 0, 0, 0, 0, B - Braking forces, NO, 0, 0, NO,
851, BEAM , UNILOAD, GX, NO , NO, aDir[1], , , , 0, -10, 1, -10, 0, 0, 0, 0, B - Braking forces, NO, 0, 0, NO,
852, BEAM , UNILOAD, GX, NO , NO, aDir[1], , , , 0, -10, 1, -10, 0, 0, 0, 0, B - Braking forces, NO, 0, 0, NO,
853, BEAM , UNILOAD, GX, NO , NO, aDir[1], , , , 0, -10, 1, -10, 0, 0, 0, 0, B - Braking forces, NO, 0, 0, NO,
854, BEAM , UNILOAD, GX, NO , NO, aDir[1], , , , 0, -10, 1, -10, 0, 0, 0, 0, B - Braking forces, NO, 0, 0, NO,
855, BEAM , UNILOAD, GX, NO , NO, aDir[1], , , , 0, -10, 1, -10, 0, 0, 0, 0, B - Braking forces, NO, 0, 0, NO,
856, BEAM , UNILOAD, GX, NO , NO, aDir[1], , , , 0, -10, 1, -10, 0, 0, 0, 0, B - Braking forces, NO, 0, 0, NO,
857, BEAM , UNILOAD, GX, NO , NO, aDir[1], , , , 0, -10, 1, -10, 0, 0, 0, 0, B - Braking forces, NO, 0, 0, NO,
858, BEAM , UNILOAD, GX, NO , NO, aDir[1], , , , 0, -10, 1, -10, 0, 0, 0, 0, B - Braking forces, NO, 0, 0, NO,
859, BEAM , UNILOAD, GX, NO , NO, aDir[1], , , , 0, -10, 1, -10, 0, 0, 0, 0, B - Braking forces, NO, 0, 0, NO,
860, BEAM , UNILOAD, GX, NO , NO, aDir[1], , , , 0, -10, 1, -10, 0, 0, 0, 0, B - Braking forces, NO, 0, 0, NO,
861, BEAM , UNILOAD, GX, NO , NO, aDir[1], , , , 0, -10, 1, -10, 0, 0, 0, 0, B - Braking forces, NO, 0, 0, NO,
862, BEAM , UNILOAD, GX, NO , NO, aDir[1], , , , 0, -10, 1, -10, 0, 0, 0, 0, B - Braking forces, NO, 0, 0, NO,
863, BEAM , UNILOAD, GX, NO , NO, aDir[1], , , , 0, -10, 1, -10, 0, 0, 0, 0, B - Braking forces, NO, 0, 0, NO,
864, BEAM , UNILOAD, GX, NO , NO, aDir[1], , , , 0, -10, 1, -10, 0, 0, 0, 0, B - Braking forces, NO, 0, 0, NO,
865, BEAM , UNILOAD, GX, NO , NO, aDir[1], , , , 0, -10, 1, -10, 0, 0, 0, 0, B - Braking forces, NO, 0, 0, NO,
866, BEAM , UNILOAD, GX, NO , NO, aDir[1], , , , 0, -10, 1, -10, 0, 0, 0, 0, B - Braking forces, NO, 0, 0, NO,
867, BEAM , UNILOAD, GX, NO , NO, aDir[1], , , , 0, -10, 1, -10, 0, 0, 0, 0, B - Braking forces, NO, 0, 0, NO,

PROJECT TITLE :

MIDAS	Company		Client	
	Author		File Name	H2D_3Dg_v14_180227_StatLM.mct

868, BEAM , UNILOAD, GX, NO , NO, aDir[1], , , , 0, -10, 1, -10, 0, 0, 0, 0, B - Braking forces, NO, 0, 0, NO,
869, BEAM , UNILOAD, GX, NO , NO, aDir[1], , , , 0, -10, 1, -10, 0, 0, 0, 0, B - Braking forces, NO, 0, 0, NO,
870, BEAM , UNILOAD, GX, NO , NO, aDir[1], , , , 0, -10, 1, -10, 0, 0, 0, 0, B - Braking forces, NO, 0, 0, NO,
871, BEAM , UNILOAD, GX, NO , NO, aDir[1], , , , 0, -10, 1, -10, 0, 0, 0, 0, B - Braking forces, NO, 0, 0, NO,
872, BEAM , UNILOAD, GX, NO , NO, aDir[1], , , , 0, -10, 1, -10, 0, 0, 0, 0, B - Braking forces, NO, 0, 0, NO,
873, BEAM , UNILOAD, GX, NO , NO, aDir[1], , , , 0, -10, 1, -10, 0, 0, 0, 0, B - Braking forces, NO, 0, 0, NO,
874, BEAM , UNILOAD, GX, NO , NO, aDir[1], , , , 0, -10, 1, -10, 0, 0, 0, 0, B - Braking forces, NO, 0, 0, NO,
875, BEAM , UNILOAD, GX, NO , NO, aDir[1], , , , 0, -10, 1, -10, 0, 0, 0, 0, B - Braking forces, NO, 0, 0, NO,
876, BEAM , UNILOAD, GX, NO , NO, aDir[1], , , , 0, -10, 1, -10, 0, 0, 0, 0, B - Braking forces, NO, 0, 0, NO,
877, BEAM , UNILOAD, GX, NO , NO, aDir[1], , , , 0, -10, 1, -10, 0, 0, 0, 0, B - Braking forces, NO, 0, 0, NO,
878, BEAM , UNILOAD, GX, NO , NO, aDir[1], , , , 0, -10, 1, -10, 0, 0, 0, 0, B - Braking forces, NO, 0, 0, NO,
879, BEAM , UNILOAD, GX, NO , NO, aDir[1], , , , 0, -10, 1, -10, 0, 0, 0, 0, B - Braking forces, NO, 0, 0, NO,
880, BEAM , UNILOAD, GX, NO , NO, aDir[1], , , , 0, -10, 1, -10, 0, 0, 0, 0, B - Braking forces, NO, 0, 0, NO,
881, BEAM , UNILOAD, GX, NO , NO, aDir[1], , , , 0, -10, 1, -10, 0, 0, 0, 0, B - Braking forces, NO, 0, 0, NO,
882, BEAM , UNILOAD, GX, NO , NO, aDir[1], , , , 0, -10, 1, -10, 0, 0, 0, 0, B - Braking forces, NO, 0, 0, NO,
883, BEAM , UNILOAD, GX, NO , NO, aDir[1], , , , 0, -10, 1, -10, 0, 0, 0, 0, B - Braking forces, NO, 0, 0, NO,
884, BEAM , UNILOAD, GX, NO , NO, aDir[1], , , , 0, -10, 1, -10, 0, 0, 0, 0, B - Braking forces, NO, 0, 0, NO,
885, BEAM , UNILOAD, GX, NO , NO, aDir[1], , , , 0, -10, 1, -10, 0, 0, 0, 0, B - Braking forces, NO, 0, 0, NO,
886, BEAM , UNILOAD, GX, NO , NO, aDir[1], , , , 0, -10, 1, -10, 0, 0, 0, 0, B - Braking forces, NO, 0, 0, NO,
887, BEAM , UNILOAD, GX, NO , NO, aDir[1], , , , 0, -10, 1, -10, 0, 0, 0, 0, B - Braking forces, NO, 0, 0, NO,
888, BEAM , UNILOAD, GX, NO , NO, aDir[1], , , , 0, -10, 1, -10, 0, 0, 0, 0, B - Braking forces, NO, 0, 0, NO,
889, BEAM , UNILOAD, GX, NO , NO, aDir[1], , , , 0, -10, 1, -10, 0, 0, 0, 0, B - Braking forces, NO, 0, 0, NO,
890, BEAM , UNILOAD, GX, NO , NO, aDir[1], , , , 0, -10, 1, -10, 0, 0, 0, 0, B - Braking forces, NO, 0, 0, NO,
891, BEAM , UNILOAD, GX, NO , NO, aDir[1], , , , 0, -10, 1, -10, 0, 0, 0, 0, B - Braking forces, NO, 0, 0, NO,
892, BEAM , UNILOAD, GX, NO , NO, aDir[1], , , , 0, -10, 1, -10, 0, 0, 0, 0, B - Braking forces, NO, 0, 0, NO,
893, BEAM , UNILOAD, GX, NO , NO, aDir[1], , , , 0, -10, 1, -10, 0, 0, 0, 0, B - Braking forces, NO, 0, 0, NO,
894, BEAM , UNILOAD, GX, NO , NO, aDir[1], , , , 0, -10, 1, -10, 0, 0, 0, 0, B - Braking forces, NO, 0, 0, NO,
895, BEAM , UNILOAD, GX, NO , NO, aDir[1], , , , 0, -10, 1, -10, 0, 0, 0, 0, B - Braking forces, NO, 0, 0, NO,
896, BEAM , UNILOAD, GX, NO , NO, aDir[1], , , , 0, -10, 1, -10, 0, 0, 0, 0, B - Braking forces, NO, 0, 0, NO,
897, BEAM , UNILOAD, GX, NO , NO, aDir[1], , , , 0, -10, 1, -10, 0, 0, 0, 0, B - Braking forces, NO, 0, 0, NO,
898, BEAM , UNILOAD, GX, NO , NO, aDir[1], , , , 0, -10, 1, -10, 0, 0, 0, 0, B - Braking forces, NO, 0, 0, NO,
899, BEAM , UNILOAD, GX, NO , NO, aDir[1], , , , 0, -10, 1, -10, 0, 0, 0, 0, B - Braking forces, NO, 0, 0, NO,
900, BEAM , UNILOAD, GX, NO , NO, aDir[1], , , , 0, -10, 1, -10, 0, 0, 0, 0, B - Braking forces, NO, 0, 0, NO,
901, BEAM , UNILOAD, GX, NO , NO, aDir[1], , , , 0, -10, 1, -10, 0, 0, 0, 0, B - Braking forces, NO, 0, 0, NO,
902, BEAM , UNILOAD, GX, NO , NO, aDir[1], , , , 0, -10, 1, -10, 0, 0, 0, 0, B - Braking forces, NO, 0, 0, NO,
903, BEAM , UNILOAD, GX, NO , NO, aDir[1], , , , 0, -10, 1, -10, 0, 0, 0, 0, B - Braking forces, NO, 0, 0, NO,
904, BEAM , UNILOAD, GX, NO , NO, aDir[1], , , , 0, -10, 1, -10, 0, 0, 0, 0, B - Braking forces, NO, 0, 0, NO,
905, BEAM , UNILOAD, GX, NO , NO, aDir[1], , , , 0, -10, 1, -10, 0, 0, 0, 0, B - Braking forces, NO, 0, 0, NO,
906, BEAM , UNILOAD, GX, NO , NO, aDir[1], , , , 0, -10, 1, -10, 0, 0, 0, 0, B - Braking forces, NO, 0, 0, NO,
907, BEAM , UNILOAD, GX, NO , NO, aDir[1], , , , 0, -10, 1, -10, 0, 0, 0, 0, B - Braking forces, NO, 0, 0, NO,
908, BEAM , UNILOAD, GX, NO , NO, aDir[1], , , , 0, -10, 1, -10, 0, 0, 0, 0, B - Braking forces, NO, 0, 0, NO,
909, BEAM , UNILOAD, GX, NO , NO, aDir[1], , , , 0, -10, 1, -10, 0, 0, 0, 0, B - Braking forces, NO, 0, 0, NO,
910, BEAM , UNILOAD, GX, NO , NO, aDir[1], , , , 0, -10, 1, -10, 0, 0, 0, 0, B - Braking forces, NO, 0, 0, NO,
911, BEAM , UNILOAD, GX, NO , NO, aDir[1], , , , 0, -10, 1, -10, 0, 0, 0, 0, B - Braking forces, NO, 0, 0, NO,
912, BEAM , UNILOAD, GX, NO , NO, aDir[1], , , , 0, -10, 1, -10, 0, 0, 0, 0, B - Braking forces, NO, 0, 0, NO,
913, BEAM , UNILOAD, GX, NO , NO, aDir[1], , , , 0, -10, 1, -10, 0, 0, 0, 0, B - Braking forces, NO, 0, 0, NO,
914, BEAM , UNILOAD, GX, NO , NO, aDir[1], , , , 0, -10, 1, -10, 0, 0, 0, 0, B - Braking forces, NO, 0, 0, NO,
915, BEAM , UNILOAD, GX, NO , NO, aDir[1], , , , 0, -10, 1, -10, 0, 0, 0, 0, B - Braking forces, NO, 0, 0, NO,
916, BEAM , UNILOAD, GX, NO , NO, aDir[1], , , , 0, -10, 1, -10, 0, 0, 0, 0, B - Braking forces, NO, 0, 0, NO,
917, BEAM , UNILOAD, GX, NO , NO, aDir[1], , , , 0, -10, 1, -10, 0, 0, 0, 0, B - Braking forces, NO, 0, 0, NO,
918, BEAM , UNILOAD, GX, NO , NO, aDir[1], , , , 0, -10, 1, -10, 0, 0, 0, 0, B - Braking forces, NO, 0, 0, NO,
919, BEAM , UNILOAD, GX, NO , NO, aDir[1], , , , 0, -10, 1, -10, 0, 0, 0, 0, B - Braking forces, NO, 0, 0, NO,
920, BEAM , UNILOAD, GX, NO , NO, aDir[1], , , , 0, -10, 1, -10, 0, 0, 0, 0, B - Braking forces, NO, 0, 0, NO,
921, BEAM , UNILOAD, GX, NO , NO, aDir[1], , , , 0, -10, 1, -10, 0, 0, 0, 0, B - Braking forces, NO, 0, 0, NO,
922, BEAM , UNILOAD, GX, NO , NO, aDir[1], , , , 0, -10, 1, -10, 0, 0, 0, 0, B - Braking forces, NO, 0, 0, NO,
923, BEAM , UNILOAD, GX, NO , NO, aDir[1], , , , 0, -10, 1, -10, 0, 0, 0, 0, B - Braking forces, NO, 0, 0, NO,
924, BEAM , UNILOAD, GX, NO , NO, aDir[1], , , , 0, -10, 1, -10, 0, 0, 0, 0, B - Braking forces, NO, 0, 0, NO,
925, BEAM , UNILOAD, GX, NO , NO, aDir[1], , , , 0, -10, 1, -10, 0, 0, 0, 0, B - Braking forces, NO, 0, 0, NO,
926, BEAM , UNILOAD, GX, NO , NO, aDir[1], , , , 0, -10, 1, -10, 0, 0, 0, 0, B - Braking forces, NO, 0, 0, NO,
927, BEAM , UNILOAD, GX, NO , NO, aDir[1], , , , 0, -10, 1, -10, 0, 0, 0, 0, B - Braking forces, NO, 0, 0, NO,
928, BEAM , UNILOAD, GX, NO , NO, aDir[1], , , , 0, -10, 1, -10, 0, 0, 0, 0, B - Braking forces, NO, 0, 0, NO,
929, BEAM , UNILOAD, GX, NO , NO, aDir[1], , , , 0, -10, 1, -10, 0, 0, 0, 0, B - Braking forces, NO, 0, 0, NO,
930, BEAM , UNILOAD, GX, NO , NO, aDir[1], , , , 0, -10, 1, -10, 0, 0, 0, 0, B - Braking forces, NO, 0, 0, NO,
931, BEAM , UNILOAD, GX, NO , NO, aDir[1], , , , 0, -10, 1, -10, 0, 0, 0, 0, B - Braking forces, NO, 0, 0, NO,
932, BEAM , UNILOAD, GX, NO , NO, aDir[1], , , , 0, -10, 1, -10, 0, 0, 0, 0, B - Braking forces, NO, 0, 0, NO,
933, BEAM , UNILOAD, GX, NO , NO, aDir[1], , , , 0, -10, 1, -10, 0, 0, 0, 0, B - Braking forces, NO, 0, 0, NO,
934, BEAM , UNILOAD, GX, NO , NO, aDir[1], , , , 0, -10, 1, -10, 0, 0, 0, 0, B - Braking forces, NO, 0, 0, NO,
935, BEAM , UNILOAD, GX, NO , NO, aDir[1], , , , 0, -10, 1, -10, 0, 0, 0, 0, B - Braking forces, NO, 0, 0, NO,
936, BEAM , UNILOAD, GX, NO , NO, aDir[1], , , , 0, -10, 1, -10, 0, 0, 0, 0, B - Braking forces, NO, 0, 0, NO,
937, BEAM , UNILOAD, GX, NO , NO, aDir[1], , , , 0, -10, 1, -10, 0, 0, 0, 0, B - Braking forces, NO, 0, 0, NO,
938, BEAM , UNILOAD, GX, NO , NO, aDir[1], , , , 0, -10, 1, -10, 0, 0, 0, 0, B - Braking forces, NO, 0, 0, NO,
939, BEAM , UNILOAD, GX, NO , NO, aDir[1], , , , 0, -10, 1, -10, 0, 0, 0, 0, B - Braking forces, NO, 0, 0, NO,

PROJECT TITLE :

MIDAS	Company		Client	
	Author		File Name	H2D_3Dg_v14_180227_StatLM.mct

940, BEAM , UNILOAD, GX, NO , NO, aDir[1], , , , 0, -10, 1, -10, 0, 0, 0, 0, B - Braking forces, NO, 0, 0, NO,
941, BEAM , UNILOAD, GX, NO , NO, aDir[1], , , , 0, -10, 1, -10, 0, 0, 0, 0, B - Braking forces, NO, 0, 0, NO,
942, BEAM , UNILOAD, GX, NO , NO, aDir[1], , , , 0, -10, 1, -10, 0, 0, 0, 0, B - Braking forces, NO, 0, 0, NO,
943, BEAM , UNILOAD, GX, NO , NO, aDir[1], , , , 0, -10, 1, -10, 0, 0, 0, 0, B - Braking forces, NO, 0, 0, NO,
944, BEAM , UNILOAD, GX, NO , NO, aDir[1], , , , 0, -10, 1, -10, 0, 0, 0, 0, B - Braking forces, NO, 0, 0, NO,
945, BEAM , UNILOAD, GX, NO , NO, aDir[1], , , , 0, -10, 1, -10, 0, 0, 0, 0, B - Braking forces, NO, 0, 0, NO,
946, BEAM , UNILOAD, GX, NO , NO, aDir[1], , , , 0, -10, 1, -10, 0, 0, 0, 0, B - Braking forces, NO, 0, 0, NO,
947, BEAM , UNILOAD, GX, NO , NO, aDir[1], , , , 0, -10, 1, -10, 0, 0, 0, 0, B - Braking forces, NO, 0, 0, NO,
948, BEAM , UNILOAD, GX, NO , NO, aDir[1], , , , 0, -10, 1, -10, 0, 0, 0, 0, B - Braking forces, NO, 0, 0, NO,
949, BEAM , UNILOAD, GX, NO , NO, aDir[1], , , , 0, -10, 1, -10, 0, 0, 0, 0, B - Braking forces, NO, 0, 0, NO,
950, BEAM , UNILOAD, GX, NO , NO, aDir[1], , , , 0, -10, 1, -10, 0, 0, 0, 0, B - Braking forces, NO, 0, 0, NO,
951, BEAM , UNILOAD, GX, NO , NO, aDir[1], , , , 0, -10, 1, -10, 0, 0, 0, 0, B - Braking forces, NO, 0, 0, NO,
952, BEAM , UNILOAD, GX, NO , NO, aDir[1], , , , 0, -10, 1, -10, 0, 0, 0, 0, B - Braking forces, NO, 0, 0, NO,
953, BEAM , UNILOAD, GX, NO , NO, aDir[1], , , , 0, -10, 1, -10, 0, 0, 0, 0, B - Braking forces, NO, 0, 0, NO,
954, BEAM , UNILOAD, GX, NO , NO, aDir[1], , , , 0, -10, 1, -10, 0, 0, 0, 0, B - Braking forces, NO, 0, 0, NO,
955, BEAM , UNILOAD, GX, NO , NO, aDir[1], , , , 0, -10, 1, -10, 0, 0, 0, 0, B - Braking forces, NO, 0, 0, NO,
956, BEAM , UNILOAD, GX, NO , NO, aDir[1], , , , 0, -10, 1, -10, 0, 0, 0, 0, B - Braking forces, NO, 0, 0, NO,
957, BEAM , UNILOAD, GX, NO , NO, aDir[1], , , , 0, -10, 1, -10, 0, 0, 0, 0, B - Braking forces, NO, 0, 0, NO,
958, BEAM , UNILOAD, GX, NO , NO, aDir[1], , , , 0, -10, 1, -10, 0, 0, 0, 0, B - Braking forces, NO, 0, 0, NO,
959, BEAM , UNILOAD, GX, NO , NO, aDir[1], , , , 0, -10, 1, -10, 0, 0, 0, 0, B - Braking forces, NO, 0, 0, NO,
960, BEAM , UNILOAD, GX, NO , NO, aDir[1], , , , 0, -10, 1, -10, 0, 0, 0, 0, B - Braking forces, NO, 0, 0, NO,
961, BEAM , UNILOAD, GX, NO , NO, aDir[1], , , , 0, -10, 1, -10, 0, 0, 0, 0, B - Braking forces, NO, 0, 0, NO,
962, BEAM , UNILOAD, GX, NO , NO, aDir[1], , , , 0, -10, 1, -10, 0, 0, 0, 0, B - Braking forces, NO, 0, 0, NO,
963, BEAM , UNILOAD, GX, NO , NO, aDir[1], , , , 0, -10, 1, -10, 0, 0, 0, 0, B - Braking forces, NO, 0, 0, NO,
964, BEAM , UNILOAD, GX, NO , NO, aDir[1], , , , 0, -10, 1, -10, 0, 0, 0, 0, B - Braking forces, NO, 0, 0, NO,
965, BEAM , UNILOAD, GX, NO , NO, aDir[1], , , , 0, -10, 1, -10, 0, 0, 0, 0, B - Braking forces, NO, 0, 0, NO,
966, BEAM , UNILOAD, GX, NO , NO, aDir[1], , , , 0, -10, 1, -10, 0, 0, 0, 0, B - Braking forces, NO, 0, 0, NO,
967, BEAM , UNILOAD, GX, NO , NO, aDir[1], , , , 0, -10, 1, -10, 0, 0, 0, 0, B - Braking forces, NO, 0, 0, NO,
968, BEAM , UNILOAD, GX, NO , NO, aDir[1], , , , 0, -10, 1, -10, 0, 0, 0, 0, B - Braking forces, NO, 0, 0, NO,
969, BEAM , UNILOAD, GX, NO , NO, aDir[1], , , , 0, -10, 1, -10, 0, 0, 0, 0, B - Braking forces, NO, 0, 0, NO,
970, BEAM , UNILOAD, GX, NO , NO, aDir[1], , , , 0, -10, 1, -10, 0, 0, 0, 0, B - Braking forces, NO, 0, 0, NO,
971, BEAM , UNILOAD, GX, NO , NO, aDir[1], , , , 0, -10, 1, -10, 0, 0, 0, 0, B - Braking forces, NO, 0, 0, NO,
972, BEAM , UNILOAD, GX, NO , NO, aDir[1], , , , 0, -10, 1, -10, 0, 0, 0, 0, B - Braking forces, NO, 0, 0, NO,
973, BEAM , UNILOAD, GX, NO , NO, aDir[1], , , , 0, -10, 1, -10, 0, 0, 0, 0, B - Braking forces, NO, 0, 0, NO,
974, BEAM , UNILOAD, GX, NO , NO, aDir[1], , , , 0, -10, 1, -10, 0, 0, 0, 0, B - Braking forces, NO, 0, 0, NO,
975, BEAM , UNILOAD, GX, NO , NO, aDir[1], , , , 0, -10, 1, -10, 0, 0, 0, 0, B - Braking forces, NO, 0, 0, NO,
976, BEAM , UNILOAD, GX, NO , NO, aDir[1], , , , 0, -10, 1, -10, 0, 0, 0, 0, B - Braking forces, NO, 0, 0, NO,
977, BEAM , UNILOAD, GX, NO , NO, aDir[1], , , , 0, -10, 1, -10, 0, 0, 0, 0, B - Braking forces, NO, 0, 0, NO,
978, BEAM , UNILOAD, GX, NO , NO, aDir[1], , , , 0, -10, 1, -10, 0, 0, 0, 0, B - Braking forces, NO, 0, 0, NO,
979, BEAM , UNILOAD, GX, NO , NO, aDir[1], , , , 0, -10, 1, -10, 0, 0, 0, 0, B - Braking forces, NO, 0, 0, NO,
980, BEAM , UNILOAD, GX, NO , NO, aDir[1], , , , 0, -10, 1, -10, 0, 0, 0, 0, B - Braking forces, NO, 0, 0, NO,
981, BEAM , UNILOAD, GX, NO , NO, aDir[1], , , , 0, -10, 1, -10, 0, 0, 0, 0, B - Braking forces, NO, 0, 0, NO,
982, BEAM , UNILOAD, GX, NO , NO, aDir[1], , , , 0, -10, 1, -10, 0, 0, 0, 0, B - Braking forces, NO, 0, 0, NO,
983, BEAM , UNILOAD, GX, NO , NO, aDir[1], , , , 0, -10, 1, -10, 0, 0, 0, 0, B - Braking forces, NO, 0, 0, NO,
984, BEAM , UNILOAD, GX, NO , NO, aDir[1], , , , 0, -10, 1, -10, 0, 0, 0, 0, B - Braking forces, NO, 0, 0, NO,
985, BEAM , UNILOAD, GX, NO , NO, aDir[1], , , , 0, -10, 1, -10, 0, 0, 0, 0, B - Braking forces, NO, 0, 0, NO,
986, BEAM , UNILOAD, GX, NO , NO, aDir[1], , , , 0, -10, 1, -10, 0, 0, 0, 0, B - Braking forces, NO, 0, 0, NO,
987, BEAM , UNILOAD, GX, NO , NO, aDir[1], , , , 0, -10, 1, -10, 0, 0, 0, 0, B - Braking forces, NO, 0, 0, NO,
988, BEAM , UNILOAD, GX, NO , NO, aDir[1], , , , 0, -10, 1, -10, 0, 0, 0, 0, B - Braking forces, NO, 0, 0, NO,
989, BEAM , UNILOAD, GX, NO , NO, aDir[1], , , , 0, -10, 1, -10, 0, 0, 0, 0, B - Braking forces, NO, 0, 0, NO,
990, BEAM , UNILOAD, GX, NO , NO, aDir[1], , , , 0, -10, 1, -10, 0, 0, 0, 0, B - Braking forces, NO, 0, 0, NO,
991, BEAM , UNILOAD, GX, NO , NO, aDir[1], , , , 0, -10, 1, -10, 0, 0, 0, 0, B - Braking forces, NO, 0, 0, NO,
992, BEAM , UNILOAD, GX, NO , NO, aDir[1], , , , 0, -10, 1, -10, 0, 0, 0, 0, B - Braking forces, NO, 0, 0, NO,
993, BEAM , UNILOAD, GX, NO , NO, aDir[1], , , , 0, -10, 1, -10, 0, 0, 0, 0, B - Braking forces, NO, 0, 0, NO,
994, BEAM , UNILOAD, GX, NO , NO, aDir[1], , , , 0, -10, 1, -10, 0, 0, 0, 0, B - Braking forces, NO, 0, 0, NO,
995, BEAM , UNILOAD, GX, NO , NO, aDir[1], , , , 0, -10, 1, -10, 0, 0, 0, 0, B - Braking forces, NO, 0, 0, NO,
996, BEAM , UNILOAD, GX, NO , NO, aDir[1], , , , 0, -10, 1, -10, 0, 0, 0, 0, B - Braking forces, NO, 0, 0, NO,
997, BEAM , UNILOAD, GX, NO , NO, aDir[1], , , , 0, -10, 1, -10, 0, 0, 0, 0, B - Braking forces, NO, 0, 0, NO,
998, BEAM , UNILOAD, GX, NO , NO, aDir[1], , , , 0, -10, 1, -10, 0, 0, 0, 0, B - Braking forces, NO, 0, 0, NO,
999, BEAM , UNILOAD, GX, NO , NO, aDir[1], , , , 0, -10, 1, -10, 0, 0, 0, 0, B - Braking forces, NO, 0, 0, NO,
1000, BEAM , UNILOAD, GX, NO , NO, aDir[1], , , , 0, -10, 1, -10, 0, 0, 0, 0, B - Braking forces, NO, 0, 0, NO,
1001, BEAM , UNILOAD, GX, NO , NO, aDir[1], , , , 0, -10, 1, -10, 0, 0, 0, 0, B - Braking forces, NO, 0, 0, NO,
1002, BEAM , UNILOAD, GX, NO , NO, aDir[1], , , , 0, -10, 1, -10, 0, 0, 0, 0, B - Braking forces, NO, 0, 0, NO,
1003, BEAM , UNILOAD, GX, NO , NO, aDir[1], , , , 0, -10, 1, -10, 0, 0, 0, 0, B - Braking forces, NO, 0, 0, NO,
1004, BEAM , UNILOAD, GX, NO , NO, aDir[1], , , , 0, -10, 1, -10, 0, 0, 0, 0, B - Braking forces, NO, 0, 0, NO,
1005, BEAM , UNILOAD, GX, NO , NO, aDir[1], , , , 0, -10, 1, -10, 0, 0, 0, 0, B - Braking forces, NO, 0, 0, NO,
1006, BEAM , UNILOAD, GX, NO , NO, aDir[1], , , , 0, -10, 1, -10, 0, 0, 0, 0, B - Braking forces, NO, 0, 0, NO,
1007, BEAM , UNILOAD, GX, NO , NO, aDir[1], , , , 0, -10, 1, -10, 0, 0, 0, 0, B - Braking forces, NO, 0, 0, NO,
1008, BEAM , UNILOAD, GX, NO , NO, aDir[1], , , , 0, -10, 1, -10, 0, 0, 0, 0, B - Braking forces, NO, 0, 0, NO,
1009, BEAM , UNILOAD, GX, NO , NO, aDir[1], , , , 0, -10, 1, -10, 0, 0, 0, 0, B - Braking forces, NO, 0, 0, NO,
1010, BEAM , UNILOAD, GX, NO , NO, aDir[1], , , , 0, -10, 1, -10, 0, 0, 0, 0, B - Braking forces, NO, 0, 0, NO,
1011, BEAM , UNILOAD, GX, NO , NO, aDir[1], , , , 0, -10, 1, -10, 0, 0, 0, 0, B - Braking forces, NO, 0, 0, NO,

PROJECT TITLE :

MIDAS	Company		Client	
	Author		File Name	H2D_3Dg_v14_180227_StatLM.mct

1012, BEAM , UNILOAD, GX, NO , NO, aDir[1], , , , 0, -10, 1, -10, 0, 0, 0, 0, B - Braking forces, NO, 0, 0, NO,
1013, BEAM , UNILOAD, GX, NO , NO, aDir[1], , , , 0, -10, 1, -10, 0, 0, 0, 0, B - Braking forces, NO, 0, 0, NO,
1014, BEAM , UNILOAD, GX, NO , NO, aDir[1], , , , 0, -10, 1, -10, 0, 0, 0, 0, B - Braking forces, NO, 0, 0, NO,
1015, BEAM , UNILOAD, GX, NO , NO, aDir[1], , , , 0, -10, 1, -10, 0, 0, 0, 0, B - Braking forces, NO, 0, 0, NO,
1016, BEAM , UNILOAD, GX, NO , NO, aDir[1], , , , 0, -10, 1, -10, 0, 0, 0, 0, B - Braking forces, NO, 0, 0, NO,
1017, BEAM , UNILOAD, GX, NO , NO, aDir[1], , , , 0, -10, 1, -10, 0, 0, 0, 0, B - Braking forces, NO, 0, 0, NO,
1018, BEAM , UNILOAD, GX, NO , NO, aDir[1], , , , 0, -10, 1, -10, 0, 0, 0, 0, B - Braking forces, NO, 0, 0, NO,
1019, BEAM , UNILOAD, GX, NO , NO, aDir[1], , , , 0, -10, 1, -10, 0, 0, 0, 0, B - Braking forces, NO, 0, 0, NO,
1020, BEAM , UNILOAD, GX, NO , NO, aDir[1], , , , 0, -10, 1, -10, 0, 0, 0, 0, B - Braking forces, NO, 0, 0, NO,
1021, BEAM , UNILOAD, GX, NO , NO, aDir[1], , , , 0, -10, 1, -10, 0, 0, 0, 0, B - Braking forces, NO, 0, 0, NO,
1022, BEAM , UNILOAD, GX, NO , NO, aDir[1], , , , 0, -10, 1, -10, 0, 0, 0, 0, B - Braking forces, NO, 0, 0, NO,
1023, BEAM , UNILOAD, GX, NO , NO, aDir[1], , , , 0, -10, 1, -10, 0, 0, 0, 0, B - Braking forces, NO, 0, 0, NO,
1024, BEAM , UNILOAD, GX, NO , NO, aDir[1], , , , 0, -10, 1, -10, 0, 0, 0, 0, B - Braking forces, NO, 0, 0, NO,
1025, BEAM , UNILOAD, GX, NO , NO, aDir[1], , , , 0, -10, 1, -10, 0, 0, 0, 0, B - Braking forces, NO, 0, 0, NO,
1026, BEAM , UNILOAD, GX, NO , NO, aDir[1], , , , 0, -10, 1, -10, 0, 0, 0, 0, B - Braking forces, NO, 0, 0, NO,
1027, BEAM , UNILOAD, GX, NO , NO, aDir[1], , , , 0, -10, 1, -10, 0, 0, 0, 0, B - Braking forces, NO, 0, 0, NO,
1028, BEAM , UNILOAD, GX, NO , NO, aDir[1], , , , 0, -10, 1, -10, 0, 0, 0, 0, B - Braking forces, NO, 0, 0, NO,
1029, BEAM , UNILOAD, GX, NO , NO, aDir[1], , , , 0, -10, 1, -10, 0, 0, 0, 0, B - Braking forces, NO, 0, 0, NO,
1030, BEAM , UNILOAD, GX, NO , NO, aDir[1], , , , 0, -10, 1, -10, 0, 0, 0, 0, B - Braking forces, NO, 0, 0, NO,
1031, BEAM , UNILOAD, GX, NO , NO, aDir[1], , , , 0, -10, 1, -10, 0, 0, 0, 0, B - Braking forces, NO, 0, 0, NO,
1032, BEAM , UNILOAD, GX, NO , NO, aDir[1], , , , 0, -10, 1, -10, 0, 0, 0, 0, B - Braking forces, NO, 0, 0, NO,
1033, BEAM , UNILOAD, GX, NO , NO, aDir[1], , , , 0, -10, 1, -10, 0, 0, 0, 0, B - Braking forces, NO, 0, 0, NO,
1034, BEAM , UNILOAD, GX, NO , NO, aDir[1], , , , 0, -10, 1, -10, 0, 0, 0, 0, B - Braking forces, NO, 0, 0, NO,
1035, BEAM , UNILOAD, GX, NO , NO, aDir[1], , , , 0, -10, 1, -10, 0, 0, 0, 0, B - Braking forces, NO, 0, 0, NO,
1036, BEAM , UNILOAD, GX, NO , NO, aDir[1], , , , 0, -10, 1, -10, 0, 0, 0, 0, B - Braking forces, NO, 0, 0, NO,
1037, BEAM , UNILOAD, GX, NO , NO, aDir[1], , , , 0, -10, 1, -10, 0, 0, 0, 0, B - Braking forces, NO, 0, 0, NO,
1038, BEAM , UNILOAD, GX, NO , NO, aDir[1], , , , 0, -10, 1, -10, 0, 0, 0, 0, B - Braking forces, NO, 0, 0, NO,
1039, BEAM , UNILOAD, GX, NO , NO, aDir[1], , , , 0, -10, 1, -10, 0, 0, 0, 0, B - Braking forces, NO, 0, 0, NO,
1040, BEAM , UNILOAD, GX, NO , NO, aDir[1], , , , 0, -10, 1, -10, 0, 0, 0, 0, B - Braking forces, NO, 0, 0, NO,
1041, BEAM , UNILOAD, GX, NO , NO, aDir[1], , , , 0, -10, 1, -10, 0, 0, 0, 0, B - Braking forces, NO, 0, 0, NO,
1042, BEAM , UNILOAD, GX, NO , NO, aDir[1], , , , 0, -10, 1, -10, 0, 0, 0, 0, B - Braking forces, NO, 0, 0, NO,
1043, BEAM , UNILOAD, GX, NO , NO, aDir[1], , , , 0, -10, 1, -10, 0, 0, 0, 0, B - Braking forces, NO, 0, 0, NO,
1044, BEAM , UNILOAD, GX, NO , NO, aDir[1], , , , 0, -10, 1, -10, 0, 0, 0, 0, B - Braking forces, NO, 0, 0, NO,
1045, BEAM , UNILOAD, GX, NO , NO, aDir[1], , , , 0, -10, 1, -10, 0, 0, 0, 0, B - Braking forces, NO, 0, 0, NO,
1046, BEAM , UNILOAD, GX, NO , NO, aDir[1], , , , 0, -10, 1, -10, 0, 0, 0, 0, B - Braking forces, NO, 0, 0, NO,
1047, BEAM , UNILOAD, GX, NO , NO, aDir[1], , , , 0, -10, 1, -10, 0, 0, 0, 0, B - Braking forces, NO, 0, 0, NO,
1048, BEAM , UNILOAD, GX, NO , NO, aDir[1], , , , 0, -10, 1, -10, 0, 0, 0, 0, B - Braking forces, NO, 0, 0, NO,
1049, BEAM , UNILOAD, GX, NO , NO, aDir[1], , , , 0, -10, 1, -10, 0, 0, 0, 0, B - Braking forces, NO, 0, 0, NO,
1050, BEAM , UNILOAD, GX, NO , NO, aDir[1], , , , 0, -10, 1, -10, 0, 0, 0, 0, B - Braking forces, NO, 0, 0, NO,
1051, BEAM , UNILOAD, GX, NO , NO, aDir[1], , , , 0, -10, 1, -10, 0, 0, 0, 0, B - Braking forces, NO, 0, 0, NO,
1052, BEAM , UNILOAD, GX, NO , NO, aDir[1], , , , 0, -10, 1, -10, 0, 0, 0, 0, B - Braking forces, NO, 0, 0, NO,
1053, BEAM , UNILOAD, GX, NO , NO, aDir[1], , , , 0, -10, 1, -10, 0, 0, 0, 0, B - Braking forces, NO, 0, 0, NO,
1054, BEAM , UNILOAD, GX, NO , NO, aDir[1], , , , 0, -10, 1, -10, 0, 0, 0, 0, B - Braking forces, NO, 0, 0, NO,
1055, BEAM , UNILOAD, GX, NO , NO, aDir[1], , , , 0, -10, 1, -10, 0, 0, 0, 0, B - Braking forces, NO, 0, 0, NO,
1056, BEAM , UNILOAD, GX, NO , NO, aDir[1], , , , 0, -10, 1, -10, 0, 0, 0, 0, B - Braking forces, NO, 0, 0, NO,
1057, BEAM , UNILOAD, GX, NO , NO, aDir[1], , , , 0, -10, 1, -10, 0, 0, 0, 0, B - Braking forces, NO, 0, 0, NO,
1058, BEAM , UNILOAD, GX, NO , NO, aDir[1], , , , 0, -10, 1, -10, 0, 0, 0, 0, B - Braking forces, NO, 0, 0, NO,
1059, BEAM , UNILOAD, GX, NO , NO, aDir[1], , , , 0, -10, 1, -10, 0, 0, 0, 0, B - Braking forces, NO, 0, 0, NO,
1060, BEAM , UNILOAD, GX, NO , NO, aDir[1], , , , 0, -10, 1, -10, 0, 0, 0, 0, B - Braking forces, NO, 0, 0, NO,

; End of data for load case [B-X 2. track] ----------

*USE-STLD, W+Y

*CONLOAD ; Nodal Loads
; NODE_LIST, FX, FY, FZ, MX, MY, MZ, GROUP
2510, 0, 960, 0, 0, 0, 0, W
2514, 0, 2080, 0, 0, 0, 0, W
2518, 0, 2340, 0, 0, 0, 0, W
2522, 0, 2560, 0, 0, 0, 0, W
2526, 0, 2680, 0, 0, 0, 0, W
2530, 0, 2680, 0, 0, 0, 0, W
2534, 0, 2680, 0, 0, 0, 0, W
2538, 0, 2680, 0, 0, 0, 0, W
2542, 0, 2680, 0, 0, 0, 0, W
2546, 0, 2680, 0, 0, 0, 0, W
2550, 0, 2680, 0, 0, 0, 0, W
2554, 0, 2680, 0, 0, 0, 0, W
2558, 0, 2680, 0, 0, 0, 0, W
2562, 0, 2560, 0, 0, 0, 0, W
2566, 0, 2340, 0, 0, 0, 0, W
2570, 0, 2080, 0, 0, 0, 0, W

2574, 0, 960, 0, 0, 0, 0, W
2578, 0, 960, 0, 0, 0, 0, W
2582, 0, 2080, 0, 0, 0, 0, W
2586, 0, 2340, 0, 0, 0, 0, W
2590, 0, 2560, 0, 0, 0, 0, W
2594, 0, 2680, 0, 0, 0, 0, W
2598, 0, 2680, 0, 0, 0, 0, W
2602, 0, 2680, 0, 0, 0, 0, W
2606, 0, 2680, 0, 0, 0, 0, W
2610, 0, 2680, 0, 0, 0, 0, W
2614, 0, 2680, 0, 0, 0, 0, W
2618, 0, 2680, 0, 0, 0, 0, W
2622, 0, 2680, 0, 0, 0, 0, W
2626, 0, 2680, 0, 0, 0, 0, W
2630, 0, 2560, 0, 0, 0, 0, W
2634, 0, 2340, 0, 0, 0, 0, W
2638, 0, 2080, 0, 0, 0, 0, W
2642, 0, 960, 0, 0, 0, 0, W

*BEAMLOAD ; Element Beam Loads
; ELEM_LIST, CMD, TYPE, DIR, bPROJ, [ECCEN], [VALUE], GROUP
; ELEM_LIST, CMD, TYPE, TYPE, DIR, VX, VY, VZ, bPROJ, [ECCEN], [VALUE], GROUP
; [VALUE] : D1, P1, D2, P2, D3, P3, D4, P4
; [ECCEN] : bECCEN, ECCDIR, I-END, J-END, bJ-END
; [ADDITIONAL] : bADDITIONAL, ADDITIONAL_I-END, ADDITIONAL_J-END, bADDITIONAL_J-END
1, BEAM , UNILOAD, GY, NO , NO, aDir[1], , , , 0, 0.9, 1, 0.9, 0, 0, 0, 0, W, NO, 0, 0, NO,
2, BEAM , UNILOAD, GY, NO , NO, aDir[1], , , , 0, 0.9, 1, 0.9, 0, 0, 0, 0, W, NO, 0, 0, NO,
3, BEAM , UNILOAD, GY, NO , NO, aDir[1], , , , 0, 0.9, 1, 0.9, 0, 0, 0, 0, W, NO, 0, 0, NO,
4, BEAM , UNILOAD, GY, NO , NO, aDir[1], , , , 0, 0.9, 1, 0.9, 0, 0, 0, 0, W, NO, 0, 0, NO,
5, BEAM , UNILOAD, GY, NO , NO, aDir[1], , , , 0, 0.9, 1, 0.9, 0, 0, 0, 0, W, NO, 0, 0, NO,
6, BEAM , UNILOAD, GY, NO , NO, aDir[1], , , , 0, 0.9, 1, 0.9, 0, 0, 0, 0, W, NO, 0, 0, NO,
7, BEAM , UNILOAD, GY, NO , NO, aDir[1], , , , 0, 0.9, 1, 0.9, 0, 0, 0, 0, W, NO, 0, 0, NO,
8, BEAM , UNILOAD, GY, NO , NO, aDir[1], , , , 0, 0.9, 1, 0.9, 0, 0, 0, 0, W, NO, 0, 0, NO,
9, BEAM , UNILOAD, GY, NO , NO, aDir[1], , , , 0, 0.9, 1, 0.9, 0, 0, 0, 0, W, NO, 0, 0, NO,
10, BEAM , UNILOAD, GY, NO , NO, aDir[1], , , , 0, 0.9, 1, 0.9, 0, 0, 0, 0, W, NO, 0, 0, NO,
11, BEAM , UNILOAD, GY, NO , NO, aDir[1], , , , 0, 0.9, 1, 0.9, 0, 0, 0, 0, W, NO, 0, 0, NO,
12, BEAM , UNILOAD, GY, NO , NO, aDir[1], , , , 0, 0.9, 1, 0.9, 0, 0, 0, 0, W, NO, 0, 0, NO,
13, BEAM , UNILOAD, GY, NO , NO, aDir[1], , , , 0, 0.9, 1, 0.9, 0, 0, 0, 0, W, NO, 0, 0, NO,
14, BEAM , UNILOAD, GY, NO , NO, aDir[1], , , , 0, 0.9, 1, 0.9, 0, 0, 0, 0, W, NO, 0, 0, NO,
15, BEAM , UNILOAD, GY, NO , NO, aDir[1], , , , 0, 0.9, 1, 0.9, 0, 0, 0, 0, W, NO, 0, 0, NO,
16, BEAM , UNILOAD, GY, NO , NO, aDir[1], , , , 0, 0.9, 1, 0.9, 0, 0, 0, 0, W, NO, 0, 0, NO,
17, BEAM , UNILOAD, GY, NO , NO, aDir[1], , , , 0, 0.9, 1, 0.9, 0, 0, 0, 0, W, NO, 0, 0, NO,
18, BEAM , UNILOAD, GY, NO , NO, aDir[1], , , , 0, 0.9, 1, 0.9, 0, 0, 0, 0, W, NO, 0, 0, NO,
19, BEAM , UNILOAD, GY, NO , NO, aDir[1], , , , 0, 0.9, 1, 0.9, 0, 0, 0, 0, W, NO, 0, 0, NO,
20, BEAM , UNILOAD, GY, NO , NO, aDir[1], , , , 0, 0.9, 1, 0.9, 0, 0, 0, 0, W, NO, 0, 0, NO,
21, BEAM , UNILOAD, GY, NO , NO, aDir[1], , , , 0, 0.9, 1, 0.9, 0, 0, 0, 0, W, NO, 0, 0, NO,
22, BEAM , UNILOAD, GY, NO , NO, aDir[1], , , , 0, 0.9, 1, 0.9, 0, 0, 0, 0, W, NO, 0, 0, NO,
23, BEAM , UNILOAD, GY, NO , NO, aDir[1], , , , 0, 0.9, 1, 0.9, 0, 0, 0, 0, W, NO, 0, 0, NO,
24, BEAM , UNILOAD, GY, NO , NO, aDir[1], , , , 0, 0.9, 1, 0.9, 0, 0, 0, 0, W, NO, 0, 0, NO,
25, BEAM , UNILOAD, GY, NO , NO, aDir[1], , , , 0, 0.9, 1, 0.9, 0, 0, 0, 0, W, NO, 0, 0, NO,
26, BEAM , UNILOAD, GY, NO , NO, aDir[1], , , , 0, 0.9, 1, 0.9, 0, 0, 0, 0, W, NO, 0, 0, NO,
27, BEAM , UNILOAD, GY, NO , NO, aDir[1], , , , 0, 0.9, 1, 0.9, 0, 0, 0, 0, W, NO, 0, 0, NO,
28, BEAM , UNILOAD, GY, NO , NO, aDir[1], , , , 0, 0.9, 1, 0.9, 0, 0, 0, 0, W, NO, 0, 0, NO,
29, BEAM , UNILOAD, GY, NO , NO, aDir[1], , , , 0, 0.9, 1, 0.9, 0, 0, 0, 0, W, NO, 0, 0, NO,
30, BEAM , UNILOAD, GY, NO , NO, aDir[1], , , , 0, 0.9, 1, 0.9, 0, 0, 0, 0, W, NO, 0, 0, NO,
31, BEAM , UNILOAD, GY, NO , NO, aDir[1], , , , 0, 0.9, 1, 0.9, 0, 0, 0, 0, W, NO, 0, 0, NO,
32, BEAM , UNILOAD, GY, NO , NO, aDir[1], , , , 0, 0.9, 1, 0.9, 0, 0, 0, 0, W, NO, 0, 0, NO,
33, BEAM , UNILOAD, GY, NO , NO, aDir[1], , , , 0, 0.9, 1, 0.9, 0, 0, 0, 0, W, NO, 0, 0, NO,
34, BEAM , UNILOAD, GY, NO , NO, aDir[1], , , , 0, 0.9, 1, 0.9, 0, 0, 0, 0, W, NO, 0, 0, NO,
35, BEAM , UNILOAD, GY, NO , NO, aDir[1], , , , 0, 0.9, 1, 0.9, 0, 0, 0, 0, W, NO, 0, 0, NO,
36, BEAM , UNILOAD, GY, NO , NO, aDir[1], , , , 0, 0.9, 1, 0.9, 0, 0, 0, 0, W, NO, 0, 0, NO,
37, BEAM , UNILOAD, GY, NO , NO, aDir[1], , , , 0, 0.9, 1, 0.9, 0, 0, 0, 0, W, NO, 0, 0, NO,
38, BEAM , UNILOAD, GY, NO , NO, aDir[1], , , , 0, 0.9, 1, 0.9, 0, 0, 0, 0, W, NO, 0, 0, NO,
39, BEAM , UNILOAD, GY, NO , NO, aDir[1], , , , 0, 0.9, 1, 0.9, 0, 0, 0, 0, W, NO, 0, 0, NO,
40, BEAM , UNILOAD, GY, NO , NO, aDir[1], , , , 0, 0.9, 1, 0.9, 0, 0, 0, 0, W, NO, 0, 0, NO,
41, BEAM , UNILOAD, GY, NO , NO, aDir[1], , , , 0, 0.9, 1, 0.9, 0, 0, 0, 0, W, NO, 0, 0, NO,
42, BEAM , UNILOAD, GY, NO , NO, aDir[1], , , , 0, 0.9, 1, 0.9, 0, 0, 0, 0, W, NO, 0, 0, NO,
43, BEAM , UNILOAD, GY, NO , NO, aDir[1], , , , 0, 0.9, 1, 0.9, 0, 0, 0, 0, W, NO, 0, 0, NO,
44, BEAM , UNILOAD, GY, NO , NO, aDir[1], , , , 0, 0.9, 1, 0.9, 0, 0, 0, 0, W, NO, 0, 0, NO,
45, BEAM , UNILOAD, GY, NO , NO, aDir[1], , , , 0, 0.9, 1, 0.9, 0, 0, 0, 0, W, NO, 0, 0, NO,
46, BEAM , UNILOAD, GY, NO , NO, aDir[1], , , , 0, 0.9, 1, 0.9, 0, 0, 0, 0, W, NO, 0, 0, NO,
47, BEAM , UNILOAD, GY, NO , NO, aDir[1], , , , 0, 0.9, 1, 0.9, 0, 0, 0, 0, W, NO, 0, 0, NO,

PROJECT TITLE :

MIDAS	Company		Client	
	Author		File Name	H2D_3Dg_v14_180227_StatLM.mct

48, BEAM , UNILOAD, GY, NO , NO, aDir[1], , , , 0, 0.9, 1, 0.9, 0, 0, 0, 0, W, NO, 0, 0, NO,
49, BEAM , UNILOAD, GY, NO , NO, aDir[1], , , , 0, 0.9, 1, 0.9, 0, 0, 0, 0, W, NO, 0, 0, NO,
50, BEAM , UNILOAD, GY, NO , NO, aDir[1], , , , 0, 0.9, 1, 0.9, 0, 0, 0, 0, W, NO, 0, 0, NO,
51, BEAM , UNILOAD, GY, NO , NO, aDir[1], , , , 0, 0.9, 1, 0.9, 0, 0, 0, 0, W, NO, 0, 0, NO,
52, BEAM , UNILOAD, GY, NO , NO, aDir[1], , , , 0, 0.9, 1, 0.9, 0, 0, 0, 0, W, NO, 0, 0, NO,
53, BEAM , UNILOAD, GY, NO , NO, aDir[1], , , , 0, 0.9, 1, 0.9, 0, 0, 0, 0, W, NO, 0, 0, NO,
54, BEAM , UNILOAD, GY, NO , NO, aDir[1], , , , 0, 0.9, 1, 0.9, 0, 0, 0, 0, W, NO, 0, 0, NO,
55, BEAM , UNILOAD, GY, NO , NO, aDir[1], , , , 0, 0.9, 1, 0.9, 0, 0, 0, 0, W, NO, 0, 0, NO,
56, BEAM , UNILOAD, GY, NO , NO, aDir[1], , , , 0, 0.9, 1, 0.9, 0, 0, 0, 0, W, NO, 0, 0, NO,
57, BEAM , UNILOAD, GY, NO , NO, aDir[1], , , , 0, 0.9, 1, 0.9, 0, 0, 0, 0, W, NO, 0, 0, NO,
58, BEAM , UNILOAD, GY, NO , NO, aDir[1], , , , 0, 0.9, 1, 0.9, 0, 0, 0, 0, W, NO, 0, 0, NO,
59, BEAM , UNILOAD, GY, NO , NO, aDir[1], , , , 0, 0.9, 1, 0.9, 0, 0, 0, 0, W, NO, 0, 0, NO,
60, BEAM , UNILOAD, GY, NO , NO, aDir[1], , , , 0, 0.9, 1, 0.9, 0, 0, 0, 0, W, NO, 0, 0, NO,
61, BEAM , UNILOAD, GY, NO , NO, aDir[1], , , , 0, 0.9, 1, 0.9, 0, 0, 0, 0, W, NO, 0, 0, NO,
62, BEAM , UNILOAD, GY, NO , NO, aDir[1], , , , 0, 0.9, 1, 0.9, 0, 0, 0, 0, W, NO, 0, 0, NO,
63, BEAM , UNILOAD, GY, NO , NO, aDir[1], , , , 0, 0.9, 1, 0.9, 0, 0, 0, 0, W, NO, 0, 0, NO,
64, BEAM , UNILOAD, GY, NO , NO, aDir[1], , , , 0, 0.9, 1, 0.9, 0, 0, 0, 0, W, NO, 0, 0, NO,
65, BEAM , UNILOAD, GY, NO , NO, aDir[1], , , , 0, 0.9, 1, 0.9, 0, 0, 0, 0, W, NO, 0, 0, NO,
66, BEAM , UNILOAD, GY, NO , NO, aDir[1], , , , 0, 0.9, 1, 0.9, 0, 0, 0, 0, W, NO, 0, 0, NO,
67, BEAM , UNILOAD, GY, NO , NO, aDir[1], , , , 0, 0.9, 1, 0.9, 0, 0, 0, 0, W, NO, 0, 0, NO,
68, BEAM , UNILOAD, GY, NO , NO, aDir[1], , , , 0, 0.9, 1, 0.9, 0, 0, 0, 0, W, NO, 0, 0, NO,
69, BEAM , UNILOAD, GY, NO , NO, aDir[1], , , , 0, 0.575, 1, 0.575, 0, 0, 0, 0, W, NO, 0, 0, NO,
70, BEAM , UNILOAD, GY, NO , NO, aDir[1], , , , 0, 0.575, 1, 0.575, 0, 0, 0, 0, W, NO, 0, 0, NO,
71, BEAM , UNILOAD, GY, NO , NO, aDir[1], , , , 0, 0.575, 1, 0.575, 0, 0, 0, 0, W, NO, 0, 0, NO,
72, BEAM , UNILOAD, GY, NO , NO, aDir[1], , , , 0, 0.575, 1, 0.575, 0, 0, 0, 0, W, NO, 0, 0, NO,
73, BEAM , UNILOAD, GY, NO , NO, aDir[1], , , , 0, 0.575, 1, 0.575, 0, 0, 0, 0, W, NO, 0, 0, NO,
74, BEAM , UNILOAD, GY, NO , NO, aDir[1], , , , 0, 0.575, 1, 0.575, 0, 0, 0, 0, W, NO, 0, 0, NO,
75, BEAM , UNILOAD, GY, NO , NO, aDir[1], , , , 0, 0.575, 1, 0.575, 0, 0, 0, 0, W, NO, 0, 0, NO,
76, BEAM , UNILOAD, GY, NO , NO, aDir[1], , , , 0, 0.575, 1, 0.575, 0, 0, 0, 0, W, NO, 0, 0, NO,
77, BEAM , UNILOAD, GY, NO , NO, aDir[1], , , , 0, 0.575, 1, 0.575, 0, 0, 0, 0, W, NO, 0, 0, NO,
78, BEAM , UNILOAD, GY, NO , NO, aDir[1], , , , 0, 0.575, 1, 0.575, 0, 0, 0, 0, W, NO, 0, 0, NO,
79, BEAM , UNILOAD, GY, NO , NO, aDir[1], , , , 0, 0.575, 1, 0.575, 0, 0, 0, 0, W, NO, 0, 0, NO,
80, BEAM , UNILOAD, GY, NO , NO, aDir[1], , , , 0, 0.575, 1, 0.575, 0, 0, 0, 0, W, NO, 0, 0, NO,
81, BEAM , UNILOAD, GY, NO , NO, aDir[1], , , , 0, 0.575, 1, 0.575, 0, 0, 0, 0, W, NO, 0, 0, NO,
82, BEAM , UNILOAD, GY, NO , NO, aDir[1], , , , 0, 0.575, 1, 0.575, 0, 0, 0, 0, W, NO, 0, 0, NO,
83, BEAM , UNILOAD, GY, NO , NO, aDir[1], , , , 0, 0.575, 1, 0.575, 0, 0, 0, 0, W, NO, 0, 0, NO,
84, BEAM , UNILOAD, GY, NO , NO, aDir[1], , , , 0, 0.575, 1, 0.575, 0, 0, 0, 0, W, NO, 0, 0, NO,
85, BEAM , UNILOAD, GY, NO , NO, aDir[1], , , , 0, 0.575, 1, 0.575, 0, 0, 0, 0, W, NO, 0, 0, NO,
86, BEAM , UNILOAD, GY, NO , NO, aDir[1], , , , 0, 0.575, 1, 0.575, 0, 0, 0, 0, W, NO, 0, 0, NO,
87, BEAM , UNILOAD, GY, NO , NO, aDir[1], , , , 0, 0.575, 1, 0.575, 0, 0, 0, 0, W, NO, 0, 0, NO,
88, BEAM , UNILOAD, GY, NO , NO, aDir[1], , , , 0, 0.575, 1, 0.575, 0, 0, 0, 0, W, NO, 0, 0, NO,
89, BEAM , UNILOAD, GY, NO , NO, aDir[1], , , , 0, 0.575, 1, 0.575, 0, 0, 0, 0, W, NO, 0, 0, NO,
90, BEAM , UNILOAD, GY, NO , NO, aDir[1], , , , 0, 0.575, 1, 0.575, 0, 0, 0, 0, W, NO, 0, 0, NO,
91, BEAM , UNILOAD, GY, NO , NO, aDir[1], , , , 0, 0.575, 1, 0.575, 0, 0, 0, 0, W, NO, 0, 0, NO,
92, BEAM , UNILOAD, GY, NO , NO, aDir[1], , , , 0, 0.575, 1, 0.575, 0, 0, 0, 0, W, NO, 0, 0, NO,
93, BEAM , UNILOAD, GY, NO , NO, aDir[1], , , , 0, 0.575, 1, 0.575, 0, 0, 0, 0, W, NO, 0, 0, NO,
94, BEAM , UNILOAD, GY, NO , NO, aDir[1], , , , 0, 0.575, 1, 0.575, 0, 0, 0, 0, W, NO, 0, 0, NO,
95, BEAM , UNILOAD, GY, NO , NO, aDir[1], , , , 0, 0.575, 1, 0.575, 0, 0, 0, 0, W, NO, 0, 0, NO,
96, BEAM , UNILOAD, GY, NO , NO, aDir[1], , , , 0, 0.575, 1, 0.575, 0, 0, 0, 0, W, NO, 0, 0, NO,
97, BEAM , UNILOAD, GY, NO , NO, aDir[1], , , , 0, 0.575, 1, 0.575, 0, 0, 0, 0, W, NO, 0, 0, NO,
98, BEAM , UNILOAD, GY, NO , NO, aDir[1], , , , 0, 0.575, 1, 0.575, 0, 0, 0, 0, W, NO, 0, 0, NO,
99, BEAM , UNILOAD, GY, NO , NO, aDir[1], , , , 0, 0.575, 1, 0.575, 0, 0, 0, 0, W, NO, 0, 0, NO,
100, BEAM , UNILOAD, GY, NO , NO, aDir[1], , , , 0, 0.575, 1, 0.575, 0, 0, 0, 0, W, NO, 0, 0, NO,
101, BEAM , UNILOAD, GY, NO , NO, aDir[1], , , , 0, 0.575, 1, 0.575, 0, 0, 0, 0, W, NO, 0, 0, NO,
102, BEAM , UNILOAD, GY, NO , NO, aDir[1], , , , 0, 0.575, 1, 0.575, 0, 0, 0, 0, W, NO, 0, 0, NO,
103, BEAM , UNILOAD, GY, NO , NO, aDir[1], , , , 0, 0.575, 1, 0.575, 0, 0, 0, 0, W, NO, 0, 0, NO,
104, BEAM , UNILOAD, GY, NO , NO, aDir[1], , , , 0, 0.575, 1, 0.575, 0, 0, 0, 0, W, NO, 0, 0, NO,
105, BEAM , UNILOAD, GY, NO , NO, aDir[1], , , , 0, 0.575, 1, 0.575, 0, 0, 0, 0, W, NO, 0, 0, NO,
106, BEAM , UNILOAD, GY, NO , NO, aDir[1], , , , 0, 0.575, 1, 0.575, 0, 0, 0, 0, W, NO, 0, 0, NO,
107, BEAM , UNILOAD, GY, NO , NO, aDir[1], , , , 0, 0.575, 1, 0.575, 0, 0, 0, 0, W, NO, 0, 0, NO,
108, BEAM , UNILOAD, GY, NO , NO, aDir[1], , , , 0, 0.575, 1, 0.575, 0, 0, 0, 0, W, NO, 0, 0, NO,
109, BEAM , UNILOAD, GY, NO , NO, aDir[1], , , , 0, 0.575, 1, 0.575, 0, 0, 0, 0, W, NO, 0, 0, NO,
110, BEAM , UNILOAD, GY, NO , NO, aDir[1], , , , 0, 0.575, 1, 0.575, 0, 0, 0, 0, W, NO, 0, 0, NO,
111, BEAM , UNILOAD, GY, NO , NO, aDir[1], , , , 0, 0.575, 1, 0.575, 0, 0, 0, 0, W, NO, 0, 0, NO,
112, BEAM , UNILOAD, GY, NO , NO, aDir[1], , , , 0, 0.575, 1, 0.575, 0, 0, 0, 0, W, NO, 0, 0, NO,
113, BEAM , UNILOAD, GY, NO , NO, aDir[1], , , , 0, 0.575, 1, 0.575, 0, 0, 0, 0, W, NO, 0, 0, NO,
114, BEAM , UNILOAD, GY, NO , NO, aDir[1], , , , 0, 0.575, 1, 0.575, 0, 0, 0, 0, W, NO, 0, 0, NO,
115, BEAM , UNILOAD, GY, NO , NO, aDir[1], , , , 0, 0.575, 1, 0.575, 0, 0, 0, 0, W, NO, 0, 0, NO,
116, BEAM , UNILOAD, GY, NO , NO, aDir[1], , , , 0, 0.575, 1, 0.575, 0, 0, 0, 0, W, NO, 0, 0, NO,
117, BEAM , UNILOAD, GY, NO , NO, aDir[1], , , , 0, 0.575, 1, 0.575, 0, 0, 0, 0, W, NO, 0, 0, NO,
118, BEAM , UNILOAD, GY, NO , NO, aDir[1], , , , 0, 0.575, 1, 0.575, 0, 0, 0, 0, W, NO, 0, 0, NO,
119, BEAM , UNILOAD, GY, NO , NO, aDir[1], , , , 0, 0.575, 1, 0.575, 0, 0, 0, 0, W, NO, 0, 0, NO,

PROJECT TITLE :

MIDAS	Company		Client	
	Author		File Name	H2D_3Dg_v14_180227_StatLM.mct

120, BEAM , UNILOAD, GY, NO , NO, aDir[1], , , , 0, 0.575, 1, 0.575, 0, 0, 0, 0, W, NO, 0, 0, NO,
121, BEAM , UNILOAD, GY, NO , NO, aDir[1], , , , 0, 0.575, 1, 0.575, 0, 0, 0, 0, W, NO, 0, 0, NO,
122, BEAM , UNILOAD, GY, NO , NO, aDir[1], , , , 0, 0.575, 1, 0.575, 0, 0, 0, 0, W, NO, 0, 0, NO,
123, BEAM , UNILOAD, GY, NO , NO, aDir[1], , , , 0, 0.575, 1, 0.575, 0, 0, 0, 0, W, NO, 0, 0, NO,
124, BEAM , UNILOAD, GY, NO , NO, aDir[1], , , , 0, 0.575, 1, 0.575, 0, 0, 0, 0, W, NO, 0, 0, NO,
125, BEAM , UNILOAD, GY, NO , NO, aDir[1], , , , 0, 0.575, 1, 0.575, 0, 0, 0, 0, W, NO, 0, 0, NO,
126, BEAM , UNILOAD, GY, NO , NO, aDir[1], , , , 0, 0.575, 1, 0.575, 0, 0, 0, 0, W, NO, 0, 0, NO,
127, BEAM , UNILOAD, GY, NO , NO, aDir[1], , , , 0, 0.575, 1, 0.575, 0, 0, 0, 0, W, NO, 0, 0, NO,
128, BEAM , UNILOAD, GY, NO , NO, aDir[1], , , , 0, 0.575, 1, 0.575, 0, 0, 0, 0, W, NO, 0, 0, NO,
129, BEAM , UNILOAD, GY, NO , NO, aDir[1], , , , 0, 0.575, 1, 0.575, 0, 0, 0, 0, W, NO, 0, 0, NO,
130, BEAM , UNILOAD, GY, NO , NO, aDir[1], , , , 0, 0.575, 1, 0.575, 0, 0, 0, 0, W, NO, 0, 0, NO,
131, BEAM , UNILOAD, GY, NO , NO, aDir[1], , , , 0, 0.575, 1, 0.575, 0, 0, 0, 0, W, NO, 0, 0, NO,
132, BEAM , UNILOAD, GY, NO , NO, aDir[1], , , , 0, 0.575, 1, 0.575, 0, 0, 0, 0, W, NO, 0, 0, NO,
133, BEAM , UNILOAD, GY, NO , NO, aDir[1], , , , 0, 0.575, 1, 0.575, 0, 0, 0, 0, W, NO, 0, 0, NO,
134, BEAM , UNILOAD, GY, NO , NO, aDir[1], , , , 0, 0.575, 1, 0.575, 0, 0, 0, 0, W, NO, 0, 0, NO,
135, BEAM , UNILOAD, GY, NO , NO, aDir[1], , , , 0, 0.575, 1, 0.575, 0, 0, 0, 0, W, NO, 0, 0, NO,
136, BEAM , UNILOAD, GY, NO , NO, aDir[1], , , , 0, 0.575, 1, 0.575, 0, 0, 0, 0, W, NO, 0, 0, NO,
137, BEAM , UNILOAD, GY, NO , NO, aDir[1], , , , 0, 0.575, 1, 0.575, 0, 0, 0, 0, W, NO, 0, 0, NO,
138, BEAM , UNILOAD, GY, NO , NO, aDir[1], , , , 0, 0.575, 1, 0.575, 0, 0, 0, 0, W, NO, 0, 0, NO,
139, BEAM , UNILOAD, GY, NO , NO, aDir[1], , , , 0, 0.575, 1, 0.575, 0, 0, 0, 0, W, NO, 0, 0, NO,
140, BEAM , UNILOAD, GY, NO , NO, aDir[1], , , , 0, 0.575, 1, 0.575, 0, 0, 0, 0, W, NO, 0, 0, NO,
141, BEAM , UNILOAD, GY, NO , NO, aDir[1], , , , 0, 0.575, 1, 0.575, 0, 0, 0, 0, W, NO, 0, 0, NO,
142, BEAM , UNILOAD, GY, NO , NO, aDir[1], , , , 0, 0.575, 1, 0.575, 0, 0, 0, 0, W, NO, 0, 0, NO,
143, BEAM , UNILOAD, GY, NO , NO, aDir[1], , , , 0, 0.575, 1, 0.575, 0, 0, 0, 0, W, NO, 0, 0, NO,
144, BEAM , UNILOAD, GY, NO , NO, aDir[1], , , , 0, 0.575, 1, 0.575, 0, 0, 0, 0, W, NO, 0, 0, NO,
145, BEAM , UNILOAD, GY, NO , NO, aDir[1], , , , 0, 0.575, 1, 0.575, 0, 0, 0, 0, W, NO, 0, 0, NO,
146, BEAM , UNILOAD, GY, NO , NO, aDir[1], , , , 0, 0.575, 1, 0.575, 0, 0, 0, 0, W, NO, 0, 0, NO,
147, BEAM , UNILOAD, GY, NO , NO, aDir[1], , , , 0, 0.575, 1, 0.575, 0, 0, 0, 0, W, NO, 0, 0, NO,
148, BEAM , UNILOAD, GY, NO , NO, aDir[1], , , , 0, 0.575, 1, 0.575, 0, 0, 0, 0, W, NO, 0, 0, NO,
149, BEAM , UNILOAD, GY, NO , NO, aDir[1], , , , 0, 0.575, 1, 0.575, 0, 0, 0, 0, W, NO, 0, 0, NO,
150, BEAM , UNILOAD, GY, NO , NO, aDir[1], , , , 0, 0.575, 1, 0.575, 0, 0, 0, 0, W, NO, 0, 0, NO,
151, BEAM , UNILOAD, GY, NO , NO, aDir[1], , , , 0, 0.575, 1, 0.575, 0, 0, 0, 0, W, NO, 0, 0, NO,
152, BEAM , UNILOAD, GY, NO , NO, aDir[1], , , , 0, 0.575, 1, 0.575, 0, 0, 0, 0, W, NO, 0, 0, NO,
153, BEAM , UNILOAD, GY, NO , NO, aDir[1], , , , 0, 0.575, 1, 0.575, 0, 0, 0, 0, W, NO, 0, 0, NO,
154, BEAM , UNILOAD, GY, NO , NO, aDir[1], , , , 0, 0.575, 1, 0.575, 0, 0, 0, 0, W, NO, 0, 0, NO,
155, BEAM , UNILOAD, GY, NO , NO, aDir[1], , , , 0, 0.575, 1, 0.575, 0, 0, 0, 0, W, NO, 0, 0, NO,
156, BEAM , UNILOAD, GY, NO , NO, aDir[1], , , , 0, 0.575, 1, 0.575, 0, 0, 0, 0, W, NO, 0, 0, NO,
157, BEAM , UNILOAD, GY, NO , NO, aDir[1], , , , 0, 0.575, 1, 0.575, 0, 0, 0, 0, W, NO, 0, 0, NO,
158, BEAM , UNILOAD, GY, NO , NO, aDir[1], , , , 0, 0.575, 1, 0.575, 0, 0, 0, 0, W, NO, 0, 0, NO,
159, BEAM , UNILOAD, GY, NO , NO, aDir[1], , , , 0, 0.575, 1, 0.575, 0, 0, 0, 0, W, NO, 0, 0, NO,
160, BEAM , UNILOAD, GY, NO , NO, aDir[1], , , , 0, 0.575, 1, 0.575, 0, 0, 0, 0, W, NO, 0, 0, NO,
161, BEAM , UNILOAD, GY, NO , NO, aDir[1], , , , 0, 0.575, 1, 0.575, 0, 0, 0, 0, W, NO, 0, 0, NO,
162, BEAM , UNILOAD, GY, NO , NO, aDir[1], , , , 0, 0.575, 1, 0.575, 0, 0, 0, 0, W, NO, 0, 0, NO,
163, BEAM , UNILOAD, GY, NO , NO, aDir[1], , , , 0, 0.575, 1, 0.575, 0, 0, 0, 0, W, NO, 0, 0, NO,
164, BEAM , UNILOAD, GY, NO , NO, aDir[1], , , , 0, 0.575, 1, 0.575, 0, 0, 0, 0, W, NO, 0, 0, NO,
165, BEAM , UNILOAD, GY, NO , NO, aDir[1], , , , 0, 0.575, 1, 0.575, 0, 0, 0, 0, W, NO, 0, 0, NO,
166, BEAM , UNILOAD, GY, NO , NO, aDir[1], , , , 0, 0.575, 1, 0.575, 0, 0, 0, 0, W, NO, 0, 0, NO,
167, BEAM , UNILOAD, GY, NO , NO, aDir[1], , , , 0, 0.575, 1, 0.575, 0, 0, 0, 0, W, NO, 0, 0, NO,
168, BEAM , UNILOAD, GY, NO , NO, aDir[1], , , , 0, 0.575, 1, 0.575, 0, 0, 0, 0, W, NO, 0, 0, NO,
169, BEAM , UNILOAD, GY, NO , NO, aDir[1], , , , 0, 0.62, 1, 0.62, 0, 0, 0, 0, W, NO, 0, 0, NO,
170, BEAM , UNILOAD, GY, NO , NO, aDir[1], , , , 0, 0.62, 1, 0.62, 0, 0, 0, 0, W, NO, 0, 0, NO,
171, BEAM , UNILOAD, GY, NO , NO, aDir[1], , , , 0, 0.62, 1, 0.62, 0, 0, 0, 0, W, NO, 0, 0, NO,
172, BEAM , UNILOAD, GY, NO , NO, aDir[1], , , , 0, 0.62, 1, 0.62, 0, 0, 0, 0, W, NO, 0, 0, NO,
173, BEAM , UNILOAD, GY, NO , NO, aDir[1], , , , 0, 0.62, 1, 0.62, 0, 0, 0, 0, W, NO, 0, 0, NO,
174, BEAM , UNILOAD, GY, NO , NO, aDir[1], , , , 0, 0.62, 1, 0.62, 0, 0, 0, 0, W, NO, 0, 0, NO,
175, BEAM , UNILOAD, GY, NO , NO, aDir[1], , , , 0, 0.62, 1, 0.62, 0, 0, 0, 0, W, NO, 0, 0, NO,
176, BEAM , UNILOAD, GY, NO , NO, aDir[1], , , , 0, 0.62, 1, 0.62, 0, 0, 0, 0, W, NO, 0, 0, NO,
177, BEAM , UNILOAD, GY, NO , NO, aDir[1], , , , 0, 0.62, 1, 0.62, 0, 0, 0, 0, W, NO, 0, 0, NO,
178, BEAM , UNILOAD, GY, NO , NO, aDir[1], , , , 0, 0.62, 1, 0.62, 0, 0, 0, 0, W, NO, 0, 0, NO,
179, BEAM , UNILOAD, GY, NO , NO, aDir[1], , , , 0, 0.62, 1, 0.62, 0, 0, 0, 0, W, NO, 0, 0, NO,
180, BEAM , UNILOAD, GY, NO , NO, aDir[1], , , , 0, 0.62, 1, 0.62, 0, 0, 0, 0, W, NO, 0, 0, NO,
181, BEAM , UNILOAD, GY, NO , NO, aDir[1], , , , 0, 0.62, 1, 0.62, 0, 0, 0, 0, W, NO, 0, 0, NO,
182, BEAM , UNILOAD, GY, NO , NO, aDir[1], , , , 0, 0.46, 1, 0.46, 0, 0, 0, 0, W, NO, 0, 0, NO,
183, BEAM , UNILOAD, GY, NO , NO, aDir[1], , , , 0, 0.62, 1, 0.62, 0, 0, 0, 0, W, NO, 0, 0, NO,
184, BEAM , UNILOAD, GY, NO , NO, aDir[1], , , , 0, 0.46, 1, 0.46, 0, 0, 0, 0, W, NO, 0, 0, NO,
185, BEAM , UNILOAD, GY, NO , NO, aDir[1], , , , 0, 0.62, 1, 0.62, 0, 0, 0, 0, W, NO, 0, 0, NO,
186, BEAM , UNILOAD, GY, NO , NO, aDir[1], , , , 0, 0.46, 1, 0.46, 0, 0, 0, 0, W, NO, 0, 0, NO,
187, BEAM , UNILOAD, GY, NO , NO, aDir[1], , , , 0, 0.46, 1, 0.46, 0, 0, 0, 0, W, NO, 0, 0, NO,
188, BEAM , UNILOAD, GY, NO , NO, aDir[1], , , , 0, 0.46, 1, 0.46, 0, 0, 0, 0, W, NO, 0, 0, NO,
189, BEAM , UNILOAD, GY, NO , NO, aDir[1], , , , 0, 0.46, 1, 0.46, 0, 0, 0, 0, W, NO, 0, 0, NO,
190, BEAM , UNILOAD, GY, NO , NO, aDir[1], , , , 0, 0.46, 1, 0.46, 0, 0, 0, 0, W, NO, 0, 0, NO,
191, BEAM , UNILOAD, GY, NO , NO, aDir[1], , , , 0, 0.46, 1, 0.46, 0, 0, 0, 0, W, NO, 0, 0, NO,

PROJECT TITLE :

MIDAS	Company		Client	
	Author		File Name	H2D_3Dg_v14_180227_StatLM.mct

192, BEAM , UNILOAD, GY, NO , NO, aDir[1], , , , 0, 0.46, 1, 0.46, 0, 0, 0, 0, W, NO, 0, 0, NO,
193, BEAM , UNILOAD, GY, NO , NO, aDir[1], , , , 0, 0.46, 1, 0.46, 0, 0, 0, 0, W, NO, 0, 0, NO,
194, BEAM , UNILOAD, GY, NO , NO, aDir[1], , , , 0, 0.46, 1, 0.46, 0, 0, 0, 0, W, NO, 0, 0, NO,
195, BEAM , UNILOAD, GY, NO , NO, aDir[1], , , , 0, 0.46, 1, 0.46, 0, 0, 0, 0, W, NO, 0, 0, NO,
196, BEAM , UNILOAD, GY, NO , NO, aDir[1], , , , 0, 0.46, 1, 0.46, 0, 0, 0, 0, W, NO, 0, 0, NO,
197, BEAM , UNILOAD, GY, NO , NO, aDir[1], , , , 0, 0.46, 1, 0.46, 0, 0, 0, 0, W, NO, 0, 0, NO,
198, BEAM , UNILOAD, GY, NO , NO, aDir[1], , , , 0, 0.46, 1, 0.46, 0, 0, 0, 0, W, NO, 0, 0, NO,
199, BEAM , UNILOAD, GY, NO , NO, aDir[1], , , , 0, 0.46, 1, 0.46, 0, 0, 0, 0, W, NO, 0, 0, NO,
200, BEAM , UNILOAD, GY, NO , NO, aDir[1], , , , 0, 0.46, 1, 0.46, 0, 0, 0, 0, W, NO, 0, 0, NO,
201, BEAM , UNILOAD, GY, NO , NO, aDir[1], , , , 0, 0.46, 1, 0.46, 0, 0, 0, 0, W, NO, 0, 0, NO,
202, BEAM , UNILOAD, GY, NO , NO, aDir[1], , , , 0, 0.46, 1, 0.46, 0, 0, 0, 0, W, NO, 0, 0, NO,
203, BEAM , UNILOAD, GY, NO , NO, aDir[1], , , , 0, 0.46, 1, 0.46, 0, 0, 0, 0, W, NO, 0, 0, NO,
204, BEAM , UNILOAD, GY, NO , NO, aDir[1], , , , 0, 0.46, 1, 0.46, 0, 0, 0, 0, W, NO, 0, 0, NO,
205, BEAM , UNILOAD, GY, NO , NO, aDir[1], , , , 0, 0.46, 1, 0.46, 0, 0, 0, 0, W, NO, 0, 0, NO,
206, BEAM , UNILOAD, GY, NO , NO, aDir[1], , , , 0, 0.46, 1, 0.46, 0, 0, 0, 0, W, NO, 0, 0, NO,
207, BEAM , UNILOAD, GY, NO , NO, aDir[1], , , , 0, 0.46, 1, 0.46, 0, 0, 0, 0, W, NO, 0, 0, NO,
208, BEAM , UNILOAD, GY, NO , NO, aDir[1], , , , 0, 0.46, 1, 0.46, 0, 0, 0, 0, W, NO, 0, 0, NO,
209, BEAM , UNILOAD, GY, NO , NO, aDir[1], , , , 0, 0.46, 1, 0.46, 0, 0, 0, 0, W, NO, 0, 0, NO,
210, BEAM , UNILOAD, GY, NO , NO, aDir[1], , , , 0, 0.46, 1, 0.46, 0, 0, 0, 0, W, NO, 0, 0, NO,
211, BEAM , UNILOAD, GY, NO , NO, aDir[1], , , , 0, 0.46, 1, 0.46, 0, 0, 0, 0, W, NO, 0, 0, NO,
212, BEAM , UNILOAD, GY, NO , NO, aDir[1], , , , 0, 0.46, 1, 0.46, 0, 0, 0, 0, W, NO, 0, 0, NO,
213, BEAM , UNILOAD, GY, NO , NO, aDir[1], , , , 0, 0.46, 1, 0.46, 0, 0, 0, 0, W, NO, 0, 0, NO,
214, BEAM , UNILOAD, GY, NO , NO, aDir[1], , , , 0, 0.46, 1, 0.46, 0, 0, 0, 0, W, NO, 0, 0, NO,
215, BEAM , UNILOAD, GY, NO , NO, aDir[1], , , , 0, 0.46, 1, 0.46, 0, 0, 0, 0, W, NO, 0, 0, NO,
216, BEAM , UNILOAD, GY, NO , NO, aDir[1], , , , 0, 0.46, 1, 0.46, 0, 0, 0, 0, W, NO, 0, 0, NO,
217, BEAM , UNILOAD, GY, NO , NO, aDir[1], , , , 0, 0.46, 1, 0.46, 0, 0, 0, 0, W, NO, 0, 0, NO,
218, BEAM , UNILOAD, GY, NO , NO, aDir[1], , , , 0, 0.46, 1, 0.46, 0, 0, 0, 0, W, NO, 0, 0, NO,
219, BEAM , UNILOAD, GY, NO , NO, aDir[1], , , , 0, 0.46, 1, 0.46, 0, 0, 0, 0, W, NO, 0, 0, NO,
220, BEAM , UNILOAD, GY, NO , NO, aDir[1], , , , 0, 0.46, 1, 0.46, 0, 0, 0, 0, W, NO, 0, 0, NO,
221, BEAM , UNILOAD, GY, NO , NO, aDir[1], , , , 0, 0.46, 1, 0.46, 0, 0, 0, 0, W, NO, 0, 0, NO,
222, BEAM , UNILOAD, GY, NO , NO, aDir[1], , , , 0, 0.46, 1, 0.46, 0, 0, 0, 0, W, NO, 0, 0, NO,
223, BEAM , UNILOAD, GY, NO , NO, aDir[1], , , , 0, 0.46, 1, 0.46, 0, 0, 0, 0, W, NO, 0, 0, NO,
224, BEAM , UNILOAD, GY, NO , NO, aDir[1], , , , 0, 0.46, 1, 0.46, 0, 0, 0, 0, W, NO, 0, 0, NO,
225, BEAM , UNILOAD, GY, NO , NO, aDir[1], , , , 0, 0.46, 1, 0.46, 0, 0, 0, 0, W, NO, 0, 0, NO,
226, BEAM , UNILOAD, GY, NO , NO, aDir[1], , , , 0, 0.46, 1, 0.46, 0, 0, 0, 0, W, NO, 0, 0, NO,
227, BEAM , UNILOAD, GY, NO , NO, aDir[1], , , , 0, 0.46, 1, 0.46, 0, 0, 0, 0, W, NO, 0, 0, NO,
228, BEAM , UNILOAD, GY, NO , NO, aDir[1], , , , 0, 0.46, 1, 0.46, 0, 0, 0, 0, W, NO, 0, 0, NO,
229, BEAM , UNILOAD, GY, NO , NO, aDir[1], , , , 0, 0.46, 1, 0.46, 0, 0, 0, 0, W, NO, 0, 0, NO,
230, BEAM , UNILOAD, GY, NO , NO, aDir[1], , , , 0, 0.46, 1, 0.46, 0, 0, 0, 0, W, NO, 0, 0, NO,
231, BEAM , UNILOAD, GY, NO , NO, aDir[1], , , , 0, 0.46, 1, 0.46, 0, 0, 0, 0, W, NO, 0, 0, NO,
232, BEAM , UNILOAD, GY, NO , NO, aDir[1], , , , 0, 0.46, 1, 0.46, 0, 0, 0, 0, W, NO, 0, 0, NO,
233, BEAM , UNILOAD, GY, NO , NO, aDir[1], , , , 0, 0.46, 1, 0.46, 0, 0, 0, 0, W, NO, 0, 0, NO,
234, BEAM , UNILOAD, GY, NO , NO, aDir[1], , , , 0, 0.46, 1, 0.46, 0, 0, 0, 0, W, NO, 0, 0, NO,
235, BEAM , UNILOAD, GY, NO , NO, aDir[1], , , , 0, 0.46, 1, 0.46, 0, 0, 0, 0, W, NO, 0, 0, NO,
236, BEAM , UNILOAD, GY, NO , NO, aDir[1], , , , 0, 0.46, 1, 0.46, 0, 0, 0, 0, W, NO, 0, 0, NO,
237, BEAM , UNILOAD, GY, NO , NO, aDir[1], , , , 0, 0.46, 1, 0.46, 0, 0, 0, 0, W, NO, 0, 0, NO,
238, BEAM , UNILOAD, GY, NO , NO, aDir[1], , , , 0, 0.46, 1, 0.46, 0, 0, 0, 0, W, NO, 0, 0, NO,
239, BEAM , UNILOAD, GY, NO , NO, aDir[1], , , , 0, 0.46, 1, 0.46, 0, 0, 0, 0, W, NO, 0, 0, NO,
240, BEAM , UNILOAD, GY, NO , NO, aDir[1], , , , 0, 0.46, 1, 0.46, 0, 0, 0, 0, W, NO, 0, 0, NO,
241, BEAM , UNILOAD, GY, NO , NO, aDir[1], , , , 0, 0.46, 1, 0.46, 0, 0, 0, 0, W, NO, 0, 0, NO,
242, BEAM , UNILOAD, GY, NO , NO, aDir[1], , , , 0, 0.46, 1, 0.46, 0, 0, 0, 0, W, NO, 0, 0, NO,
243, BEAM , UNILOAD, GY, NO , NO, aDir[1], , , , 0, 0.46, 1, 0.46, 0, 0, 0, 0, W, NO, 0, 0, NO,
244, BEAM , UNILOAD, GY, NO , NO, aDir[1], , , , 0, 0.46, 1, 0.46, 0, 0, 0, 0, W, NO, 0, 0, NO,
245, BEAM , UNILOAD, GY, NO , NO, aDir[1], , , , 0, 0.46, 1, 0.46, 0, 0, 0, 0, W, NO, 0, 0, NO,
246, BEAM , UNILOAD, GY, NO , NO, aDir[1], , , , 0, 0.62, 1, 0.62, 0, 0, 0, 0, W, NO, 0, 0, NO,
247, BEAM , UNILOAD, GY, NO , NO, aDir[1], , , , 0, 0.46, 1, 0.46, 0, 0, 0, 0, W, NO, 0, 0, NO,
248, BEAM , UNILOAD, GY, NO , NO, aDir[1], , , , 0, 0.62, 1, 0.62, 0, 0, 0, 0, W, NO, 0, 0, NO,
249, BEAM , UNILOAD, GY, NO , NO, aDir[1], , , , 0, 0.46, 1, 0.46, 0, 0, 0, 0, W, NO, 0, 0, NO,
250, BEAM , UNILOAD, GY, NO , NO, aDir[1], , , , 0, 0.62, 1, 0.62, 0, 0, 0, 0, W, NO, 0, 0, NO,
251, BEAM , UNILOAD, GY, NO , NO, aDir[1], , , , 0, 0.62, 1, 0.62, 0, 0, 0, 0, W, NO, 0, 0, NO,
252, BEAM , UNILOAD, GY, NO , NO, aDir[1], , , , 0, 0.62, 1, 0.62, 0, 0, 0, 0, W, NO, 0, 0, NO,
253, BEAM , UNILOAD, GY, NO , NO, aDir[1], , , , 0, 0.62, 1, 0.62, 0, 0, 0, 0, W, NO, 0, 0, NO,
254, BEAM , UNILOAD, GY, NO , NO, aDir[1], , , , 0, 0.62, 1, 0.62, 0, 0, 0, 0, W, NO, 0, 0, NO,
255, BEAM , UNILOAD, GY, NO , NO, aDir[1], , , , 0, 0.62, 1, 0.62, 0, 0, 0, 0, W, NO, 0, 0, NO,
256, BEAM , UNILOAD, GY, NO , NO, aDir[1], , , , 0, 0.62, 1, 0.62, 0, 0, 0, 0, W, NO, 0, 0, NO,
257, BEAM , UNILOAD, GY, NO , NO, aDir[1], , , , 0, 0.62, 1, 0.62, 0, 0, 0, 0, W, NO, 0, 0, NO,
258, BEAM , UNILOAD, GY, NO , NO, aDir[1], , , , 0, 0.62, 1, 0.62, 0, 0, 0, 0, W, NO, 0, 0, NO,
259, BEAM , UNILOAD, GY, NO , NO, aDir[1], , , , 0, 0.62, 1, 0.62, 0, 0, 0, 0, W, NO, 0, 0, NO,
260, BEAM , UNILOAD, GY, NO , NO, aDir[1], , , , 0, 0.62, 1, 0.62, 0, 0, 0, 0, W, NO, 0, 0, NO,
261, BEAM , UNILOAD, GY, NO , NO, aDir[1], , , , 0, 0.62, 1, 0.62, 0, 0, 0, 0, W, NO, 0, 0, NO,
262, BEAM , UNILOAD, GY, NO , NO, aDir[1], , , , 0, 0.62, 1, 0.62, 0, 0, 0, 0, W, NO, 0, 0, NO,
263, BEAM , UNILOAD, GY, NO , NO, aDir[1], , , , 0, 0.62, 1, 0.62, 0, 0, 0, 0, W, NO, 0, 0, NO,

PROJECT TITLE :

MIDAS	Company		Client	
	Author		File Name	H2D_3Dg_v14_180227_StatLM.mct

264, BEAM , UNILOAD, GY, NO , NO, aDir[1], , , , 0, 0.62, 1, 0.62, 0, 0, 0, 0, W, NO, 0, 0, NO,
265, BEAM , UNILOAD, GY, NO , NO, aDir[1], , , , 0, 0.62, 1, 0.62, 0, 0, 0, 0, W, NO, 0, 0, NO,
266, BEAM , UNILOAD, GY, NO , NO, aDir[1], , , , 0, 0.62, 1, 0.62, 0, 0, 0, 0, W, NO, 0, 0, NO,
267, BEAM , UNILOAD, GY, NO , NO, aDir[1], , , , 0, 0.62, 1, 0.62, 0, 0, 0, 0, W, NO, 0, 0, NO,
268, BEAM , UNILOAD, GY, NO , NO, aDir[1], , , , 0, 0.62, 1, 0.62, 0, 0, 0, 0, W, NO, 0, 0, NO,
269, BEAM , UNILOAD, GY, NO , NO, aDir[1], , , , 0, 0.62, 1, 0.62, 0, 0, 0, 0, W, NO, 0, 0, NO,
270, BEAM , UNILOAD, GY, NO , NO, aDir[1], , , , 0, 0.62, 1, 0.62, 0, 0, 0, 0, W, NO, 0, 0, NO,
271, BEAM , UNILOAD, GY, NO , NO, aDir[1], , , , 0, 0.62, 1, 0.62, 0, 0, 0, 0, W, NO, 0, 0, NO,
272, BEAM , UNILOAD, GY, NO , NO, aDir[1], , , , 0, 0.62, 1, 0.62, 0, 0, 0, 0, W, NO, 0, 0, NO,
273, BEAM , UNILOAD, GY, NO , NO, aDir[1], , , , 0, 0.62, 1, 0.62, 0, 0, 0, 0, W, NO, 0, 0, NO,
274, BEAM , UNILOAD, GY, NO , NO, aDir[1], , , , 0, 0.62, 1, 0.62, 0, 0, 0, 0, W, NO, 0, 0, NO,
275, BEAM , UNILOAD, GY, NO , NO, aDir[1], , , , 0, 0.62, 1, 0.62, 0, 0, 0, 0, W, NO, 0, 0, NO,
276, BEAM , UNILOAD, GY, NO , NO, aDir[1], , , , 0, 0.46, 1, 0.46, 0, 0, 0, 0, W, NO, 0, 0, NO,
277, BEAM , UNILOAD, GY, NO , NO, aDir[1], , , , 0, 0.62, 1, 0.62, 0, 0, 0, 0, W, NO, 0, 0, NO,
278, BEAM , UNILOAD, GY, NO , NO, aDir[1], , , , 0, 0.46, 1, 0.46, 0, 0, 0, 0, W, NO, 0, 0, NO,
279, BEAM , UNILOAD, GY, NO , NO, aDir[1], , , , 0, 0.62, 1, 0.62, 0, 0, 0, 0, W, NO, 0, 0, NO,
280, BEAM , UNILOAD, GY, NO , NO, aDir[1], , , , 0, 0.46, 1, 0.46, 0, 0, 0, 0, W, NO, 0, 0, NO,
281, BEAM , UNILOAD, GY, NO , NO, aDir[1], , , , 0, 0.46, 1, 0.46, 0, 0, 0, 0, W, NO, 0, 0, NO,
282, BEAM , UNILOAD, GY, NO , NO, aDir[1], , , , 0, 0.46, 1, 0.46, 0, 0, 0, 0, W, NO, 0, 0, NO,
283, BEAM , UNILOAD, GY, NO , NO, aDir[1], , , , 0, 0.46, 1, 0.46, 0, 0, 0, 0, W, NO, 0, 0, NO,
284, BEAM , UNILOAD, GY, NO , NO, aDir[1], , , , 0, 0.46, 1, 0.46, 0, 0, 0, 0, W, NO, 0, 0, NO,
285, BEAM , UNILOAD, GY, NO , NO, aDir[1], , , , 0, 0.46, 1, 0.46, 0, 0, 0, 0, W, NO, 0, 0, NO,
286, BEAM , UNILOAD, GY, NO , NO, aDir[1], , , , 0, 0.46, 1, 0.46, 0, 0, 0, 0, W, NO, 0, 0, NO,
287, BEAM , UNILOAD, GY, NO , NO, aDir[1], , , , 0, 0.46, 1, 0.46, 0, 0, 0, 0, W, NO, 0, 0, NO,
288, BEAM , UNILOAD, GY, NO , NO, aDir[1], , , , 0, 0.46, 1, 0.46, 0, 0, 0, 0, W, NO, 0, 0, NO,
289, BEAM , UNILOAD, GY, NO , NO, aDir[1], , , , 0, 0.46, 1, 0.46, 0, 0, 0, 0, W, NO, 0, 0, NO,
290, BEAM , UNILOAD, GY, NO , NO, aDir[1], , , , 0, 0.46, 1, 0.46, 0, 0, 0, 0, W, NO, 0, 0, NO,
291, BEAM , UNILOAD, GY, NO , NO, aDir[1], , , , 0, 0.46, 1, 0.46, 0, 0, 0, 0, W, NO, 0, 0, NO,
292, BEAM , UNILOAD, GY, NO , NO, aDir[1], , , , 0, 0.46, 1, 0.46, 0, 0, 0, 0, W, NO, 0, 0, NO,
293, BEAM , UNILOAD, GY, NO , NO, aDir[1], , , , 0, 0.46, 1, 0.46, 0, 0, 0, 0, W, NO, 0, 0, NO,
294, BEAM , UNILOAD, GY, NO , NO, aDir[1], , , , 0, 0.46, 1, 0.46, 0, 0, 0, 0, W, NO, 0, 0, NO,
295, BEAM , UNILOAD, GY, NO , NO, aDir[1], , , , 0, 0.46, 1, 0.46, 0, 0, 0, 0, W, NO, 0, 0, NO,
296, BEAM , UNILOAD, GY, NO , NO, aDir[1], , , , 0, 0.46, 1, 0.46, 0, 0, 0, 0, W, NO, 0, 0, NO,
297, BEAM , UNILOAD, GY, NO , NO, aDir[1], , , , 0, 0.46, 1, 0.46, 0, 0, 0, 0, W, NO, 0, 0, NO,
298, BEAM , UNILOAD, GY, NO , NO, aDir[1], , , , 0, 0.46, 1, 0.46, 0, 0, 0, 0, W, NO, 0, 0, NO,
299, BEAM , UNILOAD, GY, NO , NO, aDir[1], , , , 0, 0.46, 1, 0.46, 0, 0, 0, 0, W, NO, 0, 0, NO,
300, BEAM , UNILOAD, GY, NO , NO, aDir[1], , , , 0, 0.46, 1, 0.46, 0, 0, 0, 0, W, NO, 0, 0, NO,
301, BEAM , UNILOAD, GY, NO , NO, aDir[1], , , , 0, 0.46, 1, 0.46, 0, 0, 0, 0, W, NO, 0, 0, NO,
302, BEAM , UNILOAD, GY, NO , NO, aDir[1], , , , 0, 0.46, 1, 0.46, 0, 0, 0, 0, W, NO, 0, 0, NO,
303, BEAM , UNILOAD, GY, NO , NO, aDir[1], , , , 0, 0.46, 1, 0.46, 0, 0, 0, 0, W, NO, 0, 0, NO,
304, BEAM , UNILOAD, GY, NO , NO, aDir[1], , , , 0, 0.46, 1, 0.46, 0, 0, 0, 0, W, NO, 0, 0, NO,
305, BEAM , UNILOAD, GY, NO , NO, aDir[1], , , , 0, 0.46, 1, 0.46, 0, 0, 0, 0, W, NO, 0, 0, NO,
306, BEAM , UNILOAD, GY, NO , NO, aDir[1], , , , 0, 0.46, 1, 0.46, 0, 0, 0, 0, W, NO, 0, 0, NO,
307, BEAM , UNILOAD, GY, NO , NO, aDir[1], , , , 0, 0.46, 1, 0.46, 0, 0, 0, 0, W, NO, 0, 0, NO,
308, BEAM , UNILOAD, GY, NO , NO, aDir[1], , , , 0, 0.46, 1, 0.46, 0, 0, 0, 0, W, NO, 0, 0, NO,
309, BEAM , UNILOAD, GY, NO , NO, aDir[1], , , , 0, 0.46, 1, 0.46, 0, 0, 0, 0, W, NO, 0, 0, NO,
310, BEAM , UNILOAD, GY, NO , NO, aDir[1], , , , 0, 0.46, 1, 0.46, 0, 0, 0, 0, W, NO, 0, 0, NO,
311, BEAM , UNILOAD, GY, NO , NO, aDir[1], , , , 0, 0.46, 1, 0.46, 0, 0, 0, 0, W, NO, 0, 0, NO,
312, BEAM , UNILOAD, GY, NO , NO, aDir[1], , , , 0, 0.46, 1, 0.46, 0, 0, 0, 0, W, NO, 0, 0, NO,
313, BEAM , UNILOAD, GY, NO , NO, aDir[1], , , , 0, 0.46, 1, 0.46, 0, 0, 0, 0, W, NO, 0, 0, NO,
314, BEAM , UNILOAD, GY, NO , NO, aDir[1], , , , 0, 0.46, 1, 0.46, 0, 0, 0, 0, W, NO, 0, 0, NO,
315, BEAM , UNILOAD, GY, NO , NO, aDir[1], , , , 0, 0.46, 1, 0.46, 0, 0, 0, 0, W, NO, 0, 0, NO,
316, BEAM , UNILOAD, GY, NO , NO, aDir[1], , , , 0, 0.46, 1, 0.46, 0, 0, 0, 0, W, NO, 0, 0, NO,
317, BEAM , UNILOAD, GY, NO , NO, aDir[1], , , , 0, 0.46, 1, 0.46, 0, 0, 0, 0, W, NO, 0, 0, NO,
318, BEAM , UNILOAD, GY, NO , NO, aDir[1], , , , 0, 0.46, 1, 0.46, 0, 0, 0, 0, W, NO, 0, 0, NO,
319, BEAM , UNILOAD, GY, NO , NO, aDir[1], , , , 0, 0.46, 1, 0.46, 0, 0, 0, 0, W, NO, 0, 0, NO,
320, BEAM , UNILOAD, GY, NO , NO, aDir[1], , , , 0, 0.46, 1, 0.46, 0, 0, 0, 0, W, NO, 0, 0, NO,
321, BEAM , UNILOAD, GY, NO , NO, aDir[1], , , , 0, 0.46, 1, 0.46, 0, 0, 0, 0, W, NO, 0, 0, NO,
322, BEAM , UNILOAD, GY, NO , NO, aDir[1], , , , 0, 0.46, 1, 0.46, 0, 0, 0, 0, W, NO, 0, 0, NO,
323, BEAM , UNILOAD, GY, NO , NO, aDir[1], , , , 0, 0.46, 1, 0.46, 0, 0, 0, 0, W, NO, 0, 0, NO,
324, BEAM , UNILOAD, GY, NO , NO, aDir[1], , , , 0, 0.46, 1, 0.46, 0, 0, 0, 0, W, NO, 0, 0, NO,
325, BEAM , UNILOAD, GY, NO , NO, aDir[1], , , , 0, 0.46, 1, 0.46, 0, 0, 0, 0, W, NO, 0, 0, NO,
326, BEAM , UNILOAD, GY, NO , NO, aDir[1], , , , 0, 0.46, 1, 0.46, 0, 0, 0, 0, W, NO, 0, 0, NO,
327, BEAM , UNILOAD, GY, NO , NO, aDir[1], , , , 0, 0.46, 1, 0.46, 0, 0, 0, 0, W, NO, 0, 0, NO,
328, BEAM , UNILOAD, GY, NO , NO, aDir[1], , , , 0, 0.46, 1, 0.46, 0, 0, 0, 0, W, NO, 0, 0, NO,
329, BEAM , UNILOAD, GY, NO , NO, aDir[1], , , , 0, 0.46, 1, 0.46, 0, 0, 0, 0, W, NO, 0, 0, NO,
330, BEAM , UNILOAD, GY, NO , NO, aDir[1], , , , 0, 0.46, 1, 0.46, 0, 0, 0, 0, W, NO, 0, 0, NO,
331, BEAM , UNILOAD, GY, NO , NO, aDir[1], , , , 0, 0.46, 1, 0.46, 0, 0, 0, 0, W, NO, 0, 0, NO,
332, BEAM , UNILOAD, GY, NO , NO, aDir[1], , , , 0, 0.46, 1, 0.46, 0, 0, 0, 0, W, NO, 0, 0, NO,
333, BEAM , UNILOAD, GY, NO , NO, aDir[1], , , , 0, 0.46, 1, 0.46, 0, 0, 0, 0, W, NO, 0, 0, NO,
334, BEAM , UNILOAD, GY, NO , NO, aDir[1], , , , 0, 0.46, 1, 0.46, 0, 0, 0, 0, W, NO, 0, 0, NO,
335, BEAM , UNILOAD, GY, NO , NO, aDir[1], , , , 0, 0.46, 1, 0.46, 0, 0, 0, 0, W, NO, 0, 0, NO,

PROJECT TITLE :

MIDAS	Company		Client	
	Author		File Name	H2D_3Dg_v14_180227_StatLM.mct

336, BEAM , UNILOAD, GY, NO , NO, aDir[1], , , , 0, 0.46, 1, 0.46, 0, 0, 0, 0, W, NO, 0, 0, NO,
337, BEAM , UNILOAD, GY, NO , NO, aDir[1], , , , 0, 0.46, 1, 0.46, 0, 0, 0, 0, W, NO, 0, 0, NO,
338, BEAM , UNILOAD, GY, NO , NO, aDir[1], , , , 0, 0.46, 1, 0.46, 0, 0, 0, 0, W, NO, 0, 0, NO,
339, BEAM , UNILOAD, GY, NO , NO, aDir[1], , , , 0, 0.46, 1, 0.46, 0, 0, 0, 0, W, NO, 0, 0, NO,
340, BEAM , UNILOAD, GY, NO , NO, aDir[1], , , , 0, 0.62, 1, 0.62, 0, 0, 0, 0, W, NO, 0, 0, NO,
341, BEAM , UNILOAD, GY, NO , NO, aDir[1], , , , 0, 0.46, 1, 0.46, 0, 0, 0, 0, W, NO, 0, 0, NO,
342, BEAM , UNILOAD, GY, NO , NO, aDir[1], , , , 0, 0.62, 1, 0.62, 0, 0, 0, 0, W, NO, 0, 0, NO,
343, BEAM , UNILOAD, GY, NO , NO, aDir[1], , , , 0, 0.46, 1, 0.46, 0, 0, 0, 0, W, NO, 0, 0, NO,
344, BEAM , UNILOAD, GY, NO , NO, aDir[1], , , , 0, 0.62, 1, 0.62, 0, 0, 0, 0, W, NO, 0, 0, NO,
345, BEAM , UNILOAD, GY, NO , NO, aDir[1], , , , 0, 0.62, 1, 0.62, 0, 0, 0, 0, W, NO, 0, 0, NO,
346, BEAM , UNILOAD, GY, NO , NO, aDir[1], , , , 0, 0.62, 1, 0.62, 0, 0, 0, 0, W, NO, 0, 0, NO,
347, BEAM , UNILOAD, GY, NO , NO, aDir[1], , , , 0, 0.62, 1, 0.62, 0, 0, 0, 0, W, NO, 0, 0, NO,
348, BEAM , UNILOAD, GY, NO , NO, aDir[1], , , , 0, 0.62, 1, 0.62, 0, 0, 0, 0, W, NO, 0, 0, NO,
349, BEAM , UNILOAD, GY, NO , NO, aDir[1], , , , 0, 0.62, 1, 0.62, 0, 0, 0, 0, W, NO, 0, 0, NO,
350, BEAM , UNILOAD, GY, NO , NO, aDir[1], , , , 0, 0.62, 1, 0.62, 0, 0, 0, 0, W, NO, 0, 0, NO,
351, BEAM , UNILOAD, GY, NO , NO, aDir[1], , , , 0, 0.62, 1, 0.62, 0, 0, 0, 0, W, NO, 0, 0, NO,
352, BEAM , UNILOAD, GY, NO , NO, aDir[1], , , , 0, 0.62, 1, 0.62, 0, 0, 0, 0, W, NO, 0, 0, NO,
353, BEAM , UNILOAD, GY, NO , NO, aDir[1], , , , 0, 0.62, 1, 0.62, 0, 0, 0, 0, W, NO, 0, 0, NO,
354, BEAM , UNILOAD, GY, NO , NO, aDir[1], , , , 0, 0.62, 1, 0.62, 0, 0, 0, 0, W, NO, 0, 0, NO,
355, BEAM , UNILOAD, GY, NO , NO, aDir[1], , , , 0, 0.62, 1, 0.62, 0, 0, 0, 0, W, NO, 0, 0, NO,
356, BEAM , UNILOAD, GY, NO , NO, aDir[1], , , , 0, 0.62, 1, 0.62, 0, 0, 0, 0, W, NO, 0, 0, NO,
357, BEAM , UNILOAD, GY, NO , NO, aDir[1], , , , 0, 1.13, 1, 1.13, 0, 0, 0, 0, W, NO, 0, 0, NO,
358, BEAM , UNILOAD, GY, NO , NO, aDir[1], , , , 0, 1.13, 1, 1.13, 0, 0, 0, 0, W, NO, 0, 0, NO,
359, BEAM , UNILOAD, GY, NO , NO, aDir[1], , , , 0, 1.13, 1, 1.13, 0, 0, 0, 0, W, NO, 0, 0, NO,
360, BEAM , UNILOAD, GY, NO , NO, aDir[1], , , , 0, 1.13, 1, 1.13, 0, 0, 0, 0, W, NO, 0, 0, NO,
361, BEAM , UNILOAD, GY, NO , NO, aDir[1], , , , 0, 0.46, 1, 0.46, 0, 0, 0, 0, W, NO, 0, 0, NO,
362, BEAM , UNILOAD, GY, NO , NO, aDir[1], , , , 0, 0.46, 1, 0.46, 0, 0, 0, 0, W, NO, 0, 0, NO,
363, BEAM , UNILOAD, GY, NO , NO, aDir[1], , , , 0, 0.46, 1, 0.46, 0, 0, 0, 0, W, NO, 0, 0, NO,
364, BEAM , UNILOAD, GY, NO , NO, aDir[1], , , , 0, 0.46, 1, 0.46, 0, 0, 0, 0, W, NO, 0, 0, NO,
365, BEAM , UNILOAD, GY, NO , NO, aDir[1], , , , 0, 0.46, 1, 0.46, 0, 0, 0, 0, W, NO, 0, 0, NO,
366, BEAM , UNILOAD, GY, NO , NO, aDir[1], , , , 0, 0.46, 1, 0.46, 0, 0, 0, 0, W, NO, 0, 0, NO,
367, BEAM , UNILOAD, GY, NO , NO, aDir[1], , , , 0, 0.46, 1, 0.46, 0, 0, 0, 0, W, NO, 0, 0, NO,
368, BEAM , UNILOAD, GY, NO , NO, aDir[1], , , , 0, 0.46, 1, 0.46, 0, 0, 0, 0, W, NO, 0, 0, NO,
369, BEAM , UNILOAD, GY, NO , NO, aDir[1], , , , 0, 0.46, 1, 0.46, 0, 0, 0, 0, W, NO, 0, 0, NO,
370, BEAM , UNILOAD, GY, NO , NO, aDir[1], , , , 0, 0.46, 1, 0.46, 0, 0, 0, 0, W, NO, 0, 0, NO,
371, BEAM , UNILOAD, GY, NO , NO, aDir[1], , , , 0, 0.46, 1, 0.46, 0, 0, 0, 0, W, NO, 0, 0, NO,
372, BEAM , UNILOAD, GY, NO , NO, aDir[1], , , , 0, 0.46, 1, 0.46, 0, 0, 0, 0, W, NO, 0, 0, NO,
373, BEAM , UNILOAD, GY, NO , NO, aDir[1], , , , 0, 0.46, 1, 0.46, 0, 0, 0, 0, W, NO, 0, 0, NO,
374, BEAM , UNILOAD, GY, NO , NO, aDir[1], , , , 0, 0.46, 1, 0.46, 0, 0, 0, 0, W, NO, 0, 0, NO,
375, BEAM , UNILOAD, GY, NO , NO, aDir[1], , , , 0, 0.46, 1, 0.46, 0, 0, 0, 0, W, NO, 0, 0, NO,
376, BEAM , UNILOAD, GY, NO , NO, aDir[1], , , , 0, 0.46, 1, 0.46, 0, 0, 0, 0, W, NO, 0, 0, NO,
377, BEAM , UNILOAD, GY, NO , NO, aDir[1], , , , 0, 0.46, 1, 0.46, 0, 0, 0, 0, W, NO, 0, 0, NO,
378, BEAM , UNILOAD, GY, NO , NO, aDir[1], , , , 0, 0.46, 1, 0.46, 0, 0, 0, 0, W, NO, 0, 0, NO,
379, BEAM , UNILOAD, GY, NO , NO, aDir[1], , , , 0, 0.46, 1, 0.46, 0, 0, 0, 0, W, NO, 0, 0, NO,
380, BEAM , UNILOAD, GY, NO , NO, aDir[1], , , , 0, 0.46, 1, 0.46, 0, 0, 0, 0, W, NO, 0, 0, NO,
381, BEAM , UNILOAD, GY, NO , NO, aDir[1], , , , 0, 0.46, 1, 0.46, 0, 0, 0, 0, W, NO, 0, 0, NO,
382, BEAM , UNILOAD, GY, NO , NO, aDir[1], , , , 0, 0.46, 1, 0.46, 0, 0, 0, 0, W, NO, 0, 0, NO,
383, BEAM , UNILOAD, GY, NO , NO, aDir[1], , , , 0, 0.46, 1, 0.46, 0, 0, 0, 0, W, NO, 0, 0, NO,
384, BEAM , UNILOAD, GY, NO , NO, aDir[1], , , , 0, 0.46, 1, 0.46, 0, 0, 0, 0, W, NO, 0, 0, NO,
385, BEAM , UNILOAD, GY, NO , NO, aDir[1], , , , 0, 0.46, 1, 0.46, 0, 0, 0, 0, W, NO, 0, 0, NO,
386, BEAM , UNILOAD, GY, NO , NO, aDir[1], , , , 0, 0.46, 1, 0.46, 0, 0, 0, 0, W, NO, 0, 0, NO,
387, BEAM , UNILOAD, GY, NO , NO, aDir[1], , , , 0, 0.46, 1, 0.46, 0, 0, 0, 0, W, NO, 0, 0, NO,
388, BEAM , UNILOAD, GY, NO , NO, aDir[1], , , , 0, 0.46, 1, 0.46, 0, 0, 0, 0, W, NO, 0, 0, NO,
389, BEAM , UNILOAD, GY, NO , NO, aDir[1], , , , 0, 0.46, 1, 0.46, 0, 0, 0, 0, W, NO, 0, 0, NO,
390, BEAM , UNILOAD, GY, NO , NO, aDir[1], , , , 0, 0.46, 1, 0.46, 0, 0, 0, 0, W, NO, 0, 0, NO,
391, BEAM , UNILOAD, GY, NO , NO, aDir[1], , , , 0, 0.46, 1, 0.46, 0, 0, 0, 0, W, NO, 0, 0, NO,
392, BEAM , UNILOAD, GY, NO , NO, aDir[1], , , , 0, 0.46, 1, 0.46, 0, 0, 0, 0, W, NO, 0, 0, NO,
393, BEAM , UNILOAD, GY, NO , NO, aDir[1], , , , 0, 0.46, 1, 0.46, 0, 0, 0, 0, W, NO, 0, 0, NO,
394, BEAM , UNILOAD, GY, NO , NO, aDir[1], , , , 0, 0.46, 1, 0.46, 0, 0, 0, 0, W, NO, 0, 0, NO,
395, BEAM , UNILOAD, GY, NO , NO, aDir[1], , , , 0, 0.46, 1, 0.46, 0, 0, 0, 0, W, NO, 0, 0, NO,
396, BEAM , UNILOAD, GY, NO , NO, aDir[1], , , , 0, 0.46, 1, 0.46, 0, 0, 0, 0, W, NO, 0, 0, NO,
397, BEAM , UNILOAD, GY, NO , NO, aDir[1], , , , 0, 0.46, 1, 0.46, 0, 0, 0, 0, W, NO, 0, 0, NO,
398, BEAM , UNILOAD, GY, NO , NO, aDir[1], , , , 0, 0.46, 1, 0.46, 0, 0, 0, 0, W, NO, 0, 0, NO,
399, BEAM , UNILOAD, GY, NO , NO, aDir[1], , , , 0, 0.46, 1, 0.46, 0, 0, 0, 0, W, NO, 0, 0, NO,
400, BEAM , UNILOAD, GY, NO , NO, aDir[1], , , , 0, 0.46, 1, 0.46, 0, 0, 0, 0, W, NO, 0, 0, NO,
401, BEAM , UNILOAD, GY, NO , NO, aDir[1], , , , 0, 0.46, 1, 0.46, 0, 0, 0, 0, W, NO, 0, 0, NO,
402, BEAM , UNILOAD, GY, NO , NO, aDir[1], , , , 0, 0.46, 1, 0.46, 0, 0, 0, 0, W, NO, 0, 0, NO,
403, BEAM , UNILOAD, GY, NO , NO, aDir[1], , , , 0, 0.46, 1, 0.46, 0, 0, 0, 0, W, NO, 0, 0, NO,
404, BEAM , UNILOAD, GY, NO , NO, aDir[1], , , , 0, 0.46, 1, 0.46, 0, 0, 0, 0, W, NO, 0, 0, NO,
405, BEAM , UNILOAD, GY, NO , NO, aDir[1], , , , 0, 0.46, 1, 0.46, 0, 0, 0, 0, W, NO, 0, 0, NO,
406, BEAM , UNILOAD, GY, NO , NO, aDir[1], , , , 0, 0.46, 1, 0.46, 0, 0, 0, 0, W, NO, 0, 0, NO,
407, BEAM , UNILOAD, GY, NO , NO, aDir[1], , , , 0, 0.46, 1, 0.46, 0, 0, 0, 0, W, NO, 0, 0, NO,

PROJECT TITLE :

MIDAS	Company		Client	
	Author		File Name	H2D_3Dg_v14_180227_StatLM.mct

408, BEAM , UNILOAD, GY, NO , NO, aDir[1], , , , 0, 0.46, 1, 0.46, 0, 0, 0, 0, W, NO, 0, 0, NO,
409, BEAM , UNILOAD, GY, NO , NO, aDir[1], , , , 0, 0.46, 1, 0.46, 0, 0, 0, 0, W, NO, 0, 0, NO,
410, BEAM , UNILOAD, GY, NO , NO, aDir[1], , , , 0, 0.46, 1, 0.46, 0, 0, 0, 0, W, NO, 0, 0, NO,
411, BEAM , UNILOAD, GY, NO , NO, aDir[1], , , , 0, 0.46, 1, 0.46, 0, 0, 0, 0, W, NO, 0, 0, NO,
412, BEAM , UNILOAD, GY, NO , NO, aDir[1], , , , 0, 0.46, 1, 0.46, 0, 0, 0, 0, W, NO, 0, 0, NO,
413, BEAM , UNILOAD, GY, NO , NO, aDir[1], , , , 0, 0.46, 1, 0.46, 0, 0, 0, 0, W, NO, 0, 0, NO,
414, BEAM , UNILOAD, GY, NO , NO, aDir[1], , , , 0, 0.46, 1, 0.46, 0, 0, 0, 0, W, NO, 0, 0, NO,
415, BEAM , UNILOAD, GY, NO , NO, aDir[1], , , , 0, 0.46, 1, 0.46, 0, 0, 0, 0, W, NO, 0, 0, NO,
416, BEAM , UNILOAD, GY, NO , NO, aDir[1], , , , 0, 0.46, 1, 0.46, 0, 0, 0, 0, W, NO, 0, 0, NO,
417, BEAM , UNILOAD, GY, NO , NO, aDir[1], , , , 0, 0.46, 1, 0.46, 0, 0, 0, 0, W, NO, 0, 0, NO,
418, BEAM , UNILOAD, GY, NO , NO, aDir[1], , , , 0, 0.46, 1, 0.46, 0, 0, 0, 0, W, NO, 0, 0, NO,
419, BEAM , UNILOAD, GY, NO , NO, aDir[1], , , , 0, 0.46, 1, 0.46, 0, 0, 0, 0, W, NO, 0, 0, NO,
420, BEAM , UNILOAD, GY, NO , NO, aDir[1], , , , 0, 0.46, 1, 0.46, 0, 0, 0, 0, W, NO, 0, 0, NO,
421, BEAM , UNILOAD, GY, NO , NO, aDir[1], , , , 0, 0.46, 1, 0.46, 0, 0, 0, 0, W, NO, 0, 0, NO,
422, BEAM , UNILOAD, GY, NO , NO, aDir[1], , , , 0, 0.46, 1, 0.46, 0, 0, 0, 0, W, NO, 0, 0, NO,
423, BEAM , UNILOAD, GY, NO , NO, aDir[1], , , , 0, 0.46, 1, 0.46, 0, 0, 0, 0, W, NO, 0, 0, NO,
424, BEAM , UNILOAD, GY, NO , NO, aDir[1], , , , 0, 0.46, 1, 0.46, 0, 0, 0, 0, W, NO, 0, 0, NO,
425, BEAM , UNILOAD, GY, NO , NO, aDir[1], , , , 0, 0.46, 1, 0.46, 0, 0, 0, 0, W, NO, 0, 0, NO,
426, BEAM , UNILOAD, GY, NO , NO, aDir[1], , , , 0, 0.46, 1, 0.46, 0, 0, 0, 0, W, NO, 0, 0, NO,
427, BEAM , UNILOAD, GY, NO , NO, aDir[1], , , , 0, 0.46, 1, 0.46, 0, 0, 0, 0, W, NO, 0, 0, NO,
428, BEAM , UNILOAD, GY, NO , NO, aDir[1], , , , 0, 0.46, 1, 0.46, 0, 0, 0, 0, W, NO, 0, 0, NO,
429, BEAM , UNILOAD, GY, NO , NO, aDir[1], , , , 0, 0.46, 1, 0.46, 0, 0, 0, 0, W, NO, 0, 0, NO,
430, BEAM , UNILOAD, GY, NO , NO, aDir[1], , , , 0, 0.46, 1, 0.46, 0, 0, 0, 0, W, NO, 0, 0, NO,
431, BEAM , UNILOAD, GY, NO , NO, aDir[1], , , , 0, 0.46, 1, 0.46, 0, 0, 0, 0, W, NO, 0, 0, NO,
432, BEAM , UNILOAD, GY, NO , NO, aDir[1], , , , 0, 0.46, 1, 0.46, 0, 0, 0, 0, W, NO, 0, 0, NO,
433, BEAM , UNILOAD, GY, NO , NO, aDir[1], , , , 0, 0.46, 1, 0.46, 0, 0, 0, 0, W, NO, 0, 0, NO,
434, BEAM , UNILOAD, GY, NO , NO, aDir[1], , , , 0, 0.46, 1, 0.46, 0, 0, 0, 0, W, NO, 0, 0, NO,
435, BEAM , UNILOAD, GY, NO , NO, aDir[1], , , , 0, 0.46, 1, 0.46, 0, 0, 0, 0, W, NO, 0, 0, NO,
436, BEAM , UNILOAD, GY, NO , NO, aDir[1], , , , 0, 0.46, 1, 0.46, 0, 0, 0, 0, W, NO, 0, 0, NO,
437, BEAM , UNILOAD, GY, NO , NO, aDir[1], , , , 0, 0.46, 1, 0.46, 0, 0, 0, 0, W, NO, 0, 0, NO,
438, BEAM , UNILOAD, GY, NO , NO, aDir[1], , , , 0, 0.46, 1, 0.46, 0, 0, 0, 0, W, NO, 0, 0, NO,
439, BEAM , UNILOAD, GY, NO , NO, aDir[1], , , , 0, 0.46, 1, 0.46, 0, 0, 0, 0, W, NO, 0, 0, NO,
440, BEAM , UNILOAD, GY, NO , NO, aDir[1], , , , 0, 0.46, 1, 0.46, 0, 0, 0, 0, W, NO, 0, 0, NO,
441, BEAM , UNILOAD, GY, NO , NO, aDir[1], , , , 0, 1.13, 1, 1.13, 0, 0, 0, 0, W, NO, 0, 0, NO,
442, BEAM , UNILOAD, GY, NO , NO, aDir[1], , , , 0, 1.13, 1, 1.13, 0, 0, 0, 0, W, NO, 0, 0, NO,
443, BEAM , UNILOAD, GY, NO , NO, aDir[1], , , , 0, 1.13, 1, 1.13, 0, 0, 0, 0, W, NO, 0, 0, NO,
444, BEAM , UNILOAD, GY, NO , NO, aDir[1], , , , 0, 1.13, 1, 1.13, 0, 0, 0, 0, W, NO, 0, 0, NO,
445, BEAM , UNILOAD, GY, NO , NO, aDir[1], , , , 0, 1.13, 1, 1.13, 0, 0, 0, 0, W, NO, 0, 0, NO,
446, BEAM , UNILOAD, GY, NO , NO, aDir[1], , , , 0, 1.13, 1, 1.13, 0, 0, 0, 0, W, NO, 0, 0, NO,
447, BEAM , UNILOAD, GY, NO , NO, aDir[1], , , , 0, 1.13, 1, 1.13, 0, 0, 0, 0, W, NO, 0, 0, NO,
448, BEAM , UNILOAD, GY, NO , NO, aDir[1], , , , 0, 1.13, 1, 1.13, 0, 0, 0, 0, W, NO, 0, 0, NO,
449, BEAM , UNILOAD, GY, NO , NO, aDir[1], , , , 0, 0.46, 1, 0.46, 0, 0, 0, 0, W, NO, 0, 0, NO,
450, BEAM , UNILOAD, GY, NO , NO, aDir[1], , , , 0, 0.46, 1, 0.46, 0, 0, 0, 0, W, NO, 0, 0, NO,
451, BEAM , UNILOAD, GY, NO , NO, aDir[1], , , , 0, 0.46, 1, 0.46, 0, 0, 0, 0, W, NO, 0, 0, NO,
452, BEAM , UNILOAD, GY, NO , NO, aDir[1], , , , 0, 0.46, 1, 0.46, 0, 0, 0, 0, W, NO, 0, 0, NO,
453, BEAM , UNILOAD, GY, NO , NO, aDir[1], , , , 0, 0.46, 1, 0.46, 0, 0, 0, 0, W, NO, 0, 0, NO,
454, BEAM , UNILOAD, GY, NO , NO, aDir[1], , , , 0, 0.46, 1, 0.46, 0, 0, 0, 0, W, NO, 0, 0, NO,
455, BEAM , UNILOAD, GY, NO , NO, aDir[1], , , , 0, 0.46, 1, 0.46, 0, 0, 0, 0, W, NO, 0, 0, NO,
456, BEAM , UNILOAD, GY, NO , NO, aDir[1], , , , 0, 0.46, 1, 0.46, 0, 0, 0, 0, W, NO, 0, 0, NO,
457, BEAM , UNILOAD, GY, NO , NO, aDir[1], , , , 0, 0.46, 1, 0.46, 0, 0, 0, 0, W, NO, 0, 0, NO,
458, BEAM , UNILOAD, GY, NO , NO, aDir[1], , , , 0, 0.46, 1, 0.46, 0, 0, 0, 0, W, NO, 0, 0, NO,
459, BEAM , UNILOAD, GY, NO , NO, aDir[1], , , , 0, 0.46, 1, 0.46, 0, 0, 0, 0, W, NO, 0, 0, NO,
460, BEAM , UNILOAD, GY, NO , NO, aDir[1], , , , 0, 0.46, 1, 0.46, 0, 0, 0, 0, W, NO, 0, 0, NO,
461, BEAM , UNILOAD, GY, NO , NO, aDir[1], , , , 0, 0.46, 1, 0.46, 0, 0, 0, 0, W, NO, 0, 0, NO,
462, BEAM , UNILOAD, GY, NO , NO, aDir[1], , , , 0, 0.46, 1, 0.46, 0, 0, 0, 0, W, NO, 0, 0, NO,
463, BEAM , UNILOAD, GY, NO , NO, aDir[1], , , , 0, 0.46, 1, 0.46, 0, 0, 0, 0, W, NO, 0, 0, NO,
464, BEAM , UNILOAD, GY, NO , NO, aDir[1], , , , 0, 0.46, 1, 0.46, 0, 0, 0, 0, W, NO, 0, 0, NO,
465, BEAM , UNILOAD, GY, NO , NO, aDir[1], , , , 0, 0.46, 1, 0.46, 0, 0, 0, 0, W, NO, 0, 0, NO,
466, BEAM , UNILOAD, GY, NO , NO, aDir[1], , , , 0, 0.46, 1, 0.46, 0, 0, 0, 0, W, NO, 0, 0, NO,
467, BEAM , UNILOAD, GY, NO , NO, aDir[1], , , , 0, 0.46, 1, 0.46, 0, 0, 0, 0, W, NO, 0, 0, NO,
468, BEAM , UNILOAD, GY, NO , NO, aDir[1], , , , 0, 0.46, 1, 0.46, 0, 0, 0, 0, W, NO, 0, 0, NO,
469, BEAM , UNILOAD, GY, NO , NO, aDir[1], , , , 0, 0.46, 1, 0.46, 0, 0, 0, 0, W, NO, 0, 0, NO,
470, BEAM , UNILOAD, GY, NO , NO, aDir[1], , , , 0, 0.46, 1, 0.46, 0, 0, 0, 0, W, NO, 0, 0, NO,
471, BEAM , UNILOAD, GY, NO , NO, aDir[1], , , , 0, 0.46, 1, 0.46, 0, 0, 0, 0, W, NO, 0, 0, NO,
472, BEAM , UNILOAD, GY, NO , NO, aDir[1], , , , 0, 0.46, 1, 0.46, 0, 0, 0, 0, W, NO, 0, 0, NO,
473, BEAM , UNILOAD, GY, NO , NO, aDir[1], , , , 0, 0.46, 1, 0.46, 0, 0, 0, 0, W, NO, 0, 0, NO,
474, BEAM , UNILOAD, GY, NO , NO, aDir[1], , , , 0, 0.46, 1, 0.46, 0, 0, 0, 0, W, NO, 0, 0, NO,
475, BEAM , UNILOAD, GY, NO , NO, aDir[1], , , , 0, 0.46, 1, 0.46, 0, 0, 0, 0, W, NO, 0, 0, NO,
476, BEAM , UNILOAD, GY, NO , NO, aDir[1], , , , 0, 0.46, 1, 0.46, 0, 0, 0, 0, W, NO, 0, 0, NO,
477, BEAM , UNILOAD, GY, NO , NO, aDir[1], , , , 0, 0.46, 1, 0.46, 0, 0, 0, 0, W, NO, 0, 0, NO,
478, BEAM , UNILOAD, GY, NO , NO, aDir[1], , , , 0, 0.46, 1, 0.46, 0, 0, 0, 0, W, NO, 0, 0, NO,
479, BEAM , UNILOAD, GY, NO , NO, aDir[1], , , , 0, 0.46, 1, 0.46, 0, 0, 0, 0, W, NO, 0, 0, NO,

PROJECT TITLE :

MIDAS	Company		Client	
	Author		File Name	H2D_3Dg_v14_180227_StatLM.mct

480, BEAM , UNILOAD, GY, NO , NO, aDir[1], , , , 0, 0.46, 1, 0.46, 0, 0, 0, 0, W, NO, 0, 0, NO,
481, BEAM , UNILOAD, GY, NO , NO, aDir[1], , , , 0, 0.46, 1, 0.46, 0, 0, 0, 0, W, NO, 0, 0, NO,
482, BEAM , UNILOAD, GY, NO , NO, aDir[1], , , , 0, 0.46, 1, 0.46, 0, 0, 0, 0, W, NO, 0, 0, NO,
483, BEAM , UNILOAD, GY, NO , NO, aDir[1], , , , 0, 0.46, 1, 0.46, 0, 0, 0, 0, W, NO, 0, 0, NO,
484, BEAM , UNILOAD, GY, NO , NO, aDir[1], , , , 0, 0.46, 1, 0.46, 0, 0, 0, 0, W, NO, 0, 0, NO,
485, BEAM , UNILOAD, GY, NO , NO, aDir[1], , , , 0, 0.46, 1, 0.46, 0, 0, 0, 0, W, NO, 0, 0, NO,
486, BEAM , UNILOAD, GY, NO , NO, aDir[1], , , , 0, 0.46, 1, 0.46, 0, 0, 0, 0, W, NO, 0, 0, NO,
487, BEAM , UNILOAD, GY, NO , NO, aDir[1], , , , 0, 0.46, 1, 0.46, 0, 0, 0, 0, W, NO, 0, 0, NO,
488, BEAM , UNILOAD, GY, NO , NO, aDir[1], , , , 0, 0.46, 1, 0.46, 0, 0, 0, 0, W, NO, 0, 0, NO,
489, BEAM , UNILOAD, GY, NO , NO, aDir[1], , , , 0, 0.46, 1, 0.46, 0, 0, 0, 0, W, NO, 0, 0, NO,
490, BEAM , UNILOAD, GY, NO , NO, aDir[1], , , , 0, 0.46, 1, 0.46, 0, 0, 0, 0, W, NO, 0, 0, NO,
491, BEAM , UNILOAD, GY, NO , NO, aDir[1], , , , 0, 0.46, 1, 0.46, 0, 0, 0, 0, W, NO, 0, 0, NO,
492, BEAM , UNILOAD, GY, NO , NO, aDir[1], , , , 0, 0.46, 1, 0.46, 0, 0, 0, 0, W, NO, 0, 0, NO,
493, BEAM , UNILOAD, GY, NO , NO, aDir[1], , , , 0, 0.46, 1, 0.46, 0, 0, 0, 0, W, NO, 0, 0, NO,
494, BEAM , UNILOAD, GY, NO , NO, aDir[1], , , , 0, 0.46, 1, 0.46, 0, 0, 0, 0, W, NO, 0, 0, NO,
495, BEAM , UNILOAD, GY, NO , NO, aDir[1], , , , 0, 0.46, 1, 0.46, 0, 0, 0, 0, W, NO, 0, 0, NO,
496, BEAM , UNILOAD, GY, NO , NO, aDir[1], , , , 0, 0.46, 1, 0.46, 0, 0, 0, 0, W, NO, 0, 0, NO,
497, BEAM , UNILOAD, GY, NO , NO, aDir[1], , , , 0, 0.46, 1, 0.46, 0, 0, 0, 0, W, NO, 0, 0, NO,
498, BEAM , UNILOAD, GY, NO , NO, aDir[1], , , , 0, 0.46, 1, 0.46, 0, 0, 0, 0, W, NO, 0, 0, NO,
499, BEAM , UNILOAD, GY, NO , NO, aDir[1], , , , 0, 0.46, 1, 0.46, 0, 0, 0, 0, W, NO, 0, 0, NO,
500, BEAM , UNILOAD, GY, NO , NO, aDir[1], , , , 0, 0.46, 1, 0.46, 0, 0, 0, 0, W, NO, 0, 0, NO,
501, BEAM , UNILOAD, GY, NO , NO, aDir[1], , , , 0, 0.46, 1, 0.46, 0, 0, 0, 0, W, NO, 0, 0, NO,
502, BEAM , UNILOAD, GY, NO , NO, aDir[1], , , , 0, 0.46, 1, 0.46, 0, 0, 0, 0, W, NO, 0, 0, NO,
503, BEAM , UNILOAD, GY, NO , NO, aDir[1], , , , 0, 0.46, 1, 0.46, 0, 0, 0, 0, W, NO, 0, 0, NO,
504, BEAM , UNILOAD, GY, NO , NO, aDir[1], , , , 0, 0.46, 1, 0.46, 0, 0, 0, 0, W, NO, 0, 0, NO,
505, BEAM , UNILOAD, GY, NO , NO, aDir[1], , , , 0, 0.46, 1, 0.46, 0, 0, 0, 0, W, NO, 0, 0, NO,
506, BEAM , UNILOAD, GY, NO , NO, aDir[1], , , , 0, 0.46, 1, 0.46, 0, 0, 0, 0, W, NO, 0, 0, NO,
507, BEAM , UNILOAD, GY, NO , NO, aDir[1], , , , 0, 0.46, 1, 0.46, 0, 0, 0, 0, W, NO, 0, 0, NO,
508, BEAM , UNILOAD, GY, NO , NO, aDir[1], , , , 0, 0.46, 1, 0.46, 0, 0, 0, 0, W, NO, 0, 0, NO,
509, BEAM , UNILOAD, GY, NO , NO, aDir[1], , , , 0, 0.46, 1, 0.46, 0, 0, 0, 0, W, NO, 0, 0, NO,
510, BEAM , UNILOAD, GY, NO , NO, aDir[1], , , , 0, 0.46, 1, 0.46, 0, 0, 0, 0, W, NO, 0, 0, NO,
511, BEAM , UNILOAD, GY, NO , NO, aDir[1], , , , 0, 0.46, 1, 0.46, 0, 0, 0, 0, W, NO, 0, 0, NO,
512, BEAM , UNILOAD, GY, NO , NO, aDir[1], , , , 0, 0.46, 1, 0.46, 0, 0, 0, 0, W, NO, 0, 0, NO,
513, BEAM , UNILOAD, GY, NO , NO, aDir[1], , , , 0, 0.46, 1, 0.46, 0, 0, 0, 0, W, NO, 0, 0, NO,
514, BEAM , UNILOAD, GY, NO , NO, aDir[1], , , , 0, 0.46, 1, 0.46, 0, 0, 0, 0, W, NO, 0, 0, NO,
515, BEAM , UNILOAD, GY, NO , NO, aDir[1], , , , 0, 0.46, 1, 0.46, 0, 0, 0, 0, W, NO, 0, 0, NO,
516, BEAM , UNILOAD, GY, NO , NO, aDir[1], , , , 0, 0.46, 1, 0.46, 0, 0, 0, 0, W, NO, 0, 0, NO,
517, BEAM , UNILOAD, GY, NO , NO, aDir[1], , , , 0, 0.46, 1, 0.46, 0, 0, 0, 0, W, NO, 0, 0, NO,
518, BEAM , UNILOAD, GY, NO , NO, aDir[1], , , , 0, 0.46, 1, 0.46, 0, 0, 0, 0, W, NO, 0, 0, NO,
519, BEAM , UNILOAD, GY, NO , NO, aDir[1], , , , 0, 0.46, 1, 0.46, 0, 0, 0, 0, W, NO, 0, 0, NO,
520, BEAM , UNILOAD, GY, NO , NO, aDir[1], , , , 0, 0.46, 1, 0.46, 0, 0, 0, 0, W, NO, 0, 0, NO,
521, BEAM , UNILOAD, GY, NO , NO, aDir[1], , , , 0, 0.46, 1, 0.46, 0, 0, 0, 0, W, NO, 0, 0, NO,
522, BEAM , UNILOAD, GY, NO , NO, aDir[1], , , , 0, 0.46, 1, 0.46, 0, 0, 0, 0, W, NO, 0, 0, NO,
523, BEAM , UNILOAD, GY, NO , NO, aDir[1], , , , 0, 0.46, 1, 0.46, 0, 0, 0, 0, W, NO, 0, 0, NO,
524, BEAM , UNILOAD, GY, NO , NO, aDir[1], , , , 0, 0.46, 1, 0.46, 0, 0, 0, 0, W, NO, 0, 0, NO,
525, BEAM , UNILOAD, GY, NO , NO, aDir[1], , , , 0, 0.46, 1, 0.46, 0, 0, 0, 0, W, NO, 0, 0, NO,
526, BEAM , UNILOAD, GY, NO , NO, aDir[1], , , , 0, 0.46, 1, 0.46, 0, 0, 0, 0, W, NO, 0, 0, NO,
527, BEAM , UNILOAD, GY, NO , NO, aDir[1], , , , 0, 0.46, 1, 0.46, 0, 0, 0, 0, W, NO, 0, 0, NO,
528, BEAM , UNILOAD, GY, NO , NO, aDir[1], , , , 0, 0.46, 1, 0.46, 0, 0, 0, 0, W, NO, 0, 0, NO,
529, BEAM , UNILOAD, GY, NO , NO, aDir[1], , , , 0, 1.13, 1, 1.13, 0, 0, 0, 0, W, NO, 0, 0, NO,
530, BEAM , UNILOAD, GY, NO , NO, aDir[1], , , , 0, 1.13, 1, 1.13, 0, 0, 0, 0, W, NO, 0, 0, NO,
531, BEAM , UNILOAD, GY, NO , NO, aDir[1], , , , 0, 1.13, 1, 1.13, 0, 0, 0, 0, W, NO, 0, 0, NO,
532, BEAM , UNILOAD, GY, NO , NO, aDir[1], , , , 0, 1.13, 1, 1.13, 0, 0, 0, 0, W, NO, 0, 0, NO,
3767, BEAM , UNILOAD, GY, NO , NO, aDir[1], , , , 0, 0.65, 1, 0.65, 0, 0, 0, 0, W, NO, 0, 0, NO,
3768, BEAM , UNILOAD, GY, NO , NO, aDir[1], , , , 0, 0.65, 1, 0.65, 0, 0, 0, 0, W, NO, 0, 0, NO,
3769, BEAM , UNILOAD, GY, NO , NO, aDir[1], , , , 0, 0.65, 1, 0.65, 0, 0, 0, 0, W, NO, 0, 0, NO,
3770, BEAM , UNILOAD, GY, NO , NO, aDir[1], , , , 0, 0.65, 1, 0.65, 0, 0, 0, 0, W, NO, 0, 0, NO,
3771, BEAM , UNILOAD, GY, NO , NO, aDir[1], , , , 0, 0.65, 1, 0.65, 0, 0, 0, 0, W, NO, 0, 0, NO,
3772, BEAM , UNILOAD, GY, NO , NO, aDir[1], , , , 0, 0.65, 1, 0.65, 0, 0, 0, 0, W, NO, 0, 0, NO,
3773, BEAM , UNILOAD, GY, NO , NO, aDir[1], , , , 0, 0.65, 1, 0.65, 0, 0, 0, 0, W, NO, 0, 0, NO,
3774, BEAM , UNILOAD, GY, NO , NO, aDir[1], , , , 0, 0.65, 1, 0.65, 0, 0, 0, 0, W, NO, 0, 0, NO,
3775, BEAM , UNILOAD, GY, NO , NO, aDir[1], , , , 0, 0.65, 1, 0.65, 0, 0, 0, 0, W, NO, 0, 0, NO,
3776, BEAM , UNILOAD, GY, NO , NO, aDir[1], , , , 0, 0.65, 1, 0.65, 0, 0, 0, 0, W, NO, 0, 0, NO,
3777, BEAM , UNILOAD, GY, NO , NO, aDir[1], , , , 0, 0.65, 1, 0.65, 0, 0, 0, 0, W, NO, 0, 0, NO,
3778, BEAM , UNILOAD, GY, NO , NO, aDir[1], , , , 0, 0.65, 1, 0.65, 0, 0, 0, 0, W, NO, 0, 0, NO,
3779, BEAM , UNILOAD, GY, NO , NO, aDir[1], , , , 0, 0.65, 1, 0.65, 0, 0, 0, 0, W, NO, 0, 0, NO,
3780, BEAM , UNILOAD, GY, NO , NO, aDir[1], , , , 0, 0.65, 1, 0.65, 0, 0, 0, 0, W, NO, 0, 0, NO,
3781, BEAM , UNILOAD, GY, NO , NO, aDir[1], , , , 0, 0.65, 1, 0.65, 0, 0, 0, 0, W, NO, 0, 0, NO,
3782, BEAM , UNILOAD, GY, NO , NO, aDir[1], , , , 0, 0.65, 1, 0.65, 0, 0, 0, 0, W, NO, 0, 0, NO,

; End of data for load case [W+Y] ----------

PROJECT TITLE :

MIDAS	Company		Client	
	Author		File Name	H2D_3Dg_v14_180227_StatLM.mct

*USE-STLD, W-Y

*CONLOAD ; Nodal Loads
; NODE_LIST, FX, FY, FZ, MX, MY, MZ, GROUP
2510, 0, -960, 0, 0, 0, 0, W
2514, 0, -2080, 0, 0, 0, 0, W
2518, 0, -2340, 0, 0, 0, 0, W
2522, 0, -2560, 0, 0, 0, 0, W
2526, 0, -2680, 0, 0, 0, 0, W
2530, 0, -2680, 0, 0, 0, 0, W
2534, 0, -2680, 0, 0, 0, 0, W
2538, 0, -2680, 0, 0, 0, 0, W
2542, 0, -2680, 0, 0, 0, 0, W
2546, 0, -2680, 0, 0, 0, 0, W
2550, 0, -2680, 0, 0, 0, 0, W
2554, 0, -2680, 0, 0, 0, 0, W
2558, 0, -2680, 0, 0, 0, 0, W
2562, 0, -2560, 0, 0, 0, 0, W
2566, 0, -2340, 0, 0, 0, 0, W
2570, 0, -2080, 0, 0, 0, 0, W
2574, 0, -960, 0, 0, 0, 0, W
2578, 0, -960, 0, 0, 0, 0, W
2582, 0, -2080, 0, 0, 0, 0, W
2586, 0, -2340, 0, 0, 0, 0, W
2590, 0, -2560, 0, 0, 0, 0, W
2594, 0, -2680, 0, 0, 0, 0, W
2598, 0, -2680, 0, 0, 0, 0, W
2602, 0, -2680, 0, 0, 0, 0, W
2606, 0, -2680, 0, 0, 0, 0, W
2610, 0, -2680, 0, 0, 0, 0, W
2614, 0, -2680, 0, 0, 0, 0, W
2618, 0, -2680, 0, 0, 0, 0, W
2622, 0, -2680, 0, 0, 0, 0, W
2626, 0, -2680, 0, 0, 0, 0, W
2630, 0, -2560, 0, 0, 0, 0, W
2634, 0, -2340, 0, 0, 0, 0, W
2638, 0, -2080, 0, 0, 0, 0, W
2642, 0, -960, 0, 0, 0, 0, W

*BEAMLOAD ; Element Beam Loads
; ELEM_LIST, CMD, TYPE, DIR, bPROJ, [ECCEN], [VALUE], GROUP
; ELEM_LIST, CMD, TYPE, TYPE, DIR, VX, VY, VZ, bPROJ, [ECCEN], [VALUE], GROUP
; [VALUE] : D1, P1, D2, P2, D3, P3, D4, P4
; [ECCEN] : bECCEN, ECCDIR, I-END, J-END, bJ-END
; [ADDITIONAL] : bADDITIONAL, ADDITIONAL_I-END, ADDITIONAL_J-END, bADDITIONAL_J-END
1, BEAM , UNILOAD, GY, NO , NO, aDir[1], , , , 0, -0.9, 1, -0.9, 0, 0, 0, 0, W, NO, 0, 0, NO,
2, BEAM , UNILOAD, GY, NO , NO, aDir[1], , , , 0, -0.9, 1, -0.9, 0, 0, 0, 0, W, NO, 0, 0, NO,
3, BEAM , UNILOAD, GY, NO , NO, aDir[1], , , , 0, -0.9, 1, -0.9, 0, 0, 0, 0, W, NO, 0, 0, NO,
4, BEAM , UNILOAD, GY, NO , NO, aDir[1], , , , 0, -0.9, 1, -0.9, 0, 0, 0, 0, W, NO, 0, 0, NO,
5, BEAM , UNILOAD, GY, NO , NO, aDir[1], , , , 0, -0.9, 1, -0.9, 0, 0, 0, 0, W, NO, 0, 0, NO,
6, BEAM , UNILOAD, GY, NO , NO, aDir[1], , , , 0, -0.9, 1, -0.9, 0, 0, 0, 0, W, NO, 0, 0, NO,
7, BEAM , UNILOAD, GY, NO , NO, aDir[1], , , , 0, -0.9, 1, -0.9, 0, 0, 0, 0, W, NO, 0, 0, NO,
8, BEAM , UNILOAD, GY, NO , NO, aDir[1], , , , 0, -0.9, 1, -0.9, 0, 0, 0, 0, W, NO, 0, 0, NO,
9, BEAM , UNILOAD, GY, NO , NO, aDir[1], , , , 0, -0.9, 1, -0.9, 0, 0, 0, 0, W, NO, 0, 0, NO,
10, BEAM , UNILOAD, GY, NO , NO, aDir[1], , , , 0, -0.9, 1, -0.9, 0, 0, 0, 0, W, NO, 0, 0, NO,
11, BEAM , UNILOAD, GY, NO , NO, aDir[1], , , , 0, -0.9, 1, -0.9, 0, 0, 0, 0, W, NO, 0, 0, NO,
12, BEAM , UNILOAD, GY, NO , NO, aDir[1], , , , 0, -0.9, 1, -0.9, 0, 0, 0, 0, W, NO, 0, 0, NO,
13, BEAM , UNILOAD, GY, NO , NO, aDir[1], , , , 0, -0.9, 1, -0.9, 0, 0, 0, 0, W, NO, 0, 0, NO,
14, BEAM , UNILOAD, GY, NO , NO, aDir[1], , , , 0, -0.9, 1, -0.9, 0, 0, 0, 0, W, NO, 0, 0, NO,
15, BEAM , UNILOAD, GY, NO , NO, aDir[1], , , , 0, -0.9, 1, -0.9, 0, 0, 0, 0, W, NO, 0, 0, NO,
16, BEAM , UNILOAD, GY, NO , NO, aDir[1], , , , 0, -0.9, 1, -0.9, 0, 0, 0, 0, W, NO, 0, 0, NO,
17, BEAM , UNILOAD, GY, NO , NO, aDir[1], , , , 0, -0.9, 1, -0.9, 0, 0, 0, 0, W, NO, 0, 0, NO,
18, BEAM , UNILOAD, GY, NO , NO, aDir[1], , , , 0, -0.9, 1, -0.9, 0, 0, 0, 0, W, NO, 0, 0, NO,
19, BEAM , UNILOAD, GY, NO , NO, aDir[1], , , , 0, -0.9, 1, -0.9, 0, 0, 0, 0, W, NO, 0, 0, NO,
20, BEAM , UNILOAD, GY, NO , NO, aDir[1], , , , 0, -0.9, 1, -0.9, 0, 0, 0, 0, W, NO, 0, 0, NO,
21, BEAM , UNILOAD, GY, NO , NO, aDir[1], , , , 0, -0.9, 1, -0.9, 0, 0, 0, 0, W, NO, 0, 0, NO,
22, BEAM , UNILOAD, GY, NO , NO, aDir[1], , , , 0, -0.9, 1, -0.9, 0, 0, 0, 0, W, NO, 0, 0, NO,
23, BEAM , UNILOAD, GY, NO , NO, aDir[1], , , , 0, -0.9, 1, -0.9, 0, 0, 0, 0, W, NO, 0, 0, NO,
24, BEAM , UNILOAD, GY, NO , NO, aDir[1], , , , 0, -0.9, 1, -0.9, 0, 0, 0, 0, W, NO, 0, 0, NO,
25, BEAM , UNILOAD, GY, NO , NO, aDir[1], , , , 0, -0.9, 1, -0.9, 0, 0, 0, 0, W, NO, 0, 0, NO,
26, BEAM , UNILOAD, GY, NO , NO, aDir[1], , , , 0, -0.9, 1, -0.9, 0, 0, 0, 0, W, NO, 0, 0, NO,
27, BEAM , UNILOAD, GY, NO , NO, aDir[1], , , , 0, -0.9, 1, -0.9, 0, 0, 0, 0, W, NO, 0, 0, NO,

PROJECT TITLE :

MIDAS	Company		Client	
	Author		File Name	H2D_3Dg_v14_180227_StatLM.mct

28, BEAM , UNILOAD, GY, NO , NO, aDir[1], , , , 0, -0.9, 1, -0.9, 0, 0, 0, 0, W, NO, 0, 0, NO,
29, BEAM , UNILOAD, GY, NO , NO, aDir[1], , , , 0, -0.9, 1, -0.9, 0, 0, 0, 0, W, NO, 0, 0, NO,
30, BEAM , UNILOAD, GY, NO , NO, aDir[1], , , , 0, -0.9, 1, -0.9, 0, 0, 0, 0, W, NO, 0, 0, NO,
31, BEAM , UNILOAD, GY, NO , NO, aDir[1], , , , 0, -0.9, 1, -0.9, 0, 0, 0, 0, W, NO, 0, 0, NO,
32, BEAM , UNILOAD, GY, NO , NO, aDir[1], , , , 0, -0.9, 1, -0.9, 0, 0, 0, 0, W, NO, 0, 0, NO,
33, BEAM , UNILOAD, GY, NO , NO, aDir[1], , , , 0, -0.9, 1, -0.9, 0, 0, 0, 0, W, NO, 0, 0, NO,
34, BEAM , UNILOAD, GY, NO , NO, aDir[1], , , , 0, -0.9, 1, -0.9, 0, 0, 0, 0, W, NO, 0, 0, NO,
35, BEAM , UNILOAD, GY, NO , NO, aDir[1], , , , 0, -0.9, 1, -0.9, 0, 0, 0, 0, W, NO, 0, 0, NO,
36, BEAM , UNILOAD, GY, NO , NO, aDir[1], , , , 0, -0.9, 1, -0.9, 0, 0, 0, 0, W, NO, 0, 0, NO,
37, BEAM , UNILOAD, GY, NO , NO, aDir[1], , , , 0, -0.9, 1, -0.9, 0, 0, 0, 0, W, NO, 0, 0, NO,
38, BEAM , UNILOAD, GY, NO , NO, aDir[1], , , , 0, -0.9, 1, -0.9, 0, 0, 0, 0, W, NO, 0, 0, NO,
39, BEAM , UNILOAD, GY, NO , NO, aDir[1], , , , 0, -0.9, 1, -0.9, 0, 0, 0, 0, W, NO, 0, 0, NO,
40, BEAM , UNILOAD, GY, NO , NO, aDir[1], , , , 0, -0.9, 1, -0.9, 0, 0, 0, 0, W, NO, 0, 0, NO,
41, BEAM , UNILOAD, GY, NO , NO, aDir[1], , , , 0, -0.9, 1, -0.9, 0, 0, 0, 0, W, NO, 0, 0, NO,
42, BEAM , UNILOAD, GY, NO , NO, aDir[1], , , , 0, -0.9, 1, -0.9, 0, 0, 0, 0, W, NO, 0, 0, NO,
43, BEAM , UNILOAD, GY, NO , NO, aDir[1], , , , 0, -0.9, 1, -0.9, 0, 0, 0, 0, W, NO, 0, 0, NO,
44, BEAM , UNILOAD, GY, NO , NO, aDir[1], , , , 0, -0.9, 1, -0.9, 0, 0, 0, 0, W, NO, 0, 0, NO,
45, BEAM , UNILOAD, GY, NO , NO, aDir[1], , , , 0, -0.9, 1, -0.9, 0, 0, 0, 0, W, NO, 0, 0, NO,
46, BEAM , UNILOAD, GY, NO , NO, aDir[1], , , , 0, -0.9, 1, -0.9, 0, 0, 0, 0, W, NO, 0, 0, NO,
47, BEAM , UNILOAD, GY, NO , NO, aDir[1], , , , 0, -0.9, 1, -0.9, 0, 0, 0, 0, W, NO, 0, 0, NO,
48, BEAM , UNILOAD, GY, NO , NO, aDir[1], , , , 0, -0.9, 1, -0.9, 0, 0, 0, 0, W, NO, 0, 0, NO,
49, BEAM , UNILOAD, GY, NO , NO, aDir[1], , , , 0, -0.9, 1, -0.9, 0, 0, 0, 0, W, NO, 0, 0, NO,
50, BEAM , UNILOAD, GY, NO , NO, aDir[1], , , , 0, -0.9, 1, -0.9, 0, 0, 0, 0, W, NO, 0, 0, NO,
51, BEAM , UNILOAD, GY, NO , NO, aDir[1], , , , 0, -0.9, 1, -0.9, 0, 0, 0, 0, W, NO, 0, 0, NO,
52, BEAM , UNILOAD, GY, NO , NO, aDir[1], , , , 0, -0.9, 1, -0.9, 0, 0, 0, 0, W, NO, 0, 0, NO,
53, BEAM , UNILOAD, GY, NO , NO, aDir[1], , , , 0, -0.9, 1, -0.9, 0, 0, 0, 0, W, NO, 0, 0, NO,
54, BEAM , UNILOAD, GY, NO , NO, aDir[1], , , , 0, -0.9, 1, -0.9, 0, 0, 0, 0, W, NO, 0, 0, NO,
55, BEAM , UNILOAD, GY, NO , NO, aDir[1], , , , 0, -0.9, 1, -0.9, 0, 0, 0, 0, W, NO, 0, 0, NO,
56, BEAM , UNILOAD, GY, NO , NO, aDir[1], , , , 0, -0.9, 1, -0.9, 0, 0, 0, 0, W, NO, 0, 0, NO,
57, BEAM , UNILOAD, GY, NO , NO, aDir[1], , , , 0, -0.9, 1, -0.9, 0, 0, 0, 0, W, NO, 0, 0, NO,
58, BEAM , UNILOAD, GY, NO , NO, aDir[1], , , , 0, -0.9, 1, -0.9, 0, 0, 0, 0, W, NO, 0, 0, NO,
59, BEAM , UNILOAD, GY, NO , NO, aDir[1], , , , 0, -0.9, 1, -0.9, 0, 0, 0, 0, W, NO, 0, 0, NO,
60, BEAM , UNILOAD, GY, NO , NO, aDir[1], , , , 0, -0.9, 1, -0.9, 0, 0, 0, 0, W, NO, 0, 0, NO,
61, BEAM , UNILOAD, GY, NO , NO, aDir[1], , , , 0, -0.9, 1, -0.9, 0, 0, 0, 0, W, NO, 0, 0, NO,
62, BEAM , UNILOAD, GY, NO , NO, aDir[1], , , , 0, -0.9, 1, -0.9, 0, 0, 0, 0, W, NO, 0, 0, NO,
63, BEAM , UNILOAD, GY, NO , NO, aDir[1], , , , 0, -0.9, 1, -0.9, 0, 0, 0, 0, W, NO, 0, 0, NO,
64, BEAM , UNILOAD, GY, NO , NO, aDir[1], , , , 0, -0.9, 1, -0.9, 0, 0, 0, 0, W, NO, 0, 0, NO,
65, BEAM , UNILOAD, GY, NO , NO, aDir[1], , , , 0, -0.9, 1, -0.9, 0, 0, 0, 0, W, NO, 0, 0, NO,
66, BEAM , UNILOAD, GY, NO , NO, aDir[1], , , , 0, -0.9, 1, -0.9, 0, 0, 0, 0, W, NO, 0, 0, NO,
67, BEAM , UNILOAD, GY, NO , NO, aDir[1], , , , 0, -0.9, 1, -0.9, 0, 0, 0, 0, W, NO, 0, 0, NO,
68, BEAM , UNILOAD, GY, NO , NO, aDir[1], , , , 0, -0.9, 1, -0.9, 0, 0, 0, 0, W, NO, 0, 0, NO,
69, BEAM , UNILOAD, GY, NO , NO, aDir[1], , , , 0, -0.57, 1, -0.57, 0, 0, 0, 0, W, NO, 0, 0, NO,
70, BEAM , UNILOAD, GY, NO , NO, aDir[1], , , , 0, -0.57, 1, -0.57, 0, 0, 0, 0, W, NO, 0, 0, NO,
71, BEAM , UNILOAD, GY, NO , NO, aDir[1], , , , 0, -0.57, 1, -0.57, 0, 0, 0, 0, W, NO, 0, 0, NO,
72, BEAM , UNILOAD, GY, NO , NO, aDir[1], , , , 0, -0.57, 1, -0.57, 0, 0, 0, 0, W, NO, 0, 0, NO,
73, BEAM , UNILOAD, GY, NO , NO, aDir[1], , , , 0, -0.57, 1, -0.57, 0, 0, 0, 0, W, NO, 0, 0, NO,
74, BEAM , UNILOAD, GY, NO , NO, aDir[1], , , , 0, -0.57, 1, -0.57, 0, 0, 0, 0, W, NO, 0, 0, NO,
75, BEAM , UNILOAD, GY, NO , NO, aDir[1], , , , 0, -0.57, 1, -0.57, 0, 0, 0, 0, W, NO, 0, 0, NO,
76, BEAM , UNILOAD, GY, NO , NO, aDir[1], , , , 0, -0.57, 1, -0.57, 0, 0, 0, 0, W, NO, 0, 0, NO,
77, BEAM , UNILOAD, GY, NO , NO, aDir[1], , , , 0, -0.57, 1, -0.57, 0, 0, 0, 0, W, NO, 0, 0, NO,
78, BEAM , UNILOAD, GY, NO , NO, aDir[1], , , , 0, -0.57, 1, -0.57, 0, 0, 0, 0, W, NO, 0, 0, NO,
79, BEAM , UNILOAD, GY, NO , NO, aDir[1], , , , 0, -0.57, 1, -0.57, 0, 0, 0, 0, W, NO, 0, 0, NO,
80, BEAM , UNILOAD, GY, NO , NO, aDir[1], , , , 0, -0.57, 1, -0.57, 0, 0, 0, 0, W, NO, 0, 0, NO,
81, BEAM , UNILOAD, GY, NO , NO, aDir[1], , , , 0, -0.57, 1, -0.57, 0, 0, 0, 0, W, NO, 0, 0, NO,
82, BEAM , UNILOAD, GY, NO , NO, aDir[1], , , , 0, -0.57, 1, -0.57, 0, 0, 0, 0, W, NO, 0, 0, NO,
83, BEAM , UNILOAD, GY, NO , NO, aDir[1], , , , 0, -0.57, 1, -0.57, 0, 0, 0, 0, W, NO, 0, 0, NO,
84, BEAM , UNILOAD, GY, NO , NO, aDir[1], , , , 0, -0.57, 1, -0.57, 0, 0, 0, 0, W, NO, 0, 0, NO,
85, BEAM , UNILOAD, GY, NO , NO, aDir[1], , , , 0, -0.57, 1, -0.57, 0, 0, 0, 0, W, NO, 0, 0, NO,
86, BEAM , UNILOAD, GY, NO , NO, aDir[1], , , , 0, -0.57, 1, -0.57, 0, 0, 0, 0, W, NO, 0, 0, NO,
87, BEAM , UNILOAD, GY, NO , NO, aDir[1], , , , 0, -0.57, 1, -0.57, 0, 0, 0, 0, W, NO, 0, 0, NO,
88, BEAM , UNILOAD, GY, NO , NO, aDir[1], , , , 0, -0.57, 1, -0.57, 0, 0, 0, 0, W, NO, 0, 0, NO,
89, BEAM , UNILOAD, GY, NO , NO, aDir[1], , , , 0, -0.57, 1, -0.57, 0, 0, 0, 0, W, NO, 0, 0, NO,
90, BEAM , UNILOAD, GY, NO , NO, aDir[1], , , , 0, -0.57, 1, -0.57, 0, 0, 0, 0, W, NO, 0, 0, NO,
91, BEAM , UNILOAD, GY, NO , NO, aDir[1], , , , 0, -0.57, 1, -0.57, 0, 0, 0, 0, W, NO, 0, 0, NO,
92, BEAM , UNILOAD, GY, NO , NO, aDir[1], , , , 0, -0.57, 1, -0.57, 0, 0, 0, 0, W, NO, 0, 0, NO,
93, BEAM , UNILOAD, GY, NO , NO, aDir[1], , , , 0, -0.57, 1, -0.57, 0, 0, 0, 0, W, NO, 0, 0, NO,
94, BEAM , UNILOAD, GY, NO , NO, aDir[1], , , , 0, -0.57, 1, -0.57, 0, 0, 0, 0, W, NO, 0, 0, NO,
95, BEAM , UNILOAD, GY, NO , NO, aDir[1], , , , 0, -0.57, 1, -0.57, 0, 0, 0, 0, W, NO, 0, 0, NO,
96, BEAM , UNILOAD, GY, NO , NO, aDir[1], , , , 0, -0.57, 1, -0.57, 0, 0, 0, 0, W, NO, 0, 0, NO,
97, BEAM , UNILOAD, GY, NO , NO, aDir[1], , , , 0, -0.57, 1, -0.57, 0, 0, 0, 0, W, NO, 0, 0, NO,
98, BEAM , UNILOAD, GY, NO , NO, aDir[1], , , , 0, -0.57, 1, -0.57, 0, 0, 0, 0, W, NO, 0, 0, NO,
99, BEAM , UNILOAD, GY, NO , NO, aDir[1], , , , 0, -0.57, 1, -0.57, 0, 0, 0, 0, W, NO, 0, 0, NO,

PROJECT TITLE :

MIDAS	Company		Client	
	Author		File Name	H2D_3Dg_v14_180227_StatLM.mct

100, BEAM , UNILOAD, GY, NO , NO, aDir[1], , , , 0, -0.57, 1, -0.57, 0, 0, 0, 0, W, NO, 0, 0, NO,
101, BEAM , UNILOAD, GY, NO , NO, aDir[1], , , , 0, -0.57, 1, -0.57, 0, 0, 0, 0, W, NO, 0, 0, NO,
102, BEAM , UNILOAD, GY, NO , NO, aDir[1], , , , 0, -0.57, 1, -0.57, 0, 0, 0, 0, W, NO, 0, 0, NO,
103, BEAM , UNILOAD, GY, NO , NO, aDir[1], , , , 0, -0.57, 1, -0.57, 0, 0, 0, 0, W, NO, 0, 0, NO,
104, BEAM , UNILOAD, GY, NO , NO, aDir[1], , , , 0, -0.57, 1, -0.57, 0, 0, 0, 0, W, NO, 0, 0, NO,
105, BEAM , UNILOAD, GY, NO , NO, aDir[1], , , , 0, -0.57, 1, -0.57, 0, 0, 0, 0, W, NO, 0, 0, NO,
106, BEAM , UNILOAD, GY, NO , NO, aDir[1], , , , 0, -0.57, 1, -0.57, 0, 0, 0, 0, W, NO, 0, 0, NO,
107, BEAM , UNILOAD, GY, NO , NO, aDir[1], , , , 0, -0.57, 1, -0.57, 0, 0, 0, 0, W, NO, 0, 0, NO,
108, BEAM , UNILOAD, GY, NO , NO, aDir[1], , , , 0, -0.57, 1, -0.57, 0, 0, 0, 0, W, NO, 0, 0, NO,
109, BEAM , UNILOAD, GY, NO , NO, aDir[1], , , , 0, -0.57, 1, -0.57, 0, 0, 0, 0, W, NO, 0, 0, NO,
110, BEAM , UNILOAD, GY, NO , NO, aDir[1], , , , 0, -0.57, 1, -0.57, 0, 0, 0, 0, W, NO, 0, 0, NO,
111, BEAM , UNILOAD, GY, NO , NO, aDir[1], , , , 0, -0.57, 1, -0.57, 0, 0, 0, 0, W, NO, 0, 0, NO,
112, BEAM , UNILOAD, GY, NO , NO, aDir[1], , , , 0, -0.57, 1, -0.57, 0, 0, 0, 0, W, NO, 0, 0, NO,
113, BEAM , UNILOAD, GY, NO , NO, aDir[1], , , , 0, -0.57, 1, -0.57, 0, 0, 0, 0, W, NO, 0, 0, NO,
114, BEAM , UNILOAD, GY, NO , NO, aDir[1], , , , 0, -0.57, 1, -0.57, 0, 0, 0, 0, W, NO, 0, 0, NO,
115, BEAM , UNILOAD, GY, NO , NO, aDir[1], , , , 0, -0.57, 1, -0.57, 0, 0, 0, 0, W, NO, 0, 0, NO,
116, BEAM , UNILOAD, GY, NO , NO, aDir[1], , , , 0, -0.57, 1, -0.57, 0, 0, 0, 0, W, NO, 0, 0, NO,
117, BEAM , UNILOAD, GY, NO , NO, aDir[1], , , , 0, -0.57, 1, -0.57, 0, 0, 0, 0, W, NO, 0, 0, NO,
118, BEAM , UNILOAD, GY, NO , NO, aDir[1], , , , 0, -0.57, 1, -0.57, 0, 0, 0, 0, W, NO, 0, 0, NO,
119, BEAM , UNILOAD, GY, NO , NO, aDir[1], , , , 0, -0.57, 1, -0.57, 0, 0, 0, 0, W, NO, 0, 0, NO,
120, BEAM , UNILOAD, GY, NO , NO, aDir[1], , , , 0, -0.57, 1, -0.57, 0, 0, 0, 0, W, NO, 0, 0, NO,
121, BEAM , UNILOAD, GY, NO , NO, aDir[1], , , , 0, -0.57, 1, -0.57, 0, 0, 0, 0, W, NO, 0, 0, NO,
122, BEAM , UNILOAD, GY, NO , NO, aDir[1], , , , 0, -0.57, 1, -0.57, 0, 0, 0, 0, W, NO, 0, 0, NO,
123, BEAM , UNILOAD, GY, NO , NO, aDir[1], , , , 0, -0.57, 1, -0.57, 0, 0, 0, 0, W, NO, 0, 0, NO,
124, BEAM , UNILOAD, GY, NO , NO, aDir[1], , , , 0, -0.57, 1, -0.57, 0, 0, 0, 0, W, NO, 0, 0, NO,
125, BEAM , UNILOAD, GY, NO , NO, aDir[1], , , , 0, -0.57, 1, -0.57, 0, 0, 0, 0, W, NO, 0, 0, NO,
126, BEAM , UNILOAD, GY, NO , NO, aDir[1], , , , 0, -0.57, 1, -0.57, 0, 0, 0, 0, W, NO, 0, 0, NO,
127, BEAM , UNILOAD, GY, NO , NO, aDir[1], , , , 0, -0.57, 1, -0.57, 0, 0, 0, 0, W, NO, 0, 0, NO,
128, BEAM , UNILOAD, GY, NO , NO, aDir[1], , , , 0, -0.57, 1, -0.57, 0, 0, 0, 0, W, NO, 0, 0, NO,
129, BEAM , UNILOAD, GY, NO , NO, aDir[1], , , , 0, -0.57, 1, -0.57, 0, 0, 0, 0, W, NO, 0, 0, NO,
130, BEAM , UNILOAD, GY, NO , NO, aDir[1], , , , 0, -0.57, 1, -0.57, 0, 0, 0, 0, W, NO, 0, 0, NO,
131, BEAM , UNILOAD, GY, NO , NO, aDir[1], , , , 0, -0.57, 1, -0.57, 0, 0, 0, 0, W, NO, 0, 0, NO,
132, BEAM , UNILOAD, GY, NO , NO, aDir[1], , , , 0, -0.57, 1, -0.57, 0, 0, 0, 0, W, NO, 0, 0, NO,
133, BEAM , UNILOAD, GY, NO , NO, aDir[1], , , , 0, -0.57, 1, -0.57, 0, 0, 0, 0, W, NO, 0, 0, NO,
134, BEAM , UNILOAD, GY, NO , NO, aDir[1], , , , 0, -0.57, 1, -0.57, 0, 0, 0, 0, W, NO, 0, 0, NO,
135, BEAM , UNILOAD, GY, NO , NO, aDir[1], , , , 0, -0.57, 1, -0.57, 0, 0, 0, 0, W, NO, 0, 0, NO,
136, BEAM , UNILOAD, GY, NO , NO, aDir[1], , , , 0, -0.57, 1, -0.57, 0, 0, 0, 0, W, NO, 0, 0, NO,
137, BEAM , UNILOAD, GY, NO , NO, aDir[1], , , , 0, -0.57, 1, -0.57, 0, 0, 0, 0, W, NO, 0, 0, NO,
138, BEAM , UNILOAD, GY, NO , NO, aDir[1], , , , 0, -0.57, 1, -0.57, 0, 0, 0, 0, W, NO, 0, 0, NO,
139, BEAM , UNILOAD, GY, NO , NO, aDir[1], , , , 0, -0.57, 1, -0.57, 0, 0, 0, 0, W, NO, 0, 0, NO,
140, BEAM , UNILOAD, GY, NO , NO, aDir[1], , , , 0, -0.57, 1, -0.57, 0, 0, 0, 0, W, NO, 0, 0, NO,
141, BEAM , UNILOAD, GY, NO , NO, aDir[1], , , , 0, -0.57, 1, -0.57, 0, 0, 0, 0, W, NO, 0, 0, NO,
142, BEAM , UNILOAD, GY, NO , NO, aDir[1], , , , 0, -0.57, 1, -0.57, 0, 0, 0, 0, W, NO, 0, 0, NO,
143, BEAM , UNILOAD, GY, NO , NO, aDir[1], , , , 0, -0.57, 1, -0.57, 0, 0, 0, 0, W, NO, 0, 0, NO,
144, BEAM , UNILOAD, GY, NO , NO, aDir[1], , , , 0, -0.57, 1, -0.57, 0, 0, 0, 0, W, NO, 0, 0, NO,
145, BEAM , UNILOAD, GY, NO , NO, aDir[1], , , , 0, -0.57, 1, -0.57, 0, 0, 0, 0, W, NO, 0, 0, NO,
146, BEAM , UNILOAD, GY, NO , NO, aDir[1], , , , 0, -0.57, 1, -0.57, 0, 0, 0, 0, W, NO, 0, 0, NO,
147, BEAM , UNILOAD, GY, NO , NO, aDir[1], , , , 0, -0.57, 1, -0.57, 0, 0, 0, 0, W, NO, 0, 0, NO,
148, BEAM , UNILOAD, GY, NO , NO, aDir[1], , , , 0, -0.57, 1, -0.57, 0, 0, 0, 0, W, NO, 0, 0, NO,
149, BEAM , UNILOAD, GY, NO , NO, aDir[1], , , , 0, -0.57, 1, -0.57, 0, 0, 0, 0, W, NO, 0, 0, NO,
150, BEAM , UNILOAD, GY, NO , NO, aDir[1], , , , 0, -0.57, 1, -0.57, 0, 0, 0, 0, W, NO, 0, 0, NO,
151, BEAM , UNILOAD, GY, NO , NO, aDir[1], , , , 0, -0.57, 1, -0.57, 0, 0, 0, 0, W, NO, 0, 0, NO,
152, BEAM , UNILOAD, GY, NO , NO, aDir[1], , , , 0, -0.57, 1, -0.57, 0, 0, 0, 0, W, NO, 0, 0, NO,
153, BEAM , UNILOAD, GY, NO , NO, aDir[1], , , , 0, -0.57, 1, -0.57, 0, 0, 0, 0, W, NO, 0, 0, NO,
154, BEAM , UNILOAD, GY, NO , NO, aDir[1], , , , 0, -0.57, 1, -0.57, 0, 0, 0, 0, W, NO, 0, 0, NO,
155, BEAM , UNILOAD, GY, NO , NO, aDir[1], , , , 0, -0.57, 1, -0.57, 0, 0, 0, 0, W, NO, 0, 0, NO,
156, BEAM , UNILOAD, GY, NO , NO, aDir[1], , , , 0, -0.57, 1, -0.57, 0, 0, 0, 0, W, NO, 0, 0, NO,
157, BEAM , UNILOAD, GY, NO , NO, aDir[1], , , , 0, -0.57, 1, -0.57, 0, 0, 0, 0, W, NO, 0, 0, NO,
158, BEAM , UNILOAD, GY, NO , NO, aDir[1], , , , 0, -0.57, 1, -0.57, 0, 0, 0, 0, W, NO, 0, 0, NO,
159, BEAM , UNILOAD, GY, NO , NO, aDir[1], , , , 0, -0.57, 1, -0.57, 0, 0, 0, 0, W, NO, 0, 0, NO,
160, BEAM , UNILOAD, GY, NO , NO, aDir[1], , , , 0, -0.57, 1, -0.57, 0, 0, 0, 0, W, NO, 0, 0, NO,
161, BEAM , UNILOAD, GY, NO , NO, aDir[1], , , , 0, -0.57, 1, -0.57, 0, 0, 0, 0, W, NO, 0, 0, NO,
162, BEAM , UNILOAD, GY, NO , NO, aDir[1], , , , 0, -0.57, 1, -0.57, 0, 0, 0, 0, W, NO, 0, 0, NO,
163, BEAM , UNILOAD, GY, NO , NO, aDir[1], , , , 0, -0.57, 1, -0.57, 0, 0, 0, 0, W, NO, 0, 0, NO,
164, BEAM , UNILOAD, GY, NO , NO, aDir[1], , , , 0, -0.57, 1, -0.57, 0, 0, 0, 0, W, NO, 0, 0, NO,
165, BEAM , UNILOAD, GY, NO , NO, aDir[1], , , , 0, -0.57, 1, -0.57, 0, 0, 0, 0, W, NO, 0, 0, NO,
166, BEAM , UNILOAD, GY, NO , NO, aDir[1], , , , 0, -0.57, 1, -0.57, 0, 0, 0, 0, W, NO, 0, 0, NO,
167, BEAM , UNILOAD, GY, NO , NO, aDir[1], , , , 0, -0.57, 1, -0.57, 0, 0, 0, 0, W, NO, 0, 0, NO,
168, BEAM , UNILOAD, GY, NO , NO, aDir[1], , , , 0, -0.57, 1, -0.57, 0, 0, 0, 0, W, NO, 0, 0, NO,
169, BEAM , UNILOAD, GY, NO , NO, aDir[1], , , , 0, -0.62, 1, -0.62, 0, 0, 0, 0, W, NO, 0, 0, NO,
170, BEAM , UNILOAD, GY, NO , NO, aDir[1], , , , 0, -0.62, 1, -0.62, 0, 0, 0, 0, W, NO, 0, 0, NO,
171, BEAM , UNILOAD, GY, NO , NO, aDir[1], , , , 0, -0.62, 1, -0.62, 0, 0, 0, 0, W, NO, 0, 0, NO,

PROJECT TITLE :

MIDAS	Company		Client	
	Author		File Name	H2D_3Dg_v14_180227_StatLM.mct

172, BEAM , UNILOAD, GY, NO , NO, aDir[1], , , , 0, -0.62, 1, -0.62, 0, 0, 0, 0, W, NO, 0, 0, NO,
173, BEAM , UNILOAD, GY, NO , NO, aDir[1], , , , 0, -0.62, 1, -0.62, 0, 0, 0, 0, W, NO, 0, 0, NO,
174, BEAM , UNILOAD, GY, NO , NO, aDir[1], , , , 0, -0.62, 1, -0.62, 0, 0, 0, 0, W, NO, 0, 0, NO,
175, BEAM , UNILOAD, GY, NO , NO, aDir[1], , , , 0, -0.62, 1, -0.62, 0, 0, 0, 0, W, NO, 0, 0, NO,
176, BEAM , UNILOAD, GY, NO , NO, aDir[1], , , , 0, -0.62, 1, -0.62, 0, 0, 0, 0, W, NO, 0, 0, NO,
177, BEAM , UNILOAD, GY, NO , NO, aDir[1], , , , 0, -0.62, 1, -0.62, 0, 0, 0, 0, W, NO, 0, 0, NO,
178, BEAM , UNILOAD, GY, NO , NO, aDir[1], , , , 0, -0.62, 1, -0.62, 0, 0, 0, 0, W, NO, 0, 0, NO,
179, BEAM , UNILOAD, GY, NO , NO, aDir[1], , , , 0, -0.62, 1, -0.62, 0, 0, 0, 0, W, NO, 0, 0, NO,
180, BEAM , UNILOAD, GY, NO , NO, aDir[1], , , , 0, -0.62, 1, -0.62, 0, 0, 0, 0, W, NO, 0, 0, NO,
181, BEAM , UNILOAD, GY, NO , NO, aDir[1], , , , 0, -0.62, 1, -0.62, 0, 0, 0, 0, W, NO, 0, 0, NO,
182, BEAM , UNILOAD, GY, NO , NO, aDir[1], , , , 0, -0.46, 1, -0.46, 0, 0, 0, 0, W, NO, 0, 0, NO,
183, BEAM , UNILOAD, GY, NO , NO, aDir[1], , , , 0, -0.62, 1, -0.62, 0, 0, 0, 0, W, NO, 0, 0, NO,
184, BEAM , UNILOAD, GY, NO , NO, aDir[1], , , , 0, -0.46, 1, -0.46, 0, 0, 0, 0, W, NO, 0, 0, NO,
185, BEAM , UNILOAD, GY, NO , NO, aDir[1], , , , 0, -0.62, 1, -0.62, 0, 0, 0, 0, W, NO, 0, 0, NO,
186, BEAM , UNILOAD, GY, NO , NO, aDir[1], , , , 0, -0.46, 1, -0.46, 0, 0, 0, 0, W, NO, 0, 0, NO,
187, BEAM , UNILOAD, GY, NO , NO, aDir[1], , , , 0, -0.46, 1, -0.46, 0, 0, 0, 0, W, NO, 0, 0, NO,
188, BEAM , UNILOAD, GY, NO , NO, aDir[1], , , , 0, -0.46, 1, -0.46, 0, 0, 0, 0, W, NO, 0, 0, NO,
189, BEAM , UNILOAD, GY, NO , NO, aDir[1], , , , 0, -0.46, 1, -0.46, 0, 0, 0, 0, W, NO, 0, 0, NO,
190, BEAM , UNILOAD, GY, NO , NO, aDir[1], , , , 0, -0.46, 1, -0.46, 0, 0, 0, 0, W, NO, 0, 0, NO,
191, BEAM , UNILOAD, GY, NO , NO, aDir[1], , , , 0, -0.46, 1, -0.46, 0, 0, 0, 0, W, NO, 0, 0, NO,
192, BEAM , UNILOAD, GY, NO , NO, aDir[1], , , , 0, -0.46, 1, -0.46, 0, 0, 0, 0, W, NO, 0, 0, NO,
193, BEAM , UNILOAD, GY, NO , NO, aDir[1], , , , 0, -0.46, 1, -0.46, 0, 0, 0, 0, W, NO, 0, 0, NO,
194, BEAM , UNILOAD, GY, NO , NO, aDir[1], , , , 0, -0.46, 1, -0.46, 0, 0, 0, 0, W, NO, 0, 0, NO,
195, BEAM , UNILOAD, GY, NO , NO, aDir[1], , , , 0, -0.46, 1, -0.46, 0, 0, 0, 0, W, NO, 0, 0, NO,
196, BEAM , UNILOAD, GY, NO , NO, aDir[1], , , , 0, -0.46, 1, -0.46, 0, 0, 0, 0, W, NO, 0, 0, NO,
197, BEAM , UNILOAD, GY, NO , NO, aDir[1], , , , 0, -0.46, 1, -0.46, 0, 0, 0, 0, W, NO, 0, 0, NO,
198, BEAM , UNILOAD, GY, NO , NO, aDir[1], , , , 0, -0.46, 1, -0.46, 0, 0, 0, 0, W, NO, 0, 0, NO,
199, BEAM , UNILOAD, GY, NO , NO, aDir[1], , , , 0, -0.46, 1, -0.46, 0, 0, 0, 0, W, NO, 0, 0, NO,
200, BEAM , UNILOAD, GY, NO , NO, aDir[1], , , , 0, -0.46, 1, -0.46, 0, 0, 0, 0, W, NO, 0, 0, NO,
201, BEAM , UNILOAD, GY, NO , NO, aDir[1], , , , 0, -0.46, 1, -0.46, 0, 0, 0, 0, W, NO, 0, 0, NO,
202, BEAM , UNILOAD, GY, NO , NO, aDir[1], , , , 0, -0.46, 1, -0.46, 0, 0, 0, 0, W, NO, 0, 0, NO,
203, BEAM , UNILOAD, GY, NO , NO, aDir[1], , , , 0, -0.46, 1, -0.46, 0, 0, 0, 0, W, NO, 0, 0, NO,
204, BEAM , UNILOAD, GY, NO , NO, aDir[1], , , , 0, -0.46, 1, -0.46, 0, 0, 0, 0, W, NO, 0, 0, NO,
205, BEAM , UNILOAD, GY, NO , NO, aDir[1], , , , 0, -0.46, 1, -0.46, 0, 0, 0, 0, W, NO, 0, 0, NO,
206, BEAM , UNILOAD, GY, NO , NO, aDir[1], , , , 0, -0.46, 1, -0.46, 0, 0, 0, 0, W, NO, 0, 0, NO,
207, BEAM , UNILOAD, GY, NO , NO, aDir[1], , , , 0, -0.46, 1, -0.46, 0, 0, 0, 0, W, NO, 0, 0, NO,
208, BEAM , UNILOAD, GY, NO , NO, aDir[1], , , , 0, -0.46, 1, -0.46, 0, 0, 0, 0, W, NO, 0, 0, NO,
209, BEAM , UNILOAD, GY, NO , NO, aDir[1], , , , 0, -0.46, 1, -0.46, 0, 0, 0, 0, W, NO, 0, 0, NO,
210, BEAM , UNILOAD, GY, NO , NO, aDir[1], , , , 0, -0.46, 1, -0.46, 0, 0, 0, 0, W, NO, 0, 0, NO,
211, BEAM , UNILOAD, GY, NO , NO, aDir[1], , , , 0, -0.46, 1, -0.46, 0, 0, 0, 0, W, NO, 0, 0, NO,
212, BEAM , UNILOAD, GY, NO , NO, aDir[1], , , , 0, -0.46, 1, -0.46, 0, 0, 0, 0, W, NO, 0, 0, NO,
213, BEAM , UNILOAD, GY, NO , NO, aDir[1], , , , 0, -0.46, 1, -0.46, 0, 0, 0, 0, W, NO, 0, 0, NO,
214, BEAM , UNILOAD, GY, NO , NO, aDir[1], , , , 0, -0.46, 1, -0.46, 0, 0, 0, 0, W, NO, 0, 0, NO,
215, BEAM , UNILOAD, GY, NO , NO, aDir[1], , , , 0, -0.46, 1, -0.46, 0, 0, 0, 0, W, NO, 0, 0, NO,
216, BEAM , UNILOAD, GY, NO , NO, aDir[1], , , , 0, -0.46, 1, -0.46, 0, 0, 0, 0, W, NO, 0, 0, NO,
217, BEAM , UNILOAD, GY, NO , NO, aDir[1], , , , 0, -0.46, 1, -0.46, 0, 0, 0, 0, W, NO, 0, 0, NO,
218, BEAM , UNILOAD, GY, NO , NO, aDir[1], , , , 0, -0.46, 1, -0.46, 0, 0, 0, 0, W, NO, 0, 0, NO,
219, BEAM , UNILOAD, GY, NO , NO, aDir[1], , , , 0, -0.46, 1, -0.46, 0, 0, 0, 0, W, NO, 0, 0, NO,
220, BEAM , UNILOAD, GY, NO , NO, aDir[1], , , , 0, -0.46, 1, -0.46, 0, 0, 0, 0, W, NO, 0, 0, NO,
221, BEAM , UNILOAD, GY, NO , NO, aDir[1], , , , 0, -0.46, 1, -0.46, 0, 0, 0, 0, W, NO, 0, 0, NO,
222, BEAM , UNILOAD, GY, NO , NO, aDir[1], , , , 0, -0.46, 1, -0.46, 0, 0, 0, 0, W, NO, 0, 0, NO,
223, BEAM , UNILOAD, GY, NO , NO, aDir[1], , , , 0, -0.46, 1, -0.46, 0, 0, 0, 0, W, NO, 0, 0, NO,
224, BEAM , UNILOAD, GY, NO , NO, aDir[1], , , , 0, -0.46, 1, -0.46, 0, 0, 0, 0, W, NO, 0, 0, NO,
225, BEAM , UNILOAD, GY, NO , NO, aDir[1], , , , 0, -0.46, 1, -0.46, 0, 0, 0, 0, W, NO, 0, 0, NO,
226, BEAM , UNILOAD, GY, NO , NO, aDir[1], , , , 0, -0.46, 1, -0.46, 0, 0, 0, 0, W, NO, 0, 0, NO,
227, BEAM , UNILOAD, GY, NO , NO, aDir[1], , , , 0, -0.46, 1, -0.46, 0, 0, 0, 0, W, NO, 0, 0, NO,
228, BEAM , UNILOAD, GY, NO , NO, aDir[1], , , , 0, -0.46, 1, -0.46, 0, 0, 0, 0, W, NO, 0, 0, NO,
229, BEAM , UNILOAD, GY, NO , NO, aDir[1], , , , 0, -0.46, 1, -0.46, 0, 0, 0, 0, W, NO, 0, 0, NO,
230, BEAM , UNILOAD, GY, NO , NO, aDir[1], , , , 0, -0.46, 1, -0.46, 0, 0, 0, 0, W, NO, 0, 0, NO,
231, BEAM , UNILOAD, GY, NO , NO, aDir[1], , , , 0, -0.46, 1, -0.46, 0, 0, 0, 0, W, NO, 0, 0, NO,
232, BEAM , UNILOAD, GY, NO , NO, aDir[1], , , , 0, -0.46, 1, -0.46, 0, 0, 0, 0, W, NO, 0, 0, NO,
233, BEAM , UNILOAD, GY, NO , NO, aDir[1], , , , 0, -0.46, 1, -0.46, 0, 0, 0, 0, W, NO, 0, 0, NO,
234, BEAM , UNILOAD, GY, NO , NO, aDir[1], , , , 0, -0.46, 1, -0.46, 0, 0, 0, 0, W, NO, 0, 0, NO,
235, BEAM , UNILOAD, GY, NO , NO, aDir[1], , , , 0, -0.46, 1, -0.46, 0, 0, 0, 0, W, NO, 0, 0, NO,
236, BEAM , UNILOAD, GY, NO , NO, aDir[1], , , , 0, -0.46, 1, -0.46, 0, 0, 0, 0, W, NO, 0, 0, NO,
237, BEAM , UNILOAD, GY, NO , NO, aDir[1], , , , 0, -0.46, 1, -0.46, 0, 0, 0, 0, W, NO, 0, 0, NO,
238, BEAM , UNILOAD, GY, NO , NO, aDir[1], , , , 0, -0.46, 1, -0.46, 0, 0, 0, 0, W, NO, 0, 0, NO,
239, BEAM , UNILOAD, GY, NO , NO, aDir[1], , , , 0, -0.46, 1, -0.46, 0, 0, 0, 0, W, NO, 0, 0, NO,
240, BEAM , UNILOAD, GY, NO , NO, aDir[1], , , , 0, -0.46, 1, -0.46, 0, 0, 0, 0, W, NO, 0, 0, NO,
241, BEAM , UNILOAD, GY, NO , NO, aDir[1], , , , 0, -0.46, 1, -0.46, 0, 0, 0, 0, W, NO, 0, 0, NO,
242, BEAM , UNILOAD, GY, NO , NO, aDir[1], , , , 0, -0.46, 1, -0.46, 0, 0, 0, 0, W, NO, 0, 0, NO,
243, BEAM , UNILOAD, GY, NO , NO, aDir[1], , , , 0, -0.46, 1, -0.46, 0, 0, 0, 0, W, NO, 0, 0, NO,

PROJECT TITLE :

MIDAS	Company		Client	
	Author		File Name	H2D_3Dg_v14_180227_StatLM.mct

244, BEAM , UNILOAD, GY, NO , NO, aDir[1], , , , 0, -0.46, 1, -0.46, 0, 0, 0, 0, W, NO, 0, 0, NO,
245, BEAM , UNILOAD, GY, NO , NO, aDir[1], , , , 0, -0.46, 1, -0.46, 0, 0, 0, 0, W, NO, 0, 0, NO,
246, BEAM , UNILOAD, GY, NO , NO, aDir[1], , , , 0, -0.62, 1, -0.62, 0, 0, 0, 0, W, NO, 0, 0, NO,
247, BEAM , UNILOAD, GY, NO , NO, aDir[1], , , , 0, -0.46, 1, -0.46, 0, 0, 0, 0, W, NO, 0, 0, NO,
248, BEAM , UNILOAD, GY, NO , NO, aDir[1], , , , 0, -0.62, 1, -0.62, 0, 0, 0, 0, W, NO, 0, 0, NO,
249, BEAM , UNILOAD, GY, NO , NO, aDir[1], , , , 0, -0.46, 1, -0.46, 0, 0, 0, 0, W, NO, 0, 0, NO,
250, BEAM , UNILOAD, GY, NO , NO, aDir[1], , , , 0, -0.62, 1, -0.62, 0, 0, 0, 0, W, NO, 0, 0, NO,
251, BEAM , UNILOAD, GY, NO , NO, aDir[1], , , , 0, -0.62, 1, -0.62, 0, 0, 0, 0, W, NO, 0, 0, NO,
252, BEAM , UNILOAD, GY, NO , NO, aDir[1], , , , 0, -0.62, 1, -0.62, 0, 0, 0, 0, W, NO, 0, 0, NO,
253, BEAM , UNILOAD, GY, NO , NO, aDir[1], , , , 0, -0.62, 1, -0.62, 0, 0, 0, 0, W, NO, 0, 0, NO,
254, BEAM , UNILOAD, GY, NO , NO, aDir[1], , , , 0, -0.62, 1, -0.62, 0, 0, 0, 0, W, NO, 0, 0, NO,
255, BEAM , UNILOAD, GY, NO , NO, aDir[1], , , , 0, -0.62, 1, -0.62, 0, 0, 0, 0, W, NO, 0, 0, NO,
256, BEAM , UNILOAD, GY, NO , NO, aDir[1], , , , 0, -0.62, 1, -0.62, 0, 0, 0, 0, W, NO, 0, 0, NO,
257, BEAM , UNILOAD, GY, NO , NO, aDir[1], , , , 0, -0.62, 1, -0.62, 0, 0, 0, 0, W, NO, 0, 0, NO,
258, BEAM , UNILOAD, GY, NO , NO, aDir[1], , , , 0, -0.62, 1, -0.62, 0, 0, 0, 0, W, NO, 0, 0, NO,
259, BEAM , UNILOAD, GY, NO , NO, aDir[1], , , , 0, -0.62, 1, -0.62, 0, 0, 0, 0, W, NO, 0, 0, NO,
260, BEAM , UNILOAD, GY, NO , NO, aDir[1], , , , 0, -0.62, 1, -0.62, 0, 0, 0, 0, W, NO, 0, 0, NO,
261, BEAM , UNILOAD, GY, NO , NO, aDir[1], , , , 0, -0.62, 1, -0.62, 0, 0, 0, 0, W, NO, 0, 0, NO,
262, BEAM , UNILOAD, GY, NO , NO, aDir[1], , , , 0, -0.62, 1, -0.62, 0, 0, 0, 0, W, NO, 0, 0, NO,
263, BEAM , UNILOAD, GY, NO , NO, aDir[1], , , , 0, -0.62, 1, -0.62, 0, 0, 0, 0, W, NO, 0, 0, NO,
264, BEAM , UNILOAD, GY, NO , NO, aDir[1], , , , 0, -0.62, 1, -0.62, 0, 0, 0, 0, W, NO, 0, 0, NO,
265, BEAM , UNILOAD, GY, NO , NO, aDir[1], , , , 0, -0.62, 1, -0.62, 0, 0, 0, 0, W, NO, 0, 0, NO,
266, BEAM , UNILOAD, GY, NO , NO, aDir[1], , , , 0, -0.62, 1, -0.62, 0, 0, 0, 0, W, NO, 0, 0, NO,
267, BEAM , UNILOAD, GY, NO , NO, aDir[1], , , , 0, -0.62, 1, -0.62, 0, 0, 0, 0, W, NO, 0, 0, NO,
268, BEAM , UNILOAD, GY, NO , NO, aDir[1], , , , 0, -0.62, 1, -0.62, 0, 0, 0, 0, W, NO, 0, 0, NO,
269, BEAM , UNILOAD, GY, NO , NO, aDir[1], , , , 0, -0.62, 1, -0.62, 0, 0, 0, 0, W, NO, 0, 0, NO,
270, BEAM , UNILOAD, GY, NO , NO, aDir[1], , , , 0, -0.62, 1, -0.62, 0, 0, 0, 0, W, NO, 0, 0, NO,
271, BEAM , UNILOAD, GY, NO , NO, aDir[1], , , , 0, -0.62, 1, -0.62, 0, 0, 0, 0, W, NO, 0, 0, NO,
272, BEAM , UNILOAD, GY, NO , NO, aDir[1], , , , 0, -0.62, 1, -0.62, 0, 0, 0, 0, W, NO, 0, 0, NO,
273, BEAM , UNILOAD, GY, NO , NO, aDir[1], , , , 0, -0.62, 1, -0.62, 0, 0, 0, 0, W, NO, 0, 0, NO,
274, BEAM , UNILOAD, GY, NO , NO, aDir[1], , , , 0, -0.62, 1, -0.62, 0, 0, 0, 0, W, NO, 0, 0, NO,
275, BEAM , UNILOAD, GY, NO , NO, aDir[1], , , , 0, -0.62, 1, -0.62, 0, 0, 0, 0, W, NO, 0, 0, NO,
276, BEAM , UNILOAD, GY, NO , NO, aDir[1], , , , 0, -0.46, 1, -0.46, 0, 0, 0, 0, W, NO, 0, 0, NO,
277, BEAM , UNILOAD, GY, NO , NO, aDir[1], , , , 0, -0.62, 1, -0.62, 0, 0, 0, 0, W, NO, 0, 0, NO,
278, BEAM , UNILOAD, GY, NO , NO, aDir[1], , , , 0, -0.46, 1, -0.46, 0, 0, 0, 0, W, NO, 0, 0, NO,
279, BEAM , UNILOAD, GY, NO , NO, aDir[1], , , , 0, -0.62, 1, -0.62, 0, 0, 0, 0, W, NO, 0, 0, NO,
280, BEAM , UNILOAD, GY, NO , NO, aDir[1], , , , 0, -0.46, 1, -0.46, 0, 0, 0, 0, W, NO, 0, 0, NO,
281, BEAM , UNILOAD, GY, NO , NO, aDir[1], , , , 0, -0.46, 1, -0.46, 0, 0, 0, 0, W, NO, 0, 0, NO,
282, BEAM , UNILOAD, GY, NO , NO, aDir[1], , , , 0, -0.46, 1, -0.46, 0, 0, 0, 0, W, NO, 0, 0, NO,
283, BEAM , UNILOAD, GY, NO , NO, aDir[1], , , , 0, -0.46, 1, -0.46, 0, 0, 0, 0, W, NO, 0, 0, NO,
284, BEAM , UNILOAD, GY, NO , NO, aDir[1], , , , 0, -0.46, 1, -0.46, 0, 0, 0, 0, W, NO, 0, 0, NO,
285, BEAM , UNILOAD, GY, NO , NO, aDir[1], , , , 0, -0.46, 1, -0.46, 0, 0, 0, 0, W, NO, 0, 0, NO,
286, BEAM , UNILOAD, GY, NO , NO, aDir[1], , , , 0, -0.46, 1, -0.46, 0, 0, 0, 0, W, NO, 0, 0, NO,
287, BEAM , UNILOAD, GY, NO , NO, aDir[1], , , , 0, -0.46, 1, -0.46, 0, 0, 0, 0, W, NO, 0, 0, NO,
288, BEAM , UNILOAD, GY, NO , NO, aDir[1], , , , 0, -0.46, 1, -0.46, 0, 0, 0, 0, W, NO, 0, 0, NO,
289, BEAM , UNILOAD, GY, NO , NO, aDir[1], , , , 0, -0.46, 1, -0.46, 0, 0, 0, 0, W, NO, 0, 0, NO,
290, BEAM , UNILOAD, GY, NO , NO, aDir[1], , , , 0, -0.46, 1, -0.46, 0, 0, 0, 0, W, NO, 0, 0, NO,
291, BEAM , UNILOAD, GY, NO , NO, aDir[1], , , , 0, -0.46, 1, -0.46, 0, 0, 0, 0, W, NO, 0, 0, NO,
292, BEAM , UNILOAD, GY, NO , NO, aDir[1], , , , 0, -0.46, 1, -0.46, 0, 0, 0, 0, W, NO, 0, 0, NO,
293, BEAM , UNILOAD, GY, NO , NO, aDir[1], , , , 0, -0.46, 1, -0.46, 0, 0, 0, 0, W, NO, 0, 0, NO,
294, BEAM , UNILOAD, GY, NO , NO, aDir[1], , , , 0, -0.46, 1, -0.46, 0, 0, 0, 0, W, NO, 0, 0, NO,
295, BEAM , UNILOAD, GY, NO , NO, aDir[1], , , , 0, -0.46, 1, -0.46, 0, 0, 0, 0, W, NO, 0, 0, NO,
296, BEAM , UNILOAD, GY, NO , NO, aDir[1], , , , 0, -0.46, 1, -0.46, 0, 0, 0, 0, W, NO, 0, 0, NO,
297, BEAM , UNILOAD, GY, NO , NO, aDir[1], , , , 0, -0.46, 1, -0.46, 0, 0, 0, 0, W, NO, 0, 0, NO,
298, BEAM , UNILOAD, GY, NO , NO, aDir[1], , , , 0, -0.46, 1, -0.46, 0, 0, 0, 0, W, NO, 0, 0, NO,
299, BEAM , UNILOAD, GY, NO , NO, aDir[1], , , , 0, -0.46, 1, -0.46, 0, 0, 0, 0, W, NO, 0, 0, NO,
300, BEAM , UNILOAD, GY, NO , NO, aDir[1], , , , 0, -0.46, 1, -0.46, 0, 0, 0, 0, W, NO, 0, 0, NO,
301, BEAM , UNILOAD, GY, NO , NO, aDir[1], , , , 0, -0.46, 1, -0.46, 0, 0, 0, 0, W, NO, 0, 0, NO,
302, BEAM , UNILOAD, GY, NO , NO, aDir[1], , , , 0, -0.46, 1, -0.46, 0, 0, 0, 0, W, NO, 0, 0, NO,
303, BEAM , UNILOAD, GY, NO , NO, aDir[1], , , , 0, -0.46, 1, -0.46, 0, 0, 0, 0, W, NO, 0, 0, NO,
304, BEAM , UNILOAD, GY, NO , NO, aDir[1], , , , 0, -0.46, 1, -0.46, 0, 0, 0, 0, W, NO, 0, 0, NO,
305, BEAM , UNILOAD, GY, NO , NO, aDir[1], , , , 0, -0.46, 1, -0.46, 0, 0, 0, 0, W, NO, 0, 0, NO,
306, BEAM , UNILOAD, GY, NO , NO, aDir[1], , , , 0, -0.46, 1, -0.46, 0, 0, 0, 0, W, NO, 0, 0, NO,
307, BEAM , UNILOAD, GY, NO , NO, aDir[1], , , , 0, -0.46, 1, -0.46, 0, 0, 0, 0, W, NO, 0, 0, NO,
308, BEAM , UNILOAD, GY, NO , NO, aDir[1], , , , 0, -0.46, 1, -0.46, 0, 0, 0, 0, W, NO, 0, 0, NO,
309, BEAM , UNILOAD, GY, NO , NO, aDir[1], , , , 0, -0.46, 1, -0.46, 0, 0, 0, 0, W, NO, 0, 0, NO,
310, BEAM , UNILOAD, GY, NO , NO, aDir[1], , , , 0, -0.46, 1, -0.46, 0, 0, 0, 0, W, NO, 0, 0, NO,
311, BEAM , UNILOAD, GY, NO , NO, aDir[1], , , , 0, -0.46, 1, -0.46, 0, 0, 0, 0, W, NO, 0, 0, NO,
312, BEAM , UNILOAD, GY, NO , NO, aDir[1], , , , 0, -0.46, 1, -0.46, 0, 0, 0, 0, W, NO, 0, 0, NO,
313, BEAM , UNILOAD, GY, NO , NO, aDir[1], , , , 0, -0.46, 1, -0.46, 0, 0, 0, 0, W, NO, 0, 0, NO,
314, BEAM , UNILOAD, GY, NO , NO, aDir[1], , , , 0, -0.46, 1, -0.46, 0, 0, 0, 0, W, NO, 0, 0, NO,
315, BEAM , UNILOAD, GY, NO , NO, aDir[1], , , , 0, -0.46, 1, -0.46, 0, 0, 0, 0, W, NO, 0, 0, NO,

PROJECT TITLE :

MIDAS	Company		Client	
	Author		File Name	H2D_3Dg_v14_180227_StatLM.mct

316, BEAM , UNILOAD, GY, NO , NO, aDir[1], , , , 0, -0.46, 1, -0.46, 0, 0, 0, 0, W, NO, 0, 0, NO,
317, BEAM , UNILOAD, GY, NO , NO, aDir[1], , , , 0, -0.46, 1, -0.46, 0, 0, 0, 0, W, NO, 0, 0, NO,
318, BEAM , UNILOAD, GY, NO , NO, aDir[1], , , , 0, -0.46, 1, -0.46, 0, 0, 0, 0, W, NO, 0, 0, NO,
319, BEAM , UNILOAD, GY, NO , NO, aDir[1], , , , 0, -0.46, 1, -0.46, 0, 0, 0, 0, W, NO, 0, 0, NO,
320, BEAM , UNILOAD, GY, NO , NO, aDir[1], , , , 0, -0.46, 1, -0.46, 0, 0, 0, 0, W, NO, 0, 0, NO,
321, BEAM , UNILOAD, GY, NO , NO, aDir[1], , , , 0, -0.46, 1, -0.46, 0, 0, 0, 0, W, NO, 0, 0, NO,
322, BEAM , UNILOAD, GY, NO , NO, aDir[1], , , , 0, -0.46, 1, -0.46, 0, 0, 0, 0, W, NO, 0, 0, NO,
323, BEAM , UNILOAD, GY, NO , NO, aDir[1], , , , 0, -0.46, 1, -0.46, 0, 0, 0, 0, W, NO, 0, 0, NO,
324, BEAM , UNILOAD, GY, NO , NO, aDir[1], , , , 0, -0.46, 1, -0.46, 0, 0, 0, 0, W, NO, 0, 0, NO,
325, BEAM , UNILOAD, GY, NO , NO, aDir[1], , , , 0, -0.46, 1, -0.46, 0, 0, 0, 0, W, NO, 0, 0, NO,
326, BEAM , UNILOAD, GY, NO , NO, aDir[1], , , , 0, -0.46, 1, -0.46, 0, 0, 0, 0, W, NO, 0, 0, NO,
327, BEAM , UNILOAD, GY, NO , NO, aDir[1], , , , 0, -0.46, 1, -0.46, 0, 0, 0, 0, W, NO, 0, 0, NO,
328, BEAM , UNILOAD, GY, NO , NO, aDir[1], , , , 0, -0.46, 1, -0.46, 0, 0, 0, 0, W, NO, 0, 0, NO,
329, BEAM , UNILOAD, GY, NO , NO, aDir[1], , , , 0, -0.46, 1, -0.46, 0, 0, 0, 0, W, NO, 0, 0, NO,
330, BEAM , UNILOAD, GY, NO , NO, aDir[1], , , , 0, -0.46, 1, -0.46, 0, 0, 0, 0, W, NO, 0, 0, NO,
331, BEAM , UNILOAD, GY, NO , NO, aDir[1], , , , 0, -0.46, 1, -0.46, 0, 0, 0, 0, W, NO, 0, 0, NO,
332, BEAM , UNILOAD, GY, NO , NO, aDir[1], , , , 0, -0.46, 1, -0.46, 0, 0, 0, 0, W, NO, 0, 0, NO,
333, BEAM , UNILOAD, GY, NO , NO, aDir[1], , , , 0, -0.46, 1, -0.46, 0, 0, 0, 0, W, NO, 0, 0, NO,
334, BEAM , UNILOAD, GY, NO , NO, aDir[1], , , , 0, -0.46, 1, -0.46, 0, 0, 0, 0, W, NO, 0, 0, NO,
335, BEAM , UNILOAD, GY, NO , NO, aDir[1], , , , 0, -0.46, 1, -0.46, 0, 0, 0, 0, W, NO, 0, 0, NO,
336, BEAM , UNILOAD, GY, NO , NO, aDir[1], , , , 0, -0.46, 1, -0.46, 0, 0, 0, 0, W, NO, 0, 0, NO,
337, BEAM , UNILOAD, GY, NO , NO, aDir[1], , , , 0, -0.46, 1, -0.46, 0, 0, 0, 0, W, NO, 0, 0, NO,
338, BEAM , UNILOAD, GY, NO , NO, aDir[1], , , , 0, -0.46, 1, -0.46, 0, 0, 0, 0, W, NO, 0, 0, NO,
339, BEAM , UNILOAD, GY, NO , NO, aDir[1], , , , 0, -0.46, 1, -0.46, 0, 0, 0, 0, W, NO, 0, 0, NO,
340, BEAM , UNILOAD, GY, NO , NO, aDir[1], , , , 0, -0.62, 1, -0.62, 0, 0, 0, 0, W, NO, 0, 0, NO,
341, BEAM , UNILOAD, GY, NO , NO, aDir[1], , , , 0, -0.46, 1, -0.46, 0, 0, 0, 0, W, NO, 0, 0, NO,
342, BEAM , UNILOAD, GY, NO , NO, aDir[1], , , , 0, -0.62, 1, -0.62, 0, 0, 0, 0, W, NO, 0, 0, NO,
343, BEAM , UNILOAD, GY, NO , NO, aDir[1], , , , 0, -0.46, 1, -0.46, 0, 0, 0, 0, W, NO, 0, 0, NO,
344, BEAM , UNILOAD, GY, NO , NO, aDir[1], , , , 0, -0.62, 1, -0.62, 0, 0, 0, 0, W, NO, 0, 0, NO,
345, BEAM , UNILOAD, GY, NO , NO, aDir[1], , , , 0, -0.62, 1, -0.62, 0, 0, 0, 0, W, NO, 0, 0, NO,
346, BEAM , UNILOAD, GY, NO , NO, aDir[1], , , , 0, -0.62, 1, -0.62, 0, 0, 0, 0, W, NO, 0, 0, NO,
347, BEAM , UNILOAD, GY, NO , NO, aDir[1], , , , 0, -0.62, 1, -0.62, 0, 0, 0, 0, W, NO, 0, 0, NO,
348, BEAM , UNILOAD, GY, NO , NO, aDir[1], , , , 0, -0.62, 1, -0.62, 0, 0, 0, 0, W, NO, 0, 0, NO,
349, BEAM , UNILOAD, GY, NO , NO, aDir[1], , , , 0, -0.62, 1, -0.62, 0, 0, 0, 0, W, NO, 0, 0, NO,
350, BEAM , UNILOAD, GY, NO , NO, aDir[1], , , , 0, -0.62, 1, -0.62, 0, 0, 0, 0, W, NO, 0, 0, NO,
351, BEAM , UNILOAD, GY, NO , NO, aDir[1], , , , 0, -0.62, 1, -0.62, 0, 0, 0, 0, W, NO, 0, 0, NO,
352, BEAM , UNILOAD, GY, NO , NO, aDir[1], , , , 0, -0.62, 1, -0.62, 0, 0, 0, 0, W, NO, 0, 0, NO,
353, BEAM , UNILOAD, GY, NO , NO, aDir[1], , , , 0, -0.62, 1, -0.62, 0, 0, 0, 0, W, NO, 0, 0, NO,
354, BEAM , UNILOAD, GY, NO , NO, aDir[1], , , , 0, -0.62, 1, -0.62, 0, 0, 0, 0, W, NO, 0, 0, NO,
355, BEAM , UNILOAD, GY, NO , NO, aDir[1], , , , 0, -0.62, 1, -0.62, 0, 0, 0, 0, W, NO, 0, 0, NO,
356, BEAM , UNILOAD, GY, NO , NO, aDir[1], , , , 0, -0.62, 1, -0.62, 0, 0, 0, 0, W, NO, 0, 0, NO,
357, BEAM , UNILOAD, GY, NO , NO, aDir[1], , , , 0, -1.13, 1, -1.13, 0, 0, 0, 0, W, NO, 0, 0, NO,
358, BEAM , UNILOAD, GY, NO , NO, aDir[1], , , , 0, -1.13, 1, -1.13, 0, 0, 0, 0, W, NO, 0, 0, NO,
359, BEAM , UNILOAD, GY, NO , NO, aDir[1], , , , 0, -1.13, 1, -1.13, 0, 0, 0, 0, W, NO, 0, 0, NO,
360, BEAM , UNILOAD, GY, NO , NO, aDir[1], , , , 0, -1.13, 1, -1.13, 0, 0, 0, 0, W, NO, 0, 0, NO,
361, BEAM , UNILOAD, GY, NO , NO, aDir[1], , , , 0, -0.46, 1, -0.46, 0, 0, 0, 0, W, NO, 0, 0, NO,
362, BEAM , UNILOAD, GY, NO , NO, aDir[1], , , , 0, -0.46, 1, -0.46, 0, 0, 0, 0, W, NO, 0, 0, NO,
363, BEAM , UNILOAD, GY, NO , NO, aDir[1], , , , 0, -0.46, 1, -0.46, 0, 0, 0, 0, W, NO, 0, 0, NO,
364, BEAM , UNILOAD, GY, NO , NO, aDir[1], , , , 0, -0.46, 1, -0.46, 0, 0, 0, 0, W, NO, 0, 0, NO,
365, BEAM , UNILOAD, GY, NO , NO, aDir[1], , , , 0, -0.46, 1, -0.46, 0, 0, 0, 0, W, NO, 0, 0, NO,
366, BEAM , UNILOAD, GY, NO , NO, aDir[1], , , , 0, -0.46, 1, -0.46, 0, 0, 0, 0, W, NO, 0, 0, NO,
367, BEAM , UNILOAD, GY, NO , NO, aDir[1], , , , 0, -0.46, 1, -0.46, 0, 0, 0, 0, W, NO, 0, 0, NO,
368, BEAM , UNILOAD, GY, NO , NO, aDir[1], , , , 0, -0.46, 1, -0.46, 0, 0, 0, 0, W, NO, 0, 0, NO,
369, BEAM , UNILOAD, GY, NO , NO, aDir[1], , , , 0, -0.46, 1, -0.46, 0, 0, 0, 0, W, NO, 0, 0, NO,
370, BEAM , UNILOAD, GY, NO , NO, aDir[1], , , , 0, -0.46, 1, -0.46, 0, 0, 0, 0, W, NO, 0, 0, NO,
371, BEAM , UNILOAD, GY, NO , NO, aDir[1], , , , 0, -0.46, 1, -0.46, 0, 0, 0, 0, W, NO, 0, 0, NO,
372, BEAM , UNILOAD, GY, NO , NO, aDir[1], , , , 0, -0.46, 1, -0.46, 0, 0, 0, 0, W, NO, 0, 0, NO,
373, BEAM , UNILOAD, GY, NO , NO, aDir[1], , , , 0, -0.46, 1, -0.46, 0, 0, 0, 0, W, NO, 0, 0, NO,
374, BEAM , UNILOAD, GY, NO , NO, aDir[1], , , , 0, -0.46, 1, -0.46, 0, 0, 0, 0, W, NO, 0, 0, NO,
375, BEAM , UNILOAD, GY, NO , NO, aDir[1], , , , 0, -0.46, 1, -0.46, 0, 0, 0, 0, W, NO, 0, 0, NO,
376, BEAM , UNILOAD, GY, NO , NO, aDir[1], , , , 0, -0.46, 1, -0.46, 0, 0, 0, 0, W, NO, 0, 0, NO,
377, BEAM , UNILOAD, GY, NO , NO, aDir[1], , , , 0, -0.46, 1, -0.46, 0, 0, 0, 0, W, NO, 0, 0, NO,
378, BEAM , UNILOAD, GY, NO , NO, aDir[1], , , , 0, -0.46, 1, -0.46, 0, 0, 0, 0, W, NO, 0, 0, NO,
379, BEAM , UNILOAD, GY, NO , NO, aDir[1], , , , 0, -0.46, 1, -0.46, 0, 0, 0, 0, W, NO, 0, 0, NO,
380, BEAM , UNILOAD, GY, NO , NO, aDir[1], , , , 0, -0.46, 1, -0.46, 0, 0, 0, 0, W, NO, 0, 0, NO,
381, BEAM , UNILOAD, GY, NO , NO, aDir[1], , , , 0, -0.46, 1, -0.46, 0, 0, 0, 0, W, NO, 0, 0, NO,
382, BEAM , UNILOAD, GY, NO , NO, aDir[1], , , , 0, -0.46, 1, -0.46, 0, 0, 0, 0, W, NO, 0, 0, NO,
383, BEAM , UNILOAD, GY, NO , NO, aDir[1], , , , 0, -0.46, 1, -0.46, 0, 0, 0, 0, W, NO, 0, 0, NO,
384, BEAM , UNILOAD, GY, NO , NO, aDir[1], , , , 0, -0.46, 1, -0.46, 0, 0, 0, 0, W, NO, 0, 0, NO,
385, BEAM , UNILOAD, GY, NO , NO, aDir[1], , , , 0, -0.46, 1, -0.46, 0, 0, 0, 0, W, NO, 0, 0, NO,
386, BEAM , UNILOAD, GY, NO , NO, aDir[1], , , , 0, -0.46, 1, -0.46, 0, 0, 0, 0, W, NO, 0, 0, NO,
387, BEAM , UNILOAD, GY, NO , NO, aDir[1], , , , 0, -0.46, 1, -0.46, 0, 0, 0, 0, W, NO, 0, 0, NO,

PROJECT TITLE :

MIDAS	Company		Client	
	Author		File Name	H2D_3Dg_v14_180227_StatLM.mct

388, BEAM , UNILOAD, GY, NO , NO, aDir[1], , , , 0, -0.46, 1, -0.46, 0, 0, 0, 0, W, NO, 0, 0, NO,
389, BEAM , UNILOAD, GY, NO , NO, aDir[1], , , , 0, -0.46, 1, -0.46, 0, 0, 0, 0, W, NO, 0, 0, NO,
390, BEAM , UNILOAD, GY, NO , NO, aDir[1], , , , 0, -0.46, 1, -0.46, 0, 0, 0, 0, W, NO, 0, 0, NO,
391, BEAM , UNILOAD, GY, NO , NO, aDir[1], , , , 0, -0.46, 1, -0.46, 0, 0, 0, 0, W, NO, 0, 0, NO,
392, BEAM , UNILOAD, GY, NO , NO, aDir[1], , , , 0, -0.46, 1, -0.46, 0, 0, 0, 0, W, NO, 0, 0, NO,
393, BEAM , UNILOAD, GY, NO , NO, aDir[1], , , , 0, -0.46, 1, -0.46, 0, 0, 0, 0, W, NO, 0, 0, NO,
394, BEAM , UNILOAD, GY, NO , NO, aDir[1], , , , 0, -0.46, 1, -0.46, 0, 0, 0, 0, W, NO, 0, 0, NO,
395, BEAM , UNILOAD, GY, NO , NO, aDir[1], , , , 0, -0.46, 1, -0.46, 0, 0, 0, 0, W, NO, 0, 0, NO,
396, BEAM , UNILOAD, GY, NO , NO, aDir[1], , , , 0, -0.46, 1, -0.46, 0, 0, 0, 0, W, NO, 0, 0, NO,
397, BEAM , UNILOAD, GY, NO , NO, aDir[1], , , , 0, -0.46, 1, -0.46, 0, 0, 0, 0, W, NO, 0, 0, NO,
398, BEAM , UNILOAD, GY, NO , NO, aDir[1], , , , 0, -0.46, 1, -0.46, 0, 0, 0, 0, W, NO, 0, 0, NO,
399, BEAM , UNILOAD, GY, NO , NO, aDir[1], , , , 0, -0.46, 1, -0.46, 0, 0, 0, 0, W, NO, 0, 0, NO,
400, BEAM , UNILOAD, GY, NO , NO, aDir[1], , , , 0, -0.46, 1, -0.46, 0, 0, 0, 0, W, NO, 0, 0, NO,
401, BEAM , UNILOAD, GY, NO , NO, aDir[1], , , , 0, -0.46, 1, -0.46, 0, 0, 0, 0, W, NO, 0, 0, NO,
402, BEAM , UNILOAD, GY, NO , NO, aDir[1], , , , 0, -0.46, 1, -0.46, 0, 0, 0, 0, W, NO, 0, 0, NO,
403, BEAM , UNILOAD, GY, NO , NO, aDir[1], , , , 0, -0.46, 1, -0.46, 0, 0, 0, 0, W, NO, 0, 0, NO,
404, BEAM , UNILOAD, GY, NO , NO, aDir[1], , , , 0, -0.46, 1, -0.46, 0, 0, 0, 0, W, NO, 0, 0, NO,
405, BEAM , UNILOAD, GY, NO , NO, aDir[1], , , , 0, -0.46, 1, -0.46, 0, 0, 0, 0, W, NO, 0, 0, NO,
406, BEAM , UNILOAD, GY, NO , NO, aDir[1], , , , 0, -0.46, 1, -0.46, 0, 0, 0, 0, W, NO, 0, 0, NO,
407, BEAM , UNILOAD, GY, NO , NO, aDir[1], , , , 0, -0.46, 1, -0.46, 0, 0, 0, 0, W, NO, 0, 0, NO,
408, BEAM , UNILOAD, GY, NO , NO, aDir[1], , , , 0, -0.46, 1, -0.46, 0, 0, 0, 0, W, NO, 0, 0, NO,
409, BEAM , UNILOAD, GY, NO , NO, aDir[1], , , , 0, -0.46, 1, -0.46, 0, 0, 0, 0, W, NO, 0, 0, NO,
410, BEAM , UNILOAD, GY, NO , NO, aDir[1], , , , 0, -0.46, 1, -0.46, 0, 0, 0, 0, W, NO, 0, 0, NO,
411, BEAM , UNILOAD, GY, NO , NO, aDir[1], , , , 0, -0.46, 1, -0.46, 0, 0, 0, 0, W, NO, 0, 0, NO,
412, BEAM , UNILOAD, GY, NO , NO, aDir[1], , , , 0, -0.46, 1, -0.46, 0, 0, 0, 0, W, NO, 0, 0, NO,
413, BEAM , UNILOAD, GY, NO , NO, aDir[1], , , , 0, -0.46, 1, -0.46, 0, 0, 0, 0, W, NO, 0, 0, NO,
414, BEAM , UNILOAD, GY, NO , NO, aDir[1], , , , 0, -0.46, 1, -0.46, 0, 0, 0, 0, W, NO, 0, 0, NO,
415, BEAM , UNILOAD, GY, NO , NO, aDir[1], , , , 0, -0.46, 1, -0.46, 0, 0, 0, 0, W, NO, 0, 0, NO,
416, BEAM , UNILOAD, GY, NO , NO, aDir[1], , , , 0, -0.46, 1, -0.46, 0, 0, 0, 0, W, NO, 0, 0, NO,
417, BEAM , UNILOAD, GY, NO , NO, aDir[1], , , , 0, -0.46, 1, -0.46, 0, 0, 0, 0, W, NO, 0, 0, NO,
418, BEAM , UNILOAD, GY, NO , NO, aDir[1], , , , 0, -0.46, 1, -0.46, 0, 0, 0, 0, W, NO, 0, 0, NO,
419, BEAM , UNILOAD, GY, NO , NO, aDir[1], , , , 0, -0.46, 1, -0.46, 0, 0, 0, 0, W, NO, 0, 0, NO,
420, BEAM , UNILOAD, GY, NO , NO, aDir[1], , , , 0, -0.46, 1, -0.46, 0, 0, 0, 0, W, NO, 0, 0, NO,
421, BEAM , UNILOAD, GY, NO , NO, aDir[1], , , , 0, -0.46, 1, -0.46, 0, 0, 0, 0, W, NO, 0, 0, NO,
422, BEAM , UNILOAD, GY, NO , NO, aDir[1], , , , 0, -0.46, 1, -0.46, 0, 0, 0, 0, W, NO, 0, 0, NO,
423, BEAM , UNILOAD, GY, NO , NO, aDir[1], , , , 0, -0.46, 1, -0.46, 0, 0, 0, 0, W, NO, 0, 0, NO,
424, BEAM , UNILOAD, GY, NO , NO, aDir[1], , , , 0, -0.46, 1, -0.46, 0, 0, 0, 0, W, NO, 0, 0, NO,
425, BEAM , UNILOAD, GY, NO , NO, aDir[1], , , , 0, -0.46, 1, -0.46, 0, 0, 0, 0, W, NO, 0, 0, NO,
426, BEAM , UNILOAD, GY, NO , NO, aDir[1], , , , 0, -0.46, 1, -0.46, 0, 0, 0, 0, W, NO, 0, 0, NO,
427, BEAM , UNILOAD, GY, NO , NO, aDir[1], , , , 0, -0.46, 1, -0.46, 0, 0, 0, 0, W, NO, 0, 0, NO,
428, BEAM , UNILOAD, GY, NO , NO, aDir[1], , , , 0, -0.46, 1, -0.46, 0, 0, 0, 0, W, NO, 0, 0, NO,
429, BEAM , UNILOAD, GY, NO , NO, aDir[1], , , , 0, -0.46, 1, -0.46, 0, 0, 0, 0, W, NO, 0, 0, NO,
430, BEAM , UNILOAD, GY, NO , NO, aDir[1], , , , 0, -0.46, 1, -0.46, 0, 0, 0, 0, W, NO, 0, 0, NO,
431, BEAM , UNILOAD, GY, NO , NO, aDir[1], , , , 0, -0.46, 1, -0.46, 0, 0, 0, 0, W, NO, 0, 0, NO,
432, BEAM , UNILOAD, GY, NO , NO, aDir[1], , , , 0, -0.46, 1, -0.46, 0, 0, 0, 0, W, NO, 0, 0, NO,
433, BEAM , UNILOAD, GY, NO , NO, aDir[1], , , , 0, -0.46, 1, -0.46, 0, 0, 0, 0, W, NO, 0, 0, NO,
434, BEAM , UNILOAD, GY, NO , NO, aDir[1], , , , 0, -0.46, 1, -0.46, 0, 0, 0, 0, W, NO, 0, 0, NO,
435, BEAM , UNILOAD, GY, NO , NO, aDir[1], , , , 0, -0.46, 1, -0.46, 0, 0, 0, 0, W, NO, 0, 0, NO,
436, BEAM , UNILOAD, GY, NO , NO, aDir[1], , , , 0, -0.46, 1, -0.46, 0, 0, 0, 0, W, NO, 0, 0, NO,
437, BEAM , UNILOAD, GY, NO , NO, aDir[1], , , , 0, -0.46, 1, -0.46, 0, 0, 0, 0, W, NO, 0, 0, NO,
438, BEAM , UNILOAD, GY, NO , NO, aDir[1], , , , 0, -0.46, 1, -0.46, 0, 0, 0, 0, W, NO, 0, 0, NO,
439, BEAM , UNILOAD, GY, NO , NO, aDir[1], , , , 0, -0.46, 1, -0.46, 0, 0, 0, 0, W, NO, 0, 0, NO,
440, BEAM , UNILOAD, GY, NO , NO, aDir[1], , , , 0, -0.46, 1, -0.46, 0, 0, 0, 0, W, NO, 0, 0, NO,
441, BEAM , UNILOAD, GY, NO , NO, aDir[1], , , , 0, -1.13, 1, -1.13, 0, 0, 0, 0, W, NO, 0, 0, NO,
442, BEAM , UNILOAD, GY, NO , NO, aDir[1], , , , 0, -1.13, 1, -1.13, 0, 0, 0, 0, W, NO, 0, 0, NO,
443, BEAM , UNILOAD, GY, NO , NO, aDir[1], , , , 0, -1.13, 1, -1.13, 0, 0, 0, 0, W, NO, 0, 0, NO,
444, BEAM , UNILOAD, GY, NO , NO, aDir[1], , , , 0, -1.13, 1, -1.13, 0, 0, 0, 0, W, NO, 0, 0, NO,
445, BEAM , UNILOAD, GY, NO , NO, aDir[1], , , , 0, -1.13, 1, -1.13, 0, 0, 0, 0, W, NO, 0, 0, NO,
446, BEAM , UNILOAD, GY, NO , NO, aDir[1], , , , 0, -1.13, 1, -1.13, 0, 0, 0, 0, W, NO, 0, 0, NO,
447, BEAM , UNILOAD, GY, NO , NO, aDir[1], , , , 0, -1.13, 1, -1.13, 0, 0, 0, 0, W, NO, 0, 0, NO,
448, BEAM , UNILOAD, GY, NO , NO, aDir[1], , , , 0, -1.13, 1, -1.13, 0, 0, 0, 0, W, NO, 0, 0, NO,
449, BEAM , UNILOAD, GY, NO , NO, aDir[1], , , , 0, -0.46, 1, -0.46, 0, 0, 0, 0, W, NO, 0, 0, NO,
450, BEAM , UNILOAD, GY, NO , NO, aDir[1], , , , 0, -0.46, 1, -0.46, 0, 0, 0, 0, W, NO, 0, 0, NO,
451, BEAM , UNILOAD, GY, NO , NO, aDir[1], , , , 0, -0.46, 1, -0.46, 0, 0, 0, 0, W, NO, 0, 0, NO,
452, BEAM , UNILOAD, GY, NO , NO, aDir[1], , , , 0, -0.46, 1, -0.46, 0, 0, 0, 0, W, NO, 0, 0, NO,
453, BEAM , UNILOAD, GY, NO , NO, aDir[1], , , , 0, -0.46, 1, -0.46, 0, 0, 0, 0, W, NO, 0, 0, NO,
454, BEAM , UNILOAD, GY, NO , NO, aDir[1], , , , 0, -0.46, 1, -0.46, 0, 0, 0, 0, W, NO, 0, 0, NO,
455, BEAM , UNILOAD, GY, NO , NO, aDir[1], , , , 0, -0.46, 1, -0.46, 0, 0, 0, 0, W, NO, 0, 0, NO,
456, BEAM , UNILOAD, GY, NO , NO, aDir[1], , , , 0, -0.46, 1, -0.46, 0, 0, 0, 0, W, NO, 0, 0, NO,
457, BEAM , UNILOAD, GY, NO , NO, aDir[1], , , , 0, -0.46, 1, -0.46, 0, 0, 0, 0, W, NO, 0, 0, NO,
458, BEAM , UNILOAD, GY, NO , NO, aDir[1], , , , 0, -0.46, 1, -0.46, 0, 0, 0, 0, W, NO, 0, 0, NO,
459, BEAM , UNILOAD, GY, NO , NO, aDir[1], , , , 0, -0.46, 1, -0.46, 0, 0, 0, 0, W, NO, 0, 0, NO,

PROJECT TITLE :

MIDAS	Company		Client	
	Author		File Name	H2D_3Dg_v14_180227_StatLM.mct

460, BEAM , UNILOAD, GY, NO , NO, aDir[1], , , , 0, -0.46, 1, -0.46, 0, 0, 0, 0, W, NO, 0, 0, NO,
461, BEAM , UNILOAD, GY, NO , NO, aDir[1], , , , 0, -0.46, 1, -0.46, 0, 0, 0, 0, W, NO, 0, 0, NO,
462, BEAM , UNILOAD, GY, NO , NO, aDir[1], , , , 0, -0.46, 1, -0.46, 0, 0, 0, 0, W, NO, 0, 0, NO,
463, BEAM , UNILOAD, GY, NO , NO, aDir[1], , , , 0, -0.46, 1, -0.46, 0, 0, 0, 0, W, NO, 0, 0, NO,
464, BEAM , UNILOAD, GY, NO , NO, aDir[1], , , , 0, -0.46, 1, -0.46, 0, 0, 0, 0, W, NO, 0, 0, NO,
465, BEAM , UNILOAD, GY, NO , NO, aDir[1], , , , 0, -0.46, 1, -0.46, 0, 0, 0, 0, W, NO, 0, 0, NO,
466, BEAM , UNILOAD, GY, NO , NO, aDir[1], , , , 0, -0.46, 1, -0.46, 0, 0, 0, 0, W, NO, 0, 0, NO,
467, BEAM , UNILOAD, GY, NO , NO, aDir[1], , , , 0, -0.46, 1, -0.46, 0, 0, 0, 0, W, NO, 0, 0, NO,
468, BEAM , UNILOAD, GY, NO , NO, aDir[1], , , , 0, -0.46, 1, -0.46, 0, 0, 0, 0, W, NO, 0, 0, NO,
469, BEAM , UNILOAD, GY, NO , NO, aDir[1], , , , 0, -0.46, 1, -0.46, 0, 0, 0, 0, W, NO, 0, 0, NO,
470, BEAM , UNILOAD, GY, NO , NO, aDir[1], , , , 0, -0.46, 1, -0.46, 0, 0, 0, 0, W, NO, 0, 0, NO,
471, BEAM , UNILOAD, GY, NO , NO, aDir[1], , , , 0, -0.46, 1, -0.46, 0, 0, 0, 0, W, NO, 0, 0, NO,
472, BEAM , UNILOAD, GY, NO , NO, aDir[1], , , , 0, -0.46, 1, -0.46, 0, 0, 0, 0, W, NO, 0, 0, NO,
473, BEAM , UNILOAD, GY, NO , NO, aDir[1], , , , 0, -0.46, 1, -0.46, 0, 0, 0, 0, W, NO, 0, 0, NO,
474, BEAM , UNILOAD, GY, NO , NO, aDir[1], , , , 0, -0.46, 1, -0.46, 0, 0, 0, 0, W, NO, 0, 0, NO,
475, BEAM , UNILOAD, GY, NO , NO, aDir[1], , , , 0, -0.46, 1, -0.46, 0, 0, 0, 0, W, NO, 0, 0, NO,
476, BEAM , UNILOAD, GY, NO , NO, aDir[1], , , , 0, -0.46, 1, -0.46, 0, 0, 0, 0, W, NO, 0, 0, NO,
477, BEAM , UNILOAD, GY, NO , NO, aDir[1], , , , 0, -0.46, 1, -0.46, 0, 0, 0, 0, W, NO, 0, 0, NO,
478, BEAM , UNILOAD, GY, NO , NO, aDir[1], , , , 0, -0.46, 1, -0.46, 0, 0, 0, 0, W, NO, 0, 0, NO,
479, BEAM , UNILOAD, GY, NO , NO, aDir[1], , , , 0, -0.46, 1, -0.46, 0, 0, 0, 0, W, NO, 0, 0, NO,
480, BEAM , UNILOAD, GY, NO , NO, aDir[1], , , , 0, -0.46, 1, -0.46, 0, 0, 0, 0, W, NO, 0, 0, NO,
481, BEAM , UNILOAD, GY, NO , NO, aDir[1], , , , 0, -0.46, 1, -0.46, 0, 0, 0, 0, W, NO, 0, 0, NO,
482, BEAM , UNILOAD, GY, NO , NO, aDir[1], , , , 0, -0.46, 1, -0.46, 0, 0, 0, 0, W, NO, 0, 0, NO,
483, BEAM , UNILOAD, GY, NO , NO, aDir[1], , , , 0, -0.46, 1, -0.46, 0, 0, 0, 0, W, NO, 0, 0, NO,
484, BEAM , UNILOAD, GY, NO , NO, aDir[1], , , , 0, -0.46, 1, -0.46, 0, 0, 0, 0, W, NO, 0, 0, NO,
485, BEAM , UNILOAD, GY, NO , NO, aDir[1], , , , 0, -0.46, 1, -0.46, 0, 0, 0, 0, W, NO, 0, 0, NO,
486, BEAM , UNILOAD, GY, NO , NO, aDir[1], , , , 0, -0.46, 1, -0.46, 0, 0, 0, 0, W, NO, 0, 0, NO,
487, BEAM , UNILOAD, GY, NO , NO, aDir[1], , , , 0, -0.46, 1, -0.46, 0, 0, 0, 0, W, NO, 0, 0, NO,
488, BEAM , UNILOAD, GY, NO , NO, aDir[1], , , , 0, -0.46, 1, -0.46, 0, 0, 0, 0, W, NO, 0, 0, NO,
489, BEAM , UNILOAD, GY, NO , NO, aDir[1], , , , 0, -0.46, 1, -0.46, 0, 0, 0, 0, W, NO, 0, 0, NO,
490, BEAM , UNILOAD, GY, NO , NO, aDir[1], , , , 0, -0.46, 1, -0.46, 0, 0, 0, 0, W, NO, 0, 0, NO,
491, BEAM , UNILOAD, GY, NO , NO, aDir[1], , , , 0, -0.46, 1, -0.46, 0, 0, 0, 0, W, NO, 0, 0, NO,
492, BEAM , UNILOAD, GY, NO , NO, aDir[1], , , , 0, -0.46, 1, -0.46, 0, 0, 0, 0, W, NO, 0, 0, NO,
493, BEAM , UNILOAD, GY, NO , NO, aDir[1], , , , 0, -0.46, 1, -0.46, 0, 0, 0, 0, W, NO, 0, 0, NO,
494, BEAM , UNILOAD, GY, NO , NO, aDir[1], , , , 0, -0.46, 1, -0.46, 0, 0, 0, 0, W, NO, 0, 0, NO,
495, BEAM , UNILOAD, GY, NO , NO, aDir[1], , , , 0, -0.46, 1, -0.46, 0, 0, 0, 0, W, NO, 0, 0, NO,
496, BEAM , UNILOAD, GY, NO , NO, aDir[1], , , , 0, -0.46, 1, -0.46, 0, 0, 0, 0, W, NO, 0, 0, NO,
497, BEAM , UNILOAD, GY, NO , NO, aDir[1], , , , 0, -0.46, 1, -0.46, 0, 0, 0, 0, W, NO, 0, 0, NO,
498, BEAM , UNILOAD, GY, NO , NO, aDir[1], , , , 0, -0.46, 1, -0.46, 0, 0, 0, 0, W, NO, 0, 0, NO,
499, BEAM , UNILOAD, GY, NO , NO, aDir[1], , , , 0, -0.46, 1, -0.46, 0, 0, 0, 0, W, NO, 0, 0, NO,
500, BEAM , UNILOAD, GY, NO , NO, aDir[1], , , , 0, -0.46, 1, -0.46, 0, 0, 0, 0, W, NO, 0, 0, NO,
501, BEAM , UNILOAD, GY, NO , NO, aDir[1], , , , 0, -0.46, 1, -0.46, 0, 0, 0, 0, W, NO, 0, 0, NO,
502, BEAM , UNILOAD, GY, NO , NO, aDir[1], , , , 0, -0.46, 1, -0.46, 0, 0, 0, 0, W, NO, 0, 0, NO,
503, BEAM , UNILOAD, GY, NO , NO, aDir[1], , , , 0, -0.46, 1, -0.46, 0, 0, 0, 0, W, NO, 0, 0, NO,
504, BEAM , UNILOAD, GY, NO , NO, aDir[1], , , , 0, -0.46, 1, -0.46, 0, 0, 0, 0, W, NO, 0, 0, NO,
505, BEAM , UNILOAD, GY, NO , NO, aDir[1], , , , 0, -0.46, 1, -0.46, 0, 0, 0, 0, W, NO, 0, 0, NO,
506, BEAM , UNILOAD, GY, NO , NO, aDir[1], , , , 0, -0.46, 1, -0.46, 0, 0, 0, 0, W, NO, 0, 0, NO,
507, BEAM , UNILOAD, GY, NO , NO, aDir[1], , , , 0, -0.46, 1, -0.46, 0, 0, 0, 0, W, NO, 0, 0, NO,
508, BEAM , UNILOAD, GY, NO , NO, aDir[1], , , , 0, -0.46, 1, -0.46, 0, 0, 0, 0, W, NO, 0, 0, NO,
509, BEAM , UNILOAD, GY, NO , NO, aDir[1], , , , 0, -0.46, 1, -0.46, 0, 0, 0, 0, W, NO, 0, 0, NO,
510, BEAM , UNILOAD, GY, NO , NO, aDir[1], , , , 0, -0.46, 1, -0.46, 0, 0, 0, 0, W, NO, 0, 0, NO,
511, BEAM , UNILOAD, GY, NO , NO, aDir[1], , , , 0, -0.46, 1, -0.46, 0, 0, 0, 0, W, NO, 0, 0, NO,
512, BEAM , UNILOAD, GY, NO , NO, aDir[1], , , , 0, -0.46, 1, -0.46, 0, 0, 0, 0, W, NO, 0, 0, NO,
513, BEAM , UNILOAD, GY, NO , NO, aDir[1], , , , 0, -0.46, 1, -0.46, 0, 0, 0, 0, W, NO, 0, 0, NO,
514, BEAM , UNILOAD, GY, NO , NO, aDir[1], , , , 0, -0.46, 1, -0.46, 0, 0, 0, 0, W, NO, 0, 0, NO,
515, BEAM , UNILOAD, GY, NO , NO, aDir[1], , , , 0, -0.46, 1, -0.46, 0, 0, 0, 0, W, NO, 0, 0, NO,
516, BEAM , UNILOAD, GY, NO , NO, aDir[1], , , , 0, -0.46, 1, -0.46, 0, 0, 0, 0, W, NO, 0, 0, NO,
517, BEAM , UNILOAD, GY, NO , NO, aDir[1], , , , 0, -0.46, 1, -0.46, 0, 0, 0, 0, W, NO, 0, 0, NO,
518, BEAM , UNILOAD, GY, NO , NO, aDir[1], , , , 0, -0.46, 1, -0.46, 0, 0, 0, 0, W, NO, 0, 0, NO,
519, BEAM , UNILOAD, GY, NO , NO, aDir[1], , , , 0, -0.46, 1, -0.46, 0, 0, 0, 0, W, NO, 0, 0, NO,
520, BEAM , UNILOAD, GY, NO , NO, aDir[1], , , , 0, -0.46, 1, -0.46, 0, 0, 0, 0, W, NO, 0, 0, NO,
521, BEAM , UNILOAD, GY, NO , NO, aDir[1], , , , 0, -0.46, 1, -0.46, 0, 0, 0, 0, W, NO, 0, 0, NO,
522, BEAM , UNILOAD, GY, NO , NO, aDir[1], , , , 0, -0.46, 1, -0.46, 0, 0, 0, 0, W, NO, 0, 0, NO,
523, BEAM , UNILOAD, GY, NO , NO, aDir[1], , , , 0, -0.46, 1, -0.46, 0, 0, 0, 0, W, NO, 0, 0, NO,
524, BEAM , UNILOAD, GY, NO , NO, aDir[1], , , , 0, -0.46, 1, -0.46, 0, 0, 0, 0, W, NO, 0, 0, NO,
525, BEAM , UNILOAD, GY, NO , NO, aDir[1], , , , 0, -0.46, 1, -0.46, 0, 0, 0, 0, W, NO, 0, 0, NO,
526, BEAM , UNILOAD, GY, NO , NO, aDir[1], , , , 0, -0.46, 1, -0.46, 0, 0, 0, 0, W, NO, 0, 0, NO,
527, BEAM , UNILOAD, GY, NO , NO, aDir[1], , , , 0, -0.46, 1, -0.46, 0, 0, 0, 0, W, NO, 0, 0, NO,
528, BEAM , UNILOAD, GY, NO , NO, aDir[1], , , , 0, -0.46, 1, -0.46, 0, 0, 0, 0, W, NO, 0, 0, NO,
529, BEAM , UNILOAD, GY, NO , NO, aDir[1], , , , 0, -1.13, 1, -1.13, 0, 0, 0, 0, W, NO, 0, 0, NO,
530, BEAM , UNILOAD, GY, NO , NO, aDir[1], , , , 0, -1.13, 1, -1.13, 0, 0, 0, 0, W, NO, 0, 0, NO,
531, BEAM , UNILOAD, GY, NO , NO, aDir[1], , , , 0, -1.13, 1, -1.13, 0, 0, 0, 0, W, NO, 0, 0, NO,

PROJECT TITLE :

MIDAS	Company		Client	
	Author		File Name	H2D_3Dg_v14_180227_StatLM.mct

532, BEAM , UNILOAD, GY, NO , NO, aDir[1], , , , 0, -1.13, 1, -1.13, 0, 0, 0, 0, W, NO, 0, 0, NO,
3815, BEAM , UNILOAD, GY, NO , NO, aDir[1], , , , 0, -0.65, 1, -0.65, 0, 0, 0, 0, W, NO, 0, 0, NO,
3816, BEAM , UNILOAD, GY, NO , NO, aDir[1], , , , 0, -0.65, 1, -0.65, 0, 0, 0, 0, W, NO, 0, 0, NO,
3817, BEAM , UNILOAD, GY, NO , NO, aDir[1], , , , 0, -0.65, 1, -0.65, 0, 0, 0, 0, W, NO, 0, 0, NO,
3818, BEAM , UNILOAD, GY, NO , NO, aDir[1], , , , 0, -0.65, 1, -0.65, 0, 0, 0, 0, W, NO, 0, 0, NO,
3819, BEAM , UNILOAD, GY, NO , NO, aDir[1], , , , 0, -0.65, 1, -0.65, 0, 0, 0, 0, W, NO, 0, 0, NO,
3820, BEAM , UNILOAD, GY, NO , NO, aDir[1], , , , 0, -0.65, 1, -0.65, 0, 0, 0, 0, W, NO, 0, 0, NO,
3821, BEAM , UNILOAD, GY, NO , NO, aDir[1], , , , 0, -0.65, 1, -0.65, 0, 0, 0, 0, W, NO, 0, 0, NO,
3822, BEAM , UNILOAD, GY, NO , NO, aDir[1], , , , 0, -0.65, 1, -0.65, 0, 0, 0, 0, W, NO, 0, 0, NO,
3823, BEAM , UNILOAD, GY, NO , NO, aDir[1], , , , 0, -0.65, 1, -0.65, 0, 0, 0, 0, W, NO, 0, 0, NO,
3824, BEAM , UNILOAD, GY, NO , NO, aDir[1], , , , 0, -0.65, 1, -0.65, 0, 0, 0, 0, W, NO, 0, 0, NO,
3825, BEAM , UNILOAD, GY, NO , NO, aDir[1], , , , 0, -0.65, 1, -0.65, 0, 0, 0, 0, W, NO, 0, 0, NO,
3826, BEAM , UNILOAD, GY, NO , NO, aDir[1], , , , 0, -0.65, 1, -0.65, 0, 0, 0, 0, W, NO, 0, 0, NO,
3827, BEAM , UNILOAD, GY, NO , NO, aDir[1], , , , 0, -0.65, 1, -0.65, 0, 0, 0, 0, W, NO, 0, 0, NO,
3828, BEAM , UNILOAD, GY, NO , NO, aDir[1], , , , 0, -0.65, 1, -0.65, 0, 0, 0, 0, W, NO, 0, 0, NO,
3829, BEAM , UNILOAD, GY, NO , NO, aDir[1], , , , 0, -0.65, 1, -0.65, 0, 0, 0, 0, W, NO, 0, 0, NO,
3830, BEAM , UNILOAD, GY, NO , NO, aDir[1], , , , 0, -0.65, 1, -0.65, 0, 0, 0, 0, W, NO, 0, 0, NO,

; End of data for load case [W-Y] ----------

*USE-STLD, WP+Y 1. Track

*BEAMLOAD ; Element Beam Loads
; ELEM_LIST, CMD, TYPE, DIR, bPROJ, [ECCEN], [VALUE], GROUP
; ELEM_LIST, CMD, TYPE, TYPE, DIR, VX, VY, VZ, bPROJ, [ECCEN], [VALUE], GROUP
; [VALUE] : D1, P1, D2, P2, D3, P3, D4, P4
; [ECCEN] : bECCEN, ECCDIR, I-END, J-END, bJ-END
; [ADDITIONAL] : bADDITIONAL, ADDITIONAL_I-END, ADDITIONAL_J-END, bADDITIONAL_J-END
1061, BEAM , UNILOAD, GY, NO , NO, aDir[1], , , , 0, 3.43, 1, 3.43, 0, 0, 0, 0, WP, NO, 0, 0, NO,
1061, BEAM , UNILOAD, GZ, NO , NO, aDir[1], , , , 0, 7.62, 1, 7.62, 0, 0, 0, 0, WP, NO, 0, 0, NO,
1062, BEAM , UNILOAD, GY, NO , NO, aDir[1], , , , 0, 3.43, 1, 3.43, 0, 0, 0, 0, WP, NO, 0, 0, NO,
1062, BEAM , UNILOAD, GZ, NO , NO, aDir[1], , , , 0, 7.62, 1, 7.62, 0, 0, 0, 0, WP, NO, 0, 0, NO,
1063, BEAM , UNILOAD, GY, NO , NO, aDir[1], , , , 0, 3.43, 1, 3.43, 0, 0, 0, 0, WP, NO, 0, 0, NO,
1063, BEAM , UNILOAD, GZ, NO , NO, aDir[1], , , , 0, 7.62, 1, 7.62, 0, 0, 0, 0, WP, NO, 0, 0, NO,
1064, BEAM , UNILOAD, GY, NO , NO, aDir[1], , , , 0, 3.43, 1, 3.43, 0, 0, 0, 0, WP, NO, 0, 0, NO,
1064, BEAM , UNILOAD, GZ, NO , NO, aDir[1], , , , 0, 7.62, 1, 7.62, 0, 0, 0, 0, WP, NO, 0, 0, NO,
1065, BEAM , UNILOAD, GZ, NO , NO, aDir[1], , , , 0, 7.62, 1, 7.62, 0, 0, 0, 0, WP, NO, 0, 0, NO,
1065, BEAM , UNILOAD, GY, NO , NO, aDir[1], , , , 0, 3.43, 1, 3.43, 0, 0, 0, 0, WP, NO, 0, 0, NO,
1066, BEAM , UNILOAD, GZ, NO , NO, aDir[1], , , , 0, 7.62, 1, 7.62, 0, 0, 0, 0, WP, NO, 0, 0, NO,
1066, BEAM , UNILOAD, GY, NO , NO, aDir[1], , , , 0, 3.43, 1, 3.43, 0, 0, 0, 0, WP, NO, 0, 0, NO,
1067, BEAM , UNILOAD, GY, NO , NO, aDir[1], , , , 0, 3.43, 1, 3.43, 0, 0, 0, 0, WP, NO, 0, 0, NO,
1067, BEAM , UNILOAD, GZ, NO , NO, aDir[1], , , , 0, 7.62, 1, 7.62, 0, 0, 0, 0, WP, NO, 0, 0, NO,
1068, BEAM , UNILOAD, GZ, NO , NO, aDir[1], , , , 0, 7.62, 1, 7.62, 0, 0, 0, 0, WP, NO, 0, 0, NO,
1068, BEAM , UNILOAD, GY, NO , NO, aDir[1], , , , 0, 3.43, 1, 3.43, 0, 0, 0, 0, WP, NO, 0, 0, NO,
1069, BEAM , UNILOAD, GY, NO , NO, aDir[1], , , , 0, 3.43, 1, 3.43, 0, 0, 0, 0, WP, NO, 0, 0, NO,
1069, BEAM , UNILOAD, GZ, NO , NO, aDir[1], , , , 0, 7.62, 1, 7.62, 0, 0, 0, 0, WP, NO, 0, 0, NO,
1070, BEAM , UNILOAD, GZ, NO , NO, aDir[1], , , , 0, 7.62, 1, 7.62, 0, 0, 0, 0, WP, NO, 0, 0, NO,
1070, BEAM , UNILOAD, GY, NO , NO, aDir[1], , , , 0, 3.43, 1, 3.43, 0, 0, 0, 0, WP, NO, 0, 0, NO,
1071, BEAM , UNILOAD, GY, NO , NO, aDir[1], , , , 0, 3.43, 1, 3.43, 0, 0, 0, 0, WP, NO, 0, 0, NO,
1071, BEAM , UNILOAD, GZ, NO , NO, aDir[1], , , , 0, 7.62, 1, 7.62, 0, 0, 0, 0, WP, NO, 0, 0, NO,
1072, BEAM , UNILOAD, GY, NO , NO, aDir[1], , , , 0, 3.43, 1, 3.43, 0, 0, 0, 0, WP, NO, 0, 0, NO,
1072, BEAM , UNILOAD, GZ, NO , NO, aDir[1], , , , 0, 7.62, 1, 7.62, 0, 0, 0, 0, WP, NO, 0, 0, NO,
1073, BEAM , UNILOAD, GY, NO , NO, aDir[1], , , , 0, 3.43, 1, 3.43, 0, 0, 0, 0, WP, NO, 0, 0, NO,
1073, BEAM , UNILOAD, GZ, NO , NO, aDir[1], , , , 0, 7.62, 1, 7.62, 0, 0, 0, 0, WP, NO, 0, 0, NO,
1074, BEAM , UNILOAD, GY, NO , NO, aDir[1], , , , 0, 3.43, 1, 3.43, 0, 0, 0, 0, WP, NO, 0, 0, NO,
1074, BEAM , UNILOAD, GZ, NO , NO, aDir[1], , , , 0, 7.62, 1, 7.62, 0, 0, 0, 0, WP, NO, 0, 0, NO,
1075, BEAM , UNILOAD, GY, NO , NO, aDir[1], , , , 0, 3.43, 1, 3.43, 0, 0, 0, 0, WP, NO, 0, 0, NO,
1075, BEAM , UNILOAD, GZ, NO , NO, aDir[1], , , , 0, 7.62, 1, 7.62, 0, 0, 0, 0, WP, NO, 0, 0, NO,
1076, BEAM , UNILOAD, GY, NO , NO, aDir[1], , , , 0, 3.43, 1, 3.43, 0, 0, 0, 0, WP, NO, 0, 0, NO,
1076, BEAM , UNILOAD, GZ, NO , NO, aDir[1], , , , 0, 7.62, 1, 7.62, 0, 0, 0, 0, WP, NO, 0, 0, NO,
1077, BEAM , UNILOAD, GZ, NO , NO, aDir[1], , , , 0, 7.62, 1, 7.62, 0, 0, 0, 0, WP, NO, 0, 0, NO,
1077, BEAM , UNILOAD, GY, NO , NO, aDir[1], , , , 0, 3.43, 1, 3.43, 0, 0, 0, 0, WP, NO, 0, 0, NO,
1078, BEAM , UNILOAD, GZ, NO , NO, aDir[1], , , , 0, 7.62, 1, 7.62, 0, 0, 0, 0, WP, NO, 0, 0, NO,
1078, BEAM , UNILOAD, GY, NO , NO, aDir[1], , , , 0, 3.43, 1, 3.43, 0, 0, 0, 0, WP, NO, 0, 0, NO,
1079, BEAM , UNILOAD, GY, NO , NO, aDir[1], , , , 0, 3.43, 1, 3.43, 0, 0, 0, 0, WP, NO, 0, 0, NO,
1079, BEAM , UNILOAD, GZ, NO , NO, aDir[1], , , , 0, 7.62, 1, 7.62, 0, 0, 0, 0, WP, NO, 0, 0, NO,
1080, BEAM , UNILOAD, GY, NO , NO, aDir[1], , , , 0, 3.43, 1, 3.43, 0, 0, 0, 0, WP, NO, 0, 0, NO,
1080, BEAM , UNILOAD, GZ, NO , NO, aDir[1], , , , 0, 7.62, 1, 7.62, 0, 0, 0, 0, WP, NO, 0, 0, NO,
1081, BEAM , UNILOAD, GY, NO , NO, aDir[1], , , , 0, 3.43, 1, 3.43, 0, 0, 0, 0, WP, NO, 0, 0, NO,
1081, BEAM , UNILOAD, GZ, NO , NO, aDir[1], , , , 0, 7.62, 1, 7.62, 0, 0, 0, 0, WP, NO, 0, 0, NO,
1082, BEAM , UNILOAD, GZ, NO , NO, aDir[1], , , , 0, 7.62, 1, 7.62, 0, 0, 0, 0, WP, NO, 0, 0, NO,
1082, BEAM , UNILOAD, GY, NO , NO, aDir[1], , , , 0, 3.43, 1, 3.43, 0, 0, 0, 0, WP, NO, 0, 0, NO,

PROJECT TITLE :

MIDAS	Company		Client	
	Author		File Name	H2D_3Dg_v14_180227_StatLM.mct

1083, BEAM , UNILOAD, GZ, NO , NO, aDir[1], , , , 0, 7.62, 1, 7.62, 0, 0, 0, 0, WP, NO, 0, 0, NO,
1083, BEAM , UNILOAD, GY, NO , NO, aDir[1], , , , 0, 3.43, 1, 3.43, 0, 0, 0, 0, WP, NO, 0, 0, NO,
1084, BEAM , UNILOAD, GZ, NO , NO, aDir[1], , , , 0, 7.62, 1, 7.62, 0, 0, 0, 0, WP, NO, 0, 0, NO,
1084, BEAM , UNILOAD, GY, NO , NO, aDir[1], , , , 0, 3.43, 1, 3.43, 0, 0, 0, 0, WP, NO, 0, 0, NO,
1085, BEAM , UNILOAD, GY, NO , NO, aDir[1], , , , 0, 3.43, 1, 3.43, 0, 0, 0, 0, WP, NO, 0, 0, NO,
1085, BEAM , UNILOAD, GZ, NO , NO, aDir[1], , , , 0, 7.62, 1, 7.62, 0, 0, 0, 0, WP, NO, 0, 0, NO,
1086, BEAM , UNILOAD, GY, NO , NO, aDir[1], , , , 0, 3.43, 1, 3.43, 0, 0, 0, 0, WP, NO, 0, 0, NO,
1086, BEAM , UNILOAD, GZ, NO , NO, aDir[1], , , , 0, 7.62, 1, 7.62, 0, 0, 0, 0, WP, NO, 0, 0, NO,
1087, BEAM , UNILOAD, GY, NO , NO, aDir[1], , , , 0, 3.43, 1, 3.43, 0, 0, 0, 0, WP, NO, 0, 0, NO,
1087, BEAM , UNILOAD, GZ, NO , NO, aDir[1], , , , 0, 7.62, 1, 7.62, 0, 0, 0, 0, WP, NO, 0, 0, NO,
1088, BEAM , UNILOAD, GZ, NO , NO, aDir[1], , , , 0, 7.62, 1, 7.62, 0, 0, 0, 0, WP, NO, 0, 0, NO,
1088, BEAM , UNILOAD, GY, NO , NO, aDir[1], , , , 0, 3.43, 1, 3.43, 0, 0, 0, 0, WP, NO, 0, 0, NO,
1089, BEAM , UNILOAD, GZ, NO , NO, aDir[1], , , , 0, 7.62, 1, 7.62, 0, 0, 0, 0, WP, NO, 0, 0, NO,
1089, BEAM , UNILOAD, GY, NO , NO, aDir[1], , , , 0, 3.43, 1, 3.43, 0, 0, 0, 0, WP, NO, 0, 0, NO,
1090, BEAM , UNILOAD, GZ, NO , NO, aDir[1], , , , 0, 7.62, 1, 7.62, 0, 0, 0, 0, WP, NO, 0, 0, NO,
1090, BEAM , UNILOAD, GY, NO , NO, aDir[1], , , , 0, 3.43, 1, 3.43, 0, 0, 0, 0, WP, NO, 0, 0, NO,
1091, BEAM , UNILOAD, GZ, NO , NO, aDir[1], , , , 0, 7.62, 1, 7.62, 0, 0, 0, 0, WP, NO, 0, 0, NO,
1091, BEAM , UNILOAD, GY, NO , NO, aDir[1], , , , 0, 3.43, 1, 3.43, 0, 0, 0, 0, WP, NO, 0, 0, NO,
1092, BEAM , UNILOAD, GZ, NO , NO, aDir[1], , , , 0, 7.62, 1, 7.62, 0, 0, 0, 0, WP, NO, 0, 0, NO,
1092, BEAM , UNILOAD, GY, NO , NO, aDir[1], , , , 0, 3.43, 1, 3.43, 0, 0, 0, 0, WP, NO, 0, 0, NO,
1093, BEAM , UNILOAD, GY, NO , NO, aDir[1], , , , 0, 3.43, 1, 3.43, 0, 0, 0, 0, WP, NO, 0, 0, NO,
1093, BEAM , UNILOAD, GZ, NO , NO, aDir[1], , , , 0, 7.62, 1, 7.62, 0, 0, 0, 0, WP, NO, 0, 0, NO,
1094, BEAM , UNILOAD, GY, NO , NO, aDir[1], , , , 0, 3.43, 1, 3.43, 0, 0, 0, 0, WP, NO, 0, 0, NO,
1094, BEAM , UNILOAD, GZ, NO , NO, aDir[1], , , , 0, 7.62, 1, 7.62, 0, 0, 0, 0, WP, NO, 0, 0, NO,
1095, BEAM , UNILOAD, GY, NO , NO, aDir[1], , , , 0, 3.43, 1, 3.43, 0, 0, 0, 0, WP, NO, 0, 0, NO,
1095, BEAM , UNILOAD, GZ, NO , NO, aDir[1], , , , 0, 7.62, 1, 7.62, 0, 0, 0, 0, WP, NO, 0, 0, NO,
1096, BEAM , UNILOAD, GZ, NO , NO, aDir[1], , , , 0, 7.62, 1, 7.62, 0, 0, 0, 0, WP, NO, 0, 0, NO,
1096, BEAM , UNILOAD, GY, NO , NO, aDir[1], , , , 0, 3.43, 1, 3.43, 0, 0, 0, 0, WP, NO, 0, 0, NO,
1097, BEAM , UNILOAD, GY, NO , NO, aDir[1], , , , 0, 3.43, 1, 3.43, 0, 0, 0, 0, WP, NO, 0, 0, NO,
1097, BEAM , UNILOAD, GZ, NO , NO, aDir[1], , , , 0, 7.62, 1, 7.62, 0, 0, 0, 0, WP, NO, 0, 0, NO,
1098, BEAM , UNILOAD, GY, NO , NO, aDir[1], , , , 0, 3.43, 1, 3.43, 0, 0, 0, 0, WP, NO, 0, 0, NO,
1098, BEAM , UNILOAD, GZ, NO , NO, aDir[1], , , , 0, 7.62, 1, 7.62, 0, 0, 0, 0, WP, NO, 0, 0, NO,
1099, BEAM , UNILOAD, GY, NO , NO, aDir[1], , , , 0, 3.43, 1, 3.43, 0, 0, 0, 0, WP, NO, 0, 0, NO,
1099, BEAM , UNILOAD, GZ, NO , NO, aDir[1], , , , 0, 7.62, 1, 7.62, 0, 0, 0, 0, WP, NO, 0, 0, NO,
1100, BEAM , UNILOAD, GY, NO , NO, aDir[1], , , , 0, 3.43, 1, 3.43, 0, 0, 0, 0, WP, NO, 0, 0, NO,
1100, BEAM , UNILOAD, GZ, NO , NO, aDir[1], , , , 0, 7.62, 1, 7.62, 0, 0, 0, 0, WP, NO, 0, 0, NO,
1101, BEAM , UNILOAD, GY, NO , NO, aDir[1], , , , 0, 3.43, 1, 3.43, 0, 0, 0, 0, WP, NO, 0, 0, NO,
1101, BEAM , UNILOAD, GZ, NO , NO, aDir[1], , , , 0, 7.62, 1, 7.62, 0, 0, 0, 0, WP, NO, 0, 0, NO,
1102, BEAM , UNILOAD, GZ, NO , NO, aDir[1], , , , 0, 7.62, 1, 7.62, 0, 0, 0, 0, WP, NO, 0, 0, NO,
1102, BEAM , UNILOAD, GY, NO , NO, aDir[1], , , , 0, 3.43, 1, 3.43, 0, 0, 0, 0, WP, NO, 0, 0, NO,
1103, BEAM , UNILOAD, GZ, NO , NO, aDir[1], , , , 0, 7.62, 1, 7.62, 0, 0, 0, 0, WP, NO, 0, 0, NO,
1103, BEAM , UNILOAD, GY, NO , NO, aDir[1], , , , 0, 3.43, 1, 3.43, 0, 0, 0, 0, WP, NO, 0, 0, NO,
1104, BEAM , UNILOAD, GY, NO , NO, aDir[1], , , , 0, 3.43, 1, 3.43, 0, 0, 0, 0, WP, NO, 0, 0, NO,
1104, BEAM , UNILOAD, GZ, NO , NO, aDir[1], , , , 0, 7.62, 1, 7.62, 0, 0, 0, 0, WP, NO, 0, 0, NO,
1105, BEAM , UNILOAD, GZ, NO , NO, aDir[1], , , , 0, 7.62, 1, 7.62, 0, 0, 0, 0, WP, NO, 0, 0, NO,
1105, BEAM , UNILOAD, GY, NO , NO, aDir[1], , , , 0, 3.43, 1, 3.43, 0, 0, 0, 0, WP, NO, 0, 0, NO,
1106, BEAM , UNILOAD, GZ, NO , NO, aDir[1], , , , 0, 7.62, 1, 7.62, 0, 0, 0, 0, WP, NO, 0, 0, NO,
1106, BEAM , UNILOAD, GY, NO , NO, aDir[1], , , , 0, 3.43, 1, 3.43, 0, 0, 0, 0, WP, NO, 0, 0, NO,
1107, BEAM , UNILOAD, GZ, NO , NO, aDir[1], , , , 0, 7.62, 1, 7.62, 0, 0, 0, 0, WP, NO, 0, 0, NO,
1107, BEAM , UNILOAD, GY, NO , NO, aDir[1], , , , 0, 3.43, 1, 3.43, 0, 0, 0, 0, WP, NO, 0, 0, NO,
1108, BEAM , UNILOAD, GY, NO , NO, aDir[1], , , , 0, 3.43, 1, 3.43, 0, 0, 0, 0, WP, NO, 0, 0, NO,
1108, BEAM , UNILOAD, GZ, NO , NO, aDir[1], , , , 0, 7.62, 1, 7.62, 0, 0, 0, 0, WP, NO, 0, 0, NO,
1109, BEAM , UNILOAD, GZ, NO , NO, aDir[1], , , , 0, 7.62, 1, 7.62, 0, 0, 0, 0, WP, NO, 0, 0, NO,
1109, BEAM , UNILOAD, GY, NO , NO, aDir[1], , , , 0, 3.43, 1, 3.43, 0, 0, 0, 0, WP, NO, 0, 0, NO,
1110, BEAM , UNILOAD, GY, NO , NO, aDir[1], , , , 0, 3.43, 1, 3.43, 0, 0, 0, 0, WP, NO, 0, 0, NO,
1110, BEAM , UNILOAD, GZ, NO , NO, aDir[1], , , , 0, 7.62, 1, 7.62, 0, 0, 0, 0, WP, NO, 0, 0, NO,
1111, BEAM , UNILOAD, GZ, NO , NO, aDir[1], , , , 0, 7.62, 1, 7.62, 0, 0, 0, 0, WP, NO, 0, 0, NO,
1111, BEAM , UNILOAD, GY, NO , NO, aDir[1], , , , 0, 3.43, 1, 3.43, 0, 0, 0, 0, WP, NO, 0, 0, NO,
1112, BEAM , UNILOAD, GZ, NO , NO, aDir[1], , , , 0, 7.62, 1, 7.62, 0, 0, 0, 0, WP, NO, 0, 0, NO,
1112, BEAM , UNILOAD, GY, NO , NO, aDir[1], , , , 0, 3.43, 1, 3.43, 0, 0, 0, 0, WP, NO, 0, 0, NO,
1113, BEAM , UNILOAD, GZ, NO , NO, aDir[1], , , , 0, 7.62, 1, 7.62, 0, 0, 0, 0, WP, NO, 0, 0, NO,
1113, BEAM , UNILOAD, GY, NO , NO, aDir[1], , , , 0, 3.43, 1, 3.43, 0, 0, 0, 0, WP, NO, 0, 0, NO,
1114, BEAM , UNILOAD, GZ, NO , NO, aDir[1], , , , 0, 7.62, 1, 7.62, 0, 0, 0, 0, WP, NO, 0, 0, NO,
1114, BEAM , UNILOAD, GY, NO , NO, aDir[1], , , , 0, 3.43, 1, 3.43, 0, 0, 0, 0, WP, NO, 0, 0, NO,
1115, BEAM , UNILOAD, GZ, NO , NO, aDir[1], , , , 0, 7.62, 1, 7.62, 0, 0, 0, 0, WP, NO, 0, 0, NO,
1115, BEAM , UNILOAD, GY, NO , NO, aDir[1], , , , 0, 3.43, 1, 3.43, 0, 0, 0, 0, WP, NO, 0, 0, NO,
1116, BEAM , UNILOAD, GY, NO , NO, aDir[1], , , , 0, 3.43, 1, 3.43, 0, 0, 0, 0, WP, NO, 0, 0, NO,
1116, BEAM , UNILOAD, GZ, NO , NO, aDir[1], , , , 0, 7.62, 1, 7.62, 0, 0, 0, 0, WP, NO, 0, 0, NO,
1117, BEAM , UNILOAD, GY, NO , NO, aDir[1], , , , 0, 3.43, 1, 3.43, 0, 0, 0, 0, WP, NO, 0, 0, NO,
1117, BEAM , UNILOAD, GZ, NO , NO, aDir[1], , , , 0, 7.62, 1, 7.62, 0, 0, 0, 0, WP, NO, 0, 0, NO,
1118, BEAM , UNILOAD, GZ, NO , NO, aDir[1], , , , 0, 7.62, 1, 7.62, 0, 0, 0, 0, WP, NO, 0, 0, NO,
1118, BEAM , UNILOAD, GY, NO , NO, aDir[1], , , , 0, 3.43, 1, 3.43, 0, 0, 0, 0, WP, NO, 0, 0, NO,

PROJECT TITLE :

MIDAS	Company		Client	
	Author		File Name	H2D_3Dg_v14_180227_StatLM.mct

1119, BEAM , UNILOAD, GY, NO , NO, aDir[1], , , , 0, 3.43, 1, 3.43, 0, 0, 0, 0, WP, NO, 0, 0, NO,
1119, BEAM , UNILOAD, GZ, NO , NO, aDir[1], , , , 0, 7.62, 1, 7.62, 0, 0, 0, 0, WP, NO, 0, 0, NO,
1120, BEAM , UNILOAD, GY, NO , NO, aDir[1], , , , 0, 3.43, 1, 3.43, 0, 0, 0, 0, WP, NO, 0, 0, NO,
1120, BEAM , UNILOAD, GZ, NO , NO, aDir[1], , , , 0, 7.62, 1, 7.62, 0, 0, 0, 0, WP, NO, 0, 0, NO,
1121, BEAM , UNILOAD, GZ, NO , NO, aDir[1], , , , 0, 7.62, 1, 7.62, 0, 0, 0, 0, WP, NO, 0, 0, NO,
1121, BEAM , UNILOAD, GY, NO , NO, aDir[1], , , , 0, 3.43, 1, 3.43, 0, 0, 0, 0, WP, NO, 0, 0, NO,
1122, BEAM , UNILOAD, GZ, NO , NO, aDir[1], , , , 0, 7.62, 1, 7.62, 0, 0, 0, 0, WP, NO, 0, 0, NO,
1122, BEAM , UNILOAD, GY, NO , NO, aDir[1], , , , 0, 3.43, 1, 3.43, 0, 0, 0, 0, WP, NO, 0, 0, NO,
1123, BEAM , UNILOAD, GY, NO , NO, aDir[1], , , , 0, 3.43, 1, 3.43, 0, 0, 0, 0, WP, NO, 0, 0, NO,
1123, BEAM , UNILOAD, GZ, NO , NO, aDir[1], , , , 0, 7.62, 1, 7.62, 0, 0, 0, 0, WP, NO, 0, 0, NO,
1124, BEAM , UNILOAD, GZ, NO , NO, aDir[1], , , , 0, 7.62, 1, 7.62, 0, 0, 0, 0, WP, NO, 0, 0, NO,
1124, BEAM , UNILOAD, GY, NO , NO, aDir[1], , , , 0, 3.43, 1, 3.43, 0, 0, 0, 0, WP, NO, 0, 0, NO,
1125, BEAM , UNILOAD, GZ, NO , NO, aDir[1], , , , 0, 7.62, 1, 7.62, 0, 0, 0, 0, WP, NO, 0, 0, NO,
1125, BEAM , UNILOAD, GY, NO , NO, aDir[1], , , , 0, 3.43, 1, 3.43, 0, 0, 0, 0, WP, NO, 0, 0, NO,
1126, BEAM , UNILOAD, GZ, NO , NO, aDir[1], , , , 0, 7.62, 1, 7.62, 0, 0, 0, 0, WP, NO, 0, 0, NO,
1126, BEAM , UNILOAD, GY, NO , NO, aDir[1], , , , 0, 3.43, 1, 3.43, 0, 0, 0, 0, WP, NO, 0, 0, NO,
1127, BEAM , UNILOAD, GZ, NO , NO, aDir[1], , , , 0, 7.62, 1, 7.62, 0, 0, 0, 0, WP, NO, 0, 0, NO,
1127, BEAM , UNILOAD, GY, NO , NO, aDir[1], , , , 0, 3.43, 1, 3.43, 0, 0, 0, 0, WP, NO, 0, 0, NO,
1128, BEAM , UNILOAD, GY, NO , NO, aDir[1], , , , 0, 3.43, 1, 3.43, 0, 0, 0, 0, WP, NO, 0, 0, NO,
1128, BEAM , UNILOAD, GZ, NO , NO, aDir[1], , , , 0, 7.62, 1, 7.62, 0, 0, 0, 0, WP, NO, 0, 0, NO,
1129, BEAM , UNILOAD, GZ, NO , NO, aDir[1], , , , 0, 7.62, 1, 7.62, 0, 0, 0, 0, WP, NO, 0, 0, NO,
1129, BEAM , UNILOAD, GY, NO , NO, aDir[1], , , , 0, 3.43, 1, 3.43, 0, 0, 0, 0, WP, NO, 0, 0, NO,
1130, BEAM , UNILOAD, GZ, NO , NO, aDir[1], , , , 0, 7.62, 1, 7.62, 0, 0, 0, 0, WP, NO, 0, 0, NO,
1130, BEAM , UNILOAD, GY, NO , NO, aDir[1], , , , 0, 3.43, 1, 3.43, 0, 0, 0, 0, WP, NO, 0, 0, NO,
1131, BEAM , UNILOAD, GZ, NO , NO, aDir[1], , , , 0, 7.62, 1, 7.62, 0, 0, 0, 0, WP, NO, 0, 0, NO,
1131, BEAM , UNILOAD, GY, NO , NO, aDir[1], , , , 0, 3.43, 1, 3.43, 0, 0, 0, 0, WP, NO, 0, 0, NO,
1132, BEAM , UNILOAD, GY, NO , NO, aDir[1], , , , 0, 3.43, 1, 3.43, 0, 0, 0, 0, WP, NO, 0, 0, NO,
1132, BEAM , UNILOAD, GZ, NO , NO, aDir[1], , , , 0, 7.62, 1, 7.62, 0, 0, 0, 0, WP, NO, 0, 0, NO,
1133, BEAM , UNILOAD, GZ, NO , NO, aDir[1], , , , 0, 7.62, 1, 7.62, 0, 0, 0, 0, WP, NO, 0, 0, NO,
1133, BEAM , UNILOAD, GY, NO , NO, aDir[1], , , , 0, 3.43, 1, 3.43, 0, 0, 0, 0, WP, NO, 0, 0, NO,
1134, BEAM , UNILOAD, GZ, NO , NO, aDir[1], , , , 0, 7.62, 1, 7.62, 0, 0, 0, 0, WP, NO, 0, 0, NO,
1134, BEAM , UNILOAD, GY, NO , NO, aDir[1], , , , 0, 3.43, 1, 3.43, 0, 0, 0, 0, WP, NO, 0, 0, NO,
1135, BEAM , UNILOAD, GY, NO , NO, aDir[1], , , , 0, 3.43, 1, 3.43, 0, 0, 0, 0, WP, NO, 0, 0, NO,
1135, BEAM , UNILOAD, GZ, NO , NO, aDir[1], , , , 0, 7.62, 1, 7.62, 0, 0, 0, 0, WP, NO, 0, 0, NO,
1136, BEAM , UNILOAD, GY, NO , NO, aDir[1], , , , 0, 3.43, 1, 3.43, 0, 0, 0, 0, WP, NO, 0, 0, NO,
1136, BEAM , UNILOAD, GZ, NO , NO, aDir[1], , , , 0, 7.62, 1, 7.62, 0, 0, 0, 0, WP, NO, 0, 0, NO,
1137, BEAM , UNILOAD, GY, NO , NO, aDir[1], , , , 0, 3.43, 1, 3.43, 0, 0, 0, 0, WP, NO, 0, 0, NO,
1137, BEAM , UNILOAD, GZ, NO , NO, aDir[1], , , , 0, 7.62, 1, 7.62, 0, 0, 0, 0, WP, NO, 0, 0, NO,
1138, BEAM , UNILOAD, GY, NO , NO, aDir[1], , , , 0, 3.43, 1, 3.43, 0, 0, 0, 0, WP, NO, 0, 0, NO,
1138, BEAM , UNILOAD, GZ, NO , NO, aDir[1], , , , 0, 7.62, 1, 7.62, 0, 0, 0, 0, WP, NO, 0, 0, NO,
1139, BEAM , UNILOAD, GY, NO , NO, aDir[1], , , , 0, 3.43, 1, 3.43, 0, 0, 0, 0, WP, NO, 0, 0, NO,
1139, BEAM , UNILOAD, GZ, NO , NO, aDir[1], , , , 0, 7.62, 1, 7.62, 0, 0, 0, 0, WP, NO, 0, 0, NO,
1140, BEAM , UNILOAD, GZ, NO , NO, aDir[1], , , , 0, 7.62, 1, 7.62, 0, 0, 0, 0, WP, NO, 0, 0, NO,
1140, BEAM , UNILOAD, GY, NO , NO, aDir[1], , , , 0, 3.43, 1, 3.43, 0, 0, 0, 0, WP, NO, 0, 0, NO,
1141, BEAM , UNILOAD, GZ, NO , NO, aDir[1], , , , 0, 7.62, 1, 7.62, 0, 0, 0, 0, WP, NO, 0, 0, NO,
1141, BEAM , UNILOAD, GY, NO , NO, aDir[1], , , , 0, 3.43, 1, 3.43, 0, 0, 0, 0, WP, NO, 0, 0, NO,
1142, BEAM , UNILOAD, GZ, NO , NO, aDir[1], , , , 0, 7.62, 1, 7.62, 0, 0, 0, 0, WP, NO, 0, 0, NO,
1142, BEAM , UNILOAD, GY, NO , NO, aDir[1], , , , 0, 3.43, 1, 3.43, 0, 0, 0, 0, WP, NO, 0, 0, NO,
1143, BEAM , UNILOAD, GZ, NO , NO, aDir[1], , , , 0, 7.62, 1, 7.62, 0, 0, 0, 0, WP, NO, 0, 0, NO,
1143, BEAM , UNILOAD, GY, NO , NO, aDir[1], , , , 0, 3.43, 1, 3.43, 0, 0, 0, 0, WP, NO, 0, 0, NO,
1144, BEAM , UNILOAD, GY, NO , NO, aDir[1], , , , 0, 3.43, 1, 3.43, 0, 0, 0, 0, WP, NO, 0, 0, NO,
1144, BEAM , UNILOAD, GZ, NO , NO, aDir[1], , , , 0, 7.62, 1, 7.62, 0, 0, 0, 0, WP, NO, 0, 0, NO,
1145, BEAM , UNILOAD, GY, NO , NO, aDir[1], , , , 0, 3.43, 1, 3.43, 0, 0, 0, 0, WP, NO, 0, 0, NO,
1145, BEAM , UNILOAD, GZ, NO , NO, aDir[1], , , , 0, 7.62, 1, 7.62, 0, 0, 0, 0, WP, NO, 0, 0, NO,
1146, BEAM , UNILOAD, GZ, NO , NO, aDir[1], , , , 0, 7.62, 1, 7.62, 0, 0, 0, 0, WP, NO, 0, 0, NO,
1146, BEAM , UNILOAD, GY, NO , NO, aDir[1], , , , 0, 3.43, 1, 3.43, 0, 0, 0, 0, WP, NO, 0, 0, NO,
1147, BEAM , UNILOAD, GY, NO , NO, aDir[1], , , , 0, 3.43, 1, 3.43, 0, 0, 0, 0, WP, NO, 0, 0, NO,
1147, BEAM , UNILOAD, GZ, NO , NO, aDir[1], , , , 0, 7.62, 1, 7.62, 0, 0, 0, 0, WP, NO, 0, 0, NO,
1148, BEAM , UNILOAD, GY, NO , NO, aDir[1], , , , 0, 3.43, 1, 3.43, 0, 0, 0, 0, WP, NO, 0, 0, NO,
1148, BEAM , UNILOAD, GZ, NO , NO, aDir[1], , , , 0, 7.62, 1, 7.62, 0, 0, 0, 0, WP, NO, 0, 0, NO,
1149, BEAM , UNILOAD, GY, NO , NO, aDir[1], , , , 0, 3.43, 1, 3.43, 0, 0, 0, 0, WP, NO, 0, 0, NO,
1149, BEAM , UNILOAD, GZ, NO , NO, aDir[1], , , , 0, 7.62, 1, 7.62, 0, 0, 0, 0, WP, NO, 0, 0, NO,
1150, BEAM , UNILOAD, GY, NO , NO, aDir[1], , , , 0, 3.43, 1, 3.43, 0, 0, 0, 0, WP, NO, 0, 0, NO,
1150, BEAM , UNILOAD, GZ, NO , NO, aDir[1], , , , 0, 7.62, 1, 7.62, 0, 0, 0, 0, WP, NO, 0, 0, NO,
1151, BEAM , UNILOAD, GZ, NO , NO, aDir[1], , , , 0, 7.62, 1, 7.62, 0, 0, 0, 0, WP, NO, 0, 0, NO,
1151, BEAM , UNILOAD, GY, NO , NO, aDir[1], , , , 0, 3.43, 1, 3.43, 0, 0, 0, 0, WP, NO, 0, 0, NO,
1152, BEAM , UNILOAD, GY, NO , NO, aDir[1], , , , 0, 3.43, 1, 3.43, 0, 0, 0, 0, WP, NO, 0, 0, NO,
1152, BEAM , UNILOAD, GZ, NO , NO, aDir[1], , , , 0, 7.62, 1, 7.62, 0, 0, 0, 0, WP, NO, 0, 0, NO,
1153, BEAM , UNILOAD, GY, NO , NO, aDir[1], , , , 0, 3.43, 1, 3.43, 0, 0, 0, 0, WP, NO, 0, 0, NO,
1153, BEAM , UNILOAD, GZ, NO , NO, aDir[1], , , , 0, 7.62, 1, 7.62, 0, 0, 0, 0, WP, NO, 0, 0, NO,
1154, BEAM , UNILOAD, GY, NO , NO, aDir[1], , , , 0, 3.43, 1, 3.43, 0, 0, 0, 0, WP, NO, 0, 0, NO,
1154, BEAM , UNILOAD, GZ, NO , NO, aDir[1], , , , 0, 7.62, 1, 7.62, 0, 0, 0, 0, WP, NO, 0, 0, NO,

PROJECT TITLE :

MIDAS	Company		Client	
	Author		File Name	H2D_3Dg_v14_180227_StatLM.mct

1155, BEAM , UNILOAD, GY, NO , NO, aDir[1], , , , 0, 3.43, 1, 3.43, 0, 0, 0, 0, WP, NO, 0, 0, NO,
1155, BEAM , UNILOAD, GZ, NO , NO, aDir[1], , , , 0, 7.62, 1, 7.62, 0, 0, 0, 0, WP, NO, 0, 0, NO,
1156, BEAM , UNILOAD, GY, NO , NO, aDir[1], , , , 0, 3.43, 1, 3.43, 0, 0, 0, 0, WP, NO, 0, 0, NO,
1156, BEAM , UNILOAD, GZ, NO , NO, aDir[1], , , , 0, 7.62, 1, 7.62, 0, 0, 0, 0, WP, NO, 0, 0, NO,
1157, BEAM , UNILOAD, GZ, NO , NO, aDir[1], , , , 0, 7.62, 1, 7.62, 0, 0, 0, 0, WP, NO, 0, 0, NO,
1157, BEAM , UNILOAD, GY, NO , NO, aDir[1], , , , 0, 3.43, 1, 3.43, 0, 0, 0, 0, WP, NO, 0, 0, NO,
1158, BEAM , UNILOAD, GY, NO , NO, aDir[1], , , , 0, 3.43, 1, 3.43, 0, 0, 0, 0, WP, NO, 0, 0, NO,
1158, BEAM , UNILOAD, GZ, NO , NO, aDir[1], , , , 0, 7.62, 1, 7.62, 0, 0, 0, 0, WP, NO, 0, 0, NO,
1159, BEAM , UNILOAD, GZ, NO , NO, aDir[1], , , , 0, 7.62, 1, 7.62, 0, 0, 0, 0, WP, NO, 0, 0, NO,
1159, BEAM , UNILOAD, GY, NO , NO, aDir[1], , , , 0, 3.43, 1, 3.43, 0, 0, 0, 0, WP, NO, 0, 0, NO,
1160, BEAM , UNILOAD, GZ, NO , NO, aDir[1], , , , 0, 7.62, 1, 7.62, 0, 0, 0, 0, WP, NO, 0, 0, NO,
1160, BEAM , UNILOAD, GY, NO , NO, aDir[1], , , , 0, 3.43, 1, 3.43, 0, 0, 0, 0, WP, NO, 0, 0, NO,
1161, BEAM , UNILOAD, GZ, NO , NO, aDir[1], , , , 0, 7.62, 1, 7.62, 0, 0, 0, 0, WP, NO, 0, 0, NO,
1161, BEAM , UNILOAD, GY, NO , NO, aDir[1], , , , 0, 3.43, 1, 3.43, 0, 0, 0, 0, WP, NO, 0, 0, NO,
1162, BEAM , UNILOAD, GZ, NO , NO, aDir[1], , , , 0, 7.62, 1, 7.62, 0, 0, 0, 0, WP, NO, 0, 0, NO,
1162, BEAM , UNILOAD, GY, NO , NO, aDir[1], , , , 0, 3.43, 1, 3.43, 0, 0, 0, 0, WP, NO, 0, 0, NO,
1163, BEAM , UNILOAD, GY, NO , NO, aDir[1], , , , 0, 3.43, 1, 3.43, 0, 0, 0, 0, WP, NO, 0, 0, NO,
1163, BEAM , UNILOAD, GZ, NO , NO, aDir[1], , , , 0, 7.62, 1, 7.62, 0, 0, 0, 0, WP, NO, 0, 0, NO,
1164, BEAM , UNILOAD, GY, NO , NO, aDir[1], , , , 0, 3.43, 1, 3.43, 0, 0, 0, 0, WP, NO, 0, 0, NO,
1164, BEAM , UNILOAD, GZ, NO , NO, aDir[1], , , , 0, 7.62, 1, 7.62, 0, 0, 0, 0, WP, NO, 0, 0, NO,
1165, BEAM , UNILOAD, GZ, NO , NO, aDir[1], , , , 0, 7.62, 1, 7.62, 0, 0, 0, 0, WP, NO, 0, 0, NO,
1165, BEAM , UNILOAD, GY, NO , NO, aDir[1], , , , 0, 3.43, 1, 3.43, 0, 0, 0, 0, WP, NO, 0, 0, NO,
1166, BEAM , UNILOAD, GY, NO , NO, aDir[1], , , , 0, 3.43, 1, 3.43, 0, 0, 0, 0, WP, NO, 0, 0, NO,
1166, BEAM , UNILOAD, GZ, NO , NO, aDir[1], , , , 0, 7.62, 1, 7.62, 0, 0, 0, 0, WP, NO, 0, 0, NO,
1167, BEAM , UNILOAD, GY, NO , NO, aDir[1], , , , 0, 3.43, 1, 3.43, 0, 0, 0, 0, WP, NO, 0, 0, NO,
1167, BEAM , UNILOAD, GZ, NO , NO, aDir[1], , , , 0, 7.62, 1, 7.62, 0, 0, 0, 0, WP, NO, 0, 0, NO,
1168, BEAM , UNILOAD, GZ, NO , NO, aDir[1], , , , 0, 7.62, 1, 7.62, 0, 0, 0, 0, WP, NO, 0, 0, NO,
1168, BEAM , UNILOAD, GY, NO , NO, aDir[1], , , , 0, 3.43, 1, 3.43, 0, 0, 0, 0, WP, NO, 0, 0, NO,
1169, BEAM , UNILOAD, GY, NO , NO, aDir[1], , , , 0, 3.43, 1, 3.43, 0, 0, 0, 0, WP, NO, 0, 0, NO,
1169, BEAM , UNILOAD, GZ, NO , NO, aDir[1], , , , 0, 7.62, 1, 7.62, 0, 0, 0, 0, WP, NO, 0, 0, NO,
1170, BEAM , UNILOAD, GZ, NO , NO, aDir[1], , , , 0, 7.62, 1, 7.62, 0, 0, 0, 0, WP, NO, 0, 0, NO,
1170, BEAM , UNILOAD, GY, NO , NO, aDir[1], , , , 0, 3.43, 1, 3.43, 0, 0, 0, 0, WP, NO, 0, 0, NO,
1171, BEAM , UNILOAD, GZ, NO , NO, aDir[1], , , , 0, 7.62, 1, 7.62, 0, 0, 0, 0, WP, NO, 0, 0, NO,
1171, BEAM , UNILOAD, GY, NO , NO, aDir[1], , , , 0, 3.43, 1, 3.43, 0, 0, 0, 0, WP, NO, 0, 0, NO,
1172, BEAM , UNILOAD, GY, NO , NO, aDir[1], , , , 0, 3.43, 1, 3.43, 0, 0, 0, 0, WP, NO, 0, 0, NO,
1172, BEAM , UNILOAD, GZ, NO , NO, aDir[1], , , , 0, 7.62, 1, 7.62, 0, 0, 0, 0, WP, NO, 0, 0, NO,
1173, BEAM , UNILOAD, GZ, NO , NO, aDir[1], , , , 0, 7.62, 1, 7.62, 0, 0, 0, 0, WP, NO, 0, 0, NO,
1173, BEAM , UNILOAD, GY, NO , NO, aDir[1], , , , 0, 3.43, 1, 3.43, 0, 0, 0, 0, WP, NO, 0, 0, NO,
1174, BEAM , UNILOAD, GZ, NO , NO, aDir[1], , , , 0, 7.62, 1, 7.62, 0, 0, 0, 0, WP, NO, 0, 0, NO,
1174, BEAM , UNILOAD, GY, NO , NO, aDir[1], , , , 0, 3.43, 1, 3.43, 0, 0, 0, 0, WP, NO, 0, 0, NO,
1175, BEAM , UNILOAD, GY, NO , NO, aDir[1], , , , 0, 3.43, 1, 3.43, 0, 0, 0, 0, WP, NO, 0, 0, NO,
1175, BEAM , UNILOAD, GZ, NO , NO, aDir[1], , , , 0, 7.62, 1, 7.62, 0, 0, 0, 0, WP, NO, 0, 0, NO,
1176, BEAM , UNILOAD, GY, NO , NO, aDir[1], , , , 0, 3.43, 1, 3.43, 0, 0, 0, 0, WP, NO, 0, 0, NO,
1176, BEAM , UNILOAD, GZ, NO , NO, aDir[1], , , , 0, 7.62, 1, 7.62, 0, 0, 0, 0, WP, NO, 0, 0, NO,
1177, BEAM , UNILOAD, GZ, NO , NO, aDir[1], , , , 0, 7.62, 1, 7.62, 0, 0, 0, 0, WP, NO, 0, 0, NO,
1177, BEAM , UNILOAD, GY, NO , NO, aDir[1], , , , 0, 3.43, 1, 3.43, 0, 0, 0, 0, WP, NO, 0, 0, NO,
1178, BEAM , UNILOAD, GZ, NO , NO, aDir[1], , , , 0, 7.62, 1, 7.62, 0, 0, 0, 0, WP, NO, 0, 0, NO,
1178, BEAM , UNILOAD, GY, NO , NO, aDir[1], , , , 0, 3.43, 1, 3.43, 0, 0, 0, 0, WP, NO, 0, 0, NO,
1179, BEAM , UNILOAD, GZ, NO , NO, aDir[1], , , , 0, 7.62, 1, 7.62, 0, 0, 0, 0, WP, NO, 0, 0, NO,
1179, BEAM , UNILOAD, GY, NO , NO, aDir[1], , , , 0, 3.43, 1, 3.43, 0, 0, 0, 0, WP, NO, 0, 0, NO,
1180, BEAM , UNILOAD, GZ, NO , NO, aDir[1], , , , 0, 7.62, 1, 7.62, 0, 0, 0, 0, WP, NO, 0, 0, NO,
1180, BEAM , UNILOAD, GY, NO , NO, aDir[1], , , , 0, 3.43, 1, 3.43, 0, 0, 0, 0, WP, NO, 0, 0, NO,
1181, BEAM , UNILOAD, GZ, NO , NO, aDir[1], , , , 0, 7.62, 1, 7.62, 0, 0, 0, 0, WP, NO, 0, 0, NO,
1181, BEAM , UNILOAD, GY, NO , NO, aDir[1], , , , 0, 3.43, 1, 3.43, 0, 0, 0, 0, WP, NO, 0, 0, NO,
1182, BEAM , UNILOAD, GZ, NO , NO, aDir[1], , , , 0, 7.62, 1, 7.62, 0, 0, 0, 0, WP, NO, 0, 0, NO,
1182, BEAM , UNILOAD, GY, NO , NO, aDir[1], , , , 0, 3.43, 1, 3.43, 0, 0, 0, 0, WP, NO, 0, 0, NO,
1183, BEAM , UNILOAD, GZ, NO , NO, aDir[1], , , , 0, 7.62, 1, 7.62, 0, 0, 0, 0, WP, NO, 0, 0, NO,
1183, BEAM , UNILOAD, GY, NO , NO, aDir[1], , , , 0, 3.43, 1, 3.43, 0, 0, 0, 0, WP, NO, 0, 0, NO,
1184, BEAM , UNILOAD, GZ, NO , NO, aDir[1], , , , 0, 7.62, 1, 7.62, 0, 0, 0, 0, WP, NO, 0, 0, NO,
1184, BEAM , UNILOAD, GY, NO , NO, aDir[1], , , , 0, 3.43, 1, 3.43, 0, 0, 0, 0, WP, NO, 0, 0, NO,
1185, BEAM , UNILOAD, GY, NO , NO, aDir[1], , , , 0, 3.43, 1, 3.43, 0, 0, 0, 0, WP, NO, 0, 0, NO,
1185, BEAM , UNILOAD, GZ, NO , NO, aDir[1], , , , 0, 7.62, 1, 7.62, 0, 0, 0, 0, WP, NO, 0, 0, NO,
1186, BEAM , UNILOAD, GZ, NO , NO, aDir[1], , , , 0, 7.62, 1, 7.62, 0, 0, 0, 0, WP, NO, 0, 0, NO,
1186, BEAM , UNILOAD, GY, NO , NO, aDir[1], , , , 0, 3.43, 1, 3.43, 0, 0, 0, 0, WP, NO, 0, 0, NO,
1187, BEAM , UNILOAD, GY, NO , NO, aDir[1], , , , 0, 3.43, 1, 3.43, 0, 0, 0, 0, WP, NO, 0, 0, NO,
1187, BEAM , UNILOAD, GZ, NO , NO, aDir[1], , , , 0, 7.62, 1, 7.62, 0, 0, 0, 0, WP, NO, 0, 0, NO,
1188, BEAM , UNILOAD, GZ, NO , NO, aDir[1], , , , 0, 7.62, 1, 7.62, 0, 0, 0, 0, WP, NO, 0, 0, NO,
1188, BEAM , UNILOAD, GY, NO , NO, aDir[1], , , , 0, 3.43, 1, 3.43, 0, 0, 0, 0, WP, NO, 0, 0, NO,
1189, BEAM , UNILOAD, GY, NO , NO, aDir[1], , , , 0, 3.43, 1, 3.43, 0, 0, 0, 0, WP, NO, 0, 0, NO,
1189, BEAM , UNILOAD, GZ, NO , NO, aDir[1], , , , 0, 7.62, 1, 7.62, 0, 0, 0, 0, WP, NO, 0, 0, NO,
1190, BEAM , UNILOAD, GY, NO , NO, aDir[1], , , , 0, 3.43, 1, 3.43, 0, 0, 0, 0, WP, NO, 0, 0, NO,
1190, BEAM , UNILOAD, GZ, NO , NO, aDir[1], , , , 0, 7.62, 1, 7.62, 0, 0, 0, 0, WP, NO, 0, 0, NO,

PROJECT TITLE :

MIDAS	Company		Client	
	Author		File Name	H2D_3Dg_v14_180227_StatLM.mct

1191, BEAM , UNILOAD, GZ, NO , NO, aDir[1], , , , 0, 7.62, 1, 7.62, 0, 0, 0, 0, WP, NO, 0, 0, NO,
1191, BEAM , UNILOAD, GY, NO , NO, aDir[1], , , , 0, 3.43, 1, 3.43, 0, 0, 0, 0, WP, NO, 0, 0, NO,
1192, BEAM , UNILOAD, GZ, NO , NO, aDir[1], , , , 0, 7.62, 1, 7.62, 0, 0, 0, 0, WP, NO, 0, 0, NO,
1192, BEAM , UNILOAD, GY, NO , NO, aDir[1], , , , 0, 3.43, 1, 3.43, 0, 0, 0, 0, WP, NO, 0, 0, NO,
1193, BEAM , UNILOAD, GY, NO , NO, aDir[1], , , , 0, 3.43, 1, 3.43, 0, 0, 0, 0, WP, NO, 0, 0, NO,
1193, BEAM , UNILOAD, GZ, NO , NO, aDir[1], , , , 0, 7.62, 1, 7.62, 0, 0, 0, 0, WP, NO, 0, 0, NO,
1194, BEAM , UNILOAD, GZ, NO , NO, aDir[1], , , , 0, 7.62, 1, 7.62, 0, 0, 0, 0, WP, NO, 0, 0, NO,
1194, BEAM , UNILOAD, GY, NO , NO, aDir[1], , , , 0, 3.43, 1, 3.43, 0, 0, 0, 0, WP, NO, 0, 0, NO,
1195, BEAM , UNILOAD, GZ, NO , NO, aDir[1], , , , 0, 7.62, 1, 7.62, 0, 0, 0, 0, WP, NO, 0, 0, NO,
1195, BEAM , UNILOAD, GY, NO , NO, aDir[1], , , , 0, 3.43, 1, 3.43, 0, 0, 0, 0, WP, NO, 0, 0, NO,
1196, BEAM , UNILOAD, GY, NO , NO, aDir[1], , , , 0, 3.43, 1, 3.43, 0, 0, 0, 0, WP, NO, 0, 0, NO,
1196, BEAM , UNILOAD, GZ, NO , NO, aDir[1], , , , 0, 7.62, 1, 7.62, 0, 0, 0, 0, WP, NO, 0, 0, NO,
1197, BEAM , UNILOAD, GY, NO , NO, aDir[1], , , , 0, 3.43, 1, 3.43, 0, 0, 0, 0, WP, NO, 0, 0, NO,
1197, BEAM , UNILOAD, GZ, NO , NO, aDir[1], , , , 0, 7.62, 1, 7.62, 0, 0, 0, 0, WP, NO, 0, 0, NO,
1198, BEAM , UNILOAD, GZ, NO , NO, aDir[1], , , , 0, 7.62, 1, 7.62, 0, 0, 0, 0, WP, NO, 0, 0, NO,
1198, BEAM , UNILOAD, GY, NO , NO, aDir[1], , , , 0, 3.43, 1, 3.43, 0, 0, 0, 0, WP, NO, 0, 0, NO,
1199, BEAM , UNILOAD, GY, NO , NO, aDir[1], , , , 0, 3.43, 1, 3.43, 0, 0, 0, 0, WP, NO, 0, 0, NO,
1199, BEAM , UNILOAD, GZ, NO , NO, aDir[1], , , , 0, 7.62, 1, 7.62, 0, 0, 0, 0, WP, NO, 0, 0, NO,
1200, BEAM , UNILOAD, GZ, NO , NO, aDir[1], , , , 0, 7.62, 1, 7.62, 0, 0, 0, 0, WP, NO, 0, 0, NO,
1200, BEAM , UNILOAD, GY, NO , NO, aDir[1], , , , 0, 3.43, 1, 3.43, 0, 0, 0, 0, WP, NO, 0, 0, NO,
1201, BEAM , UNILOAD, GY, NO , NO, aDir[1], , , , 0, 3.43, 1, 3.43, 0, 0, 0, 0, WP, NO, 0, 0, NO,
1201, BEAM , UNILOAD, GZ, NO , NO, aDir[1], , , , 0, 7.62, 1, 7.62, 0, 0, 0, 0, WP, NO, 0, 0, NO,
1202, BEAM , UNILOAD, GY, NO , NO, aDir[1], , , , 0, 3.43, 1, 3.43, 0, 0, 0, 0, WP, NO, 0, 0, NO,
1202, BEAM , UNILOAD, GZ, NO , NO, aDir[1], , , , 0, 7.62, 1, 7.62, 0, 0, 0, 0, WP, NO, 0, 0, NO,
1203, BEAM , UNILOAD, GZ, NO , NO, aDir[1], , , , 0, 7.62, 1, 7.62, 0, 0, 0, 0, WP, NO, 0, 0, NO,
1203, BEAM , UNILOAD, GY, NO , NO, aDir[1], , , , 0, 3.43, 1, 3.43, 0, 0, 0, 0, WP, NO, 0, 0, NO,
1204, BEAM , UNILOAD, GZ, NO , NO, aDir[1], , , , 0, 7.62, 1, 7.62, 0, 0, 0, 0, WP, NO, 0, 0, NO,
1204, BEAM , UNILOAD, GY, NO , NO, aDir[1], , , , 0, 3.43, 1, 3.43, 0, 0, 0, 0, WP, NO, 0, 0, NO,
1205, BEAM , UNILOAD, GZ, NO , NO, aDir[1], , , , 0, 7.62, 1, 7.62, 0, 0, 0, 0, WP, NO, 0, 0, NO,
1205, BEAM , UNILOAD, GY, NO , NO, aDir[1], , , , 0, 3.43, 1, 3.43, 0, 0, 0, 0, WP, NO, 0, 0, NO,
1206, BEAM , UNILOAD, GY, NO , NO, aDir[1], , , , 0, 3.43, 1, 3.43, 0, 0, 0, 0, WP, NO, 0, 0, NO,
1206, BEAM , UNILOAD, GZ, NO , NO, aDir[1], , , , 0, 7.62, 1, 7.62, 0, 0, 0, 0, WP, NO, 0, 0, NO,
1207, BEAM , UNILOAD, GY, NO , NO, aDir[1], , , , 0, 3.43, 1, 3.43, 0, 0, 0, 0, WP, NO, 0, 0, NO,
1207, BEAM , UNILOAD, GZ, NO , NO, aDir[1], , , , 0, 7.62, 1, 7.62, 0, 0, 0, 0, WP, NO, 0, 0, NO,
1208, BEAM , UNILOAD, GZ, NO , NO, aDir[1], , , , 0, 7.62, 1, 7.62, 0, 0, 0, 0, WP, NO, 0, 0, NO,
1208, BEAM , UNILOAD, GY, NO , NO, aDir[1], , , , 0, 3.43, 1, 3.43, 0, 0, 0, 0, WP, NO, 0, 0, NO,
1209, BEAM , UNILOAD, GZ, NO , NO, aDir[1], , , , 0, 7.62, 1, 7.62, 0, 0, 0, 0, WP, NO, 0, 0, NO,
1209, BEAM , UNILOAD, GY, NO , NO, aDir[1], , , , 0, 3.43, 1, 3.43, 0, 0, 0, 0, WP, NO, 0, 0, NO,
1210, BEAM , UNILOAD, GY, NO , NO, aDir[1], , , , 0, 3.43, 1, 3.43, 0, 0, 0, 0, WP, NO, 0, 0, NO,
1210, BEAM , UNILOAD, GZ, NO , NO, aDir[1], , , , 0, 7.62, 1, 7.62, 0, 0, 0, 0, WP, NO, 0, 0, NO,
1211, BEAM , UNILOAD, GZ, NO , NO, aDir[1], , , , 0, 7.62, 1, 7.62, 0, 0, 0, 0, WP, NO, 0, 0, NO,
1211, BEAM , UNILOAD, GY, NO , NO, aDir[1], , , , 0, 3.43, 1, 3.43, 0, 0, 0, 0, WP, NO, 0, 0, NO,
1212, BEAM , UNILOAD, GZ, NO , NO, aDir[1], , , , 0, 7.62, 1, 7.62, 0, 0, 0, 0, WP, NO, 0, 0, NO,
1212, BEAM , UNILOAD, GY, NO , NO, aDir[1], , , , 0, 3.43, 1, 3.43, 0, 0, 0, 0, WP, NO, 0, 0, NO,
1213, BEAM , UNILOAD, GZ, NO , NO, aDir[1], , , , 0, 7.62, 1, 7.62, 0, 0, 0, 0, WP, NO, 0, 0, NO,
1213, BEAM , UNILOAD, GY, NO , NO, aDir[1], , , , 0, 3.43, 1, 3.43, 0, 0, 0, 0, WP, NO, 0, 0, NO,
1214, BEAM , UNILOAD, GY, NO , NO, aDir[1], , , , 0, 3.43, 1, 3.43, 0, 0, 0, 0, WP, NO, 0, 0, NO,
1214, BEAM , UNILOAD, GZ, NO , NO, aDir[1], , , , 0, 7.62, 1, 7.62, 0, 0, 0, 0, WP, NO, 0, 0, NO,
1215, BEAM , UNILOAD, GY, NO , NO, aDir[1], , , , 0, 3.43, 1, 3.43, 0, 0, 0, 0, WP, NO, 0, 0, NO,
1215, BEAM , UNILOAD, GZ, NO , NO, aDir[1], , , , 0, 7.62, 1, 7.62, 0, 0, 0, 0, WP, NO, 0, 0, NO,
1216, BEAM , UNILOAD, GY, NO , NO, aDir[1], , , , 0, 3.43, 1, 3.43, 0, 0, 0, 0, WP, NO, 0, 0, NO,
1216, BEAM , UNILOAD, GZ, NO , NO, aDir[1], , , , 0, 7.62, 1, 7.62, 0, 0, 0, 0, WP, NO, 0, 0, NO,
1217, BEAM , UNILOAD, GY, NO , NO, aDir[1], , , , 0, 3.43, 1, 3.43, 0, 0, 0, 0, WP, NO, 0, 0, NO,
1217, BEAM , UNILOAD, GZ, NO , NO, aDir[1], , , , 0, 7.62, 1, 7.62, 0, 0, 0, 0, WP, NO, 0, 0, NO,
1218, BEAM , UNILOAD, GZ, NO , NO, aDir[1], , , , 0, 7.62, 1, 7.62, 0, 0, 0, 0, WP, NO, 0, 0, NO,
1218, BEAM , UNILOAD, GY, NO , NO, aDir[1], , , , 0, 3.43, 1, 3.43, 0, 0, 0, 0, WP, NO, 0, 0, NO,
1219, BEAM , UNILOAD, GZ, NO , NO, aDir[1], , , , 0, 7.62, 1, 7.62, 0, 0, 0, 0, WP, NO, 0, 0, NO,
1219, BEAM , UNILOAD, GY, NO , NO, aDir[1], , , , 0, 3.43, 1, 3.43, 0, 0, 0, 0, WP, NO, 0, 0, NO,
1220, BEAM , UNILOAD, GZ, NO , NO, aDir[1], , , , 0, 7.62, 1, 7.62, 0, 0, 0, 0, WP, NO, 0, 0, NO,
1220, BEAM , UNILOAD, GY, NO , NO, aDir[1], , , , 0, 3.43, 1, 3.43, 0, 0, 0, 0, WP, NO, 0, 0, NO,
1221, BEAM , UNILOAD, GY, NO , NO, aDir[1], , , , 0, 3.43, 1, 3.43, 0, 0, 0, 0, WP, NO, 0, 0, NO,
1221, BEAM , UNILOAD, GZ, NO , NO, aDir[1], , , , 0, 7.62, 1, 7.62, 0, 0, 0, 0, WP, NO, 0, 0, NO,
1222, BEAM , UNILOAD, GZ, NO , NO, aDir[1], , , , 0, 7.62, 1, 7.62, 0, 0, 0, 0, WP, NO, 0, 0, NO,
1222, BEAM , UNILOAD, GY, NO , NO, aDir[1], , , , 0, 3.43, 1, 3.43, 0, 0, 0, 0, WP, NO, 0, 0, NO,
1223, BEAM , UNILOAD, GZ, NO , NO, aDir[1], , , , 0, 7.62, 1, 7.62, 0, 0, 0, 0, WP, NO, 0, 0, NO,
1223, BEAM , UNILOAD, GY, NO , NO, aDir[1], , , , 0, 3.43, 1, 3.43, 0, 0, 0, 0, WP, NO, 0, 0, NO,
1224, BEAM , UNILOAD, GZ, NO , NO, aDir[1], , , , 0, 7.62, 1, 7.62, 0, 0, 0, 0, WP, NO, 0, 0, NO,
1224, BEAM , UNILOAD, GY, NO , NO, aDir[1], , , , 0, 3.43, 1, 3.43, 0, 0, 0, 0, WP, NO, 0, 0, NO,
1225, BEAM , UNILOAD, GZ, NO , NO, aDir[1], , , , 0, 7.62, 1, 7.62, 0, 0, 0, 0, WP, NO, 0, 0, NO,
1225, BEAM , UNILOAD, GY, NO , NO, aDir[1], , , , 0, 3.43, 1, 3.43, 0, 0, 0, 0, WP, NO, 0, 0, NO,
1226, BEAM , UNILOAD, GZ, NO , NO, aDir[1], , , , 0, 7.62, 1, 7.62, 0, 0, 0, 0, WP, NO, 0, 0, NO,
1226, BEAM , UNILOAD, GY, NO , NO, aDir[1], , , , 0, 3.43, 1, 3.43, 0, 0, 0, 0, WP, NO, 0, 0, NO,

PROJECT TITLE :

MIDAS	Company		Client	
	Author		File Name	H2D_3Dg_v14_180227_StatLM.mct

1227, BEAM , UNILOAD, GY, NO , NO, aDir[1], , , , 0, 3.43, 1, 3.43, 0, 0, 0, 0, WP, NO, 0, 0, NO,
1227, BEAM , UNILOAD, GZ, NO , NO, aDir[1], , , , 0, 7.62, 1, 7.62, 0, 0, 0, 0, WP, NO, 0, 0, NO,
1228, BEAM , UNILOAD, GY, NO , NO, aDir[1], , , , 0, 3.43, 1, 3.43, 0, 0, 0, 0, WP, NO, 0, 0, NO,
1228, BEAM , UNILOAD, GZ, NO , NO, aDir[1], , , , 0, 7.62, 1, 7.62, 0, 0, 0, 0, WP, NO, 0, 0, NO,
1229, BEAM , UNILOAD, GY, NO , NO, aDir[1], , , , 0, 3.43, 1, 3.43, 0, 0, 0, 0, WP, NO, 0, 0, NO,
1229, BEAM , UNILOAD, GZ, NO , NO, aDir[1], , , , 0, 7.62, 1, 7.62, 0, 0, 0, 0, WP, NO, 0, 0, NO,
1230, BEAM , UNILOAD, GY, NO , NO, aDir[1], , , , 0, 3.43, 1, 3.43, 0, 0, 0, 0, WP, NO, 0, 0, NO,
1230, BEAM , UNILOAD, GZ, NO , NO, aDir[1], , , , 0, 7.62, 1, 7.62, 0, 0, 0, 0, WP, NO, 0, 0, NO,
1231, BEAM , UNILOAD, GY, NO , NO, aDir[1], , , , 0, 3.43, 1, 3.43, 0, 0, 0, 0, WP, NO, 0, 0, NO,
1231, BEAM , UNILOAD, GZ, NO , NO, aDir[1], , , , 0, 7.62, 1, 7.62, 0, 0, 0, 0, WP, NO, 0, 0, NO,
1232, BEAM , UNILOAD, GZ, NO , NO, aDir[1], , , , 0, 7.62, 1, 7.62, 0, 0, 0, 0, WP, NO, 0, 0, NO,
1232, BEAM , UNILOAD, GY, NO , NO, aDir[1], , , , 0, 3.43, 1, 3.43, 0, 0, 0, 0, WP, NO, 0, 0, NO,
1233, BEAM , UNILOAD, GY, NO , NO, aDir[1], , , , 0, 3.43, 1, 3.43, 0, 0, 0, 0, WP, NO, 0, 0, NO,
1233, BEAM , UNILOAD, GZ, NO , NO, aDir[1], , , , 0, 7.62, 1, 7.62, 0, 0, 0, 0, WP, NO, 0, 0, NO,
1234, BEAM , UNILOAD, GZ, NO , NO, aDir[1], , , , 0, 7.62, 1, 7.62, 0, 0, 0, 0, WP, NO, 0, 0, NO,
1234, BEAM , UNILOAD, GY, NO , NO, aDir[1], , , , 0, 3.43, 1, 3.43, 0, 0, 0, 0, WP, NO, 0, 0, NO,
1235, BEAM , UNILOAD, GY, NO , NO, aDir[1], , , , 0, 3.43, 1, 3.43, 0, 0, 0, 0, WP, NO, 0, 0, NO,
1235, BEAM , UNILOAD, GZ, NO , NO, aDir[1], , , , 0, -7.62, 1, -7.62, 0, 0, 0, 0, WP, NO, 0, 0, NO,
1236, BEAM , UNILOAD, GY, NO , NO, aDir[1], , , , 0, 3.43, 1, 3.43, 0, 0, 0, 0, WP, NO, 0, 0, NO,
1236, BEAM , UNILOAD, GZ, NO , NO, aDir[1], , , , 0, -7.62, 1, -7.62, 0, 0, 0, 0, WP, NO, 0, 0, NO,
1237, BEAM , UNILOAD, GZ, NO , NO, aDir[1], , , , 0, -7.62, 1, -7.62, 0, 0, 0, 0, WP, NO, 0, 0, NO,
1237, BEAM , UNILOAD, GY, NO , NO, aDir[1], , , , 0, 3.43, 1, 3.43, 0, 0, 0, 0, WP, NO, 0, 0, NO,
1238, BEAM , UNILOAD, GY, NO , NO, aDir[1], , , , 0, 3.43, 1, 3.43, 0, 0, 0, 0, WP, NO, 0, 0, NO,
1238, BEAM , UNILOAD, GZ, NO , NO, aDir[1], , , , 0, -7.62, 1, -7.62, 0, 0, 0, 0, WP, NO, 0, 0, NO,
1239, BEAM , UNILOAD, GY, NO , NO, aDir[1], , , , 0, 3.43, 1, 3.43, 0, 0, 0, 0, WP, NO, 0, 0, NO,
1239, BEAM , UNILOAD, GZ, NO , NO, aDir[1], , , , 0, -7.62, 1, -7.62, 0, 0, 0, 0, WP, NO, 0, 0, NO,
1240, BEAM , UNILOAD, GZ, NO , NO, aDir[1], , , , 0, -7.62, 1, -7.62, 0, 0, 0, 0, WP, NO, 0, 0, NO,
1240, BEAM , UNILOAD, GY, NO , NO, aDir[1], , , , 0, 3.43, 1, 3.43, 0, 0, 0, 0, WP, NO, 0, 0, NO,
1241, BEAM , UNILOAD, GY, NO , NO, aDir[1], , , , 0, 3.43, 1, 3.43, 0, 0, 0, 0, WP, NO, 0, 0, NO,
1241, BEAM , UNILOAD, GZ, NO , NO, aDir[1], , , , 0, -7.62, 1, -7.62, 0, 0, 0, 0, WP, NO, 0, 0, NO,
1242, BEAM , UNILOAD, GZ, NO , NO, aDir[1], , , , 0, -7.62, 1, -7.62, 0, 0, 0, 0, WP, NO, 0, 0, NO,
1242, BEAM , UNILOAD, GY, NO , NO, aDir[1], , , , 0, 3.43, 1, 3.43, 0, 0, 0, 0, WP, NO, 0, 0, NO,
1243, BEAM , UNILOAD, GZ, NO , NO, aDir[1], , , , 0, -7.62, 1, -7.62, 0, 0, 0, 0, WP, NO, 0, 0, NO,
1243, BEAM , UNILOAD, GY, NO , NO, aDir[1], , , , 0, 3.43, 1, 3.43, 0, 0, 0, 0, WP, NO, 0, 0, NO,
1244, BEAM , UNILOAD, GY, NO , NO, aDir[1], , , , 0, 3.43, 1, 3.43, 0, 0, 0, 0, WP, NO, 0, 0, NO,
1244, BEAM , UNILOAD, GZ, NO , NO, aDir[1], , , , 0, -7.62, 1, -7.62, 0, 0, 0, 0, WP, NO, 0, 0, NO,
1245, BEAM , UNILOAD, GY, NO , NO, aDir[1], , , , 0, 3.43, 1, 3.43, 0, 0, 0, 0, WP, NO, 0, 0, NO,
1245, BEAM , UNILOAD, GZ, NO , NO, aDir[1], , , , 0, -7.62, 1, -7.62, 0, 0, 0, 0, WP, NO, 0, 0, NO,
1246, BEAM , UNILOAD, GZ, NO , NO, aDir[1], , , , 0, -7.62, 1, -7.62, 0, 0, 0, 0, WP, NO, 0, 0, NO,
1246, BEAM , UNILOAD, GY, NO , NO, aDir[1], , , , 0, 3.43, 1, 3.43, 0, 0, 0, 0, WP, NO, 0, 0, NO,
1247, BEAM , UNILOAD, GY, NO , NO, aDir[1], , , , 0, 3.43, 1, 3.43, 0, 0, 0, 0, WP, NO, 0, 0, NO,
1247, BEAM , UNILOAD, GZ, NO , NO, aDir[1], , , , 0, -7.62, 1, -7.62, 0, 0, 0, 0, WP, NO, 0, 0, NO,
1248, BEAM , UNILOAD, GY, NO , NO, aDir[1], , , , 0, 3.43, 1, 3.43, 0, 0, 0, 0, WP, NO, 0, 0, NO,
1248, BEAM , UNILOAD, GZ, NO , NO, aDir[1], , , , 0, -7.62, 1, -7.62, 0, 0, 0, 0, WP, NO, 0, 0, NO,
1249, BEAM , UNILOAD, GY, NO , NO, aDir[1], , , , 0, 3.43, 1, 3.43, 0, 0, 0, 0, WP, NO, 0, 0, NO,
1249, BEAM , UNILOAD, GZ, NO , NO, aDir[1], , , , 0, -7.62, 1, -7.62, 0, 0, 0, 0, WP, NO, 0, 0, NO,
1250, BEAM , UNILOAD, GZ, NO , NO, aDir[1], , , , 0, -7.62, 1, -7.62, 0, 0, 0, 0, WP, NO, 0, 0, NO,
1250, BEAM , UNILOAD, GY, NO , NO, aDir[1], , , , 0, 3.43, 1, 3.43, 0, 0, 0, 0, WP, NO, 0, 0, NO,
1251, BEAM , UNILOAD, GZ, NO , NO, aDir[1], , , , 0, -7.62, 1, -7.62, 0, 0, 0, 0, WP, NO, 0, 0, NO,
1251, BEAM , UNILOAD, GY, NO , NO, aDir[1], , , , 0, 3.43, 1, 3.43, 0, 0, 0, 0, WP, NO, 0, 0, NO,
1252, BEAM , UNILOAD, GZ, NO , NO, aDir[1], , , , 0, -7.62, 1, -7.62, 0, 0, 0, 0, WP, NO, 0, 0, NO,
1252, BEAM , UNILOAD, GY, NO , NO, aDir[1], , , , 0, 3.43, 1, 3.43, 0, 0, 0, 0, WP, NO, 0, 0, NO,
1253, BEAM , UNILOAD, GY, NO , NO, aDir[1], , , , 0, 3.43, 1, 3.43, 0, 0, 0, 0, WP, NO, 0, 0, NO,
1253, BEAM , UNILOAD, GZ, NO , NO, aDir[1], , , , 0, -7.62, 1, -7.62, 0, 0, 0, 0, WP, NO, 0, 0, NO,
1254, BEAM , UNILOAD, GZ, NO , NO, aDir[1], , , , 0, -7.62, 1, -7.62, 0, 0, 0, 0, WP, NO, 0, 0, NO,
1254, BEAM , UNILOAD, GY, NO , NO, aDir[1], , , , 0, 3.43, 1, 3.43, 0, 0, 0, 0, WP, NO, 0, 0, NO,
1255, BEAM , UNILOAD, GY, NO , NO, aDir[1], , , , 0, 3.43, 1, 3.43, 0, 0, 0, 0, WP, NO, 0, 0, NO,
1255, BEAM , UNILOAD, GZ, NO , NO, aDir[1], , , , 0, -7.62, 1, -7.62, 0, 0, 0, 0, WP, NO, 0, 0, NO,
1256, BEAM , UNILOAD, GY, NO , NO, aDir[1], , , , 0, 3.43, 1, 3.43, 0, 0, 0, 0, WP, NO, 0, 0, NO,
1256, BEAM , UNILOAD, GZ, NO , NO, aDir[1], , , , 0, -7.62, 1, -7.62, 0, 0, 0, 0, WP, NO, 0, 0, NO,
1257, BEAM , UNILOAD, GZ, NO , NO, aDir[1], , , , 0, -7.62, 1, -7.62, 0, 0, 0, 0, WP, NO, 0, 0, NO,
1257, BEAM , UNILOAD, GY, NO , NO, aDir[1], , , , 0, 3.43, 1, 3.43, 0, 0, 0, 0, WP, NO, 0, 0, NO,
1258, BEAM , UNILOAD, GZ, NO , NO, aDir[1], , , , 0, -7.62, 1, -7.62, 0, 0, 0, 0, WP, NO, 0, 0, NO,
1258, BEAM , UNILOAD, GY, NO , NO, aDir[1], , , , 0, 3.43, 1, 3.43, 0, 0, 0, 0, WP, NO, 0, 0, NO,
1259, BEAM , UNILOAD, GZ, NO , NO, aDir[1], , , , 0, -7.62, 1, -7.62, 0, 0, 0, 0, WP, NO, 0, 0, NO,
1259, BEAM , UNILOAD, GY, NO , NO, aDir[1], , , , 0, 3.43, 1, 3.43, 0, 0, 0, 0, WP, NO, 0, 0, NO,
1260, BEAM , UNILOAD, GZ, NO , NO, aDir[1], , , , 0, -7.62, 1, -7.62, 0, 0, 0, 0, WP, NO, 0, 0, NO,
1260, BEAM , UNILOAD, GY, NO , NO, aDir[1], , , , 0, 3.43, 1, 3.43, 0, 0, 0, 0, WP, NO, 0, 0, NO,
1261, BEAM , UNILOAD, GZ, NO , NO, aDir[1], , , , 0, -7.62, 1, -7.62, 0, 0, 0, 0, WP, NO, 0, 0, NO,
1261, BEAM , UNILOAD, GY, NO , NO, aDir[1], , , , 0, 3.43, 1, 3.43, 0, 0, 0, 0, WP, NO, 0, 0, NO,
1262, BEAM , UNILOAD, GY, NO , NO, aDir[1], , , , 0, 3.43, 1, 3.43, 0, 0, 0, 0, WP, NO, 0, 0, NO,
1262, BEAM , UNILOAD, GZ, NO , NO, aDir[1], , , , 0, -7.62, 1, -7.62, 0, 0, 0, 0, WP, NO, 0, 0, NO,

PROJECT TITLE :

MIDAS	Company		Client	
	Author		File Name	H2D_3Dg_v14_180227_StatLM.mct

1263, BEAM , UNILOAD, GZ, NO , NO, aDir[1], , , , 0, -7.62, 1, -7.62, 0, 0, 0, 0, WP, NO, 0, 0, NO,
1263, BEAM , UNILOAD, GY, NO , NO, aDir[1], , , , 0, 3.43, 1, 3.43, 0, 0, 0, 0, WP, NO, 0, 0, NO,
1264, BEAM , UNILOAD, GZ, NO , NO, aDir[1], , , , 0, -7.62, 1, -7.62, 0, 0, 0, 0, WP, NO, 0, 0, NO,
1264, BEAM , UNILOAD, GY, NO , NO, aDir[1], , , , 0, 3.43, 1, 3.43, 0, 0, 0, 0, WP, NO, 0, 0, NO,
1265, BEAM , UNILOAD, GY, NO , NO, aDir[1], , , , 0, 3.43, 1, 3.43, 0, 0, 0, 0, WP, NO, 0, 0, NO,
1265, BEAM , UNILOAD, GZ, NO , NO, aDir[1], , , , 0, -7.62, 1, -7.62, 0, 0, 0, 0, WP, NO, 0, 0, NO,
1266, BEAM , UNILOAD, GY, NO , NO, aDir[1], , , , 0, 3.43, 1, 3.43, 0, 0, 0, 0, WP, NO, 0, 0, NO,
1266, BEAM , UNILOAD, GZ, NO , NO, aDir[1], , , , 0, -7.62, 1, -7.62, 0, 0, 0, 0, WP, NO, 0, 0, NO,
1267, BEAM , UNILOAD, GZ, NO , NO, aDir[1], , , , 0, -7.62, 1, -7.62, 0, 0, 0, 0, WP, NO, 0, 0, NO,
1267, BEAM , UNILOAD, GY, NO , NO, aDir[1], , , , 0, 3.43, 1, 3.43, 0, 0, 0, 0, WP, NO, 0, 0, NO,
1268, BEAM , UNILOAD, GZ, NO , NO, aDir[1], , , , 0, -7.62, 1, -7.62, 0, 0, 0, 0, WP, NO, 0, 0, NO,
1268, BEAM , UNILOAD, GY, NO , NO, aDir[1], , , , 0, 3.43, 1, 3.43, 0, 0, 0, 0, WP, NO, 0, 0, NO,
1269, BEAM , UNILOAD, GY, NO , NO, aDir[1], , , , 0, 3.43, 1, 3.43, 0, 0, 0, 0, WP, NO, 0, 0, NO,
1269, BEAM , UNILOAD, GZ, NO , NO, aDir[1], , , , 0, -7.62, 1, -7.62, 0, 0, 0, 0, WP, NO, 0, 0, NO,
1270, BEAM , UNILOAD, GZ, NO , NO, aDir[1], , , , 0, -7.62, 1, -7.62, 0, 0, 0, 0, WP, NO, 0, 0, NO,
1270, BEAM , UNILOAD, GY, NO , NO, aDir[1], , , , 0, 3.43, 1, 3.43, 0, 0, 0, 0, WP, NO, 0, 0, NO,
1271, BEAM , UNILOAD, GZ, NO , NO, aDir[1], , , , 0, -7.62, 1, -7.62, 0, 0, 0, 0, WP, NO, 0, 0, NO,
1271, BEAM , UNILOAD, GY, NO , NO, aDir[1], , , , 0, 3.43, 1, 3.43, 0, 0, 0, 0, WP, NO, 0, 0, NO,
1272, BEAM , UNILOAD, GY, NO , NO, aDir[1], , , , 0, 3.43, 1, 3.43, 0, 0, 0, 0, WP, NO, 0, 0, NO,
1272, BEAM , UNILOAD, GZ, NO , NO, aDir[1], , , , 0, -7.62, 1, -7.62, 0, 0, 0, 0, WP, NO, 0, 0, NO,
1273, BEAM , UNILOAD, GZ, NO , NO, aDir[1], , , , 0, -7.62, 1, -7.62, 0, 0, 0, 0, WP, NO, 0, 0, NO,
1273, BEAM , UNILOAD, GY, NO , NO, aDir[1], , , , 0, 3.43, 1, 3.43, 0, 0, 0, 0, WP, NO, 0, 0, NO,
1274, BEAM , UNILOAD, GY, NO , NO, aDir[1], , , , 0, 3.43, 1, 3.43, 0, 0, 0, 0, WP, NO, 0, 0, NO,
1274, BEAM , UNILOAD, GZ, NO , NO, aDir[1], , , , 0, -7.62, 1, -7.62, 0, 0, 0, 0, WP, NO, 0, 0, NO,
1275, BEAM , UNILOAD, GZ, NO , NO, aDir[1], , , , 0, -7.62, 1, -7.62, 0, 0, 0, 0, WP, NO, 0, 0, NO,
1275, BEAM , UNILOAD, GY, NO , NO, aDir[1], , , , 0, 3.43, 1, 3.43, 0, 0, 0, 0, WP, NO, 0, 0, NO,
1276, BEAM , UNILOAD, GY, NO , NO, aDir[1], , , , 0, 3.43, 1, 3.43, 0, 0, 0, 0, WP, NO, 0, 0, NO,
1276, BEAM , UNILOAD, GZ, NO , NO, aDir[1], , , , 0, -7.62, 1, -7.62, 0, 0, 0, 0, WP, NO, 0, 0, NO,
1277, BEAM , UNILOAD, GY, NO , NO, aDir[1], , , , 0, 3.43, 1, 3.43, 0, 0, 0, 0, WP, NO, 0, 0, NO,
1277, BEAM , UNILOAD, GZ, NO , NO, aDir[1], , , , 0, -7.62, 1, -7.62, 0, 0, 0, 0, WP, NO, 0, 0, NO,
1278, BEAM , UNILOAD, GZ, NO , NO, aDir[1], , , , 0, -7.62, 1, -7.62, 0, 0, 0, 0, WP, NO, 0, 0, NO,
1278, BEAM , UNILOAD, GY, NO , NO, aDir[1], , , , 0, 3.43, 1, 3.43, 0, 0, 0, 0, WP, NO, 0, 0, NO,
1279, BEAM , UNILOAD, GZ, NO , NO, aDir[1], , , , 0, -7.62, 1, -7.62, 0, 0, 0, 0, WP, NO, 0, 0, NO,
1279, BEAM , UNILOAD, GY, NO , NO, aDir[1], , , , 0, 3.43, 1, 3.43, 0, 0, 0, 0, WP, NO, 0, 0, NO,
1280, BEAM , UNILOAD, GZ, NO , NO, aDir[1], , , , 0, -7.62, 1, -7.62, 0, 0, 0, 0, WP, NO, 0, 0, NO,
1280, BEAM , UNILOAD, GY, NO , NO, aDir[1], , , , 0, 3.43, 1, 3.43, 0, 0, 0, 0, WP, NO, 0, 0, NO,
1281, BEAM , UNILOAD, GY, NO , NO, aDir[1], , , , 0, 3.43, 1, 3.43, 0, 0, 0, 0, WP, NO, 0, 0, NO,
1281, BEAM , UNILOAD, GZ, NO , NO, aDir[1], , , , 0, -7.62, 1, -7.62, 0, 0, 0, 0, WP, NO, 0, 0, NO,
1282, BEAM , UNILOAD, GY, NO , NO, aDir[1], , , , 0, 3.43, 1, 3.43, 0, 0, 0, 0, WP, NO, 0, 0, NO,
1282, BEAM , UNILOAD, GZ, NO , NO, aDir[1], , , , 0, -7.62, 1, -7.62, 0, 0, 0, 0, WP, NO, 0, 0, NO,
1283, BEAM , UNILOAD, GZ, NO , NO, aDir[1], , , , 0, -7.62, 1, -7.62, 0, 0, 0, 0, WP, NO, 0, 0, NO,
1283, BEAM , UNILOAD, GY, NO , NO, aDir[1], , , , 0, 3.43, 1, 3.43, 0, 0, 0, 0, WP, NO, 0, 0, NO,
1284, BEAM , UNILOAD, GZ, NO , NO, aDir[1], , , , 0, -7.62, 1, -7.62, 0, 0, 0, 0, WP, NO, 0, 0, NO,
1284, BEAM , UNILOAD, GY, NO , NO, aDir[1], , , , 0, 3.43, 1, 3.43, 0, 0, 0, 0, WP, NO, 0, 0, NO,
1285, BEAM , UNILOAD, GY, NO , NO, aDir[1], , , , 0, 3.43, 1, 3.43, 0, 0, 0, 0, WP, NO, 0, 0, NO,
1285, BEAM , UNILOAD, GZ, NO , NO, aDir[1], , , , 0, -7.62, 1, -7.62, 0, 0, 0, 0, WP, NO, 0, 0, NO,
1286, BEAM , UNILOAD, GY, NO , NO, aDir[1], , , , 0, 3.43, 1, 3.43, 0, 0, 0, 0, WP, NO, 0, 0, NO,
1286, BEAM , UNILOAD, GZ, NO , NO, aDir[1], , , , 0, -7.62, 1, -7.62, 0, 0, 0, 0, WP, NO, 0, 0, NO,
1287, BEAM , UNILOAD, GY, NO , NO, aDir[1], , , , 0, 3.43, 1, 3.43, 0, 0, 0, 0, WP, NO, 0, 0, NO,
1287, BEAM , UNILOAD, GZ, NO , NO, aDir[1], , , , 0, -7.62, 1, -7.62, 0, 0, 0, 0, WP, NO, 0, 0, NO,
1288, BEAM , UNILOAD, GZ, NO , NO, aDir[1], , , , 0, -7.62, 1, -7.62, 0, 0, 0, 0, WP, NO, 0, 0, NO,
1288, BEAM , UNILOAD, GY, NO , NO, aDir[1], , , , 0, 3.43, 1, 3.43, 0, 0, 0, 0, WP, NO, 0, 0, NO,
1289, BEAM , UNILOAD, GZ, NO , NO, aDir[1], , , , 0, -7.62, 1, -7.62, 0, 0, 0, 0, WP, NO, 0, 0, NO,
1289, BEAM , UNILOAD, GY, NO , NO, aDir[1], , , , 0, 3.43, 1, 3.43, 0, 0, 0, 0, WP, NO, 0, 0, NO,
1290, BEAM , UNILOAD, GZ, NO , NO, aDir[1], , , , 0, -7.62, 1, -7.62, 0, 0, 0, 0, WP, NO, 0, 0, NO,
1290, BEAM , UNILOAD, GY, NO , NO, aDir[1], , , , 0, 3.43, 1, 3.43, 0, 0, 0, 0, WP, NO, 0, 0, NO,
1291, BEAM , UNILOAD, GY, NO , NO, aDir[1], , , , 0, 3.43, 1, 3.43, 0, 0, 0, 0, WP, NO, 0, 0, NO,
1291, BEAM , UNILOAD, GZ, NO , NO, aDir[1], , , , 0, -7.62, 1, -7.62, 0, 0, 0, 0, WP, NO, 0, 0, NO,
1292, BEAM , UNILOAD, GY, NO , NO, aDir[1], , , , 0, 3.43, 1, 3.43, 0, 0, 0, 0, WP, NO, 0, 0, NO,
1292, BEAM , UNILOAD, GZ, NO , NO, aDir[1], , , , 0, -7.62, 1, -7.62, 0, 0, 0, 0, WP, NO, 0, 0, NO,
1293, BEAM , UNILOAD, GZ, NO , NO, aDir[1], , , , 0, -7.62, 1, -7.62, 0, 0, 0, 0, WP, NO, 0, 0, NO,
1293, BEAM , UNILOAD, GY, NO , NO, aDir[1], , , , 0, 3.43, 1, 3.43, 0, 0, 0, 0, WP, NO, 0, 0, NO,
1294, BEAM , UNILOAD, GY, NO , NO, aDir[1], , , , 0, 3.43, 1, 3.43, 0, 0, 0, 0, WP, NO, 0, 0, NO,
1294, BEAM , UNILOAD, GZ, NO , NO, aDir[1], , , , 0, -7.62, 1, -7.62, 0, 0, 0, 0, WP, NO, 0, 0, NO,
1295, BEAM , UNILOAD, GZ, NO , NO, aDir[1], , , , 0, -7.62, 1, -7.62, 0, 0, 0, 0, WP, NO, 0, 0, NO,
1295, BEAM , UNILOAD, GY, NO , NO, aDir[1], , , , 0, 3.43, 1, 3.43, 0, 0, 0, 0, WP, NO, 0, 0, NO,
1296, BEAM , UNILOAD, GZ, NO , NO, aDir[1], , , , 0, -7.62, 1, -7.62, 0, 0, 0, 0, WP, NO, 0, 0, NO,
1296, BEAM , UNILOAD, GY, NO , NO, aDir[1], , , , 0, 3.43, 1, 3.43, 0, 0, 0, 0, WP, NO, 0, 0, NO,
1297, BEAM , UNILOAD, GZ, NO , NO, aDir[1], , , , 0, -7.62, 1, -7.62, 0, 0, 0, 0, WP, NO, 0, 0, NO,
1297, BEAM , UNILOAD, GY, NO , NO, aDir[1], , , , 0, 3.43, 1, 3.43, 0, 0, 0, 0, WP, NO, 0, 0, NO,
1298, BEAM , UNILOAD, GY, NO , NO, aDir[1], , , , 0, 3.43, 1, 3.43, 0, 0, 0, 0, WP, NO, 0, 0, NO,
1298, BEAM , UNILOAD, GZ, NO , NO, aDir[1], , , , 0, -7.62, 1, -7.62, 0, 0, 0, 0, WP, NO, 0, 0, NO,

PROJECT TITLE :

MIDAS	Company		Client	
	Author		File Name	H2D_3Dg_v14_180227_StatLM.mct

1299, BEAM , UNILOAD, GZ, NO , NO, aDir[1], , , , 0, -7.62, 1, -7.62, 0, 0, 0, 0, WP, NO, 0, 0, NO,
1299, BEAM , UNILOAD, GY, NO , NO, aDir[1], , , , 0, 3.43, 1, 3.43, 0, 0, 0, 0, WP, NO, 0, 0, NO,
1300, BEAM , UNILOAD, GZ, NO , NO, aDir[1], , , , 0, -7.62, 1, -7.62, 0, 0, 0, 0, WP, NO, 0, 0, NO,
1300, BEAM , UNILOAD, GY, NO , NO, aDir[1], , , , 0, 3.43, 1, 3.43, 0, 0, 0, 0, WP, NO, 0, 0, NO,
1301, BEAM , UNILOAD, GY, NO , NO, aDir[1], , , , 0, 3.43, 1, 3.43, 0, 0, 0, 0, WP, NO, 0, 0, NO,
1301, BEAM , UNILOAD, GZ, NO , NO, aDir[1], , , , 0, -7.62, 1, -7.62, 0, 0, 0, 0, WP, NO, 0, 0, NO,
1302, BEAM , UNILOAD, GZ, NO , NO, aDir[1], , , , 0, -7.62, 1, -7.62, 0, 0, 0, 0, WP, NO, 0, 0, NO,
1302, BEAM , UNILOAD, GY, NO , NO, aDir[1], , , , 0, 3.43, 1, 3.43, 0, 0, 0, 0, WP, NO, 0, 0, NO,
1303, BEAM , UNILOAD, GY, NO , NO, aDir[1], , , , 0, 3.43, 1, 3.43, 0, 0, 0, 0, WP, NO, 0, 0, NO,
1303, BEAM , UNILOAD, GZ, NO , NO, aDir[1], , , , 0, -7.62, 1, -7.62, 0, 0, 0, 0, WP, NO, 0, 0, NO,
1304, BEAM , UNILOAD, GZ, NO , NO, aDir[1], , , , 0, -7.62, 1, -7.62, 0, 0, 0, 0, WP, NO, 0, 0, NO,
1304, BEAM , UNILOAD, GY, NO , NO, aDir[1], , , , 0, 3.43, 1, 3.43, 0, 0, 0, 0, WP, NO, 0, 0, NO,
1305, BEAM , UNILOAD, GZ, NO , NO, aDir[1], , , , 0, -7.62, 1, -7.62, 0, 0, 0, 0, WP, NO, 0, 0, NO,
1305, BEAM , UNILOAD, GY, NO , NO, aDir[1], , , , 0, 3.43, 1, 3.43, 0, 0, 0, 0, WP, NO, 0, 0, NO,
1306, BEAM , UNILOAD, GZ, NO , NO, aDir[1], , , , 0, -7.62, 1, -7.62, 0, 0, 0, 0, WP, NO, 0, 0, NO,
1306, BEAM , UNILOAD, GY, NO , NO, aDir[1], , , , 0, 3.43, 1, 3.43, 0, 0, 0, 0, WP, NO, 0, 0, NO,
1307, BEAM , UNILOAD, GZ, NO , NO, aDir[1], , , , 0, -7.62, 1, -7.62, 0, 0, 0, 0, WP, NO, 0, 0, NO,
1307, BEAM , UNILOAD, GY, NO , NO, aDir[1], , , , 0, 3.43, 1, 3.43, 0, 0, 0, 0, WP, NO, 0, 0, NO,
1308, BEAM , UNILOAD, GY, NO , NO, aDir[1], , , , 0, 3.43, 1, 3.43, 0, 0, 0, 0, WP, NO, 0, 0, NO,
1308, BEAM , UNILOAD, GZ, NO , NO, aDir[1], , , , 0, -7.62, 1, -7.62, 0, 0, 0, 0, WP, NO, 0, 0, NO,
1309, BEAM , UNILOAD, GY, NO , NO, aDir[1], , , , 0, 3.43, 1, 3.43, 0, 0, 0, 0, WP, NO, 0, 0, NO,
1309, BEAM , UNILOAD, GZ, NO , NO, aDir[1], , , , 0, -7.62, 1, -7.62, 0, 0, 0, 0, WP, NO, 0, 0, NO,
1310, BEAM , UNILOAD, GY, NO , NO, aDir[1], , , , 0, 3.43, 1, 3.43, 0, 0, 0, 0, WP, NO, 0, 0, NO,
1310, BEAM , UNILOAD, GZ, NO , NO, aDir[1], , , , 0, -7.62, 1, -7.62, 0, 0, 0, 0, WP, NO, 0, 0, NO,
1311, BEAM , UNILOAD, GZ, NO , NO, aDir[1], , , , 0, -7.62, 1, -7.62, 0, 0, 0, 0, WP, NO, 0, 0, NO,
1311, BEAM , UNILOAD, GY, NO , NO, aDir[1], , , , 0, 3.43, 1, 3.43, 0, 0, 0, 0, WP, NO, 0, 0, NO,
1312, BEAM , UNILOAD, GY, NO , NO, aDir[1], , , , 0, 3.43, 1, 3.43, 0, 0, 0, 0, WP, NO, 0, 0, NO,
1312, BEAM , UNILOAD, GZ, NO , NO, aDir[1], , , , 0, -7.62, 1, -7.62, 0, 0, 0, 0, WP, NO, 0, 0, NO,
1313, BEAM , UNILOAD, GZ, NO , NO, aDir[1], , , , 0, -7.62, 1, -7.62, 0, 0, 0, 0, WP, NO, 0, 0, NO,
1313, BEAM , UNILOAD, GY, NO , NO, aDir[1], , , , 0, 3.43, 1, 3.43, 0, 0, 0, 0, WP, NO, 0, 0, NO,
1314, BEAM , UNILOAD, GZ, NO , NO, aDir[1], , , , 0, -7.62, 1, -7.62, 0, 0, 0, 0, WP, NO, 0, 0, NO,
1314, BEAM , UNILOAD, GY, NO , NO, aDir[1], , , , 0, 3.43, 1, 3.43, 0, 0, 0, 0, WP, NO, 0, 0, NO,
1315, BEAM , UNILOAD, GZ, NO , NO, aDir[1], , , , 0, -7.62, 1, -7.62, 0, 0, 0, 0, WP, NO, 0, 0, NO,
1315, BEAM , UNILOAD, GY, NO , NO, aDir[1], , , , 0, 3.43, 1, 3.43, 0, 0, 0, 0, WP, NO, 0, 0, NO,
1316, BEAM , UNILOAD, GY, NO , NO, aDir[1], , , , 0, 3.43, 1, 3.43, 0, 0, 0, 0, WP, NO, 0, 0, NO,
1316, BEAM , UNILOAD, GZ, NO , NO, aDir[1], , , , 0, -7.62, 1, -7.62, 0, 0, 0, 0, WP, NO, 0, 0, NO,
1317, BEAM , UNILOAD, GY, NO , NO, aDir[1], , , , 0, 3.43, 1, 3.43, 0, 0, 0, 0, WP, NO, 0, 0, NO,
1317, BEAM , UNILOAD, GZ, NO , NO, aDir[1], , , , 0, -7.62, 1, -7.62, 0, 0, 0, 0, WP, NO, 0, 0, NO,
1318, BEAM , UNILOAD, GY, NO , NO, aDir[1], , , , 0, 3.43, 1, 3.43, 0, 0, 0, 0, WP, NO, 0, 0, NO,
1318, BEAM , UNILOAD, GZ, NO , NO, aDir[1], , , , 0, -7.62, 1, -7.62, 0, 0, 0, 0, WP, NO, 0, 0, NO,
1319, BEAM , UNILOAD, GY, NO , NO, aDir[1], , , , 0, 3.43, 1, 3.43, 0, 0, 0, 0, WP, NO, 0, 0, NO,
1319, BEAM , UNILOAD, GZ, NO , NO, aDir[1], , , , 0, -7.62, 1, -7.62, 0, 0, 0, 0, WP, NO, 0, 0, NO,
1320, BEAM , UNILOAD, GZ, NO , NO, aDir[1], , , , 0, -7.62, 1, -7.62, 0, 0, 0, 0, WP, NO, 0, 0, NO,
1320, BEAM , UNILOAD, GY, NO , NO, aDir[1], , , , 0, 3.43, 1, 3.43, 0, 0, 0, 0, WP, NO, 0, 0, NO,
1321, BEAM , UNILOAD, GZ, NO , NO, aDir[1], , , , 0, -7.62, 1, -7.62, 0, 0, 0, 0, WP, NO, 0, 0, NO,
1321, BEAM , UNILOAD, GY, NO , NO, aDir[1], , , , 0, 3.43, 1, 3.43, 0, 0, 0, 0, WP, NO, 0, 0, NO,
1322, BEAM , UNILOAD, GZ, NO , NO, aDir[1], , , , 0, -7.62, 1, -7.62, 0, 0, 0, 0, WP, NO, 0, 0, NO,
1322, BEAM , UNILOAD, GY, NO , NO, aDir[1], , , , 0, 3.43, 1, 3.43, 0, 0, 0, 0, WP, NO, 0, 0, NO,
1323, BEAM , UNILOAD, GY, NO , NO, aDir[1], , , , 0, 3.43, 1, 3.43, 0, 0, 0, 0, WP, NO, 0, 0, NO,
1323, BEAM , UNILOAD, GZ, NO , NO, aDir[1], , , , 0, -7.62, 1, -7.62, 0, 0, 0, 0, WP, NO, 0, 0, NO,
1324, BEAM , UNILOAD, GY, NO , NO, aDir[1], , , , 0, 3.43, 1, 3.43, 0, 0, 0, 0, WP, NO, 0, 0, NO,
1324, BEAM , UNILOAD, GZ, NO , NO, aDir[1], , , , 0, -7.62, 1, -7.62, 0, 0, 0, 0, WP, NO, 0, 0, NO,
1325, BEAM , UNILOAD, GY, NO , NO, aDir[1], , , , 0, 3.43, 1, 3.43, 0, 0, 0, 0, WP, NO, 0, 0, NO,
1325, BEAM , UNILOAD, GZ, NO , NO, aDir[1], , , , 0, -7.62, 1, -7.62, 0, 0, 0, 0, WP, NO, 0, 0, NO,
1326, BEAM , UNILOAD, GZ, NO , NO, aDir[1], , , , 0, -7.62, 1, -7.62, 0, 0, 0, 0, WP, NO, 0, 0, NO,
1326, BEAM , UNILOAD, GY, NO , NO, aDir[1], , , , 0, 3.43, 1, 3.43, 0, 0, 0, 0, WP, NO, 0, 0, NO,
1327, BEAM , UNILOAD, GY, NO , NO, aDir[1], , , , 0, 3.43, 1, 3.43, 0, 0, 0, 0, WP, NO, 0, 0, NO,
1327, BEAM , UNILOAD, GZ, NO , NO, aDir[1], , , , 0, -7.62, 1, -7.62, 0, 0, 0, 0, WP, NO, 0, 0, NO,
1328, BEAM , UNILOAD, GZ, NO , NO, aDir[1], , , , 0, -7.62, 1, -7.62, 0, 0, 0, 0, WP, NO, 0, 0, NO,
1328, BEAM , UNILOAD, GY, NO , NO, aDir[1], , , , 0, 3.43, 1, 3.43, 0, 0, 0, 0, WP, NO, 0, 0, NO,
1329, BEAM , UNILOAD, GZ, NO , NO, aDir[1], , , , 0, -7.62, 1, -7.62, 0, 0, 0, 0, WP, NO, 0, 0, NO,
1329, BEAM , UNILOAD, GY, NO , NO, aDir[1], , , , 0, 3.43, 1, 3.43, 0, 0, 0, 0, WP, NO, 0, 0, NO,
1330, BEAM , UNILOAD, GY, NO , NO, aDir[1], , , , 0, 3.43, 1, 3.43, 0, 0, 0, 0, WP, NO, 0, 0, NO,
1330, BEAM , UNILOAD, GZ, NO , NO, aDir[1], , , , 0, -7.62, 1, -7.62, 0, 0, 0, 0, WP, NO, 0, 0, NO,
1331, BEAM , UNILOAD, GZ, NO , NO, aDir[1], , , , 0, -7.62, 1, -7.62, 0, 0, 0, 0, WP, NO, 0, 0, NO,
1331, BEAM , UNILOAD, GY, NO , NO, aDir[1], , , , 0, 3.43, 1, 3.43, 0, 0, 0, 0, WP, NO, 0, 0, NO,
1332, BEAM , UNILOAD, GY, NO , NO, aDir[1], , , , 0, 3.43, 1, 3.43, 0, 0, 0, 0, WP, NO, 0, 0, NO,
1332, BEAM , UNILOAD, GZ, NO , NO, aDir[1], , , , 0, -7.62, 1, -7.62, 0, 0, 0, 0, WP, NO, 0, 0, NO,
1333, BEAM , UNILOAD, GZ, NO , NO, aDir[1], , , , 0, -7.62, 1, -7.62, 0, 0, 0, 0, WP, NO, 0, 0, NO,
1333, BEAM , UNILOAD, GY, NO , NO, aDir[1], , , , 0, 3.43, 1, 3.43, 0, 0, 0, 0, WP, NO, 0, 0, NO,
1334, BEAM , UNILOAD, GY, NO , NO, aDir[1], , , , 0, 3.43, 1, 3.43, 0, 0, 0, 0, WP, NO, 0, 0, NO,
1334, BEAM , UNILOAD, GZ, NO , NO, aDir[1], , , , 0, -7.62, 1, -7.62, 0, 0, 0, 0, WP, NO, 0, 0, NO,

PROJECT TITLE :

MIDAS	Company		Client	
	Author		File Name	H2D_3Dg_v14_180227_StatLM.mct

1335, BEAM , UNILOAD, GY, NO , NO, aDir[1], , , , 0, 3.43, 1, 3.43, 0, 0, 0, 0, WP, NO, 0, 0, NO,
1335, BEAM , UNILOAD, GZ, NO , NO, aDir[1], , , , 0, -7.62, 1, -7.62, 0, 0, 0, 0, WP, NO, 0, 0, NO,
1336, BEAM , UNILOAD, GZ, NO , NO, aDir[1], , , , 0, -7.62, 1, -7.62, 0, 0, 0, 0, WP, NO, 0, 0, NO,
1336, BEAM , UNILOAD, GY, NO , NO, aDir[1], , , , 0, 3.43, 1, 3.43, 0, 0, 0, 0, WP, NO, 0, 0, NO,
1337, BEAM , UNILOAD, GZ, NO , NO, aDir[1], , , , 0, -7.62, 1, -7.62, 0, 0, 0, 0, WP, NO, 0, 0, NO,
1337, BEAM , UNILOAD, GY, NO , NO, aDir[1], , , , 0, 3.43, 1, 3.43, 0, 0, 0, 0, WP, NO, 0, 0, NO,
1338, BEAM , UNILOAD, GY, NO , NO, aDir[1], , , , 0, 3.43, 1, 3.43, 0, 0, 0, 0, WP, NO, 0, 0, NO,
1338, BEAM , UNILOAD, GZ, NO , NO, aDir[1], , , , 0, -7.62, 1, -7.62, 0, 0, 0, 0, WP, NO, 0, 0, NO,
1339, BEAM , UNILOAD, GZ, NO , NO, aDir[1], , , , 0, -7.62, 1, -7.62, 0, 0, 0, 0, WP, NO, 0, 0, NO,
1339, BEAM , UNILOAD, GY, NO , NO, aDir[1], , , , 0, 3.43, 1, 3.43, 0, 0, 0, 0, WP, NO, 0, 0, NO,
1340, BEAM , UNILOAD, GZ, NO , NO, aDir[1], , , , 0, -7.62, 1, -7.62, 0, 0, 0, 0, WP, NO, 0, 0, NO,
1340, BEAM , UNILOAD, GY, NO , NO, aDir[1], , , , 0, 3.43, 1, 3.43, 0, 0, 0, 0, WP, NO, 0, 0, NO,
1341, BEAM , UNILOAD, GZ, NO , NO, aDir[1], , , , 0, -7.62, 1, -7.62, 0, 0, 0, 0, WP, NO, 0, 0, NO,
1341, BEAM , UNILOAD, GY, NO , NO, aDir[1], , , , 0, 3.43, 1, 3.43, 0, 0, 0, 0, WP, NO, 0, 0, NO,
1342, BEAM , UNILOAD, GY, NO , NO, aDir[1], , , , 0, 3.43, 1, 3.43, 0, 0, 0, 0, WP, NO, 0, 0, NO,
1342, BEAM , UNILOAD, GZ, NO , NO, aDir[1], , , , 0, -7.62, 1, -7.62, 0, 0, 0, 0, WP, NO, 0, 0, NO,
1343, BEAM , UNILOAD, GY, NO , NO, aDir[1], , , , 0, 3.43, 1, 3.43, 0, 0, 0, 0, WP, NO, 0, 0, NO,
1343, BEAM , UNILOAD, GZ, NO , NO, aDir[1], , , , 0, -7.62, 1, -7.62, 0, 0, 0, 0, WP, NO, 0, 0, NO,
1344, BEAM , UNILOAD, GZ, NO , NO, aDir[1], , , , 0, -7.62, 1, -7.62, 0, 0, 0, 0, WP, NO, 0, 0, NO,
1344, BEAM , UNILOAD, GY, NO , NO, aDir[1], , , , 0, 3.43, 1, 3.43, 0, 0, 0, 0, WP, NO, 0, 0, NO,
1345, BEAM , UNILOAD, GZ, NO , NO, aDir[1], , , , 0, -7.62, 1, -7.62, 0, 0, 0, 0, WP, NO, 0, 0, NO,
1345, BEAM , UNILOAD, GY, NO , NO, aDir[1], , , , 0, 3.43, 1, 3.43, 0, 0, 0, 0, WP, NO, 0, 0, NO,
1346, BEAM , UNILOAD, GY, NO , NO, aDir[1], , , , 0, 3.43, 1, 3.43, 0, 0, 0, 0, WP, NO, 0, 0, NO,
1346, BEAM , UNILOAD, GZ, NO , NO, aDir[1], , , , 0, -7.62, 1, -7.62, 0, 0, 0, 0, WP, NO, 0, 0, NO,
1347, BEAM , UNILOAD, GY, NO , NO, aDir[1], , , , 0, 3.43, 1, 3.43, 0, 0, 0, 0, WP, NO, 0, 0, NO,
1347, BEAM , UNILOAD, GZ, NO , NO, aDir[1], , , , 0, -7.62, 1, -7.62, 0, 0, 0, 0, WP, NO, 0, 0, NO,
1348, BEAM , UNILOAD, GY, NO , NO, aDir[1], , , , 0, 3.43, 1, 3.43, 0, 0, 0, 0, WP, NO, 0, 0, NO,
1348, BEAM , UNILOAD, GZ, NO , NO, aDir[1], , , , 0, -7.62, 1, -7.62, 0, 0, 0, 0, WP, NO, 0, 0, NO,
1349, BEAM , UNILOAD, GZ, NO , NO, aDir[1], , , , 0, -7.62, 1, -7.62, 0, 0, 0, 0, WP, NO, 0, 0, NO,
1349, BEAM , UNILOAD, GY, NO , NO, aDir[1], , , , 0, 3.43, 1, 3.43, 0, 0, 0, 0, WP, NO, 0, 0, NO,
1350, BEAM , UNILOAD, GZ, NO , NO, aDir[1], , , , 0, -7.62, 1, -7.62, 0, 0, 0, 0, WP, NO, 0, 0, NO,
1350, BEAM , UNILOAD, GY, NO , NO, aDir[1], , , , 0, 3.43, 1, 3.43, 0, 0, 0, 0, WP, NO, 0, 0, NO,
1351, BEAM , UNILOAD, GY, NO , NO, aDir[1], , , , 0, 3.43, 1, 3.43, 0, 0, 0, 0, WP, NO, 0, 0, NO,
1351, BEAM , UNILOAD, GZ, NO , NO, aDir[1], , , , 0, -7.62, 1, -7.62, 0, 0, 0, 0, WP, NO, 0, 0, NO,
1352, BEAM , UNILOAD, GZ, NO , NO, aDir[1], , , , 0, -7.62, 1, -7.62, 0, 0, 0, 0, WP, NO, 0, 0, NO,
1352, BEAM , UNILOAD, GY, NO , NO, aDir[1], , , , 0, 3.43, 1, 3.43, 0, 0, 0, 0, WP, NO, 0, 0, NO,
1353, BEAM , UNILOAD, GY, NO , NO, aDir[1], , , , 0, 3.43, 1, 3.43, 0, 0, 0, 0, WP, NO, 0, 0, NO,
1353, BEAM , UNILOAD, GZ, NO , NO, aDir[1], , , , 0, -7.62, 1, -7.62, 0, 0, 0, 0, WP, NO, 0, 0, NO,
1354, BEAM , UNILOAD, GY, NO , NO, aDir[1], , , , 0, 3.43, 1, 3.43, 0, 0, 0, 0, WP, NO, 0, 0, NO,
1354, BEAM , UNILOAD, GZ, NO , NO, aDir[1], , , , 0, -7.62, 1, -7.62, 0, 0, 0, 0, WP, NO, 0, 0, NO,
1355, BEAM , UNILOAD, GZ, NO , NO, aDir[1], , , , 0, -7.62, 1, -7.62, 0, 0, 0, 0, WP, NO, 0, 0, NO,
1355, BEAM , UNILOAD, GY, NO , NO, aDir[1], , , , 0, 3.43, 1, 3.43, 0, 0, 0, 0, WP, NO, 0, 0, NO,
1356, BEAM , UNILOAD, GY, NO , NO, aDir[1], , , , 0, 3.43, 1, 3.43, 0, 0, 0, 0, WP, NO, 0, 0, NO,
1356, BEAM , UNILOAD, GZ, NO , NO, aDir[1], , , , 0, -7.62, 1, -7.62, 0, 0, 0, 0, WP, NO, 0, 0, NO,
1357, BEAM , UNILOAD, GZ, NO , NO, aDir[1], , , , 0, -7.62, 1, -7.62, 0, 0, 0, 0, WP, NO, 0, 0, NO,
1357, BEAM , UNILOAD, GY, NO , NO, aDir[1], , , , 0, 3.43, 1, 3.43, 0, 0, 0, 0, WP, NO, 0, 0, NO,
1358, BEAM , UNILOAD, GY, NO , NO, aDir[1], , , , 0, 3.43, 1, 3.43, 0, 0, 0, 0, WP, NO, 0, 0, NO,
1358, BEAM , UNILOAD, GZ, NO , NO, aDir[1], , , , 0, -7.62, 1, -7.62, 0, 0, 0, 0, WP, NO, 0, 0, NO,
1359, BEAM , UNILOAD, GZ, NO , NO, aDir[1], , , , 0, -7.62, 1, -7.62, 0, 0, 0, 0, WP, NO, 0, 0, NO,
1359, BEAM , UNILOAD, GY, NO , NO, aDir[1], , , , 0, 3.43, 1, 3.43, 0, 0, 0, 0, WP, NO, 0, 0, NO,
1360, BEAM , UNILOAD, GZ, NO , NO, aDir[1], , , , 0, -7.62, 1, -7.62, 0, 0, 0, 0, WP, NO, 0, 0, NO,
1360, BEAM , UNILOAD, GY, NO , NO, aDir[1], , , , 0, 3.43, 1, 3.43, 0, 0, 0, 0, WP, NO, 0, 0, NO,
1361, BEAM , UNILOAD, GY, NO , NO, aDir[1], , , , 0, 3.43, 1, 3.43, 0, 0, 0, 0, WP, NO, 0, 0, NO,
1361, BEAM , UNILOAD, GZ, NO , NO, aDir[1], , , , 0, -7.62, 1, -7.62, 0, 0, 0, 0, WP, NO, 0, 0, NO,
1362, BEAM , UNILOAD, GZ, NO , NO, aDir[1], , , , 0, -7.62, 1, -7.62, 0, 0, 0, 0, WP, NO, 0, 0, NO,
1362, BEAM , UNILOAD, GY, NO , NO, aDir[1], , , , 0, 3.43, 1, 3.43, 0, 0, 0, 0, WP, NO, 0, 0, NO,
1363, BEAM , UNILOAD, GY, NO , NO, aDir[1], , , , 0, 3.43, 1, 3.43, 0, 0, 0, 0, WP, NO, 0, 0, NO,
1363, BEAM , UNILOAD, GZ, NO , NO, aDir[1], , , , 0, -7.62, 1, -7.62, 0, 0, 0, 0, WP, NO, 0, 0, NO,
1364, BEAM , UNILOAD, GZ, NO , NO, aDir[1], , , , 0, -7.62, 1, -7.62, 0, 0, 0, 0, WP, NO, 0, 0, NO,
1364, BEAM , UNILOAD, GY, NO , NO, aDir[1], , , , 0, 3.43, 1, 3.43, 0, 0, 0, 0, WP, NO, 0, 0, NO,
1365, BEAM , UNILOAD, GZ, NO , NO, aDir[1], , , , 0, -7.62, 1, -7.62, 0, 0, 0, 0, WP, NO, 0, 0, NO,
1365, BEAM , UNILOAD, GY, NO , NO, aDir[1], , , , 0, 3.43, 1, 3.43, 0, 0, 0, 0, WP, NO, 0, 0, NO,
1366, BEAM , UNILOAD, GY, NO , NO, aDir[1], , , , 0, 3.43, 1, 3.43, 0, 0, 0, 0, WP, NO, 0, 0, NO,
1366, BEAM , UNILOAD, GZ, NO , NO, aDir[1], , , , 0, -7.62, 1, -7.62, 0, 0, 0, 0, WP, NO, 0, 0, NO,
1367, BEAM , UNILOAD, GZ, NO , NO, aDir[1], , , , 0, -7.62, 1, -7.62, 0, 0, 0, 0, WP, NO, 0, 0, NO,
1367, BEAM , UNILOAD, GY, NO , NO, aDir[1], , , , 0, 3.43, 1, 3.43, 0, 0, 0, 0, WP, NO, 0, 0, NO,
1368, BEAM , UNILOAD, GZ, NO , NO, aDir[1], , , , 0, -7.62, 1, -7.62, 0, 0, 0, 0, WP, NO, 0, 0, NO,
1368, BEAM , UNILOAD, GY, NO , NO, aDir[1], , , , 0, 3.43, 1, 3.43, 0, 0, 0, 0, WP, NO, 0, 0, NO,
1369, BEAM , UNILOAD, GY, NO , NO, aDir[1], , , , 0, 3.43, 1, 3.43, 0, 0, 0, 0, WP, NO, 0, 0, NO,
1369, BEAM , UNILOAD, GZ, NO , NO, aDir[1], , , , 0, -7.62, 1, -7.62, 0, 0, 0, 0, WP, NO, 0, 0, NO,
1370, BEAM , UNILOAD, GZ, NO , NO, aDir[1], , , , 0, -7.62, 1, -7.62, 0, 0, 0, 0, WP, NO, 0, 0, NO,
1370, BEAM , UNILOAD, GY, NO , NO, aDir[1], , , , 0, 3.43, 1, 3.43, 0, 0, 0, 0, WP, NO, 0, 0, NO,

PROJECT TITLE :

MIDAS	Company		Client	
	Author		File Name	H2D_3Dg_v14_180227_StatLM.mct

1371, BEAM , UNILOAD, GZ, NO , NO, aDir[1], , , , 0, -7.62, 1, -7.62, 0, 0, 0, 0, WP, NO, 0, 0, NO,
1371, BEAM , UNILOAD, GY, NO , NO, aDir[1], , , , 0, 3.43, 1, 3.43, 0, 0, 0, 0, WP, NO, 0, 0, NO,
1372, BEAM , UNILOAD, GY, NO , NO, aDir[1], , , , 0, 3.43, 1, 3.43, 0, 0, 0, 0, WP, NO, 0, 0, NO,
1372, BEAM , UNILOAD, GZ, NO , NO, aDir[1], , , , 0, -7.62, 1, -7.62, 0, 0, 0, 0, WP, NO, 0, 0, NO,
1373, BEAM , UNILOAD, GZ, NO , NO, aDir[1], , , , 0, -7.62, 1, -7.62, 0, 0, 0, 0, WP, NO, 0, 0, NO,
1373, BEAM , UNILOAD, GY, NO , NO, aDir[1], , , , 0, 3.43, 1, 3.43, 0, 0, 0, 0, WP, NO, 0, 0, NO,
1374, BEAM , UNILOAD, GZ, NO , NO, aDir[1], , , , 0, -7.62, 1, -7.62, 0, 0, 0, 0, WP, NO, 0, 0, NO,
1374, BEAM , UNILOAD, GY, NO , NO, aDir[1], , , , 0, 3.43, 1, 3.43, 0, 0, 0, 0, WP, NO, 0, 0, NO,
1375, BEAM , UNILOAD, GZ, NO , NO, aDir[1], , , , 0, -7.62, 1, -7.62, 0, 0, 0, 0, WP, NO, 0, 0, NO,
1375, BEAM , UNILOAD, GY, NO , NO, aDir[1], , , , 0, 3.43, 1, 3.43, 0, 0, 0, 0, WP, NO, 0, 0, NO,
1376, BEAM , UNILOAD, GY, NO , NO, aDir[1], , , , 0, 3.43, 1, 3.43, 0, 0, 0, 0, WP, NO, 0, 0, NO,
1376, BEAM , UNILOAD, GZ, NO , NO, aDir[1], , , , 0, -7.62, 1, -7.62, 0, 0, 0, 0, WP, NO, 0, 0, NO,
1377, BEAM , UNILOAD, GY, NO , NO, aDir[1], , , , 0, 3.43, 1, 3.43, 0, 0, 0, 0, WP, NO, 0, 0, NO,
1377, BEAM , UNILOAD, GZ, NO , NO, aDir[1], , , , 0, -7.62, 1, -7.62, 0, 0, 0, 0, WP, NO, 0, 0, NO,
1378, BEAM , UNILOAD, GY, NO , NO, aDir[1], , , , 0, 3.43, 1, 3.43, 0, 0, 0, 0, WP, NO, 0, 0, NO,
1378, BEAM , UNILOAD, GZ, NO , NO, aDir[1], , , , 0, -7.62, 1, -7.62, 0, 0, 0, 0, WP, NO, 0, 0, NO,
1379, BEAM , UNILOAD, GY, NO , NO, aDir[1], , , , 0, 3.43, 1, 3.43, 0, 0, 0, 0, WP, NO, 0, 0, NO,
1379, BEAM , UNILOAD, GZ, NO , NO, aDir[1], , , , 0, -7.62, 1, -7.62, 0, 0, 0, 0, WP, NO, 0, 0, NO,
1380, BEAM , UNILOAD, GY, NO , NO, aDir[1], , , , 0, 3.43, 1, 3.43, 0, 0, 0, 0, WP, NO, 0, 0, NO,
1380, BEAM , UNILOAD, GZ, NO , NO, aDir[1], , , , 0, -7.62, 1, -7.62, 0, 0, 0, 0, WP, NO, 0, 0, NO,
1381, BEAM , UNILOAD, GY, NO , NO, aDir[1], , , , 0, 3.43, 1, 3.43, 0, 0, 0, 0, WP, NO, 0, 0, NO,
1381, BEAM , UNILOAD, GZ, NO , NO, aDir[1], , , , 0, -7.62, 1, -7.62, 0, 0, 0, 0, WP, NO, 0, 0, NO,
1382, BEAM , UNILOAD, GY, NO , NO, aDir[1], , , , 0, 3.43, 1, 3.43, 0, 0, 0, 0, WP, NO, 0, 0, NO,
1382, BEAM , UNILOAD, GZ, NO , NO, aDir[1], , , , 0, -7.62, 1, -7.62, 0, 0, 0, 0, WP, NO, 0, 0, NO,
1383, BEAM , UNILOAD, GY, NO , NO, aDir[1], , , , 0, 3.43, 1, 3.43, 0, 0, 0, 0, WP, NO, 0, 0, NO,
1383, BEAM , UNILOAD, GZ, NO , NO, aDir[1], , , , 0, -7.62, 1, -7.62, 0, 0, 0, 0, WP, NO, 0, 0, NO,
1384, BEAM , UNILOAD, GY, NO , NO, aDir[1], , , , 0, 3.43, 1, 3.43, 0, 0, 0, 0, WP, NO, 0, 0, NO,
1384, BEAM , UNILOAD, GZ, NO , NO, aDir[1], , , , 0, -7.62, 1, -7.62, 0, 0, 0, 0, WP, NO, 0, 0, NO,
1385, BEAM , UNILOAD, GZ, NO , NO, aDir[1], , , , 0, -7.62, 1, -7.62, 0, 0, 0, 0, WP, NO, 0, 0, NO,
1385, BEAM , UNILOAD, GY, NO , NO, aDir[1], , , , 0, 3.43, 1, 3.43, 0, 0, 0, 0, WP, NO, 0, 0, NO,
1386, BEAM , UNILOAD, GZ, NO , NO, aDir[1], , , , 0, -7.62, 1, -7.62, 0, 0, 0, 0, WP, NO, 0, 0, NO,
1386, BEAM , UNILOAD, GY, NO , NO, aDir[1], , , , 0, 3.43, 1, 3.43, 0, 0, 0, 0, WP, NO, 0, 0, NO,
1387, BEAM , UNILOAD, GY, NO , NO, aDir[1], , , , 0, 3.43, 1, 3.43, 0, 0, 0, 0, WP, NO, 0, 0, NO,
1387, BEAM , UNILOAD, GZ, NO , NO, aDir[1], , , , 0, -7.62, 1, -7.62, 0, 0, 0, 0, WP, NO, 0, 0, NO,
1388, BEAM , UNILOAD, GZ, NO , NO, aDir[1], , , , 0, -7.62, 1, -7.62, 0, 0, 0, 0, WP, NO, 0, 0, NO,
1388, BEAM , UNILOAD, GY, NO , NO, aDir[1], , , , 0, 3.43, 1, 3.43, 0, 0, 0, 0, WP, NO, 0, 0, NO,
1389, BEAM , UNILOAD, GY, NO , NO, aDir[1], , , , 0, 3.43, 1, 3.43, 0, 0, 0, 0, WP, NO, 0, 0, NO,
1389, BEAM , UNILOAD, GZ, NO , NO, aDir[1], , , , 0, -7.62, 1, -7.62, 0, 0, 0, 0, WP, NO, 0, 0, NO,
1390, BEAM , UNILOAD, GY, NO , NO, aDir[1], , , , 0, 3.43, 1, 3.43, 0, 0, 0, 0, WP, NO, 0, 0, NO,
1390, BEAM , UNILOAD, GZ, NO , NO, aDir[1], , , , 0, -7.62, 1, -7.62, 0, 0, 0, 0, WP, NO, 0, 0, NO,
1391, BEAM , UNILOAD, GY, NO , NO, aDir[1], , , , 0, 3.43, 1, 3.43, 0, 0, 0, 0, WP, NO, 0, 0, NO,
1391, BEAM , UNILOAD, GZ, NO , NO, aDir[1], , , , 0, -7.62, 1, -7.62, 0, 0, 0, 0, WP, NO, 0, 0, NO,
1392, BEAM , UNILOAD, GZ, NO , NO, aDir[1], , , , 0, -7.62, 1, -7.62, 0, 0, 0, 0, WP, NO, 0, 0, NO,
1392, BEAM , UNILOAD, GY, NO , NO, aDir[1], , , , 0, 3.43, 1, 3.43, 0, 0, 0, 0, WP, NO, 0, 0, NO,
1393, BEAM , UNILOAD, GZ, NO , NO, aDir[1], , , , 0, -7.62, 1, -7.62, 0, 0, 0, 0, WP, NO, 0, 0, NO,
1393, BEAM , UNILOAD, GY, NO , NO, aDir[1], , , , 0, 3.43, 1, 3.43, 0, 0, 0, 0, WP, NO, 0, 0, NO,
1394, BEAM , UNILOAD, GZ, NO , NO, aDir[1], , , , 0, -7.62, 1, -7.62, 0, 0, 0, 0, WP, NO, 0, 0, NO,
1394, BEAM , UNILOAD, GY, NO , NO, aDir[1], , , , 0, 3.43, 1, 3.43, 0, 0, 0, 0, WP, NO, 0, 0, NO,
1395, BEAM , UNILOAD, GZ, NO , NO, aDir[1], , , , 0, -7.62, 1, -7.62, 0, 0, 0, 0, WP, NO, 0, 0, NO,
1395, BEAM , UNILOAD, GY, NO , NO, aDir[1], , , , 0, 3.43, 1, 3.43, 0, 0, 0, 0, WP, NO, 0, 0, NO,
1396, BEAM , UNILOAD, GY, NO , NO, aDir[1], , , , 0, 3.43, 1, 3.43, 0, 0, 0, 0, WP, NO, 0, 0, NO,
1396, BEAM , UNILOAD, GZ, NO , NO, aDir[1], , , , 0, -7.62, 1, -7.62, 0, 0, 0, 0, WP, NO, 0, 0, NO,
1397, BEAM , UNILOAD, GY, NO , NO, aDir[1], , , , 0, 3.43, 1, 3.43, 0, 0, 0, 0, WP, NO, 0, 0, NO,
1397, BEAM , UNILOAD, GZ, NO , NO, aDir[1], , , , 0, -7.62, 1, -7.62, 0, 0, 0, 0, WP, NO, 0, 0, NO,
1398, BEAM , UNILOAD, GY, NO , NO, aDir[1], , , , 0, 3.43, 1, 3.43, 0, 0, 0, 0, WP, NO, 0, 0, NO,
1398, BEAM , UNILOAD, GZ, NO , NO, aDir[1], , , , 0, -7.62, 1, -7.62, 0, 0, 0, 0, WP, NO, 0, 0, NO,
1399, BEAM , UNILOAD, GZ, NO , NO, aDir[1], , , , 0, -7.62, 1, -7.62, 0, 0, 0, 0, WP, NO, 0, 0, NO,
1399, BEAM , UNILOAD, GY, NO , NO, aDir[1], , , , 0, 3.43, 1, 3.43, 0, 0, 0, 0, WP, NO, 0, 0, NO,
1400, BEAM , UNILOAD, GZ, NO , NO, aDir[1], , , , 0, -7.62, 1, -7.62, 0, 0, 0, 0, WP, NO, 0, 0, NO,
1400, BEAM , UNILOAD, GY, NO , NO, aDir[1], , , , 0, 3.43, 1, 3.43, 0, 0, 0, 0, WP, NO, 0, 0, NO,
1401, BEAM , UNILOAD, GY, NO , NO, aDir[1], , , , 0, 3.43, 1, 3.43, 0, 0, 0, 0, WP, NO, 0, 0, NO,
1401, BEAM , UNILOAD, GZ, NO , NO, aDir[1], , , , 0, -7.62, 1, -7.62, 0, 0, 0, 0, WP, NO, 0, 0, NO,
1402, BEAM , UNILOAD, GY, NO , NO, aDir[1], , , , 0, 3.43, 1, 3.43, 0, 0, 0, 0, WP, NO, 0, 0, NO,
1402, BEAM , UNILOAD, GZ, NO , NO, aDir[1], , , , 0, -7.62, 1, -7.62, 0, 0, 0, 0, WP, NO, 0, 0, NO,
1403, BEAM , UNILOAD, GZ, NO , NO, aDir[1], , , , 0, -7.62, 1, -7.62, 0, 0, 0, 0, WP, NO, 0, 0, NO,
1403, BEAM , UNILOAD, GY, NO , NO, aDir[1], , , , 0, 3.43, 1, 3.43, 0, 0, 0, 0, WP, NO, 0, 0, NO,
1404, BEAM , UNILOAD, GY, NO , NO, aDir[1], , , , 0, 3.43, 1, 3.43, 0, 0, 0, 0, WP, NO, 0, 0, NO,
1404, BEAM , UNILOAD, GZ, NO , NO, aDir[1], , , , 0, -7.62, 1, -7.62, 0, 0, 0, 0, WP, NO, 0, 0, NO,
1405, BEAM , UNILOAD, GZ, NO , NO, aDir[1], , , , 0, -7.62, 1, -7.62, 0, 0, 0, 0, WP, NO, 0, 0, NO,
1405, BEAM , UNILOAD, GY, NO , NO, aDir[1], , , , 0, 3.43, 1, 3.43, 0, 0, 0, 0, WP, NO, 0, 0, NO,
1406, BEAM , UNILOAD, GZ, NO , NO, aDir[1], , , , 0, -7.62, 1, -7.62, 0, 0, 0, 0, WP, NO, 0, 0, NO,
1406, BEAM , UNILOAD, GY, NO , NO, aDir[1], , , , 0, 3.43, 1, 3.43, 0, 0, 0, 0, WP, NO, 0, 0, NO,

1407, BEAM , UNILOAD, GY, NO , NO, aDir[1], , , , 0, -7.62, 1, -7.62, 0, 0, 0, 0, WP, NO, 0, 0, NO,
1407, BEAM , UNILOAD, GZ, NO , NO, aDir[1], , , , 0, 3.43, 1, 3.43, 0, 0, 0, 0, WP, NO, 0, 0, NO,
1408, BEAM , UNILOAD, GY, NO , NO, aDir[1], , , , 0, -7.62, 1, -7.62, 0, 0, 0, 0, WP, NO, 0, 0, NO,
1408, BEAM , UNILOAD, GZ, NO , NO, aDir[1], , , , 0, 3.43, 1, 3.43, 0, 0, 0, 0, WP, NO, 0, 0, NO,

; End of data for load case [WP+Y 1. Track] ----------

*USE-STLD, WP+Y 2. Track

*BEAMLOAD ; Element Beam Loads
; ELEM_LIST, CMD, TYPE, DIR, bPROJ, [ECCEN], [VALUE], GROUP
; ELEM_LIST, CMD, TYPE, TYPE, DIR, VX, VY, VZ, bPROJ, [ECCEN], [VALUE], GROUP
; [VALUE] : D1, P1, D2, P2, D3, P3, D4, P4
; [ECCEN] : bECCEN, ECCDIR, I-END, J-END, bJ-END
; [ADDITIONAL] : bADDITIONAL, ADDITIONAL_I-END, ADDITIONAL_J-END, bADDITIONAL_J-END
713, BEAM , UNILOAD, GZ, NO , NO, aDir[1], , , , 0, 7.62, 1, 7.62, 0, 0, 0, 0, WP, NO, 0, 0, NO,
713, BEAM , UNILOAD, GY, NO , NO, aDir[1], , , , 0, 3.43, 1, 3.43, 0, 0, 0, 0, WP, NO, 0, 0, NO,
714, BEAM , UNILOAD, GY, NO , NO, aDir[1], , , , 0, 3.43, 1, 3.43, 0, 0, 0, 0, WP, NO, 0, 0, NO,
714, BEAM , UNILOAD, GZ, NO , NO, aDir[1], , , , 0, 7.62, 1, 7.62, 0, 0, 0, 0, WP, NO, 0, 0, NO,
715, BEAM , UNILOAD, GZ, NO , NO, aDir[1], , , , 0, 7.62, 1, 7.62, 0, 0, 0, 0, WP, NO, 0, 0, NO,
715, BEAM , UNILOAD, GY, NO , NO, aDir[1], , , , 0, 3.43, 1, 3.43, 0, 0, 0, 0, WP, NO, 0, 0, NO,
716, BEAM , UNILOAD, GY, NO , NO, aDir[1], , , , 0, 3.43, 1, 3.43, 0, 0, 0, 0, WP, NO, 0, 0, NO,
716, BEAM , UNILOAD, GZ, NO , NO, aDir[1], , , , 0, 7.62, 1, 7.62, 0, 0, 0, 0, WP, NO, 0, 0, NO,
717, BEAM , UNILOAD, GZ, NO , NO, aDir[1], , , , 0, 7.62, 1, 7.62, 0, 0, 0, 0, WP, NO, 0, 0, NO,
717, BEAM , UNILOAD, GY, NO , NO, aDir[1], , , , 0, 3.43, 1, 3.43, 0, 0, 0, 0, WP, NO, 0, 0, NO,
718, BEAM , UNILOAD, GZ, NO , NO, aDir[1], , , , 0, 7.62, 1, 7.62, 0, 0, 0, 0, WP, NO, 0, 0, NO,
718, BEAM , UNILOAD, GY, NO , NO, aDir[1], , , , 0, 3.43, 1, 3.43, 0, 0, 0, 0, WP, NO, 0, 0, NO,
719, BEAM , UNILOAD, GZ, NO , NO, aDir[1], , , , 0, 7.62, 1, 7.62, 0, 0, 0, 0, WP, NO, 0, 0, NO,
719, BEAM , UNILOAD, GY, NO , NO, aDir[1], , , , 0, 3.43, 1, 3.43, 0, 0, 0, 0, WP, NO, 0, 0, NO,
720, BEAM , UNILOAD, GZ, NO , NO, aDir[1], , , , 0, 7.62, 1, 7.62, 0, 0, 0, 0, WP, NO, 0, 0, NO,
720, BEAM , UNILOAD, GY, NO , NO, aDir[1], , , , 0, 3.43, 1, 3.43, 0, 0, 0, 0, WP, NO, 0, 0, NO,
721, BEAM , UNILOAD, GZ, NO , NO, aDir[1], , , , 0, 7.62, 1, 7.62, 0, 0, 0, 0, WP, NO, 0, 0, NO,
721, BEAM , UNILOAD, GY, NO , NO, aDir[1], , , , 0, 3.43, 1, 3.43, 0, 0, 0, 0, WP, NO, 0, 0, NO,
722, BEAM , UNILOAD, GY, NO , NO, aDir[1], , , , 0, 3.43, 1, 3.43, 0, 0, 0, 0, WP, NO, 0, 0, NO,
722, BEAM , UNILOAD, GZ, NO , NO, aDir[1], , , , 0, 7.62, 1, 7.62, 0, 0, 0, 0, WP, NO, 0, 0, NO,
723, BEAM , UNILOAD, GY, NO , NO, aDir[1], , , , 0, 3.43, 1, 3.43, 0, 0, 0, 0, WP, NO, 0, 0, NO,
723, BEAM , UNILOAD, GZ, NO , NO, aDir[1], , , , 0, 7.62, 1, 7.62, 0, 0, 0, 0, WP, NO, 0, 0, NO,
724, BEAM , UNILOAD, GZ, NO , NO, aDir[1], , , , 0, 7.62, 1, 7.62, 0, 0, 0, 0, WP, NO, 0, 0, NO,
724, BEAM , UNILOAD, GY, NO , NO, aDir[1], , , , 0, 3.43, 1, 3.43, 0, 0, 0, 0, WP, NO, 0, 0, NO,
725, BEAM , UNILOAD, GY, NO , NO, aDir[1], , , , 0, 3.43, 1, 3.43, 0, 0, 0, 0, WP, NO, 0, 0, NO,
725, BEAM , UNILOAD, GZ, NO , NO, aDir[1], , , , 0, 7.62, 1, 7.62, 0, 0, 0, 0, WP, NO, 0, 0, NO,
726, BEAM , UNILOAD, GY, NO , NO, aDir[1], , , , 0, 3.43, 1, 3.43, 0, 0, 0, 0, WP, NO, 0, 0, NO,
726, BEAM , UNILOAD, GZ, NO , NO, aDir[1], , , , 0, 7.62, 1, 7.62, 0, 0, 0, 0, WP, NO, 0, 0, NO,
727, BEAM , UNILOAD, GZ, NO , NO, aDir[1], , , , 0, 7.62, 1, 7.62, 0, 0, 0, 0, WP, NO, 0, 0, NO,
727, BEAM , UNILOAD, GY, NO , NO, aDir[1], , , , 0, 3.43, 1, 3.43, 0, 0, 0, 0, WP, NO, 0, 0, NO,
728, BEAM , UNILOAD, GY, NO , NO, aDir[1], , , , 0, 3.43, 1, 3.43, 0, 0, 0, 0, WP, NO, 0, 0, NO,
728, BEAM , UNILOAD, GZ, NO , NO, aDir[1], , , , 0, 7.62, 1, 7.62, 0, 0, 0, 0, WP, NO, 0, 0, NO,
729, BEAM , UNILOAD, GY, NO , NO, aDir[1], , , , 0, 3.43, 1, 3.43, 0, 0, 0, 0, WP, NO, 0, 0, NO,
729, BEAM , UNILOAD, GZ, NO , NO, aDir[1], , , , 0, 7.62, 1, 7.62, 0, 0, 0, 0, WP, NO, 0, 0, NO,
730, BEAM , UNILOAD, GY, NO , NO, aDir[1], , , , 0, 3.43, 1, 3.43, 0, 0, 0, 0, WP, NO, 0, 0, NO,
730, BEAM , UNILOAD, GZ, NO , NO, aDir[1], , , , 0, 7.62, 1, 7.62, 0, 0, 0, 0, WP, NO, 0, 0, NO,
731, BEAM , UNILOAD, GZ, NO , NO, aDir[1], , , , 0, 7.62, 1, 7.62, 0, 0, 0, 0, WP, NO, 0, 0, NO,
731, BEAM , UNILOAD, GY, NO , NO, aDir[1], , , , 0, 3.43, 1, 3.43, 0, 0, 0, 0, WP, NO, 0, 0, NO,
732, BEAM , UNILOAD, GY, NO , NO, aDir[1], , , , 0, 3.43, 1, 3.43, 0, 0, 0, 0, WP, NO, 0, 0, NO,
732, BEAM , UNILOAD, GZ, NO , NO, aDir[1], , , , 0, 7.62, 1, 7.62, 0, 0, 0, 0, WP, NO, 0, 0, NO,
733, BEAM , UNILOAD, GY, NO , NO, aDir[1], , , , 0, 3.43, 1, 3.43, 0, 0, 0, 0, WP, NO, 0, 0, NO,
733, BEAM , UNILOAD, GZ, NO , NO, aDir[1], , , , 0, 7.62, 1, 7.62, 0, 0, 0, 0, WP, NO, 0, 0, NO,
734, BEAM , UNILOAD, GY, NO , NO, aDir[1], , , , 0, 3.43, 1, 3.43, 0, 0, 0, 0, WP, NO, 0, 0, NO,
734, BEAM , UNILOAD, GZ, NO , NO, aDir[1], , , , 0, 7.62, 1, 7.62, 0, 0, 0, 0, WP, NO, 0, 0, NO,
735, BEAM , UNILOAD, GZ, NO , NO, aDir[1], , , , 0, 7.62, 1, 7.62, 0, 0, 0, 0, WP, NO, 0, 0, NO,
735, BEAM , UNILOAD, GY, NO , NO, aDir[1], , , , 0, 3.43, 1, 3.43, 0, 0, 0, 0, WP, NO, 0, 0, NO,
736, BEAM , UNILOAD, GY, NO , NO, aDir[1], , , , 0, 3.43, 1, 3.43, 0, 0, 0, 0, WP, NO, 0, 0, NO,
736, BEAM , UNILOAD, GZ, NO , NO, aDir[1], , , , 0, 7.62, 1, 7.62, 0, 0, 0, 0, WP, NO, 0, 0, NO,
737, BEAM , UNILOAD, GZ, NO , NO, aDir[1], , , , 0, 7.62, 1, 7.62, 0, 0, 0, 0, WP, NO, 0, 0, NO,
737, BEAM , UNILOAD, GY, NO , NO, aDir[1], , , , 0, 3.43, 1, 3.43, 0, 0, 0, 0, WP, NO, 0, 0, NO,
738, BEAM , UNILOAD, GZ, NO , NO, aDir[1], , , , 0, 7.62, 1, 7.62, 0, 0, 0, 0, WP, NO, 0, 0, NO,
738, BEAM , UNILOAD, GY, NO , NO, aDir[1], , , , 0, 3.43, 1, 3.43, 0, 0, 0, 0, WP, NO, 0, 0, NO,
739, BEAM , UNILOAD, GZ, NO , NO, aDir[1], , , , 0, 7.62, 1, 7.62, 0, 0, 0, 0, WP, NO, 0, 0, NO,
739, BEAM , UNILOAD, GY, NO , NO, aDir[1], , , , 0, 3.43, 1, 3.43, 0, 0, 0, 0, WP, NO, 0, 0, NO,
740, BEAM , UNILOAD, GZ, NO , NO, aDir[1], , , , 0, 7.62, 1, 7.62, 0, 0, 0, 0, WP, NO, 0, 0, NO,
740, BEAM , UNILOAD, GY, NO , NO, aDir[1], , , , 0, 3.43, 1, 3.43, 0, 0, 0, 0, WP, NO, 0, 0, NO,
741, BEAM , UNILOAD, GY, NO , NO, aDir[1], , , , 0, 3.43, 1, 3.43, 0, 0, 0, 0, WP, NO, 0, 0, NO,

PROJECT TITLE :

MIDAS	Company		Client	
	Author		File Name	H2D_3Dg_v14_180227_StatLM.mct

741, BEAM , UNILOAD, GZ, NO , NO, aDir[1], , , , 0, 7.62, 1, 7.62, 0, 0, 0, 0, WP, NO, 0, 0, NO,
742, BEAM , UNILOAD, GZ, NO , NO, aDir[1], , , , 0, 7.62, 1, 7.62, 0, 0, 0, 0, WP, NO, 0, 0, NO,
742, BEAM , UNILOAD, GY, NO , NO, aDir[1], , , , 0, 3.43, 1, 3.43, 0, 0, 0, 0, WP, NO, 0, 0, NO,
743, BEAM , UNILOAD, GY, NO , NO, aDir[1], , , , 0, 3.43, 1, 3.43, 0, 0, 0, 0, WP, NO, 0, 0, NO,
743, BEAM , UNILOAD, GZ, NO , NO, aDir[1], , , , 0, 7.62, 1, 7.62, 0, 0, 0, 0, WP, NO, 0, 0, NO,
744, BEAM , UNILOAD, GZ, NO , NO, aDir[1], , , , 0, 7.62, 1, 7.62, 0, 0, 0, 0, WP, NO, 0, 0, NO,
744, BEAM , UNILOAD, GY, NO , NO, aDir[1], , , , 0, 3.43, 1, 3.43, 0, 0, 0, 0, WP, NO, 0, 0, NO,
745, BEAM , UNILOAD, GY, NO , NO, aDir[1], , , , 0, 3.43, 1, 3.43, 0, 0, 0, 0, WP, NO, 0, 0, NO,
745, BEAM , UNILOAD, GZ, NO , NO, aDir[1], , , , 0, 7.62, 1, 7.62, 0, 0, 0, 0, WP, NO, 0, 0, NO,
746, BEAM , UNILOAD, GY, NO , NO, aDir[1], , , , 0, 3.43, 1, 3.43, 0, 0, 0, 0, WP, NO, 0, 0, NO,
746, BEAM , UNILOAD, GZ, NO , NO, aDir[1], , , , 0, 7.62, 1, 7.62, 0, 0, 0, 0, WP, NO, 0, 0, NO,
747, BEAM , UNILOAD, GY, NO , NO, aDir[1], , , , 0, 3.43, 1, 3.43, 0, 0, 0, 0, WP, NO, 0, 0, NO,
747, BEAM , UNILOAD, GZ, NO , NO, aDir[1], , , , 0, 7.62, 1, 7.62, 0, 0, 0, 0, WP, NO, 0, 0, NO,
748, BEAM , UNILOAD, GY, NO , NO, aDir[1], , , , 0, 3.43, 1, 3.43, 0, 0, 0, 0, WP, NO, 0, 0, NO,
748, BEAM , UNILOAD, GZ, NO , NO, aDir[1], , , , 0, 7.62, 1, 7.62, 0, 0, 0, 0, WP, NO, 0, 0, NO,
749, BEAM , UNILOAD, GZ, NO , NO, aDir[1], , , , 0, 7.62, 1, 7.62, 0, 0, 0, 0, WP, NO, 0, 0, NO,
749, BEAM , UNILOAD, GY, NO , NO, aDir[1], , , , 0, 3.43, 1, 3.43, 0, 0, 0, 0, WP, NO, 0, 0, NO,
750, BEAM , UNILOAD, GZ, NO , NO, aDir[1], , , , 0, 7.62, 1, 7.62, 0, 0, 0, 0, WP, NO, 0, 0, NO,
750, BEAM , UNILOAD, GY, NO , NO, aDir[1], , , , 0, 3.43, 1, 3.43, 0, 0, 0, 0, WP, NO, 0, 0, NO,
751, BEAM , UNILOAD, GZ, NO , NO, aDir[1], , , , 0, 7.62, 1, 7.62, 0, 0, 0, 0, WP, NO, 0, 0, NO,
751, BEAM , UNILOAD, GY, NO , NO, aDir[1], , , , 0, 3.43, 1, 3.43, 0, 0, 0, 0, WP, NO, 0, 0, NO,
752, BEAM , UNILOAD, GZ, NO , NO, aDir[1], , , , 0, 7.62, 1, 7.62, 0, 0, 0, 0, WP, NO, 0, 0, NO,
752, BEAM , UNILOAD, GY, NO , NO, aDir[1], , , , 0, 3.43, 1, 3.43, 0, 0, 0, 0, WP, NO, 0, 0, NO,
753, BEAM , UNILOAD, GZ, NO , NO, aDir[1], , , , 0, 7.62, 1, 7.62, 0, 0, 0, 0, WP, NO, 0, 0, NO,
753, BEAM , UNILOAD, GY, NO , NO, aDir[1], , , , 0, 3.43, 1, 3.43, 0, 0, 0, 0, WP, NO, 0, 0, NO,
754, BEAM , UNILOAD, GZ, NO , NO, aDir[1], , , , 0, 7.62, 1, 7.62, 0, 0, 0, 0, WP, NO, 0, 0, NO,
754, BEAM , UNILOAD, GY, NO , NO, aDir[1], , , , 0, 3.43, 1, 3.43, 0, 0, 0, 0, WP, NO, 0, 0, NO,
755, BEAM , UNILOAD, GZ, NO , NO, aDir[1], , , , 0, 7.62, 1, 7.62, 0, 0, 0, 0, WP, NO, 0, 0, NO,
755, BEAM , UNILOAD, GY, NO , NO, aDir[1], , , , 0, 3.43, 1, 3.43, 0, 0, 0, 0, WP, NO, 0, 0, NO,
756, BEAM , UNILOAD, GY, NO , NO, aDir[1], , , , 0, 3.43, 1, 3.43, 0, 0, 0, 0, WP, NO, 0, 0, NO,
756, BEAM , UNILOAD, GZ, NO , NO, aDir[1], , , , 0, 7.62, 1, 7.62, 0, 0, 0, 0, WP, NO, 0, 0, NO,
757, BEAM , UNILOAD, GZ, NO , NO, aDir[1], , , , 0, 7.62, 1, 7.62, 0, 0, 0, 0, WP, NO, 0, 0, NO,
757, BEAM , UNILOAD, GY, NO , NO, aDir[1], , , , 0, 3.43, 1, 3.43, 0, 0, 0, 0, WP, NO, 0, 0, NO,
758, BEAM , UNILOAD, GZ, NO , NO, aDir[1], , , , 0, 7.62, 1, 7.62, 0, 0, 0, 0, WP, NO, 0, 0, NO,
758, BEAM , UNILOAD, GY, NO , NO, aDir[1], , , , 0, 3.43, 1, 3.43, 0, 0, 0, 0, WP, NO, 0, 0, NO,
759, BEAM , UNILOAD, GY, NO , NO, aDir[1], , , , 0, 3.43, 1, 3.43, 0, 0, 0, 0, WP, NO, 0, 0, NO,
759, BEAM , UNILOAD, GZ, NO , NO, aDir[1], , , , 0, 7.62, 1, 7.62, 0, 0, 0, 0, WP, NO, 0, 0, NO,
760, BEAM , UNILOAD, GY, NO , NO, aDir[1], , , , 0, 3.43, 1, 3.43, 0, 0, 0, 0, WP, NO, 0, 0, NO,
760, BEAM , UNILOAD, GZ, NO , NO, aDir[1], , , , 0, 7.62, 1, 7.62, 0, 0, 0, 0, WP, NO, 0, 0, NO,
761, BEAM , UNILOAD, GY, NO , NO, aDir[1], , , , 0, 3.43, 1, 3.43, 0, 0, 0, 0, WP, NO, 0, 0, NO,
761, BEAM , UNILOAD, GZ, NO , NO, aDir[1], , , , 0, 7.62, 1, 7.62, 0, 0, 0, 0, WP, NO, 0, 0, NO,
762, BEAM , UNILOAD, GZ, NO , NO, aDir[1], , , , 0, 7.62, 1, 7.62, 0, 0, 0, 0, WP, NO, 0, 0, NO,
762, BEAM , UNILOAD, GY, NO , NO, aDir[1], , , , 0, 3.43, 1, 3.43, 0, 0, 0, 0, WP, NO, 0, 0, NO,
763, BEAM , UNILOAD, GY, NO , NO, aDir[1], , , , 0, 3.43, 1, 3.43, 0, 0, 0, 0, WP, NO, 0, 0, NO,
763, BEAM , UNILOAD, GZ, NO , NO, aDir[1], , , , 0, 7.62, 1, 7.62, 0, 0, 0, 0, WP, NO, 0, 0, NO,
764, BEAM , UNILOAD, GY, NO , NO, aDir[1], , , , 0, 3.43, 1, 3.43, 0, 0, 0, 0, WP, NO, 0, 0, NO,
764, BEAM , UNILOAD, GZ, NO , NO, aDir[1], , , , 0, 7.62, 1, 7.62, 0, 0, 0, 0, WP, NO, 0, 0, NO,
765, BEAM , UNILOAD, GZ, NO , NO, aDir[1], , , , 0, 7.62, 1, 7.62, 0, 0, 0, 0, WP, NO, 0, 0, NO,
765, BEAM , UNILOAD, GY, NO , NO, aDir[1], , , , 0, 3.43, 1, 3.43, 0, 0, 0, 0, WP, NO, 0, 0, NO,
766, BEAM , UNILOAD, GY, NO , NO, aDir[1], , , , 0, 3.43, 1, 3.43, 0, 0, 0, 0, WP, NO, 0, 0, NO,
766, BEAM , UNILOAD, GZ, NO , NO, aDir[1], , , , 0, 7.62, 1, 7.62, 0, 0, 0, 0, WP, NO, 0, 0, NO,
767, BEAM , UNILOAD, GY, NO , NO, aDir[1], , , , 0, 3.43, 1, 3.43, 0, 0, 0, 0, WP, NO, 0, 0, NO,
767, BEAM , UNILOAD, GZ, NO , NO, aDir[1], , , , 0, 7.62, 1, 7.62, 0, 0, 0, 0, WP, NO, 0, 0, NO,
768, BEAM , UNILOAD, GY, NO , NO, aDir[1], , , , 0, 3.43, 1, 3.43, 0, 0, 0, 0, WP, NO, 0, 0, NO,
768, BEAM , UNILOAD, GZ, NO , NO, aDir[1], , , , 0, 7.62, 1, 7.62, 0, 0, 0, 0, WP, NO, 0, 0, NO,
769, BEAM , UNILOAD, GZ, NO , NO, aDir[1], , , , 0, 7.62, 1, 7.62, 0, 0, 0, 0, WP, NO, 0, 0, NO,
769, BEAM , UNILOAD, GY, NO , NO, aDir[1], , , , 0, 3.43, 1, 3.43, 0, 0, 0, 0, WP, NO, 0, 0, NO,
770, BEAM , UNILOAD, GY, NO , NO, aDir[1], , , , 0, 3.43, 1, 3.43, 0, 0, 0, 0, WP, NO, 0, 0, NO,
770, BEAM , UNILOAD, GZ, NO , NO, aDir[1], , , , 0, 7.62, 1, 7.62, 0, 0, 0, 0, WP, NO, 0, 0, NO,
771, BEAM , UNILOAD, GY, NO , NO, aDir[1], , , , 0, 3.43, 1, 3.43, 0, 0, 0, 0, WP, NO, 0, 0, NO,
771, BEAM , UNILOAD, GZ, NO , NO, aDir[1], , , , 0, 7.62, 1, 7.62, 0, 0, 0, 0, WP, NO, 0, 0, NO,
772, BEAM , UNILOAD, GY, NO , NO, aDir[1], , , , 0, 3.43, 1, 3.43, 0, 0, 0, 0, WP, NO, 0, 0, NO,
772, BEAM , UNILOAD, GZ, NO , NO, aDir[1], , , , 0, 7.62, 1, 7.62, 0, 0, 0, 0, WP, NO, 0, 0, NO,
773, BEAM , UNILOAD, GY, NO , NO, aDir[1], , , , 0, 3.43, 1, 3.43, 0, 0, 0, 0, WP, NO, 0, 0, NO,
773, BEAM , UNILOAD, GZ, NO , NO, aDir[1], , , , 0, 7.62, 1, 7.62, 0, 0, 0, 0, WP, NO, 0, 0, NO,
774, BEAM , UNILOAD, GZ, NO , NO, aDir[1], , , , 0, 7.62, 1, 7.62, 0, 0, 0, 0, WP, NO, 0, 0, NO,
774, BEAM , UNILOAD, GY, NO , NO, aDir[1], , , , 0, 3.43, 1, 3.43, 0, 0, 0, 0, WP, NO, 0, 0, NO,
775, BEAM , UNILOAD, GY, NO , NO, aDir[1], , , , 0, 3.43, 1, 3.43, 0, 0, 0, 0, WP, NO, 0, 0, NO,
775, BEAM , UNILOAD, GZ, NO , NO, aDir[1], , , , 0, 7.62, 1, 7.62, 0, 0, 0, 0, WP, NO, 0, 0, NO,
776, BEAM , UNILOAD, GY, NO , NO, aDir[1], , , , 0, 3.43, 1, 3.43, 0, 0, 0, 0, WP, NO, 0, 0, NO,
776, BEAM , UNILOAD, GZ, NO , NO, aDir[1], , , , 0, 7.62, 1, 7.62, 0, 0, 0, 0, WP, NO, 0, 0, NO,
777, BEAM , UNILOAD, GY, NO , NO, aDir[1], , , , 0, 3.43, 1, 3.43, 0, 0, 0, 0, WP, NO, 0, 0, NO,

PROJECT TITLE :

MIDAS	Company		Client	
	Author		File Name	H2D_3Dg_v14_180227_StatLM.mct

777, BEAM , UNILOAD, GZ, NO , NO, aDir[1], , , , 0, 7.62, 1, 7.62, 0, 0, 0, 0, WP, NO, 0, 0, NO,
778, BEAM , UNILOAD, GY, NO , NO, aDir[1], , , , 0, 3.43, 1, 3.43, 0, 0, 0, 0, WP, NO, 0, 0, NO,
778, BEAM , UNILOAD, GZ, NO , NO, aDir[1], , , , 0, 7.62, 1, 7.62, 0, 0, 0, 0, WP, NO, 0, 0, NO,
779, BEAM , UNILOAD, GY, NO , NO, aDir[1], , , , 0, 3.43, 1, 3.43, 0, 0, 0, 0, WP, NO, 0, 0, NO,
779, BEAM , UNILOAD, GZ, NO , NO, aDir[1], , , , 0, 7.62, 1, 7.62, 0, 0, 0, 0, WP, NO, 0, 0, NO,
780, BEAM , UNILOAD, GY, NO , NO, aDir[1], , , , 0, 3.43, 1, 3.43, 0, 0, 0, 0, WP, NO, 0, 0, NO,
780, BEAM , UNILOAD, GZ, NO , NO, aDir[1], , , , 0, 7.62, 1, 7.62, 0, 0, 0, 0, WP, NO, 0, 0, NO,
781, BEAM , UNILOAD, GY, NO , NO, aDir[1], , , , 0, 3.43, 1, 3.43, 0, 0, 0, 0, WP, NO, 0, 0, NO,
781, BEAM , UNILOAD, GZ, NO , NO, aDir[1], , , , 0, 7.62, 1, 7.62, 0, 0, 0, 0, WP, NO, 0, 0, NO,
782, BEAM , UNILOAD, GZ, NO , NO, aDir[1], , , , 0, 7.62, 1, 7.62, 0, 0, 0, 0, WP, NO, 0, 0, NO,
782, BEAM , UNILOAD, GY, NO , NO, aDir[1], , , , 0, 3.43, 1, 3.43, 0, 0, 0, 0, WP, NO, 0, 0, NO,
783, BEAM , UNILOAD, GY, NO , NO, aDir[1], , , , 0, 3.43, 1, 3.43, 0, 0, 0, 0, WP, NO, 0, 0, NO,
783, BEAM , UNILOAD, GZ, NO , NO, aDir[1], , , , 0, 7.62, 1, 7.62, 0, 0, 0, 0, WP, NO, 0, 0, NO,
784, BEAM , UNILOAD, GZ, NO , NO, aDir[1], , , , 0, 7.62, 1, 7.62, 0, 0, 0, 0, WP, NO, 0, 0, NO,
784, BEAM , UNILOAD, GY, NO , NO, aDir[1], , , , 0, 3.43, 1, 3.43, 0, 0, 0, 0, WP, NO, 0, 0, NO,
785, BEAM , UNILOAD, GY, NO , NO, aDir[1], , , , 0, 3.43, 1, 3.43, 0, 0, 0, 0, WP, NO, 0, 0, NO,
785, BEAM , UNILOAD, GZ, NO , NO, aDir[1], , , , 0, 7.62, 1, 7.62, 0, 0, 0, 0, WP, NO, 0, 0, NO,
786, BEAM , UNILOAD, GZ, NO , NO, aDir[1], , , , 0, 7.62, 1, 7.62, 0, 0, 0, 0, WP, NO, 0, 0, NO,
786, BEAM , UNILOAD, GY, NO , NO, aDir[1], , , , 0, 3.43, 1, 3.43, 0, 0, 0, 0, WP, NO, 0, 0, NO,
787, BEAM , UNILOAD, GZ, NO , NO, aDir[1], , , , 0, 7.62, 1, 7.62, 0, 0, 0, 0, WP, NO, 0, 0, NO,
787, BEAM , UNILOAD, GY, NO , NO, aDir[1], , , , 0, 3.43, 1, 3.43, 0, 0, 0, 0, WP, NO, 0, 0, NO,
788, BEAM , UNILOAD, GY, NO , NO, aDir[1], , , , 0, 3.43, 1, 3.43, 0, 0, 0, 0, WP, NO, 0, 0, NO,
788, BEAM , UNILOAD, GZ, NO , NO, aDir[1], , , , 0, 7.62, 1, 7.62, 0, 0, 0, 0, WP, NO, 0, 0, NO,
789, BEAM , UNILOAD, GY, NO , NO, aDir[1], , , , 0, 3.43, 1, 3.43, 0, 0, 0, 0, WP, NO, 0, 0, NO,
789, BEAM , UNILOAD, GZ, NO , NO, aDir[1], , , , 0, 7.62, 1, 7.62, 0, 0, 0, 0, WP, NO, 0, 0, NO,
790, BEAM , UNILOAD, GZ, NO , NO, aDir[1], , , , 0, 7.62, 1, 7.62, 0, 0, 0, 0, WP, NO, 0, 0, NO,
790, BEAM , UNILOAD, GY, NO , NO, aDir[1], , , , 0, 3.43, 1, 3.43, 0, 0, 0, 0, WP, NO, 0, 0, NO,
791, BEAM , UNILOAD, GZ, NO , NO, aDir[1], , , , 0, 7.62, 1, 7.62, 0, 0, 0, 0, WP, NO, 0, 0, NO,
791, BEAM , UNILOAD, GY, NO , NO, aDir[1], , , , 0, 3.43, 1, 3.43, 0, 0, 0, 0, WP, NO, 0, 0, NO,
792, BEAM , UNILOAD, GZ, NO , NO, aDir[1], , , , 0, 7.62, 1, 7.62, 0, 0, 0, 0, WP, NO, 0, 0, NO,
792, BEAM , UNILOAD, GY, NO , NO, aDir[1], , , , 0, 3.43, 1, 3.43, 0, 0, 0, 0, WP, NO, 0, 0, NO,
793, BEAM , UNILOAD, GZ, NO , NO, aDir[1], , , , 0, 7.62, 1, 7.62, 0, 0, 0, 0, WP, NO, 0, 0, NO,
793, BEAM , UNILOAD, GY, NO , NO, aDir[1], , , , 0, 3.43, 1, 3.43, 0, 0, 0, 0, WP, NO, 0, 0, NO,
794, BEAM , UNILOAD, GZ, NO , NO, aDir[1], , , , 0, 7.62, 1, 7.62, 0, 0, 0, 0, WP, NO, 0, 0, NO,
794, BEAM , UNILOAD, GY, NO , NO, aDir[1], , , , 0, 3.43, 1, 3.43, 0, 0, 0, 0, WP, NO, 0, 0, NO,
795, BEAM , UNILOAD, GY, NO , NO, aDir[1], , , , 0, 3.43, 1, 3.43, 0, 0, 0, 0, WP, NO, 0, 0, NO,
795, BEAM , UNILOAD, GZ, NO , NO, aDir[1], , , , 0, 7.62, 1, 7.62, 0, 0, 0, 0, WP, NO, 0, 0, NO,
796, BEAM , UNILOAD, GY, NO , NO, aDir[1], , , , 0, 3.43, 1, 3.43, 0, 0, 0, 0, WP, NO, 0, 0, NO,
796, BEAM , UNILOAD, GZ, NO , NO, aDir[1], , , , 0, 7.62, 1, 7.62, 0, 0, 0, 0, WP, NO, 0, 0, NO,
797, BEAM , UNILOAD, GZ, NO , NO, aDir[1], , , , 0, 7.62, 1, 7.62, 0, 0, 0, 0, WP, NO, 0, 0, NO,
797, BEAM , UNILOAD, GY, NO , NO, aDir[1], , , , 0, 3.43, 1, 3.43, 0, 0, 0, 0, WP, NO, 0, 0, NO,
798, BEAM , UNILOAD, GZ, NO , NO, aDir[1], , , , 0, 7.62, 1, 7.62, 0, 0, 0, 0, WP, NO, 0, 0, NO,
798, BEAM , UNILOAD, GY, NO , NO, aDir[1], , , , 0, 3.43, 1, 3.43, 0, 0, 0, 0, WP, NO, 0, 0, NO,
799, BEAM , UNILOAD, GY, NO , NO, aDir[1], , , , 0, 3.43, 1, 3.43, 0, 0, 0, 0, WP, NO, 0, 0, NO,
799, BEAM , UNILOAD, GZ, NO , NO, aDir[1], , , , 0, 7.62, 1, 7.62, 0, 0, 0, 0, WP, NO, 0, 0, NO,
800, BEAM , UNILOAD, GZ, NO , NO, aDir[1], , , , 0, 7.62, 1, 7.62, 0, 0, 0, 0, WP, NO, 0, 0, NO,
800, BEAM , UNILOAD, GY, NO , NO, aDir[1], , , , 0, 3.43, 1, 3.43, 0, 0, 0, 0, WP, NO, 0, 0, NO,
801, BEAM , UNILOAD, GZ, NO , NO, aDir[1], , , , 0, 7.62, 1, 7.62, 0, 0, 0, 0, WP, NO, 0, 0, NO,
801, BEAM , UNILOAD, GY, NO , NO, aDir[1], , , , 0, 3.43, 1, 3.43, 0, 0, 0, 0, WP, NO, 0, 0, NO,
802, BEAM , UNILOAD, GY, NO , NO, aDir[1], , , , 0, 3.43, 1, 3.43, 0, 0, 0, 0, WP, NO, 0, 0, NO,
802, BEAM , UNILOAD, GZ, NO , NO, aDir[1], , , , 0, 7.62, 1, 7.62, 0, 0, 0, 0, WP, NO, 0, 0, NO,
803, BEAM , UNILOAD, GY, NO , NO, aDir[1], , , , 0, 3.43, 1, 3.43, 0, 0, 0, 0, WP, NO, 0, 0, NO,
803, BEAM , UNILOAD, GZ, NO , NO, aDir[1], , , , 0, 7.62, 1, 7.62, 0, 0, 0, 0, WP, NO, 0, 0, NO,
804, BEAM , UNILOAD, GZ, NO , NO, aDir[1], , , , 0, 7.62, 1, 7.62, 0, 0, 0, 0, WP, NO, 0, 0, NO,
804, BEAM , UNILOAD, GY, NO , NO, aDir[1], , , , 0, 3.43, 1, 3.43, 0, 0, 0, 0, WP, NO, 0, 0, NO,
805, BEAM , UNILOAD, GZ, NO , NO, aDir[1], , , , 0, 7.62, 1, 7.62, 0, 0, 0, 0, WP, NO, 0, 0, NO,
805, BEAM , UNILOAD, GY, NO , NO, aDir[1], , , , 0, 3.43, 1, 3.43, 0, 0, 0, 0, WP, NO, 0, 0, NO,
806, BEAM , UNILOAD, GY, NO , NO, aDir[1], , , , 0, 3.43, 1, 3.43, 0, 0, 0, 0, WP, NO, 0, 0, NO,
806, BEAM , UNILOAD, GZ, NO , NO, aDir[1], , , , 0, 7.62, 1, 7.62, 0, 0, 0, 0, WP, NO, 0, 0, NO,
807, BEAM , UNILOAD, GY, NO , NO, aDir[1], , , , 0, 3.43, 1, 3.43, 0, 0, 0, 0, WP, NO, 0, 0, NO,
807, BEAM , UNILOAD, GZ, NO , NO, aDir[1], , , , 0, 7.62, 1, 7.62, 0, 0, 0, 0, WP, NO, 0, 0, NO,
808, BEAM , UNILOAD, GZ, NO , NO, aDir[1], , , , 0, 7.62, 1, 7.62, 0, 0, 0, 0, WP, NO, 0, 0, NO,
808, BEAM , UNILOAD, GY, NO , NO, aDir[1], , , , 0, 3.43, 1, 3.43, 0, 0, 0, 0, WP, NO, 0, 0, NO,
809, BEAM , UNILOAD, GZ, NO , NO, aDir[1], , , , 0, 7.62, 1, 7.62, 0, 0, 0, 0, WP, NO, 0, 0, NO,
809, BEAM , UNILOAD, GY, NO , NO, aDir[1], , , , 0, 3.43, 1, 3.43, 0, 0, 0, 0, WP, NO, 0, 0, NO,
810, BEAM , UNILOAD, GY, NO , NO, aDir[1], , , , 0, 3.43, 1, 3.43, 0, 0, 0, 0, WP, NO, 0, 0, NO,
810, BEAM , UNILOAD, GZ, NO , NO, aDir[1], , , , 0, 7.62, 1, 7.62, 0, 0, 0, 0, WP, NO, 0, 0, NO,
811, BEAM , UNILOAD, GZ, NO , NO, aDir[1], , , , 0, 7.62, 1, 7.62, 0, 0, 0, 0, WP, NO, 0, 0, NO,
811, BEAM , UNILOAD, GY, NO , NO, aDir[1], , , , 0, 3.43, 1, 3.43, 0, 0, 0, 0, WP, NO, 0, 0, NO,
812, BEAM , UNILOAD, GZ, NO , NO, aDir[1], , , , 0, 7.62, 1, 7.62, 0, 0, 0, 0, WP, NO, 0, 0, NO,
812, BEAM , UNILOAD, GY, NO , NO, aDir[1], , , , 0, 3.43, 1, 3.43, 0, 0, 0, 0, WP, NO, 0, 0, NO,
813, BEAM , UNILOAD, GY, NO , NO, aDir[1], , , , 0, 3.43, 1, 3.43, 0, 0, 0, 0, WP, NO, 0, 0, NO,

PROJECT TITLE :

MIDAS	Company		Client	
	Author		File Name	H2D_3Dg_v14_180227_StatLM.mct

813, BEAM , UNILOAD, GZ, NO , NO, aDir[1], , , , 0, 7.62, 1, 7.62, 0, 0, 0, 0, WP, NO, 0, 0, NO,
814, BEAM , UNILOAD, GZ, NO , NO, aDir[1], , , , 0, 7.62, 1, 7.62, 0, 0, 0, 0, WP, NO, 0, 0, NO,
814, BEAM , UNILOAD, GY, NO , NO, aDir[1], , , , 0, 3.43, 1, 3.43, 0, 0, 0, 0, WP, NO, 0, 0, NO,
815, BEAM , UNILOAD, GY, NO , NO, aDir[1], , , , 0, 3.43, 1, 3.43, 0, 0, 0, 0, WP, NO, 0, 0, NO,
815, BEAM , UNILOAD, GZ, NO , NO, aDir[1], , , , 0, 7.62, 1, 7.62, 0, 0, 0, 0, WP, NO, 0, 0, NO,
816, BEAM , UNILOAD, GZ, NO , NO, aDir[1], , , , 0, 7.62, 1, 7.62, 0, 0, 0, 0, WP, NO, 0, 0, NO,
816, BEAM , UNILOAD, GY, NO , NO, aDir[1], , , , 0, 3.43, 1, 3.43, 0, 0, 0, 0, WP, NO, 0, 0, NO,
817, BEAM , UNILOAD, GY, NO , NO, aDir[1], , , , 0, 3.43, 1, 3.43, 0, 0, 0, 0, WP, NO, 0, 0, NO,
817, BEAM , UNILOAD, GZ, NO , NO, aDir[1], , , , 0, 7.62, 1, 7.62, 0, 0, 0, 0, WP, NO, 0, 0, NO,
818, BEAM , UNILOAD, GZ, NO , NO, aDir[1], , , , 0, 7.62, 1, 7.62, 0, 0, 0, 0, WP, NO, 0, 0, NO,
818, BEAM , UNILOAD, GY, NO , NO, aDir[1], , , , 0, 3.43, 1, 3.43, 0, 0, 0, 0, WP, NO, 0, 0, NO,
819, BEAM , UNILOAD, GY, NO , NO, aDir[1], , , , 0, 3.43, 1, 3.43, 0, 0, 0, 0, WP, NO, 0, 0, NO,
819, BEAM , UNILOAD, GZ, NO , NO, aDir[1], , , , 0, 7.62, 1, 7.62, 0, 0, 0, 0, WP, NO, 0, 0, NO,
820, BEAM , UNILOAD, GZ, NO , NO, aDir[1], , , , 0, 7.62, 1, 7.62, 0, 0, 0, 0, WP, NO, 0, 0, NO,
820, BEAM , UNILOAD, GY, NO , NO, aDir[1], , , , 0, 3.43, 1, 3.43, 0, 0, 0, 0, WP, NO, 0, 0, NO,
821, BEAM , UNILOAD, GZ, NO , NO, aDir[1], , , , 0, 7.62, 1, 7.62, 0, 0, 0, 0, WP, NO, 0, 0, NO,
821, BEAM , UNILOAD, GY, NO , NO, aDir[1], , , , 0, 3.43, 1, 3.43, 0, 0, 0, 0, WP, NO, 0, 0, NO,
822, BEAM , UNILOAD, GZ, NO , NO, aDir[1], , , , 0, 7.62, 1, 7.62, 0, 0, 0, 0, WP, NO, 0, 0, NO,
822, BEAM , UNILOAD, GY, NO , NO, aDir[1], , , , 0, 3.43, 1, 3.43, 0, 0, 0, 0, WP, NO, 0, 0, NO,
823, BEAM , UNILOAD, GZ, NO , NO, aDir[1], , , , 0, 7.62, 1, 7.62, 0, 0, 0, 0, WP, NO, 0, 0, NO,
823, BEAM , UNILOAD, GY, NO , NO, aDir[1], , , , 0, 3.43, 1, 3.43, 0, 0, 0, 0, WP, NO, 0, 0, NO,
824, BEAM , UNILOAD, GZ, NO , NO, aDir[1], , , , 0, 7.62, 1, 7.62, 0, 0, 0, 0, WP, NO, 0, 0, NO,
824, BEAM , UNILOAD, GY, NO , NO, aDir[1], , , , 0, 3.43, 1, 3.43, 0, 0, 0, 0, WP, NO, 0, 0, NO,
825, BEAM , UNILOAD, GY, NO , NO, aDir[1], , , , 0, 3.43, 1, 3.43, 0, 0, 0, 0, WP, NO, 0, 0, NO,
825, BEAM , UNILOAD, GZ, NO , NO, aDir[1], , , , 0, 7.62, 1, 7.62, 0, 0, 0, 0, WP, NO, 0, 0, NO,
826, BEAM , UNILOAD, GY, NO , NO, aDir[1], , , , 0, 3.43, 1, 3.43, 0, 0, 0, 0, WP, NO, 0, 0, NO,
826, BEAM , UNILOAD, GZ, NO , NO, aDir[1], , , , 0, 7.62, 1, 7.62, 0, 0, 0, 0, WP, NO, 0, 0, NO,
827, BEAM , UNILOAD, GZ, NO , NO, aDir[1], , , , 0, 7.62, 1, 7.62, 0, 0, 0, 0, WP, NO, 0, 0, NO,
827, BEAM , UNILOAD, GY, NO , NO, aDir[1], , , , 0, 3.43, 1, 3.43, 0, 0, 0, 0, WP, NO, 0, 0, NO,
828, BEAM , UNILOAD, GY, NO , NO, aDir[1], , , , 0, 3.43, 1, 3.43, 0, 0, 0, 0, WP, NO, 0, 0, NO,
828, BEAM , UNILOAD, GZ, NO , NO, aDir[1], , , , 0, 7.62, 1, 7.62, 0, 0, 0, 0, WP, NO, 0, 0, NO,
829, BEAM , UNILOAD, GZ, NO , NO, aDir[1], , , , 0, 7.62, 1, 7.62, 0, 0, 0, 0, WP, NO, 0, 0, NO,
829, BEAM , UNILOAD, GY, NO , NO, aDir[1], , , , 0, 3.43, 1, 3.43, 0, 0, 0, 0, WP, NO, 0, 0, NO,
830, BEAM , UNILOAD, GZ, NO , NO, aDir[1], , , , 0, 7.62, 1, 7.62, 0, 0, 0, 0, WP, NO, 0, 0, NO,
830, BEAM , UNILOAD, GY, NO , NO, aDir[1], , , , 0, 3.43, 1, 3.43, 0, 0, 0, 0, WP, NO, 0, 0, NO,
831, BEAM , UNILOAD, GY, NO , NO, aDir[1], , , , 0, 3.43, 1, 3.43, 0, 0, 0, 0, WP, NO, 0, 0, NO,
831, BEAM , UNILOAD, GZ, NO , NO, aDir[1], , , , 0, 7.62, 1, 7.62, 0, 0, 0, 0, WP, NO, 0, 0, NO,
832, BEAM , UNILOAD, GZ, NO , NO, aDir[1], , , , 0, 7.62, 1, 7.62, 0, 0, 0, 0, WP, NO, 0, 0, NO,
832, BEAM , UNILOAD, GY, NO , NO, aDir[1], , , , 0, 3.43, 1, 3.43, 0, 0, 0, 0, WP, NO, 0, 0, NO,
833, BEAM , UNILOAD, GY, NO , NO, aDir[1], , , , 0, 3.43, 1, 3.43, 0, 0, 0, 0, WP, NO, 0, 0, NO,
833, BEAM , UNILOAD, GZ, NO , NO, aDir[1], , , , 0, 7.62, 1, 7.62, 0, 0, 0, 0, WP, NO, 0, 0, NO,
834, BEAM , UNILOAD, GZ, NO , NO, aDir[1], , , , 0, 7.62, 1, 7.62, 0, 0, 0, 0, WP, NO, 0, 0, NO,
834, BEAM , UNILOAD, GY, NO , NO, aDir[1], , , , 0, 3.43, 1, 3.43, 0, 0, 0, 0, WP, NO, 0, 0, NO,
835, BEAM , UNILOAD, GZ, NO , NO, aDir[1], , , , 0, 7.62, 1, 7.62, 0, 0, 0, 0, WP, NO, 0, 0, NO,
835, BEAM , UNILOAD, GY, NO , NO, aDir[1], , , , 0, 3.43, 1, 3.43, 0, 0, 0, 0, WP, NO, 0, 0, NO,
836, BEAM , UNILOAD, GZ, NO , NO, aDir[1], , , , 0, 7.62, 1, 7.62, 0, 0, 0, 0, WP, NO, 0, 0, NO,
836, BEAM , UNILOAD, GY, NO , NO, aDir[1], , , , 0, 3.43, 1, 3.43, 0, 0, 0, 0, WP, NO, 0, 0, NO,
837, BEAM , UNILOAD, GZ, NO , NO, aDir[1], , , , 0, 7.62, 1, 7.62, 0, 0, 0, 0, WP, NO, 0, 0, NO,
837, BEAM , UNILOAD, GY, NO , NO, aDir[1], , , , 0, 3.43, 1, 3.43, 0, 0, 0, 0, WP, NO, 0, 0, NO,
838, BEAM , UNILOAD, GY, NO , NO, aDir[1], , , , 0, 3.43, 1, 3.43, 0, 0, 0, 0, WP, NO, 0, 0, NO,
838, BEAM , UNILOAD, GZ, NO , NO, aDir[1], , , , 0, 7.62, 1, 7.62, 0, 0, 0, 0, WP, NO, 0, 0, NO,
839, BEAM , UNILOAD, GY, NO , NO, aDir[1], , , , 0, 3.43, 1, 3.43, 0, 0, 0, 0, WP, NO, 0, 0, NO,
839, BEAM , UNILOAD, GZ, NO , NO, aDir[1], , , , 0, 7.62, 1, 7.62, 0, 0, 0, 0, WP, NO, 0, 0, NO,
840, BEAM , UNILOAD, GZ, NO , NO, aDir[1], , , , 0, 7.62, 1, 7.62, 0, 0, 0, 0, WP, NO, 0, 0, NO,
840, BEAM , UNILOAD, GY, NO , NO, aDir[1], , , , 0, 3.43, 1, 3.43, 0, 0, 0, 0, WP, NO, 0, 0, NO,
841, BEAM , UNILOAD, GZ, NO , NO, aDir[1], , , , 0, 7.62, 1, 7.62, 0, 0, 0, 0, WP, NO, 0, 0, NO,
841, BEAM , UNILOAD, GY, NO , NO, aDir[1], , , , 0, 3.43, 1, 3.43, 0, 0, 0, 0, WP, NO, 0, 0, NO,
842, BEAM , UNILOAD, GZ, NO , NO, aDir[1], , , , 0, 7.62, 1, 7.62, 0, 0, 0, 0, WP, NO, 0, 0, NO,
842, BEAM , UNILOAD, GY, NO , NO, aDir[1], , , , 0, 3.43, 1, 3.43, 0, 0, 0, 0, WP, NO, 0, 0, NO,
843, BEAM , UNILOAD, GZ, NO , NO, aDir[1], , , , 0, 7.62, 1, 7.62, 0, 0, 0, 0, WP, NO, 0, 0, NO,
843, BEAM , UNILOAD, GY, NO , NO, aDir[1], , , , 0, 3.43, 1, 3.43, 0, 0, 0, 0, WP, NO, 0, 0, NO,
844, BEAM , UNILOAD, GY, NO , NO, aDir[1], , , , 0, 3.43, 1, 3.43, 0, 0, 0, 0, WP, NO, 0, 0, NO,
844, BEAM , UNILOAD, GZ, NO , NO, aDir[1], , , , 0, 7.62, 1, 7.62, 0, 0, 0, 0, WP, NO, 0, 0, NO,
845, BEAM , UNILOAD, GZ, NO , NO, aDir[1], , , , 0, 7.62, 1, 7.62, 0, 0, 0, 0, WP, NO, 0, 0, NO,
845, BEAM , UNILOAD, GY, NO , NO, aDir[1], , , , 0, 3.43, 1, 3.43, 0, 0, 0, 0, WP, NO, 0, 0, NO,
846, BEAM , UNILOAD, GY, NO , NO, aDir[1], , , , 0, 3.43, 1, 3.43, 0, 0, 0, 0, WP, NO, 0, 0, NO,
846, BEAM , UNILOAD, GZ, NO , NO, aDir[1], , , , 0, 7.62, 1, 7.62, 0, 0, 0, 0, WP, NO, 0, 0, NO,
847, BEAM , UNILOAD, GY, NO , NO, aDir[1], , , , 0, 3.43, 1, 3.43, 0, 0, 0, 0, WP, NO, 0, 0, NO,
847, BEAM , UNILOAD, GZ, NO , NO, aDir[1], , , , 0, 7.62, 1, 7.62, 0, 0, 0, 0, WP, NO, 0, 0, NO,
848, BEAM , UNILOAD, GY, NO , NO, aDir[1], , , , 0, 3.43, 1, 3.43, 0, 0, 0, 0, WP, NO, 0, 0, NO,
848, BEAM , UNILOAD, GZ, NO , NO, aDir[1], , , , 0, 7.62, 1, 7.62, 0, 0, 0, 0, WP, NO, 0, 0, NO,
849, BEAM , UNILOAD, GZ, NO , NO, aDir[1], , , , 0, 7.62, 1, 7.62, 0, 0, 0, 0, WP, NO, 0, 0, NO,

PROJECT TITLE :

MIDAS	Company		Client	
	Author		File Name	H2D_3Dg_v14_180227_StatLM.mct

849, BEAM , UNILOAD, GY, NO , NO, aDir[1], , , , 0, 3.43, 1, 3.43, 0, 0, 0, 0, WP, NO, 0, 0, NO,
850, BEAM , UNILOAD, GZ, NO , NO, aDir[1], , , , 0, 7.62, 1, 7.62, 0, 0, 0, 0, WP, NO, 0, 0, NO,
850, BEAM , UNILOAD, GY, NO , NO, aDir[1], , , , 0, 3.43, 1, 3.43, 0, 0, 0, 0, WP, NO, 0, 0, NO,
851, BEAM , UNILOAD, GY, NO , NO, aDir[1], , , , 0, 3.43, 1, 3.43, 0, 0, 0, 0, WP, NO, 0, 0, NO,
851, BEAM , UNILOAD, GZ, NO , NO, aDir[1], , , , 0, 7.62, 1, 7.62, 0, 0, 0, 0, WP, NO, 0, 0, NO,
852, BEAM , UNILOAD, GZ, NO , NO, aDir[1], , , , 0, 7.62, 1, 7.62, 0, 0, 0, 0, WP, NO, 0, 0, NO,
852, BEAM , UNILOAD, GY, NO , NO, aDir[1], , , , 0, 3.43, 1, 3.43, 0, 0, 0, 0, WP, NO, 0, 0, NO,
853, BEAM , UNILOAD, GZ, NO , NO, aDir[1], , , , 0, 7.62, 1, 7.62, 0, 0, 0, 0, WP, NO, 0, 0, NO,
853, BEAM , UNILOAD, GY, NO , NO, aDir[1], , , , 0, 3.43, 1, 3.43, 0, 0, 0, 0, WP, NO, 0, 0, NO,
854, BEAM , UNILOAD, GZ, NO , NO, aDir[1], , , , 0, 7.62, 1, 7.62, 0, 0, 0, 0, WP, NO, 0, 0, NO,
854, BEAM , UNILOAD, GY, NO , NO, aDir[1], , , , 0, 3.43, 1, 3.43, 0, 0, 0, 0, WP, NO, 0, 0, NO,
855, BEAM , UNILOAD, GY, NO , NO, aDir[1], , , , 0, 3.43, 1, 3.43, 0, 0, 0, 0, WP, NO, 0, 0, NO,
855, BEAM , UNILOAD, GZ, NO , NO, aDir[1], , , , 0, 7.62, 1, 7.62, 0, 0, 0, 0, WP, NO, 0, 0, NO,
856, BEAM , UNILOAD, GZ, NO , NO, aDir[1], , , , 0, 7.62, 1, 7.62, 0, 0, 0, 0, WP, NO, 0, 0, NO,
856, BEAM , UNILOAD, GY, NO , NO, aDir[1], , , , 0, 3.43, 1, 3.43, 0, 0, 0, 0, WP, NO, 0, 0, NO,
857, BEAM , UNILOAD, GZ, NO , NO, aDir[1], , , , 0, 7.62, 1, 7.62, 0, 0, 0, 0, WP, NO, 0, 0, NO,
857, BEAM , UNILOAD, GY, NO , NO, aDir[1], , , , 0, 3.43, 1, 3.43, 0, 0, 0, 0, WP, NO, 0, 0, NO,
858, BEAM , UNILOAD, GY, NO , NO, aDir[1], , , , 0, 3.43, 1, 3.43, 0, 0, 0, 0, WP, NO, 0, 0, NO,
858, BEAM , UNILOAD, GZ, NO , NO, aDir[1], , , , 0, 7.62, 1, 7.62, 0, 0, 0, 0, WP, NO, 0, 0, NO,
859, BEAM , UNILOAD, GY, NO , NO, aDir[1], , , , 0, 3.43, 1, 3.43, 0, 0, 0, 0, WP, NO, 0, 0, NO,
859, BEAM , UNILOAD, GZ, NO , NO, aDir[1], , , , 0, 7.62, 1, 7.62, 0, 0, 0, 0, WP, NO, 0, 0, NO,
860, BEAM , UNILOAD, GZ, NO , NO, aDir[1], , , , 0, 7.62, 1, 7.62, 0, 0, 0, 0, WP, NO, 0, 0, NO,
860, BEAM , UNILOAD, GY, NO , NO, aDir[1], , , , 0, 3.43, 1, 3.43, 0, 0, 0, 0, WP, NO, 0, 0, NO,
861, BEAM , UNILOAD, GZ, NO , NO, aDir[1], , , , 0, 7.62, 1, 7.62, 0, 0, 0, 0, WP, NO, 0, 0, NO,
861, BEAM , UNILOAD, GY, NO , NO, aDir[1], , , , 0, 3.43, 1, 3.43, 0, 0, 0, 0, WP, NO, 0, 0, NO,
862, BEAM , UNILOAD, GZ, NO , NO, aDir[1], , , , 0, 7.62, 1, 7.62, 0, 0, 0, 0, WP, NO, 0, 0, NO,
862, BEAM , UNILOAD, GY, NO , NO, aDir[1], , , , 0, 3.43, 1, 3.43, 0, 0, 0, 0, WP, NO, 0, 0, NO,
863, BEAM , UNILOAD, GZ, NO , NO, aDir[1], , , , 0, 7.62, 1, 7.62, 0, 0, 0, 0, WP, NO, 0, 0, NO,
863, BEAM , UNILOAD, GY, NO , NO, aDir[1], , , , 0, 3.43, 1, 3.43, 0, 0, 0, 0, WP, NO, 0, 0, NO,
864, BEAM , UNILOAD, GY, NO , NO, aDir[1], , , , 0, 3.43, 1, 3.43, 0, 0, 0, 0, WP, NO, 0, 0, NO,
864, BEAM , UNILOAD, GZ, NO , NO, aDir[1], , , , 0, 7.62, 1, 7.62, 0, 0, 0, 0, WP, NO, 0, 0, NO,
865, BEAM , UNILOAD, GZ, NO , NO, aDir[1], , , , 0, 7.62, 1, 7.62, 0, 0, 0, 0, WP, NO, 0, 0, NO,
865, BEAM , UNILOAD, GY, NO , NO, aDir[1], , , , 0, 3.43, 1, 3.43, 0, 0, 0, 0, WP, NO, 0, 0, NO,
866, BEAM , UNILOAD, GY, NO , NO, aDir[1], , , , 0, 3.43, 1, 3.43, 0, 0, 0, 0, WP, NO, 0, 0, NO,
866, BEAM , UNILOAD, GZ, NO , NO, aDir[1], , , , 0, 7.62, 1, 7.62, 0, 0, 0, 0, WP, NO, 0, 0, NO,
867, BEAM , UNILOAD, GY, NO , NO, aDir[1], , , , 0, 3.43, 1, 3.43, 0, 0, 0, 0, WP, NO, 0, 0, NO,
867, BEAM , UNILOAD, GZ, NO , NO, aDir[1], , , , 0, 7.62, 1, 7.62, 0, 0, 0, 0, WP, NO, 0, 0, NO,
868, BEAM , UNILOAD, GY, NO , NO, aDir[1], , , , 0, 3.43, 1, 3.43, 0, 0, 0, 0, WP, NO, 0, 0, NO,
868, BEAM , UNILOAD, GZ, NO , NO, aDir[1], , , , 0, 7.62, 1, 7.62, 0, 0, 0, 0, WP, NO, 0, 0, NO,
869, BEAM , UNILOAD, GZ, NO , NO, aDir[1], , , , 0, 7.62, 1, 7.62, 0, 0, 0, 0, WP, NO, 0, 0, NO,
869, BEAM , UNILOAD, GY, NO , NO, aDir[1], , , , 0, 3.43, 1, 3.43, 0, 0, 0, 0, WP, NO, 0, 0, NO,
870, BEAM , UNILOAD, GY, NO , NO, aDir[1], , , , 0, 3.43, 1, 3.43, 0, 0, 0, 0, WP, NO, 0, 0, NO,
870, BEAM , UNILOAD, GZ, NO , NO, aDir[1], , , , 0, 7.62, 1, 7.62, 0, 0, 0, 0, WP, NO, 0, 0, NO,
871, BEAM , UNILOAD, GY, NO , NO, aDir[1], , , , 0, 3.43, 1, 3.43, 0, 0, 0, 0, WP, NO, 0, 0, NO,
871, BEAM , UNILOAD, GZ, NO , NO, aDir[1], , , , 0, 7.62, 1, 7.62, 0, 0, 0, 0, WP, NO, 0, 0, NO,
872, BEAM , UNILOAD, GZ, NO , NO, aDir[1], , , , 0, 7.62, 1, 7.62, 0, 0, 0, 0, WP, NO, 0, 0, NO,
872, BEAM , UNILOAD, GY, NO , NO, aDir[1], , , , 0, 3.43, 1, 3.43, 0, 0, 0, 0, WP, NO, 0, 0, NO,
873, BEAM , UNILOAD, GY, NO , NO, aDir[1], , , , 0, 3.43, 1, 3.43, 0, 0, 0, 0, WP, NO, 0, 0, NO,
873, BEAM , UNILOAD, GZ, NO , NO, aDir[1], , , , 0, 7.62, 1, 7.62, 0, 0, 0, 0, WP, NO, 0, 0, NO,
874, BEAM , UNILOAD, GY, NO , NO, aDir[1], , , , 0, 3.43, 1, 3.43, 0, 0, 0, 0, WP, NO, 0, 0, NO,
874, BEAM , UNILOAD, GZ, NO , NO, aDir[1], , , , 0, 7.62, 1, 7.62, 0, 0, 0, 0, WP, NO, 0, 0, NO,
875, BEAM , UNILOAD, GZ, NO , NO, aDir[1], , , , 0, 7.62, 1, 7.62, 0, 0, 0, 0, WP, NO, 0, 0, NO,
875, BEAM , UNILOAD, GY, NO , NO, aDir[1], , , , 0, 3.43, 1, 3.43, 0, 0, 0, 0, WP, NO, 0, 0, NO,
876, BEAM , UNILOAD, GY, NO , NO, aDir[1], , , , 0, 3.43, 1, 3.43, 0, 0, 0, 0, WP, NO, 0, 0, NO,
876, BEAM , UNILOAD, GZ, NO , NO, aDir[1], , , , 0, 7.62, 1, 7.62, 0, 0, 0, 0, WP, NO, 0, 0, NO,
877, BEAM , UNILOAD, GZ, NO , NO, aDir[1], , , , 0, 7.62, 1, 7.62, 0, 0, 0, 0, WP, NO, 0, 0, NO,
877, BEAM , UNILOAD, GY, NO , NO, aDir[1], , , , 0, 3.43, 1, 3.43, 0, 0, 0, 0, WP, NO, 0, 0, NO,
878, BEAM , UNILOAD, GY, NO , NO, aDir[1], , , , 0, 3.43, 1, 3.43, 0, 0, 0, 0, WP, NO, 0, 0, NO,
878, BEAM , UNILOAD, GZ, NO , NO, aDir[1], , , , 0, 7.62, 1, 7.62, 0, 0, 0, 0, WP, NO, 0, 0, NO,
879, BEAM , UNILOAD, GZ, NO , NO, aDir[1], , , , 0, 7.62, 1, 7.62, 0, 0, 0, 0, WP, NO, 0, 0, NO,
879, BEAM , UNILOAD, GY, NO , NO, aDir[1], , , , 0, 3.43, 1, 3.43, 0, 0, 0, 0, WP, NO, 0, 0, NO,
880, BEAM , UNILOAD, GY, NO , NO, aDir[1], , , , 0, 3.43, 1, 3.43, 0, 0, 0, 0, WP, NO, 0, 0, NO,
880, BEAM , UNILOAD, GZ, NO , NO, aDir[1], , , , 0, 7.62, 1, 7.62, 0, 0, 0, 0, WP, NO, 0, 0, NO,
881, BEAM , UNILOAD, GZ, NO , NO, aDir[1], , , , 0, 7.62, 1, 7.62, 0, 0, 0, 0, WP, NO, 0, 0, NO,
881, BEAM , UNILOAD, GY, NO , NO, aDir[1], , , , 0, 3.43, 1, 3.43, 0, 0, 0, 0, WP, NO, 0, 0, NO,
882, BEAM , UNILOAD, GY, NO , NO, aDir[1], , , , 0, 3.43, 1, 3.43, 0, 0, 0, 0, WP, NO, 0, 0, NO,
882, BEAM , UNILOAD, GZ, NO , NO, aDir[1], , , , 0, 7.62, 1, 7.62, 0, 0, 0, 0, WP, NO, 0, 0, NO,
883, BEAM , UNILOAD, GZ, NO , NO, aDir[1], , , , 0, 7.62, 1, 7.62, 0, 0, 0, 0, WP, NO, 0, 0, NO,
883, BEAM , UNILOAD, GY, NO , NO, aDir[1], , , , 0, 3.43, 1, 3.43, 0, 0, 0, 0, WP, NO, 0, 0, NO,
884, BEAM , UNILOAD, GY, NO , NO, aDir[1], , , , 0, 3.43, 1, 3.43, 0, 0, 0, 0, WP, NO, 0, 0, NO,
884, BEAM , UNILOAD, GZ, NO , NO, aDir[1], , , , 0, 7.62, 1, 7.62, 0, 0, 0, 0, WP, NO, 0, 0, NO,
885, BEAM , UNILOAD, GY, NO , NO, aDir[1], , , , 0, 3.43, 1, 3.43, 0, 0, 0, 0, WP, NO, 0, 0, NO,

PROJECT TITLE :

MIDAS	Company		Client	
	Author		File Name	H2D_3Dg_v14_180227_StatLM.mct

885, BEAM , UNILOAD, GZ, NO , NO, aDir[1], , , , 0, 7.62, 1, 7.62, 0, 0, 0, 0, WP, NO, 0, 0, NO,
886, BEAM , UNILOAD, GY, NO , NO, aDir[1], , , , 0, 3.43, 1, 3.43, 0, 0, 0, 0, WP, NO, 0, 0, NO,
886, BEAM , UNILOAD, GZ, NO , NO, aDir[1], , , , 0, 7.62, 1, 7.62, 0, 0, 0, 0, WP, NO, 0, 0, NO,
887, BEAM , UNILOAD, GY, NO , NO, aDir[1], , , , 0, 3.43, 1, 3.43, 0, 0, 0, 0, WP, NO, 0, 0, NO,
887, BEAM , UNILOAD, GZ, NO , NO, aDir[1], , , , 0, -7.62, 1, -7.62, 0, 0, 0, 0, WP, NO, 0, 0, NO,
888, BEAM , UNILOAD, GZ, NO , NO, aDir[1], , , , 0, -7.62, 1, -7.62, 0, 0, 0, 0, WP, NO, 0, 0, NO,
888, BEAM , UNILOAD, GY, NO , NO, aDir[1], , , , 0, 3.43, 1, 3.43, 0, 0, 0, 0, WP, NO, 0, 0, NO,
889, BEAM , UNILOAD, GY, NO , NO, aDir[1], , , , 0, 3.43, 1, 3.43, 0, 0, 0, 0, WP, NO, 0, 0, NO,
889, BEAM , UNILOAD, GZ, NO , NO, aDir[1], , , , 0, -7.62, 1, -7.62, 0, 0, 0, 0, WP, NO, 0, 0, NO,
890, BEAM , UNILOAD, GY, NO , NO, aDir[1], , , , 0, 3.43, 1, 3.43, 0, 0, 0, 0, WP, NO, 0, 0, NO,
890, BEAM , UNILOAD, GZ, NO , NO, aDir[1], , , , 0, -7.62, 1, -7.62, 0, 0, 0, 0, WP, NO, 0, 0, NO,
891, BEAM , UNILOAD, GY, NO , NO, aDir[1], , , , 0, 3.43, 1, 3.43, 0, 0, 0, 0, WP, NO, 0, 0, NO,
891, BEAM , UNILOAD, GZ, NO , NO, aDir[1], , , , 0, -7.62, 1, -7.62, 0, 0, 0, 0, WP, NO, 0, 0, NO,
892, BEAM , UNILOAD, GZ, NO , NO, aDir[1], , , , 0, -7.62, 1, -7.62, 0, 0, 0, 0, WP, NO, 0, 0, NO,
892, BEAM , UNILOAD, GY, NO , NO, aDir[1], , , , 0, 3.43, 1, 3.43, 0, 0, 0, 0, WP, NO, 0, 0, NO,
893, BEAM , UNILOAD, GZ, NO , NO, aDir[1], , , , 0, -7.62, 1, -7.62, 0, 0, 0, 0, WP, NO, 0, 0, NO,
893, BEAM , UNILOAD, GY, NO , NO, aDir[1], , , , 0, 3.43, 1, 3.43, 0, 0, 0, 0, WP, NO, 0, 0, NO,
894, BEAM , UNILOAD, GZ, NO , NO, aDir[1], , , , 0, -7.62, 1, -7.62, 0, 0, 0, 0, WP, NO, 0, 0, NO,
894, BEAM , UNILOAD, GY, NO , NO, aDir[1], , , , 0, 3.43, 1, 3.43, 0, 0, 0, 0, WP, NO, 0, 0, NO,
895, BEAM , UNILOAD, GZ, NO , NO, aDir[1], , , , 0, -7.62, 1, -7.62, 0, 0, 0, 0, WP, NO, 0, 0, NO,
895, BEAM , UNILOAD, GY, NO , NO, aDir[1], , , , 0, 3.43, 1, 3.43, 0, 0, 0, 0, WP, NO, 0, 0, NO,
896, BEAM , UNILOAD, GZ, NO , NO, aDir[1], , , , 0, -7.62, 1, -7.62, 0, 0, 0, 0, WP, NO, 0, 0, NO,
896, BEAM , UNILOAD, GY, NO , NO, aDir[1], , , , 0, 3.43, 1, 3.43, 0, 0, 0, 0, WP, NO, 0, 0, NO,
897, BEAM , UNILOAD, GY, NO , NO, aDir[1], , , , 0, 3.43, 1, 3.43, 0, 0, 0, 0, WP, NO, 0, 0, NO,
897, BEAM , UNILOAD, GZ, NO , NO, aDir[1], , , , 0, -7.62, 1, -7.62, 0, 0, 0, 0, WP, NO, 0, 0, NO,
898, BEAM , UNILOAD, GY, NO , NO, aDir[1], , , , 0, 3.43, 1, 3.43, 0, 0, 0, 0, WP, NO, 0, 0, NO,
898, BEAM , UNILOAD, GZ, NO , NO, aDir[1], , , , 0, -7.62, 1, -7.62, 0, 0, 0, 0, WP, NO, 0, 0, NO,
899, BEAM , UNILOAD, GZ, NO , NO, aDir[1], , , , 0, -7.62, 1, -7.62, 0, 0, 0, 0, WP, NO, 0, 0, NO,
899, BEAM , UNILOAD, GY, NO , NO, aDir[1], , , , 0, 3.43, 1, 3.43, 0, 0, 0, 0, WP, NO, 0, 0, NO,
900, BEAM , UNILOAD, GY, NO , NO, aDir[1], , , , 0, 3.43, 1, 3.43, 0, 0, 0, 0, WP, NO, 0, 0, NO,
900, BEAM , UNILOAD, GZ, NO , NO, aDir[1], , , , 0, -7.62, 1, -7.62, 0, 0, 0, 0, WP, NO, 0, 0, NO,
901, BEAM , UNILOAD, GZ, NO , NO, aDir[1], , , , 0, -7.62, 1, -7.62, 0, 0, 0, 0, WP, NO, 0, 0, NO,
901, BEAM , UNILOAD, GY, NO , NO, aDir[1], , , , 0, 3.43, 1, 3.43, 0, 0, 0, 0, WP, NO, 0, 0, NO,
902, BEAM , UNILOAD, GY, NO , NO, aDir[1], , , , 0, 3.43, 1, 3.43, 0, 0, 0, 0, WP, NO, 0, 0, NO,
902, BEAM , UNILOAD, GZ, NO , NO, aDir[1], , , , 0, -7.62, 1, -7.62, 0, 0, 0, 0, WP, NO, 0, 0, NO,
903, BEAM , UNILOAD, GZ, NO , NO, aDir[1], , , , 0, -7.62, 1, -7.62, 0, 0, 0, 0, WP, NO, 0, 0, NO,
903, BEAM , UNILOAD, GY, NO , NO, aDir[1], , , , 0, 3.43, 1, 3.43, 0, 0, 0, 0, WP, NO, 0, 0, NO,
904, BEAM , UNILOAD, GY, NO , NO, aDir[1], , , , 0, 3.43, 1, 3.43, 0, 0, 0, 0, WP, NO, 0, 0, NO,
904, BEAM , UNILOAD, GZ, NO , NO, aDir[1], , , , 0, -7.62, 1, -7.62, 0, 0, 0, 0, WP, NO, 0, 0, NO,
905, BEAM , UNILOAD, GY, NO , NO, aDir[1], , , , 0, 3.43, 1, 3.43, 0, 0, 0, 0, WP, NO, 0, 0, NO,
905, BEAM , UNILOAD, GZ, NO , NO, aDir[1], , , , 0, -7.62, 1, -7.62, 0, 0, 0, 0, WP, NO, 0, 0, NO,
906, BEAM , UNILOAD, GY, NO , NO, aDir[1], , , , 0, 3.43, 1, 3.43, 0, 0, 0, 0, WP, NO, 0, 0, NO,
906, BEAM , UNILOAD, GZ, NO , NO, aDir[1], , , , 0, -7.62, 1, -7.62, 0, 0, 0, 0, WP, NO, 0, 0, NO,
907, BEAM , UNILOAD, GZ, NO , NO, aDir[1], , , , 0, -7.62, 1, -7.62, 0, 0, 0, 0, WP, NO, 0, 0, NO,
907, BEAM , UNILOAD, GY, NO , NO, aDir[1], , , , 0, 3.43, 1, 3.43, 0, 0, 0, 0, WP, NO, 0, 0, NO,
908, BEAM , UNILOAD, GY, NO , NO, aDir[1], , , , 0, 3.43, 1, 3.43, 0, 0, 0, 0, WP, NO, 0, 0, NO,
908, BEAM , UNILOAD, GZ, NO , NO, aDir[1], , , , 0, -7.62, 1, -7.62, 0, 0, 0, 0, WP, NO, 0, 0, NO,
909, BEAM , UNILOAD, GZ, NO , NO, aDir[1], , , , 0, -7.62, 1, -7.62, 0, 0, 0, 0, WP, NO, 0, 0, NO,
909, BEAM , UNILOAD, GY, NO , NO, aDir[1], , , , 0, 3.43, 1, 3.43, 0, 0, 0, 0, WP, NO, 0, 0, NO,
910, BEAM , UNILOAD, GY, NO , NO, aDir[1], , , , 0, 3.43, 1, 3.43, 0, 0, 0, 0, WP, NO, 0, 0, NO,
910, BEAM , UNILOAD, GZ, NO , NO, aDir[1], , , , 0, -7.62, 1, -7.62, 0, 0, 0, 0, WP, NO, 0, 0, NO,
911, BEAM , UNILOAD, GY, NO , NO, aDir[1], , , , 0, 3.43, 1, 3.43, 0, 0, 0, 0, WP, NO, 0, 0, NO,
911, BEAM , UNILOAD, GZ, NO , NO, aDir[1], , , , 0, -7.62, 1, -7.62, 0, 0, 0, 0, WP, NO, 0, 0, NO,
912, BEAM , UNILOAD, GY, NO , NO, aDir[1], , , , 0, 3.43, 1, 3.43, 0, 0, 0, 0, WP, NO, 0, 0, NO,
912, BEAM , UNILOAD, GZ, NO , NO, aDir[1], , , , 0, -7.62, 1, -7.62, 0, 0, 0, 0, WP, NO, 0, 0, NO,
913, BEAM , UNILOAD, GZ, NO , NO, aDir[1], , , , 0, -7.62, 1, -7.62, 0, 0, 0, 0, WP, NO, 0, 0, NO,
913, BEAM , UNILOAD, GY, NO , NO, aDir[1], , , , 0, 3.43, 1, 3.43, 0, 0, 0, 0, WP, NO, 0, 0, NO,
914, BEAM , UNILOAD, GZ, NO , NO, aDir[1], , , , 0, -7.62, 1, -7.62, 0, 0, 0, 0, WP, NO, 0, 0, NO,
914, BEAM , UNILOAD, GY, NO , NO, aDir[1], , , , 0, 3.43, 1, 3.43, 0, 0, 0, 0, WP, NO, 0, 0, NO,
915, BEAM , UNILOAD, GZ, NO , NO, aDir[1], , , , 0, -7.62, 1, -7.62, 0, 0, 0, 0, WP, NO, 0, 0, NO,
915, BEAM , UNILOAD, GY, NO , NO, aDir[1], , , , 0, 3.43, 1, 3.43, 0, 0, 0, 0, WP, NO, 0, 0, NO,
916, BEAM , UNILOAD, GY, NO , NO, aDir[1], , , , 0, 3.43, 1, 3.43, 0, 0, 0, 0, WP, NO, 0, 0, NO,
916, BEAM , UNILOAD, GZ, NO , NO, aDir[1], , , , 0, -7.62, 1, -7.62, 0, 0, 0, 0, WP, NO, 0, 0, NO,
917, BEAM , UNILOAD, GY, NO , NO, aDir[1], , , , 0, 3.43, 1, 3.43, 0, 0, 0, 0, WP, NO, 0, 0, NO,
917, BEAM , UNILOAD, GZ, NO , NO, aDir[1], , , , 0, -7.62, 1, -7.62, 0, 0, 0, 0, WP, NO, 0, 0, NO,
918, BEAM , UNILOAD, GZ, NO , NO, aDir[1], , , , 0, -7.62, 1, -7.62, 0, 0, 0, 0, WP, NO, 0, 0, NO,
918, BEAM , UNILOAD, GY, NO , NO, aDir[1], , , , 0, 3.43, 1, 3.43, 0, 0, 0, 0, WP, NO, 0, 0, NO,
919, BEAM , UNILOAD, GY, NO , NO, aDir[1], , , , 0, 3.43, 1, 3.43, 0, 0, 0, 0, WP, NO, 0, 0, NO,
919, BEAM , UNILOAD, GZ, NO , NO, aDir[1], , , , 0, -7.62, 1, -7.62, 0, 0, 0, 0, WP, NO, 0, 0, NO,
920, BEAM , UNILOAD, GZ, NO , NO, aDir[1], , , , 0, -7.62, 1, -7.62, 0, 0, 0, 0, WP, NO, 0, 0, NO,
920, BEAM , UNILOAD, GY, NO , NO, aDir[1], , , , 0, 3.43, 1, 3.43, 0, 0, 0, 0, WP, NO, 0, 0, NO,
921, BEAM , UNILOAD, GZ, NO , NO, aDir[1], , , , 0, -7.62, 1, -7.62, 0, 0, 0, 0, WP, NO, 0, 0, NO,

PROJECT TITLE :

MIDAS	Company		Client	
	Author		File Name	H2D_3Dg_v14_180227_StatLM.mct

921, BEAM , UNILOAD, GY, NO , NO, aDir[1], , , , 0, 3.43, 1, 3.43, 0, 0, 0, 0, WP, NO, 0, 0, NO,
922, BEAM , UNILOAD, GZ, NO , NO, aDir[1], , , , 0, -7.62, 1, -7.62, 0, 0, 0, 0, WP, NO, 0, 0, NO,
922, BEAM , UNILOAD, GY, NO , NO, aDir[1], , , , 0, 3.43, 1, 3.43, 0, 0, 0, 0, WP, NO, 0, 0, NO,
923, BEAM , UNILOAD, GZ, NO , NO, aDir[1], , , , 0, -7.62, 1, -7.62, 0, 0, 0, 0, WP, NO, 0, 0, NO,
923, BEAM , UNILOAD, GY, NO , NO, aDir[1], , , , 0, 3.43, 1, 3.43, 0, 0, 0, 0, WP, NO, 0, 0, NO,
924, BEAM , UNILOAD, GY, NO , NO, aDir[1], , , , 0, 3.43, 1, 3.43, 0, 0, 0, 0, WP, NO, 0, 0, NO,
924, BEAM , UNILOAD, GZ, NO , NO, aDir[1], , , , 0, -7.62, 1, -7.62, 0, 0, 0, 0, WP, NO, 0, 0, NO,
925, BEAM , UNILOAD, GZ, NO , NO, aDir[1], , , , 0, -7.62, 1, -7.62, 0, 0, 0, 0, WP, NO, 0, 0, NO,
925, BEAM , UNILOAD, GY, NO , NO, aDir[1], , , , 0, 3.43, 1, 3.43, 0, 0, 0, 0, WP, NO, 0, 0, NO,
926, BEAM , UNILOAD, GZ, NO , NO, aDir[1], , , , 0, -7.62, 1, -7.62, 0, 0, 0, 0, WP, NO, 0, 0, NO,
926, BEAM , UNILOAD, GY, NO , NO, aDir[1], , , , 0, 3.43, 1, 3.43, 0, 0, 0, 0, WP, NO, 0, 0, NO,
927, BEAM , UNILOAD, GZ, NO , NO, aDir[1], , , , 0, -7.62, 1, -7.62, 0, 0, 0, 0, WP, NO, 0, 0, NO,
927, BEAM , UNILOAD, GY, NO , NO, aDir[1], , , , 0, 3.43, 1, 3.43, 0, 0, 0, 0, WP, NO, 0, 0, NO,
928, BEAM , UNILOAD, GZ, NO , NO, aDir[1], , , , 0, -7.62, 1, -7.62, 0, 0, 0, 0, WP, NO, 0, 0, NO,
928, BEAM , UNILOAD, GY, NO , NO, aDir[1], , , , 0, 3.43, 1, 3.43, 0, 0, 0, 0, WP, NO, 0, 0, NO,
929, BEAM , UNILOAD, GY, NO , NO, aDir[1], , , , 0, 3.43, 1, 3.43, 0, 0, 0, 0, WP, NO, 0, 0, NO,
929, BEAM , UNILOAD, GZ, NO , NO, aDir[1], , , , 0, -7.62, 1, -7.62, 0, 0, 0, 0, WP, NO, 0, 0, NO,
930, BEAM , UNILOAD, GZ, NO , NO, aDir[1], , , , 0, -7.62, 1, -7.62, 0, 0, 0, 0, WP, NO, 0, 0, NO,
930, BEAM , UNILOAD, GY, NO , NO, aDir[1], , , , 0, 3.43, 1, 3.43, 0, 0, 0, 0, WP, NO, 0, 0, NO,
931, BEAM , UNILOAD, GY, NO , NO, aDir[1], , , , 0, 3.43, 1, 3.43, 0, 0, 0, 0, WP, NO, 0, 0, NO,
931, BEAM , UNILOAD, GZ, NO , NO, aDir[1], , , , 0, -7.62, 1, -7.62, 0, 0, 0, 0, WP, NO, 0, 0, NO,
932, BEAM , UNILOAD, GY, NO , NO, aDir[1], , , , 0, 3.43, 1, 3.43, 0, 0, 0, 0, WP, NO, 0, 0, NO,
932, BEAM , UNILOAD, GZ, NO , NO, aDir[1], , , , 0, -7.62, 1, -7.62, 0, 0, 0, 0, WP, NO, 0, 0, NO,
933, BEAM , UNILOAD, GY, NO , NO, aDir[1], , , , 0, 3.43, 1, 3.43, 0, 0, 0, 0, WP, NO, 0, 0, NO,
933, BEAM , UNILOAD, GZ, NO , NO, aDir[1], , , , 0, -7.62, 1, -7.62, 0, 0, 0, 0, WP, NO, 0, 0, NO,
934, BEAM , UNILOAD, GZ, NO , NO, aDir[1], , , , 0, -7.62, 1, -7.62, 0, 0, 0, 0, WP, NO, 0, 0, NO,
934, BEAM , UNILOAD, GY, NO , NO, aDir[1], , , , 0, 3.43, 1, 3.43, 0, 0, 0, 0, WP, NO, 0, 0, NO,
935, BEAM , UNILOAD, GZ, NO , NO, aDir[1], , , , 0, -7.62, 1, -7.62, 0, 0, 0, 0, WP, NO, 0, 0, NO,
935, BEAM , UNILOAD, GY, NO , NO, aDir[1], , , , 0, 3.43, 1, 3.43, 0, 0, 0, 0, WP, NO, 0, 0, NO,
936, BEAM , UNILOAD, GY, NO , NO, aDir[1], , , , 0, 3.43, 1, 3.43, 0, 0, 0, 0, WP, NO, 0, 0, NO,
936, BEAM , UNILOAD, GZ, NO , NO, aDir[1], , , , 0, -7.62, 1, -7.62, 0, 0, 0, 0, WP, NO, 0, 0, NO,
937, BEAM , UNILOAD, GY, NO , NO, aDir[1], , , , 0, 3.43, 1, 3.43, 0, 0, 0, 0, WP, NO, 0, 0, NO,
937, BEAM , UNILOAD, GZ, NO , NO, aDir[1], , , , 0, -7.62, 1, -7.62, 0, 0, 0, 0, WP, NO, 0, 0, NO,
938, BEAM , UNILOAD, GZ, NO , NO, aDir[1], , , , 0, -7.62, 1, -7.62, 0, 0, 0, 0, WP, NO, 0, 0, NO,
938, BEAM , UNILOAD, GY, NO , NO, aDir[1], , , , 0, 3.43, 1, 3.43, 0, 0, 0, 0, WP, NO, 0, 0, NO,
939, BEAM , UNILOAD, GZ, NO , NO, aDir[1], , , , 0, -7.62, 1, -7.62, 0, 0, 0, 0, WP, NO, 0, 0, NO,
939, BEAM , UNILOAD, GY, NO , NO, aDir[1], , , , 0, 3.43, 1, 3.43, 0, 0, 0, 0, WP, NO, 0, 0, NO,
940, BEAM , UNILOAD, GY, NO , NO, aDir[1], , , , 0, 3.43, 1, 3.43, 0, 0, 0, 0, WP, NO, 0, 0, NO,
940, BEAM , UNILOAD, GZ, NO , NO, aDir[1], , , , 0, -7.62, 1, -7.62, 0, 0, 0, 0, WP, NO, 0, 0, NO,
941, BEAM , UNILOAD, GZ, NO , NO, aDir[1], , , , 0, -7.62, 1, -7.62, 0, 0, 0, 0, WP, NO, 0, 0, NO,
941, BEAM , UNILOAD, GY, NO , NO, aDir[1], , , , 0, 3.43, 1, 3.43, 0, 0, 0, 0, WP, NO, 0, 0, NO,
942, BEAM , UNILOAD, GY, NO , NO, aDir[1], , , , 0, 3.43, 1, 3.43, 0, 0, 0, 0, WP, NO, 0, 0, NO,
942, BEAM , UNILOAD, GZ, NO , NO, aDir[1], , , , 0, -7.62, 1, -7.62, 0, 0, 0, 0, WP, NO, 0, 0, NO,
943, BEAM , UNILOAD, GY, NO , NO, aDir[1], , , , 0, 3.43, 1, 3.43, 0, 0, 0, 0, WP, NO, 0, 0, NO,
943, BEAM , UNILOAD, GZ, NO , NO, aDir[1], , , , 0, -7.62, 1, -7.62, 0, 0, 0, 0, WP, NO, 0, 0, NO,
944, BEAM , UNILOAD, GY, NO , NO, aDir[1], , , , 0, 3.43, 1, 3.43, 0, 0, 0, 0, WP, NO, 0, 0, NO,
944, BEAM , UNILOAD, GZ, NO , NO, aDir[1], , , , 0, -7.62, 1, -7.62, 0, 0, 0, 0, WP, NO, 0, 0, NO,
945, BEAM , UNILOAD, GZ, NO , NO, aDir[1], , , , 0, -7.62, 1, -7.62, 0, 0, 0, 0, WP, NO, 0, 0, NO,
945, BEAM , UNILOAD, GY, NO , NO, aDir[1], , , , 0, 3.43, 1, 3.43, 0, 0, 0, 0, WP, NO, 0, 0, NO,
946, BEAM , UNILOAD, GZ, NO , NO, aDir[1], , , , 0, -7.62, 1, -7.62, 0, 0, 0, 0, WP, NO, 0, 0, NO,
946, BEAM , UNILOAD, GY, NO , NO, aDir[1], , , , 0, 3.43, 1, 3.43, 0, 0, 0, 0, WP, NO, 0, 0, NO,
947, BEAM , UNILOAD, GY, NO , NO, aDir[1], , , , 0, 3.43, 1, 3.43, 0, 0, 0, 0, WP, NO, 0, 0, NO,
947, BEAM , UNILOAD, GZ, NO , NO, aDir[1], , , , 0, -7.62, 1, -7.62, 0, 0, 0, 0, WP, NO, 0, 0, NO,
948, BEAM , UNILOAD, GZ, NO , NO, aDir[1], , , , 0, -7.62, 1, -7.62, 0, 0, 0, 0, WP, NO, 0, 0, NO,
948, BEAM , UNILOAD, GY, NO , NO, aDir[1], , , , 0, 3.43, 1, 3.43, 0, 0, 0, 0, WP, NO, 0, 0, NO,
949, BEAM , UNILOAD, GZ, NO , NO, aDir[1], , , , 0, -7.62, 1, -7.62, 0, 0, 0, 0, WP, NO, 0, 0, NO,
949, BEAM , UNILOAD, GY, NO , NO, aDir[1], , , , 0, 3.43, 1, 3.43, 0, 0, 0, 0, WP, NO, 0, 0, NO,
950, BEAM , UNILOAD, GZ, NO , NO, aDir[1], , , , 0, -7.62, 1, -7.62, 0, 0, 0, 0, WP, NO, 0, 0, NO,
950, BEAM , UNILOAD, GY, NO , NO, aDir[1], , , , 0, 3.43, 1, 3.43, 0, 0, 0, 0, WP, NO, 0, 0, NO,
951, BEAM , UNILOAD, GY, NO , NO, aDir[1], , , , 0, 3.43, 1, 3.43, 0, 0, 0, 0, WP, NO, 0, 0, NO,
951, BEAM , UNILOAD, GZ, NO , NO, aDir[1], , , , 0, -7.62, 1, -7.62, 0, 0, 0, 0, WP, NO, 0, 0, NO,
952, BEAM , UNILOAD, GY, NO , NO, aDir[1], , , , 0, 3.43, 1, 3.43, 0, 0, 0, 0, WP, NO, 0, 0, NO,
952, BEAM , UNILOAD, GZ, NO , NO, aDir[1], , , , 0, -7.62, 1, -7.62, 0, 0, 0, 0, WP, NO, 0, 0, NO,
953, BEAM , UNILOAD, GY, NO , NO, aDir[1], , , , 0, 3.43, 1, 3.43, 0, 0, 0, 0, WP, NO, 0, 0, NO,
953, BEAM , UNILOAD, GZ, NO , NO, aDir[1], , , , 0, -7.62, 1, -7.62, 0, 0, 0, 0, WP, NO, 0, 0, NO,
954, BEAM , UNILOAD, GZ, NO , NO, aDir[1], , , , 0, -7.62, 1, -7.62, 0, 0, 0, 0, WP, NO, 0, 0, NO,
954, BEAM , UNILOAD, GY, NO , NO, aDir[1], , , , 0, 3.43, 1, 3.43, 0, 0, 0, 0, WP, NO, 0, 0, NO,
955, BEAM , UNILOAD, GY, NO , NO, aDir[1], , , , 0, 3.43, 1, 3.43, 0, 0, 0, 0, WP, NO, 0, 0, NO,
955, BEAM , UNILOAD, GZ, NO , NO, aDir[1], , , , 0, -7.62, 1, -7.62, 0, 0, 0, 0, WP, NO, 0, 0, NO,
956, BEAM , UNILOAD, GY, NO , NO, aDir[1], , , , 0, 3.43, 1, 3.43, 0, 0, 0, 0, WP, NO, 0, 0, NO,
956, BEAM , UNILOAD, GZ, NO , NO, aDir[1], , , , 0, -7.62, 1, -7.62, 0, 0, 0, 0, WP, NO, 0, 0, NO,
957, BEAM , UNILOAD, GZ, NO , NO, aDir[1], , , , 0, -7.62, 1, -7.62, 0, 0, 0, 0, WP, NO, 0, 0, NO,

PROJECT TITLE :

MIDAS	Company		Client	
	Author		File Name	H2D_3Dg_v14_180227_StatLM.mct

957, BEAM , UNILOAD, GY, NO , NO, aDir[1], , , , 0, 3.43, 1, 3.43, 0, 0, 0, 0, WP, NO, 0, 0, NO,
958, BEAM , UNILOAD, GZ, NO , NO, aDir[1], , , , 0, -7.62, 1, -7.62, 0, 0, 0, 0, WP, NO, 0, 0, NO,
958, BEAM , UNILOAD, GY, NO , NO, aDir[1], , , , 0, 3.43, 1, 3.43, 0, 0, 0, 0, WP, NO, 0, 0, NO,
959, BEAM , UNILOAD, GZ, NO , NO, aDir[1], , , , 0, -7.62, 1, -7.62, 0, 0, 0, 0, WP, NO, 0, 0, NO,
959, BEAM , UNILOAD, GY, NO , NO, aDir[1], , , , 0, 3.43, 1, 3.43, 0, 0, 0, 0, WP, NO, 0, 0, NO,
960, BEAM , UNILOAD, GZ, NO , NO, aDir[1], , , , 0, -7.62, 1, -7.62, 0, 0, 0, 0, WP, NO, 0, 0, NO,
960, BEAM , UNILOAD, GY, NO , NO, aDir[1], , , , 0, 3.43, 1, 3.43, 0, 0, 0, 0, WP, NO, 0, 0, NO,
961, BEAM , UNILOAD, GZ, NO , NO, aDir[1], , , , 0, -7.62, 1, -7.62, 0, 0, 0, 0, WP, NO, 0, 0, NO,
961, BEAM , UNILOAD, GY, NO , NO, aDir[1], , , , 0, 3.43, 1, 3.43, 0, 0, 0, 0, WP, NO, 0, 0, NO,
962, BEAM , UNILOAD, GZ, NO , NO, aDir[1], , , , 0, -7.62, 1, -7.62, 0, 0, 0, 0, WP, NO, 0, 0, NO,
962, BEAM , UNILOAD, GY, NO , NO, aDir[1], , , , 0, 3.43, 1, 3.43, 0, 0, 0, 0, WP, NO, 0, 0, NO,
963, BEAM , UNILOAD, GY, NO , NO, aDir[1], , , , 0, 3.43, 1, 3.43, 0, 0, 0, 0, WP, NO, 0, 0, NO,
963, BEAM , UNILOAD, GZ, NO , NO, aDir[1], , , , 0, -7.62, 1, -7.62, 0, 0, 0, 0, WP, NO, 0, 0, NO,
964, BEAM , UNILOAD, GY, NO , NO, aDir[1], , , , 0, 3.43, 1, 3.43, 0, 0, 0, 0, WP, NO, 0, 0, NO,
964, BEAM , UNILOAD, GZ, NO , NO, aDir[1], , , , 0, -7.62, 1, -7.62, 0, 0, 0, 0, WP, NO, 0, 0, NO,
965, BEAM , UNILOAD, GZ, NO , NO, aDir[1], , , , 0, -7.62, 1, -7.62, 0, 0, 0, 0, WP, NO, 0, 0, NO,
965, BEAM , UNILOAD, GY, NO , NO, aDir[1], , , , 0, 3.43, 1, 3.43, 0, 0, 0, 0, WP, NO, 0, 0, NO,
966, BEAM , UNILOAD, GY, NO , NO, aDir[1], , , , 0, 3.43, 1, 3.43, 0, 0, 0, 0, WP, NO, 0, 0, NO,
966, BEAM , UNILOAD, GZ, NO , NO, aDir[1], , , , 0, -7.62, 1, -7.62, 0, 0, 0, 0, WP, NO, 0, 0, NO,
967, BEAM , UNILOAD, GZ, NO , NO, aDir[1], , , , 0, -7.62, 1, -7.62, 0, 0, 0, 0, WP, NO, 0, 0, NO,
967, BEAM , UNILOAD, GY, NO , NO, aDir[1], , , , 0, 3.43, 1, 3.43, 0, 0, 0, 0, WP, NO, 0, 0, NO,
968, BEAM , UNILOAD, GY, NO , NO, aDir[1], , , , 0, 3.43, 1, 3.43, 0, 0, 0, 0, WP, NO, 0, 0, NO,
968, BEAM , UNILOAD, GZ, NO , NO, aDir[1], , , , 0, -7.62, 1, -7.62, 0, 0, 0, 0, WP, NO, 0, 0, NO,
969, BEAM , UNILOAD, GY, NO , NO, aDir[1], , , , 0, 3.43, 1, 3.43, 0, 0, 0, 0, WP, NO, 0, 0, NO,
969, BEAM , UNILOAD, GZ, NO , NO, aDir[1], , , , 0, -7.62, 1, -7.62, 0, 0, 0, 0, WP, NO, 0, 0, NO,
970, BEAM , UNILOAD, GZ, NO , NO, aDir[1], , , , 0, -7.62, 1, -7.62, 0, 0, 0, 0, WP, NO, 0, 0, NO,
970, BEAM , UNILOAD, GY, NO , NO, aDir[1], , , , 0, 3.43, 1, 3.43, 0, 0, 0, 0, WP, NO, 0, 0, NO,
971, BEAM , UNILOAD, GZ, NO , NO, aDir[1], , , , 0, -7.62, 1, -7.62, 0, 0, 0, 0, WP, NO, 0, 0, NO,
971, BEAM , UNILOAD, GY, NO , NO, aDir[1], , , , 0, 3.43, 1, 3.43, 0, 0, 0, 0, WP, NO, 0, 0, NO,
972, BEAM , UNILOAD, GZ, NO , NO, aDir[1], , , , 0, -7.62, 1, -7.62, 0, 0, 0, 0, WP, NO, 0, 0, NO,
972, BEAM , UNILOAD, GY, NO , NO, aDir[1], , , , 0, 3.43, 1, 3.43, 0, 0, 0, 0, WP, NO, 0, 0, NO,
973, BEAM , UNILOAD, GY, NO , NO, aDir[1], , , , 0, 3.43, 1, 3.43, 0, 0, 0, 0, WP, NO, 0, 0, NO,
973, BEAM , UNILOAD, GZ, NO , NO, aDir[1], , , , 0, -7.62, 1, -7.62, 0, 0, 0, 0, WP, NO, 0, 0, NO,
974, BEAM , UNILOAD, GY, NO , NO, aDir[1], , , , 0, 3.43, 1, 3.43, 0, 0, 0, 0, WP, NO, 0, 0, NO,
974, BEAM , UNILOAD, GZ, NO , NO, aDir[1], , , , 0, -7.62, 1, -7.62, 0, 0, 0, 0, WP, NO, 0, 0, NO,
975, BEAM , UNILOAD, GY, NO , NO, aDir[1], , , , 0, 3.43, 1, 3.43, 0, 0, 0, 0, WP, NO, 0, 0, NO,
975, BEAM , UNILOAD, GZ, NO , NO, aDir[1], , , , 0, -7.62, 1, -7.62, 0, 0, 0, 0, WP, NO, 0, 0, NO,
976, BEAM , UNILOAD, GY, NO , NO, aDir[1], , , , 0, 3.43, 1, 3.43, 0, 0, 0, 0, WP, NO, 0, 0, NO,
976, BEAM , UNILOAD, GZ, NO , NO, aDir[1], , , , 0, -7.62, 1, -7.62, 0, 0, 0, 0, WP, NO, 0, 0, NO,
977, BEAM , UNILOAD, GZ, NO , NO, aDir[1], , , , 0, -7.62, 1, -7.62, 0, 0, 0, 0, WP, NO, 0, 0, NO,
977, BEAM , UNILOAD, GY, NO , NO, aDir[1], , , , 0, 3.43, 1, 3.43, 0, 0, 0, 0, WP, NO, 0, 0, NO,
978, BEAM , UNILOAD, GY, NO , NO, aDir[1], , , , 0, 3.43, 1, 3.43, 0, 0, 0, 0, WP, NO, 0, 0, NO,
978, BEAM , UNILOAD, GZ, NO , NO, aDir[1], , , , 0, -7.62, 1, -7.62, 0, 0, 0, 0, WP, NO, 0, 0, NO,
979, BEAM , UNILOAD, GZ, NO , NO, aDir[1], , , , 0, -7.62, 1, -7.62, 0, 0, 0, 0, WP, NO, 0, 0, NO,
979, BEAM , UNILOAD, GY, NO , NO, aDir[1], , , , 0, 3.43, 1, 3.43, 0, 0, 0, 0, WP, NO, 0, 0, NO,
980, BEAM , UNILOAD, GZ, NO , NO, aDir[1], , , , 0, -7.62, 1, -7.62, 0, 0, 0, 0, WP, NO, 0, 0, NO,
980, BEAM , UNILOAD, GY, NO , NO, aDir[1], , , , 0, 3.43, 1, 3.43, 0, 0, 0, 0, WP, NO, 0, 0, NO,
981, BEAM , UNILOAD, GY, NO , NO, aDir[1], , , , 0, 3.43, 1, 3.43, 0, 0, 0, 0, WP, NO, 0, 0, NO,
981, BEAM , UNILOAD, GZ, NO , NO, aDir[1], , , , 0, -7.62, 1, -7.62, 0, 0, 0, 0, WP, NO, 0, 0, NO,
982, BEAM , UNILOAD, GZ, NO , NO, aDir[1], , , , 0, -7.62, 1, -7.62, 0, 0, 0, 0, WP, NO, 0, 0, NO,
982, BEAM , UNILOAD, GY, NO , NO, aDir[1], , , , 0, 3.43, 1, 3.43, 0, 0, 0, 0, WP, NO, 0, 0, NO,
983, BEAM , UNILOAD, GY, NO , NO, aDir[1], , , , 0, 3.43, 1, 3.43, 0, 0, 0, 0, WP, NO, 0, 0, NO,
983, BEAM , UNILOAD, GZ, NO , NO, aDir[1], , , , 0, -7.62, 1, -7.62, 0, 0, 0, 0, WP, NO, 0, 0, NO,
984, BEAM , UNILOAD, GY, NO , NO, aDir[1], , , , 0, 3.43, 1, 3.43, 0, 0, 0, 0, WP, NO, 0, 0, NO,
984, BEAM , UNILOAD, GZ, NO , NO, aDir[1], , , , 0, -7.62, 1, -7.62, 0, 0, 0, 0, WP, NO, 0, 0, NO,
985, BEAM , UNILOAD, GY, NO , NO, aDir[1], , , , 0, 3.43, 1, 3.43, 0, 0, 0, 0, WP, NO, 0, 0, NO,
985, BEAM , UNILOAD, GZ, NO , NO, aDir[1], , , , 0, -7.62, 1, -7.62, 0, 0, 0, 0, WP, NO, 0, 0, NO,
986, BEAM , UNILOAD, GY, NO , NO, aDir[1], , , , 0, 3.43, 1, 3.43, 0, 0, 0, 0, WP, NO, 0, 0, NO,
986, BEAM , UNILOAD, GZ, NO , NO, aDir[1], , , , 0, -7.62, 1, -7.62, 0, 0, 0, 0, WP, NO, 0, 0, NO,
987, BEAM , UNILOAD, GY, NO , NO, aDir[1], , , , 0, 3.43, 1, 3.43, 0, 0, 0, 0, WP, NO, 0, 0, NO,
987, BEAM , UNILOAD, GZ, NO , NO, aDir[1], , , , 0, -7.62, 1, -7.62, 0, 0, 0, 0, WP, NO, 0, 0, NO,
988, BEAM , UNILOAD, GZ, NO , NO, aDir[1], , , , 0, -7.62, 1, -7.62, 0, 0, 0, 0, WP, NO, 0, 0, NO,
988, BEAM , UNILOAD, GY, NO , NO, aDir[1], , , , 0, 3.43, 1, 3.43, 0, 0, 0, 0, WP, NO, 0, 0, NO,
989, BEAM , UNILOAD, GZ, NO , NO, aDir[1], , , , 0, -7.62, 1, -7.62, 0, 0, 0, 0, WP, NO, 0, 0, NO,
989, BEAM , UNILOAD, GY, NO , NO, aDir[1], , , , 0, 3.43, 1, 3.43, 0, 0, 0, 0, WP, NO, 0, 0, NO,
990, BEAM , UNILOAD, GY, NO , NO, aDir[1], , , , 0, 3.43, 1, 3.43, 0, 0, 0, 0, WP, NO, 0, 0, NO,
990, BEAM , UNILOAD, GZ, NO , NO, aDir[1], , , , 0, -7.62, 1, -7.62, 0, 0, 0, 0, WP, NO, 0, 0, NO,
991, BEAM , UNILOAD, GZ, NO , NO, aDir[1], , , , 0, -7.62, 1, -7.62, 0, 0, 0, 0, WP, NO, 0, 0, NO,
991, BEAM , UNILOAD, GY, NO , NO, aDir[1], , , , 0, 3.43, 1, 3.43, 0, 0, 0, 0, WP, NO, 0, 0, NO,
992, BEAM , UNILOAD, GZ, NO , NO, aDir[1], , , , 0, -7.62, 1, -7.62, 0, 0, 0, 0, WP, NO, 0, 0, NO,
992, BEAM , UNILOAD, GY, NO , NO, aDir[1], , , , 0, 3.43, 1, 3.43, 0, 0, 0, 0, WP, NO, 0, 0, NO,
993, BEAM , UNILOAD, GY, NO , NO, aDir[1], , , , 0, 3.43, 1, 3.43, 0, 0, 0, 0, WP, NO, 0, 0, NO,

PROJECT TITLE :

MIDAS	Company		Client	
	Author		File Name	H2D_3Dg_v14_180227_StatLM.mct

993, BEAM , UNILOAD, GZ, NO , NO, aDir[1], , , , 0, -7.62, 1, -7.62, 0, 0, 0, 0, WP, NO, 0, 0, NO,
994, BEAM , UNILOAD, GZ, NO , NO, aDir[1], , , , 0, -7.62, 1, -7.62, 0, 0, 0, 0, WP, NO, 0, 0, NO,
994, BEAM , UNILOAD, GY, NO , NO, aDir[1], , , , 0, 3.43, 1, 3.43, 0, 0, 0, 0, WP, NO, 0, 0, NO,
995, BEAM , UNILOAD, GZ, NO , NO, aDir[1], , , , 0, -7.62, 1, -7.62, 0, 0, 0, 0, WP, NO, 0, 0, NO,
995, BEAM , UNILOAD, GY, NO , NO, aDir[1], , , , 0, 3.43, 1, 3.43, 0, 0, 0, 0, WP, NO, 0, 0, NO,
996, BEAM , UNILOAD, GY, NO , NO, aDir[1], , , , 0, 3.43, 1, 3.43, 0, 0, 0, 0, WP, NO, 0, 0, NO,
996, BEAM , UNILOAD, GZ, NO , NO, aDir[1], , , , 0, -7.62, 1, -7.62, 0, 0, 0, 0, WP, NO, 0, 0, NO,
997, BEAM , UNILOAD, GZ, NO , NO, aDir[1], , , , 0, -7.62, 1, -7.62, 0, 0, 0, 0, WP, NO, 0, 0, NO,
997, BEAM , UNILOAD, GY, NO , NO, aDir[1], , , , 0, 3.43, 1, 3.43, 0, 0, 0, 0, WP, NO, 0, 0, NO,
998, BEAM , UNILOAD, GZ, NO , NO, aDir[1], , , , 0, -7.62, 1, -7.62, 0, 0, 0, 0, WP, NO, 0, 0, NO,
998, BEAM , UNILOAD, GY, NO , NO, aDir[1], , , , 0, 3.43, 1, 3.43, 0, 0, 0, 0, WP, NO, 0, 0, NO,
999, BEAM , UNILOAD, GY, NO , NO, aDir[1], , , , 0, 3.43, 1, 3.43, 0, 0, 0, 0, WP, NO, 0, 0, NO,
999, BEAM , UNILOAD, GZ, NO , NO, aDir[1], , , , 0, -7.62, 1, -7.62, 0, 0, 0, 0, WP, NO, 0, 0, NO,
1000, BEAM , UNILOAD, GY, NO , NO, aDir[1], , , , 0, 3.43, 1, 3.43, 0, 0, 0, 0, WP, NO, 0, 0, NO,
1000, BEAM , UNILOAD, GZ, NO , NO, aDir[1], , , , 0, -7.62, 1, -7.62, 0, 0, 0, 0, WP, NO, 0, 0, NO,
1001, BEAM , UNILOAD, GY, NO , NO, aDir[1], , , , 0, 3.43, 1, 3.43, 0, 0, 0, 0, WP, NO, 0, 0, NO,
1001, BEAM , UNILOAD, GZ, NO , NO, aDir[1], , , , 0, -7.62, 1, -7.62, 0, 0, 0, 0, WP, NO, 0, 0, NO,
1002, BEAM , UNILOAD, GZ, NO , NO, aDir[1], , , , 0, -7.62, 1, -7.62, 0, 0, 0, 0, WP, NO, 0, 0, NO,
1002, BEAM , UNILOAD, GY, NO , NO, aDir[1], , , , 0, 3.43, 1, 3.43, 0, 0, 0, 0, WP, NO, 0, 0, NO,
1003, BEAM , UNILOAD, GY, NO , NO, aDir[1], , , , 0, 3.43, 1, 3.43, 0, 0, 0, 0, WP, NO, 0, 0, NO,
1003, BEAM , UNILOAD, GZ, NO , NO, aDir[1], , , , 0, -7.62, 1, -7.62, 0, 0, 0, 0, WP, NO, 0, 0, NO,
1004, BEAM , UNILOAD, GY, NO , NO, aDir[1], , , , 0, 3.43, 1, 3.43, 0, 0, 0, 0, WP, NO, 0, 0, NO,
1004, BEAM , UNILOAD, GZ, NO , NO, aDir[1], , , , 0, -7.62, 1, -7.62, 0, 0, 0, 0, WP, NO, 0, 0, NO,
1005, BEAM , UNILOAD, GY, NO , NO, aDir[1], , , , 0, 3.43, 1, 3.43, 0, 0, 0, 0, WP, NO, 0, 0, NO,
1005, BEAM , UNILOAD, GZ, NO , NO, aDir[1], , , , 0, -7.62, 1, -7.62, 0, 0, 0, 0, WP, NO, 0, 0, NO,
1006, BEAM , UNILOAD, GZ, NO , NO, aDir[1], , , , 0, -7.62, 1, -7.62, 0, 0, 0, 0, WP, NO, 0, 0, NO,
1006, BEAM , UNILOAD, GY, NO , NO, aDir[1], , , , 0, 3.43, 1, 3.43, 0, 0, 0, 0, WP, NO, 0, 0, NO,
1007, BEAM , UNILOAD, GZ, NO , NO, aDir[1], , , , 0, -7.62, 1, -7.62, 0, 0, 0, 0, WP, NO, 0, 0, NO,
1007, BEAM , UNILOAD, GY, NO , NO, aDir[1], , , , 0, 3.43, 1, 3.43, 0, 0, 0, 0, WP, NO, 0, 0, NO,
1008, BEAM , UNILOAD, GY, NO , NO, aDir[1], , , , 0, 3.43, 1, 3.43, 0, 0, 0, 0, WP, NO, 0, 0, NO,
1008, BEAM , UNILOAD, GZ, NO , NO, aDir[1], , , , 0, -7.62, 1, -7.62, 0, 0, 0, 0, WP, NO, 0, 0, NO,
1009, BEAM , UNILOAD, GZ, NO , NO, aDir[1], , , , 0, -7.62, 1, -7.62, 0, 0, 0, 0, WP, NO, 0, 0, NO,
1009, BEAM , UNILOAD, GY, NO , NO, aDir[1], , , , 0, 3.43, 1, 3.43, 0, 0, 0, 0, WP, NO, 0, 0, NO,
1010, BEAM , UNILOAD, GZ, NO , NO, aDir[1], , , , 0, -7.62, 1, -7.62, 0, 0, 0, 0, WP, NO, 0, 0, NO,
1010, BEAM , UNILOAD, GY, NO , NO, aDir[1], , , , 0, 3.43, 1, 3.43, 0, 0, 0, 0, WP, NO, 0, 0, NO,
1011, BEAM , UNILOAD, GY, NO , NO, aDir[1], , , , 0, 3.43, 1, 3.43, 0, 0, 0, 0, WP, NO, 0, 0, NO,
1011, BEAM , UNILOAD, GZ, NO , NO, aDir[1], , , , 0, -7.62, 1, -7.62, 0, 0, 0, 0, WP, NO, 0, 0, NO,
1012, BEAM , UNILOAD, GY, NO , NO, aDir[1], , , , 0, 3.43, 1, 3.43, 0, 0, 0, 0, WP, NO, 0, 0, NO,
1012, BEAM , UNILOAD, GZ, NO , NO, aDir[1], , , , 0, -7.62, 1, -7.62, 0, 0, 0, 0, WP, NO, 0, 0, NO,
1013, BEAM , UNILOAD, GZ, NO , NO, aDir[1], , , , 0, -7.62, 1, -7.62, 0, 0, 0, 0, WP, NO, 0, 0, NO,
1013, BEAM , UNILOAD, GY, NO , NO, aDir[1], , , , 0, 3.43, 1, 3.43, 0, 0, 0, 0, WP, NO, 0, 0, NO,
1014, BEAM , UNILOAD, GZ, NO , NO, aDir[1], , , , 0, -7.62, 1, -7.62, 0, 0, 0, 0, WP, NO, 0, 0, NO,
1014, BEAM , UNILOAD, GY, NO , NO, aDir[1], , , , 0, 3.43, 1, 3.43, 0, 0, 0, 0, WP, NO, 0, 0, NO,
1015, BEAM , UNILOAD, GZ, NO , NO, aDir[1], , , , 0, -7.62, 1, -7.62, 0, 0, 0, 0, WP, NO, 0, 0, NO,
1015, BEAM , UNILOAD, GY, NO , NO, aDir[1], , , , 0, 3.43, 1, 3.43, 0, 0, 0, 0, WP, NO, 0, 0, NO,
1016, BEAM , UNILOAD, GY, NO , NO, aDir[1], , , , 0, 3.43, 1, 3.43, 0, 0, 0, 0, WP, NO, 0, 0, NO,
1016, BEAM , UNILOAD, GZ, NO , NO, aDir[1], , , , 0, -7.62, 1, -7.62, 0, 0, 0, 0, WP, NO, 0, 0, NO,
1017, BEAM , UNILOAD, GZ, NO , NO, aDir[1], , , , 0, -7.62, 1, -7.62, 0, 0, 0, 0, WP, NO, 0, 0, NO,
1017, BEAM , UNILOAD, GY, NO , NO, aDir[1], , , , 0, 3.43, 1, 3.43, 0, 0, 0, 0, WP, NO, 0, 0, NO,
1018, BEAM , UNILOAD, GZ, NO , NO, aDir[1], , , , 0, -7.62, 1, -7.62, 0, 0, 0, 0, WP, NO, 0, 0, NO,
1018, BEAM , UNILOAD, GY, NO , NO, aDir[1], , , , 0, 3.43, 1, 3.43, 0, 0, 0, 0, WP, NO, 0, 0, NO,
1019, BEAM , UNILOAD, GY, NO , NO, aDir[1], , , , 0, 3.43, 1, 3.43, 0, 0, 0, 0, WP, NO, 0, 0, NO,
1019, BEAM , UNILOAD, GZ, NO , NO, aDir[1], , , , 0, -7.62, 1, -7.62, 0, 0, 0, 0, WP, NO, 0, 0, NO,
1020, BEAM , UNILOAD, GY, NO , NO, aDir[1], , , , 0, 3.43, 1, 3.43, 0, 0, 0, 0, WP, NO, 0, 0, NO,
1020, BEAM , UNILOAD, GZ, NO , NO, aDir[1], , , , 0, -7.62, 1, -7.62, 0, 0, 0, 0, WP, NO, 0, 0, NO,
1021, BEAM , UNILOAD, GY, NO , NO, aDir[1], , , , 0, 3.43, 1, 3.43, 0, 0, 0, 0, WP, NO, 0, 0, NO,
1021, BEAM , UNILOAD, GZ, NO , NO, aDir[1], , , , 0, -7.62, 1, -7.62, 0, 0, 0, 0, WP, NO, 0, 0, NO,
1022, BEAM , UNILOAD, GZ, NO , NO, aDir[1], , , , 0, -7.62, 1, -7.62, 0, 0, 0, 0, WP, NO, 0, 0, NO,
1022, BEAM , UNILOAD, GY, NO , NO, aDir[1], , , , 0, 3.43, 1, 3.43, 0, 0, 0, 0, WP, NO, 0, 0, NO,
1023, BEAM , UNILOAD, GZ, NO , NO, aDir[1], , , , 0, -7.62, 1, -7.62, 0, 0, 0, 0, WP, NO, 0, 0, NO,
1023, BEAM , UNILOAD, GY, NO , NO, aDir[1], , , , 0, 3.43, 1, 3.43, 0, 0, 0, 0, WP, NO, 0, 0, NO,
1024, BEAM , UNILOAD, GY, NO , NO, aDir[1], , , , 0, 3.43, 1, 3.43, 0, 0, 0, 0, WP, NO, 0, 0, NO,
1024, BEAM , UNILOAD, GZ, NO , NO, aDir[1], , , , 0, -7.62, 1, -7.62, 0, 0, 0, 0, WP, NO, 0, 0, NO,
1025, BEAM , UNILOAD, GY, NO , NO, aDir[1], , , , 0, 3.43, 1, 3.43, 0, 0, 0, 0, WP, NO, 0, 0, NO,
1025, BEAM , UNILOAD, GZ, NO , NO, aDir[1], , , , 0, -7.62, 1, -7.62, 0, 0, 0, 0, WP, NO, 0, 0, NO,
1026, BEAM , UNILOAD, GY, NO , NO, aDir[1], , , , 0, 3.43, 1, 3.43, 0, 0, 0, 0, WP, NO, 0, 0, NO,
1026, BEAM , UNILOAD, GZ, NO , NO, aDir[1], , , , 0, -7.62, 1, -7.62, 0, 0, 0, 0, WP, NO, 0, 0, NO,
1027, BEAM , UNILOAD, GZ, NO , NO, aDir[1], , , , 0, -7.62, 1, -7.62, 0, 0, 0, 0, WP, NO, 0, 0, NO,
1027, BEAM , UNILOAD, GY, NO , NO, aDir[1], , , , 0, 3.43, 1, 3.43, 0, 0, 0, 0, WP, NO, 0, 0, NO,
1028, BEAM , UNILOAD, GZ, NO , NO, aDir[1], , , , 0, -7.62, 1, -7.62, 0, 0, 0, 0, WP, NO, 0, 0, NO,
1028, BEAM , UNILOAD, GY, NO , NO, aDir[1], , , , 0, 3.43, 1, 3.43, 0, 0, 0, 0, WP, NO, 0, 0, NO,
1029, BEAM , UNILOAD, GY, NO , NO, aDir[1], , , , 0, 3.43, 1, 3.43, 0, 0, 0, 0, WP, NO, 0, 0, NO,

PROJECT TITLE :

MIDAS	Company		Client	
	Author		File Name	H2D_3Dg_v14_180227_StatLM.mct

1029, BEAM , UNILOAD, GZ, NO , NO, aDir[1], , , , 0, -7.62, 1, -7.62, 0, 0, 0, 0, WP, NO, 0, 0, NO,
1030, BEAM , UNILOAD, GY, NO , NO, aDir[1], , , , 0, 3.43, 1, 3.43, 0, 0, 0, 0, WP, NO, 0, 0, NO,
1030, BEAM , UNILOAD, GZ, NO , NO, aDir[1], , , , 0, -7.62, 1, -7.62, 0, 0, 0, 0, WP, NO, 0, 0, NO,
1031, BEAM , UNILOAD, GY, NO , NO, aDir[1], , , , 0, 3.43, 1, 3.43, 0, 0, 0, 0, WP, NO, 0, 0, NO,
1031, BEAM , UNILOAD, GZ, NO , NO, aDir[1], , , , 0, -7.62, 1, -7.62, 0, 0, 0, 0, WP, NO, 0, 0, NO,
1032, BEAM , UNILOAD, GY, NO , NO, aDir[1], , , , 0, 3.43, 1, 3.43, 0, 0, 0, 0, WP, NO, 0, 0, NO,
1032, BEAM , UNILOAD, GZ, NO , NO, aDir[1], , , , 0, -7.62, 1, -7.62, 0, 0, 0, 0, WP, NO, 0, 0, NO,
1033, BEAM , UNILOAD, GY, NO , NO, aDir[1], , , , 0, 3.43, 1, 3.43, 0, 0, 0, 0, WP, NO, 0, 0, NO,
1033, BEAM , UNILOAD, GZ, NO , NO, aDir[1], , , , 0, -7.62, 1, -7.62, 0, 0, 0, 0, WP, NO, 0, 0, NO,
1034, BEAM , UNILOAD, GZ, NO , NO, aDir[1], , , , 0, -7.62, 1, -7.62, 0, 0, 0, 0, WP, NO, 0, 0, NO,
1034, BEAM , UNILOAD, GY, NO , NO, aDir[1], , , , 0, 3.43, 1, 3.43, 0, 0, 0, 0, WP, NO, 0, 0, NO,
1035, BEAM , UNILOAD, GZ, NO , NO, aDir[1], , , , 0, -7.62, 1, -7.62, 0, 0, 0, 0, WP, NO, 0, 0, NO,
1035, BEAM , UNILOAD, GY, NO , NO, aDir[1], , , , 0, 3.43, 1, 3.43, 0, 0, 0, 0, WP, NO, 0, 0, NO,
1036, BEAM , UNILOAD, GY, NO , NO, aDir[1], , , , 0, 3.43, 1, 3.43, 0, 0, 0, 0, WP, NO, 0, 0, NO,
1036, BEAM , UNILOAD, GZ, NO , NO, aDir[1], , , , 0, -7.62, 1, -7.62, 0, 0, 0, 0, WP, NO, 0, 0, NO,
1037, BEAM , UNILOAD, GY, NO , NO, aDir[1], , , , 0, 3.43, 1, 3.43, 0, 0, 0, 0, WP, NO, 0, 0, NO,
1037, BEAM , UNILOAD, GZ, NO , NO, aDir[1], , , , 0, -7.62, 1, -7.62, 0, 0, 0, 0, WP, NO, 0, 0, NO,
1038, BEAM , UNILOAD, GZ, NO , NO, aDir[1], , , , 0, -7.62, 1, -7.62, 0, 0, 0, 0, WP, NO, 0, 0, NO,
1038, BEAM , UNILOAD, GY, NO , NO, aDir[1], , , , 0, 3.43, 1, 3.43, 0, 0, 0, 0, WP, NO, 0, 0, NO,
1039, BEAM , UNILOAD, GZ, NO , NO, aDir[1], , , , 0, -7.62, 1, -7.62, 0, 0, 0, 0, WP, NO, 0, 0, NO,
1039, BEAM , UNILOAD, GY, NO , NO, aDir[1], , , , 0, 3.43, 1, 3.43, 0, 0, 0, 0, WP, NO, 0, 0, NO,
1040, BEAM , UNILOAD, GY, NO , NO, aDir[1], , , , 0, 3.43, 1, 3.43, 0, 0, 0, 0, WP, NO, 0, 0, NO,
1040, BEAM , UNILOAD, GZ, NO , NO, aDir[1], , , , 0, -7.62, 1, -7.62, 0, 0, 0, 0, WP, NO, 0, 0, NO,
1041, BEAM , UNILOAD, GY, NO , NO, aDir[1], , , , 0, 3.43, 1, 3.43, 0, 0, 0, 0, WP, NO, 0, 0, NO,
1041, BEAM , UNILOAD, GZ, NO , NO, aDir[1], , , , 0, -7.62, 1, -7.62, 0, 0, 0, 0, WP, NO, 0, 0, NO,
1042, BEAM , UNILOAD, GZ, NO , NO, aDir[1], , , , 0, -7.62, 1, -7.62, 0, 0, 0, 0, WP, NO, 0, 0, NO,
1042, BEAM , UNILOAD, GY, NO , NO, aDir[1], , , , 0, 3.43, 1, 3.43, 0, 0, 0, 0, WP, NO, 0, 0, NO,
1043, BEAM , UNILOAD, GZ, NO , NO, aDir[1], , , , 0, -7.62, 1, -7.62, 0, 0, 0, 0, WP, NO, 0, 0, NO,
1043, BEAM , UNILOAD, GY, NO , NO, aDir[1], , , , 0, 3.43, 1, 3.43, 0, 0, 0, 0, WP, NO, 0, 0, NO,
1044, BEAM , UNILOAD, GZ, NO , NO, aDir[1], , , , 0, -7.62, 1, -7.62, 0, 0, 0, 0, WP, NO, 0, 0, NO,
1044, BEAM , UNILOAD, GY, NO , NO, aDir[1], , , , 0, 3.43, 1, 3.43, 0, 0, 0, 0, WP, NO, 0, 0, NO,
1045, BEAM , UNILOAD, GZ, NO , NO, aDir[1], , , , 0, -7.62, 1, -7.62, 0, 0, 0, 0, WP, NO, 0, 0, NO,
1045, BEAM , UNILOAD, GY, NO , NO, aDir[1], , , , 0, 3.43, 1, 3.43, 0, 0, 0, 0, WP, NO, 0, 0, NO,
1046, BEAM , UNILOAD, GZ, NO , NO, aDir[1], , , , 0, -7.62, 1, -7.62, 0, 0, 0, 0, WP, NO, 0, 0, NO,
1046, BEAM , UNILOAD, GY, NO , NO, aDir[1], , , , 0, 3.43, 1, 3.43, 0, 0, 0, 0, WP, NO, 0, 0, NO,
1047, BEAM , UNILOAD, GZ, NO , NO, aDir[1], , , , 0, -7.62, 1, -7.62, 0, 0, 0, 0, WP, NO, 0, 0, NO,
1047, BEAM , UNILOAD, GY, NO , NO, aDir[1], , , , 0, 3.43, 1, 3.43, 0, 0, 0, 0, WP, NO, 0, 0, NO,
1048, BEAM , UNILOAD, GY, NO , NO, aDir[1], , , , 0, 3.43, 1, 3.43, 0, 0, 0, 0, WP, NO, 0, 0, NO,
1048, BEAM , UNILOAD, GZ, NO , NO, aDir[1], , , , 0, -7.62, 1, -7.62, 0, 0, 0, 0, WP, NO, 0, 0, NO,
1049, BEAM , UNILOAD, GY, NO , NO, aDir[1], , , , 0, 3.43, 1, 3.43, 0, 0, 0, 0, WP, NO, 0, 0, NO,
1049, BEAM , UNILOAD, GZ, NO , NO, aDir[1], , , , 0, -7.62, 1, -7.62, 0, 0, 0, 0, WP, NO, 0, 0, NO,
1050, BEAM , UNILOAD, GY, NO , NO, aDir[1], , , , 0, 3.43, 1, 3.43, 0, 0, 0, 0, WP, NO, 0, 0, NO,
1050, BEAM , UNILOAD, GZ, NO , NO, aDir[1], , , , 0, -7.62, 1, -7.62, 0, 0, 0, 0, WP, NO, 0, 0, NO,
1051, BEAM , UNILOAD, GZ, NO , NO, aDir[1], , , , 0, -7.62, 1, -7.62, 0, 0, 0, 0, WP, NO, 0, 0, NO,
1051, BEAM , UNILOAD, GY, NO , NO, aDir[1], , , , 0, 3.43, 1, 3.43, 0, 0, 0, 0, WP, NO, 0, 0, NO,
1052, BEAM , UNILOAD, GZ, NO , NO, aDir[1], , , , 0, -7.62, 1, -7.62, 0, 0, 0, 0, WP, NO, 0, 0, NO,
1052, BEAM , UNILOAD, GY, NO , NO, aDir[1], , , , 0, 3.43, 1, 3.43, 0, 0, 0, 0, WP, NO, 0, 0, NO,
1053, BEAM , UNILOAD, GY, NO , NO, aDir[1], , , , 0, 3.43, 1, 3.43, 0, 0, 0, 0, WP, NO, 0, 0, NO,
1053, BEAM , UNILOAD, GZ, NO , NO, aDir[1], , , , 0, -7.62, 1, -7.62, 0, 0, 0, 0, WP, NO, 0, 0, NO,
1054, BEAM , UNILOAD, GY, NO , NO, aDir[1], , , , 0, 3.43, 1, 3.43, 0, 0, 0, 0, WP, NO, 0, 0, NO,
1054, BEAM , UNILOAD, GZ, NO , NO, aDir[1], , , , 0, -7.62, 1, -7.62, 0, 0, 0, 0, WP, NO, 0, 0, NO,
1055, BEAM , UNILOAD, GZ, NO , NO, aDir[1], , , , 0, -7.62, 1, -7.62, 0, 0, 0, 0, WP, NO, 0, 0, NO,
1055, BEAM , UNILOAD, GY, NO , NO, aDir[1], , , , 0, 3.43, 1, 3.43, 0, 0, 0, 0, WP, NO, 0, 0, NO,
1056, BEAM , UNILOAD, GY, NO , NO, aDir[1], , , , 0, 3.43, 1, 3.43, 0, 0, 0, 0, WP, NO, 0, 0, NO,
1056, BEAM , UNILOAD, GZ, NO , NO, aDir[1], , , , 0, -7.62, 1, -7.62, 0, 0, 0, 0, WP, NO, 0, 0, NO,
1057, BEAM , UNILOAD, GZ, NO , NO, aDir[1], , , , 0, -7.62, 1, -7.62, 0, 0, 0, 0, WP, NO, 0, 0, NO,
1057, BEAM , UNILOAD, GY, NO , NO, aDir[1], , , , 0, 3.43, 1, 3.43, 0, 0, 0, 0, WP, NO, 0, 0, NO,
1058, BEAM , UNILOAD, GY, NO , NO, aDir[1], , , , 0, 3.43, 1, 3.43, 0, 0, 0, 0, WP, NO, 0, 0, NO,
1058, BEAM , UNILOAD, GZ, NO , NO, aDir[1], , , , 0, -7.62, 1, -7.62, 0, 0, 0, 0, WP, NO, 0, 0, NO,
1059, BEAM , UNILOAD, GZ, NO , NO, aDir[1], , , , 0, -7.62, 1, -7.62, 0, 0, 0, 0, WP, NO, 0, 0, NO,
1059, BEAM , UNILOAD, GY, NO , NO, aDir[1], , , , 0, 3.43, 1, 3.43, 0, 0, 0, 0, WP, NO, 0, 0, NO,
1060, BEAM , UNILOAD, GY, NO , NO, aDir[1], , , , 0, 3.43, 1, 3.43, 0, 0, 0, 0, WP, NO, 0, 0, NO,
1060, BEAM , UNILOAD, GZ, NO , NO, aDir[1], , , , 0, -7.62, 1, -7.62, 0, 0, 0, 0, WP, NO, 0, 0, NO,

; End of data for load case [WP+Y 2. Track] ----------

*USE-STLD, TR+45

*ELTEMPER ; Element Temperatures
; ELEM_LIST, TEMPER, GROUP
1, 45, T
2, 45, T

PROJECT TITLE :

MIDAS	Company		Client	
	Author		File Name	H2D_3Dg_v14_180227_StatLM.mct

3, 45, T
4, 45, T
5, 45, T
6, 45, T
7, 45, T
8, 45, T
9, 45, T
10, 45, T
11, 45, T
12, 45, T
13, 45, T
14, 45, T
15, 45, T
16, 45, T
17, 45, T
18, 45, T
19, 45, T
20, 45, T
21, 45, T
22, 45, T
23, 45, T
24, 45, T
25, 45, T
26, 45, T
27, 45, T
28, 45, T
29, 45, T
30, 45, T
31, 45, T
32, 45, T
33, 45, T
34, 45, T
35, 45, T
36, 45, T
37, 45, T
38, 45, T
39, 45, T
40, 45, T
41, 45, T
42, 45, T
43, 45, T
44, 45, T
45, 45, T
46, 45, T
47, 45, T
48, 45, T
49, 45, T
50, 45, T
51, 45, T
52, 45, T
53, 45, T
54, 45, T
55, 45, T
56, 45, T
57, 45, T
58, 45, T
59, 45, T
60, 45, T
61, 45, T
62, 45, T
63, 45, T
64, 45, T
65, 45, T
66, 45, T
67, 45, T
68, 45, T
69, 45, T
70, 45, T
71, 45, T
72, 45, T
73, 45, T
74, 45, T

PROJECT TITLE :

MIDAS	Company		Client	
	Author		File Name	H2D_3Dg_v14_180227_StatLM.mct

75, 45, T
76, 45, T
77, 45, T
78, 45, T
79, 45, T
80, 45, T
81, 45, T
82, 45, T
83, 45, T
84, 45, T
85, 45, T
86, 45, T
87, 45, T
88, 45, T
89, 45, T
90, 45, T
91, 45, T
92, 45, T
93, 45, T
94, 45, T
95, 45, T
96, 45, T
97, 45, T
98, 45, T
99, 45, T
100, 45, T
101, 45, T
102, 45, T
103, 45, T
104, 45, T
105, 45, T
106, 45, T
107, 45, T
108, 45, T
109, 45, T
110, 45, T
111, 45, T
112, 45, T
113, 45, T
114, 45, T
115, 45, T
116, 45, T
117, 45, T
118, 45, T
119, 45, T
120, 45, T
121, 45, T
122, 45, T
123, 45, T
124, 45, T
125, 45, T
126, 45, T
127, 45, T
128, 45, T
129, 45, T
130, 45, T
131, 45, T
132, 45, T
133, 45, T
134, 45, T
135, 45, T
136, 45, T
137, 45, T
138, 45, T
139, 45, T
140, 45, T
141, 45, T
142, 45, T
143, 45, T
144, 45, T
145, 45, T
146, 45, T

PROJECT TITLE :

MIDAS	Company		Client	
	Author		File Name	H2D_3Dg_v14_180227_StatLM.mct

147, 45, T
148, 45, T
149, 45, T
150, 45, T
151, 45, T
152, 45, T
153, 45, T
154, 45, T
155, 45, T
156, 45, T
157, 45, T
158, 45, T
159, 45, T
160, 45, T
161, 45, T
162, 45, T
163, 45, T
164, 45, T
165, 45, T
166, 45, T
167, 45, T
168, 45, T
169, 45, T
170, 45, T
171, 45, T
172, 45, T
173, 45, T
174, 45, T
175, 45, T
176, 45, T
177, 45, T
178, 45, T
179, 45, T
180, 45, T
181, 45, T
182, 45, T
183, 45, T
184, 45, T
185, 45, T
186, 45, T
187, 45, T
188, 45, T
189, 45, T
190, 45, T
191, 45, T
192, 45, T
193, 45, T
194, 45, T
195, 45, T
196, 45, T
197, 45, T
198, 45, T
199, 45, T
200, 45, T
201, 45, T
202, 45, T
203, 45, T
204, 45, T
205, 45, T
206, 45, T
207, 45, T
208, 45, T
209, 45, T
210, 45, T
211, 45, T
212, 45, T
213, 45, T
214, 45, T
215, 45, T
216, 45, T
217, 45, T
218, 45, T

PROJECT TITLE :

MIDAS	Company		Client	
	Author		File Name	H2D_3Dg_v14_180227_StatLM.mct

219, 45, T
220, 45, T
221, 45, T
222, 45, T
223, 45, T
224, 45, T
225, 45, T
226, 45, T
227, 45, T
228, 45, T
229, 45, T
230, 45, T
231, 45, T
232, 45, T
233, 45, T
234, 45, T
235, 45, T
236, 45, T
237, 45, T
238, 45, T
239, 45, T
240, 45, T
241, 45, T
242, 45, T
243, 45, T
244, 45, T
245, 45, T
246, 45, T
247, 45, T
248, 45, T
249, 45, T
250, 45, T
251, 45, T
252, 45, T
253, 45, T
254, 45, T
255, 45, T
256, 45, T
257, 45, T
258, 45, T
259, 45, T
260, 45, T
261, 45, T
262, 45, T
263, 45, T
264, 45, T
265, 45, T
266, 45, T
267, 45, T
268, 45, T
269, 45, T
270, 45, T
271, 45, T
272, 45, T
273, 45, T
274, 45, T
275, 45, T
276, 45, T
277, 45, T
278, 45, T
279, 45, T
280, 45, T
281, 45, T
282, 45, T
283, 45, T
284, 45, T
285, 45, T
286, 45, T
287, 45, T
288, 45, T
289, 45, T
290, 45, T

PROJECT TITLE :

MIDAS	Company		Client	
	Author		File Name	H2D_3Dg_v14_180227_StatLM.mct

291, 45, T
292, 45, T
293, 45, T
294, 45, T
295, 45, T
296, 45, T
297, 45, T
298, 45, T
299, 45, T
300, 45, T
301, 45, T
302, 45, T
303, 45, T
304, 45, T
305, 45, T
306, 45, T
307, 45, T
308, 45, T
309, 45, T
310, 45, T
311, 45, T
312, 45, T
313, 45, T
314, 45, T
315, 45, T
316, 45, T
317, 45, T
318, 45, T
319, 45, T
320, 45, T
321, 45, T
322, 45, T
323, 45, T
324, 45, T
325, 45, T
326, 45, T
327, 45, T
328, 45, T
329, 45, T
330, 45, T
331, 45, T
332, 45, T
333, 45, T
334, 45, T
335, 45, T
336, 45, T
337, 45, T
338, 45, T
339, 45, T
340, 45, T
341, 45, T
342, 45, T
343, 45, T
344, 45, T
345, 45, T
346, 45, T
347, 45, T
348, 45, T
349, 45, T
350, 45, T
351, 45, T
352, 45, T
353, 45, T
354, 45, T
355, 45, T
356, 45, T
357, 45, T
358, 45, T
359, 45, T
360, 45, T
361, 45, T
362, 45, T

PROJECT TITLE :

MIDAS	Company		Client	
	Author		File Name	H2D_3Dg_v14_180227_StatLM.mct

363, 45, T
364, 45, T
365, 45, T
366, 45, T
367, 45, T
368, 45, T
369, 45, T
370, 45, T
371, 45, T
372, 45, T
373, 45, T
374, 45, T
375, 45, T
376, 45, T
377, 45, T
378, 45, T
379, 45, T
380, 45, T
381, 45, T
382, 45, T
383, 45, T
384, 45, T
385, 45, T
386, 45, T
387, 45, T
388, 45, T
389, 45, T
390, 45, T
391, 45, T
392, 45, T
393, 45, T
394, 45, T
395, 45, T
396, 45, T
397, 45, T
398, 45, T
399, 45, T
400, 45, T
401, 45, T
402, 45, T
403, 45, T
404, 45, T
405, 45, T
406, 45, T
407, 45, T
408, 45, T
409, 45, T
410, 45, T
411, 45, T
412, 45, T
413, 45, T
414, 45, T
415, 45, T
416, 45, T
417, 45, T
418, 45, T
419, 45, T
420, 45, T
421, 45, T
422, 45, T
423, 45, T
424, 45, T
425, 45, T
426, 45, T
427, 45, T
428, 45, T
429, 45, T
430, 45, T
431, 45, T
432, 45, T
433, 45, T
434, 45, T

PROJECT TITLE :

MIDAS	Company		Client	
	Author		File Name	H2D_3Dg_v14_180227_StatLM.mct

435, 45, T
436, 45, T
437, 45, T
438, 45, T
439, 45, T
440, 45, T
441, 45, T
442, 45, T
443, 45, T
444, 45, T
445, 45, T
446, 45, T
447, 45, T
448, 45, T
449, 45, T
450, 45, T
451, 45, T
452, 45, T
453, 45, T
454, 45, T
455, 45, T
456, 45, T
457, 45, T
458, 45, T
459, 45, T
460, 45, T
461, 45, T
462, 45, T
463, 45, T
464, 45, T
465, 45, T
466, 45, T
467, 45, T
468, 45, T
469, 45, T
470, 45, T
471, 45, T
472, 45, T
473, 45, T
474, 45, T
475, 45, T
476, 45, T
477, 45, T
478, 45, T
479, 45, T
480, 45, T
481, 45, T
482, 45, T
483, 45, T
484, 45, T
485, 45, T
486, 45, T
487, 45, T
488, 45, T
489, 45, T
490, 45, T
491, 45, T
492, 45, T
493, 45, T
494, 45, T
495, 45, T
496, 45, T
497, 45, T
498, 45, T
499, 45, T
500, 45, T
501, 45, T
502, 45, T
503, 45, T
504, 45, T
505, 45, T
506, 45, T

PROJECT TITLE :

MIDAS	Company		Client	
	Author		File Name	H2D_3Dg_v14_180227_StatLM.mct

507, 45, T
508, 45, T
509, 45, T
510, 45, T
511, 45, T
512, 45, T
513, 45, T
514, 45, T
515, 45, T
516, 45, T
517, 45, T
518, 45, T
519, 45, T
520, 45, T
521, 45, T
522, 45, T
523, 45, T
524, 45, T
525, 45, T
526, 45, T
527, 45, T
528, 45, T
529, 45, T
530, 45, T
531, 45, T
532, 45, T
533, 45, T
534, 45, T
535, 45, T
536, 45, T
537, 45, T
538, 45, T
539, 45, T
540, 45, T
541, 45, T
542, 45, T
543, 45, T
544, 45, T
545, 45, T
546, 45, T
547, 45, T
548, 45, T
549, 45, T
550, 45, T
551, 45, T
552, 45, T
553, 45, T
554, 45, T
555, 45, T
556, 45, T
557, 45, T
558, 45, T
559, 45, T
560, 45, T
561, 45, T
562, 45, T
563, 45, T
564, 45, T
565, 45, T
566, 45, T
567, 45, T
568, 45, T
569, 45, T
570, 45, T
571, 45, T
572, 45, T
573, 45, T
574, 45, T
575, 45, T
576, 45, T
577, 45, T
578, 45, T

PROJECT TITLE :

MIDAS	Company		Client	
	Author		File Name	H2D_3Dg_v14_180227_StatLM.mct

579, 45, T
580, 45, T
581, 45, T
582, 45, T
583, 45, T
584, 45, T
585, 45, T
586, 45, T
587, 45, T
588, 45, T
589, 45, T
590, 45, T
591, 45, T
592, 45, T
593, 45, T
594, 45, T
595, 45, T
596, 45, T
597, 45, T
598, 45, T
599, 45, T
600, 45, T
601, 45, T
602, 45, T
603, 45, T
604, 45, T
605, 45, T
606, 45, T
607, 45, T
608, 45, T
609, 45, T
610, 45, T
611, 45, T
612, 45, T
613, 45, T
614, 45, T
615, 45, T
616, 45, T
617, 45, T
618, 45, T
619, 45, T
620, 45, T
621, 45, T
622, 45, T
623, 45, T
624, 45, T
625, 45, T
626, 45, T
627, 45, T
628, 45, T
629, 45, T
630, 45, T
631, 45, T
632, 45, T
633, 45, T
634, 45, T
635, 45, T
636, 45, T
637, 45, T
638, 45, T
639, 45, T
640, 45, T
641, 45, T
642, 45, T
643, 45, T
644, 45, T
645, 45, T
646, 45, T
647, 45, T
648, 45, T
649, 45, T
650, 45, T

PROJECT TITLE :

MIDAS	Company		Client	
	Author		File Name	H2D_3Dg_v14_180227_StatLM.mct

651, 45, T
652, 45, T
653, 45, T
654, 45, T
655, 45, T
656, 45, T
657, 45, T
658, 45, T
659, 45, T
660, 45, T
661, 45, T
662, 45, T
663, 45, T
664, 45, T
665, 45, T
666, 45, T
667, 45, T
668, 45, T
669, 45, T
670, 45, T
671, 45, T
672, 45, T
673, 45, T
674, 45, T
675, 45, T
676, 45, T
677, 45, T
678, 45, T
679, 45, T
680, 45, T
681, 45, T
682, 45, T
683, 45, T
684, 45, T
685, 45, T
686, 45, T
687, 45, T
688, 45, T
689, 45, T
690, 45, T
691, 45, T
692, 45, T
693, 45, T
694, 45, T
695, 45, T
696, 45, T
697, 45, T
698, 45, T
699, 45, T
700, 45, T
701, 45, T
702, 45, T
703, 45, T
704, 45, T
705, 45, T
706, 45, T
707, 45, T
708, 45, T
709, 45, T
710, 45, T
711, 45, T
712, 45, T
713, 45, T
714, 45, T
715, 45, T
716, 45, T
717, 45, T
718, 45, T
719, 45, T
720, 45, T
721, 45, T
722, 45, T

PROJECT TITLE :

MIDAS	Company		Client	
	Author		File Name	H2D_3Dg_v14_180227_StatLM.mct

723, 45, T
724, 45, T
725, 45, T
726, 45, T
727, 45, T
728, 45, T
729, 45, T
730, 45, T
731, 45, T
732, 45, T
733, 45, T
734, 45, T
735, 45, T
736, 45, T
737, 45, T
738, 45, T
739, 45, T
740, 45, T
741, 45, T
742, 45, T
743, 45, T
744, 45, T
745, 45, T
746, 45, T
747, 45, T
748, 45, T
749, 45, T
750, 45, T
751, 45, T
752, 45, T
753, 45, T
754, 45, T
755, 45, T
756, 45, T
757, 45, T
758, 45, T
759, 45, T
760, 45, T
761, 45, T
762, 45, T
763, 45, T
764, 45, T
765, 45, T
766, 45, T
767, 45, T
768, 45, T
769, 45, T
770, 45, T
771, 45, T
772, 45, T
773, 45, T
774, 45, T
775, 45, T
776, 45, T
777, 45, T
778, 45, T
779, 45, T
780, 45, T
781, 45, T
782, 45, T
783, 45, T
784, 45, T
785, 45, T
786, 45, T
787, 45, T
788, 45, T
789, 45, T
790, 45, T
791, 45, T
792, 45, T
793, 45, T
794, 45, T

PROJECT TITLE :

MIDAS	Company		Client	
	Author		File Name	H2D_3Dg_v14_180227_StatLM.mct

795, 45, T
796, 45, T
797, 45, T
798, 45, T
799, 45, T
800, 45, T
801, 45, T
802, 45, T
803, 45, T
804, 45, T
805, 45, T
806, 45, T
807, 45, T
808, 45, T
809, 45, T
810, 45, T
811, 45, T
812, 45, T
813, 45, T
814, 45, T
815, 45, T
816, 45, T
817, 45, T
818, 45, T
819, 45, T
820, 45, T
821, 45, T
822, 45, T
823, 45, T
824, 45, T
825, 45, T
826, 45, T
827, 45, T
828, 45, T
829, 45, T
830, 45, T
831, 45, T
832, 45, T
833, 45, T
834, 45, T
835, 45, T
836, 45, T
837, 45, T
838, 45, T
839, 45, T
840, 45, T
841, 45, T
842, 45, T
843, 45, T
844, 45, T
845, 45, T
846, 45, T
847, 45, T
848, 45, T
849, 45, T
850, 45, T
851, 45, T
852, 45, T
853, 45, T
854, 45, T
855, 45, T
856, 45, T
857, 45, T
858, 45, T
859, 45, T
860, 45, T
861, 45, T
862, 45, T
863, 45, T
864, 45, T
865, 45, T
866, 45, T

PROJECT TITLE :

MIDAS	Company		Client	
	Author		File Name	H2D_3Dg_v14_180227_StatLM.mct

867, 45, T
868, 45, T
869, 45, T
870, 45, T
871, 45, T
872, 45, T
873, 45, T
874, 45, T
875, 45, T
876, 45, T
877, 45, T
878, 45, T
879, 45, T
880, 45, T
881, 45, T
882, 45, T
883, 45, T
884, 45, T
885, 45, T
886, 45, T
887, 45, T
888, 45, T
889, 45, T
890, 45, T
891, 45, T
892, 45, T
893, 45, T
894, 45, T
895, 45, T
896, 45, T
897, 45, T
898, 45, T
899, 45, T
900, 45, T
901, 45, T
902, 45, T
903, 45, T
904, 45, T
905, 45, T
906, 45, T
907, 45, T
908, 45, T
909, 45, T
910, 45, T
911, 45, T
912, 45, T
913, 45, T
914, 45, T
915, 45, T
916, 45, T
917, 45, T
918, 45, T
919, 45, T
920, 45, T
921, 45, T
922, 45, T
923, 45, T
924, 45, T
925, 45, T
926, 45, T
927, 45, T
928, 45, T
929, 45, T
930, 45, T
931, 45, T
932, 45, T
933, 45, T
934, 45, T
935, 45, T
936, 45, T
937, 45, T
938, 45, T

PROJECT TITLE :

MIDAS	Company		Client	
	Author		File Name	H2D_3Dg_v14_180227_StatLM.mct

939, 45, T
940, 45, T
941, 45, T
942, 45, T
943, 45, T
944, 45, T
945, 45, T
946, 45, T
947, 45, T
948, 45, T
949, 45, T
950, 45, T
951, 45, T
952, 45, T
953, 45, T
954, 45, T
955, 45, T
956, 45, T
957, 45, T
958, 45, T
959, 45, T
960, 45, T
961, 45, T
962, 45, T
963, 45, T
964, 45, T
965, 45, T
966, 45, T
967, 45, T
968, 45, T
969, 45, T
970, 45, T
971, 45, T
972, 45, T
973, 45, T
974, 45, T
975, 45, T
976, 45, T
977, 45, T
978, 45, T
979, 45, T
980, 45, T
981, 45, T
982, 45, T
983, 45, T
984, 45, T
985, 45, T
986, 45, T
987, 45, T
988, 45, T
989, 45, T
990, 45, T
991, 45, T
992, 45, T
993, 45, T
994, 45, T
995, 45, T
996, 45, T
997, 45, T
998, 45, T
999, 45, T
1000, 45, T
1001, 45, T
1002, 45, T
1003, 45, T
1004, 45, T
1005, 45, T
1006, 45, T
1007, 45, T
1008, 45, T
1009, 45, T
1010, 45, T

PROJECT TITLE :

MIDAS	Company		Client	
	Author		File Name	H2D_3Dg_v14_180227_StatLM.mct

1011, 45, T
1012, 45, T
1013, 45, T
1014, 45, T
1015, 45, T
1016, 45, T
1017, 45, T
1018, 45, T
1019, 45, T
1020, 45, T
1021, 45, T
1022, 45, T
1023, 45, T
1024, 45, T
1025, 45, T
1026, 45, T
1027, 45, T
1028, 45, T
1029, 45, T
1030, 45, T
1031, 45, T
1032, 45, T
1033, 45, T
1034, 45, T
1035, 45, T
1036, 45, T
1037, 45, T
1038, 45, T
1039, 45, T
1040, 45, T
1041, 45, T
1042, 45, T
1043, 45, T
1044, 45, T
1045, 45, T
1046, 45, T
1047, 45, T
1048, 45, T
1049, 45, T
1050, 45, T
1051, 45, T
1052, 45, T
1053, 45, T
1054, 45, T
1055, 45, T
1056, 45, T
1057, 45, T
1058, 45, T
1059, 45, T
1060, 45, T
1061, 45, T
1062, 45, T
1063, 45, T
1064, 45, T
1065, 45, T
1066, 45, T
1067, 45, T
1068, 45, T
1069, 45, T
1070, 45, T
1071, 45, T
1072, 45, T
1073, 45, T
1074, 45, T
1075, 45, T
1076, 45, T
1077, 45, T
1078, 45, T
1079, 45, T
1080, 45, T
1081, 45, T
1082, 45, T

PROJECT TITLE :

MIDAS	Company		Client	
	Author		File Name	H2D_3Dg_v14_180227_StatLM.mct

1083, 45, T
1084, 45, T
1085, 45, T
1086, 45, T
1087, 45, T
1088, 45, T
1089, 45, T
1090, 45, T
1091, 45, T
1092, 45, T
1093, 45, T
1094, 45, T
1095, 45, T
1096, 45, T
1097, 45, T
1098, 45, T
1099, 45, T
1100, 45, T
1101, 45, T
1102, 45, T
1103, 45, T
1104, 45, T
1105, 45, T
1106, 45, T
1107, 45, T
1108, 45, T
1109, 45, T
1110, 45, T
1111, 45, T
1112, 45, T
1113, 45, T
1114, 45, T
1115, 45, T
1116, 45, T
1117, 45, T
1118, 45, T
1119, 45, T
1120, 45, T
1121, 45, T
1122, 45, T
1123, 45, T
1124, 45, T
1125, 45, T
1126, 45, T
1127, 45, T
1128, 45, T
1129, 45, T
1130, 45, T
1131, 45, T
1132, 45, T
1133, 45, T
1134, 45, T
1135, 45, T
1136, 45, T
1137, 45, T
1138, 45, T
1139, 45, T
1140, 45, T
1141, 45, T
1142, 45, T
1143, 45, T
1144, 45, T
1145, 45, T
1146, 45, T
1147, 45, T
1148, 45, T
1149, 45, T
1150, 45, T
1151, 45, T
1152, 45, T
1153, 45, T
1154, 45, T

PROJECT TITLE :

MIDAS	Company		Client	
	Author		File Name	H2D_3Dg_v14_180227_StatLM.mct

1155, 45, T
1156, 45, T
1157, 45, T
1158, 45, T
1159, 45, T
1160, 45, T
1161, 45, T
1162, 45, T
1163, 45, T
1164, 45, T
1165, 45, T
1166, 45, T
1167, 45, T
1168, 45, T
1169, 45, T
1170, 45, T
1171, 45, T
1172, 45, T
1173, 45, T
1174, 45, T
1175, 45, T
1176, 45, T
1177, 45, T
1178, 45, T
1179, 45, T
1180, 45, T
1181, 45, T
1182, 45, T
1183, 45, T
1184, 45, T
1185, 45, T
1186, 45, T
1187, 45, T
1188, 45, T
1189, 45, T
1190, 45, T
1191, 45, T
1192, 45, T
1193, 45, T
1194, 45, T
1195, 45, T
1196, 45, T
1197, 45, T
1198, 45, T
1199, 45, T
1200, 45, T
1201, 45, T
1202, 45, T
1203, 45, T
1204, 45, T
1205, 45, T
1206, 45, T
1207, 45, T
1208, 45, T
1209, 45, T
1210, 45, T
1211, 45, T
1212, 45, T
1213, 45, T
1214, 45, T
1215, 45, T
1216, 45, T
1217, 45, T
1218, 45, T
1219, 45, T
1220, 45, T
1221, 45, T
1222, 45, T
1223, 45, T
1224, 45, T
1225, 45, T
1226, 45, T

PROJECT TITLE :

MIDAS	Company		Client	
	Author		File Name	H2D_3Dg_v14_180227_StatLM.mct

1227, 45, T
1228, 45, T
1229, 45, T
1230, 45, T
1231, 45, T
1232, 45, T
1233, 45, T
1234, 45, T
1235, 45, T
1236, 45, T
1237, 45, T
1238, 45, T
1239, 45, T
1240, 45, T
1241, 45, T
1242, 45, T
1243, 45, T
1244, 45, T
1245, 45, T
1246, 45, T
1247, 45, T
1248, 45, T
1249, 45, T
1250, 45, T
1251, 45, T
1252, 45, T
1253, 45, T
1254, 45, T
1255, 45, T
1256, 45, T
1257, 45, T
1258, 45, T
1259, 45, T
1260, 45, T
1261, 45, T
1262, 45, T
1263, 45, T
1264, 45, T
1265, 45, T
1266, 45, T
1267, 45, T
1268, 45, T
1269, 45, T
1270, 45, T
1271, 45, T
1272, 45, T
1273, 45, T
1274, 45, T
1275, 45, T
1276, 45, T
1277, 45, T
1278, 45, T
1279, 45, T
1280, 45, T
1281, 45, T
1282, 45, T
1283, 45, T
1284, 45, T
1285, 45, T
1286, 45, T
1287, 45, T
1288, 45, T
1289, 45, T
1290, 45, T
1291, 45, T
1292, 45, T
1293, 45, T
1294, 45, T
1295, 45, T
1296, 45, T
1297, 45, T
1298, 45, T

PROJECT TITLE :

MIDAS	Company		Client	
	Author		File Name	H2D_3Dg_v14_180227_StatLM.mct

1299, 45, T
1300, 45, T
1301, 45, T
1302, 45, T
1303, 45, T
1304, 45, T
1305, 45, T
1306, 45, T
1307, 45, T
1308, 45, T
1309, 45, T
1310, 45, T
1311, 45, T
1312, 45, T
1313, 45, T
1314, 45, T
1315, 45, T
1316, 45, T
1317, 45, T
1318, 45, T
1319, 45, T
1320, 45, T
1321, 45, T
1322, 45, T
1323, 45, T
1324, 45, T
1325, 45, T
1326, 45, T
1327, 45, T
1328, 45, T
1329, 45, T
1330, 45, T
1331, 45, T
1332, 45, T
1333, 45, T
1334, 45, T
1335, 45, T
1336, 45, T
1337, 45, T
1338, 45, T
1339, 45, T
1340, 45, T
1341, 45, T
1342, 45, T
1343, 45, T
1344, 45, T
1345, 45, T
1346, 45, T
1347, 45, T
1348, 45, T
1349, 45, T
1350, 45, T
1351, 45, T
1352, 45, T
1353, 45, T
1354, 45, T
1355, 45, T
1356, 45, T
1357, 45, T
1358, 45, T
1359, 45, T
1360, 45, T
1361, 45, T
1362, 45, T
1363, 45, T
1364, 45, T
1365, 45, T
1366, 45, T
1367, 45, T
1368, 45, T
1369, 45, T
1370, 45, T

PROJECT TITLE :

MIDAS	Company		Client	
	Author		File Name	H2D_3Dg_v14_180227_StatLM.mct

1371, 45, T
1372, 45, T
1373, 45, T
1374, 45, T
1375, 45, T
1376, 45, T
1377, 45, T
1378, 45, T
1379, 45, T
1380, 45, T
1381, 45, T
1382, 45, T
1383, 45, T
1384, 45, T
1385, 45, T
1386, 45, T
1387, 45, T
1388, 45, T
1389, 45, T
1390, 45, T
1391, 45, T
1392, 45, T
1393, 45, T
1394, 45, T
1395, 45, T
1396, 45, T
1397, 45, T
1398, 45, T
1399, 45, T
1400, 45, T
1401, 45, T
1402, 45, T
1403, 45, T
1404, 45, T
1405, 45, T
1406, 45, T
1407, 45, T
1408, 45, T
1409, 45, T
1410, 45, T
1411, 45, T
1412, 45, T
1413, 45, T
1414, 45, T
1415, 45, T
1416, 45, T
1417, 45, T
1418, 45, T
1419, 45, T
1420, 45, T
1421, 45, T
1422, 45, T
1423, 45, T
1424, 45, T
1425, 45, T
1426, 45, T
1427, 45, T
1428, 45, T
1429, 45, T
1430, 45, T
1431, 45, T
1432, 45, T
1433, 45, T
1434, 45, T
1435, 45, T
1436, 45, T
1437, 45, T
1438, 45, T
1439, 45, T
1440, 45, T
1441, 45, T
1442, 45, T

PROJECT TITLE :

MIDAS	Company		Client	
	Author		File Name	H2D_3Dg_v14_180227_StatLM.mct

1443, 45, T
1444, 45, T
1445, 45, T
1446, 45, T
1447, 45, T
1448, 45, T
1449, 45, T
1450, 45, T
1451, 45, T
1452, 45, T
1453, 45, T
1454, 45, T
1455, 45, T
1456, 45, T
1457, 45, T
1458, 45, T
1459, 45, T
1460, 45, T
1461, 45, T
1462, 45, T
1463, 45, T
1464, 45, T
1465, 45, T
1466, 45, T
1467, 45, T
1468, 45, T
1469, 45, T
1470, 45, T
1471, 45, T
1472, 45, T
1473, 45, T
1474, 45, T
1475, 45, T
1476, 45, T
1477, 45, T
1478, 45, T
1479, 45, T
1480, 45, T
1481, 45, T
1482, 45, T
1483, 45, T
1484, 45, T
1485, 45, T
1486, 45, T
1487, 45, T
1488, 45, T
1489, 45, T
1490, 45, T
1491, 45, T
1492, 45, T
1493, 45, T
1494, 45, T
1495, 45, T
1496, 45, T
1497, 45, T
1498, 45, T
1499, 45, T
1500, 45, T
1501, 45, T
1502, 45, T
1503, 45, T
1504, 45, T
1505, 45, T
1506, 45, T
1507, 45, T
1508, 45, T
1509, 45, T
1510, 45, T
1511, 45, T
1512, 45, T
1513, 45, T
1514, 45, T

PROJECT TITLE :

MIDAS	Company		Client	
	Author		File Name	H2D_3Dg_v14_180227_StatLM.mct

1515, 45, T
1516, 45, T
1517, 45, T
1518, 45, T
1519, 45, T
1520, 45, T
1521, 45, T
1522, 45, T
1523, 45, T
1524, 45, T
1525, 45, T
1526, 45, T
1527, 45, T
1528, 45, T
1529, 45, T
1530, 45, T
1531, 45, T
1532, 45, T
1533, 45, T
1534, 45, T
1535, 45, T
1536, 45, T
1537, 45, T
1538, 45, T
1539, 45, T
1540, 45, T
1541, 45, T
1542, 45, T
1543, 45, T
1544, 45, T
1545, 45, T
1546, 45, T
1547, 45, T
1548, 45, T
1549, 45, T
1550, 45, T
1551, 45, T
1552, 45, T
1553, 45, T
1554, 45, T
1555, 45, T
1556, 45, T
1557, 45, T
1558, 45, T
1559, 45, T
1560, 45, T
1561, 45, T
1562, 45, T
1563, 45, T
1564, 45, T
1565, 45, T
1566, 45, T
1567, 45, T
1568, 45, T
1569, 45, T
1570, 45, T
1571, 45, T
1572, 45, T
1573, 45, T
1574, 45, T
1575, 45, T
1576, 45, T
1577, 45, T
1578, 45, T
1579, 45, T
1580, 45, T
1581, 45, T
1582, 45, T
1583, 45, T
1584, 45, T
1585, 45, T
1586, 45, T

PROJECT TITLE :

MIDAS	Company		Client	
	Author		File Name	H2D_3Dg_v14_180227_StatLM.mct

1587, 45, T
1588, 45, T
1589, 45, T
1590, 45, T
1591, 45, T
1592, 45, T
1593, 45, T
1594, 45, T
1595, 45, T
1596, 45, T
1597, 45, T
1598, 45, T
1599, 45, T
1600, 45, T
1601, 45, T
1602, 45, T
1603, 45, T
1604, 45, T
1605, 45, T
1606, 45, T
1607, 45, T
1608, 45, T
1609, 45, T
1610, 45, T
1611, 45, T
1612, 45, T
1613, 45, T
1614, 45, T
1615, 45, T
1616, 45, T
1617, 45, T
1618, 45, T
1619, 45, T
1620, 45, T
1621, 45, T
1622, 45, T
1623, 45, T
1624, 45, T
1625, 45, T
1626, 45, T
1627, 45, T
1628, 45, T
1629, 45, T
1630, 45, T
1631, 45, T
1632, 45, T
1633, 45, T
1634, 45, T
1635, 45, T
1636, 45, T
1637, 45, T
1638, 45, T
1639, 45, T
1640, 45, T
1641, 45, T
1642, 45, T
1643, 45, T
1644, 45, T
1645, 45, T
1646, 45, T
1647, 45, T
1648, 45, T
1649, 45, T
1650, 45, T
1651, 45, T
1652, 45, T
1653, 45, T
1654, 45, T
1655, 45, T
1656, 45, T
1657, 45, T
1658, 45, T

PROJECT TITLE :

MIDAS	Company		Client	
	Author		File Name	H2D_3Dg_v14_180227_StatLM.mct

1659, 45, T
1660, 45, T
1661, 45, T
1662, 45, T
1663, 45, T
1664, 45, T
1665, 45, T
1666, 45, T
1667, 45, T
1668, 45, T
1669, 45, T
1670, 45, T
1671, 45, T
1672, 45, T
1673, 45, T
1674, 45, T
1675, 45, T
1676, 45, T
1677, 45, T
1678, 45, T
1679, 45, T
1680, 45, T
1681, 45, T
1682, 45, T
1683, 45, T
1684, 45, T
1685, 45, T
1686, 45, T
1687, 45, T
1688, 45, T
1689, 45, T
1690, 45, T
1691, 45, T
1692, 45, T
1693, 45, T
1694, 45, T
1695, 45, T
1696, 45, T
1697, 45, T
1698, 45, T
1699, 45, T
1700, 45, T
1701, 45, T
1702, 45, T
1703, 45, T
1704, 45, T
1705, 45, T
1706, 45, T
1707, 45, T
1708, 45, T
1709, 45, T
1710, 45, T
1711, 45, T
1712, 45, T
1713, 45, T
1714, 45, T
1715, 45, T
1716, 45, T
1717, 45, T
1718, 45, T
1719, 45, T
1720, 45, T
1721, 45, T
1722, 45, T
1723, 45, T
1724, 45, T
1725, 45, T
1726, 45, T
1727, 45, T
1728, 45, T
1729, 45, T
1730, 45, T

PROJECT TITLE :

MIDAS	Company		Client	
	Author		File Name	H2D_3Dg_v14_180227_StatLM.mct

1731, 45, T
1732, 45, T
1733, 45, T
1734, 45, T
1735, 45, T
1736, 45, T
1737, 45, T
1738, 45, T
1739, 45, T
1740, 45, T
1741, 45, T
1742, 45, T
1743, 45, T
1744, 45, T
1745, 45, T
1746, 45, T
1747, 45, T
1748, 45, T
1749, 45, T
1750, 45, T
1751, 45, T
1752, 45, T
1753, 45, T
1754, 45, T
1755, 45, T
1756, 45, T
1757, 45, T
1758, 45, T
1759, 45, T
1760, 45, T
1761, 45, T
1762, 45, T
1763, 45, T
1764, 45, T
1765, 45, T
1766, 45, T
1767, 45, T
1768, 45, T
1769, 45, T
1770, 45, T
1771, 45, T
1772, 45, T
1773, 45, T
1774, 45, T
1775, 45, T
1776, 45, T
1777, 45, T
1778, 45, T
1779, 45, T
1780, 45, T
1781, 45, T
1782, 45, T
1783, 45, T
1784, 45, T
1785, 45, T
1786, 45, T
1787, 45, T
1788, 45, T
1789, 45, T
1790, 45, T
1791, 45, T
1792, 45, T
1793, 45, T
1794, 45, T
1795, 45, T
1796, 45, T
1797, 45, T
1798, 45, T
1799, 45, T
1800, 45, T
1801, 45, T
1802, 45, T

PROJECT TITLE :

MIDAS	Company		Client	
	Author		File Name	H2D_3Dg_v14_180227_StatLM.mct

1803, 45, T
1804, 45, T
1805, 45, T
1806, 45, T
1807, 45, T
1808, 45, T
1809, 45, T
1810, 45, T
1811, 45, T
1812, 45, T
1813, 45, T
1814, 45, T
1815, 45, T
1816, 45, T
1817, 45, T
1818, 45, T
1819, 45, T
1820, 45, T
1821, 45, T
1822, 45, T
1823, 45, T
1824, 45, T
1825, 45, T
1826, 45, T
1827, 45, T
1828, 45, T
1829, 45, T
1830, 45, T
1831, 45, T
1832, 45, T
1833, 45, T
1834, 45, T
1835, 45, T
1836, 45, T
1837, 45, T
1838, 45, T
1839, 45, T
1840, 45, T
1841, 45, T
1842, 45, T
1843, 45, T
1844, 45, T
1845, 45, T
1846, 45, T
1847, 45, T
1848, 45, T
1849, 45, T
1850, 45, T
1851, 45, T
1852, 45, T
1853, 45, T
1854, 45, T
1855, 45, T
1856, 45, T
1857, 45, T
1858, 45, T
1859, 45, T
1860, 45, T
1861, 45, T
1862, 45, T
1863, 45, T
1864, 45, T
1865, 45, T
1866, 45, T
1867, 45, T
1868, 45, T
1869, 45, T
1870, 45, T
1871, 45, T
1872, 45, T
1873, 45, T
1874, 45, T

PROJECT TITLE :

MIDAS	Company		Client	
	Author		File Name	H2D_3Dg_v14_180227_StatLM.mct

1875, 45, T
1876, 45, T
1877, 45, T
1878, 45, T
1879, 45, T
1880, 45, T
1881, 45, T
1882, 45, T
1883, 45, T
1884, 45, T
1885, 45, T
1886, 45, T
1887, 45, T
1888, 45, T
1889, 45, T
1890, 45, T
1891, 45, T
1892, 45, T
1893, 45, T
1894, 45, T
1895, 45, T
1896, 45, T
1897, 45, T
1898, 45, T
1899, 45, T
1900, 45, T
1901, 45, T
1902, 45, T
1903, 45, T
1904, 45, T
1905, 45, T
1906, 45, T
1907, 45, T
1908, 45, T
1909, 45, T
1910, 45, T
1911, 45, T
1912, 45, T
1913, 45, T
1914, 45, T
1915, 45, T
1916, 45, T
1917, 45, T
1918, 45, T
1919, 45, T
1920, 45, T
1921, 45, T
1922, 45, T
1923, 45, T
1924, 45, T
1925, 45, T
1926, 45, T
1927, 45, T
1928, 45, T
1929, 45, T
1930, 45, T
1931, 45, T
1932, 45, T
1933, 45, T
1934, 45, T
1935, 45, T
1936, 45, T
1937, 45, T
1938, 45, T
1939, 45, T
1940, 45, T
1941, 45, T
1942, 45, T
1943, 45, T
1944, 45, T
1945, 45, T
1946, 45, T

PROJECT TITLE :

MIDAS	Company		Client	
	Author		File Name	H2D_3Dg_v14_180227_StatLM.mct

1947, 45, T
1948, 45, T
1949, 45, T
1950, 45, T
1951, 45, T
1952, 45, T
1953, 45, T
1954, 45, T
1955, 45, T
1956, 45, T
1957, 45, T
1958, 45, T
1959, 45, T
1960, 45, T
1961, 45, T
1962, 45, T
1963, 45, T
1964, 45, T
1965, 45, T
1966, 45, T
1967, 45, T
1968, 45, T
1969, 45, T
1970, 45, T
1971, 45, T
1972, 45, T
1973, 45, T
1974, 45, T
1975, 45, T
1976, 45, T
1977, 45, T
1978, 45, T
1979, 45, T
1980, 45, T
1981, 45, T
1982, 45, T
1983, 45, T
1984, 45, T
1985, 45, T
1986, 45, T
1987, 45, T
1988, 45, T
1989, 45, T
1990, 45, T
1991, 45, T
1992, 45, T
1993, 45, T
1994, 45, T
1995, 45, T
1996, 45, T
1997, 45, T
1998, 45, T
1999, 45, T
2000, 45, T
2001, 45, T
2002, 45, T
2003, 45, T
2004, 45, T
2005, 45, T
2006, 45, T
2007, 45, T
2008, 45, T
2009, 45, T
2010, 45, T
2011, 45, T
2012, 45, T
2013, 45, T
2014, 45, T
2015, 45, T
2016, 45, T
2017, 45, T
2018, 45, T

PROJECT TITLE :

MIDAS	Company		Client	
	Author		File Name	H2D_3Dg_v14_180227_StatLM.mct

2019, 45, T
2020, 45, T
2021, 45, T
2022, 45, T
2023, 45, T
2024, 45, T
2025, 45, T
2026, 45, T
2027, 45, T
2028, 45, T
2029, 45, T
2030, 45, T
2031, 45, T
2032, 45, T
2033, 45, T
2034, 45, T
2035, 45, T
2036, 45, T
2037, 45, T
2038, 45, T
2039, 45, T
2040, 45, T
2041, 45, T
2042, 45, T
2043, 45, T
2044, 45, T
2045, 45, T
2046, 45, T
2047, 45, T
2048, 45, T
2049, 45, T
2050, 45, T
2051, 45, T
2052, 45, T
2053, 45, T
2054, 45, T
2055, 45, T
2056, 45, T
2057, 45, T
2058, 45, T
2059, 45, T
2060, 45, T
2061, 45, T
2062, 45, T
2063, 45, T
2064, 45, T
2065, 45, T
2066, 45, T
2067, 45, T
2068, 45, T
2069, 45, T
2070, 45, T
2071, 45, T
2072, 45, T
2073, 45, T
2074, 45, T
2075, 45, T
2076, 45, T
2077, 45, T
2078, 45, T
2079, 45, T
2080, 45, T
2081, 45, T
2082, 45, T
2083, 45, T
2084, 45, T
2085, 45, T
2086, 45, T
2087, 45, T
2088, 45, T
2089, 45, T
2090, 45, T

PROJECT TITLE :

MIDAS	Company		Client	
	Author		File Name	H2D_3Dg_v14_180227_StatLM.mct

2091, 45, T
2092, 45, T
2093, 45, T
2094, 45, T
2095, 45, T
2096, 45, T
2097, 45, T
2098, 45, T
2099, 45, T
2100, 45, T
2101, 45, T
2102, 45, T
2103, 45, T
2104, 45, T
2105, 45, T
2106, 45, T
2107, 45, T
2108, 45, T
2109, 45, T
2110, 45, T
2111, 45, T
2112, 45, T
2113, 45, T
2114, 45, T
2115, 45, T
2116, 45, T
2117, 45, T
2118, 45, T
2119, 45, T
2120, 45, T
2121, 45, T
2122, 45, T
2123, 45, T
2124, 45, T
2125, 45, T
2126, 45, T
2127, 45, T
2128, 45, T
2129, 45, T
2130, 45, T
2131, 45, T
2132, 45, T
2133, 45, T
2134, 45, T
2135, 45, T
2136, 45, T
2137, 45, T
2138, 45, T
2139, 45, T
2140, 45, T
2141, 45, T
2142, 45, T
2143, 45, T
2144, 45, T
2145, 45, T
2146, 45, T
2147, 45, T
2148, 45, T
2149, 45, T
2150, 45, T
2151, 45, T
2152, 45, T
2153, 45, T
2154, 45, T
2155, 45, T
2156, 45, T
2157, 45, T
2158, 45, T
2159, 45, T
2160, 45, T
2161, 45, T
2162, 45, T

PROJECT TITLE :

MIDAS	Company		Client	
	Author		File Name	H2D_3Dg_v14_180227_StatLM.mct

2163, 45, T
2164, 45, T
2165, 45, T
2166, 45, T
2167, 45, T
2168, 45, T
2169, 45, T
2170, 45, T
2171, 45, T
2172, 45, T
2173, 45, T
2174, 45, T
2175, 45, T
2176, 45, T
2177, 45, T
2178, 45, T
2179, 45, T
2180, 45, T
2181, 45, T
2182, 45, T
2183, 45, T
2184, 45, T
2185, 45, T
2186, 45, T
2187, 45, T
2188, 45, T
2189, 45, T
2190, 45, T
2191, 45, T
2192, 45, T
2193, 45, T
2194, 45, T
2195, 45, T
2196, 45, T
2197, 45, T
2198, 45, T
2199, 45, T
2200, 45, T
2201, 45, T
2202, 45, T
2203, 45, T
2204, 45, T
2205, 45, T
2206, 45, T
2207, 45, T
2208, 45, T
2209, 45, T
2210, 45, T
2211, 45, T
2212, 45, T
2213, 45, T
2214, 45, T
2215, 45, T
2216, 45, T
2217, 45, T
2218, 45, T
2219, 45, T
2220, 45, T
2221, 45, T
2222, 45, T
2223, 45, T
2224, 45, T
2225, 45, T
2226, 45, T
2227, 45, T
2228, 45, T
2229, 45, T
2230, 45, T
2231, 45, T
2232, 45, T
2233, 45, T
2234, 45, T

PROJECT TITLE :

MIDAS	Company		Client	
	Author		File Name	H2D_3Dg_v14_180227_StatLM.mct

2235, 45, T
2236, 45, T
2237, 45, T
2238, 45, T
2239, 45, T
2240, 45, T
2241, 45, T
2242, 45, T
2243, 45, T
2244, 45, T
2245, 45, T
2246, 45, T
2247, 45, T
2248, 45, T
2249, 45, T
2250, 45, T
2251, 45, T
2252, 45, T
2253, 45, T
2254, 45, T
2255, 45, T
2256, 45, T
2257, 45, T
2258, 45, T
2259, 45, T
2260, 45, T
2261, 45, T
2262, 45, T
2263, 45, T
2264, 45, T
2265, 45, T
2266, 45, T
2267, 45, T
2268, 45, T
2269, 45, T
2270, 45, T
2271, 45, T
2272, 45, T
2273, 45, T
2274, 45, T
2275, 45, T
2276, 45, T
2277, 45, T
2278, 45, T
2279, 45, T
2280, 45, T
2281, 45, T
2282, 45, T
2283, 45, T
2284, 45, T
2285, 45, T
2286, 45, T
2287, 45, T
2288, 45, T
2289, 45, T
2290, 45, T
2291, 45, T
2292, 45, T
2293, 45, T
2294, 45, T
2295, 45, T
2296, 45, T
2297, 45, T
2298, 45, T
2299, 45, T
2300, 45, T
2301, 45, T
2302, 45, T
2303, 45, T
2304, 45, T
2305, 45, T
2306, 45, T

PROJECT TITLE :

MIDAS	Company		Client	
	Author		File Name	H2D_3Dg_v14_180227_StatLM.mct

2307, 45, T
2308, 45, T
2309, 45, T
2310, 45, T
2311, 45, T
2312, 45, T
2313, 45, T
2314, 45, T
2315, 45, T
2316, 45, T
2317, 45, T
2318, 45, T
2319, 45, T
2320, 45, T
2321, 45, T
2322, 45, T
2323, 45, T
2324, 45, T
2325, 45, T
2326, 45, T
2327, 45, T
2328, 45, T
2329, 45, T
2330, 45, T
2331, 45, T
2332, 45, T
2333, 45, T
2334, 45, T
2335, 45, T
2336, 45, T
2337, 45, T
2338, 45, T
2339, 45, T
2340, 45, T
2341, 45, T
2342, 45, T
2343, 45, T
2344, 45, T
2345, 45, T
2346, 45, T
2347, 45, T
2348, 45, T
2349, 45, T
2350, 45, T
2351, 45, T
2352, 45, T
2353, 45, T
2354, 45, T
2355, 45, T
2356, 45, T
2357, 45, T
2358, 45, T
2359, 45, T
2360, 45, T
2361, 45, T
2362, 45, T
2363, 45, T
2364, 45, T
2365, 45, T
2366, 45, T
2367, 45, T
2368, 45, T
2369, 45, T
2370, 45, T
2371, 45, T
2372, 45, T
2373, 45, T
2374, 45, T
2375, 45, T
2376, 45, T
2377, 45, T
2378, 45, T

PROJECT TITLE :

MIDAS	Company		Client	
	Author		File Name	H2D_3Dg_v14_180227_StatLM.mct

2379, 45, T
2380, 45, T
2381, 45, T
2382, 45, T
2383, 45, T
2384, 45, T
2385, 45, T
2386, 45, T
2387, 45, T
2388, 45, T
2389, 45, T
2390, 45, T
2391, 45, T
2392, 45, T
2393, 45, T
2394, 45, T
2395, 45, T
2396, 45, T
2397, 45, T
2398, 45, T
2399, 45, T
2400, 45, T
2401, 45, T
2402, 45, T
2403, 45, T
2404, 45, T
2405, 45, T
2406, 45, T
2407, 45, T
2408, 45, T
2409, 45, T
2410, 45, T
2411, 45, T
2412, 45, T
2413, 45, T
2414, 45, T
2415, 45, T
2416, 45, T
2417, 45, T
2418, 45, T
2419, 45, T
2420, 45, T
2421, 45, T
2422, 45, T
2423, 45, T
2424, 45, T
2425, 45, T
2426, 45, T
2427, 45, T
2428, 45, T
2429, 45, T
2430, 45, T
2431, 45, T
2432, 45, T
2433, 45, T
2434, 45, T
2435, 45, T
2436, 45, T
2437, 45, T
2438, 45, T
2439, 45, T
2440, 45, T
2441, 45, T
2442, 45, T
2443, 45, T
2444, 45, T
2445, 45, T
2446, 45, T
2447, 45, T
2448, 45, T
2449, 45, T
2450, 45, T

PROJECT TITLE :

MIDAS	Company		Client	
	Author		File Name	H2D_3Dg_v14_180227_StatLM.mct

2451, 45, T
2452, 45, T
2453, 45, T
2454, 45, T
2455, 45, T
2456, 45, T
2457, 45, T
2458, 45, T
2459, 45, T
2460, 45, T
2461, 45, T
2462, 45, T
2463, 45, T
2464, 45, T
2465, 45, T
2466, 45, T
2467, 45, T
2468, 45, T
2469, 45, T
2470, 45, T
2471, 45, T
2472, 45, T
2473, 45, T
2474, 45, T
2475, 45, T
2476, 45, T
2477, 45, T
2478, 45, T
2479, 45, T
2480, 45, T
2481, 45, T
2482, 45, T
2483, 45, T
2484, 45, T
2485, 45, T
2486, 45, T
2487, 45, T
2488, 45, T
2489, 45, T
2490, 45, T
2491, 45, T
2492, 45, T
2493, 45, T
2494, 45, T
2495, 45, T
2496, 45, T
2497, 45, T
2498, 45, T
2499, 45, T
2500, 45, T
2501, 45, T
2502, 45, T
2503, 45, T
2504, 45, T
2505, 45, T
2506, 45, T
2507, 45, T
2508, 45, T
2509, 45, T
2510, 45, T
2511, 45, T
2512, 45, T
2513, 45, T
2514, 45, T
2515, 45, T
2516, 45, T
2517, 45, T
2518, 45, T
2519, 45, T
2520, 45, T
2521, 45, T
2522, 45, T

PROJECT TITLE :

MIDAS	Company		Client	
	Author		File Name	H2D_3Dg_v14_180227_StatLM.mct

2523, 45, T
2524, 45, T
2525, 45, T
2526, 45, T
2527, 45, T
2528, 45, T
2529, 45, T
2530, 45, T
2531, 45, T
2532, 45, T
2533, 45, T
2534, 45, T
2535, 45, T
2536, 45, T
2537, 45, T
2538, 45, T
2539, 45, T
2540, 45, T
2541, 45, T
2542, 45, T
2543, 45, T
2544, 45, T
2545, 45, T
2546, 45, T
2547, 45, T
2548, 45, T
2549, 45, T
2550, 45, T
2551, 45, T
2552, 45, T
2553, 45, T
2554, 45, T
2555, 45, T
2556, 45, T
2557, 45, T
2558, 45, T
2559, 45, T
2560, 45, T
2561, 45, T
2562, 45, T
2563, 45, T
2564, 45, T
2565, 45, T
2566, 45, T
2567, 45, T
2568, 45, T
2569, 45, T
2570, 45, T
2571, 45, T
2572, 45, T
2573, 45, T
2574, 45, T
2575, 45, T
2576, 45, T
2577, 45, T
2578, 45, T
2579, 45, T
2580, 45, T
2581, 45, T
2582, 45, T
2583, 45, T
2584, 45, T
2585, 45, T
2586, 45, T
2587, 45, T
2588, 45, T
2589, 45, T
2590, 45, T
2591, 45, T
2592, 45, T
2593, 45, T
2594, 45, T

PROJECT TITLE :

MIDAS	Company		Client	
	Author		File Name	H2D_3Dg_v14_180227_StatLM.mct

2595, 45, T
2596, 45, T
2597, 45, T
2598, 45, T
2599, 45, T
2600, 45, T
2601, 45, T
2602, 45, T
2603, 45, T
2604, 45, T
2605, 45, T
2606, 45, T
2607, 45, T
2608, 45, T
2609, 45, T
2610, 45, T
2611, 45, T
2612, 45, T
2613, 45, T
2614, 45, T
2615, 45, T
2616, 45, T
2617, 45, T
2618, 45, T
2619, 45, T
2620, 45, T
2621, 45, T
2622, 45, T
2623, 45, T
2624, 45, T
2625, 45, T
2626, 45, T
2627, 45, T
2628, 45, T
2629, 45, T
2630, 45, T
2631, 45, T
2632, 45, T
2633, 45, T
2634, 45, T
2635, 45, T
2636, 45, T
2637, 45, T
2638, 45, T
2639, 45, T
2640, 45, T
2641, 45, T
2642, 45, T
2643, 45, T
2644, 45, T
2645, 45, T
2646, 45, T
2647, 45, T
2648, 45, T
2649, 45, T
2650, 45, T
2651, 45, T
2652, 45, T
2653, 45, T
2654, 45, T
2655, 45, T
2656, 45, T
2657, 45, T
2658, 45, T
2659, 45, T
2660, 45, T
2661, 45, T
2662, 45, T
2663, 45, T
2664, 45, T
2665, 45, T
2666, 45, T

PROJECT TITLE :

MIDAS	Company		Client	
	Author		File Name	H2D_3Dg_v14_180227_StatLM.mct

2667, 45, T
2668, 45, T
2669, 45, T
2670, 45, T
2671, 45, T
2672, 45, T
2673, 45, T
2674, 45, T
2675, 45, T
2676, 45, T
2677, 45, T
2678, 45, T
2679, 45, T
2680, 45, T
2681, 45, T
2682, 45, T
2683, 45, T
2684, 45, T
2685, 45, T
2686, 45, T
2687, 45, T
2688, 45, T
2689, 45, T
2690, 45, T
2691, 45, T
2692, 45, T
2693, 45, T
2694, 45, T
2695, 45, T
2696, 45, T
2697, 45, T
2698, 45, T
2699, 45, T
2700, 45, T
2701, 45, T
2702, 45, T
2703, 45, T
2704, 45, T
2705, 45, T
2706, 45, T
2707, 45, T
2708, 45, T
2709, 45, T
2710, 45, T
2711, 45, T
2712, 45, T
2713, 45, T
2714, 45, T
2715, 45, T
2716, 45, T
2717, 45, T
2718, 45, T
2719, 45, T
2720, 45, T
2721, 45, T
2722, 45, T
2723, 45, T
2724, 45, T
2725, 45, T
2726, 45, T
2727, 45, T
2728, 45, T
2729, 45, T
2730, 45, T
2731, 45, T
2732, 45, T
2733, 45, T
2734, 45, T
2735, 45, T
2736, 45, T
2737, 45, T
2738, 45, T

PROJECT TITLE :

MIDAS	Company		Client	
	Author		File Name	H2D_3Dg_v14_180227_StatLM.mct

2739, 45, T
2740, 45, T
2741, 45, T
2742, 45, T
2743, 45, T
2744, 45, T
2745, 45, T
2746, 45, T
2747, 45, T
2748, 45, T
2749, 45, T
2750, 45, T
2751, 45, T
2752, 45, T
2753, 45, T
2754, 45, T
2755, 45, T
2756, 45, T
2757, 45, T
2758, 45, T
2759, 45, T
2760, 45, T
2761, 45, T
2762, 45, T
2763, 45, T
2764, 45, T
2765, 45, T
2766, 45, T
2767, 45, T
2768, 45, T
2769, 45, T
2770, 45, T
2771, 45, T
2772, 45, T
2773, 45, T
2774, 45, T
2775, 45, T
2776, 45, T
2777, 45, T
2778, 45, T
2779, 45, T
2780, 45, T
2781, 45, T
2782, 45, T
2783, 45, T
2784, 45, T
2785, 45, T
2786, 45, T
2787, 45, T
2788, 45, T
2789, 45, T
2790, 45, T
2791, 45, T
2792, 45, T
2793, 45, T
2794, 45, T
2795, 45, T
2796, 45, T
2797, 45, T
2798, 45, T
2799, 45, T
2800, 45, T
2801, 45, T
2802, 45, T
2803, 45, T
2804, 45, T
2805, 45, T
2806, 45, T
2807, 45, T
2808, 45, T
2809, 45, T
2810, 45, T

PROJECT TITLE :

MIDAS	Company		Client	
	Author		File Name	H2D_3Dg_v14_180227_StatLM.mct

2811, 45, T
2812, 45, T
2813, 45, T
2814, 45, T
2815, 45, T
2816, 45, T
2817, 45, T
2818, 45, T
2819, 45, T
2820, 45, T
2821, 45, T
2822, 45, T
2823, 45, T
2824, 45, T
2825, 45, T
2826, 45, T
2827, 45, T
2828, 45, T
2829, 45, T
2830, 45, T
2831, 45, T
2832, 45, T
2833, 45, T
2834, 45, T
2835, 45, T
2836, 45, T
2837, 45, T
2838, 45, T
2839, 45, T
2840, 45, T
2841, 45, T
2842, 45, T
2843, 45, T
2844, 45, T
2845, 45, T
2846, 45, T
2847, 45, T
2848, 45, T
2849, 45, T
2850, 45, T
2851, 45, T
2852, 45, T
2853, 45, T
2854, 45, T
2855, 45, T
2856, 45, T
2857, 45, T
2858, 45, T
2859, 45, T
2860, 45, T
2861, 45, T
2862, 45, T
2863, 45, T
2864, 45, T
2865, 45, T
2866, 45, T
2867, 45, T
2868, 45, T
2869, 45, T
2870, 45, T
2871, 45, T
2872, 45, T
2873, 45, T
2874, 45, T
2875, 45, T
2876, 45, T
2877, 45, T
2878, 45, T
2879, 45, T
2880, 45, T
2881, 45, T
2882, 45, T

PROJECT TITLE :

MIDAS	Company		Client	
	Author		File Name	H2D_3Dg_v14_180227_StatLM.mct

2883, 45, T
2884, 45, T
2885, 45, T
2886, 45, T
2887, 45, T
2888, 45, T
2889, 45, T
2890, 45, T
2891, 45, T
2892, 45, T
2893, 45, T
2894, 45, T
2895, 45, T
2896, 45, T
2897, 45, T
2898, 45, T
2899, 45, T
2900, 45, T
2901, 45, T
2902, 45, T
2903, 45, T
2904, 45, T
2905, 45, T
2906, 45, T
2907, 45, T
2908, 45, T
2909, 45, T
2910, 45, T
2911, 45, T
2912, 45, T
2913, 45, T
2914, 45, T
2915, 45, T
2916, 45, T
2917, 45, T
2918, 45, T
2919, 45, T
2920, 45, T
2921, 45, T
2922, 45, T
2923, 45, T
2924, 45, T
2925, 45, T
2926, 45, T
2927, 45, T
2928, 45, T
2929, 45, T
2930, 45, T
2931, 45, T
2932, 45, T
2933, 45, T
2934, 45, T
2935, 45, T
2936, 45, T
2937, 45, T
2938, 45, T
2939, 45, T
2940, 45, T
2941, 45, T
2942, 45, T
2943, 45, T
2944, 45, T
2945, 45, T
2946, 45, T
2947, 45, T
2948, 45, T
2949, 45, T
2950, 45, T
2951, 45, T
2952, 45, T
2953, 45, T
2954, 45, T

PROJECT TITLE :

MIDAS	Company		Client	
	Author		File Name	H2D_3Dg_v14_180227_StatLM.mct

2955, 45, T
2956, 45, T
2957, 45, T
2958, 45, T
2959, 45, T
2960, 45, T
2961, 45, T
2962, 45, T
2963, 45, T
2964, 45, T
2965, 45, T
2966, 45, T
2967, 45, T
2968, 45, T
2969, 45, T
2970, 45, T
2971, 45, T
2972, 45, T
2973, 45, T
2974, 45, T
2975, 45, T
2976, 45, T
2977, 45, T
2978, 45, T
2979, 45, T
2980, 45, T
2981, 45, T
2982, 45, T
2983, 45, T
2984, 45, T
2985, 45, T
2986, 45, T
2987, 45, T
2988, 45, T
2989, 45, T
2990, 45, T
2991, 45, T
2992, 45, T
2993, 45, T
2994, 45, T
2995, 45, T
2996, 45, T
2997, 45, T
2998, 45, T
2999, 45, T
3000, 45, T
3001, 45, T
3002, 45, T
3003, 45, T
3004, 45, T
3005, 45, T
3006, 45, T
3007, 45, T
3008, 45, T
3009, 45, T
3010, 45, T
3011, 45, T
3012, 45, T
3013, 45, T
3014, 45, T
3015, 45, T
3016, 45, T
3017, 45, T
3018, 45, T
3019, 45, T
3020, 45, T
3023, 45, T
3024, 45, T
3025, 45, T
3026, 45, T
3027, 45, T
3028, 45, T

PROJECT TITLE :

MIDAS	Company		Client	
	Author		File Name	H2D_3Dg_v14_180227_StatLM.mct

3029, 45, T
3030, 45, T
3031, 45, T
3032, 45, T
3033, 45, T
3034, 45, T
3035, 45, T
3036, 45, T
3037, 45, T
3038, 45, T
3039, 45, T
3040, 45, T
3041, 45, T
3042, 45, T
3043, 45, T
3044, 45, T
3045, 45, T
3046, 45, T
3047, 45, T
3048, 45, T
3049, 45, T
3050, 45, T
3051, 45, T
3052, 45, T
3053, 45, T
3054, 45, T
3055, 45, T
3056, 45, T
3057, 45, T
3058, 45, T
3059, 45, T
3060, 45, T
3061, 45, T
3062, 45, T
3063, 45, T
3064, 45, T
3065, 45, T
3066, 45, T
3067, 45, T
3068, 45, T
3069, 45, T
3070, 45, T
3071, 45, T
3072, 45, T
3073, 45, T
3074, 45, T
3075, 45, T
3076, 45, T
3077, 45, T
3078, 45, T
3079, 45, T
3080, 45, T
3081, 45, T
3082, 45, T
3083, 45, T
3084, 45, T
3085, 45, T
3086, 45, T
3087, 45, T
3088, 45, T
3089, 45, T
3090, 45, T
3091, 45, T
3092, 45, T
3093, 45, T
3094, 45, T
3095, 45, T
3096, 45, T
3097, 45, T
3098, 45, T
3099, 45, T
3100, 45, T

PROJECT TITLE :

MIDAS	Company		Client	
	Author		File Name	H2D_3Dg_v14_180227_StatLM.mct

3101, 45, T
3102, 45, T
3103, 45, T
3104, 45, T
3105, 45, T
3106, 45, T
3107, 45, T
3108, 45, T
3109, 45, T
3110, 45, T
3111, 45, T
3112, 45, T
3113, 45, T
3114, 45, T
3115, 45, T
3116, 45, T
3122, 45, T
3123, 45, T
3129, 45, T
3144, 45, T
3145, 45, T
3146, 45, T
3147, 45, T
3148, 45, T
3149, 45, T
3150, 45, T
3151, 45, T
3152, 45, T
3153, 45, T
3154, 45, T
3155, 45, T
3156, 45, T
3157, 45, T
3158, 45, T
3159, 45, T
3160, 45, T
3161, 45, T
3162, 45, T
3163, 45, T
3164, 45, T
3165, 45, T
3166, 45, T
3167, 45, T
3168, 45, T
3169, 45, T
3170, 45, T
3171, 45, T
3172, 45, T
3173, 45, T
3174, 45, T
3175, 45, T
3176, 45, T
3177, 45, T
3178, 45, T
3179, 45, T
3180, 45, T
3181, 45, T
3182, 45, T
3183, 45, T
3184, 45, T
3185, 45, T
3186, 45, T
3187, 45, T
3188, 45, T
3189, 45, T
3190, 45, T
3191, 45, T
3192, 45, T
3193, 45, T
3194, 45, T
3195, 45, T
3196, 45, T

PROJECT TITLE :

MIDAS	Company		Client	
	Author		File Name	H2D_3Dg_v14_180227_StatLM.mct

3197, 45, T
3198, 45, T
3199, 45, T
3200, 45, T
3201, 45, T
3202, 45, T
3203, 45, T
3204, 45, T
3205, 45, T
3206, 45, T
3207, 45, T
3208, 45, T
3209, 45, T
3210, 45, T
3211, 45, T
3212, 45, T
3213, 45, T
3216, 45, T
3217, 45, T
3218, 45, T
3219, 45, T
3220, 45, T
3221, 45, T
3222, 45, T
3223, 45, T
3224, 45, T
3225, 45, T
3226, 45, T
3227, 45, T
3228, 45, T
3229, 45, T
3230, 45, T
3231, 45, T
3232, 45, T
3233, 45, T
3234, 45, T
3235, 45, T
3236, 45, T
3237, 45, T
3238, 45, T
3239, 45, T
3240, 45, T
3241, 45, T
3243, 45, T
3244, 45, T
3245, 45, T
3246, 45, T
3247, 45, T
3248, 45, T
3249, 45, T
3250, 45, T
3251, 45, T
3252, 45, T
3253, 45, T
3254, 45, T
3255, 45, T
3256, 45, T
3257, 45, T
3258, 45, T
3259, 45, T
3260, 45, T
3261, 45, T
3262, 45, T
3263, 45, T
3264, 45, T
3265, 45, T
3266, 45, T
3267, 45, T
3268, 45, T
3269, 45, T
3270, 45, T
3271, 45, T

PROJECT TITLE :

MIDAS	Company		Client	
	Author		File Name	H2D_3Dg_v14_180227_StatLM.mct

3272, 45, T
3273, 45, T
3274, 45, T
3275, 45, T
3276, 45, T
3277, 45, T
3278, 45, T
3279, 45, T
3280, 45, T
3281, 45, T
3282, 45, T
3283, 45, T
3284, 45, T
3285, 45, T
3286, 45, T
3287, 45, T
3288, 45, T
3289, 45, T
3290, 45, T
3291, 45, T
3292, 45, T
3293, 45, T
3294, 45, T
3295, 45, T
3296, 45, T
3297, 45, T
3298, 45, T
3299, 45, T
3300, 45, T
3301, 45, T
3302, 45, T
3303, 45, T
3304, 45, T
3305, 45, T
3306, 45, T
3307, 45, T
3308, 45, T
3309, 45, T
3310, 45, T
3311, 45, T
3312, 45, T
3313, 45, T
3314, 45, T
3315, 45, T
3316, 45, T
3317, 45, T
3318, 45, T
3319, 45, T
3320, 45, T
3321, 45, T
3322, 45, T
3323, 45, T
3324, 45, T
3325, 45, T
3326, 45, T
3327, 45, T
3328, 45, T
3329, 45, T
3330, 45, T
3331, 45, T
3332, 45, T
3333, 45, T
3334, 45, T
3335, 45, T
3336, 45, T
3337, 45, T
3338, 45, T
3339, 45, T
3340, 45, T
3341, 45, T
3342, 45, T
3343, 45, T

PROJECT TITLE :

MIDAS	Company		Client	
	Author		File Name	H2D_3Dg_v14_180227_StatLM.mct

3344, 45, T
3345, 45, T
3346, 45, T
3347, 45, T
3348, 45, T
3349, 45, T
3350, 45, T
3351, 45, T
3352, 45, T
3353, 45, T
3354, 45, T
3355, 45, T
3356, 45, T
3357, 45, T
3358, 45, T
3359, 45, T
3360, 45, T
3361, 45, T
3362, 45, T
3363, 45, T
3364, 45, T
3365, 45, T
3366, 45, T
3367, 45, T
3368, 45, T
3369, 45, T
3370, 45, T
3371, 45, T
3372, 45, T
3373, 45, T
3374, 45, T
3375, 45, T
3376, 45, T
3377, 45, T
3378, 45, T
3379, 45, T
3380, 45, T
3381, 45, T
3382, 45, T
3383, 45, T
3384, 45, T
3385, 45, T
3386, 45, T
3387, 45, T
3388, 45, T
3389, 45, T
3390, 45, T
3391, 45, T
3392, 45, T
3393, 45, T
3394, 45, T
3395, 45, T
3396, 45, T
3397, 45, T
3398, 45, T
3399, 45, T
3400, 45, T
3401, 45, T
3402, 45, T
3403, 45, T
3404, 45, T
3405, 45, T
3406, 45, T
3407, 45, T
3408, 45, T
3409, 45, T
3410, 45, T
3411, 45, T
3412, 45, T
3413, 45, T
3414, 45, T
3415, 45, T

PROJECT TITLE :

MIDAS	Company		Client	
	Author		File Name	H2D_3Dg_v14_180227_StatLM.mct

3416, 45, T
3417, 45, T
3418, 45, T
3419, 45, T
3420, 45, T
3421, 45, T
3422, 45, T
3423, 45, T
3424, 45, T
3425, 45, T
3426, 45, T
3427, 45, T
3428, 45, T
3429, 45, T
3430, 45, T
3431, 45, T
3432, 45, T
3433, 45, T
3434, 45, T
3435, 45, T
3436, 45, T
3437, 45, T
3438, 45, T
3439, 45, T
3440, 45, T
3441, 45, T
3442, 45, T
3443, 45, T
3444, 45, T
3445, 45, T
3446, 45, T
3447, 45, T
3448, 45, T
3449, 45, T
3450, 45, T
3451, 45, T
3452, 45, T
3453, 45, T
3454, 45, T
3455, 45, T
3456, 45, T
3457, 45, T
3458, 45, T
3459, 45, T
3460, 45, T
3461, 45, T
3462, 45, T
3463, 45, T
3464, 45, T
3465, 45, T
3466, 45, T
3467, 45, T
3468, 45, T
3469, 45, T
3470, 45, T
3471, 45, T
3472, 45, T
3473, 45, T
3474, 45, T
3475, 45, T
3476, 45, T
3477, 45, T
3478, 45, T
3479, 45, T
3480, 45, T
3481, 45, T
3482, 45, T
3483, 45, T
3484, 45, T
3485, 45, T
3486, 45, T
3487, 45, T

PROJECT TITLE :

MIDAS	Company		Client	
	Author		File Name	H2D_3Dg_v14_180227_StatLM.mct

3488, 45, T
3489, 45, T
3490, 45, T
3491, 45, T
3492, 45, T
3493, 45, T
3494, 45, T
3495, 45, T
3496, 45, T
3497, 45, T
3498, 45, T
3499, 45, T
3500, 45, T
3501, 45, T
3502, 45, T
3503, 45, T
3504, 45, T
3505, 45, T
3506, 45, T
3507, 45, T
3508, 45, T
3509, 45, T
3510, 45, T
3511, 45, T
3512, 45, T
3513, 45, T
3514, 45, T
3515, 45, T
3516, 45, T
3517, 45, T
3518, 45, T
3519, 45, T
3520, 45, T
3521, 45, T
3522, 45, T
3523, 45, T
3524, 45, T
3525, 45, T
3526, 45, T
3527, 45, T
3528, 45, T
3529, 45, T
3530, 45, T
3531, 45, T
3532, 45, T
3533, 45, T
3534, 45, T
3535, 45, T
3536, 45, T
3537, 45, T
3538, 45, T
3539, 45, T
3540, 45, T
3541, 45, T
3542, 45, T
3543, 45, T
3544, 45, T
3545, 45, T
3546, 45, T
3547, 45, T
3548, 45, T
3549, 45, T
3550, 45, T
3551, 45, T
3552, 45, T
3553, 45, T
3554, 45, T
3555, 45, T
3556, 45, T
3557, 45, T
3558, 45, T
3559, 45, T

PROJECT TITLE :

MIDAS	Company		Client	
	Author		File Name	H2D_3Dg_v14_180227_StatLM.mct

3560, 45, T
3561, 45, T
3562, 45, T
3563, 45, T
3564, 45, T
3565, 45, T
3566, 45, T
3567, 45, T
3568, 45, T
3569, 45, T
3570, 45, T
3571, 45, T
3572, 45, T
3573, 45, T
3574, 45, T
3575, 45, T
3576, 45, T
3577, 45, T
3578, 45, T
3579, 45, T
3580, 45, T
3581, 45, T
3582, 45, T
3583, 45, T
3584, 45, T
3585, 45, T
3586, 45, T
3587, 45, T
3588, 45, T
3589, 45, T
3590, 45, T
3591, 45, T
3592, 45, T
3593, 45, T
3594, 45, T
3595, 45, T
3596, 45, T
3597, 45, T
3598, 45, T
3599, 45, T
3600, 45, T
3601, 45, T
3602, 45, T
3603, 45, T
3604, 45, T
3605, 45, T
3606, 45, T
3607, 45, T
3608, 45, T
3609, 45, T
3610, 45, T
3611, 45, T
3612, 45, T
3613, 45, T
3614, 45, T
3615, 45, T
3616, 45, T
3617, 45, T
3618, 45, T
3619, 45, T
3620, 45, T
3621, 45, T
3622, 45, T
3623, 45, T
3624, 45, T
3625, 45, T
3626, 45, T
3627, 45, T
3628, 45, T
3629, 45, T
3630, 45, T
3631, 45, T

PROJECT TITLE :

MIDAS	Company		Client	
	Author		File Name	H2D_3Dg_v14_180227_StatLM.mct

3632, 45, T
3633, 45, T
3634, 45, T
3635, 45, T
3636, 45, T
3637, 45, T
3638, 45, T
3639, 45, T
3640, 45, T
3641, 45, T
3642, 45, T
3643, 45, T
3644, 45, T
3645, 45, T
3646, 45, T
3647, 45, T
3648, 45, T
3649, 45, T
3650, 45, T
3651, 45, T
3652, 45, T
3653, 45, T
3654, 45, T
3655, 45, T
3656, 45, T
3657, 45, T
3658, 45, T
3659, 45, T
3660, 45, T
3664, 45, T
3665, 45, T
3668, 45, T
3669, 45, T
3671, 45, T
3672, 45, T
3673, 45, T
3674, 45, T
3675, 45, T
3676, 45, T
3677, 45, T
3678, 45, T
3679, 45, T
3680, 45, T
3681, 45, T
3682, 45, T
3683, 45, T
3684, 45, T
3685, 45, T
3686, 45, T
3687, 45, T
3688, 45, T
3689, 45, T
3690, 45, T
3691, 45, T
3692, 45, T
3693, 45, T
3694, 45, T
3695, 45, T
3696, 45, T
3700, 45, T
3701, 45, T
3704, 45, T
3705, 45, T
3707, 45, T
3708, 45, T
3709, 45, T
3710, 45, T
3711, 45, T
3712, 45, T
3713, 45, T
3714, 45, T
3715, 45, T

PROJECT TITLE :

MIDAS	Company		Client	
	Author		File Name	H2D_3Dg_v14_180227_StatLM.mct

3716, 45, T
3717, 45, T
3718, 45, T
3719, 45, T
3720, 45, T
3721, 45, T
3722, 45, T
3723, 45, T
3724, 45, T
3725, 45, T
3728, 45, T
3729, 45, T
3731, 45, T
3732, 45, T
3733, 45, T
3734, 45, T
3735, 45, T
3736, 45, T
3737, 45, T
3738, 45, T
3739, 45, T
3740, 45, T
3741, 45, T
3742, 45, T
3743, 45, T
3746, 45, T
3747, 45, T
3749, 45, T
3750, 45, T
3751, 45, T
3752, 45, T
3753, 45, T
3754, 45, T
3755, 45, T
3756, 45, T
3757, 45, T
3758, 45, T
3759, 45, T
3760, 45, T
3761, 45, T
3762, 45, T
3763, 45, T
3764, 45, T
3765, 45, T
3766, 45, T
3767, 45, T
3768, 45, T
3769, 45, T
3770, 45, T
3771, 45, T
3772, 45, T
3773, 45, T
3774, 45, T
3775, 45, T
3776, 45, T
3777, 45, T
3778, 45, T
3779, 45, T
3780, 45, T
3781, 45, T
3782, 45, T
3783, 45, T
3784, 45, T
3785, 45, T
3786, 45, T
3787, 45, T
3788, 45, T
3789, 45, T
3790, 45, T
3791, 45, T
3792, 45, T
3793, 45, T

3794, 45, T
3795, 45, T
3796, 45, T
3797, 45, T
3798, 45, T
3799, 45, T
3800, 45, T
3801, 45, T
3802, 45, T
3803, 45, T
3804, 45, T
3805, 45, T
3806, 45, T
3807, 45, T
3808, 45, T
3809, 45, T
3810, 45, T
3811, 45, T
3812, 45, T
3813, 45, T
3814, 45, T
3815, 45, T
3816, 45, T
3817, 45, T
3818, 45, T
3819, 45, T
3820, 45, T
3821, 45, T
3822, 45, T
3823, 45, T
3824, 45, T
3825, 45, T
3826, 45, T
3827, 45, T
3828, 45, T
3829, 45, T
3830, 45, T
3831, 45, T
3832, 45, T

; End of data for load case [TR+45] ----------

*USE-STLD, TR-44

*ELTEMPER ; Element Temperatures
; ELEM_LIST, TEMPER, GROUP
1, -44, T
2, -44, T
3, -44, T
4, -44, T
5, -44, T
6, -44, T
7, -44, T
8, -44, T
9, -44, T
10, -44, T
11, -44, T
12, -44, T
13, -44, T
14, -44, T
15, -44, T
16, -44, T
17, -44, T
18, -44, T
19, -44, T
20, -44, T
21, -44, T
22, -44, T
23, -44, T
24, -44, T
25, -44, T
26, -44, T

PROJECT TITLE :

MIDAS	Company		Client	
	Author		File Name	H2D_3Dg_v14_180227_StatLM.mct

27, -44, T
28, -44, T
29, -44, T
30, -44, T
31, -44, T
32, -44, T
33, -44, T
34, -44, T
35, -44, T
36, -44, T
37, -44, T
38, -44, T
39, -44, T
40, -44, T
41, -44, T
42, -44, T
43, -44, T
44, -44, T
45, -44, T
46, -44, T
47, -44, T
48, -44, T
49, -44, T
50, -44, T
51, -44, T
52, -44, T
53, -44, T
54, -44, T
55, -44, T
56, -44, T
57, -44, T
58, -44, T
59, -44, T
60, -44, T
61, -44, T
62, -44, T
63, -44, T
64, -44, T
65, -44, T
66, -44, T
67, -44, T
68, -44, T
69, -44, T
70, -44, T
71, -44, T
72, -44, T
73, -44, T
74, -44, T
75, -44, T
76, -44, T
77, -44, T
78, -44, T
79, -44, T
80, -44, T
81, -44, T
82, -44, T
83, -44, T
84, -44, T
85, -44, T
86, -44, T
87, -44, T
88, -44, T
89, -44, T
90, -44, T
91, -44, T
92, -44, T
93, -44, T
94, -44, T
95, -44, T
96, -44, T
97, -44, T
98, -44, T

PROJECT TITLE :

MIDAS	Company		Client	
	Author		File Name	H2D_3Dg_v14_180227_StatLM.mct

99, -44, T
100, -44, T
101, -44, T
102, -44, T
103, -44, T
104, -44, T
105, -44, T
106, -44, T
107, -44, T
108, -44, T
109, -44, T
110, -44, T
111, -44, T
112, -44, T
113, -44, T
114, -44, T
115, -44, T
116, -44, T
117, -44, T
118, -44, T
119, -44, T
120, -44, T
121, -44, T
122, -44, T
123, -44, T
124, -44, T
125, -44, T
126, -44, T
127, -44, T
128, -44, T
129, -44, T
130, -44, T
131, -44, T
132, -44, T
133, -44, T
134, -44, T
135, -44, T
136, -44, T
137, -44, T
138, -44, T
139, -44, T
140, -44, T
141, -44, T
142, -44, T
143, -44, T
144, -44, T
145, -44, T
146, -44, T
147, -44, T
148, -44, T
149, -44, T
150, -44, T
151, -44, T
152, -44, T
153, -44, T
154, -44, T
155, -44, T
156, -44, T
157, -44, T
158, -44, T
159, -44, T
160, -44, T
161, -44, T
162, -44, T
163, -44, T
164, -44, T
165, -44, T
166, -44, T
167, -44, T
168, -44, T
169, -44, T
170, -44, T

PROJECT TITLE :

MIDAS	Company		Client	
	Author		File Name	H2D_3Dg_v14_180227_StatLM.mct

171, -44, T
172, -44, T
173, -44, T
174, -44, T
175, -44, T
176, -44, T
177, -44, T
178, -44, T
179, -44, T
180, -44, T
181, -44, T
182, -44, T
183, -44, T
184, -44, T
185, -44, T
186, -44, T
187, -44, T
188, -44, T
189, -44, T
190, -44, T
191, -44, T
192, -44, T
193, -44, T
194, -44, T
195, -44, T
196, -44, T
197, -44, T
198, -44, T
199, -44, T
200, -44, T
201, -44, T
202, -44, T
203, -44, T
204, -44, T
205, -44, T
206, -44, T
207, -44, T
208, -44, T
209, -44, T
210, -44, T
211, -44, T
212, -44, T
213, -44, T
214, -44, T
215, -44, T
216, -44, T
217, -44, T
218, -44, T
219, -44, T
220, -44, T
221, -44, T
222, -44, T
223, -44, T
224, -44, T
225, -44, T
226, -44, T
227, -44, T
228, -44, T
229, -44, T
230, -44, T
231, -44, T
232, -44, T
233, -44, T
234, -44, T
235, -44, T
236, -44, T
237, -44, T
238, -44, T
239, -44, T
240, -44, T
241, -44, T
242, -44, T

PROJECT TITLE :

MIDAS	Company		Client	
	Author		File Name	H2D_3Dg_v14_180227_StatLM.mct

243, -44, T
244, -44, T
245, -44, T
246, -44, T
247, -44, T
248, -44, T
249, -44, T
250, -44, T
251, -44, T
252, -44, T
253, -44, T
254, -44, T
255, -44, T
256, -44, T
257, -44, T
258, -44, T
259, -44, T
260, -44, T
261, -44, T
262, -44, T
263, -44, T
264, -44, T
265, -44, T
266, -44, T
267, -44, T
268, -44, T
269, -44, T
270, -44, T
271, -44, T
272, -44, T
273, -44, T
274, -44, T
275, -44, T
276, -44, T
277, -44, T
278, -44, T
279, -44, T
280, -44, T
281, -44, T
282, -44, T
283, -44, T
284, -44, T
285, -44, T
286, -44, T
287, -44, T
288, -44, T
289, -44, T
290, -44, T
291, -44, T
292, -44, T
293, -44, T
294, -44, T
295, -44, T
296, -44, T
297, -44, T
298, -44, T
299, -44, T
300, -44, T
301, -44, T
302, -44, T
303, -44, T
304, -44, T
305, -44, T
306, -44, T
307, -44, T
308, -44, T
309, -44, T
310, -44, T
311, -44, T
312, -44, T
313, -44, T
314, -44, T

PROJECT TITLE :

MIDAS	Company		Client	
	Author		File Name	H2D_3Dg_v14_180227_StatLM.mct

315, -44, T
316, -44, T
317, -44, T
318, -44, T
319, -44, T
320, -44, T
321, -44, T
322, -44, T
323, -44, T
324, -44, T
325, -44, T
326, -44, T
327, -44, T
328, -44, T
329, -44, T
330, -44, T
331, -44, T
332, -44, T
333, -44, T
334, -44, T
335, -44, T
336, -44, T
337, -44, T
338, -44, T
339, -44, T
340, -44, T
341, -44, T
342, -44, T
343, -44, T
344, -44, T
345, -44, T
346, -44, T
347, -44, T
348, -44, T
349, -44, T
350, -44, T
351, -44, T
352, -44, T
353, -44, T
354, -44, T
355, -44, T
356, -44, T
357, -44, T
358, -44, T
359, -44, T
360, -44, T
361, -44, T
362, -44, T
363, -44, T
364, -44, T
365, -44, T
366, -44, T
367, -44, T
368, -44, T
369, -44, T
370, -44, T
371, -44, T
372, -44, T
373, -44, T
374, -44, T
375, -44, T
376, -44, T
377, -44, T
378, -44, T
379, -44, T
380, -44, T
381, -44, T
382, -44, T
383, -44, T
384, -44, T
385, -44, T
386, -44, T

PROJECT TITLE :

MIDAS	Company		Client	
	Author		File Name	H2D_3Dg_v14_180227_StatLM.mct

387, -44, T
388, -44, T
389, -44, T
390, -44, T
391, -44, T
392, -44, T
393, -44, T
394, -44, T
395, -44, T
396, -44, T
397, -44, T
398, -44, T
399, -44, T
400, -44, T
401, -44, T
402, -44, T
403, -44, T
404, -44, T
405, -44, T
406, -44, T
407, -44, T
408, -44, T
409, -44, T
410, -44, T
411, -44, T
412, -44, T
413, -44, T
414, -44, T
415, -44, T
416, -44, T
417, -44, T
418, -44, T
419, -44, T
420, -44, T
421, -44, T
422, -44, T
423, -44, T
424, -44, T
425, -44, T
426, -44, T
427, -44, T
428, -44, T
429, -44, T
430, -44, T
431, -44, T
432, -44, T
433, -44, T
434, -44, T
435, -44, T
436, -44, T
437, -44, T
438, -44, T
439, -44, T
440, -44, T
441, -44, T
442, -44, T
443, -44, T
444, -44, T
445, -44, T
446, -44, T
447, -44, T
448, -44, T
449, -44, T
450, -44, T
451, -44, T
452, -44, T
453, -44, T
454, -44, T
455, -44, T
456, -44, T
457, -44, T
458, -44, T

PROJECT TITLE :

MIDAS	Company		Client	
	Author		File Name	H2D_3Dg_v14_180227_StatLM.mct

459, -44, T
460, -44, T
461, -44, T
462, -44, T
463, -44, T
464, -44, T
465, -44, T
466, -44, T
467, -44, T
468, -44, T
469, -44, T
470, -44, T
471, -44, T
472, -44, T
473, -44, T
474, -44, T
475, -44, T
476, -44, T
477, -44, T
478, -44, T
479, -44, T
480, -44, T
481, -44, T
482, -44, T
483, -44, T
484, -44, T
485, -44, T
486, -44, T
487, -44, T
488, -44, T
489, -44, T
490, -44, T
491, -44, T
492, -44, T
493, -44, T
494, -44, T
495, -44, T
496, -44, T
497, -44, T
498, -44, T
499, -44, T
500, -44, T
501, -44, T
502, -44, T
503, -44, T
504, -44, T
505, -44, T
506, -44, T
507, -44, T
508, -44, T
509, -44, T
510, -44, T
511, -44, T
512, -44, T
513, -44, T
514, -44, T
515, -44, T
516, -44, T
517, -44, T
518, -44, T
519, -44, T
520, -44, T
521, -44, T
522, -44, T
523, -44, T
524, -44, T
525, -44, T
526, -44, T
527, -44, T
528, -44, T
529, -44, T
530, -44, T

PROJECT TITLE :

MIDAS	Company		Client	
	Author		File Name	H2D_3Dg_v14_180227_StatLM.mct

531, -44, T
532, -44, T
533, -44, T
534, -44, T
535, -44, T
536, -44, T
537, -44, T
538, -44, T
539, -44, T
540, -44, T
541, -44, T
542, -44, T
543, -44, T
544, -44, T
545, -44, T
546, -44, T
547, -44, T
548, -44, T
549, -44, T
550, -44, T
551, -44, T
552, -44, T
553, -44, T
554, -44, T
555, -44, T
556, -44, T
557, -44, T
558, -44, T
559, -44, T
560, -44, T
561, -44, T
562, -44, T
563, -44, T
564, -44, T
565, -44, T
566, -44, T
567, -44, T
568, -44, T
569, -44, T
570, -44, T
571, -44, T
572, -44, T
573, -44, T
574, -44, T
575, -44, T
576, -44, T
577, -44, T
578, -44, T
579, -44, T
580, -44, T
581, -44, T
582, -44, T
583, -44, T
584, -44, T
585, -44, T
586, -44, T
587, -44, T
588, -44, T
589, -44, T
590, -44, T
591, -44, T
592, -44, T
593, -44, T
594, -44, T
595, -44, T
596, -44, T
597, -44, T
598, -44, T
599, -44, T
600, -44, T
601, -44, T
602, -44, T

PROJECT TITLE :

MIDAS	Company		Client	
	Author		File Name	H2D_3Dg_v14_180227_StatLM.mct

603, -44, T
604, -44, T
605, -44, T
606, -44, T
607, -44, T
608, -44, T
609, -44, T
610, -44, T
611, -44, T
612, -44, T
613, -44, T
614, -44, T
615, -44, T
616, -44, T
617, -44, T
618, -44, T
619, -44, T
620, -44, T
621, -44, T
622, -44, T
623, -44, T
624, -44, T
625, -44, T
626, -44, T
627, -44, T
628, -44, T
629, -44, T
630, -44, T
631, -44, T
632, -44, T
633, -44, T
634, -44, T
635, -44, T
636, -44, T
637, -44, T
638, -44, T
639, -44, T
640, -44, T
641, -44, T
642, -44, T
643, -44, T
644, -44, T
645, -44, T
646, -44, T
647, -44, T
648, -44, T
649, -44, T
650, -44, T
651, -44, T
652, -44, T
653, -44, T
654, -44, T
655, -44, T
656, -44, T
657, -44, T
658, -44, T
659, -44, T
660, -44, T
661, -44, T
662, -44, T
663, -44, T
664, -44, T
665, -44, T
666, -44, T
667, -44, T
668, -44, T
669, -44, T
670, -44, T
671, -44, T
672, -44, T
673, -44, T
674, -44, T

PROJECT TITLE :

MIDAS	Company		Client	
	Author		File Name	H2D_3Dg_v14_180227_StatLM.mct

675, -44, T
676, -44, T
677, -44, T
678, -44, T
679, -44, T
680, -44, T
681, -44, T
682, -44, T
683, -44, T
684, -44, T
685, -44, T
686, -44, T
687, -44, T
688, -44, T
689, -44, T
690, -44, T
691, -44, T
692, -44, T
693, -44, T
694, -44, T
695, -44, T
696, -44, T
697, -44, T
698, -44, T
699, -44, T
700, -44, T
701, -44, T
702, -44, T
703, -44, T
704, -44, T
705, -44, T
706, -44, T
707, -44, T
708, -44, T
709, -44, T
710, -44, T
711, -44, T
712, -44, T
713, -44, T
714, -44, T
715, -44, T
716, -44, T
717, -44, T
718, -44, T
719, -44, T
720, -44, T
721, -44, T
722, -44, T
723, -44, T
724, -44, T
725, -44, T
726, -44, T
727, -44, T
728, -44, T
729, -44, T
730, -44, T
731, -44, T
732, -44, T
733, -44, T
734, -44, T
735, -44, T
736, -44, T
737, -44, T
738, -44, T
739, -44, T
740, -44, T
741, -44, T
742, -44, T
743, -44, T
744, -44, T
745, -44, T
746, -44, T

PROJECT TITLE :

MIDAS	Company		Client	
	Author		File Name	H2D_3Dg_v14_180227_StatLM.mct

747, -44, T
748, -44, T
749, -44, T
750, -44, T
751, -44, T
752, -44, T
753, -44, T
754, -44, T
755, -44, T
756, -44, T
757, -44, T
758, -44, T
759, -44, T
760, -44, T
761, -44, T
762, -44, T
763, -44, T
764, -44, T
765, -44, T
766, -44, T
767, -44, T
768, -44, T
769, -44, T
770, -44, T
771, -44, T
772, -44, T
773, -44, T
774, -44, T
775, -44, T
776, -44, T
777, -44, T
778, -44, T
779, -44, T
780, -44, T
781, -44, T
782, -44, T
783, -44, T
784, -44, T
785, -44, T
786, -44, T
787, -44, T
788, -44, T
789, -44, T
790, -44, T
791, -44, T
792, -44, T
793, -44, T
794, -44, T
795, -44, T
796, -44, T
797, -44, T
798, -44, T
799, -44, T
800, -44, T
801, -44, T
802, -44, T
803, -44, T
804, -44, T
805, -44, T
806, -44, T
807, -44, T
808, -44, T
809, -44, T
810, -44, T
811, -44, T
812, -44, T
813, -44, T
814, -44, T
815, -44, T
816, -44, T
817, -44, T
818, -44, T

PROJECT TITLE :

MIDAS	Company		Client	
	Author		File Name	H2D_3Dg_v14_180227_StatLM.mct

819, -44, T
820, -44, T
821, -44, T
822, -44, T
823, -44, T
824, -44, T
825, -44, T
826, -44, T
827, -44, T
828, -44, T
829, -44, T
830, -44, T
831, -44, T
832, -44, T
833, -44, T
834, -44, T
835, -44, T
836, -44, T
837, -44, T
838, -44, T
839, -44, T
840, -44, T
841, -44, T
842, -44, T
843, -44, T
844, -44, T
845, -44, T
846, -44, T
847, -44, T
848, -44, T
849, -44, T
850, -44, T
851, -44, T
852, -44, T
853, -44, T
854, -44, T
855, -44, T
856, -44, T
857, -44, T
858, -44, T
859, -44, T
860, -44, T
861, -44, T
862, -44, T
863, -44, T
864, -44, T
865, -44, T
866, -44, T
867, -44, T
868, -44, T
869, -44, T
870, -44, T
871, -44, T
872, -44, T
873, -44, T
874, -44, T
875, -44, T
876, -44, T
877, -44, T
878, -44, T
879, -44, T
880, -44, T
881, -44, T
882, -44, T
883, -44, T
884, -44, T
885, -44, T
886, -44, T
887, -44, T
888, -44, T
889, -44, T
890, -44, T

PROJECT TITLE :

MIDAS	Company		Client	
	Author		File Name	H2D_3Dg_v14_180227_StatLM.mct

891, -44, T
892, -44, T
893, -44, T
894, -44, T
895, -44, T
896, -44, T
897, -44, T
898, -44, T
899, -44, T
900, -44, T
901, -44, T
902, -44, T
903, -44, T
904, -44, T
905, -44, T
906, -44, T
907, -44, T
908, -44, T
909, -44, T
910, -44, T
911, -44, T
912, -44, T
913, -44, T
914, -44, T
915, -44, T
916, -44, T
917, -44, T
918, -44, T
919, -44, T
920, -44, T
921, -44, T
922, -44, T
923, -44, T
924, -44, T
925, -44, T
926, -44, T
927, -44, T
928, -44, T
929, -44, T
930, -44, T
931, -44, T
932, -44, T
933, -44, T
934, -44, T
935, -44, T
936, -44, T
937, -44, T
938, -44, T
939, -44, T
940, -44, T
941, -44, T
942, -44, T
943, -44, T
944, -44, T
945, -44, T
946, -44, T
947, -44, T
948, -44, T
949, -44, T
950, -44, T
951, -44, T
952, -44, T
953, -44, T
954, -44, T
955, -44, T
956, -44, T
957, -44, T
958, -44, T
959, -44, T
960, -44, T
961, -44, T
962, -44, T

PROJECT TITLE :

MIDAS	Company		Client	
	Author		File Name	H2D_3Dg_v14_180227_StatLM.mct

963, -44, T
964, -44, T
965, -44, T
966, -44, T
967, -44, T
968, -44, T
969, -44, T
970, -44, T
971, -44, T
972, -44, T
973, -44, T
974, -44, T
975, -44, T
976, -44, T
977, -44, T
978, -44, T
979, -44, T
980, -44, T
981, -44, T
982, -44, T
983, -44, T
984, -44, T
985, -44, T
986, -44, T
987, -44, T
988, -44, T
989, -44, T
990, -44, T
991, -44, T
992, -44, T
993, -44, T
994, -44, T
995, -44, T
996, -44, T
997, -44, T
998, -44, T
999, -44, T
1000, -44, T
1001, -44, T
1002, -44, T
1003, -44, T
1004, -44, T
1005, -44, T
1006, -44, T
1007, -44, T
1008, -44, T
1009, -44, T
1010, -44, T
1011, -44, T
1012, -44, T
1013, -44, T
1014, -44, T
1015, -44, T
1016, -44, T
1017, -44, T
1018, -44, T
1019, -44, T
1020, -44, T
1021, -44, T
1022, -44, T
1023, -44, T
1024, -44, T
1025, -44, T
1026, -44, T
1027, -44, T
1028, -44, T
1029, -44, T
1030, -44, T
1031, -44, T
1032, -44, T
1033, -44, T
1034, -44, T

PROJECT TITLE :

MIDAS	Company		Client	
	Author		File Name	H2D_3Dg_v14_180227_StatLM.mct

1035, -44, T
1036, -44, T
1037, -44, T
1038, -44, T
1039, -44, T
1040, -44, T
1041, -44, T
1042, -44, T
1043, -44, T
1044, -44, T
1045, -44, T
1046, -44, T
1047, -44, T
1048, -44, T
1049, -44, T
1050, -44, T
1051, -44, T
1052, -44, T
1053, -44, T
1054, -44, T
1055, -44, T
1056, -44, T
1057, -44, T
1058, -44, T
1059, -44, T
1060, -44, T
1061, -44, T
1062, -44, T
1063, -44, T
1064, -44, T
1065, -44, T
1066, -44, T
1067, -44, T
1068, -44, T
1069, -44, T
1070, -44, T
1071, -44, T
1072, -44, T
1073, -44, T
1074, -44, T
1075, -44, T
1076, -44, T
1077, -44, T
1078, -44, T
1079, -44, T
1080, -44, T
1081, -44, T
1082, -44, T
1083, -44, T
1084, -44, T
1085, -44, T
1086, -44, T
1087, -44, T
1088, -44, T
1089, -44, T
1090, -44, T
1091, -44, T
1092, -44, T
1093, -44, T
1094, -44, T
1095, -44, T
1096, -44, T
1097, -44, T
1098, -44, T
1099, -44, T
1100, -44, T
1101, -44, T
1102, -44, T
1103, -44, T
1104, -44, T
1105, -44, T
1106, -44, T

PROJECT TITLE :

MIDAS	Company		Client	
	Author		File Name	H2D_3Dg_v14_180227_StatLM.mct

1107, -44, T
1108, -44, T
1109, -44, T
1110, -44, T
1111, -44, T
1112, -44, T
1113, -44, T
1114, -44, T
1115, -44, T
1116, -44, T
1117, -44, T
1118, -44, T
1119, -44, T
1120, -44, T
1121, -44, T
1122, -44, T
1123, -44, T
1124, -44, T
1125, -44, T
1126, -44, T
1127, -44, T
1128, -44, T
1129, -44, T
1130, -44, T
1131, -44, T
1132, -44, T
1133, -44, T
1134, -44, T
1135, -44, T
1136, -44, T
1137, -44, T
1138, -44, T
1139, -44, T
1140, -44, T
1141, -44, T
1142, -44, T
1143, -44, T
1144, -44, T
1145, -44, T
1146, -44, T
1147, -44, T
1148, -44, T
1149, -44, T
1150, -44, T
1151, -44, T
1152, -44, T
1153, -44, T
1154, -44, T
1155, -44, T
1156, -44, T
1157, -44, T
1158, -44, T
1159, -44, T
1160, -44, T
1161, -44, T
1162, -44, T
1163, -44, T
1164, -44, T
1165, -44, T
1166, -44, T
1167, -44, T
1168, -44, T
1169, -44, T
1170, -44, T
1171, -44, T
1172, -44, T
1173, -44, T
1174, -44, T
1175, -44, T
1176, -44, T
1177, -44, T
1178, -44, T

PROJECT TITLE :

MIDAS	Company		Client	
	Author		File Name	H2D_3Dg_v14_180227_StatLM.mct

1179, -44, T
1180, -44, T
1181, -44, T
1182, -44, T
1183, -44, T
1184, -44, T
1185, -44, T
1186, -44, T
1187, -44, T
1188, -44, T
1189, -44, T
1190, -44, T
1191, -44, T
1192, -44, T
1193, -44, T
1194, -44, T
1195, -44, T
1196, -44, T
1197, -44, T
1198, -44, T
1199, -44, T
1200, -44, T
1201, -44, T
1202, -44, T
1203, -44, T
1204, -44, T
1205, -44, T
1206, -44, T
1207, -44, T
1208, -44, T
1209, -44, T
1210, -44, T
1211, -44, T
1212, -44, T
1213, -44, T
1214, -44, T
1215, -44, T
1216, -44, T
1217, -44, T
1218, -44, T
1219, -44, T
1220, -44, T
1221, -44, T
1222, -44, T
1223, -44, T
1224, -44, T
1225, -44, T
1226, -44, T
1227, -44, T
1228, -44, T
1229, -44, T
1230, -44, T
1231, -44, T
1232, -44, T
1233, -44, T
1234, -44, T
1235, -44, T
1236, -44, T
1237, -44, T
1238, -44, T
1239, -44, T
1240, -44, T
1241, -44, T
1242, -44, T
1243, -44, T
1244, -44, T
1245, -44, T
1246, -44, T
1247, -44, T
1248, -44, T
1249, -44, T
1250, -44, T

PROJECT TITLE :

MIDAS	Company		Client	
	Author		File Name	H2D_3Dg_v14_180227_StatLM.mct

1251, -44, T
1252, -44, T
1253, -44, T
1254, -44, T
1255, -44, T
1256, -44, T
1257, -44, T
1258, -44, T
1259, -44, T
1260, -44, T
1261, -44, T
1262, -44, T
1263, -44, T
1264, -44, T
1265, -44, T
1266, -44, T
1267, -44, T
1268, -44, T
1269, -44, T
1270, -44, T
1271, -44, T
1272, -44, T
1273, -44, T
1274, -44, T
1275, -44, T
1276, -44, T
1277, -44, T
1278, -44, T
1279, -44, T
1280, -44, T
1281, -44, T
1282, -44, T
1283, -44, T
1284, -44, T
1285, -44, T
1286, -44, T
1287, -44, T
1288, -44, T
1289, -44, T
1290, -44, T
1291, -44, T
1292, -44, T
1293, -44, T
1294, -44, T
1295, -44, T
1296, -44, T
1297, -44, T
1298, -44, T
1299, -44, T
1300, -44, T
1301, -44, T
1302, -44, T
1303, -44, T
1304, -44, T
1305, -44, T
1306, -44, T
1307, -44, T
1308, -44, T
1309, -44, T
1310, -44, T
1311, -44, T
1312, -44, T
1313, -44, T
1314, -44, T
1315, -44, T
1316, -44, T
1317, -44, T
1318, -44, T
1319, -44, T
1320, -44, T
1321, -44, T
1322, -44, T

PROJECT TITLE :

MIDAS	Company		Client	
	Author		File Name	H2D_3Dg_v14_180227_StatLM.mct

1323, -44, T
1324, -44, T
1325, -44, T
1326, -44, T
1327, -44, T
1328, -44, T
1329, -44, T
1330, -44, T
1331, -44, T
1332, -44, T
1333, -44, T
1334, -44, T
1335, -44, T
1336, -44, T
1337, -44, T
1338, -44, T
1339, -44, T
1340, -44, T
1341, -44, T
1342, -44, T
1343, -44, T
1344, -44, T
1345, -44, T
1346, -44, T
1347, -44, T
1348, -44, T
1349, -44, T
1350, -44, T
1351, -44, T
1352, -44, T
1353, -44, T
1354, -44, T
1355, -44, T
1356, -44, T
1357, -44, T
1358, -44, T
1359, -44, T
1360, -44, T
1361, -44, T
1362, -44, T
1363, -44, T
1364, -44, T
1365, -44, T
1366, -44, T
1367, -44, T
1368, -44, T
1369, -44, T
1370, -44, T
1371, -44, T
1372, -44, T
1373, -44, T
1374, -44, T
1375, -44, T
1376, -44, T
1377, -44, T
1378, -44, T
1379, -44, T
1380, -44, T
1381, -44, T
1382, -44, T
1383, -44, T
1384, -44, T
1385, -44, T
1386, -44, T
1387, -44, T
1388, -44, T
1389, -44, T
1390, -44, T
1391, -44, T
1392, -44, T
1393, -44, T
1394, -44, T

PROJECT TITLE :

MIDAS	Company		Client	
	Author		File Name	H2D_3Dg_v14_180227_StatLM.mct

1395, -44, T
1396, -44, T
1397, -44, T
1398, -44, T
1399, -44, T
1400, -44, T
1401, -44, T
1402, -44, T
1403, -44, T
1404, -44, T
1405, -44, T
1406, -44, T
1407, -44, T
1408, -44, T
1409, -44, T
1410, -44, T
1411, -44, T
1412, -44, T
1413, -44, T
1414, -44, T
1415, -44, T
1416, -44, T
1417, -44, T
1418, -44, T
1419, -44, T
1420, -44, T
1421, -44, T
1422, -44, T
1423, -44, T
1424, -44, T
1425, -44, T
1426, -44, T
1427, -44, T
1428, -44, T
1429, -44, T
1430, -44, T
1431, -44, T
1432, -44, T
1433, -44, T
1434, -44, T
1435, -44, T
1436, -44, T
1437, -44, T
1438, -44, T
1439, -44, T
1440, -44, T
1441, -44, T
1442, -44, T
1443, -44, T
1444, -44, T
1445, -44, T
1446, -44, T
1447, -44, T
1448, -44, T
1449, -44, T
1450, -44, T
1451, -44, T
1452, -44, T
1453, -44, T
1454, -44, T
1455, -44, T
1456, -44, T
1457, -44, T
1458, -44, T
1459, -44, T
1460, -44, T
1461, -44, T
1462, -44, T
1463, -44, T
1464, -44, T
1465, -44, T
1466, -44, T

PROJECT TITLE :

MIDAS	Company		Client	
	Author		File Name	H2D_3Dg_v14_180227_StatLM.mct

1467, -44, T
1468, -44, T
1469, -44, T
1470, -44, T
1471, -44, T
1472, -44, T
1473, -44, T
1474, -44, T
1475, -44, T
1476, -44, T
1477, -44, T
1478, -44, T
1479, -44, T
1480, -44, T
1481, -44, T
1482, -44, T
1483, -44, T
1484, -44, T
1485, -44, T
1486, -44, T
1487, -44, T
1488, -44, T
1489, -44, T
1490, -44, T
1491, -44, T
1492, -44, T
1493, -44, T
1494, -44, T
1495, -44, T
1496, -44, T
1497, -44, T
1498, -44, T
1499, -44, T
1500, -44, T
1501, -44, T
1502, -44, T
1503, -44, T
1504, -44, T
1505, -44, T
1506, -44, T
1507, -44, T
1508, -44, T
1509, -44, T
1510, -44, T
1511, -44, T
1512, -44, T
1513, -44, T
1514, -44, T
1515, -44, T
1516, -44, T
1517, -44, T
1518, -44, T
1519, -44, T
1520, -44, T
1521, -44, T
1522, -44, T
1523, -44, T
1524, -44, T
1525, -44, T
1526, -44, T
1527, -44, T
1528, -44, T
1529, -44, T
1530, -44, T
1531, -44, T
1532, -44, T
1533, -44, T
1534, -44, T
1535, -44, T
1536, -44, T
1537, -44, T
1538, -44, T

PROJECT TITLE :

MIDAS	Company		Client	
	Author		File Name	H2D_3Dg_v14_180227_StatLM.mct

1539, -44, T
1540, -44, T
1541, -44, T
1542, -44, T
1543, -44, T
1544, -44, T
1545, -44, T
1546, -44, T
1547, -44, T
1548, -44, T
1549, -44, T
1550, -44, T
1551, -44, T
1552, -44, T
1553, -44, T
1554, -44, T
1555, -44, T
1556, -44, T
1557, -44, T
1558, -44, T
1559, -44, T
1560, -44, T
1561, -44, T
1562, -44, T
1563, -44, T
1564, -44, T
1565, -44, T
1566, -44, T
1567, -44, T
1568, -44, T
1569, -44, T
1570, -44, T
1571, -44, T
1572, -44, T
1573, -44, T
1574, -44, T
1575, -44, T
1576, -44, T
1577, -44, T
1578, -44, T
1579, -44, T
1580, -44, T
1581, -44, T
1582, -44, T
1583, -44, T
1584, -44, T
1585, -44, T
1586, -44, T
1587, -44, T
1588, -44, T
1589, -44, T
1590, -44, T
1591, -44, T
1592, -44, T
1593, -44, T
1594, -44, T
1595, -44, T
1596, -44, T
1597, -44, T
1598, -44, T
1599, -44, T
1600, -44, T
1601, -44, T
1602, -44, T
1603, -44, T
1604, -44, T
1605, -44, T
1606, -44, T
1607, -44, T
1608, -44, T
1609, -44, T
1610, -44, T

PROJECT TITLE :

MIDAS	Company		Client	
	Author		File Name	H2D_3Dg_v14_180227_StatLM.mct

1611, -44, T
1612, -44, T
1613, -44, T
1614, -44, T
1615, -44, T
1616, -44, T
1617, -44, T
1618, -44, T
1619, -44, T
1620, -44, T
1621, -44, T
1622, -44, T
1623, -44, T
1624, -44, T
1625, -44, T
1626, -44, T
1627, -44, T
1628, -44, T
1629, -44, T
1630, -44, T
1631, -44, T
1632, -44, T
1633, -44, T
1634, -44, T
1635, -44, T
1636, -44, T
1637, -44, T
1638, -44, T
1639, -44, T
1640, -44, T
1641, -44, T
1642, -44, T
1643, -44, T
1644, -44, T
1645, -44, T
1646, -44, T
1647, -44, T
1648, -44, T
1649, -44, T
1650, -44, T
1651, -44, T
1652, -44, T
1653, -44, T
1654, -44, T
1655, -44, T
1656, -44, T
1657, -44, T
1658, -44, T
1659, -44, T
1660, -44, T
1661, -44, T
1662, -44, T
1663, -44, T
1664, -44, T
1665, -44, T
1666, -44, T
1667, -44, T
1668, -44, T
1669, -44, T
1670, -44, T
1671, -44, T
1672, -44, T
1673, -44, T
1674, -44, T
1675, -44, T
1676, -44, T
1677, -44, T
1678, -44, T
1679, -44, T
1680, -44, T
1681, -44, T
1682, -44, T

PROJECT TITLE :

MIDAS	Company		Client	
	Author		File Name	H2D_3Dg_v14_180227_StatLM.mct

1683, -44, T
1684, -44, T
1685, -44, T
1686, -44, T
1687, -44, T
1688, -44, T
1689, -44, T
1690, -44, T
1691, -44, T
1692, -44, T
1693, -44, T
1694, -44, T
1695, -44, T
1696, -44, T
1697, -44, T
1698, -44, T
1699, -44, T
1700, -44, T
1701, -44, T
1702, -44, T
1703, -44, T
1704, -44, T
1705, -44, T
1706, -44, T
1707, -44, T
1708, -44, T
1709, -44, T
1710, -44, T
1711, -44, T
1712, -44, T
1713, -44, T
1714, -44, T
1715, -44, T
1716, -44, T
1717, -44, T
1718, -44, T
1719, -44, T
1720, -44, T
1721, -44, T
1722, -44, T
1723, -44, T
1724, -44, T
1725, -44, T
1726, -44, T
1727, -44, T
1728, -44, T
1729, -44, T
1730, -44, T
1731, -44, T
1732, -44, T
1733, -44, T
1734, -44, T
1735, -44, T
1736, -44, T
1737, -44, T
1738, -44, T
1739, -44, T
1740, -44, T
1741, -44, T
1742, -44, T
1743, -44, T
1744, -44, T
1745, -44, T
1746, -44, T
1747, -44, T
1748, -44, T
1749, -44, T
1750, -44, T
1751, -44, T
1752, -44, T
1753, -44, T
1754, -44, T

PROJECT TITLE :

MIDAS	Company		Client	
	Author		File Name	H2D_3Dg_v14_180227_StatLM.mct

1755, -44, T
1756, -44, T
1757, -44, T
1758, -44, T
1759, -44, T
1760, -44, T
1761, -44, T
1762, -44, T
1763, -44, T
1764, -44, T
1765, -44, T
1766, -44, T
1767, -44, T
1768, -44, T
1769, -44, T
1770, -44, T
1771, -44, T
1772, -44, T
1773, -44, T
1774, -44, T
1775, -44, T
1776, -44, T
1777, -44, T
1778, -44, T
1779, -44, T
1780, -44, T
1781, -44, T
1782, -44, T
1783, -44, T
1784, -44, T
1785, -44, T
1786, -44, T
1787, -44, T
1788, -44, T
1789, -44, T
1790, -44, T
1791, -44, T
1792, -44, T
1793, -44, T
1794, -44, T
1795, -44, T
1796, -44, T
1797, -44, T
1798, -44, T
1799, -44, T
1800, -44, T
1801, -44, T
1802, -44, T
1803, -44, T
1804, -44, T
1805, -44, T
1806, -44, T
1807, -44, T
1808, -44, T
1809, -44, T
1810, -44, T
1811, -44, T
1812, -44, T
1813, -44, T
1814, -44, T
1815, -44, T
1816, -44, T
1817, -44, T
1818, -44, T
1819, -44, T
1820, -44, T
1821, -44, T
1822, -44, T
1823, -44, T
1824, -44, T
1825, -44, T
1826, -44, T

PROJECT TITLE :

MIDAS	Company		Client	
	Author		File Name	H2D_3Dg_v14_180227_StatLM.mct

1827, -44, T
1828, -44, T
1829, -44, T
1830, -44, T
1831, -44, T
1832, -44, T
1833, -44, T
1834, -44, T
1835, -44, T
1836, -44, T
1837, -44, T
1838, -44, T
1839, -44, T
1840, -44, T
1841, -44, T
1842, -44, T
1843, -44, T
1844, -44, T
1845, -44, T
1846, -44, T
1847, -44, T
1848, -44, T
1849, -44, T
1850, -44, T
1851, -44, T
1852, -44, T
1853, -44, T
1854, -44, T
1855, -44, T
1856, -44, T
1857, -44, T
1858, -44, T
1859, -44, T
1860, -44, T
1861, -44, T
1862, -44, T
1863, -44, T
1864, -44, T
1865, -44, T
1866, -44, T
1867, -44, T
1868, -44, T
1869, -44, T
1870, -44, T
1871, -44, T
1872, -44, T
1873, -44, T
1874, -44, T
1875, -44, T
1876, -44, T
1877, -44, T
1878, -44, T
1879, -44, T
1880, -44, T
1881, -44, T
1882, -44, T
1883, -44, T
1884, -44, T
1885, -44, T
1886, -44, T
1887, -44, T
1888, -44, T
1889, -44, T
1890, -44, T
1891, -44, T
1892, -44, T
1893, -44, T
1894, -44, T
1895, -44, T
1896, -44, T
1897, -44, T
1898, -44, T

PROJECT TITLE :

MIDAS	Company		Client	
	Author		File Name	H2D_3Dg_v14_180227_StatLM.mct

1899, -44, T
1900, -44, T
1901, -44, T
1902, -44, T
1903, -44, T
1904, -44, T
1905, -44, T
1906, -44, T
1907, -44, T
1908, -44, T
1909, -44, T
1910, -44, T
1911, -44, T
1912, -44, T
1913, -44, T
1914, -44, T
1915, -44, T
1916, -44, T
1917, -44, T
1918, -44, T
1919, -44, T
1920, -44, T
1921, -44, T
1922, -44, T
1923, -44, T
1924, -44, T
1925, -44, T
1926, -44, T
1927, -44, T
1928, -44, T
1929, -44, T
1930, -44, T
1931, -44, T
1932, -44, T
1933, -44, T
1934, -44, T
1935, -44, T
1936, -44, T
1937, -44, T
1938, -44, T
1939, -44, T
1940, -44, T
1941, -44, T
1942, -44, T
1943, -44, T
1944, -44, T
1945, -44, T
1946, -44, T
1947, -44, T
1948, -44, T
1949, -44, T
1950, -44, T
1951, -44, T
1952, -44, T
1953, -44, T
1954, -44, T
1955, -44, T
1956, -44, T
1957, -44, T
1958, -44, T
1959, -44, T
1960, -44, T
1961, -44, T
1962, -44, T
1963, -44, T
1964, -44, T
1965, -44, T
1966, -44, T
1967, -44, T
1968, -44, T
1969, -44, T
1970, -44, T

PROJECT TITLE :

MIDAS	Company		Client	
	Author		File Name	H2D_3Dg_v14_180227_StatLM.mct

1971, -44, T
1972, -44, T
1973, -44, T
1974, -44, T
1975, -44, T
1976, -44, T
1977, -44, T
1978, -44, T
1979, -44, T
1980, -44, T
1981, -44, T
1982, -44, T
1983, -44, T
1984, -44, T
1985, -44, T
1986, -44, T
1987, -44, T
1988, -44, T
1989, -44, T
1990, -44, T
1991, -44, T
1992, -44, T
1993, -44, T
1994, -44, T
1995, -44, T
1996, -44, T
1997, -44, T
1998, -44, T
1999, -44, T
2000, -44, T
2001, -44, T
2002, -44, T
2003, -44, T
2004, -44, T
2005, -44, T
2006, -44, T
2007, -44, T
2008, -44, T
2009, -44, T
2010, -44, T
2011, -44, T
2012, -44, T
2013, -44, T
2014, -44, T
2015, -44, T
2016, -44, T
2017, -44, T
2018, -44, T
2019, -44, T
2020, -44, T
2021, -44, T
2022, -44, T
2023, -44, T
2024, -44, T
2025, -44, T
2026, -44, T
2027, -44, T
2028, -44, T
2029, -44, T
2030, -44, T
2031, -44, T
2032, -44, T
2033, -44, T
2034, -44, T
2035, -44, T
2036, -44, T
2037, -44, T
2038, -44, T
2039, -44, T
2040, -44, T
2041, -44, T
2042, -44, T

PROJECT TITLE :

MIDAS	Company		Client	
	Author		File Name	H2D_3Dg_v14_180227_StatLM.mct

2043, -44, T
2044, -44, T
2045, -44, T
2046, -44, T
2047, -44, T
2048, -44, T
2049, -44, T
2050, -44, T
2051, -44, T
2052, -44, T
2053, -44, T
2054, -44, T
2055, -44, T
2056, -44, T
2057, -44, T
2058, -44, T
2059, -44, T
2060, -44, T
2061, -44, T
2062, -44, T
2063, -44, T
2064, -44, T
2065, -44, T
2066, -44, T
2067, -44, T
2068, -44, T
2069, -44, T
2070, -44, T
2071, -44, T
2072, -44, T
2073, -44, T
2074, -44, T
2075, -44, T
2076, -44, T
2077, -44, T
2078, -44, T
2079, -44, T
2080, -44, T
2081, -44, T
2082, -44, T
2083, -44, T
2084, -44, T
2085, -44, T
2086, -44, T
2087, -44, T
2088, -44, T
2089, -44, T
2090, -44, T
2091, -44, T
2092, -44, T
2093, -44, T
2094, -44, T
2095, -44, T
2096, -44, T
2097, -44, T
2098, -44, T
2099, -44, T
2100, -44, T
2101, -44, T
2102, -44, T
2103, -44, T
2104, -44, T
2105, -44, T
2106, -44, T
2107, -44, T
2108, -44, T
2109, -44, T
2110, -44, T
2111, -44, T
2112, -44, T
2113, -44, T
2114, -44, T

PROJECT TITLE :

MIDAS	Company		Client	
	Author		File Name	H2D_3Dg_v14_180227_StatLM.mct

2115, -44, T
2116, -44, T
2117, -44, T
2118, -44, T
2119, -44, T
2120, -44, T
2121, -44, T
2122, -44, T
2123, -44, T
2124, -44, T
2125, -44, T
2126, -44, T
2127, -44, T
2128, -44, T
2129, -44, T
2130, -44, T
2131, -44, T
2132, -44, T
2133, -44, T
2134, -44, T
2135, -44, T
2136, -44, T
2137, -44, T
2138, -44, T
2139, -44, T
2140, -44, T
2141, -44, T
2142, -44, T
2143, -44, T
2144, -44, T
2145, -44, T
2146, -44, T
2147, -44, T
2148, -44, T
2149, -44, T
2150, -44, T
2151, -44, T
2152, -44, T
2153, -44, T
2154, -44, T
2155, -44, T
2156, -44, T
2157, -44, T
2158, -44, T
2159, -44, T
2160, -44, T
2161, -44, T
2162, -44, T
2163, -44, T
2164, -44, T
2165, -44, T
2166, -44, T
2167, -44, T
2168, -44, T
2169, -44, T
2170, -44, T
2171, -44, T
2172, -44, T
2173, -44, T
2174, -44, T
2175, -44, T
2176, -44, T
2177, -44, T
2178, -44, T
2179, -44, T
2180, -44, T
2181, -44, T
2182, -44, T
2183, -44, T
2184, -44, T
2185, -44, T
2186, -44, T

PROJECT TITLE :

MIDAS	Company		Client	
	Author		File Name	H2D_3Dg_v14_180227_StatLM.mct

2187, -44, T
2188, -44, T
2189, -44, T
2190, -44, T
2191, -44, T
2192, -44, T
2193, -44, T
2194, -44, T
2195, -44, T
2196, -44, T
2197, -44, T
2198, -44, T
2199, -44, T
2200, -44, T
2201, -44, T
2202, -44, T
2203, -44, T
2204, -44, T
2205, -44, T
2206, -44, T
2207, -44, T
2208, -44, T
2209, -44, T
2210, -44, T
2211, -44, T
2212, -44, T
2213, -44, T
2214, -44, T
2215, -44, T
2216, -44, T
2217, -44, T
2218, -44, T
2219, -44, T
2220, -44, T
2221, -44, T
2222, -44, T
2223, -44, T
2224, -44, T
2225, -44, T
2226, -44, T
2227, -44, T
2228, -44, T
2229, -44, T
2230, -44, T
2231, -44, T
2232, -44, T
2233, -44, T
2234, -44, T
2235, -44, T
2236, -44, T
2237, -44, T
2238, -44, T
2239, -44, T
2240, -44, T
2241, -44, T
2242, -44, T
2243, -44, T
2244, -44, T
2245, -44, T
2246, -44, T
2247, -44, T
2248, -44, T
2249, -44, T
2250, -44, T
2251, -44, T
2252, -44, T
2253, -44, T
2254, -44, T
2255, -44, T
2256, -44, T
2257, -44, T
2258, -44, T

PROJECT TITLE :

MIDAS	Company		Client	
	Author		File Name	H2D_3Dg_v14_180227_StatLM.mct

2259, -44, T
2260, -44, T
2261, -44, T
2262, -44, T
2263, -44, T
2264, -44, T
2265, -44, T
2266, -44, T
2267, -44, T
2268, -44, T
2269, -44, T
2270, -44, T
2271, -44, T
2272, -44, T
2273, -44, T
2274, -44, T
2275, -44, T
2276, -44, T
2277, -44, T
2278, -44, T
2279, -44, T
2280, -44, T
2281, -44, T
2282, -44, T
2283, -44, T
2284, -44, T
2285, -44, T
2286, -44, T
2287, -44, T
2288, -44, T
2289, -44, T
2290, -44, T
2291, -44, T
2292, -44, T
2293, -44, T
2294, -44, T
2295, -44, T
2296, -44, T
2297, -44, T
2298, -44, T
2299, -44, T
2300, -44, T
2301, -44, T
2302, -44, T
2303, -44, T
2304, -44, T
2305, -44, T
2306, -44, T
2307, -44, T
2308, -44, T
2309, -44, T
2310, -44, T
2311, -44, T
2312, -44, T
2313, -44, T
2314, -44, T
2315, -44, T
2316, -44, T
2317, -44, T
2318, -44, T
2319, -44, T
2320, -44, T
2321, -44, T
2322, -44, T
2323, -44, T
2324, -44, T
2325, -44, T
2326, -44, T
2327, -44, T
2328, -44, T
2329, -44, T
2330, -44, T

PROJECT TITLE :

MIDAS	Company		Client	
	Author		File Name	H2D_3Dg_v14_180227_StatLM.mct

2331, -44, T
2332, -44, T
2333, -44, T
2334, -44, T
2335, -44, T
2336, -44, T
2337, -44, T
2338, -44, T
2339, -44, T
2340, -44, T
2341, -44, T
2342, -44, T
2343, -44, T
2344, -44, T
2345, -44, T
2346, -44, T
2347, -44, T
2348, -44, T
2349, -44, T
2350, -44, T
2351, -44, T
2352, -44, T
2353, -44, T
2354, -44, T
2355, -44, T
2356, -44, T
2357, -44, T
2358, -44, T
2359, -44, T
2360, -44, T
2361, -44, T
2362, -44, T
2363, -44, T
2364, -44, T
2365, -44, T
2366, -44, T
2367, -44, T
2368, -44, T
2369, -44, T
2370, -44, T
2371, -44, T
2372, -44, T
2373, -44, T
2374, -44, T
2375, -44, T
2376, -44, T
2377, -44, T
2378, -44, T
2379, -44, T
2380, -44, T
2381, -44, T
2382, -44, T
2383, -44, T
2384, -44, T
2385, -44, T
2386, -44, T
2387, -44, T
2388, -44, T
2389, -44, T
2390, -44, T
2391, -44, T
2392, -44, T
2393, -44, T
2394, -44, T
2395, -44, T
2396, -44, T
2397, -44, T
2398, -44, T
2399, -44, T
2400, -44, T
2401, -44, T
2402, -44, T

PROJECT TITLE :

MIDAS	Company		Client	
	Author		File Name	H2D_3Dg_v14_180227_StatLM.mct

2403, -44, T
2404, -44, T
2405, -44, T
2406, -44, T
2407, -44, T
2408, -44, T
2409, -44, T
2410, -44, T
2411, -44, T
2412, -44, T
2413, -44, T
2414, -44, T
2415, -44, T
2416, -44, T
2417, -44, T
2418, -44, T
2419, -44, T
2420, -44, T
2421, -44, T
2422, -44, T
2423, -44, T
2424, -44, T
2425, -44, T
2426, -44, T
2427, -44, T
2428, -44, T
2429, -44, T
2430, -44, T
2431, -44, T
2432, -44, T
2433, -44, T
2434, -44, T
2435, -44, T
2436, -44, T
2437, -44, T
2438, -44, T
2439, -44, T
2440, -44, T
2441, -44, T
2442, -44, T
2443, -44, T
2444, -44, T
2445, -44, T
2446, -44, T
2447, -44, T
2448, -44, T
2449, -44, T
2450, -44, T
2451, -44, T
2452, -44, T
2453, -44, T
2454, -44, T
2455, -44, T
2456, -44, T
2457, -44, T
2458, -44, T
2459, -44, T
2460, -44, T
2461, -44, T
2462, -44, T
2463, -44, T
2464, -44, T
2465, -44, T
2466, -44, T
2467, -44, T
2468, -44, T
2469, -44, T
2470, -44, T
2471, -44, T
2472, -44, T
2473, -44, T
2474, -44, T

PROJECT TITLE :

MIDAS	Company		Client	
	Author		File Name	H2D_3Dg_v14_180227_StatLM.mct

2475, -44, T
2476, -44, T
2477, -44, T
2478, -44, T
2479, -44, T
2480, -44, T
2481, -44, T
2482, -44, T
2483, -44, T
2484, -44, T
2485, -44, T
2486, -44, T
2487, -44, T
2488, -44, T
2489, -44, T
2490, -44, T
2491, -44, T
2492, -44, T
2493, -44, T
2494, -44, T
2495, -44, T
2496, -44, T
2497, -44, T
2498, -44, T
2499, -44, T
2500, -44, T
2501, -44, T
2502, -44, T
2503, -44, T
2504, -44, T
2505, -44, T
2506, -44, T
2507, -44, T
2508, -44, T
2509, -44, T
2510, -44, T
2511, -44, T
2512, -44, T
2513, -44, T
2514, -44, T
2515, -44, T
2516, -44, T
2517, -44, T
2518, -44, T
2519, -44, T
2520, -44, T
2521, -44, T
2522, -44, T
2523, -44, T
2524, -44, T
2525, -44, T
2526, -44, T
2527, -44, T
2528, -44, T
2529, -44, T
2530, -44, T
2531, -44, T
2532, -44, T
2533, -44, T
2534, -44, T
2535, -44, T
2536, -44, T
2537, -44, T
2538, -44, T
2539, -44, T
2540, -44, T
2541, -44, T
2542, -44, T
2543, -44, T
2544, -44, T
2545, -44, T
2546, -44, T

PROJECT TITLE :

MIDAS	Company		Client	
	Author		File Name	H2D_3Dg_v14_180227_StatLM.mct

2547, -44, T
2548, -44, T
2549, -44, T
2550, -44, T
2551, -44, T
2552, -44, T
2553, -44, T
2554, -44, T
2555, -44, T
2556, -44, T
2557, -44, T
2558, -44, T
2559, -44, T
2560, -44, T
2561, -44, T
2562, -44, T
2563, -44, T
2564, -44, T
2565, -44, T
2566, -44, T
2567, -44, T
2568, -44, T
2569, -44, T
2570, -44, T
2571, -44, T
2572, -44, T
2573, -44, T
2574, -44, T
2575, -44, T
2576, -44, T
2577, -44, T
2578, -44, T
2579, -44, T
2580, -44, T
2581, -44, T
2582, -44, T
2583, -44, T
2584, -44, T
2585, -44, T
2586, -44, T
2587, -44, T
2588, -44, T
2589, -44, T
2590, -44, T
2591, -44, T
2592, -44, T
2593, -44, T
2594, -44, T
2595, -44, T
2596, -44, T
2597, -44, T
2598, -44, T
2599, -44, T
2600, -44, T
2601, -44, T
2602, -44, T
2603, -44, T
2604, -44, T
2605, -44, T
2606, -44, T
2607, -44, T
2608, -44, T
2609, -44, T
2610, -44, T
2611, -44, T
2612, -44, T
2613, -44, T
2614, -44, T
2615, -44, T
2616, -44, T
2617, -44, T
2618, -44, T

PROJECT TITLE :

MIDAS	Company		Client	
	Author		File Name	H2D_3Dg_v14_180227_StatLM.mct

2619, -44, T
2620, -44, T
2621, -44, T
2622, -44, T
2623, -44, T
2624, -44, T
2625, -44, T
2626, -44, T
2627, -44, T
2628, -44, T
2629, -44, T
2630, -44, T
2631, -44, T
2632, -44, T
2633, -44, T
2634, -44, T
2635, -44, T
2636, -44, T
2637, -44, T
2638, -44, T
2639, -44, T
2640, -44, T
2641, -44, T
2642, -44, T
2643, -44, T
2644, -44, T
2645, -44, T
2646, -44, T
2647, -44, T
2648, -44, T
2649, -44, T
2650, -44, T
2651, -44, T
2652, -44, T
2653, -44, T
2654, -44, T
2655, -44, T
2656, -44, T
2657, -44, T
2658, -44, T
2659, -44, T
2660, -44, T
2661, -44, T
2662, -44, T
2663, -44, T
2664, -44, T
2665, -44, T
2666, -44, T
2667, -44, T
2668, -44, T
2669, -44, T
2670, -44, T
2671, -44, T
2672, -44, T
2673, -44, T
2674, -44, T
2675, -44, T
2676, -44, T
2677, -44, T
2678, -44, T
2679, -44, T
2680, -44, T
2681, -44, T
2682, -44, T
2683, -44, T
2684, -44, T
2685, -44, T
2686, -44, T
2687, -44, T
2688, -44, T
2689, -44, T
2690, -44, T

PROJECT TITLE :

MIDAS	Company		Client	
	Author		File Name	H2D_3Dg_v14_180227_StatLM.mct

2691, -44, T
2692, -44, T
2693, -44, T
2694, -44, T
2695, -44, T
2696, -44, T
2697, -44, T
2698, -44, T
2699, -44, T
2700, -44, T
2701, -44, T
2702, -44, T
2703, -44, T
2704, -44, T
2705, -44, T
2706, -44, T
2707, -44, T
2708, -44, T
2709, -44, T
2710, -44, T
2711, -44, T
2712, -44, T
2713, -44, T
2714, -44, T
2715, -44, T
2716, -44, T
2717, -44, T
2718, -44, T
2719, -44, T
2720, -44, T
2721, -44, T
2722, -44, T
2723, -44, T
2724, -44, T
2725, -44, T
2726, -44, T
2727, -44, T
2728, -44, T
2729, -44, T
2730, -44, T
2731, -44, T
2732, -44, T
2733, -44, T
2734, -44, T
2735, -44, T
2736, -44, T
2737, -44, T
2738, -44, T
2739, -44, T
2740, -44, T
2741, -44, T
2742, -44, T
2743, -44, T
2744, -44, T
2745, -44, T
2746, -44, T
2747, -44, T
2748, -44, T
2749, -44, T
2750, -44, T
2751, -44, T
2752, -44, T
2753, -44, T
2754, -44, T
2755, -44, T
2756, -44, T
2757, -44, T
2758, -44, T
2759, -44, T
2760, -44, T
2761, -44, T
2762, -44, T

PROJECT TITLE :

MIDAS	Company		Client	
	Author		File Name	H2D_3Dg_v14_180227_StatLM.mct

2763, -44, T
2764, -44, T
2765, -44, T
2766, -44, T
2767, -44, T
2768, -44, T
2769, -44, T
2770, -44, T
2771, -44, T
2772, -44, T
2773, -44, T
2774, -44, T
2775, -44, T
2776, -44, T
2777, -44, T
2778, -44, T
2779, -44, T
2780, -44, T
2781, -44, T
2782, -44, T
2783, -44, T
2784, -44, T
2785, -44, T
2786, -44, T
2787, -44, T
2788, -44, T
2789, -44, T
2790, -44, T
2791, -44, T
2792, -44, T
2793, -44, T
2794, -44, T
2795, -44, T
2796, -44, T
2797, -44, T
2798, -44, T
2799, -44, T
2800, -44, T
2801, -44, T
2802, -44, T
2803, -44, T
2804, -44, T
2805, -44, T
2806, -44, T
2807, -44, T
2808, -44, T
2809, -44, T
2810, -44, T
2811, -44, T
2812, -44, T
2813, -44, T
2814, -44, T
2815, -44, T
2816, -44, T
2817, -44, T
2818, -44, T
2819, -44, T
2820, -44, T
2821, -44, T
2822, -44, T
2823, -44, T
2824, -44, T
2825, -44, T
2826, -44, T
2827, -44, T
2828, -44, T
2829, -44, T
2830, -44, T
2831, -44, T
2832, -44, T
2833, -44, T
2834, -44, T

PROJECT TITLE :

MIDAS	Company		Client	
	Author		File Name	H2D_3Dg_v14_180227_StatLM.mct

2835, -44, T
2836, -44, T
2837, -44, T
2838, -44, T
2839, -44, T
2840, -44, T
2841, -44, T
2842, -44, T
2843, -44, T
2844, -44, T
2845, -44, T
2846, -44, T
2847, -44, T
2848, -44, T
2849, -44, T
2850, -44, T
2851, -44, T
2852, -44, T
2853, -44, T
2854, -44, T
2855, -44, T
2856, -44, T
2857, -44, T
2858, -44, T
2859, -44, T
2860, -44, T
2861, -44, T
2862, -44, T
2863, -44, T
2864, -44, T
2865, -44, T
2866, -44, T
2867, -44, T
2868, -44, T
2869, -44, T
2870, -44, T
2871, -44, T
2872, -44, T
2873, -44, T
2874, -44, T
2875, -44, T
2876, -44, T
2877, -44, T
2878, -44, T
2879, -44, T
2880, -44, T
2881, -44, T
2882, -44, T
2883, -44, T
2884, -44, T
2885, -44, T
2886, -44, T
2887, -44, T
2888, -44, T
2889, -44, T
2890, -44, T
2891, -44, T
2892, -44, T
2893, -44, T
2894, -44, T
2895, -44, T
2896, -44, T
2897, -44, T
2898, -44, T
2899, -44, T
2900, -44, T
2901, -44, T
2902, -44, T
2903, -44, T
2904, -44, T
2905, -44, T
2906, -44, T

PROJECT TITLE :

MIDAS	Company		Client	
	Author		File Name	H2D_3Dg_v14_180227_StatLM.mct

2907, -44, T
2908, -44, T
2909, -44, T
2910, -44, T
2911, -44, T
2912, -44, T
2913, -44, T
2914, -44, T
2915, -44, T
2916, -44, T
2917, -44, T
2918, -44, T
2919, -44, T
2920, -44, T
2921, -44, T
2922, -44, T
2923, -44, T
2924, -44, T
2925, -44, T
2926, -44, T
2927, -44, T
2928, -44, T
2929, -44, T
2930, -44, T
2931, -44, T
2932, -44, T
2933, -44, T
2934, -44, T
2935, -44, T
2936, -44, T
2937, -44, T
2938, -44, T
2939, -44, T
2940, -44, T
2941, -44, T
2942, -44, T
2943, -44, T
2944, -44, T
2945, -44, T
2946, -44, T
2947, -44, T
2948, -44, T
2949, -44, T
2950, -44, T
2951, -44, T
2952, -44, T
2953, -44, T
2954, -44, T
2955, -44, T
2956, -44, T
2957, -44, T
2958, -44, T
2959, -44, T
2960, -44, T
2961, -44, T
2962, -44, T
2963, -44, T
2964, -44, T
2965, -44, T
2966, -44, T
2967, -44, T
2968, -44, T
2969, -44, T
2970, -44, T
2971, -44, T
2972, -44, T
2973, -44, T
2974, -44, T
2975, -44, T
2976, -44, T
2977, -44, T
2978, -44, T

2979, -44, T
2980, -44, T
2981, -44, T
2982, -44, T
2983, -44, T
2984, -44, T
2985, -44, T
2986, -44, T
2987, -44, T
2988, -44, T
2989, -44, T
2990, -44, T
2991, -44, T
2992, -44, T
2993, -44, T
2994, -44, T
2995, -44, T
2996, -44, T
2997, -44, T
2998, -44, T
2999, -44, T
3000, -44, T
3001, -44, T
3002, -44, T
3003, -44, T
3004, -44, T
3005, -44, T
3006, -44, T
3007, -44, T
3008, -44, T
3009, -44, T
3010, -44, T
3011, -44, T
3012, -44, T
3013, -44, T
3014, -44, T
3015, -44, T
3016, -44, T
3017, -44, T
3018, -44, T
3019, -44, T
3020, -44, T
3023, -44, T
3024, -44, T
3025, -44, T
3026, -44, T
3027, -44, T
3028, -44, T
3029, -44, T
3030, -44, T
3031, -44, T
3032, -44, T
3033, -44, T
3034, -44, T
3035, -44, T
3036, -44, T
3037, -44, T
3038, -44, T
3039, -44, T
3040, -44, T
3041, -44, T
3042, -44, T
3043, -44, T
3044, -44, T
3045, -44, T
3046, -44, T
3047, -44, T
3048, -44, T
3049, -44, T
3050, -44, T
3051, -44, T
3052, -44, T

PROJECT TITLE :

MIDAS	Company		Client	
	Author		File Name	H2D_3Dg_v14_180227_StatLM.mct

3053, -44, T
3054, -44, T
3055, -44, T
3056, -44, T
3057, -44, T
3058, -44, T
3059, -44, T
3060, -44, T
3061, -44, T
3062, -44, T
3063, -44, T
3064, -44, T
3065, -44, T
3066, -44, T
3067, -44, T
3068, -44, T
3069, -44, T
3070, -44, T
3071, -44, T
3072, -44, T
3073, -44, T
3074, -44, T
3075, -44, T
3076, -44, T
3077, -44, T
3078, -44, T
3079, -44, T
3080, -44, T
3081, -44, T
3082, -44, T
3083, -44, T
3084, -44, T
3085, -44, T
3086, -44, T
3087, -44, T
3088, -44, T
3089, -44, T
3090, -44, T
3091, -44, T
3092, -44, T
3093, -44, T
3094, -44, T
3095, -44, T
3096, -44, T
3097, -44, T
3098, -44, T
3099, -44, T
3100, -44, T
3101, -44, T
3102, -44, T
3103, -44, T
3104, -44, T
3105, -44, T
3106, -44, T
3107, -44, T
3108, -44, T
3109, -44, T
3110, -44, T
3111, -44, T
3112, -44, T
3113, -44, T
3114, -44, T
3115, -44, T
3116, -44, T
3122, -44, T
3123, -44, T
3129, -44, T
3144, -44, T
3145, -44, T
3146, -44, T
3147, -44, T
3148, -44, T

PROJECT TITLE :

MIDAS	Company		Client	
	Author		File Name	H2D_3Dg_v14_180227_StatLM.mct

3149, -44, T
3150, -44, T
3151, -44, T
3152, -44, T
3153, -44, T
3154, -44, T
3155, -44, T
3156, -44, T
3157, -44, T
3158, -44, T
3159, -44, T
3160, -44, T
3161, -44, T
3162, -44, T
3163, -44, T
3164, -44, T
3165, -44, T
3166, -44, T
3167, -44, T
3168, -44, T
3169, -44, T
3170, -44, T
3171, -44, T
3172, -44, T
3173, -44, T
3174, -44, T
3175, -44, T
3176, -44, T
3177, -44, T
3178, -44, T
3179, -44, T
3180, -44, T
3181, -44, T
3182, -44, T
3183, -44, T
3184, -44, T
3185, -44, T
3186, -44, T
3187, -44, T
3188, -44, T
3189, -44, T
3190, -44, T
3191, -44, T
3192, -44, T
3193, -44, T
3194, -44, T
3195, -44, T
3196, -44, T
3197, -44, T
3198, -44, T
3199, -44, T
3200, -44, T
3201, -44, T
3202, -44, T
3203, -44, T
3204, -44, T
3205, -44, T
3206, -44, T
3207, -44, T
3208, -44, T
3209, -44, T
3210, -44, T
3211, -44, T
3212, -44, T
3213, -44, T
3216, -44, T
3217, -44, T
3218, -44, T
3219, -44, T
3220, -44, T
3221, -44, T
3222, -44, T

PROJECT TITLE :

MIDAS	Company		Client	
	Author		File Name	H2D_3Dg_v14_180227_StatLM.mct

3223, -44, T
3224, -44, T
3225, -44, T
3226, -44, T
3227, -44, T
3228, -44, T
3229, -44, T
3230, -44, T
3231, -44, T
3232, -44, T
3233, -44, T
3234, -44, T
3235, -44, T
3236, -44, T
3237, -44, T
3238, -44, T
3239, -44, T
3240, -44, T
3241, -44, T
3243, -44, T
3244, -44, T
3245, -44, T
3246, -44, T
3247, -44, T
3248, -44, T
3249, -44, T
3250, -44, T
3251, -44, T
3252, -44, T
3253, -44, T
3254, -44, T
3255, -44, T
3256, -44, T
3257, -44, T
3258, -44, T
3259, -44, T
3260, -44, T
3261, -44, T
3262, -44, T
3263, -44, T
3264, -44, T
3265, -44, T
3266, -44, T
3267, -44, T
3268, -44, T
3269, -44, T
3270, -44, T
3271, -44, T
3272, -44, T
3273, -44, T
3274, -44, T
3275, -44, T
3276, -44, T
3277, -44, T
3278, -44, T
3279, -44, T
3280, -44, T
3281, -44, T
3282, -44, T
3283, -44, T
3284, -44, T
3285, -44, T
3286, -44, T
3287, -44, T
3288, -44, T
3289, -44, T
3290, -44, T
3291, -44, T
3292, -44, T
3293, -44, T
3294, -44, T
3295, -44, T

PROJECT TITLE :

MIDAS	Company		Client	
	Author		File Name	H2D_3Dg_v14_180227_StatLM.mct

3296, -44, T
3297, -44, T
3298, -44, T
3299, -44, T
3300, -44, T
3301, -44, T
3302, -44, T
3303, -44, T
3304, -44, T
3305, -44, T
3306, -44, T
3307, -44, T
3308, -44, T
3309, -44, T
3310, -44, T
3311, -44, T
3312, -44, T
3313, -44, T
3314, -44, T
3315, -44, T
3316, -44, T
3317, -44, T
3318, -44, T
3319, -44, T
3320, -44, T
3321, -44, T
3322, -44, T
3323, -44, T
3324, -44, T
3325, -44, T
3326, -44, T
3327, -44, T
3328, -44, T
3329, -44, T
3330, -44, T
3331, -44, T
3332, -44, T
3333, -44, T
3334, -44, T
3335, -44, T
3336, -44, T
3337, -44, T
3338, -44, T
3339, -44, T
3340, -44, T
3341, -44, T
3342, -44, T
3343, -44, T
3344, -44, T
3345, -44, T
3346, -44, T
3347, -44, T
3348, -44, T
3349, -44, T
3350, -44, T
3351, -44, T
3352, -44, T
3353, -44, T
3354, -44, T
3355, -44, T
3356, -44, T
3357, -44, T
3358, -44, T
3359, -44, T
3360, -44, T
3361, -44, T
3362, -44, T
3363, -44, T
3364, -44, T
3365, -44, T
3366, -44, T
3367, -44, T

PROJECT TITLE :

MIDAS	Company		Client	
	Author		File Name	H2D_3Dg_v14_180227_StatLM.mct

3368, -44, T
3369, -44, T
3370, -44, T
3371, -44, T
3372, -44, T
3373, -44, T
3374, -44, T
3375, -44, T
3376, -44, T
3377, -44, T
3378, -44, T
3379, -44, T
3380, -44, T
3381, -44, T
3382, -44, T
3383, -44, T
3384, -44, T
3385, -44, T
3386, -44, T
3387, -44, T
3388, -44, T
3389, -44, T
3390, -44, T
3391, -44, T
3392, -44, T
3393, -44, T
3394, -44, T
3395, -44, T
3396, -44, T
3397, -44, T
3398, -44, T
3399, -44, T
3400, -44, T
3401, -44, T
3402, -44, T
3403, -44, T
3404, -44, T
3405, -44, T
3406, -44, T
3407, -44, T
3408, -44, T
3409, -44, T
3410, -44, T
3411, -44, T
3412, -44, T
3413, -44, T
3414, -44, T
3415, -44, T
3416, -44, T
3417, -44, T
3418, -44, T
3419, -44, T
3420, -44, T
3421, -44, T
3422, -44, T
3423, -44, T
3424, -44, T
3425, -44, T
3426, -44, T
3427, -44, T
3428, -44, T
3429, -44, T
3430, -44, T
3431, -44, T
3432, -44, T
3433, -44, T
3434, -44, T
3435, -44, T
3436, -44, T
3437, -44, T
3438, -44, T
3439, -44, T

PROJECT TITLE :

MIDAS	Company		Client	
	Author		File Name	H2D_3Dg_v14_180227_StatLM.mct

3440, -44, T
3441, -44, T
3442, -44, T
3443, -44, T
3444, -44, T
3445, -44, T
3446, -44, T
3447, -44, T
3448, -44, T
3449, -44, T
3450, -44, T
3451, -44, T
3452, -44, T
3453, -44, T
3454, -44, T
3455, -44, T
3456, -44, T
3457, -44, T
3458, -44, T
3459, -44, T
3460, -44, T
3461, -44, T
3462, -44, T
3463, -44, T
3464, -44, T
3465, -44, T
3466, -44, T
3467, -44, T
3468, -44, T
3469, -44, T
3470, -44, T
3471, -44, T
3472, -44, T
3473, -44, T
3474, -44, T
3475, -44, T
3476, -44, T
3477, -44, T
3478, -44, T
3479, -44, T
3480, -44, T
3481, -44, T
3482, -44, T
3483, -44, T
3484, -44, T
3485, -44, T
3486, -44, T
3487, -44, T
3488, -44, T
3489, -44, T
3490, -44, T
3491, -44, T
3492, -44, T
3493, -44, T
3494, -44, T
3495, -44, T
3496, -44, T
3497, -44, T
3498, -44, T
3499, -44, T
3500, -44, T
3501, -44, T
3502, -44, T
3503, -44, T
3504, -44, T
3505, -44, T
3506, -44, T
3507, -44, T
3508, -44, T
3509, -44, T
3510, -44, T
3511, -44, T

PROJECT TITLE :

MIDAS	Company		Client	
	Author		File Name	H2D_3Dg_v14_180227_StatLM.mct

3512, -44, T
3513, -44, T
3514, -44, T
3515, -44, T
3516, -44, T
3517, -44, T
3518, -44, T
3519, -44, T
3520, -44, T
3521, -44, T
3522, -44, T
3523, -44, T
3524, -44, T
3525, -44, T
3526, -44, T
3527, -44, T
3528, -44, T
3529, -44, T
3530, -44, T
3531, -44, T
3532, -44, T
3533, -44, T
3534, -44, T
3535, -44, T
3536, -44, T
3537, -44, T
3538, -44, T
3539, -44, T
3540, -44, T
3541, -44, T
3542, -44, T
3543, -44, T
3544, -44, T
3545, -44, T
3546, -44, T
3547, -44, T
3548, -44, T
3549, -44, T
3550, -44, T
3551, -44, T
3552, -44, T
3553, -44, T
3554, -44, T
3555, -44, T
3556, -44, T
3557, -44, T
3558, -44, T
3559, -44, T
3560, -44, T
3561, -44, T
3562, -44, T
3563, -44, T
3564, -44, T
3565, -44, T
3566, -44, T
3567, -44, T
3568, -44, T
3569, -44, T
3570, -44, T
3571, -44, T
3572, -44, T
3573, -44, T
3574, -44, T
3575, -44, T
3576, -44, T
3577, -44, T
3578, -44, T
3579, -44, T
3580, -44, T
3581, -44, T
3582, -44, T
3583, -44, T

PROJECT TITLE :

MIDAS	Company		Client	
	Author		File Name	H2D_3Dg_v14_180227_StatLM.mct

3584, -44, T
3585, -44, T
3586, -44, T
3587, -44, T
3588, -44, T
3589, -44, T
3590, -44, T
3591, -44, T
3592, -44, T
3593, -44, T
3594, -44, T
3595, -44, T
3596, -44, T
3597, -44, T
3598, -44, T
3599, -44, T
3600, -44, T
3601, -44, T
3602, -44, T
3603, -44, T
3604, -44, T
3605, -44, T
3606, -44, T
3607, -44, T
3608, -44, T
3609, -44, T
3610, -44, T
3611, -44, T
3612, -44, T
3613, -44, T
3614, -44, T
3615, -44, T
3616, -44, T
3617, -44, T
3618, -44, T
3619, -44, T
3620, -44, T
3621, -44, T
3622, -44, T
3623, -44, T
3624, -44, T
3625, -44, T
3626, -44, T
3627, -44, T
3628, -44, T
3629, -44, T
3630, -44, T
3631, -44, T
3632, -44, T
3633, -44, T
3634, -44, T
3635, -44, T
3636, -44, T
3637, -44, T
3638, -44, T
3639, -44, T
3640, -44, T
3641, -44, T
3642, -44, T
3643, -44, T
3644, -44, T
3645, -44, T
3646, -44, T
3647, -44, T
3648, -44, T
3649, -44, T
3650, -44, T
3651, -44, T
3652, -44, T
3653, -44, T
3654, -44, T
3655, -44, T

PROJECT TITLE :

MIDAS	Company		Client	
	Author		File Name	H2D_3Dg_v14_180227_StatLM.mct

3656, -44, T
3657, -44, T
3658, -44, T
3659, -44, T
3660, -44, T
3664, -44, T
3665, -44, T
3668, -44, T
3669, -44, T
3671, -44, T
3672, -44, T
3673, -44, T
3674, -44, T
3675, -44, T
3676, -44, T
3677, -44, T
3678, -44, T
3679, -44, T
3680, -44, T
3681, -44, T
3682, -44, T
3683, -44, T
3684, -44, T
3685, -44, T
3686, -44, T
3687, -44, T
3688, -44, T
3689, -44, T
3690, -44, T
3691, -44, T
3692, -44, T
3693, -44, T
3694, -44, T
3695, -44, T
3696, -44, T
3700, -44, T
3701, -44, T
3704, -44, T
3705, -44, T
3707, -44, T
3708, -44, T
3709, -44, T
3710, -44, T
3711, -44, T
3712, -44, T
3713, -44, T
3714, -44, T
3715, -44, T
3716, -44, T
3717, -44, T
3718, -44, T
3719, -44, T
3720, -44, T
3721, -44, T
3722, -44, T
3723, -44, T
3724, -44, T
3725, -44, T
3728, -44, T
3729, -44, T
3731, -44, T
3732, -44, T
3733, -44, T
3734, -44, T
3735, -44, T
3736, -44, T
3737, -44, T
3738, -44, T
3739, -44, T
3740, -44, T
3741, -44, T
3742, -44, T

PROJECT TITLE :

MIDAS	Company		Client	
	Author		File Name	H2D_3Dg_v14_180227_StatLM.mct

3743, -44, T
3746, -44, T
3747, -44, T
3749, -44, T
3750, -44, T
3751, -44, T
3752, -44, T
3753, -44, T
3754, -44, T
3755, -44, T
3756, -44, T
3757, -44, T
3758, -44, T
3759, -44, T
3760, -44, T
3761, -44, T
3762, -44, T
3763, -44, T
3764, -44, T
3765, -44, T
3766, -44, T
3767, -44, T
3768, -44, T
3769, -44, T
3770, -44, T
3771, -44, T
3772, -44, T
3773, -44, T
3774, -44, T
3775, -44, T
3776, -44, T
3777, -44, T
3778, -44, T
3779, -44, T
3780, -44, T
3781, -44, T
3782, -44, T
3783, -44, T
3784, -44, T
3785, -44, T
3786, -44, T
3787, -44, T
3788, -44, T
3789, -44, T
3790, -44, T
3791, -44, T
3792, -44, T
3793, -44, T
3794, -44, T
3795, -44, T
3796, -44, T
3797, -44, T
3798, -44, T
3799, -44, T
3800, -44, T
3801, -44, T
3802, -44, T
3803, -44, T
3804, -44, T
3805, -44, T
3806, -44, T
3807, -44, T
3808, -44, T
3809, -44, T
3810, -44, T
3811, -44, T
3812, -44, T
3813, -44, T
3814, -44, T
3815, -44, T
3816, -44, T
3817, -44, T

PROJECT TITLE :

MIDAS	Company		Client	
	Author		File Name	H2D_3Dg_v14_180227_StatLM.mct

3818, -44, T
3819, -44, T
3820, -44, T
3821, -44, T
3822, -44, T
3823, -44, T
3824, -44, T
3825, -44, T
3826, -44, T
3827, -44, T
3828, -44, T
3829, -44, T
3830, -44, T
3831, -44, T
3832, -44, T

; End of data for load case [TR-44] ----------

*USE-STLD, TG +15

*ELTEMPER ; Element Temperatures
; ELEM_LIST, TEMPER, GROUP
1, 15, TG
2, 15, TG
3, 15, TG
4, 15, TG
5, 15, TG
6, 15, TG
7, 15, TG
8, 15, TG
9, 15, TG
10, 15, TG
11, 15, TG
12, 15, TG
13, 15, TG
14, 15, TG
15, 15, TG
16, 15, TG
17, 15, TG
18, 15, TG
19, 15, TG
20, 15, TG
21, 15, TG
22, 15, TG
23, 15, TG
24, 15, TG
25, 15, TG
26, 15, TG
27, 15, TG
28, 15, TG
29, 15, TG
30, 15, TG
31, 15, TG
32, 15, TG
33, 15, TG
34, 15, TG
35, 15, TG
36, 15, TG
37, 15, TG
38, 15, TG
39, 15, TG
40, 15, TG
41, 15, TG
42, 15, TG
43, 15, TG
44, 15, TG
45, 15, TG
46, 15, TG
47, 15, TG
48, 15, TG
49, 15, TG
50, 15, TG

PROJECT TITLE :

MIDAS	Company		Client	
	Author		File Name	H2D_3Dg_v14_180227_StatLM.mct

51, 15, TG
52, 15, TG
53, 15, TG
54, 15, TG
55, 15, TG
56, 15, TG
57, 15, TG
58, 15, TG
59, 15, TG
60, 15, TG
61, 15, TG
62, 15, TG
63, 15, TG
64, 15, TG
65, 15, TG
66, 15, TG
67, 15, TG
68, 15, TG
169, 15, TG
170, 15, TG
171, 15, TG
172, 15, TG
174, 15, TG
175, 15, TG
176, 15, TG
178, 15, TG
179, 15, TG
180, 15, TG
182, 15, TG
183, 15, TG
184, 15, TG
186, 15, TG
187, 15, TG
188, 15, TG
190, 15, TG
191, 15, TG
192, 15, TG
194, 15, TG
196, 15, TG
197, 15, TG
198, 15, TG
199, 15, TG
200, 15, TG
202, 15, TG
203, 15, TG
204, 15, TG
206, 15, TG
207, 15, TG
208, 15, TG
209, 15, TG
210, 15, TG
211, 15, TG
212, 15, TG
213, 15, TG
215, 15, TG
216, 15, TG
218, 15, TG
219, 15, TG
220, 15, TG
221, 15, TG
222, 15, TG
223, 15, TG
224, 15, TG
225, 15, TG
227, 15, TG
228, 15, TG
229, 15, TG
231, 15, TG
232, 15, TG
233, 15, TG
234, 15, TG
235, 15, TG

PROJECT TITLE :

MIDAS	Company		Client	
	Author		File Name	H2D_3Dg_v14_180227_StatLM.mct

237, 15, TG
239, 15, TG
240, 15, TG
241, 15, TG
243, 15, TG
244, 15, TG
245, 15, TG
247, 15, TG
248, 15, TG
249, 15, TG
251, 15, TG
252, 15, TG
253, 15, TG
255, 15, TG
256, 15, TG
257, 15, TG
259, 15, TG
260, 15, TG
261, 15, TG
262, 15, TG
263, 15, TG
264, 15, TG
265, 15, TG
266, 15, TG
268, 15, TG
269, 15, TG
270, 15, TG
272, 15, TG
273, 15, TG
274, 15, TG
276, 15, TG
277, 15, TG
278, 15, TG
280, 15, TG
281, 15, TG
282, 15, TG
284, 15, TG
285, 15, TG
286, 15, TG
288, 15, TG
290, 15, TG
291, 15, TG
292, 15, TG
293, 15, TG
294, 15, TG
296, 15, TG
297, 15, TG
298, 15, TG
300, 15, TG
301, 15, TG
302, 15, TG
303, 15, TG
304, 15, TG
305, 15, TG
306, 15, TG
307, 15, TG
309, 15, TG
310, 15, TG
312, 15, TG
313, 15, TG
314, 15, TG
315, 15, TG
316, 15, TG
317, 15, TG
318, 15, TG
319, 15, TG
321, 15, TG
322, 15, TG
323, 15, TG
325, 15, TG
326, 15, TG
327, 15, TG

PROJECT TITLE :

MIDAS	Company		Client	
	Author		File Name	H2D_3Dg_v14_180227_StatLM.mct

328, 15, TG
329, 15, TG
331, 15, TG
333, 15, TG
334, 15, TG
335, 15, TG
337, 15, TG
338, 15, TG
339, 15, TG
341, 15, TG
342, 15, TG
343, 15, TG
345, 15, TG
346, 15, TG
347, 15, TG
349, 15, TG
350, 15, TG
351, 15, TG
353, 15, TG
354, 15, TG
355, 15, TG
356, 15, TG
358, 15, TG
359, 15, TG
360, 15, TG
363, 15, TG
364, 15, TG
365, 15, TG
366, 15, TG
368, 15, TG
369, 15, TG
370, 15, TG
371, 15, TG
373, 15, TG
374, 15, TG
375, 15, TG
376, 15, TG
378, 15, TG
379, 15, TG
380, 15, TG
381, 15, TG
383, 15, TG
384, 15, TG
385, 15, TG
386, 15, TG
388, 15, TG
389, 15, TG
390, 15, TG
391, 15, TG
393, 15, TG
394, 15, TG
395, 15, TG
396, 15, TG
397, 15, TG
400, 15, TG
401, 15, TG
402, 15, TG
403, 15, TG
405, 15, TG
406, 15, TG
407, 15, TG
408, 15, TG
409, 15, TG
411, 15, TG
412, 15, TG
413, 15, TG
414, 15, TG
416, 15, TG
417, 15, TG
418, 15, TG
419, 15, TG
421, 15, TG

PROJECT TITLE :

MIDAS	Company		Client	
	Author		File Name	H2D_3Dg_v14_180227_StatLM.mct

422, 15, TG
423, 15, TG
424, 15, TG
426, 15, TG
427, 15, TG
428, 15, TG
429, 15, TG
431, 15, TG
432, 15, TG
433, 15, TG
434, 15, TG
437, 15, TG
438, 15, TG
439, 15, TG
440, 15, TG
442, 15, TG
443, 15, TG
444, 15, TG
446, 15, TG
447, 15, TG
448, 15, TG
451, 15, TG
452, 15, TG
453, 15, TG
454, 15, TG
456, 15, TG
457, 15, TG
458, 15, TG
459, 15, TG
461, 15, TG
462, 15, TG
463, 15, TG
464, 15, TG
466, 15, TG
467, 15, TG
468, 15, TG
469, 15, TG
471, 15, TG
472, 15, TG
473, 15, TG
474, 15, TG
476, 15, TG
477, 15, TG
478, 15, TG
479, 15, TG
481, 15, TG
482, 15, TG
483, 15, TG
484, 15, TG
485, 15, TG
488, 15, TG
489, 15, TG
490, 15, TG
491, 15, TG
493, 15, TG
494, 15, TG
495, 15, TG
496, 15, TG
497, 15, TG
499, 15, TG
500, 15, TG
501, 15, TG
502, 15, TG
504, 15, TG
505, 15, TG
506, 15, TG
507, 15, TG
509, 15, TG
510, 15, TG
511, 15, TG
512, 15, TG
514, 15, TG

PROJECT TITLE :

MIDAS	Company		Client	
	Author		File Name	H2D_3Dg_v14_180227_StatLM.mct

515, 15, TG
516, 15, TG
517, 15, TG
519, 15, TG
520, 15, TG
521, 15, TG
522, 15, TG
525, 15, TG
526, 15, TG
527, 15, TG
528, 15, TG
530, 15, TG
531, 15, TG
532, 15, TG
1409, 15, TG
1410, 15, TG
1411, 15, TG
1412, 15, TG
1413, 15, TG
1414, 15, TG
1415, 15, TG
1416, 15, TG
1417, 15, TG
1418, 15, TG
1419, 15, TG
1420, 15, TG
1421, 15, TG
1422, 15, TG
1423, 15, TG
1424, 15, TG
1425, 15, TG
1426, 15, TG
1427, 15, TG
1428, 15, TG
1429, 15, TG
1430, 15, TG
1431, 15, TG
1432, 15, TG
1433, 15, TG
1434, 15, TG
1435, 15, TG
1436, 15, TG
1437, 15, TG
1438, 15, TG
1439, 15, TG
1440, 15, TG
1441, 15, TG
1442, 15, TG
1443, 15, TG
1444, 15, TG
1445, 15, TG
1446, 15, TG
1447, 15, TG
1448, 15, TG
1449, 15, TG
1450, 15, TG
1451, 15, TG
1452, 15, TG
1453, 15, TG
1454, 15, TG
1455, 15, TG
1456, 15, TG
1457, 15, TG
1458, 15, TG
1715, 14, TG
1716, 14, TG
1717, 14, TG
1718, 14, TG
1719, 14, TG
1720, 14, TG
1721, 14, TG
1722, 14, TG

PROJECT TITLE :

MIDAS	Company		Client	
	Author		File Name	H2D_3Dg_v14_180227_StatLM.mct

1723, 14, TG
1724, 14, TG
1725, 14, TG
1726, 14, TG
1727, 14, TG
1728, 14, TG
1729, 14, TG
1730, 14, TG
1731, 14, TG
1732, 14, TG
1733, 14, TG
1734, 14, TG
1735, 14, TG
1736, 14, TG
1737, 14, TG
1738, 14, TG
1739, 14, TG
1740, 14, TG
1741, 14, TG
1742, 14, TG
1743, 14, TG
1744, 14, TG
1745, 14, TG
1746, 14, TG
1747, 14, TG
1748, 14, TG
3023, 15, TG
3024, 15, TG
3029, 15, TG
3030, 15, TG
3031, 15, TG
3035, 15, TG
3038, 15, TG
3039, 15, TG
3045, 15, TG
3046, 15, TG
3047, 15, TG
3051, 15, TG
3054, 15, TG
3055, 15, TG
3056, 15, TG
3057, 15, TG
3058, 15, TG
3059, 15, TG
3060, 15, TG
3061, 15, TG
3062, 15, TG
3063, 15, TG
3064, 15, TG
3065, 15, TG
3066, 15, TG
3067, 15, TG
3068, 15, TG
3069, 15, TG
3070, 15, TG
3071, 15, TG
3072, 15, TG
3073, 15, TG
3074, 15, TG
3075, 15, TG
3076, 15, TG
3077, 15, TG
3078, 15, TG
3146, 15, TG
3148, 15, TG
3150, 15, TG
3152, 15, TG
3154, 15, TG
3156, 15, TG
3158, 15, TG
3160, 15, TG
3162, 15, TG

PROJECT TITLE :

MIDAS	Company		Client	
	Author		File Name	H2D_3Dg_v14_180227_StatLM.mct

3164, 15, TG
3166, 15, TG
3168, 15, TG
3170, 15, TG
3172, 15, TG
3174, 15, TG
3176, 15, TG
3178, 15, TG
3180, 15, TG
3182, 15, TG
3184, 15, TG
3186, 15, TG
3188, 15, TG
3190, 15, TG
3192, 15, TG
3194, 15, TG
3196, 15, TG
3198, 15, TG
3200, 15, TG
3202, 15, TG
3204, 15, TG
3206, 15, TG
3208, 15, TG
3210, 15, TG
3212, 15, TG
3647, 15, TG
3648, 15, TG
3649, 15, TG
3650, 15, TG
3651, 15, TG
3652, 15, TG
3653, 15, TG
3654, 15, TG
3655, 15, TG
3656, 15, TG
3657, 15, TG
3658, 15, TG
3659, 15, TG
3660, 15, TG
3664, 15, TG
3665, 15, TG
3668, 15, TG
3669, 15, TG
3671, 15, TG
3672, 15, TG
3673, 15, TG
3674, 15, TG
3675, 15, TG
3676, 15, TG
3677, 15, TG
3678, 15, TG
3679, 15, TG
3680, 15, TG
3681, 15, TG
3682, 15, TG
3683, 15, TG
3684, 15, TG
3685, 15, TG
3686, 15, TG
3687, 15, TG
3688, 15, TG
3689, 15, TG
3690, 15, TG
3691, 15, TG
3692, 15, TG
3693, 15, TG
3694, 15, TG
3695, 15, TG
3696, 15, TG
3700, 15, TG
3701, 15, TG
3704, 15, TG

3705, 15, TG
3707, 15, TG
3708, 15, TG
3709, 15, TG
3710, 15, TG
3711, 15, TG
3712, 15, TG
3713, 15, TG
3714, 15, TG
3715, 15, TG
3716, 15, TG
3717, 15, TG
3718, 15, TG
3719, 15, TG
3720, 15, TG
3721, 15, TG
3722, 15, TG
3723, 15, TG
3724, 15, TG
3725, 15, TG
3728, 15, TG
3729, 15, TG
3731, 15, TG
3732, 15, TG
3733, 15, TG
3734, 15, TG
3735, 15, TG
3736, 15, TG
3737, 15, TG
3738, 15, TG
3739, 15, TG
3740, 15, TG
3741, 15, TG
3742, 15, TG
3743, 15, TG
3746, 15, TG
3747, 15, TG
3749, 15, TG
3750, 15, TG
3751, 15, TG
3752, 15, TG
3753, 15, TG
3754, 15, TG
3755, 15, TG
3756, 15, TG
3757, 15, TG
3758, 15, TG
3759, 15, TG
3760, 15, TG
3761, 15, TG
3762, 15, TG
3763, 15, TG
3764, 15, TG
3765, 15, TG
3766, 15, TG

; End of data for load case [TG +15] ----------

*USE-STLD, TG -15

*ELTEMPER ; Element Temperatures
; ELEM_LIST, TEMPER, GROUP
1, -15, TG
2, -15, TG
3, -15, TG
4, -15, TG
5, -15, TG
6, -15, TG
7, -15, TG
8, -15, TG
9, -15, TG
10, -15, TG

PROJECT TITLE :

MIDAS	Company		Client	
	Author		File Name	H2D_3Dg_v14_180227_StatLM.mct

11, -15, TG
12, -15, TG
13, -15, TG
14, -15, TG
15, -15, TG
16, -15, TG
17, -15, TG
18, -15, TG
19, -15, TG
20, -15, TG
21, -15, TG
22, -15, TG
23, -15, TG
24, -15, TG
25, -15, TG
26, -15, TG
27, -15, TG
28, -15, TG
29, -15, TG
30, -15, TG
31, -15, TG
32, -15, TG
33, -15, TG
34, -15, TG
35, -15, TG
36, -15, TG
37, -15, TG
38, -15, TG
39, -15, TG
40, -15, TG
41, -15, TG
42, -15, TG
43, -15, TG
44, -15, TG
45, -15, TG
46, -15, TG
47, -15, TG
48, -15, TG
49, -15, TG
50, -15, TG
51, -15, TG
52, -15, TG
53, -15, TG
54, -15, TG
55, -15, TG
56, -15, TG
57, -15, TG
58, -15, TG
59, -15, TG
60, -15, TG
61, -15, TG
62, -15, TG
63, -15, TG
64, -15, TG
65, -15, TG
66, -15, TG
67, -15, TG
68, -15, TG
169, -15, TG
170, -15, TG
171, -15, TG
172, -15, TG
174, -15, TG
175, -15, TG
176, -15, TG
178, -15, TG
179, -15, TG
180, -15, TG
182, -15, TG
183, -15, TG
184, -15, TG
186, -15, TG

PROJECT TITLE :

MIDAS	Company		Client	
	Author		File Name	H2D_3Dg_v14_180227_StatLM.mct

187, -15, TG
188, -15, TG
190, -15, TG
191, -15, TG
192, -15, TG
194, -15, TG
196, -15, TG
197, -15, TG
198, -15, TG
199, -15, TG
200, -15, TG
202, -15, TG
203, -15, TG
204, -15, TG
206, -15, TG
207, -15, TG
208, -15, TG
209, -15, TG
210, -15, TG
211, -15, TG
212, -15, TG
213, -15, TG
215, -15, TG
216, -15, TG
218, -15, TG
219, -15, TG
220, -15, TG
221, -15, TG
222, -15, TG
223, -15, TG
224, -15, TG
225, -15, TG
227, -15, TG
228, -15, TG
229, -15, TG
231, -15, TG
232, -15, TG
233, -15, TG
234, -15, TG
235, -15, TG
237, -15, TG
239, -15, TG
240, -15, TG
241, -15, TG
243, -15, TG
244, -15, TG
245, -15, TG
247, -15, TG
248, -15, TG
249, -15, TG
251, -15, TG
252, -15, TG
253, -15, TG
255, -15, TG
256, -15, TG
257, -15, TG
259, -15, TG
260, -15, TG
261, -15, TG
262, -15, TG
263, -15, TG
264, -15, TG
265, -15, TG
266, -15, TG
268, -15, TG
269, -15, TG
270, -15, TG
272, -15, TG
273, -15, TG
274, -15, TG
276, -15, TG
277, -15, TG

PROJECT TITLE :

MIDAS	Company		Client	
	Author		File Name	H2D_3Dg_v14_180227_StatLM.mct

278, -15, TG
280, -15, TG
281, -15, TG
282, -15, TG
284, -15, TG
285, -15, TG
286, -15, TG
288, -15, TG
290, -15, TG
291, -15, TG
292, -15, TG
293, -15, TG
294, -15, TG
296, -15, TG
297, -15, TG
298, -15, TG
300, -15, TG
301, -15, TG
302, -15, TG
303, -15, TG
304, -15, TG
305, -15, TG
306, -15, TG
307, -15, TG
309, -15, TG
310, -15, TG
312, -15, TG
313, -15, TG
314, -15, TG
315, -15, TG
316, -15, TG
317, -15, TG
318, -15, TG
319, -15, TG
321, -15, TG
322, -15, TG
323, -15, TG
325, -15, TG
326, -15, TG
327, -15, TG
328, -15, TG
329, -15, TG
331, -15, TG
333, -15, TG
334, -15, TG
335, -15, TG
337, -15, TG
338, -15, TG
339, -15, TG
341, -15, TG
342, -15, TG
343, -15, TG
345, -15, TG
346, -15, TG
347, -15, TG
349, -15, TG
350, -15, TG
351, -15, TG
353, -15, TG
354, -15, TG
355, -15, TG
356, -15, TG
358, -15, TG
359, -15, TG
360, -15, TG
363, -15, TG
364, -15, TG
365, -15, TG
366, -15, TG
368, -15, TG
369, -15, TG
370, -15, TG

PROJECT TITLE :

MIDAS	Company		Client	
	Author		File Name	H2D_3Dg_v14_180227_StatLM.mct

371, -15, TG
373, -15, TG
374, -15, TG
375, -15, TG
376, -15, TG
378, -15, TG
379, -15, TG
380, -15, TG
381, -15, TG
383, -15, TG
384, -15, TG
385, -15, TG
386, -15, TG
388, -15, TG
389, -15, TG
390, -15, TG
391, -15, TG
393, -15, TG
394, -15, TG
395, -15, TG
396, -15, TG
397, -15, TG
400, -15, TG
401, -15, TG
402, -15, TG
403, -15, TG
405, -15, TG
406, -15, TG
407, -15, TG
408, -15, TG
409, -15, TG
411, -15, TG
412, -15, TG
413, -15, TG
414, -15, TG
416, -15, TG
417, -15, TG
418, -15, TG
419, -15, TG
421, -15, TG
422, -15, TG
423, -15, TG
424, -15, TG
426, -15, TG
427, -15, TG
428, -15, TG
429, -15, TG
431, -15, TG
432, -15, TG
433, -15, TG
434, -15, TG
437, -15, TG
438, -15, TG
439, -15, TG
440, -15, TG
442, -15, TG
443, -15, TG
444, -15, TG
446, -15, TG
447, -15, TG
448, -15, TG
451, -15, TG
452, -15, TG
453, -15, TG
454, -15, TG
456, -15, TG
457, -15, TG
458, -15, TG
459, -15, TG
461, -15, TG
462, -15, TG
463, -15, TG

PROJECT TITLE :

MIDAS	Company		Client	
	Author		File Name	H2D_3Dg_v14_180227_StatLM.mct

464, -15, TG
466, -15, TG
467, -15, TG
468, -15, TG
469, -15, TG
471, -15, TG
472, -15, TG
473, -15, TG
474, -15, TG
476, -15, TG
477, -15, TG
478, -15, TG
479, -15, TG
481, -15, TG
482, -15, TG
483, -15, TG
484, -15, TG
485, -15, TG
488, -15, TG
489, -15, TG
490, -15, TG
491, -15, TG
493, -15, TG
494, -15, TG
495, -15, TG
496, -15, TG
497, -15, TG
499, -15, TG
500, -15, TG
501, -15, TG
502, -15, TG
504, -15, TG
505, -15, TG
506, -15, TG
507, -15, TG
509, -15, TG
510, -15, TG
511, -15, TG
512, -15, TG
514, -15, TG
515, -15, TG
516, -15, TG
517, -15, TG
519, -15, TG
520, -15, TG
521, -15, TG
522, -15, TG
525, -15, TG
526, -15, TG
527, -15, TG
528, -15, TG
530, -15, TG
531, -15, TG
532, -15, TG
1409, -15, TG
1410, -15, TG
1411, -15, TG
1412, -15, TG
1413, -15, TG
1414, -15, TG
1415, -15, TG
1416, -15, TG
1417, -15, TG
1418, -15, TG
1419, -15, TG
1420, -15, TG
1421, -15, TG
1422, -15, TG
1423, -15, TG
1424, -15, TG
1425, -15, TG
1426, -15, TG

PROJECT TITLE :

MIDAS	Company		Client	
	Author		File Name	H2D_3Dg_v14_180227_StatLM.mct

1427, -15, TG
1428, -15, TG
1429, -15, TG
1430, -15, TG
1431, -15, TG
1432, -15, TG
1433, -15, TG
1434, -15, TG
1435, -15, TG
1436, -15, TG
1437, -15, TG
1438, -15, TG
1439, -15, TG
1440, -15, TG
1441, -15, TG
1442, -15, TG
1443, -15, TG
1444, -15, TG
1445, -15, TG
1446, -15, TG
1447, -15, TG
1448, -15, TG
1449, -15, TG
1450, -15, TG
1451, -15, TG
1452, -15, TG
1453, -15, TG
1454, -15, TG
1455, -15, TG
1456, -15, TG
1457, -15, TG
1458, -15, TG
1715, -14, TG
1716, -14, TG
1717, -14, TG
1718, -14, TG
1719, -14, TG
1720, -14, TG
1721, -14, TG
1722, -14, TG
1723, -14, TG
1724, -14, TG
1725, -14, TG
1726, -14, TG
1727, -14, TG
1728, -14, TG
1729, -14, TG
1730, -14, TG
1731, -14, TG
1732, -14, TG
1733, -14, TG
1734, -14, TG
1735, -14, TG
1736, -14, TG
1737, -14, TG
1738, -14, TG
1739, -14, TG
1740, -14, TG
1741, -14, TG
1742, -14, TG
1743, -14, TG
1744, -14, TG
1745, -14, TG
1746, -14, TG
1747, -14, TG
1748, -14, TG
3023, -15, TG
3024, -15, TG
3029, -15, TG
3030, -15, TG
3031, -15, TG
3035, -15, TG

PROJECT TITLE :

MIDAS	Company		Client	
	Author		File Name	H2D_3Dg_v14_180227_StatLM.mct

3038, -15, TG
3039, -15, TG
3045, -15, TG
3046, -15, TG
3047, -15, TG
3051, -15, TG
3054, -15, TG
3055, -15, TG
3056, -15, TG
3057, -15, TG
3058, -15, TG
3059, -15, TG
3060, -15, TG
3061, -15, TG
3062, -15, TG
3063, -15, TG
3064, -15, TG
3065, -15, TG
3066, -15, TG
3067, -15, TG
3068, -15, TG
3069, -15, TG
3070, -15, TG
3071, -15, TG
3072, -15, TG
3073, -15, TG
3074, -15, TG
3075, -15, TG
3076, -15, TG
3077, -15, TG
3078, -15, TG
3146, -15, TG
3148, -15, TG
3150, -15, TG
3152, -15, TG
3154, -15, TG
3156, -15, TG
3158, -15, TG
3160, -15, TG
3162, -15, TG
3164, -15, TG
3166, -15, TG
3168, -15, TG
3170, -15, TG
3172, -15, TG
3174, -15, TG
3176, -15, TG
3178, -15, TG
3180, -15, TG
3182, -15, TG
3184, -15, TG
3186, -15, TG
3188, -15, TG
3190, -15, TG
3192, -15, TG
3194, -15, TG
3196, -15, TG
3198, -15, TG
3200, -15, TG
3202, -15, TG
3204, -15, TG
3206, -15, TG
3208, -15, TG
3210, -15, TG
3212, -15, TG
3647, -15, TG
3648, -15, TG
3649, -15, TG
3650, -15, TG
3651, -15, TG
3652, -15, TG
3653, -15, TG

PROJECT TITLE :

MIDAS	Company		Client	
	Author		File Name	H2D_3Dg_v14_180227_StatLM.mct

3654, -15, TG
3655, -15, TG
3656, -15, TG
3657, -15, TG
3658, -15, TG
3659, -15, TG
3660, -15, TG
3664, -15, TG
3665, -15, TG
3668, -15, TG
3669, -15, TG
3671, -15, TG
3672, -15, TG
3673, -15, TG
3674, -15, TG
3675, -15, TG
3676, -15, TG
3677, -15, TG
3678, -15, TG
3679, -15, TG
3680, -15, TG
3681, -15, TG
3682, -15, TG
3683, -15, TG
3684, -15, TG
3685, -15, TG
3686, -15, TG
3687, -15, TG
3688, -15, TG
3689, -15, TG
3690, -15, TG
3691, -15, TG
3692, -15, TG
3693, -15, TG
3694, -15, TG
3695, -15, TG
3696, -15, TG
3700, -15, TG
3701, -15, TG
3704, -15, TG
3705, -15, TG
3707, -15, TG
3708, -15, TG
3709, -15, TG
3710, -15, TG
3711, -15, TG
3712, -15, TG
3713, -15, TG
3714, -15, TG
3715, -15, TG
3716, -15, TG
3717, -15, TG
3718, -15, TG
3719, -15, TG
3720, -15, TG
3721, -15, TG
3722, -15, TG
3723, -15, TG
3724, -15, TG
3725, -15, TG
3728, -15, TG
3729, -15, TG
3731, -15, TG
3732, -15, TG
3733, -15, TG
3734, -15, TG
3735, -15, TG
3736, -15, TG
3737, -15, TG
3738, -15, TG
3739, -15, TG
3740, -15, TG

PROJECT TITLE :

MIDAS	Company		Client	
	Author		File Name	H2D_3Dg_v14_180227_StatLM.mct

3741, -15, TG
3742, -15, TG
3743, -15, TG
3746, -15, TG
3747, -15, TG
3749, -15, TG
3750, -15, TG
3751, -15, TG
3752, -15, TG
3753, -15, TG
3754, -15, TG
3755, -15, TG
3756, -15, TG
3757, -15, TG
3758, -15, TG
3759, -15, TG
3760, -15, TG
3761, -15, TG
3762, -15, TG
3763, -15, TG
3764, -15, TG
3765, -15, TG
3766, -15, TG

; End of data for load case [TG -15] ----------

*USE-STLD, PA_L

*BEAMLOAD ; Element Beam Loads
; ELEM_LIST, CMD, TYPE, DIR, bPROJ, [ECCEN], [VALUE], GROUP
; ELEM_LIST, CMD, TYPE, TYPE, DIR, VX, VY, VZ, bPROJ, [ECCEN], [VALUE], GROUP
; [VALUE] : D1, P1, D2, P2, D3, P3, D4, P4
; [ECCEN] : bECCEN, ECCDIR, I-END, J-END, bJ-END
; [ADDITIONAL] : bADDITIONAL, ADDITIONAL_I-END, ADDITIONAL_J-END, bADDITIONAL_J-END
3512, BEAM , UNILOAD, GZ, NO , NO, aDir[1], , , , 0, -5.19, 1, -5.19, 0, 0, 0, 0, PA, NO, 0, 0, NO,
3513, BEAM , UNILOAD, GZ, NO , NO, aDir[1], , , , 0, -5.19, 1, -5.19, 0, 0, 0, 0, PA, NO, 0, 0, NO,
3514, BEAM , UNILOAD, GZ, NO , NO, aDir[1], , , , 0, -5.19, 1, -5.19, 0, 0, 0, 0, PA, NO, 0, 0, NO,
3516, BEAM , UNILOAD, GZ, NO , NO, aDir[1], , , , 0, -11.19, 1, -11.19, 0, 0, 0, 0, PA, NO, 0, 0, NO,
3517, BEAM , UNILOAD, GZ, NO , NO, aDir[1], , , , 0, -11.19, 1, -11.19, 0, 0, 0, 0, PA, NO, 0, 0, NO,
3518, BEAM , UNILOAD, GZ, NO , NO, aDir[1], , , , 0, -11.19, 1, -11.19, 0, 0, 0, 0, PA, NO, 0, 0, NO,
3520, BEAM , UNILOAD, GZ, NO , NO, aDir[1], , , , 0, -12.6, 1, -12.6, 0, 0, 0, 0, PA, NO, 0, 0, NO,
3521, BEAM , UNILOAD, GZ, NO , NO, aDir[1], , , , 0, -12.6, 1, -12.6, 0, 0, 0, 0, PA, NO, 0, 0, NO,
3522, BEAM , UNILOAD, GZ, NO , NO, aDir[1], , , , 0, -12.6, 1, -12.6, 0, 0, 0, 0, PA, NO, 0, 0, NO,
3524, BEAM , UNILOAD, GZ, NO , NO, aDir[1], , , , 0, -13.8, 1, -13.8, 0, 0, 0, 0, PA, NO, 0, 0, NO,
3525, BEAM , UNILOAD, GZ, NO , NO, aDir[1], , , , 0, -13.8, 1, -13.8, 0, 0, 0, 0, PA, NO, 0, 0, NO,
3526, BEAM , UNILOAD, GZ, NO , NO, aDir[1], , , , 0, -13.8, 1, -13.8, 0, 0, 0, 0, PA, NO, 0, 0, NO,
3528, BEAM , UNILOAD, GZ, NO , NO, aDir[1], , , , 0, -14.4, 1, -14.4, 0, 0, 0, 0, PA, NO, 0, 0, NO,
3529, BEAM , UNILOAD, GZ, NO , NO, aDir[1], , , , 0, -14.4, 1, -14.4, 0, 0, 0, 0, PA, NO, 0, 0, NO,
3530, BEAM , UNILOAD, GZ, NO , NO, aDir[1], , , , 0, -14.4, 1, -14.4, 0, 0, 0, 0, PA, NO, 0, 0, NO,
3532, BEAM , UNILOAD, GZ, NO , NO, aDir[1], , , , 0, -14.4, 1, -14.4, 0, 0, 0, 0, PA, NO, 0, 0, NO,
3533, BEAM , UNILOAD, GZ, NO , NO, aDir[1], , , , 0, -14.4, 1, -14.4, 0, 0, 0, 0, PA, NO, 0, 0, NO,
3534, BEAM , UNILOAD, GZ, NO , NO, aDir[1], , , , 0, -14.4, 1, -14.4, 0, 0, 0, 0, PA, NO, 0, 0, NO,
3536, BEAM , UNILOAD, GZ, NO , NO, aDir[1], , , , 0, -14.4, 1, -14.4, 0, 0, 0, 0, PA, NO, 0, 0, NO,
3537, BEAM , UNILOAD, GZ, NO , NO, aDir[1], , , , 0, -14.4, 1, -14.4, 0, 0, 0, 0, PA, NO, 0, 0, NO,
3538, BEAM , UNILOAD, GZ, NO , NO, aDir[1], , , , 0, -14.4, 1, -14.4, 0, 0, 0, 0, PA, NO, 0, 0, NO,
3540, BEAM , UNILOAD, GZ, NO , NO, aDir[1], , , , 0, -14.4, 1, -14.4, 0, 0, 0, 0, PA, NO, 0, 0, NO,
3541, BEAM , UNILOAD, GZ, NO , NO, aDir[1], , , , 0, -14.4, 1, -14.4, 0, 0, 0, 0, PA, NO, 0, 0, NO,
3542, BEAM , UNILOAD, GZ, NO , NO, aDir[1], , , , 0, -14.4, 1, -14.4, 0, 0, 0, 0, PA, NO, 0, 0, NO,
3544, BEAM , UNILOAD, GZ, NO , NO, aDir[1], , , , 0, -14.4, 1, -14.4, 0, 0, 0, 0, PA, NO, 0, 0, NO,
3545, BEAM , UNILOAD, GZ, NO , NO, aDir[1], , , , 0, -14.4, 1, -14.4, 0, 0, 0, 0, PA, NO, 0, 0, NO,
3546, BEAM , UNILOAD, GZ, NO , NO, aDir[1], , , , 0, -14.4, 1, -14.4, 0, 0, 0, 0, PA, NO, 0, 0, NO,
3548, BEAM , UNILOAD, GZ, NO , NO, aDir[1], , , , 0, -14.4, 1, -14.4, 0, 0, 0, 0, PA, NO, 0, 0, NO,
3549, BEAM , UNILOAD, GZ, NO , NO, aDir[1], , , , 0, -14.4, 1, -14.4, 0, 0, 0, 0, PA, NO, 0, 0, NO,
3550, BEAM , UNILOAD, GZ, NO , NO, aDir[1], , , , 0, -14.4, 1, -14.4, 0, 0, 0, 0, PA, NO, 0, 0, NO,
3552, BEAM , UNILOAD, GZ, NO , NO, aDir[1], , , , 0, -14.4, 1, -14.4, 0, 0, 0, 0, PA, NO, 0, 0, NO,
3553, BEAM , UNILOAD, GZ, NO , NO, aDir[1], , , , 0, -14.4, 1, -14.4, 0, 0, 0, 0, PA, NO, 0, 0, NO,
3554, BEAM , UNILOAD, GZ, NO , NO, aDir[1], , , , 0, -14.4, 1, -14.4, 0, 0, 0, 0, PA, NO, 0, 0, NO,
3556, BEAM , UNILOAD, GZ, NO , NO, aDir[1], , , , 0, -14.4, 1, -14.4, 0, 0, 0, 0, PA, NO, 0, 0, NO,
3557, BEAM , UNILOAD, GZ, NO , NO, aDir[1], , , , 0, -14.4, 1, -14.4, 0, 0, 0, 0, PA, NO, 0, 0, NO,
3558, BEAM , UNILOAD, GZ, NO , NO, aDir[1], , , , 0, -14.4, 1, -14.4, 0, 0, 0, 0, PA, NO, 0, 0, NO,
3560, BEAM , UNILOAD, GZ, NO , NO, aDir[1], , , , 0, -14.4, 1, -14.4, 0, 0, 0, 0, PA, NO, 0, 0, NO,
3561, BEAM , UNILOAD, GZ, NO , NO, aDir[1], , , , 0, -14.4, 1, -14.4, 0, 0, 0, 0, PA, NO, 0, 0, NO,

PROJECT TITLE :

MIDAS	Company		Client	
	Author		File Name	H2D_3Dg_v14_180227_StatLM.mct

3562, BEAM , UNILOAD, GZ, NO , NO, aDir[1], , , , 0, -14.4, 1, -14.4, 0, 0, 0, 0, PA, NO, 0, 0, NO,
3564, BEAM , UNILOAD, GZ, NO , NO, aDir[1], , , , 0, -13.8, 1, -13.8, 0, 0, 0, 0, PA, NO, 0, 0, NO,
3565, BEAM , UNILOAD, GZ, NO , NO, aDir[1], , , , 0, -13.8, 1, -13.8, 0, 0, 0, 0, PA, NO, 0, 0, NO,
3566, BEAM , UNILOAD, GZ, NO , NO, aDir[1], , , , 0, -13.8, 1, -13.8, 0, 0, 0, 0, PA, NO, 0, 0, NO,
3568, BEAM , UNILOAD, GZ, NO , NO, aDir[1], , , , 0, -12.6, 1, -12.6, 0, 0, 0, 0, PA, NO, 0, 0, NO,
3569, BEAM , UNILOAD, GZ, NO , NO, aDir[1], , , , 0, -12.6, 1, -12.6, 0, 0, 0, 0, PA, NO, 0, 0, NO,
3570, BEAM , UNILOAD, GZ, NO , NO, aDir[1], , , , 0, -12.6, 1, -12.6, 0, 0, 0, 0, PA, NO, 0, 0, NO,
3572, BEAM , UNILOAD, GZ, NO , NO, aDir[1], , , , 0, -11.19, 1, -11.19, 0, 0, 0, 0, PA, NO, 0, 0, NO,
3573, BEAM , UNILOAD, GZ, NO , NO, aDir[1], , , , 0, -11.19, 1, -11.19, 0, 0, 0, 0, PA, NO, 0, 0, NO,
3574, BEAM , UNILOAD, GZ, NO , NO, aDir[1], , , , 0, -11.19, 1, -11.19, 0, 0, 0, 0, PA, NO, 0, 0, NO,
3576, BEAM , UNILOAD, GZ, NO , NO, aDir[1], , , , 0, -5.19, 1, -5.19, 0, 0, 0, 0, PA, NO, 0, 0, NO,
3577, BEAM , UNILOAD, GZ, NO , NO, aDir[1], , , , 0, -5.19, 1, -5.19, 0, 0, 0, 0, PA, NO, 0, 0, NO,
3578, BEAM , UNILOAD, GZ, NO , NO, aDir[1], , , , 0, -5.19, 1, -5.19, 0, 0, 0, 0, PA, NO, 0, 0, NO,

; End of data for load case [PA_L] ----------

*USE-STLD, PA_R

*BEAMLOAD ; Element Beam Loads
; ELEM_LIST, CMD, TYPE, DIR, bPROJ, [ECCEN], [VALUE], GROUP
; ELEM_LIST, CMD, TYPE, TYPE, DIR, VX, VY, VZ, bPROJ, [ECCEN], [VALUE], GROUP
; [VALUE] : D1, P1, D2, P2, D3, P3, D4, P4
; [ECCEN] : bECCEN, ECCDIR, I-END, J-END, bJ-END
; [ADDITIONAL] : bADDITIONAL, ADDITIONAL_I-END, ADDITIONAL_J-END, bADDITIONAL_J-END
3580, BEAM , UNILOAD, GZ, NO , NO, aDir[1], , , , 0, -5.19, 1, -5.19, 0, 0, 0, 0, PA, NO, 0, 0, NO,
3581, BEAM , UNILOAD, GZ, NO , NO, aDir[1], , , , 0, -5.19, 1, -5.19, 0, 0, 0, 0, PA, NO, 0, 0, NO,
3582, BEAM , UNILOAD, GZ, NO , NO, aDir[1], , , , 0, -5.19, 1, -5.19, 0, 0, 0, 0, PA, NO, 0, 0, NO,
3584, BEAM , UNILOAD, GZ, NO , NO, aDir[1], , , , 0, -11.19, 1, -11.19, 0, 0, 0, 0, PA, NO, 0, 0, NO,
3585, BEAM , UNILOAD, GZ, NO , NO, aDir[1], , , , 0, -11.19, 1, -11.19, 0, 0, 0, 0, PA, NO, 0, 0, NO,
3586, BEAM , UNILOAD, GZ, NO , NO, aDir[1], , , , 0, -11.19, 1, -11.19, 0, 0, 0, 0, PA, NO, 0, 0, NO,
3588, BEAM , UNILOAD, GZ, NO , NO, aDir[1], , , , 0, -12.6, 1, -12.6, 0, 0, 0, 0, PA, NO, 0, 0, NO,
3589, BEAM , UNILOAD, GZ, NO , NO, aDir[1], , , , 0, -12.6, 1, -12.6, 0, 0, 0, 0, PA, NO, 0, 0, NO,
3590, BEAM , UNILOAD, GZ, NO , NO, aDir[1], , , , 0, -12.6, 1, -12.6, 0, 0, 0, 0, PA, NO, 0, 0, NO,
3592, BEAM , UNILOAD, GZ, NO , NO, aDir[1], , , , 0, -13.8, 1, -13.8, 0, 0, 0, 0, PA, NO, 0, 0, NO,
3593, BEAM , UNILOAD, GZ, NO , NO, aDir[1], , , , 0, -13.8, 1, -13.8, 0, 0, 0, 0, PA, NO, 0, 0, NO,
3594, BEAM , UNILOAD, GZ, NO , NO, aDir[1], , , , 0, -13.8, 1, -13.8, 0, 0, 0, 0, PA, NO, 0, 0, NO,
3596, BEAM , UNILOAD, GZ, NO , NO, aDir[1], , , , 0, -14.4, 1, -14.4, 0, 0, 0, 0, PA, NO, 0, 0, NO,
3597, BEAM , UNILOAD, GZ, NO , NO, aDir[1], , , , 0, -14.4, 1, -14.4, 0, 0, 0, 0, PA, NO, 0, 0, NO,
3598, BEAM , UNILOAD, GZ, NO , NO, aDir[1], , , , 0, -14.4, 1, -14.4, 0, 0, 0, 0, PA, NO, 0, 0, NO,
3600, BEAM , UNILOAD, GZ, NO , NO, aDir[1], , , , 0, -14.4, 1, -14.4, 0, 0, 0, 0, PA, NO, 0, 0, NO,
3601, BEAM , UNILOAD, GZ, NO , NO, aDir[1], , , , 0, -14.4, 1, -14.4, 0, 0, 0, 0, PA, NO, 0, 0, NO,
3602, BEAM , UNILOAD, GZ, NO , NO, aDir[1], , , , 0, -14.4, 1, -14.4, 0, 0, 0, 0, PA, NO, 0, 0, NO,
3604, BEAM , UNILOAD, GZ, NO , NO, aDir[1], , , , 0, -14.4, 1, -14.4, 0, 0, 0, 0, PA, NO, 0, 0, NO,
3605, BEAM , UNILOAD, GZ, NO , NO, aDir[1], , , , 0, -14.4, 1, -14.4, 0, 0, 0, 0, PA, NO, 0, 0, NO,
3606, BEAM , UNILOAD, GZ, NO , NO, aDir[1], , , , 0, -14.4, 1, -14.4, 0, 0, 0, 0, PA, NO, 0, 0, NO,
3608, BEAM , UNILOAD, GZ, NO , NO, aDir[1], , , , 0, -14.4, 1, -14.4, 0, 0, 0, 0, PA, NO, 0, 0, NO,
3609, BEAM , UNILOAD, GZ, NO , NO, aDir[1], , , , 0, -14.4, 1, -14.4, 0, 0, 0, 0, PA, NO, 0, 0, NO,
3610, BEAM , UNILOAD, GZ, NO , NO, aDir[1], , , , 0, -14.4, 1, -14.4, 0, 0, 0, 0, PA, NO, 0, 0, NO,
3612, BEAM , UNILOAD, GZ, NO , NO, aDir[1], , , , 0, -14.4, 1, -14.4, 0, 0, 0, 0, PA, NO, 0, 0, NO,
3613, BEAM , UNILOAD, GZ, NO , NO, aDir[1], , , , 0, -14.4, 1, -14.4, 0, 0, 0, 0, PA, NO, 0, 0, NO,
3614, BEAM , UNILOAD, GZ, NO , NO, aDir[1], , , , 0, -14.4, 1, -14.4, 0, 0, 0, 0, PA, NO, 0, 0, NO,
3616, BEAM , UNILOAD, GZ, NO , NO, aDir[1], , , , 0, -14.4, 1, -14.4, 0, 0, 0, 0, PA, NO, 0, 0, NO,
3617, BEAM , UNILOAD, GZ, NO , NO, aDir[1], , , , 0, -14.4, 1, -14.4, 0, 0, 0, 0, PA, NO, 0, 0, NO,
3618, BEAM , UNILOAD, GZ, NO , NO, aDir[1], , , , 0, -14.4, 1, -14.4, 0, 0, 0, 0, PA, NO, 0, 0, NO,
3620, BEAM , UNILOAD, GZ, NO , NO, aDir[1], , , , 0, -14.4, 1, -14.4, 0, 0, 0, 0, PA, NO, 0, 0, NO,
3621, BEAM , UNILOAD, GZ, NO , NO, aDir[1], , , , 0, -14.4, 1, -14.4, 0, 0, 0, 0, PA, NO, 0, 0, NO,
3622, BEAM , UNILOAD, GZ, NO , NO, aDir[1], , , , 0, -14.4, 1, -14.4, 0, 0, 0, 0, PA, NO, 0, 0, NO,
3624, BEAM , UNILOAD, GZ, NO , NO, aDir[1], , , , 0, -14.4, 1, -14.4, 0, 0, 0, 0, PA, NO, 0, 0, NO,
3625, BEAM , UNILOAD, GZ, NO , NO, aDir[1], , , , 0, -14.4, 1, -14.4, 0, 0, 0, 0, PA, NO, 0, 0, NO,
3626, BEAM , UNILOAD, GZ, NO , NO, aDir[1], , , , 0, -14.4, 1, -14.4, 0, 0, 0, 0, PA, NO, 0, 0, NO,
3628, BEAM , UNILOAD, GZ, NO , NO, aDir[1], , , , 0, -14.4, 1, -14.4, 0, 0, 0, 0, PA, NO, 0, 0, NO,
3629, BEAM , UNILOAD, GZ, NO , NO, aDir[1], , , , 0, -14.4, 1, -14.4, 0, 0, 0, 0, PA, NO, 0, 0, NO,
3630, BEAM , UNILOAD, GZ, NO , NO, aDir[1], , , , 0, -14.4, 1, -14.4, 0, 0, 0, 0, PA, NO, 0, 0, NO,
3632, BEAM , UNILOAD, GZ, NO , NO, aDir[1], , , , 0, -13.8, 1, -13.8, 0, 0, 0, 0, PA, NO, 0, 0, NO,
3633, BEAM , UNILOAD, GZ, NO , NO, aDir[1], , , , 0, -13.8, 1, -13.8, 0, 0, 0, 0, PA, NO, 0, 0, NO,
3634, BEAM , UNILOAD, GZ, NO , NO, aDir[1], , , , 0, -13.8, 1, -13.8, 0, 0, 0, 0, PA, NO, 0, 0, NO,
3636, BEAM , UNILOAD, GZ, NO , NO, aDir[1], , , , 0, -12.6, 1, -12.6, 0, 0, 0, 0, PA, NO, 0, 0, NO,
3637, BEAM , UNILOAD, GZ, NO , NO, aDir[1], , , , 0, -12.6, 1, -12.6, 0, 0, 0, 0, PA, NO, 0, 0, NO,
3638, BEAM , UNILOAD, GZ, NO , NO, aDir[1], , , , 0, -12.6, 1, -12.6, 0, 0, 0, 0, PA, NO, 0, 0, NO,
3640, BEAM , UNILOAD, GZ, NO , NO, aDir[1], , , , 0, -11.19, 1, -11.19, 0, 0, 0, 0, PA, NO, 0, 0, NO,
3641, BEAM , UNILOAD, GZ, NO , NO, aDir[1], , , , 0, -11.19, 1, -11.19, 0, 0, 0, 0, PA, NO, 0, 0, NO,
3642, BEAM , UNILOAD, GZ, NO , NO, aDir[1], , , , 0, -11.19, 1, -11.19, 0, 0, 0, 0, PA, NO, 0, 0, NO,

3644, BEAM , UNILOAD, GZ, NO , NO, aDir[1], , , , 0, -5.19, 1, -5.19, 0, 0, 0, 0, PA, NO, 0, 0, NO,
3645, BEAM , UNILOAD, GZ, NO , NO, aDir[1], , , , 0, -5.19, 1, -5.19, 0, 0, 0, 0, PA, NO, 0, 0, NO,
3646, BEAM , UNILOAD, GZ, NO , NO, aDir[1], , , , 0, -5.19, 1, -5.19, 0, 0, 0, 0, PA, NO, 0, 0, NO,

; End of data for load case [PA_R] ----------

*USE-STLD, WP-Y 1. Track

*BEAMLOAD ; Element Beam Loads
; ELEM_LIST, CMD, TYPE, DIR, bPROJ, [ECCEN], [VALUE], GROUP
; ELEM_LIST, CMD, TYPE, TYPE, DIR, VX, VY, VZ, bPROJ, [ECCEN], [VALUE], GROUP
; [VALUE] : D1, P1, D2, P2, D3, P3, D4, P4
; [ECCEN] : bECCEN, ECCDIR, I-END, J-END, bJ-END
; [ADDITIONAL] : bADDITIONAL, ADDITIONAL_I-END, ADDITIONAL_J-END, bADDITIONAL_J-END
1061, BEAM , UNILOAD, GZ, NO , NO, aDir[1], , , , 0, -7.62, 1, -7.62, 0, 0, 0, 0, WP, NO, 0, 0, NO,
1061, BEAM , UNILOAD, GY, NO , NO, aDir[1], , , , 0, -3.43, 1, -3.43, 0, 0, 0, 0, WP, NO, 0, 0, NO,
1062, BEAM , UNILOAD, GY, NO , NO, aDir[1], , , , 0, -3.43, 1, -3.43, 0, 0, 0, 0, WP, NO, 0, 0, NO,
1062, BEAM , UNILOAD, GZ, NO , NO, aDir[1], , , , 0, -7.62, 1, -7.62, 0, 0, 0, 0, WP, NO, 0, 0, NO,
1063, BEAM , UNILOAD, GZ, NO , NO, aDir[1], , , , 0, -7.62, 1, -7.62, 0, 0, 0, 0, WP, NO, 0, 0, NO,
1063, BEAM , UNILOAD, GY, NO , NO, aDir[1], , , , 0, -3.43, 1, -3.43, 0, 0, 0, 0, WP, NO, 0, 0, NO,
1064, BEAM , UNILOAD, GZ, NO , NO, aDir[1], , , , 0, -7.62, 1, -7.62, 0, 0, 0, 0, WP, NO, 0, 0, NO,
1064, BEAM , UNILOAD, GY, NO , NO, aDir[1], , , , 0, -3.43, 1, -3.43, 0, 0, 0, 0, WP, NO, 0, 0, NO,
1065, BEAM , UNILOAD, GY, NO , NO, aDir[1], , , , 0, -3.43, 1, -3.43, 0, 0, 0, 0, WP, NO, 0, 0, NO,
1065, BEAM , UNILOAD, GZ, NO , NO, aDir[1], , , , 0, -7.62, 1, -7.62, 0, 0, 0, 0, WP, NO, 0, 0, NO,
1066, BEAM , UNILOAD, GZ, NO , NO, aDir[1], , , , 0, -7.62, 1, -7.62, 0, 0, 0, 0, WP, NO, 0, 0, NO,
1066, BEAM , UNILOAD, GY, NO , NO, aDir[1], , , , 0, -3.43, 1, -3.43, 0, 0, 0, 0, WP, NO, 0, 0, NO,
1067, BEAM , UNILOAD, GY, NO , NO, aDir[1], , , , 0, -3.43, 1, -3.43, 0, 0, 0, 0, WP, NO, 0, 0, NO,
1067, BEAM , UNILOAD, GZ, NO , NO, aDir[1], , , , 0, -7.62, 1, -7.62, 0, 0, 0, 0, WP, NO, 0, 0, NO,
1068, BEAM , UNILOAD, GZ, NO , NO, aDir[1], , , , 0, -7.62, 1, -7.62, 0, 0, 0, 0, WP, NO, 0, 0, NO,
1068, BEAM , UNILOAD, GY, NO , NO, aDir[1], , , , 0, -3.43, 1, -3.43, 0, 0, 0, 0, WP, NO, 0, 0, NO,
1069, BEAM , UNILOAD, GZ, NO , NO, aDir[1], , , , 0, -7.62, 1, -7.62, 0, 0, 0, 0, WP, NO, 0, 0, NO,
1069, BEAM , UNILOAD, GY, NO , NO, aDir[1], , , , 0, -3.43, 1, -3.43, 0, 0, 0, 0, WP, NO, 0, 0, NO,
1070, BEAM , UNILOAD, GZ, NO , NO, aDir[1], , , , 0, -7.62, 1, -7.62, 0, 0, 0, 0, WP, NO, 0, 0, NO,
1070, BEAM , UNILOAD, GY, NO , NO, aDir[1], , , , 0, -3.43, 1, -3.43, 0, 0, 0, 0, WP, NO, 0, 0, NO,
1071, BEAM , UNILOAD, GY, NO , NO, aDir[1], , , , 0, -3.43, 1, -3.43, 0, 0, 0, 0, WP, NO, 0, 0, NO,
1071, BEAM , UNILOAD, GZ, NO , NO, aDir[1], , , , 0, -7.62, 1, -7.62, 0, 0, 0, 0, WP, NO, 0, 0, NO,
1072, BEAM , UNILOAD, GZ, NO , NO, aDir[1], , , , 0, -7.62, 1, -7.62, 0, 0, 0, 0, WP, NO, 0, 0, NO,
1072, BEAM , UNILOAD, GY, NO , NO, aDir[1], , , , 0, -3.43, 1, -3.43, 0, 0, 0, 0, WP, NO, 0, 0, NO,
1073, BEAM , UNILOAD, GZ, NO , NO, aDir[1], , , , 0, -7.62, 1, -7.62, 0, 0, 0, 0, WP, NO, 0, 0, NO,
1073, BEAM , UNILOAD, GY, NO , NO, aDir[1], , , , 0, -3.43, 1, -3.43, 0, 0, 0, 0, WP, NO, 0, 0, NO,
1074, BEAM , UNILOAD, GY, NO , NO, aDir[1], , , , 0, -3.43, 1, -3.43, 0, 0, 0, 0, WP, NO, 0, 0, NO,
1074, BEAM , UNILOAD, GZ, NO , NO, aDir[1], , , , 0, -7.62, 1, -7.62, 0, 0, 0, 0, WP, NO, 0, 0, NO,
1075, BEAM , UNILOAD, GZ, NO , NO, aDir[1], , , , 0, -7.62, 1, -7.62, 0, 0, 0, 0, WP, NO, 0, 0, NO,
1075, BEAM , UNILOAD, GY, NO , NO, aDir[1], , , , 0, -3.43, 1, -3.43, 0, 0, 0, 0, WP, NO, 0, 0, NO,
1076, BEAM , UNILOAD, GZ, NO , NO, aDir[1], , , , 0, -7.62, 1, -7.62, 0, 0, 0, 0, WP, NO, 0, 0, NO,
1076, BEAM , UNILOAD, GY, NO , NO, aDir[1], , , , 0, -3.43, 1, -3.43, 0, 0, 0, 0, WP, NO, 0, 0, NO,
1077, BEAM , UNILOAD, GY, NO , NO, aDir[1], , , , 0, -3.43, 1, -3.43, 0, 0, 0, 0, WP, NO, 0, 0, NO,
1077, BEAM , UNILOAD, GZ, NO , NO, aDir[1], , , , 0, -7.62, 1, -7.62, 0, 0, 0, 0, WP, NO, 0, 0, NO,
1078, BEAM , UNILOAD, GZ, NO , NO, aDir[1], , , , 0, -7.62, 1, -7.62, 0, 0, 0, 0, WP, NO, 0, 0, NO,
1078, BEAM , UNILOAD, GY, NO , NO, aDir[1], , , , 0, -3.43, 1, -3.43, 0, 0, 0, 0, WP, NO, 0, 0, NO,
1079, BEAM , UNILOAD, GZ, NO , NO, aDir[1], , , , 0, -7.62, 1, -7.62, 0, 0, 0, 0, WP, NO, 0, 0, NO,
1079, BEAM , UNILOAD, GY, NO , NO, aDir[1], , , , 0, -3.43, 1, -3.43, 0, 0, 0, 0, WP, NO, 0, 0, NO,
1080, BEAM , UNILOAD, GZ, NO , NO, aDir[1], , , , 0, -7.62, 1, -7.62, 0, 0, 0, 0, WP, NO, 0, 0, NO,
1080, BEAM , UNILOAD, GY, NO , NO, aDir[1], , , , 0, -3.43, 1, -3.43, 0, 0, 0, 0, WP, NO, 0, 0, NO,
1081, BEAM , UNILOAD, GY, NO , NO, aDir[1], , , , 0, -3.43, 1, -3.43, 0, 0, 0, 0, WP, NO, 0, 0, NO,
1081, BEAM , UNILOAD, GZ, NO , NO, aDir[1], , , , 0, -7.62, 1, -7.62, 0, 0, 0, 0, WP, NO, 0, 0, NO,
1082, BEAM , UNILOAD, GZ, NO , NO, aDir[1], , , , 0, -7.62, 1, -7.62, 0, 0, 0, 0, WP, NO, 0, 0, NO,
1082, BEAM , UNILOAD, GY, NO , NO, aDir[1], , , , 0, -3.43, 1, -3.43, 0, 0, 0, 0, WP, NO, 0, 0, NO,
1083, BEAM , UNILOAD, GY, NO , NO, aDir[1], , , , 0, -3.43, 1, -3.43, 0, 0, 0, 0, WP, NO, 0, 0, NO,
1083, BEAM , UNILOAD, GZ, NO , NO, aDir[1], , , , 0, -7.62, 1, -7.62, 0, 0, 0, 0, WP, NO, 0, 0, NO,
1084, BEAM , UNILOAD, GZ, NO , NO, aDir[1], , , , 0, -7.62, 1, -7.62, 0, 0, 0, 0, WP, NO, 0, 0, NO,
1084, BEAM , UNILOAD, GY, NO , NO, aDir[1], , , , 0, -3.43, 1, -3.43, 0, 0, 0, 0, WP, NO, 0, 0, NO,
1085, BEAM , UNILOAD, GY, NO , NO, aDir[1], , , , 0, -3.43, 1, -3.43, 0, 0, 0, 0, WP, NO, 0, 0, NO,
1085, BEAM , UNILOAD, GZ, NO , NO, aDir[1], , , , 0, -7.62, 1, -7.62, 0, 0, 0, 0, WP, NO, 0, 0, NO,
1086, BEAM , UNILOAD, GZ, NO , NO, aDir[1], , , , 0, -7.62, 1, -7.62, 0, 0, 0, 0, WP, NO, 0, 0, NO,
1086, BEAM , UNILOAD, GY, NO , NO, aDir[1], , , , 0, -3.43, 1, -3.43, 0, 0, 0, 0, WP, NO, 0, 0, NO,
1087, BEAM , UNILOAD, GY, NO , NO, aDir[1], , , , 0, -3.43, 1, -3.43, 0, 0, 0, 0, WP, NO, 0, 0, NO,
1087, BEAM , UNILOAD, GZ, NO , NO, aDir[1], , , , 0, -7.62, 1, -7.62, 0, 0, 0, 0, WP, NO, 0, 0, NO,
1088, BEAM , UNILOAD, GY, NO , NO, aDir[1], , , , 0, -3.43, 1, -3.43, 0, 0, 0, 0, WP, NO, 0, 0, NO,
1088, BEAM , UNILOAD, GZ, NO , NO, aDir[1], , , , 0, -7.62, 1, -7.62, 0, 0, 0, 0, WP, NO, 0, 0, NO,
1089, BEAM , UNILOAD, GY, NO , NO, aDir[1], , , , 0, -3.43, 1, -3.43, 0, 0, 0, 0, WP, NO, 0, 0, NO,
1089, BEAM , UNILOAD, GZ, NO , NO, aDir[1], , , , 0, -7.62, 1, -7.62, 0, 0, 0, 0, WP, NO, 0, 0, NO,

PROJECT TITLE :

MIDAS	Company		Client	
	Author		File Name	H2D_3Dg_v14_180227_StatLM.mct

1090, BEAM , UNILOAD, GY, NO , NO, aDir[1], , , , 0, -3.43, 1, -3.43, 0, 0, 0, 0, WP, NO, 0, 0, NO,
1090, BEAM , UNILOAD, GZ, NO , NO, aDir[1], , , , 0, -7.62, 1, -7.62, 0, 0, 0, 0, WP, NO, 0, 0, NO,
1091, BEAM , UNILOAD, GZ, NO , NO, aDir[1], , , , 0, -7.62, 1, -7.62, 0, 0, 0, 0, WP, NO, 0, 0, NO,
1091, BEAM , UNILOAD, GY, NO , NO, aDir[1], , , , 0, -3.43, 1, -3.43, 0, 0, 0, 0, WP, NO, 0, 0, NO,
1092, BEAM , UNILOAD, GZ, NO , NO, aDir[1], , , , 0, -7.62, 1, -7.62, 0, 0, 0, 0, WP, NO, 0, 0, NO,
1092, BEAM , UNILOAD, GY, NO , NO, aDir[1], , , , 0, -3.43, 1, -3.43, 0, 0, 0, 0, WP, NO, 0, 0, NO,
1093, BEAM , UNILOAD, GY, NO , NO, aDir[1], , , , 0, -3.43, 1, -3.43, 0, 0, 0, 0, WP, NO, 0, 0, NO,
1093, BEAM , UNILOAD, GZ, NO , NO, aDir[1], , , , 0, -7.62, 1, -7.62, 0, 0, 0, 0, WP, NO, 0, 0, NO,
1094, BEAM , UNILOAD, GY, NO , NO, aDir[1], , , , 0, -3.43, 1, -3.43, 0, 0, 0, 0, WP, NO, 0, 0, NO,
1094, BEAM , UNILOAD, GZ, NO , NO, aDir[1], , , , 0, -7.62, 1, -7.62, 0, 0, 0, 0, WP, NO, 0, 0, NO,
1095, BEAM , UNILOAD, GY, NO , NO, aDir[1], , , , 0, -3.43, 1, -3.43, 0, 0, 0, 0, WP, NO, 0, 0, NO,
1095, BEAM , UNILOAD, GZ, NO , NO, aDir[1], , , , 0, -7.62, 1, -7.62, 0, 0, 0, 0, WP, NO, 0, 0, NO,
1096, BEAM , UNILOAD, GZ, NO , NO, aDir[1], , , , 0, -7.62, 1, -7.62, 0, 0, 0, 0, WP, NO, 0, 0, NO,
1096, BEAM , UNILOAD, GY, NO , NO, aDir[1], , , , 0, -3.43, 1, -3.43, 0, 0, 0, 0, WP, NO, 0, 0, NO,
1097, BEAM , UNILOAD, GY, NO , NO, aDir[1], , , , 0, -3.43, 1, -3.43, 0, 0, 0, 0, WP, NO, 0, 0, NO,
1097, BEAM , UNILOAD, GZ, NO , NO, aDir[1], , , , 0, -7.62, 1, -7.62, 0, 0, 0, 0, WP, NO, 0, 0, NO,
1098, BEAM , UNILOAD, GY, NO , NO, aDir[1], , , , 0, -3.43, 1, -3.43, 0, 0, 0, 0, WP, NO, 0, 0, NO,
1098, BEAM , UNILOAD, GZ, NO , NO, aDir[1], , , , 0, -7.62, 1, -7.62, 0, 0, 0, 0, WP, NO, 0, 0, NO,
1099, BEAM , UNILOAD, GZ, NO , NO, aDir[1], , , , 0, -7.62, 1, -7.62, 0, 0, 0, 0, WP, NO, 0, 0, NO,
1099, BEAM , UNILOAD, GY, NO , NO, aDir[1], , , , 0, -3.43, 1, -3.43, 0, 0, 0, 0, WP, NO, 0, 0, NO,
1100, BEAM , UNILOAD, GY, NO , NO, aDir[1], , , , 0, -3.43, 1, -3.43, 0, 0, 0, 0, WP, NO, 0, 0, NO,
1100, BEAM , UNILOAD, GZ, NO , NO, aDir[1], , , , 0, -7.62, 1, -7.62, 0, 0, 0, 0, WP, NO, 0, 0, NO,
1101, BEAM , UNILOAD, GY, NO , NO, aDir[1], , , , 0, -3.43, 1, -3.43, 0, 0, 0, 0, WP, NO, 0, 0, NO,
1101, BEAM , UNILOAD, GZ, NO , NO, aDir[1], , , , 0, -7.62, 1, -7.62, 0, 0, 0, 0, WP, NO, 0, 0, NO,
1102, BEAM , UNILOAD, GZ, NO , NO, aDir[1], , , , 0, -7.62, 1, -7.62, 0, 0, 0, 0, WP, NO, 0, 0, NO,
1102, BEAM , UNILOAD, GY, NO , NO, aDir[1], , , , 0, -3.43, 1, -3.43, 0, 0, 0, 0, WP, NO, 0, 0, NO,
1103, BEAM , UNILOAD, GZ, NO , NO, aDir[1], , , , 0, -7.62, 1, -7.62, 0, 0, 0, 0, WP, NO, 0, 0, NO,
1103, BEAM , UNILOAD, GY, NO , NO, aDir[1], , , , 0, -3.43, 1, -3.43, 0, 0, 0, 0, WP, NO, 0, 0, NO,
1104, BEAM , UNILOAD, GY, NO , NO, aDir[1], , , , 0, -3.43, 1, -3.43, 0, 0, 0, 0, WP, NO, 0, 0, NO,
1104, BEAM , UNILOAD, GZ, NO , NO, aDir[1], , , , 0, -7.62, 1, -7.62, 0, 0, 0, 0, WP, NO, 0, 0, NO,
1105, BEAM , UNILOAD, GZ, NO , NO, aDir[1], , , , 0, -7.62, 1, -7.62, 0, 0, 0, 0, WP, NO, 0, 0, NO,
1105, BEAM , UNILOAD, GY, NO , NO, aDir[1], , , , 0, -3.43, 1, -3.43, 0, 0, 0, 0, WP, NO, 0, 0, NO,
1106, BEAM , UNILOAD, GZ, NO , NO, aDir[1], , , , 0, -7.62, 1, -7.62, 0, 0, 0, 0, WP, NO, 0, 0, NO,
1106, BEAM , UNILOAD, GY, NO , NO, aDir[1], , , , 0, -3.43, 1, -3.43, 0, 0, 0, 0, WP, NO, 0, 0, NO,
1107, BEAM , UNILOAD, GY, NO , NO, aDir[1], , , , 0, -3.43, 1, -3.43, 0, 0, 0, 0, WP, NO, 0, 0, NO,
1107, BEAM , UNILOAD, GZ, NO , NO, aDir[1], , , , 0, -7.62, 1, -7.62, 0, 0, 0, 0, WP, NO, 0, 0, NO,
1108, BEAM , UNILOAD, GY, NO , NO, aDir[1], , , , 0, -3.43, 1, -3.43, 0, 0, 0, 0, WP, NO, 0, 0, NO,
1108, BEAM , UNILOAD, GZ, NO , NO, aDir[1], , , , 0, -7.62, 1, -7.62, 0, 0, 0, 0, WP, NO, 0, 0, NO,
1109, BEAM , UNILOAD, GY, NO , NO, aDir[1], , , , 0, -3.43, 1, -3.43, 0, 0, 0, 0, WP, NO, 0, 0, NO,
1109, BEAM , UNILOAD, GZ, NO , NO, aDir[1], , , , 0, -7.62, 1, -7.62, 0, 0, 0, 0, WP, NO, 0, 0, NO,
1110, BEAM , UNILOAD, GZ, NO , NO, aDir[1], , , , 0, -7.62, 1, -7.62, 0, 0, 0, 0, WP, NO, 0, 0, NO,
1110, BEAM , UNILOAD, GY, NO , NO, aDir[1], , , , 0, -3.43, 1, -3.43, 0, 0, 0, 0, WP, NO, 0, 0, NO,
1111, BEAM , UNILOAD, GY, NO , NO, aDir[1], , , , 0, -3.43, 1, -3.43, 0, 0, 0, 0, WP, NO, 0, 0, NO,
1111, BEAM , UNILOAD, GZ, NO , NO, aDir[1], , , , 0, -7.62, 1, -7.62, 0, 0, 0, 0, WP, NO, 0, 0, NO,
1112, BEAM , UNILOAD, GZ, NO , NO, aDir[1], , , , 0, -7.62, 1, -7.62, 0, 0, 0, 0, WP, NO, 0, 0, NO,
1112, BEAM , UNILOAD, GY, NO , NO, aDir[1], , , , 0, -3.43, 1, -3.43, 0, 0, 0, 0, WP, NO, 0, 0, NO,
1113, BEAM , UNILOAD, GY, NO , NO, aDir[1], , , , 0, -3.43, 1, -3.43, 0, 0, 0, 0, WP, NO, 0, 0, NO,
1113, BEAM , UNILOAD, GZ, NO , NO, aDir[1], , , , 0, -7.62, 1, -7.62, 0, 0, 0, 0, WP, NO, 0, 0, NO,
1114, BEAM , UNILOAD, GY, NO , NO, aDir[1], , , , 0, -3.43, 1, -3.43, 0, 0, 0, 0, WP, NO, 0, 0, NO,
1114, BEAM , UNILOAD, GZ, NO , NO, aDir[1], , , , 0, -7.62, 1, -7.62, 0, 0, 0, 0, WP, NO, 0, 0, NO,
1115, BEAM , UNILOAD, GZ, NO , NO, aDir[1], , , , 0, -7.62, 1, -7.62, 0, 0, 0, 0, WP, NO, 0, 0, NO,
1115, BEAM , UNILOAD, GY, NO , NO, aDir[1], , , , 0, -3.43, 1, -3.43, 0, 0, 0, 0, WP, NO, 0, 0, NO,
1116, BEAM , UNILOAD, GY, NO , NO, aDir[1], , , , 0, -3.43, 1, -3.43, 0, 0, 0, 0, WP, NO, 0, 0, NO,
1116, BEAM , UNILOAD, GZ, NO , NO, aDir[1], , , , 0, -7.62, 1, -7.62, 0, 0, 0, 0, WP, NO, 0, 0, NO,
1117, BEAM , UNILOAD, GY, NO , NO, aDir[1], , , , 0, -3.43, 1, -3.43, 0, 0, 0, 0, WP, NO, 0, 0, NO,
1117, BEAM , UNILOAD, GZ, NO , NO, aDir[1], , , , 0, -7.62, 1, -7.62, 0, 0, 0, 0, WP, NO, 0, 0, NO,
1118, BEAM , UNILOAD, GZ, NO , NO, aDir[1], , , , 0, -7.62, 1, -7.62, 0, 0, 0, 0, WP, NO, 0, 0, NO,
1118, BEAM , UNILOAD, GY, NO , NO, aDir[1], , , , 0, -3.43, 1, -3.43, 0, 0, 0, 0, WP, NO, 0, 0, NO,
1119, BEAM , UNILOAD, GY, NO , NO, aDir[1], , , , 0, -3.43, 1, -3.43, 0, 0, 0, 0, WP, NO, 0, 0, NO,
1119, BEAM , UNILOAD, GZ, NO , NO, aDir[1], , , , 0, -7.62, 1, -7.62, 0, 0, 0, 0, WP, NO, 0, 0, NO,
1120, BEAM , UNILOAD, GY, NO , NO, aDir[1], , , , 0, -3.43, 1, -3.43, 0, 0, 0, 0, WP, NO, 0, 0, NO,
1120, BEAM , UNILOAD, GZ, NO , NO, aDir[1], , , , 0, -7.62, 1, -7.62, 0, 0, 0, 0, WP, NO, 0, 0, NO,
1121, BEAM , UNILOAD, GY, NO , NO, aDir[1], , , , 0, -3.43, 1, -3.43, 0, 0, 0, 0, WP, NO, 0, 0, NO,
1121, BEAM , UNILOAD, GZ, NO , NO, aDir[1], , , , 0, -7.62, 1, -7.62, 0, 0, 0, 0, WP, NO, 0, 0, NO,
1122, BEAM , UNILOAD, GZ, NO , NO, aDir[1], , , , 0, -7.62, 1, -7.62, 0, 0, 0, 0, WP, NO, 0, 0, NO,
1122, BEAM , UNILOAD, GY, NO , NO, aDir[1], , , , 0, -3.43, 1, -3.43, 0, 0, 0, 0, WP, NO, 0, 0, NO,
1123, BEAM , UNILOAD, GZ, NO , NO, aDir[1], , , , 0, -7.62, 1, -7.62, 0, 0, 0, 0, WP, NO, 0, 0, NO,
1123, BEAM , UNILOAD, GY, NO , NO, aDir[1], , , , 0, -3.43, 1, -3.43, 0, 0, 0, 0, WP, NO, 0, 0, NO,
1124, BEAM , UNILOAD, GZ, NO , NO, aDir[1], , , , 0, -7.62, 1, -7.62, 0, 0, 0, 0, WP, NO, 0, 0, NO,
1124, BEAM , UNILOAD, GY, NO , NO, aDir[1], , , , 0, -3.43, 1, -3.43, 0, 0, 0, 0, WP, NO, 0, 0, NO,
1125, BEAM , UNILOAD, GZ, NO , NO, aDir[1], , , , 0, -7.62, 1, -7.62, 0, 0, 0, 0, WP, NO, 0, 0, NO,
1125, BEAM , UNILOAD, GY, NO , NO, aDir[1], , , , 0, -3.43, 1, -3.43, 0, 0, 0, 0, WP, NO, 0, 0, NO,

PROJECT TITLE :

MIDAS	Company		Client	
	Author		File Name	H2D_3Dg_v14_180227_StatLM.mct

1126, BEAM , UNILOAD, GY, NO , NO, aDir[1], , , , 0, -3.43, 1, -3.43, 0, 0, 0, 0, WP, NO, 0, 0, NO,
1126, BEAM , UNILOAD, GZ, NO , NO, aDir[1], , , , 0, -7.62, 1, -7.62, 0, 0, 0, 0, WP, NO, 0, 0, NO,
1127, BEAM , UNILOAD, GY, NO , NO, aDir[1], , , , 0, -3.43, 1, -3.43, 0, 0, 0, 0, WP, NO, 0, 0, NO,
1127, BEAM , UNILOAD, GZ, NO , NO, aDir[1], , , , 0, -7.62, 1, -7.62, 0, 0, 0, 0, WP, NO, 0, 0, NO,
1128, BEAM , UNILOAD, GY, NO , NO, aDir[1], , , , 0, -3.43, 1, -3.43, 0, 0, 0, 0, WP, NO, 0, 0, NO,
1128, BEAM , UNILOAD, GZ, NO , NO, aDir[1], , , , 0, -7.62, 1, -7.62, 0, 0, 0, 0, WP, NO, 0, 0, NO,
1129, BEAM , UNILOAD, GY, NO , NO, aDir[1], , , , 0, -3.43, 1, -3.43, 0, 0, 0, 0, WP, NO, 0, 0, NO,
1129, BEAM , UNILOAD, GZ, NO , NO, aDir[1], , , , 0, -7.62, 1, -7.62, 0, 0, 0, 0, WP, NO, 0, 0, NO,
1130, BEAM , UNILOAD, GZ, NO , NO, aDir[1], , , , 0, -7.62, 1, -7.62, 0, 0, 0, 0, WP, NO, 0, 0, NO,
1130, BEAM , UNILOAD, GY, NO , NO, aDir[1], , , , 0, -3.43, 1, -3.43, 0, 0, 0, 0, WP, NO, 0, 0, NO,
1131, BEAM , UNILOAD, GZ, NO , NO, aDir[1], , , , 0, -7.62, 1, -7.62, 0, 0, 0, 0, WP, NO, 0, 0, NO,
1131, BEAM , UNILOAD, GY, NO , NO, aDir[1], , , , 0, -3.43, 1, -3.43, 0, 0, 0, 0, WP, NO, 0, 0, NO,
1132, BEAM , UNILOAD, GZ, NO , NO, aDir[1], , , , 0, -7.62, 1, -7.62, 0, 0, 0, 0, WP, NO, 0, 0, NO,
1132, BEAM , UNILOAD, GY, NO , NO, aDir[1], , , , 0, -3.43, 1, -3.43, 0, 0, 0, 0, WP, NO, 0, 0, NO,
1133, BEAM , UNILOAD, GZ, NO , NO, aDir[1], , , , 0, -7.62, 1, -7.62, 0, 0, 0, 0, WP, NO, 0, 0, NO,
1133, BEAM , UNILOAD, GY, NO , NO, aDir[1], , , , 0, -3.43, 1, -3.43, 0, 0, 0, 0, WP, NO, 0, 0, NO,
1134, BEAM , UNILOAD, GY, NO , NO, aDir[1], , , , 0, -3.43, 1, -3.43, 0, 0, 0, 0, WP, NO, 0, 0, NO,
1134, BEAM , UNILOAD, GZ, NO , NO, aDir[1], , , , 0, -7.62, 1, -7.62, 0, 0, 0, 0, WP, NO, 0, 0, NO,
1135, BEAM , UNILOAD, GY, NO , NO, aDir[1], , , , 0, -3.43, 1, -3.43, 0, 0, 0, 0, WP, NO, 0, 0, NO,
1135, BEAM , UNILOAD, GZ, NO , NO, aDir[1], , , , 0, -7.62, 1, -7.62, 0, 0, 0, 0, WP, NO, 0, 0, NO,
1136, BEAM , UNILOAD, GY, NO , NO, aDir[1], , , , 0, -3.43, 1, -3.43, 0, 0, 0, 0, WP, NO, 0, 0, NO,
1136, BEAM , UNILOAD, GZ, NO , NO, aDir[1], , , , 0, -7.62, 1, -7.62, 0, 0, 0, 0, WP, NO, 0, 0, NO,
1137, BEAM , UNILOAD, GY, NO , NO, aDir[1], , , , 0, -3.43, 1, -3.43, 0, 0, 0, 0, WP, NO, 0, 0, NO,
1137, BEAM , UNILOAD, GZ, NO , NO, aDir[1], , , , 0, -7.62, 1, -7.62, 0, 0, 0, 0, WP, NO, 0, 0, NO,
1138, BEAM , UNILOAD, GZ, NO , NO, aDir[1], , , , 0, -7.62, 1, -7.62, 0, 0, 0, 0, WP, NO, 0, 0, NO,
1138, BEAM , UNILOAD, GY, NO , NO, aDir[1], , , , 0, -3.43, 1, -3.43, 0, 0, 0, 0, WP, NO, 0, 0, NO,
1139, BEAM , UNILOAD, GY, NO , NO, aDir[1], , , , 0, -3.43, 1, -3.43, 0, 0, 0, 0, WP, NO, 0, 0, NO,
1139, BEAM , UNILOAD, GZ, NO , NO, aDir[1], , , , 0, -7.62, 1, -7.62, 0, 0, 0, 0, WP, NO, 0, 0, NO,
1140, BEAM , UNILOAD, GY, NO , NO, aDir[1], , , , 0, -3.43, 1, -3.43, 0, 0, 0, 0, WP, NO, 0, 0, NO,
1140, BEAM , UNILOAD, GZ, NO , NO, aDir[1], , , , 0, -7.62, 1, -7.62, 0, 0, 0, 0, WP, NO, 0, 0, NO,
1141, BEAM , UNILOAD, GY, NO , NO, aDir[1], , , , 0, -3.43, 1, -3.43, 0, 0, 0, 0, WP, NO, 0, 0, NO,
1141, BEAM , UNILOAD, GZ, NO , NO, aDir[1], , , , 0, -7.62, 1, -7.62, 0, 0, 0, 0, WP, NO, 0, 0, NO,
1142, BEAM , UNILOAD, GZ, NO , NO, aDir[1], , , , 0, -7.62, 1, -7.62, 0, 0, 0, 0, WP, NO, 0, 0, NO,
1142, BEAM , UNILOAD, GY, NO , NO, aDir[1], , , , 0, -3.43, 1, -3.43, 0, 0, 0, 0, WP, NO, 0, 0, NO,
1143, BEAM , UNILOAD, GY, NO , NO, aDir[1], , , , 0, -3.43, 1, -3.43, 0, 0, 0, 0, WP, NO, 0, 0, NO,
1143, BEAM , UNILOAD, GZ, NO , NO, aDir[1], , , , 0, -7.62, 1, -7.62, 0, 0, 0, 0, WP, NO, 0, 0, NO,
1144, BEAM , UNILOAD, GZ, NO , NO, aDir[1], , , , 0, -7.62, 1, -7.62, 0, 0, 0, 0, WP, NO, 0, 0, NO,
1144, BEAM , UNILOAD, GY, NO , NO, aDir[1], , , , 0, -3.43, 1, -3.43, 0, 0, 0, 0, WP, NO, 0, 0, NO,
1145, BEAM , UNILOAD, GZ, NO , NO, aDir[1], , , , 0, -7.62, 1, -7.62, 0, 0, 0, 0, WP, NO, 0, 0, NO,
1145, BEAM , UNILOAD, GY, NO , NO, aDir[1], , , , 0, -3.43, 1, -3.43, 0, 0, 0, 0, WP, NO, 0, 0, NO,
1146, BEAM , UNILOAD, GZ, NO , NO, aDir[1], , , , 0, -7.62, 1, -7.62, 0, 0, 0, 0, WP, NO, 0, 0, NO,
1146, BEAM , UNILOAD, GY, NO , NO, aDir[1], , , , 0, -3.43, 1, -3.43, 0, 0, 0, 0, WP, NO, 0, 0, NO,
1147, BEAM , UNILOAD, GY, NO , NO, aDir[1], , , , 0, -3.43, 1, -3.43, 0, 0, 0, 0, WP, NO, 0, 0, NO,
1147, BEAM , UNILOAD, GZ, NO , NO, aDir[1], , , , 0, -7.62, 1, -7.62, 0, 0, 0, 0, WP, NO, 0, 0, NO,
1148, BEAM , UNILOAD, GY, NO , NO, aDir[1], , , , 0, -3.43, 1, -3.43, 0, 0, 0, 0, WP, NO, 0, 0, NO,
1148, BEAM , UNILOAD, GZ, NO , NO, aDir[1], , , , 0, -7.62, 1, -7.62, 0, 0, 0, 0, WP, NO, 0, 0, NO,
1149, BEAM , UNILOAD, GZ, NO , NO, aDir[1], , , , 0, -7.62, 1, -7.62, 0, 0, 0, 0, WP, NO, 0, 0, NO,
1149, BEAM , UNILOAD, GY, NO , NO, aDir[1], , , , 0, -3.43, 1, -3.43, 0, 0, 0, 0, WP, NO, 0, 0, NO,
1150, BEAM , UNILOAD, GZ, NO , NO, aDir[1], , , , 0, -7.62, 1, -7.62, 0, 0, 0, 0, WP, NO, 0, 0, NO,
1150, BEAM , UNILOAD, GY, NO , NO, aDir[1], , , , 0, -3.43, 1, -3.43, 0, 0, 0, 0, WP, NO, 0, 0, NO,
1151, BEAM , UNILOAD, GY, NO , NO, aDir[1], , , , 0, -3.43, 1, -3.43, 0, 0, 0, 0, WP, NO, 0, 0, NO,
1151, BEAM , UNILOAD, GZ, NO , NO, aDir[1], , , , 0, -7.62, 1, -7.62, 0, 0, 0, 0, WP, NO, 0, 0, NO,
1152, BEAM , UNILOAD, GZ, NO , NO, aDir[1], , , , 0, -7.62, 1, -7.62, 0, 0, 0, 0, WP, NO, 0, 0, NO,
1152, BEAM , UNILOAD, GY, NO , NO, aDir[1], , , , 0, -3.43, 1, -3.43, 0, 0, 0, 0, WP, NO, 0, 0, NO,
1153, BEAM , UNILOAD, GY, NO , NO, aDir[1], , , , 0, -3.43, 1, -3.43, 0, 0, 0, 0, WP, NO, 0, 0, NO,
1153, BEAM , UNILOAD, GZ, NO , NO, aDir[1], , , , 0, -7.62, 1, -7.62, 0, 0, 0, 0, WP, NO, 0, 0, NO,
1154, BEAM , UNILOAD, GY, NO , NO, aDir[1], , , , 0, -3.43, 1, -3.43, 0, 0, 0, 0, WP, NO, 0, 0, NO,
1154, BEAM , UNILOAD, GZ, NO , NO, aDir[1], , , , 0, -7.62, 1, -7.62, 0, 0, 0, 0, WP, NO, 0, 0, NO,
1155, BEAM , UNILOAD, GZ, NO , NO, aDir[1], , , , 0, -7.62, 1, -7.62, 0, 0, 0, 0, WP, NO, 0, 0, NO,
1155, BEAM , UNILOAD, GY, NO , NO, aDir[1], , , , 0, -3.43, 1, -3.43, 0, 0, 0, 0, WP, NO, 0, 0, NO,
1156, BEAM , UNILOAD, GY, NO , NO, aDir[1], , , , 0, -3.43, 1, -3.43, 0, 0, 0, 0, WP, NO, 0, 0, NO,
1156, BEAM , UNILOAD, GZ, NO , NO, aDir[1], , , , 0, -7.62, 1, -7.62, 0, 0, 0, 0, WP, NO, 0, 0, NO,
1157, BEAM , UNILOAD, GZ, NO , NO, aDir[1], , , , 0, -7.62, 1, -7.62, 0, 0, 0, 0, WP, NO, 0, 0, NO,
1157, BEAM , UNILOAD, GY, NO , NO, aDir[1], , , , 0, -3.43, 1, -3.43, 0, 0, 0, 0, WP, NO, 0, 0, NO,
1158, BEAM , UNILOAD, GY, NO , NO, aDir[1], , , , 0, -3.43, 1, -3.43, 0, 0, 0, 0, WP, NO, 0, 0, NO,
1158, BEAM , UNILOAD, GZ, NO , NO, aDir[1], , , , 0, -7.62, 1, -7.62, 0, 0, 0, 0, WP, NO, 0, 0, NO,
1159, BEAM , UNILOAD, GZ, NO , NO, aDir[1], , , , 0, -7.62, 1, -7.62, 0, 0, 0, 0, WP, NO, 0, 0, NO,
1159, BEAM , UNILOAD, GY, NO , NO, aDir[1], , , , 0, -3.43, 1, -3.43, 0, 0, 0, 0, WP, NO, 0, 0, NO,
1160, BEAM , UNILOAD, GZ, NO , NO, aDir[1], , , , 0, -7.62, 1, -7.62, 0, 0, 0, 0, WP, NO, 0, 0, NO,
1160, BEAM , UNILOAD, GY, NO , NO, aDir[1], , , , 0, -3.43, 1, -3.43, 0, 0, 0, 0, WP, NO, 0, 0, NO,
1161, BEAM , UNILOAD, GY, NO , NO, aDir[1], , , , 0, -3.43, 1, -3.43, 0, 0, 0, 0, WP, NO, 0, 0, NO,
1161, BEAM , UNILOAD, GZ, NO , NO, aDir[1], , , , 0, -7.62, 1, -7.62, 0, 0, 0, 0, WP, NO, 0, 0, NO,

PROJECT TITLE :

MIDAS	Company		Client	
	Author		File Name	H2D_3Dg_v14_180227_StatLM.mct

1162, BEAM , UNILOAD, GZ, NO , NO, aDir[1], , , , 0, -7.62, 1, -7.62, 0, 0, 0, 0, WP, NO, 0, 0, NO,
1162, BEAM , UNILOAD, GY, NO , NO, aDir[1], , , , 0, -3.43, 1, -3.43, 0, 0, 0, 0, WP, NO, 0, 0, NO,
1163, BEAM , UNILOAD, GY, NO , NO, aDir[1], , , , 0, -3.43, 1, -3.43, 0, 0, 0, 0, WP, NO, 0, 0, NO,
1163, BEAM , UNILOAD, GZ, NO , NO, aDir[1], , , , 0, -7.62, 1, -7.62, 0, 0, 0, 0, WP, NO, 0, 0, NO,
1164, BEAM , UNILOAD, GY, NO , NO, aDir[1], , , , 0, -3.43, 1, -3.43, 0, 0, 0, 0, WP, NO, 0, 0, NO,
1164, BEAM , UNILOAD, GZ, NO , NO, aDir[1], , , , 0, -7.62, 1, -7.62, 0, 0, 0, 0, WP, NO, 0, 0, NO,
1165, BEAM , UNILOAD, GY, NO , NO, aDir[1], , , , 0, -3.43, 1, -3.43, 0, 0, 0, 0, WP, NO, 0, 0, NO,
1165, BEAM , UNILOAD, GZ, NO , NO, aDir[1], , , , 0, -7.62, 1, -7.62, 0, 0, 0, 0, WP, NO, 0, 0, NO,
1166, BEAM , UNILOAD, GZ, NO , NO, aDir[1], , , , 0, -7.62, 1, -7.62, 0, 0, 0, 0, WP, NO, 0, 0, NO,
1166, BEAM , UNILOAD, GY, NO , NO, aDir[1], , , , 0, -3.43, 1, -3.43, 0, 0, 0, 0, WP, NO, 0, 0, NO,
1167, BEAM , UNILOAD, GY, NO , NO, aDir[1], , , , 0, -3.43, 1, -3.43, 0, 0, 0, 0, WP, NO, 0, 0, NO,
1167, BEAM , UNILOAD, GZ, NO , NO, aDir[1], , , , 0, -7.62, 1, -7.62, 0, 0, 0, 0, WP, NO, 0, 0, NO,
1168, BEAM , UNILOAD, GZ, NO , NO, aDir[1], , , , 0, -7.62, 1, -7.62, 0, 0, 0, 0, WP, NO, 0, 0, NO,
1168, BEAM , UNILOAD, GY, NO , NO, aDir[1], , , , 0, -3.43, 1, -3.43, 0, 0, 0, 0, WP, NO, 0, 0, NO,
1169, BEAM , UNILOAD, GZ, NO , NO, aDir[1], , , , 0, -7.62, 1, -7.62, 0, 0, 0, 0, WP, NO, 0, 0, NO,
1169, BEAM , UNILOAD, GY, NO , NO, aDir[1], , , , 0, -3.43, 1, -3.43, 0, 0, 0, 0, WP, NO, 0, 0, NO,
1170, BEAM , UNILOAD, GY, NO , NO, aDir[1], , , , 0, -3.43, 1, -3.43, 0, 0, 0, 0, WP, NO, 0, 0, NO,
1170, BEAM , UNILOAD, GZ, NO , NO, aDir[1], , , , 0, -7.62, 1, -7.62, 0, 0, 0, 0, WP, NO, 0, 0, NO,
1171, BEAM , UNILOAD, GZ, NO , NO, aDir[1], , , , 0, -7.62, 1, -7.62, 0, 0, 0, 0, WP, NO, 0, 0, NO,
1171, BEAM , UNILOAD, GY, NO , NO, aDir[1], , , , 0, -3.43, 1, -3.43, 0, 0, 0, 0, WP, NO, 0, 0, NO,
1172, BEAM , UNILOAD, GZ, NO , NO, aDir[1], , , , 0, -7.62, 1, -7.62, 0, 0, 0, 0, WP, NO, 0, 0, NO,
1172, BEAM , UNILOAD, GY, NO , NO, aDir[1], , , , 0, -3.43, 1, -3.43, 0, 0, 0, 0, WP, NO, 0, 0, NO,
1173, BEAM , UNILOAD, GZ, NO , NO, aDir[1], , , , 0, -7.62, 1, -7.62, 0, 0, 0, 0, WP, NO, 0, 0, NO,
1173, BEAM , UNILOAD, GY, NO , NO, aDir[1], , , , 0, -3.43, 1, -3.43, 0, 0, 0, 0, WP, NO, 0, 0, NO,
1174, BEAM , UNILOAD, GZ, NO , NO, aDir[1], , , , 0, -7.62, 1, -7.62, 0, 0, 0, 0, WP, NO, 0, 0, NO,
1174, BEAM , UNILOAD, GY, NO , NO, aDir[1], , , , 0, -3.43, 1, -3.43, 0, 0, 0, 0, WP, NO, 0, 0, NO,
1175, BEAM , UNILOAD, GZ, NO , NO, aDir[1], , , , 0, -7.62, 1, -7.62, 0, 0, 0, 0, WP, NO, 0, 0, NO,
1175, BEAM , UNILOAD, GY, NO , NO, aDir[1], , , , 0, -3.43, 1, -3.43, 0, 0, 0, 0, WP, NO, 0, 0, NO,
1176, BEAM , UNILOAD, GZ, NO , NO, aDir[1], , , , 0, -7.62, 1, -7.62, 0, 0, 0, 0, WP, NO, 0, 0, NO,
1176, BEAM , UNILOAD, GY, NO , NO, aDir[1], , , , 0, -3.43, 1, -3.43, 0, 0, 0, 0, WP, NO, 0, 0, NO,
1177, BEAM , UNILOAD, GZ, NO , NO, aDir[1], , , , 0, -7.62, 1, -7.62, 0, 0, 0, 0, WP, NO, 0, 0, NO,
1177, BEAM , UNILOAD, GY, NO , NO, aDir[1], , , , 0, -3.43, 1, -3.43, 0, 0, 0, 0, WP, NO, 0, 0, NO,
1178, BEAM , UNILOAD, GZ, NO , NO, aDir[1], , , , 0, -7.62, 1, -7.62, 0, 0, 0, 0, WP, NO, 0, 0, NO,
1178, BEAM , UNILOAD, GY, NO , NO, aDir[1], , , , 0, -3.43, 1, -3.43, 0, 0, 0, 0, WP, NO, 0, 0, NO,
1179, BEAM , UNILOAD, GZ, NO , NO, aDir[1], , , , 0, -7.62, 1, -7.62, 0, 0, 0, 0, WP, NO, 0, 0, NO,
1179, BEAM , UNILOAD, GY, NO , NO, aDir[1], , , , 0, -3.43, 1, -3.43, 0, 0, 0, 0, WP, NO, 0, 0, NO,
1180, BEAM , UNILOAD, GZ, NO , NO, aDir[1], , , , 0, -7.62, 1, -7.62, 0, 0, 0, 0, WP, NO, 0, 0, NO,
1180, BEAM , UNILOAD, GY, NO , NO, aDir[1], , , , 0, -3.43, 1, -3.43, 0, 0, 0, 0, WP, NO, 0, 0, NO,
1181, BEAM , UNILOAD, GY, NO , NO, aDir[1], , , , 0, -3.43, 1, -3.43, 0, 0, 0, 0, WP, NO, 0, 0, NO,
1181, BEAM , UNILOAD, GZ, NO , NO, aDir[1], , , , 0, -7.62, 1, -7.62, 0, 0, 0, 0, WP, NO, 0, 0, NO,
1182, BEAM , UNILOAD, GZ, NO , NO, aDir[1], , , , 0, -7.62, 1, -7.62, 0, 0, 0, 0, WP, NO, 0, 0, NO,
1182, BEAM , UNILOAD, GY, NO , NO, aDir[1], , , , 0, -3.43, 1, -3.43, 0, 0, 0, 0, WP, NO, 0, 0, NO,
1183, BEAM , UNILOAD, GY, NO , NO, aDir[1], , , , 0, -3.43, 1, -3.43, 0, 0, 0, 0, WP, NO, 0, 0, NO,
1183, BEAM , UNILOAD, GZ, NO , NO, aDir[1], , , , 0, -7.62, 1, -7.62, 0, 0, 0, 0, WP, NO, 0, 0, NO,
1184, BEAM , UNILOAD, GY, NO , NO, aDir[1], , , , 0, -3.43, 1, -3.43, 0, 0, 0, 0, WP, NO, 0, 0, NO,
1184, BEAM , UNILOAD, GZ, NO , NO, aDir[1], , , , 0, -7.62, 1, -7.62, 0, 0, 0, 0, WP, NO, 0, 0, NO,
1185, BEAM , UNILOAD, GZ, NO , NO, aDir[1], , , , 0, -7.62, 1, -7.62, 0, 0, 0, 0, WP, NO, 0, 0, NO,
1185, BEAM , UNILOAD, GY, NO , NO, aDir[1], , , , 0, -3.43, 1, -3.43, 0, 0, 0, 0, WP, NO, 0, 0, NO,
1186, BEAM , UNILOAD, GZ, NO , NO, aDir[1], , , , 0, -7.62, 1, -7.62, 0, 0, 0, 0, WP, NO, 0, 0, NO,
1186, BEAM , UNILOAD, GY, NO , NO, aDir[1], , , , 0, -3.43, 1, -3.43, 0, 0, 0, 0, WP, NO, 0, 0, NO,
1187, BEAM , UNILOAD, GZ, NO , NO, aDir[1], , , , 0, -7.62, 1, -7.62, 0, 0, 0, 0, WP, NO, 0, 0, NO,
1187, BEAM , UNILOAD, GY, NO , NO, aDir[1], , , , 0, -3.43, 1, -3.43, 0, 0, 0, 0, WP, NO, 0, 0, NO,
1188, BEAM , UNILOAD, GZ, NO , NO, aDir[1], , , , 0, -7.62, 1, -7.62, 0, 0, 0, 0, WP, NO, 0, 0, NO,
1188, BEAM , UNILOAD, GY, NO , NO, aDir[1], , , , 0, -3.43, 1, -3.43, 0, 0, 0, 0, WP, NO, 0, 0, NO,
1189, BEAM , UNILOAD, GY, NO , NO, aDir[1], , , , 0, -3.43, 1, -3.43, 0, 0, 0, 0, WP, NO, 0, 0, NO,
1189, BEAM , UNILOAD, GZ, NO , NO, aDir[1], , , , 0, -7.62, 1, -7.62, 0, 0, 0, 0, WP, NO, 0, 0, NO,
1190, BEAM , UNILOAD, GY, NO , NO, aDir[1], , , , 0, -3.43, 1, -3.43, 0, 0, 0, 0, WP, NO, 0, 0, NO,
1190, BEAM , UNILOAD, GZ, NO , NO, aDir[1], , , , 0, -7.62, 1, -7.62, 0, 0, 0, 0, WP, NO, 0, 0, NO,
1191, BEAM , UNILOAD, GY, NO , NO, aDir[1], , , , 0, -3.43, 1, -3.43, 0, 0, 0, 0, WP, NO, 0, 0, NO,
1191, BEAM , UNILOAD, GZ, NO , NO, aDir[1], , , , 0, -7.62, 1, -7.62, 0, 0, 0, 0, WP, NO, 0, 0, NO,
1192, BEAM , UNILOAD, GZ, NO , NO, aDir[1], , , , 0, -7.62, 1, -7.62, 0, 0, 0, 0, WP, NO, 0, 0, NO,
1192, BEAM , UNILOAD, GY, NO , NO, aDir[1], , , , 0, -3.43, 1, -3.43, 0, 0, 0, 0, WP, NO, 0, 0, NO,
1193, BEAM , UNILOAD, GZ, NO , NO, aDir[1], , , , 0, -7.62, 1, -7.62, 0, 0, 0, 0, WP, NO, 0, 0, NO,
1193, BEAM , UNILOAD, GY, NO , NO, aDir[1], , , , 0, -3.43, 1, -3.43, 0, 0, 0, 0, WP, NO, 0, 0, NO,
1194, BEAM , UNILOAD, GZ, NO , NO, aDir[1], , , , 0, -7.62, 1, -7.62, 0, 0, 0, 0, WP, NO, 0, 0, NO,
1194, BEAM , UNILOAD, GY, NO , NO, aDir[1], , , , 0, -3.43, 1, -3.43, 0, 0, 0, 0, WP, NO, 0, 0, NO,
1195, BEAM , UNILOAD, GZ, NO , NO, aDir[1], , , , 0, -7.62, 1, -7.62, 0, 0, 0, 0, WP, NO, 0, 0, NO,
1195, BEAM , UNILOAD, GY, NO , NO, aDir[1], , , , 0, -3.43, 1, -3.43, 0, 0, 0, 0, WP, NO, 0, 0, NO,
1196, BEAM , UNILOAD, GY, NO , NO, aDir[1], , , , 0, -3.43, 1, -3.43, 0, 0, 0, 0, WP, NO, 0, 0, NO,
1196, BEAM , UNILOAD, GZ, NO , NO, aDir[1], , , , 0, -7.62, 1, -7.62, 0, 0, 0, 0, WP, NO, 0, 0, NO,
1197, BEAM , UNILOAD, GZ, NO , NO, aDir[1], , , , 0, -7.62, 1, -7.62, 0, 0, 0, 0, WP, NO, 0, 0, NO,
1197, BEAM , UNILOAD, GY, NO , NO, aDir[1], , , , 0, -3.43, 1, -3.43, 0, 0, 0, 0, WP, NO, 0, 0, NO,

PROJECT TITLE :

MIDAS	Company		Client	
	Author		File Name	H2D_3Dg_v14_180227_StatLM.mct

1198, BEAM , UNILOAD, GZ, NO , NO, aDir[1], , , , 0, -7.62, 1, -7.62, 0, 0, 0, 0, WP, NO, 0, 0, NO,
1198, BEAM , UNILOAD, GY, NO , NO, aDir[1], , , , 0, -3.43, 1, -3.43, 0, 0, 0, 0, WP, NO, 0, 0, NO,
1199, BEAM , UNILOAD, GZ, NO , NO, aDir[1], , , , 0, -7.62, 1, -7.62, 0, 0, 0, 0, WP, NO, 0, 0, NO,
1199, BEAM , UNILOAD, GY, NO , NO, aDir[1], , , , 0, -3.43, 1, -3.43, 0, 0, 0, 0, WP, NO, 0, 0, NO,
1200, BEAM , UNILOAD, GZ, NO , NO, aDir[1], , , , 0, -7.62, 1, -7.62, 0, 0, 0, 0, WP, NO, 0, 0, NO,
1200, BEAM , UNILOAD, GY, NO , NO, aDir[1], , , , 0, -3.43, 1, -3.43, 0, 0, 0, 0, WP, NO, 0, 0, NO,
1201, BEAM , UNILOAD, GY, NO , NO, aDir[1], , , , 0, -3.43, 1, -3.43, 0, 0, 0, 0, WP, NO, 0, 0, NO,
1201, BEAM , UNILOAD, GZ, NO , NO, aDir[1], , , , 0, -7.62, 1, -7.62, 0, 0, 0, 0, WP, NO, 0, 0, NO,
1202, BEAM , UNILOAD, GZ, NO , NO, aDir[1], , , , 0, -7.62, 1, -7.62, 0, 0, 0, 0, WP, NO, 0, 0, NO,
1202, BEAM , UNILOAD, GY, NO , NO, aDir[1], , , , 0, -3.43, 1, -3.43, 0, 0, 0, 0, WP, NO, 0, 0, NO,
1203, BEAM , UNILOAD, GY, NO , NO, aDir[1], , , , 0, -3.43, 1, -3.43, 0, 0, 0, 0, WP, NO, 0, 0, NO,
1203, BEAM , UNILOAD, GZ, NO , NO, aDir[1], , , , 0, -7.62, 1, -7.62, 0, 0, 0, 0, WP, NO, 0, 0, NO,
1204, BEAM , UNILOAD, GZ, NO , NO, aDir[1], , , , 0, -7.62, 1, -7.62, 0, 0, 0, 0, WP, NO, 0, 0, NO,
1204, BEAM , UNILOAD, GY, NO , NO, aDir[1], , , , 0, -3.43, 1, -3.43, 0, 0, 0, 0, WP, NO, 0, 0, NO,
1205, BEAM , UNILOAD, GY, NO , NO, aDir[1], , , , 0, -3.43, 1, -3.43, 0, 0, 0, 0, WP, NO, 0, 0, NO,
1205, BEAM , UNILOAD, GZ, NO , NO, aDir[1], , , , 0, -7.62, 1, -7.62, 0, 0, 0, 0, WP, NO, 0, 0, NO,
1206, BEAM , UNILOAD, GZ, NO , NO, aDir[1], , , , 0, -7.62, 1, -7.62, 0, 0, 0, 0, WP, NO, 0, 0, NO,
1206, BEAM , UNILOAD, GY, NO , NO, aDir[1], , , , 0, -3.43, 1, -3.43, 0, 0, 0, 0, WP, NO, 0, 0, NO,
1207, BEAM , UNILOAD, GY, NO , NO, aDir[1], , , , 0, -3.43, 1, -3.43, 0, 0, 0, 0, WP, NO, 0, 0, NO,
1207, BEAM , UNILOAD, GZ, NO , NO, aDir[1], , , , 0, -7.62, 1, -7.62, 0, 0, 0, 0, WP, NO, 0, 0, NO,
1208, BEAM , UNILOAD, GZ, NO , NO, aDir[1], , , , 0, -7.62, 1, -7.62, 0, 0, 0, 0, WP, NO, 0, 0, NO,
1208, BEAM , UNILOAD, GY, NO , NO, aDir[1], , , , 0, -3.43, 1, -3.43, 0, 0, 0, 0, WP, NO, 0, 0, NO,
1209, BEAM , UNILOAD, GZ, NO , NO, aDir[1], , , , 0, -7.62, 1, -7.62, 0, 0, 0, 0, WP, NO, 0, 0, NO,
1209, BEAM , UNILOAD, GY, NO , NO, aDir[1], , , , 0, -3.43, 1, -3.43, 0, 0, 0, 0, WP, NO, 0, 0, NO,
1210, BEAM , UNILOAD, GZ, NO , NO, aDir[1], , , , 0, -7.62, 1, -7.62, 0, 0, 0, 0, WP, NO, 0, 0, NO,
1210, BEAM , UNILOAD, GY, NO , NO, aDir[1], , , , 0, -3.43, 1, -3.43, 0, 0, 0, 0, WP, NO, 0, 0, NO,
1211, BEAM , UNILOAD, GY, NO , NO, aDir[1], , , , 0, -3.43, 1, -3.43, 0, 0, 0, 0, WP, NO, 0, 0, NO,
1211, BEAM , UNILOAD, GZ, NO , NO, aDir[1], , , , 0, -7.62, 1, -7.62, 0, 0, 0, 0, WP, NO, 0, 0, NO,
1212, BEAM , UNILOAD, GZ, NO , NO, aDir[1], , , , 0, -7.62, 1, -7.62, 0, 0, 0, 0, WP, NO, 0, 0, NO,
1212, BEAM , UNILOAD, GY, NO , NO, aDir[1], , , , 0, -3.43, 1, -3.43, 0, 0, 0, 0, WP, NO, 0, 0, NO,
1213, BEAM , UNILOAD, GZ, NO , NO, aDir[1], , , , 0, -7.62, 1, -7.62, 0, 0, 0, 0, WP, NO, 0, 0, NO,
1213, BEAM , UNILOAD, GY, NO , NO, aDir[1], , , , 0, -3.43, 1, -3.43, 0, 0, 0, 0, WP, NO, 0, 0, NO,
1214, BEAM , UNILOAD, GZ, NO , NO, aDir[1], , , , 0, -7.62, 1, -7.62, 0, 0, 0, 0, WP, NO, 0, 0, NO,
1214, BEAM , UNILOAD, GY, NO , NO, aDir[1], , , , 0, -3.43, 1, -3.43, 0, 0, 0, 0, WP, NO, 0, 0, NO,
1215, BEAM , UNILOAD, GZ, NO , NO, aDir[1], , , , 0, -7.62, 1, -7.62, 0, 0, 0, 0, WP, NO, 0, 0, NO,
1215, BEAM , UNILOAD, GY, NO , NO, aDir[1], , , , 0, -3.43, 1, -3.43, 0, 0, 0, 0, WP, NO, 0, 0, NO,
1216, BEAM , UNILOAD, GZ, NO , NO, aDir[1], , , , 0, -7.62, 1, -7.62, 0, 0, 0, 0, WP, NO, 0, 0, NO,
1216, BEAM , UNILOAD, GY, NO , NO, aDir[1], , , , 0, -3.43, 1, -3.43, 0, 0, 0, 0, WP, NO, 0, 0, NO,
1217, BEAM , UNILOAD, GY, NO , NO, aDir[1], , , , 0, -3.43, 1, -3.43, 0, 0, 0, 0, WP, NO, 0, 0, NO,
1217, BEAM , UNILOAD, GZ, NO , NO, aDir[1], , , , 0, -7.62, 1, -7.62, 0, 0, 0, 0, WP, NO, 0, 0, NO,
1218, BEAM , UNILOAD, GZ, NO , NO, aDir[1], , , , 0, -7.62, 1, -7.62, 0, 0, 0, 0, WP, NO, 0, 0, NO,
1218, BEAM , UNILOAD, GY, NO , NO, aDir[1], , , , 0, -3.43, 1, -3.43, 0, 0, 0, 0, WP, NO, 0, 0, NO,
1219, BEAM , UNILOAD, GZ, NO , NO, aDir[1], , , , 0, -7.62, 1, -7.62, 0, 0, 0, 0, WP, NO, 0, 0, NO,
1219, BEAM , UNILOAD, GY, NO , NO, aDir[1], , , , 0, -3.43, 1, -3.43, 0, 0, 0, 0, WP, NO, 0, 0, NO,
1220, BEAM , UNILOAD, GZ, NO , NO, aDir[1], , , , 0, -7.62, 1, -7.62, 0, 0, 0, 0, WP, NO, 0, 0, NO,
1220, BEAM , UNILOAD, GY, NO , NO, aDir[1], , , , 0, -3.43, 1, -3.43, 0, 0, 0, 0, WP, NO, 0, 0, NO,
1221, BEAM , UNILOAD, GZ, NO , NO, aDir[1], , , , 0, -7.62, 1, -7.62, 0, 0, 0, 0, WP, NO, 0, 0, NO,
1221, BEAM , UNILOAD, GY, NO , NO, aDir[1], , , , 0, -3.43, 1, -3.43, 0, 0, 0, 0, WP, NO, 0, 0, NO,
1222, BEAM , UNILOAD, GY, NO , NO, aDir[1], , , , 0, -3.43, 1, -3.43, 0, 0, 0, 0, WP, NO, 0, 0, NO,
1222, BEAM , UNILOAD, GZ, NO , NO, aDir[1], , , , 0, -7.62, 1, -7.62, 0, 0, 0, 0, WP, NO, 0, 0, NO,
1223, BEAM , UNILOAD, GY, NO , NO, aDir[1], , , , 0, -3.43, 1, -3.43, 0, 0, 0, 0, WP, NO, 0, 0, NO,
1223, BEAM , UNILOAD, GZ, NO , NO, aDir[1], , , , 0, -7.62, 1, -7.62, 0, 0, 0, 0, WP, NO, 0, 0, NO,
1224, BEAM , UNILOAD, GZ, NO , NO, aDir[1], , , , 0, -7.62, 1, -7.62, 0, 0, 0, 0, WP, NO, 0, 0, NO,
1224, BEAM , UNILOAD, GY, NO , NO, aDir[1], , , , 0, -3.43, 1, -3.43, 0, 0, 0, 0, WP, NO, 0, 0, NO,
1225, BEAM , UNILOAD, GY, NO , NO, aDir[1], , , , 0, -3.43, 1, -3.43, 0, 0, 0, 0, WP, NO, 0, 0, NO,
1225, BEAM , UNILOAD, GZ, NO , NO, aDir[1], , , , 0, -7.62, 1, -7.62, 0, 0, 0, 0, WP, NO, 0, 0, NO,
1226, BEAM , UNILOAD, GY, NO , NO, aDir[1], , , , 0, -3.43, 1, -3.43, 0, 0, 0, 0, WP, NO, 0, 0, NO,
1226, BEAM , UNILOAD, GZ, NO , NO, aDir[1], , , , 0, -7.62, 1, -7.62, 0, 0, 0, 0, WP, NO, 0, 0, NO,
1227, BEAM , UNILOAD, GY, NO , NO, aDir[1], , , , 0, -3.43, 1, -3.43, 0, 0, 0, 0, WP, NO, 0, 0, NO,
1227, BEAM , UNILOAD, GZ, NO , NO, aDir[1], , , , 0, -7.62, 1, -7.62, 0, 0, 0, 0, WP, NO, 0, 0, NO,
1228, BEAM , UNILOAD, GZ, NO , NO, aDir[1], , , , 0, -7.62, 1, -7.62, 0, 0, 0, 0, WP, NO, 0, 0, NO,
1228, BEAM , UNILOAD, GY, NO , NO, aDir[1], , , , 0, -3.43, 1, -3.43, 0, 0, 0, 0, WP, NO, 0, 0, NO,
1229, BEAM , UNILOAD, GZ, NO , NO, aDir[1], , , , 0, -7.62, 1, -7.62, 0, 0, 0, 0, WP, NO, 0, 0, NO,
1229, BEAM , UNILOAD, GY, NO , NO, aDir[1], , , , 0, -3.43, 1, -3.43, 0, 0, 0, 0, WP, NO, 0, 0, NO,
1230, BEAM , UNILOAD, GY, NO , NO, aDir[1], , , , 0, -3.43, 1, -3.43, 0, 0, 0, 0, WP, NO, 0, 0, NO,
1230, BEAM , UNILOAD, GZ, NO , NO, aDir[1], , , , 0, -7.62, 1, -7.62, 0, 0, 0, 0, WP, NO, 0, 0, NO,
1231, BEAM , UNILOAD, GZ, NO , NO, aDir[1], , , , 0, -7.62, 1, -7.62, 0, 0, 0, 0, WP, NO, 0, 0, NO,
1231, BEAM , UNILOAD, GY, NO , NO, aDir[1], , , , 0, -3.43, 1, -3.43, 0, 0, 0, 0, WP, NO, 0, 0, NO,
1232, BEAM , UNILOAD, GZ, NO , NO, aDir[1], , , , 0, -7.62, 1, -7.62, 0, 0, 0, 0, WP, NO, 0, 0, NO,
1232, BEAM , UNILOAD, GY, NO , NO, aDir[1], , , , 0, -3.43, 1, -3.43, 0, 0, 0, 0, WP, NO, 0, 0, NO,
1233, BEAM , UNILOAD, GY, NO , NO, aDir[1], , , , 0, -3.43, 1, -3.43, 0, 0, 0, 0, WP, NO, 0, 0, NO,
1233, BEAM , UNILOAD, GZ, NO , NO, aDir[1], , , , 0, -7.62, 1, -7.62, 0, 0, 0, 0, WP, NO, 0, 0, NO,

PROJECT TITLE :

MIDAS	Company		Client	
	Author		File Name	H2D_3Dg_v14_180227_StatLM.mct

1234, BEAM , UNILOAD, GY, NO , NO, aDir[1], , , , 0, -3.43, 1, -3.43, 0, 0, 0, 0, WP, NO, 0, 0, NO,
1234, BEAM , UNILOAD, GZ, NO , NO, aDir[1], , , , 0, -7.62, 1, -7.62, 0, 0, 0, 0, WP, NO, 0, 0, NO,
1235, BEAM , UNILOAD, GY, NO , NO, aDir[1], , , , 0, -3.43, 1, -3.43, 0, 0, 0, 0, WP, NO, 0, 0, NO,
1235, BEAM , UNILOAD, GZ, NO , NO, aDir[1], , , , 0, 7.62, 1, 7.62, 0, 0, 0, 0, WP, NO, 0, 0, NO,
1236, BEAM , UNILOAD, GY, NO , NO, aDir[1], , , , 0, -3.43, 1, -3.43, 0, 0, 0, 0, WP, NO, 0, 0, NO,
1236, BEAM , UNILOAD, GZ, NO , NO, aDir[1], , , , 0, 7.62, 1, 7.62, 0, 0, 0, 0, WP, NO, 0, 0, NO,
1237, BEAM , UNILOAD, GY, NO , NO, aDir[1], , , , 0, -3.43, 1, -3.43, 0, 0, 0, 0, WP, NO, 0, 0, NO,
1237, BEAM , UNILOAD, GZ, NO , NO, aDir[1], , , , 0, 7.62, 1, 7.62, 0, 0, 0, 0, WP, NO, 0, 0, NO,
1238, BEAM , UNILOAD, GY, NO , NO, aDir[1], , , , 0, -3.43, 1, -3.43, 0, 0, 0, 0, WP, NO, 0, 0, NO,
1238, BEAM , UNILOAD, GZ, NO , NO, aDir[1], , , , 0, 7.62, 1, 7.62, 0, 0, 0, 0, WP, NO, 0, 0, NO,
1239, BEAM , UNILOAD, GY, NO , NO, aDir[1], , , , 0, -3.43, 1, -3.43, 0, 0, 0, 0, WP, NO, 0, 0, NO,
1239, BEAM , UNILOAD, GZ, NO , NO, aDir[1], , , , 0, 7.62, 1, 7.62, 0, 0, 0, 0, WP, NO, 0, 0, NO,
1240, BEAM , UNILOAD, GZ, NO , NO, aDir[1], , , , 0, 7.62, 1, 7.62, 0, 0, 0, 0, WP, NO, 0, 0, NO,
1240, BEAM , UNILOAD, GY, NO , NO, aDir[1], , , , 0, -3.43, 1, -3.43, 0, 0, 0, 0, WP, NO, 0, 0, NO,
1241, BEAM , UNILOAD, GZ, NO , NO, aDir[1], , , , 0, 7.62, 1, 7.62, 0, 0, 0, 0, WP, NO, 0, 0, NO,
1241, BEAM , UNILOAD, GY, NO , NO, aDir[1], , , , 0, -3.43, 1, -3.43, 0, 0, 0, 0, WP, NO, 0, 0, NO,
1242, BEAM , UNILOAD, GY, NO , NO, aDir[1], , , , 0, -3.43, 1, -3.43, 0, 0, 0, 0, WP, NO, 0, 0, NO,
1242, BEAM , UNILOAD, GZ, NO , NO, aDir[1], , , , 0, 7.62, 1, 7.62, 0, 0, 0, 0, WP, NO, 0, 0, NO,
1243, BEAM , UNILOAD, GZ, NO , NO, aDir[1], , , , 0, 7.62, 1, 7.62, 0, 0, 0, 0, WP, NO, 0, 0, NO,
1243, BEAM , UNILOAD, GY, NO , NO, aDir[1], , , , 0, -3.43, 1, -3.43, 0, 0, 0, 0, WP, NO, 0, 0, NO,
1244, BEAM , UNILOAD, GZ, NO , NO, aDir[1], , , , 0, 7.62, 1, 7.62, 0, 0, 0, 0, WP, NO, 0, 0, NO,
1244, BEAM , UNILOAD, GY, NO , NO, aDir[1], , , , 0, -3.43, 1, -3.43, 0, 0, 0, 0, WP, NO, 0, 0, NO,
1245, BEAM , UNILOAD, GZ, NO , NO, aDir[1], , , , 0, 7.62, 1, 7.62, 0, 0, 0, 0, WP, NO, 0, 0, NO,
1245, BEAM , UNILOAD, GY, NO , NO, aDir[1], , , , 0, -3.43, 1, -3.43, 0, 0, 0, 0, WP, NO, 0, 0, NO,
1246, BEAM , UNILOAD, GZ, NO , NO, aDir[1], , , , 0, 7.62, 1, 7.62, 0, 0, 0, 0, WP, NO, 0, 0, NO,
1246, BEAM , UNILOAD, GY, NO , NO, aDir[1], , , , 0, -3.43, 1, -3.43, 0, 0, 0, 0, WP, NO, 0, 0, NO,
1247, BEAM , UNILOAD, GZ, NO , NO, aDir[1], , , , 0, 7.62, 1, 7.62, 0, 0, 0, 0, WP, NO, 0, 0, NO,
1247, BEAM , UNILOAD, GY, NO , NO, aDir[1], , , , 0, -3.43, 1, -3.43, 0, 0, 0, 0, WP, NO, 0, 0, NO,
1248, BEAM , UNILOAD, GZ, NO , NO, aDir[1], , , , 0, 7.62, 1, 7.62, 0, 0, 0, 0, WP, NO, 0, 0, NO,
1248, BEAM , UNILOAD, GY, NO , NO, aDir[1], , , , 0, -3.43, 1, -3.43, 0, 0, 0, 0, WP, NO, 0, 0, NO,
1249, BEAM , UNILOAD, GZ, NO , NO, aDir[1], , , , 0, 7.62, 1, 7.62, 0, 0, 0, 0, WP, NO, 0, 0, NO,
1249, BEAM , UNILOAD, GY, NO , NO, aDir[1], , , , 0, -3.43, 1, -3.43, 0, 0, 0, 0, WP, NO, 0, 0, NO,
1250, BEAM , UNILOAD, GY, NO , NO, aDir[1], , , , 0, -3.43, 1, -3.43, 0, 0, 0, 0, WP, NO, 0, 0, NO,
1250, BEAM , UNILOAD, GZ, NO , NO, aDir[1], , , , 0, 7.62, 1, 7.62, 0, 0, 0, 0, WP, NO, 0, 0, NO,
1251, BEAM , UNILOAD, GY, NO , NO, aDir[1], , , , 0, -3.43, 1, -3.43, 0, 0, 0, 0, WP, NO, 0, 0, NO,
1251, BEAM , UNILOAD, GZ, NO , NO, aDir[1], , , , 0, 7.62, 1, 7.62, 0, 0, 0, 0, WP, NO, 0, 0, NO,
1252, BEAM , UNILOAD, GY, NO , NO, aDir[1], , , , 0, -3.43, 1, -3.43, 0, 0, 0, 0, WP, NO, 0, 0, NO,
1252, BEAM , UNILOAD, GZ, NO , NO, aDir[1], , , , 0, 7.62, 1, 7.62, 0, 0, 0, 0, WP, NO, 0, 0, NO,
1253, BEAM , UNILOAD, GY, NO , NO, aDir[1], , , , 0, -3.43, 1, -3.43, 0, 0, 0, 0, WP, NO, 0, 0, NO,
1253, BEAM , UNILOAD, GZ, NO , NO, aDir[1], , , , 0, 7.62, 1, 7.62, 0, 0, 0, 0, WP, NO, 0, 0, NO,
1254, BEAM , UNILOAD, GZ, NO , NO, aDir[1], , , , 0, 7.62, 1, 7.62, 0, 0, 0, 0, WP, NO, 0, 0, NO,
1254, BEAM , UNILOAD, GY, NO , NO, aDir[1], , , , 0, -3.43, 1, -3.43, 0, 0, 0, 0, WP, NO, 0, 0, NO,
1255, BEAM , UNILOAD, GZ, NO , NO, aDir[1], , , , 0, 7.62, 1, 7.62, 0, 0, 0, 0, WP, NO, 0, 0, NO,
1255, BEAM , UNILOAD, GY, NO , NO, aDir[1], , , , 0, -3.43, 1, -3.43, 0, 0, 0, 0, WP, NO, 0, 0, NO,
1256, BEAM , UNILOAD, GZ, NO , NO, aDir[1], , , , 0, 7.62, 1, 7.62, 0, 0, 0, 0, WP, NO, 0, 0, NO,
1256, BEAM , UNILOAD, GY, NO , NO, aDir[1], , , , 0, -3.43, 1, -3.43, 0, 0, 0, 0, WP, NO, 0, 0, NO,
1257, BEAM , UNILOAD, GY, NO , NO, aDir[1], , , , 0, -3.43, 1, -3.43, 0, 0, 0, 0, WP, NO, 0, 0, NO,
1257, BEAM , UNILOAD, GZ, NO , NO, aDir[1], , , , 0, 7.62, 1, 7.62, 0, 0, 0, 0, WP, NO, 0, 0, NO,
1258, BEAM , UNILOAD, GY, NO , NO, aDir[1], , , , 0, -3.43, 1, -3.43, 0, 0, 0, 0, WP, NO, 0, 0, NO,
1258, BEAM , UNILOAD, GZ, NO , NO, aDir[1], , , , 0, 7.62, 1, 7.62, 0, 0, 0, 0, WP, NO, 0, 0, NO,
1259, BEAM , UNILOAD, GZ, NO , NO, aDir[1], , , , 0, 7.62, 1, 7.62, 0, 0, 0, 0, WP, NO, 0, 0, NO,
1259, BEAM , UNILOAD, GY, NO , NO, aDir[1], , , , 0, -3.43, 1, -3.43, 0, 0, 0, 0, WP, NO, 0, 0, NO,
1260, BEAM , UNILOAD, GY, NO , NO, aDir[1], , , , 0, -3.43, 1, -3.43, 0, 0, 0, 0, WP, NO, 0, 0, NO,
1260, BEAM , UNILOAD, GZ, NO , NO, aDir[1], , , , 0, 7.62, 1, 7.62, 0, 0, 0, 0, WP, NO, 0, 0, NO,
1261, BEAM , UNILOAD, GZ, NO , NO, aDir[1], , , , 0, 7.62, 1, 7.62, 0, 0, 0, 0, WP, NO, 0, 0, NO,
1261, BEAM , UNILOAD, GY, NO , NO, aDir[1], , , , 0, -3.43, 1, -3.43, 0, 0, 0, 0, WP, NO, 0, 0, NO,
1262, BEAM , UNILOAD, GZ, NO , NO, aDir[1], , , , 0, 7.62, 1, 7.62, 0, 0, 0, 0, WP, NO, 0, 0, NO,
1262, BEAM , UNILOAD, GY, NO , NO, aDir[1], , , , 0, -3.43, 1, -3.43, 0, 0, 0, 0, WP, NO, 0, 0, NO,
1263, BEAM , UNILOAD, GY, NO , NO, aDir[1], , , , 0, -3.43, 1, -3.43, 0, 0, 0, 0, WP, NO, 0, 0, NO,
1263, BEAM , UNILOAD, GZ, NO , NO, aDir[1], , , , 0, 7.62, 1, 7.62, 0, 0, 0, 0, WP, NO, 0, 0, NO,
1264, BEAM , UNILOAD, GY, NO , NO, aDir[1], , , , 0, -3.43, 1, -3.43, 0, 0, 0, 0, WP, NO, 0, 0, NO,
1264, BEAM , UNILOAD, GZ, NO , NO, aDir[1], , , , 0, 7.62, 1, 7.62, 0, 0, 0, 0, WP, NO, 0, 0, NO,
1265, BEAM , UNILOAD, GY, NO , NO, aDir[1], , , , 0, -3.43, 1, -3.43, 0, 0, 0, 0, WP, NO, 0, 0, NO,
1265, BEAM , UNILOAD, GZ, NO , NO, aDir[1], , , , 0, 7.62, 1, 7.62, 0, 0, 0, 0, WP, NO, 0, 0, NO,
1266, BEAM , UNILOAD, GY, NO , NO, aDir[1], , , , 0, -3.43, 1, -3.43, 0, 0, 0, 0, WP, NO, 0, 0, NO,
1266, BEAM , UNILOAD, GZ, NO , NO, aDir[1], , , , 0, 7.62, 1, 7.62, 0, 0, 0, 0, WP, NO, 0, 0, NO,
1267, BEAM , UNILOAD, GZ, NO , NO, aDir[1], , , , 0, 7.62, 1, 7.62, 0, 0, 0, 0, WP, NO, 0, 0, NO,
1267, BEAM , UNILOAD, GY, NO , NO, aDir[1], , , , 0, -3.43, 1, -3.43, 0, 0, 0, 0, WP, NO, 0, 0, NO,
1268, BEAM , UNILOAD, GY, NO , NO, aDir[1], , , , 0, -3.43, 1, -3.43, 0, 0, 0, 0, WP, NO, 0, 0, NO,
1268, BEAM , UNILOAD, GZ, NO , NO, aDir[1], , , , 0, 7.62, 1, 7.62, 0, 0, 0, 0, WP, NO, 0, 0, NO,
1269, BEAM , UNILOAD, GY, NO , NO, aDir[1], , , , 0, -3.43, 1, -3.43, 0, 0, 0, 0, WP, NO, 0, 0, NO,
1269, BEAM , UNILOAD, GZ, NO , NO, aDir[1], , , , 0, 7.62, 1, 7.62, 0, 0, 0, 0, WP, NO, 0, 0, NO,

PROJECT TITLE :

MIDAS	Company		Client	
	Author		File Name	H2D_3Dg_v14_180227_StatLM.mct

1270, BEAM , UNILOAD, GZ, NO , NO, aDir[1], , , , 0, 7.62, 1, 7.62, 0, 0, 0, 0, WP, NO, 0, 0, NO,
1270, BEAM , UNILOAD, GY, NO , NO, aDir[1], , , , 0, -3.43, 1, -3.43, 0, 0, 0, 0, WP, NO, 0, 0, NO,
1271, BEAM , UNILOAD, GY, NO , NO, aDir[1], , , , 0, -3.43, 1, -3.43, 0, 0, 0, 0, WP, NO, 0, 0, NO,
1271, BEAM , UNILOAD, GZ, NO , NO, aDir[1], , , , 0, 7.62, 1, 7.62, 0, 0, 0, 0, WP, NO, 0, 0, NO,
1272, BEAM , UNILOAD, GZ, NO , NO, aDir[1], , , , 0, 7.62, 1, 7.62, 0, 0, 0, 0, WP, NO, 0, 0, NO,
1272, BEAM , UNILOAD, GY, NO , NO, aDir[1], , , , 0, -3.43, 1, -3.43, 0, 0, 0, 0, WP, NO, 0, 0, NO,
1273, BEAM , UNILOAD, GZ, NO , NO, aDir[1], , , , 0, 7.62, 1, 7.62, 0, 0, 0, 0, WP, NO, 0, 0, NO,
1273, BEAM , UNILOAD, GY, NO , NO, aDir[1], , , , 0, -3.43, 1, -3.43, 0, 0, 0, 0, WP, NO, 0, 0, NO,
1274, BEAM , UNILOAD, GZ, NO , NO, aDir[1], , , , 0, 7.62, 1, 7.62, 0, 0, 0, 0, WP, NO, 0, 0, NO,
1274, BEAM , UNILOAD, GY, NO , NO, aDir[1], , , , 0, -3.43, 1, -3.43, 0, 0, 0, 0, WP, NO, 0, 0, NO,
1275, BEAM , UNILOAD, GY, NO , NO, aDir[1], , , , 0, -3.43, 1, -3.43, 0, 0, 0, 0, WP, NO, 0, 0, NO,
1275, BEAM , UNILOAD, GZ, NO , NO, aDir[1], , , , 0, 7.62, 1, 7.62, 0, 0, 0, 0, WP, NO, 0, 0, NO,
1276, BEAM , UNILOAD, GY, NO , NO, aDir[1], , , , 0, -3.43, 1, -3.43, 0, 0, 0, 0, WP, NO, 0, 0, NO,
1276, BEAM , UNILOAD, GZ, NO , NO, aDir[1], , , , 0, 7.62, 1, 7.62, 0, 0, 0, 0, WP, NO, 0, 0, NO,
1277, BEAM , UNILOAD, GY, NO , NO, aDir[1], , , , 0, -3.43, 1, -3.43, 0, 0, 0, 0, WP, NO, 0, 0, NO,
1277, BEAM , UNILOAD, GZ, NO , NO, aDir[1], , , , 0, 7.62, 1, 7.62, 0, 0, 0, 0, WP, NO, 0, 0, NO,
1278, BEAM , UNILOAD, GZ, NO , NO, aDir[1], , , , 0, 7.62, 1, 7.62, 0, 0, 0, 0, WP, NO, 0, 0, NO,
1278, BEAM , UNILOAD, GY, NO , NO, aDir[1], , , , 0, -3.43, 1, -3.43, 0, 0, 0, 0, WP, NO, 0, 0, NO,
1279, BEAM , UNILOAD, GY, NO , NO, aDir[1], , , , 0, -3.43, 1, -3.43, 0, 0, 0, 0, WP, NO, 0, 0, NO,
1279, BEAM , UNILOAD, GZ, NO , NO, aDir[1], , , , 0, 7.62, 1, 7.62, 0, 0, 0, 0, WP, NO, 0, 0, NO,
1280, BEAM , UNILOAD, GY, NO , NO, aDir[1], , , , 0, -3.43, 1, -3.43, 0, 0, 0, 0, WP, NO, 0, 0, NO,
1280, BEAM , UNILOAD, GZ, NO , NO, aDir[1], , , , 0, 7.62, 1, 7.62, 0, 0, 0, 0, WP, NO, 0, 0, NO,
1281, BEAM , UNILOAD, GZ, NO , NO, aDir[1], , , , 0, 7.62, 1, 7.62, 0, 0, 0, 0, WP, NO, 0, 0, NO,
1281, BEAM , UNILOAD, GY, NO , NO, aDir[1], , , , 0, -3.43, 1, -3.43, 0, 0, 0, 0, WP, NO, 0, 0, NO,
1282, BEAM , UNILOAD, GY, NO , NO, aDir[1], , , , 0, -3.43, 1, -3.43, 0, 0, 0, 0, WP, NO, 0, 0, NO,
1282, BEAM , UNILOAD, GZ, NO , NO, aDir[1], , , , 0, 7.62, 1, 7.62, 0, 0, 0, 0, WP, NO, 0, 0, NO,
1283, BEAM , UNILOAD, GZ, NO , NO, aDir[1], , , , 0, 7.62, 1, 7.62, 0, 0, 0, 0, WP, NO, 0, 0, NO,
1283, BEAM , UNILOAD, GY, NO , NO, aDir[1], , , , 0, -3.43, 1, -3.43, 0, 0, 0, 0, WP, NO, 0, 0, NO,
1284, BEAM , UNILOAD, GY, NO , NO, aDir[1], , , , 0, -3.43, 1, -3.43, 0, 0, 0, 0, WP, NO, 0, 0, NO,
1284, BEAM , UNILOAD, GZ, NO , NO, aDir[1], , , , 0, 7.62, 1, 7.62, 0, 0, 0, 0, WP, NO, 0, 0, NO,
1285, BEAM , UNILOAD, GY, NO , NO, aDir[1], , , , 0, -3.43, 1, -3.43, 0, 0, 0, 0, WP, NO, 0, 0, NO,
1285, BEAM , UNILOAD, GZ, NO , NO, aDir[1], , , , 0, 7.62, 1, 7.62, 0, 0, 0, 0, WP, NO, 0, 0, NO,
1286, BEAM , UNILOAD, GZ, NO , NO, aDir[1], , , , 0, 7.62, 1, 7.62, 0, 0, 0, 0, WP, NO, 0, 0, NO,
1286, BEAM , UNILOAD, GY, NO , NO, aDir[1], , , , 0, -3.43, 1, -3.43, 0, 0, 0, 0, WP, NO, 0, 0, NO,
1287, BEAM , UNILOAD, GZ, NO , NO, aDir[1], , , , 0, 7.62, 1, 7.62, 0, 0, 0, 0, WP, NO, 0, 0, NO,
1287, BEAM , UNILOAD, GY, NO , NO, aDir[1], , , , 0, -3.43, 1, -3.43, 0, 0, 0, 0, WP, NO, 0, 0, NO,
1288, BEAM , UNILOAD, GY, NO , NO, aDir[1], , , , 0, -3.43, 1, -3.43, 0, 0, 0, 0, WP, NO, 0, 0, NO,
1288, BEAM , UNILOAD, GZ, NO , NO, aDir[1], , , , 0, 7.62, 1, 7.62, 0, 0, 0, 0, WP, NO, 0, 0, NO,
1289, BEAM , UNILOAD, GY, NO , NO, aDir[1], , , , 0, -3.43, 1, -3.43, 0, 0, 0, 0, WP, NO, 0, 0, NO,
1289, BEAM , UNILOAD, GZ, NO , NO, aDir[1], , , , 0, 7.62, 1, 7.62, 0, 0, 0, 0, WP, NO, 0, 0, NO,
1290, BEAM , UNILOAD, GY, NO , NO, aDir[1], , , , 0, -3.43, 1, -3.43, 0, 0, 0, 0, WP, NO, 0, 0, NO,
1290, BEAM , UNILOAD, GZ, NO , NO, aDir[1], , , , 0, 7.62, 1, 7.62, 0, 0, 0, 0, WP, NO, 0, 0, NO,
1291, BEAM , UNILOAD, GZ, NO , NO, aDir[1], , , , 0, 7.62, 1, 7.62, 0, 0, 0, 0, WP, NO, 0, 0, NO,
1291, BEAM , UNILOAD, GY, NO , NO, aDir[1], , , , 0, -3.43, 1, -3.43, 0, 0, 0, 0, WP, NO, 0, 0, NO,
1292, BEAM , UNILOAD, GY, NO , NO, aDir[1], , , , 0, -3.43, 1, -3.43, 0, 0, 0, 0, WP, NO, 0, 0, NO,
1292, BEAM , UNILOAD, GZ, NO , NO, aDir[1], , , , 0, 7.62, 1, 7.62, 0, 0, 0, 0, WP, NO, 0, 0, NO,
1293, BEAM , UNILOAD, GY, NO , NO, aDir[1], , , , 0, -3.43, 1, -3.43, 0, 0, 0, 0, WP, NO, 0, 0, NO,
1293, BEAM , UNILOAD, GZ, NO , NO, aDir[1], , , , 0, 7.62, 1, 7.62, 0, 0, 0, 0, WP, NO, 0, 0, NO,
1294, BEAM , UNILOAD, GZ, NO , NO, aDir[1], , , , 0, 7.62, 1, 7.62, 0, 0, 0, 0, WP, NO, 0, 0, NO,
1294, BEAM , UNILOAD, GY, NO , NO, aDir[1], , , , 0, -3.43, 1, -3.43, 0, 0, 0, 0, WP, NO, 0, 0, NO,
1295, BEAM , UNILOAD, GZ, NO , NO, aDir[1], , , , 0, 7.62, 1, 7.62, 0, 0, 0, 0, WP, NO, 0, 0, NO,
1295, BEAM , UNILOAD, GY, NO , NO, aDir[1], , , , 0, -3.43, 1, -3.43, 0, 0, 0, 0, WP, NO, 0, 0, NO,
1296, BEAM , UNILOAD, GZ, NO , NO, aDir[1], , , , 0, 7.62, 1, 7.62, 0, 0, 0, 0, WP, NO, 0, 0, NO,
1296, BEAM , UNILOAD, GY, NO , NO, aDir[1], , , , 0, -3.43, 1, -3.43, 0, 0, 0, 0, WP, NO, 0, 0, NO,
1297, BEAM , UNILOAD, GZ, NO , NO, aDir[1], , , , 0, 7.62, 1, 7.62, 0, 0, 0, 0, WP, NO, 0, 0, NO,
1297, BEAM , UNILOAD, GY, NO , NO, aDir[1], , , , 0, -3.43, 1, -3.43, 0, 0, 0, 0, WP, NO, 0, 0, NO,
1298, BEAM , UNILOAD, GZ, NO , NO, aDir[1], , , , 0, 7.62, 1, 7.62, 0, 0, 0, 0, WP, NO, 0, 0, NO,
1298, BEAM , UNILOAD, GY, NO , NO, aDir[1], , , , 0, -3.43, 1, -3.43, 0, 0, 0, 0, WP, NO, 0, 0, NO,
1299, BEAM , UNILOAD, GY, NO , NO, aDir[1], , , , 0, -3.43, 1, -3.43, 0, 0, 0, 0, WP, NO, 0, 0, NO,
1299, BEAM , UNILOAD, GZ, NO , NO, aDir[1], , , , 0, 7.62, 1, 7.62, 0, 0, 0, 0, WP, NO, 0, 0, NO,
1300, BEAM , UNILOAD, GZ, NO , NO, aDir[1], , , , 0, 7.62, 1, 7.62, 0, 0, 0, 0, WP, NO, 0, 0, NO,
1300, BEAM , UNILOAD, GY, NO , NO, aDir[1], , , , 0, -3.43, 1, -3.43, 0, 0, 0, 0, WP, NO, 0, 0, NO,
1301, BEAM , UNILOAD, GY, NO , NO, aDir[1], , , , 0, -3.43, 1, -3.43, 0, 0, 0, 0, WP, NO, 0, 0, NO,
1301, BEAM , UNILOAD, GZ, NO , NO, aDir[1], , , , 0, 7.62, 1, 7.62, 0, 0, 0, 0, WP, NO, 0, 0, NO,
1302, BEAM , UNILOAD, GY, NO , NO, aDir[1], , , , 0, -3.43, 1, -3.43, 0, 0, 0, 0, WP, NO, 0, 0, NO,
1302, BEAM , UNILOAD, GZ, NO , NO, aDir[1], , , , 0, 7.62, 1, 7.62, 0, 0, 0, 0, WP, NO, 0, 0, NO,
1303, BEAM , UNILOAD, GY, NO , NO, aDir[1], , , , 0, -3.43, 1, -3.43, 0, 0, 0, 0, WP, NO, 0, 0, NO,
1303, BEAM , UNILOAD, GZ, NO , NO, aDir[1], , , , 0, 7.62, 1, 7.62, 0, 0, 0, 0, WP, NO, 0, 0, NO,
1304, BEAM , UNILOAD, GY, NO , NO, aDir[1], , , , 0, -3.43, 1, -3.43, 0, 0, 0, 0, WP, NO, 0, 0, NO,
1304, BEAM , UNILOAD, GZ, NO , NO, aDir[1], , , , 0, 7.62, 1, 7.62, 0, 0, 0, 0, WP, NO, 0, 0, NO,
1305, BEAM , UNILOAD, GZ, NO , NO, aDir[1], , , , 0, 7.62, 1, 7.62, 0, 0, 0, 0, WP, NO, 0, 0, NO,
1305, BEAM , UNILOAD, GY, NO , NO, aDir[1], , , , 0, -3.43, 1, -3.43, 0, 0, 0, 0, WP, NO, 0, 0, NO,

PROJECT TITLE :

MIDAS	Company		Client	
	Author		File Name	H2D_3Dg_v14_180227_StatLM.mct

1306, BEAM , UNILOAD, GY, NO , NO, aDir[1], , , , 0, -3.43, 1, -3.43, 0, 0, 0, 0, WP, NO, 0, 0, NO,
1306, BEAM , UNILOAD, GZ, NO , NO, aDir[1], , , , 0, 7.62, 1, 7.62, 0, 0, 0, 0, WP, NO, 0, 0, NO,
1307, BEAM , UNILOAD, GY, NO , NO, aDir[1], , , , 0, -3.43, 1, -3.43, 0, 0, 0, 0, WP, NO, 0, 0, NO,
1307, BEAM , UNILOAD, GZ, NO , NO, aDir[1], , , , 0, 7.62, 1, 7.62, 0, 0, 0, 0, WP, NO, 0, 0, NO,
1308, BEAM , UNILOAD, GY, NO , NO, aDir[1], , , , 0, -3.43, 1, -3.43, 0, 0, 0, 0, WP, NO, 0, 0, NO,
1308, BEAM , UNILOAD, GZ, NO , NO, aDir[1], , , , 0, 7.62, 1, 7.62, 0, 0, 0, 0, WP, NO, 0, 0, NO,
1309, BEAM , UNILOAD, GZ, NO , NO, aDir[1], , , , 0, 7.62, 1, 7.62, 0, 0, 0, 0, WP, NO, 0, 0, NO,
1309, BEAM , UNILOAD, GY, NO , NO, aDir[1], , , , 0, -3.43, 1, -3.43, 0, 0, 0, 0, WP, NO, 0, 0, NO,
1310, BEAM , UNILOAD, GZ, NO , NO, aDir[1], , , , 0, 7.62, 1, 7.62, 0, 0, 0, 0, WP, NO, 0, 0, NO,
1310, BEAM , UNILOAD, GY, NO , NO, aDir[1], , , , 0, -3.43, 1, -3.43, 0, 0, 0, 0, WP, NO, 0, 0, NO,
1311, BEAM , UNILOAD, GY, NO , NO, aDir[1], , , , 0, -3.43, 1, -3.43, 0, 0, 0, 0, WP, NO, 0, 0, NO,
1311, BEAM , UNILOAD, GZ, NO , NO, aDir[1], , , , 0, 7.62, 1, 7.62, 0, 0, 0, 0, WP, NO, 0, 0, NO,
1312, BEAM , UNILOAD, GZ, NO , NO, aDir[1], , , , 0, 7.62, 1, 7.62, 0, 0, 0, 0, WP, NO, 0, 0, NO,
1312, BEAM , UNILOAD, GY, NO , NO, aDir[1], , , , 0, -3.43, 1, -3.43, 0, 0, 0, 0, WP, NO, 0, 0, NO,
1313, BEAM , UNILOAD, GZ, NO , NO, aDir[1], , , , 0, 7.62, 1, 7.62, 0, 0, 0, 0, WP, NO, 0, 0, NO,
1313, BEAM , UNILOAD, GY, NO , NO, aDir[1], , , , 0, -3.43, 1, -3.43, 0, 0, 0, 0, WP, NO, 0, 0, NO,
1314, BEAM , UNILOAD, GZ, NO , NO, aDir[1], , , , 0, 7.62, 1, 7.62, 0, 0, 0, 0, WP, NO, 0, 0, NO,
1314, BEAM , UNILOAD, GY, NO , NO, aDir[1], , , , 0, -3.43, 1, -3.43, 0, 0, 0, 0, WP, NO, 0, 0, NO,
1315, BEAM , UNILOAD, GY, NO , NO, aDir[1], , , , 0, -3.43, 1, -3.43, 0, 0, 0, 0, WP, NO, 0, 0, NO,
1315, BEAM , UNILOAD, GZ, NO , NO, aDir[1], , , , 0, 7.62, 1, 7.62, 0, 0, 0, 0, WP, NO, 0, 0, NO,
1316, BEAM , UNILOAD, GY, NO , NO, aDir[1], , , , 0, -3.43, 1, -3.43, 0, 0, 0, 0, WP, NO, 0, 0, NO,
1316, BEAM , UNILOAD, GZ, NO , NO, aDir[1], , , , 0, 7.62, 1, 7.62, 0, 0, 0, 0, WP, NO, 0, 0, NO,
1317, BEAM , UNILOAD, GZ, NO , NO, aDir[1], , , , 0, 7.62, 1, 7.62, 0, 0, 0, 0, WP, NO, 0, 0, NO,
1317, BEAM , UNILOAD, GY, NO , NO, aDir[1], , , , 0, -3.43, 1, -3.43, 0, 0, 0, 0, WP, NO, 0, 0, NO,
1318, BEAM , UNILOAD, GZ, NO , NO, aDir[1], , , , 0, 7.62, 1, 7.62, 0, 0, 0, 0, WP, NO, 0, 0, NO,
1318, BEAM , UNILOAD, GY, NO , NO, aDir[1], , , , 0, -3.43, 1, -3.43, 0, 0, 0, 0, WP, NO, 0, 0, NO,
1319, BEAM , UNILOAD, GY, NO , NO, aDir[1], , , , 0, -3.43, 1, -3.43, 0, 0, 0, 0, WP, NO, 0, 0, NO,
1319, BEAM , UNILOAD, GZ, NO , NO, aDir[1], , , , 0, 7.62, 1, 7.62, 0, 0, 0, 0, WP, NO, 0, 0, NO,
1320, BEAM , UNILOAD, GY, NO , NO, aDir[1], , , , 0, -3.43, 1, -3.43, 0, 0, 0, 0, WP, NO, 0, 0, NO,
1320, BEAM , UNILOAD, GZ, NO , NO, aDir[1], , , , 0, 7.62, 1, 7.62, 0, 0, 0, 0, WP, NO, 0, 0, NO,
1321, BEAM , UNILOAD, GY, NO , NO, aDir[1], , , , 0, -3.43, 1, -3.43, 0, 0, 0, 0, WP, NO, 0, 0, NO,
1321, BEAM , UNILOAD, GZ, NO , NO, aDir[1], , , , 0, 7.62, 1, 7.62, 0, 0, 0, 0, WP, NO, 0, 0, NO,
1322, BEAM , UNILOAD, GY, NO , NO, aDir[1], , , , 0, -3.43, 1, -3.43, 0, 0, 0, 0, WP, NO, 0, 0, NO,
1322, BEAM , UNILOAD, GZ, NO , NO, aDir[1], , , , 0, 7.62, 1, 7.62, 0, 0, 0, 0, WP, NO, 0, 0, NO,
1323, BEAM , UNILOAD, GY, NO , NO, aDir[1], , , , 0, -3.43, 1, -3.43, 0, 0, 0, 0, WP, NO, 0, 0, NO,
1323, BEAM , UNILOAD, GZ, NO , NO, aDir[1], , , , 0, 7.62, 1, 7.62, 0, 0, 0, 0, WP, NO, 0, 0, NO,
1324, BEAM , UNILOAD, GZ, NO , NO, aDir[1], , , , 0, 7.62, 1, 7.62, 0, 0, 0, 0, WP, NO, 0, 0, NO,
1324, BEAM , UNILOAD, GY, NO , NO, aDir[1], , , , 0, -3.43, 1, -3.43, 0, 0, 0, 0, WP, NO, 0, 0, NO,
1325, BEAM , UNILOAD, GY, NO , NO, aDir[1], , , , 0, -3.43, 1, -3.43, 0, 0, 0, 0, WP, NO, 0, 0, NO,
1325, BEAM , UNILOAD, GZ, NO , NO, aDir[1], , , , 0, 7.62, 1, 7.62, 0, 0, 0, 0, WP, NO, 0, 0, NO,
1326, BEAM , UNILOAD, GY, NO , NO, aDir[1], , , , 0, -3.43, 1, -3.43, 0, 0, 0, 0, WP, NO, 0, 0, NO,
1326, BEAM , UNILOAD, GZ, NO , NO, aDir[1], , , , 0, 7.62, 1, 7.62, 0, 0, 0, 0, WP, NO, 0, 0, NO,
1327, BEAM , UNILOAD, GZ, NO , NO, aDir[1], , , , 0, 7.62, 1, 7.62, 0, 0, 0, 0, WP, NO, 0, 0, NO,
1327, BEAM , UNILOAD, GY, NO , NO, aDir[1], , , , 0, -3.43, 1, -3.43, 0, 0, 0, 0, WP, NO, 0, 0, NO,
1328, BEAM , UNILOAD, GZ, NO , NO, aDir[1], , , , 0, 7.62, 1, 7.62, 0, 0, 0, 0, WP, NO, 0, 0, NO,
1328, BEAM , UNILOAD, GY, NO , NO, aDir[1], , , , 0, -3.43, 1, -3.43, 0, 0, 0, 0, WP, NO, 0, 0, NO,
1329, BEAM , UNILOAD, GY, NO , NO, aDir[1], , , , 0, -3.43, 1, -3.43, 0, 0, 0, 0, WP, NO, 0, 0, NO,
1329, BEAM , UNILOAD, GZ, NO , NO, aDir[1], , , , 0, 7.62, 1, 7.62, 0, 0, 0, 0, WP, NO, 0, 0, NO,
1330, BEAM , UNILOAD, GY, NO , NO, aDir[1], , , , 0, -3.43, 1, -3.43, 0, 0, 0, 0, WP, NO, 0, 0, NO,
1330, BEAM , UNILOAD, GZ, NO , NO, aDir[1], , , , 0, 7.62, 1, 7.62, 0, 0, 0, 0, WP, NO, 0, 0, NO,
1331, BEAM , UNILOAD, GZ, NO , NO, aDir[1], , , , 0, 7.62, 1, 7.62, 0, 0, 0, 0, WP, NO, 0, 0, NO,
1331, BEAM , UNILOAD, GY, NO , NO, aDir[1], , , , 0, -3.43, 1, -3.43, 0, 0, 0, 0, WP, NO, 0, 0, NO,
1332, BEAM , UNILOAD, GZ, NO , NO, aDir[1], , , , 0, 7.62, 1, 7.62, 0, 0, 0, 0, WP, NO, 0, 0, NO,
1332, BEAM , UNILOAD, GY, NO , NO, aDir[1], , , , 0, -3.43, 1, -3.43, 0, 0, 0, 0, WP, NO, 0, 0, NO,
1333, BEAM , UNILOAD, GZ, NO , NO, aDir[1], , , , 0, 7.62, 1, 7.62, 0, 0, 0, 0, WP, NO, 0, 0, NO,
1333, BEAM , UNILOAD, GY, NO , NO, aDir[1], , , , 0, -3.43, 1, -3.43, 0, 0, 0, 0, WP, NO, 0, 0, NO,
1334, BEAM , UNILOAD, GY, NO , NO, aDir[1], , , , 0, -3.43, 1, -3.43, 0, 0, 0, 0, WP, NO, 0, 0, NO,
1334, BEAM , UNILOAD, GZ, NO , NO, aDir[1], , , , 0, 7.62, 1, 7.62, 0, 0, 0, 0, WP, NO, 0, 0, NO,
1335, BEAM , UNILOAD, GZ, NO , NO, aDir[1], , , , 0, 7.62, 1, 7.62, 0, 0, 0, 0, WP, NO, 0, 0, NO,
1335, BEAM , UNILOAD, GY, NO , NO, aDir[1], , , , 0, -3.43, 1, -3.43, 0, 0, 0, 0, WP, NO, 0, 0, NO,
1336, BEAM , UNILOAD, GY, NO , NO, aDir[1], , , , 0, -3.43, 1, -3.43, 0, 0, 0, 0, WP, NO, 0, 0, NO,
1336, BEAM , UNILOAD, GZ, NO , NO, aDir[1], , , , 0, 7.62, 1, 7.62, 0, 0, 0, 0, WP, NO, 0, 0, NO,
1337, BEAM , UNILOAD, GZ, NO , NO, aDir[1], , , , 0, 7.62, 1, 7.62, 0, 0, 0, 0, WP, NO, 0, 0, NO,
1337, BEAM , UNILOAD, GY, NO , NO, aDir[1], , , , 0, -3.43, 1, -3.43, 0, 0, 0, 0, WP, NO, 0, 0, NO,
1338, BEAM , UNILOAD, GY, NO , NO, aDir[1], , , , 0, -3.43, 1, -3.43, 0, 0, 0, 0, WP, NO, 0, 0, NO,
1338, BEAM , UNILOAD, GZ, NO , NO, aDir[1], , , , 0, 7.62, 1, 7.62, 0, 0, 0, 0, WP, NO, 0, 0, NO,
1339, BEAM , UNILOAD, GZ, NO , NO, aDir[1], , , , 0, 7.62, 1, 7.62, 0, 0, 0, 0, WP, NO, 0, 0, NO,
1339, BEAM , UNILOAD, GY, NO , NO, aDir[1], , , , 0, -3.43, 1, -3.43, 0, 0, 0, 0, WP, NO, 0, 0, NO,
1340, BEAM , UNILOAD, GY, NO , NO, aDir[1], , , , 0, -3.43, 1, -3.43, 0, 0, 0, 0, WP, NO, 0, 0, NO,
1340, BEAM , UNILOAD, GZ, NO , NO, aDir[1], , , , 0, 7.62, 1, 7.62, 0, 0, 0, 0, WP, NO, 0, 0, NO,
1341, BEAM , UNILOAD, GY, NO , NO, aDir[1], , , , 0, -3.43, 1, -3.43, 0, 0, 0, 0, WP, NO, 0, 0, NO,
1341, BEAM , UNILOAD, GZ, NO , NO, aDir[1], , , , 0, 7.62, 1, 7.62, 0, 0, 0, 0, WP, NO, 0, 0, NO,

PROJECT TITLE :

MIDAS	Company		Client	
	Author		File Name	H2D_3Dg_v14_180227_StatLM.mct

1342, BEAM , UNILOAD, GZ, NO , NO, aDir[1], , , , 0, 7.62, 1, 7.62, 0, 0, 0, 0, WP, NO, 0, 0, NO,
1342, BEAM , UNILOAD, GY, NO , NO, aDir[1], , , , 0, -3.43, 1, -3.43, 0, 0, 0, 0, WP, NO, 0, 0, NO,
1343, BEAM , UNILOAD, GY, NO , NO, aDir[1], , , , 0, -3.43, 1, -3.43, 0, 0, 0, 0, WP, NO, 0, 0, NO,
1343, BEAM , UNILOAD, GZ, NO , NO, aDir[1], , , , 0, 7.62, 1, 7.62, 0, 0, 0, 0, WP, NO, 0, 0, NO,
1344, BEAM , UNILOAD, GY, NO , NO, aDir[1], , , , 0, -3.43, 1, -3.43, 0, 0, 0, 0, WP, NO, 0, 0, NO,
1344, BEAM , UNILOAD, GZ, NO , NO, aDir[1], , , , 0, 7.62, 1, 7.62, 0, 0, 0, 0, WP, NO, 0, 0, NO,
1345, BEAM , UNILOAD, GY, NO , NO, aDir[1], , , , 0, -3.43, 1, -3.43, 0, 0, 0, 0, WP, NO, 0, 0, NO,
1345, BEAM , UNILOAD, GZ, NO , NO, aDir[1], , , , 0, 7.62, 1, 7.62, 0, 0, 0, 0, WP, NO, 0, 0, NO,
1346, BEAM , UNILOAD, GZ, NO , NO, aDir[1], , , , 0, 7.62, 1, 7.62, 0, 0, 0, 0, WP, NO, 0, 0, NO,
1346, BEAM , UNILOAD, GY, NO , NO, aDir[1], , , , 0, -3.43, 1, -3.43, 0, 0, 0, 0, WP, NO, 0, 0, NO,
1347, BEAM , UNILOAD, GZ, NO , NO, aDir[1], , , , 0, 7.62, 1, 7.62, 0, 0, 0, 0, WP, NO, 0, 0, NO,
1347, BEAM , UNILOAD, GY, NO , NO, aDir[1], , , , 0, -3.43, 1, -3.43, 0, 0, 0, 0, WP, NO, 0, 0, NO,
1348, BEAM , UNILOAD, GY, NO , NO, aDir[1], , , , 0, -3.43, 1, -3.43, 0, 0, 0, 0, WP, NO, 0, 0, NO,
1348, BEAM , UNILOAD, GZ, NO , NO, aDir[1], , , , 0, 7.62, 1, 7.62, 0, 0, 0, 0, WP, NO, 0, 0, NO,
1349, BEAM , UNILOAD, GZ, NO , NO, aDir[1], , , , 0, 7.62, 1, 7.62, 0, 0, 0, 0, WP, NO, 0, 0, NO,
1349, BEAM , UNILOAD, GY, NO , NO, aDir[1], , , , 0, -3.43, 1, -3.43, 0, 0, 0, 0, WP, NO, 0, 0, NO,
1350, BEAM , UNILOAD, GY, NO , NO, aDir[1], , , , 0, -3.43, 1, -3.43, 0, 0, 0, 0, WP, NO, 0, 0, NO,
1350, BEAM , UNILOAD, GZ, NO , NO, aDir[1], , , , 0, 7.62, 1, 7.62, 0, 0, 0, 0, WP, NO, 0, 0, NO,
1351, BEAM , UNILOAD, GZ, NO , NO, aDir[1], , , , 0, 7.62, 1, 7.62, 0, 0, 0, 0, WP, NO, 0, 0, NO,
1351, BEAM , UNILOAD, GY, NO , NO, aDir[1], , , , 0, -3.43, 1, -3.43, 0, 0, 0, 0, WP, NO, 0, 0, NO,
1352, BEAM , UNILOAD, GZ, NO , NO, aDir[1], , , , 0, 7.62, 1, 7.62, 0, 0, 0, 0, WP, NO, 0, 0, NO,
1352, BEAM , UNILOAD, GY, NO , NO, aDir[1], , , , 0, -3.43, 1, -3.43, 0, 0, 0, 0, WP, NO, 0, 0, NO,
1353, BEAM , UNILOAD, GZ, NO , NO, aDir[1], , , , 0, 7.62, 1, 7.62, 0, 0, 0, 0, WP, NO, 0, 0, NO,
1353, BEAM , UNILOAD, GY, NO , NO, aDir[1], , , , 0, -3.43, 1, -3.43, 0, 0, 0, 0, WP, NO, 0, 0, NO,
1354, BEAM , UNILOAD, GZ, NO , NO, aDir[1], , , , 0, 7.62, 1, 7.62, 0, 0, 0, 0, WP, NO, 0, 0, NO,
1354, BEAM , UNILOAD, GY, NO , NO, aDir[1], , , , 0, -3.43, 1, -3.43, 0, 0, 0, 0, WP, NO, 0, 0, NO,
1355, BEAM , UNILOAD, GY, NO , NO, aDir[1], , , , 0, -3.43, 1, -3.43, 0, 0, 0, 0, WP, NO, 0, 0, NO,
1355, BEAM , UNILOAD, GZ, NO , NO, aDir[1], , , , 0, 7.62, 1, 7.62, 0, 0, 0, 0, WP, NO, 0, 0, NO,
1356, BEAM , UNILOAD, GZ, NO , NO, aDir[1], , , , 0, 7.62, 1, 7.62, 0, 0, 0, 0, WP, NO, 0, 0, NO,
1356, BEAM , UNILOAD, GY, NO , NO, aDir[1], , , , 0, -3.43, 1, -3.43, 0, 0, 0, 0, WP, NO, 0, 0, NO,
1357, BEAM , UNILOAD, GZ, NO , NO, aDir[1], , , , 0, 7.62, 1, 7.62, 0, 0, 0, 0, WP, NO, 0, 0, NO,
1357, BEAM , UNILOAD, GY, NO , NO, aDir[1], , , , 0, -3.43, 1, -3.43, 0, 0, 0, 0, WP, NO, 0, 0, NO,
1358, BEAM , UNILOAD, GY, NO , NO, aDir[1], , , , 0, -3.43, 1, -3.43, 0, 0, 0, 0, WP, NO, 0, 0, NO,
1358, BEAM , UNILOAD, GZ, NO , NO, aDir[1], , , , 0, 7.62, 1, 7.62, 0, 0, 0, 0, WP, NO, 0, 0, NO,
1359, BEAM , UNILOAD, GZ, NO , NO, aDir[1], , , , 0, 7.62, 1, 7.62, 0, 0, 0, 0, WP, NO, 0, 0, NO,
1359, BEAM , UNILOAD, GY, NO , NO, aDir[1], , , , 0, -3.43, 1, -3.43, 0, 0, 0, 0, WP, NO, 0, 0, NO,
1360, BEAM , UNILOAD, GZ, NO , NO, aDir[1], , , , 0, 7.62, 1, 7.62, 0, 0, 0, 0, WP, NO, 0, 0, NO,
1360, BEAM , UNILOAD, GY, NO , NO, aDir[1], , , , 0, -3.43, 1, -3.43, 0, 0, 0, 0, WP, NO, 0, 0, NO,
1361, BEAM , UNILOAD, GY, NO , NO, aDir[1], , , , 0, -3.43, 1, -3.43, 0, 0, 0, 0, WP, NO, 0, 0, NO,
1361, BEAM , UNILOAD, GZ, NO , NO, aDir[1], , , , 0, 7.62, 1, 7.62, 0, 0, 0, 0, WP, NO, 0, 0, NO,
1362, BEAM , UNILOAD, GY, NO , NO, aDir[1], , , , 0, -3.43, 1, -3.43, 0, 0, 0, 0, WP, NO, 0, 0, NO,
1362, BEAM , UNILOAD, GZ, NO , NO, aDir[1], , , , 0, 7.62, 1, 7.62, 0, 0, 0, 0, WP, NO, 0, 0, NO,
1363, BEAM , UNILOAD, GY, NO , NO, aDir[1], , , , 0, -3.43, 1, -3.43, 0, 0, 0, 0, WP, NO, 0, 0, NO,
1363, BEAM , UNILOAD, GZ, NO , NO, aDir[1], , , , 0, 7.62, 1, 7.62, 0, 0, 0, 0, WP, NO, 0, 0, NO,
1364, BEAM , UNILOAD, GY, NO , NO, aDir[1], , , , 0, -3.43, 1, -3.43, 0, 0, 0, 0, WP, NO, 0, 0, NO,
1364, BEAM , UNILOAD, GZ, NO , NO, aDir[1], , , , 0, 7.62, 1, 7.62, 0, 0, 0, 0, WP, NO, 0, 0, NO,
1365, BEAM , UNILOAD, GZ, NO , NO, aDir[1], , , , 0, 7.62, 1, 7.62, 0, 0, 0, 0, WP, NO, 0, 0, NO,
1365, BEAM , UNILOAD, GY, NO , NO, aDir[1], , , , 0, -3.43, 1, -3.43, 0, 0, 0, 0, WP, NO, 0, 0, NO,
1366, BEAM , UNILOAD, GY, NO , NO, aDir[1], , , , 0, -3.43, 1, -3.43, 0, 0, 0, 0, WP, NO, 0, 0, NO,
1366, BEAM , UNILOAD, GZ, NO , NO, aDir[1], , , , 0, 7.62, 1, 7.62, 0, 0, 0, 0, WP, NO, 0, 0, NO,
1367, BEAM , UNILOAD, GZ, NO , NO, aDir[1], , , , 0, 7.62, 1, 7.62, 0, 0, 0, 0, WP, NO, 0, 0, NO,
1367, BEAM , UNILOAD, GY, NO , NO, aDir[1], , , , 0, -3.43, 1, -3.43, 0, 0, 0, 0, WP, NO, 0, 0, NO,
1368, BEAM , UNILOAD, GY, NO , NO, aDir[1], , , , 0, -3.43, 1, -3.43, 0, 0, 0, 0, WP, NO, 0, 0, NO,
1368, BEAM , UNILOAD, GZ, NO , NO, aDir[1], , , , 0, 7.62, 1, 7.62, 0, 0, 0, 0, WP, NO, 0, 0, NO,
1369, BEAM , UNILOAD, GZ, NO , NO, aDir[1], , , , 0, 7.62, 1, 7.62, 0, 0, 0, 0, WP, NO, 0, 0, NO,
1369, BEAM , UNILOAD, GY, NO , NO, aDir[1], , , , 0, -3.43, 1, -3.43, 0, 0, 0, 0, WP, NO, 0, 0, NO,
1370, BEAM , UNILOAD, GY, NO , NO, aDir[1], , , , 0, -3.43, 1, -3.43, 0, 0, 0, 0, WP, NO, 0, 0, NO,
1370, BEAM , UNILOAD, GZ, NO , NO, aDir[1], , , , 0, 7.62, 1, 7.62, 0, 0, 0, 0, WP, NO, 0, 0, NO,
1371, BEAM , UNILOAD, GZ, NO , NO, aDir[1], , , , 0, 7.62, 1, 7.62, 0, 0, 0, 0, WP, NO, 0, 0, NO,
1371, BEAM , UNILOAD, GY, NO , NO, aDir[1], , , , 0, -3.43, 1, -3.43, 0, 0, 0, 0, WP, NO, 0, 0, NO,
1372, BEAM , UNILOAD, GY, NO , NO, aDir[1], , , , 0, -3.43, 1, -3.43, 0, 0, 0, 0, WP, NO, 0, 0, NO,
1372, BEAM , UNILOAD, GZ, NO , NO, aDir[1], , , , 0, 7.62, 1, 7.62, 0, 0, 0, 0, WP, NO, 0, 0, NO,
1373, BEAM , UNILOAD, GZ, NO , NO, aDir[1], , , , 0, 7.62, 1, 7.62, 0, 0, 0, 0, WP, NO, 0, 0, NO,
1373, BEAM , UNILOAD, GY, NO , NO, aDir[1], , , , 0, -3.43, 1, -3.43, 0, 0, 0, 0, WP, NO, 0, 0, NO,
1374, BEAM , UNILOAD, GY, NO , NO, aDir[1], , , , 0, -3.43, 1, -3.43, 0, 0, 0, 0, WP, NO, 0, 0, NO,
1374, BEAM , UNILOAD, GZ, NO , NO, aDir[1], , , , 0, 7.62, 1, 7.62, 0, 0, 0, 0, WP, NO, 0, 0, NO,
1375, BEAM , UNILOAD, GZ, NO , NO, aDir[1], , , , 0, 7.62, 1, 7.62, 0, 0, 0, 0, WP, NO, 0, 0, NO,
1375, BEAM , UNILOAD, GY, NO , NO, aDir[1], , , , 0, -3.43, 1, -3.43, 0, 0, 0, 0, WP, NO, 0, 0, NO,
1376, BEAM , UNILOAD, GZ, NO , NO, aDir[1], , , , 0, 7.62, 1, 7.62, 0, 0, 0, 0, WP, NO, 0, 0, NO,
1376, BEAM , UNILOAD, GY, NO , NO, aDir[1], , , , 0, -3.43, 1, -3.43, 0, 0, 0, 0, WP, NO, 0, 0, NO,
1377, BEAM , UNILOAD, GY, NO , NO, aDir[1], , , , 0, -3.43, 1, -3.43, 0, 0, 0, 0, WP, NO, 0, 0, NO,
1377, BEAM , UNILOAD, GZ, NO , NO, aDir[1], , , , 0, 7.62, 1, 7.62, 0, 0, 0, 0, WP, NO, 0, 0, NO,

PROJECT TITLE :

MIDAS	Company		Client	
	Author		File Name	H2D_3Dg_v14_180227_StatLM.mct

1378, BEAM , UNILOAD, GY, NO , NO, aDir[1], , , , 0, -3.43, 1, -3.43, 0, 0, 0, 0, WP, NO, 0, 0, NO,
1378, BEAM , UNILOAD, GZ, NO , NO, aDir[1], , , , 0, 7.62, 1, 7.62, 0, 0, 0, 0, WP, NO, 0, 0, NO,
1379, BEAM , UNILOAD, GY, NO , NO, aDir[1], , , , 0, -3.43, 1, -3.43, 0, 0, 0, 0, WP, NO, 0, 0, NO,
1379, BEAM , UNILOAD, GZ, NO , NO, aDir[1], , , , 0, 7.62, 1, 7.62, 0, 0, 0, 0, WP, NO, 0, 0, NO,
1380, BEAM , UNILOAD, GZ, NO , NO, aDir[1], , , , 0, 7.62, 1, 7.62, 0, 0, 0, 0, WP, NO, 0, 0, NO,
1380, BEAM , UNILOAD, GY, NO , NO, aDir[1], , , , 0, -3.43, 1, -3.43, 0, 0, 0, 0, WP, NO, 0, 0, NO,
1381, BEAM , UNILOAD, GZ, NO , NO, aDir[1], , , , 0, 7.62, 1, 7.62, 0, 0, 0, 0, WP, NO, 0, 0, NO,
1381, BEAM , UNILOAD, GY, NO , NO, aDir[1], , , , 0, -3.43, 1, -3.43, 0, 0, 0, 0, WP, NO, 0, 0, NO,
1382, BEAM , UNILOAD, GZ, NO , NO, aDir[1], , , , 0, 7.62, 1, 7.62, 0, 0, 0, 0, WP, NO, 0, 0, NO,
1382, BEAM , UNILOAD, GY, NO , NO, aDir[1], , , , 0, -3.43, 1, -3.43, 0, 0, 0, 0, WP, NO, 0, 0, NO,
1383, BEAM , UNILOAD, GZ, NO , NO, aDir[1], , , , 0, 7.62, 1, 7.62, 0, 0, 0, 0, WP, NO, 0, 0, NO,
1383, BEAM , UNILOAD, GY, NO , NO, aDir[1], , , , 0, -3.43, 1, -3.43, 0, 0, 0, 0, WP, NO, 0, 0, NO,
1384, BEAM , UNILOAD, GZ, NO , NO, aDir[1], , , , 0, 7.62, 1, 7.62, 0, 0, 0, 0, WP, NO, 0, 0, NO,
1384, BEAM , UNILOAD, GY, NO , NO, aDir[1], , , , 0, -3.43, 1, -3.43, 0, 0, 0, 0, WP, NO, 0, 0, NO,
1385, BEAM , UNILOAD, GY, NO , NO, aDir[1], , , , 0, -3.43, 1, -3.43, 0, 0, 0, 0, WP, NO, 0, 0, NO,
1385, BEAM , UNILOAD, GZ, NO , NO, aDir[1], , , , 0, 7.62, 1, 7.62, 0, 0, 0, 0, WP, NO, 0, 0, NO,
1386, BEAM , UNILOAD, GY, NO , NO, aDir[1], , , , 0, -3.43, 1, -3.43, 0, 0, 0, 0, WP, NO, 0, 0, NO,
1386, BEAM , UNILOAD, GZ, NO , NO, aDir[1], , , , 0, 7.62, 1, 7.62, 0, 0, 0, 0, WP, NO, 0, 0, NO,
1387, BEAM , UNILOAD, GY, NO , NO, aDir[1], , , , 0, -3.43, 1, -3.43, 0, 0, 0, 0, WP, NO, 0, 0, NO,
1387, BEAM , UNILOAD, GZ, NO , NO, aDir[1], , , , 0, 7.62, 1, 7.62, 0, 0, 0, 0, WP, NO, 0, 0, NO,
1388, BEAM , UNILOAD, GZ, NO , NO, aDir[1], , , , 0, 7.62, 1, 7.62, 0, 0, 0, 0, WP, NO, 0, 0, NO,
1388, BEAM , UNILOAD, GY, NO , NO, aDir[1], , , , 0, -3.43, 1, -3.43, 0, 0, 0, 0, WP, NO, 0, 0, NO,
1389, BEAM , UNILOAD, GZ, NO , NO, aDir[1], , , , 0, 7.62, 1, 7.62, 0, 0, 0, 0, WP, NO, 0, 0, NO,
1389, BEAM , UNILOAD, GY, NO , NO, aDir[1], , , , 0, -3.43, 1, -3.43, 0, 0, 0, 0, WP, NO, 0, 0, NO,
1390, BEAM , UNILOAD, GZ, NO , NO, aDir[1], , , , 0, 7.62, 1, 7.62, 0, 0, 0, 0, WP, NO, 0, 0, NO,
1390, BEAM , UNILOAD, GY, NO , NO, aDir[1], , , , 0, -3.43, 1, -3.43, 0, 0, 0, 0, WP, NO, 0, 0, NO,
1391, BEAM , UNILOAD, GZ, NO , NO, aDir[1], , , , 0, 7.62, 1, 7.62, 0, 0, 0, 0, WP, NO, 0, 0, NO,
1391, BEAM , UNILOAD, GY, NO , NO, aDir[1], , , , 0, -3.43, 1, -3.43, 0, 0, 0, 0, WP, NO, 0, 0, NO,
1392, BEAM , UNILOAD, GZ, NO , NO, aDir[1], , , , 0, 7.62, 1, 7.62, 0, 0, 0, 0, WP, NO, 0, 0, NO,
1392, BEAM , UNILOAD, GY, NO , NO, aDir[1], , , , 0, -3.43, 1, -3.43, 0, 0, 0, 0, WP, NO, 0, 0, NO,
1393, BEAM , UNILOAD, GZ, NO , NO, aDir[1], , , , 0, 7.62, 1, 7.62, 0, 0, 0, 0, WP, NO, 0, 0, NO,
1393, BEAM , UNILOAD, GY, NO , NO, aDir[1], , , , 0, -3.43, 1, -3.43, 0, 0, 0, 0, WP, NO, 0, 0, NO,
1394, BEAM , UNILOAD, GZ, NO , NO, aDir[1], , , , 0, 7.62, 1, 7.62, 0, 0, 0, 0, WP, NO, 0, 0, NO,
1394, BEAM , UNILOAD, GY, NO , NO, aDir[1], , , , 0, -3.43, 1, -3.43, 0, 0, 0, 0, WP, NO, 0, 0, NO,
1395, BEAM , UNILOAD, GY, NO , NO, aDir[1], , , , 0, -3.43, 1, -3.43, 0, 0, 0, 0, WP, NO, 0, 0, NO,
1395, BEAM , UNILOAD, GZ, NO , NO, aDir[1], , , , 0, 7.62, 1, 7.62, 0, 0, 0, 0, WP, NO, 0, 0, NO,
1396, BEAM , UNILOAD, GY, NO , NO, aDir[1], , , , 0, -3.43, 1, -3.43, 0, 0, 0, 0, WP, NO, 0, 0, NO,
1396, BEAM , UNILOAD, GZ, NO , NO, aDir[1], , , , 0, 7.62, 1, 7.62, 0, 0, 0, 0, WP, NO, 0, 0, NO,
1397, BEAM , UNILOAD, GZ, NO , NO, aDir[1], , , , 0, 7.62, 1, 7.62, 0, 0, 0, 0, WP, NO, 0, 0, NO,
1397, BEAM , UNILOAD, GY, NO , NO, aDir[1], , , , 0, -3.43, 1, -3.43, 0, 0, 0, 0, WP, NO, 0, 0, NO,
1398, BEAM , UNILOAD, GZ, NO , NO, aDir[1], , , , 0, 7.62, 1, 7.62, 0, 0, 0, 0, WP, NO, 0, 0, NO,
1398, BEAM , UNILOAD, GY, NO , NO, aDir[1], , , , 0, -3.43, 1, -3.43, 0, 0, 0, 0, WP, NO, 0, 0, NO,
1399, BEAM , UNILOAD, GZ, NO , NO, aDir[1], , , , 0, 7.62, 1, 7.62, 0, 0, 0, 0, WP, NO, 0, 0, NO,
1399, BEAM , UNILOAD, GY, NO , NO, aDir[1], , , , 0, -3.43, 1, -3.43, 0, 0, 0, 0, WP, NO, 0, 0, NO,
1400, BEAM , UNILOAD, GZ, NO , NO, aDir[1], , , , 0, 7.62, 1, 7.62, 0, 0, 0, 0, WP, NO, 0, 0, NO,
1400, BEAM , UNILOAD, GY, NO , NO, aDir[1], , , , 0, -3.43, 1, -3.43, 0, 0, 0, 0, WP, NO, 0, 0, NO,
1401, BEAM , UNILOAD, GZ, NO , NO, aDir[1], , , , 0, 7.62, 1, 7.62, 0, 0, 0, 0, WP, NO, 0, 0, NO,
1401, BEAM , UNILOAD, GY, NO , NO, aDir[1], , , , 0, -3.43, 1, -3.43, 0, 0, 0, 0, WP, NO, 0, 0, NO,
1402, BEAM , UNILOAD, GY, NO , NO, aDir[1], , , , 0, -3.43, 1, -3.43, 0, 0, 0, 0, WP, NO, 0, 0, NO,
1402, BEAM , UNILOAD, GZ, NO , NO, aDir[1], , , , 0, 7.62, 1, 7.62, 0, 0, 0, 0, WP, NO, 0, 0, NO,
1403, BEAM , UNILOAD, GZ, NO , NO, aDir[1], , , , 0, 7.62, 1, 7.62, 0, 0, 0, 0, WP, NO, 0, 0, NO,
1403, BEAM , UNILOAD, GY, NO , NO, aDir[1], , , , 0, -3.43, 1, -3.43, 0, 0, 0, 0, WP, NO, 0, 0, NO,
1404, BEAM , UNILOAD, GY, NO , NO, aDir[1], , , , 0, -3.43, 1, -3.43, 0, 0, 0, 0, WP, NO, 0, 0, NO,
1404, BEAM , UNILOAD, GZ, NO , NO, aDir[1], , , , 0, 7.62, 1, 7.62, 0, 0, 0, 0, WP, NO, 0, 0, NO,
1405, BEAM , UNILOAD, GZ, NO , NO, aDir[1], , , , 0, 7.62, 1, 7.62, 0, 0, 0, 0, WP, NO, 0, 0, NO,
1405, BEAM , UNILOAD, GY, NO , NO, aDir[1], , , , 0, -3.43, 1, -3.43, 0, 0, 0, 0, WP, NO, 0, 0, NO,
1406, BEAM , UNILOAD, GY, NO , NO, aDir[1], , , , 0, -3.43, 1, -3.43, 0, 0, 0, 0, WP, NO, 0, 0, NO,
1406, BEAM , UNILOAD, GZ, NO , NO, aDir[1], , , , 0, 7.62, 1, 7.62, 0, 0, 0, 0, WP, NO, 0, 0, NO,
1407, BEAM , UNILOAD, GY, NO , NO, aDir[1], , , , 0, -3.43, 1, -3.43, 0, 0, 0, 0, WP, NO, 0, 0, NO,
1407, BEAM , UNILOAD, GZ, NO , NO, aDir[1], , , , 0, 7.62, 1, 7.62, 0, 0, 0, 0, WP, NO, 0, 0, NO,
1408, BEAM , UNILOAD, GY, NO , NO, aDir[1], , , , 0, -3.43, 1, -3.43, 0, 0, 0, 0, WP, NO, 0, 0, NO,
1408, BEAM , UNILOAD, GZ, NO , NO, aDir[1], , , , 0, 7.62, 1, 7.62, 0, 0, 0, 0, WP, NO, 0, 0, NO,

; End of data for load case [WP-Y 1. Track] ----------

*USE-STLD, WP-Y 2. Track

*BEAMLOAD ; Element Beam Loads
; ELEM_LIST, CMD, TYPE, DIR, bPROJ, [ECCEN], [VALUE], GROUP
; ELEM_LIST, CMD, TYPE, TYPE, DIR, VX, VY, VZ, bPROJ, [ECCEN], [VALUE], GROUP
; [VALUE] : D1, P1, D2, P2, D3, P3, D4, P4
; [ECCEN] : bECCEN, ECCDIR, I-END, J-END, bJ-END

PROJECT TITLE :

MIDAS	Company		Client	
	Author		File Name	H2D_3Dg_v14_180227_StatLM.mct

; [ADDITIONAL] : bADDITIONAL, ADDITIONAL_I-END, ADDITIONAL_J-END, bADDITIONAL_J-END
713, BEAM , UNILOAD, GZ, NO , NO, aDir[1], , , , 0, -7.62, 1, -7.62, 0, 0, 0, 0, WP, NO, 0, 0, NO,
713, BEAM , UNILOAD, GY, NO , NO, aDir[1], , , , 0, -3.43, 1, -3.43, 0, 0, 0, 0, WP, NO, 0, 0, NO,
714, BEAM , UNILOAD, GY, NO , NO, aDir[1], , , , 0, -3.43, 1, -3.43, 0, 0, 0, 0, WP, NO, 0, 0, NO,
714, BEAM , UNILOAD, GZ, NO , NO, aDir[1], , , , 0, -7.62, 1, -7.62, 0, 0, 0, 0, WP, NO, 0, 0, NO,
715, BEAM , UNILOAD, GZ, NO , NO, aDir[1], , , , 0, -7.62, 1, -7.62, 0, 0, 0, 0, WP, NO, 0, 0, NO,
715, BEAM , UNILOAD, GY, NO , NO, aDir[1], , , , 0, -3.43, 1, -3.43, 0, 0, 0, 0, WP, NO, 0, 0, NO,
716, BEAM , UNILOAD, GZ, NO , NO, aDir[1], , , , 0, -7.62, 1, -7.62, 0, 0, 0, 0, WP, NO, 0, 0, NO,
716, BEAM , UNILOAD, GY, NO , NO, aDir[1], , , , 0, -3.43, 1, -3.43, 0, 0, 0, 0, WP, NO, 0, 0, NO,
717, BEAM , UNILOAD, GZ, NO , NO, aDir[1], , , , 0, -7.62, 1, -7.62, 0, 0, 0, 0, WP, NO, 0, 0, NO,
717, BEAM , UNILOAD, GY, NO , NO, aDir[1], , , , 0, -3.43, 1, -3.43, 0, 0, 0, 0, WP, NO, 0, 0, NO,
718, BEAM , UNILOAD, GY, NO , NO, aDir[1], , , , 0, -3.43, 1, -3.43, 0, 0, 0, 0, WP, NO, 0, 0, NO,
718, BEAM , UNILOAD, GZ, NO , NO, aDir[1], , , , 0, -7.62, 1, -7.62, 0, 0, 0, 0, WP, NO, 0, 0, NO,
719, BEAM , UNILOAD, GZ, NO , NO, aDir[1], , , , 0, -7.62, 1, -7.62, 0, 0, 0, 0, WP, NO, 0, 0, NO,
719, BEAM , UNILOAD, GY, NO , NO, aDir[1], , , , 0, -3.43, 1, -3.43, 0, 0, 0, 0, WP, NO, 0, 0, NO,
720, BEAM , UNILOAD, GY, NO , NO, aDir[1], , , , 0, -3.43, 1, -3.43, 0, 0, 0, 0, WP, NO, 0, 0, NO,
720, BEAM , UNILOAD, GZ, NO , NO, aDir[1], , , , 0, -7.62, 1, -7.62, 0, 0, 0, 0, WP, NO, 0, 0, NO,
721, BEAM , UNILOAD, GY, NO , NO, aDir[1], , , , 0, -3.43, 1, -3.43, 0, 0, 0, 0, WP, NO, 0, 0, NO,
721, BEAM , UNILOAD, GZ, NO , NO, aDir[1], , , , 0, -7.62, 1, -7.62, 0, 0, 0, 0, WP, NO, 0, 0, NO,
722, BEAM , UNILOAD, GY, NO , NO, aDir[1], , , , 0, -3.43, 1, -3.43, 0, 0, 0, 0, WP, NO, 0, 0, NO,
722, BEAM , UNILOAD, GZ, NO , NO, aDir[1], , , , 0, -7.62, 1, -7.62, 0, 0, 0, 0, WP, NO, 0, 0, NO,
723, BEAM , UNILOAD, GY, NO , NO, aDir[1], , , , 0, -3.43, 1, -3.43, 0, 0, 0, 0, WP, NO, 0, 0, NO,
723, BEAM , UNILOAD, GZ, NO , NO, aDir[1], , , , 0, -7.62, 1, -7.62, 0, 0, 0, 0, WP, NO, 0, 0, NO,
724, BEAM , UNILOAD, GZ, NO , NO, aDir[1], , , , 0, -7.62, 1, -7.62, 0, 0, 0, 0, WP, NO, 0, 0, NO,
724, BEAM , UNILOAD, GY, NO , NO, aDir[1], , , , 0, -3.43, 1, -3.43, 0, 0, 0, 0, WP, NO, 0, 0, NO,
725, BEAM , UNILOAD, GY, NO , NO, aDir[1], , , , 0, -3.43, 1, -3.43, 0, 0, 0, 0, WP, NO, 0, 0, NO,
725, BEAM , UNILOAD, GZ, NO , NO, aDir[1], , , , 0, -7.62, 1, -7.62, 0, 0, 0, 0, WP, NO, 0, 0, NO,
726, BEAM , UNILOAD, GZ, NO , NO, aDir[1], , , , 0, -7.62, 1, -7.62, 0, 0, 0, 0, WP, NO, 0, 0, NO,
726, BEAM , UNILOAD, GY, NO , NO, aDir[1], , , , 0, -3.43, 1, -3.43, 0, 0, 0, 0, WP, NO, 0, 0, NO,
727, BEAM , UNILOAD, GY, NO , NO, aDir[1], , , , 0, -3.43, 1, -3.43, 0, 0, 0, 0, WP, NO, 0, 0, NO,
727, BEAM , UNILOAD, GZ, NO , NO, aDir[1], , , , 0, -7.62, 1, -7.62, 0, 0, 0, 0, WP, NO, 0, 0, NO,
728, BEAM , UNILOAD, GY, NO , NO, aDir[1], , , , 0, -3.43, 1, -3.43, 0, 0, 0, 0, WP, NO, 0, 0, NO,
728, BEAM , UNILOAD, GZ, NO , NO, aDir[1], , , , 0, -7.62, 1, -7.62, 0, 0, 0, 0, WP, NO, 0, 0, NO,
729, BEAM , UNILOAD, GZ, NO , NO, aDir[1], , , , 0, -7.62, 1, -7.62, 0, 0, 0, 0, WP, NO, 0, 0, NO,
729, BEAM , UNILOAD, GY, NO , NO, aDir[1], , , , 0, -3.43, 1, -3.43, 0, 0, 0, 0, WP, NO, 0, 0, NO,
730, BEAM , UNILOAD, GY, NO , NO, aDir[1], , , , 0, -3.43, 1, -3.43, 0, 0, 0, 0, WP, NO, 0, 0, NO,
730, BEAM , UNILOAD, GZ, NO , NO, aDir[1], , , , 0, -7.62, 1, -7.62, 0, 0, 0, 0, WP, NO, 0, 0, NO,
731, BEAM , UNILOAD, GY, NO , NO, aDir[1], , , , 0, -3.43, 1, -3.43, 0, 0, 0, 0, WP, NO, 0, 0, NO,
731, BEAM , UNILOAD, GZ, NO , NO, aDir[1], , , , 0, -7.62, 1, -7.62, 0, 0, 0, 0, WP, NO, 0, 0, NO,
732, BEAM , UNILOAD, GZ, NO , NO, aDir[1], , , , 0, -7.62, 1, -7.62, 0, 0, 0, 0, WP, NO, 0, 0, NO,
732, BEAM , UNILOAD, GY, NO , NO, aDir[1], , , , 0, -3.43, 1, -3.43, 0, 0, 0, 0, WP, NO, 0, 0, NO,
733, BEAM , UNILOAD, GY, NO , NO, aDir[1], , , , 0, -3.43, 1, -3.43, 0, 0, 0, 0, WP, NO, 0, 0, NO,
733, BEAM , UNILOAD, GZ, NO , NO, aDir[1], , , , 0, -7.62, 1, -7.62, 0, 0, 0, 0, WP, NO, 0, 0, NO,
734, BEAM , UNILOAD, GY, NO , NO, aDir[1], , , , 0, -3.43, 1, -3.43, 0, 0, 0, 0, WP, NO, 0, 0, NO,
734, BEAM , UNILOAD, GZ, NO , NO, aDir[1], , , , 0, -7.62, 1, -7.62, 0, 0, 0, 0, WP, NO, 0, 0, NO,
735, BEAM , UNILOAD, GY, NO , NO, aDir[1], , , , 0, -3.43, 1, -3.43, 0, 0, 0, 0, WP, NO, 0, 0, NO,
735, BEAM , UNILOAD, GZ, NO , NO, aDir[1], , , , 0, -7.62, 1, -7.62, 0, 0, 0, 0, WP, NO, 0, 0, NO,
736, BEAM , UNILOAD, GY, NO , NO, aDir[1], , , , 0, -3.43, 1, -3.43, 0, 0, 0, 0, WP, NO, 0, 0, NO,
736, BEAM , UNILOAD, GZ, NO , NO, aDir[1], , , , 0, -7.62, 1, -7.62, 0, 0, 0, 0, WP, NO, 0, 0, NO,
737, BEAM , UNILOAD, GY, NO , NO, aDir[1], , , , 0, -3.43, 1, -3.43, 0, 0, 0, 0, WP, NO, 0, 0, NO,
737, BEAM , UNILOAD, GZ, NO , NO, aDir[1], , , , 0, -7.62, 1, -7.62, 0, 0, 0, 0, WP, NO, 0, 0, NO,
738, BEAM , UNILOAD, GY, NO , NO, aDir[1], , , , 0, -3.43, 1, -3.43, 0, 0, 0, 0, WP, NO, 0, 0, NO,
738, BEAM , UNILOAD, GZ, NO , NO, aDir[1], , , , 0, -7.62, 1, -7.62, 0, 0, 0, 0, WP, NO, 0, 0, NO,
739, BEAM , UNILOAD, GZ, NO , NO, aDir[1], , , , 0, -7.62, 1, -7.62, 0, 0, 0, 0, WP, NO, 0, 0, NO,
739, BEAM , UNILOAD, GY, NO , NO, aDir[1], , , , 0, -3.43, 1, -3.43, 0, 0, 0, 0, WP, NO, 0, 0, NO,
740, BEAM , UNILOAD, GZ, NO , NO, aDir[1], , , , 0, -7.62, 1, -7.62, 0, 0, 0, 0, WP, NO, 0, 0, NO,
740, BEAM , UNILOAD, GY, NO , NO, aDir[1], , , , 0, -3.43, 1, -3.43, 0, 0, 0, 0, WP, NO, 0, 0, NO,
741, BEAM , UNILOAD, GZ, NO , NO, aDir[1], , , , 0, -7.62, 1, -7.62, 0, 0, 0, 0, WP, NO, 0, 0, NO,
741, BEAM , UNILOAD, GY, NO , NO, aDir[1], , , , 0, -3.43, 1, -3.43, 0, 0, 0, 0, WP, NO, 0, 0, NO,
742, BEAM , UNILOAD, GZ, NO , NO, aDir[1], , , , 0, -7.62, 1, -7.62, 0, 0, 0, 0, WP, NO, 0, 0, NO,
742, BEAM , UNILOAD, GY, NO , NO, aDir[1], , , , 0, -3.43, 1, -3.43, 0, 0, 0, 0, WP, NO, 0, 0, NO,
743, BEAM , UNILOAD, GZ, NO , NO, aDir[1], , , , 0, -7.62, 1, -7.62, 0, 0, 0, 0, WP, NO, 0, 0, NO,
743, BEAM , UNILOAD, GY, NO , NO, aDir[1], , , , 0, -3.43, 1, -3.43, 0, 0, 0, 0, WP, NO, 0, 0, NO,
744, BEAM , UNILOAD, GY, NO , NO, aDir[1], , , , 0, -3.43, 1, -3.43, 0, 0, 0, 0, WP, NO, 0, 0, NO,
744, BEAM , UNILOAD, GZ, NO , NO, aDir[1], , , , 0, -7.62, 1, -7.62, 0, 0, 0, 0, WP, NO, 0, 0, NO,
745, BEAM , UNILOAD, GZ, NO , NO, aDir[1], , , , 0, -7.62, 1, -7.62, 0, 0, 0, 0, WP, NO, 0, 0, NO,
745, BEAM , UNILOAD, GY, NO , NO, aDir[1], , , , 0, -3.43, 1, -3.43, 0, 0, 0, 0, WP, NO, 0, 0, NO,
746, BEAM , UNILOAD, GZ, NO , NO, aDir[1], , , , 0, -7.62, 1, -7.62, 0, 0, 0, 0, WP, NO, 0, 0, NO,
746, BEAM , UNILOAD, GY, NO , NO, aDir[1], , , , 0, -3.43, 1, -3.43, 0, 0, 0, 0, WP, NO, 0, 0, NO,
747, BEAM , UNILOAD, GZ, NO , NO, aDir[1], , , , 0, -7.62, 1, -7.62, 0, 0, 0, 0, WP, NO, 0, 0, NO,
747, BEAM , UNILOAD, GY, NO , NO, aDir[1], , , , 0, -3.43, 1, -3.43, 0, 0, 0, 0, WP, NO, 0, 0, NO,
748, BEAM , UNILOAD, GY, NO , NO, aDir[1], , , , 0, -3.43, 1, -3.43, 0, 0, 0, 0, WP, NO, 0, 0, NO,

PROJECT TITLE :

MIDAS	Company		Client	
	Author		File Name	H2D_3Dg_v14_180227_StatLM.mct

748, BEAM , UNILOAD, GZ, NO , NO, aDir[1], , , , 0, -7.62, 1, -7.62, 0, 0, 0, 0, WP, NO, 0, 0, NO,
749, BEAM , UNILOAD, GY, NO , NO, aDir[1], , , , 0, -3.43, 1, -3.43, 0, 0, 0, 0, WP, NO, 0, 0, NO,
749, BEAM , UNILOAD, GZ, NO , NO, aDir[1], , , , 0, -7.62, 1, -7.62, 0, 0, 0, 0, WP, NO, 0, 0, NO,
750, BEAM , UNILOAD, GZ, NO , NO, aDir[1], , , , 0, -7.62, 1, -7.62, 0, 0, 0, 0, WP, NO, 0, 0, NO,
750, BEAM , UNILOAD, GY, NO , NO, aDir[1], , , , 0, -3.43, 1, -3.43, 0, 0, 0, 0, WP, NO, 0, 0, NO,
751, BEAM , UNILOAD, GY, NO , NO, aDir[1], , , , 0, -3.43, 1, -3.43, 0, 0, 0, 0, WP, NO, 0, 0, NO,
751, BEAM , UNILOAD, GZ, NO , NO, aDir[1], , , , 0, -7.62, 1, -7.62, 0, 0, 0, 0, WP, NO, 0, 0, NO,
752, BEAM , UNILOAD, GZ, NO , NO, aDir[1], , , , 0, -7.62, 1, -7.62, 0, 0, 0, 0, WP, NO, 0, 0, NO,
752, BEAM , UNILOAD, GY, NO , NO, aDir[1], , , , 0, -3.43, 1, -3.43, 0, 0, 0, 0, WP, NO, 0, 0, NO,
753, BEAM , UNILOAD, GZ, NO , NO, aDir[1], , , , 0, -7.62, 1, -7.62, 0, 0, 0, 0, WP, NO, 0, 0, NO,
753, BEAM , UNILOAD, GY, NO , NO, aDir[1], , , , 0, -3.43, 1, -3.43, 0, 0, 0, 0, WP, NO, 0, 0, NO,
754, BEAM , UNILOAD, GY, NO , NO, aDir[1], , , , 0, -3.43, 1, -3.43, 0, 0, 0, 0, WP, NO, 0, 0, NO,
754, BEAM , UNILOAD, GZ, NO , NO, aDir[1], , , , 0, -7.62, 1, -7.62, 0, 0, 0, 0, WP, NO, 0, 0, NO,
755, BEAM , UNILOAD, GY, NO , NO, aDir[1], , , , 0, -3.43, 1, -3.43, 0, 0, 0, 0, WP, NO, 0, 0, NO,
755, BEAM , UNILOAD, GZ, NO , NO, aDir[1], , , , 0, -7.62, 1, -7.62, 0, 0, 0, 0, WP, NO, 0, 0, NO,
756, BEAM , UNILOAD, GZ, NO , NO, aDir[1], , , , 0, -7.62, 1, -7.62, 0, 0, 0, 0, WP, NO, 0, 0, NO,
756, BEAM , UNILOAD, GY, NO , NO, aDir[1], , , , 0, -3.43, 1, -3.43, 0, 0, 0, 0, WP, NO, 0, 0, NO,
757, BEAM , UNILOAD, GY, NO , NO, aDir[1], , , , 0, -3.43, 1, -3.43, 0, 0, 0, 0, WP, NO, 0, 0, NO,
757, BEAM , UNILOAD, GZ, NO , NO, aDir[1], , , , 0, -7.62, 1, -7.62, 0, 0, 0, 0, WP, NO, 0, 0, NO,
758, BEAM , UNILOAD, GZ, NO , NO, aDir[1], , , , 0, -7.62, 1, -7.62, 0, 0, 0, 0, WP, NO, 0, 0, NO,
758, BEAM , UNILOAD, GY, NO , NO, aDir[1], , , , 0, -3.43, 1, -3.43, 0, 0, 0, 0, WP, NO, 0, 0, NO,
759, BEAM , UNILOAD, GY, NO , NO, aDir[1], , , , 0, -3.43, 1, -3.43, 0, 0, 0, 0, WP, NO, 0, 0, NO,
759, BEAM , UNILOAD, GZ, NO , NO, aDir[1], , , , 0, -7.62, 1, -7.62, 0, 0, 0, 0, WP, NO, 0, 0, NO,
760, BEAM , UNILOAD, GY, NO , NO, aDir[1], , , , 0, -3.43, 1, -3.43, 0, 0, 0, 0, WP, NO, 0, 0, NO,
760, BEAM , UNILOAD, GZ, NO , NO, aDir[1], , , , 0, -7.62, 1, -7.62, 0, 0, 0, 0, WP, NO, 0, 0, NO,
761, BEAM , UNILOAD, GZ, NO , NO, aDir[1], , , , 0, -7.62, 1, -7.62, 0, 0, 0, 0, WP, NO, 0, 0, NO,
761, BEAM , UNILOAD, GY, NO , NO, aDir[1], , , , 0, -3.43, 1, -3.43, 0, 0, 0, 0, WP, NO, 0, 0, NO,
762, BEAM , UNILOAD, GZ, NO , NO, aDir[1], , , , 0, -7.62, 1, -7.62, 0, 0, 0, 0, WP, NO, 0, 0, NO,
762, BEAM , UNILOAD, GY, NO , NO, aDir[1], , , , 0, -3.43, 1, -3.43, 0, 0, 0, 0, WP, NO, 0, 0, NO,
763, BEAM , UNILOAD, GZ, NO , NO, aDir[1], , , , 0, -7.62, 1, -7.62, 0, 0, 0, 0, WP, NO, 0, 0, NO,
763, BEAM , UNILOAD, GY, NO , NO, aDir[1], , , , 0, -3.43, 1, -3.43, 0, 0, 0, 0, WP, NO, 0, 0, NO,
764, BEAM , UNILOAD, GY, NO , NO, aDir[1], , , , 0, -3.43, 1, -3.43, 0, 0, 0, 0, WP, NO, 0, 0, NO,
764, BEAM , UNILOAD, GZ, NO , NO, aDir[1], , , , 0, -7.62, 1, -7.62, 0, 0, 0, 0, WP, NO, 0, 0, NO,
765, BEAM , UNILOAD, GZ, NO , NO, aDir[1], , , , 0, -7.62, 1, -7.62, 0, 0, 0, 0, WP, NO, 0, 0, NO,
765, BEAM , UNILOAD, GY, NO , NO, aDir[1], , , , 0, -3.43, 1, -3.43, 0, 0, 0, 0, WP, NO, 0, 0, NO,
766, BEAM , UNILOAD, GY, NO , NO, aDir[1], , , , 0, -3.43, 1, -3.43, 0, 0, 0, 0, WP, NO, 0, 0, NO,
766, BEAM , UNILOAD, GZ, NO , NO, aDir[1], , , , 0, -7.62, 1, -7.62, 0, 0, 0, 0, WP, NO, 0, 0, NO,
767, BEAM , UNILOAD, GZ, NO , NO, aDir[1], , , , 0, -7.62, 1, -7.62, 0, 0, 0, 0, WP, NO, 0, 0, NO,
767, BEAM , UNILOAD, GY, NO , NO, aDir[1], , , , 0, -3.43, 1, -3.43, 0, 0, 0, 0, WP, NO, 0, 0, NO,
768, BEAM , UNILOAD, GY, NO , NO, aDir[1], , , , 0, -3.43, 1, -3.43, 0, 0, 0, 0, WP, NO, 0, 0, NO,
768, BEAM , UNILOAD, GZ, NO , NO, aDir[1], , , , 0, -7.62, 1, -7.62, 0, 0, 0, 0, WP, NO, 0, 0, NO,
769, BEAM , UNILOAD, GY, NO , NO, aDir[1], , , , 0, -3.43, 1, -3.43, 0, 0, 0, 0, WP, NO, 0, 0, NO,
769, BEAM , UNILOAD, GZ, NO , NO, aDir[1], , , , 0, -7.62, 1, -7.62, 0, 0, 0, 0, WP, NO, 0, 0, NO,
770, BEAM , UNILOAD, GZ, NO , NO, aDir[1], , , , 0, -7.62, 1, -7.62, 0, 0, 0, 0, WP, NO, 0, 0, NO,
770, BEAM , UNILOAD, GY, NO , NO, aDir[1], , , , 0, -3.43, 1, -3.43, 0, 0, 0, 0, WP, NO, 0, 0, NO,
771, BEAM , UNILOAD, GY, NO , NO, aDir[1], , , , 0, -3.43, 1, -3.43, 0, 0, 0, 0, WP, NO, 0, 0, NO,
771, BEAM , UNILOAD, GZ, NO , NO, aDir[1], , , , 0, -7.62, 1, -7.62, 0, 0, 0, 0, WP, NO, 0, 0, NO,
772, BEAM , UNILOAD, GY, NO , NO, aDir[1], , , , 0, -3.43, 1, -3.43, 0, 0, 0, 0, WP, NO, 0, 0, NO,
772, BEAM , UNILOAD, GZ, NO , NO, aDir[1], , , , 0, -7.62, 1, -7.62, 0, 0, 0, 0, WP, NO, 0, 0, NO,
773, BEAM , UNILOAD, GZ, NO , NO, aDir[1], , , , 0, -7.62, 1, -7.62, 0, 0, 0, 0, WP, NO, 0, 0, NO,
773, BEAM , UNILOAD, GY, NO , NO, aDir[1], , , , 0, -3.43, 1, -3.43, 0, 0, 0, 0, WP, NO, 0, 0, NO,
774, BEAM , UNILOAD, GY, NO , NO, aDir[1], , , , 0, -3.43, 1, -3.43, 0, 0, 0, 0, WP, NO, 0, 0, NO,
774, BEAM , UNILOAD, GZ, NO , NO, aDir[1], , , , 0, -7.62, 1, -7.62, 0, 0, 0, 0, WP, NO, 0, 0, NO,
775, BEAM , UNILOAD, GZ, NO , NO, aDir[1], , , , 0, -7.62, 1, -7.62, 0, 0, 0, 0, WP, NO, 0, 0, NO,
775, BEAM , UNILOAD, GY, NO , NO, aDir[1], , , , 0, -3.43, 1, -3.43, 0, 0, 0, 0, WP, NO, 0, 0, NO,
776, BEAM , UNILOAD, GZ, NO , NO, aDir[1], , , , 0, -7.62, 1, -7.62, 0, 0, 0, 0, WP, NO, 0, 0, NO,
776, BEAM , UNILOAD, GY, NO , NO, aDir[1], , , , 0, -3.43, 1, -3.43, 0, 0, 0, 0, WP, NO, 0, 0, NO,
777, BEAM , UNILOAD, GZ, NO , NO, aDir[1], , , , 0, -7.62, 1, -7.62, 0, 0, 0, 0, WP, NO, 0, 0, NO,
777, BEAM , UNILOAD, GY, NO , NO, aDir[1], , , , 0, -3.43, 1, -3.43, 0, 0, 0, 0, WP, NO, 0, 0, NO,
778, BEAM , UNILOAD, GZ, NO , NO, aDir[1], , , , 0, -7.62, 1, -7.62, 0, 0, 0, 0, WP, NO, 0, 0, NO,
778, BEAM , UNILOAD, GY, NO , NO, aDir[1], , , , 0, -3.43, 1, -3.43, 0, 0, 0, 0, WP, NO, 0, 0, NO,
779, BEAM , UNILOAD, GY, NO , NO, aDir[1], , , , 0, -3.43, 1, -3.43, 0, 0, 0, 0, WP, NO, 0, 0, NO,
779, BEAM , UNILOAD, GZ, NO , NO, aDir[1], , , , 0, -7.62, 1, -7.62, 0, 0, 0, 0, WP, NO, 0, 0, NO,
780, BEAM , UNILOAD, GY, NO , NO, aDir[1], , , , 0, -3.43, 1, -3.43, 0, 0, 0, 0, WP, NO, 0, 0, NO,
780, BEAM , UNILOAD, GZ, NO , NO, aDir[1], , , , 0, -7.62, 1, -7.62, 0, 0, 0, 0, WP, NO, 0, 0, NO,
781, BEAM , UNILOAD, GZ, NO , NO, aDir[1], , , , 0, -7.62, 1, -7.62, 0, 0, 0, 0, WP, NO, 0, 0, NO,
781, BEAM , UNILOAD, GY, NO , NO, aDir[1], , , , 0, -3.43, 1, -3.43, 0, 0, 0, 0, WP, NO, 0, 0, NO,
782, BEAM , UNILOAD, GY, NO , NO, aDir[1], , , , 0, -3.43, 1, -3.43, 0, 0, 0, 0, WP, NO, 0, 0, NO,
782, BEAM , UNILOAD, GZ, NO , NO, aDir[1], , , , 0, -7.62, 1, -7.62, 0, 0, 0, 0, WP, NO, 0, 0, NO,
783, BEAM , UNILOAD, GY, NO , NO, aDir[1], , , , 0, -3.43, 1, -3.43, 0, 0, 0, 0, WP, NO, 0, 0, NO,
783, BEAM , UNILOAD, GZ, NO , NO, aDir[1], , , , 0, -7.62, 1, -7.62, 0, 0, 0, 0, WP, NO, 0, 0, NO,
784, BEAM , UNILOAD, GZ, NO , NO, aDir[1], , , , 0, -7.62, 1, -7.62, 0, 0, 0, 0, WP, NO, 0, 0, NO,

PROJECT TITLE :

MIDAS	Company		Client	
	Author		File Name	H2D_3Dg_v14_180227_StatLM.mct

784, BEAM , UNILOAD, GY, NO , NO, aDir[1], , , , 0, -3.43, 1, -3.43, 0, 0, 0, 0, WP, NO, 0, 0, NO,
785, BEAM , UNILOAD, GY, NO , NO, aDir[1], , , , 0, -3.43, 1, -3.43, 0, 0, 0, 0, WP, NO, 0, 0, NO,
785, BEAM , UNILOAD, GZ, NO , NO, aDir[1], , , , 0, -7.62, 1, -7.62, 0, 0, 0, 0, WP, NO, 0, 0, NO,
786, BEAM , UNILOAD, GY, NO , NO, aDir[1], , , , 0, -3.43, 1, -3.43, 0, 0, 0, 0, WP, NO, 0, 0, NO,
786, BEAM , UNILOAD, GZ, NO , NO, aDir[1], , , , 0, -7.62, 1, -7.62, 0, 0, 0, 0, WP, NO, 0, 0, NO,
787, BEAM , UNILOAD, GY, NO , NO, aDir[1], , , , 0, -3.43, 1, -3.43, 0, 0, 0, 0, WP, NO, 0, 0, NO,
787, BEAM , UNILOAD, GZ, NO , NO, aDir[1], , , , 0, -7.62, 1, -7.62, 0, 0, 0, 0, WP, NO, 0, 0, NO,
788, BEAM , UNILOAD, GZ, NO , NO, aDir[1], , , , 0, -7.62, 1, -7.62, 0, 0, 0, 0, WP, NO, 0, 0, NO,
788, BEAM , UNILOAD, GY, NO , NO, aDir[1], , , , 0, -3.43, 1, -3.43, 0, 0, 0, 0, WP, NO, 0, 0, NO,
789, BEAM , UNILOAD, GZ, NO , NO, aDir[1], , , , 0, -7.62, 1, -7.62, 0, 0, 0, 0, WP, NO, 0, 0, NO,
789, BEAM , UNILOAD, GY, NO , NO, aDir[1], , , , 0, -3.43, 1, -3.43, 0, 0, 0, 0, WP, NO, 0, 0, NO,
790, BEAM , UNILOAD, GY, NO , NO, aDir[1], , , , 0, -3.43, 1, -3.43, 0, 0, 0, 0, WP, NO, 0, 0, NO,
790, BEAM , UNILOAD, GZ, NO , NO, aDir[1], , , , 0, -7.62, 1, -7.62, 0, 0, 0, 0, WP, NO, 0, 0, NO,
791, BEAM , UNILOAD, GY, NO , NO, aDir[1], , , , 0, -3.43, 1, -3.43, 0, 0, 0, 0, WP, NO, 0, 0, NO,
791, BEAM , UNILOAD, GZ, NO , NO, aDir[1], , , , 0, -7.62, 1, -7.62, 0, 0, 0, 0, WP, NO, 0, 0, NO,
792, BEAM , UNILOAD, GZ, NO , NO, aDir[1], , , , 0, -7.62, 1, -7.62, 0, 0, 0, 0, WP, NO, 0, 0, NO,
792, BEAM , UNILOAD, GY, NO , NO, aDir[1], , , , 0, -3.43, 1, -3.43, 0, 0, 0, 0, WP, NO, 0, 0, NO,
793, BEAM , UNILOAD, GY, NO , NO, aDir[1], , , , 0, -3.43, 1, -3.43, 0, 0, 0, 0, WP, NO, 0, 0, NO,
793, BEAM , UNILOAD, GZ, NO , NO, aDir[1], , , , 0, -7.62, 1, -7.62, 0, 0, 0, 0, WP, NO, 0, 0, NO,
794, BEAM , UNILOAD, GZ, NO , NO, aDir[1], , , , 0, -7.62, 1, -7.62, 0, 0, 0, 0, WP, NO, 0, 0, NO,
794, BEAM , UNILOAD, GY, NO , NO, aDir[1], , , , 0, -3.43, 1, -3.43, 0, 0, 0, 0, WP, NO, 0, 0, NO,
795, BEAM , UNILOAD, GZ, NO , NO, aDir[1], , , , 0, -7.62, 1, -7.62, 0, 0, 0, 0, WP, NO, 0, 0, NO,
795, BEAM , UNILOAD, GY, NO , NO, aDir[1], , , , 0, -3.43, 1, -3.43, 0, 0, 0, 0, WP, NO, 0, 0, NO,
796, BEAM , UNILOAD, GZ, NO , NO, aDir[1], , , , 0, -7.62, 1, -7.62, 0, 0, 0, 0, WP, NO, 0, 0, NO,
796, BEAM , UNILOAD, GY, NO , NO, aDir[1], , , , 0, -3.43, 1, -3.43, 0, 0, 0, 0, WP, NO, 0, 0, NO,
797, BEAM , UNILOAD, GY, NO , NO, aDir[1], , , , 0, -3.43, 1, -3.43, 0, 0, 0, 0, WP, NO, 0, 0, NO,
797, BEAM , UNILOAD, GZ, NO , NO, aDir[1], , , , 0, -7.62, 1, -7.62, 0, 0, 0, 0, WP, NO, 0, 0, NO,
798, BEAM , UNILOAD, GZ, NO , NO, aDir[1], , , , 0, -7.62, 1, -7.62, 0, 0, 0, 0, WP, NO, 0, 0, NO,
798, BEAM , UNILOAD, GY, NO , NO, aDir[1], , , , 0, -3.43, 1, -3.43, 0, 0, 0, 0, WP, NO, 0, 0, NO,
799, BEAM , UNILOAD, GZ, NO , NO, aDir[1], , , , 0, -7.62, 1, -7.62, 0, 0, 0, 0, WP, NO, 0, 0, NO,
799, BEAM , UNILOAD, GY, NO , NO, aDir[1], , , , 0, -3.43, 1, -3.43, 0, 0, 0, 0, WP, NO, 0, 0, NO,
800, BEAM , UNILOAD, GY, NO , NO, aDir[1], , , , 0, -3.43, 1, -3.43, 0, 0, 0, 0, WP, NO, 0, 0, NO,
800, BEAM , UNILOAD, GZ, NO , NO, aDir[1], , , , 0, -7.62, 1, -7.62, 0, 0, 0, 0, WP, NO, 0, 0, NO,
801, BEAM , UNILOAD, GY, NO , NO, aDir[1], , , , 0, -3.43, 1, -3.43, 0, 0, 0, 0, WP, NO, 0, 0, NO,
801, BEAM , UNILOAD, GZ, NO , NO, aDir[1], , , , 0, -7.62, 1, -7.62, 0, 0, 0, 0, WP, NO, 0, 0, NO,
802, BEAM , UNILOAD, GY, NO , NO, aDir[1], , , , 0, -3.43, 1, -3.43, 0, 0, 0, 0, WP, NO, 0, 0, NO,
802, BEAM , UNILOAD, GZ, NO , NO, aDir[1], , , , 0, -7.62, 1, -7.62, 0, 0, 0, 0, WP, NO, 0, 0, NO,
803, BEAM , UNILOAD, GZ, NO , NO, aDir[1], , , , 0, -7.62, 1, -7.62, 0, 0, 0, 0, WP, NO, 0, 0, NO,
803, BEAM , UNILOAD, GY, NO , NO, aDir[1], , , , 0, -3.43, 1, -3.43, 0, 0, 0, 0, WP, NO, 0, 0, NO,
804, BEAM , UNILOAD, GY, NO , NO, aDir[1], , , , 0, -3.43, 1, -3.43, 0, 0, 0, 0, WP, NO, 0, 0, NO,
804, BEAM , UNILOAD, GZ, NO , NO, aDir[1], , , , 0, -7.62, 1, -7.62, 0, 0, 0, 0, WP, NO, 0, 0, NO,
805, BEAM , UNILOAD, GZ, NO , NO, aDir[1], , , , 0, -7.62, 1, -7.62, 0, 0, 0, 0, WP, NO, 0, 0, NO,
805, BEAM , UNILOAD, GY, NO , NO, aDir[1], , , , 0, -3.43, 1, -3.43, 0, 0, 0, 0, WP, NO, 0, 0, NO,
806, BEAM , UNILOAD, GZ, NO , NO, aDir[1], , , , 0, -7.62, 1, -7.62, 0, 0, 0, 0, WP, NO, 0, 0, NO,
806, BEAM , UNILOAD, GY, NO , NO, aDir[1], , , , 0, -3.43, 1, -3.43, 0, 0, 0, 0, WP, NO, 0, 0, NO,
807, BEAM , UNILOAD, GY, NO , NO, aDir[1], , , , 0, -3.43, 1, -3.43, 0, 0, 0, 0, WP, NO, 0, 0, NO,
807, BEAM , UNILOAD, GZ, NO , NO, aDir[1], , , , 0, -7.62, 1, -7.62, 0, 0, 0, 0, WP, NO, 0, 0, NO,
808, BEAM , UNILOAD, GZ, NO , NO, aDir[1], , , , 0, -7.62, 1, -7.62, 0, 0, 0, 0, WP, NO, 0, 0, NO,
808, BEAM , UNILOAD, GY, NO , NO, aDir[1], , , , 0, -3.43, 1, -3.43, 0, 0, 0, 0, WP, NO, 0, 0, NO,
809, BEAM , UNILOAD, GZ, NO , NO, aDir[1], , , , 0, -7.62, 1, -7.62, 0, 0, 0, 0, WP, NO, 0, 0, NO,
809, BEAM , UNILOAD, GY, NO , NO, aDir[1], , , , 0, -3.43, 1, -3.43, 0, 0, 0, 0, WP, NO, 0, 0, NO,
810, BEAM , UNILOAD, GZ, NO , NO, aDir[1], , , , 0, -7.62, 1, -7.62, 0, 0, 0, 0, WP, NO, 0, 0, NO,
810, BEAM , UNILOAD, GY, NO , NO, aDir[1], , , , 0, -3.43, 1, -3.43, 0, 0, 0, 0, WP, NO, 0, 0, NO,
811, BEAM , UNILOAD, GZ, NO , NO, aDir[1], , , , 0, -7.62, 1, -7.62, 0, 0, 0, 0, WP, NO, 0, 0, NO,
811, BEAM , UNILOAD, GY, NO , NO, aDir[1], , , , 0, -3.43, 1, -3.43, 0, 0, 0, 0, WP, NO, 0, 0, NO,
812, BEAM , UNILOAD, GY, NO , NO, aDir[1], , , , 0, -3.43, 1, -3.43, 0, 0, 0, 0, WP, NO, 0, 0, NO,
812, BEAM , UNILOAD, GZ, NO , NO, aDir[1], , , , 0, -7.62, 1, -7.62, 0, 0, 0, 0, WP, NO, 0, 0, NO,
813, BEAM , UNILOAD, GZ, NO , NO, aDir[1], , , , 0, -7.62, 1, -7.62, 0, 0, 0, 0, WP, NO, 0, 0, NO,
813, BEAM , UNILOAD, GY, NO , NO, aDir[1], , , , 0, -3.43, 1, -3.43, 0, 0, 0, 0, WP, NO, 0, 0, NO,
814, BEAM , UNILOAD, GY, NO , NO, aDir[1], , , , 0, -3.43, 1, -3.43, 0, 0, 0, 0, WP, NO, 0, 0, NO,
814, BEAM , UNILOAD, GZ, NO , NO, aDir[1], , , , 0, -7.62, 1, -7.62, 0, 0, 0, 0, WP, NO, 0, 0, NO,
815, BEAM , UNILOAD, GZ, NO , NO, aDir[1], , , , 0, -7.62, 1, -7.62, 0, 0, 0, 0, WP, NO, 0, 0, NO,
815, BEAM , UNILOAD, GY, NO , NO, aDir[1], , , , 0, -3.43, 1, -3.43, 0, 0, 0, 0, WP, NO, 0, 0, NO,
816, BEAM , UNILOAD, GY, NO , NO, aDir[1], , , , 0, -3.43, 1, -3.43, 0, 0, 0, 0, WP, NO, 0, 0, NO,
816, BEAM , UNILOAD, GZ, NO , NO, aDir[1], , , , 0, -7.62, 1, -7.62, 0, 0, 0, 0, WP, NO, 0, 0, NO,
817, BEAM , UNILOAD, GY, NO , NO, aDir[1], , , , 0, -3.43, 1, -3.43, 0, 0, 0, 0, WP, NO, 0, 0, NO,
817, BEAM , UNILOAD, GZ, NO , NO, aDir[1], , , , 0, -7.62, 1, -7.62, 0, 0, 0, 0, WP, NO, 0, 0, NO,
818, BEAM , UNILOAD, GY, NO , NO, aDir[1], , , , 0, -3.43, 1, -3.43, 0, 0, 0, 0, WP, NO, 0, 0, NO,
818, BEAM , UNILOAD, GZ, NO , NO, aDir[1], , , , 0, -7.62, 1, -7.62, 0, 0, 0, 0, WP, NO, 0, 0, NO,
819, BEAM , UNILOAD, GY, NO , NO, aDir[1], , , , 0, -3.43, 1, -3.43, 0, 0, 0, 0, WP, NO, 0, 0, NO,
819, BEAM , UNILOAD, GZ, NO , NO, aDir[1], , , , 0, -7.62, 1, -7.62, 0, 0, 0, 0, WP, NO, 0, 0, NO,
820, BEAM , UNILOAD, GY, NO , NO, aDir[1], , , , 0, -3.43, 1, -3.43, 0, 0, 0, 0, WP, NO, 0, 0, NO,

PROJECT TITLE :

MIDAS	Company		Client	
	Author		File Name	H2D_3Dg_v14_180227_StatLM.mct

820, BEAM , UNILOAD, GZ, NO , NO, aDir[1], , , , 0, -7.62, 1, -7.62, 0, 0, 0, 0, WP, NO, 0, 0, NO,
821, BEAM , UNILOAD, GY, NO , NO, aDir[1], , , , 0, -3.43, 1, -3.43, 0, 0, 0, 0, WP, NO, 0, 0, NO,
821, BEAM , UNILOAD, GZ, NO , NO, aDir[1], , , , 0, -7.62, 1, -7.62, 0, 0, 0, 0, WP, NO, 0, 0, NO,
822, BEAM , UNILOAD, GZ, NO , NO, aDir[1], , , , 0, -7.62, 1, -7.62, 0, 0, 0, 0, WP, NO, 0, 0, NO,
822, BEAM , UNILOAD, GY, NO , NO, aDir[1], , , , 0, -3.43, 1, -3.43, 0, 0, 0, 0, WP, NO, 0, 0, NO,
823, BEAM , UNILOAD, GZ, NO , NO, aDir[1], , , , 0, -7.62, 1, -7.62, 0, 0, 0, 0, WP, NO, 0, 0, NO,
823, BEAM , UNILOAD, GY, NO , NO, aDir[1], , , , 0, -3.43, 1, -3.43, 0, 0, 0, 0, WP, NO, 0, 0, NO,
824, BEAM , UNILOAD, GY, NO , NO, aDir[1], , , , 0, -3.43, 1, -3.43, 0, 0, 0, 0, WP, NO, 0, 0, NO,
824, BEAM , UNILOAD, GZ, NO , NO, aDir[1], , , , 0, -7.62, 1, -7.62, 0, 0, 0, 0, WP, NO, 0, 0, NO,
825, BEAM , UNILOAD, GZ, NO , NO, aDir[1], , , , 0, -7.62, 1, -7.62, 0, 0, 0, 0, WP, NO, 0, 0, NO,
825, BEAM , UNILOAD, GY, NO , NO, aDir[1], , , , 0, -3.43, 1, -3.43, 0, 0, 0, 0, WP, NO, 0, 0, NO,
826, BEAM , UNILOAD, GZ, NO , NO, aDir[1], , , , 0, -7.62, 1, -7.62, 0, 0, 0, 0, WP, NO, 0, 0, NO,
826, BEAM , UNILOAD, GY, NO , NO, aDir[1], , , , 0, -3.43, 1, -3.43, 0, 0, 0, 0, WP, NO, 0, 0, NO,
827, BEAM , UNILOAD, GZ, NO , NO, aDir[1], , , , 0, -7.62, 1, -7.62, 0, 0, 0, 0, WP, NO, 0, 0, NO,
827, BEAM , UNILOAD, GY, NO , NO, aDir[1], , , , 0, -3.43, 1, -3.43, 0, 0, 0, 0, WP, NO, 0, 0, NO,
828, BEAM , UNILOAD, GZ, NO , NO, aDir[1], , , , 0, -7.62, 1, -7.62, 0, 0, 0, 0, WP, NO, 0, 0, NO,
828, BEAM , UNILOAD, GY, NO , NO, aDir[1], , , , 0, -3.43, 1, -3.43, 0, 0, 0, 0, WP, NO, 0, 0, NO,
829, BEAM , UNILOAD, GY, NO , NO, aDir[1], , , , 0, -3.43, 1, -3.43, 0, 0, 0, 0, WP, NO, 0, 0, NO,
829, BEAM , UNILOAD, GZ, NO , NO, aDir[1], , , , 0, -7.62, 1, -7.62, 0, 0, 0, 0, WP, NO, 0, 0, NO,
830, BEAM , UNILOAD, GZ, NO , NO, aDir[1], , , , 0, -7.62, 1, -7.62, 0, 0, 0, 0, WP, NO, 0, 0, NO,
830, BEAM , UNILOAD, GY, NO , NO, aDir[1], , , , 0, -3.43, 1, -3.43, 0, 0, 0, 0, WP, NO, 0, 0, NO,
831, BEAM , UNILOAD, GY, NO , NO, aDir[1], , , , 0, -3.43, 1, -3.43, 0, 0, 0, 0, WP, NO, 0, 0, NO,
831, BEAM , UNILOAD, GZ, NO , NO, aDir[1], , , , 0, -7.62, 1, -7.62, 0, 0, 0, 0, WP, NO, 0, 0, NO,
832, BEAM , UNILOAD, GZ, NO , NO, aDir[1], , , , 0, -7.62, 1, -7.62, 0, 0, 0, 0, WP, NO, 0, 0, NO,
832, BEAM , UNILOAD, GY, NO , NO, aDir[1], , , , 0, -3.43, 1, -3.43, 0, 0, 0, 0, WP, NO, 0, 0, NO,
833, BEAM , UNILOAD, GY, NO , NO, aDir[1], , , , 0, -3.43, 1, -3.43, 0, 0, 0, 0, WP, NO, 0, 0, NO,
833, BEAM , UNILOAD, GZ, NO , NO, aDir[1], , , , 0, -7.62, 1, -7.62, 0, 0, 0, 0, WP, NO, 0, 0, NO,
834, BEAM , UNILOAD, GY, NO , NO, aDir[1], , , , 0, -3.43, 1, -3.43, 0, 0, 0, 0, WP, NO, 0, 0, NO,
834, BEAM , UNILOAD, GZ, NO , NO, aDir[1], , , , 0, -7.62, 1, -7.62, 0, 0, 0, 0, WP, NO, 0, 0, NO,
835, BEAM , UNILOAD, GZ, NO , NO, aDir[1], , , , 0, -7.62, 1, -7.62, 0, 0, 0, 0, WP, NO, 0, 0, NO,
835, BEAM , UNILOAD, GY, NO , NO, aDir[1], , , , 0, -3.43, 1, -3.43, 0, 0, 0, 0, WP, NO, 0, 0, NO,
836, BEAM , UNILOAD, GZ, NO , NO, aDir[1], , , , 0, -7.62, 1, -7.62, 0, 0, 0, 0, WP, NO, 0, 0, NO,
836, BEAM , UNILOAD, GY, NO , NO, aDir[1], , , , 0, -3.43, 1, -3.43, 0, 0, 0, 0, WP, NO, 0, 0, NO,
837, BEAM , UNILOAD, GZ, NO , NO, aDir[1], , , , 0, -7.62, 1, -7.62, 0, 0, 0, 0, WP, NO, 0, 0, NO,
837, BEAM , UNILOAD, GY, NO , NO, aDir[1], , , , 0, -3.43, 1, -3.43, 0, 0, 0, 0, WP, NO, 0, 0, NO,
838, BEAM , UNILOAD, GY, NO , NO, aDir[1], , , , 0, -3.43, 1, -3.43, 0, 0, 0, 0, WP, NO, 0, 0, NO,
838, BEAM , UNILOAD, GZ, NO , NO, aDir[1], , , , 0, -7.62, 1, -7.62, 0, 0, 0, 0, WP, NO, 0, 0, NO,
839, BEAM , UNILOAD, GZ, NO , NO, aDir[1], , , , 0, -7.62, 1, -7.62, 0, 0, 0, 0, WP, NO, 0, 0, NO,
839, BEAM , UNILOAD, GY, NO , NO, aDir[1], , , , 0, -3.43, 1, -3.43, 0, 0, 0, 0, WP, NO, 0, 0, NO,
840, BEAM , UNILOAD, GY, NO , NO, aDir[1], , , , 0, -3.43, 1, -3.43, 0, 0, 0, 0, WP, NO, 0, 0, NO,
840, BEAM , UNILOAD, GZ, NO , NO, aDir[1], , , , 0, -7.62, 1, -7.62, 0, 0, 0, 0, WP, NO, 0, 0, NO,
841, BEAM , UNILOAD, GZ, NO , NO, aDir[1], , , , 0, -7.62, 1, -7.62, 0, 0, 0, 0, WP, NO, 0, 0, NO,
841, BEAM , UNILOAD, GY, NO , NO, aDir[1], , , , 0, -3.43, 1, -3.43, 0, 0, 0, 0, WP, NO, 0, 0, NO,
842, BEAM , UNILOAD, GZ, NO , NO, aDir[1], , , , 0, -7.62, 1, -7.62, 0, 0, 0, 0, WP, NO, 0, 0, NO,
842, BEAM , UNILOAD, GY, NO , NO, aDir[1], , , , 0, -3.43, 1, -3.43, 0, 0, 0, 0, WP, NO, 0, 0, NO,
843, BEAM , UNILOAD, GY, NO , NO, aDir[1], , , , 0, -3.43, 1, -3.43, 0, 0, 0, 0, WP, NO, 0, 0, NO,
843, BEAM , UNILOAD, GZ, NO , NO, aDir[1], , , , 0, -7.62, 1, -7.62, 0, 0, 0, 0, WP, NO, 0, 0, NO,
844, BEAM , UNILOAD, GZ, NO , NO, aDir[1], , , , 0, -7.62, 1, -7.62, 0, 0, 0, 0, WP, NO, 0, 0, NO,
844, BEAM , UNILOAD, GY, NO , NO, aDir[1], , , , 0, -3.43, 1, -3.43, 0, 0, 0, 0, WP, NO, 0, 0, NO,
845, BEAM , UNILOAD, GY, NO , NO, aDir[1], , , , 0, -3.43, 1, -3.43, 0, 0, 0, 0, WP, NO, 0, 0, NO,
845, BEAM , UNILOAD, GZ, NO , NO, aDir[1], , , , 0, -7.62, 1, -7.62, 0, 0, 0, 0, WP, NO, 0, 0, NO,
846, BEAM , UNILOAD, GY, NO , NO, aDir[1], , , , 0, -3.43, 1, -3.43, 0, 0, 0, 0, WP, NO, 0, 0, NO,
846, BEAM , UNILOAD, GZ, NO , NO, aDir[1], , , , 0, -7.62, 1, -7.62, 0, 0, 0, 0, WP, NO, 0, 0, NO,
847, BEAM , UNILOAD, GY, NO , NO, aDir[1], , , , 0, -3.43, 1, -3.43, 0, 0, 0, 0, WP, NO, 0, 0, NO,
847, BEAM , UNILOAD, GZ, NO , NO, aDir[1], , , , 0, -7.62, 1, -7.62, 0, 0, 0, 0, WP, NO, 0, 0, NO,
848, BEAM , UNILOAD, GY, NO , NO, aDir[1], , , , 0, -3.43, 1, -3.43, 0, 0, 0, 0, WP, NO, 0, 0, NO,
848, BEAM , UNILOAD, GZ, NO , NO, aDir[1], , , , 0, -7.62, 1, -7.62, 0, 0, 0, 0, WP, NO, 0, 0, NO,
849, BEAM , UNILOAD, GY, NO , NO, aDir[1], , , , 0, -3.43, 1, -3.43, 0, 0, 0, 0, WP, NO, 0, 0, NO,
849, BEAM , UNILOAD, GZ, NO , NO, aDir[1], , , , 0, -7.62, 1, -7.62, 0, 0, 0, 0, WP, NO, 0, 0, NO,
850, BEAM , UNILOAD, GZ, NO , NO, aDir[1], , , , 0, -7.62, 1, -7.62, 0, 0, 0, 0, WP, NO, 0, 0, NO,
850, BEAM , UNILOAD, GY, NO , NO, aDir[1], , , , 0, -3.43, 1, -3.43, 0, 0, 0, 0, WP, NO, 0, 0, NO,
851, BEAM , UNILOAD, GY, NO , NO, aDir[1], , , , 0, -3.43, 1, -3.43, 0, 0, 0, 0, WP, NO, 0, 0, NO,
851, BEAM , UNILOAD, GZ, NO , NO, aDir[1], , , , 0, -7.62, 1, -7.62, 0, 0, 0, 0, WP, NO, 0, 0, NO,
852, BEAM , UNILOAD, GY, NO , NO, aDir[1], , , , 0, -3.43, 1, -3.43, 0, 0, 0, 0, WP, NO, 0, 0, NO,
852, BEAM , UNILOAD, GZ, NO , NO, aDir[1], , , , 0, -7.62, 1, -7.62, 0, 0, 0, 0, WP, NO, 0, 0, NO,
853, BEAM , UNILOAD, GZ, NO , NO, aDir[1], , , , 0, -7.62, 1, -7.62, 0, 0, 0, 0, WP, NO, 0, 0, NO,
853, BEAM , UNILOAD, GY, NO , NO, aDir[1], , , , 0, -3.43, 1, -3.43, 0, 0, 0, 0, WP, NO, 0, 0, NO,
854, BEAM , UNILOAD, GZ, NO , NO, aDir[1], , , , 0, -7.62, 1, -7.62, 0, 0, 0, 0, WP, NO, 0, 0, NO,
854, BEAM , UNILOAD, GY, NO , NO, aDir[1], , , , 0, -3.43, 1, -3.43, 0, 0, 0, 0, WP, NO, 0, 0, NO,
855, BEAM , UNILOAD, GZ, NO , NO, aDir[1], , , , 0, -7.62, 1, -7.62, 0, 0, 0, 0, WP, NO, 0, 0, NO,
855, BEAM , UNILOAD, GY, NO , NO, aDir[1], , , , 0, -3.43, 1, -3.43, 0, 0, 0, 0, WP, NO, 0, 0, NO,
856, BEAM , UNILOAD, GZ, NO , NO, aDir[1], , , , 0, -7.62, 1, -7.62, 0, 0, 0, 0, WP, NO, 0, 0, NO,

856, BEAM , UNILOAD, GY, NO , NO, aDir[1], , , , 0, -3.43, 1, -3.43, 0, 0, 0, 0, WP, NO, 0, 0, NO,
857, BEAM , UNILOAD, GY, NO , NO, aDir[1], , , , 0, -3.43, 1, -3.43, 0, 0, 0, 0, WP, NO, 0, 0, NO,
857, BEAM , UNILOAD, GZ, NO , NO, aDir[1], , , , 0, -7.62, 1, -7.62, 0, 0, 0, 0, WP, NO, 0, 0, NO,
858, BEAM , UNILOAD, GZ, NO , NO, aDir[1], , , , 0, -7.62, 1, -7.62, 0, 0, 0, 0, WP, NO, 0, 0, NO,
858, BEAM , UNILOAD, GY, NO , NO, aDir[1], , , , 0, -3.43, 1, -3.43, 0, 0, 0, 0, WP, NO, 0, 0, NO,
859, BEAM , UNILOAD, GZ, NO , NO, aDir[1], , , , 0, -7.62, 1, -7.62, 0, 0, 0, 0, WP, NO, 0, 0, NO,
859, BEAM , UNILOAD, GY, NO , NO, aDir[1], , , , 0, -3.43, 1, -3.43, 0, 0, 0, 0, WP, NO, 0, 0, NO,
860, BEAM , UNILOAD, GZ, NO , NO, aDir[1], , , , 0, -7.62, 1, -7.62, 0, 0, 0, 0, WP, NO, 0, 0, NO,
860, BEAM , UNILOAD, GY, NO , NO, aDir[1], , , , 0, -3.43, 1, -3.43, 0, 0, 0, 0, WP, NO, 0, 0, NO,
861, BEAM , UNILOAD, GZ, NO , NO, aDir[1], , , , 0, -7.62, 1, -7.62, 0, 0, 0, 0, WP, NO, 0, 0, NO,
861, BEAM , UNILOAD, GY, NO , NO, aDir[1], , , , 0, -3.43, 1, -3.43, 0, 0, 0, 0, WP, NO, 0, 0, NO,
862, BEAM , UNILOAD, GY, NO , NO, aDir[1], , , , 0, -3.43, 1, -3.43, 0, 0, 0, 0, WP, NO, 0, 0, NO,
862, BEAM , UNILOAD, GZ, NO , NO, aDir[1], , , , 0, -7.62, 1, -7.62, 0, 0, 0, 0, WP, NO, 0, 0, NO,
863, BEAM , UNILOAD, GY, NO , NO, aDir[1], , , , 0, -3.43, 1, -3.43, 0, 0, 0, 0, WP, NO, 0, 0, NO,
863, BEAM , UNILOAD, GZ, NO , NO, aDir[1], , , , 0, -7.62, 1, -7.62, 0, 0, 0, 0, WP, NO, 0, 0, NO,
864, BEAM , UNILOAD, GY, NO , NO, aDir[1], , , , 0, -3.43, 1, -3.43, 0, 0, 0, 0, WP, NO, 0, 0, NO,
864, BEAM , UNILOAD, GZ, NO , NO, aDir[1], , , , 0, -7.62, 1, -7.62, 0, 0, 0, 0, WP, NO, 0, 0, NO,
865, BEAM , UNILOAD, GZ, NO , NO, aDir[1], , , , 0, -7.62, 1, -7.62, 0, 0, 0, 0, WP, NO, 0, 0, NO,
865, BEAM , UNILOAD, GY, NO , NO, aDir[1], , , , 0, -3.43, 1, -3.43, 0, 0, 0, 0, WP, NO, 0, 0, NO,
866, BEAM , UNILOAD, GZ, NO , NO, aDir[1], , , , 0, -7.62, 1, -7.62, 0, 0, 0, 0, WP, NO, 0, 0, NO,
866, BEAM , UNILOAD, GY, NO , NO, aDir[1], , , , 0, -3.43, 1, -3.43, 0, 0, 0, 0, WP, NO, 0, 0, NO,
867, BEAM , UNILOAD, GY, NO , NO, aDir[1], , , , 0, -3.43, 1, -3.43, 0, 0, 0, 0, WP, NO, 0, 0, NO,
867, BEAM , UNILOAD, GZ, NO , NO, aDir[1], , , , 0, -7.62, 1, -7.62, 0, 0, 0, 0, WP, NO, 0, 0, NO,
868, BEAM , UNILOAD, GZ, NO , NO, aDir[1], , , , 0, -7.62, 1, -7.62, 0, 0, 0, 0, WP, NO, 0, 0, NO,
868, BEAM , UNILOAD, GY, NO , NO, aDir[1], , , , 0, -3.43, 1, -3.43, 0, 0, 0, 0, WP, NO, 0, 0, NO,
869, BEAM , UNILOAD, GY, NO , NO, aDir[1], , , , 0, -3.43, 1, -3.43, 0, 0, 0, 0, WP, NO, 0, 0, NO,
869, BEAM , UNILOAD, GZ, NO , NO, aDir[1], , , , 0, -7.62, 1, -7.62, 0, 0, 0, 0, WP, NO, 0, 0, NO,
870, BEAM , UNILOAD, GY, NO , NO, aDir[1], , , , 0, -3.43, 1, -3.43, 0, 0, 0, 0, WP, NO, 0, 0, NO,
870, BEAM , UNILOAD, GZ, NO , NO, aDir[1], , , , 0, -7.62, 1, -7.62, 0, 0, 0, 0, WP, NO, 0, 0, NO,
871, BEAM , UNILOAD, GZ, NO , NO, aDir[1], , , , 0, -7.62, 1, -7.62, 0, 0, 0, 0, WP, NO, 0, 0, NO,
871, BEAM , UNILOAD, GY, NO , NO, aDir[1], , , , 0, -3.43, 1, -3.43, 0, 0, 0, 0, WP, NO, 0, 0, NO,
872, BEAM , UNILOAD, GZ, NO , NO, aDir[1], , , , 0, -7.62, 1, -7.62, 0, 0, 0, 0, WP, NO, 0, 0, NO,
872, BEAM , UNILOAD, GY, NO , NO, aDir[1], , , , 0, -3.43, 1, -3.43, 0, 0, 0, 0, WP, NO, 0, 0, NO,
873, BEAM , UNILOAD, GZ, NO , NO, aDir[1], , , , 0, -7.62, 1, -7.62, 0, 0, 0, 0, WP, NO, 0, 0, NO,
873, BEAM , UNILOAD, GY, NO , NO, aDir[1], , , , 0, -3.43, 1, -3.43, 0, 0, 0, 0, WP, NO, 0, 0, NO,
874, BEAM , UNILOAD, GY, NO , NO, aDir[1], , , , 0, -3.43, 1, -3.43, 0, 0, 0, 0, WP, NO, 0, 0, NO,
874, BEAM , UNILOAD, GZ, NO , NO, aDir[1], , , , 0, -7.62, 1, -7.62, 0, 0, 0, 0, WP, NO, 0, 0, NO,
875, BEAM , UNILOAD, GY, NO , NO, aDir[1], , , , 0, -3.43, 1, -3.43, 0, 0, 0, 0, WP, NO, 0, 0, NO,
875, BEAM , UNILOAD, GZ, NO , NO, aDir[1], , , , 0, -7.62, 1, -7.62, 0, 0, 0, 0, WP, NO, 0, 0, NO,
876, BEAM , UNILOAD, GZ, NO , NO, aDir[1], , , , 0, -7.62, 1, -7.62, 0, 0, 0, 0, WP, NO, 0, 0, NO,
876, BEAM , UNILOAD, GY, NO , NO, aDir[1], , , , 0, -3.43, 1, -3.43, 0, 0, 0, 0, WP, NO, 0, 0, NO,
877, BEAM , UNILOAD, GZ, NO , NO, aDir[1], , , , 0, -7.62, 1, -7.62, 0, 0, 0, 0, WP, NO, 0, 0, NO,
877, BEAM , UNILOAD, GY, NO , NO, aDir[1], , , , 0, -3.43, 1, -3.43, 0, 0, 0, 0, WP, NO, 0, 0, NO,
878, BEAM , UNILOAD, GY, NO , NO, aDir[1], , , , 0, -3.43, 1, -3.43, 0, 0, 0, 0, WP, NO, 0, 0, NO,
878, BEAM , UNILOAD, GZ, NO , NO, aDir[1], , , , 0, -7.62, 1, -7.62, 0, 0, 0, 0, WP, NO, 0, 0, NO,
879, BEAM , UNILOAD, GY, NO , NO, aDir[1], , , , 0, -3.43, 1, -3.43, 0, 0, 0, 0, WP, NO, 0, 0, NO,
879, BEAM , UNILOAD, GZ, NO , NO, aDir[1], , , , 0, -7.62, 1, -7.62, 0, 0, 0, 0, WP, NO, 0, 0, NO,
880, BEAM , UNILOAD, GY, NO , NO, aDir[1], , , , 0, -3.43, 1, -3.43, 0, 0, 0, 0, WP, NO, 0, 0, NO,
880, BEAM , UNILOAD, GZ, NO , NO, aDir[1], , , , 0, -7.62, 1, -7.62, 0, 0, 0, 0, WP, NO, 0, 0, NO,
881, BEAM , UNILOAD, GY, NO , NO, aDir[1], , , , 0, -3.43, 1, -3.43, 0, 0, 0, 0, WP, NO, 0, 0, NO,
881, BEAM , UNILOAD, GZ, NO , NO, aDir[1], , , , 0, -7.62, 1, -7.62, 0, 0, 0, 0, WP, NO, 0, 0, NO,
882, BEAM , UNILOAD, GZ, NO , NO, aDir[1], , , , 0, -7.62, 1, -7.62, 0, 0, 0, 0, WP, NO, 0, 0, NO,
882, BEAM , UNILOAD, GY, NO , NO, aDir[1], , , , 0, -3.43, 1, -3.43, 0, 0, 0, 0, WP, NO, 0, 0, NO,
883, BEAM , UNILOAD, GZ, NO , NO, aDir[1], , , , 0, -7.62, 1, -7.62, 0, 0, 0, 0, WP, NO, 0, 0, NO,
883, BEAM , UNILOAD, GY, NO , NO, aDir[1], , , , 0, -3.43, 1, -3.43, 0, 0, 0, 0, WP, NO, 0, 0, NO,
884, BEAM , UNILOAD, GY, NO , NO, aDir[1], , , , 0, -3.43, 1, -3.43, 0, 0, 0, 0, WP, NO, 0, 0, NO,
884, BEAM , UNILOAD, GZ, NO , NO, aDir[1], , , , 0, -7.62, 1, -7.62, 0, 0, 0, 0, WP, NO, 0, 0, NO,
885, BEAM , UNILOAD, GZ, NO , NO, aDir[1], , , , 0, -7.62, 1, -7.62, 0, 0, 0, 0, WP, NO, 0, 0, NO,
885, BEAM , UNILOAD, GY, NO , NO, aDir[1], , , , 0, -3.43, 1, -3.43, 0, 0, 0, 0, WP, NO, 0, 0, NO,
886, BEAM , UNILOAD, GZ, NO , NO, aDir[1], , , , 0, -7.62, 1, -7.62, 0, 0, 0, 0, WP, NO, 0, 0, NO,
886, BEAM , UNILOAD, GY, NO , NO, aDir[1], , , , 0, -3.43, 1, -3.43, 0, 0, 0, 0, WP, NO, 0, 0, NO,
887, BEAM , UNILOAD, GY, NO , NO, aDir[1], , , , 0, -3.43, 1, -3.43, 0, 0, 0, 0, WP, NO, 0, 0, NO,
887, BEAM , UNILOAD, GZ, NO , NO, aDir[1], , , , 0, 7.62, 1, 7.62, 0, 0, 0, 0, WP, NO, 0, 0, NO,
888, BEAM , UNILOAD, GY, NO , NO, aDir[1], , , , 0, -3.43, 1, -3.43, 0, 0, 0, 0, WP, NO, 0, 0, NO,
888, BEAM , UNILOAD, GZ, NO , NO, aDir[1], , , , 0, 7.62, 1, 7.62, 0, 0, 0, 0, WP, NO, 0, 0, NO,
889, BEAM , UNILOAD, GZ, NO , NO, aDir[1], , , , 0, 7.62, 1, 7.62, 0, 0, 0, 0, WP, NO, 0, 0, NO,
889, BEAM , UNILOAD, GY, NO , NO, aDir[1], , , , 0, -3.43, 1, -3.43, 0, 0, 0, 0, WP, NO, 0, 0, NO,
890, BEAM , UNILOAD, GZ, NO , NO, aDir[1], , , , 0, 7.62, 1, 7.62, 0, 0, 0, 0, WP, NO, 0, 0, NO,
890, BEAM , UNILOAD, GY, NO , NO, aDir[1], , , , 0, -3.43, 1, -3.43, 0, 0, 0, 0, WP, NO, 0, 0, NO,
891, BEAM , UNILOAD, GZ, NO , NO, aDir[1], , , , 0, 7.62, 1, 7.62, 0, 0, 0, 0, WP, NO, 0, 0, NO,
891, BEAM , UNILOAD, GY, NO , NO, aDir[1], , , , 0, -3.43, 1, -3.43, 0, 0, 0, 0, WP, NO, 0, 0, NO,
892, BEAM , UNILOAD, GY, NO , NO, aDir[1], , , , 0, -3.43, 1, -3.43, 0, 0, 0, 0, WP, NO, 0, 0, NO,

PROJECT TITLE :

MIDAS	Company		Client	
	Author		File Name	H2D_3Dg_v14_180227_StatLM.mct

892, BEAM , UNILOAD, GZ, NO , NO, aDir[1], , , , 0, 7.62, 1, 7.62, 0, 0, 0, 0, WP, NO, 0, 0, NO,
893, BEAM , UNILOAD, GZ, NO , NO, aDir[1], , , , 0, 7.62, 1, 7.62, 0, 0, 0, 0, WP, NO, 0, 0, NO,
893, BEAM , UNILOAD, GY, NO , NO, aDir[1], , , , 0, -3.43, 1, -3.43, 0, 0, 0, 0, WP, NO, 0, 0, NO,
894, BEAM , UNILOAD, GZ, NO , NO, aDir[1], , , , 0, 7.62, 1, 7.62, 0, 0, 0, 0, WP, NO, 0, 0, NO,
894, BEAM , UNILOAD, GY, NO , NO, aDir[1], , , , 0, -3.43, 1, -3.43, 0, 0, 0, 0, WP, NO, 0, 0, NO,
895, BEAM , UNILOAD, GZ, NO , NO, aDir[1], , , , 0, 7.62, 1, 7.62, 0, 0, 0, 0, WP, NO, 0, 0, NO,
895, BEAM , UNILOAD, GY, NO , NO, aDir[1], , , , 0, -3.43, 1, -3.43, 0, 0, 0, 0, WP, NO, 0, 0, NO,
896, BEAM , UNILOAD, GZ, NO , NO, aDir[1], , , , 0, 7.62, 1, 7.62, 0, 0, 0, 0, WP, NO, 0, 0, NO,
896, BEAM , UNILOAD, GY, NO , NO, aDir[1], , , , 0, -3.43, 1, -3.43, 0, 0, 0, 0, WP, NO, 0, 0, NO,
897, BEAM , UNILOAD, GY, NO , NO, aDir[1], , , , 0, -3.43, 1, -3.43, 0, 0, 0, 0, WP, NO, 0, 0, NO,
897, BEAM , UNILOAD, GZ, NO , NO, aDir[1], , , , 0, 7.62, 1, 7.62, 0, 0, 0, 0, WP, NO, 0, 0, NO,
898, BEAM , UNILOAD, GY, NO , NO, aDir[1], , , , 0, -3.43, 1, -3.43, 0, 0, 0, 0, WP, NO, 0, 0, NO,
898, BEAM , UNILOAD, GZ, NO , NO, aDir[1], , , , 0, 7.62, 1, 7.62, 0, 0, 0, 0, WP, NO, 0, 0, NO,
899, BEAM , UNILOAD, GY, NO , NO, aDir[1], , , , 0, -3.43, 1, -3.43, 0, 0, 0, 0, WP, NO, 0, 0, NO,
899, BEAM , UNILOAD, GZ, NO , NO, aDir[1], , , , 0, 7.62, 1, 7.62, 0, 0, 0, 0, WP, NO, 0, 0, NO,
900, BEAM , UNILOAD, GZ, NO , NO, aDir[1], , , , 0, 7.62, 1, 7.62, 0, 0, 0, 0, WP, NO, 0, 0, NO,
900, BEAM , UNILOAD, GY, NO , NO, aDir[1], , , , 0, -3.43, 1, -3.43, 0, 0, 0, 0, WP, NO, 0, 0, NO,
901, BEAM , UNILOAD, GY, NO , NO, aDir[1], , , , 0, -3.43, 1, -3.43, 0, 0, 0, 0, WP, NO, 0, 0, NO,
901, BEAM , UNILOAD, GZ, NO , NO, aDir[1], , , , 0, 7.62, 1, 7.62, 0, 0, 0, 0, WP, NO, 0, 0, NO,
902, BEAM , UNILOAD, GY, NO , NO, aDir[1], , , , 0, -3.43, 1, -3.43, 0, 0, 0, 0, WP, NO, 0, 0, NO,
902, BEAM , UNILOAD, GZ, NO , NO, aDir[1], , , , 0, 7.62, 1, 7.62, 0, 0, 0, 0, WP, NO, 0, 0, NO,
903, BEAM , UNILOAD, GY, NO , NO, aDir[1], , , , 0, -3.43, 1, -3.43, 0, 0, 0, 0, WP, NO, 0, 0, NO,
903, BEAM , UNILOAD, GZ, NO , NO, aDir[1], , , , 0, 7.62, 1, 7.62, 0, 0, 0, 0, WP, NO, 0, 0, NO,
904, BEAM , UNILOAD, GZ, NO , NO, aDir[1], , , , 0, 7.62, 1, 7.62, 0, 0, 0, 0, WP, NO, 0, 0, NO,
904, BEAM , UNILOAD, GY, NO , NO, aDir[1], , , , 0, -3.43, 1, -3.43, 0, 0, 0, 0, WP, NO, 0, 0, NO,
905, BEAM , UNILOAD, GY, NO , NO, aDir[1], , , , 0, -3.43, 1, -3.43, 0, 0, 0, 0, WP, NO, 0, 0, NO,
905, BEAM , UNILOAD, GZ, NO , NO, aDir[1], , , , 0, 7.62, 1, 7.62, 0, 0, 0, 0, WP, NO, 0, 0, NO,
906, BEAM , UNILOAD, GY, NO , NO, aDir[1], , , , 0, -3.43, 1, -3.43, 0, 0, 0, 0, WP, NO, 0, 0, NO,
906, BEAM , UNILOAD, GZ, NO , NO, aDir[1], , , , 0, 7.62, 1, 7.62, 0, 0, 0, 0, WP, NO, 0, 0, NO,
907, BEAM , UNILOAD, GY, NO , NO, aDir[1], , , , 0, -3.43, 1, -3.43, 0, 0, 0, 0, WP, NO, 0, 0, NO,
907, BEAM , UNILOAD, GZ, NO , NO, aDir[1], , , , 0, 7.62, 1, 7.62, 0, 0, 0, 0, WP, NO, 0, 0, NO,
908, BEAM , UNILOAD, GY, NO , NO, aDir[1], , , , 0, -3.43, 1, -3.43, 0, 0, 0, 0, WP, NO, 0, 0, NO,
908, BEAM , UNILOAD, GZ, NO , NO, aDir[1], , , , 0, 7.62, 1, 7.62, 0, 0, 0, 0, WP, NO, 0, 0, NO,
909, BEAM , UNILOAD, GZ, NO , NO, aDir[1], , , , 0, 7.62, 1, 7.62, 0, 0, 0, 0, WP, NO, 0, 0, NO,
909, BEAM , UNILOAD, GY, NO , NO, aDir[1], , , , 0, -3.43, 1, -3.43, 0, 0, 0, 0, WP, NO, 0, 0, NO,
910, BEAM , UNILOAD, GY, NO , NO, aDir[1], , , , 0, -3.43, 1, -3.43, 0, 0, 0, 0, WP, NO, 0, 0, NO,
910, BEAM , UNILOAD, GZ, NO , NO, aDir[1], , , , 0, 7.62, 1, 7.62, 0, 0, 0, 0, WP, NO, 0, 0, NO,
911, BEAM , UNILOAD, GY, NO , NO, aDir[1], , , , 0, -3.43, 1, -3.43, 0, 0, 0, 0, WP, NO, 0, 0, NO,
911, BEAM , UNILOAD, GZ, NO , NO, aDir[1], , , , 0, 7.62, 1, 7.62, 0, 0, 0, 0, WP, NO, 0, 0, NO,
912, BEAM , UNILOAD, GY, NO , NO, aDir[1], , , , 0, -3.43, 1, -3.43, 0, 0, 0, 0, WP, NO, 0, 0, NO,
912, BEAM , UNILOAD, GZ, NO , NO, aDir[1], , , , 0, 7.62, 1, 7.62, 0, 0, 0, 0, WP, NO, 0, 0, NO,
913, BEAM , UNILOAD, GZ, NO , NO, aDir[1], , , , 0, 7.62, 1, 7.62, 0, 0, 0, 0, WP, NO, 0, 0, NO,
913, BEAM , UNILOAD, GY, NO , NO, aDir[1], , , , 0, -3.43, 1, -3.43, 0, 0, 0, 0, WP, NO, 0, 0, NO,
914, BEAM , UNILOAD, GY, NO , NO, aDir[1], , , , 0, -3.43, 1, -3.43, 0, 0, 0, 0, WP, NO, 0, 0, NO,
914, BEAM , UNILOAD, GZ, NO , NO, aDir[1], , , , 0, 7.62, 1, 7.62, 0, 0, 0, 0, WP, NO, 0, 0, NO,
915, BEAM , UNILOAD, GY, NO , NO, aDir[1], , , , 0, -3.43, 1, -3.43, 0, 0, 0, 0, WP, NO, 0, 0, NO,
915, BEAM , UNILOAD, GZ, NO , NO, aDir[1], , , , 0, 7.62, 1, 7.62, 0, 0, 0, 0, WP, NO, 0, 0, NO,
916, BEAM , UNILOAD, GZ, NO , NO, aDir[1], , , , 0, 7.62, 1, 7.62, 0, 0, 0, 0, WP, NO, 0, 0, NO,
916, BEAM , UNILOAD, GY, NO , NO, aDir[1], , , , 0, -3.43, 1, -3.43, 0, 0, 0, 0, WP, NO, 0, 0, NO,
917, BEAM , UNILOAD, GY, NO , NO, aDir[1], , , , 0, -3.43, 1, -3.43, 0, 0, 0, 0, WP, NO, 0, 0, NO,
917, BEAM , UNILOAD, GZ, NO , NO, aDir[1], , , , 0, 7.62, 1, 7.62, 0, 0, 0, 0, WP, NO, 0, 0, NO,
918, BEAM , UNILOAD, GZ, NO , NO, aDir[1], , , , 0, 7.62, 1, 7.62, 0, 0, 0, 0, WP, NO, 0, 0, NO,
918, BEAM , UNILOAD, GY, NO , NO, aDir[1], , , , 0, -3.43, 1, -3.43, 0, 0, 0, 0, WP, NO, 0, 0, NO,
919, BEAM , UNILOAD, GY, NO , NO, aDir[1], , , , 0, -3.43, 1, -3.43, 0, 0, 0, 0, WP, NO, 0, 0, NO,
919, BEAM , UNILOAD, GZ, NO , NO, aDir[1], , , , 0, 7.62, 1, 7.62, 0, 0, 0, 0, WP, NO, 0, 0, NO,
920, BEAM , UNILOAD, GZ, NO , NO, aDir[1], , , , 0, 7.62, 1, 7.62, 0, 0, 0, 0, WP, NO, 0, 0, NO,
920, BEAM , UNILOAD, GY, NO , NO, aDir[1], , , , 0, -3.43, 1, -3.43, 0, 0, 0, 0, WP, NO, 0, 0, NO,
921, BEAM , UNILOAD, GY, NO , NO, aDir[1], , , , 0, -3.43, 1, -3.43, 0, 0, 0, 0, WP, NO, 0, 0, NO,
921, BEAM , UNILOAD, GZ, NO , NO, aDir[1], , , , 0, 7.62, 1, 7.62, 0, 0, 0, 0, WP, NO, 0, 0, NO,
922, BEAM , UNILOAD, GY, NO , NO, aDir[1], , , , 0, -3.43, 1, -3.43, 0, 0, 0, 0, WP, NO, 0, 0, NO,
922, BEAM , UNILOAD, GZ, NO , NO, aDir[1], , , , 0, 7.62, 1, 7.62, 0, 0, 0, 0, WP, NO, 0, 0, NO,
923, BEAM , UNILOAD, GY, NO , NO, aDir[1], , , , 0, -3.43, 1, -3.43, 0, 0, 0, 0, WP, NO, 0, 0, NO,
923, BEAM , UNILOAD, GZ, NO , NO, aDir[1], , , , 0, 7.62, 1, 7.62, 0, 0, 0, 0, WP, NO, 0, 0, NO,
924, BEAM , UNILOAD, GY, NO , NO, aDir[1], , , , 0, -3.43, 1, -3.43, 0, 0, 0, 0, WP, NO, 0, 0, NO,
924, BEAM , UNILOAD, GZ, NO , NO, aDir[1], , , , 0, 7.62, 1, 7.62, 0, 0, 0, 0, WP, NO, 0, 0, NO,
925, BEAM , UNILOAD, GY, NO , NO, aDir[1], , , , 0, -3.43, 1, -3.43, 0, 0, 0, 0, WP, NO, 0, 0, NO,
925, BEAM , UNILOAD, GZ, NO , NO, aDir[1], , , , 0, 7.62, 1, 7.62, 0, 0, 0, 0, WP, NO, 0, 0, NO,
926, BEAM , UNILOAD, GY, NO , NO, aDir[1], , , , 0, -3.43, 1, -3.43, 0, 0, 0, 0, WP, NO, 0, 0, NO,
926, BEAM , UNILOAD, GZ, NO , NO, aDir[1], , , , 0, 7.62, 1, 7.62, 0, 0, 0, 0, WP, NO, 0, 0, NO,
927, BEAM , UNILOAD, GY, NO , NO, aDir[1], , , , 0, -3.43, 1, -3.43, 0, 0, 0, 0, WP, NO, 0, 0, NO,
927, BEAM , UNILOAD, GZ, NO , NO, aDir[1], , , , 0, 7.62, 1, 7.62, 0, 0, 0, 0, WP, NO, 0, 0, NO,
928, BEAM , UNILOAD, GZ, NO , NO, aDir[1], , , , 0, 7.62, 1, 7.62, 0, 0, 0, 0, WP, NO, 0, 0, NO,

PROJECT TITLE :

MIDAS	Company		Client	
	Author		File Name	H2D_3Dg_v14_180227_StatLM.mct

928, BEAM , UNILOAD, GY, NO , NO, aDir[1], , , , 0, -3.43, 1, -3.43, 0, 0, 0, 0, WP, NO, 0, 0, NO,
929, BEAM , UNILOAD, GY, NO , NO, aDir[1], , , , 0, -3.43, 1, -3.43, 0, 0, 0, 0, WP, NO, 0, 0, NO,
929, BEAM , UNILOAD, GZ, NO , NO, aDir[1], , , , 0, 7.62, 1, 7.62, 0, 0, 0, 0, WP, NO, 0, 0, NO,
930, BEAM , UNILOAD, GZ, NO , NO, aDir[1], , , , 0, 7.62, 1, 7.62, 0, 0, 0, 0, WP, NO, 0, 0, NO,
930, BEAM , UNILOAD, GY, NO , NO, aDir[1], , , , 0, -3.43, 1, -3.43, 0, 0, 0, 0, WP, NO, 0, 0, NO,
931, BEAM , UNILOAD, GY, NO , NO, aDir[1], , , , 0, -3.43, 1, -3.43, 0, 0, 0, 0, WP, NO, 0, 0, NO,
931, BEAM , UNILOAD, GZ, NO , NO, aDir[1], , , , 0, 7.62, 1, 7.62, 0, 0, 0, 0, WP, NO, 0, 0, NO,
932, BEAM , UNILOAD, GY, NO , NO, aDir[1], , , , 0, -3.43, 1, -3.43, 0, 0, 0, 0, WP, NO, 0, 0, NO,
932, BEAM , UNILOAD, GZ, NO , NO, aDir[1], , , , 0, 7.62, 1, 7.62, 0, 0, 0, 0, WP, NO, 0, 0, NO,
933, BEAM , UNILOAD, GY, NO , NO, aDir[1], , , , 0, -3.43, 1, -3.43, 0, 0, 0, 0, WP, NO, 0, 0, NO,
933, BEAM , UNILOAD, GZ, NO , NO, aDir[1], , , , 0, 7.62, 1, 7.62, 0, 0, 0, 0, WP, NO, 0, 0, NO,
934, BEAM , UNILOAD, GZ, NO , NO, aDir[1], , , , 0, 7.62, 1, 7.62, 0, 0, 0, 0, WP, NO, 0, 0, NO,
934, BEAM , UNILOAD, GY, NO , NO, aDir[1], , , , 0, -3.43, 1, -3.43, 0, 0, 0, 0, WP, NO, 0, 0, NO,
935, BEAM , UNILOAD, GZ, NO , NO, aDir[1], , , , 0, 7.62, 1, 7.62, 0, 0, 0, 0, WP, NO, 0, 0, NO,
935, BEAM , UNILOAD, GY, NO , NO, aDir[1], , , , 0, -3.43, 1, -3.43, 0, 0, 0, 0, WP, NO, 0, 0, NO,
936, BEAM , UNILOAD, GY, NO , NO, aDir[1], , , , 0, -3.43, 1, -3.43, 0, 0, 0, 0, WP, NO, 0, 0, NO,
936, BEAM , UNILOAD, GZ, NO , NO, aDir[1], , , , 0, 7.62, 1, 7.62, 0, 0, 0, 0, WP, NO, 0, 0, NO,
937, BEAM , UNILOAD, GZ, NO , NO, aDir[1], , , , 0, 7.62, 1, 7.62, 0, 0, 0, 0, WP, NO, 0, 0, NO,
937, BEAM , UNILOAD, GY, NO , NO, aDir[1], , , , 0, -3.43, 1, -3.43, 0, 0, 0, 0, WP, NO, 0, 0, NO,
938, BEAM , UNILOAD, GY, NO , NO, aDir[1], , , , 0, -3.43, 1, -3.43, 0, 0, 0, 0, WP, NO, 0, 0, NO,
938, BEAM , UNILOAD, GZ, NO , NO, aDir[1], , , , 0, 7.62, 1, 7.62, 0, 0, 0, 0, WP, NO, 0, 0, NO,
939, BEAM , UNILOAD, GZ, NO , NO, aDir[1], , , , 0, 7.62, 1, 7.62, 0, 0, 0, 0, WP, NO, 0, 0, NO,
939, BEAM , UNILOAD, GY, NO , NO, aDir[1], , , , 0, -3.43, 1, -3.43, 0, 0, 0, 0, WP, NO, 0, 0, NO,
940, BEAM , UNILOAD, GY, NO , NO, aDir[1], , , , 0, -3.43, 1, -3.43, 0, 0, 0, 0, WP, NO, 0, 0, NO,
940, BEAM , UNILOAD, GZ, NO , NO, aDir[1], , , , 0, 7.62, 1, 7.62, 0, 0, 0, 0, WP, NO, 0, 0, NO,
941, BEAM , UNILOAD, GY, NO , NO, aDir[1], , , , 0, -3.43, 1, -3.43, 0, 0, 0, 0, WP, NO, 0, 0, NO,
941, BEAM , UNILOAD, GZ, NO , NO, aDir[1], , , , 0, 7.62, 1, 7.62, 0, 0, 0, 0, WP, NO, 0, 0, NO,
942, BEAM , UNILOAD, GY, NO , NO, aDir[1], , , , 0, -3.43, 1, -3.43, 0, 0, 0, 0, WP, NO, 0, 0, NO,
942, BEAM , UNILOAD, GZ, NO , NO, aDir[1], , , , 0, 7.62, 1, 7.62, 0, 0, 0, 0, WP, NO, 0, 0, NO,
943, BEAM , UNILOAD, GY, NO , NO, aDir[1], , , , 0, -3.43, 1, -3.43, 0, 0, 0, 0, WP, NO, 0, 0, NO,
943, BEAM , UNILOAD, GZ, NO , NO, aDir[1], , , , 0, 7.62, 1, 7.62, 0, 0, 0, 0, WP, NO, 0, 0, NO,
944, BEAM , UNILOAD, GZ, NO , NO, aDir[1], , , , 0, 7.62, 1, 7.62, 0, 0, 0, 0, WP, NO, 0, 0, NO,
944, BEAM , UNILOAD, GY, NO , NO, aDir[1], , , , 0, -3.43, 1, -3.43, 0, 0, 0, 0, WP, NO, 0, 0, NO,
945, BEAM , UNILOAD, GZ, NO , NO, aDir[1], , , , 0, 7.62, 1, 7.62, 0, 0, 0, 0, WP, NO, 0, 0, NO,
945, BEAM , UNILOAD, GY, NO , NO, aDir[1], , , , 0, -3.43, 1, -3.43, 0, 0, 0, 0, WP, NO, 0, 0, NO,
946, BEAM , UNILOAD, GY, NO , NO, aDir[1], , , , 0, -3.43, 1, -3.43, 0, 0, 0, 0, WP, NO, 0, 0, NO,
946, BEAM , UNILOAD, GZ, NO , NO, aDir[1], , , , 0, 7.62, 1, 7.62, 0, 0, 0, 0, WP, NO, 0, 0, NO,
947, BEAM , UNILOAD, GZ, NO , NO, aDir[1], , , , 0, 7.62, 1, 7.62, 0, 0, 0, 0, WP, NO, 0, 0, NO,
947, BEAM , UNILOAD, GY, NO , NO, aDir[1], , , , 0, -3.43, 1, -3.43, 0, 0, 0, 0, WP, NO, 0, 0, NO,
948, BEAM , UNILOAD, GZ, NO , NO, aDir[1], , , , 0, 7.62, 1, 7.62, 0, 0, 0, 0, WP, NO, 0, 0, NO,
948, BEAM , UNILOAD, GY, NO , NO, aDir[1], , , , 0, -3.43, 1, -3.43, 0, 0, 0, 0, WP, NO, 0, 0, NO,
949, BEAM , UNILOAD, GY, NO , NO, aDir[1], , , , 0, -3.43, 1, -3.43, 0, 0, 0, 0, WP, NO, 0, 0, NO,
949, BEAM , UNILOAD, GZ, NO , NO, aDir[1], , , , 0, 7.62, 1, 7.62, 0, 0, 0, 0, WP, NO, 0, 0, NO,
950, BEAM , UNILOAD, GY, NO , NO, aDir[1], , , , 0, -3.43, 1, -3.43, 0, 0, 0, 0, WP, NO, 0, 0, NO,
950, BEAM , UNILOAD, GZ, NO , NO, aDir[1], , , , 0, 7.62, 1, 7.62, 0, 0, 0, 0, WP, NO, 0, 0, NO,
951, BEAM , UNILOAD, GZ, NO , NO, aDir[1], , , , 0, 7.62, 1, 7.62, 0, 0, 0, 0, WP, NO, 0, 0, NO,
951, BEAM , UNILOAD, GY, NO , NO, aDir[1], , , , 0, -3.43, 1, -3.43, 0, 0, 0, 0, WP, NO, 0, 0, NO,
952, BEAM , UNILOAD, GY, NO , NO, aDir[1], , , , 0, -3.43, 1, -3.43, 0, 0, 0, 0, WP, NO, 0, 0, NO,
952, BEAM , UNILOAD, GZ, NO , NO, aDir[1], , , , 0, 7.62, 1, 7.62, 0, 0, 0, 0, WP, NO, 0, 0, NO,
953, BEAM , UNILOAD, GY, NO , NO, aDir[1], , , , 0, -3.43, 1, -3.43, 0, 0, 0, 0, WP, NO, 0, 0, NO,
953, BEAM , UNILOAD, GZ, NO , NO, aDir[1], , , , 0, 7.62, 1, 7.62, 0, 0, 0, 0, WP, NO, 0, 0, NO,
954, BEAM , UNILOAD, GY, NO , NO, aDir[1], , , , 0, -3.43, 1, -3.43, 0, 0, 0, 0, WP, NO, 0, 0, NO,
954, BEAM , UNILOAD, GZ, NO , NO, aDir[1], , , , 0, 7.62, 1, 7.62, 0, 0, 0, 0, WP, NO, 0, 0, NO,
955, BEAM , UNILOAD, GZ, NO , NO, aDir[1], , , , 0, 7.62, 1, 7.62, 0, 0, 0, 0, WP, NO, 0, 0, NO,
955, BEAM , UNILOAD, GY, NO , NO, aDir[1], , , , 0, -3.43, 1, -3.43, 0, 0, 0, 0, WP, NO, 0, 0, NO,
956, BEAM , UNILOAD, GY, NO , NO, aDir[1], , , , 0, -3.43, 1, -3.43, 0, 0, 0, 0, WP, NO, 0, 0, NO,
956, BEAM , UNILOAD, GZ, NO , NO, aDir[1], , , , 0, 7.62, 1, 7.62, 0, 0, 0, 0, WP, NO, 0, 0, NO,
957, BEAM , UNILOAD, GZ, NO , NO, aDir[1], , , , 0, 7.62, 1, 7.62, 0, 0, 0, 0, WP, NO, 0, 0, NO,
957, BEAM , UNILOAD, GY, NO , NO, aDir[1], , , , 0, -3.43, 1, -3.43, 0, 0, 0, 0, WP, NO, 0, 0, NO,
958, BEAM , UNILOAD, GY, NO , NO, aDir[1], , , , 0, -3.43, 1, -3.43, 0, 0, 0, 0, WP, NO, 0, 0, NO,
958, BEAM , UNILOAD, GZ, NO , NO, aDir[1], , , , 0, 7.62, 1, 7.62, 0, 0, 0, 0, WP, NO, 0, 0, NO,
959, BEAM , UNILOAD, GZ, NO , NO, aDir[1], , , , 0, 7.62, 1, 7.62, 0, 0, 0, 0, WP, NO, 0, 0, NO,
959, BEAM , UNILOAD, GY, NO , NO, aDir[1], , , , 0, -3.43, 1, -3.43, 0, 0, 0, 0, WP, NO, 0, 0, NO,
960, BEAM , UNILOAD, GY, NO , NO, aDir[1], , , , 0, -3.43, 1, -3.43, 0, 0, 0, 0, WP, NO, 0, 0, NO,
960, BEAM , UNILOAD, GZ, NO , NO, aDir[1], , , , 0, 7.62, 1, 7.62, 0, 0, 0, 0, WP, NO, 0, 0, NO,
961, BEAM , UNILOAD, GY, NO , NO, aDir[1], , , , 0, -3.43, 1, -3.43, 0, 0, 0, 0, WP, NO, 0, 0, NO,
961, BEAM , UNILOAD, GZ, NO , NO, aDir[1], , , , 0, 7.62, 1, 7.62, 0, 0, 0, 0, WP, NO, 0, 0, NO,
962, BEAM , UNILOAD, GY, NO , NO, aDir[1], , , , 0, -3.43, 1, -3.43, 0, 0, 0, 0, WP, NO, 0, 0, NO,
962, BEAM , UNILOAD, GZ, NO , NO, aDir[1], , , , 0, 7.62, 1, 7.62, 0, 0, 0, 0, WP, NO, 0, 0, NO,
963, BEAM , UNILOAD, GZ, NO , NO, aDir[1], , , , 0, 7.62, 1, 7.62, 0, 0, 0, 0, WP, NO, 0, 0, NO,
963, BEAM , UNILOAD, GY, NO , NO, aDir[1], , , , 0, -3.43, 1, -3.43, 0, 0, 0, 0, WP, NO, 0, 0, NO,
964, BEAM , UNILOAD, GZ, NO , NO, aDir[1], , , , 0, 7.62, 1, 7.62, 0, 0, 0, 0, WP, NO, 0, 0, NO,

964, BEAM , UNILOAD, GY, NO , NO, aDir[1], , , , 0, -3.43, 1, -3.43, 0, 0, 0, 0, WP, NO, 0, 0, NO,
965, BEAM , UNILOAD, GY, NO , NO, aDir[1], , , , 0, -3.43, 1, -3.43, 0, 0, 0, 0, WP, NO, 0, 0, NO,
965, BEAM , UNILOAD, GZ, NO , NO, aDir[1], , , , 0, 7.62, 1, 7.62, 0, 0, 0, 0, WP, NO, 0, 0, NO,
966, BEAM , UNILOAD, GZ, NO , NO, aDir[1], , , , 0, 7.62, 1, 7.62, 0, 0, 0, 0, WP, NO, 0, 0, NO,
966, BEAM , UNILOAD, GY, NO , NO, aDir[1], , , , 0, -3.43, 1, -3.43, 0, 0, 0, 0, WP, NO, 0, 0, NO,
967, BEAM , UNILOAD, GZ, NO , NO, aDir[1], , , , 0, 7.62, 1, 7.62, 0, 0, 0, 0, WP, NO, 0, 0, NO,
967, BEAM , UNILOAD, GY, NO , NO, aDir[1], , , , 0, -3.43, 1, -3.43, 0, 0, 0, 0, WP, NO, 0, 0, NO,
968, BEAM , UNILOAD, GZ, NO , NO, aDir[1], , , , 0, 7.62, 1, 7.62, 0, 0, 0, 0, WP, NO, 0, 0, NO,
968, BEAM , UNILOAD, GY, NO , NO, aDir[1], , , , 0, -3.43, 1, -3.43, 0, 0, 0, 0, WP, NO, 0, 0, NO,
969, BEAM , UNILOAD, GY, NO , NO, aDir[1], , , , 0, -3.43, 1, -3.43, 0, 0, 0, 0, WP, NO, 0, 0, NO,
969, BEAM , UNILOAD, GZ, NO , NO, aDir[1], , , , 0, 7.62, 1, 7.62, 0, 0, 0, 0, WP, NO, 0, 0, NO,
970, BEAM , UNILOAD, GZ, NO , NO, aDir[1], , , , 0, 7.62, 1, 7.62, 0, 0, 0, 0, WP, NO, 0, 0, NO,
970, BEAM , UNILOAD, GY, NO , NO, aDir[1], , , , 0, -3.43, 1, -3.43, 0, 0, 0, 0, WP, NO, 0, 0, NO,
971, BEAM , UNILOAD, GY, NO , NO, aDir[1], , , , 0, -3.43, 1, -3.43, 0, 0, 0, 0, WP, NO, 0, 0, NO,
971, BEAM , UNILOAD, GZ, NO , NO, aDir[1], , , , 0, 7.62, 1, 7.62, 0, 0, 0, 0, WP, NO, 0, 0, NO,
972, BEAM , UNILOAD, GY, NO , NO, aDir[1], , , , 0, -3.43, 1, -3.43, 0, 0, 0, 0, WP, NO, 0, 0, NO,
972, BEAM , UNILOAD, GZ, NO , NO, aDir[1], , , , 0, 7.62, 1, 7.62, 0, 0, 0, 0, WP, NO, 0, 0, NO,
973, BEAM , UNILOAD, GY, NO , NO, aDir[1], , , , 0, -3.43, 1, -3.43, 0, 0, 0, 0, WP, NO, 0, 0, NO,
973, BEAM , UNILOAD, GZ, NO , NO, aDir[1], , , , 0, 7.62, 1, 7.62, 0, 0, 0, 0, WP, NO, 0, 0, NO,
974, BEAM , UNILOAD, GZ, NO , NO, aDir[1], , , , 0, 7.62, 1, 7.62, 0, 0, 0, 0, WP, NO, 0, 0, NO,
974, BEAM , UNILOAD, GY, NO , NO, aDir[1], , , , 0, -3.43, 1, -3.43, 0, 0, 0, 0, WP, NO, 0, 0, NO,
975, BEAM , UNILOAD, GZ, NO , NO, aDir[1], , , , 0, 7.62, 1, 7.62, 0, 0, 0, 0, WP, NO, 0, 0, NO,
975, BEAM , UNILOAD, GY, NO , NO, aDir[1], , , , 0, -3.43, 1, -3.43, 0, 0, 0, 0, WP, NO, 0, 0, NO,
976, BEAM , UNILOAD, GZ, NO , NO, aDir[1], , , , 0, 7.62, 1, 7.62, 0, 0, 0, 0, WP, NO, 0, 0, NO,
976, BEAM , UNILOAD, GY, NO , NO, aDir[1], , , , 0, -3.43, 1, -3.43, 0, 0, 0, 0, WP, NO, 0, 0, NO,
977, BEAM , UNILOAD, GY, NO , NO, aDir[1], , , , 0, -3.43, 1, -3.43, 0, 0, 0, 0, WP, NO, 0, 0, NO,
977, BEAM , UNILOAD, GZ, NO , NO, aDir[1], , , , 0, 7.62, 1, 7.62, 0, 0, 0, 0, WP, NO, 0, 0, NO,
978, BEAM , UNILOAD, GZ, NO , NO, aDir[1], , , , 0, 7.62, 1, 7.62, 0, 0, 0, 0, WP, NO, 0, 0, NO,
978, BEAM , UNILOAD, GY, NO , NO, aDir[1], , , , 0, -3.43, 1, -3.43, 0, 0, 0, 0, WP, NO, 0, 0, NO,
979, BEAM , UNILOAD, GY, NO , NO, aDir[1], , , , 0, -3.43, 1, -3.43, 0, 0, 0, 0, WP, NO, 0, 0, NO,
979, BEAM , UNILOAD, GZ, NO , NO, aDir[1], , , , 0, 7.62, 1, 7.62, 0, 0, 0, 0, WP, NO, 0, 0, NO,
980, BEAM , UNILOAD, GY, NO , NO, aDir[1], , , , 0, -3.43, 1, -3.43, 0, 0, 0, 0, WP, NO, 0, 0, NO,
980, BEAM , UNILOAD, GZ, NO , NO, aDir[1], , , , 0, 7.62, 1, 7.62, 0, 0, 0, 0, WP, NO, 0, 0, NO,
981, BEAM , UNILOAD, GY, NO , NO, aDir[1], , , , 0, -3.43, 1, -3.43, 0, 0, 0, 0, WP, NO, 0, 0, NO,
981, BEAM , UNILOAD, GZ, NO , NO, aDir[1], , , , 0, 7.62, 1, 7.62, 0, 0, 0, 0, WP, NO, 0, 0, NO,
982, BEAM , UNILOAD, GZ, NO , NO, aDir[1], , , , 0, 7.62, 1, 7.62, 0, 0, 0, 0, WP, NO, 0, 0, NO,
982, BEAM , UNILOAD, GY, NO , NO, aDir[1], , , , 0, -3.43, 1, -3.43, 0, 0, 0, 0, WP, NO, 0, 0, NO,
983, BEAM , UNILOAD, GY, NO , NO, aDir[1], , , , 0, -3.43, 1, -3.43, 0, 0, 0, 0, WP, NO, 0, 0, NO,
983, BEAM , UNILOAD, GZ, NO , NO, aDir[1], , , , 0, 7.62, 1, 7.62, 0, 0, 0, 0, WP, NO, 0, 0, NO,
984, BEAM , UNILOAD, GZ, NO , NO, aDir[1], , , , 0, 7.62, 1, 7.62, 0, 0, 0, 0, WP, NO, 0, 0, NO,
984, BEAM , UNILOAD, GY, NO , NO, aDir[1], , , , 0, -3.43, 1, -3.43, 0, 0, 0, 0, WP, NO, 0, 0, NO,
985, BEAM , UNILOAD, GZ, NO , NO, aDir[1], , , , 0, 7.62, 1, 7.62, 0, 0, 0, 0, WP, NO, 0, 0, NO,
985, BEAM , UNILOAD, GY, NO , NO, aDir[1], , , , 0, -3.43, 1, -3.43, 0, 0, 0, 0, WP, NO, 0, 0, NO,
986, BEAM , UNILOAD, GZ, NO , NO, aDir[1], , , , 0, 7.62, 1, 7.62, 0, 0, 0, 0, WP, NO, 0, 0, NO,
986, BEAM , UNILOAD, GY, NO , NO, aDir[1], , , , 0, -3.43, 1, -3.43, 0, 0, 0, 0, WP, NO, 0, 0, NO,
987, BEAM , UNILOAD, GY, NO , NO, aDir[1], , , , 0, -3.43, 1, -3.43, 0, 0, 0, 0, WP, NO, 0, 0, NO,
987, BEAM , UNILOAD, GZ, NO , NO, aDir[1], , , , 0, 7.62, 1, 7.62, 0, 0, 0, 0, WP, NO, 0, 0, NO,
988, BEAM , UNILOAD, GZ, NO , NO, aDir[1], , , , 0, 7.62, 1, 7.62, 0, 0, 0, 0, WP, NO, 0, 0, NO,
988, BEAM , UNILOAD, GY, NO , NO, aDir[1], , , , 0, -3.43, 1, -3.43, 0, 0, 0, 0, WP, NO, 0, 0, NO,
989, BEAM , UNILOAD, GY, NO , NO, aDir[1], , , , 0, -3.43, 1, -3.43, 0, 0, 0, 0, WP, NO, 0, 0, NO,
989, BEAM , UNILOAD, GZ, NO , NO, aDir[1], , , , 0, 7.62, 1, 7.62, 0, 0, 0, 0, WP, NO, 0, 0, NO,
990, BEAM , UNILOAD, GY, NO , NO, aDir[1], , , , 0, -3.43, 1, -3.43, 0, 0, 0, 0, WP, NO, 0, 0, NO,
990, BEAM , UNILOAD, GZ, NO , NO, aDir[1], , , , 0, 7.62, 1, 7.62, 0, 0, 0, 0, WP, NO, 0, 0, NO,
991, BEAM , UNILOAD, GY, NO , NO, aDir[1], , , , 0, -3.43, 1, -3.43, 0, 0, 0, 0, WP, NO, 0, 0, NO,
991, BEAM , UNILOAD, GZ, NO , NO, aDir[1], , , , 0, 7.62, 1, 7.62, 0, 0, 0, 0, WP, NO, 0, 0, NO,
992, BEAM , UNILOAD, GZ, NO , NO, aDir[1], , , , 0, 7.62, 1, 7.62, 0, 0, 0, 0, WP, NO, 0, 0, NO,
992, BEAM , UNILOAD, GY, NO , NO, aDir[1], , , , 0, -3.43, 1, -3.43, 0, 0, 0, 0, WP, NO, 0, 0, NO,
993, BEAM , UNILOAD, GY, NO , NO, aDir[1], , , , 0, -3.43, 1, -3.43, 0, 0, 0, 0, WP, NO, 0, 0, NO,
993, BEAM , UNILOAD, GZ, NO , NO, aDir[1], , , , 0, 7.62, 1, 7.62, 0, 0, 0, 0, WP, NO, 0, 0, NO,
994, BEAM , UNILOAD, GZ, NO , NO, aDir[1], , , , 0, 7.62, 1, 7.62, 0, 0, 0, 0, WP, NO, 0, 0, NO,
994, BEAM , UNILOAD, GY, NO , NO, aDir[1], , , , 0, -3.43, 1, -3.43, 0, 0, 0, 0, WP, NO, 0, 0, NO,
995, BEAM , UNILOAD, GY, NO , NO, aDir[1], , , , 0, -3.43, 1, -3.43, 0, 0, 0, 0, WP, NO, 0, 0, NO,
995, BEAM , UNILOAD, GZ, NO , NO, aDir[1], , , , 0, 7.62, 1, 7.62, 0, 0, 0, 0, WP, NO, 0, 0, NO,
996, BEAM , UNILOAD, GZ, NO , NO, aDir[1], , , , 0, 7.62, 1, 7.62, 0, 0, 0, 0, WP, NO, 0, 0, NO,
996, BEAM , UNILOAD, GY, NO , NO, aDir[1], , , , 0, -3.43, 1, -3.43, 0, 0, 0, 0, WP, NO, 0, 0, NO,
997, BEAM , UNILOAD, GZ, NO , NO, aDir[1], , , , 0, 7.62, 1, 7.62, 0, 0, 0, 0, WP, NO, 0, 0, NO,
997, BEAM , UNILOAD, GY, NO , NO, aDir[1], , , , 0, -3.43, 1, -3.43, 0, 0, 0, 0, WP, NO, 0, 0, NO,
998, BEAM , UNILOAD, GY, NO , NO, aDir[1], , , , 0, -3.43, 1, -3.43, 0, 0, 0, 0, WP, NO, 0, 0, NO,
998, BEAM , UNILOAD, GZ, NO , NO, aDir[1], , , , 0, 7.62, 1, 7.62, 0, 0, 0, 0, WP, NO, 0, 0, NO,
999, BEAM , UNILOAD, GY, NO , NO, aDir[1], , , , 0, -3.43, 1, -3.43, 0, 0, 0, 0, WP, NO, 0, 0, NO,
999, BEAM , UNILOAD, GZ, NO , NO, aDir[1], , , , 0, 7.62, 1, 7.62, 0, 0, 0, 0, WP, NO, 0, 0, NO,
1000, BEAM , UNILOAD, GZ, NO , NO, aDir[1], , , , 0, 7.62, 1, 7.62, 0, 0, 0, 0, WP, NO, 0, 0, NO,

PROJECT TITLE :

MIDAS	Company		Client	
	Author		File Name	H2D_3Dg_v14_180227_StatLM.mct

1000, BEAM , UNILOAD, GY, NO , NO, aDir[1], , , , 0, -3.43, 1, -3.43, 0, 0, 0, 0, WP, NO, 0, 0, NO,
1001, BEAM , UNILOAD, GY, NO , NO, aDir[1], , , , 0, -3.43, 1, -3.43, 0, 0, 0, 0, WP, NO, 0, 0, NO,
1001, BEAM , UNILOAD, GZ, NO , NO, aDir[1], , , , 0, 7.62, 1, 7.62, 0, 0, 0, 0, WP, NO, 0, 0, NO,
1002, BEAM , UNILOAD, GY, NO , NO, aDir[1], , , , 0, -3.43, 1, -3.43, 0, 0, 0, 0, WP, NO, 0, 0, NO,
1002, BEAM , UNILOAD, GZ, NO , NO, aDir[1], , , , 0, 7.62, 1, 7.62, 0, 0, 0, 0, WP, NO, 0, 0, NO,
1003, BEAM , UNILOAD, GZ, NO , NO, aDir[1], , , , 0, 7.62, 1, 7.62, 0, 0, 0, 0, WP, NO, 0, 0, NO,
1003, BEAM , UNILOAD, GY, NO , NO, aDir[1], , , , 0, -3.43, 1, -3.43, 0, 0, 0, 0, WP, NO, 0, 0, NO,
1004, BEAM , UNILOAD, GY, NO , NO, aDir[1], , , , 0, -3.43, 1, -3.43, 0, 0, 0, 0, WP, NO, 0, 0, NO,
1004, BEAM , UNILOAD, GZ, NO , NO, aDir[1], , , , 0, 7.62, 1, 7.62, 0, 0, 0, 0, WP, NO, 0, 0, NO,
1005, BEAM , UNILOAD, GY, NO , NO, aDir[1], , , , 0, -3.43, 1, -3.43, 0, 0, 0, 0, WP, NO, 0, 0, NO,
1005, BEAM , UNILOAD, GZ, NO , NO, aDir[1], , , , 0, 7.62, 1, 7.62, 0, 0, 0, 0, WP, NO, 0, 0, NO,
1006, BEAM , UNILOAD, GZ, NO , NO, aDir[1], , , , 0, 7.62, 1, 7.62, 0, 0, 0, 0, WP, NO, 0, 0, NO,
1006, BEAM , UNILOAD, GY, NO , NO, aDir[1], , , , 0, -3.43, 1, -3.43, 0, 0, 0, 0, WP, NO, 0, 0, NO,
1007, BEAM , UNILOAD, GZ, NO , NO, aDir[1], , , , 0, 7.62, 1, 7.62, 0, 0, 0, 0, WP, NO, 0, 0, NO,
1007, BEAM , UNILOAD, GY, NO , NO, aDir[1], , , , 0, -3.43, 1, -3.43, 0, 0, 0, 0, WP, NO, 0, 0, NO,
1008, BEAM , UNILOAD, GZ, NO , NO, aDir[1], , , , 0, 7.62, 1, 7.62, 0, 0, 0, 0, WP, NO, 0, 0, NO,
1008, BEAM , UNILOAD, GY, NO , NO, aDir[1], , , , 0, -3.43, 1, -3.43, 0, 0, 0, 0, WP, NO, 0, 0, NO,
1009, BEAM , UNILOAD, GZ, NO , NO, aDir[1], , , , 0, 7.62, 1, 7.62, 0, 0, 0, 0, WP, NO, 0, 0, NO,
1009, BEAM , UNILOAD, GY, NO , NO, aDir[1], , , , 0, -3.43, 1, -3.43, 0, 0, 0, 0, WP, NO, 0, 0, NO,
1010, BEAM , UNILOAD, GY, NO , NO, aDir[1], , , , 0, -3.43, 1, -3.43, 0, 0, 0, 0, WP, NO, 0, 0, NO,
1010, BEAM , UNILOAD, GZ, NO , NO, aDir[1], , , , 0, 7.62, 1, 7.62, 0, 0, 0, 0, WP, NO, 0, 0, NO,
1011, BEAM , UNILOAD, GY, NO , NO, aDir[1], , , , 0, -3.43, 1, -3.43, 0, 0, 0, 0, WP, NO, 0, 0, NO,
1011, BEAM , UNILOAD, GZ, NO , NO, aDir[1], , , , 0, 7.62, 1, 7.62, 0, 0, 0, 0, WP, NO, 0, 0, NO,
1012, BEAM , UNILOAD, GZ, NO , NO, aDir[1], , , , 0, 7.62, 1, 7.62, 0, 0, 0, 0, WP, NO, 0, 0, NO,
1012, BEAM , UNILOAD, GY, NO , NO, aDir[1], , , , 0, -3.43, 1, -3.43, 0, 0, 0, 0, WP, NO, 0, 0, NO,
1013, BEAM , UNILOAD, GY, NO , NO, aDir[1], , , , 0, -3.43, 1, -3.43, 0, 0, 0, 0, WP, NO, 0, 0, NO,
1013, BEAM , UNILOAD, GZ, NO , NO, aDir[1], , , , 0, 7.62, 1, 7.62, 0, 0, 0, 0, WP, NO, 0, 0, NO,
1014, BEAM , UNILOAD, GY, NO , NO, aDir[1], , , , 0, -3.43, 1, -3.43, 0, 0, 0, 0, WP, NO, 0, 0, NO,
1014, BEAM , UNILOAD, GZ, NO , NO, aDir[1], , , , 0, 7.62, 1, 7.62, 0, 0, 0, 0, WP, NO, 0, 0, NO,
1015, BEAM , UNILOAD, GZ, NO , NO, aDir[1], , , , 0, 7.62, 1, 7.62, 0, 0, 0, 0, WP, NO, 0, 0, NO,
1015, BEAM , UNILOAD, GY, NO , NO, aDir[1], , , , 0, -3.43, 1, -3.43, 0, 0, 0, 0, WP, NO, 0, 0, NO,
1016, BEAM , UNILOAD, GY, NO , NO, aDir[1], , , , 0, -3.43, 1, -3.43, 0, 0, 0, 0, WP, NO, 0, 0, NO,
1016, BEAM , UNILOAD, GZ, NO , NO, aDir[1], , , , 0, 7.62, 1, 7.62, 0, 0, 0, 0, WP, NO, 0, 0, NO,
1017, BEAM , UNILOAD, GZ, NO , NO, aDir[1], , , , 0, 7.62, 1, 7.62, 0, 0, 0, 0, WP, NO, 0, 0, NO,
1017, BEAM , UNILOAD, GY, NO , NO, aDir[1], , , , 0, -3.43, 1, -3.43, 0, 0, 0, 0, WP, NO, 0, 0, NO,
1018, BEAM , UNILOAD, GY, NO , NO, aDir[1], , , , 0, -3.43, 1, -3.43, 0, 0, 0, 0, WP, NO, 0, 0, NO,
1018, BEAM , UNILOAD, GZ, NO , NO, aDir[1], , , , 0, 7.62, 1, 7.62, 0, 0, 0, 0, WP, NO, 0, 0, NO,
1019, BEAM , UNILOAD, GY, NO , NO, aDir[1], , , , 0, -3.43, 1, -3.43, 0, 0, 0, 0, WP, NO, 0, 0, NO,
1019, BEAM , UNILOAD, GZ, NO , NO, aDir[1], , , , 0, 7.62, 1, 7.62, 0, 0, 0, 0, WP, NO, 0, 0, NO,
1020, BEAM , UNILOAD, GZ, NO , NO, aDir[1], , , , 0, 7.62, 1, 7.62, 0, 0, 0, 0, WP, NO, 0, 0, NO,
1020, BEAM , UNILOAD, GY, NO , NO, aDir[1], , , , 0, -3.43, 1, -3.43, 0, 0, 0, 0, WP, NO, 0, 0, NO,
1021, BEAM , UNILOAD, GZ, NO , NO, aDir[1], , , , 0, 7.62, 1, 7.62, 0, 0, 0, 0, WP, NO, 0, 0, NO,
1021, BEAM , UNILOAD, GY, NO , NO, aDir[1], , , , 0, -3.43, 1, -3.43, 0, 0, 0, 0, WP, NO, 0, 0, NO,
1022, BEAM , UNILOAD, GZ, NO , NO, aDir[1], , , , 0, 7.62, 1, 7.62, 0, 0, 0, 0, WP, NO, 0, 0, NO,
1022, BEAM , UNILOAD, GY, NO , NO, aDir[1], , , , 0, -3.43, 1, -3.43, 0, 0, 0, 0, WP, NO, 0, 0, NO,
1023, BEAM , UNILOAD, GZ, NO , NO, aDir[1], , , , 0, 7.62, 1, 7.62, 0, 0, 0, 0, WP, NO, 0, 0, NO,
1023, BEAM , UNILOAD, GY, NO , NO, aDir[1], , , , 0, -3.43, 1, -3.43, 0, 0, 0, 0, WP, NO, 0, 0, NO,
1024, BEAM , UNILOAD, GZ, NO , NO, aDir[1], , , , 0, 7.62, 1, 7.62, 0, 0, 0, 0, WP, NO, 0, 0, NO,
1024, BEAM , UNILOAD, GY, NO , NO, aDir[1], , , , 0, -3.43, 1, -3.43, 0, 0, 0, 0, WP, NO, 0, 0, NO,
1025, BEAM , UNILOAD, GZ, NO , NO, aDir[1], , , , 0, 7.62, 1, 7.62, 0, 0, 0, 0, WP, NO, 0, 0, NO,
1025, BEAM , UNILOAD, GY, NO , NO, aDir[1], , , , 0, -3.43, 1, -3.43, 0, 0, 0, 0, WP, NO, 0, 0, NO,
1026, BEAM , UNILOAD, GZ, NO , NO, aDir[1], , , , 0, 7.62, 1, 7.62, 0, 0, 0, 0, WP, NO, 0, 0, NO,
1026, BEAM , UNILOAD, GY, NO , NO, aDir[1], , , , 0, -3.43, 1, -3.43, 0, 0, 0, 0, WP, NO, 0, 0, NO,
1027, BEAM , UNILOAD, GZ, NO , NO, aDir[1], , , , 0, 7.62, 1, 7.62, 0, 0, 0, 0, WP, NO, 0, 0, NO,
1027, BEAM , UNILOAD, GY, NO , NO, aDir[1], , , , 0, -3.43, 1, -3.43, 0, 0, 0, 0, WP, NO, 0, 0, NO,
1028, BEAM , UNILOAD, GY, NO , NO, aDir[1], , , , 0, -3.43, 1, -3.43, 0, 0, 0, 0, WP, NO, 0, 0, NO,
1028, BEAM , UNILOAD, GZ, NO , NO, aDir[1], , , , 0, 7.62, 1, 7.62, 0, 0, 0, 0, WP, NO, 0, 0, NO,
1029, BEAM , UNILOAD, GY, NO , NO, aDir[1], , , , 0, -3.43, 1, -3.43, 0, 0, 0, 0, WP, NO, 0, 0, NO,
1029, BEAM , UNILOAD, GZ, NO , NO, aDir[1], , , , 0, 7.62, 1, 7.62, 0, 0, 0, 0, WP, NO, 0, 0, NO,
1030, BEAM , UNILOAD, GY, NO , NO, aDir[1], , , , 0, -3.43, 1, -3.43, 0, 0, 0, 0, WP, NO, 0, 0, NO,
1030, BEAM , UNILOAD, GZ, NO , NO, aDir[1], , , , 0, 7.62, 1, 7.62, 0, 0, 0, 0, WP, NO, 0, 0, NO,
1031, BEAM , UNILOAD, GY, NO , NO, aDir[1], , , , 0, -3.43, 1, -3.43, 0, 0, 0, 0, WP, NO, 0, 0, NO,
1031, BEAM , UNILOAD, GZ, NO , NO, aDir[1], , , , 0, 7.62, 1, 7.62, 0, 0, 0, 0, WP, NO, 0, 0, NO,
1032, BEAM , UNILOAD, GY, NO , NO, aDir[1], , , , 0, -3.43, 1, -3.43, 0, 0, 0, 0, WP, NO, 0, 0, NO,
1032, BEAM , UNILOAD, GZ, NO , NO, aDir[1], , , , 0, 7.62, 1, 7.62, 0, 0, 0, 0, WP, NO, 0, 0, NO,
1033, BEAM , UNILOAD, GZ, NO , NO, aDir[1], , , , 0, 7.62, 1, 7.62, 0, 0, 0, 0, WP, NO, 0, 0, NO,
1033, BEAM , UNILOAD, GY, NO , NO, aDir[1], , , , 0, -3.43, 1, -3.43, 0, 0, 0, 0, WP, NO, 0, 0, NO,
1034, BEAM , UNILOAD, GZ, NO , NO, aDir[1], , , , 0, 7.62, 1, 7.62, 0, 0, 0, 0, WP, NO, 0, 0, NO,
1034, BEAM , UNILOAD, GY, NO , NO, aDir[1], , , , 0, -3.43, 1, -3.43, 0, 0, 0, 0, WP, NO, 0, 0, NO,
1035, BEAM , UNILOAD, GY, NO , NO, aDir[1], , , , 0, -3.43, 1, -3.43, 0, 0, 0, 0, WP, NO, 0, 0, NO,
1035, BEAM , UNILOAD, GZ, NO , NO, aDir[1], , , , 0, 7.62, 1, 7.62, 0, 0, 0, 0, WP, NO, 0, 0, NO,
1036, BEAM , UNILOAD, GZ, NO , NO, aDir[1], , , , 0, 7.62, 1, 7.62, 0, 0, 0, 0, WP, NO, 0, 0, NO,

1036, BEAM , UNILOAD, GY, NO , NO, aDir[1], , , , 0, -3.43, 1, -3.43, 0, 0, 0, 0, WP, NO, 0, 0, NO,
1037, BEAM , UNILOAD, GY, NO , NO, aDir[1], , , , 0, -3.43, 1, -3.43, 0, 0, 0, 0, WP, NO, 0, 0, NO,
1037, BEAM , UNILOAD, GZ, NO , NO, aDir[1], , , , 0, 7.62, 1, 7.62, 0, 0, 0, 0, WP, NO, 0, 0, NO,
1038, BEAM , UNILOAD, GY, NO , NO, aDir[1], , , , 0, -3.43, 1, -3.43, 0, 0, 0, 0, WP, NO, 0, 0, NO,
1038, BEAM , UNILOAD, GZ, NO , NO, aDir[1], , , , 0, 7.62, 1, 7.62, 0, 0, 0, 0, WP, NO, 0, 0, NO,
1039, BEAM , UNILOAD, GY, NO , NO, aDir[1], , , , 0, -3.43, 1, -3.43, 0, 0, 0, 0, WP, NO, 0, 0, NO,
1039, BEAM , UNILOAD, GZ, NO , NO, aDir[1], , , , 0, 7.62, 1, 7.62, 0, 0, 0, 0, WP, NO, 0, 0, NO,
1040, BEAM , UNILOAD, GZ, NO , NO, aDir[1], , , , 0, 7.62, 1, 7.62, 0, 0, 0, 0, WP, NO, 0, 0, NO,
1040, BEAM , UNILOAD, GY, NO , NO, aDir[1], , , , 0, -3.43, 1, -3.43, 0, 0, 0, 0, WP, NO, 0, 0, NO,
1041, BEAM , UNILOAD, GZ, NO , NO, aDir[1], , , , 0, 7.62, 1, 7.62, 0, 0, 0, 0, WP, NO, 0, 0, NO,
1041, BEAM , UNILOAD, GY, NO , NO, aDir[1], , , , 0, -3.43, 1, -3.43, 0, 0, 0, 0, WP, NO, 0, 0, NO,
1042, BEAM , UNILOAD, GY, NO , NO, aDir[1], , , , 0, -3.43, 1, -3.43, 0, 0, 0, 0, WP, NO, 0, 0, NO,
1042, BEAM , UNILOAD, GZ, NO , NO, aDir[1], , , , 0, 7.62, 1, 7.62, 0, 0, 0, 0, WP, NO, 0, 0, NO,
1043, BEAM , UNILOAD, GY, NO , NO, aDir[1], , , , 0, -3.43, 1, -3.43, 0, 0, 0, 0, WP, NO, 0, 0, NO,
1043, BEAM , UNILOAD, GZ, NO , NO, aDir[1], , , , 0, 7.62, 1, 7.62, 0, 0, 0, 0, WP, NO, 0, 0, NO,
1044, BEAM , UNILOAD, GZ, NO , NO, aDir[1], , , , 0, 7.62, 1, 7.62, 0, 0, 0, 0, WP, NO, 0, 0, NO,
1044, BEAM , UNILOAD, GY, NO , NO, aDir[1], , , , 0, -3.43, 1, -3.43, 0, 0, 0, 0, WP, NO, 0, 0, NO,
1045, BEAM , UNILOAD, GZ, NO , NO, aDir[1], , , , 0, 7.62, 1, 7.62, 0, 0, 0, 0, WP, NO, 0, 0, NO,
1045, BEAM , UNILOAD, GY, NO , NO, aDir[1], , , , 0, -3.43, 1, -3.43, 0, 0, 0, 0, WP, NO, 0, 0, NO,
1046, BEAM , UNILOAD, GY, NO , NO, aDir[1], , , , 0, -3.43, 1, -3.43, 0, 0, 0, 0, WP, NO, 0, 0, NO,
1046, BEAM , UNILOAD, GZ, NO , NO, aDir[1], , , , 0, 7.62, 1, 7.62, 0, 0, 0, 0, WP, NO, 0, 0, NO,
1047, BEAM , UNILOAD, GZ, NO , NO, aDir[1], , , , 0, 7.62, 1, 7.62, 0, 0, 0, 0, WP, NO, 0, 0, NO,
1047, BEAM , UNILOAD, GY, NO , NO, aDir[1], , , , 0, -3.43, 1, -3.43, 0, 0, 0, 0, WP, NO, 0, 0, NO,
1048, BEAM , UNILOAD, GZ, NO , NO, aDir[1], , , , 0, 7.62, 1, 7.62, 0, 0, 0, 0, WP, NO, 0, 0, NO,
1048, BEAM , UNILOAD, GY, NO , NO, aDir[1], , , , 0, -3.43, 1, -3.43, 0, 0, 0, 0, WP, NO, 0, 0, NO,
1049, BEAM , UNILOAD, GZ, NO , NO, aDir[1], , , , 0, 7.62, 1, 7.62, 0, 0, 0, 0, WP, NO, 0, 0, NO,
1049, BEAM , UNILOAD, GY, NO , NO, aDir[1], , , , 0, -3.43, 1, -3.43, 0, 0, 0, 0, WP, NO, 0, 0, NO,
1050, BEAM , UNILOAD, GY, NO , NO, aDir[1], , , , 0, -3.43, 1, -3.43, 0, 0, 0, 0, WP, NO, 0, 0, NO,
1050, BEAM , UNILOAD, GZ, NO , NO, aDir[1], , , , 0, 7.62, 1, 7.62, 0, 0, 0, 0, WP, NO, 0, 0, NO,
1051, BEAM , UNILOAD, GY, NO , NO, aDir[1], , , , 0, -3.43, 1, -3.43, 0, 0, 0, 0, WP, NO, 0, 0, NO,
1051, BEAM , UNILOAD, GZ, NO , NO, aDir[1], , , , 0, 7.62, 1, 7.62, 0, 0, 0, 0, WP, NO, 0, 0, NO,
1052, BEAM , UNILOAD, GY, NO , NO, aDir[1], , , , 0, -3.43, 1, -3.43, 0, 0, 0, 0, WP, NO, 0, 0, NO,
1052, BEAM , UNILOAD, GZ, NO , NO, aDir[1], , , , 0, 7.62, 1, 7.62, 0, 0, 0, 0, WP, NO, 0, 0, NO,
1053, BEAM , UNILOAD, GZ, NO , NO, aDir[1], , , , 0, 7.62, 1, 7.62, 0, 0, 0, 0, WP, NO, 0, 0, NO,
1053, BEAM , UNILOAD, GY, NO , NO, aDir[1], , , , 0, -3.43, 1, -3.43, 0, 0, 0, 0, WP, NO, 0, 0, NO,
1054, BEAM , UNILOAD, GY, NO , NO, aDir[1], , , , 0, -3.43, 1, -3.43, 0, 0, 0, 0, WP, NO, 0, 0, NO,
1054, BEAM , UNILOAD, GZ, NO , NO, aDir[1], , , , 0, 7.62, 1, 7.62, 0, 0, 0, 0, WP, NO, 0, 0, NO,
1055, BEAM , UNILOAD, GZ, NO , NO, aDir[1], , , , 0, 7.62, 1, 7.62, 0, 0, 0, 0, WP, NO, 0, 0, NO,
1055, BEAM , UNILOAD, GY, NO , NO, aDir[1], , , , 0, -3.43, 1, -3.43, 0, 0, 0, 0, WP, NO, 0, 0, NO,
1056, BEAM , UNILOAD, GY, NO , NO, aDir[1], , , , 0, -3.43, 1, -3.43, 0, 0, 0, 0, WP, NO, 0, 0, NO,
1056, BEAM , UNILOAD, GZ, NO , NO, aDir[1], , , , 0, 7.62, 1, 7.62, 0, 0, 0, 0, WP, NO, 0, 0, NO,
1057, BEAM , UNILOAD, GZ, NO , NO, aDir[1], , , , 0, 7.62, 1, 7.62, 0, 0, 0, 0, WP, NO, 0, 0, NO,
1057, BEAM , UNILOAD, GY, NO , NO, aDir[1], , , , 0, -3.43, 1, -3.43, 0, 0, 0, 0, WP, NO, 0, 0, NO,
1058, BEAM , UNILOAD, GZ, NO , NO, aDir[1], , , , 0, 7.62, 1, 7.62, 0, 0, 0, 0, WP, NO, 0, 0, NO,
1058, BEAM , UNILOAD, GY, NO , NO, aDir[1], , , , 0, -3.43, 1, -3.43, 0, 0, 0, 0, WP, NO, 0, 0, NO,
1059, BEAM , UNILOAD, GY, NO , NO, aDir[1], , , , 0, -3.43, 1, -3.43, 0, 0, 0, 0, WP, NO, 0, 0, NO,
1059, BEAM , UNILOAD, GZ, NO , NO, aDir[1], , , , 0, 7.62, 1, 7.62, 0, 0, 0, 0, WP, NO, 0, 0, NO,
1060, BEAM , UNILOAD, GY, NO , NO, aDir[1], , , , 0, -3.43, 1, -3.43, 0, 0, 0, 0, WP, NO, 0, 0, NO,
1060, BEAM , UNILOAD, GZ, NO , NO, aDir[1], , , , 0, 7.62, 1, 7.62, 0, 0, 0, 0, WP, NO, 0, 0, NO,

; End of data for load case [WP-Y 2. Track] ----------

*USE-STLD, TG.L +15

*ELTEMPER ; Element Temperatures
; ELEM_LIST, TEMPER, GROUP
35, 15, TG
36, 15, TG
37, 15, TG
38, 15, TG
39, 15, TG
40, 15, TG
41, 15, TG
42, 15, TG
43, 15, TG
44, 15, TG
45, 15, TG
46, 15, TG
47, 15, TG
48, 15, TG
49, 15, TG
50, 15, TG

PROJECT TITLE :

MIDAS	Company		Client	
	Author		File Name	H2D_3Dg_v14_180227_StatLM.mct

51, 15, TG
52, 15, TG
53, 15, TG
54, 15, TG
55, 15, TG
56, 15, TG
57, 15, TG
58, 15, TG
59, 15, TG
60, 15, TG
61, 15, TG
62, 15, TG
63, 15, TG
64, 15, TG
65, 15, TG
66, 15, TG
67, 15, TG
68, 15, TG
263, 15, TG
264, 15, TG
265, 15, TG
266, 15, TG
268, 15, TG
269, 15, TG
270, 15, TG
272, 15, TG
273, 15, TG
274, 15, TG
276, 15, TG
277, 15, TG
278, 15, TG
280, 15, TG
281, 15, TG
282, 15, TG
284, 15, TG
285, 15, TG
286, 15, TG
288, 15, TG
290, 15, TG
291, 15, TG
292, 15, TG
293, 15, TG
294, 15, TG
296, 15, TG
297, 15, TG
298, 15, TG
300, 15, TG
301, 15, TG
302, 15, TG
303, 15, TG
304, 15, TG
305, 15, TG
306, 15, TG
307, 15, TG
309, 15, TG
310, 15, TG
312, 15, TG
313, 15, TG
314, 15, TG
315, 15, TG
316, 15, TG
317, 15, TG
318, 15, TG
319, 15, TG
321, 15, TG
322, 15, TG
323, 15, TG
325, 15, TG
326, 15, TG
327, 15, TG
328, 15, TG
329, 15, TG

PROJECT TITLE :

MIDAS	Company		Client	
	Author		File Name	H2D_3Dg_v14_180227_StatLM.mct

331, 15, TG
333, 15, TG
334, 15, TG
335, 15, TG
337, 15, TG
338, 15, TG
339, 15, TG
341, 15, TG
342, 15, TG
343, 15, TG
345, 15, TG
346, 15, TG
347, 15, TG
349, 15, TG
350, 15, TG
351, 15, TG
353, 15, TG
354, 15, TG
355, 15, TG
356, 15, TG
446, 15, TG
447, 15, TG
448, 15, TG
451, 15, TG
452, 15, TG
453, 15, TG
454, 15, TG
456, 15, TG
457, 15, TG
458, 15, TG
459, 15, TG
461, 15, TG
462, 15, TG
463, 15, TG
464, 15, TG
466, 15, TG
467, 15, TG
468, 15, TG
469, 15, TG
471, 15, TG
472, 15, TG
473, 15, TG
474, 15, TG
476, 15, TG
477, 15, TG
478, 15, TG
479, 15, TG
481, 15, TG
482, 15, TG
483, 15, TG
484, 15, TG
485, 15, TG
488, 15, TG
489, 15, TG
490, 15, TG
491, 15, TG
493, 15, TG
494, 15, TG
495, 15, TG
496, 15, TG
497, 15, TG
499, 15, TG
500, 15, TG
501, 15, TG
502, 15, TG
504, 15, TG
505, 15, TG
506, 15, TG
507, 15, TG
509, 15, TG
510, 15, TG
511, 15, TG

PROJECT TITLE :

MIDAS	Company		Client	
	Author		File Name	H2D_3Dg_v14_180227_StatLM.mct

512, 15, TG
514, 15, TG
515, 15, TG
516, 15, TG
517, 15, TG
519, 15, TG
520, 15, TG
521, 15, TG
522, 15, TG
525, 15, TG
526, 15, TG
527, 15, TG
528, 15, TG
530, 15, TG
531, 15, TG
532, 15, TG
3023, 15, TG
3024, 15, TG
3030, 15, TG
3031, 15, TG
3056, 15, TG
3058, 15, TG
3060, 15, TG
3069, 15, TG
3071, 15, TG
3073, 15, TG
3075, 15, TG
3077, 15, TG
3647, 15, TG
3648, 15, TG
3649, 15, TG
3650, 15, TG
3651, 15, TG
3652, 15, TG
3653, 15, TG
3654, 15, TG
3655, 15, TG
3656, 15, TG
3657, 15, TG
3658, 15, TG
3659, 15, TG
3660, 15, TG
3664, 15, TG
3665, 15, TG
3668, 15, TG
3669, 15, TG
3671, 15, TG
3672, 15, TG
3673, 15, TG
3674, 15, TG
3675, 15, TG
3676, 15, TG
3677, 15, TG
3678, 15, TG
3679, 15, TG
3680, 15, TG
3681, 15, TG
3682, 15, TG
3719, 15, TG
3720, 15, TG
3721, 15, TG
3722, 15, TG
3723, 15, TG
3724, 15, TG
3725, 15, TG
3728, 15, TG
3729, 15, TG
3731, 15, TG
3732, 15, TG
3733, 15, TG
3734, 15, TG
3735, 15, TG

PROJECT TITLE :

MIDAS	Company		Client	
	Author		File Name	H2D_3Dg_v14_180227_StatLM.mct

3736, 15, TG
3761, 15, TG
3762, 15, TG
3763, 15, TG
3764, 15, TG
3765, 15, TG
3766, 15, TG

; End of data for load case [TG.L +15] ----------

*USE-STLD, TG.R +15

*ELTEMPER ; Element Temperatures
; ELEM_LIST, TEMPER, GROUP
1, 15, TG
2, 15, TG
3, 15, TG
4, 15, TG
5, 15, TG
6, 15, TG
7, 15, TG
8, 15, TG
9, 15, TG
10, 15, TG
11, 15, TG
12, 15, TG
13, 15, TG
14, 15, TG
15, 15, TG
16, 15, TG
17, 15, TG
18, 15, TG
19, 15, TG
20, 15, TG
21, 15, TG
22, 15, TG
23, 15, TG
24, 15, TG
25, 15, TG
26, 15, TG
27, 15, TG
28, 15, TG
29, 15, TG
30, 15, TG
31, 15, TG
32, 15, TG
33, 15, TG
34, 15, TG
169, 15, TG
170, 15, TG
171, 15, TG
172, 15, TG
174, 15, TG
175, 15, TG
176, 15, TG
178, 15, TG
179, 15, TG
180, 15, TG
182, 15, TG
183, 15, TG
184, 15, TG
186, 15, TG
187, 15, TG
188, 15, TG
190, 15, TG
191, 15, TG
192, 15, TG
194, 15, TG
196, 15, TG
197, 15, TG
198, 15, TG
199, 15, TG

PROJECT TITLE :

MIDAS	Company		Client	
	Author		File Name	H2D_3Dg_v14_180227_StatLM.mct

200, 15, TG
202, 15, TG
203, 15, TG
204, 15, TG
206, 15, TG
207, 15, TG
208, 15, TG
209, 15, TG
210, 15, TG
211, 15, TG
212, 15, TG
213, 15, TG
215, 15, TG
216, 15, TG
218, 15, TG
219, 15, TG
220, 15, TG
221, 15, TG
222, 15, TG
223, 15, TG
224, 15, TG
225, 15, TG
227, 15, TG
228, 15, TG
229, 15, TG
231, 15, TG
232, 15, TG
233, 15, TG
234, 15, TG
235, 15, TG
237, 15, TG
239, 15, TG
240, 15, TG
241, 15, TG
243, 15, TG
244, 15, TG
245, 15, TG
247, 15, TG
248, 15, TG
249, 15, TG
251, 15, TG
252, 15, TG
253, 15, TG
255, 15, TG
256, 15, TG
257, 15, TG
259, 15, TG
260, 15, TG
261, 15, TG
262, 15, TG
358, 15, TG
359, 15, TG
360, 15, TG
363, 15, TG
364, 15, TG
365, 15, TG
366, 15, TG
368, 15, TG
369, 15, TG
370, 15, TG
371, 15, TG
373, 15, TG
374, 15, TG
375, 15, TG
376, 15, TG
378, 15, TG
379, 15, TG
380, 15, TG
381, 15, TG
383, 15, TG
384, 15, TG
385, 15, TG

PROJECT TITLE :

MIDAS	Company		Client	
	Author		File Name	H2D_3Dg_v14_180227_StatLM.mct

386, 15, TG
388, 15, TG
389, 15, TG
390, 15, TG
391, 15, TG
393, 15, TG
394, 15, TG
395, 15, TG
396, 15, TG
397, 15, TG
400, 15, TG
401, 15, TG
402, 15, TG
403, 15, TG
405, 15, TG
406, 15, TG
407, 15, TG
408, 15, TG
409, 15, TG
411, 15, TG
412, 15, TG
413, 15, TG
414, 15, TG
416, 15, TG
417, 15, TG
418, 15, TG
419, 15, TG
421, 15, TG
422, 15, TG
423, 15, TG
424, 15, TG
426, 15, TG
427, 15, TG
428, 15, TG
429, 15, TG
431, 15, TG
432, 15, TG
433, 15, TG
434, 15, TG
437, 15, TG
438, 15, TG
439, 15, TG
440, 15, TG
442, 15, TG
443, 15, TG
444, 15, TG
3038, 15, TG
3039, 15, TG
3046, 15, TG
3047, 15, TG
3057, 15, TG
3059, 15, TG
3061, 15, TG
3070, 15, TG
3072, 15, TG
3074, 15, TG
3076, 15, TG
3078, 15, TG
3683, 15, TG
3684, 15, TG
3685, 15, TG
3686, 15, TG
3687, 15, TG
3688, 15, TG
3689, 15, TG
3690, 15, TG
3691, 15, TG
3692, 15, TG
3693, 15, TG
3694, 15, TG
3695, 15, TG
3696, 15, TG

PROJECT TITLE :

MIDAS	Company		Client	
	Author		File Name	H2D_3Dg_v14_180227_StatLM.mct

3700, 15, TG
3701, 15, TG
3704, 15, TG
3705, 15, TG
3707, 15, TG
3708, 15, TG
3709, 15, TG
3710, 15, TG
3711, 15, TG
3712, 15, TG
3713, 15, TG
3714, 15, TG
3715, 15, TG
3716, 15, TG
3717, 15, TG
3718, 15, TG
3737, 15, TG
3738, 15, TG
3739, 15, TG
3740, 15, TG
3741, 15, TG
3742, 15, TG
3743, 15, TG
3746, 15, TG
3747, 15, TG
3749, 15, TG
3750, 15, TG
3751, 15, TG
3752, 15, TG
3753, 15, TG
3754, 15, TG
3755, 15, TG
3756, 15, TG
3757, 15, TG
3758, 15, TG
3759, 15, TG
3760, 15, TG

; End of data for load case [TG.R +15] ----------

*USE-STLD, V1

*BEAMLOAD ; Element Beam Loads
; ELEM_LIST, CMD, TYPE, DIR, bPROJ, [ECCEN], [VALUE], GROUP
; ELEM_LIST, CMD, TYPE, TYPE, DIR, VX, VY, VZ, bPROJ, [ECCEN], [VALUE], GROUP
; [VALUE] : D1, P1, D2, P2, D3, P3, D4, P4
; [ECCEN] : bECCEN, ECCDIR, I-END, J-END, bJ-END
; [ADDITIONAL] : bADDITIONAL, ADDITIONAL_I-END, ADDITIONAL_J-END, bADDITIONAL_J-END
1061, BEAM , UNILOAD, GZ, NO , NO, aDir[1], , , , 0, 36, 1, 36, 0, 0, 0, 0, V, NO, 0, 0, NO,
1062, BEAM , UNILOAD, GZ, NO , NO, aDir[1], , , , 0, 36, 1, 36, 0, 0, 0, 0, V, NO, 0, 0, NO,
1063, BEAM , UNILOAD, GZ, NO , NO, aDir[1], , , , 0, 36, 1, 36, 0, 0, 0, 0, V, NO, 0, 0, NO,
1064, BEAM , UNILOAD, GZ, NO , NO, aDir[1], , , , 0, 36, 1, 36, 0, 0, 0, 0, V, NO, 0, 0, NO,
1065, BEAM , UNILOAD, GZ, NO , NO, aDir[1], , , , 0, 36, 1, 36, 0, 0, 0, 0, V, NO, 0, 0, NO,
1066, BEAM , UNILOAD, GZ, NO , NO, aDir[1], , , , 0, 36, 1, 36, 0, 0, 0, 0, V, NO, 0, 0, NO,
1067, BEAM , UNILOAD, GZ, NO , NO, aDir[1], , , , 0, 36, 1, 36, 0, 0, 0, 0, V, NO, 0, 0, NO,
1068, BEAM , UNILOAD, GZ, NO , NO, aDir[1], , , , 0, 36, 1, 36, 0, 0, 0, 0, V, NO, 0, 0, NO,
1069, BEAM , UNILOAD, GZ, NO , NO, aDir[1], , , , 0, 36, 1, 36, 0, 0, 0, 0, V, NO, 0, 0, NO,
1070, BEAM , UNILOAD, GZ, NO , NO, aDir[1], , , , 0, 36, 1, 36, 0, 0, 0, 0, V, NO, 0, 0, NO,
1071, BEAM , UNILOAD, GZ, NO , NO, aDir[1], , , , 0, 36, 1, 36, 0, 0, 0, 0, V, NO, 0, 0, NO,
1072, BEAM , UNILOAD, GZ, NO , NO, aDir[1], , , , 0, 36, 1, 36, 0, 0, 0, 0, V, NO, 0, 0, NO,
1073, BEAM , UNILOAD, GZ, NO , NO, aDir[1], , , , 0, 36, 1, 36, 0, 0, 0, 0, V, NO, 0, 0, NO,
1074, BEAM , UNILOAD, GZ, NO , NO, aDir[1], , , , 0, 36, 1, 36, 0, 0, 0, 0, V, NO, 0, 0, NO,
1075, BEAM , UNILOAD, GZ, NO , NO, aDir[1], , , , 0, 36, 1, 36, 0, 0, 0, 0, V, NO, 0, 0, NO,
1076, BEAM , UNILOAD, GZ, NO , NO, aDir[1], , , , 0, 36, 1, 36, 0, 0, 0, 0, V, NO, 0, 0, NO,
1077, BEAM , UNILOAD, GZ, NO , NO, aDir[1], , , , 0, 36, 1, 36, 0, 0, 0, 0, V, NO, 0, 0, NO,
1078, BEAM , UNILOAD, GZ, NO , NO, aDir[1], , , , 0, 36, 1, 36, 0, 0, 0, 0, V, NO, 0, 0, NO,
1079, BEAM , UNILOAD, GZ, NO , NO, aDir[1], , , , 0, 36, 1, 36, 0, 0, 0, 0, V, NO, 0, 0, NO,
1080, BEAM , UNILOAD, GZ, NO , NO, aDir[1], , , , 0, 36, 1, 36, 0, 0, 0, 0, V, NO, 0, 0, NO,
1081, BEAM , UNILOAD, GZ, NO , NO, aDir[1], , , , 0, 36, 1, 36, 0, 0, 0, 0, V, NO, 0, 0, NO,
1082, BEAM , UNILOAD, GZ, NO , NO, aDir[1], , , , 0, 36, 1, 36, 0, 0, 0, 0, V, NO, 0, 0, NO,
1083, BEAM , UNILOAD, GZ, NO , NO, aDir[1], , , , 0, 36, 1, 36, 0, 0, 0, 0, V, NO, 0, 0, NO,
1084, BEAM , UNILOAD, GZ, NO , NO, aDir[1], , , , 0, 36, 1, 36, 0, 0, 0, 0, V, NO, 0, 0, NO,

PROJECT TITLE :

MIDAS	Company		Client	
	Author		File Name	H2D_3Dg_v14_180227_StatLM.mct

1085, BEAM , UNILOAD, GZ, NO , NO, aDir[1], , , , 0, 36, 1, 36, 0, 0, 0, 0, V, NO, 0, 0, NO,
1086, BEAM , UNILOAD, GZ, NO , NO, aDir[1], , , , 0, 36, 1, 36, 0, 0, 0, 0, V, NO, 0, 0, NO,
1087, BEAM , UNILOAD, GZ, NO , NO, aDir[1], , , , 0, 36, 1, 36, 0, 0, 0, 0, V, NO, 0, 0, NO,
1088, BEAM , UNILOAD, GZ, NO , NO, aDir[1], , , , 0, 36, 1, 36, 0, 0, 0, 0, V, NO, 0, 0, NO,
1089, BEAM , UNILOAD, GZ, NO , NO, aDir[1], , , , 0, 36, 1, 36, 0, 0, 0, 0, V, NO, 0, 0, NO,
1090, BEAM , UNILOAD, GZ, NO , NO, aDir[1], , , , 0, 36, 1, 36, 0, 0, 0, 0, V, NO, 0, 0, NO,
1091, BEAM , UNILOAD, GZ, NO , NO, aDir[1], , , , 0, 36, 1, 36, 0, 0, 0, 0, V, NO, 0, 0, NO,
1092, BEAM , UNILOAD, GZ, NO , NO, aDir[1], , , , 0, 36, 1, 36, 0, 0, 0, 0, V, NO, 0, 0, NO,
1093, BEAM , UNILOAD, GZ, NO , NO, aDir[1], , , , 0, 36, 1, 36, 0, 0, 0, 0, V, NO, 0, 0, NO,
1094, BEAM , UNILOAD, GZ, NO , NO, aDir[1], , , , 0, 36, 1, 36, 0, 0, 0, 0, V, NO, 0, 0, NO,
1095, BEAM , UNILOAD, GZ, NO , NO, aDir[1], , , , 0, 36, 1, 36, 0, 0, 0, 0, V, NO, 0, 0, NO,
1096, BEAM , UNILOAD, GZ, NO , NO, aDir[1], , , , 0, 36, 1, 36, 0, 0, 0, 0, V, NO, 0, 0, NO,
1097, BEAM , UNILOAD, GZ, NO , NO, aDir[1], , , , 0, 36, 1, 36, 0, 0, 0, 0, V, NO, 0, 0, NO,
1098, BEAM , UNILOAD, GZ, NO , NO, aDir[1], , , , 0, 36, 1, 36, 0, 0, 0, 0, V, NO, 0, 0, NO,
1099, BEAM , UNILOAD, GZ, NO , NO, aDir[1], , , , 0, 36, 1, 36, 0, 0, 0, 0, V, NO, 0, 0, NO,
1100, BEAM , UNILOAD, GZ, NO , NO, aDir[1], , , , 0, 36, 1, 36, 0, 0, 0, 0, V, NO, 0, 0, NO,
1101, BEAM , UNILOAD, GZ, NO , NO, aDir[1], , , , 0, 36, 1, 36, 0, 0, 0, 0, V, NO, 0, 0, NO,
1102, BEAM , UNILOAD, GZ, NO , NO, aDir[1], , , , 0, 36, 1, 36, 0, 0, 0, 0, V, NO, 0, 0, NO,
1103, BEAM , UNILOAD, GZ, NO , NO, aDir[1], , , , 0, 36, 1, 36, 0, 0, 0, 0, V, NO, 0, 0, NO,
1104, BEAM , UNILOAD, GZ, NO , NO, aDir[1], , , , 0, 36, 1, 36, 0, 0, 0, 0, V, NO, 0, 0, NO,
1105, BEAM , UNILOAD, GZ, NO , NO, aDir[1], , , , 0, 36, 1, 36, 0, 0, 0, 0, V, NO, 0, 0, NO,
1106, BEAM , UNILOAD, GZ, NO , NO, aDir[1], , , , 0, 36, 1, 36, 0, 0, 0, 0, V, NO, 0, 0, NO,
1107, BEAM , UNILOAD, GZ, NO , NO, aDir[1], , , , 0, 36, 1, 36, 0, 0, 0, 0, V, NO, 0, 0, NO,
1108, BEAM , UNILOAD, GZ, NO , NO, aDir[1], , , , 0, 36, 1, 36, 0, 0, 0, 0, V, NO, 0, 0, NO,
1109, BEAM , UNILOAD, GZ, NO , NO, aDir[1], , , , 0, 36, 1, 36, 0, 0, 0, 0, V, NO, 0, 0, NO,
1110, BEAM , UNILOAD, GZ, NO , NO, aDir[1], , , , 0, 36, 1, 36, 0, 0, 0, 0, V, NO, 0, 0, NO,
1111, BEAM , UNILOAD, GZ, NO , NO, aDir[1], , , , 0, 36, 1, 36, 0, 0, 0, 0, V, NO, 0, 0, NO,
1112, BEAM , UNILOAD, GZ, NO , NO, aDir[1], , , , 0, 36, 1, 36, 0, 0, 0, 0, V, NO, 0, 0, NO,
1113, BEAM , UNILOAD, GZ, NO , NO, aDir[1], , , , 0, 36, 1, 36, 0, 0, 0, 0, V, NO, 0, 0, NO,
1114, BEAM , UNILOAD, GZ, NO , NO, aDir[1], , , , 0, 36, 1, 36, 0, 0, 0, 0, V, NO, 0, 0, NO,
1115, BEAM , UNILOAD, GZ, NO , NO, aDir[1], , , , 0, 36, 1, 36, 0, 0, 0, 0, V, NO, 0, 0, NO,
1116, BEAM , UNILOAD, GZ, NO , NO, aDir[1], , , , 0, 36, 1, 36, 0, 0, 0, 0, V, NO, 0, 0, NO,
1117, BEAM , UNILOAD, GZ, NO , NO, aDir[1], , , , 0, 36, 1, 36, 0, 0, 0, 0, V, NO, 0, 0, NO,
1118, BEAM , UNILOAD, GZ, NO , NO, aDir[1], , , , 0, 36, 1, 36, 0, 0, 0, 0, V, NO, 0, 0, NO,
1119, BEAM , UNILOAD, GZ, NO , NO, aDir[1], , , , 0, 36, 1, 36, 0, 0, 0, 0, V, NO, 0, 0, NO,
1120, BEAM , UNILOAD, GZ, NO , NO, aDir[1], , , , 0, 36, 1, 36, 0, 0, 0, 0, V, NO, 0, 0, NO,
1121, BEAM , UNILOAD, GZ, NO , NO, aDir[1], , , , 0, 36, 1, 36, 0, 0, 0, 0, V, NO, 0, 0, NO,
1122, BEAM , UNILOAD, GZ, NO , NO, aDir[1], , , , 0, 36, 1, 36, 0, 0, 0, 0, V, NO, 0, 0, NO,
1123, BEAM , UNILOAD, GZ, NO , NO, aDir[1], , , , 0, 36, 1, 36, 0, 0, 0, 0, V, NO, 0, 0, NO,
1124, BEAM , UNILOAD, GZ, NO , NO, aDir[1], , , , 0, 36, 1, 36, 0, 0, 0, 0, V, NO, 0, 0, NO,
1125, BEAM , UNILOAD, GZ, NO , NO, aDir[1], , , , 0, 36, 1, 36, 0, 0, 0, 0, V, NO, 0, 0, NO,
1126, BEAM , UNILOAD, GZ, NO , NO, aDir[1], , , , 0, 36, 1, 36, 0, 0, 0, 0, V, NO, 0, 0, NO,
1127, BEAM , UNILOAD, GZ, NO , NO, aDir[1], , , , 0, 36, 1, 36, 0, 0, 0, 0, V, NO, 0, 0, NO,
1128, BEAM , UNILOAD, GZ, NO , NO, aDir[1], , , , 0, 36, 1, 36, 0, 0, 0, 0, V, NO, 0, 0, NO,
1129, BEAM , UNILOAD, GZ, NO , NO, aDir[1], , , , 0, 36, 1, 36, 0, 0, 0, 0, V, NO, 0, 0, NO,
1130, BEAM , UNILOAD, GZ, NO , NO, aDir[1], , , , 0, 36, 1, 36, 0, 0, 0, 0, V, NO, 0, 0, NO,
1131, BEAM , UNILOAD, GZ, NO , NO, aDir[1], , , , 0, 36, 1, 36, 0, 0, 0, 0, V, NO, 0, 0, NO,
1132, BEAM , UNILOAD, GZ, NO , NO, aDir[1], , , , 0, 36, 1, 36, 0, 0, 0, 0, V, NO, 0, 0, NO,
1133, BEAM , UNILOAD, GZ, NO , NO, aDir[1], , , , 0, 36, 1, 36, 0, 0, 0, 0, V, NO, 0, 0, NO,
1134, BEAM , UNILOAD, GZ, NO , NO, aDir[1], , , , 0, 36, 1, 36, 0, 0, 0, 0, V, NO, 0, 0, NO,
1135, BEAM , UNILOAD, GZ, NO , NO, aDir[1], , , , 0, 36, 1, 36, 0, 0, 0, 0, V, NO, 0, 0, NO,
1136, BEAM , UNILOAD, GZ, NO , NO, aDir[1], , , , 0, 36, 1, 36, 0, 0, 0, 0, V, NO, 0, 0, NO,
1137, BEAM , UNILOAD, GZ, NO , NO, aDir[1], , , , 0, 36, 1, 36, 0, 0, 0, 0, V, NO, 0, 0, NO,
1138, BEAM , UNILOAD, GZ, NO , NO, aDir[1], , , , 0, 36, 1, 36, 0, 0, 0, 0, V, NO, 0, 0, NO,
1139, BEAM , UNILOAD, GZ, NO , NO, aDir[1], , , , 0, 36, 1, 36, 0, 0, 0, 0, V, NO, 0, 0, NO,
1140, BEAM , UNILOAD, GZ, NO , NO, aDir[1], , , , 0, 36, 1, 36, 0, 0, 0, 0, V, NO, 0, 0, NO,
1141, BEAM , UNILOAD, GZ, NO , NO, aDir[1], , , , 0, 36, 1, 36, 0, 0, 0, 0, V, NO, 0, 0, NO,
1142, BEAM , UNILOAD, GZ, NO , NO, aDir[1], , , , 0, 36, 1, 36, 0, 0, 0, 0, V, NO, 0, 0, NO,
1143, BEAM , UNILOAD, GZ, NO , NO, aDir[1], , , , 0, 36, 1, 36, 0, 0, 0, 0, V, NO, 0, 0, NO,
1144, BEAM , UNILOAD, GZ, NO , NO, aDir[1], , , , 0, 36, 1, 36, 0, 0, 0, 0, V, NO, 0, 0, NO,
1145, BEAM , UNILOAD, GZ, NO , NO, aDir[1], , , , 0, 36, 1, 36, 0, 0, 0, 0, V, NO, 0, 0, NO,
1146, BEAM , UNILOAD, GZ, NO , NO, aDir[1], , , , 0, 36, 1, 36, 0, 0, 0, 0, V, NO, 0, 0, NO,
1147, BEAM , UNILOAD, GZ, NO , NO, aDir[1], , , , 0, 36, 1, 36, 0, 0, 0, 0, V, NO, 0, 0, NO,
1148, BEAM , UNILOAD, GZ, NO , NO, aDir[1], , , , 0, 36, 1, 36, 0, 0, 0, 0, V, NO, 0, 0, NO,
1149, BEAM , UNILOAD, GZ, NO , NO, aDir[1], , , , 0, 36, 1, 36, 0, 0, 0, 0, V, NO, 0, 0, NO,
1150, BEAM , UNILOAD, GZ, NO , NO, aDir[1], , , , 0, 36, 1, 36, 0, 0, 0, 0, V, NO, 0, 0, NO,
1151, BEAM , UNILOAD, GZ, NO , NO, aDir[1], , , , 0, 36, 1, 36, 0, 0, 0, 0, V, NO, 0, 0, NO,
1152, BEAM , UNILOAD, GZ, NO , NO, aDir[1], , , , 0, 36, 1, 36, 0, 0, 0, 0, V, NO, 0, 0, NO,
1153, BEAM , UNILOAD, GZ, NO , NO, aDir[1], , , , 0, 36, 1, 36, 0, 0, 0, 0, V, NO, 0, 0, NO,
1154, BEAM , UNILOAD, GZ, NO , NO, aDir[1], , , , 0, 36, 1, 36, 0, 0, 0, 0, V, NO, 0, 0, NO,
1155, BEAM , UNILOAD, GZ, NO , NO, aDir[1], , , , 0, 36, 1, 36, 0, 0, 0, 0, V, NO, 0, 0, NO,
1156, BEAM , UNILOAD, GZ, NO , NO, aDir[1], , , , 0, 36, 1, 36, 0, 0, 0, 0, V, NO, 0, 0, NO,

PROJECT TITLE :

MIDAS	Company		Client	
	Author		File Name	H2D_3Dg_v14_180227_StatLM.mct

1157, BEAM , UNILOAD, GZ, NO , NO, aDir[1], , , , 0, 36, 1, 36, 0, 0, 0, 0, V, NO, 0, 0, NO,
1158, BEAM , UNILOAD, GZ, NO , NO, aDir[1], , , , 0, 36, 1, 36, 0, 0, 0, 0, V, NO, 0, 0, NO,
1159, BEAM , UNILOAD, GZ, NO , NO, aDir[1], , , , 0, 36, 1, 36, 0, 0, 0, 0, V, NO, 0, 0, NO,
1160, BEAM , UNILOAD, GZ, NO , NO, aDir[1], , , , 0, 36, 1, 36, 0, 0, 0, 0, V, NO, 0, 0, NO,
1161, BEAM , UNILOAD, GZ, NO , NO, aDir[1], , , , 0, 36, 1, 36, 0, 0, 0, 0, V, NO, 0, 0, NO,
1162, BEAM , UNILOAD, GZ, NO , NO, aDir[1], , , , 0, 36, 1, 36, 0, 0, 0, 0, V, NO, 0, 0, NO,
1163, BEAM , UNILOAD, GZ, NO , NO, aDir[1], , , , 0, 36, 1, 36, 0, 0, 0, 0, V, NO, 0, 0, NO,
1164, BEAM , UNILOAD, GZ, NO , NO, aDir[1], , , , 0, 36, 1, 36, 0, 0, 0, 0, V, NO, 0, 0, NO,
1165, BEAM , UNILOAD, GZ, NO , NO, aDir[1], , , , 0, 36, 1, 36, 0, 0, 0, 0, V, NO, 0, 0, NO,
1166, BEAM , UNILOAD, GZ, NO , NO, aDir[1], , , , 0, 36, 1, 36, 0, 0, 0, 0, V, NO, 0, 0, NO,
1167, BEAM , UNILOAD, GZ, NO , NO, aDir[1], , , , 0, 36, 1, 36, 0, 0, 0, 0, V, NO, 0, 0, NO,
1168, BEAM , UNILOAD, GZ, NO , NO, aDir[1], , , , 0, 36, 1, 36, 0, 0, 0, 0, V, NO, 0, 0, NO,
1169, BEAM , UNILOAD, GZ, NO , NO, aDir[1], , , , 0, 36, 1, 36, 0, 0, 0, 0, V, NO, 0, 0, NO,
1170, BEAM , UNILOAD, GZ, NO , NO, aDir[1], , , , 0, 36, 1, 36, 0, 0, 0, 0, V, NO, 0, 0, NO,
1171, BEAM , UNILOAD, GZ, NO , NO, aDir[1], , , , 0, 36, 1, 36, 0, 0, 0, 0, V, NO, 0, 0, NO,
1172, BEAM , UNILOAD, GZ, NO , NO, aDir[1], , , , 0, 36, 1, 36, 0, 0, 0, 0, V, NO, 0, 0, NO,
1173, BEAM , UNILOAD, GZ, NO , NO, aDir[1], , , , 0, 36, 1, 36, 0, 0, 0, 0, V, NO, 0, 0, NO,
1174, BEAM , UNILOAD, GZ, NO , NO, aDir[1], , , , 0, 36, 1, 36, 0, 0, 0, 0, V, NO, 0, 0, NO,
1175, BEAM , UNILOAD, GZ, NO , NO, aDir[1], , , , 0, 36, 1, 36, 0, 0, 0, 0, V, NO, 0, 0, NO,
1176, BEAM , UNILOAD, GZ, NO , NO, aDir[1], , , , 0, 36, 1, 36, 0, 0, 0, 0, V, NO, 0, 0, NO,
1177, BEAM , UNILOAD, GZ, NO , NO, aDir[1], , , , 0, 36, 1, 36, 0, 0, 0, 0, V, NO, 0, 0, NO,
1178, BEAM , UNILOAD, GZ, NO , NO, aDir[1], , , , 0, 36, 1, 36, 0, 0, 0, 0, V, NO, 0, 0, NO,
1179, BEAM , UNILOAD, GZ, NO , NO, aDir[1], , , , 0, 36, 1, 36, 0, 0, 0, 0, V, NO, 0, 0, NO,
1180, BEAM , UNILOAD, GZ, NO , NO, aDir[1], , , , 0, 36, 1, 36, 0, 0, 0, 0, V, NO, 0, 0, NO,
1181, BEAM , UNILOAD, GZ, NO , NO, aDir[1], , , , 0, 36, 1, 36, 0, 0, 0, 0, V, NO, 0, 0, NO,
1182, BEAM , UNILOAD, GZ, NO , NO, aDir[1], , , , 0, 36, 1, 36, 0, 0, 0, 0, V, NO, 0, 0, NO,
1183, BEAM , UNILOAD, GZ, NO , NO, aDir[1], , , , 0, 36, 1, 36, 0, 0, 0, 0, V, NO, 0, 0, NO,
1184, BEAM , UNILOAD, GZ, NO , NO, aDir[1], , , , 0, 36, 1, 36, 0, 0, 0, 0, V, NO, 0, 0, NO,
1185, BEAM , UNILOAD, GZ, NO , NO, aDir[1], , , , 0, 36, 1, 36, 0, 0, 0, 0, V, NO, 0, 0, NO,
1186, BEAM , UNILOAD, GZ, NO , NO, aDir[1], , , , 0, 36, 1, 36, 0, 0, 0, 0, V, NO, 0, 0, NO,
1187, BEAM , UNILOAD, GZ, NO , NO, aDir[1], , , , 0, 36, 1, 36, 0, 0, 0, 0, V, NO, 0, 0, NO,
1188, BEAM , UNILOAD, GZ, NO , NO, aDir[1], , , , 0, 36, 1, 36, 0, 0, 0, 0, V, NO, 0, 0, NO,
1189, BEAM , UNILOAD, GZ, NO , NO, aDir[1], , , , 0, 36, 1, 36, 0, 0, 0, 0, V, NO, 0, 0, NO,
1190, BEAM , UNILOAD, GZ, NO , NO, aDir[1], , , , 0, 36, 1, 36, 0, 0, 0, 0, V, NO, 0, 0, NO,
1191, BEAM , UNILOAD, GZ, NO , NO, aDir[1], , , , 0, 36, 1, 36, 0, 0, 0, 0, V, NO, 0, 0, NO,
1192, BEAM , UNILOAD, GZ, NO , NO, aDir[1], , , , 0, 36, 1, 36, 0, 0, 0, 0, V, NO, 0, 0, NO,
1193, BEAM , UNILOAD, GZ, NO , NO, aDir[1], , , , 0, 36, 1, 36, 0, 0, 0, 0, V, NO, 0, 0, NO,
1194, BEAM , UNILOAD, GZ, NO , NO, aDir[1], , , , 0, 36, 1, 36, 0, 0, 0, 0, V, NO, 0, 0, NO,
1195, BEAM , UNILOAD, GZ, NO , NO, aDir[1], , , , 0, 36, 1, 36, 0, 0, 0, 0, V, NO, 0, 0, NO,
1196, BEAM , UNILOAD, GZ, NO , NO, aDir[1], , , , 0, 36, 1, 36, 0, 0, 0, 0, V, NO, 0, 0, NO,
1197, BEAM , UNILOAD, GZ, NO , NO, aDir[1], , , , 0, 36, 1, 36, 0, 0, 0, 0, V, NO, 0, 0, NO,
1198, BEAM , UNILOAD, GZ, NO , NO, aDir[1], , , , 0, 36, 1, 36, 0, 0, 0, 0, V, NO, 0, 0, NO,
1199, BEAM , UNILOAD, GZ, NO , NO, aDir[1], , , , 0, 36, 1, 36, 0, 0, 0, 0, V, NO, 0, 0, NO,
1200, BEAM , UNILOAD, GZ, NO , NO, aDir[1], , , , 0, 36, 1, 36, 0, 0, 0, 0, V, NO, 0, 0, NO,
1201, BEAM , UNILOAD, GZ, NO , NO, aDir[1], , , , 0, 36, 1, 36, 0, 0, 0, 0, V, NO, 0, 0, NO,
1202, BEAM , UNILOAD, GZ, NO , NO, aDir[1], , , , 0, 36, 1, 36, 0, 0, 0, 0, V, NO, 0, 0, NO,
1203, BEAM , UNILOAD, GZ, NO , NO, aDir[1], , , , 0, 36, 1, 36, 0, 0, 0, 0, V, NO, 0, 0, NO,
1204, BEAM , UNILOAD, GZ, NO , NO, aDir[1], , , , 0, 36, 1, 36, 0, 0, 0, 0, V, NO, 0, 0, NO,
1205, BEAM , UNILOAD, GZ, NO , NO, aDir[1], , , , 0, 36, 1, 36, 0, 0, 0, 0, V, NO, 0, 0, NO,
1206, BEAM , UNILOAD, GZ, NO , NO, aDir[1], , , , 0, 36, 1, 36, 0, 0, 0, 0, V, NO, 0, 0, NO,
1207, BEAM , UNILOAD, GZ, NO , NO, aDir[1], , , , 0, 36, 1, 36, 0, 0, 0, 0, V, NO, 0, 0, NO,
1208, BEAM , UNILOAD, GZ, NO , NO, aDir[1], , , , 0, 36, 1, 36, 0, 0, 0, 0, V, NO, 0, 0, NO,
1209, BEAM , UNILOAD, GZ, NO , NO, aDir[1], , , , 0, 36, 1, 36, 0, 0, 0, 0, V, NO, 0, 0, NO,
1210, BEAM , UNILOAD, GZ, NO , NO, aDir[1], , , , 0, 36, 1, 36, 0, 0, 0, 0, V, NO, 0, 0, NO,
1211, BEAM , UNILOAD, GZ, NO , NO, aDir[1], , , , 0, 36, 1, 36, 0, 0, 0, 0, V, NO, 0, 0, NO,
1212, BEAM , UNILOAD, GZ, NO , NO, aDir[1], , , , 0, 36, 1, 36, 0, 0, 0, 0, V, NO, 0, 0, NO,
1213, BEAM , UNILOAD, GZ, NO , NO, aDir[1], , , , 0, 36, 1, 36, 0, 0, 0, 0, V, NO, 0, 0, NO,
1214, BEAM , UNILOAD, GZ, NO , NO, aDir[1], , , , 0, 36, 1, 36, 0, 0, 0, 0, V, NO, 0, 0, NO,
1215, BEAM , UNILOAD, GZ, NO , NO, aDir[1], , , , 0, 36, 1, 36, 0, 0, 0, 0, V, NO, 0, 0, NO,
1216, BEAM , UNILOAD, GZ, NO , NO, aDir[1], , , , 0, 36, 1, 36, 0, 0, 0, 0, V, NO, 0, 0, NO,
1217, BEAM , UNILOAD, GZ, NO , NO, aDir[1], , , , 0, 36, 1, 36, 0, 0, 0, 0, V, NO, 0, 0, NO,
1218, BEAM , UNILOAD, GZ, NO , NO, aDir[1], , , , 0, 36, 1, 36, 0, 0, 0, 0, V, NO, 0, 0, NO,
1219, BEAM , UNILOAD, GZ, NO , NO, aDir[1], , , , 0, 36, 1, 36, 0, 0, 0, 0, V, NO, 0, 0, NO,
1220, BEAM , UNILOAD, GZ, NO , NO, aDir[1], , , , 0, 36, 1, 36, 0, 0, 0, 0, V, NO, 0, 0, NO,
1221, BEAM , UNILOAD, GZ, NO , NO, aDir[1], , , , 0, 36, 1, 36, 0, 0, 0, 0, V, NO, 0, 0, NO,
1222, BEAM , UNILOAD, GZ, NO , NO, aDir[1], , , , 0, 36, 1, 36, 0, 0, 0, 0, V, NO, 0, 0, NO,
1223, BEAM , UNILOAD, GZ, NO , NO, aDir[1], , , , 0, 36, 1, 36, 0, 0, 0, 0, V, NO, 0, 0, NO,
1224, BEAM , UNILOAD, GZ, NO , NO, aDir[1], , , , 0, 36, 1, 36, 0, 0, 0, 0, V, NO, 0, 0, NO,
1225, BEAM , UNILOAD, GZ, NO , NO, aDir[1], , , , 0, 36, 1, 36, 0, 0, 0, 0, V, NO, 0, 0, NO,
1226, BEAM , UNILOAD, GZ, NO , NO, aDir[1], , , , 0, 36, 1, 36, 0, 0, 0, 0, V, NO, 0, 0, NO,
1227, BEAM , UNILOAD, GZ, NO , NO, aDir[1], , , , 0, 36, 1, 36, 0, 0, 0, 0, V, NO, 0, 0, NO,
1228, BEAM , UNILOAD, GZ, NO , NO, aDir[1], , , , 0, 36, 1, 36, 0, 0, 0, 0, V, NO, 0, 0, NO,

PROJECT TITLE :

MIDAS	Company		Client	
	Author		File Name	H2D_3Dg_v14_180227_StatLM.mct

1229, BEAM , UNILOAD, GZ, NO , NO, aDir[1], , , , 0, 36, 1, 36, 0, 0, 0, 0, V, NO, 0, 0, NO,
1230, BEAM , UNILOAD, GZ, NO , NO, aDir[1], , , , 0, 36, 1, 36, 0, 0, 0, 0, V, NO, 0, 0, NO,
1231, BEAM , UNILOAD, GZ, NO , NO, aDir[1], , , , 0, 36, 1, 36, 0, 0, 0, 0, V, NO, 0, 0, NO,
1232, BEAM , UNILOAD, GZ, NO , NO, aDir[1], , , , 0, 36, 1, 36, 0, 0, 0, 0, V, NO, 0, 0, NO,
1233, BEAM , UNILOAD, GZ, NO , NO, aDir[1], , , , 0, 36, 1, 36, 0, 0, 0, 0, V, NO, 0, 0, NO,
1234, BEAM , UNILOAD, GZ, NO , NO, aDir[1], , , , 0, 36, 1, 36, 0, 0, 0, 0, V, NO, 0, 0, NO,
1235, BEAM , UNILOAD, GZ, NO , NO, aDir[1], , , , 0, 36, 1, 36, 0, 0, 0, 0, V, NO, 0, 0, NO,
1236, BEAM , UNILOAD, GZ, NO , NO, aDir[1], , , , 0, 36, 1, 36, 0, 0, 0, 0, V, NO, 0, 0, NO,
1237, BEAM , UNILOAD, GZ, NO , NO, aDir[1], , , , 0, 36, 1, 36, 0, 0, 0, 0, V, NO, 0, 0, NO,
1238, BEAM , UNILOAD, GZ, NO , NO, aDir[1], , , , 0, 36, 1, 36, 0, 0, 0, 0, V, NO, 0, 0, NO,
1239, BEAM , UNILOAD, GZ, NO , NO, aDir[1], , , , 0, 36, 1, 36, 0, 0, 0, 0, V, NO, 0, 0, NO,
1240, BEAM , UNILOAD, GZ, NO , NO, aDir[1], , , , 0, 36, 1, 36, 0, 0, 0, 0, V, NO, 0, 0, NO,
1241, BEAM , UNILOAD, GZ, NO , NO, aDir[1], , , , 0, 36, 1, 36, 0, 0, 0, 0, V, NO, 0, 0, NO,
1242, BEAM , UNILOAD, GZ, NO , NO, aDir[1], , , , 0, 36, 1, 36, 0, 0, 0, 0, V, NO, 0, 0, NO,
1243, BEAM , UNILOAD, GZ, NO , NO, aDir[1], , , , 0, 36, 1, 36, 0, 0, 0, 0, V, NO, 0, 0, NO,
1244, BEAM , UNILOAD, GZ, NO , NO, aDir[1], , , , 0, 36, 1, 36, 0, 0, 0, 0, V, NO, 0, 0, NO,
1245, BEAM , UNILOAD, GZ, NO , NO, aDir[1], , , , 0, 36, 1, 36, 0, 0, 0, 0, V, NO, 0, 0, NO,
1246, BEAM , UNILOAD, GZ, NO , NO, aDir[1], , , , 0, 36, 1, 36, 0, 0, 0, 0, V, NO, 0, 0, NO,
1247, BEAM , UNILOAD, GZ, NO , NO, aDir[1], , , , 0, 36, 1, 36, 0, 0, 0, 0, V, NO, 0, 0, NO,
1248, BEAM , UNILOAD, GZ, NO , NO, aDir[1], , , , 0, 36, 1, 36, 0, 0, 0, 0, V, NO, 0, 0, NO,
1249, BEAM , UNILOAD, GZ, NO , NO, aDir[1], , , , 0, 36, 1, 36, 0, 0, 0, 0, V, NO, 0, 0, NO,
1250, BEAM , UNILOAD, GZ, NO , NO, aDir[1], , , , 0, 36, 1, 36, 0, 0, 0, 0, V, NO, 0, 0, NO,
1251, BEAM , UNILOAD, GZ, NO , NO, aDir[1], , , , 0, 36, 1, 36, 0, 0, 0, 0, V, NO, 0, 0, NO,
1252, BEAM , UNILOAD, GZ, NO , NO, aDir[1], , , , 0, 36, 1, 36, 0, 0, 0, 0, V, NO, 0, 0, NO,
1253, BEAM , UNILOAD, GZ, NO , NO, aDir[1], , , , 0, 36, 1, 36, 0, 0, 0, 0, V, NO, 0, 0, NO,
1254, BEAM , UNILOAD, GZ, NO , NO, aDir[1], , , , 0, 36, 1, 36, 0, 0, 0, 0, V, NO, 0, 0, NO,
1255, BEAM , UNILOAD, GZ, NO , NO, aDir[1], , , , 0, 36, 1, 36, 0, 0, 0, 0, V, NO, 0, 0, NO,
1256, BEAM , UNILOAD, GZ, NO , NO, aDir[1], , , , 0, 36, 1, 36, 0, 0, 0, 0, V, NO, 0, 0, NO,
1257, BEAM , UNILOAD, GZ, NO , NO, aDir[1], , , , 0, 36, 1, 36, 0, 0, 0, 0, V, NO, 0, 0, NO,
1258, BEAM , UNILOAD, GZ, NO , NO, aDir[1], , , , 0, 36, 1, 36, 0, 0, 0, 0, V, NO, 0, 0, NO,
1259, BEAM , UNILOAD, GZ, NO , NO, aDir[1], , , , 0, 36, 1, 36, 0, 0, 0, 0, V, NO, 0, 0, NO,
1260, BEAM , UNILOAD, GZ, NO , NO, aDir[1], , , , 0, 36, 1, 36, 0, 0, 0, 0, V, NO, 0, 0, NO,
1261, BEAM , UNILOAD, GZ, NO , NO, aDir[1], , , , 0, 36, 1, 36, 0, 0, 0, 0, V, NO, 0, 0, NO,
1262, BEAM , UNILOAD, GZ, NO , NO, aDir[1], , , , 0, 36, 1, 36, 0, 0, 0, 0, V, NO, 0, 0, NO,
1263, BEAM , UNILOAD, GZ, NO , NO, aDir[1], , , , 0, 36, 1, 36, 0, 0, 0, 0, V, NO, 0, 0, NO,
1264, BEAM , UNILOAD, GZ, NO , NO, aDir[1], , , , 0, 36, 1, 36, 0, 0, 0, 0, V, NO, 0, 0, NO,
1265, BEAM , UNILOAD, GZ, NO , NO, aDir[1], , , , 0, 36, 1, 36, 0, 0, 0, 0, V, NO, 0, 0, NO,
1266, BEAM , UNILOAD, GZ, NO , NO, aDir[1], , , , 0, 36, 1, 36, 0, 0, 0, 0, V, NO, 0, 0, NO,
1267, BEAM , UNILOAD, GZ, NO , NO, aDir[1], , , , 0, 36, 1, 36, 0, 0, 0, 0, V, NO, 0, 0, NO,
1268, BEAM , UNILOAD, GZ, NO , NO, aDir[1], , , , 0, 36, 1, 36, 0, 0, 0, 0, V, NO, 0, 0, NO,
1269, BEAM , UNILOAD, GZ, NO , NO, aDir[1], , , , 0, 36, 1, 36, 0, 0, 0, 0, V, NO, 0, 0, NO,
1270, BEAM , UNILOAD, GZ, NO , NO, aDir[1], , , , 0, 36, 1, 36, 0, 0, 0, 0, V, NO, 0, 0, NO,
1271, BEAM , UNILOAD, GZ, NO , NO, aDir[1], , , , 0, 36, 1, 36, 0, 0, 0, 0, V, NO, 0, 0, NO,
1272, BEAM , UNILOAD, GZ, NO , NO, aDir[1], , , , 0, 36, 1, 36, 0, 0, 0, 0, V, NO, 0, 0, NO,
1273, BEAM , UNILOAD, GZ, NO , NO, aDir[1], , , , 0, 36, 1, 36, 0, 0, 0, 0, V, NO, 0, 0, NO,
1274, BEAM , UNILOAD, GZ, NO , NO, aDir[1], , , , 0, 36, 1, 36, 0, 0, 0, 0, V, NO, 0, 0, NO,
1275, BEAM , UNILOAD, GZ, NO , NO, aDir[1], , , , 0, 36, 1, 36, 0, 0, 0, 0, V, NO, 0, 0, NO,
1276, BEAM , UNILOAD, GZ, NO , NO, aDir[1], , , , 0, 36, 1, 36, 0, 0, 0, 0, V, NO, 0, 0, NO,
1277, BEAM , UNILOAD, GZ, NO , NO, aDir[1], , , , 0, 36, 1, 36, 0, 0, 0, 0, V, NO, 0, 0, NO,
1278, BEAM , UNILOAD, GZ, NO , NO, aDir[1], , , , 0, 36, 1, 36, 0, 0, 0, 0, V, NO, 0, 0, NO,
1279, BEAM , UNILOAD, GZ, NO , NO, aDir[1], , , , 0, 36, 1, 36, 0, 0, 0, 0, V, NO, 0, 0, NO,
1280, BEAM , UNILOAD, GZ, NO , NO, aDir[1], , , , 0, 36, 1, 36, 0, 0, 0, 0, V, NO, 0, 0, NO,
1281, BEAM , UNILOAD, GZ, NO , NO, aDir[1], , , , 0, 36, 1, 36, 0, 0, 0, 0, V, NO, 0, 0, NO,
1282, BEAM , UNILOAD, GZ, NO , NO, aDir[1], , , , 0, 36, 1, 36, 0, 0, 0, 0, V, NO, 0, 0, NO,
1283, BEAM , UNILOAD, GZ, NO , NO, aDir[1], , , , 0, 36, 1, 36, 0, 0, 0, 0, V, NO, 0, 0, NO,
1284, BEAM , UNILOAD, GZ, NO , NO, aDir[1], , , , 0, 36, 1, 36, 0, 0, 0, 0, V, NO, 0, 0, NO,
1285, BEAM , UNILOAD, GZ, NO , NO, aDir[1], , , , 0, 36, 1, 36, 0, 0, 0, 0, V, NO, 0, 0, NO,
1286, BEAM , UNILOAD, GZ, NO , NO, aDir[1], , , , 0, 36, 1, 36, 0, 0, 0, 0, V, NO, 0, 0, NO,
1287, BEAM , UNILOAD, GZ, NO , NO, aDir[1], , , , 0, 36, 1, 36, 0, 0, 0, 0, V, NO, 0, 0, NO,
1288, BEAM , UNILOAD, GZ, NO , NO, aDir[1], , , , 0, 36, 1, 36, 0, 0, 0, 0, V, NO, 0, 0, NO,
1289, BEAM , UNILOAD, GZ, NO , NO, aDir[1], , , , 0, 36, 1, 36, 0, 0, 0, 0, V, NO, 0, 0, NO,
1290, BEAM , UNILOAD, GZ, NO , NO, aDir[1], , , , 0, 36, 1, 36, 0, 0, 0, 0, V, NO, 0, 0, NO,
1291, BEAM , UNILOAD, GZ, NO , NO, aDir[1], , , , 0, 36, 1, 36, 0, 0, 0, 0, V, NO, 0, 0, NO,
1292, BEAM , UNILOAD, GZ, NO , NO, aDir[1], , , , 0, 36, 1, 36, 0, 0, 0, 0, V, NO, 0, 0, NO,
1293, BEAM , UNILOAD, GZ, NO , NO, aDir[1], , , , 0, 36, 1, 36, 0, 0, 0, 0, V, NO, 0, 0, NO,
1294, BEAM , UNILOAD, GZ, NO , NO, aDir[1], , , , 0, 36, 1, 36, 0, 0, 0, 0, V, NO, 0, 0, NO,
1295, BEAM , UNILOAD, GZ, NO , NO, aDir[1], , , , 0, 36, 1, 36, 0, 0, 0, 0, V, NO, 0, 0, NO,
1296, BEAM , UNILOAD, GZ, NO , NO, aDir[1], , , , 0, 36, 1, 36, 0, 0, 0, 0, V, NO, 0, 0, NO,
1297, BEAM , UNILOAD, GZ, NO , NO, aDir[1], , , , 0, 36, 1, 36, 0, 0, 0, 0, V, NO, 0, 0, NO,
1298, BEAM , UNILOAD, GZ, NO , NO, aDir[1], , , , 0, 36, 1, 36, 0, 0, 0, 0, V, NO, 0, 0, NO,
1299, BEAM , UNILOAD, GZ, NO , NO, aDir[1], , , , 0, 36, 1, 36, 0, 0, 0, 0, V, NO, 0, 0, NO,
1300, BEAM , UNILOAD, GZ, NO , NO, aDir[1], , , , 0, 36, 1, 36, 0, 0, 0, 0, V, NO, 0, 0, NO,

PROJECT TITLE :

MIDAS	Company		Client	
	Author		File Name	H2D_3Dg_v14_180227_StatLM.mct

1301, BEAM , UNILOAD, GZ, NO , NO, aDir[1], , , , 0, 36, 1, 36, 0, 0, 0, 0, V, NO, 0, 0, NO,
1302, BEAM , UNILOAD, GZ, NO , NO, aDir[1], , , , 0, 36, 1, 36, 0, 0, 0, 0, V, NO, 0, 0, NO,
1303, BEAM , UNILOAD, GZ, NO , NO, aDir[1], , , , 0, 36, 1, 36, 0, 0, 0, 0, V, NO, 0, 0, NO,
1304, BEAM , UNILOAD, GZ, NO , NO, aDir[1], , , , 0, 36, 1, 36, 0, 0, 0, 0, V, NO, 0, 0, NO,
1305, BEAM , UNILOAD, GZ, NO , NO, aDir[1], , , , 0, 36, 1, 36, 0, 0, 0, 0, V, NO, 0, 0, NO,
1306, BEAM , UNILOAD, GZ, NO , NO, aDir[1], , , , 0, 36, 1, 36, 0, 0, 0, 0, V, NO, 0, 0, NO,
1307, BEAM , UNILOAD, GZ, NO , NO, aDir[1], , , , 0, 36, 1, 36, 0, 0, 0, 0, V, NO, 0, 0, NO,
1308, BEAM , UNILOAD, GZ, NO , NO, aDir[1], , , , 0, 36, 1, 36, 0, 0, 0, 0, V, NO, 0, 0, NO,
1309, BEAM , UNILOAD, GZ, NO , NO, aDir[1], , , , 0, 36, 1, 36, 0, 0, 0, 0, V, NO, 0, 0, NO,
1310, BEAM , UNILOAD, GZ, NO , NO, aDir[1], , , , 0, 36, 1, 36, 0, 0, 0, 0, V, NO, 0, 0, NO,
1311, BEAM , UNILOAD, GZ, NO , NO, aDir[1], , , , 0, 36, 1, 36, 0, 0, 0, 0, V, NO, 0, 0, NO,
1312, BEAM , UNILOAD, GZ, NO , NO, aDir[1], , , , 0, 36, 1, 36, 0, 0, 0, 0, V, NO, 0, 0, NO,
1313, BEAM , UNILOAD, GZ, NO , NO, aDir[1], , , , 0, 36, 1, 36, 0, 0, 0, 0, V, NO, 0, 0, NO,
1314, BEAM , UNILOAD, GZ, NO , NO, aDir[1], , , , 0, 36, 1, 36, 0, 0, 0, 0, V, NO, 0, 0, NO,
1315, BEAM , UNILOAD, GZ, NO , NO, aDir[1], , , , 0, 36, 1, 36, 0, 0, 0, 0, V, NO, 0, 0, NO,
1316, BEAM , UNILOAD, GZ, NO , NO, aDir[1], , , , 0, 36, 1, 36, 0, 0, 0, 0, V, NO, 0, 0, NO,
1317, BEAM , UNILOAD, GZ, NO , NO, aDir[1], , , , 0, 36, 1, 36, 0, 0, 0, 0, V, NO, 0, 0, NO,
1318, BEAM , UNILOAD, GZ, NO , NO, aDir[1], , , , 0, 36, 1, 36, 0, 0, 0, 0, V, NO, 0, 0, NO,
1319, BEAM , UNILOAD, GZ, NO , NO, aDir[1], , , , 0, 36, 1, 36, 0, 0, 0, 0, V, NO, 0, 0, NO,
1320, BEAM , UNILOAD, GZ, NO , NO, aDir[1], , , , 0, 36, 1, 36, 0, 0, 0, 0, V, NO, 0, 0, NO,
1321, BEAM , UNILOAD, GZ, NO , NO, aDir[1], , , , 0, 36, 1, 36, 0, 0, 0, 0, V, NO, 0, 0, NO,
1322, BEAM , UNILOAD, GZ, NO , NO, aDir[1], , , , 0, 36, 1, 36, 0, 0, 0, 0, V, NO, 0, 0, NO,
1323, BEAM , UNILOAD, GZ, NO , NO, aDir[1], , , , 0, 36, 1, 36, 0, 0, 0, 0, V, NO, 0, 0, NO,
1324, BEAM , UNILOAD, GZ, NO , NO, aDir[1], , , , 0, 36, 1, 36, 0, 0, 0, 0, V, NO, 0, 0, NO,
1325, BEAM , UNILOAD, GZ, NO , NO, aDir[1], , , , 0, 36, 1, 36, 0, 0, 0, 0, V, NO, 0, 0, NO,
1326, BEAM , UNILOAD, GZ, NO , NO, aDir[1], , , , 0, 36, 1, 36, 0, 0, 0, 0, V, NO, 0, 0, NO,
1327, BEAM , UNILOAD, GZ, NO , NO, aDir[1], , , , 0, 36, 1, 36, 0, 0, 0, 0, V, NO, 0, 0, NO,
1328, BEAM , UNILOAD, GZ, NO , NO, aDir[1], , , , 0, 36, 1, 36, 0, 0, 0, 0, V, NO, 0, 0, NO,
1329, BEAM , UNILOAD, GZ, NO , NO, aDir[1], , , , 0, 36, 1, 36, 0, 0, 0, 0, V, NO, 0, 0, NO,
1330, BEAM , UNILOAD, GZ, NO , NO, aDir[1], , , , 0, 36, 1, 36, 0, 0, 0, 0, V, NO, 0, 0, NO,
1331, BEAM , UNILOAD, GZ, NO , NO, aDir[1], , , , 0, 36, 1, 36, 0, 0, 0, 0, V, NO, 0, 0, NO,
1332, BEAM , UNILOAD, GZ, NO , NO, aDir[1], , , , 0, 36, 1, 36, 0, 0, 0, 0, V, NO, 0, 0, NO,
1333, BEAM , UNILOAD, GZ, NO , NO, aDir[1], , , , 0, 36, 1, 36, 0, 0, 0, 0, V, NO, 0, 0, NO,
1334, BEAM , UNILOAD, GZ, NO , NO, aDir[1], , , , 0, 36, 1, 36, 0, 0, 0, 0, V, NO, 0, 0, NO,
1335, BEAM , UNILOAD, GZ, NO , NO, aDir[1], , , , 0, 36, 1, 36, 0, 0, 0, 0, V, NO, 0, 0, NO,
1336, BEAM , UNILOAD, GZ, NO , NO, aDir[1], , , , 0, 36, 1, 36, 0, 0, 0, 0, V, NO, 0, 0, NO,
1337, BEAM , UNILOAD, GZ, NO , NO, aDir[1], , , , 0, 36, 1, 36, 0, 0, 0, 0, V, NO, 0, 0, NO,
1338, BEAM , UNILOAD, GZ, NO , NO, aDir[1], , , , 0, 36, 1, 36, 0, 0, 0, 0, V, NO, 0, 0, NO,
1339, BEAM , UNILOAD, GZ, NO , NO, aDir[1], , , , 0, 36, 1, 36, 0, 0, 0, 0, V, NO, 0, 0, NO,
1340, BEAM , UNILOAD, GZ, NO , NO, aDir[1], , , , 0, 36, 1, 36, 0, 0, 0, 0, V, NO, 0, 0, NO,
1341, BEAM , UNILOAD, GZ, NO , NO, aDir[1], , , , 0, 36, 1, 36, 0, 0, 0, 0, V, NO, 0, 0, NO,
1342, BEAM , UNILOAD, GZ, NO , NO, aDir[1], , , , 0, 36, 1, 36, 0, 0, 0, 0, V, NO, 0, 0, NO,
1343, BEAM , UNILOAD, GZ, NO , NO, aDir[1], , , , 0, 36, 1, 36, 0, 0, 0, 0, V, NO, 0, 0, NO,
1344, BEAM , UNILOAD, GZ, NO , NO, aDir[1], , , , 0, 36, 1, 36, 0, 0, 0, 0, V, NO, 0, 0, NO,
1345, BEAM , UNILOAD, GZ, NO , NO, aDir[1], , , , 0, 36, 1, 36, 0, 0, 0, 0, V, NO, 0, 0, NO,
1346, BEAM , UNILOAD, GZ, NO , NO, aDir[1], , , , 0, 36, 1, 36, 0, 0, 0, 0, V, NO, 0, 0, NO,
1347, BEAM , UNILOAD, GZ, NO , NO, aDir[1], , , , 0, 36, 1, 36, 0, 0, 0, 0, V, NO, 0, 0, NO,
1348, BEAM , UNILOAD, GZ, NO , NO, aDir[1], , , , 0, 36, 1, 36, 0, 0, 0, 0, V, NO, 0, 0, NO,
1349, BEAM , UNILOAD, GZ, NO , NO, aDir[1], , , , 0, 36, 1, 36, 0, 0, 0, 0, V, NO, 0, 0, NO,
1350, BEAM , UNILOAD, GZ, NO , NO, aDir[1], , , , 0, 36, 1, 36, 0, 0, 0, 0, V, NO, 0, 0, NO,
1351, BEAM , UNILOAD, GZ, NO , NO, aDir[1], , , , 0, 36, 1, 36, 0, 0, 0, 0, V, NO, 0, 0, NO,
1352, BEAM , UNILOAD, GZ, NO , NO, aDir[1], , , , 0, 36, 1, 36, 0, 0, 0, 0, V, NO, 0, 0, NO,
1353, BEAM , UNILOAD, GZ, NO , NO, aDir[1], , , , 0, 36, 1, 36, 0, 0, 0, 0, V, NO, 0, 0, NO,
1354, BEAM , UNILOAD, GZ, NO , NO, aDir[1], , , , 0, 36, 1, 36, 0, 0, 0, 0, V, NO, 0, 0, NO,
1355, BEAM , UNILOAD, GZ, NO , NO, aDir[1], , , , 0, 36, 1, 36, 0, 0, 0, 0, V, NO, 0, 0, NO,
1356, BEAM , UNILOAD, GZ, NO , NO, aDir[1], , , , 0, 36, 1, 36, 0, 0, 0, 0, V, NO, 0, 0, NO,
1357, BEAM , UNILOAD, GZ, NO , NO, aDir[1], , , , 0, 36, 1, 36, 0, 0, 0, 0, V, NO, 0, 0, NO,
1358, BEAM , UNILOAD, GZ, NO , NO, aDir[1], , , , 0, 36, 1, 36, 0, 0, 0, 0, V, NO, 0, 0, NO,
1359, BEAM , UNILOAD, GZ, NO , NO, aDir[1], , , , 0, 36, 1, 36, 0, 0, 0, 0, V, NO, 0, 0, NO,
1360, BEAM , UNILOAD, GZ, NO , NO, aDir[1], , , , 0, 36, 1, 36, 0, 0, 0, 0, V, NO, 0, 0, NO,
1361, BEAM , UNILOAD, GZ, NO , NO, aDir[1], , , , 0, 36, 1, 36, 0, 0, 0, 0, V, NO, 0, 0, NO,
1362, BEAM , UNILOAD, GZ, NO , NO, aDir[1], , , , 0, 36, 1, 36, 0, 0, 0, 0, V, NO, 0, 0, NO,
1363, BEAM , UNILOAD, GZ, NO , NO, aDir[1], , , , 0, 36, 1, 36, 0, 0, 0, 0, V, NO, 0, 0, NO,
1364, BEAM , UNILOAD, GZ, NO , NO, aDir[1], , , , 0, 36, 1, 36, 0, 0, 0, 0, V, NO, 0, 0, NO,
1365, BEAM , UNILOAD, GZ, NO , NO, aDir[1], , , , 0, 36, 1, 36, 0, 0, 0, 0, V, NO, 0, 0, NO,
1366, BEAM , UNILOAD, GZ, NO , NO, aDir[1], , , , 0, 36, 1, 36, 0, 0, 0, 0, V, NO, 0, 0, NO,
1367, BEAM , UNILOAD, GZ, NO , NO, aDir[1], , , , 0, 36, 1, 36, 0, 0, 0, 0, V, NO, 0, 0, NO,
1368, BEAM , UNILOAD, GZ, NO , NO, aDir[1], , , , 0, 36, 1, 36, 0, 0, 0, 0, V, NO, 0, 0, NO,
1369, BEAM , UNILOAD, GZ, NO , NO, aDir[1], , , , 0, 36, 1, 36, 0, 0, 0, 0, V, NO, 0, 0, NO,
1370, BEAM , UNILOAD, GZ, NO , NO, aDir[1], , , , 0, 36, 1, 36, 0, 0, 0, 0, V, NO, 0, 0, NO,
1371, BEAM , UNILOAD, GZ, NO , NO, aDir[1], , , , 0, 36, 1, 36, 0, 0, 0, 0, V, NO, 0, 0, NO,
1372, BEAM , UNILOAD, GZ, NO , NO, aDir[1], , , , 0, 36, 1, 36, 0, 0, 0, 0, V, NO, 0, 0, NO,

PROJECT TITLE :

MIDAS	Company		Client	
	Author		File Name	H2D_3Dg_v14_180227_StatLM.mct

1373, BEAM , UNILOAD, GZ, NO , NO, aDir[1], , , , 0, 36, 1, 36, 0, 0, 0, 0, V, NO, 0, 0, NO,
1374, BEAM , UNILOAD, GZ, NO , NO, aDir[1], , , , 0, 36, 1, 36, 0, 0, 0, 0, V, NO, 0, 0, NO,
1375, BEAM , UNILOAD, GZ, NO , NO, aDir[1], , , , 0, 36, 1, 36, 0, 0, 0, 0, V, NO, 0, 0, NO,
1376, BEAM , UNILOAD, GZ, NO , NO, aDir[1], , , , 0, 36, 1, 36, 0, 0, 0, 0, V, NO, 0, 0, NO,
1377, BEAM , UNILOAD, GZ, NO , NO, aDir[1], , , , 0, 36, 1, 36, 0, 0, 0, 0, V, NO, 0, 0, NO,
1378, BEAM , UNILOAD, GZ, NO , NO, aDir[1], , , , 0, 36, 1, 36, 0, 0, 0, 0, V, NO, 0, 0, NO,
1379, BEAM , UNILOAD, GZ, NO , NO, aDir[1], , , , 0, 36, 1, 36, 0, 0, 0, 0, V, NO, 0, 0, NO,
1380, BEAM , UNILOAD, GZ, NO , NO, aDir[1], , , , 0, 36, 1, 36, 0, 0, 0, 0, V, NO, 0, 0, NO,
1381, BEAM , UNILOAD, GZ, NO , NO, aDir[1], , , , 0, 36, 1, 36, 0, 0, 0, 0, V, NO, 0, 0, NO,
1382, BEAM , UNILOAD, GZ, NO , NO, aDir[1], , , , 0, 36, 1, 36, 0, 0, 0, 0, V, NO, 0, 0, NO,
1383, BEAM , UNILOAD, GZ, NO , NO, aDir[1], , , , 0, 36, 1, 36, 0, 0, 0, 0, V, NO, 0, 0, NO,
1384, BEAM , UNILOAD, GZ, NO , NO, aDir[1], , , , 0, 36, 1, 36, 0, 0, 0, 0, V, NO, 0, 0, NO,
1385, BEAM , UNILOAD, GZ, NO , NO, aDir[1], , , , 0, 36, 1, 36, 0, 0, 0, 0, V, NO, 0, 0, NO,
1386, BEAM , UNILOAD, GZ, NO , NO, aDir[1], , , , 0, 36, 1, 36, 0, 0, 0, 0, V, NO, 0, 0, NO,
1387, BEAM , UNILOAD, GZ, NO , NO, aDir[1], , , , 0, 36, 1, 36, 0, 0, 0, 0, V, NO, 0, 0, NO,
1388, BEAM , UNILOAD, GZ, NO , NO, aDir[1], , , , 0, 36, 1, 36, 0, 0, 0, 0, V, NO, 0, 0, NO,
1389, BEAM , UNILOAD, GZ, NO , NO, aDir[1], , , , 0, 36, 1, 36, 0, 0, 0, 0, V, NO, 0, 0, NO,
1390, BEAM , UNILOAD, GZ, NO , NO, aDir[1], , , , 0, 36, 1, 36, 0, 0, 0, 0, V, NO, 0, 0, NO,
1391, BEAM , UNILOAD, GZ, NO , NO, aDir[1], , , , 0, 36, 1, 36, 0, 0, 0, 0, V, NO, 0, 0, NO,
1392, BEAM , UNILOAD, GZ, NO , NO, aDir[1], , , , 0, 36, 1, 36, 0, 0, 0, 0, V, NO, 0, 0, NO,
1393, BEAM , UNILOAD, GZ, NO , NO, aDir[1], , , , 0, 36, 1, 36, 0, 0, 0, 0, V, NO, 0, 0, NO,
1394, BEAM , UNILOAD, GZ, NO , NO, aDir[1], , , , 0, 36, 1, 36, 0, 0, 0, 0, V, NO, 0, 0, NO,
1395, BEAM , UNILOAD, GZ, NO , NO, aDir[1], , , , 0, 36, 1, 36, 0, 0, 0, 0, V, NO, 0, 0, NO,
1396, BEAM , UNILOAD, GZ, NO , NO, aDir[1], , , , 0, 36, 1, 36, 0, 0, 0, 0, V, NO, 0, 0, NO,
1397, BEAM , UNILOAD, GZ, NO , NO, aDir[1], , , , 0, 36, 1, 36, 0, 0, 0, 0, V, NO, 0, 0, NO,
1398, BEAM , UNILOAD, GZ, NO , NO, aDir[1], , , , 0, 36, 1, 36, 0, 0, 0, 0, V, NO, 0, 0, NO,
1399, BEAM , UNILOAD, GZ, NO , NO, aDir[1], , , , 0, 36, 1, 36, 0, 0, 0, 0, V, NO, 0, 0, NO,
1400, BEAM , UNILOAD, GZ, NO , NO, aDir[1], , , , 0, 36, 1, 36, 0, 0, 0, 0, V, NO, 0, 0, NO,
1401, BEAM , UNILOAD, GZ, NO , NO, aDir[1], , , , 0, 36, 1, 36, 0, 0, 0, 0, V, NO, 0, 0, NO,
1402, BEAM , UNILOAD, GZ, NO , NO, aDir[1], , , , 0, 36, 1, 36, 0, 0, 0, 0, V, NO, 0, 0, NO,
1403, BEAM , UNILOAD, GZ, NO , NO, aDir[1], , , , 0, 36, 1, 36, 0, 0, 0, 0, V, NO, 0, 0, NO,
1404, BEAM , UNILOAD, GZ, NO , NO, aDir[1], , , , 0, 36, 1, 36, 0, 0, 0, 0, V, NO, 0, 0, NO,
1405, BEAM , UNILOAD, GZ, NO , NO, aDir[1], , , , 0, 36, 1, 36, 0, 0, 0, 0, V, NO, 0, 0, NO,
1406, BEAM , UNILOAD, GZ, NO , NO, aDir[1], , , , 0, 36, 1, 36, 0, 0, 0, 0, V, NO, 0, 0, NO,
1407, BEAM , UNILOAD, GZ, NO , NO, aDir[1], , , , 0, 36, 1, 36, 0, 0, 0, 0, V, NO, 0, 0, NO,
1408, BEAM , UNILOAD, GZ, NO , NO, aDir[1], , , , 0, 36, 1, 36, 0, 0, 0, 0, V, NO, 0, 0, NO,

; End of data for load case [V1] ----------

*USE-STLD, V2

*BEAMLOAD ; Element Beam Loads
; ELEM_LIST, CMD, TYPE, DIR, bPROJ, [ECCEN], [VALUE], GROUP
; ELEM_LIST, CMD, TYPE, TYPE, DIR, VX, VY, VZ, bPROJ, [ECCEN], [VALUE], GROUP
; [VALUE] : D1, P1, D2, P2, D3, P3, D4, P4
; [ECCEN] : bECCEN, ECCDIR, I-END, J-END, bJ-END
; [ADDITIONAL] : bADDITIONAL, ADDITIONAL_I-END, ADDITIONAL_J-END, bADDITIONAL_J-END
713, BEAM , UNILOAD, GZ, NO , NO, aDir[1], , , , 0, 36, 1, 36, 0, 0, 0, 0, V, NO, 0, 0, NO,
714, BEAM , UNILOAD, GZ, NO , NO, aDir[1], , , , 0, 36, 1, 36, 0, 0, 0, 0, V, NO, 0, 0, NO,
715, BEAM , UNILOAD, GZ, NO , NO, aDir[1], , , , 0, 36, 1, 36, 0, 0, 0, 0, V, NO, 0, 0, NO,
716, BEAM , UNILOAD, GZ, NO , NO, aDir[1], , , , 0, 36, 1, 36, 0, 0, 0, 0, V, NO, 0, 0, NO,
717, BEAM , UNILOAD, GZ, NO , NO, aDir[1], , , , 0, 36, 1, 36, 0, 0, 0, 0, V, NO, 0, 0, NO,
718, BEAM , UNILOAD, GZ, NO , NO, aDir[1], , , , 0, 36, 1, 36, 0, 0, 0, 0, V, NO, 0, 0, NO,
719, BEAM , UNILOAD, GZ, NO , NO, aDir[1], , , , 0, 36, 1, 36, 0, 0, 0, 0, V, NO, 0, 0, NO,
720, BEAM , UNILOAD, GZ, NO , NO, aDir[1], , , , 0, 36, 1, 36, 0, 0, 0, 0, V, NO, 0, 0, NO,
721, BEAM , UNILOAD, GZ, NO , NO, aDir[1], , , , 0, 36, 1, 36, 0, 0, 0, 0, V, NO, 0, 0, NO,
722, BEAM , UNILOAD, GZ, NO , NO, aDir[1], , , , 0, 36, 1, 36, 0, 0, 0, 0, V, NO, 0, 0, NO,
723, BEAM , UNILOAD, GZ, NO , NO, aDir[1], , , , 0, 36, 1, 36, 0, 0, 0, 0, V, NO, 0, 0, NO,
724, BEAM , UNILOAD, GZ, NO , NO, aDir[1], , , , 0, 36, 1, 36, 0, 0, 0, 0, V, NO, 0, 0, NO,
725, BEAM , UNILOAD, GZ, NO , NO, aDir[1], , , , 0, 36, 1, 36, 0, 0, 0, 0, V, NO, 0, 0, NO,
726, BEAM , UNILOAD, GZ, NO , NO, aDir[1], , , , 0, 36, 1, 36, 0, 0, 0, 0, V, NO, 0, 0, NO,
727, BEAM , UNILOAD, GZ, NO , NO, aDir[1], , , , 0, 36, 1, 36, 0, 0, 0, 0, V, NO, 0, 0, NO,
728, BEAM , UNILOAD, GZ, NO , NO, aDir[1], , , , 0, 36, 1, 36, 0, 0, 0, 0, V, NO, 0, 0, NO,
729, BEAM , UNILOAD, GZ, NO , NO, aDir[1], , , , 0, 36, 1, 36, 0, 0, 0, 0, V, NO, 0, 0, NO,
730, BEAM , UNILOAD, GZ, NO , NO, aDir[1], , , , 0, 36, 1, 36, 0, 0, 0, 0, V, NO, 0, 0, NO,
731, BEAM , UNILOAD, GZ, NO , NO, aDir[1], , , , 0, 36, 1, 36, 0, 0, 0, 0, V, NO, 0, 0, NO,
732, BEAM , UNILOAD, GZ, NO , NO, aDir[1], , , , 0, 36, 1, 36, 0, 0, 0, 0, V, NO, 0, 0, NO,
733, BEAM , UNILOAD, GZ, NO , NO, aDir[1], , , , 0, 36, 1, 36, 0, 0, 0, 0, V, NO, 0, 0, NO,
734, BEAM , UNILOAD, GZ, NO , NO, aDir[1], , , , 0, 36, 1, 36, 0, 0, 0, 0, V, NO, 0, 0, NO,
735, BEAM , UNILOAD, GZ, NO , NO, aDir[1], , , , 0, 36, 1, 36, 0, 0, 0, 0, V, NO, 0, 0, NO,
736, BEAM , UNILOAD, GZ, NO , NO, aDir[1], , , , 0, 36, 1, 36, 0, 0, 0, 0, V, NO, 0, 0, NO,
737, BEAM , UNILOAD, GZ, NO , NO, aDir[1], , , , 0, 36, 1, 36, 0, 0, 0, 0, V, NO, 0, 0, NO,

PROJECT TITLE :

MIDAS	Company		Client	
	Author		File Name	H2D_3Dg_v14_180227_StatLM.mct

738, BEAM , UNILOAD, GZ, NO , NO, aDir[1], , , , 0, 36, 1, 36, 0, 0, 0, 0, V, NO, 0, 0, NO,
739, BEAM , UNILOAD, GZ, NO , NO, aDir[1], , , , 0, 36, 1, 36, 0, 0, 0, 0, V, NO, 0, 0, NO,
740, BEAM , UNILOAD, GZ, NO , NO, aDir[1], , , , 0, 36, 1, 36, 0, 0, 0, 0, V, NO, 0, 0, NO,
741, BEAM , UNILOAD, GZ, NO , NO, aDir[1], , , , 0, 36, 1, 36, 0, 0, 0, 0, V, NO, 0, 0, NO,
742, BEAM , UNILOAD, GZ, NO , NO, aDir[1], , , , 0, 36, 1, 36, 0, 0, 0, 0, V, NO, 0, 0, NO,
743, BEAM , UNILOAD, GZ, NO , NO, aDir[1], , , , 0, 36, 1, 36, 0, 0, 0, 0, V, NO, 0, 0, NO,
744, BEAM , UNILOAD, GZ, NO , NO, aDir[1], , , , 0, 36, 1, 36, 0, 0, 0, 0, V, NO, 0, 0, NO,
745, BEAM , UNILOAD, GZ, NO , NO, aDir[1], , , , 0, 36, 1, 36, 0, 0, 0, 0, V, NO, 0, 0, NO,
746, BEAM , UNILOAD, GZ, NO , NO, aDir[1], , , , 0, 36, 1, 36, 0, 0, 0, 0, V, NO, 0, 0, NO,
747, BEAM , UNILOAD, GZ, NO , NO, aDir[1], , , , 0, 36, 1, 36, 0, 0, 0, 0, V, NO, 0, 0, NO,
748, BEAM , UNILOAD, GZ, NO , NO, aDir[1], , , , 0, 36, 1, 36, 0, 0, 0, 0, V, NO, 0, 0, NO,
749, BEAM , UNILOAD, GZ, NO , NO, aDir[1], , , , 0, 36, 1, 36, 0, 0, 0, 0, V, NO, 0, 0, NO,
750, BEAM , UNILOAD, GZ, NO , NO, aDir[1], , , , 0, 36, 1, 36, 0, 0, 0, 0, V, NO, 0, 0, NO,
751, BEAM , UNILOAD, GZ, NO , NO, aDir[1], , , , 0, 36, 1, 36, 0, 0, 0, 0, V, NO, 0, 0, NO,
752, BEAM , UNILOAD, GZ, NO , NO, aDir[1], , , , 0, 36, 1, 36, 0, 0, 0, 0, V, NO, 0, 0, NO,
753, BEAM , UNILOAD, GZ, NO , NO, aDir[1], , , , 0, 36, 1, 36, 0, 0, 0, 0, V, NO, 0, 0, NO,
754, BEAM , UNILOAD, GZ, NO , NO, aDir[1], , , , 0, 36, 1, 36, 0, 0, 0, 0, V, NO, 0, 0, NO,
755, BEAM , UNILOAD, GZ, NO , NO, aDir[1], , , , 0, 36, 1, 36, 0, 0, 0, 0, V, NO, 0, 0, NO,
756, BEAM , UNILOAD, GZ, NO , NO, aDir[1], , , , 0, 36, 1, 36, 0, 0, 0, 0, V, NO, 0, 0, NO,
757, BEAM , UNILOAD, GZ, NO , NO, aDir[1], , , , 0, 36, 1, 36, 0, 0, 0, 0, V, NO, 0, 0, NO,
758, BEAM , UNILOAD, GZ, NO , NO, aDir[1], , , , 0, 36, 1, 36, 0, 0, 0, 0, V, NO, 0, 0, NO,
759, BEAM , UNILOAD, GZ, NO , NO, aDir[1], , , , 0, 36, 1, 36, 0, 0, 0, 0, V, NO, 0, 0, NO,
760, BEAM , UNILOAD, GZ, NO , NO, aDir[1], , , , 0, 36, 1, 36, 0, 0, 0, 0, V, NO, 0, 0, NO,
761, BEAM , UNILOAD, GZ, NO , NO, aDir[1], , , , 0, 36, 1, 36, 0, 0, 0, 0, V, NO, 0, 0, NO,
762, BEAM , UNILOAD, GZ, NO , NO, aDir[1], , , , 0, 36, 1, 36, 0, 0, 0, 0, V, NO, 0, 0, NO,
763, BEAM , UNILOAD, GZ, NO , NO, aDir[1], , , , 0, 36, 1, 36, 0, 0, 0, 0, V, NO, 0, 0, NO,
764, BEAM , UNILOAD, GZ, NO , NO, aDir[1], , , , 0, 36, 1, 36, 0, 0, 0, 0, V, NO, 0, 0, NO,
765, BEAM , UNILOAD, GZ, NO , NO, aDir[1], , , , 0, 36, 1, 36, 0, 0, 0, 0, V, NO, 0, 0, NO,
766, BEAM , UNILOAD, GZ, NO , NO, aDir[1], , , , 0, 36, 1, 36, 0, 0, 0, 0, V, NO, 0, 0, NO,
767, BEAM , UNILOAD, GZ, NO , NO, aDir[1], , , , 0, 36, 1, 36, 0, 0, 0, 0, V, NO, 0, 0, NO,
768, BEAM , UNILOAD, GZ, NO , NO, aDir[1], , , , 0, 36, 1, 36, 0, 0, 0, 0, V, NO, 0, 0, NO,
769, BEAM , UNILOAD, GZ, NO , NO, aDir[1], , , , 0, 36, 1, 36, 0, 0, 0, 0, V, NO, 0, 0, NO,
770, BEAM , UNILOAD, GZ, NO , NO, aDir[1], , , , 0, 36, 1, 36, 0, 0, 0, 0, V, NO, 0, 0, NO,
771, BEAM , UNILOAD, GZ, NO , NO, aDir[1], , , , 0, 36, 1, 36, 0, 0, 0, 0, V, NO, 0, 0, NO,
772, BEAM , UNILOAD, GZ, NO , NO, aDir[1], , , , 0, 36, 1, 36, 0, 0, 0, 0, V, NO, 0, 0, NO,
773, BEAM , UNILOAD, GZ, NO , NO, aDir[1], , , , 0, 36, 1, 36, 0, 0, 0, 0, V, NO, 0, 0, NO,
774, BEAM , UNILOAD, GZ, NO , NO, aDir[1], , , , 0, 36, 1, 36, 0, 0, 0, 0, V, NO, 0, 0, NO,
775, BEAM , UNILOAD, GZ, NO , NO, aDir[1], , , , 0, 36, 1, 36, 0, 0, 0, 0, V, NO, 0, 0, NO,
776, BEAM , UNILOAD, GZ, NO , NO, aDir[1], , , , 0, 36, 1, 36, 0, 0, 0, 0, V, NO, 0, 0, NO,
777, BEAM , UNILOAD, GZ, NO , NO, aDir[1], , , , 0, 36, 1, 36, 0, 0, 0, 0, V, NO, 0, 0, NO,
778, BEAM , UNILOAD, GZ, NO , NO, aDir[1], , , , 0, 36, 1, 36, 0, 0, 0, 0, V, NO, 0, 0, NO,
779, BEAM , UNILOAD, GZ, NO , NO, aDir[1], , , , 0, 36, 1, 36, 0, 0, 0, 0, V, NO, 0, 0, NO,
780, BEAM , UNILOAD, GZ, NO , NO, aDir[1], , , , 0, 36, 1, 36, 0, 0, 0, 0, V, NO, 0, 0, NO,
781, BEAM , UNILOAD, GZ, NO , NO, aDir[1], , , , 0, 36, 1, 36, 0, 0, 0, 0, V, NO, 0, 0, NO,
782, BEAM , UNILOAD, GZ, NO , NO, aDir[1], , , , 0, 36, 1, 36, 0, 0, 0, 0, V, NO, 0, 0, NO,
783, BEAM , UNILOAD, GZ, NO , NO, aDir[1], , , , 0, 36, 1, 36, 0, 0, 0, 0, V, NO, 0, 0, NO,
784, BEAM , UNILOAD, GZ, NO , NO, aDir[1], , , , 0, 36, 1, 36, 0, 0, 0, 0, V, NO, 0, 0, NO,
785, BEAM , UNILOAD, GZ, NO , NO, aDir[1], , , , 0, 36, 1, 36, 0, 0, 0, 0, V, NO, 0, 0, NO,
786, BEAM , UNILOAD, GZ, NO , NO, aDir[1], , , , 0, 36, 1, 36, 0, 0, 0, 0, V, NO, 0, 0, NO,
787, BEAM , UNILOAD, GZ, NO , NO, aDir[1], , , , 0, 36, 1, 36, 0, 0, 0, 0, V, NO, 0, 0, NO,
788, BEAM , UNILOAD, GZ, NO , NO, aDir[1], , , , 0, 36, 1, 36, 0, 0, 0, 0, V, NO, 0, 0, NO,
789, BEAM , UNILOAD, GZ, NO , NO, aDir[1], , , , 0, 36, 1, 36, 0, 0, 0, 0, V, NO, 0, 0, NO,
790, BEAM , UNILOAD, GZ, NO , NO, aDir[1], , , , 0, 36, 1, 36, 0, 0, 0, 0, V, NO, 0, 0, NO,
791, BEAM , UNILOAD, GZ, NO , NO, aDir[1], , , , 0, 36, 1, 36, 0, 0, 0, 0, V, NO, 0, 0, NO,
792, BEAM , UNILOAD, GZ, NO , NO, aDir[1], , , , 0, 36, 1, 36, 0, 0, 0, 0, V, NO, 0, 0, NO,
793, BEAM , UNILOAD, GZ, NO , NO, aDir[1], , , , 0, 36, 1, 36, 0, 0, 0, 0, V, NO, 0, 0, NO,
794, BEAM , UNILOAD, GZ, NO , NO, aDir[1], , , , 0, 36, 1, 36, 0, 0, 0, 0, V, NO, 0, 0, NO,
795, BEAM , UNILOAD, GZ, NO , NO, aDir[1], , , , 0, 36, 1, 36, 0, 0, 0, 0, V, NO, 0, 0, NO,
796, BEAM , UNILOAD, GZ, NO , NO, aDir[1], , , , 0, 36, 1, 36, 0, 0, 0, 0, V, NO, 0, 0, NO,
797, BEAM , UNILOAD, GZ, NO , NO, aDir[1], , , , 0, 36, 1, 36, 0, 0, 0, 0, V, NO, 0, 0, NO,
798, BEAM , UNILOAD, GZ, NO , NO, aDir[1], , , , 0, 36, 1, 36, 0, 0, 0, 0, V, NO, 0, 0, NO,
799, BEAM , UNILOAD, GZ, NO , NO, aDir[1], , , , 0, 36, 1, 36, 0, 0, 0, 0, V, NO, 0, 0, NO,
800, BEAM , UNILOAD, GZ, NO , NO, aDir[1], , , , 0, 36, 1, 36, 0, 0, 0, 0, V, NO, 0, 0, NO,
801, BEAM , UNILOAD, GZ, NO , NO, aDir[1], , , , 0, 36, 1, 36, 0, 0, 0, 0, V, NO, 0, 0, NO,
802, BEAM , UNILOAD, GZ, NO , NO, aDir[1], , , , 0, 36, 1, 36, 0, 0, 0, 0, V, NO, 0, 0, NO,
803, BEAM , UNILOAD, GZ, NO , NO, aDir[1], , , , 0, 36, 1, 36, 0, 0, 0, 0, V, NO, 0, 0, NO,
804, BEAM , UNILOAD, GZ, NO , NO, aDir[1], , , , 0, 36, 1, 36, 0, 0, 0, 0, V, NO, 0, 0, NO,
805, BEAM , UNILOAD, GZ, NO , NO, aDir[1], , , , 0, 36, 1, 36, 0, 0, 0, 0, V, NO, 0, 0, NO,
806, BEAM , UNILOAD, GZ, NO , NO, aDir[1], , , , 0, 36, 1, 36, 0, 0, 0, 0, V, NO, 0, 0, NO,
807, BEAM , UNILOAD, GZ, NO , NO, aDir[1], , , , 0, 36, 1, 36, 0, 0, 0, 0, V, NO, 0, 0, NO,
808, BEAM , UNILOAD, GZ, NO , NO, aDir[1], , , , 0, 36, 1, 36, 0, 0, 0, 0, V, NO, 0, 0, NO,
809, BEAM , UNILOAD, GZ, NO , NO, aDir[1], , , , 0, 36, 1, 36, 0, 0, 0, 0, V, NO, 0, 0, NO,

PROJECT TITLE :

MIDAS	Company		Client	
	Author		File Name	H2D_3Dg_v14_180227_StatLM.mct

810, BEAM , UNILOAD, GZ, NO , NO, aDir[1], , , , 0, 36, 1, 36, 0, 0, 0, 0, V, NO, 0, 0, NO,
811, BEAM , UNILOAD, GZ, NO , NO, aDir[1], , , , 0, 36, 1, 36, 0, 0, 0, 0, V, NO, 0, 0, NO,
812, BEAM , UNILOAD, GZ, NO , NO, aDir[1], , , , 0, 36, 1, 36, 0, 0, 0, 0, V, NO, 0, 0, NO,
813, BEAM , UNILOAD, GZ, NO , NO, aDir[1], , , , 0, 36, 1, 36, 0, 0, 0, 0, V, NO, 0, 0, NO,
814, BEAM , UNILOAD, GZ, NO , NO, aDir[1], , , , 0, 36, 1, 36, 0, 0, 0, 0, V, NO, 0, 0, NO,
815, BEAM , UNILOAD, GZ, NO , NO, aDir[1], , , , 0, 36, 1, 36, 0, 0, 0, 0, V, NO, 0, 0, NO,
816, BEAM , UNILOAD, GZ, NO , NO, aDir[1], , , , 0, 36, 1, 36, 0, 0, 0, 0, V, NO, 0, 0, NO,
817, BEAM , UNILOAD, GZ, NO , NO, aDir[1], , , , 0, 36, 1, 36, 0, 0, 0, 0, V, NO, 0, 0, NO,
818, BEAM , UNILOAD, GZ, NO , NO, aDir[1], , , , 0, 36, 1, 36, 0, 0, 0, 0, V, NO, 0, 0, NO,
819, BEAM , UNILOAD, GZ, NO , NO, aDir[1], , , , 0, 36, 1, 36, 0, 0, 0, 0, V, NO, 0, 0, NO,
820, BEAM , UNILOAD, GZ, NO , NO, aDir[1], , , , 0, 36, 1, 36, 0, 0, 0, 0, V, NO, 0, 0, NO,
821, BEAM , UNILOAD, GZ, NO , NO, aDir[1], , , , 0, 36, 1, 36, 0, 0, 0, 0, V, NO, 0, 0, NO,
822, BEAM , UNILOAD, GZ, NO , NO, aDir[1], , , , 0, 36, 1, 36, 0, 0, 0, 0, V, NO, 0, 0, NO,
823, BEAM , UNILOAD, GZ, NO , NO, aDir[1], , , , 0, 36, 1, 36, 0, 0, 0, 0, V, NO, 0, 0, NO,
824, BEAM , UNILOAD, GZ, NO , NO, aDir[1], , , , 0, 36, 1, 36, 0, 0, 0, 0, V, NO, 0, 0, NO,
825, BEAM , UNILOAD, GZ, NO , NO, aDir[1], , , , 0, 36, 1, 36, 0, 0, 0, 0, V, NO, 0, 0, NO,
826, BEAM , UNILOAD, GZ, NO , NO, aDir[1], , , , 0, 36, 1, 36, 0, 0, 0, 0, V, NO, 0, 0, NO,
827, BEAM , UNILOAD, GZ, NO , NO, aDir[1], , , , 0, 36, 1, 36, 0, 0, 0, 0, V, NO, 0, 0, NO,
828, BEAM , UNILOAD, GZ, NO , NO, aDir[1], , , , 0, 36, 1, 36, 0, 0, 0, 0, V, NO, 0, 0, NO,
829, BEAM , UNILOAD, GZ, NO , NO, aDir[1], , , , 0, 36, 1, 36, 0, 0, 0, 0, V, NO, 0, 0, NO,
830, BEAM , UNILOAD, GZ, NO , NO, aDir[1], , , , 0, 36, 1, 36, 0, 0, 0, 0, V, NO, 0, 0, NO,
831, BEAM , UNILOAD, GZ, NO , NO, aDir[1], , , , 0, 36, 1, 36, 0, 0, 0, 0, V, NO, 0, 0, NO,
832, BEAM , UNILOAD, GZ, NO , NO, aDir[1], , , , 0, 36, 1, 36, 0, 0, 0, 0, V, NO, 0, 0, NO,
833, BEAM , UNILOAD, GZ, NO , NO, aDir[1], , , , 0, 36, 1, 36, 0, 0, 0, 0, V, NO, 0, 0, NO,
834, BEAM , UNILOAD, GZ, NO , NO, aDir[1], , , , 0, 36, 1, 36, 0, 0, 0, 0, V, NO, 0, 0, NO,
835, BEAM , UNILOAD, GZ, NO , NO, aDir[1], , , , 0, 36, 1, 36, 0, 0, 0, 0, V, NO, 0, 0, NO,
836, BEAM , UNILOAD, GZ, NO , NO, aDir[1], , , , 0, 36, 1, 36, 0, 0, 0, 0, V, NO, 0, 0, NO,
837, BEAM , UNILOAD, GZ, NO , NO, aDir[1], , , , 0, 36, 1, 36, 0, 0, 0, 0, V, NO, 0, 0, NO,
838, BEAM , UNILOAD, GZ, NO , NO, aDir[1], , , , 0, 36, 1, 36, 0, 0, 0, 0, V, NO, 0, 0, NO,
839, BEAM , UNILOAD, GZ, NO , NO, aDir[1], , , , 0, 36, 1, 36, 0, 0, 0, 0, V, NO, 0, 0, NO,
840, BEAM , UNILOAD, GZ, NO , NO, aDir[1], , , , 0, 36, 1, 36, 0, 0, 0, 0, V, NO, 0, 0, NO,
841, BEAM , UNILOAD, GZ, NO , NO, aDir[1], , , , 0, 36, 1, 36, 0, 0, 0, 0, V, NO, 0, 0, NO,
842, BEAM , UNILOAD, GZ, NO , NO, aDir[1], , , , 0, 36, 1, 36, 0, 0, 0, 0, V, NO, 0, 0, NO,
843, BEAM , UNILOAD, GZ, NO , NO, aDir[1], , , , 0, 36, 1, 36, 0, 0, 0, 0, V, NO, 0, 0, NO,
844, BEAM , UNILOAD, GZ, NO , NO, aDir[1], , , , 0, 36, 1, 36, 0, 0, 0, 0, V, NO, 0, 0, NO,
845, BEAM , UNILOAD, GZ, NO , NO, aDir[1], , , , 0, 36, 1, 36, 0, 0, 0, 0, V, NO, 0, 0, NO,
846, BEAM , UNILOAD, GZ, NO , NO, aDir[1], , , , 0, 36, 1, 36, 0, 0, 0, 0, V, NO, 0, 0, NO,
847, BEAM , UNILOAD, GZ, NO , NO, aDir[1], , , , 0, 36, 1, 36, 0, 0, 0, 0, V, NO, 0, 0, NO,
848, BEAM , UNILOAD, GZ, NO , NO, aDir[1], , , , 0, 36, 1, 36, 0, 0, 0, 0, V, NO, 0, 0, NO,
849, BEAM , UNILOAD, GZ, NO , NO, aDir[1], , , , 0, 36, 1, 36, 0, 0, 0, 0, V, NO, 0, 0, NO,
850, BEAM , UNILOAD, GZ, NO , NO, aDir[1], , , , 0, 36, 1, 36, 0, 0, 0, 0, V, NO, 0, 0, NO,
851, BEAM , UNILOAD, GZ, NO , NO, aDir[1], , , , 0, 36, 1, 36, 0, 0, 0, 0, V, NO, 0, 0, NO,
852, BEAM , UNILOAD, GZ, NO , NO, aDir[1], , , , 0, 36, 1, 36, 0, 0, 0, 0, V, NO, 0, 0, NO,
853, BEAM , UNILOAD, GZ, NO , NO, aDir[1], , , , 0, 36, 1, 36, 0, 0, 0, 0, V, NO, 0, 0, NO,
854, BEAM , UNILOAD, GZ, NO , NO, aDir[1], , , , 0, 36, 1, 36, 0, 0, 0, 0, V, NO, 0, 0, NO,
855, BEAM , UNILOAD, GZ, NO , NO, aDir[1], , , , 0, 36, 1, 36, 0, 0, 0, 0, V, NO, 0, 0, NO,
856, BEAM , UNILOAD, GZ, NO , NO, aDir[1], , , , 0, 36, 1, 36, 0, 0, 0, 0, V, NO, 0, 0, NO,
857, BEAM , UNILOAD, GZ, NO , NO, aDir[1], , , , 0, 36, 1, 36, 0, 0, 0, 0, V, NO, 0, 0, NO,
858, BEAM , UNILOAD, GZ, NO , NO, aDir[1], , , , 0, 36, 1, 36, 0, 0, 0, 0, V, NO, 0, 0, NO,
859, BEAM , UNILOAD, GZ, NO , NO, aDir[1], , , , 0, 36, 1, 36, 0, 0, 0, 0, V, NO, 0, 0, NO,
860, BEAM , UNILOAD, GZ, NO , NO, aDir[1], , , , 0, 36, 1, 36, 0, 0, 0, 0, V, NO, 0, 0, NO,
861, BEAM , UNILOAD, GZ, NO , NO, aDir[1], , , , 0, 36, 1, 36, 0, 0, 0, 0, V, NO, 0, 0, NO,
862, BEAM , UNILOAD, GZ, NO , NO, aDir[1], , , , 0, 36, 1, 36, 0, 0, 0, 0, V, NO, 0, 0, NO,
863, BEAM , UNILOAD, GZ, NO , NO, aDir[1], , , , 0, 36, 1, 36, 0, 0, 0, 0, V, NO, 0, 0, NO,
864, BEAM , UNILOAD, GZ, NO , NO, aDir[1], , , , 0, 36, 1, 36, 0, 0, 0, 0, V, NO, 0, 0, NO,
865, BEAM , UNILOAD, GZ, NO , NO, aDir[1], , , , 0, 36, 1, 36, 0, 0, 0, 0, V, NO, 0, 0, NO,
866, BEAM , UNILOAD, GZ, NO , NO, aDir[1], , , , 0, 36, 1, 36, 0, 0, 0, 0, V, NO, 0, 0, NO,
867, BEAM , UNILOAD, GZ, NO , NO, aDir[1], , , , 0, 36, 1, 36, 0, 0, 0, 0, V, NO, 0, 0, NO,
868, BEAM , UNILOAD, GZ, NO , NO, aDir[1], , , , 0, 36, 1, 36, 0, 0, 0, 0, V, NO, 0, 0, NO,
869, BEAM , UNILOAD, GZ, NO , NO, aDir[1], , , , 0, 36, 1, 36, 0, 0, 0, 0, V, NO, 0, 0, NO,
870, BEAM , UNILOAD, GZ, NO , NO, aDir[1], , , , 0, 36, 1, 36, 0, 0, 0, 0, V, NO, 0, 0, NO,
871, BEAM , UNILOAD, GZ, NO , NO, aDir[1], , , , 0, 36, 1, 36, 0, 0, 0, 0, V, NO, 0, 0, NO,
872, BEAM , UNILOAD, GZ, NO , NO, aDir[1], , , , 0, 36, 1, 36, 0, 0, 0, 0, V, NO, 0, 0, NO,
873, BEAM , UNILOAD, GZ, NO , NO, aDir[1], , , , 0, 36, 1, 36, 0, 0, 0, 0, V, NO, 0, 0, NO,
874, BEAM , UNILOAD, GZ, NO , NO, aDir[1], , , , 0, 36, 1, 36, 0, 0, 0, 0, V, NO, 0, 0, NO,
875, BEAM , UNILOAD, GZ, NO , NO, aDir[1], , , , 0, 36, 1, 36, 0, 0, 0, 0, V, NO, 0, 0, NO,
876, BEAM , UNILOAD, GZ, NO , NO, aDir[1], , , , 0, 36, 1, 36, 0, 0, 0, 0, V, NO, 0, 0, NO,
877, BEAM , UNILOAD, GZ, NO , NO, aDir[1], , , , 0, 36, 1, 36, 0, 0, 0, 0, V, NO, 0, 0, NO,
878, BEAM , UNILOAD, GZ, NO , NO, aDir[1], , , , 0, 36, 1, 36, 0, 0, 0, 0, V, NO, 0, 0, NO,
879, BEAM , UNILOAD, GZ, NO , NO, aDir[1], , , , 0, 36, 1, 36, 0, 0, 0, 0, V, NO, 0, 0, NO,
880, BEAM , UNILOAD, GZ, NO , NO, aDir[1], , , , 0, 36, 1, 36, 0, 0, 0, 0, V, NO, 0, 0, NO,
881, BEAM , UNILOAD, GZ, NO , NO, aDir[1], , , , 0, 36, 1, 36, 0, 0, 0, 0, V, NO, 0, 0, NO,

PROJECT TITLE :

MIDAS	Company		Client	
	Author		File Name	H2D_3Dg_v14_180227_StatLM.mct

882, BEAM , UNILOAD, GZ, NO , NO, aDir[1], , , , 0, 36, 1, 36, 0, 0, 0, 0, V, NO, 0, 0, NO,
883, BEAM , UNILOAD, GZ, NO , NO, aDir[1], , , , 0, 36, 1, 36, 0, 0, 0, 0, V, NO, 0, 0, NO,
884, BEAM , UNILOAD, GZ, NO , NO, aDir[1], , , , 0, 36, 1, 36, 0, 0, 0, 0, V, NO, 0, 0, NO,
885, BEAM , UNILOAD, GZ, NO , NO, aDir[1], , , , 0, 36, 1, 36, 0, 0, 0, 0, V, NO, 0, 0, NO,
886, BEAM , UNILOAD, GZ, NO , NO, aDir[1], , , , 0, 36, 1, 36, 0, 0, 0, 0, V, NO, 0, 0, NO,
887, BEAM , UNILOAD, GZ, NO , NO, aDir[1], , , , 0, 36, 1, 36, 0, 0, 0, 0, V, NO, 0, 0, NO,
888, BEAM , UNILOAD, GZ, NO , NO, aDir[1], , , , 0, 36, 1, 36, 0, 0, 0, 0, V, NO, 0, 0, NO,
889, BEAM , UNILOAD, GZ, NO , NO, aDir[1], , , , 0, 36, 1, 36, 0, 0, 0, 0, V, NO, 0, 0, NO,
890, BEAM , UNILOAD, GZ, NO , NO, aDir[1], , , , 0, 36, 1, 36, 0, 0, 0, 0, V, NO, 0, 0, NO,
891, BEAM , UNILOAD, GZ, NO , NO, aDir[1], , , , 0, 36, 1, 36, 0, 0, 0, 0, V, NO, 0, 0, NO,
892, BEAM , UNILOAD, GZ, NO , NO, aDir[1], , , , 0, 36, 1, 36, 0, 0, 0, 0, V, NO, 0, 0, NO,
893, BEAM , UNILOAD, GZ, NO , NO, aDir[1], , , , 0, 36, 1, 36, 0, 0, 0, 0, V, NO, 0, 0, NO,
894, BEAM , UNILOAD, GZ, NO , NO, aDir[1], , , , 0, 36, 1, 36, 0, 0, 0, 0, V, NO, 0, 0, NO,
895, BEAM , UNILOAD, GZ, NO , NO, aDir[1], , , , 0, 36, 1, 36, 0, 0, 0, 0, V, NO, 0, 0, NO,
896, BEAM , UNILOAD, GZ, NO , NO, aDir[1], , , , 0, 36, 1, 36, 0, 0, 0, 0, V, NO, 0, 0, NO,
897, BEAM , UNILOAD, GZ, NO , NO, aDir[1], , , , 0, 36, 1, 36, 0, 0, 0, 0, V, NO, 0, 0, NO,
898, BEAM , UNILOAD, GZ, NO , NO, aDir[1], , , , 0, 36, 1, 36, 0, 0, 0, 0, V, NO, 0, 0, NO,
899, BEAM , UNILOAD, GZ, NO , NO, aDir[1], , , , 0, 36, 1, 36, 0, 0, 0, 0, V, NO, 0, 0, NO,
900, BEAM , UNILOAD, GZ, NO , NO, aDir[1], , , , 0, 36, 1, 36, 0, 0, 0, 0, V, NO, 0, 0, NO,
901, BEAM , UNILOAD, GZ, NO , NO, aDir[1], , , , 0, 36, 1, 36, 0, 0, 0, 0, V, NO, 0, 0, NO,
902, BEAM , UNILOAD, GZ, NO , NO, aDir[1], , , , 0, 36, 1, 36, 0, 0, 0, 0, V, NO, 0, 0, NO,
903, BEAM , UNILOAD, GZ, NO , NO, aDir[1], , , , 0, 36, 1, 36, 0, 0, 0, 0, V, NO, 0, 0, NO,
904, BEAM , UNILOAD, GZ, NO , NO, aDir[1], , , , 0, 36, 1, 36, 0, 0, 0, 0, V, NO, 0, 0, NO,
905, BEAM , UNILOAD, GZ, NO , NO, aDir[1], , , , 0, 36, 1, 36, 0, 0, 0, 0, V, NO, 0, 0, NO,
906, BEAM , UNILOAD, GZ, NO , NO, aDir[1], , , , 0, 36, 1, 36, 0, 0, 0, 0, V, NO, 0, 0, NO,
907, BEAM , UNILOAD, GZ, NO , NO, aDir[1], , , , 0, 36, 1, 36, 0, 0, 0, 0, V, NO, 0, 0, NO,
908, BEAM , UNILOAD, GZ, NO , NO, aDir[1], , , , 0, 36, 1, 36, 0, 0, 0, 0, V, NO, 0, 0, NO,
909, BEAM , UNILOAD, GZ, NO , NO, aDir[1], , , , 0, 36, 1, 36, 0, 0, 0, 0, V, NO, 0, 0, NO,
910, BEAM , UNILOAD, GZ, NO , NO, aDir[1], , , , 0, 36, 1, 36, 0, 0, 0, 0, V, NO, 0, 0, NO,
911, BEAM , UNILOAD, GZ, NO , NO, aDir[1], , , , 0, 36, 1, 36, 0, 0, 0, 0, V, NO, 0, 0, NO,
912, BEAM , UNILOAD, GZ, NO , NO, aDir[1], , , , 0, 36, 1, 36, 0, 0, 0, 0, V, NO, 0, 0, NO,
913, BEAM , UNILOAD, GZ, NO , NO, aDir[1], , , , 0, 36, 1, 36, 0, 0, 0, 0, V, NO, 0, 0, NO,
914, BEAM , UNILOAD, GZ, NO , NO, aDir[1], , , , 0, 36, 1, 36, 0, 0, 0, 0, V, NO, 0, 0, NO,
915, BEAM , UNILOAD, GZ, NO , NO, aDir[1], , , , 0, 36, 1, 36, 0, 0, 0, 0, V, NO, 0, 0, NO,
916, BEAM , UNILOAD, GZ, NO , NO, aDir[1], , , , 0, 36, 1, 36, 0, 0, 0, 0, V, NO, 0, 0, NO,
917, BEAM , UNILOAD, GZ, NO , NO, aDir[1], , , , 0, 36, 1, 36, 0, 0, 0, 0, V, NO, 0, 0, NO,
918, BEAM , UNILOAD, GZ, NO , NO, aDir[1], , , , 0, 36, 1, 36, 0, 0, 0, 0, V, NO, 0, 0, NO,
919, BEAM , UNILOAD, GZ, NO , NO, aDir[1], , , , 0, 36, 1, 36, 0, 0, 0, 0, V, NO, 0, 0, NO,
920, BEAM , UNILOAD, GZ, NO , NO, aDir[1], , , , 0, 36, 1, 36, 0, 0, 0, 0, V, NO, 0, 0, NO,
921, BEAM , UNILOAD, GZ, NO , NO, aDir[1], , , , 0, 36, 1, 36, 0, 0, 0, 0, V, NO, 0, 0, NO,
922, BEAM , UNILOAD, GZ, NO , NO, aDir[1], , , , 0, 36, 1, 36, 0, 0, 0, 0, V, NO, 0, 0, NO,
923, BEAM , UNILOAD, GZ, NO , NO, aDir[1], , , , 0, 36, 1, 36, 0, 0, 0, 0, V, NO, 0, 0, NO,
924, BEAM , UNILOAD, GZ, NO , NO, aDir[1], , , , 0, 36, 1, 36, 0, 0, 0, 0, V, NO, 0, 0, NO,
925, BEAM , UNILOAD, GZ, NO , NO, aDir[1], , , , 0, 36, 1, 36, 0, 0, 0, 0, V, NO, 0, 0, NO,
926, BEAM , UNILOAD, GZ, NO , NO, aDir[1], , , , 0, 36, 1, 36, 0, 0, 0, 0, V, NO, 0, 0, NO,
927, BEAM , UNILOAD, GZ, NO , NO, aDir[1], , , , 0, 36, 1, 36, 0, 0, 0, 0, V, NO, 0, 0, NO,
928, BEAM , UNILOAD, GZ, NO , NO, aDir[1], , , , 0, 36, 1, 36, 0, 0, 0, 0, V, NO, 0, 0, NO,
929, BEAM , UNILOAD, GZ, NO , NO, aDir[1], , , , 0, 36, 1, 36, 0, 0, 0, 0, V, NO, 0, 0, NO,
930, BEAM , UNILOAD, GZ, NO , NO, aDir[1], , , , 0, 36, 1, 36, 0, 0, 0, 0, V, NO, 0, 0, NO,
931, BEAM , UNILOAD, GZ, NO , NO, aDir[1], , , , 0, 36, 1, 36, 0, 0, 0, 0, V, NO, 0, 0, NO,
932, BEAM , UNILOAD, GZ, NO , NO, aDir[1], , , , 0, 36, 1, 36, 0, 0, 0, 0, V, NO, 0, 0, NO,
933, BEAM , UNILOAD, GZ, NO , NO, aDir[1], , , , 0, 36, 1, 36, 0, 0, 0, 0, V, NO, 0, 0, NO,
934, BEAM , UNILOAD, GZ, NO , NO, aDir[1], , , , 0, 36, 1, 36, 0, 0, 0, 0, V, NO, 0, 0, NO,
935, BEAM , UNILOAD, GZ, NO , NO, aDir[1], , , , 0, 36, 1, 36, 0, 0, 0, 0, V, NO, 0, 0, NO,
936, BEAM , UNILOAD, GZ, NO , NO, aDir[1], , , , 0, 36, 1, 36, 0, 0, 0, 0, V, NO, 0, 0, NO,
937, BEAM , UNILOAD, GZ, NO , NO, aDir[1], , , , 0, 36, 1, 36, 0, 0, 0, 0, V, NO, 0, 0, NO,
938, BEAM , UNILOAD, GZ, NO , NO, aDir[1], , , , 0, 36, 1, 36, 0, 0, 0, 0, V, NO, 0, 0, NO,
939, BEAM , UNILOAD, GZ, NO , NO, aDir[1], , , , 0, 36, 1, 36, 0, 0, 0, 0, V, NO, 0, 0, NO,
940, BEAM , UNILOAD, GZ, NO , NO, aDir[1], , , , 0, 36, 1, 36, 0, 0, 0, 0, V, NO, 0, 0, NO,
941, BEAM , UNILOAD, GZ, NO , NO, aDir[1], , , , 0, 36, 1, 36, 0, 0, 0, 0, V, NO, 0, 0, NO,
942, BEAM , UNILOAD, GZ, NO , NO, aDir[1], , , , 0, 36, 1, 36, 0, 0, 0, 0, V, NO, 0, 0, NO,
943, BEAM , UNILOAD, GZ, NO , NO, aDir[1], , , , 0, 36, 1, 36, 0, 0, 0, 0, V, NO, 0, 0, NO,
944, BEAM , UNILOAD, GZ, NO , NO, aDir[1], , , , 0, 36, 1, 36, 0, 0, 0, 0, V, NO, 0, 0, NO,
945, BEAM , UNILOAD, GZ, NO , NO, aDir[1], , , , 0, 36, 1, 36, 0, 0, 0, 0, V, NO, 0, 0, NO,
946, BEAM , UNILOAD, GZ, NO , NO, aDir[1], , , , 0, 36, 1, 36, 0, 0, 0, 0, V, NO, 0, 0, NO,
947, BEAM , UNILOAD, GZ, NO , NO, aDir[1], , , , 0, 36, 1, 36, 0, 0, 0, 0, V, NO, 0, 0, NO,
948, BEAM , UNILOAD, GZ, NO , NO, aDir[1], , , , 0, 36, 1, 36, 0, 0, 0, 0, V, NO, 0, 0, NO,
949, BEAM , UNILOAD, GZ, NO , NO, aDir[1], , , , 0, 36, 1, 36, 0, 0, 0, 0, V, NO, 0, 0, NO,
950, BEAM , UNILOAD, GZ, NO , NO, aDir[1], , , , 0, 36, 1, 36, 0, 0, 0, 0, V, NO, 0, 0, NO,
951, BEAM , UNILOAD, GZ, NO , NO, aDir[1], , , , 0, 36, 1, 36, 0, 0, 0, 0, V, NO, 0, 0, NO,
952, BEAM , UNILOAD, GZ, NO , NO, aDir[1], , , , 0, 36, 1, 36, 0, 0, 0, 0, V, NO, 0, 0, NO,
953, BEAM , UNILOAD, GZ, NO , NO, aDir[1], , , , 0, 36, 1, 36, 0, 0, 0, 0, V, NO, 0, 0, NO,

PROJECT TITLE :

MIDAS	Company		Client	
	Author		File Name	H2D_3Dg_v14_180227_StatLM.mct

954, BEAM , UNILOAD, GZ, NO , NO, aDir[1], , , , 0, 36, 1, 36, 0, 0, 0, 0, V, NO, 0, 0, NO,
955, BEAM , UNILOAD, GZ, NO , NO, aDir[1], , , , 0, 36, 1, 36, 0, 0, 0, 0, V, NO, 0, 0, NO,
956, BEAM , UNILOAD, GZ, NO , NO, aDir[1], , , , 0, 36, 1, 36, 0, 0, 0, 0, V, NO, 0, 0, NO,
957, BEAM , UNILOAD, GZ, NO , NO, aDir[1], , , , 0, 36, 1, 36, 0, 0, 0, 0, V, NO, 0, 0, NO,
958, BEAM , UNILOAD, GZ, NO , NO, aDir[1], , , , 0, 36, 1, 36, 0, 0, 0, 0, V, NO, 0, 0, NO,
959, BEAM , UNILOAD, GZ, NO , NO, aDir[1], , , , 0, 36, 1, 36, 0, 0, 0, 0, V, NO, 0, 0, NO,
960, BEAM , UNILOAD, GZ, NO , NO, aDir[1], , , , 0, 36, 1, 36, 0, 0, 0, 0, V, NO, 0, 0, NO,
961, BEAM , UNILOAD, GZ, NO , NO, aDir[1], , , , 0, 36, 1, 36, 0, 0, 0, 0, V, NO, 0, 0, NO,
962, BEAM , UNILOAD, GZ, NO , NO, aDir[1], , , , 0, 36, 1, 36, 0, 0, 0, 0, V, NO, 0, 0, NO,
963, BEAM , UNILOAD, GZ, NO , NO, aDir[1], , , , 0, 36, 1, 36, 0, 0, 0, 0, V, NO, 0, 0, NO,
964, BEAM , UNILOAD, GZ, NO , NO, aDir[1], , , , 0, 36, 1, 36, 0, 0, 0, 0, V, NO, 0, 0, NO,
965, BEAM , UNILOAD, GZ, NO , NO, aDir[1], , , , 0, 36, 1, 36, 0, 0, 0, 0, V, NO, 0, 0, NO,
966, BEAM , UNILOAD, GZ, NO , NO, aDir[1], , , , 0, 36, 1, 36, 0, 0, 0, 0, V, NO, 0, 0, NO,
967, BEAM , UNILOAD, GZ, NO , NO, aDir[1], , , , 0, 36, 1, 36, 0, 0, 0, 0, V, NO, 0, 0, NO,
968, BEAM , UNILOAD, GZ, NO , NO, aDir[1], , , , 0, 36, 1, 36, 0, 0, 0, 0, V, NO, 0, 0, NO,
969, BEAM , UNILOAD, GZ, NO , NO, aDir[1], , , , 0, 36, 1, 36, 0, 0, 0, 0, V, NO, 0, 0, NO,
970, BEAM , UNILOAD, GZ, NO , NO, aDir[1], , , , 0, 36, 1, 36, 0, 0, 0, 0, V, NO, 0, 0, NO,
971, BEAM , UNILOAD, GZ, NO , NO, aDir[1], , , , 0, 36, 1, 36, 0, 0, 0, 0, V, NO, 0, 0, NO,
972, BEAM , UNILOAD, GZ, NO , NO, aDir[1], , , , 0, 36, 1, 36, 0, 0, 0, 0, V, NO, 0, 0, NO,
973, BEAM , UNILOAD, GZ, NO , NO, aDir[1], , , , 0, 36, 1, 36, 0, 0, 0, 0, V, NO, 0, 0, NO,
974, BEAM , UNILOAD, GZ, NO , NO, aDir[1], , , , 0, 36, 1, 36, 0, 0, 0, 0, V, NO, 0, 0, NO,
975, BEAM , UNILOAD, GZ, NO , NO, aDir[1], , , , 0, 36, 1, 36, 0, 0, 0, 0, V, NO, 0, 0, NO,
976, BEAM , UNILOAD, GZ, NO , NO, aDir[1], , , , 0, 36, 1, 36, 0, 0, 0, 0, V, NO, 0, 0, NO,
977, BEAM , UNILOAD, GZ, NO , NO, aDir[1], , , , 0, 36, 1, 36, 0, 0, 0, 0, V, NO, 0, 0, NO,
978, BEAM , UNILOAD, GZ, NO , NO, aDir[1], , , , 0, 36, 1, 36, 0, 0, 0, 0, V, NO, 0, 0, NO,
979, BEAM , UNILOAD, GZ, NO , NO, aDir[1], , , , 0, 36, 1, 36, 0, 0, 0, 0, V, NO, 0, 0, NO,
980, BEAM , UNILOAD, GZ, NO , NO, aDir[1], , , , 0, 36, 1, 36, 0, 0, 0, 0, V, NO, 0, 0, NO,
981, BEAM , UNILOAD, GZ, NO , NO, aDir[1], , , , 0, 36, 1, 36, 0, 0, 0, 0, V, NO, 0, 0, NO,
982, BEAM , UNILOAD, GZ, NO , NO, aDir[1], , , , 0, 36, 1, 36, 0, 0, 0, 0, V, NO, 0, 0, NO,
983, BEAM , UNILOAD, GZ, NO , NO, aDir[1], , , , 0, 36, 1, 36, 0, 0, 0, 0, V, NO, 0, 0, NO,
984, BEAM , UNILOAD, GZ, NO , NO, aDir[1], , , , 0, 36, 1, 36, 0, 0, 0, 0, V, NO, 0, 0, NO,
985, BEAM , UNILOAD, GZ, NO , NO, aDir[1], , , , 0, 36, 1, 36, 0, 0, 0, 0, V, NO, 0, 0, NO,
986, BEAM , UNILOAD, GZ, NO , NO, aDir[1], , , , 0, 36, 1, 36, 0, 0, 0, 0, V, NO, 0, 0, NO,
987, BEAM , UNILOAD, GZ, NO , NO, aDir[1], , , , 0, 36, 1, 36, 0, 0, 0, 0, V, NO, 0, 0, NO,
988, BEAM , UNILOAD, GZ, NO , NO, aDir[1], , , , 0, 36, 1, 36, 0, 0, 0, 0, V, NO, 0, 0, NO,
989, BEAM , UNILOAD, GZ, NO , NO, aDir[1], , , , 0, 36, 1, 36, 0, 0, 0, 0, V, NO, 0, 0, NO,
990, BEAM , UNILOAD, GZ, NO , NO, aDir[1], , , , 0, 36, 1, 36, 0, 0, 0, 0, V, NO, 0, 0, NO,
991, BEAM , UNILOAD, GZ, NO , NO, aDir[1], , , , 0, 36, 1, 36, 0, 0, 0, 0, V, NO, 0, 0, NO,
992, BEAM , UNILOAD, GZ, NO , NO, aDir[1], , , , 0, 36, 1, 36, 0, 0, 0, 0, V, NO, 0, 0, NO,
993, BEAM , UNILOAD, GZ, NO , NO, aDir[1], , , , 0, 36, 1, 36, 0, 0, 0, 0, V, NO, 0, 0, NO,
994, BEAM , UNILOAD, GZ, NO , NO, aDir[1], , , , 0, 36, 1, 36, 0, 0, 0, 0, V, NO, 0, 0, NO,
995, BEAM , UNILOAD, GZ, NO , NO, aDir[1], , , , 0, 36, 1, 36, 0, 0, 0, 0, V, NO, 0, 0, NO,
996, BEAM , UNILOAD, GZ, NO , NO, aDir[1], , , , 0, 36, 1, 36, 0, 0, 0, 0, V, NO, 0, 0, NO,
997, BEAM , UNILOAD, GZ, NO , NO, aDir[1], , , , 0, 36, 1, 36, 0, 0, 0, 0, V, NO, 0, 0, NO,
998, BEAM , UNILOAD, GZ, NO , NO, aDir[1], , , , 0, 36, 1, 36, 0, 0, 0, 0, V, NO, 0, 0, NO,
999, BEAM , UNILOAD, GZ, NO , NO, aDir[1], , , , 0, 36, 1, 36, 0, 0, 0, 0, V, NO, 0, 0, NO,
1000, BEAM , UNILOAD, GZ, NO , NO, aDir[1], , , , 0, 36, 1, 36, 0, 0, 0, 0, V, NO, 0, 0, NO,
1001, BEAM , UNILOAD, GZ, NO , NO, aDir[1], , , , 0, 36, 1, 36, 0, 0, 0, 0, V, NO, 0, 0, NO,
1002, BEAM , UNILOAD, GZ, NO , NO, aDir[1], , , , 0, 36, 1, 36, 0, 0, 0, 0, V, NO, 0, 0, NO,
1003, BEAM , UNILOAD, GZ, NO , NO, aDir[1], , , , 0, 36, 1, 36, 0, 0, 0, 0, V, NO, 0, 0, NO,
1004, BEAM , UNILOAD, GZ, NO , NO, aDir[1], , , , 0, 36, 1, 36, 0, 0, 0, 0, V, NO, 0, 0, NO,
1005, BEAM , UNILOAD, GZ, NO , NO, aDir[1], , , , 0, 36, 1, 36, 0, 0, 0, 0, V, NO, 0, 0, NO,
1006, BEAM , UNILOAD, GZ, NO , NO, aDir[1], , , , 0, 36, 1, 36, 0, 0, 0, 0, V, NO, 0, 0, NO,
1007, BEAM , UNILOAD, GZ, NO , NO, aDir[1], , , , 0, 36, 1, 36, 0, 0, 0, 0, V, NO, 0, 0, NO,
1008, BEAM , UNILOAD, GZ, NO , NO, aDir[1], , , , 0, 36, 1, 36, 0, 0, 0, 0, V, NO, 0, 0, NO,
1009, BEAM , UNILOAD, GZ, NO , NO, aDir[1], , , , 0, 36, 1, 36, 0, 0, 0, 0, V, NO, 0, 0, NO,
1010, BEAM , UNILOAD, GZ, NO , NO, aDir[1], , , , 0, 36, 1, 36, 0, 0, 0, 0, V, NO, 0, 0, NO,
1011, BEAM , UNILOAD, GZ, NO , NO, aDir[1], , , , 0, 36, 1, 36, 0, 0, 0, 0, V, NO, 0, 0, NO,
1012, BEAM , UNILOAD, GZ, NO , NO, aDir[1], , , , 0, 36, 1, 36, 0, 0, 0, 0, V, NO, 0, 0, NO,
1013, BEAM , UNILOAD, GZ, NO , NO, aDir[1], , , , 0, 36, 1, 36, 0, 0, 0, 0, V, NO, 0, 0, NO,
1014, BEAM , UNILOAD, GZ, NO , NO, aDir[1], , , , 0, 36, 1, 36, 0, 0, 0, 0, V, NO, 0, 0, NO,
1015, BEAM , UNILOAD, GZ, NO , NO, aDir[1], , , , 0, 36, 1, 36, 0, 0, 0, 0, V, NO, 0, 0, NO,
1016, BEAM , UNILOAD, GZ, NO , NO, aDir[1], , , , 0, 36, 1, 36, 0, 0, 0, 0, V, NO, 0, 0, NO,
1017, BEAM , UNILOAD, GZ, NO , NO, aDir[1], , , , 0, 36, 1, 36, 0, 0, 0, 0, V, NO, 0, 0, NO,
1018, BEAM , UNILOAD, GZ, NO , NO, aDir[1], , , , 0, 36, 1, 36, 0, 0, 0, 0, V, NO, 0, 0, NO,
1019, BEAM , UNILOAD, GZ, NO , NO, aDir[1], , , , 0, 36, 1, 36, 0, 0, 0, 0, V, NO, 0, 0, NO,
1020, BEAM , UNILOAD, GZ, NO , NO, aDir[1], , , , 0, 36, 1, 36, 0, 0, 0, 0, V, NO, 0, 0, NO,
1021, BEAM , UNILOAD, GZ, NO , NO, aDir[1], , , , 0, 36, 1, 36, 0, 0, 0, 0, V, NO, 0, 0, NO,
1022, BEAM , UNILOAD, GZ, NO , NO, aDir[1], , , , 0, 36, 1, 36, 0, 0, 0, 0, V, NO, 0, 0, NO,
1023, BEAM , UNILOAD, GZ, NO , NO, aDir[1], , , , 0, 36, 1, 36, 0, 0, 0, 0, V, NO, 0, 0, NO,
1024, BEAM , UNILOAD, GZ, NO , NO, aDir[1], , , , 0, 36, 1, 36, 0, 0, 0, 0, V, NO, 0, 0, NO,
1025, BEAM , UNILOAD, GZ, NO , NO, aDir[1], , , , 0, 36, 1, 36, 0, 0, 0, 0, V, NO, 0, 0, NO,

1026, BEAM , UNILOAD, GZ, NO , NO, aDir[1], , , , 0, 36, 1, 36, 0, 0, 0, 0, V, NO, 0, 0, NO,
1027, BEAM , UNILOAD, GZ, NO , NO, aDir[1], , , , 0, 36, 1, 36, 0, 0, 0, 0, V, NO, 0, 0, NO,
1028, BEAM , UNILOAD, GZ, NO , NO, aDir[1], , , , 0, 36, 1, 36, 0, 0, 0, 0, V, NO, 0, 0, NO,
1029, BEAM , UNILOAD, GZ, NO , NO, aDir[1], , , , 0, 36, 1, 36, 0, 0, 0, 0, V, NO, 0, 0, NO,
1030, BEAM , UNILOAD, GZ, NO , NO, aDir[1], , , , 0, 36, 1, 36, 0, 0, 0, 0, V, NO, 0, 0, NO,
1031, BEAM , UNILOAD, GZ, NO , NO, aDir[1], , , , 0, 36, 1, 36, 0, 0, 0, 0, V, NO, 0, 0, NO,
1032, BEAM , UNILOAD, GZ, NO , NO, aDir[1], , , , 0, 36, 1, 36, 0, 0, 0, 0, V, NO, 0, 0, NO,
1033, BEAM , UNILOAD, GZ, NO , NO, aDir[1], , , , 0, 36, 1, 36, 0, 0, 0, 0, V, NO, 0, 0, NO,
1034, BEAM , UNILOAD, GZ, NO , NO, aDir[1], , , , 0, 36, 1, 36, 0, 0, 0, 0, V, NO, 0, 0, NO,
1035, BEAM , UNILOAD, GZ, NO , NO, aDir[1], , , , 0, 36, 1, 36, 0, 0, 0, 0, V, NO, 0, 0, NO,
1036, BEAM , UNILOAD, GZ, NO , NO, aDir[1], , , , 0, 36, 1, 36, 0, 0, 0, 0, V, NO, 0, 0, NO,
1037, BEAM , UNILOAD, GZ, NO , NO, aDir[1], , , , 0, 36, 1, 36, 0, 0, 0, 0, V, NO, 0, 0, NO,
1038, BEAM , UNILOAD, GZ, NO , NO, aDir[1], , , , 0, 36, 1, 36, 0, 0, 0, 0, V, NO, 0, 0, NO,
1039, BEAM , UNILOAD, GZ, NO , NO, aDir[1], , , , 0, 36, 1, 36, 0, 0, 0, 0, V, NO, 0, 0, NO,
1040, BEAM , UNILOAD, GZ, NO , NO, aDir[1], , , , 0, 36, 1, 36, 0, 0, 0, 0, V, NO, 0, 0, NO,
1041, BEAM , UNILOAD, GZ, NO , NO, aDir[1], , , , 0, 36, 1, 36, 0, 0, 0, 0, V, NO, 0, 0, NO,
1042, BEAM , UNILOAD, GZ, NO , NO, aDir[1], , , , 0, 36, 1, 36, 0, 0, 0, 0, V, NO, 0, 0, NO,
1043, BEAM , UNILOAD, GZ, NO , NO, aDir[1], , , , 0, 36, 1, 36, 0, 0, 0, 0, V, NO, 0, 0, NO,
1044, BEAM , UNILOAD, GZ, NO , NO, aDir[1], , , , 0, 36, 1, 36, 0, 0, 0, 0, V, NO, 0, 0, NO,
1045, BEAM , UNILOAD, GZ, NO , NO, aDir[1], , , , 0, 36, 1, 36, 0, 0, 0, 0, V, NO, 0, 0, NO,
1046, BEAM , UNILOAD, GZ, NO , NO, aDir[1], , , , 0, 36, 1, 36, 0, 0, 0, 0, V, NO, 0, 0, NO,
1047, BEAM , UNILOAD, GZ, NO , NO, aDir[1], , , , 0, 36, 1, 36, 0, 0, 0, 0, V, NO, 0, 0, NO,
1048, BEAM , UNILOAD, GZ, NO , NO, aDir[1], , , , 0, 36, 1, 36, 0, 0, 0, 0, V, NO, 0, 0, NO,
1049, BEAM , UNILOAD, GZ, NO , NO, aDir[1], , , , 0, 36, 1, 36, 0, 0, 0, 0, V, NO, 0, 0, NO,
1050, BEAM , UNILOAD, GZ, NO , NO, aDir[1], , , , 0, 36, 1, 36, 0, 0, 0, 0, V, NO, 0, 0, NO,
1051, BEAM , UNILOAD, GZ, NO , NO, aDir[1], , , , 0, 36, 1, 36, 0, 0, 0, 0, V, NO, 0, 0, NO,
1052, BEAM , UNILOAD, GZ, NO , NO, aDir[1], , , , 0, 36, 1, 36, 0, 0, 0, 0, V, NO, 0, 0, NO,
1053, BEAM , UNILOAD, GZ, NO , NO, aDir[1], , , , 0, 36, 1, 36, 0, 0, 0, 0, V, NO, 0, 0, NO,
1054, BEAM , UNILOAD, GZ, NO , NO, aDir[1], , , , 0, 36, 1, 36, 0, 0, 0, 0, V, NO, 0, 0, NO,
1055, BEAM , UNILOAD, GZ, NO , NO, aDir[1], , , , 0, 36, 1, 36, 0, 0, 0, 0, V, NO, 0, 0, NO,
1056, BEAM , UNILOAD, GZ, NO , NO, aDir[1], , , , 0, 36, 1, 36, 0, 0, 0, 0, V, NO, 0, 0, NO,
1057, BEAM , UNILOAD, GZ, NO , NO, aDir[1], , , , 0, 36, 1, 36, 0, 0, 0, 0, V, NO, 0, 0, NO,
1058, BEAM , UNILOAD, GZ, NO , NO, aDir[1], , , , 0, 36, 1, 36, 0, 0, 0, 0, V, NO, 0, 0, NO,
1059, BEAM , UNILOAD, GZ, NO , NO, aDir[1], , , , 0, 36, 1, 36, 0, 0, 0, 0, V, NO, 0, 0, NO,
1060, BEAM , UNILOAD, GZ, NO , NO, aDir[1], , , , 0, 36, 1, 36, 0, 0, 0, 0, V, NO, 0, 0, NO,

; End of data for load case [V2] ----------

*USE-STLD, MVminKolej2-771+749

*BEAMLOAD ; Element Beam Loads
; ELEM_LIST, CMD, TYPE, DIR, bPROJ, [ECCEN], [VALUE], GROUP
; ELEM_LIST, CMD, TYPE, TYPE, DIR, VX, VY, VZ, bPROJ, [ECCEN], [VALUE], GROUP
; [VALUE] : D1, P1, D2, P2, D3, P3, D4, P4
; [ECCEN] : bECCEN, ECCDIR, I-END, J-END, bJ-END
; [ADDITIONAL] : bADDITIONAL, ADDITIONAL_I-END, ADDITIONAL_J-END, bADDITIONAL_J-END
1776, BEAM , CONLOAD, GZ, NO , NO, aDir[1], , , , 0.167, -23.2759, 0, 0, 0, 0, 0, 0, , NO, 0, 0, NO,
1777, BEAM , CONLOAD, GZ, NO , NO, aDir[1], , , , 0.167, -26.7241, 0, 0, 0, 0, 0, 0, , NO, 0, 0, NO,
1780, BEAM , CONLOAD, GZ, NO , NO, aDir[1], , , , 0.167, -32413.8, 0, 0, 0, 0, 0, 0, , NO, 0, 0, NO,
1781, BEAM , CONLOAD, GZ, NO , NO, aDir[1], , , , 0.167, -61586.2, 0, 0, 0, 0, 0, 0, , NO, 0, 0, NO,
1784, BEAM , CONLOAD, GZ, NO , NO, aDir[1], , , , 0.167, -19448.3, 0, 0, 0, 0, 0, 0, , NO, 0, 0, NO,
1785, BEAM , CONLOAD, GZ, NO , NO, aDir[1], , , , 0.167, -74551.7, 0, 0, 0, 0, 0, 0, , NO, 0, 0, NO,
1795, BEAM , CONLOAD, GZ, NO , NO, aDir[1], , , , 0.167, -35655.2, 0, 0, 0, 0, 0, 0, , NO, 0, 0, NO,
1796, BEAM , CONLOAD, GZ, NO , NO, aDir[1], , , , 0.167, -58344.8, 0, 0, 0, 0, 0, 0, , NO, 0, 0, NO,
1799, BEAM , CONLOAD, GZ, NO , NO, aDir[1], , , , 0.167, -22689.7, 0, 0, 0, 0, 0, 0, , NO, 0, 0, NO,
1800, BEAM , CONLOAD, GZ, NO , NO, aDir[1], , , , 0.167, -71310.3, 0, 0, 0, 0, 0, 0, , NO, 0, 0, NO,
1803, BEAM , CONLOAD, GZ, NO , NO, aDir[1], , , , 0.167, -6.03448, 0, 0, 0, 0, 0, 0, , NO, 0, 0, NO,
1804, BEAM , CONLOAD, GZ, NO , NO, aDir[1], , , , 0.167, -43.9655, 0, 0, 0, 0, 0, 0, , NO, 0, 0, NO,
1807, BEAM , CONLOAD, GZ, NO , NO, aDir[1], , , , 0.167, -16637.9, 0, 0, 0, 0, 0, 0, , NO, 0, 0, NO,
1808, BEAM , CONLOAD, GZ, NO , NO, aDir[1], , , , 0.167, -79862.1, 0, 0, 0, 0, 0, 0, , NO, 0, 0, NO,
1811, BEAM , CONLOAD, GZ, NO , NO, aDir[1], , , , 0.167, -96500, 0, 0, 0, 0, 0, 0, , NO, 0, 0, NO,
1814, BEAM , CONLOAD, GZ, NO , NO, aDir[1], , , , 0.167, -53241.4, 0, 0, 0, 0, 0, 0, , NO, 0, 0, NO,
1815, BEAM , CONLOAD, GZ, NO , NO, aDir[1], , , , 0.167, -43258.6, 0, 0, 0, 0, 0, 0, , NO, 0, 0, NO,
1822, BEAM , CONLOAD, GZ, NO , NO, aDir[1], , , , 0.167, -76534.5, 0, 0, 0, 0, 0, 0, , NO, 0, 0, NO,
1823, BEAM , CONLOAD, GZ, NO , NO, aDir[1], , , , 0.167, -19965.5, 0, 0, 0, 0, 0, 0, , NO, 0, 0, NO,
1825, BEAM , CONLOAD, GZ, NO , NO, aDir[1], , , , 0.167, -33275.9, 0, 0, 0, 0, 0, 0, , NO, 0, 0, NO,
1826, BEAM , CONLOAD, GZ, NO , NO, aDir[1], , , , 0.167, -63224.1, 0, 0, 0, 0, 0, 0, , NO, 0, 0, NO,
1828, BEAM , CONLOAD, GZ, NO , NO, aDir[1], , , , 0.167, -16637.9, 0, 0, 0, 0, 0, 0, , NO, 0, 0, NO,
1829, BEAM , CONLOAD, GZ, NO , NO, aDir[1], , , , 0.167, -79862.1, 0, 0, 0, 0, 0, 0, , NO, 0, 0, NO,
1832, BEAM , CONLOAD, GZ, NO , NO, aDir[1], , , , 0.167, -11.2069, 0, 0, 0, 0, 0, 0, , NO, 0, 0, NO,
1833, BEAM , CONLOAD, GZ, NO , NO, aDir[1], , , , 0.167, -38.7931, 0, 0, 0, 0, 0, 0, , NO, 0, 0, NO,
1900, BEAM , CONLOAD, GZ, NO , NO, aDir[1], , , , 0.833, -23.2759, 0, 0, 0, 0, 0, 0, , NO, 0, 0, NO,

1901, BEAM , CONLOAD, GZ, NO , NO, aDir[1], , , , 0.833, -26.7241, 0, 0, 0, 0, 0, 0, , NO, 0, 0, NO,
1904, BEAM , CONLOAD, GZ, NO , NO, aDir[1], , , , 0.833, -32413.8, 0, 0, 0, 0, 0, 0, , NO, 0, 0, NO,
1905, BEAM , CONLOAD, GZ, NO , NO, aDir[1], , , , 0.833, -61586.2, 0, 0, 0, 0, 0, 0, , NO, 0, 0, NO,
1908, BEAM , CONLOAD, GZ, NO , NO, aDir[1], , , , 0.833, -19448.3, 0, 0, 0, 0, 0, 0, , NO, 0, 0, NO,
1909, BEAM , CONLOAD, GZ, NO , NO, aDir[1], , , , 0.833, -74551.7, 0, 0, 0, 0, 0, 0, , NO, 0, 0, NO,
1919, BEAM , CONLOAD, GZ, NO , NO, aDir[1], , , , 0.833, -35655.2, 0, 0, 0, 0, 0, 0, , NO, 0, 0, NO,
1920, BEAM , CONLOAD, GZ, NO , NO, aDir[1], , , , 0.833, -58344.8, 0, 0, 0, 0, 0, 0, , NO, 0, 0, NO,
1923, BEAM , CONLOAD, GZ, NO , NO, aDir[1], , , , 0.833, -22689.7, 0, 0, 0, 0, 0, 0, , NO, 0, 0, NO,
1924, BEAM , CONLOAD, GZ, NO , NO, aDir[1], , , , 0.833, -71310.3, 0, 0, 0, 0, 0, 0, , NO, 0, 0, NO,
1927, BEAM , CONLOAD, GZ, NO , NO, aDir[1], , , , 0.833, -6.03448, 0, 0, 0, 0, 0, 0, , NO, 0, 0, NO,
1928, BEAM , CONLOAD, GZ, NO , NO, aDir[1], , , , 0.833, -43.9655, 0, 0, 0, 0, 0, 0, , NO, 0, 0, NO,
1931, BEAM , CONLOAD, GZ, NO , NO, aDir[1], , , , 0.833, -16637.9, 0, 0, 0, 0, 0, 0, , NO, 0, 0, NO,
1932, BEAM , CONLOAD, GZ, NO , NO, aDir[1], , , , 0.833, -79862.1, 0, 0, 0, 0, 0, 0, , NO, 0, 0, NO,
1935, BEAM , CONLOAD, GZ, NO , NO, aDir[1], , , , 0.833, -96500, 0, 0, 0, 0, 0, 0, , NO, 0, 0, NO,
1938, BEAM , CONLOAD, GZ, NO , NO, aDir[1], , , , 0.833, -53241.4, 0, 0, 0, 0, 0, 0, , NO, 0, 0, NO,
1939, BEAM , CONLOAD, GZ, NO , NO, aDir[1], , , , 0.833, -43258.6, 0, 0, 0, 0, 0, 0, , NO, 0, 0, NO,
1946, BEAM , CONLOAD, GZ, NO , NO, aDir[1], , , , 0.833, -76534.5, 0, 0, 0, 0, 0, 0, , NO, 0, 0, NO,
1947, BEAM , CONLOAD, GZ, NO , NO, aDir[1], , , , 0.833, -19965.5, 0, 0, 0, 0, 0, 0, , NO, 0, 0, NO,
1949, BEAM , CONLOAD, GZ, NO , NO, aDir[1], , , , 0.833, -33275.9, 0, 0, 0, 0, 0, 0, , NO, 0, 0, NO,
1950, BEAM , CONLOAD, GZ, NO , NO, aDir[1], , , , 0.833, -63224.1, 0, 0, 0, 0, 0, 0, , NO, 0, 0, NO,
1952, BEAM , CONLOAD, GZ, NO , NO, aDir[1], , , , 0.833, -16637.9, 0, 0, 0, 0, 0, 0, , NO, 0, 0, NO,
1953, BEAM , CONLOAD, GZ, NO , NO, aDir[1], , , , 0.833, -79862.1, 0, 0, 0, 0, 0, 0, , NO, 0, 0, NO,
1956, BEAM , CONLOAD, GZ, NO , NO, aDir[1], , , , 0.833, -11.2069, 0, 0, 0, 0, 0, 0, , NO, 0, 0, NO,
1957, BEAM , CONLOAD, GZ, NO , NO, aDir[1], , , , 0.833, -38.7931, 0, 0, 0, 0, 0, 0, , NO, 0, 0, NO,

; End of data for load case [MVminKolej2-771+749] ----------

*USE-STLD, MVminKolej1-771+749

*BEAMLOAD ; Element Beam Loads
; ELEM_LIST, CMD, TYPE, DIR, bPROJ, [ECCEN], [VALUE], GROUP
; ELEM_LIST, CMD, TYPE, TYPE, DIR, VX, VY, VZ, bPROJ, [ECCEN], [VALUE], GROUP
; [VALUE] : D1, P1, D2, P2, D3, P3, D4, P4
; [ECCEN] : bECCEN, ECCDIR, I-END, J-END, bJ-END
; [ADDITIONAL] : bADDITIONAL, ADDITIONAL_I-END, ADDITIONAL_J-END, bADDITIONAL_J-END
2024, BEAM , CONLOAD, GZ, NO , NO, aDir[1], , , , 0.833, -23.2759, 0, 0, 0, 0, 0, 0, , NO, 0, 0, NO,
2025, BEAM , CONLOAD, GZ, NO , NO, aDir[1], , , , 0.833, -26.7241, 0, 0, 0, 0, 0, 0, , NO, 0, 0, NO,
2028, BEAM , CONLOAD, GZ, NO , NO, aDir[1], , , , 0.833, -32413.8, 0, 0, 0, 0, 0, 0, , NO, 0, 0, NO,
2029, BEAM , CONLOAD, GZ, NO , NO, aDir[1], , , , 0.833, -61586.2, 0, 0, 0, 0, 0, 0, , NO, 0, 0, NO,
2032, BEAM , CONLOAD, GZ, NO , NO, aDir[1], , , , 0.833, -19448.3, 0, 0, 0, 0, 0, 0, , NO, 0, 0, NO,
2033, BEAM , CONLOAD, GZ, NO , NO, aDir[1], , , , 0.833, -74551.7, 0, 0, 0, 0, 0, 0, , NO, 0, 0, NO,
2043, BEAM , CONLOAD, GZ, NO , NO, aDir[1], , , , 0.833, -35655.2, 0, 0, 0, 0, 0, 0, , NO, 0, 0, NO,
2044, BEAM , CONLOAD, GZ, NO , NO, aDir[1], , , , 0.833, -58344.8, 0, 0, 0, 0, 0, 0, , NO, 0, 0, NO,
2047, BEAM , CONLOAD, GZ, NO , NO, aDir[1], , , , 0.833, -22689.7, 0, 0, 0, 0, 0, 0, , NO, 0, 0, NO,
2048, BEAM , CONLOAD, GZ, NO , NO, aDir[1], , , , 0.833, -71310.3, 0, 0, 0, 0, 0, 0, , NO, 0, 0, NO,
2051, BEAM , CONLOAD, GZ, NO , NO, aDir[1], , , , 0.833, -6.03448, 0, 0, 0, 0, 0, 0, , NO, 0, 0, NO,
2052, BEAM , CONLOAD, GZ, NO , NO, aDir[1], , , , 0.833, -43.9655, 0, 0, 0, 0, 0, 0, , NO, 0, 0, NO,
2055, BEAM , CONLOAD, GZ, NO , NO, aDir[1], , , , 0.833, -16637.9, 0, 0, 0, 0, 0, 0, , NO, 0, 0, NO,
2056, BEAM , CONLOAD, GZ, NO , NO, aDir[1], , , , 0.833, -79862.1, 0, 0, 0, 0, 0, 0, , NO, 0, 0, NO,
2059, BEAM , CONLOAD, GZ, NO , NO, aDir[1], , , , 0.833, -96500, 0, 0, 0, 0, 0, 0, , NO, 0, 0, NO,
2062, BEAM , CONLOAD, GZ, NO , NO, aDir[1], , , , 0.833, -53241.4, 0, 0, 0, 0, 0, 0, , NO, 0, 0, NO,
2063, BEAM , CONLOAD, GZ, NO , NO, aDir[1], , , , 0.833, -43258.6, 0, 0, 0, 0, 0, 0, , NO, 0, 0, NO,
2070, BEAM , CONLOAD, GZ, NO , NO, aDir[1], , , , 0.833, -76534.5, 0, 0, 0, 0, 0, 0, , NO, 0, 0, NO,
2071, BEAM , CONLOAD, GZ, NO , NO, aDir[1], , , , 0.833, -19965.5, 0, 0, 0, 0, 0, 0, , NO, 0, 0, NO,
2073, BEAM , CONLOAD, GZ, NO , NO, aDir[1], , , , 0.833, -33275.9, 0, 0, 0, 0, 0, 0, , NO, 0, 0, NO,
2074, BEAM , CONLOAD, GZ, NO , NO, aDir[1], , , , 0.833, -63224.1, 0, 0, 0, 0, 0, 0, , NO, 0, 0, NO,
2076, BEAM , CONLOAD, GZ, NO , NO, aDir[1], , , , 0.833, -16637.9, 0, 0, 0, 0, 0, 0, , NO, 0, 0, NO,
2077, BEAM , CONLOAD, GZ, NO , NO, aDir[1], , , , 0.833, -79862.1, 0, 0, 0, 0, 0, 0, , NO, 0, 0, NO,
2080, BEAM , CONLOAD, GZ, NO , NO, aDir[1], , , , 0.833, -11.2069, 0, 0, 0, 0, 0, 0, , NO, 0, 0, NO,
2081, BEAM , CONLOAD, GZ, NO , NO, aDir[1], , , , 0.833, -38.7931, 0, 0, 0, 0, 0, 0, , NO, 0, 0, NO,
2148, BEAM , CONLOAD, GZ, NO , NO, aDir[1], , , , 0.167, -23.2759, 0, 0, 0, 0, 0, 0, , NO, 0, 0, NO,
2149, BEAM , CONLOAD, GZ, NO , NO, aDir[1], , , , 0.167, -26.7241, 0, 0, 0, 0, 0, 0, , NO, 0, 0, NO,
2152, BEAM , CONLOAD, GZ, NO , NO, aDir[1], , , , 0.167, -32413.8, 0, 0, 0, 0, 0, 0, , NO, 0, 0, NO,
2153, BEAM , CONLOAD, GZ, NO , NO, aDir[1], , , , 0.167, -61586.2, 0, 0, 0, 0, 0, 0, , NO, 0, 0, NO,
2156, BEAM , CONLOAD, GZ, NO , NO, aDir[1], , , , 0.167, -19448.3, 0, 0, 0, 0, 0, 0, , NO, 0, 0, NO,
2157, BEAM , CONLOAD, GZ, NO , NO, aDir[1], , , , 0.167, -74551.7, 0, 0, 0, 0, 0, 0, , NO, 0, 0, NO,
2167, BEAM , CONLOAD, GZ, NO , NO, aDir[1], , , , 0.167, -35655.2, 0, 0, 0, 0, 0, 0, , NO, 0, 0, NO,
2168, BEAM , CONLOAD, GZ, NO , NO, aDir[1], , , , 0.167, -58344.8, 0, 0, 0, 0, 0, 0, , NO, 0, 0, NO,
2171, BEAM , CONLOAD, GZ, NO , NO, aDir[1], , , , 0.167, -22689.7, 0, 0, 0, 0, 0, 0, , NO, 0, 0, NO,
2172, BEAM , CONLOAD, GZ, NO , NO, aDir[1], , , , 0.167, -71310.3, 0, 0, 0, 0, 0, 0, , NO, 0, 0, NO,
2175, BEAM , CONLOAD, GZ, NO , NO, aDir[1], , , , 0.167, -6.03448, 0, 0, 0, 0, 0, 0, , NO, 0, 0, NO,
2176, BEAM , CONLOAD, GZ, NO , NO, aDir[1], , , , 0.167, -43.9655, 0, 0, 0, 0, 0, 0, , NO, 0, 0, NO,

2179, BEAM , CONLOAD, GZ, NO , NO, aDir[1], , , , 0.167, -16637.9, 0, 0, 0, 0, 0, 0, , NO, 0, 0, NO,
2180, BEAM , CONLOAD, GZ, NO , NO, aDir[1], , , , 0.167, -79862.1, 0, 0, 0, 0, 0, 0, , NO, 0, 0, NO,
2183, BEAM , CONLOAD, GZ, NO , NO, aDir[1], , , , 0.167, -96500, 0, 0, 0, 0, 0, 0, , NO, 0, 0, NO,
2186, BEAM , CONLOAD, GZ, NO , NO, aDir[1], , , , 0.167, -53241.4, 0, 0, 0, 0, 0, 0, , NO, 0, 0, NO,
2187, BEAM , CONLOAD, GZ, NO , NO, aDir[1], , , , 0.167, -43258.6, 0, 0, 0, 0, 0, 0, , NO, 0, 0, NO,
2194, BEAM , CONLOAD, GZ, NO , NO, aDir[1], , , , 0.167, -76534.5, 0, 0, 0, 0, 0, 0, , NO, 0, 0, NO,
2195, BEAM , CONLOAD, GZ, NO , NO, aDir[1], , , , 0.167, -19965.5, 0, 0, 0, 0, 0, 0, , NO, 0, 0, NO,
2197, BEAM , CONLOAD, GZ, NO , NO, aDir[1], , , , 0.167, -33275.9, 0, 0, 0, 0, 0, 0, , NO, 0, 0, NO,
2198, BEAM , CONLOAD, GZ, NO , NO, aDir[1], , , , 0.167, -63224.1, 0, 0, 0, 0, 0, 0, , NO, 0, 0, NO,
2200, BEAM , CONLOAD, GZ, NO , NO, aDir[1], , , , 0.167, -16637.9, 0, 0, 0, 0, 0, 0, , NO, 0, 0, NO,
2201, BEAM , CONLOAD, GZ, NO , NO, aDir[1], , , , 0.167, -79862.1, 0, 0, 0, 0, 0, 0, , NO, 0, 0, NO,
2204, BEAM , CONLOAD, GZ, NO , NO, aDir[1], , , , 0.167, -11.2069, 0, 0, 0, 0, 0, 0, , NO, 0, 0, NO,
2205, BEAM , CONLOAD, GZ, NO , NO, aDir[1], , , , 0.167, -38.7931, 0, 0, 0, 0, 0, 0, , NO, 0, 0, NO,

; End of data for load case [MVminKolej1-771+749] ----------

*USE-STLD, MVminKolej1771+Kole

*BEAMLOAD ; Element Beam Loads
; ELEM_LIST, CMD, TYPE, DIR, bPROJ, [ECCEN], [VALUE], GROUP
; ELEM_LIST, CMD, TYPE, TYPE, DIR, VX, VY, VZ, bPROJ, [ECCEN], [VALUE], GROUP
; [VALUE] : D1, P1, D2, P2, D3, P3, D4, P4
; [ECCEN] : bECCEN, ECCDIR, I-END, J-END, bJ-END
; [ADDITIONAL] : bADDITIONAL, ADDITIONAL_I-END, ADDITIONAL_J-END, bADDITIONAL_J-END
1796, BEAM , CONLOAD, GZ, NO , NO, aDir[1], , , , 0.167, -12.931, 0, 0, 0, 0, 0, 0, , NO, 0, 0, NO,
1797, BEAM , CONLOAD, GZ, NO , NO, aDir[1], , , , 0.167, -37.069, 0, 0, 0, 0, 0, 0, , NO, 0, 0, NO,
1801, BEAM , CONLOAD, GZ, NO , NO, aDir[1], , , , 0.167, -81034.5, 0, 0, 0, 0, 0, 0, , NO, 0, 0, NO,
1802, BEAM , CONLOAD, GZ, NO , NO, aDir[1], , , , 0.167, -12965.5, 0, 0, 0, 0, 0, 0, , NO, 0, 0, NO,
1805, BEAM , CONLOAD, GZ, NO , NO, aDir[1], , , , 0.167, -94000, 0, 0, 0, 0, 0, 0, , NO, 0, 0, NO,
1816, BEAM , CONLOAD, GZ, NO , NO, aDir[1], , , , 0.167, -84275.9, 0, 0, 0, 0, 0, 0, , NO, 0, 0, NO,
1817, BEAM , CONLOAD, GZ, NO , NO, aDir[1], , , , 0.167, -9724.14, 0, 0, 0, 0, 0, 0, , NO, 0, 0, NO,
1819, BEAM , CONLOAD, GZ, NO , NO, aDir[1], , , , 0.167, -3241.38, 0, 0, 0, 0, 0, 0, , NO, 0, 0, NO,
1820, BEAM , CONLOAD, GZ, NO , NO, aDir[1], , , , 0.167, -90758.6, 0, 0, 0, 0, 0, 0, , NO, 0, 0, NO,
1824, BEAM , CONLOAD, GZ, NO , NO, aDir[1], , , , 0.167, -31.8966, 0, 0, 0, 0, 0, 0, , NO, 0, 0, NO,
1825, BEAM , CONLOAD, GZ, NO , NO, aDir[1], , , , 0.167, -18.1034, 0, 0, 0, 0, 0, 0, , NO, 0, 0, NO,
1920, BEAM , CONLOAD, GZ, NO , NO, aDir[1], , , , 0.833, -12.931, 0, 0, 0, 0, 0, 0, , NO, 0, 0, NO,
1921, BEAM , CONLOAD, GZ, NO , NO, aDir[1], , , , 0.833, -37.069, 0, 0, 0, 0, 0, 0, , NO, 0, 0, NO,
1925, BEAM , CONLOAD, GZ, NO , NO, aDir[1], , , , 0.833, -81034.5, 0, 0, 0, 0, 0, 0, , NO, 0, 0, NO,
1926, BEAM , CONLOAD, GZ, NO , NO, aDir[1], , , , 0.833, -12965.5, 0, 0, 0, 0, 0, 0, , NO, 0, 0, NO,
1929, BEAM , CONLOAD, GZ, NO , NO, aDir[1], , , , 0.833, -94000, 0, 0, 0, 0, 0, 0, , NO, 0, 0, NO,
1940, BEAM , CONLOAD, GZ, NO , NO, aDir[1], , , , 0.833, -84275.9, 0, 0, 0, 0, 0, 0, , NO, 0, 0, NO,
1941, BEAM , CONLOAD, GZ, NO , NO, aDir[1], , , , 0.833, -9724.14, 0, 0, 0, 0, 0, 0, , NO, 0, 0, NO,
1943, BEAM , CONLOAD, GZ, NO , NO, aDir[1], , , , 0.833, -3241.38, 0, 0, 0, 0, 0, 0, , NO, 0, 0, NO,
1944, BEAM , CONLOAD, GZ, NO , NO, aDir[1], , , , 0.833, -90758.6, 0, 0, 0, 0, 0, 0, , NO, 0, 0, NO,
1948, BEAM , CONLOAD, GZ, NO , NO, aDir[1], , , , 0.833, -31.8966, 0, 0, 0, 0, 0, 0, , NO, 0, 0, NO,
1949, BEAM , CONLOAD, GZ, NO , NO, aDir[1], , , , 0.833, -18.1034, 0, 0, 0, 0, 0, 0, , NO, 0, 0, NO,
2040, BEAM , CONLOAD, GZ, NO , NO, aDir[1], , , , 0.833, -2.58621, 0, 0, 0, 0, 0, 0, , NO, 0, 0, NO,
2041, BEAM , CONLOAD, GZ, NO , NO, aDir[1], , , , 0.833, -47.4138, 0, 0, 0, 0, 0, 0, , NO, 0, 0, NO,
2044, BEAM , CONLOAD, GZ, NO , NO, aDir[1], , , , 0.833, -36603.4, 0, 0, 0, 0, 0, 0, , NO, 0, 0, NO,
2045, BEAM , CONLOAD, GZ, NO , NO, aDir[1], , , , 0.833, -59896.6, 0, 0, 0, 0, 0, 0, , NO, 0, 0, NO,
2048, BEAM , CONLOAD, GZ, NO , NO, aDir[1], , , , 0.833, -89844.8, 0, 0, 0, 0, 0, 0, , NO, 0, 0, NO,
2049, BEAM , CONLOAD, GZ, NO , NO, aDir[1], , , , 0.833, -6655.17, 0, 0, 0, 0, 0, 0, , NO, 0, 0, NO,
2051, BEAM , CONLOAD, GZ, NO , NO, aDir[1], , , , 0.833, -73206.9, 0, 0, 0, 0, 0, 0, , NO, 0, 0, NO,
2052, BEAM , CONLOAD, GZ, NO , NO, aDir[1], , , , 0.833, -23293.1, 0, 0, 0, 0, 0, 0, , NO, 0, 0, NO,
2059, BEAM , CONLOAD, GZ, NO , NO, aDir[1], , , , 0.833, -96500, 0, 0, 0, 0, 0, 0, , NO, 0, 0, NO,
2062, BEAM , CONLOAD, GZ, NO , NO, aDir[1], , , , 0.833, -53241.4, 0, 0, 0, 0, 0, 0, , NO, 0, 0, NO,
2063, BEAM , CONLOAD, GZ, NO , NO, aDir[1], , , , 0.833, -43258.6, 0, 0, 0, 0, 0, 0, , NO, 0, 0, NO,
2065, BEAM , CONLOAD, GZ, NO , NO, aDir[1], , , , 0.833, -9982.76, 0, 0, 0, 0, 0, 0, , NO, 0, 0, NO,
2066, BEAM , CONLOAD, GZ, NO , NO, aDir[1], , , , 0.833, -86517.2, 0, 0, 0, 0, 0, 0, , NO, 0, 0, NO,
2069, BEAM , CONLOAD, GZ, NO , NO, aDir[1], , , , 0.833, -21.5517, 0, 0, 0, 0, 0, 0, , NO, 0, 0, NO,
2070, BEAM , CONLOAD, GZ, NO , NO, aDir[1], , , , 0.833, -28.4483, 0, 0, 0, 0, 0, 0, , NO, 0, 0, NO,
2164, BEAM , CONLOAD, GZ, NO , NO, aDir[1], , , , 0.167, -2.58621, 0, 0, 0, 0, 0, 0, , NO, 0, 0, NO,
2165, BEAM , CONLOAD, GZ, NO , NO, aDir[1], , , , 0.167, -47.4138, 0, 0, 0, 0, 0, 0, , NO, 0, 0, NO,
2168, BEAM , CONLOAD, GZ, NO , NO, aDir[1], , , , 0.167, -36603.4, 0, 0, 0, 0, 0, 0, , NO, 0, 0, NO,
2169, BEAM , CONLOAD, GZ, NO , NO, aDir[1], , , , 0.167, -59896.6, 0, 0, 0, 0, 0, 0, , NO, 0, 0, NO,
2172, BEAM , CONLOAD, GZ, NO , NO, aDir[1], , , , 0.167, -89844.8, 0, 0, 0, 0, 0, 0, , NO, 0, 0, NO,
2173, BEAM , CONLOAD, GZ, NO , NO, aDir[1], , , , 0.167, -6655.17, 0, 0, 0, 0, 0, 0, , NO, 0, 0, NO,
2175, BEAM , CONLOAD, GZ, NO , NO, aDir[1], , , , 0.167, -73206.9, 0, 0, 0, 0, 0, 0, , NO, 0, 0, NO,
2176, BEAM , CONLOAD, GZ, NO , NO, aDir[1], , , , 0.167, -23293.1, 0, 0, 0, 0, 0, 0, , NO, 0, 0, NO,
2183, BEAM , CONLOAD, GZ, NO , NO, aDir[1], , , , 0.167, -96500, 0, 0, 0, 0, 0, 0, , NO, 0, 0, NO,
2186, BEAM , CONLOAD, GZ, NO , NO, aDir[1], , , , 0.167, -53241.4, 0, 0, 0, 0, 0, 0, , NO, 0, 0, NO,
2187, BEAM , CONLOAD, GZ, NO , NO, aDir[1], , , , 0.167, -43258.6, 0, 0, 0, 0, 0, 0, , NO, 0, 0, NO,

2189, BEAM , CONLOAD, GZ, NO , NO, aDir[1], , , , 0.167, -9982.76, 0, 0, 0, 0, 0, 0, , NO, 0, 0, NO,
2190, BEAM , CONLOAD, GZ, NO , NO, aDir[1], , , , 0.167, -86517.2, 0, 0, 0, 0, 0, 0, , NO, 0, 0, NO,
2193, BEAM , CONLOAD, GZ, NO , NO, aDir[1], , , , 0.167, -21.5517, 0, 0, 0, 0, 0, 0, , NO, 0, 0, NO,
2194, BEAM , CONLOAD, GZ, NO , NO, aDir[1], , , , 0.167, -28.4483, 0, 0, 0, 0, 0, 0, , NO, 0, 0, NO,

; End of data for load case [MVminKolej1771+Kole] ----------

*USE-STLD, MVminKolej1771Dz147

*BEAMLOAD ; Element Beam Loads
; ELEM_LIST, CMD, TYPE, DIR, bPROJ, [ECCEN], [VALUE], GROUP
; ELEM_LIST, CMD, TYPE, TYPE, DIR, VX, VY, VZ, bPROJ, [ECCEN], [VALUE], GROUP
; [VALUE] : D1, P1, D2, P2, D3, P3, D4, P4
; [ECCEN] : bECCEN, ECCDIR, I-END, J-END, bJ-END
; [ADDITIONAL] : bADDITIONAL, ADDITIONAL_I-END, ADDITIONAL_J-END, bADDITIONAL_J-END
2040, BEAM , CONLOAD, GZ, NO , NO, aDir[1], , , , 0.833, -2.58621, 0, 0, 0, 0, 0, 0, , NO, 0, 0, NO,
2041, BEAM , CONLOAD, GZ, NO , NO, aDir[1], , , , 0.833, -47.4138, 0, 0, 0, 0, 0, 0, , NO, 0, 0, NO,
2044, BEAM , CONLOAD, GZ, NO , NO, aDir[1], , , , 0.833, -36603.4, 0, 0, 0, 0, 0, 0, , NO, 0, 0, NO,
2045, BEAM , CONLOAD, GZ, NO , NO, aDir[1], , , , 0.833, -59896.6, 0, 0, 0, 0, 0, 0, , NO, 0, 0, NO,
2048, BEAM , CONLOAD, GZ, NO , NO, aDir[1], , , , 0.833, -89844.8, 0, 0, 0, 0, 0, 0, , NO, 0, 0, NO,
2049, BEAM , CONLOAD, GZ, NO , NO, aDir[1], , , , 0.833, -6655.17, 0, 0, 0, 0, 0, 0, , NO, 0, 0, NO,
2051, BEAM , CONLOAD, GZ, NO , NO, aDir[1], , , , 0.833, -73206.9, 0, 0, 0, 0, 0, 0, , NO, 0, 0, NO,
2052, BEAM , CONLOAD, GZ, NO , NO, aDir[1], , , , 0.833, -23293.1, 0, 0, 0, 0, 0, 0, , NO, 0, 0, NO,
2059, BEAM , CONLOAD, GZ, NO , NO, aDir[1], , , , 0.833, -96500, 0, 0, 0, 0, 0, 0, , NO, 0, 0, NO,
2062, BEAM , CONLOAD, GZ, NO , NO, aDir[1], , , , 0.833, -53241.4, 0, 0, 0, 0, 0, 0, , NO, 0, 0, NO,
2063, BEAM , CONLOAD, GZ, NO , NO, aDir[1], , , , 0.833, -43258.6, 0, 0, 0, 0, 0, 0, , NO, 0, 0, NO,
2065, BEAM , CONLOAD, GZ, NO , NO, aDir[1], , , , 0.833, -9982.76, 0, 0, 0, 0, 0, 0, , NO, 0, 0, NO,
2066, BEAM , CONLOAD, GZ, NO , NO, aDir[1], , , , 0.833, -86517.2, 0, 0, 0, 0, 0, 0, , NO, 0, 0, NO,
2069, BEAM , CONLOAD, GZ, NO , NO, aDir[1], , , , 0.833, -21.5517, 0, 0, 0, 0, 0, 0, , NO, 0, 0, NO,
2070, BEAM , CONLOAD, GZ, NO , NO, aDir[1], , , , 0.833, -28.4483, 0, 0, 0, 0, 0, 0, , NO, 0, 0, NO,
2164, BEAM , CONLOAD, GZ, NO , NO, aDir[1], , , , 0.167, -2.58621, 0, 0, 0, 0, 0, 0, , NO, 0, 0, NO,
2165, BEAM , CONLOAD, GZ, NO , NO, aDir[1], , , , 0.167, -47.4138, 0, 0, 0, 0, 0, 0, , NO, 0, 0, NO,
2168, BEAM , CONLOAD, GZ, NO , NO, aDir[1], , , , 0.167, -36603.4, 0, 0, 0, 0, 0, 0, , NO, 0, 0, NO,
2169, BEAM , CONLOAD, GZ, NO , NO, aDir[1], , , , 0.167, -59896.6, 0, 0, 0, 0, 0, 0, , NO, 0, 0, NO,
2172, BEAM , CONLOAD, GZ, NO , NO, aDir[1], , , , 0.167, -89844.8, 0, 0, 0, 0, 0, 0, , NO, 0, 0, NO,
2173, BEAM , CONLOAD, GZ, NO , NO, aDir[1], , , , 0.167, -6655.17, 0, 0, 0, 0, 0, 0, , NO, 0, 0, NO,
2175, BEAM , CONLOAD, GZ, NO , NO, aDir[1], , , , 0.167, -73206.9, 0, 0, 0, 0, 0, 0, , NO, 0, 0, NO,
2176, BEAM , CONLOAD, GZ, NO , NO, aDir[1], , , , 0.167, -23293.1, 0, 0, 0, 0, 0, 0, , NO, 0, 0, NO,
2183, BEAM , CONLOAD, GZ, NO , NO, aDir[1], , , , 0.167, -96500, 0, 0, 0, 0, 0, 0, , NO, 0, 0, NO,
2186, BEAM , CONLOAD, GZ, NO , NO, aDir[1], , , , 0.167, -53241.4, 0, 0, 0, 0, 0, 0, , NO, 0, 0, NO,
2187, BEAM , CONLOAD, GZ, NO , NO, aDir[1], , , , 0.167, -43258.6, 0, 0, 0, 0, 0, 0, , NO, 0, 0, NO,
2189, BEAM , CONLOAD, GZ, NO , NO, aDir[1], , , , 0.167, -9982.76, 0, 0, 0, 0, 0, 0, , NO, 0, 0, NO,
2190, BEAM , CONLOAD, GZ, NO , NO, aDir[1], , , , 0.167, -86517.2, 0, 0, 0, 0, 0, 0, , NO, 0, 0, NO,
2193, BEAM , CONLOAD, GZ, NO , NO, aDir[1], , , , 0.167, -21.5517, 0, 0, 0, 0, 0, 0, , NO, 0, 0, NO,
2194, BEAM , CONLOAD, GZ, NO , NO, aDir[1], , , , 0.167, -28.4483, 0, 0, 0, 0, 0, 0, , NO, 0, 0, NO,

; End of data for load case [MVminKolej1771Dz147] ----------

*USE-STLD, MVminKolej2749Dz96

*BEAMLOAD ; Element Beam Loads
; ELEM_LIST, CMD, TYPE, DIR, bPROJ, [ECCEN], [VALUE], GROUP
; ELEM_LIST, CMD, TYPE, TYPE, DIR, VX, VY, VZ, bPROJ, [ECCEN], [VALUE], GROUP
; [VALUE] : D1, P1, D2, P2, D3, P3, D4, P4
; [ECCEN] : bECCEN, ECCDIR, I-END, J-END, bJ-END
; [ADDITIONAL] : bADDITIONAL, ADDITIONAL_I-END, ADDITIONAL_J-END, bADDITIONAL_J-END
1791, BEAM , CONLOAD, GZ, NO , NO, aDir[1], , , , 0.167, -4.31034, 0, 0, 0, 0, 0, 0, , NO, 0, 0, NO,
1792, BEAM , CONLOAD, GZ, NO , NO, aDir[1], , , , 0.167, -45.6897, 0, 0, 0, 0, 0, 0, , NO, 0, 0, NO,
1796, BEAM , CONLOAD, GZ, NO , NO, aDir[1], , , , 0.167, -90758.6, 0, 0, 0, 0, 0, 0, , NO, 0, 0, NO,
1797, BEAM , CONLOAD, GZ, NO , NO, aDir[1], , , , 0.167, -3241.38, 0, 0, 0, 0, 0, 0, , NO, 0, 0, NO,
1800, BEAM , CONLOAD, GZ, NO , NO, aDir[1], , , , 0.167, -77793.1, 0, 0, 0, 0, 0, 0, , NO, 0, 0, NO,
1801, BEAM , CONLOAD, GZ, NO , NO, aDir[1], , , , 0.167, -16206.9, 0, 0, 0, 0, 0, 0, , NO, 0, 0, NO,
1811, BEAM , CONLOAD, GZ, NO , NO, aDir[1], , , , 0.167, -94000, 0, 0, 0, 0, 0, 0, , NO, 0, 0, NO,
1815, BEAM , CONLOAD, GZ, NO , NO, aDir[1], , , , 0.167, -81034.5, 0, 0, 0, 0, 0, 0, , NO, 0, 0, NO,
1816, BEAM , CONLOAD, GZ, NO , NO, aDir[1], , , , 0.167, -12965.5, 0, 0, 0, 0, 0, 0, , NO, 0, 0, NO,
1819, BEAM , CONLOAD, GZ, NO , NO, aDir[1], , , , 0.167, -37.069, 0, 0, 0, 0, 0, 0, , NO, 0, 0, NO,
1820, BEAM , CONLOAD, GZ, NO , NO, aDir[1], , , , 0.167, -12.931, 0, 0, 0, 0, 0, 0, , NO, 0, 0, NO,
1915, BEAM , CONLOAD, GZ, NO , NO, aDir[1], , , , 0.833, -4.31034, 0, 0, 0, 0, 0, 0, , NO, 0, 0, NO,
1916, BEAM , CONLOAD, GZ, NO , NO, aDir[1], , , , 0.833, -45.6897, 0, 0, 0, 0, 0, 0, , NO, 0, 0, NO,
1920, BEAM , CONLOAD, GZ, NO , NO, aDir[1], , , , 0.833, -90758.6, 0, 0, 0, 0, 0, 0, , NO, 0, 0, NO,
1921, BEAM , CONLOAD, GZ, NO , NO, aDir[1], , , , 0.833, -3241.38, 0, 0, 0, 0, 0, 0, , NO, 0, 0, NO,
1924, BEAM , CONLOAD, GZ, NO , NO, aDir[1], , , , 0.833, -77793.1, 0, 0, 0, 0, 0, 0, , NO, 0, 0, NO,

1925, BEAM , CONLOAD, GZ, NO , NO, aDir[1], , , , 0.833, -16206.9, 0, 0, 0, 0, 0, 0, , NO, 0, 0, NO,
1935, BEAM , CONLOAD, GZ, NO , NO, aDir[1], , , , 0.833, -94000, 0, 0, 0, 0, 0, 0, , NO, 0, 0, NO,
1939, BEAM , CONLOAD, GZ, NO , NO, aDir[1], , , , 0.833, -81034.5, 0, 0, 0, 0, 0, 0, , NO, 0, 0, NO,
1940, BEAM , CONLOAD, GZ, NO , NO, aDir[1], , , , 0.833, -12965.5, 0, 0, 0, 0, 0, 0, , NO, 0, 0, NO,
1943, BEAM , CONLOAD, GZ, NO , NO, aDir[1], , , , 0.833, -37.069, 0, 0, 0, 0, 0, 0, , NO, 0, 0, NO,
1944, BEAM , CONLOAD, GZ, NO , NO, aDir[1], , , , 0.833, -12.931, 0, 0, 0, 0, 0, 0, , NO, 0, 0, NO,

; End of data for load case [MVminKolej2749Dz96] ----------

*USE-STLD, I +Y

*BEAMLOAD ; Element Beam Loads
; ELEM_LIST, CMD, TYPE, DIR, bPROJ, [ECCEN], [VALUE], GROUP
; ELEM_LIST, CMD, TYPE, TYPE, DIR, VX, VY, VZ, bPROJ, [ECCEN], [VALUE], GROUP
; [VALUE] : D1, P1, D2, P2, D3, P3, D4, P4
; [ECCEN] : bECCEN, ECCDIR, I-END, J-END, bJ-END
; [ADDITIONAL] : bADDITIONAL, ADDITIONAL_I-END, ADDITIONAL_J-END, bADDITIONAL_J-END
1415, BEAM , CONLOAD, GY, NO , NO, aDir[1], , , , 0, 4200, 0, 0, 0, 0, 0, 0, I, NO, 0, 0, NO,
1416, BEAM , CONLOAD, GY, NO , NO, aDir[1], , , , 1, 4200, 0, 0, 0, 0, 0, 0, I, NO, 0, 0, NO,
1421, BEAM , CONLOAD, GY, NO , NO, aDir[1], , , , 0, 5600, 0, 0, 0, 0, 0, 0, I, NO, 0, 0, NO,
1422, BEAM , CONLOAD, GY, NO , NO, aDir[1], , , , 1, 5600, 0, 0, 0, 0, 0, 0, I, NO, 0, 0, NO,
1427, BEAM , CONLOAD, GY, NO , NO, aDir[1], , , , 0, 5900, 0, 0, 0, 0, 0, 0, I, NO, 0, 0, NO,
1428, BEAM , CONLOAD, GY, NO , NO, aDir[1], , , , 1, 5900, 0, 0, 0, 0, 0, 0, I, NO, 0, 0, NO,
1433, BEAM , CONLOAD, GY, NO , NO, aDir[1], , , , 0, 5900, 0, 0, 0, 0, 0, 0, I, NO, 0, 0, NO,
1434, BEAM , CONLOAD, GY, NO , NO, aDir[1], , , , 1, 5900, 0, 0, 0, 0, 0, 0, I, NO, 0, 0, NO,
1439, BEAM , CONLOAD, GY, NO , NO, aDir[1], , , , 0, 5900, 0, 0, 0, 0, 0, 0, I, NO, 0, 0, NO,
1440, BEAM , CONLOAD, GY, NO , NO, aDir[1], , , , 1, 5900, 0, 0, 0, 0, 0, 0, I, NO, 0, 0, NO,
1445, BEAM , CONLOAD, GY, NO , NO, aDir[1], , , , 0, 5600, 0, 0, 0, 0, 0, 0, I, NO, 0, 0, NO,
1446, BEAM , CONLOAD, GY, NO , NO, aDir[1], , , , 1, 5600, 0, 0, 0, 0, 0, 0, I, NO, 0, 0, NO,
1451, BEAM , CONLOAD, GY, NO , NO, aDir[1], , , , 0, 4200, 0, 0, 0, 0, 0, 0, I, NO, 0, 0, NO,
1452, BEAM , CONLOAD, GY, NO , NO, aDir[1], , , , 1, 4200, 0, 0, 0, 0, 0, 0, I, NO, 0, 0, NO,

; End of data for load case [I +Y] ----------

*USE-STLD, I -Y

*BEAMLOAD ; Element Beam Loads
; ELEM_LIST, CMD, TYPE, DIR, bPROJ, [ECCEN], [VALUE], GROUP
; ELEM_LIST, CMD, TYPE, TYPE, DIR, VX, VY, VZ, bPROJ, [ECCEN], [VALUE], GROUP
; [VALUE] : D1, P1, D2, P2, D3, P3, D4, P4
; [ECCEN] : bECCEN, ECCDIR, I-END, J-END, bJ-END
; [ADDITIONAL] : bADDITIONAL, ADDITIONAL_I-END, ADDITIONAL_J-END, bADDITIONAL_J-END
1415, BEAM , CONLOAD, GY, NO , NO, aDir[1], , , , 0, -4200, 0, 0, 0, 0, 0, 0, I, NO, 0, 0, NO,
1416, BEAM , CONLOAD, GY, NO , NO, aDir[1], , , , 1, -4200, 0, 0, 0, 0, 0, 0, I, NO, 0, 0, NO,
1421, BEAM , CONLOAD, GY, NO , NO, aDir[1], , , , 0, -5600, 0, 0, 0, 0, 0, 0, I, NO, 0, 0, NO,
1422, BEAM , CONLOAD, GY, NO , NO, aDir[1], , , , 1, -5600, 0, 0, 0, 0, 0, 0, I, NO, 0, 0, NO,
1427, BEAM , CONLOAD, GY, NO , NO, aDir[1], , , , 0, -5900, 0, 0, 0, 0, 0, 0, I, NO, 0, 0, NO,
1428, BEAM , CONLOAD, GY, NO , NO, aDir[1], , , , 1, -5900, 0, 0, 0, 0, 0, 0, I, NO, 0, 0, NO,
1433, BEAM , CONLOAD, GY, NO , NO, aDir[1], , , , 0, -5900, 0, 0, 0, 0, 0, 0, I, NO, 0, 0, NO,
1434, BEAM , CONLOAD, GY, NO , NO, aDir[1], , , , 1, -5900, 0, 0, 0, 0, 0, 0, I, NO, 0, 0, NO,
1439, BEAM , CONLOAD, GY, NO , NO, aDir[1], , , , 0, -5900, 0, 0, 0, 0, 0, 0, I, NO, 0, 0, NO,
1440, BEAM , CONLOAD, GY, NO , NO, aDir[1], , , , 1, -5900, 0, 0, 0, 0, 0, 0, I, NO, 0, 0, NO,
1445, BEAM , CONLOAD, GY, NO , NO, aDir[1], , , , 0, -5600, 0, 0, 0, 0, 0, 0, I, NO, 0, 0, NO,
1446, BEAM , CONLOAD, GY, NO , NO, aDir[1], , , , 1, -5600, 0, 0, 0, 0, 0, 0, I, NO, 0, 0, NO,
1451, BEAM , CONLOAD, GY, NO , NO, aDir[1], , , , 0, -4200, 0, 0, 0, 0, 0, 0, I, NO, 0, 0, NO,
1452, BEAM , CONLOAD, GY, NO , NO, aDir[1], , , , 1, -4200, 0, 0, 0, 0, 0, 0, I, NO, 0, 0, NO,

; End of data for load case [I -Y] ----------

*USE-STLD, PA_L1

*BEAMLOAD ; Element Beam Loads
; ELEM_LIST, CMD, TYPE, DIR, bPROJ, [ECCEN], [VALUE], GROUP
; ELEM_LIST, CMD, TYPE, TYPE, DIR, VX, VY, VZ, bPROJ, [ECCEN], [VALUE], GROUP
; [VALUE] : D1, P1, D2, P2, D3, P3, D4, P4
; [ECCEN] : bECCEN, ECCDIR, I-END, J-END, bJ-END
; [ADDITIONAL] : bADDITIONAL, ADDITIONAL_I-END, ADDITIONAL_J-END, bADDITIONAL_J-END
3512, BEAM , UNILOAD, GZ, NO , NO, aDir[1], , , , 0, -5.19, 1, -5.19, 0, 0, 0, 0, PA, NO, 0, 0, NO,
3513, BEAM , UNILOAD, GZ, NO , NO, aDir[1], , , , 0, -5.19, 1, -5.19, 0, 0, 0, 0, PA, NO, 0, 0, NO,
3514, BEAM , UNILOAD, GZ, NO , NO, aDir[1], , , , 0, -5.19, 1, -5.19, 0, 0, 0, 0, PA, NO, 0, 0, NO,
3516, BEAM , UNILOAD, GZ, NO , NO, aDir[1], , , , 0, -11.19, 1, -11.19, 0, 0, 0, 0, PA, NO, 0, 0, NO,
3517, BEAM , UNILOAD, GZ, NO , NO, aDir[1], , , , 0, -11.19, 1, -11.19, 0, 0, 0, 0, PA, NO, 0, 0, NO,

3518, BEAM , UNILOAD, GZ, NO , NO, aDir[1], , , , 0, -11.19, 1, -11.19, 0, 0, 0, 0, PA, NO, 0, 0, NO,
3520, BEAM , UNILOAD, GZ, NO , NO, aDir[1], , , , 0, -12.6, 1, -12.6, 0, 0, 0, 0, PA, NO, 0, 0, NO,
3521, BEAM , UNILOAD, GZ, NO , NO, aDir[1], , , , 0, -12.6, 1, -12.6, 0, 0, 0, 0, PA, NO, 0, 0, NO,
3522, BEAM , UNILOAD, GZ, NO , NO, aDir[1], , , , 0, -12.6, 1, -12.6, 0, 0, 0, 0, PA, NO, 0, 0, NO,
3524, BEAM , UNILOAD, GZ, NO , NO, aDir[1], , , , 0, -13.8, 1, -13.8, 0, 0, 0, 0, PA, NO, 0, 0, NO,
3525, BEAM , UNILOAD, GZ, NO , NO, aDir[1], , , , 0, -13.8, 1, -13.8, 0, 0, 0, 0, PA, NO, 0, 0, NO,
3526, BEAM , UNILOAD, GZ, NO , NO, aDir[1], , , , 0, -13.8, 1, -13.8, 0, 0, 0, 0, PA, NO, 0, 0, NO,
3528, BEAM , UNILOAD, GZ, NO , NO, aDir[1], , , , 0, -14.4, 1, -14.4, 0, 0, 0, 0, PA, NO, 0, 0, NO,
3529, BEAM , UNILOAD, GZ, NO , NO, aDir[1], , , , 0, -14.4, 1, -14.4, 0, 0, 0, 0, PA, NO, 0, 0, NO,
3530, BEAM , UNILOAD, GZ, NO , NO, aDir[1], , , , 0, -14.4, 1, -14.4, 0, 0, 0, 0, PA, NO, 0, 0, NO,
3532, BEAM , UNILOAD, GZ, NO , NO, aDir[1], , , , 0, -14.4, 1, -14.4, 0, 0, 0, 0, PA, NO, 0, 0, NO,
3533, BEAM , UNILOAD, GZ, NO , NO, aDir[1], , , , 0, -14.4, 1, -14.4, 0, 0, 0, 0, PA, NO, 0, 0, NO,
3534, BEAM , UNILOAD, GZ, NO , NO, aDir[1], , , , 0, -14.4, 1, -14.4, 0, 0, 0, 0, PA, NO, 0, 0, NO,
3536, BEAM , UNILOAD, GZ, NO , NO, aDir[1], , , , 0, -14.4, 1, -14.4, 0, 0, 0, 0, PA, NO, 0, 0, NO,
3537, BEAM , UNILOAD, GZ, NO , NO, aDir[1], , , , 0, -14.4, 1, -14.4, 0, 0, 0, 0, PA, NO, 0, 0, NO,
3538, BEAM , UNILOAD, GZ, NO , NO, aDir[1], , , , 0, -14.4, 1, -14.4, 0, 0, 0, 0, PA, NO, 0, 0, NO,
3540, BEAM , UNILOAD, GZ, NO , NO, aDir[1], , , , 0, -14.4, 1, -14.4, 0, 0, 0, 0, PA, NO, 0, 0, NO,
3541, BEAM , UNILOAD, GZ, NO , NO, aDir[1], , , , 0, -14.4, 1, -14.4, 0, 0, 0, 0, PA, NO, 0, 0, NO,
3542, BEAM , UNILOAD, GZ, NO , NO, aDir[1], , , , 0, -14.4, 1, -14.4, 0, 0, 0, 0, PA, NO, 0, 0, NO,
3544, BEAM , UNILOAD, GZ, NO , NO, aDir[1], , , , 0, -7.2, 1, -7.2, 0, 0, 0, 0, PA, NO, 0, 0, NO,
3545, BEAM , UNILOAD, GZ, NO , NO, aDir[1], , , , 0, -7.2, 1, -7.2, 0, 0, 0, 0, PA, NO, 0, 0, NO,
3546, BEAM , UNILOAD, GZ, NO , NO, aDir[1], , , , 0, -7.2, 1, -7.2, 0, 0, 0, 0, PA, NO, 0, 0, NO,

; End of data for load case [PA_L1] ------------------------

*USE-STLD, PA_L2

*BEAMLOAD ; Element Beam Loads
; ELEM_LIST, CMD, TYPE, DIR, bPROJ, [ECCEN], [VALUE], GROUP
; ELEM_LIST, CMD, TYPE, TYPE, DIR, VX, VY, VZ, bPROJ, [ECCEN], [VALUE], GROUP
; [VALUE] : D1, P1, D2, P2, D3, P3, D4, P4
; [ECCEN] : bECCEN, ECCDIR, I-END, J-END, bJ-END
; [ADDITIONAL] : bADDITIONAL, ADDITIONAL_I-END, ADDITIONAL_J-END, bADDITIONAL_J-END
3544, BEAM , UNILOAD, GZ, NO , NO, aDir[1], , , , 0, -7.2, 1, -7.2, 0, 0, 0, 0, PA, NO, 0, 0, NO,
3545, BEAM , UNILOAD, GZ, NO , NO, aDir[1], , , , 0, -7.2, 1, -7.2, 0, 0, 0, 0, PA, NO, 0, 0, NO,
3546, BEAM , UNILOAD, GZ, NO , NO, aDir[1], , , , 0, -7.2, 1, -7.2, 0, 0, 0, 0, PA, NO, 0, 0, NO,
3548, BEAM , UNILOAD, GZ, NO , NO, aDir[1], , , , 0, -14.4, 1, -14.4, 0, 0, 0, 0, PA, NO, 0, 0, NO,
3549, BEAM , UNILOAD, GZ, NO , NO, aDir[1], , , , 0, -14.4, 1, -14.4, 0, 0, 0, 0, PA, NO, 0, 0, NO,
3550, BEAM , UNILOAD, GZ, NO , NO, aDir[1], , , , 0, -14.4, 1, -14.4, 0, 0, 0, 0, PA, NO, 0, 0, NO,
3552, BEAM , UNILOAD, GZ, NO , NO, aDir[1], , , , 0, -14.4, 1, -14.4, 0, 0, 0, 0, PA, NO, 0, 0, NO,
3553, BEAM , UNILOAD, GZ, NO , NO, aDir[1], , , , 0, -14.4, 1, -14.4, 0, 0, 0, 0, PA, NO, 0, 0, NO,
3554, BEAM , UNILOAD, GZ, NO , NO, aDir[1], , , , 0, -14.4, 1, -14.4, 0, 0, 0, 0, PA, NO, 0, 0, NO,
3556, BEAM , UNILOAD, GZ, NO , NO, aDir[1], , , , 0, -14.4, 1, -14.4, 0, 0, 0, 0, PA, NO, 0, 0, NO,
3557, BEAM , UNILOAD, GZ, NO , NO, aDir[1], , , , 0, -14.4, 1, -14.4, 0, 0, 0, 0, PA, NO, 0, 0, NO,
3558, BEAM , UNILOAD, GZ, NO , NO, aDir[1], , , , 0, -14.4, 1, -14.4, 0, 0, 0, 0, PA, NO, 0, 0, NO,
3560, BEAM , UNILOAD, GZ, NO , NO, aDir[1], , , , 0, -14.4, 1, -14.4, 0, 0, 0, 0, PA, NO, 0, 0, NO,
3561, BEAM , UNILOAD, GZ, NO , NO, aDir[1], , , , 0, -14.4, 1, -14.4, 0, 0, 0, 0, PA, NO, 0, 0, NO,
3562, BEAM , UNILOAD, GZ, NO , NO, aDir[1], , , , 0, -14.4, 1, -14.4, 0, 0, 0, 0, PA, NO, 0, 0, NO,
3564, BEAM , UNILOAD, GZ, NO , NO, aDir[1], , , , 0, -13.8, 1, -13.8, 0, 0, 0, 0, PA, NO, 0, 0, NO,
3565, BEAM , UNILOAD, GZ, NO , NO, aDir[1], , , , 0, -13.8, 1, -13.8, 0, 0, 0, 0, PA, NO, 0, 0, NO,
3566, BEAM , UNILOAD, GZ, NO , NO, aDir[1], , , , 0, -13.8, 1, -13.8, 0, 0, 0, 0, PA, NO, 0, 0, NO,
3568, BEAM , UNILOAD, GZ, NO , NO, aDir[1], , , , 0, -12.6, 1, -12.6, 0, 0, 0, 0, PA, NO, 0, 0, NO,
3569, BEAM , UNILOAD, GZ, NO , NO, aDir[1], , , , 0, -12.6, 1, -12.6, 0, 0, 0, 0, PA, NO, 0, 0, NO,
3570, BEAM , UNILOAD, GZ, NO , NO, aDir[1], , , , 0, -12.6, 1, -12.6, 0, 0, 0, 0, PA, NO, 0, 0, NO,
3572, BEAM , UNILOAD, GZ, NO , NO, aDir[1], , , , 0, -11.19, 1, -11.19, 0, 0, 0, 0, PA, NO, 0, 0, NO,
3573, BEAM , UNILOAD, GZ, NO , NO, aDir[1], , , , 0, -11.19, 1, -11.19, 0, 0, 0, 0, PA, NO, 0, 0, NO,
3574, BEAM , UNILOAD, GZ, NO , NO, aDir[1], , , , 0, -11.19, 1, -11.19, 0, 0, 0, 0, PA, NO, 0, 0, NO,
3576, BEAM , UNILOAD, GZ, NO , NO, aDir[1], , , , 0, -5.19, 1, -5.19, 0, 0, 0, 0, PA, NO, 0, 0, NO,
3577, BEAM , UNILOAD, GZ, NO , NO, aDir[1], , , , 0, -5.19, 1, -5.19, 0, 0, 0, 0, PA, NO, 0, 0, NO,
3578, BEAM , UNILOAD, GZ, NO , NO, aDir[1], , , , 0, -5.19, 1, -5.19, 0, 0, 0, 0, PA, NO, 0, 0, NO,

; End of data for load case [PA_L2] ------------------------

*USE-STLD, PA_R1

*BEAMLOAD ; Element Beam Loads
; ELEM_LIST, CMD, TYPE, DIR, bPROJ, [ECCEN], [VALUE], GROUP
; ELEM_LIST, CMD, TYPE, TYPE, DIR, VX, VY, VZ, bPROJ, [ECCEN], [VALUE], GROUP
; [VALUE] : D1, P1, D2, P2, D3, P3, D4, P4
; [ECCEN] : bECCEN, ECCDIR, I-END, J-END, bJ-END
; [ADDITIONAL] : bADDITIONAL, ADDITIONAL_I-END, ADDITIONAL_J-END, bADDITIONAL_J-END
3580, BEAM , UNILOAD, GZ, NO , NO, aDir[1], , , , 0, -5.19, 1, -5.19, 0, 0, 0, 0, PA, NO, 0, 0, NO,

3581, BEAM , UNILOAD, GZ, NO , NO, aDir[1], , , , 0, -5.19, 1, -5.19, 0, 0, 0, 0, PA, NO, 0, 0, NO,
3582, BEAM , UNILOAD, GZ, NO , NO, aDir[1], , , , 0, -5.19, 1, -5.19, 0, 0, 0, 0, PA, NO, 0, 0, NO,
3584, BEAM , UNILOAD, GZ, NO , NO, aDir[1], , , , 0, -11.19, 1, -11.19, 0, 0, 0, 0, PA, NO, 0, 0, NO,
3585, BEAM , UNILOAD, GZ, NO , NO, aDir[1], , , , 0, -11.19, 1, -11.19, 0, 0, 0, 0, PA, NO, 0, 0, NO,
3586, BEAM , UNILOAD, GZ, NO , NO, aDir[1], , , , 0, -11.19, 1, -11.19, 0, 0, 0, 0, PA, NO, 0, 0, NO,
3588, BEAM , UNILOAD, GZ, NO , NO, aDir[1], , , , 0, -12.6, 1, -12.6, 0, 0, 0, 0, PA, NO, 0, 0, NO,
3589, BEAM , UNILOAD, GZ, NO , NO, aDir[1], , , , 0, -12.6, 1, -12.6, 0, 0, 0, 0, PA, NO, 0, 0, NO,
3590, BEAM , UNILOAD, GZ, NO , NO, aDir[1], , , , 0, -12.6, 1, -12.6, 0, 0, 0, 0, PA, NO, 0, 0, NO,
3592, BEAM , UNILOAD, GZ, NO , NO, aDir[1], , , , 0, -13.8, 1, -13.8, 0, 0, 0, 0, PA, NO, 0, 0, NO,
3593, BEAM , UNILOAD, GZ, NO , NO, aDir[1], , , , 0, -13.8, 1, -13.8, 0, 0, 0, 0, PA, NO, 0, 0, NO,
3594, BEAM , UNILOAD, GZ, NO , NO, aDir[1], , , , 0, -13.8, 1, -13.8, 0, 0, 0, 0, PA, NO, 0, 0, NO,
3596, BEAM , UNILOAD, GZ, NO , NO, aDir[1], , , , 0, -14.4, 1, -14.4, 0, 0, 0, 0, PA, NO, 0, 0, NO,
3597, BEAM , UNILOAD, GZ, NO , NO, aDir[1], , , , 0, -14.4, 1, -14.4, 0, 0, 0, 0, PA, NO, 0, 0, NO,
3598, BEAM , UNILOAD, GZ, NO , NO, aDir[1], , , , 0, -14.4, 1, -14.4, 0, 0, 0, 0, PA, NO, 0, 0, NO,
3600, BEAM , UNILOAD, GZ, NO , NO, aDir[1], , , , 0, -14.4, 1, -14.4, 0, 0, 0, 0, PA, NO, 0, 0, NO,
3601, BEAM , UNILOAD, GZ, NO , NO, aDir[1], , , , 0, -14.4, 1, -14.4, 0, 0, 0, 0, PA, NO, 0, 0, NO,
3602, BEAM , UNILOAD, GZ, NO , NO, aDir[1], , , , 0, -14.4, 1, -14.4, 0, 0, 0, 0, PA, NO, 0, 0, NO,
3604, BEAM , UNILOAD, GZ, NO , NO, aDir[1], , , , 0, -14.4, 1, -14.4, 0, 0, 0, 0, PA, NO, 0, 0, NO,
3605, BEAM , UNILOAD, GZ, NO , NO, aDir[1], , , , 0, -14.4, 1, -14.4, 0, 0, 0, 0, PA, NO, 0, 0, NO,
3606, BEAM , UNILOAD, GZ, NO , NO, aDir[1], , , , 0, -14.4, 1, -14.4, 0, 0, 0, 0, PA, NO, 0, 0, NO,
3608, BEAM , UNILOAD, GZ, NO , NO, aDir[1], , , , 0, -14.4, 1, -14.4, 0, 0, 0, 0, PA, NO, 0, 0, NO,
3609, BEAM , UNILOAD, GZ, NO , NO, aDir[1], , , , 0, -14.4, 1, -14.4, 0, 0, 0, 0, PA, NO, 0, 0, NO,
3610, BEAM , UNILOAD, GZ, NO , NO, aDir[1], , , , 0, -14.4, 1, -14.4, 0, 0, 0, 0, PA, NO, 0, 0, NO,
3612, BEAM , UNILOAD, GZ, NO , NO, aDir[1], , , , 0, -7.2, 1, -7.2, 0, 0, 0, 0, PA, NO, 0, 0, NO,
3613, BEAM , UNILOAD, GZ, NO , NO, aDir[1], , , , 0, -7.2, 1, -7.2, 0, 0, 0, 0, PA, NO, 0, 0, NO,
3614, BEAM , UNILOAD, GZ, NO , NO, aDir[1], , , , 0, -7.2, 1, -7.2, 0, 0, 0, 0, PA, NO, 0, 0, NO,

; End of data for load case [PA_R1] ----------

*USE-STLD, PA_R2

*BEAMLOAD ; Element Beam Loads
; ELEM_LIST, CMD, TYPE, DIR, bPROJ, [ECCEN], [VALUE], GROUP
; ELEM_LIST, CMD, TYPE, TYPE, DIR, VX, VY, VZ, bPROJ, [ECCEN], [VALUE], GROUP
; [VALUE] : D1, P1, D2, P2, D3, P3, D4, P4
; [ECCEN] : bECCEN, ECCDIR, I-END, J-END, bJ-END
; [ADDITIONAL] : bADDITIONAL, ADDITIONAL_I-END, ADDITIONAL_J-END, bADDITIONAL_J-END
3612, BEAM , UNILOAD, GZ, NO , NO, aDir[1], , , , 0, -7.2, 1, -7.2, 0, 0, 0, 0, PA, NO, 0, 0, NO,
3613, BEAM , UNILOAD, GZ, NO , NO, aDir[1], , , , 0, -7.2, 1, -7.2, 0, 0, 0, 0, PA, NO, 0, 0, NO,
3614, BEAM , UNILOAD, GZ, NO , NO, aDir[1], , , , 0, -7.2, 1, -7.2, 0, 0, 0, 0, PA, NO, 0, 0, NO,
3616, BEAM , UNILOAD, GZ, NO , NO, aDir[1], , , , 0, -14.4, 1, -14.4, 0, 0, 0, 0, PA, NO, 0, 0, NO,
3617, BEAM , UNILOAD, GZ, NO , NO, aDir[1], , , , 0, -14.4, 1, -14.4, 0, 0, 0, 0, PA, NO, 0, 0, NO,
3618, BEAM , UNILOAD, GZ, NO , NO, aDir[1], , , , 0, -14.4, 1, -14.4, 0, 0, 0, 0, PA, NO, 0, 0, NO,
3620, BEAM , UNILOAD, GZ, NO , NO, aDir[1], , , , 0, -14.4, 1, -14.4, 0, 0, 0, 0, PA, NO, 0, 0, NO,
3621, BEAM , UNILOAD, GZ, NO , NO, aDir[1], , , , 0, -14.4, 1, -14.4, 0, 0, 0, 0, PA, NO, 0, 0, NO,
3622, BEAM , UNILOAD, GZ, NO , NO, aDir[1], , , , 0, -14.4, 1, -14.4, 0, 0, 0, 0, PA, NO, 0, 0, NO,
3624, BEAM , UNILOAD, GZ, NO , NO, aDir[1], , , , 0, -14.4, 1, -14.4, 0, 0, 0, 0, PA, NO, 0, 0, NO,
3625, BEAM , UNILOAD, GZ, NO , NO, aDir[1], , , , 0, -14.4, 1, -14.4, 0, 0, 0, 0, PA, NO, 0, 0, NO,
3626, BEAM , UNILOAD, GZ, NO , NO, aDir[1], , , , 0, -14.4, 1, -14.4, 0, 0, 0, 0, PA, NO, 0, 0, NO,
3628, BEAM , UNILOAD, GZ, NO , NO, aDir[1], , , , 0, -14.4, 1, -14.4, 0, 0, 0, 0, PA, NO, 0, 0, NO,
3629, BEAM , UNILOAD, GZ, NO , NO, aDir[1], , , , 0, -14.4, 1, -14.4, 0, 0, 0, 0, PA, NO, 0, 0, NO,
3630, BEAM , UNILOAD, GZ, NO , NO, aDir[1], , , , 0, -14.4, 1, -14.4, 0, 0, 0, 0, PA, NO, 0, 0, NO,
3632, BEAM , UNILOAD, GZ, NO , NO, aDir[1], , , , 0, -13.8, 1, -13.8, 0, 0, 0, 0, PA, NO, 0, 0, NO,
3633, BEAM , UNILOAD, GZ, NO , NO, aDir[1], , , , 0, -13.8, 1, -13.8, 0, 0, 0, 0, PA, NO, 0, 0, NO,
3634, BEAM , UNILOAD, GZ, NO , NO, aDir[1], , , , 0, -13.8, 1, -13.8, 0, 0, 0, 0, PA, NO, 0, 0, NO,
3636, BEAM , UNILOAD, GZ, NO , NO, aDir[1], , , , 0, -12.6, 1, -12.6, 0, 0, 0, 0, PA, NO, 0, 0, NO,
3637, BEAM , UNILOAD, GZ, NO , NO, aDir[1], , , , 0, -12.6, 1, -12.6, 0, 0, 0, 0, PA, NO, 0, 0, NO,
3638, BEAM , UNILOAD, GZ, NO , NO, aDir[1], , , , 0, -12.6, 1, -12.6, 0, 0, 0, 0, PA, NO, 0, 0, NO,
3640, BEAM , UNILOAD, GZ, NO , NO, aDir[1], , , , 0, -11.19, 1, -11.19, 0, 0, 0, 0, PA, NO, 0, 0, NO,
3641, BEAM , UNILOAD, GZ, NO , NO, aDir[1], , , , 0, -11.19, 1, -11.19, 0, 0, 0, 0, PA, NO, 0, 0, NO,
3642, BEAM , UNILOAD, GZ, NO , NO, aDir[1], , , , 0, -11.19, 1, -11.19, 0, 0, 0, 0, PA, NO, 0, 0, NO,
3644, BEAM , UNILOAD, GZ, NO , NO, aDir[1], , , , 0, -5.19, 1, -5.19, 0, 0, 0, 0, PA, NO, 0, 0, NO,
3645, BEAM , UNILOAD, GZ, NO , NO, aDir[1], , , , 0, -5.19, 1, -5.19, 0, 0, 0, 0, PA, NO, 0, 0, NO,
3646, BEAM , UNILOAD, GZ, NO , NO, aDir[1], , , , 0, -5.19, 1, -5.19, 0, 0, 0, 0, PA, NO, 0, 0, NO,

; End of data for load case [PA_R2] ----------

*USE-STLD, MVminP71_1PFx17

*BEAMLOAD ; Element Beam Loads
; ELEM_LIST, CMD, TYPE, DIR, bPROJ, [ECCEN], [VALUE], GROUP
; ELEM_LIST, CMD, TYPE, TYPE, DIR, VX, VY, VZ, bPROJ, [ECCEN], [VALUE], GROUP

PROJECT TITLE :

MIDAS	Company		Client	
	Author		File Name	H2D_3Dg_v14_180227_StatLM.mct

; [VALUE] : D1, P1, D2, P2, D3, P3, D4, P4
; [ECCEN] : bECCEN, ECCDIR, I-END, J-END, bJ-END
; [ADDITIONAL] : bADDITIONAL, ADDITIONAL_I-END, ADDITIONAL_J-END, bADDITIONAL_J-END
1997, BEAM , CONLOAD, GZ, NO , NO, aDir[1], , , , 0.925, -17100, 0, 0, 0, 0, 0, 0, , NO, 0, 0, NO,
1998, BEAM , CONLOAD, GZ, NO , NO, aDir[1], , , , 0.925, -28100, 0, 0, 0, 0, 0, 0, , NO, 0, 0, NO,
1999, BEAM , CONLOAD, GZ, NO , NO, aDir[1], , , , 0.925, -22000, 0, 0, 0, 0, 0, 0, , NO, 0, 0, NO,
2000, BEAM , CONLOAD, GZ, NO , NO, aDir[1], , , , 0.925, -22000, 0, 0, 0, 0, 0, 0, , NO, 0, 0, NO,
2001, BEAM , CONLOAD, GZ, NO , NO, aDir[1], , , , 0.925, -22000, 0, 0, 0, 0, 0, 0, , NO, 0, 0, NO,
2002, BEAM , CONLOAD, GZ, NO , NO, aDir[1], , , , 0.925, -22000, 0, 0, 0, 0, 0, 0, , NO, 0, 0, NO,
2003, BEAM , CONLOAD, GZ, NO , NO, aDir[1], , , , 0.925, -25100, 0, 0, 0, 0, 0, 0, , NO, 0, 0, NO,
2004, BEAM , CONLOAD, GZ, NO , NO, aDir[1], , , , 0.925, -25100, 0, 0, 0, 0, 0, 0, , NO, 0, 0, NO,
2005, BEAM , CONLOAD, GZ, NO , NO, aDir[1], , , , 0.925, -22000, 0, 0, 0, 0, 0, 0, , NO, 0, 0, NO,
2006, BEAM , CONLOAD, GZ, NO , NO, aDir[1], , , , 0.925, -22000, 0, 0, 0, 0, 0, 0, , NO, 0, 0, NO,
2007, BEAM , CONLOAD, GZ, NO , NO, aDir[1], , , , 0.925, -22000, 0, 0, 0, 0, 0, 0, , NO, 0, 0, NO,
2008, BEAM , CONLOAD, GZ, NO , NO, aDir[1], , , , 0.925, -22000, 0, 0, 0, 0, 0, 0, , NO, 0, 0, NO,
2009, BEAM , CONLOAD, GZ, NO , NO, aDir[1], , , , 0.925, -22000, 0, 0, 0, 0, 0, 0, , NO, 0, 0, NO,
2010, BEAM , CONLOAD, GZ, NO , NO, aDir[1], , , , 0.925, -24900, 0, 0, 0, 0, 0, 0, , NO, 0, 0, NO,
2011, BEAM , CONLOAD, GZ, NO , NO, aDir[1], , , , 0.925, -24500, 0, 0, 0, 0, 0, 0, , NO, 0, 0, NO,
2012, BEAM , CONLOAD, GZ, NO , NO, aDir[1], , , , 0.925, -21200, 0, 0, 0, 0, 0, 0, , NO, 0, 0, NO,
2013, BEAM , CONLOAD, GZ, NO , NO, aDir[1], , , , 0.925, -21200, 0, 0, 0, 0, 0, 0, , NO, 0, 0, NO,
2014, BEAM , CONLOAD, GZ, NO , NO, aDir[1], , , , 0.925, -21200, 0, 0, 0, 0, 0, 0, , NO, 0, 0, NO,
2015, BEAM , CONLOAD, GZ, NO , NO, aDir[1], , , , 0.925, -21200, 0, 0, 0, 0, 0, 0, , NO, 0, 0, NO,
2016, BEAM , CONLOAD, GZ, NO , NO, aDir[1], , , , 0.925, -21200, 0, 0, 0, 0, 0, 0, , NO, 0, 0, NO,
2017, BEAM , CONLOAD, GZ, NO , NO, aDir[1], , , , 0.925, -21200, 0, 0, 0, 0, 0, 0, , NO, 0, 0, NO,
2018, BEAM , CONLOAD, GZ, NO , NO, aDir[1], , , , 0.925, -24900, 0, 0, 0, 0, 0, 0, , NO, 0, 0, NO,
2019, BEAM , CONLOAD, GZ, NO , NO, aDir[1], , , , 0.925, -25900, 0, 0, 0, 0, 0, 0, , NO, 0, 0, NO,
2020, BEAM , CONLOAD, GZ, NO , NO, aDir[1], , , , 0.925, -23200, 0, 0, 0, 0, 0, 0, , NO, 0, 0, NO,
2021, BEAM , CONLOAD, GZ, NO , NO, aDir[1], , , , 0.925, -23200, 0, 0, 0, 0, 0, 0, , NO, 0, 0, NO,
2022, BEAM , CONLOAD, GZ, NO , NO, aDir[1], , , , 0.925, -23200, 0, 0, 0, 0, 0, 0, , NO, 0, 0, NO,
2023, BEAM , CONLOAD, GZ, NO , NO, aDir[1], , , , 0.925, -23200, 0, 0, 0, 0, 0, 0, , NO, 0, 0, NO,
2024, BEAM , CONLOAD, GZ, NO , NO, aDir[1], , , , 0.925, -23200, 0, 0, 0, 0, 0, 0, , NO, 0, 0, NO,
2025, BEAM , CONLOAD, GZ, NO , NO, aDir[1], , , , 0.925, -23200, 0, 0, 0, 0, 0, 0, , NO, 0, 0, NO,
2026, BEAM , CONLOAD, GZ, NO , NO, aDir[1], , , , 0.925, -26400, 0, 0, 0, 0, 0, 0, , NO, 0, 0, NO,
2027, BEAM , CONLOAD, GZ, NO , NO, aDir[1], , , , 0.925, -26400, 0, 0, 0, 0, 0, 0, , NO, 0, 0, NO,
2028, BEAM , CONLOAD, GZ, NO , NO, aDir[1], , , , 0.925, -23200, 0, 0, 0, 0, 0, 0, , NO, 0, 0, NO,
2029, BEAM , CONLOAD, GZ, NO , NO, aDir[1], , , , 0.925, -23200, 0, 0, 0, 0, 0, 0, , NO, 0, 0, NO,
2030, BEAM , CONLOAD, GZ, NO , NO, aDir[1], , , , 0.925, -23200, 0, 0, 0, 0, 0, 0, , NO, 0, 0, NO,
2031, BEAM , CONLOAD, GZ, NO , NO, aDir[1], , , , 0.925, -23200, 0, 0, 0, 0, 0, 0, , NO, 0, 0, NO,
2032, BEAM , CONLOAD, GZ, NO , NO, aDir[1], , , , 0.925, -23200, 0, 0, 0, 0, 0, 0, , NO, 0, 0, NO,
2033, BEAM , CONLOAD, GZ, NO , NO, aDir[1], , , , 0.925, -23200, 0, 0, 0, 0, 0, 0, , NO, 0, 0, NO,
2034, BEAM , CONLOAD, GZ, NO , NO, aDir[1], , , , 0.925, -26400, 0, 0, 0, 0, 0, 0, , NO, 0, 0, NO,
2035, BEAM , CONLOAD, GZ, NO , NO, aDir[1], , , , 0.925, -26400, 0, 0, 0, 0, 0, 0, , NO, 0, 0, NO,
2036, BEAM , CONLOAD, GZ, NO , NO, aDir[1], , , , 0.925, -23200, 0, 0, 0, 0, 0, 0, , NO, 0, 0, NO,
2037, BEAM , CONLOAD, GZ, NO , NO, aDir[1], , , , 0.925, -23200, 0, 0, 0, 0, 0, 0, , NO, 0, 0, NO,
2038, BEAM , CONLOAD, GZ, NO , NO, aDir[1], , , , 0.925, -23200, 0, 0, 0, 0, 0, 0, , NO, 0, 0, NO,
2039, BEAM , CONLOAD, GZ, NO , NO, aDir[1], , , , 0.925, -23200, 0, 0, 0, 0, 0, 0, , NO, 0, 0, NO,
2040, BEAM , CONLOAD, GZ, NO , NO, aDir[1], , , , 0.925, -23200, 0, 0, 0, 0, 0, 0, , NO, 0, 0, NO,
2041, BEAM , CONLOAD, GZ, NO , NO, aDir[1], , , , 0.925, -23200, 0, 0, 0, 0, 0, 0, , NO, 0, 0, NO,
2042, BEAM , CONLOAD, GZ, NO , NO, aDir[1], , , , 0.925, -26400, 0, 0, 0, 0, 0, 0, , NO, 0, 0, NO,
2043, BEAM , CONLOAD, GZ, NO , NO, aDir[1], , , , 0.925, -26400, 0, 0, 0, 0, 0, 0, , NO, 0, 0, NO,
2044, BEAM , CONLOAD, GZ, NO , NO, aDir[1], , , , 0.925, -23200, 0, 0, 0, 0, 0, 0, , NO, 0, 0, NO,
2045, BEAM , CONLOAD, GZ, NO , NO, aDir[1], , , , 0.925, -23200, 0, 0, 0, 0, 0, 0, , NO, 0, 0, NO,
2046, BEAM , CONLOAD, GZ, NO , NO, aDir[1], , , , 0.925, -23200, 0, 0, 0, 0, 0, 0, , NO, 0, 0, NO,
2047, BEAM , CONLOAD, GZ, NO , NO, aDir[1], , , , 0.925, -23200, 0, 0, 0, 0, 0, 0, , NO, 0, 0, NO,
2048, BEAM , CONLOAD, GZ, NO , NO, aDir[1], , , , 0.925, -15255.2, 0, 0, 0, 0, 0, 0, , NO, 0, 0, NO,
2049, BEAM , CONLOAD, GZ, NO , NO, aDir[1], , , , 0.925, -344.828, 0, 0, 0, 0, 0, 0, , NO, 0, 0, NO,
2050, BEAM , CONLOAD, GZ, NO , NO, aDir[1], , , , 0.925, -47719.6, 0, 0, 0, 0, 0, 0, , NO, 0, 0, NO,
2051, BEAM , CONLOAD, GZ, NO , NO, aDir[1], , , , 0.925, -59500.2, 0, 0, 0, 0, 0, 0, , NO, 0, 0, NO,
2052, BEAM , CONLOAD, GZ, NO , NO, aDir[1], , , , 0.925, -17780.2, 0, 0, 0, 0, 0, 0, , NO, 0, 0, NO,
2053, BEAM , CONLOAD, GZ, NO , NO, aDir[1], , , , 0.925, -18319, 0, 0, 0, 0, 0, 0, , NO, 0, 0, NO,
2054, BEAM , CONLOAD, GZ, NO , NO, aDir[1], , , , 0.925, -54956.9, 0, 0, 0, 0, 0, 0, , NO, 0, 0, NO,
2055, BEAM , CONLOAD, GZ, NO , NO, aDir[1], , , , 0.925, -44181, 0, 0, 0, 0, 0, 0, , NO, 0, 0, NO,
2056, BEAM , CONLOAD, GZ, NO , NO, aDir[1], , , , 0.925, -7543.1, 0, 0, 0, 0, 0, 0, , NO, 0, 0, NO,
2057, BEAM , CONLOAD, GZ, NO , NO, aDir[1], , , , 0.925, -28556, 0, 0, 0, 0, 0, 0, , NO, 0, 0, NO,
2058, BEAM , CONLOAD, GZ, NO , NO, aDir[1], , , , 0.925, -74062.2, 0, 0, 0, 0, 0, 0, , NO, 0, 0, NO,
2059, BEAM , CONLOAD, GZ, NO , NO, aDir[1], , , , 0.925, -22381.8, 0, 0, 0, 0, 0, 0, , NO, 0, 0, NO,
2060, BEAM , CONLOAD, GZ, NO , NO, aDir[1], , , , 0.925, -16163.8, 0, 0, 0, 0, 0, 0, , NO, 0, 0, NO,
2061, BEAM , CONLOAD, GZ, NO , NO, aDir[1], , , , 0.925, -52801.7, 0, 0, 0, 0, 0, 0, , NO, 0, 0, NO,
2062, BEAM , CONLOAD, GZ, NO , NO, aDir[1], , , , 0.925, -46336.2, 0, 0, 0, 0, 0, 0, , NO, 0, 0, NO,
2063, BEAM , CONLOAD, GZ, NO , NO, aDir[1], , , , 0.925, -9698.28, 0, 0, 0, 0, 0, 0, , NO, 0, 0, NO,
2064, BEAM , CONLOAD, GZ, NO , NO, aDir[1], , , , 0.925, -8279.31, 0, 0, 0, 0, 0, 0, , NO, 0, 0, NO,
2065, BEAM , CONLOAD, GZ, NO , NO, aDir[1], , , , 0.925, -22920.7, 0, 0, 0, 0, 0, 0, , NO, 0, 0, NO,

PROJECT TITLE :

MIDAS	Company		Client	
	Author		File Name	H2D_3Dg_v14_180227_StatLM.mct

2066, BEAM , CONLOAD, GZ, NO , NO, aDir[1], , , , 0.925, -26400, 0, 0, 0, 0, 0, 0, , NO, 0, 0, NO,
2067, BEAM , CONLOAD, GZ, NO , NO, aDir[1], , , , 0.925, -26400, 0, 0, 0, 0, 0, 0, , NO, 0, 0, NO,
2068, BEAM , CONLOAD, GZ, NO , NO, aDir[1], , , , 0.925, -23200, 0, 0, 0, 0, 0, 0, , NO, 0, 0, NO,
2069, BEAM , CONLOAD, GZ, NO , NO, aDir[1], , , , 0.925, -23200, 0, 0, 0, 0, 0, 0, , NO, 0, 0, NO,
2070, BEAM , CONLOAD, GZ, NO , NO, aDir[1], , , , 0.925, -23200, 0, 0, 0, 0, 0, 0, , NO, 0, 0, NO,
2071, BEAM , CONLOAD, GZ, NO , NO, aDir[1], , , , 0.925, -23200, 0, 0, 0, 0, 0, 0, , NO, 0, 0, NO,
2072, BEAM , CONLOAD, GZ, NO , NO, aDir[1], , , , 0.925, -23200, 0, 0, 0, 0, 0, 0, , NO, 0, 0, NO,
2073, BEAM , CONLOAD, GZ, NO , NO, aDir[1], , , , 0.925, -23200, 0, 0, 0, 0, 0, 0, , NO, 0, 0, NO,
2074, BEAM , CONLOAD, GZ, NO , NO, aDir[1], , , , 0.925, -26400, 0, 0, 0, 0, 0, 0, , NO, 0, 0, NO,
2075, BEAM , CONLOAD, GZ, NO , NO, aDir[1], , , , 0.925, -26400, 0, 0, 0, 0, 0, 0, , NO, 0, 0, NO,
2076, BEAM , CONLOAD, GZ, NO , NO, aDir[1], , , , 0.925, -23200, 0, 0, 0, 0, 0, 0, , NO, 0, 0, NO,
2077, BEAM , CONLOAD, GZ, NO , NO, aDir[1], , , , 0.925, -23200, 0, 0, 0, 0, 0, 0, , NO, 0, 0, NO,
2078, BEAM , CONLOAD, GZ, NO , NO, aDir[1], , , , 0.925, -23200, 0, 0, 0, 0, 0, 0, , NO, 0, 0, NO,
2079, BEAM , CONLOAD, GZ, NO , NO, aDir[1], , , , 0.925, -23200, 0, 0, 0, 0, 0, 0, , NO, 0, 0, NO,
2080, BEAM , CONLOAD, GZ, NO , NO, aDir[1], , , , 0.925, -23200, 0, 0, 0, 0, 0, 0, , NO, 0, 0, NO,
2081, BEAM , CONLOAD, GZ, NO , NO, aDir[1], , , , 0.925, -23200, 0, 0, 0, 0, 0, 0, , NO, 0, 0, NO,
2082, BEAM , CONLOAD, GZ, NO , NO, aDir[1], , , , 0.925, -26400, 0, 0, 0, 0, 0, 0, , NO, 0, 0, NO,
2083, BEAM , CONLOAD, GZ, NO , NO, aDir[1], , , , 0.925, -26400, 0, 0, 0, 0, 0, 0, , NO, 0, 0, NO,
2084, BEAM , CONLOAD, GZ, NO , NO, aDir[1], , , , 0.925, -23200, 0, 0, 0, 0, 0, 0, , NO, 0, 0, NO,
2085, BEAM , CONLOAD, GZ, NO , NO, aDir[1], , , , 0.925, -23200, 0, 0, 0, 0, 0, 0, , NO, 0, 0, NO,
2086, BEAM , CONLOAD, GZ, NO , NO, aDir[1], , , , 0.925, -23200, 0, 0, 0, 0, 0, 0, , NO, 0, 0, NO,
2087, BEAM , CONLOAD, GZ, NO , NO, aDir[1], , , , 0.925, -23200, 0, 0, 0, 0, 0, 0, , NO, 0, 0, NO,
2088, BEAM , CONLOAD, GZ, NO , NO, aDir[1], , , , 0.925, -23200, 0, 0, 0, 0, 0, 0, , NO, 0, 0, NO,
2089, BEAM , CONLOAD, GZ, NO , NO, aDir[1], , , , 0.925, -23200, 0, 0, 0, 0, 0, 0, , NO, 0, 0, NO,
2090, BEAM , CONLOAD, GZ, NO , NO, aDir[1], , , , 0.925, -26400, 0, 0, 0, 0, 0, 0, , NO, 0, 0, NO,
2091, BEAM , CONLOAD, GZ, NO , NO, aDir[1], , , , 0.925, -26400, 0, 0, 0, 0, 0, 0, , NO, 0, 0, NO,
2092, BEAM , CONLOAD, GZ, NO , NO, aDir[1], , , , 0.925, -23200, 0, 0, 0, 0, 0, 0, , NO, 0, 0, NO,
2093, BEAM , CONLOAD, GZ, NO , NO, aDir[1], , , , 0.925, -23200, 0, 0, 0, 0, 0, 0, , NO, 0, 0, NO,
2094, BEAM , CONLOAD, GZ, NO , NO, aDir[1], , , , 0.925, -23200, 0, 0, 0, 0, 0, 0, , NO, 0, 0, NO,
2095, BEAM , CONLOAD, GZ, NO , NO, aDir[1], , , , 0.925, -23200, 0, 0, 0, 0, 0, 0, , NO, 0, 0, NO,
2096, BEAM , CONLOAD, GZ, NO , NO, aDir[1], , , , 0.925, -23200, 0, 0, 0, 0, 0, 0, , NO, 0, 0, NO,
2097, BEAM , CONLOAD, GZ, NO , NO, aDir[1], , , , 0.925, -23200, 0, 0, 0, 0, 0, 0, , NO, 0, 0, NO,
2098, BEAM , CONLOAD, GZ, NO , NO, aDir[1], , , , 0.925, -25900, 0, 0, 0, 0, 0, 0, , NO, 0, 0, NO,
2099, BEAM , CONLOAD, GZ, NO , NO, aDir[1], , , , 0.925, -24900, 0, 0, 0, 0, 0, 0, , NO, 0, 0, NO,
2100, BEAM , CONLOAD, GZ, NO , NO, aDir[1], , , , 0.925, -21200, 0, 0, 0, 0, 0, 0, , NO, 0, 0, NO,
2101, BEAM , CONLOAD, GZ, NO , NO, aDir[1], , , , 0.925, -21200, 0, 0, 0, 0, 0, 0, , NO, 0, 0, NO,
2102, BEAM , CONLOAD, GZ, NO , NO, aDir[1], , , , 0.925, -21200, 0, 0, 0, 0, 0, 0, , NO, 0, 0, NO,
2103, BEAM , CONLOAD, GZ, NO , NO, aDir[1], , , , 0.925, -21200, 0, 0, 0, 0, 0, 0, , NO, 0, 0, NO,
2104, BEAM , CONLOAD, GZ, NO , NO, aDir[1], , , , 0.925, -21200, 0, 0, 0, 0, 0, 0, , NO, 0, 0, NO,
2105, BEAM , CONLOAD, GZ, NO , NO, aDir[1], , , , 0.925, -21200, 0, 0, 0, 0, 0, 0, , NO, 0, 0, NO,
2106, BEAM , CONLOAD, GZ, NO , NO, aDir[1], , , , 0.925, -24500, 0, 0, 0, 0, 0, 0, , NO, 0, 0, NO,
2107, BEAM , CONLOAD, GZ, NO , NO, aDir[1], , , , 0.925, -24900, 0, 0, 0, 0, 0, 0, , NO, 0, 0, NO,
2108, BEAM , CONLOAD, GZ, NO , NO, aDir[1], , , , 0.925, -22000, 0, 0, 0, 0, 0, 0, , NO, 0, 0, NO,
2109, BEAM , CONLOAD, GZ, NO , NO, aDir[1], , , , 0.925, -22000, 0, 0, 0, 0, 0, 0, , NO, 0, 0, NO,
2110, BEAM , CONLOAD, GZ, NO , NO, aDir[1], , , , 0.925, -22000, 0, 0, 0, 0, 0, 0, , NO, 0, 0, NO,
2111, BEAM , CONLOAD, GZ, NO , NO, aDir[1], , , , 0.925, -22000, 0, 0, 0, 0, 0, 0, , NO, 0, 0, NO,
2112, BEAM , CONLOAD, GZ, NO , NO, aDir[1], , , , 0.925, -22000, 0, 0, 0, 0, 0, 0, , NO, 0, 0, NO,
2113, BEAM , CONLOAD, GZ, NO , NO, aDir[1], , , , 0.925, -25100, 0, 0, 0, 0, 0, 0, , NO, 0, 0, NO,
2114, BEAM , CONLOAD, GZ, NO , NO, aDir[1], , , , 0.925, -25100, 0, 0, 0, 0, 0, 0, , NO, 0, 0, NO,
2115, BEAM , CONLOAD, GZ, NO , NO, aDir[1], , , , 0.925, -22000, 0, 0, 0, 0, 0, 0, , NO, 0, 0, NO,
2116, BEAM , CONLOAD, GZ, NO , NO, aDir[1], , , , 0.925, -22000, 0, 0, 0, 0, 0, 0, , NO, 0, 0, NO,
2117, BEAM , CONLOAD, GZ, NO , NO, aDir[1], , , , 0.925, -22000, 0, 0, 0, 0, 0, 0, , NO, 0, 0, NO,
2118, BEAM , CONLOAD, GZ, NO , NO, aDir[1], , , , 0.925, -22000, 0, 0, 0, 0, 0, 0, , NO, 0, 0, NO,
2119, BEAM , CONLOAD, GZ, NO , NO, aDir[1], , , , 0.925, -28100, 0, 0, 0, 0, 0, 0, , NO, 0, 0, NO,
2120, BEAM , CONLOAD, GZ, NO , NO, aDir[1], , , , 0.925, -17100, 0, 0, 0, 0, 0, 0, , NO, 0, 0, NO,
2121, BEAM , CONLOAD, GZ, NO , NO, aDir[1], , , , 0.259, -17100, 0, 0, 0, 0, 0, 0, , NO, 0, 0, NO,
2122, BEAM , CONLOAD, GZ, NO , NO, aDir[1], , , , 0.259, -28100, 0, 0, 0, 0, 0, 0, , NO, 0, 0, NO,
2123, BEAM , CONLOAD, GZ, NO , NO, aDir[1], , , , 0.259, -22000, 0, 0, 0, 0, 0, 0, , NO, 0, 0, NO,
2124, BEAM , CONLOAD, GZ, NO , NO, aDir[1], , , , 0.259, -22000, 0, 0, 0, 0, 0, 0, , NO, 0, 0, NO,
2125, BEAM , CONLOAD, GZ, NO , NO, aDir[1], , , , 0.259, -22000, 0, 0, 0, 0, 0, 0, , NO, 0, 0, NO,
2126, BEAM , CONLOAD, GZ, NO , NO, aDir[1], , , , 0.259, -22000, 0, 0, 0, 0, 0, 0, , NO, 0, 0, NO,
2127, BEAM , CONLOAD, GZ, NO , NO, aDir[1], , , , 0.259, -25100, 0, 0, 0, 0, 0, 0, , NO, 0, 0, NO,
2128, BEAM , CONLOAD, GZ, NO , NO, aDir[1], , , , 0.259, -25100, 0, 0, 0, 0, 0, 0, , NO, 0, 0, NO,
2129, BEAM , CONLOAD, GZ, NO , NO, aDir[1], , , , 0.259, -22000, 0, 0, 0, 0, 0, 0, , NO, 0, 0, NO,
2130, BEAM , CONLOAD, GZ, NO , NO, aDir[1], , , , 0.259, -22000, 0, 0, 0, 0, 0, 0, , NO, 0, 0, NO,
2131, BEAM , CONLOAD, GZ, NO , NO, aDir[1], , , , 0.259, -22000, 0, 0, 0, 0, 0, 0, , NO, 0, 0, NO,
2132, BEAM , CONLOAD, GZ, NO , NO, aDir[1], , , , 0.259, -22000, 0, 0, 0, 0, 0, 0, , NO, 0, 0, NO,
2133, BEAM , CONLOAD, GZ, NO , NO, aDir[1], , , , 0.259, -22000, 0, 0, 0, 0, 0, 0, , NO, 0, 0, NO,
2134, BEAM , CONLOAD, GZ, NO , NO, aDir[1], , , , 0.259, -24900, 0, 0, 0, 0, 0, 0, , NO, 0, 0, NO,
2135, BEAM , CONLOAD, GZ, NO , NO, aDir[1], , , , 0.259, -24500, 0, 0, 0, 0, 0, 0, , NO, 0, 0, NO,
2136, BEAM , CONLOAD, GZ, NO , NO, aDir[1], , , , 0.259, -21200, 0, 0, 0, 0, 0, 0, , NO, 0, 0, NO,
2137, BEAM , CONLOAD, GZ, NO , NO, aDir[1], , , , 0.259, -21200, 0, 0, 0, 0, 0, 0, , NO, 0, 0, NO,

PROJECT TITLE :

MIDAS	Company		Client	
	Author		File Name	H2D_3Dg_v14_180227_StatLM.mct

2138, BEAM , CONLOAD, GZ, NO , NO, aDir[1], , , , 0.259, -21200, 0, 0, 0, 0, 0, 0, , NO, 0, 0, NO,
2139, BEAM , CONLOAD, GZ, NO , NO, aDir[1], , , , 0.259, -21200, 0, 0, 0, 0, 0, 0, , NO, 0, 0, NO,
2140, BEAM , CONLOAD, GZ, NO , NO, aDir[1], , , , 0.259, -21200, 0, 0, 0, 0, 0, 0, , NO, 0, 0, NO,
2141, BEAM , CONLOAD, GZ, NO , NO, aDir[1], , , , 0.259, -21200, 0, 0, 0, 0, 0, 0, , NO, 0, 0, NO,
2142, BEAM , CONLOAD, GZ, NO , NO, aDir[1], , , , 0.259, -24900, 0, 0, 0, 0, 0, 0, , NO, 0, 0, NO,
2143, BEAM , CONLOAD, GZ, NO , NO, aDir[1], , , , 0.259, -25900, 0, 0, 0, 0, 0, 0, , NO, 0, 0, NO,
2144, BEAM , CONLOAD, GZ, NO , NO, aDir[1], , , , 0.259, -23200, 0, 0, 0, 0, 0, 0, , NO, 0, 0, NO,
2145, BEAM , CONLOAD, GZ, NO , NO, aDir[1], , , , 0.259, -23200, 0, 0, 0, 0, 0, 0, , NO, 0, 0, NO,
2146, BEAM , CONLOAD, GZ, NO , NO, aDir[1], , , , 0.259, -23200, 0, 0, 0, 0, 0, 0, , NO, 0, 0, NO,
2147, BEAM , CONLOAD, GZ, NO , NO, aDir[1], , , , 0.259, -23200, 0, 0, 0, 0, 0, 0, , NO, 0, 0, NO,
2148, BEAM , CONLOAD, GZ, NO , NO, aDir[1], , , , 0.259, -23200, 0, 0, 0, 0, 0, 0, , NO, 0, 0, NO,
2149, BEAM , CONLOAD, GZ, NO , NO, aDir[1], , , , 0.259, -23200, 0, 0, 0, 0, 0, 0, , NO, 0, 0, NO,
2150, BEAM , CONLOAD, GZ, NO , NO, aDir[1], , , , 0.259, -26400, 0, 0, 0, 0, 0, 0, , NO, 0, 0, NO,
2151, BEAM , CONLOAD, GZ, NO , NO, aDir[1], , , , 0.259, -26400, 0, 0, 0, 0, 0, 0, , NO, 0, 0, NO,
2152, BEAM , CONLOAD, GZ, NO , NO, aDir[1], , , , 0.259, -23200, 0, 0, 0, 0, 0, 0, , NO, 0, 0, NO,
2153, BEAM , CONLOAD, GZ, NO , NO, aDir[1], , , , 0.259, -23200, 0, 0, 0, 0, 0, 0, , NO, 0, 0, NO,
2154, BEAM , CONLOAD, GZ, NO , NO, aDir[1], , , , 0.259, -23200, 0, 0, 0, 0, 0, 0, , NO, 0, 0, NO,
2155, BEAM , CONLOAD, GZ, NO , NO, aDir[1], , , , 0.259, -23200, 0, 0, 0, 0, 0, 0, , NO, 0, 0, NO,
2156, BEAM , CONLOAD, GZ, NO , NO, aDir[1], , , , 0.259, -23200, 0, 0, 0, 0, 0, 0, , NO, 0, 0, NO,
2157, BEAM , CONLOAD, GZ, NO , NO, aDir[1], , , , 0.259, -23200, 0, 0, 0, 0, 0, 0, , NO, 0, 0, NO,
2158, BEAM , CONLOAD, GZ, NO , NO, aDir[1], , , , 0.259, -26400, 0, 0, 0, 0, 0, 0, , NO, 0, 0, NO,
2159, BEAM , CONLOAD, GZ, NO , NO, aDir[1], , , , 0.259, -26400, 0, 0, 0, 0, 0, 0, , NO, 0, 0, NO,
2160, BEAM , CONLOAD, GZ, NO , NO, aDir[1], , , , 0.259, -23200, 0, 0, 0, 0, 0, 0, , NO, 0, 0, NO,
2161, BEAM , CONLOAD, GZ, NO , NO, aDir[1], , , , 0.259, -23200, 0, 0, 0, 0, 0, 0, , NO, 0, 0, NO,
2162, BEAM , CONLOAD, GZ, NO , NO, aDir[1], , , , 0.259, -23200, 0, 0, 0, 0, 0, 0, , NO, 0, 0, NO,
2163, BEAM , CONLOAD, GZ, NO , NO, aDir[1], , , , 0.259, -23200, 0, 0, 0, 0, 0, 0, , NO, 0, 0, NO,
2164, BEAM , CONLOAD, GZ, NO , NO, aDir[1], , , , 0.259, -23200, 0, 0, 0, 0, 0, 0, , NO, 0, 0, NO,
2165, BEAM , CONLOAD, GZ, NO , NO, aDir[1], , , , 0.259, -23200, 0, 0, 0, 0, 0, 0, , NO, 0, 0, NO,
2166, BEAM , CONLOAD, GZ, NO , NO, aDir[1], , , , 0.259, -26400, 0, 0, 0, 0, 0, 0, , NO, 0, 0, NO,
2167, BEAM , CONLOAD, GZ, NO , NO, aDir[1], , , , 0.259, -26400, 0, 0, 0, 0, 0, 0, , NO, 0, 0, NO,
2168, BEAM , CONLOAD, GZ, NO , NO, aDir[1], , , , 0.259, -23200, 0, 0, 0, 0, 0, 0, , NO, 0, 0, NO,
2169, BEAM , CONLOAD, GZ, NO , NO, aDir[1], , , , 0.259, -23200, 0, 0, 0, 0, 0, 0, , NO, 0, 0, NO,
2170, BEAM , CONLOAD, GZ, NO , NO, aDir[1], , , , 0.259, -23200, 0, 0, 0, 0, 0, 0, , NO, 0, 0, NO,
2171, BEAM , CONLOAD, GZ, NO , NO, aDir[1], , , , 0.259, -23200, 0, 0, 0, 0, 0, 0, , NO, 0, 0, NO,
2172, BEAM , CONLOAD, GZ, NO , NO, aDir[1], , , , 0.259, -15255.2, 0, 0, 0, 0, 0, 0, , NO, 0, 0, NO,
2173, BEAM , CONLOAD, GZ, NO , NO, aDir[1], , , , 0.259, -344.828, 0, 0, 0, 0, 0, 0, , NO, 0, 0, NO,
2174, BEAM , CONLOAD, GZ, NO , NO, aDir[1], , , , 0.259, -47719.6, 0, 0, 0, 0, 0, 0, , NO, 0, 0, NO,
2175, BEAM , CONLOAD, GZ, NO , NO, aDir[1], , , , 0.259, -59500.2, 0, 0, 0, 0, 0, 0, , NO, 0, 0, NO,
2176, BEAM , CONLOAD, GZ, NO , NO, aDir[1], , , , 0.259, -17780.2, 0, 0, 0, 0, 0, 0, , NO, 0, 0, NO,
2177, BEAM , CONLOAD, GZ, NO , NO, aDir[1], , , , 0.259, -18319, 0, 0, 0, 0, 0, 0, , NO, 0, 0, NO,
2178, BEAM , CONLOAD, GZ, NO , NO, aDir[1], , , , 0.259, -54956.9, 0, 0, 0, 0, 0, 0, , NO, 0, 0, NO,
2179, BEAM , CONLOAD, GZ, NO , NO, aDir[1], , , , 0.259, -44181, 0, 0, 0, 0, 0, 0, , NO, 0, 0, NO,
2180, BEAM , CONLOAD, GZ, NO , NO, aDir[1], , , , 0.259, -7543.1, 0, 0, 0, 0, 0, 0, , NO, 0, 0, NO,
2181, BEAM , CONLOAD, GZ, NO , NO, aDir[1], , , , 0.259, -28556, 0, 0, 0, 0, 0, 0, , NO, 0, 0, NO,
2182, BEAM , CONLOAD, GZ, NO , NO, aDir[1], , , , 0.259, -74062.2, 0, 0, 0, 0, 0, 0, , NO, 0, 0, NO,
2183, BEAM , CONLOAD, GZ, NO , NO, aDir[1], , , , 0.259, -22381.8, 0, 0, 0, 0, 0, 0, , NO, 0, 0, NO,
2184, BEAM , CONLOAD, GZ, NO , NO, aDir[1], , , , 0.259, -16163.8, 0, 0, 0, 0, 0, 0, , NO, 0, 0, NO,
2185, BEAM , CONLOAD, GZ, NO , NO, aDir[1], , , , 0.259, -52801.7, 0, 0, 0, 0, 0, 0, , NO, 0, 0, NO,
2186, BEAM , CONLOAD, GZ, NO , NO, aDir[1], , , , 0.259, -46336.2, 0, 0, 0, 0, 0, 0, , NO, 0, 0, NO,
2187, BEAM , CONLOAD, GZ, NO , NO, aDir[1], , , , 0.259, -9698.28, 0, 0, 0, 0, 0, 0, , NO, 0, 0, NO,
2188, BEAM , CONLOAD, GZ, NO , NO, aDir[1], , , , 0.259, -8279.31, 0, 0, 0, 0, 0, 0, , NO, 0, 0, NO,
2189, BEAM , CONLOAD, GZ, NO , NO, aDir[1], , , , 0.259, -22920.7, 0, 0, 0, 0, 0, 0, , NO, 0, 0, NO,
2190, BEAM , CONLOAD, GZ, NO , NO, aDir[1], , , , 0.259, -26400, 0, 0, 0, 0, 0, 0, , NO, 0, 0, NO,
2191, BEAM , CONLOAD, GZ, NO , NO, aDir[1], , , , 0.259, -26400, 0, 0, 0, 0, 0, 0, , NO, 0, 0, NO,
2192, BEAM , CONLOAD, GZ, NO , NO, aDir[1], , , , 0.259, -23200, 0, 0, 0, 0, 0, 0, , NO, 0, 0, NO,
2193, BEAM , CONLOAD, GZ, NO , NO, aDir[1], , , , 0.259, -23200, 0, 0, 0, 0, 0, 0, , NO, 0, 0, NO,
2194, BEAM , CONLOAD, GZ, NO , NO, aDir[1], , , , 0.259, -23200, 0, 0, 0, 0, 0, 0, , NO, 0, 0, NO,
2195, BEAM , CONLOAD, GZ, NO , NO, aDir[1], , , , 0.259, -23200, 0, 0, 0, 0, 0, 0, , NO, 0, 0, NO,
2196, BEAM , CONLOAD, GZ, NO , NO, aDir[1], , , , 0.259, -23200, 0, 0, 0, 0, 0, 0, , NO, 0, 0, NO,
2197, BEAM , CONLOAD, GZ, NO , NO, aDir[1], , , , 0.259, -23200, 0, 0, 0, 0, 0, 0, , NO, 0, 0, NO,
2198, BEAM , CONLOAD, GZ, NO , NO, aDir[1], , , , 0.259, -26400, 0, 0, 0, 0, 0, 0, , NO, 0, 0, NO,
2199, BEAM , CONLOAD, GZ, NO , NO, aDir[1], , , , 0.259, -26400, 0, 0, 0, 0, 0, 0, , NO, 0, 0, NO,
2200, BEAM , CONLOAD, GZ, NO , NO, aDir[1], , , , 0.259, -23200, 0, 0, 0, 0, 0, 0, , NO, 0, 0, NO,
2201, BEAM , CONLOAD, GZ, NO , NO, aDir[1], , , , 0.259, -23200, 0, 0, 0, 0, 0, 0, , NO, 0, 0, NO,
2202, BEAM , CONLOAD, GZ, NO , NO, aDir[1], , , , 0.259, -23200, 0, 0, 0, 0, 0, 0, , NO, 0, 0, NO,
2203, BEAM , CONLOAD, GZ, NO , NO, aDir[1], , , , 0.259, -23200, 0, 0, 0, 0, 0, 0, , NO, 0, 0, NO,
2204, BEAM , CONLOAD, GZ, NO , NO, aDir[1], , , , 0.259, -23200, 0, 0, 0, 0, 0, 0, , NO, 0, 0, NO,
2205, BEAM , CONLOAD, GZ, NO , NO, aDir[1], , , , 0.259, -23200, 0, 0, 0, 0, 0, 0, , NO, 0, 0, NO,
2206, BEAM , CONLOAD, GZ, NO , NO, aDir[1], , , , 0.259, -26400, 0, 0, 0, 0, 0, 0, , NO, 0, 0, NO,
2207, BEAM , CONLOAD, GZ, NO , NO, aDir[1], , , , 0.259, -26400, 0, 0, 0, 0, 0, 0, , NO, 0, 0, NO,
2208, BEAM , CONLOAD, GZ, NO , NO, aDir[1], , , , 0.259, -23200, 0, 0, 0, 0, 0, 0, , NO, 0, 0, NO,
2209, BEAM , CONLOAD, GZ, NO , NO, aDir[1], , , , 0.259, -23200, 0, 0, 0, 0, 0, 0, , NO, 0, 0, NO,

PROJECT TITLE :

MIDAS	Company		Client	
	Author		File Name	H2D_3Dg_v14_180227_StatLM.mct

2210, BEAM , CONLOAD, GZ, NO , NO, aDir[1], , , , 0.259, -23200, 0, 0, 0, 0, 0, 0, , NO, 0, 0, NO,
2211, BEAM , CONLOAD, GZ, NO , NO, aDir[1], , , , 0.259, -23200, 0, 0, 0, 0, 0, 0, , NO, 0, 0, NO,
2212, BEAM , CONLOAD, GZ, NO , NO, aDir[1], , , , 0.259, -23200, 0, 0, 0, 0, 0, 0, , NO, 0, 0, NO,
2213, BEAM , CONLOAD, GZ, NO , NO, aDir[1], , , , 0.259, -23200, 0, 0, 0, 0, 0, 0, , NO, 0, 0, NO,
2214, BEAM , CONLOAD, GZ, NO , NO, aDir[1], , , , 0.259, -26400, 0, 0, 0, 0, 0, 0, , NO, 0, 0, NO,
2215, BEAM , CONLOAD, GZ, NO , NO, aDir[1], , , , 0.259, -26400, 0, 0, 0, 0, 0, 0, , NO, 0, 0, NO,
2216, BEAM , CONLOAD, GZ, NO , NO, aDir[1], , , , 0.259, -23200, 0, 0, 0, 0, 0, 0, , NO, 0, 0, NO,
2217, BEAM , CONLOAD, GZ, NO , NO, aDir[1], , , , 0.259, -23200, 0, 0, 0, 0, 0, 0, , NO, 0, 0, NO,
2218, BEAM , CONLOAD, GZ, NO , NO, aDir[1], , , , 0.259, -23200, 0, 0, 0, 0, 0, 0, , NO, 0, 0, NO,
2219, BEAM , CONLOAD, GZ, NO , NO, aDir[1], , , , 0.259, -23200, 0, 0, 0, 0, 0, 0, , NO, 0, 0, NO,
2220, BEAM , CONLOAD, GZ, NO , NO, aDir[1], , , , 0.259, -23200, 0, 0, 0, 0, 0, 0, , NO, 0, 0, NO,
2221, BEAM , CONLOAD, GZ, NO , NO, aDir[1], , , , 0.259, -23200, 0, 0, 0, 0, 0, 0, , NO, 0, 0, NO,
2222, BEAM , CONLOAD, GZ, NO , NO, aDir[1], , , , 0.259, -25900, 0, 0, 0, 0, 0, 0, , NO, 0, 0, NO,
2223, BEAM , CONLOAD, GZ, NO , NO, aDir[1], , , , 0.259, -24900, 0, 0, 0, 0, 0, 0, , NO, 0, 0, NO,
2224, BEAM , CONLOAD, GZ, NO , NO, aDir[1], , , , 0.259, -21200, 0, 0, 0, 0, 0, 0, , NO, 0, 0, NO,
2225, BEAM , CONLOAD, GZ, NO , NO, aDir[1], , , , 0.259, -21200, 0, 0, 0, 0, 0, 0, , NO, 0, 0, NO,
2226, BEAM , CONLOAD, GZ, NO , NO, aDir[1], , , , 0.259, -21200, 0, 0, 0, 0, 0, 0, , NO, 0, 0, NO,
2227, BEAM , CONLOAD, GZ, NO , NO, aDir[1], , , , 0.259, -21200, 0, 0, 0, 0, 0, 0, , NO, 0, 0, NO,
2228, BEAM , CONLOAD, GZ, NO , NO, aDir[1], , , , 0.259, -21200, 0, 0, 0, 0, 0, 0, , NO, 0, 0, NO,
2229, BEAM , CONLOAD, GZ, NO , NO, aDir[1], , , , 0.259, -21200, 0, 0, 0, 0, 0, 0, , NO, 0, 0, NO,
2230, BEAM , CONLOAD, GZ, NO , NO, aDir[1], , , , 0.259, -24500, 0, 0, 0, 0, 0, 0, , NO, 0, 0, NO,
2231, BEAM , CONLOAD, GZ, NO , NO, aDir[1], , , , 0.259, -24900, 0, 0, 0, 0, 0, 0, , NO, 0, 0, NO,
2232, BEAM , CONLOAD, GZ, NO , NO, aDir[1], , , , 0.259, -22000, 0, 0, 0, 0, 0, 0, , NO, 0, 0, NO,
2233, BEAM , CONLOAD, GZ, NO , NO, aDir[1], , , , 0.259, -22000, 0, 0, 0, 0, 0, 0, , NO, 0, 0, NO,
2234, BEAM , CONLOAD, GZ, NO , NO, aDir[1], , , , 0.259, -22000, 0, 0, 0, 0, 0, 0, , NO, 0, 0, NO,
2235, BEAM , CONLOAD, GZ, NO , NO, aDir[1], , , , 0.259, -22000, 0, 0, 0, 0, 0, 0, , NO, 0, 0, NO,
2236, BEAM , CONLOAD, GZ, NO , NO, aDir[1], , , , 0.259, -22000, 0, 0, 0, 0, 0, 0, , NO, 0, 0, NO,
2237, BEAM , CONLOAD, GZ, NO , NO, aDir[1], , , , 0.259, -25100, 0, 0, 0, 0, 0, 0, , NO, 0, 0, NO,
2238, BEAM , CONLOAD, GZ, NO , NO, aDir[1], , , , 0.259, -25100, 0, 0, 0, 0, 0, 0, , NO, 0, 0, NO,
2239, BEAM , CONLOAD, GZ, NO , NO, aDir[1], , , , 0.259, -22000, 0, 0, 0, 0, 0, 0, , NO, 0, 0, NO,
2240, BEAM , CONLOAD, GZ, NO , NO, aDir[1], , , , 0.259, -22000, 0, 0, 0, 0, 0, 0, , NO, 0, 0, NO,
2241, BEAM , CONLOAD, GZ, NO , NO, aDir[1], , , , 0.259, -22000, 0, 0, 0, 0, 0, 0, , NO, 0, 0, NO,
2242, BEAM , CONLOAD, GZ, NO , NO, aDir[1], , , , 0.259, -22000, 0, 0, 0, 0, 0, 0, , NO, 0, 0, NO,
2243, BEAM , CONLOAD, GZ, NO , NO, aDir[1], , , , 0.259, -28100, 0, 0, 0, 0, 0, 0, , NO, 0, 0, NO,
2244, BEAM , CONLOAD, GZ, NO , NO, aDir[1], , , , 0.259, -17100, 0, 0, 0, 0, 0, 0, , NO, 0, 0, NO,

; End of data for load case [MVminP71_1PFx17] ----------

*USE-STLD, MVminP71_2PFx17

*BEAMLOAD ; Element Beam Loads
; ELEM_LIST, CMD, TYPE, DIR, bPROJ, [ECCEN], [VALUE], GROUP
; ELEM_LIST, CMD, TYPE, TYPE, DIR, VX, VY, VZ, bPROJ, [ECCEN], [VALUE], GROUP
; [VALUE] : D1, P1, D2, P2, D3, P3, D4, P4
; [ECCEN] : bECCEN, ECCDIR, I-END, J-END, bJ-END
; [ADDITIONAL] : bADDITIONAL, ADDITIONAL_I-END, ADDITIONAL_J-END, bADDITIONAL_J-END
1750, BEAM , CONLOAD, GZ, NO , NO, aDir[1], , , , 0.075, -11000, 0, 0, 0, 0, 0, 0, , NO, 0, 0, NO,
1751, BEAM , CONLOAD, GZ, NO , NO, aDir[1], , , , 0.075, -22000, 0, 0, 0, 0, 0, 0, , NO, 0, 0, NO,
1752, BEAM , CONLOAD, GZ, NO , NO, aDir[1], , , , 0.075, -22000, 0, 0, 0, 0, 0, 0, , NO, 0, 0, NO,
1753, BEAM , CONLOAD, GZ, NO , NO, aDir[1], , , , 0.075, -22000, 0, 0, 0, 0, 0, 0, , NO, 0, 0, NO,
1754, BEAM , CONLOAD, GZ, NO , NO, aDir[1], , , , 0.075, -22000, 0, 0, 0, 0, 0, 0, , NO, 0, 0, NO,
1755, BEAM , CONLOAD, GZ, NO , NO, aDir[1], , , , 0.075, -25100, 0, 0, 0, 0, 0, 0, , NO, 0, 0, NO,
1756, BEAM , CONLOAD, GZ, NO , NO, aDir[1], , , , 0.075, -25100, 0, 0, 0, 0, 0, 0, , NO, 0, 0, NO,
1757, BEAM , CONLOAD, GZ, NO , NO, aDir[1], , , , 0.075, -22000, 0, 0, 0, 0, 0, 0, , NO, 0, 0, NO,
1758, BEAM , CONLOAD, GZ, NO , NO, aDir[1], , , , 0.075, -22000, 0, 0, 0, 0, 0, 0, , NO, 0, 0, NO,
1759, BEAM , CONLOAD, GZ, NO , NO, aDir[1], , , , 0.075, -22000, 0, 0, 0, 0, 0, 0, , NO, 0, 0, NO,
1760, BEAM , CONLOAD, GZ, NO , NO, aDir[1], , , , 0.075, -22000, 0, 0, 0, 0, 0, 0, , NO, 0, 0, NO,
1761, BEAM , CONLOAD, GZ, NO , NO, aDir[1], , , , 0.075, -22000, 0, 0, 0, 0, 0, 0, , NO, 0, 0, NO,
1762, BEAM , CONLOAD, GZ, NO , NO, aDir[1], , , , 0.075, -24900, 0, 0, 0, 0, 0, 0, , NO, 0, 0, NO,
1763, BEAM , CONLOAD, GZ, NO , NO, aDir[1], , , , 0.075, -24500, 0, 0, 0, 0, 0, 0, , NO, 0, 0, NO,
1764, BEAM , CONLOAD, GZ, NO , NO, aDir[1], , , , 0.075, -21200, 0, 0, 0, 0, 0, 0, , NO, 0, 0, NO,
1765, BEAM , CONLOAD, GZ, NO , NO, aDir[1], , , , 0.075, -21200, 0, 0, 0, 0, 0, 0, , NO, 0, 0, NO,
1766, BEAM , CONLOAD, GZ, NO , NO, aDir[1], , , , 0.075, -21200, 0, 0, 0, 0, 0, 0, , NO, 0, 0, NO,
1767, BEAM , CONLOAD, GZ, NO , NO, aDir[1], , , , 0.075, -21200, 0, 0, 0, 0, 0, 0, , NO, 0, 0, NO,
1768, BEAM , CONLOAD, GZ, NO , NO, aDir[1], , , , 0.075, -21200, 0, 0, 0, 0, 0, 0, , NO, 0, 0, NO,
1769, BEAM , CONLOAD, GZ, NO , NO, aDir[1], , , , 0.075, -21200, 0, 0, 0, 0, 0, 0, , NO, 0, 0, NO,
1770, BEAM , CONLOAD, GZ, NO , NO, aDir[1], , , , 0.075, -24900, 0, 0, 0, 0, 0, 0, , NO, 0, 0, NO,
1771, BEAM , CONLOAD, GZ, NO , NO, aDir[1], , , , 0.075, -25900, 0, 0, 0, 0, 0, 0, , NO, 0, 0, NO,
1772, BEAM , CONLOAD, GZ, NO , NO, aDir[1], , , , 0.075, -23200, 0, 0, 0, 0, 0, 0, , NO, 0, 0, NO,
1773, BEAM , CONLOAD, GZ, NO , NO, aDir[1], , , , 0.075, -23200, 0, 0, 0, 0, 0, 0, , NO, 0, 0, NO,
1774, BEAM , CONLOAD, GZ, NO , NO, aDir[1], , , , 0.075, -23200, 0, 0, 0, 0, 0, 0, , NO, 0, 0, NO,
1775, BEAM , CONLOAD, GZ, NO , NO, aDir[1], , , , 0.075, -23200, 0, 0, 0, 0, 0, 0, , NO, 0, 0, NO,

PROJECT TITLE :

MIDAS	Company		Client	
	Author		File Name	H2D_3Dg_v14_180227_StatLM.mct

1776, BEAM , CONLOAD, GZ, NO , NO, aDir[1], , , , 0.075, -23200, 0, 0, 0, 0, 0, 0, , NO, 0, 0, NO,
1777, BEAM , CONLOAD, GZ, NO , NO, aDir[1], , , , 0.075, -23200, 0, 0, 0, 0, 0, 0, , NO, 0, 0, NO,
1778, BEAM , CONLOAD, GZ, NO , NO, aDir[1], , , , 0.075, -26400, 0, 0, 0, 0, 0, 0, , NO, 0, 0, NO,
1779, BEAM , CONLOAD, GZ, NO , NO, aDir[1], , , , 0.075, -26400, 0, 0, 0, 0, 0, 0, , NO, 0, 0, NO,
1780, BEAM , CONLOAD, GZ, NO , NO, aDir[1], , , , 0.075, -23200, 0, 0, 0, 0, 0, 0, , NO, 0, 0, NO,
1781, BEAM , CONLOAD, GZ, NO , NO, aDir[1], , , , 0.075, -23200, 0, 0, 0, 0, 0, 0, , NO, 0, 0, NO,
1782, BEAM , CONLOAD, GZ, NO , NO, aDir[1], , , , 0.075, -23200, 0, 0, 0, 0, 0, 0, , NO, 0, 0, NO,
1783, BEAM , CONLOAD, GZ, NO , NO, aDir[1], , , , 0.075, -23200, 0, 0, 0, 0, 0, 0, , NO, 0, 0, NO,
1784, BEAM , CONLOAD, GZ, NO , NO, aDir[1], , , , 0.075, -23200, 0, 0, 0, 0, 0, 0, , NO, 0, 0, NO,
1785, BEAM , CONLOAD, GZ, NO , NO, aDir[1], , , , 0.075, -23200, 0, 0, 0, 0, 0, 0, , NO, 0, 0, NO,
1786, BEAM , CONLOAD, GZ, NO , NO, aDir[1], , , , 0.075, -26400, 0, 0, 0, 0, 0, 0, , NO, 0, 0, NO,
1787, BEAM , CONLOAD, GZ, NO , NO, aDir[1], , , , 0.075, -26400, 0, 0, 0, 0, 0, 0, , NO, 0, 0, NO,
1788, BEAM , CONLOAD, GZ, NO , NO, aDir[1], , , , 0.075, -23200, 0, 0, 0, 0, 0, 0, , NO, 0, 0, NO,
1789, BEAM , CONLOAD, GZ, NO , NO, aDir[1], , , , 0.075, -23200, 0, 0, 0, 0, 0, 0, , NO, 0, 0, NO,
1790, BEAM , CONLOAD, GZ, NO , NO, aDir[1], , , , 0.075, -23200, 0, 0, 0, 0, 0, 0, , NO, 0, 0, NO,
1791, BEAM , CONLOAD, GZ, NO , NO, aDir[1], , , , 0.075, -23200, 0, 0, 0, 0, 0, 0, , NO, 0, 0, NO,
1792, BEAM , CONLOAD, GZ, NO , NO, aDir[1], , , , 0.075, -23200, 0, 0, 0, 0, 0, 0, , NO, 0, 0, NO,
1793, BEAM , CONLOAD, GZ, NO , NO, aDir[1], , , , 0.075, -23200, 0, 0, 0, 0, 0, 0, , NO, 0, 0, NO,
1794, BEAM , CONLOAD, GZ, NO , NO, aDir[1], , , , 0.075, -26400, 0, 0, 0, 0, 0, 0, , NO, 0, 0, NO,
1795, BEAM , CONLOAD, GZ, NO , NO, aDir[1], , , , 0.075, -26400, 0, 0, 0, 0, 0, 0, , NO, 0, 0, NO,
1796, BEAM , CONLOAD, GZ, NO , NO, aDir[1], , , , 0.075, -23200, 0, 0, 0, 0, 0, 0, , NO, 0, 0, NO,
1797, BEAM , CONLOAD, GZ, NO , NO, aDir[1], , , , 0.075, -23200, 0, 0, 0, 0, 0, 0, , NO, 0, 0, NO,
1798, BEAM , CONLOAD, GZ, NO , NO, aDir[1], , , , 0.075, -23200, 0, 0, 0, 0, 0, 0, , NO, 0, 0, NO,
1799, BEAM , CONLOAD, GZ, NO , NO, aDir[1], , , , 0.075, -23200, 0, 0, 0, 0, 0, 0, , NO, 0, 0, NO,
1800, BEAM , CONLOAD, GZ, NO , NO, aDir[1], , , , 0.075, -15255.2, 0, 0, 0, 0, 0, 0, , NO, 0, 0, NO,
1801, BEAM , CONLOAD, GZ, NO , NO, aDir[1], , , , 0.075, -344.828, 0, 0, 0, 0, 0, 0, , NO, 0, 0, NO,
1802, BEAM , CONLOAD, GZ, NO , NO, aDir[1], , , , 0.075, -47719.6, 0, 0, 0, 0, 0, 0, , NO, 0, 0, NO,
1803, BEAM , CONLOAD, GZ, NO , NO, aDir[1], , , , 0.075, -59500.2, 0, 0, 0, 0, 0, 0, , NO, 0, 0, NO,
1804, BEAM , CONLOAD, GZ, NO , NO, aDir[1], , , , 0.075, -17780.2, 0, 0, 0, 0, 0, 0, , NO, 0, 0, NO,
1805, BEAM , CONLOAD, GZ, NO , NO, aDir[1], , , , 0.075, -18319, 0, 0, 0, 0, 0, 0, , NO, 0, 0, NO,
1806, BEAM , CONLOAD, GZ, NO , NO, aDir[1], , , , 0.075, -54956.9, 0, 0, 0, 0, 0, 0, , NO, 0, 0, NO,
1807, BEAM , CONLOAD, GZ, NO , NO, aDir[1], , , , 0.075, -44181, 0, 0, 0, 0, 0, 0, , NO, 0, 0, NO,
1808, BEAM , CONLOAD, GZ, NO , NO, aDir[1], , , , 0.075, -7543.1, 0, 0, 0, 0, 0, 0, , NO, 0, 0, NO,
1809, BEAM , CONLOAD, GZ, NO , NO, aDir[1], , , , 0.075, -28556, 0, 0, 0, 0, 0, 0, , NO, 0, 0, NO,
1810, BEAM , CONLOAD, GZ, NO , NO, aDir[1], , , , 0.075, -74062.2, 0, 0, 0, 0, 0, 0, , NO, 0, 0, NO,
1811, BEAM , CONLOAD, GZ, NO , NO, aDir[1], , , , 0.075, -22381.8, 0, 0, 0, 0, 0, 0, , NO, 0, 0, NO,
1812, BEAM , CONLOAD, GZ, NO , NO, aDir[1], , , , 0.075, -16163.8, 0, 0, 0, 0, 0, 0, , NO, 0, 0, NO,
1813, BEAM , CONLOAD, GZ, NO , NO, aDir[1], , , , 0.075, -52801.7, 0, 0, 0, 0, 0, 0, , NO, 0, 0, NO,
1814, BEAM , CONLOAD, GZ, NO , NO, aDir[1], , , , 0.075, -46336.2, 0, 0, 0, 0, 0, 0, , NO, 0, 0, NO,
1815, BEAM , CONLOAD, GZ, NO , NO, aDir[1], , , , 0.075, -9698.28, 0, 0, 0, 0, 0, 0, , NO, 0, 0, NO,
1816, BEAM , CONLOAD, GZ, NO , NO, aDir[1], , , , 0.075, -8279.31, 0, 0, 0, 0, 0, 0, , NO, 0, 0, NO,
1817, BEAM , CONLOAD, GZ, NO , NO, aDir[1], , , , 0.075, -22920.7, 0, 0, 0, 0, 0, 0, , NO, 0, 0, NO,
1818, BEAM , CONLOAD, GZ, NO , NO, aDir[1], , , , 0.075, -26400, 0, 0, 0, 0, 0, 0, , NO, 0, 0, NO,
1819, BEAM , CONLOAD, GZ, NO , NO, aDir[1], , , , 0.075, -26400, 0, 0, 0, 0, 0, 0, , NO, 0, 0, NO,
1820, BEAM , CONLOAD, GZ, NO , NO, aDir[1], , , , 0.075, -23200, 0, 0, 0, 0, 0, 0, , NO, 0, 0, NO,
1821, BEAM , CONLOAD, GZ, NO , NO, aDir[1], , , , 0.075, -23200, 0, 0, 0, 0, 0, 0, , NO, 0, 0, NO,
1822, BEAM , CONLOAD, GZ, NO , NO, aDir[1], , , , 0.075, -23200, 0, 0, 0, 0, 0, 0, , NO, 0, 0, NO,
1823, BEAM , CONLOAD, GZ, NO , NO, aDir[1], , , , 0.075, -23200, 0, 0, 0, 0, 0, 0, , NO, 0, 0, NO,
1824, BEAM , CONLOAD, GZ, NO , NO, aDir[1], , , , 0.075, -23200, 0, 0, 0, 0, 0, 0, , NO, 0, 0, NO,
1825, BEAM , CONLOAD, GZ, NO , NO, aDir[1], , , , 0.075, -23200, 0, 0, 0, 0, 0, 0, , NO, 0, 0, NO,
1826, BEAM , CONLOAD, GZ, NO , NO, aDir[1], , , , 0.075, -26400, 0, 0, 0, 0, 0, 0, , NO, 0, 0, NO,
1827, BEAM , CONLOAD, GZ, NO , NO, aDir[1], , , , 0.075, -26400, 0, 0, 0, 0, 0, 0, , NO, 0, 0, NO,
1828, BEAM , CONLOAD, GZ, NO , NO, aDir[1], , , , 0.075, -23200, 0, 0, 0, 0, 0, 0, , NO, 0, 0, NO,
1829, BEAM , CONLOAD, GZ, NO , NO, aDir[1], , , , 0.075, -23200, 0, 0, 0, 0, 0, 0, , NO, 0, 0, NO,
1830, BEAM , CONLOAD, GZ, NO , NO, aDir[1], , , , 0.075, -23200, 0, 0, 0, 0, 0, 0, , NO, 0, 0, NO,
1831, BEAM , CONLOAD, GZ, NO , NO, aDir[1], , , , 0.075, -23200, 0, 0, 0, 0, 0, 0, , NO, 0, 0, NO,
1832, BEAM , CONLOAD, GZ, NO , NO, aDir[1], , , , 0.075, -23200, 0, 0, 0, 0, 0, 0, , NO, 0, 0, NO,
1833, BEAM , CONLOAD, GZ, NO , NO, aDir[1], , , , 0.075, -23200, 0, 0, 0, 0, 0, 0, , NO, 0, 0, NO,
1834, BEAM , CONLOAD, GZ, NO , NO, aDir[1], , , , 0.075, -26400, 0, 0, 0, 0, 0, 0, , NO, 0, 0, NO,
1835, BEAM , CONLOAD, GZ, NO , NO, aDir[1], , , , 0.075, -26400, 0, 0, 0, 0, 0, 0, , NO, 0, 0, NO,
1836, BEAM , CONLOAD, GZ, NO , NO, aDir[1], , , , 0.075, -23200, 0, 0, 0, 0, 0, 0, , NO, 0, 0, NO,
1837, BEAM , CONLOAD, GZ, NO , NO, aDir[1], , , , 0.075, -23200, 0, 0, 0, 0, 0, 0, , NO, 0, 0, NO,
1838, BEAM , CONLOAD, GZ, NO , NO, aDir[1], , , , 0.075, -23200, 0, 0, 0, 0, 0, 0, , NO, 0, 0, NO,
1839, BEAM , CONLOAD, GZ, NO , NO, aDir[1], , , , 0.075, -23200, 0, 0, 0, 0, 0, 0, , NO, 0, 0, NO,
1840, BEAM , CONLOAD, GZ, NO , NO, aDir[1], , , , 0.075, -23200, 0, 0, 0, 0, 0, 0, , NO, 0, 0, NO,
1841, BEAM , CONLOAD, GZ, NO , NO, aDir[1], , , , 0.075, -23200, 0, 0, 0, 0, 0, 0, , NO, 0, 0, NO,
1842, BEAM , CONLOAD, GZ, NO , NO, aDir[1], , , , 0.075, -26400, 0, 0, 0, 0, 0, 0, , NO, 0, 0, NO,
1843, BEAM , CONLOAD, GZ, NO , NO, aDir[1], , , , 0.075, -26400, 0, 0, 0, 0, 0, 0, , NO, 0, 0, NO,
1844, BEAM , CONLOAD, GZ, NO , NO, aDir[1], , , , 0.075, -23200, 0, 0, 0, 0, 0, 0, , NO, 0, 0, NO,
1845, BEAM , CONLOAD, GZ, NO , NO, aDir[1], , , , 0.075, -23200, 0, 0, 0, 0, 0, 0, , NO, 0, 0, NO,
1846, BEAM , CONLOAD, GZ, NO , NO, aDir[1], , , , 0.075, -23200, 0, 0, 0, 0, 0, 0, , NO, 0, 0, NO,
1847, BEAM , CONLOAD, GZ, NO , NO, aDir[1], , , , 0.075, -23200, 0, 0, 0, 0, 0, 0, , NO, 0, 0, NO,

PROJECT TITLE :

MIDAS	Company		Client	
	Author		File Name	H2D_3Dg_v14_180227_StatLM.mct

1848, BEAM , CONLOAD, GZ, NO , NO, aDir[1], , , , 0.075, -23200, 0, 0, 0, 0, 0, 0, , NO, 0, 0, NO,
1849, BEAM , CONLOAD, GZ, NO , NO, aDir[1], , , , 0.075, -23200, 0, 0, 0, 0, 0, 0, , NO, 0, 0, NO,
1850, BEAM , CONLOAD, GZ, NO , NO, aDir[1], , , , 0.075, -25900, 0, 0, 0, 0, 0, 0, , NO, 0, 0, NO,
1851, BEAM , CONLOAD, GZ, NO , NO, aDir[1], , , , 0.075, -24900, 0, 0, 0, 0, 0, 0, , NO, 0, 0, NO,
1852, BEAM , CONLOAD, GZ, NO , NO, aDir[1], , , , 0.075, -21200, 0, 0, 0, 0, 0, 0, , NO, 0, 0, NO,
1853, BEAM , CONLOAD, GZ, NO , NO, aDir[1], , , , 0.075, -21200, 0, 0, 0, 0, 0, 0, , NO, 0, 0, NO,
1854, BEAM , CONLOAD, GZ, NO , NO, aDir[1], , , , 0.075, -21200, 0, 0, 0, 0, 0, 0, , NO, 0, 0, NO,
1855, BEAM , CONLOAD, GZ, NO , NO, aDir[1], , , , 0.075, -21200, 0, 0, 0, 0, 0, 0, , NO, 0, 0, NO,
1856, BEAM , CONLOAD, GZ, NO , NO, aDir[1], , , , 0.075, -21200, 0, 0, 0, 0, 0, 0, , NO, 0, 0, NO,
1857, BEAM , CONLOAD, GZ, NO , NO, aDir[1], , , , 0.075, -21200, 0, 0, 0, 0, 0, 0, , NO, 0, 0, NO,
1858, BEAM , CONLOAD, GZ, NO , NO, aDir[1], , , , 0.075, -24500, 0, 0, 0, 0, 0, 0, , NO, 0, 0, NO,
1859, BEAM , CONLOAD, GZ, NO , NO, aDir[1], , , , 0.075, -24900, 0, 0, 0, 0, 0, 0, , NO, 0, 0, NO,
1860, BEAM , CONLOAD, GZ, NO , NO, aDir[1], , , , 0.075, -22000, 0, 0, 0, 0, 0, 0, , NO, 0, 0, NO,
1861, BEAM , CONLOAD, GZ, NO , NO, aDir[1], , , , 0.075, -22000, 0, 0, 0, 0, 0, 0, , NO, 0, 0, NO,
1862, BEAM , CONLOAD, GZ, NO , NO, aDir[1], , , , 0.075, -22000, 0, 0, 0, 0, 0, 0, , NO, 0, 0, NO,
1863, BEAM , CONLOAD, GZ, NO , NO, aDir[1], , , , 0.075, -22000, 0, 0, 0, 0, 0, 0, , NO, 0, 0, NO,
1864, BEAM , CONLOAD, GZ, NO , NO, aDir[1], , , , 0.075, -22000, 0, 0, 0, 0, 0, 0, , NO, 0, 0, NO,
1865, BEAM , CONLOAD, GZ, NO , NO, aDir[1], , , , 0.075, -25100, 0, 0, 0, 0, 0, 0, , NO, 0, 0, NO,
1866, BEAM , CONLOAD, GZ, NO , NO, aDir[1], , , , 0.075, -25100, 0, 0, 0, 0, 0, 0, , NO, 0, 0, NO,
1867, BEAM , CONLOAD, GZ, NO , NO, aDir[1], , , , 0.075, -22000, 0, 0, 0, 0, 0, 0, , NO, 0, 0, NO,
1868, BEAM , CONLOAD, GZ, NO , NO, aDir[1], , , , 0.075, -22000, 0, 0, 0, 0, 0, 0, , NO, 0, 0, NO,
1869, BEAM , CONLOAD, GZ, NO , NO, aDir[1], , , , 0.075, -22000, 0, 0, 0, 0, 0, 0, , NO, 0, 0, NO,
1870, BEAM , CONLOAD, GZ, NO , NO, aDir[1], , , , 0.075, -22000, 0, 0, 0, 0, 0, 0, , NO, 0, 0, NO,
1871, BEAM , CONLOAD, GZ, NO , NO, aDir[1], , , , 0.075, -11000, 0, 0, 0, 0, 0, 0, , NO, 0, 0, NO,
1874, BEAM , CONLOAD, GZ, NO , NO, aDir[1], , , , 0.741, -11000, 0, 0, 0, 0, 0, 0, , NO, 0, 0, NO,
1875, BEAM , CONLOAD, GZ, NO , NO, aDir[1], , , , 0.741, -22000, 0, 0, 0, 0, 0, 0, , NO, 0, 0, NO,
1876, BEAM , CONLOAD, GZ, NO , NO, aDir[1], , , , 0.741, -22000, 0, 0, 0, 0, 0, 0, , NO, 0, 0, NO,
1877, BEAM , CONLOAD, GZ, NO , NO, aDir[1], , , , 0.741, -22000, 0, 0, 0, 0, 0, 0, , NO, 0, 0, NO,
1878, BEAM , CONLOAD, GZ, NO , NO, aDir[1], , , , 0.741, -22000, 0, 0, 0, 0, 0, 0, , NO, 0, 0, NO,
1879, BEAM , CONLOAD, GZ, NO , NO, aDir[1], , , , 0.741, -25100, 0, 0, 0, 0, 0, 0, , NO, 0, 0, NO,
1880, BEAM , CONLOAD, GZ, NO , NO, aDir[1], , , , 0.741, -25100, 0, 0, 0, 0, 0, 0, , NO, 0, 0, NO,
1881, BEAM , CONLOAD, GZ, NO , NO, aDir[1], , , , 0.741, -22000, 0, 0, 0, 0, 0, 0, , NO, 0, 0, NO,
1882, BEAM , CONLOAD, GZ, NO , NO, aDir[1], , , , 0.741, -22000, 0, 0, 0, 0, 0, 0, , NO, 0, 0, NO,
1883, BEAM , CONLOAD, GZ, NO , NO, aDir[1], , , , 0.741, -22000, 0, 0, 0, 0, 0, 0, , NO, 0, 0, NO,
1884, BEAM , CONLOAD, GZ, NO , NO, aDir[1], , , , 0.741, -22000, 0, 0, 0, 0, 0, 0, , NO, 0, 0, NO,
1885, BEAM , CONLOAD, GZ, NO , NO, aDir[1], , , , 0.741, -22000, 0, 0, 0, 0, 0, 0, , NO, 0, 0, NO,
1886, BEAM , CONLOAD, GZ, NO , NO, aDir[1], , , , 0.741, -24900, 0, 0, 0, 0, 0, 0, , NO, 0, 0, NO,
1887, BEAM , CONLOAD, GZ, NO , NO, aDir[1], , , , 0.741, -24500, 0, 0, 0, 0, 0, 0, , NO, 0, 0, NO,
1888, BEAM , CONLOAD, GZ, NO , NO, aDir[1], , , , 0.741, -21200, 0, 0, 0, 0, 0, 0, , NO, 0, 0, NO,
1889, BEAM , CONLOAD, GZ, NO , NO, aDir[1], , , , 0.741, -21200, 0, 0, 0, 0, 0, 0, , NO, 0, 0, NO,
1890, BEAM , CONLOAD, GZ, NO , NO, aDir[1], , , , 0.741, -21200, 0, 0, 0, 0, 0, 0, , NO, 0, 0, NO,
1891, BEAM , CONLOAD, GZ, NO , NO, aDir[1], , , , 0.741, -21200, 0, 0, 0, 0, 0, 0, , NO, 0, 0, NO,
1892, BEAM , CONLOAD, GZ, NO , NO, aDir[1], , , , 0.741, -21200, 0, 0, 0, 0, 0, 0, , NO, 0, 0, NO,
1893, BEAM , CONLOAD, GZ, NO , NO, aDir[1], , , , 0.741, -21200, 0, 0, 0, 0, 0, 0, , NO, 0, 0, NO,
1894, BEAM , CONLOAD, GZ, NO , NO, aDir[1], , , , 0.741, -24900, 0, 0, 0, 0, 0, 0, , NO, 0, 0, NO,
1895, BEAM , CONLOAD, GZ, NO , NO, aDir[1], , , , 0.741, -25900, 0, 0, 0, 0, 0, 0, , NO, 0, 0, NO,
1896, BEAM , CONLOAD, GZ, NO , NO, aDir[1], , , , 0.741, -23200, 0, 0, 0, 0, 0, 0, , NO, 0, 0, NO,
1897, BEAM , CONLOAD, GZ, NO , NO, aDir[1], , , , 0.741, -23200, 0, 0, 0, 0, 0, 0, , NO, 0, 0, NO,
1898, BEAM , CONLOAD, GZ, NO , NO, aDir[1], , , , 0.741, -23200, 0, 0, 0, 0, 0, 0, , NO, 0, 0, NO,
1899, BEAM , CONLOAD, GZ, NO , NO, aDir[1], , , , 0.741, -23200, 0, 0, 0, 0, 0, 0, , NO, 0, 0, NO,
1900, BEAM , CONLOAD, GZ, NO , NO, aDir[1], , , , 0.741, -23200, 0, 0, 0, 0, 0, 0, , NO, 0, 0, NO,
1901, BEAM , CONLOAD, GZ, NO , NO, aDir[1], , , , 0.741, -23200, 0, 0, 0, 0, 0, 0, , NO, 0, 0, NO,
1902, BEAM , CONLOAD, GZ, NO , NO, aDir[1], , , , 0.741, -26400, 0, 0, 0, 0, 0, 0, , NO, 0, 0, NO,
1903, BEAM , CONLOAD, GZ, NO , NO, aDir[1], , , , 0.741, -26400, 0, 0, 0, 0, 0, 0, , NO, 0, 0, NO,
1904, BEAM , CONLOAD, GZ, NO , NO, aDir[1], , , , 0.741, -23200, 0, 0, 0, 0, 0, 0, , NO, 0, 0, NO,
1905, BEAM , CONLOAD, GZ, NO , NO, aDir[1], , , , 0.741, -23200, 0, 0, 0, 0, 0, 0, , NO, 0, 0, NO,
1906, BEAM , CONLOAD, GZ, NO , NO, aDir[1], , , , 0.741, -23200, 0, 0, 0, 0, 0, 0, , NO, 0, 0, NO,
1907, BEAM , CONLOAD, GZ, NO , NO, aDir[1], , , , 0.741, -23200, 0, 0, 0, 0, 0, 0, , NO, 0, 0, NO,
1908, BEAM , CONLOAD, GZ, NO , NO, aDir[1], , , , 0.741, -23200, 0, 0, 0, 0, 0, 0, , NO, 0, 0, NO,
1909, BEAM , CONLOAD, GZ, NO , NO, aDir[1], , , , 0.741, -23200, 0, 0, 0, 0, 0, 0, , NO, 0, 0, NO,
1910, BEAM , CONLOAD, GZ, NO , NO, aDir[1], , , , 0.741, -26400, 0, 0, 0, 0, 0, 0, , NO, 0, 0, NO,
1911, BEAM , CONLOAD, GZ, NO , NO, aDir[1], , , , 0.741, -26400, 0, 0, 0, 0, 0, 0, , NO, 0, 0, NO,
1912, BEAM , CONLOAD, GZ, NO , NO, aDir[1], , , , 0.741, -23200, 0, 0, 0, 0, 0, 0, , NO, 0, 0, NO,
1913, BEAM , CONLOAD, GZ, NO , NO, aDir[1], , , , 0.741, -23200, 0, 0, 0, 0, 0, 0, , NO, 0, 0, NO,
1914, BEAM , CONLOAD, GZ, NO , NO, aDir[1], , , , 0.741, -23200, 0, 0, 0, 0, 0, 0, , NO, 0, 0, NO,
1915, BEAM , CONLOAD, GZ, NO , NO, aDir[1], , , , 0.741, -23200, 0, 0, 0, 0, 0, 0, , NO, 0, 0, NO,
1916, BEAM , CONLOAD, GZ, NO , NO, aDir[1], , , , 0.741, -23200, 0, 0, 0, 0, 0, 0, , NO, 0, 0, NO,
1917, BEAM , CONLOAD, GZ, NO , NO, aDir[1], , , , 0.741, -23200, 0, 0, 0, 0, 0, 0, , NO, 0, 0, NO,
1918, BEAM , CONLOAD, GZ, NO , NO, aDir[1], , , , 0.741, -26400, 0, 0, 0, 0, 0, 0, , NO, 0, 0, NO,
1919, BEAM , CONLOAD, GZ, NO , NO, aDir[1], , , , 0.741, -26400, 0, 0, 0, 0, 0, 0, , NO, 0, 0, NO,
1920, BEAM , CONLOAD, GZ, NO , NO, aDir[1], , , , 0.741, -23200, 0, 0, 0, 0, 0, 0, , NO, 0, 0, NO,
1921, BEAM , CONLOAD, GZ, NO , NO, aDir[1], , , , 0.741, -23200, 0, 0, 0, 0, 0, 0, , NO, 0, 0, NO,

PROJECT TITLE :

MIDAS	Company		Client	
	Author		File Name	H2D_3Dg_v14_180227_StatLM.mct

1922, BEAM , CONLOAD, GZ, NO , NO, aDir[1], , , , 0.741, -23200, 0, 0, 0, 0, 0, 0, , NO, 0, 0, NO,
1923, BEAM , CONLOAD, GZ, NO , NO, aDir[1], , , , 0.741, -23200, 0, 0, 0, 0, 0, 0, , NO, 0, 0, NO,
1924, BEAM , CONLOAD, GZ, NO , NO, aDir[1], , , , 0.741, -15255.2, 0, 0, 0, 0, 0, 0, , NO, 0, 0, NO,
1925, BEAM , CONLOAD, GZ, NO , NO, aDir[1], , , , 0.741, -344.828, 0, 0, 0, 0, 0, 0, , NO, 0, 0, NO,
1926, BEAM , CONLOAD, GZ, NO , NO, aDir[1], , , , 0.741, -47719.6, 0, 0, 0, 0, 0, 0, , NO, 0, 0, NO,
1927, BEAM , CONLOAD, GZ, NO , NO, aDir[1], , , , 0.741, -59500.2, 0, 0, 0, 0, 0, 0, , NO, 0, 0, NO,
1928, BEAM , CONLOAD, GZ, NO , NO, aDir[1], , , , 0.741, -17780.2, 0, 0, 0, 0, 0, 0, , NO, 0, 0, NO,
1929, BEAM , CONLOAD, GZ, NO , NO, aDir[1], , , , 0.741, -18319, 0, 0, 0, 0, 0, 0, , NO, 0, 0, NO,
1930, BEAM , CONLOAD, GZ, NO , NO, aDir[1], , , , 0.741, -54956.9, 0, 0, 0, 0, 0, 0, , NO, 0, 0, NO,
1931, BEAM , CONLOAD, GZ, NO , NO, aDir[1], , , , 0.741, -44181, 0, 0, 0, 0, 0, 0, , NO, 0, 0, NO,
1932, BEAM , CONLOAD, GZ, NO , NO, aDir[1], , , , 0.741, -7543.1, 0, 0, 0, 0, 0, 0, , NO, 0, 0, NO,
1933, BEAM , CONLOAD, GZ, NO , NO, aDir[1], , , , 0.741, -28556, 0, 0, 0, 0, 0, 0, , NO, 0, 0, NO,
1934, BEAM , CONLOAD, GZ, NO , NO, aDir[1], , , , 0.741, -74062.2, 0, 0, 0, 0, 0, 0, , NO, 0, 0, NO,
1935, BEAM , CONLOAD, GZ, NO , NO, aDir[1], , , , 0.741, -22381.8, 0, 0, 0, 0, 0, 0, , NO, 0, 0, NO,
1936, BEAM , CONLOAD, GZ, NO , NO, aDir[1], , , , 0.741, -16163.8, 0, 0, 0, 0, 0, 0, , NO, 0, 0, NO,
1937, BEAM , CONLOAD, GZ, NO , NO, aDir[1], , , , 0.741, -52801.7, 0, 0, 0, 0, 0, 0, , NO, 0, 0, NO,
1938, BEAM , CONLOAD, GZ, NO , NO, aDir[1], , , , 0.741, -46336.2, 0, 0, 0, 0, 0, 0, , NO, 0, 0, NO,
1939, BEAM , CONLOAD, GZ, NO , NO, aDir[1], , , , 0.741, -9698.28, 0, 0, 0, 0, 0, 0, , NO, 0, 0, NO,
1940, BEAM , CONLOAD, GZ, NO , NO, aDir[1], , , , 0.741, -8279.31, 0, 0, 0, 0, 0, 0, , NO, 0, 0, NO,
1941, BEAM , CONLOAD, GZ, NO , NO, aDir[1], , , , 0.741, -22920.7, 0, 0, 0, 0, 0, 0, , NO, 0, 0, NO,
1942, BEAM , CONLOAD, GZ, NO , NO, aDir[1], , , , 0.741, -26400, 0, 0, 0, 0, 0, 0, , NO, 0, 0, NO,
1943, BEAM , CONLOAD, GZ, NO , NO, aDir[1], , , , 0.741, -26400, 0, 0, 0, 0, 0, 0, , NO, 0, 0, NO,
1944, BEAM , CONLOAD, GZ, NO , NO, aDir[1], , , , 0.741, -23200, 0, 0, 0, 0, 0, 0, , NO, 0, 0, NO,
1945, BEAM , CONLOAD, GZ, NO , NO, aDir[1], , , , 0.741, -23200, 0, 0, 0, 0, 0, 0, , NO, 0, 0, NO,
1946, BEAM , CONLOAD, GZ, NO , NO, aDir[1], , , , 0.741, -23200, 0, 0, 0, 0, 0, 0, , NO, 0, 0, NO,
1947, BEAM , CONLOAD, GZ, NO , NO, aDir[1], , , , 0.741, -23200, 0, 0, 0, 0, 0, 0, , NO, 0, 0, NO,
1948, BEAM , CONLOAD, GZ, NO , NO, aDir[1], , , , 0.741, -23200, 0, 0, 0, 0, 0, 0, , NO, 0, 0, NO,
1949, BEAM , CONLOAD, GZ, NO , NO, aDir[1], , , , 0.741, -23200, 0, 0, 0, 0, 0, 0, , NO, 0, 0, NO,
1950, BEAM , CONLOAD, GZ, NO , NO, aDir[1], , , , 0.741, -26400, 0, 0, 0, 0, 0, 0, , NO, 0, 0, NO,
1951, BEAM , CONLOAD, GZ, NO , NO, aDir[1], , , , 0.741, -26400, 0, 0, 0, 0, 0, 0, , NO, 0, 0, NO,
1952, BEAM , CONLOAD, GZ, NO , NO, aDir[1], , , , 0.741, -23200, 0, 0, 0, 0, 0, 0, , NO, 0, 0, NO,
1953, BEAM , CONLOAD, GZ, NO , NO, aDir[1], , , , 0.741, -23200, 0, 0, 0, 0, 0, 0, , NO, 0, 0, NO,
1954, BEAM , CONLOAD, GZ, NO , NO, aDir[1], , , , 0.741, -23200, 0, 0, 0, 0, 0, 0, , NO, 0, 0, NO,
1955, BEAM , CONLOAD, GZ, NO , NO, aDir[1], , , , 0.741, -23200, 0, 0, 0, 0, 0, 0, , NO, 0, 0, NO,
1956, BEAM , CONLOAD, GZ, NO , NO, aDir[1], , , , 0.741, -23200, 0, 0, 0, 0, 0, 0, , NO, 0, 0, NO,
1957, BEAM , CONLOAD, GZ, NO , NO, aDir[1], , , , 0.741, -23200, 0, 0, 0, 0, 0, 0, , NO, 0, 0, NO,
1958, BEAM , CONLOAD, GZ, NO , NO, aDir[1], , , , 0.741, -26400, 0, 0, 0, 0, 0, 0, , NO, 0, 0, NO,
1959, BEAM , CONLOAD, GZ, NO , NO, aDir[1], , , , 0.741, -26400, 0, 0, 0, 0, 0, 0, , NO, 0, 0, NO,
1960, BEAM , CONLOAD, GZ, NO , NO, aDir[1], , , , 0.741, -23200, 0, 0, 0, 0, 0, 0, , NO, 0, 0, NO,
1961, BEAM , CONLOAD, GZ, NO , NO, aDir[1], , , , 0.741, -23200, 0, 0, 0, 0, 0, 0, , NO, 0, 0, NO,
1962, BEAM , CONLOAD, GZ, NO , NO, aDir[1], , , , 0.741, -23200, 0, 0, 0, 0, 0, 0, , NO, 0, 0, NO,
1963, BEAM , CONLOAD, GZ, NO , NO, aDir[1], , , , 0.741, -23200, 0, 0, 0, 0, 0, 0, , NO, 0, 0, NO,
1964, BEAM , CONLOAD, GZ, NO , NO, aDir[1], , , , 0.741, -23200, 0, 0, 0, 0, 0, 0, , NO, 0, 0, NO,
1965, BEAM , CONLOAD, GZ, NO , NO, aDir[1], , , , 0.741, -23200, 0, 0, 0, 0, 0, 0, , NO, 0, 0, NO,
1966, BEAM , CONLOAD, GZ, NO , NO, aDir[1], , , , 0.741, -26400, 0, 0, 0, 0, 0, 0, , NO, 0, 0, NO,
1967, BEAM , CONLOAD, GZ, NO , NO, aDir[1], , , , 0.741, -26400, 0, 0, 0, 0, 0, 0, , NO, 0, 0, NO,
1968, BEAM , CONLOAD, GZ, NO , NO, aDir[1], , , , 0.741, -23200, 0, 0, 0, 0, 0, 0, , NO, 0, 0, NO,
1969, BEAM , CONLOAD, GZ, NO , NO, aDir[1], , , , 0.741, -23200, 0, 0, 0, 0, 0, 0, , NO, 0, 0, NO,
1970, BEAM , CONLOAD, GZ, NO , NO, aDir[1], , , , 0.741, -23200, 0, 0, 0, 0, 0, 0, , NO, 0, 0, NO,
1971, BEAM , CONLOAD, GZ, NO , NO, aDir[1], , , , 0.741, -23200, 0, 0, 0, 0, 0, 0, , NO, 0, 0, NO,
1972, BEAM , CONLOAD, GZ, NO , NO, aDir[1], , , , 0.741, -23200, 0, 0, 0, 0, 0, 0, , NO, 0, 0, NO,
1973, BEAM , CONLOAD, GZ, NO , NO, aDir[1], , , , 0.741, -23200, 0, 0, 0, 0, 0, 0, , NO, 0, 0, NO,
1974, BEAM , CONLOAD, GZ, NO , NO, aDir[1], , , , 0.741, -25900, 0, 0, 0, 0, 0, 0, , NO, 0, 0, NO,
1975, BEAM , CONLOAD, GZ, NO , NO, aDir[1], , , , 0.741, -24900, 0, 0, 0, 0, 0, 0, , NO, 0, 0, NO,
1976, BEAM , CONLOAD, GZ, NO , NO, aDir[1], , , , 0.741, -21200, 0, 0, 0, 0, 0, 0, , NO, 0, 0, NO,
1977, BEAM , CONLOAD, GZ, NO , NO, aDir[1], , , , 0.741, -21200, 0, 0, 0, 0, 0, 0, , NO, 0, 0, NO,
1978, BEAM , CONLOAD, GZ, NO , NO, aDir[1], , , , 0.741, -21200, 0, 0, 0, 0, 0, 0, , NO, 0, 0, NO,
1979, BEAM , CONLOAD, GZ, NO , NO, aDir[1], , , , 0.741, -21200, 0, 0, 0, 0, 0, 0, , NO, 0, 0, NO,
1980, BEAM , CONLOAD, GZ, NO , NO, aDir[1], , , , 0.741, -21200, 0, 0, 0, 0, 0, 0, , NO, 0, 0, NO,
1981, BEAM , CONLOAD, GZ, NO , NO, aDir[1], , , , 0.741, -21200, 0, 0, 0, 0, 0, 0, , NO, 0, 0, NO,
1982, BEAM , CONLOAD, GZ, NO , NO, aDir[1], , , , 0.741, -24500, 0, 0, 0, 0, 0, 0, , NO, 0, 0, NO,
1983, BEAM , CONLOAD, GZ, NO , NO, aDir[1], , , , 0.741, -24900, 0, 0, 0, 0, 0, 0, , NO, 0, 0, NO,
1984, BEAM , CONLOAD, GZ, NO , NO, aDir[1], , , , 0.741, -22000, 0, 0, 0, 0, 0, 0, , NO, 0, 0, NO,
1985, BEAM , CONLOAD, GZ, NO , NO, aDir[1], , , , 0.741, -22000, 0, 0, 0, 0, 0, 0, , NO, 0, 0, NO,
1986, BEAM , CONLOAD, GZ, NO , NO, aDir[1], , , , 0.741, -22000, 0, 0, 0, 0, 0, 0, , NO, 0, 0, NO,
1987, BEAM , CONLOAD, GZ, NO , NO, aDir[1], , , , 0.741, -22000, 0, 0, 0, 0, 0, 0, , NO, 0, 0, NO,
1988, BEAM , CONLOAD, GZ, NO , NO, aDir[1], , , , 0.741, -22000, 0, 0, 0, 0, 0, 0, , NO, 0, 0, NO,
1989, BEAM , CONLOAD, GZ, NO , NO, aDir[1], , , , 0.741, -25100, 0, 0, 0, 0, 0, 0, , NO, 0, 0, NO,
1990, BEAM , CONLOAD, GZ, NO , NO, aDir[1], , , , 0.741, -25100, 0, 0, 0, 0, 0, 0, , NO, 0, 0, NO,
1991, BEAM , CONLOAD, GZ, NO , NO, aDir[1], , , , 0.741, -22000, 0, 0, 0, 0, 0, 0, , NO, 0, 0, NO,
1992, BEAM , CONLOAD, GZ, NO , NO, aDir[1], , , , 0.741, -22000, 0, 0, 0, 0, 0, 0, , NO, 0, 0, NO,
1993, BEAM , CONLOAD, GZ, NO , NO, aDir[1], , , , 0.741, -22000, 0, 0, 0, 0, 0, 0, , NO, 0, 0, NO,

```
 1994, BEAM   , CONLOAD, GZ, NO , NO, aDir[1], , , , 0.741, -22000, 0, 0, 0, 0, 0, 0, , NO, 0, 0, NO,
 1995, BEAM   , CONLOAD, GZ, NO , NO, aDir[1], , , , 0.741, -11000, 0, 0, 0, 0, 0, 0, , NO, 0, 0, NO,

; End of data for load case [MVminP71_2PFx17] ------------------------

*USE-STLD, MVminP71_1PFx9

*BEAMLOAD    ; Element Beam Loads
; ELEM_LIST, CMD, TYPE, DIR, bPROJ, [ECCEN], [VALUE], GROUP
; ELEM_LIST, CMD, TYPE, TYPE, DIR, VX, VY, VZ, bPROJ, [ECCEN], [VALUE], GROUP
; [VALUE]       : D1, P1, D2, P2, D3, P3, D4, P4
; [ECCEN]       : bECCEN, ECCDIR, I-END, J-END, bJ-END
; [ADDITIONAL]  : bADDITIONAL, ADDITIONAL_I-END, ADDITIONAL_J-END, bADDITIONAL_J-END
 1997, BEAM   , CONLOAD, GZ, NO , NO, aDir[1], , , , 0.925, -17100, 0, 0, 0, 0, 0, 0, , NO, 0, 0, NO,
 1998, BEAM   , CONLOAD, GZ, NO , NO, aDir[1], , , , 0.925, -28100, 0, 0, 0, 0, 0, 0, , NO, 0, 0, NO,
 1999, BEAM   , CONLOAD, GZ, NO , NO, aDir[1], , , , 0.925, -22000, 0, 0, 0, 0, 0, 0, , NO, 0, 0, NO,
 2000, BEAM   , CONLOAD, GZ, NO , NO, aDir[1], , , , 0.925, -22000, 0, 0, 0, 0, 0, 0, , NO, 0, 0, NO,
 2001, BEAM   , CONLOAD, GZ, NO , NO, aDir[1], , , , 0.925, -22000, 0, 0, 0, 0, 0, 0, , NO, 0, 0, NO,
 2002, BEAM   , CONLOAD, GZ, NO , NO, aDir[1], , , , 0.925, -22000, 0, 0, 0, 0, 0, 0, , NO, 0, 0, NO,
 2003, BEAM   , CONLOAD, GZ, NO , NO, aDir[1], , , , 0.925, -25100, 0, 0, 0, 0, 0, 0, , NO, 0, 0, NO,
 2004, BEAM   , CONLOAD, GZ, NO , NO, aDir[1], , , , 0.925, -25100, 0, 0, 0, 0, 0, 0, , NO, 0, 0, NO,
 2005, BEAM   , CONLOAD, GZ, NO , NO, aDir[1], , , , 0.925, -22000, 0, 0, 0, 0, 0, 0, , NO, 0, 0, NO,
 2006, BEAM   , CONLOAD, GZ, NO , NO, aDir[1], , , , 0.925, -22000, 0, 0, 0, 0, 0, 0, , NO, 0, 0, NO,
 2007, BEAM   , CONLOAD, GZ, NO , NO, aDir[1], , , , 0.925, -22000, 0, 0, 0, 0, 0, 0, , NO, 0, 0, NO,
 2008, BEAM   , CONLOAD, GZ, NO , NO, aDir[1], , , , 0.925, -22000, 0, 0, 0, 0, 0, 0, , NO, 0, 0, NO,
 2009, BEAM   , CONLOAD, GZ, NO , NO, aDir[1], , , , 0.925, -22000, 0, 0, 0, 0, 0, 0, , NO, 0, 0, NO,
 2010, BEAM   , CONLOAD, GZ, NO , NO, aDir[1], , , , 0.925, -24900, 0, 0, 0, 0, 0, 0, , NO, 0, 0, NO,
 2011, BEAM   , CONLOAD, GZ, NO , NO, aDir[1], , , , 0.925, -24500, 0, 0, 0, 0, 0, 0, , NO, 0, 0, NO,
 2012, BEAM   , CONLOAD, GZ, NO , NO, aDir[1], , , , 0.925, -21200, 0, 0, 0, 0, 0, 0, , NO, 0, 0, NO,
 2013, BEAM   , CONLOAD, GZ, NO , NO, aDir[1], , , , 0.925, -21200, 0, 0, 0, 0, 0, 0, , NO, 0, 0, NO,
 2014, BEAM   , CONLOAD, GZ, NO , NO, aDir[1], , , , 0.925, -21200, 0, 0, 0, 0, 0, 0, , NO, 0, 0, NO,
 2015, BEAM   , CONLOAD, GZ, NO , NO, aDir[1], , , , 0.925, -21200, 0, 0, 0, 0, 0, 0, , NO, 0, 0, NO,
 2016, BEAM   , CONLOAD, GZ, NO , NO, aDir[1], , , , 0.925, -21200, 0, 0, 0, 0, 0, 0, , NO, 0, 0, NO,
 2017, BEAM   , CONLOAD, GZ, NO , NO, aDir[1], , , , 0.925, -21200, 0, 0, 0, 0, 0, 0, , NO, 0, 0, NO,
 2018, BEAM   , CONLOAD, GZ, NO , NO, aDir[1], , , , 0.925, -24900, 0, 0, 0, 0, 0, 0, , NO, 0, 0, NO,
 2019, BEAM   , CONLOAD, GZ, NO , NO, aDir[1], , , , 0.925, -25900, 0, 0, 0, 0, 0, 0, , NO, 0, 0, NO,
 2020, BEAM   , CONLOAD, GZ, NO , NO, aDir[1], , , , 0.925, -23200, 0, 0, 0, 0, 0, 0, , NO, 0, 0, NO,
 2021, BEAM   , CONLOAD, GZ, NO , NO, aDir[1], , , , 0.925, -23200, 0, 0, 0, 0, 0, 0, , NO, 0, 0, NO,
 2022, BEAM   , CONLOAD, GZ, NO , NO, aDir[1], , , , 0.925, -23200, 0, 0, 0, 0, 0, 0, , NO, 0, 0, NO,
 2023, BEAM   , CONLOAD, GZ, NO , NO, aDir[1], , , , 0.925, -23200, 0, 0, 0, 0, 0, 0, , NO, 0, 0, NO,
 2024, BEAM   , CONLOAD, GZ, NO , NO, aDir[1], , , , 0.925, -20686.2, 0, 0, 0, 0, 0, 0, , NO, 0, 0, NO,
 2025, BEAM   , CONLOAD, GZ, NO , NO, aDir[1], , , , 0.925, -3313.79, 0, 0, 0, 0, 0, 0, , NO, 0, 0, NO,
 2026, BEAM   , CONLOAD, GZ, NO , NO, aDir[1], , , , 0.925, -21959.5, 0, 0, 0, 0, 0, 0, , NO, 0, 0, NO,
 2027, BEAM   , CONLOAD, GZ, NO , NO, aDir[1], , , , 0.925, -72868.1, 0, 0, 0, 0, 0, 0, , NO, 0, 0, NO,
 2028, BEAM   , CONLOAD, GZ, NO , NO, aDir[1], , , , 0.925, -30172.4, 0, 0, 0, 0, 0, 0, , NO, 0, 0, NO,
 2029, BEAM   , CONLOAD, GZ, NO , NO, aDir[1], , , , 0.925, -7004.31, 0, 0, 0, 0, 0, 0, , NO, 0, 0, NO,
 2030, BEAM   , CONLOAD, GZ, NO , NO, aDir[1], , , , 0.925, -43642.2, 0, 0, 0, 0, 0, 0, , NO, 0, 0, NO,
 2031, BEAM   , CONLOAD, GZ, NO , NO, aDir[1], , , , 0.925, -55495.7, 0, 0, 0, 0, 0, 0, , NO, 0, 0, NO,
 2032, BEAM   , CONLOAD, GZ, NO , NO, aDir[1], , , , 0.925, -18857.8, 0, 0, 0, 0, 0, 0, , NO, 0, 0, NO,
 2033, BEAM   , CONLOAD, GZ, NO , NO, aDir[1], , , , 0.925, -17241.4, 0, 0, 0, 0, 0, 0, , NO, 0, 0, NO,
 2034, BEAM   , CONLOAD, GZ, NO , NO, aDir[1], , , , 0.925, -58772.1, 0, 0, 0, 0, 0, 0, , NO, 0, 0, NO,
 2035, BEAM   , CONLOAD, GZ, NO , NO, aDir[1], , , , 0.925, -48986.5, 0, 0, 0, 0, 0, 0, , NO, 0, 0, NO,
 2036, BEAM   , CONLOAD, GZ, NO , NO, aDir[1], , , , 0.925, -4849.14, 0, 0, 0, 0, 0, 0, , NO, 0, 0, NO,
 2037, BEAM   , CONLOAD, GZ, NO , NO, aDir[1], , , , 0.925, -41487.1, 0, 0, 0, 0, 0, 0, , NO, 0, 0, NO,
 2038, BEAM   , CONLOAD, GZ, NO , NO, aDir[1], , , , 0.925, -57650.9, 0, 0, 0, 0, 0, 0, , NO, 0, 0, NO,
 2039, BEAM   , CONLOAD, GZ, NO , NO, aDir[1], , , , 0.925, -21012.9, 0, 0, 0, 0, 0, 0, , NO, 0, 0, NO,
 2040, BEAM   , CONLOAD, GZ, NO , NO, aDir[1], , , , 0.925, -2703.45, 0, 0, 0, 0, 0, 0, , NO, 0, 0, NO,
 2041, BEAM   , CONLOAD, GZ, NO , NO, aDir[1], , , , 0.925, -20096.6, 0, 0, 0, 0, 0, 0, , NO, 0, 0, NO,
 2042, BEAM   , CONLOAD, GZ, NO , NO, aDir[1], , , , 0.925, -26400, 0, 0, 0, 0, 0, 0, , NO, 0, 0, NO,
 2043, BEAM   , CONLOAD, GZ, NO , NO, aDir[1], , , , 0.925, -26400, 0, 0, 0, 0, 0, 0, , NO, 0, 0, NO,
 2044, BEAM   , CONLOAD, GZ, NO , NO, aDir[1], , , , 0.925, -23200, 0, 0, 0, 0, 0, 0, , NO, 0, 0, NO,
 2045, BEAM   , CONLOAD, GZ, NO , NO, aDir[1], , , , 0.925, -23200, 0, 0, 0, 0, 0, 0, , NO, 0, 0, NO,
 2046, BEAM   , CONLOAD, GZ, NO , NO, aDir[1], , , , 0.925, -23200, 0, 0, 0, 0, 0, 0, , NO, 0, 0, NO,
 2047, BEAM   , CONLOAD, GZ, NO , NO, aDir[1], , , , 0.925, -23200, 0, 0, 0, 0, 0, 0, , NO, 0, 0, NO,
 2048, BEAM   , CONLOAD, GZ, NO , NO, aDir[1], , , , 0.925, -23200, 0, 0, 0, 0, 0, 0, , NO, 0, 0, NO,
 2049, BEAM   , CONLOAD, GZ, NO , NO, aDir[1], , , , 0.925, -23200, 0, 0, 0, 0, 0, 0, , NO, 0, 0, NO,
 2050, BEAM   , CONLOAD, GZ, NO , NO, aDir[1], , , , 0.925, -26400, 0, 0, 0, 0, 0, 0, , NO, 0, 0, NO,
 2051, BEAM   , CONLOAD, GZ, NO , NO, aDir[1], , , , 0.925, -26400, 0, 0, 0, 0, 0, 0, , NO, 0, 0, NO,
 2052, BEAM   , CONLOAD, GZ, NO , NO, aDir[1], , , , 0.925, -23200, 0, 0, 0, 0, 0, 0, , NO, 0, 0, NO,
 2053, BEAM   , CONLOAD, GZ, NO , NO, aDir[1], , , , 0.925, -23200, 0, 0, 0, 0, 0, 0, , NO, 0, 0, NO,
 2054, BEAM   , CONLOAD, GZ, NO , NO, aDir[1], , , , 0.925, -23200, 0, 0, 0, 0, 0, 0, , NO, 0, 0, NO,
 2055, BEAM   , CONLOAD, GZ, NO , NO, aDir[1], , , , 0.925, -23200, 0, 0, 0, 0, 0, 0, , NO, 0, 0, NO,
```

PROJECT TITLE :

MIDAS	Company		Client	
	Author		File Name	H2D_3Dg_v14_180227_StatLM.mct

2056, BEAM , CONLOAD, GZ, NO , NO, aDir[1], , , , 0.925, -23200, 0, 0, 0, 0, 0, 0, , NO, 0, 0, NO,
2057, BEAM , CONLOAD, GZ, NO , NO, aDir[1], , , , 0.925, -23200, 0, 0, 0, 0, 0, 0, , NO, 0, 0, NO,
2058, BEAM , CONLOAD, GZ, NO , NO, aDir[1], , , , 0.925, -26400, 0, 0, 0, 0, 0, 0, , NO, 0, 0, NO,
2059, BEAM , CONLOAD, GZ, NO , NO, aDir[1], , , , 0.925, -26400, 0, 0, 0, 0, 0, 0, , NO, 0, 0, NO,
2060, BEAM , CONLOAD, GZ, NO , NO, aDir[1], , , , 0.925, -23200, 0, 0, 0, 0, 0, 0, , NO, 0, 0, NO,
2061, BEAM , CONLOAD, GZ, NO , NO, aDir[1], , , , 0.925, -23200, 0, 0, 0, 0, 0, 0, , NO, 0, 0, NO,
2062, BEAM , CONLOAD, GZ, NO , NO, aDir[1], , , , 0.925, -23200, 0, 0, 0, 0, 0, 0, , NO, 0, 0, NO,
2063, BEAM , CONLOAD, GZ, NO , NO, aDir[1], , , , 0.925, -23200, 0, 0, 0, 0, 0, 0, , NO, 0, 0, NO,
2064, BEAM , CONLOAD, GZ, NO , NO, aDir[1], , , , 0.925, -23200, 0, 0, 0, 0, 0, 0, , NO, 0, 0, NO,
2065, BEAM , CONLOAD, GZ, NO , NO, aDir[1], , , , 0.925, -23200, 0, 0, 0, 0, 0, 0, , NO, 0, 0, NO,
2066, BEAM , CONLOAD, GZ, NO , NO, aDir[1], , , , 0.925, -26400, 0, 0, 0, 0, 0, 0, , NO, 0, 0, NO,
2067, BEAM , CONLOAD, GZ, NO , NO, aDir[1], , , , 0.925, -26400, 0, 0, 0, 0, 0, 0, , NO, 0, 0, NO,
2068, BEAM , CONLOAD, GZ, NO , NO, aDir[1], , , , 0.925, -23200, 0, 0, 0, 0, 0, 0, , NO, 0, 0, NO,
2069, BEAM , CONLOAD, GZ, NO , NO, aDir[1], , , , 0.925, -23200, 0, 0, 0, 0, 0, 0, , NO, 0, 0, NO,
2070, BEAM , CONLOAD, GZ, NO , NO, aDir[1], , , , 0.925, -23200, 0, 0, 0, 0, 0, 0, , NO, 0, 0, NO,
2071, BEAM , CONLOAD, GZ, NO , NO, aDir[1], , , , 0.925, -23200, 0, 0, 0, 0, 0, 0, , NO, 0, 0, NO,
2072, BEAM , CONLOAD, GZ, NO , NO, aDir[1], , , , 0.925, -23200, 0, 0, 0, 0, 0, 0, , NO, 0, 0, NO,
2073, BEAM , CONLOAD, GZ, NO , NO, aDir[1], , , , 0.925, -23200, 0, 0, 0, 0, 0, 0, , NO, 0, 0, NO,
2074, BEAM , CONLOAD, GZ, NO , NO, aDir[1], , , , 0.925, -26400, 0, 0, 0, 0, 0, 0, , NO, 0, 0, NO,
2075, BEAM , CONLOAD, GZ, NO , NO, aDir[1], , , , 0.925, -26400, 0, 0, 0, 0, 0, 0, , NO, 0, 0, NO,
2076, BEAM , CONLOAD, GZ, NO , NO, aDir[1], , , , 0.925, -23200, 0, 0, 0, 0, 0, 0, , NO, 0, 0, NO,
2077, BEAM , CONLOAD, GZ, NO , NO, aDir[1], , , , 0.925, -23200, 0, 0, 0, 0, 0, 0, , NO, 0, 0, NO,
2078, BEAM , CONLOAD, GZ, NO , NO, aDir[1], , , , 0.925, -23200, 0, 0, 0, 0, 0, 0, , NO, 0, 0, NO,
2079, BEAM , CONLOAD, GZ, NO , NO, aDir[1], , , , 0.925, -23200, 0, 0, 0, 0, 0, 0, , NO, 0, 0, NO,
2080, BEAM , CONLOAD, GZ, NO , NO, aDir[1], , , , 0.925, -23200, 0, 0, 0, 0, 0, 0, , NO, 0, 0, NO,
2081, BEAM , CONLOAD, GZ, NO , NO, aDir[1], , , , 0.925, -23200, 0, 0, 0, 0, 0, 0, , NO, 0, 0, NO,
2082, BEAM , CONLOAD, GZ, NO , NO, aDir[1], , , , 0.925, -26400, 0, 0, 0, 0, 0, 0, , NO, 0, 0, NO,
2083, BEAM , CONLOAD, GZ, NO , NO, aDir[1], , , , 0.925, -26400, 0, 0, 0, 0, 0, 0, , NO, 0, 0, NO,
2084, BEAM , CONLOAD, GZ, NO , NO, aDir[1], , , , 0.925, -23200, 0, 0, 0, 0, 0, 0, , NO, 0, 0, NO,
2085, BEAM , CONLOAD, GZ, NO , NO, aDir[1], , , , 0.925, -23200, 0, 0, 0, 0, 0, 0, , NO, 0, 0, NO,
2086, BEAM , CONLOAD, GZ, NO , NO, aDir[1], , , , 0.925, -23200, 0, 0, 0, 0, 0, 0, , NO, 0, 0, NO,
2087, BEAM , CONLOAD, GZ, NO , NO, aDir[1], , , , 0.925, -23200, 0, 0, 0, 0, 0, 0, , NO, 0, 0, NO,
2088, BEAM , CONLOAD, GZ, NO , NO, aDir[1], , , , 0.925, -23200, 0, 0, 0, 0, 0, 0, , NO, 0, 0, NO,
2089, BEAM , CONLOAD, GZ, NO , NO, aDir[1], , , , 0.925, -23200, 0, 0, 0, 0, 0, 0, , NO, 0, 0, NO,
2090, BEAM , CONLOAD, GZ, NO , NO, aDir[1], , , , 0.925, -26400, 0, 0, 0, 0, 0, 0, , NO, 0, 0, NO,
2091, BEAM , CONLOAD, GZ, NO , NO, aDir[1], , , , 0.925, -26400, 0, 0, 0, 0, 0, 0, , NO, 0, 0, NO,
2092, BEAM , CONLOAD, GZ, NO , NO, aDir[1], , , , 0.925, -23200, 0, 0, 0, 0, 0, 0, , NO, 0, 0, NO,
2093, BEAM , CONLOAD, GZ, NO , NO, aDir[1], , , , 0.925, -23200, 0, 0, 0, 0, 0, 0, , NO, 0, 0, NO,
2094, BEAM , CONLOAD, GZ, NO , NO, aDir[1], , , , 0.925, -23200, 0, 0, 0, 0, 0, 0, , NO, 0, 0, NO,
2095, BEAM , CONLOAD, GZ, NO , NO, aDir[1], , , , 0.925, -23200, 0, 0, 0, 0, 0, 0, , NO, 0, 0, NO,
2096, BEAM , CONLOAD, GZ, NO , NO, aDir[1], , , , 0.925, -23200, 0, 0, 0, 0, 0, 0, , NO, 0, 0, NO,
2097, BEAM , CONLOAD, GZ, NO , NO, aDir[1], , , , 0.925, -23200, 0, 0, 0, 0, 0, 0, , NO, 0, 0, NO,
2098, BEAM , CONLOAD, GZ, NO , NO, aDir[1], , , , 0.925, -25900, 0, 0, 0, 0, 0, 0, , NO, 0, 0, NO,
2099, BEAM , CONLOAD, GZ, NO , NO, aDir[1], , , , 0.925, -24900, 0, 0, 0, 0, 0, 0, , NO, 0, 0, NO,
2100, BEAM , CONLOAD, GZ, NO , NO, aDir[1], , , , 0.925, -21200, 0, 0, 0, 0, 0, 0, , NO, 0, 0, NO,
2101, BEAM , CONLOAD, GZ, NO , NO, aDir[1], , , , 0.925, -21200, 0, 0, 0, 0, 0, 0, , NO, 0, 0, NO,
2102, BEAM , CONLOAD, GZ, NO , NO, aDir[1], , , , 0.925, -21200, 0, 0, 0, 0, 0, 0, , NO, 0, 0, NO,
2103, BEAM , CONLOAD, GZ, NO , NO, aDir[1], , , , 0.925, -21200, 0, 0, 0, 0, 0, 0, , NO, 0, 0, NO,
2104, BEAM , CONLOAD, GZ, NO , NO, aDir[1], , , , 0.925, -21200, 0, 0, 0, 0, 0, 0, , NO, 0, 0, NO,
2105, BEAM , CONLOAD, GZ, NO , NO, aDir[1], , , , 0.925, -21200, 0, 0, 0, 0, 0, 0, , NO, 0, 0, NO,
2106, BEAM , CONLOAD, GZ, NO , NO, aDir[1], , , , 0.925, -24500, 0, 0, 0, 0, 0, 0, , NO, 0, 0, NO,
2107, BEAM , CONLOAD, GZ, NO , NO, aDir[1], , , , 0.925, -24900, 0, 0, 0, 0, 0, 0, , NO, 0, 0, NO,
2108, BEAM , CONLOAD, GZ, NO , NO, aDir[1], , , , 0.925, -22000, 0, 0, 0, 0, 0, 0, , NO, 0, 0, NO,
2109, BEAM , CONLOAD, GZ, NO , NO, aDir[1], , , , 0.925, -22000, 0, 0, 0, 0, 0, 0, , NO, 0, 0, NO,
2110, BEAM , CONLOAD, GZ, NO , NO, aDir[1], , , , 0.925, -22000, 0, 0, 0, 0, 0, 0, , NO, 0, 0, NO,
2111, BEAM , CONLOAD, GZ, NO , NO, aDir[1], , , , 0.925, -22000, 0, 0, 0, 0, 0, 0, , NO, 0, 0, NO,
2112, BEAM , CONLOAD, GZ, NO , NO, aDir[1], , , , 0.925, -22000, 0, 0, 0, 0, 0, 0, , NO, 0, 0, NO,
2113, BEAM , CONLOAD, GZ, NO , NO, aDir[1], , , , 0.925, -25100, 0, 0, 0, 0, 0, 0, , NO, 0, 0, NO,
2114, BEAM , CONLOAD, GZ, NO , NO, aDir[1], , , , 0.925, -25100, 0, 0, 0, 0, 0, 0, , NO, 0, 0, NO,
2115, BEAM , CONLOAD, GZ, NO , NO, aDir[1], , , , 0.925, -22000, 0, 0, 0, 0, 0, 0, , NO, 0, 0, NO,
2116, BEAM , CONLOAD, GZ, NO , NO, aDir[1], , , , 0.925, -22000, 0, 0, 0, 0, 0, 0, , NO, 0, 0, NO,
2117, BEAM , CONLOAD, GZ, NO , NO, aDir[1], , , , 0.925, -22000, 0, 0, 0, 0, 0, 0, , NO, 0, 0, NO,
2118, BEAM , CONLOAD, GZ, NO , NO, aDir[1], , , , 0.925, -22000, 0, 0, 0, 0, 0, 0, , NO, 0, 0, NO,
2119, BEAM , CONLOAD, GZ, NO , NO, aDir[1], , , , 0.925, -28100, 0, 0, 0, 0, 0, 0, , NO, 0, 0, NO,
2120, BEAM , CONLOAD, GZ, NO , NO, aDir[1], , , , 0.925, -17100, 0, 0, 0, 0, 0, 0, , NO, 0, 0, NO,
2121, BEAM , CONLOAD, GZ, NO , NO, aDir[1], , , , 0.259, -17100, 0, 0, 0, 0, 0, 0, , NO, 0, 0, NO,
2122, BEAM , CONLOAD, GZ, NO , NO, aDir[1], , , , 0.259, -28100, 0, 0, 0, 0, 0, 0, , NO, 0, 0, NO,
2123, BEAM , CONLOAD, GZ, NO , NO, aDir[1], , , , 0.259, -22000, 0, 0, 0, 0, 0, 0, , NO, 0, 0, NO,
2124, BEAM , CONLOAD, GZ, NO , NO, aDir[1], , , , 0.259, -22000, 0, 0, 0, 0, 0, 0, , NO, 0, 0, NO,
2125, BEAM , CONLOAD, GZ, NO , NO, aDir[1], , , , 0.259, -22000, 0, 0, 0, 0, 0, 0, , NO, 0, 0, NO,
2126, BEAM , CONLOAD, GZ, NO , NO, aDir[1], , , , 0.259, -22000, 0, 0, 0, 0, 0, 0, , NO, 0, 0, NO,
2127, BEAM , CONLOAD, GZ, NO , NO, aDir[1], , , , 0.259, -25100, 0, 0, 0, 0, 0, 0, , NO, 0, 0, NO,

PROJECT TITLE :

MIDAS	Company		Client	
	Author		File Name	H2D_3Dg_v14_180227_StatLM.mct

2128, BEAM , CONLOAD, GZ, NO , NO, aDir[1], , , , 0.259, -25100, 0, 0, 0, 0, 0, 0, , NO, 0, 0, NO,
2129, BEAM , CONLOAD, GZ, NO , NO, aDir[1], , , , 0.259, -22000, 0, 0, 0, 0, 0, 0, , NO, 0, 0, NO,
2130, BEAM , CONLOAD, GZ, NO , NO, aDir[1], , , , 0.259, -22000, 0, 0, 0, 0, 0, 0, , NO, 0, 0, NO,
2131, BEAM , CONLOAD, GZ, NO , NO, aDir[1], , , , 0.259, -22000, 0, 0, 0, 0, 0, 0, , NO, 0, 0, NO,
2132, BEAM , CONLOAD, GZ, NO , NO, aDir[1], , , , 0.259, -22000, 0, 0, 0, 0, 0, 0, , NO, 0, 0, NO,
2133, BEAM , CONLOAD, GZ, NO , NO, aDir[1], , , , 0.259, -22000, 0, 0, 0, 0, 0, 0, , NO, 0, 0, NO,
2134, BEAM , CONLOAD, GZ, NO , NO, aDir[1], , , , 0.259, -24900, 0, 0, 0, 0, 0, 0, , NO, 0, 0, NO,
2135, BEAM , CONLOAD, GZ, NO , NO, aDir[1], , , , 0.259, -24500, 0, 0, 0, 0, 0, 0, , NO, 0, 0, NO,
2136, BEAM , CONLOAD, GZ, NO , NO, aDir[1], , , , 0.259, -21200, 0, 0, 0, 0, 0, 0, , NO, 0, 0, NO,
2137, BEAM , CONLOAD, GZ, NO , NO, aDir[1], , , , 0.259, -21200, 0, 0, 0, 0, 0, 0, , NO, 0, 0, NO,
2138, BEAM , CONLOAD, GZ, NO , NO, aDir[1], , , , 0.259, -21200, 0, 0, 0, 0, 0, 0, , NO, 0, 0, NO,
2139, BEAM , CONLOAD, GZ, NO , NO, aDir[1], , , , 0.259, -21200, 0, 0, 0, 0, 0, 0, , NO, 0, 0, NO,
2140, BEAM , CONLOAD, GZ, NO , NO, aDir[1], , , , 0.259, -21200, 0, 0, 0, 0, 0, 0, , NO, 0, 0, NO,
2141, BEAM , CONLOAD, GZ, NO , NO, aDir[1], , , , 0.259, -21200, 0, 0, 0, 0, 0, 0, , NO, 0, 0, NO,
2142, BEAM , CONLOAD, GZ, NO , NO, aDir[1], , , , 0.259, -24900, 0, 0, 0, 0, 0, 0, , NO, 0, 0, NO,
2143, BEAM , CONLOAD, GZ, NO , NO, aDir[1], , , , 0.259, -25900, 0, 0, 0, 0, 0, 0, , NO, 0, 0, NO,
2144, BEAM , CONLOAD, GZ, NO , NO, aDir[1], , , , 0.259, -23200, 0, 0, 0, 0, 0, 0, , NO, 0, 0, NO,
2145, BEAM , CONLOAD, GZ, NO , NO, aDir[1], , , , 0.259, -23200, 0, 0, 0, 0, 0, 0, , NO, 0, 0, NO,
2146, BEAM , CONLOAD, GZ, NO , NO, aDir[1], , , , 0.259, -23200, 0, 0, 0, 0, 0, 0, , NO, 0, 0, NO,
2147, BEAM , CONLOAD, GZ, NO , NO, aDir[1], , , , 0.259, -23200, 0, 0, 0, 0, 0, 0, , NO, 0, 0, NO,
2148, BEAM , CONLOAD, GZ, NO , NO, aDir[1], , , , 0.259, -20686.2, 0, 0, 0, 0, 0, 0, , NO, 0, 0, NO,
2149, BEAM , CONLOAD, GZ, NO , NO, aDir[1], , , , 0.259, -3313.79, 0, 0, 0, 0, 0, 0, , NO, 0, 0, NO,
2150, BEAM , CONLOAD, GZ, NO , NO, aDir[1], , , , 0.259, -21959.5, 0, 0, 0, 0, 0, 0, , NO, 0, 0, NO,
2151, BEAM , CONLOAD, GZ, NO , NO, aDir[1], , , , 0.259, -72868.1, 0, 0, 0, 0, 0, 0, , NO, 0, 0, NO,
2152, BEAM , CONLOAD, GZ, NO , NO, aDir[1], , , , 0.259, -30172.4, 0, 0, 0, 0, 0, 0, , NO, 0, 0, NO,
2153, BEAM , CONLOAD, GZ, NO , NO, aDir[1], , , , 0.259, -7004.31, 0, 0, 0, 0, 0, 0, , NO, 0, 0, NO,
2154, BEAM , CONLOAD, GZ, NO , NO, aDir[1], , , , 0.259, -43642.2, 0, 0, 0, 0, 0, 0, , NO, 0, 0, NO,
2155, BEAM , CONLOAD, GZ, NO , NO, aDir[1], , , , 0.259, -55495.7, 0, 0, 0, 0, 0, 0, , NO, 0, 0, NO,
2156, BEAM , CONLOAD, GZ, NO , NO, aDir[1], , , , 0.259, -18857.8, 0, 0, 0, 0, 0, 0, , NO, 0, 0, NO,
2157, BEAM , CONLOAD, GZ, NO , NO, aDir[1], , , , 0.259, -17241.4, 0, 0, 0, 0, 0, 0, , NO, 0, 0, NO,
2158, BEAM , CONLOAD, GZ, NO , NO, aDir[1], , , , 0.259, -58772.1, 0, 0, 0, 0, 0, 0, , NO, 0, 0, NO,
2159, BEAM , CONLOAD, GZ, NO , NO, aDir[1], , , , 0.259, -48986.5, 0, 0, 0, 0, 0, 0, , NO, 0, 0, NO,
2160, BEAM , CONLOAD, GZ, NO , NO, aDir[1], , , , 0.259, -4849.14, 0, 0, 0, 0, 0, 0, , NO, 0, 0, NO,
2161, BEAM , CONLOAD, GZ, NO , NO, aDir[1], , , , 0.259, -41487.1, 0, 0, 0, 0, 0, 0, , NO, 0, 0, NO,
2162, BEAM , CONLOAD, GZ, NO , NO, aDir[1], , , , 0.259, -57650.9, 0, 0, 0, 0, 0, 0, , NO, 0, 0, NO,
2163, BEAM , CONLOAD, GZ, NO , NO, aDir[1], , , , 0.259, -21012.9, 0, 0, 0, 0, 0, 0, , NO, 0, 0, NO,
2164, BEAM , CONLOAD, GZ, NO , NO, aDir[1], , , , 0.259, -2703.45, 0, 0, 0, 0, 0, 0, , NO, 0, 0, NO,
2165, BEAM , CONLOAD, GZ, NO , NO, aDir[1], , , , 0.259, -20096.6, 0, 0, 0, 0, 0, 0, , NO, 0, 0, NO,
2166, BEAM , CONLOAD, GZ, NO , NO, aDir[1], , , , 0.259, -26400, 0, 0, 0, 0, 0, 0, , NO, 0, 0, NO,
2167, BEAM , CONLOAD, GZ, NO , NO, aDir[1], , , , 0.259, -26400, 0, 0, 0, 0, 0, 0, , NO, 0, 0, NO,
2168, BEAM , CONLOAD, GZ, NO , NO, aDir[1], , , , 0.259, -23200, 0, 0, 0, 0, 0, 0, , NO, 0, 0, NO,
2169, BEAM , CONLOAD, GZ, NO , NO, aDir[1], , , , 0.259, -23200, 0, 0, 0, 0, 0, 0, , NO, 0, 0, NO,
2170, BEAM , CONLOAD, GZ, NO , NO, aDir[1], , , , 0.259, -23200, 0, 0, 0, 0, 0, 0, , NO, 0, 0, NO,
2171, BEAM , CONLOAD, GZ, NO , NO, aDir[1], , , , 0.259, -23200, 0, 0, 0, 0, 0, 0, , NO, 0, 0, NO,
2172, BEAM , CONLOAD, GZ, NO , NO, aDir[1], , , , 0.259, -23200, 0, 0, 0, 0, 0, 0, , NO, 0, 0, NO,
2173, BEAM , CONLOAD, GZ, NO , NO, aDir[1], , , , 0.259, -23200, 0, 0, 0, 0, 0, 0, , NO, 0, 0, NO,
2174, BEAM , CONLOAD, GZ, NO , NO, aDir[1], , , , 0.259, -26400, 0, 0, 0, 0, 0, 0, , NO, 0, 0, NO,
2175, BEAM , CONLOAD, GZ, NO , NO, aDir[1], , , , 0.259, -26400, 0, 0, 0, 0, 0, 0, , NO, 0, 0, NO,
2176, BEAM , CONLOAD, GZ, NO , NO, aDir[1], , , , 0.259, -23200, 0, 0, 0, 0, 0, 0, , NO, 0, 0, NO,
2177, BEAM , CONLOAD, GZ, NO , NO, aDir[1], , , , 0.259, -23200, 0, 0, 0, 0, 0, 0, , NO, 0, 0, NO,
2178, BEAM , CONLOAD, GZ, NO , NO, aDir[1], , , , 0.259, -23200, 0, 0, 0, 0, 0, 0, , NO, 0, 0, NO,
2179, BEAM , CONLOAD, GZ, NO , NO, aDir[1], , , , 0.259, -23200, 0, 0, 0, 0, 0, 0, , NO, 0, 0, NO,
2180, BEAM , CONLOAD, GZ, NO , NO, aDir[1], , , , 0.259, -23200, 0, 0, 0, 0, 0, 0, , NO, 0, 0, NO,
2181, BEAM , CONLOAD, GZ, NO , NO, aDir[1], , , , 0.259, -23200, 0, 0, 0, 0, 0, 0, , NO, 0, 0, NO,
2182, BEAM , CONLOAD, GZ, NO , NO, aDir[1], , , , 0.259, -26400, 0, 0, 0, 0, 0, 0, , NO, 0, 0, NO,
2183, BEAM , CONLOAD, GZ, NO , NO, aDir[1], , , , 0.259, -26400, 0, 0, 0, 0, 0, 0, , NO, 0, 0, NO,
2184, BEAM , CONLOAD, GZ, NO , NO, aDir[1], , , , 0.259, -23200, 0, 0, 0, 0, 0, 0, , NO, 0, 0, NO,
2185, BEAM , CONLOAD, GZ, NO , NO, aDir[1], , , , 0.259, -23200, 0, 0, 0, 0, 0, 0, , NO, 0, 0, NO,
2186, BEAM , CONLOAD, GZ, NO , NO, aDir[1], , , , 0.259, -23200, 0, 0, 0, 0, 0, 0, , NO, 0, 0, NO,
2187, BEAM , CONLOAD, GZ, NO , NO, aDir[1], , , , 0.259, -23200, 0, 0, 0, 0, 0, 0, , NO, 0, 0, NO,
2188, BEAM , CONLOAD, GZ, NO , NO, aDir[1], , , , 0.259, -23200, 0, 0, 0, 0, 0, 0, , NO, 0, 0, NO,
2189, BEAM , CONLOAD, GZ, NO , NO, aDir[1], , , , 0.259, -23200, 0, 0, 0, 0, 0, 0, , NO, 0, 0, NO,
2190, BEAM , CONLOAD, GZ, NO , NO, aDir[1], , , , 0.259, -26400, 0, 0, 0, 0, 0, 0, , NO, 0, 0, NO,
2191, BEAM , CONLOAD, GZ, NO , NO, aDir[1], , , , 0.259, -26400, 0, 0, 0, 0, 0, 0, , NO, 0, 0, NO,
2192, BEAM , CONLOAD, GZ, NO , NO, aDir[1], , , , 0.259, -23200, 0, 0, 0, 0, 0, 0, , NO, 0, 0, NO,
2193, BEAM , CONLOAD, GZ, NO , NO, aDir[1], , , , 0.259, -23200, 0, 0, 0, 0, 0, 0, , NO, 0, 0, NO,
2194, BEAM , CONLOAD, GZ, NO , NO, aDir[1], , , , 0.259, -23200, 0, 0, 0, 0, 0, 0, , NO, 0, 0, NO,
2195, BEAM , CONLOAD, GZ, NO , NO, aDir[1], , , , 0.259, -23200, 0, 0, 0, 0, 0, 0, , NO, 0, 0, NO,
2196, BEAM , CONLOAD, GZ, NO , NO, aDir[1], , , , 0.259, -23200, 0, 0, 0, 0, 0, 0, , NO, 0, 0, NO,
2197, BEAM , CONLOAD, GZ, NO , NO, aDir[1], , , , 0.259, -23200, 0, 0, 0, 0, 0, 0, , NO, 0, 0, NO,
2198, BEAM , CONLOAD, GZ, NO , NO, aDir[1], , , , 0.259, -26400, 0, 0, 0, 0, 0, 0, , NO, 0, 0, NO,
2199, BEAM , CONLOAD, GZ, NO , NO, aDir[1], , , , 0.259, -26400, 0, 0, 0, 0, 0, 0, , NO, 0, 0, NO,

PROJECT TITLE :

MIDAS	Company		Client	
	Author		File Name	H2D_3Dg_v14_180227_StatLM.mct

2200, BEAM , CONLOAD, GZ, NO , NO, aDir[1], , , , 0.259, -23200, 0, 0, 0, 0, 0, 0, , NO, 0, 0, NO,
2201, BEAM , CONLOAD, GZ, NO , NO, aDir[1], , , , 0.259, -23200, 0, 0, 0, 0, 0, 0, , NO, 0, 0, NO,
2202, BEAM , CONLOAD, GZ, NO , NO, aDir[1], , , , 0.259, -23200, 0, 0, 0, 0, 0, 0, , NO, 0, 0, NO,
2203, BEAM , CONLOAD, GZ, NO , NO, aDir[1], , , , 0.259, -23200, 0, 0, 0, 0, 0, 0, , NO, 0, 0, NO,
2204, BEAM , CONLOAD, GZ, NO , NO, aDir[1], , , , 0.259, -23200, 0, 0, 0, 0, 0, 0, , NO, 0, 0, NO,
2205, BEAM , CONLOAD, GZ, NO , NO, aDir[1], , , , 0.259, -23200, 0, 0, 0, 0, 0, 0, , NO, 0, 0, NO,
2206, BEAM , CONLOAD, GZ, NO , NO, aDir[1], , , , 0.259, -26400, 0, 0, 0, 0, 0, 0, , NO, 0, 0, NO,
2207, BEAM , CONLOAD, GZ, NO , NO, aDir[1], , , , 0.259, -26400, 0, 0, 0, 0, 0, 0, , NO, 0, 0, NO,
2208, BEAM , CONLOAD, GZ, NO , NO, aDir[1], , , , 0.259, -23200, 0, 0, 0, 0, 0, 0, , NO, 0, 0, NO,
2209, BEAM , CONLOAD, GZ, NO , NO, aDir[1], , , , 0.259, -23200, 0, 0, 0, 0, 0, 0, , NO, 0, 0, NO,
2210, BEAM , CONLOAD, GZ, NO , NO, aDir[1], , , , 0.259, -23200, 0, 0, 0, 0, 0, 0, , NO, 0, 0, NO,
2211, BEAM , CONLOAD, GZ, NO , NO, aDir[1], , , , 0.259, -23200, 0, 0, 0, 0, 0, 0, , NO, 0, 0, NO,
2212, BEAM , CONLOAD, GZ, NO , NO, aDir[1], , , , 0.259, -23200, 0, 0, 0, 0, 0, 0, , NO, 0, 0, NO,
2213, BEAM , CONLOAD, GZ, NO , NO, aDir[1], , , , 0.259, -23200, 0, 0, 0, 0, 0, 0, , NO, 0, 0, NO,
2214, BEAM , CONLOAD, GZ, NO , NO, aDir[1], , , , 0.259, -26400, 0, 0, 0, 0, 0, 0, , NO, 0, 0, NO,
2215, BEAM , CONLOAD, GZ, NO , NO, aDir[1], , , , 0.259, -26400, 0, 0, 0, 0, 0, 0, , NO, 0, 0, NO,
2216, BEAM , CONLOAD, GZ, NO , NO, aDir[1], , , , 0.259, -23200, 0, 0, 0, 0, 0, 0, , NO, 0, 0, NO,
2217, BEAM , CONLOAD, GZ, NO , NO, aDir[1], , , , 0.259, -23200, 0, 0, 0, 0, 0, 0, , NO, 0, 0, NO,
2218, BEAM , CONLOAD, GZ, NO , NO, aDir[1], , , , 0.259, -23200, 0, 0, 0, 0, 0, 0, , NO, 0, 0, NO,
2219, BEAM , CONLOAD, GZ, NO , NO, aDir[1], , , , 0.259, -23200, 0, 0, 0, 0, 0, 0, , NO, 0, 0, NO,
2220, BEAM , CONLOAD, GZ, NO , NO, aDir[1], , , , 0.259, -23200, 0, 0, 0, 0, 0, 0, , NO, 0, 0, NO,
2221, BEAM , CONLOAD, GZ, NO , NO, aDir[1], , , , 0.259, -23200, 0, 0, 0, 0, 0, 0, , NO, 0, 0, NO,
2222, BEAM , CONLOAD, GZ, NO , NO, aDir[1], , , , 0.259, -25900, 0, 0, 0, 0, 0, 0, , NO, 0, 0, NO,
2223, BEAM , CONLOAD, GZ, NO , NO, aDir[1], , , , 0.259, -24900, 0, 0, 0, 0, 0, 0, , NO, 0, 0, NO,
2224, BEAM , CONLOAD, GZ, NO , NO, aDir[1], , , , 0.259, -21200, 0, 0, 0, 0, 0, 0, , NO, 0, 0, NO,
2225, BEAM , CONLOAD, GZ, NO , NO, aDir[1], , , , 0.259, -21200, 0, 0, 0, 0, 0, 0, , NO, 0, 0, NO,
2226, BEAM , CONLOAD, GZ, NO , NO, aDir[1], , , , 0.259, -21200, 0, 0, 0, 0, 0, 0, , NO, 0, 0, NO,
2227, BEAM , CONLOAD, GZ, NO , NO, aDir[1], , , , 0.259, -21200, 0, 0, 0, 0, 0, 0, , NO, 0, 0, NO,
2228, BEAM , CONLOAD, GZ, NO , NO, aDir[1], , , , 0.259, -21200, 0, 0, 0, 0, 0, 0, , NO, 0, 0, NO,
2229, BEAM , CONLOAD, GZ, NO , NO, aDir[1], , , , 0.259, -21200, 0, 0, 0, 0, 0, 0, , NO, 0, 0, NO,
2230, BEAM , CONLOAD, GZ, NO , NO, aDir[1], , , , 0.259, -24500, 0, 0, 0, 0, 0, 0, , NO, 0, 0, NO,
2231, BEAM , CONLOAD, GZ, NO , NO, aDir[1], , , , 0.259, -24900, 0, 0, 0, 0, 0, 0, , NO, 0, 0, NO,
2232, BEAM , CONLOAD, GZ, NO , NO, aDir[1], , , , 0.259, -22000, 0, 0, 0, 0, 0, 0, , NO, 0, 0, NO,
2233, BEAM , CONLOAD, GZ, NO , NO, aDir[1], , , , 0.259, -22000, 0, 0, 0, 0, 0, 0, , NO, 0, 0, NO,
2234, BEAM , CONLOAD, GZ, NO , NO, aDir[1], , , , 0.259, -22000, 0, 0, 0, 0, 0, 0, , NO, 0, 0, NO,
2235, BEAM , CONLOAD, GZ, NO , NO, aDir[1], , , , 0.259, -22000, 0, 0, 0, 0, 0, 0, , NO, 0, 0, NO,
2236, BEAM , CONLOAD, GZ, NO , NO, aDir[1], , , , 0.259, -22000, 0, 0, 0, 0, 0, 0, , NO, 0, 0, NO,
2237, BEAM , CONLOAD, GZ, NO , NO, aDir[1], , , , 0.259, -25100, 0, 0, 0, 0, 0, 0, , NO, 0, 0, NO,
2238, BEAM , CONLOAD, GZ, NO , NO, aDir[1], , , , 0.259, -25100, 0, 0, 0, 0, 0, 0, , NO, 0, 0, NO,
2239, BEAM , CONLOAD, GZ, NO , NO, aDir[1], , , , 0.259, -22000, 0, 0, 0, 0, 0, 0, , NO, 0, 0, NO,
2240, BEAM , CONLOAD, GZ, NO , NO, aDir[1], , , , 0.259, -22000, 0, 0, 0, 0, 0, 0, , NO, 0, 0, NO,
2241, BEAM , CONLOAD, GZ, NO , NO, aDir[1], , , , 0.259, -22000, 0, 0, 0, 0, 0, 0, , NO, 0, 0, NO,
2242, BEAM , CONLOAD, GZ, NO , NO, aDir[1], , , , 0.259, -22000, 0, 0, 0, 0, 0, 0, , NO, 0, 0, NO,
2243, BEAM , CONLOAD, GZ, NO , NO, aDir[1], , , , 0.259, -28100, 0, 0, 0, 0, 0, 0, , NO, 0, 0, NO,
2244, BEAM , CONLOAD, GZ, NO , NO, aDir[1], , , , 0.259, -17100, 0, 0, 0, 0, 0, 0, , NO, 0, 0, NO,

; End of data for load case [MVminP71_1PFx9] ----------

*USE-STLD, MVminP71_2PFx9

*BEAMLOAD ; Element Beam Loads
; ELEM_LIST, CMD, TYPE, DIR, bPROJ, [ECCEN], [VALUE], GROUP
; ELEM_LIST, CMD, TYPE, TYPE, DIR, VX, VY, VZ, bPROJ, [ECCEN], [VALUE], GROUP
; [VALUE] : D1, P1, D2, P2, D3, P3, D4, P4
; [ECCEN] : bECCEN, ECCDIR, I-END, J-END, bJ-END
; [ADDITIONAL] : bADDITIONAL, ADDITIONAL_I-END, ADDITIONAL_J-END, bADDITIONAL_J-END
1749, BEAM , CONLOAD, GZ, NO , NO, aDir[1], , , , 0.075, -736.987, 0, 0, 0, 0, 0, 0, , NO, 0, 0, NO,
1750, BEAM , CONLOAD, GZ, NO , NO, aDir[1], , , , 0.075, -17363, 0, 0, 0, 0, 0, 0, , NO, 0, 0, NO,
1751, BEAM , CONLOAD, GZ, NO , NO, aDir[1], , , , 0.075, -22000, 0, 0, 0, 0, 0, 0, , NO, 0, 0, NO,
1752, BEAM , CONLOAD, GZ, NO , NO, aDir[1], , , , 0.075, -22000, 0, 0, 0, 0, 0, 0, , NO, 0, 0, NO,
1753, BEAM , CONLOAD, GZ, NO , NO, aDir[1], , , , 0.075, -22000, 0, 0, 0, 0, 0, 0, , NO, 0, 0, NO,
1754, BEAM , CONLOAD, GZ, NO , NO, aDir[1], , , , 0.075, -22000, 0, 0, 0, 0, 0, 0, , NO, 0, 0, NO,
1755, BEAM , CONLOAD, GZ, NO , NO, aDir[1], , , , 0.075, -25100, 0, 0, 0, 0, 0, 0, , NO, 0, 0, NO,
1756, BEAM , CONLOAD, GZ, NO , NO, aDir[1], , , , 0.075, -25100, 0, 0, 0, 0, 0, 0, , NO, 0, 0, NO,
1757, BEAM , CONLOAD, GZ, NO , NO, aDir[1], , , , 0.075, -22000, 0, 0, 0, 0, 0, 0, , NO, 0, 0, NO,
1758, BEAM , CONLOAD, GZ, NO , NO, aDir[1], , , , 0.075, -22000, 0, 0, 0, 0, 0, 0, , NO, 0, 0, NO,
1759, BEAM , CONLOAD, GZ, NO , NO, aDir[1], , , , 0.075, -22000, 0, 0, 0, 0, 0, 0, , NO, 0, 0, NO,
1760, BEAM , CONLOAD, GZ, NO , NO, aDir[1], , , , 0.075, -22000, 0, 0, 0, 0, 0, 0, , NO, 0, 0, NO,
1761, BEAM , CONLOAD, GZ, NO , NO, aDir[1], , , , 0.075, -22000, 0, 0, 0, 0, 0, 0, , NO, 0, 0, NO,
1762, BEAM , CONLOAD, GZ, NO , NO, aDir[1], , , , 0.075, -24900, 0, 0, 0, 0, 0, 0, , NO, 0, 0, NO,
1763, BEAM , CONLOAD, GZ, NO , NO, aDir[1], , , , 0.075, -24500, 0, 0, 0, 0, 0, 0, , NO, 0, 0, NO,
1764, BEAM , CONLOAD, GZ, NO , NO, aDir[1], , , , 0.075, -21200, 0, 0, 0, 0, 0, 0, , NO, 0, 0, NO,

PROJECT TITLE :

MIDAS	Company		Client	
	Author		File Name	H2D_3Dg_v14_180227_StatLM.mct

1765, BEAM , CONLOAD, GZ, NO , NO, aDir[1], , , , 0.075, -21200, 0, 0, 0, 0, 0, 0, , NO, 0, 0, NO,
1766, BEAM , CONLOAD, GZ, NO , NO, aDir[1], , , , 0.075, -21200, 0, 0, 0, 0, 0, 0, , NO, 0, 0, NO,
1767, BEAM , CONLOAD, GZ, NO , NO, aDir[1], , , , 0.075, -21200, 0, 0, 0, 0, 0, 0, , NO, 0, 0, NO,
1768, BEAM , CONLOAD, GZ, NO , NO, aDir[1], , , , 0.075, -21200, 0, 0, 0, 0, 0, 0, , NO, 0, 0, NO,
1769, BEAM , CONLOAD, GZ, NO , NO, aDir[1], , , , 0.075, -21200, 0, 0, 0, 0, 0, 0, , NO, 0, 0, NO,
1770, BEAM , CONLOAD, GZ, NO , NO, aDir[1], , , , 0.075, -24900, 0, 0, 0, 0, 0, 0, , NO, 0, 0, NO,
1771, BEAM , CONLOAD, GZ, NO , NO, aDir[1], , , , 0.075, -25900, 0, 0, 0, 0, 0, 0, , NO, 0, 0, NO,
1772, BEAM , CONLOAD, GZ, NO , NO, aDir[1], , , , 0.075, -23200, 0, 0, 0, 0, 0, 0, , NO, 0, 0, NO,
1773, BEAM , CONLOAD, GZ, NO , NO, aDir[1], , , , 0.075, -23200, 0, 0, 0, 0, 0, 0, , NO, 0, 0, NO,
1774, BEAM , CONLOAD, GZ, NO , NO, aDir[1], , , , 0.075, -23200, 0, 0, 0, 0, 0, 0, , NO, 0, 0, NO,
1775, BEAM , CONLOAD, GZ, NO , NO, aDir[1], , , , 0.075, -23200, 0, 0, 0, 0, 0, 0, , NO, 0, 0, NO,
1776, BEAM , CONLOAD, GZ, NO , NO, aDir[1], , , , 0.075, -15255.2, 0, 0, 0, 0, 0, 0, , NO, 0, 0, NO,
1777, BEAM , CONLOAD, GZ, NO , NO, aDir[1], , , , 0.075, -344.828, 0, 0, 0, 0, 0, 0, , NO, 0, 0, NO,
1778, BEAM , CONLOAD, GZ, NO , NO, aDir[1], , , , 0.075, -47719.6, 0, 0, 0, 0, 0, 0, , NO, 0, 0, NO,
1779, BEAM , CONLOAD, GZ, NO , NO, aDir[1], , , , 0.075, -59500.2, 0, 0, 0, 0, 0, 0, , NO, 0, 0, NO,
1780, BEAM , CONLOAD, GZ, NO , NO, aDir[1], , , , 0.075, -17780.2, 0, 0, 0, 0, 0, 0, , NO, 0, 0, NO,
1781, BEAM , CONLOAD, GZ, NO , NO, aDir[1], , , , 0.075, -18319, 0, 0, 0, 0, 0, 0, , NO, 0, 0, NO,
1782, BEAM , CONLOAD, GZ, NO , NO, aDir[1], , , , 0.075, -54956.9, 0, 0, 0, 0, 0, 0, , NO, 0, 0, NO,
1783, BEAM , CONLOAD, GZ, NO , NO, aDir[1], , , , 0.075, -44181, 0, 0, 0, 0, 0, 0, , NO, 0, 0, NO,
1784, BEAM , CONLOAD, GZ, NO , NO, aDir[1], , , , 0.075, -7543.1, 0, 0, 0, 0, 0, 0, , NO, 0, 0, NO,
1785, BEAM , CONLOAD, GZ, NO , NO, aDir[1], , , , 0.075, -28556, 0, 0, 0, 0, 0, 0, , NO, 0, 0, NO,
1786, BEAM , CONLOAD, GZ, NO , NO, aDir[1], , , , 0.075, -74062.2, 0, 0, 0, 0, 0, 0, , NO, 0, 0, NO,
1787, BEAM , CONLOAD, GZ, NO , NO, aDir[1], , , , 0.075, -22381.8, 0, 0, 0, 0, 0, 0, , NO, 0, 0, NO,
1788, BEAM , CONLOAD, GZ, NO , NO, aDir[1], , , , 0.075, -16163.8, 0, 0, 0, 0, 0, 0, , NO, 0, 0, NO,
1789, BEAM , CONLOAD, GZ, NO , NO, aDir[1], , , , 0.075, -52801.7, 0, 0, 0, 0, 0, 0, , NO, 0, 0, NO,
1790, BEAM , CONLOAD, GZ, NO , NO, aDir[1], , , , 0.075, -46336.2, 0, 0, 0, 0, 0, 0, , NO, 0, 0, NO,
1791, BEAM , CONLOAD, GZ, NO , NO, aDir[1], , , , 0.075, -9698.28, 0, 0, 0, 0, 0, 0, , NO, 0, 0, NO,
1792, BEAM , CONLOAD, GZ, NO , NO, aDir[1], , , , 0.075, -8279.31, 0, 0, 0, 0, 0, 0, , NO, 0, 0, NO,
1793, BEAM , CONLOAD, GZ, NO , NO, aDir[1], , , , 0.075, -22920.7, 0, 0, 0, 0, 0, 0, , NO, 0, 0, NO,
1794, BEAM , CONLOAD, GZ, NO , NO, aDir[1], , , , 0.075, -26400, 0, 0, 0, 0, 0, 0, , NO, 0, 0, NO,
1795, BEAM , CONLOAD, GZ, NO , NO, aDir[1], , , , 0.075, -26400, 0, 0, 0, 0, 0, 0, , NO, 0, 0, NO,
1796, BEAM , CONLOAD, GZ, NO , NO, aDir[1], , , , 0.075, -23200, 0, 0, 0, 0, 0, 0, , NO, 0, 0, NO,
1797, BEAM , CONLOAD, GZ, NO , NO, aDir[1], , , , 0.075, -23200, 0, 0, 0, 0, 0, 0, , NO, 0, 0, NO,
1798, BEAM , CONLOAD, GZ, NO , NO, aDir[1], , , , 0.075, -23200, 0, 0, 0, 0, 0, 0, , NO, 0, 0, NO,
1799, BEAM , CONLOAD, GZ, NO , NO, aDir[1], , , , 0.075, -23200, 0, 0, 0, 0, 0, 0, , NO, 0, 0, NO,
1800, BEAM , CONLOAD, GZ, NO , NO, aDir[1], , , , 0.075, -23200, 0, 0, 0, 0, 0, 0, , NO, 0, 0, NO,
1801, BEAM , CONLOAD, GZ, NO , NO, aDir[1], , , , 0.075, -23200, 0, 0, 0, 0, 0, 0, , NO, 0, 0, NO,
1802, BEAM , CONLOAD, GZ, NO , NO, aDir[1], , , , 0.075, -26400, 0, 0, 0, 0, 0, 0, , NO, 0, 0, NO,
1803, BEAM , CONLOAD, GZ, NO , NO, aDir[1], , , , 0.075, -26400, 0, 0, 0, 0, 0, 0, , NO, 0, 0, NO,
1804, BEAM , CONLOAD, GZ, NO , NO, aDir[1], , , , 0.075, -23200, 0, 0, 0, 0, 0, 0, , NO, 0, 0, NO,
1805, BEAM , CONLOAD, GZ, NO , NO, aDir[1], , , , 0.075, -23200, 0, 0, 0, 0, 0, 0, , NO, 0, 0, NO,
1806, BEAM , CONLOAD, GZ, NO , NO, aDir[1], , , , 0.075, -23200, 0, 0, 0, 0, 0, 0, , NO, 0, 0, NO,
1807, BEAM , CONLOAD, GZ, NO , NO, aDir[1], , , , 0.075, -23200, 0, 0, 0, 0, 0, 0, , NO, 0, 0, NO,
1808, BEAM , CONLOAD, GZ, NO , NO, aDir[1], , , , 0.075, -23200, 0, 0, 0, 0, 0, 0, , NO, 0, 0, NO,
1809, BEAM , CONLOAD, GZ, NO , NO, aDir[1], , , , 0.075, -23200, 0, 0, 0, 0, 0, 0, , NO, 0, 0, NO,
1810, BEAM , CONLOAD, GZ, NO , NO, aDir[1], , , , 0.075, -26400, 0, 0, 0, 0, 0, 0, , NO, 0, 0, NO,
1811, BEAM , CONLOAD, GZ, NO , NO, aDir[1], , , , 0.075, -26400, 0, 0, 0, 0, 0, 0, , NO, 0, 0, NO,
1812, BEAM , CONLOAD, GZ, NO , NO, aDir[1], , , , 0.075, -23200, 0, 0, 0, 0, 0, 0, , NO, 0, 0, NO,
1813, BEAM , CONLOAD, GZ, NO , NO, aDir[1], , , , 0.075, -23200, 0, 0, 0, 0, 0, 0, , NO, 0, 0, NO,
1814, BEAM , CONLOAD, GZ, NO , NO, aDir[1], , , , 0.075, -23200, 0, 0, 0, 0, 0, 0, , NO, 0, 0, NO,
1815, BEAM , CONLOAD, GZ, NO , NO, aDir[1], , , , 0.075, -23200, 0, 0, 0, 0, 0, 0, , NO, 0, 0, NO,
1816, BEAM , CONLOAD, GZ, NO , NO, aDir[1], , , , 0.075, -23200, 0, 0, 0, 0, 0, 0, , NO, 0, 0, NO,
1817, BEAM , CONLOAD, GZ, NO , NO, aDir[1], , , , 0.075, -23200, 0, 0, 0, 0, 0, 0, , NO, 0, 0, NO,
1818, BEAM , CONLOAD, GZ, NO , NO, aDir[1], , , , 0.075, -26400, 0, 0, 0, 0, 0, 0, , NO, 0, 0, NO,
1819, BEAM , CONLOAD, GZ, NO , NO, aDir[1], , , , 0.075, -26400, 0, 0, 0, 0, 0, 0, , NO, 0, 0, NO,
1820, BEAM , CONLOAD, GZ, NO , NO, aDir[1], , , , 0.075, -23200, 0, 0, 0, 0, 0, 0, , NO, 0, 0, NO,
1821, BEAM , CONLOAD, GZ, NO , NO, aDir[1], , , , 0.075, -23200, 0, 0, 0, 0, 0, 0, , NO, 0, 0, NO,
1822, BEAM , CONLOAD, GZ, NO , NO, aDir[1], , , , 0.075, -23200, 0, 0, 0, 0, 0, 0, , NO, 0, 0, NO,
1823, BEAM , CONLOAD, GZ, NO , NO, aDir[1], , , , 0.075, -23200, 0, 0, 0, 0, 0, 0, , NO, 0, 0, NO,
1824, BEAM , CONLOAD, GZ, NO , NO, aDir[1], , , , 0.075, -23200, 0, 0, 0, 0, 0, 0, , NO, 0, 0, NO,
1825, BEAM , CONLOAD, GZ, NO , NO, aDir[1], , , , 0.075, -23200, 0, 0, 0, 0, 0, 0, , NO, 0, 0, NO,
1826, BEAM , CONLOAD, GZ, NO , NO, aDir[1], , , , 0.075, -26400, 0, 0, 0, 0, 0, 0, , NO, 0, 0, NO,
1827, BEAM , CONLOAD, GZ, NO , NO, aDir[1], , , , 0.075, -26400, 0, 0, 0, 0, 0, 0, , NO, 0, 0, NO,
1828, BEAM , CONLOAD, GZ, NO , NO, aDir[1], , , , 0.075, -23200, 0, 0, 0, 0, 0, 0, , NO, 0, 0, NO,
1829, BEAM , CONLOAD, GZ, NO , NO, aDir[1], , , , 0.075, -23200, 0, 0, 0, 0, 0, 0, , NO, 0, 0, NO,
1830, BEAM , CONLOAD, GZ, NO , NO, aDir[1], , , , 0.075, -23200, 0, 0, 0, 0, 0, 0, , NO, 0, 0, NO,
1831, BEAM , CONLOAD, GZ, NO , NO, aDir[1], , , , 0.075, -23200, 0, 0, 0, 0, 0, 0, , NO, 0, 0, NO,
1832, BEAM , CONLOAD, GZ, NO , NO, aDir[1], , , , 0.075, -23200, 0, 0, 0, 0, 0, 0, , NO, 0, 0, NO,
1833, BEAM , CONLOAD, GZ, NO , NO, aDir[1], , , , 0.075, -23200, 0, 0, 0, 0, 0, 0, , NO, 0, 0, NO,
1834, BEAM , CONLOAD, GZ, NO , NO, aDir[1], , , , 0.075, -26400, 0, 0, 0, 0, 0, 0, , NO, 0, 0, NO,
1835, BEAM , CONLOAD, GZ, NO , NO, aDir[1], , , , 0.075, -26400, 0, 0, 0, 0, 0, 0, , NO, 0, 0, NO,
1836, BEAM , CONLOAD, GZ, NO , NO, aDir[1], , , , 0.075, -23200, 0, 0, 0, 0, 0, 0, , NO, 0, 0, NO,

PROJECT TITLE :

MIDAS	Company		Client	
	Author		File Name	H2D_3Dg_v14_180227_StatLM.mct

1837, BEAM , CONLOAD, GZ, NO , NO, aDir[1], , , , 0.075, -23200, 0, 0, 0, 0, 0, 0, , NO, 0, 0, NO,
1838, BEAM , CONLOAD, GZ, NO , NO, aDir[1], , , , 0.075, -23200, 0, 0, 0, 0, 0, 0, , NO, 0, 0, NO,
1839, BEAM , CONLOAD, GZ, NO , NO, aDir[1], , , , 0.075, -23200, 0, 0, 0, 0, 0, 0, , NO, 0, 0, NO,
1840, BEAM , CONLOAD, GZ, NO , NO, aDir[1], , , , 0.075, -23200, 0, 0, 0, 0, 0, 0, , NO, 0, 0, NO,
1841, BEAM , CONLOAD, GZ, NO , NO, aDir[1], , , , 0.075, -23200, 0, 0, 0, 0, 0, 0, , NO, 0, 0, NO,
1842, BEAM , CONLOAD, GZ, NO , NO, aDir[1], , , , 0.075, -26400, 0, 0, 0, 0, 0, 0, , NO, 0, 0, NO,
1843, BEAM , CONLOAD, GZ, NO , NO, aDir[1], , , , 0.075, -26400, 0, 0, 0, 0, 0, 0, , NO, 0, 0, NO,
1844, BEAM , CONLOAD, GZ, NO , NO, aDir[1], , , , 0.075, -23200, 0, 0, 0, 0, 0, 0, , NO, 0, 0, NO,
1845, BEAM , CONLOAD, GZ, NO , NO, aDir[1], , , , 0.075, -23200, 0, 0, 0, 0, 0, 0, , NO, 0, 0, NO,
1846, BEAM , CONLOAD, GZ, NO , NO, aDir[1], , , , 0.075, -23200, 0, 0, 0, 0, 0, 0, , NO, 0, 0, NO,
1847, BEAM , CONLOAD, GZ, NO , NO, aDir[1], , , , 0.075, -23200, 0, 0, 0, 0, 0, 0, , NO, 0, 0, NO,
1848, BEAM , CONLOAD, GZ, NO , NO, aDir[1], , , , 0.075, -23200, 0, 0, 0, 0, 0, 0, , NO, 0, 0, NO,
1849, BEAM , CONLOAD, GZ, NO , NO, aDir[1], , , , 0.075, -23200, 0, 0, 0, 0, 0, 0, , NO, 0, 0, NO,
1850, BEAM , CONLOAD, GZ, NO , NO, aDir[1], , , , 0.075, -25900, 0, 0, 0, 0, 0, 0, , NO, 0, 0, NO,
1851, BEAM , CONLOAD, GZ, NO , NO, aDir[1], , , , 0.075, -24900, 0, 0, 0, 0, 0, 0, , NO, 0, 0, NO,
1852, BEAM , CONLOAD, GZ, NO , NO, aDir[1], , , , 0.075, -21200, 0, 0, 0, 0, 0, 0, , NO, 0, 0, NO,
1853, BEAM , CONLOAD, GZ, NO , NO, aDir[1], , , , 0.075, -21200, 0, 0, 0, 0, 0, 0, , NO, 0, 0, NO,
1854, BEAM , CONLOAD, GZ, NO , NO, aDir[1], , , , 0.075, -21200, 0, 0, 0, 0, 0, 0, , NO, 0, 0, NO,
1855, BEAM , CONLOAD, GZ, NO , NO, aDir[1], , , , 0.075, -21200, 0, 0, 0, 0, 0, 0, , NO, 0, 0, NO,
1856, BEAM , CONLOAD, GZ, NO , NO, aDir[1], , , , 0.075, -21200, 0, 0, 0, 0, 0, 0, , NO, 0, 0, NO,
1857, BEAM , CONLOAD, GZ, NO , NO, aDir[1], , , , 0.075, -21200, 0, 0, 0, 0, 0, 0, , NO, 0, 0, NO,
1858, BEAM , CONLOAD, GZ, NO , NO, aDir[1], , , , 0.075, -24500, 0, 0, 0, 0, 0, 0, , NO, 0, 0, NO,
1859, BEAM , CONLOAD, GZ, NO , NO, aDir[1], , , , 0.075, -24900, 0, 0, 0, 0, 0, 0, , NO, 0, 0, NO,
1860, BEAM , CONLOAD, GZ, NO , NO, aDir[1], , , , 0.075, -22000, 0, 0, 0, 0, 0, 0, , NO, 0, 0, NO,
1861, BEAM , CONLOAD, GZ, NO , NO, aDir[1], , , , 0.075, -22000, 0, 0, 0, 0, 0, 0, , NO, 0, 0, NO,
1862, BEAM , CONLOAD, GZ, NO , NO, aDir[1], , , , 0.075, -22000, 0, 0, 0, 0, 0, 0, , NO, 0, 0, NO,
1863, BEAM , CONLOAD, GZ, NO , NO, aDir[1], , , , 0.075, -22000, 0, 0, 0, 0, 0, 0, , NO, 0, 0, NO,
1864, BEAM , CONLOAD, GZ, NO , NO, aDir[1], , , , 0.075, -22000, 0, 0, 0, 0, 0, 0, , NO, 0, 0, NO,
1865, BEAM , CONLOAD, GZ, NO , NO, aDir[1], , , , 0.075, -25100, 0, 0, 0, 0, 0, 0, , NO, 0, 0, NO,
1866, BEAM , CONLOAD, GZ, NO , NO, aDir[1], , , , 0.075, -25100, 0, 0, 0, 0, 0, 0, , NO, 0, 0, NO,
1867, BEAM , CONLOAD, GZ, NO , NO, aDir[1], , , , 0.075, -22000, 0, 0, 0, 0, 0, 0, , NO, 0, 0, NO,
1868, BEAM , CONLOAD, GZ, NO , NO, aDir[1], , , , 0.075, -22000, 0, 0, 0, 0, 0, 0, , NO, 0, 0, NO,
1869, BEAM , CONLOAD, GZ, NO , NO, aDir[1], , , , 0.075, -22000, 0, 0, 0, 0, 0, 0, , NO, 0, 0, NO,
1870, BEAM , CONLOAD, GZ, NO , NO, aDir[1], , , , 0.075, -22000, 0, 0, 0, 0, 0, 0, , NO, 0, 0, NO,
1871, BEAM , CONLOAD, GZ, NO , NO, aDir[1], , , , 0.075, -11000, 0, 0, 0, 0, 0, 0, , NO, 0, 0, NO,
1873, BEAM , CONLOAD, GZ, NO , NO, aDir[1], , , , 0.741, -736.987, 0, 0, 0, 0, 0, 0, , NO, 0, 0, NO,
1874, BEAM , CONLOAD, GZ, NO , NO, aDir[1], , , , 0.741, -17363, 0, 0, 0, 0, 0, 0, , NO, 0, 0, NO,
1875, BEAM , CONLOAD, GZ, NO , NO, aDir[1], , , , 0.741, -22000, 0, 0, 0, 0, 0, 0, , NO, 0, 0, NO,
1876, BEAM , CONLOAD, GZ, NO , NO, aDir[1], , , , 0.741, -22000, 0, 0, 0, 0, 0, 0, , NO, 0, 0, NO,
1877, BEAM , CONLOAD, GZ, NO , NO, aDir[1], , , , 0.741, -22000, 0, 0, 0, 0, 0, 0, , NO, 0, 0, NO,
1878, BEAM , CONLOAD, GZ, NO , NO, aDir[1], , , , 0.741, -22000, 0, 0, 0, 0, 0, 0, , NO, 0, 0, NO,
1879, BEAM , CONLOAD, GZ, NO , NO, aDir[1], , , , 0.741, -25100, 0, 0, 0, 0, 0, 0, , NO, 0, 0, NO,
1880, BEAM , CONLOAD, GZ, NO , NO, aDir[1], , , , 0.741, -25100, 0, 0, 0, 0, 0, 0, , NO, 0, 0, NO,
1881, BEAM , CONLOAD, GZ, NO , NO, aDir[1], , , , 0.741, -22000, 0, 0, 0, 0, 0, 0, , NO, 0, 0, NO,
1882, BEAM , CONLOAD, GZ, NO , NO, aDir[1], , , , 0.741, -22000, 0, 0, 0, 0, 0, 0, , NO, 0, 0, NO,
1883, BEAM , CONLOAD, GZ, NO , NO, aDir[1], , , , 0.741, -22000, 0, 0, 0, 0, 0, 0, , NO, 0, 0, NO,
1884, BEAM , CONLOAD, GZ, NO , NO, aDir[1], , , , 0.741, -22000, 0, 0, 0, 0, 0, 0, , NO, 0, 0, NO,
1885, BEAM , CONLOAD, GZ, NO , NO, aDir[1], , , , 0.741, -22000, 0, 0, 0, 0, 0, 0, , NO, 0, 0, NO,
1886, BEAM , CONLOAD, GZ, NO , NO, aDir[1], , , , 0.741, -24900, 0, 0, 0, 0, 0, 0, , NO, 0, 0, NO,
1887, BEAM , CONLOAD, GZ, NO , NO, aDir[1], , , , 0.741, -24500, 0, 0, 0, 0, 0, 0, , NO, 0, 0, NO,
1888, BEAM , CONLOAD, GZ, NO , NO, aDir[1], , , , 0.741, -21200, 0, 0, 0, 0, 0, 0, , NO, 0, 0, NO,
1889, BEAM , CONLOAD, GZ, NO , NO, aDir[1], , , , 0.741, -21200, 0, 0, 0, 0, 0, 0, , NO, 0, 0, NO,
1890, BEAM , CONLOAD, GZ, NO , NO, aDir[1], , , , 0.741, -21200, 0, 0, 0, 0, 0, 0, , NO, 0, 0, NO,
1891, BEAM , CONLOAD, GZ, NO , NO, aDir[1], , , , 0.741, -21200, 0, 0, 0, 0, 0, 0, , NO, 0, 0, NO,
1892, BEAM , CONLOAD, GZ, NO , NO, aDir[1], , , , 0.741, -21200, 0, 0, 0, 0, 0, 0, , NO, 0, 0, NO,
1893, BEAM , CONLOAD, GZ, NO , NO, aDir[1], , , , 0.741, -21200, 0, 0, 0, 0, 0, 0, , NO, 0, 0, NO,
1894, BEAM , CONLOAD, GZ, NO , NO, aDir[1], , , , 0.741, -24900, 0, 0, 0, 0, 0, 0, , NO, 0, 0, NO,
1895, BEAM , CONLOAD, GZ, NO , NO, aDir[1], , , , 0.741, -25900, 0, 0, 0, 0, 0, 0, , NO, 0, 0, NO,
1896, BEAM , CONLOAD, GZ, NO , NO, aDir[1], , , , 0.741, -23200, 0, 0, 0, 0, 0, 0, , NO, 0, 0, NO,
1897, BEAM , CONLOAD, GZ, NO , NO, aDir[1], , , , 0.741, -23200, 0, 0, 0, 0, 0, 0, , NO, 0, 0, NO,
1898, BEAM , CONLOAD, GZ, NO , NO, aDir[1], , , , 0.741, -23200, 0, 0, 0, 0, 0, 0, , NO, 0, 0, NO,
1899, BEAM , CONLOAD, GZ, NO , NO, aDir[1], , , , 0.741, -23200, 0, 0, 0, 0, 0, 0, , NO, 0, 0, NO,
1900, BEAM , CONLOAD, GZ, NO , NO, aDir[1], , , , 0.741, -15255.2, 0, 0, 0, 0, 0, 0, , NO, 0, 0, NO,
1901, BEAM , CONLOAD, GZ, NO , NO, aDir[1], , , , 0.741, -344.828, 0, 0, 0, 0, 0, 0, , NO, 0, 0, NO,
1902, BEAM , CONLOAD, GZ, NO , NO, aDir[1], , , , 0.741, -47719.6, 0, 0, 0, 0, 0, 0, , NO, 0, 0, NO,
1903, BEAM , CONLOAD, GZ, NO , NO, aDir[1], , , , 0.741, -59500.2, 0, 0, 0, 0, 0, 0, , NO, 0, 0, NO,
1904, BEAM , CONLOAD, GZ, NO , NO, aDir[1], , , , 0.741, -17780.2, 0, 0, 0, 0, 0, 0, , NO, 0, 0, NO,
1905, BEAM , CONLOAD, GZ, NO , NO, aDir[1], , , , 0.741, -18319, 0, 0, 0, 0, 0, 0, , NO, 0, 0, NO,
1906, BEAM , CONLOAD, GZ, NO , NO, aDir[1], , , , 0.741, -54956.9, 0, 0, 0, 0, 0, 0, , NO, 0, 0, NO,
1907, BEAM , CONLOAD, GZ, NO , NO, aDir[1], , , , 0.741, -44181, 0, 0, 0, 0, 0, 0, , NO, 0, 0, NO,
1908, BEAM , CONLOAD, GZ, NO , NO, aDir[1], , , , 0.741, -7543.1, 0, 0, 0, 0, 0, 0, , NO, 0, 0, NO,
1909, BEAM , CONLOAD, GZ, NO , NO, aDir[1], , , , 0.741, -28556, 0, 0, 0, 0, 0, 0, , NO, 0, 0, NO,

PROJECT TITLE :

MIDAS	Company		Client	
	Author		File Name	H2D_3Dg_v14_180227_StatLM.mct

1910, BEAM , CONLOAD, GZ, NO , NO, aDir[1], , , , 0.741, -74062.2, 0, 0, 0, 0, 0, 0, , NO, 0, 0, NO,
1911, BEAM , CONLOAD, GZ, NO , NO, aDir[1], , , , 0.741, -22381.8, 0, 0, 0, 0, 0, 0, , NO, 0, 0, NO,
1912, BEAM , CONLOAD, GZ, NO , NO, aDir[1], , , , 0.741, -16163.8, 0, 0, 0, 0, 0, 0, , NO, 0, 0, NO,
1913, BEAM , CONLOAD, GZ, NO , NO, aDir[1], , , , 0.741, -52801.7, 0, 0, 0, 0, 0, 0, , NO, 0, 0, NO,
1914, BEAM , CONLOAD, GZ, NO , NO, aDir[1], , , , 0.741, -46336.2, 0, 0, 0, 0, 0, 0, , NO, 0, 0, NO,
1915, BEAM , CONLOAD, GZ, NO , NO, aDir[1], , , , 0.741, -9698.28, 0, 0, 0, 0, 0, 0, , NO, 0, 0, NO,
1916, BEAM , CONLOAD, GZ, NO , NO, aDir[1], , , , 0.741, -8279.31, 0, 0, 0, 0, 0, 0, , NO, 0, 0, NO,
1917, BEAM , CONLOAD, GZ, NO , NO, aDir[1], , , , 0.741, -22920.7, 0, 0, 0, 0, 0, 0, , NO, 0, 0, NO,
1918, BEAM , CONLOAD, GZ, NO , NO, aDir[1], , , , 0.741, -26400, 0, 0, 0, 0, 0, 0, , NO, 0, 0, NO,
1919, BEAM , CONLOAD, GZ, NO , NO, aDir[1], , , , 0.741, -26400, 0, 0, 0, 0, 0, 0, , NO, 0, 0, NO,
1920, BEAM , CONLOAD, GZ, NO , NO, aDir[1], , , , 0.741, -23200, 0, 0, 0, 0, 0, 0, , NO, 0, 0, NO,
1921, BEAM , CONLOAD, GZ, NO , NO, aDir[1], , , , 0.741, -23200, 0, 0, 0, 0, 0, 0, , NO, 0, 0, NO,
1922, BEAM , CONLOAD, GZ, NO , NO, aDir[1], , , , 0.741, -23200, 0, 0, 0, 0, 0, 0, , NO, 0, 0, NO,
1923, BEAM , CONLOAD, GZ, NO , NO, aDir[1], , , , 0.741, -23200, 0, 0, 0, 0, 0, 0, , NO, 0, 0, NO,
1924, BEAM , CONLOAD, GZ, NO , NO, aDir[1], , , , 0.741, -23200, 0, 0, 0, 0, 0, 0, , NO, 0, 0, NO,
1925, BEAM , CONLOAD, GZ, NO , NO, aDir[1], , , , 0.741, -23200, 0, 0, 0, 0, 0, 0, , NO, 0, 0, NO,
1926, BEAM , CONLOAD, GZ, NO , NO, aDir[1], , , , 0.741, -26400, 0, 0, 0, 0, 0, 0, , NO, 0, 0, NO,
1927, BEAM , CONLOAD, GZ, NO , NO, aDir[1], , , , 0.741, -26400, 0, 0, 0, 0, 0, 0, , NO, 0, 0, NO,
1928, BEAM , CONLOAD, GZ, NO , NO, aDir[1], , , , 0.741, -23200, 0, 0, 0, 0, 0, 0, , NO, 0, 0, NO,
1929, BEAM , CONLOAD, GZ, NO , NO, aDir[1], , , , 0.741, -23200, 0, 0, 0, 0, 0, 0, , NO, 0, 0, NO,
1930, BEAM , CONLOAD, GZ, NO , NO, aDir[1], , , , 0.741, -23200, 0, 0, 0, 0, 0, 0, , NO, 0, 0, NO,
1931, BEAM , CONLOAD, GZ, NO , NO, aDir[1], , , , 0.741, -23200, 0, 0, 0, 0, 0, 0, , NO, 0, 0, NO,
1932, BEAM , CONLOAD, GZ, NO , NO, aDir[1], , , , 0.741, -23200, 0, 0, 0, 0, 0, 0, , NO, 0, 0, NO,
1933, BEAM , CONLOAD, GZ, NO , NO, aDir[1], , , , 0.741, -23200, 0, 0, 0, 0, 0, 0, , NO, 0, 0, NO,
1934, BEAM , CONLOAD, GZ, NO , NO, aDir[1], , , , 0.741, -26400, 0, 0, 0, 0, 0, 0, , NO, 0, 0, NO,
1935, BEAM , CONLOAD, GZ, NO , NO, aDir[1], , , , 0.741, -26400, 0, 0, 0, 0, 0, 0, , NO, 0, 0, NO,
1936, BEAM , CONLOAD, GZ, NO , NO, aDir[1], , , , 0.741, -23200, 0, 0, 0, 0, 0, 0, , NO, 0, 0, NO,
1937, BEAM , CONLOAD, GZ, NO , NO, aDir[1], , , , 0.741, -23200, 0, 0, 0, 0, 0, 0, , NO, 0, 0, NO,
1938, BEAM , CONLOAD, GZ, NO , NO, aDir[1], , , , 0.741, -23200, 0, 0, 0, 0, 0, 0, , NO, 0, 0, NO,
1939, BEAM , CONLOAD, GZ, NO , NO, aDir[1], , , , 0.741, -23200, 0, 0, 0, 0, 0, 0, , NO, 0, 0, NO,
1940, BEAM , CONLOAD, GZ, NO , NO, aDir[1], , , , 0.741, -23200, 0, 0, 0, 0, 0, 0, , NO, 0, 0, NO,
1941, BEAM , CONLOAD, GZ, NO , NO, aDir[1], , , , 0.741, -23200, 0, 0, 0, 0, 0, 0, , NO, 0, 0, NO,
1942, BEAM , CONLOAD, GZ, NO , NO, aDir[1], , , , 0.741, -26400, 0, 0, 0, 0, 0, 0, , NO, 0, 0, NO,
1943, BEAM , CONLOAD, GZ, NO , NO, aDir[1], , , , 0.741, -26400, 0, 0, 0, 0, 0, 0, , NO, 0, 0, NO,
1944, BEAM , CONLOAD, GZ, NO , NO, aDir[1], , , , 0.741, -23200, 0, 0, 0, 0, 0, 0, , NO, 0, 0, NO,
1945, BEAM , CONLOAD, GZ, NO , NO, aDir[1], , , , 0.741, -23200, 0, 0, 0, 0, 0, 0, , NO, 0, 0, NO,
1946, BEAM , CONLOAD, GZ, NO , NO, aDir[1], , , , 0.741, -23200, 0, 0, 0, 0, 0, 0, , NO, 0, 0, NO,
1947, BEAM , CONLOAD, GZ, NO , NO, aDir[1], , , , 0.741, -23200, 0, 0, 0, 0, 0, 0, , NO, 0, 0, NO,
1948, BEAM , CONLOAD, GZ, NO , NO, aDir[1], , , , 0.741, -23200, 0, 0, 0, 0, 0, 0, , NO, 0, 0, NO,
1949, BEAM , CONLOAD, GZ, NO , NO, aDir[1], , , , 0.741, -23200, 0, 0, 0, 0, 0, 0, , NO, 0, 0, NO,
1950, BEAM , CONLOAD, GZ, NO , NO, aDir[1], , , , 0.741, -26400, 0, 0, 0, 0, 0, 0, , NO, 0, 0, NO,
1951, BEAM , CONLOAD, GZ, NO , NO, aDir[1], , , , 0.741, -26400, 0, 0, 0, 0, 0, 0, , NO, 0, 0, NO,
1952, BEAM , CONLOAD, GZ, NO , NO, aDir[1], , , , 0.741, -23200, 0, 0, 0, 0, 0, 0, , NO, 0, 0, NO,
1953, BEAM , CONLOAD, GZ, NO , NO, aDir[1], , , , 0.741, -23200, 0, 0, 0, 0, 0, 0, , NO, 0, 0, NO,
1954, BEAM , CONLOAD, GZ, NO , NO, aDir[1], , , , 0.741, -23200, 0, 0, 0, 0, 0, 0, , NO, 0, 0, NO,
1955, BEAM , CONLOAD, GZ, NO , NO, aDir[1], , , , 0.741, -23200, 0, 0, 0, 0, 0, 0, , NO, 0, 0, NO,
1956, BEAM , CONLOAD, GZ, NO , NO, aDir[1], , , , 0.741, -23200, 0, 0, 0, 0, 0, 0, , NO, 0, 0, NO,
1957, BEAM , CONLOAD, GZ, NO , NO, aDir[1], , , , 0.741, -23200, 0, 0, 0, 0, 0, 0, , NO, 0, 0, NO,
1958, BEAM , CONLOAD, GZ, NO , NO, aDir[1], , , , 0.741, -26400, 0, 0, 0, 0, 0, 0, , NO, 0, 0, NO,
1959, BEAM , CONLOAD, GZ, NO , NO, aDir[1], , , , 0.741, -26400, 0, 0, 0, 0, 0, 0, , NO, 0, 0, NO,
1960, BEAM , CONLOAD, GZ, NO , NO, aDir[1], , , , 0.741, -23200, 0, 0, 0, 0, 0, 0, , NO, 0, 0, NO,
1961, BEAM , CONLOAD, GZ, NO , NO, aDir[1], , , , 0.741, -23200, 0, 0, 0, 0, 0, 0, , NO, 0, 0, NO,
1962, BEAM , CONLOAD, GZ, NO , NO, aDir[1], , , , 0.741, -23200, 0, 0, 0, 0, 0, 0, , NO, 0, 0, NO,
1963, BEAM , CONLOAD, GZ, NO , NO, aDir[1], , , , 0.741, -23200, 0, 0, 0, 0, 0, 0, , NO, 0, 0, NO,
1964, BEAM , CONLOAD, GZ, NO , NO, aDir[1], , , , 0.741, -23200, 0, 0, 0, 0, 0, 0, , NO, 0, 0, NO,
1965, BEAM , CONLOAD, GZ, NO , NO, aDir[1], , , , 0.741, -23200, 0, 0, 0, 0, 0, 0, , NO, 0, 0, NO,
1966, BEAM , CONLOAD, GZ, NO , NO, aDir[1], , , , 0.741, -26400, 0, 0, 0, 0, 0, 0, , NO, 0, 0, NO,
1967, BEAM , CONLOAD, GZ, NO , NO, aDir[1], , , , 0.741, -26400, 0, 0, 0, 0, 0, 0, , NO, 0, 0, NO,
1968, BEAM , CONLOAD, GZ, NO , NO, aDir[1], , , , 0.741, -23200, 0, 0, 0, 0, 0, 0, , NO, 0, 0, NO,
1969, BEAM , CONLOAD, GZ, NO , NO, aDir[1], , , , 0.741, -23200, 0, 0, 0, 0, 0, 0, , NO, 0, 0, NO,
1970, BEAM , CONLOAD, GZ, NO , NO, aDir[1], , , , 0.741, -23200, 0, 0, 0, 0, 0, 0, , NO, 0, 0, NO,
1971, BEAM , CONLOAD, GZ, NO , NO, aDir[1], , , , 0.741, -23200, 0, 0, 0, 0, 0, 0, , NO, 0, 0, NO,
1972, BEAM , CONLOAD, GZ, NO , NO, aDir[1], , , , 0.741, -23200, 0, 0, 0, 0, 0, 0, , NO, 0, 0, NO,
1973, BEAM , CONLOAD, GZ, NO , NO, aDir[1], , , , 0.741, -23200, 0, 0, 0, 0, 0, 0, , NO, 0, 0, NO,
1974, BEAM , CONLOAD, GZ, NO , NO, aDir[1], , , , 0.741, -25900, 0, 0, 0, 0, 0, 0, , NO, 0, 0, NO,
1975, BEAM , CONLOAD, GZ, NO , NO, aDir[1], , , , 0.741, -24900, 0, 0, 0, 0, 0, 0, , NO, 0, 0, NO,
1976, BEAM , CONLOAD, GZ, NO , NO, aDir[1], , , , 0.741, -21200, 0, 0, 0, 0, 0, 0, , NO, 0, 0, NO,
1977, BEAM , CONLOAD, GZ, NO , NO, aDir[1], , , , 0.741, -21200, 0, 0, 0, 0, 0, 0, , NO, 0, 0, NO,
1978, BEAM , CONLOAD, GZ, NO , NO, aDir[1], , , , 0.741, -21200, 0, 0, 0, 0, 0, 0, , NO, 0, 0, NO,
1979, BEAM , CONLOAD, GZ, NO , NO, aDir[1], , , , 0.741, -21200, 0, 0, 0, 0, 0, 0, , NO, 0, 0, NO,
1980, BEAM , CONLOAD, GZ, NO , NO, aDir[1], , , , 0.741, -21200, 0, 0, 0, 0, 0, 0, , NO, 0, 0, NO,
1981, BEAM , CONLOAD, GZ, NO , NO, aDir[1], , , , 0.741, -21200, 0, 0, 0, 0, 0, 0, , NO, 0, 0, NO,

1982, BEAM , CONLOAD, GZ, NO , NO, aDir[1], , , , 0.741, -24500, 0, 0, 0, 0, 0, 0, , NO, 0, 0, NO,
1983, BEAM , CONLOAD, GZ, NO , NO, aDir[1], , , , 0.741, -24900, 0, 0, 0, 0, 0, 0, , NO, 0, 0, NO,
1984, BEAM , CONLOAD, GZ, NO , NO, aDir[1], , , , 0.741, -22000, 0, 0, 0, 0, 0, 0, , NO, 0, 0, NO,
1985, BEAM , CONLOAD, GZ, NO , NO, aDir[1], , , , 0.741, -22000, 0, 0, 0, 0, 0, 0, , NO, 0, 0, NO,
1986, BEAM , CONLOAD, GZ, NO , NO, aDir[1], , , , 0.741, -22000, 0, 0, 0, 0, 0, 0, , NO, 0, 0, NO,
1987, BEAM , CONLOAD, GZ, NO , NO, aDir[1], , , , 0.741, -22000, 0, 0, 0, 0, 0, 0, , NO, 0, 0, NO,
1988, BEAM , CONLOAD, GZ, NO , NO, aDir[1], , , , 0.741, -22000, 0, 0, 0, 0, 0, 0, , NO, 0, 0, NO,
1989, BEAM , CONLOAD, GZ, NO , NO, aDir[1], , , , 0.741, -25100, 0, 0, 0, 0, 0, 0, , NO, 0, 0, NO,
1990, BEAM , CONLOAD, GZ, NO , NO, aDir[1], , , , 0.741, -25100, 0, 0, 0, 0, 0, 0, , NO, 0, 0, NO,
1991, BEAM , CONLOAD, GZ, NO , NO, aDir[1], , , , 0.741, -22000, 0, 0, 0, 0, 0, 0, , NO, 0, 0, NO,
1992, BEAM , CONLOAD, GZ, NO , NO, aDir[1], , , , 0.741, -22000, 0, 0, 0, 0, 0, 0, , NO, 0, 0, NO,
1993, BEAM , CONLOAD, GZ, NO , NO, aDir[1], , , , 0.741, -22000, 0, 0, 0, 0, 0, 0, , NO, 0, 0, NO,
1994, BEAM , CONLOAD, GZ, NO , NO, aDir[1], , , , 0.741, -22000, 0, 0, 0, 0, 0, 0, , NO, 0, 0, NO,
1995, BEAM , CONLOAD, GZ, NO , NO, aDir[1], , , , 0.741, -11000, 0, 0, 0, 0, 0, 0, , NO, 0, 0, NO,

; End of data for load case [MVminP71_2PFx9] ----------

*USE-STLD, R+X 1. track

*BEAMLOAD ; Element Beam Loads
; ELEM_LIST, CMD, TYPE, DIR, bPROJ, [ECCEN], [VALUE], GROUP
; ELEM_LIST, CMD, TYPE, TYPE, DIR, VX, VY, VZ, bPROJ, [ECCEN], [VALUE], GROUP
; [VALUE] : D1, P1, D2, P2, D3, P3, D4, P4
; [ECCEN] : bECCEN, ECCDIR, I-END, J-END, bJ-END
; [ADDITIONAL] : bADDITIONAL, ADDITIONAL_I-END, ADDITIONAL_J-END, bADDITIONAL_J-END
1063, BEAM , UNILOAD, GX, NO , NO, aDir[1], , , , 0, 16, 1, 16, 0, 0, 0, 0, R - Traction force, NO, 0, 0, NO,
1064, BEAM , UNILOAD, GX, NO , NO, aDir[1], , , , 0, 16, 1, 16, 0, 0, 0, 0, R - Traction force, NO, 0, 0, NO,
1065, BEAM , UNILOAD, GX, NO , NO, aDir[1], , , , 0, 16, 1, 16, 0, 0, 0, 0, R - Traction force, NO, 0, 0, NO,
1066, BEAM , UNILOAD, GX, NO , NO, aDir[1], , , , 0, 16, 1, 16, 0, 0, 0, 0, R - Traction force, NO, 0, 0, NO,
1067, BEAM , UNILOAD, GX, NO , NO, aDir[1], , , , 0, 16, 1, 16, 0, 0, 0, 0, R - Traction force, NO, 0, 0, NO,
1068, BEAM , UNILOAD, GX, NO , NO, aDir[1], , , , 0, 16, 1, 16, 0, 0, 0, 0, R - Traction force, NO, 0, 0, NO,
1069, BEAM , UNILOAD, GX, NO , NO, aDir[1], , , , 0, 16, 1, 16, 0, 0, 0, 0, R - Traction force, NO, 0, 0, NO,
1070, BEAM , UNILOAD, GX, NO , NO, aDir[1], , , , 0, 16, 1, 16, 0, 0, 0, 0, R - Traction force, NO, 0, 0, NO,
1071, BEAM , UNILOAD, GX, NO , NO, aDir[1], , , , 0, 16, 1, 16, 0, 0, 0, 0, R - Traction force, NO, 0, 0, NO,
1072, BEAM , UNILOAD, GX, NO , NO, aDir[1], , , , 0, 16, 1, 16, 0, 0, 0, 0, R - Traction force, NO, 0, 0, NO,
1073, BEAM , UNILOAD, GX, NO , NO, aDir[1], , , , 0, 16, 1, 16, 0, 0, 0, 0, R - Traction force, NO, 0, 0, NO,
1074, BEAM , UNILOAD, GX, NO , NO, aDir[1], , , , 0, 16, 1, 16, 0, 0, 0, 0, R - Traction force, NO, 0, 0, NO,
1075, BEAM , UNILOAD, GX, NO , NO, aDir[1], , , , 0, 16, 1, 16, 0, 0, 0, 0, R - Traction force, NO, 0, 0, NO,
1076, BEAM , UNILOAD, GX, NO , NO, aDir[1], , , , 0, 16, 1, 16, 0, 0, 0, 0, R - Traction force, NO, 0, 0, NO,
1077, BEAM , UNILOAD, GX, NO , NO, aDir[1], , , , 0, 16, 1, 16, 0, 0, 0, 0, R - Traction force, NO, 0, 0, NO,
1078, BEAM , UNILOAD, GX, NO , NO, aDir[1], , , , 0, 16, 1, 16, 0, 0, 0, 0, R - Traction force, NO, 0, 0, NO,
1079, BEAM , UNILOAD, GX, NO , NO, aDir[1], , , , 0, 16, 1, 16, 0, 0, 0, 0, R - Traction force, NO, 0, 0, NO,
1080, BEAM , UNILOAD, GX, NO , NO, aDir[1], , , , 0, 16, 1, 16, 0, 0, 0, 0, R - Traction force, NO, 0, 0, NO,
1081, BEAM , UNILOAD, GX, NO , NO, aDir[1], , , , 0, 16, 1, 16, 0, 0, 0, 0, R - Traction force, NO, 0, 0, NO,
1082, BEAM , UNILOAD, GX, NO , NO, aDir[1], , , , 0, 16, 1, 16, 0, 0, 0, 0, R - Traction force, NO, 0, 0, NO,
1083, BEAM , UNILOAD, GX, NO , NO, aDir[1], , , , 0, 16, 1, 16, 0, 0, 0, 0, R - Traction force, NO, 0, 0, NO,
1084, BEAM , UNILOAD, GX, NO , NO, aDir[1], , , , 0, 16, 1, 16, 0, 0, 0, 0, R - Traction force, NO, 0, 0, NO,
1085, BEAM , UNILOAD, GX, NO , NO, aDir[1], , , , 0, 16, 1, 16, 0, 0, 0, 0, R - Traction force, NO, 0, 0, NO,
1086, BEAM , UNILOAD, GX, NO , NO, aDir[1], , , , 0, 16, 1, 16, 0, 0, 0, 0, R - Traction force, NO, 0, 0, NO,
1087, BEAM , UNILOAD, GX, NO , NO, aDir[1], , , , 0, 16, 1, 16, 0, 0, 0, 0, R - Traction force, NO, 0, 0, NO,
1088, BEAM , UNILOAD, GX, NO , NO, aDir[1], , , , 0, 16, 1, 16, 0, 0, 0, 0, R - Traction force, NO, 0, 0, NO,
1089, BEAM , UNILOAD, GX, NO , NO, aDir[1], , , , 0, 16, 1, 16, 0, 0, 0, 0, R - Traction force, NO, 0, 0, NO,
1090, BEAM , UNILOAD, GX, NO , NO, aDir[1], , , , 0, 16, 1, 16, 0, 0, 0, 0, R - Traction force, NO, 0, 0, NO,
1091, BEAM , UNILOAD, GX, NO , NO, aDir[1], , , , 0, 16, 1, 16, 0, 0, 0, 0, R - Traction force, NO, 0, 0, NO,
1092, BEAM , UNILOAD, GX, NO , NO, aDir[1], , , , 0, 16, 1, 16, 0, 0, 0, 0, R - Traction force, NO, 0, 0, NO,
1093, BEAM , UNILOAD, GX, NO , NO, aDir[1], , , , 0, 16, 1, 16, 0, 0, 0, 0, R - Traction force, NO, 0, 0, NO,
1094, BEAM , UNILOAD, GX, NO , NO, aDir[1], , , , 0, 16, 1, 16, 0, 0, 0, 0, R - Traction force, NO, 0, 0, NO,
1095, BEAM , UNILOAD, GX, NO , NO, aDir[1], , , , 0, 16, 1, 16, 0, 0, 0, 0, R - Traction force, NO, 0, 0, NO,
1096, BEAM , UNILOAD, GX, NO , NO, aDir[1], , , , 0, 16, 1, 16, 0, 0, 0, 0, R - Traction force, NO, 0, 0, NO,
1097, BEAM , UNILOAD, GX, NO , NO, aDir[1], , , , 0, 16, 1, 16, 0, 0, 0, 0, R - Traction force, NO, 0, 0, NO,
1098, BEAM , UNILOAD, GX, NO , NO, aDir[1], , , , 0, 16, 1, 16, 0, 0, 0, 0, R - Traction force, NO, 0, 0, NO,
1099, BEAM , UNILOAD, GX, NO , NO, aDir[1], , , , 0, 16, 1, 16, 0, 0, 0, 0, R - Traction force, NO, 0, 0, NO,
1100, BEAM , UNILOAD, GX, NO , NO, aDir[1], , , , 0, 16, 1, 16, 0, 0, 0, 0, R - Traction force, NO, 0, 0, NO,
1101, BEAM , UNILOAD, GX, NO , NO, aDir[1], , , , 0, 16, 1, 16, 0, 0, 0, 0, R - Traction force, NO, 0, 0, NO,
1102, BEAM , UNILOAD, GX, NO , NO, aDir[1], , , , 0, 16, 1, 16, 0, 0, 0, 0, R - Traction force, NO, 0, 0, NO,
1103, BEAM , UNILOAD, GX, NO , NO, aDir[1], , , , 0, 16, 1, 16, 0, 0, 0, 0, R - Traction force, NO, 0, 0, NO,
1104, BEAM , UNILOAD, GX, NO , NO, aDir[1], , , , 0, 16, 1, 16, 0, 0, 0, 0, R - Traction force, NO, 0, 0, NO,
1105, BEAM , UNILOAD, GX, NO , NO, aDir[1], , , , 0, 16, 1, 16, 0, 0, 0, 0, R - Traction force, NO, 0, 0, NO,
1106, BEAM , UNILOAD, GX, NO , NO, aDir[1], , , , 0, 16, 1, 16, 0, 0, 0, 0, R - Traction force, NO, 0, 0, NO,
1107, BEAM , UNILOAD, GX, NO , NO, aDir[1], , , , 0, 16, 1, 16, 0, 0, 0, 0, R - Traction force, NO, 0, 0, NO,
1108, BEAM , UNILOAD, GX, NO , NO, aDir[1], , , , 0, 16, 1, 16, 0, 0, 0, 0, R - Traction force, NO, 0, 0, NO,
1109, BEAM , UNILOAD, GX, NO , NO, aDir[1], , , , 0, 16, 1, 16, 0, 0, 0, 0, R - Traction force, NO, 0, 0, NO,

PROJECT TITLE :

MIDAS	Company		Client	
	Author		File Name	H2D_3Dg_v14_180227_StatLM.mct

1110, BEAM , UNILOAD, GX, NO , NO, aDir[1], , , , 0, 16, 1, 16, 0, 0, 0, 0, R - Traction force, NO, 0, 0, NO,
1111, BEAM , UNILOAD, GX, NO , NO, aDir[1], , , , 0, 16, 1, 16, 0, 0, 0, 0, R - Traction force, NO, 0, 0, NO,
1112, BEAM , UNILOAD, GX, NO , NO, aDir[1], , , , 0, 16, 1, 16, 0, 0, 0, 0, R - Traction force, NO, 0, 0, NO,
1113, BEAM , UNILOAD, GX, NO , NO, aDir[1], , , , 0, 16, 1, 16, 0, 0, 0, 0, R - Traction force, NO, 0, 0, NO,
1114, BEAM , UNILOAD, GX, NO , NO, aDir[1], , , , 0, 16, 1, 16, 0, 0, 0, 0, R - Traction force, NO, 0, 0, NO,
1115, BEAM , UNILOAD, GX, NO , NO, aDir[1], , , , 0, 16, 1, 16, 0, 0, 0, 0, R - Traction force, NO, 0, 0, NO,
1116, BEAM , UNILOAD, GX, NO , NO, aDir[1], , , , 0, 16, 1, 16, 0, 0, 0, 0, R - Traction force, NO, 0, 0, NO,
1117, BEAM , UNILOAD, GX, NO , NO, aDir[1], , , , 0, 16, 1, 16, 0, 0, 0, 0, R - Traction force, NO, 0, 0, NO,
1118, BEAM , UNILOAD, GX, NO , NO, aDir[1], , , , 0, 16, 1, 16, 0, 0, 0, 0, R - Traction force, NO, 0, 0, NO,
1119, BEAM , UNILOAD, GX, NO , NO, aDir[1], , , , 0, 16, 1, 16, 0, 0, 0, 0, R - Traction force, NO, 0, 0, NO,
1120, BEAM , UNILOAD, GX, NO , NO, aDir[1], , , , 0, 16, 1, 16, 0, 0, 0, 0, R - Traction force, NO, 0, 0, NO,
1121, BEAM , UNILOAD, GX, NO , NO, aDir[1], , , , 0, 16, 1, 16, 0, 0, 0, 0, R - Traction force, NO, 0, 0, NO,
1122, BEAM , UNILOAD, GX, NO , NO, aDir[1], , , , 0, 16, 1, 16, 0, 0, 0, 0, R - Traction force, NO, 0, 0, NO,
1123, BEAM , UNILOAD, GX, NO , NO, aDir[1], , , , 0, 16, 1, 16, 0, 0, 0, 0, R - Traction force, NO, 0, 0, NO,
1124, BEAM , UNILOAD, GX, NO , NO, aDir[1], , , , 0, 16, 1, 16, 0, 0, 0, 0, R - Traction force, NO, 0, 0, NO,
1125, BEAM , UNILOAD, GX, NO , NO, aDir[1], , , , 0, 16, 1, 16, 0, 0, 0, 0, R - Traction force, NO, 0, 0, NO,
1126, BEAM , UNILOAD, GX, NO , NO, aDir[1], , , , 0, 16, 1, 16, 0, 0, 0, 0, R - Traction force, NO, 0, 0, NO,
1127, BEAM , UNILOAD, GX, NO , NO, aDir[1], , , , 0, 16, 1, 16, 0, 0, 0, 0, R - Traction force, NO, 0, 0, NO,
1128, BEAM , UNILOAD, GX, NO , NO, aDir[1], , , , 0, 16, 1, 16, 0, 0, 0, 0, R - Traction force, NO, 0, 0, NO,
1129, BEAM , UNILOAD, GX, NO , NO, aDir[1], , , , 0, 16, 1, 16, 0, 0, 0, 0, R - Traction force, NO, 0, 0, NO,
1130, BEAM , UNILOAD, GX, NO , NO, aDir[1], , , , 0, 16, 1, 16, 0, 0, 0, 0, R - Traction force, NO, 0, 0, NO,
1131, BEAM , UNILOAD, GX, NO , NO, aDir[1], , , , 0, 16, 1, 16, 0, 0, 0, 0, R - Traction force, NO, 0, 0, NO,
1132, BEAM , UNILOAD, GX, NO , NO, aDir[1], , , , 0, 16, 1, 16, 0, 0, 0, 0, R - Traction force, NO, 0, 0, NO,
1133, BEAM , UNILOAD, GX, NO , NO, aDir[1], , , , 0, 16, 1, 16, 0, 0, 0, 0, R - Traction force, NO, 0, 0, NO,
1134, BEAM , UNILOAD, GX, NO , NO, aDir[1], , , , 0, 16, 1, 16, 0, 0, 0, 0, R - Traction force, NO, 0, 0, NO,
1135, BEAM , UNILOAD, GX, NO , NO, aDir[1], , , , 0, 16, 1, 16, 0, 0, 0, 0, R - Traction force, NO, 0, 0, NO,
1136, BEAM , UNILOAD, GX, NO , NO, aDir[1], , , , 0, 16, 1, 16, 0, 0, 0, 0, R - Traction force, NO, 0, 0, NO,
1237, BEAM , UNILOAD, GX, NO , NO, aDir[1], , , , 0, 16, 1, 16, 0, 0, 0, 0, R - Traction force, NO, 0, 0, NO,
1238, BEAM , UNILOAD, GX, NO , NO, aDir[1], , , , 0, 16, 1, 16, 0, 0, 0, 0, R - Traction force, NO, 0, 0, NO,
1239, BEAM , UNILOAD, GX, NO , NO, aDir[1], , , , 0, 16, 1, 16, 0, 0, 0, 0, R - Traction force, NO, 0, 0, NO,
1240, BEAM , UNILOAD, GX, NO , NO, aDir[1], , , , 0, 16, 1, 16, 0, 0, 0, 0, R - Traction force, NO, 0, 0, NO,
1241, BEAM , UNILOAD, GX, NO , NO, aDir[1], , , , 0, 16, 1, 16, 0, 0, 0, 0, R - Traction force, NO, 0, 0, NO,
1242, BEAM , UNILOAD, GX, NO , NO, aDir[1], , , , 0, 16, 1, 16, 0, 0, 0, 0, R - Traction force, NO, 0, 0, NO,
1243, BEAM , UNILOAD, GX, NO , NO, aDir[1], , , , 0, 16, 1, 16, 0, 0, 0, 0, R - Traction force, NO, 0, 0, NO,
1244, BEAM , UNILOAD, GX, NO , NO, aDir[1], , , , 0, 16, 1, 16, 0, 0, 0, 0, R - Traction force, NO, 0, 0, NO,
1245, BEAM , UNILOAD, GX, NO , NO, aDir[1], , , , 0, 16, 1, 16, 0, 0, 0, 0, R - Traction force, NO, 0, 0, NO,
1246, BEAM , UNILOAD, GX, NO , NO, aDir[1], , , , 0, 16, 1, 16, 0, 0, 0, 0, R - Traction force, NO, 0, 0, NO,
1247, BEAM , UNILOAD, GX, NO , NO, aDir[1], , , , 0, 16, 1, 16, 0, 0, 0, 0, R - Traction force, NO, 0, 0, NO,
1248, BEAM , UNILOAD, GX, NO , NO, aDir[1], , , , 0, 16, 1, 16, 0, 0, 0, 0, R - Traction force, NO, 0, 0, NO,
1249, BEAM , UNILOAD, GX, NO , NO, aDir[1], , , , 0, 16, 1, 16, 0, 0, 0, 0, R - Traction force, NO, 0, 0, NO,
1250, BEAM , UNILOAD, GX, NO , NO, aDir[1], , , , 0, 16, 1, 16, 0, 0, 0, 0, R - Traction force, NO, 0, 0, NO,
1251, BEAM , UNILOAD, GX, NO , NO, aDir[1], , , , 0, 16, 1, 16, 0, 0, 0, 0, R - Traction force, NO, 0, 0, NO,
1252, BEAM , UNILOAD, GX, NO , NO, aDir[1], , , , 0, 16, 1, 16, 0, 0, 0, 0, R - Traction force, NO, 0, 0, NO,
1253, BEAM , UNILOAD, GX, NO , NO, aDir[1], , , , 0, 16, 1, 16, 0, 0, 0, 0, R - Traction force, NO, 0, 0, NO,
1254, BEAM , UNILOAD, GX, NO , NO, aDir[1], , , , 0, 16, 1, 16, 0, 0, 0, 0, R - Traction force, NO, 0, 0, NO,
1255, BEAM , UNILOAD, GX, NO , NO, aDir[1], , , , 0, 16, 1, 16, 0, 0, 0, 0, R - Traction force, NO, 0, 0, NO,
1256, BEAM , UNILOAD, GX, NO , NO, aDir[1], , , , 0, 16, 1, 16, 0, 0, 0, 0, R - Traction force, NO, 0, 0, NO,
1257, BEAM , UNILOAD, GX, NO , NO, aDir[1], , , , 0, 16, 1, 16, 0, 0, 0, 0, R - Traction force, NO, 0, 0, NO,
1258, BEAM , UNILOAD, GX, NO , NO, aDir[1], , , , 0, 16, 1, 16, 0, 0, 0, 0, R - Traction force, NO, 0, 0, NO,
1259, BEAM , UNILOAD, GX, NO , NO, aDir[1], , , , 0, 16, 1, 16, 0, 0, 0, 0, R - Traction force, NO, 0, 0, NO,
1260, BEAM , UNILOAD, GX, NO , NO, aDir[1], , , , 0, 16, 1, 16, 0, 0, 0, 0, R - Traction force, NO, 0, 0, NO,
1261, BEAM , UNILOAD, GX, NO , NO, aDir[1], , , , 0, 16, 1, 16, 0, 0, 0, 0, R - Traction force, NO, 0, 0, NO,
1262, BEAM , UNILOAD, GX, NO , NO, aDir[1], , , , 0, 16, 1, 16, 0, 0, 0, 0, R - Traction force, NO, 0, 0, NO,
1263, BEAM , UNILOAD, GX, NO , NO, aDir[1], , , , 0, 16, 1, 16, 0, 0, 0, 0, R - Traction force, NO, 0, 0, NO,
1264, BEAM , UNILOAD, GX, NO , NO, aDir[1], , , , 0, 16, 1, 16, 0, 0, 0, 0, R - Traction force, NO, 0, 0, NO,
1265, BEAM , UNILOAD, GX, NO , NO, aDir[1], , , , 0, 16, 1, 16, 0, 0, 0, 0, R - Traction force, NO, 0, 0, NO,
1266, BEAM , UNILOAD, GX, NO , NO, aDir[1], , , , 0, 16, 1, 16, 0, 0, 0, 0, R - Traction force, NO, 0, 0, NO,
1267, BEAM , UNILOAD, GX, NO , NO, aDir[1], , , , 0, 16, 1, 16, 0, 0, 0, 0, R - Traction force, NO, 0, 0, NO,
1268, BEAM , UNILOAD, GX, NO , NO, aDir[1], , , , 0, 16, 1, 16, 0, 0, 0, 0, R - Traction force, NO, 0, 0, NO,
1269, BEAM , UNILOAD, GX, NO , NO, aDir[1], , , , 0, 16, 1, 16, 0, 0, 0, 0, R - Traction force, NO, 0, 0, NO,
1270, BEAM , UNILOAD, GX, NO , NO, aDir[1], , , , 0, 16, 1, 16, 0, 0, 0, 0, R - Traction force, NO, 0, 0, NO,
1271, BEAM , UNILOAD, GX, NO , NO, aDir[1], , , , 0, 16, 1, 16, 0, 0, 0, 0, R - Traction force, NO, 0, 0, NO,
1272, BEAM , UNILOAD, GX, NO , NO, aDir[1], , , , 0, 16, 1, 16, 0, 0, 0, 0, R - Traction force, NO, 0, 0, NO,
1273, BEAM , UNILOAD, GX, NO , NO, aDir[1], , , , 0, 16, 1, 16, 0, 0, 0, 0, R - Traction force, NO, 0, 0, NO,
1274, BEAM , UNILOAD, GX, NO , NO, aDir[1], , , , 0, 16, 1, 16, 0, 0, 0, 0, R - Traction force, NO, 0, 0, NO,
1275, BEAM , UNILOAD, GX, NO , NO, aDir[1], , , , 0, 16, 1, 16, 0, 0, 0, 0, R - Traction force, NO, 0, 0, NO,
1276, BEAM , UNILOAD, GX, NO , NO, aDir[1], , , , 0, 16, 1, 16, 0, 0, 0, 0, R - Traction force, NO, 0, 0, NO,
1277, BEAM , UNILOAD, GX, NO , NO, aDir[1], , , , 0, 16, 1, 16, 0, 0, 0, 0, R - Traction force, NO, 0, 0, NO,
1278, BEAM , UNILOAD, GX, NO , NO, aDir[1], , , , 0, 16, 1, 16, 0, 0, 0, 0, R - Traction force, NO, 0, 0, NO,
1279, BEAM , UNILOAD, GX, NO , NO, aDir[1], , , , 0, 16, 1, 16, 0, 0, 0, 0, R - Traction force, NO, 0, 0, NO,
1280, BEAM , UNILOAD, GX, NO , NO, aDir[1], , , , 0, 16, 1, 16, 0, 0, 0, 0, R - Traction force, NO, 0, 0, NO,
1281, BEAM , UNILOAD, GX, NO , NO, aDir[1], , , , 0, 16, 1, 16, 0, 0, 0, 0, R - Traction force, NO, 0, 0, NO,

1282, BEAM , UNILOAD, GX, NO , NO, aDir[1], , , , 0, 16, 1, 16, 0, 0, 0, 0, R - Traction force, NO, 0, 0, NO,
1283, BEAM , UNILOAD, GX, NO , NO, aDir[1], , , , 0, 16, 1, 16, 0, 0, 0, 0, R - Traction force, NO, 0, 0, NO,
1284, BEAM , UNILOAD, GX, NO , NO, aDir[1], , , , 0, 16, 1, 16, 0, 0, 0, 0, R - Traction force, NO, 0, 0, NO,
1285, BEAM , UNILOAD, GX, NO , NO, aDir[1], , , , 0, 16, 1, 16, 0, 0, 0, 0, R - Traction force, NO, 0, 0, NO,
1286, BEAM , UNILOAD, GX, NO , NO, aDir[1], , , , 0, 16, 1, 16, 0, 0, 0, 0, R - Traction force, NO, 0, 0, NO,
1287, BEAM , UNILOAD, GX, NO , NO, aDir[1], , , , 0, 16, 1, 16, 0, 0, 0, 0, R - Traction force, NO, 0, 0, NO,
1288, BEAM , UNILOAD, GX, NO , NO, aDir[1], , , , 0, 16, 1, 16, 0, 0, 0, 0, R - Traction force, NO, 0, 0, NO,
1289, BEAM , UNILOAD, GX, NO , NO, aDir[1], , , , 0, 16, 1, 16, 0, 0, 0, 0, R - Traction force, NO, 0, 0, NO,
1290, BEAM , UNILOAD, GX, NO , NO, aDir[1], , , , 0, 16, 1, 16, 0, 0, 0, 0, R - Traction force, NO, 0, 0, NO,
1291, BEAM , UNILOAD, GX, NO , NO, aDir[1], , , , 0, 16, 1, 16, 0, 0, 0, 0, R - Traction force, NO, 0, 0, NO,
1292, BEAM , UNILOAD, GX, NO , NO, aDir[1], , , , 0, 16, 1, 16, 0, 0, 0, 0, R - Traction force, NO, 0, 0, NO,
1293, BEAM , UNILOAD, GX, NO , NO, aDir[1], , , , 0, 16, 1, 16, 0, 0, 0, 0, R - Traction force, NO, 0, 0, NO,
1294, BEAM , UNILOAD, GX, NO , NO, aDir[1], , , , 0, 16, 1, 16, 0, 0, 0, 0, R - Traction force, NO, 0, 0, NO,
1295, BEAM , UNILOAD, GX, NO , NO, aDir[1], , , , 0, 16, 1, 16, 0, 0, 0, 0, R - Traction force, NO, 0, 0, NO,
1296, BEAM , UNILOAD, GX, NO , NO, aDir[1], , , , 0, 16, 1, 16, 0, 0, 0, 0, R - Traction force, NO, 0, 0, NO,
1297, BEAM , UNILOAD, GX, NO , NO, aDir[1], , , , 0, 16, 1, 16, 0, 0, 0, 0, R - Traction force, NO, 0, 0, NO,
1298, BEAM , UNILOAD, GX, NO , NO, aDir[1], , , , 0, 16, 1, 16, 0, 0, 0, 0, R - Traction force, NO, 0, 0, NO,
1299, BEAM , UNILOAD, GX, NO , NO, aDir[1], , , , 0, 16, 1, 16, 0, 0, 0, 0, R - Traction force, NO, 0, 0, NO,
1300, BEAM , UNILOAD, GX, NO , NO, aDir[1], , , , 0, 16, 1, 16, 0, 0, 0, 0, R - Traction force, NO, 0, 0, NO,
1301, BEAM , UNILOAD, GX, NO , NO, aDir[1], , , , 0, 16, 1, 16, 0, 0, 0, 0, R - Traction force, NO, 0, 0, NO,
1302, BEAM , UNILOAD, GX, NO , NO, aDir[1], , , , 0, 16, 1, 16, 0, 0, 0, 0, R - Traction force, NO, 0, 0, NO,
1303, BEAM , UNILOAD, GX, NO , NO, aDir[1], , , , 0, 16, 1, 16, 0, 0, 0, 0, R - Traction force, NO, 0, 0, NO,
1304, BEAM , UNILOAD, GX, NO , NO, aDir[1], , , , 0, 16, 1, 16, 0, 0, 0, 0, R - Traction force, NO, 0, 0, NO,
1305, BEAM , UNILOAD, GX, NO , NO, aDir[1], , , , 0, 16, 1, 16, 0, 0, 0, 0, R - Traction force, NO, 0, 0, NO,
1306, BEAM , UNILOAD, GX, NO , NO, aDir[1], , , , 0, 16, 1, 16, 0, 0, 0, 0, R - Traction force, NO, 0, 0, NO,
1307, BEAM , UNILOAD, GX, NO , NO, aDir[1], , , , 0, 16, 1, 16, 0, 0, 0, 0, R - Traction force, NO, 0, 0, NO,
1308, BEAM , UNILOAD, GX, NO , NO, aDir[1], , , , 0, 16, 1, 16, 0, 0, 0, 0, R - Traction force, NO, 0, 0, NO,
1309, BEAM , UNILOAD, GX, NO , NO, aDir[1], , , , 0, 16, 1, 16, 0, 0, 0, 0, R - Traction force, NO, 0, 0, NO,
1310, BEAM , UNILOAD, GX, NO , NO, aDir[1], , , , 0, 16, 1, 16, 0, 0, 0, 0, R - Traction force, NO, 0, 0, NO,

; End of data for load case [R+X 1. track] ----------

*USE-STLD, R-X 1. track

*BEAMLOAD ; Element Beam Loads
; ELEM_LIST, CMD, TYPE, DIR, bPROJ, [ECCEN], [VALUE], GROUP
; ELEM_LIST, CMD, TYPE, TYPE, DIR, VX, VY, VZ, bPROJ, [ECCEN], [VALUE], GROUP
; [VALUE] : D1, P1, D2, P2, D3, P3, D4, P4
; [ECCEN] : bECCEN, ECCDIR, I-END, J-END, bJ-END
; [ADDITIONAL] : bADDITIONAL, ADDITIONAL_I-END, ADDITIONAL_J-END, bADDITIONAL_J-END
1063, BEAM , UNILOAD, GX, NO , NO, aDir[1], , , , 0, -16, 1, -16, 0, 0, 0, 0, R - Traction force, NO, 0, 0, NO,
1064, BEAM , UNILOAD, GX, NO , NO, aDir[1], , , , 0, -16, 1, -16, 0, 0, 0, 0, R - Traction force, NO, 0, 0, NO,
1065, BEAM , UNILOAD, GX, NO , NO, aDir[1], , , , 0, -16, 1, -16, 0, 0, 0, 0, R - Traction force, NO, 0, 0, NO,
1066, BEAM , UNILOAD, GX, NO , NO, aDir[1], , , , 0, -16, 1, -16, 0, 0, 0, 0, R - Traction force, NO, 0, 0, NO,
1067, BEAM , UNILOAD, GX, NO , NO, aDir[1], , , , 0, -16, 1, -16, 0, 0, 0, 0, R - Traction force, NO, 0, 0, NO,
1068, BEAM , UNILOAD, GX, NO , NO, aDir[1], , , , 0, -16, 1, -16, 0, 0, 0, 0, R - Traction force, NO, 0, 0, NO,
1069, BEAM , UNILOAD, GX, NO , NO, aDir[1], , , , 0, -16, 1, -16, 0, 0, 0, 0, R - Traction force, NO, 0, 0, NO,
1070, BEAM , UNILOAD, GX, NO , NO, aDir[1], , , , 0, -16, 1, -16, 0, 0, 0, 0, R - Traction force, NO, 0, 0, NO,
1071, BEAM , UNILOAD, GX, NO , NO, aDir[1], , , , 0, -16, 1, -16, 0, 0, 0, 0, R - Traction force, NO, 0, 0, NO,
1072, BEAM , UNILOAD, GX, NO , NO, aDir[1], , , , 0, -16, 1, -16, 0, 0, 0, 0, R - Traction force, NO, 0, 0, NO,
1073, BEAM , UNILOAD, GX, NO , NO, aDir[1], , , , 0, -16, 1, -16, 0, 0, 0, 0, R - Traction force, NO, 0, 0, NO,
1074, BEAM , UNILOAD, GX, NO , NO, aDir[1], , , , 0, -16, 1, -16, 0, 0, 0, 0, R - Traction force, NO, 0, 0, NO,
1075, BEAM , UNILOAD, GX, NO , NO, aDir[1], , , , 0, -16, 1, -16, 0, 0, 0, 0, R - Traction force, NO, 0, 0, NO,
1076, BEAM , UNILOAD, GX, NO , NO, aDir[1], , , , 0, -16, 1, -16, 0, 0, 0, 0, R - Traction force, NO, 0, 0, NO,
1077, BEAM , UNILOAD, GX, NO , NO, aDir[1], , , , 0, -16, 1, -16, 0, 0, 0, 0, R - Traction force, NO, 0, 0, NO,
1078, BEAM , UNILOAD, GX, NO , NO, aDir[1], , , , 0, -16, 1, -16, 0, 0, 0, 0, R - Traction force, NO, 0, 0, NO,
1079, BEAM , UNILOAD, GX, NO , NO, aDir[1], , , , 0, -16, 1, -16, 0, 0, 0, 0, R - Traction force, NO, 0, 0, NO,
1080, BEAM , UNILOAD, GX, NO , NO, aDir[1], , , , 0, -16, 1, -16, 0, 0, 0, 0, R - Traction force, NO, 0, 0, NO,
1081, BEAM , UNILOAD, GX, NO , NO, aDir[1], , , , 0, -16, 1, -16, 0, 0, 0, 0, R - Traction force, NO, 0, 0, NO,
1082, BEAM , UNILOAD, GX, NO , NO, aDir[1], , , , 0, -16, 1, -16, 0, 0, 0, 0, R - Traction force, NO, 0, 0, NO,
1083, BEAM , UNILOAD, GX, NO , NO, aDir[1], , , , 0, -16, 1, -16, 0, 0, 0, 0, R - Traction force, NO, 0, 0, NO,
1084, BEAM , UNILOAD, GX, NO , NO, aDir[1], , , , 0, -16, 1, -16, 0, 0, 0, 0, R - Traction force, NO, 0, 0, NO,
1085, BEAM , UNILOAD, GX, NO , NO, aDir[1], , , , 0, -16, 1, -16, 0, 0, 0, 0, R - Traction force, NO, 0, 0, NO,
1086, BEAM , UNILOAD, GX, NO , NO, aDir[1], , , , 0, -16, 1, -16, 0, 0, 0, 0, R - Traction force, NO, 0, 0, NO,
1087, BEAM , UNILOAD, GX, NO , NO, aDir[1], , , , 0, -16, 1, -16, 0, 0, 0, 0, R - Traction force, NO, 0, 0, NO,
1088, BEAM , UNILOAD, GX, NO , NO, aDir[1], , , , 0, -16, 1, -16, 0, 0, 0, 0, R - Traction force, NO, 0, 0, NO,
1089, BEAM , UNILOAD, GX, NO , NO, aDir[1], , , , 0, -16, 1, -16, 0, 0, 0, 0, R - Traction force, NO, 0, 0, NO,
1090, BEAM , UNILOAD, GX, NO , NO, aDir[1], , , , 0, -16, 1, -16, 0, 0, 0, 0, R - Traction force, NO, 0, 0, NO,
1091, BEAM , UNILOAD, GX, NO , NO, aDir[1], , , , 0, -16, 1, -16, 0, 0, 0, 0, R - Traction force, NO, 0, 0, NO,
1092, BEAM , UNILOAD, GX, NO , NO, aDir[1], , , , 0, -16, 1, -16, 0, 0, 0, 0, R - Traction force, NO, 0, 0, NO,
1093, BEAM , UNILOAD, GX, NO , NO, aDir[1], , , , 0, -16, 1, -16, 0, 0, 0, 0, R - Traction force, NO, 0, 0, NO,
1094, BEAM , UNILOAD, GX, NO , NO, aDir[1], , , , 0, -16, 1, -16, 0, 0, 0, 0, R - Traction force, NO, 0, 0, NO,

PROJECT TITLE :

MIDAS	Company		Client	
	Author		File Name	H2D_3Dg_v14_180227_StatLM.mct

1095, BEAM , UNILOAD, GX, NO , NO, aDir[1], , , , 0, -16, 1, -16, 0, 0, 0, 0, R - Traction force, NO, 0, 0, NO,
1096, BEAM , UNILOAD, GX, NO , NO, aDir[1], , , , 0, -16, 1, -16, 0, 0, 0, 0, R - Traction force, NO, 0, 0, NO,
1097, BEAM , UNILOAD, GX, NO , NO, aDir[1], , , , 0, -16, 1, -16, 0, 0, 0, 0, R - Traction force, NO, 0, 0, NO,
1098, BEAM , UNILOAD, GX, NO , NO, aDir[1], , , , 0, -16, 1, -16, 0, 0, 0, 0, R - Traction force, NO, 0, 0, NO,
1099, BEAM , UNILOAD, GX, NO , NO, aDir[1], , , , 0, -16, 1, -16, 0, 0, 0, 0, R - Traction force, NO, 0, 0, NO,
1100, BEAM , UNILOAD, GX, NO , NO, aDir[1], , , , 0, -16, 1, -16, 0, 0, 0, 0, R - Traction force, NO, 0, 0, NO,
1101, BEAM , UNILOAD, GX, NO , NO, aDir[1], , , , 0, -16, 1, -16, 0, 0, 0, 0, R - Traction force, NO, 0, 0, NO,
1102, BEAM , UNILOAD, GX, NO , NO, aDir[1], , , , 0, -16, 1, -16, 0, 0, 0, 0, R - Traction force, NO, 0, 0, NO,
1103, BEAM , UNILOAD, GX, NO , NO, aDir[1], , , , 0, -16, 1, -16, 0, 0, 0, 0, R - Traction force, NO, 0, 0, NO,
1104, BEAM , UNILOAD, GX, NO , NO, aDir[1], , , , 0, -16, 1, -16, 0, 0, 0, 0, R - Traction force, NO, 0, 0, NO,
1105, BEAM , UNILOAD, GX, NO , NO, aDir[1], , , , 0, -16, 1, -16, 0, 0, 0, 0, R - Traction force, NO, 0, 0, NO,
1106, BEAM , UNILOAD, GX, NO , NO, aDir[1], , , , 0, -16, 1, -16, 0, 0, 0, 0, R - Traction force, NO, 0, 0, NO,
1107, BEAM , UNILOAD, GX, NO , NO, aDir[1], , , , 0, -16, 1, -16, 0, 0, 0, 0, R - Traction force, NO, 0, 0, NO,
1108, BEAM , UNILOAD, GX, NO , NO, aDir[1], , , , 0, -16, 1, -16, 0, 0, 0, 0, R - Traction force, NO, 0, 0, NO,
1109, BEAM , UNILOAD, GX, NO , NO, aDir[1], , , , 0, -16, 1, -16, 0, 0, 0, 0, R - Traction force, NO, 0, 0, NO,
1110, BEAM , UNILOAD, GX, NO , NO, aDir[1], , , , 0, -16, 1, -16, 0, 0, 0, 0, R - Traction force, NO, 0, 0, NO,
1111, BEAM , UNILOAD, GX, NO , NO, aDir[1], , , , 0, -16, 1, -16, 0, 0, 0, 0, R - Traction force, NO, 0, 0, NO,
1112, BEAM , UNILOAD, GX, NO , NO, aDir[1], , , , 0, -16, 1, -16, 0, 0, 0, 0, R - Traction force, NO, 0, 0, NO,
1113, BEAM , UNILOAD, GX, NO , NO, aDir[1], , , , 0, -16, 1, -16, 0, 0, 0, 0, R - Traction force, NO, 0, 0, NO,
1114, BEAM , UNILOAD, GX, NO , NO, aDir[1], , , , 0, -16, 1, -16, 0, 0, 0, 0, R - Traction force, NO, 0, 0, NO,
1115, BEAM , UNILOAD, GX, NO , NO, aDir[1], , , , 0, -16, 1, -16, 0, 0, 0, 0, R - Traction force, NO, 0, 0, NO,
1116, BEAM , UNILOAD, GX, NO , NO, aDir[1], , , , 0, -16, 1, -16, 0, 0, 0, 0, R - Traction force, NO, 0, 0, NO,
1117, BEAM , UNILOAD, GX, NO , NO, aDir[1], , , , 0, -16, 1, -16, 0, 0, 0, 0, R - Traction force, NO, 0, 0, NO,
1118, BEAM , UNILOAD, GX, NO , NO, aDir[1], , , , 0, -16, 1, -16, 0, 0, 0, 0, R - Traction force, NO, 0, 0, NO,
1119, BEAM , UNILOAD, GX, NO , NO, aDir[1], , , , 0, -16, 1, -16, 0, 0, 0, 0, R - Traction force, NO, 0, 0, NO,
1120, BEAM , UNILOAD, GX, NO , NO, aDir[1], , , , 0, -16, 1, -16, 0, 0, 0, 0, R - Traction force, NO, 0, 0, NO,
1121, BEAM , UNILOAD, GX, NO , NO, aDir[1], , , , 0, -16, 1, -16, 0, 0, 0, 0, R - Traction force, NO, 0, 0, NO,
1122, BEAM , UNILOAD, GX, NO , NO, aDir[1], , , , 0, -16, 1, -16, 0, 0, 0, 0, R - Traction force, NO, 0, 0, NO,
1123, BEAM , UNILOAD, GX, NO , NO, aDir[1], , , , 0, -16, 1, -16, 0, 0, 0, 0, R - Traction force, NO, 0, 0, NO,
1124, BEAM , UNILOAD, GX, NO , NO, aDir[1], , , , 0, -16, 1, -16, 0, 0, 0, 0, R - Traction force, NO, 0, 0, NO,
1125, BEAM , UNILOAD, GX, NO , NO, aDir[1], , , , 0, -16, 1, -16, 0, 0, 0, 0, R - Traction force, NO, 0, 0, NO,
1126, BEAM , UNILOAD, GX, NO , NO, aDir[1], , , , 0, -16, 1, -16, 0, 0, 0, 0, R - Traction force, NO, 0, 0, NO,
1127, BEAM , UNILOAD, GX, NO , NO, aDir[1], , , , 0, -16, 1, -16, 0, 0, 0, 0, R - Traction force, NO, 0, 0, NO,
1128, BEAM , UNILOAD, GX, NO , NO, aDir[1], , , , 0, -16, 1, -16, 0, 0, 0, 0, R - Traction force, NO, 0, 0, NO,
1129, BEAM , UNILOAD, GX, NO , NO, aDir[1], , , , 0, -16, 1, -16, 0, 0, 0, 0, R - Traction force, NO, 0, 0, NO,
1130, BEAM , UNILOAD, GX, NO , NO, aDir[1], , , , 0, -16, 1, -16, 0, 0, 0, 0, R - Traction force, NO, 0, 0, NO,
1131, BEAM , UNILOAD, GX, NO , NO, aDir[1], , , , 0, -16, 1, -16, 0, 0, 0, 0, R - Traction force, NO, 0, 0, NO,
1132, BEAM , UNILOAD, GX, NO , NO, aDir[1], , , , 0, -16, 1, -16, 0, 0, 0, 0, R - Traction force, NO, 0, 0, NO,
1133, BEAM , UNILOAD, GX, NO , NO, aDir[1], , , , 0, -16, 1, -16, 0, 0, 0, 0, R - Traction force, NO, 0, 0, NO,
1134, BEAM , UNILOAD, GX, NO , NO, aDir[1], , , , 0, -16, 1, -16, 0, 0, 0, 0, R - Traction force, NO, 0, 0, NO,
1135, BEAM , UNILOAD, GX, NO , NO, aDir[1], , , , 0, -16, 1, -16, 0, 0, 0, 0, R - Traction force, NO, 0, 0, NO,
1136, BEAM , UNILOAD, GX, NO , NO, aDir[1], , , , 0, -16, 1, -16, 0, 0, 0, 0, R - Traction force, NO, 0, 0, NO,
1237, BEAM , UNILOAD, GX, NO , NO, aDir[1], , , , 0, -16, 1, -16, 0, 0, 0, 0, R - Traction force, NO, 0, 0, NO,
1238, BEAM , UNILOAD, GX, NO , NO, aDir[1], , , , 0, -16, 1, -16, 0, 0, 0, 0, R - Traction force, NO, 0, 0, NO,
1239, BEAM , UNILOAD, GX, NO , NO, aDir[1], , , , 0, -16, 1, -16, 0, 0, 0, 0, R - Traction force, NO, 0, 0, NO,
1240, BEAM , UNILOAD, GX, NO , NO, aDir[1], , , , 0, -16, 1, -16, 0, 0, 0, 0, R - Traction force, NO, 0, 0, NO,
1241, BEAM , UNILOAD, GX, NO , NO, aDir[1], , , , 0, -16, 1, -16, 0, 0, 0, 0, R - Traction force, NO, 0, 0, NO,
1242, BEAM , UNILOAD, GX, NO , NO, aDir[1], , , , 0, -16, 1, -16, 0, 0, 0, 0, R - Traction force, NO, 0, 0, NO,
1243, BEAM , UNILOAD, GX, NO , NO, aDir[1], , , , 0, -16, 1, -16, 0, 0, 0, 0, R - Traction force, NO, 0, 0, NO,
1244, BEAM , UNILOAD, GX, NO , NO, aDir[1], , , , 0, -16, 1, -16, 0, 0, 0, 0, R - Traction force, NO, 0, 0, NO,
1245, BEAM , UNILOAD, GX, NO , NO, aDir[1], , , , 0, -16, 1, -16, 0, 0, 0, 0, R - Traction force, NO, 0, 0, NO,
1246, BEAM , UNILOAD, GX, NO , NO, aDir[1], , , , 0, -16, 1, -16, 0, 0, 0, 0, R - Traction force, NO, 0, 0, NO,
1247, BEAM , UNILOAD, GX, NO , NO, aDir[1], , , , 0, -16, 1, -16, 0, 0, 0, 0, R - Traction force, NO, 0, 0, NO,
1248, BEAM , UNILOAD, GX, NO , NO, aDir[1], , , , 0, -16, 1, -16, 0, 0, 0, 0, R - Traction force, NO, 0, 0, NO,
1249, BEAM , UNILOAD, GX, NO , NO, aDir[1], , , , 0, -16, 1, -16, 0, 0, 0, 0, R - Traction force, NO, 0, 0, NO,
1250, BEAM , UNILOAD, GX, NO , NO, aDir[1], , , , 0, -16, 1, -16, 0, 0, 0, 0, R - Traction force, NO, 0, 0, NO,
1251, BEAM , UNILOAD, GX, NO , NO, aDir[1], , , , 0, -16, 1, -16, 0, 0, 0, 0, R - Traction force, NO, 0, 0, NO,
1252, BEAM , UNILOAD, GX, NO , NO, aDir[1], , , , 0, -16, 1, -16, 0, 0, 0, 0, R - Traction force, NO, 0, 0, NO,
1253, BEAM , UNILOAD, GX, NO , NO, aDir[1], , , , 0, -16, 1, -16, 0, 0, 0, 0, R - Traction force, NO, 0, 0, NO,
1254, BEAM , UNILOAD, GX, NO , NO, aDir[1], , , , 0, -16, 1, -16, 0, 0, 0, 0, R - Traction force, NO, 0, 0, NO,
1255, BEAM , UNILOAD, GX, NO , NO, aDir[1], , , , 0, -16, 1, -16, 0, 0, 0, 0, R - Traction force, NO, 0, 0, NO,
1256, BEAM , UNILOAD, GX, NO , NO, aDir[1], , , , 0, -16, 1, -16, 0, 0, 0, 0, R - Traction force, NO, 0, 0, NO,
1257, BEAM , UNILOAD, GX, NO , NO, aDir[1], , , , 0, -16, 1, -16, 0, 0, 0, 0, R - Traction force, NO, 0, 0, NO,
1258, BEAM , UNILOAD, GX, NO , NO, aDir[1], , , , 0, -16, 1, -16, 0, 0, 0, 0, R - Traction force, NO, 0, 0, NO,
1259, BEAM , UNILOAD, GX, NO , NO, aDir[1], , , , 0, -16, 1, -16, 0, 0, 0, 0, R - Traction force, NO, 0, 0, NO,
1260, BEAM , UNILOAD, GX, NO , NO, aDir[1], , , , 0, -16, 1, -16, 0, 0, 0, 0, R - Traction force, NO, 0, 0, NO,
1261, BEAM , UNILOAD, GX, NO , NO, aDir[1], , , , 0, -16, 1, -16, 0, 0, 0, 0, R - Traction force, NO, 0, 0, NO,
1262, BEAM , UNILOAD, GX, NO , NO, aDir[1], , , , 0, -16, 1, -16, 0, 0, 0, 0, R - Traction force, NO, 0, 0, NO,
1263, BEAM , UNILOAD, GX, NO , NO, aDir[1], , , , 0, -16, 1, -16, 0, 0, 0, 0, R - Traction force, NO, 0, 0, NO,
1264, BEAM , UNILOAD, GX, NO , NO, aDir[1], , , , 0, -16, 1, -16, 0, 0, 0, 0, R - Traction force, NO, 0, 0, NO,
1265, BEAM , UNILOAD, GX, NO , NO, aDir[1], , , , 0, -16, 1, -16, 0, 0, 0, 0, R - Traction force, NO, 0, 0, NO,
1266, BEAM , UNILOAD, GX, NO , NO, aDir[1], , , , 0, -16, 1, -16, 0, 0, 0, 0, R - Traction force, NO, 0, 0, NO,

1267, BEAM , UNILOAD, GX, NO , NO, aDir[1], , , , 0, -16, 1, -16, 0, 0, 0, 0, R - Traction force, NO, 0, 0, NO,
1268, BEAM , UNILOAD, GX, NO , NO, aDir[1], , , , 0, -16, 1, -16, 0, 0, 0, 0, R - Traction force, NO, 0, 0, NO,
1269, BEAM , UNILOAD, GX, NO , NO, aDir[1], , , , 0, -16, 1, -16, 0, 0, 0, 0, R - Traction force, NO, 0, 0, NO,
1270, BEAM , UNILOAD, GX, NO , NO, aDir[1], , , , 0, -16, 1, -16, 0, 0, 0, 0, R - Traction force, NO, 0, 0, NO,
1271, BEAM , UNILOAD, GX, NO , NO, aDir[1], , , , 0, -16, 1, -16, 0, 0, 0, 0, R - Traction force, NO, 0, 0, NO,
1272, BEAM , UNILOAD, GX, NO , NO, aDir[1], , , , 0, -16, 1, -16, 0, 0, 0, 0, R - Traction force, NO, 0, 0, NO,
1273, BEAM , UNILOAD, GX, NO , NO, aDir[1], , , , 0, -16, 1, -16, 0, 0, 0, 0, R - Traction force, NO, 0, 0, NO,
1274, BEAM , UNILOAD, GX, NO , NO, aDir[1], , , , 0, -16, 1, -16, 0, 0, 0, 0, R - Traction force, NO, 0, 0, NO,
1275, BEAM , UNILOAD, GX, NO , NO, aDir[1], , , , 0, -16, 1, -16, 0, 0, 0, 0, R - Traction force, NO, 0, 0, NO,
1276, BEAM , UNILOAD, GX, NO , NO, aDir[1], , , , 0, -16, 1, -16, 0, 0, 0, 0, R - Traction force, NO, 0, 0, NO,
1277, BEAM , UNILOAD, GX, NO , NO, aDir[1], , , , 0, -16, 1, -16, 0, 0, 0, 0, R - Traction force, NO, 0, 0, NO,
1278, BEAM , UNILOAD, GX, NO , NO, aDir[1], , , , 0, -16, 1, -16, 0, 0, 0, 0, R - Traction force, NO, 0, 0, NO,
1279, BEAM , UNILOAD, GX, NO , NO, aDir[1], , , , 0, -16, 1, -16, 0, 0, 0, 0, R - Traction force, NO, 0, 0, NO,
1280, BEAM , UNILOAD, GX, NO , NO, aDir[1], , , , 0, -16, 1, -16, 0, 0, 0, 0, R - Traction force, NO, 0, 0, NO,
1281, BEAM , UNILOAD, GX, NO , NO, aDir[1], , , , 0, -16, 1, -16, 0, 0, 0, 0, R - Traction force, NO, 0, 0, NO,
1282, BEAM , UNILOAD, GX, NO , NO, aDir[1], , , , 0, -16, 1, -16, 0, 0, 0, 0, R - Traction force, NO, 0, 0, NO,
1283, BEAM , UNILOAD, GX, NO , NO, aDir[1], , , , 0, -16, 1, -16, 0, 0, 0, 0, R - Traction force, NO, 0, 0, NO,
1284, BEAM , UNILOAD, GX, NO , NO, aDir[1], , , , 0, -16, 1, -16, 0, 0, 0, 0, R - Traction force, NO, 0, 0, NO,
1285, BEAM , UNILOAD, GX, NO , NO, aDir[1], , , , 0, -16, 1, -16, 0, 0, 0, 0, R - Traction force, NO, 0, 0, NO,
1286, BEAM , UNILOAD, GX, NO , NO, aDir[1], , , , 0, -16, 1, -16, 0, 0, 0, 0, R - Traction force, NO, 0, 0, NO,
1287, BEAM , UNILOAD, GX, NO , NO, aDir[1], , , , 0, -16, 1, -16, 0, 0, 0, 0, R - Traction force, NO, 0, 0, NO,
1288, BEAM , UNILOAD, GX, NO , NO, aDir[1], , , , 0, -16, 1, -16, 0, 0, 0, 0, R - Traction force, NO, 0, 0, NO,
1289, BEAM , UNILOAD, GX, NO , NO, aDir[1], , , , 0, -16, 1, -16, 0, 0, 0, 0, R - Traction force, NO, 0, 0, NO,
1290, BEAM , UNILOAD, GX, NO , NO, aDir[1], , , , 0, -16, 1, -16, 0, 0, 0, 0, R - Traction force, NO, 0, 0, NO,
1291, BEAM , UNILOAD, GX, NO , NO, aDir[1], , , , 0, -16, 1, -16, 0, 0, 0, 0, R - Traction force, NO, 0, 0, NO,
1292, BEAM , UNILOAD, GX, NO , NO, aDir[1], , , , 0, -16, 1, -16, 0, 0, 0, 0, R - Traction force, NO, 0, 0, NO,
1293, BEAM , UNILOAD, GX, NO , NO, aDir[1], , , , 0, -16, 1, -16, 0, 0, 0, 0, R - Traction force, NO, 0, 0, NO,
1294, BEAM , UNILOAD, GX, NO , NO, aDir[1], , , , 0, -16, 1, -16, 0, 0, 0, 0, R - Traction force, NO, 0, 0, NO,
1295, BEAM , UNILOAD, GX, NO , NO, aDir[1], , , , 0, -16, 1, -16, 0, 0, 0, 0, R - Traction force, NO, 0, 0, NO,
1296, BEAM , UNILOAD, GX, NO , NO, aDir[1], , , , 0, -16, 1, -16, 0, 0, 0, 0, R - Traction force, NO, 0, 0, NO,
1297, BEAM , UNILOAD, GX, NO , NO, aDir[1], , , , 0, -16, 1, -16, 0, 0, 0, 0, R - Traction force, NO, 0, 0, NO,
1298, BEAM , UNILOAD, GX, NO , NO, aDir[1], , , , 0, -16, 1, -16, 0, 0, 0, 0, R - Traction force, NO, 0, 0, NO,
1299, BEAM , UNILOAD, GX, NO , NO, aDir[1], , , , 0, -16, 1, -16, 0, 0, 0, 0, R - Traction force, NO, 0, 0, NO,
1300, BEAM , UNILOAD, GX, NO , NO, aDir[1], , , , 0, -16, 1, -16, 0, 0, 0, 0, R - Traction force, NO, 0, 0, NO,
1301, BEAM , UNILOAD, GX, NO , NO, aDir[1], , , , 0, -16, 1, -16, 0, 0, 0, 0, R - Traction force, NO, 0, 0, NO,
1302, BEAM , UNILOAD, GX, NO , NO, aDir[1], , , , 0, -16, 1, -16, 0, 0, 0, 0, R - Traction force, NO, 0, 0, NO,
1303, BEAM , UNILOAD, GX, NO , NO, aDir[1], , , , 0, -16, 1, -16, 0, 0, 0, 0, R - Traction force, NO, 0, 0, NO,
1304, BEAM , UNILOAD, GX, NO , NO, aDir[1], , , , 0, -16, 1, -16, 0, 0, 0, 0, R - Traction force, NO, 0, 0, NO,
1305, BEAM , UNILOAD, GX, NO , NO, aDir[1], , , , 0, -16, 1, -16, 0, 0, 0, 0, R - Traction force, NO, 0, 0, NO,
1306, BEAM , UNILOAD, GX, NO , NO, aDir[1], , , , 0, -16, 1, -16, 0, 0, 0, 0, R - Traction force, NO, 0, 0, NO,
1307, BEAM , UNILOAD, GX, NO , NO, aDir[1], , , , 0, -16, 1, -16, 0, 0, 0, 0, R - Traction force, NO, 0, 0, NO,
1308, BEAM , UNILOAD, GX, NO , NO, aDir[1], , , , 0, -16, 1, -16, 0, 0, 0, 0, R - Traction force, NO, 0, 0, NO,
1309, BEAM , UNILOAD, GX, NO , NO, aDir[1], , , , 0, -16, 1, -16, 0, 0, 0, 0, R - Traction force, NO, 0, 0, NO,
1310, BEAM , UNILOAD, GX, NO , NO, aDir[1], , , , 0, -16, 1, -16, 0, 0, 0, 0, R - Traction force, NO, 0, 0, NO,

; End of data for load case [R-X 1. track] ----------

*USE-STLD, R+X 2. track

*BEAMLOAD ; Element Beam Loads
; ELEM_LIST, CMD, TYPE, DIR, bPROJ, [ECCEN], [VALUE], GROUP
; ELEM_LIST, CMD, TYPE, TYPE, DIR, VX, VY, VZ, bPROJ, [ECCEN], [VALUE], GROUP
; [VALUE] : D1, P1, D2, P2, D3, P3, D4, P4
; [ECCEN] : bECCEN, ECCDIR, I-END, J-END, bJ-END
; [ADDITIONAL] : bADDITIONAL, ADDITIONAL_I-END, ADDITIONAL_J-END, bADDITIONAL_J-END
716, BEAM , UNILOAD, GX, NO , NO, aDir[1], , , , 0, 16, 1, 16, 0, 0, 0, 0, R - Traction force, NO, 0, 0, NO,
717, BEAM , UNILOAD, GX, NO , NO, aDir[1], , , , 0, 16, 1, 16, 0, 0, 0, 0, R - Traction force, NO, 0, 0, NO,
718, BEAM , UNILOAD, GX, NO , NO, aDir[1], , , , 0, 16, 1, 16, 0, 0, 0, 0, R - Traction force, NO, 0, 0, NO,
719, BEAM , UNILOAD, GX, NO , NO, aDir[1], , , , 0, 16, 1, 16, 0, 0, 0, 0, R - Traction force, NO, 0, 0, NO,
720, BEAM , UNILOAD, GX, NO , NO, aDir[1], , , , 0, 16, 1, 16, 0, 0, 0, 0, R - Traction force, NO, 0, 0, NO,
721, BEAM , UNILOAD, GX, NO , NO, aDir[1], , , , 0, 16, 1, 16, 0, 0, 0, 0, R - Traction force, NO, 0, 0, NO,
722, BEAM , UNILOAD, GX, NO , NO, aDir[1], , , , 0, 16, 1, 16, 0, 0, 0, 0, R - Traction force, NO, 0, 0, NO,
723, BEAM , UNILOAD, GX, NO , NO, aDir[1], , , , 0, 16, 1, 16, 0, 0, 0, 0, R - Traction force, NO, 0, 0, NO,
724, BEAM , UNILOAD, GX, NO , NO, aDir[1], , , , 0, 16, 1, 16, 0, 0, 0, 0, R - Traction force, NO, 0, 0, NO,
725, BEAM , UNILOAD, GX, NO , NO, aDir[1], , , , 0, 16, 1, 16, 0, 0, 0, 0, R - Traction force, NO, 0, 0, NO,
726, BEAM , UNILOAD, GX, NO , NO, aDir[1], , , , 0, 16, 1, 16, 0, 0, 0, 0, R - Traction force, NO, 0, 0, NO,
727, BEAM , UNILOAD, GX, NO , NO, aDir[1], , , , 0, 16, 1, 16, 0, 0, 0, 0, R - Traction force, NO, 0, 0, NO,
728, BEAM , UNILOAD, GX, NO , NO, aDir[1], , , , 0, 16, 1, 16, 0, 0, 0, 0, R - Traction force, NO, 0, 0, NO,
729, BEAM , UNILOAD, GX, NO , NO, aDir[1], , , , 0, 16, 1, 16, 0, 0, 0, 0, R - Traction force, NO, 0, 0, NO,
730, BEAM , UNILOAD, GX, NO , NO, aDir[1], , , , 0, 16, 1, 16, 0, 0, 0, 0, R - Traction force, NO, 0, 0, NO,
731, BEAM , UNILOAD, GX, NO , NO, aDir[1], , , , 0, 16, 1, 16, 0, 0, 0, 0, R - Traction force, NO, 0, 0, NO,
732, BEAM , UNILOAD, GX, NO , NO, aDir[1], , , , 0, 16, 1, 16, 0, 0, 0, 0, R - Traction force, NO, 0, 0, NO,

PROJECT TITLE :

MIDAS	Company		Client	
	Author		File Name	H2D_3Dg_v14_180227_StatLM.mct

733, BEAM , UNILOAD, GX, NO , NO, aDir[1], , , , 0, 16, 1, 16, 0, 0, 0, 0, R - Traction force, NO, 0, 0, NO,
734, BEAM , UNILOAD, GX, NO , NO, aDir[1], , , , 0, 16, 1, 16, 0, 0, 0, 0, R - Traction force, NO, 0, 0, NO,
735, BEAM , UNILOAD, GX, NO , NO, aDir[1], , , , 0, 16, 1, 16, 0, 0, 0, 0, R - Traction force, NO, 0, 0, NO,
736, BEAM , UNILOAD, GX, NO , NO, aDir[1], , , , 0, 16, 1, 16, 0, 0, 0, 0, R - Traction force, NO, 0, 0, NO,
737, BEAM , UNILOAD, GX, NO , NO, aDir[1], , , , 0, 16, 1, 16, 0, 0, 0, 0, R - Traction force, NO, 0, 0, NO,
738, BEAM , UNILOAD, GX, NO , NO, aDir[1], , , , 0, 16, 1, 16, 0, 0, 0, 0, R - Traction force, NO, 0, 0, NO,
739, BEAM , UNILOAD, GX, NO , NO, aDir[1], , , , 0, 16, 1, 16, 0, 0, 0, 0, R - Traction force, NO, 0, 0, NO,
740, BEAM , UNILOAD, GX, NO , NO, aDir[1], , , , 0, 16, 1, 16, 0, 0, 0, 0, R - Traction force, NO, 0, 0, NO,
741, BEAM , UNILOAD, GX, NO , NO, aDir[1], , , , 0, 16, 1, 16, 0, 0, 0, 0, R - Traction force, NO, 0, 0, NO,
742, BEAM , UNILOAD, GX, NO , NO, aDir[1], , , , 0, 16, 1, 16, 0, 0, 0, 0, R - Traction force, NO, 0, 0, NO,
743, BEAM , UNILOAD, GX, NO , NO, aDir[1], , , , 0, 16, 1, 16, 0, 0, 0, 0, R - Traction force, NO, 0, 0, NO,
744, BEAM , UNILOAD, GX, NO , NO, aDir[1], , , , 0, 16, 1, 16, 0, 0, 0, 0, R - Traction force, NO, 0, 0, NO,
745, BEAM , UNILOAD, GX, NO , NO, aDir[1], , , , 0, 16, 1, 16, 0, 0, 0, 0, R - Traction force, NO, 0, 0, NO,
746, BEAM , UNILOAD, GX, NO , NO, aDir[1], , , , 0, 16, 1, 16, 0, 0, 0, 0, R - Traction force, NO, 0, 0, NO,
747, BEAM , UNILOAD, GX, NO , NO, aDir[1], , , , 0, 16, 1, 16, 0, 0, 0, 0, R - Traction force, NO, 0, 0, NO,
748, BEAM , UNILOAD, GX, NO , NO, aDir[1], , , , 0, 16, 1, 16, 0, 0, 0, 0, R - Traction force, NO, 0, 0, NO,
749, BEAM , UNILOAD, GX, NO , NO, aDir[1], , , , 0, 16, 1, 16, 0, 0, 0, 0, R - Traction force, NO, 0, 0, NO,
750, BEAM , UNILOAD, GX, NO , NO, aDir[1], , , , 0, 16, 1, 16, 0, 0, 0, 0, R - Traction force, NO, 0, 0, NO,
751, BEAM , UNILOAD, GX, NO , NO, aDir[1], , , , 0, 16, 1, 16, 0, 0, 0, 0, R - Traction force, NO, 0, 0, NO,
752, BEAM , UNILOAD, GX, NO , NO, aDir[1], , , , 0, 16, 1, 16, 0, 0, 0, 0, R - Traction force, NO, 0, 0, NO,
753, BEAM , UNILOAD, GX, NO , NO, aDir[1], , , , 0, 16, 1, 16, 0, 0, 0, 0, R - Traction force, NO, 0, 0, NO,
754, BEAM , UNILOAD, GX, NO , NO, aDir[1], , , , 0, 16, 1, 16, 0, 0, 0, 0, R - Traction force, NO, 0, 0, NO,
755, BEAM , UNILOAD, GX, NO , NO, aDir[1], , , , 0, 16, 1, 16, 0, 0, 0, 0, R - Traction force, NO, 0, 0, NO,
756, BEAM , UNILOAD, GX, NO , NO, aDir[1], , , , 0, 16, 1, 16, 0, 0, 0, 0, R - Traction force, NO, 0, 0, NO,
757, BEAM , UNILOAD, GX, NO , NO, aDir[1], , , , 0, 16, 1, 16, 0, 0, 0, 0, R - Traction force, NO, 0, 0, NO,
758, BEAM , UNILOAD, GX, NO , NO, aDir[1], , , , 0, 16, 1, 16, 0, 0, 0, 0, R - Traction force, NO, 0, 0, NO,
759, BEAM , UNILOAD, GX, NO , NO, aDir[1], , , , 0, 16, 1, 16, 0, 0, 0, 0, R - Traction force, NO, 0, 0, NO,
760, BEAM , UNILOAD, GX, NO , NO, aDir[1], , , , 0, 16, 1, 16, 0, 0, 0, 0, R - Traction force, NO, 0, 0, NO,
761, BEAM , UNILOAD, GX, NO , NO, aDir[1], , , , 0, 16, 1, 16, 0, 0, 0, 0, R - Traction force, NO, 0, 0, NO,
762, BEAM , UNILOAD, GX, NO , NO, aDir[1], , , , 0, 16, 1, 16, 0, 0, 0, 0, R - Traction force, NO, 0, 0, NO,
763, BEAM , UNILOAD, GX, NO , NO, aDir[1], , , , 0, 16, 1, 16, 0, 0, 0, 0, R - Traction force, NO, 0, 0, NO,
764, BEAM , UNILOAD, GX, NO , NO, aDir[1], , , , 0, 16, 1, 16, 0, 0, 0, 0, R - Traction force, NO, 0, 0, NO,
765, BEAM , UNILOAD, GX, NO , NO, aDir[1], , , , 0, 16, 1, 16, 0, 0, 0, 0, R - Traction force, NO, 0, 0, NO,
766, BEAM , UNILOAD, GX, NO , NO, aDir[1], , , , 0, 16, 1, 16, 0, 0, 0, 0, R - Traction force, NO, 0, 0, NO,
767, BEAM , UNILOAD, GX, NO , NO, aDir[1], , , , 0, 16, 1, 16, 0, 0, 0, 0, R - Traction force, NO, 0, 0, NO,
768, BEAM , UNILOAD, GX, NO , NO, aDir[1], , , , 0, 16, 1, 16, 0, 0, 0, 0, R - Traction force, NO, 0, 0, NO,
769, BEAM , UNILOAD, GX, NO , NO, aDir[1], , , , 0, 16, 1, 16, 0, 0, 0, 0, R - Traction force, NO, 0, 0, NO,
770, BEAM , UNILOAD, GX, NO , NO, aDir[1], , , , 0, 16, 1, 16, 0, 0, 0, 0, R - Traction force, NO, 0, 0, NO,
771, BEAM , UNILOAD, GX, NO , NO, aDir[1], , , , 0, 16, 1, 16, 0, 0, 0, 0, R - Traction force, NO, 0, 0, NO,
772, BEAM , UNILOAD, GX, NO , NO, aDir[1], , , , 0, 16, 1, 16, 0, 0, 0, 0, R - Traction force, NO, 0, 0, NO,
773, BEAM , UNILOAD, GX, NO , NO, aDir[1], , , , 0, 16, 1, 16, 0, 0, 0, 0, R - Traction force, NO, 0, 0, NO,
774, BEAM , UNILOAD, GX, NO , NO, aDir[1], , , , 0, 16, 1, 16, 0, 0, 0, 0, R - Traction force, NO, 0, 0, NO,
775, BEAM , UNILOAD, GX, NO , NO, aDir[1], , , , 0, 16, 1, 16, 0, 0, 0, 0, R - Traction force, NO, 0, 0, NO,
776, BEAM , UNILOAD, GX, NO , NO, aDir[1], , , , 0, 16, 1, 16, 0, 0, 0, 0, R - Traction force, NO, 0, 0, NO,
777, BEAM , UNILOAD, GX, NO , NO, aDir[1], , , , 0, 16, 1, 16, 0, 0, 0, 0, R - Traction force, NO, 0, 0, NO,
778, BEAM , UNILOAD, GX, NO , NO, aDir[1], , , , 0, 16, 1, 16, 0, 0, 0, 0, R - Traction force, NO, 0, 0, NO,
779, BEAM , UNILOAD, GX, NO , NO, aDir[1], , , , 0, 16, 1, 16, 0, 0, 0, 0, R - Traction force, NO, 0, 0, NO,
780, BEAM , UNILOAD, GX, NO , NO, aDir[1], , , , 0, 16, 1, 16, 0, 0, 0, 0, R - Traction force, NO, 0, 0, NO,
781, BEAM , UNILOAD, GX, NO , NO, aDir[1], , , , 0, 16, 1, 16, 0, 0, 0, 0, R - Traction force, NO, 0, 0, NO,
782, BEAM , UNILOAD, GX, NO , NO, aDir[1], , , , 0, 16, 1, 16, 0, 0, 0, 0, R - Traction force, NO, 0, 0, NO,
783, BEAM , UNILOAD, GX, NO , NO, aDir[1], , , , 0, 16, 1, 16, 0, 0, 0, 0, R - Traction force, NO, 0, 0, NO,
784, BEAM , UNILOAD, GX, NO , NO, aDir[1], , , , 0, 16, 1, 16, 0, 0, 0, 0, R - Traction force, NO, 0, 0, NO,
785, BEAM , UNILOAD, GX, NO , NO, aDir[1], , , , 0, 16, 1, 16, 0, 0, 0, 0, R - Traction force, NO, 0, 0, NO,
786, BEAM , UNILOAD, GX, NO , NO, aDir[1], , , , 0, 16, 1, 16, 0, 0, 0, 0, R - Traction force, NO, 0, 0, NO,
787, BEAM , UNILOAD, GX, NO , NO, aDir[1], , , , 0, 16, 1, 16, 0, 0, 0, 0, R - Traction force, NO, 0, 0, NO,
788, BEAM , UNILOAD, GX, NO , NO, aDir[1], , , , 0, 16, 1, 16, 0, 0, 0, 0, R - Traction force, NO, 0, 0, NO,
889, BEAM , UNILOAD, GX, NO , NO, aDir[1], , , , 0, 16, 1, 16, 0, 0, 0, 0, R - Traction force, NO, 0, 0, NO,
890, BEAM , UNILOAD, GX, NO , NO, aDir[1], , , , 0, 16, 1, 16, 0, 0, 0, 0, R - Traction force, NO, 0, 0, NO,
891, BEAM , UNILOAD, GX, NO , NO, aDir[1], , , , 0, 16, 1, 16, 0, 0, 0, 0, R - Traction force, NO, 0, 0, NO,
892, BEAM , UNILOAD, GX, NO , NO, aDir[1], , , , 0, 16, 1, 16, 0, 0, 0, 0, R - Traction force, NO, 0, 0, NO,
893, BEAM , UNILOAD, GX, NO , NO, aDir[1], , , , 0, 16, 1, 16, 0, 0, 0, 0, R - Traction force, NO, 0, 0, NO,
894, BEAM , UNILOAD, GX, NO , NO, aDir[1], , , , 0, 16, 1, 16, 0, 0, 0, 0, R - Traction force, NO, 0, 0, NO,
895, BEAM , UNILOAD, GX, NO , NO, aDir[1], , , , 0, 16, 1, 16, 0, 0, 0, 0, R - Traction force, NO, 0, 0, NO,
896, BEAM , UNILOAD, GX, NO , NO, aDir[1], , , , 0, 16, 1, 16, 0, 0, 0, 0, R - Traction force, NO, 0, 0, NO,
897, BEAM , UNILOAD, GX, NO , NO, aDir[1], , , , 0, 16, 1, 16, 0, 0, 0, 0, R - Traction force, NO, 0, 0, NO,
898, BEAM , UNILOAD, GX, NO , NO, aDir[1], , , , 0, 16, 1, 16, 0, 0, 0, 0, R - Traction force, NO, 0, 0, NO,
899, BEAM , UNILOAD, GX, NO , NO, aDir[1], , , , 0, 16, 1, 16, 0, 0, 0, 0, R - Traction force, NO, 0, 0, NO,
900, BEAM , UNILOAD, GX, NO , NO, aDir[1], , , , 0, 16, 1, 16, 0, 0, 0, 0, R - Traction force, NO, 0, 0, NO,
901, BEAM , UNILOAD, GX, NO , NO, aDir[1], , , , 0, 16, 1, 16, 0, 0, 0, 0, R - Traction force, NO, 0, 0, NO,
902, BEAM , UNILOAD, GX, NO , NO, aDir[1], , , , 0, 16, 1, 16, 0, 0, 0, 0, R - Traction force, NO, 0, 0, NO,
903, BEAM , UNILOAD, GX, NO , NO, aDir[1], , , , 0, 16, 1, 16, 0, 0, 0, 0, R - Traction force, NO, 0, 0, NO,
904, BEAM , UNILOAD, GX, NO , NO, aDir[1], , , , 0, 16, 1, 16, 0, 0, 0, 0, R - Traction force, NO, 0, 0, NO,

PROJECT TITLE :

MIDAS	Company		Client	
	Author		File Name	H2D_3Dg_v14_180227_StatLM.mct

905, BEAM , UNILOAD, GX, NO , NO, aDir[1], , , , 0, 16, 1, 16, 0, 0, 0, 0, R - Traction force, NO, 0, 0, NO,
906, BEAM , UNILOAD, GX, NO , NO, aDir[1], , , , 0, 16, 1, 16, 0, 0, 0, 0, R - Traction force, NO, 0, 0, NO,
907, BEAM , UNILOAD, GX, NO , NO, aDir[1], , , , 0, 16, 1, 16, 0, 0, 0, 0, R - Traction force, NO, 0, 0, NO,
908, BEAM , UNILOAD, GX, NO , NO, aDir[1], , , , 0, 16, 1, 16, 0, 0, 0, 0, R - Traction force, NO, 0, 0, NO,
909, BEAM , UNILOAD, GX, NO , NO, aDir[1], , , , 0, 16, 1, 16, 0, 0, 0, 0, R - Traction force, NO, 0, 0, NO,
910, BEAM , UNILOAD, GX, NO , NO, aDir[1], , , , 0, 16, 1, 16, 0, 0, 0, 0, R - Traction force, NO, 0, 0, NO,
911, BEAM , UNILOAD, GX, NO , NO, aDir[1], , , , 0, 16, 1, 16, 0, 0, 0, 0, R - Traction force, NO, 0, 0, NO,
912, BEAM , UNILOAD, GX, NO , NO, aDir[1], , , , 0, 16, 1, 16, 0, 0, 0, 0, R - Traction force, NO, 0, 0, NO,
913, BEAM , UNILOAD, GX, NO , NO, aDir[1], , , , 0, 16, 1, 16, 0, 0, 0, 0, R - Traction force, NO, 0, 0, NO,
914, BEAM , UNILOAD, GX, NO , NO, aDir[1], , , , 0, 16, 1, 16, 0, 0, 0, 0, R - Traction force, NO, 0, 0, NO,
915, BEAM , UNILOAD, GX, NO , NO, aDir[1], , , , 0, 16, 1, 16, 0, 0, 0, 0, R - Traction force, NO, 0, 0, NO,
916, BEAM , UNILOAD, GX, NO , NO, aDir[1], , , , 0, 16, 1, 16, 0, 0, 0, 0, R - Traction force, NO, 0, 0, NO,
917, BEAM , UNILOAD, GX, NO , NO, aDir[1], , , , 0, 16, 1, 16, 0, 0, 0, 0, R - Traction force, NO, 0, 0, NO,
918, BEAM , UNILOAD, GX, NO , NO, aDir[1], , , , 0, 16, 1, 16, 0, 0, 0, 0, R - Traction force, NO, 0, 0, NO,
919, BEAM , UNILOAD, GX, NO , NO, aDir[1], , , , 0, 16, 1, 16, 0, 0, 0, 0, R - Traction force, NO, 0, 0, NO,
920, BEAM , UNILOAD, GX, NO , NO, aDir[1], , , , 0, 16, 1, 16, 0, 0, 0, 0, R - Traction force, NO, 0, 0, NO,
921, BEAM , UNILOAD, GX, NO , NO, aDir[1], , , , 0, 16, 1, 16, 0, 0, 0, 0, R - Traction force, NO, 0, 0, NO,
922, BEAM , UNILOAD, GX, NO , NO, aDir[1], , , , 0, 16, 1, 16, 0, 0, 0, 0, R - Traction force, NO, 0, 0, NO,
923, BEAM , UNILOAD, GX, NO , NO, aDir[1], , , , 0, 16, 1, 16, 0, 0, 0, 0, R - Traction force, NO, 0, 0, NO,
924, BEAM , UNILOAD, GX, NO , NO, aDir[1], , , , 0, 16, 1, 16, 0, 0, 0, 0, R - Traction force, NO, 0, 0, NO,
925, BEAM , UNILOAD, GX, NO , NO, aDir[1], , , , 0, 16, 1, 16, 0, 0, 0, 0, R - Traction force, NO, 0, 0, NO,
926, BEAM , UNILOAD, GX, NO , NO, aDir[1], , , , 0, 16, 1, 16, 0, 0, 0, 0, R - Traction force, NO, 0, 0, NO,
927, BEAM , UNILOAD, GX, NO , NO, aDir[1], , , , 0, 16, 1, 16, 0, 0, 0, 0, R - Traction force, NO, 0, 0, NO,
928, BEAM , UNILOAD, GX, NO , NO, aDir[1], , , , 0, 16, 1, 16, 0, 0, 0, 0, R - Traction force, NO, 0, 0, NO,
929, BEAM , UNILOAD, GX, NO , NO, aDir[1], , , , 0, 16, 1, 16, 0, 0, 0, 0, R - Traction force, NO, 0, 0, NO,
930, BEAM , UNILOAD, GX, NO , NO, aDir[1], , , , 0, 16, 1, 16, 0, 0, 0, 0, R - Traction force, NO, 0, 0, NO,
931, BEAM , UNILOAD, GX, NO , NO, aDir[1], , , , 0, 16, 1, 16, 0, 0, 0, 0, R - Traction force, NO, 0, 0, NO,
932, BEAM , UNILOAD, GX, NO , NO, aDir[1], , , , 0, 16, 1, 16, 0, 0, 0, 0, R - Traction force, NO, 0, 0, NO,
933, BEAM , UNILOAD, GX, NO , NO, aDir[1], , , , 0, 16, 1, 16, 0, 0, 0, 0, R - Traction force, NO, 0, 0, NO,
934, BEAM , UNILOAD, GX, NO , NO, aDir[1], , , , 0, 16, 1, 16, 0, 0, 0, 0, R - Traction force, NO, 0, 0, NO,
935, BEAM , UNILOAD, GX, NO , NO, aDir[1], , , , 0, 16, 1, 16, 0, 0, 0, 0, R - Traction force, NO, 0, 0, NO,
936, BEAM , UNILOAD, GX, NO , NO, aDir[1], , , , 0, 16, 1, 16, 0, 0, 0, 0, R - Traction force, NO, 0, 0, NO,
937, BEAM , UNILOAD, GX, NO , NO, aDir[1], , , , 0, 16, 1, 16, 0, 0, 0, 0, R - Traction force, NO, 0, 0, NO,
938, BEAM , UNILOAD, GX, NO , NO, aDir[1], , , , 0, 16, 1, 16, 0, 0, 0, 0, R - Traction force, NO, 0, 0, NO,
939, BEAM , UNILOAD, GX, NO , NO, aDir[1], , , , 0, 16, 1, 16, 0, 0, 0, 0, R - Traction force, NO, 0, 0, NO,
940, BEAM , UNILOAD, GX, NO , NO, aDir[1], , , , 0, 16, 1, 16, 0, 0, 0, 0, R - Traction force, NO, 0, 0, NO,
941, BEAM , UNILOAD, GX, NO , NO, aDir[1], , , , 0, 16, 1, 16, 0, 0, 0, 0, R - Traction force, NO, 0, 0, NO,
942, BEAM , UNILOAD, GX, NO , NO, aDir[1], , , , 0, 16, 1, 16, 0, 0, 0, 0, R - Traction force, NO, 0, 0, NO,
943, BEAM , UNILOAD, GX, NO , NO, aDir[1], , , , 0, 16, 1, 16, 0, 0, 0, 0, R - Traction force, NO, 0, 0, NO,
944, BEAM , UNILOAD, GX, NO , NO, aDir[1], , , , 0, 16, 1, 16, 0, 0, 0, 0, R - Traction force, NO, 0, 0, NO,
945, BEAM , UNILOAD, GX, NO , NO, aDir[1], , , , 0, 16, 1, 16, 0, 0, 0, 0, R - Traction force, NO, 0, 0, NO,
946, BEAM , UNILOAD, GX, NO , NO, aDir[1], , , , 0, 16, 1, 16, 0, 0, 0, 0, R - Traction force, NO, 0, 0, NO,
947, BEAM , UNILOAD, GX, NO , NO, aDir[1], , , , 0, 16, 1, 16, 0, 0, 0, 0, R - Traction force, NO, 0, 0, NO,
948, BEAM , UNILOAD, GX, NO , NO, aDir[1], , , , 0, 16, 1, 16, 0, 0, 0, 0, R - Traction force, NO, 0, 0, NO,
949, BEAM , UNILOAD, GX, NO , NO, aDir[1], , , , 0, 16, 1, 16, 0, 0, 0, 0, R - Traction force, NO, 0, 0, NO,
950, BEAM , UNILOAD, GX, NO , NO, aDir[1], , , , 0, 16, 1, 16, 0, 0, 0, 0, R - Traction force, NO, 0, 0, NO,
951, BEAM , UNILOAD, GX, NO , NO, aDir[1], , , , 0, 16, 1, 16, 0, 0, 0, 0, R - Traction force, NO, 0, 0, NO,
952, BEAM , UNILOAD, GX, NO , NO, aDir[1], , , , 0, 16, 1, 16, 0, 0, 0, 0, R - Traction force, NO, 0, 0, NO,
953, BEAM , UNILOAD, GX, NO , NO, aDir[1], , , , 0, 16, 1, 16, 0, 0, 0, 0, R - Traction force, NO, 0, 0, NO,
954, BEAM , UNILOAD, GX, NO , NO, aDir[1], , , , 0, 16, 1, 16, 0, 0, 0, 0, R - Traction force, NO, 0, 0, NO,
955, BEAM , UNILOAD, GX, NO , NO, aDir[1], , , , 0, 16, 1, 16, 0, 0, 0, 0, R - Traction force, NO, 0, 0, NO,
956, BEAM , UNILOAD, GX, NO , NO, aDir[1], , , , 0, 16, 1, 16, 0, 0, 0, 0, R - Traction force, NO, 0, 0, NO,
957, BEAM , UNILOAD, GX, NO , NO, aDir[1], , , , 0, 16, 1, 16, 0, 0, 0, 0, R - Traction force, NO, 0, 0, NO,
958, BEAM , UNILOAD, GX, NO , NO, aDir[1], , , , 0, 16, 1, 16, 0, 0, 0, 0, R - Traction force, NO, 0, 0, NO,
959, BEAM , UNILOAD, GX, NO , NO, aDir[1], , , , 0, 16, 1, 16, 0, 0, 0, 0, R - Traction force, NO, 0, 0, NO,
960, BEAM , UNILOAD, GX, NO , NO, aDir[1], , , , 0, 16, 1, 16, 0, 0, 0, 0, R - Traction force, NO, 0, 0, NO,
961, BEAM , UNILOAD, GX, NO , NO, aDir[1], , , , 0, 16, 1, 16, 0, 0, 0, 0, R - Traction force, NO, 0, 0, NO,
962, BEAM , UNILOAD, GX, NO , NO, aDir[1], , , , 0, 16, 1, 16, 0, 0, 0, 0, R - Traction force, NO, 0, 0, NO,

; End of data for load case [R+X 2. track] ----------

*USE-STLD, R-X 2. track

*BEAMLOAD ; Element Beam Loads
; ELEM_LIST, CMD, TYPE, DIR, bPROJ, [ECCEN], [VALUE], GROUP
; ELEM_LIST, CMD, TYPE, TYPE, DIR, VX, VY, VZ, bPROJ, [ECCEN], [VALUE], GROUP
; [VALUE] : D1, P1, D2, P2, D3, P3, D4, P4
; [ECCEN] : bECCEN, ECCDIR, I-END, J-END, bJ-END
; [ADDITIONAL] : bADDITIONAL, ADDITIONAL_I-END, ADDITIONAL_J-END, bADDITIONAL_J-END
716, BEAM , UNILOAD, GX, NO , NO, aDir[1], , , , 0, -16, 1, -16, 0, 0, 0, 0, R - Traction force, NO, 0, 0, NO,
717, BEAM , UNILOAD, GX, NO , NO, aDir[1], , , , 0, -16, 1, -16, 0, 0, 0, 0, R - Traction force, NO, 0, 0, NO,
718, BEAM , UNILOAD, GX, NO , NO, aDir[1], , , , 0, -16, 1, -16, 0, 0, 0, 0, R - Traction force, NO, 0, 0, NO,

PROJECT TITLE :

MIDAS	Company		Client	
	Author		File Name	H2D_3Dg_v14_180227_StatLM.mct

719, BEAM , UNILOAD, GX, NO , NO, aDir[1], , , , 0, -16, 1, -16, 0, 0, 0, 0, R - Traction force, NO, 0, 0, NO,
720, BEAM , UNILOAD, GX, NO , NO, aDir[1], , , , 0, -16, 1, -16, 0, 0, 0, 0, R - Traction force, NO, 0, 0, NO,
721, BEAM , UNILOAD, GX, NO , NO, aDir[1], , , , 0, -16, 1, -16, 0, 0, 0, 0, R - Traction force, NO, 0, 0, NO,
722, BEAM , UNILOAD, GX, NO , NO, aDir[1], , , , 0, -16, 1, -16, 0, 0, 0, 0, R - Traction force, NO, 0, 0, NO,
723, BEAM , UNILOAD, GX, NO , NO, aDir[1], , , , 0, -16, 1, -16, 0, 0, 0, 0, R - Traction force, NO, 0, 0, NO,
724, BEAM , UNILOAD, GX, NO , NO, aDir[1], , , , 0, -16, 1, -16, 0, 0, 0, 0, R - Traction force, NO, 0, 0, NO,
725, BEAM , UNILOAD, GX, NO , NO, aDir[1], , , , 0, -16, 1, -16, 0, 0, 0, 0, R - Traction force, NO, 0, 0, NO,
726, BEAM , UNILOAD, GX, NO , NO, aDir[1], , , , 0, -16, 1, -16, 0, 0, 0, 0, R - Traction force, NO, 0, 0, NO,
727, BEAM , UNILOAD, GX, NO , NO, aDir[1], , , , 0, -16, 1, -16, 0, 0, 0, 0, R - Traction force, NO, 0, 0, NO,
728, BEAM , UNILOAD, GX, NO , NO, aDir[1], , , , 0, -16, 1, -16, 0, 0, 0, 0, R - Traction force, NO, 0, 0, NO,
729, BEAM , UNILOAD, GX, NO , NO, aDir[1], , , , 0, -16, 1, -16, 0, 0, 0, 0, R - Traction force, NO, 0, 0, NO,
730, BEAM , UNILOAD, GX, NO , NO, aDir[1], , , , 0, -16, 1, -16, 0, 0, 0, 0, R - Traction force, NO, 0, 0, NO,
731, BEAM , UNILOAD, GX, NO , NO, aDir[1], , , , 0, -16, 1, -16, 0, 0, 0, 0, R - Traction force, NO, 0, 0, NO,
732, BEAM , UNILOAD, GX, NO , NO, aDir[1], , , , 0, -16, 1, -16, 0, 0, 0, 0, R - Traction force, NO, 0, 0, NO,
733, BEAM , UNILOAD, GX, NO , NO, aDir[1], , , , 0, -16, 1, -16, 0, 0, 0, 0, R - Traction force, NO, 0, 0, NO,
734, BEAM , UNILOAD, GX, NO , NO, aDir[1], , , , 0, -16, 1, -16, 0, 0, 0, 0, R - Traction force, NO, 0, 0, NO,
735, BEAM , UNILOAD, GX, NO , NO, aDir[1], , , , 0, -16, 1, -16, 0, 0, 0, 0, R - Traction force, NO, 0, 0, NO,
736, BEAM , UNILOAD, GX, NO , NO, aDir[1], , , , 0, -16, 1, -16, 0, 0, 0, 0, R - Traction force, NO, 0, 0, NO,
737, BEAM , UNILOAD, GX, NO , NO, aDir[1], , , , 0, -16, 1, -16, 0, 0, 0, 0, R - Traction force, NO, 0, 0, NO,
738, BEAM , UNILOAD, GX, NO , NO, aDir[1], , , , 0, -16, 1, -16, 0, 0, 0, 0, R - Traction force, NO, 0, 0, NO,
739, BEAM , UNILOAD, GX, NO , NO, aDir[1], , , , 0, -16, 1, -16, 0, 0, 0, 0, R - Traction force, NO, 0, 0, NO,
740, BEAM , UNILOAD, GX, NO , NO, aDir[1], , , , 0, -16, 1, -16, 0, 0, 0, 0, R - Traction force, NO, 0, 0, NO,
741, BEAM , UNILOAD, GX, NO , NO, aDir[1], , , , 0, -16, 1, -16, 0, 0, 0, 0, R - Traction force, NO, 0, 0, NO,
742, BEAM , UNILOAD, GX, NO , NO, aDir[1], , , , 0, -16, 1, -16, 0, 0, 0, 0, R - Traction force, NO, 0, 0, NO,
743, BEAM , UNILOAD, GX, NO , NO, aDir[1], , , , 0, -16, 1, -16, 0, 0, 0, 0, R - Traction force, NO, 0, 0, NO,
744, BEAM , UNILOAD, GX, NO , NO, aDir[1], , , , 0, -16, 1, -16, 0, 0, 0, 0, R - Traction force, NO, 0, 0, NO,
745, BEAM , UNILOAD, GX, NO , NO, aDir[1], , , , 0, -16, 1, -16, 0, 0, 0, 0, R - Traction force, NO, 0, 0, NO,
746, BEAM , UNILOAD, GX, NO , NO, aDir[1], , , , 0, -16, 1, -16, 0, 0, 0, 0, R - Traction force, NO, 0, 0, NO,
747, BEAM , UNILOAD, GX, NO , NO, aDir[1], , , , 0, -16, 1, -16, 0, 0, 0, 0, R - Traction force, NO, 0, 0, NO,
748, BEAM , UNILOAD, GX, NO , NO, aDir[1], , , , 0, -16, 1, -16, 0, 0, 0, 0, R - Traction force, NO, 0, 0, NO,
749, BEAM , UNILOAD, GX, NO , NO, aDir[1], , , , 0, -16, 1, -16, 0, 0, 0, 0, R - Traction force, NO, 0, 0, NO,
750, BEAM , UNILOAD, GX, NO , NO, aDir[1], , , , 0, -16, 1, -16, 0, 0, 0, 0, R - Traction force, NO, 0, 0, NO,
751, BEAM , UNILOAD, GX, NO , NO, aDir[1], , , , 0, -16, 1, -16, 0, 0, 0, 0, R - Traction force, NO, 0, 0, NO,
752, BEAM , UNILOAD, GX, NO , NO, aDir[1], , , , 0, -16, 1, -16, 0, 0, 0, 0, R - Traction force, NO, 0, 0, NO,
753, BEAM , UNILOAD, GX, NO , NO, aDir[1], , , , 0, -16, 1, -16, 0, 0, 0, 0, R - Traction force, NO, 0, 0, NO,
754, BEAM , UNILOAD, GX, NO , NO, aDir[1], , , , 0, -16, 1, -16, 0, 0, 0, 0, R - Traction force, NO, 0, 0, NO,
755, BEAM , UNILOAD, GX, NO , NO, aDir[1], , , , 0, -16, 1, -16, 0, 0, 0, 0, R - Traction force, NO, 0, 0, NO,
756, BEAM , UNILOAD, GX, NO , NO, aDir[1], , , , 0, -16, 1, -16, 0, 0, 0, 0, R - Traction force, NO, 0, 0, NO,
757, BEAM , UNILOAD, GX, NO , NO, aDir[1], , , , 0, -16, 1, -16, 0, 0, 0, 0, R - Traction force, NO, 0, 0, NO,
758, BEAM , UNILOAD, GX, NO , NO, aDir[1], , , , 0, -16, 1, -16, 0, 0, 0, 0, R - Traction force, NO, 0, 0, NO,
759, BEAM , UNILOAD, GX, NO , NO, aDir[1], , , , 0, -16, 1, -16, 0, 0, 0, 0, R - Traction force, NO, 0, 0, NO,
760, BEAM , UNILOAD, GX, NO , NO, aDir[1], , , , 0, -16, 1, -16, 0, 0, 0, 0, R - Traction force, NO, 0, 0, NO,
761, BEAM , UNILOAD, GX, NO , NO, aDir[1], , , , 0, -16, 1, -16, 0, 0, 0, 0, R - Traction force, NO, 0, 0, NO,
762, BEAM , UNILOAD, GX, NO , NO, aDir[1], , , , 0, -16, 1, -16, 0, 0, 0, 0, R - Traction force, NO, 0, 0, NO,
763, BEAM , UNILOAD, GX, NO , NO, aDir[1], , , , 0, -16, 1, -16, 0, 0, 0, 0, R - Traction force, NO, 0, 0, NO,
764, BEAM , UNILOAD, GX, NO , NO, aDir[1], , , , 0, -16, 1, -16, 0, 0, 0, 0, R - Traction force, NO, 0, 0, NO,
765, BEAM , UNILOAD, GX, NO , NO, aDir[1], , , , 0, -16, 1, -16, 0, 0, 0, 0, R - Traction force, NO, 0, 0, NO,
766, BEAM , UNILOAD, GX, NO , NO, aDir[1], , , , 0, -16, 1, -16, 0, 0, 0, 0, R - Traction force, NO, 0, 0, NO,
767, BEAM , UNILOAD, GX, NO , NO, aDir[1], , , , 0, -16, 1, -16, 0, 0, 0, 0, R - Traction force, NO, 0, 0, NO,
768, BEAM , UNILOAD, GX, NO , NO, aDir[1], , , , 0, -16, 1, -16, 0, 0, 0, 0, R - Traction force, NO, 0, 0, NO,
769, BEAM , UNILOAD, GX, NO , NO, aDir[1], , , , 0, -16, 1, -16, 0, 0, 0, 0, R - Traction force, NO, 0, 0, NO,
770, BEAM , UNILOAD, GX, NO , NO, aDir[1], , , , 0, -16, 1, -16, 0, 0, 0, 0, R - Traction force, NO, 0, 0, NO,
771, BEAM , UNILOAD, GX, NO , NO, aDir[1], , , , 0, -16, 1, -16, 0, 0, 0, 0, R - Traction force, NO, 0, 0, NO,
772, BEAM , UNILOAD, GX, NO , NO, aDir[1], , , , 0, -16, 1, -16, 0, 0, 0, 0, R - Traction force, NO, 0, 0, NO,
773, BEAM , UNILOAD, GX, NO , NO, aDir[1], , , , 0, -16, 1, -16, 0, 0, 0, 0, R - Traction force, NO, 0, 0, NO,
774, BEAM , UNILOAD, GX, NO , NO, aDir[1], , , , 0, -16, 1, -16, 0, 0, 0, 0, R - Traction force, NO, 0, 0, NO,
775, BEAM , UNILOAD, GX, NO , NO, aDir[1], , , , 0, -16, 1, -16, 0, 0, 0, 0, R - Traction force, NO, 0, 0, NO,
776, BEAM , UNILOAD, GX, NO , NO, aDir[1], , , , 0, -16, 1, -16, 0, 0, 0, 0, R - Traction force, NO, 0, 0, NO,
777, BEAM , UNILOAD, GX, NO , NO, aDir[1], , , , 0, -16, 1, -16, 0, 0, 0, 0, R - Traction force, NO, 0, 0, NO,
778, BEAM , UNILOAD, GX, NO , NO, aDir[1], , , , 0, -16, 1, -16, 0, 0, 0, 0, R - Traction force, NO, 0, 0, NO,
779, BEAM , UNILOAD, GX, NO , NO, aDir[1], , , , 0, -16, 1, -16, 0, 0, 0, 0, R - Traction force, NO, 0, 0, NO,
780, BEAM , UNILOAD, GX, NO , NO, aDir[1], , , , 0, -16, 1, -16, 0, 0, 0, 0, R - Traction force, NO, 0, 0, NO,
781, BEAM , UNILOAD, GX, NO , NO, aDir[1], , , , 0, -16, 1, -16, 0, 0, 0, 0, R - Traction force, NO, 0, 0, NO,
782, BEAM , UNILOAD, GX, NO , NO, aDir[1], , , , 0, -16, 1, -16, 0, 0, 0, 0, R - Traction force, NO, 0, 0, NO,
783, BEAM , UNILOAD, GX, NO , NO, aDir[1], , , , 0, -16, 1, -16, 0, 0, 0, 0, R - Traction force, NO, 0, 0, NO,
784, BEAM , UNILOAD, GX, NO , NO, aDir[1], , , , 0, -16, 1, -16, 0, 0, 0, 0, R - Traction force, NO, 0, 0, NO,
785, BEAM , UNILOAD, GX, NO , NO, aDir[1], , , , 0, -16, 1, -16, 0, 0, 0, 0, R - Traction force, NO, 0, 0, NO,
786, BEAM , UNILOAD, GX, NO , NO, aDir[1], , , , 0, -16, 1, -16, 0, 0, 0, 0, R - Traction force, NO, 0, 0, NO,
787, BEAM , UNILOAD, GX, NO , NO, aDir[1], , , , 0, -16, 1, -16, 0, 0, 0, 0, R - Traction force, NO, 0, 0, NO,
788, BEAM , UNILOAD, GX, NO , NO, aDir[1], , , , 0, -16, 1, -16, 0, 0, 0, 0, R - Traction force, NO, 0, 0, NO,
889, BEAM , UNILOAD, GX, NO , NO, aDir[1], , , , 0, -16, 1, -16, 0, 0, 0, 0, R - Traction force, NO, 0, 0, NO,
890, BEAM , UNILOAD, GX, NO , NO, aDir[1], , , , 0, -16, 1, -16, 0, 0, 0, 0, R - Traction force, NO, 0, 0, NO,

PROJECT TITLE :

	Company		Client	
MIDAS	Author		File Name	H2D_3Dg_v14_180227_StatLM.mct

891, BEAM , UNILOAD, GX, NO , NO, aDir[1], , , , 0, -16, 1, -16, 0, 0, 0, 0, R - Traction force, NO, 0, 0, NO,
892, BEAM , UNILOAD, GX, NO , NO, aDir[1], , , , 0, -16, 1, -16, 0, 0, 0, 0, R - Traction force, NO, 0, 0, NO,
893, BEAM , UNILOAD, GX, NO , NO, aDir[1], , , , 0, -16, 1, -16, 0, 0, 0, 0, R - Traction force, NO, 0, 0, NO,
894, BEAM , UNILOAD, GX, NO , NO, aDir[1], , , , 0, -16, 1, -16, 0, 0, 0, 0, R - Traction force, NO, 0, 0, NO,
895, BEAM , UNILOAD, GX, NO , NO, aDir[1], , , , 0, -16, 1, -16, 0, 0, 0, 0, R - Traction force, NO, 0, 0, NO,
896, BEAM , UNILOAD, GX, NO , NO, aDir[1], , , , 0, -16, 1, -16, 0, 0, 0, 0, R - Traction force, NO, 0, 0, NO,
897, BEAM , UNILOAD, GX, NO , NO, aDir[1], , , , 0, -16, 1, -16, 0, 0, 0, 0, R - Traction force, NO, 0, 0, NO,
898, BEAM , UNILOAD, GX, NO , NO, aDir[1], , , , 0, -16, 1, -16, 0, 0, 0, 0, R - Traction force, NO, 0, 0, NO,
899, BEAM , UNILOAD, GX, NO , NO, aDir[1], , , , 0, -16, 1, -16, 0, 0, 0, 0, R - Traction force, NO, 0, 0, NO,
900, BEAM , UNILOAD, GX, NO , NO, aDir[1], , , , 0, -16, 1, -16, 0, 0, 0, 0, R - Traction force, NO, 0, 0, NO,
901, BEAM , UNILOAD, GX, NO , NO, aDir[1], , , , 0, -16, 1, -16, 0, 0, 0, 0, R - Traction force, NO, 0, 0, NO,
902, BEAM , UNILOAD, GX, NO , NO, aDir[1], , , , 0, -16, 1, -16, 0, 0, 0, 0, R - Traction force, NO, 0, 0, NO,
903, BEAM , UNILOAD, GX, NO , NO, aDir[1], , , , 0, -16, 1, -16, 0, 0, 0, 0, R - Traction force, NO, 0, 0, NO,
904, BEAM , UNILOAD, GX, NO , NO, aDir[1], , , , 0, -16, 1, -16, 0, 0, 0, 0, R - Traction force, NO, 0, 0, NO,
905, BEAM , UNILOAD, GX, NO , NO, aDir[1], , , , 0, -16, 1, -16, 0, 0, 0, 0, R - Traction force, NO, 0, 0, NO,
906, BEAM , UNILOAD, GX, NO , NO, aDir[1], , , , 0, -16, 1, -16, 0, 0, 0, 0, R - Traction force, NO, 0, 0, NO,
907, BEAM , UNILOAD, GX, NO , NO, aDir[1], , , , 0, -16, 1, -16, 0, 0, 0, 0, R - Traction force, NO, 0, 0, NO,
908, BEAM , UNILOAD, GX, NO , NO, aDir[1], , , , 0, -16, 1, -16, 0, 0, 0, 0, R - Traction force, NO, 0, 0, NO,
909, BEAM , UNILOAD, GX, NO , NO, aDir[1], , , , 0, -16, 1, -16, 0, 0, 0, 0, R - Traction force, NO, 0, 0, NO,
910, BEAM , UNILOAD, GX, NO , NO, aDir[1], , , , 0, -16, 1, -16, 0, 0, 0, 0, R - Traction force, NO, 0, 0, NO,
911, BEAM , UNILOAD, GX, NO , NO, aDir[1], , , , 0, -16, 1, -16, 0, 0, 0, 0, R - Traction force, NO, 0, 0, NO,
912, BEAM , UNILOAD, GX, NO , NO, aDir[1], , , , 0, -16, 1, -16, 0, 0, 0, 0, R - Traction force, NO, 0, 0, NO,
913, BEAM , UNILOAD, GX, NO , NO, aDir[1], , , , 0, -16, 1, -16, 0, 0, 0, 0, R - Traction force, NO, 0, 0, NO,
914, BEAM , UNILOAD, GX, NO , NO, aDir[1], , , , 0, -16, 1, -16, 0, 0, 0, 0, R - Traction force, NO, 0, 0, NO,
915, BEAM , UNILOAD, GX, NO , NO, aDir[1], , , , 0, -16, 1, -16, 0, 0, 0, 0, R - Traction force, NO, 0, 0, NO,
916, BEAM , UNILOAD, GX, NO , NO, aDir[1], , , , 0, -16, 1, -16, 0, 0, 0, 0, R - Traction force, NO, 0, 0, NO,
917, BEAM , UNILOAD, GX, NO , NO, aDir[1], , , , 0, -16, 1, -16, 0, 0, 0, 0, R - Traction force, NO, 0, 0, NO,
918, BEAM , UNILOAD, GX, NO , NO, aDir[1], , , , 0, -16, 1, -16, 0, 0, 0, 0, R - Traction force, NO, 0, 0, NO,
919, BEAM , UNILOAD, GX, NO , NO, aDir[1], , , , 0, -16, 1, -16, 0, 0, 0, 0, R - Traction force, NO, 0, 0, NO,
920, BEAM , UNILOAD, GX, NO , NO, aDir[1], , , , 0, -16, 1, -16, 0, 0, 0, 0, R - Traction force, NO, 0, 0, NO,
921, BEAM , UNILOAD, GX, NO , NO, aDir[1], , , , 0, -16, 1, -16, 0, 0, 0, 0, R - Traction force, NO, 0, 0, NO,
922, BEAM , UNILOAD, GX, NO , NO, aDir[1], , , , 0, -16, 1, -16, 0, 0, 0, 0, R - Traction force, NO, 0, 0, NO,
923, BEAM , UNILOAD, GX, NO , NO, aDir[1], , , , 0, -16, 1, -16, 0, 0, 0, 0, R - Traction force, NO, 0, 0, NO,
924, BEAM , UNILOAD, GX, NO , NO, aDir[1], , , , 0, -16, 1, -16, 0, 0, 0, 0, R - Traction force, NO, 0, 0, NO,
925, BEAM , UNILOAD, GX, NO , NO, aDir[1], , , , 0, -16, 1, -16, 0, 0, 0, 0, R - Traction force, NO, 0, 0, NO,
926, BEAM , UNILOAD, GX, NO , NO, aDir[1], , , , 0, -16, 1, -16, 0, 0, 0, 0, R - Traction force, NO, 0, 0, NO,
927, BEAM , UNILOAD, GX, NO , NO, aDir[1], , , , 0, -16, 1, -16, 0, 0, 0, 0, R - Traction force, NO, 0, 0, NO,
928, BEAM , UNILOAD, GX, NO , NO, aDir[1], , , , 0, -16, 1, -16, 0, 0, 0, 0, R - Traction force, NO, 0, 0, NO,
929, BEAM , UNILOAD, GX, NO , NO, aDir[1], , , , 0, -16, 1, -16, 0, 0, 0, 0, R - Traction force, NO, 0, 0, NO,
930, BEAM , UNILOAD, GX, NO , NO, aDir[1], , , , 0, -16, 1, -16, 0, 0, 0, 0, R - Traction force, NO, 0, 0, NO,
931, BEAM , UNILOAD, GX, NO , NO, aDir[1], , , , 0, -16, 1, -16, 0, 0, 0, 0, R - Traction force, NO, 0, 0, NO,
932, BEAM , UNILOAD, GX, NO , NO, aDir[1], , , , 0, -16, 1, -16, 0, 0, 0, 0, R - Traction force, NO, 0, 0, NO,
933, BEAM , UNILOAD, GX, NO , NO, aDir[1], , , , 0, -16, 1, -16, 0, 0, 0, 0, R - Traction force, NO, 0, 0, NO,
934, BEAM , UNILOAD, GX, NO , NO, aDir[1], , , , 0, -16, 1, -16, 0, 0, 0, 0, R - Traction force, NO, 0, 0, NO,
935, BEAM , UNILOAD, GX, NO , NO, aDir[1], , , , 0, -16, 1, -16, 0, 0, 0, 0, R - Traction force, NO, 0, 0, NO,
936, BEAM , UNILOAD, GX, NO , NO, aDir[1], , , , 0, -16, 1, -16, 0, 0, 0, 0, R - Traction force, NO, 0, 0, NO,
937, BEAM , UNILOAD, GX, NO , NO, aDir[1], , , , 0, -16, 1, -16, 0, 0, 0, 0, R - Traction force, NO, 0, 0, NO,
938, BEAM , UNILOAD, GX, NO , NO, aDir[1], , , , 0, -16, 1, -16, 0, 0, 0, 0, R - Traction force, NO, 0, 0, NO,
939, BEAM , UNILOAD, GX, NO , NO, aDir[1], , , , 0, -16, 1, -16, 0, 0, 0, 0, R - Traction force, NO, 0, 0, NO,
940, BEAM , UNILOAD, GX, NO , NO, aDir[1], , , , 0, -16, 1, -16, 0, 0, 0, 0, R - Traction force, NO, 0, 0, NO,
941, BEAM , UNILOAD, GX, NO , NO, aDir[1], , , , 0, -16, 1, -16, 0, 0, 0, 0, R - Traction force, NO, 0, 0, NO,
942, BEAM , UNILOAD, GX, NO , NO, aDir[1], , , , 0, -16, 1, -16, 0, 0, 0, 0, R - Traction force, NO, 0, 0, NO,
943, BEAM , UNILOAD, GX, NO , NO, aDir[1], , , , 0, -16, 1, -16, 0, 0, 0, 0, R - Traction force, NO, 0, 0, NO,
944, BEAM , UNILOAD, GX, NO , NO, aDir[1], , , , 0, -16, 1, -16, 0, 0, 0, 0, R - Traction force, NO, 0, 0, NO,
945, BEAM , UNILOAD, GX, NO , NO, aDir[1], , , , 0, -16, 1, -16, 0, 0, 0, 0, R - Traction force, NO, 0, 0, NO,
946, BEAM , UNILOAD, GX, NO , NO, aDir[1], , , , 0, -16, 1, -16, 0, 0, 0, 0, R - Traction force, NO, 0, 0, NO,
947, BEAM , UNILOAD, GX, NO , NO, aDir[1], , , , 0, -16, 1, -16, 0, 0, 0, 0, R - Traction force, NO, 0, 0, NO,
948, BEAM , UNILOAD, GX, NO , NO, aDir[1], , , , 0, -16, 1, -16, 0, 0, 0, 0, R - Traction force, NO, 0, 0, NO,
949, BEAM , UNILOAD, GX, NO , NO, aDir[1], , , , 0, -16, 1, -16, 0, 0, 0, 0, R - Traction force, NO, 0, 0, NO,
950, BEAM , UNILOAD, GX, NO , NO, aDir[1], , , , 0, -16, 1, -16, 0, 0, 0, 0, R - Traction force, NO, 0, 0, NO,
951, BEAM , UNILOAD, GX, NO , NO, aDir[1], , , , 0, -16, 1, -16, 0, 0, 0, 0, R - Traction force, NO, 0, 0, NO,
952, BEAM , UNILOAD, GX, NO , NO, aDir[1], , , , 0, -16, 1, -16, 0, 0, 0, 0, R - Traction force, NO, 0, 0, NO,
953, BEAM , UNILOAD, GX, NO , NO, aDir[1], , , , 0, -16, 1, -16, 0, 0, 0, 0, R - Traction force, NO, 0, 0, NO,
954, BEAM , UNILOAD, GX, NO , NO, aDir[1], , , , 0, -16, 1, -16, 0, 0, 0, 0, R - Traction force, NO, 0, 0, NO,
955, BEAM , UNILOAD, GX, NO , NO, aDir[1], , , , 0, -16, 1, -16, 0, 0, 0, 0, R - Traction force, NO, 0, 0, NO,
956, BEAM , UNILOAD, GX, NO , NO, aDir[1], , , , 0, -16, 1, -16, 0, 0, 0, 0, R - Traction force, NO, 0, 0, NO,
957, BEAM , UNILOAD, GX, NO , NO, aDir[1], , , , 0, -16, 1, -16, 0, 0, 0, 0, R - Traction force, NO, 0, 0, NO,
958, BEAM , UNILOAD, GX, NO , NO, aDir[1], , , , 0, -16, 1, -16, 0, 0, 0, 0, R - Traction force, NO, 0, 0, NO,
959, BEAM , UNILOAD, GX, NO , NO, aDir[1], , , , 0, -16, 1, -16, 0, 0, 0, 0, R - Traction force, NO, 0, 0, NO,
960, BEAM , UNILOAD, GX, NO , NO, aDir[1], , , , 0, -16, 1, -16, 0, 0, 0, 0, R - Traction force, NO, 0, 0, NO,
961, BEAM , UNILOAD, GX, NO , NO, aDir[1], , , , 0, -16, 1, -16, 0, 0, 0, 0, R - Traction force, NO, 0, 0, NO,
962, BEAM , UNILOAD, GX, NO , NO, aDir[1], , , , 0, -16, 1, -16, 0, 0, 0, 0, R - Traction force, NO, 0, 0, NO,

; End of data for load case [R-X 2. track] ----------

*USE-STLD, S.1 +Y

*BEAMLOAD ; Element Beam Loads
; ELEM_LIST, CMD, TYPE, DIR, bPROJ, [ECCEN], [VALUE], GROUP
; ELEM_LIST, CMD, TYPE, TYPE, DIR, VX, VY, VZ, bPROJ, [ECCEN], [VALUE], GROUP
; [VALUE] : D1, P1, D2, P2, D3, P3, D4, P4
; [ECCEN] : bECCEN, ECCDIR, I-END, J-END, bJ-END
; [ADDITIONAL] : bADDITIONAL, ADDITIONAL_I-END, ADDITIONAL_J-END, bADDITIONAL_J-END
717, BEAM , CONLOAD, GY, NO , NO, aDir[1], , , , 0, 12500, 0, 0, 0, 0, 0, 0, S - Nosing force, NO, 0, 0, NO,
719, BEAM , CONLOAD, GY, NO , NO, aDir[1], , , , 0, 25000, 1, 12500, 0, 0, 0, 0, 0, S - Nosing force, NO, 0, 0, NO,
891, BEAM , CONLOAD, GY, NO , NO, aDir[1], , , , 0, 12500, 0, 0, 0, 0, 0, 0, 0, S - Nosing force, NO, 0, 0, NO,
893, BEAM , CONLOAD, GY, NO , NO, aDir[1], , , , 0, 25000, 1, 12500, 0, 0, 0, 0, 0, S - Nosing force, NO, 0, 0, NO,
1065, BEAM , CONLOAD, GY, NO , NO, aDir[1], , , , 0, 12500, 0, 0, 0, 0, 0, 0, 0, S - Nosing force, NO, 0, 0, NO,
1067, BEAM , CONLOAD, GY, NO , NO, aDir[1], , , , 0, 25000, 1, 12500, 0, 0, 0, 0, 0, S - Nosing force, NO, 0, 0, NO,
1239, BEAM , CONLOAD, GY, NO , NO, aDir[1], , , , 0, 12500, 0, 0, 0, 0, 0, 0, 0, S - Nosing force, NO, 0, 0, NO,
1241, BEAM , CONLOAD, GY, NO , NO, aDir[1], , , , 0, 25000, 1, 12500, 0, 0, 0, 0, 0, S - Nosing force, NO, 0, 0, NO,

; End of data for load case [S.1 +Y] ----------

*USE-STLD, S.2 +Y

*BEAMLOAD ; Element Beam Loads
; ELEM_LIST, CMD, TYPE, DIR, bPROJ, [ECCEN], [VALUE], GROUP
; ELEM_LIST, CMD, TYPE, TYPE, DIR, VX, VY, VZ, bPROJ, [ECCEN], [VALUE], GROUP
; [VALUE] : D1, P1, D2, P2, D3, P3, D4, P4
; [ECCEN] : bECCEN, ECCDIR, I-END, J-END, bJ-END
; [ADDITIONAL] : bADDITIONAL, ADDITIONAL_I-END, ADDITIONAL_J-END, bADDITIONAL_J-END
728, BEAM , CONLOAD, GY, NO , NO, aDir[1], , , , 0, 12500, 1, 12500, 0, 0, 0, 0, 0, S - Nosing force, NO, 0, 0, NO,
729, BEAM , CONLOAD, GY, NO , NO, aDir[1], , , , 0, 12500, 1, 12500, 0, 0, 0, 0, 0, S - Nosing force, NO, 0, 0, NO,
902, BEAM , CONLOAD, GY, NO , NO, aDir[1], , , , 0, 12500, 1, 12500, 0, 0, 0, 0, 0, S - Nosing force, NO, 0, 0, NO,
903, BEAM , CONLOAD, GY, NO , NO, aDir[1], , , , 0, 12500, 1, 12500, 0, 0, 0, 0, 0, S - Nosing force, NO, 0, 0, NO,
1076, BEAM , CONLOAD, GY, NO , NO, aDir[1], , , , 0, 12500, 1, 12500, 0, 0, 0, 0, 0, S - Nosing force, NO, 0, 0, NO,
1077, BEAM , CONLOAD, GY, NO , NO, aDir[1], , , , 0, 12500, 1, 12500, 0, 0, 0, 0, 0, S - Nosing force, NO, 0, 0, NO,
1250, BEAM , CONLOAD, GY, NO , NO, aDir[1], , , , 0, 12500, 1, 12500, 0, 0, 0, 0, 0, S - Nosing force, NO, 0, 0, NO,
1251, BEAM , CONLOAD, GY, NO , NO, aDir[1], , , , 0, 12500, 1, 12500, 0, 0, 0, 0, 0, S - Nosing force, NO, 0, 0, NO,

; End of data for load case [S.2 +Y] ----------

*USE-STLD, S.3 +Y

*BEAMLOAD ; Element Beam Loads
; ELEM_LIST, CMD, TYPE, DIR, bPROJ, [ECCEN], [VALUE], GROUP
; ELEM_LIST, CMD, TYPE, TYPE, DIR, VX, VY, VZ, bPROJ, [ECCEN], [VALUE], GROUP
; [VALUE] : D1, P1, D2, P2, D3, P3, D4, P4
; [ECCEN] : bECCEN, ECCDIR, I-END, J-END, bJ-END
; [ADDITIONAL] : bADDITIONAL, ADDITIONAL_I-END, ADDITIONAL_J-END, bADDITIONAL_J-END
738, BEAM , CONLOAD, GY, NO , NO, aDir[1], , , , 0, 12500, 1, 12500, 0, 0, 0, 0, 0, S - Nosing force, NO, 0, 0, NO,
739, BEAM , CONLOAD, GY, NO , NO, aDir[1], , , , 0, 12500, 1, 12500, 0, 0, 0, 0, 0, S - Nosing force, NO, 0, 0, NO,
912, BEAM , CONLOAD, GY, NO , NO, aDir[1], , , , 0, 12500, 1, 12500, 0, 0, 0, 0, 0, S - Nosing force, NO, 0, 0, NO,
913, BEAM , CONLOAD, GY, NO , NO, aDir[1], , , , 0, 12500, 1, 12500, 0, 0, 0, 0, 0, S - Nosing force, NO, 0, 0, NO,
1086, BEAM , CONLOAD, GY, NO , NO, aDir[1], , , , 0, 12500, 1, 12500, 0, 0, 0, 0, 0, S - Nosing force, NO, 0, 0, NO,
1087, BEAM , CONLOAD, GY, NO , NO, aDir[1], , , , 0, 12500, 1, 12500, 0, 0, 0, 0, 0, S - Nosing force, NO, 0, 0, NO,
1260, BEAM , CONLOAD, GY, NO , NO, aDir[1], , , , 0, 12500, 1, 12500, 0, 0, 0, 0, 0, S - Nosing force, NO, 0, 0, NO,
1261, BEAM , CONLOAD, GY, NO , NO, aDir[1], , , , 0, 12500, 1, 12500, 0, 0, 0, 0, 0, S - Nosing force, NO, 0, 0, NO,

; End of data for load case [S.3 +Y] ----------

*USE-STLD, S.4 +Y

*BEAMLOAD ; Element Beam Loads
; ELEM_LIST, CMD, TYPE, DIR, bPROJ, [ECCEN], [VALUE], GROUP
; ELEM_LIST, CMD, TYPE, TYPE, DIR, VX, VY, VZ, bPROJ, [ECCEN], [VALUE], GROUP
; [VALUE] : D1, P1, D2, P2, D3, P3, D4, P4
; [ECCEN] : bECCEN, ECCDIR, I-END, J-END, bJ-END
; [ADDITIONAL] : bADDITIONAL, ADDITIONAL_I-END, ADDITIONAL_J-END, bADDITIONAL_J-END
750, BEAM , CONLOAD, GY, NO , NO, aDir[1], , , , 0, 12500, 1, 12500, 0, 0, 0, 0, 0, S - Nosing force, NO, 0, 0, NO,
751, BEAM , CONLOAD, GY, NO , NO, aDir[1], , , , 0, 12500, 1, 12500, 0, 0, 0, 0, 0, S - Nosing force, NO, 0, 0, NO,
924, BEAM , CONLOAD, GY, NO , NO, aDir[1], , , , 0, 12500, 1, 12500, 0, 0, 0, 0, 0, S - Nosing force, NO, 0, 0, NO,
925, BEAM , CONLOAD, GY, NO , NO, aDir[1], , , , 0, 12500, 1, 12500, 0, 0, 0, 0, 0, S - Nosing force, NO, 0, 0, NO,

1098, BEAM , CONLOAD, GY, NO , NO, aDir[1], , , , 0, 12500, 1, 12500, 0, 0, 0, 0, S - Nosing force, NO, 0, 0, NO,
1099, BEAM , CONLOAD, GY, NO , NO, aDir[1], , , , 0, 12500, 1, 12500, 0, 0, 0, 0, S - Nosing force, NO, 0, 0, NO,
1272, BEAM , CONLOAD, GY, NO , NO, aDir[1], , , , 0, 12500, 1, 12500, 0, 0, 0, 0, S - Nosing force, NO, 0, 0, NO,
1273, BEAM , CONLOAD, GY, NO , NO, aDir[1], , , , 0, 12500, 1, 12500, 0, 0, 0, 0, S - Nosing force, NO, 0, 0, NO,

; End of data for load case [S.4 +Y] ----------

*USE-STLD, S.5 +Y

*BEAMLOAD ; Element Beam Loads
; ELEM_LIST, CMD, TYPE, DIR, bPROJ, [ECCEN], [VALUE], GROUP
; ELEM_LIST, CMD, TYPE, TYPE, DIR, VX, VY, VZ, bPROJ, [ECCEN], [VALUE], GROUP
; [VALUE] : D1, P1, D2, P2, D3, P3, D4, P4
; [ECCEN] : bECCEN, ECCDIR, I-END, J-END, bJ-END
; [ADDITIONAL] : bADDITIONAL, ADDITIONAL_I-END, ADDITIONAL_J-END, bADDITIONAL_J-END
760, BEAM , CONLOAD, GY, NO , NO, aDir[1], , , , 0, 12500, 1, 12500, 0, 0, 0, 0, S - Nosing force, NO, 0, 0, NO,
761, BEAM , CONLOAD, GY, NO , NO, aDir[1], , , , 0, 12500, 1, 12500, 0, 0, 0, 0, S - Nosing force, NO, 0, 0, NO,
934, BEAM , CONLOAD, GY, NO , NO, aDir[1], , , , 0, 12500, 1, 12500, 0, 0, 0, 0, S - Nosing force, NO, 0, 0, NO,
935, BEAM , CONLOAD, GY, NO , NO, aDir[1], , , , 0, 12500, 1, 12500, 0, 0, 0, 0, S - Nosing force, NO, 0, 0, NO,
1108, BEAM , CONLOAD, GY, NO , NO, aDir[1], , , , 0, 12500, 1, 12500, 0, 0, 0, 0, S - Nosing force, NO, 0, 0, NO,
1109, BEAM , CONLOAD, GY, NO , NO, aDir[1], , , , 0, 12500, 1, 12500, 0, 0, 0, 0, S - Nosing force, NO, 0, 0, NO,
1282, BEAM , CONLOAD, GY, NO , NO, aDir[1], , , , 0, 12500, 1, 12500, 0, 0, 0, 0, S - Nosing force, NO, 0, 0, NO,
1283, BEAM , CONLOAD, GY, NO , NO, aDir[1], , , , 0, 12500, 1, 12500, 0, 0, 0, 0, S - Nosing force, NO, 0, 0, NO,

; End of data for load case [S.5 +Y] ----------

*USE-STLD, S.6 +Y

*BEAMLOAD ; Element Beam Loads
; ELEM_LIST, CMD, TYPE, DIR, bPROJ, [ECCEN], [VALUE], GROUP
; ELEM_LIST, CMD, TYPE, TYPE, DIR, VX, VY, VZ, bPROJ, [ECCEN], [VALUE], GROUP
; [VALUE] : D1, P1, D2, P2, D3, P3, D4, P4
; [ECCEN] : bECCEN, ECCDIR, I-END, J-END, bJ-END
; [ADDITIONAL] : bADDITIONAL, ADDITIONAL_I-END, ADDITIONAL_J-END, bADDITIONAL_J-END
772, BEAM , CONLOAD, GY, NO , NO, aDir[1], , , , 0, 12500, 1, 12500, 0, 0, 0, 0, S - Nosing force, NO, 0, 0, NO,
773, BEAM , CONLOAD, GY, NO , NO, aDir[1], , , , 0, 12500, 1, 12500, 0, 0, 0, 0, S - Nosing force, NO, 0, 0, NO,
946, BEAM , CONLOAD, GY, NO , NO, aDir[1], , , , 0, 12500, 1, 12500, 0, 0, 0, 0, S - Nosing force, NO, 0, 0, NO,
947, BEAM , CONLOAD, GY, NO , NO, aDir[1], , , , 0, 12500, 1, 12500, 0, 0, 0, 0, S - Nosing force, NO, 0, 0, NO,
1120, BEAM , CONLOAD, GY, NO , NO, aDir[1], , , , 0, 12500, 1, 12500, 0, 0, 0, 0, S - Nosing force, NO, 0, 0, NO,
1121, BEAM , CONLOAD, GY, NO , NO, aDir[1], , , , 0, 12500, 1, 12500, 0, 0, 0, 0, S - Nosing force, NO, 0, 0, NO,
1294, BEAM , CONLOAD, GY, NO , NO, aDir[1], , , , 0, 12500, 1, 12500, 0, 0, 0, 0, S - Nosing force, NO, 0, 0, NO,
1295, BEAM , CONLOAD, GY, NO , NO, aDir[1], , , , 0, 12500, 1, 12500, 0, 0, 0, 0, S - Nosing force, NO, 0, 0, NO,

; End of data for load case [S.6 +Y] ----------

*USE-STLD, S.7 +Y

*BEAMLOAD ; Element Beam Loads
; ELEM_LIST, CMD, TYPE, DIR, bPROJ, [ECCEN], [VALUE], GROUP
; ELEM_LIST, CMD, TYPE, TYPE, DIR, VX, VY, VZ, bPROJ, [ECCEN], [VALUE], GROUP
; [VALUE] : D1, P1, D2, P2, D3, P3, D4, P4
; [ECCEN] : bECCEN, ECCDIR, I-END, J-END, bJ-END
; [ADDITIONAL] : bADDITIONAL, ADDITIONAL_I-END, ADDITIONAL_J-END, bADDITIONAL_J-END
782, BEAM , CONLOAD, GY, NO , NO, aDir[1], , , , 0, 12500, 1, 12500, 0, 0, 0, 0, S - Nosing force, NO, 0, 0, NO,
783, BEAM , CONLOAD, GY, NO , NO, aDir[1], , , , 0, 12500, 1, 12500, 0, 0, 0, 0, S - Nosing force, NO, 0, 0, NO,
956, BEAM , CONLOAD, GY, NO , NO, aDir[1], , , , 0, 12500, 1, 12500, 0, 0, 0, 0, S - Nosing force, NO, 0, 0, NO,
957, BEAM , CONLOAD, GY, NO , NO, aDir[1], , , , 0, 12500, 1, 12500, 0, 0, 0, 0, S - Nosing force, NO, 0, 0, NO,
1130, BEAM , CONLOAD, GY, NO , NO, aDir[1], , , , 0, 12500, 1, 12500, 0, 0, 0, 0, S - Nosing force, NO, 0, 0, NO,
1131, BEAM , CONLOAD, GY, NO , NO, aDir[1], , , , 0, 12500, 1, 12500, 0, 0, 0, 0, S - Nosing force, NO, 0, 0, NO,
1304, BEAM , CONLOAD, GY, NO , NO, aDir[1], , , , 0, 12500, 1, 12500, 0, 0, 0, 0, S - Nosing force, NO, 0, 0, NO,
1305, BEAM , CONLOAD, GY, NO , NO, aDir[1], , , , 0, 12500, 1, 12500, 0, 0, 0, 0, S - Nosing force, NO, 0, 0, NO,

; End of data for load case [S.7 +Y] ----------

*USE-STLD, S.8 +Y

*BEAMLOAD ; Element Beam Loads
; ELEM_LIST, CMD, TYPE, DIR, bPROJ, [ECCEN], [VALUE], GROUP
; ELEM_LIST, CMD, TYPE, TYPE, DIR, VX, VY, VZ, bPROJ, [ECCEN], [VALUE], GROUP
; [VALUE] : D1, P1, D2, P2, D3, P3, D4, P4
; [ECCEN] : bECCEN, ECCDIR, I-END, J-END, bJ-END
; [ADDITIONAL] : bADDITIONAL, ADDITIONAL_I-END, ADDITIONAL_J-END, bADDITIONAL_J-END

794, BEAM , CONLOAD, GY, NO , NO, aDir[1], , , , 0, 12500, 1, 12500, 0, 0, 0, 0, S - Nosing force, NO, 0, 0, NO,
795, BEAM , CONLOAD, GY, NO , NO, aDir[1], , , , 0, 12500, 1, 12500, 0, 0, 0, 0, S - Nosing force, NO, 0, 0, NO,
968, BEAM , CONLOAD, GY, NO , NO, aDir[1], , , , 0, 12500, 1, 12500, 0, 0, 0, 0, S - Nosing force, NO, 0, 0, NO,
969, BEAM , CONLOAD, GY, NO , NO, aDir[1], , , , 0, 12500, 1, 12500, 0, 0, 0, 0, S - Nosing force, NO, 0, 0, NO,
1142, BEAM , CONLOAD, GY, NO , NO, aDir[1], , , , 0, 12500, 1, 12500, 0, 0, 0, 0, S - Nosing force, NO, 0, 0, NO,
1143, BEAM , CONLOAD, GY, NO , NO, aDir[1], , , , 0, 12500, 1, 12500, 0, 0, 0, 0, S - Nosing force, NO, 0, 0, NO,
1316, BEAM , CONLOAD, GY, NO , NO, aDir[1], , , , 0, 12500, 1, 12500, 0, 0, 0, 0, S - Nosing force, NO, 0, 0, NO,
1317, BEAM , CONLOAD, GY, NO , NO, aDir[1], , , , 0, 12500, 1, 12500, 0, 0, 0, 0, S - Nosing force, NO, 0, 0, NO,

; End of data for load case [S.8 +Y] ----------

*USE-STLD, S.1 -Y

*BEAMLOAD ; Element Beam Loads
; ELEM_LIST, CMD, TYPE, DIR, bPROJ, [ECCEN], [VALUE], GROUP
; ELEM_LIST, CMD, TYPE, TYPE, DIR, VX, VY, VZ, bPROJ, [ECCEN], [VALUE], GROUP
; [VALUE] : D1, P1, D2, P2, D3, P3, D4, P4
; [ECCEN] : bECCEN, ECCDIR, I-END, J-END, bJ-END
; [ADDITIONAL] : bADDITIONAL, ADDITIONAL_I-END, ADDITIONAL_J-END, bADDITIONAL_J-END
717, BEAM , CONLOAD, GY, NO , NO, aDir[1], , , , 0, -12500, 0, 0, 0, 0, 0, 0, S - Nosing force, NO, 0, 0, NO,
719, BEAM , CONLOAD, GY, NO , NO, aDir[1], , , , 0, -25000, 1, -12500, 0, 0, 0, 0, S - Nosing force, NO, 0, 0, NO,
891, BEAM , CONLOAD, GY, NO , NO, aDir[1], , , , 0, -12500, 0, 0, 0, 0, 0, 0, S - Nosing force, NO, 0, 0, NO,
893, BEAM , CONLOAD, GY, NO , NO, aDir[1], , , , 0, -25000, 1, -12500, 0, 0, 0, 0, S - Nosing force, NO, 0, 0, NO,
1065, BEAM , CONLOAD, GY, NO , NO, aDir[1], , , , 0, -12500, 0, 0, 0, 0, 0, 0, S - Nosing force, NO, 0, 0, NO,
1067, BEAM , CONLOAD, GY, NO , NO, aDir[1], , , , 0, -25000, 1, -12500, 0, 0, 0, 0, S - Nosing force, NO, 0, 0, NO,
1239, BEAM , CONLOAD, GY, NO , NO, aDir[1], , , , 0, -12500, 0, 0, 0, 0, 0, 0, S - Nosing force, NO, 0, 0, NO,
1241, BEAM , CONLOAD, GY, NO , NO, aDir[1], , , , 0, -25000, 1, -12500, 0, 0, 0, 0, S - Nosing force, NO, 0, 0, NO,

; End of data for load case [S.1 -Y] ----------

*USE-STLD, S.2 -Y

*BEAMLOAD ; Element Beam Loads
; ELEM_LIST, CMD, TYPE, DIR, bPROJ, [ECCEN], [VALUE], GROUP
; ELEM_LIST, CMD, TYPE, TYPE, DIR, VX, VY, VZ, bPROJ, [ECCEN], [VALUE], GROUP
; [VALUE] : D1, P1, D2, P2, D3, P3, D4, P4
; [ECCEN] : bECCEN, ECCDIR, I-END, J-END, bJ-END
; [ADDITIONAL] : bADDITIONAL, ADDITIONAL_I-END, ADDITIONAL_J-END, bADDITIONAL_J-END
728, BEAM , CONLOAD, GY, NO , NO, aDir[1], , , , 0, -12500, 1, -12500, 0, 0, 0, 0, S - Nosing force, NO, 0, 0, NO,
729, BEAM , CONLOAD, GY, NO , NO, aDir[1], , , , 0, -12500, 1, -12500, 0, 0, 0, 0, S - Nosing force, NO, 0, 0, NO,
902, BEAM , CONLOAD, GY, NO , NO, aDir[1], , , , 0, -12500, 1, -12500, 0, 0, 0, 0, S - Nosing force, NO, 0, 0, NO,
903, BEAM , CONLOAD, GY, NO , NO, aDir[1], , , , 0, -12500, 1, -12500, 0, 0, 0, 0, S - Nosing force, NO, 0, 0, NO,
1076, BEAM , CONLOAD, GY, NO , NO, aDir[1], , , , 0, -12500, 1, -12500, 0, 0, 0, 0, S - Nosing force, NO, 0, 0, NO,
1077, BEAM , CONLOAD, GY, NO , NO, aDir[1], , , , 0, -12500, 1, -12500, 0, 0, 0, 0, S - Nosing force, NO, 0, 0, NO,
1250, BEAM , CONLOAD, GY, NO , NO, aDir[1], , , , 0, -12500, 1, -12500, 0, 0, 0, 0, S - Nosing force, NO, 0, 0, NO,
1251, BEAM , CONLOAD, GY, NO , NO, aDir[1], , , , 0, -12500, 1, -12500, 0, 0, 0, 0, S - Nosing force, NO, 0, 0, NO,

; End of data for load case [S.2 -Y] ----------

*USE-STLD, S.3 -Y

*BEAMLOAD ; Element Beam Loads
; ELEM_LIST, CMD, TYPE, DIR, bPROJ, [ECCEN], [VALUE], GROUP
; ELEM_LIST, CMD, TYPE, TYPE, DIR, VX, VY, VZ, bPROJ, [ECCEN], [VALUE], GROUP
; [VALUE] : D1, P1, D2, P2, D3, P3, D4, P4
; [ECCEN] : bECCEN, ECCDIR, I-END, J-END, bJ-END
; [ADDITIONAL] : bADDITIONAL, ADDITIONAL_I-END, ADDITIONAL_J-END, bADDITIONAL_J-END
738, BEAM , CONLOAD, GY, NO , NO, aDir[1], , , , 0, -12500, 1, -12500, 0, 0, 0, 0, S - Nosing force, NO, 0, 0, NO,
739, BEAM , CONLOAD, GY, NO , NO, aDir[1], , , , 0, -12500, 1, -12500, 0, 0, 0, 0, S - Nosing force, NO, 0, 0, NO,
912, BEAM , CONLOAD, GY, NO , NO, aDir[1], , , , 0, -12500, 1, -12500, 0, 0, 0, 0, S - Nosing force, NO, 0, 0, NO,
913, BEAM , CONLOAD, GY, NO , NO, aDir[1], , , , 0, -12500, 1, -12500, 0, 0, 0, 0, S - Nosing force, NO, 0, 0, NO,
1086, BEAM , CONLOAD, GY, NO , NO, aDir[1], , , , 0, -12500, 1, -12500, 0, 0, 0, 0, S - Nosing force, NO, 0, 0, NO,
1087, BEAM , CONLOAD, GY, NO , NO, aDir[1], , , , 0, -12500, 1, -12500, 0, 0, 0, 0, S - Nosing force, NO, 0, 0, NO,
1260, BEAM , CONLOAD, GY, NO , NO, aDir[1], , , , 0, -12500, 1, -12500, 0, 0, 0, 0, S - Nosing force, NO, 0, 0, NO,
1261, BEAM , CONLOAD, GY, NO , NO, aDir[1], , , , 0, -12500, 1, -12500, 0, 0, 0, 0, S - Nosing force, NO, 0, 0, NO,

; End of data for load case [S.3 -Y] ----------

*USE-STLD, S.4 -Y

*BEAMLOAD ; Element Beam Loads
; ELEM_LIST, CMD, TYPE, DIR, bPROJ, [ECCEN], [VALUE], GROUP

; ELEM_LIST, CMD, TYPE, TYPE, DIR, VX, VY, VZ, bPROJ, [ECCEN], [VALUE], GROUP
; [VALUE] : D1, P1, D2, P2, D3, P3, D4, P4
; [ECCEN] : bECCEN, ECCDIR, I-END, J-END, bJ-END
; [ADDITIONAL] : bADDITIONAL, ADDITIONAL_I-END, ADDITIONAL_J-END, bADDITIONAL_J-END
750, BEAM , CONLOAD, GY, NO , NO, aDir[1], , , , 0, -12500, 1, -12500, 0, 0, 0, 0, S - Nosing force, NO, 0, 0, NO,
751, BEAM , CONLOAD, GY, NO , NO, aDir[1], , , , 0, -12500, 1, -12500, 0, 0, 0, 0, S - Nosing force, NO, 0, 0, NO,
924, BEAM , CONLOAD, GY, NO , NO, aDir[1], , , , 0, -12500, 1, -12500, 0, 0, 0, 0, S - Nosing force, NO, 0, 0, NO,
925, BEAM , CONLOAD, GY, NO , NO, aDir[1], , , , 0, -12500, 1, -12500, 0, 0, 0, 0, S - Nosing force, NO, 0, 0, NO,
1098, BEAM , CONLOAD, GY, NO , NO, aDir[1], , , , 0, -12500, 1, -12500, 0, 0, 0, 0, S - Nosing force, NO, 0, 0, NO,
1099, BEAM , CONLOAD, GY, NO , NO, aDir[1], , , , 0, -12500, 1, -12500, 0, 0, 0, 0, S - Nosing force, NO, 0, 0, NO,
1272, BEAM , CONLOAD, GY, NO , NO, aDir[1], , , , 0, -12500, 1, -12500, 0, 0, 0, 0, S - Nosing force, NO, 0, 0, NO,
1273, BEAM , CONLOAD, GY, NO , NO, aDir[1], , , , 0, -12500, 1, -12500, 0, 0, 0, 0, S - Nosing force, NO, 0, 0, NO,

; End of data for load case [S.4 -Y] ----------

*USE-STLD, S.5 -Y

*BEAMLOAD ; Element Beam Loads
; ELEM_LIST, CMD, TYPE, DIR, bPROJ, [ECCEN], [VALUE], GROUP
; ELEM_LIST, CMD, TYPE, TYPE, DIR, VX, VY, VZ, bPROJ, [ECCEN], [VALUE], GROUP
; [VALUE] : D1, P1, D2, P2, D3, P3, D4, P4
; [ECCEN] : bECCEN, ECCDIR, I-END, J-END, bJ-END
; [ADDITIONAL] : bADDITIONAL, ADDITIONAL_I-END, ADDITIONAL_J-END, bADDITIONAL_J-END
760, BEAM , CONLOAD, GY, NO , NO, aDir[1], , , , 0, -12500, 1, -12500, 0, 0, 0, 0, S - Nosing force, NO, 0, 0, NO,
761, BEAM , CONLOAD, GY, NO , NO, aDir[1], , , , 0, -12500, 1, -12500, 0, 0, 0, 0, S - Nosing force, NO, 0, 0, NO,
934, BEAM , CONLOAD, GY, NO , NO, aDir[1], , , , 0, -12500, 1, -12500, 0, 0, 0, 0, S - Nosing force, NO, 0, 0, NO,
935, BEAM , CONLOAD, GY, NO , NO, aDir[1], , , , 0, -12500, 1, -12500, 0, 0, 0, 0, S - Nosing force, NO, 0, 0, NO,
1108, BEAM , CONLOAD, GY, NO , NO, aDir[1], , , , 0, -12500, 1, -12500, 0, 0, 0, 0, S - Nosing force, NO, 0, 0, NO,
1109, BEAM , CONLOAD, GY, NO , NO, aDir[1], , , , 0, -12500, 1, -12500, 0, 0, 0, 0, S - Nosing force, NO, 0, 0, NO,
1282, BEAM , CONLOAD, GY, NO , NO, aDir[1], , , , 0, -12500, 1, -12500, 0, 0, 0, 0, S - Nosing force, NO, 0, 0, NO,
1283, BEAM , CONLOAD, GY, NO , NO, aDir[1], , , , 0, -12500, 1, -12500, 0, 0, 0, 0, S - Nosing force, NO, 0, 0, NO,

; End of data for load case [S.5 -Y] ----------

*USE-STLD, S.6 -Y

*BEAMLOAD ; Element Beam Loads
; ELEM_LIST, CMD, TYPE, DIR, bPROJ, [ECCEN], [VALUE], GROUP
; ELEM_LIST, CMD, TYPE, TYPE, DIR, VX, VY, VZ, bPROJ, [ECCEN], [VALUE], GROUP
; [VALUE] : D1, P1, D2, P2, D3, P3, D4, P4
; [ECCEN] : bECCEN, ECCDIR, I-END, J-END, bJ-END
; [ADDITIONAL] : bADDITIONAL, ADDITIONAL_I-END, ADDITIONAL_J-END, bADDITIONAL_J-END
772, BEAM , CONLOAD, GY, NO , NO, aDir[1], , , , 0, -12500, 1, -12500, 0, 0, 0, 0, S - Nosing force, NO, 0, 0, NO,
773, BEAM , CONLOAD, GY, NO , NO, aDir[1], , , , 0, -12500, 1, -12500, 0, 0, 0, 0, S - Nosing force, NO, 0, 0, NO,
946, BEAM , CONLOAD, GY, NO , NO, aDir[1], , , , 0, -12500, 1, -12500, 0, 0, 0, 0, S - Nosing force, NO, 0, 0, NO,
947, BEAM , CONLOAD, GY, NO , NO, aDir[1], , , , 0, -12500, 1, -12500, 0, 0, 0, 0, S - Nosing force, NO, 0, 0, NO,
1120, BEAM , CONLOAD, GY, NO , NO, aDir[1], , , , 0, -12500, 1, -12500, 0, 0, 0, 0, S - Nosing force, NO, 0, 0, NO,
1121, BEAM , CONLOAD, GY, NO , NO, aDir[1], , , , 0, -12500, 1, -12500, 0, 0, 0, 0, S - Nosing force, NO, 0, 0, NO,
1294, BEAM , CONLOAD, GY, NO , NO, aDir[1], , , , 0, -12500, 1, -12500, 0, 0, 0, 0, S - Nosing force, NO, 0, 0, NO,
1295, BEAM , CONLOAD, GY, NO , NO, aDir[1], , , , 0, -12500, 1, -12500, 0, 0, 0, 0, S - Nosing force, NO, 0, 0, NO,

; End of data for load case [S.6 -Y] ----------

*USE-STLD, S.7 -Y

*BEAMLOAD ; Element Beam Loads
; ELEM_LIST, CMD, TYPE, DIR, bPROJ, [ECCEN], [VALUE], GROUP
; ELEM_LIST, CMD, TYPE, TYPE, DIR, VX, VY, VZ, bPROJ, [ECCEN], [VALUE], GROUP
; [VALUE] : D1, P1, D2, P2, D3, P3, D4, P4
; [ECCEN] : bECCEN, ECCDIR, I-END, J-END, bJ-END
; [ADDITIONAL] : bADDITIONAL, ADDITIONAL_I-END, ADDITIONAL_J-END, bADDITIONAL_J-END
782, BEAM , CONLOAD, GY, NO , NO, aDir[1], , , , 0, -12500, 1, -12500, 0, 0, 0, 0, S - Nosing force, NO, 0, 0, NO,
783, BEAM , CONLOAD, GY, NO , NO, aDir[1], , , , 0, -12500, 1, -12500, 0, 0, 0, 0, S - Nosing force, NO, 0, 0, NO,
956, BEAM , CONLOAD, GY, NO , NO, aDir[1], , , , 0, -12500, 1, -12500, 0, 0, 0, 0, S - Nosing force, NO, 0, 0, NO,
957, BEAM , CONLOAD, GY, NO , NO, aDir[1], , , , 0, -12500, 1, -12500, 0, 0, 0, 0, S - Nosing force, NO, 0, 0, NO,
1130, BEAM , CONLOAD, GY, NO , NO, aDir[1], , , , 0, -12500, 1, -12500, 0, 0, 0, 0, S - Nosing force, NO, 0, 0, NO,
1131, BEAM , CONLOAD, GY, NO , NO, aDir[1], , , , 0, -12500, 1, -12500, 0, 0, 0, 0, S - Nosing force, NO, 0, 0, NO,
1304, BEAM , CONLOAD, GY, NO , NO, aDir[1], , , , 0, -12500, 1, -12500, 0, 0, 0, 0, S - Nosing force, NO, 0, 0, NO,
1305, BEAM , CONLOAD, GY, NO , NO, aDir[1], , , , 0, -12500, 1, -12500, 0, 0, 0, 0, S - Nosing force, NO, 0, 0, NO,

; End of data for load case [S.7 -Y] ----------

*USE-STLD, S.8 -Y

*BEAMLOAD ; Element Beam Loads
; ELEM_LIST, CMD, TYPE, DIR, bPROJ, [ECCEN], [VALUE], GROUP
; ELEM_LIST, CMD, TYPE, TYPE, DIR, VX, VY, VZ, bPROJ, [ECCEN], [VALUE], GROUP
; [VALUE] : D1, P1, D2, P2, D3, P3, D4, P4
; [ECCEN] : bECCEN, ECCDIR, I-END, J-END, bJ-END
; [ADDITIONAL] : bADDITIONAL, ADDITIONAL_I-END, ADDITIONAL_J-END, bADDITIONAL_J-END
794, BEAM , CONLOAD, GY, NO , NO, aDir[1], , , , 0, -12500, 1, -12500, 0, 0, 0, 0, S - Nosing force, NO, 0, 0, NO,
795, BEAM , CONLOAD, GY, NO , NO, aDir[1], , , , 0, -12500, 1, -12500, 0, 0, 0, 0, S - Nosing force, NO, 0, 0, NO,
968, BEAM , CONLOAD, GY, NO , NO, aDir[1], , , , 0, -12500, 1, -12500, 0, 0, 0, 0, S - Nosing force, NO, 0, 0, NO,
969, BEAM , CONLOAD, GY, NO , NO, aDir[1], , , , 0, -12500, 1, -12500, 0, 0, 0, 0, S - Nosing force, NO, 0, 0, NO,
1142, BEAM , CONLOAD, GY, NO , NO, aDir[1], , , , 0, -12500, 1, -12500, 0, 0, 0, 0, S - Nosing force, NO, 0, 0, NO,
1143, BEAM , CONLOAD, GY, NO , NO, aDir[1], , , , 0, -12500, 1, -12500, 0, 0, 0, 0, S - Nosing force, NO, 0, 0, NO,
1316, BEAM , CONLOAD, GY, NO , NO, aDir[1], , , , 0, -12500, 1, -12500, 0, 0, 0, 0, S - Nosing force, NO, 0, 0, NO,
1317, BEAM , CONLOAD, GY, NO , NO, aDir[1], , , , 0, -12500, 1, -12500, 0, 0, 0, 0, S - Nosing force, NO, 0, 0, NO,

; End of data for load case [S.8 -Y] ----------

*USE-STLD, FR +X

*BEAMLOAD ; Element Beam Loads
; ELEM_LIST, CMD, TYPE, DIR, bPROJ, [ECCEN], [VALUE], GROUP
; ELEM_LIST, CMD, TYPE, TYPE, DIR, VX, VY, VZ, bPROJ, [ECCEN], [VALUE], GROUP
; [VALUE] : D1, P1, D2, P2, D3, P3, D4, P4
; [ECCEN] : bECCEN, ECCDIR, I-END, J-END, bJ-END
; [ADDITIONAL] : bADDITIONAL, ADDITIONAL_I-END, ADDITIONAL_J-END, bADDITIONAL_J-END
1708, BEAM , CONLOAD, GX, NO , NO, aDir[1], , , , 0, 111000, 0, 0, 0, 0, 0, 0, FR - Friction, NO, 0, 0, NO,
1712, BEAM , CONLOAD, GX, NO , NO, aDir[1], , , , 0, 111000, 0, 0, 0, 0, 0, 0, FR - Friction, NO, 0, 0, NO,

; End of data for load case [FR +X] ----------

*USE-STLD, FR -X

*BEAMLOAD ; Element Beam Loads
; ELEM_LIST, CMD, TYPE, DIR, bPROJ, [ECCEN], [VALUE], GROUP
; ELEM_LIST, CMD, TYPE, TYPE, DIR, VX, VY, VZ, bPROJ, [ECCEN], [VALUE], GROUP
; [VALUE] : D1, P1, D2, P2, D3, P3, D4, P4
; [ECCEN] : bECCEN, ECCDIR, I-END, J-END, bJ-END
; [ADDITIONAL] : bADDITIONAL, ADDITIONAL_I-END, ADDITIONAL_J-END, bADDITIONAL_J-END
1708, BEAM , CONLOAD, GX, NO , NO, aDir[1], , , , 0, -111000, 0, 0, 0, 0, 0, 0, FR - Friction, NO, 0, 0, NO,
1712, BEAM , CONLOAD, GX, NO , NO, aDir[1], , , , 0, -111000, 0, 0, 0, 0, 0, 0, FR - Friction, NO, 0, 0, NO,

; End of data for load case [FR -X] ----------

*USE-STLD, S.9 +Y

*BEAMLOAD ; Element Beam Loads
; ELEM_LIST, CMD, TYPE, DIR, bPROJ, [ECCEN], [VALUE], GROUP
; ELEM_LIST, CMD, TYPE, TYPE, DIR, VX, VY, VZ, bPROJ, [ECCEN], [VALUE], GROUP
; [VALUE] : D1, P1, D2, P2, D3, P3, D4, P4
; [ECCEN] : bECCEN, ECCDIR, I-END, J-END, bJ-END
; [ADDITIONAL] : bADDITIONAL, ADDITIONAL_I-END, ADDITIONAL_J-END, bADDITIONAL_J-END
804, BEAM , CONLOAD, GY, NO , NO, aDir[1], , , , 0, 12500, 0, 0, 0, 0, 0, 0, S - Nosing force, NO, 0, 0, NO,
805, BEAM , CONLOAD, GY, NO , NO, aDir[1], , , , 0, 25000, 0, 0, 0, 0, 0, 0, S - Nosing force, NO, 0, 0, NO,
806, BEAM , CONLOAD, GY, NO , NO, aDir[1], , , , 0, 12500, 0, 0, 0, 0, 0, 0, S - Nosing force, NO, 0, 0, NO,
978, BEAM , CONLOAD, GY, NO , NO, aDir[1], , , , 0, 12500, 0, 0, 0, 0, 0, 0, S - Nosing force, NO, 0, 0, NO,
979, BEAM , CONLOAD, GY, NO , NO, aDir[1], , , , 0, 25000, 0, 0, 0, 0, 0, 0, S - Nosing force, NO, 0, 0, NO,
980, BEAM , CONLOAD, GY, NO , NO, aDir[1], , , , 0, 12500, 0, 0, 0, 0, 0, 0, S - Nosing force, NO, 0, 0, NO,
1152, BEAM , CONLOAD, GY, NO , NO, aDir[1], , , , 0, 12500, 0, 0, 0, 0, 0, 0, S - Nosing force, NO, 0, 0, NO,
1153, BEAM , CONLOAD, GY, NO , NO, aDir[1], , , , 0, 25000, 0, 0, 0, 0, 0, 0, S - Nosing force, NO, 0, 0, NO,
1154, BEAM , CONLOAD, GY, NO , NO, aDir[1], , , , 0, 12500, 0, 0, 0, 0, 0, 0, S - Nosing force, NO, 0, 0, NO,
1326, BEAM , CONLOAD, GY, NO , NO, aDir[1], , , , 0, 12500, 0, 0, 0, 0, 0, 0, S - Nosing force, NO, 0, 0, NO,
1327, BEAM , CONLOAD, GY, NO , NO, aDir[1], , , , 0, 25000, 0, 0, 0, 0, 0, 0, S - Nosing force, NO, 0, 0, NO,
1328, BEAM , CONLOAD, GY, NO , NO, aDir[1], , , , 0, 12500, 0, 0, 0, 0, 0, 0, S - Nosing force, NO, 0, 0, NO,

; End of data for load case [S.9 +Y] ----------

*USE-STLD, S.10 +Y

*BEAMLOAD ; Element Beam Loads
; ELEM_LIST, CMD, TYPE, DIR, bPROJ, [ECCEN], [VALUE], GROUP

PROJECT TITLE :

MIDAS	Company		Client	
	Author		File Name	H2D_3Dg_v14_180227_StatLM.mct

```
; ELEM_LIST, CMD, TYPE, TYPE, DIR, VX, VY, VZ, bPROJ, [ECCEN], [VALUE], GROUP
; [VALUE]      : D1, P1, D2, P2, D3, P3, D4, P4
; [ECCEN]      : bECCEN, ECCDIR, I-END, J-END, bJ-END
; [ADDITIONAL]  : bADDITIONAL, ADDITIONAL_I-END, ADDITIONAL_J-END, bADDITIONAL_J-END
   815, BEAM   , CONLOAD, GY, NO , NO, aDir[1], , , , 0, 12500, 0, 0, 0, 0, 0, 0, S - Nosing force, NO, 0, 0, NO,
   816, BEAM   , CONLOAD, GY, NO , NO, aDir[1], , , , 0, 25000, 0, 0, 0, 0, 0, 0, S - Nosing force, NO, 0, 0, NO,
   817, BEAM   , CONLOAD, GY, NO , NO, aDir[1], , , , 0, 12500, 0, 0, 0, 0, 0, 0, S - Nosing force, NO, 0, 0, NO,
   989, BEAM   , CONLOAD, GY, NO , NO, aDir[1], , , , 0, 12500, 0, 0, 0, 0, 0, 0, S - Nosing force, NO, 0, 0, NO,
   990, BEAM   , CONLOAD, GY, NO , NO, aDir[1], , , , 0, 25000, 0, 0, 0, 0, 0, 0, S - Nosing force, NO, 0, 0, NO,
   991, BEAM   , CONLOAD, GY, NO , NO, aDir[1], , , , 0, 12500, 0, 0, 0, 0, 0, 0, S - Nosing force, NO, 0, 0, NO,
  1163, BEAM   , CONLOAD, GY, NO , NO, aDir[1], , , , 0, 12500, 0, 0, 0, 0, 0, 0, S - Nosing force, NO, 0, 0, NO,
  1164, BEAM   , CONLOAD, GY, NO , NO, aDir[1], , , , 0, 25000, 0, 0, 0, 0, 0, 0, S - Nosing force, NO, 0, 0, NO,
  1165, BEAM   , CONLOAD, GY, NO , NO, aDir[1], , , , 0, 12500, 0, 0, 0, 0, 0, 0, S - Nosing force, NO, 0, 0, NO,
  1337, BEAM   , CONLOAD, GY, NO , NO, aDir[1], , , , 0, 12500, 0, 0, 0, 0, 0, 0, S - Nosing force, NO, 0, 0, NO,
  1338, BEAM   , CONLOAD, GY, NO , NO, aDir[1], , , , 0, 25000, 0, 0, 0, 0, 0, 0, S - Nosing force, NO, 0, 0, NO,
  1339, BEAM   , CONLOAD, GY, NO , NO, aDir[1], , , , 0, 12500, 0, 0, 0, 0, 0, 0, S - Nosing force, NO, 0, 0, NO,

; End of data for load case [S.10 +Y] ------------------------

*USE-STLD, S.11 +Y

*BEAMLOAD    ; Element Beam Loads
; ELEM_LIST, CMD, TYPE, DIR, bPROJ, [ECCEN], [VALUE], GROUP
; ELEM_LIST, CMD, TYPE, TYPE, DIR, VX, VY, VZ, bPROJ, [ECCEN], [VALUE], GROUP
; [VALUE]      : D1, P1, D2, P2, D3, P3, D4, P4
; [ECCEN]      : bECCEN, ECCDIR, I-END, J-END, bJ-END
; [ADDITIONAL]  : bADDITIONAL, ADDITIONAL_I-END, ADDITIONAL_J-END, bADDITIONAL_J-END
   826, BEAM   , CONLOAD, GY, NO , NO, aDir[1], , , , 0, 12500, 0, 0, 0, 0, 0, 0, S - Nosing force, NO, 0, 0, NO,
   827, BEAM   , CONLOAD, GY, NO , NO, aDir[1], , , , 0, 25000, 0, 0, 0, 0, 0, 0, S - Nosing force, NO, 0, 0, NO,
   828, BEAM   , CONLOAD, GY, NO , NO, aDir[1], , , , 0, 12500, 0, 0, 0, 0, 0, 0, S - Nosing force, NO, 0, 0, NO,
  1000, BEAM   , CONLOAD, GY, NO , NO, aDir[1], , , , 0, 12500, 0, 0, 0, 0, 0, 0, S - Nosing force, NO, 0, 0, NO,
  1001, BEAM   , CONLOAD, GY, NO , NO, aDir[1], , , , 0, 25000, 0, 0, 0, 0, 0, 0, S - Nosing force, NO, 0, 0, NO,
  1002, BEAM   , CONLOAD, GY, NO , NO, aDir[1], , , , 0, 12500, 0, 0, 0, 0, 0, 0, S - Nosing force, NO, 0, 0, NO,
  1174, BEAM   , CONLOAD, GY, NO , NO, aDir[1], , , , 0, 12500, 0, 0, 0, 0, 0, 0, S - Nosing force, NO, 0, 0, NO,
  1175, BEAM   , CONLOAD, GY, NO , NO, aDir[1], , , , 0, 25000, 0, 0, 0, 0, 0, 0, S - Nosing force, NO, 0, 0, NO,
  1176, BEAM   , CONLOAD, GY, NO , NO, aDir[1], , , , 0, 12500, 0, 0, 0, 0, 0, 0, S - Nosing force, NO, 0, 0, NO,
  1348, BEAM   , CONLOAD, GY, NO , NO, aDir[1], , , , 0, 12500, 0, 0, 0, 0, 0, 0, S - Nosing force, NO, 0, 0, NO,
  1349, BEAM   , CONLOAD, GY, NO , NO, aDir[1], , , , 0, 25000, 0, 0, 0, 0, 0, 0, S - Nosing force, NO, 0, 0, NO,
  1350, BEAM   , CONLOAD, GY, NO , NO, aDir[1], , , , 0, 12500, 0, 0, 0, 0, 0, 0, S - Nosing force, NO, 0, 0, NO,

; End of data for load case [S.11 +Y] ------------------------

*USE-STLD, S.12 +Y

*BEAMLOAD    ; Element Beam Loads
; ELEM_LIST, CMD, TYPE, DIR, bPROJ, [ECCEN], [VALUE], GROUP
; ELEM_LIST, CMD, TYPE, TYPE, DIR, VX, VY, VZ, bPROJ, [ECCEN], [VALUE], GROUP
; [VALUE]      : D1, P1, D2, P2, D3, P3, D4, P4
; [ECCEN]      : bECCEN, ECCDIR, I-END, J-END, bJ-END
; [ADDITIONAL]  : bADDITIONAL, ADDITIONAL_I-END, ADDITIONAL_J-END, bADDITIONAL_J-END
   837, BEAM   , CONLOAD, GY, NO , NO, aDir[1], , , , 0, 12500, 0, 0, 0, 0, 0, 0, S - Nosing force, NO, 0, 0, NO,
   838, BEAM   , CONLOAD, GY, NO , NO, aDir[1], , , , 0, 25000, 0, 0, 0, 0, 0, 0, S - Nosing force, NO, 0, 0, NO,
   839, BEAM   , CONLOAD, GY, NO , NO, aDir[1], , , , 0, 12500, 0, 0, 0, 0, 0, 0, S - Nosing force, NO, 0, 0, NO,
  1011, BEAM   , CONLOAD, GY, NO , NO, aDir[1], , , , 0, 12500, 0, 0, 0, 0, 0, 0, S - Nosing force, NO, 0, 0, NO,
  1012, BEAM   , CONLOAD, GY, NO , NO, aDir[1], , , , 0, 25000, 0, 0, 0, 0, 0, 0, S - Nosing force, NO, 0, 0, NO,
  1013, BEAM   , CONLOAD, GY, NO , NO, aDir[1], , , , 0, 12500, 0, 0, 0, 0, 0, 0, S - Nosing force, NO, 0, 0, NO,
  1185, BEAM   , CONLOAD, GY, NO , NO, aDir[1], , , , 0, 12500, 0, 0, 0, 0, 0, 0, S - Nosing force, NO, 0, 0, NO,
  1186, BEAM   , CONLOAD, GY, NO , NO, aDir[1], , , , 0, 25000, 0, 0, 0, 0, 0, 0, S - Nosing force, NO, 0, 0, NO,
  1187, BEAM   , CONLOAD, GY, NO , NO, aDir[1], , , , 0, 12500, 0, 0, 0, 0, 0, 0, S - Nosing force, NO, 0, 0, NO,
  1359, BEAM   , CONLOAD, GY, NO , NO, aDir[1], , , , 0, 12500, 0, 0, 0, 0, 0, 0, S - Nosing force, NO, 0, 0, NO,
  1360, BEAM   , CONLOAD, GY, NO , NO, aDir[1], , , , 0, 25000, 0, 0, 0, 0, 0, 0, S - Nosing force, NO, 0, 0, NO,
  1361, BEAM   , CONLOAD, GY, NO , NO, aDir[1], , , , 0, 12500, 0, 0, 0, 0, 0, 0, S - Nosing force, NO, 0, 0, NO,

; End of data for load case [S.12 +Y] ------------------------

*USE-STLD, S.13 +Y

*BEAMLOAD    ; Element Beam Loads
; ELEM_LIST, CMD, TYPE, DIR, bPROJ, [ECCEN], [VALUE], GROUP
; ELEM_LIST, CMD, TYPE, TYPE, DIR, VX, VY, VZ, bPROJ, [ECCEN], [VALUE], GROUP
; [VALUE]      : D1, P1, D2, P2, D3, P3, D4, P4
; [ECCEN]      : bECCEN, ECCDIR, I-END, J-END, bJ-END
```

; [ADDITIONAL] : bADDITIONAL, ADDITIONAL_I-END, ADDITIONAL_J-END, bADDITIONAL_J-END
848, BEAM , CONLOAD, GY, NO , NO, aDir[1], , , , 0, 12500, 0, 0, 0, 0, 0, 0, S - Nosing force, NO, 0, 0, NO,
849, BEAM , CONLOAD, GY, NO , NO, aDir[1], , , , 0, 25000, 0, 0, 0, 0, 0, 0, S - Nosing force, NO, 0, 0, NO,
850, BEAM , CONLOAD, GY, NO , NO, aDir[1], , , , 0, 12500, 0, 0, 0, 0, 0, 0, S - Nosing force, NO, 0, 0, NO,
1022, BEAM , CONLOAD, GY, NO , NO, aDir[1], , , , 0, 12500, 0, 0, 0, 0, 0, 0, S - Nosing force, NO, 0, 0, NO,
1023, BEAM , CONLOAD, GY, NO , NO, aDir[1], , , , 0, 25000, 0, 0, 0, 0, 0, 0, S - Nosing force, NO, 0, 0, NO,
1024, BEAM , CONLOAD, GY, NO , NO, aDir[1], , , , 0, 12500, 0, 0, 0, 0, 0, 0, S - Nosing force, NO, 0, 0, NO,
1196, BEAM , CONLOAD, GY, NO , NO, aDir[1], , , , 0, 12500, 0, 0, 0, 0, 0, 0, S - Nosing force, NO, 0, 0, NO,
1197, BEAM , CONLOAD, GY, NO , NO, aDir[1], , , , 0, 25000, 0, 0, 0, 0, 0, 0, S - Nosing force, NO, 0, 0, NO,
1198, BEAM , CONLOAD, GY, NO , NO, aDir[1], , , , 0, 12500, 0, 0, 0, 0, 0, 0, S - Nosing force, NO, 0, 0, NO,
1370, BEAM , CONLOAD, GY, NO , NO, aDir[1], , , , 0, 12500, 0, 0, 0, 0, 0, 0, S - Nosing force, NO, 0, 0, NO,
1371, BEAM , CONLOAD, GY, NO , NO, aDir[1], , , , 0, 25000, 0, 0, 0, 0, 0, 0, S - Nosing force, NO, 0, 0, NO,
1372, BEAM , CONLOAD, GY, NO , NO, aDir[1], , , , 0, 12500, 0, 0, 0, 0, 0, 0, S - Nosing force, NO, 0, 0, NO,

; End of data for load case [S.13 +Y] ----------

*USE-STLD, S.14 +Y

*BEAMLOAD ; Element Beam Loads
; ELEM_LIST, CMD, TYPE, DIR, bPROJ, [ECCEN], [VALUE], GROUP
; ELEM_LIST, CMD, TYPE, TYPE, DIR, VX, VY, VZ, bPROJ, [ECCEN], [VALUE], GROUP
; [VALUE] : D1, P1, D2, P2, D3, P3, D4, P4
; [ECCEN] : bECCEN, ECCDIR, I-END, J-END, bJ-END
; [ADDITIONAL] : bADDITIONAL, ADDITIONAL_I-END, ADDITIONAL_J-END, bADDITIONAL_J-END
858, BEAM , CONLOAD, GY, NO , NO, aDir[1], , , , 0, 12500, 0, 0, 0, 0, 0, 0, S - Nosing force, NO, 0, 0, NO,
860, BEAM , CONLOAD, GY, NO , NO, aDir[1], , , , 0, 25000, 0, 0, 0, 0, 0, 0, S - Nosing force, NO, 0, 0, NO,
861, BEAM , CONLOAD, GY, NO , NO, aDir[1], , , , 0, 12500, 0, 0, 0, 0, 0, 0, S - Nosing force, NO, 0, 0, NO,
1032, BEAM , CONLOAD, GY, NO , NO, aDir[1], , , , 0, 12500, 0, 0, 0, 0, 0, 0, S - Nosing force, NO, 0, 0, NO,
1034, BEAM , CONLOAD, GY, NO , NO, aDir[1], , , , 0, 25000, 0, 0, 0, 0, 0, 0, S - Nosing force, NO, 0, 0, NO,
1035, BEAM , CONLOAD, GY, NO , NO, aDir[1], , , , 0, 12500, 0, 0, 0, 0, 0, 0, S - Nosing force, NO, 0, 0, NO,
1206, BEAM , CONLOAD, GY, NO , NO, aDir[1], , , , 0, 12500, 0, 0, 0, 0, 0, 0, S - Nosing force, NO, 0, 0, NO,
1208, BEAM , CONLOAD, GY, NO , NO, aDir[1], , , , 0, 25000, 0, 0, 0, 0, 0, 0, S - Nosing force, NO, 0, 0, NO,
1209, BEAM , CONLOAD, GY, NO , NO, aDir[1], , , , 0, 12500, 0, 0, 0, 0, 0, 0, S - Nosing force, NO, 0, 0, NO,
1380, BEAM , CONLOAD, GY, NO , NO, aDir[1], , , , 0, 12500, 0, 0, 0, 0, 0, 0, S - Nosing force, NO, 0, 0, NO,
1382, BEAM , CONLOAD, GY, NO , NO, aDir[1], , , , 0, 25000, 0, 0, 0, 0, 0, 0, S - Nosing force, NO, 0, 0, NO,
1383, BEAM , CONLOAD, GY, NO , NO, aDir[1], , , , 0, 12500, 0, 0, 0, 0, 0, 0, S - Nosing force, NO, 0, 0, NO,

; End of data for load case [S.14 +Y] ----------

*USE-STLD, S.15 +Y

*BEAMLOAD ; Element Beam Loads
; ELEM_LIST, CMD, TYPE, DIR, bPROJ, [ECCEN], [VALUE], GROUP
; ELEM_LIST, CMD, TYPE, TYPE, DIR, VX, VY, VZ, bPROJ, [ECCEN], [VALUE], GROUP
; [VALUE] : D1, P1, D2, P2, D3, P3, D4, P4
; [ECCEN] : bECCEN, ECCDIR, I-END, J-END, bJ-END
; [ADDITIONAL] : bADDITIONAL, ADDITIONAL_I-END, ADDITIONAL_J-END, bADDITIONAL_J-END
870, BEAM , CONLOAD, GY, NO , NO, aDir[1], , , , 0, 12500, 0, 0, 0, 0, 0, 0, S - Nosing force, NO, 0, 0, NO,
871, BEAM , CONLOAD, GY, NO , NO, aDir[1], , , , 0, 25000, 0, 0, 0, 0, 0, 0, S - Nosing force, NO, 0, 0, NO,
872, BEAM , CONLOAD, GY, NO , NO, aDir[1], , , , 0, 12500, 0, 0, 0, 0, 0, 0, S - Nosing force, NO, 0, 0, NO,
1044, BEAM , CONLOAD, GY, NO , NO, aDir[1], , , , 0, 12500, 0, 0, 0, 0, 0, 0, S - Nosing force, NO, 0, 0, NO,
1045, BEAM , CONLOAD, GY, NO , NO, aDir[1], , , , 0, 25000, 0, 0, 0, 0, 0, 0, S - Nosing force, NO, 0, 0, NO,
1046, BEAM , CONLOAD, GY, NO , NO, aDir[1], , , , 0, 12500, 0, 0, 0, 0, 0, 0, S - Nosing force, NO, 0, 0, NO,
1218, BEAM , CONLOAD, GY, NO , NO, aDir[1], , , , 0, 12500, 0, 0, 0, 0, 0, 0, S - Nosing force, NO, 0, 0, NO,
1219, BEAM , CONLOAD, GY, NO , NO, aDir[1], , , , 0, 25000, 0, 0, 0, 0, 0, 0, S - Nosing force, NO, 0, 0, NO,
1220, BEAM , CONLOAD, GY, NO , NO, aDir[1], , , , 0, 12500, 0, 0, 0, 0, 0, 0, S - Nosing force, NO, 0, 0, NO,
1392, BEAM , CONLOAD, GY, NO , NO, aDir[1], , , , 0, 12500, 0, 0, 0, 0, 0, 0, S - Nosing force, NO, 0, 0, NO,
1393, BEAM , CONLOAD, GY, NO , NO, aDir[1], , , , 0, 25000, 0, 0, 0, 0, 0, 0, S - Nosing force, NO, 0, 0, NO,
1394, BEAM , CONLOAD, GY, NO , NO, aDir[1], , , , 0, 12500, 0, 0, 0, 0, 0, 0, S - Nosing force, NO, 0, 0, NO,

; End of data for load case [S.15 +Y] ----------

*USE-STLD, S.16 +Y

*BEAMLOAD ; Element Beam Loads
; ELEM_LIST, CMD, TYPE, DIR, bPROJ, [ECCEN], [VALUE], GROUP
; ELEM_LIST, CMD, TYPE, TYPE, DIR, VX, VY, VZ, bPROJ, [ECCEN], [VALUE], GROUP
; [VALUE] : D1, P1, D2, P2, D3, P3, D4, P4
; [ECCEN] : bECCEN, ECCDIR, I-END, J-END, bJ-END
; [ADDITIONAL] : bADDITIONAL, ADDITIONAL_I-END, ADDITIONAL_J-END, bADDITIONAL_J-END
878, BEAM , CONLOAD, GY, NO , NO, aDir[1], , , , 0, 12500, 0, 0, 0, 0, 0, 0, S - Nosing force, NO, 0, 0, NO,
880, BEAM , CONLOAD, GY, NO , NO, aDir[1], , , , 0, 25000, 0, 0, 0, 0, 0, 0, S - Nosing force, NO, 0, 0, NO,

881, BEAM , CONLOAD, GY, NO , NO, aDir[1], , , , 0, 12500, 0, 0, 0, 0, 0, 0, S - Nosing force, NO, 0, 0, NO,
1052, BEAM , CONLOAD, GY, NO , NO, aDir[1], , , , 0, 12500, 0, 0, 0, 0, 0, 0, S - Nosing force, NO, 0, 0, NO,
1054, BEAM , CONLOAD, GY, NO , NO, aDir[1], , , , 0, 25000, 0, 0, 0, 0, 0, 0, S - Nosing force, NO, 0, 0, NO,
1055, BEAM , CONLOAD, GY, NO , NO, aDir[1], , , , 0, 12500, 0, 0, 0, 0, 0, 0, S - Nosing force, NO, 0, 0, NO,
1226, BEAM , CONLOAD, GY, NO , NO, aDir[1], , , , 0, 12500, 0, 0, 0, 0, 0, 0, S - Nosing force, NO, 0, 0, NO,
1228, BEAM , CONLOAD, GY, NO , NO, aDir[1], , , , 0, 25000, 0, 0, 0, 0, 0, 0, S - Nosing force, NO, 0, 0, NO,
1229, BEAM , CONLOAD, GY, NO , NO, aDir[1], , , , 0, 12500, 0, 0, 0, 0, 0, 0, S - Nosing force, NO, 0, 0, NO,
1400, BEAM , CONLOAD, GY, NO , NO, aDir[1], , , , 0, 12500, 0, 0, 0, 0, 0, 0, S - Nosing force, NO, 0, 0, NO,
1402, BEAM , CONLOAD, GY, NO , NO, aDir[1], , , , 0, 25000, 0, 0, 0, 0, 0, 0, S - Nosing force, NO, 0, 0, NO,
1403, BEAM , CONLOAD, GY, NO , NO, aDir[1], , , , 0, 12500, 0, 0, 0, 0, 0, 0, S - Nosing force, NO, 0, 0, NO,

; End of data for load case [S.16 +Y] ----------

*USE-STLD, S.9 -Y

*BEAMLOAD ; Element Beam Loads
; ELEM_LIST, CMD, TYPE, DIR, bPROJ, [ECCEN], [VALUE], GROUP
; ELEM_LIST, CMD, TYPE, TYPE, DIR, VX, VY, VZ, bPROJ, [ECCEN], [VALUE], GROUP
; [VALUE] : D1, P1, D2, P2, D3, P3, D4, P4
; [ECCEN] : bECCEN, ECCDIR, I-END, J-END, bJ-END
; [ADDITIONAL] : bADDITIONAL, ADDITIONAL_I-END, ADDITIONAL_J-END, bADDITIONAL_J-END
804, BEAM , CONLOAD, GY, NO , NO, aDir[1], , , , 0, -12500, 0, 0, 0, 0, 0, 0, S - Nosing force, NO, 0, 0, NO,
805, BEAM , CONLOAD, GY, NO , NO, aDir[1], , , , 0, -25000, 0, 0, 0, 0, 0, 0, S - Nosing force, NO, 0, 0, NO,
806, BEAM , CONLOAD, GY, NO , NO, aDir[1], , , , 0, -12500, 0, 0, 0, 0, 0, 0, S - Nosing force, NO, 0, 0, NO,
978, BEAM , CONLOAD, GY, NO , NO, aDir[1], , , , 0, -12500, 0, 0, 0, 0, 0, 0, S - Nosing force, NO, 0, 0, NO,
979, BEAM , CONLOAD, GY, NO , NO, aDir[1], , , , 0, -25000, 0, 0, 0, 0, 0, 0, S - Nosing force, NO, 0, 0, NO,
980, BEAM , CONLOAD, GY, NO , NO, aDir[1], , , , 0, -12500, 0, 0, 0, 0, 0, 0, S - Nosing force, NO, 0, 0, NO,
1152, BEAM , CONLOAD, GY, NO , NO, aDir[1], , , , 0, -12500, 0, 0, 0, 0, 0, 0, S - Nosing force, NO, 0, 0, NO,
1153, BEAM , CONLOAD, GY, NO , NO, aDir[1], , , , 0, -25000, 0, 0, 0, 0, 0, 0, S - Nosing force, NO, 0, 0, NO,
1154, BEAM , CONLOAD, GY, NO , NO, aDir[1], , , , 0, -12500, 0, 0, 0, 0, 0, 0, S - Nosing force, NO, 0, 0, NO,
1326, BEAM , CONLOAD, GY, NO , NO, aDir[1], , , , 0, -12500, 0, 0, 0, 0, 0, 0, S - Nosing force, NO, 0, 0, NO,
1327, BEAM , CONLOAD, GY, NO , NO, aDir[1], , , , 0, -25000, 0, 0, 0, 0, 0, 0, S - Nosing force, NO, 0, 0, NO,
1328, BEAM , CONLOAD, GY, NO , NO, aDir[1], , , , 0, -12500, 0, 0, 0, 0, 0, 0, S - Nosing force, NO, 0, 0, NO,

; End of data for load case [S.9 -Y] ----------

*USE-STLD, S.10 -Y

*BEAMLOAD ; Element Beam Loads
; ELEM_LIST, CMD, TYPE, DIR, bPROJ, [ECCEN], [VALUE], GROUP
; ELEM_LIST, CMD, TYPE, TYPE, DIR, VX, VY, VZ, bPROJ, [ECCEN], [VALUE], GROUP
; [VALUE] : D1, P1, D2, P2, D3, P3, D4, P4
; [ECCEN] : bECCEN, ECCDIR, I-END, J-END, bJ-END
; [ADDITIONAL] : bADDITIONAL, ADDITIONAL_I-END, ADDITIONAL_J-END, bADDITIONAL_J-END
815, BEAM , CONLOAD, GY, NO , NO, aDir[1], , , , 0, -12500, 0, 0, 0, 0, 0, 0, S - Nosing force, NO, 0, 0, NO,
816, BEAM , CONLOAD, GY, NO , NO, aDir[1], , , , 0, -25000, 0, 0, 0, 0, 0, 0, S - Nosing force, NO, 0, 0, NO,
817, BEAM , CONLOAD, GY, NO , NO, aDir[1], , , , 0, -12500, 0, 0, 0, 0, 0, 0, S - Nosing force, NO, 0, 0, NO,
989, BEAM , CONLOAD, GY, NO , NO, aDir[1], , , , 0, -12500, 0, 0, 0, 0, 0, 0, S - Nosing force, NO, 0, 0, NO,
990, BEAM , CONLOAD, GY, NO , NO, aDir[1], , , , 0, -25000, 0, 0, 0, 0, 0, 0, S - Nosing force, NO, 0, 0, NO,
991, BEAM , CONLOAD, GY, NO , NO, aDir[1], , , , 0, -12500, 0, 0, 0, 0, 0, 0, S - Nosing force, NO, 0, 0, NO,
1163, BEAM , CONLOAD, GY, NO , NO, aDir[1], , , , 0, -12500, 0, 0, 0, 0, 0, 0, S - Nosing force, NO, 0, 0, NO,
1164, BEAM , CONLOAD, GY, NO , NO, aDir[1], , , , 0, -25000, 0, 0, 0, 0, 0, 0, S - Nosing force, NO, 0, 0, NO,
1165, BEAM , CONLOAD, GY, NO , NO, aDir[1], , , , 0, -12500, 0, 0, 0, 0, 0, 0, S - Nosing force, NO, 0, 0, NO,
1337, BEAM , CONLOAD, GY, NO , NO, aDir[1], , , , 0, -12500, 0, 0, 0, 0, 0, 0, S - Nosing force, NO, 0, 0, NO,
1338, BEAM , CONLOAD, GY, NO , NO, aDir[1], , , , 0, -25000, 0, 0, 0, 0, 0, 0, S - Nosing force, NO, 0, 0, NO,
1339, BEAM , CONLOAD, GY, NO , NO, aDir[1], , , , 0, -12500, 0, 0, 0, 0, 0, 0, S - Nosing force, NO, 0, 0, NO,

; End of data for load case [S.10 -Y] ----------

*USE-STLD, S.11 -Y

*BEAMLOAD ; Element Beam Loads
; ELEM_LIST, CMD, TYPE, DIR, bPROJ, [ECCEN], [VALUE], GROUP
; ELEM_LIST, CMD, TYPE, TYPE, DIR, VX, VY, VZ, bPROJ, [ECCEN], [VALUE], GROUP
; [VALUE] : D1, P1, D2, P2, D3, P3, D4, P4
; [ECCEN] : bECCEN, ECCDIR, I-END, J-END, bJ-END
; [ADDITIONAL] : bADDITIONAL, ADDITIONAL_I-END, ADDITIONAL_J-END, bADDITIONAL_J-END
826, BEAM , CONLOAD, GY, NO , NO, aDir[1], , , , 0, -12500, 0, 0, 0, 0, 0, 0, S - Nosing force, NO, 0, 0, NO,
827, BEAM , CONLOAD, GY, NO , NO, aDir[1], , , , 0, -25000, 0, 0, 0, 0, 0, 0, S - Nosing force, NO, 0, 0, NO,
828, BEAM , CONLOAD, GY, NO , NO, aDir[1], , , , 0, -12500, 0, 0, 0, 0, 0, 0, S - Nosing force, NO, 0, 0, NO,
1000, BEAM , CONLOAD, GY, NO , NO, aDir[1], , , , 0, -12500, 0, 0, 0, 0, 0, 0, S - Nosing force, NO, 0, 0, NO,
1001, BEAM , CONLOAD, GY, NO , NO, aDir[1], , , , 0, -25000, 0, 0, 0, 0, 0, 0, S - Nosing force, NO, 0, 0, NO,

1002, BEAM , CONLOAD, GY, NO , NO, aDir[1], , , , 0, -12500, 0, 0, 0, 0, 0, 0, S - Nosing force, NO, 0, 0, NO,
1174, BEAM , CONLOAD, GY, NO , NO, aDir[1], , , , 0, -12500, 0, 0, 0, 0, 0, 0, S - Nosing force, NO, 0, 0, NO,
1175, BEAM , CONLOAD, GY, NO , NO, aDir[1], , , , 0, -25000, 0, 0, 0, 0, 0, 0, S - Nosing force, NO, 0, 0, NO,
1176, BEAM , CONLOAD, GY, NO , NO, aDir[1], , , , 0, -12500, 0, 0, 0, 0, 0, 0, S - Nosing force, NO, 0, 0, NO,
1348, BEAM , CONLOAD, GY, NO , NO, aDir[1], , , , 0, -12500, 0, 0, 0, 0, 0, 0, S - Nosing force, NO, 0, 0, NO,
1349, BEAM , CONLOAD, GY, NO , NO, aDir[1], , , , 0, -25000, 0, 0, 0, 0, 0, 0, S - Nosing force, NO, 0, 0, NO,
1350, BEAM , CONLOAD, GY, NO , NO, aDir[1], , , , 0, -12500, 0, 0, 0, 0, 0, 0, S - Nosing force, NO, 0, 0, NO,

; End of data for load case [S.11 -Y] ----------

*USE-STLD, S.12 -Y

*BEAMLOAD ; Element Beam Loads
; ELEM_LIST, CMD, TYPE, DIR, bPROJ, [ECCEN], [VALUE], GROUP
; ELEM_LIST, CMD, TYPE, TYPE, DIR, VX, VY, VZ, bPROJ, [ECCEN], [VALUE], GROUP
; [VALUE] : D1, P1, D2, P2, D3, P3, D4, P4
; [ECCEN] : bECCEN, ECCDIR, I-END, J-END, bJ-END
; [ADDITIONAL] : bADDITIONAL, ADDITIONAL_I-END, ADDITIONAL_J-END, bADDITIONAL_J-END
837, BEAM , CONLOAD, GY, NO , NO, aDir[1], , , , 0, -12500, 0, 0, 0, 0, 0, 0, S - Nosing force, NO, 0, 0, NO,
838, BEAM , CONLOAD, GY, NO , NO, aDir[1], , , , 0, -25000, 0, 0, 0, 0, 0, 0, S - Nosing force, NO, 0, 0, NO,
839, BEAM , CONLOAD, GY, NO , NO, aDir[1], , , , 0, -12500, 0, 0, 0, 0, 0, 0, S - Nosing force, NO, 0, 0, NO,
1011, BEAM , CONLOAD, GY, NO , NO, aDir[1], , , , 0, -12500, 0, 0, 0, 0, 0, 0, S - Nosing force, NO, 0, 0, NO,
1012, BEAM , CONLOAD, GY, NO , NO, aDir[1], , , , 0, -25000, 0, 0, 0, 0, 0, 0, S - Nosing force, NO, 0, 0, NO,
1013, BEAM , CONLOAD, GY, NO , NO, aDir[1], , , , 0, -12500, 0, 0, 0, 0, 0, 0, S - Nosing force, NO, 0, 0, NO,
1185, BEAM , CONLOAD, GY, NO , NO, aDir[1], , , , 0, -12500, 0, 0, 0, 0, 0, 0, S - Nosing force, NO, 0, 0, NO,
1186, BEAM , CONLOAD, GY, NO , NO, aDir[1], , , , 0, -25000, 0, 0, 0, 0, 0, 0, S - Nosing force, NO, 0, 0, NO,
1187, BEAM , CONLOAD, GY, NO , NO, aDir[1], , , , 0, -12500, 0, 0, 0, 0, 0, 0, S - Nosing force, NO, 0, 0, NO,
1359, BEAM , CONLOAD, GY, NO , NO, aDir[1], , , , 0, -12500, 0, 0, 0, 0, 0, 0, S - Nosing force, NO, 0, 0, NO,
1360, BEAM , CONLOAD, GY, NO , NO, aDir[1], , , , 0, -25000, 0, 0, 0, 0, 0, 0, S - Nosing force, NO, 0, 0, NO,
1361, BEAM , CONLOAD, GY, NO , NO, aDir[1], , , , 0, -12500, 0, 0, 0, 0, 0, 0, S - Nosing force, NO, 0, 0, NO,

; End of data for load case [S.12 -Y] ----------

*USE-STLD, S.13 -Y

*BEAMLOAD ; Element Beam Loads
; ELEM_LIST, CMD, TYPE, DIR, bPROJ, [ECCEN], [VALUE], GROUP
; ELEM_LIST, CMD, TYPE, TYPE, DIR, VX, VY, VZ, bPROJ, [ECCEN], [VALUE], GROUP
; [VALUE] : D1, P1, D2, P2, D3, P3, D4, P4
; [ECCEN] : bECCEN, ECCDIR, I-END, J-END, bJ-END
; [ADDITIONAL] : bADDITIONAL, ADDITIONAL_I-END, ADDITIONAL_J-END, bADDITIONAL_J-END
848, BEAM , CONLOAD, GY, NO , NO, aDir[1], , , , 0, -12500, 0, 0, 0, 0, 0, 0, S - Nosing force, NO, 0, 0, NO,
849, BEAM , CONLOAD, GY, NO , NO, aDir[1], , , , 0, -25000, 0, 0, 0, 0, 0, 0, S - Nosing force, NO, 0, 0, NO,
850, BEAM , CONLOAD, GY, NO , NO, aDir[1], , , , 0, -12500, 0, 0, 0, 0, 0, 0, S - Nosing force, NO, 0, 0, NO,
1022, BEAM , CONLOAD, GY, NO , NO, aDir[1], , , , 0, -12500, 0, 0, 0, 0, 0, 0, S - Nosing force, NO, 0, 0, NO,
1023, BEAM , CONLOAD, GY, NO , NO, aDir[1], , , , 0, -25000, 0, 0, 0, 0, 0, 0, S - Nosing force, NO, 0, 0, NO,
1024, BEAM , CONLOAD, GY, NO , NO, aDir[1], , , , 0, -12500, 0, 0, 0, 0, 0, 0, S - Nosing force, NO, 0, 0, NO,
1196, BEAM , CONLOAD, GY, NO , NO, aDir[1], , , , 0, -12500, 0, 0, 0, 0, 0, 0, S - Nosing force, NO, 0, 0, NO,
1197, BEAM , CONLOAD, GY, NO , NO, aDir[1], , , , 0, -25000, 0, 0, 0, 0, 0, 0, S - Nosing force, NO, 0, 0, NO,
1198, BEAM , CONLOAD, GY, NO , NO, aDir[1], , , , 0, -12500, 0, 0, 0, 0, 0, 0, S - Nosing force, NO, 0, 0, NO,
1370, BEAM , CONLOAD, GY, NO , NO, aDir[1], , , , 0, -12500, 0, 0, 0, 0, 0, 0, S - Nosing force, NO, 0, 0, NO,
1371, BEAM , CONLOAD, GY, NO , NO, aDir[1], , , , 0, -25000, 0, 0, 0, 0, 0, 0, S - Nosing force, NO, 0, 0, NO,
1372, BEAM , CONLOAD, GY, NO , NO, aDir[1], , , , 0, -12500, 0, 0, 0, 0, 0, 0, S - Nosing force, NO, 0, 0, NO,

; End of data for load case [S.13 -Y] ----------

*USE-STLD, S.14 -Y

*BEAMLOAD ; Element Beam Loads
; ELEM_LIST, CMD, TYPE, DIR, bPROJ, [ECCEN], [VALUE], GROUP
; ELEM_LIST, CMD, TYPE, TYPE, DIR, VX, VY, VZ, bPROJ, [ECCEN], [VALUE], GROUP
; [VALUE] : D1, P1, D2, P2, D3, P3, D4, P4
; [ECCEN] : bECCEN, ECCDIR, I-END, J-END, bJ-END
; [ADDITIONAL] : bADDITIONAL, ADDITIONAL_I-END, ADDITIONAL_J-END, bADDITIONAL_J-END
858, BEAM , CONLOAD, GY, NO , NO, aDir[1], , , , 0, -12500, 0, 0, 0, 0, 0, 0, S - Nosing force, NO, 0, 0, NO,
860, BEAM , CONLOAD, GY, NO , NO, aDir[1], , , , 0, -25000, 0, 0, 0, 0, 0, 0, S - Nosing force, NO, 0, 0, NO,
861, BEAM , CONLOAD, GY, NO , NO, aDir[1], , , , 0, -12500, 0, 0, 0, 0, 0, 0, S - Nosing force, NO, 0, 0, NO,
1032, BEAM , CONLOAD, GY, NO , NO, aDir[1], , , , 0, -12500, 0, 0, 0, 0, 0, 0, S - Nosing force, NO, 0, 0, NO,
1034, BEAM , CONLOAD, GY, NO , NO, aDir[1], , , , 0, -25000, 0, 0, 0, 0, 0, 0, S - Nosing force, NO, 0, 0, NO,
1035, BEAM , CONLOAD, GY, NO , NO, aDir[1], , , , 0, -12500, 0, 0, 0, 0, 0, 0, S - Nosing force, NO, 0, 0, NO,
1206, BEAM , CONLOAD, GY, NO , NO, aDir[1], , , , 0, -12500, 0, 0, 0, 0, 0, 0, S - Nosing force, NO, 0, 0, NO,
1208, BEAM , CONLOAD, GY, NO , NO, aDir[1], , , , 0, -25000, 0, 0, 0, 0, 0, 0, S - Nosing force, NO, 0, 0, NO,

1209, BEAM , CONLOAD, GY, NO , NO, aDir[1], , , , 0, -12500, 0, 0, 0, 0, 0, 0, S - Nosing force, NO, 0, 0, NO,
1380, BEAM , CONLOAD, GY, NO , NO, aDir[1], , , , 0, -12500, 0, 0, 0, 0, 0, 0, S - Nosing force, NO, 0, 0, NO,
1382, BEAM , CONLOAD, GY, NO , NO, aDir[1], , , , 0, -25000, 0, 0, 0, 0, 0, 0, S - Nosing force, NO, 0, 0, NO,
1383, BEAM , CONLOAD, GY, NO , NO, aDir[1], , , , 0, -12500, 0, 0, 0, 0, 0, 0, S - Nosing force, NO, 0, 0, NO,

; End of data for load case [S.14 -Y] ----------

*USE-STLD, S.15 -Y

*BEAMLOAD ; Element Beam Loads
; ELEM_LIST, CMD, TYPE, DIR, bPROJ, [ECCEN], [VALUE], GROUP
; ELEM_LIST, CMD, TYPE, TYPE, DIR, VX, VY, VZ, bPROJ, [ECCEN], [VALUE], GROUP
; [VALUE] : D1, P1, D2, P2, D3, P3, D4, P4
; [ECCEN] : bECCEN, ECCDIR, I-END, J-END, bJ-END
; [ADDITIONAL] : bADDITIONAL, ADDITIONAL_I-END, ADDITIONAL_J-END, bADDITIONAL_J-END
870, BEAM , CONLOAD, GY, NO , NO, aDir[1], , , , 0, -12500, 0, 0, 0, 0, 0, 0, S - Nosing force, NO, 0, 0, NO,
871, BEAM , CONLOAD, GY, NO , NO, aDir[1], , , , 0, -25000, 0, 0, 0, 0, 0, 0, S - Nosing force, NO, 0, 0, NO,
872, BEAM , CONLOAD, GY, NO , NO, aDir[1], , , , 0, -12500, 0, 0, 0, 0, 0, 0, S - Nosing force, NO, 0, 0, NO,
1044, BEAM , CONLOAD, GY, NO , NO, aDir[1], , , , 0, -12500, 0, 0, 0, 0, 0, 0, S - Nosing force, NO, 0, 0, NO,
1045, BEAM , CONLOAD, GY, NO , NO, aDir[1], , , , 0, -25000, 0, 0, 0, 0, 0, 0, S - Nosing force, NO, 0, 0, NO,
1046, BEAM , CONLOAD, GY, NO , NO, aDir[1], , , , 0, -12500, 0, 0, 0, 0, 0, 0, S - Nosing force, NO, 0, 0, NO,
1218, BEAM , CONLOAD, GY, NO , NO, aDir[1], , , , 0, -12500, 0, 0, 0, 0, 0, 0, S - Nosing force, NO, 0, 0, NO,
1219, BEAM , CONLOAD, GY, NO , NO, aDir[1], , , , 0, -25000, 0, 0, 0, 0, 0, 0, S - Nosing force, NO, 0, 0, NO,
1220, BEAM , CONLOAD, GY, NO , NO, aDir[1], , , , 0, -12500, 0, 0, 0, 0, 0, 0, S - Nosing force, NO, 0, 0, NO,
1392, BEAM , CONLOAD, GY, NO , NO, aDir[1], , , , 0, -12500, 0, 0, 0, 0, 0, 0, S - Nosing force, NO, 0, 0, NO,
1393, BEAM , CONLOAD, GY, NO , NO, aDir[1], , , , 0, -25000, 0, 0, 0, 0, 0, 0, S - Nosing force, NO, 0, 0, NO,
1394, BEAM , CONLOAD, GY, NO , NO, aDir[1], , , , 0, -12500, 0, 0, 0, 0, 0, 0, S - Nosing force, NO, 0, 0, NO,

; End of data for load case [S.15 -Y] ----------

*USE-STLD, S.16 -Y

*BEAMLOAD ; Element Beam Loads
; ELEM_LIST, CMD, TYPE, DIR, bPROJ, [ECCEN], [VALUE], GROUP
; ELEM_LIST, CMD, TYPE, TYPE, DIR, VX, VY, VZ, bPROJ, [ECCEN], [VALUE], GROUP
; [VALUE] : D1, P1, D2, P2, D3, P3, D4, P4
; [ECCEN] : bECCEN, ECCDIR, I-END, J-END, bJ-END
; [ADDITIONAL] : bADDITIONAL, ADDITIONAL_I-END, ADDITIONAL_J-END, bADDITIONAL_J-END
878, BEAM , CONLOAD, GY, NO , NO, aDir[1], , , , 0, -12500, 0, 0, 0, 0, 0, 0, S - Nosing force, NO, 0, 0, NO,
880, BEAM , CONLOAD, GY, NO , NO, aDir[1], , , , 0, -25000, 0, 0, 0, 0, 0, 0, S - Nosing force, NO, 0, 0, NO,
881, BEAM , CONLOAD, GY, NO , NO, aDir[1], , , , 0, -12500, 0, 0, 0, 0, 0, 0, S - Nosing force, NO, 0, 0, NO,
1052, BEAM , CONLOAD, GY, NO , NO, aDir[1], , , , 0, -12500, 0, 0, 0, 0, 0, 0, S - Nosing force, NO, 0, 0, NO,
1054, BEAM , CONLOAD, GY, NO , NO, aDir[1], , , , 0, -25000, 0, 0, 0, 0, 0, 0, S - Nosing force, NO, 0, 0, NO,
1055, BEAM , CONLOAD, GY, NO , NO, aDir[1], , , , 0, -12500, 0, 0, 0, 0, 0, 0, S - Nosing force, NO, 0, 0, NO,
1226, BEAM , CONLOAD, GY, NO , NO, aDir[1], , , , 0, -12500, 0, 0, 0, 0, 0, 0, S - Nosing force, NO, 0, 0, NO,
1228, BEAM , CONLOAD, GY, NO , NO, aDir[1], , , , 0, -25000, 0, 0, 0, 0, 0, 0, S - Nosing force, NO, 0, 0, NO,
1229, BEAM , CONLOAD, GY, NO , NO, aDir[1], , , , 0, -12500, 0, 0, 0, 0, 0, 0, S - Nosing force, NO, 0, 0, NO,
1400, BEAM , CONLOAD, GY, NO , NO, aDir[1], , , , 0, -12500, 0, 0, 0, 0, 0, 0, S - Nosing force, NO, 0, 0, NO,
1402, BEAM , CONLOAD, GY, NO , NO, aDir[1], , , , 0, -25000, 0, 0, 0, 0, 0, 0, S - Nosing force, NO, 0, 0, NO,
1403, BEAM , CONLOAD, GY, NO , NO, aDir[1], , , , 0, -12500, 0, 0, 0, 0, 0, 0, S - Nosing force, NO, 0, 0, NO,

; End of data for load case [S.16 -Y] ----------

*USE-STLD, R2 +X 1. track

*BEAMLOAD ; Element Beam Loads
; ELEM_LIST, CMD, TYPE, DIR, bPROJ, [ECCEN], [VALUE], GROUP
; ELEM_LIST, CMD, TYPE, TYPE, DIR, VX, VY, VZ, bPROJ, [ECCEN], [VALUE], GROUP
; [VALUE] : D1, P1, D2, P2, D3, P3, D4, P4
; [ECCEN] : bECCEN, ECCDIR, I-END, J-END, bJ-END
; [ADDITIONAL] : bADDITIONAL, ADDITIONAL_I-END, ADDITIONAL_J-END, bADDITIONAL_J-END
1159, BEAM , UNILOAD, GX, NO , NO, aDir[1], , , , 0, 16, 1, 16, 0, 0, 0, 0, R - Traction force, NO, 0, 0, NO,
1160, BEAM , UNILOAD, GX, NO , NO, aDir[1], , , , 0, 16, 1, 16, 0, 0, 0, 0, R - Traction force, NO, 0, 0, NO,
1161, BEAM , UNILOAD, GX, NO , NO, aDir[1], , , , 0, 16, 1, 16, 0, 0, 0, 0, R - Traction force, NO, 0, 0, NO,
1162, BEAM , UNILOAD, GX, NO , NO, aDir[1], , , , 0, 16, 1, 16, 0, 0, 0, 0, R - Traction force, NO, 0, 0, NO,
1163, BEAM , UNILOAD, GX, NO , NO, aDir[1], , , , 0, 16, 1, 16, 0, 0, 0, 0, R - Traction force, NO, 0, 0, NO,
1164, BEAM , UNILOAD, GX, NO , NO, aDir[1], , , , 0, 16, 1, 16, 0, 0, 0, 0, R - Traction force, NO, 0, 0, NO,
1165, BEAM , UNILOAD, GX, NO , NO, aDir[1], , , , 0, 16, 1, 16, 0, 0, 0, 0, R - Traction force, NO, 0, 0, NO,
1166, BEAM , UNILOAD, GX, NO , NO, aDir[1], , , , 0, 16, 1, 16, 0, 0, 0, 0, R - Traction force, NO, 0, 0, NO,
1167, BEAM , UNILOAD, GX, NO , NO, aDir[1], , , , 0, 16, 1, 16, 0, 0, 0, 0, R - Traction force, NO, 0, 0, NO,
1168, BEAM , UNILOAD, GX, NO , NO, aDir[1], , , , 0, 16, 1, 16, 0, 0, 0, 0, R - Traction force, NO, 0, 0, NO,
1169, BEAM , UNILOAD, GX, NO , NO, aDir[1], , , , 0, 16, 1, 16, 0, 0, 0, 0, R - Traction force, NO, 0, 0, NO,

PROJECT TITLE :

MIDAS	Company		Client	
	Author		File Name	H2D_3Dg_v14_180227_StatLM.mct

1170, BEAM , UNILOAD, GX, NO , NO, aDir[1], , , , 0, 16, 1, 16, 0, 0, 0, 0, R - Traction force, NO, 0, 0, NO,
1171, BEAM , UNILOAD, GX, NO , NO, aDir[1], , , , 0, 16, 1, 16, 0, 0, 0, 0, R - Traction force, NO, 0, 0, NO,
1172, BEAM , UNILOAD, GX, NO , NO, aDir[1], , , , 0, 16, 1, 16, 0, 0, 0, 0, R - Traction force, NO, 0, 0, NO,
1173, BEAM , UNILOAD, GX, NO , NO, aDir[1], , , , 0, 16, 1, 16, 0, 0, 0, 0, R - Traction force, NO, 0, 0, NO,
1174, BEAM , UNILOAD, GX, NO , NO, aDir[1], , , , 0, 16, 1, 16, 0, 0, 0, 0, R - Traction force, NO, 0, 0, NO,
1175, BEAM , UNILOAD, GX, NO , NO, aDir[1], , , , 0, 16, 1, 16, 0, 0, 0, 0, R - Traction force, NO, 0, 0, NO,
1176, BEAM , UNILOAD, GX, NO , NO, aDir[1], , , , 0, 16, 1, 16, 0, 0, 0, 0, R - Traction force, NO, 0, 0, NO,
1177, BEAM , UNILOAD, GX, NO , NO, aDir[1], , , , 0, 16, 1, 16, 0, 0, 0, 0, R - Traction force, NO, 0, 0, NO,
1178, BEAM , UNILOAD, GX, NO , NO, aDir[1], , , , 0, 16, 1, 16, 0, 0, 0, 0, R - Traction force, NO, 0, 0, NO,
1179, BEAM , UNILOAD, GX, NO , NO, aDir[1], , , , 0, 16, 1, 16, 0, 0, 0, 0, R - Traction force, NO, 0, 0, NO,
1180, BEAM , UNILOAD, GX, NO , NO, aDir[1], , , , 0, 16, 1, 16, 0, 0, 0, 0, R - Traction force, NO, 0, 0, NO,
1181, BEAM , UNILOAD, GX, NO , NO, aDir[1], , , , 0, 16, 1, 16, 0, 0, 0, 0, R - Traction force, NO, 0, 0, NO,
1182, BEAM , UNILOAD, GX, NO , NO, aDir[1], , , , 0, 16, 1, 16, 0, 0, 0, 0, R - Traction force, NO, 0, 0, NO,
1183, BEAM , UNILOAD, GX, NO , NO, aDir[1], , , , 0, 16, 1, 16, 0, 0, 0, 0, R - Traction force, NO, 0, 0, NO,
1184, BEAM , UNILOAD, GX, NO , NO, aDir[1], , , , 0, 16, 1, 16, 0, 0, 0, 0, R - Traction force, NO, 0, 0, NO,
1185, BEAM , UNILOAD, GX, NO , NO, aDir[1], , , , 0, 16, 1, 16, 0, 0, 0, 0, R - Traction force, NO, 0, 0, NO,
1186, BEAM , UNILOAD, GX, NO , NO, aDir[1], , , , 0, 16, 1, 16, 0, 0, 0, 0, R - Traction force, NO, 0, 0, NO,
1187, BEAM , UNILOAD, GX, NO , NO, aDir[1], , , , 0, 16, 1, 16, 0, 0, 0, 0, R - Traction force, NO, 0, 0, NO,
1188, BEAM , UNILOAD, GX, NO , NO, aDir[1], , , , 0, 16, 1, 16, 0, 0, 0, 0, R - Traction force, NO, 0, 0, NO,
1189, BEAM , UNILOAD, GX, NO , NO, aDir[1], , , , 0, 16, 1, 16, 0, 0, 0, 0, R - Traction force, NO, 0, 0, NO,
1190, BEAM , UNILOAD, GX, NO , NO, aDir[1], , , , 0, 16, 1, 16, 0, 0, 0, 0, R - Traction force, NO, 0, 0, NO,
1191, BEAM , UNILOAD, GX, NO , NO, aDir[1], , , , 0, 16, 1, 16, 0, 0, 0, 0, R - Traction force, NO, 0, 0, NO,
1192, BEAM , UNILOAD, GX, NO , NO, aDir[1], , , , 0, 16, 1, 16, 0, 0, 0, 0, R - Traction force, NO, 0, 0, NO,
1193, BEAM , UNILOAD, GX, NO , NO, aDir[1], , , , 0, 16, 1, 16, 0, 0, 0, 0, R - Traction force, NO, 0, 0, NO,
1194, BEAM , UNILOAD, GX, NO , NO, aDir[1], , , , 0, 16, 1, 16, 0, 0, 0, 0, R - Traction force, NO, 0, 0, NO,
1195, BEAM , UNILOAD, GX, NO , NO, aDir[1], , , , 0, 16, 1, 16, 0, 0, 0, 0, R - Traction force, NO, 0, 0, NO,
1196, BEAM , UNILOAD, GX, NO , NO, aDir[1], , , , 0, 16, 1, 16, 0, 0, 0, 0, R - Traction force, NO, 0, 0, NO,
1197, BEAM , UNILOAD, GX, NO , NO, aDir[1], , , , 0, 16, 1, 16, 0, 0, 0, 0, R - Traction force, NO, 0, 0, NO,
1198, BEAM , UNILOAD, GX, NO , NO, aDir[1], , , , 0, 16, 1, 16, 0, 0, 0, 0, R - Traction force, NO, 0, 0, NO,
1199, BEAM , UNILOAD, GX, NO , NO, aDir[1], , , , 0, 16, 1, 16, 0, 0, 0, 0, R - Traction force, NO, 0, 0, NO,
1200, BEAM , UNILOAD, GX, NO , NO, aDir[1], , , , 0, 16, 1, 16, 0, 0, 0, 0, R - Traction force, NO, 0, 0, NO,
1201, BEAM , UNILOAD, GX, NO , NO, aDir[1], , , , 0, 16, 1, 16, 0, 0, 0, 0, R - Traction force, NO, 0, 0, NO,
1202, BEAM , UNILOAD, GX, NO , NO, aDir[1], , , , 0, 16, 1, 16, 0, 0, 0, 0, R - Traction force, NO, 0, 0, NO,
1203, BEAM , UNILOAD, GX, NO , NO, aDir[1], , , , 0, 16, 1, 16, 0, 0, 0, 0, R - Traction force, NO, 0, 0, NO,
1204, BEAM , UNILOAD, GX, NO , NO, aDir[1], , , , 0, 16, 1, 16, 0, 0, 0, 0, R - Traction force, NO, 0, 0, NO,
1205, BEAM , UNILOAD, GX, NO , NO, aDir[1], , , , 0, 16, 1, 16, 0, 0, 0, 0, R - Traction force, NO, 0, 0, NO,
1206, BEAM , UNILOAD, GX, NO , NO, aDir[1], , , , 0, 16, 1, 16, 0, 0, 0, 0, R - Traction force, NO, 0, 0, NO,
1207, BEAM , UNILOAD, GX, NO , NO, aDir[1], , , , 0, 16, 1, 16, 0, 0, 0, 0, R - Traction force, NO, 0, 0, NO,
1208, BEAM , UNILOAD, GX, NO , NO, aDir[1], , , , 0, 16, 1, 16, 0, 0, 0, 0, R - Traction force, NO, 0, 0, NO,
1209, BEAM , UNILOAD, GX, NO , NO, aDir[1], , , , 0, 16, 1, 16, 0, 0, 0, 0, R - Traction force, NO, 0, 0, NO,
1210, BEAM , UNILOAD, GX, NO , NO, aDir[1], , , , 0, 16, 1, 16, 0, 0, 0, 0, R - Traction force, NO, 0, 0, NO,
1211, BEAM , UNILOAD, GX, NO , NO, aDir[1], , , , 0, 16, 1, 16, 0, 0, 0, 0, R - Traction force, NO, 0, 0, NO,
1212, BEAM , UNILOAD, GX, NO , NO, aDir[1], , , , 0, 16, 1, 16, 0, 0, 0, 0, R - Traction force, NO, 0, 0, NO,
1213, BEAM , UNILOAD, GX, NO , NO, aDir[1], , , , 0, 16, 1, 16, 0, 0, 0, 0, R - Traction force, NO, 0, 0, NO,
1214, BEAM , UNILOAD, GX, NO , NO, aDir[1], , , , 0, 16, 1, 16, 0, 0, 0, 0, R - Traction force, NO, 0, 0, NO,
1215, BEAM , UNILOAD, GX, NO , NO, aDir[1], , , , 0, 16, 1, 16, 0, 0, 0, 0, R - Traction force, NO, 0, 0, NO,
1216, BEAM , UNILOAD, GX, NO , NO, aDir[1], , , , 0, 16, 1, 16, 0, 0, 0, 0, R - Traction force, NO, 0, 0, NO,
1217, BEAM , UNILOAD, GX, NO , NO, aDir[1], , , , 0, 16, 1, 16, 0, 0, 0, 0, R - Traction force, NO, 0, 0, NO,
1218, BEAM , UNILOAD, GX, NO , NO, aDir[1], , , , 0, 16, 1, 16, 0, 0, 0, 0, R - Traction force, NO, 0, 0, NO,
1219, BEAM , UNILOAD, GX, NO , NO, aDir[1], , , , 0, 16, 1, 16, 0, 0, 0, 0, R - Traction force, NO, 0, 0, NO,
1220, BEAM , UNILOAD, GX, NO , NO, aDir[1], , , , 0, 16, 1, 16, 0, 0, 0, 0, R - Traction force, NO, 0, 0, NO,
1221, BEAM , UNILOAD, GX, NO , NO, aDir[1], , , , 0, 16, 1, 16, 0, 0, 0, 0, R - Traction force, NO, 0, 0, NO,
1222, BEAM , UNILOAD, GX, NO , NO, aDir[1], , , , 0, 16, 1, 16, 0, 0, 0, 0, R - Traction force, NO, 0, 0, NO,
1223, BEAM , UNILOAD, GX, NO , NO, aDir[1], , , , 0, 16, 1, 16, 0, 0, 0, 0, R - Traction force, NO, 0, 0, NO,
1224, BEAM , UNILOAD, GX, NO , NO, aDir[1], , , , 0, 16, 1, 16, 0, 0, 0, 0, R - Traction force, NO, 0, 0, NO,
1225, BEAM , UNILOAD, GX, NO , NO, aDir[1], , , , 0, 16, 1, 16, 0, 0, 0, 0, R - Traction force, NO, 0, 0, NO,
1226, BEAM , UNILOAD, GX, NO , NO, aDir[1], , , , 0, 16, 1, 16, 0, 0, 0, 0, R - Traction force, NO, 0, 0, NO,
1227, BEAM , UNILOAD, GX, NO , NO, aDir[1], , , , 0, 16, 1, 16, 0, 0, 0, 0, R - Traction force, NO, 0, 0, NO,
1228, BEAM , UNILOAD, GX, NO , NO, aDir[1], , , , 0, 16, 1, 16, 0, 0, 0, 0, R - Traction force, NO, 0, 0, NO,
1229, BEAM , UNILOAD, GX, NO , NO, aDir[1], , , , 0, 16, 1, 16, 0, 0, 0, 0, R - Traction force, NO, 0, 0, NO,
1230, BEAM , UNILOAD, GX, NO , NO, aDir[1], , , , 0, 16, 1, 16, 0, 0, 0, 0, R - Traction force, NO, 0, 0, NO,
1231, BEAM , UNILOAD, GX, NO , NO, aDir[1], , , , 0, 16, 1, 16, 0, 0, 0, 0, R - Traction force, NO, 0, 0, NO,
1232, BEAM , UNILOAD, GX, NO , NO, aDir[1], , , , 0, 16, 1, 16, 0, 0, 0, 0, R - Traction force, NO, 0, 0, NO,
1333, BEAM , UNILOAD, GX, NO , NO, aDir[1], , , , 0, 16, 1, 16, 0, 0, 0, 0, R - Traction force, NO, 0, 0, NO,
1334, BEAM , UNILOAD, GX, NO , NO, aDir[1], , , , 0, 16, 1, 16, 0, 0, 0, 0, R - Traction force, NO, 0, 0, NO,
1335, BEAM , UNILOAD, GX, NO , NO, aDir[1], , , , 0, 16, 1, 16, 0, 0, 0, 0, R - Traction force, NO, 0, 0, NO,
1336, BEAM , UNILOAD, GX, NO , NO, aDir[1], , , , 0, 16, 1, 16, 0, 0, 0, 0, R - Traction force, NO, 0, 0, NO,
1337, BEAM , UNILOAD, GX, NO , NO, aDir[1], , , , 0, 16, 1, 16, 0, 0, 0, 0, R - Traction force, NO, 0, 0, NO,
1338, BEAM , UNILOAD, GX, NO , NO, aDir[1], , , , 0, 16, 1, 16, 0, 0, 0, 0, R - Traction force, NO, 0, 0, NO,
1339, BEAM , UNILOAD, GX, NO , NO, aDir[1], , , , 0, 16, 1, 16, 0, 0, 0, 0, R - Traction force, NO, 0, 0, NO,
1340, BEAM , UNILOAD, GX, NO , NO, aDir[1], , , , 0, 16, 1, 16, 0, 0, 0, 0, R - Traction force, NO, 0, 0, NO,
1341, BEAM , UNILOAD, GX, NO , NO, aDir[1], , , , 0, 16, 1, 16, 0, 0, 0, 0, R - Traction force, NO, 0, 0, NO,

PROJECT TITLE :

MIDAS	Company		Client	
	Author		File Name	H2D_3Dg_v14_180227_StatLM.mct

1342, BEAM , UNILOAD, GX, NO , NO, aDir[1], , , , 0, 16, 1, 16, 0, 0, 0, 0, R - Traction force, NO, 0, 0, NO,
1343, BEAM , UNILOAD, GX, NO , NO, aDir[1], , , , 0, 16, 1, 16, 0, 0, 0, 0, R - Traction force, NO, 0, 0, NO,
1344, BEAM , UNILOAD, GX, NO , NO, aDir[1], , , , 0, 16, 1, 16, 0, 0, 0, 0, R - Traction force, NO, 0, 0, NO,
1345, BEAM , UNILOAD, GX, NO , NO, aDir[1], , , , 0, 16, 1, 16, 0, 0, 0, 0, R - Traction force, NO, 0, 0, NO,
1346, BEAM , UNILOAD, GX, NO , NO, aDir[1], , , , 0, 16, 1, 16, 0, 0, 0, 0, R - Traction force, NO, 0, 0, NO,
1347, BEAM , UNILOAD, GX, NO , NO, aDir[1], , , , 0, 16, 1, 16, 0, 0, 0, 0, R - Traction force, NO, 0, 0, NO,
1348, BEAM , UNILOAD, GX, NO , NO, aDir[1], , , , 0, 16, 1, 16, 0, 0, 0, 0, R - Traction force, NO, 0, 0, NO,
1349, BEAM , UNILOAD, GX, NO , NO, aDir[1], , , , 0, 16, 1, 16, 0, 0, 0, 0, R - Traction force, NO, 0, 0, NO,
1350, BEAM , UNILOAD, GX, NO , NO, aDir[1], , , , 0, 16, 1, 16, 0, 0, 0, 0, R - Traction force, NO, 0, 0, NO,
1351, BEAM , UNILOAD, GX, NO , NO, aDir[1], , , , 0, 16, 1, 16, 0, 0, 0, 0, R - Traction force, NO, 0, 0, NO,
1352, BEAM , UNILOAD, GX, NO , NO, aDir[1], , , , 0, 16, 1, 16, 0, 0, 0, 0, R - Traction force, NO, 0, 0, NO,
1353, BEAM , UNILOAD, GX, NO , NO, aDir[1], , , , 0, 16, 1, 16, 0, 0, 0, 0, R - Traction force, NO, 0, 0, NO,
1354, BEAM , UNILOAD, GX, NO , NO, aDir[1], , , , 0, 16, 1, 16, 0, 0, 0, 0, R - Traction force, NO, 0, 0, NO,
1355, BEAM , UNILOAD, GX, NO , NO, aDir[1], , , , 0, 16, 1, 16, 0, 0, 0, 0, R - Traction force, NO, 0, 0, NO,
1356, BEAM , UNILOAD, GX, NO , NO, aDir[1], , , , 0, 16, 1, 16, 0, 0, 0, 0, R - Traction force, NO, 0, 0, NO,
1357, BEAM , UNILOAD, GX, NO , NO, aDir[1], , , , 0, 16, 1, 16, 0, 0, 0, 0, R - Traction force, NO, 0, 0, NO,
1358, BEAM , UNILOAD, GX, NO , NO, aDir[1], , , , 0, 16, 1, 16, 0, 0, 0, 0, R - Traction force, NO, 0, 0, NO,
1359, BEAM , UNILOAD, GX, NO , NO, aDir[1], , , , 0, 16, 1, 16, 0, 0, 0, 0, R - Traction force, NO, 0, 0, NO,
1360, BEAM , UNILOAD, GX, NO , NO, aDir[1], , , , 0, 16, 1, 16, 0, 0, 0, 0, R - Traction force, NO, 0, 0, NO,
1361, BEAM , UNILOAD, GX, NO , NO, aDir[1], , , , 0, 16, 1, 16, 0, 0, 0, 0, R - Traction force, NO, 0, 0, NO,
1362, BEAM , UNILOAD, GX, NO , NO, aDir[1], , , , 0, 16, 1, 16, 0, 0, 0, 0, R - Traction force, NO, 0, 0, NO,
1363, BEAM , UNILOAD, GX, NO , NO, aDir[1], , , , 0, 16, 1, 16, 0, 0, 0, 0, R - Traction force, NO, 0, 0, NO,
1364, BEAM , UNILOAD, GX, NO , NO, aDir[1], , , , 0, 16, 1, 16, 0, 0, 0, 0, R - Traction force, NO, 0, 0, NO,
1365, BEAM , UNILOAD, GX, NO , NO, aDir[1], , , , 0, 16, 1, 16, 0, 0, 0, 0, R - Traction force, NO, 0, 0, NO,
1366, BEAM , UNILOAD, GX, NO , NO, aDir[1], , , , 0, 16, 1, 16, 0, 0, 0, 0, R - Traction force, NO, 0, 0, NO,
1367, BEAM , UNILOAD, GX, NO , NO, aDir[1], , , , 0, 16, 1, 16, 0, 0, 0, 0, R - Traction force, NO, 0, 0, NO,
1368, BEAM , UNILOAD, GX, NO , NO, aDir[1], , , , 0, 16, 1, 16, 0, 0, 0, 0, R - Traction force, NO, 0, 0, NO,
1369, BEAM , UNILOAD, GX, NO , NO, aDir[1], , , , 0, 16, 1, 16, 0, 0, 0, 0, R - Traction force, NO, 0, 0, NO,
1370, BEAM , UNILOAD, GX, NO , NO, aDir[1], , , , 0, 16, 1, 16, 0, 0, 0, 0, R - Traction force, NO, 0, 0, NO,
1371, BEAM , UNILOAD, GX, NO , NO, aDir[1], , , , 0, 16, 1, 16, 0, 0, 0, 0, R - Traction force, NO, 0, 0, NO,
1372, BEAM , UNILOAD, GX, NO , NO, aDir[1], , , , 0, 16, 1, 16, 0, 0, 0, 0, R - Traction force, NO, 0, 0, NO,
1373, BEAM , UNILOAD, GX, NO , NO, aDir[1], , , , 0, 16, 1, 16, 0, 0, 0, 0, R - Traction force, NO, 0, 0, NO,
1374, BEAM , UNILOAD, GX, NO , NO, aDir[1], , , , 0, 16, 1, 16, 0, 0, 0, 0, R - Traction force, NO, 0, 0, NO,
1375, BEAM , UNILOAD, GX, NO , NO, aDir[1], , , , 0, 16, 1, 16, 0, 0, 0, 0, R - Traction force, NO, 0, 0, NO,
1376, BEAM , UNILOAD, GX, NO , NO, aDir[1], , , , 0, 16, 1, 16, 0, 0, 0, 0, R - Traction force, NO, 0, 0, NO,
1377, BEAM , UNILOAD, GX, NO , NO, aDir[1], , , , 0, 16, 1, 16, 0, 0, 0, 0, R - Traction force, NO, 0, 0, NO,
1378, BEAM , UNILOAD, GX, NO , NO, aDir[1], , , , 0, 16, 1, 16, 0, 0, 0, 0, R - Traction force, NO, 0, 0, NO,
1379, BEAM , UNILOAD, GX, NO , NO, aDir[1], , , , 0, 16, 1, 16, 0, 0, 0, 0, R - Traction force, NO, 0, 0, NO,
1380, BEAM , UNILOAD, GX, NO , NO, aDir[1], , , , 0, 16, 1, 16, 0, 0, 0, 0, R - Traction force, NO, 0, 0, NO,
1381, BEAM , UNILOAD, GX, NO , NO, aDir[1], , , , 0, 16, 1, 16, 0, 0, 0, 0, R - Traction force, NO, 0, 0, NO,
1382, BEAM , UNILOAD, GX, NO , NO, aDir[1], , , , 0, 16, 1, 16, 0, 0, 0, 0, R - Traction force, NO, 0, 0, NO,
1383, BEAM , UNILOAD, GX, NO , NO, aDir[1], , , , 0, 16, 1, 16, 0, 0, 0, 0, R - Traction force, NO, 0, 0, NO,
1384, BEAM , UNILOAD, GX, NO , NO, aDir[1], , , , 0, 16, 1, 16, 0, 0, 0, 0, R - Traction force, NO, 0, 0, NO,
1385, BEAM , UNILOAD, GX, NO , NO, aDir[1], , , , 0, 16, 1, 16, 0, 0, 0, 0, R - Traction force, NO, 0, 0, NO,
1386, BEAM , UNILOAD, GX, NO , NO, aDir[1], , , , 0, 16, 1, 16, 0, 0, 0, 0, R - Traction force, NO, 0, 0, NO,
1387, BEAM , UNILOAD, GX, NO , NO, aDir[1], , , , 0, 16, 1, 16, 0, 0, 0, 0, R - Traction force, NO, 0, 0, NO,
1388, BEAM , UNILOAD, GX, NO , NO, aDir[1], , , , 0, 16, 1, 16, 0, 0, 0, 0, R - Traction force, NO, 0, 0, NO,
1389, BEAM , UNILOAD, GX, NO , NO, aDir[1], , , , 0, 16, 1, 16, 0, 0, 0, 0, R - Traction force, NO, 0, 0, NO,
1390, BEAM , UNILOAD, GX, NO , NO, aDir[1], , , , 0, 16, 1, 16, 0, 0, 0, 0, R - Traction force, NO, 0, 0, NO,
1391, BEAM , UNILOAD, GX, NO , NO, aDir[1], , , , 0, 16, 1, 16, 0, 0, 0, 0, R - Traction force, NO, 0, 0, NO,
1392, BEAM , UNILOAD, GX, NO , NO, aDir[1], , , , 0, 16, 1, 16, 0, 0, 0, 0, R - Traction force, NO, 0, 0, NO,
1393, BEAM , UNILOAD, GX, NO , NO, aDir[1], , , , 0, 16, 1, 16, 0, 0, 0, 0, R - Traction force, NO, 0, 0, NO,
1394, BEAM , UNILOAD, GX, NO , NO, aDir[1], , , , 0, 16, 1, 16, 0, 0, 0, 0, R - Traction force, NO, 0, 0, NO,
1395, BEAM , UNILOAD, GX, NO , NO, aDir[1], , , , 0, 16, 1, 16, 0, 0, 0, 0, R - Traction force, NO, 0, 0, NO,
1396, BEAM , UNILOAD, GX, NO , NO, aDir[1], , , , 0, 16, 1, 16, 0, 0, 0, 0, R - Traction force, NO, 0, 0, NO,
1397, BEAM , UNILOAD, GX, NO , NO, aDir[1], , , , 0, 16, 1, 16, 0, 0, 0, 0, R - Traction force, NO, 0, 0, NO,
1398, BEAM , UNILOAD, GX, NO , NO, aDir[1], , , , 0, 16, 1, 16, 0, 0, 0, 0, R - Traction force, NO, 0, 0, NO,
1399, BEAM , UNILOAD, GX, NO , NO, aDir[1], , , , 0, 16, 1, 16, 0, 0, 0, 0, R - Traction force, NO, 0, 0, NO,
1400, BEAM , UNILOAD, GX, NO , NO, aDir[1], , , , 0, 16, 1, 16, 0, 0, 0, 0, R - Traction force, NO, 0, 0, NO,
1401, BEAM , UNILOAD, GX, NO , NO, aDir[1], , , , 0, 16, 1, 16, 0, 0, 0, 0, R - Traction force, NO, 0, 0, NO,
1402, BEAM , UNILOAD, GX, NO , NO, aDir[1], , , , 0, 16, 1, 16, 0, 0, 0, 0, R - Traction force, NO, 0, 0, NO,
1403, BEAM , UNILOAD, GX, NO , NO, aDir[1], , , , 0, 16, 1, 16, 0, 0, 0, 0, R - Traction force, NO, 0, 0, NO,
1404, BEAM , UNILOAD, GX, NO , NO, aDir[1], , , , 0, 16, 1, 16, 0, 0, 0, 0, R - Traction force, NO, 0, 0, NO,
1405, BEAM , UNILOAD, GX, NO , NO, aDir[1], , , , 0, 16, 1, 16, 0, 0, 0, 0, R - Traction force, NO, 0, 0, NO,
1406, BEAM , UNILOAD, GX, NO , NO, aDir[1], , , , 0, 16, 1, 16, 0, 0, 0, 0, R - Traction force, NO, 0, 0, NO,

; End of data for load case [R2 +X 1. track] ----------

*USE-STLD, R2 -X 1. track

*BEAMLOAD ; Element Beam Loads
; ELEM_LIST, CMD, TYPE, DIR, bPROJ, [ECCEN], [VALUE], GROUP

PROJECT TITLE :

MIDAS	Company		Client	
	Author		File Name	H2D_3Dg_v14_180227_StatLM.mct

; ELEM_LIST, CMD, TYPE, TYPE, DIR, VX, VY, VZ, bPROJ, [ECCEN], [VALUE], GROUP
; [VALUE] : D1, P1, D2, P2, D3, P3, D4, P4
; [ECCEN] : bECCEN, ECCDIR, I-END, J-END, bJ-END
; [ADDITIONAL] : bADDITIONAL, ADDITIONAL_I-END, ADDITIONAL_J-END, bADDITIONAL_J-END
1159, BEAM , UNILOAD, GX, NO , NO, aDir[1], , , , 0, -16, 1, -16, 0, 0, 0, 0, R - Traction force, NO, 0, 0, NO,
1160, BEAM , UNILOAD, GX, NO , NO, aDir[1], , , , 0, -16, 1, -16, 0, 0, 0, 0, R - Traction force, NO, 0, 0, NO,
1161, BEAM , UNILOAD, GX, NO , NO, aDir[1], , , , 0, -16, 1, -16, 0, 0, 0, 0, R - Traction force, NO, 0, 0, NO,
1162, BEAM , UNILOAD, GX, NO , NO, aDir[1], , , , 0, -16, 1, -16, 0, 0, 0, 0, R - Traction force, NO, 0, 0, NO,
1163, BEAM , UNILOAD, GX, NO , NO, aDir[1], , , , 0, -16, 1, -16, 0, 0, 0, 0, R - Traction force, NO, 0, 0, NO,
1164, BEAM , UNILOAD, GX, NO , NO, aDir[1], , , , 0, -16, 1, -16, 0, 0, 0, 0, R - Traction force, NO, 0, 0, NO,
1165, BEAM , UNILOAD, GX, NO , NO, aDir[1], , , , 0, -16, 1, -16, 0, 0, 0, 0, R - Traction force, NO, 0, 0, NO,
1166, BEAM , UNILOAD, GX, NO , NO, aDir[1], , , , 0, -16, 1, -16, 0, 0, 0, 0, R - Traction force, NO, 0, 0, NO,
1167, BEAM , UNILOAD, GX, NO , NO, aDir[1], , , , 0, -16, 1, -16, 0, 0, 0, 0, R - Traction force, NO, 0, 0, NO,
1168, BEAM , UNILOAD, GX, NO , NO, aDir[1], , , , 0, -16, 1, -16, 0, 0, 0, 0, R - Traction force, NO, 0, 0, NO,
1169, BEAM , UNILOAD, GX, NO , NO, aDir[1], , , , 0, -16, 1, -16, 0, 0, 0, 0, R - Traction force, NO, 0, 0, NO,
1170, BEAM , UNILOAD, GX, NO , NO, aDir[1], , , , 0, -16, 1, -16, 0, 0, 0, 0, R - Traction force, NO, 0, 0, NO,
1171, BEAM , UNILOAD, GX, NO , NO, aDir[1], , , , 0, -16, 1, -16, 0, 0, 0, 0, R - Traction force, NO, 0, 0, NO,
1172, BEAM , UNILOAD, GX, NO , NO, aDir[1], , , , 0, -16, 1, -16, 0, 0, 0, 0, R - Traction force, NO, 0, 0, NO,
1173, BEAM , UNILOAD, GX, NO , NO, aDir[1], , , , 0, -16, 1, -16, 0, 0, 0, 0, R - Traction force, NO, 0, 0, NO,
1174, BEAM , UNILOAD, GX, NO , NO, aDir[1], , , , 0, -16, 1, -16, 0, 0, 0, 0, R - Traction force, NO, 0, 0, NO,
1175, BEAM , UNILOAD, GX, NO , NO, aDir[1], , , , 0, -16, 1, -16, 0, 0, 0, 0, R - Traction force, NO, 0, 0, NO,
1176, BEAM , UNILOAD, GX, NO , NO, aDir[1], , , , 0, -16, 1, -16, 0, 0, 0, 0, R - Traction force, NO, 0, 0, NO,
1177, BEAM , UNILOAD, GX, NO , NO, aDir[1], , , , 0, -16, 1, -16, 0, 0, 0, 0, R - Traction force, NO, 0, 0, NO,
1178, BEAM , UNILOAD, GX, NO , NO, aDir[1], , , , 0, -16, 1, -16, 0, 0, 0, 0, R - Traction force, NO, 0, 0, NO,
1179, BEAM , UNILOAD, GX, NO , NO, aDir[1], , , , 0, -16, 1, -16, 0, 0, 0, 0, R - Traction force, NO, 0, 0, NO,
1180, BEAM , UNILOAD, GX, NO , NO, aDir[1], , , , 0, -16, 1, -16, 0, 0, 0, 0, R - Traction force, NO, 0, 0, NO,
1181, BEAM , UNILOAD, GX, NO , NO, aDir[1], , , , 0, -16, 1, -16, 0, 0, 0, 0, R - Traction force, NO, 0, 0, NO,
1182, BEAM , UNILOAD, GX, NO , NO, aDir[1], , , , 0, -16, 1, -16, 0, 0, 0, 0, R - Traction force, NO, 0, 0, NO,
1183, BEAM , UNILOAD, GX, NO , NO, aDir[1], , , , 0, -16, 1, -16, 0, 0, 0, 0, R - Traction force, NO, 0, 0, NO,
1184, BEAM , UNILOAD, GX, NO , NO, aDir[1], , , , 0, -16, 1, -16, 0, 0, 0, 0, R - Traction force, NO, 0, 0, NO,
1185, BEAM , UNILOAD, GX, NO , NO, aDir[1], , , , 0, -16, 1, -16, 0, 0, 0, 0, R - Traction force, NO, 0, 0, NO,
1186, BEAM , UNILOAD, GX, NO , NO, aDir[1], , , , 0, -16, 1, -16, 0, 0, 0, 0, R - Traction force, NO, 0, 0, NO,
1187, BEAM , UNILOAD, GX, NO , NO, aDir[1], , , , 0, -16, 1, -16, 0, 0, 0, 0, R - Traction force, NO, 0, 0, NO,
1188, BEAM , UNILOAD, GX, NO , NO, aDir[1], , , , 0, -16, 1, -16, 0, 0, 0, 0, R - Traction force, NO, 0, 0, NO,
1189, BEAM , UNILOAD, GX, NO , NO, aDir[1], , , , 0, -16, 1, -16, 0, 0, 0, 0, R - Traction force, NO, 0, 0, NO,
1190, BEAM , UNILOAD, GX, NO , NO, aDir[1], , , , 0, -16, 1, -16, 0, 0, 0, 0, R - Traction force, NO, 0, 0, NO,
1191, BEAM , UNILOAD, GX, NO , NO, aDir[1], , , , 0, -16, 1, -16, 0, 0, 0, 0, R - Traction force, NO, 0, 0, NO,
1192, BEAM , UNILOAD, GX, NO , NO, aDir[1], , , , 0, -16, 1, -16, 0, 0, 0, 0, R - Traction force, NO, 0, 0, NO,
1193, BEAM , UNILOAD, GX, NO , NO, aDir[1], , , , 0, -16, 1, -16, 0, 0, 0, 0, R - Traction force, NO, 0, 0, NO,
1194, BEAM , UNILOAD, GX, NO , NO, aDir[1], , , , 0, -16, 1, -16, 0, 0, 0, 0, R - Traction force, NO, 0, 0, NO,
1195, BEAM , UNILOAD, GX, NO , NO, aDir[1], , , , 0, -16, 1, -16, 0, 0, 0, 0, R - Traction force, NO, 0, 0, NO,
1196, BEAM , UNILOAD, GX, NO , NO, aDir[1], , , , 0, -16, 1, -16, 0, 0, 0, 0, R - Traction force, NO, 0, 0, NO,
1197, BEAM , UNILOAD, GX, NO , NO, aDir[1], , , , 0, -16, 1, -16, 0, 0, 0, 0, R - Traction force, NO, 0, 0, NO,
1198, BEAM , UNILOAD, GX, NO , NO, aDir[1], , , , 0, -16, 1, -16, 0, 0, 0, 0, R - Traction force, NO, 0, 0, NO,
1199, BEAM , UNILOAD, GX, NO , NO, aDir[1], , , , 0, -16, 1, -16, 0, 0, 0, 0, R - Traction force, NO, 0, 0, NO,
1200, BEAM , UNILOAD, GX, NO , NO, aDir[1], , , , 0, -16, 1, -16, 0, 0, 0, 0, R - Traction force, NO, 0, 0, NO,
1201, BEAM , UNILOAD, GX, NO , NO, aDir[1], , , , 0, -16, 1, -16, 0, 0, 0, 0, R - Traction force, NO, 0, 0, NO,
1202, BEAM , UNILOAD, GX, NO , NO, aDir[1], , , , 0, -16, 1, -16, 0, 0, 0, 0, R - Traction force, NO, 0, 0, NO,
1203, BEAM , UNILOAD, GX, NO , NO, aDir[1], , , , 0, -16, 1, -16, 0, 0, 0, 0, R - Traction force, NO, 0, 0, NO,
1204, BEAM , UNILOAD, GX, NO , NO, aDir[1], , , , 0, -16, 1, -16, 0, 0, 0, 0, R - Traction force, NO, 0, 0, NO,
1205, BEAM , UNILOAD, GX, NO , NO, aDir[1], , , , 0, -16, 1, -16, 0, 0, 0, 0, R - Traction force, NO, 0, 0, NO,
1206, BEAM , UNILOAD, GX, NO , NO, aDir[1], , , , 0, -16, 1, -16, 0, 0, 0, 0, R - Traction force, NO, 0, 0, NO,
1207, BEAM , UNILOAD, GX, NO , NO, aDir[1], , , , 0, -16, 1, -16, 0, 0, 0, 0, R - Traction force, NO, 0, 0, NO,
1208, BEAM , UNILOAD, GX, NO , NO, aDir[1], , , , 0, -16, 1, -16, 0, 0, 0, 0, R - Traction force, NO, 0, 0, NO,
1209, BEAM , UNILOAD, GX, NO , NO, aDir[1], , , , 0, -16, 1, -16, 0, 0, 0, 0, R - Traction force, NO, 0, 0, NO,
1210, BEAM , UNILOAD, GX, NO , NO, aDir[1], , , , 0, -16, 1, -16, 0, 0, 0, 0, R - Traction force, NO, 0, 0, NO,
1211, BEAM , UNILOAD, GX, NO , NO, aDir[1], , , , 0, -16, 1, -16, 0, 0, 0, 0, R - Traction force, NO, 0, 0, NO,
1212, BEAM , UNILOAD, GX, NO , NO, aDir[1], , , , 0, -16, 1, -16, 0, 0, 0, 0, R - Traction force, NO, 0, 0, NO,
1213, BEAM , UNILOAD, GX, NO , NO, aDir[1], , , , 0, -16, 1, -16, 0, 0, 0, 0, R - Traction force, NO, 0, 0, NO,
1214, BEAM , UNILOAD, GX, NO , NO, aDir[1], , , , 0, -16, 1, -16, 0, 0, 0, 0, R - Traction force, NO, 0, 0, NO,
1215, BEAM , UNILOAD, GX, NO , NO, aDir[1], , , , 0, -16, 1, -16, 0, 0, 0, 0, R - Traction force, NO, 0, 0, NO,
1216, BEAM , UNILOAD, GX, NO , NO, aDir[1], , , , 0, -16, 1, -16, 0, 0, 0, 0, R - Traction force, NO, 0, 0, NO,
1217, BEAM , UNILOAD, GX, NO , NO, aDir[1], , , , 0, -16, 1, -16, 0, 0, 0, 0, R - Traction force, NO, 0, 0, NO,
1218, BEAM , UNILOAD, GX, NO , NO, aDir[1], , , , 0, -16, 1, -16, 0, 0, 0, 0, R - Traction force, NO, 0, 0, NO,
1219, BEAM , UNILOAD, GX, NO , NO, aDir[1], , , , 0, -16, 1, -16, 0, 0, 0, 0, R - Traction force, NO, 0, 0, NO,
1220, BEAM , UNILOAD, GX, NO , NO, aDir[1], , , , 0, -16, 1, -16, 0, 0, 0, 0, R - Traction force, NO, 0, 0, NO,
1221, BEAM , UNILOAD, GX, NO , NO, aDir[1], , , , 0, -16, 1, -16, 0, 0, 0, 0, R - Traction force, NO, 0, 0, NO,
1222, BEAM , UNILOAD, GX, NO , NO, aDir[1], , , , 0, -16, 1, -16, 0, 0, 0, 0, R - Traction force, NO, 0, 0, NO,
1223, BEAM , UNILOAD, GX, NO , NO, aDir[1], , , , 0, -16, 1, -16, 0, 0, 0, 0, R - Traction force, NO, 0, 0, NO,
1224, BEAM , UNILOAD, GX, NO , NO, aDir[1], , , , 0, -16, 1, -16, 0, 0, 0, 0, R - Traction force, NO, 0, 0, NO,
1225, BEAM , UNILOAD, GX, NO , NO, aDir[1], , , , 0, -16, 1, -16, 0, 0, 0, 0, R - Traction force, NO, 0, 0, NO,
1226, BEAM , UNILOAD, GX, NO , NO, aDir[1], , , , 0, -16, 1, -16, 0, 0, 0, 0, R - Traction force, NO, 0, 0, NO,

PROJECT TITLE :

MIDAS	Company		Client	
	Author		File Name	H2D_3Dg_v14_180227_StatLM.mct

1227, BEAM , UNILOAD, GX, NO , NO, aDir[1], , , , 0, -16, 1, -16, 0, 0, 0, 0, R - Traction force, NO, 0, 0, NO,
1228, BEAM , UNILOAD, GX, NO , NO, aDir[1], , , , 0, -16, 1, -16, 0, 0, 0, 0, R - Traction force, NO, 0, 0, NO,
1229, BEAM , UNILOAD, GX, NO , NO, aDir[1], , , , 0, -16, 1, -16, 0, 0, 0, 0, R - Traction force, NO, 0, 0, NO,
1230, BEAM , UNILOAD, GX, NO , NO, aDir[1], , , , 0, -16, 1, -16, 0, 0, 0, 0, R - Traction force, NO, 0, 0, NO,
1231, BEAM , UNILOAD, GX, NO , NO, aDir[1], , , , 0, -16, 1, -16, 0, 0, 0, 0, R - Traction force, NO, 0, 0, NO,
1232, BEAM , UNILOAD, GX, NO , NO, aDir[1], , , , 0, -16, 1, -16, 0, 0, 0, 0, R - Traction force, NO, 0, 0, NO,
1333, BEAM , UNILOAD, GX, NO , NO, aDir[1], , , , 0, -16, 1, -16, 0, 0, 0, 0, R - Traction force, NO, 0, 0, NO,
1334, BEAM , UNILOAD, GX, NO , NO, aDir[1], , , , 0, -16, 1, -16, 0, 0, 0, 0, R - Traction force, NO, 0, 0, NO,
1335, BEAM , UNILOAD, GX, NO , NO, aDir[1], , , , 0, -16, 1, -16, 0, 0, 0, 0, R - Traction force, NO, 0, 0, NO,
1336, BEAM , UNILOAD, GX, NO , NO, aDir[1], , , , 0, -16, 1, -16, 0, 0, 0, 0, R - Traction force, NO, 0, 0, NO,
1337, BEAM , UNILOAD, GX, NO , NO, aDir[1], , , , 0, -16, 1, -16, 0, 0, 0, 0, R - Traction force, NO, 0, 0, NO,
1338, BEAM , UNILOAD, GX, NO , NO, aDir[1], , , , 0, -16, 1, -16, 0, 0, 0, 0, R - Traction force, NO, 0, 0, NO,
1339, BEAM , UNILOAD, GX, NO , NO, aDir[1], , , , 0, -16, 1, -16, 0, 0, 0, 0, R - Traction force, NO, 0, 0, NO,
1340, BEAM , UNILOAD, GX, NO , NO, aDir[1], , , , 0, -16, 1, -16, 0, 0, 0, 0, R - Traction force, NO, 0, 0, NO,
1341, BEAM , UNILOAD, GX, NO , NO, aDir[1], , , , 0, -16, 1, -16, 0, 0, 0, 0, R - Traction force, NO, 0, 0, NO,
1342, BEAM , UNILOAD, GX, NO , NO, aDir[1], , , , 0, -16, 1, -16, 0, 0, 0, 0, R - Traction force, NO, 0, 0, NO,
1343, BEAM , UNILOAD, GX, NO , NO, aDir[1], , , , 0, -16, 1, -16, 0, 0, 0, 0, R - Traction force, NO, 0, 0, NO,
1344, BEAM , UNILOAD, GX, NO , NO, aDir[1], , , , 0, -16, 1, -16, 0, 0, 0, 0, R - Traction force, NO, 0, 0, NO,
1345, BEAM , UNILOAD, GX, NO , NO, aDir[1], , , , 0, -16, 1, -16, 0, 0, 0, 0, R - Traction force, NO, 0, 0, NO,
1346, BEAM , UNILOAD, GX, NO , NO, aDir[1], , , , 0, -16, 1, -16, 0, 0, 0, 0, R - Traction force, NO, 0, 0, NO,
1347, BEAM , UNILOAD, GX, NO , NO, aDir[1], , , , 0, -16, 1, -16, 0, 0, 0, 0, R - Traction force, NO, 0, 0, NO,
1348, BEAM , UNILOAD, GX, NO , NO, aDir[1], , , , 0, -16, 1, -16, 0, 0, 0, 0, R - Traction force, NO, 0, 0, NO,
1349, BEAM , UNILOAD, GX, NO , NO, aDir[1], , , , 0, -16, 1, -16, 0, 0, 0, 0, R - Traction force, NO, 0, 0, NO,
1350, BEAM , UNILOAD, GX, NO , NO, aDir[1], , , , 0, -16, 1, -16, 0, 0, 0, 0, R - Traction force, NO, 0, 0, NO,
1351, BEAM , UNILOAD, GX, NO , NO, aDir[1], , , , 0, -16, 1, -16, 0, 0, 0, 0, R - Traction force, NO, 0, 0, NO,
1352, BEAM , UNILOAD, GX, NO , NO, aDir[1], , , , 0, -16, 1, -16, 0, 0, 0, 0, R - Traction force, NO, 0, 0, NO,
1353, BEAM , UNILOAD, GX, NO , NO, aDir[1], , , , 0, -16, 1, -16, 0, 0, 0, 0, R - Traction force, NO, 0, 0, NO,
1354, BEAM , UNILOAD, GX, NO , NO, aDir[1], , , , 0, -16, 1, -16, 0, 0, 0, 0, R - Traction force, NO, 0, 0, NO,
1355, BEAM , UNILOAD, GX, NO , NO, aDir[1], , , , 0, -16, 1, -16, 0, 0, 0, 0, R - Traction force, NO, 0, 0, NO,
1356, BEAM , UNILOAD, GX, NO , NO, aDir[1], , , , 0, -16, 1, -16, 0, 0, 0, 0, R - Traction force, NO, 0, 0, NO,
1357, BEAM , UNILOAD, GX, NO , NO, aDir[1], , , , 0, -16, 1, -16, 0, 0, 0, 0, R - Traction force, NO, 0, 0, NO,
1358, BEAM , UNILOAD, GX, NO , NO, aDir[1], , , , 0, -16, 1, -16, 0, 0, 0, 0, R - Traction force, NO, 0, 0, NO,
1359, BEAM , UNILOAD, GX, NO , NO, aDir[1], , , , 0, -16, 1, -16, 0, 0, 0, 0, R - Traction force, NO, 0, 0, NO,
1360, BEAM , UNILOAD, GX, NO , NO, aDir[1], , , , 0, -16, 1, -16, 0, 0, 0, 0, R - Traction force, NO, 0, 0, NO,
1361, BEAM , UNILOAD, GX, NO , NO, aDir[1], , , , 0, -16, 1, -16, 0, 0, 0, 0, R - Traction force, NO, 0, 0, NO,
1362, BEAM , UNILOAD, GX, NO , NO, aDir[1], , , , 0, -16, 1, -16, 0, 0, 0, 0, R - Traction force, NO, 0, 0, NO,
1363, BEAM , UNILOAD, GX, NO , NO, aDir[1], , , , 0, -16, 1, -16, 0, 0, 0, 0, R - Traction force, NO, 0, 0, NO,
1364, BEAM , UNILOAD, GX, NO , NO, aDir[1], , , , 0, -16, 1, -16, 0, 0, 0, 0, R - Traction force, NO, 0, 0, NO,
1365, BEAM , UNILOAD, GX, NO , NO, aDir[1], , , , 0, -16, 1, -16, 0, 0, 0, 0, R - Traction force, NO, 0, 0, NO,
1366, BEAM , UNILOAD, GX, NO , NO, aDir[1], , , , 0, -16, 1, -16, 0, 0, 0, 0, R - Traction force, NO, 0, 0, NO,
1367, BEAM , UNILOAD, GX, NO , NO, aDir[1], , , , 0, -16, 1, -16, 0, 0, 0, 0, R - Traction force, NO, 0, 0, NO,
1368, BEAM , UNILOAD, GX, NO , NO, aDir[1], , , , 0, -16, 1, -16, 0, 0, 0, 0, R - Traction force, NO, 0, 0, NO,
1369, BEAM , UNILOAD, GX, NO , NO, aDir[1], , , , 0, -16, 1, -16, 0, 0, 0, 0, R - Traction force, NO, 0, 0, NO,
1370, BEAM , UNILOAD, GX, NO , NO, aDir[1], , , , 0, -16, 1, -16, 0, 0, 0, 0, R - Traction force, NO, 0, 0, NO,
1371, BEAM , UNILOAD, GX, NO , NO, aDir[1], , , , 0, -16, 1, -16, 0, 0, 0, 0, R - Traction force, NO, 0, 0, NO,
1372, BEAM , UNILOAD, GX, NO , NO, aDir[1], , , , 0, -16, 1, -16, 0, 0, 0, 0, R - Traction force, NO, 0, 0, NO,
1373, BEAM , UNILOAD, GX, NO , NO, aDir[1], , , , 0, -16, 1, -16, 0, 0, 0, 0, R - Traction force, NO, 0, 0, NO,
1374, BEAM , UNILOAD, GX, NO , NO, aDir[1], , , , 0, -16, 1, -16, 0, 0, 0, 0, R - Traction force, NO, 0, 0, NO,
1375, BEAM , UNILOAD, GX, NO , NO, aDir[1], , , , 0, -16, 1, -16, 0, 0, 0, 0, R - Traction force, NO, 0, 0, NO,
1376, BEAM , UNILOAD, GX, NO , NO, aDir[1], , , , 0, -16, 1, -16, 0, 0, 0, 0, R - Traction force, NO, 0, 0, NO,
1377, BEAM , UNILOAD, GX, NO , NO, aDir[1], , , , 0, -16, 1, -16, 0, 0, 0, 0, R - Traction force, NO, 0, 0, NO,
1378, BEAM , UNILOAD, GX, NO , NO, aDir[1], , , , 0, -16, 1, -16, 0, 0, 0, 0, R - Traction force, NO, 0, 0, NO,
1379, BEAM , UNILOAD, GX, NO , NO, aDir[1], , , , 0, -16, 1, -16, 0, 0, 0, 0, R - Traction force, NO, 0, 0, NO,
1380, BEAM , UNILOAD, GX, NO , NO, aDir[1], , , , 0, -16, 1, -16, 0, 0, 0, 0, R - Traction force, NO, 0, 0, NO,
1381, BEAM , UNILOAD, GX, NO , NO, aDir[1], , , , 0, -16, 1, -16, 0, 0, 0, 0, R - Traction force, NO, 0, 0, NO,
1382, BEAM , UNILOAD, GX, NO , NO, aDir[1], , , , 0, -16, 1, -16, 0, 0, 0, 0, R - Traction force, NO, 0, 0, NO,
1383, BEAM , UNILOAD, GX, NO , NO, aDir[1], , , , 0, -16, 1, -16, 0, 0, 0, 0, R - Traction force, NO, 0, 0, NO,
1384, BEAM , UNILOAD, GX, NO , NO, aDir[1], , , , 0, -16, 1, -16, 0, 0, 0, 0, R - Traction force, NO, 0, 0, NO,
1385, BEAM , UNILOAD, GX, NO , NO, aDir[1], , , , 0, -16, 1, -16, 0, 0, 0, 0, R - Traction force, NO, 0, 0, NO,
1386, BEAM , UNILOAD, GX, NO , NO, aDir[1], , , , 0, -16, 1, -16, 0, 0, 0, 0, R - Traction force, NO, 0, 0, NO,
1387, BEAM , UNILOAD, GX, NO , NO, aDir[1], , , , 0, -16, 1, -16, 0, 0, 0, 0, R - Traction force, NO, 0, 0, NO,
1388, BEAM , UNILOAD, GX, NO , NO, aDir[1], , , , 0, -16, 1, -16, 0, 0, 0, 0, R - Traction force, NO, 0, 0, NO,
1389, BEAM , UNILOAD, GX, NO , NO, aDir[1], , , , 0, -16, 1, -16, 0, 0, 0, 0, R - Traction force, NO, 0, 0, NO,
1390, BEAM , UNILOAD, GX, NO , NO, aDir[1], , , , 0, -16, 1, -16, 0, 0, 0, 0, R - Traction force, NO, 0, 0, NO,
1391, BEAM , UNILOAD, GX, NO , NO, aDir[1], , , , 0, -16, 1, -16, 0, 0, 0, 0, R - Traction force, NO, 0, 0, NO,
1392, BEAM , UNILOAD, GX, NO , NO, aDir[1], , , , 0, -16, 1, -16, 0, 0, 0, 0, R - Traction force, NO, 0, 0, NO,
1393, BEAM , UNILOAD, GX, NO , NO, aDir[1], , , , 0, -16, 1, -16, 0, 0, 0, 0, R - Traction force, NO, 0, 0, NO,
1394, BEAM , UNILOAD, GX, NO , NO, aDir[1], , , , 0, -16, 1, -16, 0, 0, 0, 0, R - Traction force, NO, 0, 0, NO,
1395, BEAM , UNILOAD, GX, NO , NO, aDir[1], , , , 0, -16, 1, -16, 0, 0, 0, 0, R - Traction force, NO, 0, 0, NO,
1396, BEAM , UNILOAD, GX, NO , NO, aDir[1], , , , 0, -16, 1, -16, 0, 0, 0, 0, R - Traction force, NO, 0, 0, NO,
1397, BEAM , UNILOAD, GX, NO , NO, aDir[1], , , , 0, -16, 1, -16, 0, 0, 0, 0, R - Traction force, NO, 0, 0, NO,
1398, BEAM , UNILOAD, GX, NO , NO, aDir[1], , , , 0, -16, 1, -16, 0, 0, 0, 0, R - Traction force, NO, 0, 0, NO,

1399, BEAM , UNILOAD, GX, NO , NO, aDir[1], , , , 0, -16, 1, -16, 0, 0, 0, 0, R - Traction force, NO, 0, 0, NO,
1400, BEAM , UNILOAD, GX, NO , NO, aDir[1], , , , 0, -16, 1, -16, 0, 0, 0, 0, R - Traction force, NO, 0, 0, NO,
1401, BEAM , UNILOAD, GX, NO , NO, aDir[1], , , , 0, -16, 1, -16, 0, 0, 0, 0, R - Traction force, NO, 0, 0, NO,
1402, BEAM , UNILOAD, GX, NO , NO, aDir[1], , , , 0, -16, 1, -16, 0, 0, 0, 0, R - Traction force, NO, 0, 0, NO,
1403, BEAM , UNILOAD, GX, NO , NO, aDir[1], , , , 0, -16, 1, -16, 0, 0, 0, 0, R - Traction force, NO, 0, 0, NO,
1404, BEAM , UNILOAD, GX, NO , NO, aDir[1], , , , 0, -16, 1, -16, 0, 0, 0, 0, R - Traction force, NO, 0, 0, NO,
1405, BEAM , UNILOAD, GX, NO , NO, aDir[1], , , , 0, -16, 1, -16, 0, 0, 0, 0, R - Traction force, NO, 0, 0, NO,
1406, BEAM , UNILOAD, GX, NO , NO, aDir[1], , , , 0, -16, 1, -16, 0, 0, 0, 0, R - Traction force, NO, 0, 0, NO,

; End of data for load case [R2 -X 1. track] ----------

*USE-STLD, R2 +X 2. track

*BEAMLOAD ; Element Beam Loads
; ELEM_LIST, CMD, TYPE, DIR, bPROJ, [ECCEN], [VALUE], GROUP
; ELEM_LIST, CMD, TYPE, TYPE, DIR, VX, VY, VZ, bPROJ, [ECCEN], [VALUE], GROUP
; [VALUE] : D1, P1, D2, P2, D3, P3, D4, P4
; [ECCEN] : bECCEN, ECCDIR, I-END, J-END, bJ-END
; [ADDITIONAL] : bADDITIONAL, ADDITIONAL_I-END, ADDITIONAL_J-END, bADDITIONAL_J-END
811, BEAM , UNILOAD, GX, NO , NO, aDir[1], , , , 0, 16, 1, 16, 0, 0, 0, 0, R - Traction force, NO, 0, 0, NO,
812, BEAM , UNILOAD, GX, NO , NO, aDir[1], , , , 0, 16, 1, 16, 0, 0, 0, 0, R - Traction force, NO, 0, 0, NO,
813, BEAM , UNILOAD, GX, NO , NO, aDir[1], , , , 0, 16, 1, 16, 0, 0, 0, 0, R - Traction force, NO, 0, 0, NO,
814, BEAM , UNILOAD, GX, NO , NO, aDir[1], , , , 0, 16, 1, 16, 0, 0, 0, 0, R - Traction force, NO, 0, 0, NO,
815, BEAM , UNILOAD, GX, NO , NO, aDir[1], , , , 0, 16, 1, 16, 0, 0, 0, 0, R - Traction force, NO, 0, 0, NO,
816, BEAM , UNILOAD, GX, NO , NO, aDir[1], , , , 0, 16, 1, 16, 0, 0, 0, 0, R - Traction force, NO, 0, 0, NO,
817, BEAM , UNILOAD, GX, NO , NO, aDir[1], , , , 0, 16, 1, 16, 0, 0, 0, 0, R - Traction force, NO, 0, 0, NO,
818, BEAM , UNILOAD, GX, NO , NO, aDir[1], , , , 0, 16, 1, 16, 0, 0, 0, 0, R - Traction force, NO, 0, 0, NO,
819, BEAM , UNILOAD, GX, NO , NO, aDir[1], , , , 0, 16, 1, 16, 0, 0, 0, 0, R - Traction force, NO, 0, 0, NO,
820, BEAM , UNILOAD, GX, NO , NO, aDir[1], , , , 0, 16, 1, 16, 0, 0, 0, 0, R - Traction force, NO, 0, 0, NO,
821, BEAM , UNILOAD, GX, NO , NO, aDir[1], , , , 0, 16, 1, 16, 0, 0, 0, 0, R - Traction force, NO, 0, 0, NO,
822, BEAM , UNILOAD, GX, NO , NO, aDir[1], , , , 0, 16, 1, 16, 0, 0, 0, 0, R - Traction force, NO, 0, 0, NO,
823, BEAM , UNILOAD, GX, NO , NO, aDir[1], , , , 0, 16, 1, 16, 0, 0, 0, 0, R - Traction force, NO, 0, 0, NO,
824, BEAM , UNILOAD, GX, NO , NO, aDir[1], , , , 0, 16, 1, 16, 0, 0, 0, 0, R - Traction force, NO, 0, 0, NO,
825, BEAM , UNILOAD, GX, NO , NO, aDir[1], , , , 0, 16, 1, 16, 0, 0, 0, 0, R - Traction force, NO, 0, 0, NO,
826, BEAM , UNILOAD, GX, NO , NO, aDir[1], , , , 0, 16, 1, 16, 0, 0, 0, 0, R - Traction force, NO, 0, 0, NO,
827, BEAM , UNILOAD, GX, NO , NO, aDir[1], , , , 0, 16, 1, 16, 0, 0, 0, 0, R - Traction force, NO, 0, 0, NO,
828, BEAM , UNILOAD, GX, NO , NO, aDir[1], , , , 0, 16, 1, 16, 0, 0, 0, 0, R - Traction force, NO, 0, 0, NO,
829, BEAM , UNILOAD, GX, NO , NO, aDir[1], , , , 0, 16, 1, 16, 0, 0, 0, 0, R - Traction force, NO, 0, 0, NO,
830, BEAM , UNILOAD, GX, NO , NO, aDir[1], , , , 0, 16, 1, 16, 0, 0, 0, 0, R - Traction force, NO, 0, 0, NO,
831, BEAM , UNILOAD, GX, NO , NO, aDir[1], , , , 0, 16, 1, 16, 0, 0, 0, 0, R - Traction force, NO, 0, 0, NO,
832, BEAM , UNILOAD, GX, NO , NO, aDir[1], , , , 0, 16, 1, 16, 0, 0, 0, 0, R - Traction force, NO, 0, 0, NO,
833, BEAM , UNILOAD, GX, NO , NO, aDir[1], , , , 0, 16, 1, 16, 0, 0, 0, 0, R - Traction force, NO, 0, 0, NO,
834, BEAM , UNILOAD, GX, NO , NO, aDir[1], , , , 0, 16, 1, 16, 0, 0, 0, 0, R - Traction force, NO, 0, 0, NO,
835, BEAM , UNILOAD, GX, NO , NO, aDir[1], , , , 0, 16, 1, 16, 0, 0, 0, 0, R - Traction force, NO, 0, 0, NO,
836, BEAM , UNILOAD, GX, NO , NO, aDir[1], , , , 0, 16, 1, 16, 0, 0, 0, 0, R - Traction force, NO, 0, 0, NO,
837, BEAM , UNILOAD, GX, NO , NO, aDir[1], , , , 0, 16, 1, 16, 0, 0, 0, 0, R - Traction force, NO, 0, 0, NO,
838, BEAM , UNILOAD, GX, NO , NO, aDir[1], , , , 0, 16, 1, 16, 0, 0, 0, 0, R - Traction force, NO, 0, 0, NO,
839, BEAM , UNILOAD, GX, NO , NO, aDir[1], , , , 0, 16, 1, 16, 0, 0, 0, 0, R - Traction force, NO, 0, 0, NO,
840, BEAM , UNILOAD, GX, NO , NO, aDir[1], , , , 0, 16, 1, 16, 0, 0, 0, 0, R - Traction force, NO, 0, 0, NO,
841, BEAM , UNILOAD, GX, NO , NO, aDir[1], , , , 0, 16, 1, 16, 0, 0, 0, 0, R - Traction force, NO, 0, 0, NO,
842, BEAM , UNILOAD, GX, NO , NO, aDir[1], , , , 0, 16, 1, 16, 0, 0, 0, 0, R - Traction force, NO, 0, 0, NO,
843, BEAM , UNILOAD, GX, NO , NO, aDir[1], , , , 0, 16, 1, 16, 0, 0, 0, 0, R - Traction force, NO, 0, 0, NO,
844, BEAM , UNILOAD, GX, NO , NO, aDir[1], , , , 0, 16, 1, 16, 0, 0, 0, 0, R - Traction force, NO, 0, 0, NO,
845, BEAM , UNILOAD, GX, NO , NO, aDir[1], , , , 0, 16, 1, 16, 0, 0, 0, 0, R - Traction force, NO, 0, 0, NO,
846, BEAM , UNILOAD, GX, NO , NO, aDir[1], , , , 0, 16, 1, 16, 0, 0, 0, 0, R - Traction force, NO, 0, 0, NO,
847, BEAM , UNILOAD, GX, NO , NO, aDir[1], , , , 0, 16, 1, 16, 0, 0, 0, 0, R - Traction force, NO, 0, 0, NO,
848, BEAM , UNILOAD, GX, NO , NO, aDir[1], , , , 0, 16, 1, 16, 0, 0, 0, 0, R - Traction force, NO, 0, 0, NO,
849, BEAM , UNILOAD, GX, NO , NO, aDir[1], , , , 0, 16, 1, 16, 0, 0, 0, 0, R - Traction force, NO, 0, 0, NO,
850, BEAM , UNILOAD, GX, NO , NO, aDir[1], , , , 0, 16, 1, 16, 0, 0, 0, 0, R - Traction force, NO, 0, 0, NO,
851, BEAM , UNILOAD, GX, NO , NO, aDir[1], , , , 0, 16, 1, 16, 0, 0, 0, 0, R - Traction force, NO, 0, 0, NO,
852, BEAM , UNILOAD, GX, NO , NO, aDir[1], , , , 0, 16, 1, 16, 0, 0, 0, 0, R - Traction force, NO, 0, 0, NO,
853, BEAM , UNILOAD, GX, NO , NO, aDir[1], , , , 0, 16, 1, 16, 0, 0, 0, 0, R - Traction force, NO, 0, 0, NO,
854, BEAM , UNILOAD, GX, NO , NO, aDir[1], , , , 0, 16, 1, 16, 0, 0, 0, 0, R - Traction force, NO, 0, 0, NO,
855, BEAM , UNILOAD, GX, NO , NO, aDir[1], , , , 0, 16, 1, 16, 0, 0, 0, 0, R - Traction force, NO, 0, 0, NO,
856, BEAM , UNILOAD, GX, NO , NO, aDir[1], , , , 0, 16, 1, 16, 0, 0, 0, 0, R - Traction force, NO, 0, 0, NO,
857, BEAM , UNILOAD, GX, NO , NO, aDir[1], , , , 0, 16, 1, 16, 0, 0, 0, 0, R - Traction force, NO, 0, 0, NO,
858, BEAM , UNILOAD, GX, NO , NO, aDir[1], , , , 0, 16, 1, 16, 0, 0, 0, 0, R - Traction force, NO, 0, 0, NO,
859, BEAM , UNILOAD, GX, NO , NO, aDir[1], , , , 0, 16, 1, 16, 0, 0, 0, 0, R - Traction force, NO, 0, 0, NO,
860, BEAM , UNILOAD, GX, NO , NO, aDir[1], , , , 0, 16, 1, 16, 0, 0, 0, 0, R - Traction force, NO, 0, 0, NO,
861, BEAM , UNILOAD, GX, NO , NO, aDir[1], , , , 0, 16, 1, 16, 0, 0, 0, 0, R - Traction force, NO, 0, 0, NO,
862, BEAM , UNILOAD, GX, NO , NO, aDir[1], , , , 0, 16, 1, 16, 0, 0, 0, 0, R - Traction force, NO, 0, 0, NO,
863, BEAM , UNILOAD, GX, NO , NO, aDir[1], , , , 0, 16, 1, 16, 0, 0, 0, 0, R - Traction force, NO, 0, 0, NO,

PROJECT TITLE :

MIDAS	Company		Client	
	Author		File Name	H2D_3Dg_v14_180227_StatLM.mct

864, BEAM , UNILOAD, GX, NO , NO, aDir[1], , , , 0, 16, 1, 16, 0, 0, 0, 0, R - Traction force, NO, 0, 0, NO,
865, BEAM , UNILOAD, GX, NO , NO, aDir[1], , , , 0, 16, 1, 16, 0, 0, 0, 0, R - Traction force, NO, 0, 0, NO,
866, BEAM , UNILOAD, GX, NO , NO, aDir[1], , , , 0, 16, 1, 16, 0, 0, 0, 0, R - Traction force, NO, 0, 0, NO,
867, BEAM , UNILOAD, GX, NO , NO, aDir[1], , , , 0, 16, 1, 16, 0, 0, 0, 0, R - Traction force, NO, 0, 0, NO,
868, BEAM , UNILOAD, GX, NO , NO, aDir[1], , , , 0, 16, 1, 16, 0, 0, 0, 0, R - Traction force, NO, 0, 0, NO,
869, BEAM , UNILOAD, GX, NO , NO, aDir[1], , , , 0, 16, 1, 16, 0, 0, 0, 0, R - Traction force, NO, 0, 0, NO,
870, BEAM , UNILOAD, GX, NO , NO, aDir[1], , , , 0, 16, 1, 16, 0, 0, 0, 0, R - Traction force, NO, 0, 0, NO,
871, BEAM , UNILOAD, GX, NO , NO, aDir[1], , , , 0, 16, 1, 16, 0, 0, 0, 0, R - Traction force, NO, 0, 0, NO,
872, BEAM , UNILOAD, GX, NO , NO, aDir[1], , , , 0, 16, 1, 16, 0, 0, 0, 0, R - Traction force, NO, 0, 0, NO,
873, BEAM , UNILOAD, GX, NO , NO, aDir[1], , , , 0, 16, 1, 16, 0, 0, 0, 0, R - Traction force, NO, 0, 0, NO,
874, BEAM , UNILOAD, GX, NO , NO, aDir[1], , , , 0, 16, 1, 16, 0, 0, 0, 0, R - Traction force, NO, 0, 0, NO,
875, BEAM , UNILOAD, GX, NO , NO, aDir[1], , , , 0, 16, 1, 16, 0, 0, 0, 0, R - Traction force, NO, 0, 0, NO,
876, BEAM , UNILOAD, GX, NO , NO, aDir[1], , , , 0, 16, 1, 16, 0, 0, 0, 0, R - Traction force, NO, 0, 0, NO,
877, BEAM , UNILOAD, GX, NO , NO, aDir[1], , , , 0, 16, 1, 16, 0, 0, 0, 0, R - Traction force, NO, 0, 0, NO,
878, BEAM , UNILOAD, GX, NO , NO, aDir[1], , , , 0, 16, 1, 16, 0, 0, 0, 0, R - Traction force, NO, 0, 0, NO,
879, BEAM , UNILOAD, GX, NO , NO, aDir[1], , , , 0, 16, 1, 16, 0, 0, 0, 0, R - Traction force, NO, 0, 0, NO,
880, BEAM , UNILOAD, GX, NO , NO, aDir[1], , , , 0, 16, 1, 16, 0, 0, 0, 0, R - Traction force, NO, 0, 0, NO,
881, BEAM , UNILOAD, GX, NO , NO, aDir[1], , , , 0, 16, 1, 16, 0, 0, 0, 0, R - Traction force, NO, 0, 0, NO,
882, BEAM , UNILOAD, GX, NO , NO, aDir[1], , , , 0, 16, 1, 16, 0, 0, 0, 0, R - Traction force, NO, 0, 0, NO,
883, BEAM , UNILOAD, GX, NO , NO, aDir[1], , , , 0, 16, 1, 16, 0, 0, 0, 0, R - Traction force, NO, 0, 0, NO,
884, BEAM , UNILOAD, GX, NO , NO, aDir[1], , , , 0, 16, 1, 16, 0, 0, 0, 0, R - Traction force, NO, 0, 0, NO,
985, BEAM , UNILOAD, GX, NO , NO, aDir[1], , , , 0, 16, 1, 16, 0, 0, 0, 0, R - Traction force, NO, 0, 0, NO,
986, BEAM , UNILOAD, GX, NO , NO, aDir[1], , , , 0, 16, 1, 16, 0, 0, 0, 0, R - Traction force, NO, 0, 0, NO,
987, BEAM , UNILOAD, GX, NO , NO, aDir[1], , , , 0, 16, 1, 16, 0, 0, 0, 0, R - Traction force, NO, 0, 0, NO,
988, BEAM , UNILOAD, GX, NO , NO, aDir[1], , , , 0, 16, 1, 16, 0, 0, 0, 0, R - Traction force, NO, 0, 0, NO,
989, BEAM , UNILOAD, GX, NO , NO, aDir[1], , , , 0, 16, 1, 16, 0, 0, 0, 0, R - Traction force, NO, 0, 0, NO,
990, BEAM , UNILOAD, GX, NO , NO, aDir[1], , , , 0, 16, 1, 16, 0, 0, 0, 0, R - Traction force, NO, 0, 0, NO,
991, BEAM , UNILOAD, GX, NO , NO, aDir[1], , , , 0, 16, 1, 16, 0, 0, 0, 0, R - Traction force, NO, 0, 0, NO,
992, BEAM , UNILOAD, GX, NO , NO, aDir[1], , , , 0, 16, 1, 16, 0, 0, 0, 0, R - Traction force, NO, 0, 0, NO,
993, BEAM , UNILOAD, GX, NO , NO, aDir[1], , , , 0, 16, 1, 16, 0, 0, 0, 0, R - Traction force, NO, 0, 0, NO,
994, BEAM , UNILOAD, GX, NO , NO, aDir[1], , , , 0, 16, 1, 16, 0, 0, 0, 0, R - Traction force, NO, 0, 0, NO,
995, BEAM , UNILOAD, GX, NO , NO, aDir[1], , , , 0, 16, 1, 16, 0, 0, 0, 0, R - Traction force, NO, 0, 0, NO,
996, BEAM , UNILOAD, GX, NO , NO, aDir[1], , , , 0, 16, 1, 16, 0, 0, 0, 0, R - Traction force, NO, 0, 0, NO,
997, BEAM , UNILOAD, GX, NO , NO, aDir[1], , , , 0, 16, 1, 16, 0, 0, 0, 0, R - Traction force, NO, 0, 0, NO,
998, BEAM , UNILOAD, GX, NO , NO, aDir[1], , , , 0, 16, 1, 16, 0, 0, 0, 0, R - Traction force, NO, 0, 0, NO,
999, BEAM , UNILOAD, GX, NO , NO, aDir[1], , , , 0, 16, 1, 16, 0, 0, 0, 0, R - Traction force, NO, 0, 0, NO,
1000, BEAM , UNILOAD, GX, NO , NO, aDir[1], , , , 0, 16, 1, 16, 0, 0, 0, 0, R - Traction force, NO, 0, 0, NO,
1001, BEAM , UNILOAD, GX, NO , NO, aDir[1], , , , 0, 16, 1, 16, 0, 0, 0, 0, R - Traction force, NO, 0, 0, NO,
1002, BEAM , UNILOAD, GX, NO , NO, aDir[1], , , , 0, 16, 1, 16, 0, 0, 0, 0, R - Traction force, NO, 0, 0, NO,
1003, BEAM , UNILOAD, GX, NO , NO, aDir[1], , , , 0, 16, 1, 16, 0, 0, 0, 0, R - Traction force, NO, 0, 0, NO,
1004, BEAM , UNILOAD, GX, NO , NO, aDir[1], , , , 0, 16, 1, 16, 0, 0, 0, 0, R - Traction force, NO, 0, 0, NO,
1005, BEAM , UNILOAD, GX, NO , NO, aDir[1], , , , 0, 16, 1, 16, 0, 0, 0, 0, R - Traction force, NO, 0, 0, NO,
1006, BEAM , UNILOAD, GX, NO , NO, aDir[1], , , , 0, 16, 1, 16, 0, 0, 0, 0, R - Traction force, NO, 0, 0, NO,
1007, BEAM , UNILOAD, GX, NO , NO, aDir[1], , , , 0, 16, 1, 16, 0, 0, 0, 0, R - Traction force, NO, 0, 0, NO,
1008, BEAM , UNILOAD, GX, NO , NO, aDir[1], , , , 0, 16, 1, 16, 0, 0, 0, 0, R - Traction force, NO, 0, 0, NO,
1009, BEAM , UNILOAD, GX, NO , NO, aDir[1], , , , 0, 16, 1, 16, 0, 0, 0, 0, R - Traction force, NO, 0, 0, NO,
1010, BEAM , UNILOAD, GX, NO , NO, aDir[1], , , , 0, 16, 1, 16, 0, 0, 0, 0, R - Traction force, NO, 0, 0, NO,
1011, BEAM , UNILOAD, GX, NO , NO, aDir[1], , , , 0, 16, 1, 16, 0, 0, 0, 0, R - Traction force, NO, 0, 0, NO,
1012, BEAM , UNILOAD, GX, NO , NO, aDir[1], , , , 0, 16, 1, 16, 0, 0, 0, 0, R - Traction force, NO, 0, 0, NO,
1013, BEAM , UNILOAD, GX, NO , NO, aDir[1], , , , 0, 16, 1, 16, 0, 0, 0, 0, R - Traction force, NO, 0, 0, NO,
1014, BEAM , UNILOAD, GX, NO , NO, aDir[1], , , , 0, 16, 1, 16, 0, 0, 0, 0, R - Traction force, NO, 0, 0, NO,
1015, BEAM , UNILOAD, GX, NO , NO, aDir[1], , , , 0, 16, 1, 16, 0, 0, 0, 0, R - Traction force, NO, 0, 0, NO,
1016, BEAM , UNILOAD, GX, NO , NO, aDir[1], , , , 0, 16, 1, 16, 0, 0, 0, 0, R - Traction force, NO, 0, 0, NO,
1017, BEAM , UNILOAD, GX, NO , NO, aDir[1], , , , 0, 16, 1, 16, 0, 0, 0, 0, R - Traction force, NO, 0, 0, NO,
1018, BEAM , UNILOAD, GX, NO , NO, aDir[1], , , , 0, 16, 1, 16, 0, 0, 0, 0, R - Traction force, NO, 0, 0, NO,
1019, BEAM , UNILOAD, GX, NO , NO, aDir[1], , , , 0, 16, 1, 16, 0, 0, 0, 0, R - Traction force, NO, 0, 0, NO,
1020, BEAM , UNILOAD, GX, NO , NO, aDir[1], , , , 0, 16, 1, 16, 0, 0, 0, 0, R - Traction force, NO, 0, 0, NO,
1021, BEAM , UNILOAD, GX, NO , NO, aDir[1], , , , 0, 16, 1, 16, 0, 0, 0, 0, R - Traction force, NO, 0, 0, NO,
1022, BEAM , UNILOAD, GX, NO , NO, aDir[1], , , , 0, 16, 1, 16, 0, 0, 0, 0, R - Traction force, NO, 0, 0, NO,
1023, BEAM , UNILOAD, GX, NO , NO, aDir[1], , , , 0, 16, 1, 16, 0, 0, 0, 0, R - Traction force, NO, 0, 0, NO,
1024, BEAM , UNILOAD, GX, NO , NO, aDir[1], , , , 0, 16, 1, 16, 0, 0, 0, 0, R - Traction force, NO, 0, 0, NO,
1025, BEAM , UNILOAD, GX, NO , NO, aDir[1], , , , 0, 16, 1, 16, 0, 0, 0, 0, R - Traction force, NO, 0, 0, NO,
1026, BEAM , UNILOAD, GX, NO , NO, aDir[1], , , , 0, 16, 1, 16, 0, 0, 0, 0, R - Traction force, NO, 0, 0, NO,
1027, BEAM , UNILOAD, GX, NO , NO, aDir[1], , , , 0, 16, 1, 16, 0, 0, 0, 0, R - Traction force, NO, 0, 0, NO,
1028, BEAM , UNILOAD, GX, NO , NO, aDir[1], , , , 0, 16, 1, 16, 0, 0, 0, 0, R - Traction force, NO, 0, 0, NO,
1029, BEAM , UNILOAD, GX, NO , NO, aDir[1], , , , 0, 16, 1, 16, 0, 0, 0, 0, R - Traction force, NO, 0, 0, NO,
1030, BEAM , UNILOAD, GX, NO , NO, aDir[1], , , , 0, 16, 1, 16, 0, 0, 0, 0, R - Traction force, NO, 0, 0, NO,
1031, BEAM , UNILOAD, GX, NO , NO, aDir[1], , , , 0, 16, 1, 16, 0, 0, 0, 0, R - Traction force, NO, 0, 0, NO,
1032, BEAM , UNILOAD, GX, NO , NO, aDir[1], , , , 0, 16, 1, 16, 0, 0, 0, 0, R - Traction force, NO, 0, 0, NO,
1033, BEAM , UNILOAD, GX, NO , NO, aDir[1], , , , 0, 16, 1, 16, 0, 0, 0, 0, R - Traction force, NO, 0, 0, NO,
1034, BEAM , UNILOAD, GX, NO , NO, aDir[1], , , , 0, 16, 1, 16, 0, 0, 0, 0, R - Traction force, NO, 0, 0, NO,
1035, BEAM , UNILOAD, GX, NO , NO, aDir[1], , , , 0, 16, 1, 16, 0, 0, 0, 0, R - Traction force, NO, 0, 0, NO,

1036, BEAM , UNILOAD, GX, NO , NO, aDir[1], , , , 0, 16, 1, 16, 0, 0, 0, 0, R - Traction force, NO, 0, 0, NO,
1037, BEAM , UNILOAD, GX, NO , NO, aDir[1], , , , 0, 16, 1, 16, 0, 0, 0, 0, R - Traction force, NO, 0, 0, NO,
1038, BEAM , UNILOAD, GX, NO , NO, aDir[1], , , , 0, 16, 1, 16, 0, 0, 0, 0, R - Traction force, NO, 0, 0, NO,
1039, BEAM , UNILOAD, GX, NO , NO, aDir[1], , , , 0, 16, 1, 16, 0, 0, 0, 0, R - Traction force, NO, 0, 0, NO,
1040, BEAM , UNILOAD, GX, NO , NO, aDir[1], , , , 0, 16, 1, 16, 0, 0, 0, 0, R - Traction force, NO, 0, 0, NO,
1041, BEAM , UNILOAD, GX, NO , NO, aDir[1], , , , 0, 16, 1, 16, 0, 0, 0, 0, R - Traction force, NO, 0, 0, NO,
1042, BEAM , UNILOAD, GX, NO , NO, aDir[1], , , , 0, 16, 1, 16, 0, 0, 0, 0, R - Traction force, NO, 0, 0, NO,
1043, BEAM , UNILOAD, GX, NO , NO, aDir[1], , , , 0, 16, 1, 16, 0, 0, 0, 0, R - Traction force, NO, 0, 0, NO,
1044, BEAM , UNILOAD, GX, NO , NO, aDir[1], , , , 0, 16, 1, 16, 0, 0, 0, 0, R - Traction force, NO, 0, 0, NO,
1045, BEAM , UNILOAD, GX, NO , NO, aDir[1], , , , 0, 16, 1, 16, 0, 0, 0, 0, R - Traction force, NO, 0, 0, NO,
1046, BEAM , UNILOAD, GX, NO , NO, aDir[1], , , , 0, 16, 1, 16, 0, 0, 0, 0, R - Traction force, NO, 0, 0, NO,
1047, BEAM , UNILOAD, GX, NO , NO, aDir[1], , , , 0, 16, 1, 16, 0, 0, 0, 0, R - Traction force, NO, 0, 0, NO,
1048, BEAM , UNILOAD, GX, NO , NO, aDir[1], , , , 0, 16, 1, 16, 0, 0, 0, 0, R - Traction force, NO, 0, 0, NO,
1049, BEAM , UNILOAD, GX, NO , NO, aDir[1], , , , 0, 16, 1, 16, 0, 0, 0, 0, R - Traction force, NO, 0, 0, NO,
1050, BEAM , UNILOAD, GX, NO , NO, aDir[1], , , , 0, 16, 1, 16, 0, 0, 0, 0, R - Traction force, NO, 0, 0, NO,
1051, BEAM , UNILOAD, GX, NO , NO, aDir[1], , , , 0, 16, 1, 16, 0, 0, 0, 0, R - Traction force, NO, 0, 0, NO,
1052, BEAM , UNILOAD, GX, NO , NO, aDir[1], , , , 0, 16, 1, 16, 0, 0, 0, 0, R - Traction force, NO, 0, 0, NO,
1053, BEAM , UNILOAD, GX, NO , NO, aDir[1], , , , 0, 16, 1, 16, 0, 0, 0, 0, R - Traction force, NO, 0, 0, NO,
1054, BEAM , UNILOAD, GX, NO , NO, aDir[1], , , , 0, 16, 1, 16, 0, 0, 0, 0, R - Traction force, NO, 0, 0, NO,
1055, BEAM , UNILOAD, GX, NO , NO, aDir[1], , , , 0, 16, 1, 16, 0, 0, 0, 0, R - Traction force, NO, 0, 0, NO,
1056, BEAM , UNILOAD, GX, NO , NO, aDir[1], , , , 0, 16, 1, 16, 0, 0, 0, 0, R - Traction force, NO, 0, 0, NO,
1057, BEAM , UNILOAD, GX, NO , NO, aDir[1], , , , 0, 16, 1, 16, 0, 0, 0, 0, R - Traction force, NO, 0, 0, NO,
1058, BEAM , UNILOAD, GX, NO , NO, aDir[1], , , , 0, 16, 1, 16, 0, 0, 0, 0, R - Traction force, NO, 0, 0, NO,

; End of data for load case [R2 +X 2. track] ----------

*USE-STLD, R2 -X 2. track

*BEAMLOAD ; Element Beam Loads
; ELEM_LIST, CMD, TYPE, DIR, bPROJ, [ECCEN], [VALUE], GROUP
; ELEM_LIST, CMD, TYPE, TYPE, DIR, VX, VY, VZ, bPROJ, [ECCEN], [VALUE], GROUP
; [VALUE] : D1, P1, D2, P2, D3, P3, D4, P4
; [ECCEN] : bECCEN, ECCDIR, I-END, J-END, bJ-END
; [ADDITIONAL] : bADDITIONAL, ADDITIONAL_I-END, ADDITIONAL_J-END, bADDITIONAL_J-END
811, BEAM , UNILOAD, GX, NO , NO, aDir[1], , , , 0, -16, 1, -16, 0, 0, 0, 0, R - Traction force, NO, 0, 0, NO,
812, BEAM , UNILOAD, GX, NO , NO, aDir[1], , , , 0, -16, 1, -16, 0, 0, 0, 0, R - Traction force, NO, 0, 0, NO,
813, BEAM , UNILOAD, GX, NO , NO, aDir[1], , , , 0, -16, 1, -16, 0, 0, 0, 0, R - Traction force, NO, 0, 0, NO,
814, BEAM , UNILOAD, GX, NO , NO, aDir[1], , , , 0, -16, 1, -16, 0, 0, 0, 0, R - Traction force, NO, 0, 0, NO,
815, BEAM , UNILOAD, GX, NO , NO, aDir[1], , , , 0, -16, 1, -16, 0, 0, 0, 0, R - Traction force, NO, 0, 0, NO,
816, BEAM , UNILOAD, GX, NO , NO, aDir[1], , , , 0, -16, 1, -16, 0, 0, 0, 0, R - Traction force, NO, 0, 0, NO,
817, BEAM , UNILOAD, GX, NO , NO, aDir[1], , , , 0, -16, 1, -16, 0, 0, 0, 0, R - Traction force, NO, 0, 0, NO,
818, BEAM , UNILOAD, GX, NO , NO, aDir[1], , , , 0, -16, 1, -16, 0, 0, 0, 0, R - Traction force, NO, 0, 0, NO,
819, BEAM , UNILOAD, GX, NO , NO, aDir[1], , , , 0, -16, 1, -16, 0, 0, 0, 0, R - Traction force, NO, 0, 0, NO,
820, BEAM , UNILOAD, GX, NO , NO, aDir[1], , , , 0, -16, 1, -16, 0, 0, 0, 0, R - Traction force, NO, 0, 0, NO,
821, BEAM , UNILOAD, GX, NO , NO, aDir[1], , , , 0, -16, 1, -16, 0, 0, 0, 0, R - Traction force, NO, 0, 0, NO,
822, BEAM , UNILOAD, GX, NO , NO, aDir[1], , , , 0, -16, 1, -16, 0, 0, 0, 0, R - Traction force, NO, 0, 0, NO,
823, BEAM , UNILOAD, GX, NO , NO, aDir[1], , , , 0, -16, 1, -16, 0, 0, 0, 0, R - Traction force, NO, 0, 0, NO,
824, BEAM , UNILOAD, GX, NO , NO, aDir[1], , , , 0, -16, 1, -16, 0, 0, 0, 0, R - Traction force, NO, 0, 0, NO,
825, BEAM , UNILOAD, GX, NO , NO, aDir[1], , , , 0, -16, 1, -16, 0, 0, 0, 0, R - Traction force, NO, 0, 0, NO,
826, BEAM , UNILOAD, GX, NO , NO, aDir[1], , , , 0, -16, 1, -16, 0, 0, 0, 0, R - Traction force, NO, 0, 0, NO,
827, BEAM , UNILOAD, GX, NO , NO, aDir[1], , , , 0, -16, 1, -16, 0, 0, 0, 0, R - Traction force, NO, 0, 0, NO,
828, BEAM , UNILOAD, GX, NO , NO, aDir[1], , , , 0, -16, 1, -16, 0, 0, 0, 0, R - Traction force, NO, 0, 0, NO,
829, BEAM , UNILOAD, GX, NO , NO, aDir[1], , , , 0, -16, 1, -16, 0, 0, 0, 0, R - Traction force, NO, 0, 0, NO,
830, BEAM , UNILOAD, GX, NO , NO, aDir[1], , , , 0, -16, 1, -16, 0, 0, 0, 0, R - Traction force, NO, 0, 0, NO,
831, BEAM , UNILOAD, GX, NO , NO, aDir[1], , , , 0, -16, 1, -16, 0, 0, 0, 0, R - Traction force, NO, 0, 0, NO,
832, BEAM , UNILOAD, GX, NO , NO, aDir[1], , , , 0, -16, 1, -16, 0, 0, 0, 0, R - Traction force, NO, 0, 0, NO,
833, BEAM , UNILOAD, GX, NO , NO, aDir[1], , , , 0, -16, 1, -16, 0, 0, 0, 0, R - Traction force, NO, 0, 0, NO,
834, BEAM , UNILOAD, GX, NO , NO, aDir[1], , , , 0, -16, 1, -16, 0, 0, 0, 0, R - Traction force, NO, 0, 0, NO,
835, BEAM , UNILOAD, GX, NO , NO, aDir[1], , , , 0, -16, 1, -16, 0, 0, 0, 0, R - Traction force, NO, 0, 0, NO,
836, BEAM , UNILOAD, GX, NO , NO, aDir[1], , , , 0, -16, 1, -16, 0, 0, 0, 0, R - Traction force, NO, 0, 0, NO,
837, BEAM , UNILOAD, GX, NO , NO, aDir[1], , , , 0, -16, 1, -16, 0, 0, 0, 0, R - Traction force, NO, 0, 0, NO,
838, BEAM , UNILOAD, GX, NO , NO, aDir[1], , , , 0, -16, 1, -16, 0, 0, 0, 0, R - Traction force, NO, 0, 0, NO,
839, BEAM , UNILOAD, GX, NO , NO, aDir[1], , , , 0, -16, 1, -16, 0, 0, 0, 0, R - Traction force, NO, 0, 0, NO,
840, BEAM , UNILOAD, GX, NO , NO, aDir[1], , , , 0, -16, 1, -16, 0, 0, 0, 0, R - Traction force, NO, 0, 0, NO,
841, BEAM , UNILOAD, GX, NO , NO, aDir[1], , , , 0, -16, 1, -16, 0, 0, 0, 0, R - Traction force, NO, 0, 0, NO,
842, BEAM , UNILOAD, GX, NO , NO, aDir[1], , , , 0, -16, 1, -16, 0, 0, 0, 0, R - Traction force, NO, 0, 0, NO,
843, BEAM , UNILOAD, GX, NO , NO, aDir[1], , , , 0, -16, 1, -16, 0, 0, 0, 0, R - Traction force, NO, 0, 0, NO,
844, BEAM , UNILOAD, GX, NO , NO, aDir[1], , , , 0, -16, 1, -16, 0, 0, 0, 0, R - Traction force, NO, 0, 0, NO,
845, BEAM , UNILOAD, GX, NO , NO, aDir[1], , , , 0, -16, 1, -16, 0, 0, 0, 0, R - Traction force, NO, 0, 0, NO,
846, BEAM , UNILOAD, GX, NO , NO, aDir[1], , , , 0, -16, 1, -16, 0, 0, 0, 0, R - Traction force, NO, 0, 0, NO,
847, BEAM , UNILOAD, GX, NO , NO, aDir[1], , , , 0, -16, 1, -16, 0, 0, 0, 0, R - Traction force, NO, 0, 0, NO,
848, BEAM , UNILOAD, GX, NO , NO, aDir[1], , , , 0, -16, 1, -16, 0, 0, 0, 0, R - Traction force, NO, 0, 0, NO,

PROJECT TITLE :

MIDAS	Company		Client	
	Author		File Name	H2D_3Dg_v14_180227_StatLM.mct

849, BEAM , UNILOAD, GX, NO , NO, aDir[1], , , , 0, -16, 1, -16, 0, 0, 0, 0, R - Traction force, NO, 0, 0, NO,
850, BEAM , UNILOAD, GX, NO , NO, aDir[1], , , , 0, -16, 1, -16, 0, 0, 0, 0, R - Traction force, NO, 0, 0, NO,
851, BEAM , UNILOAD, GX, NO , NO, aDir[1], , , , 0, -16, 1, -16, 0, 0, 0, 0, R - Traction force, NO, 0, 0, NO,
852, BEAM , UNILOAD, GX, NO , NO, aDir[1], , , , 0, -16, 1, -16, 0, 0, 0, 0, R - Traction force, NO, 0, 0, NO,
853, BEAM , UNILOAD, GX, NO , NO, aDir[1], , , , 0, -16, 1, -16, 0, 0, 0, 0, R - Traction force, NO, 0, 0, NO,
854, BEAM , UNILOAD, GX, NO , NO, aDir[1], , , , 0, -16, 1, -16, 0, 0, 0, 0, R - Traction force, NO, 0, 0, NO,
855, BEAM , UNILOAD, GX, NO , NO, aDir[1], , , , 0, -16, 1, -16, 0, 0, 0, 0, R - Traction force, NO, 0, 0, NO,
856, BEAM , UNILOAD, GX, NO , NO, aDir[1], , , , 0, -16, 1, -16, 0, 0, 0, 0, R - Traction force, NO, 0, 0, NO,
857, BEAM , UNILOAD, GX, NO , NO, aDir[1], , , , 0, -16, 1, -16, 0, 0, 0, 0, R - Traction force, NO, 0, 0, NO,
858, BEAM , UNILOAD, GX, NO , NO, aDir[1], , , , 0, -16, 1, -16, 0, 0, 0, 0, R - Traction force, NO, 0, 0, NO,
859, BEAM , UNILOAD, GX, NO , NO, aDir[1], , , , 0, -16, 1, -16, 0, 0, 0, 0, R - Traction force, NO, 0, 0, NO,
860, BEAM , UNILOAD, GX, NO , NO, aDir[1], , , , 0, -16, 1, -16, 0, 0, 0, 0, R - Traction force, NO, 0, 0, NO,
861, BEAM , UNILOAD, GX, NO , NO, aDir[1], , , , 0, -16, 1, -16, 0, 0, 0, 0, R - Traction force, NO, 0, 0, NO,
862, BEAM , UNILOAD, GX, NO , NO, aDir[1], , , , 0, -16, 1, -16, 0, 0, 0, 0, R - Traction force, NO, 0, 0, NO,
863, BEAM , UNILOAD, GX, NO , NO, aDir[1], , , , 0, -16, 1, -16, 0, 0, 0, 0, R - Traction force, NO, 0, 0, NO,
864, BEAM , UNILOAD, GX, NO , NO, aDir[1], , , , 0, -16, 1, -16, 0, 0, 0, 0, R - Traction force, NO, 0, 0, NO,
865, BEAM , UNILOAD, GX, NO , NO, aDir[1], , , , 0, -16, 1, -16, 0, 0, 0, 0, R - Traction force, NO, 0, 0, NO,
866, BEAM , UNILOAD, GX, NO , NO, aDir[1], , , , 0, -16, 1, -16, 0, 0, 0, 0, R - Traction force, NO, 0, 0, NO,
867, BEAM , UNILOAD, GX, NO , NO, aDir[1], , , , 0, -16, 1, -16, 0, 0, 0, 0, R - Traction force, NO, 0, 0, NO,
868, BEAM , UNILOAD, GX, NO , NO, aDir[1], , , , 0, -16, 1, -16, 0, 0, 0, 0, R - Traction force, NO, 0, 0, NO,
869, BEAM , UNILOAD, GX, NO , NO, aDir[1], , , , 0, -16, 1, -16, 0, 0, 0, 0, R - Traction force, NO, 0, 0, NO,
870, BEAM , UNILOAD, GX, NO , NO, aDir[1], , , , 0, -16, 1, -16, 0, 0, 0, 0, R - Traction force, NO, 0, 0, NO,
871, BEAM , UNILOAD, GX, NO , NO, aDir[1], , , , 0, -16, 1, -16, 0, 0, 0, 0, R - Traction force, NO, 0, 0, NO,
872, BEAM , UNILOAD, GX, NO , NO, aDir[1], , , , 0, -16, 1, -16, 0, 0, 0, 0, R - Traction force, NO, 0, 0, NO,
873, BEAM , UNILOAD, GX, NO , NO, aDir[1], , , , 0, -16, 1, -16, 0, 0, 0, 0, R - Traction force, NO, 0, 0, NO,
874, BEAM , UNILOAD, GX, NO , NO, aDir[1], , , , 0, -16, 1, -16, 0, 0, 0, 0, R - Traction force, NO, 0, 0, NO,
875, BEAM , UNILOAD, GX, NO , NO, aDir[1], , , , 0, -16, 1, -16, 0, 0, 0, 0, R - Traction force, NO, 0, 0, NO,
876, BEAM , UNILOAD, GX, NO , NO, aDir[1], , , , 0, -16, 1, -16, 0, 0, 0, 0, R - Traction force, NO, 0, 0, NO,
877, BEAM , UNILOAD, GX, NO , NO, aDir[1], , , , 0, -16, 1, -16, 0, 0, 0, 0, R - Traction force, NO, 0, 0, NO,
878, BEAM , UNILOAD, GX, NO , NO, aDir[1], , , , 0, -16, 1, -16, 0, 0, 0, 0, R - Traction force, NO, 0, 0, NO,
879, BEAM , UNILOAD, GX, NO , NO, aDir[1], , , , 0, -16, 1, -16, 0, 0, 0, 0, R - Traction force, NO, 0, 0, NO,
880, BEAM , UNILOAD, GX, NO , NO, aDir[1], , , , 0, -16, 1, -16, 0, 0, 0, 0, R - Traction force, NO, 0, 0, NO,
881, BEAM , UNILOAD, GX, NO , NO, aDir[1], , , , 0, -16, 1, -16, 0, 0, 0, 0, R - Traction force, NO, 0, 0, NO,
882, BEAM , UNILOAD, GX, NO , NO, aDir[1], , , , 0, -16, 1, -16, 0, 0, 0, 0, R - Traction force, NO, 0, 0, NO,
883, BEAM , UNILOAD, GX, NO , NO, aDir[1], , , , 0, -16, 1, -16, 0, 0, 0, 0, R - Traction force, NO, 0, 0, NO,
884, BEAM , UNILOAD, GX, NO , NO, aDir[1], , , , 0, -16, 1, -16, 0, 0, 0, 0, R - Traction force, NO, 0, 0, NO,
985, BEAM , UNILOAD, GX, NO , NO, aDir[1], , , , 0, -16, 1, -16, 0, 0, 0, 0, R - Traction force, NO, 0, 0, NO,
986, BEAM , UNILOAD, GX, NO , NO, aDir[1], , , , 0, -16, 1, -16, 0, 0, 0, 0, R - Traction force, NO, 0, 0, NO,
987, BEAM , UNILOAD, GX, NO , NO, aDir[1], , , , 0, -16, 1, -16, 0, 0, 0, 0, R - Traction force, NO, 0, 0, NO,
988, BEAM , UNILOAD, GX, NO , NO, aDir[1], , , , 0, -16, 1, -16, 0, 0, 0, 0, R - Traction force, NO, 0, 0, NO,
989, BEAM , UNILOAD, GX, NO , NO, aDir[1], , , , 0, -16, 1, -16, 0, 0, 0, 0, R - Traction force, NO, 0, 0, NO,
990, BEAM , UNILOAD, GX, NO , NO, aDir[1], , , , 0, -16, 1, -16, 0, 0, 0, 0, R - Traction force, NO, 0, 0, NO,
991, BEAM , UNILOAD, GX, NO , NO, aDir[1], , , , 0, -16, 1, -16, 0, 0, 0, 0, R - Traction force, NO, 0, 0, NO,
992, BEAM , UNILOAD, GX, NO , NO, aDir[1], , , , 0, -16, 1, -16, 0, 0, 0, 0, R - Traction force, NO, 0, 0, NO,
993, BEAM , UNILOAD, GX, NO , NO, aDir[1], , , , 0, -16, 1, -16, 0, 0, 0, 0, R - Traction force, NO, 0, 0, NO,
994, BEAM , UNILOAD, GX, NO , NO, aDir[1], , , , 0, -16, 1, -16, 0, 0, 0, 0, R - Traction force, NO, 0, 0, NO,
995, BEAM , UNILOAD, GX, NO , NO, aDir[1], , , , 0, -16, 1, -16, 0, 0, 0, 0, R - Traction force, NO, 0, 0, NO,
996, BEAM , UNILOAD, GX, NO , NO, aDir[1], , , , 0, -16, 1, -16, 0, 0, 0, 0, R - Traction force, NO, 0, 0, NO,
997, BEAM , UNILOAD, GX, NO , NO, aDir[1], , , , 0, -16, 1, -16, 0, 0, 0, 0, R - Traction force, NO, 0, 0, NO,
998, BEAM , UNILOAD, GX, NO , NO, aDir[1], , , , 0, -16, 1, -16, 0, 0, 0, 0, R - Traction force, NO, 0, 0, NO,
999, BEAM , UNILOAD, GX, NO , NO, aDir[1], , , , 0, -16, 1, -16, 0, 0, 0, 0, R - Traction force, NO, 0, 0, NO,
1000, BEAM , UNILOAD, GX, NO , NO, aDir[1], , , , 0, -16, 1, -16, 0, 0, 0, 0, R - Traction force, NO, 0, 0, NO,
1001, BEAM , UNILOAD, GX, NO , NO, aDir[1], , , , 0, -16, 1, -16, 0, 0, 0, 0, R - Traction force, NO, 0, 0, NO,
1002, BEAM , UNILOAD, GX, NO , NO, aDir[1], , , , 0, -16, 1, -16, 0, 0, 0, 0, R - Traction force, NO, 0, 0, NO,
1003, BEAM , UNILOAD, GX, NO , NO, aDir[1], , , , 0, -16, 1, -16, 0, 0, 0, 0, R - Traction force, NO, 0, 0, NO,
1004, BEAM , UNILOAD, GX, NO , NO, aDir[1], , , , 0, -16, 1, -16, 0, 0, 0, 0, R - Traction force, NO, 0, 0, NO,
1005, BEAM , UNILOAD, GX, NO , NO, aDir[1], , , , 0, -16, 1, -16, 0, 0, 0, 0, R - Traction force, NO, 0, 0, NO,
1006, BEAM , UNILOAD, GX, NO , NO, aDir[1], , , , 0, -16, 1, -16, 0, 0, 0, 0, R - Traction force, NO, 0, 0, NO,
1007, BEAM , UNILOAD, GX, NO , NO, aDir[1], , , , 0, -16, 1, -16, 0, 0, 0, 0, R - Traction force, NO, 0, 0, NO,
1008, BEAM , UNILOAD, GX, NO , NO, aDir[1], , , , 0, -16, 1, -16, 0, 0, 0, 0, R - Traction force, NO, 0, 0, NO,
1009, BEAM , UNILOAD, GX, NO , NO, aDir[1], , , , 0, -16, 1, -16, 0, 0, 0, 0, R - Traction force, NO, 0, 0, NO,
1010, BEAM , UNILOAD, GX, NO , NO, aDir[1], , , , 0, -16, 1, -16, 0, 0, 0, 0, R - Traction force, NO, 0, 0, NO,
1011, BEAM , UNILOAD, GX, NO , NO, aDir[1], , , , 0, -16, 1, -16, 0, 0, 0, 0, R - Traction force, NO, 0, 0, NO,
1012, BEAM , UNILOAD, GX, NO , NO, aDir[1], , , , 0, -16, 1, -16, 0, 0, 0, 0, R - Traction force, NO, 0, 0, NO,
1013, BEAM , UNILOAD, GX, NO , NO, aDir[1], , , , 0, -16, 1, -16, 0, 0, 0, 0, R - Traction force, NO, 0, 0, NO,
1014, BEAM , UNILOAD, GX, NO , NO, aDir[1], , , , 0, -16, 1, -16, 0, 0, 0, 0, R - Traction force, NO, 0, 0, NO,
1015, BEAM , UNILOAD, GX, NO , NO, aDir[1], , , , 0, -16, 1, -16, 0, 0, 0, 0, R - Traction force, NO, 0, 0, NO,
1016, BEAM , UNILOAD, GX, NO , NO, aDir[1], , , , 0, -16, 1, -16, 0, 0, 0, 0, R - Traction force, NO, 0, 0, NO,
1017, BEAM , UNILOAD, GX, NO , NO, aDir[1], , , , 0, -16, 1, -16, 0, 0, 0, 0, R - Traction force, NO, 0, 0, NO,
1018, BEAM , UNILOAD, GX, NO , NO, aDir[1], , , , 0, -16, 1, -16, 0, 0, 0, 0, R - Traction force, NO, 0, 0, NO,
1019, BEAM , UNILOAD, GX, NO , NO, aDir[1], , , , 0, -16, 1, -16, 0, 0, 0, 0, R - Traction force, NO, 0, 0, NO,
1020, BEAM , UNILOAD, GX, NO , NO, aDir[1], , , , 0, -16, 1, -16, 0, 0, 0, 0, R - Traction force, NO, 0, 0, NO,

PROJECT TITLE :

MIDAS	Company		Client	
	Author		File Name	H2D_3Dg_v14_180227_StatLM.mct

1021, BEAM , UNILOAD, GX, NO , NO, aDir[1], , , , 0, -16, 1, -16, 0, 0, 0, 0, R - Traction force, NO, 0, 0, NO,
1022, BEAM , UNILOAD, GX, NO , NO, aDir[1], , , , 0, -16, 1, -16, 0, 0, 0, 0, R - Traction force, NO, 0, 0, NO,
1023, BEAM , UNILOAD, GX, NO , NO, aDir[1], , , , 0, -16, 1, -16, 0, 0, 0, 0, R - Traction force, NO, 0, 0, NO,
1024, BEAM , UNILOAD, GX, NO , NO, aDir[1], , , , 0, -16, 1, -16, 0, 0, 0, 0, R - Traction force, NO, 0, 0, NO,
1025, BEAM , UNILOAD, GX, NO , NO, aDir[1], , , , 0, -16, 1, -16, 0, 0, 0, 0, R - Traction force, NO, 0, 0, NO,
1026, BEAM , UNILOAD, GX, NO , NO, aDir[1], , , , 0, -16, 1, -16, 0, 0, 0, 0, R - Traction force, NO, 0, 0, NO,
1027, BEAM , UNILOAD, GX, NO , NO, aDir[1], , , , 0, -16, 1, -16, 0, 0, 0, 0, R - Traction force, NO, 0, 0, NO,
1028, BEAM , UNILOAD, GX, NO , NO, aDir[1], , , , 0, -16, 1, -16, 0, 0, 0, 0, R - Traction force, NO, 0, 0, NO,
1029, BEAM , UNILOAD, GX, NO , NO, aDir[1], , , , 0, -16, 1, -16, 0, 0, 0, 0, R - Traction force, NO, 0, 0, NO,
1030, BEAM , UNILOAD, GX, NO , NO, aDir[1], , , , 0, -16, 1, -16, 0, 0, 0, 0, R - Traction force, NO, 0, 0, NO,
1031, BEAM , UNILOAD, GX, NO , NO, aDir[1], , , , 0, -16, 1, -16, 0, 0, 0, 0, R - Traction force, NO, 0, 0, NO,
1032, BEAM , UNILOAD, GX, NO , NO, aDir[1], , , , 0, -16, 1, -16, 0, 0, 0, 0, R - Traction force, NO, 0, 0, NO,
1033, BEAM , UNILOAD, GX, NO , NO, aDir[1], , , , 0, -16, 1, -16, 0, 0, 0, 0, R - Traction force, NO, 0, 0, NO,
1034, BEAM , UNILOAD, GX, NO , NO, aDir[1], , , , 0, -16, 1, -16, 0, 0, 0, 0, R - Traction force, NO, 0, 0, NO,
1035, BEAM , UNILOAD, GX, NO , NO, aDir[1], , , , 0, -16, 1, -16, 0, 0, 0, 0, R - Traction force, NO, 0, 0, NO,
1036, BEAM , UNILOAD, GX, NO , NO, aDir[1], , , , 0, -16, 1, -16, 0, 0, 0, 0, R - Traction force, NO, 0, 0, NO,
1037, BEAM , UNILOAD, GX, NO , NO, aDir[1], , , , 0, -16, 1, -16, 0, 0, 0, 0, R - Traction force, NO, 0, 0, NO,
1038, BEAM , UNILOAD, GX, NO , NO, aDir[1], , , , 0, -16, 1, -16, 0, 0, 0, 0, R - Traction force, NO, 0, 0, NO,
1039, BEAM , UNILOAD, GX, NO , NO, aDir[1], , , , 0, -16, 1, -16, 0, 0, 0, 0, R - Traction force, NO, 0, 0, NO,
1040, BEAM , UNILOAD, GX, NO , NO, aDir[1], , , , 0, -16, 1, -16, 0, 0, 0, 0, R - Traction force, NO, 0, 0, NO,
1041, BEAM , UNILOAD, GX, NO , NO, aDir[1], , , , 0, -16, 1, -16, 0, 0, 0, 0, R - Traction force, NO, 0, 0, NO,
1042, BEAM , UNILOAD, GX, NO , NO, aDir[1], , , , 0, -16, 1, -16, 0, 0, 0, 0, R - Traction force, NO, 0, 0, NO,
1043, BEAM , UNILOAD, GX, NO , NO, aDir[1], , , , 0, -16, 1, -16, 0, 0, 0, 0, R - Traction force, NO, 0, 0, NO,
1044, BEAM , UNILOAD, GX, NO , NO, aDir[1], , , , 0, -16, 1, -16, 0, 0, 0, 0, R - Traction force, NO, 0, 0, NO,
1045, BEAM , UNILOAD, GX, NO , NO, aDir[1], , , , 0, -16, 1, -16, 0, 0, 0, 0, R - Traction force, NO, 0, 0, NO,
1046, BEAM , UNILOAD, GX, NO , NO, aDir[1], , , , 0, -16, 1, -16, 0, 0, 0, 0, R - Traction force, NO, 0, 0, NO,
1047, BEAM , UNILOAD, GX, NO , NO, aDir[1], , , , 0, -16, 1, -16, 0, 0, 0, 0, R - Traction force, NO, 0, 0, NO,
1048, BEAM , UNILOAD, GX, NO , NO, aDir[1], , , , 0, -16, 1, -16, 0, 0, 0, 0, R - Traction force, NO, 0, 0, NO,
1049, BEAM , UNILOAD, GX, NO , NO, aDir[1], , , , 0, -16, 1, -16, 0, 0, 0, 0, R - Traction force, NO, 0, 0, NO,
1050, BEAM , UNILOAD, GX, NO , NO, aDir[1], , , , 0, -16, 1, -16, 0, 0, 0, 0, R - Traction force, NO, 0, 0, NO,
1051, BEAM , UNILOAD, GX, NO , NO, aDir[1], , , , 0, -16, 1, -16, 0, 0, 0, 0, R - Traction force, NO, 0, 0, NO,
1052, BEAM , UNILOAD, GX, NO , NO, aDir[1], , , , 0, -16, 1, -16, 0, 0, 0, 0, R - Traction force, NO, 0, 0, NO,
1053, BEAM , UNILOAD, GX, NO , NO, aDir[1], , , , 0, -16, 1, -16, 0, 0, 0, 0, R - Traction force, NO, 0, 0, NO,
1054, BEAM , UNILOAD, GX, NO , NO, aDir[1], , , , 0, -16, 1, -16, 0, 0, 0, 0, R - Traction force, NO, 0, 0, NO,
1055, BEAM , UNILOAD, GX, NO , NO, aDir[1], , , , 0, -16, 1, -16, 0, 0, 0, 0, R - Traction force, NO, 0, 0, NO,
1056, BEAM , UNILOAD, GX, NO , NO, aDir[1], , , , 0, -16, 1, -16, 0, 0, 0, 0, R - Traction force, NO, 0, 0, NO,
1057, BEAM , UNILOAD, GX, NO , NO, aDir[1], , , , 0, -16, 1, -16, 0, 0, 0, 0, R - Traction force, NO, 0, 0, NO,
1058, BEAM , UNILOAD, GX, NO , NO, aDir[1], , , , 0, -16, 1, -16, 0, 0, 0, 0, R - Traction force, NO, 0, 0, NO,

; End of data for load case [R2 -X 2. track] ----------

*USE-STLD, G0.2_CS - Selfweight

*BEAMLOAD ; Element Beam Loads
; ELEM_LIST, CMD, TYPE, DIR, bPROJ, [ECCEN], [VALUE], GROUP
; ELEM_LIST, CMD, TYPE, TYPE, DIR, VX, VY, VZ, bPROJ, [ECCEN], [VALUE], GROUP
; [VALUE] : D1, P1, D2, P2, D3, P3, D4, P4
; [ECCEN] : bECCEN, ECCDIR, I-END, J-END, bJ-END
; [ADDITIONAL] : bADDITIONAL, ADDITIONAL_I-END, ADDITIONAL_J-END, bADDITIONAL_J-END
3767, BEAM , UNILOAD, GZ, NO , NO, aDir[1], , , , 0, -0.5, 1, -0.5, 0, 0, 0, 0, , NO, 0, 0, NO,
3768, BEAM , UNILOAD, GZ, NO , NO, aDir[1], , , , 0, -0.5, 1, -0.5, 0, 0, 0, 0, , NO, 0, 0, NO,
3769, BEAM , UNILOAD, GZ, NO , NO, aDir[1], , , , 0, -0.5, 1, -0.5, 0, 0, 0, 0, , NO, 0, 0, NO,
3770, BEAM , UNILOAD, GZ, NO , NO, aDir[1], , , , 0, -0.5, 1, -0.5, 0, 0, 0, 0, , NO, 0, 0, NO,
3771, BEAM , UNILOAD, GZ, NO , NO, aDir[1], , , , 0, -0.5, 1, -0.5, 0, 0, 0, 0, , NO, 0, 0, NO,
3772, BEAM , UNILOAD, GZ, NO , NO, aDir[1], , , , 0, -0.5, 1, -0.5, 0, 0, 0, 0, , NO, 0, 0, NO,
3773, BEAM , UNILOAD, GZ, NO , NO, aDir[1], , , , 0, -0.5, 1, -0.5, 0, 0, 0, 0, , NO, 0, 0, NO,
3774, BEAM , UNILOAD, GZ, NO , NO, aDir[1], , , , 0, -0.5, 1, -0.5, 0, 0, 0, 0, , NO, 0, 0, NO,
3775, BEAM , UNILOAD, GZ, NO , NO, aDir[1], , , , 0, -0.5, 1, -0.5, 0, 0, 0, 0, , NO, 0, 0, NO,
3776, BEAM , UNILOAD, GZ, NO , NO, aDir[1], , , , 0, -0.5, 1, -0.5, 0, 0, 0, 0, , NO, 0, 0, NO,
3777, BEAM , UNILOAD, GZ, NO , NO, aDir[1], , , , 0, -0.5, 1, -0.5, 0, 0, 0, 0, , NO, 0, 0, NO,
3778, BEAM , UNILOAD, GZ, NO , NO, aDir[1], , , , 0, -0.5, 1, -0.5, 0, 0, 0, 0, , NO, 0, 0, NO,
3779, BEAM , UNILOAD, GZ, NO , NO, aDir[1], , , , 0, -0.5, 1, -0.5, 0, 0, 0, 0, , NO, 0, 0, NO,
3780, BEAM , UNILOAD, GZ, NO , NO, aDir[1], , , , 0, -0.5, 1, -0.5, 0, 0, 0, 0, , NO, 0, 0, NO,
3781, BEAM , UNILOAD, GZ, NO , NO, aDir[1], , , , 0, -0.5, 1, -0.5, 0, 0, 0, 0, , NO, 0, 0, NO,
3782, BEAM , UNILOAD, GZ, NO , NO, aDir[1], , , , 0, -0.5, 1, -0.5, 0, 0, 0, 0, , NO, 0, 0, NO,
3783, BEAM , UNILOAD, GZ, NO , NO, aDir[1], , , , 0, -0.5, 1, -0.5, 0, 0, 0, 0, , NO, 0, 0, NO,
3784, BEAM , UNILOAD, GZ, NO , NO, aDir[1], , , , 0, -0.5, 1, -0.5, 0, 0, 0, 0, , NO, 0, 0, NO,
3785, BEAM , UNILOAD, GZ, NO , NO, aDir[1], , , , 0, -0.5, 1, -0.5, 0, 0, 0, 0, , NO, 0, 0, NO,
3786, BEAM , UNILOAD, GZ, NO , NO, aDir[1], , , , 0, -0.5, 1, -0.5, 0, 0, 0, 0, , NO, 0, 0, NO,
3787, BEAM , UNILOAD, GZ, NO , NO, aDir[1], , , , 0, -0.5, 1, -0.5, 0, 0, 0, 0, , NO, 0, 0, NO,
3788, BEAM , UNILOAD, GZ, NO , NO, aDir[1], , , , 0, -0.5, 1, -0.5, 0, 0, 0, 0, , NO, 0, 0, NO,
3789, BEAM , UNILOAD, GZ, NO , NO, aDir[1], , , , 0, -0.5, 1, -0.5, 0, 0, 0, 0, , NO, 0, 0, NO,

PROJECT TITLE :

MIDAS	Company		Client	
	Author		File Name	H2D_3Dg_v14_180227_StatLM.mct

3790, BEAM , UNILOAD, GZ, NO , NO, aDir[1], , , , 0, -0.5, 1, -0.5, 0, 0, 0, 0, , NO, 0, 0, NO,
3791, BEAM , UNILOAD, GZ, NO , NO, aDir[1], , , , 0, -0.5, 1, -0.5, 0, 0, 0, 0, , NO, 0, 0, NO,
3792, BEAM , UNILOAD, GZ, NO , NO, aDir[1], , , , 0, -0.5, 1, -0.5, 0, 0, 0, 0, , NO, 0, 0, NO,
3793, BEAM , UNILOAD, GZ, NO , NO, aDir[1], , , , 0, -0.5, 1, -0.5, 0, 0, 0, 0, , NO, 0, 0, NO,
3794, BEAM , UNILOAD, GZ, NO , NO, aDir[1], , , , 0, -0.5, 1, -0.5, 0, 0, 0, 0, , NO, 0, 0, NO,
3795, BEAM , UNILOAD, GZ, NO , NO, aDir[1], , , , 0, -0.5, 1, -0.5, 0, 0, 0, 0, , NO, 0, 0, NO,
3796, BEAM , UNILOAD, GZ, NO , NO, aDir[1], , , , 0, -0.5, 1, -0.5, 0, 0, 0, 0, , NO, 0, 0, NO,
3797, BEAM , UNILOAD, GZ, NO , NO, aDir[1], , , , 0, -0.5, 1, -0.5, 0, 0, 0, 0, , NO, 0, 0, NO,
3798, BEAM , UNILOAD, GZ, NO , NO, aDir[1], , , , 0, -0.5, 1, -0.5, 0, 0, 0, 0, , NO, 0, 0, NO,
3799, BEAM , UNILOAD, GZ, NO , NO, aDir[1], , , , 0, -0.5, 1, -0.5, 0, 0, 0, 0, , NO, 0, 0, NO,
3800, BEAM , UNILOAD, GZ, NO , NO, aDir[1], , , , 0, -0.5, 1, -0.5, 0, 0, 0, 0, , NO, 0, 0, NO,
3801, BEAM , UNILOAD, GZ, NO , NO, aDir[1], , , , 0, -0.5, 1, -0.5, 0, 0, 0, 0, , NO, 0, 0, NO,
3802, BEAM , UNILOAD, GZ, NO , NO, aDir[1], , , , 0, -0.5, 1, -0.5, 0, 0, 0, 0, , NO, 0, 0, NO,
3803, BEAM , UNILOAD, GZ, NO , NO, aDir[1], , , , 0, -0.5, 1, -0.5, 0, 0, 0, 0, , NO, 0, 0, NO,
3804, BEAM , UNILOAD, GZ, NO , NO, aDir[1], , , , 0, -0.5, 1, -0.5, 0, 0, 0, 0, , NO, 0, 0, NO,
3805, BEAM , UNILOAD, GZ, NO , NO, aDir[1], , , , 0, -0.5, 1, -0.5, 0, 0, 0, 0, , NO, 0, 0, NO,
3806, BEAM , UNILOAD, GZ, NO , NO, aDir[1], , , , 0, -0.5, 1, -0.5, 0, 0, 0, 0, , NO, 0, 0, NO,
3807, BEAM , UNILOAD, GZ, NO , NO, aDir[1], , , , 0, -0.5, 1, -0.5, 0, 0, 0, 0, , NO, 0, 0, NO,
3808, BEAM , UNILOAD, GZ, NO , NO, aDir[1], , , , 0, -0.5, 1, -0.5, 0, 0, 0, 0, , NO, 0, 0, NO,
3809, BEAM , UNILOAD, GZ, NO , NO, aDir[1], , , , 0, -0.5, 1, -0.5, 0, 0, 0, 0, , NO, 0, 0, NO,
3810, BEAM , UNILOAD, GZ, NO , NO, aDir[1], , , , 0, -0.5, 1, -0.5, 0, 0, 0, 0, , NO, 0, 0, NO,
3811, BEAM , UNILOAD, GZ, NO , NO, aDir[1], , , , 0, -0.5, 1, -0.5, 0, 0, 0, 0, , NO, 0, 0, NO,
3812, BEAM , UNILOAD, GZ, NO , NO, aDir[1], , , , 0, -0.5, 1, -0.5, 0, 0, 0, 0, , NO, 0, 0, NO,
3813, BEAM , UNILOAD, GZ, NO , NO, aDir[1], , , , 0, -0.5, 1, -0.5, 0, 0, 0, 0, , NO, 0, 0, NO,
3814, BEAM , UNILOAD, GZ, NO , NO, aDir[1], , , , 0, -0.5, 1, -0.5, 0, 0, 0, 0, , NO, 0, 0, NO,
3815, BEAM , UNILOAD, GZ, NO , NO, aDir[1], , , , 0, -0.5, 1, -0.5, 0, 0, 0, 0, , NO, 0, 0, NO,
3816, BEAM , UNILOAD, GZ, NO , NO, aDir[1], , , , 0, -0.5, 1, -0.5, 0, 0, 0, 0, , NO, 0, 0, NO,
3817, BEAM , UNILOAD, GZ, NO , NO, aDir[1], , , , 0, -0.5, 1, -0.5, 0, 0, 0, 0, , NO, 0, 0, NO,
3818, BEAM , UNILOAD, GZ, NO , NO, aDir[1], , , , 0, -0.5, 1, -0.5, 0, 0, 0, 0, , NO, 0, 0, NO,
3819, BEAM , UNILOAD, GZ, NO , NO, aDir[1], , , , 0, -0.5, 1, -0.5, 0, 0, 0, 0, , NO, 0, 0, NO,
3820, BEAM , UNILOAD, GZ, NO , NO, aDir[1], , , , 0, -0.5, 1, -0.5, 0, 0, 0, 0, , NO, 0, 0, NO,
3821, BEAM , UNILOAD, GZ, NO , NO, aDir[1], , , , 0, -0.5, 1, -0.5, 0, 0, 0, 0, , NO, 0, 0, NO,
3822, BEAM , UNILOAD, GZ, NO , NO, aDir[1], , , , 0, -0.5, 1, -0.5, 0, 0, 0, 0, , NO, 0, 0, NO,
3823, BEAM , UNILOAD, GZ, NO , NO, aDir[1], , , , 0, -0.5, 1, -0.5, 0, 0, 0, 0, , NO, 0, 0, NO,
3824, BEAM , UNILOAD, GZ, NO , NO, aDir[1], , , , 0, -0.5, 1, -0.5, 0, 0, 0, 0, , NO, 0, 0, NO,
3825, BEAM , UNILOAD, GZ, NO , NO, aDir[1], , , , 0, -0.5, 1, -0.5, 0, 0, 0, 0, , NO, 0, 0, NO,
3826, BEAM , UNILOAD, GZ, NO , NO, aDir[1], , , , 0, -0.5, 1, -0.5, 0, 0, 0, 0, , NO, 0, 0, NO,
3827, BEAM , UNILOAD, GZ, NO , NO, aDir[1], , , , 0, -0.5, 1, -0.5, 0, 0, 0, 0, , NO, 0, 0, NO,
3828, BEAM , UNILOAD, GZ, NO , NO, aDir[1], , , , 0, -0.5, 1, -0.5, 0, 0, 0, 0, , NO, 0, 0, NO,
3829, BEAM , UNILOAD, GZ, NO , NO, aDir[1], , , , 0, -0.5, 1, -0.5, 0, 0, 0, 0, , NO, 0, 0, NO,
3830, BEAM , UNILOAD, GZ, NO , NO, aDir[1], , , , 0, -0.5, 1, -0.5, 0, 0, 0, 0, , NO, 0, 0, NO,

; End of data for load case [G0.2_CS - Selfweight] ----------

*USE-STLD, G1.1_CS - Deck pavem

*BEAMLOAD ; Element Beam Loads
; ELEM_LIST, CMD, TYPE, DIR, bPROJ, [ECCEN], [VALUE], GROUP
; ELEM_LIST, CMD, TYPE, TYPE, DIR, VX, VY, VZ, bPROJ, [ECCEN], [VALUE], GROUP
; [VALUE] : D1, P1, D2, P2, D3, P3, D4, P4
; [ECCEN] : bECCEN, ECCDIR, I-END, J-END, bJ-END
; [ADDITIONAL] : bADDITIONAL, ADDITIONAL_I-END, ADDITIONAL_J-END, bADDITIONAL_J-END
3512, BEAM , UNILOAD, GZ, NO , NO, aDir[1], , , , 0, -0.52, 1, -0.52, 0, 0, 0, 0, , NO, 0, 0, NO,
3513, BEAM , UNILOAD, GZ, NO , NO, aDir[1], , , , 0, -0.52, 1, -0.52, 0, 0, 0, 0, , NO, 0, 0, NO,
3514, BEAM , UNILOAD, GZ, NO , NO, aDir[1], , , , 0, -0.52, 1, -0.52, 0, 0, 0, 0, , NO, 0, 0, NO,
3516, BEAM , UNILOAD, GZ, NO , NO, aDir[1], , , , 0, -1.12, 1, -1.12, 0, 0, 0, 0, , NO, 0, 0, NO,
3517, BEAM , UNILOAD, GZ, NO , NO, aDir[1], , , , 0, -1.12, 1, -1.12, 0, 0, 0, 0, , NO, 0, 0, NO,
3518, BEAM , UNILOAD, GZ, NO , NO, aDir[1], , , , 0, -1.12, 1, -1.12, 0, 0, 0, 0, , NO, 0, 0, NO,
3520, BEAM , UNILOAD, GZ, NO , NO, aDir[1], , , , 0, -1.26, 1, -1.26, 0, 0, 0, 0, , NO, 0, 0, NO,
3521, BEAM , UNILOAD, GZ, NO , NO, aDir[1], , , , 0, -1.26, 1, -1.26, 0, 0, 0, 0, , NO, 0, 0, NO,
3522, BEAM , UNILOAD, GZ, NO , NO, aDir[1], , , , 0, -1.26, 1, -1.26, 0, 0, 0, 0, , NO, 0, 0, NO,
3524, BEAM , UNILOAD, GZ, NO , NO, aDir[1], , , , 0, -1.38, 1, -1.38, 0, 0, 0, 0, , NO, 0, 0, NO,
3525, BEAM , UNILOAD, GZ, NO , NO, aDir[1], , , , 0, -1.38, 1, -1.38, 0, 0, 0, 0, , NO, 0, 0, NO,
3526, BEAM , UNILOAD, GZ, NO , NO, aDir[1], , , , 0, -1.38, 1, -1.38, 0, 0, 0, 0, , NO, 0, 0, NO,
3528, BEAM , UNILOAD, GZ, NO , NO, aDir[1], , , , 0, -1.44, 1, -1.44, 0, 0, 0, 0, , NO, 0, 0, NO,
3529, BEAM , UNILOAD, GZ, NO , NO, aDir[1], , , , 0, -1.44, 1, -1.44, 0, 0, 0, 0, , NO, 0, 0, NO,
3530, BEAM , UNILOAD, GZ, NO , NO, aDir[1], , , , 0, -1.44, 1, -1.44, 0, 0, 0, 0, , NO, 0, 0, NO,
3532, BEAM , UNILOAD, GZ, NO , NO, aDir[1], , , , 0, -1.44, 1, -1.44, 0, 0, 0, 0, , NO, 0, 0, NO,
3533, BEAM , UNILOAD, GZ, NO , NO, aDir[1], , , , 0, -1.44, 1, -1.44, 0, 0, 0, 0, , NO, 0, 0, NO,
3534, BEAM , UNILOAD, GZ, NO , NO, aDir[1], , , , 0, -1.44, 1, -1.44, 0, 0, 0, 0, , NO, 0, 0, NO,
3536, BEAM , UNILOAD, GZ, NO , NO, aDir[1], , , , 0, -1.44, 1, -1.44, 0, 0, 0, 0, , NO, 0, 0, NO,
3537, BEAM , UNILOAD, GZ, NO , NO, aDir[1], , , , 0, -1.44, 1, -1.44, 0, 0, 0, 0, , NO, 0, 0, NO,

PROJECT TITLE :

MIDAS	Company		Client	
	Author		File Name	H2D_3Dg_v14_180227_StatLM.mct

3538, BEAM , UNILOAD, GZ, NO , NO, aDir[1], , , , 0, -1.44, 1, -1.44, 0, 0, 0, 0, , NO, 0, 0, NO,
3540, BEAM , UNILOAD, GZ, NO , NO, aDir[1], , , , 0, -1.44, 1, -1.44, 0, 0, 0, 0, , NO, 0, 0, NO,
3541, BEAM , UNILOAD, GZ, NO , NO, aDir[1], , , , 0, -1.44, 1, -1.44, 0, 0, 0, 0, , NO, 0, 0, NO,
3542, BEAM , UNILOAD, GZ, NO , NO, aDir[1], , , , 0, -1.44, 1, -1.44, 0, 0, 0, 0, , NO, 0, 0, NO,
3544, BEAM , UNILOAD, GZ, NO , NO, aDir[1], , , , 0, -1.44, 1, -1.44, 0, 0, 0, 0, , NO, 0, 0, NO,
3545, BEAM , UNILOAD, GZ, NO , NO, aDir[1], , , , 0, -1.44, 1, -1.44, 0, 0, 0, 0, , NO, 0, 0, NO,
3546, BEAM , UNILOAD, GZ, NO , NO, aDir[1], , , , 0, -1.44, 1, -1.44, 0, 0, 0, 0, , NO, 0, 0, NO,
3548, BEAM , UNILOAD, GZ, NO , NO, aDir[1], , , , 0, -1.44, 1, -1.44, 0, 0, 0, 0, , NO, 0, 0, NO,
3549, BEAM , UNILOAD, GZ, NO , NO, aDir[1], , , , 0, -1.44, 1, -1.44, 0, 0, 0, 0, , NO, 0, 0, NO,
3550, BEAM , UNILOAD, GZ, NO , NO, aDir[1], , , , 0, -1.44, 1, -1.44, 0, 0, 0, 0, , NO, 0, 0, NO,
3552, BEAM , UNILOAD, GZ, NO , NO, aDir[1], , , , 0, -1.44, 1, -1.44, 0, 0, 0, 0, , NO, 0, 0, NO,
3553, BEAM , UNILOAD, GZ, NO , NO, aDir[1], , , , 0, -1.44, 1, -1.44, 0, 0, 0, 0, , NO, 0, 0, NO,
3554, BEAM , UNILOAD, GZ, NO , NO, aDir[1], , , , 0, -1.44, 1, -1.44, 0, 0, 0, 0, , NO, 0, 0, NO,
3556, BEAM , UNILOAD, GZ, NO , NO, aDir[1], , , , 0, -1.44, 1, -1.44, 0, 0, 0, 0, , NO, 0, 0, NO,
3557, BEAM , UNILOAD, GZ, NO , NO, aDir[1], , , , 0, -1.44, 1, -1.44, 0, 0, 0, 0, , NO, 0, 0, NO,
3558, BEAM , UNILOAD, GZ, NO , NO, aDir[1], , , , 0, -1.44, 1, -1.44, 0, 0, 0, 0, , NO, 0, 0, NO,
3560, BEAM , UNILOAD, GZ, NO , NO, aDir[1], , , , 0, -1.44, 1, -1.44, 0, 0, 0, 0, , NO, 0, 0, NO,
3561, BEAM , UNILOAD, GZ, NO , NO, aDir[1], , , , 0, -1.44, 1, -1.44, 0, 0, 0, 0, , NO, 0, 0, NO,
3562, BEAM , UNILOAD, GZ, NO , NO, aDir[1], , , , 0, -1.44, 1, -1.44, 0, 0, 0, 0, , NO, 0, 0, NO,
3564, BEAM , UNILOAD, GZ, NO , NO, aDir[1], , , , 0, -1.38, 1, -1.38, 0, 0, 0, 0, , NO, 0, 0, NO,
3565, BEAM , UNILOAD, GZ, NO , NO, aDir[1], , , , 0, -1.38, 1, -1.38, 0, 0, 0, 0, , NO, 0, 0, NO,
3566, BEAM , UNILOAD, GZ, NO , NO, aDir[1], , , , 0, -1.38, 1, -1.38, 0, 0, 0, 0, , NO, 0, 0, NO,
3568, BEAM , UNILOAD, GZ, NO , NO, aDir[1], , , , 0, -1.26, 1, -1.26, 0, 0, 0, 0, , NO, 0, 0, NO,
3569, BEAM , UNILOAD, GZ, NO , NO, aDir[1], , , , 0, -1.26, 1, -1.26, 0, 0, 0, 0, , NO, 0, 0, NO,
3570, BEAM , UNILOAD, GZ, NO , NO, aDir[1], , , , 0, -1.26, 1, -1.26, 0, 0, 0, 0, , NO, 0, 0, NO,
3572, BEAM , UNILOAD, GZ, NO , NO, aDir[1], , , , 0, -1.12, 1, -1.12, 0, 0, 0, 0, , NO, 0, 0, NO,
3573, BEAM , UNILOAD, GZ, NO , NO, aDir[1], , , , 0, -1.12, 1, -1.12, 0, 0, 0, 0, , NO, 0, 0, NO,
3574, BEAM , UNILOAD, GZ, NO , NO, aDir[1], , , , 0, -1.12, 1, -1.12, 0, 0, 0, 0, , NO, 0, 0, NO,
3576, BEAM , UNILOAD, GZ, NO , NO, aDir[1], , , , 0, -0.52, 1, -0.52, 0, 0, 0, 0, , NO, 0, 0, NO,
3577, BEAM , UNILOAD, GZ, NO , NO, aDir[1], , , , 0, -0.52, 1, -0.52, 0, 0, 0, 0, , NO, 0, 0, NO,
3578, BEAM , UNILOAD, GZ, NO , NO, aDir[1], , , , 0, -0.52, 1, -0.52, 0, 0, 0, 0, , NO, 0, 0, NO,
3580, BEAM , UNILOAD, GZ, NO , NO, aDir[1], , , , 0, -0.52, 1, -0.52, 0, 0, 0, 0, , NO, 0, 0, NO,
3581, BEAM , UNILOAD, GZ, NO , NO, aDir[1], , , , 0, -0.52, 1, -0.52, 0, 0, 0, 0, , NO, 0, 0, NO,
3582, BEAM , UNILOAD, GZ, NO , NO, aDir[1], , , , 0, -0.52, 1, -0.52, 0, 0, 0, 0, , NO, 0, 0, NO,
3584, BEAM , UNILOAD, GZ, NO , NO, aDir[1], , , , 0, -1.12, 1, -1.12, 0, 0, 0, 0, , NO, 0, 0, NO,
3585, BEAM , UNILOAD, GZ, NO , NO, aDir[1], , , , 0, -1.12, 1, -1.12, 0, 0, 0, 0, , NO, 0, 0, NO,
3586, BEAM , UNILOAD, GZ, NO , NO, aDir[1], , , , 0, -1.12, 1, -1.12, 0, 0, 0, 0, , NO, 0, 0, NO,
3588, BEAM , UNILOAD, GZ, NO , NO, aDir[1], , , , 0, -1.26, 1, -1.26, 0, 0, 0, 0, , NO, 0, 0, NO,
3589, BEAM , UNILOAD, GZ, NO , NO, aDir[1], , , , 0, -1.26, 1, -1.26, 0, 0, 0, 0, , NO, 0, 0, NO,
3590, BEAM , UNILOAD, GZ, NO , NO, aDir[1], , , , 0, -1.26, 1, -1.26, 0, 0, 0, 0, , NO, 0, 0, NO,
3592, BEAM , UNILOAD, GZ, NO , NO, aDir[1], , , , 0, -1.38, 1, -1.38, 0, 0, 0, 0, , NO, 0, 0, NO,
3593, BEAM , UNILOAD, GZ, NO , NO, aDir[1], , , , 0, -1.38, 1, -1.38, 0, 0, 0, 0, , NO, 0, 0, NO,
3594, BEAM , UNILOAD, GZ, NO , NO, aDir[1], , , , 0, -1.38, 1, -1.38, 0, 0, 0, 0, , NO, 0, 0, NO,
3596, BEAM , UNILOAD, GZ, NO , NO, aDir[1], , , , 0, -1.44, 1, -1.44, 0, 0, 0, 0, , NO, 0, 0, NO,
3597, BEAM , UNILOAD, GZ, NO , NO, aDir[1], , , , 0, -1.44, 1, -1.44, 0, 0, 0, 0, , NO, 0, 0, NO,
3598, BEAM , UNILOAD, GZ, NO , NO, aDir[1], , , , 0, -1.44, 1, -1.44, 0, 0, 0, 0, , NO, 0, 0, NO,
3600, BEAM , UNILOAD, GZ, NO , NO, aDir[1], , , , 0, -1.44, 1, -1.44, 0, 0, 0, 0, , NO, 0, 0, NO,
3601, BEAM , UNILOAD, GZ, NO , NO, aDir[1], , , , 0, -1.44, 1, -1.44, 0, 0, 0, 0, , NO, 0, 0, NO,
3602, BEAM , UNILOAD, GZ, NO , NO, aDir[1], , , , 0, -1.44, 1, -1.44, 0, 0, 0, 0, , NO, 0, 0, NO,
3604, BEAM , UNILOAD, GZ, NO , NO, aDir[1], , , , 0, -1.44, 1, -1.44, 0, 0, 0, 0, , NO, 0, 0, NO,
3605, BEAM , UNILOAD, GZ, NO , NO, aDir[1], , , , 0, -1.44, 1, -1.44, 0, 0, 0, 0, , NO, 0, 0, NO,
3606, BEAM , UNILOAD, GZ, NO , NO, aDir[1], , , , 0, -1.44, 1, -1.44, 0, 0, 0, 0, , NO, 0, 0, NO,
3608, BEAM , UNILOAD, GZ, NO , NO, aDir[1], , , , 0, -1.44, 1, -1.44, 0, 0, 0, 0, , NO, 0, 0, NO,
3609, BEAM , UNILOAD, GZ, NO , NO, aDir[1], , , , 0, -1.44, 1, -1.44, 0, 0, 0, 0, , NO, 0, 0, NO,
3610, BEAM , UNILOAD, GZ, NO , NO, aDir[1], , , , 0, -1.44, 1, -1.44, 0, 0, 0, 0, , NO, 0, 0, NO,
3612, BEAM , UNILOAD, GZ, NO , NO, aDir[1], , , , 0, -1.44, 1, -1.44, 0, 0, 0, 0, , NO, 0, 0, NO,
3613, BEAM , UNILOAD, GZ, NO , NO, aDir[1], , , , 0, -1.44, 1, -1.44, 0, 0, 0, 0, , NO, 0, 0, NO,
3614, BEAM , UNILOAD, GZ, NO , NO, aDir[1], , , , 0, -1.44, 1, -1.44, 0, 0, 0, 0, , NO, 0, 0, NO,
3616, BEAM , UNILOAD, GZ, NO , NO, aDir[1], , , , 0, -1.44, 1, -1.44, 0, 0, 0, 0, , NO, 0, 0, NO,
3617, BEAM , UNILOAD, GZ, NO , NO, aDir[1], , , , 0, -1.44, 1, -1.44, 0, 0, 0, 0, , NO, 0, 0, NO,
3618, BEAM , UNILOAD, GZ, NO , NO, aDir[1], , , , 0, -1.44, 1, -1.44, 0, 0, 0, 0, , NO, 0, 0, NO,
3620, BEAM , UNILOAD, GZ, NO , NO, aDir[1], , , , 0, -1.44, 1, -1.44, 0, 0, 0, 0, , NO, 0, 0, NO,
3621, BEAM , UNILOAD, GZ, NO , NO, aDir[1], , , , 0, -1.44, 1, -1.44, 0, 0, 0, 0, , NO, 0, 0, NO,
3622, BEAM , UNILOAD, GZ, NO , NO, aDir[1], , , , 0, -1.44, 1, -1.44, 0, 0, 0, 0, , NO, 0, 0, NO,
3624, BEAM , UNILOAD, GZ, NO , NO, aDir[1], , , , 0, -1.44, 1, -1.44, 0, 0, 0, 0, , NO, 0, 0, NO,
3625, BEAM , UNILOAD, GZ, NO , NO, aDir[1], , , , 0, -1.44, 1, -1.44, 0, 0, 0, 0, , NO, 0, 0, NO,
3626, BEAM , UNILOAD, GZ, NO , NO, aDir[1], , , , 0, -1.44, 1, -1.44, 0, 0, 0, 0, , NO, 0, 0, NO,
3628, BEAM , UNILOAD, GZ, NO , NO, aDir[1], , , , 0, -1.44, 1, -1.44, 0, 0, 0, 0, , NO, 0, 0, NO,
3629, BEAM , UNILOAD, GZ, NO , NO, aDir[1], , , , 0, -1.44, 1, -1.44, 0, 0, 0, 0, , NO, 0, 0, NO,
3630, BEAM , UNILOAD, GZ, NO , NO, aDir[1], , , , 0, -1.44, 1, -1.44, 0, 0, 0, 0, , NO, 0, 0, NO,
3632, BEAM , UNILOAD, GZ, NO , NO, aDir[1], , , , 0, -1.38, 1, -1.38, 0, 0, 0, 0, , NO, 0, 0, NO,
3633, BEAM , UNILOAD, GZ, NO , NO, aDir[1], , , , 0, -1.38, 1, -1.38, 0, 0, 0, 0, , NO, 0, 0, NO,

3634, BEAM , UNILOAD, GZ, NO , NO, aDir[1], , , , 0, -1.38, 1, -1.38, 0, 0, 0, 0, , NO, 0, 0, NO,
3636, BEAM , UNILOAD, GZ, NO , NO, aDir[1], , , , 0, -1.26, 1, -1.26, 0, 0, 0, 0, , NO, 0, 0, NO,
3637, BEAM , UNILOAD, GZ, NO , NO, aDir[1], , , , 0, -1.26, 1, -1.26, 0, 0, 0, 0, , NO, 0, 0, NO,
3638, BEAM , UNILOAD, GZ, NO , NO, aDir[1], , , , 0, -1.26, 1, -1.26, 0, 0, 0, 0, , NO, 0, 0, NO,
3640, BEAM , UNILOAD, GZ, NO , NO, aDir[1], , , , 0, -1.12, 1, -1.12, 0, 0, 0, 0, , NO, 0, 0, NO,
3641, BEAM , UNILOAD, GZ, NO , NO, aDir[1], , , , 0, -1.12, 1, -1.12, 0, 0, 0, 0, , NO, 0, 0, NO,
3642, BEAM , UNILOAD, GZ, NO , NO, aDir[1], , , , 0, -1.12, 1, -1.12, 0, 0, 0, 0, , NO, 0, 0, NO,
3644, BEAM , UNILOAD, GZ, NO , NO, aDir[1], , , , 0, -0.52, 1, -0.52, 0, 0, 0, 0, , NO, 0, 0, NO,
3645, BEAM , UNILOAD, GZ, NO , NO, aDir[1], , , , 0, -0.52, 1, -0.52, 0, 0, 0, 0, , NO, 0, 0, NO,
3646, BEAM , UNILOAD, GZ, NO , NO, aDir[1], , , , 0, -0.52, 1, -0.52, 0, 0, 0, 0, , NO, 0, 0, NO,

; End of data for load case [G1.1_CS - Deck pavem] ----------

*USE-STLD, G1.2_CS - Deck of se

*BEAMLOAD ; Element Beam Loads
; ELEM_LIST, CMD, TYPE, DIR, bPROJ, [ECCEN], [VALUE], GROUP
; ELEM_LIST, CMD, TYPE, TYPE, DIR, VX, VY, VZ, bPROJ, [ECCEN], [VALUE], GROUP
; [VALUE] : D1, P1, D2, P2, D3, P3, D4, P4
; [ECCEN] : bECCEN, ECCDIR, I-END, J-END, bJ-END
; [ADDITIONAL] : bADDITIONAL, ADDITIONAL_I-END, ADDITIONAL_J-END, bADDITIONAL_J-END
533, BEAM , UNILOAD, GZ, NO , NO, aDir[1], , , , 0, -0.86, 1, -0.86, 0, 0, 0, 0, , NO, 0, 0, NO,
534, BEAM , UNILOAD, GZ, NO , NO, aDir[1], , , , 0, -0.86, 1, -0.86, 0, 0, 0, 0, , NO, 0, 0, NO,
535, BEAM , UNILOAD, GZ, NO , NO, aDir[1], , , , 0, -0.86, 1, -0.86, 0, 0, 0, 0, , NO, 0, 0, NO,
536, BEAM , UNILOAD, GZ, NO , NO, aDir[1], , , , 0, -0.86, 1, -0.86, 0, 0, 0, 0, , NO, 0, 0, NO,
537, BEAM , UNILOAD, GZ, NO , NO, aDir[1], , , , 0, -0.86, 1, -0.86, 0, 0, 0, 0, , NO, 0, 0, NO,
538, BEAM , UNILOAD, GZ, NO , NO, aDir[1], , , , 0, -0.86, 1, -0.86, 0, 0, 0, 0, , NO, 0, 0, NO,
539, BEAM , UNILOAD, GZ, NO , NO, aDir[1], , , , 0, -0.86, 1, -0.86, 0, 0, 0, 0, , NO, 0, 0, NO,
540, BEAM , UNILOAD, GZ, NO , NO, aDir[1], , , , 0, -0.86, 1, -0.86, 0, 0, 0, 0, , NO, 0, 0, NO,
541, BEAM , UNILOAD, GZ, NO , NO, aDir[1], , , , 0, -1.84, 1, -1.84, 0, 0, 0, 0, , NO, 0, 0, NO,
542, BEAM , UNILOAD, GZ, NO , NO, aDir[1], , , , 0, -1.84, 1, -1.84, 0, 0, 0, 0, , NO, 0, 0, NO,
543, BEAM , UNILOAD, GZ, NO , NO, aDir[1], , , , 0, -1.84, 1, -1.84, 0, 0, 0, 0, , NO, 0, 0, NO,
544, BEAM , UNILOAD, GZ, NO , NO, aDir[1], , , , 0, -1.84, 1, -1.84, 0, 0, 0, 0, , NO, 0, 0, NO,
545, BEAM , UNILOAD, GZ, NO , NO, aDir[1], , , , 0, -1.84, 1, -1.84, 0, 0, 0, 0, , NO, 0, 0, NO,
546, BEAM , UNILOAD, GZ, NO , NO, aDir[1], , , , 0, -1.84, 1, -1.84, 0, 0, 0, 0, , NO, 0, 0, NO,
547, BEAM , UNILOAD, GZ, NO , NO, aDir[1], , , , 0, -1.84, 1, -1.84, 0, 0, 0, 0, , NO, 0, 0, NO,
548, BEAM , UNILOAD, GZ, NO , NO, aDir[1], , , , 0, -1.84, 1, -1.84, 0, 0, 0, 0, , NO, 0, 0, NO,
549, BEAM , UNILOAD, GZ, NO , NO, aDir[1], , , , 0, -2.08, 1, -2.08, 0, 0, 0, 0, , NO, 0, 0, NO,
550, BEAM , UNILOAD, GZ, NO , NO, aDir[1], , , , 0, -2.08, 1, -2.08, 0, 0, 0, 0, , NO, 0, 0, NO,
551, BEAM , UNILOAD, GZ, NO , NO, aDir[1], , , , 0, -2.08, 1, -2.08, 0, 0, 0, 0, , NO, 0, 0, NO,
552, BEAM , UNILOAD, GZ, NO , NO, aDir[1], , , , 0, -2.08, 1, -2.08, 0, 0, 0, 0, , NO, 0, 0, NO,
553, BEAM , UNILOAD, GZ, NO , NO, aDir[1], , , , 0, -2.08, 1, -2.08, 0, 0, 0, 0, , NO, 0, 0, NO,
554, BEAM , UNILOAD, GZ, NO , NO, aDir[1], , , , 0, -2.08, 1, -2.08, 0, 0, 0, 0, , NO, 0, 0, NO,
555, BEAM , UNILOAD, GZ, NO , NO, aDir[1], , , , 0, -2.08, 1, -2.08, 0, 0, 0, 0, , NO, 0, 0, NO,
556, BEAM , UNILOAD, GZ, NO , NO, aDir[1], , , , 0, -2.08, 1, -2.08, 0, 0, 0, 0, , NO, 0, 0, NO,
557, BEAM , UNILOAD, GZ, NO , NO, aDir[1], , , , 0, -2.27, 1, -2.27, 0, 0, 0, 0, , NO, 0, 0, NO,
558, BEAM , UNILOAD, GZ, NO , NO, aDir[1], , , , 0, -2.27, 1, -2.27, 0, 0, 0, 0, , NO, 0, 0, NO,
559, BEAM , UNILOAD, GZ, NO , NO, aDir[1], , , , 0, -2.27, 1, -2.27, 0, 0, 0, 0, , NO, 0, 0, NO,
560, BEAM , UNILOAD, GZ, NO , NO, aDir[1], , , , 0, -2.27, 1, -2.27, 0, 0, 0, 0, , NO, 0, 0, NO,
561, BEAM , UNILOAD, GZ, NO , NO, aDir[1], , , , 0, -2.27, 1, -2.27, 0, 0, 0, 0, , NO, 0, 0, NO,
562, BEAM , UNILOAD, GZ, NO , NO, aDir[1], , , , 0, -2.27, 1, -2.27, 0, 0, 0, 0, , NO, 0, 0, NO,
563, BEAM , UNILOAD, GZ, NO , NO, aDir[1], , , , 0, -2.27, 1, -2.27, 0, 0, 0, 0, , NO, 0, 0, NO,
564, BEAM , UNILOAD, GZ, NO , NO, aDir[1], , , , 0, -2.27, 1, -2.27, 0, 0, 0, 0, , NO, 0, 0, NO,
565, BEAM , UNILOAD, GZ, NO , NO, aDir[1], , , , 0, -2.27, 1, -2.27, 0, 0, 0, 0, , NO, 0, 0, NO,
566, BEAM , UNILOAD, GZ, NO , NO, aDir[1], , , , 0, -2.27, 1, -2.27, 0, 0, 0, 0, , NO, 0, 0, NO,
567, BEAM , UNILOAD, GZ, NO , NO, aDir[1], , , , 0, -2.27, 1, -2.27, 0, 0, 0, 0, , NO, 0, 0, NO,
568, BEAM , UNILOAD, GZ, NO , NO, aDir[1], , , , 0, -2.27, 1, -2.27, 0, 0, 0, 0, , NO, 0, 0, NO,
569, BEAM , UNILOAD, GZ, NO , NO, aDir[1], , , , 0, -2.37, 1, -2.37, 0, 0, 0, 0, , NO, 0, 0, NO,
570, BEAM , UNILOAD, GZ, NO , NO, aDir[1], , , , 0, -2.37, 1, -2.37, 0, 0, 0, 0, , NO, 0, 0, NO,
571, BEAM , UNILOAD, GZ, NO , NO, aDir[1], , , , 0, -2.37, 1, -2.37, 0, 0, 0, 0, , NO, 0, 0, NO,
572, BEAM , UNILOAD, GZ, NO , NO, aDir[1], , , , 0, -2.37, 1, -2.37, 0, 0, 0, 0, , NO, 0, 0, NO,
573, BEAM , UNILOAD, GZ, NO , NO, aDir[1], , , , 0, -2.37, 1, -2.37, 0, 0, 0, 0, , NO, 0, 0, NO,
574, BEAM , UNILOAD, GZ, NO , NO, aDir[1], , , , 0, -2.37, 1, -2.37, 0, 0, 0, 0, , NO, 0, 0, NO,
575, BEAM , UNILOAD, GZ, NO , NO, aDir[1], , , , 0, -2.37, 1, -2.37, 0, 0, 0, 0, , NO, 0, 0, NO,
576, BEAM , UNILOAD, GZ, NO , NO, aDir[1], , , , 0, -2.37, 1, -2.37, 0, 0, 0, 0, , NO, 0, 0, NO,
577, BEAM , UNILOAD, GZ, NO , NO, aDir[1], , , , 0, -2.37, 1, -2.37, 0, 0, 0, 0, , NO, 0, 0, NO,
578, BEAM , UNILOAD, GZ, NO , NO, aDir[1], , , , 0, -2.37, 1, -2.37, 0, 0, 0, 0, , NO, 0, 0, NO,
579, BEAM , UNILOAD, GZ, NO , NO, aDir[1], , , , 0, -2.37, 1, -2.37, 0, 0, 0, 0, , NO, 0, 0, NO,
580, BEAM , UNILOAD, GZ, NO , NO, aDir[1], , , , 0, -2.37, 1, -2.37, 0, 0, 0, 0, , NO, 0, 0, NO,
581, BEAM , UNILOAD, GZ, NO , NO, aDir[1], , , , 0, -2.37, 1, -2.37, 0, 0, 0, 0, , NO, 0, 0, NO,
582, BEAM , UNILOAD, GZ, NO , NO, aDir[1], , , , 0, -2.37, 1, -2.37, 0, 0, 0, 0, , NO, 0, 0, NO,
583, BEAM , UNILOAD, GZ, NO , NO, aDir[1], , , , 0, -2.37, 1, -2.37, 0, 0, 0, 0, , NO, 0, 0, NO,

PROJECT TITLE :

MIDAS	Company		Client	
	Author		File Name	H2D_3Dg_v14_180227_StatLM.mct

584, BEAM , UNILOAD, GZ, NO , NO, aDir[1], , , , 0, -2.37, 1, -2.37, 0, 0, 0, 0, , NO, 0, 0, NO,
585, BEAM , UNILOAD, GZ, NO , NO, aDir[1], , , , 0, -2.37, 1, -2.37, 0, 0, 0, 0, , NO, 0, 0, NO,
586, BEAM , UNILOAD, GZ, NO , NO, aDir[1], , , , 0, -2.37, 1, -2.37, 0, 0, 0, 0, , NO, 0, 0, NO,
587, BEAM , UNILOAD, GZ, NO , NO, aDir[1], , , , 0, -2.37, 1, -2.37, 0, 0, 0, 0, , NO, 0, 0, NO,
588, BEAM , UNILOAD, GZ, NO , NO, aDir[1], , , , 0, -2.37, 1, -2.37, 0, 0, 0, 0, , NO, 0, 0, NO,
589, BEAM , UNILOAD, GZ, NO , NO, aDir[1], , , , 0, -2.37, 1, -2.37, 0, 0, 0, 0, , NO, 0, 0, NO,
590, BEAM , UNILOAD, GZ, NO , NO, aDir[1], , , , 0, -2.37, 1, -2.37, 0, 0, 0, 0, , NO, 0, 0, NO,
591, BEAM , UNILOAD, GZ, NO , NO, aDir[1], , , , 0, -2.37, 1, -2.37, 0, 0, 0, 0, , NO, 0, 0, NO,
592, BEAM , UNILOAD, GZ, NO , NO, aDir[1], , , , 0, -2.37, 1, -2.37, 0, 0, 0, 0, , NO, 0, 0, NO,
593, BEAM , UNILOAD, GZ, NO , NO, aDir[1], , , , 0, -2.37, 1, -2.37, 0, 0, 0, 0, , NO, 0, 0, NO,
594, BEAM , UNILOAD, GZ, NO , NO, aDir[1], , , , 0, -2.37, 1, -2.37, 0, 0, 0, 0, , NO, 0, 0, NO,
595, BEAM , UNILOAD, GZ, NO , NO, aDir[1], , , , 0, -2.37, 1, -2.37, 0, 0, 0, 0, , NO, 0, 0, NO,
596, BEAM , UNILOAD, GZ, NO , NO, aDir[1], , , , 0, -2.37, 1, -2.37, 0, 0, 0, 0, , NO, 0, 0, NO,
597, BEAM , UNILOAD, GZ, NO , NO, aDir[1], , , , 0, -2.37, 1, -2.37, 0, 0, 0, 0, , NO, 0, 0, NO,
598, BEAM , UNILOAD, GZ, NO , NO, aDir[1], , , , 0, -2.37, 1, -2.37, 0, 0, 0, 0, , NO, 0, 0, NO,
599, BEAM , UNILOAD, GZ, NO , NO, aDir[1], , , , 0, -2.37, 1, -2.37, 0, 0, 0, 0, , NO, 0, 0, NO,
600, BEAM , UNILOAD, GZ, NO , NO, aDir[1], , , , 0, -2.37, 1, -2.37, 0, 0, 0, 0, , NO, 0, 0, NO,
601, BEAM , UNILOAD, GZ, NO , NO, aDir[1], , , , 0, -2.37, 1, -2.37, 0, 0, 0, 0, , NO, 0, 0, NO,
602, BEAM , UNILOAD, GZ, NO , NO, aDir[1], , , , 0, -2.37, 1, -2.37, 0, 0, 0, 0, , NO, 0, 0, NO,
603, BEAM , UNILOAD, GZ, NO , NO, aDir[1], , , , 0, -2.37, 1, -2.37, 0, 0, 0, 0, , NO, 0, 0, NO,
604, BEAM , UNILOAD, GZ, NO , NO, aDir[1], , , , 0, -2.37, 1, -2.37, 0, 0, 0, 0, , NO, 0, 0, NO,
605, BEAM , UNILOAD, GZ, NO , NO, aDir[1], , , , 0, -2.37, 1, -2.37, 0, 0, 0, 0, , NO, 0, 0, NO,
606, BEAM , UNILOAD, GZ, NO , NO, aDir[1], , , , 0, -2.37, 1, -2.37, 0, 0, 0, 0, , NO, 0, 0, NO,
607, BEAM , UNILOAD, GZ, NO , NO, aDir[1], , , , 0, -2.37, 1, -2.37, 0, 0, 0, 0, , NO, 0, 0, NO,
608, BEAM , UNILOAD, GZ, NO , NO, aDir[1], , , , 0, -2.37, 1, -2.37, 0, 0, 0, 0, , NO, 0, 0, NO,
609, BEAM , UNILOAD, GZ, NO , NO, aDir[1], , , , 0, -2.37, 1, -2.37, 0, 0, 0, 0, , NO, 0, 0, NO,
610, BEAM , UNILOAD, GZ, NO , NO, aDir[1], , , , 0, -2.37, 1, -2.37, 0, 0, 0, 0, , NO, 0, 0, NO,
611, BEAM , UNILOAD, GZ, NO , NO, aDir[1], , , , 0, -2.37, 1, -2.37, 0, 0, 0, 0, , NO, 0, 0, NO,
612, BEAM , UNILOAD, GZ, NO , NO, aDir[1], , , , 0, -2.37, 1, -2.37, 0, 0, 0, 0, , NO, 0, 0, NO,
613, BEAM , UNILOAD, GZ, NO , NO, aDir[1], , , , 0, -2.37, 1, -2.37, 0, 0, 0, 0, , NO, 0, 0, NO,
614, BEAM , UNILOAD, GZ, NO , NO, aDir[1], , , , 0, -2.37, 1, -2.37, 0, 0, 0, 0, , NO, 0, 0, NO,
615, BEAM , UNILOAD, GZ, NO , NO, aDir[1], , , , 0, -2.37, 1, -2.37, 0, 0, 0, 0, , NO, 0, 0, NO,
616, BEAM , UNILOAD, GZ, NO , NO, aDir[1], , , , 0, -2.37, 1, -2.37, 0, 0, 0, 0, , NO, 0, 0, NO,
617, BEAM , UNILOAD, GZ, NO , NO, aDir[1], , , , 0, -2.37, 1, -2.37, 0, 0, 0, 0, , NO, 0, 0, NO,
618, BEAM , UNILOAD, GZ, NO , NO, aDir[1], , , , 0, -2.37, 1, -2.37, 0, 0, 0, 0, , NO, 0, 0, NO,
619, BEAM , UNILOAD, GZ, NO , NO, aDir[1], , , , 0, -2.37, 1, -2.37, 0, 0, 0, 0, , NO, 0, 0, NO,
620, BEAM , UNILOAD, GZ, NO , NO, aDir[1], , , , 0, -2.37, 1, -2.37, 0, 0, 0, 0, , NO, 0, 0, NO,
621, BEAM , UNILOAD, GZ, NO , NO, aDir[1], , , , 0, -2.37, 1, -2.37, 0, 0, 0, 0, , NO, 0, 0, NO,
622, BEAM , UNILOAD, GZ, NO , NO, aDir[1], , , , 0, -2.37, 1, -2.37, 0, 0, 0, 0, , NO, 0, 0, NO,
623, BEAM , UNILOAD, GZ, NO , NO, aDir[1], , , , 0, -2.37, 1, -2.37, 0, 0, 0, 0, , NO, 0, 0, NO,
624, BEAM , UNILOAD, GZ, NO , NO, aDir[1], , , , 0, -2.37, 1, -2.37, 0, 0, 0, 0, , NO, 0, 0, NO,
625, BEAM , UNILOAD, GZ, NO , NO, aDir[1], , , , 0, -2.37, 1, -2.37, 0, 0, 0, 0, , NO, 0, 0, NO,
626, BEAM , UNILOAD, GZ, NO , NO, aDir[1], , , , 0, -2.37, 1, -2.37, 0, 0, 0, 0, , NO, 0, 0, NO,
627, BEAM , UNILOAD, GZ, NO , NO, aDir[1], , , , 0, -2.37, 1, -2.37, 0, 0, 0, 0, , NO, 0, 0, NO,
628, BEAM , UNILOAD, GZ, NO , NO, aDir[1], , , , 0, -2.37, 1, -2.37, 0, 0, 0, 0, , NO, 0, 0, NO,
629, BEAM , UNILOAD, GZ, NO , NO, aDir[1], , , , 0, -2.37, 1, -2.37, 0, 0, 0, 0, , NO, 0, 0, NO,
630, BEAM , UNILOAD, GZ, NO , NO, aDir[1], , , , 0, -2.37, 1, -2.37, 0, 0, 0, 0, , NO, 0, 0, NO,
631, BEAM , UNILOAD, GZ, NO , NO, aDir[1], , , , 0, -2.37, 1, -2.37, 0, 0, 0, 0, , NO, 0, 0, NO,
632, BEAM , UNILOAD, GZ, NO , NO, aDir[1], , , , 0, -2.37, 1, -2.37, 0, 0, 0, 0, , NO, 0, 0, NO,
633, BEAM , UNILOAD, GZ, NO , NO, aDir[1], , , , 0, -2.37, 1, -2.37, 0, 0, 0, 0, , NO, 0, 0, NO,
634, BEAM , UNILOAD, GZ, NO , NO, aDir[1], , , , 0, -2.37, 1, -2.37, 0, 0, 0, 0, , NO, 0, 0, NO,
635, BEAM , UNILOAD, GZ, NO , NO, aDir[1], , , , 0, -2.37, 1, -2.37, 0, 0, 0, 0, , NO, 0, 0, NO,
636, BEAM , UNILOAD, GZ, NO , NO, aDir[1], , , , 0, -2.37, 1, -2.37, 0, 0, 0, 0, , NO, 0, 0, NO,
637, BEAM , UNILOAD, GZ, NO , NO, aDir[1], , , , 0, -2.37, 1, -2.37, 0, 0, 0, 0, , NO, 0, 0, NO,
638, BEAM , UNILOAD, GZ, NO , NO, aDir[1], , , , 0, -2.37, 1, -2.37, 0, 0, 0, 0, , NO, 0, 0, NO,
639, BEAM , UNILOAD, GZ, NO , NO, aDir[1], , , , 0, -2.37, 1, -2.37, 0, 0, 0, 0, , NO, 0, 0, NO,
640, BEAM , UNILOAD, GZ, NO , NO, aDir[1], , , , 0, -2.37, 1, -2.37, 0, 0, 0, 0, , NO, 0, 0, NO,
641, BEAM , UNILOAD, GZ, NO , NO, aDir[1], , , , 0, -2.37, 1, -2.37, 0, 0, 0, 0, , NO, 0, 0, NO,
642, BEAM , UNILOAD, GZ, NO , NO, aDir[1], , , , 0, -2.37, 1, -2.37, 0, 0, 0, 0, , NO, 0, 0, NO,
643, BEAM , UNILOAD, GZ, NO , NO, aDir[1], , , , 0, -2.37, 1, -2.37, 0, 0, 0, 0, , NO, 0, 0, NO,
644, BEAM , UNILOAD, GZ, NO , NO, aDir[1], , , , 0, -2.37, 1, -2.37, 0, 0, 0, 0, , NO, 0, 0, NO,
645, BEAM , UNILOAD, GZ, NO , NO, aDir[1], , , , 0, -2.37, 1, -2.37, 0, 0, 0, 0, , NO, 0, 0, NO,
646, BEAM , UNILOAD, GZ, NO , NO, aDir[1], , , , 0, -2.37, 1, -2.37, 0, 0, 0, 0, , NO, 0, 0, NO,
647, BEAM , UNILOAD, GZ, NO , NO, aDir[1], , , , 0, -2.37, 1, -2.37, 0, 0, 0, 0, , NO, 0, 0, NO,
648, BEAM , UNILOAD, GZ, NO , NO, aDir[1], , , , 0, -2.37, 1, -2.37, 0, 0, 0, 0, , NO, 0, 0, NO,
649, BEAM , UNILOAD, GZ, NO , NO, aDir[1], , , , 0, -2.37, 1, -2.37, 0, 0, 0, 0, , NO, 0, 0, NO,
650, BEAM , UNILOAD, GZ, NO , NO, aDir[1], , , , 0, -2.37, 1, -2.37, 0, 0, 0, 0, , NO, 0, 0, NO,
651, BEAM , UNILOAD, GZ, NO , NO, aDir[1], , , , 0, -2.37, 1, -2.37, 0, 0, 0, 0, , NO, 0, 0, NO,
652, BEAM , UNILOAD, GZ, NO , NO, aDir[1], , , , 0, -2.37, 1, -2.37, 0, 0, 0, 0, , NO, 0, 0, NO,
653, BEAM , UNILOAD, GZ, NO , NO, aDir[1], , , , 0, -2.37, 1, -2.37, 0, 0, 0, 0, , NO, 0, 0, NO,
654, BEAM , UNILOAD, GZ, NO , NO, aDir[1], , , , 0, -2.37, 1, -2.37, 0, 0, 0, 0, , NO, 0, 0, NO,
655, BEAM , UNILOAD, GZ, NO , NO, aDir[1], , , , 0, -2.37, 1, -2.37, 0, 0, 0, 0, , NO, 0, 0, NO,

656, BEAM , UNILOAD, GZ, NO , NO, aDir[1], , , , 0, -2.37, 1, -2.37, 0, 0, 0, 0, , NO, 0, 0, NO,
657, BEAM , UNILOAD, GZ, NO , NO, aDir[1], , , , 0, -2.37, 1, -2.37, 0, 0, 0, 0, , NO, 0, 0, NO,
658, BEAM , UNILOAD, GZ, NO , NO, aDir[1], , , , 0, -2.37, 1, -2.37, 0, 0, 0, 0, , NO, 0, 0, NO,
659, BEAM , UNILOAD, GZ, NO , NO, aDir[1], , , , 0, -2.37, 1, -2.37, 0, 0, 0, 0, , NO, 0, 0, NO,
660, BEAM , UNILOAD, GZ, NO , NO, aDir[1], , , , 0, -2.37, 1, -2.37, 0, 0, 0, 0, , NO, 0, 0, NO,
661, BEAM , UNILOAD, GZ, NO , NO, aDir[1], , , , 0, -2.37, 1, -2.37, 0, 0, 0, 0, , NO, 0, 0, NO,
662, BEAM , UNILOAD, GZ, NO , NO, aDir[1], , , , 0, -2.37, 1, -2.37, 0, 0, 0, 0, , NO, 0, 0, NO,
663, BEAM , UNILOAD, GZ, NO , NO, aDir[1], , , , 0, -2.37, 1, -2.37, 0, 0, 0, 0, , NO, 0, 0, NO,
664, BEAM , UNILOAD, GZ, NO , NO, aDir[1], , , , 0, -2.37, 1, -2.37, 0, 0, 0, 0, , NO, 0, 0, NO,
665, BEAM , UNILOAD, GZ, NO , NO, aDir[1], , , , 0, -2.37, 1, -2.37, 0, 0, 0, 0, , NO, 0, 0, NO,
666, BEAM , UNILOAD, GZ, NO , NO, aDir[1], , , , 0, -2.37, 1, -2.37, 0, 0, 0, 0, , NO, 0, 0, NO,
667, BEAM , UNILOAD, GZ, NO , NO, aDir[1], , , , 0, -2.37, 1, -2.37, 0, 0, 0, 0, , NO, 0, 0, NO,
668, BEAM , UNILOAD, GZ, NO , NO, aDir[1], , , , 0, -2.37, 1, -2.37, 0, 0, 0, 0, , NO, 0, 0, NO,
669, BEAM , UNILOAD, GZ, NO , NO, aDir[1], , , , 0, -2.37, 1, -2.37, 0, 0, 0, 0, , NO, 0, 0, NO,
670, BEAM , UNILOAD, GZ, NO , NO, aDir[1], , , , 0, -2.37, 1, -2.37, 0, 0, 0, 0, , NO, 0, 0, NO,
671, BEAM , UNILOAD, GZ, NO , NO, aDir[1], , , , 0, -2.37, 1, -2.37, 0, 0, 0, 0, , NO, 0, 0, NO,
672, BEAM , UNILOAD, GZ, NO , NO, aDir[1], , , , 0, -2.37, 1, -2.37, 0, 0, 0, 0, , NO, 0, 0, NO,
673, BEAM , UNILOAD, GZ, NO , NO, aDir[1], , , , 0, -2.37, 1, -2.37, 0, 0, 0, 0, , NO, 0, 0, NO,
674, BEAM , UNILOAD, GZ, NO , NO, aDir[1], , , , 0, -2.37, 1, -2.37, 0, 0, 0, 0, , NO, 0, 0, NO,
675, BEAM , UNILOAD, GZ, NO , NO, aDir[1], , , , 0, -2.37, 1, -2.37, 0, 0, 0, 0, , NO, 0, 0, NO,
676, BEAM , UNILOAD, GZ, NO , NO, aDir[1], , , , 0, -2.37, 1, -2.37, 0, 0, 0, 0, , NO, 0, 0, NO,
677, BEAM , UNILOAD, GZ, NO , NO, aDir[1], , , , 0, -2.27, 1, -2.27, 0, 0, 0, 0, , NO, 0, 0, NO,
678, BEAM , UNILOAD, GZ, NO , NO, aDir[1], , , , 0, -2.27, 1, -2.27, 0, 0, 0, 0, , NO, 0, 0, NO,
679, BEAM , UNILOAD, GZ, NO , NO, aDir[1], , , , 0, -2.27, 1, -2.27, 0, 0, 0, 0, , NO, 0, 0, NO,
680, BEAM , UNILOAD, GZ, NO , NO, aDir[1], , , , 0, -2.27, 1, -2.27, 0, 0, 0, 0, , NO, 0, 0, NO,
681, BEAM , UNILOAD, GZ, NO , NO, aDir[1], , , , 0, -2.27, 1, -2.27, 0, 0, 0, 0, , NO, 0, 0, NO,
682, BEAM , UNILOAD, GZ, NO , NO, aDir[1], , , , 0, -2.27, 1, -2.27, 0, 0, 0, 0, , NO, 0, 0, NO,
683, BEAM , UNILOAD, GZ, NO , NO, aDir[1], , , , 0, -2.27, 1, -2.27, 0, 0, 0, 0, , NO, 0, 0, NO,
684, BEAM , UNILOAD, GZ, NO , NO, aDir[1], , , , 0, -2.27, 1, -2.27, 0, 0, 0, 0, , NO, 0, 0, NO,
685, BEAM , UNILOAD, GZ, NO , NO, aDir[1], , , , 0, -2.27, 1, -2.27, 0, 0, 0, 0, , NO, 0, 0, NO,
686, BEAM , UNILOAD, GZ, NO , NO, aDir[1], , , , 0, -2.27, 1, -2.27, 0, 0, 0, 0, , NO, 0, 0, NO,
687, BEAM , UNILOAD, GZ, NO , NO, aDir[1], , , , 0, -2.27, 1, -2.27, 0, 0, 0, 0, , NO, 0, 0, NO,
688, BEAM , UNILOAD, GZ, NO , NO, aDir[1], , , , 0, -2.27, 1, -2.27, 0, 0, 0, 0, , NO, 0, 0, NO,
689, BEAM , UNILOAD, GZ, NO , NO, aDir[1], , , , 0, -2.08, 1, -2.08, 0, 0, 0, 0, , NO, 0, 0, NO,
690, BEAM , UNILOAD, GZ, NO , NO, aDir[1], , , , 0, -2.08, 1, -2.08, 0, 0, 0, 0, , NO, 0, 0, NO,
691, BEAM , UNILOAD, GZ, NO , NO, aDir[1], , , , 0, -2.08, 1, -2.08, 0, 0, 0, 0, , NO, 0, 0, NO,
692, BEAM , UNILOAD, GZ, NO , NO, aDir[1], , , , 0, -2.08, 1, -2.08, 0, 0, 0, 0, , NO, 0, 0, NO,
693, BEAM , UNILOAD, GZ, NO , NO, aDir[1], , , , 0, -2.08, 1, -2.08, 0, 0, 0, 0, , NO, 0, 0, NO,
694, BEAM , UNILOAD, GZ, NO , NO, aDir[1], , , , 0, -2.08, 1, -2.08, 0, 0, 0, 0, , NO, 0, 0, NO,
695, BEAM , UNILOAD, GZ, NO , NO, aDir[1], , , , 0, -2.08, 1, -2.08, 0, 0, 0, 0, , NO, 0, 0, NO,
696, BEAM , UNILOAD, GZ, NO , NO, aDir[1], , , , 0, -2.08, 1, -2.08, 0, 0, 0, 0, , NO, 0, 0, NO,
697, BEAM , UNILOAD, GZ, NO , NO, aDir[1], , , , 0, -1.84, 1, -1.84, 0, 0, 0, 0, , NO, 0, 0, NO,
698, BEAM , UNILOAD, GZ, NO , NO, aDir[1], , , , 0, -1.84, 1, -1.84, 0, 0, 0, 0, , NO, 0, 0, NO,
699, BEAM , UNILOAD, GZ, NO , NO, aDir[1], , , , 0, -1.84, 1, -1.84, 0, 0, 0, 0, , NO, 0, 0, NO,
700, BEAM , UNILOAD, GZ, NO , NO, aDir[1], , , , 0, -1.84, 1, -1.84, 0, 0, 0, 0, , NO, 0, 0, NO,
701, BEAM , UNILOAD, GZ, NO , NO, aDir[1], , , , 0, -1.84, 1, -1.84, 0, 0, 0, 0, , NO, 0, 0, NO,
702, BEAM , UNILOAD, GZ, NO , NO, aDir[1], , , , 0, -1.84, 1, -1.84, 0, 0, 0, 0, , NO, 0, 0, NO,
703, BEAM , UNILOAD, GZ, NO , NO, aDir[1], , , , 0, -1.84, 1, -1.84, 0, 0, 0, 0, , NO, 0, 0, NO,
704, BEAM , UNILOAD, GZ, NO , NO, aDir[1], , , , 0, -1.84, 1, -1.84, 0, 0, 0, 0, , NO, 0, 0, NO,
705, BEAM , UNILOAD, GZ, NO , NO, aDir[1], , , , 0, -0.86, 1, -0.86, 0, 0, 0, 0, , NO, 0, 0, NO,
706, BEAM , UNILOAD, GZ, NO , NO, aDir[1], , , , 0, -0.86, 1, -0.86, 0, 0, 0, 0, , NO, 0, 0, NO,
707, BEAM , UNILOAD, GZ, NO , NO, aDir[1], , , , 0, -0.86, 1, -0.86, 0, 0, 0, 0, , NO, 0, 0, NO,
708, BEAM , UNILOAD, GZ, NO , NO, aDir[1], , , , 0, -0.86, 1, -0.86, 0, 0, 0, 0, , NO, 0, 0, NO,
709, BEAM , UNILOAD, GZ, NO , NO, aDir[1], , , , 0, -0.86, 1, -0.86, 0, 0, 0, 0, , NO, 0, 0, NO,
710, BEAM , UNILOAD, GZ, NO , NO, aDir[1], , , , 0, -0.86, 1, -0.86, 0, 0, 0, 0, , NO, 0, 0, NO,
711, BEAM , UNILOAD, GZ, NO , NO, aDir[1], , , , 0, -0.86, 1, -0.86, 0, 0, 0, 0, , NO, 0, 0, NO,
712, BEAM , UNILOAD, GZ, NO , NO, aDir[1], , , , 0, -0.86, 1, -0.86, 0, 0, 0, 0, , NO, 0, 0, NO,

; End of data for load case [G1.2_CS - Deck of se] ----------

*USE-STLD, G1.3_CS - Traction

*CONLOAD ; Nodal Loads
; NODE_LIST, FX, FY, FZ, MX, MY, MZ, GROUP
178, 0, 0, -2000, 0, 0, 0,
186, 0, 0, -2000, 0, 0, 0,
192, 0, 0, -2000, 0, 0, 0,
202, 0, 0, -2000, 0, 0, 0,
217, 0, 0, -2000, 0, 0, 0,
226, 0, 0, -2000, 0, 0, 0,
232, 0, 0, -2000, 0, 0, 0,
240, 0, 0, -2000, 0, 0, 0,

PROJECT TITLE :

MIDAS	Company		Client	
	Author		File Name	H2D_3Dg_v14_180227_StatLM.mct

251, 0, 0, -2000, 0, 0, 0,
259, 0, 0, -2000, 0, 0, 0,
265, 0, 0, -2000, 0, 0, 0,
275, 0, 0, -2000, 0, 0, 0,
290, 0, 0, -2000, 0, 0, 0,
299, 0, 0, -2000, 0, 0, 0,
305, 0, 0, -2000, 0, 0, 0,
313, 0, 0, -2000, 0, 0, 0,

; End of data for load case [G1.3_CS - Traction] ----------

*USE-STLD, G2.1_CS - Gas pipeli

*CONLOAD ; Nodal Loads
; NODE_LIST, FX, FY, FZ, MX, MY, MZ, GROUP
2509, 0, 0, -1820, 0, 0, 0,
2513, 0, 0, -3920, 0, 0, 0,
2517, 0, 0, -4410, 0, 0, 0,
2521, 0, 0, -4830, 0, 0, 0,
2525, 0, 0, -5040, 0, 0, 0,
2529, 0, 0, -5040, 0, 0, 0,
2533, 0, 0, -5040, 0, 0, 0,
2537, 0, 0, -5040, 0, 0, 0,
2541, 0, 0, -5040, 0, 0, 0,
2545, 0, 0, -5040, 0, 0, 0,
2549, 0, 0, -5040, 0, 0, 0,
2553, 0, 0, -5040, 0, 0, 0,
2557, 0, 0, -5040, 0, 0, 0,
2561, 0, 0, -4830, 0, 0, 0,
2565, 0, 0, -4410, 0, 0, 0,
2569, 0, 0, -3920, 0, 0, 0,
2573, 0, 0, -1820, 0, 0, 0,
2577, 0, 0, -1820, 0, 0, 0,
2581, 0, 0, -3920, 0, 0, 0,
2585, 0, 0, -4410, 0, 0, 0,
2589, 0, 0, -4830, 0, 0, 0,
2593, 0, 0, -5040, 0, 0, 0,
2597, 0, 0, -5040, 0, 0, 0,
2601, 0, 0, -5040, 0, 0, 0,
2605, 0, 0, -5040, 0, 0, 0,
2609, 0, 0, -5040, 0, 0, 0,
2613, 0, 0, -5040, 0, 0, 0,
2617, 0, 0, -5040, 0, 0, 0,
2621, 0, 0, -5040, 0, 0, 0,
2625, 0, 0, -5040, 0, 0, 0,
2629, 0, 0, -4830, 0, 0, 0,
2633, 0, 0, -4410, 0, 0, 0,
2637, 0, 0, -3920, 0, 0, 0,
2641, 0, 0, -1820, 0, 0, 0,

; End of data for load case [G2.1_CS - Gas pipeli] ----------

*USE-STLD, G2.2_CS - Cableline

*CONLOAD ; Nodal Loads
; NODE_LIST, FX, FY, FZ, MX, MY, MZ, GROUP
428, 0, 0, -870, 0, 0, 0,
435, 0, 0, -1870, 0, 0, 0,
442, 0, 0, -2100, 0, 0, 0,
451, 0, 0, -2300, 0, 0, 0,
462, 0, 0, -2400, 0, 0, 0,
473, 0, 0, -2400, 0, 0, 0,
484, 0, 0, -2400, 0, 0, 0,
495, 0, 0, -2400, 0, 0, 0,
506, 0, 0, -2400, 0, 0, 0,
517, 0, 0, -2400, 0, 0, 0,
528, 0, 0, -2400, 0, 0, 0,
539, 0, 0, -2400, 0, 0, 0,
550, 0, 0, -2400, 0, 0, 0,
561, 0, 0, -2300, 0, 0, 0,
570, 0, 0, -2100, 0, 0, 0,
577, 0, 0, -1870, 0, 0, 0,

PROJECT TITLE :

MIDAS	Company		Client	
	Author		File Name	H2D_3Dg_v14_180227_StatLM.mct

584, 0, 0, -870, 0, 0, 0,
2508, 0, 0, -870, 0, 0, 0,
2512, 0, 0, -1870, 0, 0, 0,
2516, 0, 0, -2100, 0, 0, 0,
2520, 0, 0, -2300, 0, 0, 0,
2524, 0, 0, -2400, 0, 0, 0,
2528, 0, 0, -2400, 0, 0, 0,
2532, 0, 0, -2400, 0, 0, 0,
2536, 0, 0, -2400, 0, 0, 0,
2540, 0, 0, -2400, 0, 0, 0,
2544, 0, 0, -2400, 0, 0, 0,
2548, 0, 0, -2400, 0, 0, 0,
2552, 0, 0, -2400, 0, 0, 0,
2556, 0, 0, -2400, 0, 0, 0,
2560, 0, 0, -2300, 0, 0, 0,
2564, 0, 0, -2100, 0, 0, 0,
2568, 0, 0, -1870, 0, 0, 0,
2572, 0, 0, -870, 0, 0, 0,
2576, 0, 0, -870, 0, 0, 0,
2580, 0, 0, -1870, 0, 0, 0,
2584, 0, 0, -2100, 0, 0, 0,
2588, 0, 0, -2300, 0, 0, 0,
2592, 0, 0, -2400, 0, 0, 0,
2596, 0, 0, -2400, 0, 0, 0,
2600, 0, 0, -2400, 0, 0, 0,
2604, 0, 0, -2400, 0, 0, 0,
2608, 0, 0, -2400, 0, 0, 0,
2612, 0, 0, -2400, 0, 0, 0,
2616, 0, 0, -2400, 0, 0, 0,
2620, 0, 0, -2400, 0, 0, 0,
2624, 0, 0, -2400, 0, 0, 0,
2628, 0, 0, -2300, 0, 0, 0,
2632, 0, 0, -2100, 0, 0, 0,
2636, 0, 0, -1870, 0, 0, 0,
2640, 0, 0, -870, 0, 0, 0,

; End of data for load case [G2.2_CS - Cableline] ----------

*USE-STLD, MVmaxP71_1PFx96

*BEAMLOAD ; Element Beam Loads
; ELEM_LIST, CMD, TYPE, DIR, bPROJ, [ECCEN], [VALUE], GROUP
; ELEM_LIST, CMD, TYPE, TYPE, DIR, VX, VY, VZ, bPROJ, [ECCEN], [VALUE], GROUP
; [VALUE] : D1, P1, D2, P2, D3, P3, D4, P4
; [ECCEN] : bECCEN, ECCDIR, I-END, J-END, bJ-END
; [ADDITIONAL] : bADDITIONAL, ADDITIONAL_I-END, ADDITIONAL_J-END, bADDITIONAL_J-END
1997, BEAM , CONLOAD, GZ, NO , NO, aDir[1], , , , 0.925, -17100, 0, 0, 0, 0, 0, 0, , NO, 0, 0, NO,
1998, BEAM , CONLOAD, GZ, NO , NO, aDir[1], , , , 0.925, -28100, 0, 0, 0, 0, 0, 0, , NO, 0, 0, NO,
1999, BEAM , CONLOAD, GZ, NO , NO, aDir[1], , , , 0.925, -22000, 0, 0, 0, 0, 0, 0, , NO, 0, 0, NO,
2000, BEAM , CONLOAD, GZ, NO , NO, aDir[1], , , , 0.925, -22000, 0, 0, 0, 0, 0, 0, , NO, 0, 0, NO,
2001, BEAM , CONLOAD, GZ, NO , NO, aDir[1], , , , 0.925, -22000, 0, 0, 0, 0, 0, 0, , NO, 0, 0, NO,
2002, BEAM , CONLOAD, GZ, NO , NO, aDir[1], , , , 0.925, -22000, 0, 0, 0, 0, 0, 0, , NO, 0, 0, NO,
2003, BEAM , CONLOAD, GZ, NO , NO, aDir[1], , , , 0.925, -25100, 0, 0, 0, 0, 0, 0, , NO, 0, 0, NO,
2004, BEAM , CONLOAD, GZ, NO , NO, aDir[1], , , , 0.925, -25100, 0, 0, 0, 0, 0, 0, , NO, 0, 0, NO,
2005, BEAM , CONLOAD, GZ, NO , NO, aDir[1], , , , 0.925, -22000, 0, 0, 0, 0, 0, 0, , NO, 0, 0, NO,
2006, BEAM , CONLOAD, GZ, NO , NO, aDir[1], , , , 0.925, -22000, 0, 0, 0, 0, 0, 0, , NO, 0, 0, NO,
2007, BEAM , CONLOAD, GZ, NO , NO, aDir[1], , , , 0.925, -22000, 0, 0, 0, 0, 0, 0, , NO, 0, 0, NO,
2008, BEAM , CONLOAD, GZ, NO , NO, aDir[1], , , , 0.925, -22000, 0, 0, 0, 0, 0, 0, , NO, 0, 0, NO,
2009, BEAM , CONLOAD, GZ, NO , NO, aDir[1], , , , 0.925, -22000, 0, 0, 0, 0, 0, 0, , NO, 0, 0, NO,
2010, BEAM , CONLOAD, GZ, NO , NO, aDir[1], , , , 0.925, -24900, 0, 0, 0, 0, 0, 0, , NO, 0, 0, NO,
2011, BEAM , CONLOAD, GZ, NO , NO, aDir[1], , , , 0.925, -24500, 0, 0, 0, 0, 0, 0, , NO, 0, 0, NO,
2012, BEAM , CONLOAD, GZ, NO , NO, aDir[1], , , , 0.925, -21200, 0, 0, 0, 0, 0, 0, , NO, 0, 0, NO,
2013, BEAM , CONLOAD, GZ, NO , NO, aDir[1], , , , 0.925, -21200, 0, 0, 0, 0, 0, 0, , NO, 0, 0, NO,
2014, BEAM , CONLOAD, GZ, NO , NO, aDir[1], , , , 0.925, -21200, 0, 0, 0, 0, 0, 0, , NO, 0, 0, NO,
2015, BEAM , CONLOAD, GZ, NO , NO, aDir[1], , , , 0.925, -21200, 0, 0, 0, 0, 0, 0, , NO, 0, 0, NO,
2016, BEAM , CONLOAD, GZ, NO , NO, aDir[1], , , , 0.925, -21200, 0, 0, 0, 0, 0, 0, , NO, 0, 0, NO,
2017, BEAM , CONLOAD, GZ, NO , NO, aDir[1], , , , 0.925, -21200, 0, 0, 0, 0, 0, 0, , NO, 0, 0, NO,
2018, BEAM , CONLOAD, GZ, NO , NO, aDir[1], , , , 0.925, -24900, 0, 0, 0, 0, 0, 0, , NO, 0, 0, NO,
2019, BEAM , CONLOAD, GZ, NO , NO, aDir[1], , , , 0.925, -25900, 0, 0, 0, 0, 0, 0, , NO, 0, 0, NO,
2020, BEAM , CONLOAD, GZ, NO , NO, aDir[1], , , , 0.925, -23200, 0, 0, 0, 0, 0, 0, , NO, 0, 0, NO,
2021, BEAM , CONLOAD, GZ, NO , NO, aDir[1], , , , 0.925, -23200, 0, 0, 0, 0, 0, 0, , NO, 0, 0, NO,
2022, BEAM , CONLOAD, GZ, NO , NO, aDir[1], , , , 0.925, -23200, 0, 0, 0, 0, 0, 0, , NO, 0, 0, NO,

PROJECT TITLE :

	Company		Client	
MIDAS	Author		File Name	H2D_3Dg_v14_180227_StatLM.mct

2023, BEAM , CONLOAD, GZ, NO , NO, aDir[1], , , , 0.925, -23200, 0, 0, 0, 0, 0, 0, , NO, 0, 0, NO,
2024, BEAM , CONLOAD, GZ, NO , NO, aDir[1], , , , 0.925, -23200, 0, 0, 0, 0, 0, 0, , NO, 0, 0, NO,
2025, BEAM , CONLOAD, GZ, NO , NO, aDir[1], , , , 0.925, -23200, 0, 0, 0, 0, 0, 0, , NO, 0, 0, NO,
2026, BEAM , CONLOAD, GZ, NO , NO, aDir[1], , , , 0.925, -26400, 0, 0, 0, 0, 0, 0, , NO, 0, 0, NO,
2027, BEAM , CONLOAD, GZ, NO , NO, aDir[1], , , , 0.925, -26400, 0, 0, 0, 0, 0, 0, , NO, 0, 0, NO,
2028, BEAM , CONLOAD, GZ, NO , NO, aDir[1], , , , 0.925, -23200, 0, 0, 0, 0, 0, 0, , NO, 0, 0, NO,
2029, BEAM , CONLOAD, GZ, NO , NO, aDir[1], , , , 0.925, -23200, 0, 0, 0, 0, 0, 0, , NO, 0, 0, NO,
2030, BEAM , CONLOAD, GZ, NO , NO, aDir[1], , , , 0.925, -23200, 0, 0, 0, 0, 0, 0, , NO, 0, 0, NO,
2031, BEAM , CONLOAD, GZ, NO , NO, aDir[1], , , , 0.925, -23200, 0, 0, 0, 0, 0, 0, , NO, 0, 0, NO,
2032, BEAM , CONLOAD, GZ, NO , NO, aDir[1], , , , 0.925, -23200, 0, 0, 0, 0, 0, 0, , NO, 0, 0, NO,
2033, BEAM , CONLOAD, GZ, NO , NO, aDir[1], , , , 0.925, -23200, 0, 0, 0, 0, 0, 0, , NO, 0, 0, NO,
2034, BEAM , CONLOAD, GZ, NO , NO, aDir[1], , , , 0.925, -26400, 0, 0, 0, 0, 0, 0, , NO, 0, 0, NO,
2035, BEAM , CONLOAD, GZ, NO , NO, aDir[1], , , , 0.925, -26400, 0, 0, 0, 0, 0, 0, , NO, 0, 0, NO,
2036, BEAM , CONLOAD, GZ, NO , NO, aDir[1], , , , 0.925, -23200, 0, 0, 0, 0, 0, 0, , NO, 0, 0, NO,
2037, BEAM , CONLOAD, GZ, NO , NO, aDir[1], , , , 0.925, -23200, 0, 0, 0, 0, 0, 0, , NO, 0, 0, NO,
2038, BEAM , CONLOAD, GZ, NO , NO, aDir[1], , , , 0.925, -23200, 0, 0, 0, 0, 0, 0, , NO, 0, 0, NO,
2039, BEAM , CONLOAD, GZ, NO , NO, aDir[1], , , , 0.925, -23200, 0, 0, 0, 0, 0, 0, , NO, 0, 0, NO,
2040, BEAM , CONLOAD, GZ, NO , NO, aDir[1], , , , 0.925, -23200, 0, 0, 0, 0, 0, 0, , NO, 0, 0, NO,
2041, BEAM , CONLOAD, GZ, NO , NO, aDir[1], , , , 0.925, -23200, 0, 0, 0, 0, 0, 0, , NO, 0, 0, NO,
2042, BEAM , CONLOAD, GZ, NO , NO, aDir[1], , , , 0.925, -26400, 0, 0, 0, 0, 0, 0, , NO, 0, 0, NO,
2043, BEAM , CONLOAD, GZ, NO , NO, aDir[1], , , , 0.925, -26400, 0, 0, 0, 0, 0, 0, , NO, 0, 0, NO,
2044, BEAM , CONLOAD, GZ, NO , NO, aDir[1], , , , 0.925, -23200, 0, 0, 0, 0, 0, 0, , NO, 0, 0, NO,
2045, BEAM , CONLOAD, GZ, NO , NO, aDir[1], , , , 0.925, -23200, 0, 0, 0, 0, 0, 0, , NO, 0, 0, NO,
2046, BEAM , CONLOAD, GZ, NO , NO, aDir[1], , , , 0.925, -23200, 0, 0, 0, 0, 0, 0, , NO, 0, 0, NO,
2047, BEAM , CONLOAD, GZ, NO , NO, aDir[1], , , , 0.925, -23200, 0, 0, 0, 0, 0, 0, , NO, 0, 0, NO,
2048, BEAM , CONLOAD, GZ, NO , NO, aDir[1], , , , 0.925, -23200, 0, 0, 0, 0, 0, 0, , NO, 0, 0, NO,
2049, BEAM , CONLOAD, GZ, NO , NO, aDir[1], , , , 0.925, -23200, 0, 0, 0, 0, 0, 0, , NO, 0, 0, NO,
2050, BEAM , CONLOAD, GZ, NO , NO, aDir[1], , , , 0.925, -26400, 0, 0, 0, 0, 0, 0, , NO, 0, 0, NO,
2051, BEAM , CONLOAD, GZ, NO , NO, aDir[1], , , , 0.925, -26400, 0, 0, 0, 0, 0, 0, , NO, 0, 0, NO,
2052, BEAM , CONLOAD, GZ, NO , NO, aDir[1], , , , 0.925, -23200, 0, 0, 0, 0, 0, 0, , NO, 0, 0, NO,
2053, BEAM , CONLOAD, GZ, NO , NO, aDir[1], , , , 0.925, -23200, 0, 0, 0, 0, 0, 0, , NO, 0, 0, NO,
2054, BEAM , CONLOAD, GZ, NO , NO, aDir[1], , , , 0.925, -23200, 0, 0, 0, 0, 0, 0, , NO, 0, 0, NO,
2055, BEAM , CONLOAD, GZ, NO , NO, aDir[1], , , , 0.925, -23200, 0, 0, 0, 0, 0, 0, , NO, 0, 0, NO,
2056, BEAM , CONLOAD, GZ, NO , NO, aDir[1], , , , 0.925, -23200, 0, 0, 0, 0, 0, 0, , NO, 0, 0, NO,
2057, BEAM , CONLOAD, GZ, NO , NO, aDir[1], , , , 0.925, -19669, 0, 0, 0, 0, 0, 0, , NO, 0, 0, NO,
2058, BEAM , CONLOAD, GZ, NO , NO, aDir[1], , , , 0.925, -2331.03, 0, 0, 0, 0, 0, 0, , NO, 0, 0, NO,
2059, BEAM , CONLOAD, GZ, NO , NO, aDir[1], , , , 0.925, -35021.6, 0, 0, 0, 0, 0, 0, , NO, 0, 0, NO,
2060, BEAM , CONLOAD, GZ, NO , NO, aDir[1], , , , 0.925, -63577.6, 0, 0, 0, 0, 0, 0, , NO, 0, 0, NO,
2061, BEAM , CONLOAD, GZ, NO , NO, aDir[1], , , , 0.925, -26400.9, 0, 0, 0, 0, 0, 0, , NO, 0, 0, NO,
2062, BEAM , CONLOAD, GZ, NO , NO, aDir[1], , , , 0.925, -9698.28, 0, 0, 0, 0, 0, 0, , NO, 0, 0, NO,
2063, BEAM , CONLOAD, GZ, NO , NO, aDir[1], , , , 0.925, -46336.2, 0, 0, 0, 0, 0, 0, , NO, 0, 0, NO,
2064, BEAM , CONLOAD, GZ, NO , NO, aDir[1], , , , 0.925, -52801.7, 0, 0, 0, 0, 0, 0, , NO, 0, 0, NO,
2065, BEAM , CONLOAD, GZ, NO , NO, aDir[1], , , , 0.925, -16163.8, 0, 0, 0, 0, 0, 0, , NO, 0, 0, NO,
2066, BEAM , CONLOAD, GZ, NO , NO, aDir[1], , , , 0.925, -22381.8, 0, 0, 0, 0, 0, 0, , NO, 0, 0, NO,
2067, BEAM , CONLOAD, GZ, NO , NO, aDir[1], , , , 0.925, -74062.2, 0, 0, 0, 0, 0, 0, , NO, 0, 0, NO,
2068, BEAM , CONLOAD, GZ, NO , NO, aDir[1], , , , 0.925, -28556, 0, 0, 0, 0, 0, 0, , NO, 0, 0, NO,
2069, BEAM , CONLOAD, GZ, NO , NO, aDir[1], , , , 0.925, -7543.1, 0, 0, 0, 0, 0, 0, , NO, 0, 0, NO,
2070, BEAM , CONLOAD, GZ, NO , NO, aDir[1], , , , 0.925, -44181, 0, 0, 0, 0, 0, 0, , NO, 0, 0, NO,
2071, BEAM , CONLOAD, GZ, NO , NO, aDir[1], , , , 0.925, -54956.9, 0, 0, 0, 0, 0, 0, , NO, 0, 0, NO,
2072, BEAM , CONLOAD, GZ, NO , NO, aDir[1], , , , 0.925, -18319, 0, 0, 0, 0, 0, 0, , NO, 0, 0, NO,
2073, BEAM , CONLOAD, GZ, NO , NO, aDir[1], , , , 0.925, -3755.17, 0, 0, 0, 0, 0, 0, , NO, 0, 0, NO,
2074, BEAM , CONLOAD, GZ, NO , NO, aDir[1], , , , 0.925, -24244.8, 0, 0, 0, 0, 0, 0, , NO, 0, 0, NO,
2075, BEAM , CONLOAD, GZ, NO , NO, aDir[1], , , , 0.925, -26400, 0, 0, 0, 0, 0, 0, , NO, 0, 0, NO,
2076, BEAM , CONLOAD, GZ, NO , NO, aDir[1], , , , 0.925, -23200, 0, 0, 0, 0, 0, 0, , NO, 0, 0, NO,
2077, BEAM , CONLOAD, GZ, NO , NO, aDir[1], , , , 0.925, -23200, 0, 0, 0, 0, 0, 0, , NO, 0, 0, NO,
2078, BEAM , CONLOAD, GZ, NO , NO, aDir[1], , , , 0.925, -23200, 0, 0, 0, 0, 0, 0, , NO, 0, 0, NO,
2079, BEAM , CONLOAD, GZ, NO , NO, aDir[1], , , , 0.925, -23200, 0, 0, 0, 0, 0, 0, , NO, 0, 0, NO,
2080, BEAM , CONLOAD, GZ, NO , NO, aDir[1], , , , 0.925, -23200, 0, 0, 0, 0, 0, 0, , NO, 0, 0, NO,
2081, BEAM , CONLOAD, GZ, NO , NO, aDir[1], , , , 0.925, -23200, 0, 0, 0, 0, 0, 0, , NO, 0, 0, NO,
2082, BEAM , CONLOAD, GZ, NO , NO, aDir[1], , , , 0.925, -26400, 0, 0, 0, 0, 0, 0, , NO, 0, 0, NO,
2083, BEAM , CONLOAD, GZ, NO , NO, aDir[1], , , , 0.925, -26400, 0, 0, 0, 0, 0, 0, , NO, 0, 0, NO,
2084, BEAM , CONLOAD, GZ, NO , NO, aDir[1], , , , 0.925, -23200, 0, 0, 0, 0, 0, 0, , NO, 0, 0, NO,
2085, BEAM , CONLOAD, GZ, NO , NO, aDir[1], , , , 0.925, -23200, 0, 0, 0, 0, 0, 0, , NO, 0, 0, NO,
2086, BEAM , CONLOAD, GZ, NO , NO, aDir[1], , , , 0.925, -23200, 0, 0, 0, 0, 0, 0, , NO, 0, 0, NO,
2087, BEAM , CONLOAD, GZ, NO , NO, aDir[1], , , , 0.925, -23200, 0, 0, 0, 0, 0, 0, , NO, 0, 0, NO,
2088, BEAM , CONLOAD, GZ, NO , NO, aDir[1], , , , 0.925, -23200, 0, 0, 0, 0, 0, 0, , NO, 0, 0, NO,
2089, BEAM , CONLOAD, GZ, NO , NO, aDir[1], , , , 0.925, -23200, 0, 0, 0, 0, 0, 0, , NO, 0, 0, NO,
2090, BEAM , CONLOAD, GZ, NO , NO, aDir[1], , , , 0.925, -26400, 0, 0, 0, 0, 0, 0, , NO, 0, 0, NO,
2091, BEAM , CONLOAD, GZ, NO , NO, aDir[1], , , , 0.925, -26400, 0, 0, 0, 0, 0, 0, , NO, 0, 0, NO,
2092, BEAM , CONLOAD, GZ, NO , NO, aDir[1], , , , 0.925, -23200, 0, 0, 0, 0, 0, 0, , NO, 0, 0, NO,
2093, BEAM , CONLOAD, GZ, NO , NO, aDir[1], , , , 0.925, -23200, 0, 0, 0, 0, 0, 0, , NO, 0, 0, NO,
2094, BEAM , CONLOAD, GZ, NO , NO, aDir[1], , , , 0.925, -23200, 0, 0, 0, 0, 0, 0, , NO, 0, 0, NO,

PROJECT TITLE :

MIDAS	Company		Client	
	Author		File Name	H2D_3Dg_v14_180227_StatLM.mct

2095, BEAM , CONLOAD, GZ, NO , NO, aDir[1], , , , 0.925, -23200, 0, 0, 0, 0, 0, 0, , NO, 0, 0, NO,
2096, BEAM , CONLOAD, GZ, NO , NO, aDir[1], , , , 0.925, -23200, 0, 0, 0, 0, 0, 0, , NO, 0, 0, NO,
2097, BEAM , CONLOAD, GZ, NO , NO, aDir[1], , , , 0.925, -23200, 0, 0, 0, 0, 0, 0, , NO, 0, 0, NO,
2098, BEAM , CONLOAD, GZ, NO , NO, aDir[1], , , , 0.925, -25900, 0, 0, 0, 0, 0, 0, , NO, 0, 0, NO,
2099, BEAM , CONLOAD, GZ, NO , NO, aDir[1], , , , 0.925, -24900, 0, 0, 0, 0, 0, 0, , NO, 0, 0, NO,
2100, BEAM , CONLOAD, GZ, NO , NO, aDir[1], , , , 0.925, -21200, 0, 0, 0, 0, 0, 0, , NO, 0, 0, NO,
2101, BEAM , CONLOAD, GZ, NO , NO, aDir[1], , , , 0.925, -21200, 0, 0, 0, 0, 0, 0, , NO, 0, 0, NO,
2102, BEAM , CONLOAD, GZ, NO , NO, aDir[1], , , , 0.925, -21200, 0, 0, 0, 0, 0, 0, , NO, 0, 0, NO,
2103, BEAM , CONLOAD, GZ, NO , NO, aDir[1], , , , 0.925, -21200, 0, 0, 0, 0, 0, 0, , NO, 0, 0, NO,
2104, BEAM , CONLOAD, GZ, NO , NO, aDir[1], , , , 0.925, -21200, 0, 0, 0, 0, 0, 0, , NO, 0, 0, NO,
2105, BEAM , CONLOAD, GZ, NO , NO, aDir[1], , , , 0.925, -21200, 0, 0, 0, 0, 0, 0, , NO, 0, 0, NO,
2106, BEAM , CONLOAD, GZ, NO , NO, aDir[1], , , , 0.925, -24500, 0, 0, 0, 0, 0, 0, , NO, 0, 0, NO,
2107, BEAM , CONLOAD, GZ, NO , NO, aDir[1], , , , 0.925, -24900, 0, 0, 0, 0, 0, 0, , NO, 0, 0, NO,
2108, BEAM , CONLOAD, GZ, NO , NO, aDir[1], , , , 0.925, -22000, 0, 0, 0, 0, 0, 0, , NO, 0, 0, NO,
2109, BEAM , CONLOAD, GZ, NO , NO, aDir[1], , , , 0.925, -22000, 0, 0, 0, 0, 0, 0, , NO, 0, 0, NO,
2110, BEAM , CONLOAD, GZ, NO , NO, aDir[1], , , , 0.925, -22000, 0, 0, 0, 0, 0, 0, , NO, 0, 0, NO,
2111, BEAM , CONLOAD, GZ, NO , NO, aDir[1], , , , 0.925, -22000, 0, 0, 0, 0, 0, 0, , NO, 0, 0, NO,
2112, BEAM , CONLOAD, GZ, NO , NO, aDir[1], , , , 0.925, -22000, 0, 0, 0, 0, 0, 0, , NO, 0, 0, NO,
2113, BEAM , CONLOAD, GZ, NO , NO, aDir[1], , , , 0.925, -25100, 0, 0, 0, 0, 0, 0, , NO, 0, 0, NO,
2114, BEAM , CONLOAD, GZ, NO , NO, aDir[1], , , , 0.925, -25100, 0, 0, 0, 0, 0, 0, , NO, 0, 0, NO,
2115, BEAM , CONLOAD, GZ, NO , NO, aDir[1], , , , 0.925, -22000, 0, 0, 0, 0, 0, 0, , NO, 0, 0, NO,
2116, BEAM , CONLOAD, GZ, NO , NO, aDir[1], , , , 0.925, -22000, 0, 0, 0, 0, 0, 0, , NO, 0, 0, NO,
2117, BEAM , CONLOAD, GZ, NO , NO, aDir[1], , , , 0.925, -22000, 0, 0, 0, 0, 0, 0, , NO, 0, 0, NO,
2118, BEAM , CONLOAD, GZ, NO , NO, aDir[1], , , , 0.925, -22000, 0, 0, 0, 0, 0, 0, , NO, 0, 0, NO,
2119, BEAM , CONLOAD, GZ, NO , NO, aDir[1], , , , 0.925, -28100, 0, 0, 0, 0, 0, 0, , NO, 0, 0, NO,
2120, BEAM , CONLOAD, GZ, NO , NO, aDir[1], , , , 0.925, -17100, 0, 0, 0, 0, 0, 0, , NO, 0, 0, NO,
2121, BEAM , CONLOAD, GZ, NO , NO, aDir[1], , , , 0.259, -17100, 0, 0, 0, 0, 0, 0, , NO, 0, 0, NO,
2122, BEAM , CONLOAD, GZ, NO , NO, aDir[1], , , , 0.259, -28100, 0, 0, 0, 0, 0, 0, , NO, 0, 0, NO,
2123, BEAM , CONLOAD, GZ, NO , NO, aDir[1], , , , 0.259, -22000, 0, 0, 0, 0, 0, 0, , NO, 0, 0, NO,
2124, BEAM , CONLOAD, GZ, NO , NO, aDir[1], , , , 0.259, -22000, 0, 0, 0, 0, 0, 0, , NO, 0, 0, NO,
2125, BEAM , CONLOAD, GZ, NO , NO, aDir[1], , , , 0.259, -22000, 0, 0, 0, 0, 0, 0, , NO, 0, 0, NO,
2126, BEAM , CONLOAD, GZ, NO , NO, aDir[1], , , , 0.259, -22000, 0, 0, 0, 0, 0, 0, , NO, 0, 0, NO,
2127, BEAM , CONLOAD, GZ, NO , NO, aDir[1], , , , 0.259, -25100, 0, 0, 0, 0, 0, 0, , NO, 0, 0, NO,
2128, BEAM , CONLOAD, GZ, NO , NO, aDir[1], , , , 0.259, -25100, 0, 0, 0, 0, 0, 0, , NO, 0, 0, NO,
2129, BEAM , CONLOAD, GZ, NO , NO, aDir[1], , , , 0.259, -22000, 0, 0, 0, 0, 0, 0, , NO, 0, 0, NO,
2130, BEAM , CONLOAD, GZ, NO , NO, aDir[1], , , , 0.259, -22000, 0, 0, 0, 0, 0, 0, , NO, 0, 0, NO,
2131, BEAM , CONLOAD, GZ, NO , NO, aDir[1], , , , 0.259, -22000, 0, 0, 0, 0, 0, 0, , NO, 0, 0, NO,
2132, BEAM , CONLOAD, GZ, NO , NO, aDir[1], , , , 0.259, -22000, 0, 0, 0, 0, 0, 0, , NO, 0, 0, NO,
2133, BEAM , CONLOAD, GZ, NO , NO, aDir[1], , , , 0.259, -22000, 0, 0, 0, 0, 0, 0, , NO, 0, 0, NO,
2134, BEAM , CONLOAD, GZ, NO , NO, aDir[1], , , , 0.259, -24900, 0, 0, 0, 0, 0, 0, , NO, 0, 0, NO,
2135, BEAM , CONLOAD, GZ, NO , NO, aDir[1], , , , 0.259, -24500, 0, 0, 0, 0, 0, 0, , NO, 0, 0, NO,
2136, BEAM , CONLOAD, GZ, NO , NO, aDir[1], , , , 0.259, -21200, 0, 0, 0, 0, 0, 0, , NO, 0, 0, NO,
2137, BEAM , CONLOAD, GZ, NO , NO, aDir[1], , , , 0.259, -21200, 0, 0, 0, 0, 0, 0, , NO, 0, 0, NO,
2138, BEAM , CONLOAD, GZ, NO , NO, aDir[1], , , , 0.259, -21200, 0, 0, 0, 0, 0, 0, , NO, 0, 0, NO,
2139, BEAM , CONLOAD, GZ, NO , NO, aDir[1], , , , 0.259, -21200, 0, 0, 0, 0, 0, 0, , NO, 0, 0, NO,
2140, BEAM , CONLOAD, GZ, NO , NO, aDir[1], , , , 0.259, -21200, 0, 0, 0, 0, 0, 0, , NO, 0, 0, NO,
2141, BEAM , CONLOAD, GZ, NO , NO, aDir[1], , , , 0.259, -21200, 0, 0, 0, 0, 0, 0, , NO, 0, 0, NO,
2142, BEAM , CONLOAD, GZ, NO , NO, aDir[1], , , , 0.259, -24900, 0, 0, 0, 0, 0, 0, , NO, 0, 0, NO,
2143, BEAM , CONLOAD, GZ, NO , NO, aDir[1], , , , 0.259, -25900, 0, 0, 0, 0, 0, 0, , NO, 0, 0, NO,
2144, BEAM , CONLOAD, GZ, NO , NO, aDir[1], , , , 0.259, -23200, 0, 0, 0, 0, 0, 0, , NO, 0, 0, NO,
2145, BEAM , CONLOAD, GZ, NO , NO, aDir[1], , , , 0.259, -23200, 0, 0, 0, 0, 0, 0, , NO, 0, 0, NO,
2146, BEAM , CONLOAD, GZ, NO , NO, aDir[1], , , , 0.259, -23200, 0, 0, 0, 0, 0, 0, , NO, 0, 0, NO,
2147, BEAM , CONLOAD, GZ, NO , NO, aDir[1], , , , 0.259, -23200, 0, 0, 0, 0, 0, 0, , NO, 0, 0, NO,
2148, BEAM , CONLOAD, GZ, NO , NO, aDir[1], , , , 0.259, -23200, 0, 0, 0, 0, 0, 0, , NO, 0, 0, NO,
2149, BEAM , CONLOAD, GZ, NO , NO, aDir[1], , , , 0.259, -23200, 0, 0, 0, 0, 0, 0, , NO, 0, 0, NO,
2150, BEAM , CONLOAD, GZ, NO , NO, aDir[1], , , , 0.259, -26400, 0, 0, 0, 0, 0, 0, , NO, 0, 0, NO,
2151, BEAM , CONLOAD, GZ, NO , NO, aDir[1], , , , 0.259, -26400, 0, 0, 0, 0, 0, 0, , NO, 0, 0, NO,
2152, BEAM , CONLOAD, GZ, NO , NO, aDir[1], , , , 0.259, -23200, 0, 0, 0, 0, 0, 0, , NO, 0, 0, NO,
2153, BEAM , CONLOAD, GZ, NO , NO, aDir[1], , , , 0.259, -23200, 0, 0, 0, 0, 0, 0, , NO, 0, 0, NO,
2154, BEAM , CONLOAD, GZ, NO , NO, aDir[1], , , , 0.259, -23200, 0, 0, 0, 0, 0, 0, , NO, 0, 0, NO,
2155, BEAM , CONLOAD, GZ, NO , NO, aDir[1], , , , 0.259, -23200, 0, 0, 0, 0, 0, 0, , NO, 0, 0, NO,
2156, BEAM , CONLOAD, GZ, NO , NO, aDir[1], , , , 0.259, -23200, 0, 0, 0, 0, 0, 0, , NO, 0, 0, NO,
2157, BEAM , CONLOAD, GZ, NO , NO, aDir[1], , , , 0.259, -23200, 0, 0, 0, 0, 0, 0, , NO, 0, 0, NO,
2158, BEAM , CONLOAD, GZ, NO , NO, aDir[1], , , , 0.259, -26400, 0, 0, 0, 0, 0, 0, , NO, 0, 0, NO,
2159, BEAM , CONLOAD, GZ, NO , NO, aDir[1], , , , 0.259, -26400, 0, 0, 0, 0, 0, 0, , NO, 0, 0, NO,
2160, BEAM , CONLOAD, GZ, NO , NO, aDir[1], , , , 0.259, -23200, 0, 0, 0, 0, 0, 0, , NO, 0, 0, NO,
2161, BEAM , CONLOAD, GZ, NO , NO, aDir[1], , , , 0.259, -23200, 0, 0, 0, 0, 0, 0, , NO, 0, 0, NO,
2162, BEAM , CONLOAD, GZ, NO , NO, aDir[1], , , , 0.259, -23200, 0, 0, 0, 0, 0, 0, , NO, 0, 0, NO,
2163, BEAM , CONLOAD, GZ, NO , NO, aDir[1], , , , 0.259, -23200, 0, 0, 0, 0, 0, 0, , NO, 0, 0, NO,
2164, BEAM , CONLOAD, GZ, NO , NO, aDir[1], , , , 0.259, -23200, 0, 0, 0, 0, 0, 0, , NO, 0, 0, NO,
2165, BEAM , CONLOAD, GZ, NO , NO, aDir[1], , , , 0.259, -23200, 0, 0, 0, 0, 0, 0, , NO, 0, 0, NO,
2166, BEAM , CONLOAD, GZ, NO , NO, aDir[1], , , , 0.259, -26400, 0, 0, 0, 0, 0, 0, , NO, 0, 0, NO,

PROJECT TITLE :

MIDAS	Company		Client	
	Author		File Name	H2D_3Dg_v14_180227_StatLM.mct

2167, BEAM , CONLOAD, GZ, NO , NO, aDir[1], , , , 0.259, -26400, 0, 0, 0, 0, 0, 0, , NO, 0, 0, NO,
2168, BEAM , CONLOAD, GZ, NO , NO, aDir[1], , , , 0.259, -23200, 0, 0, 0, 0, 0, 0, , NO, 0, 0, NO,
2169, BEAM , CONLOAD, GZ, NO , NO, aDir[1], , , , 0.259, -23200, 0, 0, 0, 0, 0, 0, , NO, 0, 0, NO,
2170, BEAM , CONLOAD, GZ, NO , NO, aDir[1], , , , 0.259, -23200, 0, 0, 0, 0, 0, 0, , NO, 0, 0, NO,
2171, BEAM , CONLOAD, GZ, NO , NO, aDir[1], , , , 0.259, -23200, 0, 0, 0, 0, 0, 0, , NO, 0, 0, NO,
2172, BEAM , CONLOAD, GZ, NO , NO, aDir[1], , , , 0.259, -23200, 0, 0, 0, 0, 0, 0, , NO, 0, 0, NO,
2173, BEAM , CONLOAD, GZ, NO , NO, aDir[1], , , , 0.259, -23200, 0, 0, 0, 0, 0, 0, , NO, 0, 0, NO,
2174, BEAM , CONLOAD, GZ, NO , NO, aDir[1], , , , 0.259, -26400, 0, 0, 0, 0, 0, 0, , NO, 0, 0, NO,
2175, BEAM , CONLOAD, GZ, NO , NO, aDir[1], , , , 0.259, -26400, 0, 0, 0, 0, 0, 0, , NO, 0, 0, NO,
2176, BEAM , CONLOAD, GZ, NO , NO, aDir[1], , , , 0.259, -23200, 0, 0, 0, 0, 0, 0, , NO, 0, 0, NO,
2177, BEAM , CONLOAD, GZ, NO , NO, aDir[1], , , , 0.259, -23200, 0, 0, 0, 0, 0, 0, , NO, 0, 0, NO,
2178, BEAM , CONLOAD, GZ, NO , NO, aDir[1], , , , 0.259, -23200, 0, 0, 0, 0, 0, 0, , NO, 0, 0, NO,
2179, BEAM , CONLOAD, GZ, NO , NO, aDir[1], , , , 0.259, -23200, 0, 0, 0, 0, 0, 0, , NO, 0, 0, NO,
2180, BEAM , CONLOAD, GZ, NO , NO, aDir[1], , , , 0.259, -23200, 0, 0, 0, 0, 0, 0, , NO, 0, 0, NO,
2181, BEAM , CONLOAD, GZ, NO , NO, aDir[1], , , , 0.259, -19669, 0, 0, 0, 0, 0, 0, , NO, 0, 0, NO,
2182, BEAM , CONLOAD, GZ, NO , NO, aDir[1], , , , 0.259, -2331.03, 0, 0, 0, 0, 0, 0, , NO, 0, 0, NO,
2183, BEAM , CONLOAD, GZ, NO , NO, aDir[1], , , , 0.259, -35021.6, 0, 0, 0, 0, 0, 0, , NO, 0, 0, NO,
2184, BEAM , CONLOAD, GZ, NO , NO, aDir[1], , , , 0.259, -63577.6, 0, 0, 0, 0, 0, 0, , NO, 0, 0, NO,
2185, BEAM , CONLOAD, GZ, NO , NO, aDir[1], , , , 0.259, -26400.9, 0, 0, 0, 0, 0, 0, , NO, 0, 0, NO,
2186, BEAM , CONLOAD, GZ, NO , NO, aDir[1], , , , 0.259, -9698.28, 0, 0, 0, 0, 0, 0, , NO, 0, 0, NO,
2187, BEAM , CONLOAD, GZ, NO , NO, aDir[1], , , , 0.259, -46336.2, 0, 0, 0, 0, 0, 0, , NO, 0, 0, NO,
2188, BEAM , CONLOAD, GZ, NO , NO, aDir[1], , , , 0.259, -52801.7, 0, 0, 0, 0, 0, 0, , NO, 0, 0, NO,
2189, BEAM , CONLOAD, GZ, NO , NO, aDir[1], , , , 0.259, -16163.8, 0, 0, 0, 0, 0, 0, , NO, 0, 0, NO,
2190, BEAM , CONLOAD, GZ, NO , NO, aDir[1], , , , 0.259, -22381.8, 0, 0, 0, 0, 0, 0, , NO, 0, 0, NO,
2191, BEAM , CONLOAD, GZ, NO , NO, aDir[1], , , , 0.259, -74062.2, 0, 0, 0, 0, 0, 0, , NO, 0, 0, NO,
2192, BEAM , CONLOAD, GZ, NO , NO, aDir[1], , , , 0.259, -28556, 0, 0, 0, 0, 0, 0, , NO, 0, 0, NO,
2193, BEAM , CONLOAD, GZ, NO , NO, aDir[1], , , , 0.259, -7543.1, 0, 0, 0, 0, 0, 0, , NO, 0, 0, NO,
2194, BEAM , CONLOAD, GZ, NO , NO, aDir[1], , , , 0.259, -44181, 0, 0, 0, 0, 0, 0, , NO, 0, 0, NO,
2195, BEAM , CONLOAD, GZ, NO , NO, aDir[1], , , , 0.259, -54956.9, 0, 0, 0, 0, 0, 0, , NO, 0, 0, NO,
2196, BEAM , CONLOAD, GZ, NO , NO, aDir[1], , , , 0.259, -18319, 0, 0, 0, 0, 0, 0, , NO, 0, 0, NO,
2197, BEAM , CONLOAD, GZ, NO , NO, aDir[1], , , , 0.259, -3755.17, 0, 0, 0, 0, 0, 0, , NO, 0, 0, NO,
2198, BEAM , CONLOAD, GZ, NO , NO, aDir[1], , , , 0.259, -24244.8, 0, 0, 0, 0, 0, 0, , NO, 0, 0, NO,
2199, BEAM , CONLOAD, GZ, NO , NO, aDir[1], , , , 0.259, -26400, 0, 0, 0, 0, 0, 0, , NO, 0, 0, NO,
2200, BEAM , CONLOAD, GZ, NO , NO, aDir[1], , , , 0.259, -23200, 0, 0, 0, 0, 0, 0, , NO, 0, 0, NO,
2201, BEAM , CONLOAD, GZ, NO , NO, aDir[1], , , , 0.259, -23200, 0, 0, 0, 0, 0, 0, , NO, 0, 0, NO,
2202, BEAM , CONLOAD, GZ, NO , NO, aDir[1], , , , 0.259, -23200, 0, 0, 0, 0, 0, 0, , NO, 0, 0, NO,
2203, BEAM , CONLOAD, GZ, NO , NO, aDir[1], , , , 0.259, -23200, 0, 0, 0, 0, 0, 0, , NO, 0, 0, NO,
2204, BEAM , CONLOAD, GZ, NO , NO, aDir[1], , , , 0.259, -23200, 0, 0, 0, 0, 0, 0, , NO, 0, 0, NO,
2205, BEAM , CONLOAD, GZ, NO , NO, aDir[1], , , , 0.259, -23200, 0, 0, 0, 0, 0, 0, , NO, 0, 0, NO,
2206, BEAM , CONLOAD, GZ, NO , NO, aDir[1], , , , 0.259, -26400, 0, 0, 0, 0, 0, 0, , NO, 0, 0, NO,
2207, BEAM , CONLOAD, GZ, NO , NO, aDir[1], , , , 0.259, -26400, 0, 0, 0, 0, 0, 0, , NO, 0, 0, NO,
2208, BEAM , CONLOAD, GZ, NO , NO, aDir[1], , , , 0.259, -23200, 0, 0, 0, 0, 0, 0, , NO, 0, 0, NO,
2209, BEAM , CONLOAD, GZ, NO , NO, aDir[1], , , , 0.259, -23200, 0, 0, 0, 0, 0, 0, , NO, 0, 0, NO,
2210, BEAM , CONLOAD, GZ, NO , NO, aDir[1], , , , 0.259, -23200, 0, 0, 0, 0, 0, 0, , NO, 0, 0, NO,
2211, BEAM , CONLOAD, GZ, NO , NO, aDir[1], , , , 0.259, -23200, 0, 0, 0, 0, 0, 0, , NO, 0, 0, NO,
2212, BEAM , CONLOAD, GZ, NO , NO, aDir[1], , , , 0.259, -23200, 0, 0, 0, 0, 0, 0, , NO, 0, 0, NO,
2213, BEAM , CONLOAD, GZ, NO , NO, aDir[1], , , , 0.259, -23200, 0, 0, 0, 0, 0, 0, , NO, 0, 0, NO,
2214, BEAM , CONLOAD, GZ, NO , NO, aDir[1], , , , 0.259, -26400, 0, 0, 0, 0, 0, 0, , NO, 0, 0, NO,
2215, BEAM , CONLOAD, GZ, NO , NO, aDir[1], , , , 0.259, -26400, 0, 0, 0, 0, 0, 0, , NO, 0, 0, NO,
2216, BEAM , CONLOAD, GZ, NO , NO, aDir[1], , , , 0.259, -23200, 0, 0, 0, 0, 0, 0, , NO, 0, 0, NO,
2217, BEAM , CONLOAD, GZ, NO , NO, aDir[1], , , , 0.259, -23200, 0, 0, 0, 0, 0, 0, , NO, 0, 0, NO,
2218, BEAM , CONLOAD, GZ, NO , NO, aDir[1], , , , 0.259, -23200, 0, 0, 0, 0, 0, 0, , NO, 0, 0, NO,
2219, BEAM , CONLOAD, GZ, NO , NO, aDir[1], , , , 0.259, -23200, 0, 0, 0, 0, 0, 0, , NO, 0, 0, NO,
2220, BEAM , CONLOAD, GZ, NO , NO, aDir[1], , , , 0.259, -23200, 0, 0, 0, 0, 0, 0, , NO, 0, 0, NO,
2221, BEAM , CONLOAD, GZ, NO , NO, aDir[1], , , , 0.259, -23200, 0, 0, 0, 0, 0, 0, , NO, 0, 0, NO,
2222, BEAM , CONLOAD, GZ, NO , NO, aDir[1], , , , 0.259, -25900, 0, 0, 0, 0, 0, 0, , NO, 0, 0, NO,
2223, BEAM , CONLOAD, GZ, NO , NO, aDir[1], , , , 0.259, -24900, 0, 0, 0, 0, 0, 0, , NO, 0, 0, NO,
2224, BEAM , CONLOAD, GZ, NO , NO, aDir[1], , , , 0.259, -21200, 0, 0, 0, 0, 0, 0, , NO, 0, 0, NO,
2225, BEAM , CONLOAD, GZ, NO , NO, aDir[1], , , , 0.259, -21200, 0, 0, 0, 0, 0, 0, , NO, 0, 0, NO,
2226, BEAM , CONLOAD, GZ, NO , NO, aDir[1], , , , 0.259, -21200, 0, 0, 0, 0, 0, 0, , NO, 0, 0, NO,
2227, BEAM , CONLOAD, GZ, NO , NO, aDir[1], , , , 0.259, -21200, 0, 0, 0, 0, 0, 0, , NO, 0, 0, NO,
2228, BEAM , CONLOAD, GZ, NO , NO, aDir[1], , , , 0.259, -21200, 0, 0, 0, 0, 0, 0, , NO, 0, 0, NO,
2229, BEAM , CONLOAD, GZ, NO , NO, aDir[1], , , , 0.259, -21200, 0, 0, 0, 0, 0, 0, , NO, 0, 0, NO,
2230, BEAM , CONLOAD, GZ, NO , NO, aDir[1], , , , 0.259, -24500, 0, 0, 0, 0, 0, 0, , NO, 0, 0, NO,
2231, BEAM , CONLOAD, GZ, NO , NO, aDir[1], , , , 0.259, -24900, 0, 0, 0, 0, 0, 0, , NO, 0, 0, NO,
2232, BEAM , CONLOAD, GZ, NO , NO, aDir[1], , , , 0.259, -22000, 0, 0, 0, 0, 0, 0, , NO, 0, 0, NO,
2233, BEAM , CONLOAD, GZ, NO , NO, aDir[1], , , , 0.259, -22000, 0, 0, 0, 0, 0, 0, , NO, 0, 0, NO,
2234, BEAM , CONLOAD, GZ, NO , NO, aDir[1], , , , 0.259, -22000, 0, 0, 0, 0, 0, 0, , NO, 0, 0, NO,
2235, BEAM , CONLOAD, GZ, NO , NO, aDir[1], , , , 0.259, -22000, 0, 0, 0, 0, 0, 0, , NO, 0, 0, NO,
2236, BEAM , CONLOAD, GZ, NO , NO, aDir[1], , , , 0.259, -22000, 0, 0, 0, 0, 0, 0, , NO, 0, 0, NO,
2237, BEAM , CONLOAD, GZ, NO , NO, aDir[1], , , , 0.259, -25100, 0, 0, 0, 0, 0, 0, , NO, 0, 0, NO,
2238, BEAM , CONLOAD, GZ, NO , NO, aDir[1], , , , 0.259, -25100, 0, 0, 0, 0, 0, 0, , NO, 0, 0, NO,

2239, BEAM , CONLOAD, GZ, NO , NO, aDir[1], , , , 0.259, -22000, 0, 0, 0, 0, 0, 0, , NO, 0, 0, NO,
2240, BEAM , CONLOAD, GZ, NO , NO, aDir[1], , , , 0.259, -22000, 0, 0, 0, 0, 0, 0, , NO, 0, 0, NO,
2241, BEAM , CONLOAD, GZ, NO , NO, aDir[1], , , , 0.259, -22000, 0, 0, 0, 0, 0, 0, , NO, 0, 0, NO,
2242, BEAM , CONLOAD, GZ, NO , NO, aDir[1], , , , 0.259, -22000, 0, 0, 0, 0, 0, 0, , NO, 0, 0, NO,
2243, BEAM , CONLOAD, GZ, NO , NO, aDir[1], , , , 0.259, -28100, 0, 0, 0, 0, 0, 0, , NO, 0, 0, NO,
2244, BEAM , CONLOAD, GZ, NO , NO, aDir[1], , , , 0.259, -17100, 0, 0, 0, 0, 0, 0, , NO, 0, 0, NO,

; End of data for load case [MVmaxP71_1PFx96] ----------

*USE-STLD, MVmaxP71_1PFx112

*BEAMLOAD ; Element Beam Loads
; ELEM_LIST, CMD, TYPE, DIR, bPROJ, [ECCEN], [VALUE], GROUP
; ELEM_LIST, CMD, TYPE, TYPE, DIR, VX, VY, VZ, bPROJ, [ECCEN], [VALUE], GROUP
; [VALUE] : D1, P1, D2, P2, D3, P3, D4, P4
; [ECCEN] : bECCEN, ECCDIR, I-END, J-END, bJ-END
; [ADDITIONAL] : bADDITIONAL, ADDITIONAL_I-END, ADDITIONAL_J-END, bADDITIONAL_J-END
1998, BEAM , CONLOAD, GZ, NO , NO, aDir[1], , , , 0.925, -2750, 0, 0, 0, 0, 0, 0, , NO, 0, 0, NO,
1999, BEAM , CONLOAD, GZ, NO , NO, aDir[1], , , , 0.925, -19250, 0, 0, 0, 0, 0, 0, , NO, 0, 0, NO,
2000, BEAM , CONLOAD, GZ, NO , NO, aDir[1], , , , 0.925, -22000, 0, 0, 0, 0, 0, 0, , NO, 0, 0, NO,
2001, BEAM , CONLOAD, GZ, NO , NO, aDir[1], , , , 0.925, -22000, 0, 0, 0, 0, 0, 0, , NO, 0, 0, NO,
2002, BEAM , CONLOAD, GZ, NO , NO, aDir[1], , , , 0.925, -22000, 0, 0, 0, 0, 0, 0, , NO, 0, 0, NO,
2003, BEAM , CONLOAD, GZ, NO , NO, aDir[1], , , , 0.925, -25100, 0, 0, 0, 0, 0, 0, , NO, 0, 0, NO,
2004, BEAM , CONLOAD, GZ, NO , NO, aDir[1], , , , 0.925, -25100, 0, 0, 0, 0, 0, 0, , NO, 0, 0, NO,
2005, BEAM , CONLOAD, GZ, NO , NO, aDir[1], , , , 0.925, -22000, 0, 0, 0, 0, 0, 0, , NO, 0, 0, NO,
2006, BEAM , CONLOAD, GZ, NO , NO, aDir[1], , , , 0.925, -22000, 0, 0, 0, 0, 0, 0, , NO, 0, 0, NO,
2007, BEAM , CONLOAD, GZ, NO , NO, aDir[1], , , , 0.925, -22000, 0, 0, 0, 0, 0, 0, , NO, 0, 0, NO,
2008, BEAM , CONLOAD, GZ, NO , NO, aDir[1], , , , 0.925, -22000, 0, 0, 0, 0, 0, 0, , NO, 0, 0, NO,
2009, BEAM , CONLOAD, GZ, NO , NO, aDir[1], , , , 0.925, -22000, 0, 0, 0, 0, 0, 0, , NO, 0, 0, NO,
2010, BEAM , CONLOAD, GZ, NO , NO, aDir[1], , , , 0.925, -24900, 0, 0, 0, 0, 0, 0, , NO, 0, 0, NO,
2011, BEAM , CONLOAD, GZ, NO , NO, aDir[1], , , , 0.925, -24500, 0, 0, 0, 0, 0, 0, , NO, 0, 0, NO,
2012, BEAM , CONLOAD, GZ, NO , NO, aDir[1], , , , 0.925, -21200, 0, 0, 0, 0, 0, 0, , NO, 0, 0, NO,
2013, BEAM , CONLOAD, GZ, NO , NO, aDir[1], , , , 0.925, -21200, 0, 0, 0, 0, 0, 0, , NO, 0, 0, NO,
2014, BEAM , CONLOAD, GZ, NO , NO, aDir[1], , , , 0.925, -21200, 0, 0, 0, 0, 0, 0, , NO, 0, 0, NO,
2015, BEAM , CONLOAD, GZ, NO , NO, aDir[1], , , , 0.925, -21200, 0, 0, 0, 0, 0, 0, , NO, 0, 0, NO,
2016, BEAM , CONLOAD, GZ, NO , NO, aDir[1], , , , 0.925, -21200, 0, 0, 0, 0, 0, 0, , NO, 0, 0, NO,
2017, BEAM , CONLOAD, GZ, NO , NO, aDir[1], , , , 0.925, -21200, 0, 0, 0, 0, 0, 0, , NO, 0, 0, NO,
2018, BEAM , CONLOAD, GZ, NO , NO, aDir[1], , , , 0.925, -24900, 0, 0, 0, 0, 0, 0, , NO, 0, 0, NO,
2019, BEAM , CONLOAD, GZ, NO , NO, aDir[1], , , , 0.925, -25900, 0, 0, 0, 0, 0, 0, , NO, 0, 0, NO,
2020, BEAM , CONLOAD, GZ, NO , NO, aDir[1], , , , 0.925, -23200, 0, 0, 0, 0, 0, 0, , NO, 0, 0, NO,
2021, BEAM , CONLOAD, GZ, NO , NO, aDir[1], , , , 0.925, -23200, 0, 0, 0, 0, 0, 0, , NO, 0, 0, NO,
2022, BEAM , CONLOAD, GZ, NO , NO, aDir[1], , , , 0.925, -23200, 0, 0, 0, 0, 0, 0, , NO, 0, 0, NO,
2023, BEAM , CONLOAD, GZ, NO , NO, aDir[1], , , , 0.925, -23200, 0, 0, 0, 0, 0, 0, , NO, 0, 0, NO,
2024, BEAM , CONLOAD, GZ, NO , NO, aDir[1], , , , 0.925, -23200, 0, 0, 0, 0, 0, 0, , NO, 0, 0, NO,
2025, BEAM , CONLOAD, GZ, NO , NO, aDir[1], , , , 0.925, -23200, 0, 0, 0, 0, 0, 0, , NO, 0, 0, NO,
2026, BEAM , CONLOAD, GZ, NO , NO, aDir[1], , , , 0.925, -26400, 0, 0, 0, 0, 0, 0, , NO, 0, 0, NO,
2027, BEAM , CONLOAD, GZ, NO , NO, aDir[1], , , , 0.925, -26400, 0, 0, 0, 0, 0, 0, , NO, 0, 0, NO,
2028, BEAM , CONLOAD, GZ, NO , NO, aDir[1], , , , 0.925, -23200, 0, 0, 0, 0, 0, 0, , NO, 0, 0, NO,
2029, BEAM , CONLOAD, GZ, NO , NO, aDir[1], , , , 0.925, -23200, 0, 0, 0, 0, 0, 0, , NO, 0, 0, NO,
2030, BEAM , CONLOAD, GZ, NO , NO, aDir[1], , , , 0.925, -23200, 0, 0, 0, 0, 0, 0, , NO, 0, 0, NO,
2031, BEAM , CONLOAD, GZ, NO , NO, aDir[1], , , , 0.925, -23200, 0, 0, 0, 0, 0, 0, , NO, 0, 0, NO,
2032, BEAM , CONLOAD, GZ, NO , NO, aDir[1], , , , 0.925, -23200, 0, 0, 0, 0, 0, 0, , NO, 0, 0, NO,
2033, BEAM , CONLOAD, GZ, NO , NO, aDir[1], , , , 0.925, -23200, 0, 0, 0, 0, 0, 0, , NO, 0, 0, NO,
2034, BEAM , CONLOAD, GZ, NO , NO, aDir[1], , , , 0.925, -26400, 0, 0, 0, 0, 0, 0, , NO, 0, 0, NO,
2035, BEAM , CONLOAD, GZ, NO , NO, aDir[1], , , , 0.925, -26400, 0, 0, 0, 0, 0, 0, , NO, 0, 0, NO,
2036, BEAM , CONLOAD, GZ, NO , NO, aDir[1], , , , 0.925, -23200, 0, 0, 0, 0, 0, 0, , NO, 0, 0, NO,
2037, BEAM , CONLOAD, GZ, NO , NO, aDir[1], , , , 0.925, -23200, 0, 0, 0, 0, 0, 0, , NO, 0, 0, NO,
2038, BEAM , CONLOAD, GZ, NO , NO, aDir[1], , , , 0.925, -23200, 0, 0, 0, 0, 0, 0, , NO, 0, 0, NO,
2039, BEAM , CONLOAD, GZ, NO , NO, aDir[1], , , , 0.925, -23200, 0, 0, 0, 0, 0, 0, , NO, 0, 0, NO,
2040, BEAM , CONLOAD, GZ, NO , NO, aDir[1], , , , 0.925, -23200, 0, 0, 0, 0, 0, 0, , NO, 0, 0, NO,
2041, BEAM , CONLOAD, GZ, NO , NO, aDir[1], , , , 0.925, -23200, 0, 0, 0, 0, 0, 0, , NO, 0, 0, NO,
2042, BEAM , CONLOAD, GZ, NO , NO, aDir[1], , , , 0.925, -26400, 0, 0, 0, 0, 0, 0, , NO, 0, 0, NO,
2043, BEAM , CONLOAD, GZ, NO , NO, aDir[1], , , , 0.925, -26400, 0, 0, 0, 0, 0, 0, , NO, 0, 0, NO,
2044, BEAM , CONLOAD, GZ, NO , NO, aDir[1], , , , 0.925, -23200, 0, 0, 0, 0, 0, 0, , NO, 0, 0, NO,
2045, BEAM , CONLOAD, GZ, NO , NO, aDir[1], , , , 0.925, -23200, 0, 0, 0, 0, 0, 0, , NO, 0, 0, NO,
2046, BEAM , CONLOAD, GZ, NO , NO, aDir[1], , , , 0.925, -23200, 0, 0, 0, 0, 0, 0, , NO, 0, 0, NO,
2047, BEAM , CONLOAD, GZ, NO , NO, aDir[1], , , , 0.925, -23200, 0, 0, 0, 0, 0, 0, , NO, 0, 0, NO,
2048, BEAM , CONLOAD, GZ, NO , NO, aDir[1], , , , 0.925, -23200, 0, 0, 0, 0, 0, 0, , NO, 0, 0, NO,
2049, BEAM , CONLOAD, GZ, NO , NO, aDir[1], , , , 0.925, -23200, 0, 0, 0, 0, 0, 0, , NO, 0, 0, NO,
2050, BEAM , CONLOAD, GZ, NO , NO, aDir[1], , , , 0.925, -26400, 0, 0, 0, 0, 0, 0, , NO, 0, 0, NO,
2051, BEAM , CONLOAD, GZ, NO , NO, aDir[1], , , , 0.925, -26400, 0, 0, 0, 0, 0, 0, , NO, 0, 0, NO,
2052, BEAM , CONLOAD, GZ, NO , NO, aDir[1], , , , 0.925, -23200, 0, 0, 0, 0, 0, 0, , NO, 0, 0, NO,

PROJECT TITLE :

MIDAS	Company		Client	
	Author		File Name	H2D_3Dg_v14_180227_StatLM.mct

2053, BEAM , CONLOAD, GZ, NO , NO, aDir[1], , , , 0.925, -23200, 0, 0, 0, 0, 0, 0, , NO, 0, 0, NO,
2054, BEAM , CONLOAD, GZ, NO , NO, aDir[1], , , , 0.925, -23200, 0, 0, 0, 0, 0, 0, , NO, 0, 0, NO,
2055, BEAM , CONLOAD, GZ, NO , NO, aDir[1], , , , 0.925, -23200, 0, 0, 0, 0, 0, 0, , NO, 0, 0, NO,
2056, BEAM , CONLOAD, GZ, NO , NO, aDir[1], , , , 0.925, -23200, 0, 0, 0, 0, 0, 0, , NO, 0, 0, NO,
2057, BEAM , CONLOAD, GZ, NO , NO, aDir[1], , , , 0.925, -23200, 0, 0, 0, 0, 0, 0, , NO, 0, 0, NO,
2058, BEAM , CONLOAD, GZ, NO , NO, aDir[1], , , , 0.925, -26400, 0, 0, 0, 0, 0, 0, , NO, 0, 0, NO,
2059, BEAM , CONLOAD, GZ, NO , NO, aDir[1], , , , 0.925, -26400, 0, 0, 0, 0, 0, 0, , NO, 0, 0, NO,
2060, BEAM , CONLOAD, GZ, NO , NO, aDir[1], , , , 0.925, -23200, 0, 0, 0, 0, 0, 0, , NO, 0, 0, NO,
2061, BEAM , CONLOAD, GZ, NO , NO, aDir[1], , , , 0.925, -23200, 0, 0, 0, 0, 0, 0, , NO, 0, 0, NO,
2062, BEAM , CONLOAD, GZ, NO , NO, aDir[1], , , , 0.925, -23200, 0, 0, 0, 0, 0, 0, , NO, 0, 0, NO,
2063, BEAM , CONLOAD, GZ, NO , NO, aDir[1], , , , 0.925, -23200, 0, 0, 0, 0, 0, 0, , NO, 0, 0, NO,
2064, BEAM , CONLOAD, GZ, NO , NO, aDir[1], , , , 0.925, -23200, 0, 0, 0, 0, 0, 0, , NO, 0, 0, NO,
2065, BEAM , CONLOAD, GZ, NO , NO, aDir[1], , , , 0.925, -23200, 0, 0, 0, 0, 0, 0, , NO, 0, 0, NO,
2066, BEAM , CONLOAD, GZ, NO , NO, aDir[1], , , , 0.925, -26400, 0, 0, 0, 0, 0, 0, , NO, 0, 0, NO,
2067, BEAM , CONLOAD, GZ, NO , NO, aDir[1], , , , 0.925, -26400, 0, 0, 0, 0, 0, 0, , NO, 0, 0, NO,
2068, BEAM , CONLOAD, GZ, NO , NO, aDir[1], , , , 0.925, -23200, 0, 0, 0, 0, 0, 0, , NO, 0, 0, NO,
2069, BEAM , CONLOAD, GZ, NO , NO, aDir[1], , , , 0.925, -23200, 0, 0, 0, 0, 0, 0, , NO, 0, 0, NO,
2070, BEAM , CONLOAD, GZ, NO , NO, aDir[1], , , , 0.925, -23200, 0, 0, 0, 0, 0, 0, , NO, 0, 0, NO,
2071, BEAM , CONLOAD, GZ, NO , NO, aDir[1], , , , 0.925, -23200, 0, 0, 0, 0, 0, 0, , NO, 0, 0, NO,
2072, BEAM , CONLOAD, GZ, NO , NO, aDir[1], , , , 0.925, -23200, 0, 0, 0, 0, 0, 0, , NO, 0, 0, NO,
2073, BEAM , CONLOAD, GZ, NO , NO, aDir[1], , , , 0.925, -23200, 0, 0, 0, 0, 0, 0, , NO, 0, 0, NO,
2074, BEAM , CONLOAD, GZ, NO , NO, aDir[1], , , , 0.925, -26400, 0, 0, 0, 0, 0, 0, , NO, 0, 0, NO,
2075, BEAM , CONLOAD, GZ, NO , NO, aDir[1], , , , 0.925, -26400, 0, 0, 0, 0, 0, 0, , NO, 0, 0, NO,
2076, BEAM , CONLOAD, GZ, NO , NO, aDir[1], , , , 0.925, -23200, 0, 0, 0, 0, 0, 0, , NO, 0, 0, NO,
2077, BEAM , CONLOAD, GZ, NO , NO, aDir[1], , , , 0.925, -23200, 0, 0, 0, 0, 0, 0, , NO, 0, 0, NO,
2078, BEAM , CONLOAD, GZ, NO , NO, aDir[1], , , , 0.925, -23200, 0, 0, 0, 0, 0, 0, , NO, 0, 0, NO,
2079, BEAM , CONLOAD, GZ, NO , NO, aDir[1], , , , 0.925, -23200, 0, 0, 0, 0, 0, 0, , NO, 0, 0, NO,
2080, BEAM , CONLOAD, GZ, NO , NO, aDir[1], , , , 0.925, -23200, 0, 0, 0, 0, 0, 0, , NO, 0, 0, NO,
2081, BEAM , CONLOAD, GZ, NO , NO, aDir[1], , , , 0.925, -23200, 0, 0, 0, 0, 0, 0, , NO, 0, 0, NO,
2082, BEAM , CONLOAD, GZ, NO , NO, aDir[1], , , , 0.925, -26400, 0, 0, 0, 0, 0, 0, , NO, 0, 0, NO,
2083, BEAM , CONLOAD, GZ, NO , NO, aDir[1], , , , 0.925, -26400, 0, 0, 0, 0, 0, 0, , NO, 0, 0, NO,
2084, BEAM , CONLOAD, GZ, NO , NO, aDir[1], , , , 0.925, -23200, 0, 0, 0, 0, 0, 0, , NO, 0, 0, NO,
2085, BEAM , CONLOAD, GZ, NO , NO, aDir[1], , , , 0.925, -23200, 0, 0, 0, 0, 0, 0, , NO, 0, 0, NO,
2086, BEAM , CONLOAD, GZ, NO , NO, aDir[1], , , , 0.925, -23200, 0, 0, 0, 0, 0, 0, , NO, 0, 0, NO,
2087, BEAM , CONLOAD, GZ, NO , NO, aDir[1], , , , 0.925, -23200, 0, 0, 0, 0, 0, 0, , NO, 0, 0, NO,
2088, BEAM , CONLOAD, GZ, NO , NO, aDir[1], , , , 0.925, -23200, 0, 0, 0, 0, 0, 0, , NO, 0, 0, NO,
2089, BEAM , CONLOAD, GZ, NO , NO, aDir[1], , , , 0.925, -23200, 0, 0, 0, 0, 0, 0, , NO, 0, 0, NO,
2090, BEAM , CONLOAD, GZ, NO , NO, aDir[1], , , , 0.925, -26400, 0, 0, 0, 0, 0, 0, , NO, 0, 0, NO,
2091, BEAM , CONLOAD, GZ, NO , NO, aDir[1], , , , 0.925, -26400, 0, 0, 0, 0, 0, 0, , NO, 0, 0, NO,
2092, BEAM , CONLOAD, GZ, NO , NO, aDir[1], , , , 0.925, -23200, 0, 0, 0, 0, 0, 0, , NO, 0, 0, NO,
2093, BEAM , CONLOAD, GZ, NO , NO, aDir[1], , , , 0.925, -23200, 0, 0, 0, 0, 0, 0, , NO, 0, 0, NO,
2094, BEAM , CONLOAD, GZ, NO , NO, aDir[1], , , , 0.925, -23200, 0, 0, 0, 0, 0, 0, , NO, 0, 0, NO,
2095, BEAM , CONLOAD, GZ, NO , NO, aDir[1], , , , 0.925, -22782.8, 0, 0, 0, 0, 0, 0, , NO, 0, 0, NO,
2096, BEAM , CONLOAD, GZ, NO , NO, aDir[1], , , , 0.925, -7617.24, 0, 0, 0, 0, 0, 0, , NO, 0, 0, NO,
2097, BEAM , CONLOAD, GZ, NO , NO, aDir[1], , , , 0.925, -10775.9, 0, 0, 0, 0, 0, 0, , NO, 0, 0, NO,
2098, BEAM , CONLOAD, GZ, NO , NO, aDir[1], , , , 0.925, -54128, 0, 0, 0, 0, 0, 0, , NO, 0, 0, NO,
2099, BEAM , CONLOAD, GZ, NO , NO, aDir[1], , , , 0.925, -51546.6, 0, 0, 0, 0, 0, 0, , NO, 0, 0, NO,
2100, BEAM , CONLOAD, GZ, NO , NO, aDir[1], , , , 0.925, -8549.53, 0, 0, 0, 0, 0, 0, , NO, 0, 0, NO,
2101, BEAM , CONLOAD, GZ, NO , NO, aDir[1], , , , 0.925, -22110.8, 0, 0, 0, 0, 0, 0, , NO, 0, 0, NO,
2102, BEAM , CONLOAD, GZ, NO , NO, aDir[1], , , , 0.925, -53360.8, 0, 0, 0, 0, 0, 0, , NO, 0, 0, NO,
2103, BEAM , CONLOAD, GZ, NO , NO, aDir[1], , , , 0.925, -40389.2, 0, 0, 0, 0, 0, 0, , NO, 0, 0, NO,
2104, BEAM , CONLOAD, GZ, NO , NO, aDir[1], , , , 0.925, -9139.15, 0, 0, 0, 0, 0, 0, , NO, 0, 0, NO,
2105, BEAM , CONLOAD, GZ, NO , NO, aDir[1], , , , 0.925, -21521.2, 0, 0, 0, 0, 0, 0, , NO, 0, 0, NO,
2106, BEAM , CONLOAD, GZ, NO , NO, aDir[1], , , , 0.925, -57390.7, 0, 0, 0, 0, 0, 0, , NO, 0, 0, NO,
2107, BEAM , CONLOAD, GZ, NO , NO, aDir[1], , , , 0.925, -46088.1, 0, 0, 0, 0, 0, 0, , NO, 0, 0, NO,
2108, BEAM , CONLOAD, GZ, NO , NO, aDir[1], , , , 0.925, -1704.55, 0, 0, 0, 0, 0, 0, , NO, 0, 0, NO,
2109, BEAM , CONLOAD, GZ, NO , NO, aDir[1], , , , 0.925, -35227.3, 0, 0, 0, 0, 0, 0, , NO, 0, 0, NO,
2110, BEAM , CONLOAD, GZ, NO , NO, aDir[1], , , , 0.925, -60795.5, 0, 0, 0, 0, 0, 0, , NO, 0, 0, NO,
2111, BEAM , CONLOAD, GZ, NO , NO, aDir[1], , , , 0.925, -27272.7, 0, 0, 0, 0, 0, 0, , NO, 0, 0, NO,
2112, BEAM , CONLOAD, GZ, NO , NO, aDir[1], , , , 0.925, -363.636, 0, 0, 0, 0, 0, 0, , NO, 0, 0, NO,
2113, BEAM , CONLOAD, GZ, NO , NO, aDir[1], , , , 0.925, -17736.4, 0, 0, 0, 0, 0, 0, , NO, 0, 0, NO,
2114, BEAM , CONLOAD, GZ, NO , NO, aDir[1], , , , 0.925, -25100, 0, 0, 0, 0, 0, 0, , NO, 0, 0, NO,
2115, BEAM , CONLOAD, GZ, NO , NO, aDir[1], , , , 0.925, -22000, 0, 0, 0, 0, 0, 0, , NO, 0, 0, NO,
2116, BEAM , CONLOAD, GZ, NO , NO, aDir[1], , , , 0.925, -22000, 0, 0, 0, 0, 0, 0, , NO, 0, 0, NO,
2117, BEAM , CONLOAD, GZ, NO , NO, aDir[1], , , , 0.925, -22000, 0, 0, 0, 0, 0, 0, , NO, 0, 0, NO,
2118, BEAM , CONLOAD, GZ, NO , NO, aDir[1], , , , 0.925, -22000, 0, 0, 0, 0, 0, 0, , NO, 0, 0, NO,
2119, BEAM , CONLOAD, GZ, NO , NO, aDir[1], , , , 0.925, -28100, 0, 0, 0, 0, 0, 0, , NO, 0, 0, NO,
2120, BEAM , CONLOAD, GZ, NO , NO, aDir[1], , , , 0.925, -17100, 0, 0, 0, 0, 0, 0, , NO, 0, 0, NO,
2122, BEAM , CONLOAD, GZ, NO , NO, aDir[1], , , , 0.259, -2750, 0, 0, 0, 0, 0, 0, , NO, 0, 0, NO,
2123, BEAM , CONLOAD, GZ, NO , NO, aDir[1], , , , 0.259, -19250, 0, 0, 0, 0, 0, 0, , NO, 0, 0, NO,
2124, BEAM , CONLOAD, GZ, NO , NO, aDir[1], , , , 0.259, -22000, 0, 0, 0, 0, 0, 0, , NO, 0, 0, NO,
2125, BEAM , CONLOAD, GZ, NO , NO, aDir[1], , , , 0.259, -22000, 0, 0, 0, 0, 0, 0, , NO, 0, 0, NO,

PROJECT TITLE :

MIDAS	Company		Client	
	Author		File Name	H2D_3Dg_v14_180227_StatLM.mct

2126, BEAM , CONLOAD, GZ, NO , NO, aDir[1], , , , 0.259, -22000, 0, 0, 0, 0, 0, 0, , NO, 0, 0, NO,
2127, BEAM , CONLOAD, GZ, NO , NO, aDir[1], , , , 0.259, -25100, 0, 0, 0, 0, 0, 0, , NO, 0, 0, NO,
2128, BEAM , CONLOAD, GZ, NO , NO, aDir[1], , , , 0.259, -25100, 0, 0, 0, 0, 0, 0, , NO, 0, 0, NO,
2129, BEAM , CONLOAD, GZ, NO , NO, aDir[1], , , , 0.259, -22000, 0, 0, 0, 0, 0, 0, , NO, 0, 0, NO,
2130, BEAM , CONLOAD, GZ, NO , NO, aDir[1], , , , 0.259, -22000, 0, 0, 0, 0, 0, 0, , NO, 0, 0, NO,
2131, BEAM , CONLOAD, GZ, NO , NO, aDir[1], , , , 0.259, -22000, 0, 0, 0, 0, 0, 0, , NO, 0, 0, NO,
2132, BEAM , CONLOAD, GZ, NO , NO, aDir[1], , , , 0.259, -22000, 0, 0, 0, 0, 0, 0, , NO, 0, 0, NO,
2133, BEAM , CONLOAD, GZ, NO , NO, aDir[1], , , , 0.259, -22000, 0, 0, 0, 0, 0, 0, , NO, 0, 0, NO,
2134, BEAM , CONLOAD, GZ, NO , NO, aDir[1], , , , 0.259, -24900, 0, 0, 0, 0, 0, 0, , NO, 0, 0, NO,
2135, BEAM , CONLOAD, GZ, NO , NO, aDir[1], , , , 0.259, -24500, 0, 0, 0, 0, 0, 0, , NO, 0, 0, NO,
2136, BEAM , CONLOAD, GZ, NO , NO, aDir[1], , , , 0.259, -21200, 0, 0, 0, 0, 0, 0, , NO, 0, 0, NO,
2137, BEAM , CONLOAD, GZ, NO , NO, aDir[1], , , , 0.259, -21200, 0, 0, 0, 0, 0, 0, , NO, 0, 0, NO,
2138, BEAM , CONLOAD, GZ, NO , NO, aDir[1], , , , 0.259, -21200, 0, 0, 0, 0, 0, 0, , NO, 0, 0, NO,
2139, BEAM , CONLOAD, GZ, NO , NO, aDir[1], , , , 0.259, -21200, 0, 0, 0, 0, 0, 0, , NO, 0, 0, NO,
2140, BEAM , CONLOAD, GZ, NO , NO, aDir[1], , , , 0.259, -21200, 0, 0, 0, 0, 0, 0, , NO, 0, 0, NO,
2141, BEAM , CONLOAD, GZ, NO , NO, aDir[1], , , , 0.259, -21200, 0, 0, 0, 0, 0, 0, , NO, 0, 0, NO,
2142, BEAM , CONLOAD, GZ, NO , NO, aDir[1], , , , 0.259, -24900, 0, 0, 0, 0, 0, 0, , NO, 0, 0, NO,
2143, BEAM , CONLOAD, GZ, NO , NO, aDir[1], , , , 0.259, -25900, 0, 0, 0, 0, 0, 0, , NO, 0, 0, NO,
2144, BEAM , CONLOAD, GZ, NO , NO, aDir[1], , , , 0.259, -23200, 0, 0, 0, 0, 0, 0, , NO, 0, 0, NO,
2145, BEAM , CONLOAD, GZ, NO , NO, aDir[1], , , , 0.259, -23200, 0, 0, 0, 0, 0, 0, , NO, 0, 0, NO,
2146, BEAM , CONLOAD, GZ, NO , NO, aDir[1], , , , 0.259, -23200, 0, 0, 0, 0, 0, 0, , NO, 0, 0, NO,
2147, BEAM , CONLOAD, GZ, NO , NO, aDir[1], , , , 0.259, -23200, 0, 0, 0, 0, 0, 0, , NO, 0, 0, NO,
2148, BEAM , CONLOAD, GZ, NO , NO, aDir[1], , , , 0.259, -23200, 0, 0, 0, 0, 0, 0, , NO, 0, 0, NO,
2149, BEAM , CONLOAD, GZ, NO , NO, aDir[1], , , , 0.259, -23200, 0, 0, 0, 0, 0, 0, , NO, 0, 0, NO,
2150, BEAM , CONLOAD, GZ, NO , NO, aDir[1], , , , 0.259, -26400, 0, 0, 0, 0, 0, 0, , NO, 0, 0, NO,
2151, BEAM , CONLOAD, GZ, NO , NO, aDir[1], , , , 0.259, -26400, 0, 0, 0, 0, 0, 0, , NO, 0, 0, NO,
2152, BEAM , CONLOAD, GZ, NO , NO, aDir[1], , , , 0.259, -23200, 0, 0, 0, 0, 0, 0, , NO, 0, 0, NO,
2153, BEAM , CONLOAD, GZ, NO , NO, aDir[1], , , , 0.259, -23200, 0, 0, 0, 0, 0, 0, , NO, 0, 0, NO,
2154, BEAM , CONLOAD, GZ, NO , NO, aDir[1], , , , 0.259, -23200, 0, 0, 0, 0, 0, 0, , NO, 0, 0, NO,
2155, BEAM , CONLOAD, GZ, NO , NO, aDir[1], , , , 0.259, -23200, 0, 0, 0, 0, 0, 0, , NO, 0, 0, NO,
2156, BEAM , CONLOAD, GZ, NO , NO, aDir[1], , , , 0.259, -23200, 0, 0, 0, 0, 0, 0, , NO, 0, 0, NO,
2157, BEAM , CONLOAD, GZ, NO , NO, aDir[1], , , , 0.259, -23200, 0, 0, 0, 0, 0, 0, , NO, 0, 0, NO,
2158, BEAM , CONLOAD, GZ, NO , NO, aDir[1], , , , 0.259, -26400, 0, 0, 0, 0, 0, 0, , NO, 0, 0, NO,
2159, BEAM , CONLOAD, GZ, NO , NO, aDir[1], , , , 0.259, -26400, 0, 0, 0, 0, 0, 0, , NO, 0, 0, NO,
2160, BEAM , CONLOAD, GZ, NO , NO, aDir[1], , , , 0.259, -23200, 0, 0, 0, 0, 0, 0, , NO, 0, 0, NO,
2161, BEAM , CONLOAD, GZ, NO , NO, aDir[1], , , , 0.259, -23200, 0, 0, 0, 0, 0, 0, , NO, 0, 0, NO,
2162, BEAM , CONLOAD, GZ, NO , NO, aDir[1], , , , 0.259, -23200, 0, 0, 0, 0, 0, 0, , NO, 0, 0, NO,
2163, BEAM , CONLOAD, GZ, NO , NO, aDir[1], , , , 0.259, -23200, 0, 0, 0, 0, 0, 0, , NO, 0, 0, NO,
2164, BEAM , CONLOAD, GZ, NO , NO, aDir[1], , , , 0.259, -23200, 0, 0, 0, 0, 0, 0, , NO, 0, 0, NO,
2165, BEAM , CONLOAD, GZ, NO , NO, aDir[1], , , , 0.259, -23200, 0, 0, 0, 0, 0, 0, , NO, 0, 0, NO,
2166, BEAM , CONLOAD, GZ, NO , NO, aDir[1], , , , 0.259, -26400, 0, 0, 0, 0, 0, 0, , NO, 0, 0, NO,
2167, BEAM , CONLOAD, GZ, NO , NO, aDir[1], , , , 0.259, -26400, 0, 0, 0, 0, 0, 0, , NO, 0, 0, NO,
2168, BEAM , CONLOAD, GZ, NO , NO, aDir[1], , , , 0.259, -23200, 0, 0, 0, 0, 0, 0, , NO, 0, 0, NO,
2169, BEAM , CONLOAD, GZ, NO , NO, aDir[1], , , , 0.259, -23200, 0, 0, 0, 0, 0, 0, , NO, 0, 0, NO,
2170, BEAM , CONLOAD, GZ, NO , NO, aDir[1], , , , 0.259, -23200, 0, 0, 0, 0, 0, 0, , NO, 0, 0, NO,
2171, BEAM , CONLOAD, GZ, NO , NO, aDir[1], , , , 0.259, -23200, 0, 0, 0, 0, 0, 0, , NO, 0, 0, NO,
2172, BEAM , CONLOAD, GZ, NO , NO, aDir[1], , , , 0.259, -23200, 0, 0, 0, 0, 0, 0, , NO, 0, 0, NO,
2173, BEAM , CONLOAD, GZ, NO , NO, aDir[1], , , , 0.259, -23200, 0, 0, 0, 0, 0, 0, , NO, 0, 0, NO,
2174, BEAM , CONLOAD, GZ, NO , NO, aDir[1], , , , 0.259, -26400, 0, 0, 0, 0, 0, 0, , NO, 0, 0, NO,
2175, BEAM , CONLOAD, GZ, NO , NO, aDir[1], , , , 0.259, -26400, 0, 0, 0, 0, 0, 0, , NO, 0, 0, NO,
2176, BEAM , CONLOAD, GZ, NO , NO, aDir[1], , , , 0.259, -23200, 0, 0, 0, 0, 0, 0, , NO, 0, 0, NO,
2177, BEAM , CONLOAD, GZ, NO , NO, aDir[1], , , , 0.259, -23200, 0, 0, 0, 0, 0, 0, , NO, 0, 0, NO,
2178, BEAM , CONLOAD, GZ, NO , NO, aDir[1], , , , 0.259, -23200, 0, 0, 0, 0, 0, 0, , NO, 0, 0, NO,
2179, BEAM , CONLOAD, GZ, NO , NO, aDir[1], , , , 0.259, -23200, 0, 0, 0, 0, 0, 0, , NO, 0, 0, NO,
2180, BEAM , CONLOAD, GZ, NO , NO, aDir[1], , , , 0.259, -23200, 0, 0, 0, 0, 0, 0, , NO, 0, 0, NO,
2181, BEAM , CONLOAD, GZ, NO , NO, aDir[1], , , , 0.259, -23200, 0, 0, 0, 0, 0, 0, , NO, 0, 0, NO,
2182, BEAM , CONLOAD, GZ, NO , NO, aDir[1], , , , 0.259, -26400, 0, 0, 0, 0, 0, 0, , NO, 0, 0, NO,
2183, BEAM , CONLOAD, GZ, NO , NO, aDir[1], , , , 0.259, -26400, 0, 0, 0, 0, 0, 0, , NO, 0, 0, NO,
2184, BEAM , CONLOAD, GZ, NO , NO, aDir[1], , , , 0.259, -23200, 0, 0, 0, 0, 0, 0, , NO, 0, 0, NO,
2185, BEAM , CONLOAD, GZ, NO , NO, aDir[1], , , , 0.259, -23200, 0, 0, 0, 0, 0, 0, , NO, 0, 0, NO,
2186, BEAM , CONLOAD, GZ, NO , NO, aDir[1], , , , 0.259, -23200, 0, 0, 0, 0, 0, 0, , NO, 0, 0, NO,
2187, BEAM , CONLOAD, GZ, NO , NO, aDir[1], , , , 0.259, -23200, 0, 0, 0, 0, 0, 0, , NO, 0, 0, NO,
2188, BEAM , CONLOAD, GZ, NO , NO, aDir[1], , , , 0.259, -23200, 0, 0, 0, 0, 0, 0, , NO, 0, 0, NO,
2189, BEAM , CONLOAD, GZ, NO , NO, aDir[1], , , , 0.259, -23200, 0, 0, 0, 0, 0, 0, , NO, 0, 0, NO,
2190, BEAM , CONLOAD, GZ, NO , NO, aDir[1], , , , 0.259, -26400, 0, 0, 0, 0, 0, 0, , NO, 0, 0, NO,
2191, BEAM , CONLOAD, GZ, NO , NO, aDir[1], , , , 0.259, -26400, 0, 0, 0, 0, 0, 0, , NO, 0, 0, NO,
2192, BEAM , CONLOAD, GZ, NO , NO, aDir[1], , , , 0.259, -23200, 0, 0, 0, 0, 0, 0, , NO, 0, 0, NO,
2193, BEAM , CONLOAD, GZ, NO , NO, aDir[1], , , , 0.259, -23200, 0, 0, 0, 0, 0, 0, , NO, 0, 0, NO,
2194, BEAM , CONLOAD, GZ, NO , NO, aDir[1], , , , 0.259, -23200, 0, 0, 0, 0, 0, 0, , NO, 0, 0, NO,
2195, BEAM , CONLOAD, GZ, NO , NO, aDir[1], , , , 0.259, -23200, 0, 0, 0, 0, 0, 0, , NO, 0, 0, NO,
2196, BEAM , CONLOAD, GZ, NO , NO, aDir[1], , , , 0.259, -23200, 0, 0, 0, 0, 0, 0, , NO, 0, 0, NO,
2197, BEAM , CONLOAD, GZ, NO , NO, aDir[1], , , , 0.259, -23200, 0, 0, 0, 0, 0, 0, , NO, 0, 0, NO,

2198, BEAM , CONLOAD, GZ, NO , NO, aDir[1], , , , 0.259, -26400, 0, 0, 0, 0, 0, 0, , NO, 0, 0, NO,
2199, BEAM , CONLOAD, GZ, NO , NO, aDir[1], , , , 0.259, -26400, 0, 0, 0, 0, 0, 0, , NO, 0, 0, NO,
2200, BEAM , CONLOAD, GZ, NO , NO, aDir[1], , , , 0.259, -23200, 0, 0, 0, 0, 0, 0, , NO, 0, 0, NO,
2201, BEAM , CONLOAD, GZ, NO , NO, aDir[1], , , , 0.259, -23200, 0, 0, 0, 0, 0, 0, , NO, 0, 0, NO,
2202, BEAM , CONLOAD, GZ, NO , NO, aDir[1], , , , 0.259, -23200, 0, 0, 0, 0, 0, 0, , NO, 0, 0, NO,
2203, BEAM , CONLOAD, GZ, NO , NO, aDir[1], , , , 0.259, -23200, 0, 0, 0, 0, 0, 0, , NO, 0, 0, NO,
2204, BEAM , CONLOAD, GZ, NO , NO, aDir[1], , , , 0.259, -23200, 0, 0, 0, 0, 0, 0, , NO, 0, 0, NO,
2205, BEAM , CONLOAD, GZ, NO , NO, aDir[1], , , , 0.259, -23200, 0, 0, 0, 0, 0, 0, , NO, 0, 0, NO,
2206, BEAM , CONLOAD, GZ, NO , NO, aDir[1], , , , 0.259, -26400, 0, 0, 0, 0, 0, 0, , NO, 0, 0, NO,
2207, BEAM , CONLOAD, GZ, NO , NO, aDir[1], , , , 0.259, -26400, 0, 0, 0, 0, 0, 0, , NO, 0, 0, NO,
2208, BEAM , CONLOAD, GZ, NO , NO, aDir[1], , , , 0.259, -23200, 0, 0, 0, 0, 0, 0, , NO, 0, 0, NO,
2209, BEAM , CONLOAD, GZ, NO , NO, aDir[1], , , , 0.259, -23200, 0, 0, 0, 0, 0, 0, , NO, 0, 0, NO,
2210, BEAM , CONLOAD, GZ, NO , NO, aDir[1], , , , 0.259, -23200, 0, 0, 0, 0, 0, 0, , NO, 0, 0, NO,
2211, BEAM , CONLOAD, GZ, NO , NO, aDir[1], , , , 0.259, -23200, 0, 0, 0, 0, 0, 0, , NO, 0, 0, NO,
2212, BEAM , CONLOAD, GZ, NO , NO, aDir[1], , , , 0.259, -23200, 0, 0, 0, 0, 0, 0, , NO, 0, 0, NO,
2213, BEAM , CONLOAD, GZ, NO , NO, aDir[1], , , , 0.259, -23200, 0, 0, 0, 0, 0, 0, , NO, 0, 0, NO,
2214, BEAM , CONLOAD, GZ, NO , NO, aDir[1], , , , 0.259, -26400, 0, 0, 0, 0, 0, 0, , NO, 0, 0, NO,
2215, BEAM , CONLOAD, GZ, NO , NO, aDir[1], , , , 0.259, -26400, 0, 0, 0, 0, 0, 0, , NO, 0, 0, NO,
2216, BEAM , CONLOAD, GZ, NO , NO, aDir[1], , , , 0.259, -23200, 0, 0, 0, 0, 0, 0, , NO, 0, 0, NO,
2217, BEAM , CONLOAD, GZ, NO , NO, aDir[1], , , , 0.259, -23200, 0, 0, 0, 0, 0, 0, , NO, 0, 0, NO,
2218, BEAM , CONLOAD, GZ, NO , NO, aDir[1], , , , 0.259, -23200, 0, 0, 0, 0, 0, 0, , NO, 0, 0, NO,
2219, BEAM , CONLOAD, GZ, NO , NO, aDir[1], , , , 0.259, -22782.8, 0, 0, 0, 0, 0, 0, , NO, 0, 0, NO,
2220, BEAM , CONLOAD, GZ, NO , NO, aDir[1], , , , 0.259, -7617.24, 0, 0, 0, 0, 0, 0, , NO, 0, 0, NO,
2221, BEAM , CONLOAD, GZ, NO , NO, aDir[1], , , , 0.259, -10775.9, 0, 0, 0, 0, 0, 0, , NO, 0, 0, NO,
2222, BEAM , CONLOAD, GZ, NO , NO, aDir[1], , , , 0.259, -54128, 0, 0, 0, 0, 0, 0, , NO, 0, 0, NO,
2223, BEAM , CONLOAD, GZ, NO , NO, aDir[1], , , , 0.259, -51546.6, 0, 0, 0, 0, 0, 0, , NO, 0, 0, NO,
2224, BEAM , CONLOAD, GZ, NO , NO, aDir[1], , , , 0.259, -8549.53, 0, 0, 0, 0, 0, 0, , NO, 0, 0, NO,
2225, BEAM , CONLOAD, GZ, NO , NO, aDir[1], , , , 0.259, -22110.8, 0, 0, 0, 0, 0, 0, , NO, 0, 0, NO,
2226, BEAM , CONLOAD, GZ, NO , NO, aDir[1], , , , 0.259, -53360.8, 0, 0, 0, 0, 0, 0, , NO, 0, 0, NO,
2227, BEAM , CONLOAD, GZ, NO , NO, aDir[1], , , , 0.259, -40389.2, 0, 0, 0, 0, 0, 0, , NO, 0, 0, NO,
2228, BEAM , CONLOAD, GZ, NO , NO, aDir[1], , , , 0.259, -9139.15, 0, 0, 0, 0, 0, 0, , NO, 0, 0, NO,
2229, BEAM , CONLOAD, GZ, NO , NO, aDir[1], , , , 0.259, -21521.2, 0, 0, 0, 0, 0, 0, , NO, 0, 0, NO,
2230, BEAM , CONLOAD, GZ, NO , NO, aDir[1], , , , 0.259, -57390.7, 0, 0, 0, 0, 0, 0, , NO, 0, 0, NO,
2231, BEAM , CONLOAD, GZ, NO , NO, aDir[1], , , , 0.259, -46088.1, 0, 0, 0, 0, 0, 0, , NO, 0, 0, NO,
2232, BEAM , CONLOAD, GZ, NO , NO, aDir[1], , , , 0.259, -1704.55, 0, 0, 0, 0, 0, 0, , NO, 0, 0, NO,
2233, BEAM , CONLOAD, GZ, NO , NO, aDir[1], , , , 0.259, -35227.3, 0, 0, 0, 0, 0, 0, , NO, 0, 0, NO,
2234, BEAM , CONLOAD, GZ, NO , NO, aDir[1], , , , 0.259, -60795.5, 0, 0, 0, 0, 0, 0, , NO, 0, 0, NO,
2235, BEAM , CONLOAD, GZ, NO , NO, aDir[1], , , , 0.259, -27272.7, 0, 0, 0, 0, 0, 0, , NO, 0, 0, NO,
2236, BEAM , CONLOAD, GZ, NO , NO, aDir[1], , , , 0.259, -363.636, 0, 0, 0, 0, 0, 0, , NO, 0, 0, NO,
2237, BEAM , CONLOAD, GZ, NO , NO, aDir[1], , , , 0.259, -17736.4, 0, 0, 0, 0, 0, 0, , NO, 0, 0, NO,
2238, BEAM , CONLOAD, GZ, NO , NO, aDir[1], , , , 0.259, -25100, 0, 0, 0, 0, 0, 0, , NO, 0, 0, NO,
2239, BEAM , CONLOAD, GZ, NO , NO, aDir[1], , , , 0.259, -22000, 0, 0, 0, 0, 0, 0, , NO, 0, 0, NO,
2240, BEAM , CONLOAD, GZ, NO , NO, aDir[1], , , , 0.259, -22000, 0, 0, 0, 0, 0, 0, , NO, 0, 0, NO,
2241, BEAM , CONLOAD, GZ, NO , NO, aDir[1], , , , 0.259, -22000, 0, 0, 0, 0, 0, 0, , NO, 0, 0, NO,
2242, BEAM , CONLOAD, GZ, NO , NO, aDir[1], , , , 0.259, -22000, 0, 0, 0, 0, 0, 0, , NO, 0, 0, NO,
2243, BEAM , CONLOAD, GZ, NO , NO, aDir[1], , , , 0.259, -28100, 0, 0, 0, 0, 0, 0, , NO, 0, 0, NO,
2244, BEAM , CONLOAD, GZ, NO , NO, aDir[1], , , , 0.259, -17100, 0, 0, 0, 0, 0, 0, , NO, 0, 0, NO,

; End of data for load case [MVmaxP71_1PFx112] ----------

*USE-STLD, MVmaxP71_1PFx244

*BEAMLOAD ; Element Beam Loads
; ELEM_LIST, CMD, TYPE, DIR, bPROJ, [ECCEN], [VALUE], GROUP
; ELEM_LIST, CMD, TYPE, TYPE, DIR, VX, VY, VZ, bPROJ, [ECCEN], [VALUE], GROUP
; [VALUE] : D1, P1, D2, P2, D3, P3, D4, P4
; [ECCEN] : bECCEN, ECCDIR, I-END, J-END, bJ-END
; [ADDITIONAL] : bADDITIONAL, ADDITIONAL_I-END, ADDITIONAL_J-END, bADDITIONAL_J-END
1997, BEAM , CONLOAD, GZ, NO , NO, aDir[1], , , , 0.925, -17100, 0, 0, 0, 0, 0, 0, , NO, 0, 0, NO,
1998, BEAM , CONLOAD, GZ, NO , NO, aDir[1], , , , 0.925, -28100, 0, 0, 0, 0, 0, 0, , NO, 0, 0, NO,
1999, BEAM , CONLOAD, GZ, NO , NO, aDir[1], , , , 0.925, -22000, 0, 0, 0, 0, 0, 0, , NO, 0, 0, NO,
2000, BEAM , CONLOAD, GZ, NO , NO, aDir[1], , , , 0.925, -22000, 0, 0, 0, 0, 0, 0, , NO, 0, 0, NO,
2001, BEAM , CONLOAD, GZ, NO , NO, aDir[1], , , , 0.925, -22000, 0, 0, 0, 0, 0, 0, , NO, 0, 0, NO,
2002, BEAM , CONLOAD, GZ, NO , NO, aDir[1], , , , 0.925, -22000, 0, 0, 0, 0, 0, 0, , NO, 0, 0, NO,
2003, BEAM , CONLOAD, GZ, NO , NO, aDir[1], , , , 0.925, -25100, 0, 0, 0, 0, 0, 0, , NO, 0, 0, NO,
2004, BEAM , CONLOAD, GZ, NO , NO, aDir[1], , , , 0.925, -25100, 0, 0, 0, 0, 0, 0, , NO, 0, 0, NO,
2005, BEAM , CONLOAD, GZ, NO , NO, aDir[1], , , , 0.925, -22000, 0, 0, 0, 0, 0, 0, , NO, 0, 0, NO,
2006, BEAM , CONLOAD, GZ, NO , NO, aDir[1], , , , 0.925, -22000, 0, 0, 0, 0, 0, 0, , NO, 0, 0, NO,
2007, BEAM , CONLOAD, GZ, NO , NO, aDir[1], , , , 0.925, -22000, 0, 0, 0, 0, 0, 0, , NO, 0, 0, NO,
2008, BEAM , CONLOAD, GZ, NO , NO, aDir[1], , , , 0.925, -22000, 0, 0, 0, 0, 0, 0, , NO, 0, 0, NO,
2009, BEAM , CONLOAD, GZ, NO , NO, aDir[1], , , , 0.925, -22000, 0, 0, 0, 0, 0, 0, , NO, 0, 0, NO,
2010, BEAM , CONLOAD, GZ, NO , NO, aDir[1], , , , 0.925, -24900, 0, 0, 0, 0, 0, 0, , NO, 0, 0, NO,

PROJECT TITLE :

MIDAS	Company		Client	
	Author		File Name	H2D_3Dg_v14_180227_StatLM.mct

2011, BEAM , CONLOAD, GZ, NO , NO, aDir[1], , , , 0.925, -24500, 0, 0, 0, 0, 0, 0, , NO, 0, 0, NO,
2012, BEAM , CONLOAD, GZ, NO , NO, aDir[1], , , , 0.925, -21200, 0, 0, 0, 0, 0, 0, , NO, 0, 0, NO,
2013, BEAM , CONLOAD, GZ, NO , NO, aDir[1], , , , 0.925, -21200, 0, 0, 0, 0, 0, 0, , NO, 0, 0, NO,
2014, BEAM , CONLOAD, GZ, NO , NO, aDir[1], , , , 0.925, -21200, 0, 0, 0, 0, 0, 0, , NO, 0, 0, NO,
2015, BEAM , CONLOAD, GZ, NO , NO, aDir[1], , , , 0.925, -21200, 0, 0, 0, 0, 0, 0, , NO, 0, 0, NO,
2016, BEAM , CONLOAD, GZ, NO , NO, aDir[1], , , , 0.925, -21200, 0, 0, 0, 0, 0, 0, , NO, 0, 0, NO,
2017, BEAM , CONLOAD, GZ, NO , NO, aDir[1], , , , 0.925, -21200, 0, 0, 0, 0, 0, 0, , NO, 0, 0, NO,
2018, BEAM , CONLOAD, GZ, NO , NO, aDir[1], , , , 0.925, -24900, 0, 0, 0, 0, 0, 0, , NO, 0, 0, NO,
2019, BEAM , CONLOAD, GZ, NO , NO, aDir[1], , , , 0.925, -25900, 0, 0, 0, 0, 0, 0, , NO, 0, 0, NO,
2020, BEAM , CONLOAD, GZ, NO , NO, aDir[1], , , , 0.925, -23200, 0, 0, 0, 0, 0, 0, , NO, 0, 0, NO,
2021, BEAM , CONLOAD, GZ, NO , NO, aDir[1], , , , 0.925, -23200, 0, 0, 0, 0, 0, 0, , NO, 0, 0, NO,
2022, BEAM , CONLOAD, GZ, NO , NO, aDir[1], , , , 0.925, -23200, 0, 0, 0, 0, 0, 0, , NO, 0, 0, NO,
2023, BEAM , CONLOAD, GZ, NO , NO, aDir[1], , , , 0.925, -23200, 0, 0, 0, 0, 0, 0, , NO, 0, 0, NO,
2024, BEAM , CONLOAD, GZ, NO , NO, aDir[1], , , , 0.925, -23200, 0, 0, 0, 0, 0, 0, , NO, 0, 0, NO,
2025, BEAM , CONLOAD, GZ, NO , NO, aDir[1], , , , 0.925, -23200, 0, 0, 0, 0, 0, 0, , NO, 0, 0, NO,
2026, BEAM , CONLOAD, GZ, NO , NO, aDir[1], , , , 0.925, -26400, 0, 0, 0, 0, 0, 0, , NO, 0, 0, NO,
2027, BEAM , CONLOAD, GZ, NO , NO, aDir[1], , , , 0.925, -26400, 0, 0, 0, 0, 0, 0, , NO, 0, 0, NO,
2028, BEAM , CONLOAD, GZ, NO , NO, aDir[1], , , , 0.925, -23200, 0, 0, 0, 0, 0, 0, , NO, 0, 0, NO,
2029, BEAM , CONLOAD, GZ, NO , NO, aDir[1], , , , 0.925, -23200, 0, 0, 0, 0, 0, 0, , NO, 0, 0, NO,
2030, BEAM , CONLOAD, GZ, NO , NO, aDir[1], , , , 0.925, -23200, 0, 0, 0, 0, 0, 0, , NO, 0, 0, NO,
2031, BEAM , CONLOAD, GZ, NO , NO, aDir[1], , , , 0.925, -23200, 0, 0, 0, 0, 0, 0, , NO, 0, 0, NO,
2032, BEAM , CONLOAD, GZ, NO , NO, aDir[1], , , , 0.925, -23200, 0, 0, 0, 0, 0, 0, , NO, 0, 0, NO,
2033, BEAM , CONLOAD, GZ, NO , NO, aDir[1], , , , 0.925, -23200, 0, 0, 0, 0, 0, 0, , NO, 0, 0, NO,
2034, BEAM , CONLOAD, GZ, NO , NO, aDir[1], , , , 0.925, -26400, 0, 0, 0, 0, 0, 0, , NO, 0, 0, NO,
2035, BEAM , CONLOAD, GZ, NO , NO, aDir[1], , , , 0.925, -26400, 0, 0, 0, 0, 0, 0, , NO, 0, 0, NO,
2036, BEAM , CONLOAD, GZ, NO , NO, aDir[1], , , , 0.925, -23200, 0, 0, 0, 0, 0, 0, , NO, 0, 0, NO,
2037, BEAM , CONLOAD, GZ, NO , NO, aDir[1], , , , 0.925, -23200, 0, 0, 0, 0, 0, 0, , NO, 0, 0, NO,
2038, BEAM , CONLOAD, GZ, NO , NO, aDir[1], , , , 0.925, -23200, 0, 0, 0, 0, 0, 0, , NO, 0, 0, NO,
2039, BEAM , CONLOAD, GZ, NO , NO, aDir[1], , , , 0.925, -23200, 0, 0, 0, 0, 0, 0, , NO, 0, 0, NO,
2040, BEAM , CONLOAD, GZ, NO , NO, aDir[1], , , , 0.925, -23200, 0, 0, 0, 0, 0, 0, , NO, 0, 0, NO,
2041, BEAM , CONLOAD, GZ, NO , NO, aDir[1], , , , 0.925, -23200, 0, 0, 0, 0, 0, 0, , NO, 0, 0, NO,
2042, BEAM , CONLOAD, GZ, NO , NO, aDir[1], , , , 0.925, -26400, 0, 0, 0, 0, 0, 0, , NO, 0, 0, NO,
2043, BEAM , CONLOAD, GZ, NO , NO, aDir[1], , , , 0.925, -26400, 0, 0, 0, 0, 0, 0, , NO, 0, 0, NO,
2044, BEAM , CONLOAD, GZ, NO , NO, aDir[1], , , , 0.925, -23200, 0, 0, 0, 0, 0, 0, , NO, 0, 0, NO,
2045, BEAM , CONLOAD, GZ, NO , NO, aDir[1], , , , 0.925, -23200, 0, 0, 0, 0, 0, 0, , NO, 0, 0, NO,
2046, BEAM , CONLOAD, GZ, NO , NO, aDir[1], , , , 0.925, -23200, 0, 0, 0, 0, 0, 0, , NO, 0, 0, NO,
2047, BEAM , CONLOAD, GZ, NO , NO, aDir[1], , , , 0.925, -23200, 0, 0, 0, 0, 0, 0, , NO, 0, 0, NO,
2048, BEAM , CONLOAD, GZ, NO , NO, aDir[1], , , , 0.925, -23200, 0, 0, 0, 0, 0, 0, , NO, 0, 0, NO,
2049, BEAM , CONLOAD, GZ, NO , NO, aDir[1], , , , 0.925, -23200, 0, 0, 0, 0, 0, 0, , NO, 0, 0, NO,
2050, BEAM , CONLOAD, GZ, NO , NO, aDir[1], , , , 0.925, -26400, 0, 0, 0, 0, 0, 0, , NO, 0, 0, NO,
2051, BEAM , CONLOAD, GZ, NO , NO, aDir[1], , , , 0.925, -26400, 0, 0, 0, 0, 0, 0, , NO, 0, 0, NO,
2052, BEAM , CONLOAD, GZ, NO , NO, aDir[1], , , , 0.925, -23200, 0, 0, 0, 0, 0, 0, , NO, 0, 0, NO,
2053, BEAM , CONLOAD, GZ, NO , NO, aDir[1], , , , 0.925, -23200, 0, 0, 0, 0, 0, 0, , NO, 0, 0, NO,
2054, BEAM , CONLOAD, GZ, NO , NO, aDir[1], , , , 0.925, -23200, 0, 0, 0, 0, 0, 0, , NO, 0, 0, NO,
2055, BEAM , CONLOAD, GZ, NO , NO, aDir[1], , , , 0.925, -23200, 0, 0, 0, 0, 0, 0, , NO, 0, 0, NO,
2056, BEAM , CONLOAD, GZ, NO , NO, aDir[1], , , , 0.925, -23200, 0, 0, 0, 0, 0, 0, , NO, 0, 0, NO,
2057, BEAM , CONLOAD, GZ, NO , NO, aDir[1], , , , 0.925, -23200, 0, 0, 0, 0, 0, 0, , NO, 0, 0, NO,
2058, BEAM , CONLOAD, GZ, NO , NO, aDir[1], , , , 0.925, -26400, 0, 0, 0, 0, 0, 0, , NO, 0, 0, NO,
2059, BEAM , CONLOAD, GZ, NO , NO, aDir[1], , , , 0.925, -26400, 0, 0, 0, 0, 0, 0, , NO, 0, 0, NO,
2060, BEAM , CONLOAD, GZ, NO , NO, aDir[1], , , , 0.925, -23200, 0, 0, 0, 0, 0, 0, , NO, 0, 0, NO,
2061, BEAM , CONLOAD, GZ, NO , NO, aDir[1], , , , 0.925, -23200, 0, 0, 0, 0, 0, 0, , NO, 0, 0, NO,
2062, BEAM , CONLOAD, GZ, NO , NO, aDir[1], , , , 0.925, -23200, 0, 0, 0, 0, 0, 0, , NO, 0, 0, NO,
2063, BEAM , CONLOAD, GZ, NO , NO, aDir[1], , , , 0.925, -23200, 0, 0, 0, 0, 0, 0, , NO, 0, 0, NO,
2064, BEAM , CONLOAD, GZ, NO , NO, aDir[1], , , , 0.925, -23200, 0, 0, 0, 0, 0, 0, , NO, 0, 0, NO,
2065, BEAM , CONLOAD, GZ, NO , NO, aDir[1], , , , 0.925, -23200, 0, 0, 0, 0, 0, 0, , NO, 0, 0, NO,
2066, BEAM , CONLOAD, GZ, NO , NO, aDir[1], , , , 0.925, -26400, 0, 0, 0, 0, 0, 0, , NO, 0, 0, NO,
2067, BEAM , CONLOAD, GZ, NO , NO, aDir[1], , , , 0.925, -26400, 0, 0, 0, 0, 0, 0, , NO, 0, 0, NO,
2068, BEAM , CONLOAD, GZ, NO , NO, aDir[1], , , , 0.925, -23200, 0, 0, 0, 0, 0, 0, , NO, 0, 0, NO,
2069, BEAM , CONLOAD, GZ, NO , NO, aDir[1], , , , 0.925, -23200, 0, 0, 0, 0, 0, 0, , NO, 0, 0, NO,
2070, BEAM , CONLOAD, GZ, NO , NO, aDir[1], , , , 0.925, -23200, 0, 0, 0, 0, 0, 0, , NO, 0, 0, NO,
2071, BEAM , CONLOAD, GZ, NO , NO, aDir[1], , , , 0.925, -23200, 0, 0, 0, 0, 0, 0, , NO, 0, 0, NO,
2072, BEAM , CONLOAD, GZ, NO , NO, aDir[1], , , , 0.925, -23200, 0, 0, 0, 0, 0, 0, , NO, 0, 0, NO,
2073, BEAM , CONLOAD, GZ, NO , NO, aDir[1], , , , 0.925, -19669, 0, 0, 0, 0, 0, 0, , NO, 0, 0, NO,
2074, BEAM , CONLOAD, GZ, NO , NO, aDir[1], , , , 0.925, -2331.03, 0, 0, 0, 0, 0, 0, , NO, 0, 0, NO,
2075, BEAM , CONLOAD, GZ, NO , NO, aDir[1], , , , 0.925, -35021.6, 0, 0, 0, 0, 0, 0, , NO, 0, 0, NO,
2076, BEAM , CONLOAD, GZ, NO , NO, aDir[1], , , , 0.925, -63577.6, 0, 0, 0, 0, 0, 0, , NO, 0, 0, NO,
2077, BEAM , CONLOAD, GZ, NO , NO, aDir[1], , , , 0.925, -26400.9, 0, 0, 0, 0, 0, 0, , NO, 0, 0, NO,
2078, BEAM , CONLOAD, GZ, NO , NO, aDir[1], , , , 0.925, -9698.28, 0, 0, 0, 0, 0, 0, , NO, 0, 0, NO,
2079, BEAM , CONLOAD, GZ, NO , NO, aDir[1], , , , 0.925, -46336.2, 0, 0, 0, 0, 0, 0, , NO, 0, 0, NO,
2080, BEAM , CONLOAD, GZ, NO , NO, aDir[1], , , , 0.925, -52801.7, 0, 0, 0, 0, 0, 0, , NO, 0, 0, NO,
2081, BEAM , CONLOAD, GZ, NO , NO, aDir[1], , , , 0.925, -16163.8, 0, 0, 0, 0, 0, 0, , NO, 0, 0, NO,
2082, BEAM , CONLOAD, GZ, NO , NO, aDir[1], , , , 0.925, -22381.8, 0, 0, 0, 0, 0, 0, , NO, 0, 0, NO,

2083, BEAM , CONLOAD, GZ, NO , NO, aDir[1], , , , 0.925, -74062.2, 0, 0, 0, 0, 0, 0, , NO, 0, 0, NO,
2084, BEAM , CONLOAD, GZ, NO , NO, aDir[1], , , , 0.925, -28556, 0, 0, 0, 0, 0, 0, , NO, 0, 0, NO,
2085, BEAM , CONLOAD, GZ, NO , NO, aDir[1], , , , 0.925, -7543.1, 0, 0, 0, 0, 0, 0, , NO, 0, 0, NO,
2086, BEAM , CONLOAD, GZ, NO , NO, aDir[1], , , , 0.925, -44181, 0, 0, 0, 0, 0, 0, , NO, 0, 0, NO,
2087, BEAM , CONLOAD, GZ, NO , NO, aDir[1], , , , 0.925, -54956.9, 0, 0, 0, 0, 0, 0, , NO, 0, 0, NO,
2088, BEAM , CONLOAD, GZ, NO , NO, aDir[1], , , , 0.925, -18319, 0, 0, 0, 0, 0, 0, , NO, 0, 0, NO,
2089, BEAM , CONLOAD, GZ, NO , NO, aDir[1], , , , 0.925, -3755.17, 0, 0, 0, 0, 0, 0, , NO, 0, 0, NO,
2090, BEAM , CONLOAD, GZ, NO , NO, aDir[1], , , , 0.925, -24244.8, 0, 0, 0, 0, 0, 0, , NO, 0, 0, NO,
2091, BEAM , CONLOAD, GZ, NO , NO, aDir[1], , , , 0.925, -14800, 0, 0, 0, 0, 0, 0, , NO, 0, 0, NO,
2121, BEAM , CONLOAD, GZ, NO , NO, aDir[1], , , , 0.259, -17100, 0, 0, 0, 0, 0, 0, , NO, 0, 0, NO,
2122, BEAM , CONLOAD, GZ, NO , NO, aDir[1], , , , 0.259, -28100, 0, 0, 0, 0, 0, 0, , NO, 0, 0, NO,
2123, BEAM , CONLOAD, GZ, NO , NO, aDir[1], , , , 0.259, -22000, 0, 0, 0, 0, 0, 0, , NO, 0, 0, NO,
2124, BEAM , CONLOAD, GZ, NO , NO, aDir[1], , , , 0.259, -22000, 0, 0, 0, 0, 0, 0, , NO, 0, 0, NO,
2125, BEAM , CONLOAD, GZ, NO , NO, aDir[1], , , , 0.259, -22000, 0, 0, 0, 0, 0, 0, , NO, 0, 0, NO,
2126, BEAM , CONLOAD, GZ, NO , NO, aDir[1], , , , 0.259, -22000, 0, 0, 0, 0, 0, 0, , NO, 0, 0, NO,
2127, BEAM , CONLOAD, GZ, NO , NO, aDir[1], , , , 0.259, -25100, 0, 0, 0, 0, 0, 0, , NO, 0, 0, NO,
2128, BEAM , CONLOAD, GZ, NO , NO, aDir[1], , , , 0.259, -25100, 0, 0, 0, 0, 0, 0, , NO, 0, 0, NO,
2129, BEAM , CONLOAD, GZ, NO , NO, aDir[1], , , , 0.259, -22000, 0, 0, 0, 0, 0, 0, , NO, 0, 0, NO,
2130, BEAM , CONLOAD, GZ, NO , NO, aDir[1], , , , 0.259, -22000, 0, 0, 0, 0, 0, 0, , NO, 0, 0, NO,
2131, BEAM , CONLOAD, GZ, NO , NO, aDir[1], , , , 0.259, -22000, 0, 0, 0, 0, 0, 0, , NO, 0, 0, NO,
2132, BEAM , CONLOAD, GZ, NO , NO, aDir[1], , , , 0.259, -22000, 0, 0, 0, 0, 0, 0, , NO, 0, 0, NO,
2133, BEAM , CONLOAD, GZ, NO , NO, aDir[1], , , , 0.259, -22000, 0, 0, 0, 0, 0, 0, , NO, 0, 0, NO,
2134, BEAM , CONLOAD, GZ, NO , NO, aDir[1], , , , 0.259, -24900, 0, 0, 0, 0, 0, 0, , NO, 0, 0, NO,
2135, BEAM , CONLOAD, GZ, NO , NO, aDir[1], , , , 0.259, -24500, 0, 0, 0, 0, 0, 0, , NO, 0, 0, NO,
2136, BEAM , CONLOAD, GZ, NO , NO, aDir[1], , , , 0.259, -21200, 0, 0, 0, 0, 0, 0, , NO, 0, 0, NO,
2137, BEAM , CONLOAD, GZ, NO , NO, aDir[1], , , , 0.259, -21200, 0, 0, 0, 0, 0, 0, , NO, 0, 0, NO,
2138, BEAM , CONLOAD, GZ, NO , NO, aDir[1], , , , 0.259, -21200, 0, 0, 0, 0, 0, 0, , NO, 0, 0, NO,
2139, BEAM , CONLOAD, GZ, NO , NO, aDir[1], , , , 0.259, -21200, 0, 0, 0, 0, 0, 0, , NO, 0, 0, NO,
2140, BEAM , CONLOAD, GZ, NO , NO, aDir[1], , , , 0.259, -21200, 0, 0, 0, 0, 0, 0, , NO, 0, 0, NO,
2141, BEAM , CONLOAD, GZ, NO , NO, aDir[1], , , , 0.259, -21200, 0, 0, 0, 0, 0, 0, , NO, 0, 0, NO,
2142, BEAM , CONLOAD, GZ, NO , NO, aDir[1], , , , 0.259, -24900, 0, 0, 0, 0, 0, 0, , NO, 0, 0, NO,
2143, BEAM , CONLOAD, GZ, NO , NO, aDir[1], , , , 0.259, -25900, 0, 0, 0, 0, 0, 0, , NO, 0, 0, NO,
2144, BEAM , CONLOAD, GZ, NO , NO, aDir[1], , , , 0.259, -23200, 0, 0, 0, 0, 0, 0, , NO, 0, 0, NO,
2145, BEAM , CONLOAD, GZ, NO , NO, aDir[1], , , , 0.259, -23200, 0, 0, 0, 0, 0, 0, , NO, 0, 0, NO,
2146, BEAM , CONLOAD, GZ, NO , NO, aDir[1], , , , 0.259, -23200, 0, 0, 0, 0, 0, 0, , NO, 0, 0, NO,
2147, BEAM , CONLOAD, GZ, NO , NO, aDir[1], , , , 0.259, -23200, 0, 0, 0, 0, 0, 0, , NO, 0, 0, NO,
2148, BEAM , CONLOAD, GZ, NO , NO, aDir[1], , , , 0.259, -23200, 0, 0, 0, 0, 0, 0, , NO, 0, 0, NO,
2149, BEAM , CONLOAD, GZ, NO , NO, aDir[1], , , , 0.259, -23200, 0, 0, 0, 0, 0, 0, , NO, 0, 0, NO,
2150, BEAM , CONLOAD, GZ, NO , NO, aDir[1], , , , 0.259, -26400, 0, 0, 0, 0, 0, 0, , NO, 0, 0, NO,
2151, BEAM , CONLOAD, GZ, NO , NO, aDir[1], , , , 0.259, -26400, 0, 0, 0, 0, 0, 0, , NO, 0, 0, NO,
2152, BEAM , CONLOAD, GZ, NO , NO, aDir[1], , , , 0.259, -23200, 0, 0, 0, 0, 0, 0, , NO, 0, 0, NO,
2153, BEAM , CONLOAD, GZ, NO , NO, aDir[1], , , , 0.259, -23200, 0, 0, 0, 0, 0, 0, , NO, 0, 0, NO,
2154, BEAM , CONLOAD, GZ, NO , NO, aDir[1], , , , 0.259, -23200, 0, 0, 0, 0, 0, 0, , NO, 0, 0, NO,
2155, BEAM , CONLOAD, GZ, NO , NO, aDir[1], , , , 0.259, -23200, 0, 0, 0, 0, 0, 0, , NO, 0, 0, NO,
2156, BEAM , CONLOAD, GZ, NO , NO, aDir[1], , , , 0.259, -23200, 0, 0, 0, 0, 0, 0, , NO, 0, 0, NO,
2157, BEAM , CONLOAD, GZ, NO , NO, aDir[1], , , , 0.259, -23200, 0, 0, 0, 0, 0, 0, , NO, 0, 0, NO,
2158, BEAM , CONLOAD, GZ, NO , NO, aDir[1], , , , 0.259, -26400, 0, 0, 0, 0, 0, 0, , NO, 0, 0, NO,
2159, BEAM , CONLOAD, GZ, NO , NO, aDir[1], , , , 0.259, -26400, 0, 0, 0, 0, 0, 0, , NO, 0, 0, NO,
2160, BEAM , CONLOAD, GZ, NO , NO, aDir[1], , , , 0.259, -23200, 0, 0, 0, 0, 0, 0, , NO, 0, 0, NO,
2161, BEAM , CONLOAD, GZ, NO , NO, aDir[1], , , , 0.259, -23200, 0, 0, 0, 0, 0, 0, , NO, 0, 0, NO,
2162, BEAM , CONLOAD, GZ, NO , NO, aDir[1], , , , 0.259, -23200, 0, 0, 0, 0, 0, 0, , NO, 0, 0, NO,
2163, BEAM , CONLOAD, GZ, NO , NO, aDir[1], , , , 0.259, -23200, 0, 0, 0, 0, 0, 0, , NO, 0, 0, NO,
2164, BEAM , CONLOAD, GZ, NO , NO, aDir[1], , , , 0.259, -23200, 0, 0, 0, 0, 0, 0, , NO, 0, 0, NO,
2165, BEAM , CONLOAD, GZ, NO , NO, aDir[1], , , , 0.259, -23200, 0, 0, 0, 0, 0, 0, , NO, 0, 0, NO,
2166, BEAM , CONLOAD, GZ, NO , NO, aDir[1], , , , 0.259, -26400, 0, 0, 0, 0, 0, 0, , NO, 0, 0, NO,
2167, BEAM , CONLOAD, GZ, NO , NO, aDir[1], , , , 0.259, -26400, 0, 0, 0, 0, 0, 0, , NO, 0, 0, NO,
2168, BEAM , CONLOAD, GZ, NO , NO, aDir[1], , , , 0.259, -23200, 0, 0, 0, 0, 0, 0, , NO, 0, 0, NO,
2169, BEAM , CONLOAD, GZ, NO , NO, aDir[1], , , , 0.259, -23200, 0, 0, 0, 0, 0, 0, , NO, 0, 0, NO,
2170, BEAM , CONLOAD, GZ, NO , NO, aDir[1], , , , 0.259, -23200, 0, 0, 0, 0, 0, 0, , NO, 0, 0, NO,
2171, BEAM , CONLOAD, GZ, NO , NO, aDir[1], , , , 0.259, -23200, 0, 0, 0, 0, 0, 0, , NO, 0, 0, NO,
2172, BEAM , CONLOAD, GZ, NO , NO, aDir[1], , , , 0.259, -23200, 0, 0, 0, 0, 0, 0, , NO, 0, 0, NO,
2173, BEAM , CONLOAD, GZ, NO , NO, aDir[1], , , , 0.259, -23200, 0, 0, 0, 0, 0, 0, , NO, 0, 0, NO,
2174, BEAM , CONLOAD, GZ, NO , NO, aDir[1], , , , 0.259, -26400, 0, 0, 0, 0, 0, 0, , NO, 0, 0, NO,
2175, BEAM , CONLOAD, GZ, NO , NO, aDir[1], , , , 0.259, -26400, 0, 0, 0, 0, 0, 0, , NO, 0, 0, NO,
2176, BEAM , CONLOAD, GZ, NO , NO, aDir[1], , , , 0.259, -23200, 0, 0, 0, 0, 0, 0, , NO, 0, 0, NO,
2177, BEAM , CONLOAD, GZ, NO , NO, aDir[1], , , , 0.259, -23200, 0, 0, 0, 0, 0, 0, , NO, 0, 0, NO,
2178, BEAM , CONLOAD, GZ, NO , NO, aDir[1], , , , 0.259, -23200, 0, 0, 0, 0, 0, 0, , NO, 0, 0, NO,
2179, BEAM , CONLOAD, GZ, NO , NO, aDir[1], , , , 0.259, -23200, 0, 0, 0, 0, 0, 0, , NO, 0, 0, NO,
2180, BEAM , CONLOAD, GZ, NO , NO, aDir[1], , , , 0.259, -23200, 0, 0, 0, 0, 0, 0, , NO, 0, 0, NO,
2181, BEAM , CONLOAD, GZ, NO , NO, aDir[1], , , , 0.259, -23200, 0, 0, 0, 0, 0, 0, , NO, 0, 0, NO,
2182, BEAM , CONLOAD, GZ, NO , NO, aDir[1], , , , 0.259, -26400, 0, 0, 0, 0, 0, 0, , NO, 0, 0, NO,
2183, BEAM , CONLOAD, GZ, NO , NO, aDir[1], , , , 0.259, -26400, 0, 0, 0, 0, 0, 0, , NO, 0, 0, NO,

2184, BEAM , CONLOAD, GZ, NO , NO, aDir[1], , , , 0.259, -23200, 0, 0, 0, 0, 0, 0, , NO, 0, 0, NO,
2185, BEAM , CONLOAD, GZ, NO , NO, aDir[1], , , , 0.259, -23200, 0, 0, 0, 0, 0, 0, , NO, 0, 0, NO,
2186, BEAM , CONLOAD, GZ, NO , NO, aDir[1], , , , 0.259, -23200, 0, 0, 0, 0, 0, 0, , NO, 0, 0, NO,
2187, BEAM , CONLOAD, GZ, NO , NO, aDir[1], , , , 0.259, -23200, 0, 0, 0, 0, 0, 0, , NO, 0, 0, NO,
2188, BEAM , CONLOAD, GZ, NO , NO, aDir[1], , , , 0.259, -23200, 0, 0, 0, 0, 0, 0, , NO, 0, 0, NO,
2189, BEAM , CONLOAD, GZ, NO , NO, aDir[1], , , , 0.259, -23200, 0, 0, 0, 0, 0, 0, , NO, 0, 0, NO,
2190, BEAM , CONLOAD, GZ, NO , NO, aDir[1], , , , 0.259, -26400, 0, 0, 0, 0, 0, 0, , NO, 0, 0, NO,
2191, BEAM , CONLOAD, GZ, NO , NO, aDir[1], , , , 0.259, -26400, 0, 0, 0, 0, 0, 0, , NO, 0, 0, NO,
2192, BEAM , CONLOAD, GZ, NO , NO, aDir[1], , , , 0.259, -23200, 0, 0, 0, 0, 0, 0, , NO, 0, 0, NO,
2193, BEAM , CONLOAD, GZ, NO , NO, aDir[1], , , , 0.259, -23200, 0, 0, 0, 0, 0, 0, , NO, 0, 0, NO,
2194, BEAM , CONLOAD, GZ, NO , NO, aDir[1], , , , 0.259, -23200, 0, 0, 0, 0, 0, 0, , NO, 0, 0, NO,
2195, BEAM , CONLOAD, GZ, NO , NO, aDir[1], , , , 0.259, -23200, 0, 0, 0, 0, 0, 0, , NO, 0, 0, NO,
2196, BEAM , CONLOAD, GZ, NO , NO, aDir[1], , , , 0.259, -23200, 0, 0, 0, 0, 0, 0, , NO, 0, 0, NO,
2197, BEAM , CONLOAD, GZ, NO , NO, aDir[1], , , , 0.259, -19669, 0, 0, 0, 0, 0, 0, , NO, 0, 0, NO,
2198, BEAM , CONLOAD, GZ, NO , NO, aDir[1], , , , 0.259, -2331.03, 0, 0, 0, 0, 0, 0, , NO, 0, 0, NO,
2199, BEAM , CONLOAD, GZ, NO , NO, aDir[1], , , , 0.259, -35021.6, 0, 0, 0, 0, 0, 0, , NO, 0, 0, NO,
2200, BEAM , CONLOAD, GZ, NO , NO, aDir[1], , , , 0.259, -63577.6, 0, 0, 0, 0, 0, 0, , NO, 0, 0, NO,
2201, BEAM , CONLOAD, GZ, NO , NO, aDir[1], , , , 0.259, -26400.9, 0, 0, 0, 0, 0, 0, , NO, 0, 0, NO,
2202, BEAM , CONLOAD, GZ, NO , NO, aDir[1], , , , 0.259, -9698.28, 0, 0, 0, 0, 0, 0, , NO, 0, 0, NO,
2203, BEAM , CONLOAD, GZ, NO , NO, aDir[1], , , , 0.259, -46336.2, 0, 0, 0, 0, 0, 0, , NO, 0, 0, NO,
2204, BEAM , CONLOAD, GZ, NO , NO, aDir[1], , , , 0.259, -52801.7, 0, 0, 0, 0, 0, 0, , NO, 0, 0, NO,
2205, BEAM , CONLOAD, GZ, NO , NO, aDir[1], , , , 0.259, -16163.8, 0, 0, 0, 0, 0, 0, , NO, 0, 0, NO,
2206, BEAM , CONLOAD, GZ, NO , NO, aDir[1], , , , 0.259, -22381.8, 0, 0, 0, 0, 0, 0, , NO, 0, 0, NO,
2207, BEAM , CONLOAD, GZ, NO , NO, aDir[1], , , , 0.259, -74062.2, 0, 0, 0, 0, 0, 0, , NO, 0, 0, NO,
2208, BEAM , CONLOAD, GZ, NO , NO, aDir[1], , , , 0.259, -28556, 0, 0, 0, 0, 0, 0, , NO, 0, 0, NO,
2209, BEAM , CONLOAD, GZ, NO , NO, aDir[1], , , , 0.259, -7543.1, 0, 0, 0, 0, 0, 0, , NO, 0, 0, NO,
2210, BEAM , CONLOAD, GZ, NO , NO, aDir[1], , , , 0.259, -44181, 0, 0, 0, 0, 0, 0, , NO, 0, 0, NO,
2211, BEAM , CONLOAD, GZ, NO , NO, aDir[1], , , , 0.259, -54956.9, 0, 0, 0, 0, 0, 0, , NO, 0, 0, NO,
2212, BEAM , CONLOAD, GZ, NO , NO, aDir[1], , , , 0.259, -18319, 0, 0, 0, 0, 0, 0, , NO, 0, 0, NO,
2213, BEAM , CONLOAD, GZ, NO , NO, aDir[1], , , , 0.259, -3755.17, 0, 0, 0, 0, 0, 0, , NO, 0, 0, NO,
2214, BEAM , CONLOAD, GZ, NO , NO, aDir[1], , , , 0.259, -24244.8, 0, 0, 0, 0, 0, 0, , NO, 0, 0, NO,
2215, BEAM , CONLOAD, GZ, NO , NO, aDir[1], , , , 0.259, -14800, 0, 0, 0, 0, 0, 0, , NO, 0, 0, NO,

; End of data for load case [MVmaxP71_1PFx244] ----------

*USE-STLD, MVmaxP71_2PFx96

*BEAMLOAD ; Element Beam Loads
; ELEM_LIST, CMD, TYPE, DIR, bPROJ, [ECCEN], [VALUE], GROUP
; ELEM_LIST, CMD, TYPE, TYPE, DIR, VX, VY, VZ, bPROJ, [ECCEN], [VALUE], GROUP
; [VALUE] : D1, P1, D2, P2, D3, P3, D4, P4
; [ECCEN] : bECCEN, ECCDIR, I-END, J-END, bJ-END
; [ADDITIONAL] : bADDITIONAL, ADDITIONAL_I-END, ADDITIONAL_J-END, bADDITIONAL_J-END
1749, BEAM , CONLOAD, GZ, NO , NO, aDir[1], , , , 0.075, -736.987, 0, 0, 0, 0, 0, 0, , NO, 0, 0, NO,
1750, BEAM , CONLOAD, GZ, NO , NO, aDir[1], , , , 0.075, -17363, 0, 0, 0, 0, 0, 0, , NO, 0, 0, NO,
1751, BEAM , CONLOAD, GZ, NO , NO, aDir[1], , , , 0.075, -22000, 0, 0, 0, 0, 0, 0, , NO, 0, 0, NO,
1752, BEAM , CONLOAD, GZ, NO , NO, aDir[1], , , , 0.075, -22000, 0, 0, 0, 0, 0, 0, , NO, 0, 0, NO,
1753, BEAM , CONLOAD, GZ, NO , NO, aDir[1], , , , 0.075, -22000, 0, 0, 0, 0, 0, 0, , NO, 0, 0, NO,
1754, BEAM , CONLOAD, GZ, NO , NO, aDir[1], , , , 0.075, -22000, 0, 0, 0, 0, 0, 0, , NO, 0, 0, NO,
1755, BEAM , CONLOAD, GZ, NO , NO, aDir[1], , , , 0.075, -25100, 0, 0, 0, 0, 0, 0, , NO, 0, 0, NO,
1756, BEAM , CONLOAD, GZ, NO , NO, aDir[1], , , , 0.075, -25100, 0, 0, 0, 0, 0, 0, , NO, 0, 0, NO,
1757, BEAM , CONLOAD, GZ, NO , NO, aDir[1], , , , 0.075, -22000, 0, 0, 0, 0, 0, 0, , NO, 0, 0, NO,
1758, BEAM , CONLOAD, GZ, NO , NO, aDir[1], , , , 0.075, -22000, 0, 0, 0, 0, 0, 0, , NO, 0, 0, NO,
1759, BEAM , CONLOAD, GZ, NO , NO, aDir[1], , , , 0.075, -22000, 0, 0, 0, 0, 0, 0, , NO, 0, 0, NO,
1760, BEAM , CONLOAD, GZ, NO , NO, aDir[1], , , , 0.075, -22000, 0, 0, 0, 0, 0, 0, , NO, 0, 0, NO,
1761, BEAM , CONLOAD, GZ, NO , NO, aDir[1], , , , 0.075, -22000, 0, 0, 0, 0, 0, 0, , NO, 0, 0, NO,
1762, BEAM , CONLOAD, GZ, NO , NO, aDir[1], , , , 0.075, -24900, 0, 0, 0, 0, 0, 0, , NO, 0, 0, NO,
1763, BEAM , CONLOAD, GZ, NO , NO, aDir[1], , , , 0.075, -24500, 0, 0, 0, 0, 0, 0, , NO, 0, 0, NO,
1764, BEAM , CONLOAD, GZ, NO , NO, aDir[1], , , , 0.075, -21200, 0, 0, 0, 0, 0, 0, , NO, 0, 0, NO,
1765, BEAM , CONLOAD, GZ, NO , NO, aDir[1], , , , 0.075, -21200, 0, 0, 0, 0, 0, 0, , NO, 0, 0, NO,
1766, BEAM , CONLOAD, GZ, NO , NO, aDir[1], , , , 0.075, -21200, 0, 0, 0, 0, 0, 0, , NO, 0, 0, NO,
1767, BEAM , CONLOAD, GZ, NO , NO, aDir[1], , , , 0.075, -21200, 0, 0, 0, 0, 0, 0, , NO, 0, 0, NO,
1768, BEAM , CONLOAD, GZ, NO , NO, aDir[1], , , , 0.075, -21200, 0, 0, 0, 0, 0, 0, , NO, 0, 0, NO,
1769, BEAM , CONLOAD, GZ, NO , NO, aDir[1], , , , 0.075, -21200, 0, 0, 0, 0, 0, 0, , NO, 0, 0, NO,
1770, BEAM , CONLOAD, GZ, NO , NO, aDir[1], , , , 0.075, -24900, 0, 0, 0, 0, 0, 0, , NO, 0, 0, NO,
1771, BEAM , CONLOAD, GZ, NO , NO, aDir[1], , , , 0.075, -25900, 0, 0, 0, 0, 0, 0, , NO, 0, 0, NO,
1772, BEAM , CONLOAD, GZ, NO , NO, aDir[1], , , , 0.075, -23200, 0, 0, 0, 0, 0, 0, , NO, 0, 0, NO,
1773, BEAM , CONLOAD, GZ, NO , NO, aDir[1], , , , 0.075, -23200, 0, 0, 0, 0, 0, 0, , NO, 0, 0, NO,
1774, BEAM , CONLOAD, GZ, NO , NO, aDir[1], , , , 0.075, -23200, 0, 0, 0, 0, 0, 0, , NO, 0, 0, NO,
1775, BEAM , CONLOAD, GZ, NO , NO, aDir[1], , , , 0.075, -23200, 0, 0, 0, 0, 0, 0, , NO, 0, 0, NO,
1776, BEAM , CONLOAD, GZ, NO , NO, aDir[1], , , , 0.075, -23200, 0, 0, 0, 0, 0, 0, , NO, 0, 0, NO,
1777, BEAM , CONLOAD, GZ, NO , NO, aDir[1], , , , 0.075, -23200, 0, 0, 0, 0, 0, 0, , NO, 0, 0, NO,

PROJECT TITLE :

MIDAS	Company		Client	
	Author		File Name	H2D_3Dg_v14_180227_StatLM.mct

1778, BEAM , CONLOAD, GZ, NO , NO, aDir[1], , , , 0.075, -26400, 0, 0, 0, 0, 0, 0, , NO, 0, 0, NO,
1779, BEAM , CONLOAD, GZ, NO , NO, aDir[1], , , , 0.075, -26400, 0, 0, 0, 0, 0, 0, , NO, 0, 0, NO,
1780, BEAM , CONLOAD, GZ, NO , NO, aDir[1], , , , 0.075, -23200, 0, 0, 0, 0, 0, 0, , NO, 0, 0, NO,
1781, BEAM , CONLOAD, GZ, NO , NO, aDir[1], , , , 0.075, -23200, 0, 0, 0, 0, 0, 0, , NO, 0, 0, NO,
1782, BEAM , CONLOAD, GZ, NO , NO, aDir[1], , , , 0.075, -23200, 0, 0, 0, 0, 0, 0, , NO, 0, 0, NO,
1783, BEAM , CONLOAD, GZ, NO , NO, aDir[1], , , , 0.075, -23200, 0, 0, 0, 0, 0, 0, , NO, 0, 0, NO,
1784, BEAM , CONLOAD, GZ, NO , NO, aDir[1], , , , 0.075, -23200, 0, 0, 0, 0, 0, 0, , NO, 0, 0, NO,
1785, BEAM , CONLOAD, GZ, NO , NO, aDir[1], , , , 0.075, -23200, 0, 0, 0, 0, 0, 0, , NO, 0, 0, NO,
1786, BEAM , CONLOAD, GZ, NO , NO, aDir[1], , , , 0.075, -26400, 0, 0, 0, 0, 0, 0, , NO, 0, 0, NO,
1787, BEAM , CONLOAD, GZ, NO , NO, aDir[1], , , , 0.075, -26400, 0, 0, 0, 0, 0, 0, , NO, 0, 0, NO,
1788, BEAM , CONLOAD, GZ, NO , NO, aDir[1], , , , 0.075, -23200, 0, 0, 0, 0, 0, 0, , NO, 0, 0, NO,
1789, BEAM , CONLOAD, GZ, NO , NO, aDir[1], , , , 0.075, -23200, 0, 0, 0, 0, 0, 0, , NO, 0, 0, NO,
1790, BEAM , CONLOAD, GZ, NO , NO, aDir[1], , , , 0.075, -23200, 0, 0, 0, 0, 0, 0, , NO, 0, 0, NO,
1791, BEAM , CONLOAD, GZ, NO , NO, aDir[1], , , , 0.075, -23200, 0, 0, 0, 0, 0, 0, , NO, 0, 0, NO,
1792, BEAM , CONLOAD, GZ, NO , NO, aDir[1], , , , 0.075, -23200, 0, 0, 0, 0, 0, 0, , NO, 0, 0, NO,
1793, BEAM , CONLOAD, GZ, NO , NO, aDir[1], , , , 0.075, -23200, 0, 0, 0, 0, 0, 0, , NO, 0, 0, NO,
1794, BEAM , CONLOAD, GZ, NO , NO, aDir[1], , , , 0.075, -26400, 0, 0, 0, 0, 0, 0, , NO, 0, 0, NO,
1795, BEAM , CONLOAD, GZ, NO , NO, aDir[1], , , , 0.075, -26400, 0, 0, 0, 0, 0, 0, , NO, 0, 0, NO,
1796, BEAM , CONLOAD, GZ, NO , NO, aDir[1], , , , 0.075, -23200, 0, 0, 0, 0, 0, 0, , NO, 0, 0, NO,
1797, BEAM , CONLOAD, GZ, NO , NO, aDir[1], , , , 0.075, -23200, 0, 0, 0, 0, 0, 0, , NO, 0, 0, NO,
1798, BEAM , CONLOAD, GZ, NO , NO, aDir[1], , , , 0.075, -23200, 0, 0, 0, 0, 0, 0, , NO, 0, 0, NO,
1799, BEAM , CONLOAD, GZ, NO , NO, aDir[1], , , , 0.075, -23200, 0, 0, 0, 0, 0, 0, , NO, 0, 0, NO,
1800, BEAM , CONLOAD, GZ, NO , NO, aDir[1], , , , 0.075, -23200, 0, 0, 0, 0, 0, 0, , NO, 0, 0, NO,
1801, BEAM , CONLOAD, GZ, NO , NO, aDir[1], , , , 0.075, -23200, 0, 0, 0, 0, 0, 0, , NO, 0, 0, NO,
1802, BEAM , CONLOAD, GZ, NO , NO, aDir[1], , , , 0.075, -26400, 0, 0, 0, 0, 0, 0, , NO, 0, 0, NO,
1803, BEAM , CONLOAD, GZ, NO , NO, aDir[1], , , , 0.075, -26400, 0, 0, 0, 0, 0, 0, , NO, 0, 0, NO,
1804, BEAM , CONLOAD, GZ, NO , NO, aDir[1], , , , 0.075, -23200, 0, 0, 0, 0, 0, 0, , NO, 0, 0, NO,
1805, BEAM , CONLOAD, GZ, NO , NO, aDir[1], , , , 0.075, -23200, 0, 0, 0, 0, 0, 0, , NO, 0, 0, NO,
1806, BEAM , CONLOAD, GZ, NO , NO, aDir[1], , , , 0.075, -23200, 0, 0, 0, 0, 0, 0, , NO, 0, 0, NO,
1807, BEAM , CONLOAD, GZ, NO , NO, aDir[1], , , , 0.075, -23200, 0, 0, 0, 0, 0, 0, , NO, 0, 0, NO,
1808, BEAM , CONLOAD, GZ, NO , NO, aDir[1], , , , 0.075, -23200, 0, 0, 0, 0, 0, 0, , NO, 0, 0, NO,
1809, BEAM , CONLOAD, GZ, NO , NO, aDir[1], , , , 0.075, -19669, 0, 0, 0, 0, 0, 0, , NO, 0, 0, NO,
1810, BEAM , CONLOAD, GZ, NO , NO, aDir[1], , , , 0.075, -2331.03, 0, 0, 0, 0, 0, 0, , NO, 0, 0, NO,
1811, BEAM , CONLOAD, GZ, NO , NO, aDir[1], , , , 0.075, -35021.6, 0, 0, 0, 0, 0, 0, , NO, 0, 0, NO,
1812, BEAM , CONLOAD, GZ, NO , NO, aDir[1], , , , 0.075, -63577.6, 0, 0, 0, 0, 0, 0, , NO, 0, 0, NO,
1813, BEAM , CONLOAD, GZ, NO , NO, aDir[1], , , , 0.075, -26400.9, 0, 0, 0, 0, 0, 0, , NO, 0, 0, NO,
1814, BEAM , CONLOAD, GZ, NO , NO, aDir[1], , , , 0.075, -9698.28, 0, 0, 0, 0, 0, 0, , NO, 0, 0, NO,
1815, BEAM , CONLOAD, GZ, NO , NO, aDir[1], , , , 0.075, -46336.2, 0, 0, 0, 0, 0, 0, , NO, 0, 0, NO,
1816, BEAM , CONLOAD, GZ, NO , NO, aDir[1], , , , 0.075, -52801.7, 0, 0, 0, 0, 0, 0, , NO, 0, 0, NO,
1817, BEAM , CONLOAD, GZ, NO , NO, aDir[1], , , , 0.075, -16163.8, 0, 0, 0, 0, 0, 0, , NO, 0, 0, NO,
1818, BEAM , CONLOAD, GZ, NO , NO, aDir[1], , , , 0.075, -22381.8, 0, 0, 0, 0, 0, 0, , NO, 0, 0, NO,
1819, BEAM , CONLOAD, GZ, NO , NO, aDir[1], , , , 0.075, -74062.2, 0, 0, 0, 0, 0, 0, , NO, 0, 0, NO,
1820, BEAM , CONLOAD, GZ, NO , NO, aDir[1], , , , 0.075, -28556, 0, 0, 0, 0, 0, 0, , NO, 0, 0, NO,
1821, BEAM , CONLOAD, GZ, NO , NO, aDir[1], , , , 0.075, -7543.1, 0, 0, 0, 0, 0, 0, , NO, 0, 0, NO,
1822, BEAM , CONLOAD, GZ, NO , NO, aDir[1], , , , 0.075, -44181, 0, 0, 0, 0, 0, 0, , NO, 0, 0, NO,
1823, BEAM , CONLOAD, GZ, NO , NO, aDir[1], , , , 0.075, -54956.9, 0, 0, 0, 0, 0, 0, , NO, 0, 0, NO,
1824, BEAM , CONLOAD, GZ, NO , NO, aDir[1], , , , 0.075, -18319, 0, 0, 0, 0, 0, 0, , NO, 0, 0, NO,
1825, BEAM , CONLOAD, GZ, NO , NO, aDir[1], , , , 0.075, -3755.17, 0, 0, 0, 0, 0, 0, , NO, 0, 0, NO,
1826, BEAM , CONLOAD, GZ, NO , NO, aDir[1], , , , 0.075, -24244.8, 0, 0, 0, 0, 0, 0, , NO, 0, 0, NO,
1827, BEAM , CONLOAD, GZ, NO , NO, aDir[1], , , , 0.075, -26400, 0, 0, 0, 0, 0, 0, , NO, 0, 0, NO,
1828, BEAM , CONLOAD, GZ, NO , NO, aDir[1], , , , 0.075, -23200, 0, 0, 0, 0, 0, 0, , NO, 0, 0, NO,
1829, BEAM , CONLOAD, GZ, NO , NO, aDir[1], , , , 0.075, -23200, 0, 0, 0, 0, 0, 0, , NO, 0, 0, NO,
1830, BEAM , CONLOAD, GZ, NO , NO, aDir[1], , , , 0.075, -23200, 0, 0, 0, 0, 0, 0, , NO, 0, 0, NO,
1831, BEAM , CONLOAD, GZ, NO , NO, aDir[1], , , , 0.075, -23200, 0, 0, 0, 0, 0, 0, , NO, 0, 0, NO,
1832, BEAM , CONLOAD, GZ, NO , NO, aDir[1], , , , 0.075, -23200, 0, 0, 0, 0, 0, 0, , NO, 0, 0, NO,
1833, BEAM , CONLOAD, GZ, NO , NO, aDir[1], , , , 0.075, -23200, 0, 0, 0, 0, 0, 0, , NO, 0, 0, NO,
1834, BEAM , CONLOAD, GZ, NO , NO, aDir[1], , , , 0.075, -26400, 0, 0, 0, 0, 0, 0, , NO, 0, 0, NO,
1835, BEAM , CONLOAD, GZ, NO , NO, aDir[1], , , , 0.075, -26400, 0, 0, 0, 0, 0, 0, , NO, 0, 0, NO,
1836, BEAM , CONLOAD, GZ, NO , NO, aDir[1], , , , 0.075, -23200, 0, 0, 0, 0, 0, 0, , NO, 0, 0, NO,
1837, BEAM , CONLOAD, GZ, NO , NO, aDir[1], , , , 0.075, -23200, 0, 0, 0, 0, 0, 0, , NO, 0, 0, NO,
1838, BEAM , CONLOAD, GZ, NO , NO, aDir[1], , , , 0.075, -23200, 0, 0, 0, 0, 0, 0, , NO, 0, 0, NO,
1839, BEAM , CONLOAD, GZ, NO , NO, aDir[1], , , , 0.075, -23200, 0, 0, 0, 0, 0, 0, , NO, 0, 0, NO,
1840, BEAM , CONLOAD, GZ, NO , NO, aDir[1], , , , 0.075, -23200, 0, 0, 0, 0, 0, 0, , NO, 0, 0, NO,
1841, BEAM , CONLOAD, GZ, NO , NO, aDir[1], , , , 0.075, -23200, 0, 0, 0, 0, 0, 0, , NO, 0, 0, NO,
1842, BEAM , CONLOAD, GZ, NO , NO, aDir[1], , , , 0.075, -26400, 0, 0, 0, 0, 0, 0, , NO, 0, 0, NO,
1843, BEAM , CONLOAD, GZ, NO , NO, aDir[1], , , , 0.075, -26400, 0, 0, 0, 0, 0, 0, , NO, 0, 0, NO,
1844, BEAM , CONLOAD, GZ, NO , NO, aDir[1], , , , 0.075, -23200, 0, 0, 0, 0, 0, 0, , NO, 0, 0, NO,
1845, BEAM , CONLOAD, GZ, NO , NO, aDir[1], , , , 0.075, -23200, 0, 0, 0, 0, 0, 0, , NO, 0, 0, NO,
1846, BEAM , CONLOAD, GZ, NO , NO, aDir[1], , , , 0.075, -23200, 0, 0, 0, 0, 0, 0, , NO, 0, 0, NO,
1847, BEAM , CONLOAD, GZ, NO , NO, aDir[1], , , , 0.075, -23200, 0, 0, 0, 0, 0, 0, , NO, 0, 0, NO,
1848, BEAM , CONLOAD, GZ, NO , NO, aDir[1], , , , 0.075, -23200, 0, 0, 0, 0, 0, 0, , NO, 0, 0, NO,
1849, BEAM , CONLOAD, GZ, NO , NO, aDir[1], , , , 0.075, -23200, 0, 0, 0, 0, 0, 0, , NO, 0, 0, NO,

PROJECT TITLE :

MIDAS	Company		Client	
	Author		File Name	H2D_3Dg_v14_180227_StatLM.mct

1850, BEAM , CONLOAD, GZ, NO , NO, aDir[1], , , , 0.075, -25900, 0, 0, 0, 0, 0, 0, , NO, 0, 0, NO,
1851, BEAM , CONLOAD, GZ, NO , NO, aDir[1], , , , 0.075, -24900, 0, 0, 0, 0, 0, 0, , NO, 0, 0, NO,
1852, BEAM , CONLOAD, GZ, NO , NO, aDir[1], , , , 0.075, -21200, 0, 0, 0, 0, 0, 0, , NO, 0, 0, NO,
1853, BEAM , CONLOAD, GZ, NO , NO, aDir[1], , , , 0.075, -21200, 0, 0, 0, 0, 0, 0, , NO, 0, 0, NO,
1854, BEAM , CONLOAD, GZ, NO , NO, aDir[1], , , , 0.075, -21200, 0, 0, 0, 0, 0, 0, , NO, 0, 0, NO,
1855, BEAM , CONLOAD, GZ, NO , NO, aDir[1], , , , 0.075, -21200, 0, 0, 0, 0, 0, 0, , NO, 0, 0, NO,
1856, BEAM , CONLOAD, GZ, NO , NO, aDir[1], , , , 0.075, -21200, 0, 0, 0, 0, 0, 0, , NO, 0, 0, NO,
1857, BEAM , CONLOAD, GZ, NO , NO, aDir[1], , , , 0.075, -21200, 0, 0, 0, 0, 0, 0, , NO, 0, 0, NO,
1858, BEAM , CONLOAD, GZ, NO , NO, aDir[1], , , , 0.075, -24500, 0, 0, 0, 0, 0, 0, , NO, 0, 0, NO,
1859, BEAM , CONLOAD, GZ, NO , NO, aDir[1], , , , 0.075, -24900, 0, 0, 0, 0, 0, 0, , NO, 0, 0, NO,
1860, BEAM , CONLOAD, GZ, NO , NO, aDir[1], , , , 0.075, -22000, 0, 0, 0, 0, 0, 0, , NO, 0, 0, NO,
1861, BEAM , CONLOAD, GZ, NO , NO, aDir[1], , , , 0.075, -22000, 0, 0, 0, 0, 0, 0, , NO, 0, 0, NO,
1862, BEAM , CONLOAD, GZ, NO , NO, aDir[1], , , , 0.075, -22000, 0, 0, 0, 0, 0, 0, , NO, 0, 0, NO,
1863, BEAM , CONLOAD, GZ, NO , NO, aDir[1], , , , 0.075, -22000, 0, 0, 0, 0, 0, 0, , NO, 0, 0, NO,
1864, BEAM , CONLOAD, GZ, NO , NO, aDir[1], , , , 0.075, -22000, 0, 0, 0, 0, 0, 0, , NO, 0, 0, NO,
1865, BEAM , CONLOAD, GZ, NO , NO, aDir[1], , , , 0.075, -25100, 0, 0, 0, 0, 0, 0, , NO, 0, 0, NO,
1866, BEAM , CONLOAD, GZ, NO , NO, aDir[1], , , , 0.075, -25100, 0, 0, 0, 0, 0, 0, , NO, 0, 0, NO,
1867, BEAM , CONLOAD, GZ, NO , NO, aDir[1], , , , 0.075, -22000, 0, 0, 0, 0, 0, 0, , NO, 0, 0, NO,
1868, BEAM , CONLOAD, GZ, NO , NO, aDir[1], , , , 0.075, -22000, 0, 0, 0, 0, 0, 0, , NO, 0, 0, NO,
1869, BEAM , CONLOAD, GZ, NO , NO, aDir[1], , , , 0.075, -22000, 0, 0, 0, 0, 0, 0, , NO, 0, 0, NO,
1870, BEAM , CONLOAD, GZ, NO , NO, aDir[1], , , , 0.075, -22000, 0, 0, 0, 0, 0, 0, , NO, 0, 0, NO,
1871, BEAM , CONLOAD, GZ, NO , NO, aDir[1], , , , 0.075, -11000, 0, 0, 0, 0, 0, 0, , NO, 0, 0, NO,
1873, BEAM , CONLOAD, GZ, NO , NO, aDir[1], , , , 0.741, -736.987, 0, 0, 0, 0, 0, 0, , NO, 0, 0, NO,
1874, BEAM , CONLOAD, GZ, NO , NO, aDir[1], , , , 0.741, -17363, 0, 0, 0, 0, 0, 0, , NO, 0, 0, NO,
1875, BEAM , CONLOAD, GZ, NO , NO, aDir[1], , , , 0.741, -22000, 0, 0, 0, 0, 0, 0, , NO, 0, 0, NO,
1876, BEAM , CONLOAD, GZ, NO , NO, aDir[1], , , , 0.741, -22000, 0, 0, 0, 0, 0, 0, , NO, 0, 0, NO,
1877, BEAM , CONLOAD, GZ, NO , NO, aDir[1], , , , 0.741, -22000, 0, 0, 0, 0, 0, 0, , NO, 0, 0, NO,
1878, BEAM , CONLOAD, GZ, NO , NO, aDir[1], , , , 0.741, -22000, 0, 0, 0, 0, 0, 0, , NO, 0, 0, NO,
1879, BEAM , CONLOAD, GZ, NO , NO, aDir[1], , , , 0.741, -25100, 0, 0, 0, 0, 0, 0, , NO, 0, 0, NO,
1880, BEAM , CONLOAD, GZ, NO , NO, aDir[1], , , , 0.741, -25100, 0, 0, 0, 0, 0, 0, , NO, 0, 0, NO,
1881, BEAM , CONLOAD, GZ, NO , NO, aDir[1], , , , 0.741, -22000, 0, 0, 0, 0, 0, 0, , NO, 0, 0, NO,
1882, BEAM , CONLOAD, GZ, NO , NO, aDir[1], , , , 0.741, -22000, 0, 0, 0, 0, 0, 0, , NO, 0, 0, NO,
1883, BEAM , CONLOAD, GZ, NO , NO, aDir[1], , , , 0.741, -22000, 0, 0, 0, 0, 0, 0, , NO, 0, 0, NO,
1884, BEAM , CONLOAD, GZ, NO , NO, aDir[1], , , , 0.741, -22000, 0, 0, 0, 0, 0, 0, , NO, 0, 0, NO,
1885, BEAM , CONLOAD, GZ, NO , NO, aDir[1], , , , 0.741, -22000, 0, 0, 0, 0, 0, 0, , NO, 0, 0, NO,
1886, BEAM , CONLOAD, GZ, NO , NO, aDir[1], , , , 0.741, -24900, 0, 0, 0, 0, 0, 0, , NO, 0, 0, NO,
1887, BEAM , CONLOAD, GZ, NO , NO, aDir[1], , , , 0.741, -24500, 0, 0, 0, 0, 0, 0, , NO, 0, 0, NO,
1888, BEAM , CONLOAD, GZ, NO , NO, aDir[1], , , , 0.741, -21200, 0, 0, 0, 0, 0, 0, , NO, 0, 0, NO,
1889, BEAM , CONLOAD, GZ, NO , NO, aDir[1], , , , 0.741, -21200, 0, 0, 0, 0, 0, 0, , NO, 0, 0, NO,
1890, BEAM , CONLOAD, GZ, NO , NO, aDir[1], , , , 0.741, -21200, 0, 0, 0, 0, 0, 0, , NO, 0, 0, NO,
1891, BEAM , CONLOAD, GZ, NO , NO, aDir[1], , , , 0.741, -21200, 0, 0, 0, 0, 0, 0, , NO, 0, 0, NO,
1892, BEAM , CONLOAD, GZ, NO , NO, aDir[1], , , , 0.741, -21200, 0, 0, 0, 0, 0, 0, , NO, 0, 0, NO,
1893, BEAM , CONLOAD, GZ, NO , NO, aDir[1], , , , 0.741, -21200, 0, 0, 0, 0, 0, 0, , NO, 0, 0, NO,
1894, BEAM , CONLOAD, GZ, NO , NO, aDir[1], , , , 0.741, -24900, 0, 0, 0, 0, 0, 0, , NO, 0, 0, NO,
1895, BEAM , CONLOAD, GZ, NO , NO, aDir[1], , , , 0.741, -25900, 0, 0, 0, 0, 0, 0, , NO, 0, 0, NO,
1896, BEAM , CONLOAD, GZ, NO , NO, aDir[1], , , , 0.741, -23200, 0, 0, 0, 0, 0, 0, , NO, 0, 0, NO,
1897, BEAM , CONLOAD, GZ, NO , NO, aDir[1], , , , 0.741, -23200, 0, 0, 0, 0, 0, 0, , NO, 0, 0, NO,
1898, BEAM , CONLOAD, GZ, NO , NO, aDir[1], , , , 0.741, -23200, 0, 0, 0, 0, 0, 0, , NO, 0, 0, NO,
1899, BEAM , CONLOAD, GZ, NO , NO, aDir[1], , , , 0.741, -23200, 0, 0, 0, 0, 0, 0, , NO, 0, 0, NO,
1900, BEAM , CONLOAD, GZ, NO , NO, aDir[1], , , , 0.741, -23200, 0, 0, 0, 0, 0, 0, , NO, 0, 0, NO,
1901, BEAM , CONLOAD, GZ, NO , NO, aDir[1], , , , 0.741, -23200, 0, 0, 0, 0, 0, 0, , NO, 0, 0, NO,
1902, BEAM , CONLOAD, GZ, NO , NO, aDir[1], , , , 0.741, -26400, 0, 0, 0, 0, 0, 0, , NO, 0, 0, NO,
1903, BEAM , CONLOAD, GZ, NO , NO, aDir[1], , , , 0.741, -26400, 0, 0, 0, 0, 0, 0, , NO, 0, 0, NO,
1904, BEAM , CONLOAD, GZ, NO , NO, aDir[1], , , , 0.741, -23200, 0, 0, 0, 0, 0, 0, , NO, 0, 0, NO,
1905, BEAM , CONLOAD, GZ, NO , NO, aDir[1], , , , 0.741, -23200, 0, 0, 0, 0, 0, 0, , NO, 0, 0, NO,
1906, BEAM , CONLOAD, GZ, NO , NO, aDir[1], , , , 0.741, -23200, 0, 0, 0, 0, 0, 0, , NO, 0, 0, NO,
1907, BEAM , CONLOAD, GZ, NO , NO, aDir[1], , , , 0.741, -23200, 0, 0, 0, 0, 0, 0, , NO, 0, 0, NO,
1908, BEAM , CONLOAD, GZ, NO , NO, aDir[1], , , , 0.741, -23200, 0, 0, 0, 0, 0, 0, , NO, 0, 0, NO,
1909, BEAM , CONLOAD, GZ, NO , NO, aDir[1], , , , 0.741, -23200, 0, 0, 0, 0, 0, 0, , NO, 0, 0, NO,
1910, BEAM , CONLOAD, GZ, NO , NO, aDir[1], , , , 0.741, -26400, 0, 0, 0, 0, 0, 0, , NO, 0, 0, NO,
1911, BEAM , CONLOAD, GZ, NO , NO, aDir[1], , , , 0.741, -26400, 0, 0, 0, 0, 0, 0, , NO, 0, 0, NO,
1912, BEAM , CONLOAD, GZ, NO , NO, aDir[1], , , , 0.741, -23200, 0, 0, 0, 0, 0, 0, , NO, 0, 0, NO,
1913, BEAM , CONLOAD, GZ, NO , NO, aDir[1], , , , 0.741, -23200, 0, 0, 0, 0, 0, 0, , NO, 0, 0, NO,
1914, BEAM , CONLOAD, GZ, NO , NO, aDir[1], , , , 0.741, -23200, 0, 0, 0, 0, 0, 0, , NO, 0, 0, NO,
1915, BEAM , CONLOAD, GZ, NO , NO, aDir[1], , , , 0.741, -23200, 0, 0, 0, 0, 0, 0, , NO, 0, 0, NO,
1916, BEAM , CONLOAD, GZ, NO , NO, aDir[1], , , , 0.741, -23200, 0, 0, 0, 0, 0, 0, , NO, 0, 0, NO,
1917, BEAM , CONLOAD, GZ, NO , NO, aDir[1], , , , 0.741, -23200, 0, 0, 0, 0, 0, 0, , NO, 0, 0, NO,
1918, BEAM , CONLOAD, GZ, NO , NO, aDir[1], , , , 0.741, -26400, 0, 0, 0, 0, 0, 0, , NO, 0, 0, NO,
1919, BEAM , CONLOAD, GZ, NO , NO, aDir[1], , , , 0.741, -26400, 0, 0, 0, 0, 0, 0, , NO, 0, 0, NO,
1920, BEAM , CONLOAD, GZ, NO , NO, aDir[1], , , , 0.741, -23200, 0, 0, 0, 0, 0, 0, , NO, 0, 0, NO,
1921, BEAM , CONLOAD, GZ, NO , NO, aDir[1], , , , 0.741, -23200, 0, 0, 0, 0, 0, 0, , NO, 0, 0, NO,
1922, BEAM , CONLOAD, GZ, NO , NO, aDir[1], , , , 0.741, -23200, 0, 0, 0, 0, 0, 0, , NO, 0, 0, NO,

PROJECT TITLE :

MIDAS	Company		Client	
	Author		File Name	H2D_3Dg_v14_180227_StatLM.mct

1923, BEAM , CONLOAD, GZ, NO , NO, aDir[1], , , , 0.741, -23200, 0, 0, 0, 0, 0, 0, , NO, 0, 0, NO,
1924, BEAM , CONLOAD, GZ, NO , NO, aDir[1], , , , 0.741, -23200, 0, 0, 0, 0, 0, 0, , NO, 0, 0, NO,
1925, BEAM , CONLOAD, GZ, NO , NO, aDir[1], , , , 0.741, -23200, 0, 0, 0, 0, 0, 0, , NO, 0, 0, NO,
1926, BEAM , CONLOAD, GZ, NO , NO, aDir[1], , , , 0.741, -26400, 0, 0, 0, 0, 0, 0, , NO, 0, 0, NO,
1927, BEAM , CONLOAD, GZ, NO , NO, aDir[1], , , , 0.741, -26400, 0, 0, 0, 0, 0, 0, , NO, 0, 0, NO,
1928, BEAM , CONLOAD, GZ, NO , NO, aDir[1], , , , 0.741, -23200, 0, 0, 0, 0, 0, 0, , NO, 0, 0, NO,
1929, BEAM , CONLOAD, GZ, NO , NO, aDir[1], , , , 0.741, -23200, 0, 0, 0, 0, 0, 0, , NO, 0, 0, NO,
1930, BEAM , CONLOAD, GZ, NO , NO, aDir[1], , , , 0.741, -23200, 0, 0, 0, 0, 0, 0, , NO, 0, 0, NO,
1931, BEAM , CONLOAD, GZ, NO , NO, aDir[1], , , , 0.741, -23200, 0, 0, 0, 0, 0, 0, , NO, 0, 0, NO,
1932, BEAM , CONLOAD, GZ, NO , NO, aDir[1], , , , 0.741, -23200, 0, 0, 0, 0, 0, 0, , NO, 0, 0, NO,
1933, BEAM , CONLOAD, GZ, NO , NO, aDir[1], , , , 0.741, -19669, 0, 0, 0, 0, 0, 0, , NO, 0, 0, NO,
1934, BEAM , CONLOAD, GZ, NO , NO, aDir[1], , , , 0.741, -2331.03, 0, 0, 0, 0, 0, 0, , NO, 0, 0, NO,
1935, BEAM , CONLOAD, GZ, NO , NO, aDir[1], , , , 0.741, -35021.6, 0, 0, 0, 0, 0, 0, , NO, 0, 0, NO,
1936, BEAM , CONLOAD, GZ, NO , NO, aDir[1], , , , 0.741, -63577.6, 0, 0, 0, 0, 0, 0, , NO, 0, 0, NO,
1937, BEAM , CONLOAD, GZ, NO , NO, aDir[1], , , , 0.741, -26400.9, 0, 0, 0, 0, 0, 0, , NO, 0, 0, NO,
1938, BEAM , CONLOAD, GZ, NO , NO, aDir[1], , , , 0.741, -9698.28, 0, 0, 0, 0, 0, 0, , NO, 0, 0, NO,
1939, BEAM , CONLOAD, GZ, NO , NO, aDir[1], , , , 0.741, -46336.2, 0, 0, 0, 0, 0, 0, , NO, 0, 0, NO,
1940, BEAM , CONLOAD, GZ, NO , NO, aDir[1], , , , 0.741, -52801.7, 0, 0, 0, 0, 0, 0, , NO, 0, 0, NO,
1941, BEAM , CONLOAD, GZ, NO , NO, aDir[1], , , , 0.741, -16163.8, 0, 0, 0, 0, 0, 0, , NO, 0, 0, NO,
1942, BEAM , CONLOAD, GZ, NO , NO, aDir[1], , , , 0.741, -22381.8, 0, 0, 0, 0, 0, 0, , NO, 0, 0, NO,
1943, BEAM , CONLOAD, GZ, NO , NO, aDir[1], , , , 0.741, -74062.2, 0, 0, 0, 0, 0, 0, , NO, 0, 0, NO,
1944, BEAM , CONLOAD, GZ, NO , NO, aDir[1], , , , 0.741, -28556, 0, 0, 0, 0, 0, 0, , NO, 0, 0, NO,
1945, BEAM , CONLOAD, GZ, NO , NO, aDir[1], , , , 0.741, -7543.1, 0, 0, 0, 0, 0, 0, , NO, 0, 0, NO,
1946, BEAM , CONLOAD, GZ, NO , NO, aDir[1], , , , 0.741, -44181, 0, 0, 0, 0, 0, 0, , NO, 0, 0, NO,
1947, BEAM , CONLOAD, GZ, NO , NO, aDir[1], , , , 0.741, -54956.9, 0, 0, 0, 0, 0, 0, , NO, 0, 0, NO,
1948, BEAM , CONLOAD, GZ, NO , NO, aDir[1], , , , 0.741, -18319, 0, 0, 0, 0, 0, 0, , NO, 0, 0, NO,
1949, BEAM , CONLOAD, GZ, NO , NO, aDir[1], , , , 0.741, -3755.17, 0, 0, 0, 0, 0, 0, , NO, 0, 0, NO,
1950, BEAM , CONLOAD, GZ, NO , NO, aDir[1], , , , 0.741, -24244.8, 0, 0, 0, 0, 0, 0, , NO, 0, 0, NO,
1951, BEAM , CONLOAD, GZ, NO , NO, aDir[1], , , , 0.741, -26400, 0, 0, 0, 0, 0, 0, , NO, 0, 0, NO,
1952, BEAM , CONLOAD, GZ, NO , NO, aDir[1], , , , 0.741, -23200, 0, 0, 0, 0, 0, 0, , NO, 0, 0, NO,
1953, BEAM , CONLOAD, GZ, NO , NO, aDir[1], , , , 0.741, -23200, 0, 0, 0, 0, 0, 0, , NO, 0, 0, NO,
1954, BEAM , CONLOAD, GZ, NO , NO, aDir[1], , , , 0.741, -23200, 0, 0, 0, 0, 0, 0, , NO, 0, 0, NO,
1955, BEAM , CONLOAD, GZ, NO , NO, aDir[1], , , , 0.741, -23200, 0, 0, 0, 0, 0, 0, , NO, 0, 0, NO,
1956, BEAM , CONLOAD, GZ, NO , NO, aDir[1], , , , 0.741, -23200, 0, 0, 0, 0, 0, 0, , NO, 0, 0, NO,
1957, BEAM , CONLOAD, GZ, NO , NO, aDir[1], , , , 0.741, -23200, 0, 0, 0, 0, 0, 0, , NO, 0, 0, NO,
1958, BEAM , CONLOAD, GZ, NO , NO, aDir[1], , , , 0.741, -26400, 0, 0, 0, 0, 0, 0, , NO, 0, 0, NO,
1959, BEAM , CONLOAD, GZ, NO , NO, aDir[1], , , , 0.741, -26400, 0, 0, 0, 0, 0, 0, , NO, 0, 0, NO,
1960, BEAM , CONLOAD, GZ, NO , NO, aDir[1], , , , 0.741, -23200, 0, 0, 0, 0, 0, 0, , NO, 0, 0, NO,
1961, BEAM , CONLOAD, GZ, NO , NO, aDir[1], , , , 0.741, -23200, 0, 0, 0, 0, 0, 0, , NO, 0, 0, NO,
1962, BEAM , CONLOAD, GZ, NO , NO, aDir[1], , , , 0.741, -23200, 0, 0, 0, 0, 0, 0, , NO, 0, 0, NO,
1963, BEAM , CONLOAD, GZ, NO , NO, aDir[1], , , , 0.741, -23200, 0, 0, 0, 0, 0, 0, , NO, 0, 0, NO,
1964, BEAM , CONLOAD, GZ, NO , NO, aDir[1], , , , 0.741, -23200, 0, 0, 0, 0, 0, 0, , NO, 0, 0, NO,
1965, BEAM , CONLOAD, GZ, NO , NO, aDir[1], , , , 0.741, -23200, 0, 0, 0, 0, 0, 0, , NO, 0, 0, NO,
1966, BEAM , CONLOAD, GZ, NO , NO, aDir[1], , , , 0.741, -26400, 0, 0, 0, 0, 0, 0, , NO, 0, 0, NO,
1967, BEAM , CONLOAD, GZ, NO , NO, aDir[1], , , , 0.741, -26400, 0, 0, 0, 0, 0, 0, , NO, 0, 0, NO,
1968, BEAM , CONLOAD, GZ, NO , NO, aDir[1], , , , 0.741, -23200, 0, 0, 0, 0, 0, 0, , NO, 0, 0, NO,
1969, BEAM , CONLOAD, GZ, NO , NO, aDir[1], , , , 0.741, -23200, 0, 0, 0, 0, 0, 0, , NO, 0, 0, NO,
1970, BEAM , CONLOAD, GZ, NO , NO, aDir[1], , , , 0.741, -23200, 0, 0, 0, 0, 0, 0, , NO, 0, 0, NO,
1971, BEAM , CONLOAD, GZ, NO , NO, aDir[1], , , , 0.741, -23200, 0, 0, 0, 0, 0, 0, , NO, 0, 0, NO,
1972, BEAM , CONLOAD, GZ, NO , NO, aDir[1], , , , 0.741, -23200, 0, 0, 0, 0, 0, 0, , NO, 0, 0, NO,
1973, BEAM , CONLOAD, GZ, NO , NO, aDir[1], , , , 0.741, -23200, 0, 0, 0, 0, 0, 0, , NO, 0, 0, NO,
1974, BEAM , CONLOAD, GZ, NO , NO, aDir[1], , , , 0.741, -25900, 0, 0, 0, 0, 0, 0, , NO, 0, 0, NO,
1975, BEAM , CONLOAD, GZ, NO , NO, aDir[1], , , , 0.741, -24900, 0, 0, 0, 0, 0, 0, , NO, 0, 0, NO,
1976, BEAM , CONLOAD, GZ, NO , NO, aDir[1], , , , 0.741, -21200, 0, 0, 0, 0, 0, 0, , NO, 0, 0, NO,
1977, BEAM , CONLOAD, GZ, NO , NO, aDir[1], , , , 0.741, -21200, 0, 0, 0, 0, 0, 0, , NO, 0, 0, NO,
1978, BEAM , CONLOAD, GZ, NO , NO, aDir[1], , , , 0.741, -21200, 0, 0, 0, 0, 0, 0, , NO, 0, 0, NO,
1979, BEAM , CONLOAD, GZ, NO , NO, aDir[1], , , , 0.741, -21200, 0, 0, 0, 0, 0, 0, , NO, 0, 0, NO,
1980, BEAM , CONLOAD, GZ, NO , NO, aDir[1], , , , 0.741, -21200, 0, 0, 0, 0, 0, 0, , NO, 0, 0, NO,
1981, BEAM , CONLOAD, GZ, NO , NO, aDir[1], , , , 0.741, -21200, 0, 0, 0, 0, 0, 0, , NO, 0, 0, NO,
1982, BEAM , CONLOAD, GZ, NO , NO, aDir[1], , , , 0.741, -24500, 0, 0, 0, 0, 0, 0, , NO, 0, 0, NO,
1983, BEAM , CONLOAD, GZ, NO , NO, aDir[1], , , , 0.741, -24900, 0, 0, 0, 0, 0, 0, , NO, 0, 0, NO,
1984, BEAM , CONLOAD, GZ, NO , NO, aDir[1], , , , 0.741, -22000, 0, 0, 0, 0, 0, 0, , NO, 0, 0, NO,
1985, BEAM , CONLOAD, GZ, NO , NO, aDir[1], , , , 0.741, -22000, 0, 0, 0, 0, 0, 0, , NO, 0, 0, NO,
1986, BEAM , CONLOAD, GZ, NO , NO, aDir[1], , , , 0.741, -22000, 0, 0, 0, 0, 0, 0, , NO, 0, 0, NO,
1987, BEAM , CONLOAD, GZ, NO , NO, aDir[1], , , , 0.741, -22000, 0, 0, 0, 0, 0, 0, , NO, 0, 0, NO,
1988, BEAM , CONLOAD, GZ, NO , NO, aDir[1], , , , 0.741, -22000, 0, 0, 0, 0, 0, 0, , NO, 0, 0, NO,
1989, BEAM , CONLOAD, GZ, NO , NO, aDir[1], , , , 0.741, -25100, 0, 0, 0, 0, 0, 0, , NO, 0, 0, NO,
1990, BEAM , CONLOAD, GZ, NO , NO, aDir[1], , , , 0.741, -25100, 0, 0, 0, 0, 0, 0, , NO, 0, 0, NO,
1991, BEAM , CONLOAD, GZ, NO , NO, aDir[1], , , , 0.741, -22000, 0, 0, 0, 0, 0, 0, , NO, 0, 0, NO,
1992, BEAM , CONLOAD, GZ, NO , NO, aDir[1], , , , 0.741, -22000, 0, 0, 0, 0, 0, 0, , NO, 0, 0, NO,
1993, BEAM , CONLOAD, GZ, NO , NO, aDir[1], , , , 0.741, -22000, 0, 0, 0, 0, 0, 0, , NO, 0, 0, NO,
1994, BEAM , CONLOAD, GZ, NO , NO, aDir[1], , , , 0.741, -22000, 0, 0, 0, 0, 0, 0, , NO, 0, 0, NO,

1995, BEAM , CONLOAD, GZ, NO , NO, aDir[1], , , , 0.741, -11000, 0, 0, 0, 0, 0, 0, , NO, 0, 0, NO,

; End of data for load case [MVmaxP71_2PFx96] ----------

*USE-STLD, MVmaxP71_2PFx112

*BEAMLOAD ; Element Beam Loads
; ELEM_LIST, CMD, TYPE, DIR, bPROJ, [ECCEN], [VALUE], GROUP
; ELEM_LIST, CMD, TYPE, TYPE, DIR, VX, VY, VZ, bPROJ, [ECCEN], [VALUE], GROUP
; [VALUE] : D1, P1, D2, P2, D3, P3, D4, P4
; [ECCEN] : bECCEN, ECCDIR, I-END, J-END, bJ-END
; [ADDITIONAL] : bADDITIONAL, ADDITIONAL_I-END, ADDITIONAL_J-END, bADDITIONAL_J-END
1749, BEAM , CONLOAD, GZ, NO , NO, aDir[1], , , , 0.075, -17100, 0, 0, 0, 0, 0, 0, , NO, 0, 0, NO,
1750, BEAM , CONLOAD, GZ, NO , NO, aDir[1], , , , 0.075, -28100, 0, 0, 0, 0, 0, 0, , NO, 0, 0, NO,
1751, BEAM , CONLOAD, GZ, NO , NO, aDir[1], , , , 0.075, -22000, 0, 0, 0, 0, 0, 0, , NO, 0, 0, NO,
1752, BEAM , CONLOAD, GZ, NO , NO, aDir[1], , , , 0.075, -22000, 0, 0, 0, 0, 0, 0, , NO, 0, 0, NO,
1753, BEAM , CONLOAD, GZ, NO , NO, aDir[1], , , , 0.075, -22000, 0, 0, 0, 0, 0, 0, , NO, 0, 0, NO,
1754, BEAM , CONLOAD, GZ, NO , NO, aDir[1], , , , 0.075, -22000, 0, 0, 0, 0, 0, 0, , NO, 0, 0, NO,
1755, BEAM , CONLOAD, GZ, NO , NO, aDir[1], , , , 0.075, -25100, 0, 0, 0, 0, 0, 0, , NO, 0, 0, NO,
1756, BEAM , CONLOAD, GZ, NO , NO, aDir[1], , , , 0.075, -25100, 0, 0, 0, 0, 0, 0, , NO, 0, 0, NO,
1757, BEAM , CONLOAD, GZ, NO , NO, aDir[1], , , , 0.075, -22000, 0, 0, 0, 0, 0, 0, , NO, 0, 0, NO,
1758, BEAM , CONLOAD, GZ, NO , NO, aDir[1], , , , 0.075, -22000, 0, 0, 0, 0, 0, 0, , NO, 0, 0, NO,
1759, BEAM , CONLOAD, GZ, NO , NO, aDir[1], , , , 0.075, -22000, 0, 0, 0, 0, 0, 0, , NO, 0, 0, NO,
1760, BEAM , CONLOAD, GZ, NO , NO, aDir[1], , , , 0.075, -22000, 0, 0, 0, 0, 0, 0, , NO, 0, 0, NO,
1761, BEAM , CONLOAD, GZ, NO , NO, aDir[1], , , , 0.075, -22000, 0, 0, 0, 0, 0, 0, , NO, 0, 0, NO,
1762, BEAM , CONLOAD, GZ, NO , NO, aDir[1], , , , 0.075, -24900, 0, 0, 0, 0, 0, 0, , NO, 0, 0, NO,
1763, BEAM , CONLOAD, GZ, NO , NO, aDir[1], , , , 0.075, -24500, 0, 0, 0, 0, 0, 0, , NO, 0, 0, NO,
1764, BEAM , CONLOAD, GZ, NO , NO, aDir[1], , , , 0.075, -21200, 0, 0, 0, 0, 0, 0, , NO, 0, 0, NO,
1765, BEAM , CONLOAD, GZ, NO , NO, aDir[1], , , , 0.075, -21200, 0, 0, 0, 0, 0, 0, , NO, 0, 0, NO,
1766, BEAM , CONLOAD, GZ, NO , NO, aDir[1], , , , 0.075, -21200, 0, 0, 0, 0, 0, 0, , NO, 0, 0, NO,
1767, BEAM , CONLOAD, GZ, NO , NO, aDir[1], , , , 0.075, -21200, 0, 0, 0, 0, 0, 0, , NO, 0, 0, NO,
1768, BEAM , CONLOAD, GZ, NO , NO, aDir[1], , , , 0.075, -21200, 0, 0, 0, 0, 0, 0, , NO, 0, 0, NO,
1769, BEAM , CONLOAD, GZ, NO , NO, aDir[1], , , , 0.075, -21200, 0, 0, 0, 0, 0, 0, , NO, 0, 0, NO,
1770, BEAM , CONLOAD, GZ, NO , NO, aDir[1], , , , 0.075, -24900, 0, 0, 0, 0, 0, 0, , NO, 0, 0, NO,
1771, BEAM , CONLOAD, GZ, NO , NO, aDir[1], , , , 0.075, -25900, 0, 0, 0, 0, 0, 0, , NO, 0, 0, NO,
1772, BEAM , CONLOAD, GZ, NO , NO, aDir[1], , , , 0.075, -23200, 0, 0, 0, 0, 0, 0, , NO, 0, 0, NO,
1773, BEAM , CONLOAD, GZ, NO , NO, aDir[1], , , , 0.075, -23200, 0, 0, 0, 0, 0, 0, , NO, 0, 0, NO,
1774, BEAM , CONLOAD, GZ, NO , NO, aDir[1], , , , 0.075, -23200, 0, 0, 0, 0, 0, 0, , NO, 0, 0, NO,
1775, BEAM , CONLOAD, GZ, NO , NO, aDir[1], , , , 0.075, -23200, 0, 0, 0, 0, 0, 0, , NO, 0, 0, NO,
1776, BEAM , CONLOAD, GZ, NO , NO, aDir[1], , , , 0.075, -23200, 0, 0, 0, 0, 0, 0, , NO, 0, 0, NO,
1777, BEAM , CONLOAD, GZ, NO , NO, aDir[1], , , , 0.075, -23200, 0, 0, 0, 0, 0, 0, , NO, 0, 0, NO,
1778, BEAM , CONLOAD, GZ, NO , NO, aDir[1], , , , 0.075, -26400, 0, 0, 0, 0, 0, 0, , NO, 0, 0, NO,
1779, BEAM , CONLOAD, GZ, NO , NO, aDir[1], , , , 0.075, -26400, 0, 0, 0, 0, 0, 0, , NO, 0, 0, NO,
1780, BEAM , CONLOAD, GZ, NO , NO, aDir[1], , , , 0.075, -23200, 0, 0, 0, 0, 0, 0, , NO, 0, 0, NO,
1781, BEAM , CONLOAD, GZ, NO , NO, aDir[1], , , , 0.075, -23200, 0, 0, 0, 0, 0, 0, , NO, 0, 0, NO,
1782, BEAM , CONLOAD, GZ, NO , NO, aDir[1], , , , 0.075, -23200, 0, 0, 0, 0, 0, 0, , NO, 0, 0, NO,
1783, BEAM , CONLOAD, GZ, NO , NO, aDir[1], , , , 0.075, -23200, 0, 0, 0, 0, 0, 0, , NO, 0, 0, NO,
1784, BEAM , CONLOAD, GZ, NO , NO, aDir[1], , , , 0.075, -23200, 0, 0, 0, 0, 0, 0, , NO, 0, 0, NO,
1785, BEAM , CONLOAD, GZ, NO , NO, aDir[1], , , , 0.075, -23200, 0, 0, 0, 0, 0, 0, , NO, 0, 0, NO,
1786, BEAM , CONLOAD, GZ, NO , NO, aDir[1], , , , 0.075, -26400, 0, 0, 0, 0, 0, 0, , NO, 0, 0, NO,
1787, BEAM , CONLOAD, GZ, NO , NO, aDir[1], , , , 0.075, -26400, 0, 0, 0, 0, 0, 0, , NO, 0, 0, NO,
1788, BEAM , CONLOAD, GZ, NO , NO, aDir[1], , , , 0.075, -23200, 0, 0, 0, 0, 0, 0, , NO, 0, 0, NO,
1789, BEAM , CONLOAD, GZ, NO , NO, aDir[1], , , , 0.075, -23200, 0, 0, 0, 0, 0, 0, , NO, 0, 0, NO,
1790, BEAM , CONLOAD, GZ, NO , NO, aDir[1], , , , 0.075, -23200, 0, 0, 0, 0, 0, 0, , NO, 0, 0, NO,
1791, BEAM , CONLOAD, GZ, NO , NO, aDir[1], , , , 0.075, -23200, 0, 0, 0, 0, 0, 0, , NO, 0, 0, NO,
1792, BEAM , CONLOAD, GZ, NO , NO, aDir[1], , , , 0.075, -23200, 0, 0, 0, 0, 0, 0, , NO, 0, 0, NO,
1793, BEAM , CONLOAD, GZ, NO , NO, aDir[1], , , , 0.075, -23200, 0, 0, 0, 0, 0, 0, , NO, 0, 0, NO,
1794, BEAM , CONLOAD, GZ, NO , NO, aDir[1], , , , 0.075, -26400, 0, 0, 0, 0, 0, 0, , NO, 0, 0, NO,
1795, BEAM , CONLOAD, GZ, NO , NO, aDir[1], , , , 0.075, -26400, 0, 0, 0, 0, 0, 0, , NO, 0, 0, NO,
1796, BEAM , CONLOAD, GZ, NO , NO, aDir[1], , , , 0.075, -23200, 0, 0, 0, 0, 0, 0, , NO, 0, 0, NO,
1797, BEAM , CONLOAD, GZ, NO , NO, aDir[1], , , , 0.075, -23200, 0, 0, 0, 0, 0, 0, , NO, 0, 0, NO,
1798, BEAM , CONLOAD, GZ, NO , NO, aDir[1], , , , 0.075, -23200, 0, 0, 0, 0, 0, 0, , NO, 0, 0, NO,
1799, BEAM , CONLOAD, GZ, NO , NO, aDir[1], , , , 0.075, -23200, 0, 0, 0, 0, 0, 0, , NO, 0, 0, NO,
1800, BEAM , CONLOAD, GZ, NO , NO, aDir[1], , , , 0.075, -23200, 0, 0, 0, 0, 0, 0, , NO, 0, 0, NO,
1801, BEAM , CONLOAD, GZ, NO , NO, aDir[1], , , , 0.075, -23200, 0, 0, 0, 0, 0, 0, , NO, 0, 0, NO,
1802, BEAM , CONLOAD, GZ, NO , NO, aDir[1], , , , 0.075, -26400, 0, 0, 0, 0, 0, 0, , NO, 0, 0, NO,
1803, BEAM , CONLOAD, GZ, NO , NO, aDir[1], , , , 0.075, -26400, 0, 0, 0, 0, 0, 0, , NO, 0, 0, NO,
1804, BEAM , CONLOAD, GZ, NO , NO, aDir[1], , , , 0.075, -23200, 0, 0, 0, 0, 0, 0, , NO, 0, 0, NO,
1805, BEAM , CONLOAD, GZ, NO , NO, aDir[1], , , , 0.075, -23200, 0, 0, 0, 0, 0, 0, , NO, 0, 0, NO,
1806, BEAM , CONLOAD, GZ, NO , NO, aDir[1], , , , 0.075, -23200, 0, 0, 0, 0, 0, 0, , NO, 0, 0, NO,
1807, BEAM , CONLOAD, GZ, NO , NO, aDir[1], , , , 0.075, -23200, 0, 0, 0, 0, 0, 0, , NO, 0, 0, NO,
1808, BEAM , CONLOAD, GZ, NO , NO, aDir[1], , , , 0.075, -23200, 0, 0, 0, 0, 0, 0, , NO, 0, 0, NO,

PROJECT TITLE :

MIDAS	Company		Client	
	Author		File Name	H2D_3Dg_v14_180227_StatLM.mct

1809, BEAM , CONLOAD, GZ, NO , NO, aDir[1], , , , 0.075, -23200, 0, 0, 0, 0, 0, 0, , NO, 0, 0, NO,
1810, BEAM , CONLOAD, GZ, NO , NO, aDir[1], , , , 0.075, -26400, 0, 0, 0, 0, 0, 0, , NO, 0, 0, NO,
1811, BEAM , CONLOAD, GZ, NO , NO, aDir[1], , , , 0.075, -26400, 0, 0, 0, 0, 0, 0, , NO, 0, 0, NO,
1812, BEAM , CONLOAD, GZ, NO , NO, aDir[1], , , , 0.075, -23200, 0, 0, 0, 0, 0, 0, , NO, 0, 0, NO,
1813, BEAM , CONLOAD, GZ, NO , NO, aDir[1], , , , 0.075, -23200, 0, 0, 0, 0, 0, 0, , NO, 0, 0, NO,
1814, BEAM , CONLOAD, GZ, NO , NO, aDir[1], , , , 0.075, -23200, 0, 0, 0, 0, 0, 0, , NO, 0, 0, NO,
1815, BEAM , CONLOAD, GZ, NO , NO, aDir[1], , , , 0.075, -23200, 0, 0, 0, 0, 0, 0, , NO, 0, 0, NO,
1816, BEAM , CONLOAD, GZ, NO , NO, aDir[1], , , , 0.075, -23200, 0, 0, 0, 0, 0, 0, , NO, 0, 0, NO,
1817, BEAM , CONLOAD, GZ, NO , NO, aDir[1], , , , 0.075, -23200, 0, 0, 0, 0, 0, 0, , NO, 0, 0, NO,
1818, BEAM , CONLOAD, GZ, NO , NO, aDir[1], , , , 0.075, -26400, 0, 0, 0, 0, 0, 0, , NO, 0, 0, NO,
1819, BEAM , CONLOAD, GZ, NO , NO, aDir[1], , , , 0.075, -26400, 0, 0, 0, 0, 0, 0, , NO, 0, 0, NO,
1820, BEAM , CONLOAD, GZ, NO , NO, aDir[1], , , , 0.075, -23200, 0, 0, 0, 0, 0, 0, , NO, 0, 0, NO,
1821, BEAM , CONLOAD, GZ, NO , NO, aDir[1], , , , 0.075, -23200, 0, 0, 0, 0, 0, 0, , NO, 0, 0, NO,
1822, BEAM , CONLOAD, GZ, NO , NO, aDir[1], , , , 0.075, -23200, 0, 0, 0, 0, 0, 0, , NO, 0, 0, NO,
1823, BEAM , CONLOAD, GZ, NO , NO, aDir[1], , , , 0.075, -23200, 0, 0, 0, 0, 0, 0, , NO, 0, 0, NO,
1824, BEAM , CONLOAD, GZ, NO , NO, aDir[1], , , , 0.075, -23200, 0, 0, 0, 0, 0, 0, , NO, 0, 0, NO,
1825, BEAM , CONLOAD, GZ, NO , NO, aDir[1], , , , 0.075, -23200, 0, 0, 0, 0, 0, 0, , NO, 0, 0, NO,
1826, BEAM , CONLOAD, GZ, NO , NO, aDir[1], , , , 0.075, -26400, 0, 0, 0, 0, 0, 0, , NO, 0, 0, NO,
1827, BEAM , CONLOAD, GZ, NO , NO, aDir[1], , , , 0.075, -26400, 0, 0, 0, 0, 0, 0, , NO, 0, 0, NO,
1828, BEAM , CONLOAD, GZ, NO , NO, aDir[1], , , , 0.075, -23200, 0, 0, 0, 0, 0, 0, , NO, 0, 0, NO,
1829, BEAM , CONLOAD, GZ, NO , NO, aDir[1], , , , 0.075, -23200, 0, 0, 0, 0, 0, 0, , NO, 0, 0, NO,
1830, BEAM , CONLOAD, GZ, NO , NO, aDir[1], , , , 0.075, -23200, 0, 0, 0, 0, 0, 0, , NO, 0, 0, NO,
1831, BEAM , CONLOAD, GZ, NO , NO, aDir[1], , , , 0.075, -23200, 0, 0, 0, 0, 0, 0, , NO, 0, 0, NO,
1832, BEAM , CONLOAD, GZ, NO , NO, aDir[1], , , , 0.075, -23200, 0, 0, 0, 0, 0, 0, , NO, 0, 0, NO,
1833, BEAM , CONLOAD, GZ, NO , NO, aDir[1], , , , 0.075, -23200, 0, 0, 0, 0, 0, 0, , NO, 0, 0, NO,
1834, BEAM , CONLOAD, GZ, NO , NO, aDir[1], , , , 0.075, -26400, 0, 0, 0, 0, 0, 0, , NO, 0, 0, NO,
1835, BEAM , CONLOAD, GZ, NO , NO, aDir[1], , , , 0.075, -26400, 0, 0, 0, 0, 0, 0, , NO, 0, 0, NO,
1836, BEAM , CONLOAD, GZ, NO , NO, aDir[1], , , , 0.075, -23200, 0, 0, 0, 0, 0, 0, , NO, 0, 0, NO,
1837, BEAM , CONLOAD, GZ, NO , NO, aDir[1], , , , 0.075, -23200, 0, 0, 0, 0, 0, 0, , NO, 0, 0, NO,
1838, BEAM , CONLOAD, GZ, NO , NO, aDir[1], , , , 0.075, -23200, 0, 0, 0, 0, 0, 0, , NO, 0, 0, NO,
1839, BEAM , CONLOAD, GZ, NO , NO, aDir[1], , , , 0.075, -23200, 0, 0, 0, 0, 0, 0, , NO, 0, 0, NO,
1840, BEAM , CONLOAD, GZ, NO , NO, aDir[1], , , , 0.075, -23200, 0, 0, 0, 0, 0, 0, , NO, 0, 0, NO,
1841, BEAM , CONLOAD, GZ, NO , NO, aDir[1], , , , 0.075, -23200, 0, 0, 0, 0, 0, 0, , NO, 0, 0, NO,
1842, BEAM , CONLOAD, GZ, NO , NO, aDir[1], , , , 0.075, -26400, 0, 0, 0, 0, 0, 0, , NO, 0, 0, NO,
1843, BEAM , CONLOAD, GZ, NO , NO, aDir[1], , , , 0.075, -26400, 0, 0, 0, 0, 0, 0, , NO, 0, 0, NO,
1844, BEAM , CONLOAD, GZ, NO , NO, aDir[1], , , , 0.075, -23200, 0, 0, 0, 0, 0, 0, , NO, 0, 0, NO,
1845, BEAM , CONLOAD, GZ, NO , NO, aDir[1], , , , 0.075, -23200, 0, 0, 0, 0, 0, 0, , NO, 0, 0, NO,
1846, BEAM , CONLOAD, GZ, NO , NO, aDir[1], , , , 0.075, -23200, 0, 0, 0, 0, 0, 0, , NO, 0, 0, NO,
1847, BEAM , CONLOAD, GZ, NO , NO, aDir[1], , , , 0.075, -23200, 0, 0, 0, 0, 0, 0, , NO, 0, 0, NO,
1848, BEAM , CONLOAD, GZ, NO , NO, aDir[1], , , , 0.075, -23200, 0, 0, 0, 0, 0, 0, , NO, 0, 0, NO,
1849, BEAM , CONLOAD, GZ, NO , NO, aDir[1], , , , 0.075, -23200, 0, 0, 0, 0, 0, 0, , NO, 0, 0, NO,
1850, BEAM , CONLOAD, GZ, NO , NO, aDir[1], , , , 0.075, -25888.8, 0, 0, 0, 0, 0, 0, , NO, 0, 0, NO,
1851, BEAM , CONLOAD, GZ, NO , NO, aDir[1], , , , 0.075, -13511.2, 0, 0, 0, 0, 0, 0, , NO, 0, 0, NO,
1852, BEAM , CONLOAD, GZ, NO , NO, aDir[1], , , , 0.075, -589.623, 0, 0, 0, 0, 0, 0, , NO, 0, 0, NO,
1853, BEAM , CONLOAD, GZ, NO , NO, aDir[1], , , , 0.075, -31839.6, 0, 0, 0, 0, 0, 0, , NO, 0, 0, NO,
1854, BEAM , CONLOAD, GZ, NO , NO, aDir[1], , , , 0.075, -61910.4, 0, 0, 0, 0, 0, 0, , NO, 0, 0, NO,
1855, BEAM , CONLOAD, GZ, NO , NO, aDir[1], , , , 0.075, -30660.4, 0, 0, 0, 0, 0, 0, , NO, 0, 0, NO,
1857, BEAM , CONLOAD, GZ, NO , NO, aDir[1], , , , 0.075, -31250, 0, 0, 0, 0, 0, 0, , NO, 0, 0, NO,
1858, BEAM , CONLOAD, GZ, NO , NO, aDir[1], , , , 0.075, -69919.1, 0, 0, 0, 0, 0, 0, , NO, 0, 0, NO,
1859, BEAM , CONLOAD, GZ, NO , NO, aDir[1], , , , 0.075, -23830.9, 0, 0, 0, 0, 0, 0, , NO, 0, 0, NO,
1860, BEAM , CONLOAD, GZ, NO , NO, aDir[1], , , , 0.075, -11079.5, 0, 0, 0, 0, 0, 0, , NO, 0, 0, NO,
1861, BEAM , CONLOAD, GZ, NO , NO, aDir[1], , , , 0.075, -44602.3, 0, 0, 0, 0, 0, 0, , NO, 0, 0, NO,
1862, BEAM , CONLOAD, GZ, NO , NO, aDir[1], , , , 0.075, -51420.5, 0, 0, 0, 0, 0, 0, , NO, 0, 0, NO,
1863, BEAM , CONLOAD, GZ, NO , NO, aDir[1], , , , 0.075, -17897.7, 0, 0, 0, 0, 0, 0, , NO, 0, 0, NO,
1864, BEAM , CONLOAD, GZ, NO , NO, aDir[1], , , , 0.075, -15056.8, 0, 0, 0, 0, 0, 0, , NO, 0, 0, NO,
1865, BEAM , CONLOAD, GZ, NO , NO, aDir[1], , , , 0.075, -55200.3, 0, 0, 0, 0, 0, 0, , NO, 0, 0, NO,
1866, BEAM , CONLOAD, GZ, NO , NO, aDir[1], , , , 0.075, -49629.3, 0, 0, 0, 0, 0, 0, , NO, 0, 0, NO,
1867, BEAM , CONLOAD, GZ, NO , NO, aDir[1], , , , 0.075, -5113.64, 0, 0, 0, 0, 0, 0, , NO, 0, 0, NO,
1868, BEAM , CONLOAD, GZ, NO , NO, aDir[1], , , , 0.075, -8730.91, 0, 0, 0, 0, 0, 0, , NO, 0, 0, NO,
1869, BEAM , CONLOAD, GZ, NO , NO, aDir[1], , , , 0.075, -21869.1, 0, 0, 0, 0, 0, 0, , NO, 0, 0, NO,
1870, BEAM , CONLOAD, GZ, NO , NO, aDir[1], , , , 0.075, -22000, 0, 0, 0, 0, 0, 0, , NO, 0, 0, NO,
1871, BEAM , CONLOAD, GZ, NO , NO, aDir[1], , , , 0.075, -17363, 0, 0, 0, 0, 0, 0, , NO, 0, 0, NO,
1872, BEAM , CONLOAD, GZ, NO , NO, aDir[1], , , , 0.075, -736.987, 0, 0, 0, 0, 0, 0, , NO, 0, 0, NO,
1873, BEAM , CONLOAD, GZ, NO , NO, aDir[1], , , , 0.741, -17100, 0, 0, 0, 0, 0, 0, , NO, 0, 0, NO,
1874, BEAM , CONLOAD, GZ, NO , NO, aDir[1], , , , 0.741, -28100, 0, 0, 0, 0, 0, 0, , NO, 0, 0, NO,
1875, BEAM , CONLOAD, GZ, NO , NO, aDir[1], , , , 0.741, -22000, 0, 0, 0, 0, 0, 0, , NO, 0, 0, NO,
1876, BEAM , CONLOAD, GZ, NO , NO, aDir[1], , , , 0.741, -22000, 0, 0, 0, 0, 0, 0, , NO, 0, 0, NO,
1877, BEAM , CONLOAD, GZ, NO , NO, aDir[1], , , , 0.741, -22000, 0, 0, 0, 0, 0, 0, , NO, 0, 0, NO,
1878, BEAM , CONLOAD, GZ, NO , NO, aDir[1], , , , 0.741, -22000, 0, 0, 0, 0, 0, 0, , NO, 0, 0, NO,
1879, BEAM , CONLOAD, GZ, NO , NO, aDir[1], , , , 0.741, -25100, 0, 0, 0, 0, 0, 0, , NO, 0, 0, NO,
1880, BEAM , CONLOAD, GZ, NO , NO, aDir[1], , , , 0.741, -25100, 0, 0, 0, 0, 0, 0, , NO, 0, 0, NO,
1881, BEAM , CONLOAD, GZ, NO , NO, aDir[1], , , , 0.741, -22000, 0, 0, 0, 0, 0, 0, , NO, 0, 0, NO,

PROJECT TITLE :

MIDAS	Company		Client	
	Author		File Name	H2D_3Dg_v14_180227_StatLM.mct

1882, BEAM , CONLOAD, GZ, NO , NO, aDir[1], , , , 0.741, -22000, 0, 0, 0, 0, 0, 0, , NO, 0, 0, NO,
1883, BEAM , CONLOAD, GZ, NO , NO, aDir[1], , , , 0.741, -22000, 0, 0, 0, 0, 0, 0, , NO, 0, 0, NO,
1884, BEAM , CONLOAD, GZ, NO , NO, aDir[1], , , , 0.741, -22000, 0, 0, 0, 0, 0, 0, , NO, 0, 0, NO,
1885, BEAM , CONLOAD, GZ, NO , NO, aDir[1], , , , 0.741, -22000, 0, 0, 0, 0, 0, 0, , NO, 0, 0, NO,
1886, BEAM , CONLOAD, GZ, NO , NO, aDir[1], , , , 0.741, -24900, 0, 0, 0, 0, 0, 0, , NO, 0, 0, NO,
1887, BEAM , CONLOAD, GZ, NO , NO, aDir[1], , , , 0.741, -24500, 0, 0, 0, 0, 0, 0, , NO, 0, 0, NO,
1888, BEAM , CONLOAD, GZ, NO , NO, aDir[1], , , , 0.741, -21200, 0, 0, 0, 0, 0, 0, , NO, 0, 0, NO,
1889, BEAM , CONLOAD, GZ, NO , NO, aDir[1], , , , 0.741, -21200, 0, 0, 0, 0, 0, 0, , NO, 0, 0, NO,
1890, BEAM , CONLOAD, GZ, NO , NO, aDir[1], , , , 0.741, -21200, 0, 0, 0, 0, 0, 0, , NO, 0, 0, NO,
1891, BEAM , CONLOAD, GZ, NO , NO, aDir[1], , , , 0.741, -21200, 0, 0, 0, 0, 0, 0, , NO, 0, 0, NO,
1892, BEAM , CONLOAD, GZ, NO , NO, aDir[1], , , , 0.741, -21200, 0, 0, 0, 0, 0, 0, , NO, 0, 0, NO,
1893, BEAM , CONLOAD, GZ, NO , NO, aDir[1], , , , 0.741, -21200, 0, 0, 0, 0, 0, 0, , NO, 0, 0, NO,
1894, BEAM , CONLOAD, GZ, NO , NO, aDir[1], , , , 0.741, -24900, 0, 0, 0, 0, 0, 0, , NO, 0, 0, NO,
1895, BEAM , CONLOAD, GZ, NO , NO, aDir[1], , , , 0.741, -25900, 0, 0, 0, 0, 0, 0, , NO, 0, 0, NO,
1896, BEAM , CONLOAD, GZ, NO , NO, aDir[1], , , , 0.741, -23200, 0, 0, 0, 0, 0, 0, , NO, 0, 0, NO,
1897, BEAM , CONLOAD, GZ, NO , NO, aDir[1], , , , 0.741, -23200, 0, 0, 0, 0, 0, 0, , NO, 0, 0, NO,
1898, BEAM , CONLOAD, GZ, NO , NO, aDir[1], , , , 0.741, -23200, 0, 0, 0, 0, 0, 0, , NO, 0, 0, NO,
1899, BEAM , CONLOAD, GZ, NO , NO, aDir[1], , , , 0.741, -23200, 0, 0, 0, 0, 0, 0, , NO, 0, 0, NO,
1900, BEAM , CONLOAD, GZ, NO , NO, aDir[1], , , , 0.741, -23200, 0, 0, 0, 0, 0, 0, , NO, 0, 0, NO,
1901, BEAM , CONLOAD, GZ, NO , NO, aDir[1], , , , 0.741, -23200, 0, 0, 0, 0, 0, 0, , NO, 0, 0, NO,
1902, BEAM , CONLOAD, GZ, NO , NO, aDir[1], , , , 0.741, -26400, 0, 0, 0, 0, 0, 0, , NO, 0, 0, NO,
1903, BEAM , CONLOAD, GZ, NO , NO, aDir[1], , , , 0.741, -26400, 0, 0, 0, 0, 0, 0, , NO, 0, 0, NO,
1904, BEAM , CONLOAD, GZ, NO , NO, aDir[1], , , , 0.741, -23200, 0, 0, 0, 0, 0, 0, , NO, 0, 0, NO,
1905, BEAM , CONLOAD, GZ, NO , NO, aDir[1], , , , 0.741, -23200, 0, 0, 0, 0, 0, 0, , NO, 0, 0, NO,
1906, BEAM , CONLOAD, GZ, NO , NO, aDir[1], , , , 0.741, -23200, 0, 0, 0, 0, 0, 0, , NO, 0, 0, NO,
1907, BEAM , CONLOAD, GZ, NO , NO, aDir[1], , , , 0.741, -23200, 0, 0, 0, 0, 0, 0, , NO, 0, 0, NO,
1908, BEAM , CONLOAD, GZ, NO , NO, aDir[1], , , , 0.741, -23200, 0, 0, 0, 0, 0, 0, , NO, 0, 0, NO,
1909, BEAM , CONLOAD, GZ, NO , NO, aDir[1], , , , 0.741, -23200, 0, 0, 0, 0, 0, 0, , NO, 0, 0, NO,
1910, BEAM , CONLOAD, GZ, NO , NO, aDir[1], , , , 0.741, -26400, 0, 0, 0, 0, 0, 0, , NO, 0, 0, NO,
1911, BEAM , CONLOAD, GZ, NO , NO, aDir[1], , , , 0.741, -26400, 0, 0, 0, 0, 0, 0, , NO, 0, 0, NO,
1912, BEAM , CONLOAD, GZ, NO , NO, aDir[1], , , , 0.741, -23200, 0, 0, 0, 0, 0, 0, , NO, 0, 0, NO,
1913, BEAM , CONLOAD, GZ, NO , NO, aDir[1], , , , 0.741, -23200, 0, 0, 0, 0, 0, 0, , NO, 0, 0, NO,
1914, BEAM , CONLOAD, GZ, NO , NO, aDir[1], , , , 0.741, -23200, 0, 0, 0, 0, 0, 0, , NO, 0, 0, NO,
1915, BEAM , CONLOAD, GZ, NO , NO, aDir[1], , , , 0.741, -23200, 0, 0, 0, 0, 0, 0, , NO, 0, 0, NO,
1916, BEAM , CONLOAD, GZ, NO , NO, aDir[1], , , , 0.741, -23200, 0, 0, 0, 0, 0, 0, , NO, 0, 0, NO,
1917, BEAM , CONLOAD, GZ, NO , NO, aDir[1], , , , 0.741, -23200, 0, 0, 0, 0, 0, 0, , NO, 0, 0, NO,
1918, BEAM , CONLOAD, GZ, NO , NO, aDir[1], , , , 0.741, -26400, 0, 0, 0, 0, 0, 0, , NO, 0, 0, NO,
1919, BEAM , CONLOAD, GZ, NO , NO, aDir[1], , , , 0.741, -26400, 0, 0, 0, 0, 0, 0, , NO, 0, 0, NO,
1920, BEAM , CONLOAD, GZ, NO , NO, aDir[1], , , , 0.741, -23200, 0, 0, 0, 0, 0, 0, , NO, 0, 0, NO,
1921, BEAM , CONLOAD, GZ, NO , NO, aDir[1], , , , 0.741, -23200, 0, 0, 0, 0, 0, 0, , NO, 0, 0, NO,
1922, BEAM , CONLOAD, GZ, NO , NO, aDir[1], , , , 0.741, -23200, 0, 0, 0, 0, 0, 0, , NO, 0, 0, NO,
1923, BEAM , CONLOAD, GZ, NO , NO, aDir[1], , , , 0.741, -23200, 0, 0, 0, 0, 0, 0, , NO, 0, 0, NO,
1924, BEAM , CONLOAD, GZ, NO , NO, aDir[1], , , , 0.741, -23200, 0, 0, 0, 0, 0, 0, , NO, 0, 0, NO,
1925, BEAM , CONLOAD, GZ, NO , NO, aDir[1], , , , 0.741, -23200, 0, 0, 0, 0, 0, 0, , NO, 0, 0, NO,
1926, BEAM , CONLOAD, GZ, NO , NO, aDir[1], , , , 0.741, -26400, 0, 0, 0, 0, 0, 0, , NO, 0, 0, NO,
1927, BEAM , CONLOAD, GZ, NO , NO, aDir[1], , , , 0.741, -26400, 0, 0, 0, 0, 0, 0, , NO, 0, 0, NO,
1928, BEAM , CONLOAD, GZ, NO , NO, aDir[1], , , , 0.741, -23200, 0, 0, 0, 0, 0, 0, , NO, 0, 0, NO,
1929, BEAM , CONLOAD, GZ, NO , NO, aDir[1], , , , 0.741, -23200, 0, 0, 0, 0, 0, 0, , NO, 0, 0, NO,
1930, BEAM , CONLOAD, GZ, NO , NO, aDir[1], , , , 0.741, -23200, 0, 0, 0, 0, 0, 0, , NO, 0, 0, NO,
1931, BEAM , CONLOAD, GZ, NO , NO, aDir[1], , , , 0.741, -23200, 0, 0, 0, 0, 0, 0, , NO, 0, 0, NO,
1932, BEAM , CONLOAD, GZ, NO , NO, aDir[1], , , , 0.741, -23200, 0, 0, 0, 0, 0, 0, , NO, 0, 0, NO,
1933, BEAM , CONLOAD, GZ, NO , NO, aDir[1], , , , 0.741, -23200, 0, 0, 0, 0, 0, 0, , NO, 0, 0, NO,
1934, BEAM , CONLOAD, GZ, NO , NO, aDir[1], , , , 0.741, -26400, 0, 0, 0, 0, 0, 0, , NO, 0, 0, NO,
1935, BEAM , CONLOAD, GZ, NO , NO, aDir[1], , , , 0.741, -26400, 0, 0, 0, 0, 0, 0, , NO, 0, 0, NO,
1936, BEAM , CONLOAD, GZ, NO , NO, aDir[1], , , , 0.741, -23200, 0, 0, 0, 0, 0, 0, , NO, 0, 0, NO,
1937, BEAM , CONLOAD, GZ, NO , NO, aDir[1], , , , 0.741, -23200, 0, 0, 0, 0, 0, 0, , NO, 0, 0, NO,
1938, BEAM , CONLOAD, GZ, NO , NO, aDir[1], , , , 0.741, -23200, 0, 0, 0, 0, 0, 0, , NO, 0, 0, NO,
1939, BEAM , CONLOAD, GZ, NO , NO, aDir[1], , , , 0.741, -23200, 0, 0, 0, 0, 0, 0, , NO, 0, 0, NO,
1940, BEAM , CONLOAD, GZ, NO , NO, aDir[1], , , , 0.741, -23200, 0, 0, 0, 0, 0, 0, , NO, 0, 0, NO,
1941, BEAM , CONLOAD, GZ, NO , NO, aDir[1], , , , 0.741, -23200, 0, 0, 0, 0, 0, 0, , NO, 0, 0, NO,
1942, BEAM , CONLOAD, GZ, NO , NO, aDir[1], , , , 0.741, -26400, 0, 0, 0, 0, 0, 0, , NO, 0, 0, NO,
1943, BEAM , CONLOAD, GZ, NO , NO, aDir[1], , , , 0.741, -26400, 0, 0, 0, 0, 0, 0, , NO, 0, 0, NO,
1944, BEAM , CONLOAD, GZ, NO , NO, aDir[1], , , , 0.741, -23200, 0, 0, 0, 0, 0, 0, , NO, 0, 0, NO,
1945, BEAM , CONLOAD, GZ, NO , NO, aDir[1], , , , 0.741, -23200, 0, 0, 0, 0, 0, 0, , NO, 0, 0, NO,
1946, BEAM , CONLOAD, GZ, NO , NO, aDir[1], , , , 0.741, -23200, 0, 0, 0, 0, 0, 0, , NO, 0, 0, NO,
1947, BEAM , CONLOAD, GZ, NO , NO, aDir[1], , , , 0.741, -23200, 0, 0, 0, 0, 0, 0, , NO, 0, 0, NO,
1948, BEAM , CONLOAD, GZ, NO , NO, aDir[1], , , , 0.741, -23200, 0, 0, 0, 0, 0, 0, , NO, 0, 0, NO,
1949, BEAM , CONLOAD, GZ, NO , NO, aDir[1], , , , 0.741, -23200, 0, 0, 0, 0, 0, 0, , NO, 0, 0, NO,
1950, BEAM , CONLOAD, GZ, NO , NO, aDir[1], , , , 0.741, -26400, 0, 0, 0, 0, 0, 0, , NO, 0, 0, NO,
1951, BEAM , CONLOAD, GZ, NO , NO, aDir[1], , , , 0.741, -26400, 0, 0, 0, 0, 0, 0, , NO, 0, 0, NO,
1952, BEAM , CONLOAD, GZ, NO , NO, aDir[1], , , , 0.741, -23200, 0, 0, 0, 0, 0, 0, , NO, 0, 0, NO,
1953, BEAM , CONLOAD, GZ, NO , NO, aDir[1], , , , 0.741, -23200, 0, 0, 0, 0, 0, 0, , NO, 0, 0, NO,

PROJECT TITLE :

MIDAS	Company		Client	
	Author		File Name	H2D_3Dg_v14_180227_StatLM.mct

1954, BEAM , CONLOAD, GZ, NO , NO, aDir[1], , , , 0.741, -23200, 0, 0, 0, 0, 0, 0, , NO, 0, 0, NO,
1955, BEAM , CONLOAD, GZ, NO , NO, aDir[1], , , , 0.741, -23200, 0, 0, 0, 0, 0, 0, , NO, 0, 0, NO,
1956, BEAM , CONLOAD, GZ, NO , NO, aDir[1], , , , 0.741, -23200, 0, 0, 0, 0, 0, 0, , NO, 0, 0, NO,
1957, BEAM , CONLOAD, GZ, NO , NO, aDir[1], , , , 0.741, -23200, 0, 0, 0, 0, 0, 0, , NO, 0, 0, NO,
1958, BEAM , CONLOAD, GZ, NO , NO, aDir[1], , , , 0.741, -26400, 0, 0, 0, 0, 0, 0, , NO, 0, 0, NO,
1959, BEAM , CONLOAD, GZ, NO , NO, aDir[1], , , , 0.741, -26400, 0, 0, 0, 0, 0, 0, , NO, 0, 0, NO,
1960, BEAM , CONLOAD, GZ, NO , NO, aDir[1], , , , 0.741, -23200, 0, 0, 0, 0, 0, 0, , NO, 0, 0, NO,
1961, BEAM , CONLOAD, GZ, NO , NO, aDir[1], , , , 0.741, -23200, 0, 0, 0, 0, 0, 0, , NO, 0, 0, NO,
1962, BEAM , CONLOAD, GZ, NO , NO, aDir[1], , , , 0.741, -23200, 0, 0, 0, 0, 0, 0, , NO, 0, 0, NO,
1963, BEAM , CONLOAD, GZ, NO , NO, aDir[1], , , , 0.741, -23200, 0, 0, 0, 0, 0, 0, , NO, 0, 0, NO,
1964, BEAM , CONLOAD, GZ, NO , NO, aDir[1], , , , 0.741, -23200, 0, 0, 0, 0, 0, 0, , NO, 0, 0, NO,
1965, BEAM , CONLOAD, GZ, NO , NO, aDir[1], , , , 0.741, -23200, 0, 0, 0, 0, 0, 0, , NO, 0, 0, NO,
1966, BEAM , CONLOAD, GZ, NO , NO, aDir[1], , , , 0.741, -26400, 0, 0, 0, 0, 0, 0, , NO, 0, 0, NO,
1967, BEAM , CONLOAD, GZ, NO , NO, aDir[1], , , , 0.741, -26400, 0, 0, 0, 0, 0, 0, , NO, 0, 0, NO,
1968, BEAM , CONLOAD, GZ, NO , NO, aDir[1], , , , 0.741, -23200, 0, 0, 0, 0, 0, 0, , NO, 0, 0, NO,
1969, BEAM , CONLOAD, GZ, NO , NO, aDir[1], , , , 0.741, -23200, 0, 0, 0, 0, 0, 0, , NO, 0, 0, NO,
1970, BEAM , CONLOAD, GZ, NO , NO, aDir[1], , , , 0.741, -23200, 0, 0, 0, 0, 0, 0, , NO, 0, 0, NO,
1971, BEAM , CONLOAD, GZ, NO , NO, aDir[1], , , , 0.741, -23200, 0, 0, 0, 0, 0, 0, , NO, 0, 0, NO,
1972, BEAM , CONLOAD, GZ, NO , NO, aDir[1], , , , 0.741, -23200, 0, 0, 0, 0, 0, 0, , NO, 0, 0, NO,
1973, BEAM , CONLOAD, GZ, NO , NO, aDir[1], , , , 0.741, -23200, 0, 0, 0, 0, 0, 0, , NO, 0, 0, NO,
1974, BEAM , CONLOAD, GZ, NO , NO, aDir[1], , , , 0.741, -25888.8, 0, 0, 0, 0, 0, 0, , NO, 0, 0, NO,
1975, BEAM , CONLOAD, GZ, NO , NO, aDir[1], , , , 0.741, -13511.2, 0, 0, 0, 0, 0, 0, , NO, 0, 0, NO,
1976, BEAM , CONLOAD, GZ, NO , NO, aDir[1], , , , 0.741, -589.623, 0, 0, 0, 0, 0, 0, , NO, 0, 0, NO,
1977, BEAM , CONLOAD, GZ, NO , NO, aDir[1], , , , 0.741, -31839.6, 0, 0, 0, 0, 0, 0, , NO, 0, 0, NO,
1978, BEAM , CONLOAD, GZ, NO , NO, aDir[1], , , , 0.741, -61910.4, 0, 0, 0, 0, 0, 0, , NO, 0, 0, NO,
1979, BEAM , CONLOAD, GZ, NO , NO, aDir[1], , , , 0.741, -30660.4, 0, 0, 0, 0, 0, 0, , NO, 0, 0, NO,
1981, BEAM , CONLOAD, GZ, NO , NO, aDir[1], , , , 0.741, -31250, 0, 0, 0, 0, 0, 0, , NO, 0, 0, NO,
1982, BEAM , CONLOAD, GZ, NO , NO, aDir[1], , , , 0.741, -69919.1, 0, 0, 0, 0, 0, 0, , NO, 0, 0, NO,
1983, BEAM , CONLOAD, GZ, NO , NO, aDir[1], , , , 0.741, -23830.9, 0, 0, 0, 0, 0, 0, , NO, 0, 0, NO,
1984, BEAM , CONLOAD, GZ, NO , NO, aDir[1], , , , 0.741, -11079.5, 0, 0, 0, 0, 0, 0, , NO, 0, 0, NO,
1985, BEAM , CONLOAD, GZ, NO , NO, aDir[1], , , , 0.741, -44602.3, 0, 0, 0, 0, 0, 0, , NO, 0, 0, NO,
1986, BEAM , CONLOAD, GZ, NO , NO, aDir[1], , , , 0.741, -51420.5, 0, 0, 0, 0, 0, 0, , NO, 0, 0, NO,
1987, BEAM , CONLOAD, GZ, NO , NO, aDir[1], , , , 0.741, -17897.7, 0, 0, 0, 0, 0, 0, , NO, 0, 0, NO,
1988, BEAM , CONLOAD, GZ, NO , NO, aDir[1], , , , 0.741, -15056.8, 0, 0, 0, 0, 0, 0, , NO, 0, 0, NO,
1989, BEAM , CONLOAD, GZ, NO , NO, aDir[1], , , , 0.741, -55200.3, 0, 0, 0, 0, 0, 0, , NO, 0, 0, NO,
1990, BEAM , CONLOAD, GZ, NO , NO, aDir[1], , , , 0.741, -49629.3, 0, 0, 0, 0, 0, 0, , NO, 0, 0, NO,
1991, BEAM , CONLOAD, GZ, NO , NO, aDir[1], , , , 0.741, -5113.64, 0, 0, 0, 0, 0, 0, , NO, 0, 0, NO,
1992, BEAM , CONLOAD, GZ, NO , NO, aDir[1], , , , 0.741, -8730.91, 0, 0, 0, 0, 0, 0, , NO, 0, 0, NO,
1993, BEAM , CONLOAD, GZ, NO , NO, aDir[1], , , , 0.741, -21869.1, 0, 0, 0, 0, 0, 0, , NO, 0, 0, NO,
1994, BEAM , CONLOAD, GZ, NO , NO, aDir[1], , , , 0.741, -22000, 0, 0, 0, 0, 0, 0, , NO, 0, 0, NO,
1995, BEAM , CONLOAD, GZ, NO , NO, aDir[1], , , , 0.741, -17363, 0, 0, 0, 0, 0, 0, , NO, 0, 0, NO,
1996, BEAM , CONLOAD, GZ, NO , NO, aDir[1], , , , 0.741, -736.987, 0, 0, 0, 0, 0, 0, , NO, 0, 0, NO,

; End of data for load case [MVmaxP71_2PFx112] ----------

*USE-STLD, MVmaxP71_2PFx244

*BEAMLOAD ; Element Beam Loads
; ELEM_LIST, CMD, TYPE, DIR, bPROJ, [ECCEN], [VALUE], GROUP
; ELEM_LIST, CMD, TYPE, TYPE, DIR, VX, VY, VZ, bPROJ, [ECCEN], [VALUE], GROUP
; [VALUE] : D1, P1, D2, P2, D3, P3, D4, P4
; [ECCEN] : bECCEN, ECCDIR, I-END, J-END, bJ-END
; [ADDITIONAL] : bADDITIONAL, ADDITIONAL_I-END, ADDITIONAL_J-END, bADDITIONAL_J-END
1750, BEAM , CONLOAD, GZ, NO , NO, aDir[1], , , , 0.075, -2750, 0, 0, 0, 0, 0, 0, , NO, 0, 0, NO,
1751, BEAM , CONLOAD, GZ, NO , NO, aDir[1], , , , 0.075, -19250, 0, 0, 0, 0, 0, 0, , NO, 0, 0, NO,
1752, BEAM , CONLOAD, GZ, NO , NO, aDir[1], , , , 0.075, -22000, 0, 0, 0, 0, 0, 0, , NO, 0, 0, NO,
1753, BEAM , CONLOAD, GZ, NO , NO, aDir[1], , , , 0.075, -22000, 0, 0, 0, 0, 0, 0, , NO, 0, 0, NO,
1754, BEAM , CONLOAD, GZ, NO , NO, aDir[1], , , , 0.075, -22000, 0, 0, 0, 0, 0, 0, , NO, 0, 0, NO,
1755, BEAM , CONLOAD, GZ, NO , NO, aDir[1], , , , 0.075, -25100, 0, 0, 0, 0, 0, 0, , NO, 0, 0, NO,
1756, BEAM , CONLOAD, GZ, NO , NO, aDir[1], , , , 0.075, -25100, 0, 0, 0, 0, 0, 0, , NO, 0, 0, NO,
1757, BEAM , CONLOAD, GZ, NO , NO, aDir[1], , , , 0.075, -22000, 0, 0, 0, 0, 0, 0, , NO, 0, 0, NO,
1758, BEAM , CONLOAD, GZ, NO , NO, aDir[1], , , , 0.075, -22000, 0, 0, 0, 0, 0, 0, , NO, 0, 0, NO,
1759, BEAM , CONLOAD, GZ, NO , NO, aDir[1], , , , 0.075, -22000, 0, 0, 0, 0, 0, 0, , NO, 0, 0, NO,
1760, BEAM , CONLOAD, GZ, NO , NO, aDir[1], , , , 0.075, -22000, 0, 0, 0, 0, 0, 0, , NO, 0, 0, NO,
1761, BEAM , CONLOAD, GZ, NO , NO, aDir[1], , , , 0.075, -22000, 0, 0, 0, 0, 0, 0, , NO, 0, 0, NO,
1762, BEAM , CONLOAD, GZ, NO , NO, aDir[1], , , , 0.075, -24900, 0, 0, 0, 0, 0, 0, , NO, 0, 0, NO,
1763, BEAM , CONLOAD, GZ, NO , NO, aDir[1], , , , 0.075, -24500, 0, 0, 0, 0, 0, 0, , NO, 0, 0, NO,
1764, BEAM , CONLOAD, GZ, NO , NO, aDir[1], , , , 0.075, -21200, 0, 0, 0, 0, 0, 0, , NO, 0, 0, NO,
1765, BEAM , CONLOAD, GZ, NO , NO, aDir[1], , , , 0.075, -21200, 0, 0, 0, 0, 0, 0, , NO, 0, 0, NO,
1766, BEAM , CONLOAD, GZ, NO , NO, aDir[1], , , , 0.075, -21200, 0, 0, 0, 0, 0, 0, , NO, 0, 0, NO,
1767, BEAM , CONLOAD, GZ, NO , NO, aDir[1], , , , 0.075, -21200, 0, 0, 0, 0, 0, 0, , NO, 0, 0, NO,
1768, BEAM , CONLOAD, GZ, NO , NO, aDir[1], , , , 0.075, -21200, 0, 0, 0, 0, 0, 0, , NO, 0, 0, NO,

PROJECT TITLE :

MIDAS	Company		Client	
	Author		File Name	H2D_3Dg_v14_180227_StatLM.mct

1769, BEAM , CONLOAD, GZ, NO , NO, aDir[1], , , , 0.075, -21200, 0, 0, 0, 0, 0, 0, , NO, 0, 0, NO,
1770, BEAM , CONLOAD, GZ, NO , NO, aDir[1], , , , 0.075, -24900, 0, 0, 0, 0, 0, 0, , NO, 0, 0, NO,
1771, BEAM , CONLOAD, GZ, NO , NO, aDir[1], , , , 0.075, -25900, 0, 0, 0, 0, 0, 0, , NO, 0, 0, NO,
1772, BEAM , CONLOAD, GZ, NO , NO, aDir[1], , , , 0.075, -23200, 0, 0, 0, 0, 0, 0, , NO, 0, 0, NO,
1773, BEAM , CONLOAD, GZ, NO , NO, aDir[1], , , , 0.075, -23200, 0, 0, 0, 0, 0, 0, , NO, 0, 0, NO,
1774, BEAM , CONLOAD, GZ, NO , NO, aDir[1], , , , 0.075, -23200, 0, 0, 0, 0, 0, 0, , NO, 0, 0, NO,
1775, BEAM , CONLOAD, GZ, NO , NO, aDir[1], , , , 0.075, -23200, 0, 0, 0, 0, 0, 0, , NO, 0, 0, NO,
1776, BEAM , CONLOAD, GZ, NO , NO, aDir[1], , , , 0.075, -23200, 0, 0, 0, 0, 0, 0, , NO, 0, 0, NO,
1777, BEAM , CONLOAD, GZ, NO , NO, aDir[1], , , , 0.075, -23200, 0, 0, 0, 0, 0, 0, , NO, 0, 0, NO,
1778, BEAM , CONLOAD, GZ, NO , NO, aDir[1], , , , 0.075, -26400, 0, 0, 0, 0, 0, 0, , NO, 0, 0, NO,
1779, BEAM , CONLOAD, GZ, NO , NO, aDir[1], , , , 0.075, -26400, 0, 0, 0, 0, 0, 0, , NO, 0, 0, NO,
1780, BEAM , CONLOAD, GZ, NO , NO, aDir[1], , , , 0.075, -23200, 0, 0, 0, 0, 0, 0, , NO, 0, 0, NO,
1781, BEAM , CONLOAD, GZ, NO , NO, aDir[1], , , , 0.075, -23200, 0, 0, 0, 0, 0, 0, , NO, 0, 0, NO,
1782, BEAM , CONLOAD, GZ, NO , NO, aDir[1], , , , 0.075, -23200, 0, 0, 0, 0, 0, 0, , NO, 0, 0, NO,
1783, BEAM , CONLOAD, GZ, NO , NO, aDir[1], , , , 0.075, -23200, 0, 0, 0, 0, 0, 0, , NO, 0, 0, NO,
1784, BEAM , CONLOAD, GZ, NO , NO, aDir[1], , , , 0.075, -23200, 0, 0, 0, 0, 0, 0, , NO, 0, 0, NO,
1785, BEAM , CONLOAD, GZ, NO , NO, aDir[1], , , , 0.075, -23200, 0, 0, 0, 0, 0, 0, , NO, 0, 0, NO,
1786, BEAM , CONLOAD, GZ, NO , NO, aDir[1], , , , 0.075, -26400, 0, 0, 0, 0, 0, 0, , NO, 0, 0, NO,
1787, BEAM , CONLOAD, GZ, NO , NO, aDir[1], , , , 0.075, -26400, 0, 0, 0, 0, 0, 0, , NO, 0, 0, NO,
1788, BEAM , CONLOAD, GZ, NO , NO, aDir[1], , , , 0.075, -23200, 0, 0, 0, 0, 0, 0, , NO, 0, 0, NO,
1789, BEAM , CONLOAD, GZ, NO , NO, aDir[1], , , , 0.075, -23200, 0, 0, 0, 0, 0, 0, , NO, 0, 0, NO,
1790, BEAM , CONLOAD, GZ, NO , NO, aDir[1], , , , 0.075, -23200, 0, 0, 0, 0, 0, 0, , NO, 0, 0, NO,
1791, BEAM , CONLOAD, GZ, NO , NO, aDir[1], , , , 0.075, -23200, 0, 0, 0, 0, 0, 0, , NO, 0, 0, NO,
1792, BEAM , CONLOAD, GZ, NO , NO, aDir[1], , , , 0.075, -23200, 0, 0, 0, 0, 0, 0, , NO, 0, 0, NO,
1793, BEAM , CONLOAD, GZ, NO , NO, aDir[1], , , , 0.075, -23200, 0, 0, 0, 0, 0, 0, , NO, 0, 0, NO,
1794, BEAM , CONLOAD, GZ, NO , NO, aDir[1], , , , 0.075, -26400, 0, 0, 0, 0, 0, 0, , NO, 0, 0, NO,
1795, BEAM , CONLOAD, GZ, NO , NO, aDir[1], , , , 0.075, -26400, 0, 0, 0, 0, 0, 0, , NO, 0, 0, NO,
1796, BEAM , CONLOAD, GZ, NO , NO, aDir[1], , , , 0.075, -23200, 0, 0, 0, 0, 0, 0, , NO, 0, 0, NO,
1797, BEAM , CONLOAD, GZ, NO , NO, aDir[1], , , , 0.075, -23200, 0, 0, 0, 0, 0, 0, , NO, 0, 0, NO,
1798, BEAM , CONLOAD, GZ, NO , NO, aDir[1], , , , 0.075, -23200, 0, 0, 0, 0, 0, 0, , NO, 0, 0, NO,
1799, BEAM , CONLOAD, GZ, NO , NO, aDir[1], , , , 0.075, -23200, 0, 0, 0, 0, 0, 0, , NO, 0, 0, NO,
1800, BEAM , CONLOAD, GZ, NO , NO, aDir[1], , , , 0.075, -23200, 0, 0, 0, 0, 0, 0, , NO, 0, 0, NO,
1801, BEAM , CONLOAD, GZ, NO , NO, aDir[1], , , , 0.075, -23200, 0, 0, 0, 0, 0, 0, , NO, 0, 0, NO,
1802, BEAM , CONLOAD, GZ, NO , NO, aDir[1], , , , 0.075, -26400, 0, 0, 0, 0, 0, 0, , NO, 0, 0, NO,
1803, BEAM , CONLOAD, GZ, NO , NO, aDir[1], , , , 0.075, -26400, 0, 0, 0, 0, 0, 0, , NO, 0, 0, NO,
1804, BEAM , CONLOAD, GZ, NO , NO, aDir[1], , , , 0.075, -23200, 0, 0, 0, 0, 0, 0, , NO, 0, 0, NO,
1805, BEAM , CONLOAD, GZ, NO , NO, aDir[1], , , , 0.075, -23200, 0, 0, 0, 0, 0, 0, , NO, 0, 0, NO,
1806, BEAM , CONLOAD, GZ, NO , NO, aDir[1], , , , 0.075, -23200, 0, 0, 0, 0, 0, 0, , NO, 0, 0, NO,
1807, BEAM , CONLOAD, GZ, NO , NO, aDir[1], , , , 0.075, -23200, 0, 0, 0, 0, 0, 0, , NO, 0, 0, NO,
1808, BEAM , CONLOAD, GZ, NO , NO, aDir[1], , , , 0.075, -23200, 0, 0, 0, 0, 0, 0, , NO, 0, 0, NO,
1809, BEAM , CONLOAD, GZ, NO , NO, aDir[1], , , , 0.075, -23200, 0, 0, 0, 0, 0, 0, , NO, 0, 0, NO,
1810, BEAM , CONLOAD, GZ, NO , NO, aDir[1], , , , 0.075, -26400, 0, 0, 0, 0, 0, 0, , NO, 0, 0, NO,
1811, BEAM , CONLOAD, GZ, NO , NO, aDir[1], , , , 0.075, -26400, 0, 0, 0, 0, 0, 0, , NO, 0, 0, NO,
1812, BEAM , CONLOAD, GZ, NO , NO, aDir[1], , , , 0.075, -23200, 0, 0, 0, 0, 0, 0, , NO, 0, 0, NO,
1813, BEAM , CONLOAD, GZ, NO , NO, aDir[1], , , , 0.075, -23200, 0, 0, 0, 0, 0, 0, , NO, 0, 0, NO,
1814, BEAM , CONLOAD, GZ, NO , NO, aDir[1], , , , 0.075, -23200, 0, 0, 0, 0, 0, 0, , NO, 0, 0, NO,
1815, BEAM , CONLOAD, GZ, NO , NO, aDir[1], , , , 0.075, -23200, 0, 0, 0, 0, 0, 0, , NO, 0, 0, NO,
1816, BEAM , CONLOAD, GZ, NO , NO, aDir[1], , , , 0.075, -23200, 0, 0, 0, 0, 0, 0, , NO, 0, 0, NO,
1817, BEAM , CONLOAD, GZ, NO , NO, aDir[1], , , , 0.075, -23200, 0, 0, 0, 0, 0, 0, , NO, 0, 0, NO,
1818, BEAM , CONLOAD, GZ, NO , NO, aDir[1], , , , 0.075, -26400, 0, 0, 0, 0, 0, 0, , NO, 0, 0, NO,
1819, BEAM , CONLOAD, GZ, NO , NO, aDir[1], , , , 0.075, -26400, 0, 0, 0, 0, 0, 0, , NO, 0, 0, NO,
1820, BEAM , CONLOAD, GZ, NO , NO, aDir[1], , , , 0.075, -23200, 0, 0, 0, 0, 0, 0, , NO, 0, 0, NO,
1821, BEAM , CONLOAD, GZ, NO , NO, aDir[1], , , , 0.075, -23200, 0, 0, 0, 0, 0, 0, , NO, 0, 0, NO,
1822, BEAM , CONLOAD, GZ, NO , NO, aDir[1], , , , 0.075, -23200, 0, 0, 0, 0, 0, 0, , NO, 0, 0, NO,
1823, BEAM , CONLOAD, GZ, NO , NO, aDir[1], , , , 0.075, -23200, 0, 0, 0, 0, 0, 0, , NO, 0, 0, NO,
1824, BEAM , CONLOAD, GZ, NO , NO, aDir[1], , , , 0.075, -23200, 0, 0, 0, 0, 0, 0, , NO, 0, 0, NO,
1825, BEAM , CONLOAD, GZ, NO , NO, aDir[1], , , , 0.075, -19669, 0, 0, 0, 0, 0, 0, , NO, 0, 0, NO,
1826, BEAM , CONLOAD, GZ, NO , NO, aDir[1], , , , 0.075, -2331.03, 0, 0, 0, 0, 0, 0, , NO, 0, 0, NO,
1827, BEAM , CONLOAD, GZ, NO , NO, aDir[1], , , , 0.075, -35021.6, 0, 0, 0, 0, 0, 0, , NO, 0, 0, NO,
1828, BEAM , CONLOAD, GZ, NO , NO, aDir[1], , , , 0.075, -63577.6, 0, 0, 0, 0, 0, 0, , NO, 0, 0, NO,
1829, BEAM , CONLOAD, GZ, NO , NO, aDir[1], , , , 0.075, -26400.9, 0, 0, 0, 0, 0, 0, , NO, 0, 0, NO,
1830, BEAM , CONLOAD, GZ, NO , NO, aDir[1], , , , 0.075, -9698.28, 0, 0, 0, 0, 0, 0, , NO, 0, 0, NO,
1831, BEAM , CONLOAD, GZ, NO , NO, aDir[1], , , , 0.075, -46336.2, 0, 0, 0, 0, 0, 0, , NO, 0, 0, NO,
1832, BEAM , CONLOAD, GZ, NO , NO, aDir[1], , , , 0.075, -52801.7, 0, 0, 0, 0, 0, 0, , NO, 0, 0, NO,
1833, BEAM , CONLOAD, GZ, NO , NO, aDir[1], , , , 0.075, -16163.8, 0, 0, 0, 0, 0, 0, , NO, 0, 0, NO,
1834, BEAM , CONLOAD, GZ, NO , NO, aDir[1], , , , 0.075, -22381.8, 0, 0, 0, 0, 0, 0, , NO, 0, 0, NO,
1835, BEAM , CONLOAD, GZ, NO , NO, aDir[1], , , , 0.075, -74062.2, 0, 0, 0, 0, 0, 0, , NO, 0, 0, NO,
1836, BEAM , CONLOAD, GZ, NO , NO, aDir[1], , , , 0.075, -28556, 0, 0, 0, 0, 0, 0, , NO, 0, 0, NO,
1837, BEAM , CONLOAD, GZ, NO , NO, aDir[1], , , , 0.075, -7543.1, 0, 0, 0, 0, 0, 0, , NO, 0, 0, NO,
1838, BEAM , CONLOAD, GZ, NO , NO, aDir[1], , , , 0.075, -44181, 0, 0, 0, 0, 0, 0, , NO, 0, 0, NO,
1839, BEAM , CONLOAD, GZ, NO , NO, aDir[1], , , , 0.075, -54956.9, 0, 0, 0, 0, 0, 0, , NO, 0, 0, NO,
1840, BEAM , CONLOAD, GZ, NO , NO, aDir[1], , , , 0.075, -18319, 0, 0, 0, 0, 0, 0, , NO, 0, 0, NO,

PROJECT TITLE :

MIDAS	Company		Client	
	Author		File Name	H2D_3Dg_v14_180227_StatLM.mct

1841, BEAM , CONLOAD, GZ, NO , NO, aDir[1], , , , 0.075, -3755.17, 0, 0, 0, 0, 0, 0, , NO, 0, 0, NO,
1842, BEAM , CONLOAD, GZ, NO , NO, aDir[1], , , , 0.075, -23319.8, 0, 0, 0, 0, 0, 0, , NO, 0, 0, NO,
1843, BEAM , CONLOAD, GZ, NO , NO, aDir[1], , , , 0.075, -8325, 0, 0, 0, 0, 0, 0, , NO, 0, 0, NO,
1871, BEAM , CONLOAD, GZ, NO , NO, aDir[1], , , , 0.075, -10737, 0, 0, 0, 0, 0, 0, , NO, 0, 0, NO,
1872, BEAM , CONLOAD, GZ, NO , NO, aDir[1], , , , 0.075, -16363, 0, 0, 0, 0, 0, 0, , NO, 0, 0, NO,
1874, BEAM , CONLOAD, GZ, NO , NO, aDir[1], , , , 0.741, -2750, 0, 0, 0, 0, 0, 0, , NO, 0, 0, NO,
1875, BEAM , CONLOAD, GZ, NO , NO, aDir[1], , , , 0.741, -19250, 0, 0, 0, 0, 0, 0, , NO, 0, 0, NO,
1876, BEAM , CONLOAD, GZ, NO , NO, aDir[1], , , , 0.741, -22000, 0, 0, 0, 0, 0, 0, , NO, 0, 0, NO,
1877, BEAM , CONLOAD, GZ, NO , NO, aDir[1], , , , 0.741, -22000, 0, 0, 0, 0, 0, 0, , NO, 0, 0, NO,
1878, BEAM , CONLOAD, GZ, NO , NO, aDir[1], , , , 0.741, -22000, 0, 0, 0, 0, 0, 0, , NO, 0, 0, NO,
1879, BEAM , CONLOAD, GZ, NO , NO, aDir[1], , , , 0.741, -25100, 0, 0, 0, 0, 0, 0, , NO, 0, 0, NO,
1880, BEAM , CONLOAD, GZ, NO , NO, aDir[1], , , , 0.741, -25100, 0, 0, 0, 0, 0, 0, , NO, 0, 0, NO,
1881, BEAM , CONLOAD, GZ, NO , NO, aDir[1], , , , 0.741, -22000, 0, 0, 0, 0, 0, 0, , NO, 0, 0, NO,
1882, BEAM , CONLOAD, GZ, NO , NO, aDir[1], , , , 0.741, -22000, 0, 0, 0, 0, 0, 0, , NO, 0, 0, NO,
1883, BEAM , CONLOAD, GZ, NO , NO, aDir[1], , , , 0.741, -22000, 0, 0, 0, 0, 0, 0, , NO, 0, 0, NO,
1884, BEAM , CONLOAD, GZ, NO , NO, aDir[1], , , , 0.741, -22000, 0, 0, 0, 0, 0, 0, , NO, 0, 0, NO,
1885, BEAM , CONLOAD, GZ, NO , NO, aDir[1], , , , 0.741, -22000, 0, 0, 0, 0, 0, 0, , NO, 0, 0, NO,
1886, BEAM , CONLOAD, GZ, NO , NO, aDir[1], , , , 0.741, -24900, 0, 0, 0, 0, 0, 0, , NO, 0, 0, NO,
1887, BEAM , CONLOAD, GZ, NO , NO, aDir[1], , , , 0.741, -24500, 0, 0, 0, 0, 0, 0, , NO, 0, 0, NO,
1888, BEAM , CONLOAD, GZ, NO , NO, aDir[1], , , , 0.741, -21200, 0, 0, 0, 0, 0, 0, , NO, 0, 0, NO,
1889, BEAM , CONLOAD, GZ, NO , NO, aDir[1], , , , 0.741, -21200, 0, 0, 0, 0, 0, 0, , NO, 0, 0, NO,
1890, BEAM , CONLOAD, GZ, NO , NO, aDir[1], , , , 0.741, -21200, 0, 0, 0, 0, 0, 0, , NO, 0, 0, NO,
1891, BEAM , CONLOAD, GZ, NO , NO, aDir[1], , , , 0.741, -21200, 0, 0, 0, 0, 0, 0, , NO, 0, 0, NO,
1892, BEAM , CONLOAD, GZ, NO , NO, aDir[1], , , , 0.741, -21200, 0, 0, 0, 0, 0, 0, , NO, 0, 0, NO,
1893, BEAM , CONLOAD, GZ, NO , NO, aDir[1], , , , 0.741, -21200, 0, 0, 0, 0, 0, 0, , NO, 0, 0, NO,
1894, BEAM , CONLOAD, GZ, NO , NO, aDir[1], , , , 0.741, -24900, 0, 0, 0, 0, 0, 0, , NO, 0, 0, NO,
1895, BEAM , CONLOAD, GZ, NO , NO, aDir[1], , , , 0.741, -25900, 0, 0, 0, 0, 0, 0, , NO, 0, 0, NO,
1896, BEAM , CONLOAD, GZ, NO , NO, aDir[1], , , , 0.741, -23200, 0, 0, 0, 0, 0, 0, , NO, 0, 0, NO,
1897, BEAM , CONLOAD, GZ, NO , NO, aDir[1], , , , 0.741, -23200, 0, 0, 0, 0, 0, 0, , NO, 0, 0, NO,
1898, BEAM , CONLOAD, GZ, NO , NO, aDir[1], , , , 0.741, -23200, 0, 0, 0, 0, 0, 0, , NO, 0, 0, NO,
1899, BEAM , CONLOAD, GZ, NO , NO, aDir[1], , , , 0.741, -23200, 0, 0, 0, 0, 0, 0, , NO, 0, 0, NO,
1900, BEAM , CONLOAD, GZ, NO , NO, aDir[1], , , , 0.741, -23200, 0, 0, 0, 0, 0, 0, , NO, 0, 0, NO,
1901, BEAM , CONLOAD, GZ, NO , NO, aDir[1], , , , 0.741, -23200, 0, 0, 0, 0, 0, 0, , NO, 0, 0, NO,
1902, BEAM , CONLOAD, GZ, NO , NO, aDir[1], , , , 0.741, -26400, 0, 0, 0, 0, 0, 0, , NO, 0, 0, NO,
1903, BEAM , CONLOAD, GZ, NO , NO, aDir[1], , , , 0.741, -26400, 0, 0, 0, 0, 0, 0, , NO, 0, 0, NO,
1904, BEAM , CONLOAD, GZ, NO , NO, aDir[1], , , , 0.741, -23200, 0, 0, 0, 0, 0, 0, , NO, 0, 0, NO,
1905, BEAM , CONLOAD, GZ, NO , NO, aDir[1], , , , 0.741, -23200, 0, 0, 0, 0, 0, 0, , NO, 0, 0, NO,
1906, BEAM , CONLOAD, GZ, NO , NO, aDir[1], , , , 0.741, -23200, 0, 0, 0, 0, 0, 0, , NO, 0, 0, NO,
1907, BEAM , CONLOAD, GZ, NO , NO, aDir[1], , , , 0.741, -23200, 0, 0, 0, 0, 0, 0, , NO, 0, 0, NO,
1908, BEAM , CONLOAD, GZ, NO , NO, aDir[1], , , , 0.741, -23200, 0, 0, 0, 0, 0, 0, , NO, 0, 0, NO,
1909, BEAM , CONLOAD, GZ, NO , NO, aDir[1], , , , 0.741, -23200, 0, 0, 0, 0, 0, 0, , NO, 0, 0, NO,
1910, BEAM , CONLOAD, GZ, NO , NO, aDir[1], , , , 0.741, -26400, 0, 0, 0, 0, 0, 0, , NO, 0, 0, NO,
1911, BEAM , CONLOAD, GZ, NO , NO, aDir[1], , , , 0.741, -26400, 0, 0, 0, 0, 0, 0, , NO, 0, 0, NO,
1912, BEAM , CONLOAD, GZ, NO , NO, aDir[1], , , , 0.741, -23200, 0, 0, 0, 0, 0, 0, , NO, 0, 0, NO,
1913, BEAM , CONLOAD, GZ, NO , NO, aDir[1], , , , 0.741, -23200, 0, 0, 0, 0, 0, 0, , NO, 0, 0, NO,
1914, BEAM , CONLOAD, GZ, NO , NO, aDir[1], , , , 0.741, -23200, 0, 0, 0, 0, 0, 0, , NO, 0, 0, NO,
1915, BEAM , CONLOAD, GZ, NO , NO, aDir[1], , , , 0.741, -23200, 0, 0, 0, 0, 0, 0, , NO, 0, 0, NO,
1916, BEAM , CONLOAD, GZ, NO , NO, aDir[1], , , , 0.741, -23200, 0, 0, 0, 0, 0, 0, , NO, 0, 0, NO,
1917, BEAM , CONLOAD, GZ, NO , NO, aDir[1], , , , 0.741, -23200, 0, 0, 0, 0, 0, 0, , NO, 0, 0, NO,
1918, BEAM , CONLOAD, GZ, NO , NO, aDir[1], , , , 0.741, -26400, 0, 0, 0, 0, 0, 0, , NO, 0, 0, NO,
1919, BEAM , CONLOAD, GZ, NO , NO, aDir[1], , , , 0.741, -26400, 0, 0, 0, 0, 0, 0, , NO, 0, 0, NO,
1920, BEAM , CONLOAD, GZ, NO , NO, aDir[1], , , , 0.741, -23200, 0, 0, 0, 0, 0, 0, , NO, 0, 0, NO,
1921, BEAM , CONLOAD, GZ, NO , NO, aDir[1], , , , 0.741, -23200, 0, 0, 0, 0, 0, 0, , NO, 0, 0, NO,
1922, BEAM , CONLOAD, GZ, NO , NO, aDir[1], , , , 0.741, -23200, 0, 0, 0, 0, 0, 0, , NO, 0, 0, NO,
1923, BEAM , CONLOAD, GZ, NO , NO, aDir[1], , , , 0.741, -23200, 0, 0, 0, 0, 0, 0, , NO, 0, 0, NO,
1924, BEAM , CONLOAD, GZ, NO , NO, aDir[1], , , , 0.741, -23200, 0, 0, 0, 0, 0, 0, , NO, 0, 0, NO,
1925, BEAM , CONLOAD, GZ, NO , NO, aDir[1], , , , 0.741, -23200, 0, 0, 0, 0, 0, 0, , NO, 0, 0, NO,
1926, BEAM , CONLOAD, GZ, NO , NO, aDir[1], , , , 0.741, -26400, 0, 0, 0, 0, 0, 0, , NO, 0, 0, NO,
1927, BEAM , CONLOAD, GZ, NO , NO, aDir[1], , , , 0.741, -26400, 0, 0, 0, 0, 0, 0, , NO, 0, 0, NO,
1928, BEAM , CONLOAD, GZ, NO , NO, aDir[1], , , , 0.741, -23200, 0, 0, 0, 0, 0, 0, , NO, 0, 0, NO,
1929, BEAM , CONLOAD, GZ, NO , NO, aDir[1], , , , 0.741, -23200, 0, 0, 0, 0, 0, 0, , NO, 0, 0, NO,
1930, BEAM , CONLOAD, GZ, NO , NO, aDir[1], , , , 0.741, -23200, 0, 0, 0, 0, 0, 0, , NO, 0, 0, NO,
1931, BEAM , CONLOAD, GZ, NO , NO, aDir[1], , , , 0.741, -23200, 0, 0, 0, 0, 0, 0, , NO, 0, 0, NO,
1932, BEAM , CONLOAD, GZ, NO , NO, aDir[1], , , , 0.741, -23200, 0, 0, 0, 0, 0, 0, , NO, 0, 0, NO,
1933, BEAM , CONLOAD, GZ, NO , NO, aDir[1], , , , 0.741, -23200, 0, 0, 0, 0, 0, 0, , NO, 0, 0, NO,
1934, BEAM , CONLOAD, GZ, NO , NO, aDir[1], , , , 0.741, -26400, 0, 0, 0, 0, 0, 0, , NO, 0, 0, NO,
1935, BEAM , CONLOAD, GZ, NO , NO, aDir[1], , , , 0.741, -26400, 0, 0, 0, 0, 0, 0, , NO, 0, 0, NO,
1936, BEAM , CONLOAD, GZ, NO , NO, aDir[1], , , , 0.741, -23200, 0, 0, 0, 0, 0, 0, , NO, 0, 0, NO,
1937, BEAM , CONLOAD, GZ, NO , NO, aDir[1], , , , 0.741, -23200, 0, 0, 0, 0, 0, 0, , NO, 0, 0, NO,
1938, BEAM , CONLOAD, GZ, NO , NO, aDir[1], , , , 0.741, -23200, 0, 0, 0, 0, 0, 0, , NO, 0, 0, NO,
1939, BEAM , CONLOAD, GZ, NO , NO, aDir[1], , , , 0.741, -23200, 0, 0, 0, 0, 0, 0, , NO, 0, 0, NO,
1940, BEAM , CONLOAD, GZ, NO , NO, aDir[1], , , , 0.741, -23200, 0, 0, 0, 0, 0, 0, , NO, 0, 0, NO,

PROJECT TITLE :

MIDAS	Company		Client	
	Author		File Name	H2D_3Dg_v14_180227_StatLM.mct

1941, BEAM , CONLOAD, GZ, NO , NO, aDir[1], , , , 0.741, -23200, 0, 0, 0, 0, 0, 0, , NO, 0, 0, NO,
1942, BEAM , CONLOAD, GZ, NO , NO, aDir[1], , , , 0.741, -26400, 0, 0, 0, 0, 0, 0, , NO, 0, 0, NO,
1943, BEAM , CONLOAD, GZ, NO , NO, aDir[1], , , , 0.741, -26400, 0, 0, 0, 0, 0, 0, , NO, 0, 0, NO,
1944, BEAM , CONLOAD, GZ, NO , NO, aDir[1], , , , 0.741, -23200, 0, 0, 0, 0, 0, 0, , NO, 0, 0, NO,
1945, BEAM , CONLOAD, GZ, NO , NO, aDir[1], , , , 0.741, -23200, 0, 0, 0, 0, 0, 0, , NO, 0, 0, NO,
1946, BEAM , CONLOAD, GZ, NO , NO, aDir[1], , , , 0.741, -23200, 0, 0, 0, 0, 0, 0, , NO, 0, 0, NO,
1947, BEAM , CONLOAD, GZ, NO , NO, aDir[1], , , , 0.741, -23200, 0, 0, 0, 0, 0, 0, , NO, 0, 0, NO,
1948, BEAM , CONLOAD, GZ, NO , NO, aDir[1], , , , 0.741, -23200, 0, 0, 0, 0, 0, 0, , NO, 0, 0, NO,
1949, BEAM , CONLOAD, GZ, NO , NO, aDir[1], , , , 0.741, -19669, 0, 0, 0, 0, 0, 0, , NO, 0, 0, NO,
1950, BEAM , CONLOAD, GZ, NO , NO, aDir[1], , , , 0.741, -2331.03, 0, 0, 0, 0, 0, 0, , NO, 0, 0, NO,
1951, BEAM , CONLOAD, GZ, NO , NO, aDir[1], , , , 0.741, -35021.6, 0, 0, 0, 0, 0, 0, , NO, 0, 0, NO,
1952, BEAM , CONLOAD, GZ, NO , NO, aDir[1], , , , 0.741, -63577.6, 0, 0, 0, 0, 0, 0, , NO, 0, 0, NO,
1953, BEAM , CONLOAD, GZ, NO , NO, aDir[1], , , , 0.741, -26400.9, 0, 0, 0, 0, 0, 0, , NO, 0, 0, NO,
1954, BEAM , CONLOAD, GZ, NO , NO, aDir[1], , , , 0.741, -9698.28, 0, 0, 0, 0, 0, 0, , NO, 0, 0, NO,
1955, BEAM , CONLOAD, GZ, NO , NO, aDir[1], , , , 0.741, -46336.2, 0, 0, 0, 0, 0, 0, , NO, 0, 0, NO,
1956, BEAM , CONLOAD, GZ, NO , NO, aDir[1], , , , 0.741, -52801.7, 0, 0, 0, 0, 0, 0, , NO, 0, 0, NO,
1957, BEAM , CONLOAD, GZ, NO , NO, aDir[1], , , , 0.741, -16163.8, 0, 0, 0, 0, 0, 0, , NO, 0, 0, NO,
1958, BEAM , CONLOAD, GZ, NO , NO, aDir[1], , , , 0.741, -22381.8, 0, 0, 0, 0, 0, 0, , NO, 0, 0, NO,
1959, BEAM , CONLOAD, GZ, NO , NO, aDir[1], , , , 0.741, -74062.2, 0, 0, 0, 0, 0, 0, , NO, 0, 0, NO,
1960, BEAM , CONLOAD, GZ, NO , NO, aDir[1], , , , 0.741, -28556, 0, 0, 0, 0, 0, 0, , NO, 0, 0, NO,
1961, BEAM , CONLOAD, GZ, NO , NO, aDir[1], , , , 0.741, -7543.1, 0, 0, 0, 0, 0, 0, , NO, 0, 0, NO,
1962, BEAM , CONLOAD, GZ, NO , NO, aDir[1], , , , 0.741, -44181, 0, 0, 0, 0, 0, 0, , NO, 0, 0, NO,
1963, BEAM , CONLOAD, GZ, NO , NO, aDir[1], , , , 0.741, -54956.9, 0, 0, 0, 0, 0, 0, , NO, 0, 0, NO,
1964, BEAM , CONLOAD, GZ, NO , NO, aDir[1], , , , 0.741, -18319, 0, 0, 0, 0, 0, 0, , NO, 0, 0, NO,
1965, BEAM , CONLOAD, GZ, NO , NO, aDir[1], , , , 0.741, -3755.17, 0, 0, 0, 0, 0, 0, , NO, 0, 0, NO,
1966, BEAM , CONLOAD, GZ, NO , NO, aDir[1], , , , 0.741, -23319.8, 0, 0, 0, 0, 0, 0, , NO, 0, 0, NO,
1967, BEAM , CONLOAD, GZ, NO , NO, aDir[1], , , , 0.741, -8325, 0, 0, 0, 0, 0, 0, , NO, 0, 0, NO,
1995, BEAM , CONLOAD, GZ, NO , NO, aDir[1], , , , 0.741, -10737, 0, 0, 0, 0, 0, 0, , NO, 0, 0, NO,
1996, BEAM , CONLOAD, GZ, NO , NO, aDir[1], , , , 0.741, -16363, 0, 0, 0, 0, 0, 0, , NO, 0, 0, NO,

; End of data for load case [MVmaxP71_2PFx244] ----------

*MVLDCODE ; Moving Load Code
; CODE=CODE
CODE=AASHTO STANDARD

*LINELANE ; Traffic Line Lanes
; NAME=NAME, LDIST, GROUP, SKEWS, SKEWE, MOVING, LW, WS, bLANEOPT ; line 1
; iELEM1, ECC1, FACT1, bSPAN1, ECCVL... ; from line 2
NAME=Kolej 1, CROSS, MI_Crossbeams_Sleeper, 0, 0, FORWARD, 3000, 1500, NO
2385, 0, 0, YES, 0, 2386, 0, 0, NO, 0, 2387, 0, 0, NO, 0
2388, 0, 0, NO, 0, 2389, 0, 0, NO, 0, 2390, 0, 0, NO, 0
2391, 0, 0, NO, 0, 2392, 0, 0, NO, 0, 2393, 0, 0, NO, 0
2394, 0, 0, NO, 0, 2395, 0, 0, NO, 0, 2396, 0, 0, NO, 0
2397, 0, 0, NO, 0, 2398, 0, 0, NO, 0, 2399, 0, 0, NO, 0
2400, 0, 0, NO, 0, 2401, 0, 0, NO, 0, 2402, 0, 0, NO, 0
2403, 0, 0, NO, 0, 2404, 0, 0, NO, 0, 2405, 0, 0, NO, 0
2406, 0, 0, NO, 0, 2407, 0, 0, NO, 0, 2408, 0, 0, NO, 0
2409, 0, 0, NO, 0, 2410, 0, 0, NO, 0, 2411, 0, 0, NO, 0
2412, 0, 0, NO, 0, 2413, 0, 0, NO, 0, 2414, 0, 0, NO, 0
2415, 0, 0, NO, 0, 2416, 0, 0, NO, 0, 2417, 0, 0, NO, 0
2418, 0, 0, NO, 0, 2419, 0, 0, NO, 0, 2420, 0, 0, NO, 0
2421, 0, 0, NO, 0, 2422, 0, 0, NO, 0, 2423, 0, 0, NO, 0
2424, 0, 0, NO, 0, 2425, 0, 0, NO, 0, 2426, 0, 0, NO, 0
2427, 0, 0, NO, 0, 2428, 0, 0, NO, 0, 2429, 0, 0, NO, 0
2430, 0, 0, NO, 0, 2431, 0, 0, NO, 0, 2432, 0, 0, NO, 0
2433, 0, 0, NO, 0, 2434, 0, 0, NO, 0, 2435, 0, 0, NO, 0
2436, 0, 0, NO, 0, 2437, 0, 0, NO, 0, 2438, 0, 0, NO, 0
2439, 0, 0, NO, 0, 2440, 0, 0, NO, 0, 2441, 0, 0, NO, 0
2442, 0, 0, NO, 0, 2443, 0, 0, NO, 0, 2444, 0, 0, NO, 0
2445, 0, 0, NO, 0, 2446, 0, 0, NO, 0, 2447, 0, 0, NO, 0
2448, 0, 0, NO, 0, 2449, 0, 0, NO, 0, 2450, 0, 0, NO, 0
2451, 0, 0, NO, 0, 2452, 0, 0, NO, 0, 2453, 0, 0, NO, 0
2454, 0, 0, NO, 0, 2455, 0, 0, NO, 0, 2456, 0, 0, NO, 0
2457, 0, 0, NO, 0, 2458, 0, 0, NO, 0, 2459, 0, 0, NO, 0
2460, 0, 0, NO, 0, 2461, 0, 0, NO, 0, 2462, 0, 0, NO, 0
2463, 0, 0, NO, 0, 2464, 0, 0, NO, 0, 2465, 0, 0, NO, 0
2466, 0, 0, NO, 0, 2467, 0, 0, NO, 0, 2468, 0, 0, NO, 0
2469, 0, 0, NO, 0, 2470, 0, 0, NO, 0, 2471, 0, 0, NO, 0
2472, 0, 0, NO, 0, 2473, 0, 0, NO, 0, 2474, 0, 0, NO, 0
2475, 0, 0, NO, 0, 2476, 0, 0, NO, 0, 2477, 0, 0, NO, 0
2478, 0, 0, NO, 0, 2479, 0, 0, NO, 0, 2480, 0, 0, NO, 0

2481, 0, 0, NO, 0, 2482, 0, 0, NO, 0, 2483, 0, 0, NO, 0
2484, 0, 0, NO, 0, 2485, 0, 0, NO, 0, 2486, 0, 0, NO, 0
2487, 0, 0, NO, 0, 2488, 0, 0, NO, 0, 2489, 0, 0, NO, 0
2490, 0, 0, NO, 0, 2491, 0, 0, NO, 0, 2492, 0, 0, NO, 0
2493, 0, 0, NO, 0, 2494, 0, 0, NO, 0, 2495, 0, 0, NO, 0
2496, 0, 0, NO, 0, 2497, 0, 0, NO, 0, 2498, 0, 0, NO, 0
2499, 0, 0, NO, 0, 2500, 0, 0, NO, 0, 2501, 0, 0, NO, 0
2502, 0, 0, NO, 0, 2503, 0, 0, NO, 0, 2504, 0, 0, NO, 0
2505, 0, 0, NO, 0, 2506, 0, 0, NO, 0, 2507, 0, 0, NO, 0
2508, 0, 0, NO, 0, 2509, 0, 0, NO, 0, 2510, 0, 0, NO, 0
2511, 0, 0, NO, 0, 2512, 0, 0, NO, 0, 2513, 0, 0, NO, 0
2514, 0, 0, NO, 0, 2515, 0, 0, NO, 0, 2516, 0, 0, NO, 0
2517, 0, 0, NO, 0, 2518, 0, 0, NO, 0, 2519, 0, 0, NO, 0
2520, 0, 0, NO, 0, 2521, 0, 0, NO, 0, 2522, 0, 0, NO, 0
2523, 0, 0, NO, 0, 2524, 0, 0, NO, 0
NAME=Kolej 1 L, CROSS, MI_Crossbeams_Sleeper, 0, 0, FORWARD, 3000, 1500, NO
2385, -83, 0, YES, 0, 2386, -83, 0, NO, 0, 2387, -83, 0, NO, 0
2388, -83, 0, NO, 0, 2389, -83, 0, NO, 0, 2390, -83, 0, NO, 0
2391, -83, 0, NO, 0, 2392, -83, 0, NO, 0, 2393, -83, 0, NO, 0
2394, -83, 0, NO, 0, 2395, -83, 0, NO, 0, 2396, -83, 0, NO, 0
2397, -83, 0, NO, 0, 2398, -83, 0, NO, 0, 2399, -83, 0, NO, 0
2400, -83, 0, NO, 0, 2401, -83, 0, NO, 0, 2402, -83, 0, NO, 0
2403, -83, 0, NO, 0, 2404, -83, 0, NO, 0, 2405, -83, 0, NO, 0
2406, -83, 0, NO, 0, 2407, -83, 0, NO, 0, 2408, -83, 0, NO, 0
2409, -83, 0, NO, 0, 2410, -83, 0, NO, 0, 2411, -83, 0, NO, 0
2412, -83, 0, NO, 0, 2413, -83, 0, NO, 0, 2414, -83, 0, NO, 0
2415, -83, 0, NO, 0, 2416, -83, 0, NO, 0, 2417, -83, 0, NO, 0
2418, -83, 0, NO, 0, 2419, -83, 0, NO, 0, 2420, -83, 0, NO, 0
2421, -83, 0, NO, 0, 2422, -83, 0, NO, 0, 2423, -83, 0, NO, 0
2424, -83, 0, NO, 0, 2425, -83, 0, NO, 0, 2426, -83, 0, NO, 0
2427, -83, 0, NO, 0, 2428, -83, 0, NO, 0, 2429, -83, 0, NO, 0
2430, -83, 0, NO, 0, 2431, -83, 0, NO, 0, 2432, -83, 0, NO, 0
2433, -83, 0, NO, 0, 2434, -83, 0, NO, 0, 2435, -83, 0, NO, 0
2436, -83, 0, NO, 0, 2437, -83, 0, NO, 0, 2438, -83, 0, NO, 0
2439, -83, 0, NO, 0, 2440, -83, 0, NO, 0, 2441, -83, 0, NO, 0
2442, -83, 0, NO, 0, 2443, -83, 0, NO, 0, 2444, -83, 0, NO, 0
2445, -83, 0, NO, 0, 2446, -83, 0, NO, 0, 2447, -83, 0, NO, 0
2448, -83, 0, NO, 0, 2449, -83, 0, NO, 0, 2450, -83, 0, NO, 0
2451, -83, 0, NO, 0, 2452, -83, 0, NO, 0, 2453, -83, 0, NO, 0
2454, -83, 0, NO, 0, 2455, -83, 0, NO, 0, 2456, -83, 0, NO, 0
2457, -83, 0, NO, 0, 2458, -83, 0, NO, 0, 2459, -83, 0, NO, 0
2460, -83, 0, NO, 0, 2461, -83, 0, NO, 0, 2462, -83, 0, NO, 0
2463, -83, 0, NO, 0, 2464, -83, 0, NO, 0, 2465, -83, 0, NO, 0
2466, -83, 0, NO, 0, 2467, -83, 0, NO, 0, 2468, -83, 0, NO, 0
2469, -83, 0, NO, 0, 2470, -83, 0, NO, 0, 2471, -83, 0, NO, 0
2472, -83, 0, NO, 0, 2473, -83, 0, NO, 0, 2474, -83, 0, NO, 0
2475, -83, 0, NO, 0, 2476, -83, 0, NO, 0, 2477, -83, 0, NO, 0
2478, -83, 0, NO, 0, 2479, -83, 0, NO, 0, 2480, -83, 0, NO, 0
2481, -83, 0, NO, 0, 2482, -83, 0, NO, 0, 2483, -83, 0, NO, 0
2484, -83, 0, NO, 0, 2485, -83, 0, NO, 0, 2486, -83, 0, NO, 0
2487, -83, 0, NO, 0, 2488, -83, 0, NO, 0, 2489, -83, 0, NO, 0
2490, -83, 0, NO, 0, 2491, -83, 0, NO, 0, 2492, -83, 0, NO, 0
2493, -83, 0, NO, 0, 2494, -83, 0, NO, 0, 2495, -83, 0, NO, 0
2496, -83, 0, NO, 0, 2497, -83, 0, NO, 0, 2498, -83, 0, NO, 0
2499, -83, 0, NO, 0, 2500, -83, 0, NO, 0, 2501, -83, 0, NO, 0
2502, -83, 0, NO, 0, 2503, -83, 0, NO, 0, 2504, -83, 0, NO, 0
2505, -83, 0, NO, 0, 2506, -83, 0, NO, 0, 2507, -83, 0, NO, 0
2508, -83, 0, NO, 0, 2509, -83, 0, NO, 0, 2510, -83, 0, NO, 0
2511, -83, 0, NO, 0, 2512, -83, 0, NO, 0, 2513, -83, 0, NO, 0
2514, -83, 0, NO, 0, 2515, -83, 0, NO, 0, 2516, -83, 0, NO, 0
2517, -83, 0, NO, 0, 2518, -83, 0, NO, 0, 2519, -83, 0, NO, 0
2520, -83, 0, NO, 0, 2521, -83, 0, NO, 0, 2522, -83, 0, NO, 0
2523, -83, 0, NO, 0, 2524, -83, 0, NO, 0
NAME=Kolej 1 P, CROSS, MI_Crossbeams_Sleeper, 0, 0, FORWARD, 3000, 1500, NO
2385, 83, 0, YES, 0, 2386, 83, 0, NO, 0, 2387, 83, 0, NO, 0
2388, 83, 0, NO, 0, 2389, 83, 0, NO, 0, 2390, 83, 0, NO, 0
2391, 83, 0, NO, 0, 2392, 83, 0, NO, 0, 2393, 83, 0, NO, 0
2394, 83, 0, NO, 0, 2395, 83, 0, NO, 0, 2396, 83, 0, NO, 0
2397, 83, 0, NO, 0, 2398, 83, 0, NO, 0, 2399, 83, 0, NO, 0
2400, 83, 0, NO, 0, 2401, 83, 0, NO, 0, 2402, 83, 0, NO, 0
2403, 83, 0, NO, 0, 2404, 83, 0, NO, 0, 2405, 83, 0, NO, 0
2406, 83, 0, NO, 0, 2407, 83, 0, NO, 0, 2408, 83, 0, NO, 0

2409, 83, 0, NO, 0, 2410, 83, 0, NO, 0, 2411, 83, 0, NO, 0
2412, 83, 0, NO, 0, 2413, 83, 0, NO, 0, 2414, 83, 0, NO, 0
2415, 83, 0, NO, 0, 2416, 83, 0, NO, 0, 2417, 83, 0, NO, 0
2418, 83, 0, NO, 0, 2419, 83, 0, NO, 0, 2420, 83, 0, NO, 0
2421, 83, 0, NO, 0, 2422, 83, 0, NO, 0, 2423, 83, 0, NO, 0
2424, 83, 0, NO, 0, 2425, 83, 0, NO, 0, 2426, 83, 0, NO, 0
2427, 83, 0, NO, 0, 2428, 83, 0, NO, 0, 2429, 83, 0, NO, 0
2430, 83, 0, NO, 0, 2431, 83, 0, NO, 0, 2432, 83, 0, NO, 0
2433, 83, 0, NO, 0, 2434, 83, 0, NO, 0, 2435, 83, 0, NO, 0
2436, 83, 0, NO, 0, 2437, 83, 0, NO, 0, 2438, 83, 0, NO, 0
2439, 83, 0, NO, 0, 2440, 83, 0, NO, 0, 2441, 83, 0, NO, 0
2442, 83, 0, NO, 0, 2443, 83, 0, NO, 0, 2444, 83, 0, NO, 0
2445, 83, 0, NO, 0, 2446, 83, 0, NO, 0, 2447, 83, 0, NO, 0
2448, 83, 0, NO, 0, 2449, 83, 0, NO, 0, 2450, 83, 0, NO, 0
2451, 83, 0, NO, 0, 2452, 83, 0, NO, 0, 2453, 83, 0, NO, 0
2454, 83, 0, NO, 0, 2455, 83, 0, NO, 0, 2456, 83, 0, NO, 0
2457, 83, 0, NO, 0, 2458, 83, 0, NO, 0, 2459, 83, 0, NO, 0
2460, 83, 0, NO, 0, 2461, 83, 0, NO, 0, 2462, 83, 0, NO, 0
2463, 83, 0, NO, 0, 2464, 83, 0, NO, 0, 2465, 83, 0, NO, 0
2466, 83, 0, NO, 0, 2467, 83, 0, NO, 0, 2468, 83, 0, NO, 0
2469, 83, 0, NO, 0, 2470, 83, 0, NO, 0, 2471, 83, 0, NO, 0
2472, 83, 0, NO, 0, 2473, 83, 0, NO, 0, 2474, 83, 0, NO, 0
2475, 83, 0, NO, 0, 2476, 83, 0, NO, 0, 2477, 83, 0, NO, 0
2478, 83, 0, NO, 0, 2479, 83, 0, NO, 0, 2480, 83, 0, NO, 0
2481, 83, 0, NO, 0, 2482, 83, 0, NO, 0, 2483, 83, 0, NO, 0
2484, 83, 0, NO, 0, 2485, 83, 0, NO, 0, 2486, 83, 0, NO, 0
2487, 83, 0, NO, 0, 2488, 83, 0, NO, 0, 2489, 83, 0, NO, 0
2490, 83, 0, NO, 0, 2491, 83, 0, NO, 0, 2492, 83, 0, NO, 0
2493, 83, 0, NO, 0, 2494, 83, 0, NO, 0, 2495, 83, 0, NO, 0
2496, 83, 0, NO, 0, 2497, 83, 0, NO, 0, 2498, 83, 0, NO, 0
2499, 83, 0, NO, 0, 2500, 83, 0, NO, 0, 2501, 83, 0, NO, 0
2502, 83, 0, NO, 0, 2503, 83, 0, NO, 0, 2504, 83, 0, NO, 0
2505, 83, 0, NO, 0, 2506, 83, 0, NO, 0, 2507, 83, 0, NO, 0
2508, 83, 0, NO, 0, 2509, 83, 0, NO, 0, 2510, 83, 0, NO, 0
2511, 83, 0, NO, 0, 2512, 83, 0, NO, 0, 2513, 83, 0, NO, 0
2514, 83, 0, NO, 0, 2515, 83, 0, NO, 0, 2516, 83, 0, NO, 0
2517, 83, 0, NO, 0, 2518, 83, 0, NO, 0, 2519, 83, 0, NO, 0
2520, 83, 0, NO, 0, 2521, 83, 0, NO, 0, 2522, 83, 0, NO, 0
2523, 83, 0, NO, 0, 2524, 83, 0, NO, 0
NAME=Kolej 2, CROSS, MI_Crossbeams_Sleeper, 0, 0, FORWARD, 3000, 1500, NO
2245, 0, 0, YES, 0, 2246, 0, 0, NO, 0, 2247, 0, 0, NO, 0
2248, 0, 0, NO, 0, 2249, 0, 0, NO, 0, 2250, 0, 0, NO, 0
2251, 0, 0, NO, 0, 2252, 0, 0, NO, 0, 2253, 0, 0, NO, 0
2254, 0, 0, NO, 0, 2255, 0, 0, NO, 0, 2256, 0, 0, NO, 0
2257, 0, 0, NO, 0, 2258, 0, 0, NO, 0, 2259, 0, 0, NO, 0
2260, 0, 0, NO, 0, 2261, 0, 0, NO, 0, 2262, 0, 0, NO, 0
2263, 0, 0, NO, 0, 2264, 0, 0, NO, 0, 2265, 0, 0, NO, 0
2266, 0, 0, NO, 0, 2267, 0, 0, NO, 0, 2268, 0, 0, NO, 0
2269, 0, 0, NO, 0, 2270, 0, 0, NO, 0, 2271, 0, 0, NO, 0
2272, 0, 0, NO, 0, 2273, 0, 0, NO, 0, 2274, 0, 0, NO, 0
2275, 0, 0, NO, 0, 2276, 0, 0, NO, 0, 2277, 0, 0, NO, 0
2278, 0, 0, NO, 0, 2279, 0, 0, NO, 0, 2280, 0, 0, NO, 0
2281, 0, 0, NO, 0, 2282, 0, 0, NO, 0, 2283, 0, 0, NO, 0
2284, 0, 0, NO, 0, 2285, 0, 0, NO, 0, 2286, 0, 0, NO, 0
2287, 0, 0, NO, 0, 2288, 0, 0, NO, 0, 2289, 0, 0, NO, 0
2290, 0, 0, NO, 0, 2291, 0, 0, NO, 0, 2292, 0, 0, NO, 0
2293, 0, 0, NO, 0, 2294, 0, 0, NO, 0, 2295, 0, 0, NO, 0
2296, 0, 0, NO, 0, 2297, 0, 0, NO, 0, 2298, 0, 0, NO, 0
2299, 0, 0, NO, 0, 2300, 0, 0, NO, 0, 2301, 0, 0, NO, 0
2302, 0, 0, NO, 0, 2303, 0, 0, NO, 0, 2304, 0, 0, NO, 0
2305, 0, 0, NO, 0, 2306, 0, 0, NO, 0, 2307, 0, 0, NO, 0
2308, 0, 0, NO, 0, 2309, 0, 0, NO, 0, 2310, 0, 0, NO, 0
2311, 0, 0, NO, 0, 2312, 0, 0, NO, 0, 2313, 0, 0, NO, 0
2314, 0, 0, NO, 0, 2315, 0, 0, NO, 0, 2316, 0, 0, NO, 0
2317, 0, 0, NO, 0, 2318, 0, 0, NO, 0, 2319, 0, 0, NO, 0
2320, 0, 0, NO, 0, 2321, 0, 0, NO, 0, 2322, 0, 0, NO, 0
2323, 0, 0, NO, 0, 2324, 0, 0, NO, 0, 2325, 0, 0, NO, 0
2326, 0, 0, NO, 0, 2327, 0, 0, NO, 0, 2328, 0, 0, NO, 0
2329, 0, 0, NO, 0, 2330, 0, 0, NO, 0, 2331, 0, 0, NO, 0
2332, 0, 0, NO, 0, 2333, 0, 0, NO, 0, 2334, 0, 0, NO, 0
2335, 0, 0, NO, 0, 2336, 0, 0, NO, 0, 2337, 0, 0, NO, 0
2338, 0, 0, NO, 0, 2339, 0, 0, NO, 0, 2340, 0, 0, NO, 0

2341, 0, 0, NO, 0, 2342, 0, 0, NO, 0, 2343, 0, 0, NO, 0
2344, 0, 0, NO, 0, 2345, 0, 0, NO, 0, 2346, 0, 0, NO, 0
2347, 0, 0, NO, 0, 2348, 0, 0, NO, 0, 2349, 0, 0, NO, 0
2350, 0, 0, NO, 0, 2351, 0, 0, NO, 0, 2352, 0, 0, NO, 0
2353, 0, 0, NO, 0, 2354, 0, 0, NO, 0, 2355, 0, 0, NO, 0
2356, 0, 0, NO, 0, 2357, 0, 0, NO, 0, 2358, 0, 0, NO, 0
2359, 0, 0, NO, 0, 2360, 0, 0, NO, 0, 2361, 0, 0, NO, 0
2362, 0, 0, NO, 0, 2363, 0, 0, NO, 0, 2364, 0, 0, NO, 0
2365, 0, 0, NO, 0, 2366, 0, 0, NO, 0, 2367, 0, 0, NO, 0
2368, 0, 0, NO, 0, 2369, 0, 0, NO, 0, 2370, 0, 0, NO, 0
2371, 0, 0, NO, 0, 2372, 0, 0, NO, 0, 2373, 0, 0, NO, 0
2374, 0, 0, NO, 0, 2375, 0, 0, NO, 0, 2376, 0, 0, NO, 0
2377, 0, 0, NO, 0, 2378, 0, 0, NO, 0, 2379, 0, 0, NO, 0
2380, 0, 0, NO, 0, 2381, 0, 0, NO, 0, 2382, 0, 0, NO, 0
2383, 0, 0, NO, 0, 2384, 0, 0, NO, 0
NAME=Kolej 2 L, CROSS, MI_Crossbeams_Sleeper, 0, 0, FORWARD, 3000, 1500, NO
2245, -83, 0, YES, 0, 2246, -83, 0, NO, 0, 2247, -83, 0, NO, 0
2248, -83, 0, NO, 0, 2249, -83, 0, NO, 0, 2250, -83, 0, NO, 0
2251, -83, 0, NO, 0, 2252, -83, 0, NO, 0, 2253, -83, 0, NO, 0
2254, -83, 0, NO, 0, 2255, -83, 0, NO, 0, 2256, -83, 0, NO, 0
2257, -83, 0, NO, 0, 2258, -83, 0, NO, 0, 2259, -83, 0, NO, 0
2260, -83, 0, NO, 0, 2261, -83, 0, NO, 0, 2262, -83, 0, NO, 0
2263, -83, 0, NO, 0, 2264, -83, 0, NO, 0, 2265, -83, 0, NO, 0
2266, -83, 0, NO, 0, 2267, -83, 0, NO, 0, 2268, -83, 0, NO, 0
2269, -83, 0, NO, 0, 2270, -83, 0, NO, 0, 2271, -83, 0, NO, 0
2272, -83, 0, NO, 0, 2273, -83, 0, NO, 0, 2274, -83, 0, NO, 0
2275, -83, 0, NO, 0, 2276, -83, 0, NO, 0, 2277, -83, 0, NO, 0
2278, -83, 0, NO, 0, 2279, -83, 0, NO, 0, 2280, -83, 0, NO, 0
2281, -83, 0, NO, 0, 2282, -83, 0, NO, 0, 2283, -83, 0, NO, 0
2284, -83, 0, NO, 0, 2285, -83, 0, NO, 0, 2286, -83, 0, NO, 0
2287, -83, 0, NO, 0, 2288, -83, 0, NO, 0, 2289, -83, 0, NO, 0
2290, -83, 0, NO, 0, 2291, -83, 0, NO, 0, 2292, -83, 0, NO, 0
2293, -83, 0, NO, 0, 2294, -83, 0, NO, 0, 2295, -83, 0, NO, 0
2296, -83, 0, NO, 0, 2297, -83, 0, NO, 0, 2298, -83, 0, NO, 0
2299, -83, 0, NO, 0, 2300, -83, 0, NO, 0, 2301, -83, 0, NO, 0
2302, -83, 0, NO, 0, 2303, -83, 0, NO, 0, 2304, -83, 0, NO, 0
2305, -83, 0, NO, 0, 2306, -83, 0, NO, 0, 2307, -83, 0, NO, 0
2308, -83, 0, NO, 0, 2309, -83, 0, NO, 0, 2310, -83, 0, NO, 0
2311, -83, 0, NO, 0, 2312, -83, 0, NO, 0, 2313, -83, 0, NO, 0
2314, -83, 0, NO, 0, 2315, -83, 0, NO, 0, 2316, -83, 0, NO, 0
2317, -83, 0, NO, 0, 2318, -83, 0, NO, 0, 2319, -83, 0, NO, 0
2320, -83, 0, NO, 0, 2321, -83, 0, NO, 0, 2322, -83, 0, NO, 0
2323, -83, 0, NO, 0, 2324, -83, 0, NO, 0, 2325, -83, 0, NO, 0
2326, -83, 0, NO, 0, 2327, -83, 0, NO, 0, 2328, -83, 0, NO, 0
2329, -83, 0, NO, 0, 2330, -83, 0, NO, 0, 2331, -83, 0, NO, 0
2332, -83, 0, NO, 0, 2333, -83, 0, NO, 0, 2334, -83, 0, NO, 0
2335, -83, 0, NO, 0, 2336, -83, 0, NO, 0, 2337, -83, 0, NO, 0
2338, -83, 0, NO, 0, 2339, -83, 0, NO, 0, 2340, -83, 0, NO, 0
2341, -83, 0, NO, 0, 2342, -83, 0, NO, 0, 2343, -83, 0, NO, 0
2344, -83, 0, NO, 0, 2345, -83, 0, NO, 0, 2346, -83, 0, NO, 0
2347, -83, 0, NO, 0, 2348, -83, 0, NO, 0, 2349, -83, 0, NO, 0
2350, -83, 0, NO, 0, 2351, -83, 0, NO, 0, 2352, -83, 0, NO, 0
2353, -83, 0, NO, 0, 2354, -83, 0, NO, 0, 2355, -83, 0, NO, 0
2356, -83, 0, NO, 0, 2357, -83, 0, NO, 0, 2358, -83, 0, NO, 0
2359, -83, 0, NO, 0, 2360, -83, 0, NO, 0, 2361, -83, 0, NO, 0
2362, -83, 0, NO, 0, 2363, -83, 0, NO, 0, 2364, -83, 0, NO, 0
2365, -83, 0, NO, 0, 2366, -83, 0, NO, 0, 2367, -83, 0, NO, 0
2368, -83, 0, NO, 0, 2369, -83, 0, NO, 0, 2370, -83, 0, NO, 0
2371, -83, 0, NO, 0, 2372, -83, 0, NO, 0, 2373, -83, 0, NO, 0
2374, -83, 0, NO, 0, 2375, -83, 0, NO, 0, 2376, -83, 0, NO, 0
2377, -83, 0, NO, 0, 2378, -83, 0, NO, 0, 2379, -83, 0, NO, 0
2380, -83, 0, NO, 0, 2381, -83, 0, NO, 0, 2382, -83, 0, NO, 0
2383, -83, 0, NO, 0, 2384, -83, 0, NO, 0
NAME=Kolej 2 P, CROSS, MI_Crossbeams_Sleeper, 0, 0, FORWARD, 3000, 1500, NO
2245, 83, 0, YES, 0, 2246, 83, 0, NO, 0, 2247, 83, 0, NO, 0
2248, 83, 0, NO, 0, 2249, 83, 0, NO, 0, 2250, 83, 0, NO, 0
2251, 83, 0, NO, 0, 2252, 83, 0, NO, 0, 2253, 83, 0, NO, 0
2254, 83, 0, NO, 0, 2255, 83, 0, NO, 0, 2256, 83, 0, NO, 0
2257, 83, 0, NO, 0, 2258, 83, 0, NO, 0, 2259, 83, 0, NO, 0
2260, 83, 0, NO, 0, 2261, 83, 0, NO, 0, 2262, 83, 0, NO, 0
2263, 83, 0, NO, 0, 2264, 83, 0, NO, 0, 2265, 83, 0, NO, 0
2266, 83, 0, NO, 0, 2267, 83, 0, NO, 0, 2268, 83, 0, NO, 0

2269, 83, 0, NO, 0, 2270, 83, 0, NO, 0, 2271, 83, 0, NO, 0
2272, 83, 0, NO, 0, 2273, 83, 0, NO, 0, 2274, 83, 0, NO, 0
2275, 83, 0, NO, 0, 2276, 83, 0, NO, 0, 2277, 83, 0, NO, 0
2278, 83, 0, NO, 0, 2279, 83, 0, NO, 0, 2280, 83, 0, NO, 0
2281, 83, 0, NO, 0, 2282, 83, 0, NO, 0, 2283, 83, 0, NO, 0
2284, 83, 0, NO, 0, 2285, 83, 0, NO, 0, 2286, 83, 0, NO, 0
2287, 83, 0, NO, 0, 2288, 83, 0, NO, 0, 2289, 83, 0, NO, 0
2290, 83, 0, NO, 0, 2291, 83, 0, NO, 0, 2292, 83, 0, NO, 0
2293, 83, 0, NO, 0, 2294, 83, 0, NO, 0, 2295, 83, 0, NO, 0
2296, 83, 0, NO, 0, 2297, 83, 0, NO, 0, 2298, 83, 0, NO, 0
2299, 83, 0, NO, 0, 2300, 83, 0, NO, 0, 2301, 83, 0, NO, 0
2302, 83, 0, NO, 0, 2303, 83, 0, NO, 0, 2304, 83, 0, NO, 0
2305, 83, 0, NO, 0, 2306, 83, 0, NO, 0, 2307, 83, 0, NO, 0
2308, 83, 0, NO, 0, 2309, 83, 0, NO, 0, 2310, 83, 0, NO, 0
2311, 83, 0, NO, 0, 2312, 83, 0, NO, 0, 2313, 83, 0, NO, 0
2314, 83, 0, NO, 0, 2315, 83, 0, NO, 0, 2316, 83, 0, NO, 0
2317, 83, 0, NO, 0, 2318, 83, 0, NO, 0, 2319, 83, 0, NO, 0
2320, 83, 0, NO, 0, 2321, 83, 0, NO, 0, 2322, 83, 0, NO, 0
2323, 83, 0, NO, 0, 2324, 83, 0, NO, 0, 2325, 83, 0, NO, 0
2326, 83, 0, NO, 0, 2327, 83, 0, NO, 0, 2328, 83, 0, NO, 0
2329, 83, 0, NO, 0, 2330, 83, 0, NO, 0, 2331, 83, 0, NO, 0
2332, 83, 0, NO, 0, 2333, 83, 0, NO, 0, 2334, 83, 0, NO, 0
2335, 83, 0, NO, 0, 2336, 83, 0, NO, 0, 2337, 83, 0, NO, 0
2338, 83, 0, NO, 0, 2339, 83, 0, NO, 0, 2340, 83, 0, NO, 0
2341, 83, 0, NO, 0, 2342, 83, 0, NO, 0, 2343, 83, 0, NO, 0
2344, 83, 0, NO, 0, 2345, 83, 0, NO, 0, 2346, 83, 0, NO, 0
2347, 83, 0, NO, 0, 2348, 83, 0, NO, 0, 2349, 83, 0, NO, 0
2350, 83, 0, NO, 0, 2351, 83, 0, NO, 0, 2352, 83, 0, NO, 0
2353, 83, 0, NO, 0, 2354, 83, 0, NO, 0, 2355, 83, 0, NO, 0
2356, 83, 0, NO, 0, 2357, 83, 0, NO, 0, 2358, 83, 0, NO, 0
2359, 83, 0, NO, 0, 2360, 83, 0, NO, 0, 2361, 83, 0, NO, 0
2362, 83, 0, NO, 0, 2363, 83, 0, NO, 0, 2364, 83, 0, NO, 0
2365, 83, 0, NO, 0, 2366, 83, 0, NO, 0, 2367, 83, 0, NO, 0
2368, 83, 0, NO, 0, 2369, 83, 0, NO, 0, 2370, 83, 0, NO, 0
2371, 83, 0, NO, 0, 2372, 83, 0, NO, 0, 2373, 83, 0, NO, 0
2374, 83, 0, NO, 0, 2375, 83, 0, NO, 0, 2376, 83, 0, NO, 0
2377, 83, 0, NO, 0, 2378, 83, 0, NO, 0, 2379, 83, 0, NO, 0
2380, 83, 0, NO, 0, 2381, 83, 0, NO, 0, 2382, 83, 0, NO, 0
2383, 83, 0, NO, 0, 2384, 83, 0, NO, 0

*VEHICLE ; Vehicles
; if Moving Load Code is China
; NAME=NAME, 1, TYPE-NAME, CODE ; standard
; NAME=NAME, 2, LTYPE, [TRUCK/LANE] or [TRAIN/SUBWAY] or [CROWD] ; user: line 1
; LOAD1, DIST1, LOAD2, DIST2, ... ; user: from line 2
; [TRUCK/LANE] : 1, P, Qm, Qq ; truck(JTG)
; [TRUCK/LANE] : 2, P, Qm, Qq ; lane load1
; [TRUCK/LANE] : 3, Qk, Pk1, L1, Pk2, L2 ; lane load2
; [TRUCK/LANE] : 4, dW, dD ; crawler type
; [TRUCK/LANE] : 5 ; GC type load
; [TRAIN/SUBWAY] : iTYPE, W1, D1, W2, D2 ; train-type1,3
; [TRAIN/SUBWAY] : iTYPE, DD, FD, BD, MAINCOUNT ; train-type2
; [TRAIN/SUBWAY] : 4, P1, D1, P2, D2, P3, D3, P4, dD, Po, n, IFR ; subway
; [CROWD] : 1, dW1 ; crowd-type1
; [CROWD] : 2, dW1, dL1, dW2, dL2, WIDTH ; crowd-type2
; if Moving Load Type is India
; NAME=NAME, 1, TYPE-NAME, CODE ; standard
; NAME=NAME, 2, bWTB, P, D, Pb, Db, dD1, dD2, NDIST ; user: line 1
; NAME=NAME, 2, bWTB, dD1, dD2, NDIST ; user: line 1
; LOAD1, DIST1, LOAD2, DIST2, ... ; user: from line 2
; if Moving Load Code is CANADA
; NAME=NAME, 1, TYPE-NAME, DLA, CODE, [DYNA] ; standard
; NAME=NAME, 2, bTRAIN, W(W1), PL(D1), PLM(W2), PLV(D2), NDIST, [DYNA] ; user: line 1
; LOAD1, DIST1, LOAD2, DIST2, ... ; user: from line 2
; [DYNA] : nDYNA, FACT1AXLE, FACT2AXLE, FACT3AXLE ; Dynamic Load Allowance
; if Moving Load Code is BS
; NAME=NAME, 1, TYPE-NAME, CODE, UNITNUM ; standard
; NAME=nLane, FACTOR1, FACTOR2, FACTOR3, FACTOR4 ; HA, HA & HB, HA & HB(Auto)
; NAME=NAME, 2, iSTYPE, W1, W2, W3, L, Pa, Pb, D1, D2, d, UNITNUM ; user(BS 5400)
; NAME=NAME, 2, iSTYPE, [BD37/01-HA], [BS-DATA-LF] ; user(HA)
; NAME=NAME, 2, iSTYPE, [BS-DATA-HB] ; user(HB)
; NAME=NAME, 2, iSTYPE, [BD37/01-HA2], [BS-DATA-HB2], [BS-DATA-LF] ; user(HA&HB)

PROJECT TITLE :

MIDAS	Company		Client	
	Author		File Name	H2D_3Dg_v14_180227_StatLM.mct

```
; NAME=NAME, 2, iSTYPE, [BD37/01-HA], [BD37/01-HB], [BS-DATA-LF]          ; user(HA&HB(AUTO))
; NAME=NAME, 2, iSTYPE, W, L                                              ; user(Pedestrian)
; NAME=NAME, 2, iSTYPE, V, AN, MINS, MAXS, P1, D1, P2, D2, ...            ; user(Special Vehicle)
; [BS-DATA-HA]  : W1, W2, W3, EXP, EXP2, L1, L2, Pa
; [BS-DATA-HA2] : W1, W2, W3, EXP, EXP2, L1, L2
; [BS-DATA-HB]  : Pb, D1, D2, d, UNITNUM
; [BS-DATA-HB2] : Pb, D1, D2, d, dd, UNITNUM
; [BS-DATA-LF] : nLT, LF1, LF2, LF3, LF4
; if Moving Load Code is EUROCODE
; NAME=NAME, 1, iTYPE, TYPE-NAME, PSY1, PSY2, PHI, [AF7]                  ; standard (LM1, FLM1)
; NAME=NAME, 1, iTYPE, TYPE-NAME, bDF, bU, PHI, PSY, ADJ, IN              ; standard (others)
; NAME=NAME, 2, 1, [AF7]                                                  ; user(Type 1)
;     [LOAD7], D, PHI, TPSY, UPSY                                         ; user(Type 1): line 2
; NAME=NAME, 2, 2, ALP, TPSY, W, BET, LPSY, P1, D1, P2, D2, ...           ; user(Type 2)
; NAME=NAME, 2, 3                                                         ; user(Type 3)
;     [LOADCASE1]                                                         ; user(Type 3): line 2
;     [LOADCASE2]                                                         ; user(Type 3): line 3
;     [LOADCASE3]                                                         ; user(Type 3): line 4
; NAME=NAME, 2, 4, WS, V, AN, MINS, MAXS, DYF, UI, F, P1, D1, P2, D2, ...  ; user(Type 4)
; NAME=NAME, 2, 5, INT, bPHI1, PHI1, bPHI2, PHI2                          ; user(Type 5)
;     [VEHICLE1]                                                          ; user(Type 5): line 2
;     [VEHICLE2]                                                          ; user(Type 5): line 3
;     [VEHICLE3]                                                          ; user(Type 5): line 4
; [AF7] : TF1, TF2, TF3, UF1, UF2, UF3, UF4                               ; adjustment factor
; [LOAD7] : TL1, TL2, TL3, UL1, UL2, UL3, UL4                             ; tandem/udl loads
; [LOADCASE] : bUSE, N, bDF, bUI, PHI, P1, L1, P2, L2, ...                ; load case
; [VEHICLE] : bUSE, N, P1, L1, P2, L2, ...                                ; vehicle
; if Moving Load Code is RUSSIA
; NAME=NAME, 1, iTYPE, K, nDYNAFAC, dDYNAFAC, bFATI, nLOADFAC, dLOADFAC    ; standard (SK)
; NAME=NAME, 1, iTYPE, K, nDYNAFAC, dDYNAFAC, bFATI, nLOADFAC, dLOADFAC    ; standard (SK FATIGUE)
; NAME=NAME, 1, iTYPE, K, nDYNAFAC, dDYNAFAC, dDYNAFAC_UDL
;             bFATI, nLOADFAC, dLOADFAC, dLOADFAC_UDL, s1, s1_UDL      ; standard (AK)
; NAME=NAME, 1, iTYPE, K, nDYNAFAC, dDYNAFAC, nLOADFAC, dLOADFAC,
;             bTWOVEHI, TWOVEHI_FACT, b2NDREDUC, 2NDREDUC_FACT      ; standard (N14)
; NAME=NAME, 1, iTYPE, K, nDYNAFAC, dDYNAFAC, nLOADFAC, dLOADFAC,
;             bTWOVEHI, TWOVEHI_FACT, b2NDREDUC, 2NDREDUC_FACT      ; standard (N11)
; NAME=NAME, 1, iTYPE, nDYNAFAC, dDYNAFAC, dEMPTYCAR
;           bFATI, nLOADFAC, dLOADFAC,                                  ; standard (SUBWAY TRAINS)
; NAME=NAME, 1, iTYPE, VARIABLE, nDYNAFAC, dDYNAFAC, dEMPTYCAR
;                   bFATI, nLOADFAC, dLOADFAC,                  ; standard (TRAMCARS)
; NAME=NAME, 1, iTYPE, nDYNAFAC, dDYNAFAC, bFATI, nLOADFAC, dLOADFAC      ; standard (NK-80)
; NAME=NAME, 1, iTYPE, W, D, nDYNAFAC, dDYNAFAC, bFATI, nLOADFAC, dLOADFAC ; standard (NG-60)
; NAME=NAME, 1, iTYPE, BRIDGETYPE, W, bFATI, nLOADFAC, dLOADFAC           ; standard (UNIFORM LOAD)
; NAME=NAME, 1, iTYPE, BRIDGETYPE, W, bFATI, nLOADFAC, dLOADFAC           ; standard (UNIFORM LOAD(W/O OTHER LOADS))
; NAME=NAME, 1, iTYPE, BRIDGETYPE, P                                      ; standard (CONCENTRATED LOAD (W/O OTHER LOADS))
; NAME=NAME, 2, iTYPE, W, nDYNAFAC, dDYNAFAC, dDYNAFAC_UDL
;             bFATI, nLOADFAC, dLOADFAC, dLOADFAC_UDL, s1, s1_UDL     ; user (Type 1)
; NAME=NAME, 2, iTYPE, nDYNAFAC, dDYNAFAC, dEMPTYCAR
;           bFATI, nLOADFAC, dLOADFAC,                                  ; user (Type 2)
; NAME=NAME, 2, iTYPE, Variable, nDYNAFAC, dDYNAFAC, dEMPTYCAR
;                   bFATI, nLOADFAC, dLOADFAC,                  ; user (Type 3)
; NAME=NAME, 2, iTYPE, nDYNAFAC, dDYNAFAC, nLOADFAC, dLOADFAC
;                   bTWOVEHI, TWOVEHI_FACT, b2NDREDUC, 2NDREDUC_FACT ; user (Type 4)
; NAME=NAME, 2, iTYPE, nDYNAFAC, dDYNAFAC, nLOADFAC, dLOADFAC
;                   bTWOVEHI, TWOVEHI_FACT, b2NDREDUC, 2NDREDUC_FACT ; user (Type 5)
; NAME=NAME, 2, iTYPE, W, D, nDYNAFAC, dDYNAFAC, bFATI, nLOADFAC, dLOADFAC ; user (Type 6)
; NAME=NAME, 2, iTYPE, P, W, bFATI, nLOADFAC, dLOADFAC                    ; user (Type 7)
; if Moving Load Code is KSCE-LSD15
; NAME=NAME, 1, TYPE-NAME, nLANETYPE, dDYNAFAC,  CODE                     ; standard
; NAME=NAME, 2, 8, L1, W1, W2, EXP                                        ; user: line 1 (Type 1)
; NAME=NAME, 2, 1, W1, W2, D1, D2                                         ; user: line 1 (Type 2)
; NAME=NAME, 2, 6, LOADNUM, DIST, W, L                                    ; user: line 1 (Type 3)
;     LOAD1, DIST1, LOAD2, DIST2, ...                                     ; user: from line 2
; if Moving Load Code is AASHTO LRFD, CANADA and Load Type is Permit Truck
; NAME=NAME, 3, AXLE-TYPE-NUM, IMP-FACTOR                                 ; user(Permit Truck)
;     AXLE-TYPE-NAME1, bEDWL1, bSV1, P1, D1, P2, D2, ..., Pn, Dn          ; user(from line 2)
;     ...
;     AXLE-TYPE-NAMEn, bEDWLn, bSVn, P1, D1, P2, D2, ..., Pn, Dn
;     AXLE-TYPE1, SPACING1, bVS1, AXLE-TYPE2, SPACING2, bVS2 ...          ; line 2+AXLE-TYPE-NUM
; if Moving Load Code is not one of those specified above.
; NAME=NAME, 1, TYPE-NAME, DLA, CODE                                      ; standard
; NAME=NAME, 2, bTRAIN, W(W1), PL(D1), PLM(W2), PLV(D2), NDIST            ; user: line 1
```

PROJECT TITLE :

MIDAS	Company		Client	
	Author		File Name	H2D_3Dg_v14_180227_StatLM.mct

```
;    LOAD1, DIST1, LOAD2, DIST2, ...                    ; user: from line 2
  NAME=749 - Bardotka, 2, YES, 0, 0, 0, 0, 0
     100, 2550, 188000, 2400, 188000, 6600, 188000, 2400, 188000, 2550
     100, 0
  NAME=771 - Cmelak, 2, YES, 0, 0, 0, 0, 0
     100, 2290, 193000, 2000, 193000, 2000, 193000, 4660, 193000, 2000
     193000, 2000, 193000, 2290, 100, 0
  NAME=771 - Cmelak + 749 - Bardotka, 2, YES, 0, 0, 0, 0, 0
     100, 2290, 193000, 2000, 193000, 2000, 193000, 4660, 193000, 2000
     193000, 2000, 193000, 2290, 100, 2550, 188000, 2400, 188000, 6600
     188000, 2400, 188000, 2550, 100, 0
  NAME=C3, 2, YES, 0, 0, 0, 0, 0
     200000, 1800, 200000, 4500, 200000, 1800, 200000, 3000, 200000, 1800
     200000, 4500, 200000, 1800, 200000, 3000, 200000, 1800, 200000, 4500
     200000, 1800, 200000, 3000, 200000, 1800, 200000, 4500, 200000, 1800
     200000, 3000, 200000, 1800, 200000, 4500, 200000, 1800, 200000, 3000
     200000, 1800, 200000, 4500, 200000, 1800, 200000, 3000, 200000, 1800
     200000, 4500, 200000, 1800, 200000, 3000, 200000, 1800, 200000, 4500
     200000, 1800, 200000, 3000, 200000, 1800, 200000, 4500, 200000, 1800
     200000, 3000, 200000, 1800, 200000, 4500, 200000, 1800, 200000, 3000
     200000, 1800, 200000, 4500, 200000, 1800, 200000, 3000, 200000, 1800
     200000, 4500, 200000, 1800, 200000, 0
  NAME=C3_1xD2_C3_lokal, 2, YES, 72, 0, 0, 72000, 0
     50000, 530, 100000, 530, 50000, 740, 50000, 530, 100000, 530
     50000, 3440, 50000, 530, 100000, 530, 50000, 740, 50000, 530
     100000, 530, 50000, 1940, 50000, 530, 100000, 530, 50000, 740
     50000, 530, 100000, 530, 50000, 3440, 50000, 530, 100000, 530
     50000, 740, 50000, 530, 100000, 530, 50000, 1940, 56250, 530
     112500, 530, 56250, 740, 56250, 530, 112500, 530, 56250, 6390
     56250, 530, 112500, 530, 56250, 740, 56250, 530, 112500, 530
     56250, 1940, 50000, 530, 100000, 530, 50000, 740, 50000, 530
     100000, 530, 50000, 3440, 50000, 530, 100000, 530, 50000, 740
     50000, 530, 100000, 530, 50000, 1940, 50000, 530, 100000, 530
     50000, 740, 50000, 530, 100000, 530, 50000, 3440, 50000, 530
     100000, 530, 50000, 740, 50000, 530, 100000, 530, 50000, 1940
     50000, 530, 100000, 530, 50000, 740, 50000, 530, 100000, 530
     50000, 3440, 50000, 530, 100000, 530, 50000, 740, 50000, 530
     100000, 530, 50000, 1940, 50000, 530, 100000, 530, 50000, 740
     50000, 530, 100000, 530, 50000, 3440, 50000, 530, 100000, 530
     50000, 740, 50000, 530, 100000, 530, 50000, 1940, 50000, 530
     100000, 530, 50000, 740, 50000, 530, 100000, 530, 50000, 3440
     50000, 530, 100000, 530, 50000, 740, 50000, 530, 100000, 530
     50000, 1940, 50000, 530, 100000, 530, 50000, 740, 50000, 0
  NAME=C3_lokal, 2, YES, 72, 0, 0, 72000, 0
     50000, 530, 100000, 530, 50000, 740, 50000, 530, 100000, 530
     50000, 3440, 50000, 530, 100000, 530, 50000, 740, 50000, 530
     100000, 530, 50000, 1940, 50000, 530, 100000, 530, 50000, 740
     50000, 530, 100000, 530, 50000, 3440, 50000, 530, 100000, 530
     50000, 740, 50000, 530, 100000, 530, 50000, 1940, 50000, 530
     100000, 530, 50000, 740, 50000, 530, 100000, 530, 50000, 3440
     50000, 530, 100000, 530, 50000, 740, 50000, 530, 100000, 530
     50000, 1940, 50000, 530, 100000, 530, 50000, 740, 50000, 530
     100000, 530, 50000, 3440, 50000, 530, 100000, 530, 50000, 740
     50000, 530, 100000, 530, 50000, 1940, 50000, 530, 100000, 530
     50000, 740, 50000, 530, 100000, 530, 50000, 3440, 50000, 530
     100000, 530, 50000, 740, 50000, 530, 100000, 530, 50000, 1940
     50000, 530, 100000, 530, 50000, 740, 50000, 530, 100000, 530
     50000, 3440, 50000, 530, 100000, 530, 50000, 740, 50000, 530
     100000, 530, 50000, 1940, 50000, 530, 100000, 530, 50000, 740
     50000, 530, 100000, 530, 50000, 3440, 50000, 530, 100000, 530
     50000, 740, 50000, 530, 100000, 530, 50000, 1940, 50000, 530
     100000, 530, 50000, 740, 50000, 530, 100000, 530, 50000, 3440
     50000, 530, 100000, 530, 50000, 740, 50000, 530, 100000, 530
     50000, 1940, 50000, 530, 100000, 530, 50000, 740, 50000, 0
  NAME=City Elefant, 2, YES, 0, 0, 0, 0, 0
     157500, 2600, 157500, 16400, 157500, 2600, 157500, 4800, 145000, 2600
     145000, 16400, 145000, 2600, 145000, 4800, 147500, 2600, 147500, 16400
     147500, 2600, 147500, 4800, 157500, 2600, 157500, 16400, 157500, 2600
     157500, 4800, 145000, 2600, 145000, 16400, 145000, 2600, 145000, 4800
     147500, 2600, 147500, 16400, 147500, 2600, 147500, 0
  NAME=LM71_local, 2, YES, 80, 1070, 80, 1070, 0
     62500, 530, 125000, 530, 62500, 1070, 62500, 530, 125000, 530
```

```
      62500, 1070, 62500, 530, 125000, 530, 62500, 1070, 62500, 530
      125000, 530, 62500, 0
  NAME=UIC80, 1, UIC80, 0, OTHERS
  NAME=Vlak 53645, 2, YES, 0, 0, 0, 0, 0
      180000, 2400, 180000, 4300, 180000, 2400, 180000, 4480, 180000, 2400
      180000, 4300, 180000, 2400, 180000, 3860, 55125, 2000, 55125, 5500
      55125, 2000, 55125, 3240, 55250, 2000, 55250, 5500, 55250, 2000
      55250, 3240, 55500, 2000, 55500, 5500, 55500, 2000, 55500, 3240
      48250, 2000, 48250, 5500, 48250, 2000, 48250, 3240, 47125, 2000
      47125, 5500, 47125, 2000, 47125, 3240, 53675, 2000, 53675, 5500
      53675, 2000, 53675, 3240, 55550, 2000, 55550, 5500, 55550, 2000
      55550, 3240, 55200, 2000, 55200, 5500, 55200, 2000, 55200, 3240
      54200, 2000, 54200, 5500, 54200, 2000, 54200, 3240, 47500, 2000
      47500, 5500, 47500, 2000, 47500, 3240, 55375, 2000, 55375, 5500
      55375, 2000, 55375, 3240, 54500, 2000, 54500, 5500, 54500, 2000
      54500, 3240, 55200, 2000, 55200, 5500, 55200, 2000, 55200, 3240
      55700, 2000, 55700, 5500, 55700, 2000, 55700, 3240, 54675, 2000
      54675, 5500, 54675, 2000, 54675, 3240, 54650, 2000, 54650, 5500
      54650, 2000, 54650, 3240, 54525, 2000, 54525, 5500, 54525, 2000
      54525, 3240, 56600, 2000, 56600, 5500, 56600, 2000, 56600, 3240
      56525, 2000, 56525, 5500, 56525, 2000, 56525, 3240, 55150, 2000
      55150, 5500, 55150, 2000, 55150, 3860, 180000, 2400, 180000, 4300
      180000, 2400, 180000, 4480, 180000, 2400, 180000, 4300, 180000, 2400
      180000, 0

*MVLDCASE   ; Moving Load Cases
; NAME=NAME, bLCPV, SCALE1, SCALE2, SCALE3, SCALE4, SCALE5, SCALE6, COMB, DESC, LCOM, SERIAL   ; 1st line
;     nLTYPE, 2LFACTOR1, 2LFACTOR2, 3LFACTOR1, 3LFACTOR2, 3LFACTOR3, 3LFACTOR4              ; 2st line
;     TYPE1, VCLASS1, SCALE1, iMIN1, iMAX1, LANE11, LANE12, ...                            ; 3nd line
;     ...                                                                                  ; ...
;     TYPEn, VCLASSn, SCALEn, iMINn, iMAXn, LANEn1, LANEn2, ...                            ; n+1th line
; NAME=NAME, bLCPV, VEHICLE, REFLANE, ECCEN, SCALE, DESC                                   ; Permit
  NAME=P71_1L, NO, 1, 1, 0.9, 0.75, 0.75, 0.75, INDEPENDENT, LM71 - Track 1 left, 0, 1
      1, 1, 1, 1, 1, 0.5, 0.25
      VL, LM71_local, 1, 0, 1, Kolej 1 L
  NAME=P71_1P, NO, 1, 1, 0.9, 0.75, 0.75, 0.75, INDEPENDENT, LM71 - Track 1 right, 0, 2
      1, 1, 1, 1, 1, 0.5, 0.25
      VL, LM71_local, 1, 0, 1, Kolej 1 P
  NAME=P71_2L, NO, 1, 1, 0.9, 0.75, 0.75, 0.75, INDEPENDENT, LM71 - Track 2 left, 0, 3
      1, 1, 1, 1, 1, 0.5, 0.25
      VL, LM71_local, 1, 0, 1, Kolej 2 L
  NAME=P71_2P, NO, 1, 1, 0.9, 0.75, 0.75, 0.75, INDEPENDENT, LM71 - Track 2 right, 0, 4
      1, 1, 1, 1, 1, 0.5, 0.25
      VL, LM71_local, 1, 0, 1, Kolej 2 P
  NAME=C3_1L, NO, 1, 1, 0.9, 0.75, 0.75, 0.75, INDEPENDENT, line category C3 - Track 1 left, 0, 5
      1, 1, 1, 1, 1, 0.5, 0.25
      VL, C3_lokal, 1, 0, 1, Kolej 1 L
  NAME=C3_1P, NO, 1, 1, 0.9, 0.75, 0.75, 0.75, INDEPENDENT, line category C3 - Track 1 right, 0, 6
      1, 1, 1, 1, 1, 0.5, 0.25
      VL, C3_lokal, 1, 0, 1, Kolej 1 P
  NAME=C3_2L, NO, 1, 1, 0.9, 0.75, 0.75, 0.75, INDEPENDENT, line category C3 - Track 2 left, 0, 7
      1, 1, 1, 1, 1, 0.5, 0.25
      VL, C3_lokal, 1, 0, 1, Kolej 2 L
  NAME=C3_2P, NO, 1, 1, 0.9, 0.75, 0.75, 0.75, INDEPENDENT, line category C3 - Track 2 right, 0, 8
      1, 1, 1, 1, 1, 0.5, 0.25
      VL, C3_lokal, 1, 0, 1, Kolej 2 P
  NAME=CE_1, NO, 1, 1, 0.9, 0.75, 0.75, 0.75, INDEPENDENT, , 0, 9
      1, 1, 1, 1, 1, 0.5, 0.25
      VL, City Elefant, 1, 0, 1, Kolej 1
  NAME=CE_2, NO, 1, 1, 0.9, 0.75, 0.75, 0.75, INDEPENDENT, , 0, 10
      1, 1, 1, 1, 1, 0.5, 0.25
      VL, City Elefant, 1, 0, 1, Kolej 2
  NAME=ZS1, NO, 1, 1, 0.9, 0.75, 0.75, 0.75, INDEPENDENT, , 0, 11
      1, 1, 1, 1, 1, 0.5, 0.25
      VL, 771 - Cmelak + 749 - Bardotka, 1, 0, 1, Kolej 1
  NAME=ZS2, NO, 1, 1, 0.9, 0.75, 0.75, 0.75, INDEPENDENT, , 0, 12
      1, 1, 1, 1, 1, 0.5, 0.25
      VL, 771 - Cmelak + 749 - Bardotka, 1, 0, 1, Kolej 2
  NAME=ZS3, NO, 1, 1, 0.9, 0.75, 0.75, 0.75, INDEPENDENT, , 0, 13
      1, 1, 1, 1, 1, 0.5, 0.25
      VL, 749 - Bardotka, 1, 0, 1, Kolej 1
      VL, 771 - Cmelak, 1, 0, 1, Kolej 2
```

PROJECT TITLE :

MIDAS	Company		Client	
	Author		File Name	H2D_3Dg_v14_180227_StatLM.mct

```
  NAME=C3_D2_1L, NO, 1, 1, 0.9, 0.75, 0.75, 0.75, INDEPENDENT, , 0, 14
     1, 1, 1, 1, 1, 0.5, 0.25
     VL, C3_1xD2_C3_lokal, 1, 0, 1, Kolej 1 L
  NAME=C3_D2_1P, NO, 1, 1, 0.9, 0.75, 0.75, 0.75, INDEPENDENT, , 0, 15
     1, 1, 1, 1, 1, 0.5, 0.25
     VL, C3_1xD2_C3_lokal, 1, 0, 1, Kolej 1 P
  NAME=C3_D2_2L, NO, 1, 1, 0.9, 0.75, 0.75, 0.75, INDEPENDENT, , 0, 16
     1, 1, 1, 1, 1, 0.5, 0.25
     VL, C3_1xD2_C3_lokal, 1, 0, 1, Kolej 2 L
  NAME=C3_D2_2P, NO, 1, 1, 0.9, 0.75, 0.75, 0.75, INDEPENDENT, , 0, 17
     1, 1, 1, 1, 1, 0.5, 0.25
     VL, C3_1xD2_C3_lokal, 1, 0, 1, Kolej 2 P

*LOADCOMB    ; Combinations
; NAME=NAME, KIND, ACTIVE, bES, iTYPE, DESC, iSERV-TYPE, nLCOMTYPE   ; line 1
;     ANAL1, LCNAME1, FACT1, ...                                    ; from line 2
  NAME=G0_ADD, GEN, ACTIVE, 0, 0, , 0, 0
     ST, G0.1 - Selfweight, 1, ST, G0.2 - Selfweight- p, 0
  NAME=G1_ADD, GEN, ACTIVE, 0, 0, , 0, 0
     ST, G1.1 - Deck pavement, 1, ST, G1.2 - Deck of servi, 1
     ST, G1.3 - Traction, 1
  NAME=G2_ADD, GEN, ACTIVE, 0, 0, , 0, 0
     ST, G2.1 - Gas pipeline, 1, ST, G2.2 - Cableline, 1
     ST, G2.3 - Cableline, 3
  NAME=B.1+X, GEN, ACTIVE, 0, 0, , 0, 0
     ST, B+X 1. track, 1, ST, B+X 2. track, 0.5
  NAME=B.2+X, GEN, ACTIVE, 0, 0, , 0, 0
     ST, B+X 1. track, 0.5, ST, B+X 2. track, 1
  NAME=B.1-X, GEN, ACTIVE, 0, 0, , 0, 0
     ST, B-X 1. track, 1, ST, B-X 2. track, 0.5
  NAME=B.2-X, GEN, ACTIVE, 0, 0, , 0, 0
     ST, B-X 1. track, 0.5, ST, B-X 2. track, 1
  NAME=R.1+X, GEN, ACTIVE, 0, 0, , 0, 0
     ST, R2 +X 1. track, 1, ST, R2 +X 2. track, 0.5
  NAME=R.2+X, GEN, ACTIVE, 0, 0, , 0, 0
     ST, R2 +X 1. track, 0.5, ST, R2 +X 2. track, 1
  NAME=R.1-X, GEN, ACTIVE, 0, 0, , 0, 0
     ST, R2 -X 1. track, 1, ST, R2 -X 2. track, 0.5
  NAME=R.2-X, GEN, ACTIVE, 0, 0, , 0, 0
     ST, R2 -X 1. track, 0.5, ST, R2 -X 2. track, 1
  NAME=BR.1+X, GEN, ACTIVE, 0, 0, , 0, 0
     ST, B+X 1. track, 1, ST, R2 +X 2. track, 1
  NAME=BR.2+X, GEN, ACTIVE, 0, 0, , 0, 0
     ST, B+X 2. track, 1, ST, R2 +X 1. track, 1
  NAME=BR.1-X, GEN, ACTIVE, 0, 0, , 0, 0
     ST, B-X 1. track, 1, ST, R2 -X 2. track, 1
  NAME=BR.2-X, GEN, ACTIVE, 0, 0, , 0, 0
     ST, B-X 2. track, 1, ST, R2 -X 1. track, 1
  NAME=PA_L, GEN, ACTIVE, 0, 1, , 0, 0
     ST, PA_L, 1, ST, PA_L1, 1, ST, PA_L2, 1
  NAME=PA_R, GEN, ACTIVE, 0, 1, , 0, 0
     ST, PA_R, 1, ST, PA_R1, 1, ST, PA_R2, 1
  NAME=G0, GEN, ACTIVE, 0, 1, , 0, 0
     CB, G0_ADD, 1
  NAME=G1, GEN, ACTIVE, 0, 1, , 0, 0
     CB, G1_ADD, 1
  NAME=G2, GEN, ACTIVE, 0, 1, , 0, 0
     CB, G2_ADD, 1
  NAME=P1_71, GEN, ACTIVE, 0, 1, , 0, 0
     MV, P71_1L, 1, MV, P71_1P, 1
  NAME=P2_71, GEN, ACTIVE, 0, 1, , 0, 0
     MV, P71_2L, 1, MV, P71_2P, 1
  NAME=P1_C3, GEN, ACTIVE, 0, 1, , 0, 0
     MV, C3_1L, 1, MV, C3_1P, 1
  NAME=P2_C3, GEN, ACTIVE, 0, 1, , 0, 0
     MV, C3_2L, 1, MV, C3_2P, 1
  NAME=BR, GEN, ACTIVE, 0, 1, , 0, 0
     CB, B.1+X, 1, CB, B.2+X, 1, CB, B.1-X, 1, CB, B.2-X, 1, CB, R.1+X, 1
     CB, R.2+X, 1, CB, R.1-X, 1, CB, R.2-X, 1, CB, BR.1+X, 1, CB, BR.2+X, 1
     CB, BR.1-X, 1, CB, BR.2-X, 1
  NAME=S, GEN, ACTIVE, 0, 1, , 0, 0
     ST, S.1 +Y, 1, ST, S.2 +Y, 1, ST, S.3 +Y, 1, ST, S.4 +Y, 1
```

PROJECT TITLE :

MIDAS	Company		Client	
	Author		File Name	H2D_3Dg_v14_180227_StatLM.mct

ST, S.5 +Y, 1, ST, S.6 +Y, 1, ST, S.7 +Y, 1, ST, S.8 +Y, 1
ST, S.1 -Y, 1, ST, S.2 -Y, 1, ST, S.3 -Y, 1, ST, S.4 -Y, 1
ST, S.5 -Y, 1, ST, S.6 -Y, 1, ST, S.7 -Y, 1, ST, S.8 -Y, 1
ST, S.9 +Y, 1, ST, S.10 +Y, 1, ST, S.11 +Y, 1, ST, S.12 +Y, 1
ST, S.13 +Y, 1, ST, S.14 +Y, 1, ST, S.15 +Y, 1, ST, S.16 +Y, 1
ST, S.9 -Y, 1, ST, S.10 -Y, 1, ST, S.11 -Y, 1, ST, S.12 -Y, 1
ST, S.13 -Y, 1, ST, S.14 -Y, 1, ST, S.15 -Y, 1, ST, S.16 -Y, 1
NAME=CH_ADD, GEN, ACTIVE, 0, 0, , 0, 0
ST, PA_L, 1, CB, PA_R, 1
NAME=CH, GEN, ACTIVE, 0, 1, , 0, 0
CB, CH_ADD, 1
NAME=W, GEN, ACTIVE, 0, 1, , 0, 0
ST, W+Y, 1, ST, W-Y, 1
NAME=WP+Y, GEN, ACTIVE, 0, 0, , 0, 0
ST, WP+Y 1. Track, 1, ST, WP+Y 2. Track, 1
NAME=WP-Y, GEN, ACTIVE, 0, 0, , 0, 0
ST, WP-Y 1. Track, 1, ST, WP-Y 2. Track, 1
NAME=WP, GEN, ACTIVE, 0, 1, , 0, 0
CB, WP+Y, 1, CB, WP-Y, 1
NAME=TR, GEN, ACTIVE, 0, 1, , 0, 0
ST, TR+45, 1, ST, TR-44, 1
NAME=TN, GEN, ACTIVE, 0, 1, , 0, 0
ST, TG +15, 1, ST, TG -15, 1, ST, TG.L +15, 1, ST, TG.R +15, 1
NAME=FR, GEN, ACTIVE, 0, 1, , 0, 0
ST, FR +X, 1, ST, FR -X, 1
NAME=I, GEN, ACTIVE, 0, 1, , 0, 0
ST, I +Y, 1, ST, I -Y, 1
NAME=ZALOHA1, GEN, ACTIVE, 0, 0, , 0, 0
ST, G0.1 - Selfweight, 1
NAME=ZALOHA 2, GEN, ACTIVE, 0, 0, , 0, 0
ST, G0.1 - Selfweight, 1
NAME=P_71_glob, GEN, ACTIVE, 0, 0, GLOBAL LM, 0, 0
CB, P1_71, 1, CB, P2_71, 1
NAME=P_C3_glob, GEN, ACTIVE, 0, 0, GLOBAL C3, 0, 0
CB, P1_C3, 1, CB, P2_C3, 1
NAME=P_71_lok_podel, GEN, ACTIVE, 0, 0, lokalni systém Podélník, 0, 0
CB, P1_71, 1.563, CB, P2_71, 1.563
NAME=SLS_G+P+CH, GEN, ACTIVE, 0, 0, , 0, 0
CB, G0, 1, CB, G1, 1, CB, G2, 1, CB, P1_71, 1, CB, P2_71, 1, CB, CH, 1
NAME=SLS_LM_gr21, GEN, ACTIVE, 0, 0, , 0, 0
CB, G0, 1, CB, G1, 1, CB, G2, 1, CB, P1_71, 1, CB, P2_71, 1, CB, BR, 1
CB, S, 0.5, CB, CH, 1, CB, W, 0.75, CB, WP, 0.75, CB, TR, 0, CB, TN, 0
CB, FR, 1, CB, I, 1
NAME=SLS_LM_g_gr22, GEN, ACTIVE, 0, 0, , 0, 0
CB, G0, 1, CB, G1, 1, CB, G2, 1, CB, P1_71, 1, CB, P2_71, 1
CB, BR, 0.5, CB, S, 1, CB, CH, 1, CB, W, 0.75, CB, WP, 0.75, CB, TR, 0
CB, TN, 0, CB, FR, 1, CB, I, 1
NAME=ZALOHA_SLS, GEN, ACTIVE, 0, 0, , 0, 0
CB, G0, 1, CB, G1, 1, CB, G2, 1, CB, P1_71, 1, CB, P2_71, 1, CB, BR, 1
CB, S, 0.5, CB, CH, 1, CB, W, 0.75, CB, WP, 0.75, CB, TR, 0, CB, TN, 0
CB, FR, 1, CB, I, 1
NAME=SLS_LM_ALL, GEN, ACTIVE, 0, 1, , 0, 0
CB, SLS_LM_gr21, 1, CB, SLS_LM_g_gr22, 1
NAME=ULS_LM_gr21a, GEN, ACTIVE, 0, 0, , 0, 0
CB, G0, 1.2, CB, G1, 1.2, CB, G2, 1.2, CB, P1_71, 1.04, CB, P2_71, 1.04
CB, BR, 1.04, CB, S, 0.52, CB, CH, 1.3, CB, W, 1.013, CB, WP, 1.013
CB, TR, 0.6075, CB, TN, 0.81, CB, FR, 1.2, CB, I, 1.2
NAME=ULS_LM_gr22a, GEN, ACTIVE, 0, 0, , 0, 0
CB, G0, 1.2, CB, G1, 1.2, CB, G2, 1.2, CB, P1_71, 1.04, CB, P2_71, 1.04
CB, BR, 0.52, CB, S, 1.04, CB, CH, 1.3, CB, W, 1.013, CB, WP, 1.013
CB, TR, 0.6075, CB, TN, 0.81, CB, FR, 1.2, CB, I, 1.2
NAME=ULS_LM_gr21b, GEN, ACTIVE, 0, 0, , 0, 0
CB, G0, 1.14, CB, G1, 1.14, CB, G2, 1.14, CB, P1_71, 1.3
CB, P2_71, 1.3, CB, BR, 1.3, CB, S, 0.65, CB, CH, 1.3, CB, W, 1.013
CB, WP, 1.013, CB, TR, 0.6075, CB, TN, 0.81, CB, FR, 1.2, CB, I, 1.2
NAME=ULS_LM_gr22b, GEN, ACTIVE, 0, 0, , 0, 0
CB, G0, 1.14, CB, G1, 1.14, CB, G2, 1.14, CB, P1_71, 1.3
CB, P2_71, 1.3, CB, BR, 0.65, CB, S, 1.3, CB, CH, 1.3, CB, W, 1.013
CB, WP, 1.013, CB, TR, 0.6075, CB, TN, 0.81, CB, FR, 1.2, CB, I, 1.2
NAME=ZALOHA_ULS, GEN, ACTIVE, 0, 0, , 0, 0
CB, G0, 0.95, CB, G1, 0.95, CB, G2, 0.95, CB, P1_71, 1, CB, P2_71, 1
CB, BR, 0.5, CB, S, 1, CB, CH, 1, CB, W, 0.75, CB, WP, 0.75

```
      CB, TR, 0.45, CB, TN, 0.6, CB, FR, 1, CB, I, 1
  NAME=ULS_LM_ALL, GEN, ACTIVE, 0, 1, , 0, 0
      CB, ULS_LM_gr21a, 1, CB, ULS_LM_gr22a, 1, CB, ULS_LM_gr21b, 1
      CB, ULS_LM_gr22b, 1
  NAME=ULS_C3_gr21a, GEN, ACTIVE, 0, 0, , 0, 0
      CB, G0, 1.2, CB, G1, 1.2, CB, G2, 1.2, CB, P1_C3, 1.04, CB, P2_C3, 1.04
      CB, BR, 1.04, CB, S, 0.52, CB, CH, 1.3, CB, W, 1.013, CB, WP, 1.013
      CB, TR, 0.6075, CB, TN, 0.81, CB, FR, 1.2, CB, I, 1.2
  NAME=ULS_C3_gr22a, GEN, ACTIVE, 0, 0, , 0, 0
      CB, G0, 1.2, CB, G1, 1.2, CB, G2, 1.2, CB, P1_C3, 1.04, CB, P2_C3, 1.04
      CB, BR, 0.52, CB, S, 1.04, CB, CH, 1.3, CB, W, 1.013, CB, WP, 1.013
      CB, TR, 0.6075, CB, TN, 0.81, CB, FR, 1.2, CB, I, 1.2
  NAME=ULS_C3_gr21b, GEN, ACTIVE, 0, 0, , 0, 0
      CB, G0, 1.14, CB, G1, 1.14, CB, G2, 1.14, CB, P1_C3, 1.3
      CB, P2_C3, 1.3, CB, BR, 1.3, CB, S, 0.65, CB, CH, 1.3, CB, W, 1.013
      CB, WP, 1.013, CB, TR, 0.6075, CB, TN, 0.81, CB, FR, 1.2, CB, I, 1.2
  NAME=ULS_C3_gr22b, GEN, ACTIVE, 0, 0, , 0, 0
      CB, G0, 1.14, CB, G1, 1.14, CB, G2, 1.14, CB, P1_C3, 1.3
      CB, P2_C3, 1.3, CB, BR, 0.65, CB, S, 1.3, CB, CH, 1.3, CB, W, 1.013
      CB, WP, 1.013, CB, TR, 0.6075, CB, TN, 0.81, CB, FR, 1.2, CB, I, 1.2
  NAME=LCB57, GEN, ACTIVE, 0, 0, , 0, 0
      CB, G0, 0.95, CB, G1, 0.95, CB, G2, 0.95, CB, P1_71, 1, CB, P2_71, 1
      CB, BR, 0.5, CB, S, 1, CB, CH, 1, CB, W, 0.75, CB, WP, 0.75
      CB, TR, 0.45, CB, TN, 0.6, CB, FR, 1, CB, I, 1
  NAME=ULS_C3_ALL, GEN, ACTIVE, 0, 1, , 0, 0
      CB, ULS_C3_gr21a, 1, CB, ULS_C3_gr22a, 1, CB, ULS_C3_gr21b, 1
      CB, ULS_C3_gr22b, 1
  NAME=SLS_C3_gr21, GEN, ACTIVE, 0, 0, , 0, 0
      CB, G0, 1, CB, G1, 1, CB, G2, 1, CB, P1_C3, 1, CB, P2_C3, 1, CB, BR, 1
      CB, S, 0.5, CB, CH, 1, CB, W, 0.75, CB, WP, 0.75, CB, TR, 0, CB, TN, 0
      CB, FR, 1, CB, I, 1
  NAME=SLS_C3_gr22, GEN, ACTIVE, 0, 0, , 0, 0
      CB, G0, 1, CB, G1, 1, CB, G2, 1, CB, P1_C3, 1, CB, P2_C3, 1
      CB, BR, 0.5, CB, S, 1, CB, CH, 1, CB, W, 0.75, CB, WP, 0.75, CB, TR, 0
      CB, TN, 0, CB, FR, 1, CB, I, 1
  NAME=LCB61, GEN, ACTIVE, 0, 0, , 0, 0
      CB, G0, 1, CB, G1, 1, CB, G2, 1, CB, P1_71, 1, CB, P2_71, 1, CB, BR, 1
      CB, S, 0.5, CB, CH, 1, CB, W, 0.75, CB, WP, 0.75, CB, TR, 0, CB, TN, 0
      CB, FR, 1, CB, I, 1
  NAME=SLS_C3_ALL, GEN, ACTIVE, 0, 1, , 0, 0
      CB, SLS_C3_gr21, 1, CB, SLS_C3_gr22, 1
  NAME=LM_71, GEN, ACTIVE, 0, 1, generation, 0, 0
      ST, MVmaxP71_1PFx96, 1, ST, MVmaxP71_1PFx112, 1
      ST, MVmaxP71_1PFx244, 1, ST, MVmaxP71_2PFx96, 1
      ST, MVmaxP71_2PFx112, 1, ST, MVmaxP71_2PFx244, 1

*LC-COLOR    ; Diagram Color for Load Case
; ANAL, LCNAME, iR1(ALL), iG1(ALL), iB1(ALL), iR2(MIN), iG2(MIN), iB2(MIN), iR3(MAX), iG2(MAX), iB2(MAX)
 ST, G0.1 - Selfweight, 192, 0, 128, 0, 128, 192, 255, 192, 160
 ST, FR +X, 255, 192, 87, 255, 255, 87, 0, 128, 57
 ST, FR -X, 0, 128, 192, 210, 210, 210, 0, 128, 57
 CB, G0_ADD, 146, 0, 255, 192, 192, 0, 255, 192, 160
 CB, B.1+X, 255, 255, 255, 192, 0, 128, 255, 87, 87
 CB, G1_ADD, 163, 255, 160, 0, 157, 192, 0, 157, 192
 CB, G2_ADD, 255, 0, 192, 128, 192, 0, 192, 72, 0
 ST, B1 - Braking force L, 255, 87, 128, 255, 255, 255, 0, 157, 192
 ST, B2 - Braking force L, 255, 192, 160, 255, 0, 128, 0, 192, 128
 ST, B1 - Braking force L, 255, 255, 87, 160, 192, 255, 192, 128, 0
 ST, B2 - Braking force L, 0, 128, 255, 212, 160, 255, 210, 210, 210
 ST, G0.2 - Selfweight- p, 255, 255, 255, 0, 128, 57, 255, 0, 192
 ST, G1.1 - Deck pavement, 255, 87, 128, 148, 87, 255, 128, 192, 0
 ST, G1.2 - Deck of servi, 192, 128, 0, 255, 192, 87, 160, 192, 255
 ST, G1.3 - Traction, 0, 192, 192, 146, 0, 255, 0, 192, 128
 ST, G2.1 - Gas pipeline, 255, 87, 128, 192, 0, 128, 192, 0, 192
 ST, G2.2 - Cableline, 0, 192, 192, 255, 192, 160, 0, 192, 128
 ST, G2.3 - Cableline, 0, 128, 57, 192, 0, 192, 192, 192, 192
 ST, B+X 1. track, 255, 0, 192, 212, 160, 255, 192, 192, 192
 ST, B-X 1. track, 93, 255, 87, 93, 255, 87, 255, 128, 0
 ST, B+X 2. track, 255, 0, 128, 255, 87, 128, 128, 192, 0
 ST, B-X 2. track, 146, 0, 255, 160, 192, 255, 255, 128, 0
 ST, W+Y, 192, 0, 192, 255, 0, 192, 255, 192, 160
 ST, W-Y, 85, 192, 0, 163, 160, 255, 146, 0, 255
```

PROJECT TITLE :

MIDAS	Company		Client	
	Author		File Name	H2D_3Dg_v14_180227_StatLM.mct

ST, WP+Y 1. Track, 255, 0, 128, 210, 210, 210, 192, 72, 0
ST, WP+Y 2. Track, 192, 192, 192, 255, 160, 255, 160, 255, 255
ST, TR+45, 255, 128, 0, 0, 192, 192, 255, 87, 87
ST, TR-44, 192, 128, 0, 128, 192, 0, 255, 0, 128
ST, TG +15, 210, 210, 210, 0, 128, 128, 148, 87, 255
ST, TG -15, 160, 192, 255, 0, 157, 192, 128, 192, 0
ST, PA_L, 85, 192, 0, 85, 192, 0, 192, 0, 128
ST, PA_R, 0, 192, 192, 0, 128, 255, 255, 0, 128
ST, WP-Y 1. Track, 0, 157, 192, 192, 72, 0, 78, 0, 255
ST, WP-Y 2. Track, 0, 157, 192, 192, 128, 0, 0, 192, 192
ST, TG.L +15, 163, 160, 255, 0, 192, 128, 0, 128, 57
ST, TG.R +15, 0, 128, 255, 255, 255, 255, 0, 128, 192
MV, P71_1L, 160, 192, 255, 192, 128, 0, 163, 255, 160
MV, P71_1P, 0, 128, 192, 255, 192, 160, 0, 157, 192
MV, P71_2L, 0, 128, 255, 85, 0, 192, 163, 160, 255
MV, P71_2P, 255, 160, 255, 212, 160, 255, 255, 255, 87
MV, C3_1L, 255, 255, 87, 78, 0, 255, 255, 160, 255
MV, C3_1P, 163, 255, 160, 192, 192, 0, 255, 192, 160
MV, C3_2L, 128, 192, 0, 160, 255, 255, 255, 128, 0
MV, C3_2P, 255, 255, 255, 0, 192, 192, 148, 87, 255
ST, V1, 192, 0, 192, 0, 128, 128, 0, 128, 57
ST, V2, 85, 0, 192, 255, 87, 87, 192, 72, 0
ST, MVminKolej2-771+749, 255, 192, 87, 93, 255, 87, 146, 0, 255
ST, MVminKolej1-771+749, 192, 0, 192, 0, 128, 255, 255, 0, 192
ST, MVminKolej1771+Kole, 146, 0, 255, 160, 192, 255, 192, 128, 0
ST, MVminKolej1771Dz147, 78, 0, 255, 255, 160, 255, 192, 128, 0
ST, MVminKolej2749Dz96, 255, 87, 87, 255, 160, 255, 255, 192, 160
CB, B.2+X, 0, 128, 192, 148, 87, 255, 255, 255, 255
ST, I +Y, 146, 0, 255, 255, 255, 255, 0, 128, 192
ST, I -Y, 160, 192, 255, 210, 210, 210, 192, 128, 0
ST, PA_L1, 255, 192, 160, 163, 160, 255, 192, 192, 192
ST, PA_L2, 255, 255, 87, 85, 192, 0, 0, 192, 192
ST, PA_R1, 192, 192, 0, 255, 192, 87, 85, 192, 0
ST, PA_R2, 0, 192, 128, 160, 255, 255, 163, 255, 160
ST, MVminP71_1PFx17, 255, 0, 128, 0, 128, 128, 255, 0, 128
ST, MVminP71_2PFx17, 0, 157, 192, 192, 192, 192, 192, 72, 0
ST, MVminP71_1PFx9, 0, 157, 192, 163, 255, 160, 255, 128, 0
ST, MVminP71_2PFx9, 163, 255, 160, 255, 255, 87, 148, 87, 255
ST, R+X 1. track, 163, 160, 255, 192, 192, 192, 192, 0, 192
ST, R-X 1. track, 192, 0, 128, 255, 0, 192, 160, 255, 255
ST, R+X 2. track, 128, 192, 0, 160, 255, 255, 255, 160, 255
ST, R-X 2. track, 192, 0, 128, 255, 192, 160, 192, 0, 192
ST, S.1 +Y, 146, 0, 255, 160, 192, 255, 160, 192, 255
ST, S.2 +Y, 192, 192, 192, 0, 192, 192, 160, 192, 255
ST, S.3 +Y, 192, 128, 0, 192, 192, 192, 85, 0, 192
ST, S.4 +Y, 192, 128, 0, 0, 128, 57, 255, 192, 160
ST, S.5 +Y, 163, 160, 255, 128, 192, 0, 255, 0, 192
ST, S.6 +Y, 192, 0, 192, 255, 128, 0, 163, 160, 255
ST, S.7 +Y, 255, 192, 87, 192, 192, 0, 255, 87, 128
ST, S.8 +Y, 0, 128, 192, 160, 192, 255, 255, 0, 192
ST, S.1 -Y, 85, 192, 0, 255, 128, 0, 160, 255, 255
ST, S.2 -Y, 128, 192, 0, 146, 0, 255, 192, 192, 192
ST, S.3 -Y, 192, 128, 0, 163, 255, 160, 0, 192, 192
ST, S.4 -Y, 93, 255, 87, 0, 128, 128, 0, 128, 192
ST, S.5 -Y, 192, 0, 192, 255, 192, 160, 0, 192, 128
ST, S.6 -Y, 148, 87, 255, 255, 87, 128, 160, 192, 255
ST, S.7 -Y, 148, 87, 255, 255, 192, 160, 163, 160, 255
ST, S.8 -Y, 255, 87, 87, 255, 255, 255, 78, 0, 255
CB, B.1-X, 78, 0, 255, 78, 0, 255, 160, 255, 255
CB, B.2-X, 0, 192, 128, 192, 0, 128, 255, 87, 128
CB, R.1+X, 0, 128, 128, 192, 192, 0, 163, 160, 255
CB, R.2+X, 255, 87, 87, 0, 128, 255, 93, 255, 87
CB, R.1-X, 192, 72, 0, 85, 0, 192, 192, 0, 128
CB, R.2-X, 255, 255, 255, 255, 128, 0, 192, 72, 0
CB, BR.1+X, 0, 157, 192, 0, 157, 192, 255, 255, 87
CB, BR.2+X, 146, 0, 255, 0, 192, 192, 255, 192, 160
CB, BR.1-X, 160, 255, 255, 0, 192, 192, 255, 255, 87
CB, BR.2-X, 255, 255, 87, 163, 255, 160, 93, 255, 87
CB, PA_L, 255, 128, 0, 192, 0, 128, 146, 0, 255
CB, PA_R, 85, 0, 192, 255, 0, 192, 78, 0, 255
CB, G0, 146, 0, 255, 160, 192, 255, 0, 128, 128
CB, G1, 255, 0, 128, 212, 160, 255, 0, 157, 192

PROJECT TITLE :

MIDAS	Company		Client	
	Author		File Name	H2D_3Dg_v14_180227_StatLM.mct

CB, G2, 255, 255, 255, 210, 210, 210, 192, 192, 192
CB, P1_71, 255, 0, 192, 146, 0, 255, 212, 160, 255
CB, P2_71, 148, 87, 255, 212, 160, 255, 0, 192, 128
CB, P1_C3, 192, 0, 128, 0, 128, 128, 0, 128, 192
CB, P2_C3, 255, 255, 255, 0, 128, 57, 192, 192, 192
CB, BR, 192, 192, 0, 255, 192, 87, 0, 128, 255
CB, S, 0, 157, 192, 78, 0, 255, 212, 160, 255
CB, CH_ADD, 148, 87, 255, 255, 255, 255, 93, 255, 87
CB, CH, 255, 160, 255, 93, 255, 87, 255, 0, 128
CB, W, 192, 128, 0, 0, 128, 255, 255, 255, 87
CB, WP+Y, 0, 128, 255, 255, 128, 0, 212, 160, 255
CB, WP-Y, 128, 192, 0, 146, 0, 255, 0, 192, 192
CB, WP, 255, 160, 255, 85, 0, 192, 255, 192, 87
CB, TR, 78, 0, 255, 255, 0, 128, 160, 255, 255
CB, TN, 192, 72, 0, 255, 128, 0, 255, 255, 255
CB, FR, 160, 192, 255, 0, 192, 192, 146, 0, 255
CB, I, 255, 255, 255, 212, 160, 255, 0, 128, 255
CB, ZALOHA1, 0, 157, 192, 255, 87, 87, 146, 0, 255
CB, ZALOHA 2, 255, 255, 255, 192, 0, 128, 255, 0, 192
CB, P_71_glob, 0, 128, 128, 255, 255, 255, 128, 192, 0
CB, P_C3_glob, 146, 0, 255, 160, 255, 255, 128, 192, 0
CB, P_71_lok_podel, 255, 87, 87, 192, 128, 0, 192, 192, 192
CB, SLS_G+P+CH, 160, 255, 255, 255, 192, 160, 0, 128, 57
CB, SLS_LM_gr21, 128, 192, 0, 93, 255, 87, 192, 192, 192
CB, SLS_LM_g_gr22, 255, 87, 87, 0, 128, 192, 160, 192, 255
CB, ZALOHA_SLS, 212, 160, 255, 93, 255, 87, 192, 192, 192
ST, S.9 +Y, 0, 128, 192, 255, 192, 87, 78, 0, 255
ST, S.10 +Y, 0, 192, 192, 0, 128, 192, 255, 255, 255
ST, S.11 +Y, 255, 255, 87, 78, 0, 255, 163, 160, 255
ST, S.12 +Y, 146, 0, 255, 0, 128, 192, 128, 192, 0
ST, S.13 +Y, 192, 0, 128, 192, 192, 192, 255, 192, 87
ST, S.14 +Y, 255, 0, 192, 255, 255, 87, 192, 192, 0
ST, S.15 +Y, 0, 128, 57, 146, 0, 255, 255, 160, 255
ST, S.16 +Y, 0, 192, 192, 255, 160, 255, 0, 128, 128
ST, S.9 -Y, 85, 0, 192, 85, 192, 0, 255, 255, 87
ST, S.10 -Y, 0, 128, 128, 212, 160, 255, 146, 0, 255
ST, S.11 -Y, 160, 192, 255, 255, 87, 128, 255, 128, 0
ST, S.12 -Y, 192, 0, 192, 93, 255, 87, 255, 255, 255
ST, S.13 -Y, 0, 192, 128, 0, 128, 255, 148, 87, 255
ST, S.14 -Y, 85, 192, 0, 93, 255, 87, 212, 160, 255
ST, S.15 -Y, 255, 0, 128, 255, 128, 0, 255, 128, 0
ST, S.16 -Y, 163, 255, 160, 0, 192, 192, 192, 0, 192
ST, R2 +X 1. track, 93, 255, 87, 163, 160, 255, 192, 192, 0
ST, R2 -X 1. track, 0, 192, 128, 0, 128, 192, 85, 192, 0
ST, R2 +X 2. track, 128, 192, 0, 255, 128, 0, 0, 128, 128
ST, R2 -X 2. track, 255, 0, 128, 0, 157, 192, 192, 72, 0
CB, SLS_LM_ALL, 0, 128, 128, 255, 192, 160, 0, 128, 128
CB, ULS_LM_gr21a, 255, 0, 192, 160, 192, 255, 0, 157, 192
CB, ULS_LM_gr22a, 210, 210, 210, 85, 0, 192, 0, 128, 128
CB, ULS_LM_gr21b, 160, 255, 255, 255, 255, 87, 192, 128, 0
CB, ULS_LM_gr22b, 0, 128, 57, 192, 0, 192, 93, 255, 87
CB, ZALOHA_ULS, 78, 0, 255, 0, 128, 128, 78, 0, 255
CB, ULS_LM_ALL, 255, 87, 87, 255, 128, 0, 255, 87, 87
CB, ULS_C3_gr21a, 163, 255, 160, 255, 192, 87, 85, 0, 192
CB, ULS_C3_gr22a, 255, 255, 87, 93, 255, 87, 148, 87, 255
CB, ULS_C3_gr21b, 160, 255, 255, 255, 0, 192, 93, 255, 87
CB, ULS_C3_gr22b, 93, 255, 87, 0, 157, 192, 255, 0, 192
ST, G0.1_CS - Selfweight, 192, 72, 0, 192, 192, 0, 160, 255, 255
ST, G0.2_CS - Selfweight, 0, 128, 255, 0, 192, 192, 192, 0, 128
ST, G1.1_CS - Deck pavem, 0, 192, 128, 0, 128, 192, 192, 72, 0
ST, G1.2_CS - Deck of se, 78, 0, 255, 0, 128, 128, 0, 128, 57
ST, G1.3_CS - Traction, 128, 192, 0, 192, 0, 192, 210, 210, 210
ST, G2.1_CS - Gas pipeli, 255, 255, 87, 160, 255, 255, 163, 160, 255
ST, G2.2_CS - Cableline, 255, 255, 87, 148, 87, 255, 212, 160, 255
CB, LCB57, 148, 87, 255, 255, 160, 255, 0, 128, 192
CB, ULS_C3_ALL, 255, 0, 128, 255, 0, 128, 255, 87, 128
CB, SLS_C3_gr21, 255, 0, 192, 192, 192, 0, 78, 0, 255
CB, SLS_C3_gr22, 163, 160, 255, 0, 128, 255, 160, 255, 255
CB, LCB61, 255, 0, 128, 163, 160, 255, 163, 160, 255
CB, SLS_C3_ALL, 85, 0, 192, 255, 192, 87, 255, 255, 255
MV, CE_1, 192, 192, 192, 192, 0, 192, 0, 128, 128
MV, CE_2, 212, 160, 255, 0, 128, 192, 160, 192, 255

PROJECT TITLE :

MIDAS	Company		Client	
	Author		File Name	H2D_3Dg_v14_180227_StatLM.mct

```
MV, ZS1, 255, 192, 160, 255, 255, 87, 212, 160, 255
MV, ZS2, 160, 192, 255, 255, 255, 255, 255, 0, 192
MV, ZS3, 163, 160, 255, 0, 128, 128, 255, 0, 192
ST, MVmaxP71_1PFx96, 85, 192, 0, 160, 192, 255, 0, 128, 128
ST, MVmaxP71_1PFx112, 0, 157, 192, 255, 87, 128, 255, 0, 192
ST, MVmaxP71_1PFx244, 0, 128, 57, 255, 192, 87, 0, 192, 192
ST, MVmaxP71_2PFx96, 192, 72, 0, 0, 192, 192, 85, 192, 0
ST, MVmaxP71_2PFx112, 160, 255, 255, 160, 255, 255, 255, 192, 87
ST, MVmaxP71_2PFx244, 255, 87, 87, 146, 0, 255, 0, 192, 192
CB, LM_71, 85, 0, 192, 0, 192, 128, 255, 255, 87
MV, C3_D2_1L, 192, 192, 0, 0, 157, 192, 160, 255, 255
MV, C3_D2_1P, 128, 192, 0, 192, 72, 0, 192, 128, 0
MV, C3_D2_2L, 0, 128, 255, 192, 192, 192, 148, 87, 255
MV, C3_D2_2P, 0, 157, 192, 192, 192, 0, 255, 0, 192

*ANAL-CTRL
; bARDC, bANRC, iITER, TOL, bCSECF, bTRS, bCRBAR, bTPF, bCSO, bSCS, bCLATS
  YES, YES, 20, 0.001, YES, YES, YES, NO, NO, NO, YES, YES

*EIGEN-CTRL    ; Eigenvalue Analysis Control
; TYPE, iFREQ, iITER, iDIM, TOL, bMINMAX, FRMIN, FRMAX, bSTRUM   ; TYPE=EIGEN
; TYPE, bINCNL, iGNUM                                  ; TYPE=RITZ(line 1)
;      KIND1, CASE1/GROUND1, iNOG1, ...                      ; TYPE=RITZ(from line2)
  LANCZOS, 10, 20, 1, 1e-010, NO, 0, 0, NO

*MOVE-CTRL    ; Moving Load Analysis Control
; METHOD, POINT, iIGP, iIGPN/DIST, MATTYPE, BRIDGETYPE, AKMATTYPE, AKBRIDGETYPE, MINFACTS2 PLATE, bSTRCALC, FRAME, bCSTRCALC, bREAC, bRG, RGN,
bDISP, bDG, DGN, bFM, bFG, FGN, MAXV, INCV, MAXSPACE
  EXACT, INF, 0, 3, 1, 0, 1, 0, 0.8, NODAL, NO, AXIAL, YES,   YES, NO, ,   YES, NO, ,   YES, NO, , 10, 1, 8.5

*DGN-MATL    ; Modify Steel(Concrete) Material
; iMAT, TYPE, MNAME, [DATA1]                          ; STEEL
; iMAT, TYPE, MNAME, [DATA2], [R-DATA], FCI, bSERV, SHORT, LONG ; CONC
; iMAT, TYPE, MNAME, [DATA3], [DATA2], [R-DATA]              ; SRC
; iMAT, TYPE, MNAME, [DATA5]                          ; STEEL(None) & KSCE-ASD05
; [DATA1] : 1, DB, CODE, NAME or 2, ELAST, POISN, FU, FY1, FY2, FY3, FY4
;         FY5, FY6, AFT, AFT2, AFT3, FY, AFV, AFV2, AFV3
; [DATA2] : 1, DB, CODE, NAME or 2, FC, CHK, LAMBDA
; [DATA3] : 1, DB, CODE, NAME or 2, ELAST, FU, FY1, FY2, FY3, FY4
;           FY5, FY6, AFT, AFT2, AFT3, FY, AFV, AFV2, AFV3
; [DATA4] : 1, DB, CODE, NAME or 2, FC
; [DATA5] : 3, ELAST, POISN, AL1, AL2, AL3, AL4, AL5, AL6, AL7, AL8, AL9, AL10
;           MIN1, MIN2, MIN3
; [R-DATA]: RBCODE, RBMAIN, RBSUB, FY(R), FYS
   1, STEEL, S235          , 1, EN05(S)   ,          ,S235        , 1, EN04(RC)   ,          ,              , , , , 0, 0,NO,0.0000e+000,     0,, 0, 0,0, 0, 0,0, 0, 0,0, 0, 0,0, 0, 0,0, 0, 0,0.0000e+000,     0
,, 0, 0,0, 0, 0,0, 0, 0,0, 0, 0,0, 0, 0,0, 0, 0,0.0000e+000,     0,, 0, 0,0, 0, 0,0, 0, 0,0, 0, 0,0, 0, 0,
   4, STEEL, S235JR          , 2, 2.1000e+005,   0.3, 0, 0, 0, 0, 0, 0, 0, 0, 0, 0, 0, 0, 0, 0, 0, 0, 1, EN04(RC)   ,          ,              , , , , 0, 0,NO,0.0000e+000,     0,, 0, 0,0, 0, 0,0, 0, 0,0, 0,
0,0, 0, 0,0.0000e+000,     0,, 0, 0,0, 0, 0,0, 0, 0,0, 0, 0,0, 0, 0,0.0000e+000,     0,, 0, 0,0, 0, 0,0, 0, 0,0, 0, 0,0, 0, 0,

*SECTION MANAGER-GROUP & PART    ; Section Manager - Group & Part
; SECT = NO, bSAMEJ                                    ; line 1
;      GRPDISIZE, GRPDJSIZE, PARTISIZE, PARTJSIZE                ; line 2
; ..... ;
;      LOOP UTIL (GRPDISIZE, GRPDJSIZE)                    ;
;      GROUPID, GROUPNAME, GROUPTYPE                          ; line n
; ..... ;
;      LOOP UTIL (PARTISIZE, PARTJSIZE)                    ;
;      PARTTYPE, GROUPID, PARTNAME, PARTSHAPE, bSTIFFENER          ; line n
;      LINESIZE, LINEINDEX[i].....                         ; line n
; ..... ;
  SECT=1, YES
 0, 0, 0, 0
  SECT=2, YES
 0, 0, 0, 0
  SECT=3, YES
 0, 0, 0, 0
  SECT=4, YES
 0, 0, 0, 0
  SECT=5, YES
 0, 0, 0, 0
  SECT=6, YES
 0, 0, 0, 0
```

PROJECT TITLE :

MIDAS	Company		Client	
	Author		File Name	H2D_3Dg_v14_180227_StatLM.mct

SECT=7, YES
0, 0, 0, 0
SECT=8, YES
0, 0, 0, 0
SECT=9, YES
0, 0, 0, 0
SECT=10, YES
0, 0, 0, 0
SECT=11, YES
0, 0, 0, 0
SECT=12, YES
0, 0, 0, 0
SECT=13, YES
0, 0, 0, 0
SECT=14, YES
0, 0, 0, 0
SECT=15, YES
0, 0, 0, 0
SECT=16, YES
0, 0, 0, 0
SECT=17, YES
0, 0, 0, 0
SECT=18, YES
0, 0, 0, 0
SECT=19, YES
0, 0, 0, 0
SECT=20, YES
0, 0, 0, 0
SECT=21, YES
0, 0, 0, 0
SECT=22, YES
0, 0, 0, 0
SECT=23, YES
0, 0, 0, 0
SECT=24, YES
0, 0, 0, 0
SECT=25, YES
0, 0, 0, 0
SECT=26, YES
0, 0, 0, 0
SECT=27, YES
0, 0, 0, 0
SECT=28, YES
0, 0, 0, 0
SECT=29, YES
0, 0, 0, 0
SECT=30, YES
0, 0, 0, 0
SECT=31, YES
0, 0, 0, 0
SECT=32, YES
0, 0, 0, 0
SECT=33, YES
0, 0, 0, 0
SECT=34, YES
0, 0, 0, 0
SECT=35, YES
0, 0, 0, 0
SECT=36, YES
0, 0, 0, 0
SECT=37, YES
0, 0, 0, 0
SECT=38, YES
0, 0, 0, 0
SECT=39, YES
0, 0, 0, 0
SECT=40, YES
0, 0, 0, 0
SECT=41, YES
0, 0, 0, 0
SECT=42, YES
0, 0, 0, 0

PROJECT TITLE :

MIDAS	Company		Client	
	Author		File Name	H2D_3Dg_v14_180227_StatLM.mct

```
  SECT=43, YES
0, 0, 0, 0
  SECT=44, YES
0, 0, 0, 0
  SECT=45, YES
0, 0, 0, 0
  SECT=46, YES
0, 0, 0, 0
  SECT=47, YES
0, 0, 0, 0
  SECT=48, YES
0, 0, 0, 0
  SECT=49, YES
0, 0, 0, 0
  SECT=50, YES
0, 0, 0, 0
  SECT=51, YES
0, 0, 0, 0
  SECT=52, YES
0, 0, 0, 0
  SECT=53, YES
0, 0, 0, 0
  SECT=54, YES
0, 0, 0, 0
  SECT=55, YES
0, 0, 0, 0
  SECT=59, YES
0, 0, 0, 0
  SECT=60, YES
0, 0, 0, 0
  SECT=61, YES
0, 0, 0, 0
  SECT=62, YES
0, 0, 0, 0
  SECT=63, YES
0, 0, 0, 0
  SECT=64, YES
0, 0, 0, 0
  SECT=65, YES
0, 0, 0, 0
  SECT=66, YES
0, 0, 0, 0
  SECT=67, YES
0, 0, 0, 0
  SECT=70, YES
0, 0, 0, 0

*SECTION MANAGER-STIFFENER    ; Section Manager - Stiffener
; SECT = NO, bSAMEJ                                    ; line 1
;       STFNISIZE, STFNJSIZE                           ; line 2
; ..................................................... ;
;       LOOP UTIL (STFNISIZE, STFNJSIZE)               ;
;       TYPE, Z, STANDREF, POSLINE, STANDREFL, NUM, CTC          ; line n
;       STIFFTYPE, dSIZE(0 ~ 20)                       ; line n
;       LINESIZE, LINEINDEX[i].....                    ; line n
; ..................................................... ;
  SECT=1, YES
 0, 0
  SECT=2, YES
 0, 0
  SECT=3, YES
 0, 0
  SECT=4, YES
 0, 0
  SECT=5, YES
 0, 0
  SECT=6, YES
 0, 0
  SECT=7, YES
 0, 0
  SECT=8, YES
 0, 0
```

PROJECT TITLE :

MIDAS	Company		Client	
	Author		File Name	H2D_3Dg_v14_180227_StatLM.mct

SECT=9, YES
0, 0
SECT=10, YES
0, 0
SECT=11, YES
0, 0
SECT=12, YES
0, 0
SECT=13, YES
0, 0
SECT=14, YES
0, 0
SECT=15, YES
0, 0
SECT=16, YES
0, 0
SECT=17, YES
0, 0
SECT=18, YES
0, 0
SECT=19, YES
0, 0
SECT=20, YES
0, 0
SECT=21, YES
0, 0
SECT=22, YES
0, 0
SECT=23, YES
0, 0
SECT=24, YES
0, 0
SECT=25, YES
0, 0
SECT=26, YES
0, 0
SECT=27, YES
0, 0
SECT=28, YES
0, 0
SECT=29, YES
0, 0
SECT=30, YES
0, 0
SECT=31, YES
0, 0
SECT=32, YES
0, 0
SECT=33, YES
0, 0
SECT=34, YES
0, 0
SECT=35, YES
0, 0
SECT=36, YES
0, 0
SECT=37, YES
0, 0
SECT=38, YES
0, 0
SECT=39, YES
0, 0
SECT=40, YES
0, 0
SECT=41, YES
0, 0
SECT=42, YES
0, 0
SECT=43, YES
0, 0
SECT=44, YES
0, 0

PROJECT TITLE :

MIDAS	Company		Client	
	Author		File Name	H2D_3Dg_v14_180227_StatLM.mct

```
  SECT=45, YES
0, 0
  SECT=46, YES
0, 0
  SECT=47, YES
0, 0
  SECT=48, YES
0, 0
  SECT=49, YES
0, 0
  SECT=50, YES
0, 0
  SECT=51, YES
0, 0
  SECT=52, YES
0, 0
  SECT=53, YES
0, 0
  SECT=54, YES
0, 0
  SECT=55, YES
0, 0
  SECT=59, YES
0, 0
  SECT=60, YES
0, 0
  SECT=61, YES
0, 0
  SECT=62, YES
0, 0
  SECT=63, YES
0, 0
  SECT=64, YES
0, 0
  SECT=65, YES
0, 0
  SECT=66, YES
0, 0
  SECT=67, YES
0, 0
  SECT=70, YES
0, 0

*ENDDATA
```